COMUNE MONTERONI d'ARBIA

PROVINCIA DI SIENA

Riqualificazione Piazzetta del Re
Primo Stralcio
Via Roma Comune di Monteroni d'Arbia

PROGETTO ESECUTIVO

Responsabile del procedimento:
Arch. Anna Calocchi

Collaboratori:

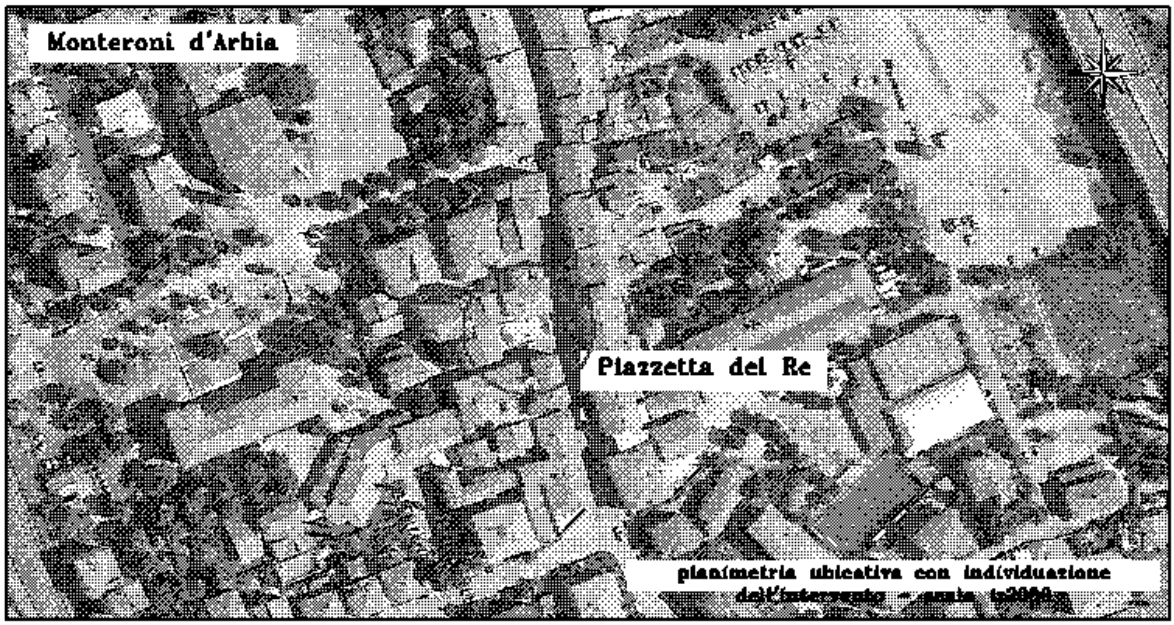
Progettista incaricato:
Dott. Ing. Claudio Neri

oggetto:

PROGETTO STRUTTURALE

Relazione di Calcolo

tavola:	**scala:**	**data:**
S3	1:50 - 1:20	Dicembre 2018



planimetria ubicativa con individuazione dell'intervento - senza in scala

NORMATIVA DI RIFERIMENTO

COSTRUZIONI IN CONGLOMERATO CEMENTIZIO ARMATO ED A STRUTTURA METALLICA

L. 5 Novembre 1971 n° 1086
Norme per la disciplina delle opere di conglomerato cementizio, normale e precompresso ed a struttura metallica.

COSTRUZIONI IN ZONE SISMICHE

L. 2 Febbraio 1974 n° 64
Provvedimenti per le costruzioni con particolare riferimento per le zone sismiche.

NORME TECNICHE PER LE COSTRUZIONI

D.M. 17 Gennaio 2018

Circolare 02 febbraio 2009 n° 617/C.S.LL.PP.

INTRODUZIONE

La Amministrazione Comunale di Monteroni d'Arbia, Siena, ha in progetto alcune opere per la "Riqualificazione della piazzetta del Re" in Monteroni d'Arbia, primo stralcio.

Queste opere comportano la realizzazione di una loggia in acciaio e di una pavimentazione vetrata nella stessa piazzetta.

Si redige allora il presente progetto strutturale con le verifiche degli elementi portanti. Il progetto si completa con gli elaborati grafici allegati.

RELAZIONE DI CALCOLO LOGGIA

La nuova struttura verrà realizzata con colonne e travi di copertura in acciaio sagomate e tagliate in officina e saldate in opera, copertura in pannello sandwiches fondazioni in calcestruzzo armato gettato in opera.

Sotto la piazza si trova una cisterna in muratura per la raccolta delle acque. Non è stato possibile verificare con certezza se le colonne si trovano sulla verticale delle pareti perimetrali della cisterna od esterne. Dalle misurazioni eseguite appaiono esterne, pertanto si prevedono fondazioni diretta in calcestruzzo armato collegate tra di loro da piatti in acciaio. Nel caso in opera le colonne si trovassero sulla verticale delle pareti della esterna verrà modificato il progetto nelle parti necessarie.

ANALISI DEI CARICHI

Si elencano i carichi agenti sulla struttura della loggia.

Carichi Permanenti Strutturali "**G1**"

Struttura metallica (calcolata dall'elaboratore)	0,05 kN/mq

Carichi Permanenti non Strutturali "**G2**"

Pannelli sanwiches	0,10 kN/mq

Carichi Variabili **"Q"**

Neve **"Q1"**

$qs = \mu \times qsk \times >Ce \times Ct$

Zona III A = 161 m s.l.m. < 200 m
qsk = 0,60 kN/mq
$\mu = 0,8$
Ct = 1
Ce = 1

qs = 0,8 x 0,60 x 1 x 1 = 0,48 – 0,50 kN/mq

Vento **"Q2"**

VENTO SU COPERTURA
(riferimento alla circolare del 2009 nelle more dell'aggiornamento)

$P = qb \times Ce \times Cp \times Cd$

-) qref – pressione cinetica di riferimento

$qb = ½ \rho Vb^2$

$\rho = 1,25$ kg/mc

Zona 3
$Vb,o = 27$ m/s
$ao = 500$ m
$ks = 0,37$

$as = 161$ m < ao
$Vb = Vb,o = 27$ m/s

$qb = ½ \times 1,25 \times 27^2 = 455,62$ N/m²

-) Ce – coefficiente di esposizione

Classe di rugosità A
Categoria di esposizione V
$kr = 0,23$
$zo = 0,70$ m
z min = 12 m
Ct – coefficiente di topografia = 1
$z = 3,30$ m < zmin

$Ce = kr^2 \times Ct \times \ln(z/zo) \times [7 + Ct \times \ln(z/zo)] = 0,23^2 \times \ln(12/0,70) \times [7 + \ln(12/0,70)] = 1,48$

-) Cp – Coefficiente di forma

Tettoia isolata $\alpha = 2°$ - cautelativamente si assume $\alpha = 5°$

Falda Sopravento Cp = 0,8 x (1+sen5°) = 0,87 (verso il basso)
Falda Sottovento Cp = 0,6 (verso l'alto)

-) Cd – Coefficiente dinamico

Cd = 1,00

In conclusione:

Falda Sopravento P = 455,62 x 1,48 x 0,87 x 1 = 586,66 N/m² (verso il basso)
Parete Sottovento P = 455,62 x 1,48 x 0,6 x 1 = 404,59 N/m² (verso l'alto)

VENTO SU MONTANTI – TORRI E PALI A TRALICCIO
(riferimento alla circolare del 2009 nelle more dell'aggiornamento)

P = qb x Ce x Cp x Cd

-) Cp – Coefficiente di forma

Cp = 2,8 – elementi con forma diversa dalla circolare

In conclusione:

Azione su elementi di lato 5 cm
P = (455,62 x 1,48 x 2,80 x 1) x 0,05 = 1.888,09 x 0,05 = 94,40 N/m

I calastrelli vengono considerati mediante incremento del 50% della azione.
P = 1,50 x 94,40 = 141,61 N/m

Manutenzione **"Q3"** 50 daN/mq

DESCRIZIONE DEL MODELLO STRUTTURALE

Le verifiche d'insieme e locali della struttura in acciaio e delle fondazioni in calcestruzzo armato vengono eseguite con elaboratore elettronico e programma agli elementi finiti "ModeSt" versione 8.17 con solutore "XFinest" versione 2014 del quale si allega stampato di calcolo.

Le verifiche per la nuova costruzione sono riportate nell'allegato fascicolo dei calcoli e dimostrano la rispondenza della struttura del fabbricato in progetto alle vigenti normative in materia di costruzioni edili.

Dalle stesse verifiche si ricavano le sollecitazioni per le verifiche puntuali degli attacchi di seguito riportate.

VERIFICA GIUNZIONE CONTROVENTI

I controventi sono giuntati mediante saldatura che interessa tutto il loro spessore.

Dai risultati del calcolo automatizzato si ricava la azione normale massima che deve essere trasmessa dalla saldatura.

$\beta_1 = 0,70$
$\beta_2 = 0,85$

Saldature:
$A_a = 50x5 = 250,00$ mm²

Sollecitazioni massime:
N_{Ed} = 539,145 daN – 5.391,45 N

Saldature su anima:
$\sigma_{ort} = N_{Ed}/A_a = 5.391,45/250,00 = 21,57$ N/mm²

$\sigma_{ort} = 21,57$ N/mm² < β_1 x $f_{yk} = 0,70$ x 275 = 192,50 N/mm²
$\sigma_{ort} = 21,57$ N/mm² < β_2 x $f_{yk} = 0,85$ x 275 = 233,75 N/mm²

VERIFICA GIUNTO ARCARECCI – TRAVI PRINCIPALI

Gli arcarecci, realizzato con travi di sezione a "T", sono collegati alle travi principali mediante saldatura lungo l'anima e lungo il lato inferiore della briglia superiore.

Dai risultati del calcolo automatizzato si ricavano le sollecitazioni massime che devono essere trasmesse dalla saldatura.

Saldature su anima:
$A_a = (100x5)x2 = 1.000,00$ mm²

Saldature totali:
$A_{tot} = 1.200,00$ mm²
Yg = 68,71 mm (dal basso)
$J_g = 1.484.528,04$ mm^4
$W_i = 1.484.528,04 / 68,71 = 21.608,85$ mm^3
$W_s = 1.484.528,04 / 38,80 = 38.261,03$ mm^3

Sollecitazioni massime:

N_{Ed} = 93,535 daN	– 935,35 N
$V_{y,Ed}$ = 0,456 daN	– 4,56 N
$M_{z,Ed}$ = 0,696 daNm	– 6.960,00 Nmm
$V_{z,Ed}$ = 95,54 daN	– 955,40 N
$M_{y,Ed}$ = 95,533 daNm	– 955.330,00 Nmm
$M_{x,Ed}$ = 0,086 daNm	– 860,00 Nmm

Saldature su anima:
$\sigma_{ort} = N_{Ed}/A_a + M_{y,Ed}/W_i = 935,35/1.000,00 + 955.330,00/21.608,85 =$
$= 0,93 + 44,21 = 45,14$ N/mm²
$\tau_{par} = V_{z,Ed}/A_a = 955,40/1.000,00 = 0,95$ N/mm²

$\sqrt{(\sigma_{ort}^2 + \tau_{par}^2)} = \sqrt{(45,14^2 + 0,95^2)} = 45,15$ N/mm² < β_1 x $f_{yk} = 0,70$ x 275 = 192,50 N/mm²
$\sigma_{ort} = 45,14$ N/mm² < β_2 x $f_{yk} = 0,85$ x 275 = 233,75 N/mm²

VERIFICA GIUNTO COLONNE - TRAVI PRINCIPALI

La giunzione viene realizzata con un tubolare metallico che alloggia nella testa delle colonne ed è inserito internamente alle tue travi affiancate che formano le travi principali.

Le sollecitazioni derivanti dalle travi vengono trasmesse al tubolare mediante la bullonatura di seguito verificata. Il tubolare poi le trasmette alle colonne essendo incastrato in apposito alloggiamento, nel quel si prevede una bullonatura con l'unica funzione di fissaggio.

Dai risultati del calcolo automatizzato si ricavano le sollecitazioni massime che devono essere trasmesse dalle bullonature.

Sollecitazioni massime:

N_{Ed} = 2.079,93 daN – 20.799,30 N
V_y = 276,85 daN – 2.768,50 N
$M_{z,Ed}$ = 970,654 daNm – 9.706.540,00 Nmm
$V_{z,Ed}$ = 13,85 daN – 138,50 N
M_y = 6,609 daNm – 66.090,00 Nmm
$M_{x,Ed}$ = 1,005 daNm – 10.050,00 Nmm

Barre D=16 mm, classe 8.8
A_{res} = 157 mm²
F_{tb} = 800 N/mm²
γ_{m2} = 1,05
$F_{v,Rd} = 0,6 \times F_{tb} \times A_{res} / \gamma_{m2} = 0,6 \times 800 \times 157 / 1,05 = 71.771,43$ N

La sollecitazione di momento flettente viene ripartita tra le bullonature in base alla distanza dal centro della bullonatura stessa. La azione di taglio così ricavata viene scomposta secondo gli assi orizzontale e verticale per poterla sommare alla azione del taglio vero e proprio.

Si ricava poi il taglio massimo con il quale si esegue la verifica.

$b = \sqrt{[(120/2)^2 + (110/2)^2]} = 81,39$ mm

$V_b = M_{z,Ed} / 2 / 4 / b = 9.706.540,00 / 2 / 4 / 81,39 = 14.907,45$ N

α = arctg(50/60) = 40°

$V_{y,b} = 14.907,45 \times \cos 40 = 11,419,77$ N
$V_{z,b} = 14.907,45 \times \text{sen}40 = 9,582,32$ N

$V_{y,Ed} = 2.768,50 + 11,419,77 = 14.188,27$ N
$V_{z,Ed} = 138,50 + 9,582,32 = 9.720,82$ N

$V_{Ed} = \sqrt{(14.188,27^2 + 9.720,82^2)} = 17.199,23$ N

VERIFICA

$V_{Ed} / F_{v,Rd} = 17.199,23 / 71.771,43 = 0,24 < 1$

VERIFICA DEL RIFOLLAMENTO NELLA PIASTRA

Si verifica il rifollamento delle barre nella piastra di acciaio di spessore 10 mm.

V_{Ed} = 17.199,23 N

Piastra s=10 mm, acciaio S275.

t = 10 mm
d = 16 mm
F_{tk} = 430 N/mm²
k = 2,5
α = 1
γ_{m2} = 1,05

$F_{b,Rd} = k \times \alpha \times F_{tk} \times d \times t / \gamma_{m2} = 2,5 \times 1 \times 430 \times 16 \times 10 / 1,05 = 163.809,52$ N

VERIFICA

$V_{Ed} / F_{b,Rd} = 17.199,23 / 163.809,52 = 0,10 < 1$

VERIFICA GIUNTO BASE COLONNE

Il giunto di base delle colonne viene realizzato con una piastra metallica saldata alle colonne e vincolata alle fondazioni con barre filettate, tirafondi, affogate nel getto.

La schematizzazione adottata nella realizzazione del modello fa' si che non vi sia un solo punto di contatto tra le colonne e la trave di fondazione. Non si ha quindi un'unica combinazione di sollecitazioni con la quale eseguire le verifiche.

I punti di contatto sono tre, si ritiene di utilizzare per le verifiche il valore massimo della variazione del taglio nella trave di fondazione in corrispondenza dei punti di contatto esterni. Questo valore viene utilizzato per verificare le saldature tra le colonne e la piastra ed i tirafondi.

$N_{Ed} = \Delta_{max}V$ = 2.672,16 daN – 26.721,16 N

VERIFICA SALDATURA PIASTRA - COLONNA

Saldature:
A_a = 300x5 = 1.500,00 mm²

Sollecitazioni massime:
N_{Ed} = 26.721,16 N

Saldature su anima:
$\sigma_{ort} = N_{Ed}/A_a = 26.721,16/1.500,00 = 17,81$ N/mm²

σ_{ort} = 17,81 N/mm² < $\beta_1 \times f_{yk}$ = 0,70 x 275 = 192,50 N/mm²
σ_{ort} = 17,81 N/mm² < $\beta_2 \times f_{yk}$ = 0,85 x 275 = 233,75 N/mm²

VERIFICA TIRAFONDI

Sollecitazioni massime:
N_{Ed} = 26.721,16 N

Barre D=16 mm, classe 8.8
A_{res} = 157 mm²
F_{tb} = 800 N/mm²
γ_{m2} = 1,05
$F_{v,Rd} = 0,9 \times F_{tb} \times A_{res} / \gamma_{m2} = 0,9 \times 800 \times 157 / 1,05 = 107.657,14$ N

VERIFICA

$V_{Ed} / F_{v,Rd} = 26.721,16 / 2 / 107.657,14 = 0,11 < 1$

VERIFICA ADERENZA NEL CALCESTRUZZO

Sollecitazioni massime:
$N_{Ed} = 26.721,16 / 2 = 13.360,58$ N

Tensione tangenziale di aderenza acciaio – calcestruzzo
$f_{bd} = f_{bk}/\gamma_c$

$f_{bk} = 2,25 \times \eta_1 \times \eta_2 \times f_{ctk}$

γ_c = 1,5
η_1 = 1
η_2 = 1
$f_{ctk} = 0,30 \times f_{ck}^{2/3}$
f_{ck} = 30 N/mm²
$f_{ctk} = 0,30 \times 30^{2/3} = 4,32$ N/mm²

$f_{bk} = 2,25 \times 1 \times 1 \times 4,32 = 9,72$ N/mm²

$f_{bd} = 9,72 / 1,5 = 6,48$ N/mm²

Barre D=16 mm
L = 350 mm
$A_{ad} = 3,14 \times 16 \times 350 = 17.584,00$ mm²

$N_{Rd} = 6,48 \times 17.584,00 = 113.944,32$ N

VERIFICA

$N_{Ed} / N_{Rd} = 13.360,58 / 113.944,32 = 0,12 < 1$

RELAZIONE DI CALCOLO
PAVIMENTAZIONE

Il progetto prevede la chiusura della zona dove attualmente si trova una gradinata che scende verso la cisterna interrata. La chiusura verrà realizzata con lastre di vetro sostenute da travi in acciaio sagomate ed intagliate in officina.

Per le verifiche delle lastre di vetro si rimanda alla documentazione del fornitore che dovrà dimostrare il rispetto delle normative in vigore.

Le travi di sostegno appoggeranno sulla gradinata e verranno fissate con barre filettate alla muratura nella parete della cisterna.

ANALISI DEI CARICHI

Si elencano i carichi agenti sulla struttura del pavimento il vetro.

Carichi Permanenti Strutturali "**G1**"

Struttura metallica 0,30 kN/mq

Carichi Permanenti non Strutturali "**G2**"

Impalcato in vetro strutturaleS=3 cm
25,00 x 0,03 = 0,75 kN/mq

Carichi Variabili **"Q"**

Aree prive di ostacoli cat. "C2" - **"Q1"**

qs = 5,00 kN/mq

Neve **"Q2"**

qs = 0,8 x 0,60 x 1 x 1 = 0,48 – 0,50 kN/mq

COMBINAZIONI DI CALCOLO

Solaio – SLU - Azione variabile prevalente – folla
$P = 1,3 \times 0,30 + 1,5 \times 0,75 + 1,5 \times 5,00 + 1,5 \times 0,5 \times 0,50 = 9,39$ kN/m^2

Solaio – SLU - Azione variabile prevalente – neve
$P = 1,3 \times 0,30 + 1,5 \times 0,75 + 1,5 \times 0,7 \times 5,00 + 1,5 \times 0,50 = 7,51$ kN/m^2

Nel seguito si eseguono le verifiche delle travi dell'orditura di sostegno delle lastre di vetro con la combinazione di carico con carico da folla prevalente che risulta la più gravosa.

Solaio – SLU - Azione variabile prevalente – folla
$P = 0,30 + 0,75 + 5,00 + 0,2 \times 0,50 = 6,15$ kN/m^2

Solaio – SLU - Azione variabile prevalente – neve
$P = 0,30 + 0,75 + 0,7 \times 5,00 + 0,50 = 5,05$ kN/m^2

Nel seguito si eseguono le verifiche delle travi dell'orditura di sostegno delle lastre di vetro con la combinazione di carico con carico da folla prevalente che risulta la più gravosa.

DESCRIZIONE DEL MODELLO STRUTTURALE

Si esegue la verifica dell'asta metallica di maggiore lunghezza e maggior carico, estendendone i risultati alle altre. Le verifiche d'insieme e locali dell'asta vengono eseguite con elaboratore elettronico e programma agli elementi finiti "ModeSt" versione 8.17 con solutore "XFinest" versione 2014 del quale si allega stampato di calcolo.

Le verifiche per la nuova costruzione sono riportate nell'allegato fascicolo dei calcoli e dimostrano la rispondenza della struttura del fabbricato in progetto alle vigenti normative in materia di costruzioni edili.

Dalle stesse verifiche si ricavano le sollecitazioni per le verifiche puntuali degli attacchi di seguito riportate.

Interasse
$I = 0,865$ m

Carico Permanente Strutturale
$Q_{ps} = 0,30 \times 0,865 = 0,26$ kN/m

Carico Permanente non Strutturale
$Q_{pns} = 0,75 \times 0,865 = 0,65$ kN/m

Carico Variabile Folla
$Q_{ps} = 5,00 \times 0,865 = 4,33$ kN/m

Carico Variabile Neve
$Q_{ps} = 0,50 \times 0,865 = 0,43$ kN/m

VERIFICA GIUNTO TRAVE – PIASTRA A PARETE

La giunzione tra le travi orizzontali di sostegno dei pannelli di vetro e la piastra a parete, realizzata con piatto metallico lungo tutto lo sviluppo del solaio, viene realizzata con saldatura sull'anima in modo da realizzare un vincolo a cerniera.

Si verifica quindi la saldatura sotto la azione massima trasmessa ricavata dallo stampato di calcolo.

$\beta_1 = 0,70$
$\beta_2 = 0,85$

Saldature su anima:
$A_a = (80x5)x2 = 800{,}00$ mm²
$W_a = (5x80^2/6) = 5.333{,}00$ mm^3

Sollecitazioni massime:
$N_{Ed} = 4.068{,}66$ daN – 40.686,60 N
$V_{y,Ed} = 1.067{,}16$ daN – 10.671,60 N

Saldature su anima:
$\sigma_{ort} = N_{Ed}/A_a = 40.686{,}60/800{,}00 = 50{,}86$ N/mm²
$\tau_{par} = V_{y,Ed}/A_a = 10.671{,}60/800{,}00 = 13{,}34$ N/mm²

$\sqrt{(\sigma_{ort}^2 + \tau_{par}^2)} = \sqrt{(50{,}86^2 + 13{,}34^2)} = 70{,}43$ N/mm² $< \beta_1 \times f_{yk} = 0{,}70 \times 275 = 192{,}50$ N/mm²
$\sigma_{ort} = 50{,}86$ N/mm² $< \beta_2 \times f_{yk} = 0{,}85 \times 275 = 233{,}75$ N/mm²

VERIFICA BARRE FILETTATE ANCORATE A PARETE

Si verificano gli ancoraggi del piatto a parete realizzati con barre filettate ammorsate con resine.
Cautelativamente si considerano agenti le sole due barre previste a cavallo delle travi metalliche di sostegno dei pannelli di vetro.
La azione agente è il taglio massimo trasmesso dalla trave metallica.
Si ipotizza vincolo a cerniera, pertanto non si considerano azioni flessionali.

$V_{Ed} = 10.671{,}60$ N

Barre D=16 mm, classe 8.8
$A_{res} = 157$ mm²
$F_{tb} = 800$ N/mm²
$\gamma_{m2} = 1{,}05$
$F_{v,Rd} = 0{,}6 \times F_{tb} \times A_{res} / \gamma_{m2} = 0{,}6 \times 800 \times 157 / 1{,}05 = 71.771{,}43$ N

VERIFICA

$V_{Ed} / (2xF_{v,Rd}) = 10.671{,}60 / (2x71.771{,}43) = 0{,}07 < 1$

VERIFICA DEL RIFOLLAMENTO NELLA PIASTRA

Si verifica il rifollamento delle barre nella piastra di acciaio di spessore 10 mm.

$V_{Ed} = 10.671{,}60 / 2 = 5.338{,}80$ N

Piastra s=10 mm, acciaio S275.

t = 10 mm
d = 16 mm
$F_{tk} = 430$ N/mm²

$k = 2,5$
$\alpha = 1$
$\gamma_{m2} = 1,05$

$F_{b,Rd} = k \times \alpha \times F_{tk} \times d \times t / \gamma_{m2} = 2,5 \times 1 \times 430 \times 16 \times 10 / 1,05 = 163.809,52$ N

VERIFICA

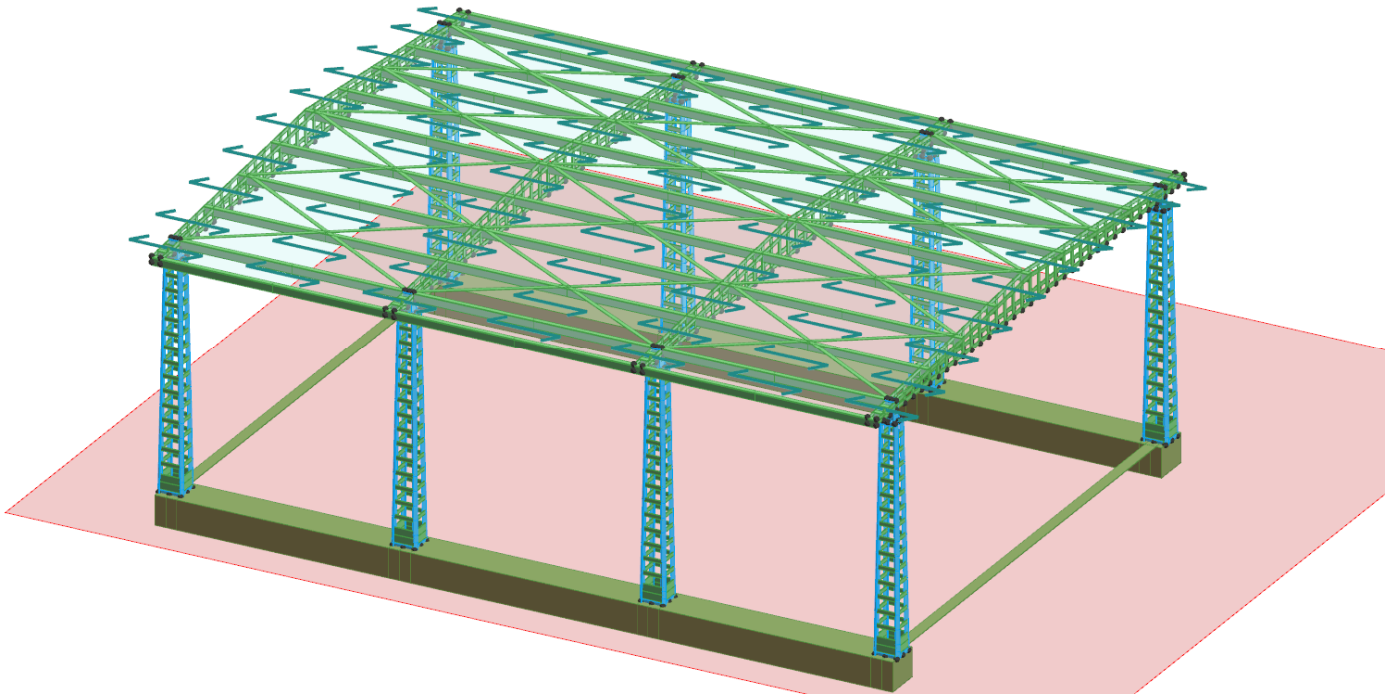
$V_{Ed} / F_{b,Rd} = 5.338,80 / 163.809,52 = 0,03 < 1$

Siena, Dicembre 2018

Dott. Ing.

Claudio NERI

VERIFICHE NUMERICHE LOGGIA



Introduzione

Sistemi di riferimento

Le coordinate, i carichi concentrati, i cedimenti, le reazioni vincolari e gli spostamenti dei NODI sono riferiti ad una terna destra cartesiana globale con l'asse Z verticale rivolto verso l'alto.
I carichi in coordinate locali e le sollecitazioni delle ASTE sono riferite ad una terna destra cartesiana locale così definita:
- origine nel nodo iniziale dell'asta;
- asse X coincidente con l'asse dell'asta e con verso dal nodo iniziale al nodo finale;
- immaginando la trave a sezione rettangolare l'asse Y è parallelo alla base e l'asse Z è parallelo all'altezza. La rotazione dell'asta comporta quindi una rotazione di tutta la terna locale.

Si può immaginare la terna locale di un'asta comunque disposta nello spazio come derivante da quella globale dopo una serie di trasformazioni:
- una rotazione intorno all'asse Z che porti l'asse X a coincidere con la proiezione dell'asse dell'asta sul piano orizzontale;
- una traslazione lungo il nuovo asse X così definito in modo da portare l'origine a coincidere con la proiezione del nodo iniziale dell'asta sul piano orizzontale;
- una traslazione lungo l'asse Z che porti l'origine a coincidere con il nodo iniziale dell'asta;
- una rotazione intorno all'asse Y così definito che porti l'asse X a coincidere con l'asse dell'asta;
- una rotazione intorno all'asse X così definito pari alla rotazione dell'asta.

In pratica le travi prive di rotazione avranno sempre l'asse Z rivolto verso l'alto e l'asse Y nel piano del solaio, mentre i pilastri privi di rotazione avranno l'asse Y parallelo all'asse Y globale e l'asse Z parallelo ma controverso all'asse X globale. Da notare quindi che per i pilastri la "base" è il lato parallelo a Y.

Le sollecitazioni ed i carichi in coordinate locali negli ELEMENTI BIDIMENSIONALI e nei MURI sono riferiti ad una terna destra cartesiana locale così definita:

- origine nel primo nodo dell'elemento;
- asse X coincidente con la congiungente il primo ed il secondo nodo dell'elemento;
- asse Y definito come prodotto vettoriale fra il versore dell'asse X e il versore della congiungente il primo e il quarto nodo. Asse Z a formare con gli altri due una terna destrorsa.

Praticamente un elemento verticale con l'asse X locale coincidente con l'asse X globale ha anche gli altri assi locali coincidenti con quelli globali.

Rotazioni e momenti

Seguendo il principio adottato per tutti i carichi che sono positivi se CONTROVERSI agli assi, anche i momenti concentrati e le rotazioni impresse in coordinate globali risultano positivi se CONTROVERSI al segno positivo delle rotazioni. Il segno positivo dei momenti e delle rotazioni è quello orario per l'osservatore posto nell'origine: X ruota su Y, Y ruota su Z, Z ruota su X. In pratica è sufficiente adottare la regola della mano destra: col pollice rivolto nella direzione dell'asse, la rotazione che porta a chiudere il palmo della mano corrisponde al segno positivo.

Normativa di riferimento

La normativa di riferimento è la seguente:
- Legge n. 64 del 2/2/1974 - Provvedimenti per le costruzioni con particolari prescrizioni per le zone sismiche.

- D.M. del 24/1/1986 - Norme tecniche relative alle costruzioni sismiche.

- Legge n. 1086 del 5/11/1971 - Norme per la disciplina delle opere di conglomerato cementizio armato, normale e precompresso ed a struttura metallica.

- D.M. del 14/2/1992 - Norme tecniche per l'esecuzione delle opere in c.a. normale e precompresso e per le strutture metalliche.

- D.M. del 9/1/1996 - Norme tecniche per l'esecuzione delle opere in c.a. normale e precompresso e per le strutture metalliche.

- D.M. del 16/1/1996 - Norme tecniche per le costruzioni in zone sismiche.

- Circolare n. 21745 del 30/7/1981 - Legge n. 219 del 14/5/1981 - Art. 10 - Istruzioni relative al rafforzamento degli edifici in muratura danneggiati dal sisma.

- Regione Autonoma Friuli Venezia Giulia - Legge Regionale n. 30 del 20/6/1977 - Documentazione tecnica per la progettazione e direzione delle opere di riparazione degli edifici - Documento Tecnico n. 2 - Raccomandazioni per la riparazione strutturale degli edifici in muratura.

- D.M. del 20/11/1987 - Norme Tecniche per la progettazione, esecuzione e collaudo degli edifici in muratura e per il loro consolidamento.

- Norme Tecniche C.N.R. n. 10011-85 del 18/4/1985 - Costruzioni di acciaio - Istruzioni per il calcolo, l'esecuzione, il collaudo e la manutenzione.

- Norme Tecniche C.N.R. n. 10025-84 del 14/12/1984 - Istruzioni per il progetto, l'esecuzione ed il controllo delle strutture prefabbricate in conglomerato cementizio e per le strutture costruite con sistemi industrializzati di acciaio - Istruzioni per il calcolo, l'esecuzione, il collaudo e la manutenzione.

- Circolare n. 65 del 10/4/1997 - Istruzioni per l'applicazione delle "Norme tecniche per le costruzioni in zone sismiche" di cui al D.M. del 16/1/1996.

- Eurocodice 5 - Progettazione delle strutture di legno.

- DIN 1052 - Metodi di verifica per il legno.

- D.M. del 17/1/2018 - Norme tecniche per le costruzioni.

- Documento Tecnico CNR-DT 200 R1/2012 - Istruzioni per la Progettazione, l'Esecuzione ed il Controllo di Interventi di Consolidamento Statico mediante l'utilizzo di Compositi Fibrorinforzati.

- Eurocodice 3 - Progettazione delle strutture in acciaio.

Unità di misura

Le unità di misura adottate sono le seguenti:
- lunghezze : m
- forze : daN
- masse : kg
- temperature : gradi centigradi
- angoli : gradi sessadecimali o radianti

Geometria

Elenco vincoli nodi

Simbologia
Vn =Numero del vincolo nodo
Com =Commento
m.
Sx =Spostamento in dir. X (L=libero, B=bloccato, E=elastico)
Sy =Spostamento in dir. Y (L=libero, B=bloccato, E=elastico)
Sz =Spostamento in dir. Z (L=libero, B=bloccato, E=elastico)
Rx =Rotazione intorno all'asse X (L=libera, B=bloccata, E=elastica)
Ry =Rotazione intorno all'asse Y (L=libera, B=bloccata, E=elastica)
Rz =Rotazione intorno all'asse Z (L=libera, B=bloccata, E=elastica)
RL =Rotazione libera
Ly =Lunghezza (dir. Y locale)
Lz =Larghezza (dir. Z locale)
Kt =Coeff. di sottofondo su suolo elastico alla Winkler

Vn	Comm.	Sx	Sy	Sz	Rx	Ry	Rz	RL	Ly <m>	Lz <m>	Kt <daN/cmc>
1	Libero	L	L	L	L	L	L				
3	El. sew 110001	B	B	L	L	L	B				

Elenco nodi

Simbologia
Nodo =Numero del nodo
X =Coordinata X del nodo
Y =Coordinata Y del nodo
Z =Coordinata Z del nodo
Imp. =Numero dell'impalcato
Vn =Numero del vincolo nodo

Nodo	X <m>	Y <m>	Z <m>	Imp.	Vn
-825	1.60	7.40	3.32	0	1
-821	1.60	4.31	3.57	0	1
-817	1.60	0.86	3.43	0	1
-813	4.90	6.90	3.36	0	1
-809	4.90	3.45	3.64	0	1
-805	4.90	0.00	3.36	0	1
-801	8.20	6.04	3.43	0	1
-797	8.20	2.59	3.57	0	1

Nodo	X <m>	Y <m>	Z <m>	Imp.	Vn
-824	1.60	6.90	3.36	0	1
-820	1.60	3.45	3.64	0	1
-816	1.60	0.00	3.36	0	1
-812	4.90	6.04	3.43	0	1
-808	4.90	2.59	3.57	0	1
-804	4.90	-0.50	3.32	0	1
-800	8.20	5.17	3.50	0	1
-796	8.20	1.73	3.50	0	1

Nodo	X <m>	Y <m>	Z <m>	Imp.	Vn
-823	1.60	6.04	3.43	0	1
-819	1.60	2.59	3.57	0	1
-815	1.60	-0.50	3.32	0	1
-811	4.90	5.17	3.50	0	1
-807	4.90	1.73	3.50	0	1
-803	8.20	7.40	3.32	0	1
-799	8.20	4.31	3.57	0	1
-795	8.20	-0.50	3.32	0	1

Nodo	X <m>	Y <m>	Z <m>	Imp.	Vn
-822	1.60	5.17	3.50	0	1
-818	1.60	1.73	3.50	0	1
-814	4.90	7.40	3.32	0	1
-810	4.90	4.31	3.57	0	1
-806	4.90	0.86	3.43	0	1
-802	8.20	6.90	3.36	0	1
-798	8.20	3.45	3.64	0	1
-794	8.20	0.00	3.36	0	1

-793	8.20	0.86	3.43	0	1
-789	6.54	3.45	3.64	0	1
-785	-0.06	3.45	3.64	0	1
-781	6.54	3.67	3.62	0	1
-777	-0.06	3.67	3.62	0	1
-773	6.54	3.23	3.62	0	1
-769	-0.06	3.23	3.62	0	1
-765	6.54	3.88	3.60	0	1
-761	-0.06	3.88	3.60	0	1
-757	6.54	3.02	3.60	0	1
-753	-0.06	3.02	3.60	0	1
-749	6.54	4.10	3.59	0	1
-745	-0.06	4.10	3.59	0	1
-741	6.54	2.80	3.59	0	1
-737	-0.06	2.80	3.59	0	1
-733	6.54	4.31	3.57	0	1
-729	-0.06	4.31	3.57	0	1
-725	6.54	2.59	3.57	0	1
-721	-0.06	2.59	3.57	0	1
-717	6.54	4.53	3.55	0	1
-713	-0.06	4.53	3.55	0	1
-709	6.54	2.37	3.55	0	1
-705	-0.06	2.37	3.55	0	1
-701	6.54	4.74	3.54	0	1
-697	-0.06	4.74	3.54	0	1
-693	6.54	2.16	3.54	0	1
-689	-0.06	2.16	3.54	0	1
-685	6.54	4.96	3.52	0	1
-681	-0.06	4.96	3.52	0	1
-677	6.54	1.94	3.52	0	1
-673	-0.06	1.94	3.52	0	1
-669	6.54	5.17	3.50	0	1
-665	-0.06	5.17	3.50	0	1
-661	6.54	1.73	3.50	0	1
-657	-0.06	1.73	3.50	0	1
-653	6.54	5.39	3.48	0	1
-649	-0.06	5.39	3.48	0	1
-645	6.54	1.51	3.48	0	1
-641	-0.06	1.51	3.48	0	1
-637	6.54	5.61	3.46	0	1
-633	-0.06	5.61	3.46	0	1
-629	6.54	1.29	3.46	0	1
-625	-0.06	1.29	3.46	0	1
-621	6.54	5.82	3.45	0	1
-617	-0.06	5.82	3.45	0	1
-613	6.54	1.08	3.45	0	1
-609	-0.06	1.08	3.45	0	1
-605	6.54	6.04	3.43	0	1
-601	-0.06	6.04	3.43	0	1
-597	6.54	0.86	3.43	0	1
-593	-0.06	0.86	3.43	0	1
-589	6.54	6.25	3.41	0	1
-585	-0.06	6.25	3.41	0	1
-581	6.54	0.65	3.41	0	1
-577	-0.06	0.65	3.41	0	1
-573	6.54	6.47	3.40	0	1
-569	-0.06	6.47	3.40	0	1
-565	6.54	0.43	3.40	0	1
-561	-0.06	0.43	3.40	0	1

-792	9.86	3.45	3.64	0	1
-788	3.26	3.45	3.64	0	1
-784	9.86	3.67	3.62	0	1
-780	3.26	3.67	3.62	0	1
-776	9.86	3.23	3.62	0	1
-772	3.26	3.23	3.62	0	1
-768	9.86	3.88	3.60	0	1
-764	3.26	3.88	3.60	0	1
-760	9.86	3.02	3.60	0	1
-756	3.26	3.02	3.60	0	1
-752	9.86	4.10	3.59	0	1
-748	3.26	4.10	3.59	0	1
-744	9.86	2.80	3.59	0	1
-740	3.26	2.80	3.59	0	1
-736	9.86	4.31	3.57	0	1
-732	3.26	4.31	3.57	0	1
-728	9.86	2.59	3.57	0	1
-724	3.26	2.59	3.57	0	1
-720	9.86	4.53	3.55	0	1
-716	3.26	4.53	3.55	0	1
-712	9.86	2.37	3.55	0	1
-708	3.26	2.37	3.55	0	1
-704	9.86	4.74	3.54	0	1
-700	3.26	4.74	3.54	0	1
-696	9.86	2.16	3.54	0	1
-692	3.26	2.16	3.54	0	1
-688	9.86	4.96	3.52	0	1
-684	3.26	4.96	3.52	0	1
-680	9.86	1.94	3.52	0	1
-676	3.26	1.94	3.52	0	1
-672	9.86	5.17	3.50	0	1
-668	3.26	5.17	3.50	0	1
-664	9.86	1.73	3.50	0	1
-660	3.26	1.73	3.50	0	1
-656	9.86	5.39	3.48	0	1
-652	3.26	5.39	3.48	0	1
-648	9.86	1.51	3.48	0	1
-644	3.26	1.51	3.48	0	1
-640	9.86	5.61	3.46	0	1
-636	3.26	5.61	3.46	0	1
-632	9.86	1.29	3.46	0	1
-628	3.26	1.29	3.46	0	1
-624	9.86	5.82	3.45	0	1
-620	3.26	5.82	3.45	0	1
-616	9.86	1.08	3.45	0	1
-612	3.26	1.08	3.45	0	1
-608	9.86	6.04	3.43	0	1
-604	3.26	6.04	3.43	0	1
-600	9.86	0.86	3.43	0	1
-596	3.26	0.86	3.43	0	1
-592	9.86	6.25	3.41	0	1
-588	3.26	6.25	3.41	0	1
-584	9.86	0.65	3.41	0	1
-580	3.26	0.65	3.41	0	1
-576	9.86	6.47	3.40	0	1
-572	3.26	6.47	3.40	0	1
-568	9.86	0.43	3.40	0	1
-564	3.26	0.43	3.40	0	1
-560	9.86	6.68	3.38	0	1

-791	9.74	3.45	3.64	0	1
-787	3.14	3.45	3.64	0	1
-783	9.74	3.67	3.62	0	1
-779	3.14	3.67	3.62	0	1
-775	9.74	3.23	3.62	0	1
-771	3.14	3.23	3.62	0	1
-767	9.74	3.88	3.60	0	1
-763	3.14	3.88	3.60	0	1
-759	9.74	3.02	3.60	0	1
-755	3.14	3.02	3.60	0	1
-751	9.74	4.10	3.59	0	1
-747	3.14	4.10	3.59	0	1
-743	9.74	2.80	3.59	0	1
-739	3.14	2.80	3.59	0	1
-735	9.74	4.31	3.57	0	1
-731	3.14	4.31	3.57	0	1
-727	9.74	2.59	3.57	0	1
-723	3.14	2.59	3.57	0	1
-719	9.74	4.53	3.55	0	1
-715	3.14	4.53	3.55	0	1
-711	9.74	2.37	3.55	0	1
-707	3.14	2.37	3.55	0	1
-703	9.74	4.74	3.54	0	1
-699	3.14	4.74	3.54	0	1
-695	9.74	2.16	3.54	0	1
-691	3.14	2.16	3.54	0	1
-687	9.74	4.96	3.52	0	1
-683	3.14	4.96	3.52	0	1
-679	9.74	1.94	3.52	0	1
-675	3.14	1.94	3.52	0	1
-671	9.74	5.17	3.50	0	1
-667	3.14	5.17	3.50	0	1
-663	9.74	1.73	3.50	0	1
-659	3.14	1.73	3.50	0	1
-655	9.74	5.39	3.48	0	1
-651	3.14	5.39	3.48	0	1
-647	9.74	1.51	3.48	0	1
-643	3.14	1.51	3.48	0	1
-639	9.74	5.61	3.46	0	1
-635	3.14	5.61	3.46	0	1
-631	9.74	1.29	3.46	0	1
-627	3.14	1.29	3.46	0	1
-623	9.74	5.82	3.45	0	1
-619	3.14	5.82	3.45	0	1
-615	9.74	1.08	3.45	0	1
-611	3.14	1.08	3.45	0	1
-607	9.74	6.04	3.43	0	1
-603	3.14	6.04	3.43	0	1
-599	9.74	0.86	3.43	0	1
-595	3.14	0.86	3.43	0	1
-591	9.74	6.25	3.41	0	1
-587	3.14	6.25	3.41	0	1
-583	9.74	0.65	3.41	0	1
-579	3.14	0.65	3.41	0	1
-575	9.74	6.47	3.40	0	1
-571	3.14	6.47	3.40	0	1
-567	9.74	0.43	3.40	0	1
-563	3.14	0.43	3.40	0	1
-559	9.74	6.68	3.38	0	1

-790	6.66	3.45	3.64	0	1
-786	0.06	3.45	3.64	0	1
-782	6.66	3.67	3.62	0	1
-778	0.06	3.67	3.62	0	1
-774	6.66	3.23	3.62	0	1
-770	0.06	3.23	3.62	0	1
-766	6.66	3.88	3.60	0	1
-762	0.06	3.88	3.60	0	1
-758	6.66	3.02	3.60	0	1
-754	0.06	3.02	3.60	0	1
-750	6.66	4.10	3.59	0	1
-746	0.06	4.10	3.59	0	1
-742	6.66	2.80	3.59	0	1
-738	0.06	2.80	3.59	0	1
-734	6.66	4.31	3.57	0	1
-730	0.06	4.31	3.57	0	1
-726	6.66	2.59	3.57	0	1
-722	0.06	2.59	3.57	0	1
-718	6.66	4.53	3.55	0	1
-714	0.06	4.53	3.55	0	1
-710	6.66	2.37	3.55	0	1
-706	0.06	2.37	3.55	0	1
-702	6.66	4.74	3.54	0	1
-698	0.06	4.74	3.54	0	1
-694	6.66	2.16	3.54	0	1
-690	0.06	2.16	3.54	0	1
-686	6.66	4.96	3.52	0	1
-682	0.06	4.96	3.52	0	1
-678	6.66	1.94	3.52	0	1
-674	0.06	1.94	3.52	0	1
-670	6.66	5.17	3.50	0	1
-666	0.06	5.17	3.50	0	1
-662	6.66	1.73	3.50	0	1
-658	0.06	1.73	3.50	0	1
-654	6.66	5.39	3.48	0	1
-650	0.06	5.39	3.48	0	1
-646	6.66	1.51	3.48	0	1
-642	0.06	1.51	3.48	0	1
-638	6.66	5.61	3.46	0	1
-634	0.06	5.61	3.46	0	1
-630	6.66	1.29	3.46	0	1
-626	0.06	1.29	3.46	0	1
-622	6.66	5.82	3.45	0	1
-618	0.06	5.82	3.45	0	1
-614	6.66	1.08	3.45	0	1
-610	0.06	1.08	3.45	0	1
-606	6.66	6.04	3.43	0	1
-602	0.06	6.04	3.43	0	1
-598	6.66	0.86	3.43	0	1
-594	0.06	0.86	3.43	0	1
-590	6.66	6.25	3.41	0	1
-586	0.06	6.25	3.41	0	1
-582	6.66	0.65	3.41	0	1
-578	0.06	0.65	3.41	0	1
-574	6.66	6.47	3.40	0	1
-570	0.06	6.47	3.40	0	1
-566	6.66	0.43	3.40	0	1
-562	0.06	0.43	3.40	0	1
-558	6.66	6.68	3.38	0	1

-557	6.54	6.68	3.38	0	1
-553	-0.06	6.68	3.38	0	1
-549	6.54	0.22	3.38	0	1
-545	-0.06	0.22	3.38	0	1
-541	6.54	7.07	3.35	0	1
-537	-0.06	7.07	3.35	0	1
-533	6.54	-0.17	3.35	0	1
-529	-0.06	-0.17	3.35	0	1
-525	6.54	7.23	3.33	0	1
-521	-0.06	7.23	3.33	0	1
-517	6.54	-0.33	3.33	0	1
-513	-0.06	-0.33	3.33	0	1
-509	6.50	7.00	2.91	0	1
-505	-0.10	7.00	2.91	0	1
-501	6.50	6.80	2.91	0	1
-497	-0.10	6.80	2.91	0	1
-493	6.50	0.10	2.91	0	1
-489	-0.10	0.10	2.91	0	1
-485	6.50	-0.10	2.91	0	1
-481	-0.10	-0.10	2.91	0	1
-477	6.49	7.01	2.71	0	1
-473	-0.11	7.01	2.71	0	1
-469	6.49	6.79	2.71	0	1
-465	-0.11	6.79	2.71	0	1
-461	6.49	0.11	2.71	0	1
-457	-0.11	0.11	2.71	0	1
-453	6.49	-0.11	2.71	0	1
-449	-0.11	-0.11	2.71	0	1
-445	6.49	7.01	2.52	0	1
-441	-0.11	7.01	2.52	0	1
-437	6.49	6.79	2.52	0	1
-433	-0.11	6.79	2.52	0	1
-429	6.49	0.11	2.52	0	1
-425	-0.11	0.11	2.52	0	1
-421	6.49	-0.11	2.52	0	1
-417	-0.11	-0.11	2.52	0	1
-413	6.49	7.01	2.33	0	1
-409	-0.11	7.01	2.33	0	1
-405	6.49	6.79	2.33	0	1
-401	-0.11	6.79	2.33	0	1
-397	6.49	0.11	2.33	0	1
-393	-0.11	0.11	2.33	0	1
-389	6.49	-0.11	2.33	0	1
-385	-0.11	-0.11	2.33	0	1
-381	6.48	7.02	2.13	0	1
-377	-0.12	7.02	2.13	0	1
-373	6.48	6.78	2.13	0	1
-369	-0.12	6.78	2.13	0	1
-365	6.48	0.12	2.13	0	1
-361	-0.12	0.12	2.13	0	1
-357	6.48	-0.12	2.13	0	1
-353	-0.12	-0.12	2.13	0	1
-349	6.48	7.02	1.94	0	1
-345	-0.12	7.02	1.94	0	1
-341	6.48	6.78	1.94	0	1
-337	-0.12	6.78	1.94	0	1
-333	6.48	0.12	1.94	0	1
-329	-0.12	0.12	1.94	0	1
-325	6.48	-0.12	1.94	0	1

-556	3.26	6.68	3.38	0	1
-552	9.86	0.22	3.38	0	1
-548	3.26	0.22	3.38	0	1
-544	9.86	7.07	3.35	0	1
-540	3.26	7.07	3.35	0	1
-536	9.86	-0.17	3.35	0	1
-532	3.26	-0.17	3.35	0	1
-528	9.86	7.23	3.33	0	1
-524	3.26	7.23	3.33	0	1
-520	9.86	-0.33	3.33	0	1
-516	3.26	-0.33	3.33	0	1
-512	9.90	7.00	2.91	0	1
-508	3.30	7.00	2.91	0	1
-504	9.90	6.80	2.91	0	1
-500	3.30	6.80	2.91	0	1
-496	9.90	0.10	2.91	0	1
-492	3.30	0.10	2.91	0	1
-488	9.90	-0.10	2.91	0	1
-484	3.30	-0.10	2.91	0	1
-480	9.91	7.01	2.71	0	1
-476	3.31	7.01	2.71	0	1
-472	9.91	6.79	2.71	0	1
-468	3.31	6.79	2.71	0	1
-464	9.91	0.11	2.71	0	1
-460	3.31	0.11	2.71	0	1
-456	9.91	-0.11	2.71	0	1
-452	3.31	-0.11	2.71	0	1
-448	9.91	7.01	2.52	0	1
-444	3.31	7.01	2.52	0	1
-440	9.91	6.79	2.52	0	1
-436	3.31	6.79	2.52	0	1
-432	9.91	0.11	2.52	0	1
-428	3.31	0.11	2.52	0	1
-424	9.91	-0.11	2.52	0	1
-420	3.31	-0.11	2.52	0	1
-416	9.91	7.01	2.33	0	1
-412	3.31	7.01	2.33	0	1
-408	9.91	6.79	2.33	0	1
-404	3.31	6.79	2.33	0	1
-400	9.91	0.11	2.33	0	1
-396	3.31	0.11	2.33	0	1
-392	9.91	-0.11	2.33	0	1
-388	3.31	-0.11	2.33	0	1
-384	9.92	7.02	2.13	0	1
-380	3.32	7.02	2.13	0	1
-376	9.92	6.78	2.13	0	1
-372	3.32	6.78	2.13	0	1
-368	9.92	0.12	2.13	0	1
-364	3.32	0.12	2.13	0	1
-360	9.92	-0.12	2.13	0	1
-356	3.32	-0.12	2.13	0	1
-352	9.92	7.02	1.94	0	1
-348	3.32	7.02	1.94	0	1
-344	9.92	6.78	1.94	0	1
-340	3.32	6.78	1.94	0	1
-336	9.92	0.12	1.94	0	1
-332	3.32	0.12	1.94	0	1
-328	9.92	-0.12	1.94	0	1
-324	3.32	-0.12	1.94	0	1

-555	3.14	6.68	3.38	0	1
-551	9.74	0.22	3.38	0	1
-547	3.14	0.22	3.38	0	1
-543	9.74	7.07	3.35	0	1
-539	3.14	7.07	3.35	0	1
-535	9.74	-0.17	3.35	0	1
-531	3.14	-0.17	3.35	0	1
-527	9.74	7.23	3.33	0	1
-523	3.14	7.23	3.33	0	1
-519	9.74	-0.33	3.33	0	1
-515	3.14	-0.33	3.33	0	1
-511	9.70	7.00	2.91	0	1
-507	3.10	7.00	2.91	0	1
-503	9.70	6.80	2.91	0	1
-499	3.10	6.80	2.91	0	1
-495	9.70	0.10	2.91	0	1
-491	3.10	0.10	2.91	0	1
-487	9.70	-0.10	2.91	0	1
-483	3.10	-0.10	2.91	0	1
-479	9.69	7.01	2.71	0	1
-475	3.09	7.01	2.71	0	1
-471	9.69	6.79	2.71	0	1
-467	3.09	6.79	2.71	0	1
-463	9.69	0.11	2.71	0	1
-459	3.09	0.11	2.71	0	1
-455	9.69	-0.11	2.71	0	1
-451	3.09	-0.11	2.71	0	1
-447	9.69	7.01	2.52	0	1
-443	3.09	7.01	2.52	0	1
-439	9.69	6.79	2.52	0	1
-435	3.09	6.79	2.52	0	1
-431	9.69	0.11	2.52	0	1
-427	3.09	0.11	2.52	0	1
-423	9.69	-0.11	2.52	0	1
-419	3.09	-0.11	2.52	0	1
-415	9.69	7.01	2.33	0	1
-411	3.09	7.01	2.33	0	1
-407	9.69	6.79	2.33	0	1
-403	3.09	6.79	2.33	0	1
-399	9.69	0.11	2.33	0	1
-395	3.09	0.11	2.33	0	1
-391	9.69	-0.11	2.33	0	1
-387	3.09	-0.11	2.33	0	1
-383	9.68	7.02	2.13	0	1
-379	3.08	7.02	2.13	0	1
-375	9.68	6.78	2.13	0	1
-371	3.08	6.78	2.13	0	1
-367	9.68	0.12	2.13	0	1
-363	3.08	0.12	2.13	0	1
-359	9.68	-0.12	2.13	0	1
-355	3.08	-0.12	2.13	0	1
-351	9.68	7.02	1.94	0	1
-347	3.08	7.02	1.94	0	1
-343	9.68	6.78	1.94	0	1
-339	3.08	6.78	1.94	0	1
-335	9.68	0.12	1.94	0	1
-331	3.08	0.12	1.94	0	1
-327	9.68	-0.12	1.94	0	1
-323	3.08	-0.12	1.94	0	1

-554	0.06	6.68	3.38	0	1
-550	6.66	0.22	3.38	0	1
-546	0.06	0.22	3.38	0	1
-542	6.66	7.07	3.35	0	1
-538	0.06	7.07	3.35	0	1
-534	6.66	-0.17	3.35	0	1
-530	0.06	-0.17	3.35	0	1
-526	6.66	7.23	3.33	0	1
-522	0.06	7.23	3.33	0	1
-518	6.66	-0.33	3.33	0	1
-514	0.06	-0.33	3.33	0	1
-510	6.70	7.00	2.91	0	1
-506	0.10	7.00	2.91	0	1
-502	6.70	6.80	2.91	0	1
-498	0.10	6.80	2.91	0	1
-494	6.70	0.10	2.91	0	1
-490	0.10	0.10	2.91	0	1
-486	6.70	-0.10	2.91	0	1
-482	0.10	-0.10	2.91	0	1
-478	6.71	7.01	2.71	0	1
-474	0.11	7.01	2.71	0	1
-470	6.71	6.79	2.71	0	1
-466	0.11	6.79	2.71	0	1
-462	6.71	0.11	2.71	0	1
-458	0.11	0.11	2.71	0	1
-454	6.71	-0.11	2.71	0	1
-450	0.11	-0.11	2.71	0	1
-446	6.71	7.01	2.52	0	1
-442	0.11	7.01	2.52	0	1
-438	6.71	6.79	2.52	0	1
-434	0.11	6.79	2.52	0	1
-430	6.71	0.11	2.52	0	1
-426	0.11	0.11	2.52	0	1
-422	6.71	-0.11	2.52	0	1
-418	0.11	-0.11	2.52	0	1
-414	6.71	7.01	2.33	0	1
-410	0.11	7.01	2.33	0	1
-406	6.71	6.79	2.33	0	1
-402	0.11	6.79	2.33	0	1
-398	6.71	0.11	2.33	0	1
-394	0.11	0.11	2.33	0	1
-390	6.71	-0.11	2.33	0	1
-386	0.11	-0.11	2.33	0	1
-382	6.72	7.02	2.13	0	1
-378	0.12	7.02	2.13	0	1
-374	6.72	6.78	2.13	0	1
-370	0.12	6.78	2.13	0	1
-366	6.72	0.12	2.13	0	1
-362	0.12	0.12	2.13	0	1
-358	6.72	-0.12	2.13	0	1
-354	0.12	-0.12	2.13	0	1
-350	6.72	7.02	1.94	0	1
-346	0.12	7.02	1.94	0	1
-342	6.72	6.78	1.94	0	1
-338	0.12	6.78	1.94	0	1
-334	6.72	0.12	1.94	0	1
-330	0.12	0.12	1.94	0	1
-326	6.72	-0.12	1.94	0	1
-322	0.12	-0.12	1.94	0	1

-321	-0.12	-0.12	1.94	0	1
-317	6.48	7.02	1.74	0	1
-313	-0.12	7.02	1.74	0	1
-309	6.48	6.78	1.74	0	1
-305	-0.12	6.78	1.74	0	1
-301	6.48	0.12	1.74	0	1
-297	-0.12	0.12	1.74	0	1
-293	6.48	-0.12	1.74	0	1
-289	-0.12	-0.12	1.74	0	1
-285	6.47	7.03	1.55	0	1
-281	-0.13	7.03	1.55	0	1
-277	6.47	6.78	1.55	0	1
-273	-0.13	6.78	1.55	0	1
-269	6.47	0.13	1.55	0	1
-265	-0.13	0.13	1.55	0	1
-261	6.47	-0.13	1.55	0	1
-257	-0.13	-0.13	1.55	0	1
-253	6.47	7.03	1.36	0	1
-249	-0.13	7.03	1.36	0	1
-245	6.47	6.77	1.36	0	1
-241	-0.13	6.77	1.36	0	1
-237	6.47	0.13	1.36	0	1
-233	-0.13	0.13	1.36	0	1
-229	6.47	-0.13	1.36	0	1
-225	-0.13	-0.13	1.36	0	1
-221	6.47	7.03	1.16	0	1
-217	-0.13	7.03	1.16	0	1
-213	6.47	6.77	1.16	0	1
-209	-0.13	6.77	1.16	0	1
-205	6.47	0.13	1.16	0	1
-201	-0.13	0.13	1.16	0	1
-197	6.47	-0.13	1.16	0	1
-193	-0.13	-0.13	1.16	0	1
-189	6.47	7.03	0.97	0	1
-185	-0.13	7.03	0.97	0	1
-181	6.47	6.77	0.97	0	1
-177	-0.13	6.77	0.97	0	1
-173	6.47	0.13	0.97	0	1
-169	-0.13	0.13	0.97	0	1
-165	6.47	-0.13	0.97	0	1
-161	-0.13	-0.13	0.97	0	1
-157	6.46	7.04	0.78	0	1
-153	-0.14	7.04	0.78	0	1
-149	6.46	6.76	0.78	0	1
-145	-0.14	6.76	0.78	0	1
-141	6.46	0.14	0.78	0	1
-137	-0.14	0.14	0.78	0	1
-133	6.46	-0.14	0.78	0	1
-129	-0.14	-0.14	0.78	0	1
-125	6.46	7.04	0.58	0	1
-121	-0.14	7.04	0.58	0	1
-117	6.46	6.76	0.58	0	1
-113	-0.14	6.76	0.58	0	1
-109	6.46	0.14	0.58	0	1
-105	-0.14	0.14	0.58	0	1
-101	6.46	-0.14	0.58	0	1
-97	-0.14	-0.14	0.58	0	1
-93	6.46	7.04	0.39	0	1
-89	-0.14	7.04	0.39	0	1

-320	9.92	7.02	1.74	0	1
-316	3.32	7.02	1.74	0	1
-312	9.92	6.78	1.74	0	1
-308	3.32	6.78	1.74	0	1
-304	9.92	0.12	1.74	0	1
-300	3.32	0.12	1.74	0	1
-296	9.92	-0.12	1.74	0	1
-292	3.32	-0.12	1.74	0	1
-288	9.93	7.03	1.55	0	1
-284	3.33	7.03	1.55	0	1
-280	9.93	6.78	1.55	0	1
-276	3.33	6.78	1.55	0	1
-272	9.93	0.13	1.55	0	1
-268	3.33	0.13	1.55	0	1
-264	9.93	-0.13	1.55	0	1
-260	3.33	-0.13	1.55	0	1
-256	9.93	7.03	1.36	0	1
-252	3.33	7.03	1.36	0	1
-248	9.93	6.77	1.36	0	1
-244	3.33	6.77	1.36	0	1
-240	9.93	0.13	1.36	0	1
-236	3.33	0.13	1.36	0	1
-232	9.93	-0.13	1.36	0	1
-228	3.33	-0.13	1.36	0	1
-224	9.93	7.03	1.16	0	1
-220	3.33	7.03	1.16	0	1
-216	9.93	6.77	1.16	0	1
-212	3.33	6.77	1.16	0	1
-208	9.93	0.13	1.16	0	1
-204	3.33	0.13	1.16	0	1
-200	9.93	-0.13	1.16	0	1
-196	3.33	-0.13	1.16	0	1
-192	9.93	7.03	0.97	0	1
-188	3.33	7.03	0.97	0	1
-184	9.93	6.77	0.97	0	1
-180	3.33	6.77	0.97	0	1
-176	9.93	0.13	0.97	0	1
-172	3.33	0.13	0.97	0	1
-168	9.93	-0.13	0.97	0	1
-164	3.33	-0.13	0.97	0	1
-160	9.94	7.04	0.78	0	1
-156	3.34	7.04	0.78	0	1
-152	9.94	6.76	0.78	0	1
-148	3.34	6.76	0.78	0	1
-144	9.94	0.14	0.78	0	1
-140	3.34	0.14	0.78	0	1
-136	9.94	-0.14	0.78	0	1
-132	3.34	-0.14	0.78	0	1
-128	9.94	7.04	0.58	0	1
-124	3.34	7.04	0.58	0	1
-120	9.94	6.76	0.58	0	1
-116	3.34	6.76	0.58	0	1
-112	9.94	0.14	0.58	0	1
-108	3.34	0.14	0.58	0	1
-104	9.94	-0.14	0.58	0	1
-100	3.34	-0.14	0.58	0	1
-96	9.94	7.04	0.39	0	1
-92	3.34	7.04	0.39	0	1
-88	9.94	6.76	0.39	0	1

-319	9.68	7.02	1.74	0	1
-315	3.08	7.02	1.74	0	1
-311	9.68	6.78	1.74	0	1
-307	3.08	6.78	1.74	0	1
-303	9.68	0.12	1.74	0	1
-299	3.08	0.12	1.74	0	1
-295	9.68	-0.12	1.74	0	1
-291	3.08	-0.12	1.74	0	1
-287	9.68	7.03	1.55	0	1
-283	3.08	7.03	1.55	0	1
-279	9.68	6.78	1.55	0	1
-275	3.08	6.78	1.55	0	1
-271	9.68	0.13	1.55	0	1
-267	3.08	0.13	1.55	0	1
-263	9.68	-0.13	1.55	0	1
-259	3.08	-0.13	1.55	0	1
-255	9.67	7.03	1.36	0	1
-251	3.07	7.03	1.36	0	1
-247	9.67	6.77	1.36	0	1
-243	3.07	6.77	1.36	0	1
-239	9.67	0.13	1.36	0	1
-235	3.07	0.13	1.36	0	1
-231	9.67	-0.13	1.36	0	1
-227	3.07	-0.13	1.36	0	1
-223	9.67	7.03	1.16	0	1
-219	3.07	7.03	1.16	0	1
-215	9.67	6.77	1.16	0	1
-211	3.07	6.77	1.16	0	1
-207	9.67	0.13	1.16	0	1
-203	3.07	0.13	1.16	0	1
-199	9.67	-0.13	1.16	0	1
-195	3.07	-0.13	1.16	0	1
-191	9.67	7.03	0.97	0	1
-187	3.07	7.03	0.97	0	1
-183	9.67	6.77	0.97	0	1
-179	3.07	6.77	0.97	0	1
-175	9.67	0.13	0.97	0	1
-171	3.07	0.13	0.97	0	1
-167	9.67	-0.13	0.97	0	1
-163	3.07	-0.13	0.97	0	1
-159	9.66	7.04	0.78	0	1
-155	3.06	7.04	0.78	0	1
-151	9.66	6.76	0.78	0	1
-147	3.06	6.76	0.78	0	1
-143	9.66	0.14	0.78	0	1
-139	3.06	0.14	0.78	0	1
-135	9.66	-0.14	0.78	0	1
-131	3.06	-0.14	0.78	0	1
-127	9.66	7.04	0.58	0	1
-123	3.06	7.04	0.58	0	1
-119	9.66	6.76	0.58	0	1
-115	3.06	6.76	0.58	0	1
-111	9.66	0.14	0.58	0	1
-107	3.06	0.14	0.58	0	1
-103	9.66	-0.14	0.58	0	1
-99	3.06	-0.14	0.58	0	1
-95	9.66	7.04	0.39	0	1
-91	3.06	7.04	0.39	0	1
-87	9.66	6.76	0.39	0	1

-318	6.72	7.02	1.74	0	1
-314	0.12	7.02	1.74	0	1
-310	6.72	6.78	1.74	0	1
-306	0.12	6.78	1.74	0	1
-302	6.72	0.12	1.74	0	1
-298	0.12	0.12	1.74	0	1
-294	6.72	-0.12	1.74	0	1
-290	0.12	-0.12	1.74	0	1
-286	6.72	7.03	1.55	0	1
-282	0.13	7.03	1.55	0	1
-278	6.72	6.78	1.55	0	1
-274	0.13	6.78	1.55	0	1
-270	6.72	0.13	1.55	0	1
-266	0.13	0.13	1.55	0	1
-262	6.72	-0.13	1.55	0	1
-258	0.13	-0.13	1.55	0	1
-254	6.73	7.03	1.36	0	1
-250	0.13	7.03	1.36	0	1
-246	6.73	6.77	1.36	0	1
-242	0.13	6.77	1.36	0	1
-238	6.73	0.13	1.36	0	1
-234	0.13	0.13	1.36	0	1
-230	6.73	-0.13	1.36	0	1
-226	0.13	-0.13	1.36	0	1
-222	6.73	7.03	1.16	0	1
-218	0.13	7.03	1.16	0	1
-214	6.73	6.77	1.16	0	1
-210	0.13	6.77	1.16	0	1
-206	6.73	0.13	1.16	0	1
-202	0.13	0.13	1.16	0	1
-198	6.73	-0.13	1.16	0	1
-194	0.13	-0.13	1.16	0	1
-190	6.73	7.03	0.97	0	1
-186	0.13	7.03	0.97	0	1
-182	6.73	6.77	0.97	0	1
-178	0.13	6.77	0.97	0	1
-174	6.73	0.13	0.97	0	1
-170	0.13	0.13	0.97	0	1
-166	6.73	-0.13	0.97	0	1
-162	0.13	-0.13	0.97	0	1
-158	6.74	7.04	0.78	0	1
-154	0.14	7.04	0.78	0	1
-150	6.74	6.76	0.78	0	1
-146	0.14	6.76	0.78	0	1
-142	6.74	0.14	0.78	0	1
-138	0.14	0.14	0.78	0	1
-134	6.74	-0.14	0.78	0	1
-130	0.14	-0.14	0.78	0	1
-126	6.74	7.04	0.58	0	1
-122	0.14	7.04	0.58	0	1
-118	6.74	6.76	0.58	0	1
-114	0.14	6.76	0.58	0	1
-110	6.74	0.14	0.58	0	1
-106	0.14	0.14	0.58	0	1
-102	6.74	-0.14	0.58	0	1
-98	0.14	-0.14	0.58	0	1
-94	6.74	7.04	0.39	0	1
-90	0.14	7.04	0.39	0	1
-86	6.74	6.76	0.39	0	1

-85	6.46	6.76	0.39	0	1	-84	3.34	6.76	0.39	0	1	-83	3.06	6.76	0.39	0	1	-82	0.14	6.76	0.39	0	1
-81	-0.14	6.76	0.39	0	1	-80	9.94	0.14	0.39	0	1	-79	9.66	0.14	0.39	0	1	-78	6.74	0.14	0.39	0	1
-77	6.46	0.14	0.39	0	1	-76	3.34	0.14	0.39	0	1	-75	3.06	0.14	0.39	0	1	-74	0.14	0.14	0.39	0	1
-73	-0.14	0.14	0.39	0	1	-72	9.94	-0.14	0.39	0	1	-71	9.66	-0.14	0.39	0	1	-70	6.74	-0.14	0.39	0	1
-69	6.46	-0.14	0.39	0	1	-68	3.34	-0.14	0.39	0	1	-67	3.06	-0.14	0.39	0	1	-66	0.14	-0.14	0.39	0	1
-65	-0.14	-0.14	0.39	0	1	-64	9.95	7.05	0.19	0	1	-63	9.65	7.05	0.19	0	1	-62	6.75	7.05	0.19	0	1
-61	6.45	7.05	0.19	0	1	-60	3.35	7.05	0.19	0	1	-59	3.05	7.05	0.19	0	1	-58	0.15	7.05	0.19	0	1
-57	-0.15	7.05	0.19	0	1	-56	9.95	6.75	0.19	0	1	-55	9.65	6.75	0.19	0	1	-54	6.75	6.75	0.19	0	1
-53	6.45	6.75	0.19	0	1	-52	3.35	6.75	0.19	0	1	-51	3.05	6.75	0.19	0	1	-50	0.15	6.75	0.19	0	1
-49	-0.15	6.75	0.19	0	1	-48	9.95	0.15	0.19	0	1	-47	9.65	0.15	0.19	0	1	-46	6.75	0.15	0.19	0	1
-45	6.45	0.15	0.19	0	1	-44	3.35	0.15	0.19	0	1	-43	3.05	0.15	0.19	0	1	-42	0.15	0.15	0.19	0	1
-41	-0.15	0.15	0.19	0	1	-40	9.95	-0.15	0.19	0	1	-39	9.65	-0.15	0.19	0	1	-38	6.75	-0.15	0.19	0	1
-37	6.45	-0.15	0.19	0	1	-36	3.35	-0.15	0.19	0	1	-35	3.05	-0.15	0.19	0	1	-34	0.15	-0.15	0.19	0	1
-33	-0.15	-0.15	0.19	0	1	-32	9.95	7.05	0.10	0	1	-31	9.65	7.05	0.10	0	1	-30	6.75	7.05	0.10	0	1
-29	6.45	7.05	0.10	0	1	-28	3.35	7.05	0.10	0	1	-27	3.05	7.05	0.10	0	1	-26	0.15	7.05	0.10	0	1
-25	-0.15	7.05	0.10	0	1	-24	9.95	6.75	0.10	0	1	-23	9.65	6.75	0.10	0	1	-22	6.75	6.75	0.10	0	1
-21	6.45	6.75	0.10	0	1	-20	3.35	6.75	0.10	0	1	-19	3.05	6.75	0.10	0	1	-18	0.15	6.75	0.10	0	1
-17	-0.15	6.75	0.10	0	1	-16	9.95	0.15	0.10	0	1	-15	9.65	0.15	0.10	0	1	-14	6.75	0.15	0.10	0	1
-13	6.45	0.15	0.10	0	1	-12	3.35	0.15	0.10	0	1	-11	3.05	0.15	0.10	0	1	-10	0.15	0.15	0.10	0	1
-9	-0.15	0.15	0.10	0	1	-8	9.95	-0.15	0.10	0	1	-7	9.65	-0.15	0.10	0	1	-6	6.75	-0.15	0.10	0	1
-5	6.45	-0.15	0.10	0	1	-4	3.35	-0.15	0.10	0	1	-3	3.05	-0.15	0.10	0	1	-2	0.15	-0.15	0.10	0	1
-1	-0.15	-0.15	0.10	0	1	9	-0.06	-0.33	3.24	0	1	10	0.06	-0.33	3.24	0	1	11	3.14	-0.33	3.24	0	1
12	3.26	-0.33	3.24	0	1	13	6.54	-0.33	3.24	0	1	14	6.66	-0.33	3.24	0	1	15	9.74	-0.33	3.24	0	1
16	9.86	-0.33	3.24	0	1	17	-0.06	-0.17	3.24	0	1	18	0.06	-0.17	3.24	0	1	19	3.14	-0.17	3.24	0	1
20	3.26	-0.17	3.24	0	1	21	6.54	-0.17	3.24	0	1	22	6.66	-0.17	3.24	0	1	23	9.74	-0.17	3.24	0	1
24	9.86	-0.17	3.24	0	1	37	-0.06	0.22	3.24	0	1	38	0.06	0.22	3.24	0	1	39	3.14	0.22	3.24	0	1
40	3.26	0.22	3.24	0	1	41	6.54	0.22	3.24	0	1	42	6.66	0.22	3.24	0	1	43	9.74	0.22	3.24	0	1
44	9.86	0.22	3.24	0	1	45	-0.06	0.43	3.24	0	1	46	0.06	0.43	3.24	0	1	47	3.14	0.43	3.24	0	1
48	3.26	0.43	3.24	0	1	49	6.54	0.43	3.24	0	1	50	6.66	0.43	3.24	0	1	51	9.74	0.43	3.24	0	1
52	9.86	0.43	3.24	0	1	53	-0.06	0.65	3.24	0	1	54	0.06	0.65	3.24	0	1	55	3.14	0.65	3.24	0	1
56	3.26	0.65	3.24	0	1	57	6.54	0.65	3.24	0	1	58	6.66	0.65	3.24	0	1	59	9.74	0.65	3.24	0	1
60	9.86	0.65	3.24	0	1	61	-0.06	0.86	3.24	0	1	62	0.06	0.86	3.24	0	1	63	3.14	0.86	3.24	0	1
64	3.26	0.86	3.24	0	1	65	6.54	0.86	3.24	0	1	66	6.66	0.86	3.24	0	1	67	9.74	0.86	3.24	0	1
68	9.86	0.86	3.24	0	1	69	-0.06	1.08	3.24	0	1	70	0.06	1.08	3.24	0	1	71	3.14	1.08	3.24	0	1
72	3.26	1.08	3.24	0	1	73	6.54	1.08	3.24	0	1	74	6.66	1.08	3.24	0	1	75	9.74	1.08	3.24	0	1
76	9.86	1.08	3.24	0	1	77	-0.06	1.29	3.24	0	1	78	0.06	1.29	3.24	0	1	79	3.14	1.29	3.24	0	1
80	3.26	1.29	3.24	0	1	81	6.54	1.29	3.24	0	1	82	6.66	1.29	3.24	0	1	83	9.74	1.29	3.24	0	1
84	9.86	1.29	3.24	0	1	85	-0.06	1.51	3.24	0	1	86	0.06	1.51	3.24	0	1	87	3.14	1.51	3.24	0	1
88	3.26	1.51	3.24	0	1	89	6.54	1.51	3.24	0	1	90	6.66	1.51	3.24	0	1	91	9.74	1.51	3.24	0	1
92	9.86	1.51	3.24	0	1	93	-0.06	1.73	3.24	0	1	94	0.06	1.73	3.24	0	1	95	3.14	1.73	3.24	0	1
96	3.26	1.73	3.24	0	1	97	6.54	1.73	3.24	0	1	98	6.66	1.73	3.24	0	1	99	9.74	1.73	3.24	0	1
100	9.86	1.73	3.24	0	1	101	-0.06	1.94	3.24	0	1	102	0.06	1.94	3.24	0	1	103	3.14	1.94	3.24	0	1
104	3.26	1.94	3.24	0	1	105	6.54	1.94	3.24	0	1	106	6.66	1.94	3.24	0	1	107	9.74	1.94	3.24	0	1
108	9.86	1.94	3.24	0	1	109	-0.06	2.16	3.24	0	1	110	0.06	2.16	3.24	0	1	111	3.14	2.16	3.24	0	1
112	3.26	2.16	3.24	0	1	113	6.54	2.16	3.24	0	1	114	6.66	2.16	3.24	0	1	115	9.74	2.16	3.24	0	1
116	9.86	2.16	3.24	0	1	117	-0.06	2.37	3.24	0	1	118	0.06	2.37	3.24	0	1	119	3.14	2.37	3.24	0	1
120	3.26	2.37	3.24	0	1	121	6.54	2.37	3.24	0	1	122	6.66	2.37	3.24	0	1	123	9.74	2.37	3.24	0	1
124	9.86	2.37	3.24	0	1	125	-0.06	2.59	3.24	0	1	126	0.06	2.59	3.24	0	1	127	3.14	2.59	3.24	0	1
128	3.26	2.59	3.24	0	1	129	6.54	2.59	3.24	0	1	130	6.66	2.59	3.24	0	1	131	9.74	2.59	3.24	0	1
132	9.86	2.59	3.24	0	1	133	-0.06	2.80	3.24	0	1	134	0.06	2.80	3.24	0	1	135	3.14	2.80	3.24	0	1
136	3.26	2.80	3.24	0	1	137	6.54	2.80	3.24	0	1	138	6.66	2.80	3.24	0	1	139	9.74	2.80	3.24	0	1
140	9.86	2.80	3.24	0	1	141	-0.06	3.02	3.24	0	1	142	0.06	3.02	3.24	0	1	143	3.14	3.02	3.24	0	1
144	3.26	3.02	3.24	0	1	145	6.54	3.02	3.24	0	1	146	6.66	3.02	3.24	0	1	147	9.74	3.02	3.24	0	1
148	9.86	3.02	3.24	0	1	149	-0.06	3.23	3.24	0	1	150	0.06	3.23	3.24	0	1	151	3.14	3.23	3.24	0	1
152	3.26	3.23	3.24	0	1	153	6.54	3.23	3.24	0	1	154	6.66	3.23	3.24	0	1	155	9.74	3.23	3.24	0	1
156	9.86	3.23	3.24	0	1	157	-0.06	3.45	3.24	0	1	158	0.06	3.45	3.24	0	1	159	3.14	3.45	3.24	0	1
160	3.26	3.45	3.24	0	1	161	6.54	3.45	3.24	0	1	162	6.66	3.45	3.24	0	1	163	9.74	3.45	3.24	0	1
164	9.86	3.45	3.24	0	1	165	-0.06	3.67	3.24	0	1	166	0.06	3.67	3.24	0	1	167	3.14	3.67	3.24	0	1
168	3.26	3.67	3.24	0	1	169	6.54	3.67	3.24	0	1	170	6.66	3.67	3.24	0	1	171	9.74	3.67	3.24	0	1

172	9.86	3.67	3.24	0	1	173	-0.06	3.88	3.24	0	1	174	0.06	3.88	3.24	0	1	175	3.14	3.88	3.24	0	1
176	3.26	3.88	3.24	0	1	177	6.54	3.88	3.24	0	1	178	6.66	3.88	3.24	0	1	179	9.74	3.88	3.24	0	1
180	9.86	3.88	3.24	0	1	181	-0.06	4.10	3.24	0	1	182	0.06	4.10	3.24	0	1	183	3.14	4.10	3.24	0	1
184	3.26	4.10	3.24	0	1	185	6.54	4.10	3.24	0	1	186	6.66	4.10	3.24	0	1	187	9.74	4.10	3.24	0	1
188	9.86	4.10	3.24	0	1	189	-0.06	4.31	3.24	0	1	190	0.06	4.31	3.24	0	1	191	3.14	4.31	3.24	0	1
192	3.26	4.31	3.24	0	1	193	6.54	4.31	3.24	0	1	194	6.66	4.31	3.24	0	1	195	9.74	4.31	3.24	0	1
196	9.86	4.31	3.24	0	1	197	-0.06	4.53	3.24	0	1	198	0.06	4.53	3.24	0	1	199	3.14	4.53	3.24	0	1
200	3.26	4.53	3.24	0	1	201	6.54	4.53	3.24	0	1	202	6.66	4.53	3.24	0	1	203	9.74	4.53	3.24	0	1
204	9.86	4.53	3.24	0	1	205	-0.06	4.74	3.24	0	1	206	0.06	4.74	3.24	0	1	207	3.14	4.74	3.24	0	1
208	3.26	4.74	3.24	0	1	209	6.54	4.74	3.24	0	1	210	6.66	4.74	3.24	0	1	211	9.74	4.74	3.24	0	1
212	9.86	4.74	3.24	0	1	213	-0.06	4.96	3.24	0	1	214	0.06	4.96	3.24	0	1	215	3.14	4.96	3.24	0	1
216	3.26	4.96	3.24	0	1	217	6.54	4.96	3.24	0	1	218	6.66	4.96	3.24	0	1	219	9.74	4.96	3.24	0	1
220	9.86	4.96	3.24	0	1	221	-0.06	5.17	3.24	0	1	222	0.06	5.17	3.24	0	1	223	3.14	5.17	3.24	0	1
224	3.26	5.17	3.24	0	1	225	6.54	5.17	3.24	0	1	226	6.66	5.17	3.24	0	1	227	9.74	5.17	3.24	0	1
228	9.86	5.17	3.24	0	1	229	-0.06	5.39	3.24	0	1	230	0.06	5.39	3.24	0	1	231	3.14	5.39	3.24	0	1
232	3.26	5.39	3.24	0	1	233	6.54	5.39	3.24	0	1	234	6.66	5.39	3.24	0	1	235	9.74	5.39	3.24	0	1
236	9.86	5.39	3.24	0	1	237	-0.06	5.61	3.24	0	1	238	0.06	5.61	3.24	0	1	239	3.14	5.61	3.24	0	1
240	3.26	5.61	3.24	0	1	241	6.54	5.61	3.24	0	1	242	6.66	5.61	3.24	0	1	243	9.74	5.61	3.24	0	1
244	9.86	5.61	3.24	0	1	245	-0.06	5.82	3.24	0	1	246	0.06	5.82	3.24	0	1	247	3.14	5.82	3.24	0	1
248	3.26	5.82	3.24	0	1	249	6.54	5.82	3.24	0	1	250	6.66	5.82	3.24	0	1	251	9.74	5.82	3.24	0	1
252	9.86	5.82	3.24	0	1	253	-0.06	6.04	3.24	0	1	254	0.06	6.04	3.24	0	1	255	3.14	6.04	3.24	0	1
256	3.26	6.04	3.24	0	1	257	6.54	6.04	3.24	0	1	258	6.66	6.04	3.24	0	1	259	9.74	6.04	3.24	0	1
260	9.86	6.04	3.24	0	1	261	-0.06	6.25	3.24	0	1	262	0.06	6.25	3.24	0	1	263	3.14	6.25	3.24	0	1
264	3.26	6.25	3.24	0	1	265	6.54	6.25	3.24	0	1	266	6.66	6.25	3.24	0	1	267	9.74	6.25	3.24	0	1
268	9.86	6.25	3.24	0	1	269	-0.06	6.47	3.24	0	1	270	0.06	6.47	3.24	0	1	271	3.14	6.47	3.24	0	1
272	3.26	6.47	3.24	0	1	273	6.54	6.47	3.24	0	1	274	6.66	6.47	3.24	0	1	275	9.74	6.47	3.24	0	1
276	9.86	6.47	3.24	0	1	277	-0.06	6.68	3.24	0	1	278	0.06	6.68	3.24	0	1	279	3.14	6.68	3.24	0	1
280	3.26	6.68	3.24	0	1	281	6.54	6.68	3.24	0	1	282	6.66	6.68	3.24	0	1	283	9.74	6.68	3.24	0	1
284	9.86	6.68	3.24	0	1	297	-0.06	7.07	3.24	0	1	298	0.06	7.07	3.24	0	1	299	3.14	7.07	3.24	0	1
300	3.26	7.07	3.24	0	1	301	6.54	7.07	3.24	0	1	302	6.66	7.07	3.24	0	1	303	9.74	7.07	3.24	0	1
304	9.86	7.07	3.24	0	1	305	-0.06	7.23	3.24	0	1	306	0.06	7.23	3.24	0	1	307	3.14	7.23	3.24	0	1
308	3.26	7.23	3.24	0	1	309	6.54	7.23	3.24	0	1	310	6.66	7.23	3.24	0	1	311	9.74	7.23	3.24	0	1
312	9.86	7.23	3.24	0	1	313	-0.15	-0.15	0.00	0	1	314	0.00	-0.15	0.00	0	1	315	0.15	-0.15	0.00	0	1
316	3.05	-0.15	0.00	0	1	317	3.20	-0.15	0.00	0	1	318	3.35	-0.15	0.00	0	1	319	6.45	-0.15	0.00	0	1
320	6.60	-0.15	0.00	0	1	321	6.75	-0.15	0.00	0	1	322	9.65	-0.15	0.00	0	1	323	9.80	-0.15	0.00	0	1
324	9.95	-0.15	0.00	0	1	325	-0.15	0.00	0.00	0	1	326	0.00	0.00	0.00	0	3	327	0.15	0.00	0.00	0	1
328	3.05	0.00	0.00	0	1	329	3.20	0.00	0.00	0	3	330	3.35	0.00	0.00	0	1	331	6.45	0.00	0.00	0	1
332	6.60	0.00	0.00	0	3	333	6.75	0.00	0.00	0	1	334	9.65	0.00	0.00	0	1	335	9.80	0.00	0.00	0	3
336	9.95	0.00	0.00	0	1	337	-0.15	0.15	0.00	0	1	338	0.00	0.15	0.00	0	1	339	0.15	0.15	0.00	0	1
340	3.05	0.15	0.00	0	1	341	3.20	0.15	0.00	0	1	342	3.35	0.15	0.00	0	1	343	6.45	0.15	0.00	0	1
344	6.60	0.15	0.00	0	1	345	6.75	0.15	0.00	0	1	346	9.65	0.15	0.00	0	1	347	9.80	0.15	0.00	0	1
348	9.95	0.15	0.00	0	1	349	-0.15	6.75	0.00	0	1	350	0.00	6.75	0.00	0	1	351	0.15	6.75	0.00	0	1
352	3.05	6.75	0.00	0	1	353	3.20	6.75	0.00	0	1	354	3.35	6.75	0.00	0	1	355	6.45	6.75	0.00	0	1
356	6.60	6.75	0.00	0	1	357	6.75	6.75	0.00	0	1	358	9.65	6.75	0.00	0	1	359	9.80	6.75	0.00	0	1
360	9.95	6.75	0.00	0	1	361	-0.15	6.90	0.00	0	1	362	0.00	6.90	0.00	0	3	363	0.15	6.90	0.00	0	1
364	3.05	6.90	0.00	0	1	365	3.20	6.90	0.00	0	3	366	3.35	6.90	0.00	0	1	367	6.45	6.90	0.00	0	1
368	6.60	6.90	0.00	0	3	369	6.75	6.90	0.00	0	1	370	9.65	6.90	0.00	0	1	371	9.80	6.90	0.00	0	3
372	9.95	6.90	0.00	0	1	373	-0.15	7.05	0.00	0	1	374	0.00	7.05	0.00	0	1	375	0.15	7.05	0.00	0	1
376	3.05	7.05	0.00	0	1	377	3.20	7.05	0.00	0	1	378	3.35	7.05	0.00	0	1	379	6.45	7.05	0.00	0	1
380	6.60	7.05	0.00	0	1	381	6.75	7.05	0.00	0	1	382	9.65	7.05	0.00	0	1	383	9.80	7.05	0.00	0	1
384	9.95	7.05	0.00	0	1	1026	0.00	0.00	3.10	0	1	1029	3.20	0.00	3.10	0	1	1032	6.60	0.00	3.10	0	1
1035	9.80	0.00	3.10	0	1	1286	0.00	6.90	3.10	0	1	1289	3.20	6.90	3.10	0	1	1292	6.60	6.90	3.10	0	1
1295	9.80	6.90	3.10	0	1	1296	-0.10	-0.10	3.10	0	1	1297	0.00	-0.10	3.10	0	1	1298	0.10	-0.10	3.10	0	1
1299	3.10	-0.10	3.10	0	1	1300	3.20	-0.10	3.10	0	1	1301	3.30	-0.10	3.10	0	1	1302	6.50	-0.10	3.10	0	1
1303	6.60	-0.10	3.10	0	1	1304	6.70	-0.10	3.10	0	1	1305	9.70	-0.10	3.10	0	1	1306	9.80	-0.10	3.10	0	1
1307	9.90	-0.10	3.10	0	1	1308	-0.10	0.00	3.10	0	1	1309	0.10	0.00	3.10	0	1	1310	3.10	0.00	3.10	0	1
1311	3.30	0.00	3.10	0	1	1312	6.50	0.00	3.10	0	1	1313	6.70	0.00	3.10	0	1	1314	9.70	0.00	3.10	0	1
1315	9.90	0.00	3.10	0	1	1316	-0.10	0.10	3.10	0	1	1317	0.00	0.10	3.10	0	1	1318	0.10	0.10	3.10	0	1
1319	3.10	0.10	3.10	0	1	1320	3.20	0.10	3.10	0	1	1321	3.30	0.10	3.10	0	1	1322	6.50	0.10	3.10	0	1

1323	6.60	0.10	3.10	0	1	1324	6.70	0.10	3.10	0	1	1325	9.70	0.10	3.10	0	1	1326	9.80	0.10	3.10	0	1
1327	9.90	0.10	3.10	0	1	1328	-0.10	6.80	3.10	0	1	1329	0.00	6.80	3.10	0	1	1330	0.10	6.80	3.10	0	1
1331	3.10	6.80	3.10	0	1	1332	3.20	6.80	3.10	0	1	1333	3.30	6.80	3.10	0	1	1334	6.50	6.80	3.10	0	1
1335	6.60	6.80	3.10	0	1	1336	6.70	6.80	3.10	0	1	1337	9.70	6.80	3.10	0	1	1338	9.80	6.80	3.10	0	1
1339	9.90	6.80	3.10	0	1	1340	-0.10	6.90	3.10	0	1	1341	0.10	6.90	3.10	0	1	1342	3.10	6.90	3.10	0	1
1343	3.30	6.90	3.10	0	1	1344	6.50	6.90	3.10	0	1	1345	6.70	6.90	3.10	0	1	1346	9.70	6.90	3.10	0	1
1347	9.90	6.90	3.10	0	1	1348	-0.10	7.00	3.10	0	1	1349	0.00	7.00	3.10	0	1	1350	0.10	7.00	3.10	0	1
1351	3.10	7.00	3.10	0	1	1352	3.20	7.00	3.10	0	1	1353	3.30	7.00	3.10	0	1	1354	6.50	7.00	3.10	0	1
1355	6.60	7.00	3.10	0	1	1356	6.70	7.00	3.10	0	1	1357	9.70	7.00	3.10	0	1	1358	9.80	7.00	3.10	0	1
1359	9.90	7.00	3.10	0	1	2001	-0.06	-0.50	3.24	0	1	2002	0.06	-0.50	3.24	0	1	2003	3.14	-0.50	3.24	0	1
2004	3.26	-0.50	3.24	0	1	2005	6.54	-0.50	3.24	0	1	2006	6.66	-0.50	3.24	0	1	2007	9.74	-0.50	3.24	0	1
2008	9.86	-0.50	3.24	0	1	2025	-0.06	0.00	3.24	0	1	2026	0.00	0.00	3.24	0	1	2027	0.06	0.00	3.24	0	1
2028	3.14	0.00	3.24	0	1	2029	3.20	0.00	3.24	0	1	2030	3.26	0.00	3.24	0	1	2031	6.54	0.00	3.24	0	1
2032	6.60	0.00	3.24	0	1	2033	6.66	0.00	3.24	0	1	2034	9.74	0.00	3.24	0	1	2035	9.80	0.00	3.24	0	1
2036	9.86	0.00	3.24	0	1	2285	-0.06	6.90	3.24	0	1	2286	0.00	6.90	3.24	0	1	2287	0.06	6.90	3.24	0	1
2288	3.14	6.90	3.24	0	1	2289	3.20	6.90	3.24	0	1	2290	3.26	6.90	3.24	0	1	2291	6.54	6.90	3.24	0	1
2292	6.60	6.90	3.24	0	1	2293	6.66	6.90	3.24	0	1	2294	9.74	6.90	3.24	0	1	2295	9.80	6.90	3.24	0	1
2296	9.86	6.90	3.24	0	1	2313	-0.06	7.40	3.24	0	1	2314	0.06	7.40	3.24	0	1	2315	3.14	7.40	3.24	0	1
2316	3.26	7.40	3.24	0	1	2317	6.54	7.40	3.24	0	1	2318	6.66	7.40	3.24	0	1	2319	9.74	7.40	3.24	0	1
2320	9.86	7.40	3.24	0	1	3001	-0.06	-0.50	3.32	0	1	3002	0.06	-0.50	3.32	0	1	3003	3.14	-0.50	3.32	0	1
3004	3.26	-0.50	3.32	0	1	3005	6.54	-0.50	3.32	0	1	3006	6.66	-0.50	3.32	0	1	3007	9.74	-0.50	3.32	0	1
3008	9.86	-0.50	3.32	0	1	3313	-0.06	7.40	3.32	0	1	3314	0.06	7.40	3.32	0	1	3315	3.14	7.40	3.32	0	1
3316	3.26	7.40	3.32	0	1	3317	6.54	7.40	3.32	0	1	3318	6.66	7.40	3.32	0	1	3319	9.74	7.40	3.32	0	1
3320	9.86	7.40	3.32	0	1	4025	-0.06	0.00	3.36	0	1	4026	0.00	0.00	3.36	0	1	4027	0.06	0.00	3.36	0	1
4028	3.14	0.00	3.36	0	1	4029	3.20	0.00	3.36	0	1	4030	3.26	0.00	3.36	0	1	4031	6.54	0.00	3.36	0	1
4032	6.60	0.00	3.36	0	1	4033	6.66	0.00	3.36	0	1	4034	9.74	0.00	3.36	0	1	4035	9.80	0.00	3.36	0	1
4036	9.86	0.00	3.36	0	1	4285	-0.06	6.90	3.36	0	1	4286	0.00	6.90	3.36	0	1	4287	0.06	6.90	3.36	0	1
4288	3.14	6.90	3.36	0	1	4289	3.20	6.90	3.36	0	1	4290	3.26	6.90	3.36	0	1	4291	6.54	6.90	3.36	0	1
4292	6.60	6.90	3.36	0	1	4293	6.66	6.90	3.36	0	1	4294	9.74	6.90	3.36	0	1	4295	9.80	6.90	3.36	0	1
4296	9.86	6.90	3.36	0	1																		

Elenco materiali

Simbologia

Mat. =Numero del materiale
Comm. =Commento
P =Peso specifico
E =Modulo elastico
G =Modulo elastico tangenziale
ν =Coeff. di Poisson
α =Coeff. di dilatazione termica

Mat.	Comm.	P <daN/mc>	E <daN/cmq>	G <daN/cmq>	ν	α
7	Calcestruzzo classe C30/37	2500	330194.00	150088.00	0.1	1.000000E-05
18	Acciaio	7850	2100000.00	800000.00	0.3	1.000000E-05

Elenco sezioni aste

Simbologia

Sez. =Numero della sezione
Comm. =Commento
Tipo =Tipologia
2C = Doppia C lato labbri
2Cdx = Doppia C lato costola
2I = Doppia I
2L = Doppia L lato labbri
2Ldx = Doppia L lato costole

C = Sezione a C
Cdx = C destra
Cir. = Circolare
Cir.c = Circolare cava
I = Sezione a I
L = Sezione a L
Ldx = L destra
Om. = Omega
Pg = Pi greco
Pr = Poligono regolare
Prc = Poligono regolare cavo
Pc = Per coordinate
Ia = Inerzie assegnate
R = Rettangolare
Rc = Rettangolare cava
T = Sezione a T
U = Sezione a U
Ur = U rovescia
V = Sezione a V
Vr = V rovescia
Z = Sezione a Z
Zdx = Z destra
Ts = T stondata
Ls = L stondata
Cs = C stondata
Is = I stondata
Dis. = Disegnata

Mem. =Membratura
G = Generica
T = Trave
P = Pilastro

Ver. =Verifica prevista
N = Nessuna
C = Cemento armato
A = Acciaio
L = Legno

B =Base
H =Altezza
s =Spessore ala
r =Raggio raccordo anima-ala
r1 =Raggio in testa ala
R =Raggio
Ma =Numero del materiale
C =Numero del criterio di progetto
Crit. C.I. =Criterio di progetto collegamento iniziale
Crit. C.F. =Criterio di progetto collegamento finale

Sez.	Comm.	Tipo	Mem.	Ver.	B <cm>	H <cm>	s <cm>	r <cm>	s <cm>	r1 <cm>	R <cm>	Ma	C	Crit. C.I.	Crit. C.F.
1	angolari L50x10	Ls	P	A	5.00	5.00	1.00	0.70		0.35		18	1	1	2
2	calastrelli 50x10	R	T	A	1.00	5.00						18	1	2	2
3	calastrelli 100x5	R	T	A	1.00	10.00						18	1	2	2
4	montante SHS120x120x6.3	Rc	P	A	12.00	12.00			0.63			18	1	2	2
5	modellazione SHS50x50x5	Rc	T	A	5.00	5.00			0.50			18	1	2	2
6	briglie 50x10	R	T	A	1.00	5.00						18	1	2	2
7	montanti 50x10	R	T	A	1.00	5.00						18	1	2	2
8	collegamenti 50x10	R	T	A	1.00	5.00						18	1	2	2
9	arcarecci T 120x60x10	Ts	T	A	6.00	12.00	1.00	0.10		0.10	0.10	18	1	2	2
10	controventi 50x5	R	T	A	0.50	5.00						18	1	2	2

11	fondazione 50x40	R	T	C	50.00	40.00						7	1		
12	piatto 150x5	R	T	A	15.00	0.50						18	1	5	5

Elenco vincoli aste

Simbologia

Va =Numero del vincolo asta
Comm. =Commento
Tipo =Tipologia
SVI = Definizione di vincolamenti interni
ELA = Vincolo su suolo elastico alla Winkler
BIE-RTC = Biella resistente a trazione e a compressione
BIE-RC = Biella resistente solo a compressione
BIE-RT = Biella resistente solo a trazione
Ni =Sforzo normale nodo iniziale (0=sbloccato, 1=bloccato)
Tyi =Taglio in dir. Y locale nodo iniziale (0=sbloccato, 1=bloccato)
Tzi =Taglio in dir. Z locale nodo iniziale (0=sbloccato, 1=bloccato)
Mxi =Momento intorno all'asse X locale nodo iniziale (0=sbloccato, 1=bloccato)
Myi =Momento intorno all'asse Y locale nodo iniziale (0=sbloccato, 1=bloccato)
Mzi =Momento intorno all'asse Z locale nodo iniziale (0=sbloccato, 1=bloccato)
Nf =Sforzo normale nodo finale (0=sbloccato, 1=bloccato)
Tyf =Taglio in dir. Y locale nodo finale (0=sbloccato, 1=bloccato)
Tzf =Taglio in dir. Z locale nodo finale (0=sbloccato, 1=bloccato)
Mxf =Momento intorno all'asse X locale nodo finale (0=sbloccato, 1=bloccato)
Myf =Momento intorno all'asse Y locale nodo finale (0=sbloccato, 1=bloccato)
Mzf =Momento intorno all'asse Z locale nodo finale (0=sbloccato, 1=bloccato)
Kt =Coeff. di sottofondo su suolo elastico alla Winkler

Va	Comm.	Tipo	Ni	Tyi	Tzi	Mxi	Myi	Mzi	Nf	Tyf	Tzf	Mxf	Myf	Mzf	Kt <daN/cmc>
1	Inc+Inc	SVI	1	1	1	1	1	1	1	1	1	1	1	1	
3	Cer+Inc	SVI	1	1	1	0	0	0	1	1	1	1	1	1	
11	Inc+CerYZ	SVI	1	1	1	1	1	1	1	1	1	1	0	0	
30	biella	BIE-RTC													
31		ELA													f(strat.)

Elenco aste

Simbologia

Asta =Numero dell'asta
N1 =Nodo iniziale
N2 =Nodo finale
Sez. =Numero della sezione
Va =Numero del vincolo asta
Par. =Numero dei parametri aggiuntivi
Rot. =Rotazione
FF =Filo fisso
Dy1 =Scost. filo fisso Y1
Dy2 =Scost. filo fisso Y2
Dz1 =Scost. filo fisso Z1
Dz2 =Scost. filo fisso Z2
Kt =Coeff. di sottofondo su suolo elastico alla Winkler

Asta	N1	N2	Sez.	Va	Par.	Rot. <grad>	FF	Dy1 <cm>	Dy2 <cm>	Dz1 <cm>	Dz2 <cm>	Kt <daN/cmc>
1	2001	3001	7	1		90.00	22	0.00	0.00	0.00	0.00	
2	2002	3002	7	1		90.00	22	0.00	0.00	0.00	0.00	

3	2003	3003	7	1		90.00	22	0.00	0.00	0.00	0.00	
4	2004	3004	7	1		90.00	22	0.00	0.00	0.00	0.00	
5	2005	3005	7	1		90.00	22	0.00	0.00	0.00	0.00	
6	2006	3006	7	1		90.00	22	0.00	0.00	0.00	0.00	
7	2007	3007	7	1		90.00	22	0.00	0.00	0.00	0.00	
8	2008	3008	7	1		90.00	22	0.00	0.00	0.00	0.00	
9	9	-513	7	1		90.00	55	0.00	0.00	0.00	0.00	
10	10	-514	7	1		90.00	55	0.00	0.00	0.00	0.00	
11	11	-515	7	1		90.00	55	0.00	0.00	0.00	0.00	
12	12	-516	7	1		90.00	55	0.00	0.00	0.00	0.00	
13	13	-517	7	1		90.00	55	0.00	0.00	0.00	0.00	
14	14	-518	7	1		90.00	55	0.00	0.00	0.00	0.00	
15	15	-519	7	1		90.00	55	0.00	0.00	0.00	0.00	
16	16	-520	7	1		90.00	55	0.00	0.00	0.00	0.00	
17	17	-529	7	1		90.00	55	0.00	0.00	0.00	0.00	
18	18	-530	7	1		90.00	55	0.00	0.00	0.00	0.00	
19	19	-531	7	1		90.00	55	0.00	0.00	0.00	0.00	
20	20	-532	7	1		90.00	55	0.00	0.00	0.00	0.00	
21	21	-533	7	1		90.00	55	0.00	0.00	0.00	0.00	
22	22	-534	7	1		90.00	55	0.00	0.00	0.00	0.00	
23	23	-535	7	1		90.00	55	0.00	0.00	0.00	0.00	
24	24	-536	7	1		90.00	55	0.00	0.00	0.00	0.00	
25	2025	4025	7	1		90.00	55	0.00	0.00	0.00	0.00	
26	1026	2026	4	1		0.00	55	0.00	0.00	0.00	0.00	
26	2026	4026	4	1		90.00	55	0.00	0.00	0.00	0.00	
27	2027	4027	7	1		90.00	55	0.00	0.00	0.00	0.00	
28	2028	4028	7	1		90.00	55	0.00	0.00	0.00	0.00	
29	1029	2029	4	1		0.00	55	0.00	0.00	0.00	0.00	
29	2029	4029	4	1		90.00	55	0.00	0.00	0.00	0.00	
30	2030	4030	7	1		90.00	55	0.00	0.00	0.00	0.00	
31	2031	4031	7	1		90.00	55	0.00	0.00	0.00	0.00	
32	1032	2032	4	1		0.00	55	0.00	0.00	0.00	0.00	
32	2032	4032	4	1		90.00	55	0.00	0.00	0.00	0.00	
33	2033	4033	7	1		90.00	55	0.00	0.00	0.00	0.00	
34	2034	4034	7	1		90.00	55	0.00	0.00	0.00	0.00	
35	1035	2035	4	1		0.00	55	0.00	0.00	0.00	0.00	
35	2035	4035	4	1		90.00	55	0.00	0.00	0.00	0.00	
36	2036	4036	7	1		90.00	55	0.00	0.00	0.00	0.00	
37	37	-545	7	1		90.00	55	0.00	0.00	0.00	0.00	
38	38	-546	7	1		90.00	55	0.00	0.00	0.00	0.00	
39	39	-547	7	1		90.00	55	0.00	0.00	0.00	0.00	
40	40	-548	7	1		90.00	55	0.00	0.00	0.00	0.00	
41	41	-549	7	1		90.00	55	0.00	0.00	0.00	0.00	
42	42	-550	7	1		90.00	55	0.00	0.00	0.00	0.00	
43	43	-551	7	1		90.00	55	0.00	0.00	0.00	0.00	
44	44	-552	7	1		90.00	55	0.00	0.00	0.00	0.00	
45	45	-561	7	1		90.00	55	0.00	0.00	0.00	0.00	
46	46	-562	7	1		90.00	55	0.00	0.00	0.00	0.00	
47	47	-563	7	1		90.00	55	0.00	0.00	0.00	0.00	
48	48	-564	7	1		90.00	55	0.00	0.00	0.00	0.00	
49	49	-565	7	1		90.00	55	0.00	0.00	0.00	0.00	
50	50	-566	7	1		90.00	55	0.00	0.00	0.00	0.00	
51	51	-567	7	1		90.00	55	0.00	0.00	0.00	0.00	
52	52	-568	7	1		90.00	55	0.00	0.00	0.00	0.00	
53	53	-577	7	1		90.00	55	0.00	0.00	0.00	0.00	
54	54	-578	7	1		90.00	55	0.00	0.00	0.00	0.00	
55	55	-579	7	1		90.00	55	0.00	0.00	0.00	0.00	
56	56	-580	7	1		90.00	55	0.00	0.00	0.00	0.00	
57	57	-581	7	1		90.00	55	0.00	0.00	0.00	0.00	

58	58	-582	7	1		90.00	55	0.00	0.00	0.00	0.00	
59	59	-583	7	1		90.00	55	0.00	0.00	0.00	0.00	
60	60	-584	7	1		90.00	55	0.00	0.00	0.00	0.00	
61	61	-593	7	1		90.00	55	0.00	0.00	0.00	0.00	
62	62	-594	7	1		90.00	55	0.00	0.00	0.00	0.00	
63	63	-595	7	1		90.00	55	0.00	0.00	0.00	0.00	
64	64	-596	7	1		90.00	55	0.00	0.00	0.00	0.00	
65	65	-597	7	1		90.00	55	0.00	0.00	0.00	0.00	
66	66	-598	7	1		90.00	55	0.00	0.00	0.00	0.00	
67	67	-599	7	1		90.00	55	0.00	0.00	0.00	0.00	
68	68	-600	7	1		90.00	55	0.00	0.00	0.00	0.00	
69	69	-609	7	1		90.00	55	0.00	0.00	0.00	0.00	
70	70	-610	7	1		90.00	55	0.00	0.00	0.00	0.00	
71	71	-611	7	1		90.00	55	0.00	0.00	0.00	0.00	
72	72	-612	7	1		90.00	55	0.00	0.00	0.00	0.00	
73	73	-613	7	1		90.00	55	0.00	0.00	0.00	0.00	
74	74	-614	7	1		90.00	55	0.00	0.00	0.00	0.00	
75	75	-615	7	1		90.00	55	0.00	0.00	0.00	0.00	
76	76	-616	7	1		90.00	55	0.00	0.00	0.00	0.00	
77	77	-625	7	1		90.00	55	0.00	0.00	0.00	0.00	
78	78	-626	7	1		90.00	55	0.00	0.00	0.00	0.00	
79	79	-627	7	1		90.00	55	0.00	0.00	0.00	0.00	
80	80	-628	7	1		90.00	55	0.00	0.00	0.00	0.00	
81	81	-629	7	1		90.00	55	0.00	0.00	0.00	0.00	
82	82	-630	7	1		90.00	55	0.00	0.00	0.00	0.00	
83	83	-631	7	1		90.00	55	0.00	0.00	0.00	0.00	
84	84	-632	7	1		90.00	55	0.00	0.00	0.00	0.00	
85	85	-641	7	1		90.00	55	0.00	0.00	0.00	0.00	
86	86	-642	7	1		90.00	55	0.00	0.00	0.00	0.00	
87	87	-643	7	1		90.00	55	0.00	0.00	0.00	0.00	
88	88	-644	7	1		90.00	55	0.00	0.00	0.00	0.00	
89	89	-645	7	1		90.00	55	0.00	0.00	0.00	0.00	
90	90	-646	7	1		90.00	55	0.00	0.00	0.00	0.00	
91	91	-647	7	1		90.00	55	0.00	0.00	0.00	0.00	
92	92	-648	7	1		90.00	55	0.00	0.00	0.00	0.00	
93	93	-657	7	1		90.00	55	0.00	0.00	0.00	0.00	
94	94	-658	7	1		90.00	55	0.00	0.00	0.00	0.00	
95	95	-659	7	1		90.00	55	0.00	0.00	0.00	0.00	
96	96	-660	7	1		90.00	55	0.00	0.00	0.00	0.00	
97	97	-661	7	1		90.00	55	0.00	0.00	0.00	0.00	
98	98	-662	7	1		90.00	55	0.00	0.00	0.00	0.00	
99	99	-663	7	1		90.00	55	0.00	0.00	0.00	0.00	
100	100	-664	7	1		90.00	55	0.00	0.00	0.00	0.00	
101	101	-673	7	1		90.00	55	0.00	0.00	0.00	0.00	
102	102	-674	7	1		90.00	55	0.00	0.00	0.00	0.00	
103	103	-675	7	1		90.00	55	0.00	0.00	0.00	0.00	
104	104	-676	7	1		90.00	55	0.00	0.00	0.00	0.00	
105	105	-677	7	1		90.00	55	0.00	0.00	0.00	0.00	
106	106	-678	7	1		90.00	55	0.00	0.00	0.00	0.00	
107	107	-679	7	1		90.00	55	0.00	0.00	0.00	0.00	
108	108	-680	7	1		90.00	55	0.00	0.00	0.00	0.00	
109	109	-689	7	1		90.00	55	0.00	0.00	0.00	0.00	
110	110	-690	7	1		90.00	55	0.00	0.00	0.00	0.00	
111	111	-691	7	1		90.00	55	0.00	0.00	0.00	0.00	
112	112	-692	7	1		90.00	55	0.00	0.00	0.00	0.00	
113	113	-693	7	1		90.00	55	0.00	0.00	0.00	0.00	
114	114	-694	7	1		90.00	55	0.00	0.00	0.00	0.00	
115	115	-695	7	1		90.00	55	0.00	0.00	0.00	0.00	
116	116	-696	7	1		90.00	55	0.00	0.00	0.00	0.00	

117	117	-705	7	1		90.00	55	0.00	0.00	0.00	0.00	
118	118	-706	7	1		90.00	55	0.00	0.00	0.00	0.00	
119	119	-707	7	1		90.00	55	0.00	0.00	0.00	0.00	
120	120	-708	7	1		90.00	55	0.00	0.00	0.00	0.00	
121	121	-709	7	1		90.00	55	0.00	0.00	0.00	0.00	
122	122	-710	7	1		90.00	55	0.00	0.00	0.00	0.00	
123	123	-711	7	1		90.00	55	0.00	0.00	0.00	0.00	
124	124	-712	7	1		90.00	55	0.00	0.00	0.00	0.00	
125	125	-721	7	1		90.00	55	0.00	0.00	0.00	0.00	
126	126	-722	7	1		90.00	55	0.00	0.00	0.00	0.00	
127	127	-723	7	1		90.00	55	0.00	0.00	0.00	0.00	
128	128	-724	7	1		90.00	55	0.00	0.00	0.00	0.00	
129	129	-725	7	1		90.00	55	0.00	0.00	0.00	0.00	
130	130	-726	7	1		90.00	55	0.00	0.00	0.00	0.00	
131	131	-727	7	1		90.00	55	0.00	0.00	0.00	0.00	
132	132	-728	7	1		90.00	55	0.00	0.00	0.00	0.00	
133	133	-737	7	1		90.00	55	0.00	0.00	0.00	0.00	
134	134	-738	7	1		90.00	55	0.00	0.00	0.00	0.00	
135	135	-739	7	1		90.00	55	0.00	0.00	0.00	0.00	
136	136	-740	7	1		90.00	55	0.00	0.00	0.00	0.00	
137	137	-741	7	1		90.00	55	0.00	0.00	0.00	0.00	
138	138	-742	7	1		90.00	55	0.00	0.00	0.00	0.00	
139	139	-743	7	1		90.00	55	0.00	0.00	0.00	0.00	
140	140	-744	7	1		90.00	55	0.00	0.00	0.00	0.00	
141	141	-753	7	1		90.00	55	0.00	0.00	0.00	0.00	
142	142	-754	7	1		90.00	55	0.00	0.00	0.00	0.00	
143	143	-755	7	1		90.00	55	0.00	0.00	0.00	0.00	
144	144	-756	7	1		90.00	55	0.00	0.00	0.00	0.00	
145	145	-757	7	1		90.00	55	0.00	0.00	0.00	0.00	
146	146	-758	7	1		90.00	55	0.00	0.00	0.00	0.00	
147	147	-759	7	1		90.00	55	0.00	0.00	0.00	0.00	
148	148	-760	7	1		90.00	55	0.00	0.00	0.00	0.00	
149	149	-769	7	1		90.00	55	0.00	0.00	0.00	0.00	
150	150	-770	7	1		90.00	55	0.00	0.00	0.00	0.00	
151	151	-771	7	1		90.00	55	0.00	0.00	0.00	0.00	
152	152	-772	7	1		90.00	55	0.00	0.00	0.00	0.00	
153	153	-773	7	1		90.00	55	0.00	0.00	0.00	0.00	
154	154	-774	7	1		90.00	55	0.00	0.00	0.00	0.00	
155	155	-775	7	1		90.00	55	0.00	0.00	0.00	0.00	
156	156	-776	7	1		90.00	55	0.00	0.00	0.00	0.00	
157	157	-785	7	1		90.00	55	0.00	0.00	0.00	0.00	
158	158	-786	7	1		90.00	55	0.00	0.00	0.00	0.00	
159	159	-787	7	1		90.00	55	0.00	0.00	0.00	0.00	
160	160	-788	7	1		90.00	55	0.00	0.00	0.00	0.00	
161	161	-789	7	1		90.00	55	0.00	0.00	0.00	0.00	
162	162	-790	7	1		90.00	55	0.00	0.00	0.00	0.00	
163	163	-791	7	1		90.00	55	0.00	0.00	0.00	0.00	
164	164	-792	7	1		90.00	55	0.00	0.00	0.00	0.00	
165	165	-777	7	1		90.00	55	0.00	0.00	0.00	0.00	
166	166	-778	7	1		90.00	55	0.00	0.00	0.00	0.00	
167	167	-779	7	1		90.00	55	0.00	0.00	0.00	0.00	
168	168	-780	7	1		90.00	55	0.00	0.00	0.00	0.00	
169	169	-781	7	1		90.00	55	0.00	0.00	0.00	0.00	
170	170	-782	7	1		90.00	55	0.00	0.00	0.00	0.00	
171	171	-783	7	1		90.00	55	0.00	0.00	0.00	0.00	
172	172	-784	7	1		90.00	55	0.00	0.00	0.00	0.00	
173	173	-761	7	1		90.00	55	0.00	0.00	0.00	0.00	
174	174	-762	7	1		90.00	55	0.00	0.00	0.00	0.00	
175	175	-763	7	1		90.00	55	0.00	0.00	0.00	0.00	

176	176	-764	7	1		90.00	55	0.00	0.00	0.00	0.00	
177	177	-765	7	1		90.00	55	0.00	0.00	0.00	0.00	
178	178	-766	7	1		90.00	55	0.00	0.00	0.00	0.00	
179	179	-767	7	1		90.00	55	0.00	0.00	0.00	0.00	
180	180	-768	7	1		90.00	55	0.00	0.00	0.00	0.00	
181	181	-745	7	1		90.00	55	0.00	0.00	0.00	0.00	
182	182	-746	7	1		90.00	55	0.00	0.00	0.00	0.00	
183	183	-747	7	1		90.00	55	0.00	0.00	0.00	0.00	
184	184	-748	7	1		90.00	55	0.00	0.00	0.00	0.00	
185	185	-749	7	1		90.00	55	0.00	0.00	0.00	0.00	
186	186	-750	7	1		90.00	55	0.00	0.00	0.00	0.00	
187	187	-751	7	1		90.00	55	0.00	0.00	0.00	0.00	
188	188	-752	7	1		90.00	55	0.00	0.00	0.00	0.00	
189	189	-729	7	1		90.00	55	0.00	0.00	0.00	0.00	
190	190	-730	7	1		90.00	55	0.00	0.00	0.00	0.00	
191	191	-731	7	1		90.00	55	0.00	0.00	0.00	0.00	
192	192	-732	7	1		90.00	55	0.00	0.00	0.00	0.00	
193	193	-733	7	1		90.00	55	0.00	0.00	0.00	0.00	
194	194	-734	7	1		90.00	55	0.00	0.00	0.00	0.00	
195	195	-735	7	1		90.00	55	0.00	0.00	0.00	0.00	
196	196	-736	7	1		90.00	55	0.00	0.00	0.00	0.00	
197	197	-713	7	1		90.00	55	0.00	0.00	0.00	0.00	
198	198	-714	7	1		90.00	55	0.00	0.00	0.00	0.00	
199	199	-715	7	1		90.00	55	0.00	0.00	0.00	0.00	
200	200	-716	7	1		90.00	55	0.00	0.00	0.00	0.00	
201	201	-717	7	1		90.00	55	0.00	0.00	0.00	0.00	
202	202	-718	7	1		90.00	55	0.00	0.00	0.00	0.00	
203	203	-719	7	1		90.00	55	0.00	0.00	0.00	0.00	
204	204	-720	7	1		90.00	55	0.00	0.00	0.00	0.00	
205	205	-697	7	1		90.00	55	0.00	0.00	0.00	0.00	
206	206	-698	7	1		90.00	55	0.00	0.00	0.00	0.00	
207	207	-699	7	1		90.00	55	0.00	0.00	0.00	0.00	
208	208	-700	7	1		90.00	55	0.00	0.00	0.00	0.00	
209	209	-701	7	1		90.00	55	0.00	0.00	0.00	0.00	
210	210	-702	7	1		90.00	55	0.00	0.00	0.00	0.00	
211	211	-703	7	1		90.00	55	0.00	0.00	0.00	0.00	
212	212	-704	7	1		90.00	55	0.00	0.00	0.00	0.00	
213	213	-681	7	1		90.00	55	0.00	0.00	0.00	0.00	
214	214	-682	7	1		90.00	55	0.00	0.00	0.00	0.00	
215	215	-683	7	1		90.00	55	0.00	0.00	0.00	0.00	
216	216	-684	7	1		90.00	55	0.00	0.00	0.00	0.00	
217	217	-685	7	1		90.00	55	0.00	0.00	0.00	0.00	
218	218	-686	7	1		90.00	55	0.00	0.00	0.00	0.00	
219	219	-687	7	1		90.00	55	0.00	0.00	0.00	0.00	
220	220	-688	7	1		90.00	55	0.00	0.00	0.00	0.00	
221	221	-665	7	1		90.00	55	0.00	0.00	0.00	0.00	
222	222	-666	7	1		90.00	55	0.00	0.00	0.00	0.00	
223	223	-667	7	1		90.00	55	0.00	0.00	0.00	0.00	
224	224	-668	7	1		90.00	55	0.00	0.00	0.00	0.00	
225	225	-669	7	1		90.00	55	0.00	0.00	0.00	0.00	
226	226	-670	7	1		90.00	55	0.00	0.00	0.00	0.00	
227	227	-671	7	1		90.00	55	0.00	0.00	0.00	0.00	
228	228	-672	7	1		90.00	55	0.00	0.00	0.00	0.00	
229	229	-649	7	1		90.00	55	0.00	0.00	0.00	0.00	
230	230	-650	7	1		90.00	55	0.00	0.00	0.00	0.00	
231	231	-651	7	1		90.00	55	0.00	0.00	0.00	0.00	
232	232	-652	7	1		90.00	55	0.00	0.00	0.00	0.00	
233	233	-653	7	1		90.00	55	0.00	0.00	0.00	0.00	
234	234	-654	7	1		90.00	55	0.00	0.00	0.00	0.00	

235	235	-655	7	1		90.00	55	0.00	0.00	0.00	0.00	
236	236	-656	7	1		90.00	55	0.00	0.00	0.00	0.00	
237	237	-633	7	1		90.00	55	0.00	0.00	0.00	0.00	
238	238	-634	7	1		90.00	55	0.00	0.00	0.00	0.00	
239	239	-635	7	1		90.00	55	0.00	0.00	0.00	0.00	
240	240	-636	7	1		90.00	55	0.00	0.00	0.00	0.00	
241	241	-637	7	1		90.00	55	0.00	0.00	0.00	0.00	
242	242	-638	7	1		90.00	55	0.00	0.00	0.00	0.00	
243	243	-639	7	1		90.00	55	0.00	0.00	0.00	0.00	
244	244	-640	7	1		90.00	55	0.00	0.00	0.00	0.00	
245	245	-617	7	1		90.00	55	0.00	0.00	0.00	0.00	
246	246	-618	7	1		90.00	55	0.00	0.00	0.00	0.00	
247	247	-619	7	1		90.00	55	0.00	0.00	0.00	0.00	
248	248	-620	7	1		90.00	55	0.00	0.00	0.00	0.00	
249	249	-621	7	1		90.00	55	0.00	0.00	0.00	0.00	
250	250	-622	7	1		90.00	55	0.00	0.00	0.00	0.00	
251	251	-623	7	1		90.00	55	0.00	0.00	0.00	0.00	
252	252	-624	7	1		90.00	55	0.00	0.00	0.00	0.00	
253	253	-601	7	1		90.00	55	0.00	0.00	0.00	0.00	
254	254	-602	7	1		90.00	55	0.00	0.00	0.00	0.00	
255	255	-603	7	1		90.00	55	0.00	0.00	0.00	0.00	
256	256	-604	7	1		90.00	55	0.00	0.00	0.00	0.00	
257	257	-605	7	1		90.00	55	0.00	0.00	0.00	0.00	
258	258	-606	7	1		90.00	55	0.00	0.00	0.00	0.00	
259	259	-607	7	1		90.00	55	0.00	0.00	0.00	0.00	
260	260	-608	7	1		90.00	55	0.00	0.00	0.00	0.00	
261	261	-585	7	1		90.00	55	0.00	0.00	0.00	0.00	
262	262	-586	7	1		90.00	55	0.00	0.00	0.00	0.00	
263	263	-587	7	1		90.00	55	0.00	0.00	0.00	0.00	
264	264	-588	7	1		90.00	55	0.00	0.00	0.00	0.00	
265	265	-589	7	1		90.00	55	0.00	0.00	0.00	0.00	
266	266	-590	7	1		90.00	55	0.00	0.00	0.00	0.00	
267	267	-591	7	1		90.00	55	0.00	0.00	0.00	0.00	
268	268	-592	7	1		90.00	55	0.00	0.00	0.00	0.00	
269	269	-569	7	1		90.00	55	0.00	0.00	0.00	0.00	
270	270	-570	7	1		90.00	55	0.00	0.00	0.00	0.00	
271	271	-571	7	1		90.00	55	0.00	0.00	0.00	0.00	
272	272	-572	7	1		90.00	55	0.00	0.00	0.00	0.00	
273	273	-573	7	1		90.00	55	0.00	0.00	0.00	0.00	
274	274	-574	7	1		90.00	55	0.00	0.00	0.00	0.00	
275	275	-575	7	1		90.00	55	0.00	0.00	0.00	0.00	
276	276	-576	7	1		90.00	55	0.00	0.00	0.00	0.00	
277	277	-553	7	1		90.00	55	0.00	0.00	0.00	0.00	
278	278	-554	7	1		90.00	55	0.00	0.00	0.00	0.00	
279	279	-555	7	1		90.00	55	0.00	0.00	0.00	0.00	
280	280	-556	7	1		90.00	55	0.00	0.00	0.00	0.00	
281	281	-557	7	1		90.00	55	0.00	0.00	0.00	0.00	
282	282	-558	7	1		90.00	55	0.00	0.00	0.00	0.00	
283	283	-559	7	1		90.00	55	0.00	0.00	0.00	0.00	
284	284	-560	7	1		90.00	55	0.00	0.00	0.00	0.00	
285	2285	4285	7	1		90.00	55	0.00	0.00	0.00	0.00	
286	1286	2286	4	1		0.00	55	0.00	0.00	0.00	0.00	
286	2286	4286	4	1		90.00	55	0.00	0.00	0.00	0.00	
287	2287	4287	7	1		90.00	55	0.00	0.00	0.00	0.00	
288	2288	4288	7	1		90.00	55	0.00	0.00	0.00	0.00	
289	1289	2289	4	1		0.00	55	0.00	0.00	0.00	0.00	
289	2289	4289	4	1		90.00	55	0.00	0.00	0.00	0.00	
290	2290	4290	7	1		90.00	55	0.00	0.00	0.00	0.00	
291	2291	4291	7	1		90.00	55	0.00	0.00	0.00	0.00	

292	1292	2292	4	1		0.00	55	0.00	0.00	0.00	0.00	
292	2292	4292	4	1		90.00	55	0.00	0.00	0.00	0.00	
293	2293	4293	7	1		90.00	55	0.00	0.00	0.00	0.00	
294	2294	4294	7	1		90.00	55	0.00	0.00	0.00	0.00	
295	1295	2295	4	1		0.00	55	0.00	0.00	0.00	0.00	
295	2295	4295	4	1		90.00	55	0.00	0.00	0.00	0.00	
296	2296	4296	7	1		90.00	55	0.00	0.00	0.00	0.00	
297	297	-537	7	1		90.00	55	0.00	0.00	0.00	0.00	
298	298	-538	7	1		90.00	55	0.00	0.00	0.00	0.00	
299	299	-539	7	1		90.00	55	0.00	0.00	0.00	0.00	
300	300	-540	7	1		90.00	55	0.00	0.00	0.00	0.00	
301	301	-541	7	1		90.00	55	0.00	0.00	0.00	0.00	
302	302	-542	7	1		90.00	55	0.00	0.00	0.00	0.00	
303	303	-543	7	1		90.00	55	0.00	0.00	0.00	0.00	
304	304	-544	7	1		90.00	55	0.00	0.00	0.00	0.00	
305	305	-521	7	1		90.00	55	0.00	0.00	0.00	0.00	
306	306	-522	7	1		90.00	55	0.00	0.00	0.00	0.00	
307	307	-523	7	1		90.00	55	0.00	0.00	0.00	0.00	
308	308	-524	7	1		90.00	55	0.00	0.00	0.00	0.00	
309	309	-525	7	1		90.00	55	0.00	0.00	0.00	0.00	
310	310	-526	7	1		90.00	55	0.00	0.00	0.00	0.00	
311	311	-527	7	1		90.00	55	0.00	0.00	0.00	0.00	
312	312	-528	7	1		90.00	55	0.00	0.00	0.00	0.00	
313	2313	3313	7	1		90.00	88	0.00	0.00	0.00	0.00	
314	2314	3314	7	1		90.00	88	0.00	0.00	0.00	0.00	
315	2315	3315	7	1		90.00	88	0.00	0.00	0.00	0.00	
316	2316	3316	7	1		90.00	88	0.00	0.00	0.00	0.00	
317	2317	3317	7	1		90.00	88	0.00	0.00	0.00	0.00	
318	2318	3318	7	1		90.00	88	0.00	0.00	0.00	0.00	
319	2319	3319	7	1		90.00	88	0.00	0.00	0.00	0.00	
320	2320	3320	7	1		90.00	88	0.00	0.00	0.00	0.00	
901	325	326	11	31		0.00	22	0.00	0.00	0.00	0.00	1.35
901	326	327	11	31		0.00	22	0.00	0.00	0.00	0.00	1.35
901	327	328	11	31		0.00	22	0.00	0.00	0.00	0.00	1.35
901	328	329	11	31		0.00	22	0.00	0.00	0.00	0.00	1.35
901	329	330	11	31		0.00	22	0.00	0.00	0.00	0.00	1.35
901	330	331	11	31		0.00	22	0.00	0.00	0.00	0.00	1.35
901	331	332	11	31		0.00	22	0.00	0.00	0.00	0.00	1.35
901	332	333	11	31		0.00	22	0.00	0.00	0.00	0.00	1.35
901	333	334	11	31		0.00	22	0.00	0.00	0.00	0.00	1.35
901	334	335	11	31		0.00	22	0.00	0.00	0.00	0.00	1.35
901	335	336	11	31		0.00	22	0.00	0.00	0.00	0.00	1.35
902	361	362	11	31		0.00	22	0.00	0.00	0.00	0.00	1.35
902	362	363	11	31		0.00	22	0.00	0.00	0.00	0.00	1.35
902	363	364	11	31		0.00	22	0.00	0.00	0.00	0.00	1.35
902	364	365	11	31		0.00	22	0.00	0.00	0.00	0.00	1.35
902	365	366	11	31		0.00	22	0.00	0.00	0.00	0.00	1.35
902	366	367	11	31		0.00	22	0.00	0.00	0.00	0.00	1.35
902	367	368	11	31		0.00	22	0.00	0.00	0.00	0.00	1.35
902	368	369	11	31		0.00	22	0.00	0.00	0.00	0.00	1.35
902	369	370	11	31		0.00	22	0.00	0.00	0.00	0.00	1.35
902	370	371	11	31		0.00	22	0.00	0.00	0.00	0.00	1.35
902	371	372	11	31		0.00	22	0.00	0.00	0.00	0.00	1.35
903	326	362	12	30		0.00	22	0.00	0.00	0.00	0.00	
904	335	371	12	30		0.00	22	0.00	0.00	0.00	0.00	
1021	1296	1297	1	1		270.00	55	0.00	0.00	0.00	0.00	
1021	1297	1298	1	1		270.00	55	0.00	0.00	0.00	0.00	
1023	1316	1317	1	1		180.00	55	0.00	0.00	0.00	0.00	
1023	1317	1318	1	1		180.00	55	0.00	0.00	0.00	0.00	

1065	1328	1329	1	1		270.00	55	0.00	0.00	0.00	0.00	
1065	1329	1330	1	1		270.00	55	0.00	0.00	0.00	0.00	
1067	1348	1349	1	1		180.00	55	0.00	0.00	0.00	0.00	
1067	1349	1350	1	1		180.00	55	0.00	0.00	0.00	0.00	
1105	1296	1308	1	1		180.00	55	0.00	0.00	0.00	0.00	
1105	1308	1316	1	1		180.00	55	0.00	0.00	0.00	0.00	
1108	1298	1309	1	1		270.00	55	0.00	0.00	0.00	0.00	
1108	1309	1318	1	1		270.00	55	0.00	0.00	0.00	0.00	
1143	1299	1310	1	1		180.00	55	0.00	0.00	0.00	0.00	
1143	1310	1319	1	1		180.00	55	0.00	0.00	0.00	0.00	
1146	1301	1311	1	1		270.00	55	0.00	0.00	0.00	0.00	
1146	1311	1321	1	1		270.00	55	0.00	0.00	0.00	0.00	
1181	1302	1312	1	1		180.00	55	0.00	0.00	0.00	0.00	
1181	1312	1322	1	1		180.00	55	0.00	0.00	0.00	0.00	
1184	1304	1313	1	1		270.00	55	0.00	0.00	0.00	0.00	
1184	1313	1324	1	1		270.00	55	0.00	0.00	0.00	0.00	
1219	1305	1314	1	1		180.00	55	0.00	0.00	0.00	0.00	
1219	1314	1325	1	1		180.00	55	0.00	0.00	0.00	0.00	
1222	1307	1315	1	1		270.00	55	0.00	0.00	0.00	0.00	
1222	1315	1327	1	1		270.00	55	0.00	0.00	0.00	0.00	
1240	319	-5	1	1		180.00	55	0.00	0.00	0.00	0.00	
1240	-5	-37	1	1		180.00	55	0.00	0.00	0.00	0.00	
1240	-37	-69	1	1		180.00	55	0.00	0.00	0.00	0.00	
1240	-69	-101	1	1		180.00	55	0.00	0.00	0.00	0.00	
1240	-101	-133	1	1		180.00	55	0.00	0.00	0.00	0.00	
1240	-133	-165	1	1		180.00	55	0.00	0.00	0.00	0.00	
1240	-165	-197	1	1		180.00	55	0.00	0.00	0.00	0.00	
1240	-197	-229	1	1		180.00	55	0.00	0.00	0.00	0.00	
1240	-229	-261	1	1		180.00	55	0.00	0.00	0.00	0.00	
1240	-261	-293	1	1		180.00	55	0.00	0.00	0.00	0.00	
1240	-293	-325	1	1		180.00	55	0.00	0.00	0.00	0.00	
1240	-325	-357	1	1		180.00	55	0.00	0.00	0.00	0.00	
1240	-357	-389	1	1		180.00	55	0.00	0.00	0.00	0.00	
1240	-389	-421	1	1		180.00	55	0.00	0.00	0.00	0.00	
1240	-421	-453	1	1		180.00	55	0.00	0.00	0.00	0.00	
1240	-453	-485	1	1		180.00	55	0.00	0.00	0.00	0.00	
1240	-485	1302	1	1		180.00	55	0.00	0.00	0.00	0.00	
1241	340	-11	1	1		180.00	55	0.00	0.00	0.00	0.00	
1241	-11	-43	1	1		180.00	55	0.00	0.00	0.00	0.00	
1241	-43	-75	1	1		180.00	55	0.00	0.00	0.00	0.00	
1241	-75	-107	1	1		180.00	55	0.00	0.00	0.00	0.00	
1241	-107	-139	1	1		180.00	55	0.00	0.00	0.00	0.00	
1241	-139	-171	1	1		180.00	55	0.00	0.00	0.00	0.00	
1241	-171	-203	1	1		180.00	55	0.00	0.00	0.00	0.00	
1241	-203	-235	1	1		180.00	55	0.00	0.00	0.00	0.00	
1241	-235	-267	1	1		180.00	55	0.00	0.00	0.00	0.00	
1241	-267	-299	1	1		180.00	55	0.00	0.00	0.00	0.00	
1241	-299	-331	1	1		180.00	55	0.00	0.00	0.00	0.00	
1241	-331	-363	1	1		180.00	55	0.00	0.00	0.00	0.00	
1241	-363	-395	1	1		180.00	55	0.00	0.00	0.00	0.00	
1241	-395	-427	1	1		180.00	55	0.00	0.00	0.00	0.00	
1241	-427	-459	1	1		180.00	55	0.00	0.00	0.00	0.00	
1241	-459	-491	1	1		180.00	55	0.00	0.00	0.00	0.00	
1241	-491	1319	1	1		180.00	55	0.00	0.00	0.00	0.00	
1242	316	-3	1	1		180.00	55	0.00	0.00	0.00	0.00	
1242	-3	-35	1	1		180.00	55	0.00	0.00	0.00	0.00	
1242	-35	-67	1	1		180.00	55	0.00	0.00	0.00	0.00	
1242	-67	-99	1	1		180.00	55	0.00	0.00	0.00	0.00	
1242	-99	-131	1	1		180.00	55	0.00	0.00	0.00	0.00	

1242	-131	-163	1	1		180.00	55	0.00	0.00	0.00	0.00	
1242	-163	-195	1	1		180.00	55	0.00	0.00	0.00	0.00	
1242	-195	-227	1	1		180.00	55	0.00	0.00	0.00	0.00	
1242	-227	-259	1	1		180.00	55	0.00	0.00	0.00	0.00	
1242	-259	-291	1	1		180.00	55	0.00	0.00	0.00	0.00	
1242	-291	-323	1	1		180.00	55	0.00	0.00	0.00	0.00	
1242	-323	-355	1	1		180.00	55	0.00	0.00	0.00	0.00	
1242	-355	-387	1	1		180.00	55	0.00	0.00	0.00	0.00	
1242	-387	-419	1	1		180.00	55	0.00	0.00	0.00	0.00	
1242	-419	-451	1	1		180.00	55	0.00	0.00	0.00	0.00	
1242	-451	-483	1	1		180.00	55	0.00	0.00	0.00	0.00	
1242	-483	1299	1	1		180.00	55	0.00	0.00	0.00	0.00	
1243	322	-7	1	1		180.00	55	0.00	0.00	0.00	0.00	
1243	-7	-39	1	1		180.00	55	0.00	0.00	0.00	0.00	
1243	-39	-71	1	1		180.00	55	0.00	0.00	0.00	0.00	
1243	-71	-103	1	1		180.00	55	0.00	0.00	0.00	0.00	
1243	-103	-135	1	1		180.00	55	0.00	0.00	0.00	0.00	
1243	-135	-167	1	1		180.00	55	0.00	0.00	0.00	0.00	
1243	-167	-199	1	1		180.00	55	0.00	0.00	0.00	0.00	
1243	-199	-231	1	1		180.00	55	0.00	0.00	0.00	0.00	
1243	-231	-263	1	1		180.00	55	0.00	0.00	0.00	0.00	
1243	-263	-295	1	1		180.00	55	0.00	0.00	0.00	0.00	
1243	-295	-327	1	1		180.00	55	0.00	0.00	0.00	0.00	
1243	-327	-359	1	1		180.00	55	0.00	0.00	0.00	0.00	
1243	-359	-391	1	1		180.00	55	0.00	0.00	0.00	0.00	
1243	-391	-423	1	1		180.00	55	0.00	0.00	0.00	0.00	
1243	-423	-455	1	1		180.00	55	0.00	0.00	0.00	0.00	
1243	-455	-487	1	1		180.00	55	0.00	0.00	0.00	0.00	
1243	-487	1305	1	1		180.00	55	0.00	0.00	0.00	0.00	
1244	313	-1	1	1		180.00	55	0.00	0.00	0.00	0.00	
1244	-1	-33	1	1		180.00	55	0.00	0.00	0.00	0.00	
1244	-33	-65	1	1		180.00	55	0.00	0.00	0.00	0.00	
1244	-65	-97	1	1		180.00	55	0.00	0.00	0.00	0.00	
1244	-97	-129	1	1		180.00	55	0.00	0.00	0.00	0.00	
1244	-129	-161	1	1		180.00	55	0.00	0.00	0.00	0.00	
1244	-161	-193	1	1		180.00	55	0.00	0.00	0.00	0.00	
1244	-193	-225	1	1		180.00	55	0.00	0.00	0.00	0.00	
1244	-225	-257	1	1		180.00	55	0.00	0.00	0.00	0.00	
1244	-257	-289	1	1		180.00	55	0.00	0.00	0.00	0.00	
1244	-289	-321	1	1		180.00	55	0.00	0.00	0.00	0.00	
1244	-321	-353	1	1		180.00	55	0.00	0.00	0.00	0.00	
1244	-353	-385	1	1		180.00	55	0.00	0.00	0.00	0.00	
1244	-385	-417	1	1		180.00	55	0.00	0.00	0.00	0.00	
1244	-417	-449	1	1		180.00	55	0.00	0.00	0.00	0.00	
1244	-449	-481	1	1		180.00	55	0.00	0.00	0.00	0.00	
1244	-481	1296	1	1		180.00	55	0.00	0.00	0.00	0.00	
1245	337	-9	1	1		180.00	55	0.00	0.00	0.00	0.00	
1245	-9	-41	1	1		180.00	55	0.00	0.00	0.00	0.00	
1245	-41	-73	1	1		180.00	55	0.00	0.00	0.00	0.00	
1245	-73	-105	1	1		180.00	55	0.00	0.00	0.00	0.00	
1245	-105	-137	1	1		180.00	55	0.00	0.00	0.00	0.00	
1245	-137	-169	1	1		180.00	55	0.00	0.00	0.00	0.00	
1245	-169	-201	1	1		180.00	55	0.00	0.00	0.00	0.00	
1245	-201	-233	1	1		180.00	55	0.00	0.00	0.00	0.00	
1245	-233	-265	1	1		180.00	55	0.00	0.00	0.00	0.00	
1245	-265	-297	1	1		180.00	55	0.00	0.00	0.00	0.00	
1245	-297	-329	1	1		180.00	55	0.00	0.00	0.00	0.00	
1245	-329	-361	1	1		180.00	55	0.00	0.00	0.00	0.00	
1245	-361	-393	1	1		180.00	55	0.00	0.00	0.00	0.00	

1245	-393	-425	1	1		180.00	55	0.00	0.00	0.00	0.00	
1245	-425	-457	1	1		180.00	55	0.00	0.00	0.00	0.00	
1245	-457	-489	1	1		180.00	55	0.00	0.00	0.00	0.00	
1245	-489	1316	1	1		180.00	55	0.00	0.00	0.00	0.00	
1246	343	-13	1	1		180.00	55	0.00	0.00	0.00	0.00	
1246	-13	-45	1	1		180.00	55	0.00	0.00	0.00	0.00	
1246	-45	-77	1	1		180.00	55	0.00	0.00	0.00	0.00	
1246	-77	-109	1	1		180.00	55	0.00	0.00	0.00	0.00	
1246	-109	-141	1	1		180.00	55	0.00	0.00	0.00	0.00	
1246	-141	-173	1	1		180.00	55	0.00	0.00	0.00	0.00	
1246	-173	-205	1	1		180.00	55	0.00	0.00	0.00	0.00	
1246	-205	-237	1	1		180.00	55	0.00	0.00	0.00	0.00	
1246	-237	-269	1	1		180.00	55	0.00	0.00	0.00	0.00	
1246	-269	-301	1	1		180.00	55	0.00	0.00	0.00	0.00	
1246	-301	-333	1	1		180.00	55	0.00	0.00	0.00	0.00	
1246	-333	-365	1	1		180.00	55	0.00	0.00	0.00	0.00	
1246	-365	-397	1	1		180.00	55	0.00	0.00	0.00	0.00	
1246	-397	-429	1	1		180.00	55	0.00	0.00	0.00	0.00	
1246	-429	-461	1	1		180.00	55	0.00	0.00	0.00	0.00	
1246	-461	-493	1	1		180.00	55	0.00	0.00	0.00	0.00	
1246	-493	1322	1	1		180.00	55	0.00	0.00	0.00	0.00	
1247	346	-15	1	1		180.00	55	0.00	0.00	0.00	0.00	
1247	-15	-47	1	1		180.00	55	0.00	0.00	0.00	0.00	
1247	-47	-79	1	1		180.00	55	0.00	0.00	0.00	0.00	
1247	-79	-111	1	1		180.00	55	0.00	0.00	0.00	0.00	
1247	-111	-143	1	1		180.00	55	0.00	0.00	0.00	0.00	
1247	-143	-175	1	1		180.00	55	0.00	0.00	0.00	0.00	
1247	-175	-207	1	1		180.00	55	0.00	0.00	0.00	0.00	
1247	-207	-239	1	1		180.00	55	0.00	0.00	0.00	0.00	
1247	-239	-271	1	1		180.00	55	0.00	0.00	0.00	0.00	
1247	-271	-303	1	1		180.00	55	0.00	0.00	0.00	0.00	
1247	-303	-335	1	1		180.00	55	0.00	0.00	0.00	0.00	
1247	-335	-367	1	1		180.00	55	0.00	0.00	0.00	0.00	
1247	-367	-399	1	1		180.00	55	0.00	0.00	0.00	0.00	
1247	-399	-431	1	1		180.00	55	0.00	0.00	0.00	0.00	
1247	-431	-463	1	1		180.00	55	0.00	0.00	0.00	0.00	
1247	-463	-495	1	1		180.00	55	0.00	0.00	0.00	0.00	
1247	-495	1325	1	1		180.00	55	0.00	0.00	0.00	0.00	
1272	373	-25	1	1		180.00	55	0.00	0.00	0.00	0.00	
1272	-25	-57	1	1		180.00	55	0.00	0.00	0.00	0.00	
1272	-57	-89	1	1		180.00	55	0.00	0.00	0.00	0.00	
1272	-89	-121	1	1		180.00	55	0.00	0.00	0.00	0.00	
1272	-121	-153	1	1		180.00	55	0.00	0.00	0.00	0.00	
1272	-153	-185	1	1		180.00	55	0.00	0.00	0.00	0.00	
1272	-185	-217	1	1		180.00	55	0.00	0.00	0.00	0.00	
1272	-217	-249	1	1		180.00	55	0.00	0.00	0.00	0.00	
1272	-249	-281	1	1		180.00	55	0.00	0.00	0.00	0.00	
1272	-281	-313	1	1		180.00	55	0.00	0.00	0.00	0.00	
1272	-313	-345	1	1		180.00	55	0.00	0.00	0.00	0.00	
1272	-345	-377	1	1		180.00	55	0.00	0.00	0.00	0.00	
1272	-377	-409	1	1		180.00	55	0.00	0.00	0.00	0.00	
1272	-409	-441	1	1		180.00	55	0.00	0.00	0.00	0.00	
1272	-441	-473	1	1		180.00	55	0.00	0.00	0.00	0.00	
1272	-473	-505	1	1		180.00	55	0.00	0.00	0.00	0.00	
1272	-505	1348	1	1		180.00	55	0.00	0.00	0.00	0.00	
1273	379	-29	1	1		180.00	55	0.00	0.00	0.00	0.00	
1273	-29	-61	1	1		180.00	55	0.00	0.00	0.00	0.00	
1273	-61	-93	1	1		180.00	55	0.00	0.00	0.00	0.00	
1273	-93	-125	1	1		180.00	55	0.00	0.00	0.00	0.00	

1273	-125	-157	1	1		180.00	55	0.00	0.00	0.00	0.00	
1273	-157	-189	1	1		180.00	55	0.00	0.00	0.00	0.00	
1273	-189	-221	1	1		180.00	55	0.00	0.00	0.00	0.00	
1273	-221	-253	1	1		180.00	55	0.00	0.00	0.00	0.00	
1273	-253	-285	1	1		180.00	55	0.00	0.00	0.00	0.00	
1273	-285	-317	1	1		180.00	55	0.00	0.00	0.00	0.00	
1273	-317	-349	1	1		180.00	55	0.00	0.00	0.00	0.00	
1273	-349	-381	1	1		180.00	55	0.00	0.00	0.00	0.00	
1273	-381	-413	1	1		180.00	55	0.00	0.00	0.00	0.00	
1273	-413	-445	1	1		180.00	55	0.00	0.00	0.00	0.00	
1273	-445	-477	1	1		180.00	55	0.00	0.00	0.00	0.00	
1273	-477	-509	1	1		180.00	55	0.00	0.00	0.00	0.00	
1273	-509	1354	1	1		180.00	55	0.00	0.00	0.00	0.00	
1274	349	-17	1	1		180.00	55	0.00	0.00	0.00	0.00	
1274	-17	-49	1	1		180.00	55	0.00	0.00	0.00	0.00	
1274	-49	-81	1	1		180.00	55	0.00	0.00	0.00	0.00	
1274	-81	-113	1	1		180.00	55	0.00	0.00	0.00	0.00	
1274	-113	-145	1	1		180.00	55	0.00	0.00	0.00	0.00	
1274	-145	-177	1	1		180.00	55	0.00	0.00	0.00	0.00	
1274	-177	-209	1	1		180.00	55	0.00	0.00	0.00	0.00	
1274	-209	-241	1	1		180.00	55	0.00	0.00	0.00	0.00	
1274	-241	-273	1	1		180.00	55	0.00	0.00	0.00	0.00	
1274	-273	-305	1	1		180.00	55	0.00	0.00	0.00	0.00	
1274	-305	-337	1	1		180.00	55	0.00	0.00	0.00	0.00	
1274	-337	-369	1	1		180.00	55	0.00	0.00	0.00	0.00	
1274	-369	-401	1	1		180.00	55	0.00	0.00	0.00	0.00	
1274	-401	-433	1	1		180.00	55	0.00	0.00	0.00	0.00	
1274	-433	-465	1	1		180.00	55	0.00	0.00	0.00	0.00	
1274	-465	-497	1	1		180.00	55	0.00	0.00	0.00	0.00	
1274	-497	1328	1	1		180.00	55	0.00	0.00	0.00	0.00	
1275	358	-23	1	1		180.00	55	0.00	0.00	0.00	0.00	
1275	-23	-55	1	1		180.00	55	0.00	0.00	0.00	0.00	
1275	-55	-87	1	1		180.00	55	0.00	0.00	0.00	0.00	
1275	-87	-119	1	1		180.00	55	0.00	0.00	0.00	0.00	
1275	-119	-151	1	1		180.00	55	0.00	0.00	0.00	0.00	
1275	-151	-183	1	1		180.00	55	0.00	0.00	0.00	0.00	
1275	-183	-215	1	1		180.00	55	0.00	0.00	0.00	0.00	
1275	-215	-247	1	1		180.00	55	0.00	0.00	0.00	0.00	
1275	-247	-279	1	1		180.00	55	0.00	0.00	0.00	0.00	
1275	-279	-311	1	1		180.00	55	0.00	0.00	0.00	0.00	
1275	-311	-343	1	1		180.00	55	0.00	0.00	0.00	0.00	
1275	-343	-375	1	1		180.00	55	0.00	0.00	0.00	0.00	
1275	-375	-407	1	1		180.00	55	0.00	0.00	0.00	0.00	
1275	-407	-439	1	1		180.00	55	0.00	0.00	0.00	0.00	
1275	-439	-471	1	1		180.00	55	0.00	0.00	0.00	0.00	
1275	-471	-503	1	1		180.00	55	0.00	0.00	0.00	0.00	
1275	-503	1337	1	1		180.00	55	0.00	0.00	0.00	0.00	
1276	352	-19	1	1		180.00	55	0.00	0.00	0.00	0.00	
1276	-19	-51	1	1		180.00	55	0.00	0.00	0.00	0.00	
1276	-51	-83	1	1		180.00	55	0.00	0.00	0.00	0.00	
1276	-83	-115	1	1		180.00	55	0.00	0.00	0.00	0.00	
1276	-115	-147	1	1		180.00	55	0.00	0.00	0.00	0.00	
1276	-147	-179	1	1		180.00	55	0.00	0.00	0.00	0.00	
1276	-179	-211	1	1		180.00	55	0.00	0.00	0.00	0.00	
1276	-211	-243	1	1		180.00	55	0.00	0.00	0.00	0.00	
1276	-243	-275	1	1		180.00	55	0.00	0.00	0.00	0.00	
1276	-275	-307	1	1		180.00	55	0.00	0.00	0.00	0.00	
1276	-307	-339	1	1		180.00	55	0.00	0.00	0.00	0.00	
1276	-339	-371	1	1		180.00	55	0.00	0.00	0.00	0.00	

1276	-371	-403	1	1		180.00	55	0.00	0.00	0.00	0.00	
1276	-403	-435	1	1		180.00	55	0.00	0.00	0.00	0.00	
1276	-435	-467	1	1		180.00	55	0.00	0.00	0.00	0.00	
1276	-467	-499	1	1		180.00	55	0.00	0.00	0.00	0.00	
1276	-499	1331	1	1		180.00	55	0.00	0.00	0.00	0.00	
1277	376	-27	1	1		180.00	55	0.00	0.00	0.00	0.00	
1277	-27	-59	1	1		180.00	55	0.00	0.00	0.00	0.00	
1277	-59	-91	1	1		180.00	55	0.00	0.00	0.00	0.00	
1277	-91	-123	1	1		180.00	55	0.00	0.00	0.00	0.00	
1277	-123	-155	1	1		180.00	55	0.00	0.00	0.00	0.00	
1277	-155	-187	1	1		180.00	55	0.00	0.00	0.00	0.00	
1277	-187	-219	1	1		180.00	55	0.00	0.00	0.00	0.00	
1277	-219	-251	1	1		180.00	55	0.00	0.00	0.00	0.00	
1277	-251	-283	1	1		180.00	55	0.00	0.00	0.00	0.00	
1277	-283	-315	1	1		180.00	55	0.00	0.00	0.00	0.00	
1277	-315	-347	1	1		180.00	55	0.00	0.00	0.00	0.00	
1277	-347	-379	1	1		180.00	55	0.00	0.00	0.00	0.00	
1277	-379	-411	1	1		180.00	55	0.00	0.00	0.00	0.00	
1277	-411	-443	1	1		180.00	55	0.00	0.00	0.00	0.00	
1277	-443	-475	1	1		180.00	55	0.00	0.00	0.00	0.00	
1277	-475	-507	1	1		180.00	55	0.00	0.00	0.00	0.00	
1277	-507	1351	1	1		180.00	55	0.00	0.00	0.00	0.00	
1278	382	-31	1	1		180.00	55	0.00	0.00	0.00	0.00	
1278	-31	-63	1	1		180.00	55	0.00	0.00	0.00	0.00	
1278	-63	-95	1	1		180.00	55	0.00	0.00	0.00	0.00	
1278	-95	-127	1	1		180.00	55	0.00	0.00	0.00	0.00	
1278	-127	-159	1	1		180.00	55	0.00	0.00	0.00	0.00	
1278	-159	-191	1	1		180.00	55	0.00	0.00	0.00	0.00	
1278	-191	-223	1	1		180.00	55	0.00	0.00	0.00	0.00	
1278	-223	-255	1	1		180.00	55	0.00	0.00	0.00	0.00	
1278	-255	-287	1	1		180.00	55	0.00	0.00	0.00	0.00	
1278	-287	-319	1	1		180.00	55	0.00	0.00	0.00	0.00	
1278	-319	-351	1	1		180.00	55	0.00	0.00	0.00	0.00	
1278	-351	-383	1	1		180.00	55	0.00	0.00	0.00	0.00	
1278	-383	-415	1	1		180.00	55	0.00	0.00	0.00	0.00	
1278	-415	-447	1	1		180.00	55	0.00	0.00	0.00	0.00	
1278	-447	-479	1	1		180.00	55	0.00	0.00	0.00	0.00	
1278	-479	-511	1	1		180.00	55	0.00	0.00	0.00	0.00	
1278	-511	1357	1	1		180.00	55	0.00	0.00	0.00	0.00	
1279	355	-21	1	1		180.00	55	0.00	0.00	0.00	0.00	
1279	-21	-53	1	1		180.00	55	0.00	0.00	0.00	0.00	
1279	-53	-85	1	1		180.00	55	0.00	0.00	0.00	0.00	
1279	-85	-117	1	1		180.00	55	0.00	0.00	0.00	0.00	
1279	-117	-149	1	1		180.00	55	0.00	0.00	0.00	0.00	
1279	-149	-181	1	1		180.00	55	0.00	0.00	0.00	0.00	
1279	-181	-213	1	1		180.00	55	0.00	0.00	0.00	0.00	
1279	-213	-245	1	1		180.00	55	0.00	0.00	0.00	0.00	
1279	-245	-277	1	1		180.00	55	0.00	0.00	0.00	0.00	
1279	-277	-309	1	1		180.00	55	0.00	0.00	0.00	0.00	
1279	-309	-341	1	1		180.00	55	0.00	0.00	0.00	0.00	
1279	-341	-373	1	1		180.00	55	0.00	0.00	0.00	0.00	
1279	-373	-405	1	1		180.00	55	0.00	0.00	0.00	0.00	
1279	-405	-437	1	1		180.00	55	0.00	0.00	0.00	0.00	
1279	-437	-469	1	1		180.00	55	0.00	0.00	0.00	0.00	
1279	-469	-501	1	1		180.00	55	0.00	0.00	0.00	0.00	
1279	-501	1334	1	1		180.00	55	0.00	0.00	0.00	0.00	
1300	1299	1300	1	1		270.00	55	0.00	0.00	0.00	0.00	
1300	1300	1301	1	1		270.00	55	0.00	0.00	0.00	0.00	
1302	1319	1320	1	1		180.00	55	0.00	0.00	0.00	0.00	

1302	1320	1321	1	1		180.00	55	0.00	0.00	0.00	0.00	
1344	1331	1332	1	1		270.00	55	0.00	0.00	0.00	0.00	
1344	1332	1333	1	1		270.00	55	0.00	0.00	0.00	0.00	
1346	1351	1352	1	1		180.00	55	0.00	0.00	0.00	0.00	
1346	1352	1353	1	1		180.00	55	0.00	0.00	0.00	0.00	
1384	1328	1340	1	1		180.00	55	0.00	0.00	0.00	0.00	
1384	1340	1348	1	1		180.00	55	0.00	0.00	0.00	0.00	
1387	1330	1341	1	1		270.00	55	0.00	0.00	0.00	0.00	
1387	1341	1350	1	1		270.00	55	0.00	0.00	0.00	0.00	
1422	1331	1342	1	1		180.00	55	0.00	0.00	0.00	0.00	
1422	1342	1351	1	1		180.00	55	0.00	0.00	0.00	0.00	
1425	1333	1343	1	1		270.00	55	0.00	0.00	0.00	0.00	
1425	1343	1353	1	1		270.00	55	0.00	0.00	0.00	0.00	
1460	1334	1344	1	1		180.00	55	0.00	0.00	0.00	0.00	
1460	1344	1354	1	1		180.00	55	0.00	0.00	0.00	0.00	
1463	1336	1345	1	1		270.00	55	0.00	0.00	0.00	0.00	
1463	1345	1356	1	1		270.00	55	0.00	0.00	0.00	0.00	
1498	1337	1346	1	1		180.00	55	0.00	0.00	0.00	0.00	
1498	1346	1357	1	1		180.00	55	0.00	0.00	0.00	0.00	
1501	1339	1347	1	1		270.00	55	0.00	0.00	0.00	0.00	
1501	1347	1359	1	1		270.00	55	0.00	0.00	0.00	0.00	
1519	1032	1324	5	1		0.00	22	0.00	0.00	0.00	0.00	
1519	1302	1032	5	1		0.00	22	0.00	0.00	0.00	0.00	
1520	1029	1319	5	1		0.00	22	0.00	0.00	0.00	0.00	
1520	1301	1029	5	1		0.00	22	0.00	0.00	0.00	0.00	
1521	1299	1029	5	1		0.00	22	0.00	0.00	0.00	0.00	
1521	1029	1321	5	1		0.00	22	0.00	0.00	0.00	0.00	
1522	1035	1327	5	1		0.00	22	0.00	0.00	0.00	0.00	
1522	1305	1035	5	1		0.00	22	0.00	0.00	0.00	0.00	
1523	1026	1318	5	1		0.00	22	0.00	0.00	0.00	0.00	
1523	1296	1026	5	1		0.00	22	0.00	0.00	0.00	0.00	
1524	1026	1316	5	1		0.00	22	0.00	0.00	0.00	0.00	
1524	1298	1026	5	1		0.00	22	0.00	0.00	0.00	0.00	
1525	1032	1322	5	1		0.00	22	0.00	0.00	0.00	0.00	
1525	1304	1032	5	1		0.00	22	0.00	0.00	0.00	0.00	
1526	1035	1325	5	1		0.00	22	0.00	0.00	0.00	0.00	
1526	1307	1035	5	1		0.00	22	0.00	0.00	0.00	0.00	
1551	1330	1286	5	1		0.00	22	0.00	0.00	0.00	0.00	
1551	1286	1348	5	1		0.00	22	0.00	0.00	0.00	0.00	
1552	1336	1292	5	1		0.00	22	0.00	0.00	0.00	0.00	
1552	1292	1354	5	1		0.00	22	0.00	0.00	0.00	0.00	
1553	1328	1286	5	1		0.00	22	0.00	0.00	0.00	0.00	
1553	1286	1350	5	1		0.00	22	0.00	0.00	0.00	0.00	
1554	1337	1295	5	1		0.00	22	0.00	0.00	0.00	0.00	
1554	1295	1359	5	1		0.00	22	0.00	0.00	0.00	0.00	
1555	1331	1289	5	1		0.00	22	0.00	0.00	0.00	0.00	
1555	1289	1353	5	1		0.00	22	0.00	0.00	0.00	0.00	
1556	1289	1351	5	1		0.00	22	0.00	0.00	0.00	0.00	
1556	1333	1289	5	1		0.00	22	0.00	0.00	0.00	0.00	
1557	1339	1295	5	1		0.00	22	0.00	0.00	0.00	0.00	
1557	1295	1357	5	1		0.00	22	0.00	0.00	0.00	0.00	
1558	1292	1356	5	1		0.00	22	0.00	0.00	0.00	0.00	
1558	1334	1292	5	1		0.00	22	0.00	0.00	0.00	0.00	
1579	1302	1303	1	1		270.00	55	0.00	0.00	0.00	0.00	
1579	1303	1304	1	1		270.00	55	0.00	0.00	0.00	0.00	
1581	1322	1323	1	1		180.00	55	0.00	0.00	0.00	0.00	
1581	1323	1324	1	1		180.00	55	0.00	0.00	0.00	0.00	
1623	1334	1335	1	1		270.00	55	0.00	0.00	0.00	0.00	
1623	1335	1336	1	1		270.00	55	0.00	0.00	0.00	0.00	

1625	1354	1355	1	1		180.00	55	0.00	0.00	0.00	0.00	
1625	1355	1356	1	1		180.00	55	0.00	0.00	0.00	0.00	
1798	345	-14	1	1		180.00	55	0.00	0.00	0.00	0.00	
1798	-14	-46	1	1		180.00	55	0.00	0.00	0.00	0.00	
1798	-46	-78	1	1		180.00	55	0.00	0.00	0.00	0.00	
1798	-78	-110	1	1		180.00	55	0.00	0.00	0.00	0.00	
1798	-110	-142	1	1		180.00	55	0.00	0.00	0.00	0.00	
1798	-142	-174	1	1		180.00	55	0.00	0.00	0.00	0.00	
1798	-174	-206	1	1		180.00	55	0.00	0.00	0.00	0.00	
1798	-206	-238	1	1		180.00	55	0.00	0.00	0.00	0.00	
1798	-238	-270	1	1		180.00	55	0.00	0.00	0.00	0.00	
1798	-270	-302	1	1		180.00	55	0.00	0.00	0.00	0.00	
1798	-302	-334	1	1		180.00	55	0.00	0.00	0.00	0.00	
1798	-334	-366	1	1		180.00	55	0.00	0.00	0.00	0.00	
1798	-366	-398	1	1		180.00	55	0.00	0.00	0.00	0.00	
1798	-398	-430	1	1		180.00	55	0.00	0.00	0.00	0.00	
1798	-430	-462	1	1		180.00	55	0.00	0.00	0.00	0.00	
1798	-462	-494	1	1		180.00	55	0.00	0.00	0.00	0.00	
1798	-494	1324	1	1		180.00	55	0.00	0.00	0.00	0.00	
1799	318	-4	1	1		180.00	55	0.00	0.00	0.00	0.00	
1799	-4	-36	1	1		180.00	55	0.00	0.00	0.00	0.00	
1799	-36	-68	1	1		180.00	55	0.00	0.00	0.00	0.00	
1799	-68	-100	1	1		180.00	55	0.00	0.00	0.00	0.00	
1799	-100	-132	1	1		180.00	55	0.00	0.00	0.00	0.00	
1799	-132	-164	1	1		180.00	55	0.00	0.00	0.00	0.00	
1799	-164	-196	1	1		180.00	55	0.00	0.00	0.00	0.00	
1799	-196	-228	1	1		180.00	55	0.00	0.00	0.00	0.00	
1799	-228	-260	1	1		180.00	55	0.00	0.00	0.00	0.00	
1799	-260	-292	1	1		180.00	55	0.00	0.00	0.00	0.00	
1799	-292	-324	1	1		180.00	55	0.00	0.00	0.00	0.00	
1799	-324	-356	1	1		180.00	55	0.00	0.00	0.00	0.00	
1799	-356	-388	1	1		180.00	55	0.00	0.00	0.00	0.00	
1799	-388	-420	1	1		180.00	55	0.00	0.00	0.00	0.00	
1799	-420	-452	1	1		180.00	55	0.00	0.00	0.00	0.00	
1799	-452	-484	1	1		180.00	55	0.00	0.00	0.00	0.00	
1799	-484	1301	1	1		180.00	55	0.00	0.00	0.00	0.00	
1800	342	-12	1	1		180.00	55	0.00	0.00	0.00	0.00	
1800	-12	-44	1	1		180.00	55	0.00	0.00	0.00	0.00	
1800	-44	-76	1	1		180.00	55	0.00	0.00	0.00	0.00	
1800	-76	-108	1	1		180.00	55	0.00	0.00	0.00	0.00	
1800	-108	-140	1	1		180.00	55	0.00	0.00	0.00	0.00	
1800	-140	-172	1	1		180.00	55	0.00	0.00	0.00	0.00	
1800	-172	-204	1	1		180.00	55	0.00	0.00	0.00	0.00	
1800	-204	-236	1	1		180.00	55	0.00	0.00	0.00	0.00	
1800	-236	-268	1	1		180.00	55	0.00	0.00	0.00	0.00	
1800	-268	-300	1	1		180.00	55	0.00	0.00	0.00	0.00	
1800	-300	-332	1	1		180.00	55	0.00	0.00	0.00	0.00	
1800	-332	-364	1	1		180.00	55	0.00	0.00	0.00	0.00	
1800	-364	-396	1	1		180.00	55	0.00	0.00	0.00	0.00	
1800	-396	-428	1	1		180.00	55	0.00	0.00	0.00	0.00	
1800	-428	-460	1	1		180.00	55	0.00	0.00	0.00	0.00	
1800	-460	-492	1	1		180.00	55	0.00	0.00	0.00	0.00	
1800	-492	1321	1	1		180.00	55	0.00	0.00	0.00	0.00	
1801	348	-16	1	1		180.00	55	0.00	0.00	0.00	0.00	
1801	-16	-48	1	1		180.00	55	0.00	0.00	0.00	0.00	
1801	-48	-80	1	1		180.00	55	0.00	0.00	0.00	0.00	
1801	-80	-112	1	1		180.00	55	0.00	0.00	0.00	0.00	
1801	-112	-144	1	1		180.00	55	0.00	0.00	0.00	0.00	
1801	-144	-176	1	1		180.00	55	0.00	0.00	0.00	0.00	

1801	-176	-208	1	1		180.00	55	0.00	0.00	0.00	0.00	
1801	-208	-240	1	1		180.00	55	0.00	0.00	0.00	0.00	
1801	-240	-272	1	1		180.00	55	0.00	0.00	0.00	0.00	
1801	-272	-304	1	1		180.00	55	0.00	0.00	0.00	0.00	
1801	-304	-336	1	1		180.00	55	0.00	0.00	0.00	0.00	
1801	-336	-368	1	1		180.00	55	0.00	0.00	0.00	0.00	
1801	-368	-400	1	1		180.00	55	0.00	0.00	0.00	0.00	
1801	-400	-432	1	1		180.00	55	0.00	0.00	0.00	0.00	
1801	-432	-464	1	1		180.00	55	0.00	0.00	0.00	0.00	
1801	-464	-496	1	1		180.00	55	0.00	0.00	0.00	0.00	
1801	-496	1327	1	1		180.00	55	0.00	0.00	0.00	0.00	
1802	339	-10	1	1		180.00	55	0.00	0.00	0.00	0.00	
1802	-10	-42	1	1		180.00	55	0.00	0.00	0.00	0.00	
1802	-42	-74	1	1		180.00	55	0.00	0.00	0.00	0.00	
1802	-74	-106	1	1		180.00	55	0.00	0.00	0.00	0.00	
1802	-106	-138	1	1		180.00	55	0.00	0.00	0.00	0.00	
1802	-138	-170	1	1		180.00	55	0.00	0.00	0.00	0.00	
1802	-170	-202	1	1		180.00	55	0.00	0.00	0.00	0.00	
1802	-202	-234	1	1		180.00	55	0.00	0.00	0.00	0.00	
1802	-234	-266	1	1		180.00	55	0.00	0.00	0.00	0.00	
1802	-266	-298	1	1		180.00	55	0.00	0.00	0.00	0.00	
1802	-298	-330	1	1		180.00	55	0.00	0.00	0.00	0.00	
1802	-330	-362	1	1		180.00	55	0.00	0.00	0.00	0.00	
1802	-362	-394	1	1		180.00	55	0.00	0.00	0.00	0.00	
1802	-394	-426	1	1		180.00	55	0.00	0.00	0.00	0.00	
1802	-426	-458	1	1		180.00	55	0.00	0.00	0.00	0.00	
1802	-458	-490	1	1		180.00	55	0.00	0.00	0.00	0.00	
1802	-490	1318	1	1		180.00	55	0.00	0.00	0.00	0.00	
1803	315	-2	1	1		180.00	55	0.00	0.00	0.00	0.00	
1803	-2	-34	1	1		180.00	55	0.00	0.00	0.00	0.00	
1803	-34	-66	1	1		180.00	55	0.00	0.00	0.00	0.00	
1803	-66	-98	1	1		180.00	55	0.00	0.00	0.00	0.00	
1803	-98	-130	1	1		180.00	55	0.00	0.00	0.00	0.00	
1803	-130	-162	1	1		180.00	55	0.00	0.00	0.00	0.00	
1803	-162	-194	1	1		180.00	55	0.00	0.00	0.00	0.00	
1803	-194	-226	1	1		180.00	55	0.00	0.00	0.00	0.00	
1803	-226	-258	1	1		180.00	55	0.00	0.00	0.00	0.00	
1803	-258	-290	1	1		180.00	55	0.00	0.00	0.00	0.00	
1803	-290	-322	1	1		180.00	55	0.00	0.00	0.00	0.00	
1803	-322	-354	1	1		180.00	55	0.00	0.00	0.00	0.00	
1803	-354	-386	1	1		180.00	55	0.00	0.00	0.00	0.00	
1803	-386	-418	1	1		180.00	55	0.00	0.00	0.00	0.00	
1803	-418	-450	1	1		180.00	55	0.00	0.00	0.00	0.00	
1803	-450	-482	1	1		180.00	55	0.00	0.00	0.00	0.00	
1803	-482	1298	1	1		180.00	55	0.00	0.00	0.00	0.00	
1804	321	-6	1	1		180.00	55	0.00	0.00	0.00	0.00	
1804	-6	-38	1	1		180.00	55	0.00	0.00	0.00	0.00	
1804	-38	-70	1	1		180.00	55	0.00	0.00	0.00	0.00	
1804	-70	-102	1	1		180.00	55	0.00	0.00	0.00	0.00	
1804	-102	-134	1	1		180.00	55	0.00	0.00	0.00	0.00	
1804	-134	-166	1	1		180.00	55	0.00	0.00	0.00	0.00	
1804	-166	-198	1	1		180.00	55	0.00	0.00	0.00	0.00	
1804	-198	-230	1	1		180.00	55	0.00	0.00	0.00	0.00	
1804	-230	-262	1	1		180.00	55	0.00	0.00	0.00	0.00	
1804	-262	-294	1	1		180.00	55	0.00	0.00	0.00	0.00	
1804	-294	-326	1	1		180.00	55	0.00	0.00	0.00	0.00	
1804	-326	-358	1	1		180.00	55	0.00	0.00	0.00	0.00	
1804	-358	-390	1	1		180.00	55	0.00	0.00	0.00	0.00	
1804	-390	-422	1	1		180.00	55	0.00	0.00	0.00	0.00	

1804	-422	-454	1	1		180.00	55	0.00	0.00	0.00	0.00	
1804	-454	-486	1	1		180.00	55	0.00	0.00	0.00	0.00	
1804	-486	1304	1	1		180.00	55	0.00	0.00	0.00	0.00	
1805	324	-8	1	1		180.00	55	0.00	0.00	0.00	0.00	
1805	-8	-40	1	1		180.00	55	0.00	0.00	0.00	0.00	
1805	-40	-72	1	1		180.00	55	0.00	0.00	0.00	0.00	
1805	-72	-104	1	1		180.00	55	0.00	0.00	0.00	0.00	
1805	-104	-136	1	1		180.00	55	0.00	0.00	0.00	0.00	
1805	-136	-168	1	1		180.00	55	0.00	0.00	0.00	0.00	
1805	-168	-200	1	1		180.00	55	0.00	0.00	0.00	0.00	
1805	-200	-232	1	1		180.00	55	0.00	0.00	0.00	0.00	
1805	-232	-264	1	1		180.00	55	0.00	0.00	0.00	0.00	
1805	-264	-296	1	1		180.00	55	0.00	0.00	0.00	0.00	
1805	-296	-328	1	1		180.00	55	0.00	0.00	0.00	0.00	
1805	-328	-360	1	1		180.00	55	0.00	0.00	0.00	0.00	
1805	-360	-392	1	1		180.00	55	0.00	0.00	0.00	0.00	
1805	-392	-424	1	1		180.00	55	0.00	0.00	0.00	0.00	
1805	-424	-456	1	1		180.00	55	0.00	0.00	0.00	0.00	
1805	-456	-488	1	1		180.00	55	0.00	0.00	0.00	0.00	
1805	-488	1307	1	1		180.00	55	0.00	0.00	0.00	0.00	
1830	351	-18	1	1		180.00	55	0.00	0.00	0.00	0.00	
1830	-18	-50	1	1		180.00	55	0.00	0.00	0.00	0.00	
1830	-50	-82	1	1		180.00	55	0.00	0.00	0.00	0.00	
1830	-82	-114	1	1		180.00	55	0.00	0.00	0.00	0.00	
1830	-114	-146	1	1		180.00	55	0.00	0.00	0.00	0.00	
1830	-146	-178	1	1		180.00	55	0.00	0.00	0.00	0.00	
1830	-178	-210	1	1		180.00	55	0.00	0.00	0.00	0.00	
1830	-210	-242	1	1		180.00	55	0.00	0.00	0.00	0.00	
1830	-242	-274	1	1		180.00	55	0.00	0.00	0.00	0.00	
1830	-274	-306	1	1		180.00	55	0.00	0.00	0.00	0.00	
1830	-306	-338	1	1		180.00	55	0.00	0.00	0.00	0.00	
1830	-338	-370	1	1		180.00	55	0.00	0.00	0.00	0.00	
1830	-370	-402	1	1		180.00	55	0.00	0.00	0.00	0.00	
1830	-402	-434	1	1		180.00	55	0.00	0.00	0.00	0.00	
1830	-434	-466	1	1		180.00	55	0.00	0.00	0.00	0.00	
1830	-466	-498	1	1		180.00	55	0.00	0.00	0.00	0.00	
1830	-498	1330	1	1		180.00	55	0.00	0.00	0.00	0.00	
1831	357	-22	1	1		180.00	55	0.00	0.00	0.00	0.00	
1831	-22	-54	1	1		180.00	55	0.00	0.00	0.00	0.00	
1831	-54	-86	1	1		180.00	55	0.00	0.00	0.00	0.00	
1831	-86	-118	1	1		180.00	55	0.00	0.00	0.00	0.00	
1831	-118	-150	1	1		180.00	55	0.00	0.00	0.00	0.00	
1831	-150	-182	1	1		180.00	55	0.00	0.00	0.00	0.00	
1831	-182	-214	1	1		180.00	55	0.00	0.00	0.00	0.00	
1831	-214	-246	1	1		180.00	55	0.00	0.00	0.00	0.00	
1831	-246	-278	1	1		180.00	55	0.00	0.00	0.00	0.00	
1831	-278	-310	1	1		180.00	55	0.00	0.00	0.00	0.00	
1831	-310	-342	1	1		180.00	55	0.00	0.00	0.00	0.00	
1831	-342	-374	1	1		180.00	55	0.00	0.00	0.00	0.00	
1831	-374	-406	1	1		180.00	55	0.00	0.00	0.00	0.00	
1831	-406	-438	1	1		180.00	55	0.00	0.00	0.00	0.00	
1831	-438	-470	1	1		180.00	55	0.00	0.00	0.00	0.00	
1831	-470	-502	1	1		180.00	55	0.00	0.00	0.00	0.00	
1831	-502	1336	1	1		180.00	55	0.00	0.00	0.00	0.00	
1832	375	-26	1	1		180.00	55	0.00	0.00	0.00	0.00	
1832	-26	-58	1	1		180.00	55	0.00	0.00	0.00	0.00	
1832	-58	-90	1	1		180.00	55	0.00	0.00	0.00	0.00	
1832	-90	-122	1	1		180.00	55	0.00	0.00	0.00	0.00	
1832	-122	-154	1	1		180.00	55	0.00	0.00	0.00	0.00	

1832	-154	-186	1	1		180.00	55	0.00	0.00	0.00	0.00	
1832	-186	-218	1	1		180.00	55	0.00	0.00	0.00	0.00	
1832	-218	-250	1	1		180.00	55	0.00	0.00	0.00	0.00	
1832	-250	-282	1	1		180.00	55	0.00	0.00	0.00	0.00	
1832	-282	-314	1	1		180.00	55	0.00	0.00	0.00	0.00	
1832	-314	-346	1	1		180.00	55	0.00	0.00	0.00	0.00	
1832	-346	-378	1	1		180.00	55	0.00	0.00	0.00	0.00	
1832	-378	-410	1	1		180.00	55	0.00	0.00	0.00	0.00	
1832	-410	-442	1	1		180.00	55	0.00	0.00	0.00	0.00	
1832	-442	-474	1	1		180.00	55	0.00	0.00	0.00	0.00	
1832	-474	-506	1	1		180.00	55	0.00	0.00	0.00	0.00	
1832	-506	1350	1	1		180.00	55	0.00	0.00	0.00	0.00	
1833	384	-32	1	1		180.00	55	0.00	0.00	0.00	0.00	
1833	-32	-64	1	1		180.00	55	0.00	0.00	0.00	0.00	
1833	-64	-96	1	1		180.00	55	0.00	0.00	0.00	0.00	
1833	-96	-128	1	1		180.00	55	0.00	0.00	0.00	0.00	
1833	-128	-160	1	1		180.00	55	0.00	0.00	0.00	0.00	
1833	-160	-192	1	1		180.00	55	0.00	0.00	0.00	0.00	
1833	-192	-224	1	1		180.00	55	0.00	0.00	0.00	0.00	
1833	-224	-256	1	1		180.00	55	0.00	0.00	0.00	0.00	
1833	-256	-288	1	1		180.00	55	0.00	0.00	0.00	0.00	
1833	-288	-320	1	1		180.00	55	0.00	0.00	0.00	0.00	
1833	-320	-352	1	1		180.00	55	0.00	0.00	0.00	0.00	
1833	-352	-384	1	1		180.00	55	0.00	0.00	0.00	0.00	
1833	-384	-416	1	1		180.00	55	0.00	0.00	0.00	0.00	
1833	-416	-448	1	1		180.00	55	0.00	0.00	0.00	0.00	
1833	-448	-480	1	1		180.00	55	0.00	0.00	0.00	0.00	
1833	-480	-512	1	1		180.00	55	0.00	0.00	0.00	0.00	
1833	-512	1359	1	1		180.00	55	0.00	0.00	0.00	0.00	
1834	378	-28	1	1		180.00	55	0.00	0.00	0.00	0.00	
1834	-28	-60	1	1		180.00	55	0.00	0.00	0.00	0.00	
1834	-60	-92	1	1		180.00	55	0.00	0.00	0.00	0.00	
1834	-92	-124	1	1		180.00	55	0.00	0.00	0.00	0.00	
1834	-124	-156	1	1		180.00	55	0.00	0.00	0.00	0.00	
1834	-156	-188	1	1		180.00	55	0.00	0.00	0.00	0.00	
1834	-188	-220	1	1		180.00	55	0.00	0.00	0.00	0.00	
1834	-220	-252	1	1		180.00	55	0.00	0.00	0.00	0.00	
1834	-252	-284	1	1		180.00	55	0.00	0.00	0.00	0.00	
1834	-284	-316	1	1		180.00	55	0.00	0.00	0.00	0.00	
1834	-316	-348	1	1		180.00	55	0.00	0.00	0.00	0.00	
1834	-348	-380	1	1		180.00	55	0.00	0.00	0.00	0.00	
1834	-380	-412	1	1		180.00	55	0.00	0.00	0.00	0.00	
1834	-412	-444	1	1		180.00	55	0.00	0.00	0.00	0.00	
1834	-444	-476	1	1		180.00	55	0.00	0.00	0.00	0.00	
1834	-476	-508	1	1		180.00	55	0.00	0.00	0.00	0.00	
1834	-508	1353	1	1		180.00	55	0.00	0.00	0.00	0.00	
1835	354	-20	1	1		180.00	55	0.00	0.00	0.00	0.00	
1835	-20	-52	1	1		180.00	55	0.00	0.00	0.00	0.00	
1835	-52	-84	1	1		180.00	55	0.00	0.00	0.00	0.00	
1835	-84	-116	1	1		180.00	55	0.00	0.00	0.00	0.00	
1835	-116	-148	1	1		180.00	55	0.00	0.00	0.00	0.00	
1835	-148	-180	1	1		180.00	55	0.00	0.00	0.00	0.00	
1835	-180	-212	1	1		180.00	55	0.00	0.00	0.00	0.00	
1835	-212	-244	1	1		180.00	55	0.00	0.00	0.00	0.00	
1835	-244	-276	1	1		180.00	55	0.00	0.00	0.00	0.00	
1835	-276	-308	1	1		180.00	55	0.00	0.00	0.00	0.00	
1835	-308	-340	1	1		180.00	55	0.00	0.00	0.00	0.00	
1835	-340	-372	1	1		180.00	55	0.00	0.00	0.00	0.00	
1835	-372	-404	1	1		180.00	55	0.00	0.00	0.00	0.00	

1835	-404	-436	1	1		180.00	55	0.00	0.00	0.00	0.00	
1835	-436	-468	1	1		180.00	55	0.00	0.00	0.00	0.00	
1835	-468	-500	1	1		180.00	55	0.00	0.00	0.00	0.00	
1835	-500	1333	1	1		180.00	55	0.00	0.00	0.00	0.00	
1836	360	-24	1	1		180.00	55	0.00	0.00	0.00	0.00	
1836	-24	-56	1	1		180.00	55	0.00	0.00	0.00	0.00	
1836	-56	-88	1	1		180.00	55	0.00	0.00	0.00	0.00	
1836	-88	-120	1	1		180.00	55	0.00	0.00	0.00	0.00	
1836	-120	-152	1	1		180.00	55	0.00	0.00	0.00	0.00	
1836	-152	-184	1	1		180.00	55	0.00	0.00	0.00	0.00	
1836	-184	-216	1	1		180.00	55	0.00	0.00	0.00	0.00	
1836	-216	-248	1	1		180.00	55	0.00	0.00	0.00	0.00	
1836	-248	-280	1	1		180.00	55	0.00	0.00	0.00	0.00	
1836	-280	-312	1	1		180.00	55	0.00	0.00	0.00	0.00	
1836	-312	-344	1	1		180.00	55	0.00	0.00	0.00	0.00	
1836	-344	-376	1	1		180.00	55	0.00	0.00	0.00	0.00	
1836	-376	-408	1	1		180.00	55	0.00	0.00	0.00	0.00	
1836	-408	-440	1	1		180.00	55	0.00	0.00	0.00	0.00	
1836	-440	-472	1	1		180.00	55	0.00	0.00	0.00	0.00	
1836	-472	-504	1	1		180.00	55	0.00	0.00	0.00	0.00	
1836	-504	1339	1	1		180.00	55	0.00	0.00	0.00	0.00	
1837	381	-30	1	1		180.00	55	0.00	0.00	0.00	0.00	
1837	-30	-62	1	1		180.00	55	0.00	0.00	0.00	0.00	
1837	-62	-94	1	1		180.00	55	0.00	0.00	0.00	0.00	
1837	-94	-126	1	1		180.00	55	0.00	0.00	0.00	0.00	
1837	-126	-158	1	1		180.00	55	0.00	0.00	0.00	0.00	
1837	-158	-190	1	1		180.00	55	0.00	0.00	0.00	0.00	
1837	-190	-222	1	1		180.00	55	0.00	0.00	0.00	0.00	
1837	-222	-254	1	1		180.00	55	0.00	0.00	0.00	0.00	
1837	-254	-286	1	1		180.00	55	0.00	0.00	0.00	0.00	
1837	-286	-318	1	1		180.00	55	0.00	0.00	0.00	0.00	
1837	-318	-350	1	1		180.00	55	0.00	0.00	0.00	0.00	
1837	-350	-382	1	1		180.00	55	0.00	0.00	0.00	0.00	
1837	-382	-414	1	1		180.00	55	0.00	0.00	0.00	0.00	
1837	-414	-446	1	1		180.00	55	0.00	0.00	0.00	0.00	
1837	-446	-478	1	1		180.00	55	0.00	0.00	0.00	0.00	
1837	-478	-510	1	1		180.00	55	0.00	0.00	0.00	0.00	
1837	-510	1356	1	1		180.00	55	0.00	0.00	0.00	0.00	
1858	1305	1306	1	1		270.00	55	0.00	0.00	0.00	0.00	
1858	1306	1307	1	1		270.00	55	0.00	0.00	0.00	0.00	
1860	1325	1326	1	1		180.00	55	0.00	0.00	0.00	0.00	
1860	1326	1327	1	1		180.00	55	0.00	0.00	0.00	0.00	
1902	1337	1338	1	1		270.00	55	0.00	0.00	0.00	0.00	
1902	1338	1339	1	1		270.00	55	0.00	0.00	0.00	0.00	
1904	1357	1358	1	1		180.00	55	0.00	0.00	0.00	0.00	
1904	1358	1359	1	1		180.00	55	0.00	0.00	0.00	0.00	
2022	2025	2026	5	1		0.00	22	0.00	0.00	0.00	0.00	
2022	2026	2027	5	1		0.00	22	0.00	0.00	0.00	0.00	
2066	2285	2286	5	1		0.00	22	0.00	0.00	0.00	0.00	
2066	2286	2287	5	1		0.00	22	0.00	0.00	0.00	0.00	
2106	2001	9	6	1		0.00	88	0.00	0.00	0.00	0.00	
2106	9	17	6	1		0.00	88	0.00	0.00	0.00	0.00	
2106	17	2025	6	1		0.00	88	0.00	0.00	0.00	0.00	
2106	2025	37	6	1		0.00	88	0.00	0.00	0.00	0.00	
2106	37	45	6	1		0.00	88	0.00	0.00	0.00	0.00	
2106	45	53	6	1		0.00	88	0.00	0.00	0.00	0.00	
2106	53	61	6	1		0.00	88	0.00	0.00	0.00	0.00	
2106	61	69	6	1		0.00	88	0.00	0.00	0.00	0.00	
2106	69	77	6	1		0.00	88	0.00	0.00	0.00	0.00	

2106	77	85	6	1		0.00	88	0.00	0.00	0.00	0.00	
2106	85	93	6	1		0.00	88	0.00	0.00	0.00	0.00	
2106	93	101	6	1		0.00	88	0.00	0.00	0.00	0.00	
2106	101	109	6	1		0.00	88	0.00	0.00	0.00	0.00	
2106	109	117	6	1		0.00	88	0.00	0.00	0.00	0.00	
2106	117	125	6	1		0.00	88	0.00	0.00	0.00	0.00	
2106	125	133	6	1		0.00	88	0.00	0.00	0.00	0.00	
2106	133	141	6	1		0.00	88	0.00	0.00	0.00	0.00	
2106	141	149	6	1		0.00	88	0.00	0.00	0.00	0.00	
2106	149	157	6	1		0.00	88	0.00	0.00	0.00	0.00	
2106	157	165	6	1		0.00	88	0.00	0.00	0.00	0.00	
2106	165	173	6	1		0.00	88	0.00	0.00	0.00	0.00	
2106	173	181	6	1		0.00	88	0.00	0.00	0.00	0.00	
2106	181	189	6	1		0.00	88	0.00	0.00	0.00	0.00	
2106	189	197	6	1		0.00	88	0.00	0.00	0.00	0.00	
2106	197	205	6	1		0.00	88	0.00	0.00	0.00	0.00	
2106	205	213	6	1		0.00	88	0.00	0.00	0.00	0.00	
2106	213	221	6	1		0.00	88	0.00	0.00	0.00	0.00	
2106	221	229	6	1		0.00	88	0.00	0.00	0.00	0.00	
2106	229	237	6	1		0.00	88	0.00	0.00	0.00	0.00	
2106	237	245	6	1		0.00	88	0.00	0.00	0.00	0.00	
2106	245	253	6	1		0.00	88	0.00	0.00	0.00	0.00	
2106	253	261	6	1		0.00	88	0.00	0.00	0.00	0.00	
2106	261	269	6	1		0.00	88	0.00	0.00	0.00	0.00	
2106	269	277	6	1		0.00	88	0.00	0.00	0.00	0.00	
2106	277	2285	6	1		0.00	88	0.00	0.00	0.00	0.00	
2106	2285	297	6	1		0.00	88	0.00	0.00	0.00	0.00	
2106	297	305	6	1		0.00	88	0.00	0.00	0.00	0.00	
2106	305	2313	6	1		0.00	88	0.00	0.00	0.00	0.00	
2107	-514	18	8	1		0.00	88	0.00	0.00	0.00	0.00	
2144	2003	11	6	1		0.00	88	0.00	0.00	0.00	0.00	
2144	11	19	6	1		0.00	88	0.00	0.00	0.00	0.00	
2144	19	2028	6	1		0.00	88	0.00	0.00	0.00	0.00	
2144	2028	39	6	1		0.00	88	0.00	0.00	0.00	0.00	
2144	39	47	6	1		0.00	88	0.00	0.00	0.00	0.00	
2144	47	55	6	1		0.00	88	0.00	0.00	0.00	0.00	
2144	55	63	6	1		0.00	88	0.00	0.00	0.00	0.00	
2144	63	71	6	1		0.00	88	0.00	0.00	0.00	0.00	
2144	71	79	6	1		0.00	88	0.00	0.00	0.00	0.00	
2144	79	87	6	1		0.00	88	0.00	0.00	0.00	0.00	
2144	87	95	6	1		0.00	88	0.00	0.00	0.00	0.00	
2144	95	103	6	1		0.00	88	0.00	0.00	0.00	0.00	
2144	103	111	6	1		0.00	88	0.00	0.00	0.00	0.00	
2144	111	119	6	1		0.00	88	0.00	0.00	0.00	0.00	
2144	119	127	6	1		0.00	88	0.00	0.00	0.00	0.00	
2144	127	135	6	1		0.00	88	0.00	0.00	0.00	0.00	
2144	135	143	6	1		0.00	88	0.00	0.00	0.00	0.00	
2144	143	151	6	1		0.00	88	0.00	0.00	0.00	0.00	
2144	151	159	6	1		0.00	88	0.00	0.00	0.00	0.00	
2144	159	167	6	1		0.00	88	0.00	0.00	0.00	0.00	
2144	167	175	6	1		0.00	88	0.00	0.00	0.00	0.00	
2144	175	183	6	1		0.00	88	0.00	0.00	0.00	0.00	
2144	183	191	6	1		0.00	88	0.00	0.00	0.00	0.00	
2144	191	199	6	1		0.00	88	0.00	0.00	0.00	0.00	
2144	199	207	6	1		0.00	88	0.00	0.00	0.00	0.00	
2144	207	215	6	1		0.00	88	0.00	0.00	0.00	0.00	
2144	215	223	6	1		0.00	88	0.00	0.00	0.00	0.00	
2144	223	231	6	1		0.00	88	0.00	0.00	0.00	0.00	
2144	231	239	6	1		0.00	88	0.00	0.00	0.00	0.00	

2144	239	247	6	1		0.00	88	0.00	0.00	0.00	0.00	
2144	247	255	6	1		0.00	88	0.00	0.00	0.00	0.00	
2144	255	263	6	1		0.00	88	0.00	0.00	0.00	0.00	
2144	263	271	6	1		0.00	88	0.00	0.00	0.00	0.00	
2144	271	279	6	1		0.00	88	0.00	0.00	0.00	0.00	
2144	279	2288	6	1		0.00	88	0.00	0.00	0.00	0.00	
2144	2288	299	6	1		0.00	88	0.00	0.00	0.00	0.00	
2144	299	307	6	1		0.00	88	0.00	0.00	0.00	0.00	
2144	307	2315	6	1		0.00	88	0.00	0.00	0.00	0.00	
2145	-516	20	8	1		0.00	88	0.00	0.00	0.00	0.00	
2182	2005	13	6	1		0.00	88	0.00	0.00	0.00	0.00	
2182	13	21	6	1		0.00	88	0.00	0.00	0.00	0.00	
2182	21	2031	6	1		0.00	88	0.00	0.00	0.00	0.00	
2182	2031	41	6	1		0.00	88	0.00	0.00	0.00	0.00	
2182	41	49	6	1		0.00	88	0.00	0.00	0.00	0.00	
2182	49	57	6	1		0.00	88	0.00	0.00	0.00	0.00	
2182	57	65	6	1		0.00	88	0.00	0.00	0.00	0.00	
2182	65	73	6	1		0.00	88	0.00	0.00	0.00	0.00	
2182	73	81	6	1		0.00	88	0.00	0.00	0.00	0.00	
2182	81	89	6	1		0.00	88	0.00	0.00	0.00	0.00	
2182	89	97	6	1		0.00	88	0.00	0.00	0.00	0.00	
2182	97	105	6	1		0.00	88	0.00	0.00	0.00	0.00	
2182	105	113	6	1		0.00	88	0.00	0.00	0.00	0.00	
2182	113	121	6	1		0.00	88	0.00	0.00	0.00	0.00	
2182	121	129	6	1		0.00	88	0.00	0.00	0.00	0.00	
2182	129	137	6	1		0.00	88	0.00	0.00	0.00	0.00	
2182	137	145	6	1		0.00	88	0.00	0.00	0.00	0.00	
2182	145	153	6	1		0.00	88	0.00	0.00	0.00	0.00	
2182	153	161	6	1		0.00	88	0.00	0.00	0.00	0.00	
2182	161	169	6	1		0.00	88	0.00	0.00	0.00	0.00	
2182	169	177	6	1		0.00	88	0.00	0.00	0.00	0.00	
2182	177	185	6	1		0.00	88	0.00	0.00	0.00	0.00	
2182	185	193	6	1		0.00	88	0.00	0.00	0.00	0.00	
2182	193	201	6	1		0.00	88	0.00	0.00	0.00	0.00	
2182	201	209	6	1		0.00	88	0.00	0.00	0.00	0.00	
2182	209	217	6	1		0.00	88	0.00	0.00	0.00	0.00	
2182	217	225	6	1		0.00	88	0.00	0.00	0.00	0.00	
2182	225	233	6	1		0.00	88	0.00	0.00	0.00	0.00	
2182	233	241	6	1		0.00	88	0.00	0.00	0.00	0.00	
2182	241	249	6	1		0.00	88	0.00	0.00	0.00	0.00	
2182	249	257	6	1		0.00	88	0.00	0.00	0.00	0.00	
2182	257	265	6	1		0.00	88	0.00	0.00	0.00	0.00	
2182	265	273	6	1		0.00	88	0.00	0.00	0.00	0.00	
2182	273	281	6	1		0.00	88	0.00	0.00	0.00	0.00	
2182	281	2291	6	1		0.00	88	0.00	0.00	0.00	0.00	
2182	2291	301	6	1		0.00	88	0.00	0.00	0.00	0.00	
2182	301	309	6	1		0.00	88	0.00	0.00	0.00	0.00	
2182	309	2317	6	1		0.00	88	0.00	0.00	0.00	0.00	
2183	-518	22	8	1		0.00	88	0.00	0.00	0.00	0.00	
2220	2007	15	6	1		0.00	88	0.00	0.00	0.00	0.00	
2220	15	23	6	1		0.00	88	0.00	0.00	0.00	0.00	
2220	23	2034	6	1		0.00	88	0.00	0.00	0.00	0.00	
2220	2034	43	6	1		0.00	88	0.00	0.00	0.00	0.00	
2220	43	51	6	1		0.00	88	0.00	0.00	0.00	0.00	
2220	51	59	6	1		0.00	88	0.00	0.00	0.00	0.00	
2220	59	67	6	1		0.00	88	0.00	0.00	0.00	0.00	
2220	67	75	6	1		0.00	88	0.00	0.00	0.00	0.00	
2220	75	83	6	1		0.00	88	0.00	0.00	0.00	0.00	
2220	83	91	6	1		0.00	88	0.00	0.00	0.00	0.00	

2220	91	99	6	1		0.00	88	0.00	0.00	0.00	0.00	
2220	99	107	6	1		0.00	88	0.00	0.00	0.00	0.00	
2220	107	115	6	1		0.00	88	0.00	0.00	0.00	0.00	
2220	115	123	6	1		0.00	88	0.00	0.00	0.00	0.00	
2220	123	131	6	1		0.00	88	0.00	0.00	0.00	0.00	
2220	131	139	6	1		0.00	88	0.00	0.00	0.00	0.00	
2220	139	147	6	1		0.00	88	0.00	0.00	0.00	0.00	
2220	147	155	6	1		0.00	88	0.00	0.00	0.00	0.00	
2220	155	163	6	1		0.00	88	0.00	0.00	0.00	0.00	
2220	163	171	6	1		0.00	88	0.00	0.00	0.00	0.00	
2220	171	179	6	1		0.00	88	0.00	0.00	0.00	0.00	
2220	179	187	6	1		0.00	88	0.00	0.00	0.00	0.00	
2220	187	195	6	1		0.00	88	0.00	0.00	0.00	0.00	
2220	195	203	6	1		0.00	88	0.00	0.00	0.00	0.00	
2220	203	211	6	1		0.00	88	0.00	0.00	0.00	0.00	
2220	211	219	6	1		0.00	88	0.00	0.00	0.00	0.00	
2220	219	227	6	1		0.00	88	0.00	0.00	0.00	0.00	
2220	227	235	6	1		0.00	88	0.00	0.00	0.00	0.00	
2220	235	243	6	1		0.00	88	0.00	0.00	0.00	0.00	
2220	243	251	6	1		0.00	88	0.00	0.00	0.00	0.00	
2220	251	259	6	1		0.00	88	0.00	0.00	0.00	0.00	
2220	259	267	6	1		0.00	88	0.00	0.00	0.00	0.00	
2220	267	275	6	1		0.00	88	0.00	0.00	0.00	0.00	
2220	275	283	6	1		0.00	88	0.00	0.00	0.00	0.00	
2220	283	2294	6	1		0.00	88	0.00	0.00	0.00	0.00	
2220	2294	303	6	1		0.00	88	0.00	0.00	0.00	0.00	
2220	303	311	6	1		0.00	88	0.00	0.00	0.00	0.00	
2220	311	2319	6	1		0.00	88	0.00	0.00	0.00	0.00	
2221	-520	24	8	1		0.00	88	0.00	0.00	0.00	0.00	
2301	2028	2029	5	1		0.00	22	0.00	0.00	0.00	0.00	
2301	2029	2030	5	1		0.00	22	0.00	0.00	0.00	0.00	
2345	2288	2289	5	1		0.00	22	0.00	0.00	0.00	0.00	
2345	2289	2290	5	1		0.00	22	0.00	0.00	0.00	0.00	
2386	2002	10	6	1		0.00	88	0.00	0.00	0.00	0.00	
2386	10	18	6	1		0.00	88	0.00	0.00	0.00	0.00	
2386	18	2027	6	1		0.00	88	0.00	0.00	0.00	0.00	
2386	2027	38	6	1		0.00	88	0.00	0.00	0.00	0.00	
2386	38	46	6	1		0.00	88	0.00	0.00	0.00	0.00	
2386	46	54	6	1		0.00	88	0.00	0.00	0.00	0.00	
2386	54	62	6	1		0.00	88	0.00	0.00	0.00	0.00	
2386	62	70	6	1		0.00	88	0.00	0.00	0.00	0.00	
2386	70	78	6	1		0.00	88	0.00	0.00	0.00	0.00	
2386	78	86	6	1		0.00	88	0.00	0.00	0.00	0.00	
2386	86	94	6	1		0.00	88	0.00	0.00	0.00	0.00	
2386	94	102	6	1		0.00	88	0.00	0.00	0.00	0.00	
2386	102	110	6	1		0.00	88	0.00	0.00	0.00	0.00	
2386	110	118	6	1		0.00	88	0.00	0.00	0.00	0.00	
2386	118	126	6	1		0.00	88	0.00	0.00	0.00	0.00	
2386	126	134	6	1		0.00	88	0.00	0.00	0.00	0.00	
2386	134	142	6	1		0.00	88	0.00	0.00	0.00	0.00	
2386	142	150	6	1		0.00	88	0.00	0.00	0.00	0.00	
2386	150	158	6	1		0.00	88	0.00	0.00	0.00	0.00	
2386	158	166	6	1		0.00	88	0.00	0.00	0.00	0.00	
2386	166	174	6	1		0.00	88	0.00	0.00	0.00	0.00	
2386	174	182	6	1		0.00	88	0.00	0.00	0.00	0.00	
2386	182	190	6	1		0.00	88	0.00	0.00	0.00	0.00	
2386	190	198	6	1		0.00	88	0.00	0.00	0.00	0.00	
2386	198	206	6	1		0.00	88	0.00	0.00	0.00	0.00	
2386	206	214	6	1		0.00	88	0.00	0.00	0.00	0.00	

2386	214	222	6	1		0.00	88	0.00	0.00	0.00	0.00	
2386	222	230	6	1		0.00	88	0.00	0.00	0.00	0.00	
2386	230	238	6	1		0.00	88	0.00	0.00	0.00	0.00	
2386	238	246	6	1		0.00	88	0.00	0.00	0.00	0.00	
2386	246	254	6	1		0.00	88	0.00	0.00	0.00	0.00	
2386	254	262	6	1		0.00	88	0.00	0.00	0.00	0.00	
2386	262	270	6	1		0.00	88	0.00	0.00	0.00	0.00	
2386	270	278	6	1		0.00	88	0.00	0.00	0.00	0.00	
2386	278	2287	6	1		0.00	88	0.00	0.00	0.00	0.00	
2386	2287	298	6	1		0.00	88	0.00	0.00	0.00	0.00	
2386	298	306	6	1		0.00	88	0.00	0.00	0.00	0.00	
2386	306	2314	6	1		0.00	88	0.00	0.00	0.00	0.00	
2424	2004	12	6	1		0.00	88	0.00	0.00	0.00	0.00	
2424	12	20	6	1		0.00	88	0.00	0.00	0.00	0.00	
2424	20	2030	6	1		0.00	88	0.00	0.00	0.00	0.00	
2424	2030	40	6	1		0.00	88	0.00	0.00	0.00	0.00	
2424	40	48	6	1		0.00	88	0.00	0.00	0.00	0.00	
2424	48	56	6	1		0.00	88	0.00	0.00	0.00	0.00	
2424	56	64	6	1		0.00	88	0.00	0.00	0.00	0.00	
2424	64	72	6	1		0.00	88	0.00	0.00	0.00	0.00	
2424	72	80	6	1		0.00	88	0.00	0.00	0.00	0.00	
2424	80	88	6	1		0.00	88	0.00	0.00	0.00	0.00	
2424	88	96	6	1		0.00	88	0.00	0.00	0.00	0.00	
2424	96	104	6	1		0.00	88	0.00	0.00	0.00	0.00	
2424	104	112	6	1		0.00	88	0.00	0.00	0.00	0.00	
2424	112	120	6	1		0.00	88	0.00	0.00	0.00	0.00	
2424	120	128	6	1		0.00	88	0.00	0.00	0.00	0.00	
2424	128	136	6	1		0.00	88	0.00	0.00	0.00	0.00	
2424	136	144	6	1		0.00	88	0.00	0.00	0.00	0.00	
2424	144	152	6	1		0.00	88	0.00	0.00	0.00	0.00	
2424	152	160	6	1		0.00	88	0.00	0.00	0.00	0.00	
2424	160	168	6	1		0.00	88	0.00	0.00	0.00	0.00	
2424	168	176	6	1		0.00	88	0.00	0.00	0.00	0.00	
2424	176	184	6	1		0.00	88	0.00	0.00	0.00	0.00	
2424	184	192	6	1		0.00	88	0.00	0.00	0.00	0.00	
2424	192	200	6	1		0.00	88	0.00	0.00	0.00	0.00	
2424	200	208	6	1		0.00	88	0.00	0.00	0.00	0.00	
2424	208	216	6	1		0.00	88	0.00	0.00	0.00	0.00	
2424	216	224	6	1		0.00	88	0.00	0.00	0.00	0.00	
2424	224	232	6	1		0.00	88	0.00	0.00	0.00	0.00	
2424	232	240	6	1		0.00	88	0.00	0.00	0.00	0.00	
2424	240	248	6	1		0.00	88	0.00	0.00	0.00	0.00	
2424	248	256	6	1		0.00	88	0.00	0.00	0.00	0.00	
2424	256	264	6	1		0.00	88	0.00	0.00	0.00	0.00	
2424	264	272	6	1		0.00	88	0.00	0.00	0.00	0.00	
2424	272	280	6	1		0.00	88	0.00	0.00	0.00	0.00	
2424	280	2290	6	1		0.00	88	0.00	0.00	0.00	0.00	
2424	2290	300	6	1		0.00	88	0.00	0.00	0.00	0.00	
2424	300	308	6	1		0.00	88	0.00	0.00	0.00	0.00	
2424	308	2316	6	1		0.00	88	0.00	0.00	0.00	0.00	
2462	2006	14	6	1		0.00	88	0.00	0.00	0.00	0.00	
2462	14	22	6	1		0.00	88	0.00	0.00	0.00	0.00	
2462	22	2033	6	1		0.00	88	0.00	0.00	0.00	0.00	
2462	2033	42	6	1		0.00	88	0.00	0.00	0.00	0.00	
2462	42	50	6	1		0.00	88	0.00	0.00	0.00	0.00	
2462	50	58	6	1		0.00	88	0.00	0.00	0.00	0.00	
2462	58	66	6	1		0.00	88	0.00	0.00	0.00	0.00	
2462	66	74	6	1		0.00	88	0.00	0.00	0.00	0.00	
2462	74	82	6	1		0.00	88	0.00	0.00	0.00	0.00	

2462	82	90	6	1		0.00	88	0.00	0.00	0.00	0.00	
2462	90	98	6	1		0.00	88	0.00	0.00	0.00	0.00	
2462	98	106	6	1		0.00	88	0.00	0.00	0.00	0.00	
2462	106	114	6	1		0.00	88	0.00	0.00	0.00	0.00	
2462	114	122	6	1		0.00	88	0.00	0.00	0.00	0.00	
2462	122	130	6	1		0.00	88	0.00	0.00	0.00	0.00	
2462	130	138	6	1		0.00	88	0.00	0.00	0.00	0.00	
2462	138	146	6	1		0.00	88	0.00	0.00	0.00	0.00	
2462	146	154	6	1		0.00	88	0.00	0.00	0.00	0.00	
2462	154	162	6	1		0.00	88	0.00	0.00	0.00	0.00	
2462	162	170	6	1		0.00	88	0.00	0.00	0.00	0.00	
2462	170	178	6	1		0.00	88	0.00	0.00	0.00	0.00	
2462	178	186	6	1		0.00	88	0.00	0.00	0.00	0.00	
2462	186	194	6	1		0.00	88	0.00	0.00	0.00	0.00	
2462	194	202	6	1		0.00	88	0.00	0.00	0.00	0.00	
2462	202	210	6	1		0.00	88	0.00	0.00	0.00	0.00	
2462	210	218	6	1		0.00	88	0.00	0.00	0.00	0.00	
2462	218	226	6	1		0.00	88	0.00	0.00	0.00	0.00	
2462	226	234	6	1		0.00	88	0.00	0.00	0.00	0.00	
2462	234	242	6	1		0.00	88	0.00	0.00	0.00	0.00	
2462	242	250	6	1		0.00	88	0.00	0.00	0.00	0.00	
2462	250	258	6	1		0.00	88	0.00	0.00	0.00	0.00	
2462	258	266	6	1		0.00	88	0.00	0.00	0.00	0.00	
2462	266	274	6	1		0.00	88	0.00	0.00	0.00	0.00	
2462	274	282	6	1		0.00	88	0.00	0.00	0.00	0.00	
2462	282	2293	6	1		0.00	88	0.00	0.00	0.00	0.00	
2462	2293	302	6	1		0.00	88	0.00	0.00	0.00	0.00	
2462	302	310	6	1		0.00	88	0.00	0.00	0.00	0.00	
2462	310	2318	6	1		0.00	88	0.00	0.00	0.00	0.00	
2500	2008	16	6	1		0.00	88	0.00	0.00	0.00	0.00	
2500	16	24	6	1		0.00	88	0.00	0.00	0.00	0.00	
2500	24	2036	6	1		0.00	88	0.00	0.00	0.00	0.00	
2500	2036	44	6	1		0.00	88	0.00	0.00	0.00	0.00	
2500	44	52	6	1		0.00	88	0.00	0.00	0.00	0.00	
2500	52	60	6	1		0.00	88	0.00	0.00	0.00	0.00	
2500	60	68	6	1		0.00	88	0.00	0.00	0.00	0.00	
2500	68	76	6	1		0.00	88	0.00	0.00	0.00	0.00	
2500	76	84	6	1		0.00	88	0.00	0.00	0.00	0.00	
2500	84	92	6	1		0.00	88	0.00	0.00	0.00	0.00	
2500	92	100	6	1		0.00	88	0.00	0.00	0.00	0.00	
2500	100	108	6	1		0.00	88	0.00	0.00	0.00	0.00	
2500	108	116	6	1		0.00	88	0.00	0.00	0.00	0.00	
2500	116	124	6	1		0.00	88	0.00	0.00	0.00	0.00	
2500	124	132	6	1		0.00	88	0.00	0.00	0.00	0.00	
2500	132	140	6	1		0.00	88	0.00	0.00	0.00	0.00	
2500	140	148	6	1		0.00	88	0.00	0.00	0.00	0.00	
2500	148	156	6	1		0.00	88	0.00	0.00	0.00	0.00	
2500	156	164	6	1		0.00	88	0.00	0.00	0.00	0.00	
2500	164	172	6	1		0.00	88	0.00	0.00	0.00	0.00	
2500	172	180	6	1		0.00	88	0.00	0.00	0.00	0.00	
2500	180	188	6	1		0.00	88	0.00	0.00	0.00	0.00	
2500	188	196	6	1		0.00	88	0.00	0.00	0.00	0.00	
2500	196	204	6	1		0.00	88	0.00	0.00	0.00	0.00	
2500	204	212	6	1		0.00	88	0.00	0.00	0.00	0.00	
2500	212	220	6	1		0.00	88	0.00	0.00	0.00	0.00	
2500	220	228	6	1		0.00	88	0.00	0.00	0.00	0.00	
2500	228	236	6	1		0.00	88	0.00	0.00	0.00	0.00	
2500	236	244	6	1		0.00	88	0.00	0.00	0.00	0.00	
2500	244	252	6	1		0.00	88	0.00	0.00	0.00	0.00	

2500	252	260	6	1		0.00	88	0.00	0.00	0.00	0.00	
2500	260	268	6	1		0.00	88	0.00	0.00	0.00	0.00	
2500	268	276	6	1		0.00	88	0.00	0.00	0.00	0.00	
2500	276	284	6	1		0.00	88	0.00	0.00	0.00	0.00	
2500	284	2296	6	1		0.00	88	0.00	0.00	0.00	0.00	
2500	2296	304	6	1		0.00	88	0.00	0.00	0.00	0.00	
2500	304	312	6	1		0.00	88	0.00	0.00	0.00	0.00	
2500	312	2320	6	1		0.00	88	0.00	0.00	0.00	0.00	
2580	2031	2032	5	1		0.00	22	0.00	0.00	0.00	0.00	
2580	2032	2033	5	1		0.00	22	0.00	0.00	0.00	0.00	
2624	2291	2292	5	1		0.00	22	0.00	0.00	0.00	0.00	
2624	2292	2293	5	1		0.00	22	0.00	0.00	0.00	0.00	
2859	2034	2035	5	1		0.00	22	0.00	0.00	0.00	0.00	
2859	2035	2036	5	1		0.00	22	0.00	0.00	0.00	0.00	
2903	2294	2295	5	1		0.00	22	0.00	0.00	0.00	0.00	
2903	2295	2296	5	1		0.00	22	0.00	0.00	0.00	0.00	
3001	3001	3002	9	1		180.00	88	0.00	0.00	0.00	0.00	
3001	3003	3004	9	1		180.00	88	0.00	0.00	0.00	0.00	
3001	3005	3006	9	1		180.00	88	0.00	0.00	0.00	0.00	
3001	3007	3008	9	1		180.00	88	0.00	0.00	0.00	0.00	
3087	3313	3314	9	1		180.00	88	0.00	0.00	0.00	0.00	
3087	3315	3316	9	1		180.00	88	0.00	0.00	0.00	0.00	
3087	3317	3318	9	1		180.00	88	0.00	0.00	0.00	0.00	
3087	3319	3320	9	1		180.00	88	0.00	0.00	0.00	0.00	
4022	4025	4026	5	1		0.00	22	0.00	0.00	0.00	0.00	
4022	4026	4027	5	1		0.00	22	0.00	0.00	0.00	0.00	
4022	4028	4029	5	1		0.00	22	0.00	0.00	0.00	0.00	
4022	4029	4030	5	1		0.00	22	0.00	0.00	0.00	0.00	
4022	4031	4032	5	1		0.00	22	0.00	0.00	0.00	0.00	
4022	4032	4033	5	1		0.00	22	0.00	0.00	0.00	0.00	
4022	4034	4035	5	1		0.00	22	0.00	0.00	0.00	0.00	
4022	4035	4036	5	1		0.00	22	0.00	0.00	0.00	0.00	
4066	4285	4286	5	1		0.00	22	0.00	0.00	0.00	0.00	
4066	4286	4287	5	1		0.00	22	0.00	0.00	0.00	0.00	
4066	4288	4289	5	1		0.00	22	0.00	0.00	0.00	0.00	
4066	4289	4290	5	1		0.00	22	0.00	0.00	0.00	0.00	
4066	4291	4292	5	1		0.00	22	0.00	0.00	0.00	0.00	
4066	4292	4293	5	1		0.00	22	0.00	0.00	0.00	0.00	
4066	4294	4295	5	1		0.00	22	0.00	0.00	0.00	0.00	
4066	4295	4296	5	1		0.00	22	0.00	0.00	0.00	0.00	
4106	3001	-513	6	1		0.00	22	0.00	0.00	0.00	0.00	
4106	-513	-529	6	1		0.00	22	0.00	0.00	0.00	0.00	
4106	-529	4025	6	1		0.00	22	0.00	0.00	0.00	0.00	
4106	4025	-545	6	1		0.00	22	0.00	0.00	0.00	0.00	
4106	-545	-561	6	1		0.00	22	0.00	0.00	0.00	0.00	
4106	-561	-577	6	1		0.00	22	0.00	0.00	0.00	0.00	
4106	-577	-593	6	1		0.00	22	0.00	0.00	0.00	0.00	
4106	-593	-609	6	1		0.00	22	0.00	0.00	0.00	0.00	
4106	-609	-625	6	1		0.00	22	0.00	0.00	0.00	0.00	
4106	-625	-641	6	1		0.00	22	0.00	0.00	0.00	0.00	
4106	-641	-657	6	1		0.00	22	0.00	0.00	0.00	0.00	
4106	-657	-673	6	1		0.00	22	0.00	0.00	0.00	0.00	
4106	-673	-689	6	1		0.00	22	0.00	0.00	0.00	0.00	
4106	-689	-705	6	1		0.00	22	0.00	0.00	0.00	0.00	
4106	-705	-721	6	1		0.00	22	0.00	0.00	0.00	0.00	
4106	-721	-737	6	1		0.00	22	0.00	0.00	0.00	0.00	
4106	-737	-753	6	1		0.00	22	0.00	0.00	0.00	0.00	
4106	-753	-769	6	1		0.00	22	0.00	0.00	0.00	0.00	
4106	-769	-785	6	1		0.00	22	0.00	0.00	0.00	0.00	

4107	3002	-514	6	1		0.00	22	0.00	0.00	0.00	0.00	
4107	-514	-530	6	1		0.00	22	0.00	0.00	0.00	0.00	
4107	-530	4027	6	1		0.00	22	0.00	0.00	0.00	0.00	
4107	4027	-546	6	1		0.00	22	0.00	0.00	0.00	0.00	
4107	-546	-562	6	1		0.00	22	0.00	0.00	0.00	0.00	
4107	-562	-578	6	1		0.00	22	0.00	0.00	0.00	0.00	
4107	-578	-594	6	1		0.00	22	0.00	0.00	0.00	0.00	
4107	-594	-610	6	1		0.00	22	0.00	0.00	0.00	0.00	
4107	-610	-626	6	1		0.00	22	0.00	0.00	0.00	0.00	
4107	-626	-642	6	1		0.00	22	0.00	0.00	0.00	0.00	
4107	-642	-658	6	1		0.00	22	0.00	0.00	0.00	0.00	
4107	-658	-674	6	1		0.00	22	0.00	0.00	0.00	0.00	
4107	-674	-690	6	1		0.00	22	0.00	0.00	0.00	0.00	
4107	-690	-706	6	1		0.00	22	0.00	0.00	0.00	0.00	
4107	-706	-722	6	1		0.00	22	0.00	0.00	0.00	0.00	
4107	-722	-738	6	1		0.00	22	0.00	0.00	0.00	0.00	
4107	-738	-754	6	1		0.00	22	0.00	0.00	0.00	0.00	
4107	-754	-770	6	1		0.00	22	0.00	0.00	0.00	0.00	
4107	-770	-786	6	1		0.00	22	0.00	0.00	0.00	0.00	
4144	3003	-515	6	1		0.00	22	0.00	0.00	0.00	0.00	
4144	-515	-531	6	1		0.00	22	0.00	0.00	0.00	0.00	
4144	-531	4028	6	1		0.00	22	0.00	0.00	0.00	0.00	
4144	4028	-547	6	1		0.00	22	0.00	0.00	0.00	0.00	
4144	-547	-563	6	1		0.00	22	0.00	0.00	0.00	0.00	
4144	-563	-579	6	1		0.00	22	0.00	0.00	0.00	0.00	
4144	-579	-595	6	1		0.00	22	0.00	0.00	0.00	0.00	
4144	-595	-611	6	1		0.00	22	0.00	0.00	0.00	0.00	
4144	-611	-627	6	1		0.00	22	0.00	0.00	0.00	0.00	
4144	-627	-643	6	1		0.00	22	0.00	0.00	0.00	0.00	
4144	-643	-659	6	1		0.00	22	0.00	0.00	0.00	0.00	
4144	-659	-675	6	1		0.00	22	0.00	0.00	0.00	0.00	
4144	-675	-691	6	1		0.00	22	0.00	0.00	0.00	0.00	
4144	-691	-707	6	1		0.00	22	0.00	0.00	0.00	0.00	
4144	-707	-723	6	1		0.00	22	0.00	0.00	0.00	0.00	
4144	-723	-739	6	1		0.00	22	0.00	0.00	0.00	0.00	
4144	-739	-755	6	1		0.00	22	0.00	0.00	0.00	0.00	
4144	-755	-771	6	1		0.00	22	0.00	0.00	0.00	0.00	
4144	-771	-787	6	1		0.00	22	0.00	0.00	0.00	0.00	
4145	3004	-516	6	1		0.00	22	0.00	0.00	0.00	0.00	
4145	-516	-532	6	1		0.00	22	0.00	0.00	0.00	0.00	
4145	-532	4030	6	1		0.00	22	0.00	0.00	0.00	0.00	
4145	4030	-548	6	1		0.00	22	0.00	0.00	0.00	0.00	
4145	-548	-564	6	1		0.00	22	0.00	0.00	0.00	0.00	
4145	-564	-580	6	1		0.00	22	0.00	0.00	0.00	0.00	
4145	-580	-596	6	1		0.00	22	0.00	0.00	0.00	0.00	
4145	-596	-612	6	1		0.00	22	0.00	0.00	0.00	0.00	
4145	-612	-628	6	1		0.00	22	0.00	0.00	0.00	0.00	
4145	-628	-644	6	1		0.00	22	0.00	0.00	0.00	0.00	
4145	-644	-660	6	1		0.00	22	0.00	0.00	0.00	0.00	
4145	-660	-676	6	1		0.00	22	0.00	0.00	0.00	0.00	
4145	-676	-692	6	1		0.00	22	0.00	0.00	0.00	0.00	
4145	-692	-708	6	1		0.00	22	0.00	0.00	0.00	0.00	
4145	-708	-724	6	1		0.00	22	0.00	0.00	0.00	0.00	
4145	-724	-740	6	1		0.00	22	0.00	0.00	0.00	0.00	
4145	-740	-756	6	1		0.00	22	0.00	0.00	0.00	0.00	
4145	-756	-772	6	1		0.00	22	0.00	0.00	0.00	0.00	
4145	-772	-788	6	1		0.00	22	0.00	0.00	0.00	0.00	
4182	3005	-517	6	1		0.00	22	0.00	0.00	0.00	0.00	
4182	-517	-533	6	1		0.00	22	0.00	0.00	0.00	0.00	

4182	-533	4031	6	1		0.00	22	0.00	0.00	0.00	0.00	
4182	4031	-549	6	1		0.00	22	0.00	0.00	0.00	0.00	
4182	-549	-565	6	1		0.00	22	0.00	0.00	0.00	0.00	
4182	-565	-581	6	1		0.00	22	0.00	0.00	0.00	0.00	
4182	-581	-597	6	1		0.00	22	0.00	0.00	0.00	0.00	
4182	-597	-613	6	1		0.00	22	0.00	0.00	0.00	0.00	
4182	-613	-629	6	1		0.00	22	0.00	0.00	0.00	0.00	
4182	-629	-645	6	1		0.00	22	0.00	0.00	0.00	0.00	
4182	-645	-661	6	1		0.00	22	0.00	0.00	0.00	0.00	
4182	-661	-677	6	1		0.00	22	0.00	0.00	0.00	0.00	
4182	-677	-693	6	1		0.00	22	0.00	0.00	0.00	0.00	
4182	-693	-709	6	1		0.00	22	0.00	0.00	0.00	0.00	
4182	-709	-725	6	1		0.00	22	0.00	0.00	0.00	0.00	
4182	-725	-741	6	1		0.00	22	0.00	0.00	0.00	0.00	
4182	-741	-757	6	1		0.00	22	0.00	0.00	0.00	0.00	
4182	-757	-773	6	1		0.00	22	0.00	0.00	0.00	0.00	
4182	-773	-789	6	1		0.00	22	0.00	0.00	0.00	0.00	
4183	3006	-518	6	1		0.00	22	0.00	0.00	0.00	0.00	
4183	-518	-534	6	1		0.00	22	0.00	0.00	0.00	0.00	
4183	-534	4033	6	1		0.00	22	0.00	0.00	0.00	0.00	
4183	4033	-550	6	1		0.00	22	0.00	0.00	0.00	0.00	
4183	-550	-566	6	1		0.00	22	0.00	0.00	0.00	0.00	
4183	-566	-582	6	1		0.00	22	0.00	0.00	0.00	0.00	
4183	-582	-598	6	1		0.00	22	0.00	0.00	0.00	0.00	
4183	-598	-614	6	1		0.00	22	0.00	0.00	0.00	0.00	
4183	-614	-630	6	1		0.00	22	0.00	0.00	0.00	0.00	
4183	-630	-646	6	1		0.00	22	0.00	0.00	0.00	0.00	
4183	-646	-662	6	1		0.00	22	0.00	0.00	0.00	0.00	
4183	-662	-678	6	1		0.00	22	0.00	0.00	0.00	0.00	
4183	-678	-694	6	1		0.00	22	0.00	0.00	0.00	0.00	
4183	-694	-710	6	1		0.00	22	0.00	0.00	0.00	0.00	
4183	-710	-726	6	1		0.00	22	0.00	0.00	0.00	0.00	
4183	-726	-742	6	1		0.00	22	0.00	0.00	0.00	0.00	
4183	-742	-758	6	1		0.00	22	0.00	0.00	0.00	0.00	
4183	-758	-774	6	1		0.00	22	0.00	0.00	0.00	0.00	
4183	-774	-790	6	1		0.00	22	0.00	0.00	0.00	0.00	
4220	3007	-519	6	1		0.00	22	0.00	0.00	0.00	0.00	
4220	-519	-535	6	1		0.00	22	0.00	0.00	0.00	0.00	
4220	-535	4034	6	1		0.00	22	0.00	0.00	0.00	0.00	
4220	4034	-551	6	1		0.00	22	0.00	0.00	0.00	0.00	
4220	-551	-567	6	1		0.00	22	0.00	0.00	0.00	0.00	
4220	-567	-583	6	1		0.00	22	0.00	0.00	0.00	0.00	
4220	-583	-599	6	1		0.00	22	0.00	0.00	0.00	0.00	
4220	-599	-615	6	1		0.00	22	0.00	0.00	0.00	0.00	
4220	-615	-631	6	1		0.00	22	0.00	0.00	0.00	0.00	
4220	-631	-647	6	1		0.00	22	0.00	0.00	0.00	0.00	
4220	-647	-663	6	1		0.00	22	0.00	0.00	0.00	0.00	
4220	-663	-679	6	1		0.00	22	0.00	0.00	0.00	0.00	
4220	-679	-695	6	1		0.00	22	0.00	0.00	0.00	0.00	
4220	-695	-711	6	1		0.00	22	0.00	0.00	0.00	0.00	
4220	-711	-727	6	1		0.00	22	0.00	0.00	0.00	0.00	
4220	-727	-743	6	1		0.00	22	0.00	0.00	0.00	0.00	
4220	-743	-759	6	1		0.00	22	0.00	0.00	0.00	0.00	
4220	-759	-775	6	1		0.00	22	0.00	0.00	0.00	0.00	
4220	-775	-791	6	1		0.00	22	0.00	0.00	0.00	0.00	
4221	3008	-520	6	1		0.00	22	0.00	0.00	0.00	0.00	
4221	-520	-536	6	1		0.00	22	0.00	0.00	0.00	0.00	
4221	-536	4036	6	1		0.00	22	0.00	0.00	0.00	0.00	
4221	4036	-552	6	1		0.00	22	0.00	0.00	0.00	0.00	

4221	-552	-568	6	1		0.00	22	0.00	0.00	0.00	0.00	
4221	-568	-584	6	1		0.00	22	0.00	0.00	0.00	0.00	
4221	-584	-600	6	1		0.00	22	0.00	0.00	0.00	0.00	
4221	-600	-616	6	1		0.00	22	0.00	0.00	0.00	0.00	
4221	-616	-632	6	1		0.00	22	0.00	0.00	0.00	0.00	
4221	-632	-648	6	1		0.00	22	0.00	0.00	0.00	0.00	
4221	-648	-664	6	1		0.00	22	0.00	0.00	0.00	0.00	
4221	-664	-680	6	1		0.00	22	0.00	0.00	0.00	0.00	
4221	-680	-696	6	1		0.00	22	0.00	0.00	0.00	0.00	
4221	-696	-712	6	1		0.00	22	0.00	0.00	0.00	0.00	
4221	-712	-728	6	1		0.00	22	0.00	0.00	0.00	0.00	
4221	-728	-744	6	1		0.00	22	0.00	0.00	0.00	0.00	
4221	-744	-760	6	1		0.00	22	0.00	0.00	0.00	0.00	
4221	-760	-776	6	1		0.00	22	0.00	0.00	0.00	0.00	
4221	-776	-792	6	1		0.00	22	0.00	0.00	0.00	0.00	
4385	-785	-777	6	1		0.00	22	0.00	0.00	0.00	0.00	
4385	-777	-761	6	1		0.00	22	0.00	0.00	0.00	0.00	
4385	-761	-745	6	1		0.00	22	0.00	0.00	0.00	0.00	
4385	-745	-729	6	1		0.00	22	0.00	0.00	0.00	0.00	
4385	-729	-713	6	1		0.00	22	0.00	0.00	0.00	0.00	
4385	-713	-697	6	1		0.00	22	0.00	0.00	0.00	0.00	
4385	-697	-681	6	1		0.00	22	0.00	0.00	0.00	0.00	
4385	-681	-665	6	1		0.00	22	0.00	0.00	0.00	0.00	
4385	-665	-649	6	1		0.00	22	0.00	0.00	0.00	0.00	
4385	-649	-633	6	1		0.00	22	0.00	0.00	0.00	0.00	
4385	-633	-617	6	1		0.00	22	0.00	0.00	0.00	0.00	
4385	-617	-601	6	1		0.00	22	0.00	0.00	0.00	0.00	
4385	-601	-585	6	1		0.00	22	0.00	0.00	0.00	0.00	
4385	-585	-569	6	1		0.00	22	0.00	0.00	0.00	0.00	
4385	-569	-553	6	1		0.00	22	0.00	0.00	0.00	0.00	
4385	-553	4285	6	1		0.00	22	0.00	0.00	0.00	0.00	
4385	4285	-537	6	1		0.00	22	0.00	0.00	0.00	0.00	
4385	-537	-521	6	1		0.00	22	0.00	0.00	0.00	0.00	
4385	-521	3313	6	1		0.00	22	0.00	0.00	0.00	0.00	
4386	-786	-778	6	1		0.00	22	0.00	0.00	0.00	0.00	
4386	-778	-762	6	1		0.00	22	0.00	0.00	0.00	0.00	
4386	-762	-746	6	1		0.00	22	0.00	0.00	0.00	0.00	
4386	-746	-730	6	1		0.00	22	0.00	0.00	0.00	0.00	
4386	-730	-714	6	1		0.00	22	0.00	0.00	0.00	0.00	
4386	-714	-698	6	1		0.00	22	0.00	0.00	0.00	0.00	
4386	-698	-682	6	1		0.00	22	0.00	0.00	0.00	0.00	
4386	-682	-666	6	1		0.00	22	0.00	0.00	0.00	0.00	
4386	-666	-650	6	1		0.00	22	0.00	0.00	0.00	0.00	
4386	-650	-634	6	1		0.00	22	0.00	0.00	0.00	0.00	
4386	-634	-618	6	1		0.00	22	0.00	0.00	0.00	0.00	
4386	-618	-602	6	1		0.00	22	0.00	0.00	0.00	0.00	
4386	-602	-586	6	1		0.00	22	0.00	0.00	0.00	0.00	
4386	-586	-570	6	1		0.00	22	0.00	0.00	0.00	0.00	
4386	-570	-554	6	1		0.00	22	0.00	0.00	0.00	0.00	
4386	-554	4287	6	1		0.00	22	0.00	0.00	0.00	0.00	
4386	4287	-538	6	1		0.00	22	0.00	0.00	0.00	0.00	
4386	-538	-522	6	1		0.00	22	0.00	0.00	0.00	0.00	
4386	-522	3314	6	1		0.00	22	0.00	0.00	0.00	0.00	
4423	-787	-779	6	1		0.00	22	0.00	0.00	0.00	0.00	
4423	-779	-763	6	1		0.00	22	0.00	0.00	0.00	0.00	
4423	-763	-747	6	1		0.00	22	0.00	0.00	0.00	0.00	
4423	-747	-731	6	1		0.00	22	0.00	0.00	0.00	0.00	
4423	-731	-715	6	1		0.00	22	0.00	0.00	0.00	0.00	
4423	-715	-699	6	1		0.00	22	0.00	0.00	0.00	0.00	

4423	-699	-683	6	1		0.00	22	0.00	0.00	0.00	0.00	
4423	-683	-667	6	1		0.00	22	0.00	0.00	0.00	0.00	
4423	-667	-651	6	1		0.00	22	0.00	0.00	0.00	0.00	
4423	-651	-635	6	1		0.00	22	0.00	0.00	0.00	0.00	
4423	-635	-619	6	1		0.00	22	0.00	0.00	0.00	0.00	
4423	-619	-603	6	1		0.00	22	0.00	0.00	0.00	0.00	
4423	-603	-587	6	1		0.00	22	0.00	0.00	0.00	0.00	
4423	-587	-571	6	1		0.00	22	0.00	0.00	0.00	0.00	
4423	-571	-555	6	1		0.00	22	0.00	0.00	0.00	0.00	
4423	-555	4288	6	1		0.00	22	0.00	0.00	0.00	0.00	
4423	4288	-539	6	1		0.00	22	0.00	0.00	0.00	0.00	
4423	-539	-523	6	1		0.00	22	0.00	0.00	0.00	0.00	
4423	-523	3315	6	1		0.00	22	0.00	0.00	0.00	0.00	
4424	-788	-780	6	1		0.00	22	0.00	0.00	0.00	0.00	
4424	-780	-764	6	1		0.00	22	0.00	0.00	0.00	0.00	
4424	-764	-748	6	1		0.00	22	0.00	0.00	0.00	0.00	
4424	-748	-732	6	1		0.00	22	0.00	0.00	0.00	0.00	
4424	-732	-716	6	1		0.00	22	0.00	0.00	0.00	0.00	
4424	-716	-700	6	1		0.00	22	0.00	0.00	0.00	0.00	
4424	-700	-684	6	1		0.00	22	0.00	0.00	0.00	0.00	
4424	-684	-668	6	1		0.00	22	0.00	0.00	0.00	0.00	
4424	-668	-652	6	1		0.00	22	0.00	0.00	0.00	0.00	
4424	-652	-636	6	1		0.00	22	0.00	0.00	0.00	0.00	
4424	-636	-620	6	1		0.00	22	0.00	0.00	0.00	0.00	
4424	-620	-604	6	1		0.00	22	0.00	0.00	0.00	0.00	
4424	-604	-588	6	1		0.00	22	0.00	0.00	0.00	0.00	
4424	-588	-572	6	1		0.00	22	0.00	0.00	0.00	0.00	
4424	-572	-556	6	1		0.00	22	0.00	0.00	0.00	0.00	
4424	-556	4290	6	1		0.00	22	0.00	0.00	0.00	0.00	
4424	4290	-540	6	1		0.00	22	0.00	0.00	0.00	0.00	
4424	-540	-524	6	1		0.00	22	0.00	0.00	0.00	0.00	
4424	-524	3316	6	1		0.00	22	0.00	0.00	0.00	0.00	
4461	-789	-781	6	1		0.00	22	0.00	0.00	0.00	0.00	
4461	-781	-765	6	1		0.00	22	0.00	0.00	0.00	0.00	
4461	-765	-749	6	1		0.00	22	0.00	0.00	0.00	0.00	
4461	-749	-733	6	1		0.00	22	0.00	0.00	0.00	0.00	
4461	-733	-717	6	1		0.00	22	0.00	0.00	0.00	0.00	
4461	-717	-701	6	1		0.00	22	0.00	0.00	0.00	0.00	
4461	-701	-685	6	1		0.00	22	0.00	0.00	0.00	0.00	
4461	-685	-669	6	1		0.00	22	0.00	0.00	0.00	0.00	
4461	-669	-653	6	1		0.00	22	0.00	0.00	0.00	0.00	
4461	-653	-637	6	1		0.00	22	0.00	0.00	0.00	0.00	
4461	-637	-621	6	1		0.00	22	0.00	0.00	0.00	0.00	
4461	-621	-605	6	1		0.00	22	0.00	0.00	0.00	0.00	
4461	-605	-589	6	1		0.00	22	0.00	0.00	0.00	0.00	
4461	-589	-573	6	1		0.00	22	0.00	0.00	0.00	0.00	
4461	-573	-557	6	1		0.00	22	0.00	0.00	0.00	0.00	
4461	-557	4291	6	1		0.00	22	0.00	0.00	0.00	0.00	
4461	4291	-541	6	1		0.00	22	0.00	0.00	0.00	0.00	
4461	-541	-525	6	1		0.00	22	0.00	0.00	0.00	0.00	
4461	-525	3317	6	1		0.00	22	0.00	0.00	0.00	0.00	
4462	-790	-782	6	1		0.00	22	0.00	0.00	0.00	0.00	
4462	-782	-766	6	1		0.00	22	0.00	0.00	0.00	0.00	
4462	-766	-750	6	1		0.00	22	0.00	0.00	0.00	0.00	
4462	-750	-734	6	1		0.00	22	0.00	0.00	0.00	0.00	
4462	-734	-718	6	1		0.00	22	0.00	0.00	0.00	0.00	
4462	-718	-702	6	1		0.00	22	0.00	0.00	0.00	0.00	
4462	-702	-686	6	1		0.00	22	0.00	0.00	0.00	0.00	
4462	-686	-670	6	1		0.00	22	0.00	0.00	0.00	0.00	

4462	-670	-654	6	1		0.00	22	0.00	0.00	0.00	0.00	
4462	-654	-638	6	1		0.00	22	0.00	0.00	0.00	0.00	
4462	-638	-622	6	1		0.00	22	0.00	0.00	0.00	0.00	
4462	-622	-606	6	1		0.00	22	0.00	0.00	0.00	0.00	
4462	-606	-590	6	1		0.00	22	0.00	0.00	0.00	0.00	
4462	-590	-574	6	1		0.00	22	0.00	0.00	0.00	0.00	
4462	-574	-558	6	1		0.00	22	0.00	0.00	0.00	0.00	
4462	-558	4293	6	1		0.00	22	0.00	0.00	0.00	0.00	
4462	4293	-542	6	1		0.00	22	0.00	0.00	0.00	0.00	
4462	-542	-526	6	1		0.00	22	0.00	0.00	0.00	0.00	
4462	-526	3318	6	1		0.00	22	0.00	0.00	0.00	0.00	
4499	-791	-783	6	1		0.00	22	0.00	0.00	0.00	0.00	
4499	-783	-767	6	1		0.00	22	0.00	0.00	0.00	0.00	
4499	-767	-751	6	1		0.00	22	0.00	0.00	0.00	0.00	
4499	-751	-735	6	1		0.00	22	0.00	0.00	0.00	0.00	
4499	-735	-719	6	1		0.00	22	0.00	0.00	0.00	0.00	
4499	-719	-703	6	1		0.00	22	0.00	0.00	0.00	0.00	
4499	-703	-687	6	1		0.00	22	0.00	0.00	0.00	0.00	
4499	-687	-671	6	1		0.00	22	0.00	0.00	0.00	0.00	
4499	-671	-655	6	1		0.00	22	0.00	0.00	0.00	0.00	
4499	-655	-639	6	1		0.00	22	0.00	0.00	0.00	0.00	
4499	-639	-623	6	1		0.00	22	0.00	0.00	0.00	0.00	
4499	-623	-607	6	1		0.00	22	0.00	0.00	0.00	0.00	
4499	-607	-591	6	1		0.00	22	0.00	0.00	0.00	0.00	
4499	-591	-575	6	1		0.00	22	0.00	0.00	0.00	0.00	
4499	-575	-559	6	1		0.00	22	0.00	0.00	0.00	0.00	
4499	-559	4294	6	1		0.00	22	0.00	0.00	0.00	0.00	
4499	4294	-543	6	1		0.00	22	0.00	0.00	0.00	0.00	
4499	-543	-527	6	1		0.00	22	0.00	0.00	0.00	0.00	
4499	-527	3319	6	1		0.00	22	0.00	0.00	0.00	0.00	
4500	-792	-784	6	1		0.00	22	0.00	0.00	0.00	0.00	
4500	-784	-768	6	1		0.00	22	0.00	0.00	0.00	0.00	
4500	-768	-752	6	1		0.00	22	0.00	0.00	0.00	0.00	
4500	-752	-736	6	1		0.00	22	0.00	0.00	0.00	0.00	
4500	-736	-720	6	1		0.00	22	0.00	0.00	0.00	0.00	
4500	-720	-704	6	1		0.00	22	0.00	0.00	0.00	0.00	
4500	-704	-688	6	1		0.00	22	0.00	0.00	0.00	0.00	
4500	-688	-672	6	1		0.00	22	0.00	0.00	0.00	0.00	
4500	-672	-656	6	1		0.00	22	0.00	0.00	0.00	0.00	
4500	-656	-640	6	1		0.00	22	0.00	0.00	0.00	0.00	
4500	-640	-624	6	1		0.00	22	0.00	0.00	0.00	0.00	
4500	-624	-608	6	1		0.00	22	0.00	0.00	0.00	0.00	
4500	-608	-592	6	1		0.00	22	0.00	0.00	0.00	0.00	
4500	-592	-576	6	1		0.00	22	0.00	0.00	0.00	0.00	
4500	-576	-560	6	1		0.00	22	0.00	0.00	0.00	0.00	
4500	-560	4296	6	1		0.00	22	0.00	0.00	0.00	0.00	
4500	4296	-544	6	1		0.00	22	0.00	0.00	0.00	0.00	
4500	-544	-528	6	1		0.00	22	0.00	0.00	0.00	0.00	
4500	-528	3320	6	1		0.00	22	0.00	0.00	0.00	0.00	
6002	-513	-514	9	1		180.00	88	0.00	0.00	0.00	0.00	
6003	-529	-530	8	1		180.00	88	0.00	0.00	0.00	0.00	
6004	313	314	1	1		0.00	55	0.00	0.00	0.00	0.00	
6004	314	315	1	1		0.00	55	0.00	0.00	0.00	0.00	
6005	-1	-2	3	1		0.00	55	0.00	0.00	0.00	0.00	
6006	-33	-34	3	1		0.00	55	0.00	0.00	0.00	0.00	
6007	-65	-66	2	1		0.00	55	0.00	0.00	0.00	0.00	
6008	-97	-98	2	1		0.00	55	0.00	0.00	0.00	0.00	
6009	-129	-130	2	1		0.00	55	0.00	0.00	0.00	0.00	
6010	-161	-162	2	1		0.00	55	0.00	0.00	0.00	0.00	

6011	-193	-194	2	1		0.00	55	0.00	0.00	0.00	0.00	
6012	-225	-226	2	1		0.00	55	0.00	0.00	0.00	0.00	
6013	-257	-258	2	1		0.00	55	0.00	0.00	0.00	0.00	
6014	-289	-290	2	1		0.00	55	0.00	0.00	0.00	0.00	
6015	-321	-322	2	1		0.00	55	0.00	0.00	0.00	0.00	
6016	-353	-354	2	1		0.00	55	0.00	0.00	0.00	0.00	
6017	-385	-386	2	1		0.00	55	0.00	0.00	0.00	0.00	
6018	-417	-418	2	1		0.00	55	0.00	0.00	0.00	0.00	
6019	-449	-450	2	1		0.00	55	0.00	0.00	0.00	0.00	
6020	-481	-482	2	1		0.00	55	0.00	0.00	0.00	0.00	
6024	-489	-490	2	1		0.00	55	0.00	0.00	0.00	0.00	
6025	-457	-458	2	1		0.00	55	0.00	0.00	0.00	0.00	
6026	-425	-426	2	1		0.00	55	0.00	0.00	0.00	0.00	
6027	-393	-394	2	1		0.00	55	0.00	0.00	0.00	0.00	
6028	-361	-362	2	1		0.00	55	0.00	0.00	0.00	0.00	
6029	-329	-330	2	1		0.00	55	0.00	0.00	0.00	0.00	
6030	-297	-298	2	1		0.00	55	0.00	0.00	0.00	0.00	
6031	-265	-266	2	1		0.00	55	0.00	0.00	0.00	0.00	
6032	-233	-234	2	1		0.00	55	0.00	0.00	0.00	0.00	
6033	-201	-202	2	1		0.00	55	0.00	0.00	0.00	0.00	
6034	-169	-170	2	1		0.00	55	0.00	0.00	0.00	0.00	
6035	-137	-138	2	1		0.00	55	0.00	0.00	0.00	0.00	
6036	-105	-106	2	1		0.00	55	0.00	0.00	0.00	0.00	
6037	-73	-74	2	1		0.00	55	0.00	0.00	0.00	0.00	
6038	-41	-42	3	1		0.00	55	0.00	0.00	0.00	0.00	
6039	-9	-10	3	1		0.00	55	0.00	0.00	0.00	0.00	
6040	337	338	1	1		90.00	55	0.00	0.00	0.00	0.00	
6040	338	339	1	1		90.00	55	0.00	0.00	0.00	0.00	
6041	-593	-594	9	1		180.00	88	0.00	0.00	0.00	0.00	
6041	-595	-596	9	1		180.00	88	0.00	0.00	0.00	0.00	
6041	-597	-598	9	1		180.00	88	0.00	0.00	0.00	0.00	
6041	-599	-600	9	1		180.00	88	0.00	0.00	0.00	0.00	
6042	-657	-658	9	1		180.00	88	0.00	0.00	0.00	0.00	
6042	-659	-660	9	1		180.00	88	0.00	0.00	0.00	0.00	
6042	-661	-662	9	1		180.00	88	0.00	0.00	0.00	0.00	
6042	-663	-664	9	1		180.00	88	0.00	0.00	0.00	0.00	
6043	-721	-722	9	1		180.00	88	0.00	0.00	0.00	0.00	
6043	-723	-724	9	1		180.00	88	0.00	0.00	0.00	0.00	
6043	-725	-726	9	1		180.00	88	0.00	0.00	0.00	0.00	
6043	-727	-728	9	1		180.00	88	0.00	0.00	0.00	0.00	
6044	-785	-786	9	1		180.00	88	0.00	0.00	0.00	0.00	
6044	-787	-788	9	1		180.00	88	0.00	0.00	0.00	0.00	
6044	-789	-790	9	1		180.00	88	0.00	0.00	0.00	0.00	
6044	-791	-792	9	1		180.00	88	0.00	0.00	0.00	0.00	
6045	-729	-730	9	1		180.00	88	0.00	0.00	0.00	0.00	
6045	-731	-732	9	1		180.00	88	0.00	0.00	0.00	0.00	
6045	-733	-734	9	1		180.00	88	0.00	0.00	0.00	0.00	
6045	-735	-736	9	1		180.00	88	0.00	0.00	0.00	0.00	
6046	-665	-666	9	1		180.00	88	0.00	0.00	0.00	0.00	
6046	-667	-668	9	1		180.00	88	0.00	0.00	0.00	0.00	
6046	-669	-670	9	1		180.00	88	0.00	0.00	0.00	0.00	
6046	-671	-672	9	1		180.00	88	0.00	0.00	0.00	0.00	
6047	-601	-602	9	1		180.00	88	0.00	0.00	0.00	0.00	
6047	-603	-604	9	1		180.00	88	0.00	0.00	0.00	0.00	
6047	-605	-606	9	1		180.00	88	0.00	0.00	0.00	0.00	
6047	-607	-608	9	1		180.00	88	0.00	0.00	0.00	0.00	
6048	349	350	1	1		0.00	55	0.00	0.00	0.00	0.00	
6048	350	351	1	1		0.00	55	0.00	0.00	0.00	0.00	
6049	-17	-18	3	1		0.00	55	0.00	0.00	0.00	0.00	

6050	-49	-50	3	1		0.00	55	0.00	0.00	0.00	0.00	
6051	-81	-82	2	1		0.00	55	0.00	0.00	0.00	0.00	
6052	-113	-114	2	1		0.00	55	0.00	0.00	0.00	0.00	
6053	-145	-146	2	1		0.00	55	0.00	0.00	0.00	0.00	
6054	-177	-178	2	1		0.00	55	0.00	0.00	0.00	0.00	
6055	-209	-210	2	1		0.00	55	0.00	0.00	0.00	0.00	
6056	-241	-242	2	1		0.00	55	0.00	0.00	0.00	0.00	
6057	-273	-274	2	1		0.00	55	0.00	0.00	0.00	0.00	
6058	-305	-306	2	1		0.00	55	0.00	0.00	0.00	0.00	
6059	-337	-338	2	1		0.00	55	0.00	0.00	0.00	0.00	
6060	-369	-370	2	1		0.00	55	0.00	0.00	0.00	0.00	
6061	-401	-402	2	1		0.00	55	0.00	0.00	0.00	0.00	
6062	-433	-434	2	1		0.00	55	0.00	0.00	0.00	0.00	
6063	-465	-466	2	1		0.00	55	0.00	0.00	0.00	0.00	
6064	-497	-498	2	1		0.00	55	0.00	0.00	0.00	0.00	
6068	-505	-506	2	1		0.00	55	0.00	0.00	0.00	0.00	
6069	-473	-474	2	1		0.00	55	0.00	0.00	0.00	0.00	
6070	-441	-442	2	1		0.00	55	0.00	0.00	0.00	0.00	
6071	-409	-410	2	1		0.00	55	0.00	0.00	0.00	0.00	
6072	-377	-378	2	1		0.00	55	0.00	0.00	0.00	0.00	
6073	-345	-346	2	1		0.00	55	0.00	0.00	0.00	0.00	
6074	-313	-314	2	1		0.00	55	0.00	0.00	0.00	0.00	
6075	-281	-282	2	1		0.00	55	0.00	0.00	0.00	0.00	
6076	-249	-250	2	1		0.00	55	0.00	0.00	0.00	0.00	
6077	-217	-218	2	1		0.00	55	0.00	0.00	0.00	0.00	
6078	-185	-186	2	1		0.00	55	0.00	0.00	0.00	0.00	
6079	-153	-154	2	1		0.00	55	0.00	0.00	0.00	0.00	
6080	-121	-122	2	1		0.00	55	0.00	0.00	0.00	0.00	
6081	-89	-90	2	1		0.00	55	0.00	0.00	0.00	0.00	
6082	-57	-58	3	1		0.00	55	0.00	0.00	0.00	0.00	
6083	-25	-26	3	1		0.00	55	0.00	0.00	0.00	0.00	
6084	373	374	1	1		90.00	55	0.00	0.00	0.00	0.00	
6084	374	375	1	1		90.00	55	0.00	0.00	0.00	0.00	
6085	-537	-538	9	1		180.00	88	0.00	0.00	0.00	0.00	
6086	-521	-522	9	1		180.00	88	0.00	0.00	0.00	0.00	
6088	313	325	1	1		90.00	55	0.00	0.00	0.00	0.00	
6088	325	337	1	1		90.00	55	0.00	0.00	0.00	0.00	
6089	-1	-9	3	1		0.00	55	0.00	0.00	0.00	0.00	
6090	-33	-41	3	1		0.00	55	0.00	0.00	0.00	0.00	
6091	-65	-73	2	1		0.00	55	0.00	0.00	0.00	0.00	
6092	-97	-105	2	1		0.00	55	0.00	0.00	0.00	0.00	
6093	-129	-137	2	1		0.00	55	0.00	0.00	0.00	0.00	
6094	-161	-169	2	1		0.00	55	0.00	0.00	0.00	0.00	
6095	-193	-201	2	1		0.00	55	0.00	0.00	0.00	0.00	
6096	-225	-233	2	1		0.00	55	0.00	0.00	0.00	0.00	
6097	-257	-265	2	1		0.00	55	0.00	0.00	0.00	0.00	
6098	-289	-297	2	1		0.00	55	0.00	0.00	0.00	0.00	
6099	-321	-329	2	1		0.00	55	0.00	0.00	0.00	0.00	
6100	-353	-361	2	1		0.00	55	0.00	0.00	0.00	0.00	
6101	-385	-393	2	1		0.00	55	0.00	0.00	0.00	0.00	
6102	-417	-425	2	1		0.00	55	0.00	0.00	0.00	0.00	
6103	-449	-457	2	1		0.00	55	0.00	0.00	0.00	0.00	
6104	-481	-489	2	1		0.00	55	0.00	0.00	0.00	0.00	
6109	-482	-490	2	1		0.00	55	0.00	0.00	0.00	0.00	
6110	-450	-458	2	1		0.00	55	0.00	0.00	0.00	0.00	
6111	-418	-426	2	1		0.00	55	0.00	0.00	0.00	0.00	
6112	-386	-394	2	1		0.00	55	0.00	0.00	0.00	0.00	
6113	-354	-362	2	1		0.00	55	0.00	0.00	0.00	0.00	
6114	-322	-330	2	1		0.00	55	0.00	0.00	0.00	0.00	

6115	-290	-298	2	1		0.00	55	0.00	0.00	0.00	0.00	
6116	-258	-266	2	1		0.00	55	0.00	0.00	0.00	0.00	
6117	-226	-234	2	1		0.00	55	0.00	0.00	0.00	0.00	
6118	-194	-202	2	1		0.00	55	0.00	0.00	0.00	0.00	
6119	-162	-170	2	1		0.00	55	0.00	0.00	0.00	0.00	
6120	-130	-138	2	1		0.00	55	0.00	0.00	0.00	0.00	
6121	-98	-106	2	1		0.00	55	0.00	0.00	0.00	0.00	
6122	-66	-74	2	1		0.00	55	0.00	0.00	0.00	0.00	
6123	-34	-42	3	1		0.00	55	0.00	0.00	0.00	0.00	
6124	-2	-10	3	1		0.00	55	0.00	0.00	0.00	0.00	
6125	315	327	1	1		0.00	55	0.00	0.00	0.00	0.00	
6125	327	339	1	1		0.00	55	0.00	0.00	0.00	0.00	
6126	316	328	1	1		90.00	55	0.00	0.00	0.00	0.00	
6126	328	340	1	1		90.00	55	0.00	0.00	0.00	0.00	
6127	-3	-11	3	1		0.00	55	0.00	0.00	0.00	0.00	
6128	-35	-43	3	1		0.00	55	0.00	0.00	0.00	0.00	
6129	-67	-75	2	1		0.00	55	0.00	0.00	0.00	0.00	
6130	-99	-107	2	1		0.00	55	0.00	0.00	0.00	0.00	
6131	-131	-139	2	1		0.00	55	0.00	0.00	0.00	0.00	
6132	-163	-171	2	1		0.00	55	0.00	0.00	0.00	0.00	
6133	-195	-203	2	1		0.00	55	0.00	0.00	0.00	0.00	
6134	-227	-235	2	1		0.00	55	0.00	0.00	0.00	0.00	
6135	-259	-267	2	1		0.00	55	0.00	0.00	0.00	0.00	
6136	-291	-299	2	1		0.00	55	0.00	0.00	0.00	0.00	
6137	-323	-331	2	1		0.00	55	0.00	0.00	0.00	0.00	
6138	-355	-363	2	1		0.00	55	0.00	0.00	0.00	0.00	
6139	-387	-395	2	1		0.00	55	0.00	0.00	0.00	0.00	
6140	-419	-427	2	1		0.00	55	0.00	0.00	0.00	0.00	
6141	-451	-459	2	1		0.00	55	0.00	0.00	0.00	0.00	
6142	-483	-491	2	1		0.00	55	0.00	0.00	0.00	0.00	
6147	-484	-492	2	1		0.00	55	0.00	0.00	0.00	0.00	
6148	-452	-460	2	1		0.00	55	0.00	0.00	0.00	0.00	
6149	-420	-428	2	1		0.00	55	0.00	0.00	0.00	0.00	
6150	-388	-396	2	1		0.00	55	0.00	0.00	0.00	0.00	
6151	-356	-364	2	1		0.00	55	0.00	0.00	0.00	0.00	
6152	-324	-332	2	1		0.00	55	0.00	0.00	0.00	0.00	
6153	-292	-300	2	1		0.00	55	0.00	0.00	0.00	0.00	
6154	-260	-268	2	1		0.00	55	0.00	0.00	0.00	0.00	
6155	-228	-236	2	1		0.00	55	0.00	0.00	0.00	0.00	
6156	-196	-204	2	1		0.00	55	0.00	0.00	0.00	0.00	
6157	-164	-172	2	1		0.00	55	0.00	0.00	0.00	0.00	
6158	-132	-140	2	1		0.00	55	0.00	0.00	0.00	0.00	
6159	-100	-108	2	1		0.00	55	0.00	0.00	0.00	0.00	
6160	-68	-76	2	1		0.00	55	0.00	0.00	0.00	0.00	
6161	-36	-44	3	1		0.00	55	0.00	0.00	0.00	0.00	
6162	-4	-12	3	1		0.00	55	0.00	0.00	0.00	0.00	
6163	318	330	1	1		0.00	55	0.00	0.00	0.00	0.00	
6163	330	342	1	1		0.00	55	0.00	0.00	0.00	0.00	
6164	319	331	1	1		90.00	55	0.00	0.00	0.00	0.00	
6164	331	343	1	1		90.00	55	0.00	0.00	0.00	0.00	
6165	-5	-13	3	1		0.00	55	0.00	0.00	0.00	0.00	
6166	-37	-45	3	1		0.00	55	0.00	0.00	0.00	0.00	
6167	-69	-77	2	1		0.00	55	0.00	0.00	0.00	0.00	
6168	-101	-109	2	1		0.00	55	0.00	0.00	0.00	0.00	
6169	-133	-141	2	1		0.00	55	0.00	0.00	0.00	0.00	
6170	-165	-173	2	1		0.00	55	0.00	0.00	0.00	0.00	
6171	-197	-205	2	1		0.00	55	0.00	0.00	0.00	0.00	
6172	-229	-237	2	1		0.00	55	0.00	0.00	0.00	0.00	
6173	-261	-269	2	1		0.00	55	0.00	0.00	0.00	0.00	

6174	-293	-301	2	1		0.00	55	0.00	0.00	0.00	0.00	
6175	-325	-333	2	1		0.00	55	0.00	0.00	0.00	0.00	
6176	-357	-365	2	1		0.00	55	0.00	0.00	0.00	0.00	
6177	-389	-397	2	1		0.00	55	0.00	0.00	0.00	0.00	
6178	-421	-429	2	1		0.00	55	0.00	0.00	0.00	0.00	
6179	-453	-461	2	1		0.00	55	0.00	0.00	0.00	0.00	
6180	-485	-493	2	1		0.00	55	0.00	0.00	0.00	0.00	
6185	-486	-494	2	1		0.00	55	0.00	0.00	0.00	0.00	
6186	-454	-462	2	1		0.00	55	0.00	0.00	0.00	0.00	
6187	-422	-430	2	1		0.00	55	0.00	0.00	0.00	0.00	
6188	-390	-398	2	1		0.00	55	0.00	0.00	0.00	0.00	
6189	-358	-366	2	1		0.00	55	0.00	0.00	0.00	0.00	
6190	-326	-334	2	1		0.00	55	0.00	0.00	0.00	0.00	
6191	-294	-302	2	1		0.00	55	0.00	0.00	0.00	0.00	
6192	-262	-270	2	1		0.00	55	0.00	0.00	0.00	0.00	
6193	-230	-238	2	1		0.00	55	0.00	0.00	0.00	0.00	
6194	-198	-206	2	1		0.00	55	0.00	0.00	0.00	0.00	
6195	-166	-174	2	1		0.00	55	0.00	0.00	0.00	0.00	
6196	-134	-142	2	1		0.00	55	0.00	0.00	0.00	0.00	
6197	-102	-110	2	1		0.00	55	0.00	0.00	0.00	0.00	
6198	-70	-78	2	1		0.00	55	0.00	0.00	0.00	0.00	
6199	-38	-46	3	1		0.00	55	0.00	0.00	0.00	0.00	
6200	-6	-14	3	1		0.00	55	0.00	0.00	0.00	0.00	
6201	321	333	1	1		0.00	55	0.00	0.00	0.00	0.00	
6201	333	345	1	1		0.00	55	0.00	0.00	0.00	0.00	
6202	322	334	1	1		90.00	55	0.00	0.00	0.00	0.00	
6202	334	346	1	1		90.00	55	0.00	0.00	0.00	0.00	
6203	-7	-15	3	1		0.00	55	0.00	0.00	0.00	0.00	
6204	-39	-47	3	1		0.00	55	0.00	0.00	0.00	0.00	
6205	-71	-79	2	1		0.00	55	0.00	0.00	0.00	0.00	
6206	-103	-111	2	1		0.00	55	0.00	0.00	0.00	0.00	
6207	-135	-143	2	1		0.00	55	0.00	0.00	0.00	0.00	
6208	-167	-175	2	1		0.00	55	0.00	0.00	0.00	0.00	
6209	-199	-207	2	1		0.00	55	0.00	0.00	0.00	0.00	
6210	-231	-239	2	1		0.00	55	0.00	0.00	0.00	0.00	
6211	-263	-271	2	1		0.00	55	0.00	0.00	0.00	0.00	
6212	-295	-303	2	1		0.00	55	0.00	0.00	0.00	0.00	
6213	-327	-335	2	1		0.00	55	0.00	0.00	0.00	0.00	
6214	-359	-367	2	1		0.00	55	0.00	0.00	0.00	0.00	
6215	-391	-399	2	1		0.00	55	0.00	0.00	0.00	0.00	
6216	-423	-431	2	1		0.00	55	0.00	0.00	0.00	0.00	
6217	-455	-463	2	1		0.00	55	0.00	0.00	0.00	0.00	
6218	-487	-495	2	1		0.00	55	0.00	0.00	0.00	0.00	
6223	-488	-496	2	1		0.00	55	0.00	0.00	0.00	0.00	
6224	-456	-464	2	1		0.00	55	0.00	0.00	0.00	0.00	
6225	-424	-432	2	1		0.00	55	0.00	0.00	0.00	0.00	
6226	-392	-400	2	1		0.00	55	0.00	0.00	0.00	0.00	
6227	-360	-368	2	1		0.00	55	0.00	0.00	0.00	0.00	
6228	-328	-336	2	1		0.00	55	0.00	0.00	0.00	0.00	
6229	-296	-304	2	1		0.00	55	0.00	0.00	0.00	0.00	
6230	-264	-272	2	1		0.00	55	0.00	0.00	0.00	0.00	
6231	-232	-240	2	1		0.00	55	0.00	0.00	0.00	0.00	
6232	-200	-208	2	1		0.00	55	0.00	0.00	0.00	0.00	
6233	-168	-176	2	1		0.00	55	0.00	0.00	0.00	0.00	
6234	-136	-144	2	1		0.00	55	0.00	0.00	0.00	0.00	
6235	-104	-112	2	1		0.00	55	0.00	0.00	0.00	0.00	
6236	-72	-80	2	1		0.00	55	0.00	0.00	0.00	0.00	
6237	-40	-48	3	1		0.00	55	0.00	0.00	0.00	0.00	
6238	-8	-16	3	1		0.00	55	0.00	0.00	0.00	0.00	

6239	324	336	1	1		0.00	55	0.00	0.00	0.00	0.00	
6239	336	348	1	1		0.00	55	0.00	0.00	0.00	0.00	
6240	332	345	5	1		0.00	88	0.00	0.00	0.00	0.00	
6240	319	332	5	1		0.00	88	0.00	0.00	0.00	0.00	
6241	318	329	5	1		0.00	88	0.00	0.00	0.00	0.00	
6241	329	340	5	1		0.00	88	0.00	0.00	0.00	0.00	
6242	329	342	5	1		0.00	88	0.00	0.00	0.00	0.00	
6242	316	329	5	1		0.00	88	0.00	0.00	0.00	0.00	
6243	335	348	5	1		0.00	88	0.00	0.00	0.00	0.00	
6243	322	335	5	1		0.00	88	0.00	0.00	0.00	0.00	
6244	313	326	5	1		0.00	88	0.00	0.00	0.00	0.00	
6244	326	339	5	1		0.00	88	0.00	0.00	0.00	0.00	
6245	315	326	5	1		0.00	88	0.00	0.00	0.00	0.00	
6245	326	337	5	1		0.00	88	0.00	0.00	0.00	0.00	
6246	332	343	5	1		0.00	88	0.00	0.00	0.00	0.00	
6246	321	332	5	1		0.00	88	0.00	0.00	0.00	0.00	
6247	324	335	5	1		0.00	88	0.00	0.00	0.00	0.00	
6247	335	346	5	1		0.00	88	0.00	0.00	0.00	0.00	
6272	351	362	5	1		0.00	88	0.00	0.00	0.00	0.00	
6272	362	373	5	1		0.00	88	0.00	0.00	0.00	0.00	
6273	357	368	5	1		0.00	88	0.00	0.00	0.00	0.00	
6273	368	379	5	1		0.00	88	0.00	0.00	0.00	0.00	
6274	362	375	5	1		0.00	88	0.00	0.00	0.00	0.00	
6274	349	362	5	1		0.00	88	0.00	0.00	0.00	0.00	
6275	358	371	5	1		0.00	88	0.00	0.00	0.00	0.00	
6275	371	384	5	1		0.00	88	0.00	0.00	0.00	0.00	
6276	352	365	5	1		0.00	88	0.00	0.00	0.00	0.00	
6276	365	378	5	1		0.00	88	0.00	0.00	0.00	0.00	
6277	354	365	5	1		0.00	88	0.00	0.00	0.00	0.00	
6277	365	376	5	1		0.00	88	0.00	0.00	0.00	0.00	
6278	360	371	5	1		0.00	88	0.00	0.00	0.00	0.00	
6278	371	382	5	1		0.00	88	0.00	0.00	0.00	0.00	
6279	355	368	5	1		0.00	88	0.00	0.00	0.00	0.00	
6279	368	381	5	1		0.00	88	0.00	0.00	0.00	0.00	
6281	-515	-516	9	1		180.00	88	0.00	0.00	0.00	0.00	
6282	-531	-532	9	1		180.00	88	0.00	0.00	0.00	0.00	
6283	316	317	1	1		0.00	55	0.00	0.00	0.00	0.00	
6283	317	318	1	1		0.00	55	0.00	0.00	0.00	0.00	
6284	-3	-4	3	1		0.00	55	0.00	0.00	0.00	0.00	
6285	-35	-36	3	1		0.00	55	0.00	0.00	0.00	0.00	
6286	-67	-68	2	1		0.00	55	0.00	0.00	0.00	0.00	
6287	-99	-100	2	1		0.00	55	0.00	0.00	0.00	0.00	
6288	-131	-132	2	1		0.00	55	0.00	0.00	0.00	0.00	
6289	-163	-164	2	1		0.00	55	0.00	0.00	0.00	0.00	
6290	-195	-196	2	1		0.00	55	0.00	0.00	0.00	0.00	
6291	-227	-228	2	1		0.00	55	0.00	0.00	0.00	0.00	
6292	-259	-260	2	1		0.00	55	0.00	0.00	0.00	0.00	
6293	-291	-292	2	1		0.00	55	0.00	0.00	0.00	0.00	
6294	-323	-324	2	1		0.00	55	0.00	0.00	0.00	0.00	
6295	-355	-356	2	1		0.00	55	0.00	0.00	0.00	0.00	
6296	-387	-388	2	1		0.00	55	0.00	0.00	0.00	0.00	
6297	-419	-420	2	1		0.00	55	0.00	0.00	0.00	0.00	
6298	-451	-452	2	1		0.00	55	0.00	0.00	0.00	0.00	
6299	-483	-484	2	1		0.00	55	0.00	0.00	0.00	0.00	
6303	-491	-492	2	1		0.00	55	0.00	0.00	0.00	0.00	
6304	-459	-460	2	1		0.00	55	0.00	0.00	0.00	0.00	
6305	-427	-428	2	1		0.00	55	0.00	0.00	0.00	0.00	
6306	-395	-396	2	1		0.00	55	0.00	0.00	0.00	0.00	
6307	-363	-364	2	1		0.00	55	0.00	0.00	0.00	0.00	

6308	-331	-332	2	1		0.00	55	0.00	0.00	0.00	0.00	
6309	-299	-300	2	1		0.00	55	0.00	0.00	0.00	0.00	
6310	-267	-268	2	1		0.00	55	0.00	0.00	0.00	0.00	
6311	-235	-236	2	1		0.00	55	0.00	0.00	0.00	0.00	
6312	-203	-204	2	1		0.00	55	0.00	0.00	0.00	0.00	
6313	-171	-172	2	1		0.00	55	0.00	0.00	0.00	0.00	
6314	-139	-140	2	1		0.00	55	0.00	0.00	0.00	0.00	
6315	-107	-108	2	1		0.00	55	0.00	0.00	0.00	0.00	
6316	-75	-76	2	1		0.00	55	0.00	0.00	0.00	0.00	
6317	-43	-44	3	1		0.00	55	0.00	0.00	0.00	0.00	
6318	-11	-12	3	1		0.00	55	0.00	0.00	0.00	0.00	
6319	340	341	1	1		90.00	55	0.00	0.00	0.00	0.00	
6319	341	342	1	1		90.00	55	0.00	0.00	0.00	0.00	
6327	352	353	1	1		0.00	55	0.00	0.00	0.00	0.00	
6327	353	354	1	1		0.00	55	0.00	0.00	0.00	0.00	
6328	-19	-20	3	1		0.00	55	0.00	0.00	0.00	0.00	
6329	-51	-52	3	1		0.00	55	0.00	0.00	0.00	0.00	
6330	-83	-84	2	1		0.00	55	0.00	0.00	0.00	0.00	
6331	-115	-116	2	1		0.00	55	0.00	0.00	0.00	0.00	
6332	-147	-148	2	1		0.00	55	0.00	0.00	0.00	0.00	
6333	-179	-180	2	1		0.00	55	0.00	0.00	0.00	0.00	
6334	-211	-212	2	1		0.00	55	0.00	0.00	0.00	0.00	
6335	-243	-244	2	1		0.00	55	0.00	0.00	0.00	0.00	
6336	-275	-276	2	1		0.00	55	0.00	0.00	0.00	0.00	
6337	-307	-308	2	1		0.00	55	0.00	0.00	0.00	0.00	
6338	-339	-340	2	1		0.00	55	0.00	0.00	0.00	0.00	
6339	-371	-372	2	1		0.00	55	0.00	0.00	0.00	0.00	
6340	-403	-404	2	1		0.00	55	0.00	0.00	0.00	0.00	
6341	-435	-436	2	1		0.00	55	0.00	0.00	0.00	0.00	
6342	-467	-468	2	1		0.00	55	0.00	0.00	0.00	0.00	
6343	-499	-500	2	1		0.00	55	0.00	0.00	0.00	0.00	
6347	-507	-508	2	1		0.00	55	0.00	0.00	0.00	0.00	
6348	-475	-476	2	1		0.00	55	0.00	0.00	0.00	0.00	
6349	-443	-444	2	1		0.00	55	0.00	0.00	0.00	0.00	
6350	-411	-412	2	1		0.00	55	0.00	0.00	0.00	0.00	
6351	-379	-380	2	1		0.00	55	0.00	0.00	0.00	0.00	
6352	-347	-348	2	1		0.00	55	0.00	0.00	0.00	0.00	
6353	-315	-316	2	1		0.00	55	0.00	0.00	0.00	0.00	
6354	-283	-284	2	1		0.00	55	0.00	0.00	0.00	0.00	
6355	-251	-252	2	1		0.00	55	0.00	0.00	0.00	0.00	
6356	-219	-220	2	1		0.00	55	0.00	0.00	0.00	0.00	
6357	-187	-188	2	1		0.00	55	0.00	0.00	0.00	0.00	
6358	-155	-156	2	1		0.00	55	0.00	0.00	0.00	0.00	
6359	-123	-124	2	1		0.00	55	0.00	0.00	0.00	0.00	
6360	-91	-92	2	1		0.00	55	0.00	0.00	0.00	0.00	
6361	-59	-60	3	1		0.00	55	0.00	0.00	0.00	0.00	
6362	-27	-28	3	1		0.00	55	0.00	0.00	0.00	0.00	
6363	376	377	1	1		90.00	55	0.00	0.00	0.00	0.00	
6363	377	378	1	1		90.00	55	0.00	0.00	0.00	0.00	
6364	-539	-540	9	1		180.00	88	0.00	0.00	0.00	0.00	
6365	-523	-524	9	1		180.00	88	0.00	0.00	0.00	0.00	
6367	349	361	1	1		90.00	55	0.00	0.00	0.00	0.00	
6367	361	373	1	1		90.00	55	0.00	0.00	0.00	0.00	
6368	-17	-25	3	1		0.00	55	0.00	0.00	0.00	0.00	
6369	-49	-57	3	1		0.00	55	0.00	0.00	0.00	0.00	
6370	-81	-89	2	1		0.00	55	0.00	0.00	0.00	0.00	
6371	-113	-121	2	1		0.00	55	0.00	0.00	0.00	0.00	
6372	-145	-153	2	1		0.00	55	0.00	0.00	0.00	0.00	
6373	-177	-185	2	1		0.00	55	0.00	0.00	0.00	0.00	

6374	-209	-217	2	1		0.00	55	0.00	0.00	0.00	0.00	
6375	-241	-249	2	1		0.00	55	0.00	0.00	0.00	0.00	
6376	-273	-281	2	1		0.00	55	0.00	0.00	0.00	0.00	
6377	-305	-313	2	1		0.00	55	0.00	0.00	0.00	0.00	
6378	-337	-345	2	1		0.00	55	0.00	0.00	0.00	0.00	
6379	-369	-377	2	1		0.00	55	0.00	0.00	0.00	0.00	
6380	-401	-409	2	1		0.00	55	0.00	0.00	0.00	0.00	
6381	-433	-441	2	1		0.00	55	0.00	0.00	0.00	0.00	
6382	-465	-473	2	1		0.00	55	0.00	0.00	0.00	0.00	
6383	-497	-505	2	1		0.00	55	0.00	0.00	0.00	0.00	
6388	-498	-506	2	1		0.00	55	0.00	0.00	0.00	0.00	
6389	-466	-474	2	1		0.00	55	0.00	0.00	0.00	0.00	
6390	-434	-442	2	1		0.00	55	0.00	0.00	0.00	0.00	
6391	-402	-410	2	1		0.00	55	0.00	0.00	0.00	0.00	
6392	-370	-378	2	1		0.00	55	0.00	0.00	0.00	0.00	
6393	-338	-346	2	1		0.00	55	0.00	0.00	0.00	0.00	
6394	-306	-314	2	1		0.00	55	0.00	0.00	0.00	0.00	
6395	-274	-282	2	1		0.00	55	0.00	0.00	0.00	0.00	
6396	-242	-250	2	1		0.00	55	0.00	0.00	0.00	0.00	
6397	-210	-218	2	1		0.00	55	0.00	0.00	0.00	0.00	
6398	-178	-186	2	1		0.00	55	0.00	0.00	0.00	0.00	
6399	-146	-154	2	1		0.00	55	0.00	0.00	0.00	0.00	
6400	-114	-122	2	1		0.00	55	0.00	0.00	0.00	0.00	
6401	-82	-90	2	1		0.00	55	0.00	0.00	0.00	0.00	
6402	-50	-58	3	1		0.00	55	0.00	0.00	0.00	0.00	
6403	-18	-26	3	1		0.00	55	0.00	0.00	0.00	0.00	
6404	351	363	1	1		0.00	55	0.00	0.00	0.00	0.00	
6404	363	375	1	1		0.00	55	0.00	0.00	0.00	0.00	
6405	352	364	1	1		90.00	55	0.00	0.00	0.00	0.00	
6405	364	376	1	1		90.00	55	0.00	0.00	0.00	0.00	
6406	-19	-27	3	1		0.00	55	0.00	0.00	0.00	0.00	
6407	-51	-59	3	1		0.00	55	0.00	0.00	0.00	0.00	
6408	-83	-91	2	1		0.00	55	0.00	0.00	0.00	0.00	
6409	-115	-123	2	1		0.00	55	0.00	0.00	0.00	0.00	
6410	-147	-155	2	1		0.00	55	0.00	0.00	0.00	0.00	
6411	-179	-187	2	1		0.00	55	0.00	0.00	0.00	0.00	
6412	-211	-219	2	1		0.00	55	0.00	0.00	0.00	0.00	
6413	-243	-251	2	1		0.00	55	0.00	0.00	0.00	0.00	
6414	-275	-283	2	1		0.00	55	0.00	0.00	0.00	0.00	
6415	-307	-315	2	1		0.00	55	0.00	0.00	0.00	0.00	
6416	-339	-347	2	1		0.00	55	0.00	0.00	0.00	0.00	
6417	-371	-379	2	1		0.00	55	0.00	0.00	0.00	0.00	
6418	-403	-411	2	1		0.00	55	0.00	0.00	0.00	0.00	
6419	-435	-443	2	1		0.00	55	0.00	0.00	0.00	0.00	
6420	-467	-475	2	1		0.00	55	0.00	0.00	0.00	0.00	
6421	-499	-507	2	1		0.00	55	0.00	0.00	0.00	0.00	
6426	-500	-508	2	1		0.00	55	0.00	0.00	0.00	0.00	
6427	-468	-476	2	1		0.00	55	0.00	0.00	0.00	0.00	
6428	-436	-444	2	1		0.00	55	0.00	0.00	0.00	0.00	
6429	-404	-412	2	1		0.00	55	0.00	0.00	0.00	0.00	
6430	-372	-380	2	1		0.00	55	0.00	0.00	0.00	0.00	
6431	-340	-348	2	1		0.00	55	0.00	0.00	0.00	0.00	
6432	-308	-316	2	1		0.00	55	0.00	0.00	0.00	0.00	
6433	-276	-284	2	1		0.00	55	0.00	0.00	0.00	0.00	
6434	-244	-252	2	1		0.00	55	0.00	0.00	0.00	0.00	
6435	-212	-220	2	1		0.00	55	0.00	0.00	0.00	0.00	
6436	-180	-188	2	1		0.00	55	0.00	0.00	0.00	0.00	
6437	-148	-156	2	1		0.00	55	0.00	0.00	0.00	0.00	
6438	-116	-124	2	1		0.00	55	0.00	0.00	0.00	0.00	

6439	-84	-92	2	1		0.00	55	0.00	0.00	0.00	0.00	
6440	-52	-60	3	1		0.00	55	0.00	0.00	0.00	0.00	
6441	-20	-28	3	1		0.00	55	0.00	0.00	0.00	0.00	
6442	354	366	1	1		0.00	55	0.00	0.00	0.00	0.00	
6442	366	378	1	1		0.00	55	0.00	0.00	0.00	0.00	
6443	355	367	1	1		90.00	55	0.00	0.00	0.00	0.00	
6443	367	379	1	1		90.00	55	0.00	0.00	0.00	0.00	
6444	-21	-29	3	1		0.00	55	0.00	0.00	0.00	0.00	
6445	-53	-61	3	1		0.00	55	0.00	0.00	0.00	0.00	
6446	-85	-93	2	1		0.00	55	0.00	0.00	0.00	0.00	
6447	-117	-125	2	1		0.00	55	0.00	0.00	0.00	0.00	
6448	-149	-157	2	1		0.00	55	0.00	0.00	0.00	0.00	
6449	-181	-189	2	1		0.00	55	0.00	0.00	0.00	0.00	
6450	-213	-221	2	1		0.00	55	0.00	0.00	0.00	0.00	
6451	-245	-253	2	1		0.00	55	0.00	0.00	0.00	0.00	
6452	-277	-285	2	1		0.00	55	0.00	0.00	0.00	0.00	
6453	-309	-317	2	1		0.00	55	0.00	0.00	0.00	0.00	
6454	-341	-349	2	1		0.00	55	0.00	0.00	0.00	0.00	
6455	-373	-381	2	1		0.00	55	0.00	0.00	0.00	0.00	
6456	-405	-413	2	1		0.00	55	0.00	0.00	0.00	0.00	
6457	-437	-445	2	1		0.00	55	0.00	0.00	0.00	0.00	
6458	-469	-477	2	1		0.00	55	0.00	0.00	0.00	0.00	
6459	-501	-509	2	1		0.00	55	0.00	0.00	0.00	0.00	
6464	-502	-510	2	1		0.00	55	0.00	0.00	0.00	0.00	
6465	-470	-478	2	1		0.00	55	0.00	0.00	0.00	0.00	
6466	-438	-446	2	1		0.00	55	0.00	0.00	0.00	0.00	
6467	-406	-414	2	1		0.00	55	0.00	0.00	0.00	0.00	
6468	-374	-382	2	1		0.00	55	0.00	0.00	0.00	0.00	
6469	-342	-350	2	1		0.00	55	0.00	0.00	0.00	0.00	
6470	-310	-318	2	1		0.00	55	0.00	0.00	0.00	0.00	
6471	-278	-286	2	1		0.00	55	0.00	0.00	0.00	0.00	
6472	-246	-254	2	1		0.00	55	0.00	0.00	0.00	0.00	
6473	-214	-222	2	1		0.00	55	0.00	0.00	0.00	0.00	
6474	-182	-190	2	1		0.00	55	0.00	0.00	0.00	0.00	
6475	-150	-158	2	1		0.00	55	0.00	0.00	0.00	0.00	
6476	-118	-126	2	1		0.00	55	0.00	0.00	0.00	0.00	
6477	-86	-94	2	1		0.00	55	0.00	0.00	0.00	0.00	
6478	-54	-62	3	1		0.00	55	0.00	0.00	0.00	0.00	
6479	-22	-30	3	1		0.00	55	0.00	0.00	0.00	0.00	
6480	357	369	1	1		0.00	55	0.00	0.00	0.00	0.00	
6480	369	381	1	1		0.00	55	0.00	0.00	0.00	0.00	
6481	358	370	1	1		90.00	55	0.00	0.00	0.00	0.00	
6481	370	382	1	1		90.00	55	0.00	0.00	0.00	0.00	
6482	-23	-31	3	1		0.00	55	0.00	0.00	0.00	0.00	
6483	-55	-63	3	1		0.00	55	0.00	0.00	0.00	0.00	
6484	-87	-95	2	1		0.00	55	0.00	0.00	0.00	0.00	
6485	-119	-127	2	1		0.00	55	0.00	0.00	0.00	0.00	
6486	-151	-159	2	1		0.00	55	0.00	0.00	0.00	0.00	
6487	-183	-191	2	1		0.00	55	0.00	0.00	0.00	0.00	
6488	-215	-223	2	1		0.00	55	0.00	0.00	0.00	0.00	
6489	-247	-255	2	1		0.00	55	0.00	0.00	0.00	0.00	
6490	-279	-287	2	1		0.00	55	0.00	0.00	0.00	0.00	
6491	-311	-319	2	1		0.00	55	0.00	0.00	0.00	0.00	
6492	-343	-351	2	1		0.00	55	0.00	0.00	0.00	0.00	
6493	-375	-383	2	1		0.00	55	0.00	0.00	0.00	0.00	
6494	-407	-415	2	1		0.00	55	0.00	0.00	0.00	0.00	
6495	-439	-447	2	1		0.00	55	0.00	0.00	0.00	0.00	
6496	-471	-479	2	1		0.00	55	0.00	0.00	0.00	0.00	
6497	-503	-511	2	1		0.00	55	0.00	0.00	0.00	0.00	

6502	-504	-512	2	1		0.00	55	0.00	0.00	0.00	0.00	
6503	-472	-480	2	1		0.00	55	0.00	0.00	0.00	0.00	
6504	-440	-448	2	1		0.00	55	0.00	0.00	0.00	0.00	
6505	-408	-416	2	1		0.00	55	0.00	0.00	0.00	0.00	
6506	-376	-384	2	1		0.00	55	0.00	0.00	0.00	0.00	
6507	-344	-352	2	1		0.00	55	0.00	0.00	0.00	0.00	
6508	-312	-320	2	1		0.00	55	0.00	0.00	0.00	0.00	
6509	-280	-288	2	1		0.00	55	0.00	0.00	0.00	0.00	
6510	-248	-256	2	1		0.00	55	0.00	0.00	0.00	0.00	
6511	-216	-224	2	1		0.00	55	0.00	0.00	0.00	0.00	
6512	-184	-192	2	1		0.00	55	0.00	0.00	0.00	0.00	
6513	-152	-160	2	1		0.00	55	0.00	0.00	0.00	0.00	
6514	-120	-128	2	1		0.00	55	0.00	0.00	0.00	0.00	
6515	-88	-96	2	1		0.00	55	0.00	0.00	0.00	0.00	
6516	-56	-64	3	1		0.00	55	0.00	0.00	0.00	0.00	
6517	-24	-32	3	1		0.00	55	0.00	0.00	0.00	0.00	
6518	360	372	1	1		0.00	55	0.00	0.00	0.00	0.00	
6518	372	384	1	1		0.00	55	0.00	0.00	0.00	0.00	
6560	-517	-518	9	1		180.00	88	0.00	0.00	0.00	0.00	
6561	-533	-534	9	1		180.00	88	0.00	0.00	0.00	0.00	
6562	319	320	1	1		0.00	55	0.00	0.00	0.00	0.00	
6562	320	321	1	1		0.00	55	0.00	0.00	0.00	0.00	
6563	-5	-6	3	1		0.00	55	0.00	0.00	0.00	0.00	
6564	-37	-38	3	1		0.00	55	0.00	0.00	0.00	0.00	
6565	-69	-70	2	1		0.00	55	0.00	0.00	0.00	0.00	
6566	-101	-102	2	1		0.00	55	0.00	0.00	0.00	0.00	
6567	-133	-134	2	1		0.00	55	0.00	0.00	0.00	0.00	
6568	-165	-166	2	1		0.00	55	0.00	0.00	0.00	0.00	
6569	-197	-198	2	1		0.00	55	0.00	0.00	0.00	0.00	
6570	-229	-230	2	1		0.00	55	0.00	0.00	0.00	0.00	
6571	-261	-262	2	1		0.00	55	0.00	0.00	0.00	0.00	
6572	-293	-294	2	1		0.00	55	0.00	0.00	0.00	0.00	
6573	-325	-326	2	1		0.00	55	0.00	0.00	0.00	0.00	
6574	-357	-358	2	1		0.00	55	0.00	0.00	0.00	0.00	
6575	-389	-390	2	1		0.00	55	0.00	0.00	0.00	0.00	
6576	-421	-422	2	1		0.00	55	0.00	0.00	0.00	0.00	
6577	-453	-454	2	1		0.00	55	0.00	0.00	0.00	0.00	
6578	-485	-486	2	1		0.00	55	0.00	0.00	0.00	0.00	
6582	-493	-494	2	1		0.00	55	0.00	0.00	0.00	0.00	
6583	-461	-462	2	1		0.00	55	0.00	0.00	0.00	0.00	
6584	-429	-430	2	1		0.00	55	0.00	0.00	0.00	0.00	
6585	-397	-398	2	1		0.00	55	0.00	0.00	0.00	0.00	
6586	-365	-366	2	1		0.00	55	0.00	0.00	0.00	0.00	
6587	-333	-334	2	1		0.00	55	0.00	0.00	0.00	0.00	
6588	-301	-302	2	1		0.00	55	0.00	0.00	0.00	0.00	
6589	-269	-270	2	1		0.00	55	0.00	0.00	0.00	0.00	
6590	-237	-238	2	1		0.00	55	0.00	0.00	0.00	0.00	
6591	-205	-206	2	1		0.00	55	0.00	0.00	0.00	0.00	
6592	-173	-174	2	1		0.00	55	0.00	0.00	0.00	0.00	
6593	-141	-142	2	1		0.00	55	0.00	0.00	0.00	0.00	
6594	-109	-110	2	1		0.00	55	0.00	0.00	0.00	0.00	
6595	-77	-78	2	1		0.00	55	0.00	0.00	0.00	0.00	
6596	-45	-46	3	1		0.00	55	0.00	0.00	0.00	0.00	
6597	-13	-14	3	1		0.00	55	0.00	0.00	0.00	0.00	
6598	343	344	1	1		90.00	55	0.00	0.00	0.00	0.00	
6598	344	345	1	1		90.00	55	0.00	0.00	0.00	0.00	
6606	355	356	1	1		0.00	55	0.00	0.00	0.00	0.00	
6606	356	357	1	1		0.00	55	0.00	0.00	0.00	0.00	
6607	-21	-22	3	1		0.00	55	0.00	0.00	0.00	0.00	

6608	-53	-54	3	1		0.00	55	0.00	0.00	0.00	0.00	
6609	-85	-86	2	1		0.00	55	0.00	0.00	0.00	0.00	
6610	-117	-118	2	1		0.00	55	0.00	0.00	0.00	0.00	
6611	-149	-150	2	1		0.00	55	0.00	0.00	0.00	0.00	
6612	-181	-182	2	1		0.00	55	0.00	0.00	0.00	0.00	
6613	-213	-214	2	1		0.00	55	0.00	0.00	0.00	0.00	
6614	-245	-246	2	1		0.00	55	0.00	0.00	0.00	0.00	
6615	-277	-278	2	1		0.00	55	0.00	0.00	0.00	0.00	
6616	-309	-310	2	1		0.00	55	0.00	0.00	0.00	0.00	
6617	-341	-342	2	1		0.00	55	0.00	0.00	0.00	0.00	
6618	-373	-374	2	1		0.00	55	0.00	0.00	0.00	0.00	
6619	-405	-406	2	1		0.00	55	0.00	0.00	0.00	0.00	
6620	-437	-438	2	1		0.00	55	0.00	0.00	0.00	0.00	
6621	-469	-470	2	1		0.00	55	0.00	0.00	0.00	0.00	
6622	-501	-502	2	1		0.00	55	0.00	0.00	0.00	0.00	
6626	-509	-510	2	1		0.00	55	0.00	0.00	0.00	0.00	
6627	-477	-478	2	1		0.00	55	0.00	0.00	0.00	0.00	
6628	-445	-446	2	1		0.00	55	0.00	0.00	0.00	0.00	
6629	-413	-414	2	1		0.00	55	0.00	0.00	0.00	0.00	
6630	-381	-382	2	1		0.00	55	0.00	0.00	0.00	0.00	
6631	-349	-350	2	1		0.00	55	0.00	0.00	0.00	0.00	
6632	-317	-318	2	1		0.00	55	0.00	0.00	0.00	0.00	
6633	-285	-286	2	1		0.00	55	0.00	0.00	0.00	0.00	
6634	-253	-254	2	1		0.00	55	0.00	0.00	0.00	0.00	
6635	-221	-222	2	1		0.00	55	0.00	0.00	0.00	0.00	
6636	-189	-190	2	1		0.00	55	0.00	0.00	0.00	0.00	
6637	-157	-158	2	1		0.00	55	0.00	0.00	0.00	0.00	
6638	-125	-126	2	1		0.00	55	0.00	0.00	0.00	0.00	
6639	-93	-94	2	1		0.00	55	0.00	0.00	0.00	0.00	
6640	-61	-62	3	1		0.00	55	0.00	0.00	0.00	0.00	
6641	-29	-30	3	1		0.00	55	0.00	0.00	0.00	0.00	
6642	379	380	1	1		90.00	55	0.00	0.00	0.00	0.00	
6642	380	381	1	1		90.00	55	0.00	0.00	0.00	0.00	
6643	-541	-542	9	1		180.00	88	0.00	0.00	0.00	0.00	
6644	-525	-526	9	1		180.00	88	0.00	0.00	0.00	0.00	
6839	-519	-520	9	1		180.00	88	0.00	0.00	0.00	0.00	
6840	-535	-536	9	1		180.00	88	0.00	0.00	0.00	0.00	
6841	322	323	1	1		0.00	55	0.00	0.00	0.00	0.00	
6841	323	324	1	1		0.00	55	0.00	0.00	0.00	0.00	
6842	-7	-8	3	1		0.00	55	0.00	0.00	0.00	0.00	
6843	-39	-40	3	1		0.00	55	0.00	0.00	0.00	0.00	
6844	-71	-72	2	1		0.00	55	0.00	0.00	0.00	0.00	
6845	-103	-104	2	1		0.00	55	0.00	0.00	0.00	0.00	
6846	-135	-136	2	1		0.00	55	0.00	0.00	0.00	0.00	
6847	-167	-168	2	1		0.00	55	0.00	0.00	0.00	0.00	
6848	-199	-200	2	1		0.00	55	0.00	0.00	0.00	0.00	
6849	-231	-232	2	1		0.00	55	0.00	0.00	0.00	0.00	
6850	-263	-264	2	1		0.00	55	0.00	0.00	0.00	0.00	
6851	-295	-296	2	1		0.00	55	0.00	0.00	0.00	0.00	
6852	-327	-328	2	1		0.00	55	0.00	0.00	0.00	0.00	
6853	-359	-360	2	1		0.00	55	0.00	0.00	0.00	0.00	
6854	-391	-392	2	1		0.00	55	0.00	0.00	0.00	0.00	
6855	-423	-424	2	1		0.00	55	0.00	0.00	0.00	0.00	
6856	-455	-456	2	1		0.00	55	0.00	0.00	0.00	0.00	
6857	-487	-488	2	1		0.00	55	0.00	0.00	0.00	0.00	
6861	-495	-496	2	1		0.00	55	0.00	0.00	0.00	0.00	
6862	-463	-464	2	1		0.00	55	0.00	0.00	0.00	0.00	
6863	-431	-432	2	1		0.00	55	0.00	0.00	0.00	0.00	
6864	-399	-400	2	1		0.00	55	0.00	0.00	0.00	0.00	

6865	-367	-368	2	1		0.00	55	0.00	0.00	0.00	0.00	
6866	-335	-336	2	1		0.00	55	0.00	0.00	0.00	0.00	
6867	-303	-304	2	1		0.00	55	0.00	0.00	0.00	0.00	
6868	-271	-272	2	1		0.00	55	0.00	0.00	0.00	0.00	
6869	-239	-240	2	1		0.00	55	0.00	0.00	0.00	0.00	
6870	-207	-208	2	1		0.00	55	0.00	0.00	0.00	0.00	
6871	-175	-176	2	1		0.00	55	0.00	0.00	0.00	0.00	
6872	-143	-144	2	1		0.00	55	0.00	0.00	0.00	0.00	
6873	-111	-112	2	1		0.00	55	0.00	0.00	0.00	0.00	
6874	-79	-80	2	1		0.00	55	0.00	0.00	0.00	0.00	
6875	-47	-48	3	1		0.00	55	0.00	0.00	0.00	0.00	
6876	-15	-16	3	1		0.00	55	0.00	0.00	0.00	0.00	
6877	346	347	1	1		90.00	55	0.00	0.00	0.00	0.00	
6877	347	348	1	1		90.00	55	0.00	0.00	0.00	0.00	
6885	358	359	1	1		0.00	55	0.00	0.00	0.00	0.00	
6885	359	360	1	1		0.00	55	0.00	0.00	0.00	0.00	
6886	-23	-24	3	1		0.00	55	0.00	0.00	0.00	0.00	
6887	-55	-56	3	1		0.00	55	0.00	0.00	0.00	0.00	
6888	-87	-88	2	1		0.00	55	0.00	0.00	0.00	0.00	
6889	-119	-120	2	1		0.00	55	0.00	0.00	0.00	0.00	
6890	-151	-152	2	1		0.00	55	0.00	0.00	0.00	0.00	
6891	-183	-184	2	1		0.00	55	0.00	0.00	0.00	0.00	
6892	-215	-216	2	1		0.00	55	0.00	0.00	0.00	0.00	
6893	-247	-248	2	1		0.00	55	0.00	0.00	0.00	0.00	
6894	-279	-280	2	1		0.00	55	0.00	0.00	0.00	0.00	
6895	-311	-312	2	1		0.00	55	0.00	0.00	0.00	0.00	
6896	-343	-344	2	1		0.00	55	0.00	0.00	0.00	0.00	
6897	-375	-376	2	1		0.00	55	0.00	0.00	0.00	0.00	
6898	-407	-408	2	1		0.00	55	0.00	0.00	0.00	0.00	
6899	-439	-440	2	1		0.00	55	0.00	0.00	0.00	0.00	
6900	-471	-472	2	1		0.00	55	0.00	0.00	0.00	0.00	
6901	-503	-504	2	1		0.00	55	0.00	0.00	0.00	0.00	
6905	-511	-512	2	1		0.00	55	0.00	0.00	0.00	0.00	
6906	-479	-480	2	1		0.00	55	0.00	0.00	0.00	0.00	
6907	-447	-448	2	1		0.00	55	0.00	0.00	0.00	0.00	
6908	-415	-416	2	1		0.00	55	0.00	0.00	0.00	0.00	
6909	-383	-384	2	1		0.00	55	0.00	0.00	0.00	0.00	
6910	-351	-352	2	1		0.00	55	0.00	0.00	0.00	0.00	
6911	-319	-320	2	1		0.00	55	0.00	0.00	0.00	0.00	
6912	-287	-288	2	1		0.00	55	0.00	0.00	0.00	0.00	
6913	-255	-256	2	1		0.00	55	0.00	0.00	0.00	0.00	
6914	-223	-224	2	1		0.00	55	0.00	0.00	0.00	0.00	
6915	-191	-192	2	1		0.00	55	0.00	0.00	0.00	0.00	
6916	-159	-160	2	1		0.00	55	0.00	0.00	0.00	0.00	
6917	-127	-128	2	1		0.00	55	0.00	0.00	0.00	0.00	
6918	-95	-96	2	1		0.00	55	0.00	0.00	0.00	0.00	
6919	-63	-64	3	1		0.00	55	0.00	0.00	0.00	0.00	
6920	-31	-32	3	1		0.00	55	0.00	0.00	0.00	0.00	
6921	382	383	1	1		90.00	55	0.00	0.00	0.00	0.00	
6921	383	384	1	1		90.00	55	0.00	0.00	0.00	0.00	
6922	-543	-544	9	1		180.00	88	0.00	0.00	0.00	0.00	
6923	-527	-528	9	1		180.00	88	0.00	0.00	0.00	0.00	
7001	3002	-815	9	1		180.00	88	0.00	0.00	0.00	0.00	
7001	-815	3003	9	1		180.00	88	0.00	0.00	0.00	0.00	
7001	3004	-804	9	1		180.00	88	0.00	0.00	0.00	0.00	
7001	-804	3005	9	1		180.00	88	0.00	0.00	0.00	0.00	
7001	3006	-795	9	1		180.00	88	0.00	0.00	0.00	0.00	
7001	-795	3007	9	1		180.00	88	0.00	0.00	0.00	0.00	
7002	4027	-816	9	1		180.00	88	0.00	0.00	0.00	0.00	

7002	-816	4028	9	1		180.00	88	0.00	0.00	0.00	0.00	
7002	4030	-805	9	1		180.00	88	0.00	0.00	0.00	0.00	
7002	-805	4031	9	1		180.00	88	0.00	0.00	0.00	0.00	
7002	4033	-794	9	1		180.00	88	0.00	0.00	0.00	0.00	
7002	-794	4034	9	1		180.00	88	0.00	0.00	0.00	0.00	
7003	-594	-817	9	1		180.00	88	0.00	0.00	0.00	0.00	
7003	-817	-595	9	1		180.00	88	0.00	0.00	0.00	0.00	
7003	-596	-806	9	1		180.00	88	0.00	0.00	0.00	0.00	
7003	-806	-597	9	1		180.00	88	0.00	0.00	0.00	0.00	
7003	-598	-793	9	1		180.00	88	0.00	0.00	0.00	0.00	
7003	-793	-599	9	1		180.00	88	0.00	0.00	0.00	0.00	
7004	-658	-818	9	1		180.00	88	0.00	0.00	0.00	0.00	
7004	-818	-659	9	1		180.00	88	0.00	0.00	0.00	0.00	
7004	-660	-807	9	1		180.00	88	0.00	0.00	0.00	0.00	
7004	-807	-661	9	1		180.00	88	0.00	0.00	0.00	0.00	
7004	-662	-796	9	1		180.00	88	0.00	0.00	0.00	0.00	
7004	-796	-663	9	1		180.00	88	0.00	0.00	0.00	0.00	
7005	-722	-819	9	1		180.00	88	0.00	0.00	0.00	0.00	
7005	-819	-723	9	1		180.00	88	0.00	0.00	0.00	0.00	
7005	-724	-808	9	1		180.00	88	0.00	0.00	0.00	0.00	
7005	-808	-725	9	1		180.00	88	0.00	0.00	0.00	0.00	
7005	-726	-797	9	1		180.00	88	0.00	0.00	0.00	0.00	
7005	-797	-727	9	1		180.00	88	0.00	0.00	0.00	0.00	
7006	-786	-820	9	1		180.00	88	0.00	0.00	0.00	0.00	
7006	-820	-787	9	1		180.00	88	0.00	0.00	0.00	0.00	
7006	-788	-809	9	1		180.00	88	0.00	0.00	0.00	0.00	
7006	-809	-789	9	1		180.00	88	0.00	0.00	0.00	0.00	
7006	-790	-798	9	1		180.00	88	0.00	0.00	0.00	0.00	
7006	-798	-791	9	1		180.00	88	0.00	0.00	0.00	0.00	
7007	-730	-821	9	1		180.00	88	0.00	0.00	0.00	0.00	
7007	-821	-731	9	1		180.00	88	0.00	0.00	0.00	0.00	
7007	-732	-810	9	1		180.00	88	0.00	0.00	0.00	0.00	
7007	-810	-733	9	1		180.00	88	0.00	0.00	0.00	0.00	
7007	-734	-799	9	1		180.00	88	0.00	0.00	0.00	0.00	
7007	-799	-735	9	1		180.00	88	0.00	0.00	0.00	0.00	
7008	-666	-822	9	1		180.00	88	0.00	0.00	0.00	0.00	
7008	-822	-667	9	1		180.00	88	0.00	0.00	0.00	0.00	
7008	-668	-811	9	1		180.00	88	0.00	0.00	0.00	0.00	
7008	-811	-669	9	1		180.00	88	0.00	0.00	0.00	0.00	
7008	-670	-800	9	1		180.00	88	0.00	0.00	0.00	0.00	
7008	-800	-671	9	1		180.00	88	0.00	0.00	0.00	0.00	
7009	-602	-823	9	1		180.00	88	0.00	0.00	0.00	0.00	
7009	-823	-603	9	1		180.00	88	0.00	0.00	0.00	0.00	
7009	-604	-812	9	1		180.00	88	0.00	0.00	0.00	0.00	
7009	-812	-605	9	1		180.00	88	0.00	0.00	0.00	0.00	
7009	-606	-801	9	1		180.00	88	0.00	0.00	0.00	0.00	
7009	-801	-607	9	1		180.00	88	0.00	0.00	0.00	0.00	
7010	4287	-824	9	1		180.00	88	0.00	0.00	0.00	0.00	
7010	-824	4288	9	1		180.00	88	0.00	0.00	0.00	0.00	
7010	4290	-813	9	1		180.00	88	0.00	0.00	0.00	0.00	
7010	-813	4291	9	1		180.00	88	0.00	0.00	0.00	0.00	
7010	4293	-802	9	1		180.00	88	0.00	0.00	0.00	0.00	
7010	-802	4294	9	1		180.00	88	0.00	0.00	0.00	0.00	
7011	3314	-825	9	1		180.00	88	0.00	0.00	0.00	0.00	
7011	-825	3315	9	1		180.00	88	0.00	0.00	0.00	0.00	
7011	3316	-814	9	1		180.00	88	0.00	0.00	0.00	0.00	
7011	-814	3317	9	1		180.00	88	0.00	0.00	0.00	0.00	
7011	3318	-803	9	1		180.00	88	0.00	0.00	0.00	0.00	
7011	-803	3319	9	1		180.00	88	0.00	0.00	0.00	0.00	

8001	4027	-817	10	3		90.00	22	0.00	0.00	0.00	0.00	
8001	-817	-659	10	11		90.00	22	0.00	0.00	0.00	0.00	
8002	-658	-817	10	3		90.00	22	0.00	0.00	0.00	0.00	
8002	-817	4028	10	11		90.00	22	0.00	0.00	0.00	0.00	
8003	-658	-819	10	3		90.00	22	0.00	0.00	0.00	0.00	
8003	-819	-787	10	11		90.00	22	0.00	0.00	0.00	0.00	
8004	-786	-819	10	3		90.00	22	0.00	0.00	0.00	0.00	
8004	-819	-659	10	11		90.00	22	0.00	0.00	0.00	0.00	
8005	-786	-821	10	3		90.00	22	0.00	0.00	0.00	0.00	
8005	-821	-667	10	11		90.00	22	0.00	0.00	0.00	0.00	
8006	-666	-821	10	3		90.00	22	0.00	0.00	0.00	0.00	
8006	-821	-787	10	11		90.00	22	0.00	0.00	0.00	0.00	
8007	-666	-823	10	3		90.00	22	0.00	0.00	0.00	0.00	
8007	-823	4288	10	11		90.00	22	0.00	0.00	0.00	0.00	
8008	4287	-823	10	3		90.00	22	0.00	0.00	0.00	0.00	
8008	-823	-667	10	11		90.00	22	0.00	0.00	0.00	0.00	
8009	4030	-806	10	3		90.00	22	0.00	0.00	0.00	0.00	
8009	-806	-661	10	11		90.00	22	0.00	0.00	0.00	0.00	
8010	-660	-806	10	3		90.00	22	0.00	0.00	0.00	0.00	
8010	-806	4031	10	11		90.00	22	0.00	0.00	0.00	0.00	
8011	-660	-808	10	3		90.00	22	0.00	0.00	0.00	0.00	
8011	-808	-789	10	11		90.00	22	0.00	0.00	0.00	0.00	
8012	-788	-808	10	3		90.00	22	0.00	0.00	0.00	0.00	
8012	-808	-661	10	11		90.00	22	0.00	0.00	0.00	0.00	
8013	-788	-810	10	3		90.00	22	0.00	0.00	0.00	0.00	
8013	-810	-669	10	11		90.00	22	0.00	0.00	0.00	0.00	
8014	-668	-810	10	3		90.00	22	0.00	0.00	0.00	0.00	
8014	-810	-789	10	11		90.00	22	0.00	0.00	0.00	0.00	
8015	-668	-812	10	3		90.00	22	0.00	0.00	0.00	0.00	
8015	-812	4291	10	11		90.00	22	0.00	0.00	0.00	0.00	
8016	4290	-812	10	3		90.00	22	0.00	0.00	0.00	0.00	
8016	-812	-669	10	11		90.00	22	0.00	0.00	0.00	0.00	
8017	4033	-793	10	3		90.00	22	0.00	0.00	0.00	0.00	
8017	-793	-663	10	11		90.00	22	0.00	0.00	0.00	0.00	
8018	-662	-793	10	3		90.00	22	0.00	0.00	0.00	0.00	
8018	-793	4034	10	11		90.00	22	0.00	0.00	0.00	0.00	
8019	-662	-797	10	3		90.00	22	0.00	0.00	0.00	0.00	
8019	-797	-791	10	11		90.00	22	0.00	0.00	0.00	0.00	
8020	-790	-797	10	3		90.00	22	0.00	0.00	0.00	0.00	
8020	-797	-663	10	11		90.00	22	0.00	0.00	0.00	0.00	
8021	-790	-799	10	3		90.00	22	0.00	0.00	0.00	0.00	
8021	-799	-671	10	11		90.00	22	0.00	0.00	0.00	0.00	
8022	-670	-799	10	3		90.00	22	0.00	0.00	0.00	0.00	
8022	-799	-791	10	11		90.00	22	0.00	0.00	0.00	0.00	
8023	-670	-801	10	3		90.00	22	0.00	0.00	0.00	0.00	
8023	-801	4294	10	11		90.00	22	0.00	0.00	0.00	0.00	
8024	4293	-801	10	3		90.00	22	0.00	0.00	0.00	0.00	
8024	-801	-671	10	11		90.00	22	0.00	0.00	0.00	0.00	

Elenco tipi solai

Simbologia

Ts =Numero del tipo solaio
Comm. =Commento
Rc =Ripartizione carichi
UN = Unidirezionale
PP = A piastra perimetrale
PB = A piastra bisettrice
Qps =Carico permanente strutturale
Qpn =Carico permanente non strutturale

QA =Primo carico accidentale
QA2 =Secondo carico accidentale
QA3 =Terzo carico accidentale
Rip. ter. =Ripartizione su aste terminali
Rip. int. =Ripartizione su aste interne
Lfl =Larghezza fascia laterale
Zcv =Quota di riferimento del piano di campagna
s =Coeff. di riduzione
Hs =Altezza solaio
Sc =Spessore cappa
Crit. =Numero del criterio di progetto

Ts	Comm.	Rc	Qps <daN/mq>	Qpn <daN/mq>	QA <daN/mq>	QA2 <daN/mq>	QA3 <daN/mq>	Rip. ter.	Rip. int.	Lfl <m>	Zcv <m>	s	Hs <cm>	Sc <cm>	Crit.
1	copertura	UN	5.00	10.00	50.00	50.00	60.00	50.00	50.00	0.10	0.00	0.33	10.00	2.00	1
2	copertura vento da basso	UN	5.00	10.00	50.00	50.00	40.00	50.00	50.00	0.10	0.00	0.33	10.00	3.00	1

Elenco solai

Simbologia
Sol. =Numero del solaio
Ts =Numero del tipo solaio
Ord. =Orditura
Nodi =Nodi del solaio

Sol.	Ts	Ord. <grad>	Nodi
400	1	0.00	4027 -816 4028 -547 -563 -579 -595 -817 -594 -578 -562 -546
401	1	0.00	3002 -815 3003 -515 -531 4028 -816 4027 -530 -514
402	1	0.00	4025 4026 4027 -546 -562 -578 -594 -593 -577 -561 -545
403	1	0.00	3001 3002 -514 -530 4027 4026 4025 -529 -513
404	1	0.00	3003 3004 -516 -532 4030 4029 4028 -531 -515
405	1	0.00	4028 4029 4030 -548 -564 -580 -596 -595 -579 -563 -547
406	1	0.00	4030 -805 4031 -549 -565 -581 -597 -806 -596 -580 -564 -548
407	1	0.00	3004 -804 3005 -517 -533 4031 -805 4030 -532 -516
408	1	0.00	3005 3006 -518 -534 4033 4032 4031 -533 -517
409	1	0.00	4031 4032 4033 -550 -566 -582 -598 -597 -581 -565 -549
410	1	0.00	3006 -795 3007 -519 -535 4034 -794 4033 -534 -518
411	1	0.00	4033 -794 4034 -551 -567 -583 -599 -793 -598 -582 -566 -550
412	1	0.00	3007 3008 -520 -536 4036 4035 4034 -535 -519
413	1	0.00	4034 4035 4036 -552 -568 -584 -600 -599 -583 -567 -551
414	2	0.00	-601 -602 -586 -570 -554 4287 4286 4285 -553 -569 -585
415	2	0.00	4285 4286 4287 -538 -522 3314 3313 -521 -537
416	2	0.00	4287 -824 4288 -539 -523 3315 -825 3314 -522 -538
417	2	0.00	-602 -823 -603 -587 -571 -555 4288 -824 4287 -554 -570 -586
418	2	0.00	4288 4289 4290 -540 -524 3316 3315 -523 -539
419	2	0.00	-603 -604 -588 -572 -556 4290 4289 4288 -555 -571 -587
420	2	0.00	-604 -812 -605 -589 -573 -557 4291 -813 4290 -556 -572 -588
421	2	0.00	4290 -813 4291 -541 -525 3317 -814 3316 -524 -540
422	2	0.00	-605 -606 -590 -574 -558 4293 4292 4291 -557 -573 -589
423	2	0.00	4291 4292 4293 -542 -526 3318 3317 -525 -541
424	2	0.00	-607 -608 -592 -576 -560 4296 4295 4294 -559 -575 -591
425	2	0.00	4294 4295 4296 -544 -528 3320 3319 -527 -543
426	2	0.00	4293 -802 4294 -543 -527 3319 -803 3318 -526 -542
427	2	0.00	-606 -801 -607 -591 -575 -559 4294 -802 4293 -558 -574 -590
600	1	0.00	-594 -817 -595 -611 -627 -643 -659 -818 -658 -642 -626 -610
601	1	0.00	-658 -818 -659 -675 -691 -707 -723 -819 -722 -706 -690 -674
602	1	0.00	-722 -819 -723 -739 -755 -771 -787 -820 -786 -770 -754 -738
603	1	0.00	-721 -722 -738 -754 -770 -786 -785 -769 -753 -737
604	1	0.00	-657 -658 -674 -690 -706 -722 -721 -705 -689 -673

605	1	0.00	-593 -594 -610 -626 -642 -658 -657 -641 -625 -609
606	1	0.00	-595 -596 -612 -628 -644 -660 -659 -643 -627 -611
607	1	0.00	-659 -660 -676 -692 -708 -724 -723 -707 -691 -675
608	1	0.00	-723 -724 -740 -756 -772 -788 -787 -771 -755 -739
609	1	0.00	-724 -808 -725 -741 -757 -773 -789 -809 -788 -772 -756 -740
610	1	0.00	-660 -807 -661 -677 -693 -709 -725 -808 -724 -708 -692 -676
611	1	0.00	-596 -806 -597 -613 -629 -645 -661 -807 -660 -644 -628 -612
612	1	0.00	-597 -598 -614 -630 -646 -662 -661 -645 -629 -613
613	1	0.00	-661 -662 -678 -694 -710 -726 -725 -709 -693 -677
614	1	0.00	-725 -726 -742 -758 -774 -790 -789 -773 -757 -741
615	1	0.00	-598 -793 -599 -615 -631 -647 -663 -796 -662 -646 -630 -614
616	1	0.00	-662 -796 -663 -679 -695 -711 -727 -797 -726 -710 -694 -678
617	1	0.00	-726 -797 -727 -743 -759 -775 -791 -798 -790 -774 -758 -742
618	1	0.00	-599 -600 -616 -632 -648 -664 -663 -647 -631 -615
619	1	0.00	-663 -664 -680 -696 -712 -728 -727 -711 -695 -679
620	1	0.00	-727 -728 -744 -760 -776 -792 -791 -775 -759 -743
621	2	0.00	-785 -786 -778 -762 -746 -730 -729 -745 -761 -777
622	2	0.00	-729 -730 -714 -698 -682 -666 -665 -681 -697 -713
623	2	0.00	-665 -666 -650 -634 -618 -602 -601 -617 -633 -649
624	2	0.00	-666 -822 -667 -651 -635 -619 -603 -823 -602 -618 -634 -650
625	2	0.00	-730 -821 -731 -715 -699 -683 -667 -822 -666 -682 -698 -714
626	2	0.00	-786 -820 -787 -779 -763 -747 -731 -821 -730 -746 -762 -778
627	2	0.00	-667 -668 -652 -636 -620 -604 -603 -619 -635 -651
628	2	0.00	-787 -788 -780 -764 -748 -732 -731 -747 -763 -779
629	2	0.00	-731 -732 -716 -700 -684 -668 -667 -683 -699 -715
630	2	0.00	-788 -809 -789 -781 -765 -749 -733 -810 -732 -748 -764 -780
631	2	0.00	-732 -810 -733 -717 -701 -685 -669 -811 -668 -684 -700 -716
632	2	0.00	-668 -811 -669 -653 -637 -621 -605 -812 -604 -620 -636 -652
633	2	0.00	-789 -790 -782 -766 -750 -734 -733 -749 -765 -781
634	2	0.00	-733 -734 -718 -702 -686 -670 -669 -685 -701 -717
635	2	0.00	-669 -670 -654 -638 -622 -606 -605 -621 -637 -653
636	2	0.00	-791 -792 -784 -768 -752 -736 -735 -751 -767 -783
637	2	0.00	-735 -736 -720 -704 -688 -672 -671 -687 -703 -719
638	2	0.00	-671 -672 -656 -640 -624 -608 -607 -623 -639 -655
639	2	0.00	-670 -800 -671 -655 -639 -623 -607 -801 -606 -622 -638 -654
640	2	0.00	-734 -799 -735 -719 -703 -687 -671 -800 -670 -686 -702 -718
641	2	0.00	-790 -798 -791 -783 -767 -751 -735 -799 -734 -750 -766 -782

Carichi

Condizioni di carico elementari

Simbologia

CCE =Numero della condizione di carico elementare
Comm. =Commento
Tipo CCE =Tipo di CCE per calcolo agli stati limite
Sic. =Contributo alla sicurezza
F = a favore
S = a sfavore
A = ambigua
Var. =Tipo di variabilità
B = di base
I = indipendente
A = ambigua
Dir. =Direzione del vento
Tipo =Tipologia di pressione vento
M = Massimizzata
E = Esterna
I = Interna

Mx =Moltiplicatore della massa in dir. X
My =Moltiplicatore della massa in dir. Y
Mz =Moltiplicatore della massa in dir. Z
Jpx =Moltiplicatore del momento d'inerzia intorno all'asse X
Jpy =Moltiplicatore del momento d'inerzia intorno all'asse Y
Jpz =Moltiplicatore del momento d'inerzia intorno all'asse Z

CCE	Comm.	Tipo CCE	Sic.	Var.	Dir. <grad>	Tipo	Mx	My	Mz	Jpx	Jpy	Jpz
1	permanente strutturale	1 D.M. 18 Permanenti strutturali	S	--	--	--	1.00	1.00	0.00	0.00	0.00	1.00
2	permanente non strutturale	2 D.M. 18 Permanenti non strutturali	S	--	--	--	1.00	1.00	0.00	0.00	0.00	1.00
3	neve	12 D.M. 18 Variabili Neve (a quota <= 1000 m s.l.m.)	S	A	--	--	1.00	1.00	0.00	0.00	0.00	1.00
4	copertura	19 D.M. 18 Variabili Categoria H - Coperture accessibili per sola manutenzione	S	A	--	--	1.00	1.00	0.00	0.00	0.00	1.00
5	vento	11 D.M. 18 Variabili Vento	S	A	0.00	M	0.00	0.00	0.00	0.00	0.00	0.00
6	vento da baso	11 D.M. 18 Variabili Vento	S	A	0.00	M	0.00	0.00	0.00	0.00	0.00	0.00
7	vento longitudinale	11 D.M. 18 Variabili Vento	S	A	0.00	M	0.00	0.00	0.00	0.00	0.00	0.00

Elenco carichi aste
Condizione di carico n. 1: permanente strutturale
Elenco peso proprio aste

Simbologia
Sez. =Numero della sezione
Comm. =Commento
A =Area
Mat. =Materiale
P =Peso specifico
PL =Peso specifico a metro lineare

Sez.	Comm.	A <cmq>	Mat.	P <daN/mc>	PL <daN/m>
1	angolari L50x10	9.052610	Acciaio	7850.00	7.11
2	calastrelli 50x10	5.000000	Acciaio	7850.00	3.92
3	calastrelli 100x5	10.000000	Acciaio	7850.00	7.85
4	montante SHS120x120x6.3	28.652400	Acciaio	7850.00	22.49
5	modellazione SHS50x50x5	9.000000	Acciaio	7850.00	7.07
6	briglie 50x10	5.000000	Acciaio	7850.00	3.92
7	montanti 50x10	5.000000	Acciaio	7850.00	3.92
8	collegamenti 50x10	5.000000	Acciaio	7850.00	3.92
9	arcarecci T 120x60x10	16.995700	Acciaio	7850.00	13.34
10	controventi 50x5	2.500000	Acciaio	7850.00	1.96
11	fondazione 50x40	2000.000000	Calcestruzzo classe C30/37	2500.00	500.00
12	piatto 150x5	7.500000	Acciaio	7850.00	5.89

Elenco carichi aste
Condizione di carico n. 1: permanente strutturale
Carichi distribuiti

Simbologia
Asta =Numero dell'asta
N1 =Nodo iniziale
N2 =Nodo finale
E =Elemento provenienza del carico
S = Solaio
T = Tamponatura
NE =Numero elemento di provenienza del carico
T =Tipo di carico
QA = Primo carico accidentale
QA2 = Secondo carico accidentale
QA3 = Terzo carico accidentale
QPS = Carico permanente strutturale
QPN = Carico permanente non strutturale
VE = Vento

M = Manuale

DC =Direzione del carico

XG,YG,ZG = secondo gli assi globali

XL,YL,ZL = secondo gli assi locali

Xi =Distanza iniziale

Qi =Carico iniziale

Xf =Distanza finale

Qf =Carico finale

Asta	N1	N2	E	NE	T	DC	Xi <m>	Qi <daN/m>	Xf <m>	Qf <daN/m>
3001	3001	3002	S	403	QPS	ZG	0.00	0.50	0.12	0.50
3001	3005	3006	S	408	QPS	ZG	0.00	0.50	0.12	0.50
3087	3313	3314	S	415	QPS	ZG	0.00	0.50	0.12	0.50
3087	3317	3318	S	423	QPS	ZG	0.00	0.50	0.12	0.50
4022	4025	4026	S	402	QPS	ZG	0.00	0.50	0.06	0.50
4022	4026	4027	S	402	QPS	ZG	0.00	0.50	0.06	0.50
4022	4028	4029	S	404	QPS	ZG	0.00	0.50	0.06	0.50
4022	4029	4030	S	404	QPS	ZG	0.00	0.50	0.06	0.50
4022	4031	4032	S	408	QPS	ZG	0.00	0.50	0.06	0.50
4022	4032	4033	S	408	QPS	ZG	0.00	0.50	0.06	0.50
4022	4034	4035	S	412	QPS	ZG	0.00	0.50	0.06	0.50
4022	4035	4036	S	412	QPS	ZG	0.00	0.50	0.06	0.50
4066	4285	4286	S	414	QPS	ZG	0.00	0.50	0.06	0.50
4066	4286	4287	S	414	QPS	ZG	0.00	0.50	0.06	0.50
4066	4288	4289	S	418	QPS	ZG	0.00	0.50	0.06	0.50
4066	4289	4290	S	418	QPS	ZG	0.00	0.50	0.06	0.50
4066	4291	4292	S	422	QPS	ZG	0.00	0.50	0.06	0.50
4066	4292	4293	S	422	QPS	ZG	0.00	0.50	0.06	0.50
4066	4294	4295	S	424	QPS	ZG	0.00	0.50	0.06	0.50
4066	4295	4296	S	424	QPS	ZG	0.00	0.50	0.06	0.50
4106	3001	-513	S	403	QPS	ZG	0.00	0.18	0.17	0.18
4106	-529	4025	S	403	QPS	ZG	0.00	0.18	0.17	0.18
4106	-545	-561	S	402	QPS	ZG	0.00	0.23	0.22	0.23
4106	-577	-593	S	402	QPS	ZG	0.00	0.23	0.22	0.23

Asta	N1	N2	E	NE	T	DC	Xi <m>	Qi <daN/m>	Xf <m>	Qf <daN/m>
3001	3003	3004	S	404	QPS	ZG	0.00	0.50	0.12	0.50
3001	3007	3008	S	412	QPS	ZG	0.00	0.50	0.12	0.50
3087	3315	3316	S	418	QPS	ZG	0.00	0.50	0.12	0.50
3087	3319	3320	S	425	QPS	ZG	0.00	0.50	0.12	0.50
4022	4025	4026	S	403	QPS	ZG	0.00	0.50	0.06	0.50
4022	4026	4027	S	403	QPS	ZG	0.00	0.50	0.06	0.50
4022	4028	4029	S	405	QPS	ZG	0.00	0.50	0.06	0.50
4022	4029	4030	S	405	QPS	ZG	0.00	0.50	0.06	0.50
4022	4031	4032	S	409	QPS	ZG	0.00	0.50	0.06	0.50
4022	4032	4033	S	409	QPS	ZG	0.00	0.50	0.06	0.50
4022	4034	4035	S	413	QPS	ZG	0.00	0.50	0.06	0.50
4022	4035	4036	S	413	QPS	ZG	0.00	0.50	0.06	0.50
4066	4285	4286	S	415	QPS	ZG	0.00	0.50	0.06	0.50
4066	4286	4287	S	415	QPS	ZG	0.00	0.50	0.06	0.50
4066	4288	4289	S	419	QPS	ZG	0.00	0.50	0.06	0.50
4066	4289	4290	S	419	QPS	ZG	0.00	0.50	0.06	0.50
4066	4291	4292	S	423	QPS	ZG	0.00	0.50	0.06	0.50
4066	4292	4293	S	423	QPS	ZG	0.00	0.50	0.06	0.50
4066	4294	4295	S	425	QPS	ZG	0.00	0.50	0.06	0.50
4066	4295	4296	S	425	QPS	ZG	0.00	0.50	0.06	0.50
4106	-513	-529	S	403	QPS	ZG	0.00	0.18	0.17	0.18
4106	4025	-545	S	402	QPS	ZG	0.00	0.23	0.22	0.23
4106	-561	-577	S	402	QPS	ZG	0.00	0.23	0.22	0.23
4106	-593	-609	S	605	QPS	ZG	0.00	0.23	0.22	0.23

4106	-609	-625	S	605	QPS	ZG	0.00	0.23	0.22	0.23
4106	-641	-657	S	605	QPS	ZG	0.00	0.23	0.22	0.23
4106	-673	-689	S	604	QPS	ZG	0.00	0.23	0.22	0.23
4106	-705	-721	S	604	QPS	ZG	0.00	0.23	0.22	0.23
4106	-737	-753	S	603	QPS	ZG	0.00	0.23	0.22	0.23
4106	-769	-785	S	603	QPS	ZG	0.00	0.23	0.22	0.23
4107	3002	-514	S	403	QPS	ZG	0.00	0.18	0.17	0.18
4107	-514	-530	S	403	QPS	ZG	0.00	0.18	0.17	0.18
4107	-530	4027	S	403	QPS	ZG	0.00	0.18	0.17	0.18
4107	4027	-546	S	402	QPS	ZG	0.00	0.23	0.22	0.23
4107	-546	-562	S	402	QPS	ZG	0.00	0.23	0.22	0.23
4107	-562	-578	S	402	QPS	ZG	0.00	0.23	0.22	0.23
4107	-578	-594	S	402	QPS	ZG	0.00	0.23	0.22	0.23
4107	-594	-610	S	605	QPS	ZG	0.00	0.23	0.22	0.23
4107	-610	-626	S	605	QPS	ZG	0.00	0.23	0.22	0.23
4107	-626	-642	S	605	QPS	ZG	0.00	0.23	0.22	0.23
4107	-642	-658	S	605	QPS	ZG	0.00	0.23	0.22	0.23
4107	-658	-674	S	604	QPS	ZG	0.00	0.23	0.22	0.23
4107	-674	-690	S	604	QPS	ZG	0.00	0.23	0.22	0.23
4107	-690	-706	S	604	QPS	ZG	0.00	0.23	0.22	0.23
4107	-706	-722	S	604	QPS	ZG	0.00	0.23	0.22	0.23
4107	-722	-738	S	603	QPS	ZG	0.00	0.23	0.22	0.23
4107	-738	-754	S	603	QPS	ZG	0.00	0.23	0.22	0.23
4107	-754	-770	S	603	QPS	ZG	0.00	0.23	0.22	0.23
4107	-770	-786	S	603	QPS	ZG	0.00	0.23	0.22	0.23
4144	3003	-515	S	404	QPS	ZG	0.00	0.18	0.17	0.18
4144	-515	-531	S	404	QPS	ZG	0.00	0.18	0.17	0.18
4144	-531	4028	S	404	QPS	ZG	0.00	0.18	0.17	0.18
4144	4028	-547	S	405	QPS	ZG	0.00	0.23	0.22	0.23
4144	-547	-563	S	405	QPS	ZG	0.00	0.23	0.22	0.23

4106	-625	-641	S	605	QPS	ZG	0.00	0.23	0.22	0.23
4106	-657	-673	S	604	QPS	ZG	0.00	0.23	0.22	0.23
4106	-689	-705	S	604	QPS	ZG	0.00	0.23	0.22	0.23
4106	-721	-737	S	603	QPS	ZG	0.00	0.23	0.22	0.23
4106	-753	-769	S	603	QPS	ZG	0.00	0.23	0.22	0.23
4107	3002	-514	S	401	QPS	ZG	0.00	4.63	0.17	4.63
4107	-514	-530	S	401	QPS	ZG	0.00	4.63	0.17	4.63
4107	-530	4027	S	401	QPS	ZG	0.00	4.63	0.17	4.63
4107	4027	-546	S	400	QPS	ZG	0.00	5.92	0.22	5.92
4107	-546	-562	S	400	QPS	ZG	0.00	5.92	0.22	5.92
4107	-562	-578	S	400	QPS	ZG	0.00	5.92	0.22	5.92
4107	-578	-594	S	400	QPS	ZG	0.00	5.92	0.22	5.92
4107	-594	-610	S	600	QPS	ZG	0.00	5.92	0.22	5.92
4107	-610	-626	S	600	QPS	ZG	0.00	5.92	0.22	5.92
4107	-626	-642	S	600	QPS	ZG	0.00	5.92	0.22	5.92
4107	-642	-658	S	600	QPS	ZG	0.00	5.92	0.22	5.92
4107	-658	-674	S	601	QPS	ZG	0.00	5.92	0.22	5.92
4107	-674	-690	S	601	QPS	ZG	0.00	5.92	0.22	5.92
4107	-690	-706	S	601	QPS	ZG	0.00	5.92	0.22	5.92
4107	-706	-722	S	601	QPS	ZG	0.00	5.92	0.22	5.92
4107	-722	-738	S	602	QPS	ZG	0.00	5.92	0.22	5.92
4107	-738	-754	S	602	QPS	ZG	0.00	5.92	0.22	5.92
4107	-754	-770	S	602	QPS	ZG	0.00	5.92	0.22	5.92
4107	-770	-786	S	602	QPS	ZG	0.00	5.92	0.22	5.92
4144	3003	-515	S	401	QPS	ZG	0.00	4.63	0.17	4.63
4144	-515	-531	S	401	QPS	ZG	0.00	4.63	0.17	4.63
4144	-531	4028	S	401	QPS	ZG	0.00	4.63	0.17	4.63
4144	4028	-547	S	400	QPS	ZG	0.00	5.92	0.22	5.92
4144	-547	-563	S	400	QPS	ZG	0.00	5.92	0.22	5.92
4144	-563	-579	S	400	QPS	ZG	0.00	5.92	0.22	5.92

4144	-563	-579	S	405	QPS	ZG	0.00	0.23	0.22	0.23
4144	-579	-595	S	405	QPS	ZG	0.00	0.23	0.22	0.23
4144	-595	-611	S	606	QPS	ZG	0.00	0.23	0.22	0.23
4144	-611	-627	S	606	QPS	ZG	0.00	0.23	0.22	0.23
4144	-627	-643	S	606	QPS	ZG	0.00	0.23	0.22	0.23
4144	-643	-659	S	606	QPS	ZG	0.00	0.23	0.22	0.23
4144	-659	-675	S	607	QPS	ZG	0.00	0.23	0.22	0.23
4144	-675	-691	S	607	QPS	ZG	0.00	0.23	0.22	0.23
4144	-691	-707	S	607	QPS	ZG	0.00	0.23	0.22	0.23
4144	-707	-723	S	607	QPS	ZG	0.00	0.23	0.22	0.23
4144	-723	-739	S	608	QPS	ZG	0.00	0.23	0.22	0.23
4144	-739	-755	S	608	QPS	ZG	0.00	0.23	0.22	0.23
4144	-755	-771	S	608	QPS	ZG	0.00	0.23	0.22	0.23
4144	-771	-787	S	608	QPS	ZG	0.00	0.23	0.22	0.23
4145	3004	-516	S	407	QPS	ZG	0.00	4.93	0.17	4.93
4145	-516	-532	S	407	QPS	ZG	0.00	4.93	0.17	4.93
4145	-532	4030	S	407	QPS	ZG	0.00	4.93	0.17	4.93
4145	4030	-548	S	406	QPS	ZG	0.00	6.30	0.22	6.30
4145	-548	-564	S	406	QPS	ZG	0.00	6.30	0.22	6.30
4145	-564	-580	S	406	QPS	ZG	0.00	6.30	0.22	6.30
4145	-580	-596	S	406	QPS	ZG	0.00	6.30	0.22	6.30
4145	-596	-612	S	611	QPS	ZG	0.00	6.30	0.22	6.30
4145	-612	-628	S	611	QPS	ZG	0.00	6.30	0.22	6.30
4145	-628	-644	S	611	QPS	ZG	0.00	6.30	0.22	6.30
4145	-644	-660	S	611	QPS	ZG	0.00	6.30	0.22	6.30
4145	-660	-676	S	610	QPS	ZG	0.00	6.30	0.22	6.30
4145	-676	-692	S	610	QPS	ZG	0.00	6.30	0.22	6.30
4145	-692	-708	S	610	QPS	ZG	0.00	6.30	0.22	6.30
4145	-708	-724	S	610	QPS	ZG	0.00	6.30	0.22	6.30
4145	-724	-740	S	609	QPS	ZG	0.00	6.30	0.22	6.30
4144	-579	-595	S	400	QPS	ZG	0.00	5.92	0.22	5.92
4144	-595	-611	S	600	QPS	ZG	0.00	5.92	0.22	5.92
4144	-611	-627	S	600	QPS	ZG	0.00	5.92	0.22	5.92
4144	-627	-643	S	600	QPS	ZG	0.00	5.92	0.22	5.92
4144	-643	-659	S	600	QPS	ZG	0.00	5.92	0.22	5.92
4144	-659	-675	S	601	QPS	ZG	0.00	5.92	0.22	5.92
4144	-675	-691	S	601	QPS	ZG	0.00	5.92	0.22	5.92
4144	-691	-707	S	601	QPS	ZG	0.00	5.92	0.22	5.92
4144	-707	-723	S	601	QPS	ZG	0.00	5.92	0.22	5.92
4144	-723	-739	S	602	QPS	ZG	0.00	5.92	0.22	5.92
4144	-739	-755	S	602	QPS	ZG	0.00	5.92	0.22	5.92
4144	-755	-771	S	602	QPS	ZG	0.00	5.92	0.22	5.92
4144	-771	-787	S	602	QPS	ZG	0.00	5.92	0.22	5.92
4145	3004	-516	S	404	QPS	ZG	0.00	0.18	0.17	0.18
4145	-516	-532	S	404	QPS	ZG	0.00	0.18	0.17	0.18
4145	-532	4030	S	404	QPS	ZG	0.00	0.18	0.17	0.18
4145	4030	-548	S	405	QPS	ZG	0.00	0.23	0.22	0.23
4145	-548	-564	S	405	QPS	ZG	0.00	0.23	0.22	0.23
4145	-564	-580	S	405	QPS	ZG	0.00	0.23	0.22	0.23
4145	-580	-596	S	405	QPS	ZG	0.00	0.23	0.22	0.23
4145	-596	-612	S	606	QPS	ZG	0.00	0.23	0.22	0.23
4145	-612	-628	S	606	QPS	ZG	0.00	0.23	0.22	0.23
4145	-628	-644	S	606	QPS	ZG	0.00	0.23	0.22	0.23
4145	-644	-660	S	606	QPS	ZG	0.00	0.23	0.22	0.23
4145	-660	-676	S	607	QPS	ZG	0.00	0.23	0.22	0.23
4145	-676	-692	S	607	QPS	ZG	0.00	0.23	0.22	0.23
4145	-692	-708	S	607	QPS	ZG	0.00	0.23	0.22	0.23
4145	-708	-724	S	607	QPS	ZG	0.00	0.23	0.22	0.23
4145	-724	-740	S	608	QPS	ZG	0.00	0.23	0.22	0.23
4145	-740	-756	S	608	QPS	ZG	0.00	0.23	0.22	0.23

4145	-740	-756	S	609	QPS	ZG	0.00	6.30	0.22	6.30
4145	-756	-772	S	609	QPS	ZG	0.00	6.30	0.22	6.30
4145	-772	-788	S	609	QPS	ZG	0.00	6.30	0.22	6.30
4182	3005	-517	S	408	QPS	ZG	0.00	0.18	0.17	0.18
4182	-517	-533	S	408	QPS	ZG	0.00	0.18	0.17	0.18
4182	-533	4031	S	408	QPS	ZG	0.00	0.18	0.17	0.18
4182	4031	-549	S	409	QPS	ZG	0.00	0.23	0.22	0.23
4182	-549	-565	S	409	QPS	ZG	0.00	0.23	0.22	0.23
4182	-565	-581	S	409	QPS	ZG	0.00	0.23	0.22	0.23
4182	-581	-597	S	409	QPS	ZG	0.00	0.23	0.22	0.23
4182	-597	-613	S	612	QPS	ZG	0.00	0.23	0.22	0.23
4182	-613	-629	S	612	QPS	ZG	0.00	0.23	0.22	0.23
4182	-629	-645	S	612	QPS	ZG	0.00	0.23	0.22	0.23
4182	-645	-661	S	612	QPS	ZG	0.00	0.23	0.22	0.23
4182	-661	-677	S	613	QPS	ZG	0.00	0.23	0.22	0.23
4182	-677	-693	S	613	QPS	ZG	0.00	0.23	0.22	0.23
4182	-693	-709	S	613	QPS	ZG	0.00	0.23	0.22	0.23
4182	-709	-725	S	613	QPS	ZG	0.00	0.23	0.22	0.23
4182	-725	-741	S	614	QPS	ZG	0.00	0.23	0.22	0.23
4182	-741	-757	S	614	QPS	ZG	0.00	0.23	0.22	0.23
4182	-757	-773	S	614	QPS	ZG	0.00	0.23	0.22	0.23
4182	-773	-789	S	614	QPS	ZG	0.00	0.23	0.22	0.23
4183	3006	-518	S	410	QPS	ZG	0.00	4.63	0.17	4.63
4183	-518	-534	S	410	QPS	ZG	0.00	4.63	0.17	4.63
4183	-534	4033	S	410	QPS	ZG	0.00	4.63	0.17	4.63
4183	4033	-550	S	411	QPS	ZG	0.00	5.92	0.22	5.92
4183	-550	-566	S	411	QPS	ZG	0.00	5.92	0.22	5.92
4183	-566	-582	S	411	QPS	ZG	0.00	5.92	0.22	5.92
4183	-582	-598	S	411	QPS	ZG	0.00	5.92	0.22	5.92
4183	-598	-614	S	615	QPS	ZG	0.00	5.92	0.22	5.92

4145	-756	-772	S	608	QPS	ZG	0.00	0.23	0.22	0.23
4145	-772	-788	S	608	QPS	ZG	0.00	0.23	0.22	0.23
4182	3005	-517	S	407	QPS	ZG	0.00	4.93	0.17	4.93
4182	-517	-533	S	407	QPS	ZG	0.00	4.93	0.17	4.93
4182	-533	4031	S	407	QPS	ZG	0.00	4.93	0.17	4.93
4182	4031	-549	S	406	QPS	ZG	0.00	6.30	0.22	6.30
4182	-549	-565	S	406	QPS	ZG	0.00	6.30	0.22	6.30
4182	-565	-581	S	406	QPS	ZG	0.00	6.30	0.22	6.30
4182	-581	-597	S	406	QPS	ZG	0.00	6.30	0.22	6.30
4182	-597	-613	S	611	QPS	ZG	0.00	6.30	0.22	6.30
4182	-613	-629	S	611	QPS	ZG	0.00	6.30	0.22	6.30
4182	-629	-645	S	611	QPS	ZG	0.00	6.30	0.22	6.30
4182	-645	-661	S	611	QPS	ZG	0.00	6.30	0.22	6.30
4182	-661	-677	S	610	QPS	ZG	0.00	6.30	0.22	6.30
4182	-677	-693	S	610	QPS	ZG	0.00	6.30	0.22	6.30
4182	-693	-709	S	610	QPS	ZG	0.00	6.30	0.22	6.30
4182	-709	-725	S	610	QPS	ZG	0.00	6.30	0.22	6.30
4182	-725	-741	S	609	QPS	ZG	0.00	6.30	0.22	6.30
4182	-741	-757	S	609	QPS	ZG	0.00	6.30	0.22	6.30
4182	-757	-773	S	609	QPS	ZG	0.00	6.30	0.22	6.30
4182	-773	-789	S	609	QPS	ZG	0.00	6.30	0.22	6.30
4183	3006	-518	S	408	QPS	ZG	0.00	0.18	0.17	0.18
4183	-518	-534	S	408	QPS	ZG	0.00	0.18	0.17	0.18
4183	-534	4033	S	408	QPS	ZG	0.00	0.18	0.17	0.18
4183	4033	-550	S	409	QPS	ZG	0.00	0.23	0.22	0.23
4183	-550	-566	S	409	QPS	ZG	0.00	0.23	0.22	0.23
4183	-566	-582	S	409	QPS	ZG	0.00	0.23	0.22	0.23
4183	-582	-598	S	409	QPS	ZG	0.00	0.23	0.22	0.23
4183	-598	-614	S	612	QPS	ZG	0.00	0.23	0.22	0.23
4183	-614	-630	S	612	QPS	ZG	0.00	0.23	0.22	0.23

4183	-614	-630	S	615	QPS	ZG	0.00	5.92	0.22	5.92
4183	-630	-646	S	615	QPS	ZG	0.00	5.92	0.22	5.92
4183	-646	-662	S	615	QPS	ZG	0.00	5.92	0.22	5.92
4183	-662	-678	S	616	QPS	ZG	0.00	5.92	0.22	5.92
4183	-678	-694	S	616	QPS	ZG	0.00	5.92	0.22	5.92
4183	-694	-710	S	616	QPS	ZG	0.00	5.92	0.22	5.92
4183	-710	-726	S	616	QPS	ZG	0.00	5.92	0.22	5.92
4183	-726	-742	S	617	QPS	ZG	0.00	5.92	0.22	5.92
4183	-742	-758	S	617	QPS	ZG	0.00	5.92	0.22	5.92
4183	-758	-774	S	617	QPS	ZG	0.00	5.92	0.22	5.92
4183	-774	-790	S	617	QPS	ZG	0.00	5.92	0.22	5.92
4220	3007	-519	S	412	QPS	ZG	0.00	0.18	0.17	0.18
4220	-519	-535	S	412	QPS	ZG	0.00	0.18	0.17	0.18
4220	-535	4034	S	412	QPS	ZG	0.00	0.18	0.17	0.18
4220	4034	-551	S	413	QPS	ZG	0.00	0.23	0.22	0.23
4220	-551	-567	S	413	QPS	ZG	0.00	0.23	0.22	0.23
4220	-567	-583	S	413	QPS	ZG	0.00	0.23	0.22	0.23
4220	-583	-599	S	413	QPS	ZG	0.00	0.23	0.22	0.23
4220	-599	-615	S	618	QPS	ZG	0.00	0.23	0.22	0.23
4220	-615	-631	S	618	QPS	ZG	0.00	0.23	0.22	0.23
4220	-631	-647	S	618	QPS	ZG	0.00	0.23	0.22	0.23
4220	-647	-663	S	618	QPS	ZG	0.00	0.23	0.22	0.23
4220	-663	-679	S	619	QPS	ZG	0.00	0.23	0.22	0.23
4220	-679	-695	S	619	QPS	ZG	0.00	0.23	0.22	0.23
4220	-695	-711	S	619	QPS	ZG	0.00	0.23	0.22	0.23
4220	-711	-727	S	619	QPS	ZG	0.00	0.23	0.22	0.23
4220	-727	-743	S	620	QPS	ZG	0.00	0.23	0.22	0.23
4220	-743	-759	S	620	QPS	ZG	0.00	0.23	0.22	0.23
4220	-759	-775	S	620	QPS	ZG	0.00	0.23	0.22	0.23
4220	-775	-791	S	620	QPS	ZG	0.00	0.23	0.22	0.23

4183	-630	-646	S	612	QPS	ZG	0.00	0.23	0.22	0.23
4183	-646	-662	S	612	QPS	ZG	0.00	0.23	0.22	0.23
4183	-662	-678	S	613	QPS	ZG	0.00	0.23	0.22	0.23
4183	-678	-694	S	613	QPS	ZG	0.00	0.23	0.22	0.23
4183	-694	-710	S	613	QPS	ZG	0.00	0.23	0.22	0.23
4183	-710	-726	S	613	QPS	ZG	0.00	0.23	0.22	0.23
4183	-726	-742	S	614	QPS	ZG	0.00	0.23	0.22	0.23
4183	-742	-758	S	614	QPS	ZG	0.00	0.23	0.22	0.23
4183	-758	-774	S	614	QPS	ZG	0.00	0.23	0.22	0.23
4183	-774	-790	S	614	QPS	ZG	0.00	0.23	0.22	0.23
4220	3007	-519	S	410	QPS	ZG	0.00	4.63	0.17	4.63
4220	-519	-535	S	410	QPS	ZG	0.00	4.63	0.17	4.63
4220	-535	4034	S	410	QPS	ZG	0.00	4.63	0.17	4.63
4220	4034	-551	S	411	QPS	ZG	0.00	5.92	0.22	5.92
4220	-551	-567	S	411	QPS	ZG	0.00	5.92	0.22	5.92
4220	-567	-583	S	411	QPS	ZG	0.00	5.92	0.22	5.92
4220	-583	-599	S	411	QPS	ZG	0.00	5.92	0.22	5.92
4220	-599	-615	S	615	QPS	ZG	0.00	5.92	0.22	5.92
4220	-615	-631	S	615	QPS	ZG	0.00	5.92	0.22	5.92
4220	-631	-647	S	615	QPS	ZG	0.00	5.92	0.22	5.92
4220	-647	-663	S	615	QPS	ZG	0.00	5.92	0.22	5.92
4220	-663	-679	S	616	QPS	ZG	0.00	5.92	0.22	5.92
4220	-679	-695	S	616	QPS	ZG	0.00	5.92	0.22	5.92
4220	-695	-711	S	616	QPS	ZG	0.00	5.92	0.22	5.92
4220	-711	-727	S	616	QPS	ZG	0.00	5.92	0.22	5.92
4220	-727	-743	S	617	QPS	ZG	0.00	5.92	0.22	5.92
4220	-743	-759	S	617	QPS	ZG	0.00	5.92	0.22	5.92
4220	-759	-775	S	617	QPS	ZG	0.00	5.92	0.22	5.92
4220	-775	-791	S	617	QPS	ZG	0.00	5.92	0.22	5.92
4221	3008	-520	S	412	QPS	ZG	0.00	0.18	0.17	0.18

4221	-520	-536	S	412	QPS	ZG	0.00	0.18	0.17	0.18
4221	4036	-552	S	413	QPS	ZG	0.00	0.23	0.22	0.23
4221	-568	-584	S	413	QPS	ZG	0.00	0.23	0.22	0.23
4221	-600	-616	S	618	QPS	ZG	0.00	0.23	0.22	0.23
4221	-632	-648	S	618	QPS	ZG	0.00	0.23	0.22	0.23
4221	-664	-680	S	619	QPS	ZG	0.00	0.23	0.22	0.23
4221	-696	-712	S	619	QPS	ZG	0.00	0.23	0.22	0.23
4221	-728	-744	S	620	QPS	ZG	0.00	0.23	0.22	0.23
4221	-760	-776	S	620	QPS	ZG	0.00	0.23	0.22	0.23
4385	-785	-777	S	621	QPS	ZG	0.00	0.23	0.22	0.23
4385	-761	-745	S	621	QPS	ZG	0.00	0.23	0.22	0.23
4385	-729	-713	S	622	QPS	ZG	0.00	0.23	0.22	0.23
4385	-697	-681	S	622	QPS	ZG	0.00	0.23	0.22	0.23
4385	-665	-649	S	623	QPS	ZG	0.00	0.23	0.22	0.23
4385	-633	-617	S	623	QPS	ZG	0.00	0.23	0.22	0.23
4385	-601	-585	S	414	QPS	ZG	0.00	0.23	0.22	0.23
4385	-569	-553	S	414	QPS	ZG	0.00	0.23	0.22	0.23
4385	4285	-537	S	415	QPS	ZG	0.00	0.18	0.17	0.18
4385	-521	3313	S	415	QPS	ZG	0.00	0.18	0.17	0.18
4386	-786	-778	S	626	QPS	ZG	0.00	5.92	0.22	5.92
4386	-778	-762	S	626	QPS	ZG	0.00	5.92	0.22	5.92
4386	-762	-746	S	626	QPS	ZG	0.00	5.92	0.22	5.92
4386	-746	-730	S	626	QPS	ZG	0.00	5.92	0.22	5.92
4386	-730	-714	S	625	QPS	ZG	0.00	5.92	0.22	5.92
4386	-714	-698	S	625	QPS	ZG	0.00	5.92	0.22	5.92
4386	-698	-682	S	625	QPS	ZG	0.00	5.92	0.22	5.92
4386	-682	-666	S	625	QPS	ZG	0.00	5.92	0.22	5.92
4386	-666	-650	S	624	QPS	ZG	0.00	5.92	0.22	5.92
4386	-650	-634	S	624	QPS	ZG	0.00	5.92	0.22	5.92
4386	-634	-618	S	624	QPS	ZG	0.00	5.92	0.22	5.92

4221	-536	4036	S	412	QPS	ZG	0.00	0.18	0.17	0.18
4221	-552	-568	S	413	QPS	ZG	0.00	0.23	0.22	0.23
4221	-584	-600	S	413	QPS	ZG	0.00	0.23	0.22	0.23
4221	-616	-632	S	618	QPS	ZG	0.00	0.23	0.22	0.23
4221	-648	-664	S	618	QPS	ZG	0.00	0.23	0.22	0.23
4221	-680	-696	S	619	QPS	ZG	0.00	0.23	0.22	0.23
4221	-712	-728	S	619	QPS	ZG	0.00	0.23	0.22	0.23
4221	-744	-760	S	620	QPS	ZG	0.00	0.23	0.22	0.23
4221	-776	-792	S	620	QPS	ZG	0.00	0.23	0.22	0.23
4385	-777	-761	S	621	QPS	ZG	0.00	0.23	0.22	0.23
4385	-745	-729	S	621	QPS	ZG	0.00	0.23	0.22	0.23
4385	-713	-697	S	622	QPS	ZG	0.00	0.23	0.22	0.23
4385	-681	-665	S	622	QPS	ZG	0.00	0.23	0.22	0.23
4385	-649	-633	S	623	QPS	ZG	0.00	0.23	0.22	0.23
4385	-617	-601	S	623	QPS	ZG	0.00	0.23	0.22	0.23
4385	-585	-569	S	414	QPS	ZG	0.00	0.23	0.22	0.23
4385	-553	4285	S	414	QPS	ZG	0.00	0.23	0.22	0.23
4385	-537	-521	S	415	QPS	ZG	0.00	0.18	0.17	0.18
4386	-786	-778	S	621	QPS	ZG	0.00	0.23	0.22	0.23
4386	-778	-762	S	621	QPS	ZG	0.00	0.23	0.22	0.23
4386	-762	-746	S	621	QPS	ZG	0.00	0.23	0.22	0.23
4386	-746	-730	S	621	QPS	ZG	0.00	0.23	0.22	0.23
4386	-730	-714	S	622	QPS	ZG	0.00	0.23	0.22	0.23
4386	-714	-698	S	622	QPS	ZG	0.00	0.23	0.22	0.23
4386	-698	-682	S	622	QPS	ZG	0.00	0.23	0.22	0.23
4386	-682	-666	S	622	QPS	ZG	0.00	0.23	0.22	0.23
4386	-666	-650	S	623	QPS	ZG	0.00	0.23	0.22	0.23
4386	-650	-634	S	623	QPS	ZG	0.00	0.23	0.22	0.23
4386	-634	-618	S	623	QPS	ZG	0.00	0.23	0.22	0.23
4386	-618	-602	S	623	QPS	ZG	0.00	0.23	0.22	0.23

4386	-618	-602	S	624	QPS	ZG	0.00	5.92	0.22	5.92
4386	-602	-586	S	417	QPS	ZG	0.00	5.92	0.22	5.92
4386	-586	-570	S	417	QPS	ZG	0.00	5.92	0.22	5.92
4386	-570	-554	S	417	QPS	ZG	0.00	5.92	0.22	5.92
4386	-554	4287	S	417	QPS	ZG	0.00	5.92	0.22	5.92
4386	4287	-538	S	416	QPS	ZG	0.00	4.63	0.17	4.63
4386	-538	-522	S	416	QPS	ZG	0.00	4.63	0.17	4.63
4386	-522	3314	S	416	QPS	ZG	0.00	4.63	0.17	4.63
4423	-787	-779	S	628	QPS	ZG	0.00	0.23	0.22	0.23
4423	-779	-763	S	628	QPS	ZG	0.00	0.23	0.22	0.23
4423	-763	-747	S	628	QPS	ZG	0.00	0.23	0.22	0.23
4423	-747	-731	S	628	QPS	ZG	0.00	0.23	0.22	0.23
4423	-731	-715	S	629	QPS	ZG	0.00	0.23	0.22	0.23
4423	-715	-699	S	629	QPS	ZG	0.00	0.23	0.22	0.23
4423	-699	-683	S	629	QPS	ZG	0.00	0.23	0.22	0.23
4423	-683	-667	S	629	QPS	ZG	0.00	0.23	0.22	0.23
4423	-667	-651	S	627	QPS	ZG	0.00	0.23	0.22	0.23
4423	-651	-635	S	627	QPS	ZG	0.00	0.23	0.22	0.23
4423	-635	-619	S	627	QPS	ZG	0.00	0.23	0.22	0.23
4423	-619	-603	S	627	QPS	ZG	0.00	0.23	0.22	0.23
4423	-603	-587	S	419	QPS	ZG	0.00	0.23	0.22	0.23
4423	-587	-571	S	419	QPS	ZG	0.00	0.23	0.22	0.23
4423	-571	-555	S	419	QPS	ZG	0.00	0.23	0.22	0.23
4423	-555	4288	S	419	QPS	ZG	0.00	0.23	0.22	0.23
4423	4288	-539	S	418	QPS	ZG	0.00	0.18	0.17	0.18
4423	-539	-523	S	418	QPS	ZG	0.00	0.18	0.17	0.18
4423	-523	3315	S	418	QPS	ZG	0.00	0.18	0.17	0.18
4424	-788	-780	S	630	QPS	ZG	0.00	6.30	0.22	6.30
4424	-780	-764	S	630	QPS	ZG	0.00	6.30	0.22	6.30
4424	-764	-748	S	630	QPS	ZG	0.00	6.30	0.22	6.30
4386	-602	-586	S	414	QPS	ZG	0.00	0.23	0.22	0.23
4386	-586	-570	S	414	QPS	ZG	0.00	0.23	0.22	0.23
4386	-570	-554	S	414	QPS	ZG	0.00	0.23	0.22	0.23
4386	-554	4287	S	414	QPS	ZG	0.00	0.23	0.22	0.23
4386	4287	-538	S	415	QPS	ZG	0.00	0.18	0.17	0.18
4386	-538	-522	S	415	QPS	ZG	0.00	0.18	0.17	0.18
4386	-522	3314	S	415	QPS	ZG	0.00	0.18	0.17	0.18
4423	-787	-779	S	626	QPS	ZG	0.00	5.92	0.22	5.92
4423	-779	-763	S	626	QPS	ZG	0.00	5.92	0.22	5.92
4423	-763	-747	S	626	QPS	ZG	0.00	5.92	0.22	5.92
4423	-747	-731	S	626	QPS	ZG	0.00	5.92	0.22	5.92
4423	-731	-715	S	625	QPS	ZG	0.00	5.92	0.22	5.92
4423	-715	-699	S	625	QPS	ZG	0.00	5.92	0.22	5.92
4423	-699	-683	S	625	QPS	ZG	0.00	5.92	0.22	5.92
4423	-683	-667	S	625	QPS	ZG	0.00	5.92	0.22	5.92
4423	-667	-651	S	624	QPS	ZG	0.00	5.92	0.22	5.92
4423	-651	-635	S	624	QPS	ZG	0.00	5.92	0.22	5.92
4423	-635	-619	S	624	QPS	ZG	0.00	5.92	0.22	5.92
4423	-619	-603	S	624	QPS	ZG	0.00	5.92	0.22	5.92
4423	-603	-587	S	417	QPS	ZG	0.00	5.92	0.22	5.92
4423	-587	-571	S	417	QPS	ZG	0.00	5.92	0.22	5.92
4423	-571	-555	S	417	QPS	ZG	0.00	5.92	0.22	5.92
4423	-555	4288	S	417	QPS	ZG	0.00	5.92	0.22	5.92
4423	4288	-539	S	416	QPS	ZG	0.00	4.63	0.17	4.63
4423	-539	-523	S	416	QPS	ZG	0.00	4.63	0.17	4.63
4423	-523	3315	S	416	QPS	ZG	0.00	4.63	0.17	4.63
4424	-788	-780	S	628	QPS	ZG	0.00	0.23	0.22	0.23
4424	-780	-764	S	628	QPS	ZG	0.00	0.23	0.22	0.23
4424	-764	-748	S	628	QPS	ZG	0.00	0.23	0.22	0.23
4424	-748	-732	S	628	QPS	ZG	0.00	0.23	0.22	0.23

4424	-748	-732	S	630	QPS	ZG	0.00	6.30	0.22	6.30
4424	-732	-716	S	631	QPS	ZG	0.00	6.30	0.22	6.30
4424	-716	-700	S	631	QPS	ZG	0.00	6.30	0.22	6.30
4424	-700	-684	S	631	QPS	ZG	0.00	6.30	0.22	6.30
4424	-684	-668	S	631	QPS	ZG	0.00	6.30	0.22	6.30
4424	-668	-652	S	632	QPS	ZG	0.00	6.30	0.22	6.30
4424	-652	-636	S	632	QPS	ZG	0.00	6.30	0.22	6.30
4424	-636	-620	S	632	QPS	ZG	0.00	6.30	0.22	6.30
4424	-620	-604	S	632	QPS	ZG	0.00	6.30	0.22	6.30
4424	-604	-588	S	420	QPS	ZG	0.00	6.30	0.22	6.30
4424	-588	-572	S	420	QPS	ZG	0.00	6.30	0.22	6.30
4424	-572	-556	S	420	QPS	ZG	0.00	6.30	0.22	6.30
4424	-556	4290	S	420	QPS	ZG	0.00	6.30	0.22	6.30
4424	4290	-540	S	421	QPS	ZG	0.00	4.93	0.17	4.93
4424	-540	-524	S	421	QPS	ZG	0.00	4.93	0.17	4.93
4424	-524	3316	S	421	QPS	ZG	0.00	4.93	0.17	4.93
4461	-789	-781	S	633	QPS	ZG	0.00	0.23	0.22	0.23
4461	-781	-765	S	633	QPS	ZG	0.00	0.23	0.22	0.23
4461	-765	-749	S	633	QPS	ZG	0.00	0.23	0.22	0.23
4461	-749	-733	S	633	QPS	ZG	0.00	0.23	0.22	0.23
4461	-733	-717	S	634	QPS	ZG	0.00	0.23	0.22	0.23
4461	-717	-701	S	634	QPS	ZG	0.00	0.23	0.22	0.23
4461	-701	-685	S	634	QPS	ZG	0.00	0.23	0.22	0.23
4461	-685	-669	S	634	QPS	ZG	0.00	0.23	0.22	0.23
4461	-669	-653	S	635	QPS	ZG	0.00	0.23	0.22	0.23
4461	-653	-637	S	635	QPS	ZG	0.00	0.23	0.22	0.23
4461	-637	-621	S	635	QPS	ZG	0.00	0.23	0.22	0.23
4461	-621	-605	S	635	QPS	ZG	0.00	0.23	0.22	0.23
4461	-605	-589	S	422	QPS	ZG	0.00	0.23	0.22	0.23
4461	-589	-573	S	422	QPS	ZG	0.00	0.23	0.22	0.23

4424	-732	-716	S	629	QPS	ZG	0.00	0.23	0.22	0.23
4424	-716	-700	S	629	QPS	ZG	0.00	0.23	0.22	0.23
4424	-700	-684	S	629	QPS	ZG	0.00	0.23	0.22	0.23
4424	-684	-668	S	629	QPS	ZG	0.00	0.23	0.22	0.23
4424	-668	-652	S	627	QPS	ZG	0.00	0.23	0.22	0.23
4424	-652	-636	S	627	QPS	ZG	0.00	0.23	0.22	0.23
4424	-636	-620	S	627	QPS	ZG	0.00	0.23	0.22	0.23
4424	-620	-604	S	627	QPS	ZG	0.00	0.23	0.22	0.23
4424	-604	-588	S	419	QPS	ZG	0.00	0.23	0.22	0.23
4424	-588	-572	S	419	QPS	ZG	0.00	0.23	0.22	0.23
4424	-572	-556	S	419	QPS	ZG	0.00	0.23	0.22	0.23
4424	-556	4290	S	419	QPS	ZG	0.00	0.23	0.22	0.23
4424	4290	-540	S	418	QPS	ZG	0.00	0.18	0.17	0.18
4424	-540	-524	S	418	QPS	ZG	0.00	0.18	0.17	0.18
4424	-524	3316	S	418	QPS	ZG	0.00	0.18	0.17	0.18
4461	-789	-781	S	630	QPS	ZG	0.00	6.30	0.22	6.30
4461	-781	-765	S	630	QPS	ZG	0.00	6.30	0.22	6.30
4461	-765	-749	S	630	QPS	ZG	0.00	6.30	0.22	6.30
4461	-749	-733	S	630	QPS	ZG	0.00	6.30	0.22	6.30
4461	-733	-717	S	631	QPS	ZG	0.00	6.30	0.22	6.30
4461	-717	-701	S	631	QPS	ZG	0.00	6.30	0.22	6.30
4461	-701	-685	S	631	QPS	ZG	0.00	6.30	0.22	6.30
4461	-685	-669	S	631	QPS	ZG	0.00	6.30	0.22	6.30
4461	-669	-653	S	632	QPS	ZG	0.00	6.30	0.22	6.30
4461	-653	-637	S	632	QPS	ZG	0.00	6.30	0.22	6.30
4461	-637	-621	S	632	QPS	ZG	0.00	6.30	0.22	6.30
4461	-621	-605	S	632	QPS	ZG	0.00	6.30	0.22	6.30
4461	-605	-589	S	420	QPS	ZG	0.00	6.30	0.22	6.30
4461	-589	-573	S	420	QPS	ZG	0.00	6.30	0.22	6.30
4461	-573	-557	S	420	QPS	ZG	0.00	6.30	0.22	6.30

4461	-573	-557	S	422	QPS	ZG	0.00	0.23	0.22	0.23
4461	-557	4291	S	422	QPS	ZG	0.00	0.23	0.22	0.23
4461	4291	-541	S	423	QPS	ZG	0.00	0.18	0.17	0.18
4461	-541	-525	S	423	QPS	ZG	0.00	0.18	0.17	0.18
4461	-525	3317	S	423	QPS	ZG	0.00	0.18	0.17	0.18
4462	-790	-782	S	641	QPS	ZG	0.00	5.92	0.22	5.92
4462	-782	-766	S	641	QPS	ZG	0.00	5.92	0.22	5.92
4462	-766	-750	S	641	QPS	ZG	0.00	5.92	0.22	5.92
4462	-750	-734	S	641	QPS	ZG	0.00	5.92	0.22	5.92
4462	-734	-718	S	640	QPS	ZG	0.00	5.92	0.22	5.92
4462	-718	-702	S	640	QPS	ZG	0.00	5.92	0.22	5.92
4462	-702	-686	S	640	QPS	ZG	0.00	5.92	0.22	5.92
4462	-686	-670	S	640	QPS	ZG	0.00	5.92	0.22	5.92
4462	-670	-654	S	639	QPS	ZG	0.00	5.92	0.22	5.92
4462	-654	-638	S	639	QPS	ZG	0.00	5.92	0.22	5.92
4462	-638	-622	S	639	QPS	ZG	0.00	5.92	0.22	5.92
4462	-622	-606	S	639	QPS	ZG	0.00	5.92	0.22	5.92
4462	-606	-590	S	427	QPS	ZG	0.00	5.92	0.22	5.92
4462	-590	-574	S	427	QPS	ZG	0.00	5.92	0.22	5.92
4462	-574	-558	S	427	QPS	ZG	0.00	5.92	0.22	5.92
4462	-558	4293	S	427	QPS	ZG	0.00	5.92	0.22	5.92
4462	4293	-542	S	426	QPS	ZG	0.00	4.63	0.17	4.63
4462	-542	-526	S	426	QPS	ZG	0.00	4.63	0.17	4.63
4462	-526	3318	S	426	QPS	ZG	0.00	4.63	0.17	4.63
4499	-791	-783	S	641	QPS	ZG	0.00	5.92	0.22	5.92
4499	-783	-767	S	641	QPS	ZG	0.00	5.92	0.22	5.92
4499	-767	-751	S	641	QPS	ZG	0.00	5.92	0.22	5.92
4499	-751	-735	S	641	QPS	ZG	0.00	5.92	0.22	5.92
4499	-735	-719	S	640	QPS	ZG	0.00	5.92	0.22	5.92
4499	-719	-703	S	640	QPS	ZG	0.00	5.92	0.22	5.92

4461	-557	4291	S	420	QPS	ZG	0.00	6.30	0.22	6.30
4461	4291	-541	S	421	QPS	ZG	0.00	4.93	0.17	4.93
4461	-541	-525	S	421	QPS	ZG	0.00	4.93	0.17	4.93
4461	-525	3317	S	421	QPS	ZG	0.00	4.93	0.17	4.93
4462	-790	-782	S	633	QPS	ZG	0.00	0.23	0.22	0.23
4462	-782	-766	S	633	QPS	ZG	0.00	0.23	0.22	0.23
4462	-766	-750	S	633	QPS	ZG	0.00	0.23	0.22	0.23
4462	-750	-734	S	633	QPS	ZG	0.00	0.23	0.22	0.23
4462	-734	-718	S	634	QPS	ZG	0.00	0.23	0.22	0.23
4462	-718	-702	S	634	QPS	ZG	0.00	0.23	0.22	0.23
4462	-702	-686	S	634	QPS	ZG	0.00	0.23	0.22	0.23
4462	-686	-670	S	634	QPS	ZG	0.00	0.23	0.22	0.23
4462	-670	-654	S	635	QPS	ZG	0.00	0.23	0.22	0.23
4462	-654	-638	S	635	QPS	ZG	0.00	0.23	0.22	0.23
4462	-638	-622	S	635	QPS	ZG	0.00	0.23	0.22	0.23
4462	-622	-606	S	635	QPS	ZG	0.00	0.23	0.22	0.23
4462	-606	-590	S	422	QPS	ZG	0.00	0.23	0.22	0.23
4462	-590	-574	S	422	QPS	ZG	0.00	0.23	0.22	0.23
4462	-574	-558	S	422	QPS	ZG	0.00	0.23	0.22	0.23
4462	-558	4293	S	422	QPS	ZG	0.00	0.23	0.22	0.23
4462	4293	-542	S	423	QPS	ZG	0.00	0.18	0.17	0.18
4462	-542	-526	S	423	QPS	ZG	0.00	0.18	0.17	0.18
4462	-526	3318	S	423	QPS	ZG	0.00	0.18	0.17	0.18
4499	-791	-783	S	636	QPS	ZG	0.00	0.23	0.22	0.23
4499	-783	-767	S	636	QPS	ZG	0.00	0.23	0.22	0.23
4499	-767	-751	S	636	QPS	ZG	0.00	0.23	0.22	0.23
4499	-751	-735	S	636	QPS	ZG	0.00	0.23	0.22	0.23
4499	-735	-719	S	637	QPS	ZG	0.00	0.23	0.22	0.23
4499	-719	-703	S	637	QPS	ZG	0.00	0.23	0.22	0.23
4499	-703	-687	S	637	QPS	ZG	0.00	0.23	0.22	0.23

4499	-703	-687	S	640	QPS	ZG	0.00	5.92	0.22	5.92
4499	-687	-671	S	640	QPS	ZG	0.00	5.92	0.22	5.92
4499	-671	-655	S	639	QPS	ZG	0.00	5.92	0.22	5.92
4499	-655	-639	S	639	QPS	ZG	0.00	5.92	0.22	5.92
4499	-639	-623	S	639	QPS	ZG	0.00	5.92	0.22	5.92
4499	-623	-607	S	639	QPS	ZG	0.00	5.92	0.22	5.92
4499	-607	-591	S	427	QPS	ZG	0.00	5.92	0.22	5.92
4499	-591	-575	S	427	QPS	ZG	0.00	5.92	0.22	5.92
4499	-575	-559	S	427	QPS	ZG	0.00	5.92	0.22	5.92
4499	-559	4294	S	427	QPS	ZG	0.00	5.92	0.22	5.92
4499	4294	-543	S	426	QPS	ZG	0.00	4.63	0.17	4.63
4499	-543	-527	S	426	QPS	ZG	0.00	4.63	0.17	4.63
4499	-527	3319	S	426	QPS	ZG	0.00	4.63	0.17	4.63
4500	-784	-768	S	636	QPS	ZG	0.00	0.23	0.22	0.23
4500	-752	-736	S	636	QPS	ZG	0.00	0.23	0.22	0.23
4500	-720	-704	S	637	QPS	ZG	0.00	0.23	0.22	0.23
4500	-688	-672	S	637	QPS	ZG	0.00	0.23	0.22	0.23
4500	-656	-640	S	638	QPS	ZG	0.00	0.23	0.22	0.23
4500	-624	-608	S	638	QPS	ZG	0.00	0.23	0.22	0.23
4500	-592	-576	S	424	QPS	ZG	0.00	0.23	0.22	0.23
4500	-560	4296	S	424	QPS	ZG	0.00	0.23	0.22	0.23
4500	-544	-528	S	425	QPS	ZG	0.00	0.18	0.17	0.18
6041	-593	-594	S	605	QPS	ZG	0.00	0.50	0.12	0.50
6041	-595	-596	S	405	QPS	ZG	0.00	0.50	0.12	0.50
6041	-597	-598	S	409	QPS	ZG	0.00	0.50	0.12	0.50
6041	-599	-600	S	413	QPS	ZG	0.00	0.50	0.12	0.50
6042	-657	-658	S	604	QPS	ZG	0.00	0.50	0.12	0.50
6042	-659	-660	S	606	QPS	ZG	0.00	0.50	0.12	0.50
6042	-661	-662	S	612	QPS	ZG	0.00	0.50	0.12	0.50
6042	-663	-664	S	618	QPS	ZG	0.00	0.50	0.12	0.50

4499	-687	-671	S	637	QPS	ZG	0.00	0.23	0.22	0.23
4499	-671	-655	S	638	QPS	ZG	0.00	0.23	0.22	0.23
4499	-655	-639	S	638	QPS	ZG	0.00	0.23	0.22	0.23
4499	-639	-623	S	638	QPS	ZG	0.00	0.23	0.22	0.23
4499	-623	-607	S	638	QPS	ZG	0.00	0.23	0.22	0.23
4499	-607	-591	S	424	QPS	ZG	0.00	0.23	0.22	0.23
4499	-591	-575	S	424	QPS	ZG	0.00	0.23	0.22	0.23
4499	-575	-559	S	424	QPS	ZG	0.00	0.23	0.22	0.23
4499	-559	4294	S	424	QPS	ZG	0.00	0.23	0.22	0.23
4499	4294	-543	S	425	QPS	ZG	0.00	0.18	0.17	0.18
4499	-543	-527	S	425	QPS	ZG	0.00	0.18	0.17	0.18
4499	-527	3319	S	425	QPS	ZG	0.00	0.18	0.17	0.18
4500	-792	-784	S	636	QPS	ZG	0.00	0.23	0.22	0.23
4500	-768	-752	S	636	QPS	ZG	0.00	0.23	0.22	0.23
4500	-736	-720	S	637	QPS	ZG	0.00	0.23	0.22	0.23
4500	-704	-688	S	637	QPS	ZG	0.00	0.23	0.22	0.23
4500	-672	-656	S	638	QPS	ZG	0.00	0.23	0.22	0.23
4500	-640	-624	S	638	QPS	ZG	0.00	0.23	0.22	0.23
4500	-608	-592	S	424	QPS	ZG	0.00	0.23	0.22	0.23
4500	-576	-560	S	424	QPS	ZG	0.00	0.23	0.22	0.23
4500	4296	-544	S	425	QPS	ZG	0.00	0.18	0.17	0.18
4500	-528	3320	S	425	QPS	ZG	0.00	0.18	0.17	0.18
6041	-593	-594	S	402	QPS	ZG	0.00	0.50	0.12	0.50
6041	-595	-596	S	606	QPS	ZG	0.00	0.50	0.12	0.50
6041	-597	-598	S	612	QPS	ZG	0.00	0.50	0.12	0.50
6041	-599	-600	S	618	QPS	ZG	0.00	0.50	0.12	0.50
6042	-657	-658	S	605	QPS	ZG	0.00	0.50	0.12	0.50
6042	-659	-660	S	607	QPS	ZG	0.00	0.50	0.12	0.50
6042	-661	-662	S	613	QPS	ZG	0.00	0.50	0.12	0.50
6042	-663	-664	S	619	QPS	ZG	0.00	0.50	0.12	0.50

6043	-721	-722	S	603	QPS	ZG	0.00	0.50	0.12	0.50
6043	-723	-724	S	607	QPS	ZG	0.00	0.50	0.12	0.50
6043	-725	-726	S	613	QPS	ZG	0.00	0.50	0.12	0.50
6043	-727	-728	S	619	QPS	ZG	0.00	0.50	0.12	0.50
6044	-785	-786	S	603	QPS	ZG	0.00	0.50	0.12	0.50
6044	-787	-788	S	608	QPS	ZG	0.00	0.50	0.12	0.50
6044	-789	-790	S	614	QPS	ZG	0.00	0.50	0.12	0.50
6044	-791	-792	S	620	QPS	ZG	0.00	0.50	0.12	0.50
6045	-729	-730	S	621	QPS	ZG	0.00	0.50	0.12	0.50
6045	-731	-732	S	628	QPS	ZG	0.00	0.50	0.12	0.50
6045	-733	-734	S	633	QPS	ZG	0.00	0.50	0.12	0.50
6045	-735	-736	S	636	QPS	ZG	0.00	0.50	0.12	0.50
6046	-665	-666	S	622	QPS	ZG	0.00	0.50	0.12	0.50
6046	-667	-668	S	627	QPS	ZG	0.00	0.50	0.12	0.50
6046	-669	-670	S	634	QPS	ZG	0.00	0.50	0.12	0.50
6046	-671	-672	S	637	QPS	ZG	0.00	0.50	0.12	0.50
6047	-601	-602	S	623	QPS	ZG	0.00	0.50	0.12	0.50
6047	-603	-604	S	419	QPS	ZG	0.00	0.50	0.12	0.50
6047	-605	-606	S	635	QPS	ZG	0.00	0.50	0.12	0.50
6047	-607	-608	S	638	QPS	ZG	0.00	0.50	0.12	0.50
7001	3002	-815	S	401	QPS	ZG	0.00	0.50	1.54	0.50
7001	3004	-804	S	407	QPS	ZG	0.00	0.50	1.64	0.50
7001	3006	-795	S	410	QPS	ZG	0.00	0.50	1.54	0.50
7002	4027	-816	S	400	QPS	ZG	0.00	0.50	1.54	0.50
7002	-816	4028	S	400	QPS	ZG	0.00	0.50	1.54	0.50
7002	4030	-805	S	406	QPS	ZG	0.00	0.50	1.64	0.50
7002	-805	4031	S	406	QPS	ZG	0.00	0.50	1.64	0.50
7002	4033	-794	S	410	QPS	ZG	0.00	0.50	1.54	0.50
7002	-794	4034	S	410	QPS	ZG	0.00	0.50	1.54	0.50
7003	-594	-817	S	400	QPS	ZG	0.00	0.50	1.54	0.50

6043	-721	-722	S	604	QPS	ZG	0.00	0.50	0.12	0.50
6043	-723	-724	S	608	QPS	ZG	0.00	0.50	0.12	0.50
6043	-725	-726	S	614	QPS	ZG	0.00	0.50	0.12	0.50
6043	-727	-728	S	620	QPS	ZG	0.00	0.50	0.12	0.50
6044	-785	-786	S	621	QPS	ZG	0.00	0.50	0.12	0.50
6044	-787	-788	S	628	QPS	ZG	0.00	0.50	0.12	0.50
6044	-789	-790	S	633	QPS	ZG	0.00	0.50	0.12	0.50
6044	-791	-792	S	636	QPS	ZG	0.00	0.50	0.12	0.50
6045	-729	-730	S	622	QPS	ZG	0.00	0.50	0.12	0.50
6045	-731	-732	S	629	QPS	ZG	0.00	0.50	0.12	0.50
6045	-733	-734	S	634	QPS	ZG	0.00	0.50	0.12	0.50
6045	-735	-736	S	637	QPS	ZG	0.00	0.50	0.12	0.50
6046	-665	-666	S	623	QPS	ZG	0.00	0.50	0.12	0.50
6046	-667	-668	S	629	QPS	ZG	0.00	0.50	0.12	0.50
6046	-669	-670	S	635	QPS	ZG	0.00	0.50	0.12	0.50
6046	-671	-672	S	638	QPS	ZG	0.00	0.50	0.12	0.50
6047	-601	-602	S	414	QPS	ZG	0.00	0.50	0.12	0.50
6047	-603	-604	S	627	QPS	ZG	0.00	0.50	0.12	0.50
6047	-605	-606	S	422	QPS	ZG	0.00	0.50	0.12	0.50
6047	-607	-608	S	424	QPS	ZG	0.00	0.50	0.12	0.50
7001	-815	3003	S	401	QPS	ZG	0.00	0.50	1.54	0.50
7001	-804	3005	S	407	QPS	ZG	0.00	0.50	1.64	0.50
7001	-795	3007	S	410	QPS	ZG	0.00	0.50	1.54	0.50
7002	4027	-816	S	401	QPS	ZG	0.00	0.50	1.54	0.50
7002	-816	4028	S	401	QPS	ZG	0.00	0.50	1.54	0.50
7002	4030	-805	S	407	QPS	ZG	0.00	0.50	1.64	0.50
7002	-805	4031	S	407	QPS	ZG	0.00	0.50	1.64	0.50
7002	4033	-794	S	411	QPS	ZG	0.00	0.50	1.54	0.50
7002	-794	4034	S	411	QPS	ZG	0.00	0.50	1.54	0.50
7003	-594	-817	S	600	QPS	ZG	0.00	0.50	1.54	0.50

7003	-817	-595	S	400	QPS	ZG	0.00	0.50	1.54	0.50
7003	-596	-806	S	611	QPS	ZG	0.00	0.50	1.64	0.50
7003	-806	-597	S	611	QPS	ZG	0.00	0.50	1.64	0.50
7003	-598	-793	S	411	QPS	ZG	0.00	0.50	1.54	0.50
7003	-793	-599	S	411	QPS	ZG	0.00	0.50	1.54	0.50
7004	-658	-818	S	600	QPS	ZG	0.00	0.50	1.54	0.50
7004	-818	-659	S	600	QPS	ZG	0.00	0.50	1.54	0.50
7004	-660	-807	S	610	QPS	ZG	0.00	0.50	1.64	0.50
7004	-807	-661	S	610	QPS	ZG	0.00	0.50	1.64	0.50
7004	-662	-796	S	615	QPS	ZG	0.00	0.50	1.54	0.50
7004	-796	-663	S	615	QPS	ZG	0.00	0.50	1.54	0.50
7005	-722	-819	S	601	QPS	ZG	0.00	0.50	1.54	0.50
7005	-819	-723	S	601	QPS	ZG	0.00	0.50	1.54	0.50
7005	-724	-808	S	609	QPS	ZG	0.00	0.50	1.64	0.50
7005	-808	-725	S	609	QPS	ZG	0.00	0.50	1.64	0.50
7005	-726	-797	S	616	QPS	ZG	0.00	0.50	1.54	0.50
7005	-797	-727	S	616	QPS	ZG	0.00	0.50	1.54	0.50
7006	-786	-820	S	602	QPS	ZG	0.00	0.50	1.54	0.50
7006	-820	-787	S	602	QPS	ZG	0.00	0.50	1.54	0.50
7006	-788	-809	S	609	QPS	ZG	0.00	0.50	1.64	0.50
7006	-809	-789	S	609	QPS	ZG	0.00	0.50	1.64	0.50
7006	-790	-798	S	617	QPS	ZG	0.00	0.50	1.54	0.50
7006	-798	-791	S	617	QPS	ZG	0.00	0.50	1.54	0.50
7007	-730	-821	S	625	QPS	ZG	0.00	0.50	1.54	0.50
7007	-821	-731	S	625	QPS	ZG	0.00	0.50	1.54	0.50
7007	-732	-810	S	630	QPS	ZG	0.00	0.50	1.64	0.50
7007	-810	-733	S	630	QPS	ZG	0.00	0.50	1.64	0.50
7007	-734	-799	S	640	QPS	ZG	0.00	0.50	1.54	0.50
7007	-799	-735	S	640	QPS	ZG	0.00	0.50	1.54	0.50
7008	-666	-822	S	624	QPS	ZG	0.00	0.50	1.54	0.50

7003	-817	-595	S	600	QPS	ZG	0.00	0.50	1.54	0.50
7003	-596	-806	S	406	QPS	ZG	0.00	0.50	1.64	0.50
7003	-806	-597	S	406	QPS	ZG	0.00	0.50	1.64	0.50
7003	-598	-793	S	615	QPS	ZG	0.00	0.50	1.54	0.50
7003	-793	-599	S	615	QPS	ZG	0.00	0.50	1.54	0.50
7004	-658	-818	S	601	QPS	ZG	0.00	0.50	1.54	0.50
7004	-818	-659	S	601	QPS	ZG	0.00	0.50	1.54	0.50
7004	-660	-807	S	611	QPS	ZG	0.00	0.50	1.64	0.50
7004	-807	-661	S	611	QPS	ZG	0.00	0.50	1.64	0.50
7004	-662	-796	S	616	QPS	ZG	0.00	0.50	1.54	0.50
7004	-796	-663	S	616	QPS	ZG	0.00	0.50	1.54	0.50
7005	-722	-819	S	602	QPS	ZG	0.00	0.50	1.54	0.50
7005	-819	-723	S	602	QPS	ZG	0.00	0.50	1.54	0.50
7005	-724	-808	S	610	QPS	ZG	0.00	0.50	1.64	0.50
7005	-808	-725	S	610	QPS	ZG	0.00	0.50	1.64	0.50
7005	-726	-797	S	617	QPS	ZG	0.00	0.50	1.54	0.50
7005	-797	-727	S	617	QPS	ZG	0.00	0.50	1.54	0.50
7006	-786	-820	S	626	QPS	ZG	0.00	0.50	1.54	0.50
7006	-820	-787	S	626	QPS	ZG	0.00	0.50	1.54	0.50
7006	-788	-809	S	630	QPS	ZG	0.00	0.50	1.64	0.50
7006	-809	-789	S	630	QPS	ZG	0.00	0.50	1.64	0.50
7006	-790	-798	S	641	QPS	ZG	0.00	0.50	1.54	0.50
7006	-798	-791	S	641	QPS	ZG	0.00	0.50	1.54	0.50
7007	-730	-821	S	626	QPS	ZG	0.00	0.50	1.54	0.50
7007	-821	-731	S	626	QPS	ZG	0.00	0.50	1.54	0.50
7007	-732	-810	S	631	QPS	ZG	0.00	0.50	1.64	0.50
7007	-810	-733	S	631	QPS	ZG	0.00	0.50	1.64	0.50
7007	-734	-799	S	641	QPS	ZG	0.00	0.50	1.54	0.50
7007	-799	-735	S	641	QPS	ZG	0.00	0.50	1.54	0.50
7008	-666	-822	S	625	QPS	ZG	0.00	0.50	1.54	0.50

7008	-822	-667	S	624	QPS	ZG	0.00	0.50	1.54	0.50
7008	-668	-811	S	631	QPS	ZG	0.00	0.50	1.64	0.50
7008	-811	-669	S	631	QPS	ZG	0.00	0.50	1.64	0.50
7008	-670	-800	S	639	QPS	ZG	0.00	0.50	1.54	0.50
7008	-800	-671	S	639	QPS	ZG	0.00	0.50	1.54	0.50
7009	-602	-823	S	417	QPS	ZG	0.00	0.50	1.54	0.50
7009	-823	-603	S	417	QPS	ZG	0.00	0.50	1.54	0.50
7009	-604	-812	S	632	QPS	ZG	0.00	0.50	1.64	0.50
7009	-812	-605	S	632	QPS	ZG	0.00	0.50	1.64	0.50
7009	-606	-801	S	427	QPS	ZG	0.00	0.50	1.54	0.50
7009	-801	-607	S	427	QPS	ZG	0.00	0.50	1.54	0.50
7010	4287	-824	S	416	QPS	ZG	0.00	0.50	1.54	0.50
7010	-824	4288	S	416	QPS	ZG	0.00	0.50	1.54	0.50
7010	4290	-813	S	420	QPS	ZG	0.00	0.50	1.64	0.50
7010	-813	4291	S	420	QPS	ZG	0.00	0.50	1.64	0.50
7010	4293	-802	S	426	QPS	ZG	0.00	0.50	1.54	0.50
7010	-802	4294	S	426	QPS	ZG	0.00	0.50	1.54	0.50
7011	3314	-825	S	416	QPS	ZG	0.00	0.50	1.54	0.50
7011	3316	-814	S	421	QPS	ZG	0.00	0.50	1.64	0.50
7011	3318	-803	S	426	QPS	ZG	0.00	0.50	1.54	0.50

7008	-822	-667	S	625	QPS	ZG	0.00	0.50	1.54	0.50
7008	-668	-811	S	632	QPS	ZG	0.00	0.50	1.64	0.50
7008	-811	-669	S	632	QPS	ZG	0.00	0.50	1.64	0.50
7008	-670	-800	S	640	QPS	ZG	0.00	0.50	1.54	0.50
7008	-800	-671	S	640	QPS	ZG	0.00	0.50	1.54	0.50
7009	-602	-823	S	624	QPS	ZG	0.00	0.50	1.54	0.50
7009	-823	-603	S	624	QPS	ZG	0.00	0.50	1.54	0.50
7009	-604	-812	S	420	QPS	ZG	0.00	0.50	1.64	0.50
7009	-812	-605	S	420	QPS	ZG	0.00	0.50	1.64	0.50
7009	-606	-801	S	639	QPS	ZG	0.00	0.50	1.54	0.50
7009	-801	-607	S	639	QPS	ZG	0.00	0.50	1.54	0.50
7010	4287	-824	S	417	QPS	ZG	0.00	0.50	1.54	0.50
7010	-824	4288	S	417	QPS	ZG	0.00	0.50	1.54	0.50
7010	4290	-813	S	421	QPS	ZG	0.00	0.50	1.64	0.50
7010	-813	4291	S	421	QPS	ZG	0.00	0.50	1.64	0.50
7010	4293	-802	S	427	QPS	ZG	0.00	0.50	1.54	0.50
7010	-802	4294	S	427	QPS	ZG	0.00	0.50	1.54	0.50
7011	-825	3315	S	416	QPS	ZG	0.00	0.50	1.54	0.50
7011	-814	3317	S	421	QPS	ZG	0.00	0.50	1.64	0.50
7011	-803	3319	S	426	QPS	ZG	0.00	0.50	1.54	0.50

Elenco carichi aste
Condizione di carico n. 2: permanente non strutturale
Carichi distribuiti

Asta	N1	N2	E	NE	T	DC	Xi <m>	Qi <daN/m>	Xf <m>	Qf <daN/m>
3001	3001	3002	S	403	QPN	ZG	0.00	1.00	0.12	1.00
3001	3005	3006	S	408	QPN	ZG	0.00	1.00	0.12	1.00
3087	3313	3314	S	415	QPN	ZG	0.00	1.00	0.12	1.00
3087	3317	3318	S	423	QPN	ZG	0.00	1.00	0.12	1.00
4022	4025	4026	S	402	QPN	ZG	0.00	1.00	0.06	1.00
4022	4026	4027	S	402	QPN	ZG	0.00	1.00	0.06	1.00
4022	4028	4029	S	404	QP	Z	0.00	1.00	0.06	1.00

Asta	N1	N2	E	NE	T	DC	Xi <m>	Qi <daN/m>	Xf <m>	Qf <daN/m>
3001	3003	3004	S	404	QPN	ZG	0.00	1.00	0.12	1.00
3001	3007	3008	S	412	QPN	ZG	0.00	1.00	0.12	1.00
3087	3315	3316	S	418	QPN	ZG	0.00	1.00	0.12	1.00
3087	3319	3320	S	425	QPN	ZG	0.00	1.00	0.12	1.00
4022	4025	4026	S	403	QPN	ZG	0.00	1.00	0.06	1.00
4022	4026	4027	S	403	QPN	ZG	0.00	1.00	0.06	1.00
4022	4028	4029	S	405	QP	Z	0.00	1.00	0.06	1.00

					N	G										N	G				
4022	4029	4030	S	404	QPN	ZG	0.00	1.00	0.06	1.00	4022	4029	4030	S	405	QPN	ZG	0.00	1.00	0.06	1.00
4022	4031	4032	S	408	QPN	ZG	0.00	1.00	0.06	1.00	4022	4031	4032	S	409	QPN	ZG	0.00	1.00	0.06	1.00
4022	4032	4033	S	408	QPN	ZG	0.00	1.00	0.06	1.00	4022	4032	4033	S	409	QPN	ZG	0.00	1.00	0.06	1.00
4022	4034	4035	S	412	QPN	ZG	0.00	1.00	0.06	1.00	4022	4034	4035	S	413	QPN	ZG	0.00	1.00	0.06	1.00
4022	4035	4036	S	412	QPN	ZG	0.00	1.00	0.06	1.00	4022	4035	4036	S	413	QPN	ZG	0.00	1.00	0.06	1.00
4066	4285	4286	S	414	QPN	ZG	0.00	1.00	0.06	1.00	4066	4285	4286	S	415	QPN	ZG	0.00	1.00	0.06	1.00
4066	4286	4287	S	414	QPN	ZG	0.00	1.00	0.06	1.00	4066	4286	4287	S	415	QPN	ZG	0.00	1.00	0.06	1.00
4066	4288	4289	S	418	QPN	ZG	0.00	1.00	0.06	1.00	4066	4288	4289	S	419	QPN	ZG	0.00	1.00	0.06	1.00
4066	4289	4290	S	418	QPN	ZG	0.00	1.00	0.06	1.00	4066	4289	4290	S	419	QPN	ZG	0.00	1.00	0.06	1.00
4066	4291	4292	S	422	QPN	ZG	0.00	1.00	0.06	1.00	4066	4291	4292	S	423	QPN	ZG	0.00	1.00	0.06	1.00
4066	4292	4293	S	422	QPN	ZG	0.00	1.00	0.06	1.00	4066	4292	4293	S	423	QPN	ZG	0.00	1.00	0.06	1.00
4066	4294	4295	S	424	QPN	ZG	0.00	1.00	0.06	1.00	4066	4294	4295	S	425	QPN	ZG	0.00	1.00	0.06	1.00
4066	4295	4296	S	424	QPN	ZG	0.00	1.00	0.06	1.00	4066	4295	4296	S	425	QPN	ZG	0.00	1.00	0.06	1.00
4106	3001	-513	S	403	QPN	ZG	0.00	0.36	0.17	0.36	4106	-513	-529	S	403	QPN	ZG	0.00	0.36	0.17	0.36
4106	-529	4025	S	403	QPN	ZG	0.00	0.36	0.17	0.36	4106	4025	-545	S	402	QPN	ZG	0.00	0.46	0.22	0.46
4106	-545	-561	S	402	QPN	ZG	0.00	0.46	0.22	0.46	4106	-561	-577	S	402	QPN	ZG	0.00	0.46	0.22	0.46
4106	-577	-593	S	402	QPN	ZG	0.00	0.46	0.22	0.46	4106	-593	-609	S	605	QPN	ZG	0.00	0.46	0.22	0.46
4106	-609	-625	S	605	QPN	ZG	0.00	0.46	0.22	0.46	4106	-625	-641	S	605	QPN	ZG	0.00	0.46	0.22	0.46
4106	-641	-657	S	605	QPN	ZG	0.00	0.46	0.22	0.46	4106	-657	-673	S	604	QPN	ZG	0.00	0.46	0.22	0.46
4106	-673	-689	S	604	QPN	ZG	0.00	0.46	0.22	0.46	4106	-689	-705	S	604	QPN	ZG	0.00	0.46	0.22	0.46
4106	-705	-721	S	604	QPN	ZG	0.00	0.46	0.22	0.46	4106	-721	-737	S	603	QPN	ZG	0.00	0.46	0.22	0.46
4106	-737	-753	S	603	QPN	ZG	0.00	0.46	0.22	0.46	4106	-753	-769	S	603	QPN	ZG	0.00	0.46	0.22	0.46
4106	-769	-785	S	603	QPN	ZG	0.00	0.46	0.22	0.46	4107	3002	-514	S	401	QPN	ZG	0.00	9.26	0.17	9.26
4107	3002	-514	S	403	QPN	ZG	0.00	0.36	0.17	0.36	4107	-514	-530	S	401	QPN	ZG	0.00	9.26	0.17	9.26
4107	-514	-530	S	403	QPN	ZG	0.00	0.36	0.17	0.36	4107	-530	4027	S	401	QPN	ZG	0.00	9.26	0.17	9.26
4107	-530	4027	S	403	QPN	ZG	0.00	0.36	0.17	0.36	4107	4027	-546	S	400	QPN	ZG	0.00	11.84	0.22	11.84
4107	4027	-546	S	402	QPN	ZG	0.00	0.46	0.22	0.46	4107	-546	-562	S	400	QPN	ZG	0.00	11.84	0.22	11.84
4107	-546	-562	S	402	QPN	ZG	0.00	0.46	0.22	0.46	4107	-562	-578	S	400	QPN	ZG	0.00	11.84	0.22	11.84
4107	-562	-578	S	402	QPN	ZG	0.00	0.46	0.22	0.46	4107	-578	-594	S	400	QPN	ZG	0.00	11.84	0.22	11.84
4107	-578	-594	S	402	QP	Z	0.00	0.46	0.22	0.46	4107	-594	-610	S	600	QP	Z	0.00	11.84	0.22	11.84

					N	G										N	G				
4107	-594	-610	S	605	QPN	ZG	0.00	0.46	0.22	0.46	4107	-610	-626	S	600	QPN	ZG	0.00	11.84	0.22	11.84
4107	-610	-626	S	605	QPN	ZG	0.00	0.46	0.22	0.46	4107	-626	-642	S	600	QPN	ZG	0.00	11.84	0.22	11.84
4107	-626	-642	S	605	QPN	ZG	0.00	0.46	0.22	0.46	4107	-642	-658	S	600	QPN	ZG	0.00	11.84	0.22	11.84
4107	-642	-658	S	605	QPN	ZG	0.00	0.46	0.22	0.46	4107	-658	-674	S	601	QPN	ZG	0.00	11.84	0.22	11.84
4107	-658	-674	S	604	QPN	ZG	0.00	0.46	0.22	0.46	4107	-674	-690	S	601	QPN	ZG	0.00	11.84	0.22	11.84
4107	-674	-690	S	604	QPN	ZG	0.00	0.46	0.22	0.46	4107	-690	-706	S	601	QPN	ZG	0.00	11.84	0.22	11.84
4107	-690	-706	S	604	QPN	ZG	0.00	0.46	0.22	0.46	4107	-706	-722	S	601	QPN	ZG	0.00	11.84	0.22	11.84
4107	-706	-722	S	604	QPN	ZG	0.00	0.46	0.22	0.46	4107	-722	-738	S	602	QPN	ZG	0.00	11.84	0.22	11.84
4107	-722	-738	S	603	QPN	ZG	0.00	0.46	0.22	0.46	4107	-738	-754	S	602	QPN	ZG	0.00	11.84	0.22	11.84
4107	-738	-754	S	603	QPN	ZG	0.00	0.46	0.22	0.46	4107	-754	-770	S	602	QPN	ZG	0.00	11.84	0.22	11.84
4107	-754	-770	S	603	QPN	ZG	0.00	0.46	0.22	0.46	4107	-770	-786	S	602	QPN	ZG	0.00	11.84	0.22	11.84
4107	-770	-786	S	603	QPN	ZG	0.00	0.46	0.22	0.46	4144	3003	-515	S	401	QPN	ZG	0.00	9.26	0.17	9.26
4144	3003	-515	S	404	QPN	ZG	0.00	0.36	0.17	0.36	4144	-515	-531	S	401	QPN	ZG	0.00	9.26	0.17	9.26
4144	-515	-531	S	404	QPN	ZG	0.00	0.36	0.17	0.36	4144	-531	4028	S	401	QPN	ZG	0.00	9.26	0.17	9.26
4144	-531	4028	S	404	QPN	ZG	0.00	0.36	0.17	0.36	4144	4028	-547	S	400	QPN	ZG	0.00	11.84	0.22	11.84
4144	4028	-547	S	405	QPN	ZG	0.00	0.46	0.22	0.46	4144	-547	-563	S	400	QPN	ZG	0.00	11.84	0.22	11.84
4144	-547	-563	S	405	QPN	ZG	0.00	0.46	0.22	0.46	4144	-563	-579	S	400	QPN	ZG	0.00	11.84	0.22	11.84
4144	-563	-579	S	405	QPN	ZG	0.00	0.46	0.22	0.46	4144	-579	-595	S	400	QPN	ZG	0.00	11.84	0.22	11.84
4144	-579	-595	S	405	QPN	ZG	0.00	0.46	0.22	0.46	4144	-595	-611	S	600	QPN	ZG	0.00	11.84	0.22	11.84
4144	-595	-611	S	606	QPN	ZG	0.00	0.46	0.22	0.46	4144	-611	-627	S	600	QPN	ZG	0.00	11.84	0.22	11.84
4144	-611	-627	S	606	QPN	ZG	0.00	0.46	0.22	0.46	4144	-627	-643	S	600	QPN	ZG	0.00	11.84	0.22	11.84
4144	-627	-643	S	606	QPN	ZG	0.00	0.46	0.22	0.46	4144	-643	-659	S	600	QPN	ZG	0.00	11.84	0.22	11.84
4144	-643	-659	S	606	QPN	ZG	0.00	0.46	0.22	0.46	4144	-659	-675	S	601	QPN	ZG	0.00	11.84	0.22	11.84
4144	-659	-675	S	607	QPN	ZG	0.00	0.46	0.22	0.46	4144	-675	-691	S	601	QPN	ZG	0.00	11.84	0.22	11.84
4144	-675	-691	S	607	QPN	ZG	0.00	0.46	0.22	0.46	4144	-691	-707	S	601	QPN	ZG	0.00	11.84	0.22	11.84
4144	-691	-707	S	607	QPN	ZG	0.00	0.46	0.22	0.46	4144	-707	-723	S	601	QPN	ZG	0.00	11.84	0.22	11.84
4144	-707	-723	S	607	QPN	ZG	0.00	0.46	0.22	0.46	4144	-723	-739	S	602	QPN	ZG	0.00	11.84	0.22	11.84
4144	-723	-739	S	608	QPN	ZG	0.00	0.46	0.22	0.46	4144	-739	-755	S	602	QPN	ZG	0.00	11.84	0.22	11.84
4144	-739	-755	S	608	QPN	ZG	0.00	0.46	0.22	0.46	4144	-755	-771	S	602	QPN	ZG	0.00	11.84	0.22	11.84
4144	-755	-771	S	608	QP	Z	0.00	0.46	0.22	0.46	4144	-771	-787	S	602	QP	Z	0.00	11.84	0.22	11.84

					N	G										N	G				
4144	-771	-787	S	608	QPN	ZG	0.00	0.46	0.22	0.46	4145	3004	-516	S	404	QPN	ZG	0.00	0.36	0.17	0.36
4145	3004	-516	S	407	QPN	ZG	0.00	9.86	0.17	9.86	4145	-516	-532	S	404	QPN	ZG	0.00	0.36	0.17	0.36
4145	-516	-532	S	407	QPN	ZG	0.00	9.86	0.17	9.86	4145	-532	4030	S	404	QPN	ZG	0.00	0.36	0.17	0.36
4145	-532	4030	S	407	QPN	ZG	0.00	9.86	0.17	9.86	4145	4030	-548	S	405	QPN	ZG	0.00	0.46	0.22	0.46
4145	4030	-548	S	406	QPN	ZG	0.00	12.61	0.22	12.61	4145	-548	-564	S	405	QPN	ZG	0.00	0.46	0.22	0.46
4145	-548	-564	S	406	QPN	ZG	0.00	12.61	0.22	12.61	4145	-564	-580	S	405	QPN	ZG	0.00	0.46	0.22	0.46
4145	-564	-580	S	406	QPN	ZG	0.00	12.61	0.22	12.61	4145	-580	-596	S	405	QPN	ZG	0.00	0.46	0.22	0.46
4145	-580	-596	S	406	QPN	ZG	0.00	12.61	0.22	12.61	4145	-596	-612	S	606	QPN	ZG	0.00	0.46	0.22	0.46
4145	-596	-612	S	611	QPN	ZG	0.00	12.61	0.22	12.61	4145	-612	-628	S	606	QPN	ZG	0.00	0.46	0.22	0.46
4145	-612	-628	S	611	QPN	ZG	0.00	12.61	0.22	12.61	4145	-628	-644	S	606	QPN	ZG	0.00	0.46	0.22	0.46
4145	-628	-644	S	611	QPN	ZG	0.00	12.61	0.22	12.61	4145	-644	-660	S	606	QPN	ZG	0.00	0.46	0.22	0.46
4145	-644	-660	S	611	QPN	ZG	0.00	12.61	0.22	12.61	4145	-660	-676	S	607	QPN	ZG	0.00	0.46	0.22	0.46
4145	-660	-676	S	610	QPN	ZG	0.00	12.61	0.22	12.61	4145	-676	-692	S	607	QPN	ZG	0.00	0.46	0.22	0.46
4145	-676	-692	S	610	QPN	ZG	0.00	12.61	0.22	12.61	4145	-692	-708	S	607	QPN	ZG	0.00	0.46	0.22	0.46
4145	-692	-708	S	610	QPN	ZG	0.00	12.61	0.22	12.61	4145	-708	-724	S	607	QPN	ZG	0.00	0.46	0.22	0.46
4145	-708	-724	S	610	QPN	ZG	0.00	12.61	0.22	12.61	4145	-724	-740	S	608	QPN	ZG	0.00	0.46	0.22	0.46
4145	-724	-740	S	609	QPN	ZG	0.00	12.61	0.22	12.61	4145	-740	-756	S	608	QPN	ZG	0.00	0.46	0.22	0.46
4145	-740	-756	S	609	QPN	ZG	0.00	12.61	0.22	12.61	4145	-756	-772	S	608	QPN	ZG	0.00	0.46	0.22	0.46
4145	-756	-772	S	609	QPN	ZG	0.00	12.61	0.22	12.61	4145	-772	-788	S	608	QPN	ZG	0.00	0.46	0.22	0.46
4145	-772	-788	S	609	QPN	ZG	0.00	12.61	0.22	12.61	4182	3005	-517	S	407	QPN	ZG	0.00	9.86	0.17	9.86
4182	3005	-517	S	408	QPN	ZG	0.00	0.36	0.17	0.36	4182	-517	-533	S	407	QPN	ZG	0.00	9.86	0.17	9.86
4182	-517	-533	S	408	QPN	ZG	0.00	0.36	0.17	0.36	4182	-533	4031	S	407	QPN	ZG	0.00	9.86	0.17	9.86
4182	-533	4031	S	408	QPN	ZG	0.00	0.36	0.17	0.36	4182	4031	-549	S	406	QPN	ZG	0.00	12.61	0.22	12.61
4182	4031	-549	S	409	QPN	ZG	0.00	0.46	0.22	0.46	4182	-549	-565	S	406	QPN	ZG	0.00	12.61	0.22	12.61
4182	-549	-565	S	409	QPN	ZG	0.00	0.46	0.22	0.46	4182	-565	-581	S	406	QPN	ZG	0.00	12.61	0.22	12.61
4182	-565	-581	S	409	QPN	ZG	0.00	0.46	0.22	0.46	4182	-581	-597	S	406	QPN	ZG	0.00	12.61	0.22	12.61
4182	-581	-597	S	409	QPN	ZG	0.00	0.46	0.22	0.46	4182	-597	-613	S	611	QPN	ZG	0.00	12.61	0.22	12.61
4182	-597	-613	S	612	QPN	ZG	0.00	0.46	0.22	0.46	4182	-613	-629	S	611	QPN	ZG	0.00	12.61	0.22	12.61
4182	-613	-629	S	612	QPN	ZG	0.00	0.46	0.22	0.46	4182	-629	-645	S	611	QPN	ZG	0.00	12.61	0.22	12.61
4182	-629	-645	S	612	QP	Z	0.00	0.46	0.22	0.46	4182	-645	-661	S	611	QP	Z	0.00	12.61	0.22	12.61

					N	G				
4182	-645	-661	S	612	QPN	ZG	0.00	0.46	0.22	0.46
4182	-661	-677	S	613	QPN	ZG	0.00	0.46	0.22	0.46
4182	-677	-693	S	613	QPN	ZG	0.00	0.46	0.22	0.46
4182	-693	-709	S	613	QPN	ZG	0.00	0.46	0.22	0.46
4182	-709	-725	S	613	QPN	ZG	0.00	0.46	0.22	0.46
4182	-725	-741	S	614	QPN	ZG	0.00	0.46	0.22	0.46
4182	-741	-757	S	614	QPN	ZG	0.00	0.46	0.22	0.46
4182	-757	-773	S	614	QPN	ZG	0.00	0.46	0.22	0.46
4182	-773	-789	S	614	QPN	ZG	0.00	0.46	0.22	0.46
4183	3006	-518	S	410	QPN	ZG	0.00	9.26	0.17	9.26
4183	-518	-534	S	410	QPN	ZG	0.00	9.26	0.17	9.26
4183	-534	4033	S	410	QPN	ZG	0.00	9.26	0.17	9.26
4183	4033	-550	S	411	QPN	ZG	0.00	11.84	0.22	11.84
4183	-550	-566	S	411	QPN	ZG	0.00	11.84	0.22	11.84
4183	-566	-582	S	411	QPN	ZG	0.00	11.84	0.22	11.84
4183	-582	-598	S	411	QPN	ZG	0.00	11.84	0.22	11.84
4183	-598	-614	S	615	QPN	ZG	0.00	11.84	0.22	11.84
4183	-614	-630	S	615	QPN	ZG	0.00	11.84	0.22	11.84
4183	-630	-646	S	615	QPN	ZG	0.00	11.84	0.22	11.84
4183	-646	-662	S	615	QPN	ZG	0.00	11.84	0.22	11.84
4183	-662	-678	S	616	QPN	ZG	0.00	11.84	0.22	11.84
4183	-678	-694	S	616	QPN	ZG	0.00	11.84	0.22	11.84
4183	-694	-710	S	616	QPN	ZG	0.00	11.84	0.22	11.84
4183	-710	-726	S	616	QPN	ZG	0.00	11.84	0.22	11.84
4183	-726	-742	S	617	QPN	ZG	0.00	11.84	0.22	11.84
4183	-742	-758	S	617	QPN	ZG	0.00	11.84	0.22	11.84
4183	-758	-774	S	617	QPN	ZG	0.00	11.84	0.22	11.84
4183	-774	-790	S	617	QPN	ZG	0.00	11.84	0.22	11.84
4220	3007	-519	S	412	QPN	ZG	0.00	0.36	0.17	0.36
4220	-519	-535	S	412	QP	Z	0.00	0.36	0.17	0.36

					N	G				
4182	-661	-677	S	610	QPN	ZG	0.00	12.61	0.22	12.61
4182	-677	-693	S	610	QPN	ZG	0.00	12.61	0.22	12.61
4182	-693	-709	S	610	QPN	ZG	0.00	12.61	0.22	12.61
4182	-709	-725	S	610	QPN	ZG	0.00	12.61	0.22	12.61
4182	-725	-741	S	609	QPN	ZG	0.00	12.61	0.22	12.61
4182	-741	-757	S	609	QPN	ZG	0.00	12.61	0.22	12.61
4182	-757	-773	S	609	QPN	ZG	0.00	12.61	0.22	12.61
4182	-773	-789	S	609	QPN	ZG	0.00	12.61	0.22	12.61
4183	3006	-518	S	408	QPN	ZG	0.00	0.36	0.17	0.36
4183	-518	-534	S	408	QPN	ZG	0.00	0.36	0.17	0.36
4183	-534	4033	S	408	QPN	ZG	0.00	0.36	0.17	0.36
4183	4033	-550	S	409	QPN	ZG	0.00	0.46	0.22	0.46
4183	-550	-566	S	409	QPN	ZG	0.00	0.46	0.22	0.46
4183	-566	-582	S	409	QPN	ZG	0.00	0.46	0.22	0.46
4183	-582	-598	S	409	QPN	ZG	0.00	0.46	0.22	0.46
4183	-598	-614	S	612	QPN	ZG	0.00	0.46	0.22	0.46
4183	-614	-630	S	612	QPN	ZG	0.00	0.46	0.22	0.46
4183	-630	-646	S	612	QPN	ZG	0.00	0.46	0.22	0.46
4183	-646	-662	S	612	QPN	ZG	0.00	0.46	0.22	0.46
4183	-662	-678	S	613	QPN	ZG	0.00	0.46	0.22	0.46
4183	-678	-694	S	613	QPN	ZG	0.00	0.46	0.22	0.46
4183	-694	-710	S	613	QPN	ZG	0.00	0.46	0.22	0.46
4183	-710	-726	S	613	QPN	ZG	0.00	0.46	0.22	0.46
4183	-726	-742	S	614	QPN	ZG	0.00	0.46	0.22	0.46
4183	-742	-758	S	614	QPN	ZG	0.00	0.46	0.22	0.46
4183	-758	-774	S	614	QPN	ZG	0.00	0.46	0.22	0.46
4183	-774	-790	S	614	QPN	ZG	0.00	0.46	0.22	0.46
4220	3007	-519	S	410	QPN	ZG	0.00	9.26	0.17	9.26
4220	-519	-535	S	410	QPN	ZG	0.00	9.26	0.17	9.26
4220	-535	4034	S	410	QP	Z	0.00	9.26	0.17	9.26

					N	G										N	G				
4220	-535	4034	S	412	QPN	ZG	0.00	0.36	0.17	0.36	4220	4034	-551	S	411	QPN	ZG	0.00	11.84	0.22	11.84
4220	4034	-551	S	413	QPN	ZG	0.00	0.46	0.22	0.46	4220	-551	-567	S	411	QPN	ZG	0.00	11.84	0.22	11.84
4220	-551	-567	S	413	QPN	ZG	0.00	0.46	0.22	0.46	4220	-567	-583	S	411	QPN	ZG	0.00	11.84	0.22	11.84
4220	-567	-583	S	413	QPN	ZG	0.00	0.46	0.22	0.46	4220	-583	-599	S	411	QPN	ZG	0.00	11.84	0.22	11.84
4220	-583	-599	S	413	QPN	ZG	0.00	0.46	0.22	0.46	4220	-599	-615	S	615	QPN	ZG	0.00	11.84	0.22	11.84
4220	-599	-615	S	618	QPN	ZG	0.00	0.46	0.22	0.46	4220	-615	-631	S	615	QPN	ZG	0.00	11.84	0.22	11.84
4220	-615	-631	S	618	QPN	ZG	0.00	0.46	0.22	0.46	4220	-631	-647	S	615	QPN	ZG	0.00	11.84	0.22	11.84
4220	-631	-647	S	618	QPN	ZG	0.00	0.46	0.22	0.46	4220	-647	-663	S	615	QPN	ZG	0.00	11.84	0.22	11.84
4220	-647	-663	S	618	QPN	ZG	0.00	0.46	0.22	0.46	4220	-663	-679	S	616	QPN	ZG	0.00	11.84	0.22	11.84
4220	-663	-679	S	619	QPN	ZG	0.00	0.46	0.22	0.46	4220	-679	-695	S	616	QPN	ZG	0.00	11.84	0.22	11.84
4220	-679	-695	S	619	QPN	ZG	0.00	0.46	0.22	0.46	4220	-695	-711	S	616	QPN	ZG	0.00	11.84	0.22	11.84
4220	-695	-711	S	619	QPN	ZG	0.00	0.46	0.22	0.46	4220	-711	-727	S	616	QPN	ZG	0.00	11.84	0.22	11.84
4220	-711	-727	S	619	QPN	ZG	0.00	0.46	0.22	0.46	4220	-727	-743	S	617	QPN	ZG	0.00	11.84	0.22	11.84
4220	-727	-743	S	620	QPN	ZG	0.00	0.46	0.22	0.46	4220	-743	-759	S	617	QPN	ZG	0.00	11.84	0.22	11.84
4220	-743	-759	S	620	QPN	ZG	0.00	0.46	0.22	0.46	4220	-759	-775	S	617	QPN	ZG	0.00	11.84	0.22	11.84
4220	-759	-775	S	620	QPN	ZG	0.00	0.46	0.22	0.46	4220	-775	-791	S	617	QPN	ZG	0.00	11.84	0.22	11.84
4220	-775	-791	S	620	QPN	ZG	0.00	0.46	0.22	0.46	4221	3008	-520	S	412	QPN	ZG	0.00	0.36	0.17	0.36
4221	-520	-536	S	412	QPN	ZG	0.00	0.36	0.17	0.36	4221	-536	4036	S	412	QPN	ZG	0.00	0.36	0.17	0.36
4221	4036	-552	S	413	QPN	ZG	0.00	0.46	0.22	0.46	4221	-552	-568	S	413	QPN	ZG	0.00	0.46	0.22	0.46
4221	-568	-584	S	413	QPN	ZG	0.00	0.46	0.22	0.46	4221	-584	-600	S	413	QPN	ZG	0.00	0.46	0.22	0.46
4221	-600	-616	S	618	QPN	ZG	0.00	0.46	0.22	0.46	4221	-616	-632	S	618	QPN	ZG	0.00	0.46	0.22	0.46
4221	-632	-648	S	618	QPN	ZG	0.00	0.46	0.22	0.46	4221	-648	-664	S	618	QPN	ZG	0.00	0.46	0.22	0.46
4221	-664	-680	S	619	QPN	ZG	0.00	0.46	0.22	0.46	4221	-680	-696	S	619	QPN	ZG	0.00	0.46	0.22	0.46
4221	-696	-712	S	619	QPN	ZG	0.00	0.46	0.22	0.46	4221	-712	-728	S	619	QPN	ZG	0.00	0.46	0.22	0.46
4221	-728	-744	S	620	QPN	ZG	0.00	0.46	0.22	0.46	4221	-744	-760	S	620	QPN	ZG	0.00	0.46	0.22	0.46
4221	-760	-776	S	620	QPN	ZG	0.00	0.46	0.22	0.46	4221	-776	-792	S	620	QPN	ZG	0.00	0.46	0.22	0.46
4385	-785	-777	S	621	QPN	ZG	0.00	0.46	0.22	0.46	4385	-777	-761	S	621	QPN	ZG	0.00	0.46	0.22	0.46
4385	-761	-745	S	621	QPN	ZG	0.00	0.46	0.22	0.46	4385	-745	-729	S	621	QPN	ZG	0.00	0.46	0.22	0.46
4385	-729	-713	S	622	QPN	ZG	0.00	0.46	0.22	0.46	4385	-713	-697	S	622	QPN	ZG	0.00	0.46	0.22	0.46
4385	-697	-681	S	622	QP	Z	0.00	0.46	0.22	0.46	4385	-681	-665	S	622	QP	Z	0.00	0.46	0.22	0.46

					N	G				
4385	-665	-649	S	623	QPN	ZG	0.00	0.46	0.22	0.46
4385	-633	-617	S	623	QPN	ZG	0.00	0.46	0.22	0.46
4385	-601	-585	S	414	QPN	ZG	0.00	0.46	0.22	0.46
4385	-569	-553	S	414	QPN	ZG	0.00	0.46	0.22	0.46
4385	4285	-537	S	415	QPN	ZG	0.00	0.36	0.17	0.36
4385	-521	3313	S	415	QPN	ZG	0.00	0.36	0.17	0.36
4386	-786	-778	S	626	QPN	ZG	0.00	11.84	0.22	11.84
4386	-778	-762	S	626	QPN	ZG	0.00	11.84	0.22	11.84
4386	-762	-746	S	626	QPN	ZG	0.00	11.84	0.22	11.84
4386	-746	-730	S	626	QPN	ZG	0.00	11.84	0.22	11.84
4386	-730	-714	S	625	QPN	ZG	0.00	11.84	0.22	11.84
4386	-714	-698	S	625	QPN	ZG	0.00	11.84	0.22	11.84
4386	-698	-682	S	625	QPN	ZG	0.00	11.84	0.22	11.84
4386	-682	-666	S	625	QPN	ZG	0.00	11.84	0.22	11.84
4386	-666	-650	S	624	QPN	ZG	0.00	11.84	0.22	11.84
4386	-650	-634	S	624	QPN	ZG	0.00	11.84	0.22	11.84
4386	-634	-618	S	624	QPN	ZG	0.00	11.84	0.22	11.84
4386	-618	-602	S	624	QPN	ZG	0.00	11.84	0.22	11.84
4386	-602	-586	S	417	QPN	ZG	0.00	11.84	0.22	11.84
4386	-586	-570	S	417	QPN	ZG	0.00	11.84	0.22	11.84
4386	-570	-554	S	417	QPN	ZG	0.00	11.84	0.22	11.84
4386	-554	4287	S	417	QPN	ZG	0.00	11.84	0.22	11.84
4386	4287	-538	S	416	QPN	ZG	0.00	9.26	0.17	9.26
4386	-538	-522	S	416	QPN	ZG	0.00	9.26	0.17	9.26
4386	-522	3314	S	416	QPN	ZG	0.00	9.26	0.17	9.26
4423	-787	-779	S	628	QPN	ZG	0.00	0.46	0.22	0.46
4423	-779	-763	S	628	QPN	ZG	0.00	0.46	0.22	0.46
4423	-763	-747	S	628	QPN	ZG	0.00	0.46	0.22	0.46
4423	-747	-731	S	628	QPN	ZG	0.00	0.46	0.22	0.46
4423	-731	-715	S	629	QP	Z	0.00	0.46	0.22	0.46

					N	G				
4385	-649	-633	S	623	QPN	ZG	0.00	0.46	0.22	0.46
4385	-617	-601	S	623	QPN	ZG	0.00	0.46	0.22	0.46
4385	-585	-569	S	414	QPN	ZG	0.00	0.46	0.22	0.46
4385	-553	4285	S	414	QPN	ZG	0.00	0.46	0.22	0.46
4385	-537	-521	S	415	QPN	ZG	0.00	0.36	0.17	0.36
4386	-786	-778	S	621	QPN	ZG	0.00	0.46	0.22	0.46
4386	-778	-762	S	621	QPN	ZG	0.00	0.46	0.22	0.46
4386	-762	-746	S	621	QPN	ZG	0.00	0.46	0.22	0.46
4386	-746	-730	S	621	QPN	ZG	0.00	0.46	0.22	0.46
4386	-730	-714	S	622	QPN	ZG	0.00	0.46	0.22	0.46
4386	-714	-698	S	622	QPN	ZG	0.00	0.46	0.22	0.46
4386	-698	-682	S	622	QPN	ZG	0.00	0.46	0.22	0.46
4386	-682	-666	S	622	QPN	ZG	0.00	0.46	0.22	0.46
4386	-666	-650	S	623	QPN	ZG	0.00	0.46	0.22	0.46
4386	-650	-634	S	623	QPN	ZG	0.00	0.46	0.22	0.46
4386	-634	-618	S	623	QPN	ZG	0.00	0.46	0.22	0.46
4386	-618	-602	S	623	QPN	ZG	0.00	0.46	0.22	0.46
4386	-602	-586	S	414	QPN	ZG	0.00	0.46	0.22	0.46
4386	-586	-570	S	414	QPN	ZG	0.00	0.46	0.22	0.46
4386	-570	-554	S	414	QPN	ZG	0.00	0.46	0.22	0.46
4386	-554	4287	S	414	QPN	ZG	0.00	0.46	0.22	0.46
4386	4287	-538	S	415	QPN	ZG	0.00	0.36	0.17	0.36
4386	-538	-522	S	415	QPN	ZG	0.00	0.36	0.17	0.36
4386	-522	3314	S	415	QPN	ZG	0.00	0.36	0.17	0.36
4423	-787	-779	S	626	QPN	ZG	0.00	11.84	0.22	11.84
4423	-779	-763	S	626	QPN	ZG	0.00	11.84	0.22	11.84
4423	-763	-747	S	626	QPN	ZG	0.00	11.84	0.22	11.84
4423	-747	-731	S	626	QPN	ZG	0.00	11.84	0.22	11.84
4423	-731	-715	S	625	QPN	ZG	0.00	11.84	0.22	11.84
4423	-715	-699	S	625	QP	Z	0.00	11.84	0.22	11.84

					N	G				
4423	-715	-699	S	629	QPN	ZG	0.00	0.46	0.22	0.46
4423	-699	-683	S	629	QPN	ZG	0.00	0.46	0.22	0.46
4423	-683	-667	S	629	QPN	ZG	0.00	0.46	0.22	0.46
4423	-667	-651	S	627	QPN	ZG	0.00	0.46	0.22	0.46
4423	-651	-635	S	627	QPN	ZG	0.00	0.46	0.22	0.46
4423	-635	-619	S	627	QPN	ZG	0.00	0.46	0.22	0.46
4423	-619	-603	S	627	QPN	ZG	0.00	0.46	0.22	0.46
4423	-603	-587	S	419	QPN	ZG	0.00	0.46	0.22	0.46
4423	-587	-571	S	419	QPN	ZG	0.00	0.46	0.22	0.46
4423	-571	-555	S	419	QPN	ZG	0.00	0.46	0.22	0.46
4423	-555	4288	S	419	QPN	ZG	0.00	0.46	0.22	0.46
4423	4288	-539	S	418	QPN	ZG	0.00	0.36	0.17	0.36
4423	-539	-523	S	418	QPN	ZG	0.00	0.36	0.17	0.36
4423	-523	3315	S	418	QPN	ZG	0.00	0.36	0.17	0.36
4424	-788	-780	S	630	QPN	ZG	0.00	12.61	0.22	12.61
4424	-780	-764	S	630	QPN	ZG	0.00	12.61	0.22	12.61
4424	-764	-748	S	630	QPN	ZG	0.00	12.61	0.22	12.61
4424	-748	-732	S	630	QPN	ZG	0.00	12.61	0.22	12.61
4424	-732	-716	S	631	QPN	ZG	0.00	12.61	0.22	12.61
4424	-716	-700	S	631	QPN	ZG	0.00	12.61	0.22	12.61
4424	-700	-684	S	631	QPN	ZG	0.00	12.61	0.22	12.61
4424	-684	-668	S	631	QPN	ZG	0.00	12.61	0.22	12.61
4424	-668	-652	S	632	QPN	ZG	0.00	12.61	0.22	12.61
4424	-652	-636	S	632	QPN	ZG	0.00	12.61	0.22	12.61
4424	-636	-620	S	632	QPN	ZG	0.00	12.61	0.22	12.61
4424	-620	-604	S	632	QPN	ZG	0.00	12.61	0.22	12.61
4424	-604	-588	S	420	QPN	ZG	0.00	12.61	0.22	12.61
4424	-588	-572	S	420	QPN	ZG	0.00	12.61	0.22	12.61
4424	-572	-556	S	420	QPN	ZG	0.00	12.61	0.22	12.61
4424	-556	4290	S	420	QP	Z	0.00	12.61	0.22	12.61

					N	G				
4423	-699	-683	S	625	QPN	ZG	0.00	11.84	0.22	11.84
4423	-683	-667	S	625	QPN	ZG	0.00	11.84	0.22	11.84
4423	-667	-651	S	624	QPN	ZG	0.00	11.84	0.22	11.84
4423	-651	-635	S	624	QPN	ZG	0.00	11.84	0.22	11.84
4423	-635	-619	S	624	QPN	ZG	0.00	11.84	0.22	11.84
4423	-619	-603	S	624	QPN	ZG	0.00	11.84	0.22	11.84
4423	-603	-587	S	417	QPN	ZG	0.00	11.84	0.22	11.84
4423	-587	-571	S	417	QPN	ZG	0.00	11.84	0.22	11.84
4423	-571	-555	S	417	QPN	ZG	0.00	11.84	0.22	11.84
4423	-555	4288	S	417	QPN	ZG	0.00	11.84	0.22	11.84
4423	4288	-539	S	416	QPN	ZG	0.00	9.26	0.17	9.26
4423	-539	-523	S	416	QPN	ZG	0.00	9.26	0.17	9.26
4423	-523	3315	S	416	QPN	ZG	0.00	9.26	0.17	9.26
4424	-788	-780	S	628	QPN	ZG	0.00	0.46	0.22	0.46
4424	-780	-764	S	628	QPN	ZG	0.00	0.46	0.22	0.46
4424	-764	-748	S	628	QPN	ZG	0.00	0.46	0.22	0.46
4424	-748	-732	S	628	QPN	ZG	0.00	0.46	0.22	0.46
4424	-732	-716	S	629	QPN	ZG	0.00	0.46	0.22	0.46
4424	-716	-700	S	629	QPN	ZG	0.00	0.46	0.22	0.46
4424	-700	-684	S	629	QPN	ZG	0.00	0.46	0.22	0.46
4424	-684	-668	S	629	QPN	ZG	0.00	0.46	0.22	0.46
4424	-668	-652	S	627	QPN	ZG	0.00	0.46	0.22	0.46
4424	-652	-636	S	627	QPN	ZG	0.00	0.46	0.22	0.46
4424	-636	-620	S	627	QPN	ZG	0.00	0.46	0.22	0.46
4424	-620	-604	S	627	QPN	ZG	0.00	0.46	0.22	0.46
4424	-604	-588	S	419	QPN	ZG	0.00	0.46	0.22	0.46
4424	-588	-572	S	419	QPN	ZG	0.00	0.46	0.22	0.46
4424	-572	-556	S	419	QPN	ZG	0.00	0.46	0.22	0.46
4424	-556	4290	S	419	QPN	ZG	0.00	0.46	0.22	0.46
4424	4290	-540	S	418	QP	Z	0.00	0.36	0.17	0.36

					N	G				
4424	4290	-540	S	421	QPN	ZG	0.00	9.86	0.17	9.86
4424	-540	-524	S	421	QPN	ZG	0.00	9.86	0.17	9.86
4424	-524	3316	S	421	QPN	ZG	0.00	9.86	0.17	9.86
4461	-789	-781	S	633	QPN	ZG	0.00	0.46	0.22	0.46
4461	-781	-765	S	633	QPN	ZG	0.00	0.46	0.22	0.46
4461	-765	-749	S	633	QPN	ZG	0.00	0.46	0.22	0.46
4461	-749	-733	S	633	QPN	ZG	0.00	0.46	0.22	0.46
4461	-733	-717	S	634	QPN	ZG	0.00	0.46	0.22	0.46
4461	-717	-701	S	634	QPN	ZG	0.00	0.46	0.22	0.46
4461	-701	-685	S	634	QPN	ZG	0.00	0.46	0.22	0.46
4461	-685	-669	S	634	QPN	ZG	0.00	0.46	0.22	0.46
4461	-669	-653	S	635	QPN	ZG	0.00	0.46	0.22	0.46
4461	-653	-637	S	635	QPN	ZG	0.00	0.46	0.22	0.46
4461	-637	-621	S	635	QPN	ZG	0.00	0.46	0.22	0.46
4461	-621	-605	S	635	QPN	ZG	0.00	0.46	0.22	0.46
4461	-605	-589	S	422	QPN	ZG	0.00	0.46	0.22	0.46
4461	-589	-573	S	422	QPN	ZG	0.00	0.46	0.22	0.46
4461	-573	-557	S	422	QPN	ZG	0.00	0.46	0.22	0.46
4461	-557	4291	S	422	QPN	ZG	0.00	0.46	0.22	0.46
4461	4291	-541	S	423	QPN	ZG	0.00	0.36	0.17	0.36
4461	-541	-525	S	423	QPN	ZG	0.00	0.36	0.17	0.36
4461	-525	3317	S	423	QPN	ZG	0.00	0.36	0.17	0.36
4462	-790	-782	S	641	QPN	ZG	0.00	11.84	0.22	11.84
4462	-782	-766	S	641	QPN	ZG	0.00	11.84	0.22	11.84
4462	-766	-750	S	641	QPN	ZG	0.00	11.84	0.22	11.84
4462	-750	-734	S	641	QPN	ZG	0.00	11.84	0.22	11.84
4462	-734	-718	S	640	QPN	ZG	0.00	11.84	0.22	11.84
4462	-718	-702	S	640	QPN	ZG	0.00	11.84	0.22	11.84
4462	-702	-686	S	640	QPN	ZG	0.00	11.84	0.22	11.84
4462	-686	-670	S	640	QP	Z	0.00	11.84	0.22	11.84

					N	G				
4424	-540	-524	S	418	QPN	ZG	0.00	0.36	0.17	0.36
4424	-524	3316	S	418	QPN	ZG	0.00	0.36	0.17	0.36
4461	-789	-781	S	630	QPN	ZG	0.00	12.61	0.22	12.61
4461	-781	-765	S	630	QPN	ZG	0.00	12.61	0.22	12.61
4461	-765	-749	S	630	QPN	ZG	0.00	12.61	0.22	12.61
4461	-749	-733	S	630	QPN	ZG	0.00	12.61	0.22	12.61
4461	-733	-717	S	631	QPN	ZG	0.00	12.61	0.22	12.61
4461	-717	-701	S	631	QPN	ZG	0.00	12.61	0.22	12.61
4461	-701	-685	S	631	QPN	ZG	0.00	12.61	0.22	12.61
4461	-685	-669	S	631	QPN	ZG	0.00	12.61	0.22	12.61
4461	-669	-653	S	632	QPN	ZG	0.00	12.61	0.22	12.61
4461	-653	-637	S	632	QPN	ZG	0.00	12.61	0.22	12.61
4461	-637	-621	S	632	QPN	ZG	0.00	12.61	0.22	12.61
4461	-621	-605	S	632	QPN	ZG	0.00	12.61	0.22	12.61
4461	-605	-589	S	420	QPN	ZG	0.00	12.61	0.22	12.61
4461	-589	-573	S	420	QPN	ZG	0.00	12.61	0.22	12.61
4461	-573	-557	S	420	QPN	ZG	0.00	12.61	0.22	12.61
4461	-557	4291	S	420	QPN	ZG	0.00	12.61	0.22	12.61
4461	4291	-541	S	421	QPN	ZG	0.00	9.86	0.17	9.86
4461	-541	-525	S	421	QPN	ZG	0.00	9.86	0.17	9.86
4461	-525	3317	S	421	QPN	ZG	0.00	9.86	0.17	9.86
4462	-790	-782	S	633	QPN	ZG	0.00	0.46	0.22	0.46
4462	-782	-766	S	633	QPN	ZG	0.00	0.46	0.22	0.46
4462	-766	-750	S	633	QPN	ZG	0.00	0.46	0.22	0.46
4462	-750	-734	S	633	QPN	ZG	0.00	0.46	0.22	0.46
4462	-734	-718	S	634	QPN	ZG	0.00	0.46	0.22	0.46
4462	-718	-702	S	634	QPN	ZG	0.00	0.46	0.22	0.46
4462	-702	-686	S	634	QPN	ZG	0.00	0.46	0.22	0.46
4462	-686	-670	S	634	QPN	ZG	0.00	0.46	0.22	0.46
4462	-670	-654	S	635	QP	Z	0.00	0.46	0.22	0.46

					N	G										N	G				
4462	-670	-654	S	639	QPN	ZG	0.00	11.84	0.22	11.84	4462	-654	-638	S	635	QPN	ZG	0.00	0.46	0.22	0.46
4462	-654	-638	S	639	QPN	ZG	0.00	11.84	0.22	11.84	4462	-638	-622	S	635	QPN	ZG	0.00	0.46	0.22	0.46
4462	-638	-622	S	639	QPN	ZG	0.00	11.84	0.22	11.84	4462	-622	-606	S	635	QPN	ZG	0.00	0.46	0.22	0.46
4462	-622	-606	S	639	QPN	ZG	0.00	11.84	0.22	11.84	4462	-606	-590	S	422	QPN	ZG	0.00	0.46	0.22	0.46
4462	-606	-590	S	427	QPN	ZG	0.00	11.84	0.22	11.84	4462	-590	-574	S	422	QPN	ZG	0.00	0.46	0.22	0.46
4462	-590	-574	S	427	QPN	ZG	0.00	11.84	0.22	11.84	4462	-574	-558	S	422	QPN	ZG	0.00	0.46	0.22	0.46
4462	-574	-558	S	427	QPN	ZG	0.00	11.84	0.22	11.84	4462	-558	4293	S	422	QPN	ZG	0.00	0.46	0.22	0.46
4462	-558	4293	S	427	QPN	ZG	0.00	11.84	0.22	11.84	4462	4293	-542	S	423	QPN	ZG	0.00	0.36	0.17	0.36
4462	4293	-542	S	426	QPN	ZG	0.00	9.26	0.17	9.26	4462	-542	-526	S	423	QPN	ZG	0.00	0.36	0.17	0.36
4462	-542	-526	S	426	QPN	ZG	0.00	9.26	0.17	9.26	4462	-526	3318	S	423	QPN	ZG	0.00	0.36	0.17	0.36
4462	-526	3318	S	426	QPN	ZG	0.00	9.26	0.17	9.26	4499	-791	-783	S	636	QPN	ZG	0.00	0.46	0.22	0.46
4499	-791	-783	S	641	QPN	ZG	0.00	11.84	0.22	11.84	4499	-783	-767	S	636	QPN	ZG	0.00	0.46	0.22	0.46
4499	-783	-767	S	641	QPN	ZG	0.00	11.84	0.22	11.84	4499	-767	-751	S	636	QPN	ZG	0.00	0.46	0.22	0.46
4499	-767	-751	S	641	QPN	ZG	0.00	11.84	0.22	11.84	4499	-751	-735	S	636	QPN	ZG	0.00	0.46	0.22	0.46
4499	-751	-735	S	641	QPN	ZG	0.00	11.84	0.22	11.84	4499	-735	-719	S	637	QPN	ZG	0.00	0.46	0.22	0.46
4499	-735	-719	S	640	QPN	ZG	0.00	11.84	0.22	11.84	4499	-719	-703	S	637	QPN	ZG	0.00	0.46	0.22	0.46
4499	-719	-703	S	640	QPN	ZG	0.00	11.84	0.22	11.84	4499	-703	-687	S	637	QPN	ZG	0.00	0.46	0.22	0.46
4499	-703	-687	S	640	QPN	ZG	0.00	11.84	0.22	11.84	4499	-687	-671	S	637	QPN	ZG	0.00	0.46	0.22	0.46
4499	-687	-671	S	640	QPN	ZG	0.00	11.84	0.22	11.84	4499	-671	-655	S	638	QPN	ZG	0.00	0.46	0.22	0.46
4499	-671	-655	S	639	QPN	ZG	0.00	11.84	0.22	11.84	4499	-655	-639	S	638	QPN	ZG	0.00	0.46	0.22	0.46
4499	-655	-639	S	639	QPN	ZG	0.00	11.84	0.22	11.84	4499	-639	-623	S	638	QPN	ZG	0.00	0.46	0.22	0.46
4499	-639	-623	S	639	QPN	ZG	0.00	11.84	0.22	11.84	4499	-623	-607	S	638	QPN	ZG	0.00	0.46	0.22	0.46
4499	-623	-607	S	639	QPN	ZG	0.00	11.84	0.22	11.84	4499	-607	-591	S	424	QPN	ZG	0.00	0.46	0.22	0.46
4499	-607	-591	S	427	QPN	ZG	0.00	11.84	0.22	11.84	4499	-591	-575	S	424	QPN	ZG	0.00	0.46	0.22	0.46
4499	-591	-575	S	427	QPN	ZG	0.00	11.84	0.22	11.84	4499	-575	-559	S	424	QPN	ZG	0.00	0.46	0.22	0.46
4499	-575	-559	S	427	QPN	ZG	0.00	11.84	0.22	11.84	4499	-559	4294	S	424	QPN	ZG	0.00	0.46	0.22	0.46
4499	-559	4294	S	427	QPN	ZG	0.00	11.84	0.22	11.84	4499	4294	-543	S	425	QPN	ZG	0.00	0.36	0.17	0.36
4499	4294	-543	S	426	QPN	ZG	0.00	9.26	0.17	9.26	4499	-543	-527	S	425	QPN	ZG	0.00	0.36	0.17	0.36
4499	-543	-527	S	426	QPN	ZG	0.00	9.26	0.17	9.26	4499	-527	3319	S	425	QPN	ZG	0.00	0.36	0.17	0.36
4499	-527	3319	S	426	QP	Z	0.00	9.26	0.17	9.26	4500	-792	-784	S	636	QP	Z	0.00	0.46	0.22	0.46

					N	G										N	G				
4500	-784	-768	S	636	QPN	ZG	0.00	0.46	0.22	0.46	4500	-768	-752	S	636	QPN	ZG	0.00	0.46	0.22	0.46
4500	-752	-736	S	636	QPN	ZG	0.00	0.46	0.22	0.46	4500	-736	-720	S	637	QPN	ZG	0.00	0.46	0.22	0.46
4500	-720	-704	S	637	QPN	ZG	0.00	0.46	0.22	0.46	4500	-704	-688	S	637	QPN	ZG	0.00	0.46	0.22	0.46
4500	-688	-672	S	637	QPN	ZG	0.00	0.46	0.22	0.46	4500	-672	-656	S	638	QPN	ZG	0.00	0.46	0.22	0.46
4500	-656	-640	S	638	QPN	ZG	0.00	0.46	0.22	0.46	4500	-640	-624	S	638	QPN	ZG	0.00	0.46	0.22	0.46
4500	-624	-608	S	638	QPN	ZG	0.00	0.46	0.22	0.46	4500	-608	-592	S	424	QPN	ZG	0.00	0.46	0.22	0.46
4500	-592	-576	S	424	QPN	ZG	0.00	0.46	0.22	0.46	4500	-576	-560	S	424	QPN	ZG	0.00	0.46	0.22	0.46
4500	-560	4296	S	424	QPN	ZG	0.00	0.46	0.22	0.46	4500	4296	-544	S	425	QPN	ZG	0.00	0.36	0.17	0.36
4500	-544	-528	S	425	QPN	ZG	0.00	0.36	0.17	0.36	4500	-528	3320	S	425	QPN	ZG	0.00	0.36	0.17	0.36
6041	-593	-594	S	605	QPN	ZG	0.00	1.00	0.12	1.00	6041	-593	-594	S	402	QPN	ZG	0.00	1.00	0.12	1.00
6041	-595	-596	S	405	QPN	ZG	0.00	1.00	0.12	1.00	6041	-595	-596	S	606	QPN	ZG	0.00	1.00	0.12	1.00
6041	-597	-598	S	409	QPN	ZG	0.00	1.00	0.12	1.00	6041	-597	-598	S	612	QPN	ZG	0.00	1.00	0.12	1.00
6041	-599	-600	S	413	QPN	ZG	0.00	1.00	0.12	1.00	6041	-599	-600	S	618	QPN	ZG	0.00	1.00	0.12	1.00
6042	-657	-658	S	604	QPN	ZG	0.00	1.00	0.12	1.00	6042	-657	-658	S	605	QPN	ZG	0.00	1.00	0.12	1.00
6042	-659	-660	S	606	QPN	ZG	0.00	1.00	0.12	1.00	6042	-659	-660	S	607	QPN	ZG	0.00	1.00	0.12	1.00
6042	-661	-662	S	612	QPN	ZG	0.00	1.00	0.12	1.00	6042	-661	-662	S	613	QPN	ZG	0.00	1.00	0.12	1.00
6042	-663	-664	S	618	QPN	ZG	0.00	1.00	0.12	1.00	6042	-663	-664	S	619	QPN	ZG	0.00	1.00	0.12	1.00
6043	-721	-722	S	603	QPN	ZG	0.00	1.00	0.12	1.00	6043	-721	-722	S	604	QPN	ZG	0.00	1.00	0.12	1.00
6043	-723	-724	S	607	QPN	ZG	0.00	1.00	0.12	1.00	6043	-723	-724	S	608	QPN	ZG	0.00	1.00	0.12	1.00
6043	-725	-726	S	613	QPN	ZG	0.00	1.00	0.12	1.00	6043	-725	-726	S	614	QPN	ZG	0.00	1.00	0.12	1.00
6043	-727	-728	S	619	QPN	ZG	0.00	1.00	0.12	1.00	6043	-727	-728	S	620	QPN	ZG	0.00	1.00	0.12	1.00
6044	-785	-786	S	603	QPN	ZG	0.00	1.00	0.12	1.00	6044	-785	-786	S	621	QPN	ZG	0.00	1.00	0.12	1.00
6044	-787	-788	S	608	QPN	ZG	0.00	1.00	0.12	1.00	6044	-787	-788	S	628	QPN	ZG	0.00	1.00	0.12	1.00
6044	-789	-790	S	614	QPN	ZG	0.00	1.00	0.12	1.00	6044	-789	-790	S	633	QPN	ZG	0.00	1.00	0.12	1.00
6044	-791	-792	S	620	QPN	ZG	0.00	1.00	0.12	1.00	6044	-791	-792	S	636	QPN	ZG	0.00	1.00	0.12	1.00
6045	-729	-730	S	621	QPN	ZG	0.00	1.00	0.12	1.00	6045	-729	-730	S	622	QPN	ZG	0.00	1.00	0.12	1.00
6045	-731	-732	S	628	QPN	ZG	0.00	1.00	0.12	1.00	6045	-731	-732	S	629	QPN	ZG	0.00	1.00	0.12	1.00
6045	-733	-734	S	633	QPN	ZG	0.00	1.00	0.12	1.00	6045	-733	-734	S	634	QPN	ZG	0.00	1.00	0.12	1.00
6045	-735	-736	S	636	QPN	ZG	0.00	1.00	0.12	1.00	6045	-735	-736	S	637	QPN	ZG	0.00	1.00	0.12	1.00
6046	-665	-666	S	622	QP	Z	0.00	1.00	0.12	1.00	6046	-665	-666	S	623	QP	Z	0.00	1.00	0.12	1.00

					N	G										N	G				
6046	-667	-668	S	627	QPN	ZG	0.00	1.00	0.12	1.00	6046	-667	-668	S	629	QPN	ZG	0.00	1.00	0.12	1.00
6046	-669	-670	S	634	QPN	ZG	0.00	1.00	0.12	1.00	6046	-669	-670	S	635	QPN	ZG	0.00	1.00	0.12	1.00
6046	-671	-672	S	637	QPN	ZG	0.00	1.00	0.12	1.00	6046	-671	-672	S	638	QPN	ZG	0.00	1.00	0.12	1.00
6047	-601	-602	S	623	QPN	ZG	0.00	1.00	0.12	1.00	6047	-601	-602	S	414	QPN	ZG	0.00	1.00	0.12	1.00
6047	-603	-604	S	419	QPN	ZG	0.00	1.00	0.12	1.00	6047	-603	-604	S	627	QPN	ZG	0.00	1.00	0.12	1.00
6047	-605	-606	S	635	QPN	ZG	0.00	1.00	0.12	1.00	6047	-605	-606	S	422	QPN	ZG	0.00	1.00	0.12	1.00
6047	-607	-608	S	638	QPN	ZG	0.00	1.00	0.12	1.00	6047	-607	-608	S	424	QPN	ZG	0.00	1.00	0.12	1.00
7001	3002	-815	S	401	QPN	ZG	0.00	1.00	1.54	1.00	7001	-815	3003	S	401	QPN	ZG	0.00	1.00	1.54	1.00
7001	3004	-804	S	407	QPN	ZG	0.00	1.00	1.64	1.00	7001	-804	3005	S	407	QPN	ZG	0.00	1.00	1.64	1.00
7001	3006	-795	S	410	QPN	ZG	0.00	1.00	1.54	1.00	7001	-795	3007	S	410	QPN	ZG	0.00	1.00	1.54	1.00
7002	4027	-816	S	400	QPN	ZG	0.00	1.00	1.54	1.00	7002	4027	-816	S	401	QPN	ZG	0.00	1.00	1.54	1.00
7002	-816	4028	S	400	QPN	ZG	0.00	1.00	1.54	1.00	7002	-816	4028	S	401	QPN	ZG	0.00	1.00	1.54	1.00
7002	4030	-805	S	406	QPN	ZG	0.00	1.00	1.64	1.00	7002	4030	-805	S	407	QPN	ZG	0.00	1.00	1.64	1.00
7002	-805	4031	S	406	QPN	ZG	0.00	1.00	1.64	1.00	7002	-805	4031	S	407	QPN	ZG	0.00	1.00	1.64	1.00
7002	4033	-794	S	410	QPN	ZG	0.00	1.00	1.54	1.00	7002	4033	-794	S	411	QPN	ZG	0.00	1.00	1.54	1.00
7002	-794	4034	S	410	QPN	ZG	0.00	1.00	1.54	1.00	7002	-794	4034	S	411	QPN	ZG	0.00	1.00	1.54	1.00
7003	-594	-817	S	400	QPN	ZG	0.00	1.00	1.54	1.00	7003	-594	-817	S	600	QPN	ZG	0.00	1.00	1.54	1.00
7003	-817	-595	S	400	QPN	ZG	0.00	1.00	1.54	1.00	7003	-817	-595	S	600	QPN	ZG	0.00	1.00	1.54	1.00
7003	-596	-806	S	611	QPN	ZG	0.00	1.00	1.64	1.00	7003	-596	-806	S	406	QPN	ZG	0.00	1.00	1.64	1.00
7003	-806	-597	S	611	QPN	ZG	0.00	1.00	1.64	1.00	7003	-806	-597	S	406	QPN	ZG	0.00	1.00	1.64	1.00
7003	-598	-793	S	411	QPN	ZG	0.00	1.00	1.54	1.00	7003	-598	-793	S	615	QPN	ZG	0.00	1.00	1.54	1.00
7003	-793	-599	S	411	QPN	ZG	0.00	1.00	1.54	1.00	7003	-793	-599	S	615	QPN	ZG	0.00	1.00	1.54	1.00
7004	-658	-818	S	600	QPN	ZG	0.00	1.00	1.54	1.00	7004	-658	-818	S	601	QPN	ZG	0.00	1.00	1.54	1.00
7004	-818	-659	S	600	QPN	ZG	0.00	1.00	1.54	1.00	7004	-818	-659	S	601	QPN	ZG	0.00	1.00	1.54	1.00
7004	-660	-807	S	610	QPN	ZG	0.00	1.00	1.64	1.00	7004	-660	-807	S	611	QPN	ZG	0.00	1.00	1.64	1.00
7004	-807	-661	S	610	QPN	ZG	0.00	1.00	1.64	1.00	7004	-807	-661	S	611	QPN	ZG	0.00	1.00	1.64	1.00
7004	-662	-796	S	615	QPN	ZG	0.00	1.00	1.54	1.00	7004	-662	-796	S	616	QPN	ZG	0.00	1.00	1.54	1.00
7004	-796	-663	S	615	QPN	ZG	0.00	1.00	1.54	1.00	7004	-796	-663	S	616	QPN	ZG	0.00	1.00	1.54	1.00
7005	-722	-819	S	601	QPN	ZG	0.00	1.00	1.54	1.00	7005	-722	-819	S	602	QPN	ZG	0.00	1.00	1.54	1.00
7005	-819	-723	S	601	QP	Z	0.00	1.00	1.54	1.00	7005	-819	-723	S	602	QP	Z	0.00	1.00	1.54	1.00

					N	G										N	G				
7005	-724	-808	S	609	QPN	ZG	0.00	1.00	1.64	1.00	7005	-724	-808	S	610	QPN	ZG	0.00	1.00	1.64	1.00
7005	-808	-725	S	609	QPN	ZG	0.00	1.00	1.64	1.00	7005	-808	-725	S	610	QPN	ZG	0.00	1.00	1.64	1.00
7005	-726	-797	S	616	QPN	ZG	0.00	1.00	1.54	1.00	7005	-726	-797	S	617	QPN	ZG	0.00	1.00	1.54	1.00
7005	-797	-727	S	616	QPN	ZG	0.00	1.00	1.54	1.00	7005	-797	-727	S	617	QPN	ZG	0.00	1.00	1.54	1.00
7006	-786	-820	S	602	QPN	ZG	0.00	1.00	1.54	1.00	7006	-786	-820	S	626	QPN	ZG	0.00	1.00	1.54	1.00
7006	-820	-787	S	602	QPN	ZG	0.00	1.00	1.54	1.00	7006	-820	-787	S	626	QPN	ZG	0.00	1.00	1.54	1.00
7006	-788	-809	S	609	QPN	ZG	0.00	1.00	1.64	1.00	7006	-788	-809	S	630	QPN	ZG	0.00	1.00	1.64	1.00
7006	-809	-789	S	609	QPN	ZG	0.00	1.00	1.64	1.00	7006	-809	-789	S	630	QPN	ZG	0.00	1.00	1.64	1.00
7006	-790	-798	S	617	QPN	ZG	0.00	1.00	1.54	1.00	7006	-790	-798	S	641	QPN	ZG	0.00	1.00	1.54	1.00
7006	-798	-791	S	617	QPN	ZG	0.00	1.00	1.54	1.00	7006	-798	-791	S	641	QPN	ZG	0.00	1.00	1.54	1.00
7007	-730	-821	S	625	QPN	ZG	0.00	1.00	1.54	1.00	7007	-730	-821	S	626	QPN	ZG	0.00	1.00	1.54	1.00
7007	-821	-731	S	625	QPN	ZG	0.00	1.00	1.54	1.00	7007	-821	-731	S	626	QPN	ZG	0.00	1.00	1.54	1.00
7007	-732	-810	S	630	QPN	ZG	0.00	1.00	1.64	1.00	7007	-732	-810	S	631	QPN	ZG	0.00	1.00	1.64	1.00
7007	-810	-733	S	630	QPN	ZG	0.00	1.00	1.64	1.00	7007	-810	-733	S	631	QPN	ZG	0.00	1.00	1.64	1.00
7007	-734	-799	S	640	QPN	ZG	0.00	1.00	1.54	1.00	7007	-734	-799	S	641	QPN	ZG	0.00	1.00	1.54	1.00
7007	-799	-735	S	640	QPN	ZG	0.00	1.00	1.54	1.00	7007	-799	-735	S	641	QPN	ZG	0.00	1.00	1.54	1.00
7008	-666	-822	S	624	QPN	ZG	0.00	1.00	1.54	1.00	7008	-666	-822	S	625	QPN	ZG	0.00	1.00	1.54	1.00
7008	-822	-667	S	624	QPN	ZG	0.00	1.00	1.54	1.00	7008	-822	-667	S	625	QPN	ZG	0.00	1.00	1.54	1.00
7008	-668	-811	S	631	QPN	ZG	0.00	1.00	1.64	1.00	7008	-668	-811	S	632	QPN	ZG	0.00	1.00	1.64	1.00
7008	-811	-669	S	631	QPN	ZG	0.00	1.00	1.64	1.00	7008	-811	-669	S	632	QPN	ZG	0.00	1.00	1.64	1.00
7008	-670	-800	S	639	QPN	ZG	0.00	1.00	1.54	1.00	7008	-670	-800	S	640	QPN	ZG	0.00	1.00	1.54	1.00
7008	-800	-671	S	639	QPN	ZG	0.00	1.00	1.54	1.00	7008	-800	-671	S	640	QPN	ZG	0.00	1.00	1.54	1.00
7009	-602	-823	S	417	QPN	ZG	0.00	1.00	1.54	1.00	7009	-602	-823	S	624	QPN	ZG	0.00	1.00	1.54	1.00
7009	-823	-603	S	417	QPN	ZG	0.00	1.00	1.54	1.00	7009	-823	-603	S	624	QPN	ZG	0.00	1.00	1.54	1.00
7009	-604	-812	S	632	QPN	ZG	0.00	1.00	1.64	1.00	7009	-604	-812	S	420	QPN	ZG	0.00	1.00	1.64	1.00
7009	-812	-605	S	632	QPN	ZG	0.00	1.00	1.64	1.00	7009	-812	-605	S	420	QPN	ZG	0.00	1.00	1.64	1.00
7009	-606	-801	S	427	QPN	ZG	0.00	1.00	1.54	1.00	7009	-606	-801	S	639	QPN	ZG	0.00	1.00	1.54	1.00
7009	-801	-607	S	427	QPN	ZG	0.00	1.00	1.54	1.00	7009	-801	-607	S	639	QPN	ZG	0.00	1.00	1.54	1.00
7010	4287	-824	S	416	QPN	ZG	0.00	1.00	1.54	1.00	7010	4287	-824	S	417	QPN	ZG	0.00	1.00	1.54	1.00
7010	-824	4288	S	416	QP	Z	0.00	1.00	1.54	1.00	7010	-824	4288	S	417	QP	Z	0.00	1.00	1.54	1.00

					N	G										N	G				
7010	4290	-813	S	420	QPN	ZG	0.00	1.00	1.64	1.00	7010	4290	-813	S	421	QPN	ZG	0.00	1.00	1.64	1.00
7010	-813	4291	S	420	QPN	ZG	0.00	1.00	1.64	1.00	7010	-813	4291	S	421	QPN	ZG	0.00	1.00	1.64	1.00
7010	4293	-802	S	426	QPN	ZG	0.00	1.00	1.54	1.00	7010	4293	-802	S	427	QPN	ZG	0.00	1.00	1.54	1.00
7010	-802	4294	S	426	QPN	ZG	0.00	1.00	1.54	1.00	7010	-802	4294	S	427	QPN	ZG	0.00	1.00	1.54	1.00
7011	3314	-825	S	416	QPN	ZG	0.00	1.00	1.54	1.00	7011	-825	3315	S	416	QPN	ZG	0.00	1.00	1.54	1.00
7011	3316	-814	S	421	QPN	ZG	0.00	1.00	1.64	1.00	7011	-814	3317	S	421	QPN	ZG	0.00	1.00	1.64	1.00
7011	3318	-803	S	426	QPN	ZG	0.00	1.00	1.54	1.00	7011	-803	3319	S	426	QPN	ZG	0.00	1.00	1.54	1.00

Elenco carichi aste
Condizione di carico n. 3: neve
Carichi distribuiti

Asta	N1	N2	E	NE	T	DC	Xi <m>	Qi <daN/m>	Xf <m>	Qf <daN/m>	Asta	N1	N2	E	NE	T	DC	Xi <m>	Qi <daN/m>	Xf <m>	Qf <daN/m>
3001	3001	3002	S	403	QA	ZG	0.00	5.00	0.12	5.00	3001	3003	3004	S	404	QA	ZG	0.00	5.00	0.12	5.00
3001	3005	3006	S	408	QA	ZG	0.00	5.00	0.12	5.00	3001	3007	3008	S	412	QA	ZG	0.00	5.00	0.12	5.00
3087	3313	3314	S	415	QA	ZG	0.00	5.00	0.12	5.00	3087	3315	3316	S	418	QA	ZG	0.00	5.00	0.12	5.00
3087	3317	3318	S	423	QA	ZG	0.00	5.00	0.12	5.00	3087	3319	3320	S	425	QA	ZG	0.00	5.00	0.12	5.00
4022	4025	4026	S	402	QA	ZG	0.00	5.00	0.06	5.00	4022	4025	4026	S	403	QA	ZG	0.00	5.00	0.06	5.00
4022	4026	4027	S	402	QA	ZG	0.00	5.00	0.06	5.00	4022	4026	4027	S	403	QA	ZG	0.00	5.00	0.06	5.00
4022	4028	4029	S	404	QA	ZG	0.00	5.00	0.06	5.00	4022	4028	4029	S	405	QA	ZG	0.00	5.00	0.06	5.00
4022	4029	4030	S	404	QA	ZG	0.00	5.00	0.06	5.00	4022	4029	4030	S	405	QA	ZG	0.00	5.00	0.06	5.00
4022	4031	4032	S	408	QA	ZG	0.00	5.00	0.06	5.00	4022	4031	4032	S	409	QA	ZG	0.00	5.00	0.06	5.00
4022	4032	4033	S	408	QA	ZG	0.00	5.00	0.06	5.00	4022	4032	4033	S	409	QA	ZG	0.00	5.00	0.06	5.00
4022	4034	4035	S	412	QA	ZG	0.00	5.00	0.06	5.00	4022	4034	4035	S	413	QA	ZG	0.00	5.00	0.06	5.00
4022	4035	4036	S	412	QA	ZG	0.00	5.00	0.06	5.00	4022	4035	4036	S	413	QA	ZG	0.00	5.00	0.06	5.00
4066	4285	4286	S	414	QA	ZG	0.00	5.00	0.06	5.00	4066	4285	4286	S	415	QA	ZG	0.00	5.00	0.06	5.00
4066	4286	4287	S	414	QA	ZG	0.00	5.00	0.06	5.00	4066	4286	4287	S	415	QA	ZG	0.00	5.00	0.06	5.00
4066	4288	4289	S	418	QA	ZG	0.00	5.00	0.06	5.00	4066	4288	4289	S	419	QA	ZG	0.00	5.00	0.06	5.00
4066	4289	4290	S	418	QA	ZG	0.00	5.00	0.06	5.00	4066	4289	4290	S	419	QA	ZG	0.00	5.00	0.06	5.00
4066	4291	4292	S	422	QA	ZG	0.00	5.00	0.06	5.00	4066	4291	4292	S	423	QA	ZG	0.00	5.00	0.06	5.00
4066	4292	4293	S	422	QA	ZG	0.00	5.00	0.06	5.00	4066	4292	4293	S	423	QA	ZG	0.00	5.00	0.06	5.00
4066	4294	4295	S	424	QA	ZG	0.00	5.00	0.06	5.00	4066	4294	4295	S	425	QA	ZG	0.00	5.00	0.06	5.00

4066	4295	4296	S	424	QA	ZG	0.00	5.00	0.06	5.00	4066	4295	4296	S	425	QA	ZG	0.00	5.00	0.06	5.00
4106	3001	-513	S	403	QA	ZG	0.00	1.79	0.17	1.79	4106	-513	-529	S	403	QA	ZG	0.00	1.79	0.17	1.79
4106	-529	4025	S	403	QA	ZG	0.00	1.79	0.17	1.79	4106	4025	-545	S	402	QA	ZG	0.00	2.30	0.22	2.30
4106	-545	-561	S	402	QA	ZG	0.00	2.30	0.22	2.30	4106	-561	-577	S	402	QA	ZG	0.00	2.30	0.22	2.30
4106	-577	-593	S	402	QA	ZG	0.00	2.30	0.22	2.30	4106	-593	-609	S	605	QA	ZG	0.00	2.30	0.22	2.30
4106	-609	-625	S	605	QA	ZG	0.00	2.30	0.22	2.30	4106	-625	-641	S	605	QA	ZG	0.00	2.30	0.22	2.30
4106	-641	-657	S	605	QA	ZG	0.00	2.30	0.22	2.30	4106	-657	-673	S	604	QA	ZG	0.00	2.30	0.22	2.30
4106	-673	-689	S	604	QA	ZG	0.00	2.30	0.22	2.30	4106	-689	-705	S	604	QA	ZG	0.00	2.30	0.22	2.30
4106	-705	-721	S	604	QA	ZG	0.00	2.30	0.22	2.30	4106	-721	-737	S	603	QA	ZG	0.00	2.30	0.22	2.30
4106	-737	-753	S	603	QA	ZG	0.00	2.30	0.22	2.30	4106	-753	-769	S	603	QA	ZG	0.00	2.30	0.22	2.30
4106	-769	-785	S	603	QA	ZG	0.00	2.30	0.22	2.30	4107	3002	-514	S	401	QA	ZG	0.00	46.05	0.17	46.05
4107	3002	-514	S	403	QA	ZG	0.00	1.79	0.17	1.79	4107	-514	-530	S	401	QA	ZG	0.00	46.05	0.17	46.05
4107	-514	-530	S	403	QA	ZG	0.00	1.79	0.17	1.79	4107	-530	4027	S	401	QA	ZG	0.00	46.05	0.17	46.05
4107	-530	4027	S	403	QA	ZG	0.00	1.79	0.17	1.79	4107	4027	-546	S	400	QA	ZG	0.00	58.95	0.22	58.95
4107	4027	-546	S	402	QA	ZG	0.00	2.30	0.22	2.30	4107	-546	-562	S	400	QA	ZG	0.00	58.95	0.22	58.95
4107	-546	-562	S	402	QA	ZG	0.00	2.30	0.22	2.30	4107	-562	-578	S	400	QA	ZG	0.00	58.95	0.22	58.95
4107	-562	-578	S	402	QA	ZG	0.00	2.30	0.22	2.30	4107	-578	-594	S	400	QA	ZG	0.00	58.95	0.22	58.95
4107	-578	-594	S	402	QA	ZG	0.00	2.30	0.22	2.30	4107	-594	-610	S	600	QA	ZG	0.00	58.95	0.22	58.95
4107	-594	-610	S	605	QA	ZG	0.00	2.30	0.22	2.30	4107	-610	-626	S	600	QA	ZG	0.00	58.95	0.22	58.95
4107	-610	-626	S	605	QA	ZG	0.00	2.30	0.22	2.30	4107	-626	-642	S	600	QA	ZG	0.00	58.95	0.22	58.95
4107	-626	-642	S	605	QA	ZG	0.00	2.30	0.22	2.30	4107	-642	-658	S	600	QA	ZG	0.00	58.95	0.22	58.95
4107	-642	-658	S	605	QA	ZG	0.00	2.30	0.22	2.30	4107	-658	-674	S	601	QA	ZG	0.00	58.95	0.22	58.95
4107	-658	-674	S	604	QA	ZG	0.00	2.30	0.22	2.30	4107	-674	-690	S	601	QA	ZG	0.00	58.95	0.22	58.95
4107	-674	-690	S	604	QA	ZG	0.00	2.30	0.22	2.30	4107	-690	-706	S	601	QA	ZG	0.00	58.95	0.22	58.95
4107	-690	-706	S	604	QA	ZG	0.00	2.30	0.22	2.30	4107	-706	-722	S	601	QA	ZG	0.00	58.95	0.22	58.95
4107	-706	-722	S	604	QA	ZG	0.00	2.30	0.22	2.30	4107	-722	-738	S	602	QA	ZG	0.00	58.95	0.22	58.95
4107	-722	-738	S	603	QA	ZG	0.00	2.30	0.22	2.30	4107	-738	-754	S	602	QA	ZG	0.00	58.95	0.22	58.95
4107	-738	-754	S	603	QA	ZG	0.00	2.30	0.22	2.30	4107	-754	-770	S	602	QA	ZG	0.00	58.95	0.22	58.95
4107	-754	-770	S	603	QA	ZG	0.00	2.30	0.22	2.30	4107	-770	-786	S	602	QA	ZG	0.00	58.95	0.22	58.95
4107	-770	-786	S	603	QA	ZG	0.00	2.30	0.22	2.30	4144	3003	-515	S	401	QA	ZG	0.00	46.05	0.17	46.05

4144	3003	-515	S	404	QA	ZG	0.00	1.79	0.17	1.79	4144	-515	-531	S	401	QA	ZG	0.00	46.05	0.17	46.05
4144	-515	-531	S	404	QA	ZG	0.00	1.79	0.17	1.79	4144	-531	4028	S	401	QA	ZG	0.00	46.05	0.17	46.05
4144	-531	4028	S	404	QA	ZG	0.00	1.79	0.17	1.79	4144	4028	-547	S	400	QA	ZG	0.00	58.95	0.22	58.95
4144	4028	-547	S	405	QA	ZG	0.00	2.30	0.22	2.30	4144	-547	-563	S	400	QA	ZG	0.00	58.95	0.22	58.95
4144	-547	-563	S	405	QA	ZG	0.00	2.30	0.22	2.30	4144	-563	-579	S	400	QA	ZG	0.00	58.95	0.22	58.95
4144	-563	-579	S	405	QA	ZG	0.00	2.30	0.22	2.30	4144	-579	-595	S	400	QA	ZG	0.00	58.95	0.22	58.95
4144	-579	-595	S	405	QA	ZG	0.00	2.30	0.22	2.30	4144	-595	-611	S	600	QA	ZG	0.00	58.95	0.22	58.95
4144	-595	-611	S	606	QA	ZG	0.00	2.30	0.22	2.30	4144	-611	-627	S	600	QA	ZG	0.00	58.95	0.22	58.95
4144	-611	-627	S	606	QA	ZG	0.00	2.30	0.22	2.30	4144	-627	-643	S	600	QA	ZG	0.00	58.95	0.22	58.95
4144	-627	-643	S	606	QA	ZG	0.00	2.30	0.22	2.30	4144	-643	-659	S	600	QA	ZG	0.00	58.95	0.22	58.95
4144	-643	-659	S	606	QA	ZG	0.00	2.30	0.22	2.30	4144	-659	-675	S	601	QA	ZG	0.00	58.95	0.22	58.95
4144	-659	-675	S	607	QA	ZG	0.00	2.30	0.22	2.30	4144	-675	-691	S	601	QA	ZG	0.00	58.95	0.22	58.95
4144	-675	-691	S	607	QA	ZG	0.00	2.30	0.22	2.30	4144	-691	-707	S	601	QA	ZG	0.00	58.95	0.22	58.95
4144	-691	-707	S	607	QA	ZG	0.00	2.30	0.22	2.30	4144	-707	-723	S	601	QA	ZG	0.00	58.95	0.22	58.95
4144	-707	-723	S	607	QA	ZG	0.00	2.30	0.22	2.30	4144	-723	-739	S	602	QA	ZG	0.00	58.95	0.22	58.95
4144	-723	-739	S	608	QA	ZG	0.00	2.30	0.22	2.30	4144	-739	-755	S	602	QA	ZG	0.00	58.95	0.22	58.95
4144	-739	-755	S	608	QA	ZG	0.00	2.30	0.22	2.30	4144	-755	-771	S	602	QA	ZG	0.00	58.95	0.22	58.95
4144	-755	-771	S	608	QA	ZG	0.00	2.30	0.22	2.30	4144	-771	-787	S	602	QA	ZG	0.00	58.95	0.22	58.95
4144	-771	-787	S	608	QA	ZG	0.00	2.30	0.22	2.30	4145	3004	-516	S	404	QA	ZG	0.00	1.79	0.17	1.79
4145	3004	-516	S	407	QA	ZG	0.00	49.04	0.17	49.04	4145	-516	-532	S	404	QA	ZG	0.00	1.79	0.17	1.79
4145	-516	-532	S	407	QA	ZG	0.00	49.04	0.17	49.04	4145	-532	4030	S	404	QA	ZG	0.00	1.79	0.17	1.79
4145	-532	4030	S	407	QA	ZG	0.00	49.04	0.17	49.04	4145	4030	-548	S	405	QA	ZG	0.00	2.30	0.22	2.30
4145	4030	-548	S	406	QA	ZG	0.00	62.78	0.22	62.78	4145	-548	-564	S	405	QA	ZG	0.00	2.30	0.22	2.30
4145	-548	-564	S	406	QA	ZG	0.00	62.78	0.22	62.78	4145	-564	-580	S	405	QA	ZG	0.00	2.30	0.22	2.30
4145	-564	-580	S	406	QA	ZG	0.00	62.78	0.22	62.78	4145	-580	-596	S	405	QA	ZG	0.00	2.30	0.22	2.30
4145	-580	-596	S	406	QA	ZG	0.00	62.78	0.22	62.78	4145	-596	-612	S	606	QA	ZG	0.00	2.30	0.22	2.30
4145	-596	-612	S	611	QA	ZG	0.00	62.78	0.22	62.78	4145	-612	-628	S	606	QA	ZG	0.00	2.30	0.22	2.30
4145	-612	-628	S	611	QA	ZG	0.00	62.78	0.22	62.78	4145	-628	-644	S	606	QA	ZG	0.00	2.30	0.22	2.30
4145	-628	-644	S	611	QA	ZG	0.00	62.78	0.22	62.78	4145	-644	-660	S	606	QA	ZG	0.00	2.30	0.22	2.30
4145	-644	-660	S	611	QA	ZG	0.00	62.78	0.22	62.78	4145	-660	-676	S	607	QA	ZG	0.00	2.30	0.22	2.30

4145	-660	-676	S	610	QA	ZG	0.00	62.78	0.22	62.78
4145	-676	-692	S	610	QA	ZG	0.00	62.78	0.22	62.78
4145	-692	-708	S	610	QA	ZG	0.00	62.78	0.22	62.78
4145	-708	-724	S	610	QA	ZG	0.00	62.78	0.22	62.78
4145	-724	-740	S	609	QA	ZG	0.00	62.78	0.22	62.78
4145	-740	-756	S	609	QA	ZG	0.00	62.78	0.22	62.78
4145	-756	-772	S	609	QA	ZG	0.00	62.78	0.22	62.78
4145	-772	-788	S	609	QA	ZG	0.00	62.78	0.22	62.78
4182	3005	-517	S	408	QA	ZG	0.00	1.79	0.17	1.79
4182	-517	-533	S	408	QA	ZG	0.00	1.79	0.17	1.79
4182	-533	4031	S	408	QA	ZG	0.00	1.79	0.17	1.79
4182	4031	-549	S	409	QA	ZG	0.00	2.30	0.22	2.30
4182	-549	-565	S	409	QA	ZG	0.00	2.30	0.22	2.30
4182	-565	-581	S	409	QA	ZG	0.00	2.30	0.22	2.30
4182	-581	-597	S	409	QA	ZG	0.00	2.30	0.22	2.30
4182	-597	-613	S	612	QA	ZG	0.00	2.30	0.22	2.30
4182	-613	-629	S	612	QA	ZG	0.00	2.30	0.22	2.30
4182	-629	-645	S	612	QA	ZG	0.00	2.30	0.22	2.30
4182	-645	-661	S	612	QA	ZG	0.00	2.30	0.22	2.30
4182	-661	-677	S	613	QA	ZG	0.00	2.30	0.22	2.30
4182	-677	-693	S	613	QA	ZG	0.00	2.30	0.22	2.30
4182	-693	-709	S	613	QA	ZG	0.00	2.30	0.22	2.30
4182	-709	-725	S	613	QA	ZG	0.00	2.30	0.22	2.30
4182	-725	-741	S	614	QA	ZG	0.00	2.30	0.22	2.30
4182	-741	-757	S	614	QA	ZG	0.00	2.30	0.22	2.30
4182	-757	-773	S	614	QA	ZG	0.00	2.30	0.22	2.30
4182	-773	-789	S	614	QA	ZG	0.00	2.30	0.22	2.30
4183	3006	-518	S	410	QA	ZG	0.00	46.05	0.17	46.05
4183	-518	-534	S	410	QA	ZG	0.00	46.05	0.17	46.05
4183	-534	4033	S	410	QA	ZG	0.00	46.05	0.17	46.05
4145	-676	-692	S	607	QA	ZG	0.00	2.30	0.22	2.30
4145	-692	-708	S	607	QA	ZG	0.00	2.30	0.22	2.30
4145	-708	-724	S	607	QA	ZG	0.00	2.30	0.22	2.30
4145	-724	-740	S	608	QA	ZG	0.00	2.30	0.22	2.30
4145	-740	-756	S	608	QA	ZG	0.00	2.30	0.22	2.30
4145	-756	-772	S	608	QA	ZG	0.00	2.30	0.22	2.30
4145	-772	-788	S	608	QA	ZG	0.00	2.30	0.22	2.30
4182	3005	-517	S	407	QA	ZG	0.00	49.04	0.17	49.04
4182	-517	-533	S	407	QA	ZG	0.00	49.04	0.17	49.04
4182	-533	4031	S	407	QA	ZG	0.00	49.04	0.17	49.04
4182	4031	-549	S	406	QA	ZG	0.00	62.78	0.22	62.78
4182	-549	-565	S	406	QA	ZG	0.00	62.78	0.22	62.78
4182	-565	-581	S	406	QA	ZG	0.00	62.78	0.22	62.78
4182	-581	-597	S	406	QA	ZG	0.00	62.78	0.22	62.78
4182	-597	-613	S	611	QA	ZG	0.00	62.78	0.22	62.78
4182	-613	-629	S	611	QA	ZG	0.00	62.78	0.22	62.78
4182	-629	-645	S	611	QA	ZG	0.00	62.78	0.22	62.78
4182	-645	-661	S	611	QA	ZG	0.00	62.78	0.22	62.78
4182	-661	-677	S	610	QA	ZG	0.00	62.78	0.22	62.78
4182	-677	-693	S	610	QA	ZG	0.00	62.78	0.22	62.78
4182	-693	-709	S	610	QA	ZG	0.00	62.78	0.22	62.78
4182	-709	-725	S	610	QA	ZG	0.00	62.78	0.22	62.78
4182	-725	-741	S	609	QA	ZG	0.00	62.78	0.22	62.78
4182	-741	-757	S	609	QA	ZG	0.00	62.78	0.22	62.78
4182	-757	-773	S	609	QA	ZG	0.00	62.78	0.22	62.78
4182	-773	-789	S	609	QA	ZG	0.00	62.78	0.22	62.78
4183	3006	-518	S	408	QA	ZG	0.00	1.79	0.17	1.79
4183	-518	-534	S	408	QA	ZG	0.00	1.79	0.17	1.79
4183	-534	4033	S	408	QA	ZG	0.00	1.79	0.17	1.79
4183	4033	-550	S	409	QA	ZG	0.00	2.30	0.22	2.30

4183	4033	-550	S	411	QA	ZG	0.00	58.95	0.22	58.95
4183	-550	-566	S	411	QA	ZG	0.00	58.95	0.22	58.95
4183	-566	-582	S	411	QA	ZG	0.00	58.95	0.22	58.95
4183	-582	-598	S	411	QA	ZG	0.00	58.95	0.22	58.95
4183	-598	-614	S	615	QA	ZG	0.00	58.95	0.22	58.95
4183	-614	-630	S	615	QA	ZG	0.00	58.95	0.22	58.95
4183	-630	-646	S	615	QA	ZG	0.00	58.95	0.22	58.95
4183	-646	-662	S	615	QA	ZG	0.00	58.95	0.22	58.95
4183	-662	-678	S	616	QA	ZG	0.00	58.95	0.22	58.95
4183	-678	-694	S	616	QA	ZG	0.00	58.95	0.22	58.95
4183	-694	-710	S	616	QA	ZG	0.00	58.95	0.22	58.95
4183	-710	-726	S	616	QA	ZG	0.00	58.95	0.22	58.95
4183	-726	-742	S	617	QA	ZG	0.00	58.95	0.22	58.95
4183	-742	-758	S	617	QA	ZG	0.00	58.95	0.22	58.95
4183	-758	-774	S	617	QA	ZG	0.00	58.95	0.22	58.95
4183	-774	-790	S	617	QA	ZG	0.00	58.95	0.22	58.95
4220	3007	-519	S	412	QA	ZG	0.00	1.79	0.17	1.79
4220	-519	-535	S	412	QA	ZG	0.00	1.79	0.17	1.79
4220	-535	4034	S	412	QA	ZG	0.00	1.79	0.17	1.79
4220	4034	-551	S	413	QA	ZG	0.00	2.30	0.22	2.30
4220	-551	-567	S	413	QA	ZG	0.00	2.30	0.22	2.30
4220	-567	-583	S	413	QA	ZG	0.00	2.30	0.22	2.30
4220	-583	-599	S	413	QA	ZG	0.00	2.30	0.22	2.30
4220	-599	-615	S	618	QA	ZG	0.00	2.30	0.22	2.30
4220	-615	-631	S	618	QA	ZG	0.00	2.30	0.22	2.30
4220	-631	-647	S	618	QA	ZG	0.00	2.30	0.22	2.30
4220	-647	-663	S	618	QA	ZG	0.00	2.30	0.22	2.30
4220	-663	-679	S	619	QA	ZG	0.00	2.30	0.22	2.30
4220	-679	-695	S	619	QA	ZG	0.00	2.30	0.22	2.30
4220	-695	-711	S	619	QA	ZG	0.00	2.30	0.22	2.30

4183	-550	-566	S	409	QA	ZG	0.00	2.30	0.22	2.30
4183	-566	-582	S	409	QA	ZG	0.00	2.30	0.22	2.30
4183	-582	-598	S	409	QA	ZG	0.00	2.30	0.22	2.30
4183	-598	-614	S	612	QA	ZG	0.00	2.30	0.22	2.30
4183	-614	-630	S	612	QA	ZG	0.00	2.30	0.22	2.30
4183	-630	-646	S	612	QA	ZG	0.00	2.30	0.22	2.30
4183	-646	-662	S	612	QA	ZG	0.00	2.30	0.22	2.30
4183	-662	-678	S	613	QA	ZG	0.00	2.30	0.22	2.30
4183	-678	-694	S	613	QA	ZG	0.00	2.30	0.22	2.30
4183	-694	-710	S	613	QA	ZG	0.00	2.30	0.22	2.30
4183	-710	-726	S	613	QA	ZG	0.00	2.30	0.22	2.30
4183	-726	-742	S	614	QA	ZG	0.00	2.30	0.22	2.30
4183	-742	-758	S	614	QA	ZG	0.00	2.30	0.22	2.30
4183	-758	-774	S	614	QA	ZG	0.00	2.30	0.22	2.30
4183	-774	-790	S	614	QA	ZG	0.00	2.30	0.22	2.30
4220	3007	-519	S	410	QA	ZG	0.00	46.05	0.17	46.05
4220	-519	-535	S	410	QA	ZG	0.00	46.05	0.17	46.05
4220	-535	4034	S	410	QA	ZG	0.00	46.05	0.17	46.05
4220	4034	-551	S	411	QA	ZG	0.00	58.95	0.22	58.95
4220	-551	-567	S	411	QA	ZG	0.00	58.95	0.22	58.95
4220	-567	-583	S	411	QA	ZG	0.00	58.95	0.22	58.95
4220	-583	-599	S	411	QA	ZG	0.00	58.95	0.22	58.95
4220	-599	-615	S	615	QA	ZG	0.00	58.95	0.22	58.95
4220	-615	-631	S	615	QA	ZG	0.00	58.95	0.22	58.95
4220	-631	-647	S	615	QA	ZG	0.00	58.95	0.22	58.95
4220	-647	-663	S	615	QA	ZG	0.00	58.95	0.22	58.95
4220	-663	-679	S	616	QA	ZG	0.00	58.95	0.22	58.95
4220	-679	-695	S	616	QA	ZG	0.00	58.95	0.22	58.95
4220	-695	-711	S	616	QA	ZG	0.00	58.95	0.22	58.95
4220	-711	-727	S	616	QA	ZG	0.00	58.95	0.22	58.95

4220	-711	-727	S	619	QA	ZG	0.00	2.30	0.22	2.30	4220	-727	-743	S	617	QA	ZG	0.00	58.95	0.22	58.95
4220	-727	-743	S	620	QA	ZG	0.00	2.30	0.22	2.30	4220	-743	-759	S	617	QA	ZG	0.00	58.95	0.22	58.95
4220	-743	-759	S	620	QA	ZG	0.00	2.30	0.22	2.30	4220	-759	-775	S	617	QA	ZG	0.00	58.95	0.22	58.95
4220	-759	-775	S	620	QA	ZG	0.00	2.30	0.22	2.30	4220	-775	-791	S	617	QA	ZG	0.00	58.95	0.22	58.95
4220	-775	-791	S	620	QA	ZG	0.00	2.30	0.22	2.30	4221	3008	-520	S	412	QA	ZG	0.00	1.79	0.17	1.79
4221	-520	-536	S	412	QA	ZG	0.00	1.79	0.17	1.79	4221	-536	4036	S	412	QA	ZG	0.00	1.79	0.17	1.79
4221	4036	-552	S	413	QA	ZG	0.00	2.30	0.22	2.30	4221	-552	-568	S	413	QA	ZG	0.00	2.30	0.22	2.30
4221	-568	-584	S	413	QA	ZG	0.00	2.30	0.22	2.30	4221	-584	-600	S	413	QA	ZG	0.00	2.30	0.22	2.30
4221	-600	-616	S	618	QA	ZG	0.00	2.30	0.22	2.30	4221	-616	-632	S	618	QA	ZG	0.00	2.30	0.22	2.30
4221	-632	-648	S	618	QA	ZG	0.00	2.30	0.22	2.30	4221	-648	-664	S	618	QA	ZG	0.00	2.30	0.22	2.30
4221	-664	-680	S	619	QA	ZG	0.00	2.30	0.22	2.30	4221	-680	-696	S	619	QA	ZG	0.00	2.30	0.22	2.30
4221	-696	-712	S	619	QA	ZG	0.00	2.30	0.22	2.30	4221	-712	-728	S	619	QA	ZG	0.00	2.30	0.22	2.30
4221	-728	-744	S	620	QA	ZG	0.00	2.30	0.22	2.30	4221	-744	-760	S	620	QA	ZG	0.00	2.30	0.22	2.30
4221	-760	-776	S	620	QA	ZG	0.00	2.30	0.22	2.30	4221	-776	-792	S	620	QA	ZG	0.00	2.30	0.22	2.30
4385	-785	-777	S	621	QA	ZG	0.00	2.30	0.22	2.30	4385	-777	-761	S	621	QA	ZG	0.00	2.30	0.22	2.30
4385	-761	-745	S	621	QA	ZG	0.00	2.30	0.22	2.30	4385	-745	-729	S	621	QA	ZG	0.00	2.30	0.22	2.30
4385	-729	-713	S	622	QA	ZG	0.00	2.30	0.22	2.30	4385	-713	-697	S	622	QA	ZG	0.00	2.30	0.22	2.30
4385	-697	-681	S	622	QA	ZG	0.00	2.30	0.22	2.30	4385	-681	-665	S	622	QA	ZG	0.00	2.30	0.22	2.30
4385	-665	-649	S	623	QA	ZG	0.00	2.30	0.22	2.30	4385	-649	-633	S	623	QA	ZG	0.00	2.30	0.22	2.30
4385	-633	-617	S	623	QA	ZG	0.00	2.30	0.22	2.30	4385	-617	-601	S	623	QA	ZG	0.00	2.30	0.22	2.30
4385	-601	-585	S	414	QA	ZG	0.00	2.30	0.22	2.30	4385	-585	-569	S	414	QA	ZG	0.00	2.30	0.22	2.30
4385	-569	-553	S	414	QA	ZG	0.00	2.30	0.22	2.30	4385	-553	4285	S	414	QA	ZG	0.00	2.30	0.22	2.30
4385	4285	-537	S	415	QA	ZG	0.00	1.79	0.17	1.79	4385	-537	-521	S	415	QA	ZG	0.00	1.79	0.17	1.79
4385	-521	3313	S	415	QA	ZG	0.00	1.79	0.17	1.79	4386	-786	-778	S	621	QA	ZG	0.00	2.30	0.22	2.30
4386	-786	-778	S	626	QA	ZG	0.00	58.95	0.22	58.95	4386	-778	-762	S	621	QA	ZG	0.00	2.30	0.22	2.30
4386	-778	-762	S	626	QA	ZG	0.00	58.95	0.22	58.95	4386	-762	-746	S	621	QA	ZG	0.00	2.30	0.22	2.30
4386	-762	-746	S	626	QA	ZG	0.00	58.95	0.22	58.95	4386	-746	-730	S	621	QA	ZG	0.00	2.30	0.22	2.30
4386	-746	-730	S	626	QA	ZG	0.00	58.95	0.22	58.95	4386	-730	-714	S	622	QA	ZG	0.00	2.30	0.22	2.30
4386	-730	-714	S	625	QA	ZG	0.00	58.95	0.22	58.95	4386	-714	-698	S	622	QA	ZG	0.00	2.30	0.22	2.30
4386	-714	-698	S	625	QA	ZG	0.00	58.95	0.22	58.95	4386	-698	-682	S	622	QA	ZG	0.00	2.30	0.22	2.30

4386	-698	-682	S	625	QA	ZG	0.00	58.95	0.22	58.95
4386	-682	-666	S	625	QA	ZG	0.00	58.95	0.22	58.95
4386	-666	-650	S	624	QA	ZG	0.00	58.95	0.22	58.95
4386	-650	-634	S	624	QA	ZG	0.00	58.95	0.22	58.95
4386	-634	-618	S	624	QA	ZG	0.00	58.95	0.22	58.95
4386	-618	-602	S	624	QA	ZG	0.00	58.95	0.22	58.95
4386	-602	-586	S	417	QA	ZG	0.00	58.95	0.22	58.95
4386	-586	-570	S	417	QA	ZG	0.00	58.95	0.22	58.95
4386	-570	-554	S	417	QA	ZG	0.00	58.95	0.22	58.95
4386	-554	4287	S	417	QA	ZG	0.00	58.95	0.22	58.95
4386	4287	-538	S	416	QA	ZG	0.00	46.05	0.17	46.05
4386	-538	-522	S	416	QA	ZG	0.00	46.05	0.17	46.05
4386	-522	3314	S	416	QA	ZG	0.00	46.05	0.17	46.05
4423	-787	-779	S	628	QA	ZG	0.00	2.30	0.22	2.30
4423	-779	-763	S	628	QA	ZG	0.00	2.30	0.22	2.30
4423	-763	-747	S	628	QA	ZG	0.00	2.30	0.22	2.30
4423	-747	-731	S	628	QA	ZG	0.00	2.30	0.22	2.30
4423	-731	-715	S	629	QA	ZG	0.00	2.30	0.22	2.30
4423	-715	-699	S	629	QA	ZG	0.00	2.30	0.22	2.30
4423	-699	-683	S	629	QA	ZG	0.00	2.30	0.22	2.30
4423	-683	-667	S	629	QA	ZG	0.00	2.30	0.22	2.30
4423	-667	-651	S	627	QA	ZG	0.00	2.30	0.22	2.30
4423	-651	-635	S	627	QA	ZG	0.00	2.30	0.22	2.30
4423	-635	-619	S	627	QA	ZG	0.00	2.30	0.22	2.30
4423	-619	-603	S	627	QA	ZG	0.00	2.30	0.22	2.30
4423	-603	-587	S	419	QA	ZG	0.00	2.30	0.22	2.30
4423	-587	-571	S	419	QA	ZG	0.00	2.30	0.22	2.30
4423	-571	-555	S	419	QA	ZG	0.00	2.30	0.22	2.30
4423	-555	4288	S	419	QA	ZG	0.00	2.30	0.22	2.30
4423	4288	-539	S	418	QA	ZG	0.00	1.79	0.17	1.79
4386	-682	-666	S	622	QA	ZG	0.00	2.30	0.22	2.30
4386	-666	-650	S	623	QA	ZG	0.00	2.30	0.22	2.30
4386	-650	-634	S	623	QA	ZG	0.00	2.30	0.22	2.30
4386	-634	-618	S	623	QA	ZG	0.00	2.30	0.22	2.30
4386	-618	-602	S	623	QA	ZG	0.00	2.30	0.22	2.30
4386	-602	-586	S	414	QA	ZG	0.00	2.30	0.22	2.30
4386	-586	-570	S	414	QA	ZG	0.00	2.30	0.22	2.30
4386	-570	-554	S	414	QA	ZG	0.00	2.30	0.22	2.30
4386	-554	4287	S	414	QA	ZG	0.00	2.30	0.22	2.30
4386	4287	-538	S	415	QA	ZG	0.00	1.79	0.17	1.79
4386	-538	-522	S	415	QA	ZG	0.00	1.79	0.17	1.79
4386	-522	3314	S	415	QA	ZG	0.00	1.79	0.17	1.79
4423	-787	-779	S	626	QA	ZG	0.00	58.95	0.22	58.95
4423	-779	-763	S	626	QA	ZG	0.00	58.95	0.22	58.95
4423	-763	-747	S	626	QA	ZG	0.00	58.95	0.22	58.95
4423	-747	-731	S	626	QA	ZG	0.00	58.95	0.22	58.95
4423	-731	-715	S	625	QA	ZG	0.00	58.95	0.22	58.95
4423	-715	-699	S	625	QA	ZG	0.00	58.95	0.22	58.95
4423	-699	-683	S	625	QA	ZG	0.00	58.95	0.22	58.95
4423	-683	-667	S	625	QA	ZG	0.00	58.95	0.22	58.95
4423	-667	-651	S	624	QA	ZG	0.00	58.95	0.22	58.95
4423	-651	-635	S	624	QA	ZG	0.00	58.95	0.22	58.95
4423	-635	-619	S	624	QA	ZG	0.00	58.95	0.22	58.95
4423	-619	-603	S	624	QA	ZG	0.00	58.95	0.22	58.95
4423	-603	-587	S	417	QA	ZG	0.00	58.95	0.22	58.95
4423	-587	-571	S	417	QA	ZG	0.00	58.95	0.22	58.95
4423	-571	-555	S	417	QA	ZG	0.00	58.95	0.22	58.95
4423	-555	4288	S	417	QA	ZG	0.00	58.95	0.22	58.95
4423	4288	-539	S	416	QA	ZG	0.00	46.05	0.17	46.05
4423	-539	-523	S	416	QA	ZG	0.00	46.05	0.17	46.05

4423	-539	-523	S	418	QA	ZG	0.00	1.79	0.17	1.79
4423	-523	3315	S	418	QA	ZG	0.00	1.79	0.17	1.79
4424	-788	-780	S	630	QA	ZG	0.00	62.78	0.22	62.78
4424	-780	-764	S	630	QA	ZG	0.00	62.78	0.22	62.78
4424	-764	-748	S	630	QA	ZG	0.00	62.78	0.22	62.78
4424	-748	-732	S	630	QA	ZG	0.00	62.78	0.22	62.78
4424	-732	-716	S	631	QA	ZG	0.00	62.78	0.22	62.78
4424	-716	-700	S	631	QA	ZG	0.00	62.78	0.22	62.78
4424	-700	-684	S	631	QA	ZG	0.00	62.78	0.22	62.78
4424	-684	-668	S	631	QA	ZG	0.00	62.78	0.22	62.78
4424	-668	-652	S	632	QA	ZG	0.00	62.78	0.22	62.78
4424	-652	-636	S	632	QA	ZG	0.00	62.78	0.22	62.78
4424	-636	-620	S	632	QA	ZG	0.00	62.78	0.22	62.78
4424	-620	-604	S	632	QA	ZG	0.00	62.78	0.22	62.78
4424	-604	-588	S	420	QA	ZG	0.00	62.78	0.22	62.78
4424	-588	-572	S	420	QA	ZG	0.00	62.78	0.22	62.78
4424	-572	-556	S	420	QA	ZG	0.00	62.78	0.22	62.78
4424	-556	4290	S	420	QA	ZG	0.00	62.78	0.22	62.78
4424	4290	-540	S	421	QA	ZG	0.00	49.04	0.17	49.04
4424	-540	-524	S	421	QA	ZG	0.00	49.04	0.17	49.04
4424	-524	3316	S	421	QA	ZG	0.00	49.04	0.17	49.04
4461	-789	-781	S	633	QA	ZG	0.00	2.30	0.22	2.30
4461	-781	-765	S	633	QA	ZG	0.00	2.30	0.22	2.30
4461	-765	-749	S	633	QA	ZG	0.00	2.30	0.22	2.30
4461	-749	-733	S	633	QA	ZG	0.00	2.30	0.22	2.30
4461	-733	-717	S	634	QA	ZG	0.00	2.30	0.22	2.30
4461	-717	-701	S	634	QA	ZG	0.00	2.30	0.22	2.30
4461	-701	-685	S	634	QA	ZG	0.00	2.30	0.22	2.30
4461	-685	-669	S	634	QA	ZG	0.00	2.30	0.22	2.30
4461	-669	-653	S	635	QA	ZG	0.00	2.30	0.22	2.30

4423	-523	3315	S	416	QA	ZG	0.00	46.05	0.17	46.05
4424	-788	-780	S	628	QA	ZG	0.00	2.30	0.22	2.30
4424	-780	-764	S	628	QA	ZG	0.00	2.30	0.22	2.30
4424	-764	-748	S	628	QA	ZG	0.00	2.30	0.22	2.30
4424	-748	-732	S	628	QA	ZG	0.00	2.30	0.22	2.30
4424	-732	-716	S	629	QA	ZG	0.00	2.30	0.22	2.30
4424	-716	-700	S	629	QA	ZG	0.00	2.30	0.22	2.30
4424	-700	-684	S	629	QA	ZG	0.00	2.30	0.22	2.30
4424	-684	-668	S	629	QA	ZG	0.00	2.30	0.22	2.30
4424	-668	-652	S	627	QA	ZG	0.00	2.30	0.22	2.30
4424	-652	-636	S	627	QA	ZG	0.00	2.30	0.22	2.30
4424	-636	-620	S	627	QA	ZG	0.00	2.30	0.22	2.30
4424	-620	-604	S	627	QA	ZG	0.00	2.30	0.22	2.30
4424	-604	-588	S	419	QA	ZG	0.00	2.30	0.22	2.30
4424	-588	-572	S	419	QA	ZG	0.00	2.30	0.22	2.30
4424	-572	-556	S	419	QA	ZG	0.00	2.30	0.22	2.30
4424	-556	4290	S	419	QA	ZG	0.00	2.30	0.22	2.30
4424	4290	-540	S	418	QA	ZG	0.00	1.79	0.17	1.79
4424	-540	-524	S	418	QA	ZG	0.00	1.79	0.17	1.79
4424	-524	3316	S	418	QA	ZG	0.00	1.79	0.17	1.79
4461	-789	-781	S	630	QA	ZG	0.00	62.78	0.22	62.78
4461	-781	-765	S	630	QA	ZG	0.00	62.78	0.22	62.78
4461	-765	-749	S	630	QA	ZG	0.00	62.78	0.22	62.78
4461	-749	-733	S	630	QA	ZG	0.00	62.78	0.22	62.78
4461	-733	-717	S	631	QA	ZG	0.00	62.78	0.22	62.78
4461	-717	-701	S	631	QA	ZG	0.00	62.78	0.22	62.78
4461	-701	-685	S	631	QA	ZG	0.00	62.78	0.22	62.78
4461	-685	-669	S	631	QA	ZG	0.00	62.78	0.22	62.78
4461	-669	-653	S	632	QA	ZG	0.00	62.78	0.22	62.78
4461	-653	-637	S	632	QA	ZG	0.00	62.78	0.22	62.78

4461	-653	-637	S	635	QA	ZG	0.00	2.30	0.22	2.30
4461	-637	-621	S	635	QA	ZG	0.00	2.30	0.22	2.30
4461	-621	-605	S	635	QA	ZG	0.00	2.30	0.22	2.30
4461	-605	-589	S	422	QA	ZG	0.00	2.30	0.22	2.30
4461	-589	-573	S	422	QA	ZG	0.00	2.30	0.22	2.30
4461	-573	-557	S	422	QA	ZG	0.00	2.30	0.22	2.30
4461	-557	4291	S	422	QA	ZG	0.00	2.30	0.22	2.30
4461	4291	-541	S	423	QA	ZG	0.00	1.79	0.17	1.79
4461	-541	-525	S	423	QA	ZG	0.00	1.79	0.17	1.79
4461	-525	3317	S	423	QA	ZG	0.00	1.79	0.17	1.79
4462	-790	-782	S	641	QA	ZG	0.00	58.95	0.22	58.95
4462	-782	-766	S	641	QA	ZG	0.00	58.95	0.22	58.95
4462	-766	-750	S	641	QA	ZG	0.00	58.95	0.22	58.95
4462	-750	-734	S	641	QA	ZG	0.00	58.95	0.22	58.95
4462	-734	-718	S	640	QA	ZG	0.00	58.95	0.22	58.95
4462	-718	-702	S	640	QA	ZG	0.00	58.95	0.22	58.95
4462	-702	-686	S	640	QA	ZG	0.00	58.95	0.22	58.95
4462	-686	-670	S	640	QA	ZG	0.00	58.95	0.22	58.95
4462	-670	-654	S	639	QA	ZG	0.00	58.95	0.22	58.95
4462	-654	-638	S	639	QA	ZG	0.00	58.95	0.22	58.95
4462	-638	-622	S	639	QA	ZG	0.00	58.95	0.22	58.95
4462	-622	-606	S	639	QA	ZG	0.00	58.95	0.22	58.95
4462	-606	-590	S	427	QA	ZG	0.00	58.95	0.22	58.95
4462	-590	-574	S	427	QA	ZG	0.00	58.95	0.22	58.95
4462	-574	-558	S	427	QA	ZG	0.00	58.95	0.22	58.95
4462	-558	4293	S	427	QA	ZG	0.00	58.95	0.22	58.95
4462	4293	-542	S	426	QA	ZG	0.00	46.05	0.17	46.05
4462	-542	-526	S	426	QA	ZG	0.00	46.05	0.17	46.05
4462	-526	3318	S	426	QA	ZG	0.00	46.05	0.17	46.05
4499	-791	-783	S	641	QA	ZG	0.00	58.95	0.22	58.95
4461	-637	-621	S	632	QA	ZG	0.00	62.78	0.22	62.78
4461	-621	-605	S	632	QA	ZG	0.00	62.78	0.22	62.78
4461	-605	-589	S	420	QA	ZG	0.00	62.78	0.22	62.78
4461	-589	-573	S	420	QA	ZG	0.00	62.78	0.22	62.78
4461	-573	-557	S	420	QA	ZG	0.00	62.78	0.22	62.78
4461	-557	4291	S	420	QA	ZG	0.00	62.78	0.22	62.78
4461	4291	-541	S	421	QA	ZG	0.00	49.04	0.17	49.04
4461	-541	-525	S	421	QA	ZG	0.00	49.04	0.17	49.04
4461	-525	3317	S	421	QA	ZG	0.00	49.04	0.17	49.04
4462	-790	-782	S	633	QA	ZG	0.00	2.30	0.22	2.30
4462	-782	-766	S	633	QA	ZG	0.00	2.30	0.22	2.30
4462	-766	-750	S	633	QA	ZG	0.00	2.30	0.22	2.30
4462	-750	-734	S	633	QA	ZG	0.00	2.30	0.22	2.30
4462	-734	-718	S	634	QA	ZG	0.00	2.30	0.22	2.30
4462	-718	-702	S	634	QA	ZG	0.00	2.30	0.22	2.30
4462	-702	-686	S	634	QA	ZG	0.00	2.30	0.22	2.30
4462	-686	-670	S	634	QA	ZG	0.00	2.30	0.22	2.30
4462	-670	-654	S	635	QA	ZG	0.00	2.30	0.22	2.30
4462	-654	-638	S	635	QA	ZG	0.00	2.30	0.22	2.30
4462	-638	-622	S	635	QA	ZG	0.00	2.30	0.22	2.30
4462	-622	-606	S	635	QA	ZG	0.00	2.30	0.22	2.30
4462	-606	-590	S	422	QA	ZG	0.00	2.30	0.22	2.30
4462	-590	-574	S	422	QA	ZG	0.00	2.30	0.22	2.30
4462	-574	-558	S	422	QA	ZG	0.00	2.30	0.22	2.30
4462	-558	4293	S	422	QA	ZG	0.00	2.30	0.22	2.30
4462	4293	-542	S	423	QA	ZG	0.00	1.79	0.17	1.79
4462	-542	-526	S	423	QA	ZG	0.00	1.79	0.17	1.79
4462	-526	3318	S	423	QA	ZG	0.00	1.79	0.17	1.79
4499	-791	-783	S	636	QA	ZG	0.00	2.30	0.22	2.30
4499	-783	-767	S	636	QA	ZG	0.00	2.30	0.22	2.30

4499	-783	-767	S	641	QA	ZG	0.00	58.95	0.22	58.95
4499	-767	-751	S	641	QA	ZG	0.00	58.95	0.22	58.95
4499	-751	-735	S	641	QA	ZG	0.00	58.95	0.22	58.95
4499	-735	-719	S	640	QA	ZG	0.00	58.95	0.22	58.95
4499	-719	-703	S	640	QA	ZG	0.00	58.95	0.22	58.95
4499	-703	-687	S	640	QA	ZG	0.00	58.95	0.22	58.95
4499	-687	-671	S	640	QA	ZG	0.00	58.95	0.22	58.95
4499	-671	-655	S	639	QA	ZG	0.00	58.95	0.22	58.95
4499	-655	-639	S	639	QA	ZG	0.00	58.95	0.22	58.95
4499	-639	-623	S	639	QA	ZG	0.00	58.95	0.22	58.95
4499	-623	-607	S	639	QA	ZG	0.00	58.95	0.22	58.95
4499	-607	-591	S	427	QA	ZG	0.00	58.95	0.22	58.95
4499	-591	-575	S	427	QA	ZG	0.00	58.95	0.22	58.95
4499	-575	-559	S	427	QA	ZG	0.00	58.95	0.22	58.95
4499	-559	4294	S	427	QA	ZG	0.00	58.95	0.22	58.95
4499	4294	-543	S	426	QA	ZG	0.00	46.05	0.17	46.05
4499	-543	-527	S	426	QA	ZG	0.00	46.05	0.17	46.05
4499	-527	3319	S	426	QA	ZG	0.00	46.05	0.17	46.05
4500	-784	-768	S	636	QA	ZG	0.00	2.30	0.22	2.30
4500	-752	-736	S	636	QA	ZG	0.00	2.30	0.22	2.30
4500	-720	-704	S	637	QA	ZG	0.00	2.30	0.22	2.30
4500	-688	-672	S	637	QA	ZG	0.00	2.30	0.22	2.30
4500	-656	-640	S	638	QA	ZG	0.00	2.30	0.22	2.30
4500	-624	-608	S	638	QA	ZG	0.00	2.30	0.22	2.30
4500	-592	-576	S	424	QA	ZG	0.00	2.30	0.22	2.30
4500	-560	4296	S	424	QA	ZG	0.00	2.30	0.22	2.30
4500	-544	-528	S	425	QA	ZG	0.00	1.79	0.17	1.79
6041	-593	-594	S	605	QA	ZG	0.00	5.00	0.12	5.00
6041	-595	-596	S	405	QA	ZG	0.00	5.00	0.12	5.00
6041	-597	-598	S	409	QA	ZG	0.00	5.00	0.12	5.00

4499	-767	-751	S	636	QA	ZG	0.00	2.30	0.22	2.30
4499	-751	-735	S	636	QA	ZG	0.00	2.30	0.22	2.30
4499	-735	-719	S	637	QA	ZG	0.00	2.30	0.22	2.30
4499	-719	-703	S	637	QA	ZG	0.00	2.30	0.22	2.30
4499	-703	-687	S	637	QA	ZG	0.00	2.30	0.22	2.30
4499	-687	-671	S	637	QA	ZG	0.00	2.30	0.22	2.30
4499	-671	-655	S	638	QA	ZG	0.00	2.30	0.22	2.30
4499	-655	-639	S	638	QA	ZG	0.00	2.30	0.22	2.30
4499	-639	-623	S	638	QA	ZG	0.00	2.30	0.22	2.30
4499	-623	-607	S	638	QA	ZG	0.00	2.30	0.22	2.30
4499	-607	-591	S	424	QA	ZG	0.00	2.30	0.22	2.30
4499	-591	-575	S	424	QA	ZG	0.00	2.30	0.22	2.30
4499	-575	-559	S	424	QA	ZG	0.00	2.30	0.22	2.30
4499	-559	4294	S	424	QA	ZG	0.00	2.30	0.22	2.30
4499	4294	-543	S	425	QA	ZG	0.00	1.79	0.17	1.79
4499	-543	-527	S	425	QA	ZG	0.00	1.79	0.17	1.79
4499	-527	3319	S	425	QA	ZG	0.00	1.79	0.17	1.79
4500	-792	-784	S	636	QA	ZG	0.00	2.30	0.22	2.30
4500	-768	-752	S	636	QA	ZG	0.00	2.30	0.22	2.30
4500	-736	-720	S	637	QA	ZG	0.00	2.30	0.22	2.30
4500	-704	-688	S	637	QA	ZG	0.00	2.30	0.22	2.30
4500	-672	-656	S	638	QA	ZG	0.00	2.30	0.22	2.30
4500	-640	-624	S	638	QA	ZG	0.00	2.30	0.22	2.30
4500	-608	-592	S	424	QA	ZG	0.00	2.30	0.22	2.30
4500	-576	-560	S	424	QA	ZG	0.00	2.30	0.22	2.30
4500	4296	-544	S	425	QA	ZG	0.00	1.79	0.17	1.79
4500	-528	3320	S	425	QA	ZG	0.00	1.79	0.17	1.79
6041	-593	-594	S	402	QA	ZG	0.00	5.00	0.12	5.00
6041	-595	-596	S	606	QA	ZG	0.00	5.00	0.12	5.00
6041	-597	-598	S	612	QA	ZG	0.00	5.00	0.12	5.00

6041	-599	-600	S	413	QA	ZG	0.00	5.00	0.12	5.00
6042	-657	-658	S	604	QA	ZG	0.00	5.00	0.12	5.00
6042	-659	-660	S	606	QA	ZG	0.00	5.00	0.12	5.00
6042	-661	-662	S	612	QA	ZG	0.00	5.00	0.12	5.00
6042	-663	-664	S	618	QA	ZG	0.00	5.00	0.12	5.00
6043	-721	-722	S	603	QA	ZG	0.00	5.00	0.12	5.00
6043	-723	-724	S	607	QA	ZG	0.00	5.00	0.12	5.00
6043	-725	-726	S	613	QA	ZG	0.00	5.00	0.12	5.00
6043	-727	-728	S	619	QA	ZG	0.00	5.00	0.12	5.00
6044	-785	-786	S	603	QA	ZG	0.00	5.00	0.12	5.00
6044	-787	-788	S	608	QA	ZG	0.00	5.00	0.12	5.00
6044	-789	-790	S	614	QA	ZG	0.00	5.00	0.12	5.00
6044	-791	-792	S	620	QA	ZG	0.00	5.00	0.12	5.00
6045	-729	-730	S	621	QA	ZG	0.00	5.00	0.12	5.00
6045	-731	-732	S	628	QA	ZG	0.00	5.00	0.12	5.00
6045	-733	-734	S	633	QA	ZG	0.00	5.00	0.12	5.00
6045	-735	-736	S	636	QA	ZG	0.00	5.00	0.12	5.00
6046	-665	-666	S	622	QA	ZG	0.00	5.00	0.12	5.00
6046	-667	-668	S	627	QA	ZG	0.00	5.00	0.12	5.00
6046	-669	-670	S	634	QA	ZG	0.00	5.00	0.12	5.00
6046	-671	-672	S	637	QA	ZG	0.00	5.00	0.12	5.00
6047	-601	-602	S	623	QA	ZG	0.00	5.00	0.12	5.00
6047	-603	-604	S	419	QA	ZG	0.00	5.00	0.12	5.00
6047	-605	-606	S	635	QA	ZG	0.00	5.00	0.12	5.00
6047	-607	-608	S	638	QA	ZG	0.00	5.00	0.12	5.00
7001	3002	-815	S	401	QA	ZG	0.00	5.00	1.54	5.00
7001	3004	-804	S	407	QA	ZG	0.00	5.00	1.64	5.00
7001	3006	-795	S	410	QA	ZG	0.00	5.00	1.54	5.00
7002	4027	-816	S	400	QA	ZG	0.00	5.00	1.54	5.00
7002	-816	4028	S	400	QA	ZG	0.00	5.00	1.54	5.00

6041	-599	-600	S	618	QA	ZG	0.00	5.00	0.12	5.00
6042	-657	-658	S	605	QA	ZG	0.00	5.00	0.12	5.00
6042	-659	-660	S	607	QA	ZG	0.00	5.00	0.12	5.00
6042	-661	-662	S	613	QA	ZG	0.00	5.00	0.12	5.00
6042	-663	-664	S	619	QA	ZG	0.00	5.00	0.12	5.00
6043	-721	-722	S	604	QA	ZG	0.00	5.00	0.12	5.00
6043	-723	-724	S	608	QA	ZG	0.00	5.00	0.12	5.00
6043	-725	-726	S	614	QA	ZG	0.00	5.00	0.12	5.00
6043	-727	-728	S	620	QA	ZG	0.00	5.00	0.12	5.00
6044	-785	-786	S	621	QA	ZG	0.00	5.00	0.12	5.00
6044	-787	-788	S	628	QA	ZG	0.00	5.00	0.12	5.00
6044	-789	-790	S	633	QA	ZG	0.00	5.00	0.12	5.00
6044	-791	-792	S	636	QA	ZG	0.00	5.00	0.12	5.00
6045	-729	-730	S	622	QA	ZG	0.00	5.00	0.12	5.00
6045	-731	-732	S	629	QA	ZG	0.00	5.00	0.12	5.00
6045	-733	-734	S	634	QA	ZG	0.00	5.00	0.12	5.00
6045	-735	-736	S	637	QA	ZG	0.00	5.00	0.12	5.00
6046	-665	-666	S	623	QA	ZG	0.00	5.00	0.12	5.00
6046	-667	-668	S	629	QA	ZG	0.00	5.00	0.12	5.00
6046	-669	-670	S	635	QA	ZG	0.00	5.00	0.12	5.00
6046	-671	-672	S	638	QA	ZG	0.00	5.00	0.12	5.00
6047	-601	-602	S	414	QA	ZG	0.00	5.00	0.12	5.00
6047	-603	-604	S	627	QA	ZG	0.00	5.00	0.12	5.00
6047	-605	-606	S	422	QA	ZG	0.00	5.00	0.12	5.00
6047	-607	-608	S	424	QA	ZG	0.00	5.00	0.12	5.00
7001	-815	3003	S	401	QA	ZG	0.00	5.00	1.54	5.00
7001	-804	3005	S	407	QA	ZG	0.00	5.00	1.64	5.00
7001	-795	3007	S	410	QA	ZG	0.00	5.00	1.54	5.00
7002	4027	-816	S	401	QA	ZG	0.00	5.00	1.54	5.00
7002	-816	4028	S	401	QA	ZG	0.00	5.00	1.54	5.00

7002	4030	-805	S	406	QA	ZG	0.00	5.00	1.64	5.00
7002	-805	4031	S	406	QA	ZG	0.00	5.00	1.64	5.00
7002	4033	-794	S	410	QA	ZG	0.00	5.00	1.54	5.00
7002	-794	4034	S	410	QA	ZG	0.00	5.00	1.54	5.00
7003	-594	-817	S	400	QA	ZG	0.00	5.00	1.54	5.00
7003	-817	-595	S	400	QA	ZG	0.00	5.00	1.54	5.00
7003	-596	-806	S	611	QA	ZG	0.00	5.00	1.64	5.00
7003	-806	-597	S	611	QA	ZG	0.00	5.00	1.64	5.00
7003	-598	-793	S	411	QA	ZG	0.00	5.00	1.54	5.00
7003	-793	-599	S	411	QA	ZG	0.00	5.00	1.54	5.00
7004	-658	-818	S	600	QA	ZG	0.00	5.00	1.54	5.00
7004	-818	-659	S	600	QA	ZG	0.00	5.00	1.54	5.00
7004	-660	-807	S	610	QA	ZG	0.00	5.00	1.64	5.00
7004	-807	-661	S	610	QA	ZG	0.00	5.00	1.64	5.00
7004	-662	-796	S	615	QA	ZG	0.00	5.00	1.54	5.00
7004	-796	-663	S	615	QA	ZG	0.00	5.00	1.54	5.00
7005	-722	-819	S	601	QA	ZG	0.00	5.00	1.54	5.00
7005	-819	-723	S	601	QA	ZG	0.00	5.00	1.54	5.00
7005	-724	-808	S	609	QA	ZG	0.00	5.00	1.64	5.00
7005	-808	-725	S	609	QA	ZG	0.00	5.00	1.64	5.00
7005	-726	-797	S	616	QA	ZG	0.00	5.00	1.54	5.00
7005	-797	-727	S	616	QA	ZG	0.00	5.00	1.54	5.00
7006	-786	-820	S	602	QA	ZG	0.00	5.00	1.54	5.00
7006	-820	-787	S	602	QA	ZG	0.00	5.00	1.54	5.00
7006	-788	-809	S	609	QA	ZG	0.00	5.00	1.64	5.00
7006	-809	-789	S	609	QA	ZG	0.00	5.00	1.64	5.00
7006	-790	-798	S	617	QA	ZG	0.00	5.00	1.54	5.00
7006	-798	-791	S	617	QA	ZG	0.00	5.00	1.54	5.00
7007	-730	-821	S	625	QA	ZG	0.00	5.00	1.54	5.00
7007	-821	-731	S	625	QA	ZG	0.00	5.00	1.54	5.00

7002	4030	-805	S	407	QA	ZG	0.00	5.00	1.64	5.00
7002	-805	4031	S	407	QA	ZG	0.00	5.00	1.64	5.00
7002	4033	-794	S	411	QA	ZG	0.00	5.00	1.54	5.00
7002	-794	4034	S	411	QA	ZG	0.00	5.00	1.54	5.00
7003	-594	-817	S	600	QA	ZG	0.00	5.00	1.54	5.00
7003	-817	-595	S	600	QA	ZG	0.00	5.00	1.54	5.00
7003	-596	-806	S	406	QA	ZG	0.00	5.00	1.64	5.00
7003	-806	-597	S	406	QA	ZG	0.00	5.00	1.64	5.00
7003	-598	-793	S	615	QA	ZG	0.00	5.00	1.54	5.00
7003	-793	-599	S	615	QA	ZG	0.00	5.00	1.54	5.00
7004	-658	-818	S	601	QA	ZG	0.00	5.00	1.54	5.00
7004	-818	-659	S	601	QA	ZG	0.00	5.00	1.54	5.00
7004	-660	-807	S	611	QA	ZG	0.00	5.00	1.64	5.00
7004	-807	-661	S	611	QA	ZG	0.00	5.00	1.64	5.00
7004	-662	-796	S	616	QA	ZG	0.00	5.00	1.54	5.00
7004	-796	-663	S	616	QA	ZG	0.00	5.00	1.54	5.00
7005	-722	-819	S	602	QA	ZG	0.00	5.00	1.54	5.00
7005	-819	-723	S	602	QA	ZG	0.00	5.00	1.54	5.00
7005	-724	-808	S	610	QA	ZG	0.00	5.00	1.64	5.00
7005	-808	-725	S	610	QA	ZG	0.00	5.00	1.64	5.00
7005	-726	-797	S	617	QA	ZG	0.00	5.00	1.54	5.00
7005	-797	-727	S	617	QA	ZG	0.00	5.00	1.54	5.00
7006	-786	-820	S	626	QA	ZG	0.00	5.00	1.54	5.00
7006	-820	-787	S	626	QA	ZG	0.00	5.00	1.54	5.00
7006	-788	-809	S	630	QA	ZG	0.00	5.00	1.64	5.00
7006	-809	-789	S	630	QA	ZG	0.00	5.00	1.64	5.00
7006	-790	-798	S	641	QA	ZG	0.00	5.00	1.54	5.00
7006	-798	-791	S	641	QA	ZG	0.00	5.00	1.54	5.00
7007	-730	-821	S	626	QA	ZG	0.00	5.00	1.54	5.00
7007	-821	-731	S	626	QA	ZG	0.00	5.00	1.54	5.00

7007	-732	-810	S	630	QA	ZG	0.00	5.00	1.64	5.00
7007	-810	-733	S	630	QA	ZG	0.00	5.00	1.64	5.00
7007	-734	-799	S	640	QA	ZG	0.00	5.00	1.54	5.00
7007	-799	-735	S	640	QA	ZG	0.00	5.00	1.54	5.00
7008	-666	-822	S	624	QA	ZG	0.00	5.00	1.54	5.00
7008	-822	-667	S	624	QA	ZG	0.00	5.00	1.54	5.00
7008	-668	-811	S	631	QA	ZG	0.00	5.00	1.64	5.00
7008	-811	-669	S	631	QA	ZG	0.00	5.00	1.64	5.00
7008	-670	-800	S	639	QA	ZG	0.00	5.00	1.54	5.00
7008	-800	-671	S	639	QA	ZG	0.00	5.00	1.54	5.00
7009	-602	-823	S	417	QA	ZG	0.00	5.00	1.54	5.00
7009	-823	-603	S	417	QA	ZG	0.00	5.00	1.54	5.00
7009	-604	-812	S	632	QA	ZG	0.00	5.00	1.64	5.00
7009	-812	-605	S	632	QA	ZG	0.00	5.00	1.64	5.00
7009	-606	-801	S	427	QA	ZG	0.00	5.00	1.54	5.00
7009	-801	-607	S	427	QA	ZG	0.00	5.00	1.54	5.00
7010	4287	-824	S	416	QA	ZG	0.00	5.00	1.54	5.00
7010	-824	4288	S	416	QA	ZG	0.00	5.00	1.54	5.00
7010	4290	-813	S	420	QA	ZG	0.00	5.00	1.64	5.00
7010	-813	4291	S	420	QA	ZG	0.00	5.00	1.64	5.00
7010	4293	-802	S	426	QA	ZG	0.00	5.00	1.54	5.00
7010	-802	4294	S	426	QA	ZG	0.00	5.00	1.54	5.00
7011	3314	-825	S	416	QA	ZG	0.00	5.00	1.54	5.00
7011	3316	-814	S	421	QA	ZG	0.00	5.00	1.64	5.00
7011	3318	-803	S	426	QA	ZG	0.00	5.00	1.54	5.00

7007	-732	-810	S	631	QA	ZG	0.00	5.00	1.64	5.00
7007	-810	-733	S	631	QA	ZG	0.00	5.00	1.64	5.00
7007	-734	-799	S	641	QA	ZG	0.00	5.00	1.54	5.00
7007	-799	-735	S	641	QA	ZG	0.00	5.00	1.54	5.00
7008	-666	-822	S	625	QA	ZG	0.00	5.00	1.54	5.00
7008	-822	-667	S	625	QA	ZG	0.00	5.00	1.54	5.00
7008	-668	-811	S	632	QA	ZG	0.00	5.00	1.64	5.00
7008	-811	-669	S	632	QA	ZG	0.00	5.00	1.64	5.00
7008	-670	-800	S	640	QA	ZG	0.00	5.00	1.54	5.00
7008	-800	-671	S	640	QA	ZG	0.00	5.00	1.54	5.00
7009	-602	-823	S	624	QA	ZG	0.00	5.00	1.54	5.00
7009	-823	-603	S	624	QA	ZG	0.00	5.00	1.54	5.00
7009	-604	-812	S	420	QA	ZG	0.00	5.00	1.64	5.00
7009	-812	-605	S	420	QA	ZG	0.00	5.00	1.64	5.00
7009	-606	-801	S	639	QA	ZG	0.00	5.00	1.54	5.00
7009	-801	-607	S	639	QA	ZG	0.00	5.00	1.54	5.00
7010	4287	-824	S	417	QA	ZG	0.00	5.00	1.54	5.00
7010	-824	4288	S	417	QA	ZG	0.00	5.00	1.54	5.00
7010	4290	-813	S	421	QA	ZG	0.00	5.00	1.64	5.00
7010	-813	4291	S	421	QA	ZG	0.00	5.00	1.64	5.00
7010	4293	-802	S	427	QA	ZG	0.00	5.00	1.54	5.00
7010	-802	4294	S	427	QA	ZG	0.00	5.00	1.54	5.00
7011	-825	3315	S	416	QA	ZG	0.00	5.00	1.54	5.00
7011	-814	3317	S	421	QA	ZG	0.00	5.00	1.64	5.00
7011	-803	3319	S	426	QA	ZG	0.00	5.00	1.54	5.00

Elenco carichi aste
Condizione di carico n. 4: copertura
Carichi distribuiti

Asta	N1	N2	E	NE	T	DC	Xi <m>	Qi <daN/m>	Xf <m>	Qf <daN/m>
3001	3001	3002	S	403	QA2	ZG	0.00	5.00	0.12	5.00
3001	3005	3006	S	408	QA	Z	0.00	5.00	0.12	5.00

Asta	N1	N2	E	NE	T	DC	Xi <m>	Qi <daN/m>	Xf <m>	Qf <daN/m>
3001	3003	3004	S	404	QA2	ZG	0.00	5.00	0.12	5.00
3001	3007	3008	S	412	QA	Z	0.00	5.00	0.12	5.00

					2	G										2	G				
3087	3313	3314	S	415	QA2	ZG	0.00	5.00	0.12	5.00	3087	3315	3316	S	418	QA2	ZG	0.00	5.00	0.12	5.00
3087	3317	3318	S	423	QA2	ZG	0.00	5.00	0.12	5.00	3087	3319	3320	S	425	QA2	ZG	0.00	5.00	0.12	5.00
4022	4025	4026	S	402	QA2	ZG	0.00	5.00	0.06	5.00	4022	4025	4026	S	403	QA2	ZG	0.00	5.00	0.06	5.00
4022	4026	4027	S	402	QA2	ZG	0.00	5.00	0.06	5.00	4022	4026	4027	S	403	QA2	ZG	0.00	5.00	0.06	5.00
4022	4028	4029	S	404	QA2	ZG	0.00	5.00	0.06	5.00	4022	4028	4029	S	405	QA2	ZG	0.00	5.00	0.06	5.00
4022	4029	4030	S	404	QA2	ZG	0.00	5.00	0.06	5.00	4022	4029	4030	S	405	QA2	ZG	0.00	5.00	0.06	5.00
4022	4031	4032	S	408	QA2	ZG	0.00	5.00	0.06	5.00	4022	4031	4032	S	409	QA2	ZG	0.00	5.00	0.06	5.00
4022	4032	4033	S	408	QA2	ZG	0.00	5.00	0.06	5.00	4022	4032	4033	S	409	QA2	ZG	0.00	5.00	0.06	5.00
4022	4034	4035	S	412	QA2	ZG	0.00	5.00	0.06	5.00	4022	4034	4035	S	413	QA2	ZG	0.00	5.00	0.06	5.00
4022	4035	4036	S	412	QA2	ZG	0.00	5.00	0.06	5.00	4022	4035	4036	S	413	QA2	ZG	0.00	5.00	0.06	5.00
4066	4285	4286	S	414	QA2	ZG	0.00	5.00	0.06	5.00	4066	4285	4286	S	415	QA2	ZG	0.00	5.00	0.06	5.00
4066	4286	4287	S	414	QA2	ZG	0.00	5.00	0.06	5.00	4066	4286	4287	S	415	QA2	ZG	0.00	5.00	0.06	5.00
4066	4288	4289	S	418	QA2	ZG	0.00	5.00	0.06	5.00	4066	4288	4289	S	419	QA2	ZG	0.00	5.00	0.06	5.00
4066	4289	4290	S	418	QA2	ZG	0.00	5.00	0.06	5.00	4066	4289	4290	S	419	QA2	ZG	0.00	5.00	0.06	5.00
4066	4291	4292	S	422	QA2	ZG	0.00	5.00	0.06	5.00	4066	4291	4292	S	423	QA2	ZG	0.00	5.00	0.06	5.00
4066	4292	4293	S	422	QA2	ZG	0.00	5.00	0.06	5.00	4066	4292	4293	S	423	QA2	ZG	0.00	5.00	0.06	5.00
4066	4294	4295	S	424	QA2	ZG	0.00	5.00	0.06	5.00	4066	4294	4295	S	425	QA2	ZG	0.00	5.00	0.06	5.00
4066	4295	4296	S	424	QA2	ZG	0.00	5.00	0.06	5.00	4066	4295	4296	S	425	QA2	ZG	0.00	5.00	0.06	5.00
4106	3001	-513	S	403	QA2	ZG	0.00	1.79	0.17	1.79	4106	-513	-529	S	403	QA2	ZG	0.00	1.79	0.17	1.79
4106	-529	4025	S	403	QA2	ZG	0.00	1.79	0.17	1.79	4106	4025	-545	S	402	QA2	ZG	0.00	2.30	0.22	2.30
4106	-545	-561	S	402	QA2	ZG	0.00	2.30	0.22	2.30	4106	-561	-577	S	402	QA2	ZG	0.00	2.30	0.22	2.30
4106	-577	-593	S	402	QA2	ZG	0.00	2.30	0.22	2.30	4106	-593	-609	S	605	QA2	ZG	0.00	2.30	0.22	2.30
4106	-609	-625	S	605	QA2	ZG	0.00	2.30	0.22	2.30	4106	-625	-641	S	605	QA2	ZG	0.00	2.30	0.22	2.30
4106	-641	-657	S	605	QA2	ZG	0.00	2.30	0.22	2.30	4106	-657	-673	S	604	QA2	ZG	0.00	2.30	0.22	2.30
4106	-673	-689	S	604	QA2	ZG	0.00	2.30	0.22	2.30	4106	-689	-705	S	604	QA2	ZG	0.00	2.30	0.22	2.30
4106	-705	-721	S	604	QA2	ZG	0.00	2.30	0.22	2.30	4106	-721	-737	S	603	QA2	ZG	0.00	2.30	0.22	2.30
4106	-737	-753	S	603	QA2	ZG	0.00	2.30	0.22	2.30	4106	-753	-769	S	603	QA2	ZG	0.00	2.30	0.22	2.30
4106	-769	-785	S	603	QA2	ZG	0.00	2.30	0.22	2.30	4107	3002	-514	S	401	QA2	ZG	0.00	46.05	0.17	46.05
4107	3002	-514	S	403	QA2	ZG	0.00	1.79	0.17	1.79	4107	-514	-530	S	401	QA2	ZG	0.00	46.05	0.17	46.05
4107	-514	-530	S	403	QA	Z	0.00	1.79	0.17	1.79	4107	-530	4027	S	401	QA	Z	0.00	46.05	0.17	46.05

					2	G										2	G				
4107	-530	4027	S	403	QA2	ZG	0.00	1.79	0.17	1.79	4107	4027	-546	S	400	QA2	ZG	0.00	58.95	0.22	58.95
4107	4027	-546	S	402	QA2	ZG	0.00	2.30	0.22	2.30	4107	-546	-562	S	400	QA2	ZG	0.00	58.95	0.22	58.95
4107	-546	-562	S	402	QA2	ZG	0.00	2.30	0.22	2.30	4107	-562	-578	S	400	QA2	ZG	0.00	58.95	0.22	58.95
4107	-562	-578	S	402	QA2	ZG	0.00	2.30	0.22	2.30	4107	-578	-594	S	400	QA2	ZG	0.00	58.95	0.22	58.95
4107	-578	-594	S	402	QA2	ZG	0.00	2.30	0.22	2.30	4107	-594	-610	S	600	QA2	ZG	0.00	58.95	0.22	58.95
4107	-594	-610	S	605	QA2	ZG	0.00	2.30	0.22	2.30	4107	-610	-626	S	600	QA2	ZG	0.00	58.95	0.22	58.95
4107	-610	-626	S	605	QA2	ZG	0.00	2.30	0.22	2.30	4107	-626	-642	S	600	QA2	ZG	0.00	58.95	0.22	58.95
4107	-626	-642	S	605	QA2	ZG	0.00	2.30	0.22	2.30	4107	-642	-658	S	600	QA2	ZG	0.00	58.95	0.22	58.95
4107	-642	-658	S	605	QA2	ZG	0.00	2.30	0.22	2.30	4107	-658	-674	S	601	QA2	ZG	0.00	58.95	0.22	58.95
4107	-658	-674	S	604	QA2	ZG	0.00	2.30	0.22	2.30	4107	-674	-690	S	601	QA2	ZG	0.00	58.95	0.22	58.95
4107	-674	-690	S	604	QA2	ZG	0.00	2.30	0.22	2.30	4107	-690	-706	S	601	QA2	ZG	0.00	58.95	0.22	58.95
4107	-690	-706	S	604	QA2	ZG	0.00	2.30	0.22	2.30	4107	-706	-722	S	601	QA2	ZG	0.00	58.95	0.22	58.95
4107	-706	-722	S	604	QA2	ZG	0.00	2.30	0.22	2.30	4107	-722	-738	S	602	QA2	ZG	0.00	58.95	0.22	58.95
4107	-722	-738	S	603	QA2	ZG	0.00	2.30	0.22	2.30	4107	-738	-754	S	602	QA2	ZG	0.00	58.95	0.22	58.95
4107	-738	-754	S	603	QA2	ZG	0.00	2.30	0.22	2.30	4107	-754	-770	S	602	QA2	ZG	0.00	58.95	0.22	58.95
4107	-754	-770	S	603	QA2	ZG	0.00	2.30	0.22	2.30	4107	-770	-786	S	602	QA2	ZG	0.00	58.95	0.22	58.95
4107	-770	-786	S	603	QA2	ZG	0.00	2.30	0.22	2.30	4144	3003	-515	S	401	QA2	ZG	0.00	46.05	0.17	46.05
4144	3003	-515	S	404	QA2	ZG	0.00	1.79	0.17	1.79	4144	-515	-531	S	401	QA2	ZG	0.00	46.05	0.17	46.05
4144	-515	-531	S	404	QA2	ZG	0.00	1.79	0.17	1.79	4144	-531	4028	S	401	QA2	ZG	0.00	46.05	0.17	46.05
4144	-531	4028	S	404	QA2	ZG	0.00	1.79	0.17	1.79	4144	4028	-547	S	400	QA2	ZG	0.00	58.95	0.22	58.95
4144	4028	-547	S	405	QA2	ZG	0.00	2.30	0.22	2.30	4144	-547	-563	S	400	QA2	ZG	0.00	58.95	0.22	58.95
4144	-547	-563	S	405	QA2	ZG	0.00	2.30	0.22	2.30	4144	-563	-579	S	400	QA2	ZG	0.00	58.95	0.22	58.95
4144	-563	-579	S	405	QA2	ZG	0.00	2.30	0.22	2.30	4144	-579	-595	S	400	QA2	ZG	0.00	58.95	0.22	58.95
4144	-579	-595	S	405	QA2	ZG	0.00	2.30	0.22	2.30	4144	-595	-611	S	600	QA2	ZG	0.00	58.95	0.22	58.95
4144	-595	-611	S	606	QA2	ZG	0.00	2.30	0.22	2.30	4144	-611	-627	S	600	QA2	ZG	0.00	58.95	0.22	58.95
4144	-611	-627	S	606	QA2	ZG	0.00	2.30	0.22	2.30	4144	-627	-643	S	600	QA2	ZG	0.00	58.95	0.22	58.95
4144	-627	-643	S	606	QA2	ZG	0.00	2.30	0.22	2.30	4144	-643	-659	S	600	QA2	ZG	0.00	58.95	0.22	58.95
4144	-643	-659	S	606	QA2	ZG	0.00	2.30	0.22	2.30	4144	-659	-675	S	601	QA2	ZG	0.00	58.95	0.22	58.95
4144	-659	-675	S	607	QA2	ZG	0.00	2.30	0.22	2.30	4144	-675	-691	S	601	QA2	ZG	0.00	58.95	0.22	58.95
4144	-675	-691	S	607	QA	Z	0.00	2.30	0.22	2.30	4144	-691	-707	S	601	QA	Z	0.00	58.95	0.22	58.95

					2	G										2	G				
4144	-691	-707	S	607	QA2	ZG	0.00	2.30	0.22	2.30	4144	-707	-723	S	601	QA2	ZG	0.00	58.95	0.22	58.95
4144	-707	-723	S	607	QA2	ZG	0.00	2.30	0.22	2.30	4144	-723	-739	S	602	QA2	ZG	0.00	58.95	0.22	58.95
4144	-723	-739	S	608	QA2	ZG	0.00	2.30	0.22	2.30	4144	-739	-755	S	602	QA2	ZG	0.00	58.95	0.22	58.95
4144	-739	-755	S	608	QA2	ZG	0.00	2.30	0.22	2.30	4144	-755	-771	S	602	QA2	ZG	0.00	58.95	0.22	58.95
4144	-755	-771	S	608	QA2	ZG	0.00	2.30	0.22	2.30	4144	-771	-787	S	602	QA2	ZG	0.00	58.95	0.22	58.95
4144	-771	-787	S	608	QA2	ZG	0.00	2.30	0.22	2.30	4145	3004	-516	S	404	QA2	ZG	0.00	1.79	0.17	1.79
4145	3004	-516	S	407	QA2	ZG	0.00	49.04	0.17	49.04	4145	-516	-532	S	404	QA2	ZG	0.00	1.79	0.17	1.79
4145	-516	-532	S	407	QA2	ZG	0.00	49.04	0.17	49.04	4145	-532	4030	S	404	QA2	ZG	0.00	1.79	0.17	1.79
4145	-532	4030	S	407	QA2	ZG	0.00	49.04	0.17	49.04	4145	4030	-548	S	405	QA2	ZG	0.00	2.30	0.22	2.30
4145	4030	-548	S	406	QA2	ZG	0.00	62.78	0.22	62.78	4145	-548	-564	S	405	QA2	ZG	0.00	2.30	0.22	2.30
4145	-548	-564	S	406	QA2	ZG	0.00	62.78	0.22	62.78	4145	-564	-580	S	405	QA2	ZG	0.00	2.30	0.22	2.30
4145	-564	-580	S	406	QA2	ZG	0.00	62.78	0.22	62.78	4145	-580	-596	S	405	QA2	ZG	0.00	2.30	0.22	2.30
4145	-580	-596	S	406	QA2	ZG	0.00	62.78	0.22	62.78	4145	-596	-612	S	606	QA2	ZG	0.00	2.30	0.22	2.30
4145	-596	-612	S	611	QA2	ZG	0.00	62.78	0.22	62.78	4145	-612	-628	S	606	QA2	ZG	0.00	2.30	0.22	2.30
4145	-612	-628	S	611	QA2	ZG	0.00	62.78	0.22	62.78	4145	-628	-644	S	606	QA2	ZG	0.00	2.30	0.22	2.30
4145	-628	-644	S	611	QA2	ZG	0.00	62.78	0.22	62.78	4145	-644	-660	S	606	QA2	ZG	0.00	2.30	0.22	2.30
4145	-644	-660	S	611	QA2	ZG	0.00	62.78	0.22	62.78	4145	-660	-676	S	607	QA2	ZG	0.00	2.30	0.22	2.30
4145	-660	-676	S	610	QA2	ZG	0.00	62.78	0.22	62.78	4145	-676	-692	S	607	QA2	ZG	0.00	2.30	0.22	2.30
4145	-676	-692	S	610	QA2	ZG	0.00	62.78	0.22	62.78	4145	-692	-708	S	607	QA2	ZG	0.00	2.30	0.22	2.30
4145	-692	-708	S	610	QA2	ZG	0.00	62.78	0.22	62.78	4145	-708	-724	S	607	QA2	ZG	0.00	2.30	0.22	2.30
4145	-708	-724	S	610	QA2	ZG	0.00	62.78	0.22	62.78	4145	-724	-740	S	608	QA2	ZG	0.00	2.30	0.22	2.30
4145	-724	-740	S	609	QA2	ZG	0.00	62.78	0.22	62.78	4145	-740	-756	S	608	QA2	ZG	0.00	2.30	0.22	2.30
4145	-740	-756	S	609	QA2	ZG	0.00	62.78	0.22	62.78	4145	-756	-772	S	608	QA2	ZG	0.00	2.30	0.22	2.30
4145	-756	-772	S	609	QA2	ZG	0.00	62.78	0.22	62.78	4145	-772	-788	S	608	QA2	ZG	0.00	2.30	0.22	2.30
4145	-772	-788	S	609	QA2	ZG	0.00	62.78	0.22	62.78	4182	3005	-517	S	407	QA2	ZG	0.00	49.04	0.17	49.04
4182	3005	-517	S	408	QA2	ZG	0.00	1.79	0.17	1.79	4182	-517	-533	S	407	QA2	ZG	0.00	49.04	0.17	49.04
4182	-517	-533	S	408	QA2	ZG	0.00	1.79	0.17	1.79	4182	-533	4031	S	407	QA2	ZG	0.00	49.04	0.17	49.04
4182	-533	4031	S	408	QA2	ZG	0.00	1.79	0.17	1.79	4182	4031	-549	S	406	QA2	ZG	0.00	62.78	0.22	62.78
4182	4031	-549	S	409	QA2	ZG	0.00	2.30	0.22	2.30	4182	-549	-565	S	406	QA2	ZG	0.00	62.78	0.22	62.78
4182	-549	-565	S	409	QA	Z	0.00	2.30	0.22	2.30	4182	-565	-581	S	406	QA	Z	0.00	62.78	0.22	62.78

					2	G										2	G				
4182	-565	-581	S	409	QA2	ZG	0.00	2.30	0.22	2.30	4182	-581	-597	S	406	QA2	ZG	0.00	62.78	0.22	62.78
4182	-581	-597	S	409	QA2	ZG	0.00	2.30	0.22	2.30	4182	-597	-613	S	611	QA2	ZG	0.00	62.78	0.22	62.78
4182	-597	-613	S	612	QA2	ZG	0.00	2.30	0.22	2.30	4182	-613	-629	S	611	QA2	ZG	0.00	62.78	0.22	62.78
4182	-613	-629	S	612	QA2	ZG	0.00	2.30	0.22	2.30	4182	-629	-645	S	611	QA2	ZG	0.00	62.78	0.22	62.78
4182	-629	-645	S	612	QA2	ZG	0.00	2.30	0.22	2.30	4182	-645	-661	S	611	QA2	ZG	0.00	62.78	0.22	62.78
4182	-645	-661	S	612	QA2	ZG	0.00	2.30	0.22	2.30	4182	-661	-677	S	610	QA2	ZG	0.00	62.78	0.22	62.78
4182	-661	-677	S	613	QA2	ZG	0.00	2.30	0.22	2.30	4182	-677	-693	S	610	QA2	ZG	0.00	62.78	0.22	62.78
4182	-677	-693	S	613	QA2	ZG	0.00	2.30	0.22	2.30	4182	-693	-709	S	610	QA2	ZG	0.00	62.78	0.22	62.78
4182	-693	-709	S	613	QA2	ZG	0.00	2.30	0.22	2.30	4182	-709	-725	S	610	QA2	ZG	0.00	62.78	0.22	62.78
4182	-709	-725	S	613	QA2	ZG	0.00	2.30	0.22	2.30	4182	-725	-741	S	609	QA2	ZG	0.00	62.78	0.22	62.78
4182	-725	-741	S	614	QA2	ZG	0.00	2.30	0.22	2.30	4182	-741	-757	S	609	QA2	ZG	0.00	62.78	0.22	62.78
4182	-741	-757	S	614	QA2	ZG	0.00	2.30	0.22	2.30	4182	-757	-773	S	609	QA2	ZG	0.00	62.78	0.22	62.78
4182	-757	-773	S	614	QA2	ZG	0.00	2.30	0.22	2.30	4182	-773	-789	S	609	QA2	ZG	0.00	62.78	0.22	62.78
4182	-773	-789	S	614	QA2	ZG	0.00	2.30	0.22	2.30	4183	3006	-518	S	408	QA2	ZG	0.00	1.79	0.17	1.79
4183	3006	-518	S	410	QA2	ZG	0.00	46.05	0.17	46.05	4183	-518	-534	S	408	QA2	ZG	0.00	1.79	0.17	1.79
4183	-518	-534	S	410	QA2	ZG	0.00	46.05	0.17	46.05	4183	-534	4033	S	408	QA2	ZG	0.00	1.79	0.17	1.79
4183	-534	4033	S	410	QA2	ZG	0.00	46.05	0.17	46.05	4183	4033	-550	S	409	QA2	ZG	0.00	2.30	0.22	2.30
4183	4033	-550	S	411	QA2	ZG	0.00	58.95	0.22	58.95	4183	-550	-566	S	409	QA2	ZG	0.00	2.30	0.22	2.30
4183	-550	-566	S	411	QA2	ZG	0.00	58.95	0.22	58.95	4183	-566	-582	S	409	QA2	ZG	0.00	2.30	0.22	2.30
4183	-566	-582	S	411	QA2	ZG	0.00	58.95	0.22	58.95	4183	-582	-598	S	409	QA2	ZG	0.00	2.30	0.22	2.30
4183	-582	-598	S	411	QA2	ZG	0.00	58.95	0.22	58.95	4183	-598	-614	S	612	QA2	ZG	0.00	2.30	0.22	2.30
4183	-598	-614	S	615	QA2	ZG	0.00	58.95	0.22	58.95	4183	-614	-630	S	612	QA2	ZG	0.00	2.30	0.22	2.30
4183	-614	-630	S	615	QA2	ZG	0.00	58.95	0.22	58.95	4183	-630	-646	S	612	QA2	ZG	0.00	2.30	0.22	2.30
4183	-630	-646	S	615	QA2	ZG	0.00	58.95	0.22	58.95	4183	-646	-662	S	612	QA2	ZG	0.00	2.30	0.22	2.30
4183	-646	-662	S	615	QA2	ZG	0.00	58.95	0.22	58.95	4183	-662	-678	S	613	QA2	ZG	0.00	2.30	0.22	2.30
4183	-662	-678	S	616	QA2	ZG	0.00	58.95	0.22	58.95	4183	-678	-694	S	613	QA2	ZG	0.00	2.30	0.22	2.30
4183	-678	-694	S	616	QA2	ZG	0.00	58.95	0.22	58.95	4183	-694	-710	S	613	QA2	ZG	0.00	2.30	0.22	2.30
4183	-694	-710	S	616	QA2	ZG	0.00	58.95	0.22	58.95	4183	-710	-726	S	613	QA2	ZG	0.00	2.30	0.22	2.30
4183	-710	-726	S	616	QA2	ZG	0.00	58.95	0.22	58.95	4183	-726	-742	S	614	QA2	ZG	0.00	2.30	0.22	2.30
4183	-726	-742	S	617	QA	Z	0.00	58.95	0.22	58.95	4183	-742	-758	S	614	QA	Z	0.00	2.30	0.22	2.30

					2	G										2	G				
4183	-742	-758	S	617	QA2	ZG	0.00	58.95	0.22	58.95	4183	-758	-774	S	614	QA2	ZG	0.00	2.30	0.22	2.30
4183	-758	-774	S	617	QA2	ZG	0.00	58.95	0.22	58.95	4183	-774	-790	S	614	QA2	ZG	0.00	2.30	0.22	2.30
4183	-774	-790	S	617	QA2	ZG	0.00	58.95	0.22	58.95	4220	3007	-519	S	410	QA2	ZG	0.00	46.05	0.17	46.05
4220	3007	-519	S	412	QA2	ZG	0.00	1.79	0.17	1.79	4220	-519	-535	S	410	QA2	ZG	0.00	46.05	0.17	46.05
4220	-519	-535	S	412	QA2	ZG	0.00	1.79	0.17	1.79	4220	-535	4034	S	410	QA2	ZG	0.00	46.05	0.17	46.05
4220	-535	4034	S	412	QA2	ZG	0.00	1.79	0.17	1.79	4220	4034	-551	S	411	QA2	ZG	0.00	58.95	0.22	58.95
4220	4034	-551	S	413	QA2	ZG	0.00	2.30	0.22	2.30	4220	-551	-567	S	411	QA2	ZG	0.00	58.95	0.22	58.95
4220	-551	-567	S	413	QA2	ZG	0.00	2.30	0.22	2.30	4220	-567	-583	S	411	QA2	ZG	0.00	58.95	0.22	58.95
4220	-567	-583	S	413	QA2	ZG	0.00	2.30	0.22	2.30	4220	-583	-599	S	411	QA2	ZG	0.00	58.95	0.22	58.95
4220	-583	-599	S	413	QA2	ZG	0.00	2.30	0.22	2.30	4220	-599	-615	S	615	QA2	ZG	0.00	58.95	0.22	58.95
4220	-599	-615	S	618	QA2	ZG	0.00	2.30	0.22	2.30	4220	-615	-631	S	615	QA2	ZG	0.00	58.95	0.22	58.95
4220	-615	-631	S	618	QA2	ZG	0.00	2.30	0.22	2.30	4220	-631	-647	S	615	QA2	ZG	0.00	58.95	0.22	58.95
4220	-631	-647	S	618	QA2	ZG	0.00	2.30	0.22	2.30	4220	-647	-663	S	615	QA2	ZG	0.00	58.95	0.22	58.95
4220	-647	-663	S	618	QA2	ZG	0.00	2.30	0.22	2.30	4220	-663	-679	S	616	QA2	ZG	0.00	58.95	0.22	58.95
4220	-663	-679	S	619	QA2	ZG	0.00	2.30	0.22	2.30	4220	-679	-695	S	616	QA2	ZG	0.00	58.95	0.22	58.95
4220	-679	-695	S	619	QA2	ZG	0.00	2.30	0.22	2.30	4220	-695	-711	S	616	QA2	ZG	0.00	58.95	0.22	58.95
4220	-695	-711	S	619	QA2	ZG	0.00	2.30	0.22	2.30	4220	-711	-727	S	616	QA2	ZG	0.00	58.95	0.22	58.95
4220	-711	-727	S	619	QA2	ZG	0.00	2.30	0.22	2.30	4220	-727	-743	S	617	QA2	ZG	0.00	58.95	0.22	58.95
4220	-727	-743	S	620	QA2	ZG	0.00	2.30	0.22	2.30	4220	-743	-759	S	617	QA2	ZG	0.00	58.95	0.22	58.95
4220	-743	-759	S	620	QA2	ZG	0.00	2.30	0.22	2.30	4220	-759	-775	S	617	QA2	ZG	0.00	58.95	0.22	58.95
4220	-759	-775	S	620	QA2	ZG	0.00	2.30	0.22	2.30	4220	-775	-791	S	617	QA2	ZG	0.00	58.95	0.22	58.95
4220	-775	-791	S	620	QA2	ZG	0.00	2.30	0.22	2.30	4221	3008	-520	S	412	QA2	ZG	0.00	1.79	0.17	1.79
4221	-520	-536	S	412	QA2	ZG	0.00	1.79	0.17	1.79	4221	-536	4036	S	412	QA2	ZG	0.00	1.79	0.17	1.79
4221	4036	-552	S	413	QA2	ZG	0.00	2.30	0.22	2.30	4221	-552	-568	S	413	QA2	ZG	0.00	2.30	0.22	2.30
4221	-568	-584	S	413	QA2	ZG	0.00	2.30	0.22	2.30	4221	-584	-600	S	413	QA2	ZG	0.00	2.30	0.22	2.30
4221	-600	-616	S	618	QA2	ZG	0.00	2.30	0.22	2.30	4221	-616	-632	S	618	QA2	ZG	0.00	2.30	0.22	2.30
4221	-632	-648	S	618	QA2	ZG	0.00	2.30	0.22	2.30	4221	-648	-664	S	618	QA2	ZG	0.00	2.30	0.22	2.30
4221	-664	-680	S	619	QA2	ZG	0.00	2.30	0.22	2.30	4221	-680	-696	S	619	QA2	ZG	0.00	2.30	0.22	2.30
4221	-696	-712	S	619	QA2	ZG	0.00	2.30	0.22	2.30	4221	-712	-728	S	619	QA2	ZG	0.00	2.30	0.22	2.30
4221	-728	-744	S	620	QA	Z	0.00	2.30	0.22	2.30	4221	-744	-760	S	620	QA	Z	0.00	2.30	0.22	2.30

					2	G										2	G				
4221	-760	-776	S	620	QA2	ZG	0.00	2.30	0.22	2.30	4221	-776	-792	S	620	QA2	ZG	0.00	2.30	0.22	2.30
4385	-785	-777	S	621	QA2	ZG	0.00	2.30	0.22	2.30	4385	-777	-761	S	621	QA2	ZG	0.00	2.30	0.22	2.30
4385	-761	-745	S	621	QA2	ZG	0.00	2.30	0.22	2.30	4385	-745	-729	S	621	QA2	ZG	0.00	2.30	0.22	2.30
4385	-729	-713	S	622	QA2	ZG	0.00	2.30	0.22	2.30	4385	-713	-697	S	622	QA2	ZG	0.00	2.30	0.22	2.30
4385	-697	-681	S	622	QA2	ZG	0.00	2.30	0.22	2.30	4385	-681	-665	S	622	QA2	ZG	0.00	2.30	0.22	2.30
4385	-665	-649	S	623	QA2	ZG	0.00	2.30	0.22	2.30	4385	-649	-633	S	623	QA2	ZG	0.00	2.30	0.22	2.30
4385	-633	-617	S	623	QA2	ZG	0.00	2.30	0.22	2.30	4385	-617	-601	S	623	QA2	ZG	0.00	2.30	0.22	2.30
4385	-601	-585	S	414	QA2	ZG	0.00	2.30	0.22	2.30	4385	-585	-569	S	414	QA2	ZG	0.00	2.30	0.22	2.30
4385	-569	-553	S	414	QA2	ZG	0.00	2.30	0.22	2.30	4385	-553	4285	S	414	QA2	ZG	0.00	2.30	0.22	2.30
4385	4285	-537	S	415	QA2	ZG	0.00	1.79	0.17	1.79	4385	-537	-521	S	415	QA2	ZG	0.00	1.79	0.17	1.79
4385	-521	3313	S	415	QA2	ZG	0.00	1.79	0.17	1.79	4386	-786	-778	S	621	QA2	ZG	0.00	2.30	0.22	2.30
4386	-786	-778	S	626	QA2	ZG	0.00	58.95	0.22	58.95	4386	-778	-762	S	621	QA2	ZG	0.00	2.30	0.22	2.30
4386	-778	-762	S	626	QA2	ZG	0.00	58.95	0.22	58.95	4386	-762	-746	S	621	QA2	ZG	0.00	2.30	0.22	2.30
4386	-762	-746	S	626	QA2	ZG	0.00	58.95	0.22	58.95	4386	-746	-730	S	621	QA2	ZG	0.00	2.30	0.22	2.30
4386	-746	-730	S	626	QA2	ZG	0.00	58.95	0.22	58.95	4386	-730	-714	S	622	QA2	ZG	0.00	2.30	0.22	2.30
4386	-730	-714	S	625	QA2	ZG	0.00	58.95	0.22	58.95	4386	-714	-698	S	622	QA2	ZG	0.00	2.30	0.22	2.30
4386	-714	-698	S	625	QA2	ZG	0.00	58.95	0.22	58.95	4386	-698	-682	S	622	QA2	ZG	0.00	2.30	0.22	2.30
4386	-698	-682	S	625	QA2	ZG	0.00	58.95	0.22	58.95	4386	-682	-666	S	622	QA2	ZG	0.00	2.30	0.22	2.30
4386	-682	-666	S	625	QA2	ZG	0.00	58.95	0.22	58.95	4386	-666	-650	S	623	QA2	ZG	0.00	2.30	0.22	2.30
4386	-666	-650	S	624	QA2	ZG	0.00	58.95	0.22	58.95	4386	-650	-634	S	623	QA2	ZG	0.00	2.30	0.22	2.30
4386	-650	-634	S	624	QA2	ZG	0.00	58.95	0.22	58.95	4386	-634	-618	S	623	QA2	ZG	0.00	2.30	0.22	2.30
4386	-634	-618	S	624	QA2	ZG	0.00	58.95	0.22	58.95	4386	-618	-602	S	623	QA2	ZG	0.00	2.30	0.22	2.30
4386	-618	-602	S	624	QA2	ZG	0.00	58.95	0.22	58.95	4386	-602	-586	S	414	QA2	ZG	0.00	2.30	0.22	2.30
4386	-602	-586	S	417	QA2	ZG	0.00	58.95	0.22	58.95	4386	-586	-570	S	414	QA2	ZG	0.00	2.30	0.22	2.30
4386	-586	-570	S	417	QA2	ZG	0.00	58.95	0.22	58.95	4386	-570	-554	S	414	QA2	ZG	0.00	2.30	0.22	2.30
4386	-570	-554	S	417	QA2	ZG	0.00	58.95	0.22	58.95	4386	-554	4287	S	414	QA2	ZG	0.00	2.30	0.22	2.30
4386	-554	4287	S	417	QA2	ZG	0.00	58.95	0.22	58.95	4386	4287	-538	S	415	QA2	ZG	0.00	1.79	0.17	1.79
4386	4287	-538	S	416	QA2	ZG	0.00	46.05	0.17	46.05	4386	-538	-522	S	415	QA2	ZG	0.00	1.79	0.17	1.79
4386	-538	-522	S	416	QA2	ZG	0.00	46.05	0.17	46.05	4386	-522	3314	S	415	QA2	ZG	0.00	1.79	0.17	1.79
4386	-522	3314	S	416	QA	Z	0.00	46.05	0.17	46.05	4423	-787	-779	S	626	QA	Z	0.00	58.95	0.22	58.95

					2	G										2	G				
4423	-787	-779	S	628	QA2	ZG	0.00	2.30	0.22	2.30	4423	-779	-763	S	626	QA2	ZG	0.00	58.95	0.22	58.95
4423	-779	-763	S	628	QA2	ZG	0.00	2.30	0.22	2.30	4423	-763	-747	S	626	QA2	ZG	0.00	58.95	0.22	58.95
4423	-763	-747	S	628	QA2	ZG	0.00	2.30	0.22	2.30	4423	-747	-731	S	626	QA2	ZG	0.00	58.95	0.22	58.95
4423	-747	-731	S	628	QA2	ZG	0.00	2.30	0.22	2.30	4423	-731	-715	S	625	QA2	ZG	0.00	58.95	0.22	58.95
4423	-731	-715	S	629	QA2	ZG	0.00	2.30	0.22	2.30	4423	-715	-699	S	625	QA2	ZG	0.00	58.95	0.22	58.95
4423	-715	-699	S	629	QA2	ZG	0.00	2.30	0.22	2.30	4423	-699	-683	S	625	QA2	ZG	0.00	58.95	0.22	58.95
4423	-699	-683	S	629	QA2	ZG	0.00	2.30	0.22	2.30	4423	-683	-667	S	625	QA2	ZG	0.00	58.95	0.22	58.95
4423	-683	-667	S	629	QA2	ZG	0.00	2.30	0.22	2.30	4423	-667	-651	S	624	QA2	ZG	0.00	58.95	0.22	58.95
4423	-667	-651	S	627	QA2	ZG	0.00	2.30	0.22	2.30	4423	-651	-635	S	624	QA2	ZG	0.00	58.95	0.22	58.95
4423	-651	-635	S	627	QA2	ZG	0.00	2.30	0.22	2.30	4423	-635	-619	S	624	QA2	ZG	0.00	58.95	0.22	58.95
4423	-635	-619	S	627	QA2	ZG	0.00	2.30	0.22	2.30	4423	-619	-603	S	624	QA2	ZG	0.00	58.95	0.22	58.95
4423	-619	-603	S	627	QA2	ZG	0.00	2.30	0.22	2.30	4423	-603	-587	S	417	QA2	ZG	0.00	58.95	0.22	58.95
4423	-603	-587	S	419	QA2	ZG	0.00	2.30	0.22	2.30	4423	-587	-571	S	417	QA2	ZG	0.00	58.95	0.22	58.95
4423	-587	-571	S	419	QA2	ZG	0.00	2.30	0.22	2.30	4423	-571	-555	S	417	QA2	ZG	0.00	58.95	0.22	58.95
4423	-571	-555	S	419	QA2	ZG	0.00	2.30	0.22	2.30	4423	-555	4288	S	417	QA2	ZG	0.00	58.95	0.22	58.95
4423	-555	4288	S	419	QA2	ZG	0.00	2.30	0.22	2.30	4423	4288	-539	S	416	QA2	ZG	0.00	46.05	0.17	46.05
4423	4288	-539	S	418	QA2	ZG	0.00	1.79	0.17	1.79	4423	-539	-523	S	416	QA2	ZG	0.00	46.05	0.17	46.05
4423	-539	-523	S	418	QA2	ZG	0.00	1.79	0.17	1.79	4423	-523	3315	S	416	QA2	ZG	0.00	46.05	0.17	46.05
4423	-523	3315	S	418	QA2	ZG	0.00	1.79	0.17	1.79	4424	-788	-780	S	628	QA2	ZG	0.00	2.30	0.22	2.30
4424	-788	-780	S	630	QA2	ZG	0.00	62.78	0.22	62.78	4424	-780	-764	S	628	QA2	ZG	0.00	2.30	0.22	2.30
4424	-780	-764	S	630	QA2	ZG	0.00	62.78	0.22	62.78	4424	-764	-748	S	628	QA2	ZG	0.00	2.30	0.22	2.30
4424	-764	-748	S	630	QA2	ZG	0.00	62.78	0.22	62.78	4424	-748	-732	S	628	QA2	ZG	0.00	2.30	0.22	2.30
4424	-748	-732	S	630	QA2	ZG	0.00	62.78	0.22	62.78	4424	-732	-716	S	629	QA2	ZG	0.00	2.30	0.22	2.30
4424	-732	-716	S	631	QA2	ZG	0.00	62.78	0.22	62.78	4424	-716	-700	S	629	QA2	ZG	0.00	2.30	0.22	2.30
4424	-716	-700	S	631	QA2	ZG	0.00	62.78	0.22	62.78	4424	-700	-684	S	629	QA2	ZG	0.00	2.30	0.22	2.30
4424	-700	-684	S	631	QA2	ZG	0.00	62.78	0.22	62.78	4424	-684	-668	S	629	QA2	ZG	0.00	2.30	0.22	2.30
4424	-684	-668	S	631	QA2	ZG	0.00	62.78	0.22	62.78	4424	-668	-652	S	627	QA2	ZG	0.00	2.30	0.22	2.30
4424	-668	-652	S	632	QA2	ZG	0.00	62.78	0.22	62.78	4424	-652	-636	S	627	QA2	ZG	0.00	2.30	0.22	2.30
4424	-652	-636	S	632	QA2	ZG	0.00	62.78	0.22	62.78	4424	-636	-620	S	627	QA2	ZG	0.00	2.30	0.22	2.30
4424	-636	-620	S	632	QA	Z	0.00	62.78	0.22	62.78	4424	-620	-604	S	627	QA	Z	0.00	2.30	0.22	2.30

					2	G										2	G				
4424	-620	-604	S	632	QA2	ZG	0.00	62.78	0.22	62.78	4424	-604	-588	S	419	QA2	ZG	0.00	2.30	0.22	2.30
4424	-604	-588	S	420	QA2	ZG	0.00	62.78	0.22	62.78	4424	-588	-572	S	419	QA2	ZG	0.00	2.30	0.22	2.30
4424	-588	-572	S	420	QA2	ZG	0.00	62.78	0.22	62.78	4424	-572	-556	S	419	QA2	ZG	0.00	2.30	0.22	2.30
4424	-572	-556	S	420	QA2	ZG	0.00	62.78	0.22	62.78	4424	-556	4290	S	419	QA2	ZG	0.00	2.30	0.22	2.30
4424	-556	4290	S	420	QA2	ZG	0.00	62.78	0.22	62.78	4424	4290	-540	S	418	QA2	ZG	0.00	1.79	0.17	1.79
4424	4290	-540	S	421	QA2	ZG	0.00	49.04	0.17	49.04	4424	-540	-524	S	418	QA2	ZG	0.00	1.79	0.17	1.79
4424	-540	-524	S	421	QA2	ZG	0.00	49.04	0.17	49.04	4424	-524	3316	S	418	QA2	ZG	0.00	1.79	0.17	1.79
4424	-524	3316	S	421	QA2	ZG	0.00	49.04	0.17	49.04	4461	-789	-781	S	630	QA2	ZG	0.00	62.78	0.22	62.78
4461	-789	-781	S	633	QA2	ZG	0.00	2.30	0.22	2.30	4461	-781	-765	S	630	QA2	ZG	0.00	62.78	0.22	62.78
4461	-781	-765	S	633	QA2	ZG	0.00	2.30	0.22	2.30	4461	-765	-749	S	630	QA2	ZG	0.00	62.78	0.22	62.78
4461	-765	-749	S	633	QA2	ZG	0.00	2.30	0.22	2.30	4461	-749	-733	S	630	QA2	ZG	0.00	62.78	0.22	62.78
4461	-749	-733	S	633	QA2	ZG	0.00	2.30	0.22	2.30	4461	-733	-717	S	631	QA2	ZG	0.00	62.78	0.22	62.78
4461	-733	-717	S	634	QA2	ZG	0.00	2.30	0.22	2.30	4461	-717	-701	S	631	QA2	ZG	0.00	62.78	0.22	62.78
4461	-717	-701	S	634	QA2	ZG	0.00	2.30	0.22	2.30	4461	-701	-685	S	631	QA2	ZG	0.00	62.78	0.22	62.78
4461	-701	-685	S	634	QA2	ZG	0.00	2.30	0.22	2.30	4461	-685	-669	S	631	QA2	ZG	0.00	62.78	0.22	62.78
4461	-685	-669	S	634	QA2	ZG	0.00	2.30	0.22	2.30	4461	-669	-653	S	632	QA2	ZG	0.00	62.78	0.22	62.78
4461	-669	-653	S	635	QA2	ZG	0.00	2.30	0.22	2.30	4461	-653	-637	S	632	QA2	ZG	0.00	62.78	0.22	62.78
4461	-653	-637	S	635	QA2	ZG	0.00	2.30	0.22	2.30	4461	-637	-621	S	632	QA2	ZG	0.00	62.78	0.22	62.78
4461	-637	-621	S	635	QA2	ZG	0.00	2.30	0.22	2.30	4461	-621	-605	S	632	QA2	ZG	0.00	62.78	0.22	62.78
4461	-621	-605	S	635	QA2	ZG	0.00	2.30	0.22	2.30	4461	-605	-589	S	420	QA2	ZG	0.00	62.78	0.22	62.78
4461	-605	-589	S	422	QA2	ZG	0.00	2.30	0.22	2.30	4461	-589	-573	S	420	QA2	ZG	0.00	62.78	0.22	62.78
4461	-589	-573	S	422	QA2	ZG	0.00	2.30	0.22	2.30	4461	-573	-557	S	420	QA2	ZG	0.00	62.78	0.22	62.78
4461	-573	-557	S	422	QA2	ZG	0.00	2.30	0.22	2.30	4461	-557	4291	S	420	QA2	ZG	0.00	62.78	0.22	62.78
4461	-557	4291	S	422	QA2	ZG	0.00	2.30	0.22	2.30	4461	4291	-541	S	421	QA2	ZG	0.00	49.04	0.17	49.04
4461	4291	-541	S	423	QA2	ZG	0.00	1.79	0.17	1.79	4461	-541	-525	S	421	QA2	ZG	0.00	49.04	0.17	49.04
4461	-541	-525	S	423	QA2	ZG	0.00	1.79	0.17	1.79	4461	-525	3317	S	421	QA2	ZG	0.00	49.04	0.17	49.04
4461	-525	3317	S	423	QA2	ZG	0.00	1.79	0.17	1.79	4462	-790	-782	S	633	QA2	ZG	0.00	2.30	0.22	2.30
4462	-790	-782	S	641	QA2	ZG	0.00	58.95	0.22	58.95	4462	-782	-766	S	633	QA2	ZG	0.00	2.30	0.22	2.30
4462	-782	-766	S	641	QA2	ZG	0.00	58.95	0.22	58.95	4462	-766	-750	S	633	QA2	ZG	0.00	2.30	0.22	2.30
4462	-766	-750	S	641	QA	Z	0.00	58.95	0.22	58.95	4462	-750	-734	S	633	QA	Z	0.00	2.30	0.22	2.30

					2	G										2	G				
4462	-750	-734	S	641	QA2	ZG	0.00	58.95	0.22	58.95	4462	-734	-718	S	634	QA2	ZG	0.00	2.30	0.22	2.30
4462	-734	-718	S	640	QA2	ZG	0.00	58.95	0.22	58.95	4462	-718	-702	S	634	QA2	ZG	0.00	2.30	0.22	2.30
4462	-718	-702	S	640	QA2	ZG	0.00	58.95	0.22	58.95	4462	-702	-686	S	634	QA2	ZG	0.00	2.30	0.22	2.30
4462	-702	-686	S	640	QA2	ZG	0.00	58.95	0.22	58.95	4462	-686	-670	S	634	QA2	ZG	0.00	2.30	0.22	2.30
4462	-686	-670	S	640	QA2	ZG	0.00	58.95	0.22	58.95	4462	-670	-654	S	635	QA2	ZG	0.00	2.30	0.22	2.30
4462	-670	-654	S	639	QA2	ZG	0.00	58.95	0.22	58.95	4462	-654	-638	S	635	QA2	ZG	0.00	2.30	0.22	2.30
4462	-654	-638	S	639	QA2	ZG	0.00	58.95	0.22	58.95	4462	-638	-622	S	635	QA2	ZG	0.00	2.30	0.22	2.30
4462	-638	-622	S	639	QA2	ZG	0.00	58.95	0.22	58.95	4462	-622	-606	S	635	QA2	ZG	0.00	2.30	0.22	2.30
4462	-622	-606	S	639	QA2	ZG	0.00	58.95	0.22	58.95	4462	-606	-590	S	422	QA2	ZG	0.00	2.30	0.22	2.30
4462	-606	-590	S	427	QA2	ZG	0.00	58.95	0.22	58.95	4462	-590	-574	S	422	QA2	ZG	0.00	2.30	0.22	2.30
4462	-590	-574	S	427	QA2	ZG	0.00	58.95	0.22	58.95	4462	-574	-558	S	422	QA2	ZG	0.00	2.30	0.22	2.30
4462	-574	-558	S	427	QA2	ZG	0.00	58.95	0.22	58.95	4462	-558	4293	S	422	QA2	ZG	0.00	2.30	0.22	2.30
4462	-558	4293	S	427	QA2	ZG	0.00	58.95	0.22	58.95	4462	4293	-542	S	423	QA2	ZG	0.00	1.79	0.17	1.79
4462	4293	-542	S	426	QA2	ZG	0.00	46.05	0.17	46.05	4462	-542	-526	S	423	QA2	ZG	0.00	1.79	0.17	1.79
4462	-542	-526	S	426	QA2	ZG	0.00	46.05	0.17	46.05	4462	-526	3318	S	423	QA2	ZG	0.00	1.79	0.17	1.79
4462	-526	3318	S	426	QA2	ZG	0.00	46.05	0.17	46.05	4499	-791	-783	S	636	QA2	ZG	0.00	2.30	0.22	2.30
4499	-791	-783	S	641	QA2	ZG	0.00	58.95	0.22	58.95	4499	-783	-767	S	636	QA2	ZG	0.00	2.30	0.22	2.30
4499	-783	-767	S	641	QA2	ZG	0.00	58.95	0.22	58.95	4499	-767	-751	S	636	QA2	ZG	0.00	2.30	0.22	2.30
4499	-767	-751	S	641	QA2	ZG	0.00	58.95	0.22	58.95	4499	-751	-735	S	636	QA2	ZG	0.00	2.30	0.22	2.30
4499	-751	-735	S	641	QA2	ZG	0.00	58.95	0.22	58.95	4499	-735	-719	S	637	QA2	ZG	0.00	2.30	0.22	2.30
4499	-735	-719	S	640	QA2	ZG	0.00	58.95	0.22	58.95	4499	-719	-703	S	637	QA2	ZG	0.00	2.30	0.22	2.30
4499	-719	-703	S	640	QA2	ZG	0.00	58.95	0.22	58.95	4499	-703	-687	S	637	QA2	ZG	0.00	2.30	0.22	2.30
4499	-703	-687	S	640	QA2	ZG	0.00	58.95	0.22	58.95	4499	-687	-671	S	637	QA2	ZG	0.00	2.30	0.22	2.30
4499	-687	-671	S	640	QA2	ZG	0.00	58.95	0.22	58.95	4499	-671	-655	S	638	QA2	ZG	0.00	2.30	0.22	2.30
4499	-671	-655	S	639	QA2	ZG	0.00	58.95	0.22	58.95	4499	-655	-639	S	638	QA2	ZG	0.00	2.30	0.22	2.30
4499	-655	-639	S	639	QA2	ZG	0.00	58.95	0.22	58.95	4499	-639	-623	S	638	QA2	ZG	0.00	2.30	0.22	2.30
4499	-639	-623	S	639	QA2	ZG	0.00	58.95	0.22	58.95	4499	-623	-607	S	638	QA2	ZG	0.00	2.30	0.22	2.30
4499	-623	-607	S	639	QA2	ZG	0.00	58.95	0.22	58.95	4499	-607	-591	S	424	QA2	ZG	0.00	2.30	0.22	2.30
4499	-607	-591	S	427	QA2	ZG	0.00	58.95	0.22	58.95	4499	-591	-575	S	424	QA2	ZG	0.00	2.30	0.22	2.30
4499	-591	-575	S	427	QA	Z	0.00	58.95	0.22	58.95	4499	-575	-559	S	424	QA	Z	0.00	2.30	0.22	2.30

					2	G										2	G				
4499	-575	-559	S	427	QA2	ZG	0.00	58.95	0.22	58.95	4499	-559	4294	S	424	QA2	ZG	0.00	2.30	0.22	2.30
4499	-559	4294	S	427	QA2	ZG	0.00	58.95	0.22	58.95	4499	4294	-543	S	425	QA2	ZG	0.00	1.79	0.17	1.79
4499	4294	-543	S	426	QA2	ZG	0.00	46.05	0.17	46.05	4499	-543	-527	S	425	QA2	ZG	0.00	1.79	0.17	1.79
4499	-543	-527	S	426	QA2	ZG	0.00	46.05	0.17	46.05	4499	-527	3319	S	425	QA2	ZG	0.00	1.79	0.17	1.79
4499	-527	3319	S	426	QA2	ZG	0.00	46.05	0.17	46.05	4500	-792	-784	S	636	QA2	ZG	0.00	2.30	0.22	2.30
4500	-784	-768	S	636	QA2	ZG	0.00	2.30	0.22	2.30	4500	-768	-752	S	636	QA2	ZG	0.00	2.30	0.22	2.30
4500	-752	-736	S	636	QA2	ZG	0.00	2.30	0.22	2.30	4500	-736	-720	S	637	QA2	ZG	0.00	2.30	0.22	2.30
4500	-720	-704	S	637	QA2	ZG	0.00	2.30	0.22	2.30	4500	-704	-688	S	637	QA2	ZG	0.00	2.30	0.22	2.30
4500	-688	-672	S	637	QA2	ZG	0.00	2.30	0.22	2.30	4500	-672	-656	S	638	QA2	ZG	0.00	2.30	0.22	2.30
4500	-656	-640	S	638	QA2	ZG	0.00	2.30	0.22	2.30	4500	-640	-624	S	638	QA2	ZG	0.00	2.30	0.22	2.30
4500	-624	-608	S	638	QA2	ZG	0.00	2.30	0.22	2.30	4500	-608	-592	S	424	QA2	ZG	0.00	2.30	0.22	2.30
4500	-592	-576	S	424	QA2	ZG	0.00	2.30	0.22	2.30	4500	-576	-560	S	424	QA2	ZG	0.00	2.30	0.22	2.30
4500	-560	4296	S	424	QA2	ZG	0.00	2.30	0.22	2.30	4500	4296	-544	S	425	QA2	ZG	0.00	1.79	0.17	1.79
4500	-544	-528	S	425	QA2	ZG	0.00	1.79	0.17	1.79	4500	-528	3320	S	425	QA2	ZG	0.00	1.79	0.17	1.79
6041	-593	-594	S	605	QA2	ZG	0.00	5.00	0.12	5.00	6041	-593	-594	S	402	QA2	ZG	0.00	5.00	0.12	5.00
6041	-595	-596	S	405	QA2	ZG	0.00	5.00	0.12	5.00	6041	-595	-596	S	606	QA2	ZG	0.00	5.00	0.12	5.00
6041	-597	-598	S	409	QA2	ZG	0.00	5.00	0.12	5.00	6041	-597	-598	S	612	QA2	ZG	0.00	5.00	0.12	5.00
6041	-599	-600	S	413	QA2	ZG	0.00	5.00	0.12	5.00	6041	-599	-600	S	618	QA2	ZG	0.00	5.00	0.12	5.00
6042	-657	-658	S	604	QA2	ZG	0.00	5.00	0.12	5.00	6042	-657	-658	S	605	QA2	ZG	0.00	5.00	0.12	5.00
6042	-659	-660	S	606	QA2	ZG	0.00	5.00	0.12	5.00	6042	-659	-660	S	607	QA2	ZG	0.00	5.00	0.12	5.00
6042	-661	-662	S	612	QA2	ZG	0.00	5.00	0.12	5.00	6042	-661	-662	S	613	QA2	ZG	0.00	5.00	0.12	5.00
6042	-663	-664	S	618	QA2	ZG	0.00	5.00	0.12	5.00	6042	-663	-664	S	619	QA2	ZG	0.00	5.00	0.12	5.00
6043	-721	-722	S	603	QA2	ZG	0.00	5.00	0.12	5.00	6043	-721	-722	S	604	QA2	ZG	0.00	5.00	0.12	5.00
6043	-723	-724	S	607	QA2	ZG	0.00	5.00	0.12	5.00	6043	-723	-724	S	608	QA2	ZG	0.00	5.00	0.12	5.00
6043	-725	-726	S	613	QA2	ZG	0.00	5.00	0.12	5.00	6043	-725	-726	S	614	QA2	ZG	0.00	5.00	0.12	5.00
6043	-727	-728	S	619	QA2	ZG	0.00	5.00	0.12	5.00	6043	-727	-728	S	620	QA2	ZG	0.00	5.00	0.12	5.00
6044	-785	-786	S	603	QA2	ZG	0.00	5.00	0.12	5.00	6044	-785	-786	S	621	QA2	ZG	0.00	5.00	0.12	5.00
6044	-787	-788	S	608	QA2	ZG	0.00	5.00	0.12	5.00	6044	-787	-788	S	628	QA2	ZG	0.00	5.00	0.12	5.00
6044	-789	-790	S	614	QA2	ZG	0.00	5.00	0.12	5.00	6044	-789	-790	S	633	QA2	ZG	0.00	5.00	0.12	5.00
6044	-791	-792	S	620	QA	Z	0.00	5.00	0.12	5.00	6044	-791	-792	S	636	QA	Z	0.00	5.00	0.12	5.00

					2	G										2	G				
6045	-729	-730	S	621	QA2	ZG	0.00	5.00	0.12	5.00	6045	-729	-730	S	622	QA2	ZG	0.00	5.00	0.12	5.00
6045	-731	-732	S	628	QA2	ZG	0.00	5.00	0.12	5.00	6045	-731	-732	S	629	QA2	ZG	0.00	5.00	0.12	5.00
6045	-733	-734	S	633	QA2	ZG	0.00	5.00	0.12	5.00	6045	-733	-734	S	634	QA2	ZG	0.00	5.00	0.12	5.00
6045	-735	-736	S	636	QA2	ZG	0.00	5.00	0.12	5.00	6045	-735	-736	S	637	QA2	ZG	0.00	5.00	0.12	5.00
6046	-665	-666	S	622	QA2	ZG	0.00	5.00	0.12	5.00	6046	-665	-666	S	623	QA2	ZG	0.00	5.00	0.12	5.00
6046	-667	-668	S	627	QA2	ZG	0.00	5.00	0.12	5.00	6046	-667	-668	S	629	QA2	ZG	0.00	5.00	0.12	5.00
6046	-669	-670	S	634	QA2	ZG	0.00	5.00	0.12	5.00	6046	-669	-670	S	635	QA2	ZG	0.00	5.00	0.12	5.00
6046	-671	-672	S	637	QA2	ZG	0.00	5.00	0.12	5.00	6046	-671	-672	S	638	QA2	ZG	0.00	5.00	0.12	5.00
6047	-601	-602	S	623	QA2	ZG	0.00	5.00	0.12	5.00	6047	-601	-602	S	414	QA2	ZG	0.00	5.00	0.12	5.00
6047	-603	-604	S	419	QA2	ZG	0.00	5.00	0.12	5.00	6047	-603	-604	S	627	QA2	ZG	0.00	5.00	0.12	5.00
6047	-605	-606	S	635	QA2	ZG	0.00	5.00	0.12	5.00	6047	-605	-606	S	422	QA2	ZG	0.00	5.00	0.12	5.00
6047	-607	-608	S	638	QA2	ZG	0.00	5.00	0.12	5.00	6047	-607	-608	S	424	QA2	ZG	0.00	5.00	0.12	5.00
7001	3002	-815	S	401	QA2	ZG	0.00	5.00	1.54	5.00	7001	-815	3003	S	401	QA2	ZG	0.00	5.00	1.54	5.00
7001	3004	-804	S	407	QA2	ZG	0.00	5.00	1.64	5.00	7001	-804	3005	S	407	QA2	ZG	0.00	5.00	1.64	5.00
7001	3006	-795	S	410	QA2	ZG	0.00	5.00	1.54	5.00	7001	-795	3007	S	410	QA2	ZG	0.00	5.00	1.54	5.00
7002	4027	-816	S	400	QA2	ZG	0.00	5.00	1.54	5.00	7002	4027	-816	S	401	QA2	ZG	0.00	5.00	1.54	5.00
7002	-816	4028	S	400	QA2	ZG	0.00	5.00	1.54	5.00	7002	-816	4028	S	401	QA2	ZG	0.00	5.00	1.54	5.00
7002	4030	-805	S	406	QA2	ZG	0.00	5.00	1.64	5.00	7002	4030	-805	S	407	QA2	ZG	0.00	5.00	1.64	5.00
7002	-805	4031	S	406	QA2	ZG	0.00	5.00	1.64	5.00	7002	-805	4031	S	407	QA2	ZG	0.00	5.00	1.64	5.00
7002	4033	-794	S	410	QA2	ZG	0.00	5.00	1.54	5.00	7002	4033	-794	S	411	QA2	ZG	0.00	5.00	1.54	5.00
7002	-794	4034	S	410	QA2	ZG	0.00	5.00	1.54	5.00	7002	-794	4034	S	411	QA2	ZG	0.00	5.00	1.54	5.00
7003	-594	-817	S	400	QA2	ZG	0.00	5.00	1.54	5.00	7003	-594	-817	S	600	QA2	ZG	0.00	5.00	1.54	5.00
7003	-817	-595	S	400	QA2	ZG	0.00	5.00	1.54	5.00	7003	-817	-595	S	600	QA2	ZG	0.00	5.00	1.54	5.00
7003	-596	-806	S	611	QA2	ZG	0.00	5.00	1.64	5.00	7003	-596	-806	S	406	QA2	ZG	0.00	5.00	1.64	5.00
7003	-806	-597	S	611	QA2	ZG	0.00	5.00	1.64	5.00	7003	-806	-597	S	406	QA2	ZG	0.00	5.00	1.64	5.00
7003	-598	-793	S	411	QA2	ZG	0.00	5.00	1.54	5.00	7003	-598	-793	S	615	QA2	ZG	0.00	5.00	1.54	5.00
7003	-793	-599	S	411	QA2	ZG	0.00	5.00	1.54	5.00	7003	-793	-599	S	615	QA2	ZG	0.00	5.00	1.54	5.00
7004	-658	-818	S	600	QA2	ZG	0.00	5.00	1.54	5.00	7004	-658	-818	S	601	QA2	ZG	0.00	5.00	1.54	5.00
7004	-818	-659	S	600	QA2	ZG	0.00	5.00	1.54	5.00	7004	-818	-659	S	601	QA2	ZG	0.00	5.00	1.54	5.00
7004	-660	-807	S	610	QA	Z	0.00	5.00	1.64	5.00	7004	-660	-807	S	611	QA	Z	0.00	5.00	1.64	5.00

					2	G										2	G				
7004	-807	-661	S	610	QA2	ZG	0.00	5.00	1.64	5.00	7004	-807	-661	S	611	QA2	ZG	0.00	5.00	1.64	5.00
7004	-662	-796	S	615	QA2	ZG	0.00	5.00	1.54	5.00	7004	-662	-796	S	616	QA2	ZG	0.00	5.00	1.54	5.00
7004	-796	-663	S	615	QA2	ZG	0.00	5.00	1.54	5.00	7004	-796	-663	S	616	QA2	ZG	0.00	5.00	1.54	5.00
7005	-722	-819	S	601	QA2	ZG	0.00	5.00	1.54	5.00	7005	-722	-819	S	602	QA2	ZG	0.00	5.00	1.54	5.00
7005	-819	-723	S	601	QA2	ZG	0.00	5.00	1.54	5.00	7005	-819	-723	S	602	QA2	ZG	0.00	5.00	1.54	5.00
7005	-724	-808	S	609	QA2	ZG	0.00	5.00	1.64	5.00	7005	-724	-808	S	610	QA2	ZG	0.00	5.00	1.64	5.00
7005	-808	-725	S	609	QA2	ZG	0.00	5.00	1.64	5.00	7005	-808	-725	S	610	QA2	ZG	0.00	5.00	1.64	5.00
7005	-726	-797	S	616	QA2	ZG	0.00	5.00	1.54	5.00	7005	-726	-797	S	617	QA2	ZG	0.00	5.00	1.54	5.00
7005	-797	-727	S	616	QA2	ZG	0.00	5.00	1.54	5.00	7005	-797	-727	S	617	QA2	ZG	0.00	5.00	1.54	5.00
7006	-786	-820	S	602	QA2	ZG	0.00	5.00	1.54	5.00	7006	-786	-820	S	626	QA2	ZG	0.00	5.00	1.54	5.00
7006	-820	-787	S	602	QA2	ZG	0.00	5.00	1.54	5.00	7006	-820	-787	S	626	QA2	ZG	0.00	5.00	1.54	5.00
7006	-788	-809	S	609	QA2	ZG	0.00	5.00	1.64	5.00	7006	-788	-809	S	630	QA2	ZG	0.00	5.00	1.64	5.00
7006	-809	-789	S	609	QA2	ZG	0.00	5.00	1.64	5.00	7006	-809	-789	S	630	QA2	ZG	0.00	5.00	1.64	5.00
7006	-790	-798	S	617	QA2	ZG	0.00	5.00	1.54	5.00	7006	-790	-798	S	641	QA2	ZG	0.00	5.00	1.54	5.00
7006	-798	-791	S	617	QA2	ZG	0.00	5.00	1.54	5.00	7006	-798	-791	S	641	QA2	ZG	0.00	5.00	1.54	5.00
7007	-730	-821	S	625	QA2	ZG	0.00	5.00	1.54	5.00	7007	-730	-821	S	626	QA2	ZG	0.00	5.00	1.54	5.00
7007	-821	-731	S	625	QA2	ZG	0.00	5.00	1.54	5.00	7007	-821	-731	S	626	QA2	ZG	0.00	5.00	1.54	5.00
7007	-732	-810	S	630	QA2	ZG	0.00	5.00	1.64	5.00	7007	-732	-810	S	631	QA2	ZG	0.00	5.00	1.64	5.00
7007	-810	-733	S	630	QA2	ZG	0.00	5.00	1.64	5.00	7007	-810	-733	S	631	QA2	ZG	0.00	5.00	1.64	5.00
7007	-734	-799	S	640	QA2	ZG	0.00	5.00	1.54	5.00	7007	-734	-799	S	641	QA2	ZG	0.00	5.00	1.54	5.00
7007	-799	-735	S	640	QA2	ZG	0.00	5.00	1.54	5.00	7007	-799	-735	S	641	QA2	ZG	0.00	5.00	1.54	5.00
7008	-666	-822	S	624	QA2	ZG	0.00	5.00	1.54	5.00	7008	-666	-822	S	625	QA2	ZG	0.00	5.00	1.54	5.00
7008	-822	-667	S	624	QA2	ZG	0.00	5.00	1.54	5.00	7008	-822	-667	S	625	QA2	ZG	0.00	5.00	1.54	5.00
7008	-668	-811	S	631	QA2	ZG	0.00	5.00	1.64	5.00	7008	-668	-811	S	632	QA2	ZG	0.00	5.00	1.64	5.00
7008	-811	-669	S	631	QA2	ZG	0.00	5.00	1.64	5.00	7008	-811	-669	S	632	QA2	ZG	0.00	5.00	1.64	5.00
7008	-670	-800	S	639	QA2	ZG	0.00	5.00	1.54	5.00	7008	-670	-800	S	640	QA2	ZG	0.00	5.00	1.54	5.00
7008	-800	-671	S	639	QA2	ZG	0.00	5.00	1.54	5.00	7008	-800	-671	S	640	QA2	ZG	0.00	5.00	1.54	5.00
7009	-602	-823	S	417	QA2	ZG	0.00	5.00	1.54	5.00	7009	-602	-823	S	624	QA2	ZG	0.00	5.00	1.54	5.00
7009	-823	-603	S	417	QA2	ZG	0.00	5.00	1.54	5.00	7009	-823	-603	S	624	QA2	ZG	0.00	5.00	1.54	5.00
7009	-604	-812	S	632	QA	Z	0.00	5.00	1.64	5.00	7009	-604	-812	S	420	QA	Z	0.00	5.00	1.64	5.00

					2	G										2	G				
7009	-812	-605	S	632	QA 2	ZG	0.00	5.00	1.64	5.00	7009	-812	-605	S	420	QA 2	ZG	0.00	5.00	1.64	5.00
7009	-606	-801	S	427	QA 2	ZG	0.00	5.00	1.54	5.00	7009	-606	-801	S	639	QA 2	ZG	0.00	5.00	1.54	5.00
7009	-801	-607	S	427	QA 2	ZG	0.00	5.00	1.54	5.00	7009	-801	-607	S	639	QA 2	ZG	0.00	5.00	1.54	5.00
7010	4287	-824	S	416	QA 2	ZG	0.00	5.00	1.54	5.00	7010	4287	-824	S	417	QA 2	ZG	0.00	5.00	1.54	5.00
7010	-824	4288	S	416	QA 2	ZG	0.00	5.00	1.54	5.00	7010	-824	4288	S	417	QA 2	ZG	0.00	5.00	1.54	5.00
7010	4290	-813	S	420	QA 2	ZG	0.00	5.00	1.64	5.00	7010	4290	-813	S	421	QA 2	ZG	0.00	5.00	1.64	5.00
7010	-813	4291	S	420	QA 2	ZG	0.00	5.00	1.64	5.00	7010	-813	4291	S	421	QA 2	ZG	0.00	5.00	1.64	5.00
7010	4293	-802	S	426	QA 2	ZG	0.00	5.00	1.54	5.00	7010	4293	-802	S	427	QA 2	ZG	0.00	5.00	1.54	5.00
7010	-802	4294	S	426	QA 2	ZG	0.00	5.00	1.54	5.00	7010	-802	4294	S	427	QA 2	ZG	0.00	5.00	1.54	5.00
7011	3314	-825	S	416	QA 2	ZG	0.00	5.00	1.54	5.00	7011	-825	3315	S	416	QA 2	ZG	0.00	5.00	1.54	5.00
7011	3316	-814	S	421	QA 2	ZG	0.00	5.00	1.64	5.00	7011	-814	3317	S	421	QA 2	ZG	0.00	5.00	1.64	5.00
7011	3318	-803	S	426	QA 2	ZG	0.00	5.00	1.54	5.00	7011	-803	3319	S	426	QA 2	ZG	0.00	5.00	1.54	5.00

Elenco carichi aste
Condizione di carico n. 5: vento
Carichi distribuiti

Asta	N1	N2	E	NE	T	DC	Xi <m>	Qi <daN/m>	Xf <m>	Qf <daN/m>	Asta	N1	N2	E	NE	T	DC	Xi <m>	Qi <daN/m>	Xf <m>	Qf <daN/m>
1240	319	-5	S	--	M	YG	0.00	-14.00	0.10	-14.00	1240	-5	-37	S	--	M	YG	0.00	-14.00	0.10	-14.00
1240	-37	-69	S	--	M	YG	0.00	-14.00	0.19	-14.00	1240	-69	-101	S	--	M	YG	0.00	-14.00	0.19	-14.00
1240	-101	-133	S	--	M	YG	0.00	-14.00	0.19	-14.00	1240	-133	-165	S	--	M	YG	0.00	-14.00	0.19	-14.00
1240	-165	-197	S	--	M	YG	0.00	-14.00	0.19	-14.00	1240	-197	-229	S	--	M	YG	0.00	-14.00	0.19	-14.00
1240	-229	-261	S	--	M	YG	0.00	-14.00	0.19	-14.00	1240	-261	-293	S	--	M	YG	0.00	-14.00	0.19	-14.00
1240	-293	-325	S	--	M	YG	0.00	-14.00	0.19	-14.00	1240	-325	-357	S	--	M	YG	0.00	-14.00	0.19	-14.00
1240	-357	-389	S	--	M	YG	0.00	-14.00	0.19	-14.00	1240	-389	-421	S	--	M	YG	0.00	-14.00	0.19	-14.00
1240	-421	-453	S	--	M	YG	0.00	-14.00	0.19	-14.00	1240	-453	-485	S	--	M	YG	0.00	-14.00	0.19	-14.00
1240	-485	1302	S	--	M	YG	0.00	-14.00	0.19	-14.00	1242	316	-3	S	--	M	YG	0.00	-14.00	0.10	-14.00
1242	-3	-35	S	--	M	YG	0.00	-14.00	0.10	-14.00	1242	-35	-67	S	--	M	YG	0.00	-14.00	0.19	-14.00
1242	-67	-99	S	--	M	YG	0.00	-14.00	0.19	-14.00	1242	-99	-131	S	--	M	YG	0.00	-14.00	0.19	-14.00
1242	-131	-163	S	--	M	YG	0.00	-14.00	0.19	-14.00	1242	-163	-195	S	--	M	YG	0.00	-14.00	0.19	-14.00
1242	-195	-227	S	--	M	YG	0.00	-14.00	0.19	-14.00	1242	-227	-259	S	--	M	YG	0.00	-14.00	0.19	-14.00
1242	-259	-291	S	--	M	YG	0.00	-14.00	0.19	-14.00	1242	-291	-323	S	--	M	YG	0.00	-14.00	0.19	-14.00

1242	-323	-355	S	--	M	YG	0.00	-14.00	0.19	-14.00
1242	-387	-419	S	--	M	YG	0.00	-14.00	0.19	-14.00
1242	-451	-483	S	--	M	YG	0.00	-14.00	0.19	-14.00
1243	322	-7	S	--	M	YG	0.00	-14.00	0.10	-14.00
1243	-39	-71	S	--	M	YG	0.00	-14.00	0.19	-14.00
1243	-103	-135	S	--	M	YG	0.00	-14.00	0.19	-14.00
1243	-167	-199	S	--	M	YG	0.00	-14.00	0.19	-14.00
1243	-231	-263	S	--	M	YG	0.00	-14.00	0.19	-14.00
1243	-295	-327	S	--	M	YG	0.00	-14.00	0.19	-14.00
1243	-359	-391	S	--	M	YG	0.00	-14.00	0.19	-14.00
1243	-423	-455	S	--	M	YG	0.00	-14.00	0.19	-14.00
1243	-487	1305	S	--	M	YG	0.00	-14.00	0.19	-14.00
1244	-1	-33	S	--	M	YG	0.00	-14.00	0.10	-14.00
1244	-65	-97	S	--	M	YG	0.00	-14.00	0.19	-14.00
1244	-129	-161	S	--	M	YG	0.00	-14.00	0.19	-14.00
1244	-193	-225	S	--	M	YG	0.00	-14.00	0.19	-14.00
1244	-257	-289	S	--	M	YG	0.00	-14.00	0.19	-14.00
1244	-321	-353	S	--	M	YG	0.00	-14.00	0.19	-14.00
1244	-385	-417	S	--	M	YG	0.00	-14.00	0.19	-14.00
1244	-449	-481	S	--	M	YG	0.00	-14.00	0.19	-14.00
1274	349	-17	S	--	M	YG	0.00	-14.00	0.10	-14.00
1274	-49	-81	S	--	M	YG	0.00	-14.00	0.19	-14.00
1274	-113	-145	S	--	M	YG	0.00	-14.00	0.19	-14.00
1274	-177	-209	S	--	M	YG	0.00	-14.00	0.19	-14.00
1274	-241	-273	S	--	M	YG	0.00	-14.00	0.19	-14.00
1274	-305	-337	S	--	M	YG	0.00	-14.00	0.19	-14.00
1274	-369	-401	S	--	M	YG	0.00	-14.00	0.19	-14.00
1274	-433	-465	S	--	M	YG	0.00	-14.00	0.19	-14.00
1274	-497	1328	S	--	M	YG	0.00	-14.00	0.19	-14.00
1275	-23	-55	S	--	M	YG	0.00	-14.00	0.10	-14.00

1242	-355	-387	S	--	M	YG	0.00	-14.00	0.19	-14.00
1242	-419	-451	S	--	M	YG	0.00	-14.00	0.19	-14.00
1242	-483	1299	S	--	M	YG	0.00	-14.00	0.19	-14.00
1243	-7	-39	S	--	M	YG	0.00	-14.00	0.10	-14.00
1243	-71	-103	S	--	M	YG	0.00	-14.00	0.19	-14.00
1243	-135	-167	S	--	M	YG	0.00	-14.00	0.19	-14.00
1243	-199	-231	S	--	M	YG	0.00	-14.00	0.19	-14.00
1243	-263	-295	S	--	M	YG	0.00	-14.00	0.19	-14.00
1243	-327	-359	S	--	M	YG	0.00	-14.00	0.19	-14.00
1243	-391	-423	S	--	M	YG	0.00	-14.00	0.19	-14.00
1243	-455	-487	S	--	M	YG	0.00	-14.00	0.19	-14.00
1244	313	-1	S	--	M	YG	0.00	-14.00	0.10	-14.00
1244	-33	-65	S	--	M	YG	0.00	-14.00	0.19	-14.00
1244	-97	-129	S	--	M	YG	0.00	-14.00	0.19	-14.00
1244	-161	-193	S	--	M	YG	0.00	-14.00	0.19	-14.00
1244	-225	-257	S	--	M	YG	0.00	-14.00	0.19	-14.00
1244	-289	-321	S	--	M	YG	0.00	-14.00	0.19	-14.00
1244	-353	-385	S	--	M	YG	0.00	-14.00	0.19	-14.00
1244	-417	-449	S	--	M	YG	0.00	-14.00	0.19	-14.00
1244	-481	1296	S	--	M	YG	0.00	-14.00	0.19	-14.00
1274	-17	-49	S	--	M	YG	0.00	-14.00	0.10	-14.00
1274	-81	-113	S	--	M	YG	0.00	-14.00	0.19	-14.00
1274	-145	-177	S	--	M	YG	0.00	-14.00	0.19	-14.00
1274	-209	-241	S	--	M	YG	0.00	-14.00	0.19	-14.00
1274	-273	-305	S	--	M	YG	0.00	-14.00	0.19	-14.00
1274	-337	-369	S	--	M	YG	0.00	-14.00	0.19	-14.00
1274	-401	-433	S	--	M	YG	0.00	-14.00	0.19	-14.00
1274	-465	-497	S	--	M	YG	0.00	-14.00	0.19	-14.00
1275	358	-23	S	--	M	YG	0.00	-14.00	0.10	-14.00
1275	-55	-87	S	--	M	YG	0.00	-14.00	0.19	-14.00

1275	-87	-119	S	--	M	YG	0.00	-14.00	0.19	-14.00
1275	-151	-183	S	--	M	YG	0.00	-14.00	0.19	-14.00
1275	-215	-247	S	--	M	YG	0.00	-14.00	0.19	-14.00
1275	-279	-311	S	--	M	YG	0.00	-14.00	0.19	-14.00
1275	-343	-375	S	--	M	YG	0.00	-14.00	0.19	-14.00
1275	-407	-439	S	--	M	YG	0.00	-14.00	0.19	-14.00
1275	-471	-503	S	--	M	YG	0.00	-14.00	0.19	-14.00
1276	352	-19	S	--	M	YG	0.00	-14.00	0.10	-14.00
1276	-51	-83	S	--	M	YG	0.00	-14.00	0.19	-14.00
1276	-115	-147	S	--	M	YG	0.00	-14.00	0.19	-14.00
1276	-179	-211	S	--	M	YG	0.00	-14.00	0.19	-14.00
1276	-243	-275	S	--	M	YG	0.00	-14.00	0.19	-14.00
1276	-307	-339	S	--	M	YG	0.00	-14.00	0.19	-14.00
1276	-371	-403	S	--	M	YG	0.00	-14.00	0.19	-14.00
1276	-435	-467	S	--	M	YG	0.00	-14.00	0.19	-14.00
1276	-499	1331	S	--	M	YG	0.00	-14.00	0.19	-14.00
1279	-21	-53	S	--	M	YG	0.00	-14.00	0.10	-14.00
1279	-85	-117	S	--	M	YG	0.00	-14.00	0.19	-14.00
1279	-149	-181	S	--	M	YG	0.00	-14.00	0.19	-14.00
1279	-213	-245	S	--	M	YG	0.00	-14.00	0.19	-14.00
1279	-277	-309	S	--	M	YG	0.00	-14.00	0.19	-14.00
1279	-341	-373	S	--	M	YG	0.00	-14.00	0.19	-14.00
1279	-405	-437	S	--	M	YG	0.00	-14.00	0.19	-14.00
1279	-469	-501	S	--	M	YG	0.00	-14.00	0.19	-14.00
1799	318	-4	S	--	M	YG	0.00	-14.00	0.10	-14.00
1799	-36	-68	S	--	M	YG	0.00	-14.00	0.19	-14.00
1799	-100	-132	S	--	M	YG	0.00	-14.00	0.19	-14.00
1799	-164	-196	S	--	M	YG	0.00	-14.00	0.19	-14.00
1799	-228	-260	S	--	M	YG	0.00	-14.00	0.19	-14.00
1799	-292	-324	S	--	M	YG	0.00	-14.00	0.19	-14.00

1275	-119	-151	S	--	M	YG	0.00	-14.00	0.19	-14.00
1275	-183	-215	S	--	M	YG	0.00	-14.00	0.19	-14.00
1275	-247	-279	S	--	M	YG	0.00	-14.00	0.19	-14.00
1275	-311	-343	S	--	M	YG	0.00	-14.00	0.19	-14.00
1275	-375	-407	S	--	M	YG	0.00	-14.00	0.19	-14.00
1275	-439	-471	S	--	M	YG	0.00	-14.00	0.19	-14.00
1275	-503	1337	S	--	M	YG	0.00	-14.00	0.19	-14.00
1276	-19	-51	S	--	M	YG	0.00	-14.00	0.10	-14.00
1276	-83	-115	S	--	M	YG	0.00	-14.00	0.19	-14.00
1276	-147	-179	S	--	M	YG	0.00	-14.00	0.19	-14.00
1276	-211	-243	S	--	M	YG	0.00	-14.00	0.19	-14.00
1276	-275	-307	S	--	M	YG	0.00	-14.00	0.19	-14.00
1276	-339	-371	S	--	M	YG	0.00	-14.00	0.19	-14.00
1276	-403	-435	S	--	M	YG	0.00	-14.00	0.19	-14.00
1276	-467	-499	S	--	M	YG	0.00	-14.00	0.19	-14.00
1279	355	-21	S	--	M	YG	0.00	-14.00	0.10	-14.00
1279	-53	-85	S	--	M	YG	0.00	-14.00	0.19	-14.00
1279	-117	-149	S	--	M	YG	0.00	-14.00	0.19	-14.00
1279	-181	-213	S	--	M	YG	0.00	-14.00	0.19	-14.00
1279	-245	-277	S	--	M	YG	0.00	-14.00	0.19	-14.00
1279	-309	-341	S	--	M	YG	0.00	-14.00	0.19	-14.00
1279	-373	-405	S	--	M	YG	0.00	-14.00	0.19	-14.00
1279	-437	-469	S	--	M	YG	0.00	-14.00	0.19	-14.00
1279	-501	1334	S	--	M	YG	0.00	-14.00	0.19	-14.00
1799	-4	-36	S	--	M	YG	0.00	-14.00	0.10	-14.00
1799	-68	-100	S	--	M	YG	0.00	-14.00	0.19	-14.00
1799	-132	-164	S	--	M	YG	0.00	-14.00	0.19	-14.00
1799	-196	-228	S	--	M	YG	0.00	-14.00	0.19	-14.00
1799	-260	-292	S	--	M	YG	0.00	-14.00	0.19	-14.00
1799	-324	-356	S	--	M	YG	0.00	-14.00	0.19	-14.00

1799	-356	-388	S	--	M	YG	0.00	-14.00	0.19	-14.00
1799	-420	-452	S	--	M	YG	0.00	-14.00	0.19	-14.00
1799	-484	1301	S	--	M	YG	0.00	-14.00	0.19	-14.00
1803	-2	-34	S	--	M	YG	0.00	-14.00	0.10	-14.00
1803	-66	-98	S	--	M	YG	0.00	-14.00	0.19	-14.00
1803	-130	-162	S	--	M	YG	0.00	-14.00	0.19	-14.00
1803	-194	-226	S	--	M	YG	0.00	-14.00	0.19	-14.00
1803	-258	-290	S	--	M	YG	0.00	-14.00	0.19	-14.00
1803	-322	-354	S	--	M	YG	0.00	-14.00	0.19	-14.00
1803	-386	-418	S	--	M	YG	0.00	-14.00	0.19	-14.00
1803	-450	-482	S	--	M	YG	0.00	-14.00	0.19	-14.00
1804	321	-6	S	--	M	YG	0.00	-14.00	0.10	-14.00
1804	-38	-70	S	--	M	YG	0.00	-14.00	0.19	-14.00
1804	-102	-134	S	--	M	YG	0.00	-14.00	0.19	-14.00
1804	-166	-198	S	--	M	YG	0.00	-14.00	0.19	-14.00
1804	-230	-262	S	--	M	YG	0.00	-14.00	0.19	-14.00
1804	-294	-326	S	--	M	YG	0.00	-14.00	0.19	-14.00
1804	-358	-390	S	--	M	YG	0.00	-14.00	0.19	-14.00
1804	-422	-454	S	--	M	YG	0.00	-14.00	0.19	-14.00
1804	-486	1304	S	--	M	YG	0.00	-14.00	0.19	-14.00
1805	-8	-40	S	--	M	YG	0.00	-14.00	0.10	-14.00
1805	-72	-104	S	--	M	YG	0.00	-14.00	0.19	-14.00
1805	-136	-168	S	--	M	YG	0.00	-14.00	0.19	-14.00
1805	-200	-232	S	--	M	YG	0.00	-14.00	0.19	-14.00
1805	-264	-296	S	--	M	YG	0.00	-14.00	0.19	-14.00
1805	-328	-360	S	--	M	YG	0.00	-14.00	0.19	-14.00
1805	-392	-424	S	--	M	YG	0.00	-14.00	0.19	-14.00
1805	-456	-488	S	--	M	YG	0.00	-14.00	0.19	-14.00
1830	351	-18	S	--	M	YG	0.00	-14.00	0.10	-14.00
1830	-50	-82	S	--	M	YG	0.00	-14.00	0.19	-14.00
1799	-388	-420	S	--	M	YG	0.00	-14.00	0.19	-14.00
1799	-452	-484	S	--	M	YG	0.00	-14.00	0.19	-14.00
1803	315	-2	S	--	M	YG	0.00	-14.00	0.10	-14.00
1803	-34	-66	S	--	M	YG	0.00	-14.00	0.19	-14.00
1803	-98	-130	S	--	M	YG	0.00	-14.00	0.19	-14.00
1803	-162	-194	S	--	M	YG	0.00	-14.00	0.19	-14.00
1803	-226	-258	S	--	M	YG	0.00	-14.00	0.19	-14.00
1803	-290	-322	S	--	M	YG	0.00	-14.00	0.19	-14.00
1803	-354	-386	S	--	M	YG	0.00	-14.00	0.19	-14.00
1803	-418	-450	S	--	M	YG	0.00	-14.00	0.19	-14.00
1803	-482	1298	S	--	M	YG	0.00	-14.00	0.19	-14.00
1804	-6	-38	S	--	M	YG	0.00	-14.00	0.10	-14.00
1804	-70	-102	S	--	M	YG	0.00	-14.00	0.19	-14.00
1804	-134	-166	S	--	M	YG	0.00	-14.00	0.19	-14.00
1804	-198	-230	S	--	M	YG	0.00	-14.00	0.19	-14.00
1804	-262	-294	S	--	M	YG	0.00	-14.00	0.19	-14.00
1804	-326	-358	S	--	M	YG	0.00	-14.00	0.19	-14.00
1804	-390	-422	S	--	M	YG	0.00	-14.00	0.19	-14.00
1804	-454	-486	S	--	M	YG	0.00	-14.00	0.19	-14.00
1805	324	-8	S	--	M	YG	0.00	-14.00	0.10	-14.00
1805	-40	-72	S	--	M	YG	0.00	-14.00	0.19	-14.00
1805	-104	-136	S	--	M	YG	0.00	-14.00	0.19	-14.00
1805	-168	-200	S	--	M	YG	0.00	-14.00	0.19	-14.00
1805	-232	-264	S	--	M	YG	0.00	-14.00	0.19	-14.00
1805	-296	-328	S	--	M	YG	0.00	-14.00	0.19	-14.00
1805	-360	-392	S	--	M	YG	0.00	-14.00	0.19	-14.00
1805	-424	-456	S	--	M	YG	0.00	-14.00	0.19	-14.00
1805	-488	1307	S	--	M	YG	0.00	-14.00	0.19	-14.00
1830	-18	-50	S	--	M	YG	0.00	-14.00	0.10	-14.00
1830	-82	-114	S	--	M	YG	0.00	-14.00	0.19	-14.00

1830	-114	-146	S	--	M	YG	0.00	-14.00	0.19	-14.00
1830	-178	-210	S	--	M	YG	0.00	-14.00	0.19	-14.00
1830	-242	-274	S	--	M	YG	0.00	-14.00	0.19	-14.00
1830	-306	-338	S	--	M	YG	0.00	-14.00	0.19	-14.00
1830	-370	-402	S	--	M	YG	0.00	-14.00	0.19	-14.00
1830	-434	-466	S	--	M	YG	0.00	-14.00	0.19	-14.00
1830	-498	1330	S	--	M	YG	0.00	-14.00	0.19	-14.00
1831	-22	-54	S	--	M	YG	0.00	-14.00	0.10	-14.00
1831	-86	-118	S	--	M	YG	0.00	-14.00	0.19	-14.00
1831	-150	-182	S	--	M	YG	0.00	-14.00	0.19	-14.00
1831	-214	-246	S	--	M	YG	0.00	-14.00	0.19	-14.00
1831	-278	-310	S	--	M	YG	0.00	-14.00	0.19	-14.00
1831	-342	-374	S	--	M	YG	0.00	-14.00	0.19	-14.00
1831	-406	-438	S	--	M	YG	0.00	-14.00	0.19	-14.00
1831	-470	-502	S	--	M	YG	0.00	-14.00	0.19	-14.00
1835	354	-20	S	--	M	YG	0.00	-14.00	0.10	-14.00
1835	-52	-84	S	--	M	YG	0.00	-14.00	0.19	-14.00
1835	-116	-148	S	--	M	YG	0.00	-14.00	0.19	-14.00
1835	-180	-212	S	--	M	YG	0.00	-14.00	0.19	-14.00
1835	-244	-276	S	--	M	YG	0.00	-14.00	0.19	-14.00
1835	-308	-340	S	--	M	YG	0.00	-14.00	0.19	-14.00
1835	-372	-404	S	--	M	YG	0.00	-14.00	0.19	-14.00
1835	-436	-468	S	--	M	YG	0.00	-14.00	0.19	-14.00
1835	-500	1333	S	--	M	YG	0.00	-14.00	0.19	-14.00
1836	-24	-56	S	--	M	YG	0.00	-14.00	0.10	-14.00
1836	-88	-120	S	--	M	YG	0.00	-14.00	0.19	-14.00
1836	-152	-184	S	--	M	YG	0.00	-14.00	0.19	-14.00
1836	-216	-248	S	--	M	YG	0.00	-14.00	0.19	-14.00
1836	-280	-312	S	--	M	YG	0.00	-14.00	0.19	-14.00
1836	-344	-376	S	--	M	YG	0.00	-14.00	0.19	-14.00

1830	-146	-178	S	--	M	YG	0.00	-14.00	0.19	-14.00
1830	-210	-242	S	--	M	YG	0.00	-14.00	0.19	-14.00
1830	-274	-306	S	--	M	YG	0.00	-14.00	0.19	-14.00
1830	-338	-370	S	--	M	YG	0.00	-14.00	0.19	-14.00
1830	-402	-434	S	--	M	YG	0.00	-14.00	0.19	-14.00
1830	-466	-498	S	--	M	YG	0.00	-14.00	0.19	-14.00
1831	357	-22	S	--	M	YG	0.00	-14.00	0.10	-14.00
1831	-54	-86	S	--	M	YG	0.00	-14.00	0.19	-14.00
1831	-118	-150	S	--	M	YG	0.00	-14.00	0.19	-14.00
1831	-182	-214	S	--	M	YG	0.00	-14.00	0.19	-14.00
1831	-246	-278	S	--	M	YG	0.00	-14.00	0.19	-14.00
1831	-310	-342	S	--	M	YG	0.00	-14.00	0.19	-14.00
1831	-374	-406	S	--	M	YG	0.00	-14.00	0.19	-14.00
1831	-438	-470	S	--	M	YG	0.00	-14.00	0.19	-14.00
1831	-502	1336	S	--	M	YG	0.00	-14.00	0.19	-14.00
1835	-20	-52	S	--	M	YG	0.00	-14.00	0.10	-14.00
1835	-84	-116	S	--	M	YG	0.00	-14.00	0.19	-14.00
1835	-148	-180	S	--	M	YG	0.00	-14.00	0.19	-14.00
1835	-212	-244	S	--	M	YG	0.00	-14.00	0.19	-14.00
1835	-276	-308	S	--	M	YG	0.00	-14.00	0.19	-14.00
1835	-340	-372	S	--	M	YG	0.00	-14.00	0.19	-14.00
1835	-404	-436	S	--	M	YG	0.00	-14.00	0.19	-14.00
1835	-468	-500	S	--	M	YG	0.00	-14.00	0.19	-14.00
1836	360	-24	S	--	M	YG	0.00	-14.00	0.10	-14.00
1836	-56	-88	S	--	M	YG	0.00	-14.00	0.19	-14.00
1836	-120	-152	S	--	M	YG	0.00	-14.00	0.19	-14.00
1836	-184	-216	S	--	M	YG	0.00	-14.00	0.19	-14.00
1836	-248	-280	S	--	M	YG	0.00	-14.00	0.19	-14.00
1836	-312	-344	S	--	M	YG	0.00	-14.00	0.19	-14.00
1836	-376	-408	S	--	M	YG	0.00	-14.00	0.19	-14.00

1836	-408	-440	S	--	M	YG	0.00	-14.00	0.19	-14.00
1836	-472	-504	S	--	M	YG	0.00	-14.00	0.19	-14.00
3001	3001	3002	S	403	QA3	ZG	0.00	6.00	0.12	6.00
3001	3005	3006	S	408	QA3	ZG	0.00	6.00	0.12	6.00
4022	4025	4026	S	402	QA3	ZG	0.00	6.00	0.06	6.00
4022	4026	4027	S	402	QA3	ZG	0.00	6.00	0.06	6.00
4022	4028	4029	S	404	QA3	ZG	0.00	6.00	0.06	6.00
4022	4029	4030	S	404	QA3	ZG	0.00	6.00	0.06	6.00
4022	4031	4032	S	408	QA3	ZG	0.00	6.00	0.06	6.00
4022	4032	4033	S	408	QA3	ZG	0.00	6.00	0.06	6.00
4022	4034	4035	S	412	QA3	ZG	0.00	6.00	0.06	6.00
4022	4035	4036	S	412	QA3	ZG	0.00	6.00	0.06	6.00
4106	3001	-513	S	403	QA3	ZG	0.00	2.15	0.17	2.15
4106	-529	4025	S	403	QA3	ZG	0.00	2.15	0.17	2.15
4106	-545	-561	S	402	QA3	ZG	0.00	2.76	0.22	2.76
4106	-577	-593	S	402	QA3	ZG	0.00	2.76	0.22	2.76
4106	-609	-625	S	605	QA3	ZG	0.00	2.76	0.22	2.76
4106	-641	-657	S	605	QA3	ZG	0.00	2.76	0.22	2.76
4106	-673	-689	S	604	QA3	ZG	0.00	2.76	0.22	2.76
4106	-705	-721	S	604	QA3	ZG	0.00	2.76	0.22	2.76
4106	-737	-753	S	603	QA3	ZG	0.00	2.76	0.22	2.76
4106	-769	-785	S	603	QA3	ZG	0.00	2.76	0.22	2.76
4107	3002	-514	S	403	QA3	ZG	0.00	2.15	0.17	2.15
4107	-514	-530	S	403	QA3	ZG	0.00	2.15	0.17	2.15
4107	-530	4027	S	403	QA3	ZG	0.00	2.15	0.17	2.15
4107	4027	-546	S	402	QA3	ZG	0.00	2.76	0.22	2.76
4107	-546	-562	S	402	QA3	ZG	0.00	2.76	0.22	2.76
4107	-562	-578	S	402	QA3	ZG	0.00	2.76	0.22	2.76
4107	-578	-594	S	402	QA3	ZG	0.00	2.76	0.22	2.76
4107	-594	-610	S	605	QA3	ZG	0.00	2.76	0.22	2.76

1836	-440	-472	S	--	M	YG	0.00	-14.00	0.19	-14.00
1836	-504	1339	S	--	M	YG	0.00	-14.00	0.19	-14.00
3001	3003	3004	S	404	QA3	ZG	0.00	6.00	0.12	6.00
3001	3007	3008	S	412	QA3	ZG	0.00	6.00	0.12	6.00
4022	4025	4026	S	403	QA3	ZG	0.00	6.00	0.06	6.00
4022	4026	4027	S	403	QA3	ZG	0.00	6.00	0.06	6.00
4022	4028	4029	S	405	QA3	ZG	0.00	6.00	0.06	6.00
4022	4029	4030	S	405	QA3	ZG	0.00	6.00	0.06	6.00
4022	4031	4032	S	409	QA3	ZG	0.00	6.00	0.06	6.00
4022	4032	4033	S	409	QA3	ZG	0.00	6.00	0.06	6.00
4022	4034	4035	S	413	QA3	ZG	0.00	6.00	0.06	6.00
4022	4035	4036	S	413	QA3	ZG	0.00	6.00	0.06	6.00
4106	-513	-529	S	403	QA3	ZG	0.00	2.15	0.17	2.15
4106	4025	-545	S	402	QA3	ZG	0.00	2.76	0.22	2.76
4106	-561	-577	S	402	QA3	ZG	0.00	2.76	0.22	2.76
4106	-593	-609	S	605	QA3	ZG	0.00	2.76	0.22	2.76
4106	-625	-641	S	605	QA3	ZG	0.00	2.76	0.22	2.76
4106	-657	-673	S	604	QA3	ZG	0.00	2.76	0.22	2.76
4106	-689	-705	S	604	QA3	ZG	0.00	2.76	0.22	2.76
4106	-721	-737	S	603	QA3	ZG	0.00	2.76	0.22	2.76
4106	-753	-769	S	603	QA3	ZG	0.00	2.76	0.22	2.76
4107	3002	-514	S	401	QA3	ZG	0.00	55.26	0.17	55.26
4107	-514	-530	S	401	QA3	ZG	0.00	55.26	0.17	55.26
4107	-530	4027	S	401	QA3	ZG	0.00	55.26	0.17	55.26
4107	4027	-546	S	400	QA3	ZG	0.00	70.74	0.22	70.74
4107	-546	-562	S	400	QA3	ZG	0.00	70.74	0.22	70.74
4107	-562	-578	S	400	QA3	ZG	0.00	70.74	0.22	70.74
4107	-578	-594	S	400	QA3	ZG	0.00	70.74	0.22	70.74
4107	-594	-610	S	600	QA3	ZG	0.00	70.74	0.22	70.74
4107	-610	-626	S	600	QA3	ZG	0.00	70.74	0.22	70.74

4107	-610	-626	S	605	QA3	ZG	0.00	2.76	0.22	2.76
4107	-626	-642	S	605	QA3	ZG	0.00	2.76	0.22	2.76
4107	-642	-658	S	605	QA3	ZG	0.00	2.76	0.22	2.76
4107	-658	-674	S	604	QA3	ZG	0.00	2.76	0.22	2.76
4107	-674	-690	S	604	QA3	ZG	0.00	2.76	0.22	2.76
4107	-690	-706	S	604	QA3	ZG	0.00	2.76	0.22	2.76
4107	-706	-722	S	604	QA3	ZG	0.00	2.76	0.22	2.76
4107	-722	-738	S	603	QA3	ZG	0.00	2.76	0.22	2.76
4107	-738	-754	S	603	QA3	ZG	0.00	2.76	0.22	2.76
4107	-754	-770	S	603	QA3	ZG	0.00	2.76	0.22	2.76
4107	-770	-786	S	603	QA3	ZG	0.00	2.76	0.22	2.76
4144	3003	-515	S	404	QA3	ZG	0.00	2.15	0.17	2.15
4144	-515	-531	S	404	QA3	ZG	0.00	2.15	0.17	2.15
4144	-531	4028	S	404	QA3	ZG	0.00	2.15	0.17	2.15
4144	4028	-547	S	405	QA3	ZG	0.00	2.76	0.22	2.76
4144	-547	-563	S	405	QA3	ZG	0.00	2.76	0.22	2.76
4144	-563	-579	S	405	QA3	ZG	0.00	2.76	0.22	2.76
4144	-579	-595	S	405	QA3	ZG	0.00	2.76	0.22	2.76
4144	-595	-611	S	606	QA3	ZG	0.00	2.76	0.22	2.76
4144	-611	-627	S	606	QA3	ZG	0.00	2.76	0.22	2.76
4144	-627	-643	S	606	QA3	ZG	0.00	2.76	0.22	2.76
4144	-643	-659	S	606	QA3	ZG	0.00	2.76	0.22	2.76
4144	-659	-675	S	607	QA3	ZG	0.00	2.76	0.22	2.76
4144	-675	-691	S	607	QA3	ZG	0.00	2.76	0.22	2.76
4144	-691	-707	S	607	QA3	ZG	0.00	2.76	0.22	2.76
4144	-707	-723	S	607	QA3	ZG	0.00	2.76	0.22	2.76
4144	-723	-739	S	608	QA3	ZG	0.00	2.76	0.22	2.76
4144	-739	-755	S	608	QA3	ZG	0.00	2.76	0.22	2.76
4144	-755	-771	S	608	QA3	ZG	0.00	2.76	0.22	2.76
4144	-771	-787	S	608	QA3	ZG	0.00	2.76	0.22	2.76

4107	-626	-642	S	600	QA3	ZG	0.00	70.74	0.22	70.74
4107	-642	-658	S	600	QA3	ZG	0.00	70.74	0.22	70.74
4107	-658	-674	S	601	QA3	ZG	0.00	70.74	0.22	70.74
4107	-674	-690	S	601	QA3	ZG	0.00	70.74	0.22	70.74
4107	-690	-706	S	601	QA3	ZG	0.00	70.74	0.22	70.74
4107	-706	-722	S	601	QA3	ZG	0.00	70.74	0.22	70.74
4107	-722	-738	S	602	QA3	ZG	0.00	70.74	0.22	70.74
4107	-738	-754	S	602	QA3	ZG	0.00	70.74	0.22	70.74
4107	-754	-770	S	602	QA3	ZG	0.00	70.74	0.22	70.74
4107	-770	-786	S	602	QA3	ZG	0.00	70.74	0.22	70.74
4144	3003	-515	S	401	QA3	ZG	0.00	55.26	0.17	55.26
4144	-515	-531	S	401	QA3	ZG	0.00	55.26	0.17	55.26
4144	-531	4028	S	401	QA3	ZG	0.00	55.26	0.17	55.26
4144	4028	-547	S	400	QA3	ZG	0.00	70.74	0.22	70.74
4144	-547	-563	S	400	QA3	ZG	0.00	70.74	0.22	70.74
4144	-563	-579	S	400	QA3	ZG	0.00	70.74	0.22	70.74
4144	-579	-595	S	400	QA3	ZG	0.00	70.74	0.22	70.74
4144	-595	-611	S	600	QA3	ZG	0.00	70.74	0.22	70.74
4144	-611	-627	S	600	QA3	ZG	0.00	70.74	0.22	70.74
4144	-627	-643	S	600	QA3	ZG	0.00	70.74	0.22	70.74
4144	-643	-659	S	600	QA3	ZG	0.00	70.74	0.22	70.74
4144	-659	-675	S	601	QA3	ZG	0.00	70.74	0.22	70.74
4144	-675	-691	S	601	QA3	ZG	0.00	70.74	0.22	70.74
4144	-691	-707	S	601	QA3	ZG	0.00	70.74	0.22	70.74
4144	-707	-723	S	601	QA3	ZG	0.00	70.74	0.22	70.74
4144	-723	-739	S	602	QA3	ZG	0.00	70.74	0.22	70.74
4144	-739	-755	S	602	QA3	ZG	0.00	70.74	0.22	70.74
4144	-755	-771	S	602	QA3	ZG	0.00	70.74	0.22	70.74
4144	-771	-787	S	602	QA3	ZG	0.00	70.74	0.22	70.74
4145	3004	-516	S	404	QA3	ZG	0.00	2.15	0.17	2.15

4145	3004	-516	S	407	QA3	ZG	0.00	58.85	0.17	58.85
4145	-516	-532	S	407	QA3	ZG	0.00	58.85	0.17	58.85
4145	-532	4030	S	407	QA3	ZG	0.00	58.85	0.17	58.85
4145	4030	-548	S	406	QA3	ZG	0.00	75.33	0.22	75.33
4145	-548	-564	S	406	QA3	ZG	0.00	75.33	0.22	75.33
4145	-564	-580	S	406	QA3	ZG	0.00	75.33	0.22	75.33
4145	-580	-596	S	406	QA3	ZG	0.00	75.33	0.22	75.33
4145	-596	-612	S	611	QA3	ZG	0.00	75.33	0.22	75.33
4145	-612	-628	S	611	QA3	ZG	0.00	75.33	0.22	75.33
4145	-628	-644	S	611	QA3	ZG	0.00	75.33	0.22	75.33
4145	-644	-660	S	611	QA3	ZG	0.00	75.33	0.22	75.33
4145	-660	-676	S	610	QA3	ZG	0.00	75.33	0.22	75.33
4145	-676	-692	S	610	QA3	ZG	0.00	75.33	0.22	75.33
4145	-692	-708	S	610	QA3	ZG	0.00	75.33	0.22	75.33
4145	-708	-724	S	610	QA3	ZG	0.00	75.33	0.22	75.33
4145	-724	-740	S	609	QA3	ZG	0.00	75.33	0.22	75.33
4145	-740	-756	S	609	QA3	ZG	0.00	75.33	0.22	75.33
4145	-756	-772	S	609	QA3	ZG	0.00	75.33	0.22	75.33
4145	-772	-788	S	609	QA3	ZG	0.00	75.33	0.22	75.33
4182	3005	-517	S	408	QA3	ZG	0.00	2.15	0.17	2.15
4182	-517	-533	S	408	QA3	ZG	0.00	2.15	0.17	2.15
4182	-533	4031	S	408	QA3	ZG	0.00	2.15	0.17	2.15
4182	4031	-549	S	409	QA3	ZG	0.00	2.76	0.22	2.76
4182	-549	-565	S	409	QA3	ZG	0.00	2.76	0.22	2.76
4182	-565	-581	S	409	QA3	ZG	0.00	2.76	0.22	2.76
4182	-581	-597	S	409	QA3	ZG	0.00	2.76	0.22	2.76
4182	-597	-613	S	612	QA3	ZG	0.00	2.76	0.22	2.76
4182	-613	-629	S	612	QA3	ZG	0.00	2.76	0.22	2.76
4182	-629	-645	S	612	QA3	ZG	0.00	2.76	0.22	2.76
4182	-645	-661	S	612	QA3	ZG	0.00	2.76	0.22	2.76

4145	-516	-532	S	404	QA3	ZG	0.00	2.15	0.17	2.15
4145	-532	4030	S	404	QA3	ZG	0.00	2.15	0.17	2.15
4145	4030	-548	S	405	QA3	ZG	0.00	2.76	0.22	2.76
4145	-548	-564	S	405	QA3	ZG	0.00	2.76	0.22	2.76
4145	-564	-580	S	405	QA3	ZG	0.00	2.76	0.22	2.76
4145	-580	-596	S	405	QA3	ZG	0.00	2.76	0.22	2.76
4145	-596	-612	S	606	QA3	ZG	0.00	2.76	0.22	2.76
4145	-612	-628	S	606	QA3	ZG	0.00	2.76	0.22	2.76
4145	-628	-644	S	606	QA3	ZG	0.00	2.76	0.22	2.76
4145	-644	-660	S	606	QA3	ZG	0.00	2.76	0.22	2.76
4145	-660	-676	S	607	QA3	ZG	0.00	2.76	0.22	2.76
4145	-676	-692	S	607	QA3	ZG	0.00	2.76	0.22	2.76
4145	-692	-708	S	607	QA3	ZG	0.00	2.76	0.22	2.76
4145	-708	-724	S	607	QA3	ZG	0.00	2.76	0.22	2.76
4145	-724	-740	S	608	QA3	ZG	0.00	2.76	0.22	2.76
4145	-740	-756	S	608	QA3	ZG	0.00	2.76	0.22	2.76
4145	-756	-772	S	608	QA3	ZG	0.00	2.76	0.22	2.76
4145	-772	-788	S	608	QA3	ZG	0.00	2.76	0.22	2.76
4182	3005	-517	S	407	QA3	ZG	0.00	58.85	0.17	58.85
4182	-517	-533	S	407	QA3	ZG	0.00	58.85	0.17	58.85
4182	-533	4031	S	407	QA3	ZG	0.00	58.85	0.17	58.85
4182	4031	-549	S	406	QA3	ZG	0.00	75.33	0.22	75.33
4182	-549	-565	S	406	QA3	ZG	0.00	75.33	0.22	75.33
4182	-565	-581	S	406	QA3	ZG	0.00	75.33	0.22	75.33
4182	-581	-597	S	406	QA3	ZG	0.00	75.33	0.22	75.33
4182	-597	-613	S	611	QA3	ZG	0.00	75.33	0.22	75.33
4182	-613	-629	S	611	QA3	ZG	0.00	75.33	0.22	75.33
4182	-629	-645	S	611	QA3	ZG	0.00	75.33	0.22	75.33
4182	-645	-661	S	611	QA3	ZG	0.00	75.33	0.22	75.33
4182	-661	-677	S	610	QA3	ZG	0.00	75.33	0.22	75.33

4182	-661	-677	S	613	QA3	ZG	0.00	2.76	0.22	2.76
4182	-677	-693	S	613	QA3	ZG	0.00	2.76	0.22	2.76
4182	-693	-709	S	613	QA3	ZG	0.00	2.76	0.22	2.76
4182	-709	-725	S	613	QA3	ZG	0.00	2.76	0.22	2.76
4182	-725	-741	S	614	QA3	ZG	0.00	2.76	0.22	2.76
4182	-741	-757	S	614	QA3	ZG	0.00	2.76	0.22	2.76
4182	-757	-773	S	614	QA3	ZG	0.00	2.76	0.22	2.76
4182	-773	-789	S	614	QA3	ZG	0.00	2.76	0.22	2.76
4183	3006	-518	S	410	QA3	ZG	0.00	55.26	0.17	55.26
4183	-518	-534	S	410	QA3	ZG	0.00	55.26	0.17	55.26
4183	-534	4033	S	410	QA3	ZG	0.00	55.26	0.17	55.26
4183	4033	-550	S	411	QA3	ZG	0.00	70.74	0.22	70.74
4183	-550	-566	S	411	QA3	ZG	0.00	70.74	0.22	70.74
4183	-566	-582	S	411	QA3	ZG	0.00	70.74	0.22	70.74
4183	-582	-598	S	411	QA3	ZG	0.00	70.74	0.22	70.74
4183	-598	-614	S	615	QA3	ZG	0.00	70.74	0.22	70.74
4183	-614	-630	S	615	QA3	ZG	0.00	70.74	0.22	70.74
4183	-630	-646	S	615	QA3	ZG	0.00	70.74	0.22	70.74
4183	-646	-662	S	615	QA3	ZG	0.00	70.74	0.22	70.74
4183	-662	-678	S	616	QA3	ZG	0.00	70.74	0.22	70.74
4183	-678	-694	S	616	QA3	ZG	0.00	70.74	0.22	70.74
4183	-694	-710	S	616	QA3	ZG	0.00	70.74	0.22	70.74
4183	-710	-726	S	616	QA3	ZG	0.00	70.74	0.22	70.74
4183	-726	-742	S	617	QA3	ZG	0.00	70.74	0.22	70.74
4183	-742	-758	S	617	QA3	ZG	0.00	70.74	0.22	70.74
4183	-758	-774	S	617	QA3	ZG	0.00	70.74	0.22	70.74
4183	-774	-790	S	617	QA3	ZG	0.00	70.74	0.22	70.74
4220	3007	-519	S	412	QA3	ZG	0.00	2.15	0.17	2.15
4220	-519	-535	S	412	QA3	ZG	0.00	2.15	0.17	2.15
4220	-535	4034	S	412	QA3	ZG	0.00	2.15	0.17	2.15
4182	-677	-693	S	610	QA3	ZG	0.00	75.33	0.22	75.33
4182	-693	-709	S	610	QA3	ZG	0.00	75.33	0.22	75.33
4182	-709	-725	S	610	QA3	ZG	0.00	75.33	0.22	75.33
4182	-725	-741	S	609	QA3	ZG	0.00	75.33	0.22	75.33
4182	-741	-757	S	609	QA3	ZG	0.00	75.33	0.22	75.33
4182	-757	-773	S	609	QA3	ZG	0.00	75.33	0.22	75.33
4182	-773	-789	S	609	QA3	ZG	0.00	75.33	0.22	75.33
4183	3006	-518	S	408	QA3	ZG	0.00	2.15	0.17	2.15
4183	-518	-534	S	408	QA3	ZG	0.00	2.15	0.17	2.15
4183	-534	4033	S	408	QA3	ZG	0.00	2.15	0.17	2.15
4183	4033	-550	S	409	QA3	ZG	0.00	2.76	0.22	2.76
4183	-550	-566	S	409	QA3	ZG	0.00	2.76	0.22	2.76
4183	-566	-582	S	409	QA3	ZG	0.00	2.76	0.22	2.76
4183	-582	-598	S	409	QA3	ZG	0.00	2.76	0.22	2.76
4183	-598	-614	S	612	QA3	ZG	0.00	2.76	0.22	2.76
4183	-614	-630	S	612	QA3	ZG	0.00	2.76	0.22	2.76
4183	-630	-646	S	612	QA3	ZG	0.00	2.76	0.22	2.76
4183	-646	-662	S	612	QA3	ZG	0.00	2.76	0.22	2.76
4183	-662	-678	S	613	QA3	ZG	0.00	2.76	0.22	2.76
4183	-678	-694	S	613	QA3	ZG	0.00	2.76	0.22	2.76
4183	-694	-710	S	613	QA3	ZG	0.00	2.76	0.22	2.76
4183	-710	-726	S	613	QA3	ZG	0.00	2.76	0.22	2.76
4183	-726	-742	S	614	QA3	ZG	0.00	2.76	0.22	2.76
4183	-742	-758	S	614	QA3	ZG	0.00	2.76	0.22	2.76
4183	-758	-774	S	614	QA3	ZG	0.00	2.76	0.22	2.76
4183	-774	-790	S	614	QA3	ZG	0.00	2.76	0.22	2.76
4220	3007	-519	S	410	QA3	ZG	0.00	55.26	0.17	55.26
4220	-519	-535	S	410	QA3	ZG	0.00	55.26	0.17	55.26
4220	-535	4034	S	410	QA3	ZG	0.00	55.26	0.17	55.26
4220	4034	-551	S	411	QA3	ZG	0.00	70.74	0.22	70.74

4220	4034	-551	S	413	QA3	ZG	0.00	2.76	0.22	2.76
4220	-551	-567	S	413	QA3	ZG	0.00	2.76	0.22	2.76
4220	-567	-583	S	413	QA3	ZG	0.00	2.76	0.22	2.76
4220	-583	-599	S	413	QA3	ZG	0.00	2.76	0.22	2.76
4220	-599	-615	S	618	QA3	ZG	0.00	2.76	0.22	2.76
4220	-615	-631	S	618	QA3	ZG	0.00	2.76	0.22	2.76
4220	-631	-647	S	618	QA3	ZG	0.00	2.76	0.22	2.76
4220	-647	-663	S	618	QA3	ZG	0.00	2.76	0.22	2.76
4220	-663	-679	S	619	QA3	ZG	0.00	2.76	0.22	2.76
4220	-679	-695	S	619	QA3	ZG	0.00	2.76	0.22	2.76
4220	-695	-711	S	619	QA3	ZG	0.00	2.76	0.22	2.76
4220	-711	-727	S	619	QA3	ZG	0.00	2.76	0.22	2.76
4220	-727	-743	S	620	QA3	ZG	0.00	2.76	0.22	2.76
4220	-743	-759	S	620	QA3	ZG	0.00	2.76	0.22	2.76
4220	-759	-775	S	620	QA3	ZG	0.00	2.76	0.22	2.76
4220	-775	-791	S	620	QA3	ZG	0.00	2.76	0.22	2.76
4221	-520	-536	S	412	QA3	ZG	0.00	2.15	0.17	2.15
4221	4036	-552	S	413	QA3	ZG	0.00	2.76	0.22	2.76
4221	-568	-584	S	413	QA3	ZG	0.00	2.76	0.22	2.76
4221	-600	-616	S	618	QA3	ZG	0.00	2.76	0.22	2.76
4221	-632	-648	S	618	QA3	ZG	0.00	2.76	0.22	2.76
4221	-664	-680	S	619	QA3	ZG	0.00	2.76	0.22	2.76
4221	-696	-712	S	619	QA3	ZG	0.00	2.76	0.22	2.76
4221	-728	-744	S	620	QA3	ZG	0.00	2.76	0.22	2.76
4221	-760	-776	S	620	QA3	ZG	0.00	2.76	0.22	2.76
6041	-593	-594	S	605	QA3	ZG	0.00	6.00	0.12	6.00
6041	-595	-596	S	405	QA3	ZG	0.00	6.00	0.12	6.00
6041	-597	-598	S	409	QA3	ZG	0.00	6.00	0.12	6.00
6041	-599	-600	S	413	QA3	ZG	0.00	6.00	0.12	6.00
6042	-657	-658	S	604	QA3	ZG	0.00	6.00	0.12	6.00

4220	-551	-567	S	411	QA3	ZG	0.00	70.74	0.22	70.74
4220	-567	-583	S	411	QA3	ZG	0.00	70.74	0.22	70.74
4220	-583	-599	S	411	QA3	ZG	0.00	70.74	0.22	70.74
4220	-599	-615	S	615	QA3	ZG	0.00	70.74	0.22	70.74
4220	-615	-631	S	615	QA3	ZG	0.00	70.74	0.22	70.74
4220	-631	-647	S	615	QA3	ZG	0.00	70.74	0.22	70.74
4220	-647	-663	S	615	QA3	ZG	0.00	70.74	0.22	70.74
4220	-663	-679	S	616	QA3	ZG	0.00	70.74	0.22	70.74
4220	-679	-695	S	616	QA3	ZG	0.00	70.74	0.22	70.74
4220	-695	-711	S	616	QA3	ZG	0.00	70.74	0.22	70.74
4220	-711	-727	S	616	QA3	ZG	0.00	70.74	0.22	70.74
4220	-727	-743	S	617	QA3	ZG	0.00	70.74	0.22	70.74
4220	-743	-759	S	617	QA3	ZG	0.00	70.74	0.22	70.74
4220	-759	-775	S	617	QA3	ZG	0.00	70.74	0.22	70.74
4220	-775	-791	S	617	QA3	ZG	0.00	70.74	0.22	70.74
4221	3008	-520	S	412	QA3	ZG	0.00	2.15	0.17	2.15
4221	-536	4036	S	412	QA3	ZG	0.00	2.15	0.17	2.15
4221	-552	-568	S	413	QA3	ZG	0.00	2.76	0.22	2.76
4221	-584	-600	S	413	QA3	ZG	0.00	2.76	0.22	2.76
4221	-616	-632	S	618	QA3	ZG	0.00	2.76	0.22	2.76
4221	-648	-664	S	618	QA3	ZG	0.00	2.76	0.22	2.76
4221	-680	-696	S	619	QA3	ZG	0.00	2.76	0.22	2.76
4221	-712	-728	S	619	QA3	ZG	0.00	2.76	0.22	2.76
4221	-744	-760	S	620	QA3	ZG	0.00	2.76	0.22	2.76
4221	-776	-792	S	620	QA3	ZG	0.00	2.76	0.22	2.76
6041	-593	-594	S	402	QA3	ZG	0.00	6.00	0.12	6.00
6041	-595	-596	S	606	QA3	ZG	0.00	6.00	0.12	6.00
6041	-597	-598	S	612	QA3	ZG	0.00	6.00	0.12	6.00
6041	-599	-600	S	618	QA3	ZG	0.00	6.00	0.12	6.00
6042	-657	-658	S	605	QA3	ZG	0.00	6.00	0.12	6.00

6042	-659	-660	S	606	QA3	ZG	0.00	6.00	0.12	6.00
6042	-661	-662	S	612	QA3	ZG	0.00	6.00	0.12	6.00
6042	-663	-664	S	618	QA3	ZG	0.00	6.00	0.12	6.00
6043	-721	-722	S	603	QA3	ZG	0.00	6.00	0.12	6.00
6043	-723	-724	S	607	QA3	ZG	0.00	6.00	0.12	6.00
6043	-725	-726	S	613	QA3	ZG	0.00	6.00	0.12	6.00
6043	-727	-728	S	619	QA3	ZG	0.00	6.00	0.12	6.00
6044	-785	-786	S	603	QA3	ZG	0.00	6.00	0.12	6.00
6044	-789	-790	S	614	QA3	ZG	0.00	6.00	0.12	6.00
7001	3002	-815	S	401	QA3	ZG	0.00	6.00	1.54	6.00
7001	3004	-804	S	407	QA3	ZG	0.00	6.00	1.64	6.00
7001	3006	-795	S	410	QA3	ZG	0.00	6.00	1.54	6.00
7002	4027	-816	S	400	QA3	ZG	0.00	6.00	1.54	6.00
7002	-816	4028	S	400	QA3	ZG	0.00	6.00	1.54	6.00
7002	4030	-805	S	406	QA3	ZG	0.00	6.00	1.64	6.00
7002	-805	4031	S	406	QA3	ZG	0.00	6.00	1.64	6.00
7002	4033	-794	S	410	QA3	ZG	0.00	6.00	1.54	6.00
7002	-794	4034	S	410	QA3	ZG	0.00	6.00	1.54	6.00
7003	-594	-817	S	400	QA3	ZG	0.00	6.00	1.54	6.00
7003	-817	-595	S	400	QA3	ZG	0.00	6.00	1.54	6.00
7003	-596	-806	S	611	QA3	ZG	0.00	6.00	1.64	6.00
7003	-806	-597	S	611	QA3	ZG	0.00	6.00	1.64	6.00
7003	-598	-793	S	411	QA3	ZG	0.00	6.00	1.54	6.00
7003	-793	-599	S	411	QA3	ZG	0.00	6.00	1.54	6.00
7004	-658	-818	S	600	QA3	ZG	0.00	6.00	1.54	6.00
7004	-818	-659	S	600	QA3	ZG	0.00	6.00	1.54	6.00
7004	-660	-807	S	610	QA3	ZG	0.00	6.00	1.64	6.00
7004	-807	-661	S	610	QA3	ZG	0.00	6.00	1.64	6.00
7004	-662	-796	S	615	QA3	ZG	0.00	6.00	1.54	6.00
7004	-796	-663	S	615	QA3	ZG	0.00	6.00	1.54	6.00

6042	-659	-660	S	607	QA3	ZG	0.00	6.00	0.12	6.00
6042	-661	-662	S	613	QA3	ZG	0.00	6.00	0.12	6.00
6042	-663	-664	S	619	QA3	ZG	0.00	6.00	0.12	6.00
6043	-721	-722	S	604	QA3	ZG	0.00	6.00	0.12	6.00
6043	-723	-724	S	608	QA3	ZG	0.00	6.00	0.12	6.00
6043	-725	-726	S	614	QA3	ZG	0.00	6.00	0.12	6.00
6043	-727	-728	S	620	QA3	ZG	0.00	6.00	0.12	6.00
6044	-787	-788	S	608	QA3	ZG	0.00	6.00	0.12	6.00
6044	-791	-792	S	620	QA3	ZG	0.00	6.00	0.12	6.00
7001	-815	3003	S	401	QA3	ZG	0.00	6.00	1.54	6.00
7001	-804	3005	S	407	QA3	ZG	0.00	6.00	1.64	6.00
7001	-795	3007	S	410	QA3	ZG	0.00	6.00	1.54	6.00
7002	4027	-816	S	401	QA3	ZG	0.00	6.00	1.54	6.00
7002	-816	4028	S	401	QA3	ZG	0.00	6.00	1.54	6.00
7002	4030	-805	S	407	QA3	ZG	0.00	6.00	1.64	6.00
7002	-805	4031	S	407	QA3	ZG	0.00	6.00	1.64	6.00
7002	4033	-794	S	411	QA3	ZG	0.00	6.00	1.54	6.00
7002	-794	4034	S	411	QA3	ZG	0.00	6.00	1.54	6.00
7003	-594	-817	S	600	QA3	ZG	0.00	6.00	1.54	6.00
7003	-817	-595	S	600	QA3	ZG	0.00	6.00	1.54	6.00
7003	-596	-806	S	406	QA3	ZG	0.00	6.00	1.64	6.00
7003	-806	-597	S	406	QA3	ZG	0.00	6.00	1.64	6.00
7003	-598	-793	S	615	QA3	ZG	0.00	6.00	1.54	6.00
7003	-793	-599	S	615	QA3	ZG	0.00	6.00	1.54	6.00
7004	-658	-818	S	601	QA3	ZG	0.00	6.00	1.54	6.00
7004	-818	-659	S	601	QA3	ZG	0.00	6.00	1.54	6.00
7004	-660	-807	S	611	QA3	ZG	0.00	6.00	1.64	6.00
7004	-807	-661	S	611	QA3	ZG	0.00	6.00	1.64	6.00
7004	-662	-796	S	616	QA3	ZG	0.00	6.00	1.54	6.00
7004	-796	-663	S	616	QA3	ZG	0.00	6.00	1.54	6.00

7005	-722	-819	S	601	QA 3	ZG	0.00	6.00	1.54	6.00
7005	-819	-723	S	601	QA 3	ZG	0.00	6.00	1.54	6.00
7005	-724	-808	S	609	QA 3	ZG	0.00	6.00	1.64	6.00
7005	-808	-725	S	609	QA 3	ZG	0.00	6.00	1.64	6.00
7005	-726	-797	S	616	QA 3	ZG	0.00	6.00	1.54	6.00
7005	-797	-727	S	616	QA 3	ZG	0.00	6.00	1.54	6.00
7006	-786	-820	S	602	QA 3	ZG	0.00	6.00	1.54	6.00
7006	-788	-809	S	609	QA 3	ZG	0.00	6.00	1.64	6.00
7006	-790	-798	S	617	QA 3	ZG	0.00	6.00	1.54	6.00

7005	-722	-819	S	602	QA 3	ZG	0.00	6.00	1.54	6.00
7005	-819	-723	S	602	QA 3	ZG	0.00	6.00	1.54	6.00
7005	-724	-808	S	610	QA 3	ZG	0.00	6.00	1.64	6.00
7005	-808	-725	S	610	QA 3	ZG	0.00	6.00	1.64	6.00
7005	-726	-797	S	617	QA 3	ZG	0.00	6.00	1.54	6.00
7005	-797	-727	S	617	QA 3	ZG	0.00	6.00	1.54	6.00
7006	-820	-787	S	602	QA 3	ZG	0.00	6.00	1.54	6.00
7006	-809	-789	S	609	QA 3	ZG	0.00	6.00	1.64	6.00
7006	-798	-791	S	617	QA 3	ZG	0.00	6.00	1.54	6.00

Elenco carichi aste
Condizione di carico n. 6: vento da baso
Carichi distribuiti

Asta	N1	N2	E	NE	T	DC	Xi <m>	Qi <daN/m>	Xf <m>	Qf <daN/m>
3087	3313	3314	S	415	QA 3	ZG	0.00	4.00	0.12	4.00
3087	3317	3318	S	423	QA 3	ZG	0.00	4.00	0.12	4.00
4066	4285	4286	S	414	QA 3	ZG	0.00	4.00	0.06	4.00
4066	4286	4287	S	414	QA 3	ZG	0.00	4.00	0.06	4.00
4066	4288	4289	S	418	QA 3	ZG	0.00	4.00	0.06	4.00
4066	4289	4290	S	418	QA 3	ZG	0.00	4.00	0.06	4.00
4066	4291	4292	S	422	QA 3	ZG	0.00	4.00	0.06	4.00
4066	4292	4293	S	422	QA 3	ZG	0.00	4.00	0.06	4.00
4066	4294	4295	S	424	QA 3	ZG	0.00	4.00	0.06	4.00
4066	4295	4296	S	424	QA 3	ZG	0.00	4.00	0.06	4.00
4385	-785	-777	S	621	QA 3	ZG	0.00	1.84	0.22	1.84
4385	-761	-745	S	621	QA 3	ZG	0.00	1.84	0.22	1.84
4385	-729	-713	S	622	QA 3	ZG	0.00	1.84	0.22	1.84
4385	-697	-681	S	622	QA 3	ZG	0.00	1.84	0.22	1.84
4385	-665	-649	S	623	QA 3	ZG	0.00	1.84	0.22	1.84
4385	-633	-617	S	623	QA 3	ZG	0.00	1.84	0.22	1.84
4385	-601	-585	S	414	QA 3	ZG	0.00	1.84	0.22	1.84
4385	-569	-553	S	414	QA	Z	0.00	1.84	0.22	1.84

Asta	N1	N2	E	NE	T	DC	Xi <m>	Qi <daN/m>	Xf <m>	Qf <daN/m>
3087	3315	3316	S	418	QA 3	ZG	0.00	4.00	0.12	4.00
3087	3319	3320	S	425	QA 3	ZG	0.00	4.00	0.12	4.00
4066	4285	4286	S	415	QA 3	ZG	0.00	4.00	0.06	4.00
4066	4286	4287	S	415	QA 3	ZG	0.00	4.00	0.06	4.00
4066	4288	4289	S	419	QA 3	ZG	0.00	4.00	0.06	4.00
4066	4289	4290	S	419	QA 3	ZG	0.00	4.00	0.06	4.00
4066	4291	4292	S	423	QA 3	ZG	0.00	4.00	0.06	4.00
4066	4292	4293	S	423	QA 3	ZG	0.00	4.00	0.06	4.00
4066	4294	4295	S	425	QA 3	ZG	0.00	4.00	0.06	4.00
4066	4295	4296	S	425	QA 3	ZG	0.00	4.00	0.06	4.00
4385	-777	-761	S	621	QA 3	ZG	0.00	1.84	0.22	1.84
4385	-745	-729	S	621	QA 3	ZG	0.00	1.84	0.22	1.84
4385	-713	-697	S	622	QA 3	ZG	0.00	1.84	0.22	1.84
4385	-681	-665	S	622	QA 3	ZG	0.00	1.84	0.22	1.84
4385	-649	-633	S	623	QA 3	ZG	0.00	1.84	0.22	1.84
4385	-617	-601	S	623	QA 3	ZG	0.00	1.84	0.22	1.84
4385	-585	-569	S	414	QA 3	ZG	0.00	1.84	0.22	1.84
4385	-553	4285	S	414	QA	Z	0.00	1.84	0.22	1.84

					3	G				
4385	4285	-537	S	415	QA3	ZG	0.00	1.44	0.17	1.44
4385	-521	3313	S	415	QA3	ZG	0.00	1.44	0.17	1.44
4386	-786	-778	S	626	QA3	ZG	0.00	47.16	0.22	47.16
4386	-778	-762	S	626	QA3	ZG	0.00	47.16	0.22	47.16
4386	-762	-746	S	626	QA3	ZG	0.00	47.16	0.22	47.16
4386	-746	-730	S	626	QA3	ZG	0.00	47.16	0.22	47.16
4386	-730	-714	S	625	QA3	ZG	0.00	47.16	0.22	47.16
4386	-714	-698	S	625	QA3	ZG	0.00	47.16	0.22	47.16
4386	-698	-682	S	625	QA3	ZG	0.00	47.16	0.22	47.16
4386	-682	-666	S	625	QA3	ZG	0.00	47.16	0.22	47.16
4386	-666	-650	S	624	QA3	ZG	0.00	47.16	0.22	47.16
4386	-650	-634	S	624	QA3	ZG	0.00	47.16	0.22	47.16
4386	-634	-618	S	624	QA3	ZG	0.00	47.16	0.22	47.16
4386	-618	-602	S	624	QA3	ZG	0.00	47.16	0.22	47.16
4386	-602	-586	S	417	QA3	ZG	0.00	47.16	0.22	47.16
4386	-586	-570	S	417	QA3	ZG	0.00	47.16	0.22	47.16
4386	-570	-554	S	417	QA3	ZG	0.00	47.16	0.22	47.16
4386	-554	4287	S	417	QA3	ZG	0.00	47.16	0.22	47.16
4386	4287	-538	S	416	QA3	ZG	0.00	36.84	0.17	36.84
4386	-538	-522	S	416	QA3	ZG	0.00	36.84	0.17	36.84
4386	-522	3314	S	416	QA3	ZG	0.00	36.84	0.17	36.84
4423	-787	-779	S	628	QA3	ZG	0.00	1.84	0.22	1.84
4423	-779	-763	S	628	QA3	ZG	0.00	1.84	0.22	1.84
4423	-763	-747	S	628	QA3	ZG	0.00	1.84	0.22	1.84
4423	-747	-731	S	628	QA3	ZG	0.00	1.84	0.22	1.84
4423	-731	-715	S	629	QA3	ZG	0.00	1.84	0.22	1.84
4423	-715	-699	S	629	QA3	ZG	0.00	1.84	0.22	1.84
4423	-699	-683	S	629	QA3	ZG	0.00	1.84	0.22	1.84
4423	-683	-667	S	629	QA3	ZG	0.00	1.84	0.22	1.84
4423	-667	-651	S	627	QA	Z	0.00	1.84	0.22	1.84

					3	G				
4385	-537	-521	S	415	QA3	ZG	0.00	1.44	0.17	1.44
4386	-786	-778	S	621	QA3	ZG	0.00	1.84	0.22	1.84
4386	-778	-762	S	621	QA3	ZG	0.00	1.84	0.22	1.84
4386	-762	-746	S	621	QA3	ZG	0.00	1.84	0.22	1.84
4386	-746	-730	S	621	QA3	ZG	0.00	1.84	0.22	1.84
4386	-730	-714	S	622	QA3	ZG	0.00	1.84	0.22	1.84
4386	-714	-698	S	622	QA3	ZG	0.00	1.84	0.22	1.84
4386	-698	-682	S	622	QA3	ZG	0.00	1.84	0.22	1.84
4386	-682	-666	S	622	QA3	ZG	0.00	1.84	0.22	1.84
4386	-666	-650	S	623	QA3	ZG	0.00	1.84	0.22	1.84
4386	-650	-634	S	623	QA3	ZG	0.00	1.84	0.22	1.84
4386	-634	-618	S	623	QA3	ZG	0.00	1.84	0.22	1.84
4386	-618	-602	S	623	QA3	ZG	0.00	1.84	0.22	1.84
4386	-602	-586	S	414	QA3	ZG	0.00	1.84	0.22	1.84
4386	-586	-570	S	414	QA3	ZG	0.00	1.84	0.22	1.84
4386	-570	-554	S	414	QA3	ZG	0.00	1.84	0.22	1.84
4386	-554	4287	S	414	QA3	ZG	0.00	1.84	0.22	1.84
4386	4287	-538	S	415	QA3	ZG	0.00	1.44	0.17	1.44
4386	-538	-522	S	415	QA3	ZG	0.00	1.44	0.17	1.44
4386	-522	3314	S	415	QA3	ZG	0.00	1.44	0.17	1.44
4423	-787	-779	S	626	QA3	ZG	0.00	47.16	0.22	47.16
4423	-779	-763	S	626	QA3	ZG	0.00	47.16	0.22	47.16
4423	-763	-747	S	626	QA3	ZG	0.00	47.16	0.22	47.16
4423	-747	-731	S	626	QA3	ZG	0.00	47.16	0.22	47.16
4423	-731	-715	S	625	QA3	ZG	0.00	47.16	0.22	47.16
4423	-715	-699	S	625	QA3	ZG	0.00	47.16	0.22	47.16
4423	-699	-683	S	625	QA3	ZG	0.00	47.16	0.22	47.16
4423	-683	-667	S	625	QA3	ZG	0.00	47.16	0.22	47.16
4423	-667	-651	S	624	QA3	ZG	0.00	47.16	0.22	47.16
4423	-651	-635	S	624	QA	Z	0.00	47.16	0.22	47.16

					3	G				
4423	-651	-635	S	627	QA3	ZG	0.00	1.84	0.22	1.84
4423	-635	-619	S	627	QA3	ZG	0.00	1.84	0.22	1.84
4423	-619	-603	S	627	QA3	ZG	0.00	1.84	0.22	1.84
4423	-603	-587	S	419	QA3	ZG	0.00	1.84	0.22	1.84
4423	-587	-571	S	419	QA3	ZG	0.00	1.84	0.22	1.84
4423	-571	-555	S	419	QA3	ZG	0.00	1.84	0.22	1.84
4423	-555	4288	S	419	QA3	ZG	0.00	1.84	0.22	1.84
4423	4288	-539	S	418	QA3	ZG	0.00	1.44	0.17	1.44
4423	-539	-523	S	418	QA3	ZG	0.00	1.44	0.17	1.44
4423	-523	3315	S	418	QA3	ZG	0.00	1.44	0.17	1.44
4424	-788	-780	S	630	QA3	ZG	0.00	50.22	0.22	50.22
4424	-780	-764	S	630	QA3	ZG	0.00	50.22	0.22	50.22
4424	-764	-748	S	630	QA3	ZG	0.00	50.22	0.22	50.22
4424	-748	-732	S	630	QA3	ZG	0.00	50.22	0.22	50.22
4424	-732	-716	S	631	QA3	ZG	0.00	50.22	0.22	50.22
4424	-716	-700	S	631	QA3	ZG	0.00	50.22	0.22	50.22
4424	-700	-684	S	631	QA3	ZG	0.00	50.22	0.22	50.22
4424	-684	-668	S	631	QA3	ZG	0.00	50.22	0.22	50.22
4424	-668	-652	S	632	QA3	ZG	0.00	50.22	0.22	50.22
4424	-652	-636	S	632	QA3	ZG	0.00	50.22	0.22	50.22
4424	-636	-620	S	632	QA3	ZG	0.00	50.22	0.22	50.22
4424	-620	-604	S	632	QA3	ZG	0.00	50.22	0.22	50.22
4424	-604	-588	S	420	QA3	ZG	0.00	50.22	0.22	50.22
4424	-588	-572	S	420	QA3	ZG	0.00	50.22	0.22	50.22
4424	-572	-556	S	420	QA3	ZG	0.00	50.22	0.22	50.22
4424	-556	4290	S	420	QA3	ZG	0.00	50.22	0.22	50.22
4424	4290	-540	S	421	QA3	ZG	0.00	39.23	0.17	39.23
4424	-540	-524	S	421	QA3	ZG	0.00	39.23	0.17	39.23
4424	-524	3316	S	421	QA3	ZG	0.00	39.23	0.17	39.23
4461	-789	-781	S	633	QA	Z	0.00	1.84	0.22	1.84

					3	G				
4423	-635	-619	S	624	QA3	ZG	0.00	47.16	0.22	47.16
4423	-619	-603	S	624	QA3	ZG	0.00	47.16	0.22	47.16
4423	-603	-587	S	417	QA3	ZG	0.00	47.16	0.22	47.16
4423	-587	-571	S	417	QA3	ZG	0.00	47.16	0.22	47.16
4423	-571	-555	S	417	QA3	ZG	0.00	47.16	0.22	47.16
4423	-555	4288	S	417	QA3	ZG	0.00	47.16	0.22	47.16
4423	4288	-539	S	416	QA3	ZG	0.00	36.84	0.17	36.84
4423	-539	-523	S	416	QA3	ZG	0.00	36.84	0.17	36.84
4423	-523	3315	S	416	QA3	ZG	0.00	36.84	0.17	36.84
4424	-788	-780	S	628	QA3	ZG	0.00	1.84	0.22	1.84
4424	-780	-764	S	628	QA3	ZG	0.00	1.84	0.22	1.84
4424	-764	-748	S	628	QA3	ZG	0.00	1.84	0.22	1.84
4424	-748	-732	S	628	QA3	ZG	0.00	1.84	0.22	1.84
4424	-732	-716	S	629	QA3	ZG	0.00	1.84	0.22	1.84
4424	-716	-700	S	629	QA3	ZG	0.00	1.84	0.22	1.84
4424	-700	-684	S	629	QA3	ZG	0.00	1.84	0.22	1.84
4424	-684	-668	S	629	QA3	ZG	0.00	1.84	0.22	1.84
4424	-668	-652	S	627	QA3	ZG	0.00	1.84	0.22	1.84
4424	-652	-636	S	627	QA3	ZG	0.00	1.84	0.22	1.84
4424	-636	-620	S	627	QA3	ZG	0.00	1.84	0.22	1.84
4424	-620	-604	S	627	QA3	ZG	0.00	1.84	0.22	1.84
4424	-604	-588	S	419	QA3	ZG	0.00	1.84	0.22	1.84
4424	-588	-572	S	419	QA3	ZG	0.00	1.84	0.22	1.84
4424	-572	-556	S	419	QA3	ZG	0.00	1.84	0.22	1.84
4424	-556	4290	S	419	QA3	ZG	0.00	1.84	0.22	1.84
4424	4290	-540	S	418	QA3	ZG	0.00	1.44	0.17	1.44
4424	-540	-524	S	418	QA3	ZG	0.00	1.44	0.17	1.44
4424	-524	3316	S	418	QA3	ZG	0.00	1.44	0.17	1.44
4461	-789	-781	S	630	QA3	ZG	0.00	50.22	0.22	50.22
4461	-781	-765	S	630	QA	Z	0.00	50.22	0.22	50.22

					3	G										3	G				
4461	-781	-765	S	633	QA3	ZG	0.00	1.84	0.22	1.84	4461	-765	-749	S	630	QA3	ZG	0.00	50.22	0.22	50.22
4461	-765	-749	S	633	QA3	ZG	0.00	1.84	0.22	1.84	4461	-749	-733	S	630	QA3	ZG	0.00	50.22	0.22	50.22
4461	-749	-733	S	633	QA3	ZG	0.00	1.84	0.22	1.84	4461	-733	-717	S	631	QA3	ZG	0.00	50.22	0.22	50.22
4461	-733	-717	S	634	QA3	ZG	0.00	1.84	0.22	1.84	4461	-717	-701	S	631	QA3	ZG	0.00	50.22	0.22	50.22
4461	-717	-701	S	634	QA3	ZG	0.00	1.84	0.22	1.84	4461	-701	-685	S	631	QA3	ZG	0.00	50.22	0.22	50.22
4461	-701	-685	S	634	QA3	ZG	0.00	1.84	0.22	1.84	4461	-685	-669	S	631	QA3	ZG	0.00	50.22	0.22	50.22
4461	-685	-669	S	634	QA3	ZG	0.00	1.84	0.22	1.84	4461	-669	-653	S	632	QA3	ZG	0.00	50.22	0.22	50.22
4461	-669	-653	S	635	QA3	ZG	0.00	1.84	0.22	1.84	4461	-653	-637	S	632	QA3	ZG	0.00	50.22	0.22	50.22
4461	-653	-637	S	635	QA3	ZG	0.00	1.84	0.22	1.84	4461	-637	-621	S	632	QA3	ZG	0.00	50.22	0.22	50.22
4461	-637	-621	S	635	QA3	ZG	0.00	1.84	0.22	1.84	4461	-621	-605	S	632	QA3	ZG	0.00	50.22	0.22	50.22
4461	-621	-605	S	635	QA3	ZG	0.00	1.84	0.22	1.84	4461	-605	-589	S	420	QA3	ZG	0.00	50.22	0.22	50.22
4461	-605	-589	S	422	QA3	ZG	0.00	1.84	0.22	1.84	4461	-589	-573	S	420	QA3	ZG	0.00	50.22	0.22	50.22
4461	-589	-573	S	422	QA3	ZG	0.00	1.84	0.22	1.84	4461	-573	-557	S	420	QA3	ZG	0.00	50.22	0.22	50.22
4461	-573	-557	S	422	QA3	ZG	0.00	1.84	0.22	1.84	4461	-557	4291	S	420	QA3	ZG	0.00	50.22	0.22	50.22
4461	-557	4291	S	422	QA3	ZG	0.00	1.84	0.22	1.84	4461	4291	-541	S	421	QA3	ZG	0.00	39.23	0.17	39.23
4461	4291	-541	S	423	QA3	ZG	0.00	1.44	0.17	1.44	4461	-541	-525	S	421	QA3	ZG	0.00	39.23	0.17	39.23
4461	-541	-525	S	423	QA3	ZG	0.00	1.44	0.17	1.44	4461	-525	3317	S	421	QA3	ZG	0.00	39.23	0.17	39.23
4461	-525	3317	S	423	QA3	ZG	0.00	1.44	0.17	1.44	4462	-790	-782	S	633	QA3	ZG	0.00	1.84	0.22	1.84
4462	-790	-782	S	641	QA3	ZG	0.00	47.16	0.22	47.16	4462	-782	-766	S	633	QA3	ZG	0.00	1.84	0.22	1.84
4462	-782	-766	S	641	QA3	ZG	0.00	47.16	0.22	47.16	4462	-766	-750	S	633	QA3	ZG	0.00	1.84	0.22	1.84
4462	-766	-750	S	641	QA3	ZG	0.00	47.16	0.22	47.16	4462	-750	-734	S	633	QA3	ZG	0.00	1.84	0.22	1.84
4462	-750	-734	S	641	QA3	ZG	0.00	47.16	0.22	47.16	4462	-734	-718	S	634	QA3	ZG	0.00	1.84	0.22	1.84
4462	-734	-718	S	640	QA3	ZG	0.00	47.16	0.22	47.16	4462	-718	-702	S	634	QA3	ZG	0.00	1.84	0.22	1.84
4462	-718	-702	S	640	QA3	ZG	0.00	47.16	0.22	47.16	4462	-702	-686	S	634	QA3	ZG	0.00	1.84	0.22	1.84
4462	-702	-686	S	640	QA3	ZG	0.00	47.16	0.22	47.16	4462	-686	-670	S	634	QA3	ZG	0.00	1.84	0.22	1.84
4462	-686	-670	S	640	QA3	ZG	0.00	47.16	0.22	47.16	4462	-670	-654	S	635	QA3	ZG	0.00	1.84	0.22	1.84
4462	-670	-654	S	639	QA3	ZG	0.00	47.16	0.22	47.16	4462	-654	-638	S	635	QA3	ZG	0.00	1.84	0.22	1.84
4462	-654	-638	S	639	QA3	ZG	0.00	47.16	0.22	47.16	4462	-638	-622	S	635	QA3	ZG	0.00	1.84	0.22	1.84
4462	-638	-622	S	639	QA3	ZG	0.00	47.16	0.22	47.16	4462	-622	-606	S	635	QA3	ZG	0.00	1.84	0.22	1.84
4462	-622	-606	S	639	QA	Z	0.00	47.16	0.22	47.16	4462	-606	-590	S	422	QA	Z	0.00	1.84	0.22	1.84

					3	G										3	G				
4462	-606	-590	S	427	QA3	ZG	0.00	47.16	0.22	47.16	4462	-590	-574	S	422	QA3	ZG	0.00	1.84	0.22	1.84
4462	-590	-574	S	427	QA3	ZG	0.00	47.16	0.22	47.16	4462	-574	-558	S	422	QA3	ZG	0.00	1.84	0.22	1.84
4462	-574	-558	S	427	QA3	ZG	0.00	47.16	0.22	47.16	4462	-558	4293	S	422	QA3	ZG	0.00	1.84	0.22	1.84
4462	-558	4293	S	427	QA3	ZG	0.00	47.16	0.22	47.16	4462	4293	-542	S	423	QA3	ZG	0.00	1.44	0.17	1.44
4462	4293	-542	S	426	QA3	ZG	0.00	36.84	0.17	36.84	4462	-542	-526	S	423	QA3	ZG	0.00	1.44	0.17	1.44
4462	-542	-526	S	426	QA3	ZG	0.00	36.84	0.17	36.84	4462	-526	3318	S	423	QA3	ZG	0.00	1.44	0.17	1.44
4462	-526	3318	S	426	QA3	ZG	0.00	36.84	0.17	36.84	4499	-791	-783	S	636	QA3	ZG	0.00	1.84	0.22	1.84
4499	-791	-783	S	641	QA3	ZG	0.00	47.16	0.22	47.16	4499	-783	-767	S	636	QA3	ZG	0.00	1.84	0.22	1.84
4499	-783	-767	S	641	QA3	ZG	0.00	47.16	0.22	47.16	4499	-767	-751	S	636	QA3	ZG	0.00	1.84	0.22	1.84
4499	-767	-751	S	641	QA3	ZG	0.00	47.16	0.22	47.16	4499	-751	-735	S	636	QA3	ZG	0.00	1.84	0.22	1.84
4499	-751	-735	S	641	QA3	ZG	0.00	47.16	0.22	47.16	4499	-735	-719	S	637	QA3	ZG	0.00	1.84	0.22	1.84
4499	-735	-719	S	640	QA3	ZG	0.00	47.16	0.22	47.16	4499	-719	-703	S	637	QA3	ZG	0.00	1.84	0.22	1.84
4499	-719	-703	S	640	QA3	ZG	0.00	47.16	0.22	47.16	4499	-703	-687	S	637	QA3	ZG	0.00	1.84	0.22	1.84
4499	-703	-687	S	640	QA3	ZG	0.00	47.16	0.22	47.16	4499	-687	-671	S	637	QA3	ZG	0.00	1.84	0.22	1.84
4499	-687	-671	S	640	QA3	ZG	0.00	47.16	0.22	47.16	4499	-671	-655	S	638	QA3	ZG	0.00	1.84	0.22	1.84
4499	-671	-655	S	639	QA3	ZG	0.00	47.16	0.22	47.16	4499	-655	-639	S	638	QA3	ZG	0.00	1.84	0.22	1.84
4499	-655	-639	S	639	QA3	ZG	0.00	47.16	0.22	47.16	4499	-639	-623	S	638	QA3	ZG	0.00	1.84	0.22	1.84
4499	-639	-623	S	639	QA3	ZG	0.00	47.16	0.22	47.16	4499	-623	-607	S	638	QA3	ZG	0.00	1.84	0.22	1.84
4499	-623	-607	S	639	QA3	ZG	0.00	47.16	0.22	47.16	4499	-607	-591	S	424	QA3	ZG	0.00	1.84	0.22	1.84
4499	-607	-591	S	427	QA3	ZG	0.00	47.16	0.22	47.16	4499	-591	-575	S	424	QA3	ZG	0.00	1.84	0.22	1.84
4499	-591	-575	S	427	QA3	ZG	0.00	47.16	0.22	47.16	4499	-575	-559	S	424	QA3	ZG	0.00	1.84	0.22	1.84
4499	-575	-559	S	427	QA3	ZG	0.00	47.16	0.22	47.16	4499	-559	4294	S	424	QA3	ZG	0.00	1.84	0.22	1.84
4499	-559	4294	S	427	QA3	ZG	0.00	47.16	0.22	47.16	4499	4294	-543	S	425	QA3	ZG	0.00	1.44	0.17	1.44
4499	4294	-543	S	426	QA3	ZG	0.00	36.84	0.17	36.84	4499	-543	-527	S	425	QA3	ZG	0.00	1.44	0.17	1.44
4499	-543	-527	S	426	QA3	ZG	0.00	36.84	0.17	36.84	4499	-527	3319	S	425	QA3	ZG	0.00	1.44	0.17	1.44
4499	-527	3319	S	426	QA3	ZG	0.00	36.84	0.17	36.84	4500	-792	-784	S	636	QA3	ZG	0.00	1.84	0.22	1.84
4500	-784	-768	S	636	QA3	ZG	0.00	1.84	0.22	1.84	4500	-768	-752	S	636	QA3	ZG	0.00	1.84	0.22	1.84
4500	-752	-736	S	636	QA3	ZG	0.00	1.84	0.22	1.84	4500	-736	-720	S	637	QA3	ZG	0.00	1.84	0.22	1.84
4500	-720	-704	S	637	QA3	ZG	0.00	1.84	0.22	1.84	4500	-704	-688	S	637	QA3	ZG	0.00	1.84	0.22	1.84
4500	-688	-672	S	637	QA	Z	0.00	1.84	0.22	1.84	4500	-672	-656	S	638	QA	Z	0.00	1.84	0.22	1.84

					3	G										3	G				
4500	-656	-640	S	638	QA3	ZG	0.00	1.84	0.22	1.84	4500	-640	-624	S	638	QA3	ZG	0.00	1.84	0.22	1.84
4500	-624	-608	S	638	QA3	ZG	0.00	1.84	0.22	1.84	4500	-608	-592	S	424	QA3	ZG	0.00	1.84	0.22	1.84
4500	-592	-576	S	424	QA3	ZG	0.00	1.84	0.22	1.84	4500	-576	-560	S	424	QA3	ZG	0.00	1.84	0.22	1.84
4500	-560	4296	S	424	QA3	ZG	0.00	1.84	0.22	1.84	4500	4296	-544	S	425	QA3	ZG	0.00	1.44	0.17	1.44
4500	-544	-528	S	425	QA3	ZG	0.00	1.44	0.17	1.44	4500	-528	3320	S	425	QA3	ZG	0.00	1.44	0.17	1.44
6044	-785	-786	S	621	QA3	ZG	0.00	4.00	0.12	4.00	6044	-787	-788	S	628	QA3	ZG	0.00	4.00	0.12	4.00
6044	-789	-790	S	633	QA3	ZG	0.00	4.00	0.12	4.00	6044	-791	-792	S	636	QA3	ZG	0.00	4.00	0.12	4.00
6045	-729	-730	S	621	QA3	ZG	0.00	4.00	0.12	4.00	6045	-729	-730	S	622	QA3	ZG	0.00	4.00	0.12	4.00
6045	-731	-732	S	628	QA3	ZG	0.00	4.00	0.12	4.00	6045	-731	-732	S	629	QA3	ZG	0.00	4.00	0.12	4.00
6045	-733	-734	S	633	QA3	ZG	0.00	4.00	0.12	4.00	6045	-733	-734	S	634	QA3	ZG	0.00	4.00	0.12	4.00
6045	-735	-736	S	636	QA3	ZG	0.00	4.00	0.12	4.00	6045	-735	-736	S	637	QA3	ZG	0.00	4.00	0.12	4.00
6046	-665	-666	S	622	QA3	ZG	0.00	4.00	0.12	4.00	6046	-665	-666	S	623	QA3	ZG	0.00	4.00	0.12	4.00
6046	-667	-668	S	627	QA3	ZG	0.00	4.00	0.12	4.00	6046	-667	-668	S	629	QA3	ZG	0.00	4.00	0.12	4.00
6046	-669	-670	S	634	QA3	ZG	0.00	4.00	0.12	4.00	6046	-669	-670	S	635	QA3	ZG	0.00	4.00	0.12	4.00
6046	-671	-672	S	637	QA3	ZG	0.00	4.00	0.12	4.00	6046	-671	-672	S	638	QA3	ZG	0.00	4.00	0.12	4.00
6047	-601	-602	S	623	QA3	ZG	0.00	4.00	0.12	4.00	6047	-601	-602	S	414	QA3	ZG	0.00	4.00	0.12	4.00
6047	-603	-604	S	419	QA3	ZG	0.00	4.00	0.12	4.00	6047	-603	-604	S	627	QA3	ZG	0.00	4.00	0.12	4.00
6047	-605	-606	S	635	QA3	ZG	0.00	4.00	0.12	4.00	6047	-605	-606	S	422	QA3	ZG	0.00	4.00	0.12	4.00
6047	-607	-608	S	638	QA3	ZG	0.00	4.00	0.12	4.00	6047	-607	-608	S	424	QA3	ZG	0.00	4.00	0.12	4.00
7006	-786	-820	S	626	QA3	ZG	0.00	4.00	1.54	4.00	7006	-820	-787	S	626	QA3	ZG	0.00	4.00	1.54	4.00
7006	-788	-809	S	630	QA3	ZG	0.00	4.00	1.64	4.00	7006	-809	-789	S	630	QA3	ZG	0.00	4.00	1.64	4.00
7006	-790	-798	S	641	QA3	ZG	0.00	4.00	1.54	4.00	7006	-798	-791	S	641	QA3	ZG	0.00	4.00	1.54	4.00
7007	-730	-821	S	625	QA3	ZG	0.00	4.00	1.54	4.00	7007	-730	-821	S	626	QA3	ZG	0.00	4.00	1.54	4.00
7007	-821	-731	S	625	QA3	ZG	0.00	4.00	1.54	4.00	7007	-821	-731	S	626	QA3	ZG	0.00	4.00	1.54	4.00
7007	-732	-810	S	630	QA3	ZG	0.00	4.00	1.64	4.00	7007	-732	-810	S	631	QA3	ZG	0.00	4.00	1.64	4.00
7007	-810	-733	S	630	QA3	ZG	0.00	4.00	1.64	4.00	7007	-810	-733	S	631	QA3	ZG	0.00	4.00	1.64	4.00
7007	-734	-799	S	640	QA3	ZG	0.00	4.00	1.54	4.00	7007	-734	-799	S	641	QA3	ZG	0.00	4.00	1.54	4.00
7007	-799	-735	S	640	QA3	ZG	0.00	4.00	1.54	4.00	7007	-799	-735	S	641	QA3	ZG	0.00	4.00	1.54	4.00
7008	-666	-822	S	624	QA3	ZG	0.00	4.00	1.54	4.00	7008	-666	-822	S	625	QA3	ZG	0.00	4.00	1.54	4.00
7008	-822	-667	S	624	QA	Z	0.00	4.00	1.54	4.00	7008	-822	-667	S	625	QA	Z	0.00	4.00	1.54	4.00

					3	G										3	G				
7008	-668	-811	S	631	QA 3	ZG	0.00	4.00	1.64	4.00	7008	-668	-811	S	632	QA 3	ZG	0.00	4.00	1.64	4.00
7008	-811	-669	S	631	QA 3	ZG	0.00	4.00	1.64	4.00	7008	-811	-669	S	632	QA 3	ZG	0.00	4.00	1.64	4.00
7008	-670	-800	S	639	QA 3	ZG	0.00	4.00	1.54	4.00	7008	-670	-800	S	640	QA 3	ZG	0.00	4.00	1.54	4.00
7008	-800	-671	S	639	QA 3	ZG	0.00	4.00	1.54	4.00	7008	-800	-671	S	640	QA 3	ZG	0.00	4.00	1.54	4.00
7009	-602	-823	S	417	QA 3	ZG	0.00	4.00	1.54	4.00	7009	-602	-823	S	624	QA 3	ZG	0.00	4.00	1.54	4.00
7009	-823	-603	S	417	QA 3	ZG	0.00	4.00	1.54	4.00	7009	-823	-603	S	624	QA 3	ZG	0.00	4.00	1.54	4.00
7009	-604	-812	S	632	QA 3	ZG	0.00	4.00	1.64	4.00	7009	-604	-812	S	420	QA 3	ZG	0.00	4.00	1.64	4.00
7009	-812	-605	S	632	QA 3	ZG	0.00	4.00	1.64	4.00	7009	-812	-605	S	420	QA 3	ZG	0.00	4.00	1.64	4.00
7009	-606	-801	S	427	QA 3	ZG	0.00	4.00	1.54	4.00	7009	-606	-801	S	639	QA 3	ZG	0.00	4.00	1.54	4.00
7009	-801	-607	S	427	QA 3	ZG	0.00	4.00	1.54	4.00	7009	-801	-607	S	639	QA 3	ZG	0.00	4.00	1.54	4.00
7010	4287	-824	S	416	QA 3	ZG	0.00	4.00	1.54	4.00	7010	4287	-824	S	417	QA 3	ZG	0.00	4.00	1.54	4.00
7010	-824	4288	S	416	QA 3	ZG	0.00	4.00	1.54	4.00	7010	-824	4288	S	417	QA 3	ZG	0.00	4.00	1.54	4.00
7010	4290	-813	S	420	QA 3	ZG	0.00	4.00	1.64	4.00	7010	4290	-813	S	421	QA 3	ZG	0.00	4.00	1.64	4.00
7010	-813	4291	S	420	QA 3	ZG	0.00	4.00	1.64	4.00	7010	-813	4291	S	421	QA 3	ZG	0.00	4.00	1.64	4.00
7010	4293	-802	S	426	QA 3	ZG	0.00	4.00	1.54	4.00	7010	4293	-802	S	427	QA 3	ZG	0.00	4.00	1.54	4.00
7010	-802	4294	S	426	QA 3	ZG	0.00	4.00	1.54	4.00	7010	-802	4294	S	427	QA 3	ZG	0.00	4.00	1.54	4.00
7011	3314	-825	S	416	QA 3	ZG	0.00	4.00	1.54	4.00	7011	-825	3315	S	416	QA 3	ZG	0.00	4.00	1.54	4.00
7011	3316	-814	S	421	QA 3	ZG	0.00	4.00	1.64	4.00	7011	-814	3317	S	421	QA 3	ZG	0.00	4.00	1.64	4.00
7011	3318	-803	S	426	QA 3	ZG	0.00	4.00	1.54	4.00	7011	-803	3319	S	426	QA 3	ZG	0.00	4.00	1.54	4.00

Elenco carichi aste
Condizione di carico n. 7: vento longitudinale
Carichi distribuiti

Asta	N1	N2	E	NE	T	DC	Xi <m>	Qi <daN/m>	Xf <m>	Qf <daN/m>	Asta	N1	N2	E	NE	T	DC	Xi <m>	Qi <daN/m>	Xf <m>	Qf <daN/m>
1798	345	-14	S	--	M	XG	0.00	14.00	0.10	14.00	1798	-14	-46	S	--	M	XG	0.00	14.00	0.10	14.00
1798	-46	-78	S	--	M	XG	0.00	14.00	0.19	14.00	1798	-78	-110	S	--	M	XG	0.00	14.00	0.19	14.00
1798	-110	-142	S	--	M	XG	0.00	14.00	0.19	14.00	1798	-142	-174	S	--	M	XG	0.00	14.00	0.19	14.00
1798	-174	-206	S	--	M	XG	0.00	14.00	0.19	14.00	1798	-206	-238	S	--	M	XG	0.00	14.00	0.19	14.00
1798	-238	-270	S	--	M	XG	0.00	14.00	0.19	14.00	1798	-270	-302	S	--	M	XG	0.00	14.00	0.19	14.00
1798	-302	-334	S	--	M	XG	0.00	14.00	0.19	14.00	1798	-334	-366	S	--	M	XG	0.00	14.00	0.19	14.00
1798	-366	-398	S	--	M	XG	0.00	14.00	0.19	14.00	1798	-398	-430	S	--	M	XG	0.00	14.00	0.19	14.00

1798	-430	-462	S	--	M	XG	0.00	14.00	0.19	14.00	1798	-462	-494	S	--	M	XG	0.00	14.00	0.19	14.00
1798	-494	1324	S	--	M	XG	0.00	14.00	0.19	14.00	1799	318	-4	S	--	M	XG	0.00	14.00	0.10	14.00
1799	-4	-36	S	--	M	XG	0.00	14.00	0.10	14.00	1799	-36	-68	S	--	M	XG	0.00	14.00	0.19	14.00
1799	-68	-100	S	--	M	XG	0.00	14.00	0.19	14.00	1799	-100	-132	S	--	M	XG	0.00	14.00	0.19	14.00
1799	-132	-164	S	--	M	XG	0.00	14.00	0.19	14.00	1799	-164	-196	S	--	M	XG	0.00	14.00	0.19	14.00
1799	-196	-228	S	--	M	XG	0.00	14.00	0.19	14.00	1799	-228	-260	S	--	M	XG	0.00	14.00	0.19	14.00
1799	-260	-292	S	--	M	XG	0.00	14.00	0.19	14.00	1799	-292	-324	S	--	M	XG	0.00	14.00	0.19	14.00
1799	-324	-356	S	--	M	XG	0.00	14.00	0.19	14.00	1799	-356	-388	S	--	M	XG	0.00	14.00	0.19	14.00
1799	-388	-420	S	--	M	XG	0.00	14.00	0.19	14.00	1799	-420	-452	S	--	M	XG	0.00	14.00	0.19	14.00
1799	-452	-484	S	--	M	XG	0.00	14.00	0.19	14.00	1799	-484	1301	S	--	M	XG	0.00	14.00	0.19	14.00
1800	342	-12	S	--	M	XG	0.00	14.00	0.10	14.00	1800	-12	-44	S	--	M	XG	0.00	14.00	0.10	14.00
1800	-44	-76	S	--	M	XG	0.00	14.00	0.19	14.00	1800	-76	-108	S	--	M	XG	0.00	14.00	0.19	14.00
1800	-108	-140	S	--	M	XG	0.00	14.00	0.19	14.00	1800	-140	-172	S	--	M	XG	0.00	14.00	0.19	14.00
1800	-172	-204	S	--	M	XG	0.00	14.00	0.19	14.00	1800	-204	-236	S	--	M	XG	0.00	14.00	0.19	14.00
1800	-236	-268	S	--	M	XG	0.00	14.00	0.19	14.00	1800	-268	-300	S	--	M	XG	0.00	14.00	0.19	14.00
1800	-300	-332	S	--	M	XG	0.00	14.00	0.19	14.00	1800	-332	-364	S	--	M	XG	0.00	14.00	0.19	14.00
1800	-364	-396	S	--	M	XG	0.00	14.00	0.19	14.00	1800	-396	-428	S	--	M	XG	0.00	14.00	0.19	14.00
1800	-428	-460	S	--	M	XG	0.00	14.00	0.19	14.00	1800	-460	-492	S	--	M	XG	0.00	14.00	0.19	14.00
1800	-492	1321	S	--	M	XG	0.00	14.00	0.19	14.00	1801	348	-16	S	--	M	XG	0.00	14.00	0.10	14.00
1801	-16	-48	S	--	M	XG	0.00	14.00	0.10	14.00	1801	-48	-80	S	--	M	XG	0.00	14.00	0.19	14.00
1801	-80	-112	S	--	M	XG	0.00	14.00	0.19	14.00	1801	-112	-144	S	--	M	XG	0.00	14.00	0.19	14.00
1801	-144	-176	S	--	M	XG	0.00	14.00	0.19	14.00	1801	-176	-208	S	--	M	XG	0.00	14.00	0.19	14.00
1801	-208	-240	S	--	M	XG	0.00	14.00	0.19	14.00	1801	-240	-272	S	--	M	XG	0.00	14.00	0.19	14.00
1801	-272	-304	S	--	M	XG	0.00	14.00	0.19	14.00	1801	-304	-336	S	--	M	XG	0.00	14.00	0.19	14.00
1801	-336	-368	S	--	M	XG	0.00	14.00	0.19	14.00	1801	-368	-400	S	--	M	XG	0.00	14.00	0.19	14.00
1801	-400	-432	S	--	M	XG	0.00	14.00	0.19	14.00	1801	-432	-464	S	--	M	XG	0.00	14.00	0.19	14.00
1801	-464	-496	S	--	M	XG	0.00	14.00	0.19	14.00	1801	-496	1327	S	--	M	XG	0.00	14.00	0.19	14.00
1802	339	-10	S	--	M	XG	0.00	14.00	0.10	14.00	1802	-10	-42	S	--	M	XG	0.00	14.00	0.10	14.00
1802	-42	-74	S	--	M	XG	0.00	14.00	0.19	14.00	1802	-74	-106	S	--	M	XG	0.00	14.00	0.19	14.00
1802	-106	-138	S	--	M	XG	0.00	14.00	0.19	14.00	1802	-138	-170	S	--	M	XG	0.00	14.00	0.19	14.00

1802	-170	-202	S	--	M	XG	0.00	14.00	0.19	14.00	1802	-202	-234	S	--	M	XG	0.00	14.00	0.19	14.00
1802	-234	-266	S	--	M	XG	0.00	14.00	0.19	14.00	1802	-266	-298	S	--	M	XG	0.00	14.00	0.19	14.00
1802	-298	-330	S	--	M	XG	0.00	14.00	0.19	14.00	1802	-330	-362	S	--	M	XG	0.00	14.00	0.19	14.00
1802	-362	-394	S	--	M	XG	0.00	14.00	0.19	14.00	1802	-394	-426	S	--	M	XG	0.00	14.00	0.19	14.00
1802	-426	-458	S	--	M	XG	0.00	14.00	0.19	14.00	1802	-458	-490	S	--	M	XG	0.00	14.00	0.19	14.00
1802	-490	1318	S	--	M	XG	0.00	14.00	0.19	14.00	1803	315	-2	S	--	M	XG	0.00	14.00	0.10	14.00
1803	-2	-34	S	--	M	XG	0.00	14.00	0.10	14.00	1803	-34	-66	S	--	M	XG	0.00	14.00	0.19	14.00
1803	-66	-98	S	--	M	XG	0.00	14.00	0.19	14.00	1803	-98	-130	S	--	M	XG	0.00	14.00	0.19	14.00
1803	-130	-162	S	--	M	XG	0.00	14.00	0.19	14.00	1803	-162	-194	S	--	M	XG	0.00	14.00	0.19	14.00
1803	-194	-226	S	--	M	XG	0.00	14.00	0.19	14.00	1803	-226	-258	S	--	M	XG	0.00	14.00	0.19	14.00
1803	-258	-290	S	--	M	XG	0.00	14.00	0.19	14.00	1803	-290	-322	S	--	M	XG	0.00	14.00	0.19	14.00
1803	-322	-354	S	--	M	XG	0.00	14.00	0.19	14.00	1803	-354	-386	S	--	M	XG	0.00	14.00	0.19	14.00
1803	-386	-418	S	--	M	XG	0.00	14.00	0.19	14.00	1803	-418	-450	S	--	M	XG	0.00	14.00	0.19	14.00
1803	-450	-482	S	--	M	XG	0.00	14.00	0.19	14.00	1803	-482	1298	S	--	M	XG	0.00	14.00	0.19	14.00
1804	321	-6	S	--	M	XG	0.00	14.00	0.10	14.00	1804	-6	-38	S	--	M	XG	0.00	14.00	0.10	14.00
1804	-38	-70	S	--	M	XG	0.00	14.00	0.19	14.00	1804	-70	-102	S	--	M	XG	0.00	14.00	0.19	14.00
1804	-102	-134	S	--	M	XG	0.00	14.00	0.19	14.00	1804	-134	-166	S	--	M	XG	0.00	14.00	0.19	14.00
1804	-166	-198	S	--	M	XG	0.00	14.00	0.19	14.00	1804	-198	-230	S	--	M	XG	0.00	14.00	0.19	14.00
1804	-230	-262	S	--	M	XG	0.00	14.00	0.19	14.00	1804	-262	-294	S	--	M	XG	0.00	14.00	0.19	14.00
1804	-294	-326	S	--	M	XG	0.00	14.00	0.19	14.00	1804	-326	-358	S	--	M	XG	0.00	14.00	0.19	14.00
1804	-358	-390	S	--	M	XG	0.00	14.00	0.19	14.00	1804	-390	-422	S	--	M	XG	0.00	14.00	0.19	14.00
1804	-422	-454	S	--	M	XG	0.00	14.00	0.19	14.00	1804	-454	-486	S	--	M	XG	0.00	14.00	0.19	14.00
1804	-486	1304	S	--	M	XG	0.00	14.00	0.19	14.00	1805	324	-8	S	--	M	XG	0.00	14.00	0.10	14.00
1805	-8	-40	S	--	M	XG	0.00	14.00	0.10	14.00	1805	-40	-72	S	--	M	XG	0.00	14.00	0.19	14.00
1805	-72	-104	S	--	M	XG	0.00	14.00	0.19	14.00	1805	-104	-136	S	--	M	XG	0.00	14.00	0.19	14.00
1805	-136	-168	S	--	M	XG	0.00	14.00	0.19	14.00	1805	-168	-200	S	--	M	XG	0.00	14.00	0.19	14.00
1805	-200	-232	S	--	M	XG	0.00	14.00	0.19	14.00	1805	-232	-264	S	--	M	XG	0.00	14.00	0.19	14.00
1805	-264	-296	S	--	M	XG	0.00	14.00	0.19	14.00	1805	-296	-328	S	--	M	XG	0.00	14.00	0.19	14.00
1805	-328	-360	S	--	M	XG	0.00	14.00	0.19	14.00	1805	-360	-392	S	--	M	XG	0.00	14.00	0.19	14.00
1805	-392	-424	S	--	M	XG	0.00	14.00	0.19	14.00	1805	-424	-456	S	--	M	XG	0.00	14.00	0.19	14.00

1805	-456	-488	S	--	M	XG	0.00	14.00	0.19	14.00	1805	-488	1307	S	--	M	XG	0.00	14.00	0.19	14.00
1830	351	-18	S	--	M	XG	0.00	14.00	0.10	14.00	1830	-18	-50	S	--	M	XG	0.00	14.00	0.10	14.00
1830	-50	-82	S	--	M	XG	0.00	14.00	0.19	14.00	1830	-82	-114	S	--	M	XG	0.00	14.00	0.19	14.00
1830	-114	-146	S	--	M	XG	0.00	14.00	0.19	14.00	1830	-146	-178	S	--	M	XG	0.00	14.00	0.19	14.00
1830	-178	-210	S	--	M	XG	0.00	14.00	0.19	14.00	1830	-210	-242	S	--	M	XG	0.00	14.00	0.19	14.00
1830	-242	-274	S	--	M	XG	0.00	14.00	0.19	14.00	1830	-274	-306	S	--	M	XG	0.00	14.00	0.19	14.00
1830	-306	-338	S	--	M	XG	0.00	14.00	0.19	14.00	1830	-338	-370	S	--	M	XG	0.00	14.00	0.19	14.00
1830	-370	-402	S	--	M	XG	0.00	14.00	0.19	14.00	1830	-402	-434	S	--	M	XG	0.00	14.00	0.19	14.00
1830	-434	-466	S	--	M	XG	0.00	14.00	0.19	14.00	1830	-466	-498	S	--	M	XG	0.00	14.00	0.19	14.00
1830	-498	1330	S	--	M	XG	0.00	14.00	0.19	14.00	1831	357	-22	S	--	M	XG	0.00	14.00	0.10	14.00
1831	-22	-54	S	--	M	XG	0.00	14.00	0.10	14.00	1831	-54	-86	S	--	M	XG	0.00	14.00	0.19	14.00
1831	-86	-118	S	--	M	XG	0.00	14.00	0.19	14.00	1831	-118	-150	S	--	M	XG	0.00	14.00	0.19	14.00
1831	-150	-182	S	--	M	XG	0.00	14.00	0.19	14.00	1831	-182	-214	S	--	M	XG	0.00	14.00	0.19	14.00
1831	-214	-246	S	--	M	XG	0.00	14.00	0.19	14.00	1831	-246	-278	S	--	M	XG	0.00	14.00	0.19	14.00
1831	-278	-310	S	--	M	XG	0.00	14.00	0.19	14.00	1831	-310	-342	S	--	M	XG	0.00	14.00	0.19	14.00
1831	-342	-374	S	--	M	XG	0.00	14.00	0.19	14.00	1831	-374	-406	S	--	M	XG	0.00	14.00	0.19	14.00
1831	-406	-438	S	--	M	XG	0.00	14.00	0.19	14.00	1831	-438	-470	S	--	M	XG	0.00	14.00	0.19	14.00
1831	-470	-502	S	--	M	XG	0.00	14.00	0.19	14.00	1831	-502	1336	S	--	M	XG	0.00	14.00	0.19	14.00
1832	375	-26	S	--	M	XG	0.00	14.00	0.10	14.00	1832	-26	-58	S	--	M	XG	0.00	14.00	0.10	14.00
1832	-58	-90	S	--	M	XG	0.00	14.00	0.19	14.00	1832	-90	-122	S	--	M	XG	0.00	14.00	0.19	14.00
1832	-122	-154	S	--	M	XG	0.00	14.00	0.19	14.00	1832	-154	-186	S	--	M	XG	0.00	14.00	0.19	14.00
1832	-186	-218	S	--	M	XG	0.00	14.00	0.19	14.00	1832	-218	-250	S	--	M	XG	0.00	14.00	0.19	14.00
1832	-250	-282	S	--	M	XG	0.00	14.00	0.19	14.00	1832	-282	-314	S	--	M	XG	0.00	14.00	0.19	14.00
1832	-314	-346	S	--	M	XG	0.00	14.00	0.19	14.00	1832	-346	-378	S	--	M	XG	0.00	14.00	0.19	14.00
1832	-378	-410	S	--	M	XG	0.00	14.00	0.19	14.00	1832	-410	-442	S	--	M	XG	0.00	14.00	0.19	14.00
1832	-442	-474	S	--	M	XG	0.00	14.00	0.19	14.00	1832	-474	-506	S	--	M	XG	0.00	14.00	0.19	14.00
1832	-506	1350	S	--	M	XG	0.00	14.00	0.19	14.00	1833	384	-32	S	--	M	XG	0.00	14.00	0.10	14.00
1833	-32	-64	S	--	M	XG	0.00	14.00	0.10	14.00	1833	-64	-96	S	--	M	XG	0.00	14.00	0.19	14.00
1833	-96	-128	S	--	M	XG	0.00	14.00	0.19	14.00	1833	-128	-160	S	--	M	XG	0.00	14.00	0.19	14.00
1833	-160	-192	S	--	M	XG	0.00	14.00	0.19	14.00	1833	-192	-224	S	--	M	XG	0.00	14.00	0.19	14.00

1833	-224	-256	S	--	M	XG	0.00	14.00	0.19	14.00	1833	-256	-288	S	--	M	XG	0.00	14.00	0.19	14.00
1833	-288	-320	S	--	M	XG	0.00	14.00	0.19	14.00	1833	-320	-352	S	--	M	XG	0.00	14.00	0.19	14.00
1833	-352	-384	S	--	M	XG	0.00	14.00	0.19	14.00	1833	-384	-416	S	--	M	XG	0.00	14.00	0.19	14.00
1833	-416	-448	S	--	M	XG	0.00	14.00	0.19	14.00	1833	-448	-480	S	--	M	XG	0.00	14.00	0.19	14.00
1833	-480	-512	S	--	M	XG	0.00	14.00	0.19	14.00	1833	-512	1359	S	--	M	XG	0.00	14.00	0.19	14.00
1834	378	-28	S	--	M	XG	0.00	14.00	0.10	14.00	1834	-28	-60	S	--	M	XG	0.00	14.00	0.10	14.00
1834	-60	-92	S	--	M	XG	0.00	14.00	0.19	14.00	1834	-92	-124	S	--	M	XG	0.00	14.00	0.19	14.00
1834	-124	-156	S	--	M	XG	0.00	14.00	0.19	14.00	1834	-156	-188	S	--	M	XG	0.00	14.00	0.19	14.00
1834	-188	-220	S	--	M	XG	0.00	14.00	0.19	14.00	1834	-220	-252	S	--	M	XG	0.00	14.00	0.19	14.00
1834	-252	-284	S	--	M	XG	0.00	14.00	0.19	14.00	1834	-284	-316	S	--	M	XG	0.00	14.00	0.19	14.00
1834	-316	-348	S	--	M	XG	0.00	14.00	0.19	14.00	1834	-348	-380	S	--	M	XG	0.00	14.00	0.19	14.00
1834	-380	-412	S	--	M	XG	0.00	14.00	0.19	14.00	1834	-412	-444	S	--	M	XG	0.00	14.00	0.19	14.00
1834	-444	-476	S	--	M	XG	0.00	14.00	0.19	14.00	1834	-476	-508	S	--	M	XG	0.00	14.00	0.19	14.00
1834	-508	1353	S	--	M	XG	0.00	14.00	0.19	14.00	1835	354	-20	S	--	M	XG	0.00	14.00	0.10	14.00
1835	-20	-52	S	--	M	XG	0.00	14.00	0.10	14.00	1835	-52	-84	S	--	M	XG	0.00	14.00	0.19	14.00
1835	-84	-116	S	--	M	XG	0.00	14.00	0.19	14.00	1835	-116	-148	S	--	M	XG	0.00	14.00	0.19	14.00
1835	-148	-180	S	--	M	XG	0.00	14.00	0.19	14.00	1835	-180	-212	S	--	M	XG	0.00	14.00	0.19	14.00
1835	-212	-244	S	--	M	XG	0.00	14.00	0.19	14.00	1835	-244	-276	S	--	M	XG	0.00	14.00	0.19	14.00
1835	-276	-308	S	--	M	XG	0.00	14.00	0.19	14.00	1835	-308	-340	S	--	M	XG	0.00	14.00	0.19	14.00
1835	-340	-372	S	--	M	XG	0.00	14.00	0.19	14.00	1835	-372	-404	S	--	M	XG	0.00	14.00	0.19	14.00
1835	-404	-436	S	--	M	XG	0.00	14.00	0.19	14.00	1835	-436	-468	S	--	M	XG	0.00	14.00	0.19	14.00
1835	-468	-500	S	--	M	XG	0.00	14.00	0.19	14.00	1835	-500	1333	S	--	M	XG	0.00	14.00	0.19	14.00
1836	360	-24	S	--	M	XG	0.00	14.00	0.10	14.00	1836	-24	-56	S	--	M	XG	0.00	14.00	0.10	14.00
1836	-56	-88	S	--	M	XG	0.00	14.00	0.19	14.00	1836	-88	-120	S	--	M	XG	0.00	14.00	0.19	14.00
1836	-120	-152	S	--	M	XG	0.00	14.00	0.19	14.00	1836	-152	-184	S	--	M	XG	0.00	14.00	0.19	14.00
1836	-184	-216	S	--	M	XG	0.00	14.00	0.19	14.00	1836	-216	-248	S	--	M	XG	0.00	14.00	0.19	14.00
1836	-248	-280	S	--	M	XG	0.00	14.00	0.19	14.00	1836	-280	-312	S	--	M	XG	0.00	14.00	0.19	14.00
1836	-312	-344	S	--	M	XG	0.00	14.00	0.19	14.00	1836	-344	-376	S	--	M	XG	0.00	14.00	0.19	14.00
1836	-376	-408	S	--	M	XG	0.00	14.00	0.19	14.00	1836	-408	-440	S	--	M	XG	0.00	14.00	0.19	14.00
1836	-440	-472	S	--	M	XG	0.00	14.00	0.19	14.00	1836	-472	-504	S	--	M	XG	0.00	14.00	0.19	14.00

1836	-504	1339	S	--	M	XG	0.00	14.00	0.19	14.00	1837	381	-30	S	--	M	XG	0.00	14.00	0.10	14.00
1837	-30	-62	S	--	M	XG	0.00	14.00	0.10	14.00	1837	-62	-94	S	--	M	XG	0.00	14.00	0.19	14.00
1837	-94	-126	S	--	M	XG	0.00	14.00	0.19	14.00	1837	-126	-158	S	--	M	XG	0.00	14.00	0.19	14.00
1837	-158	-190	S	--	M	XG	0.00	14.00	0.19	14.00	1837	-190	-222	S	--	M	XG	0.00	14.00	0.19	14.00
1837	-222	-254	S	--	M	XG	0.00	14.00	0.19	14.00	1837	-254	-286	S	--	M	XG	0.00	14.00	0.19	14.00
1837	-286	-318	S	--	M	XG	0.00	14.00	0.19	14.00	1837	-318	-350	S	--	M	XG	0.00	14.00	0.19	14.00
1837	-350	-382	S	--	M	XG	0.00	14.00	0.19	14.00	1837	-382	-414	S	--	M	XG	0.00	14.00	0.19	14.00
1837	-414	-446	S	--	M	XG	0.00	14.00	0.19	14.00	1837	-446	-478	S	--	M	XG	0.00	14.00	0.19	14.00
1837	-478	-510	S	--	M	XG	0.00	14.00	0.19	14.00	1837	-510	1356	S	--	M	XG	0.00	14.00	0.19	14.00
2386	2002	10	S	--	M	XG	0.00	14.00	0.17	14.00	2386	10	18	S	--	M	XG	0.00	14.00	0.17	14.00
2386	18	2027	S	--	M	XG	0.00	14.00	0.17	14.00	2386	2027	38	S	--	M	XG	0.00	14.00	0.22	14.00
2386	38	46	S	--	M	XG	0.00	14.00	0.22	14.00	2386	46	54	S	--	M	XG	0.00	14.00	0.22	14.00
2386	54	62	S	--	M	XG	0.00	14.00	0.22	14.00	2386	62	70	S	--	M	XG	0.00	14.00	0.22	14.00
2386	70	78	S	--	M	XG	0.00	14.00	0.22	14.00	2386	78	86	S	--	M	XG	0.00	14.00	0.22	14.00
2386	86	94	S	--	M	XG	0.00	14.00	0.22	14.00	2386	94	102	S	--	M	XG	0.00	14.00	0.22	14.00
2386	102	110	S	--	M	XG	0.00	14.00	0.22	14.00	2386	110	118	S	--	M	XG	0.00	14.00	0.22	14.00
2386	118	126	S	--	M	XG	0.00	14.00	0.22	14.00	2386	126	134	S	--	M	XG	0.00	14.00	0.22	14.00
2386	134	142	S	--	M	XG	0.00	14.00	0.22	14.00	2386	142	150	S	--	M	XG	0.00	14.00	0.22	14.00
2386	150	158	S	--	M	XG	0.00	14.00	0.22	14.00	2386	158	166	S	--	M	XG	0.00	14.00	0.22	14.00
2386	166	174	S	--	M	XG	0.00	14.00	0.22	14.00	2386	174	182	S	--	M	XG	0.00	14.00	0.22	14.00
2386	182	190	S	--	M	XG	0.00	14.00	0.22	14.00	2386	190	198	S	--	M	XG	0.00	14.00	0.22	14.00
2386	198	206	S	--	M	XG	0.00	14.00	0.22	14.00	2386	206	214	S	--	M	XG	0.00	14.00	0.22	14.00
2386	214	222	S	--	M	XG	0.00	14.00	0.22	14.00	2386	222	230	S	--	M	XG	0.00	14.00	0.22	14.00
2386	230	238	S	--	M	XG	0.00	14.00	0.22	14.00	2386	238	246	S	--	M	XG	0.00	14.00	0.22	14.00
2386	246	254	S	--	M	XG	0.00	14.00	0.22	14.00	2386	254	262	S	--	M	XG	0.00	14.00	0.22	14.00
2386	262	270	S	--	M	XG	0.00	14.00	0.22	14.00	2386	270	278	S	--	M	XG	0.00	14.00	0.22	14.00
2386	278	2287	S	--	M	XG	0.00	14.00	0.22	14.00	2386	2287	298	S	--	M	XG	0.00	14.00	0.17	14.00
2386	298	306	S	--	M	XG	0.00	14.00	0.17	14.00	2386	306	2314	S	--	M	XG	0.00	14.00	0.17	14.00
2424	2004	12	S	--	M	XG	0.00	14.00	0.17	14.00	2424	12	20	S	--	M	XG	0.00	14.00	0.17	14.00
2424	20	2030	S	--	M	XG	0.00	14.00	0.17	14.00	2424	2030	40	S	--	M	XG	0.00	14.00	0.22	14.00

2424	40	48	S	--	M	XG	0.00	14.00	0.22	14.00	2424	48	56	S	--	M	XG	0.00	14.00	0.22	14.00
2424	56	64	S	--	M	XG	0.00	14.00	0.22	14.00	2424	64	72	S	--	M	XG	0.00	14.00	0.22	14.00
2424	72	80	S	--	M	XG	0.00	14.00	0.22	14.00	2424	80	88	S	--	M	XG	0.00	14.00	0.22	14.00
2424	88	96	S	--	M	XG	0.00	14.00	0.22	14.00	2424	96	104	S	--	M	XG	0.00	14.00	0.22	14.00
2424	104	112	S	--	M	XG	0.00	14.00	0.22	14.00	2424	112	120	S	--	M	XG	0.00	14.00	0.22	14.00
2424	120	128	S	--	M	XG	0.00	14.00	0.22	14.00	2424	128	136	S	--	M	XG	0.00	14.00	0.22	14.00
2424	136	144	S	--	M	XG	0.00	14.00	0.22	14.00	2424	144	152	S	--	M	XG	0.00	14.00	0.22	14.00
2424	152	160	S	--	M	XG	0.00	14.00	0.22	14.00	2424	160	168	S	--	M	XG	0.00	14.00	0.22	14.00
2424	168	176	S	--	M	XG	0.00	14.00	0.22	14.00	2424	176	184	S	--	M	XG	0.00	14.00	0.22	14.00
2424	184	192	S	--	M	XG	0.00	14.00	0.22	14.00	2424	192	200	S	--	M	XG	0.00	14.00	0.22	14.00
2424	200	208	S	--	M	XG	0.00	14.00	0.22	14.00	2424	208	216	S	--	M	XG	0.00	14.00	0.22	14.00
2424	216	224	S	--	M	XG	0.00	14.00	0.22	14.00	2424	224	232	S	--	M	XG	0.00	14.00	0.22	14.00
2424	232	240	S	--	M	XG	0.00	14.00	0.22	14.00	2424	240	248	S	--	M	XG	0.00	14.00	0.22	14.00
2424	248	256	S	--	M	XG	0.00	14.00	0.22	14.00	2424	256	264	S	--	M	XG	0.00	14.00	0.22	14.00
2424	264	272	S	--	M	XG	0.00	14.00	0.22	14.00	2424	272	280	S	--	M	XG	0.00	14.00	0.22	14.00
2424	280	2290	S	--	M	XG	0.00	14.00	0.22	14.00	2424	2290	300	S	--	M	XG	0.00	14.00	0.17	14.00
2424	300	308	S	--	M	XG	0.00	14.00	0.17	14.00	2424	308	2316	S	--	M	XG	0.00	14.00	0.17	14.00
2462	2006	14	S	--	M	XG	0.00	14.00	0.17	14.00	2462	14	22	S	--	M	XG	0.00	14.00	0.17	14.00
2462	22	2033	S	--	M	XG	0.00	14.00	0.17	14.00	2462	2033	42	S	--	M	XG	0.00	14.00	0.22	14.00
2462	42	50	S	--	M	XG	0.00	14.00	0.22	14.00	2462	50	58	S	--	M	XG	0.00	14.00	0.22	14.00
2462	58	66	S	--	M	XG	0.00	14.00	0.22	14.00	2462	66	74	S	--	M	XG	0.00	14.00	0.22	14.00
2462	74	82	S	--	M	XG	0.00	14.00	0.22	14.00	2462	82	90	S	--	M	XG	0.00	14.00	0.22	14.00
2462	90	98	S	--	M	XG	0.00	14.00	0.22	14.00	2462	98	106	S	--	M	XG	0.00	14.00	0.22	14.00
2462	106	114	S	--	M	XG	0.00	14.00	0.22	14.00	2462	114	122	S	--	M	XG	0.00	14.00	0.22	14.00
2462	122	130	S	--	M	XG	0.00	14.00	0.22	14.00	2462	130	138	S	--	M	XG	0.00	14.00	0.22	14.00
2462	138	146	S	--	M	XG	0.00	14.00	0.22	14.00	2462	146	154	S	--	M	XG	0.00	14.00	0.22	14.00
2462	154	162	S	--	M	XG	0.00	14.00	0.22	14.00	2462	162	170	S	--	M	XG	0.00	14.00	0.22	14.00
2462	170	178	S	--	M	XG	0.00	14.00	0.22	14.00	2462	178	186	S	--	M	XG	0.00	14.00	0.22	14.00
2462	186	194	S	--	M	XG	0.00	14.00	0.22	14.00	2462	194	202	S	--	M	XG	0.00	14.00	0.22	14.00
2462	202	210	S	--	M	XG	0.00	14.00	0.22	14.00	2462	210	218	S	--	M	XG	0.00	14.00	0.22	14.00

2462	218	226	S	--	M	XG	0.00	14.00	0.22	14.00	2462	226	234	S	--	M	XG	0.00	14.00	0.22	14.00
2462	234	242	S	--	M	XG	0.00	14.00	0.22	14.00	2462	242	250	S	--	M	XG	0.00	14.00	0.22	14.00
2462	250	258	S	--	M	XG	0.00	14.00	0.22	14.00	2462	258	266	S	--	M	XG	0.00	14.00	0.22	14.00
2462	266	274	S	--	M	XG	0.00	14.00	0.22	14.00	2462	274	282	S	--	M	XG	0.00	14.00	0.22	14.00
2462	282	2293	S	--	M	XG	0.00	14.00	0.22	14.00	2462	2293	302	S	--	M	XG	0.00	14.00	0.17	14.00
2462	302	310	S	--	M	XG	0.00	14.00	0.17	14.00	2462	310	2318	S	--	M	XG	0.00	14.00	0.17	14.00
2500	2008	16	S	--	M	XG	0.00	14.00	0.17	14.00	2500	16	24	S	--	M	XG	0.00	14.00	0.17	14.00
2500	24	2036	S	--	M	XG	0.00	14.00	0.17	14.00	2500	2036	44	S	--	M	XG	0.00	14.00	0.22	14.00
2500	44	52	S	--	M	XG	0.00	14.00	0.22	14.00	2500	52	60	S	--	M	XG	0.00	14.00	0.22	14.00
2500	60	68	S	--	M	XG	0.00	14.00	0.22	14.00	2500	68	76	S	--	M	XG	0.00	14.00	0.22	14.00
2500	76	84	S	--	M	XG	0.00	14.00	0.22	14.00	2500	84	92	S	--	M	XG	0.00	14.00	0.22	14.00
2500	92	100	S	--	M	XG	0.00	14.00	0.22	14.00	2500	100	108	S	--	M	XG	0.00	14.00	0.22	14.00
2500	108	116	S	--	M	XG	0.00	14.00	0.22	14.00	2500	116	124	S	--	M	XG	0.00	14.00	0.22	14.00
2500	124	132	S	--	M	XG	0.00	14.00	0.22	14.00	2500	132	140	S	--	M	XG	0.00	14.00	0.22	14.00
2500	140	148	S	--	M	XG	0.00	14.00	0.22	14.00	2500	148	156	S	--	M	XG	0.00	14.00	0.22	14.00
2500	156	164	S	--	M	XG	0.00	14.00	0.22	14.00	2500	164	172	S	--	M	XG	0.00	14.00	0.22	14.00
2500	172	180	S	--	M	XG	0.00	14.00	0.22	14.00	2500	180	188	S	--	M	XG	0.00	14.00	0.22	14.00
2500	188	196	S	--	M	XG	0.00	14.00	0.22	14.00	2500	196	204	S	--	M	XG	0.00	14.00	0.22	14.00
2500	204	212	S	--	M	XG	0.00	14.00	0.22	14.00	2500	212	220	S	--	M	XG	0.00	14.00	0.22	14.00
2500	220	228	S	--	M	XG	0.00	14.00	0.22	14.00	2500	228	236	S	--	M	XG	0.00	14.00	0.22	14.00
2500	236	244	S	--	M	XG	0.00	14.00	0.22	14.00	2500	244	252	S	--	M	XG	0.00	14.00	0.22	14.00
2500	252	260	S	--	M	XG	0.00	14.00	0.22	14.00	2500	260	268	S	--	M	XG	0.00	14.00	0.22	14.00
2500	268	276	S	--	M	XG	0.00	14.00	0.22	14.00	2500	276	284	S	--	M	XG	0.00	14.00	0.22	14.00
2500	284	2296	S	--	M	XG	0.00	14.00	0.22	14.00	2500	2296	304	S	--	M	XG	0.00	14.00	0.17	14.00
2500	304	312	S	--	M	XG	0.00	14.00	0.17	14.00	2500	312	2320	S	--	M	XG	0.00	14.00	0.17	14.00
4107	3002	-514	S	--	M	XG	0.00	14.00	0.17	14.00	4107	-514	-530	S	--	M	XG	0.00	14.00	0.17	14.00
4107	-530	4027	S	--	M	XG	0.00	14.00	0.17	14.00	4107	4027	-546	S	--	M	XG	0.00	14.00	0.22	14.00
4107	-546	-562	S	--	M	XG	0.00	14.00	0.22	14.00	4107	-562	-578	S	--	M	XG	0.00	14.00	0.22	14.00
4107	-578	-594	S	--	M	XG	0.00	14.00	0.22	14.00	4107	-594	-610	S	--	M	XG	0.00	14.00	0.22	14.00
4107	-610	-626	S	--	M	XG	0.00	14.00	0.22	14.00	4107	-626	-642	S	--	M	XG	0.00	14.00	0.22	14.00

4107	-642	-658	S	--	M	XG	0.00	14.00	0.22	14.00	4107	-658	-674	S	--	M	XG	0.00	14.00	0.22	14.00
4107	-674	-690	S	--	M	XG	0.00	14.00	0.22	14.00	4107	-690	-706	S	--	M	XG	0.00	14.00	0.22	14.00
4107	-706	-722	S	--	M	XG	0.00	14.00	0.22	14.00	4107	-722	-738	S	--	M	XG	0.00	14.00	0.22	14.00
4107	-738	-754	S	--	M	XG	0.00	14.00	0.22	14.00	4107	-754	-770	S	--	M	XG	0.00	14.00	0.22	14.00
4107	-770	-786	S	--	M	XG	0.00	14.00	0.22	14.00	4145	3004	-516	S	--	M	XG	0.00	14.00	0.17	14.00
4145	-516	-532	S	--	M	XG	0.00	14.00	0.17	14.00	4145	-532	4030	S	--	M	XG	0.00	14.00	0.17	14.00
4145	4030	-548	S	--	M	XG	0.00	14.00	0.22	14.00	4145	-548	-564	S	--	M	XG	0.00	14.00	0.22	14.00
4145	-564	-580	S	--	M	XG	0.00	14.00	0.22	14.00	4145	-580	-596	S	--	M	XG	0.00	14.00	0.22	14.00
4145	-596	-612	S	--	M	XG	0.00	14.00	0.22	14.00	4145	-612	-628	S	--	M	XG	0.00	14.00	0.22	14.00
4145	-628	-644	S	--	M	XG	0.00	14.00	0.22	14.00	4145	-644	-660	S	--	M	XG	0.00	14.00	0.22	14.00
4145	-660	-676	S	--	M	XG	0.00	14.00	0.22	14.00	4145	-676	-692	S	--	M	XG	0.00	14.00	0.22	14.00
4145	-692	-708	S	--	M	XG	0.00	14.00	0.22	14.00	4145	-708	-724	S	--	M	XG	0.00	14.00	0.22	14.00
4145	-724	-740	S	--	M	XG	0.00	14.00	0.22	14.00	4145	-740	-756	S	--	M	XG	0.00	14.00	0.22	14.00
4145	-756	-772	S	--	M	XG	0.00	14.00	0.22	14.00	4145	-772	-788	S	--	M	XG	0.00	14.00	0.22	14.00
4183	3006	-518	S	--	M	XG	0.00	14.00	0.17	14.00	4183	-518	-534	S	--	M	XG	0.00	14.00	0.17	14.00
4183	-534	4033	S	--	M	XG	0.00	14.00	0.17	14.00	4183	4033	-550	S	--	M	XG	0.00	14.00	0.22	14.00
4183	-550	-566	S	--	M	XG	0.00	14.00	0.22	14.00	4183	-566	-582	S	--	M	XG	0.00	14.00	0.22	14.00
4183	-582	-598	S	--	M	XG	0.00	14.00	0.22	14.00	4183	-598	-614	S	--	M	XG	0.00	14.00	0.22	14.00
4183	-614	-630	S	--	M	XG	0.00	14.00	0.22	14.00	4183	-630	-646	S	--	M	XG	0.00	14.00	0.22	14.00
4183	-646	-662	S	--	M	XG	0.00	14.00	0.22	14.00	4183	-662	-678	S	--	M	XG	0.00	14.00	0.22	14.00
4183	-678	-694	S	--	M	XG	0.00	14.00	0.22	14.00	4183	-694	-710	S	--	M	XG	0.00	14.00	0.22	14.00
4183	-710	-726	S	--	M	XG	0.00	14.00	0.22	14.00	4183	-726	-742	S	--	M	XG	0.00	14.00	0.22	14.00
4183	-742	-758	S	--	M	XG	0.00	14.00	0.22	14.00	4183	-758	-774	S	--	M	XG	0.00	14.00	0.22	14.00
4183	-774	-790	S	--	M	XG	0.00	14.00	0.22	14.00	4221	3008	-520	S	--	M	XG	0.00	14.00	0.17	14.00
4221	-520	-536	S	--	M	XG	0.00	14.00	0.17	14.00	4221	-536	4036	S	--	M	XG	0.00	14.00	0.17	14.00
4221	4036	-552	S	--	M	XG	0.00	14.00	0.22	14.00	4221	-552	-568	S	--	M	XG	0.00	14.00	0.22	14.00
4221	-568	-584	S	--	M	XG	0.00	14.00	0.22	14.00	4221	-584	-600	S	--	M	XG	0.00	14.00	0.22	14.00
4221	-600	-616	S	--	M	XG	0.00	14.00	0.22	14.00	4221	-616	-632	S	--	M	XG	0.00	14.00	0.22	14.00
4221	-632	-648	S	--	M	XG	0.00	14.00	0.22	14.00	4221	-648	-664	S	--	M	XG	0.00	14.00	0.22	14.00
4221	-664	-680	S	--	M	XG	0.00	14.00	0.22	14.00	4221	-680	-696	S	--	M	XG	0.00	14.00	0.22	14.00

4221	-696	-712	S	--	M	XG	0.00	14.00	0.22	14.00	4221	-712	-728	S	--	M	XG	0.00	14.00	0.22	14.00
4221	-728	-744	S	--	M	XG	0.00	14.00	0.22	14.00	4221	-744	-760	S	--	M	XG	0.00	14.00	0.22	14.00
4221	-760	-776	S	--	M	XG	0.00	14.00	0.22	14.00	4221	-776	-792	S	--	M	XG	0.00	14.00	0.22	14.00
4386	-786	-778	S	--	M	XG	0.00	14.00	0.22	14.00	4386	-778	-762	S	--	M	XG	0.00	14.00	0.22	14.00
4386	-762	-746	S	--	M	XG	0.00	14.00	0.22	14.00	4386	-746	-730	S	--	M	XG	0.00	14.00	0.22	14.00
4386	-730	-714	S	--	M	XG	0.00	14.00	0.22	14.00	4386	-714	-698	S	--	M	XG	0.00	14.00	0.22	14.00
4386	-698	-682	S	--	M	XG	0.00	14.00	0.22	14.00	4386	-682	-666	S	--	M	XG	0.00	14.00	0.22	14.00
4386	-666	-650	S	--	M	XG	0.00	14.00	0.22	14.00	4386	-650	-634	S	--	M	XG	0.00	14.00	0.22	14.00
4386	-634	-618	S	--	M	XG	0.00	14.00	0.22	14.00	4386	-618	-602	S	--	M	XG	0.00	14.00	0.22	14.00
4386	-602	-586	S	--	M	XG	0.00	14.00	0.22	14.00	4386	-586	-570	S	--	M	XG	0.00	14.00	0.22	14.00
4386	-570	-554	S	--	M	XG	0.00	14.00	0.22	14.00	4386	-554	4287	S	--	M	XG	0.00	14.00	0.22	14.00
4386	4287	-538	S	--	M	XG	0.00	14.00	0.17	14.00	4386	-538	-522	S	--	M	XG	0.00	14.00	0.17	14.00
4386	-522	3314	S	--	M	XG	0.00	14.00	0.17	14.00	4424	-788	-780	S	--	M	XG	0.00	14.00	0.22	14.00
4424	-780	-764	S	--	M	XG	0.00	14.00	0.22	14.00	4424	-764	-748	S	--	M	XG	0.00	14.00	0.22	14.00
4424	-748	-732	S	--	M	XG	0.00	14.00	0.22	14.00	4424	-732	-716	S	--	M	XG	0.00	14.00	0.22	14.00
4424	-716	-700	S	--	M	XG	0.00	14.00	0.22	14.00	4424	-700	-684	S	--	M	XG	0.00	14.00	0.22	14.00
4424	-684	-668	S	--	M	XG	0.00	14.00	0.22	14.00	4424	-668	-652	S	--	M	XG	0.00	14.00	0.22	14.00
4424	-652	-636	S	--	M	XG	0.00	14.00	0.22	14.00	4424	-636	-620	S	--	M	XG	0.00	14.00	0.22	14.00
4424	-620	-604	S	--	M	XG	0.00	14.00	0.22	14.00	4424	-604	-588	S	--	M	XG	0.00	14.00	0.22	14.00
4424	-588	-572	S	--	M	XG	0.00	14.00	0.22	14.00	4424	-572	-556	S	--	M	XG	0.00	14.00	0.22	14.00
4424	-556	4290	S	--	M	XG	0.00	14.00	0.22	14.00	4424	4290	-540	S	--	M	XG	0.00	14.00	0.17	14.00
4424	-540	-524	S	--	M	XG	0.00	14.00	0.17	14.00	4424	-524	3316	S	--	M	XG	0.00	14.00	0.17	14.00
4462	-790	-782	S	--	M	XG	0.00	14.00	0.22	14.00	4462	-782	-766	S	--	M	XG	0.00	14.00	0.22	14.00
4462	-766	-750	S	--	M	XG	0.00	14.00	0.22	14.00	4462	-750	-734	S	--	M	XG	0.00	14.00	0.22	14.00
4462	-734	-718	S	--	M	XG	0.00	14.00	0.22	14.00	4462	-718	-702	S	--	M	XG	0.00	14.00	0.22	14.00
4462	-702	-686	S	--	M	XG	0.00	14.00	0.22	14.00	4462	-686	-670	S	--	M	XG	0.00	14.00	0.22	14.00
4462	-670	-654	S	--	M	XG	0.00	14.00	0.22	14.00	4462	-654	-638	S	--	M	XG	0.00	14.00	0.22	14.00
4462	-638	-622	S	--	M	XG	0.00	14.00	0.22	14.00	4462	-622	-606	S	--	M	XG	0.00	14.00	0.22	14.00
4462	-606	-590	S	--	M	XG	0.00	14.00	0.22	14.00	4462	-590	-574	S	--	M	XG	0.00	14.00	0.22	14.00
4462	-574	-558	S	--	M	XG	0.00	14.00	0.22	14.00	4462	-558	4293	S	--	M	XG	0.00	14.00	0.22	14.00

4462	4293	-542	S	--	M	XG	0.00	14.00	0.17	14.00	4462	-542	-526	S	--	M	XG	0.00	14.00	0.17	14.00
4462	-526	3318	S	--	M	XG	0.00	14.00	0.17	14.00	4500	-792	-784	S	--	M	XG	0.00	14.00	0.22	14.00
4500	-784	-768	S	--	M	XG	0.00	14.00	0.22	14.00	4500	-768	-752	S	--	M	XG	0.00	14.00	0.22	14.00
4500	-752	-736	S	--	M	XG	0.00	14.00	0.22	14.00	4500	-736	-720	S	--	M	XG	0.00	14.00	0.22	14.00
4500	-720	-704	S	--	M	XG	0.00	14.00	0.22	14.00	4500	-704	-688	S	--	M	XG	0.00	14.00	0.22	14.00
4500	-688	-672	S	--	M	XG	0.00	14.00	0.22	14.00	4500	-672	-656	S	--	M	XG	0.00	14.00	0.22	14.00
4500	-656	-640	S	--	M	XG	0.00	14.00	0.22	14.00	4500	-640	-624	S	--	M	XG	0.00	14.00	0.22	14.00
4500	-624	-608	S	--	M	XG	0.00	14.00	0.22	14.00	4500	-608	-592	S	--	M	XG	0.00	14.00	0.22	14.00
4500	-592	-576	S	--	M	XG	0.00	14.00	0.22	14.00	4500	-576	-560	S	--	M	XG	0.00	14.00	0.22	14.00
4500	-560	4296	S	--	M	XG	0.00	14.00	0.22	14.00	4500	4296	-544	S	--	M	XG	0.00	14.00	0.17	14.00
4500	-544	-528	S	--	M	XG	0.00	14.00	0.17	14.00	4500	-528	3320	S	--	M	XG	0.00	14.00	0.17	14.00

Risultati del calcolo

Parametri di calcolo

La modellazione della struttura e la rielaborazione dei risultati del calcolo sono stati effettuati con:
ModeSt ver. 8.17, prodotto da Tecnisoft s.a.s. - Prato

La struttura è stata calcolata utilizzando come solutore agli elementi finiti:
Xfinest ver. 2018, prodotto da Ce.A.S. S.r.l. - Milano

Tipo di normativa: stati limite D.M. 18
Tipo di calcolo: analisi sismica dinamica
Vincoli esterni: Considera sempre vincoli assegnati in modellazione
Schematizzazione piani rigidi: nessun impalcato rigido
Modalità di recupero masse secondarie: mantenere sul nodo masse e forze relative

Generazione combinazioni

- Lineari: Sì
- Valuta spostamenti e non sollecitazioni: No
- Buckling: No

Opzioni di calcolo

- Sono state considerate infinitamente rigide le zone di connessione fra travi, pilastri ed elementi bidimensionali con una riduzione del 20%
- Calcolo con offset rigidi dai nodi: No
- Uniformare i carichi variabili: No
- Massimizzare i carichi variabili: No
- Minimo carico da considerare: 0.00 <daN/m>
- Recupero carichi zone rigide: taglio e momento flettente
- Modalità di combinazione momento torcente: disaccoppiare le azioni

Opzioni del solutore

- Tipo di elemento bidimensionale: QF46
- Calcolo sforzo nei nodi: No
- Trascura deformabilità a taglio delle aste: No
- Analisi dinamica con metodo di Lanczos: Sì

- Check sequenza di Sturm: Sì
- Soluzione matrice con metodo ver. 5.1: No
- Analisi non lineare con Newton modificato: No
- Usa formulazione secante per buckling: No
- Trascura buckling torsionale: No

Dati struttura

- Sito di costruzione: Monteroni d'Arbia piazza del re LON. 11.42120 LAT. 43.23080
  Contenuto tra ID reticolo: 22503 22281 22502 22280

Simbologia

TC =Tipo di combinazione di carico
C
- SLU = Stato limite ultimo
- SLU S = Stato limite ultimo (azione sismica)
- SLE R = Stato limite d'esercizio, combinazione rara
- SLE F = Stato limite d'esercizio, combinazione frequente
- SLE Q = Stato limite d'esercizio, combinazione quasi permanente
- SLD = Stato limite di danno
- SLV = Stato limite di salvaguardia della vita
- SLC = Stato limite di prevenzione del collasso
- SLO = Stato limite di operatività
- SLU I = Stato limite di resistenza al fuoco
- SND = Stato limite di salvaguardia della vita (non dissipativo)

T_R =Periodo di ritorno <anni>
Ag =Accelerazione orizzontale massima al sito
FO =Valore massimo del fattore di amplificazione dello spettro in accelerazione orizzontale
TC =Periodo di inizio del tratto a velocità costante dello spettro in accelerazione orizzontale <sec>
*
S_S =Coefficiente di amplificazione stratigrafica
C_C =Coefficiente funzione della categoria del suolo

TC C	T_R	Ag <g>	FO	TC*	S_S	C_C
SLD	50	0.0590	2.54	0.26	1.50	1.64
SLV	475	0.1411	2.49	0.28	1.49	1.60

- Edificio esistente: No
- Tipo di opera: Opera ordinaria
- Vita nominale V_N: 50.00
- Classe d'uso: Classe II
- SL Esercizio: SLO-Pvr No, SLD-Pvr 63.00
- SL Ultimi: SLV-Pvr 10.00, SLC-Pvr No
- Struttura dissipativa: Sì
- Classe di duttilità: Classe B
- Quota di riferimento: 0.00 <m>
- Altezza della struttura: 3.64 <m>
- Numero piani edificio: 0
- Coefficiente θ: 0.00
- Edificio regolare in altezza: Sì
- Edificio regolare in pianta: Sì
- Forze orizzontali convenzionali per stati limite non sismici: No
- Genera stati limite per verifiche di resistenza al fuoco: No

Dati di calcolo

- Categoria del suolo di fondazione: C
- Tipologia strutturale: acciaio a telaio di un piano

Periodo T_1	0.42516
Coeff. λ SLD	1.00
Coeff. λ SLV	1.00
Rapporto di sovraresistenza (α_u/α_1)	1.10
Valore di riferimento del fattore di struttura (q_0)	4.00
Fattore riduttivo (K_w)	1.00
Fattore riduttivo regolarità in altezza (KR)	1.00
Fattore di comportamento dissipativo (q)	4.00
Fattore di comportamento non dissipativo (qND)	1.50
Fattore di comportamento per SLD (qD)	1.50

- Categoria topografica: T1 - Superficie pianeggiante, pendii e rilievi isolati con inclinazione media i<=15°
- Coeff. amplificazione topografica S_T: 1.00
- Fattore di comportamento per sisma verticale (qv): 1.50
- Modalità di calcolo modi di vibrare: Autovalori
- Numero modi: 3
- Modi da considerare: Tutti i modi calcolati
- Smorzamento spettro: 5.00%

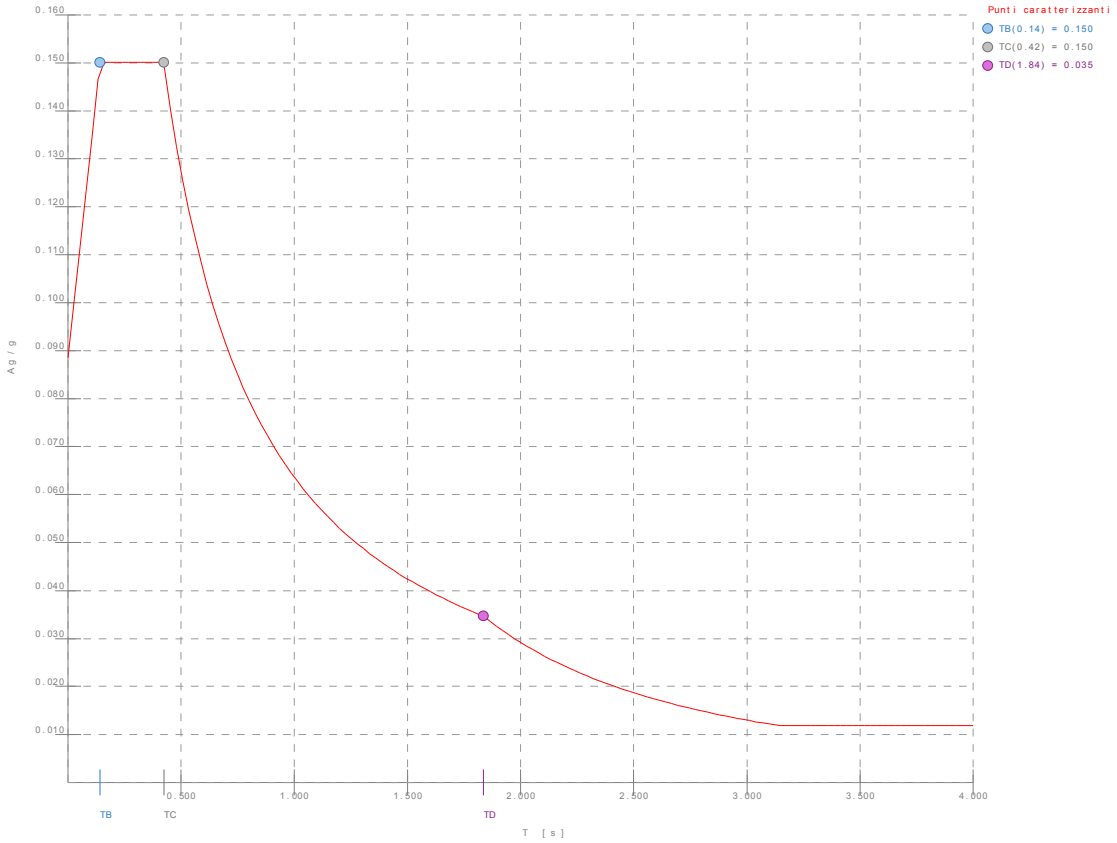


Figura numero 1: Spettro SLD

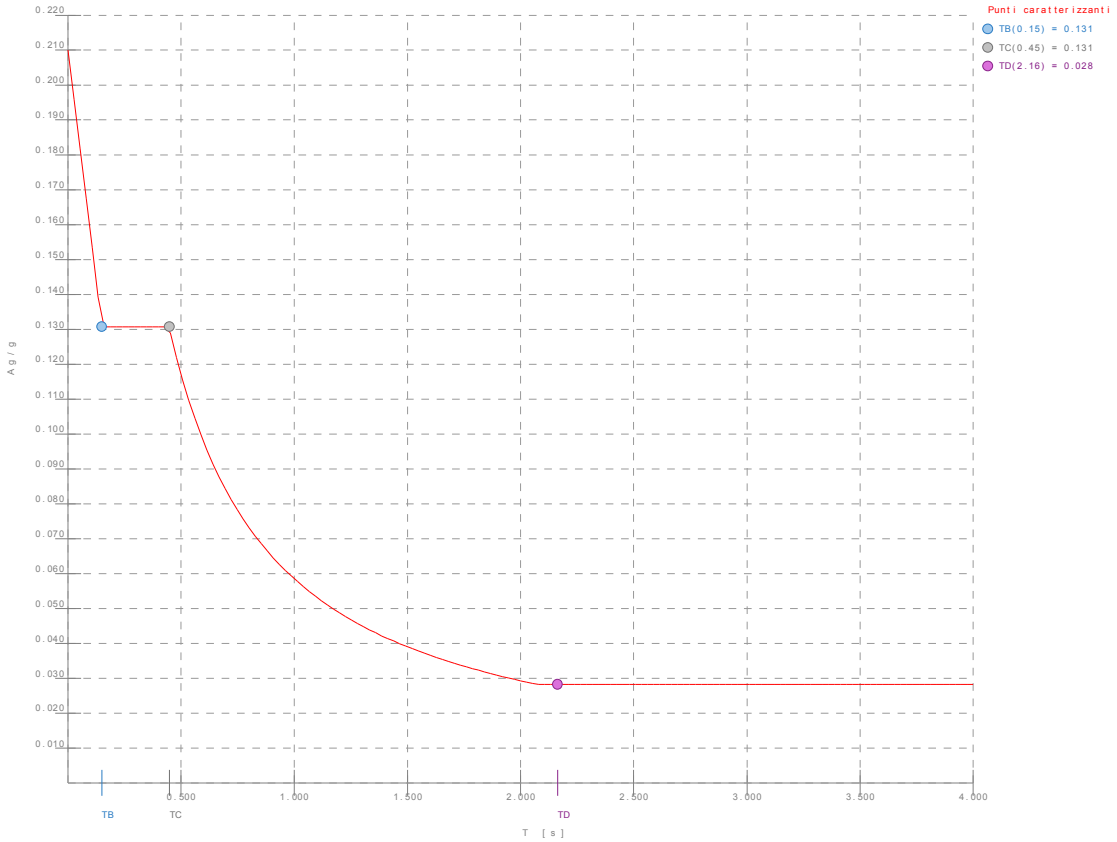


Figura numero 2: Spettro SLV

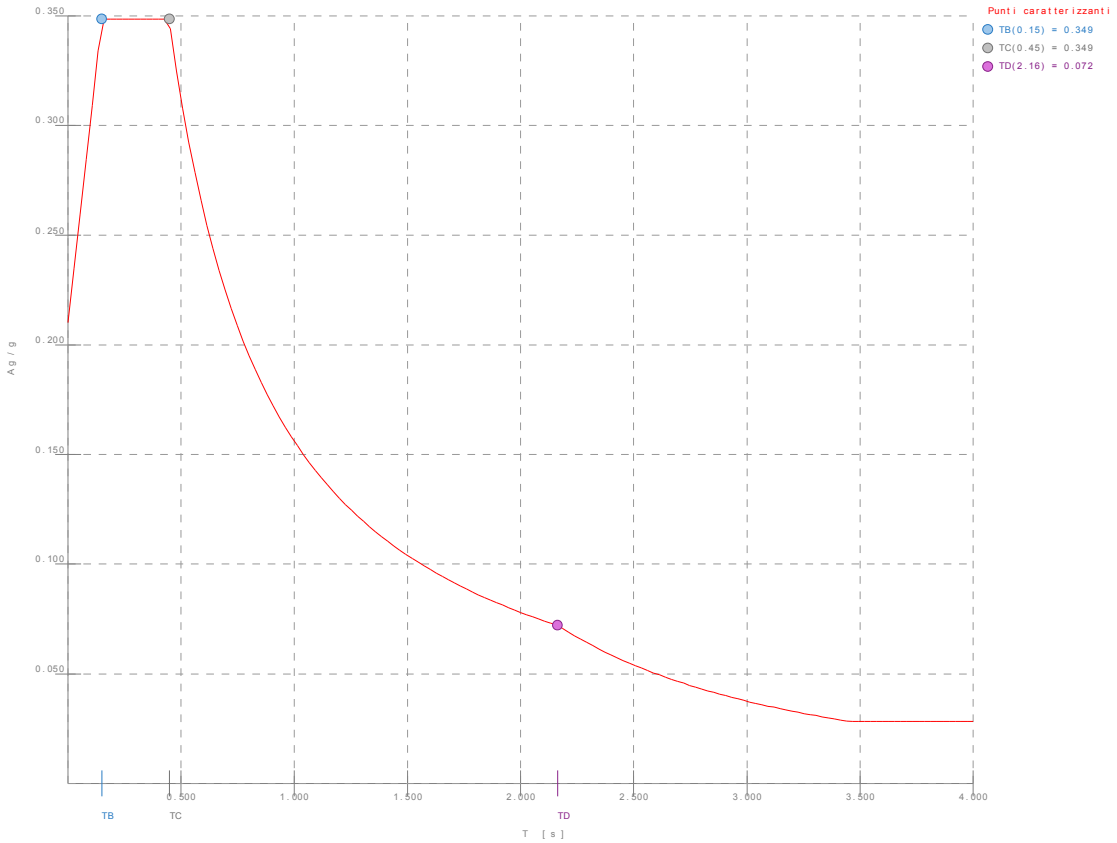


Figura numero 3: Spettro SND

- Angolo di ingresso del sisma: 0.00 <grad>

Condizioni di carico elementari

Simbologia
CCE =Numero della condizione di carico elementare
Comm. =Commento
Tipo CCE =Tipo di CCE per calcolo agli stati limite
Sic. =Contributo alla sicurezza
F = a favore
S = a sfavore
A = ambigua
Var. =Tipo di variabilità
B = di base
I = indipendente
A = ambigua
Dir. =Direzione del vento
Tipo =Tipologia di pressione vento
M = Massimizzata
E = Esterna
I = Interna
Mx =Moltiplicatore della massa in dir. X
My =Moltiplicatore della massa in dir. Y
Mz =Moltiplicatore della massa in dir. Z
Jpx =Moltiplicatore del momento d'inerzia intorno all'asse X
Jpy =Moltiplicatore del momento d'inerzia intorno all'asse Y
Jpz =Moltiplicatore del momento d'inerzia intorno all'asse Z

CCE	Comm.	Tipo CCE	Sic.	Var.	Dir. <grad>	Tipo	Mx	My	Mz	Jpx	Jpy	Jpz
1	permanente strutturale	1	S	--	--	--	1.00	1.00	0.00	0.00	0.00	1.00
2	permanente non strutturale	2	S	--	--	--	1.00	1.00	0.00	0.00	0.00	1.00
3	neve	12	S	A	--	--	1.00	1.00	0.00	0.00	0.00	1.00
4	copertura	19	S	A	--	--	1.00	1.00	0.00	0.00	0.00	1.00
5	vento	11	S	A	0.00	M	0.00	0.00	0.00	0.00	0.00	0.00
6	vento da baso	11	S	A	0.00	M	0.00	0.00	0.00	0.00	0.00	0.00
7	vento longitudinale	11	S	A	0.00	M	0.00	0.00	0.00	0.00	0.00	0.00

Elenco tipi CCE definiti

Simbologia
Tipo CCE =Tipo condizione di carico elementare
Comm. =Commento
Tipo =Tipologia
G = Permanente
Qv = Variabile vento
Q = Variabile
I = Da ignorare
A = Azione eccezionale
P = Precompressione
Durata =Durata del carico
N = Non definita
P = Permanente
L = Lunga
M = Media
B = Breve
I = Istantanea

γ min. =Coeff. $\gamma_{min.}$
γ max =Coeff. γ_{max}
ψ_0 =Coeff. ψ_0
ψ_1 =Coeff. ψ_1
ψ_2 =Coeff. ψ_2
$\psi_{0,s}$ =Coeff. ψ_0 sismico (D.M. 96)

Tipo CCE	Comm.	Tipo	Durata	γ min.	γ max	ψ_0	ψ_1	ψ_2	$\psi_{0,s}$
1	D.M. 18 Permanenti strutturali	G	P	1.00	1.30				
2	D.M. 18 Permanenti non strutturali	G	L	0.80	1.50				
12	D.M. 18 Variabili Neve (a quota <= 1000 m s.l.m.)	Q	M	0.00	1.50	0.50	0.20	0.00	0.00
19	D.M. 18 Variabili Categoria H - Coperture accessibili per sola manutenzione	Q	M	0.00	1.50	0.00	0.00	0.00	1.00
11	D.M. 18 Variabili Vento	Qv	B	0.00	1.50	0.60	0.20	0.00	0.00

Ambienti di carico
Simbologia
N =Numero
Com =Commento
m.
1=permanente strutturale
2=permanente non strutturale
3=neve
4=copertura
5=vento
6=vento da baso
7=vento longitudinale
F =azioni orizzontali convenzionali
SLU =Stato limite ultimo
SLR =Stato limite per combinazioni rare
SLF =Stato limite per combinazioni frequenti
SLQ/D =Stato limite per combinazioni quasi permanenti o di danno
S = Sì
N = No

N	Comm.	1	2	3	4	5	6	7	S	SLU	SLR	SLF	SLQ
1	Calcolo sismico	S	S	S	S	N	N	N	S	S	N	N	N
2	Calcolo statico	S	S	S	S	N	N	N	S	S	S	S	S
3	Vento da 0°	S	S	S	S	S	S	S	N	S	S	S	S

Elenco combinazioni di carico simboliche

Simbologia
CC =Numero della combinazione delle condizioni di carico elementari
Com =Commento
m.
TCC =Tipo di combinazione di carico
SLU = Stato limite ultimo
SLU S = Stato limite ultimo (azione sismica)
SLE R = Stato limite d'esercizio, combinazione rara
SLE F = Stato limite d'esercizio, combinazione frequente
SLE Q = Stato limite d'esercizio, combinazione quasi permanente
SLD = Stato limite di danno
SLV = Stato limite di salvaguardia della vita
SLC = Stato limite di prevenzione del collasso
SLO = Stato limite di operatività
SLU I = Stato limite di resistenza al fuoco
SND = Stato limite di salvaguardia della vita (non dissipativo)

CC	Comm.	TCC	1	2	3	4	5	6	7	±S
1	Amb. 1 (Sisma)	SLU	1	1	ψ_2	ψ_2	-----	-----	-----	1

		S								
2	Amb. 2 (SLU)	SLU	γ max	γ max	ψ_0*γ max	γ max	-----	-----	-----	-----
3	Amb. 2 (SLU)	SLU	γ max	γ max	γ max	ψ_0*γ max	-----	-----	-----	-----
4	Amb. 2 (SLE R)	SLE R	1	1	ψ_0	1	-----	-----	-----	-----
5	Amb. 2 (SLE R)	SLE R	1	1	1	ψ_0	-----	-----	-----	-----
6	Amb. 2 (SLE F)	SLE F	1	1	ψ_2	ψ_1	-----	-----	-----	-----
7	Amb. 2 (SLE F)	SLE F	1	1	ψ_1	ψ_2	-----	-----	-----	-----
8	Amb. 2 (SLE Q)	SLE Q	1	1	ψ_2	ψ_2	-----	-----	-----	-----
9	Amb. 3 (SLU)	SLU	γ max	γ max	ψ_0*γ max	ψ_0*γ max	γ max	γ max	γ max	-----
10	Amb. 3 (SLU)	SLU	γ max	γ max	ψ_0*γ max	γ max	ψ_0*γ max	ψ_0*γ max	ψ_0*γ max	-----
11	Amb. 3 (SLU)	SLU	γ max	γ max	γ max	ψ_0*γ max	ψ_0*γ max	ψ_0*γ max	ψ_0*γ max	-----
12	Amb. 3 (SLE R)	SLE R	1	1	ψ_0	ψ_0	1	1	1	-----
13	Amb. 3 (SLE R)	SLE R	1	1	ψ_0	1	ψ_0	ψ_0	ψ_0	-----
14	Amb. 3 (SLE R)	SLE R	1	1	1	ψ_0	ψ_0	ψ_0	ψ_0	-----
15	Amb. 3 (SLE F)	SLE F	1	1	ψ_2	ψ_2	ψ_1	ψ_1	ψ_1	-----
16	Amb. 3 (SLE F)	SLE F	1	1	ψ_2	ψ_1	ψ_2	ψ_2	ψ_2	-----
17	Amb. 3 (SLE F)	SLE F	1	1	ψ_1	ψ_2	ψ_2	ψ_2	ψ_2	-----
18	Amb. 3 (SLE Q)	SLE Q	1	1	ψ_2	ψ_2	ψ_2	ψ_2	ψ_2	-----

Genera le combinazioni con un solo carico di tipo variabile come di base: Sì

Considera sollecitazioni dinamiche con segno dei modi principali: No

Combinazioni delle CCE

Simbologia

CC =Numero della combinazione delle condizioni di carico elementari
Com =Commento
m.
TCC =Tipo di combinazione di carico
SLU = Stato limite ultimo
SLU S = Stato limite ultimo (azione sismica)
SLE R = Stato limite d'esercizio, combinazione rara
SLE F = Stato limite d'esercizio, combinazione frequente
SLE Q = Stato limite d'esercizio, combinazione quasi permanente
SLD = Stato limite di danno
SLV = Stato limite di salvaguardia della vita
SLC = Stato limite di prevenzione del collasso
SLO = Stato limite di operatività
SLU I = Stato limite di resistenza al fuoco
SND = Stato limite di salvaguardia della vita (non dissipativo)
An. =Tipo di analisi
L = Lineare
NL = Non lineare
Bk =Buckling
S = Sì
N = No

CC	Comm.	TCC	An.	Bk	1	2	3	4	5	6	7	±S X	±S Y
1	Amb. 1 (SLU S) S +X+0.3Y	SLV+SND	L	N	1.00	1.00	0.00	0.00	0.00	0.00	0.00	1.00	0.30
2	Amb. 1 (SLE) S +X+0.3Y	SLD	L	N	1.00	1.00	0.00	0.00	0.00	0.00	0.00	1.00	0.30
3	Amb. 1 (SLU S) S +X-0.3Y	SLV+SND	L	N	1.00	1.00	0.00	0.00	0.00	0.00	0.00	1.00	-0.30
4	Amb. 1 (SLE) S +X-0.3Y	SLD	L	N	1.00	1.00	0.00	0.00	0.00	0.00	0.00	1.00	-0.30
5	Amb. 1 (SLU S) S +0.3X+Y	SLV+SND	L	N	1.00	1.00	0.00	0.00	0.00	0.00	0.00	0.30	1.00
6	Amb. 1 (SLE) S +0.3X+Y	SLD	L	N	1.00	1.00	0.00	0.00	0.00	0.00	0.00	0.30	1.00
7	Amb. 1 (SLU S) S -0.3X+Y	SLV+SND	L	N	1.00	1.00	0.00	0.00	0.00	0.00	0.00	-0.30	1.00
8	Amb. 1 (SLE) S -0.3X+Y	SLD	L	N	1.00	1.00	0.00	0.00	0.00	0.00	0.00	-0.30	1.00
9	Amb. 2 (SLU)	SLU	L	N	1.30	1.50	0.75	1.50	0.00	0.00	0.00	0.00	0.00
10	Amb. 2 (SLU)	SLU	L	N	1.30	1.50	1.50	0.00	0.00	0.00	0.00	0.00	0.00
11	Amb. 2 (SLE R)	SLE R	L	N	1.00	1.00	0.50	1.00	0.00	0.00	0.00	0.00	0.00
12	Amb. 2 (SLE R)	SLE R	L	N	1.00	1.00	1.00	0.00	0.00	0.00	0.00	0.00	0.00
13	Amb. 2 (SLE F)	SLE F	L	N	1.00	1.00	0.00	0.00	0.00	0.00	0.00	0.00	0.00
14	Amb. 2 (SLE F)	SLE F	L	N	1.00	1.00	0.20	0.00	0.00	0.00	0.00	0.00	0.00
15	Amb. 2 (SLE Q)	SLE Q	L	N	1.00	1.00	0.00	0.00	0.00	0.00	0.00	0.00	0.00
16	Amb. 3 (SLU)	SLU	L	N	1.30	1.50	0.75	0.00	1.50	-1.50	0.00	0.00	0.00
17		SLU	L	N	1.30	1.50	0.75	0.00	0.00	0.00	1.50	0.00	0.00
18	Amb. 3 (SLU)	SLU	L	N	1.30	1.50	0.75	1.50	0.90	-0.90	0.00	0.00	0.00
19		SLU	L	N	1.30	1.50	0.75	1.50	0.00	0.00	0.90	0.00	0.00
20	Amb. 3 (SLU)	SLU	L	N	1.30	1.50	1.50	0.00	0.90	-0.90	0.00	0.00	0.00
21		SLE R	L	N	1.30	1.50	1.50	0.00	0.00	0.00	0.90	0.00	0.00
22	Amb. 3 (SLE R)	SLE R	L	N	1.00	1.00	0.50	0.00	1.00	-1.00	0.00	0.00	0.00
23		SLE R	L	N	1.00	1.00	0.50	0.00	0.00	0.00	1.00	0.00	0.00
24	Amb. 3 (SLE R)	SLE R	L	N	1.00	1.00	0.50	1.00	0.60	-0.60	0.00	0.00	0.00
25		SLE R	L	N	1.00	1.00	0.50	1.00	0.00	0.00	0.60	0.00	0.00
26	Amb. 3 (SLE R)	SLE R	L	N	1.00	1.00	1.00	0.00	0.60	-0.60	0.00	0.00	0.00
27		SLE F	L	N	1.00	1.00	1.00	0.00	0.00	0.00	0.60	0.00	0.00
28	Amb. 3 (SLE F)	SLE F	L	N	1.00	1.00	0.00	0.00	0.20	-0.20	0.00	0.00	0.00
29		SLE F	L	N	1.00	1.00	0.00	0.00	0.00	0.00	0.20	0.00	0.00
30	Amb. 3 (SLE F)	SLE F	L	N	1.00	1.00	0.00	0.00	0.00	0.00	0.00	0.00	0.00
31	Amb. 3 (SLE F)	SLE F	L	N	1.00	1.00	0.20	0.00	0.00	0.00	0.00	0.00	0.00
32	Amb. 3 (SLE Q)	SLE Q	L	N	1.00	1.00	0.00	0.00	0.00	0.00	0.00	0.00	0.00

Elenco masse nodi

Simbologia

Nodo =Numero del nodo

Mo =Massa orizzontale

Nodo	Mo <kg>	Nodo	Mo <kg>	Nodo	Mo <kg>	Nodo	Mo <kg>	Nodo	Mo <kg>	Nodo	Mo <kg>	Nodo	Mo <kg>	Nodo	Mo <kg>	Nodo	Mo <kg>	Nodo	Mo <kg>
-825	23.90	-824	28.99	-823	38.20	-822	31.13	-821	38.20	-820	31.13	-819	38.20	-818	31.13	-817	38.20	-816	28.99
-815	23.90	-814	25.45	-813	30.87	-812	40.57	-811	33.15	-810	40.57	-809	33.15	-808	40.57	-807	33.15	-806	40.57
-805	30.87	-804	25.45	-803	23.90	-802	28.99	-801	38.20	-800	31.13	-799	38.20	-798	31.13	-797	38.20	-796	31.13
-795	23.90	-794	28.99	-793	38.20	-792	2.98	-791	24.63	-790	24.63	-789	25.98	-788	25.98	-787	24.63	-786	24.63
-785	2.98	-784	1.73	-783	4.28	-782	4.28	-781	4.44	-780	4.44	-779	4.28	-778	4.28	-777	1.73	-776	1.73
-775	4.28	-774	4.28	-773	4.44	-772	4.44	-771	4.28	-770	4.28	-769	1.73	-768	1.69	-767	4.24	-766	4.24
-765	4.41	-764	4.41	-763	4.24	-762	4.24	-761	1.69	-760	1.69	-759	4.24	-758	4.24	-757	4.41	-756	4.41
-755	4.24	-754	4.24	-753	1.69	-752	1.66	-751	4.21	-750	4.21	-749	4.37	-748	4.37	-747	4.21	-746	4.21
-745	1.66	-744	1.66	-743	4.21	-742	4.21	-741	4.37	-740	4.37	-739	4.21	-738	4.21	-737	1.66	-736	2.84
-735	20.95	-734	20.95	-733	22.13	-732	22.13	-731	20.95	-730	20.95	-729	2.84	-728	2.84	-727	20.95	-726	20.95
-725	22.13	-724	22.13	-723	20.95	-722	20.95	-721	2.84	-720	1.59	-719	4.14	-718	4.14	-717	4.30	-716	4.30
-715	4.14	-714	4.14	-713	1.59	-712	1.59	-711	4.14	-710	4.14	-709	4.30	-708	4.30	-707	4.14	-706	4.14

-705	1.59	-704	1.55	-703	4.10	-702	4.10	-701	4.27	-700	4.27	-699	4.10	-698	4.10	-697	1.55	-696	1.55
-695	4.10	-694	4.10	-693	4.27	-692	4.27	-691	4.10	-690	4.10	-689	1.55	-688	1.52	-687	4.07	-686	4.07
-685	4.23	-684	4.23	-683	4.07	-682	4.07	-681	1.52	-680	1.52	-679	4.07	-678	4.07	-677	4.23	-676	4.23
-675	4.07	-674	4.07	-673	1.52	-672	2.70	-671	24.34	-670	24.34	-669	25.70	-668	25.70	-667	24.34	-666	24.34
-665	2.70	-664	2.70	-663	24.34	-662	24.34	-661	25.70	-660	25.70	-659	24.34	-658	24.34	-657	2.70	-656	1.45
-655	4.00	-654	4.00	-653	4.16	-652	4.16	-651	4.00	-650	4.00	-649	1.45	-648	1.45	-647	4.00	-646	4.00
-645	4.16	-644	4.16	-643	4.00	-642	4.00	-641	1.45	-640	1.41	-639	3.96	-638	3.96	-637	4.13	-636	4.13
-635	3.96	-634	3.96	-633	1.41	-632	1.41	-631	3.96	-630	3.96	-629	4.13	-628	4.13	-627	3.96	-626	3.96
-625	1.41	-624	1.38	-623	3.93	-622	3.93	-621	4.09	-620	4.09	-619	3.93	-618	3.93	-617	1.38	-616	1.38
-615	3.93	-614	3.93	-613	4.09	-612	4.09	-611	3.93	-610	3.93	-609	1.38	-608	2.56	-607	20.67	-606	20.67
-605	21.85	-604	21.85	-603	20.67	-602	20.67	-601	2.56	-600	2.56	-599	20.67	-598	20.67	-597	21.85	-596	21.85
-595	20.67	-594	20.67	-593	2.56	-592	1.31	-591	3.86	-590	3.86	-589	4.02	-588	4.02	-587	3.86	-586	3.86
-585	1.31	-584	1.31	-583	3.86	-582	3.86	-581	4.02	-580	4.02	-579	3.86	-578	3.86	-577	1.31	-576	1.27
-575	3.82	-574	3.82	-573	3.99	-572	3.99	-571	3.82	-570	3.82	-569	1.27	-568	1.27	-567	3.82	-566	3.82
-565	3.99	-564	3.99	-563	3.82	-562	3.82	-561	1.27	-560	1.24	-559	3.79	-558	3.79	-557	3.95	-556	3.95
-555	3.79	-554	3.79	-553	1.24	-552	1.24	-551	3.79	-550	3.79	-549	3.95	-548	3.95	-547	3.79	-546	3.79
-545	1.24	-544	1.77	-543	3.74	-542	3.74	-541	3.87	-540	3.87	-539	3.74	-538	3.74	-537	1.77	-536	1.77
-535	3.74	-534	3.74	-533	3.87	-532	3.87	-531	3.74	-530	3.17	-529	1.20	-528	1.75	-527	3.72	-526	3.72
-525	3.84	-524	3.84	-523	3.72	-522	3.72	-521	1.75	-520	2.13	-519	3.72	-518	4.10	-517	3.84	-516	4.23
-515	3.72	-514	4.10	-513	1.75	-512	2.23	-511	2.23	-510	2.23	-509	2.23	-508	2.23	-507	2.23	-506	2.23
-505	2.23	-504	2.23	-503	2.23	-502	2.23	-501	2.23	-500	2.23	-499	2.23	-498	2.23	-497	2.23	-496	2.23
-495	2.23	-494	2.23	-493	2.23	-492	2.23	-491	2.23	-490	2.23	-489	2.23	-488	2.23	-487	2.23	-486	2.23
-485	2.23	-484	2.23	-483	2.23	-482	2.23	-481	2.23	-480	2.25	-479	2.25	-478	2.25	-477	2.25	-476	2.25
-475	2.25	-474	2.25	-473	2.25	-472	2.25	-471	2.25	-470	2.25	-469	2.25	-468	2.25	-467	2.25	-466	2.25
-465	2.25	-464	2.25	-463	2.25	-462	2.25	-461	2.25	-460	2.25	-459	2.25	-458	2.25	-457	2.25	-456	2.25
-455	2.25	-454	2.25	-453	2.25	-452	2.25	-451	2.25	-450	2.25	-449	2.25	-448	2.28	-447	2.28	-446	2.28
-445	2.28	-444	2.28	-443	2.28	-442	2.28	-441	2.28	-440	2.28	-439	2.28	-438	2.28	-437	2.28	-436	2.28
-435	2.28	-434	2.28	-433	2.28	-432	2.28	-431	2.28	-430	2.28	-429	2.28	-428	2.28	-427	2.28	-426	2.28
-425	2.28	-424	2.28	-423	2.28	-422	2.28	-421	2.28	-420	2.28	-419	2.28	-418	2.28	-417	2.28	-416	2.30
-415	2.30	-414	2.30	-413	2.30	-412	2.30	-411	2.30	-410	2.30	-409	2.30	-408	2.30	-407	2.30	-406	2.30
-405	2.30	-404	2.30	-403	2.30	-402	2.30	-401	2.30	-400	2.30	-399	2.30	-398	2.30	-397	2.30	-396	2.30
-395	2.30	-394	2.30	-393	2.30	-392	2.30	-391	2.30	-390	2.30	-389	2.30	-388	2.30	-387	2.30	-386	2.30
-385	2.30	-384	2.33	-383	2.33	-382	2.33	-381	2.33	-380	2.33	-379	2.33	-378	2.33	-377	2.33	-376	2.33
-375	2.33	-374	2.33	-373	2.33	-372	2.33	-371	2.33	-370	2.33	-369	2.33	-368	2.33	-367	2.33	-366	2.33
-365	2.33	-364	2.33	-363	2.33	-362	2.33	-361	2.33	-360	2.33	-359	2.33	-358	2.33	-357	2.33	-356	2.33
-355	2.33	-354	2.33	-353	2.33	-352	2.35	-351	2.35	-350	2.35	-349	2.35	-348	2.35	-347	2.35	-346	2.35
-345	2.35	-344	2.35	-343	2.35	-342	2.35	-341	2.35	-340	2.35	-339	2.35	-338	2.35	-337	2.35	-336	2.35
-335	2.35	-334	2.35	-333	2.35	-332	2.35	-331	2.35	-330	2.35	-329	2.35	-328	2.35	-327	2.35	-326	2.35
-325	2.35	-324	2.35	-323	2.35	-322	2.35	-321	2.35	-320	2.38	-319	2.38	-318	2.38	-317	2.38	-316	2.38
-315	2.38	-314	2.38	-313	2.38	-312	2.38	-311	2.38	-310	2.38	-309	2.38	-308	2.38	-307	2.38	-306	2.38
-305	2.38	-304	2.38	-303	2.38	-302	2.38	-301	2.38	-300	2.38	-299	2.38	-298	2.38	-297	2.38	-296	2.38
-295	2.38	-294	2.38	-293	2.38	-292	2.38	-291	2.38	-290	2.38	-289	2.38	-288	2.40	-287	2.40	-286	2.40
-285	2.40	-284	2.40	-283	2.40	-282	2.40	-281	2.40	-280	2.40	-279	2.40	-278	2.40	-277	2.40	-276	2.40
-275	2.40	-274	2.40	-273	2.40	-272	2.40	-271	2.40	-270	2.40	-269	2.40	-268	2.40	-267	2.40	-266	2.40
-265	2.40	-264	2.40	-263	2.40	-262	2.40	-261	2.40	-260	2.40	-259	2.40	-258	2.40	-257	2.40	-256	2.43
-255	2.43	-254	2.43	-253	2.43	-252	2.43	-251	2.43	-250	2.43	-249	2.43	-248	2.43	-247	2.43	-246	2.43
-245	2.43	-244	2.43	-243	2.43	-242	2.43	-241	2.43	-240	2.43	-239	2.43	-238	2.43	-237	2.43	-236	2.43
-235	2.43	-234	2.43	-233	2.43	-232	2.43	-231	2.43	-230	2.43	-229	2.43	-228	2.43	-227	2.43	-226	2.43
-225	2.43	-224	2.45	-223	2.45	-222	2.45	-221	2.45	-220	2.45	-219	2.45	-218	2.45	-217	2.45	-216	2.45
-215	2.45	-214	2.45	-213	2.45	-212	2.45	-211	2.45	-210	2.45	-209	2.45	-208	2.45	-207	2.45	-206	2.45
-205	2.45	-204	2.45	-203	2.45	-202	2.45	-201	2.45	-200	2.45	-199	2.45	-198	2.45	-197	2.45	-196	2.45
-195	2.45	-194	2.45	-193	2.45	-192	2.48	-191	2.48	-190	2.48	-189	2.48	-188	2.48	-187	2.48	-186	2.48
-185	2.48	-184	2.48	-183	2.48	-182	2.48	-181	2.48	-180	2.48	-179	2.48	-178	2.48	-177	2.48	-176	2.48
-175	2.48	-174	2.48	-173	2.48	-172	2.48	-171	2.48	-170	2.48	-169	2.48	-168	2.48	-167	2.48	-166	2.48
-165	2.48	-164	2.48	-163	2.48	-162	2.48	-161	2.48	-160	2.50	-159	2.50	-158	2.50	-157	2.50	-156	2.50
-155	2.50	-154	2.50	-153	2.50	-152	2.50	-151	2.50	-150	2.50	-149	2.50	-148	2.50	-147	2.50	-146	2.50
-145	2.50	-144	2.50	-143	2.50	-142	2.50	-141	2.50	-140	2.50	-139	2.50	-138	2.50	-137	2.50	-136	2.50
-135	2.50	-134	2.50	-133	2.50	-132	2.50	-131	2.50	-130	2.50	-129	2.50	-128	2.53	-127	2.53	-126	2.53
-125	2.53	-124	2.53	-123	2.53	-122	2.53	-121	2.53	-120	2.53	-119	2.53	-118	2.53	-117	2.53	-116	2.53

-115	2.53	-114	2.53	-113	2.53	-112	2.53	-111	2.53	-110	2.53	-109	2.53	-108	2.53	-107	2.53	-106	2.53
-105	2.53	-104	2.53	-103	2.53	-102	2.53	-101	2.53	-100	2.53	-99	2.53	-98	2.53	-97	2.53	-96	2.53
-95	2.55	-94	2.55	-93	2.55	-92	2.55	-91	2.55	-90	2.55	-89	2.55	-88	2.55	-87	2.55	-86	2.55
-85	2.55	-84	2.55	-83	2.55	-82	2.55	-81	2.55	-80	2.55	-79	2.55	-78	2.55	-77	2.55	-76	2.55
-75	2.55	-74	2.55	-73	2.55	-72	2.55	-71	2.55	-70	2.55	-69	2.55	-68	2.55	-67	2.55	-66	2.55
-65	2.55	-64	3.40	-63	3.40	-62	3.40	-61	3.40	-60	3.40	-59	3.40	-58	3.40	-57	3.40	-56	3.40
-55	3.40	-54	3.40	-53	3.40	-52	3.40	-51	3.40	-50	3.40	-49	3.40	-48	3.40	-47	3.40	-46	3.40
-45	3.40	-44	3.40	-43	3.40	-42	3.40	-41	3.40	-40	3.40	-39	3.40	-38	3.40	-37	3.40	-36	3.40
-35	3.40	-34	3.40	-33	3.40	-32	3.08	-31	3.08	-30	3.08	-29	3.08	-28	3.08	-27	3.08	-26	3.08
-25	3.08	-24	3.08	-23	3.08	-22	3.08	-21	3.08	-20	3.08	-19	3.08	-18	3.08	-17	3.08	-16	3.08
-15	3.08	-14	3.08	-13	3.08	-12	3.08	-11	3.08	-10	3.08	-9	3.08	-8	3.08	-7	3.08	-6	3.08
-5	3.08	-4	3.08	-3	3.08	-2	3.08	-1	3.08	9	0.85	10	0.85	11	0.85	12	0.85	13	0.85
14	0.85	15	0.85	16	0.85	17	0.88	18	1.26	19	0.88	20	1.26	21	0.88	22	1.26	23	0.88
24	1.26	37	1.14	38	1.14	39	1.14	40	1.14	41	1.14	42	1.14	43	1.14	44	1.14	45	1.17
46	1.17	47	1.17	48	1.17	49	1.17	50	1.17	51	1.17	52	1.17	53	1.21	54	1.21	55	1.21
56	1.21	57	1.21	58	1.21	59	1.21	60	1.21	61	1.24	62	1.24	63	1.24	64	1.24	65	1.24
66	1.24	67	1.24	68	1.24	69	1.28	70	1.28	71	1.28	72	1.28	73	1.28	74	1.28	75	1.28
76	1.28	77	1.31	78	1.31	79	1.31	80	1.31	81	1.31	82	1.31	83	1.31	84	1.31	85	1.35
86	1.35	87	1.35	88	1.35	89	1.35	90	1.35	91	1.35	92	1.35	93	1.38	94	1.38	95	1.38
96	1.38	97	1.38	98	1.38	99	1.38	100	1.38	101	1.42	102	1.42	103	1.42	104	1.42	105	1.42
106	1.42	107	1.42	108	1.42	109	1.45	110	1.45	111	1.45	112	1.45	113	1.45	114	1.45	115	1.45
116	1.45	117	1.49	118	1.49	119	1.49	120	1.49	121	1.49	122	1.49	123	1.49	124	1.49	125	1.52
126	1.52	127	1.52	128	1.52	129	1.52	130	1.52	131	1.52	132	1.52	133	1.56	134	1.56	135	1.56
136	1.56	137	1.56	138	1.56	139	1.56	140	1.56	141	1.59	142	1.59	143	1.59	144	1.59	145	1.59
146	1.59	147	1.59	148	1.59	149	1.63	150	1.63	151	1.63	152	1.63	153	1.63	154	1.63	155	1.63
156	1.63	157	1.66	158	1.66	159	1.66	160	1.66	161	1.66	162	1.66	163	1.66	164	1.66	165	1.63
166	1.63	167	1.63	168	1.63	169	1.63	170	1.63	171	1.63	172	1.63	173	1.59	174	1.59	175	1.59
176	1.59	177	1.59	178	1.59	179	1.59	180	1.59	181	1.56	182	1.56	183	1.56	184	1.56	185	1.56
186	1.56	187	1.56	188	1.56	189	1.52	190	1.52	191	1.52	192	1.52	193	1.52	194	1.52	195	1.52
196	1.52	197	1.49	198	1.49	199	1.49	200	1.49	201	1.49	202	1.49	203	1.49	204	1.49	205	1.45
206	1.45	207	1.45	208	1.45	209	1.45	210	1.45	211	1.45	212	1.45	213	1.42	214	1.42	215	1.42
216	1.42	217	1.42	218	1.42	219	1.42	220	1.42	221	1.38	222	1.38	223	1.38	224	1.38	225	1.38
226	1.38	227	1.38	228	1.38	229	1.35	230	1.35	231	1.35	232	1.35	233	1.35	234	1.35	235	1.35
236	1.35	237	1.31	238	1.31	239	1.31	240	1.31	241	1.31	242	1.31	243	1.31	244	1.31	245	1.28
246	1.28	247	1.28	248	1.28	249	1.28	250	1.28	251	1.28	252	1.28	253	1.24	254	1.24	255	1.24
256	1.24	257	1.24	258	1.24	259	1.24	260	1.24	261	1.21	262	1.21	263	1.21	264	1.21	265	1.21
266	1.21	267	1.21	268	1.21	269	1.17	270	1.17	271	1.17	272	1.17	273	1.17	274	1.17	275	1.17
276	1.17	277	1.14	278	1.14	279	1.14	280	1.14	281	1.14	282	1.14	283	1.14	284	1.14	297	0.88
298	0.88	299	0.88	300	0.88	301	0.88	302	0.88	303	0.88	304	0.88	305	0.85	306	0.85	307	0.85
308	0.85	309	0.85	310	0.85	311	0.85	312	0.85	1026	3.64	1029	3.64	1032	3.64	1035	3.64	1286	3.64
1289	3.64	1292	3.64	1295	3.64	1296	1.94	1297	0.72	1298	1.94	1299	1.94	1300	0.72	1301	1.94	1302	1.94
1303	0.72	1304	1.94	1305	1.94	1306	0.72	1307	1.94	1308	0.72	1309	0.72	1310	0.72	1311	0.72	1312	0.72
1313	0.72	1314	0.72	1315	0.72	1316	1.94	1317	0.72	1318	1.94	1319	1.94	1320	0.72	1321	1.94	1322	1.94
1323	0.72	1324	1.94	1325	1.94	1326	0.72	1327	1.94	1328	1.94	1329	0.72	1330	1.94	1331	1.94	1332	0.72
1333	1.94	1334	1.94	1335	0.72	1336	1.94	1337	1.94	1338	0.72	1339	1.94	1340	0.72	1341	0.72	1342	0.72
1343	0.72	1344	0.72	1345	0.72	1346	0.72	1347	0.72	1348	1.94	1349	0.72	1350	1.94	1351	1.94	1352	0.72
1353	1.94	1354	1.94	1355	0.72	1356	1.94	1357	1.94	1358	0.72	1359	1.94	2001	0.49	2002	0.49	2003	0.49
2004	0.49	2005	0.49	2006	0.49	2007	0.49	2008	0.49	2025	1.22	2026	3.41	2027	1.22	2028	1.22	2029	3.41
2030	1.22	2031	1.22	2032	3.41	2033	1.22	2034	1.22	2035	3.41	2036	1.22	2285	1.22	2286	3.41	2287	1.22
2288	1.22	2289	3.41	2290	1.22	2291	1.22	2292	3.41	2293	1.22	2294	1.22	2295	3.41	2296	1.22	2313	0.49
2314	0.49	2315	0.49	2316	0.49	2317	0.49	2318	0.49	2319	0.49	2320	0.49	3001	1.46	3002	14.40	3003	14.40
3004	15.24	3005	15.24	3006	14.40	3007	14.40	3008	1.46	3313	1.46	3314	14.40	3315	14.40	3316	15.24	3317	15.24
3318	14.40	3319	14.40	3320	1.46	4025	1.47	4026	2.12	4027	19.99	4028	19.99	4029	2.12	4030	21.16	4031	21.16
4032	2.12	4033	19.99	4034	19.99	4035	2.12	4036	1.47	4285	1.47	4286	2.12	4287	19.99	4288	19.99	4289	2.12
4290	21.16	4291	21.16	4292	2.12	4293	19.99	4294	19.99	4295	2.12	4296	1.47						

Totali masse nodi

Mo <kg>

5110.00

Elenco modi di vibrare, masse partecipanti e coefficienti di partecipazione

Simbologia
Modo =Numero del modo di vibrare
C =* indica che il modo è stato considerato
Per. =Periodo
Diff. =Minima differenza percentuale dagli altri periodi
Φx =Coefficiente di partecipazione in dir. X
Φy =Coefficiente di partecipazione in dir. Y
Φz =Coefficiente di partecipazione in dir. Z
%Mx =Percentuale massa partecipante in dir. X
%My =Percentuale massa partecipante in dir. Y
%Mz =Percentuale massa partecipante in dir. Z
%Jpz =Percentuale momento d'inerzia polare partecipante intorno all'asse Z

Modo	C	Per.	Diff.	Φx	Φy	Φz	%Mx	%My	%Mz	%Jpz
1	*	0.43	130.41	-0.00	21.47	0.00	0.00	90.17	0.00	0.00
2	*	0.18	13.78	-21.25	-0.00	0.00	88.39	0.00	0.00	0.00
3	*	0.16	13.78	0.03	0.00	0.00	0.00	0.00	0.00	0.00
Tot.cons.							88.39	90.17	0.00	0.00

Elenco coefficienti di risposta

Simbologia
Mod =Numero del modo di vibrare
o
Sx =Coefficiente di risposta (moltiplicato per 100) in dir. X
Sy =Coefficiente di risposta (moltiplicato per 100) in dir. Y

Stato limite di danno

Modo	Sx	Sy
1	14.97	14.97
2	15.01	15.01
3	15.01	15.01

Stato limite di salvaguardia della vita

Modo	Sx	Sy
1	13.07	13.07
2	13.07	13.07
3	13.07	13.07

Domanda in duttilità di curvatura

Direzione X μ_{EdX}=18.66
Direzione Y μ_{EdY}=8.78

Spostamenti dei nodi

Simbologia
Nod =Numero del nodo
o
Sx =Spostamento in dir. X
CC =Numero della combinazione delle condizioni di carico elementari
TCC =Tipo di combinazione di carico
SLU = Stato limite ultimo

SLU S = Stato limite ultimo (azione sismica)
SLE R = Stato limite d'esercizio, combinazione rara
SLE F = Stato limite d'esercizio, combinazione frequente
SLE Q = Stato limite d'esercizio, combinazione quasi permanente
SLD = Stato limite di danno
SLV = Stato limite di salvaguardia della vita
SLC = Stato limite di prevenzione del collasso
SLO = Stato limite di operatività
SLU I = Stato limite di resistenza al fuoco
SND = Stato limite di salvaguardia della vita (non dissipativo)

Sy =Spostamento in dir. Y
Sz =Spostamento in dir. Z
Rx =Rotazione intorno all'asse X
Ry =Rotazione intorno all'asse Y
Rz =Rotazione intorno all'asse Z

Nodo		Sx <cm>	CC	TCC	Sy <cm>	CC	TCC	Sz <cm>	CC	TCC	Rx <rad>	CC	TCC	Ry <rad>	CC	TCC	Rz <rad>	CC	TCC
-825	Max	0.98	1	SLV	2.63	5	SLV	0.15	5	SLV	0.01	5	SLV	0.00	1	SLV	0.00	1	SLV
-825	Min.	-0.98	1	SLV	-2.61	5	SLV	-0.39	5	SLV	-0.00	5	SLV	0.00	19	SLU	0.00	1	SLV
-824	Max	0.93	1	SLV	2.65	5	SLV	-0.09	1	SLV	0.01	5	SLV	0.00	1	SLV	0.00	1	SLV
-824	Min.	-0.93	1	SLV	-2.64	5	SLV	-0.29	19	SLU	-0.00	5	SLV	0.00	1	SLV	0.00	1	SLV
-823	Max	0.95	1	SLV	2.57	5	SLV	-0.08	5	SLV	0.00	19	SLU	0.00	9	SLU	0.00	1	SLV
-823	Min.	-0.95	1	SLV	-2.58	5	SLV	-0.72	19	SLU	0.00	5	SLV	0.00	1	SLV	0.00	1	SLV
-822	Max	0.96	1	SLV	2.64	5	SLV	-0.16	5	SLV	0.00	18	SLU	0.00	9	SLU	0.00	1	SLV
-822	Min.	-0.96	1	SLV	-2.66	5	SLV	-1.07	19	SLU	0.00	5	SLV	0.00	1	SLV	0.00	1	SLV
-821	Max	0.97	1	SLV	2.54	5	SLV	-0.28	5	SLV	0.00	18	SLU	0.00	18	SLU	0.00	5	SLV
-821	Min.	-0.97	1	SLV	-2.56	5	SLV	-1.26	19	SLU	0.00	5	SLV	0.00	1	SLV	0.00	5	SLV
-820	Max	0.97	1	SLV	2.63	5	SLV	-0.33	1	SLV	0.00	16	SLU	0.00	18	SLU	0.00	5	SLV
-820	Min.	-0.97	1	SLV	-2.63	5	SLV	-1.32	18	SLU	0.00	5	SLV	0.00	1	SLV	0.00	5	SLV
-819	Max	0.97	1	SLV	2.56	5	SLV	-0.28	5	SLV	0.00	5	SLV	0.00	18	SLU	0.00	5	SLV
-819	Min.	-0.97	1	SLV	-2.54	5	SLV	-1.38	18	SLU	-0.00	5	SLV	0.00	1	SLV	0.00	5	SLV
-818	Max	0.96	1	SLV	2.66	5	SLV	-0.16	5	SLV	0.00	5	SLV	0.00	18	SLU	0.00	1	SLV
-818	Min.	-0.96	1	SLV	-2.65	5	SLV	-1.21	18	SLU	-0.00	18	SLU	0.00	1	SLV	0.00	1	SLV
-817	Max	0.95	1	SLV	2.58	5	SLV	-0.08	5	SLV	0.00	5	SLV	0.00	18	SLU	0.00	1	SLV
-817	Min.	-0.95	1	SLV	-2.57	5	SLV	-0.83	18	SLU	-0.00	18	SLU	0.00	1	SLV	0.00	1	SLV
-816	Max	0.93	1	SLV	2.64	5	SLV	-0.09	1	SLV	0.00	5	SLV	0.00	1	SLV	0.00	1	SLV
-816	Min.	-0.94	1	SLV	-2.65	5	SLV	-0.30	18	SLU	-0.01	5	SLV	0.00	1	SLV	0.00	1	SLV
-815	Max	0.99	1	SL	2.61	5	SL	0.15	5	SL	0.00	5	SL	0.00	1	SL	0.00	1	SL

				V			V			V			V			V			V
-815	Min.	-0.99	1	SL V	-2.63	5	SL V	-0.39	5	SL V	-0.01	5	SL V	0.00	19	SL U	0.00	1	SL V
-814	Max	0.98	1	SL V	2.65	5	SL V	0.16	5	SL V	0.01	5	SL V	0.00	17	SL U	0.00	1	SL V
-814	Min.	-0.98	1	SL V	-2.62	5	SL V	-0.34	5	SL V	-0.00	5	SL V	0.00	1	SL V	0.00	1	SL V
-813	Max	0.93	1	SL V	2.67	5	SL V	-0.11	5	SL V	0.01	5	SL V	0.00	1	SL V	0.00	1	SL V
-813	Min.	-0.93	1	SL V	-2.65	5	SL V	-0.26	19	SL U	-0.00	5	SL V	0.00	1	SL V	0.00	1	SL V
-812	Max	0.95	1	SL V	2.58	5	SL V	-0.09	5	SL V	0.01	9	SL U	0.00	1	SL V	0.00	1	SL V
-812	Min.	-0.95	1	SL V	-2.58	5	SL V	-0.78	19	SL U	0.00	5	SL V	0.00	1	SL V	0.00	1	SL V
-811	Max	0.96	1	SL V	2.66	5	SL V	-0.21	5	SL V	0.00	18	SL U	0.00	1	SL V	0.00	1	SL V
-811	Min.	-0.96	1	SL V	-2.67	5	SL V	-1.25	19	SL U	0.00	5	SL V	0.00	1	SL V	0.00	1	SL V
-810	Max	0.97	1	SL V	2.54	5	SL V	-0.34	5	SL V	0.00	18	SL U	0.00	1	SL V	0.00	1	SL V
-810	Min.	-0.97	1	SL V	-2.56	5	SL V	-1.50	19	SL U	0.00	5	SL V	0.00	1	SL V	0.00	1	SL V
-809	Max	0.97	1	SL V	2.64	5	SL V	-0.44	1	SL V	0.00	16	SL U	0.00	1	SL V	0.00	1	SL V
-809	Min.	-0.97	1	SL V	-2.64	5	SL V	-1.59	18	SL U	0.00	5	SL V	0.00	1	SL V	0.00	1	SL V
-808	Max	0.97	1	SL V	2.56	5	SL V	-0.34	5	SL V	0.00	5	SL V	0.00	1	SL V	0.00	1	SL V
-808	Min.	-0.97	1	SL V	-2.54	5	SL V	-1.65	18	SL U	-0.00	9	SL U	0.00	1	SL V	0.00	1	SL V
-807	Max	0.96	1	SL V	2.67	5	SL V	-0.21	5	SL V	0.00	5	SL V	0.00	1	SL V	0.00	1	SL V
-807	Min.	-0.96	1	SL V	-2.66	5	SL V	-1.42	18	SL U	-0.00	18	SL U	0.00	1	SL V	0.00	1	SL V
-806	Max	0.95	1	SL V	2.58	5	SL V	-0.09	5	SL V	0.00	5	SL V	0.00	1	SL V	0.00	1	SL V
-806	Min.	-0.95	1	SL V	-2.58	5	SL V	-0.91	18	SL U	-0.01	18	SL U	0.00	1	SL V	0.00	1	SL V
-805	Max	0.94	1	SL V	2.65	5	SL V	-0.11	5	SL V	0.00	5	SL V	0.00	1	SL V	0.00	1	SL V
-805	Min.	-0.94	1	SL V	-2.67	5	SL V	-0.29	18	SL U	-0.01	5	SL V	0.00	1	SL V	0.00	1	SL V
-804	Max	0.99	1	SL V	2.62	5	SL V	0.16	5	SL V	0.00	5	SL V	0.00	1	SL V	0.00	1	SL V
-804	Min.	-0.99	1	SL V	-2.65	5	SL V	-0.34	5	SL V	-0.01	5	SL V	0.00	1	SL V	0.00	1	SL V
-803	Max	0.98	1	SL V	2.63	5	SL V	0.15	5	SL V	0.01	5	SL V	0.00	1	SL V	0.00	1	SL V
-803	Min.	-0.98	1	SL V	-2.61	5	SL V	-0.39	5	SL V	-0.00	5	SL V	0.00	1	SL V	0.00	1	SL V
-802	Max	0.93	1	SL V	2.65	5	SL V	-0.09	1	SL V	0.01	5	SL V	0.00	1	SL V	0.00	1	SL V
-802	Min.	-0.93	1	SL V	-2.64	5	SL V	-0.28	9	SL U	-0.00	5	SL V	0.00	1	SL V	0.00	1	SL V
-801	Max	0.95	1	SL V	2.57	5	SL V	-0.08	5	SL V	0.00	9	SL U	0.00	1	SL V	0.00	1	SL V
-801	Min.	-0.95	1	SL V	-2.58	5	SL V	-0.71	9	SL U	0.00	5	SL V	0.00	19	SL U	0.00	1	SL V
-800	Max	0.96	1	SL	2.64	5	SL	-0.16	5	SL	0.00	18	SL	0.00	1	SL	0.00	1	SL

				V			V			V			U			V			V
-800	Min.	-0.96	1	SLV	-2.66	5	SLV	-1.06	9	SLU	0.00	5	SLV	-0.00	19	SLU	0.00	1	SLV
-799	Max	0.97	1	SLV	2.54	5	SLV	-0.28	5	SLV	0.00	18	SLU	0.00	1	SLV	0.00	5	SLV
-799	Min.	-0.97	1	SLV	-2.56	5	SLV	-1.24	9	SLU	0.00	5	SLV	-0.00	19	SLU	0.00	5	SLV
-798	Max	0.97	1	SLV	2.63	5	SLV	-0.33	1	SLV	0.00	16	SLU	0.00	1	SLV	0.00	5	SLV
-798	Min.	-0.97	1	SLV	-2.63	5	SLV	-1.32	18	SLU	0.00	5	SLV	-0.00	18	SLU	0.00	5	SLV
-797	Max	0.97	1	SLV	2.56	5	SLV	-0.28	5	SLV	0.00	5	SLV	0.00	1	SLV	0.00	5	SLV
-797	Min.	-0.97	1	SLV	-2.54	5	SLV	-1.38	18	SLU	-0.00	5	SLV	-0.00	18	SLU	0.00	5	SLV
-796	Max	0.96	1	SLV	2.66	5	SLV	-0.16	5	SLV	0.00	5	SLV	0.00	1	SLV	0.00	1	SLV
-796	Min.	-0.96	1	SLV	-2.64	5	SLV	-1.21	18	SLU	-0.00	18	SLU	-0.00	18	SLU	0.00	1	SLV
-795	Max	0.99	1	SLV	2.61	5	SLV	0.15	5	SLV	0.00	5	SLV	0.00	18	SLU	0.00	1	SLV
-795	Min.	-0.99	1	SLV	-2.63	5	SLV	-0.39	5	SLV	-0.01	5	SLV	0.00	1	SLV	0.00	1	SLV
-794	Max	0.94	1	SLV	2.64	5	SLV	-0.09	1	SLV	0.00	5	SLV	0.00	1	SLV	0.00	1	SLV
-794	Min.	-0.93	1	SLV	-2.65	5	SLV	-0.30	18	SLU	-0.01	5	SLV	0.00	1	SLV	0.00	1	SLV
-793	Max	0.95	1	SLV	2.58	5	SLV	-0.08	5	SLV	0.00	5	SLV	0.00	1	SLV	0.00	1	SLV
-793	Min.	-0.95	1	SLV	-2.57	5	SLV	-0.83	18	SLU	-0.00	18	SLU	0.00	18	SLU	0.00	1	SLV
-792	Max	0.97	1	SLV	2.53	5	SLV	-0.20	1	SLV	0.00	5	SLV	0.00	1	SLV	0.00	5	SLV
-792	Min.	-0.97	1	SLV	-2.53	5	SLV	-0.91	18	SLU	0.00	5	SLV	-0.00	18	SLU	0.00	5	SLV
-791	Max	0.97	1	SLV	2.54	5	SLV	-0.21	1	SLV	0.00	5	SLV	0.00	1	SLV	0.00	5	SLV
-791	Min.	-0.97	1	SLV	-2.54	5	SLV	-0.94	18	SLU	0.00	5	SLV	-0.00	18	SLU	0.00	5	SLV
-790	Max	0.97	1	SLV	2.54	5	SLV	-0.39	1	SLV	0.00	16	SLU	0.00	1	SLV	0.00	5	SLV
-790	Min.	-0.97	1	SLV	-2.54	5	SLV	-1.48	18	SLU	0.00	5	SLV	0.00	18	SLU	0.00	5	SLV
-789	Max	0.97	1	SLV	2.54	5	SLV	-0.39	1	SLV	0.00	16	SLU	0.00	1	SLV	0.00	5	SLV
-789	Min.	-0.97	1	SLV	-2.54	5	SLV	-1.49	18	SLU	0.00	5	SLV	0.00	18	SLU	0.00	5	SLV
-788	Max	0.97	1	SLV	2.54	5	SLV	-0.39	1	SLV	0.00	16	SLU	0.00	18	SLU	0.00	5	SLV
-788	Min.	-0.97	1	SLV	-2.54	5	SLV	-1.49	18	SLU	0.00	5	SLV	0.00	1	SLV	0.00	5	SLV
-787	Max	0.97	1	SLV	2.54	5	SLV	-0.39	1	SLV	0.00	16	SLU	0.00	18	SLU	0.00	5	SLV
-787	Min.	-0.97	1	SLV	-2.54	5	SLV	-1.48	18	SLU	0.00	5	SLV	0.00	1	SLV	0.00	5	SLV
-786	Max	0.97	1	SLV	2.54	5	SLV	-0.21	1	SLV	0.00	5	SLV	0.00	18	SLU	0.00	5	SLV
-786	Min.	-0.97	1	SLV	-2.54	5	SLV	-0.94	18	SLU	0.00	5	SLV	0.00	1	SLV	0.00	5	SLV
-785	Max	0.97	1	SL	2.53	5	SL	-0.20	1	SL	0.00	5	SL	0.00	18	SL	0.00	5	SL

				V			V			V			V			U			V
-785	Min.	-0.97	1	SLV	-2.53	5	SLV	-0.91	18	SLU	0.00	5	SLV	0.00	1	SLV	0.00	5	SLV
-784	Max	0.98	1	SLV	2.53	5	SLV	-0.19	1	SLV	0.00	5	SLV	0.00	17	SLU	0.00	17	SLU
-784	Min.	-0.98	1	SLV	-2.53	5	SLV	-0.90	18	SLU	0.00	5	SLV	-0.00	18	SLU	0.00	1	SLV
-783	Max	0.99	1	SLV	2.54	5	SLV	-0.20	1	SLV	0.00	5	SLV	0.00	1	SLV	0.00	1	SLV
-783	Min.	-0.99	1	SLV	-2.54	5	SLV	-0.94	18	SLU	0.00	5	SLV	-0.00	18	SLU	-0.00	1	SLV
-782	Max	0.99	1	SLV	2.54	5	SLV	-0.38	1	SLV	0.00	16	SLU	0.00	17	SLU	0.00	17	SLU
-782	Min.	-0.99	1	SLV	-2.54	5	SLV	-1.47	18	SLU	0.00	5	SLV	-0.00	1	SLV	-0.00	1	SLV
-781	Max	0.99	1	SLV	2.54	5	SLV	-0.38	5	SLV	0.00	16	SLU	0.00	1	SLV	0.00	1	SLV
-781	Min.	-0.99	1	SLV	-2.55	5	SLV	-1.48	18	SLU	0.00	5	SLV	-0.00	1	SLV	-0.00	1	SLV
-780	Max	0.99	1	SLV	2.54	5	SLV	-0.38	5	SLV	0.00	16	SLU	0.00	17	SLU	0.00	17	SLU
-780	Min.	-0.99	1	SLV	-2.55	5	SLV	-1.48	18	SLU	0.00	5	SLV	0.00	1	SLV	-0.00	1	SLV
-779	Max	0.99	1	SLV	2.54	5	SLV	-0.38	1	SLV	0.00	16	SLU	0.00	1	SLV	0.00	1	SLV
-779	Min.	-0.99	1	SLV	-2.54	5	SLV	-1.47	18	SLU	0.00	5	SLV	0.00	1	SLV	-0.00	1	SLV
-778	Max	0.99	1	SLV	2.54	5	SLV	-0.20	1	SLV	0.00	5	SLV	0.00	19	SLU	0.00	17	SLU
-778	Min.	-0.99	1	SLV	-2.54	5	SLV	-0.94	18	SLU	0.00	5	SLV	0.00	1	SLV	-0.00	1	SLV
-777	Max	0.98	1	SLV	2.53	5	SLV	-0.19	1	SLV	0.00	5	SLV	0.00	18	SLU	0.00	1	SLV
-777	Min.	-0.98	1	SLV	-2.53	5	SLV	-0.90	18	SLU	0.00	5	SLV	0.00	1	SLV	0.00	1	SLV
-776	Max	0.98	1	SLV	2.53	5	SLV	-0.19	1	SLV	0.00	5	SLV	0.00	17	SLU	0.00	1	SLV
-776	Min.	-0.98	1	SLV	-2.53	5	SLV	-0.92	18	SLU	0.00	5	SLV	-0.00	18	SLU	-0.00	17	SLU
-775	Max	0.99	1	SLV	2.54	5	SLV	-0.20	1	SLV	0.00	5	SLV	0.00	1	SLV	0.00	1	SLV
-775	Min.	-0.99	1	SLV	-2.54	5	SLV	-0.96	18	SLU	0.00	5	SLV	-0.00	18	SLU	-0.00	1	SLV
-774	Max	0.99	1	SLV	2.54	5	SLV	-0.38	1	SLV	0.00	16	SLU	0.00	17	SLU	0.00	1	SLV
-774	Min.	-0.99	1	SLV	-2.54	5	SLV	-1.51	18	SLU	0.00	5	SLV	-0.00	1	SLV	-0.00	17	SLU
-773	Max	0.99	1	SLV	2.54	5	SLV	-0.38	5	SLV	0.00	16	SLU	0.00	1	SLV	0.00	1	SLV
-773	Min.	-0.99	1	SLV	-2.54	5	SLV	-1.52	18	SLU	0.00	5	SLV	-0.00	1	SLV	-0.00	1	SLV
-772	Max	0.99	1	SLV	2.54	5	SLV	-0.38	5	SLV	0.00	16	SLU	0.00	17	SLU	0.00	1	SLV
-772	Min.	-0.99	1	SLV	-2.54	5	SLV	-1.52	18	SLU	0.00	5	SLV	0.00	1	SLV	-0.00	17	SLU
-771	Max	0.99	1	SLV	2.54	5	SLV	-0.38	1	SLV	0.00	16	SLU	0.00	1	SLV	0.00	1	SLV
-771	Min.	-0.99	1	SLV	-2.54	5	SLV	-1.51	18	SLU	0.00	5	SLV	0.00	1	SLV	-0.00	1	SLV
-770	Max	0.99	1	SL	2.54	5	SL	-0.20	1	SL	0.00	5	SL	0.00	19	SL	0.00	1	SL

				V			V			V			V			U			V
-770	Min.	-0.99	1	SL V	-2.54	5	SL V	-0.96	18	SL U	0.00	5	SL V	0.00	1	SL V	-0.00	17	SL U
-769	Max	0.98	1	SL V	2.53	5	SL V	-0.19	1	SL V	0.00	5	SL V	0.00	18	SL U	0.00	1	SL V
-769	Min.	-0.98	1	SL V	-2.53	5	SL V	-0.92	18	SL U	0.00	5	SL V	0.00	1	SL V	0.00	1	SL V
-768	Max	0.99	1	SL V	2.53	5	SL V	-0.18	1	SL V	0.00	5	SL V	0.00	17	SL U	0.00	5	SL V
-768	Min.	-0.99	1	SL V	-2.54	5	SL V	-0.89	18	SL U	0.00	5	SL V	-0.00	18	SL U	0.00	5	SL V
-767	Max	1.00	1	SL V	2.54	5	SL V	-0.19	1	SL V	0.00	5	SL V	0.00	1	SL V	0.00	5	SL V
-767	Min.	-1.00	1	SL V	-2.54	5	SL V	-0.92	18	SL U	0.00	5	SL V	-0.00	18	SL U	0.00	5	SL V
-766	Max	1.00	1	SL V	2.54	5	SL V	-0.36	5	SL V	0.00	16	SL U	0.00	17	SL U	0.00	1	SL V
-766	Min.	-1.00	1	SL V	-2.55	5	SL V	-1.45	18	SL U	0.00	5	SL V	-0.00	1	SL V	0.00	17	SL U
-765	Max	1.00	1	SL V	2.54	5	SL V	-0.36	5	SL V	0.00	16	SL U	0.00	1	SL V	0.00	1	SL V
-765	Min.	-1.00	1	SL V	-2.55	5	SL V	-1.46	18	SL U	0.00	5	SL V	-0.00	1	SL V	0.00	1	SL V
-764	Max	1.00	1	SL V	2.54	5	SL V	-0.36	5	SL V	0.00	16	SL U	0.00	17	SL U	0.00	1	SL V
-764	Min.	-1.00	1	SL V	-2.55	5	SL V	-1.46	18	SL U	0.00	5	SL V	0.00	1	SL V	0.00	17	SL U
-763	Max	1.00	1	SL V	2.54	5	SL V	-0.36	5	SL V	0.00	16	SL U	0.00	1	SL V	0.00	1	SL V
-763	Min.	-1.00	1	SL V	-2.55	5	SL V	-1.45	18	SL U	0.00	5	SL V	0.00	1	SL V	0.00	1	SL V
-762	Max	1.00	1	SL V	2.54	5	SL V	-0.19	1	SL V	0.00	5	SL V	0.00	19	SL U	0.00	5	SL V
-762	Min.	-1.00	1	SL V	-2.54	5	SL V	-0.93	19	SL U	0.00	5	SL V	0.00	1	SL V	0.00	17	SL U
-761	Max	0.99	1	SL V	2.53	5	SL V	-0.18	1	SL V	0.00	5	SL V	0.00	18	SL U	0.00	5	SL V
-761	Min.	-0.99	1	SL V	-2.54	5	SL V	-0.89	19	SL U	0.00	5	SL V	0.00	1	SL V	0.00	5	SL V
-760	Max	0.99	1	SL V	2.54	5	SL V	-0.18	1	SL V	0.00	5	SL V	0.00	17	SL U	0.00	5	SL V
-760	Min.	-0.99	1	SL V	-2.53	5	SL V	-0.93	18	SL U	0.00	5	SL V	-0.00	18	SL U	0.00	5	SL V
-759	Max	1.00	1	SL V	2.54	5	SL V	-0.19	1	SL V	0.00	5	SL V	0.00	1	SL V	0.00	5	SL V
-759	Min.	-1.00	1	SL V	-2.54	5	SL V	-0.97	18	SL U	0.00	5	SL V	-0.00	18	SL U	0.00	5	SL V
-758	Max	1.00	1	SL V	2.55	5	SL V	-0.36	5	SL V	0.00	16	SL U	0.00	17	SL U	0.00	17	SL U
-758	Min.	-1.00	1	SL V	-2.54	5	SL V	-1.53	18	SL U	0.00	5	SL V	-0.00	1	SL V	0.00	1	SL V
-757	Max	1.00	1	SL V	2.55	5	SL V	-0.36	5	SL V	0.00	16	SL U	0.00	1	SL V	0.00	1	SL V
-757	Min.	-1.00	1	SL V	-2.54	5	SL V	-1.54	18	SL U	0.00	5	SL V	-0.00	1	SL V	0.00	1	SL V
-756	Max	1.00	1	SL V	2.55	5	SL V	-0.36	5	SL V	0.00	16	SL U	0.00	17	SL U	0.00	17	SL U
-756	Min.	-1.00	1	SL V	-2.54	5	SL V	-1.54	18	SL U	0.00	5	SL V	0.00	1	SL V	0.00	1	SL V
-755	Max	1.00	1	SL	2.55	5	SL	-0.36	5	SL	0.00	16	SL	0.00	1	SL	0.00	1	SL

				V			V			V			U			V			V
-755	Min.	-1.00	1	SL V	-2.54	5	SL V	-1.53	18	SL U	0.00	5	SL V	0.00	1	SL V	0.00	1	SL V
-754	Max	1.00	1	SL V	2.54	5	SL V	-0.19	1	SL V	0.00	5	SL V	0.00	19	SL U	0.00	17	SL U
-754	Min.	-1.00	1	SL V	-2.54	5	SL V	-0.97	18	SL U	0.00	5	SL V	0.00	1	SL V	0.00	5	SL V
-753	Max	0.99	1	SL V	2.54	5	SL V	-0.18	1	SL V	0.00	5	SL V	0.00	18	SL U	0.00	5	SL V
-753	Min.	-0.99	1	SL V	-2.53	5	SL V	-0.93	18	SL U	0.00	5	SL V	0.00	1	SL V	0.00	5	SL V
-752	Max	0.98	1	SL V	2.54	5	SL V	-0.18	1	SL V	0.00	16	SL U	0.00	17	SL U	0.00	1	SL V
-752	Min.	-0.98	1	SL V	-2.54	5	SL V	-0.87	18	SL U	0.00	5	SL V	-0.00	9	SL U	-0.00	17	SL U
-751	Max	0.99	1	SL V	2.54	5	SL V	-0.19	1	SL V	0.00	16	SL U	0.00	1	SL V	0.00	1	SL V
-751	Min.	-0.99	1	SL V	-2.55	5	SL V	-0.91	18	SL U	0.00	5	SL V	-0.00	19	SL U	-0.00	1	SL V
-750	Max	0.99	1	SL V	2.54	5	SL V	-0.33	5	SL V	0.00	16	SL U	0.00	17	SL U	0.00	1	SL V
-750	Min.	-0.99	1	SL V	-2.55	5	SL V	-1.43	18	SL U	0.00	5	SL V	0.00	18	SL U	-0.00	17	SL U
-749	Max	0.99	1	SL V	2.54	5	SL V	-0.34	5	SL V	0.00	16	SL U	0.00	1	SL V	0.00	1	SL V
-749	Min.	-0.99	1	SL V	-2.55	5	SL V	-1.44	18	SL U	0.00	5	SL V	0.00	18	SL U	-0.00	1	SL V
-748	Max	0.99	1	SL V	2.54	5	SL V	-0.34	5	SL V	0.00	16	SL U	0.00	17	SL U	0.00	1	SL V
-748	Min.	-0.99	1	SL V	-2.55	5	SL V	-1.44	18	SL U	0.00	5	SL V	0.00	1	SL V	-0.00	17	SL U
-747	Max	0.99	1	SL V	2.54	5	SL V	-0.33	5	SL V	0.00	16	SL U	0.00	18	SL U	0.00	1	SL V
-747	Min.	-0.99	1	SL V	-2.55	5	SL V	-1.43	18	SL U	0.00	5	SL V	0.00	1	SL V	-0.00	1	SL V
-746	Max	0.99	1	SL V	2.54	5	SL V	-0.19	1	SL V	0.00	16	SL U	0.00	19	SL U	0.00	1	SL V
-746	Min.	-0.99	1	SL V	-2.55	5	SL V	-0.92	19	SL U	0.00	5	SL V	0.00	1	SL V	-0.00	17	SL U
-745	Max	0.98	1	SL V	2.53	5	SL V	-0.18	1	SL V	0.00	16	SL U	0.00	9	SL U	0.00	1	SL V
-745	Min.	-0.98	1	SL V	-2.54	5	SL V	-0.89	19	SL U	0.00	5	SL V	0.00	1	SL V	0.00	1	SL V
-744	Max	0.98	1	SL V	2.54	5	SL V	-0.18	1	SL V	0.00	5	SL V	0.00	17	SL U	0.00	17	SL U
-744	Min.	-0.98	1	SL V	-2.54	5	SL V	-0.94	18	SL U	0.00	5	SL V	-0.00	18	SL U	0.00	1	SL V
-743	Max	0.99	1	SL V	2.55	5	SL V	-0.19	1	SL V	0.00	5	SL V	0.00	1	SL V	0.00	1	SL V
-743	Min.	-0.99	1	SL V	-2.54	5	SL V	-0.98	18	SL U	0.00	5	SL V	-0.00	18	SL U	-0.00	1	SL V
-742	Max	0.99	1	SL V	2.55	5	SL V	-0.33	5	SL V	0.00	5	SL V	0.00	17	SL U	0.00	17	SL U
-742	Min.	-0.99	1	SL V	-2.54	5	SL V	-1.54	18	SL U	-0.00	5	SL V	0.00	18	SL U	-0.00	1	SL V
-741	Max	0.99	1	SL V	2.55	5	SL V	-0.34	5	SL V	0.00	5	SL V	0.00	1	SL V	0.00	1	SL V
-741	Min.	-0.99	1	SL V	-2.54	5	SL V	-1.55	18	SL U	-0.00	5	SL V	0.00	18	SL U	-0.00	1	SL V
-740	Max	0.99	1	SL	2.55	5	SL	-0.34	5	SL	0.00	5	SL	0.00	17	SL	0.00	17	SL

				V			V			V			V			U			U
-740	Min.	-0.99	1	SLV	-2.54	5	SLV	-1.55	18	SLU	-0.00	5	SLV	0.00	1	SLV	-0.00	1	SLV
-739	Max	0.99	1	SLV	2.55	5	SLV	-0.33	5	SLV	0.00	5	SLV	0.00	18	SLU	0.00	1	SLV
-739	Min.	-0.99	1	SLV	-2.54	5	SLV	-1.54	18	SLU	-0.00	5	SLV	0.00	1	SLV	-0.00	1	SLV
-738	Max	0.99	1	SLV	2.55	5	SLV	-0.19	1	SLV	0.00	5	SLV	0.00	19	SLU	0.00	17	SLU
-738	Min.	-0.99	1	SLV	-2.54	5	SLV	-0.98	18	SLU	0.00	5	SLV	0.00	1	SLV	-0.00	1	SLV
-737	Max	0.98	1	SLV	2.54	5	SLV	-0.18	1	SLV	0.00	5	SLV	0.00	18	SLU	0.00	1	SLV
-737	Min.	-0.98	1	SLV	-2.54	5	SLV	-0.94	18	SLU	0.00	5	SLV	0.00	1	SLV	0.00	1	SLV
-736	Max	0.97	1	SLV	2.54	5	SLV	-0.17	1	SLV	0.00	18	SLU	0.00	1	SLV	0.00	5	SLV
-736	Min.	-0.97	1	SLV	-2.54	5	SLV	-0.86	9	SLU	0.00	5	SLV	-0.00	9	SLU	0.00	5	SLV
-735	Max	0.97	1	SLV	2.54	5	SLV	-0.18	1	SLV	0.00	18	SLU	0.00	1	SLV	0.00	5	SLV
-735	Min.	-0.97	1	SLV	-2.55	5	SLV	-0.89	9	SLU	0.00	5	SLV	-0.00	19	SLU	0.00	5	SLV
-734	Max	0.97	1	SLV	2.54	5	SLV	-0.31	5	SLV	0.00	18	SLU	0.00	1	SLV	0.00	1	SLV
-734	Min.	-0.97	1	SLV	-2.56	5	SLV	-1.39	9	SLU	0.00	5	SLV	0.00	18	SLU	0.00	1	SLV
-733	Max	0.97	1	SLV	2.54	5	SLV	-0.31	5	SLV	0.00	18	SLU	0.00	1	SLV	0.00	1	SLV
-733	Min.	-0.97	1	SLV	-2.56	5	SLV	-1.40	9	SLU	0.00	5	SLV	0.00	18	SLU	0.00	1	SLV
-732	Max	0.97	1	SLV	2.54	5	SLV	-0.31	5	SLV	0.00	18	SLU	0.00	18	SLU	0.00	1	SLV
-732	Min.	-0.97	1	SLV	-2.56	5	SLV	-1.41	19	SLU	0.00	5	SLV	0.00	1	SLV	0.00	1	SLV
-731	Max	0.97	1	SLV	2.54	5	SLV	-0.31	5	SLV	0.00	18	SLU	0.00	18	SLU	0.00	1	SLV
-731	Min.	-0.97	1	SLV	-2.56	5	SLV	-1.40	19	SLU	0.00	5	SLV	0.00	1	SLV	0.00	1	SLV
-730	Max	0.97	1	SLV	2.54	5	SLV	-0.18	1	SLV	0.00	18	SLU	0.00	9	SLU	0.00	5	SLV
-730	Min.	-0.97	1	SLV	-2.55	5	SLV	-0.91	19	SLU	0.00	5	SLV	0.00	1	SLV	0.00	5	SLV
-729	Max	0.97	1	SLV	2.54	5	SLV	-0.17	1	SLV	0.00	18	SLU	0.00	9	SLU	0.00	5	SLV
-729	Min.	-0.97	1	SLV	-2.54	5	SLV	-0.88	19	SLU	0.00	5	SLV	0.00	1	SLV	0.00	5	SLV
-728	Max	0.97	1	SLV	2.54	5	SLV	-0.17	1	SLV	0.00	5	SLV	0.00	1	SLV	0.00	5	SLV
-728	Min.	-0.97	1	SLV	-2.54	5	SLV	-0.94	18	SLU	0.00	5	SLV	-0.00	18	SLU	0.00	5	SLV
-727	Max	0.97	1	SLV	2.55	5	SLV	-0.18	1	SLV	0.00	5	SLV	0.00	1	SLV	0.00	5	SLV
-727	Min.	-0.97	1	SLV	-2.54	5	SLV	-0.98	18	SLU	0.00	5	SLV	-0.00	18	SLU	0.00	5	SLV
-726	Max	0.97	1	SLV	2.56	5	SLV	-0.31	5	SLV	0.00	5	SLV	0.00	1	SLV	0.00	1	SLV
-726	Min.	-0.97	1	SLV	-2.54	5	SLV	-1.53	18	SLU	-0.00	9	SLU	0.00	18	SLU	0.00	1	SLV
-725	Max	0.97	1	SL	2.56	5	SL	-0.31	5	SL	0.00	5	SL	0.00	1	SL	0.00	1	SL

				V			V			V			V			V			V
-725	Min.	-0.97	1	SLV	-2.54	5	SLV	-1.54	18	SLU	-0.00	9	SLU	0.00	18	SLU	0.00	1	SLV
-724	Max	0.97	1	SLV	2.56	5	SLV	-0.31	5	SLV	0.00	5	SLV	0.00	18	SLU	0.00	1	SLV
-724	Min.	-0.97	1	SLV	-2.54	5	SLV	-1.54	18	SLU	-0.00	19	SLU	0.00	1	SLV	0.00	1	SLV
-723	Max	0.97	1	SLV	2.56	5	SLV	-0.31	5	SLV	0.00	5	SLV	0.00	18	SLU	0.00	1	SLV
-723	Min.	-0.97	1	SLV	-2.54	5	SLV	-1.53	18	SLU	-0.00	19	SLU	0.00	1	SLV	0.00	1	SLV
-722	Max	0.97	1	SLV	2.55	5	SLV	-0.18	1	SLV	0.00	5	SLV	0.00	18	SLU	0.00	5	SLV
-722	Min.	-0.97	1	SLV	-2.54	5	SLV	-0.98	18	SLU	0.00	5	SLV	0.00	1	SLV	0.00	5	SLV
-721	Max	0.97	1	SLV	2.54	5	SLV	-0.17	1	SLV	0.00	5	SLV	0.00	18	SLU	0.00	5	SLV
-721	Min.	-0.97	1	SLV	-2.54	5	SLV	-0.94	18	SLU	0.00	5	SLV	0.00	1	SLV	0.00	5	SLV
-720	Max	0.98	1	SLV	2.54	5	SLV	-0.15	5	SLV	0.00	18	SLU	0.00	17	SLU	0.00	17	SLU
-720	Min.	-0.97	1	SLV	-2.55	5	SLV	-0.84	9	SLU	0.00	5	SLV	-0.00	9	SLU	0.00	1	SLV
-719	Max	0.99	1	SLV	2.54	5	SLV	-0.16	5	SLV	0.00	18	SLU	0.00	1	SLV	0.00	1	SLV
-719	Min.	-0.98	1	SLV	-2.55	5	SLV	-0.87	9	SLU	0.00	5	SLV	-0.00	19	SLU	0.00	1	SLV
-718	Max	0.98	1	SLV	2.55	5	SLV	-0.28	5	SLV	0.00	18	SLU	0.00	17	SLU	0.00	17	SLU
-718	Min.	-0.98	1	SLV	-2.56	5	SLV	-1.35	9	SLU	0.00	5	SLV	0.00	18	SLU	0.00	1	SLV
-717	Max	0.98	1	SLV	2.55	5	SLV	-0.28	5	SLV	0.00	18	SLU	0.00	1	SLV	0.00	1	SLV
-717	Min.	-0.98	1	SLV	-2.56	5	SLV	-1.36	9	SLU	0.00	5	SLV	0.00	19	SLU	0.00	1	SLV
-716	Max	0.98	1	SLV	2.55	5	SLV	-0.28	5	SLV	0.00	18	SLU	0.00	17	SLU	0.00	17	SLU
-716	Min.	-0.98	1	SLV	-2.56	5	SLV	-1.37	19	SLU	0.00	5	SLV	0.00	1	SLV	0.00	1	SLV
-715	Max	0.98	1	SLV	2.54	5	SLV	-0.28	5	SLV	0.00	18	SLU	0.00	18	SLU	0.00	1	SLV
-715	Min.	-0.98	1	SLV	-2.56	5	SLV	-1.36	19	SLU	0.00	5	SLV	0.00	1	SLV	0.00	1	SLV
-714	Max	0.98	1	SLV	2.54	5	SLV	-0.16	5	SLV	0.00	18	SLU	0.00	19	SLU	0.00	17	SLU
-714	Min.	-0.99	1	SLV	-2.55	5	SLV	-0.89	19	SLU	0.00	5	SLV	0.00	1	SLV	0.00	1	SLV
-713	Max	0.97	1	SLV	2.54	5	SLV	-0.15	5	SLV	0.00	18	SLU	0.00	9	SLU	0.00	1	SLV
-713	Min.	-0.98	1	SLV	-2.55	5	SLV	-0.86	19	SLU	0.00	5	SLV	0.00	1	SLV	0.00	1	SLV
-712	Max	0.98	1	SLV	2.55	5	SLV	-0.15	5	SLV	0.00	5	SLV	0.00	17	SLU	0.00	1	SLV
-712	Min.	-0.97	1	SLV	-2.54	5	SLV	-0.92	18	SLU	-0.00	19	SLU	-0.00	18	SLU	-0.00	17	SLU
-711	Max	0.99	1	SLV	2.55	5	SLV	-0.16	5	SLV	0.00	5	SLV	0.00	1	SLV	0.00	1	SLV
-711	Min.	-0.98	1	SLV	-2.54	5	SLV	-0.96	18	SLU	-0.00	19	SLU	-0.00	18	SLU	0.00	1	SLV
-710	Max	0.99	1	SL	2.56	5	SL	-0.28	5	SL	0.00	5	SL	0.00	17	SL	0.00	1	SL

				V			V			V			V			U			V
-710	Min.	-0.98	1	SLV	-2.55	5	SLV	-1.50	18	SLU	-0.00	9	SLU	0.00	18	SLU	-0.00	17	SLU
-709	Max	0.99	1	SLV	2.56	5	SLV	-0.28	5	SLV	0.00	5	SLV	0.00	1	SLV	0.00	1	SLV
-709	Min.	-0.98	1	SLV	-2.55	5	SLV	-1.51	18	SLU	-0.00	9	SLU	0.00	18	SLU	0.00	1	SLV
-708	Max	0.98	1	SLV	2.56	5	SLV	-0.28	5	SLV	0.00	5	SLV	0.00	17	SLU	0.00	1	SLV
-708	Min.	-0.99	1	SLV	-2.55	5	SLV	-1.51	18	SLU	-0.00	19	SLU	0.00	1	SLV	-0.00	17	SLU
-707	Max	0.98	1	SLV	2.56	5	SLV	-0.28	5	SLV	0.00	5	SLV	0.00	18	SLU	0.00	1	SLV
-707	Min.	-0.98	1	SLV	-2.55	5	SLV	-1.50	18	SLU	-0.00	19	SLU	0.00	1	SLV	0.00	1	SLV
-706	Max	0.98	1	SLV	2.55	5	SLV	-0.16	5	SLV	0.00	5	SLV	0.00	19	SLU	0.00	1	SLV
-706	Min.	-0.99	1	SLV	-2.54	5	SLV	-0.96	18	SLU	-0.00	9	SLU	0.00	1	SLV	-0.00	17	SLU
-705	Max	0.97	1	SLV	2.55	5	SLV	-0.15	5	SLV	0.00	5	SLV	0.00	18	SLU	0.00	1	SLV
-705	Min.	-0.98	1	SLV	-2.54	5	SLV	-0.92	18	SLU	-0.00	9	SLU	0.00	1	SLV	0.00	1	SLV
-704	Max	0.98	1	SLV	2.54	5	SLV	-0.13	5	SLV	0.00	18	SLU	0.00	17	SLU	0.00	1	SLV
-704	Min.	-0.98	1	SLV	-2.55	5	SLV	-0.81	9	SLU	0.00	5	SLV	-0.00	9	SLU	0.00	1	SLV
-703	Max	1.00	1	SLV	2.55	5	SLV	-0.14	5	SLV	0.00	18	SLU	0.00	1	SLV	0.00	1	SLV
-703	Min.	-0.99	1	SLV	-2.55	5	SLV	-0.84	9	SLU	0.00	5	SLV	-0.00	19	SLU	0.00	1	SLV
-702	Max	0.99	1	SLV	2.55	5	SLV	-0.25	5	SLV	0.00	18	SLU	0.00	17	SLU	0.00	1	SLV
-702	Min.	-0.99	1	SLV	-2.56	5	SLV	-1.30	9	SLU	0.00	5	SLV	0.00	18	SLU	0.00	1	SLV
-701	Max	0.99	1	SLV	2.55	5	SLV	-0.25	5	SLV	0.00	18	SLU	0.00	1	SLV	0.00	1	SLV
-701	Min.	-0.99	1	SLV	-2.56	5	SLV	-1.31	9	SLU	0.00	5	SLV	0.00	19	SLU	0.00	1	SLV
-700	Max	0.99	1	SLV	2.55	5	SLV	-0.25	5	SLV	0.00	18	SLU	0.00	17	SLU	0.00	1	SLV
-700	Min.	-0.99	1	SLV	-2.56	5	SLV	-1.32	19	SLU	0.00	5	SLV	0.00	1	SLV	0.00	17	SLU
-699	Max	0.99	1	SLV	2.55	5	SLV	-0.25	5	SLV	0.00	18	SLU	0.00	18	SLU	0.00	1	SLV
-699	Min.	-0.99	1	SLV	-2.56	5	SLV	-1.31	19	SLU	0.00	5	SLV	0.00	1	SLV	0.00	1	SLV
-698	Max	0.99	1	SLV	2.55	5	SLV	-0.14	5	SLV	0.00	18	SLU	0.00	19	SLU	0.00	1	SLV
-698	Min.	-0.99	1	SLV	-2.55	5	SLV	-0.86	19	SLU	0.00	5	SLV	0.00	1	SLV	0.00	19	SLU
-697	Max	0.98	1	SLV	2.54	5	SLV	-0.13	5	SLV	0.00	18	SLU	0.00	9	SLU	0.00	1	SLV
-697	Min.	-0.98	1	SLV	-2.55	5	SLV	-0.83	19	SLU	0.00	5	SLV	0.00	1	SLV	0.00	1	SLV
-696	Max	0.98	1	SLV	2.55	5	SLV	-0.13	5	SLV	0.00	5	SLV	0.00	17	SLU	0.00	1	SLV
-696	Min.	-0.98	1	SLV	-2.54	5	SLV	-0.90	18	SLU	-0.00	19	SLU	-0.00	18	SLU	0.00	1	SLV
-695	Max	1.00	1	SL	2.55	5	SL	-0.14	5	SL	0.00	5	SL	0.00	1	SL	0.00	1	SL

				V			V			V			V			V			V
-695	Min.	-0.99	1	SLV	-2.55	5	SLV	-0.94	18	SLU	-0.00	19	SLU	-0.00	18	SLU	0.00	1	SLV
-694	Max	0.99	1	SLV	2.56	5	SLV	-0.25	5	SLV	0.00	5	SLV	0.00	17	SLU	0.00	1	SLV
-694	Min.	-0.99	1	SLV	-2.55	5	SLV	-1.46	18	SLU	-0.00	9	SLU	0.00	18	SLU	0.00	1	SLV
-693	Max	1.00	1	SLV	2.56	5	SLV	-0.25	5	SLV	0.00	5	SLV	0.00	1	SLV	0.00	1	SLV
-693	Min.	-0.99	1	SLV	-2.55	5	SLV	-1.47	18	SLU	-0.00	9	SLU	0.00	18	SLU	0.00	1	SLV
-692	Max	1.00	1	SLV	2.56	5	SLV	-0.25	5	SLV	0.00	5	SLV	0.00	17	SLU	0.00	17	SLU
-692	Min.	-1.00	1	SLV	-2.55	5	SLV	-1.47	18	SLU	-0.00	19	SLU	0.00	1	SLV	0.00	1	SLV
-691	Max	0.99	1	SLV	2.56	5	SLV	-0.25	5	SLV	0.00	5	SLV	0.00	18	SLU	0.00	1	SLV
-691	Min.	-0.99	1	SLV	-2.55	5	SLV	-1.46	18	SLU	-0.00	19	SLU	0.00	1	SLV	0.00	1	SLV
-690	Max	0.99	1	SLV	2.55	5	SLV	-0.14	5	SLV	0.00	5	SLV	0.00	19	SLU	0.00	19	SLU
-690	Min.	-1.00	1	SLV	-2.55	5	SLV	-0.94	18	SLU	-0.00	9	SLU	0.00	1	SLV	0.00	1	SLV
-689	Max	0.98	1	SLV	2.55	5	SLV	-0.13	5	SLV	0.00	5	SLV	0.00	18	SLU	0.00	1	SLV
-689	Min.	-0.98	1	SLV	-2.54	5	SLV	-0.90	18	SLU	-0.00	9	SLU	0.00	1	SLV	0.00	1	SLV
-688	Max	0.97	1	SLV	2.54	5	SLV	-0.11	5	SLV	0.00	18	SLU	0.00	17	SLU	0.00	1	SLV
-688	Min.	-0.97	1	SLV	-2.55	5	SLV	-0.78	9	SLU	0.00	5	SLV	-0.00	9	SLU	-0.00	17	SLU
-687	Max	0.98	1	SLV	2.55	5	SLV	-0.11	5	SLV	0.00	18	SLU	0.00	1	SLV	0.00	1	SLV
-687	Min.	-0.98	1	SLV	-2.56	5	SLV	-0.81	9	SLU	0.00	5	SLV	-0.00	19	SLU	-0.00	1	SLV
-686	Max	0.98	1	SLV	2.55	5	SLV	-0.22	5	SLV	0.00	18	SLU	0.00	17	SLU	0.00	1	SLV
-686	Min.	-0.98	1	SLV	-2.56	5	SLV	-1.24	9	SLU	0.00	5	SLV	0.00	18	SLU	-0.00	17	SLU
-685	Max	0.98	1	SLV	2.55	5	SLV	-0.22	5	SLV	0.00	18	SLU	0.00	1	SLV	0.00	1	SLV
-685	Min.	-0.98	1	SLV	-2.57	5	SLV	-1.25	9	SLU	0.00	5	SLV	0.00	19	SLU	-0.00	1	SLV
-684	Max	0.98	1	SLV	2.55	5	SLV	-0.22	5	SLV	0.00	18	SLU	0.00	17	SLU	0.00	1	SLV
-684	Min.	-0.98	1	SLV	-2.57	5	SLV	-1.25	19	SLU	0.00	5	SLV	0.00	1	SLV	-0.00	17	SLU
-683	Max	0.98	1	SLV	2.55	5	SLV	-0.22	5	SLV	0.00	18	SLU	0.00	18	SLU	0.00	1	SLV
-683	Min.	-0.98	1	SLV	-2.56	5	SLV	-1.25	19	SLU	0.00	5	SLV	0.00	1	SLV	-0.00	1	SLV
-682	Max	0.98	1	SLV	2.55	5	SLV	-0.11	5	SLV	0.00	18	SLU	0.00	19	SLU	0.00	1	SLV
-682	Min.	-0.98	1	SLV	-2.56	5	SLV	-0.83	19	SLU	0.00	5	SLV	0.00	1	SLV	-0.00	17	SLU
-681	Max	0.97	1	SLV	2.54	5	SLV	-0.11	5	SLV	0.00	18	SLU	0.00	9	SLU	0.00	1	SLV
-681	Min.	-0.97	1	SLV	-2.55	5	SLV	-0.80	19	SLU	0.00	5	SLV	0.00	1	SLV	0.00	1	SLV
-680	Max	0.97	1	SL	2.55	5	SL	-0.11	5	SL	0.00	5	SL	0.00	17	SL	0.00	17	SL

				V			V			V			V			U			U
-680	Min.	-0.97	1	SLV	-2.54	5	SLV	-0.87	18	SLU	-0.00	19	SLU	-0.00	18	SLU	0.00	1	SLV
-679	Max	0.98	1	SLV	2.56	5	SLV	-0.11	5	SLV	0.00	5	SLV	0.00	1	SLV	0.00	1	SLV
-679	Min.	-0.98	1	SLV	-2.55	5	SLV	-0.91	18	SLU	-0.00	19	SLU	-0.00	18	SLU	-0.00	1	SLV
-678	Max	0.98	1	SLV	2.56	5	SLV	-0.22	5	SLV	0.00	5	SLV	0.00	17	SLU	0.00	17	SLU
-678	Min.	-0.98	1	SLV	-2.55	5	SLV	-1.40	18	SLU	-0.00	9	SLU	0.00	18	SLU	-0.00	1	SLV
-677	Max	0.98	1	SLV	2.57	5	SLV	-0.22	5	SLV	0.00	5	SLV	0.00	1	SLV	0.00	1	SLV
-677	Min.	-0.98	1	SLV	-2.55	5	SLV	-1.41	18	SLU	-0.00	9	SLU	0.00	18	SLU	-0.00	1	SLV
-676	Max	0.98	1	SLV	2.56	5	SLV	-0.22	5	SLV	0.00	5	SLV	0.00	17	SLU	0.00	17	SLU
-676	Min.	-0.98	1	SLV	-2.55	5	SLV	-1.41	18	SLU	-0.00	19	SLU	0.00	1	SLV	-0.00	1	SLV
-675	Max	0.98	1	SLV	2.56	5	SLV	-0.22	5	SLV	0.00	5	SLV	0.00	18	SLU	0.00	1	SLV
-675	Min.	-0.98	1	SLV	-2.55	5	SLV	-1.40	18	SLU	-0.00	19	SLU	0.00	1	SLV	-0.00	1	SLV
-674	Max	0.98	1	SLV	2.56	5	SLV	-0.11	5	SLV	0.00	5	SLV	0.00	19	SLU	0.00	17	SLU
-674	Min.	-0.98	1	SLV	-2.55	5	SLV	-0.91	18	SLU	-0.00	9	SLU	0.00	1	SLV	-0.00	1	SLV
-673	Max	0.97	1	SLV	2.55	5	SLV	-0.11	5	SLV	0.00	5	SLV	0.00	18	SLU	0.00	1	SLV
-673	Min.	-0.97	1	SLV	-2.54	5	SLV	-0.87	18	SLU	-0.00	9	SLU	0.00	1	SLV	0.00	1	SLV
-672	Max	0.96	1	SLV	2.55	5	SLV	-0.08	5	SLV	0.00	18	SLU	0.00	1	SLV	0.00	5	SLV
-672	Min.	-0.96	1	SLV	-2.55	5	SLV	-0.74	9	SLU	0.00	5	SLV	-0.00	19	SLU	0.00	5	SLV
-671	Max	0.96	1	SLV	2.55	5	SLV	-0.09	5	SLV	0.00	18	SLU	0.00	1	SLV	0.00	5	SLV
-671	Min.	-0.96	1	SLV	-2.56	5	SLV	-0.77	9	SLU	0.00	5	SLV	-0.00	19	SLU	0.00	5	SLV
-670	Max	0.96	1	SLV	2.55	5	SLV	-0.18	5	SLV	0.00	18	SLU	0.00	1	SLV	0.00	1	SLV
-670	Min.	-0.96	1	SLV	-2.57	5	SLV	-1.17	9	SLU	0.00	5	SLV	0.00	19	SLU	0.00	1	SLV
-669	Max	0.96	1	SLV	2.55	5	SLV	-0.19	5	SLV	0.00	18	SLU	0.00	1	SLV	0.00	1	SLV
-669	Min.	-0.96	1	SLV	-2.57	5	SLV	-1.17	9	SLU	0.00	5	SLV	0.00	19	SLU	0.00	1	SLV
-668	Max	0.96	1	SLV	2.55	5	SLV	-0.19	5	SLV	0.00	18	SLU	0.00	18	SLU	0.00	1	SLV
-668	Min.	-0.96	1	SLV	-2.57	5	SLV	-1.18	19	SLU	0.00	5	SLV	0.00	1	SLV	0.00	1	SLV
-667	Max	0.96	1	SLV	2.55	5	SLV	-0.18	5	SLV	0.00	18	SLU	0.00	18	SLU	0.00	1	SLV
-667	Min.	-0.96	1	SLV	-2.57	5	SLV	-1.17	19	SLU	0.00	5	SLV	0.00	1	SLV	0.00	1	SLV
-666	Max	0.96	1	SLV	2.55	5	SLV	-0.09	5	SLV	0.00	18	SLU	0.00	9	SLU	0.00	5	SLV
-666	Min.	-0.96	1	SLV	-2.56	5	SLV	-0.79	19	SLU	0.00	5	SLV	0.00	1	SLV	0.00	5	SLV
-665	Max	0.96	1	SL	2.55	5	SL	-0.08	5	SL	0.00	18	SL	0.00	9	SL	0.00	5	SL

				V			V			V			U			U			V
-665	Min.	-0.96	1	SL V	-2.55	5	SL V	-0.76	19	SL U	0.00	5	SL V	0.00	1	SL V	0.00	5	SL V
-664	Max	0.96	1	SL V	2.55	5	SL V	-0.08	5	SL V	0.00	5	SL V	0.00	1	SL V	0.00	5	SL V
-664	Min.	-0.96	1	SL V	-2.55	5	SL V	-0.84	18	SL U	-0.00	19	SL U	-0.00	18	SL U	0.00	5	SL V
-663	Max	0.96	1	SL V	2.56	5	SL V	-0.09	5	SL V	0.00	5	SL V	0.00	1	SL V	0.00	5	SL V
-663	Min.	-0.96	1	SL V	-2.55	5	SL V	-0.87	18	SL U	-0.00	18	SL U	-0.00	18	SL U	0.00	5	SL V
-662	Max	0.96	1	SL V	2.57	5	SL V	-0.18	5	SL V	0.00	5	SL V	0.00	1	SL V	0.00	1	SL V
-662	Min.	-0.96	1	SL V	-2.55	5	SL V	-1.33	18	SL U	-0.00	18	SL U	0.00	18	SL U	0.00	1	SL V
-661	Max	0.96	1	SL V	2.57	5	SL V	-0.19	5	SL V	0.00	5	SL V	0.00	1	SL V	0.00	1	SL V
-661	Min.	-0.96	1	SL V	-2.55	5	SL V	-1.33	18	SL U	-0.00	18	SL U	0.00	18	SL U	0.00	1	SL V
-660	Max	0.96	1	SL V	2.57	5	SL V	-0.19	5	SL V	0.00	5	SL V	0.00	18	SL U	0.00	1	SL V
-660	Min.	-0.96	1	SL V	-2.55	5	SL V	-1.33	18	SL U	-0.00	18	SL U	0.00	1	SL V	0.00	1	SL V
-659	Max	0.96	1	SL V	2.57	5	SL V	-0.18	5	SL V	0.00	5	SL V	0.00	18	SL U	0.00	1	SL V
-659	Min.	-0.96	1	SL V	-2.55	5	SL V	-1.33	18	SL U	-0.00	18	SL U	0.00	1	SL V	0.00	1	SL V
-658	Max	0.96	1	SL V	2.56	5	SL V	-0.09	5	SL V	0.00	5	SL V	0.00	18	SL U	0.00	5	SL V
-658	Min.	-0.96	1	SL V	-2.55	5	SL V	-0.87	18	SL U	-0.00	18	SL U	0.00	1	SL V	0.00	5	SL V
-657	Max	0.96	1	SL V	2.55	5	SL V	-0.08	5	SL V	0.00	5	SL V	0.00	18	SL U	0.00	5	SL V
-657	Min.	-0.96	1	SL V	-2.55	5	SL V	-0.84	18	SL U	-0.00	18	SL U	0.00	1	SL V	0.00	5	SL V
-656	Max	0.97	1	SL V	2.55	5	SL V	-0.06	5	SL V	0.00	18	SL U	0.00	17	SL U	0.00	17	SL U
-656	Min.	-0.97	1	SL V	-2.56	5	SL V	-0.69	9	SL U	0.00	5	SL V	-0.00	9	SL U	0.00	1	SL V
-655	Max	0.98	1	SL V	2.55	5	SL V	-0.07	5	SL V	0.00	18	SL U	0.00	5	SL V	0.00	1	SL V
-655	Min.	-0.97	1	SL V	-2.56	5	SL V	-0.72	9	SL U	0.00	5	SL V	-0.00	19	SL U	0.00	1	SL V
-654	Max	0.98	1	SL V	2.56	5	SL V	-0.15	5	SL V	0.00	18	SL U	0.00	17	SL U	0.00	17	SL U
-654	Min.	-0.98	1	SL V	-2.57	5	SL V	-1.07	9	SL U	0.00	5	SL V	0.00	18	SL U	0.00	1	SL V
-653	Max	0.98	1	SL V	2.56	5	SL V	-0.15	5	SL V	0.00	18	SL U	0.00	1	SL V	0.00	1	SL V
-653	Min.	-0.98	1	SL V	-2.57	5	SL V	-1.08	9	SL U	0.00	5	SL V	0.00	19	SL U	0.00	1	SL V
-652	Max	0.98	1	SL V	2.56	5	SL V	-0.15	5	SL V	0.00	18	SL U	0.00	17	SL U	0.00	17	SL U
-652	Min.	-0.98	1	SL V	-2.57	5	SL V	-1.08	19	SL U	0.00	5	SL V	0.00	1	SL V	0.00	1	SL V
-651	Max	0.98	1	SL V	2.55	5	SL V	-0.15	5	SL V	0.00	18	SL U	0.00	18	SL U	0.00	1	SL V
-651	Min.	-0.98	1	SL V	-2.57	5	SL V	-1.08	19	SL U	0.00	5	SL V	0.00	1	SL V	0.00	1	SL V
-650	Max	0.97	1	SL	2.55	5	SL	-0.07	5	SL	0.00	18	SL	0.00	19	SL	0.00	17	SL

				V			V			V			U			U			U
-650	Min.	-0.98	1	SLV	-2.56	5	SLV	-0.74	19	SLU	0.00	5	SLV	0.00	5	SLV	0.00	1	SLV
-649	Max	0.97	1	SLV	2.55	5	SLV	-0.06	5	SLV	0.00	18	SLU	0.00	9	SLU	0.00	1	SLV
-649	Min.	-0.97	1	SLV	-2.56	5	SLV	-0.71	19	SLU	0.00	5	SLV	0.00	1	SLV	0.00	1	SLV
-648	Max	0.97	1	SLV	2.56	5	SLV	-0.06	5	SLV	0.00	5	SLV	0.00	17	SLU	0.00	1	SLV
-648	Min.	-0.97	1	SLV	-2.55	5	SLV	-0.79	18	SLU	-0.00	18	SLU	-0.00	18	SLU	-0.00	17	SLU
-647	Max	0.98	1	SLV	2.56	5	SLV	-0.07	5	SLV	0.00	5	SLV	0.00	5	SLV	0.00	1	SLV
-647	Min.	-0.98	1	SLV	-2.55	5	SLV	-0.82	18	SLU	-0.00	18	SLU	-0.00	18	SLU	0.00	1	SLV
-646	Max	0.98	1	SLV	2.57	5	SLV	-0.15	5	SLV	0.00	5	SLV	0.00	17	SLU	0.00	1	SLV
-646	Min.	-0.98	1	SLV	-2.56	5	SLV	-1.23	18	SLU	-0.00	18	SLU	0.00	18	SLU	-0.00	17	SLU
-645	Max	0.98	1	SLV	2.57	5	SLV	-0.15	5	SLV	0.00	5	SLV	0.00	1	SLV	0.00	1	SLV
-645	Min.	-0.98	1	SLV	-2.56	5	SLV	-1.24	18	SLU	-0.00	18	SLU	0.00	18	SLU	0.00	1	SLV
-644	Max	0.98	1	SLV	2.57	5	SLV	-0.15	5	SLV	0.00	5	SLV	0.00	17	SLU	0.00	1	SLV
-644	Min.	-0.98	1	SLV	-2.56	5	SLV	-1.24	18	SLU	-0.00	18	SLU	0.00	1	SLV	-0.00	17	SLU
-643	Max	0.98	1	SLV	2.57	5	SLV	-0.15	5	SLV	0.00	5	SLV	0.00	18	SLU	0.00	1	SLV
-643	Min.	-0.98	1	SLV	-2.56	5	SLV	-1.23	18	SLU	-0.00	18	SLU	0.00	1	SLV	0.00	1	SLV
-642	Max	0.98	1	SLV	2.56	5	SLV	-0.07	5	SLV	0.00	5	SLV	0.00	19	SLU	0.00	1	SLV
-642	Min.	-0.98	1	SLV	-2.55	5	SLV	-0.82	18	SLU	-0.00	18	SLU	0.00	5	SLV	-0.00	17	SLU
-641	Max	0.97	1	SLV	2.56	5	SLV	-0.06	5	SLV	0.00	5	SLV	0.00	18	SLU	0.00	1	SLV
-641	Min.	-0.97	1	SLV	-2.55	5	SLV	-0.79	18	SLU	-0.00	18	SLU	0.00	1	SLV	0.00	1	SLV
-640	Max	0.97	1	SLV	2.55	5	SLV	-0.05	5	SLV	0.00	18	SLU	0.00	17	SLU	0.00	1	SLV
-640	Min.	-0.97	1	SLV	-2.56	5	SLV	-0.64	9	SLU	0.00	5	SLV	-0.00	9	SLU	0.00	1	SLV
-639	Max	0.98	1	SLV	2.56	5	SLV	-0.05	5	SLV	0.00	18	SLU	0.00	1	SLV	0.00	1	SLV
-639	Min.	-0.98	1	SLV	-2.56	5	SLV	-0.66	9	SLU	0.00	5	SLV	-0.00	19	SLU	0.00	1	SLV
-638	Max	0.98	1	SLV	2.56	5	SLV	-0.12	5	SLV	0.00	18	SLU	0.00	17	SLU	0.00	1	SLV
-638	Min.	-0.98	1	SLV	-2.57	5	SLV	-0.97	9	SLU	0.00	5	SLV	0.00	18	SLU	0.00	1	SLV
-637	Max	0.98	1	SLV	2.56	5	SLV	-0.12	5	SLV	0.00	18	SLU	0.00	5	SLV	0.00	1	SLV
-637	Min.	-0.98	1	SLV	-2.57	5	SLV	-0.97	9	SLU	0.00	5	SLV	0.00	19	SLU	0.00	1	SLV
-636	Max	0.98	1	SLV	2.56	5	SLV	-0.12	5	SLV	0.00	18	SLU	0.00	17	SLU	0.00	1	SLV
-636	Min.	-0.98	1	SLV	-2.57	5	SLV	-0.98	19	SLU	0.00	5	SLV	0.00	5	SLV	0.00	1	SLV
-635	Max	0.98	1	SL	2.56	5	SL	-0.12	5	SL	0.00	18	SL	0.00	18	SL	0.00	1	SL

				V			V			V			U			U			V
-635	Min.	-0.98	1	SLV	-2.57	5	SLV	-0.97	19	SLU	0.00	5	SLV	0.00	1	SLV	0.00	1	SLV
-634	Max	0.98	1	SLV	2.56	5	SLV	-0.05	5	SLV	0.00	18	SLU	0.00	19	SLU	0.00	1	SLV
-634	Min.	-0.98	1	SLV	-2.56	5	SLV	-0.69	19	SLU	0.00	5	SLV	0.00	1	SLV	0.00	19	SLU
-633	Max	0.97	1	SLV	2.55	5	SLV	-0.05	5	SLV	0.00	18	SLU	0.00	9	SLU	0.00	1	SLV
-633	Min.	-0.97	1	SLV	-2.56	5	SLV	-0.66	19	SLU	0.00	5	SLV	0.00	1	SLV	0.00	1	SLV
-632	Max	0.97	1	SLV	2.56	5	SLV	-0.05	5	SLV	0.00	5	SLV	0.00	17	SLU	0.00	1	SLV
-632	Min.	-0.97	1	SLV	-2.55	5	SLV	-0.73	18	SLU	-0.00	18	SLU	-0.00	18	SLU	0.00	1	SLV
-631	Max	0.98	1	SLV	2.56	5	SLV	-0.05	5	SLV	0.00	5	SLV	0.00	1	SLV	0.00	1	SLV
-631	Min.	-0.98	1	SLV	-2.56	5	SLV	-0.76	18	SLU	-0.00	18	SLU	-0.00	18	SLU	0.00	1	SLV
-630	Max	0.98	1	SLV	2.57	5	SLV	-0.12	5	SLV	0.00	5	SLV	0.00	17	SLU	0.00	1	SLV
-630	Min.	-0.98	1	SLV	-2.56	5	SLV	-1.12	18	SLU	-0.01	18	SLU	0.00	18	SLU	0.00	1	SLV
-629	Max	0.98	1	SLV	2.57	5	SLV	-0.12	5	SLV	0.00	5	SLV	0.00	5	SLV	0.00	1	SLV
-629	Min.	-0.98	1	SLV	-2.56	5	SLV	-1.12	18	SLU	-0.01	18	SLU	0.00	19	SLU	0.00	1	SLV
-628	Max	0.98	1	SLV	2.57	5	SLV	-0.12	5	SLV	0.00	5	SLV	0.00	17	SLU	0.00	1	SLV
-628	Min.	-0.98	1	SLV	-2.56	5	SLV	-1.12	18	SLU	-0.01	18	SLU	0.00	5	SLV	0.00	1	SLV
-627	Max	0.98	1	SLV	2.57	5	SLV	-0.12	5	SLV	0.00	5	SLV	0.00	18	SLU	0.00	1	SLV
-627	Min.	-0.98	1	SLV	-2.56	5	SLV	-1.12	18	SLU	-0.01	18	SLU	0.00	1	SLV	0.00	1	SLV
-626	Max	0.98	1	SLV	2.56	5	SLV	-0.05	5	SLV	0.00	5	SLV	0.00	19	SLU	0.00	19	SLU
-626	Min.	-0.98	1	SLV	-2.56	5	SLV	-0.76	18	SLU	-0.00	18	SLU	0.00	1	SLV	0.00	1	SLV
-625	Max	0.97	1	SLV	2.56	5	SLV	-0.05	5	SLV	0.00	5	SLV	0.00	18	SLU	0.00	1	SLV
-625	Min.	-0.97	1	SLV	-2.55	5	SLV	-0.73	18	SLU	-0.00	18	SLU	0.00	1	SLV	0.00	1	SLV
-624	Max	0.96	1	SLV	2.56	5	SLV	-0.03	5	SLV	0.00	19	SLU	0.00	17	SLU	0.00	1	SLV
-624	Min.	-0.96	1	SLV	-2.56	5	SLV	-0.58	9	SLU	0.00	5	SLV	-0.00	9	SLU	-0.00	17	SLU
-623	Max	0.97	1	SLV	2.56	5	SLV	-0.04	5	SLV	0.00	19	SLU	0.00	1	SLV	0.00	1	SLV
-623	Min.	-0.97	1	SLV	-2.57	5	SLV	-0.60	9	SLU	0.00	5	SLV	-0.00	19	SLU	-0.00	1	SLV
-622	Max	0.97	1	SLV	2.56	5	SLV	-0.10	5	SLV	0.01	9	SLU	0.00	17	SLU	0.00	1	SLV
-622	Min.	-0.96	1	SLV	-2.57	5	SLV	-0.86	9	SLU	0.00	5	SLV	0.00	18	SLU	-0.00	17	SLU
-621	Max	0.97	1	SLV	2.56	5	SLV	-0.10	5	SLV	0.01	9	SLU	0.00	1	SLV	0.00	1	SLV
-621	Min.	-0.97	1	SLV	-2.57	5	SLV	-0.86	9	SLU	0.00	5	SLV	0.00	19	SLU	-0.00	1	SLV
-620	Max	0.97	1	SL	2.56	5	SL	-0.10	5	SL	0.01	19	SL	0.00	17	SL	0.00	1	SL

				V			V			V			U			U			V
-620	Min.	-0.97	1	SLV	-2.57	5	SLV	-0.86	19	SLU	0.00	5	SLV	0.00	1	SLV	-0.00	17	SLU
-619	Max	0.97	1	SLV	2.56	5	SLV	-0.10	5	SLV	0.01	19	SLU	0.00	18	SLU	0.00	1	SLV
-619	Min.	-0.97	1	SLV	-2.57	5	SLV	-0.86	19	SLU	0.00	5	SLV	0.00	1	SLV	-0.00	1	SLV
-618	Max	0.97	1	SLV	2.56	5	SLV	-0.04	5	SLV	0.00	9	SLU	0.00	19	SLU	0.00	1	SLV
-618	Min.	-0.97	1	SLV	-2.57	5	SLV	-0.62	19	SLU	0.00	5	SLV	0.00	1	SLV	-0.00	17	SLU
-617	Max	0.96	1	SLV	2.55	5	SLV	-0.03	5	SLV	0.00	9	SLU	0.00	9	SLU	0.00	1	SLV
-617	Min.	-0.96	1	SLV	-2.56	5	SLV	-0.60	19	SLU	0.00	5	SLV	0.00	1	SLV	0.00	1	SLV
-616	Max	0.96	1	SLV	2.56	5	SLV	-0.03	5	SLV	0.00	5	SLV	0.00	17	SLU	0.00	17	SLU
-616	Min.	-0.96	1	SLV	-2.56	5	SLV	-0.67	18	SLU	-0.00	18	SLU	-0.00	18	SLU	0.00	1	SLV
-615	Max	0.97	1	SLV	2.56	5	SLV	-0.04	5	SLV	0.00	5	SLV	0.00	1	SLV	0.00	1	SLV
-615	Min.	-0.97	1	SLV	-2.56	5	SLV	-0.70	18	SLU	-0.00	18	SLU	-0.00	18	SLU	-0.00	1	SLV
-614	Max	0.97	1	SLV	2.57	5	SLV	-0.10	5	SLV	0.00	5	SLV	0.00	17	SLU	0.00	17	SLU
-614	Min.	-0.97	1	SLV	-2.56	5	SLV	-0.99	18	SLU	-0.01	18	SLU	0.00	18	SLU	-0.00	1	SLV
-613	Max	0.97	1	SLV	2.57	5	SLV	-0.10	5	SLV	0.00	5	SLV	0.00	1	SLV	0.00	1	SLV
-613	Min.	-0.97	1	SLV	-2.56	5	SLV	-1.00	18	SLU	-0.01	18	SLU	0.00	19	SLU	-0.00	1	SLV
-612	Max	0.97	1	SLV	2.57	5	SLV	-0.10	5	SLV	0.00	5	SLV	0.00	17	SLU	0.00	17	SLU
-612	Min.	-0.97	1	SLV	-2.56	5	SLV	-1.00	18	SLU	-0.01	18	SLU	0.00	1	SLV	-0.00	1	SLV
-611	Max	0.97	1	SLV	2.57	5	SLV	-0.10	5	SLV	0.00	5	SLV	0.00	18	SLU	0.00	1	SLV
-611	Min.	-0.97	1	SLV	-2.56	5	SLV	-0.99	18	SLU	-0.01	18	SLU	0.00	1	SLV	-0.00	1	SLV
-610	Max	0.97	1	SLV	2.56	5	SLV	-0.04	5	SLV	0.00	5	SLV	0.00	19	SLU	0.00	17	SLU
-610	Min.	-0.97	1	SLV	-2.56	5	SLV	-0.70	18	SLU	-0.00	18	SLU	0.00	1	SLV	-0.00	1	SLV
-609	Max	0.96	1	SLV	2.56	5	SLV	-0.03	5	SLV	0.00	5	SLV	0.00	18	SLU	0.00	1	SLV
-609	Min.	-0.96	1	SLV	-2.55	5	SLV	-0.67	18	SLU	-0.00	18	SLU	0.00	1	SLV	0.00	1	SLV
-608	Max	0.95	1	SLV	2.56	5	SLV	-0.03	5	SLV	0.00	19	SLU	0.00	1	SLV	0.00	5	SLV
-608	Min.	-0.95	1	SLV	-2.56	5	SLV	-0.52	9	SLU	0.00	5	SLV	-0.00	19	SLU	0.00	5	SLV
-607	Max	0.95	1	SLV	2.56	5	SLV	-0.03	5	SLV	0.00	9	SLU	0.00	1	SLV	0.00	5	SLV
-607	Min.	-0.95	1	SLV	-2.57	5	SLV	-0.53	9	SLU	0.00	5	SLV	-0.00	19	SLU	0.00	5	SLV
-606	Max	0.95	1	SLV	2.57	5	SLV	-0.08	5	SLV	0.01	19	SLU	0.00	1	SLV	0.00	1	SLV
-606	Min.	-0.95	1	SLV	-2.57	5	SLV	-0.73	9	SLU	0.00	5	SLV	0.00	19	SLU	0.00	1	SLV
-605	Max	0.95	1	SL	2.57	5	SL	-0.08	5	SL	0.01	9	SL	0.00	1	SL	0.00	1	SL

				V			V			V			U			V			V
-605	Min.	-0.95	1	SLV	-2.57	5	SLV	-0.73	9	SLU	0.00	5	SLV	0.00	19	SLU	0.00	1	SLV
-604	Max	0.95	1	SLV	2.57	5	SLV	-0.08	5	SLV	0.01	19	SLU	0.00	18	SLU	0.00	1	SLV
-604	Min.	-0.95	1	SLV	-2.57	5	SLV	-0.74	19	SLU	0.00	5	SLV	0.00	1	SLV	0.00	1	SLV
-603	Max	0.95	1	SLV	2.57	5	SLV	-0.08	5	SLV	0.01	9	SLU	0.00	18	SLU	0.00	1	SLV
-603	Min.	-0.95	1	SLV	-2.57	5	SLV	-0.74	19	SLU	0.00	5	SLV	0.00	1	SLV	0.00	1	SLV
-602	Max	0.95	1	SLV	2.56	5	SLV	-0.03	5	SLV	0.00	19	SLU	0.00	9	SLU	0.00	5	SLV
-602	Min.	-0.95	1	SLV	-2.57	5	SLV	-0.56	19	SLU	0.00	5	SLV	0.00	1	SLV	0.00	5	SLV
-601	Max	0.95	1	SLV	2.56	5	SLV	-0.03	5	SLV	0.00	9	SLU	0.00	9	SLU	0.00	5	SLV
-601	Min.	-0.95	1	SLV	-2.56	5	SLV	-0.54	19	SLU	0.00	5	SLV	0.00	1	SLV	0.00	5	SLV
-600	Max	0.95	1	SLV	2.56	5	SLV	-0.03	5	SLV	0.00	5	SLV	0.00	1	SLV	0.00	5	SLV
-600	Min.	-0.95	1	SLV	-2.56	5	SLV	-0.60	18	SLU	-0.00	18	SLU	-0.00	18	SLU	0.00	5	SLV
-599	Max	0.95	1	SLV	2.57	5	SLV	-0.03	5	SLV	0.00	5	SLV	0.00	1	SLV	0.00	5	SLV
-599	Min.	-0.95	1	SLV	-2.56	5	SLV	-0.62	18	SLU	-0.00	18	SLU	-0.00	18	SLU	0.00	5	SLV
-598	Max	0.95	1	SLV	2.57	5	SLV	-0.08	5	SLV	0.00	5	SLV	0.00	1	SLV	0.00	1	SLV
-598	Min.	-0.95	1	SLV	-2.57	5	SLV	-0.85	18	SLU	-0.01	18	SLU	0.00	19	SLU	0.00	1	SLV
-597	Max	0.95	1	SLV	2.57	5	SLV	-0.08	5	SLV	0.00	5	SLV	0.00	1	SLV	0.00	1	SLV
-597	Min.	-0.95	1	SLV	-2.57	5	SLV	-0.85	18	SLU	-0.01	18	SLU	0.00	19	SLU	0.00	1	SLV
-596	Max	0.95	1	SLV	2.57	5	SLV	-0.08	5	SLV	0.00	5	SLV	0.00	18	SLU	0.00	1	SLV
-596	Min.	-0.95	1	SLV	-2.57	5	SLV	-0.85	18	SLU	-0.01	18	SLU	0.00	1	SLV	0.00	1	SLV
-595	Max	0.95	1	SLV	2.57	5	SLV	-0.08	5	SLV	0.00	5	SLV	0.00	1	SLV	0.00	1	SLV
-595	Min.	-0.95	1	SLV	-2.57	5	SLV	-0.85	18	SLU	-0.01	18	SLU	0.00	1	SLV	0.00	1	SLV
-594	Max	0.95	1	SLV	2.57	5	SLV	-0.03	5	SLV	0.00	5	SLV	0.00	18	SLU	0.00	5	SLV
-594	Min.	-0.95	1	SLV	-2.56	5	SLV	-0.62	18	SLU	-0.00	18	SLU	0.00	1	SLV	0.00	5	SLV
-593	Max	0.95	1	SLV	2.56	5	SLV	-0.03	5	SLV	0.00	5	SLV	0.00	18	SLU	0.00	5	SLV
-593	Min.	-0.95	1	SLV	-2.56	5	SLV	-0.60	18	SLU	-0.00	18	SLU	0.00	1	SLV	0.00	5	SLV
-592	Max	0.95	1	SLV	2.56	5	SLV	-0.03	5	SLV	0.00	19	SLU	0.00	1	SLV	0.00	17	SLU
-592	Min.	-0.95	1	SLV	-2.56	5	SLV	-0.45	9	SLU	0.00	5	SLV	-0.00	1	SLV	0.00	1	SLV
-591	Max	0.96	1	SLV	2.57	5	SLV	-0.03	5	SLV	0.00	9	SLU	0.00	1	SLV	0.00	1	SLV
-591	Min.	-0.96	1	SLV	-2.57	5	SLV	-0.46	9	SLU	0.00	5	SLV	-0.00	19	SLU	0.00	1	SLV
-590	Max	0.96	1	SL	2.57	5	SL	-0.06	5	SL	0.01	19	SL	0.00	1	SL	0.00	17	SL

				V			V			V			U			V			U
-590	Min.	-0.96	1	SL V	-2.57	5	SL V	-0.60	9	SL U	0.00	5	SL V	0.00	1	SL V	0.00	1	SL V
-589	Max	0.96	1	SL V	2.57	5	SL V	-0.06	5	SL V	0.01	9	SL U	0.00	1	SL V	0.00	1	SL V
-589	Min.	-0.96	1	SL V	-2.57	5	SL V	-0.60	9	SL U	0.00	5	SL V	0.00	1	SL V	0.00	1	SL V
-588	Max	0.96	1	SL V	2.57	5	SL V	-0.06	5	SL V	0.01	19	SL U	0.00	1	SL V	0.00	17	SL U
-588	Min.	-0.96	1	SL V	-2.57	5	SL V	-0.60	19	SL U	0.00	5	SL V	0.00	1	SL V	0.00	1	SL V
-587	Max	0.96	1	SL V	2.57	5	SL V	-0.06	5	SL V	0.01	9	SL U	0.00	1	SL V	0.00	1	SL V
-587	Min.	-0.96	1	SL V	-2.57	5	SL V	-0.60	19	SL U	0.00	5	SL V	0.00	1	SL V	0.00	1	SL V
-586	Max	0.96	1	SL V	2.57	5	SL V	-0.03	5	SL V	0.00	19	SL U	0.00	19	SL U	0.00	17	SL U
-586	Min.	-0.96	1	SL V	-2.57	5	SL V	-0.48	19	SL U	0.00	5	SL V	0.00	1	SL V	0.00	1	SL V
-585	Max	0.95	1	SL V	2.56	5	SL V	-0.03	5	SL V	0.00	9	SL U	0.00	1	SL V	0.00	1	SL V
-585	Min.	-0.95	1	SL V	-2.56	5	SL V	-0.47	19	SL U	0.00	5	SL V	0.00	1	SL V	0.00	19	SL U
-584	Max	0.95	1	SL V	2.56	5	SL V	-0.03	5	SL V	0.00	5	SL V	0.00	1	SL V	0.00	1	SL V
-584	Min.	-0.95	1	SL V	-2.56	5	SL V	-0.52	18	SL U	-0.00	18	SL U	-0.00	18	SL U	-0.00	17	SL U
-583	Max	0.96	1	SL V	2.57	5	SL V	-0.03	5	SL V	0.00	5	SL V	0.00	1	SL V	0.00	1	SL V
-583	Min.	-0.96	1	SL V	-2.57	5	SL V	-0.54	18	SL U	-0.00	18	SL U	-0.00	18	SL U	0.00	1	SL V
-582	Max	0.96	1	SL V	2.57	5	SL V	-0.06	5	SL V	0.00	5	SL V	0.00	1	SL V	0.00	1	SL V
-582	Min.	-0.96	1	SL V	-2.57	5	SL V	-0.70	18	SL U	-0.01	18	SL U	0.00	1	SL V	-0.00	17	SL U
-581	Max	0.96	1	SL V	2.57	5	SL V	-0.06	5	SL V	0.00	5	SL V	0.00	1	SL V	0.00	1	SL V
-581	Min.	-0.96	1	SL V	-2.57	5	SL V	-0.70	18	SL U	-0.01	18	SL U	0.00	1	SL V	0.00	1	SL V
-580	Max	0.96	1	SL V	2.57	5	SL V	-0.06	5	SL V	0.00	5	SL V	0.00	1	SL V	0.00	1	SL V
-580	Min.	-0.96	1	SL V	-2.57	5	SL V	-0.70	18	SL U	-0.01	18	SL U	0.00	1	SL V	-0.00	17	SL U
-579	Max	0.96	1	SL V	2.57	5	SL V	-0.06	5	SL V	0.00	5	SL V	0.00	1	SL V	0.00	1	SL V
-579	Min.	-0.96	1	SL V	-2.57	5	SL V	-0.70	18	SL U	-0.01	18	SL U	0.00	1	SL V	0.00	1	SL V
-578	Max	0.96	1	SL V	2.57	5	SL V	-0.03	5	SL V	0.00	5	SL V	0.00	18	SL U	0.00	1	SL V
-578	Min.	-0.96	1	SL V	-2.57	5	SL V	-0.54	18	SL U	-0.00	18	SL U	0.00	1	SL V	0.00	17	SL U
-577	Max	0.95	1	SL V	2.56	5	SL V	-0.03	5	SL V	0.00	5	SL V	0.00	18	SL U	0.00	19	SL U
-577	Min.	-0.95	1	SL V	-2.56	5	SL V	-0.52	18	SL U	-0.00	18	SL U	0.00	1	SL V	0.00	1	SL V
-576	Max	0.95	1	SL V	2.57	5	SL V	-0.03	1	SL V	0.00	5	SL V	0.00	1	SL V	0.00	1	SL V
-576	Min.	-0.95	1	SL V	-2.56	5	SL V	-0.38	9	SL U	-0.00	5	SL V	-0.00	1	SL V	0.00	1	SL V
-575	Max	0.96	1	SL	2.57	5	SL	-0.05	5	SL	0.00	5	SL	0.00	1	SL	0.00	1	SL

				V			V			V			V			V			V
-575	Min.	-0.96	1	SLV	-2.57	5	SLV	-0.39	9	SLU	-0.00	5	SLV	-0.00	1	SLV	0.00	1	SLV
-574	Max	0.96	1	SLV	2.58	5	SLV	-0.06	5	SLV	0.01	19	SLU	0.00	1	SLV	0.00	1	SLV
-574	Min.	-0.96	1	SLV	-2.57	5	SLV	-0.46	9	SLU	0.00	5	SLV	-0.00	1	SLV	0.00	1	SLV
-573	Max	0.96	1	SLV	2.58	5	SLV	-0.06	5	SLV	0.01	9	SLU	0.00	1	SLV	0.00	1	SLV
-573	Min.	-0.96	1	SLV	-2.57	5	SLV	-0.46	9	SLU	0.00	5	SLV	-0.00	1	SLV	0.00	1	SLV
-572	Max	0.96	1	SLV	2.58	5	SLV	-0.06	5	SLV	0.01	19	SLU	0.00	1	SLV	0.00	1	SLV
-572	Min.	-0.96	1	SLV	-2.57	5	SLV	-0.46	19	SLU	0.00	5	SLV	-0.00	1	SLV	0.00	1	SLV
-571	Max	0.96	1	SLV	2.58	5	SLV	-0.06	5	SLV	0.01	9	SLU	0.00	1	SLV	0.00	1	SLV
-571	Min.	-0.96	1	SLV	-2.57	5	SLV	-0.46	19	SLU	0.00	5	SLV	-0.00	1	SLV	0.00	1	SLV
-570	Max	0.96	1	SLV	2.57	5	SLV	-0.05	5	SLV	0.00	19	SLU	0.00	1	SLV	0.00	1	SLV
-570	Min.	-0.96	1	SLV	-2.57	5	SLV	-0.41	19	SLU	-0.00	5	SLV	-0.00	1	SLV	0.00	1	SLV
-569	Max	0.95	1	SLV	2.57	5	SLV	-0.03	1	SLV	0.00	5	SLV	0.00	1	SLV	0.00	1	SLV
-569	Min.	-0.95	1	SLV	-2.56	5	SLV	-0.40	19	SLU	-0.00	5	SLV	-0.00	1	SLV	0.00	1	SLV
-568	Max	0.95	1	SLV	2.56	5	SLV	-0.03	1	SLV	0.00	5	SLV	0.00	1	SLV	0.00	1	SLV
-568	Min.	-0.95	1	SLV	-2.57	5	SLV	-0.43	18	SLU	-0.00	18	SLU	-0.00	1	SLV	0.00	1	SLV
-567	Max	0.96	1	SLV	2.57	5	SLV	-0.05	5	SLV	0.00	5	SLV	0.00	1	SLV	0.00	1	SLV
-567	Min.	-0.96	1	SLV	-2.57	5	SLV	-0.45	18	SLU	-0.00	18	SLU	-0.00	1	SLV	0.00	1	SLV
-566	Max	0.96	1	SLV	2.57	5	SLV	-0.06	5	SLV	0.00	5	SLV	0.00	1	SLV	0.00	1	SLV
-566	Min.	-0.96	1	SLV	-2.58	5	SLV	-0.54	18	SLU	-0.01	18	SLU	-0.00	1	SLV	0.00	1	SLV
-565	Max	0.96	1	SLV	2.57	5	SLV	-0.06	5	SLV	0.00	5	SLV	0.00	1	SLV	0.00	1	SLV
-565	Min.	-0.96	1	SLV	-2.58	5	SLV	-0.54	18	SLU	-0.01	18	SLU	-0.00	1	SLV	0.00	1	SLV
-564	Max	0.96	1	SLV	2.57	5	SLV	-0.06	5	SLV	0.00	5	SLV	0.00	1	SLV	0.00	1	SLV
-564	Min.	-0.96	1	SLV	-2.58	5	SLV	-0.54	18	SLU	-0.01	18	SLU	-0.00	1	SLV	0.00	1	SLV
-563	Max	0.96	1	SLV	2.57	5	SLV	-0.06	5	SLV	0.00	5	SLV	0.00	1	SLV	0.00	1	SLV
-563	Min.	-0.96	1	SLV	-2.58	5	SLV	-0.54	18	SLU	-0.01	18	SLU	-0.00	1	SLV	0.00	1	SLV
-562	Max	0.96	1	SLV	2.57	5	SLV	-0.05	5	SLV	0.00	5	SLV	0.00	1	SLV	0.00	1	SLV
-562	Min.	-0.96	1	SLV	-2.57	5	SLV	-0.45	18	SLU	-0.00	18	SLU	-0.00	1	SLV	0.00	1	SLV
-561	Max	0.95	1	SLV	2.56	5	SLV	-0.03	1	SLV	0.00	5	SLV	0.00	1	SLV	0.00	1	SLV
-561	Min.	-0.95	1	SLV	-2.57	5	SLV	-0.43	18	SLU	-0.00	18	SLU	-0.00	1	SLV	0.00	1	SLV
-560	Max	0.94	1	SL	2.57	5	SL	-0.02	1	SL	0.00	5	SL	0.00	1	SL	0.00	1	SL

				V			V			V			V			V			V
-560	Min.	-0.94	1	SL V	-2.56	5	SL V	-0.31	9	SL U	-0.00	5	SL V	-0.00	1	SL V	-0.00	17	SL U
-559	Max	0.94	1	SL V	2.57	5	SL V	-0.05	1	SL V	0.00	5	SL V	0.00	1	SL V	0.00	1	SL V
-559	Min.	-0.94	1	SL V	-2.57	5	SL V	-0.32	9	SL U	-0.00	5	SL V	-0.00	1	SL V	0.00	1	SL V
-558	Max	0.94	1	SL V	2.58	5	SL V	-0.07	5	SL V	0.00	19	SL U	0.00	1	SL V	0.00	1	SL V
-558	Min.	-0.94	1	SL V	-2.57	5	SL V	-0.33	9	SL U	-0.00	5	SL V	-0.00	1	SL V	-0.00	17	SL U
-557	Max	0.94	1	SL V	2.58	5	SL V	-0.08	5	SL V	0.00	9	SL U	0.00	1	SL V	0.00	1	SL V
-557	Min.	-0.94	1	SL V	-2.57	5	SL V	-0.33	9	SL U	-0.00	5	SL V	-0.00	1	SL V	0.00	1	SL V
-556	Max	0.94	1	SL V	2.58	5	SL V	-0.08	5	SL V	0.00	19	SL U	0.00	1	SL V	0.00	1	SL V
-556	Min.	-0.94	1	SL V	-2.57	5	SL V	-0.33	19	SL U	-0.00	5	SL V	-0.00	1	SL V	-0.00	17	SL U
-555	Max	0.94	1	SL V	2.58	5	SL V	-0.07	5	SL V	0.00	9	SL U	0.00	1	SL V	0.00	1	SL V
-555	Min.	-0.94	1	SL V	-2.57	5	SL V	-0.33	19	SL U	-0.00	5	SL V	-0.00	1	SL V	0.00	1	SL V
-554	Max	0.94	1	SL V	2.57	5	SL V	-0.05	1	SL V	0.00	5	SL V	0.00	1	SL V	0.00	1	SL V
-554	Min.	-0.94	1	SL V	-2.57	5	SL V	-0.34	19	SL U	-0.00	5	SL V	-0.00	1	SL V	-0.00	17	SL U
-553	Max	0.94	1	SL V	2.57	5	SL V	-0.02	1	SL V	0.00	5	SL V	0.00	1	SL V	0.00	1	SL V
-553	Min.	-0.94	1	SL V	-2.56	5	SL V	-0.34	19	SL U	-0.00	5	SL V	-0.00	1	SL V	0.00	1	SL V
-552	Max	0.94	1	SL V	2.56	5	SL V	-0.02	1	SL V	0.00	5	SL V	0.00	1	SL V	0.00	17	SL U
-552	Min.	-0.94	1	SL V	-2.57	5	SL V	-0.35	18	SL U	-0.00	5	SL V	-0.00	1	SL V	0.00	1	SL V
-551	Max	0.95	1	SL V	2.57	5	SL V	-0.05	1	SL V	0.00	5	SL V	0.00	1	SL V	0.00	1	SL V
-551	Min.	-0.95	1	SL V	-2.57	5	SL V	-0.36	18	SL U	-0.00	5	SL V	-0.00	1	SL V	0.00	1	SL V
-550	Max	0.95	1	SL V	2.57	5	SL V	-0.07	5	SL V	0.00	5	SL V	0.00	1	SL V	0.00	17	SL U
-550	Min.	-0.95	1	SL V	-2.58	5	SL V	-0.38	18	SL U	-0.01	18	SL U	-0.00	1	SL V	0.00	1	SL V
-549	Max	0.95	1	SL V	2.57	5	SL V	-0.08	5	SL V	0.00	5	SL V	0.00	1	SL V	0.00	1	SL V
-549	Min.	-0.95	1	SL V	-2.58	5	SL V	-0.38	18	SL U	-0.01	18	SL U	-0.00	1	SL V	0.00	1	SL V
-548	Max	0.95	1	SL V	2.57	5	SL V	-0.08	5	SL V	0.00	5	SL V	0.00	1	SL V	0.00	17	SL U
-548	Min.	-0.95	1	SL V	-2.58	5	SL V	-0.38	18	SL U	-0.01	18	SL U	-0.00	1	SL V	0.00	1	SL V
-547	Max	0.95	1	SL V	2.57	5	SL V	-0.07	5	SL V	0.00	5	SL V	0.00	1	SL V	0.00	1	SL V
-547	Min.	-0.95	1	SL V	-2.58	5	SL V	-0.38	18	SL U	-0.01	18	SL U	-0.00	1	SL V	0.00	1	SL V
-546	Max	0.95	1	SL V	2.57	5	SL V	-0.05	1	SL V	0.00	5	SL V	0.00	1	SL V	0.00	17	SL U
-546	Min.	-0.95	1	SL V	-2.57	5	SL V	-0.36	18	SL U	-0.00	5	SL V	-0.00	1	SL V	0.00	1	SL V
-545	Max	0.94	1	SL	2.56	5	SL	-0.02	1	SL	0.00	5	SL	0.00	1	SL	0.00	1	SL

				V			V			V			V			V			V
-545	Min.	-0.94	1	SL V	-2.57	5	SL V	-0.35	18	SL U	-0.00	5	SL V	-0.00	1	SL V	0.00	1	SL V
-544	Max	0.95	1	SL V	2.57	5	SL V	0.01	5	SL V	0.01	5	SL V	0.00	1	SL V	0.00	1	SL V
-544	Min.	-0.95	1	SL V	-2.56	5	SL V	-0.28	5	SL V	-0.00	5	SL V	-0.00	1	SL V	0.00	1	SL V
-543	Max	0.95	1	SL V	2.57	5	SL V	0.01	5	SL V	0.01	5	SL V	0.00	1	SL V	0.00	1	SL V
-543	Min.	-0.95	1	SL V	-2.56	5	SL V	-0.27	5	SL V	-0.00	5	SL V	-0.00	1	SL V	0.00	1	SL V
-542	Max	0.95	1	SL V	2.58	5	SL V	-0.00	5	SL V	0.01	5	SL V	0.00	1	SL V	0.00	1	SL V
-542	Min.	-0.95	1	SL V	-2.56	5	SL V	-0.21	5	SL V	-0.00	5	SL V	-0.00	1	SL V	0.00	1	SL V
-541	Max	0.95	1	SL V	2.58	5	SL V	-0.01	5	SL V	0.01	5	SL V	0.00	1	SL V	0.00	1	SL V
-541	Min.	-0.95	1	SL V	-2.56	5	SL V	-0.20	5	SL V	-0.00	5	SL V	-0.00	1	SL V	0.00	1	SL V
-540	Max	0.95	1	SL V	2.58	5	SL V	-0.01	5	SL V	0.01	5	SL V	0.00	1	SL V	0.00	1	SL V
-540	Min.	-0.95	1	SL V	-2.56	5	SL V	-0.20	5	SL V	-0.00	5	SL V	-0.00	1	SL V	0.00	1	SL V
-539	Max	0.95	1	SL V	2.58	5	SL V	-0.00	5	SL V	0.01	5	SL V	0.00	1	SL V	0.00	1	SL V
-539	Min.	-0.95	1	SL V	-2.56	5	SL V	-0.21	5	SL V	-0.00	5	SL V	-0.00	1	SL V	0.00	1	SL V
-538	Max	0.95	1	SL V	2.57	5	SL V	0.01	5	SL V	0.01	5	SL V	0.00	1	SL V	0.00	1	SL V
-538	Min.	-0.95	1	SL V	-2.56	5	SL V	-0.27	5	SL V	-0.00	5	SL V	-0.00	1	SL V	0.00	1	SL V
-537	Max	0.95	1	SL V	2.57	5	SL V	0.01	5	SL V	0.01	5	SL V	0.00	1	SL V	0.00	1	SL V
-537	Min.	-0.95	1	SL V	-2.56	5	SL V	-0.28	5	SL V	-0.00	5	SL V	-0.00	1	SL V	0.00	1	SL V
-536	Max	0.95	1	SL V	2.56	5	SL V	0.01	5	SL V	0.00	5	SL V	0.00	1	SL V	0.00	1	SL V
-536	Min.	-0.95	1	SL V	-2.57	5	SL V	-0.28	5	SL V	-0.01	5	SL V	-0.00	1	SL V	0.00	1	SL V
-535	Max	0.95	1	SL V	2.56	5	SL V	0.01	5	SL V	0.00	5	SL V	0.00	1	SL V	0.00	1	SL V
-535	Min.	-0.95	1	SL V	-2.57	5	SL V	-0.27	5	SL V	-0.01	5	SL V	-0.00	1	SL V	0.00	1	SL V
-534	Max	0.95	1	SL V	2.56	5	SL V	-0.00	5	SL V	0.00	5	SL V	0.00	1	SL V	0.00	1	SL V
-534	Min.	-0.95	1	SL V	-2.58	5	SL V	-0.21	5	SL V	-0.01	5	SL V	-0.00	1	SL V	0.00	1	SL V
-533	Max	0.95	1	SL V	2.56	5	SL V	-0.01	5	SL V	0.00	5	SL V	0.00	1	SL V	0.00	1	SL V
-533	Min.	-0.95	1	SL V	-2.58	5	SL V	-0.20	5	SL V	-0.01	5	SL V	-0.00	1	SL V	0.00	1	SL V
-532	Max	0.95	1	SL V	2.56	5	SL V	-0.01	5	SL V	0.00	5	SL V	0.00	1	SL V	0.00	1	SL V
-532	Min.	-0.95	1	SL V	-2.58	5	SL V	-0.20	5	SL V	-0.01	5	SL V	-0.00	1	SL V	0.00	1	SL V
-531	Max	0.95	1	SL V	2.56	5	SL V	-0.00	5	SL V	0.00	5	SL V	0.00	1	SL V	0.00	1	SL V
-531	Min.	-0.95	1	SL V	-2.58	5	SL V	-0.21	5	SL V	-0.01	5	SL V	-0.00	1	SL V	0.00	1	SL V
-530	Max	0.95	1	SL	2.56	5	SL	0.01	5	SL	0.00	5	SL	0.00	1	SL	0.00	1	SL

				V			V			V			V			V			V
-530	Min.	-0.95	1	SL V	-2.57	5	SL V	-0.27	5	SL V	-0.01	5	SL V	-0.00	1	SL V	-0.00	1	SL V
-529	Max	0.95	1	SL V	2.56	5	SL V	0.01	5	SL V	0.00	5	SL V	0.00	1	SL V	0.00	1	SL V
-529	Min.	-0.95	1	SL V	-2.57	5	SL V	-0.28	5	SL V	-0.01	5	SL V	-0.00	1	SL V	-0.00	1	SL V
-528	Max	0.97	1	SL V	2.56	5	SL V	0.10	5	SL V	0.01	5	SL V	0.00	1	SL V	0.00	1	SL V
-528	Min.	-0.97	1	SL V	-2.55	5	SL V	-0.35	5	SL V	-0.00	5	SL V	-0.00	1	SL V	0.00	1	SL V
-527	Max	0.97	1	SL V	2.57	5	SL V	0.09	5	SL V	0.01	5	SL V	0.00	1	SL V	0.00	1	SL V
-527	Min.	-0.97	1	SL V	-2.55	5	SL V	-0.34	5	SL V	-0.00	5	SL V	-0.00	1	SL V	0.00	1	SL V
-526	Max	0.97	1	SL V	2.57	5	SL V	0.08	5	SL V	0.01	5	SL V	0.00	1	SL V	0.00	1	SL V
-526	Min.	-0.97	1	SL V	-2.55	5	SL V	-0.28	5	SL V	-0.00	5	SL V	0.00	1	SL V	0.00	1	SL V
-525	Max	0.97	1	SL V	2.58	5	SL V	0.08	5	SL V	0.01	5	SL V	0.00	1	SL V	0.00	1	SL V
-525	Min.	-0.97	1	SL V	-2.56	5	SL V	-0.27	5	SL V	-0.00	5	SL V	0.00	1	SL V	0.00	1	SL V
-524	Max	0.97	1	SL V	2.57	5	SL V	0.08	5	SL V	0.01	5	SL V	0.00	1	SL V	0.00	1	SL V
-524	Min.	-0.97	1	SL V	-2.56	5	SL V	-0.27	5	SL V	-0.00	5	SL V	-0.00	1	SL V	0.00	1	SL V
-523	Max	0.97	1	SL V	2.57	5	SL V	0.08	5	SL V	0.01	5	SL V	0.00	1	SL V	0.00	1	SL V
-523	Min.	-0.97	1	SL V	-2.55	5	SL V	-0.28	5	SL V	-0.00	5	SL V	-0.00	1	SL V	0.00	1	SL V
-522	Max	0.97	1	SL V	2.56	5	SL V	0.09	5	SL V	0.01	5	SL V	0.00	1	SL V	0.00	1	SL V
-522	Min.	-0.97	1	SL V	-2.55	5	SL V	-0.34	5	SL V	-0.00	5	SL V	-0.00	1	SL V	0.00	1	SL V
-521	Max	0.97	1	SL V	2.56	5	SL V	0.10	5	SL V	0.01	5	SL V	0.00	1	SL V	0.00	1	SL V
-521	Min.	-0.97	1	SL V	-2.55	5	SL V	-0.35	5	SL V	-0.00	5	SL V	-0.00	1	SL V	0.00	1	SL V
-520	Max	0.97	1	SL V	2.55	5	SL V	0.10	5	SL V	0.00	5	SL V	0.00	1	SL V	0.00	1	SL V
-520	Min.	-0.97	1	SL V	-2.56	5	SL V	-0.35	5	SL V	-0.01	5	SL V	-0.00	1	SL V	0.00	1	SL V
-519	Max	0.97	1	SL V	2.55	5	SL V	0.09	5	SL V	0.00	5	SL V	0.00	1	SL V	0.00	1	SL V
-519	Min.	-0.97	1	SL V	-2.56	5	SL V	-0.34	5	SL V	-0.01	5	SL V	-0.00	1	SL V	0.00	1	SL V
-518	Max	0.97	1	SL V	2.55	5	SL V	0.08	5	SL V	0.00	5	SL V	0.00	1	SL V	0.00	1	SL V
-518	Min.	-0.97	1	SL V	-2.57	5	SL V	-0.28	5	SL V	-0.01	5	SL V	-0.00	1	SL V	0.00	1	SL V
-517	Max	0.97	1	SL V	2.56	5	SL V	0.08	5	SL V	0.00	5	SL V	0.00	1	SL V	0.00	1	SL V
-517	Min.	-0.97	1	SL V	-2.58	5	SL V	-0.27	5	SL V	-0.01	5	SL V	-0.00	1	SL V	0.00	1	SL V
-516	Max	0.97	1	SL V	2.56	5	SL V	0.08	5	SL V	0.00	5	SL V	0.00	1	SL V	0.00	1	SL V
-516	Min.	-0.97	1	SL V	-2.58	5	SL V	-0.27	5	SL V	-0.01	5	SL V	-0.00	1	SL V	0.00	1	SL V
-515	Max	0.97	1	SL	2.55	5	SL	0.08	5	SL	0.00	5	SL	0.00	1	SL	0.00	1	SL

				V			V			V			V			V			V
-515	Min.	-0.97	1	SL V	-2.57	5	SL V	-0.28	5	SL V	-0.01	5	SL V	-0.00	1	SL V	0.00	1	SL V
-514	Max	0.97	1	SL V	2.55	5	SL V	0.09	5	SL V	0.00	5	SL V	0.00	1	SL V	0.00	1	SL V
-514	Min.	-0.97	1	SL V	-2.56	5	SL V	-0.34	5	SL V	-0.01	5	SL V	-0.00	1	SL V	0.00	1	SL V
-513	Max	0.97	1	SL V	2.55	5	SL V	0.10	5	SL V	0.00	5	SL V	0.00	1	SL V	0.00	1	SL V
-513	Min.	-0.97	1	SL V	-2.56	5	SL V	-0.35	5	SL V	-0.01	5	SL V	-0.00	1	SL V	0.00	1	SL V
-512	Max	0.81	1	SL V	2.30	5	SL V	0.02	1	SL V	0.01	5	SL V	0.00	1	SL V	0.00	1	SL V
-512	Min.	-0.81	1	SL V	-2.28	5	SL V	-0.29	1	SL V	-0.01	5	SL V	-0.00	1	SL V	0.00	1	SL V
-511	Max	0.81	1	SL V	2.31	5	SL V	-0.01	5	SL V	0.01	5	SL V	0.00	1	SL V	0.00	1	SL V
-511	Min.	-0.81	1	SL V	-2.29	5	SL V	-0.26	18	SL U	-0.01	5	SL V	-0.00	1	SL V	0.00	1	SL V
-510	Max	0.82	1	SL V	2.32	5	SL V	-0.01	5	SL V	0.01	5	SL V	0.00	1	SL V	0.00	1	SL V
-510	Min.	-0.82	1	SL V	-2.28	5	SL V	-0.22	18	SL U	-0.01	5	SL V	-0.00	1	SL V	0.00	1	SL V
-509	Max	0.82	1	SL V	2.33	5	SL V	-0.02	5	SL V	0.01	5	SL V	0.00	1	SL V	0.00	1	SL V
-509	Min.	-0.82	1	SL V	-2.28	5	SL V	-0.22	19	SL U	-0.01	5	SL V	-0.00	1	SL V	0.00	1	SL V
-508	Max	0.82	1	SL V	2.33	5	SL V	-0.02	5	SL V	0.01	5	SL V	0.00	1	SL V	0.00	1	SL V
-508	Min.	-0.82	1	SL V	-2.28	5	SL V	-0.22	18	SL U	-0.01	5	SL V	-0.00	1	SL V	0.00	1	SL V
-507	Max	0.82	1	SL V	2.32	5	SL V	-0.01	5	SL V	0.01	5	SL V	0.00	1	SL V	0.00	1	SL V
-507	Min.	-0.82	1	SL V	-2.28	5	SL V	-0.23	19	SL U	-0.01	5	SL V	-0.00	1	SL V	0.00	1	SL V
-506	Max	0.81	1	SL V	2.31	5	SL V	-0.01	5	SL V	0.01	5	SL V	0.00	1	SL V	0.00	1	SL V
-506	Min.	-0.81	1	SL V	-2.29	5	SL V	-0.27	19	SL U	-0.01	5	SL V	-0.00	1	SL V	0.00	1	SL V
-505	Max	0.81	1	SL V	2.30	5	SL V	0.02	1	SL V	0.01	5	SL V	0.00	1	SL V	0.00	1	SL V
-505	Min.	-0.81	1	SL V	-2.28	5	SL V	-0.29	1	SL V	-0.01	5	SL V	-0.00	1	SL V	0.00	1	SL V
-504	Max	0.80	1	SL V	2.30	5	SL V	0.00	1	SL V	0.01	5	SL V	0.00	1	SL V	0.00	1	SL V
-504	Min.	-0.80	1	SL V	-2.28	5	SL V	-0.28	1	SL V	-0.01	5	SL V	-0.00	1	SL V	0.00	1	SL V
-503	Max	0.80	1	SL V	2.31	5	SL V	-0.06	1	SL V	0.01	5	SL V	0.00	1	SL V	0.00	1	SL V
-503	Min.	-0.80	1	SL V	-2.29	5	SL V	-0.26	9	SL U	-0.01	5	SL V	-0.00	1	SL V	0.00	1	SL V
-502	Max	0.81	1	SL V	2.32	5	SL V	-0.05	5	SL V	0.01	5	SL V	0.00	1	SL V	0.00	1	SL V
-502	Min.	-0.81	1	SL V	-2.28	5	SL V	-0.23	9	SL U	-0.01	5	SL V	-0.00	1	SL V	0.00	1	SL V
-501	Max	0.81	1	SL V	2.33	5	SL V	-0.05	5	SL V	0.01	5	SL V	0.00	1	SL V	0.00	1	SL V
-501	Min.	-0.81	1	SL V	-2.28	5	SL V	-0.23	19	SL U	-0.01	5	SL V	-0.00	1	SL V	0.00	1	SL V
-500	Max	0.81	1	SL	2.33	5	SL	-0.05	5	SL	0.01	5	SL	0.00	1	SL	0.00	1	SL

				V			V			V			V			V			V
-500	Min.	-0.81	1	SLV	-2.28	5	SLV	-0.23	9	SLU	-0.01	5	SLV	-0.00	1	SLV	0.00	1	SLV
-499	Max	0.81	1	SLV	2.32	5	SLV	-0.05	5	SLV	0.01	5	SLV	0.00	1	SLV	0.00	1	SLV
-499	Min.	-0.81	1	SLV	-2.28	5	SLV	-0.24	19	SLU	-0.01	5	SLV	-0.00	1	SLV	0.00	1	SLV
-498	Max	0.80	1	SLV	2.31	5	SLV	-0.06	1	SLV	0.01	5	SLV	0.00	1	SLV	0.00	1	SLV
-498	Min.	-0.80	1	SLV	-2.29	5	SLV	-0.28	19	SLU	-0.01	5	SLV	-0.00	1	SLV	0.00	1	SLV
-497	Max	0.80	1	SLV	2.30	5	SLV	0.00	1	SLV	0.01	5	SLV	0.00	1	SLV	0.00	1	SLV
-497	Min.	-0.80	1	SLV	-2.28	5	SLV	-0.29	19	SLU	-0.01	5	SLV	-0.00	1	SLV	0.00	1	SLV
-496	Max	0.80	1	SLV	2.28	5	SLV	0.00	1	SLV	0.01	5	SLV	0.00	1	SLV	0.00	1	SLV
-496	Min.	-0.80	1	SLV	-2.30	5	SLV	-0.30	18	SLU	-0.01	5	SLV	-0.00	1	SLV	0.00	1	SLV
-495	Max	0.80	1	SLV	2.29	5	SLV	-0.06	1	SLV	0.01	5	SLV	0.00	1	SLV	0.00	1	SLV
-495	Min.	-0.80	1	SLV	-2.31	5	SLV	-0.30	18	SLU	-0.01	5	SLV	-0.00	1	SLV	0.00	1	SLV
-494	Max	0.81	1	SLV	2.28	5	SLV	-0.05	5	SLV	0.01	5	SLV	0.00	1	SLV	0.00	1	SLV
-494	Min.	-0.81	1	SLV	-2.32	5	SLV	-0.26	18	SLU	-0.01	5	SLV	-0.00	1	SLV	0.00	1	SLV
-493	Max	0.81	1	SLV	2.28	5	SLV	-0.05	5	SLV	0.01	5	SLV	0.00	1	SLV	0.00	1	SLV
-493	Min.	-0.81	1	SLV	-2.33	5	SLV	-0.26	18	SLU	-0.01	5	SLV	-0.00	1	SLV	0.00	1	SLV
-492	Max	0.81	1	SLV	2.28	5	SLV	-0.05	5	SLV	0.01	5	SLV	0.00	1	SLV	0.00	1	SLV
-492	Min.	-0.81	1	SLV	-2.33	5	SLV	-0.26	18	SLU	-0.01	5	SLV	-0.00	1	SLV	0.00	1	SLV
-491	Max	0.81	1	SLV	2.28	5	SLV	-0.05	5	SLV	0.01	5	SLV	0.00	1	SLV	0.00	1	SLV
-491	Min.	-0.81	1	SLV	-2.32	5	SLV	-0.26	18	SLU	-0.01	5	SLV	-0.00	1	SLV	0.00	1	SLV
-490	Max	0.80	1	SLV	2.28	5	SLV	-0.06	1	SLV	0.01	5	SLV	0.00	1	SLV	0.00	1	SLV
-490	Min.	-0.80	1	SLV	-2.31	5	SLV	-0.30	18	SLU	-0.01	5	SLV	-0.00	1	SLV	0.00	1	SLV
-489	Max	0.80	1	SLV	2.28	5	SLV	0.00	1	SLV	0.01	5	SLV	0.00	1	SLV	0.00	1	SLV
-489	Min.	-0.80	1	SLV	-2.30	5	SLV	-0.30	18	SLU	-0.01	5	SLV	-0.00	1	SLV	0.00	1	SLV
-488	Max	0.81	1	SLV	2.28	5	SLV	0.02	1	SLV	0.01	5	SLV	0.00	1	SLV	0.00	1	SLV
-488	Min.	-0.81	1	SLV	-2.30	5	SLV	-0.29	1	SLV	-0.01	5	SLV	-0.00	1	SLV	0.00	1	SLV
-487	Max	0.81	1	SLV	2.29	5	SLV	-0.01	5	SLV	0.01	5	SLV	0.00	1	SLV	0.00	1	SLV
-487	Min.	-0.81	1	SLV	-2.31	5	SLV	-0.27	18	SLU	-0.01	5	SLV	-0.00	1	SLV	0.00	1	SLV
-486	Max	0.82	1	SLV	2.28	5	SLV	-0.01	5	SLV	0.01	5	SLV	0.00	1	SLV	0.00	1	SLV
-486	Min.	-0.82	1	SLV	-2.32	5	SLV	-0.22	18	SLU	-0.01	5	SLV	-0.00	1	SLV	0.00	1	SLV
-485	Max	0.82	1	SL	2.28	5	SL	-0.02	5	SL	0.01	5	SL	0.00	1	SL	0.00	1	SL

				V			V			V			V			V			V
-485	Min.	-0.82	1	SLV	-2.33	5	SLV	-0.22	18	SLU	-0.01	5	SLV	-0.00	1	SLV	0.00	1	SLV
-484	Max	0.82	1	SLV	2.28	5	SLV	-0.02	5	SLV	0.01	5	SLV	0.00	1	SLV	0.00	1	SLV
-484	Min.	-0.82	1	SLV	-2.33	5	SLV	-0.22	18	SLU	-0.01	5	SLV	-0.00	1	SLV	0.00	1	SLV
-483	Max	0.82	1	SLV	2.28	5	SLV	-0.01	5	SLV	0.01	5	SLV	0.00	1	SLV	0.00	1	SLV
-483	Min.	-0.82	1	SLV	-2.32	5	SLV	-0.23	19	SLU	-0.01	5	SLV	-0.00	1	SLV	0.00	1	SLV
-482	Max	0.81	1	SLV	2.28	5	SLV	-0.01	5	SLV	0.01	5	SLV	0.00	1	SLV	0.00	1	SLV
-482	Min.	-0.81	1	SLV	-2.31	5	SLV	-0.27	19	SLU	-0.01	5	SLV	-0.00	1	SLV	0.00	1	SLV
-481	Max	0.81	1	SLV	2.28	5	SLV	0.02	1	SLV	0.01	5	SLV	0.00	1	SLV	0.00	1	SLV
-481	Min.	-0.81	1	SLV	-2.30	5	SLV	-0.29	1	SLV	-0.01	5	SLV	-0.00	1	SLV	0.00	1	SLV
-480	Max	0.75	1	SLV	2.16	5	SLV	0.02	1	SLV	0.01	5	SLV	0.00	1	SLV	0.00	1	SLV
-480	Min.	-0.74	1	SLV	-2.14	5	SLV	-0.29	1	SLV	-0.01	5	SLV	-0.00	1	SLV	0.00	1	SLV
-479	Max	0.75	1	SLV	2.17	5	SLV	-0.01	5	SLV	0.01	5	SLV	0.00	1	SLV	0.00	1	SLV
-479	Min.	-0.74	1	SLV	-2.14	5	SLV	-0.26	18	SLU	-0.01	5	SLV	-0.00	1	SLV	0.00	1	SLV
-478	Max	0.76	1	SLV	2.18	5	SLV	-0.01	5	SLV	0.01	5	SLV	0.00	1	SLV	0.00	1	SLV
-478	Min.	-0.75	1	SLV	-2.14	5	SLV	-0.22	18	SLU	-0.01	5	SLV	-0.00	1	SLV	0.00	1	SLV
-477	Max	0.76	1	SLV	2.19	5	SLV	-0.02	5	SLV	0.01	5	SLV	0.00	1	SLV	0.00	1	SLV
-477	Min.	-0.75	1	SLV	-2.14	5	SLV	-0.22	19	SLU	-0.01	5	SLV	-0.00	1	SLV	0.00	1	SLV
-476	Max	0.75	1	SLV	2.19	5	SLV	-0.02	5	SLV	0.01	5	SLV	0.00	1	SLV	0.00	1	SLV
-476	Min.	-0.76	1	SLV	-2.14	5	SLV	-0.22	18	SLU	-0.01	5	SLV	-0.00	1	SLV	0.00	1	SLV
-475	Max	0.75	1	SLV	2.18	5	SLV	-0.01	5	SLV	0.01	5	SLV	0.00	1	SLV	0.00	1	SLV
-475	Min.	-0.76	1	SLV	-2.14	5	SLV	-0.23	19	SLU	-0.01	5	SLV	-0.00	1	SLV	0.00	1	SLV
-474	Max	0.74	1	SLV	2.17	5	SLV	-0.01	5	SLV	0.01	5	SLV	0.00	1	SLV	0.00	1	SLV
-474	Min.	-0.75	1	SLV	-2.14	5	SLV	-0.27	19	SLU	-0.01	5	SLV	-0.00	1	SLV	0.00	1	SLV
-473	Max	0.74	1	SLV	2.16	5	SLV	0.02	1	SLV	0.01	5	SLV	0.00	1	SLV	0.00	1	SLV
-473	Min.	-0.75	1	SLV	-2.14	5	SLV	-0.29	1	SLV	-0.01	5	SLV	-0.00	1	SLV	0.00	1	SLV
-472	Max	0.74	1	SLV	2.16	5	SLV	0.01	1	SLV	0.01	5	SLV	0.00	1	SLV	0.00	1	SLV
-472	Min.	-0.74	1	SLV	-2.14	5	SLV	-0.28	1	SLV	-0.01	5	SLV	-0.00	1	SLV	0.00	1	SLV
-471	Max	0.74	1	SLV	2.17	5	SLV	-0.06	1	SLV	0.01	5	SLV	0.00	1	SLV	0.00	1	SLV
-471	Min.	-0.74	1	SLV	-2.14	5	SLV	-0.26	9	SLU	-0.01	5	SLV	-0.00	1	SLV	0.00	1	SLV
-470	Max	0.75	1	SL	2.18	5	SL	-0.04	5	SL	0.01	5	SL	0.00	1	SL	0.00	1	SL

				V			V			V			V			V			V
-470	Min.	-0.75	1	SL V	-2.14	5	SL V	-0.23	9	SL U	-0.01	5	SL V	-0.00	1	SL V	0.00	1	SL V
-469	Max	0.75	1	SL V	2.19	5	SL V	-0.05	5	SL V	0.01	5	SL V	0.00	1	SL V	0.00	1	SL V
-469	Min.	-0.75	1	SL V	-2.14	5	SL V	-0.23	19	SL U	-0.01	5	SL V	-0.00	1	SL V	0.00	1	SL V
-468	Max	0.75	1	SL V	2.19	5	SL V	-0.05	5	SL V	0.01	5	SL V	0.00	1	SL V	0.00	1	SL V
-468	Min.	-0.75	1	SL V	-2.14	5	SL V	-0.23	9	SL U	-0.01	5	SL V	-0.00	1	SL V	0.00	1	SL V
-467	Max	0.75	1	SL V	2.18	5	SL V	-0.04	5	SL V	0.01	5	SL V	0.00	1	SL V	0.00	1	SL V
-467	Min.	-0.75	1	SL V	-2.14	5	SL V	-0.23	19	SL U	-0.01	5	SL V	-0.00	1	SL V	0.00	1	SL V
-466	Max	0.74	1	SL V	2.17	5	SL V	-0.06	1	SL V	0.01	5	SL V	0.00	1	SL V	0.00	1	SL V
-466	Min.	-0.74	1	SL V	-2.14	5	SL V	-0.28	19	SL U	-0.01	5	SL V	-0.00	1	SL V	0.00	1	SL V
-465	Max	0.74	1	SL V	2.16	5	SL V	0.01	1	SL V	0.01	5	SL V	0.00	1	SL V	0.00	1	SL V
-465	Min.	-0.74	1	SL V	-2.14	5	SL V	-0.29	19	SL U	-0.01	5	SL V	-0.00	1	SL V	0.00	1	SL V
-464	Max	0.74	1	SL V	2.14	5	SL V	0.01	1	SL V	0.01	5	SL V	0.00	1	SL V	0.00	1	SL V
-464	Min.	-0.74	1	SL V	-2.16	5	SL V	-0.30	18	SL U	-0.01	5	SL V	-0.00	1	SL V	0.00	1	SL V
-463	Max	0.74	1	SL V	2.14	5	SL V	-0.06	1	SL V	0.01	5	SL V	0.00	1	SL V	0.00	1	SL V
-463	Min.	-0.74	1	SL V	-2.17	5	SL V	-0.30	18	SL U	-0.01	5	SL V	-0.00	1	SL V	0.00	1	SL V
-462	Max	0.75	1	SL V	2.14	5	SL V	-0.04	5	SL V	0.01	5	SL V	0.00	1	SL V	0.00	1	SL V
-462	Min.	-0.75	1	SL V	-2.18	5	SL V	-0.26	18	SL U	-0.01	5	SL V	-0.00	1	SL V	0.00	1	SL V
-461	Max	0.75	1	SL V	2.14	5	SL V	-0.05	5	SL V	0.01	5	SL V	0.00	1	SL V	0.00	1	SL V
-461	Min.	-0.75	1	SL V	-2.19	5	SL V	-0.26	18	SL U	-0.01	5	SL V	-0.00	1	SL V	0.00	1	SL V
-460	Max	0.75	1	SL V	2.14	5	SL V	-0.05	5	SL V	0.01	5	SL V	0.00	1	SL V	0.00	1	SL V
-460	Min.	-0.75	1	SL V	-2.19	5	SL V	-0.26	18	SL U	-0.01	5	SL V	-0.00	1	SL V	0.00	1	SL V
-459	Max	0.75	1	SL V	2.14	5	SL V	-0.04	5	SL V	0.01	5	SL V	0.00	1	SL V	0.00	1	SL V
-459	Min.	-0.75	1	SL V	-2.18	5	SL V	-0.26	18	SL U	-0.01	5	SL V	-0.00	1	SL V	0.00	1	SL V
-458	Max	0.74	1	SL V	2.14	5	SL V	-0.06	1	SL V	0.01	5	SL V	0.00	1	SL V	0.00	1	SL V
-458	Min.	-0.74	1	SL V	-2.17	5	SL V	-0.30	18	SL U	-0.01	5	SL V	-0.00	1	SL V	0.00	1	SL V
-457	Max	0.74	1	SL V	2.14	5	SL V	0.01	1	SL V	0.01	5	SL V	0.00	1	SL V	0.00	1	SL V
-457	Min.	-0.74	1	SL V	-2.16	5	SL V	-0.30	18	SL U	-0.01	5	SL V	-0.00	1	SL V	0.00	1	SL V
-456	Max	0.75	1	SL V	2.14	5	SL V	0.02	1	SL V	0.01	5	SL V	0.00	1	SL V	0.00	1	SL V
-456	Min.	-0.75	1	SL V	-2.16	5	SL V	-0.29	1	SL V	-0.01	5	SL V	-0.00	1	SL V	0.00	1	SL V
-455	Max	0.75	1	SL	2.14	5	SL	-0.01	5	SL	0.01	5	SL	0.00	1	SL	0.00	1	SL

				V			V			V			V			V			V
-455	Min.	-0.75	1	SL V	-2.17	5	SL V	-0.27	18	SL U	-0.01	5	SL V	-0.00	1	SL V	0.00	1	SL V
-454	Max	0.76	1	SL V	2.14	5	SL V	-0.01	5	SL V	0.01	5	SL V	0.00	1	SL V	0.00	1	SL V
-454	Min.	-0.76	1	SL V	-2.18	5	SL V	-0.22	18	SL U	-0.01	5	SL V	-0.00	1	SL V	0.00	1	SL V
-453	Max	0.76	1	SL V	2.14	5	SL V	-0.02	5	SL V	0.01	5	SL V	0.00	1	SL V	0.00	1	SL V
-453	Min.	-0.76	1	SL V	-2.19	5	SL V	-0.22	18	SL U	-0.01	5	SL V	-0.00	1	SL V	0.00	1	SL V
-452	Max	0.76	1	SL V	2.14	5	SL V	-0.02	5	SL V	0.01	5	SL V	0.00	1	SL V	0.00	1	SL V
-452	Min.	-0.76	1	SL V	-2.19	5	SL V	-0.22	18	SL U	-0.01	5	SL V	-0.00	1	SL V	0.00	1	SL V
-451	Max	0.76	1	SL V	2.14	5	SL V	-0.01	5	SL V	0.01	5	SL V	0.00	1	SL V	0.00	1	SL V
-451	Min.	-0.76	1	SL V	-2.18	5	SL V	-0.23	19	SL U	-0.01	5	SL V	-0.00	1	SL V	0.00	1	SL V
-450	Max	0.75	1	SL V	2.14	5	SL V	-0.01	5	SL V	0.01	5	SL V	0.00	1	SL V	0.00	1	SL V
-450	Min.	-0.75	1	SL V	-2.17	5	SL V	-0.27	19	SL U	-0.01	5	SL V	-0.00	1	SL V	0.00	1	SL V
-449	Max	0.75	1	SL V	2.14	5	SL V	0.02	1	SL V	0.01	5	SL V	0.00	1	SL V	0.00	1	SL V
-449	Min.	-0.75	1	SL V	-2.16	5	SL V	-0.29	1	SL V	-0.01	5	SL V	-0.00	1	SL V	0.00	1	SL V
-448	Max	0.69	1	SL V	2.02	5	SL V	0.03	1	SL V	0.01	5	SL V	0.00	1	SL V	0.00	1	SL V
-448	Min.	-0.68	1	SL V	-1.99	5	SL V	-0.30	1	SL V	-0.01	5	SL V	-0.00	1	SL V	0.00	1	SL V
-447	Max	0.69	1	SL V	2.03	5	SL V	-0.01	5	SL V	0.01	5	SL V	0.00	1	SL V	0.00	1	SL V
-447	Min.	-0.68	1	SL V	-2.00	5	SL V	-0.27	18	SL U	-0.01	5	SL V	-0.00	1	SL V	0.00	1	SL V
-446	Max	0.69	1	SL V	2.04	5	SL V	-0.01	5	SL V	0.01	5	SL V	0.00	1	SL V	0.00	1	SL V
-446	Min.	-0.69	1	SL V	-1.99	5	SL V	-0.22	18	SL U	-0.01	5	SL V	-0.00	1	SL V	0.00	1	SL V
-445	Max	0.69	1	SL V	2.04	5	SL V	-0.01	5	SL V	0.01	5	SL V	0.00	1	SL V	0.00	1	SL V
-445	Min.	-0.69	1	SL V	-1.99	5	SL V	-0.22	18	SL U	-0.01	5	SL V	-0.00	1	SL V	0.00	1	SL V
-444	Max	0.69	1	SL V	2.04	5	SL V	-0.01	5	SL V	0.01	5	SL V	0.00	1	SL V	0.00	1	SL V
-444	Min.	-0.69	1	SL V	-1.99	5	SL V	-0.22	18	SL U	-0.01	5	SL V	-0.00	1	SL V	0.00	1	SL V
-443	Max	0.69	1	SL V	2.04	5	SL V	-0.01	5	SL V	0.01	5	SL V	0.00	1	SL V	0.00	1	SL V
-443	Min.	-0.69	1	SL V	-1.99	5	SL V	-0.23	19	SL U	-0.01	5	SL V	-0.00	1	SL V	0.00	1	SL V
-442	Max	0.68	1	SL V	2.03	5	SL V	-0.01	5	SL V	0.01	5	SL V	0.00	1	SL V	0.00	1	SL V
-442	Min.	-0.69	1	SL V	-2.00	5	SL V	-0.27	19	SL U	-0.01	5	SL V	-0.00	1	SL V	0.00	1	SL V
-441	Max	0.68	1	SL V	2.02	5	SL V	0.03	1	SL V	0.01	5	SL V	0.00	1	SL V	0.00	1	SL V
-441	Min.	-0.69	1	SL V	-1.99	5	SL V	-0.30	1	SL V	-0.01	5	SL V	-0.00	1	SL V	0.00	1	SL V
-440	Max	0.68	1	SL	2.02	5	SL	0.01	1	SL	0.01	5	SL	0.00	1	SL	0.00	1	SL

				V			V			V			V			V			V
-440	Min.	-0.68	1	SLV	-1.99	5	SLV	-0.28	1	SLV	-0.01	5	SLV	-0.00	1	SLV	0.00	1	SLV
-439	Max	0.68	1	SLV	2.03	5	SLV	-0.06	1	SLV	0.01	5	SLV	0.00	1	SLV	0.00	1	SLV
-439	Min.	-0.68	1	SLV	-2.00	5	SLV	-0.26	9	SLU	-0.01	5	SLV	-0.00	1	SLV	0.00	1	SLV
-438	Max	0.69	1	SLV	2.04	5	SLV	-0.04	5	SLV	0.01	5	SLV	0.00	1	SLV	0.00	1	SLV
-438	Min.	-0.69	1	SLV	-1.99	5	SLV	-0.22	9	SLU	-0.01	5	SLV	-0.00	1	SLV	0.00	1	SLV
-437	Max	0.69	1	SLV	2.04	5	SLV	-0.05	5	SLV	0.01	5	SLV	0.00	1	SLV	0.00	1	SLV
-437	Min.	-0.69	1	SLV	-1.99	5	SLV	-0.23	19	SLU	-0.01	5	SLV	-0.00	1	SLV	0.00	1	SLV
-436	Max	0.69	1	SLV	2.04	5	SLV	-0.05	5	SLV	0.01	5	SLV	0.00	1	SLV	0.00	1	SLV
-436	Min.	-0.69	1	SLV	-1.99	5	SLV	-0.22	9	SLU	-0.01	5	SLV	-0.00	1	SLV	0.00	1	SLV
-435	Max	0.69	1	SLV	2.04	5	SLV	-0.04	5	SLV	0.01	5	SLV	0.00	1	SLV	0.00	1	SLV
-435	Min.	-0.69	1	SLV	-1.99	5	SLV	-0.23	19	SLU	-0.01	5	SLV	-0.00	1	SLV	0.00	1	SLV
-434	Max	0.68	1	SLV	2.03	5	SLV	-0.06	1	SLV	0.01	5	SLV	0.00	1	SLV	0.00	1	SLV
-434	Min.	-0.68	1	SLV	-2.00	5	SLV	-0.28	19	SLU	-0.01	5	SLV	-0.00	1	SLV	0.00	1	SLV
-433	Max	0.68	1	SLV	2.02	5	SLV	0.01	1	SLV	0.01	5	SLV	0.00	1	SLV	0.00	1	SLV
-433	Min.	-0.68	1	SLV	-1.99	5	SLV	-0.29	19	SLU	-0.01	5	SLV	-0.00	1	SLV	0.00	1	SLV
-432	Max	0.68	1	SLV	1.99	5	SLV	0.01	1	SLV	0.01	5	SLV	0.00	1	SLV	0.00	1	SLV
-432	Min.	-0.68	1	SLV	-2.02	5	SLV	-0.30	18	SLU	-0.01	5	SLV	-0.00	1	SLV	0.00	1	SLV
-431	Max	0.68	1	SLV	2.00	5	SLV	-0.06	1	SLV	0.01	5	SLV	0.00	1	SLV	0.00	1	SLV
-431	Min.	-0.68	1	SLV	-2.03	5	SLV	-0.30	18	SLU	-0.01	5	SLV	-0.00	1	SLV	0.00	1	SLV
-430	Max	0.69	1	SLV	1.99	5	SLV	-0.04	5	SLV	0.01	5	SLV	0.00	1	SLV	0.00	1	SLV
-430	Min.	-0.69	1	SLV	-2.04	5	SLV	-0.26	18	SLU	-0.01	5	SLV	-0.00	1	SLV	0.00	1	SLV
-429	Max	0.69	1	SLV	1.99	5	SLV	-0.05	5	SLV	0.01	5	SLV	0.00	1	SLV	0.00	1	SLV
-429	Min.	-0.69	1	SLV	-2.04	5	SLV	-0.26	18	SLU	-0.01	5	SLV	-0.00	1	SLV	0.00	1	SLV
-428	Max	0.69	1	SLV	1.99	5	SLV	-0.05	5	SLV	0.01	5	SLV	0.00	1	SLV	0.00	1	SLV
-428	Min.	-0.69	1	SLV	-2.04	5	SLV	-0.26	18	SLU	-0.01	5	SLV	-0.00	1	SLV	0.00	1	SLV
-427	Max	0.69	1	SLV	1.99	5	SLV	-0.04	5	SLV	0.01	5	SLV	0.00	1	SLV	0.00	1	SLV
-427	Min.	-0.69	1	SLV	-2.04	5	SLV	-0.26	18	SLU	-0.01	5	SLV	-0.00	1	SLV	0.00	1	SLV
-426	Max	0.68	1	SLV	2.00	5	SLV	-0.06	1	SLV	0.01	5	SLV	0.00	1	SLV	0.00	1	SLV
-426	Min.	-0.68	1	SLV	-2.03	5	SLV	-0.30	18	SLU	-0.01	5	SLV	-0.00	1	SLV	0.00	1	SLV
-425	Max	0.68	1	SL	1.99	5	SL	0.01	1	SL	0.01	5	SL	0.00	1	SL	0.00	1	SL

				V			V			V			V			V			V
-425	Min.	-0.68	1	SL V	-2.02	5	SL V	-0.30	18	SL U	-0.01	5	SL V	-0.00	1	SL V	0.00	1	SL V
-424	Max	0.69	1	SL V	1.99	5	SL V	0.03	1	SL V	0.01	5	SL V	0.00	1	SL V	0.00	1	SL V
-424	Min.	-0.68	1	SL V	-2.02	5	SL V	-0.30	1	SL V	-0.01	5	SL V	-0.00	1	SL V	0.00	1	SL V
-423	Max	0.69	1	SL V	2.00	5	SL V	-0.01	5	SL V	0.01	5	SL V	0.00	1	SL V	0.00	1	SL V
-423	Min.	-0.68	1	SL V	-2.03	5	SL V	-0.27	18	SL U	-0.01	5	SL V	-0.00	1	SL V	0.00	1	SL V
-422	Max	0.70	1	SL V	1.99	5	SL V	-0.01	5	SL V	0.01	5	SL V	0.00	1	SL V	0.00	1	SL V
-422	Min.	-0.69	1	SL V	-2.04	5	SL V	-0.22	18	SL U	-0.01	5	SL V	-0.00	1	SL V	0.00	1	SL V
-421	Max	0.70	1	SL V	1.99	5	SL V	-0.01	5	SL V	0.01	5	SL V	0.00	1	SL V	0.00	1	SL V
-421	Min.	-0.69	1	SL V	-2.04	5	SL V	-0.22	18	SL U	-0.01	5	SL V	-0.00	1	SL V	0.00	1	SL V
-420	Max	0.69	1	SL V	1.99	5	SL V	-0.01	5	SL V	0.01	5	SL V	0.00	1	SL V	0.00	1	SL V
-420	Min.	-0.69	1	SL V	-2.04	5	SL V	-0.22	18	SL U	-0.01	5	SL V	-0.00	1	SL V	0.00	1	SL V
-419	Max	0.69	1	SL V	1.99	5	SL V	-0.01	5	SL V	0.01	5	SL V	0.00	1	SL V	0.00	1	SL V
-419	Min.	-0.69	1	SL V	-2.04	5	SL V	-0.23	19	SL U	-0.01	5	SL V	-0.00	1	SL V	0.00	1	SL V
-418	Max	0.68	1	SL V	2.00	5	SL V	-0.01	5	SL V	0.01	5	SL V	0.00	1	SL V	0.00	1	SL V
-418	Min.	-0.69	1	SL V	-2.03	5	SL V	-0.27	19	SL U	-0.01	5	SL V	-0.00	1	SL V	0.00	1	SL V
-417	Max	0.68	1	SL V	1.99	5	SL V	0.03	1	SL V	0.01	5	SL V	0.00	1	SL V	0.00	5	SL V
-417	Min.	-0.69	1	SL V	-2.02	5	SL V	-0.30	1	SL V	-0.01	5	SL V	-0.00	1	SL V	0.00	5	SL V
-416	Max	0.63	1	SL V	1.87	5	SL V	0.03	1	SL V	0.01	5	SL V	0.00	1	SL V	0.00	1	SL V
-416	Min.	-0.62	1	SL V	-1.85	5	SL V	-0.30	1	SL V	-0.01	5	SL V	-0.00	1	SL V	0.00	1	SL V
-415	Max	0.63	1	SL V	1.88	5	SL V	-0.00	5	SL V	0.01	5	SL V	0.00	1	SL V	0.00	1	SL V
-415	Min.	-0.62	1	SL V	-1.85	5	SL V	-0.27	5	SL V	-0.01	5	SL V	-0.00	1	SL V	0.00	1	SL V
-414	Max	0.63	1	SL V	1.89	5	SL V	-0.00	5	SL V	0.01	5	SL V	0.00	1	SL V	0.00	1	SL V
-414	Min.	-0.63	1	SL V	-1.85	5	SL V	-0.23	5	SL V	-0.01	5	SL V	-0.00	1	SL V	0.00	1	SL V
-413	Max	0.63	1	SL V	1.89	5	SL V	-0.01	5	SL V	0.01	5	SL V	0.00	1	SL V	0.00	1	SL V
-413	Min.	-0.63	1	SL V	-1.85	5	SL V	-0.22	18	SL U	-0.01	5	SL V	-0.00	1	SL V	0.00	1	SL V
-412	Max	0.63	1	SL V	1.89	5	SL V	-0.01	5	SL V	0.01	5	SL V	0.00	1	SL V	0.00	1	SL V
-412	Min.	-0.63	1	SL V	-1.85	5	SL V	-0.22	18	SL U	-0.01	5	SL V	-0.00	1	SL V	0.00	1	SL V
-411	Max	0.63	1	SL V	1.89	5	SL V	-0.00	5	SL V	0.01	5	SL V	0.00	1	SL V	0.00	1	SL V
-411	Min.	-0.63	1	SL V	-1.85	5	SL V	-0.23	19	SL U	-0.01	5	SL V	-0.00	1	SL V	0.00	1	SL V
-410	Max	0.62	1	SL	1.88	5	SL	-0.00	5	SL	0.01	5	SL	0.00	1	SL	0.00	1	SL

				V			V			V			V			V			V
-410	Min.	-0.63	1	SLV	-1.85	5	SLV	-0.28	19	SLU	-0.01	5	SLV	-0.00	1	SLV	0.00	1	SLV
-409	Max	0.62	1	SLV	1.87	5	SLV	0.03	1	SLV	0.01	5	SLV	0.00	1	SLV	0.00	1	SLV
-409	Min.	-0.63	1	SLV	-1.85	5	SLV	-0.30	1	SLV	-0.01	5	SLV	-0.00	1	SLV	0.00	1	SLV
-408	Max	0.62	1	SLV	1.87	5	SLV	0.01	1	SLV	0.01	5	SLV	0.00	1	SLV	0.00	1	SLV
-408	Min.	-0.61	1	SLV	-1.85	5	SLV	-0.28	1	SLV	-0.01	5	SLV	-0.00	1	SLV	0.00	1	SLV
-407	Max	0.62	1	SLV	1.88	5	SLV	-0.05	1	SLV	0.01	5	SLV	0.00	1	SLV	0.00	1	SLV
-407	Min.	-0.61	1	SLV	-1.85	5	SLV	-0.26	9	SLU	-0.01	5	SLV	-0.00	1	SLV	0.00	1	SLV
-406	Max	0.62	1	SLV	1.89	5	SLV	-0.03	5	SLV	0.01	5	SLV	0.00	1	SLV	0.00	1	SLV
-406	Min.	-0.62	1	SLV	-1.85	5	SLV	-0.22	9	SLU	-0.01	5	SLV	-0.00	1	SLV	0.00	1	SLV
-405	Max	0.62	1	SLV	1.89	5	SLV	-0.04	5	SLV	0.01	5	SLV	0.00	1	SLV	0.00	1	SLV
-405	Min.	-0.62	1	SLV	-1.85	5	SLV	-0.23	19	SLU	-0.01	5	SLV	-0.00	1	SLV	0.00	1	SLV
-404	Max	0.62	1	SLV	1.89	5	SLV	-0.04	5	SLV	0.01	5	SLV	0.00	1	SLV	0.00	1	SLV
-404	Min.	-0.62	1	SLV	-1.85	5	SLV	-0.22	9	SLU	-0.01	5	SLV	-0.00	1	SLV	0.00	1	SLV
-403	Max	0.62	1	SLV	1.89	5	SLV	-0.03	5	SLV	0.01	5	SLV	0.00	1	SLV	0.00	1	SLV
-403	Min.	-0.62	1	SLV	-1.85	5	SLV	-0.23	19	SLU	-0.01	5	SLV	-0.00	1	SLV	0.00	1	SLV
-402	Max	0.61	1	SLV	1.88	5	SLV	-0.05	1	SLV	0.01	5	SLV	0.00	1	SLV	0.00	1	SLV
-402	Min.	-0.62	1	SLV	-1.85	5	SLV	-0.28	19	SLU	-0.01	5	SLV	-0.00	1	SLV	0.00	1	SLV
-401	Max	0.61	1	SLV	1.87	5	SLV	0.01	1	SLV	0.01	5	SLV	0.00	1	SLV	0.00	1	SLV
-401	Min.	-0.62	1	SLV	-1.85	5	SLV	-0.29	19	SLU	-0.01	5	SLV	-0.00	1	SLV	0.00	1	SLV
-400	Max	0.62	1	SLV	1.85	5	SLV	0.01	1	SLV	0.01	5	SLV	0.00	1	SLV	0.00	1	SLV
-400	Min.	-0.62	1	SLV	-1.88	5	SLV	-0.30	18	SLU	-0.01	5	SLV	-0.00	1	SLV	0.00	1	SLV
-399	Max	0.62	1	SLV	1.85	5	SLV	-0.05	1	SLV	0.01	5	SLV	0.00	1	SLV	0.00	1	SLV
-399	Min.	-0.62	1	SLV	-1.88	5	SLV	-0.30	18	SLU	-0.01	5	SLV	-0.00	1	SLV	0.00	1	SLV
-398	Max	0.63	1	SLV	1.85	5	SLV	-0.03	5	SLV	0.01	5	SLV	0.00	1	SLV	0.00	1	SLV
-398	Min.	-0.62	1	SLV	-1.89	5	SLV	-0.26	18	SLU	-0.01	5	SLV	-0.00	1	SLV	0.00	1	SLV
-397	Max	0.63	1	SLV	1.85	5	SLV	-0.04	5	SLV	0.01	5	SLV	0.00	1	SLV	0.00	1	SLV
-397	Min.	-0.62	1	SLV	-1.89	5	SLV	-0.26	18	SLU	-0.01	5	SLV	-0.00	1	SLV	0.00	1	SLV
-396	Max	0.62	1	SLV	1.85	5	SLV	-0.04	5	SLV	0.01	5	SLV	0.00	1	SLV	0.00	1	SLV
-396	Min.	-0.63	1	SLV	-1.89	5	SLV	-0.26	18	SLU	-0.01	5	SLV	-0.00	1	SLV	0.00	1	SLV
-395	Max	0.62	1	SL	1.85	5	SL	-0.03	5	SL	0.01	5	SL	0.00	1	SL	0.00	1	SL

				V			V			V			V			V			V
-395	Min.	-0.63	1	SLV	-1.89	5	SLV	-0.26	18	SLU	-0.01	5	SLV	-0.00	1	SLV	0.00	1	SLV
-394	Max	0.62	1	SLV	1.85	5	SLV	-0.05	1	SLV	0.01	5	SLV	0.00	1	SLV	0.00	1	SLV
-394	Min.	-0.62	1	SLV	-1.88	5	SLV	-0.30	18	SLU	-0.01	5	SLV	-0.00	1	SLV	0.00	1	SLV
-393	Max	0.62	1	SLV	1.85	5	SLV	0.01	1	SLV	0.01	5	SLV	0.00	1	SLV	0.00	1	SLV
-393	Min.	-0.62	1	SLV	-1.87	5	SLV	-0.30	18	SLU	-0.01	5	SLV	-0.00	1	SLV	0.00	1	SLV
-392	Max	0.63	1	SLV	1.85	5	SLV	0.03	1	SLV	0.01	5	SLV	0.00	1	SLV	0.00	1	SLV
-392	Min.	-0.62	1	SLV	-1.88	5	SLV	-0.30	1	SLV	-0.01	5	SLV	-0.00	1	SLV	0.00	1	SLV
-391	Max	0.63	1	SLV	1.85	5	SLV	-0.00	5	SLV	0.01	5	SLV	0.00	1	SLV	0.00	1	SLV
-391	Min.	-0.62	1	SLV	-1.88	5	SLV	-0.27	5	SLV	-0.01	5	SLV	-0.00	1	SLV	0.00	1	SLV
-390	Max	0.63	1	SLV	1.85	5	SLV	-0.00	5	SLV	0.01	5	SLV	0.00	1	SLV	0.00	1	SLV
-390	Min.	-0.63	1	SLV	-1.89	5	SLV	-0.23	5	SLV	-0.01	5	SLV	-0.00	1	SLV	0.00	1	SLV
-389	Max	0.63	1	SLV	1.85	5	SLV	-0.01	5	SLV	0.01	5	SLV	0.00	1	SLV	0.00	1	SLV
-389	Min.	-0.63	1	SLV	-1.89	5	SLV	-0.22	18	SLU	-0.01	5	SLV	-0.00	1	SLV	0.00	1	SLV
-388	Max	0.63	1	SLV	1.85	5	SLV	-0.01	5	SLV	0.01	5	SLV	0.00	1	SLV	0.00	1	SLV
-388	Min.	-0.63	1	SLV	-1.89	5	SLV	-0.22	18	SLU	-0.01	5	SLV	-0.00	1	SLV	0.00	1	SLV
-387	Max	0.63	1	SLV	1.85	5	SLV	-0.00	5	SLV	0.01	5	SLV	0.00	1	SLV	0.00	1	SLV
-387	Min.	-0.63	1	SLV	-1.89	5	SLV	-0.23	19	SLU	-0.01	5	SLV	-0.00	1	SLV	0.00	1	SLV
-386	Max	0.62	1	SLV	1.85	5	SLV	-0.00	5	SLV	0.01	5	SLV	0.00	1	SLV	0.00	1	SLV
-386	Min.	-0.63	1	SLV	-1.88	5	SLV	-0.28	19	SLU	-0.01	5	SLV	-0.00	1	SLV	0.00	1	SLV
-385	Max	0.62	1	SLV	1.85	5	SLV	0.03	1	SLV	0.01	5	SLV	0.00	1	SLV	0.00	5	SLV
-385	Min.	-0.63	1	SLV	-1.87	5	SLV	-0.30	1	SLV	-0.01	5	SLV	-0.00	1	SLV	0.00	5	SLV
-384	Max	0.57	1	SLV	1.73	5	SLV	0.03	1	SLV	0.01	5	SLV	0.00	1	SLV	0.00	1	SLV
-384	Min.	-0.56	1	SLV	-1.70	5	SLV	-0.30	1	SLV	-0.01	5	SLV	-0.00	1	SLV	0.00	1	SLV
-383	Max	0.57	1	SLV	1.73	5	SLV	0.00	5	SLV	0.01	5	SLV	0.00	1	SLV	0.00	1	SLV
-383	Min.	-0.56	1	SLV	-1.70	5	SLV	-0.27	5	SLV	-0.01	5	SLV	-0.00	1	SLV	0.00	1	SLV
-382	Max	0.57	1	SLV	1.74	5	SLV	0.00	5	SLV	0.01	5	SLV	0.00	1	SLV	0.00	1	SLV
-382	Min.	-0.57	1	SLV	-1.70	5	SLV	-0.23	5	SLV	-0.01	5	SLV	-0.00	1	SLV	0.00	1	SLV
-381	Max	0.57	1	SLV	1.74	5	SLV	-0.01	5	SLV	0.01	5	SLV	0.00	1	SLV	0.00	1	SLV
-381	Min.	-0.57	1	SLV	-1.70	5	SLV	-0.23	18	SLU	-0.01	5	SLV	-0.00	1	SLV	0.00	1	SLV
-380	Max	0.57	1	SL	1.74	5	SL	-0.01	5	SL	0.01	5	SL	0.00	1	SL	0.00	1	SL

				V			V			V			V			V			V
-380	Min.	-0.57	1	SLV	-1.70	5	SLV	-0.23	18	SLU	-0.01	5	SLV	-0.00	1	SLV	0.00	1	SLV
-379	Max	0.57	1	SLV	1.74	5	SLV	0.00	5	SLV	0.01	5	SLV	0.00	1	SLV	0.00	1	SLV
-379	Min.	-0.57	1	SLV	-1.70	5	SLV	-0.23	19	SLU	-0.01	5	SLV	-0.00	1	SLV	0.00	1	SLV
-378	Max	0.56	1	SLV	1.73	5	SLV	0.00	5	SLV	0.01	5	SLV	0.00	1	SLV	0.00	1	SLV
-378	Min.	-0.57	1	SLV	-1.70	5	SLV	-0.28	19	SLU	-0.01	5	SLV	-0.00	1	SLV	0.00	1	SLV
-377	Max	0.56	1	SLV	1.73	5	SLV	0.03	1	SLV	0.01	5	SLV	0.00	1	SLV	0.00	1	SLV
-377	Min.	-0.57	1	SLV	-1.70	5	SLV	-0.30	1	SLV	-0.01	5	SLV	-0.00	1	SLV	0.00	1	SLV
-376	Max	0.56	1	SLV	1.73	5	SLV	0.01	1	SLV	0.01	5	SLV	0.00	1	SLV	0.00	1	SLV
-376	Min.	-0.55	1	SLV	-1.70	5	SLV	-0.28	1	SLV	-0.01	5	SLV	-0.00	1	SLV	0.00	1	SLV
-375	Max	0.56	1	SLV	1.73	5	SLV	-0.05	1	SLV	0.01	5	SLV	0.00	1	SLV	0.00	1	SLV
-375	Min.	-0.55	1	SLV	-1.70	5	SLV	-0.26	9	SLU	-0.01	5	SLV	-0.00	1	SLV	0.00	1	SLV
-374	Max	0.56	1	SLV	1.74	5	SLV	-0.03	5	SLV	0.01	5	SLV	0.00	1	SLV	0.00	1	SLV
-374	Min.	-0.56	1	SLV	-1.70	5	SLV	-0.22	9	SLU	-0.01	5	SLV	-0.00	1	SLV	0.00	1	SLV
-373	Max	0.56	1	SLV	1.74	5	SLV	-0.04	5	SLV	0.01	5	SLV	0.00	1	SLV	0.00	1	SLV
-373	Min.	-0.56	1	SLV	-1.70	5	SLV	-0.23	19	SLU	-0.01	5	SLV	-0.00	1	SLV	0.00	1	SLV
-372	Max	0.56	1	SLV	1.74	5	SLV	-0.04	5	SLV	0.01	5	SLV	0.00	1	SLV	0.00	1	SLV
-372	Min.	-0.56	1	SLV	-1.70	5	SLV	-0.22	9	SLU	-0.01	5	SLV	-0.00	1	SLV	0.00	1	SLV
-371	Max	0.56	1	SLV	1.74	5	SLV	-0.03	5	SLV	0.01	5	SLV	0.00	1	SLV	0.00	1	SLV
-371	Min.	-0.56	1	SLV	-1.70	5	SLV	-0.23	19	SLU	-0.01	5	SLV	-0.00	1	SLV	0.00	1	SLV
-370	Max	0.55	1	SLV	1.73	5	SLV	-0.05	1	SLV	0.01	5	SLV	0.00	1	SLV	0.00	1	SLV
-370	Min.	-0.56	1	SLV	-1.70	5	SLV	-0.28	19	SLU	-0.01	5	SLV	-0.00	1	SLV	0.00	1	SLV
-369	Max	0.55	1	SLV	1.73	5	SLV	0.01	1	SLV	0.01	5	SLV	0.00	1	SLV	0.00	1	SLV
-369	Min.	-0.56	1	SLV	-1.70	5	SLV	-0.29	19	SLU	-0.01	5	SLV	-0.00	1	SLV	0.00	1	SLV
-368	Max	0.56	1	SLV	1.70	5	SLV	0.01	1	SLV	0.01	5	SLV	0.00	1	SLV	0.00	1	SLV
-368	Min.	-0.55	1	SLV	-1.73	5	SLV	-0.30	18	SLU	-0.01	5	SLV	-0.00	1	SLV	0.00	1	SLV
-367	Max	0.56	1	SLV	1.70	5	SLV	-0.05	1	SLV	0.01	5	SLV	0.00	1	SLV	0.00	1	SLV
-367	Min.	-0.55	1	SLV	-1.73	5	SLV	-0.30	18	SLU	-0.01	5	SLV	-0.00	1	SLV	0.00	1	SLV
-366	Max	0.56	1	SLV	1.70	5	SLV	-0.03	5	SLV	0.01	5	SLV	0.00	1	SLV	0.00	1	SLV
-366	Min.	-0.56	1	SLV	-1.74	5	SLV	-0.26	18	SLU	-0.01	5	SLV	-0.00	1	SLV	0.00	1	SLV
-365	Max	0.56	1	SL	1.70	5	SL	-0.04	5	SL	0.01	5	SL	0.00	1	SL	0.00	1	SL

				V			V			V			V			V			V
-365	Min.	-0.56	1	SLV	-1.74	5	SLV	-0.26	18	SLU	-0.01	5	SLV	-0.00	1	SLV	0.00	1	SLV
-364	Max	0.56	1	SLV	1.70	5	SLV	-0.04	5	SLV	0.01	5	SLV	0.00	1	SLV	0.00	1	SLV
-364	Min.	-0.56	1	SLV	-1.74	5	SLV	-0.26	18	SLU	-0.01	5	SLV	-0.00	1	SLV	0.00	1	SLV
-363	Max	0.56	1	SLV	1.70	5	SLV	-0.03	5	SLV	0.01	5	SLV	0.00	1	SLV	0.00	1	SLV
-363	Min.	-0.56	1	SLV	-1.74	5	SLV	-0.26	18	SLU	-0.01	5	SLV	-0.00	1	SLV	0.00	1	SLV
-362	Max	0.56	1	SLV	1.70	5	SLV	-0.05	1	SLV	0.01	5	SLV	0.00	1	SLV	0.00	1	SLV
-362	Min.	-0.56	1	SLV	-1.73	5	SLV	-0.30	18	SLU	-0.01	5	SLV	-0.00	1	SLV	0.00	1	SLV
-361	Max	0.56	1	SLV	1.70	5	SLV	0.01	1	SLV	0.01	5	SLV	0.00	1	SLV	0.00	1	SLV
-361	Min.	-0.56	1	SLV	-1.73	5	SLV	-0.30	18	SLU	-0.01	5	SLV	-0.00	1	SLV	0.00	1	SLV
-360	Max	0.57	1	SLV	1.70	5	SLV	0.03	1	SLV	0.01	5	SLV	0.00	1	SLV	0.00	1	SLV
-360	Min.	-0.56	1	SLV	-1.73	5	SLV	-0.30	1	SLV	-0.01	5	SLV	-0.00	1	SLV	0.00	1	SLV
-359	Max	0.57	1	SLV	1.70	5	SLV	0.00	5	SLV	0.01	5	SLV	0.00	1	SLV	0.00	1	SLV
-359	Min.	-0.56	1	SLV	-1.73	5	SLV	-0.27	5	SLV	-0.01	5	SLV	-0.00	1	SLV	0.00	1	SLV
-358	Max	0.57	1	SLV	1.70	5	SLV	0.00	5	SLV	0.01	5	SLV	0.00	1	SLV	0.00	1	SLV
-358	Min.	-0.57	1	SLV	-1.74	5	SLV	-0.23	5	SLV	-0.01	5	SLV	-0.00	1	SLV	0.00	1	SLV
-357	Max	0.57	1	SLV	1.70	5	SLV	-0.01	5	SLV	0.01	5	SLV	0.00	1	SLV	0.00	1	SLV
-357	Min.	-0.57	1	SLV	-1.74	5	SLV	-0.22	18	SLU	-0.01	5	SLV	-0.00	1	SLV	0.00	1	SLV
-356	Max	0.57	1	SLV	1.70	5	SLV	-0.01	5	SLV	0.01	5	SLV	0.00	1	SLV	0.00	1	SLV
-356	Min.	-0.57	1	SLV	-1.74	5	SLV	-0.22	18	SLU	-0.01	5	SLV	-0.00	1	SLV	0.00	1	SLV
-355	Max	0.57	1	SLV	1.70	5	SLV	0.00	5	SLV	0.01	5	SLV	0.00	1	SLV	0.00	1	SLV
-355	Min.	-0.57	1	SLV	-1.74	5	SLV	-0.23	19	SLU	-0.01	5	SLV	-0.00	1	SLV	0.00	1	SLV
-354	Max	0.56	1	SLV	1.70	5	SLV	0.00	5	SLV	0.01	5	SLV	0.00	1	SLV	0.00	1	SLV
-354	Min.	-0.57	1	SLV	-1.73	5	SLV	-0.28	19	SLU	-0.01	5	SLV	-0.00	1	SLV	0.00	1	SLV
-353	Max	0.56	1	SLV	1.70	5	SLV	0.03	1	SLV	0.01	5	SLV	0.00	1	SLV	0.00	5	SLV
-353	Min.	-0.57	1	SLV	-1.73	5	SLV	-0.30	1	SLV	-0.01	5	SLV	-0.00	1	SLV	0.00	5	SLV
-352	Max	0.51	1	SLV	1.57	5	SLV	0.03	1	SLV	0.01	5	SLV	0.00	1	SLV	0.00	5	SLV
-352	Min.	-0.50	1	SLV	-1.55	5	SLV	-0.30	1	SLV	-0.01	5	SLV	-0.00	1	SLV	0.00	5	SLV
-351	Max	0.51	1	SLV	1.58	5	SLV	0.00	5	SLV	0.01	5	SLV	0.00	1	SLV	0.00	1	SLV
-351	Min.	-0.50	1	SLV	-1.55	5	SLV	-0.27	5	SLV	-0.01	5	SLV	-0.00	1	SLV	0.00	1	SLV
-350	Max	0.51	1	SL	1.59	5	SL	0.00	5	SL	0.01	5	SL	0.00	1	SL	0.00	1	SL

				V			V			V			V			V			V
-350	Min.	-0.51	1	SLV	-1.55	5	SLV	-0.23	5	SLV	-0.01	5	SLV	-0.00	1	SLV	0.00	1	SLV
-349	Max	0.51	1	SLV	1.59	5	SLV	-0.00	5	SLV	0.01	5	SLV	0.00	1	SLV	0.00	1	SLV
-349	Min.	-0.51	1	SLV	-1.55	5	SLV	-0.23	18	SLU	-0.01	5	SLV	-0.00	1	SLV	0.00	1	SLV
-348	Max	0.51	1	SLV	1.59	5	SLV	-0.00	5	SLV	0.01	5	SLV	0.00	1	SLV	0.00	1	SLV
-348	Min.	-0.51	1	SLV	-1.55	5	SLV	-0.23	18	SLU	-0.01	5	SLV	-0.00	1	SLV	0.00	1	SLV
-347	Max	0.51	1	SLV	1.59	5	SLV	0.00	5	SLV	0.01	5	SLV	0.00	1	SLV	0.00	1	SLV
-347	Min.	-0.51	1	SLV	-1.55	5	SLV	-0.23	5	SLV	-0.01	5	SLV	-0.00	1	SLV	0.00	1	SLV
-346	Max	0.50	1	SLV	1.58	5	SLV	0.00	5	SLV	0.01	5	SLV	0.00	1	SLV	0.00	1	SLV
-346	Min.	-0.51	1	SLV	-1.55	5	SLV	-0.28	19	SLU	-0.01	5	SLV	-0.00	1	SLV	0.00	1	SLV
-345	Max	0.50	1	SLV	1.57	5	SLV	0.03	1	SLV	0.01	5	SLV	0.00	1	SLV	0.00	5	SLV
-345	Min.	-0.51	1	SLV	-1.55	5	SLV	-0.30	1	SLV	-0.01	5	SLV	-0.00	1	SLV	0.00	5	SLV
-344	Max	0.50	1	SLV	1.57	5	SLV	0.01	1	SLV	0.01	5	SLV	0.00	1	SLV	0.00	1	SLV
-344	Min.	-0.49	1	SLV	-1.55	5	SLV	-0.28	1	SLV	-0.01	5	SLV	-0.00	1	SLV	0.00	1	SLV
-343	Max	0.50	1	SLV	1.58	5	SLV	-0.05	1	SLV	0.01	5	SLV	0.00	1	SLV	0.00	1	SLV
-343	Min.	-0.49	1	SLV	-1.55	5	SLV	-0.26	9	SLU	-0.01	5	SLV	-0.00	1	SLV	0.00	1	SLV
-342	Max	0.50	1	SLV	1.59	5	SLV	-0.03	5	SLV	0.01	5	SLV	0.00	1	SLV	0.00	1	SLV
-342	Min.	-0.50	1	SLV	-1.55	5	SLV	-0.22	9	SLU	-0.01	5	SLV	-0.00	1	SLV	0.00	1	SLV
-341	Max	0.50	1	SLV	1.59	5	SLV	-0.03	5	SLV	0.01	5	SLV	0.00	1	SLV	0.00	1	SLV
-341	Min.	-0.50	1	SLV	-1.55	5	SLV	-0.22	19	SLU	-0.01	5	SLV	-0.00	1	SLV	0.00	1	SLV
-340	Max	0.50	1	SLV	1.59	5	SLV	-0.03	5	SLV	0.01	5	SLV	0.00	1	SLV	0.00	1	SLV
-340	Min.	-0.50	1	SLV	-1.55	5	SLV	-0.22	9	SLU	-0.01	5	SLV	-0.00	1	SLV	0.00	1	SLV
-339	Max	0.50	1	SLV	1.59	5	SLV	-0.03	5	SLV	0.01	5	SLV	0.00	1	SLV	0.00	1	SLV
-339	Min.	-0.50	1	SLV	-1.55	5	SLV	-0.23	19	SLU	-0.01	5	SLV	-0.00	1	SLV	0.00	1	SLV
-338	Max	0.49	1	SLV	1.58	5	SLV	-0.05	1	SLV	0.01	5	SLV	0.00	1	SLV	0.00	1	SLV
-338	Min.	-0.50	1	SLV	-1.55	5	SLV	-0.27	19	SLU	-0.01	5	SLV	-0.00	1	SLV	0.00	1	SLV
-337	Max	0.49	1	SLV	1.57	5	SLV	0.01	1	SLV	0.01	5	SLV	0.00	1	SLV	0.00	1	SLV
-337	Min.	-0.50	1	SLV	-1.55	5	SLV	-0.29	19	SLU	-0.01	5	SLV	-0.00	1	SLV	0.00	1	SLV
-336	Max	0.50	1	SLV	1.55	5	SLV	0.01	1	SLV	0.01	5	SLV	0.00	1	SLV	0.00	1	SLV
-336	Min.	-0.50	1	SLV	-1.58	5	SLV	-0.30	18	SLU	-0.01	5	SLV	-0.00	1	SLV	0.00	1	SLV
-335	Max	0.50	1	SL	1.55	5	SL	-0.05	1	SL	0.01	5	SL	0.00	1	SL	0.00	1	SL

				V			V			V			V			V			V
-335	Min.	-0.50	1	SLV	-1.58	5	SLV	-0.30	18	SLU	-0.01	5	SLV	-0.00	1	SLV	0.00	1	SLV
-334	Max	0.50	1	SLV	1.55	5	SLV	-0.03	5	SLV	0.01	5	SLV	0.00	1	SLV	0.00	1	SLV
-334	Min.	-0.50	1	SLV	-1.59	5	SLV	-0.26	18	SLU	-0.01	5	SLV	-0.00	1	SLV	0.00	1	SLV
-333	Max	0.50	1	SLV	1.55	5	SLV	-0.03	5	SLV	0.01	5	SLV	0.00	1	SLV	0.00	1	SLV
-333	Min.	-0.50	1	SLV	-1.59	5	SLV	-0.26	18	SLU	-0.01	5	SLV	-0.00	1	SLV	0.00	1	SLV
-332	Max	0.50	1	SLV	1.55	5	SLV	-0.03	5	SLV	0.01	5	SLV	0.00	1	SLV	0.00	1	SLV
-332	Min.	-0.50	1	SLV	-1.59	5	SLV	-0.26	18	SLU	-0.01	5	SLV	-0.00	1	SLV	0.00	1	SLV
-331	Max	0.50	1	SLV	1.55	5	SLV	-0.03	5	SLV	0.01	5	SLV	0.00	1	SLV	0.00	1	SLV
-331	Min.	-0.50	1	SLV	-1.59	5	SLV	-0.26	18	SLU	-0.01	5	SLV	-0.00	1	SLV	0.00	1	SLV
-330	Max	0.50	1	SLV	1.55	5	SLV	-0.05	1	SLV	0.01	5	SLV	0.00	1	SLV	0.00	1	SLV
-330	Min.	-0.50	1	SLV	-1.58	5	SLV	-0.30	18	SLU	-0.01	5	SLV	-0.00	1	SLV	0.00	1	SLV
-329	Max	0.50	1	SLV	1.55	5	SLV	0.01	1	SLV	0.01	5	SLV	0.00	1	SLV	0.00	1	SLV
-329	Min.	-0.50	1	SLV	-1.57	5	SLV	-0.30	18	SLU	-0.01	5	SLV	-0.00	1	SLV	0.00	1	SLV
-328	Max	0.51	1	SLV	1.55	5	SLV	0.03	1	SLV	0.01	5	SLV	0.00	1	SLV	0.00	5	SLV
-328	Min.	-0.50	1	SLV	-1.58	5	SLV	-0.30	1	SLV	-0.01	5	SLV	-0.00	1	SLV	0.00	5	SLV
-327	Max	0.51	1	SLV	1.55	5	SLV	0.00	5	SLV	0.01	5	SLV	0.00	1	SLV	0.00	1	SLV
-327	Min.	-0.50	1	SLV	-1.58	5	SLV	-0.27	5	SLV	-0.01	5	SLV	-0.00	1	SLV	0.00	1	SLV
-326	Max	0.51	1	SLV	1.55	5	SLV	0.00	5	SLV	0.01	5	SLV	0.00	1	SLV	0.00	1	SLV
-326	Min.	-0.51	1	SLV	-1.59	5	SLV	-0.23	5	SLV	-0.01	5	SLV	-0.00	1	SLV	0.00	1	SLV
-325	Max	0.51	1	SLV	1.55	5	SLV	-0.00	5	SLV	0.01	5	SLV	0.00	1	SLV	0.00	1	SLV
-325	Min.	-0.51	1	SLV	-1.59	5	SLV	-0.23	5	SLV	-0.01	5	SLV	-0.00	1	SLV	0.00	1	SLV
-324	Max	0.51	1	SLV	1.55	5	SLV	-0.00	5	SLV	0.01	5	SLV	0.00	1	SLV	0.00	1	SLV
-324	Min.	-0.51	1	SLV	-1.59	5	SLV	-0.23	5	SLV	-0.01	5	SLV	-0.00	1	SLV	0.00	1	SLV
-323	Max	0.51	1	SLV	1.55	5	SLV	0.00	5	SLV	0.01	5	SLV	0.00	1	SLV	0.00	1	SLV
-323	Min.	-0.51	1	SLV	-1.59	5	SLV	-0.23	5	SLV	-0.01	5	SLV	-0.00	1	SLV	0.00	1	SLV
-322	Max	0.50	1	SLV	1.55	5	SLV	0.00	5	SLV	0.01	5	SLV	0.00	1	SLV	0.00	1	SLV
-322	Min.	-0.51	1	SLV	-1.58	5	SLV	-0.28	19	SLU	-0.01	5	SLV	-0.00	1	SLV	0.00	1	SLV
-321	Max	0.50	1	SLV	1.55	5	SLV	0.03	1	SLV	0.01	5	SLV	0.00	1	SLV	0.00	5	SLV
-321	Min.	-0.51	1	SLV	-1.57	5	SLV	-0.30	1	SLV	-0.01	5	SLV	-0.00	1	SLV	0.00	5	SLV
-320	Max	0.45	1	SL	1.42	5	SL	0.03	1	SL	0.01	5	SL	0.00	1	SL	0.00	5	SL

				V			V			V			V			V			V
-320	Min.	-0.44	1	SLV	-1.40	5	SLV	-0.30	1	SLV	-0.01	5	SLV	-0.00	1	SLV	0.00	5	SLV
-319	Max	0.45	1	SLV	1.43	5	SLV	0.01	5	SLV	0.01	5	SLV	0.00	1	SLV	0.00	1	SLV
-319	Min.	-0.44	1	SLV	-1.40	5	SLV	-0.28	5	SLV	-0.01	5	SLV	-0.00	1	SLV	0.00	1	SLV
-318	Max	0.45	1	SLV	1.44	5	SLV	0.01	5	SLV	0.01	5	SLV	0.00	1	SLV	0.00	1	SLV
-318	Min.	-0.45	1	SLV	-1.40	5	SLV	-0.24	5	SLV	-0.01	5	SLV	-0.00	1	SLV	0.00	1	SLV
-317	Max	0.45	1	SLV	1.44	5	SLV	0.00	5	SLV	0.01	5	SLV	0.00	1	SLV	0.00	1	SLV
-317	Min.	-0.45	1	SLV	-1.40	5	SLV	-0.23	5	SLV	-0.01	5	SLV	-0.00	1	SLV	0.00	1	SLV
-316	Max	0.45	1	SLV	1.44	5	SLV	0.00	5	SLV	0.01	5	SLV	0.00	1	SLV	0.00	1	SLV
-316	Min.	-0.45	1	SLV	-1.40	5	SLV	-0.23	5	SLV	-0.01	5	SLV	-0.00	1	SLV	0.00	1	SLV
-315	Max	0.45	1	SLV	1.44	5	SLV	0.01	5	SLV	0.01	5	SLV	0.00	1	SLV	0.00	1	SLV
-315	Min.	-0.45	1	SLV	-1.40	5	SLV	-0.24	5	SLV	-0.01	5	SLV	-0.00	1	SLV	0.00	1	SLV
-314	Max	0.44	1	SLV	1.43	5	SLV	0.01	5	SLV	0.01	5	SLV	0.00	1	SLV	0.00	1	SLV
-314	Min.	-0.45	1	SLV	-1.40	5	SLV	-0.28	5	SLV	-0.01	5	SLV	-0.00	1	SLV	0.00	1	SLV
-313	Max	0.44	1	SLV	1.42	5	SLV	0.03	1	SLV	0.01	5	SLV	0.00	1	SLV	0.00	5	SLV
-313	Min.	-0.45	1	SLV	-1.40	5	SLV	-0.30	1	SLV	-0.01	5	SLV	-0.00	1	SLV	0.00	5	SLV
-312	Max	0.44	1	SLV	1.42	5	SLV	0.01	1	SLV	0.01	5	SLV	0.00	1	SLV	0.00	1	SLV
-312	Min.	-0.44	1	SLV	-1.40	5	SLV	-0.28	1	SLV	-0.01	5	SLV	-0.00	1	SLV	0.00	1	SLV
-311	Max	0.44	1	SLV	1.43	5	SLV	-0.05	1	SLV	0.01	5	SLV	0.00	1	SLV	0.00	1	SLV
-311	Min.	-0.44	1	SLV	-1.40	5	SLV	-0.26	9	SLU	-0.01	5	SLV	-0.00	1	SLV	0.00	1	SLV
-310	Max	0.44	1	SLV	1.44	5	SLV	-0.02	5	SLV	0.01	5	SLV	0.00	1	SLV	0.00	1	SLV
-310	Min.	-0.44	1	SLV	-1.40	5	SLV	-0.22	9	SLU	-0.01	5	SLV	-0.00	1	SLV	0.00	1	SLV
-309	Max	0.44	1	SLV	1.44	5	SLV	-0.03	5	SLV	0.01	5	SLV	0.00	1	SLV	0.00	1	SLV
-309	Min.	-0.44	1	SLV	-1.40	5	SLV	-0.22	19	SLU	-0.01	5	SLV	-0.00	1	SLV	0.00	1	SLV
-308	Max	0.44	1	SLV	1.44	5	SLV	-0.03	5	SLV	0.01	5	SLV	0.00	1	SLV	0.00	1	SLV
-308	Min.	-0.44	1	SLV	-1.40	5	SLV	-0.22	9	SLU	-0.01	5	SLV	-0.00	1	SLV	0.00	1	SLV
-307	Max	0.44	1	SLV	1.44	5	SLV	-0.02	5	SLV	0.01	5	SLV	0.00	1	SLV	0.00	1	SLV
-307	Min.	-0.44	1	SLV	-1.40	5	SLV	-0.23	19	SLU	-0.01	5	SLV	-0.00	1	SLV	0.00	1	SLV
-306	Max	0.44	1	SLV	1.43	5	SLV	-0.05	1	SLV	0.01	5	SLV	0.00	1	SLV	0.00	1	SLV
-306	Min.	-0.44	1	SLV	-1.40	5	SLV	-0.27	19	SLU	-0.01	5	SLV	-0.00	1	SLV	0.00	1	SLV
-305	Max	0.44	1	SL	1.42	5	SL	0.01	1	SL	0.01	5	SL	0.00	1	SL	0.00	1	SL

				V			V			V			V			V			V
-305	Min.	-0.44	1	SLV	-1.40	5	SLV	-0.29	19	SLU	-0.01	5	SLV	-0.00	1	SLV	0.00	1	SLV
-304	Max	0.44	1	SLV	1.40	5	SLV	0.01	1	SLV	0.01	5	SLV	0.00	1	SLV	0.00	1	SLV
-304	Min.	-0.44	1	SLV	-1.42	5	SLV	-0.30	18	SLU	-0.01	5	SLV	-0.00	1	SLV	0.00	1	SLV
-303	Max	0.44	1	SLV	1.40	5	SLV	-0.05	1	SLV	0.01	5	SLV	0.00	1	SLV	0.00	1	SLV
-303	Min.	-0.44	1	SLV	-1.43	5	SLV	-0.30	18	SLU	-0.01	5	SLV	-0.00	1	SLV	0.00	1	SLV
-302	Max	0.44	1	SLV	1.40	5	SLV	-0.02	5	SLV	0.01	5	SLV	0.00	1	SLV	0.00	1	SLV
-302	Min.	-0.44	1	SLV	-1.44	5	SLV	-0.25	18	SLU	-0.01	5	SLV	-0.00	1	SLV	0.00	1	SLV
-301	Max	0.44	1	SLV	1.40	5	SLV	-0.03	5	SLV	0.01	5	SLV	0.00	1	SLV	0.00	1	SLV
-301	Min.	-0.44	1	SLV	-1.44	5	SLV	-0.25	18	SLU	-0.01	5	SLV	-0.00	1	SLV	0.00	1	SLV
-300	Max	0.44	1	SLV	1.40	5	SLV	-0.03	5	SLV	0.01	5	SLV	0.00	1	SLV	0.00	1	SLV
-300	Min.	-0.44	1	SLV	-1.44	5	SLV	-0.25	18	SLU	-0.01	5	SLV	-0.00	1	SLV	0.00	1	SLV
-299	Max	0.44	1	SLV	1.40	5	SLV	-0.02	5	SLV	0.01	5	SLV	0.00	1	SLV	0.00	1	SLV
-299	Min.	-0.44	1	SLV	-1.44	5	SLV	-0.25	18	SLU	-0.01	5	SLV	-0.00	1	SLV	0.00	1	SLV
-298	Max	0.44	1	SLV	1.40	5	SLV	-0.05	1	SLV	0.01	5	SLV	0.00	1	SLV	0.00	1	SLV
-298	Min.	-0.44	1	SLV	-1.43	5	SLV	-0.30	18	SLU	-0.01	5	SLV	-0.00	1	SLV	0.00	1	SLV
-297	Max	0.44	1	SLV	1.40	5	SLV	0.01	1	SLV	0.01	5	SLV	0.00	1	SLV	0.00	1	SLV
-297	Min.	-0.44	1	SLV	-1.42	5	SLV	-0.30	18	SLU	-0.01	5	SLV	-0.00	1	SLV	0.00	1	SLV
-296	Max	0.45	1	SLV	1.40	5	SLV	0.03	1	SLV	0.01	5	SLV	0.00	1	SLV	0.00	5	SLV
-296	Min.	-0.44	1	SLV	-1.42	5	SLV	-0.30	1	SLV	-0.01	5	SLV	-0.00	1	SLV	0.00	5	SLV
-295	Max	0.45	1	SLV	1.40	5	SLV	0.01	5	SLV	0.01	5	SLV	0.00	1	SLV	0.00	1	SLV
-295	Min.	-0.44	1	SLV	-1.43	5	SLV	-0.28	5	SLV	-0.01	5	SLV	-0.00	1	SLV	0.00	1	SLV
-294	Max	0.45	1	SLV	1.40	5	SLV	0.01	5	SLV	0.01	5	SLV	0.00	1	SLV	0.00	1	SLV
-294	Min.	-0.45	1	SLV	-1.44	5	SLV	-0.24	5	SLV	-0.01	5	SLV	-0.00	1	SLV	0.00	1	SLV
-293	Max	0.45	1	SLV	1.40	5	SLV	0.00	5	SLV	0.01	5	SLV	0.00	1	SLV	0.00	1	SLV
-293	Min.	-0.45	1	SLV	-1.44	5	SLV	-0.23	5	SLV	-0.01	5	SLV	-0.00	1	SLV	0.00	1	SLV
-292	Max	0.45	1	SLV	1.40	5	SLV	0.00	5	SLV	0.01	5	SLV	0.00	1	SLV	0.00	1	SLV
-292	Min.	-0.45	1	SLV	-1.44	5	SLV	-0.23	5	SLV	-0.01	5	SLV	-0.00	1	SLV	0.00	1	SLV
-291	Max	0.45	1	SLV	1.40	5	SLV	0.01	5	SLV	0.01	5	SLV	0.00	1	SLV	0.00	1	SLV
-291	Min.	-0.45	1	SLV	-1.44	5	SLV	-0.24	5	SLV	-0.01	5	SLV	-0.00	1	SLV	0.00	1	SLV
-290	Max	0.44	1	SL	1.40	5	SL	0.01	5	SL	0.01	5	SL	0.00	1	SL	0.00	1	SL

				V			V			V			V			V			V
-290	Min.	-0.45	1	SLV	-1.43	5	SLV	-0.28	5	SLV	-0.01	5	SLV	-0.00	1	SLV	0.00	1	SLV
-289	Max	0.44	1	SLV	1.40	5	SLV	0.03	1	SLV	0.01	5	SLV	0.00	1	SLV	0.00	5	SLV
-289	Min.	-0.45	1	SLV	-1.42	5	SLV	-0.30	1	SLV	-0.01	5	SLV	-0.00	1	SLV	0.00	5	SLV
-288	Max	0.39	1	SLV	1.27	5	SLV	0.03	1	SLV	0.01	5	SLV	0.00	1	SLV	0.00	5	SLV
-288	Min.	-0.38	1	SLV	-1.25	5	SLV	-0.30	1	SLV	-0.01	5	SLV	-0.00	1	SLV	0.00	5	SLV
-287	Max	0.39	1	SLV	1.27	5	SLV	0.01	5	SLV	0.01	5	SLV	0.00	1	SLV	0.00	1	SLV
-287	Min.	-0.38	1	SLV	-1.25	5	SLV	-0.28	5	SLV	-0.01	5	SLV	-0.00	1	SLV	0.00	1	SLV
-286	Max	0.39	1	SLV	1.28	5	SLV	0.01	5	SLV	0.01	5	SLV	0.00	1	SLV	0.00	1	SLV
-286	Min.	-0.39	1	SLV	-1.24	5	SLV	-0.24	5	SLV	-0.01	5	SLV	-0.00	1	SLV	0.00	1	SLV
-285	Max	0.39	1	SLV	1.28	5	SLV	0.00	5	SLV	0.01	5	SLV	0.00	1	SLV	0.00	1	SLV
-285	Min.	-0.39	1	SLV	-1.24	5	SLV	-0.23	5	SLV	-0.01	5	SLV	-0.00	1	SLV	0.00	1	SLV
-284	Max	0.39	1	SLV	1.28	5	SLV	0.00	5	SLV	0.01	5	SLV	0.00	1	SLV	0.00	1	SLV
-284	Min.	-0.39	1	SLV	-1.24	5	SLV	-0.23	5	SLV	-0.01	5	SLV	-0.00	1	SLV	0.00	1	SLV
-283	Max	0.39	1	SLV	1.28	5	SLV	0.01	5	SLV	0.01	5	SLV	0.00	1	SLV	0.00	1	SLV
-283	Min.	-0.39	1	SLV	-1.24	5	SLV	-0.24	5	SLV	-0.01	5	SLV	-0.00	1	SLV	0.00	1	SLV
-282	Max	0.38	1	SLV	1.27	5	SLV	0.01	5	SLV	0.01	5	SLV	0.00	1	SLV	0.00	1	SLV
-282	Min.	-0.39	1	SLV	-1.25	5	SLV	-0.28	5	SLV	-0.01	5	SLV	-0.00	1	SLV	0.00	1	SLV
-281	Max	0.38	1	SLV	1.27	5	SLV	0.03	1	SLV	0.01	5	SLV	0.00	1	SLV	0.00	5	SLV
-281	Min.	-0.39	1	SLV	-1.25	5	SLV	-0.30	1	SLV	-0.01	5	SLV	-0.00	1	SLV	0.00	5	SLV
-280	Max	0.39	1	SLV	1.27	5	SLV	0.01	1	SLV	0.01	5	SLV	0.00	1	SLV	0.00	1	SLV
-280	Min.	-0.38	1	SLV	-1.25	5	SLV	-0.28	1	SLV	-0.01	5	SLV	-0.00	1	SLV	0.00	1	SLV
-279	Max	0.39	1	SLV	1.27	5	SLV	-0.05	5	SLV	0.01	5	SLV	0.00	1	SLV	0.00	1	SLV
-279	Min.	-0.38	1	SLV	-1.25	5	SLV	-0.26	9	SLU	-0.01	5	SLV	-0.00	1	SLV	0.00	1	SLV
-278	Max	0.39	1	SLV	1.28	5	SLV	-0.02	5	SLV	0.01	5	SLV	0.00	1	SLV	0.00	1	SLV
-278	Min.	-0.38	1	SLV	-1.24	5	SLV	-0.22	9	SLU	-0.01	5	SLV	-0.00	1	SLV	0.00	1	SLV
-277	Max	0.39	1	SLV	1.28	5	SLV	-0.03	5	SLV	0.01	5	SLV	0.00	1	SLV	0.00	1	SLV
-277	Min.	-0.38	1	SLV	-1.24	5	SLV	-0.22	19	SLU	-0.01	5	SLV	-0.00	1	SLV	0.00	1	SLV
-276	Max	0.38	1	SLV	1.28	5	SLV	-0.03	5	SLV	0.01	5	SLV	0.00	1	SLV	0.00	1	SLV
-276	Min.	-0.39	1	SLV	-1.24	5	SLV	-0.22	9	SLU	-0.01	5	SLV	-0.00	1	SLV	0.00	1	SLV
-275	Max	0.38	1	SL	1.28	5	SL	-0.02	5	SL	0.01	5	SL	0.00	1	SL	0.00	1	SL

				V			V			V			V			V			V
-275	Min.	-0.39	1	SL V	-1.24	5	SL V	-0.23	19	SL U	-0.01	5	SL V	-0.00	1	SL V	0.00	1	SL V
-274	Max	0.38	1	SL V	1.27	5	SL V	-0.05	5	SL V	0.01	5	SL V	0.00	1	SL V	0.00	1	SL V
-274	Min.	-0.39	1	SL V	-1.25	5	SL V	-0.27	19	SL U	-0.01	5	SL V	-0.00	1	SL V	0.00	1	SL V
-273	Max	0.38	1	SL V	1.27	5	SL V	0.01	1	SL V	0.01	5	SL V	0.00	1	SL V	0.00	1	SL V
-273	Min.	-0.39	1	SL V	-1.25	5	SL V	-0.29	19	SL U	-0.01	5	SL V	-0.00	1	SL V	0.00	1	SL V
-272	Max	0.39	1	SL V	1.25	5	SL V	0.01	1	SL V	0.01	5	SL V	0.00	1	SL V	0.00	1	SL V
-272	Min.	-0.38	1	SL V	-1.27	5	SL V	-0.30	18	SL U	-0.01	5	SL V	-0.00	1	SL V	0.00	1	SL V
-271	Max	0.39	1	SL V	1.25	5	SL V	-0.05	5	SL V	0.01	5	SL V	0.00	1	SL V	0.00	1	SL V
-271	Min.	-0.38	1	SL V	-1.27	5	SL V	-0.30	18	SL U	-0.01	5	SL V	-0.00	1	SL V	0.00	1	SL V
-270	Max	0.39	1	SL V	1.24	5	SL V	-0.02	5	SL V	0.01	5	SL V	0.00	1	SL V	0.00	1	SL V
-270	Min.	-0.38	1	SL V	-1.28	5	SL V	-0.25	18	SL U	-0.01	5	SL V	-0.00	1	SL V	0.00	1	SL V
-269	Max	0.39	1	SL V	1.24	5	SL V	-0.03	5	SL V	0.01	5	SL V	0.00	1	SL V	0.00	1	SL V
-269	Min.	-0.38	1	SL V	-1.28	5	SL V	-0.25	18	SL U	-0.01	5	SL V	-0.00	1	SL V	0.00	1	SL V
-268	Max	0.38	1	SL V	1.24	5	SL V	-0.03	5	SL V	0.01	5	SL V	0.00	1	SL V	0.00	1	SL V
-268	Min.	-0.39	1	SL V	-1.28	5	SL V	-0.25	18	SL U	-0.01	5	SL V	-0.00	1	SL V	0.00	1	SL V
-267	Max	0.38	1	SL V	1.24	5	SL V	-0.02	5	SL V	0.01	5	SL V	0.00	1	SL V	0.00	1	SL V
-267	Min.	-0.39	1	SL V	-1.28	5	SL V	-0.25	18	SL U	-0.01	5	SL V	-0.00	1	SL V	0.00	1	SL V
-266	Max	0.38	1	SL V	1.25	5	SL V	-0.05	5	SL V	0.01	5	SL V	0.00	1	SL V	0.00	1	SL V
-266	Min.	-0.39	1	SL V	-1.27	5	SL V	-0.30	18	SL U	-0.01	5	SL V	-0.00	1	SL V	0.00	1	SL V
-265	Max	0.38	1	SL V	1.25	5	SL V	0.01	1	SL V	0.01	5	SL V	0.00	1	SL V	0.00	1	SL V
-265	Min.	-0.39	1	SL V	-1.27	5	SL V	-0.30	18	SL U	-0.01	5	SL V	-0.00	1	SL V	0.00	1	SL V
-264	Max	0.39	1	SL V	1.25	5	SL V	0.03	1	SL V	0.01	5	SL V	0.00	1	SL V	0.00	5	SL V
-264	Min.	-0.39	1	SL V	-1.27	5	SL V	-0.30	1	SL V	-0.01	5	SL V	-0.00	1	SL V	0.00	5	SL V
-263	Max	0.39	1	SL V	1.25	5	SL V	0.01	5	SL V	0.01	5	SL V	0.00	1	SL V	0.00	1	SL V
-263	Min.	-0.39	1	SL V	-1.27	5	SL V	-0.28	5	SL V	-0.01	5	SL V	-0.00	1	SL V	0.00	1	SL V
-262	Max	0.39	1	SL V	1.24	5	SL V	0.01	5	SL V	0.01	5	SL V	0.00	1	SL V	0.00	1	SL V
-262	Min.	-0.39	1	SL V	-1.28	5	SL V	-0.24	5	SL V	-0.01	5	SL V	-0.00	1	SL V	0.00	1	SL V
-261	Max	0.39	1	SL V	1.24	5	SL V	0.00	5	SL V	0.01	5	SL V	0.00	1	SL V	0.00	1	SL V
-261	Min.	-0.39	1	SL V	-1.28	5	SL V	-0.23	5	SL V	-0.01	5	SL V	-0.00	1	SL V	0.00	1	SL V
-260	Max	0.39	1	SL	1.24	5	SL	0.00	5	SL	0.01	5	SL	0.00	1	SL	0.00	1	SL

				V			V			V			V			V			V
-260	Min.	-0.39	1	SLV	-1.28	5	SLV	-0.23	5	SLV	-0.01	5	SLV	-0.00	1	SLV	0.00	1	SLV
-259	Max	0.39	1	SLV	1.24	5	SLV	0.01	5	SLV	0.01	5	SLV	0.00	1	SLV	0.00	1	SLV
-259	Min.	-0.39	1	SLV	-1.28	5	SLV	-0.24	5	SLV	-0.01	5	SLV	-0.00	1	SLV	0.00	1	SLV
-258	Max	0.39	1	SLV	1.25	5	SLV	0.01	5	SLV	0.01	5	SLV	0.00	1	SLV	0.00	1	SLV
-258	Min.	-0.39	1	SLV	-1.27	5	SLV	-0.28	5	SLV	-0.01	5	SLV	-0.00	1	SLV	0.00	1	SLV
-257	Max	0.39	1	SLV	1.25	5	SLV	0.03	1	SLV	0.01	5	SLV	0.00	1	SLV	0.00	5	SLV
-257	Min.	-0.39	1	SLV	-1.27	5	SLV	-0.30	1	SLV	-0.01	5	SLV	-0.00	1	SLV	0.00	5	SLV
-256	Max	0.34	1	SLV	1.11	5	SLV	0.03	5	SLV	0.01	5	SLV	0.00	1	SLV	0.00	5	SLV
-256	Min.	-0.33	1	SLV	-1.09	5	SLV	-0.30	5	SLV	-0.01	5	SLV	-0.00	1	SLV	0.00	5	SLV
-255	Max	0.34	1	SLV	1.11	5	SLV	0.01	5	SLV	0.01	5	SLV	0.00	1	SLV	0.00	1	SLV
-255	Min.	-0.33	1	SLV	-1.09	5	SLV	-0.28	5	SLV	-0.01	5	SLV	-0.00	1	SLV	0.00	1	SLV
-254	Max	0.33	1	SLV	1.12	5	SLV	0.01	5	SLV	0.01	5	SLV	0.00	1	SLV	0.00	5	SLV
-254	Min.	-0.33	1	SLV	-1.09	5	SLV	-0.24	5	SLV	-0.01	5	SLV	-0.00	1	SLV	0.00	5	SLV
-253	Max	0.33	1	SLV	1.12	5	SLV	0.01	5	SLV	0.01	5	SLV	0.00	1	SLV	0.00	1	SLV
-253	Min.	-0.33	1	SLV	-1.09	5	SLV	-0.24	5	SLV	-0.01	5	SLV	-0.00	1	SLV	0.00	1	SLV
-252	Max	0.33	1	SLV	1.12	5	SLV	0.01	5	SLV	0.01	5	SLV	0.00	1	SLV	0.00	1	SLV
-252	Min.	-0.33	1	SLV	-1.09	5	SLV	-0.24	5	SLV	-0.01	5	SLV	-0.00	1	SLV	0.00	1	SLV
-251	Max	0.33	1	SLV	1.12	5	SLV	0.01	5	SLV	0.01	5	SLV	0.00	1	SLV	0.00	5	SLV
-251	Min.	-0.33	1	SLV	-1.09	5	SLV	-0.24	5	SLV	-0.01	5	SLV	-0.00	1	SLV	0.00	5	SLV
-250	Max	0.33	1	SLV	1.11	5	SLV	0.01	5	SLV	0.01	5	SLV	0.00	1	SLV	0.00	1	SLV
-250	Min.	-0.34	1	SLV	-1.09	5	SLV	-0.28	5	SLV	-0.01	5	SLV	-0.00	1	SLV	0.00	1	SLV
-249	Max	0.33	1	SLV	1.11	5	SLV	0.03	5	SLV	0.01	5	SLV	0.00	1	SLV	0.00	5	SLV
-249	Min.	-0.34	1	SLV	-1.09	5	SLV	-0.30	5	SLV	-0.01	5	SLV	-0.00	1	SLV	0.00	5	SLV
-248	Max	0.33	1	SLV	1.11	5	SLV	0.02	1	SLV	0.01	5	SLV	0.00	1	SLV	0.00	1	SLV
-248	Min.	-0.32	1	SLV	-1.09	5	SLV	-0.28	1	SLV	-0.01	5	SLV	-0.00	1	SLV	0.00	1	SLV
-247	Max	0.33	1	SLV	1.11	5	SLV	-0.04	5	SLV	0.01	5	SLV	0.00	1	SLV	0.00	1	SLV
-247	Min.	-0.32	1	SLV	-1.09	5	SLV	-0.26	9	SLU	-0.01	5	SLV	-0.00	1	SLV	0.00	1	SLV
-246	Max	0.33	1	SLV	1.12	5	SLV	-0.01	5	SLV	0.01	5	SLV	0.00	1	SLV	0.00	1	SLV
-246	Min.	-0.33	1	SLV	-1.09	5	SLV	-0.22	9	SLU	-0.01	5	SLV	-0.00	1	SLV	0.00	1	SLV
-245	Max	0.33	1	SL	1.12	5	SL	-0.02	5	SL	0.01	5	SL	0.00	1	SL	0.00	1	SL

				V			V			V			V			V			V
-245	Min.	-0.33	1	SLV	-1.09	5	SLV	-0.22	19	SLU	-0.01	5	SLV	-0.00	1	SLV	0.00	1	SLV
-244	Max	0.33	1	SLV	1.12	5	SLV	-0.02	5	SLV	0.01	5	SLV	0.00	1	SLV	0.00	1	SLV
-244	Min.	-0.33	1	SLV	-1.09	5	SLV	-0.22	9	SLU	-0.01	5	SLV	-0.00	1	SLV	0.00	1	SLV
-243	Max	0.33	1	SLV	1.12	5	SLV	-0.01	5	SLV	0.01	5	SLV	0.00	1	SLV	0.00	1	SLV
-243	Min.	-0.33	1	SLV	-1.09	5	SLV	-0.23	19	SLU	-0.01	5	SLV	-0.00	1	SLV	0.00	1	SLV
-242	Max	0.32	1	SLV	1.11	5	SLV	-0.04	5	SLV	0.01	5	SLV	0.00	1	SLV	0.00	1	SLV
-242	Min.	-0.33	1	SLV	-1.09	5	SLV	-0.27	19	SLU	-0.01	5	SLV	-0.00	1	SLV	0.00	1	SLV
-241	Max	0.32	1	SLV	1.11	5	SLV	0.02	1	SLV	0.01	5	SLV	0.00	1	SLV	0.00	1	SLV
-241	Min.	-0.33	1	SLV	-1.09	5	SLV	-0.29	19	SLU	-0.01	5	SLV	-0.00	1	SLV	0.00	1	SLV
-240	Max	0.33	1	SLV	1.09	5	SLV	0.02	1	SLV	0.01	5	SLV	0.00	1	SLV	0.00	1	SLV
-240	Min.	-0.32	1	SLV	-1.11	5	SLV	-0.30	18	SLU	-0.01	5	SLV	-0.00	1	SLV	0.00	1	SLV
-239	Max	0.33	1	SLV	1.09	5	SLV	-0.04	5	SLV	0.01	5	SLV	0.00	1	SLV	0.00	1	SLV
-239	Min.	-0.32	1	SLV	-1.11	5	SLV	-0.30	18	SLU	-0.01	5	SLV	-0.00	1	SLV	0.00	1	SLV
-238	Max	0.33	1	SLV	1.09	5	SLV	-0.01	5	SLV	0.01	5	SLV	0.00	1	SLV	0.00	1	SLV
-238	Min.	-0.33	1	SLV	-1.12	5	SLV	-0.25	18	SLU	-0.01	5	SLV	-0.00	1	SLV	0.00	1	SLV
-237	Max	0.33	1	SLV	1.09	5	SLV	-0.02	5	SLV	0.01	5	SLV	0.00	1	SLV	0.00	1	SLV
-237	Min.	-0.33	1	SLV	-1.12	5	SLV	-0.25	18	SLU	-0.01	5	SLV	-0.00	1	SLV	0.00	1	SLV
-236	Max	0.33	1	SLV	1.09	5	SLV	-0.02	5	SLV	0.01	5	SLV	0.00	1	SLV	0.00	1	SLV
-236	Min.	-0.33	1	SLV	-1.12	5	SLV	-0.25	18	SLU	-0.01	5	SLV	-0.00	1	SLV	0.00	1	SLV
-235	Max	0.33	1	SLV	1.09	5	SLV	-0.01	5	SLV	0.01	5	SLV	0.00	1	SLV	0.00	1	SLV
-235	Min.	-0.33	1	SLV	-1.12	5	SLV	-0.25	18	SLU	-0.01	5	SLV	-0.00	1	SLV	0.00	1	SLV
-234	Max	0.32	1	SLV	1.09	5	SLV	-0.04	5	SLV	0.01	5	SLV	0.00	1	SLV	0.00	1	SLV
-234	Min.	-0.33	1	SLV	-1.11	5	SLV	-0.30	18	SLU	-0.01	5	SLV	-0.00	1	SLV	0.00	1	SLV
-233	Max	0.32	1	SLV	1.09	5	SLV	0.02	1	SLV	0.01	5	SLV	0.00	1	SLV	0.00	1	SLV
-233	Min.	-0.33	1	SLV	-1.11	5	SLV	-0.30	18	SLU	-0.01	5	SLV	-0.00	1	SLV	0.00	1	SLV
-232	Max	0.34	1	SLV	1.09	5	SLV	0.03	5	SLV	0.01	5	SLV	0.00	1	SLV	0.00	5	SLV
-232	Min.	-0.33	1	SLV	-1.11	5	SLV	-0.30	5	SLV	-0.01	5	SLV	-0.00	1	SLV	0.00	5	SLV
-231	Max	0.34	1	SLV	1.09	5	SLV	0.01	5	SLV	0.01	5	SLV	0.00	1	SLV	0.00	1	SLV
-231	Min.	-0.33	1	SLV	-1.11	5	SLV	-0.28	5	SLV	-0.01	5	SLV	-0.00	1	SLV	0.00	1	SLV
-230	Max	0.33	1	SL	1.09	5	SL	0.01	5	SL	0.01	5	SL	0.00	1	SL	0.00	1	SL

				V			V			V			V			V			V
-230	Min.	-0.33	1	SLV	-1.12	5	SLV	-0.24	5	SLV	-0.01	5	SLV	-0.00	1	SLV	0.00	1	SLV
-229	Max	0.33	1	SLV	1.09	5	SLV	0.01	5	SLV	0.01	5	SLV	0.00	1	SLV	0.00	1	SLV
-229	Min.	-0.33	1	SLV	-1.12	5	SLV	-0.24	5	SLV	-0.01	5	SLV	-0.00	1	SLV	0.00	1	SLV
-228	Max	0.33	1	SLV	1.09	5	SLV	0.01	5	SLV	0.01	5	SLV	0.00	1	SLV	0.00	1	SLV
-228	Min.	-0.33	1	SLV	-1.12	5	SLV	-0.24	5	SLV	-0.01	5	SLV	-0.00	1	SLV	0.00	1	SLV
-227	Max	0.33	1	SLV	1.09	5	SLV	0.01	5	SLV	0.01	5	SLV	0.00	1	SLV	0.00	1	SLV
-227	Min.	-0.33	1	SLV	-1.12	5	SLV	-0.24	5	SLV	-0.01	5	SLV	-0.00	1	SLV	0.00	1	SLV
-226	Max	0.33	1	SLV	1.09	5	SLV	0.01	5	SLV	0.01	5	SLV	0.00	1	SLV	0.00	1	SLV
-226	Min.	-0.34	1	SLV	-1.11	5	SLV	-0.28	5	SLV	-0.01	5	SLV	-0.00	1	SLV	0.00	1	SLV
-225	Max	0.33	1	SLV	1.09	5	SLV	0.03	5	SLV	0.01	5	SLV	0.00	1	SLV	0.00	5	SLV
-225	Min.	-0.34	1	SLV	-1.11	5	SLV	-0.30	5	SLV	-0.01	5	SLV	-0.00	1	SLV	0.00	5	SLV
-224	Max	0.28	1	SLV	0.95	5	SLV	0.04	5	SLV	0.01	5	SLV	0.00	1	SLV	0.00	5	SLV
-224	Min.	-0.27	1	SLV	-0.94	5	SLV	-0.31	5	SLV	-0.01	5	SLV	-0.00	1	SLV	0.00	5	SLV
-223	Max	0.28	1	SLV	0.96	5	SLV	0.02	5	SLV	0.01	5	SLV	0.00	1	SLV	0.00	1	SLV
-223	Min.	-0.27	1	SLV	-0.94	5	SLV	-0.29	5	SLV	-0.01	5	SLV	-0.00	1	SLV	0.00	1	SLV
-222	Max	0.28	1	SLV	0.96	5	SLV	0.02	5	SLV	0.01	5	SLV	0.00	1	SLV	0.00	5	SLV
-222	Min.	-0.28	1	SLV	-0.93	5	SLV	-0.25	5	SLV	-0.01	5	SLV	-0.00	1	SLV	0.00	5	SLV
-221	Max	0.28	1	SLV	0.96	5	SLV	0.01	5	SLV	0.01	5	SLV	0.00	1	SLV	0.00	5	SLV
-221	Min.	-0.28	1	SLV	-0.94	5	SLV	-0.24	5	SLV	-0.01	5	SLV	-0.00	1	SLV	0.00	5	SLV
-220	Max	0.28	1	SLV	0.96	5	SLV	0.01	5	SLV	0.01	5	SLV	0.00	1	SLV	0.00	5	SLV
-220	Min.	-0.28	1	SLV	-0.94	5	SLV	-0.24	5	SLV	-0.01	5	SLV	-0.00	1	SLV	0.00	5	SLV
-219	Max	0.28	1	SLV	0.96	5	SLV	0.02	5	SLV	0.01	5	SLV	0.00	1	SLV	0.00	5	SLV
-219	Min.	-0.28	1	SLV	-0.93	5	SLV	-0.25	5	SLV	-0.01	5	SLV	-0.00	1	SLV	0.00	5	SLV
-218	Max	0.27	1	SLV	0.96	5	SLV	0.02	5	SLV	0.01	5	SLV	0.00	1	SLV	0.00	1	SLV
-218	Min.	-0.28	1	SLV	-0.94	5	SLV	-0.29	5	SLV	-0.01	5	SLV	-0.00	1	SLV	0.00	1	SLV
-217	Max	0.27	1	SLV	0.95	5	SLV	0.04	5	SLV	0.01	5	SLV	0.00	1	SLV	0.00	5	SLV
-217	Min.	-0.28	1	SLV	-0.94	5	SLV	-0.31	5	SLV	-0.01	5	SLV	-0.00	1	SLV	0.00	5	SLV
-216	Max	0.28	1	SLV	0.95	5	SLV	0.02	1	SLV	0.01	5	SLV	0.00	1	SLV	0.00	1	SLV
-216	Min.	-0.27	1	SLV	-0.94	5	SLV	-0.29	1	SLV	-0.01	5	SLV	-0.00	1	SLV	0.00	1	SLV
-215	Max	0.28	1	SL	0.96	5	SL	-0.04	5	SL	0.01	5	SL	0.00	1	SL	0.00	1	SL

				V			V			V			V			V			V
-215	Min.	-0.27	1	SL V	-0.94	5	SL V	-0.26	9	SL U	-0.01	5	SL V	-0.00	1	SL V	0.00	1	SL V
-214	Max	0.27	1	SL V	0.96	5	SL V	-0.01	5	SL V	0.01	5	SL V	0.00	1	SL V	0.00	1	SL V
-214	Min.	-0.27	1	SL V	-0.93	5	SL V	-0.21	5	SL V	-0.01	5	SL V	-0.00	1	SL V	0.00	1	SL V
-213	Max	0.27	1	SL V	0.96	5	SL V	-0.02	5	SL V	0.01	5	SL V	0.00	1	SL V	0.00	1	SL V
-213	Min.	-0.27	1	SL V	-0.94	5	SL V	-0.22	19	SL U	-0.01	5	SL V	-0.00	1	SL V	0.00	1	SL V
-212	Max	0.27	1	SL V	0.96	5	SL V	-0.02	5	SL V	0.01	5	SL V	0.00	1	SL V	0.00	1	SL V
-212	Min.	-0.27	1	SL V	-0.94	5	SL V	-0.21	9	SL U	-0.01	5	SL V	-0.00	1	SL V	0.00	1	SL V
-211	Max	0.27	1	SL V	0.96	5	SL V	-0.01	5	SL V	0.01	5	SL V	0.00	1	SL V	0.00	1	SL V
-211	Min.	-0.27	1	SL V	-0.93	5	SL V	-0.22	19	SL U	-0.01	5	SL V	-0.00	1	SL V	0.00	1	SL V
-210	Max	0.27	1	SL V	0.96	5	SL V	-0.04	5	SL V	0.01	5	SL V	0.00	1	SL V	0.00	1	SL V
-210	Min.	-0.28	1	SL V	-0.94	5	SL V	-0.27	19	SL U	-0.01	5	SL V	-0.00	1	SL V	0.00	1	SL V
-209	Max	0.27	1	SL V	0.95	5	SL V	0.02	1	SL V	0.01	5	SL V	0.00	1	SL V	0.00	1	SL V
-209	Min.	-0.28	1	SL V	-0.94	5	SL V	-0.29	19	SL U	-0.01	5	SL V	-0.00	1	SL V	0.00	1	SL V
-208	Max	0.28	1	SL V	0.94	5	SL V	0.02	1	SL V	0.01	5	SL V	0.00	1	SL V	0.00	1	SL V
-208	Min.	-0.27	1	SL V	-0.95	5	SL V	-0.30	18	SL U	-0.01	5	SL V	-0.00	1	SL V	0.00	1	SL V
-207	Max	0.28	1	SL V	0.94	5	SL V	-0.04	5	SL V	0.01	5	SL V	0.00	1	SL V	0.00	1	SL V
-207	Min.	-0.27	1	SL V	-0.96	5	SL V	-0.29	18	SL U	-0.01	5	SL V	-0.00	1	SL V	0.00	1	SL V
-206	Max	0.27	1	SL V	0.93	5	SL V	-0.01	5	SL V	0.01	5	SL V	0.00	1	SL V	0.00	1	SL V
-206	Min.	-0.27	1	SL V	-0.96	5	SL V	-0.25	18	SL U	-0.01	5	SL V	-0.00	1	SL V	0.00	1	SL V
-205	Max	0.27	1	SL V	0.94	5	SL V	-0.02	5	SL V	0.01	5	SL V	0.00	1	SL V	0.00	1	SL V
-205	Min.	-0.27	1	SL V	-0.96	5	SL V	-0.25	18	SL U	-0.01	5	SL V	-0.00	1	SL V	0.00	1	SL V
-204	Max	0.27	1	SL V	0.94	5	SL V	-0.02	5	SL V	0.01	5	SL V	0.00	1	SL V	0.00	1	SL V
-204	Min.	-0.27	1	SL V	-0.96	5	SL V	-0.25	18	SL U	-0.01	5	SL V	-0.00	1	SL V	0.00	1	SL V
-203	Max	0.27	1	SL V	0.93	5	SL V	-0.01	5	SL V	0.01	5	SL V	0.00	1	SL V	0.00	1	SL V
-203	Min.	-0.27	1	SL V	-0.96	5	SL V	-0.25	18	SL U	-0.01	5	SL V	-0.00	1	SL V	0.00	1	SL V
-202	Max	0.27	1	SL V	0.94	5	SL V	-0.04	5	SL V	0.01	5	SL V	0.00	1	SL V	0.00	1	SL V
-202	Min.	-0.28	1	SL V	-0.96	5	SL V	-0.29	18	SL U	-0.01	5	SL V	-0.00	1	SL V	0.00	1	SL V
-201	Max	0.27	1	SL V	0.94	5	SL V	0.02	1	SL V	0.01	5	SL V	0.00	1	SL V	0.00	1	SL V
-201	Min.	-0.28	1	SL V	-0.95	5	SL V	-0.30	18	SL U	-0.01	5	SL V	-0.00	1	SL V	0.00	1	SL V
-200	Max	0.28	1	SL	0.94	5	SL	0.04	5	SL	0.01	5	SL	0.00	1	SL	0.00	5	SL

				V			V			V			V			V			V
-200	Min.	-0.27	1	SLV	-0.95	5	SLV	-0.31	5	SLV	-0.01	5	SLV	-0.00	1	SLV	0.00	5	SLV
-199	Max	0.28	1	SLV	0.94	5	SLV	0.02	5	SLV	0.01	5	SLV	0.00	1	SLV	0.00	1	SLV
-199	Min.	-0.27	1	SLV	-0.96	5	SLV	-0.29	5	SLV	-0.01	5	SLV	-0.00	1	SLV	0.00	1	SLV
-198	Max	0.28	1	SLV	0.93	5	SLV	0.02	5	SLV	0.01	5	SLV	0.00	1	SLV	0.00	5	SLV
-198	Min.	-0.28	1	SLV	-0.96	5	SLV	-0.25	5	SLV	-0.01	5	SLV	-0.00	1	SLV	0.00	5	SLV
-197	Max	0.28	1	SLV	0.94	5	SLV	0.01	5	SLV	0.01	5	SLV	0.00	1	SLV	0.00	5	SLV
-197	Min.	-0.28	1	SLV	-0.96	5	SLV	-0.24	5	SLV	-0.01	5	SLV	-0.00	1	SLV	0.00	5	SLV
-196	Max	0.28	1	SLV	0.94	5	SLV	0.01	5	SLV	0.01	5	SLV	0.00	1	SLV	0.00	5	SLV
-196	Min.	-0.28	1	SLV	-0.96	5	SLV	-0.24	5	SLV	-0.01	5	SLV	-0.00	1	SLV	0.00	5	SLV
-195	Max	0.28	1	SLV	0.93	5	SLV	0.02	5	SLV	0.01	5	SLV	0.00	1	SLV	0.00	5	SLV
-195	Min.	-0.28	1	SLV	-0.96	5	SLV	-0.25	5	SLV	-0.01	5	SLV	-0.00	1	SLV	0.00	5	SLV
-194	Max	0.27	1	SLV	0.94	5	SLV	0.02	5	SLV	0.01	5	SLV	0.00	1	SLV	0.00	1	SLV
-194	Min.	-0.28	1	SLV	-0.96	5	SLV	-0.29	5	SLV	-0.01	5	SLV	-0.00	1	SLV	0.00	1	SLV
-193	Max	0.27	1	SLV	0.94	5	SLV	0.04	5	SLV	0.01	5	SLV	0.00	1	SLV	0.00	5	SLV
-193	Min.	-0.28	1	SLV	-0.95	5	SLV	-0.31	5	SLV	-0.01	5	SLV	-0.00	1	SLV	0.00	5	SLV
-192	Max	0.23	1	SLV	0.79	5	SLV	0.04	5	SLV	0.01	5	SLV	0.00	1	SLV	0.00	5	SLV
-192	Min.	-0.22	1	SLV	-0.78	5	SLV	-0.31	5	SLV	-0.01	5	SLV	-0.00	1	SLV	0.00	5	SLV
-191	Max	0.23	1	SLV	0.80	5	SLV	0.02	5	SLV	0.01	5	SLV	0.00	1	SLV	0.00	1	SLV
-191	Min.	-0.22	1	SLV	-0.78	5	SLV	-0.29	5	SLV	-0.01	5	SLV	-0.00	1	SLV	0.00	1	SLV
-190	Max	0.22	1	SLV	0.80	5	SLV	0.02	5	SLV	0.01	5	SLV	0.00	1	SLV	0.00	5	SLV
-190	Min.	-0.22	1	SLV	-0.78	5	SLV	-0.25	5	SLV	-0.01	5	SLV	-0.00	1	SLV	0.00	5	SLV
-189	Max	0.22	1	SLV	0.80	5	SLV	0.01	5	SLV	0.01	5	SLV	0.00	1	SLV	0.00	5	SLV
-189	Min.	-0.22	1	SLV	-0.78	5	SLV	-0.24	5	SLV	-0.01	5	SLV	-0.00	1	SLV	0.00	5	SLV
-188	Max	0.22	1	SLV	0.80	5	SLV	0.01	5	SLV	0.01	5	SLV	0.00	1	SLV	0.00	5	SLV
-188	Min.	-0.22	1	SLV	-0.78	5	SLV	-0.24	5	SLV	-0.01	5	SLV	-0.00	1	SLV	0.00	5	SLV
-187	Max	0.22	1	SLV	0.80	5	SLV	0.02	5	SLV	0.01	5	SLV	0.00	1	SLV	0.00	5	SLV
-187	Min.	-0.22	1	SLV	-0.78	5	SLV	-0.25	5	SLV	-0.01	5	SLV	-0.00	1	SLV	0.00	5	SLV
-186	Max	0.22	1	SLV	0.80	5	SLV	0.02	5	SLV	0.01	5	SLV	0.00	1	SLV	0.00	1	SLV
-186	Min.	-0.23	1	SLV	-0.78	5	SLV	-0.29	5	SLV	-0.01	5	SLV	-0.00	1	SLV	0.00	1	SLV
-185	Max	0.22	1	SL	0.79	5	SL	0.04	5	SL	0.01	5	SL	0.00	1	SL	0.00	5	SL

				V			V			V			V			V			V
-185	Min.	-0.23	1	SLV	-0.78	5	SLV	-0.31	5	SLV	-0.01	5	SLV	-0.00	1	SLV	0.00	5	SLV
-184	Max	0.22	1	SLV	0.79	5	SLV	0.02	1	SLV	0.01	5	SLV	0.00	1	SLV	0.00	1	SLV
-184	Min.	-0.22	1	SLV	-0.78	5	SLV	-0.29	1	SLV	-0.01	5	SLV	-0.00	1	SLV	0.00	1	SLV
-183	Max	0.22	1	SLV	0.80	5	SLV	-0.04	5	SLV	0.01	5	SLV	0.00	1	SLV	0.00	1	SLV
-183	Min.	-0.22	1	SLV	-0.78	5	SLV	-0.26	9	SLU	-0.01	5	SLV	-0.00	1	SLV	0.00	1	SLV
-182	Max	0.22	1	SLV	0.80	5	SLV	-0.01	5	SLV	0.01	5	SLV	0.00	1	SLV	0.00	1	SLV
-182	Min.	-0.22	1	SLV	-0.78	5	SLV	-0.22	5	SLV	-0.01	5	SLV	-0.00	1	SLV	0.00	1	SLV
-181	Max	0.22	1	SLV	0.80	5	SLV	-0.02	5	SLV	0.01	5	SLV	0.00	1	SLV	0.00	1	SLV
-181	Min.	-0.22	1	SLV	-0.78	5	SLV	-0.22	19	SLU	-0.01	5	SLV	-0.00	1	SLV	0.00	1	SLV
-180	Max	0.22	1	SLV	0.80	5	SLV	-0.02	5	SLV	0.01	5	SLV	0.00	1	SLV	0.00	1	SLV
-180	Min.	-0.22	1	SLV	-0.78	5	SLV	-0.21	9	SLU	-0.01	5	SLV	-0.00	1	SLV	0.00	1	SLV
-179	Max	0.22	1	SLV	0.80	5	SLV	-0.01	5	SLV	0.01	5	SLV	0.00	1	SLV	0.00	1	SLV
-179	Min.	-0.22	1	SLV	-0.78	5	SLV	-0.22	19	SLU	-0.01	5	SLV	-0.00	1	SLV	0.00	1	SLV
-178	Max	0.22	1	SLV	0.80	5	SLV	-0.04	5	SLV	0.01	5	SLV	0.00	1	SLV	0.00	1	SLV
-178	Min.	-0.22	1	SLV	-0.78	5	SLV	-0.27	19	SLU	-0.01	5	SLV	-0.00	1	SLV	0.00	1	SLV
-177	Max	0.22	1	SLV	0.79	5	SLV	0.02	1	SLV	0.01	5	SLV	0.00	1	SLV	0.00	1	SLV
-177	Min.	-0.22	1	SLV	-0.78	5	SLV	-0.29	19	SLU	-0.01	5	SLV	-0.00	1	SLV	0.00	1	SLV
-176	Max	0.23	1	SLV	0.78	5	SLV	0.02	1	SLV	0.01	5	SLV	0.00	1	SLV	0.00	1	SLV
-176	Min.	-0.22	1	SLV	-0.79	5	SLV	-0.30	18	SLU	-0.01	5	SLV	-0.00	1	SLV	0.00	1	SLV
-175	Max	0.23	1	SLV	0.78	5	SLV	-0.04	5	SLV	0.01	5	SLV	0.00	1	SLV	0.00	1	SLV
-175	Min.	-0.22	1	SLV	-0.80	5	SLV	-0.29	18	SLU	-0.01	5	SLV	-0.00	1	SLV	0.00	1	SLV
-174	Max	0.22	1	SLV	0.78	5	SLV	-0.01	5	SLV	0.01	5	SLV	0.00	1	SLV	0.00	1	SLV
-174	Min.	-0.22	1	SLV	-0.80	5	SLV	-0.25	18	SLU	-0.01	5	SLV	-0.00	1	SLV	0.00	1	SLV
-173	Max	0.22	1	SLV	0.78	5	SLV	-0.02	5	SLV	0.01	5	SLV	0.00	1	SLV	0.00	1	SLV
-173	Min.	-0.22	1	SLV	-0.80	5	SLV	-0.25	18	SLU	-0.01	5	SLV	-0.00	1	SLV	0.00	1	SLV
-172	Max	0.22	1	SLV	0.78	5	SLV	-0.02	5	SLV	0.01	5	SLV	0.00	1	SLV	0.00	1	SLV
-172	Min.	-0.22	1	SLV	-0.80	5	SLV	-0.25	18	SLU	-0.01	5	SLV	-0.00	1	SLV	0.00	1	SLV
-171	Max	0.22	1	SLV	0.78	5	SLV	-0.01	5	SLV	0.01	5	SLV	0.00	1	SLV	0.00	1	SLV
-171	Min.	-0.22	1	SLV	-0.80	5	SLV	-0.25	18	SLU	-0.01	5	SLV	-0.00	1	SLV	0.00	1	SLV
-170	Max	0.22	1	SL	0.78	5	SL	-0.04	5	SL	0.01	5	SL	0.00	1	SL	0.00	1	SL

				V			V			V			V			V			V
-170	Min.	-0.23	1	SLV	-0.80	5	SLV	-0.29	18	SLU	-0.01	5	SLV	-0.00	1	SLV	0.00	1	SLV
-169	Max	0.22	1	SLV	0.78	5	SLV	0.02	1	SLV	0.01	5	SLV	0.00	1	SLV	0.00	1	SLV
-169	Min.	-0.23	1	SLV	-0.79	5	SLV	-0.30	18	SLU	-0.01	5	SLV	-0.00	1	SLV	0.00	1	SLV
-168	Max	0.23	1	SLV	0.78	5	SLV	0.04	5	SLV	0.01	5	SLV	0.00	1	SLV	0.00	5	SLV
-168	Min.	-0.22	1	SLV	-0.79	5	SLV	-0.31	5	SLV	-0.01	5	SLV	-0.00	1	SLV	0.00	5	SLV
-167	Max	0.23	1	SLV	0.78	5	SLV	0.02	5	SLV	0.01	5	SLV	0.00	1	SLV	0.00	1	SLV
-167	Min.	-0.22	1	SLV	-0.80	5	SLV	-0.29	5	SLV	-0.01	5	SLV	-0.00	1	SLV	0.00	1	SLV
-166	Max	0.22	1	SLV	0.78	5	SLV	0.02	5	SLV	0.01	5	SLV	0.00	1	SLV	0.00	5	SLV
-166	Min.	-0.22	1	SLV	-0.80	5	SLV	-0.25	5	SLV	-0.01	5	SLV	-0.00	1	SLV	0.00	5	SLV
-165	Max	0.22	1	SLV	0.78	5	SLV	0.01	5	SLV	0.01	5	SLV	0.00	1	SLV	0.00	5	SLV
-165	Min.	-0.22	1	SLV	-0.80	5	SLV	-0.24	5	SLV	-0.01	5	SLV	-0.00	1	SLV	0.00	5	SLV
-164	Max	0.22	1	SLV	0.78	5	SLV	0.01	5	SLV	0.01	5	SLV	0.00	1	SLV	0.00	5	SLV
-164	Min.	-0.22	1	SLV	-0.80	5	SLV	-0.24	5	SLV	-0.01	5	SLV	-0.00	1	SLV	0.00	5	SLV
-163	Max	0.22	1	SLV	0.78	5	SLV	0.02	5	SLV	0.01	5	SLV	0.00	1	SLV	0.00	5	SLV
-163	Min.	-0.22	1	SLV	-0.80	5	SLV	-0.25	5	SLV	-0.01	5	SLV	-0.00	1	SLV	0.00	5	SLV
-162	Max	0.22	1	SLV	0.78	5	SLV	0.02	5	SLV	0.01	5	SLV	0.00	1	SLV	0.00	17	SLU
-162	Min.	-0.23	1	SLV	-0.80	5	SLV	-0.29	5	SLV	-0.01	5	SLV	-0.00	1	SLV	0.00	16	SLU
-161	Max	0.22	1	SLV	0.78	5	SLV	0.04	5	SLV	0.01	5	SLV	0.00	1	SLV	0.00	5	SLV
-161	Min.	-0.23	1	SLV	-0.79	5	SLV	-0.31	5	SLV	-0.01	5	SLV	-0.00	1	SLV	0.00	5	SLV
-160	Max	0.18	1	SLV	0.63	5	SLV	0.04	5	SLV	0.01	5	SLV	0.00	1	SLV	0.00	5	SLV
-160	Min.	-0.17	1	SLV	-0.62	5	SLV	-0.31	5	SLV	-0.01	5	SLV	-0.00	1	SLV	0.00	5	SLV
-159	Max	0.18	1	SLV	0.64	5	SLV	0.02	5	SLV	0.01	5	SLV	0.00	1	SLV	0.00	16	SLU
-159	Min.	-0.17	1	SLV	-0.63	5	SLV	-0.29	5	SLV	-0.01	5	SLV	-0.00	1	SLV	0.00	17	SLU
-158	Max	0.17	1	SLV	0.64	5	SLV	0.02	5	SLV	0.01	5	SLV	0.00	1	SLV	0.00	5	SLV
-158	Min.	-0.17	1	SLV	-0.62	5	SLV	-0.25	5	SLV	-0.01	5	SLV	-0.00	1	SLV	0.00	5	SLV
-157	Max	0.17	1	SLV	0.64	5	SLV	0.01	5	SLV	0.01	5	SLV	0.00	1	SLV	0.00	5	SLV
-157	Min.	-0.17	1	SLV	-0.62	5	SLV	-0.24	5	SLV	-0.01	5	SLV	-0.00	1	SLV	0.00	5	SLV
-156	Max	0.17	1	SLV	0.64	5	SLV	0.01	5	SLV	0.01	5	SLV	0.00	1	SLV	0.00	5	SLV
-156	Min.	-0.17	1	SLV	-0.62	5	SLV	-0.24	5	SLV	-0.01	5	SLV	-0.00	1	SLV	0.00	5	SLV
-155	Max	0.17	1	SL	0.64	5	SL	0.02	5	SL	0.01	5	SL	0.00	1	SL	0.00	5	SL

				V			V			V			V			V			V
-155	Min.	-0.17	1	SL V	-0.62	5	SL V	-0.25	5	SL V	-0.01	5	SL V	-0.00	1	SL V	0.00	5	SL V
-154	Max	0.17	1	SL V	0.64	5	SL V	0.02	5	SL V	0.01	5	SL V	0.00	1	SL V	0.00	5	SL V
-154	Min.	-0.18	1	SL V	-0.63	5	SL V	-0.29	5	SL V	-0.01	5	SL V	-0.00	1	SL V	0.00	17	SL U
-153	Max	0.17	1	SL V	0.63	5	SL V	0.04	5	SL V	0.01	5	SL V	0.00	1	SL V	0.00	5	SL V
-153	Min.	-0.18	1	SL V	-0.62	5	SL V	-0.31	5	SL V	-0.01	5	SL V	-0.00	1	SL V	0.00	5	SL V
-152	Max	0.17	1	SL V	0.63	5	SL V	0.02	1	SL V	0.01	5	SL V	0.00	1	SL V	0.00	1	SL V
-152	Min.	-0.17	1	SL V	-0.62	5	SL V	-0.29	1	SL V	-0.01	5	SL V	-0.00	1	SL V	0.00	1	SL V
-151	Max	0.17	1	SL V	0.64	5	SL V	-0.03	5	SL V	0.01	5	SL V	0.00	1	SL V	0.00	1	SL V
-151	Min.	-0.17	1	SL V	-0.63	5	SL V	-0.25	9	SL U	-0.01	5	SL V	-0.00	1	SL V	0.00	1	SL V
-150	Max	0.17	1	SL V	0.64	5	SL V	-0.01	5	SL V	0.01	5	SL V	0.00	1	SL V	0.00	1	SL V
-150	Min.	-0.17	1	SL V	-0.62	5	SL V	-0.22	5	SL V	-0.01	5	SL V	-0.00	1	SL V	0.00	1	SL V
-149	Max	0.17	1	SL V	0.64	5	SL V	-0.01	5	SL V	0.01	5	SL V	0.00	1	SL V	0.00	1	SL V
-149	Min.	-0.17	1	SL V	-0.62	5	SL V	-0.22	19	SL U	-0.01	5	SL V	-0.00	1	SL V	0.00	1	SL V
-148	Max	0.17	1	SL V	0.64	5	SL V	-0.01	5	SL V	0.01	5	SL V	0.00	1	SL V	0.00	1	SL V
-148	Min.	-0.17	1	SL V	-0.62	5	SL V	-0.21	5	SL V	-0.01	5	SL V	-0.00	1	SL V	0.00	1	SL V
-147	Max	0.17	1	SL V	0.64	5	SL V	-0.01	5	SL V	0.01	5	SL V	0.00	1	SL V	0.00	1	SL V
-147	Min.	-0.17	1	SL V	-0.62	5	SL V	-0.22	19	SL U	-0.01	5	SL V	-0.00	1	SL V	0.00	1	SL V
-146	Max	0.17	1	SL V	0.64	5	SL V	-0.03	5	SL V	0.01	5	SL V	0.00	1	SL V	0.00	1	SL V
-146	Min.	-0.17	1	SL V	-0.63	5	SL V	-0.27	19	SL U	-0.01	5	SL V	-0.00	1	SL V	0.00	1	SL V
-145	Max	0.17	1	SL V	0.63	5	SL V	0.02	1	SL V	0.01	5	SL V	0.00	1	SL V	0.00	1	SL V
-145	Min.	-0.17	1	SL V	-0.62	5	SL V	-0.29	19	SL U	-0.01	5	SL V	-0.00	1	SL V	0.00	1	SL V
-144	Max	0.17	1	SL V	0.62	5	SL V	0.02	1	SL V	0.01	5	SL V	0.00	1	SL V	0.00	1	SL V
-144	Min.	-0.17	1	SL V	-0.64	5	SL V	-0.30	18	SL U	-0.01	5	SL V	-0.00	1	SL V	0.00	1	SL V
-143	Max	0.17	1	SL V	0.63	5	SL V	-0.03	5	SL V	0.01	5	SL V	0.00	1	SL V	0.00	1	SL V
-143	Min.	-0.17	1	SL V	-0.64	5	SL V	-0.29	18	SL U	-0.01	5	SL V	-0.00	1	SL V	0.00	1	SL V
-142	Max	0.17	1	SL V	0.62	5	SL V	-0.01	5	SL V	0.01	5	SL V	0.00	1	SL V	0.00	1	SL V
-142	Min.	-0.17	1	SL V	-0.64	5	SL V	-0.25	18	SL U	-0.01	5	SL V	-0.00	1	SL V	0.00	1	SL V
-141	Max	0.17	1	SL V	0.62	5	SL V	-0.01	5	SL V	0.01	5	SL V	0.00	1	SL V	0.00	1	SL V
-141	Min.	-0.17	1	SL V	-0.64	5	SL V	-0.25	18	SL U	-0.01	5	SL V	-0.00	1	SL V	0.00	1	SL V
-140	Max	0.17	1	SL	0.62	5	SL	-0.01	5	SL	0.01	5	SL	0.00	1	SL	0.00	1	SL

				V			V			V			V			V			V
-140	Min.	-0.17	1	SLV	-0.64	5	SLV	-0.25	18	SLU	-0.01	5	SLV	-0.00	1	SLV	0.00	1	SLV
-139	Max	0.17	1	SLV	0.62	5	SLV	-0.01	5	SLV	0.01	5	SLV	0.00	1	SLV	0.00	1	SLV
-139	Min.	-0.17	1	SLV	-0.64	5	SLV	-0.25	18	SLU	-0.01	5	SLV	-0.00	1	SLV	0.00	1	SLV
-138	Max	0.17	1	SLV	0.63	5	SLV	-0.03	5	SLV	0.01	5	SLV	0.00	1	SLV	0.00	1	SLV
-138	Min.	-0.17	1	SLV	-0.64	5	SLV	-0.29	18	SLU	-0.01	5	SLV	-0.00	1	SLV	0.00	1	SLV
-137	Max	0.17	1	SLV	0.62	5	SLV	0.02	1	SLV	0.01	5	SLV	0.00	1	SLV	0.00	1	SLV
-137	Min.	-0.17	1	SLV	-0.64	5	SLV	-0.30	18	SLU	-0.01	5	SLV	-0.00	1	SLV	0.00	1	SLV
-136	Max	0.18	1	SLV	0.62	5	SLV	0.04	5	SLV	0.01	5	SLV	0.00	1	SLV	0.00	5	SLV
-136	Min.	-0.17	1	SLV	-0.64	5	SLV	-0.31	5	SLV	-0.01	5	SLV	-0.00	1	SLV	0.00	5	SLV
-135	Max	0.18	1	SLV	0.63	5	SLV	0.02	5	SLV	0.01	5	SLV	0.00	1	SLV	0.00	17	SLU
-135	Min.	-0.17	1	SLV	-0.64	5	SLV	-0.29	5	SLV	-0.01	5	SLV	-0.00	1	SLV	0.00	5	SLV
-134	Max	0.17	1	SLV	0.62	5	SLV	0.02	5	SLV	0.01	5	SLV	0.00	1	SLV	0.00	5	SLV
-134	Min.	-0.17	1	SLV	-0.64	5	SLV	-0.25	5	SLV	-0.01	5	SLV	-0.00	1	SLV	0.00	5	SLV
-133	Max	0.17	1	SLV	0.62	5	SLV	0.01	5	SLV	0.01	5	SLV	0.00	1	SLV	0.00	5	SLV
-133	Min.	-0.17	1	SLV	-0.64	5	SLV	-0.24	5	SLV	-0.01	5	SLV	-0.00	1	SLV	0.00	5	SLV
-132	Max	0.17	1	SLV	0.62	5	SLV	0.01	5	SLV	0.01	5	SLV	0.00	1	SLV	0.00	5	SLV
-132	Min.	-0.17	1	SLV	-0.64	5	SLV	-0.24	5	SLV	-0.01	5	SLV	-0.00	1	SLV	0.00	5	SLV
-131	Max	0.17	1	SLV	0.62	5	SLV	0.02	5	SLV	0.01	5	SLV	0.00	1	SLV	0.00	5	SLV
-131	Min.	-0.17	1	SLV	-0.64	5	SLV	-0.25	5	SLV	-0.01	5	SLV	-0.00	1	SLV	0.00	5	SLV
-130	Max	0.17	1	SLV	0.63	5	SLV	0.02	5	SLV	0.01	5	SLV	0.00	1	SLV	0.00	17	SLU
-130	Min.	-0.18	1	SLV	-0.64	5	SLV	-0.29	5	SLV	-0.01	5	SLV	-0.00	1	SLV	0.00	1	SLV
-129	Max	0.17	1	SLV	0.62	5	SLV	0.04	5	SLV	0.01	5	SLV	0.00	1	SLV	0.00	5	SLV
-129	Min.	-0.18	1	SLV	-0.64	5	SLV	-0.31	5	SLV	-0.01	5	SLV	-0.00	1	SLV	0.00	5	SLV
-128	Max	0.13	1	SLV	0.47	5	SLV	0.04	5	SLV	0.01	5	SLV	0.00	1	SLV	0.00	5	SLV
-128	Min.	-0.12	1	SLV	-0.47	5	SLV	-0.32	5	SLV	-0.01	5	SLV	-0.00	1	SLV	0.00	5	SLV
-127	Max	0.13	1	SLV	0.48	5	SLV	0.03	5	SLV	0.01	5	SLV	0.00	1	SLV	0.00	1	SLV
-127	Min.	-0.12	1	SLV	-0.47	5	SLV	-0.30	5	SLV	-0.01	5	SLV	-0.00	1	SLV	0.00	1	SLV
-126	Max	0.12	1	SLV	0.48	5	SLV	0.02	5	SLV	0.01	5	SLV	0.00	1	SLV	0.00	5	SLV
-126	Min.	-0.12	1	SLV	-0.47	5	SLV	-0.25	5	SLV	-0.01	5	SLV	-0.00	1	SLV	0.00	5	SLV
-125	Max	0.12	1	SL	0.48	5	SL	0.02	5	SL	0.01	5	SL	0.00	1	SL	0.00	5	SL

				V			V			V			V			V			V
-125	Min.	-0.12	1	SLV	-0.47	5	SLV	-0.25	5	SLV	-0.01	5	SLV	-0.00	1	SLV	0.00	5	SLV
-124	Max	0.12	1	SLV	0.48	5	SLV	0.02	5	SLV	0.01	5	SLV	0.00	1	SLV	0.00	5	SLV
-124	Min.	-0.12	1	SLV	-0.47	5	SLV	-0.25	5	SLV	-0.01	5	SLV	-0.00	1	SLV	0.00	5	SLV
-123	Max	0.12	1	SLV	0.48	5	SLV	0.02	5	SLV	0.01	5	SLV	0.00	1	SLV	0.00	5	SLV
-123	Min.	-0.12	1	SLV	-0.47	5	SLV	-0.25	5	SLV	-0.01	5	SLV	-0.00	1	SLV	0.00	5	SLV
-122	Max	0.12	1	SLV	0.48	5	SLV	0.03	5	SLV	0.01	5	SLV	0.00	1	SLV	0.00	5	SLV
-122	Min.	-0.13	1	SLV	-0.47	5	SLV	-0.30	5	SLV	-0.01	5	SLV	-0.00	1	SLV	0.00	5	SLV
-121	Max	0.12	1	SLV	0.47	5	SLV	0.04	5	SLV	0.01	5	SLV	0.00	1	SLV	0.00	5	SLV
-121	Min.	-0.13	1	SLV	-0.47	5	SLV	-0.32	5	SLV	-0.01	5	SLV	-0.00	1	SLV	0.00	5	SLV
-120	Max	0.13	1	SLV	0.47	5	SLV	0.02	1	SLV	0.01	5	SLV	0.00	1	SLV	0.00	1	SLV
-120	Min.	-0.12	1	SLV	-0.47	5	SLV	-0.29	1	SLV	-0.01	5	SLV	-0.00	1	SLV	0.00	1	SLV
-119	Max	0.13	1	SLV	0.48	5	SLV	-0.03	5	SLV	0.01	5	SLV	0.00	1	SLV	0.00	1	SLV
-119	Min.	-0.12	1	SLV	-0.47	5	SLV	-0.25	9	SLU	-0.01	5	SLV	-0.00	1	SLV	0.00	1	SLV
-118	Max	0.12	1	SLV	0.48	5	SLV	-0.00	5	SLV	0.01	5	SLV	0.00	1	SLV	0.00	1	SLV
-118	Min.	-0.12	1	SLV	-0.47	5	SLV	-0.22	5	SLV	-0.01	5	SLV	-0.00	1	SLV	0.00	1	SLV
-117	Max	0.12	1	SLV	0.48	5	SLV	-0.01	5	SLV	0.01	5	SLV	0.00	1	SLV	0.00	1	SLV
-117	Min.	-0.12	1	SLV	-0.47	5	SLV	-0.22	19	SLU	-0.01	5	SLV	-0.00	1	SLV	0.00	1	SLV
-116	Max	0.12	1	SLV	0.48	5	SLV	-0.01	5	SLV	0.01	5	SLV	0.00	1	SLV	0.00	1	SLV
-116	Min.	-0.12	1	SLV	-0.47	5	SLV	-0.22	5	SLV	-0.01	5	SLV	-0.00	1	SLV	0.00	1	SLV
-115	Max	0.12	1	SLV	0.48	5	SLV	-0.00	5	SLV	0.01	5	SLV	0.00	1	SLV	0.00	1	SLV
-115	Min.	-0.12	1	SLV	-0.47	5	SLV	-0.22	5	SLV	-0.01	5	SLV	-0.00	1	SLV	0.00	1	SLV
-114	Max	0.12	1	SLV	0.48	5	SLV	-0.03	5	SLV	0.01	5	SLV	0.00	1	SLV	0.00	1	SLV
-114	Min.	-0.13	1	SLV	-0.47	5	SLV	-0.27	19	SLU	-0.01	5	SLV	-0.00	1	SLV	0.00	1	SLV
-113	Max	0.12	1	SLV	0.47	5	SLV	0.02	1	SLV	0.01	5	SLV	0.00	1	SLV	0.00	1	SLV
-113	Min.	-0.13	1	SLV	-0.47	5	SLV	-0.29	19	SLU	-0.01	5	SLV	-0.00	1	SLV	0.00	1	SLV
-112	Max	0.13	1	SLV	0.47	5	SLV	0.02	1	SLV	0.01	5	SLV	0.00	1	SLV	0.00	1	SLV
-112	Min.	-0.12	1	SLV	-0.48	5	SLV	-0.30	18	SLU	-0.01	5	SLV	-0.00	1	SLV	0.00	1	SLV
-111	Max	0.13	1	SLV	0.47	5	SLV	-0.03	5	SLV	0.01	5	SLV	0.00	1	SLV	0.00	1	SLV
-111	Min.	-0.12	1	SLV	-0.48	5	SLV	-0.29	18	SLU	-0.01	5	SLV	-0.00	1	SLV	0.00	1	SLV
-110	Max	0.12	1	SL	0.47	5	SL	-0.00	5	SL	0.01	5	SL	0.00	1	SL	0.00	1	SL

				V			V			V			V			V			V
-110	Min.	-0.12	1	SLV	-0.48	5	SLV	-0.25	18	SLU	-0.01	5	SLV	-0.00	1	SLV	0.00	1	SLV
-109	Max	0.12	1	SLV	0.47	5	SLV	-0.01	5	SLV	0.01	5	SLV	0.00	1	SLV	0.00	1	SLV
-109	Min.	-0.12	1	SLV	-0.48	5	SLV	-0.25	18	SLU	-0.01	5	SLV	-0.00	1	SLV	0.00	1	SLV
-108	Max	0.12	1	SLV	0.47	5	SLV	-0.01	5	SLV	0.01	5	SLV	0.00	1	SLV	0.00	1	SLV
-108	Min.	-0.12	1	SLV	-0.48	5	SLV	-0.25	18	SLU	-0.01	5	SLV	-0.00	1	SLV	0.00	1	SLV
-107	Max	0.12	1	SLV	0.47	5	SLV	-0.00	5	SLV	0.01	5	SLV	0.00	1	SLV	0.00	1	SLV
-107	Min.	-0.12	1	SLV	-0.48	5	SLV	-0.25	18	SLU	-0.01	5	SLV	-0.00	1	SLV	0.00	1	SLV
-106	Max	0.12	1	SLV	0.47	5	SLV	-0.03	5	SLV	0.01	5	SLV	0.00	1	SLV	0.00	1	SLV
-106	Min.	-0.13	1	SLV	-0.48	5	SLV	-0.29	18	SLU	-0.01	5	SLV	-0.00	1	SLV	0.00	1	SLV
-105	Max	0.12	1	SLV	0.47	5	SLV	0.02	1	SLV	0.01	5	SLV	0.00	1	SLV	0.00	1	SLV
-105	Min.	-0.13	1	SLV	-0.47	5	SLV	-0.30	18	SLU	-0.01	5	SLV	-0.00	1	SLV	0.00	1	SLV
-104	Max	0.13	1	SLV	0.47	5	SLV	0.04	5	SLV	0.01	5	SLV	0.00	1	SLV	0.00	5	SLV
-104	Min.	-0.12	1	SLV	-0.48	5	SLV	-0.32	5	SLV	-0.01	5	SLV	-0.00	1	SLV	0.00	5	SLV
-103	Max	0.13	1	SLV	0.47	5	SLV	0.03	5	SLV	0.01	5	SLV	0.00	1	SLV	0.00	5	SLV
-103	Min.	-0.12	1	SLV	-0.48	5	SLV	-0.30	5	SLV	-0.01	5	SLV	-0.00	1	SLV	0.00	5	SLV
-102	Max	0.12	1	SLV	0.47	5	SLV	0.02	5	SLV	0.01	5	SLV	0.00	1	SLV	0.00	5	SLV
-102	Min.	-0.12	1	SLV	-0.48	5	SLV	-0.25	5	SLV	-0.01	5	SLV	-0.00	1	SLV	0.00	5	SLV
-101	Max	0.12	1	SLV	0.47	5	SLV	0.02	5	SLV	0.01	5	SLV	0.00	1	SLV	0.00	5	SLV
-101	Min.	-0.12	1	SLV	-0.48	5	SLV	-0.25	5	SLV	-0.01	5	SLV	-0.00	1	SLV	0.00	5	SLV
-100	Max	0.12	1	SLV	0.47	5	SLV	0.02	5	SLV	0.01	5	SLV	0.00	1	SLV	0.00	5	SLV
-100	Min.	-0.12	1	SLV	-0.48	5	SLV	-0.25	5	SLV	-0.01	5	SLV	-0.00	1	SLV	0.00	5	SLV
-99	Max	0.12	1	SLV	0.47	5	SLV	0.02	5	SLV	0.01	5	SLV	0.00	1	SLV	0.00	5	SLV
-99	Min.	-0.12	1	SLV	-0.48	5	SLV	-0.25	5	SLV	-0.01	5	SLV	-0.00	1	SLV	0.00	5	SLV
-98	Max	0.12	1	SLV	0.47	5	SLV	0.03	5	SLV	0.01	5	SLV	0.00	1	SLV	0.00	1	SLV
-98	Min.	-0.13	1	SLV	-0.48	5	SLV	-0.30	5	SLV	-0.01	5	SLV	-0.00	1	SLV	0.00	1	SLV
-97	Max	0.12	1	SLV	0.47	5	SLV	0.04	5	SLV	0.01	5	SLV	0.00	1	SLV	0.00	5	SLV
-97	Min.	-0.13	1	SLV	-0.47	5	SLV	-0.32	5	SLV	-0.01	5	SLV	-0.00	1	SLV	0.00	5	SLV
-96	Max	0.08	1	SLV	0.31	5	SLV	0.05	5	SLV	0.01	5	SLV	0.00	1	SLV	0.00	5	SLV
-96	Min.	-0.08	1	SLV	-0.31	5	SLV	-0.32	5	SLV	-0.01	5	SLV	-0.00	1	SLV	0.00	5	SLV
-95	Max	0.08	1	SL	0.32	5	SL	0.03	5	SL	0.01	5	SL	0.00	1	SL	0.00	1	SL

				V			V			V			V			V			V
-95	Min.	-0.08	1	SLV	-0.31	5	SLV	-0.30	5	SLV	-0.01	5	SLV	-0.00	1	SLV	0.00	1	SLV
-94	Max	0.08	1	SLV	0.32	5	SLV	0.03	5	SLV	0.01	5	SLV	0.00	1	SLV	0.00	1	SLV
-94	Min.	-0.08	1	SLV	-0.31	5	SLV	-0.26	5	SLV	-0.01	5	SLV	-0.00	1	SLV	0.00	1	SLV
-93	Max	0.08	1	SLV	0.32	5	SLV	0.02	5	SLV	0.01	5	SLV	0.00	1	SLV	0.00	1	SLV
-93	Min.	-0.08	1	SLV	-0.31	5	SLV	-0.25	5	SLV	-0.01	5	SLV	-0.00	1	SLV	0.00	1	SLV
-92	Max	0.08	1	SLV	0.32	5	SLV	0.02	5	SLV	0.01	5	SLV	0.00	1	SLV	0.00	1	SLV
-92	Min.	-0.08	1	SLV	-0.31	5	SLV	-0.25	5	SLV	-0.01	5	SLV	-0.00	1	SLV	0.00	1	SLV
-91	Max	0.08	1	SLV	0.32	5	SLV	0.03	5	SLV	0.01	5	SLV	0.00	1	SLV	0.00	1	SLV
-91	Min.	-0.08	1	SLV	-0.31	5	SLV	-0.26	5	SLV	-0.01	5	SLV	-0.00	1	SLV	0.00	1	SLV
-90	Max	0.08	1	SLV	0.32	5	SLV	0.03	5	SLV	0.01	5	SLV	0.00	1	SLV	0.00	1	SLV
-90	Min.	-0.08	1	SLV	-0.31	5	SLV	-0.30	5	SLV	-0.01	5	SLV	-0.00	1	SLV	0.00	1	SLV
-89	Max	0.08	1	SLV	0.31	5	SLV	0.05	5	SLV	0.01	5	SLV	0.00	1	SLV	0.00	5	SLV
-89	Min.	-0.08	1	SLV	-0.31	5	SLV	-0.32	5	SLV	-0.01	5	SLV	-0.00	1	SLV	0.00	5	SLV
-88	Max	0.08	1	SLV	0.31	5	SLV	0.02	1	SLV	0.01	5	SLV	0.00	1	SLV	0.00	1	SLV
-88	Min.	-0.08	1	SLV	-0.31	5	SLV	-0.29	1	SLV	-0.01	5	SLV	-0.00	1	SLV	0.00	1	SLV
-87	Max	0.08	1	SLV	0.32	5	SLV	-0.03	5	SLV	0.01	5	SLV	0.00	1	SLV	0.00	1	SLV
-87	Min.	-0.08	1	SLV	-0.31	5	SLV	-0.25	9	SLU	-0.01	5	SLV	-0.00	1	SLV	0.00	1	SLV
-86	Max	0.08	1	SLV	0.32	5	SLV	0.00	5	SLV	0.01	5	SLV	0.00	1	SLV	0.00	1	SLV
-86	Min.	-0.08	1	SLV	-0.31	5	SLV	-0.22	5	SLV	-0.01	5	SLV	-0.00	1	SLV	0.00	1	SLV
-85	Max	0.08	1	SLV	0.32	5	SLV	-0.01	5	SLV	0.01	5	SLV	0.00	1	SLV	0.00	1	SLV
-85	Min.	-0.08	1	SLV	-0.31	5	SLV	-0.22	5	SLV	-0.01	5	SLV	-0.00	1	SLV	0.00	1	SLV
-84	Max	0.08	1	SLV	0.32	5	SLV	-0.01	5	SLV	0.01	5	SLV	0.00	1	SLV	0.00	1	SLV
-84	Min.	-0.08	1	SLV	-0.31	5	SLV	-0.22	5	SLV	-0.01	5	SLV	-0.00	1	SLV	0.00	1	SLV
-83	Max	0.08	1	SLV	0.32	5	SLV	0.00	5	SLV	0.01	5	SLV	0.00	1	SLV	0.00	1	SLV
-83	Min.	-0.08	1	SLV	-0.31	5	SLV	-0.22	5	SLV	-0.01	5	SLV	-0.00	1	SLV	0.00	1	SLV
-82	Max	0.08	1	SLV	0.32	5	SLV	-0.03	5	SLV	0.01	5	SLV	0.00	1	SLV	0.00	1	SLV
-82	Min.	-0.08	1	SLV	-0.31	5	SLV	-0.27	19	SLU	-0.01	5	SLV	-0.00	1	SLV	0.00	1	SLV
-81	Max	0.08	1	SLV	0.31	5	SLV	0.02	1	SLV	0.01	5	SLV	0.00	1	SLV	0.00	1	SLV
-81	Min.	-0.08	1	SLV	-0.31	5	SLV	-0.29	19	SLU	-0.01	5	SLV	-0.00	1	SLV	0.00	1	SLV
-80	Max	0.08	1	SL	0.31	5	SL	0.02	1	SL	0.01	5	SL	0.00	1	SL	0.00	1	SL

				V			V			V			V			V			V
-80	Min.	-0.08	1	SLV	-0.31	5	SLV	-0.30	18	SLU	-0.01	5	SLV	-0.00	1	SLV	0.00	1	SLV
-79	Max	0.08	1	SLV	0.31	5	SLV	-0.03	5	SLV	0.01	5	SLV	0.00	1	SLV	0.00	1	SLV
-79	Min.	-0.08	1	SLV	-0.32	5	SLV	-0.29	18	SLU	-0.01	5	SLV	-0.00	1	SLV	0.00	1	SLV
-78	Max	0.08	1	SLV	0.31	5	SLV	0.00	5	SLV	0.01	5	SLV	0.00	1	SLV	0.00	1	SLV
-78	Min.	-0.08	1	SLV	-0.32	5	SLV	-0.25	18	SLU	-0.01	5	SLV	-0.00	1	SLV	0.00	1	SLV
-77	Max	0.08	1	SLV	0.31	5	SLV	-0.01	5	SLV	0.01	5	SLV	0.00	1	SLV	0.00	1	SLV
-77	Min.	-0.08	1	SLV	-0.32	5	SLV	-0.25	18	SLU	-0.01	5	SLV	-0.00	1	SLV	0.00	1	SLV
-76	Max	0.08	1	SLV	0.31	5	SLV	-0.01	5	SLV	0.01	5	SLV	0.00	1	SLV	0.00	1	SLV
-76	Min.	-0.08	1	SLV	-0.32	5	SLV	-0.25	18	SLU	-0.01	5	SLV	-0.00	1	SLV	0.00	1	SLV
-75	Max	0.08	1	SLV	0.31	5	SLV	0.00	5	SLV	0.01	5	SLV	0.00	1	SLV	0.00	1	SLV
-75	Min.	-0.08	1	SLV	-0.32	5	SLV	-0.25	18	SLU	-0.01	5	SLV	-0.00	1	SLV	0.00	1	SLV
-74	Max	0.08	1	SLV	0.31	5	SLV	-0.03	5	SLV	0.01	5	SLV	0.00	1	SLV	0.00	1	SLV
-74	Min.	-0.08	1	SLV	-0.32	5	SLV	-0.29	18	SLU	-0.01	5	SLV	-0.00	1	SLV	0.00	1	SLV
-73	Max	0.08	1	SLV	0.31	5	SLV	0.02	1	SLV	0.01	5	SLV	0.00	1	SLV	0.00	1	SLV
-73	Min.	-0.08	1	SLV	-0.31	5	SLV	-0.30	18	SLU	-0.01	5	SLV	-0.00	1	SLV	0.00	1	SLV
-72	Max	0.08	1	SLV	0.31	5	SLV	0.05	5	SLV	0.01	5	SLV	0.00	1	SLV	0.00	5	SLV
-72	Min.	-0.08	1	SLV	-0.31	5	SLV	-0.32	5	SLV	-0.01	5	SLV	-0.00	1	SLV	0.00	5	SLV
-71	Max	0.08	1	SLV	0.31	5	SLV	0.03	5	SLV	0.01	5	SLV	0.00	1	SLV	0.00	1	SLV
-71	Min.	-0.08	1	SLV	-0.32	5	SLV	-0.30	5	SLV	-0.01	5	SLV	-0.00	1	SLV	0.00	1	SLV
-70	Max	0.08	1	SLV	0.31	5	SLV	0.03	5	SLV	0.01	5	SLV	0.00	1	SLV	0.00	1	SLV
-70	Min.	-0.08	1	SLV	-0.32	5	SLV	-0.26	5	SLV	-0.01	5	SLV	-0.00	1	SLV	0.00	1	SLV
-69	Max	0.08	1	SLV	0.31	5	SLV	0.02	5	SLV	0.01	5	SLV	0.00	1	SLV	0.00	1	SLV
-69	Min.	-0.08	1	SLV	-0.32	5	SLV	-0.25	5	SLV	-0.01	5	SLV	-0.00	1	SLV	0.00	1	SLV
-68	Max	0.08	1	SLV	0.31	5	SLV	0.02	5	SLV	0.01	5	SLV	0.00	1	SLV	0.00	1	SLV
-68	Min.	-0.08	1	SLV	-0.32	5	SLV	-0.25	5	SLV	-0.01	5	SLV	-0.00	1	SLV	0.00	1	SLV
-67	Max	0.08	1	SLV	0.31	5	SLV	0.03	5	SLV	0.01	5	SLV	0.00	1	SLV	0.00	1	SLV
-67	Min.	-0.08	1	SLV	-0.32	5	SLV	-0.26	5	SLV	-0.01	5	SLV	-0.00	1	SLV	0.00	1	SLV
-66	Max	0.08	1	SLV	0.31	5	SLV	0.03	5	SLV	0.01	5	SLV	0.00	1	SLV	0.00	1	SLV
-66	Min.	-0.08	1	SLV	-0.32	5	SLV	-0.30	5	SLV	-0.01	5	SLV	-0.00	1	SLV	0.00	1	SLV
-65	Max	0.08	1	SL	0.31	5	SL	0.05	5	SL	0.01	5	SL	0.00	1	SL	0.00	5	SL

				V			V			V			V			V			V
-65	Min.	-0.08	1	SLV	-0.31	5	SLV	-0.32	5	SLV	-0.01	5	SLV	-0.00	1	SLV	0.00	5	SLV
-64	Max	0.04	1	SLV	0.16	5	SLV	0.05	5	SLV	0.01	5	SLV	0.00	1	SLV	0.00	5	SLV
-64	Min.	-0.04	1	SLV	-0.15	5	SLV	-0.32	5	SLV	-0.01	5	SLV	-0.00	1	SLV	0.00	5	SLV
-63	Max	0.04	1	SLV	0.16	5	SLV	0.03	5	SLV	0.01	5	SLV	0.00	1	SLV	0.00	1	SLV
-63	Min.	-0.04	1	SLV	-0.15	5	SLV	-0.30	5	SLV	-0.01	5	SLV	-0.00	1	SLV	0.00	1	SLV
-62	Max	0.04	1	SLV	0.16	5	SLV	0.03	5	SLV	0.01	5	SLV	0.00	1	SLV	0.00	1	SLV
-62	Min.	-0.04	1	SLV	-0.15	5	SLV	-0.26	5	SLV	-0.01	5	SLV	-0.00	1	SLV	0.00	1	SLV
-61	Max	0.04	1	SLV	0.16	5	SLV	0.02	5	SLV	0.01	5	SLV	0.00	1	SLV	0.00	1	SLV
-61	Min.	-0.04	1	SLV	-0.15	5	SLV	-0.25	5	SLV	-0.01	5	SLV	-0.00	1	SLV	0.00	1	SLV
-60	Max	0.04	1	SLV	0.16	5	SLV	0.02	5	SLV	0.01	5	SLV	0.00	1	SLV	0.00	1	SLV
-60	Min.	-0.04	1	SLV	-0.15	5	SLV	-0.25	5	SLV	-0.01	5	SLV	-0.00	1	SLV	0.00	1	SLV
-59	Max	0.04	1	SLV	0.16	5	SLV	0.03	5	SLV	0.01	5	SLV	0.00	1	SLV	0.00	1	SLV
-59	Min.	-0.04	1	SLV	-0.15	5	SLV	-0.26	5	SLV	-0.01	5	SLV	-0.00	1	SLV	0.00	1	SLV
-58	Max	0.04	1	SLV	0.16	5	SLV	0.03	5	SLV	0.01	5	SLV	0.00	1	SLV	0.00	5	SLV
-58	Min.	-0.04	1	SLV	-0.15	5	SLV	-0.30	5	SLV	-0.01	5	SLV	-0.00	1	SLV	0.00	5	SLV
-57	Max	0.04	1	SLV	0.16	5	SLV	0.05	5	SLV	0.01	5	SLV	0.00	1	SLV	0.00	5	SLV
-57	Min.	-0.04	1	SLV	-0.15	5	SLV	-0.32	5	SLV	-0.01	5	SLV	-0.00	1	SLV	0.00	5	SLV
-56	Max	0.04	1	SLV	0.16	5	SLV	0.02	1	SLV	0.01	5	SLV	0.00	1	SLV	0.00	1	SLV
-56	Min.	-0.04	1	SLV	-0.15	5	SLV	-0.29	1	SLV	-0.01	5	SLV	-0.00	1	SLV	0.00	1	SLV
-55	Max	0.04	1	SLV	0.16	5	SLV	-0.02	5	SLV	0.01	5	SLV	0.00	1	SLV	0.00	1	SLV
-55	Min.	-0.04	1	SLV	-0.15	5	SLV	-0.25	9	SLU	-0.01	5	SLV	-0.00	1	SLV	0.00	1	SLV
-54	Max	0.04	1	SLV	0.16	5	SLV	0.00	5	SLV	0.01	5	SLV	0.00	1	SLV	0.00	1	SLV
-54	Min.	-0.04	1	SLV	-0.15	5	SLV	-0.23	5	SLV	-0.01	5	SLV	-0.00	1	SLV	0.00	1	SLV
-53	Max	0.04	1	SLV	0.16	5	SLV	-0.00	5	SLV	0.01	5	SLV	0.00	1	SLV	0.00	1	SLV
-53	Min.	-0.04	1	SLV	-0.15	5	SLV	-0.22	5	SLV	-0.01	5	SLV	-0.00	1	SLV	0.00	1	SLV
-52	Max	0.04	1	SLV	0.16	5	SLV	-0.00	5	SLV	0.01	5	SLV	0.00	1	SLV	0.00	1	SLV
-52	Min.	-0.04	1	SLV	-0.15	5	SLV	-0.22	5	SLV	-0.01	5	SLV	-0.00	1	SLV	0.00	1	SLV
-51	Max	0.04	1	SLV	0.16	5	SLV	0.00	5	SLV	0.01	5	SLV	0.00	1	SLV	0.00	1	SLV
-51	Min.	-0.04	1	SLV	-0.15	5	SLV	-0.23	5	SLV	-0.01	5	SLV	-0.00	1	SLV	0.00	1	SLV
-50	Max	0.04	1	SL	0.16	5	SL	-0.02	5	SL	0.01	5	SL	0.00	1	SL	0.00	1	SL

				V			V			V			V			V			V
-50	Min.	-0.04	1	SLV	-0.15	5	SLV	-0.27	19	SLU	-0.01	5	SLV	-0.00	1	SLV	0.00	1	SLV
-49	Max	0.04	1	SLV	0.16	5	SLV	0.02	1	SLV	0.01	5	SLV	0.00	1	SLV	0.00	1	SLV
-49	Min.	-0.04	1	SLV	-0.15	5	SLV	-0.29	1	SLV	-0.01	5	SLV	-0.00	1	SLV	0.00	1	SLV
-48	Max	0.04	1	SLV	0.15	5	SLV	0.02	1	SLV	0.01	5	SLV	0.00	1	SLV	0.00	1	SLV
-48	Min.	-0.04	1	SLV	-0.16	5	SLV	-0.30	18	SLU	-0.01	5	SLV	-0.00	1	SLV	0.00	1	SLV
-47	Max	0.04	1	SLV	0.15	5	SLV	-0.02	5	SLV	0.01	5	SLV	0.00	1	SLV	0.00	1	SLV
-47	Min.	-0.04	1	SLV	-0.16	5	SLV	-0.29	18	SLU	-0.01	5	SLV	-0.00	1	SLV	0.00	1	SLV
-46	Max	0.04	1	SLV	0.15	5	SLV	0.00	5	SLV	0.01	5	SLV	0.00	1	SLV	0.00	1	SLV
-46	Min.	-0.04	1	SLV	-0.16	5	SLV	-0.25	18	SLU	-0.01	5	SLV	-0.00	1	SLV	0.00	1	SLV
-45	Max	0.04	1	SLV	0.15	5	SLV	-0.00	5	SLV	0.01	5	SLV	0.00	1	SLV	0.00	1	SLV
-45	Min.	-0.04	1	SLV	-0.16	5	SLV	-0.25	18	SLU	-0.01	5	SLV	-0.00	1	SLV	0.00	1	SLV
-44	Max	0.04	1	SLV	0.15	5	SLV	-0.00	5	SLV	0.01	5	SLV	0.00	1	SLV	0.00	1	SLV
-44	Min.	-0.04	1	SLV	-0.16	5	SLV	-0.25	18	SLU	-0.01	5	SLV	-0.00	1	SLV	0.00	1	SLV
-43	Max	0.04	1	SLV	0.15	5	SLV	0.00	5	SLV	0.01	5	SLV	0.00	1	SLV	0.00	1	SLV
-43	Min.	-0.04	1	SLV	-0.16	5	SLV	-0.25	18	SLU	-0.01	5	SLV	-0.00	1	SLV	0.00	1	SLV
-42	Max	0.04	1	SLV	0.15	5	SLV	-0.02	5	SLV	0.01	5	SLV	0.00	1	SLV	0.00	1	SLV
-42	Min.	-0.04	1	SLV	-0.16	5	SLV	-0.29	18	SLU	-0.01	5	SLV	-0.00	1	SLV	0.00	1	SLV
-41	Max	0.04	1	SLV	0.15	5	SLV	0.02	1	SLV	0.01	5	SLV	0.00	1	SLV	0.00	1	SLV
-41	Min.	-0.04	1	SLV	-0.16	5	SLV	-0.30	18	SLU	-0.01	5	SLV	-0.00	1	SLV	0.00	1	SLV
-40	Max	0.04	1	SLV	0.15	5	SLV	0.05	5	SLV	0.01	5	SLV	0.00	1	SLV	0.00	5	SLV
-40	Min.	-0.04	1	SLV	-0.16	5	SLV	-0.32	5	SLV	-0.01	5	SLV	-0.00	1	SLV	0.00	5	SLV
-39	Max	0.04	1	SLV	0.15	5	SLV	0.03	5	SLV	0.01	5	SLV	0.00	1	SLV	0.00	5	SLV
-39	Min.	-0.04	1	SLV	-0.16	5	SLV	-0.30	5	SLV	-0.01	5	SLV	-0.00	1	SLV	0.00	5	SLV
-38	Max	0.04	1	SLV	0.15	5	SLV	0.03	5	SLV	0.01	5	SLV	0.00	1	SLV	0.00	1	SLV
-38	Min.	-0.04	1	SLV	-0.16	5	SLV	-0.26	5	SLV	-0.01	5	SLV	-0.00	1	SLV	0.00	1	SLV
-37	Max	0.04	1	SLV	0.15	5	SLV	0.02	5	SLV	0.01	5	SLV	0.00	1	SLV	0.00	1	SLV
-37	Min.	-0.04	1	SLV	-0.16	5	SLV	-0.25	5	SLV	-0.01	5	SLV	-0.00	1	SLV	0.00	1	SLV
-36	Max	0.04	1	SLV	0.15	5	SLV	0.02	5	SLV	0.01	5	SLV	0.00	1	SLV	0.00	1	SLV
-36	Min.	-0.04	1	SLV	-0.16	5	SLV	-0.25	5	SLV	-0.01	5	SLV	-0.00	1	SLV	0.00	1	SLV
-35	Max	0.04	1	SL	0.15	5	SL	0.03	5	SL	0.01	5	SL	0.00	1	SL	0.00	1	SL

				V			V			V			V			V			V
-35	Min.	-0.04	1	SLV	-0.16	5	SLV	-0.26	5	SLV	-0.01	5	SLV	-0.00	1	SLV	0.00	1	SLV
-34	Max	0.04	1	SLV	0.15	5	SLV	0.03	5	SLV	0.01	5	SLV	0.00	1	SLV	0.00	1	SLV
-34	Min.	-0.04	1	SLV	-0.16	5	SLV	-0.30	5	SLV	-0.01	5	SLV	-0.00	1	SLV	0.00	1	SLV
-33	Max	0.04	1	SLV	0.15	5	SLV	0.05	5	SLV	0.01	5	SLV	0.00	1	SLV	0.00	5	SLV
-33	Min.	-0.04	1	SLV	-0.16	5	SLV	-0.32	5	SLV	-0.01	5	SLV	-0.00	1	SLV	0.00	5	SLV
-32	Max	0.02	1	SLV	0.08	5	SLV	0.05	5	SLV	0.01	5	SLV	0.00	1	SLV	0.00	5	SLV
-32	Min.	-0.02	1	SLV	-0.08	5	SLV	-0.32	5	SLV	-0.01	5	SLV	-0.00	1	SLV	0.00	5	SLV
-31	Max	0.02	1	SLV	0.08	5	SLV	0.03	5	SLV	0.01	5	SLV	0.00	1	SLV	0.00	5	SLV
-31	Min.	-0.02	1	SLV	-0.08	5	SLV	-0.30	5	SLV	-0.01	5	SLV	-0.00	1	SLV	0.00	5	SLV
-30	Max	0.02	1	SLV	0.08	5	SLV	0.03	5	SLV	0.01	5	SLV	0.00	1	SLV	0.00	5	SLV
-30	Min.	-0.02	1	SLV	-0.08	5	SLV	-0.26	5	SLV	-0.01	5	SLV	-0.00	1	SLV	0.00	5	SLV
-29	Max	0.02	1	SLV	0.08	5	SLV	0.02	5	SLV	0.01	5	SLV	0.00	1	SLV	0.00	5	SLV
-29	Min.	-0.02	1	SLV	-0.08	5	SLV	-0.25	5	SLV	-0.01	5	SLV	-0.00	1	SLV	0.00	5	SLV
-28	Max	0.02	1	SLV	0.08	5	SLV	0.02	5	SLV	0.01	5	SLV	0.00	1	SLV	0.00	5	SLV
-28	Min.	-0.02	1	SLV	-0.08	5	SLV	-0.25	5	SLV	-0.01	5	SLV	-0.00	1	SLV	0.00	5	SLV
-27	Max	0.02	1	SLV	0.08	5	SLV	0.03	5	SLV	0.01	5	SLV	0.00	1	SLV	0.00	5	SLV
-27	Min.	-0.02	1	SLV	-0.08	5	SLV	-0.26	5	SLV	-0.01	5	SLV	-0.00	1	SLV	0.00	5	SLV
-26	Max	0.02	1	SLV	0.08	5	SLV	0.03	5	SLV	0.01	5	SLV	0.00	1	SLV	0.00	5	SLV
-26	Min.	-0.02	1	SLV	-0.08	5	SLV	-0.30	5	SLV	-0.01	5	SLV	-0.00	1	SLV	0.00	5	SLV
-25	Max	0.02	1	SLV	0.08	5	SLV	0.05	5	SLV	0.01	5	SLV	0.00	1	SLV	0.00	5	SLV
-25	Min.	-0.02	1	SLV	-0.08	5	SLV	-0.32	5	SLV	-0.01	5	SLV	-0.00	1	SLV	0.00	5	SLV
-24	Max	0.02	1	SLV	0.08	5	SLV	0.02	1	SLV	0.01	5	SLV	0.00	1	SLV	0.00	5	SLV
-24	Min.	-0.02	1	SLV	-0.08	5	SLV	-0.29	1	SLV	-0.01	5	SLV	-0.00	1	SLV	0.00	5	SLV
-23	Max	0.02	1	SLV	0.08	5	SLV	-0.02	5	SLV	0.01	5	SLV	0.00	1	SLV	0.00	5	SLV
-23	Min.	-0.02	1	SLV	-0.08	5	SLV	-0.25	9	SLU	-0.01	5	SLV	-0.00	1	SLV	0.00	5	SLV
-22	Max	0.02	1	SLV	0.08	5	SLV	0.00	5	SLV	0.01	5	SLV	0.00	1	SLV	0.00	5	SLV
-22	Min.	-0.02	1	SLV	-0.08	5	SLV	-0.23	5	SLV	-0.01	5	SLV	-0.00	1	SLV	0.00	5	SLV
-21	Max	0.02	1	SLV	0.08	5	SLV	-0.00	5	SLV	0.01	5	SLV	0.00	1	SLV	0.00	5	SLV
-21	Min.	-0.02	1	SLV	-0.08	5	SLV	-0.22	5	SLV	-0.01	5	SLV	-0.00	1	SLV	0.00	5	SLV
-20	Max	0.02	1	SL	0.08	5	SL	-0.00	5	SL	0.01	5	SL	0.00	1	SL	0.00	5	SL

				V			V			V			V			V			V
-20	Min.	-0.02	1	SLV	-0.08	5	SLV	-0.22	5	SLV	-0.01	5	SLV	-0.00	1	SLV	0.00	5	SLV
-19	Max	0.02	1	SLV	0.08	5	SLV	0.00	5	SLV	0.01	5	SLV	0.00	1	SLV	0.00	5	SLV
-19	Min.	-0.02	1	SLV	-0.08	5	SLV	-0.23	5	SLV	-0.01	5	SLV	-0.00	1	SLV	0.00	5	SLV
-18	Max	0.02	1	SLV	0.08	5	SLV	-0.02	5	SLV	0.01	5	SLV	0.00	1	SLV	0.00	5	SLV
-18	Min.	-0.02	1	SLV	-0.08	5	SLV	-0.27	19	SLU	-0.01	5	SLV	-0.00	1	SLV	0.00	5	SLV
-17	Max	0.02	1	SLV	0.08	5	SLV	0.02	1	SLV	0.01	5	SLV	0.00	1	SLV	0.00	5	SLV
-17	Min.	-0.02	1	SLV	-0.08	5	SLV	-0.29	1	SLV	-0.01	5	SLV	-0.00	1	SLV	0.00	5	SLV
-16	Max	0.02	1	SLV	0.08	5	SLV	0.02	1	SLV	0.01	5	SLV	0.00	1	SLV	0.00	5	SLV
-16	Min.	-0.02	1	SLV	-0.08	5	SLV	-0.30	18	SLU	-0.01	5	SLV	-0.00	1	SLV	0.00	5	SLV
-15	Max	0.02	1	SLV	0.08	5	SLV	-0.02	5	SLV	0.01	5	SLV	0.00	1	SLV	0.00	5	SLV
-15	Min.	-0.02	1	SLV	-0.08	5	SLV	-0.29	18	SLU	-0.01	5	SLV	-0.00	1	SLV	0.00	5	SLV
-14	Max	0.02	1	SLV	0.08	5	SLV	0.00	5	SLV	0.01	5	SLV	0.00	1	SLV	0.00	5	SLV
-14	Min.	-0.02	1	SLV	-0.08	5	SLV	-0.25	18	SLU	-0.01	5	SLV	-0.00	1	SLV	0.00	5	SLV
-13	Max	0.02	1	SLV	0.08	5	SLV	-0.00	5	SLV	0.01	5	SLV	0.00	1	SLV	0.00	5	SLV
-13	Min.	-0.02	1	SLV	-0.08	5	SLV	-0.25	18	SLU	-0.01	5	SLV	-0.00	1	SLV	0.00	5	SLV
-12	Max	0.02	1	SLV	0.08	5	SLV	-0.00	5	SLV	0.01	5	SLV	0.00	1	SLV	0.00	5	SLV
-12	Min.	-0.02	1	SLV	-0.08	5	SLV	-0.25	18	SLU	-0.01	5	SLV	-0.00	1	SLV	0.00	5	SLV
-11	Max	0.02	1	SLV	0.08	5	SLV	0.00	5	SLV	0.01	5	SLV	0.00	1	SLV	0.00	5	SLV
-11	Min.	-0.02	1	SLV	-0.08	5	SLV	-0.25	18	SLU	-0.01	5	SLV	-0.00	1	SLV	0.00	5	SLV
-10	Max	0.02	1	SLV	0.08	5	SLV	-0.02	5	SLV	0.01	5	SLV	0.00	1	SLV	0.00	5	SLV
-10	Min.	-0.02	1	SLV	-0.08	5	SLV	-0.29	18	SLU	-0.01	5	SLV	-0.00	1	SLV	0.00	5	SLV
-9	Max	0.02	1	SLV	0.08	5	SLV	0.02	1	SLV	0.01	5	SLV	0.00	1	SLV	0.00	5	SLV
-9	Min.	-0.02	1	SLV	-0.08	5	SLV	-0.30	18	SLU	-0.01	5	SLV	-0.00	1	SLV	0.00	5	SLV
-8	Max	0.02	1	SLV	0.08	5	SLV	0.05	5	SLV	0.01	5	SLV	0.00	1	SLV	0.00	5	SLV
-8	Min.	-0.02	1	SLV	-0.08	5	SLV	-0.32	5	SLV	-0.01	5	SLV	-0.00	1	SLV	0.00	5	SLV
-7	Max	0.02	1	SLV	0.08	5	SLV	0.03	5	SLV	0.01	5	SLV	0.00	1	SLV	0.00	5	SLV
-7	Min.	-0.02	1	SLV	-0.08	5	SLV	-0.30	5	SLV	-0.01	5	SLV	-0.00	1	SLV	0.00	5	SLV
-6	Max	0.02	1	SLV	0.08	5	SLV	0.03	5	SLV	0.01	5	SLV	0.00	1	SLV	0.00	5	SLV
-6	Min.	-0.02	1	SLV	-0.08	5	SLV	-0.26	5	SLV	-0.01	5	SLV	-0.00	1	SLV	0.00	5	SLV
-5	Max	0.02	1	SL	0.08	5	SL	0.02	5	SL	0.01	5	SL	0.00	1	SL	0.00	5	SL

				V			V			V			V			V			V
-5	Min.	-0.02	1	SLV	-0.08	5	SLV	-0.25	5	SLV	-0.01	5	SLV	-0.00	1	SLV	0.00	5	SLV
-4	Max	0.02	1	SLV	0.08	5	SLV	0.02	5	SLV	0.01	5	SLV	0.00	1	SLV	0.00	5	SLV
-4	Min.	-0.02	1	SLV	-0.08	5	SLV	-0.25	5	SLV	-0.01	5	SLV	-0.00	1	SLV	0.00	5	SLV
-3	Max	0.02	1	SLV	0.08	5	SLV	0.03	5	SLV	0.01	5	SLV	0.00	1	SLV	0.00	5	SLV
-3	Min.	-0.02	1	SLV	-0.08	5	SLV	-0.26	5	SLV	-0.01	5	SLV	-0.00	1	SLV	0.00	5	SLV
-2	Max	0.02	1	SLV	0.08	5	SLV	0.03	5	SLV	0.01	5	SLV	0.00	1	SLV	0.00	5	SLV
-2	Min.	-0.02	1	SLV	-0.08	5	SLV	-0.30	5	SLV	-0.01	5	SLV	-0.00	1	SLV	0.00	5	SLV
-1	Max	0.02	1	SLV	0.08	5	SLV	0.05	5	SLV	0.01	5	SLV	0.00	1	SLV	0.00	5	SLV
-1	Min.	-0.02	1	SLV	-0.08	5	SLV	-0.32	5	SLV	-0.01	5	SLV	-0.00	1	SLV	0.00	5	SLV
9	Max	0.96	1	SLV	2.50	5	SLV	0.10	5	SLV	0.00	5	SLV	0.00	1	SLV	0.00	1	SLV
9	Min.	-0.96	1	SLV	-2.52	5	SLV	-0.35	5	SLV	-0.01	5	SLV	-0.00	1	SLV	-0.00	1	SLV
10	Max	0.96	1	SLV	2.51	5	SLV	0.09	5	SLV	0.00	5	SLV	0.00	1	SLV	0.00	1	SLV
10	Min.	-0.96	1	SLV	-2.52	5	SLV	-0.34	5	SLV	-0.01	5	SLV	-0.00	1	SLV	-0.00	1	SLV
11	Max	0.96	1	SLV	2.51	5	SLV	0.08	5	SLV	0.00	5	SLV	0.00	1	SLV	0.00	1	SLV
11	Min.	-0.96	1	SLV	-2.54	5	SLV	-0.28	5	SLV	-0.01	5	SLV	-0.00	1	SLV	-0.00	1	SLV
12	Max	0.96	1	SLV	2.51	5	SLV	0.08	5	SLV	0.00	5	SLV	0.00	1	SLV	0.00	1	SLV
12	Min.	-0.96	1	SLV	-2.54	5	SLV	-0.27	5	SLV	-0.01	5	SLV	-0.00	1	SLV	-0.00	1	SLV
13	Max	0.96	1	SLV	2.51	5	SLV	0.08	5	SLV	0.00	5	SLV	0.00	1	SLV	0.00	1	SLV
13	Min.	-0.96	1	SLV	-2.54	5	SLV	-0.27	5	SLV	-0.01	5	SLV	-0.00	1	SLV	-0.00	1	SLV
14	Max	0.96	1	SLV	2.51	5	SLV	0.08	5	SLV	0.00	5	SLV	0.00	1	SLV	0.00	1	SLV
14	Min.	-0.96	1	SLV	-2.54	5	SLV	-0.28	5	SLV	-0.01	5	SLV	-0.00	1	SLV	-0.00	1	SLV
15	Max	0.96	1	SLV	2.51	5	SLV	0.09	5	SLV	0.00	5	SLV	0.00	1	SLV	0.00	1	SLV
15	Min.	-0.95	1	SLV	-2.52	5	SLV	-0.34	5	SLV	-0.01	5	SLV	-0.00	1	SLV	-0.00	1	SLV
16	Max	0.96	1	SLV	2.50	5	SLV	0.10	5	SLV	0.00	5	SLV	0.00	1	SLV	0.00	1	SLV
16	Min.	-0.95	1	SLV	-2.52	5	SLV	-0.35	5	SLV	-0.01	5	SLV	-0.00	1	SLV	-0.00	1	SLV
17	Max	0.93	1	SLV	2.50	5	SLV	0.01	5	SLV	0.00	5	SLV	0.00	1	SLV	0.00	1	SLV
17	Min.	-0.93	1	SLV	-2.52	5	SLV	-0.28	5	SLV	-0.01	5	SLV	-0.00	1	SLV	-0.00	1	SLV
18	Max	0.93	1	SLV	2.51	5	SLV	0.01	5	SLV	0.00	5	SLV	0.00	1	SLV	0.00	1	SLV
18	Min.	-0.93	1	SLV	-2.52	5	SLV	-0.27	5	SLV	-0.01	5	SLV	-0.00	1	SLV	-0.00	1	SLV
19	Max	0.93	1	SL	2.51	5	SL	-0.00	5	SL	0.00	5	SL	0.00	1	SL	0.00	1	SL

				V			V			V			V			V			V
19	Min.	-0.93	1	SL V	-2.54	5	SL V	-0.21	5	SL V	-0.01	5	SL V	-0.00	1	SL V	-0.00	1	SL V
20	Max	0.93	1	SL V	2.51	5	SL V	-0.01	5	SL V	0.00	5	SL V	0.00	1	SL V	0.00	1	SL V
20	Min.	-0.93	1	SL V	-2.54	5	SL V	-0.20	5	SL V	-0.01	5	SL V	-0.00	1	SL V	-0.00	1	SL V
21	Max	0.93	1	SL V	2.51	5	SL V	-0.01	5	SL V	0.00	5	SL V	0.00	1	SL V	0.00	1	SL V
21	Min.	-0.93	1	SL V	-2.54	5	SL V	-0.20	5	SL V	-0.01	5	SL V	-0.00	1	SL V	-0.00	1	SL V
22	Max	0.93	1	SL V	2.51	5	SL V	-0.00	5	SL V	0.00	5	SL V	0.00	1	SL V	0.00	1	SL V
22	Min.	-0.93	1	SL V	-2.54	5	SL V	-0.21	5	SL V	-0.01	5	SL V	-0.00	1	SL V	-0.00	1	SL V
23	Max	0.93	1	SL V	2.51	5	SL V	0.01	5	SL V	0.00	5	SL V	0.00	1	SL V	0.00	1	SL V
23	Min.	-0.92	1	SL V	-2.52	5	SL V	-0.27	5	SL V	-0.01	5	SL V	-0.00	1	SL V	-0.00	1	SL V
24	Max	0.93	1	SL V	2.50	5	SL V	0.01	5	SL V	0.00	5	SL V	0.00	1	SL V	0.00	1	SL V
24	Min.	-0.93	1	SL V	-2.52	5	SL V	-0.28	5	SL V	-0.01	5	SL V	-0.00	1	SL V	-0.00	1	SL V
37	Max	0.91	1	SL V	2.51	5	SL V	-0.02	1	SL V	0.00	5	SL V	0.00	1	SL V	0.00	1	SL V
37	Min.	-0.91	1	SL V	-2.53	5	SL V	-0.35	18	SL U	-0.00	5	SL V	-0.00	1	SL V	0.00	1	SL V
38	Max	0.91	1	SL V	2.51	5	SL V	-0.05	1	SL V	0.00	5	SL V	0.00	1	SL V	0.00	17	SL U
38	Min.	-0.92	1	SL V	-2.53	5	SL V	-0.36	18	SL U	-0.00	5	SL V	-0.00	1	SL V	-0.00	1	SL V
39	Max	0.92	1	SL V	2.51	5	SL V	-0.07	5	SL V	0.00	5	SL V	0.00	1	SL V	0.00	1	SL V
39	Min.	-0.92	1	SL V	-2.54	5	SL V	-0.38	18	SL U	-0.01	18	SL U	-0.00	1	SL V	-0.00	1	SL V
40	Max	0.92	1	SL V	2.51	5	SL V	-0.08	5	SL V	0.00	5	SL V	0.00	1	SL V	0.00	17	SL U
40	Min.	-0.92	1	SL V	-2.54	5	SL V	-0.38	18	SL U	-0.01	18	SL U	-0.00	1	SL V	-0.00	1	SL V
41	Max	0.92	1	SL V	2.51	5	SL V	-0.08	5	SL V	0.00	5	SL V	0.00	1	SL V	0.00	1	SL V
41	Min.	-0.92	1	SL V	-2.54	5	SL V	-0.38	18	SL U	-0.01	18	SL U	-0.00	1	SL V	-0.00	1	SL V
42	Max	0.92	1	SL V	2.51	5	SL V	-0.07	5	SL V	0.00	5	SL V	0.00	1	SL V	0.00	17	SL U
42	Min.	-0.92	1	SL V	-2.54	5	SL V	-0.38	18	SL U	-0.01	18	SL U	-0.00	1	SL V	-0.00	1	SL V
43	Max	0.92	1	SL V	2.51	5	SL V	-0.05	1	SL V	0.00	5	SL V	0.00	1	SL V	0.00	1	SL V
43	Min.	-0.91	1	SL V	-2.53	5	SL V	-0.36	18	SL U	-0.00	5	SL V	-0.00	1	SL V	-0.00	1	SL V
44	Max	0.91	1	SL V	2.51	5	SL V	-0.02	1	SL V	0.00	5	SL V	0.00	1	SL V	0.00	17	SL U
44	Min.	-0.91	1	SL V	-2.53	5	SL V	-0.35	18	SL U	-0.00	5	SL V	-0.00	1	SL V	0.00	1	SL V
45	Max	0.92	1	SL V	2.51	5	SL V	-0.03	1	SL V	0.00	5	SL V	0.00	1	SL V	0.00	1	SL V
45	Min.	-0.93	1	SL V	-2.53	5	SL V	-0.43	18	SL U	-0.00	18	SL U	-0.00	1	SL V	0.00	1	SL V
46	Max	0.93	1	SL	2.52	5	SL	-0.05	5	SL	0.00	5	SL	0.00	1	SL	0.00	1	SL

				V			V			V			V			V			V
46	Min.	-0.94	1	SL V	-2.54	5	SL V	-0.45	18	SL U	-0.00	18	SL U	-0.00	1	SL V	0.00	1	SL V
47	Max	0.94	1	SL V	2.52	5	SL V	-0.06	5	SL V	0.00	5	SL V	0.00	1	SL V	0.00	1	SL V
47	Min.	-0.94	1	SL V	-2.55	5	SL V	-0.54	18	SL U	-0.01	18	SL U	-0.00	1	SL V	0.00	1	SL V
48	Max	0.94	1	SL V	2.52	5	SL V	-0.06	5	SL V	0.00	5	SL V	0.00	1	SL V	0.00	1	SL V
48	Min.	-0.94	1	SL V	-2.55	5	SL V	-0.54	18	SL U	-0.01	18	SL U	-0.00	1	SL V	0.00	1	SL V
49	Max	0.94	1	SL V	2.52	5	SL V	-0.06	5	SL V	0.00	5	SL V	0.00	1	SL V	0.00	1	SL V
49	Min.	-0.94	1	SL V	-2.55	5	SL V	-0.54	18	SL U	-0.01	18	SL U	-0.00	1	SL V	0.00	1	SL V
50	Max	0.94	1	SL V	2.52	5	SL V	-0.06	5	SL V	0.00	5	SL V	0.00	1	SL V	0.00	1	SL V
50	Min.	-0.94	1	SL V	-2.55	5	SL V	-0.54	18	SL U	-0.01	18	SL U	-0.00	1	SL V	0.00	1	SL V
51	Max	0.94	1	SL V	2.52	5	SL V	-0.05	5	SL V	0.00	5	SL V	0.00	1	SL V	0.00	1	SL V
51	Min.	-0.93	1	SL V	-2.54	5	SL V	-0.45	18	SL U	-0.00	18	SL U	-0.00	1	SL V	0.00	1	SL V
52	Max	0.93	1	SL V	2.51	5	SL V	-0.03	1	SL V	0.00	5	SL V	0.00	1	SL V	0.00	1	SL V
52	Min.	-0.92	1	SL V	-2.53	5	SL V	-0.43	18	SL U	-0.00	18	SL U	-0.00	1	SL V	0.00	1	SL V
53	Max	0.93	1	SL V	2.52	5	SL V	-0.03	5	SL V	0.00	5	SL V	0.00	18	SL U	0.00	19	SL U
53	Min.	-0.94	1	SL V	-2.54	5	SL V	-0.52	18	SL U	-0.00	18	SL U	0.00	1	SL V	0.00	1	SL V
54	Max	0.94	1	SL V	2.52	5	SL V	-0.03	5	SL V	0.00	5	SL V	0.00	19	SL U	0.00	18	SL U
54	Min.	-0.95	1	SL V	-2.54	5	SL V	-0.54	18	SL U	-0.00	18	SL U	0.00	1	SL V	0.00	17	SL U
55	Max	0.95	1	SL V	2.52	5	SL V	-0.06	5	SL V	0.00	5	SL V	0.00	1	SL V	0.00	17	SL U
55	Min.	-0.95	1	SL V	-2.56	5	SL V	-0.70	18	SL U	-0.01	18	SL U	0.00	1	SL V	0.00	1	SL V
56	Max	0.95	1	SL V	2.52	5	SL V	-0.06	5	SL V	0.00	5	SL V	0.00	17	SL U	0.00	18	SL U
56	Min.	-0.95	1	SL V	-2.56	5	SL V	-0.70	18	SL U	-0.01	18	SL U	0.00	1	SL V	0.00	17	SL U
57	Max	0.95	1	SL V	2.52	5	SL V	-0.06	5	SL V	0.00	5	SL V	0.00	1	SL V	0.00	17	SL U
57	Min.	-0.95	1	SL V	-2.56	5	SL V	-0.70	18	SL U	-0.01	18	SL U	0.00	1	SL V	0.00	18	SL U
58	Max	0.95	1	SL V	2.52	5	SL V	-0.06	5	SL V	0.00	5	SL V	0.00	17	SL U	0.00	1	SL V
58	Min.	-0.95	1	SL V	-2.56	5	SL V	-0.70	18	SL U	-0.01	18	SL U	0.00	1	SL V	0.00	17	SL U
59	Max	0.95	1	SL V	2.52	5	SL V	-0.03	5	SL V	0.00	5	SL V	0.00	1	SL V	0.00	17	SL U
59	Min.	-0.94	1	SL V	-2.54	5	SL V	-0.54	18	SL U	-0.00	18	SL U	-0.00	18	SL U	0.00	18	SL U
60	Max	0.94	1	SL V	2.52	5	SL V	-0.03	5	SL V	0.00	5	SL V	0.00	1	SL V	0.00	1	SL V
60	Min.	-0.93	1	SL V	-2.54	5	SL V	-0.52	18	SL U	-0.00	18	SL U	-0.00	18	SL U	0.00	17	SL U
61	Max	0.94	1	SL	2.52	5	SL	-0.03	5	SL	0.00	5	SL	0.00	18	SL	0.00	1	SL

				V			V			V			V			U			V
61	Min.	-0.95	1	SL V	-2.54	5	SL V	-0.60	18	SL U	-0.00	18	SL U	0.00	1	SL V	0.00	1	SL V
62	Max	0.94	1	SL V	2.53	5	SL V	-0.03	5	SL V	0.00	5	SL V	0.00	17	SL U	0.00	17	SL U
62	Min.	-0.96	1	SL V	-2.55	5	SL V	-0.62	18	SL U	-0.00	18	SL U	0.00	1	SL V	0.00	1	SL V
63	Max	0.95	1	SL V	2.53	5	SL V	-0.08	5	SL V	0.00	5	SL V	0.00	18	SL U	0.00	1	SL V
63	Min.	-0.95	1	SL V	-2.56	5	SL V	-0.85	18	SL U	-0.01	18	SL U	0.00	17	SL U	0.00	1	SL V
64	Max	0.95	1	SL V	2.53	5	SL V	-0.08	5	SL V	0.00	5	SL V	0.00	17	SL U	0.00	17	SL U
64	Min.	-0.95	1	SL V	-2.56	5	SL V	-0.85	18	SL U	-0.01	18	SL U	0.00	1	SL V	0.00	1	SL V
65	Max	0.95	1	SL V	2.53	5	SL V	-0.08	5	SL V	0.00	5	SL V	0.00	1	SL V	0.00	1	SL V
65	Min.	-0.95	1	SL V	-2.56	5	SL V	-0.85	18	SL U	-0.01	18	SL U	0.00	19	SL U	0.00	1	SL V
66	Max	0.95	1	SL V	2.53	5	SL V	-0.08	5	SL V	0.00	5	SL V	0.00	17	SL U	0.00	17	SL U
66	Min.	-0.95	1	SL V	-2.56	5	SL V	-0.85	18	SL U	-0.01	18	SL U	0.00	18	SL U	0.00	1	SL V
67	Max	0.96	1	SL V	2.53	5	SL V	-0.03	5	SL V	0.00	5	SL V	0.00	1	SL V	0.00	1	SL V
67	Min.	-0.94	1	SL V	-2.55	5	SL V	-0.62	18	SL U	-0.00	18	SL U	-0.00	18	SL U	0.00	1	SL V
68	Max	0.95	1	SL V	2.52	5	SL V	-0.03	5	SL V	0.00	5	SL V	0.00	17	SL U	0.00	1	SL V
68	Min.	-0.94	1	SL V	-2.54	5	SL V	-0.60	18	SL U	-0.00	18	SL U	-0.00	18	SL U	0.00	1	SL V
69	Max	0.95	1	SL V	2.53	5	SL V	-0.03	5	SL V	0.00	5	SL V	0.00	18	SL U	0.00	1	SL V
69	Min.	-0.97	1	SL V	-2.54	5	SL V	-0.67	18	SL U	-0.00	18	SL U	0.00	1	SL V	0.00	1	SL V
70	Max	0.96	1	SL V	2.53	5	SL V	-0.04	5	SL V	0.00	5	SL V	0.00	19	SL U	0.00	17	SL U
70	Min.	-0.97	1	SL V	-2.55	5	SL V	-0.70	18	SL U	-0.00	18	SL U	0.00	1	SL V	0.00	1	SL V
71	Max	0.97	1	SL V	2.53	5	SL V	-0.10	5	SL V	0.00	5	SL V	0.00	18	SL U	0.00	1	SL V
71	Min.	-0.97	1	SL V	-2.56	5	SL V	-0.99	18	SL U	-0.01	18	SL U	0.00	1	SL V	0.00	1	SL V
72	Max	0.97	1	SL V	2.53	5	SL V	-0.10	5	SL V	0.00	5	SL V	0.00	17	SL U	0.00	17	SL U
72	Min.	-0.97	1	SL V	-2.56	5	SL V	-1.00	18	SL U	-0.01	18	SL U	0.00	1	SL V	-0.00	1	SL V
73	Max	0.97	1	SL V	2.53	5	SL V	-0.10	5	SL V	0.00	5	SL V	0.00	1	SL V	0.00	1	SL V
73	Min.	-0.97	1	SL V	-2.56	5	SL V	-1.00	18	SL U	-0.01	18	SL U	0.00	19	SL U	-0.00	1	SL V
74	Max	0.97	1	SL V	2.53	5	SL V	-0.10	5	SL V	0.00	5	SL V	0.00	17	SL U	0.00	17	SL U
74	Min.	-0.97	1	SL V	-2.56	5	SL V	-0.99	18	SL U	-0.01	18	SL U	0.00	18	SL U	-0.00	1	SL V
75	Max	0.97	1	SL V	2.53	5	SL V	-0.04	5	SL V	0.00	5	SL V	0.00	1	SL V	0.00	1	SL V
75	Min.	-0.96	1	SL V	-2.55	5	SL V	-0.70	18	SL U	-0.00	18	SL U	-0.00	18	SL U	-0.00	1	SL V
76	Max	0.97	1	SL	2.53	5	SL	-0.03	5	SL	0.00	5	SL	0.00	17	SL	0.00	17	SL

				V			V			V			V			U			U
76	Min.	-0.95	1	SLV	-2.55	5	SLV	-0.67	18	SLU	-0.00	18	SLU	-0.00	18	SLU	0.00	1	SLV
77	Max	0.96	1	SLV	2.53	5	SLV	-0.05	5	SLV	0.00	5	SLV	0.00	18	SLU	0.00	1	SLV
77	Min.	-0.98	1	SLV	-2.55	5	SLV	-0.73	18	SLU	-0.00	18	SLU	0.00	1	SLV	0.00	1	SLV
78	Max	0.97	1	SLV	2.53	5	SLV	-0.05	5	SLV	0.00	5	SLV	0.00	19	SLU	0.00	17	SLU
78	Min.	-0.99	1	SLV	-2.55	5	SLV	-0.76	18	SLU	-0.00	18	SLU	0.00	5	SLV	0.00	1	SLV
79	Max	0.98	1	SLV	2.53	5	SLV	-0.12	5	SLV	0.00	5	SLV	0.00	18	SLU	0.00	1	SLV
79	Min.	-0.99	1	SLV	-2.56	5	SLV	-1.12	18	SLU	-0.01	18	SLU	0.00	1	SLV	0.00	1	SLV
80	Max	0.98	1	SLV	2.53	5	SLV	-0.12	5	SLV	0.00	5	SLV	0.00	17	SLU	0.00	17	SLU
80	Min.	-0.99	1	SLV	-2.57	5	SLV	-1.12	18	SLU	-0.01	18	SLU	0.00	1	SLV	0.00	1	SLV
81	Max	0.99	1	SLV	2.53	5	SLV	-0.12	5	SLV	0.00	5	SLV	0.00	1	SLV	0.00	1	SLV
81	Min.	-0.98	1	SLV	-2.57	5	SLV	-1.12	18	SLU	-0.01	18	SLU	0.00	19	SLU	0.00	1	SLV
82	Max	0.99	1	SLV	2.53	5	SLV	-0.12	5	SLV	0.00	5	SLV	0.00	17	SLU	0.00	17	SLU
82	Min.	-0.98	1	SLV	-2.56	5	SLV	-1.12	18	SLU	-0.01	18	SLU	0.00	18	SLU	0.00	1	SLV
83	Max	0.99	1	SLV	2.53	5	SLV	-0.05	5	SLV	0.00	5	SLV	0.00	5	SLV	0.00	1	SLV
83	Min.	-0.97	1	SLV	-2.55	5	SLV	-0.76	18	SLU	-0.00	18	SLU	-0.00	18	SLU	0.00	1	SLV
84	Max	0.98	1	SLV	2.53	5	SLV	-0.05	5	SLV	0.00	5	SLV	0.00	17	SLU	0.00	1	SLV
84	Min.	-0.96	1	SLV	-2.55	5	SLV	-0.73	18	SLU	-0.00	18	SLU	-0.00	18	SLU	0.00	1	SLV
85	Max	0.96	1	SLV	2.53	5	SLV	-0.06	5	SLV	0.00	5	SLV	0.00	18	SLU	0.00	18	SLU
85	Min.	-0.99	1	SLV	-2.55	5	SLV	-0.79	18	SLU	-0.00	18	SLU	0.00	1	SLV	0.00	1	SLV
86	Max	0.97	1	SLV	2.54	5	SLV	-0.07	5	SLV	0.00	5	SLV	0.00	17	SLU	0.00	18	SLU
86	Min.	-1.00	1	SLV	-2.55	5	SLV	-0.82	18	SLU	-0.00	18	SLU	0.00	1	SLV	0.00	17	SLU
87	Max	0.98	1	SLV	2.54	5	SLV	-0.15	5	SLV	0.00	5	SLV	0.00	1	SLV	0.00	1	SLV
87	Min.	-0.99	1	SLV	-2.57	5	SLV	-1.23	18	SLU	-0.00	18	SLU	0.00	1	SLV	0.00	1	SLV
88	Max	0.98	1	SLV	2.54	5	SLV	-0.15	5	SLV	0.00	5	SLV	0.00	17	SLU	0.00	1	SLV
88	Min.	-0.99	1	SLV	-2.57	5	SLV	-1.24	18	SLU	-0.00	18	SLU	0.00	1	SLV	0.00	17	SLU
89	Max	0.99	1	SLV	2.54	5	SLV	-0.15	5	SLV	0.00	5	SLV	0.00	1	SLV	0.00	1	SLV
89	Min.	-0.98	1	SLV	-2.57	5	SLV	-1.24	18	SLU	-0.00	18	SLU	0.00	1	SLV	0.00	1	SLV
90	Max	0.99	1	SLV	2.54	5	SLV	-0.15	5	SLV	0.00	5	SLV	0.00	17	SLU	0.00	1	SLV
90	Min.	-0.98	1	SLV	-2.57	5	SLV	-1.23	18	SLU	-0.00	18	SLU	0.00	1	SLV	0.00	17	SLU
91	Max	1.00	1	SL	2.54	5	SL	-0.07	5	SL	0.00	5	SL	0.00	1	SL	0.00	1	SL

				V			V			V			V			V			V
91	Min.	-0.97	1	SLV	-2.55	5	SLV	-0.82	18	SLU	-0.00	18	SLU	-0.00	18	SLU	0.00	18	SLU
92	Max	0.99	1	SLV	2.53	5	SLV	-0.06	5	SLV	0.00	5	SLV	0.00	17	SLU	0.00	1	SLV
92	Min.	-0.96	1	SLV	-2.55	5	SLV	-0.79	18	SLU	-0.00	18	SLU	-0.00	18	SLU	0.00	17	SLU
93	Max	0.96	1	SLV	2.54	5	SLV	-0.08	5	SLV	0.00	5	SLV	0.00	18	SLU	0.00	1	SLV
93	Min.	-0.99	1	SLV	-2.55	5	SLV	-0.84	18	SLU	-0.00	18	SLU	0.00	1	SLV	0.00	1	SLV
94	Max	0.96	1	SLV	2.54	5	SLV	-0.09	5	SLV	0.00	5	SLV	0.00	17	SLU	0.00	17	SLU
94	Min.	-1.00	1	SLV	-2.56	5	SLV	-0.87	18	SLU	-0.00	18	SLU	0.00	1	SLV	0.00	1	SLV
95	Max	0.98	1	SLV	2.54	5	SLV	-0.18	5	SLV	0.00	5	SLV	0.00	1	SLV	0.00	1	SLV
95	Min.	-0.98	1	SLV	-2.57	5	SLV	-1.33	18	SLU	-0.00	18	SLU	-0.00	1	SLV	0.00	1	SLV
96	Max	0.98	1	SLV	2.54	5	SLV	-0.19	5	SLV	0.00	5	SLV	0.00	17	SLU	0.00	17	SLU
96	Min.	-0.98	1	SLV	-2.57	5	SLV	-1.33	18	SLU	-0.00	18	SLU	-0.00	1	SLV	0.00	1	SLV
97	Max	0.98	1	SLV	2.54	5	SLV	-0.19	5	SLV	0.00	5	SLV	0.00	1	SLV	0.00	1	SLV
97	Min.	-0.98	1	SLV	-2.57	5	SLV	-1.33	18	SLU	-0.00	18	SLU	-0.00	1	SLV	0.00	1	SLV
98	Max	0.98	1	SLV	2.54	5	SLV	-0.18	5	SLV	0.00	5	SLV	0.00	17	SLU	0.00	17	SLU
98	Min.	-0.98	1	SLV	-2.57	5	SLV	-1.33	18	SLU	-0.00	18	SLU	-0.00	1	SLV	0.00	1	SLV
99	Max	1.00	1	SLV	2.54	5	SLV	-0.09	5	SLV	0.00	5	SLV	0.00	1	SLV	0.00	1	SLV
99	Min.	-0.96	1	SLV	-2.56	5	SLV	-0.87	18	SLU	-0.00	18	SLU	-0.00	18	SLU	0.00	1	SLV
100	Max	0.99	1	SLV	2.54	5	SLV	-0.08	5	SLV	0.00	5	SLV	0.00	17	SLU	0.00	17	SLU
100	Min.	-0.96	1	SLV	-2.55	5	SLV	-0.84	18	SLU	-0.00	18	SLU	-0.00	18	SLU	0.00	1	SLV
101	Max	0.97	1	SLV	2.54	5	SLV	-0.11	5	SLV	0.00	5	SLV	0.00	18	SLU	0.00	1	SLV
101	Min.	-1.01	1	SLV	-2.55	5	SLV	-0.87	18	SLU	-0.00	9	SLU	0.00	1	SLV	0.00	1	SLV
102	Max	0.98	1	SLV	2.54	5	SLV	-0.11	5	SLV	0.00	5	SLV	0.00	17	SLU	0.00	17	SLU
102	Min.	-1.01	1	SLV	-2.56	5	SLV	-0.91	18	SLU	-0.00	9	SLU	0.00	1	SLV	0.00	1	SLV
103	Max	0.99	1	SLV	2.54	5	SLV	-0.22	5	SLV	0.00	5	SLV	0.00	1	SLV	0.00	1	SLV
103	Min.	-1.00	1	SLV	-2.57	5	SLV	-1.40	18	SLU	-0.00	19	SLU	0.00	1	SLV	0.00	1	SLV
104	Max	0.99	1	SLV	2.55	5	SLV	-0.22	5	SLV	0.00	5	SLV	0.00	17	SLU	0.00	17	SLU
104	Min.	-1.00	1	SLV	-2.57	5	SLV	-1.41	18	SLU	-0.00	19	SLU	0.00	1	SLV	0.00	1	SLV
105	Max	1.00	1	SLV	2.55	5	SLV	-0.22	5	SLV	0.00	5	SLV	0.00	1	SLV	0.00	1	SLV
105	Min.	-0.99	1	SLV	-2.57	5	SLV	-1.41	18	SLU	-0.00	9	SLU	-0.00	1	SLV	-0.00	1	SLV
106	Max	1.00	1	SL	2.54	5	SL	-0.22	5	SL	0.00	5	SL	0.00	17	SL	0.00	17	SL

				V			V			V			V			U			U
106	Min.	-0.99	1	SL V	-2.57	5	SL V	-1.40	18	SL U	-0.00	9	SL U	-0.00	1	SL V	-0.00	1	SL V
107	Max	1.01	1	SL V	2.54	5	SL V	-0.11	5	SL V	0.00	5	SL V	0.00	1	SL V	0.00	1	SL V
107	Min.	-0.98	1	SL V	-2.56	5	SL V	-0.91	18	SL U	-0.00	19	SL U	-0.00	18	SL U	-0.00	1	SL V
108	Max	1.01	1	SL V	2.54	5	SL V	-0.11	5	SL V	0.00	5	SL V	0.00	17	SL U	0.00	17	SL U
108	Min.	-0.97	1	SL V	-2.55	5	SL V	-0.87	18	SL U	-0.00	19	SL U	-0.00	18	SL U	0.00	1	SL V
109	Max	0.98	1	SL V	2.54	5	SL V	-0.13	5	SL V	0.00	5	SL V	0.00	18	SL U	0.00	1	SL V
109	Min.	-1.02	1	SL V	-2.55	5	SL V	-0.90	18	SL U	-0.00	9	SL U	0.00	1	SL V	0.00	1	SL V
110	Max	0.99	1	SL V	2.55	5	SL V	-0.14	5	SL V	0.00	5	SL V	0.00	17	SL U	0.00	17	SL U
110	Min.	-1.03	1	SL V	-2.56	5	SL V	-0.94	18	SL U	-0.00	9	SL U	0.00	1	SL V	0.00	1	SL V
111	Max	1.01	1	SL V	2.55	5	SL V	-0.25	5	SL V	0.00	5	SL V	0.00	1	SL V	0.00	1	SL V
111	Min.	-1.02	1	SL V	-2.57	5	SL V	-1.46	18	SL U	-0.00	19	SL U	0.00	1	SL V	0.00	1	SL V
112	Max	1.01	1	SL V	2.55	5	SL V	-0.25	5	SL V	0.00	5	SL V	0.00	17	SL U	0.00	17	SL U
112	Min.	-1.02	1	SL V	-2.57	5	SL V	-1.47	18	SL U	-0.00	19	SL U	0.00	1	SL V	0.00	1	SL V
113	Max	1.02	1	SL V	2.55	5	SL V	-0.25	5	SL V	0.00	5	SL V	0.00	1	SL V	0.00	1	SL V
113	Min.	-1.01	1	SL V	-2.57	5	SL V	-1.47	18	SL U	-0.00	9	SL U	-0.00	1	SL V	0.00	1	SL V
114	Max	1.02	1	SL V	2.55	5	SL V	-0.25	5	SL V	0.00	5	SL V	0.00	17	SL U	0.00	17	SL U
114	Min.	-1.01	1	SL V	-2.57	5	SL V	-1.46	18	SL U	-0.00	9	SL U	-0.00	1	SL V	0.00	1	SL V
115	Max	1.03	1	SL V	2.55	5	SL V	-0.14	5	SL V	0.00	5	SL V	0.00	1	SL V	0.00	1	SL V
115	Min.	-0.99	1	SL V	-2.56	5	SL V	-0.94	18	SL U	-0.00	19	SL U	-0.00	18	SL U	0.00	1	SL V
116	Max	1.02	1	SL V	2.54	5	SL V	-0.13	5	SL V	0.00	5	SL V	0.00	17	SL U	0.00	17	SL U
116	Min.	-0.98	1	SL V	-2.55	5	SL V	-0.90	18	SL U	-0.00	19	SL U	-0.00	18	SL U	0.00	1	SL V
117	Max	0.99	1	SL V	2.54	5	SL V	-0.15	5	SL V	0.00	5	SL V	0.00	18	SL U	0.00	19	SL U
117	Min.	-1.03	1	SL V	-2.55	5	SL V	-0.92	18	SL U	-0.00	9	SL U	0.00	1	SL V	0.00	5	SL V
118	Max	0.99	1	SL V	2.55	5	SL V	-0.16	5	SL V	0.00	5	SL V	0.01	17	SL U	0.00	9	SL U
118	Min.	-1.04	1	SL V	-2.56	5	SL V	-0.96	18	SL U	-0.00	9	SL U	0.00	1	SL V	0.00	1	SL V
119	Max	1.01	1	SL V	2.55	5	SL V	-0.28	5	SL V	0.00	5	SL V	0.00	1	SL V	0.00	1	SL V
119	Min.	-1.02	1	SL V	-2.57	5	SL V	-1.50	18	SL U	-0.00	19	SL U	-0.00	1	SL V	0.00	1	SL V
120	Max	1.01	1	SL V	2.55	5	SL V	-0.28	5	SL V	0.00	5	SL V	0.00	17	SL U	0.00	1	SL V
120	Min.	-1.02	1	SL V	-2.57	5	SL V	-1.51	18	SL U	-0.00	19	SL U	-0.00	1	SL V	0.00	17	SL U
121	Max	1.02	1	SL	2.55	5	SL	-0.28	5	SL	0.00	5	SL	0.00	1	SL	0.00	1	SL

				V			V			V			V			V			V
121	Min.	-1.01	1	SLV	-2.57	5	SLV	-1.51	18	SLU	-0.00	9	SLU	-0.00	1	SLV	0.00	1	SLV
122	Max	1.02	1	SLV	2.55	5	SLV	-0.28	5	SLV	0.00	5	SLV	0.00	17	SLU	0.00	1	SLV
122	Min.	-1.01	1	SLV	-2.57	5	SLV	-1.50	18	SLU	-0.00	9	SLU	-0.00	1	SLV	0.00	17	SLU
123	Max	1.04	1	SLV	2.55	5	SLV	-0.16	5	SLV	0.00	5	SLV	0.00	1	SLV	0.00	1	SLV
123	Min.	-0.99	1	SLV	-2.56	5	SLV	-0.96	18	SLU	-0.00	19	SLU	-0.00	18	SLU	0.00	9	SLU
124	Max	1.03	1	SLV	2.54	5	SLV	-0.15	5	SLV	0.00	5	SLV	0.00	17	SLU	0.00	5	SLV
124	Min.	-0.99	1	SLV	-2.55	5	SLV	-0.92	18	SLU	-0.00	19	SLU	-0.00	18	SLU	0.00	19	SLU
125	Max	0.99	1	SLV	2.54	5	SLV	-0.17	1	SLV	0.00	5	SLV	0.00	18	SLU	0.00	1	SLV
125	Min.	-1.03	1	SLV	-2.55	5	SLV	-0.94	18	SLU	0.00	5	SLV	-0.00	1	SLV	0.00	1	SLV
126	Max	0.99	1	SLV	2.55	5	SLV	-0.18	1	SLV	0.00	5	SLV	0.01	17	SLU	0.00	17	SLU
126	Min.	-1.04	1	SLV	-2.56	5	SLV	-0.98	18	SLU	0.00	5	SLV	-0.00	1	SLV	0.00	1	SLV
127	Max	1.01	1	SLV	2.55	5	SLV	-0.31	5	SLV	0.00	5	SLV	0.00	1	SLV	0.00	1	SLV
127	Min.	-1.02	1	SLV	-2.57	5	SLV	-1.53	18	SLU	-0.00	19	SLU	-0.00	1	SLV	0.00	1	SLV
128	Max	1.01	1	SLV	2.55	5	SLV	-0.31	5	SLV	0.00	5	SLV	0.01	17	SLU	0.00	17	SLU
128	Min.	-1.02	1	SLV	-2.57	5	SLV	-1.54	18	SLU	-0.00	19	SLU	-0.00	1	SLV	0.00	1	SLV
129	Max	1.02	1	SLV	2.55	5	SLV	-0.31	5	SLV	0.00	5	SLV	0.00	1	SLV	0.00	1	SLV
129	Min.	-1.01	1	SLV	-2.57	5	SLV	-1.54	18	SLU	-0.00	9	SLU	-0.00	1	SLV	0.00	1	SLV
130	Max	1.02	1	SLV	2.55	5	SLV	-0.31	5	SLV	0.00	5	SLV	0.00	17	SLU	0.00	17	SLU
130	Min.	-1.01	1	SLV	-2.57	5	SLV	-1.53	18	SLU	-0.00	9	SLU	-0.00	1	SLV	0.00	1	SLV
131	Max	1.04	1	SLV	2.55	5	SLV	-0.18	1	SLV	0.00	5	SLV	0.00	1	SLV	0.00	1	SLV
131	Min.	-0.99	1	SLV	-2.56	5	SLV	-0.98	18	SLU	0.00	5	SLV	-0.00	18	SLU	0.00	1	SLV
132	Max	1.03	1	SLV	2.55	5	SLV	-0.17	1	SLV	0.00	5	SLV	0.00	17	SLU	0.00	17	SLU
132	Min.	-0.99	1	SLV	-2.55	5	SLV	-0.94	18	SLU	0.00	5	SLV	-0.00	18	SLU	0.00	1	SLV
133	Max	1.00	1	SLV	2.55	5	SLV	-0.18	1	SLV	0.00	5	SLV	0.00	18	SLU	0.00	1	SLV
133	Min.	-1.05	1	SLV	-2.55	5	SLV	-0.94	18	SLU	0.00	5	SLV	-0.00	1	SLV	0.00	1	SLV
134	Max	1.01	1	SLV	2.55	5	SLV	-0.19	1	SLV	0.00	5	SLV	0.01	17	SLU	0.00	17	SLU
134	Min.	-1.06	1	SLV	-2.56	5	SLV	-0.98	18	SLU	0.00	5	SLV	0.00	1	SLV	0.00	1	SLV
135	Max	1.03	1	SLV	2.55	5	SLV	-0.33	5	SLV	0.00	5	SLV	0.00	1	SLV	0.00	1	SLV
135	Min.	-1.04	1	SLV	-2.56	5	SLV	-1.54	18	SLU	-0.00	5	SLV	-0.00	1	SLV	-0.00	1	SLV
136	Max	1.03	1	SL	2.56	5	SL	-0.34	5	SL	0.00	5	SL	0.01	17	SL	0.00	17	SL

				V			V			V			V			U			U
136	Min.	-1.04	1	SLV	-2.56	5	SLV	-1.55	18	SLU	-0.00	5	SLV	-0.00	1	SLV	-0.00	1	SLV
137	Max	1.04	1	SLV	2.56	5	SLV	-0.34	5	SLV	0.00	5	SLV	0.00	1	SLV	0.00	1	SLV
137	Min.	-1.03	1	SLV	-2.56	5	SLV	-1.55	18	SLU	-0.00	5	SLV	-0.00	1	SLV	-0.00	1	SLV
138	Max	1.04	1	SLV	2.55	5	SLV	-0.33	5	SLV	0.00	5	SLV	0.00	17	SLU	0.00	17	SLU
138	Min.	-1.03	1	SLV	-2.56	5	SLV	-1.54	18	SLU	-0.00	5	SLV	-0.00	1	SLV	-0.00	1	SLV
139	Max	1.06	1	SLV	2.55	5	SLV	-0.19	1	SLV	0.00	5	SLV	0.00	1	SLV	0.00	1	SLV
139	Min.	-1.01	1	SLV	-2.56	5	SLV	-0.98	18	SLU	0.00	5	SLV	-0.00	18	SLU	-0.00	1	SLV
140	Max	1.05	1	SLV	2.55	5	SLV	-0.18	1	SLV	0.00	5	SLV	0.00	17	SLU	0.00	17	SLU
140	Min.	-1.00	1	SLV	-2.55	5	SLV	-0.94	18	SLU	0.00	5	SLV	-0.00	18	SLU	0.00	1	SLV
141	Max	1.01	1	SLV	2.55	5	SLV	-0.18	1	SLV	0.00	5	SLV	0.00	18	SLU	0.00	1	SLV
141	Min.	-1.06	1	SLV	-2.55	5	SLV	-0.93	18	SLU	0.00	5	SLV	-0.00	1	SLV	0.00	1	SLV
142	Max	1.02	1	SLV	2.55	5	SLV	-0.19	1	SLV	0.00	5	SLV	0.01	17	SLU	0.00	17	SLU
142	Min.	-1.07	1	SLV	-2.56	5	SLV	-0.97	18	SLU	0.00	5	SLV	0.00	1	SLV	0.00	1	SLV
143	Max	1.04	1	SLV	2.56	5	SLV	-0.36	5	SLV	0.00	16	SLU	0.00	1	SLV	0.00	1	SLV
143	Min.	-1.05	1	SLV	-2.56	5	SLV	-1.53	18	SLU	0.00	5	SLV	-0.00	1	SLV	0.00	1	SLV
144	Max	1.04	1	SLV	2.56	5	SLV	-0.36	5	SLV	0.00	16	SLU	0.01	17	SLU	0.00	17	SLU
144	Min.	-1.05	1	SLV	-2.56	5	SLV	-1.54	18	SLU	0.00	5	SLV	-0.00	1	SLV	0.00	1	SLV
145	Max	1.06	1	SLV	2.56	5	SLV	-0.36	5	SLV	0.00	16	SLU	0.00	1	SLV	0.00	1	SLV
145	Min.	-1.04	1	SLV	-2.56	5	SLV	-1.54	18	SLU	0.00	5	SLV	-0.00	1	SLV	0.00	1	SLV
146	Max	1.05	1	SLV	2.56	5	SLV	-0.36	5	SLV	0.00	16	SLU	0.00	17	SLU	0.00	17	SLU
146	Min.	-1.04	1	SLV	-2.56	5	SLV	-1.53	18	SLU	0.00	5	SLV	-0.00	1	SLV	0.00	1	SLV
147	Max	1.07	1	SLV	2.55	5	SLV	-0.19	1	SLV	0.00	5	SLV	0.00	1	SLV	0.00	1	SLV
147	Min.	-1.02	1	SLV	-2.56	5	SLV	-0.97	18	SLU	0.00	5	SLV	-0.00	18	SLU	0.00	1	SLV
148	Max	1.06	1	SLV	2.55	5	SLV	-0.18	1	SLV	0.00	5	SLV	0.00	17	SLU	0.00	17	SLU
148	Min.	-1.01	1	SLV	-2.55	5	SLV	-0.93	18	SLU	0.00	5	SLV	-0.00	18	SLU	0.00	1	SLV
149	Max	1.01	1	SLV	2.55	5	SLV	-0.19	1	SLV	0.00	5	SLV	0.00	18	SLU	0.00	1	SLV
149	Min.	-1.07	1	SLV	-2.55	5	SLV	-0.92	18	SLU	0.00	5	SLV	-0.00	1	SLV	0.00	1	SLV
150	Max	1.02	1	SLV	2.55	5	SLV	-0.20	1	SLV	0.00	5	SLV	0.01	17	SLU	0.00	1	SLV
150	Min.	-1.07	1	SLV	-2.56	5	SLV	-0.96	18	SLU	0.00	5	SLV	-0.00	1	SLV	0.00	17	SLU
151	Max	1.04	1	SL	2.56	5	SL	-0.38	1	SL	0.00	16	SL	0.00	1	SL	0.00	1	SL

				V			V			V			U			V			V
151	Min.	-1.05	1	SL V	-2.56	5	SL V	-1.51	18	SL U	0.00	5	SL V	-0.00	1	SL V	0.00	1	SL V
152	Max	1.04	1	SL V	2.56	5	SL V	-0.38	5	SL V	0.00	16	SL U	0.01	17	SL U	0.00	1	SL V
152	Min.	-1.06	1	SL V	-2.56	5	SL V	-1.52	18	SL U	0.00	5	SL V	-0.00	1	SL V	0.00	17	SL U
153	Max	1.06	1	SL V	2.56	5	SL V	-0.38	5	SL V	0.00	16	SL U	0.00	1	SL V	0.00	1	SL V
153	Min.	-1.04	1	SL V	-2.56	5	SL V	-1.52	18	SL U	0.00	5	SL V	-0.00	1	SL V	0.00	1	SL V
154	Max	1.05	1	SL V	2.56	5	SL V	-0.38	1	SL V	0.00	16	SL U	0.00	17	SL U	0.00	1	SL V
154	Min.	-1.04	1	SL V	-2.56	5	SL V	-1.51	18	SL U	0.00	5	SL V	-0.00	1	SL V	0.00	17	SL U
155	Max	1.07	1	SL V	2.55	5	SL V	-0.20	1	SL V	0.00	5	SL V	0.00	1	SL V	0.00	1	SL V
155	Min.	-1.02	1	SL V	-2.56	5	SL V	-0.96	18	SL U	0.00	5	SL V	-0.00	18	SL U	0.00	1	SL V
156	Max	1.07	1	SL V	2.55	5	SL V	-0.19	1	SL V	0.00	5	SL V	0.00	17	SL U	0.00	1	SL V
156	Min.	-1.01	1	SL V	-2.55	5	SL V	-0.92	18	SL U	0.00	5	SL V	-0.00	18	SL U	0.00	17	SL U
157	Max	1.01	1	SL V	2.55	5	SL V	-0.20	1	SL V	0.00	5	SL V	0.00	1	SL V	0.00	5	SL V
157	Min.	-1.07	1	SL V	-2.55	5	SL V	-0.91	18	SL U	0.00	5	SL V	-0.00	1	SL V	0.00	16	SL U
158	Max	1.02	1	SL V	2.55	5	SL V	-0.21	1	SL V	0.00	5	SL V	0.01	17	SL U	0.00	5	SL V
158	Min.	-1.07	1	SL V	-2.55	5	SL V	-0.95	18	SL U	0.00	5	SL V	-0.00	1	SL V	0.00	16	SL U
159	Max	1.04	1	SL V	2.56	5	SL V	-0.39	1	SL V	0.00	16	SL U	0.00	1	SL V	0.00	5	SL V
159	Min.	-1.05	1	SL V	-2.56	5	SL V	-1.48	18	SL U	0.00	5	SL V	-0.00	1	SL V	0.00	5	SL V
160	Max	1.04	1	SL V	2.56	5	SL V	-0.39	1	SL V	0.00	16	SL U	0.01	17	SL U	0.00	5	SL V
160	Min.	-1.05	1	SL V	-2.56	5	SL V	-1.49	18	SL U	0.00	5	SL V	-0.00	1	SL V	0.00	5	SL V
161	Max	1.05	1	SL V	2.56	5	SL V	-0.39	1	SL V	0.00	16	SL U	0.00	1	SL V	0.00	5	SL V
161	Min.	-1.04	1	SL V	-2.56	5	SL V	-1.49	18	SL U	0.00	5	SL V	-0.00	1	SL V	0.00	5	SL V
162	Max	1.05	1	SL V	2.56	5	SL V	-0.39	1	SL V	0.00	16	SL U	0.01	17	SL U	0.00	5	SL V
162	Min.	-1.04	1	SL V	-2.56	5	SL V	-1.48	18	SL U	0.00	5	SL V	-0.00	1	SL V	0.00	5	SL V
163	Max	1.07	1	SL V	2.55	5	SL V	-0.21	1	SL V	0.00	5	SL V	0.00	1	SL V	0.00	16	SL U
163	Min.	-1.02	1	SL V	-2.55	5	SL V	-0.95	18	SL U	0.00	5	SL V	-0.00	1	SL V	0.00	5	SL V
164	Max	1.07	1	SL V	2.55	5	SL V	-0.20	1	SL V	0.00	5	SL V	0.00	17	SL U	0.00	16	SL U
164	Min.	-1.01	1	SL V	-2.55	5	SL V	-0.91	18	SL U	0.00	5	SL V	-0.00	1	SL V	0.00	5	SL V
165	Max	1.01	1	SL V	2.55	5	SL V	-0.19	1	SL V	0.00	5	SL V	0.00	18	SL U	0.00	1	SL V
165	Min.	-1.07	1	SL V	-2.55	5	SL V	-0.90	18	SL U	0.00	5	SL V	-0.00	1	SL V	0.00	18	SL U
166	Max	1.02	1	SL	2.56	5	SL	-0.20	1	SL	0.00	5	SL	0.01	17	SL	0.00	17	SL

				V			V			V			V			U			U
166	Min.	-1.07	1	SL V	-2.55	5	SL V	-0.94	18	SL U	0.00	5	SL V	-0.00	1	SL V	0.00	1	SL V
167	Max	1.04	1	SL V	2.56	5	SL V	-0.38	1	SL V	0.00	16	SL U	0.00	1	SL V	0.00	1	SL V
167	Min.	-1.05	1	SL V	-2.56	5	SL V	-1.47	18	SL U	0.00	5	SL V	-0.00	1	SL V	0.00	1	SL V
168	Max	1.04	1	SL V	2.56	5	SL V	-0.38	5	SL V	0.00	16	SL U	0.01	17	SL U	0.00	17	SL U
168	Min.	-1.06	1	SL V	-2.56	5	SL V	-1.48	18	SL U	0.00	5	SL V	-0.00	1	SL V	0.00	1	SL V
169	Max	1.06	1	SL V	2.56	5	SL V	-0.38	5	SL V	0.00	16	SL U	0.00	1	SL V	0.00	1	SL V
169	Min.	-1.04	1	SL V	-2.56	5	SL V	-1.48	18	SL U	0.00	5	SL V	-0.00	1	SL V	0.00	1	SL V
170	Max	1.05	1	SL V	2.56	5	SL V	-0.38	1	SL V	0.00	16	SL U	0.00	17	SL U	0.00	17	SL U
170	Min.	-1.04	1	SL V	-2.56	5	SL V	-1.47	18	SL U	0.00	5	SL V	-0.00	1	SL V	0.00	1	SL V
171	Max	1.07	1	SL V	2.56	5	SL V	-0.20	1	SL V	0.00	5	SL V	0.00	1	SL V	0.00	1	SL V
171	Min.	-1.02	1	SL V	-2.55	5	SL V	-0.94	18	SL U	0.00	5	SL V	-0.00	18	SL U	0.00	1	SL V
172	Max	1.07	1	SL V	2.55	5	SL V	-0.19	1	SL V	0.00	5	SL V	0.00	17	SL U	0.00	17	SL U
172	Min.	-1.01	1	SL V	-2.55	5	SL V	-0.90	18	SL U	0.00	5	SL V	-0.00	18	SL U	0.00	1	SL V
173	Max	1.01	1	SL V	2.55	5	SL V	-0.18	1	SL V	0.00	5	SL V	0.00	18	SL U	0.00	1	SL V
173	Min.	-1.06	1	SL V	-2.55	5	SL V	-0.89	19	SL U	0.00	5	SL V	-0.00	1	SL V	0.00	1	SL V
174	Max	1.02	1	SL V	2.56	5	SL V	-0.19	1	SL V	0.00	5	SL V	0.01	17	SL U	0.00	1	SL V
174	Min.	-1.07	1	SL V	-2.55	5	SL V	-0.93	19	SL U	0.00	5	SL V	0.00	1	SL V	0.00	17	SL U
175	Max	1.04	1	SL V	2.56	5	SL V	-0.36	5	SL V	0.00	16	SL U	0.00	1	SL V	0.00	1	SL V
175	Min.	-1.05	1	SL V	-2.56	5	SL V	-1.45	18	SL U	0.00	5	SL V	-0.00	1	SL V	0.00	1	SL V
176	Max	1.04	1	SL V	2.56	5	SL V	-0.36	5	SL V	0.00	16	SL U	0.01	17	SL U	0.00	1	SL V
176	Min.	-1.05	1	SL V	-2.56	5	SL V	-1.46	18	SL U	0.00	5	SL V	-0.00	1	SL V	0.00	17	SL U
177	Max	1.05	1	SL V	2.56	5	SL V	-0.36	5	SL V	0.00	16	SL U	0.00	1	SL V	0.00	1	SL V
177	Min.	-1.04	1	SL V	-2.56	5	SL V	-1.46	18	SL U	0.00	5	SL V	-0.00	1	SL V	0.00	1	SL V
178	Max	1.05	1	SL V	2.56	5	SL V	-0.36	5	SL V	0.00	16	SL U	0.00	17	SL U	0.00	1	SL V
178	Min.	-1.04	1	SL V	-2.56	5	SL V	-1.45	18	SL U	0.00	5	SL V	-0.00	1	SL V	0.00	17	SL U
179	Max	1.07	1	SL V	2.56	5	SL V	-0.19	1	SL V	0.00	5	SL V	0.00	1	SL V	0.00	1	SL V
179	Min.	-1.02	1	SL V	-2.55	5	SL V	-0.92	18	SL U	0.00	5	SL V	-0.00	18	SL U	0.00	1	SL V
180	Max	1.06	1	SL V	2.55	5	SL V	-0.18	1	SL V	0.00	5	SL V	0.00	17	SL U	0.00	1	SL V
180	Min.	-1.01	1	SL V	-2.55	5	SL V	-0.89	18	SL U	0.00	5	SL V	-0.00	18	SL U	0.00	17	SL U
181	Max	1.00	1	SL	2.55	5	SL	-0.18	1	SL	0.00	16	SL	0.00	9	SL	0.00	1	SL

				V			V			V			U			U			V
181	Min.	-1.05	1	SL V	-2.55	5	SL V	-0.89	19	SL U	0.00	5	SL V	-0.00	1	SL V	0.00	1	SL V
182	Max	1.01	1	SL V	2.56	5	SL V	-0.19	1	SL V	0.00	16	SL U	0.01	17	SL U	0.00	1	SL V
182	Min.	-1.06	1	SL V	-2.55	5	SL V	-0.92	19	SL U	0.00	5	SL V	0.00	1	SL V	-0.00	17	SL U
183	Max	1.03	1	SL V	2.56	5	SL V	-0.33	5	SL V	0.00	16	SL U	0.00	1	SL V	0.00	1	SL V
183	Min.	-1.04	1	SL V	-2.55	5	SL V	-1.43	18	SL U	0.00	5	SL V	-0.00	1	SL V	-0.00	1	SL V
184	Max	1.03	1	SL V	2.56	5	SL V	-0.34	5	SL V	0.00	16	SL U	0.01	17	SL U	0.00	1	SL V
184	Min.	-1.04	1	SL V	-2.56	5	SL V	-1.44	18	SL U	0.00	5	SL V	-0.00	1	SL V	-0.00	17	SL U
185	Max	1.04	1	SL V	2.56	5	SL V	-0.34	5	SL V	0.00	16	SL U	0.00	1	SL V	0.00	1	SL V
185	Min.	-1.03	1	SL V	-2.56	5	SL V	-1.44	18	SL U	0.00	5	SL V	-0.00	1	SL V	-0.00	1	SL V
186	Max	1.04	1	SL V	2.56	5	SL V	-0.33	5	SL V	0.00	16	SL U	0.00	17	SL U	0.00	1	SL V
186	Min.	-1.03	1	SL V	-2.55	5	SL V	-1.43	18	SL U	0.00	5	SL V	-0.00	1	SL V	-0.00	17	SL U
187	Max	1.06	1	SL V	2.56	5	SL V	-0.19	1	SL V	0.00	16	SL U	0.00	1	SL V	0.00	1	SL V
187	Min.	-1.01	1	SL V	-2.55	5	SL V	-0.91	18	SL U	0.00	5	SL V	-0.00	19	SL U	0.00	1	SL V
188	Max	1.05	1	SL V	2.55	5	SL V	-0.18	1	SL V	0.00	16	SL U	0.00	17	SL U	0.00	1	SL V
188	Min.	-1.00	1	SL V	-2.55	5	SL V	-0.87	18	SL U	0.00	5	SL V	-0.00	9	SL U	-0.00	17	SL U
189	Max	0.99	1	SL V	2.55	5	SL V	-0.17	1	SL V	0.00	18	SL U	0.00	9	SL U	0.00	1	SL V
189	Min.	-1.03	1	SL V	-2.54	5	SL V	-0.88	19	SL U	0.00	5	SL V	-0.00	1	SL V	0.00	1	SL V
190	Max	0.99	1	SL V	2.56	5	SL V	-0.18	1	SL V	0.00	18	SL U	0.01	17	SL U	0.00	1	SL V
190	Min.	-1.04	1	SL V	-2.55	5	SL V	-0.91	19	SL U	0.00	5	SL V	-0.00	1	SL V	0.00	17	SL U
191	Max	1.01	1	SL V	2.56	5	SL V	-0.31	5	SL V	0.00	18	SL U	0.00	1	SL V	0.00	1	SL V
191	Min.	-1.02	1	SL V	-2.55	5	SL V	-1.40	19	SL U	0.00	5	SL V	-0.00	1	SL V	0.00	1	SL V
192	Max	1.01	1	SL V	2.57	5	SL V	-0.31	5	SL V	0.00	18	SL U	0.01	17	SL U	0.00	1	SL V
192	Min.	-1.02	1	SL V	-2.55	5	SL V	-1.41	19	SL U	0.00	5	SL V	-0.00	1	SL V	0.00	17	SL U
193	Max	1.02	1	SL V	2.57	5	SL V	-0.31	5	SL V	0.00	18	SL U	0.00	1	SL V	0.00	1	SL V
193	Min.	-1.01	1	SL V	-2.55	5	SL V	-1.40	9	SL U	0.00	5	SL V	-0.00	1	SL V	0.00	1	SL V
194	Max	1.02	1	SL V	2.56	5	SL V	-0.31	5	SL V	0.00	18	SL U	0.00	17	SL U	0.00	1	SL V
194	Min.	-1.01	1	SL V	-2.55	5	SL V	-1.39	9	SL U	0.00	5	SL V	-0.00	1	SL V	0.00	17	SL U
195	Max	1.04	1	SL V	2.56	5	SL V	-0.18	1	SL V	0.00	18	SL U	0.00	1	SL V	0.00	1	SL V
195	Min.	-0.99	1	SL V	-2.55	5	SL V	-0.89	9	SL U	0.00	5	SL V	-0.00	19	SL U	0.00	1	SL V
196	Max	1.03	1	SL	2.55	5	SL	-0.17	1	SL	0.00	18	SL	0.00	17	SL	0.00	1	SL

				V			V			V			U			U			V
196	Min.	-0.99	1	SL V	-2.55	5	SL V	-0.86	9	SL U	0.00	5	SL V	-0.00	9	SL U	0.00	17	SL U
197	Max	0.99	1	SL V	2.55	5	SL V	-0.15	5	SL V	0.00	18	SL U	0.00	9	SL U	0.00	5	SL V
197	Min.	-1.03	1	SL V	-2.54	5	SL V	-0.86	19	SL U	0.00	5	SL V	0.00	1	SL V	0.00	18	SL U
198	Max	0.99	1	SL V	2.56	5	SL V	-0.16	5	SL V	0.00	18	SL U	0.01	17	SL U	0.00	1	SL V
198	Min.	-1.04	1	SL V	-2.55	5	SL V	-0.89	19	SL U	0.00	5	SL V	0.00	1	SL V	0.00	18	SL U
199	Max	1.01	1	SL V	2.57	5	SL V	-0.28	5	SL V	0.00	18	SL U	0.00	1	SL V	0.00	1	SL V
199	Min.	-1.02	1	SL V	-2.55	5	SL V	-1.36	19	SL U	0.00	5	SL V	-0.00	1	SL V	0.00	1	SL V
200	Max	1.01	1	SL V	2.57	5	SL V	-0.28	5	SL V	0.00	18	SL U	0.00	17	SL U	0.00	17	SL U
200	Min.	-1.02	1	SL V	-2.55	5	SL V	-1.37	19	SL U	0.00	5	SL V	-0.00	1	SL V	0.00	1	SL V
201	Max	1.02	1	SL V	2.57	5	SL V	-0.28	5	SL V	0.00	18	SL U	0.00	1	SL V	0.00	1	SL V
201	Min.	-1.01	1	SL V	-2.55	5	SL V	-1.36	9	SL U	0.00	5	SL V	-0.00	1	SL V	0.00	1	SL V
202	Max	1.02	1	SL V	2.57	5	SL V	-0.28	5	SL V	0.00	18	SL U	0.00	17	SL U	0.00	17	SL U
202	Min.	-1.01	1	SL V	-2.55	5	SL V	-1.35	9	SL U	0.00	5	SL V	-0.00	1	SL V	0.00	1	SL V
203	Max	1.04	1	SL V	2.56	5	SL V	-0.16	5	SL V	0.00	18	SL U	0.00	1	SL V	0.00	18	SL U
203	Min.	-0.99	1	SL V	-2.55	5	SL V	-0.87	9	SL U	0.00	5	SL V	-0.00	19	SL U	0.00	1	SL V
204	Max	1.03	1	SL V	2.55	5	SL V	-0.15	5	SL V	0.00	18	SL U	0.00	17	SL U	0.00	19	SL U
204	Min.	-0.99	1	SL V	-2.54	5	SL V	-0.84	9	SL U	0.00	5	SL V	-0.00	9	SL U	0.00	5	SL V
205	Max	0.98	1	SL V	2.55	5	SL V	-0.13	5	SL V	0.00	18	SL U	0.00	9	SL U	0.00	1	SL V
205	Min.	-1.02	1	SL V	-2.54	5	SL V	-0.83	19	SL U	0.00	5	SL V	0.00	1	SL V	0.00	1	SL V
206	Max	0.99	1	SL V	2.56	5	SL V	-0.14	5	SL V	0.00	18	SL U	0.00	17	SL U	0.00	1	SL V
206	Min.	-1.03	1	SL V	-2.55	5	SL V	-0.86	19	SL U	0.00	5	SL V	0.00	1	SL V	0.00	17	SL U
207	Max	1.01	1	SL V	2.57	5	SL V	-0.25	5	SL V	0.00	18	SL U	0.00	1	SL V	0.00	1	SL V
207	Min.	-1.02	1	SL V	-2.55	5	SL V	-1.31	19	SL U	0.00	5	SL V	0.00	1	SL V	0.00	1	SL V
208	Max	1.01	1	SL V	2.57	5	SL V	-0.25	5	SL V	0.00	18	SL U	0.00	17	SL U	0.00	1	SL V
208	Min.	-1.02	1	SL V	-2.55	5	SL V	-1.32	19	SL U	0.00	5	SL V	0.00	1	SL V	0.00	17	SL U
209	Max	1.02	1	SL V	2.57	5	SL V	-0.25	5	SL V	0.00	18	SL U	0.00	1	SL V	0.00	1	SL V
209	Min.	-1.01	1	SL V	-2.55	5	SL V	-1.31	9	SL U	0.00	5	SL V	-0.00	1	SL V	0.00	1	SL V
210	Max	1.02	1	SL V	2.57	5	SL V	-0.25	5	SL V	0.00	18	SL U	0.00	17	SL U	0.00	1	SL V
210	Min.	-1.01	1	SL V	-2.55	5	SL V	-1.30	9	SL U	0.00	5	SL V	-0.00	1	SL V	0.00	17	SL U
211	Max	1.03	1	SL	2.56	5	SL	-0.14	5	SL	0.00	18	SL	0.00	1	SL	0.00	1	SL

				V			V			V			U			V			V
211	Min.	-0.99	1	SL V	-2.55	5	SL V	-0.84	9	SL U	0.00	5	SL V	-0.00	19	SL U	0.00	1	SL V
212	Max	1.02	1	SL V	2.55	5	SL V	-0.13	5	SL V	0.00	18	SL U	0.00	17	SL U	0.00	1	SL V
212	Min.	-0.98	1	SL V	-2.54	5	SL V	-0.81	9	SL U	0.00	5	SL V	-0.00	9	SL U	0.00	17	SL U
213	Max	0.97	1	SL V	2.55	5	SL V	-0.11	5	SL V	0.00	18	SL U	0.00	9	SL U	0.00	1	SL V
213	Min.	-1.01	1	SL V	-2.54	5	SL V	-0.80	19	SL U	0.00	5	SL V	0.00	1	SL V	0.00	1	SL V
214	Max	0.98	1	SL V	2.56	5	SL V	-0.11	5	SL V	0.00	18	SL U	0.00	17	SL U	0.00	1	SL V
214	Min.	-1.01	1	SL V	-2.54	5	SL V	-0.83	19	SL U	0.00	5	SL V	0.00	1	SL V	-0.00	17	SL U
215	Max	0.99	1	SL V	2.57	5	SL V	-0.22	5	SL V	0.00	18	SL U	0.00	1	SL V	0.00	1	SL V
215	Min.	-1.00	1	SL V	-2.54	5	SL V	-1.25	19	SL U	0.00	5	SL V	0.00	1	SL V	-0.00	1	SL V
216	Max	0.99	1	SL V	2.57	5	SL V	-0.22	5	SL V	0.00	18	SL U	0.00	17	SL U	0.00	1	SL V
216	Min.	-1.00	1	SL V	-2.55	5	SL V	-1.25	19	SL U	0.00	5	SL V	0.00	1	SL V	-0.00	17	SL U
217	Max	1.00	1	SL V	2.57	5	SL V	-0.22	5	SL V	0.00	18	SL U	0.00	1	SL V	0.00	1	SL V
217	Min.	-0.99	1	SL V	-2.55	5	SL V	-1.25	9	SL U	0.00	5	SL V	-0.00	1	SL V	0.00	1	SL V
218	Max	1.00	1	SL V	2.57	5	SL V	-0.22	5	SL V	0.00	18	SL U	0.00	17	SL U	0.00	1	SL V
218	Min.	-0.99	1	SL V	-2.54	5	SL V	-1.24	9	SL U	0.00	5	SL V	-0.00	1	SL V	-0.00	17	SL U
219	Max	1.01	1	SL V	2.56	5	SL V	-0.11	5	SL V	0.00	18	SL U	0.00	1	SL V	0.00	1	SL V
219	Min.	-0.98	1	SL V	-2.54	5	SL V	-0.81	9	SL U	0.00	5	SL V	-0.00	19	SL U	0.00	1	SL V
220	Max	1.01	1	SL V	2.55	5	SL V	-0.11	5	SL V	0.00	18	SL U	0.00	17	SL U	0.00	1	SL V
220	Min.	-0.97	1	SL V	-2.54	5	SL V	-0.78	9	SL U	0.00	5	SL V	-0.00	9	SL U	-0.00	17	SL U
221	Max	0.96	1	SL V	2.55	5	SL V	-0.08	5	SL V	0.00	18	SL U	0.00	9	SL U	0.00	1	SL V
221	Min.	-0.99	1	SL V	-2.54	5	SL V	-0.76	19	SL U	0.00	5	SL V	0.00	1	SL V	0.00	1	SL V
222	Max	0.96	1	SL V	2.56	5	SL V	-0.09	5	SL V	0.00	18	SL U	0.00	17	SL U	0.00	1	SL V
222	Min.	-0.99	1	SL V	-2.54	5	SL V	-0.79	19	SL U	0.00	5	SL V	0.00	1	SL V	0.00	17	SL U
223	Max	0.98	1	SL V	2.57	5	SL V	-0.18	5	SL V	0.00	18	SL U	0.00	1	SL V	0.00	1	SL V
223	Min.	-0.98	1	SL V	-2.54	5	SL V	-1.17	19	SL U	0.00	5	SL V	-0.00	1	SL V	0.00	1	SL V
224	Max	0.98	1	SL V	2.57	5	SL V	-0.19	5	SL V	0.00	18	SL U	0.00	17	SL U	0.00	1	SL V
224	Min.	-0.98	1	SL V	-2.54	5	SL V	-1.18	19	SL U	0.00	5	SL V	-0.00	1	SL V	0.00	17	SL U
225	Max	0.98	1	SL V	2.57	5	SL V	-0.19	5	SL V	0.00	18	SL U	0.00	1	SL V	0.00	1	SL V
225	Min.	-0.98	1	SL V	-2.54	5	SL V	-1.17	9	SL U	0.00	5	SL V	-0.00	1	SL V	0.00	1	SL V
226	Max	0.98	1	SL	2.57	5	SL	-0.18	5	SL	0.00	18	SL	0.00	17	SL	0.00	1	SL

				V			V			V			U			U			V
226	Min.	-0.98	1	SL V	-2.54	5	SL V	-1.17	9	SL U	0.00	5	SL V	-0.00	1	SL V	0.00	17	SL U
227	Max	0.99	1	SL V	2.56	5	SL V	-0.09	5	SL V	0.00	18	SL U	0.00	1	SL V	0.00	1	SL V
227	Min.	-0.96	1	SL V	-2.54	5	SL V	-0.77	9	SL U	0.00	5	SL V	-0.00	19	SL U	0.00	1	SL V
228	Max	0.99	1	SL V	2.55	5	SL V	-0.08	5	SL V	0.00	18	SL U	0.00	17	SL U	0.00	1	SL V
228	Min.	-0.96	1	SL V	-2.54	5	SL V	-0.74	9	SL U	0.00	5	SL V	-0.00	9	SL U	0.00	17	SL U
229	Max	0.96	1	SL V	2.55	5	SL V	-0.06	5	SL V	0.00	18	SL U	0.00	9	SL U	0.00	1	SL V
229	Min.	-0.99	1	SL V	-2.53	5	SL V	-0.71	19	SL U	0.00	5	SL V	0.00	1	SL V	0.00	19	SL U
230	Max	0.97	1	SL V	2.55	5	SL V	-0.07	5	SL V	0.00	18	SL U	0.00	17	SL U	0.00	17	SL U
230	Min.	-0.99	1	SL V	-2.54	5	SL V	-0.74	19	SL U	0.00	5	SL V	0.00	1	SL V	0.00	1	SL V
231	Max	0.98	1	SL V	2.56	5	SL V	-0.15	5	SL V	0.00	18	SL U	0.00	1	SL V	0.00	1	SL V
231	Min.	-0.99	1	SL V	-2.54	5	SL V	-1.08	19	SL U	0.00	5	SL V	0.00	1	SL V	0.00	1	SL V
232	Max	0.98	1	SL V	2.57	5	SL V	-0.15	5	SL V	0.00	18	SL U	0.00	17	SL U	0.00	17	SL U
232	Min.	-0.99	1	SL V	-2.54	5	SL V	-1.08	19	SL U	0.00	5	SL V	0.00	1	SL V	0.00	1	SL V
233	Max	0.99	1	SL V	2.57	5	SL V	-0.15	5	SL V	0.00	18	SL U	0.00	1	SL V	0.00	1	SL V
233	Min.	-0.98	1	SL V	-2.54	5	SL V	-1.08	9	SL U	0.00	5	SL V	0.00	1	SL V	0.00	1	SL V
234	Max	0.99	1	SL V	2.56	5	SL V	-0.15	5	SL V	0.00	18	SL U	0.00	17	SL U	0.00	17	SL U
234	Min.	-0.98	1	SL V	-2.54	5	SL V	-1.07	9	SL U	0.00	5	SL V	0.00	1	SL V	0.00	1	SL V
235	Max	1.00	1	SL V	2.55	5	SL V	-0.07	5	SL V	0.00	18	SL U	0.00	1	SL V	0.00	1	SL V
235	Min.	-0.97	1	SL V	-2.54	5	SL V	-0.72	9	SL U	0.00	5	SL V	-0.00	19	SL U	0.00	1	SL V
236	Max	0.99	1	SL V	2.55	5	SL V	-0.06	5	SL V	0.00	18	SL U	0.00	17	SL U	0.00	17	SL U
236	Min.	-0.96	1	SL V	-2.53	5	SL V	-0.69	9	SL U	0.00	5	SL V	-0.00	9	SL U	0.00	1	SL V
237	Max	0.96	1	SL V	2.55	5	SL V	-0.05	5	SL V	0.00	18	SL U	0.00	9	SL U	0.00	1	SL V
237	Min.	-0.98	1	SL V	-2.53	5	SL V	-0.66	19	SL U	0.00	5	SL V	0.00	1	SL V	0.00	1	SL V
238	Max	0.97	1	SL V	2.55	5	SL V	-0.05	5	SL V	0.00	18	SL U	0.00	19	SL U	0.00	1	SL V
238	Min.	-0.99	1	SL V	-2.54	5	SL V	-0.69	19	SL U	0.00	5	SL V	0.00	5	SL V	0.00	17	SL U
239	Max	0.98	1	SL V	2.56	5	SL V	-0.12	5	SL V	0.00	18	SL U	0.00	18	SL U	0.00	1	SL V
239	Min.	-0.98	1	SL V	-2.53	5	SL V	-0.97	19	SL U	0.00	5	SL V	0.00	1	SL V	0.00	1	SL V
240	Max	0.98	1	SL V	2.56	5	SL V	-0.12	5	SL V	0.00	18	SL U	0.00	17	SL U	0.00	1	SL V
240	Min.	-0.99	1	SL V	-2.54	5	SL V	-0.98	19	SL U	0.00	5	SL V	0.00	1	SL V	0.00	17	SL U
241	Max	0.99	1	SL	2.57	5	SL	-0.12	5	SL	0.00	18	SL	0.00	1	SL	0.00	1	SL

				V			V			V			U			V			V
241	Min.	-0.98	1	SL V	-2.54	5	SL V	-0.97	9	SL U	0.00	5	SL V	0.00	19	SL U	0.00	1	SL V
242	Max	0.98	1	SL V	2.56	5	SL V	-0.12	5	SL V	0.00	18	SL U	0.00	17	SL U	0.00	1	SL V
242	Min.	-0.98	1	SL V	-2.53	5	SL V	-0.97	9	SL U	0.00	5	SL V	0.00	18	SL U	0.00	17	SL U
243	Max	0.99	1	SL V	2.55	5	SL V	-0.05	5	SL V	0.00	18	SL U	0.00	5	SL V	0.00	1	SL V
243	Min.	-0.97	1	SL V	-2.54	5	SL V	-0.66	9	SL U	0.00	5	SL V	-0.00	19	SL U	0.00	1	SL V
244	Max	0.98	1	SL V	2.55	5	SL V	-0.05	5	SL V	0.00	18	SL U	0.00	17	SL U	0.00	1	SL V
244	Min.	-0.96	1	SL V	-2.53	5	SL V	-0.64	9	SL U	0.00	5	SL V	-0.00	9	SL U	0.00	1	SL V
245	Max	0.95	1	SL V	2.54	5	SL V	-0.03	5	SL V	0.00	9	SL U	0.00	9	SL U	0.00	1	SL V
245	Min.	-0.97	1	SL V	-2.53	5	SL V	-0.60	19	SL U	0.00	5	SL V	0.00	1	SL V	0.00	1	SL V
246	Max	0.95	1	SL V	2.55	5	SL V	-0.04	5	SL V	0.00	9	SL U	0.00	19	SL U	0.00	1	SL V
246	Min.	-0.97	1	SL V	-2.53	5	SL V	-0.62	19	SL U	0.00	5	SL V	0.00	1	SL V	-0.00	17	SL U
247	Max	0.97	1	SL V	2.56	5	SL V	-0.10	5	SL V	0.01	19	SL U	0.00	18	SL U	0.00	1	SL V
247	Min.	-0.97	1	SL V	-2.53	5	SL V	-0.86	19	SL U	0.00	5	SL V	0.00	1	SL V	-0.00	1	SL V
248	Max	0.97	1	SL V	2.56	5	SL V	-0.10	5	SL V	0.01	19	SL U	0.00	17	SL U	0.00	1	SL V
248	Min.	-0.97	1	SL V	-2.53	5	SL V	-0.86	19	SL U	0.00	5	SL V	0.00	1	SL V	-0.00	17	SL U
249	Max	0.97	1	SL V	2.56	5	SL V	-0.10	5	SL V	0.01	9	SL U	0.00	1	SL V	0.00	1	SL V
249	Min.	-0.97	1	SL V	-2.53	5	SL V	-0.86	9	SL U	0.00	5	SL V	0.00	19	SL U	-0.00	1	SL V
250	Max	0.97	1	SL V	2.56	5	SL V	-0.10	5	SL V	0.01	9	SL U	0.00	17	SL U	0.00	1	SL V
250	Min.	-0.97	1	SL V	-2.53	5	SL V	-0.86	9	SL U	0.00	5	SL V	0.00	18	SL U	-0.00	17	SL U
251	Max	0.97	1	SL V	2.55	5	SL V	-0.04	5	SL V	0.00	19	SL U	0.00	1	SL V	0.00	1	SL V
251	Min.	-0.95	1	SL V	-2.53	5	SL V	-0.60	9	SL U	0.00	5	SL V	-0.00	19	SL U	0.00	1	SL V
252	Max	0.97	1	SL V	2.54	5	SL V	-0.03	5	SL V	0.00	19	SL U	0.00	17	SL U	0.00	1	SL V
252	Min.	-0.95	1	SL V	-2.53	5	SL V	-0.58	9	SL U	0.00	5	SL V	-0.00	9	SL U	-0.00	17	SL U
253	Max	0.94	1	SL V	2.54	5	SL V	-0.03	5	SL V	0.00	9	SL U	0.00	9	SL U	0.00	1	SL V
253	Min.	-0.95	1	SL V	-2.52	5	SL V	-0.54	19	SL U	0.00	5	SL V	0.00	1	SL V	0.00	1	SL V
254	Max	0.94	1	SL V	2.55	5	SL V	-0.03	5	SL V	0.00	19	SL U	0.00	17	SL U	0.00	1	SL V
254	Min.	-0.95	1	SL V	-2.53	5	SL V	-0.56	19	SL U	0.00	5	SL V	0.00	1	SL V	0.00	17	SL U
255	Max	0.95	1	SL V	2.56	5	SL V	-0.08	5	SL V	0.01	9	SL U	0.00	18	SL U	0.00	1	SL V
255	Min.	-0.95	1	SL V	-2.53	5	SL V	-0.74	19	SL U	0.00	5	SL V	0.00	17	SL U	0.00	1	SL V
256	Max	0.95	1	SL	2.56	5	SL	-0.08	5	SL	0.01	19	SL	0.00	17	SL	0.00	1	SL

				V			V			V			U			U			V
256	Min.	-0.95	1	SL V	-2.53	5	SL V	-0.74	19	SL U	0.00	5	SL V	0.00	1	SL V	0.00	17	SL U
257	Max	0.95	1	SL V	2.56	5	SL V	-0.08	5	SL V	0.01	9	SL U	0.00	1	SL V	0.00	1	SL V
257	Min.	-0.95	1	SL V	-2.53	5	SL V	-0.73	9	SL U	0.00	5	SL V	0.00	19	SL U	0.00	1	SL V
258	Max	0.95	1	SL V	2.56	5	SL V	-0.08	5	SL V	0.01	19	SL U	0.00	17	SL U	0.00	1	SL V
258	Min.	-0.95	1	SL V	-2.53	5	SL V	-0.73	9	SL U	0.00	5	SL V	0.00	18	SL U	0.00	17	SL U
259	Max	0.95	1	SL V	2.55	5	SL V	-0.03	5	SL V	0.00	9	SL U	0.00	1	SL V	0.00	1	SL V
259	Min.	-0.94	1	SL V	-2.53	5	SL V	-0.53	9	SL U	0.00	5	SL V	-0.00	19	SL U	0.00	1	SL V
260	Max	0.95	1	SL V	2.54	5	SL V	-0.03	5	SL V	0.00	19	SL U	0.00	17	SL U	0.00	1	SL V
260	Min.	-0.94	1	SL V	-2.52	5	SL V	-0.52	9	SL U	0.00	5	SL V	-0.00	9	SL U	0.00	1	SL V
261	Max	0.93	1	SL V	2.54	5	SL V	-0.03	5	SL V	0.00	9	SL U	0.00	1	SL V	0.00	1	SL V
261	Min.	-0.94	1	SL V	-2.52	5	SL V	-0.47	19	SL U	0.00	5	SL V	0.00	1	SL V	0.00	19	SL U
262	Max	0.94	1	SL V	2.54	5	SL V	-0.03	5	SL V	0.00	19	SL U	0.00	19	SL U	0.00	17	SL U
262	Min.	-0.95	1	SL V	-2.52	5	SL V	-0.48	19	SL U	0.00	5	SL V	0.00	1	SL V	0.00	9	SL U
263	Max	0.95	1	SL V	2.56	5	SL V	-0.06	5	SL V	0.01	9	SL U	0.00	1	SL V	0.00	1	SL V
263	Min.	-0.95	1	SL V	-2.52	5	SL V	-0.60	19	SL U	0.00	5	SL V	0.00	1	SL V	0.00	17	SL U
264	Max	0.95	1	SL V	2.56	5	SL V	-0.06	5	SL V	0.01	19	SL U	0.00	17	SL U	0.00	17	SL U
264	Min.	-0.95	1	SL V	-2.52	5	SL V	-0.60	19	SL U	0.00	5	SL V	0.00	1	SL V	0.00	18	SL U
265	Max	0.95	1	SL V	2.56	5	SL V	-0.06	5	SL V	0.01	9	SL U	0.00	1	SL V	0.00	18	SL U
265	Min.	-0.95	1	SL V	-2.52	5	SL V	-0.60	9	SL U	0.00	5	SL V	0.00	1	SL V	0.00	17	SL U
266	Max	0.95	1	SL V	2.56	5	SL V	-0.06	5	SL V	0.01	19	SL U	0.00	17	SL U	0.00	17	SL U
266	Min.	-0.95	1	SL V	-2.52	5	SL V	-0.60	9	SL U	0.00	5	SL V	0.00	1	SL V	0.00	1	SL V
267	Max	0.95	1	SL V	2.54	5	SL V	-0.03	5	SL V	0.00	9	SL U	0.00	1	SL V	0.00	9	SL U
267	Min.	-0.94	1	SL V	-2.52	5	SL V	-0.46	9	SL U	0.00	5	SL V	-0.00	19	SL U	0.00	17	SL U
268	Max	0.94	1	SL V	2.54	5	SL V	-0.03	5	SL V	0.00	19	SL U	0.00	1	SL V	0.00	17	SL U
268	Min.	-0.93	1	SL V	-2.52	5	SL V	-0.45	9	SL U	0.00	5	SL V	-0.00	1	SL V	0.00	1	SL V
269	Max	0.92	1	SL V	2.53	5	SL V	-0.03	1	SL V	0.00	5	SL V	0.00	1	SL V	0.00	1	SL V
269	Min.	-0.93	1	SL V	-2.51	5	SL V	-0.40	19	SL U	-0.00	5	SL V	-0.00	1	SL V	0.00	1	SL V
270	Max	0.93	1	SL V	2.54	5	SL V	-0.05	5	SL V	0.00	5	SL V	0.00	1	SL V	0.00	1	SL V
270	Min.	-0.94	1	SL V	-2.52	5	SL V	-0.41	19	SL U	-0.00	5	SL V	-0.00	1	SL V	0.00	1	SL V
271	Max	0.94	1	SL	2.55	5	SL	-0.06	5	SL	0.01	9	SL	0.00	1	SL	0.00	1	SL

				V			V			V			U			V			V
271	Min.	-0.94	1	SL V	-2.52	5	SL V	-0.46	19	SL U	0.00	5	SL V	-0.00	1	SL V	0.00	1	SL V
272	Max	0.94	1	SL V	2.55	5	SL V	-0.06	5	SL V	0.01	19	SL U	0.00	1	SL V	0.00	1	SL V
272	Min.	-0.94	1	SL V	-2.52	5	SL V	-0.46	19	SL U	0.00	5	SL V	-0.00	1	SL V	0.00	1	SL V
273	Max	0.94	1	SL V	2.55	5	SL V	-0.06	5	SL V	0.01	9	SL U	0.00	1	SL V	0.00	1	SL V
273	Min.	-0.94	1	SL V	-2.52	5	SL V	-0.46	9	SL U	0.00	5	SL V	-0.00	1	SL V	0.00	1	SL V
274	Max	0.94	1	SL V	2.55	5	SL V	-0.06	5	SL V	0.01	19	SL U	0.00	1	SL V	0.00	1	SL V
274	Min.	-0.94	1	SL V	-2.52	5	SL V	-0.46	9	SL U	0.00	5	SL V	-0.00	1	SL V	0.00	1	SL V
275	Max	0.94	1	SL V	2.54	5	SL V	-0.05	5	SL V	0.00	5	SL V	0.00	1	SL V	0.00	1	SL V
275	Min.	-0.93	1	SL V	-2.52	5	SL V	-0.39	9	SL U	-0.00	5	SL V	-0.00	1	SL V	0.00	1	SL V
276	Max	0.93	1	SL V	2.53	5	SL V	-0.03	1	SL V	0.00	5	SL V	0.00	1	SL V	0.00	1	SL V
276	Min.	-0.92	1	SL V	-2.51	5	SL V	-0.38	9	SL U	-0.00	5	SL V	-0.00	1	SL V	0.00	1	SL V
277	Max	0.91	1	SL V	2.53	5	SL V	-0.02	1	SL V	0.00	5	SL V	0.00	1	SL V	0.00	1	SL V
277	Min.	-0.91	1	SL V	-2.51	5	SL V	-0.34	19	SL U	-0.00	5	SL V	-0.00	1	SL V	0.00	1	SL V
278	Max	0.91	1	SL V	2.53	5	SL V	-0.05	1	SL V	0.00	5	SL V	0.00	1	SL V	0.00	1	SL V
278	Min.	-0.92	1	SL V	-2.51	5	SL V	-0.34	19	SL U	-0.00	5	SL V	-0.00	1	SL V	-0.00	17	SL U
279	Max	0.92	1	SL V	2.54	5	SL V	-0.07	5	SL V	0.00	9	SL U	0.00	1	SL V	0.00	1	SL V
279	Min.	-0.92	1	SL V	-2.51	5	SL V	-0.33	19	SL U	-0.00	5	SL V	-0.00	1	SL V	-0.00	1	SL V
280	Max	0.92	1	SL V	2.54	5	SL V	-0.08	5	SL V	0.00	19	SL U	0.00	1	SL V	0.00	1	SL V
280	Min.	-0.92	1	SL V	-2.51	5	SL V	-0.33	19	SL U	-0.00	5	SL V	-0.00	1	SL V	-0.00	17	SL U
281	Max	0.92	1	SL V	2.54	5	SL V	-0.08	5	SL V	0.00	9	SL U	0.00	1	SL V	0.00	1	SL V
281	Min.	-0.92	1	SL V	-2.51	5	SL V	-0.33	9	SL U	-0.00	5	SL V	-0.00	1	SL V	-0.00	1	SL V
282	Max	0.92	1	SL V	2.54	5	SL V	-0.07	5	SL V	0.00	19	SL U	0.00	1	SL V	0.00	1	SL V
282	Min.	-0.92	1	SL V	-2.51	5	SL V	-0.33	9	SL U	-0.00	5	SL V	-0.00	1	SL V	-0.00	17	SL U
283	Max	0.92	1	SL V	2.53	5	SL V	-0.05	1	SL V	0.00	5	SL V	0.00	1	SL V	0.00	1	SL V
283	Min.	-0.91	1	SL V	-2.51	5	SL V	-0.32	9	SL U	-0.00	5	SL V	-0.00	1	SL V	-0.00	1	SL V
284	Max	0.91	1	SL V	2.53	5	SL V	-0.02	1	SL V	0.00	5	SL V	0.00	1	SL V	0.00	1	SL V
284	Min.	-0.91	1	SL V	-2.51	5	SL V	-0.31	9	SL U	-0.00	5	SL V	-0.00	1	SL V	-0.00	17	SL U
297	Max	0.92	1	SL V	2.52	5	SL V	0.01	5	SL V	0.01	5	SL V	0.00	1	SL V	0.00	1	SL V
297	Min.	-0.92	1	SL V	-2.50	5	SL V	-0.28	5	SL V	-0.00	5	SL V	-0.00	1	SL V	-0.00	1	SL V
298	Max	0.92	1	SL	2.52	5	SL	0.01	5	SL	0.01	5	SL	0.00	1	SL	0.00	1	SL

				V			V			V			V			V			V
298	Min.	-0.92	1	SL V	-2.51	5	SL V	-0.27	5	SL V	-0.00	5	SL V	-0.00	1	SL V	-0.00	1	SL V
299	Max	0.93	1	SL V	2.53	5	SL V	-0.00	5	SL V	0.01	5	SL V	0.00	1	SL V	0.00	1	SL V
299	Min.	-0.93	1	SL V	-2.51	5	SL V	-0.21	5	SL V	-0.00	5	SL V	-0.00	1	SL V	-0.00	1	SL V
300	Max	0.93	1	SL V	2.54	5	SL V	-0.01	5	SL V	0.01	5	SL V	0.00	1	SL V	0.00	1	SL V
300	Min.	-0.93	1	SL V	-2.51	5	SL V	-0.20	5	SL V	-0.00	5	SL V	-0.00	1	SL V	-0.00	1	SL V
301	Max	0.93	1	SL V	2.54	5	SL V	-0.01	5	SL V	0.01	5	SL V	0.00	1	SL V	0.00	1	SL V
301	Min.	-0.93	1	SL V	-2.51	5	SL V	-0.20	5	SL V	-0.00	5	SL V	-0.00	1	SL V	-0.00	1	SL V
302	Max	0.93	1	SL V	2.53	5	SL V	-0.00	5	SL V	0.01	5	SL V	0.00	1	SL V	0.00	1	SL V
302	Min.	-0.93	1	SL V	-2.51	5	SL V	-0.21	5	SL V	-0.00	5	SL V	-0.00	1	SL V	-0.00	1	SL V
303	Max	0.92	1	SL V	2.52	5	SL V	0.01	5	SL V	0.01	5	SL V	0.00	1	SL V	0.00	1	SL V
303	Min.	-0.92	1	SL V	-2.51	5	SL V	-0.27	5	SL V	-0.00	5	SL V	-0.00	1	SL V	-0.00	1	SL V
304	Max	0.93	1	SL V	2.52	5	SL V	0.01	5	SL V	0.01	5	SL V	0.00	1	SL V	0.00	1	SL V
304	Min.	-0.92	1	SL V	-2.50	5	SL V	-0.28	5	SL V	-0.00	5	SL V	-0.00	1	SL V	-0.00	1	SL V
305	Max	0.95	1	SL V	2.52	5	SL V	0.10	5	SL V	0.01	5	SL V	0.00	1	SL V	0.00	1	SL V
305	Min.	-0.95	1	SL V	-2.50	5	SL V	-0.35	5	SL V	-0.00	5	SL V	-0.00	1	SL V	-0.00	1	SL V
306	Max	0.95	1	SL V	2.52	5	SL V	0.09	5	SL V	0.01	5	SL V	0.00	1	SL V	0.00	1	SL V
306	Min.	-0.95	1	SL V	-2.51	5	SL V	-0.34	5	SL V	-0.00	5	SL V	-0.00	1	SL V	-0.00	1	SL V
307	Max	0.96	1	SL V	2.53	5	SL V	0.08	5	SL V	0.01	5	SL V	0.00	1	SL V	0.00	1	SL V
307	Min.	-0.96	1	SL V	-2.51	5	SL V	-0.28	5	SL V	-0.00	5	SL V	-0.00	1	SL V	-0.00	1	SL V
308	Max	0.96	1	SL V	2.54	5	SL V	0.08	5	SL V	0.01	5	SL V	0.00	1	SL V	0.00	1	SL V
308	Min.	-0.96	1	SL V	-2.51	5	SL V	-0.27	5	SL V	-0.00	5	SL V	-0.00	1	SL V	-0.00	1	SL V
309	Max	0.96	1	SL V	2.54	5	SL V	0.08	5	SL V	0.01	5	SL V	0.00	1	SL V	0.00	1	SL V
309	Min.	-0.96	1	SL V	-2.51	5	SL V	-0.27	5	SL V	-0.00	5	SL V	-0.00	1	SL V	-0.00	1	SL V
310	Max	0.96	1	SL V	2.53	5	SL V	0.08	5	SL V	0.01	5	SL V	0.00	1	SL V	0.00	1	SL V
310	Min.	-0.96	1	SL V	-2.51	5	SL V	-0.28	5	SL V	-0.00	5	SL V	-0.00	1	SL V	-0.00	1	SL V
311	Max	0.95	1	SL V	2.52	5	SL V	0.09	5	SL V	0.01	5	SL V	0.00	1	SL V	0.00	1	SL V
311	Min.	-0.95	1	SL V	-2.51	5	SL V	-0.34	5	SL V	-0.00	5	SL V	-0.00	1	SL V	-0.00	1	SL V
312	Max	0.95	1	SL V	2.52	5	SL V	0.10	5	SL V	0.01	5	SL V	0.00	1	SL V	0.00	1	SL V
312	Min.	-0.95	1	SL V	-2.50	5	SL V	-0.35	5	SL V	-0.00	5	SL V	-0.00	1	SL V	-0.00	1	SL V
313	Max	0.00	1	SL	0.00	1	SL	0.05	5	SL	0.01	5	SL	0.00	1	SL	0.00	1	SL

				V			V			V			V			V			V
313	Min.	-0.00	1	SLV	-0.00	1	SLV	-0.32	5	SLV	-0.01	5	SLV	-0.00	1	SLV	0.00	1	SLV
314	Max	0.00	1	SLV	0.00	18	SLU	0.04	5	SLV	0.01	5	SLV	0.00	1	SLV	0.00	1	SLV
314	Min.	-0.00	1	SLV	0.00	5	SLV	-0.31	5	SLV	-0.01	5	SLV	-0.00	1	SLV	0.00	1	SLV
315	Max	0.00	1	SLV	0.00	1	SLV	0.03	5	SLV	0.01	5	SLV	0.00	1	SLV	0.00	1	SLV
315	Min.	-0.00	1	SLV	0.00	1	SLV	-0.30	5	SLV	-0.01	5	SLV	-0.00	1	SLV	0.00	1	SLV
316	Max	0.00	1	SLV	0.00	1	SLV	0.03	5	SLV	0.01	5	SLV	0.00	1	SLV	0.00	1	SLV
316	Min.	-0.00	1	SLV	-0.00	1	SLV	-0.26	5	SLV	-0.01	5	SLV	-0.00	1	SLV	0.00	1	SLV
317	Max	0.00	1	SLV	0.00	18	SLU	0.02	5	SLV	0.01	5	SLV	0.00	1	SLV	0.00	1	SLV
317	Min.	-0.00	1	SLV	0.00	5	SLV	-0.25	5	SLV	-0.01	5	SLV	-0.00	1	SLV	0.00	1	SLV
318	Max	0.00	1	SLV	0.00	1	SLV	0.02	5	SLV	0.01	5	SLV	0.00	1	SLV	0.00	1	SLV
318	Min.	-0.00	1	SLV	-0.00	1	SLV	-0.25	5	SLV	-0.01	5	SLV	-0.00	1	SLV	0.00	1	SLV
319	Max	0.00	1	SLV	0.00	1	SLV	0.02	5	SLV	0.01	5	SLV	0.00	1	SLV	0.00	1	SLV
319	Min.	-0.00	1	SLV	-0.00	1	SLV	-0.25	5	SLV	-0.01	5	SLV	-0.00	1	SLV	0.00	1	SLV
320	Max	0.00	1	SLV	0.00	18	SLU	0.02	5	SLV	0.01	5	SLV	0.00	1	SLV	0.00	1	SLV
320	Min.	-0.00	1	SLV	0.00	5	SLV	-0.25	5	SLV	-0.01	5	SLV	-0.00	1	SLV	0.00	1	SLV
321	Max	0.00	1	SLV	0.00	1	SLV	0.03	5	SLV	0.01	5	SLV	0.00	1	SLV	0.00	1	SLV
321	Min.	-0.00	1	SLV	-0.00	1	SLV	-0.26	5	SLV	-0.01	5	SLV	-0.00	1	SLV	0.00	1	SLV
322	Max	0.00	1	SLV	0.00	1	SLV	0.03	5	SLV	0.01	5	SLV	0.00	1	SLV	0.00	1	SLV
322	Min.	-0.00	1	SLV	0.00	1	SLV	-0.30	5	SLV	-0.01	5	SLV	-0.00	1	SLV	0.00	1	SLV
323	Max	0.00	1	SLV	0.00	18	SLU	0.04	5	SLV	0.01	5	SLV	0.00	1	SLV	0.00	1	SLV
323	Min.	-0.00	1	SLV	0.00	5	SLV	-0.31	5	SLV	-0.01	5	SLV	-0.00	1	SLV	0.00	1	SLV
324	Max	0.00	1	SLV	0.00	1	SLV	0.05	5	SLV	0.01	5	SLV	0.00	1	SLV	0.00	1	SLV
324	Min.	-0.00	1	SLV	-0.00	1	SLV	-0.32	5	SLV	-0.01	5	SLV	-0.00	1	SLV	0.00	1	SLV
325	Max	0.00	1	SLV	0.00	5	SLV	-0.02	1	SLV	0.01	5	SLV	0.00	1	SLV	0.00	5	SLV
325	Min.	0.00	1	SLV	0.00	5	SLV	-0.28	19	SLU	-0.01	5	SLV	0.00	1	SLV	0.00	5	SLV
326	Max	0.00	1	SLV	0.00	1	SLV	-0.03	1	SLV	0.01	5	SLV	0.00	1	SLV	0.00	1	SLV
326	Min.	0.00	1	SLV	0.00	1	SLV	-0.28	19	SLU	-0.01	5	SLV	0.00	1	SLV	0.00	1	SLV
327	Max	0.00	1	SLV	0.00	5	SLV	-0.03	1	SLV	0.01	5	SLV	0.00	1	SLV	0.00	5	SLV
327	Min.	0.00	1	SLV	0.00	5	SLV	-0.27	19	SLU	-0.01	5	SLV	0.00	1	SLV	0.00	5	SLV
328	Max	0.00	1	SL	0.00	5	SL	-0.09	5	SL	0.01	5	SL	0.00	1	SL	0.00	5	SL

				V			V			V			V			V			V
328	Min.	0.00	1	SLV	0.00	5	SLV	-0.23	18	SLU	-0.01	5	SLV	0.00	1	SLV	0.00	5	SLV
329	Max	0.00	1	SLV	0.00	1	SLV	-0.09	5	SLV	0.01	5	SLV	0.00	1	SLV	0.00	1	SLV
329	Min.	0.00	1	SLV	0.00	1	SLV	-0.23	18	SLU	-0.01	5	SLV	0.00	1	SLV	0.00	1	SLV
330	Max	0.00	1	SLV	0.00	5	SLV	-0.09	5	SLV	0.01	5	SLV	0.00	1	SLV	0.00	5	SLV
330	Min.	0.00	1	SLV	0.00	5	SLV	-0.23	18	SLU	-0.01	5	SLV	0.00	1	SLV	0.00	5	SLV
331	Max	0.00	1	SLV	0.00	5	SLV	-0.09	5	SLV	0.01	5	SLV	0.00	1	SLV	0.00	5	SLV
331	Min.	0.00	1	SLV	0.00	5	SLV	-0.23	18	SLU	-0.01	5	SLV	0.00	1	SLV	0.00	5	SLV
332	Max	0.00	1	SLV	0.00	1	SLV	-0.09	5	SLV	0.01	5	SLV	0.00	1	SLV	0.00	1	SLV
332	Min.	0.00	1	SLV	0.00	1	SLV	-0.23	18	SLU	-0.01	5	SLV	0.00	1	SLV	0.00	1	SLV
333	Max	0.00	1	SLV	0.00	5	SLV	-0.09	5	SLV	0.01	5	SLV	0.00	1	SLV	0.00	5	SLV
333	Min.	0.00	1	SLV	0.00	5	SLV	-0.23	18	SLU	-0.01	5	SLV	0.00	1	SLV	0.00	5	SLV
334	Max	0.00	1	SLV	0.00	5	SLV	-0.03	1	SLV	0.01	5	SLV	0.00	1	SLV	0.00	5	SLV
334	Min.	0.00	1	SLV	0.00	5	SLV	-0.27	18	SLU	-0.01	5	SLV	0.00	1	SLV	0.00	5	SLV
335	Max	0.00	1	SLV	0.00	1	SLV	-0.03	1	SLV	0.01	5	SLV	0.00	1	SLV	0.00	1	SLV
335	Min.	0.00	1	SLV	0.00	1	SLV	-0.28	18	SLU	-0.01	5	SLV	0.00	1	SLV	0.00	1	SLV
336	Max	0.00	1	SLV	0.00	5	SLV	-0.02	1	SLV	0.01	5	SLV	0.00	1	SLV	0.00	5	SLV
336	Min.	0.00	1	SLV	0.00	5	SLV	-0.28	18	SLU	-0.01	5	SLV	0.00	1	SLV	0.00	5	SLV
337	Max	0.00	1	SLV	0.00	1	SLV	0.02	1	SLV	0.01	5	SLV	0.00	1	SLV	0.00	1	SLV
337	Min.	-0.00	1	SLV	0.00	1	SLV	-0.30	18	SLU	-0.01	5	SLV	-0.00	1	SLV	0.00	1	SLV
338	Max	0.00	1	SLV	0.00	5	SLV	-0.01	1	SLV	0.01	5	SLV	0.00	1	SLV	0.00	1	SLV
338	Min.	-0.00	1	SLV	0.00	18	SLU	-0.30	18	SLU	-0.01	5	SLV	-0.00	1	SLV	0.00	1	SLV
339	Max	0.00	1	SLV	0.00	1	SLV	-0.02	5	SLV	0.01	5	SLV	0.00	1	SLV	0.00	1	SLV
339	Min.	-0.00	1	SLV	-0.00	1	SLV	-0.29	18	SLU	-0.01	5	SLV	-0.00	1	SLV	0.00	1	SLV
340	Max	0.00	1	SLV	0.00	1	SLV	0.00	5	SLV	0.01	5	SLV	0.00	1	SLV	0.00	1	SLV
340	Min.	-0.00	1	SLV	-0.00	1	SLV	-0.25	18	SLU	-0.01	5	SLV	-0.00	1	SLV	0.00	1	SLV
341	Max	0.00	1	SLV	0.00	5	SLV	-0.00	5	SLV	0.01	5	SLV	0.00	1	SLV	0.00	1	SLV
341	Min.	-0.00	1	SLV	0.00	18	SLU	-0.25	18	SLU	-0.01	5	SLV	-0.00	1	SLV	0.00	1	SLV
342	Max	0.00	1	SLV	0.00	1	SLV	-0.00	5	SLV	0.01	5	SLV	0.00	1	SLV	0.00	1	SLV
342	Min.	-0.00	1	SLV	-0.00	1	SLV	-0.25	18	SLU	-0.01	5	SLV	-0.00	1	SLV	0.00	1	SLV
343	Max	0.00	1	SL	0.00	1	SL	-0.00	5	SL	0.01	5	SL	0.00	1	SL	0.00	1	SL

				V			V			V			V			V			V
343	Min.	-0.00	1	SLV	-0.00	1	SLV	-0.25	18	SLU	-0.01	5	SLV	-0.00	1	SLV	0.00	1	SLV
344	Max	0.00	1	SLV	0.00	5	SLV	-0.00	5	SLV	0.01	5	SLV	0.00	1	SLV	0.00	1	SLV
344	Min.	-0.00	1	SLV	0.00	18	SLU	-0.25	18	SLU	-0.01	5	SLV	-0.00	1	SLV	0.00	1	SLV
345	Max	0.00	1	SLV	0.00	1	SLV	0.00	5	SLV	0.01	5	SLV	0.00	1	SLV	0.00	1	SLV
345	Min.	-0.00	1	SLV	-0.00	1	SLV	-0.25	18	SLU	-0.01	5	SLV	-0.00	1	SLV	0.00	1	SLV
346	Max	0.00	1	SLV	0.00	1	SLV	-0.02	5	SLV	0.01	5	SLV	0.00	1	SLV	0.00	1	SLV
346	Min.	-0.00	1	SLV	-0.00	1	SLV	-0.29	18	SLU	-0.01	5	SLV	-0.00	1	SLV	0.00	1	SLV
347	Max	0.00	1	SLV	0.00	5	SLV	-0.01	1	SLV	0.01	5	SLV	0.00	1	SLV	0.00	1	SLV
347	Min.	-0.00	1	SLV	0.00	18	SLU	-0.30	18	SLU	-0.01	5	SLV	-0.00	1	SLV	0.00	1	SLV
348	Max	0.00	1	SLV	0.00	1	SLV	0.02	1	SLV	0.01	5	SLV	0.00	1	SLV	0.00	1	SLV
348	Min.	-0.00	1	SLV	0.00	1	SLV	-0.30	18	SLU	-0.01	5	SLV	-0.00	1	SLV	0.00	1	SLV
349	Max	0.00	1	SLV	0.00	1	SLV	0.02	1	SLV	0.01	5	SLV	0.00	1	SLV	0.00	1	SLV
349	Min.	-0.00	1	SLV	0.00	1	SLV	-0.29	1	SLV	-0.01	5	SLV	-0.00	1	SLV	0.00	1	SLV
350	Max	0.00	1	SLV	0.00	18	SLU	-0.01	1	SLV	0.01	5	SLV	0.00	1	SLV	0.00	1	SLV
350	Min.	-0.00	1	SLV	0.00	5	SLV	-0.28	19	SLU	-0.01	5	SLV	-0.00	1	SLV	0.00	1	SLV
351	Max	0.00	1	SLV	0.00	1	SLV	-0.02	5	SLV	0.01	5	SLV	0.00	1	SLV	0.00	1	SLV
351	Min.	-0.00	1	SLV	0.00	1	SLV	-0.27	19	SLU	-0.01	5	SLV	-0.00	1	SLV	0.00	1	SLV
352	Max	0.00	1	SLV	0.00	1	SLV	0.00	5	SLV	0.01	5	SLV	0.00	1	SLV	0.00	1	SLV
352	Min.	-0.00	1	SLV	-0.00	1	SLV	-0.23	5	SLV	-0.01	5	SLV	-0.00	1	SLV	0.00	1	SLV
353	Max	0.00	1	SLV	0.00	19	SLU	-0.00	5	SLV	0.01	5	SLV	0.00	1	SLV	0.00	1	SLV
353	Min.	-0.00	1	SLV	0.00	5	SLV	-0.22	5	SLV	-0.01	5	SLV	-0.00	1	SLV	0.00	1	SLV
354	Max	0.00	1	SLV	0.00	1	SLV	-0.00	5	SLV	0.01	5	SLV	0.00	1	SLV	0.00	1	SLV
354	Min.	-0.00	1	SLV	-0.00	1	SLV	-0.22	5	SLV	-0.01	5	SLV	-0.00	1	SLV	0.00	1	SLV
355	Max	0.00	1	SLV	0.00	1	SLV	-0.00	5	SLV	0.01	5	SLV	0.00	1	SLV	0.00	1	SLV
355	Min.	-0.00	1	SLV	-0.00	1	SLV	-0.22	5	SLV	-0.01	5	SLV	-0.00	1	SLV	0.00	1	SLV
356	Max	0.00	1	SLV	0.00	9	SLU	-0.00	5	SLV	0.01	5	SLV	0.00	1	SLV	0.00	1	SLV
356	Min.	-0.00	1	SLV	0.00	5	SLV	-0.22	5	SLV	-0.01	5	SLV	-0.00	1	SLV	0.00	1	SLV
357	Max	0.00	1	SLV	0.00	1	SLV	0.00	5	SLV	0.01	5	SLV	0.00	1	SLV	0.00	1	SLV
357	Min.	-0.00	1	SLV	-0.00	1	SLV	-0.23	5	SLV	-0.01	5	SLV	-0.00	1	SLV	0.00	1	SLV
358	Max	0.00	1	SL	0.00	1	SL	-0.02	5	SL	0.01	5	SL	0.00	1	SL	0.00	1	SL

				V			V			V			V			V			V
358	Min.	-0.00	1	SLV	0.00	1	SLV	-0.25	9	SLU	-0.01	5	SLV	-0.00	1	SLV	0.00	1	SLV
359	Max	0.00	1	SLV	0.00	18	SLU	-0.01	1	SLV	0.01	5	SLV	0.00	1	SLV	0.00	1	SLV
359	Min.	-0.00	1	SLV	0.00	5	SLV	-0.26	1	SLV	-0.01	5	SLV	-0.00	1	SLV	0.00	1	SLV
360	Max	0.00	1	SLV	0.00	1	SLV	0.02	1	SLV	0.01	5	SLV	0.00	1	SLV	0.00	1	SLV
360	Min.	-0.00	1	SLV	0.00	1	SLV	-0.29	1	SLV	-0.01	5	SLV	-0.00	1	SLV	0.00	1	SLV
361	Max	0.00	1	SLV	0.00	5	SLV	-0.02	1	SLV	0.01	5	SLV	0.00	1	SLV	0.00	5	SLV
361	Min.	0.00	1	SLV	0.00	5	SLV	-0.28	19	SLU	-0.01	5	SLV	0.00	1	SLV	0.00	5	SLV
362	Max	0.00	1	SLV	0.00	1	SLV	-0.03	1	SLV	0.01	5	SLV	0.00	1	SLV	0.00	1	SLV
362	Min.	0.00	1	SLV	0.00	1	SLV	-0.28	19	SLU	-0.01	5	SLV	0.00	1	SLV	0.00	1	SLV
363	Max	0.00	1	SLV	0.00	5	SLV	-0.03	1	SLV	0.01	5	SLV	0.00	1	SLV	0.00	5	SLV
363	Min.	0.00	1	SLV	0.00	5	SLV	-0.27	19	SLU	-0.01	5	SLV	0.00	1	SLV	0.00	5	SLV
364	Max	0.00	1	SLV	0.00	5	SLV	-0.09	5	SLV	0.01	5	SLV	0.00	1	SLV	0.00	5	SLV
364	Min.	0.00	1	SLV	0.00	5	SLV	-0.21	19	SLU	-0.01	5	SLV	0.00	1	SLV	0.00	5	SLV
365	Max	0.00	1	SLV	0.00	1	SLV	-0.09	5	SLV	0.01	5	SLV	0.00	1	SLV	0.00	1	SLV
365	Min.	0.00	1	SLV	0.00	1	SLV	-0.21	19	SLU	-0.01	5	SLV	0.00	1	SLV	0.00	1	SLV
366	Max	0.00	1	SLV	0.00	5	SLV	-0.09	5	SLV	0.01	5	SLV	0.00	1	SLV	0.00	5	SLV
366	Min.	0.00	1	SLV	0.00	5	SLV	-0.21	19	SLU	-0.01	5	SLV	0.00	1	SLV	0.00	5	SLV
367	Max	0.00	1	SLV	0.00	5	SLV	-0.09	5	SLV	0.01	5	SLV	0.00	1	SLV	0.00	5	SLV
367	Min.	0.00	1	SLV	0.00	5	SLV	-0.21	9	SLU	-0.01	5	SLV	0.00	1	SLV	0.00	5	SLV
368	Max	0.00	1	SLV	0.00	1	SLV	-0.09	5	SLV	0.01	5	SLV	0.00	1	SLV	0.00	1	SLV
368	Min.	0.00	1	SLV	0.00	1	SLV	-0.21	9	SLU	-0.01	5	SLV	0.00	1	SLV	0.00	1	SLV
369	Max	0.00	1	SLV	0.00	5	SLV	-0.09	5	SLV	0.01	5	SLV	0.00	1	SLV	0.00	5	SLV
369	Min.	0.00	1	SLV	0.00	5	SLV	-0.21	9	SLU	-0.01	5	SLV	0.00	1	SLV	0.00	5	SLV
370	Max	0.00	1	SLV	0.00	5	SLV	-0.03	1	SLV	0.01	5	SLV	0.00	1	SLV	0.00	5	SLV
370	Min.	0.00	1	SLV	0.00	5	SLV	-0.25	9	SLU	-0.01	5	SLV	0.00	1	SLV	0.00	5	SLV
371	Max	0.00	1	SLV	0.00	1	SLV	-0.03	1	SLV	0.01	5	SLV	0.00	1	SLV	0.00	1	SLV
371	Min.	0.00	1	SLV	0.00	1	SLV	-0.26	9	SLU	-0.01	5	SLV	0.00	1	SLV	0.00	1	SLV
372	Max	0.00	1	SLV	0.00	5	SLV	-0.02	1	SLV	0.01	5	SLV	0.00	1	SLV	0.00	5	SLV
372	Min.	0.00	1	SLV	0.00	5	SLV	-0.26	9	SLU	-0.01	5	SLV	0.00	1	SLV	0.00	5	SLV
373	Max	0.00	1	SL	0.00	1	SL	0.05	5	SL	0.01	5	SL	0.00	1	SL	0.00	1	SL

				V			V			V			V			V			V
373	Min.	-0.00	1	SLV	-0.00	1	SLV	-0.32	5	SLV	-0.01	5	SLV	-0.00	1	SLV	0.00	1	SLV
374	Max	0.00	1	SLV	0.00	5	SLV	0.04	5	SLV	0.01	5	SLV	0.00	1	SLV	0.00	1	SLV
374	Min.	-0.00	1	SLV	0.00	19	SLU	-0.31	5	SLV	-0.01	5	SLV	-0.00	1	SLV	0.00	1	SLV
375	Max	0.00	1	SLV	0.00	1	SLV	0.03	5	SLV	0.01	5	SLV	0.00	1	SLV	0.00	1	SLV
375	Min.	-0.00	1	SLV	-0.00	1	SLV	-0.30	5	SLV	-0.01	5	SLV	-0.00	1	SLV	0.00	1	SLV
376	Max	0.00	1	SLV	0.00	1	SLV	0.03	5	SLV	0.01	5	SLV	0.00	1	SLV	0.00	1	SLV
376	Min.	-0.00	1	SLV	-0.00	1	SLV	-0.26	5	SLV	-0.01	5	SLV	-0.00	1	SLV	0.00	1	SLV
377	Max	0.00	1	SLV	0.00	5	SLV	0.02	5	SLV	0.01	5	SLV	0.00	1	SLV	0.00	1	SLV
377	Min.	-0.00	1	SLV	0.00	19	SLU	-0.25	5	SLV	-0.01	5	SLV	-0.00	1	SLV	0.00	1	SLV
378	Max	0.00	1	SLV	0.00	1	SLV	0.02	5	SLV	0.01	5	SLV	0.00	1	SLV	0.00	1	SLV
378	Min.	-0.00	1	SLV	-0.00	1	SLV	-0.25	5	SLV	-0.01	5	SLV	-0.00	1	SLV	0.00	1	SLV
379	Max	0.00	1	SLV	0.00	1	SLV	0.02	5	SLV	0.01	5	SLV	0.00	1	SLV	0.00	1	SLV
379	Min.	-0.00	1	SLV	-0.00	1	SLV	-0.25	5	SLV	-0.01	5	SLV	-0.00	1	SLV	0.00	1	SLV
380	Max	0.00	1	SLV	0.00	5	SLV	0.02	5	SLV	0.01	5	SLV	0.00	1	SLV	0.00	1	SLV
380	Min.	-0.00	1	SLV	0.00	9	SLU	-0.25	5	SLV	-0.01	5	SLV	-0.00	1	SLV	0.00	1	SLV
381	Max	0.00	1	SLV	0.00	1	SLV	0.03	5	SLV	0.01	5	SLV	0.00	1	SLV	0.00	1	SLV
381	Min.	-0.00	1	SLV	-0.00	1	SLV	-0.26	5	SLV	-0.01	5	SLV	-0.00	1	SLV	0.00	1	SLV
382	Max	0.00	1	SLV	0.00	1	SLV	0.03	5	SLV	0.01	5	SLV	0.00	1	SLV	0.00	1	SLV
382	Min.	-0.00	1	SLV	-0.00	1	SLV	-0.30	5	SLV	-0.01	5	SLV	-0.00	1	SLV	0.00	1	SLV
383	Max	0.00	1	SLV	0.00	5	SLV	0.04	5	SLV	0.01	5	SLV	0.00	1	SLV	0.00	1	SLV
383	Min.	-0.00	1	SLV	0.00	9	SLU	-0.31	5	SLV	-0.01	5	SLV	-0.00	1	SLV	0.00	1	SLV
384	Max	0.00	1	SLV	0.00	1	SLV	0.05	5	SLV	0.01	5	SLV	0.00	1	SLV	0.00	1	SLV
384	Min.	-0.00	1	SLV	-0.00	1	SLV	-0.32	5	SLV	-0.01	5	SLV	-0.00	1	SLV	0.00	1	SLV
1026	Max	0.86	1	SLV	2.42	5	SLV	-0.03	1	SLV	0.01	5	SLV	0.00	1	SLV	0.00	1	SLV
1026	Min.	-0.87	1	SLV	-2.44	5	SLV	-0.28	19	SLU	-0.01	5	SLV	-0.00	1	SLV	0.00	1	SLV
1029	Max	0.87	1	SLV	2.42	5	SLV	-0.10	5	SLV	0.01	5	SLV	0.00	1	SLV	0.00	1	SLV
1029	Min.	-0.87	1	SLV	-2.46	5	SLV	-0.24	18	SLU	-0.01	5	SLV	-0.00	1	SLV	0.00	1	SLV
1032	Max	0.87	1	SLV	2.42	5	SLV	-0.10	5	SLV	0.01	5	SLV	0.00	1	SLV	0.00	1	SLV
1032	Min.	-0.87	1	SLV	-2.46	5	SLV	-0.24	18	SLU	-0.01	5	SLV	-0.00	1	SLV	0.00	1	SLV
1035	Max	0.87	1	SL	2.42	5	SL	-0.03	1	SL	0.01	5	SL	0.00	1	SL	0.00	1	SL

				V			V			V			V			V			V
1035	Min.	-0.86	1	SLV	-2.44	5	SLV	-0.28	18	SLU	-0.01	5	SLV	-0.00	1	SLV	0.00	1	SLV
1286	Max	0.86	1	SLV	2.44	5	SLV	-0.03	1	SLV	0.01	5	SLV	0.00	1	SLV	0.00	1	SLV
1286	Min.	-0.86	1	SLV	-2.42	5	SLV	-0.28	19	SLU	-0.01	5	SLV	-0.00	1	SLV	0.00	1	SLV
1289	Max	0.87	1	SLV	2.46	5	SLV	-0.10	5	SLV	0.01	5	SLV	0.00	1	SLV	0.00	1	SLV
1289	Min.	-0.87	1	SLV	-2.42	5	SLV	-0.23	19	SLU	-0.01	5	SLV	-0.00	1	SLV	0.00	1	SLV
1292	Max	0.87	1	SLV	2.46	5	SLV	-0.10	5	SLV	0.01	5	SLV	0.00	1	SLV	0.00	1	SLV
1292	Min.	-0.87	1	SLV	-2.42	5	SLV	-0.22	9	SLU	-0.01	5	SLV	-0.00	1	SLV	0.00	1	SLV
1295	Max	0.86	1	SLV	2.44	5	SLV	-0.03	1	SLV	0.01	5	SLV	0.00	1	SLV	0.00	1	SLV
1295	Min.	-0.86	1	SLV	-2.42	5	SLV	-0.26	9	SLU	-0.01	5	SLV	-0.00	1	SLV	0.00	1	SLV
1296	Max	0.87	1	SLV	2.42	5	SLV	0.02	1	SLV	0.01	5	SLV	0.00	1	SLV	0.00	1	SLV
1296	Min.	-0.87	1	SLV	-2.44	5	SLV	-0.29	1	SLV	-0.01	5	SLV	-0.00	1	SLV	0.00	1	SLV
1297	Max	0.87	1	SLV	2.42	5	SLV	-0.01	1	SLV	0.01	5	SLV	0.00	1	SLV	0.00	1	SLV
1297	Min.	-0.87	1	SLV	-2.44	5	SLV	-0.28	19	SLU	-0.01	5	SLV	-0.00	1	SLV	0.00	1	SLV
1298	Max	0.87	1	SLV	2.42	5	SLV	-0.02	5	SLV	0.01	5	SLV	0.00	1	SLV	0.00	1	SLV
1298	Min.	-0.87	1	SLV	-2.45	5	SLV	-0.27	19	SLU	-0.01	5	SLV	-0.00	1	SLV	0.00	1	SLV
1299	Max	0.88	1	SLV	2.42	5	SLV	-0.02	5	SLV	0.01	5	SLV	0.00	1	SLV	0.00	1	SLV
1299	Min.	-0.88	1	SLV	-2.46	5	SLV	-0.23	19	SLU	-0.01	5	SLV	-0.00	1	SLV	0.00	1	SLV
1300	Max	0.88	1	SLV	2.42	5	SLV	-0.03	5	SLV	0.01	5	SLV	0.00	1	SLV	0.00	1	SLV
1300	Min.	-0.88	1	SLV	-2.46	5	SLV	-0.22	18	SLU	-0.01	5	SLV	-0.00	1	SLV	0.00	1	SLV
1301	Max	0.88	1	SLV	2.42	5	SLV	-0.03	5	SLV	0.01	5	SLV	0.00	1	SLV	0.00	1	SLV
1301	Min.	-0.88	1	SLV	-2.46	5	SLV	-0.22	18	SLU	-0.01	5	SLV	-0.00	1	SLV	0.00	1	SLV
1302	Max	0.88	1	SLV	2.42	5	SLV	-0.03	5	SLV	0.01	5	SLV	0.00	1	SLV	0.00	1	SLV
1302	Min.	-0.88	1	SLV	-2.46	5	SLV	-0.22	18	SLU	-0.01	5	SLV	-0.00	1	SLV	0.00	1	SLV
1303	Max	0.88	1	SLV	2.42	5	SLV	-0.03	5	SLV	0.01	5	SLV	0.00	1	SLV	0.00	1	SLV
1303	Min.	-0.88	1	SLV	-2.46	5	SLV	-0.22	18	SLU	-0.01	5	SLV	-0.00	1	SLV	0.00	1	SLV
1304	Max	0.88	1	SLV	2.42	5	SLV	-0.02	5	SLV	0.01	5	SLV	0.00	1	SLV	0.00	1	SLV
1304	Min.	-0.88	1	SLV	-2.46	5	SLV	-0.22	18	SLU	-0.01	5	SLV	-0.00	1	SLV	0.00	1	SLV
1305	Max	0.87	1	SLV	2.42	5	SLV	-0.02	5	SLV	0.01	5	SLV	0.00	1	SLV	0.00	1	SLV
1305	Min.	-0.87	1	SLV	-2.45	5	SLV	-0.27	18	SLU	-0.01	5	SLV	-0.00	1	SLV	0.00	1	SLV
1306	Max	0.87	1	SL	2.42	5	SL	-0.01	1	SL	0.01	5	SL	0.00	1	SL	0.00	1	SL

				V			V			V			V			V			V
1306	Min.	-0.87	1	SLV	-2.44	5	SLV	-0.27	18	SLU	-0.01	5	SLV	-0.00	1	SLV	0.00	1	SLV
1307	Max	0.87	1	SLV	2.42	5	SLV	0.02	1	SLV	0.01	5	SLV	0.00	1	SLV	0.00	1	SLV
1307	Min.	-0.87	1	SLV	-2.44	5	SLV	-0.29	1	SLV	-0.01	5	SLV	-0.00	1	SLV	0.00	1	SLV
1308	Max	0.86	1	SLV	2.42	5	SLV	0.00	1	SLV	0.01	5	SLV	0.00	1	SLV	0.00	1	SLV
1308	Min.	-0.87	1	SLV	-2.44	5	SLV	-0.29	19	SLU	-0.01	5	SLV	-0.00	1	SLV	0.00	1	SLV
1309	Max	0.86	1	SLV	2.42	5	SLV	-0.06	1	SLV	0.01	5	SLV	0.00	1	SLV	0.00	1	SLV
1309	Min.	-0.87	1	SLV	-2.45	5	SLV	-0.28	18	SLU	-0.01	5	SLV	-0.00	1	SLV	0.00	1	SLV
1310	Max	0.87	1	SLV	2.42	5	SLV	-0.07	1	SLV	0.01	5	SLV	0.00	1	SLV	0.00	1	SLV
1310	Min.	-0.87	1	SLV	-2.46	5	SLV	-0.24	18	SLU	-0.01	5	SLV	-0.00	1	SLV	0.00	1	SLV
1311	Max	0.87	1	SLV	2.42	5	SLV	-0.09	1	SLV	0.01	5	SLV	0.00	1	SLV	0.00	1	SLV
1311	Min.	-0.87	1	SLV	-2.46	5	SLV	-0.24	18	SLU	-0.01	5	SLV	-0.00	1	SLV	0.00	1	SLV
1312	Max	0.87	1	SLV	2.42	5	SLV	-0.09	1	SLV	0.01	5	SLV	0.00	1	SLV	0.00	1	SLV
1312	Min.	-0.87	1	SLV	-2.46	5	SLV	-0.24	18	SLU	-0.01	5	SLV	-0.00	1	SLV	0.00	1	SLV
1313	Max	0.87	1	SLV	2.42	5	SLV	-0.07	1	SLV	0.01	5	SLV	0.00	1	SLV	0.00	1	SLV
1313	Min.	-0.87	1	SLV	-2.46	5	SLV	-0.24	18	SLU	-0.01	5	SLV	-0.00	1	SLV	0.00	1	SLV
1314	Max	0.87	1	SLV	2.42	5	SLV	-0.06	1	SLV	0.01	5	SLV	0.00	1	SLV	0.00	1	SLV
1314	Min.	-0.86	1	SLV	-2.45	5	SLV	-0.28	18	SLU	-0.01	5	SLV	-0.00	1	SLV	0.00	1	SLV
1315	Max	0.87	1	SLV	2.42	5	SLV	0.00	1	SLV	0.01	5	SLV	0.00	1	SLV	0.00	1	SLV
1315	Min.	-0.86	1	SLV	-2.44	5	SLV	-0.28	18	SLU	-0.01	5	SLV	-0.00	1	SLV	0.00	1	SLV
1316	Max	0.86	1	SLV	2.42	5	SLV	0.00	1	SLV	0.01	5	SLV	0.00	1	SLV	0.00	1	SLV
1316	Min.	-0.86	1	SLV	-2.44	5	SLV	-0.30	18	SLU	-0.01	5	SLV	-0.00	1	SLV	0.00	1	SLV
1317	Max	0.86	1	SLV	2.42	5	SLV	-0.03	1	SLV	0.01	5	SLV	0.00	1	SLV	0.00	1	SLV
1317	Min.	-0.86	1	SLV	-2.44	5	SLV	-0.30	18	SLU	-0.01	5	SLV	-0.00	1	SLV	0.00	1	SLV
1318	Max	0.86	1	SLV	2.42	5	SLV	-0.06	1	SLV	0.01	5	SLV	0.00	1	SLV	0.00	1	SLV
1318	Min.	-0.86	1	SLV	-2.45	5	SLV	-0.30	18	SLU	-0.01	5	SLV	-0.00	1	SLV	0.00	1	SLV
1319	Max	0.87	1	SLV	2.42	5	SLV	-0.05	5	SLV	0.01	5	SLV	0.00	1	SLV	0.00	1	SLV
1319	Min.	-0.87	1	SLV	-2.46	5	SLV	-0.26	18	SLU	-0.01	5	SLV	-0.00	1	SLV	0.00	1	SLV
1320	Max	0.87	1	SLV	2.42	5	SLV	-0.06	5	SLV	0.01	5	SLV	0.00	1	SLV	0.00	1	SLV
1320	Min.	-0.87	1	SLV	-2.46	5	SLV	-0.26	18	SLU	-0.01	5	SLV	-0.00	1	SLV	0.00	1	SLV
1321	Max	0.87	1	SL	2.42	5	SL	-0.06	5	SL	0.01	5	SL	0.00	1	SL	0.00	1	SL

				V			V			V			V			V			V
1321	Min.	-0.87	1	SLV	-2.46	5	SLV	-0.26	18	SLU	-0.01	5	SLV	-0.00	1	SLV	0.00	1	SLV
1322	Max	0.87	1	SLV	2.42	5	SLV	-0.06	5	SLV	0.01	5	SLV	0.00	1	SLV	0.00	1	SLV
1322	Min.	-0.87	1	SLV	-2.46	5	SLV	-0.26	18	SLU	-0.01	5	SLV	-0.00	1	SLV	0.00	1	SLV
1323	Max	0.87	1	SLV	2.42	5	SLV	-0.06	5	SLV	0.01	5	SLV	0.00	1	SLV	0.00	1	SLV
1323	Min.	-0.87	1	SLV	-2.46	5	SLV	-0.26	18	SLU	-0.01	5	SLV	-0.00	1	SLV	0.00	1	SLV
1324	Max	0.87	1	SLV	2.42	5	SLV	-0.05	5	SLV	0.01	5	SLV	0.00	1	SLV	0.00	1	SLV
1324	Min.	-0.87	1	SLV	-2.46	5	SLV	-0.26	18	SLU	-0.01	5	SLV	-0.00	1	SLV	0.00	1	SLV
1325	Max	0.86	1	SLV	2.42	5	SLV	-0.06	1	SLV	0.01	5	SLV	0.00	1	SLV	0.00	1	SLV
1325	Min.	-0.86	1	SLV	-2.45	5	SLV	-0.30	18	SLU	-0.01	5	SLV	-0.00	1	SLV	0.00	1	SLV
1326	Max	0.86	1	SLV	2.42	5	SLV	-0.03	1	SLV	0.01	5	SLV	0.00	1	SLV	0.00	1	SLV
1326	Min.	-0.86	1	SLV	-2.44	5	SLV	-0.30	18	SLU	-0.01	5	SLV	-0.00	1	SLV	0.00	1	SLV
1327	Max	0.86	1	SLV	2.42	5	SLV	0.00	1	SLV	0.01	5	SLV	0.00	1	SLV	0.00	1	SLV
1327	Min.	-0.86	1	SLV	-2.44	5	SLV	-0.30	18	SLU	-0.01	5	SLV	-0.00	1	SLV	0.00	1	SLV
1328	Max	0.86	1	SLV	2.44	5	SLV	0.00	1	SLV	0.01	5	SLV	0.00	1	SLV	0.00	1	SLV
1328	Min.	-0.86	1	SLV	-2.42	5	SLV	-0.29	19	SLU	-0.01	5	SLV	-0.00	1	SLV	0.00	1	SLV
1329	Max	0.86	1	SLV	2.44	5	SLV	-0.03	1	SLV	0.01	5	SLV	0.00	1	SLV	0.00	1	SLV
1329	Min.	-0.86	1	SLV	-2.42	5	SLV	-0.29	19	SLU	-0.01	5	SLV	-0.00	1	SLV	0.00	1	SLV
1330	Max	0.86	1	SLV	2.45	5	SLV	-0.06	1	SLV	0.01	5	SLV	0.00	1	SLV	0.00	1	SLV
1330	Min.	-0.86	1	SLV	-2.42	5	SLV	-0.28	19	SLU	-0.01	5	SLV	-0.00	1	SLV	0.00	1	SLV
1331	Max	0.87	1	SLV	2.46	5	SLV	-0.05	5	SLV	0.01	5	SLV	0.00	1	SLV	0.00	1	SLV
1331	Min.	-0.87	1	SLV	-2.42	5	SLV	-0.24	19	SLU	-0.01	5	SLV	-0.00	1	SLV	0.00	1	SLV
1332	Max	0.87	1	SLV	2.46	5	SLV	-0.06	5	SLV	0.01	5	SLV	0.00	1	SLV	0.00	1	SLV
1332	Min.	-0.87	1	SLV	-2.42	5	SLV	-0.23	19	SLU	-0.01	5	SLV	-0.00	1	SLV	0.00	1	SLV
1333	Max	0.87	1	SLV	2.46	5	SLV	-0.06	5	SLV	0.01	5	SLV	0.00	1	SLV	0.00	1	SLV
1333	Min.	-0.87	1	SLV	-2.42	5	SLV	-0.23	9	SLU	-0.01	5	SLV	-0.00	1	SLV	0.00	1	SLV
1334	Max	0.87	1	SLV	2.46	5	SLV	-0.06	5	SLV	0.01	5	SLV	0.00	1	SLV	0.00	1	SLV
1334	Min.	-0.87	1	SLV	-2.42	5	SLV	-0.23	19	SLU	-0.01	5	SLV	-0.00	1	SLV	0.00	1	SLV
1335	Max	0.87	1	SLV	2.46	5	SLV	-0.06	5	SLV	0.01	5	SLV	0.00	1	SLV	0.00	1	SLV
1335	Min.	-0.87	1	SLV	-2.42	5	SLV	-0.23	9	SLU	-0.01	5	SLV	-0.00	1	SLV	0.00	1	SLV
1336	Max	0.87	1	SL	2.46	5	SL	-0.05	5	SL	0.01	5	SL	0.00	1	SL	0.00	1	SL

				V			V			V			V			V			V
1336	Min.	-0.87	1	SL V	-2.42	5	SL V	-0.23	9	SL U	-0.01	5	SL V	-0.00	1	SL V	0.00	1	SL V
1337	Max	0.86	1	SL V	2.45	5	SL V	-0.06	1	SL V	0.01	5	SL V	0.00	1	SL V	0.00	1	SL V
1337	Min.	-0.86	1	SL V	-2.42	5	SL V	-0.27	9	SL U	-0.01	5	SL V	-0.00	1	SL V	0.00	1	SL V
1338	Max	0.86	1	SL V	2.44	5	SL V	-0.03	1	SL V	0.01	5	SL V	0.00	1	SL V	0.00	1	SL V
1338	Min.	-0.86	1	SL V	-2.42	5	SL V	-0.27	9	SL U	-0.01	5	SL V	-0.00	1	SL V	0.00	1	SL V
1339	Max	0.86	1	SL V	2.44	5	SL V	0.00	1	SL V	0.01	5	SL V	0.00	1	SL V	0.00	1	SL V
1339	Min.	-0.86	1	SL V	-2.42	5	SL V	-0.27	1	SL V	-0.01	5	SL V	-0.00	1	SL V	0.00	1	SL V
1340	Max	0.86	1	SL V	2.44	5	SL V	0.00	1	SL V	0.01	5	SL V	0.00	1	SL V	0.00	1	SL V
1340	Min.	-0.86	1	SL V	-2.42	5	SL V	-0.29	19	SL U	-0.01	5	SL V	-0.00	1	SL V	0.00	1	SL V
1341	Max	0.86	1	SL V	2.45	5	SL V	-0.06	1	SL V	0.01	5	SL V	0.00	1	SL V	0.00	1	SL V
1341	Min.	-0.86	1	SL V	-2.42	5	SL V	-0.28	19	SL U	-0.01	5	SL V	-0.00	1	SL V	0.00	1	SL V
1342	Max	0.87	1	SL V	2.46	5	SL V	-0.07	1	SL V	0.01	5	SL V	0.00	1	SL V	0.00	1	SL V
1342	Min.	-0.87	1	SL V	-2.42	5	SL V	-0.23	19	SL U	-0.01	5	SL V	-0.00	1	SL V	0.00	1	SL V
1343	Max	0.87	1	SL V	2.46	5	SL V	-0.09	1	SL V	0.01	5	SL V	0.00	1	SL V	0.00	1	SL V
1343	Min.	-0.87	1	SL V	-2.42	5	SL V	-0.22	9	SL U	-0.01	5	SL V	-0.00	1	SL V	0.00	1	SL V
1344	Max	0.87	1	SL V	2.46	5	SL V	-0.09	1	SL V	0.01	5	SL V	0.00	1	SL V	0.00	1	SL V
1344	Min.	-0.87	1	SL V	-2.42	5	SL V	-0.23	19	SL U	-0.01	5	SL V	-0.00	1	SL V	0.00	1	SL V
1345	Max	0.87	1	SL V	2.46	5	SL V	-0.07	1	SL V	0.01	5	SL V	0.00	1	SL V	0.00	1	SL V
1345	Min.	-0.87	1	SL V	-2.42	5	SL V	-0.22	9	SL U	-0.01	5	SL V	-0.00	1	SL V	0.00	1	SL V
1346	Max	0.86	1	SL V	2.45	5	SL V	-0.06	1	SL V	0.01	5	SL V	0.00	1	SL V	0.00	1	SL V
1346	Min.	-0.86	1	SL V	-2.42	5	SL V	-0.26	9	SL U	-0.01	5	SL V	-0.00	1	SL V	0.00	1	SL V
1347	Max	0.86	1	SL V	2.44	5	SL V	0.00	1	SL V	0.01	5	SL V	0.00	1	SL V	0.00	1	SL V
1347	Min.	-0.86	1	SL V	-2.42	5	SL V	-0.27	1	SL V	-0.01	5	SL V	-0.00	1	SL V	0.00	1	SL V
1348	Max	0.87	1	SL V	2.44	5	SL V	0.02	1	SL V	0.01	5	SL V	0.00	1	SL V	0.00	1	SL V
1348	Min.	-0.87	1	SL V	-2.42	5	SL V	-0.29	1	SL V	-0.01	5	SL V	-0.00	1	SL V	0.00	1	SL V
1349	Max	0.87	1	SL V	2.44	5	SL V	-0.01	5	SL V	0.01	5	SL V	0.00	1	SL V	0.00	1	SL V
1349	Min.	-0.87	1	SL V	-2.42	5	SL V	-0.28	19	SL U	-0.01	5	SL V	-0.00	1	SL V	0.00	1	SL V
1350	Max	0.87	1	SL V	2.45	5	SL V	-0.02	5	SL V	0.01	5	SL V	0.00	1	SL V	0.00	1	SL V
1350	Min.	-0.87	1	SL V	-2.42	5	SL V	-0.27	19	SL U	-0.01	5	SL V	-0.00	1	SL V	0.00	1	SL V
1351	Max	0.87	1	SL	2.46	5	SL	-0.02	5	SL	0.01	5	SL	0.00	1	SL	0.00	1	SL

				V			V			V			V			V			V
1351	Min.	-0.88	1	SLV	-2.42	5	SLV	-0.23	19	SLU	-0.01	5	SLV	-0.00	1	SLV	0.00	1	SLV
1352	Max	0.87	1	SLV	2.46	5	SLV	-0.03	5	SLV	0.01	5	SLV	0.00	1	SLV	0.00	1	SLV
1352	Min.	-0.88	1	SLV	-2.42	5	SLV	-0.22	19	SLU	-0.01	5	SLV	-0.00	1	SLV	0.00	1	SLV
1353	Max	0.87	1	SLV	2.46	5	SLV	-0.03	5	SLV	0.01	5	SLV	0.00	1	SLV	0.00	1	SLV
1353	Min.	-0.88	1	SLV	-2.42	5	SLV	-0.22	18	SLU	-0.01	5	SLV	-0.00	1	SLV	0.00	1	SLV
1354	Max	0.88	1	SLV	2.46	5	SLV	-0.03	5	SLV	0.01	5	SLV	0.00	1	SLV	0.00	1	SLV
1354	Min.	-0.87	1	SLV	-2.42	5	SLV	-0.22	19	SLU	-0.01	5	SLV	-0.00	1	SLV	0.00	1	SLV
1355	Max	0.88	1	SLV	2.46	5	SLV	-0.03	5	SLV	0.01	5	SLV	0.00	1	SLV	0.00	1	SLV
1355	Min.	-0.87	1	SLV	-2.42	5	SLV	-0.22	18	SLU	-0.01	5	SLV	-0.00	1	SLV	0.00	1	SLV
1356	Max	0.88	1	SLV	2.46	5	SLV	-0.02	5	SLV	0.01	5	SLV	0.00	1	SLV	0.00	1	SLV
1356	Min.	-0.87	1	SLV	-2.42	5	SLV	-0.22	18	SLU	-0.01	5	SLV	-0.00	1	SLV	0.00	1	SLV
1357	Max	0.87	1	SLV	2.45	5	SLV	-0.02	5	SLV	0.01	5	SLV	0.00	1	SLV	0.00	1	SLV
1357	Min.	-0.87	1	SLV	-2.42	5	SLV	-0.26	18	SLU	-0.01	5	SLV	-0.00	1	SLV	0.00	1	SLV
1358	Max	0.87	1	SLV	2.44	5	SLV	-0.01	5	SLV	0.01	5	SLV	0.00	1	SLV	0.00	1	SLV
1358	Min.	-0.87	1	SLV	-2.42	5	SLV	-0.26	18	SLU	-0.01	5	SLV	-0.00	1	SLV	0.00	1	SLV
1359	Max	0.87	1	SLV	2.44	5	SLV	0.02	1	SLV	0.01	5	SLV	0.00	1	SLV	0.00	1	SLV
1359	Min.	-0.87	1	SLV	-2.42	5	SLV	-0.29	1	SLV	-0.01	5	SLV	-0.00	1	SLV	0.00	1	SLV
2001	Max	0.98	1	SLV	2.50	5	SLV	0.18	5	SLV	0.00	5	SLV	0.00	1	SLV	0.00	1	SLV
2001	Min.	-0.98	1	SLV	-2.52	5	SLV	-0.42	5	SLV	-0.01	5	SLV	0.00	1	SLV	-0.00	1	SLV
2002	Max	0.98	1	SLV	2.51	5	SLV	0.17	5	SLV	0.00	5	SLV	0.00	1	SLV	0.00	1	SLV
2002	Min.	-0.98	1	SLV	-2.52	5	SLV	-0.42	5	SLV	-0.01	5	SLV	0.00	1	SLV	-0.00	1	SLV
2003	Max	0.98	1	SLV	2.51	5	SLV	0.17	5	SLV	0.00	5	SLV	0.00	1	SLV	0.00	1	SLV
2003	Min.	-0.98	1	SLV	-2.53	5	SLV	-0.35	5	SLV	-0.01	5	SLV	0.00	1	SLV	-0.00	1	SLV
2004	Max	0.98	1	SLV	2.51	5	SLV	0.17	5	SLV	0.00	5	SLV	0.00	1	SLV	0.00	1	SLV
2004	Min.	-0.98	1	SLV	-2.54	5	SLV	-0.35	5	SLV	-0.01	5	SLV	0.00	1	SLV	-0.00	1	SLV
2005	Max	0.98	1	SLV	2.51	5	SLV	0.17	5	SLV	0.00	5	SLV	0.00	1	SLV	0.00	1	SLV
2005	Min.	-0.98	1	SLV	-2.54	5	SLV	-0.35	5	SLV	-0.01	5	SLV	0.00	1	SLV	-0.00	1	SLV
2006	Max	0.98	1	SLV	2.51	5	SLV	0.17	5	SLV	0.00	5	SLV	0.00	1	SLV	0.00	1	SLV
2006	Min.	-0.98	1	SLV	-2.53	5	SLV	-0.35	5	SLV	-0.01	5	SLV	0.00	1	SLV	-0.00	1	SLV
2007	Max	0.98	1	SL	2.51	5	SL	0.17	5	SL	0.00	5	SL	0.00	1	SL	0.00	1	SL

				V			V			V			V			V			V
2007	Min.	-0.98	1	SLV	-2.52	5	SLV	-0.42	5	SLV	-0.01	5	SLV	-0.00	1	SLV	-0.00	1	SLV
2008	Max	0.98	1	SLV	2.50	5	SLV	0.18	5	SLV	0.00	5	SLV	0.00	1	SLV	0.00	1	SLV
2008	Min.	-0.98	1	SLV	-2.52	5	SLV	-0.42	5	SLV	-0.01	5	SLV	-0.00	1	SLV	-0.00	1	SLV
2025	Max	0.90	1	SLV	2.50	5	SLV	-0.01	1	SLV	0.00	5	SLV	0.00	1	SLV	0.00	1	SLV
2025	Min.	-0.90	1	SLV	-2.52	5	SLV	-0.29	19	SLU	-0.01	5	SLV	-0.00	1	SLV	0.00	1	SLV
2026	Max	0.90	1	SLV	2.50	5	SLV	-0.03	1	SLV	0.01	5	SLV	0.00	1	SLV	0.00	1	SLV
2026	Min.	-0.90	1	SLV	-2.52	5	SLV	-0.28	19	SLU	-0.01	5	SLV	-0.00	1	SLV	0.00	1	SLV
2027	Max	0.90	1	SLV	2.51	5	SLV	-0.05	1	SLV	0.00	5	SLV	0.00	1	SLV	0.00	1	SLV
2027	Min.	-0.90	1	SLV	-2.52	5	SLV	-0.28	18	SLU	-0.01	5	SLV	-0.00	1	SLV	0.00	1	SLV
2028	Max	0.91	1	SLV	2.51	5	SLV	-0.09	1	SLV	0.00	5	SLV	0.00	1	SLV	0.00	1	SLV
2028	Min.	-0.91	1	SLV	-2.54	5	SLV	-0.25	18	SLU	-0.01	5	SLV	-0.00	1	SLV	0.00	1	SLV
2029	Max	0.91	1	SLV	2.50	5	SLV	-0.10	5	SLV	0.01	5	SLV	0.00	1	SLV	0.00	1	SLV
2029	Min.	-0.91	1	SLV	-2.53	5	SLV	-0.25	18	SLU	-0.01	5	SLV	-0.00	1	SLV	0.00	1	SLV
2030	Max	0.91	1	SLV	2.51	5	SLV	-0.10	5	SLV	0.00	5	SLV	0.00	1	SLV	0.00	1	SLV
2030	Min.	-0.91	1	SLV	-2.54	5	SLV	-0.25	18	SLU	-0.01	5	SLV	-0.00	1	SLV	0.00	1	SLV
2031	Max	0.91	1	SLV	2.51	5	SLV	-0.10	5	SLV	0.00	5	SLV	0.00	1	SLV	0.00	1	SLV
2031	Min.	-0.91	1	SLV	-2.54	5	SLV	-0.25	18	SLU	-0.01	5	SLV	-0.00	1	SLV	0.00	1	SLV
2032	Max	0.91	1	SLV	2.50	5	SLV	-0.10	5	SLV	0.01	5	SLV	0.00	1	SLV	0.00	1	SLV
2032	Min.	-0.91	1	SLV	-2.53	5	SLV	-0.25	18	SLU	-0.01	5	SLV	-0.00	1	SLV	0.00	1	SLV
2033	Max	0.91	1	SLV	2.51	5	SLV	-0.09	1	SLV	0.00	5	SLV	0.00	1	SLV	0.00	1	SLV
2033	Min.	-0.91	1	SLV	-2.54	5	SLV	-0.25	18	SLU	-0.01	5	SLV	-0.00	1	SLV	0.00	1	SLV
2034	Max	0.90	1	SLV	2.51	5	SLV	-0.05	1	SLV	0.00	5	SLV	0.00	1	SLV	0.00	1	SLV
2034	Min.	-0.90	1	SLV	-2.52	5	SLV	-0.28	18	SLU	-0.01	5	SLV	-0.00	1	SLV	0.00	1	SLV
2035	Max	0.90	1	SLV	2.50	5	SLV	-0.03	1	SLV	0.01	5	SLV	0.00	1	SLV	0.00	1	SLV
2035	Min.	-0.90	1	SLV	-2.52	5	SLV	-0.28	18	SLU	-0.01	5	SLV	-0.00	1	SLV	0.00	1	SLV
2036	Max	0.90	1	SLV	2.50	5	SLV	-0.01	1	SLV	0.00	5	SLV	0.00	1	SLV	0.00	1	SLV
2036	Min.	-0.90	1	SLV	-2.52	5	SLV	-0.28	18	SLU	-0.01	5	SLV	-0.00	1	SLV	0.00	1	SLV
2285	Max	0.90	1	SLV	2.52	5	SLV	-0.01	1	SLV	0.01	5	SLV	0.00	1	SLV	0.00	1	SLV
2285	Min.	-0.90	1	SLV	-2.50	5	SLV	-0.29	19	SLU	-0.00	5	SLV	-0.00	1	SLV	0.00	1	SLV
2286	Max	0.90	1	SL	2.52	5	SL	-0.03	1	SL	0.01	5	SL	0.00	1	SL	0.00	1	SL

				V			V			V			V			V			V
2286	Min.	-0.90	1	SLV	-2.50	5	SLV	-0.28	19	SLU	-0.01	5	SLV	-0.00	1	SLV	0.00	1	SLV
2287	Max	0.90	1	SLV	2.52	5	SLV	-0.05	1	SLV	0.01	5	SLV	0.00	1	SLV	0.00	1	SLV
2287	Min.	-0.90	1	SLV	-2.51	5	SLV	-0.28	19	SLU	-0.00	5	SLV	-0.00	1	SLV	0.00	1	SLV
2288	Max	0.91	1	SLV	2.54	5	SLV	-0.09	1	SLV	0.01	5	SLV	0.00	1	SLV	0.00	1	SLV
2288	Min.	-0.91	1	SLV	-2.51	5	SLV	-0.23	19	SLU	-0.00	5	SLV	-0.00	1	SLV	0.00	1	SLV
2289	Max	0.91	1	SLV	2.53	5	SLV	-0.10	5	SLV	0.01	5	SLV	0.00	1	SLV	0.00	1	SLV
2289	Min.	-0.91	1	SLV	-2.50	5	SLV	-0.23	19	SLU	-0.01	5	SLV	-0.00	1	SLV	0.00	1	SLV
2290	Max	0.91	1	SLV	2.54	5	SLV	-0.10	5	SLV	0.01	5	SLV	0.00	1	SLV	0.00	1	SLV
2290	Min.	-0.91	1	SLV	-2.51	5	SLV	-0.22	9	SLU	-0.00	5	SLV	-0.00	1	SLV	0.00	1	SLV
2291	Max	0.91	1	SLV	2.54	5	SLV	-0.10	5	SLV	0.01	5	SLV	0.00	1	SLV	0.00	1	SLV
2291	Min.	-0.91	1	SLV	-2.51	5	SLV	-0.22	19	SLU	-0.00	5	SLV	-0.00	1	SLV	0.00	1	SLV
2292	Max	0.91	1	SLV	2.53	5	SLV	-0.10	5	SLV	0.01	5	SLV	0.00	1	SLV	0.00	1	SLV
2292	Min.	-0.91	1	SLV	-2.50	5	SLV	-0.22	9	SLU	-0.01	5	SLV	-0.00	1	SLV	0.00	1	SLV
2293	Max	0.91	1	SLV	2.54	5	SLV	-0.09	1	SLV	0.01	5	SLV	0.00	1	SLV	0.00	1	SLV
2293	Min.	-0.91	1	SLV	-2.51	5	SLV	-0.22	9	SLU	-0.00	5	SLV	-0.00	1	SLV	0.00	1	SLV
2294	Max	0.90	1	SLV	2.52	5	SLV	-0.05	1	SLV	0.01	5	SLV	0.00	1	SLV	0.00	1	SLV
2294	Min.	-0.90	1	SLV	-2.51	5	SLV	-0.26	9	SLU	-0.00	5	SLV	-0.00	1	SLV	0.00	1	SLV
2295	Max	0.90	1	SLV	2.52	5	SLV	-0.03	1	SLV	0.01	5	SLV	0.00	1	SLV	0.00	1	SLV
2295	Min.	-0.90	1	SLV	-2.50	5	SLV	-0.26	9	SLU	-0.01	5	SLV	-0.00	1	SLV	0.00	1	SLV
2296	Max	0.90	1	SLV	2.52	5	SLV	-0.01	1	SLV	0.01	5	SLV	0.00	1	SLV	0.00	1	SLV
2296	Min.	-0.90	1	SLV	-2.50	5	SLV	-0.26	9	SLU	-0.00	5	SLV	-0.00	1	SLV	0.00	1	SLV
2313	Max	0.98	1	SLV	2.52	5	SLV	0.18	5	SLV	0.01	5	SLV	0.00	1	SLV	0.00	1	SLV
2313	Min.	-0.98	1	SLV	-2.50	5	SLV	-0.42	5	SLV	-0.00	5	SLV	0.00	1	SLV	-0.00	1	SLV
2314	Max	0.98	1	SLV	2.52	5	SLV	0.17	5	SLV	0.01	5	SLV	0.00	1	SLV	0.00	1	SLV
2314	Min.	-0.98	1	SLV	-2.51	5	SLV	-0.42	5	SLV	-0.00	5	SLV	0.00	1	SLV	-0.00	1	SLV
2315	Max	0.98	1	SLV	2.53	5	SLV	0.17	5	SLV	0.01	5	SLV	0.00	1	SLV	0.00	1	SLV
2315	Min.	-0.98	1	SLV	-2.51	5	SLV	-0.35	5	SLV	-0.00	5	SLV	0.00	1	SLV	-0.00	1	SLV
2316	Max	0.98	1	SLV	2.54	5	SLV	0.17	5	SLV	0.01	5	SLV	0.00	1	SLV	0.00	1	SLV
2316	Min.	-0.98	1	SLV	-2.51	5	SLV	-0.35	5	SLV	-0.00	5	SLV	0.00	1	SLV	-0.00	1	SLV
2317	Max	0.98	1	SL	2.54	5	SL	0.17	5	SL	0.01	5	SL	0.00	1	SL	0.00	1	SL

				V			V			V			V			V			V
2317	Min.	-0.98	1	SL V	-2.51	5	SL V	-0.35	5	SL V	-0.00	5	SL V	0.00	1	SL V	-0.00	1	SL V
2318	Max	0.98	1	SL V	2.53	5	SL V	0.17	5	SL V	0.01	5	SL V	0.00	1	SL V	0.00	1	SL V
2318	Min.	-0.98	1	SL V	-2.51	5	SL V	-0.35	5	SL V	-0.00	5	SL V	0.00	1	SL V	-0.00	1	SL V
2319	Max	0.98	1	SL V	2.52	5	SL V	0.17	5	SL V	0.01	5	SL V	0.00	1	SL V	0.00	1	SL V
2319	Min.	-0.98	1	SL V	-2.51	5	SL V	-0.42	5	SL V	-0.00	5	SL V	-0.00	1	SL V	-0.00	1	SL V
2320	Max	0.98	1	SL V	2.52	5	SL V	0.18	5	SL V	0.01	5	SL V	0.00	1	SL V	0.00	1	SL V
2320	Min.	-0.98	1	SL V	-2.50	5	SL V	-0.42	5	SL V	-0.00	5	SL V	-0.00	1	SL V	-0.00	1	SL V
3001	Max	0.99	1	SL V	2.54	5	SL V	0.18	5	SL V	0.00	5	SL V	0.00	1	SL V	0.00	1	SL V
3001	Min.	-0.99	1	SL V	-2.55	5	SL V	-0.42	5	SL V	-0.01	5	SL V	0.00	1	SL V	0.00	1	SL V
3002	Max	0.99	1	SL V	2.55	5	SL V	0.17	5	SL V	0.00	5	SL V	0.00	1	SL V	0.00	1	SL V
3002	Min.	-0.99	1	SL V	-2.56	5	SL V	-0.42	5	SL V	-0.01	5	SL V	0.00	1	SL V	0.00	1	SL V
3003	Max	0.99	1	SL V	2.55	5	SL V	0.17	5	SL V	0.00	5	SL V	0.00	1	SL V	0.00	1	SL V
3003	Min.	-0.99	1	SL V	-2.57	5	SL V	-0.35	5	SL V	-0.01	5	SL V	0.00	19	SL U	0.00	1	SL V
3004	Max	0.99	1	SL V	2.55	5	SL V	0.17	5	SL V	0.00	5	SL V	0.00	1	SL V	0.00	1	SL V
3004	Min.	-0.99	1	SL V	-2.57	5	SL V	-0.35	5	SL V	-0.01	5	SL V	0.00	19	SL U	0.00	1	SL V
3005	Max	0.99	1	SL V	2.55	5	SL V	0.17	5	SL V	0.00	5	SL V	0.00	1	SL V	0.00	1	SL V
3005	Min.	-0.99	1	SL V	-2.57	5	SL V	-0.35	5	SL V	-0.01	5	SL V	0.00	1	SL V	0.00	1	SL V
3006	Max	0.99	1	SL V	2.55	5	SL V	0.17	5	SL V	0.00	5	SL V	0.00	18	SL U	0.00	1	SL V
3006	Min.	-0.99	1	SL V	-2.57	5	SL V	-0.35	5	SL V	-0.01	5	SL V	0.00	1	SL V	0.00	1	SL V
3007	Max	0.99	1	SL V	2.55	5	SL V	0.17	5	SL V	0.00	5	SL V	0.00	1	SL V	0.00	1	SL V
3007	Min.	-0.99	1	SL V	-2.56	5	SL V	-0.42	5	SL V	-0.01	5	SL V	0.00	1	SL V	0.00	1	SL V
3008	Max	0.99	1	SL V	2.54	5	SL V	0.18	5	SL V	0.00	5	SL V	0.00	1	SL V	0.00	1	SL V
3008	Min.	-0.99	1	SL V	-2.55	5	SL V	-0.42	5	SL V	-0.01	5	SL V	0.00	1	SL V	0.00	1	SL V
3313	Max	0.98	1	SL V	2.55	5	SL V	0.18	5	SL V	0.01	5	SL V	0.00	1	SL V	0.00	1	SL V
3313	Min.	-0.98	1	SL V	-2.54	5	SL V	-0.42	5	SL V	-0.00	5	SL V	0.00	1	SL V	0.00	1	SL V
3314	Max	0.98	1	SL V	2.56	5	SL V	0.17	5	SL V	0.01	5	SL V	0.00	1	SL V	0.00	1	SL V
3314	Min.	-0.98	1	SL V	-2.55	5	SL V	-0.42	5	SL V	-0.00	5	SL V	0.00	1	SL V	0.00	1	SL V
3315	Max	0.98	1	SL V	2.57	5	SL V	0.17	5	SL V	0.01	5	SL V	0.00	1	SL V	0.00	1	SL V
3315	Min.	-0.98	1	SL V	-2.55	5	SL V	-0.35	5	SL V	-0.00	5	SL V	0.00	19	SL U	0.00	1	SL V
3316	Max	0.98	1	SL	2.57	5	SL	0.17	5	SL	0.01	5	SL	0.00	1	SL	0.00	1	SL

				V			V			V			V			V			V
3316	Min.	-0.98	1	SL V	-2.55	5	SL V	-0.35	5	SL V	-0.00	5	SL V	0.00	19	SL U	0.00	1	SL V
3317	Max	0.98	1	SL V	2.57	5	SL V	0.17	5	SL V	0.01	5	SL V	0.00	1	SL V	0.00	1	SL V
3317	Min.	-0.98	1	SL V	-2.55	5	SL V	-0.35	5	SL V	-0.00	5	SL V	0.00	1	SL V	0.00	1	SL V
3318	Max	0.98	1	SL V	2.57	5	SL V	0.17	5	SL V	0.01	5	SL V	0.00	1	SL V	0.00	1	SL V
3318	Min.	-0.98	1	SL V	-2.55	5	SL V	-0.35	5	SL V	-0.00	5	SL V	0.00	1	SL V	0.00	1	SL V
3319	Max	0.98	1	SL V	2.56	5	SL V	0.17	5	SL V	0.01	5	SL V	0.00	1	SL V	0.00	1	SL V
3319	Min.	-0.98	1	SL V	-2.55	5	SL V	-0.42	5	SL V	-0.00	5	SL V	0.00	1	SL V	0.00	1	SL V
3320	Max	0.98	1	SL V	2.55	5	SL V	0.18	5	SL V	0.01	5	SL V	0.00	1	SL V	0.00	1	SL V
3320	Min.	-0.98	1	SL V	-2.54	5	SL V	-0.42	5	SL V	-0.00	5	SL V	0.00	1	SL V	0.00	1	SL V
4025	Max	0.93	1	SL V	2.56	5	SL V	-0.01	1	SL V	0.00	5	SL V	0.00	1	SL V	0.00	1	SL V
4025	Min.	-0.94	1	SL V	-2.57	5	SL V	-0.29	19	SL U	-0.01	5	SL V	-0.00	1	SL V	0.00	1	SL V
4026	Max	0.93	1	SL V	2.56	5	SL V	-0.03	1	SL V	0.00	5	SL V	0.00	1	SL V	0.00	1	SL V
4026	Min.	-0.94	1	SL V	-2.57	5	SL V	-0.28	19	SL U	-0.01	5	SL V	-0.00	1	SL V	0.00	1	SL V
4027	Max	0.93	1	SL V	2.57	5	SL V	-0.05	1	SL V	0.00	5	SL V	0.00	1	SL V	0.00	1	SL V
4027	Min.	-0.94	1	SL V	-2.58	5	SL V	-0.28	18	SL U	-0.01	5	SL V	-0.00	1	SL V	0.00	1	SL V
4028	Max	0.94	1	SL V	2.57	5	SL V	-0.09	1	SL V	0.00	5	SL V	0.00	1	SL V	0.00	1	SL V
4028	Min.	-0.94	1	SL V	-2.59	5	SL V	-0.25	18	SL U	-0.01	5	SL V	-0.00	1	SL V	0.00	1	SL V
4029	Max	0.94	1	SL V	2.57	5	SL V	-0.10	5	SL V	0.00	5	SL V	0.00	1	SL V	0.00	1	SL V
4029	Min.	-0.94	1	SL V	-2.59	5	SL V	-0.25	18	SL U	-0.01	5	SL V	-0.00	1	SL V	0.00	1	SL V
4030	Max	0.94	1	SL V	2.57	5	SL V	-0.10	5	SL V	0.00	5	SL V	0.00	1	SL V	0.00	1	SL V
4030	Min.	-0.94	1	SL V	-2.59	5	SL V	-0.25	18	SL U	-0.01	5	SL V	-0.00	1	SL V	0.00	1	SL V
4031	Max	0.94	1	SL V	2.57	5	SL V	-0.10	5	SL V	0.00	5	SL V	0.00	1	SL V	0.00	1	SL V
4031	Min.	-0.94	1	SL V	-2.59	5	SL V	-0.25	18	SL U	-0.01	5	SL V	-0.00	1	SL V	0.00	1	SL V
4032	Max	0.94	1	SL V	2.57	5	SL V	-0.10	5	SL V	0.00	5	SL V	0.00	1	SL V	0.00	1	SL V
4032	Min.	-0.94	1	SL V	-2.59	5	SL V	-0.25	18	SL U	-0.01	5	SL V	-0.00	1	SL V	0.00	1	SL V
4033	Max	0.94	1	SL V	2.57	5	SL V	-0.09	1	SL V	0.00	5	SL V	0.00	1	SL V	0.00	1	SL V
4033	Min.	-0.94	1	SL V	-2.59	5	SL V	-0.25	18	SL U	-0.01	5	SL V	-0.00	1	SL V	0.00	1	SL V
4034	Max	0.94	1	SL V	2.57	5	SL V	-0.05	1	SL V	0.00	5	SL V	0.00	1	SL V	0.00	1	SL V
4034	Min.	-0.93	1	SL V	-2.58	5	SL V	-0.28	18	SL U	-0.01	5	SL V	-0.00	1	SL V	0.00	1	SL V
4035	Max	0.94	1	SL	2.57	5	SL	-0.03	1	SL	0.00	5	SL	0.00	1	SL	0.00	1	SL

				V			V			V			V			V			V
4035	Min.	-0.93	1	SLV	-2.58	5	SLV	-0.28	18	SLU	-0.01	5	SLV	-0.00	1	SLV	0.00	1	SLV
4036	Max	0.94	1	SLV	2.56	5	SLV	-0.01	1	SLV	0.00	5	SLV	0.00	1	SLV	0.00	1	SLV
4036	Min.	-0.93	1	SLV	-2.57	5	SLV	-0.28	18	SLU	-0.01	5	SLV	-0.00	1	SLV	0.00	1	SLV
4285	Max	0.93	1	SLV	2.57	5	SLV	-0.01	1	SLV	0.01	5	SLV	0.00	1	SLV	0.00	1	SLV
4285	Min.	-0.93	1	SLV	-2.56	5	SLV	-0.29	19	SLU	-0.00	5	SLV	-0.00	1	SLV	0.00	1	SLV
4286	Max	0.93	1	SLV	2.58	5	SLV	-0.03	1	SLV	0.01	5	SLV	0.00	1	SLV	0.00	1	SLV
4286	Min.	-0.93	1	SLV	-2.57	5	SLV	-0.28	19	SLU	-0.00	5	SLV	-0.00	1	SLV	0.00	1	SLV
4287	Max	0.93	1	SLV	2.58	5	SLV	-0.05	1	SLV	0.01	5	SLV	0.00	1	SLV	0.00	1	SLV
4287	Min.	-0.93	1	SLV	-2.57	5	SLV	-0.28	19	SLU	-0.00	5	SLV	-0.00	1	SLV	0.00	1	SLV
4288	Max	0.93	1	SLV	2.58	5	SLV	-0.09	1	SLV	0.01	5	SLV	0.00	1	SLV	0.00	1	SLV
4288	Min.	-0.93	1	SLV	-2.57	5	SLV	-0.23	19	SLU	-0.00	5	SLV	-0.00	1	SLV	0.00	1	SLV
4289	Max	0.93	1	SLV	2.59	5	SLV	-0.10	5	SLV	0.01	5	SLV	0.00	1	SLV	0.00	1	SLV
4289	Min.	-0.93	1	SLV	-2.57	5	SLV	-0.23	19	SLU	-0.00	5	SLV	-0.00	1	SLV	0.00	1	SLV
4290	Max	0.93	1	SLV	2.59	5	SLV	-0.10	5	SLV	0.01	5	SLV	0.00	1	SLV	0.00	1	SLV
4290	Min.	-0.93	1	SLV	-2.57	5	SLV	-0.22	9	SLU	-0.00	5	SLV	-0.00	1	SLV	0.00	1	SLV
4291	Max	0.93	1	SLV	2.59	5	SLV	-0.10	5	SLV	0.01	5	SLV	0.00	1	SLV	0.00	1	SLV
4291	Min.	-0.93	1	SLV	-2.57	5	SLV	-0.22	19	SLU	-0.00	5	SLV	-0.00	1	SLV	0.00	1	SLV
4292	Max	0.93	1	SLV	2.59	5	SLV	-0.10	5	SLV	0.01	5	SLV	0.00	1	SLV	0.00	1	SLV
4292	Min.	-0.93	1	SLV	-2.57	5	SLV	-0.22	9	SLU	-0.00	5	SLV	-0.00	1	SLV	0.00	1	SLV
4293	Max	0.93	1	SLV	2.58	5	SLV	-0.09	1	SLV	0.01	5	SLV	0.00	1	SLV	0.00	1	SLV
4293	Min.	-0.93	1	SLV	-2.57	5	SLV	-0.22	9	SLU	-0.00	5	SLV	-0.00	1	SLV	0.00	1	SLV
4294	Max	0.93	1	SLV	2.58	5	SLV	-0.05	1	SLV	0.01	5	SLV	0.00	1	SLV	0.00	1	SLV
4294	Min.	-0.93	1	SLV	-2.57	5	SLV	-0.26	9	SLU	-0.00	5	SLV	-0.00	1	SLV	0.00	1	SLV
4295	Max	0.93	1	SLV	2.58	5	SLV	-0.03	1	SLV	0.01	5	SLV	0.00	1	SLV	0.00	1	SLV
4295	Min.	-0.93	1	SLV	-2.57	5	SLV	-0.26	9	SLU	-0.00	5	SLV	-0.00	1	SLV	0.00	1	SLV
4296	Max	0.93	1	SLV	2.57	5	SLV	-0.01	1	SLV	0.01	5	SLV	0.00	1	SLV	0.00	1	SLV
4296	Min.	-0.93	1	SLV	-2.56	5	SLV	-0.26	9	SLU	-0.00	5	SLV	-0.00	1	SLV	0.00	1	SLV

Min = -2.67
Max = 2.67

Spostamenti relativi massimi allo stato limite di danno

Simbologia

N1 =Nodo1
N2 =Nodo2
h =Altezza teorica
δ =Spostamento relativo
δ/h =Rapporto (moltiplicato per 1000) tra lo spostamento relativo e l'altezza
CC =Numero della combinazione delle condizioni di carico elementari

N1	N2	h <m>	δ <cm>	δ/h	CC
1026	2026	0.14	0.04	2.60	6
1032	2032	0.14	0.04	2.76	8
1286	2286	0.14	0.04	2.60	8
1292	2292	0.14	0.04	2.76	8
1296	1297	0.10	0.01	0.88	2
1328	1329	0.10	0.01	0.91	2
1296	1308	0.10	0.03	2.90	6
1299	1310	0.10	0.03	2.98	6
1302	1312	0.10	0.03	2.98	6
1305	1314	0.10	0.03	2.91	6
319	-5	0.10	0.03	3.44	8
-101	-133	0.19	0.07	3.54	6
-229	-261	0.19	0.07	3.44	6
-357	-389	0.19	0.06	3.23	6
-485	1302	0.19	0.06	3.03	8
-75	-107	0.19	0.07	3.53	6
-203	-235	0.19	0.07	3.47	6
-331	-363	0.19	0.06	3.29	6
-459	-491	0.19	0.06	3.07	6
-35	-67	0.19	0.07	3.48	6
-163	-195	0.19	0.07	3.50	6
-291	-323	0.19	0.06	3.35	6
-419	-451	0.19	0.06	3.11	6
-7	-39	0.10	0.03	3.38	8
-135	-167	0.19	0.07	3.46	6
-263	-295	0.19	0.06	3.35	6
-391	-423	0.19	0.06	3.14	6
313	-1	0.10	0.03	3.38	8
-97	-129	0.19	0.07	3.47	6
-225	-257	0.19	0.07	3.37	6
-353	-385	0.19	0.06	3.19	8
-481	1296	0.19	0.06	2.98	6
-73	-105	0.19	0.07	3.47	6
-201	-233	0.19	0.07	3.40	6
-329	-361	0.19	0.06	3.25	6
-457	-489	0.19	0.06	3.04	6
-45	-77	0.19	0.07	3.48	8
-173	-205	0.19	0.07	3.50	6
-301	-333	0.19	0.06	3.35	6
-429	-461	0.19	0.06	3.11	6
-15	-47	0.10	0.03	3.39	8
-143	-175	0.19	0.07	3.46	6
-271	-303	0.19	0.06	3.35	6
-399	-431	0.19	0.06	3.14	6
373	-25	0.10	0.03	3.38	8
-121	-153	0.19	0.07	3.46	6
-249	-281	0.19	0.07	3.37	6
-377	-409	0.19	0.06	3.19	6

N1	N2	h <m>	δ <cm>	δ/h	CC
2026	4026	0.12	0.03	2.35	6
2032	4032	0.12	0.03	2.57	6
2286	4286	0.12	0.03	2.35	8
2292	4292	0.12	0.03	2.58	8
1297	1298	0.10	0.01	0.90	4
1329	1330	0.10	0.01	0.88	4
1308	1316	0.10	0.00	0.43	8
1310	1319	0.10	0.02	1.69	6
1312	1322	0.10	0.02	1.69	6
1314	1325	0.10	0.00	0.43	8
-5	-37	0.10	0.03	3.42	8
-133	-165	0.19	0.07	3.52	6
-261	-293	0.19	0.07	3.40	6
-389	-421	0.19	0.06	3.16	6
340	-11	0.10	0.03	3.41	8
-107	-139	0.19	0.07	3.54	6
-235	-267	0.19	0.07	3.43	6
-363	-395	0.19	0.06	3.23	6
-491	1319	0.19	0.06	3.03	6
-67	-99	0.19	0.07	3.53	6
-195	-227	0.19	0.07	3.47	6
-323	-355	0.19	0.06	3.29	6
-451	-483	0.19	0.06	3.07	6
-39	-71	0.19	0.07	3.43	8
-167	-199	0.19	0.07	3.44	6
-295	-327	0.19	0.06	3.31	6
-423	-455	0.19	0.06	3.09	8
-1	-33	0.10	0.03	3.38	8
-129	-161	0.19	0.07	3.45	6
-257	-289	0.19	0.06	3.34	6
-385	-417	0.19	0.06	3.13	8
337	-9	0.10	0.03	3.37	8
-105	-137	0.19	0.07	3.47	6
-233	-265	0.19	0.07	3.37	6
-361	-393	0.19	0.06	3.19	6
-489	1316	0.19	0.06	2.98	6
-77	-109	0.19	0.07	3.54	6
-205	-237	0.19	0.07	3.47	6
-333	-365	0.19	0.06	3.29	6
-461	-493	0.19	0.06	3.07	6
-47	-79	0.19	0.07	3.43	8
-175	-207	0.19	0.07	3.44	6
-303	-335	0.19	0.06	3.31	6
-431	-463	0.19	0.06	3.09	6
-25	-57	0.10	0.03	3.38	8
-153	-185	0.19	0.07	3.45	6
-281	-313	0.19	0.06	3.34	6
-409	-441	0.19	0.06	3.13	6

N1	N2	h <m>	δ <cm>	δ/h	CC
1029	2029	0.14	0.04	2.76	8
1035	2035	0.14	0.04	2.60	8
1289	2289	0.14	0.04	2.76	8
1295	2295	0.14	0.04	2.60	6
1316	1317	0.10	0.01	0.91	2
1348	1349	0.10	0.01	0.88	2
1298	1309	0.10	0.03	2.91	8
1301	1311	0.10	0.03	2.98	6
1304	1313	0.10	0.03	2.98	6
1307	1315	0.10	0.03	2.90	6
-37	-69	0.19	0.07	3.48	6
-165	-197	0.19	0.07	3.50	6
-293	-325	0.19	0.06	3.35	6
-421	-453	0.19	0.06	3.11	6
-11	-43	0.10	0.03	3.43	8
-139	-171	0.19	0.07	3.52	6
-267	-299	0.19	0.07	3.39	6
-395	-427	0.19	0.06	3.15	6
316	-3	0.10	0.03	3.43	8
-99	-131	0.19	0.07	3.54	6
-227	-259	0.19	0.07	3.43	6
-355	-387	0.19	0.06	3.23	6
-483	1299	0.19	0.06	3.03	6
-71	-103	0.19	0.07	3.48	6
-199	-231	0.19	0.07	3.42	6
-327	-359	0.19	0.06	3.26	6
-455	-487	0.19	0.06	3.05	8
-33	-65	0.19	0.07	3.42	6
-161	-193	0.19	0.07	3.43	6
-289	-321	0.19	0.06	3.30	6
-417	-449	0.19	0.06	3.09	6
-9	-41	0.10	0.03	3.38	8
-137	-169	0.19	0.07	3.45	6
-265	-297	0.19	0.06	3.34	6
-393	-425	0.19	0.06	3.13	6
343	-13	0.10	0.03	3.41	8
-109	-141	0.19	0.07	3.54	6
-237	-269	0.19	0.07	3.44	6
-365	-397	0.19	0.06	3.23	6
-493	1322	0.19	0.06	3.03	6
-79	-111	0.19	0.07	3.47	8
-207	-239	0.19	0.07	3.42	6
-335	-367	0.19	0.06	3.26	6
-463	-495	0.19	0.06	3.05	6
-57	-89	0.19	0.07	3.42	8
-185	-217	0.19	0.07	3.43	6
-313	-345	0.19	0.06	3.30	6
-441	-473	0.19	0.06	3.09	8

N1	N2	h <m>	δ <cm>	δ/h	CC
2029	4029	0.12	0.03	2.57	8
2035	4035	0.12	0.03	2.35	8
2289	4289	0.12	0.03	2.57	8
2295	4295	0.12	0.03	2.35	6
1317	1318	0.10	0.01	0.88	4
1349	1350	0.10	0.01	0.91	4
1309	1318	0.10	0.00	0.41	8
1311	1321	0.10	0.02	1.69	6
1313	1324	0.10	0.02	1.69	6
1315	1327	0.10	0.00	0.45	8
-69	-101	0.19	0.07	3.54	6
-197	-229	0.19	0.07	3.47	6
-325	-357	0.19	0.06	3.29	6
-453	-485	0.19	0.06	3.07	6
-43	-75	0.19	0.07	3.48	8
-171	-203	0.19	0.07	3.50	6
-299	-331	0.19	0.06	3.35	6
-427	-459	0.19	0.06	3.11	6
-3	-35	0.10	0.03	3.42	8
-131	-163	0.19	0.07	3.52	6
-259	-291	0.19	0.07	3.39	6
-387	-419	0.19	0.06	3.15	6
322	-7	0.10	0.03	3.40	8
-103	-135	0.19	0.07	3.48	6
-231	-263	0.19	0.07	3.38	6
-359	-391	0.19	0.06	3.21	6
-487	1305	0.19	0.06	2.98	8
-65	-97	0.19	0.07	3.47	6
-193	-225	0.19	0.07	3.41	6
-321	-353	0.19	0.06	3.25	6
-449	-481	0.19	0.06	3.04	6
-41	-73	0.19	0.07	3.42	6
-169	-201	0.19	0.07	3.43	6
-297	-329	0.19	0.06	3.30	6
-425	-457	0.19	0.06	3.09	6
-13	-45	0.10	0.03	3.43	8
-141	-173	0.19	0.07	3.52	6
-269	-301	0.19	0.07	3.40	6
-397	-429	0.19	0.06	3.16	6
346	-15	0.10	0.03	3.36	8
-111	-143	0.19	0.07	3.47	6
-239	-271	0.19	0.07	3.38	6
-367	-399	0.19	0.06	3.21	6
-495	1325	0.19	0.06	2.98	8
-89	-121	0.19	0.07	3.46	8
-217	-249	0.19	0.07	3.40	6
-345	-377	0.19	0.06	3.25	6
-473	-505	0.19	0.06	3.04	8

-505	1348	0.19	0.06	2.98	8
-93	-125	0.19	0.07	3.54	6
-221	-253	0.19	0.07	3.47	6
-349	-381	0.19	0.06	3.29	6
-477	-509	0.19	0.06	3.07	6
-49	-81	0.19	0.07	3.42	8
-177	-209	0.19	0.07	3.43	8
-305	-337	0.19	0.06	3.30	6
-433	-465	0.19	0.06	3.09	8
-23	-55	0.10	0.03	3.38	6
-151	-183	0.19	0.07	3.46	6
-279	-311	0.19	0.06	3.35	6
-407	-439	0.19	0.06	3.14	6
352	-19	0.10	0.03	3.41	8
-115	-147	0.19	0.07	3.53	6
-243	-275	0.19	0.07	3.43	6
-371	-403	0.19	0.06	3.23	6
-499	1331	0.19	0.06	3.03	6
-91	-123	0.19	0.07	3.53	6
-219	-251	0.19	0.07	3.47	6
-347	-379	0.19	0.06	3.29	6
-475	-507	0.19	0.06	3.07	6
-63	-95	0.19	0.07	3.43	6
-191	-223	0.19	0.07	3.44	6
-319	-351	0.19	0.06	3.31	6
-447	-479	0.19	0.06	3.10	6
-21	-53	0.10	0.03	3.43	8
-149	-181	0.19	0.07	3.52	6
-277	-309	0.19	0.07	3.40	6
-405	-437	0.19	0.06	3.16	6
1299	1300	0.10	0.01	0.86	2
1331	1332	0.10	0.01	0.88	2
1328	1340	0.10	0.00	0.43	8
1331	1342	0.10	0.02	1.69	6
1334	1344	0.10	0.02	1.69	6
1337	1346	0.10	0.00	0.43	8
1302	1303	0.10	0.00	0.23	2
1334	1335	0.10	0.00	0.24	2
345	-14	0.10	0.03	3.41	8
-110	-142	0.19	0.07	3.53	6
-238	-270	0.19	0.07	3.43	6
-366	-398	0.19	0.06	3.23	6
-494	1324	0.19	0.06	3.03	6
-68	-100	0.19	0.07	3.54	6
-196	-228	0.19	0.07	3.47	6
-324	-356	0.19	0.06	3.29	6
-452	-484	0.19	0.06	3.07	6
-44	-76	0.19	0.07	3.48	6
-172	-204	0.19	0.07	3.50	6
-300	-332	0.19	0.06	3.35	6
-428	-460	0.19	0.06	3.11	6
-16	-48	0.10	0.03	3.38	8
-144	-176	0.19	0.07	3.45	6
-272	-304	0.19	0.06	3.34	6
-400	-432	0.19	0.06	3.14	6
339	-10	0.10	0.03	3.36	8
-106	-138	0.19	0.07	3.48	6
-234	-266	0.19	0.07	3.39	6
-362	-394	0.19	0.06	3.20	6

379	-29	0.10	0.03	3.44	8
-125	-157	0.19	0.07	3.54	6
-253	-285	0.19	0.07	3.44	6
-381	-413	0.19	0.06	3.23	6
-509	1354	0.19	0.06	3.03	6
-81	-113	0.19	0.07	3.46	8
-209	-241	0.19	0.07	3.40	6
-337	-369	0.19	0.06	3.25	6
-465	-497	0.19	0.06	3.04	8
-55	-87	0.19	0.07	3.43	6
-183	-215	0.19	0.07	3.44	6
-311	-343	0.19	0.06	3.31	6
-439	-471	0.19	0.06	3.10	6
-19	-51	0.10	0.03	3.43	8
-147	-179	0.19	0.07	3.52	6
-275	-307	0.19	0.07	3.39	6
-403	-435	0.19	0.06	3.15	6
376	-27	0.10	0.03	3.43	8
-123	-155	0.19	0.07	3.53	6
-251	-283	0.19	0.07	3.43	6
-379	-411	0.19	0.06	3.23	6
-507	1351	0.19	0.06	3.03	6
-95	-127	0.19	0.07	3.48	6
-223	-255	0.19	0.07	3.42	6
-351	-383	0.19	0.06	3.26	6
-479	-511	0.19	0.06	3.05	6
-53	-85	0.19	0.07	3.48	6
-181	-213	0.19	0.07	3.50	6
-309	-341	0.19	0.06	3.35	6
-437	-469	0.19	0.06	3.11	6
1300	1301	0.10	0.00	0.22	2
1332	1333	0.10	0.00	0.24	2
1340	1348	0.10	0.03	2.90	6
1342	1351	0.10	0.03	2.98	6
1344	1354	0.10	0.03	2.98	6
1346	1357	0.10	0.03	2.91	6
1303	1304	0.10	0.01	0.86	2
1335	1336	0.10	0.01	0.88	2
-14	-46	0.10	0.03	3.43	8
-142	-174	0.19	0.07	3.52	6
-270	-302	0.19	0.07	3.39	6
-398	-430	0.19	0.06	3.15	6
318	-4	0.10	0.03	3.44	8
-100	-132	0.19	0.07	3.54	6
-228	-260	0.19	0.07	3.44	6
-356	-388	0.19	0.06	3.23	6
-484	1301	0.19	0.06	3.03	6
-76	-108	0.19	0.07	3.54	6
-204	-236	0.19	0.07	3.47	6
-332	-364	0.19	0.06	3.29	6
-460	-492	0.19	0.06	3.07	6
-48	-80	0.19	0.07	3.42	8
-176	-208	0.19	0.07	3.43	6
-304	-336	0.19	0.06	3.30	6
-432	-464	0.19	0.06	3.09	6
-10	-42	0.10	0.03	3.38	8
-138	-170	0.19	0.07	3.46	6
-266	-298	0.19	0.06	3.35	6
-394	-426	0.19	0.06	3.14	6

-29	-61	0.10	0.03	3.42	8
-157	-189	0.19	0.07	3.52	6
-285	-317	0.19	0.07	3.40	6
-413	-445	0.19	0.06	3.16	6
349	-17	0.10	0.03	3.38	8
-113	-145	0.19	0.07	3.46	8
-241	-273	0.19	0.07	3.37	6
-369	-401	0.19	0.06	3.20	6
-497	1328	0.19	0.06	2.98	8
-87	-119	0.19	0.07	3.48	6
-215	-247	0.19	0.07	3.42	6
-343	-375	0.19	0.06	3.26	6
-471	-503	0.19	0.06	3.05	6
-51	-83	0.19	0.07	3.48	8
-179	-211	0.19	0.07	3.50	6
-307	-339	0.19	0.06	3.35	6
-435	-467	0.19	0.06	3.11	6
-27	-59	0.10	0.03	3.42	8
-155	-187	0.19	0.07	3.52	6
-283	-315	0.19	0.07	3.39	6
-411	-443	0.19	0.06	3.15	6
382	-31	0.10	0.03	3.40	8
-127	-159	0.19	0.07	3.48	6
-255	-287	0.19	0.07	3.39	6
-383	-415	0.19	0.06	3.20	6
-511	1357	0.19	0.06	2.99	6
-85	-117	0.19	0.07	3.54	6
-213	-245	0.19	0.07	3.47	6
-341	-373	0.19	0.06	3.29	6
-469	-501	0.19	0.06	3.07	6
1319	1320	0.10	0.01	0.89	2
1351	1352	0.10	0.01	0.86	2
1330	1341	0.10	0.00	0.41	8
1333	1343	0.10	0.02	1.69	6
1336	1345	0.10	0.02	1.69	6
1339	1347	0.10	0.00	0.45	8
1322	1323	0.10	0.00	0.22	2
1354	1355	0.10	0.00	0.21	2
-46	-78	0.19	0.07	3.48	8
-174	-206	0.19	0.07	3.50	6
-302	-334	0.19	0.06	3.35	6
-430	-462	0.19	0.06	3.11	6
-4	-36	0.10	0.03	3.42	8
-132	-164	0.19	0.07	3.52	6
-260	-292	0.19	0.07	3.40	6
-388	-420	0.19	0.06	3.16	6
342	-12	0.10	0.03	3.41	8
-108	-140	0.19	0.07	3.54	6
-236	-268	0.19	0.07	3.44	6
-364	-396	0.19	0.06	3.23	6
-492	1321	0.19	0.06	3.03	6
-80	-112	0.19	0.07	3.46	6
-208	-240	0.19	0.07	3.40	6
-336	-368	0.19	0.06	3.25	6
-464	-496	0.19	0.06	3.04	8
-42	-74	0.19	0.07	3.43	6
-170	-202	0.19	0.07	3.44	6
-298	-330	0.19	0.06	3.31	6
-426	-458	0.19	0.06	3.10	6

-61	-93	0.19	0.07	3.48	6
-189	-221	0.19	0.07	3.50	6
-317	-349	0.19	0.06	3.35	6
-445	-477	0.19	0.06	3.11	6
-17	-49	0.10	0.03	3.38	8
-145	-177	0.19	0.07	3.45	8
-273	-305	0.19	0.06	3.34	6
-401	-433	0.19	0.06	3.13	6
358	-23	0.10	0.03	3.36	8
-119	-151	0.19	0.07	3.48	6
-247	-279	0.19	0.07	3.39	6
-375	-407	0.19	0.06	3.20	6
-503	1337	0.19	0.06	2.99	6
-83	-115	0.19	0.07	3.53	6
-211	-243	0.19	0.07	3.47	6
-339	-371	0.19	0.06	3.29	6
-467	-499	0.19	0.06	3.07	6
-59	-91	0.19	0.07	3.48	8
-187	-219	0.19	0.07	3.50	6
-315	-347	0.19	0.06	3.34	6
-443	-475	0.19	0.06	3.11	6
-31	-63	0.10	0.03	3.37	8
-159	-191	0.19	0.07	3.46	6
-287	-319	0.19	0.06	3.35	6
-415	-447	0.19	0.06	3.14	6
355	-21	0.10	0.03	3.41	8
-117	-149	0.19	0.07	3.54	6
-245	-277	0.19	0.07	3.44	6
-373	-405	0.19	0.06	3.23	6
-501	1334	0.19	0.06	3.03	6
1320	1321	0.10	0.00	0.23	2
1352	1353	0.10	0.00	0.21	2
1341	1350	0.10	0.03	2.91	6
1343	1353	0.10	0.03	2.98	6
1345	1356	0.10	0.03	2.98	6
1347	1359	0.10	0.03	2.90	6
1323	1324	0.10	0.01	0.89	2
1355	1356	0.10	0.01	0.86	2
-78	-110	0.19	0.07	3.53	6
-206	-238	0.19	0.07	3.47	6
-334	-366	0.19	0.06	3.29	6
-462	-494	0.19	0.06	3.07	6
-36	-68	0.19	0.07	3.48	6
-164	-196	0.19	0.07	3.50	6
-292	-324	0.19	0.06	3.35	6
-420	-452	0.19	0.06	3.11	6
-12	-44	0.10	0.03	3.43	8
-140	-172	0.19	0.07	3.52	6
-268	-300	0.19	0.07	3.39	6
-396	-428	0.19	0.06	3.16	6
348	-16	0.10	0.03	3.38	8
-112	-144	0.19	0.07	3.46	6
-240	-272	0.19	0.07	3.37	6
-368	-400	0.19	0.06	3.20	6
-496	1327	0.19	0.06	2.98	8
-74	-106	0.19	0.07	3.48	6
-202	-234	0.19	0.07	3.42	6
-330	-362	0.19	0.06	3.26	6
-458	-490	0.19	0.06	3.05	6

-490	1318	0.19	0.06	2.98	6
-66	-98	0.19	0.07	3.48	6
-194	-226	0.19	0.07	3.42	6
-322	-354	0.19	0.06	3.26	6
-450	-482	0.19	0.06	3.05	6
-38	-70	0.19	0.07	3.48	8
-166	-198	0.19	0.07	3.50	6
-294	-326	0.19	0.06	3.35	6
-422	-454	0.19	0.06	3.11	6
-8	-40	0.10	0.03	3.38	8
-136	-168	0.19	0.07	3.45	6
-264	-296	0.19	0.06	3.34	6
-392	-424	0.19	0.06	3.13	6
351	-18	0.10	0.03	3.36	8
-114	-146	0.19	0.07	3.47	6
-242	-274	0.19	0.07	3.39	6
-370	-402	0.19	0.06	3.21	6
-498	1330	0.19	0.06	2.98	8
-86	-118	0.19	0.07	3.53	6
-214	-246	0.19	0.07	3.47	6
-342	-374	0.19	0.06	3.29	6
-470	-502	0.19	0.06	3.07	6
-58	-90	0.19	0.07	3.43	6
-186	-218	0.19	0.07	3.44	6
-314	-346	0.19	0.06	3.31	6
-442	-474	0.19	0.06	3.09	8
-32	-64	0.10	0.03	3.38	8
-160	-192	0.19	0.07	3.45	6
-288	-320	0.19	0.06	3.34	6
-416	-448	0.19	0.06	3.13	8
378	-28	0.10	0.03	3.44	8
-124	-156	0.19	0.07	3.54	6
-252	-284	0.19	0.07	3.44	6
-380	-412	0.19	0.06	3.23	6
-508	1353	0.19	0.06	3.03	8
-84	-116	0.19	0.07	3.54	6
-212	-244	0.19	0.07	3.47	6
-340	-372	0.19	0.06	3.29	6
-468	-500	0.19	0.06	3.07	6
-56	-88	0.19	0.07	3.42	6
-184	-216	0.19	0.07	3.43	6
-312	-344	0.19	0.06	3.30	6
-440	-472	0.19	0.06	3.09	6
-30	-62	0.10	0.03	3.42	8
-158	-190	0.19	0.07	3.52	6
-286	-318	0.19	0.07	3.39	6
-414	-446	0.19	0.06	3.15	6
1305	1306	0.10	0.01	0.90	4
1337	1338	0.10	0.01	0.88	4
313	314	0.15	0.01	0.61	2
349	350	0.15	0.01	0.61	4
313	325	0.15	0.05	3.48	6
316	328	0.15	0.05	3.62	6
319	331	0.15	0.05	3.56	6
322	334	0.15	0.05	3.63	8
316	317	0.15	0.01	0.55	2
352	353	0.15	0.01	0.55	4
349	361	0.15	0.03	1.85	6
352	364	0.15	0.04	2.67	6

315	-2	0.10	0.03	3.39	8
-98	-130	0.19	0.07	3.48	6
-226	-258	0.19	0.07	3.39	6
-354	-386	0.19	0.06	3.20	6
-482	1298	0.19	0.06	2.98	6
-70	-102	0.19	0.07	3.53	6
-198	-230	0.19	0.07	3.47	6
-326	-358	0.19	0.06	3.29	6
-454	-486	0.19	0.06	3.07	6
-40	-72	0.19	0.07	3.42	8
-168	-200	0.19	0.07	3.43	6
-296	-328	0.19	0.06	3.30	6
-424	-456	0.19	0.06	3.09	8
-18	-50	0.10	0.03	3.39	8
-146	-178	0.19	0.07	3.46	6
-274	-306	0.19	0.06	3.35	6
-402	-434	0.19	0.06	3.14	6
357	-22	0.10	0.03	3.41	8
-118	-150	0.19	0.07	3.53	6
-246	-278	0.19	0.07	3.43	6
-374	-406	0.19	0.06	3.23	6
-502	1336	0.19	0.06	3.03	6
-90	-122	0.19	0.07	3.47	6
-218	-250	0.19	0.07	3.41	6
-346	-378	0.19	0.06	3.26	6
-474	-506	0.19	0.06	3.05	6
-64	-96	0.19	0.07	3.42	6
-192	-224	0.19	0.07	3.43	6
-320	-352	0.19	0.06	3.30	6
-448	-480	0.19	0.06	3.09	6
-28	-60	0.10	0.03	3.42	8
-156	-188	0.19	0.07	3.52	6
-284	-316	0.19	0.07	3.40	6
-412	-444	0.19	0.06	3.16	6
354	-20	0.10	0.03	3.41	8
-116	-148	0.19	0.07	3.54	6
-244	-276	0.19	0.07	3.44	6
-372	-404	0.19	0.06	3.23	6
-500	1333	0.19	0.06	3.03	6
-88	-120	0.19	0.07	3.47	6
-216	-248	0.19	0.07	3.40	6
-344	-376	0.19	0.06	3.25	6
-472	-504	0.19	0.06	3.04	6
-62	-94	0.19	0.07	3.48	8
-190	-222	0.19	0.07	3.50	6
-318	-350	0.19	0.06	3.34	6
-446	-478	0.19	0.06	3.11	6
1306	1307	0.10	0.01	0.88	2
1338	1339	0.10	0.01	0.91	2
314	315	0.15	0.01	0.60	2
350	351	0.15	0.01	0.60	4
325	337	0.15	0.03	1.85	6
328	340	0.15	0.04	2.68	6
331	343	0.15	0.04	2.59	6
334	346	0.15	0.03	1.92	8
317	318	0.15	0.00	0.08	4
353	354	0.15	0.00	0.08	2
361	373	0.15	0.05	3.48	6
364	376	0.15	0.05	3.62	6

-2	-34	0.10	0.03	3.38	8
-130	-162	0.19	0.07	3.46	6
-258	-290	0.19	0.06	3.35	6
-386	-418	0.19	0.06	3.14	8
321	-6	0.10	0.03	3.44	8
-102	-134	0.19	0.07	3.53	6
-230	-262	0.19	0.07	3.43	6
-358	-390	0.19	0.06	3.23	6
-486	1304	0.19	0.06	3.03	6
-72	-104	0.19	0.07	3.46	6
-200	-232	0.19	0.07	3.40	6
-328	-360	0.19	0.06	3.25	6
-456	-488	0.19	0.06	3.04	8
-50	-82	0.19	0.07	3.43	8
-178	-210	0.19	0.07	3.44	6
-306	-338	0.19	0.06	3.31	6
-434	-466	0.19	0.06	3.09	6
-22	-54	0.10	0.03	3.43	8
-150	-182	0.19	0.07	3.52	6
-278	-310	0.19	0.07	3.39	6
-406	-438	0.19	0.06	3.15	6
375	-26	0.10	0.03	3.40	8
-122	-154	0.19	0.07	3.48	6
-250	-282	0.19	0.07	3.38	6
-378	-410	0.19	0.06	3.21	6
-506	1350	0.19	0.06	2.98	8
-96	-128	0.19	0.07	3.47	6
-224	-256	0.19	0.07	3.40	6
-352	-384	0.19	0.06	3.25	8
-480	-512	0.19	0.06	3.04	6
-60	-92	0.19	0.07	3.48	6
-188	-220	0.19	0.07	3.50	6
-316	-348	0.19	0.06	3.35	6
-444	-476	0.19	0.06	3.11	6
-20	-52	0.10	0.03	3.43	8
-148	-180	0.19	0.07	3.52	6
-276	-308	0.19	0.07	3.40	6
-404	-436	0.19	0.06	3.16	6
360	-24	0.10	0.03	3.37	8
-120	-152	0.19	0.07	3.46	6
-248	-280	0.19	0.07	3.37	6
-376	-408	0.19	0.06	3.19	6
-504	1339	0.19	0.06	2.98	6
-94	-126	0.19	0.07	3.53	6
-222	-254	0.19	0.07	3.47	6
-350	-382	0.19	0.06	3.29	6
-478	-510	0.19	0.06	3.07	6
1325	1326	0.10	0.01	0.88	4
1357	1358	0.10	0.01	0.91	4
337	338	0.15	0.01	0.61	4
373	374	0.15	0.01	0.61	2
315	327	0.15	0.05	3.63	8
318	330	0.15	0.05	3.56	6
321	333	0.15	0.05	3.62	6
324	336	0.15	0.05	3.48	6
340	341	0.15	0.01	0.55	4
376	377	0.15	0.01	0.55	2
351	363	0.15	0.03	1.92	8
354	366	0.15	0.04	2.59	6

-34	-66	0.19	0.07	3.43	6
-162	-194	0.19	0.07	3.44	6
-290	-322	0.19	0.06	3.31	6
-418	-450	0.19	0.06	3.10	6
-6	-38	0.10	0.03	3.42	8
-134	-166	0.19	0.07	3.52	6
-262	-294	0.19	0.07	3.39	6
-390	-422	0.19	0.06	3.15	6
324	-8	0.10	0.03	3.38	8
-104	-136	0.19	0.07	3.46	6
-232	-264	0.19	0.07	3.37	6
-360	-392	0.19	0.06	3.20	6
-488	1307	0.19	0.06	2.98	8
-82	-114	0.19	0.07	3.47	6
-210	-242	0.19	0.07	3.42	6
-338	-370	0.19	0.06	3.26	6
-466	-498	0.19	0.06	3.05	6
-54	-86	0.19	0.07	3.48	8
-182	-214	0.19	0.07	3.50	6
-310	-342	0.19	0.06	3.34	6
-438	-470	0.19	0.06	3.11	6
-26	-58	0.10	0.03	3.38	8
-154	-186	0.19	0.07	3.46	6
-282	-314	0.19	0.06	3.35	6
-410	-442	0.19	0.06	3.14	6
384	-32	0.10	0.03	3.37	8
-128	-160	0.19	0.07	3.47	6
-256	-288	0.19	0.07	3.37	6
-384	-416	0.19	0.06	3.19	8
-512	1359	0.19	0.06	2.98	6
-92	-124	0.19	0.07	3.54	6
-220	-252	0.19	0.07	3.47	6
-348	-380	0.19	0.06	3.29	6
-476	-508	0.19	0.06	3.07	6
-52	-84	0.19	0.07	3.48	8
-180	-212	0.19	0.07	3.50	6
-308	-340	0.19	0.06	3.35	6
-436	-468	0.19	0.06	3.11	6
-24	-56	0.10	0.03	3.38	8
-152	-184	0.19	0.07	3.45	6
-280	-312	0.19	0.06	3.34	6
-408	-440	0.19	0.06	3.13	8
381	-30	0.10	0.03	3.43	8
-126	-158	0.19	0.07	3.53	6
-254	-286	0.19	0.07	3.43	6
-382	-414	0.19	0.06	3.23	6
-510	1356	0.19	0.06	3.03	6
1326	1327	0.10	0.01	0.92	2
1358	1359	0.10	0.01	0.88	2
338	339	0.15	0.01	0.60	4
374	375	0.15	0.01	0.60	2
327	339	0.15	0.03	1.92	8
330	342	0.15	0.04	2.59	6
333	345	0.15	0.04	2.68	6
336	348	0.15	0.03	1.85	6
341	342	0.15	0.00	0.08	2
377	378	0.15	0.00	0.07	4
363	375	0.15	0.05	3.63	8
366	378	0.15	0.05	3.56	6

355	367	0.15	0.04	2.59	6	367	379	0.15	0.05	3.56	6	357	369	0.15	0.04	2.67	6	369	381	0.15	0.05	3.62	6
358	370	0.15	0.03	1.92	8	370	382	0.15	0.05	3.63	8	360	372	0.15	0.03	1.85	6	372	384	0.15	0.05	3.48	6
319	320	0.15	0.00	0.08	4	320	321	0.15	0.01	0.55	2	343	344	0.15	0.00	0.08	2	344	345	0.15	0.01	0.55	4
355	356	0.15	0.00	0.08	2	356	357	0.15	0.01	0.55	4	379	380	0.15	0.00	0.07	4	380	381	0.15	0.01	0.55	2
322	323	0.15	0.01	0.60	2	323	324	0.15	0.01	0.61	2	346	347	0.15	0.01	0.60	4	347	348	0.15	0.01	0.61	4
358	359	0.15	0.01	0.60	4	359	360	0.15	0.01	0.61	4	382	383	0.15	0.01	0.60	2	383	384	0.15	0.01	0.61	2

Min = 0.07
Max = 3.63

Reazioni vincolari

Simbologia
Nodo =Numero del nodo
CC =Numero della combinazione delle condizioni di carico elementari
TCC =Tipo di combinazione di carico
SLU = Stato limite ultimo
SLU S = Stato limite ultimo (azione sismica)
SLE R = Stato limite d'esercizio, combinazione rara
SLE F = Stato limite d'esercizio, combinazione frequente
SLE Q = Stato limite d'esercizio, combinazione quasi permanente
SLD = Stato limite di danno
SLV = Stato limite di salvaguardia della vita
SLC = Stato limite di prevenzione del collasso
SLO = Stato limite di operatività
SLU I = Stato limite di resistenza al fuoco
SND = Stato limite di salvaguardia della vita (non dissipativo)
Fx =Reazione vincolare (forza) in dir. X
Fy =Reazione vincolare (forza) in dir. Y
Fz =Reazione vincolare (forza) in dir. Z
Mx =Reazione vincolare (momento) intorno all'asse X
My =Reazione vincolare (momento) intorno all'asse Y
Mz =Reazione vincolare (momento) intorno all'asse Z

Nodo		CC	TCC	Fx <daN>	CC	TCC	Fy <daN>	CC	TCC	Fz <daN>	CC	TCC	Mx <daNm>	CC	TCC	My <daNm>	CC	TCC	Mz <daNm>
326	Max	17	SLU	249.00	5	SLU	227.34	16	SLU	0.00	16	SLU	0.00	16	SLU	0.00	5	SLU	3.56
326	Min	1	SLU	-193.54	5	SLU	-162.49	25	SLU	0.00	5	SLU	0.00	11	SLU	0.00	1	SLU	-2.75
329	Max	17	SLU	308.04	19	SLU	268.17	18	SLU	0.00	5	SLU	0.00	18	SLU	0.00	1	SLU	2.48
329	Min	1	SLU	-220.86	5	SLU	-135.69	5	SLU	0.00	5	SLU	0.00	5	SLU	0.00	1	SLU	-1.98
332	Max	17	SLU	329.97	9	SLU	267.25	28	SLU	0.00	5	SLU	0.00	16	SLU	0.00	1	SLU	1.89
332	Min	1	SLU	-206.02	5	SLU	-135.72	9	SLU	0.00	5	SLU	0.00	11	SLU	0.00	1	SLU	-2.57
335	Max	17	SLU	298.87	5	SLU	227.36	5	SLU	0.00	5	SLU	0.00	16	SLU	0.00	5	SLU	2.72
335	Min	1	SLU	-160.71	5	SLU	-162.67	16	SLU	0.00	5	SLU	0.00	25	SLU	0.00	1	SLU	-3.50
362	Max	17	SLU	248.88	5	SLU	162.47	1	SLU	0.00	5	SLU	0.00	5	SLU	0.00	5	SLU	2.72
362	Min	1	SLU	-193.20	5	SLU	-227.17	9	SLU	0.00	5	SLU	0.00	18	SLU	0.00	1	SLU	-3.48
365	Max	17	SLU	307.90	5	SLU	135.73	22	SLU	0.00	5	SLU	0.00	5	SLU	0.00	1	SLU	1.84

365	Min	1	SLU	-220.43	18	SLU	-354.54	19	SLU	0.00	5	SLU	0.00	21	SLU	0.00	1	SLU	-2.44
368	Max	17	SLU	329.80	5	SLU	135.73	16	SLU	0.00	5	SLU	0.00	5	SLU	0.00	1	SLU	2.43
368	Min	1	SLU	-205.61	18	SLU	-354.59	11	SLU	0.00	5	SLU	0.00	18	SLU	0.00	1	SLU	-1.86
371	Max	17	SLU	298.79	5	SLU	162.50	22	SLU	0.00	5	SLU	0.00	9	SLU	0.00	5	SLU	3.43
371	Min	1	SLU	-160.32	5	SLU	-227.30	17	SLU	0.00	5	SLU	0.00	5	SLU	0.00	1	SLU	-2.68

Tensioni sul terreno

Simbologia

Nodo =Numero del nodo

CC =Numero della combinazione delle condizioni di carico elementari

TCC =Tipo di combinazione di carico

- SLU = Stato limite ultimo
- SLU S = Stato limite ultimo (azione sismica)
- SLE R = Stato limite d'esercizio, combinazione rara
- SLE F = Stato limite d'esercizio, combinazione frequente
- SLE Q = Stato limite d'esercizio, combinazione quasi permanente
- SLD = Stato limite di danno
- SLV = Stato limite di salvaguardia della vita
- SLC = Stato limite di prevenzione del collasso
- SLO = Stato limite di operatività
- SLU I = Stato limite di resistenza al fuoco
- SND = Stato limite di salvaguardia della vita (non dissipativo)

σ_t =Tensione sul terreno

Nodo		CC	TCC	σ_t <daN/cmq>
325	Max	19	SLU	0.38
327	Max	19	SLU	0.37
329	Max	18	SLU	0.31
331	Max	18	SLU	0.31
333	Max	18	SLU	0.31
335	Max	18	SLU	0.37
361	Max	19	SLU	0.38
363	Max	19	SLU	0.37
365	Max	19	SLU	0.29
367	Max	9	SLU	0.28
369	Max	9	SLU	0.29
371	Max	9	SLU	0.34

Nodo		CC	TCC	σ_t <daN/cmq>
325	Min.	1	SND	0.13
327	Min.	1	SND	0.13
329	Min.	5	SND	0.14
331	Min.	5	SND	0.14
333	Min.	5	SND	0.14
335	Min.	1	SND	0.13
361	Min.	1	SND	0.13
363	Min.	1	SND	0.13
365	Min.	5	SND	0.14
367	Min.	5	SND	0.14
369	Min.	5	SND	0.14
371	Min.	1	SND	0.13

Nodo		CC	TCC	σ_t <daN/cmq>
326	Max	19	SLU	0.37
328	Max	18	SLU	0.31
330	Max	18	SLU	0.31
332	Max	18	SLU	0.31
334	Max	18	SLU	0.37
336	Max	18	SLU	0.38
362	Max	19	SLU	0.37
364	Max	19	SLU	0.29
366	Max	19	SLU	0.29
368	Max	9	SLU	0.28
370	Max	9	SLU	0.34
372	Max	9	SLU	0.35

Nodo		CC	TCC	σ_t <daN/cmq>
326	Min.	1	SND	0.13
328	Min.	5	SND	0.14
330	Min.	5	SND	0.14
332	Min.	5	SND	0.14
334	Min.	1	SND	0.13
336	Min.	1	SND	0.13
362	Min.	1	SND	0.13
364	Min.	5	SND	0.14
366	Min.	5	SND	0.14
368	Min.	5	SND	0.14
370	Min.	1	SND	0.13
372	Min.	1	SND	0.13

Sollecitazioni aste

Simbologia

Asta =Numero dell'asta
N1 =Nodo1
N2 =Nodo2
X =Coordinata progressiva rispetto al nodo iniziale
N =Sforzo normale
CC =Numero della combinazione delle condizioni di carico elementari
Ty =Taglio in dir. Y
Mz =Momento flettente intorno all'asse Z
Tz =Taglio in dir. Z
My =Momento flettente intorno all'asse Y
Mx =Momento torcente intorno all'asse X

Tipo di combinazione di carico: SLV

Asta	N1	N2		X <cm>	N <daN>	CC	Ty <daN>	CC	Mz <daNm>	CC	Tz <daN>	CC	My <daNm>	CC	Mx <daNm>	CC
1	2001	3001	Max	0.00	2.75	1	0.85	1	0.03	1	17.74	1	0.22	1	0.08	1
1	2001	3001	Max	0.79					0.00	7			-0.11	7		
1	2001	3001	Max	7.94	3.06	1	0.85	1	0.10	1	17.74	1	0.67	1	0.08	1
1	2001	3001	Min.	0.00	-8.07	1	-0.61	1	-0.06	1	-3.70	1	-0.74	1	-0.11	1
1	2001	3001	Min.	0.79					-0.02	7			-0.30	7		
1	2001	3001	Min.	7.94	-7.76	1	-0.61	1	-0.10	1	-3.70	1	-0.07	1	-0.11	1
2	2002	3002	Max	0.00	-0.76	1	0.93	1	0.03	1	23.29	1	-0.08	1	0.09	1
2	2002	3002	Max	7.94	-0.45	1	0.93	1	0.10	1	23.29	1	0.85	1	0.09	1
2	2002	3002	Min.	0.00	-12.32	1	-0.68	1	-0.05	1	2.95	1	-1.00	1	-0.12	1
2	2002	3002	Min.	7.94	-12.00	1	-0.68	1	-0.11	1	2.95	1	0.15	1	-0.12	1
3	2003	3003	Max	0.00	-8.51	1	0.98	1	0.06	1	43.65	1	-0.78	1	0.07	1
3	2003	3003	Max	7.94	-8.20	1	0.98	1	0.14	1	43.65	1	1.67	1	0.07	1
3	2003	3003	Min.	0.00	-19.95	1	-0.51	1	-0.02	1	21.18	1	-1.79	1	-0.12	1
3	2003	3003	Min.	7.94	-19.64	1	-0.51	1	-0.06	1	21.18	1	0.90	1	-0.12	1
4	2004	3004	Max	0.00	-5.87	1	0.90	1	0.05	1	33.96	1	-0.47	1	0.08	1
4	2004	3004	Max	7.94	-5.56	1	0.90	1	0.12	1	33.96	1	1.32	1	0.08	1
4	2004	3004	Min.	0.00	-17.17	1	-0.71	1	-0.03	1	13.81	1	-1.37	1	-0.11	1
4	2004	3004	Min.	7.94	-16.86	1	-0.71	1	-0.08	1	13.81	1	0.62	1	-0.11	1
5	2005	3005	Max	0.00	-3.97	1	0.61	1	0.03	1	35.04	1	-0.39	1	0.12	1
5	2005	3005	Max	0.40					-0.00	7			-0.69	7		
5	2005	3005	Max	7.94	-3.66	1	0.61	1	0.08	1	35.04	1	1.37	1	0.12	1
5	2005	3005	Min.	0.00	-15.63	1	-0.98	1	-0.06	1	12.13	1	-1.42	1	-0.08	1
5	2005	3005	Min.	0.40					-0.03	7			-0.93	7		
5	2005	3005	Min.	7.94	-15.32	1	-0.98	1	-0.13	1	12.13	1	0.57	1	-0.08	1
6	2006	3006	Max	0.00	-10.34	1	0.44	1	0.02	1	41.59	1	-0.82	1	0.12	1
6	2006	3006	Max	7.94	-10.02	1	0.44	1	0.05	1	41.59	1	1.60	1	0.12	1
6	2006	3006	Min.	0.00	-21.43	1	-1.09	1	-0.06	1	21.79	1	-1.71	1	-0.06	1
6	2006	3006	Min.	7.94	-21.11	1	-1.09	1	-0.15	1	21.79	1	0.91	1	-0.06	1
7	2007	3007	Max	0.00	-0.16	1	0.75	1	0.05	1	25.19	1	-0.07	1	0.14	1
7	2007	3007	Max	0.40					0.02	7			-0.42	7		
7	2007	3007	Max	7.94	0.15	1	0.75	1	0.11	1	25.19	1	0.92	1	0.14	1
7	2007	3007	Min.	0.00	-11.72	1	-1.23	1	-0.03	1	2.92	1	-1.08	1	-0.09	1
7	2007	3007	Min.	0.40					-0.00	7			-0.62	7		
7	2007	3007	Min.	7.94	-11.41	1	-1.23	1	-0.13	1	2.92	1	0.16	1	-0.09	1
8	2008	3008	Max	0.00	1.98	1	0.69	1	0.05	1	16.28	1	0.14	1	0.13	1
8	2008	3008	Max	0.90					0.02	7			-0.12	7		
8	2008	3008	Max	7.94	2.30	1	0.69	1	0.10	1	16.28	1	0.61	1	0.13	1
8	2008	3008	Min.	0.00	-8.49	1	-1.17	1	-0.03	1	-2.02	1	-0.69	1	-0.08	1
8	2008	3008	Min.	0.90					-0.00	7			-0.29	7		
8	2008	3008	Min.	7.94	-8.18	1	-1.17	1	-0.12	1	-2.02	1	-0.02	1	-0.08	1
9	9	-513	Max	0.00	0.55	5	0.07	5	0.02	1	25.75	1	0.24	1	0.12	1
9	9	-513	Max	9.29	0.92	5	0.07	5	0.02	1	25.75	1	1.15	1	0.12	1

9	9	-513	Min.	0.00	-1.48	5	0.01	5	-0.01	1	-4.51	1	-1.24	1	-0.17	1
9	9	-513	Min.	9.29	-1.11	5	0.01	5	-0.01	1	-4.51	1	-0.17	1	-0.17	1
10	10	-514	Max	0.00	12.63	1	0.29	1	0.03	1	18.42	1	-0.14	1	0.11	1
10	10	-514	Max	9.29	13.00	1	0.29	1	0.01	1	18.42	1	0.79	1	0.11	1
10	10	-514	Min.	0.00	1.28	1	-0.32	1	-0.01	1	3.22	1	-0.93	1	-0.16	1
10	10	-514	Min.	9.29	1.65	1	-0.32	1	-0.00	1	3.22	1	0.16	1	-0.16	1
11	11	-515	Max	0.00	0.93	5	0.16	1	0.03	1	61.74	1	-1.40	1	0.09	1
11	11	-515	Max	2.61					0.01	7			-0.91	7		
11	11	-515	Max	9.29	1.29	5	0.16	1	0.02	1	61.74	1	2.81	1	0.09	1
11	11	-515	Min.	0.00	-1.76	5	-0.14	1	-0.01	1	30.30	1	-2.93	1	-0.16	1
11	11	-515	Min.	2.61					0.00	7			-1.02	7		
11	11	-515	Min.	9.29	-1.40	5	-0.14	1	-0.00	1	30.30	1	1.41	1	-0.16	1
12	12	-516	Max	0.00	17.22	1	0.51	1	0.03	1	25.83	1	-0.52	1	0.09	1
12	12	-516	Max	9.29	17.58	1	0.51	1	0.04	1	25.83	1	1.13	1	0.09	1
12	12	-516	Min.	0.00	5.77	1	-0.28	1	-0.01	1	11.13	1	-1.28	1	-0.14	1
12	12	-516	Min.	9.29	6.13	1	-0.28	1	0.01	1	11.13	1	0.51	1	-0.14	1
13	13	-517	Max	0.00	0.39	5	0.25	1	0.02	1	49.55	1	-0.81	1	0.14	1
13	13	-517	Max	9.29	0.76	5	0.25	1	0.01	1	49.55	1	2.27	1	0.14	1
13	13	-517	Min.	0.00	-2.39	5	-0.09	1	-0.02	1	18.07	1	-2.34	1	-0.10	1
13	13	-517	Min.	9.29	-2.03	5	-0.09	1	-0.00	1	18.07	1	0.87	1	-0.10	1
14	14	-518	Max	0.00	21.56	1	0.64	1	0.02	1	31.51	1	-0.82	1	0.14	1
14	14	-518	Max	9.29	21.93	1	0.64	1	0.04	1	31.51	1	1.36	1	0.14	1
14	14	-518	Min.	0.00	10.11	1	-0.10	1	-0.02	1	17.07	1	-1.58	1	-0.09	1
14	14	-518	Min.	9.29	10.47	1	-0.10	1	0.01	1	17.07	1	0.76	1	-0.09	1
15	15	-519	Max	0.00	0.15	5	0.39	1	0.02	1	38.29	1	-0.31	1	0.17	1
15	15	-519	Max	9.29	0.51	5	0.39	1	0.01	5	38.29	1	1.74	1	0.17	1
15	15	-519	Min.	0.00	-2.76	5	-0.12	1	-0.03	1	7.02	1	-1.82	1	-0.12	1
15	15	-519	Min.	9.29	-2.40	5	-0.12	1	0.01	5	7.02	1	0.35	1	-0.12	1
16	16	-520	Max	0.00	8.76	1	0.67	1	0.02	1	12.88	1	0.08	1	0.15	1
16	16	-520	Max	9.29	9.12	1	0.67	1	0.03	1	12.88	1	0.55	1	0.15	1
16	16	-520	Min.	0.00	-1.58	1	-0.27	1	-0.03	1	-0.96	1	-0.66	1	-0.11	1
16	16	-520	Min.	9.29	-1.21	1	-0.27	1	-0.01	1	-0.96	1	-0.02	1	-0.11	1
17	17	-529	Max	0.00	15.27	5	0.87	1	0.02	1	26.56	5	0.27	1	0.09	1
17	17	-529	Max	10.65	15.69	5	0.87	1	0.06	1	26.56	5	1.64	5	0.09	1
17	17	-529	Min.	0.00	-5.60	5	-0.67	1	-0.03	1	-4.18	5	-1.31	1	-0.10	1
17	17	-529	Min.	10.65	-5.18	5	-0.67	1	-0.05	1	-4.18	5	-0.30	5	-0.10	1
18	18	-530	Max	0.00	23.34	5	0.05	1	0.02	5	26.32	5	-0.21	1	0.09	1
18	18	-530	Max	10.65	23.75	5	0.05	1	0.01	5	26.32	5	1.60	5	0.09	1
18	18	-530	Min.	0.00	-1.09	5	-0.26	1	-0.00	5	2.07	5	-1.22	1	-0.12	1
18	18	-530	Min.	10.65	-0.67	5	-0.26	1	-0.01	5	2.07	5	-0.01	5	-0.12	1
19	19	-531	Max	0.00	17.51	5	0.72	1	0.02	1	56.56	5	-1.27	1	0.10	1
19	19	-531	Max	10.65	17.93	5	0.72	1	0.04	1	56.56	5	3.23	5	0.10	1
19	19	-531	Min.	0.00	-4.25	5	-0.84	1	-0.03	1	25.73	5	-2.94	1	-0.15	1
19	19	-531	Min.	10.65	-3.83	5	-0.84	1	-0.07	1	25.73	5	1.31	5	-0.15	1
20	20	-532	Max	0.00	31.21	5	0.35	1	0.00	1	33.50	5	-0.56	1	0.10	1
20	20	-532	Max	10.65	31.63	5	0.35	1	0.01	1	33.50	5	2.02	5	0.10	1
20	20	-532	Min.	0.00	6.90	5	-0.24	1	-0.03	1	9.52	5	-1.55	1	-0.17	1
20	20	-532	Min.	10.65	7.31	5	-0.24	1	-0.02	1	9.52	5	0.45	5	-0.17	1
21	21	-533	Max	0.00	17.83	5	0.52	1	0.03	1	47.07	5	-0.75	1	0.15	1
21	21	-533	Max	10.65	18.24	5	0.52	1	0.03	1	47.07	5	2.76	5	0.15	1
21	21	-533	Min.	0.00	-4.01	5	-1.11	1	-0.02	1	16.84	5	-2.42	1	-0.11	1
21	21	-533	Min.	10.65	-3.59	5	-1.11	1	-0.08	1	16.84	5	0.87	5	-0.11	1
22	22	-534	Max	0.00	34.07	5	0.19	1	0.02	1	38.28	5	-0.82	5	0.15	1
22	22	-534	Max	10.65	34.48	5	0.19	1	0.01	1	38.28	5	2.23	5	0.15	1
22	22	-534	Min.	0.00	9.79	5	-0.40	1	-0.01	1	13.80	5	-1.85	5	-0.11	1
22	22	-534	Min.	10.65	10.21	5	-0.40	1	-0.02	1	13.80	5	0.64	5	-0.11	1
23	23	-535	Max	0.00	13.40	5	0.58	1	0.04	1	38.17	5	-0.36	1	0.17	1
23	23	-535	Max	10.65	13.82	5	0.58	1	0.04	1	38.17	5	2.23	5	0.17	1
23	23	-535	Min.	0.00	-7.73	5	-1.16	1	-0.03	1	7.61	5	-1.98	1	-0.12	1

23	23	-535	Min.	10.65	-7.31	5	-1.16	1	-0.08	1	7.61	5	0.31	5	-0.12	1
24	24	-536	Max	0.00	21.42	5	0.43	5	0.01	5	20.67	5	0.08	5	0.18	1
24	24	-536	Max	8.52					-0.01	3			0.38	3		
24	24	-536	Max	10.65	21.84	5	0.43	5	0.01	5	20.67	5	1.31	5	0.18	1
24	24	-536	Min.	0.00	-3.44	5	-0.20	5	-0.04	5	-3.02	5	-0.89	5	-0.13	1
24	24	-536	Min.	8.52					-0.00	3			0.31	3		
24	24	-536	Min.	10.65	-3.03	5	-0.20	5	-0.01	5	-3.02	5	-0.24	5	-0.13	1
25	2025	4025	Max	0.00	39.37	1	0.32	1	-0.01	5	94.91	5	4.88	5	0.02	5
25	2025	4025	Max	12.00	39.84	1	0.32	1	0.02	1	94.91	5	4.21	5	0.02	5
25	2025	4025	Min.	0.00	-25.43	1	0.08	1	-0.02	5	-72.66	5	-7.18	5	-0.04	5
25	2025	4025	Min.	12.00	-24.96	1	0.08	1	-0.00	1	-72.66	5	-3.84	5	-0.04	5
26	1026	2026	Max	0.00	-242.78	5	94.33	5	324.79	5	73.09	1	-0.08	1	1.06	5
26	1026	2026	Max	9.00	-240.75	5	94.33	5	333.28	5	73.09	1	6.50	1	1.06	5
26	1026	2026	Min.	0.00	-391.25	5	-29.68	5	-109.70	5	-40.33	1	-24.98	1	-1.81	5
26	1026	2026	Min.	9.00	-389.23	5	-29.68	5	-112.37	5	-40.33	1	-28.62	1	-1.81	5
26	2026	4026	Max	0.00	-119.78	1	65.02	1	7.00	1	1916.13	5	101.72	5	4.08	1
26	2026	4026	Max	7.00	-118.20	1	65.02	1	11.55	1	1916.13	5	45.83	5	4.08	1
26	2026	4026	Min.	0.00	-144.80	1	-31.74	1	-21.03	1	-798.42	5	-275.32	5	-3.69	1
26	2026	4026	Min.	7.00	-143.23	1	-31.74	1	-23.25	1	-798.42	5	-141.19	5	-3.69	1
27	2027	4027	Max	0.00	33.93	1	1.83	1	0.10	1	91.84	5	5.10	5	0.04	5
27	2027	4027	Max	12.00	34.40	1	1.83	1	0.15	1	91.84	5	4.02	5	0.04	5
27	2027	4027	Min.	0.00	-85.73	1	-2.71	1	-0.07	1	-76.54	5	-7.00	5	-0.02	5
27	2027	4027	Min.	12.00	-85.26	1	-2.71	1	-0.22	1	-76.54	5	-4.08	5	-0.02	5
28	2028	4028	Max	0.00	44.50	1	3.95	1	-0.01	1	101.28	5	4.30	5	0.01	5
28	2028	4028	Max	12.00	44.97	1	3.95	1	0.32	1	101.28	5	4.20	5	0.01	5
28	2028	4028	Min.	0.00	-123.18	1	-0.21	1	-0.15	1	-69.11	5	-7.96	5	-0.05	5
28	2028	4028	Min.	12.00	-122.71	1	-0.21	1	-0.03	1	-69.11	5	-3.99	5	-0.05	5
29	1029	2029	Max	0.00	-527.61	5	127.44	5	410.28	5	77.82	1	32.02	1	0.86	1
29	1029	2029	Max	9.00	-525.59	5	127.44	5	421.75	5	77.82	1	39.03	1	0.86	1
29	1029	2029	Min.	0.00	-667.79	5	0.22	5	-29.33	5	-63.05	1	-26.43	1	-1.11	1
29	1029	2029	Min.	9.00	-665.77	5	0.22	5	-29.31	5	-63.05	1	-32.10	1	-1.11	1
29	2029	4029	Max	0.00	-229.04	5	66.85	1	30.79	1	2365.63	5	36.58	5	4.67	1
29	2029	4029	Max	7.00	-227.46	5	66.85	1	35.47	1	2365.63	5	9.81	5	4.67	1
29	2029	4029	Min.	0.00	-235.34	5	-54.22	1	-25.36	1	-382.38	5	-345.12	5	-3.49	1
29	2029	4029	Min.	7.00	-233.76	5	-54.22	1	-29.15	1	-382.38	5	-179.53	5	-3.49	1
30	2030	4030	Max	0.00	60.60	1	0.58	1	0.14	1	100.98	5	4.28	5	0.05	5
30	2030	4030	Max	12.00	61.08	1	0.58	1	0.06	1	100.98	5	4.18	5	0.05	5
30	2030	4030	Min.	0.00	-107.66	1	-3.51	1	-0.01	1	-68.97	5	-7.94	5	-0.00	5
30	2030	4030	Min.	12.00	-107.19	1	-3.51	1	-0.29	1	-68.97	5	-3.99	5	-0.00	5
31	2031	4031	Max	0.00	60.94	1	3.51	1	0.01	1	102.33	5	4.21	5	0.00	5
31	2031	4031	Max	12.00	61.41	1	3.51	1	0.29	1	102.33	5	4.26	5	0.00	5
31	2031	4031	Min.	0.00	-107.36	1	-0.57	1	-0.14	1	-67.65	5	-8.02	5	-0.05	5
31	2031	4031	Min.	12.00	-106.89	1	-0.57	1	-0.06	1	-67.65	5	-3.91	5	-0.05	5
32	1032	2032	Max	0.00	-527.63	5	127.43	5	410.26	5	62.99	1	26.00	1	1.22	1
32	1032	2032	Max	9.00	-525.60	5	127.43	5	421.73	5	62.99	1	31.67	1	1.22	1
32	1032	2032	Min.	0.00	-667.82	5	0.20	5	-29.34	5	-77.90	1	-32.48	1	-0.76	1
32	1032	2032	Min.	9.00	-665.80	5	0.20	5	-29.32	5	-77.90	1	-39.49	1	-0.76	1
32	2032	4032	Max	0.00	-229.05	5	54.10	1	25.24	1	2365.44	5	36.63	5	1.53	1
32	2032	4032	Max	7.00	-227.47	5	54.10	1	29.03	1	2365.44	5	9.81	5	1.53	1
32	2032	4032	Min.	0.00	-235.35	5	-67.05	1	-30.92	1	-383.20	5	-345.10	5	-6.51	1
32	2032	4032	Min.	7.00	-233.78	5	-67.05	1	-35.61	1	-383.20	5	-179.52	5	-6.51	1
33	2033	4033	Max	0.00	44.13	1	0.22	1	0.15	1	99.70	5	4.39	5	0.05	5
33	2033	4033	Max	12.00	44.60	1	0.22	1	0.03	1	99.70	5	4.10	5	0.05	5
33	2033	4033	Min.	0.00	-123.53	1	-3.95	1	0.01	1	-70.67	5	-7.86	5	-0.01	5
33	2033	4033	Min.	12.00	-123.06	1	-3.95	1	-0.32	1	-70.67	5	-4.09	5	-0.01	5
34	2034	4034	Max	0.00	34.15	1	2.72	1	0.07	1	92.85	5	5.06	5	0.01	5
34	2034	4034	Max	12.00	34.62	1	2.72	1	0.22	1	92.85	5	4.08	5	0.01	5
34	2034	4034	Min.	0.00	-85.78	1	-1.82	1	-0.10	1	-75.84	5	-7.06	5	-0.04	5
34	2034	4034	Min.	12.00	-85.31	1	-1.82	1	-0.15	1	-75.84	5	-4.04	5	-0.04	5

35	1035	2035	Max	0.00	-243.79	5	94.29	5	324.70	5	40.31	1	24.77	1	1.78	5
35	1035	2035	Max	9.00	-241.77	5	94.29	5	333.19	5	40.31	1	28.40	1	1.78	5
35	1035	2035	Min.	0.00	-392.22	5	-29.79	5	-109.86	5	-73.15	1	-0.18	1	-1.06	5
35	1035	2035	Min.	9.00	-390.20	5	-29.79	5	-112.54	5	-73.15	1	-6.76	1	-1.06	5
35	2035	4035	Max	0.00	-120.11	1	31.77	1	20.97	1	1916.08	5	101.80	5	2.80	1
35	2035	4035	Max	7.00	-118.54	1	31.77	1	23.19	1	1916.08	5	45.92	5	2.80	1
35	2035	4035	Min.	0.00	-145.27	1	-65.22	1	-7.09	1	-798.28	5	-275.27	5	-5.03	1
35	2035	4035	Min.	7.00	-143.70	1	-65.22	1	-11.66	1	-798.28	5	-141.15	5	-5.03	1
36	2036	4036	Max	0.00	39.19	1	-0.08	1	0.02	5	94.32	5	4.90	5	0.04	5
36	2036	4036	Max	12.00	39.66	1	-0.08	1	0.00	1	94.32	5	4.17	5	0.04	5
36	2036	4036	Min.	0.00	-25.86	1	-0.33	1	0.01	5	-73.05	5	-7.15	5	-0.02	5
36	2036	4036	Min.	12.00	-25.39	1	-0.33	1	-0.02	1	-73.05	5	-3.86	5	-0.02	5
37	37	-545	Max	0.00	0.60	5	0.07	5	0.01	5	-52.84	5	19.72	5	-0.01	1
37	37	-545	Max	13.75	1.14	5	0.07	5	0.00	5	-52.84	5	-3.65	5	-0.01	1
37	37	-545	Min.	0.00	-20.07	5	-0.19	5	-0.01	5	-285.60	5	3.61	5	-0.07	1
37	37	-545	Min.	13.75	-19.54	5	-0.19	5	-0.02	5	-285.60	5	-19.55	5	-0.07	1
38	38	-546	Max	0.00	-2.70	5	0.09	1	0.02	1	-78.49	5	21.55	5	-0.02	1
38	38	-546	Max	13.75	-2.16	5	0.09	1	0.01	1	-78.49	5	-5.41	5	-0.02	1
38	38	-546	Min.	0.00	-23.48	5	-0.40	1	-0.00	1	-311.87	5	5.38	5	-0.07	1
38	38	-546	Min.	13.75	-22.94	5	-0.40	1	-0.04	1	-311.87	5	-21.34	5	-0.07	1
39	39	-547	Max	0.00	-10.26	5	0.37	1	0.01	1	-216.81	5	31.15	5	0.03	1
39	39	-547	Max	13.75	-9.72	5	0.37	1	0.04	1	-216.81	5	-14.89	5	0.03	1
39	39	-547	Min.	0.00	-31.49	5	-0.10	1	-0.01	1	-450.98	5	14.92	5	-0.02	1
39	39	-547	Min.	13.75	-30.95	5	-0.10	1	-0.01	1	-450.98	5	-30.86	5	-0.02	1
40	40	-548	Max	0.00	-10.17	5	0.12	1	0.01	1	-215.06	5	31.12	5	0.02	1
40	40	-548	Max	13.75	-9.63	5	0.12	1	0.01	1	-215.06	5	-14.78	5	0.02	1
40	40	-548	Min.	0.00	-31.40	5	-0.37	1	-0.00	1	-450.60	5	14.79	5	-0.03	1
40	40	-548	Min.	13.75	-30.86	5	-0.37	1	-0.04	1	-450.60	5	-30.84	5	-0.03	1
41	41	-549	Max	0.00	-10.14	5	0.37	1	0.00	1	-214.50	5	31.07	5	0.03	1
41	41	-549	Max	13.75	-9.60	5	0.37	1	0.04	1	-214.50	5	-14.74	5	0.03	1
41	41	-549	Min.	0.00	-31.36	5	-0.11	1	-0.01	1	-449.89	5	14.76	5	-0.02	1
41	41	-549	Min.	13.75	-30.82	5	-0.11	1	-0.01	1	-449.89	5	-30.79	5	-0.02	1
42	42	-550	Max	0.00	-10.30	5	0.11	1	0.01	1	-217.38	5	31.20	5	0.02	1
42	42	-550	Max	13.75	-9.76	5	0.11	1	0.01	1	-217.38	5	-14.93	5	0.02	1
42	42	-550	Min.	0.00	-31.54	5	-0.36	1	-0.01	1	-451.71	5	14.96	5	-0.03	1
42	42	-550	Min.	13.75	-31.00	5	-0.36	1	-0.04	1	-451.71	5	-30.91	5	-0.03	1
43	43	-551	Max	0.00	-2.68	5	0.41	1	0.00	1	-78.24	5	21.52	5	0.07	1
43	43	-551	Max	13.75	-2.14	5	0.41	1	0.04	1	-78.24	5	-5.39	5	0.07	1
43	43	-551	Min.	0.00	-23.45	5	-0.08	1	-0.02	1	-311.50	5	5.37	5	0.02	1
43	43	-551	Min.	13.75	-22.91	5	-0.08	1	-0.01	1	-311.50	5	-21.31	5	0.02	1
44	44	-552	Max	0.00	0.59	5	0.19	5	0.00	5	-52.98	5	19.75	5	0.07	1
44	44	-552	Max	13.75	1.13	5	0.19	5	0.02	5	-52.98	5	-3.66	5	0.07	1
44	44	-552	Min.	0.00	-20.09	5	-0.06	5	-0.01	5	-285.90	5	3.62	5	0.01	1
44	44	-552	Min.	13.75	-19.55	5	-0.06	5	-0.00	5	-285.90	5	-19.57	5	0.01	1
45	45	-561	Max	0.00	-2.42	5	0.01	1	-0.00	5	-38.75	5	20.13	5	-0.01	1
45	45	-561	Max	15.50	-1.81	5	0.01	1	-0.00	5	-38.75	5	-2.95	5	-0.01	1
45	45	-561	Min.	0.00	-9.66	5	-0.01	1	-0.00	5	-260.73	5	3.06	5	-0.07	1
45	45	-561	Min.	15.50	-9.05	5	-0.01	1	-0.00	5	-260.73	5	-20.28	5	-0.07	1
46	46	-562	Max	0.00	-4.98	5	0.14	1	0.01	1	-57.11	5	21.60	5	-0.01	1
46	46	-562	Max	12.40					-0.00	7			-2.85	7		
46	46	-562	Max	15.50	-4.37	5	0.14	1	0.01	1	-57.11	5	-4.37	5	-0.01	1
46	46	-562	Min.	0.00	-12.20	5	-0.13	1	-0.01	1	-279.69	5	4.48	5	-0.07	1
46	46	-562	Min.	12.40					-0.00	7			-12.83	7		
46	46	-562	Min.	15.50	-11.59	5	-0.13	1	-0.02	1	-279.69	5	-21.75	5	-0.07	1
47	47	-563	Max	0.00	-9.63	5	0.13	1	0.01	1	-181.49	5	31.30	5	0.03	1
47	47	-563	Max	15.50	-9.02	5	0.13	1	0.01	1	-181.49	5	-14.02	5	0.03	1
47	47	-563	Min.	0.00	-16.81	5	-0.15	1	-0.01	1	-404.95	5	14.11	5	-0.03	1
47	47	-563	Min.	15.50	-16.20	5	-0.15	1	-0.01	1	-404.95	5	-31.47	5	-0.03	1
48	48	-564	Max	0.00	-9.75	5	0.15	1	0.01	1	-179.71	5	31.26	5	0.03	1

48	48	-564	Max	15.50	-9.14	5	0.15	1	0.01	1	-179.71	5	-13.88	5	0.03	1
48	48	-564	Min.	0.00	-16.97	5	-0.14	1	-0.01	1	-404.37	5	13.98	5	-0.03	1
48	48	-564	Min.	15.50	-16.37	5	-0.14	1	-0.01	1	-404.37	5	-31.42	5	-0.03	1
49	49	-565	Max	0.00	-9.73	5	0.14	1	0.01	1	-179.29	5	31.21	5	0.03	1
49	49	-565	Max	15.50	-9.13	5	0.14	1	0.01	1	-179.29	5	-13.85	5	0.03	1
49	49	-565	Min.	0.00	-16.96	5	-0.15	1	-0.01	1	-403.84	5	13.94	5	-0.03	1
49	49	-565	Min.	15.50	-16.35	5	-0.15	1	-0.01	1	-403.84	5	-31.38	5	-0.03	1
50	50	-566	Max	0.00	-9.64	5	0.15	1	0.01	1	-181.89	5	31.34	5	0.03	1
50	50	-566	Max	15.50	-9.03	5	0.15	1	0.01	1	-181.89	5	-14.05	5	0.03	1
50	50	-566	Min.	0.00	-16.82	5	-0.13	1	-0.01	1	-405.47	5	14.14	5	-0.03	1
50	50	-566	Min.	15.50	-16.22	5	-0.13	1	-0.01	1	-405.47	5	-31.51	5	-0.03	1
51	51	-567	Max	0.00	-4.97	5	0.13	1	0.01	1	-56.93	5	21.58	5	0.07	1
51	51	-567	Max	15.50	-4.37	5	0.13	1	0.02	1	-56.93	5	-4.36	5	0.07	1
51	51	-567	Min.	0.00	-12.19	5	-0.14	1	-0.01	1	-279.43	5	4.47	5	0.01	1
51	51	-567	Min.	15.50	-11.59	5	-0.14	1	-0.01	1	-279.43	5	-21.73	5	0.01	1
52	52	-568	Max	0.00	-2.43	5	0.01	1	0.00	5	-38.87	5	20.15	5	0.07	1
52	52	-568	Max	15.50	-1.82	5	0.01	1	0.00	5	-38.87	5	-2.96	5	0.07	1
52	52	-568	Min.	0.00	-9.67	5	-0.01	1	0.00	5	-260.94	5	3.07	5	0.01	1
52	52	-568	Min.	15.50	-9.06	5	-0.01	1	0.00	5	-260.94	5	-20.30	5	0.01	1
53	53	-577	Max	0.00	-1.38	5	0.07	5	0.00	5	-27.77	5	18.36	5	-0.00	1
53	53	-577	Max	17.25	-0.70	5	0.07	5	-0.00	5	-27.77	5	-2.35	5	-0.00	1
53	53	-577	Min.	0.00	-9.14	5	-0.13	5	-0.01	5	-213.16	5	2.44	5	-0.07	1
53	53	-577	Min.	17.25	-8.46	5	-0.13	5	-0.02	5	-213.16	5	-18.42	5	-0.07	1
54	54	-578	Max	0.00	-4.01	5	0.07	5	0.00	5	-38.55	5	19.36	5	0.01	1
54	54	-578	Max	17.25	-3.33	5	0.07	5	-0.00	5	-38.55	5	-3.28	5	0.01	1
54	54	-578	Min.	0.00	-11.73	5	-0.13	5	-0.01	5	-224.79	5	3.37	5	-0.08	1
54	54	-578	Min.	17.25	-11.05	5	-0.13	5	-0.02	5	-224.79	5	-19.42	5	-0.08	1
55	55	-579	Max	0.00	-8.36	5	0.03	1	0.01	1	-139.91	5	28.15	5	0.04	1
55	55	-579	Max	17.25	-7.69	5	0.03	1	0.01	1	-139.91	5	-12.03	5	0.04	1
55	55	-579	Min.	0.00	-16.14	5	-0.06	1	0.00	1	-326.76	5	12.11	5	-0.04	1
55	55	-579	Min.	17.25	-15.46	5	-0.06	1	-0.00	1	-326.76	5	-28.21	5	-0.04	1
56	56	-580	Max	0.00	-8.33	5	0.03	1	0.01	1	-138.58	5	28.13	5	0.04	1
56	56	-580	Max	17.25	-7.65	5	0.03	1	0.00	1	-138.58	5	-11.91	5	0.04	1
56	56	-580	Min.	0.00	-16.14	5	-0.07	1	-0.00	1	-326.46	5	12.00	5	-0.04	1
56	56	-580	Min.	17.25	-15.46	5	-0.07	1	-0.00	1	-326.46	5	-28.19	5	-0.04	1
57	57	-581	Max	0.00	-8.32	5	0.07	1	0.00	1	-138.25	5	28.09	5	0.04	1
57	57	-581	Max	6.90					-0.00	7			5.53	7		
57	57	-581	Max	17.25	-7.64	5	0.07	1	0.00	1	-138.25	5	-11.88	5	0.04	1
57	57	-581	Min.	0.00	-16.12	5	-0.03	1	-0.01	1	-326.05	5	11.97	5	-0.04	1
57	57	-581	Min.	6.90					-0.00	7			2.50	7		
57	57	-581	Min.	17.25	-15.44	5	-0.03	1	-0.00	1	-326.05	5	-28.15	5	-0.04	1
58	58	-582	Max	0.00	-8.38	5	0.07	1	0.00	1	-140.22	5	28.19	5	0.04	1
58	58	-582	Max	13.80					-0.00	5			-7.22	5		
58	58	-582	Max	17.25	-7.70	5	0.07	1	0.00	1	-140.22	5	-12.05	5	0.04	1
58	58	-582	Min.	0.00	-16.16	5	-0.03	1	-0.01	1	-327.17	5	12.14	5	-0.04	1
58	58	-582	Min.	13.80					-0.00	5			-16.96	5		
58	58	-582	Min.	17.25	-15.48	5	-0.03	1	-0.00	1	-327.17	5	-28.25	5	-0.04	1
59	59	-583	Max	0.00	-4.01	5	0.13	5	0.01	5	-38.41	5	19.34	5	0.08	1
59	59	-583	Max	17.25	-3.33	5	0.13	5	0.02	5	-38.41	5	-3.27	5	0.08	1
59	59	-583	Min.	0.00	-11.72	5	-0.07	5	-0.00	5	-224.59	5	3.35	5	-0.01	1
59	59	-583	Min.	17.25	-11.04	5	-0.07	5	0.00	5	-224.59	5	-19.40	5	-0.01	1
60	60	-584	Max	0.00	-1.38	5	0.12	5	0.01	5	-27.86	5	18.37	5	0.07	1
60	60	-584	Max	17.25	-0.71	5	0.12	5	0.02	5	-27.86	5	-2.36	5	0.07	1
60	60	-584	Min.	0.00	-9.14	5	-0.07	5	-0.00	5	-213.32	5	2.45	5	0.00	1
60	60	-584	Min.	17.25	-8.47	5	-0.07	5	0.00	5	-213.32	5	-18.43	5	0.00	1
61	61	-593	Max	0.00	-6.52	5	0.23	1	0.02	1	-15.37	5	15.90	5	0.01	1
61	61	-593	Max	19.00	-5.78	5	0.23	1	0.01	1	-15.37	5	-1.44	5	0.01	1
61	61	-593	Min.	0.00	-15.45	5	-0.54	1	-0.03	1	-167.66	5	1.48	5	-0.09	1
61	61	-593	Min.	19.00	-14.70	5	-0.54	1	-0.09	1	-167.66	5	-15.96	5	-0.09	1

62	62	-594	Max	0.00	-7.61	1	0.45	1	0.04	1	-20.02	5	16.64	5	0.00	1
62	62	-594	Max	19.00	-6.86	1	0.45	1	0.03	1	-20.02	5	-1.85	5	0.00	1
62	62	-594	Min.	0.00	-15.73	1	-0.76	1	-0.05	1	-175.12	5	1.95	5	-0.09	1
62	62	-594	Min.	19.00	-14.98	1	-0.76	1	-0.11	1	-175.12	5	-16.64	5	-0.09	1
63	63	-595	Max	0.00	-23.57	1	0.68	1	0.05	1	-92.36	5	23.48	5	0.03	1
63	63	-595	Max	19.00	-22.82	1	0.68	1	0.09	1	-92.36	5	-8.71	5	0.03	1
63	63	-595	Min.	0.00	-31.47	1	-0.53	1	-0.04	1	-247.06	5	8.84	5	-0.05	1
63	63	-595	Min.	19.00	-30.73	1	-0.53	1	-0.05	1	-247.06	5	-23.46	5	-0.05	1
64	64	-596	Max	0.00	-20.61	1	0.67	1	0.05	1	-93.91	5	23.73	5	0.03	1
64	64	-596	Max	19.00	-19.87	1	0.67	1	0.08	1	-93.91	5	-8.86	5	0.03	1
64	64	-596	Min.	0.00	-28.85	1	-0.57	1	-0.05	1	-249.70	5	8.98	5	-0.05	1
64	64	-596	Min.	19.00	-28.10	1	-0.57	1	-0.06	1	-249.70	5	-23.72	5	-0.05	1
65	65	-597	Max	0.00	-20.53	1	0.57	1	0.05	1	-93.70	5	23.70	5	0.05	1
65	65	-597	Max	19.00	-19.78	1	0.57	1	0.06	1	-93.70	5	-8.84	5	0.05	1
65	65	-597	Min.	0.00	-28.76	1	-0.66	1	-0.05	1	-249.42	5	8.96	5	-0.03	1
65	65	-597	Min.	19.00	-28.02	1	-0.66	1	-0.08	1	-249.42	5	-23.69	5	-0.03	1
66	66	-598	Max	0.00	-23.65	1	0.53	1	0.04	1	-92.55	5	23.51	5	0.05	1
66	66	-598	Max	19.00	-22.91	1	0.53	1	0.05	1	-92.55	5	-8.73	5	0.05	1
66	66	-598	Min.	0.00	-31.56	1	-0.67	1	-0.05	1	-247.33	5	8.85	5	-0.03	1
66	66	-598	Min.	19.00	-30.82	1	-0.67	1	-0.09	1	-247.33	5	-23.48	5	-0.03	1
67	67	-599	Max	0.00	-7.55	1	0.76	1	0.05	1	-19.93	5	16.63	5	0.09	1
67	67	-599	Max	19.00	-6.80	1	0.76	1	0.11	1	-19.93	5	-1.84	5	0.09	1
67	67	-599	Min.	0.00	-15.69	1	-0.45	1	-0.04	1	-175.02	5	1.94	5	-0.01	1
67	67	-599	Min.	19.00	-14.95	1	-0.45	1	-0.03	1	-175.02	5	-16.63	5	-0.01	1
68	68	-600	Max	0.00	-6.54	5	0.54	1	0.03	1	-15.43	5	15.90	5	0.09	1
68	68	-600	Max	19.00	-5.80	5	0.54	1	0.08	1	-15.43	5	-1.44	5	0.09	1
68	68	-600	Min.	0.00	-15.51	5	-0.23	1	-0.02	1	-167.72	5	1.49	5	-0.01	1
68	68	-600	Min.	19.00	-14.76	5	-0.23	1	-0.01	1	-167.72	5	-15.96	5	-0.01	1
69	69	-609	Max	0.00	-0.97	5	0.20	1	-0.00	5	-4.16	5	13.77	5	-0.01	5
69	69	-609	Max	20.75	-0.16	5	0.20	1	0.02	1	-4.16	5	-0.38	5	-0.01	5
69	69	-609	Min.	0.00	-6.15	5	-0.09	1	-0.02	5	-132.69	5	0.48	5	-0.02	5
69	69	-609	Min.	20.75	-5.34	5	-0.09	1	-0.02	1	-132.69	5	-13.77	5	-0.02	5
70	70	-610	Max	0.00	-2.70	5	0.17	5	-0.00	5	-5.73	5	14.28	5	-0.01	1
70	70	-610	Max	20.75	-1.88	5	0.17	5	0.02	1	-5.73	5	-0.55	5	-0.01	1
70	70	-610	Min.	0.00	-7.97	5	-0.06	5	-0.02	5	-137.61	5	0.64	5	-0.02	1
70	70	-610	Min.	20.75	-7.15	5	-0.06	5	-0.02	1	-137.61	5	-14.28	5	-0.02	1
71	71	-611	Max	0.00	-4.96	5	0.09	1	0.00	1	-55.63	5	19.47	5	0.00	1
71	71	-611	Max	20.75	-4.14	5	0.09	1	0.02	1	-55.63	5	-5.71	5	0.00	1
71	71	-611	Min.	0.00	-10.23	5	-0.09	1	0.00	1	-187.51	5	5.84	5	-0.02	1
71	71	-611	Min.	20.75	-9.41	5	-0.09	1	-0.01	1	-187.51	5	-19.43	5	-0.02	1
72	72	-612	Max	0.00	-5.25	5	0.10	1	0.00	5	-59.80	5	19.86	5	0.00	1
72	72	-612	Max	20.75	-4.43	5	0.10	1	0.02	1	-59.80	5	-6.14	5	0.00	1
72	72	-612	Min.	0.00	-10.50	5	-0.08	1	-0.00	5	-191.26	5	6.27	5	-0.02	1
72	72	-612	Min.	20.75	-9.68	5	-0.08	1	-0.02	1	-191.26	5	-19.82	5	-0.02	1
73	73	-613	Max	0.00	-5.24	5	0.08	1	0.00	5	-59.69	5	19.85	5	0.02	1
73	73	-613	Max	20.75	-4.43	5	0.08	1	0.01	1	-59.69	5	-6.13	5	0.02	1
73	73	-613	Min.	0.00	-10.49	5	-0.11	1	-0.00	5	-191.09	5	6.26	5	-0.00	1
73	73	-613	Min.	20.75	-9.67	5	-0.11	1	-0.02	1	-191.09	5	-19.81	5	-0.00	1
74	74	-614	Max	0.00	-4.96	5	0.08	1	0.00	1	-55.72	5	19.49	5	0.02	1
74	74	-614	Max	20.75	-4.15	5	0.08	1	0.01	1	-55.72	5	-5.72	5	0.02	1
74	74	-614	Min.	0.00	-10.23	5	-0.10	1	-0.00	1	-187.66	5	5.85	5	0.00	1
74	74	-614	Min.	20.75	-9.42	5	-0.10	1	-0.02	1	-187.66	5	-19.45	5	0.00	1
75	75	-615	Max	0.00	-2.69	5	0.06	5	0.02	5	-5.65	5	14.28	5	0.02	1
75	75	-615	Max	20.75	-1.88	5	0.06	5	0.02	1	-5.65	5	-0.54	5	0.02	1
75	75	-615	Min.	0.00	-7.97	5	-0.17	5	0.00	5	-137.61	5	0.63	5	0.01	1
75	75	-615	Min.	20.75	-7.15	5	-0.17	5	-0.02	1	-137.61	5	-14.28	5	0.01	1
76	76	-616	Max	0.00	-0.97	5	0.09	1	0.02	5	-4.17	5	13.77	5	0.02	5
76	76	-616	Max	20.75	-0.16	5	0.09	1	0.02	1	-4.17	5	-0.38	5	0.02	5
76	76	-616	Min.	0.00	-6.15	5	-0.21	1	0.00	5	-132.72	5	0.48	5	0.01	5

76	76	-616	Min.	20.75	-5.34	5	-0.21	1	-0.02	1	-132.72	5	-13.77	5	0.01	5
77	77	-625	Max	0.00	-0.41	5	0.00	5	0.00	1	0.02	5	12.40	5	-0.00	1
77	77	-625	Max	18.00					-0.00	7			-0.03	7		
77	77	-625	Max	22.50	0.47	5	0.00	5	0.00	1	0.02	5	0.04	5	-0.00	1
77	77	-625	Min.	0.00	-4.82	5	-0.00	5	-0.01	1	-110.17	5	0.04	5	-0.03	1
77	77	-625	Min.	18.00					-0.00	7			-7.37	7		
77	77	-625	Min.	22.50	-3.94	5	-0.00	5	-0.01	1	-110.17	5	-12.39	5	-0.03	1
78	78	-626	Max	0.00	-2.36	5	0.11	1	0.02	1	1.92	5	12.55	5	-0.00	1
78	78	-626	Max	22.50	-1.48	5	0.11	1	0.00	1	1.92	5	0.25	5	-0.00	1
78	78	-626	Min.	0.00	-6.90	5	-0.11	1	-0.02	1	-111.47	5	-0.18	5	-0.03	1
78	78	-626	Min.	22.50	-6.01	5	-0.11	1	-0.01	1	-111.47	5	-12.53	5	-0.03	1
79	79	-627	Max	0.00	-3.86	5	0.11	1	0.02	1	-39.21	5	17.17	5	-0.00	1
79	79	-627	Max	22.50	-2.98	5	0.11	1	0.00	1	-39.21	5	-4.36	5	-0.00	1
79	79	-627	Min.	0.00	-8.38	5	-0.11	1	-0.02	1	-152.45	5	4.47	5	-0.02	1
79	79	-627	Min.	22.50	-7.49	5	-0.11	1	-0.01	1	-152.45	5	-17.13	5	-0.02	1
80	80	-628	Max	0.00	-4.14	5	0.12	1	0.02	1	-42.81	5	17.54	5	0.00	1
80	80	-628	Max	22.50	-3.25	5	0.12	1	0.01	1	-42.81	5	-4.76	5	0.00	1
80	80	-628	Min.	0.00	-8.64	5	-0.12	1	-0.02	1	-155.74	5	4.87	5	-0.02	1
80	80	-628	Min.	22.50	-7.76	5	-0.12	1	-0.01	1	-155.74	5	-17.50	5	-0.02	1
81	81	-629	Max	0.00	-4.13	5	0.12	1	0.02	1	-42.72	5	17.53	5	0.02	1
81	81	-629	Max	22.50	-3.25	5	0.12	1	0.01	1	-42.72	5	-4.75	5	0.02	1
81	81	-629	Min.	0.00	-8.64	5	-0.12	1	-0.02	1	-155.61	5	4.86	5	0.00	1
81	81	-629	Min.	22.50	-7.75	5	-0.12	1	-0.01	1	-155.61	5	-17.48	5	0.00	1
82	82	-630	Max	0.00	-3.87	5	0.11	1	0.02	1	-39.28	5	17.19	5	0.02	1
82	82	-630	Max	22.50	-2.98	5	0.11	1	0.01	1	-39.28	5	-4.36	5	0.02	1
82	82	-630	Min.	0.00	-8.38	5	-0.11	1	-0.02	1	-152.57	5	4.48	5	0.00	1
82	82	-630	Min.	22.50	-7.50	5	-0.11	1	-0.00	1	-152.57	5	-17.14	5	0.00	1
83	83	-631	Max	0.00	-2.36	5	0.11	1	0.02	1	1.98	5	12.55	5	0.03	1
83	83	-631	Max	22.50	-1.48	5	0.11	1	0.01	1	1.98	5	0.26	5	0.03	1
83	83	-631	Min.	0.00	-6.90	5	-0.11	1	-0.02	1	-111.47	5	-0.18	5	0.00	1
83	83	-631	Min.	22.50	-6.02	5	-0.11	1	-0.00	1	-111.47	5	-12.53	5	0.00	1
84	84	-632	Max	0.00	-0.41	5	0.00	5	0.01	1	0.02	5	12.40	5	0.02	1
84	84	-632	Max	22.50	0.47	5	0.00	5	0.01	1	0.02	5	0.04	5	0.02	1
84	84	-632	Min.	0.00	-4.82	5	-0.00	5	-0.00	1	-110.19	5	0.04	5	0.00	1
84	84	-632	Min.	22.50	-3.94	5	-0.00	5	-0.00	1	-110.19	5	-12.39	5	0.00	1
85	85	-641	Max	0.00	-0.59	5	0.06	5	0.02	5	3.83	5	11.10	5	0.00	1
85	85	-641	Max	13.03					-0.02	3			-0.26	3		
85	85	-641	Max	24.25	0.36	5	0.06	5	0.02	1	3.83	5	0.50	5	0.00	1
85	85	-641	Min.	0.00	-4.46	5	-0.13	5	-0.01	5	-91.56	5	-0.43	5	-0.03	1
85	85	-641	Min.	13.03					0.01	3			-0.50	3		
85	85	-641	Min.	24.25	-3.51	5	-0.13	5	-0.03	1	-91.56	5	-11.10	5	-0.03	1
86	86	-642	Max	0.00	-2.25	5	0.06	5	0.02	1	7.64	5	11.01	5	0.01	1
86	86	-642	Max	12.23					-0.02	3			-0.00	3		
86	86	-642	Max	24.25	-1.30	5	0.06	5	0.02	1	7.64	5	0.96	5	0.01	1
86	86	-642	Min.	0.00	-6.09	5	-0.13	5	-0.01	1	-90.69	5	-0.89	5	-0.04	1
86	86	-642	Min.	12.23					0.01	3			-0.04	3		
86	86	-642	Min.	24.25	-5.14	5	-0.13	5	-0.03	1	-90.69	5	-10.98	5	-0.04	1
87	87	-643	Max	0.00	-3.98	5	0.01	1	0.01	1	-26.06	5	15.08	5	0.02	1
87	87	-643	Max	9.82					-0.01	7			2.86	7		
87	87	-643	Max	24.25	-3.03	5	0.01	1	0.02	1	-26.06	5	-3.12	5	0.02	1
87	87	-643	Min.	0.00	-7.89	5	-0.04	1	-0.01	1	-124.20	5	3.20	5	-0.04	1
87	87	-643	Min.	9.82					0.00	7			0.66	7		
87	87	-643	Min.	24.25	-6.94	5	-0.04	1	-0.02	1	-124.20	5	-15.04	5	-0.04	1
88	88	-644	Max	0.00	-4.23	5	0.02	5	0.01	1	-28.92	5	15.40	5	0.02	1
88	88	-644	Max	11.55					-0.01	7			0.74	7		
88	88	-644	Max	24.25	-3.27	5	0.02	5	0.02	1	-28.92	5	-3.46	5	0.02	1
88	88	-644	Min.	0.00	-8.11	5	-0.04	5	-0.01	1	-126.84	5	3.55	5	-0.04	1
88	88	-644	Min.	13.03					0.01	3			-0.81	3		
88	88	-644	Min.	24.25	-7.16	5	-0.04	5	-0.02	1	-126.84	5	-15.36	5	-0.04	1

89	89	-645	Max	0.00	-4.22	5	0.05	5	0.01	1	-28.86	5	15.38	5	0.04	1
89	89	-645	Max	13.03					-0.00	7			-0.22	7		
89	89	-645	Max	24.25	-3.27	5	0.05	5	0.02	1	-28.86	5	-3.45	5	0.04	1
89	89	-645	Min.	0.00	-8.11	5	-0.01	5	-0.01	1	-126.72	5	3.54	5	-0.02	1
89	89	-645	Min.	13.03					0.01	7			-1.13	7		
89	89	-645	Min.	24.25	-7.16	5	-0.01	5	-0.02	1	-126.72	5	-15.35	5	-0.02	1
90	90	-646	Max	0.00	-3.98	5	0.04	1	0.01	1	-26.12	5	15.09	5	0.04	1
90	90	-646	Max	24.25	-3.03	5	0.04	1	0.02	1	-26.12	5	-3.12	5	0.04	1
90	90	-646	Min.	0.00	-7.89	5	-0.01	1	-0.01	1	-124.30	5	3.21	5	-0.02	1
90	90	-646	Min.	24.25	-6.94	5	-0.01	1	-0.02	1	-124.30	5	-15.05	5	-0.02	1
91	91	-647	Max	0.00	-2.24	5	0.13	5	0.01	1	7.70	5	11.01	5	0.04	1
91	91	-647	Max	24.25	-1.29	5	0.13	5	0.03	1	7.70	5	0.97	5	0.04	1
91	91	-647	Min.	0.00	-6.09	5	-0.05	5	-0.02	1	-90.70	5	-0.90	5	-0.01	1
91	91	-647	Min.	24.25	-5.14	5	-0.05	5	-0.02	1	-90.70	5	-10.98	5	-0.01	1
92	92	-648	Max	0.00	-0.59	5	0.13	5	0.01	1	3.83	5	11.11	5	0.03	1
92	92	-648	Max	24.25	0.36	5	0.13	5	0.03	1	3.83	5	0.50	5	0.03	1
92	92	-648	Min.	0.00	-4.46	5	-0.05	5	-0.02	1	-91.58	5	-0.43	5	0.00	1
92	92	-648	Min.	24.25	-3.51	5	-0.05	5	-0.02	1	-91.58	5	-11.10	5	0.00	1
93	93	-657	Max	0.00	-10.75	5	0.56	1	0.03	1	13.07	5	9.11	5	0.01	5
93	93	-657	Max	26.00	-9.73	5	0.56	1	0.12	1	13.07	5	1.72	5	0.01	5
93	93	-657	Min.	0.00	-14.30	5	-0.61	1	-0.03	1	-70.05	5	-1.67	5	-0.07	5
93	93	-657	Min.	26.00	-13.28	5	-0.61	1	-0.13	1	-70.05	5	-9.10	5	-0.07	5
94	94	-658	Max	0.00	-3.47	5	0.71	1	0.04	1	13.10	5	9.54	5	0.01	5
94	94	-658	Max	26.00	-2.45	5	0.71	1	0.14	1	13.10	5	1.74	5	0.01	5
94	94	-658	Min.	0.00	-6.90	5	-0.75	1	-0.05	1	-73.27	5	-1.67	5	-0.07	5
94	94	-658	Min.	26.00	-5.88	5	-0.75	1	-0.15	1	-73.27	5	-9.51	5	-0.07	5
95	95	-659	Max	0.00	-17.86	5	0.70	1	0.04	1	-6.51	5	12.05	5	0.01	1
95	95	-659	Max	26.00	-16.84	5	0.70	1	0.14	1	-6.51	5	-0.79	5	0.01	1
95	95	-659	Min.	0.00	-21.34	5	-0.77	1	-0.05	1	-92.40	5	0.90	5	-0.03	1
95	95	-659	Min.	26.00	-20.32	5	-0.77	1	-0.15	1	-92.40	5	-11.98	5	-0.03	1
96	96	-660	Max	0.00	-18.74	5	0.72	1	0.05	1	-8.44	5	12.29	5	0.01	1
96	96	-660	Max	26.00	-17.72	5	0.72	1	0.14	1	-8.44	5	-1.04	5	0.01	1
96	96	-660	Min.	0.00	-22.04	5	-0.77	1	-0.05	1	-94.30	5	1.15	5	-0.04	1
96	96	-660	Min.	26.00	-21.02	5	-0.77	1	-0.15	1	-94.30	5	-12.22	5	-0.04	1
97	97	-661	Max	0.00	-18.72	5	0.77	1	0.05	1	-8.39	5	12.28	5	0.04	1
97	97	-661	Max	26.00	-17.70	5	0.77	1	0.15	1	-8.39	5	-1.04	5	0.04	1
97	97	-661	Min.	0.00	-22.02	5	-0.72	1	-0.05	1	-94.20	5	1.14	5	-0.01	1
97	97	-661	Min.	26.00	-21.00	5	-0.72	1	-0.14	1	-94.20	5	-12.21	5	-0.01	1
98	98	-662	Max	0.00	-17.88	5	0.77	1	0.05	1	-6.56	5	12.06	5	0.03	1
98	98	-662	Max	26.00	-16.86	5	0.77	1	0.16	1	-6.56	5	-0.80	5	0.03	1
98	98	-662	Min.	0.00	-21.36	5	-0.70	1	-0.04	1	-92.49	5	0.91	5	-0.01	1
98	98	-662	Min.	26.00	-20.34	5	-0.70	1	-0.14	1	-92.49	5	-11.99	5	-0.01	1
99	99	-663	Max	0.00	-3.46	5	0.75	1	0.05	1	13.14	5	9.54	5	0.07	5
99	99	-663	Max	26.00	-2.44	5	0.75	1	0.15	1	13.14	5	1.74	5	0.07	5
99	99	-663	Min.	0.00	-6.88	5	-0.71	1	-0.04	1	-73.28	5	-1.67	5	-0.01	5
99	99	-663	Min.	26.00	-5.86	5	-0.71	1	-0.14	1	-73.28	5	-9.52	5	-0.01	5
100	100	-664	Max	0.00	-10.76	5	0.61	1	0.03	1	13.07	5	9.12	5	0.07	5
100	100	-664	Max	26.00	-9.74	5	0.61	1	0.13	1	13.07	5	1.73	5	0.07	5
100	100	-664	Min.	0.00	-14.31	5	-0.56	1	-0.03	1	-70.06	5	-1.67	5	-0.01	5
100	100	-664	Min.	26.00	-13.29	5	-0.56	1	-0.12	1	-70.06	5	-9.10	5	-0.01	5
101	101	-673	Max	0.00	-0.17	5	0.17	1	0.00	5	20.72	5	7.30	5	-0.01	5
101	101	-673	Max	27.75	0.92	5	0.17	1	0.04	1	20.72	5	2.91	5	-0.01	5
101	101	-673	Min.	0.00	-3.07	5	-0.09	1	-0.02	5	-52.48	5	-2.84	5	-0.02	5
101	101	-673	Min.	27.75	-1.98	5	-0.09	1	-0.04	1	-52.48	5	-7.26	5	-0.02	5
102	102	-674	Max	0.00	-1.89	5	0.16	1	0.01	5	17.69	5	8.11	5	0.00	1
102	102	-674	Max	27.75	-0.80	5	0.16	1	0.04	1	17.69	5	2.49	5	0.00	1
102	102	-674	Min.	0.00	-4.92	5	-0.08	1	-0.02	5	-58.37	5	-2.42	5	-0.02	1
102	102	-674	Min.	27.75	-3.83	5	-0.08	1	-0.04	1	-58.37	5	-8.08	5	-0.02	1
103	103	-675	Max	0.00	-2.58	5	0.12	1	0.01	1	8.94	5	9.29	5	0.01	1

103	103	-675	Max	27.75	-1.49	5	0.12	1	0.04	1	8.94	5	1.30	5	0.01	1
103	103	-675	Min.	0.00	-5.56	5	-0.09	1	-0.01	1	-66.67	5	-1.18	5	-0.02	1
103	103	-675	Min.	27.75	-4.47	5	-0.09	1	-0.04	1	-66.67	5	-9.21	5	-0.02	1
104	104	-676	Max	0.00	-2.76	5	0.12	1	0.01	1	8.01	5	9.45	5	0.01	1
104	104	-676	Max	27.75	-1.67	5	0.12	1	0.04	1	8.01	5	1.17	5	0.01	1
104	104	-676	Min.	0.00	-5.74	5	-0.10	1	-0.01	1	-67.81	5	-1.05	5	-0.02	1
104	104	-676	Min.	27.75	-4.65	5	-0.10	1	-0.04	1	-67.81	5	-9.37	5	-0.02	1
105	105	-677	Max	0.00	-2.76	5	0.09	1	0.01	1	8.04	5	9.44	5	0.02	1
105	105	-677	Max	14.51					-0.01	7			0.11	7		
105	105	-677	Max	27.75	-1.67	5	0.09	1	0.04	1	8.04	5	1.17	5	0.02	1
105	105	-677	Min.	0.00	-5.73	5	-0.12	1	-0.01	1	-67.75	5	-1.06	5	-0.01	1
105	105	-677	Min.	14.51					0.01	7			-0.39	7		
105	105	-677	Min.	27.75	-4.64	5	-0.12	1	-0.04	1	-67.75	5	-9.36	5	-0.01	1
106	106	-678	Max	0.00	-2.58	5	0.09	1	0.01	1	8.91	5	9.30	5	0.02	1
106	106	-678	Max	27.75	-1.49	5	0.09	1	0.04	1	8.91	5	1.29	5	0.02	1
106	106	-678	Min.	0.00	-5.56	5	-0.12	1	-0.00	1	-66.73	5	-1.18	5	-0.01	1
106	106	-678	Min.	27.75	-4.47	5	-0.12	1	-0.04	1	-66.73	5	-9.22	5	-0.01	1
107	107	-679	Max	0.00	-1.89	5	0.08	1	0.02	5	17.70	5	8.11	5	0.02	1
107	107	-679	Max	27.75	-0.80	5	0.08	1	0.04	1	17.70	5	2.49	5	0.02	1
107	107	-679	Min.	0.00	-4.92	5	-0.16	1	-0.01	5	-58.37	5	-2.42	5	0.00	1
107	107	-679	Min.	27.75	-3.83	5	-0.16	1	-0.04	1	-58.37	5	-8.08	5	0.00	1
108	108	-680	Max	0.00	-0.17	5	0.10	1	0.02	5	20.73	5	7.30	5	0.02	5
108	108	-680	Max	27.75	0.92	5	0.10	1	0.04	1	20.73	5	2.91	5	0.02	5
108	108	-680	Min.	0.00	-3.07	5	-0.18	1	-0.00	5	-52.48	5	-2.84	5	0.01	5
108	108	-680	Min.	27.75	-1.98	5	-0.18	1	-0.04	1	-52.48	5	-7.26	5	0.01	5
109	109	-689	Max	0.00	0.37	5	0.02	1	0.01	1	21.71	5	6.40	5	0.00	1
109	109	-689	Max	29.50	1.53	5	0.02	1	0.02	1	21.71	5	3.23	5	0.00	1
109	109	-689	Min.	0.00	-2.24	5	-0.01	1	-0.02	1	-43.28	5	-3.17	5	-0.02	1
109	109	-689	Min.	29.50	-1.08	5	-0.01	1	-0.02	1	-43.28	5	-6.37	5	-0.02	1
110	110	-690	Max	0.00	-1.72	5	0.07	1	0.02	1	20.80	5	6.91	5	0.00	1
110	110	-690	Max	29.50	-0.56	5	0.07	1	0.00	1	20.80	5	3.10	5	0.00	1
110	110	-690	Min.	0.00	-4.40	5	-0.07	1	-0.03	1	-46.77	5	-3.04	5	-0.02	1
110	110	-690	Min.	29.50	-3.24	5	-0.07	1	-0.01	1	-46.77	5	-6.88	5	-0.02	1
111	111	-691	Max	0.00	-1.77	5	0.07	1	0.02	1	14.53	5	7.80	5	0.01	1
111	111	-691	Max	29.50	-0.61	5	0.07	1	0.01	1	14.53	5	2.19	5	0.01	1
111	111	-691	Min.	0.00	-4.44	5	-0.07	1	-0.03	1	-52.63	5	-2.10	5	-0.01	1
111	111	-691	Min.	29.50	-3.28	5	-0.07	1	-0.01	1	-52.63	5	-7.73	5	-0.01	1
112	112	-692	Max	0.00	-1.91	5	0.08	1	0.03	1	13.96	5	7.91	5	0.01	1
112	112	-692	Max	29.50	-0.75	5	0.08	1	0.00	1	13.96	5	2.11	5	0.01	1
112	112	-692	Min.	0.00	-4.59	5	-0.07	1	-0.03	1	-53.43	5	-2.01	5	-0.01	1
112	112	-692	Min.	29.50	-3.43	5	-0.07	1	-0.01	1	-53.43	5	-7.85	5	-0.01	1
113	113	-693	Max	0.00	-1.91	5	0.07	1	0.03	1	13.99	5	7.91	5	0.01	1
113	113	-693	Max	29.50	-0.75	5	0.07	1	0.01	1	13.99	5	2.11	5	0.01	1
113	113	-693	Min.	0.00	-4.59	5	-0.08	1	-0.03	1	-53.37	5	-2.02	5	-0.01	1
113	113	-693	Min.	29.50	-3.43	5	-0.08	1	-0.00	1	-53.37	5	-7.84	5	-0.01	1
114	114	-694	Max	0.00	-1.77	5	0.07	1	0.03	1	14.51	5	7.80	5	0.01	1
114	114	-694	Max	29.50	-0.61	5	0.07	1	0.01	1	14.51	5	2.19	5	0.01	1
114	114	-694	Min.	0.00	-4.44	5	-0.07	1	-0.02	1	-52.68	5	-2.09	5	-0.01	1
114	114	-694	Min.	29.50	-3.28	5	-0.07	1	-0.01	1	-52.68	5	-7.74	5	-0.01	1
115	115	-695	Max	0.00	-1.71	5	0.07	1	0.03	1	20.81	5	6.91	5	0.02	1
115	115	-695	Max	29.50	-0.56	5	0.07	1	0.01	1	20.81	5	3.10	5	0.02	1
115	115	-695	Min.	0.00	-4.40	5	-0.07	1	-0.02	1	-46.77	5	-3.04	5	-0.00	1
115	115	-695	Min.	29.50	-3.24	5	-0.07	1	-0.00	1	-46.77	5	-6.88	5	-0.00	1
116	116	-696	Max	0.00	0.37	5	0.01	1	0.02	1	21.71	5	6.40	5	0.02	1
116	116	-696	Max	29.50	1.53	5	0.01	1	0.02	1	21.71	5	3.23	5	0.02	1
116	116	-696	Min.	0.00	-2.24	5	-0.02	1	-0.01	1	-43.28	5	-3.18	5	0.00	1
116	116	-696	Min.	29.50	-1.08	5	-0.02	1	-0.02	1	-43.28	5	-6.37	5	0.00	1
117	117	-705	Max	0.00	-0.04	5	0.09	1	0.01	1	22.52	5	5.57	5	0.01	1
117	117	-705	Max	31.25	1.19	5	0.09	1	0.04	1	22.52	5	3.54	5	0.01	1

117	117	-705	Min.	0.00	-2.34	5	-0.15	1	-0.01	1	-35.59	5	-3.50	5	-0.03	1
117	117	-705	Min.	31.25	-1.12	5	-0.15	1	-0.05	1	-35.59	5	-5.55	5	-0.03	1
118	118	-706	Max	0.00	-1.82	5	0.07	1	0.01	1	23.69	5	5.76	5	0.02	1
118	118	-706	Max	31.25	-0.60	5	0.07	1	0.03	1	23.69	5	3.72	5	0.02	1
118	118	-706	Min.	0.00	-4.21	5	-0.13	1	-0.02	1	-36.75	5	-3.68	5	-0.04	1
118	118	-706	Min.	31.25	-2.99	5	-0.13	1	-0.05	1	-36.75	5	-5.73	5	-0.04	1
119	119	-707	Max	0.00	-2.39	5	0.07	1	0.01	1	19.62	5	6.35	5	0.03	1
119	119	-707	Max	31.25	-1.16	5	0.07	1	0.04	1	19.62	5	3.10	5	0.03	1
119	119	-707	Min.	0.00	-4.75	5	-0.09	1	-0.01	1	-40.47	5	-3.03	5	-0.03	1
119	119	-707	Min.	31.25	-3.52	5	-0.09	1	-0.04	1	-40.47	5	-6.30	5	-0.03	1
120	120	-708	Max	0.00	-2.52	5	0.07	1	0.01	1	19.26	5	6.44	5	0.03	1
120	120	-708	Max	31.25	-1.29	5	0.07	1	0.04	1	19.26	5	3.04	5	0.03	1
120	120	-708	Min.	0.00	-4.90	5	-0.09	1	-0.01	1	-41.04	5	-2.98	5	-0.03	1
120	120	-708	Min.	31.25	-3.67	5	-0.09	1	-0.04	1	-41.04	5	-6.39	5	-0.03	1
121	121	-709	Max	0.00	-2.52	5	0.09	1	0.01	1	19.28	5	6.43	5	0.03	1
121	121	-709	Max	31.25	-1.29	5	0.09	1	0.04	1	19.28	5	3.04	5	0.03	1
121	121	-709	Min.	0.00	-4.90	5	-0.07	1	-0.01	1	-40.99	5	-2.98	5	-0.03	1
121	121	-709	Min.	31.25	-3.67	5	-0.07	1	-0.04	1	-40.99	5	-6.38	5	-0.03	1
122	122	-710	Max	0.00	-2.39	5	0.09	1	0.01	1	19.60	5	6.35	5	0.03	1
122	122	-710	Max	31.25	-1.16	5	0.09	1	0.04	1	19.60	5	3.09	5	0.03	1
122	122	-710	Min.	0.00	-4.75	5	-0.07	1	-0.01	1	-40.51	5	-3.03	5	-0.03	1
122	122	-710	Min.	31.25	-3.53	5	-0.07	1	-0.04	1	-40.51	5	-6.31	5	-0.03	1
123	123	-711	Max	0.00	-1.82	5	0.13	1	0.02	1	23.70	5	5.76	5	0.04	1
123	123	-711	Max	16.63					-0.00	7			0.26	7		
123	123	-711	Max	31.25	-0.60	5	0.13	1	0.05	1	23.70	5	3.73	5	0.04	1
123	123	-711	Min.	0.00	-4.21	5	-0.07	1	-0.01	1	-36.75	5	-3.68	5	-0.02	1
123	123	-711	Min.	16.63					0.01	7			-0.35	7		
123	123	-711	Min.	31.25	-2.99	5	-0.07	1	-0.03	1	-36.75	5	-5.73	5	-0.02	1
124	124	-712	Max	0.00	-0.04	5	0.15	1	0.01	1	22.53	5	5.57	5	0.03	1
124	124	-712	Max	16.78					-0.00	7			0.28	7		
124	124	-712	Max	31.25	1.19	5	0.15	1	0.05	1	22.53	5	3.54	5	0.03	1
124	124	-712	Min.	0.00	-2.34	5	-0.09	1	-0.01	1	-35.59	5	-3.50	5	-0.01	1
124	124	-712	Min.	16.78					0.01	7			-0.40	7		
124	124	-712	Min.	31.25	-1.12	5	-0.09	1	-0.03	1	-35.59	5	-5.55	5	-0.01	1
125	125	-721	Max	0.00	-8.28	5	0.53	1	0.04	1	26.96	5	4.22	5	0.02	5
125	125	-721	Max	33.00	-6.98	5	0.53	1	0.14	1	26.96	5	4.47	5	0.02	5
125	125	-721	Min.	0.00	-10.14	5	-0.70	1	-0.04	1	-25.46	5	-4.43	5	-0.05	5
125	125	-721	Min.	33.00	-8.84	5	-0.70	1	-0.19	1	-25.46	5	-4.19	5	-0.05	5
126	126	-722	Max	0.00	-5.67	5	0.63	1	0.05	1	28.03	5	4.37	5	0.02	5
126	126	-722	Max	33.00	-4.37	5	0.63	1	0.16	1	28.03	5	4.65	5	0.02	5
126	126	-722	Min.	0.00	-7.83	5	-0.80	1	-0.05	1	-26.41	5	-4.60	5	-0.05	5
126	126	-722	Min.	33.00	-6.54	5	-0.80	1	-0.21	1	-26.41	5	-4.34	5	-0.05	5
127	127	-723	Max	0.00	-17.98	5	0.70	1	0.05	1	31.22	5	3.84	5	0.01	1
127	127	-723	Max	33.00	-16.68	5	0.70	1	0.18	1	31.22	5	5.19	5	0.01	1
127	127	-723	Min.	0.00	-19.79	5	-0.72	1	-0.05	1	-23.04	5	-5.11	5	-0.02	1
127	127	-723	Min.	33.00	-18.49	5	-0.72	1	-0.19	1	-23.04	5	-3.77	5	-0.02	1
128	128	-724	Max	0.00	-17.79	5	0.70	1	0.05	1	30.87	5	3.92	5	0.01	1
128	128	-724	Max	33.00	-16.49	5	0.70	1	0.18	1	30.87	5	5.13	5	0.01	1
128	128	-724	Min.	0.00	-19.63	5	-0.74	1	-0.05	1	-23.54	5	-5.05	5	-0.03	1
128	128	-724	Min.	33.00	-18.33	5	-0.74	1	-0.19	1	-23.54	5	-3.85	5	-0.03	1
129	129	-725	Max	0.00	-17.78	5	0.74	1	0.05	1	30.89	5	3.91	5	0.03	1
129	129	-725	Max	33.00	-16.49	5	0.74	1	0.19	1	30.89	5	5.14	5	0.03	1
129	129	-725	Min.	0.00	-19.62	5	-0.70	1	-0.05	1	-23.50	5	-5.06	5	-0.01	1
129	129	-725	Min.	33.00	-18.32	5	-0.70	1	-0.18	1	-23.50	5	-3.84	5	-0.01	1
130	130	-726	Max	0.00	-17.99	5	0.72	1	0.05	1	31.21	5	3.84	5	0.03	1
130	130	-726	Max	33.00	-16.69	5	0.72	1	0.19	1	31.21	5	5.19	5	0.03	1
130	130	-726	Min.	0.00	-19.80	5	-0.70	1	-0.05	1	-23.07	5	-5.11	5	-0.01	1
130	130	-726	Min.	33.00	-18.50	5	-0.70	1	-0.18	1	-23.07	5	-3.77	5	-0.01	1
131	131	-727	Max	0.00	-5.66	5	0.79	1	0.05	1	28.04	5	4.37	5	0.05	5

131	131	-727	Max	33.00	-4.37	5	0.79	1	0.21	1	28.04	5	4.65	5	0.05	5
131	131	-727	Min.	0.00	-7.83	5	-0.63	1	-0.05	1	-26.41	5	-4.60	5	-0.02	5
131	131	-727	Min.	33.00	-6.54	5	-0.63	1	-0.16	1	-26.41	5	-4.34	5	-0.02	5
132	132	-728	Max	0.00	-8.28	5	0.70	1	0.04	1	26.97	5	4.21	5	0.05	5
132	132	-728	Max	33.00	-6.99	5	0.70	1	0.19	1	26.97	5	4.47	5	0.05	5
132	132	-728	Min.	0.00	-10.14	5	-0.53	1	-0.04	1	-25.46	5	-4.43	5	-0.02	5
132	132	-728	Min.	33.00	-8.84	5	-0.53	1	-0.14	1	-25.46	5	-4.19	5	-0.02	5
133	133	-737	Max	0.00	0.19	5	0.17	1	0.00	5	30.58	5	2.95	5	0.01	5
133	133	-737	Max	34.75	1.56	5	0.17	1	0.06	1	30.58	5	5.34	5	0.01	5
133	133	-737	Min.	0.00	-1.69	5	-0.12	1	-0.02	5	-16.88	5	-5.29	5	-0.00	5
133	133	-737	Min.	34.75	-0.32	5	-0.12	1	-0.06	1	-16.88	5	-2.91	5	-0.00	5
134	134	-738	Max	0.00	-1.50	5	0.17	1	0.00	1	31.58	5	3.11	5	0.01	1
134	134	-738	Max	34.75	-0.14	5	0.17	1	0.06	1	31.58	5	5.51	5	0.01	1
134	134	-738	Min.	0.00	-3.44	5	-0.12	1	-0.02	1	-17.78	5	-5.46	5	-0.01	1
134	134	-738	Min.	34.75	-2.08	5	-0.12	1	-0.06	1	-17.78	5	-3.07	5	-0.01	1
135	135	-739	Max	0.00	-1.49	5	0.13	1	0.01	1	40.62	5	1.54	5	0.01	1
135	135	-739	Max	34.75	-0.13	5	0.13	1	0.05	1	40.62	5	7.10	5	0.01	1
135	135	-739	Min.	0.00	-3.41	5	-0.12	1	-0.01	1	-8.64	5	-7.01	5	-0.01	1
135	135	-739	Min.	34.75	-2.05	5	-0.12	1	-0.05	1	-8.64	5	-1.46	5	-0.01	1
136	136	-740	Max	0.00	-1.62	5	0.14	1	0.01	1	40.30	5	1.63	5	0.01	1
136	136	-740	Max	34.75	-0.25	5	0.14	1	0.05	1	40.30	5	7.05	5	0.01	1
136	136	-740	Min.	0.00	-3.54	5	-0.12	1	-0.01	1	-9.12	5	-6.96	5	-0.01	1
136	136	-740	Min.	34.75	-2.17	5	-0.12	1	-0.05	1	-9.12	5	-1.54	5	-0.01	1
137	137	-741	Max	0.00	-1.62	5	0.12	1	0.01	1	40.32	5	1.62	5	0.01	1
137	137	-741	Max	34.75	-0.25	5	0.12	1	0.05	1	40.32	5	7.05	5	0.01	1
137	137	-741	Min.	0.00	-3.54	5	-0.14	1	-0.01	1	-9.09	5	-6.96	5	-0.01	1
137	137	-741	Min.	34.75	-2.17	5	-0.14	1	-0.05	1	-9.09	5	-1.54	5	-0.01	1
138	138	-742	Max	0.00	-1.49	5	0.12	1	0.01	1	40.61	5	1.55	5	0.01	1
138	138	-742	Max	34.75	-0.13	5	0.12	1	0.05	1	40.61	5	7.10	5	0.01	1
138	138	-742	Min.	0.00	-3.41	5	-0.13	1	-0.01	1	-8.66	5	-7.01	5	-0.01	1
138	138	-742	Min.	34.75	-2.05	5	-0.13	1	-0.05	1	-8.66	5	-1.46	5	-0.01	1
139	139	-743	Max	0.00	-1.50	5	0.12	1	0.02	1	31.58	5	3.11	5	0.01	1
139	139	-743	Max	34.75	-0.14	5	0.12	1	0.06	1	31.58	5	5.51	5	0.01	1
139	139	-743	Min.	0.00	-3.44	5	-0.17	1	-0.00	1	-17.78	5	-5.46	5	-0.01	1
139	139	-743	Min.	34.75	-2.08	5	-0.17	1	-0.06	1	-17.78	5	-3.07	5	-0.01	1
140	140	-744	Max	0.00	0.19	5	0.12	1	0.02	5	30.59	5	2.95	5	0.00	5
140	140	-744	Max	34.75	1.56	5	0.12	1	0.06	1	30.59	5	5.34	5	0.00	5
140	140	-744	Min.	0.00	-1.69	5	-0.17	1	-0.00	5	-16.87	5	-5.29	5	-0.01	5
140	140	-744	Min.	34.75	-0.32	5	-0.17	1	-0.06	1	-16.87	5	-2.91	5	-0.01	5
141	141	-753	Max	0.00	0.23	5	0.05	1	0.01	1	29.97	5	2.41	5	0.01	1
141	141	-753	Max	36.50	1.67	5	0.05	1	0.03	1	29.97	5	5.48	5	0.01	1
141	141	-753	Min.	0.00	-1.51	5	-0.03	1	-0.02	1	-13.13	5	-5.45	5	-0.01	1
141	141	-753	Min.	36.50	-0.07	5	-0.03	1	-0.03	1	-13.13	5	-2.38	5	-0.01	1
142	142	-754	Max	0.00	-1.75	5	0.03	1	0.02	1	32.51	5	2.27	5	0.02	1
142	142	-754	Max	36.50	-0.32	5	0.03	1	0.02	1	32.51	5	5.95	5	0.02	1
142	142	-754	Min.	0.00	-3.54	5	-0.01	1	-0.03	1	-12.35	5	-5.92	5	-0.01	1
142	142	-754	Min.	36.50	-2.11	5	-0.01	1	-0.02	1	-12.35	5	-2.24	5	-0.01	1
143	143	-755	Max	0.00	-1.48	5	0.02	1	0.02	1	41.49	5	0.63	5	0.01	1
143	143	-755	Max	36.50	-0.05	5	0.02	1	0.02	1	41.49	5	7.60	5	0.01	1
143	143	-755	Min.	0.00	-3.27	5	-0.02	1	-0.03	1	-3.30	5	-7.55	5	-0.01	1
143	143	-755	Min.	36.50	-1.83	5	-0.02	1	-0.02	1	-3.30	5	-0.58	5	-0.01	1
144	144	-756	Max	0.00	-1.61	5	0.03	1	0.02	1	41.31	5	0.69	5	0.01	1
144	144	-756	Max	36.50	-0.18	5	0.03	1	0.02	1	41.31	5	7.56	5	0.01	1
144	144	-756	Min.	0.00	-3.41	5	-0.02	1	-0.03	1	-3.63	5	-7.51	5	-0.01	1
144	144	-756	Min.	36.50	-1.98	5	-0.02	1	-0.02	1	-3.63	5	-0.64	5	-0.01	1
145	145	-757	Max	0.00	-1.61	5	0.02	1	0.03	1	41.33	5	0.68	5	0.01	1
145	145	-757	Max	36.50	-0.18	5	0.02	1	0.02	1	41.33	5	7.57	5	0.01	1
145	145	-757	Min.	0.00	-3.41	5	-0.03	1	-0.02	1	-3.60	5	-7.52	5	-0.01	1
145	145	-757	Min.	36.50	-1.97	5	-0.03	1	-0.02	1	-3.60	5	-0.63	5	-0.01	1

146	146	-758	Max	0.00	-1.48	5	0.02	1	0.03	1	41.48	5	0.63	5	0.01	1
146	146	-758	Max	36.50	-0.05	5	0.02	1	0.02	1	41.48	5	7.60	5	0.01	1
146	146	-758	Min.	0.00	-3.27	5	-0.02	1	-0.02	1	-3.32	5	-7.54	5	-0.01	1
146	146	-758	Min.	36.50	-1.83	5	-0.02	1	-0.02	1	-3.32	5	-0.58	5	-0.01	1
147	147	-759	Max	0.00	-1.75	5	0.01	1	0.03	1	32.51	5	2.27	5	0.01	1
147	147	-759	Max	36.50	-0.32	5	0.01	1	0.02	1	32.51	5	5.95	5	0.01	1
147	147	-759	Min.	0.00	-3.54	5	-0.03	1	-0.02	1	-12.36	5	-5.92	5	-0.02	1
147	147	-759	Min.	36.50	-2.11	5	-0.03	1	-0.02	1	-12.36	5	-2.24	5	-0.02	1
148	148	-760	Max	0.00	0.23	5	0.03	1	0.02	1	29.97	5	2.41	5	0.01	1
148	148	-760	Max	36.50	1.67	5	0.03	1	0.03	1	29.97	5	5.48	5	0.01	1
148	148	-760	Min.	0.00	-1.51	5	-0.05	1	-0.01	1	-13.12	5	-5.46	5	-0.01	1
148	148	-760	Min.	36.50	-0.07	5	-0.05	1	-0.03	1	-13.12	5	-2.38	5	-0.01	1
149	149	-769	Max	0.00	1.26	5	0.14	1	0.01	5	27.32	5	2.31	5	0.02	1
149	149	-769	Max	22.20					-0.01	7			0.87	7		
149	149	-769	Max	38.25	2.76	5	0.14	1	0.06	1	27.32	5	5.26	5	0.02	1
149	149	-769	Min.	0.00	-0.30	5	-0.15	1	-0.01	5	-11.90	5	-5.19	5	-0.01	1
149	149	-769	Min.	22.20					0.01	7			-0.33	7		
149	149	-769	Min.	38.25	1.21	5	-0.15	1	-0.06	1	-11.90	5	-2.24	5	-0.01	1
150	150	-770	Max	0.00	-0.19	5	0.12	1	0.01	5	30.75	5	1.98	5	0.03	1
150	150	-770	Max	22.95					-0.01	7			1.21	7		
150	150	-770	Max	38.25	1.31	5	0.12	1	0.05	1	30.75	5	5.92	5	0.03	1
150	150	-770	Min.	0.00	-1.75	5	-0.14	1	-0.01	5	-10.14	5	-5.84	5	-0.02	1
150	150	-770	Min.	22.95					0.01	7			-0.34	7		
150	150	-770	Min.	38.25	-0.25	5	-0.14	1	-0.06	1	-10.14	5	-1.90	5	-0.02	1
151	151	-771	Max	0.00	0.84	5	0.12	1	0.01	1	37.73	5	0.66	5	0.03	1
151	151	-771	Max	38.25	2.35	5	0.12	1	0.05	1	37.73	5	7.28	5	0.03	1
151	151	-771	Min.	0.00	-0.73	5	-0.12	1	-0.01	1	-3.10	5	-7.15	5	-0.03	1
151	151	-771	Min.	38.25	0.77	5	-0.12	1	-0.05	1	-3.10	5	-0.53	5	-0.03	1
152	152	-772	Max	0.00	0.71	5	0.12	1	0.01	1	37.69	5	0.69	5	0.03	1
152	152	-772	Max	38.25	2.21	5	0.12	1	0.05	1	37.69	5	7.27	5	0.03	1
152	152	-772	Min.	0.00	-0.85	5	-0.12	1	-0.01	1	-3.28	5	-7.15	5	-0.03	1
152	152	-772	Min.	38.25	0.65	5	-0.12	1	-0.05	1	-3.28	5	-0.56	5	-0.03	1
153	153	-773	Max	0.00	0.71	5	0.12	1	0.01	1	37.71	5	0.69	5	0.03	1
153	153	-773	Max	38.25	2.21	5	0.12	1	0.05	1	37.71	5	7.27	5	0.03	1
153	153	-773	Min.	0.00	-0.85	5	-0.12	1	-0.01	1	-3.26	5	-7.15	5	-0.03	1
153	153	-773	Min.	38.25	0.65	5	-0.12	1	-0.05	1	-3.26	5	-0.56	5	-0.03	1
154	154	-774	Max	0.00	0.84	5	0.12	1	0.01	1	37.72	5	0.66	5	0.03	1
154	154	-774	Max	38.25	2.34	5	0.12	1	0.05	1	37.72	5	7.28	5	0.03	1
154	154	-774	Min.	0.00	-0.73	5	-0.12	1	-0.01	1	-3.12	5	-7.15	5	-0.03	1
154	154	-774	Min.	38.25	0.77	5	-0.12	1	-0.05	1	-3.12	5	-0.53	5	-0.03	1
155	155	-775	Max	0.00	-0.19	5	0.14	1	0.01	5	30.75	5	1.98	5	0.02	1
155	155	-775	Max	21.52					-0.01	7			0.77	7		
155	155	-775	Max	38.25	1.31	5	0.14	1	0.06	1	30.75	5	5.92	5	0.02	1
155	155	-775	Min.	0.00	-1.75	5	-0.12	1	-0.01	5	-10.14	5	-5.84	5	-0.03	1
155	155	-775	Min.	21.52					0.01	7			-0.20	7		
155	155	-775	Min.	38.25	-0.25	5	-0.12	1	-0.05	1	-10.14	5	-1.90	5	-0.03	1
156	156	-776	Max	0.00	1.26	5	0.15	1	0.01	5	27.32	5	2.31	5	0.01	1
156	156	-776	Max	38.25	2.76	5	0.15	1	0.06	1	27.32	5	5.26	5	0.01	1
156	156	-776	Min.	0.00	-0.30	5	-0.14	1	-0.01	5	-11.90	5	-5.19	5	-0.02	1
156	156	-776	Min.	38.25	1.21	5	-0.14	1	-0.06	1	-11.90	5	-2.24	5	-0.02	1
157	157	-785	Max	0.00	19.39	1	0.50	1	0.04	1	17.75	5	3.55	5	0.03	5
157	157	-785	Max	40.00	20.96	1	0.50	1	0.17	1	17.75	5	3.55	5	0.03	5
157	157	-785	Min.	0.00	18.23	1	-0.55	1	-0.04	1	-17.77	5	-3.55	5	-0.03	5
157	157	-785	Min.	40.00	19.80	1	-0.55	1	-0.18	1	-17.77	5	-3.55	5	-0.03	5
158	158	-786	Max	0.00	27.24	1	0.58	1	0.06	1	18.58	5	3.72	5	0.03	5
158	158	-786	Max	40.00	28.81	1	0.58	1	0.18	1	18.58	5	3.71	5	0.03	5
158	158	-786	Min.	0.00	26.28	1	-0.62	1	-0.05	1	-18.59	5	-3.72	5	-0.03	5
158	158	-786	Min.	40.00	27.85	1	-0.62	1	-0.19	1	-18.59	5	-3.72	5	-0.03	5
159	159	-787	Max	0.00	41.16	1	0.58	1	0.06	1	18.57	5	3.72	5	0.00	5

159	159	-787	Max	40.00	42.73	1	0.58	1	0.18	1	18.57	5	3.71	5	0.00	5
159	159	-787	Min.	0.00	41.07	1	-0.63	1	-0.05	1	-18.57	5	-3.72	5	-0.00	5
159	159	-787	Min.	40.00	42.64	1	-0.63	1	-0.20	1	-18.57	5	-3.71	5	-0.00	5
160	160	-788	Max	0.00	41.18	1	0.59	1	0.06	1	18.64	5	3.73	5	0.01	5
160	160	-788	Max	40.00	42.75	1	0.59	1	0.18	1	18.64	5	3.73	5	0.01	5
160	160	-788	Min.	0.00	41.00	1	-0.63	1	-0.05	1	-18.66	5	-3.73	5	-0.01	5
160	160	-788	Min.	40.00	42.57	1	-0.63	1	-0.19	1	-18.66	5	-3.73	5	-0.01	5
161	161	-789	Max	0.00	41.18	1	0.63	1	0.05	1	18.64	5	3.73	5	0.01	5
161	161	-789	Max	40.00	42.75	1	0.63	1	0.19	1	18.64	5	3.73	5	0.01	5
161	161	-789	Min.	0.00	41.00	1	-0.59	1	-0.06	1	-18.64	5	-3.73	5	-0.01	5
161	161	-789	Min.	40.00	42.57	1	-0.59	1	-0.18	1	-18.64	5	-3.73	5	-0.01	5
162	162	-790	Max	0.00	41.16	1	0.63	1	0.05	1	18.57	5	3.72	5	0.00	5
162	162	-790	Max	40.00	42.73	1	0.63	1	0.20	1	18.57	5	3.71	5	0.00	5
162	162	-790	Min.	0.00	41.07	1	-0.58	1	-0.06	1	-18.59	5	-3.72	5	-0.00	5
162	162	-790	Min.	40.00	42.64	1	-0.58	1	-0.18	1	-18.59	5	-3.72	5	-0.00	5
163	163	-791	Max	0.00	27.23	1	0.62	1	0.05	1	18.59	5	3.72	5	0.03	5
163	163	-791	Max	40.00	28.80	1	0.62	1	0.19	1	18.59	5	3.72	5	0.03	5
163	163	-791	Min.	0.00	26.28	1	-0.58	1	-0.06	1	-18.59	5	-3.72	5	-0.03	5
163	163	-791	Min.	40.00	27.85	1	-0.58	1	-0.18	1	-18.59	5	-3.72	5	-0.03	5
164	164	-792	Max	0.00	19.38	1	0.55	1	0.04	1	17.75	5	3.55	5	0.03	5
164	164	-792	Max	40.00	20.95	1	0.55	1	0.18	1	17.75	5	3.55	5	0.03	5
164	164	-792	Min.	0.00	18.23	1	-0.50	1	-0.04	1	-17.75	5	-3.55	5	-0.03	5
164	164	-792	Min.	40.00	19.80	1	-0.50	1	-0.17	1	-17.75	5	-3.55	5	-0.03	5
165	165	-777	Max	0.00	1.26	5	0.14	1	0.01	5	11.90	5	5.20	5	0.01	1
165	165	-777	Max	22.20					-0.01	7			0.33	7		
165	165	-777	Max	38.25	2.76	5	0.14	1	0.05	1	11.90	5	2.24	5	0.01	1
165	165	-777	Min.	0.00	-0.30	5	-0.15	1	-0.01	5	-27.35	5	-2.31	5	-0.02	1
165	165	-777	Min.	22.20					0.01	7			-0.87	7		
165	165	-777	Min.	38.25	1.20	5	-0.15	1	-0.06	1	-27.35	5	-5.26	5	-0.02	1
166	166	-778	Max	0.00	-0.19	5	0.12	1	0.01	5	10.13	5	5.84	5	0.02	1
166	166	-778	Max	22.95					-0.01	7			0.34	7		
166	166	-778	Max	38.25	1.31	5	0.12	1	0.05	1	10.13	5	1.90	5	0.02	1
166	166	-778	Min.	0.00	-1.76	5	-0.14	1	-0.01	5	-30.75	5	-1.98	5	-0.03	1
166	166	-778	Min.	22.95					0.01	7			-1.21	7		
166	166	-778	Min.	38.25	-0.25	5	-0.14	1	-0.06	1	-30.75	5	-5.92	5	-0.03	1
167	167	-779	Max	0.00	0.85	5	0.12	1	0.01	1	3.10	5	7.15	5	0.03	1
167	167	-779	Max	38.25	2.35	5	0.12	1	0.05	1	3.10	5	0.53	5	0.03	1
167	167	-779	Min.	0.00	-0.73	5	-0.12	1	-0.01	1	-37.73	5	-0.66	5	-0.03	1
167	167	-779	Min.	38.25	0.77	5	-0.12	1	-0.05	1	-37.73	5	-7.28	5	-0.03	1
168	168	-780	Max	0.00	0.72	5	0.12	1	0.01	1	3.25	5	7.15	5	0.03	1
168	168	-780	Max	38.25	2.22	5	0.12	1	0.05	1	3.25	5	0.56	5	0.03	1
168	168	-780	Min.	0.00	-0.85	5	-0.12	1	-0.01	1	-37.72	5	-0.68	5	-0.03	1
168	168	-780	Min.	38.25	0.65	5	-0.12	1	-0.05	1	-37.72	5	-7.28	5	-0.03	1
169	169	-781	Max	0.00	0.72	5	0.12	1	0.01	1	3.26	5	7.15	5	0.03	1
169	169	-781	Max	38.25	2.22	5	0.12	1	0.05	1	3.26	5	0.56	5	0.03	1
169	169	-781	Min.	0.00	-0.85	5	-0.12	1	-0.01	1	-37.70	5	-0.69	5	-0.03	1
169	169	-781	Min.	38.25	0.65	5	-0.12	1	-0.05	1	-37.70	5	-7.27	5	-0.03	1
170	170	-782	Max	0.00	0.85	5	0.12	1	0.01	1	3.09	5	7.16	5	0.03	1
170	170	-782	Max	38.25	2.35	5	0.12	1	0.05	1	3.09	5	0.53	5	0.03	1
170	170	-782	Min.	0.00	-0.73	5	-0.12	1	-0.01	1	-37.75	5	-0.66	5	-0.03	1
170	170	-782	Min.	38.25	0.77	5	-0.12	1	-0.05	1	-37.75	5	-7.28	5	-0.03	1
171	171	-783	Max	0.00	-0.19	5	0.14	1	0.01	5	10.14	5	5.85	5	0.03	1
171	171	-783	Max	21.52					-0.01	7			0.20	7		
171	171	-783	Max	38.25	1.32	5	0.14	1	0.06	1	10.14	5	1.90	5	0.03	1
171	171	-783	Min.	0.00	-1.76	5	-0.12	1	-0.01	5	-30.76	5	-1.98	5	-0.02	1
171	171	-783	Min.	21.52					0.01	7			-0.77	7		
171	171	-783	Min.	38.25	-0.26	5	-0.12	1	-0.05	1	-30.76	5	-5.92	5	-0.02	1
172	172	-784	Max	0.00	1.26	5	0.15	1	0.01	5	11.89	5	5.20	5	0.02	1
172	172	-784	Max	38.25	2.76	5	0.15	1	0.06	1	11.89	5	2.24	5	0.02	1

172	172	-784	Min.	0.00	-0.30	5	-0.14	1	-0.01	5	-27.33	5	-2.31	5	-0.01	1
172	172	-784	Min.	38.25	1.20	5	-0.14	1	-0.06	1	-27.33	5	-5.26	5	-0.01	1
173	173	-761	Max	0.00	0.23	5	0.05	1	0.01	1	13.12	5	5.46	5	0.01	1
173	173	-761	Max	36.50	1.66	5	0.05	1	0.03	1	13.12	5	2.38	5	0.01	1
173	173	-761	Min.	0.00	-1.50	5	-0.03	1	-0.02	1	-30.00	5	-2.41	5	-0.01	1
173	173	-761	Min.	36.50	-0.07	5	-0.03	1	-0.03	1	-30.00	5	-5.49	5	-0.01	1
174	174	-762	Max	0.00	-1.76	5	0.03	1	0.02	1	12.34	5	5.92	5	0.01	1
174	174	-762	Max	36.50	-0.33	5	0.03	1	0.02	1	12.34	5	2.24	5	0.01	1
174	174	-762	Min.	0.00	-3.54	5	-0.01	1	-0.03	1	-32.51	5	-2.26	5	-0.02	1
174	174	-762	Min.	36.50	-2.11	5	-0.01	1	-0.02	1	-32.51	5	-5.95	5	-0.02	1
175	175	-763	Max	0.00	-1.49	5	0.02	1	0.02	1	3.30	5	7.55	5	0.01	1
175	175	-763	Max	36.50	-0.05	5	0.02	1	0.02	1	3.30	5	0.58	5	0.01	1
175	175	-763	Min.	0.00	-3.26	5	-0.02	1	-0.03	1	-41.49	5	-0.63	5	-0.01	1
175	175	-763	Min.	36.50	-1.83	5	-0.02	1	-0.02	1	-41.49	5	-7.60	5	-0.01	1
176	176	-764	Max	0.00	-1.62	5	0.03	1	0.02	1	3.59	5	7.52	5	0.01	1
176	176	-764	Max	36.50	-0.19	5	0.03	1	0.02	1	3.59	5	0.63	5	0.01	1
176	176	-764	Min.	0.00	-3.41	5	-0.02	1	-0.03	1	-41.34	5	-0.68	5	-0.01	1
176	176	-764	Min.	36.50	-1.97	5	-0.02	1	-0.02	1	-41.34	5	-7.57	5	-0.01	1
177	177	-765	Max	0.00	-1.62	5	0.02	1	0.03	1	3.60	5	7.52	5	0.01	1
177	177	-765	Max	36.50	-0.19	5	0.02	1	0.02	1	3.60	5	0.63	5	0.01	1
177	177	-765	Min.	0.00	-3.41	5	-0.03	1	-0.02	1	-41.32	5	-0.68	5	-0.01	1
177	177	-765	Min.	36.50	-1.97	5	-0.03	1	-0.02	1	-41.32	5	-7.57	5	-0.01	1
178	178	-766	Max	0.00	-1.48	5	0.02	1	0.03	1	3.29	5	7.55	5	0.01	1
178	178	-766	Max	36.50	-0.05	5	0.02	1	0.02	1	3.29	5	0.58	5	0.01	1
178	178	-766	Min.	0.00	-3.26	5	-0.02	1	-0.02	1	-41.51	5	-0.62	5	-0.01	1
178	178	-766	Min.	36.50	-1.83	5	-0.02	1	-0.02	1	-41.51	5	-7.60	5	-0.01	1
179	179	-767	Max	0.00	-1.76	5	0.01	1	0.03	1	12.36	5	5.92	5	0.02	1
179	179	-767	Max	36.50	-0.33	5	0.01	1	0.02	1	12.36	5	2.24	5	0.02	1
179	179	-767	Min.	0.00	-3.54	5	-0.03	1	-0.02	1	-32.52	5	-2.27	5	-0.01	1
179	179	-767	Min.	36.50	-2.11	5	-0.03	1	-0.02	1	-32.52	5	-5.95	5	-0.01	1
180	180	-768	Max	0.00	0.23	5	0.03	1	0.02	1	13.12	5	5.46	5	0.01	1
180	180	-768	Max	36.50	1.66	5	0.03	1	0.03	1	13.12	5	2.38	5	0.01	1
180	180	-768	Min.	0.00	-1.50	5	-0.05	1	-0.01	1	-29.98	5	-2.41	5	-0.01	1
180	180	-768	Min.	36.50	-0.07	5	-0.05	1	-0.03	1	-29.98	5	-5.49	5	-0.01	1
181	181	-745	Max	0.00	0.20	5	0.17	1	0.00	5	16.87	5	5.29	5	0.00	5
181	181	-745	Max	34.75	1.56	5	0.17	1	0.06	1	16.87	5	2.91	5	0.00	5
181	181	-745	Min.	0.00	-1.69	5	-0.12	1	-0.02	5	-30.62	5	-2.95	5	-0.01	5
181	181	-745	Min.	34.75	-0.32	5	-0.12	1	-0.06	1	-30.62	5	-5.35	5	-0.01	5
182	182	-746	Max	0.00	-1.50	5	0.17	1	0.00	5	17.77	5	5.46	5	0.01	1
182	182	-746	Max	34.75	-0.13	5	0.17	1	0.06	1	17.77	5	3.07	5	0.01	1
182	182	-746	Min.	0.00	-3.44	5	-0.12	1	-0.02	5	-31.58	5	-3.11	5	-0.01	1
182	182	-746	Min.	34.75	-2.08	5	-0.12	1	-0.06	1	-31.58	5	-5.51	5	-0.01	1
183	183	-747	Max	0.00	-1.49	5	0.13	1	0.01	1	8.63	5	7.01	5	0.01	1
183	183	-747	Max	34.75	-0.12	5	0.13	1	0.05	1	8.63	5	1.46	5	0.01	1
183	183	-747	Min.	0.00	-3.41	5	-0.12	1	-0.01	1	-40.62	5	-1.54	5	-0.01	1
183	183	-747	Min.	34.75	-2.05	5	-0.12	1	-0.05	1	-40.62	5	-7.10	5	-0.01	1
184	184	-748	Max	0.00	-1.61	5	0.13	1	0.01	1	9.08	5	6.96	5	0.01	1
184	184	-748	Max	34.75	-0.24	5	0.13	1	0.05	1	9.08	5	1.54	5	0.01	1
184	184	-748	Min.	0.00	-3.54	5	-0.12	1	-0.01	1	-40.33	5	-1.62	5	-0.01	1
184	184	-748	Min.	34.75	-2.17	5	-0.12	1	-0.05	1	-40.33	5	-7.05	5	-0.01	1
185	185	-749	Max	0.00	-1.61	5	0.12	1	0.01	1	9.09	5	6.96	5	0.01	1
185	185	-749	Max	34.75	-0.24	5	0.12	1	0.05	1	9.09	5	1.54	5	0.01	1
185	185	-749	Min.	0.00	-3.54	5	-0.13	1	-0.01	1	-40.31	5	-1.62	5	-0.01	1
185	185	-749	Min.	34.75	-2.17	5	-0.13	1	-0.05	1	-40.31	5	-7.05	5	-0.01	1
186	186	-750	Max	0.00	-1.48	5	0.12	1	0.01	1	8.63	5	7.02	5	0.01	1
186	186	-750	Max	34.75	-0.12	5	0.12	1	0.05	1	8.63	5	1.46	5	0.01	1
186	186	-750	Min.	0.00	-3.41	5	-0.13	1	-0.01	1	-40.64	5	-1.54	5	-0.01	1
186	186	-750	Min.	34.75	-2.05	5	-0.13	1	-0.05	1	-40.64	5	-7.11	5	-0.01	1
187	187	-751	Max	0.00	-1.49	5	0.12	1	0.02	1	17.78	5	5.47	5	0.01	1

187	187	-751	Max	34.75	-0.13	5	0.12	1	0.06	1	17.78	5	3.07	5	0.01	1
187	187	-751	Min.	0.00	-3.44	5	-0.17	1	-0.00	1	-31.60	5	-3.11	5	-0.01	1
187	187	-751	Min.	34.75	-2.08	5	-0.17	1	-0.06	1	-31.60	5	-5.51	5	-0.01	1
188	188	-752	Max	0.00	0.20	5	0.12	1	0.02	5	16.87	5	5.29	5	0.01	5
188	188	-752	Max	34.75	1.56	5	0.12	1	0.06	1	16.87	5	2.91	5	0.01	5
188	188	-752	Min.	0.00	-1.69	5	-0.17	1	-0.00	5	-30.60	5	-2.95	5	-0.00	5
188	188	-752	Min.	34.75	-0.32	5	-0.17	1	-0.06	1	-30.60	5	-5.34	5	-0.00	5
189	189	-729	Max	0.00	-8.29	5	0.53	1	0.04	1	25.45	5	4.44	5	0.05	5
189	189	-729	Max	33.00	-6.99	5	0.53	1	0.14	1	25.45	5	4.19	5	0.05	5
189	189	-729	Min.	0.00	-10.13	5	-0.69	1	-0.04	1	-27.00	5	-4.21	5	-0.02	5
189	189	-729	Min.	33.00	-8.84	5	-0.69	1	-0.19	1	-27.00	5	-4.48	5	-0.02	5
190	190	-730	Max	0.00	-5.66	5	0.63	1	0.05	1	26.39	5	4.60	5	0.05	5
190	190	-730	Max	33.00	-4.37	5	0.63	1	0.16	1	26.39	5	4.34	5	0.05	5
190	190	-730	Min.	0.00	-7.83	5	-0.79	1	-0.05	1	-28.04	5	-4.37	5	-0.02	5
190	190	-730	Min.	33.00	-6.54	5	-0.79	1	-0.21	1	-28.04	5	-4.65	5	-0.02	5
191	191	-731	Max	0.00	-17.98	5	0.70	1	0.05	1	23.03	5	5.11	5	0.02	1
191	191	-731	Max	33.00	-16.69	5	0.70	1	0.18	1	23.03	5	3.77	5	0.02	1
191	191	-731	Min.	0.00	-19.79	5	-0.72	1	-0.05	1	-31.22	5	-3.83	5	-0.01	1
191	191	-731	Min.	33.00	-18.49	5	-0.72	1	-0.19	1	-31.22	5	-5.19	5	-0.01	1
192	192	-732	Max	0.00	-17.79	5	0.70	1	0.05	1	23.50	5	5.06	5	0.03	1
192	192	-732	Max	33.00	-16.50	5	0.70	1	0.18	1	23.50	5	3.84	5	0.03	1
192	192	-732	Min.	0.00	-19.62	5	-0.74	1	-0.05	1	-30.91	5	-3.91	5	-0.01	1
192	192	-732	Min.	33.00	-18.33	5	-0.74	1	-0.19	1	-30.91	5	-5.14	5	-0.01	1
193	193	-733	Max	0.00	-17.79	5	0.74	1	0.05	1	23.51	5	5.06	5	0.01	1
193	193	-733	Max	33.00	-16.49	5	0.74	1	0.19	1	23.51	5	3.84	5	0.01	1
193	193	-733	Min.	0.00	-19.62	5	-0.70	1	-0.05	1	-30.89	5	-3.91	5	-0.03	1
193	193	-733	Min.	33.00	-18.33	5	-0.70	1	-0.18	1	-30.89	5	-5.14	5	-0.03	1
194	194	-734	Max	0.00	-17.99	5	0.72	1	0.05	1	23.03	5	5.12	5	0.01	1
194	194	-734	Max	33.00	-16.69	5	0.72	1	0.19	1	23.03	5	3.77	5	0.01	1
194	194	-734	Min.	0.00	-19.79	5	-0.70	1	-0.05	1	-31.24	5	-3.83	5	-0.02	1
194	194	-734	Min.	33.00	-18.50	5	-0.70	1	-0.18	1	-31.24	5	-5.20	5	-0.02	1
195	195	-735	Max	0.00	-5.66	5	0.79	1	0.05	1	26.41	5	4.61	5	0.02	5
195	195	-735	Max	33.00	-4.37	5	0.79	1	0.21	1	26.41	5	4.34	5	0.02	5
195	195	-735	Min.	0.00	-7.83	5	-0.63	1	-0.05	1	-28.05	5	-4.37	5	-0.05	5
195	195	-735	Min.	33.00	-6.54	5	-0.63	1	-0.16	1	-28.05	5	-4.65	5	-0.05	5
196	196	-736	Max	0.00	-8.28	5	0.70	1	0.04	1	25.45	5	4.43	5	0.02	5
196	196	-736	Max	33.00	-6.99	5	0.70	1	0.19	1	25.45	5	4.19	5	0.02	5
196	196	-736	Min.	0.00	-10.14	5	-0.53	1	-0.04	1	-26.98	5	-4.21	5	-0.05	5
196	196	-736	Min.	33.00	-8.84	5	-0.53	1	-0.14	1	-26.98	5	-4.47	5	-0.05	5
197	197	-713	Max	0.00	-0.04	5	0.09	1	0.01	1	35.58	5	3.51	5	0.03	1
197	197	-713	Max	31.25	1.19	5	0.09	1	0.03	1	35.58	5	5.55	5	0.03	1
197	197	-713	Min.	0.00	-2.34	5	-0.15	1	-0.01	1	-22.56	5	-5.57	5	-0.01	1
197	197	-713	Min.	31.25	-1.12	5	-0.15	1	-0.05	1	-22.56	5	-3.55	5	-0.01	1
198	198	-714	Max	0.00	-1.82	5	0.07	1	0.01	1	36.73	5	3.68	5	0.04	1
198	198	-714	Max	31.25	-0.60	5	0.07	1	0.03	1	36.73	5	5.73	5	0.04	1
198	198	-714	Min.	0.00	-4.21	5	-0.12	1	-0.02	1	-23.70	5	-5.75	5	-0.02	1
198	198	-714	Min.	31.25	-2.98	5	-0.12	1	-0.05	1	-23.70	5	-3.73	5	-0.02	1
199	199	-715	Max	0.00	-2.39	5	0.07	1	0.01	1	40.47	5	3.03	5	0.03	1
199	199	-715	Max	31.25	-1.16	5	0.07	1	0.04	1	40.47	5	6.30	5	0.03	1
199	199	-715	Min.	0.00	-4.75	5	-0.09	1	-0.01	1	-19.61	5	-6.35	5	-0.03	1
199	199	-715	Min.	31.25	-3.52	5	-0.09	1	-0.04	1	-19.61	5	-3.10	5	-0.03	1
200	200	-716	Max	0.00	-2.52	5	0.07	1	0.01	1	40.99	5	2.98	5	0.03	1
200	200	-716	Max	31.25	-1.29	5	0.07	1	0.04	1	40.99	5	6.38	5	0.03	1
200	200	-716	Min.	0.00	-4.90	5	-0.09	1	-0.01	1	-19.30	5	-6.43	5	-0.03	1
200	200	-716	Min.	31.25	-3.67	5	-0.09	1	-0.04	1	-19.30	5	-3.05	5	-0.03	1
201	201	-717	Max	0.00	-2.52	5	0.09	1	0.01	1	41.01	5	2.98	5	0.03	1
201	201	-717	Max	31.25	-1.29	5	0.09	1	0.04	1	41.01	5	6.38	5	0.03	1
201	201	-717	Min.	0.00	-4.90	5	-0.07	1	-0.01	1	-19.28	5	-6.43	5	-0.03	1
201	201	-717	Min.	31.25	-3.67	5	-0.07	1	-0.04	1	-19.28	5	-3.04	5	-0.03	1

202	202	-718	Max	0.00	-2.39	5	0.09	1	0.01	1	40.47	5	3.04	5	0.03	1
202	202	-718	Max	31.25	-1.16	5	0.09	1	0.04	1	40.47	5	6.30	5	0.03	1
202	202	-718	Min.	0.00	-4.75	5	-0.07	1	-0.01	1	-19.64	5	-6.35	5	-0.03	1
202	202	-718	Min.	31.25	-3.52	5	-0.07	1	-0.04	1	-19.64	5	-3.10	5	-0.03	1
203	203	-719	Max	0.00	-1.82	5	0.13	1	0.02	1	36.75	5	3.68	5	0.02	1
203	203	-719	Max	16.64					-0.00	7			0.36	7		
203	203	-719	Max	31.25	-0.60	5	0.13	1	0.05	1	36.75	5	5.73	5	0.02	1
203	203	-719	Min.	0.00	-4.21	5	-0.07	1	-0.01	1	-23.71	5	-5.76	5	-0.04	1
203	203	-719	Min.	16.64					0.01	7			-0.26	7		
203	203	-719	Min.	31.25	-2.99	5	-0.07	1	-0.03	1	-23.71	5	-3.73	5	-0.04	1
204	204	-720	Max	0.00	-0.04	5	0.15	1	0.01	1	35.58	5	3.50	5	0.01	1
204	204	-720	Max	16.80					-0.00	7			0.40	7		
204	204	-720	Max	31.25	1.19	5	0.15	1	0.05	1	35.58	5	5.55	5	0.01	1
204	204	-720	Min.	0.00	-2.34	5	-0.09	1	-0.01	1	-22.54	5	-5.57	5	-0.03	1
204	204	-720	Min.	16.80					0.01	7			-0.28	7		
204	204	-720	Min.	31.25	-1.12	5	-0.09	1	-0.03	1	-22.54	5	-3.54	5	-0.03	1
205	205	-697	Max	0.00	0.37	5	0.02	1	0.01	1	43.27	5	3.18	5	0.02	1
205	205	-697	Max	29.50	1.53	5	0.02	1	0.02	1	43.27	5	6.37	5	0.02	1
205	205	-697	Min.	0.00	-2.24	5	-0.01	1	-0.02	1	-21.75	5	-6.40	5	0.00	1
205	205	-697	Min.	29.50	-1.08	5	-0.01	1	-0.02	1	-21.75	5	-3.24	5	0.00	1
206	206	-698	Max	0.00	-1.72	5	0.07	1	0.02	1	46.76	5	3.04	5	0.02	1
206	206	-698	Max	29.50	-0.56	5	0.07	1	0.00	1	46.76	5	6.88	5	0.02	1
206	206	-698	Min.	0.00	-4.40	5	-0.07	1	-0.03	1	-20.82	5	-6.91	5	-0.00	1
206	206	-698	Min.	29.50	-3.24	5	-0.07	1	-0.01	1	-20.82	5	-3.10	5	-0.00	1
207	207	-699	Max	0.00	-1.77	5	0.07	1	0.02	1	52.63	5	2.10	5	0.01	1
207	207	-699	Max	29.50	-0.61	5	0.07	1	0.01	1	52.63	5	7.73	5	0.01	1
207	207	-699	Min.	0.00	-4.44	5	-0.07	1	-0.03	1	-14.53	5	-7.80	5	-0.01	1
207	207	-699	Min.	29.50	-3.28	5	-0.07	1	-0.01	1	-14.53	5	-2.19	5	-0.01	1
208	208	-700	Max	0.00	-1.91	5	0.08	1	0.03	1	53.38	5	2.02	5	0.01	1
208	208	-700	Max	29.50	-0.75	5	0.08	1	0.00	1	53.38	5	7.84	5	0.01	1
208	208	-700	Min.	0.00	-4.59	5	-0.07	1	-0.03	1	-14.01	5	-7.91	5	-0.01	1
208	208	-700	Min.	29.50	-3.43	5	-0.07	1	-0.01	1	-14.01	5	-2.11	5	-0.01	1
209	209	-701	Max	0.00	-1.91	5	0.07	1	0.03	1	53.39	5	2.02	5	0.01	1
209	209	-701	Max	29.50	-0.75	5	0.07	1	0.01	1	53.39	5	7.84	5	0.01	1
209	209	-701	Min.	0.00	-4.59	5	-0.08	1	-0.03	1	-13.99	5	-7.91	5	-0.01	1
209	209	-701	Min.	29.50	-3.43	5	-0.08	1	-0.00	1	-13.99	5	-2.11	5	-0.01	1
210	210	-702	Max	0.00	-1.77	5	0.07	1	0.03	1	52.63	5	2.10	5	0.01	1
210	210	-702	Max	29.50	-0.61	5	0.07	1	0.01	1	52.63	5	7.73	5	0.01	1
210	210	-702	Min.	0.00	-4.44	5	-0.07	1	-0.02	1	-14.55	5	-7.80	5	-0.01	1
210	210	-702	Min.	29.50	-3.28	5	-0.07	1	-0.01	1	-14.55	5	-2.19	5	-0.01	1
211	211	-703	Max	0.00	-1.71	5	0.07	1	0.03	1	46.78	5	3.04	5	0.00	1
211	211	-703	Max	29.50	-0.56	5	0.07	1	0.01	1	46.78	5	6.88	5	0.00	1
211	211	-703	Min.	0.00	-4.40	5	-0.07	1	-0.02	1	-20.83	5	-6.92	5	-0.02	1
211	211	-703	Min.	29.50	-3.24	5	-0.07	1	-0.00	1	-20.83	5	-3.10	5	-0.02	1
212	212	-704	Max	0.00	0.37	5	0.01	1	0.02	1	43.27	5	3.18	5	0.00	1
212	212	-704	Max	29.50	1.53	5	0.01	1	0.02	1	43.27	5	6.37	5	0.00	1
212	212	-704	Min.	0.00	-2.24	5	-0.02	1	-0.01	1	-21.73	5	-6.40	5	-0.02	1
212	212	-704	Min.	29.50	-1.08	5	-0.02	1	-0.02	1	-21.73	5	-3.23	5	-0.02	1
213	213	-681	Max	0.00	-0.16	5	0.18	1	0.00	5	52.47	5	2.84	5	0.02	5
213	213	-681	Max	27.75	0.93	5	0.18	1	0.04	1	52.47	5	7.26	5	0.02	5
213	213	-681	Min.	0.00	-3.07	5	-0.10	1	-0.02	5	-20.77	5	-7.30	5	0.01	5
213	213	-681	Min.	27.75	-1.98	5	-0.10	1	-0.04	1	-20.77	5	-2.92	5	0.01	5
214	214	-682	Max	0.00	-1.88	5	0.16	1	0.01	5	58.35	5	2.43	5	0.02	1
214	214	-682	Max	27.75	-0.79	5	0.16	1	0.04	1	58.35	5	8.08	5	0.02	1
214	214	-682	Min.	0.00	-4.92	5	-0.09	1	-0.02	5	-17.71	5	-8.11	5	0.00	1
214	214	-682	Min.	27.75	-3.83	5	-0.09	1	-0.04	1	-17.71	5	-2.49	5	0.00	1
215	215	-683	Max	0.00	-2.58	5	0.12	1	0.01	1	66.67	5	1.18	5	0.01	1
215	215	-683	Max	27.75	-1.49	5	0.12	1	0.04	1	66.67	5	9.21	5	0.01	1
215	215	-683	Min.	0.00	-5.55	5	-0.09	1	-0.01	1	-8.94	5	-9.29	5	-0.01	1

215	215	-683	Min.	27.75	-4.46	5	-0.09	1	-0.04	1	-8.94	5	-1.30	5	-0.01	1
216	216	-684	Max	0.00	-2.76	5	0.12	1	0.01	1	67.75	5	1.06	5	0.02	1
216	216	-684	Max	27.75	-1.67	5	0.12	1	0.04	1	67.75	5	9.36	5	0.02	1
216	216	-684	Min.	0.00	-5.73	5	-0.09	1	-0.01	1	-8.07	5	-9.44	5	-0.01	1
216	216	-684	Min.	27.75	-4.65	5	-0.09	1	-0.04	1	-8.07	5	-1.18	5	-0.01	1
217	217	-685	Max	0.00	-2.76	5	0.09	1	0.01	1	67.77	5	1.06	5	0.01	1
217	217	-685	Max	14.51					-0.01	7			0.39	7		
217	217	-685	Max	27.75	-1.67	5	0.09	1	0.04	1	67.77	5	9.36	5	0.01	1
217	217	-685	Min.	0.00	-5.73	5	-0.12	1	-0.01	1	-8.04	5	-9.44	5	-0.02	1
217	217	-685	Min.	14.51					0.01	7			-0.11	7		
217	217	-685	Min.	27.75	-4.64	5	-0.12	1	-0.04	1	-8.04	5	-1.17	5	-0.02	1
218	218	-686	Max	0.00	-2.58	5	0.09	1	0.01	1	66.67	5	1.19	5	0.01	1
218	218	-686	Max	27.75	-1.49	5	0.09	1	0.04	1	66.67	5	9.21	5	0.01	1
218	218	-686	Min.	0.00	-5.56	5	-0.12	1	-0.01	1	-8.96	5	-9.29	5	-0.02	1
218	218	-686	Min.	27.75	-4.47	5	-0.12	1	-0.04	1	-8.96	5	-1.30	5	-0.02	1
219	219	-687	Max	0.00	-1.89	5	0.08	1	0.02	5	58.37	5	2.43	5	0.00	1
219	219	-687	Max	27.75	-0.80	5	0.08	1	0.04	1	58.37	5	8.09	5	0.00	1
219	219	-687	Min.	0.00	-4.92	5	-0.16	1	-0.01	5	-17.72	5	-8.11	5	-0.02	1
219	219	-687	Min.	27.75	-3.83	5	-0.16	1	-0.04	1	-17.72	5	-2.49	5	-0.02	1
220	220	-688	Max	0.00	-0.16	5	0.10	1	0.02	5	52.47	5	2.84	5	-0.01	5
220	220	-688	Max	27.75	0.92	5	0.10	1	0.04	1	52.47	5	7.26	5	-0.01	5
220	220	-688	Min.	0.00	-3.07	5	-0.18	1	-0.00	5	-20.74	5	-7.30	5	-0.02	5
220	220	-688	Min.	27.75	-1.98	5	-0.18	1	-0.04	1	-20.74	5	-2.92	5	-0.02	5
221	221	-665	Max	0.00	-10.76	5	0.56	1	0.03	1	70.04	5	1.68	5	0.07	5
221	221	-665	Max	26.00	-9.74	5	0.56	1	0.12	1	70.04	5	9.10	5	0.07	5
221	221	-665	Min.	0.00	-14.31	5	-0.61	1	-0.03	1	-13.11	5	-9.11	5	-0.01	5
221	221	-665	Min.	26.00	-13.29	5	-0.61	1	-0.13	1	-13.11	5	-1.73	5	-0.01	5
222	222	-666	Max	0.00	-3.46	5	0.71	1	0.04	1	73.26	5	1.68	5	0.07	5
222	222	-666	Max	26.00	-2.44	5	0.71	1	0.14	1	73.26	5	9.51	5	0.07	5
222	222	-666	Min.	0.00	-6.89	5	-0.75	1	-0.05	1	-13.15	5	-9.53	5	-0.01	5
222	222	-666	Min.	26.00	-5.87	5	-0.75	1	-0.15	1	-13.15	5	-1.74	5	-0.01	5
223	223	-667	Max	0.00	-17.86	5	0.70	1	0.04	1	92.41	5	-0.90	5	0.03	1
223	223	-667	Max	26.00	-16.84	5	0.70	1	0.14	1	92.41	5	11.98	5	0.03	1
223	223	-667	Min.	0.00	-21.35	5	-0.77	1	-0.05	1	6.52	5	-12.05	5	-0.01	1
223	223	-667	Min.	26.00	-20.33	5	-0.77	1	-0.16	1	6.52	5	0.79	5	-0.01	1
224	224	-668	Max	0.00	-18.73	5	0.72	1	0.05	1	94.21	5	-1.14	5	0.04	1
224	224	-668	Max	26.00	-17.71	5	0.72	1	0.14	1	94.21	5	12.21	5	0.04	1
224	224	-668	Min.	0.00	-22.03	5	-0.77	1	-0.05	1	8.38	5	-12.28	5	-0.01	1
224	224	-668	Min.	26.00	-21.01	5	-0.77	1	-0.15	1	8.38	5	1.03	5	-0.01	1
225	225	-669	Max	0.00	-18.73	5	0.77	1	0.05	1	94.22	5	-1.15	5	0.01	1
225	225	-669	Max	26.00	-17.71	5	0.77	1	0.15	1	94.22	5	12.21	5	0.01	1
225	225	-669	Min.	0.00	-22.03	5	-0.72	1	-0.05	1	8.41	5	-12.28	5	-0.04	1
225	225	-669	Min.	26.00	-21.01	5	-0.72	1	-0.14	1	8.41	5	1.04	5	-0.04	1
226	226	-670	Max	0.00	-17.87	5	0.77	1	0.05	1	92.42	5	-0.90	5	0.01	1
226	226	-670	Max	26.00	-16.85	5	0.77	1	0.16	1	92.42	5	11.98	5	0.01	1
226	226	-670	Min.	0.00	-21.35	5	-0.70	1	-0.04	1	6.50	5	-12.05	5	-0.03	1
226	226	-670	Min.	26.00	-20.33	5	-0.70	1	-0.14	1	6.50	5	0.79	5	-0.03	1
227	227	-671	Max	0.00	-3.46	5	0.75	1	0.05	1	73.27	5	1.67	5	0.01	5
227	227	-671	Max	26.00	-2.44	5	0.75	1	0.15	1	73.27	5	9.51	5	0.01	5
227	227	-671	Min.	0.00	-6.89	5	-0.71	1	-0.04	1	-13.14	5	-9.54	5	-0.07	5
227	227	-671	Min.	26.00	-5.87	5	-0.71	1	-0.14	1	-13.14	5	-1.74	5	-0.07	5
228	228	-672	Max	0.00	-10.76	5	0.61	1	0.03	1	70.04	5	1.68	5	0.01	5
228	228	-672	Max	26.00	-9.74	5	0.61	1	0.13	1	70.04	5	9.10	5	0.01	5
228	228	-672	Min.	0.00	-14.31	5	-0.56	1	-0.03	1	-13.09	5	-9.11	5	-0.07	5
228	228	-672	Min.	26.00	-13.29	5	-0.56	1	-0.12	1	-13.09	5	-1.73	5	-0.07	5
229	229	-649	Max	0.00	-0.59	5	0.05	5	0.02	1	91.55	5	0.44	5	0.03	1
229	229	-649	Max	13.03					-0.02	3			0.50	3		
229	229	-649	Max	24.25	0.37	5	0.05	5	0.02	1	91.55	5	11.10	5	0.03	1
229	229	-649	Min.	0.00	-4.46	5	-0.13	5	-0.01	1	-3.88	5	-11.10	5	0.00	1

229	229	-649	Min.	13.03					0.01	3			0.26	3		
229	229	-649	Min.	24.25	-3.51	5	-0.13	5	-0.03	1	-3.88	5	-0.50	5	0.00	1
230	230	-650	Max	0.00	-2.25	5	0.05	5	0.02	1	90.67	5	0.90	5	0.04	1
230	230	-650	Max	11.56					-0.02	3			-0.18	3		
230	230	-650	Max	24.25	-1.29	5	0.05	5	0.02	1	90.67	5	10.98	5	0.04	1
230	230	-650	Min.	0.00	-6.09	5	-0.13	5	-0.01	1	-7.70	5	-11.01	5	-0.01	1
230	230	-650	Min.	11.56					0.01	3			-0.34	3		
230	230	-650	Min.	24.25	-5.14	5	-0.13	5	-0.03	1	-7.70	5	-0.97	5	-0.01	1
231	231	-651	Max	0.00	-3.98	5	0.01	1	0.01	1	124.21	5	-3.21	5	0.04	1
231	231	-651	Max	9.70					-0.01	7			-0.70	7		
231	231	-651	Max	24.25	-3.03	5	0.01	1	0.02	1	124.21	5	15.04	5	0.04	1
231	231	-651	Min.	0.00	-7.89	5	-0.04	1	-0.01	1	26.07	5	-15.08	5	-0.02	1
231	231	-651	Min.	9.70					0.00	7			-3.01	7		
231	231	-651	Min.	24.25	-6.94	5	-0.04	1	-0.02	1	26.07	5	3.12	5	-0.02	1
232	232	-652	Max	0.00	-4.22	5	0.01	5	0.01	1	126.74	5	-3.54	5	0.04	1
232	232	-652	Max	12.93					-0.02	3			0.71	3		
232	232	-652	Max	24.25	-3.27	5	0.01	5	0.02	1	126.74	5	15.35	5	0.04	1
232	232	-652	Min.	0.00	-8.10	5	-0.04	5	-0.01	1	28.86	5	-15.39	5	-0.02	1
232	232	-652	Min.	11.55					0.00	7			-0.75	7		
232	232	-652	Min.	24.25	-7.15	5	-0.04	5	-0.02	1	28.86	5	3.45	5	-0.02	1
233	233	-653	Max	0.00	-4.22	5	0.04	5	0.01	1	126.75	5	-3.55	5	0.02	1
233	233	-653	Max	13.03					-0.00	7			1.13	7		
233	233	-653	Max	24.25	-3.27	5	0.04	5	0.02	1	126.75	5	15.35	5	0.02	1
233	233	-653	Min.	0.00	-8.11	5	-0.02	5	-0.01	1	28.88	5	-15.39	5	-0.04	1
233	233	-653	Min.	13.03					0.01	7			0.22	7		
233	233	-653	Min.	24.25	-7.16	5	-0.02	5	-0.02	1	28.88	5	3.46	5	-0.04	1
234	234	-654	Max	0.00	-3.98	5	0.04	1	0.01	1	124.21	5	-3.20	5	0.02	1
234	234	-654	Max	24.25	-3.03	5	0.04	1	0.02	1	124.21	5	15.04	5	0.02	1
234	234	-654	Min.	0.00	-7.89	5	-0.01	1	-0.01	1	26.05	5	-15.08	5	-0.04	1
234	234	-654	Min.	24.25	-6.94	5	-0.01	1	-0.02	1	26.05	5	3.11	5	-0.04	1
235	235	-655	Max	0.00	-2.24	5	0.13	5	0.01	1	90.69	5	0.90	5	0.01	1
235	235	-655	Max	24.25	-1.29	5	0.13	5	0.03	1	90.69	5	10.98	5	0.01	1
235	235	-655	Min.	0.00	-6.09	5	-0.05	5	-0.02	1	-7.70	5	-11.01	5	-0.04	1
235	235	-655	Min.	24.25	-5.14	5	-0.05	5	-0.02	1	-7.70	5	-0.97	5	-0.04	1
236	236	-656	Max	0.00	-0.59	5	0.13	5	0.01	1	91.56	5	0.44	5	0.00	1
236	236	-656	Max	24.25	0.37	5	0.13	5	0.03	1	91.56	5	11.10	5	0.00	1
236	236	-656	Min.	0.00	-4.46	5	-0.05	5	-0.02	1	-3.85	5	-11.10	5	-0.03	1
236	236	-656	Min.	24.25	-3.51	5	-0.05	5	-0.02	1	-3.85	5	-0.50	5	-0.03	1
237	237	-633	Max	0.00	-0.41	5	0.00	5	0.00	1	110.16	5	-0.03	5	0.02	1
237	237	-633	Max	18.00					-0.00	7			7.36	7		
237	237	-633	Max	22.50	0.47	5	0.00	5	0.00	1	110.16	5	12.39	5	0.02	1
237	237	-633	Min.	0.00	-4.82	5	-0.00	5	-0.01	1	-0.08	5	-12.40	5	0.00	1
237	237	-633	Min.	18.00					-0.00	7			0.03	7		
237	237	-633	Min.	22.50	-3.94	5	-0.00	5	-0.01	1	-0.08	5	-0.05	5	0.00	1
238	238	-634	Max	0.00	-2.36	5	0.11	1	0.02	1	111.44	5	0.18	5	0.03	1
238	238	-634	Max	22.50	-1.48	5	0.11	1	0.00	1	111.44	5	12.53	5	0.03	1
238	238	-634	Min.	0.00	-6.90	5	-0.11	1	-0.02	1	-1.98	5	-12.54	5	0.00	1
238	238	-634	Min.	22.50	-6.01	5	-0.11	1	-0.01	1	-1.98	5	-0.26	5	0.00	1
239	239	-635	Max	0.00	-3.87	5	0.11	1	0.02	1	152.46	5	-4.47	5	0.02	1
239	239	-635	Max	22.50	-2.98	5	0.11	1	0.00	1	152.46	5	17.13	5	0.02	1
239	239	-635	Min.	0.00	-8.38	5	-0.11	1	-0.02	1	39.22	5	-17.17	5	0.00	1
239	239	-635	Min.	22.50	-7.49	5	-0.11	1	-0.01	1	39.22	5	4.36	5	0.00	1
240	240	-636	Max	0.00	-4.14	5	0.12	1	0.02	1	155.62	5	-4.86	5	0.02	1
240	240	-636	Max	22.50	-3.25	5	0.12	1	0.01	1	155.62	5	17.48	5	0.02	1
240	240	-636	Min.	0.00	-8.64	5	-0.12	1	-0.02	1	42.73	5	-17.53	5	0.00	1
240	240	-636	Min.	22.50	-7.75	5	-0.12	1	-0.01	1	42.73	5	4.75	5	0.00	1
241	241	-637	Max	0.00	-4.14	5	0.12	1	0.02	1	155.64	5	-4.87	5	0.00	1
241	241	-637	Max	22.50	-3.26	5	0.12	1	0.01	1	155.64	5	17.49	5	0.00	1
241	241	-637	Min.	0.00	-8.64	5	-0.12	1	-0.02	1	42.75	5	-17.53	5	-0.02	1

241	241	-637	Min.	22.50	-7.75	5	-0.12	1	-0.01	1	42.75	5	4.75	5	-0.02	1
242	242	-638	Max	0.00	-3.86	5	0.11	1	0.02	1	152.47	5	-4.47	5	-0.00	1
242	242	-638	Max	22.50	-2.98	5	0.11	1	0.01	1	152.47	5	17.13	5	-0.00	1
242	242	-638	Min.	0.00	-8.38	5	-0.11	1	-0.02	1	39.20	5	-17.17	5	-0.02	1
242	242	-638	Min.	22.50	-7.49	5	-0.11	1	-0.00	1	39.20	5	4.35	5	-0.02	1
243	243	-639	Max	0.00	-2.36	5	0.11	1	0.02	1	111.46	5	0.18	5	-0.00	1
243	243	-639	Max	22.50	-1.48	5	0.11	1	0.01	1	111.46	5	12.53	5	-0.00	1
243	243	-639	Min.	0.00	-6.90	5	-0.11	1	-0.02	1	-1.98	5	-12.55	5	-0.03	1
243	243	-639	Min.	22.50	-6.02	5	-0.11	1	-0.00	1	-1.98	5	-0.26	5	-0.03	1
244	244	-640	Max	0.00	-0.42	5	0.00	5	0.01	1	110.17	5	-0.03	5	-0.00	1
244	244	-640	Max	22.50	0.47	5	0.00	5	0.01	1	110.17	5	12.39	5	-0.00	1
244	244	-640	Min.	0.00	-4.82	5	-0.00	5	-0.00	1	-0.05	5	-12.40	5	-0.02	1
244	244	-640	Min.	22.50	-3.94	5	-0.00	5	-0.00	1	-0.05	5	-0.04	5	-0.02	1
245	245	-617	Max	0.00	-0.97	5	0.21	1	-0.00	5	132.68	5	-0.47	5	0.02	5
245	245	-617	Max	20.75	-0.15	5	0.21	1	0.02	1	132.68	5	13.76	5	0.02	5
245	245	-617	Min.	0.00	-6.15	5	-0.09	1	-0.02	5	4.10	5	-13.77	5	0.01	5
245	245	-617	Min.	20.75	-5.34	5	-0.09	1	-0.02	1	4.10	5	0.38	5	0.01	5
246	246	-618	Max	0.00	-2.69	5	0.17	5	-0.00	5	137.58	5	-0.63	5	0.02	1
246	246	-618	Max	20.75	-1.88	5	0.17	5	0.02	1	137.58	5	14.27	5	0.02	1
246	246	-618	Min.	0.00	-7.97	5	-0.06	5	-0.02	5	5.65	5	-14.27	5	0.01	1
246	246	-618	Min.	20.75	-7.15	5	-0.06	5	-0.02	1	5.65	5	0.54	5	0.01	1
247	247	-619	Max	0.00	-4.95	5	0.09	1	0.00	1	187.53	5	-5.84	5	0.02	1
247	247	-619	Max	20.75	-4.14	5	0.09	1	0.02	1	187.53	5	19.44	5	0.02	1
247	247	-619	Min.	0.00	-10.23	5	-0.08	1	0.00	1	55.64	5	-19.48	5	0.00	1
247	247	-619	Min.	20.75	-9.41	5	-0.08	1	-0.01	1	55.64	5	5.71	5	0.00	1
248	248	-620	Max	0.00	-5.24	5	0.10	1	0.00	5	191.12	5	-6.26	5	0.02	1
248	248	-620	Max	20.75	-4.42	5	0.10	1	0.02	1	191.12	5	19.81	5	0.02	1
248	248	-620	Min.	0.00	-10.49	5	-0.08	1	-0.00	5	59.70	5	-19.85	5	-0.00	1
248	248	-620	Min.	20.75	-9.68	5	-0.08	1	-0.01	1	59.70	5	6.13	5	-0.00	1
249	249	-621	Max	0.00	-5.24	5	0.08	1	0.00	5	191.14	5	-6.26	5	0.00	1
249	249	-621	Max	20.75	-4.43	5	0.08	1	0.01	1	191.14	5	19.81	5	0.00	1
249	249	-621	Min.	0.00	-10.49	5	-0.10	1	-0.00	5	59.73	5	-19.85	5	-0.02	1
249	249	-621	Min.	20.75	-9.68	5	-0.10	1	-0.02	1	59.73	5	6.13	5	-0.02	1
250	250	-622	Max	0.00	-4.95	5	0.08	1	0.00	1	187.53	5	-5.83	5	0.00	1
250	250	-622	Max	20.75	-4.14	5	0.08	1	0.01	1	187.53	5	19.44	5	0.00	1
250	250	-622	Min.	0.00	-10.23	5	-0.09	1	-0.00	1	55.61	5	-19.48	5	-0.02	1
250	250	-622	Min.	20.75	-9.41	5	-0.09	1	-0.02	1	55.61	5	5.71	5	-0.02	1
251	251	-623	Max	0.00	-2.69	5	0.06	5	0.02	5	137.60	5	-0.63	5	-0.01	1
251	251	-623	Max	20.75	-1.87	5	0.06	5	0.02	1	137.60	5	14.27	5	-0.01	1
251	251	-623	Min.	0.00	-7.97	5	-0.17	5	0.00	5	5.65	5	-14.28	5	-0.02	1
251	251	-623	Min.	20.75	-7.15	5	-0.17	5	-0.02	1	5.65	5	0.54	5	-0.02	1
252	252	-624	Max	0.00	-0.97	5	0.09	1	0.02	5	132.69	5	-0.48	5	-0.01	5
252	252	-624	Max	20.75	-0.16	5	0.09	1	0.02	1	132.69	5	13.77	5	-0.01	5
252	252	-624	Min.	0.00	-6.15	5	-0.20	1	0.00	5	4.13	5	-13.77	5	-0.02	5
252	252	-624	Min.	20.75	-5.34	5	-0.20	1	-0.02	1	4.13	5	0.38	5	-0.02	5
253	253	-601	Max	0.00	-6.54	5	0.23	1	0.02	1	167.61	5	-1.48	5	0.09	1
253	253	-601	Max	19.00	-5.80	5	0.23	1	0.01	1	167.61	5	15.95	5	0.09	1
253	253	-601	Min.	0.00	-15.48	5	-0.54	1	-0.03	1	15.39	5	-15.89	5	-0.01	1
253	253	-601	Min.	19.00	-14.74	5	-0.54	1	-0.08	1	15.39	5	1.44	5	-0.01	1
254	254	-602	Max	0.00	-7.58	1	0.45	1	0.04	1	175.01	5	-1.94	5	0.09	1
254	254	-602	Max	19.00	-6.83	1	0.45	1	0.03	1	175.01	5	16.63	5	0.09	1
254	254	-602	Min.	0.00	-15.69	1	-0.76	1	-0.05	1	19.93	5	-16.62	5	-0.01	1
254	254	-602	Min.	19.00	-14.95	1	-0.76	1	-0.11	1	19.93	5	1.84	5	-0.01	1
255	255	-603	Max	0.00	-23.63	1	0.68	1	0.05	1	247.11	5	-8.84	5	0.05	1
255	255	-603	Max	19.00	-22.88	1	0.68	1	0.09	1	247.11	5	23.46	5	0.05	1
255	255	-603	Min.	0.00	-31.49	1	-0.53	1	-0.04	1	92.42	5	-23.49	5	-0.03	1
255	255	-603	Min.	19.00	-30.74	1	-0.53	1	-0.05	1	92.42	5	8.72	5	-0.03	1
256	256	-604	Max	0.00	-20.60	1	0.66	1	0.05	1	249.50	5	-8.96	5	0.05	1
256	256	-604	Max	19.00	-19.85	1	0.66	1	0.08	1	249.50	5	23.70	5	0.05	1

256	256	-604	Min.	0.00	-28.79	1	-0.57	1	-0.05	1	93.76	5	-23.71	5	-0.03	1
256	256	-604	Min.	19.00	-28.04	1	-0.57	1	-0.06	1	93.76	5	8.85	5	-0.03	1
257	257	-605	Max	0.00	-20.59	1	0.57	1	0.05	1	249.52	5	-8.97	5	0.03	1
257	257	-605	Max	19.00	-19.85	1	0.57	1	0.06	1	249.52	5	23.70	5	0.03	1
257	257	-605	Min.	0.00	-28.78	1	-0.66	1	-0.05	1	93.78	5	-23.71	5	-0.05	1
257	257	-605	Min.	19.00	-28.04	1	-0.66	1	-0.08	1	93.78	5	8.85	5	-0.05	1
258	258	-606	Max	0.00	-23.63	1	0.53	1	0.04	1	247.11	5	-8.84	5	0.03	1
258	258	-606	Max	19.00	-22.89	1	0.53	1	0.05	1	247.11	5	23.46	5	0.03	1
258	258	-606	Min.	0.00	-31.49	1	-0.67	1	-0.05	1	92.39	5	-23.49	5	-0.05	1
258	258	-606	Min.	19.00	-30.74	1	-0.67	1	-0.09	1	92.39	5	8.71	5	-0.05	1
259	259	-607	Max	0.00	-7.59	1	0.76	1	0.05	1	175.05	5	-1.94	5	0.00	1
259	259	-607	Max	19.00	-6.84	1	0.76	1	0.11	1	175.05	5	16.63	5	0.00	1
259	259	-607	Min.	0.00	-15.69	1	-0.45	1	-0.04	1	19.92	5	-16.63	5	-0.09	1
259	259	-607	Min.	19.00	-14.94	1	-0.45	1	-0.03	1	19.92	5	1.84	5	-0.09	1
260	260	-608	Max	0.00	-6.54	5	0.54	1	0.03	1	167.64	5	-1.49	5	0.01	1
260	260	-608	Max	19.00	-5.79	5	0.54	1	0.08	1	167.64	5	15.96	5	0.01	1
260	260	-608	Min.	0.00	-15.48	5	-0.23	1	-0.02	1	15.41	5	-15.90	5	-0.09	1
260	260	-608	Min.	19.00	-14.74	5	-0.23	1	-0.01	1	15.41	5	1.44	5	-0.09	1
261	261	-585	Max	0.00	-1.38	5	0.07	5	0.00	5	213.16	5	-2.44	5	0.07	1
261	261	-585	Max	17.25	-0.70	5	0.07	5	-0.00	5	213.16	5	18.42	5	0.07	1
261	261	-585	Min.	0.00	-9.14	5	-0.12	5	-0.01	5	27.81	5	-18.36	5	0.00	1
261	261	-585	Min.	17.25	-8.46	5	-0.12	5	-0.02	5	27.81	5	2.35	5	0.00	1
262	262	-586	Max	0.00	-4.00	5	0.07	5	0.00	5	224.60	5	-3.35	5	0.08	1
262	262	-586	Max	17.25	-3.33	5	0.07	5	-0.00	5	224.60	5	19.40	5	0.08	1
262	262	-586	Min.	0.00	-11.72	5	-0.13	5	-0.01	5	38.41	5	-19.34	5	-0.01	1
262	262	-586	Min.	17.25	-11.04	5	-0.13	5	-0.02	5	38.41	5	3.27	5	-0.01	1
263	263	-587	Max	0.00	-8.37	5	0.03	1	0.01	1	326.86	5	-12.12	5	0.04	1
263	263	-587	Max	17.25	-7.69	5	0.03	1	0.00	1	326.86	5	28.22	5	0.04	1
263	263	-587	Min.	0.00	-16.15	5	-0.06	1	0.00	1	140.02	5	-28.16	5	-0.04	1
263	263	-587	Min.	17.25	-15.47	5	-0.06	1	-0.00	1	140.02	5	12.04	5	-0.04	1
264	264	-588	Max	0.00	-8.32	5	0.03	1	0.01	1	326.19	5	-11.98	5	0.04	1
264	264	-588	Max	17.25	-7.64	5	0.03	1	0.00	1	326.19	5	28.16	5	0.04	1
264	264	-588	Min.	0.00	-16.13	5	-0.07	1	-0.00	1	138.38	5	-28.11	5	-0.04	1
264	264	-588	Min.	17.25	-15.45	5	-0.07	1	-0.00	1	138.38	5	11.89	5	-0.04	1
265	265	-589	Max	0.00	-8.32	5	0.07	1	0.00	1	326.21	5	-11.98	5	0.04	1
265	265	-589	Max	10.35					-0.00	7			5.58	7		
265	265	-589	Max	17.25	-7.65	5	0.07	1	0.00	1	326.21	5	28.16	5	0.04	1
265	265	-589	Min.	0.00	-16.13	5	-0.03	1	-0.01	1	138.40	5	-28.11	5	-0.04	1
265	265	-589	Min.	10.35					-0.00	7			2.42	7		
265	265	-589	Min.	17.25	-15.45	5	-0.03	1	-0.00	1	138.40	5	11.89	5	-0.04	1
266	266	-590	Max	0.00	-8.37	5	0.06	1	0.00	1	326.86	5	-12.12	5	0.04	1
266	266	-590	Max	13.80					-0.00	5			16.95	5		
266	266	-590	Max	17.25	-7.69	5	0.06	1	0.00	1	326.86	5	28.22	5	0.04	1
266	266	-590	Min.	0.00	-16.15	5	-0.03	1	-0.01	1	140.00	5	-28.16	5	-0.04	1
266	266	-590	Min.	13.80					-0.00	5			7.20	5		
266	266	-590	Min.	17.25	-15.47	5	-0.03	1	-0.00	1	140.00	5	12.03	5	-0.04	1
267	267	-591	Max	0.00	-4.01	5	0.13	5	0.01	5	224.64	5	-3.36	5	0.01	1
267	267	-591	Max	17.25	-3.33	5	0.13	5	0.02	5	224.64	5	19.40	5	0.01	1
267	267	-591	Min.	0.00	-11.72	5	-0.07	5	-0.00	5	38.42	5	-19.35	5	-0.08	1
267	267	-591	Min.	17.25	-11.04	5	-0.07	5	0.00	5	38.42	5	3.27	5	-0.08	1
268	268	-592	Max	0.00	-1.38	5	0.12	5	0.01	5	213.19	5	-2.45	5	-0.00	1
268	268	-592	Max	17.25	-0.70	5	0.12	5	0.02	5	213.19	5	18.42	5	-0.00	1
268	268	-592	Min.	0.00	-9.14	5	-0.07	5	-0.00	5	27.82	5	-18.36	5	-0.07	1
268	268	-592	Min.	17.25	-8.46	5	-0.07	5	0.00	5	27.82	5	2.35	5	-0.07	1
269	269	-569	Max	0.00	-2.42	5	0.01	1	-0.00	5	260.75	5	-3.06	5	0.07	1
269	269	-569	Max	15.50	-1.81	5	0.01	1	-0.00	5	260.75	5	20.28	5	0.07	1
269	269	-569	Min.	0.00	-9.65	5	-0.01	1	-0.00	5	38.81	5	-20.13	5	0.01	1
269	269	-569	Min.	15.50	-9.04	5	-0.01	1	-0.00	5	38.81	5	2.95	5	0.01	1
270	270	-570	Max	0.00	-4.97	5	0.14	1	0.01	1	279.45	5	-4.47	5	0.07	1

270	270	-570	Max	12.40					-0.00	7			12.82	7		
270	270	-570	Max	15.50	-4.36	5	0.14	1	0.01	1	279.45	5	21.73	5	0.07	1
270	270	-570	Min.	0.00	-12.19	5	-0.13	1	-0.01	1	56.94	5	-21.58	5	0.01	1
270	270	-570	Min.	12.40					-0.00	7			2.84	7		
270	270	-570	Min.	15.50	-11.58	5	-0.13	1	-0.02	1	56.94	5	4.36	5	0.01	1
271	271	-571	Max	0.00	-9.63	5	0.13	1	0.01	1	405.06	5	-14.12	5	0.03	1
271	271	-571	Max	15.50	-9.02	5	0.13	1	0.01	1	405.06	5	31.48	5	0.03	1
271	271	-571	Min.	0.00	-16.80	5	-0.15	1	-0.01	1	181.63	5	-31.31	5	-0.03	1
271	271	-571	Min.	15.50	-16.19	5	-0.15	1	-0.01	1	181.63	5	14.03	5	-0.03	1
272	272	-572	Max	0.00	-9.73	5	0.15	1	0.01	1	404.01	5	-13.96	5	0.03	1
272	272	-572	Max	15.50	-9.12	5	0.15	1	0.01	1	404.01	5	31.39	5	0.03	1
272	272	-572	Min.	0.00	-16.95	5	-0.14	1	-0.01	1	179.46	5	-31.23	5	-0.03	1
272	272	-572	Min.	15.50	-16.34	5	-0.14	1	-0.01	1	179.46	5	13.86	5	-0.03	1
273	273	-573	Max	0.00	-9.73	5	0.14	1	0.01	1	404.04	5	-13.96	5	0.03	1
273	273	-573	Max	15.50	-9.13	5	0.14	1	0.01	1	404.04	5	31.40	5	0.03	1
273	273	-573	Min.	0.00	-16.95	5	-0.15	1	-0.01	1	179.48	5	-31.23	5	-0.03	1
273	273	-573	Min.	15.50	-16.34	5	-0.15	1	-0.01	1	179.48	5	13.86	5	-0.03	1
274	274	-574	Max	0.00	-9.62	5	0.15	1	0.01	1	405.07	5	-14.12	5	0.03	1
274	274	-574	Max	15.50	-9.02	5	0.15	1	0.01	1	405.07	5	31.48	5	0.03	1
274	274	-574	Min.	0.00	-16.80	5	-0.13	1	-0.01	1	181.61	5	-31.31	5	-0.03	1
274	274	-574	Min.	15.50	-16.19	5	-0.13	1	-0.01	1	181.61	5	14.03	5	-0.03	1
275	275	-575	Max	0.00	-4.97	5	0.13	1	0.01	1	279.49	5	-4.47	5	-0.01	1
275	275	-575	Max	15.50	-4.36	5	0.13	1	0.02	1	279.49	5	21.73	5	-0.01	1
275	275	-575	Min.	0.00	-12.19	5	-0.14	1	-0.01	1	56.95	5	-21.59	5	-0.07	1
275	275	-575	Min.	15.50	-11.58	5	-0.14	1	-0.01	1	56.95	5	4.36	5	-0.07	1
276	276	-576	Max	0.00	-2.42	5	0.01	1	0.00	5	260.79	5	-3.06	5	-0.01	1
276	276	-576	Max	15.50	-1.81	5	0.01	1	0.00	5	260.79	5	20.29	5	-0.01	1
276	276	-576	Min.	0.00	-9.65	5	-0.01	1	0.00	5	38.82	5	-20.14	5	-0.07	1
276	276	-576	Min.	15.50	-9.04	5	-0.01	1	0.00	5	38.82	5	2.95	5	-0.07	1
277	277	-553	Max	0.00	0.58	5	0.06	5	0.01	5	285.64	5	-3.62	5	0.07	1
277	277	-553	Max	13.75	1.12	5	0.06	5	0.00	5	285.64	5	19.55	5	0.07	1
277	277	-553	Min.	0.00	-20.11	5	-0.19	5	-0.00	5	52.90	5	-19.73	5	0.01	1
277	277	-553	Min.	13.75	-19.57	5	-0.19	5	-0.02	5	52.90	5	3.66	5	0.01	1
278	278	-554	Max	0.00	-2.69	5	0.09	1	0.02	1	311.52	5	-5.37	5	0.07	1
278	278	-554	Max	13.75	-2.15	5	0.09	1	0.01	1	311.52	5	21.31	5	0.07	1
278	278	-554	Min.	0.00	-23.48	5	-0.41	1	-0.00	1	78.26	5	-21.52	5	0.02	1
278	278	-554	Min.	13.75	-22.94	5	-0.41	1	-0.04	1	78.26	5	5.39	5	0.02	1
279	279	-555	Max	0.00	-10.30	5	0.37	1	0.01	1	451.13	5	-14.93	5	0.02	1
279	279	-555	Max	13.75	-9.76	5	0.37	1	0.04	1	451.13	5	30.87	5	0.02	1
279	279	-555	Min.	0.00	-31.55	5	-0.11	1	-0.01	1	217.00	5	-31.16	5	-0.03	1
279	279	-555	Min.	13.75	-31.02	5	-0.11	1	-0.01	1	217.00	5	14.90	5	-0.03	1
280	280	-556	Max	0.00	-10.18	5	0.11	1	0.01	1	450.11	5	-14.77	5	0.03	1
280	280	-556	Max	13.75	-9.64	5	0.11	1	0.01	1	450.11	5	30.81	5	0.03	1
280	280	-556	Min.	0.00	-31.42	5	-0.37	1	-0.00	1	214.71	5	-31.08	5	-0.02	1
280	280	-556	Min.	13.75	-30.88	5	-0.37	1	-0.04	1	214.71	5	14.75	5	-0.02	1
281	281	-557	Max	0.00	-10.18	5	0.37	1	0.00	1	450.13	5	-14.77	5	0.02	1
281	281	-557	Max	13.75	-9.64	5	0.37	1	0.04	1	450.13	5	30.81	5	0.02	1
281	281	-557	Min.	0.00	-31.43	5	-0.11	1	-0.01	1	214.74	5	-31.08	5	-0.03	1
281	281	-557	Min.	13.75	-30.89	5	-0.11	1	-0.01	1	214.74	5	14.75	5	-0.03	1
282	282	-558	Max	0.00	-10.30	5	0.11	1	0.01	1	451.14	5	-14.93	5	0.03	1
282	282	-558	Max	13.75	-9.76	5	0.11	1	0.01	1	451.14	5	30.87	5	0.03	1
282	282	-558	Min.	0.00	-31.55	5	-0.37	1	-0.01	1	216.97	5	-31.16	5	-0.02	1
282	282	-558	Min.	13.75	-31.01	5	-0.37	1	-0.04	1	216.97	5	14.90	5	-0.02	1
283	283	-559	Max	0.00	-2.70	5	0.41	1	0.00	1	311.56	5	-5.37	5	-0.02	1
283	283	-559	Max	13.75	-2.16	5	0.41	1	0.04	1	311.56	5	21.31	5	-0.02	1
283	283	-559	Min.	0.00	-23.49	5	-0.09	1	-0.02	1	78.28	5	-21.53	5	-0.07	1
283	283	-559	Min.	13.75	-22.95	5	-0.09	1	-0.01	1	78.28	5	5.39	5	-0.07	1
284	284	-560	Max	0.00	0.58	5	0.19	5	0.00	5	285.68	5	-3.62	5	-0.01	1
284	284	-560	Max	13.75	1.12	5	0.19	5	0.02	5	285.68	5	19.55	5	-0.01	1

284	284	-560	Min.	0.00	-20.11	5	-0.06	5	-0.01	5	52.92	5	-19.73	5	-0.07	1
284	284	-560	Min.	13.75	-19.57	5	-0.06	5	-0.00	5	52.92	5	3.66	5	-0.07	1
285	2285	4285	Max	0.00	39.15	1	0.32	1	-0.01	5	72.74	5	7.16	5	0.04	5
285	2285	4285	Max	12.00	39.62	1	0.32	1	0.02	1	72.74	5	3.84	5	0.04	5
285	2285	4285	Min.	0.00	-25.57	1	0.08	1	-0.02	5	-94.59	5	-4.88	5	-0.02	5
285	2285	4285	Min.	12.00	-25.10	1	0.08	1	-0.00	1	-94.59	5	-4.19	5	-0.02	5
286	1286	2286	Max	0.00	-243.04	5	29.71	5	109.77	5	73.02	1	-0.03	1	1.76	5
286	1286	2286	Max	9.00	-241.01	5	29.71	5	112.45	5	73.02	1	6.54	1	1.76	5
286	1286	2286	Min.	0.00	-391.51	5	-94.23	5	-324.64	5	-40.14	1	-24.73	1	-1.07	5
286	1286	2286	Min.	9.00	-389.48	5	-94.23	5	-333.12	5	-40.14	1	-28.34	1	-1.07	5
286	2286	4286	Max	0.00	-119.82	1	65.38	1	6.99	1	797.74	5	275.24	5	2.86	1
286	2286	4286	Max	7.00	-118.25	1	65.38	1	11.57	1	797.74	5	141.10	5	2.86	1
286	2286	4286	Min.	0.00	-144.95	1	-31.87	1	-20.91	1	-1916.30	5	-101.72	5	-4.46	1
286	2286	4286	Min.	7.00	-143.38	1	-31.87	1	-23.14	1	-1916.30	5	-45.88	5	-4.46	1
287	2287	4287	Max	0.00	33.95	1	1.83	1	0.10	1	75.89	5	7.05	5	0.01	5
287	2287	4287	Max	12.00	34.42	1	1.83	1	0.15	1	75.89	5	4.04	5	0.01	5
287	2287	4287	Min.	0.00	-85.55	1	-2.71	1	-0.07	1	-92.69	5	-5.07	5	-0.04	5
287	2287	4287	Min.	12.00	-85.08	1	-2.71	1	-0.22	1	-92.69	5	-4.07	5	-0.04	5
288	2288	4288	Max	0.00	44.15	1	3.95	1	-0.01	1	69.36	5	7.94	5	0.05	5
288	2288	4288	Max	12.00	44.62	1	3.95	1	0.32	1	69.36	5	4.01	5	0.05	5
288	2288	4288	Min.	0.00	-123.10	1	-0.21	1	-0.15	1	-100.97	5	-4.31	5	-0.01	5
288	2288	4288	Min.	12.00	-122.63	1	-0.21	1	-0.03	1	-100.97	5	-4.18	5	-0.01	5
289	1289	2289	Max	0.00	-526.83	5	-0.20	5	29.32	5	77.71	1	32.08	1	1.14	1
289	1289	2289	Max	9.00	-524.81	5	-0.20	5	29.30	5	77.71	1	39.07	1	1.14	1
289	1289	2289	Min.	0.00	-667.01	5	-127.44	5	-410.29	5	-62.83	1	-26.09	1	-0.77	1
289	1289	2289	Min.	9.00	-664.98	5	-127.44	5	-421.76	5	-62.83	1	-31.75	1	-0.77	1
289	2289	4289	Max	0.00	-228.63	5	67.11	1	30.76	1	381.42	5	345.21	5	2.30	1
289	2289	4289	Max	7.00	-227.06	5	67.11	1	35.46	1	381.42	5	179.50	5	2.30	1
289	2289	4289	Min.	0.00	-234.99	5	-54.21	1	-25.21	1	-2367.29	5	-36.52	5	-5.16	1
289	2289	4289	Min.	7.00	-233.41	5	-54.21	1	-29.00	1	-2367.29	5	-9.82	5	-5.16	1
290	2290	4290	Max	0.00	60.57	1	0.57	1	0.14	1	67.95	5	7.99	5	0.00	5
290	2290	4290	Max	12.00	61.05	1	0.57	1	0.06	1	67.95	5	3.93	5	0.00	5
290	2290	4290	Min.	0.00	-107.24	1	-3.51	1	-0.01	1	-101.94	5	-4.22	5	-0.05	5
290	2290	4290	Min.	12.00	-106.77	1	-3.51	1	-0.29	1	-101.94	5	-4.24	5	-0.05	5
291	2291	4291	Max	0.00	60.53	1	3.51	1	0.01	1	67.95	5	7.99	5	0.05	5
291	2291	4291	Max	12.00	61.00	1	3.51	1	0.29	1	67.95	5	3.93	5	0.05	5
291	2291	4291	Min.	0.00	-107.32	1	-0.57	1	-0.14	1	-101.93	5	-4.22	5	-0.00	5
291	2291	4291	Min.	12.00	-106.85	1	-0.57	1	-0.06	1	-101.93	5	-4.24	5	-0.00	5
292	1292	2292	Max	0.00	-526.82	5	-0.22	5	29.31	5	62.91	1	26.12	1	0.79	1
292	1292	2292	Max	9.00	-524.79	5	-0.22	5	29.29	5	62.91	1	31.78	1	0.79	1
292	1292	2292	Min.	0.00	-667.03	5	-127.47	5	-410.31	5	-77.66	1	-32.07	1	-1.12	1
292	1292	2292	Min.	9.00	-665.00	5	-127.47	5	-421.79	5	-77.66	1	-39.05	1	-1.12	1
292	2292	4292	Max	0.00	-228.63	5	54.27	1	25.24	1	381.36	5	345.23	5	5.16	1
292	2292	4292	Max	7.00	-227.05	5	54.27	1	29.04	1	381.36	5	179.51	5	5.16	1
292	2292	4292	Min.	0.00	-234.99	5	-67.07	1	-30.74	1	-2367.46	5	-36.52	5	-2.30	1
292	2292	4292	Min.	7.00	-233.42	5	-67.07	1	-35.44	1	-2367.46	5	-9.82	5	-2.30	1
293	2293	4293	Max	0.00	44.19	1	0.21	1	0.15	1	69.35	5	7.94	5	0.01	5
293	2293	4293	Max	12.00	44.66	1	0.21	1	0.03	1	69.35	5	4.01	5	0.01	5
293	2293	4293	Min.	0.00	-123.02	1	-3.95	1	0.01	1	-101.00	5	-4.31	5	-0.05	5
293	2293	4293	Min.	12.00	-122.55	1	-3.95	1	-0.32	1	-101.00	5	-4.18	5	-0.05	5
294	2294	4294	Max	0.00	33.92	1	2.71	1	0.07	1	75.88	5	7.05	5	0.04	5
294	2294	4294	Max	12.00	34.40	1	2.71	1	0.22	1	75.88	5	4.04	5	0.04	5
294	2294	4294	Min.	0.00	-85.60	1	-1.82	1	-0.10	1	-92.70	5	-5.07	5	-0.01	5
294	2294	4294	Min.	12.00	-85.13	1	-1.82	1	-0.15	1	-92.70	5	-4.07	5	-0.01	5
295	1295	2295	Max	0.00	-243.08	5	29.70	5	109.75	5	40.20	1	24.74	1	1.05	5
295	1295	2295	Max	9.00	-241.06	5	29.70	5	112.42	5	40.20	1	28.36	1	1.05	5
295	1295	2295	Min.	0.00	-391.52	5	-94.30	5	-324.71	5	-72.98	1	0.03	1	-1.74	5
295	1295	2295	Min.	9.00	-389.50	5	-94.30	5	-333.20	5	-72.98	1	-6.53	1	-1.74	5
295	2295	4295	Max	0.00	-119.81	1	31.91	1	20.92	1	797.57	5	275.31	5	4.46	1

295	2295	4295	Max	7.00	-118.23	1	31.91	1	23.16	1	797.57	5	141.14	5	4.46	1
295	2295	4295	Min.	0.00	-144.96	1	-65.31	1	-6.99	1	-1916.73	5	-101.70	5	-2.86	1
295	2295	4295	Min.	7.00	-143.38	1	-65.31	1	-11.56	1	-1916.73	5	-45.87	5	-2.86	1
296	2296	4296	Max	0.00	39.17	1	-0.08	1	0.02	5	72.75	5	7.16	5	0.02	5
296	2296	4296	Max	12.00	39.64	1	-0.08	1	0.00	1	72.75	5	3.84	5	0.02	5
296	2296	4296	Min.	0.00	-25.54	1	-0.32	1	0.01	5	-94.62	5	-4.89	5	-0.04	5
296	2296	4296	Min.	12.00	-25.07	1	-0.32	1	-0.02	1	-94.62	5	-4.19	5	-0.04	5
297	297	-537	Max	0.00	15.36	5	0.74	1	0.02	1	1.97	5	1.35	1	0.17	1
297	297	-537	Max	10.65	15.78	5	0.74	1	0.05	1	1.97	5	0.17	5	0.17	1
297	297	-537	Min.	0.00	-5.74	5	-0.54	1	-0.03	1	-28.04	5	-0.12	1	-0.12	1
297	297	-537	Min.	10.65	-5.32	5	-0.54	1	-0.03	1	-28.04	5	-1.72	5	-0.12	1
298	298	-538	Max	0.00	13.42	5	0.95	1	0.02	1	-8.37	5	2.00	1	0.17	1
298	298	-538	Max	10.65	13.84	5	0.95	1	0.07	1	-8.37	5	-0.35	5	0.17	1
298	298	-538	Min.	0.00	-7.59	5	-0.52	1	-0.03	1	-39.11	5	0.43	1	-0.12	1
298	298	-538	Min.	10.65	-7.17	5	-0.52	1	-0.03	1	-39.11	5	-2.28	5	-0.12	1
299	299	-539	Max	0.00	17.87	5	0.70	1	0.02	1	-28.28	5	3.05	1	0.15	1
299	299	-539	Max	10.65	18.29	5	0.70	1	0.04	1	-28.28	5	-1.45	5	0.15	1
299	299	-539	Min.	0.00	-3.94	5	-0.66	1	-0.03	1	-59.30	5	1.45	1	-0.10	1
299	299	-539	Min.	10.65	-3.52	5	-0.66	1	-0.05	1	-59.30	5	-3.38	5	-0.10	1
300	300	-540	Max	0.00	18.19	5	0.90	1	0.02	1	-20.02	5	2.56	1	0.16	1
300	300	-540	Max	10.65	18.61	5	0.90	1	0.06	1	-20.02	5	-1.04	5	0.16	1
300	300	-540	Min.	0.00	-3.65	5	-0.51	1	-0.03	1	-50.44	5	0.96	1	-0.10	1
300	300	-540	Min.	10.65	-3.23	5	-0.51	1	-0.03	1	-50.44	5	-2.94	5	-0.10	1
301	301	-541	Max	0.00	18.20	5	0.52	1	0.03	1	-20.01	5	2.56	1	0.10	1
301	301	-541	Max	10.65	18.62	5	0.52	1	0.03	1	-20.01	5	-1.04	5	0.10	1
301	301	-541	Min.	0.00	-3.65	5	-0.90	1	-0.02	1	-50.44	5	0.96	1	-0.16	1
301	301	-541	Min.	10.65	-3.23	5	-0.90	1	-0.06	1	-50.44	5	-2.94	5	-0.16	1
302	302	-542	Max	0.00	17.87	5	0.66	1	0.03	1	-28.29	5	3.05	1	0.10	1
302	302	-542	Max	10.65	18.29	5	0.66	1	0.05	1	-28.29	5	-1.45	5	0.10	1
302	302	-542	Min.	0.00	-3.94	5	-0.70	1	-0.02	1	-59.29	5	1.45	1	-0.15	1
302	302	-542	Min.	10.65	-3.52	5	-0.70	1	-0.04	1	-59.29	5	-3.38	5	-0.15	1
303	303	-543	Max	0.00	13.43	5	0.53	1	0.04	1	-8.42	5	2.00	1	0.12	1
303	303	-543	Max	10.65	13.85	5	0.53	1	0.03	1	-8.42	5	-0.35	5	0.12	1
303	303	-543	Min.	0.00	-7.59	5	-0.96	1	-0.02	1	-39.11	5	0.44	1	-0.17	1
303	303	-543	Min.	10.65	-7.18	5	-0.96	1	-0.07	1	-39.11	5	-2.28	5	-0.17	1
304	304	-544	Max	0.00	15.36	5	0.54	1	0.03	1	2.00	5	1.34	1	0.12	1
304	304	-544	Max	10.65	15.78	5	0.54	1	0.03	1	2.00	5	0.17	5	0.12	1
304	304	-544	Min.	0.00	-5.74	5	-0.75	1	-0.02	1	-28.03	5	-0.12	1	-0.17	1
304	304	-544	Min.	10.65	-5.32	5	-0.75	1	-0.05	1	-28.03	5	-1.72	5	-0.17	1
305	305	-521	Max	0.00	0.43	5	-0.03	5	0.02	1	1.60	1	1.27	1	0.17	1
305	305	-521	Max	9.29	0.80	5	-0.03	5	0.01	1	1.60	1	0.04	1	0.17	1
305	305	-521	Min.	0.00	-1.99	5	-0.11	5	-0.02	1	-26.46	1	-0.11	1	-0.12	1
305	305	-521	Min.	9.29	-1.62	5	-0.11	5	-0.02	1	-26.46	1	-1.19	1	-0.12	1
306	306	-522	Max	0.00	-0.02	5	0.04	5	0.02	1	-8.84	1	1.83	1	0.17	1
306	306	-522	Max	9.29	0.34	5	0.04	5	0.01	1	-8.84	1	-0.43	1	0.17	1
306	306	-522	Min.	0.00	-2.79	5	-0.16	5	-0.02	1	-38.54	1	0.39	1	-0.12	1
306	306	-522	Min.	9.29	-2.42	5	-0.16	5	-0.02	1	-38.54	1	-1.75	1	-0.12	1
307	307	-523	Max	0.00	0.56	5	-0.01	5	0.02	1	-34.53	1	3.03	1	0.15	1
307	307	-523	Max	9.29	0.92	5	-0.01	5	0.01	1	-34.53	1	-1.61	1	0.15	1
307	307	-523	Min.	0.00	-2.16	5	-0.17	5	-0.02	1	-64.02	1	1.60	1	-0.09	1
307	307	-523	Min.	9.29	-1.80	5	-0.17	5	-0.03	1	-64.02	1	-2.92	1	-0.09	1
308	308	-524	Max	0.00	0.04	5	0.19	5	0.03	1	-23.11	1	2.48	1	0.15	1
308	308	-524	Max	5.42					0.02	7			-0.27	7		
308	308	-524	Max	9.29	0.40	5	0.19	5	0.03	1	-23.11	1	-1.10	1	0.15	1
308	308	-524	Min.	0.00	-2.74	5	-0.02	5	-0.01	1	-52.74	1	1.05	1	-0.10	1
308	308	-524	Min.	5.42					0.01	7			-0.31	7		
308	308	-524	Min.	9.29	-2.37	5	-0.02	5	-0.00	1	-52.74	1	-2.42	1	-0.10	1
309	309	-525	Max	0.00	0.04	5	0.02	5	0.01	1	-23.11	1	2.48	1	0.10	1
309	309	-525	Max	4.88					-0.02	7			-0.07	7		

309	309	-525	Max	9.29	0.40	5	0.02	5	0.00	1	-23.11	1	-1.10	1	0.10	1
309	309	-525	Min.	0.00	-2.74	5	-0.19	5	-0.03	1	-52.74	1	1.05	1	-0.15	1
309	309	-525	Min.	4.88					-0.01	7			-0.10	7		
309	309	-525	Min.	9.29	-2.37	5	-0.19	5	-0.03	1	-52.74	1	-2.42	1	-0.15	1
310	310	-526	Max	0.00	0.56	5	0.17	5	0.02	1	-34.53	1	3.03	1	0.09	1
310	310	-526	Max	9.29	0.92	5	0.17	5	0.03	1	-34.53	1	-1.61	1	0.09	1
310	310	-526	Min.	0.00	-2.16	5	0.01	5	-0.02	1	-64.02	1	1.60	1	-0.15	1
310	310	-526	Min.	9.29	-1.80	5	0.01	5	-0.01	1	-64.02	1	-2.92	1	-0.15	1
311	311	-527	Max	0.00	-0.02	5	0.16	5	0.02	1	-8.92	1	1.83	1	0.12	1
311	311	-527	Max	9.29	0.34	5	0.16	5	0.02	1	-8.92	1	-0.44	1	0.12	1
311	311	-527	Min.	0.00	-2.79	5	-0.04	5	-0.02	1	-38.52	1	0.39	1	-0.17	1
311	311	-527	Min.	9.29	-2.42	5	-0.04	5	-0.01	1	-38.52	1	-1.75	1	-0.17	1
312	312	-528	Max	0.00	0.43	5	0.11	5	0.02	1	1.59	1	1.27	1	0.12	1
312	312	-528	Max	9.29	0.79	5	0.11	5	0.02	1	1.59	1	0.04	1	0.12	1
312	312	-528	Min.	0.00	-1.99	5	0.03	5	-0.02	1	-26.40	1	-0.11	1	-0.17	1
312	312	-528	Min.	9.29	-1.62	5	0.03	5	-0.01	1	-26.40	1	-1.19	1	-0.17	1
313	2313	3313	Max	0.00	1.88	1	1.06	1	0.03	1	1.94	1	0.74	1	0.12	1
313	2313	3313	Max	7.94	2.19	1	1.06	1	0.11	1	1.94	1	0.02	1	0.12	1
313	2313	3313	Min.	0.00	-8.03	1	-0.65	1	-0.06	1	-17.64	1	-0.14	1	-0.08	1
313	2313	3313	Min.	7.94	-7.72	1	-0.65	1	-0.11	1	-17.64	1	-0.66	1	-0.08	1
314	2314	3314	Max	0.00	-0.84	1	1.13	1	0.03	1	-4.20	1	1.07	1	0.13	1
314	2314	3314	Max	7.94	-0.53	1	1.13	1	0.12	1	-4.20	1	-0.20	1	0.13	1
314	2314	3314	Min.	0.00	-11.62	1	-0.71	1	-0.05	1	-25.03	1	0.13	1	-0.09	1
314	2314	3314	Min.	7.94	-11.30	1	-0.71	1	-0.11	1	-25.03	1	-0.92	1	-0.09	1
315	2315	3315	Max	0.00	-9.81	1	0.96	1	0.06	1	-23.74	1	1.83	1	0.12	1
315	2315	3315	Max	7.94	-9.50	1	0.96	1	0.14	1	-23.74	1	-0.98	1	0.12	1
315	2315	3315	Min.	0.00	-20.35	1	-0.42	1	-0.02	1	-44.53	1	0.90	1	-0.06	1
315	2315	3315	Min.	7.94	-20.04	1	-0.42	1	-0.06	1	-44.53	1	-1.70	1	-0.06	1
316	2316	3316	Max	0.00	-5.56	1	0.86	1	0.06	1	-15.23	1	1.48	1	0.11	1
316	2316	3316	Max	7.94	-5.24	1	0.86	1	0.12	1	-15.23	1	-0.67	1	0.11	1
316	2316	3316	Min.	0.00	-16.34	1	-0.60	1	-0.03	1	-36.50	1	0.53	1	-0.08	1
316	2316	3316	Min.	7.94	-16.03	1	-0.60	1	-0.08	1	-36.50	1	-1.41	1	-0.08	1
317	2317	3317	Max	0.00	-5.56	1	0.61	1	0.03	1	-15.23	1	1.48	1	0.08	1
317	2317	3317	Max	7.94	-5.24	1	0.61	1	0.08	1	-15.23	1	-0.67	1	0.08	1
317	2317	3317	Min.	0.00	-16.34	1	-0.86	1	-0.06	1	-36.50	1	0.53	1	-0.11	1
317	2317	3317	Min.	7.94	-16.03	1	-0.86	1	-0.12	1	-36.50	1	-1.41	1	-0.11	1
318	2318	3318	Max	0.00	-9.81	1	0.42	1	0.02	1	-23.73	1	1.83	1	0.06	1
318	2318	3318	Max	7.94	-9.50	1	0.42	1	0.06	1	-23.73	1	-0.98	1	0.06	1
318	2318	3318	Min.	0.00	-20.35	1	-0.96	1	-0.06	1	-44.53	1	0.90	1	-0.12	1
318	2318	3318	Min.	7.94	-20.04	1	-0.96	1	-0.14	1	-44.53	1	-1.70	1	-0.12	1
319	2319	3319	Max	0.00	-0.86	1	0.72	1	0.05	1	-4.25	1	1.07	1	0.09	1
319	2319	3319	Max	0.40					0.02	7			0.65	7		
319	2319	3319	Max	7.94	-0.55	1	0.72	1	0.11	1	-4.25	1	-0.20	1	0.09	1
319	2319	3319	Min.	0.00	-11.61	1	-1.14	1	-0.03	1	-25.03	1	0.14	1	-0.13	1
319	2319	3319	Min.	0.40					-0.00	7			0.44	7		
319	2319	3319	Min.	7.94	-11.30	1	-1.14	1	-0.12	1	-25.03	1	-0.92	1	-0.13	1
320	2320	3320	Max	0.00	1.87	1	0.65	1	0.06	1	1.93	1	0.74	1	0.08	1
320	2320	3320	Max	0.40					0.02	7			0.37	7		
320	2320	3320	Max	7.94	2.19	1	0.65	1	0.11	1	1.93	1	0.02	1	0.08	1
320	2320	3320	Min.	0.00	-8.01	1	-1.07	1	-0.03	1	-17.59	1	-0.14	1	-0.12	1
320	2320	3320	Min.	0.40									0.17	7		
320	2320	3320	Min.	7.94	-7.70	1	-1.07	1	-0.11	1	-17.59	1	-0.66	1	-0.12	1
901	325	326	Max	4.00	0.00	1	0.00	1	0.00	1	488.54	1	20.80	1	2.62	5
901	325	326	Max	15.00	0.00	1	0.00	1	0.00	1	525.73	1	76.59	1	2.62	5
901	325	326	Min.	4.00	0.00	1	0.00	1	0.00	1	-505.04	1	-20.27	1	1.73	5
901	325	326	Min.	15.00	0.00	1	0.00	1	0.00	1	-453.22	1	-72.96	1	1.73	5
901	326	327	Max	0.00	0.00	1	0.00	1	0.00	1	329.89	1	121.79	1	5.96	5
901	326	327	Max	11.00	0.00	1	0.00	1	0.00	1	363.60	1	159.25	1	5.96	5
901	326	327	Min.	0.00	0.00	1	0.00	1	0.00	1	-665.50	1	-95.01	1	4.32	5

901	326	327	Min.	11.00	0.00	1	0.00	1	0.00	1	-611.91	1	-164.58	1	4.32	5
901	327	328	Max	1.00	0.00	1	0.00	1	0.00	1	-420.39	5	169.18	1	8.65	5
901	327	328	Max	116.20									-170.91	1		
901	327	328	Max	289.00	0.00	1	0.00	1	0.00	1	524.87	1	1.79	5	8.65	5
901	327	328	Min.	1.00	0.00	1	0.00	1	0.00	1	-538.26	5	-194.27	1	6.03	5
901	327	328	Min.	116.20									-476.91	1		
901	327	328	Min.	289.00	0.00	1	0.00	1	0.00	1	296.69	1	-42.14	5	6.03	5
901	328	329	Max	4.00	0.00	1	0.00	1	0.00	1	659.65	1	12.50	5	6.27	5
901	328	329	Max	15.00	0.00	1	0.00	1	0.00	1	687.36	1	78.61	1	6.27	5
901	328	329	Min.	4.00	0.00	1	0.00	1	0.00	1	-276.72	1	-28.51	5	4.19	5
901	328	329	Min.	15.00	0.00	1	0.00	1	0.00	1	-248.29	1	-49.41	1	4.19	5
901	329	330	Max	0.00	0.00	1	0.00	1	0.00	1	396.42	1	120.21	1	2.39	5
901	329	330	Max	11.00	0.00	1	0.00	1	0.00	1	423.38	1	165.25	1	2.39	5
901	329	330	Min.	0.00	0.00	1	0.00	1	0.00	1	-528.68	1	-83.69	1	1.64	5
901	329	330	Min.	11.00	0.00	1	0.00	1	0.00	1	-500.00	1	-140.22	1	1.64	5
901	330	331	Max	1.00	0.00	1	0.00	1	0.00	1	-251.64	1	178.03	1	0.18	1
901	330	331	Max	200.75									-186.16	1		
901	330	331	Max	309.00	0.00	1	0.00	1	0.00	1	480.40	1	177.36	1	0.18	1
901	330	331	Min.	1.00	0.00	1	0.00	1	0.00	1	-480.75	1	-163.90	1	-0.32	1
901	330	331	Min.	167.73									-311.00	5		
901	330	331	Min.	309.00	0.00	1	0.00	1	0.00	1	251.27	1	-164.52	1	-0.32	1
901	331	332	Max	4.00	0.00	1	0.00	1	0.00	1	500.29	1	164.59	1	-1.85	5
901	331	332	Max	15.00	0.00	1	0.00	1	0.00	1	528.91	1	119.57	1	-1.85	5
901	331	332	Min.	4.00	0.00	1	0.00	1	0.00	1	-423.21	1	-140.83	1	-2.44	5
901	331	332	Min.	15.00	0.00	1	0.00	1	0.00	1	-396.16	1	-84.28	1	-2.44	5
901	332	333	Max	0.00	0.00	1	0.00	1	0.00	1	248.56	1	78.02	1	-4.38	5
901	332	333	Max	11.00	0.00	1	0.00	1	0.00	1	277.00	1	11.93	5	-4.38	5
901	332	333	Min.	0.00	0.00	1	0.00	1	0.00	1	-687.19	1	-49.96	1	-6.31	5
901	332	333	Min.	11.00	0.00	1	0.00	1	0.00	1	-659.46	1	-29.04	5	-6.31	5
901	333	334	Max	1.00	0.00	1	0.00	1	0.00	1	-297.03	1	1.25	5	-6.20	5
901	333	334	Max	167.97									-179.09	1		
901	333	334	Max	289.00	0.00	1	0.00	1	0.00	1	539.08	5	168.97	1	-6.20	5
901	333	334	Min.	1.00	0.00	1	0.00	1	0.00	1	-525.22	1	-42.68	5	-8.68	5
901	333	334	Min.	167.97									-478.06	1		
901	333	334	Min.	289.00	0.00	1	0.00	1	0.00	1	421.21	5	-194.55	1	-8.68	5
901	334	335	Max	4.00	0.00	1	0.00	1	0.00	1	612.71	1	159.07	1	-4.44	5
901	334	335	Max	15.00	0.00	1	0.00	1	0.00	1	666.38	1	121.70	1	-4.44	5
901	334	335	Min.	4.00	0.00	1	0.00	1	0.00	1	-362.73	1	-164.81	1	-5.99	5
901	334	335	Min.	15.00	0.00	1	0.00	1	0.00	1	-328.94	1	-95.15	1	-5.99	5
901	335	336	Max	0.00	0.00	1	0.00	1	0.00	1	453.86	1	76.51	1	-1.78	5
901	335	336	Max	11.00	0.00	1	0.00	1	0.00	1	505.78	1	20.78	1	-1.78	5
901	335	336	Min.	0.00	0.00	1	0.00	1	0.00	1	-525.29	1	-73.06	1	-2.63	5
901	335	336	Min.	11.00	0.00	1	0.00	1	0.00	1	-488.02	1	-20.29	1	-2.63	5
902	361	362	Max	4.00	0.00	1	0.00	1	0.00	1	487.57	1	20.76	1	-1.74	5
902	361	362	Max	15.00	0.00	1	0.00	1	0.00	1	524.80	1	76.45	1	-1.74	5
902	361	362	Min.	4.00	0.00	1	0.00	1	0.00	1	-504.11	1	-20.23	1	-2.66	5
902	361	362	Min.	15.00	0.00	1	0.00	1	0.00	1	-452.28	1	-72.82	1	-2.66	5
902	362	363	Max	0.00	0.00	1	0.00	1	0.00	1	328.84	1	121.59	1	-4.35	5
902	362	363	Max	11.00	0.00	1	0.00	1	0.00	1	362.58	1	158.93	1	-4.35	5
902	362	363	Min.	0.00	0.00	1	0.00	1	0.00	1	-664.63	1	-94.81	1	-6.08	5
902	362	363	Min.	11.00	0.00	1	0.00	1	0.00	1	-611.03	1	-164.27	1	-6.08	5
902	363	364	Max	1.00	0.00	1	0.00	1	0.00	1	-420.60	5	168.82	1	-6.08	5
902	363	364	Max	116.30									-171.52	1		
902	363	364	Max	289.00	0.00	1	0.00	1	0.00	1	524.43	1	1.30	5	-6.08	5
902	363	364	Min.	1.00	0.00	1	0.00	1	0.00	1	-538.49	5	-193.93	1	-8.80	5
902	363	364	Min.	116.30									-476.86	1		
902	363	364	Min.	289.00	0.00	1	0.00	1	0.00	1	296.60	1	-42.67	5	-8.80	5
902	364	365	Max	4.00	0.00	1	0.00	1	0.00	1	658.71	1	11.98	5	-4.23	5
902	364	365	Max	15.00	0.00	1	0.00	1	0.00	1	686.40	1	77.95	1	-4.23	5

902	364	365	Min.	4.00	0.00	1	0.00	1	0.00	1	-275.89	1	-29.02	5	-6.45	5
902	364	365	Min.	15.00	0.00	1	0.00	1	0.00	1	-247.49	1	-49.80	1	-6.45	5
902	365	366	Max	0.00	0.00	1	0.00	1	0.00	1	395.72	1	119.47	1	-1.53	1
902	365	366	Max	11.00	0.00	1	0.00	1	0.00	1	422.63	1	164.43	1	-1.53	1
902	365	366	Min.	0.00	0.00	1	0.00	1	0.00	1	-527.60	1	-84.01	1	-2.76	1
902	365	366	Min.	11.00	0.00	1	0.00	1	0.00	1	-498.91	1	-140.42	1	-2.76	1
902	366	367	Max	1.00	0.00	1	0.00	1	0.00	1	-251.39	1	177.19	1	0.52	1
902	366	367	Max	200.65									-186.41	1		
902	366	367	Max	309.00	0.00	1	0.00	1	0.00	1	479.95	1	177.00	1	0.52	1
902	366	367	Min.	1.00	0.00	1	0.00	1	0.00	1	-480.03	1	-164.06	1	-0.66	1
902	366	367	Min.	167.64									-310.96	5		
902	366	367	Min.	309.00	0.00	1	0.00	1	0.00	1	251.29	1	-164.15	1	-0.66	1
902	367	368	Max	4.00	0.00	1	0.00	1	0.00	1	499.39	1	164.26	1	2.61	1
902	367	368	Max	15.00	0.00	1	0.00	1	0.00	1	527.93	1	119.34	1	2.61	1
902	367	368	Min.	4.00	0.00	1	0.00	1	0.00	1	-422.35	1	-140.50	1	1.43	1
902	367	368	Min.	15.00	0.00	1	0.00	1	0.00	1	-395.29	1	-84.06	1	1.43	1
902	368	369	Max	0.00	0.00	1	0.00	1	0.00	1	247.91	1	77.86	1	6.27	5
902	368	369	Max	11.00	0.00	1	0.00	1	0.00	1	276.32	1	11.95	5	6.27	5
902	368	369	Min.	0.00	0.00	1	0.00	1	0.00	1	-686.08	1	-49.82	1	4.19	5
902	368	369	Min.	11.00	0.00	1	0.00	1	0.00	1	-658.38	1	-29.02	5	4.19	5
902	369	370	Max	1.00	0.00	1	0.00	1	0.00	1	-296.69	1	1.30	5	8.64	5
902	369	370	Max	167.95									-178.94	1		
902	369	370	Max	289.00	0.00	1	0.00	1	0.00	1	538.51	5	168.71	1	8.64	5
902	369	370	Min.	1.00	0.00	1	0.00	1	0.00	1	-524.51	1	-42.67	5	6.04	5
902	369	370	Min.	167.95									-477.32	1		
902	369	370	Min.	289.00	0.00	1	0.00	1	0.00	1	420.61	5	-194.11	1	6.04	5
902	370	371	Max	4.00	0.00	1	0.00	1	0.00	1	611.38	1	158.83	1	5.96	5
902	370	371	Max	15.00	0.00	1	0.00	1	0.00	1	664.98	1	121.52	1	5.96	5
902	370	371	Min.	4.00	0.00	1	0.00	1	0.00	1	-362.15	1	-164.43	1	4.32	5
902	370	371	Min.	15.00	0.00	1	0.00	1	0.00	1	-328.40	1	-94.91	1	4.32	5
902	371	372	Max	0.00	0.00	1	0.00	1	0.00	1	452.75	1	76.40	1	2.62	5
902	371	372	Max	11.00	0.00	1	0.00	1	0.00	1	504.59	1	20.75	1	2.62	5
902	371	372	Min.	0.00	0.00	1	0.00	1	0.00	1	-524.50	1	-72.89	1	1.73	5
902	371	372	Min.	11.00	0.00	1	0.00	1	0.00	1	-487.26	1	-20.25	1	1.73	5
903	326	362	Max	0.00	0.00	1	0.00	1	0.00	1	0.00	1	0.00	1	0.00	1
903	326	362	Max	690.00	0.00	1	0.00	1	0.00	1	0.00	1	0.00	1	0.00	1
903	326	362	Min.	0.00	0.00	1	0.00	1	0.00	1	0.00	1	0.00	1	0.00	1
903	326	362	Min.	690.00	0.00	1	0.00	1	0.00	1	0.00	1	0.00	1	0.00	1
904	335	371	Max	0.00	0.00	1	0.00	1	0.00	1	0.00	1	0.00	1	0.00	1
904	335	371	Max	690.00	0.00	1	0.00	1	0.00	1	0.00	1	0.00	1	0.00	1
904	335	371	Min.	0.00	0.00	1	0.00	1	0.00	1	0.00	1	0.00	1	0.00	1
904	335	371	Min.	690.00	0.00	1	0.00	1	0.00	1	0.00	1	0.00	1	0.00	1
1021	1296	1297	Max	1.77	67.82	5	11.65	1	3.13	5	0.88	1	0.25	5	-0.01	5
1021	1296	1297	Max	9.59					2.86	7			0.24	7		
1021	1296	1297	Max	10.00	67.82	5	12.23	1	2.88	5	0.88	1	0.24	5	-0.01	5
1021	1296	1297	Min.	1.77	-26.73	5	-10.98	1	-1.85	5	-1.01	1	-0.08	5	-0.01	5
1021	1296	1297	Min.	9.59					-1.49	7			-0.08	7		
1021	1296	1297	Min.	10.00	-26.73	5	-10.40	1	-1.50	5	-1.01	1	-0.08	5	-0.01	5
1021	1297	1298	Max	0.00	67.79	5	12.23	1	2.88	5	0.85	1	0.24	5	-0.01	5
1021	1297	1298	Max	8.23	67.79	5	12.82	1	3.21	5	0.85	1	0.27	5	-0.01	5
1021	1297	1298	Min.	0.00	-26.71	5	-10.40	1	-1.50	5	-0.98	1	-0.08	5	-0.01	5
1021	1297	1298	Min.	8.23	-26.71	5	-9.81	1	-1.63	5	-0.98	1	-0.12	5	-0.01	5
1023	1316	1317	Max	1.77	21.43	5	0.43	1	0.09	5	11.15	1	1.07	5	0.02	1
1023	1316	1317	Max	10.00	21.43	5	0.43	1	0.08	5	11.74	1	0.81	5	0.02	1
1023	1316	1317	Min.	1.77	-75.96	5	-0.86	1	-0.21	5	-8.93	1	-4.42	5	0.01	1
1023	1316	1317	Min.	10.00	-75.96	5	-0.86	1	-0.24	5	-8.35	1	-3.93	5	0.01	1
1023	1317	1318	Max	0.00	21.41	5	0.40	1	0.08	5	11.74	1	0.81	5	0.02	1
1023	1317	1318	Max	8.23	21.41	5	0.40	1	0.10	5	12.32	1	1.05	5	0.02	1
1023	1317	1318	Min.	0.00	-75.94	5	-0.83	1	-0.24	5	-8.35	1	-3.93	5	0.01	1

1023	1317	1318	Min.	8.23	-75.94	5	-0.83	1	-0.29	5	-7.76	1	-3.84	5	0.01	1
1065	1328	1329	Max	1.77	21.36	5	10.85	1	1.06	5	0.41	1	0.09	5	-0.00	1
1065	1328	1329	Max	9.59					0.80	7			0.08	7		
1065	1328	1329	Max	10.00	21.36	5	11.44	1	0.81	5	0.41	1	0.08	5	-0.00	1
1065	1328	1329	Min.	1.77	-75.97	5	-8.81	1	-4.39	5	-0.82	1	-0.21	5	-0.02	1
1065	1328	1329	Min.	9.59					-3.93	7			-0.24	7		
1065	1328	1329	Min.	10.00	-75.97	5	-8.23	1	-3.92	5	-0.82	1	-0.24	5	-0.02	1
1065	1329	1330	Max	0.00	21.38	5	11.44	1	0.81	5	0.38	1	0.08	5	-0.00	1
1065	1329	1330	Max	6.59					-0.13	1			-0.01	1		
1065	1329	1330	Max	8.23	21.38	5	12.02	1	1.06	5	0.38	1	0.10	5	-0.00	1
1065	1329	1330	Min.	0.00	-75.99	5	-8.23	1	-3.92	5	-0.79	1	-0.24	5	-0.02	1
1065	1329	1330	Min.	6.59					-2.75	1			-0.18	1		
1065	1329	1330	Min.	8.23	-75.99	5	-7.64	1	-3.86	5	-0.79	1	-0.29	5	-0.02	1
1067	1348	1349	Max	1.77	67.91	5	0.90	1	0.25	5	11.75	1	3.13	5	0.01	5
1067	1348	1349	Max	10.00	67.91	5	0.90	1	0.24	5	12.34	1	2.87	5	0.01	5
1067	1348	1349	Min.	1.77	-26.78	5	-1.03	1	-0.08	5	-11.09	1	-1.87	5	0.01	5
1067	1348	1349	Min.	10.00	-26.78	5	-1.03	1	-0.08	5	-10.51	1	-1.50	5	0.01	5
1067	1349	1350	Max	0.00	67.89	5	0.87	1	0.24	5	12.34	1	2.87	5	0.01	5
1067	1349	1350	Max	8.23	67.89	5	0.87	1	0.27	5	12.92	1	3.20	5	0.01	5
1067	1349	1350	Min.	0.00	-26.75	5	-1.00	1	-0.08	5	-10.51	1	-1.50	5	0.01	5
1067	1349	1350	Min.	8.23	-26.75	5	-1.00	1	-0.12	5	-9.92	1	-1.63	5	0.01	5
1105	1296	1308	Max	1.77	6.66	1	2.15	5	0.07	5	15.18	5	3.56	5	0.22	5
1105	1296	1308	Max	10.00	6.66	1	2.15	5	0.04	1	15.77	5	-0.18	5	0.22	5
1105	1296	1308	Min.	1.77	-13.43	1	-0.68	5	-0.20	5	-48.00	5	-1.45	5	-0.08	5
1105	1296	1308	Min.	10.00	-13.43	1	-0.68	5	-0.05	1	-47.42	5	-0.37	5	-0.08	5
1105	1308	1316	Max	0.00	6.63	1	2.17	5	0.04	1	15.77	5	-0.18	5	0.22	5
1105	1308	1316	Max	8.23	6.63	1	2.17	5	0.17	5	16.35	5	1.14	5	0.22	5
1105	1308	1316	Min.	0.00	-13.40	1	-0.70	5	-0.05	1	-47.42	5	-0.37	5	-0.08	5
1105	1308	1316	Min.	8.23	-13.40	1	-0.70	5	-0.06	5	-46.83	5	-4.25	5	-0.08	5
1108	1298	1309	Max	1.77	6.59	1	16.80	5	3.48	5	2.77	5	0.10	5	0.07	5
1108	1298	1309	Max	10.00	6.59	1	17.38	5	-0.48	5	2.77	5	0.05	1	0.07	5
1108	1298	1309	Min.	1.77	-13.27	1	-51.17	5	-1.89	5	-1.00	5	-0.23	5	-0.21	5
1108	1298	1309	Min.	10.00	-13.27	1	-50.59	5	-0.72	5	-1.00	5	-0.04	1	-0.21	5
1108	1309	1318	Max	0.00	6.62	1	17.38	5	-0.48	5	2.80	5	0.05	1	0.07	5
1108	1309	1318	Max	8.23	6.62	1	17.97	5	0.98	5	2.80	5	0.24	5	0.07	5
1108	1309	1318	Min.	0.00	-13.30	1	-50.59	5	-0.72	5	-1.03	5	-0.04	1	-0.21	5
1108	1309	1318	Min.	8.23	-13.30	1	-50.00	5	-4.86	5	-1.03	5	-0.09	5	-0.21	5
1143	1299	1310	Max	1.77	7.14	1	3.14	5	0.03	5	2.93	5	4.30	5	0.27	5
1143	1299	1310	Max	10.00	7.14	1	3.14	5	0.06	1	3.51	5	-0.58	1	0.27	5
1143	1299	1310	Min.	1.77	-23.08	1	-0.17	5	-0.29	5	-63.31	5	-1.02	5	-0.02	5
1143	1299	1310	Min.	10.00	-23.08	1	-0.17	5	-0.07	1	-62.73	5	-1.06	1	-0.02	5
1143	1310	1319	Max	0.00	7.11	1	3.17	5	0.06	1	3.51	5	-0.58	1	0.27	5
1143	1310	1319	Max	8.23	7.11	1	3.17	5	0.26	5	4.10	5	-0.35	5	0.27	5
1143	1310	1319	Min.	0.00	-23.05	1	-0.19	5	-0.07	1	-62.73	5	-1.06	1	-0.02	5
1143	1310	1319	Min.	8.23	-23.05	1	-0.19	5	-0.03	5	-62.14	5	-6.12	5	-0.02	5
1146	1301	1311	Max	1.77	10.26	1	3.05	5	4.37	5	3.26	5	0.04	5	0.02	5
1146	1301	1311	Max	10.00	10.26	1	3.63	5	-0.55	1	3.26	5	0.07	1	0.02	5
1146	1301	1311	Min.	1.77	-19.35	1	-64.01	5	-0.98	5	-0.18	5	-0.28	5	-0.27	5
1146	1301	1311	Min.	10.00	-19.35	1	-63.43	5	-1.03	1	-0.18	5	-0.06	1	-0.27	5
1146	1311	1321	Max	0.00	10.23	1	3.63	5	-0.55	1	3.28	5	0.07	1	0.02	5
1146	1311	1321	Max	8.23	10.23	1	4.22	5	-0.31	5	3.28	5	0.29	5	0.02	5
1146	1311	1321	Min.	0.00	-19.32	1	-63.43	5	-1.03	1	-0.21	5	-0.06	1	-0.27	5
1146	1311	1321	Min.	8.23	-19.32	1	-62.84	5	-6.15	5	-0.21	5	-0.02	5	-0.27	5
1181	1302	1312	Max	1.77	10.07	1	3.28	5	0.04	5	3.00	5	4.40	5	0.27	5
1181	1302	1312	Max	10.00	10.07	1	3.28	5	0.07	1	3.58	5	-0.54	1	0.27	5
1181	1302	1312	Min.	1.77	-19.83	1	-0.17	5	-0.28	5	-64.11	5	-0.98	5	-0.02	5
1181	1302	1312	Min.	10.00	-19.83	1	-0.17	5	-0.06	1	-63.52	5	-1.02	1	-0.02	5
1181	1312	1322	Max	0.00	10.04	1	3.31	5	0.07	1	3.58	5	-0.54	1	0.27	5
1181	1312	1322	Max	8.23	10.04	1	3.31	5	0.29	5	4.17	5	-0.31	5	0.27	5

1181	1312	1322	Min.	0.00	-19.81	1	-0.19	5	-0.06	1	-63.52	5	-1.02	1	-0.02	5
1181	1312	1322	Min.	8.23	-19.81	1	-0.19	5	-0.02	5	-62.94	5	-6.13	5	-0.02	5
1184	1304	1313	Max	1.77	7.34	1	2.97	5	4.26	5	3.11	5	0.03	5	0.02	5
1184	1304	1313	Max	10.00	7.34	1	3.56	5	-0.59	1	3.11	5	0.06	1	0.02	5
1184	1304	1313	Min.	1.77	-22.61	1	-63.22	5	-1.03	5	-0.18	5	-0.28	5	-0.27	5
1184	1304	1313	Min.	10.00	-22.61	1	-62.64	5	-1.08	1	-0.18	5	-0.07	1	-0.27	5
1184	1313	1324	Max	0.00	7.31	1	3.56	5	-0.59	1	3.14	5	0.06	1	0.02	5
1184	1313	1324	Max	8.23	7.31	1	4.14	5	-0.35	5	3.14	5	0.26	5	0.02	5
1184	1313	1324	Min.	0.00	-22.58	1	-62.64	5	-1.08	1	-0.21	5	-0.07	1	-0.27	5
1184	1313	1324	Min.	8.23	-22.58	1	-62.05	5	-6.13	5	-0.21	5	-0.03	5	-0.27	5
1219	1305	1314	Max	1.77	6.54	1	2.77	5	0.10	5	16.83	5	3.48	5	0.21	5
1219	1305	1314	Max	10.00	6.54	1	2.77	5	0.05	1	17.41	5	-0.48	5	0.21	5
1219	1305	1314	Min.	1.77	-13.60	1	-1.00	5	-0.24	5	-51.09	5	-1.89	5	-0.07	5
1219	1305	1314	Min.	10.00	-13.60	1	-1.00	5	-0.04	1	-50.51	5	-0.70	5	-0.07	5
1219	1314	1325	Max	0.00	6.51	1	2.79	5	0.05	1	17.41	5	-0.48	5	0.21	5
1219	1314	1325	Max	8.23	6.51	1	2.79	5	0.24	5	18.00	5	0.97	5	0.21	5
1219	1314	1325	Min.	0.00	-13.57	1	-1.03	5	-0.04	1	-50.51	5	-0.70	5	-0.07	5
1219	1314	1325	Min.	8.23	-13.57	1	-1.03	5	-0.09	5	-49.92	5	-4.84	5	-0.07	5
1222	1307	1315	Max	1.77	6.69	1	15.29	5	3.55	5	2.17	5	0.07	5	0.08	5
1222	1307	1315	Max	10.00	6.69	1	15.88	5	-0.18	5	2.17	5	0.04	1	0.08	5
1222	1307	1315	Min.	1.77	-13.13	1	-48.15	5	-1.46	5	-0.70	5	-0.20	5	-0.22	5
1222	1307	1315	Min.	10.00	-13.13	1	-47.56	5	-0.39	5	-0.70	5	-0.05	1	-0.22	5
1222	1315	1327	Max	0.00	6.66	1	15.88	5	-0.18	5	2.20	5	0.04	1	0.08	5
1222	1315	1327	Max	8.23	6.66	1	16.46	5	1.15	5	2.20	5	0.18	5	0.08	5
1222	1315	1327	Min.	0.00	-13.10	1	-47.56	5	-0.39	5	-0.72	5	-0.05	1	-0.22	5
1222	1315	1327	Min.	8.23	-13.10	1	-46.98	5	-4.28	5	-0.72	5	-0.06	5	-0.22	5
1240	319	-5	Max	4.85	0.00	1	0.00	1	0.00	1	0.00	1	0.00	1	0.00	1
1240	319	-5	Min.	4.85	0.00	1	0.00	1	0.00	1	0.00	1	0.00	1	0.00	1
1240	-5	-37	Max	4.85	0.00	1	0.00	1	0.00	1	0.00	1	0.00	1	0.00	1
1240	-5	-37	Min.	4.85	0.00	1	0.00	1	0.00	1	0.00	1	0.00	1	0.00	1
1240	-37	-69	Max	5.01	127.13	1	5.07	5	3.01	5	32.68	5	0.49	1	0.00	5
1240	-37	-69	Max	15.39					0.26	3			0.35	3		
1240	-37	-69	Max	16.87	127.97	1	5.07	5	0.09	5	32.70	5	0.49	5	0.00	5
1240	-37	-69	Min.	5.01	-507.47	1	-28.84	5	-0.61	5	-2.93	5	-3.66	1	-0.02	5
1240	-37	-69	Min.	15.39					-0.33	3			-0.43	3		
1240	-37	-69	Min.	16.87	-506.63	1	-28.84	5	-0.51	5	-2.91	5	-0.12	5	-0.02	5
1240	-69	-101	Max	2.51	138.46	1	6.44	5	2.47	1	30.32	5	0.46	1	0.00	5
1240	-69	-101	Max	16.87	139.48	1	6.44	5	0.29	5	30.34	5	1.85	5	0.00	5
1240	-69	-101	Min.	2.51	-477.81	1	-28.82	5	-0.78	1	-4.39	5	-2.54	1	-0.01	5
1240	-69	-101	Min.	16.87	-476.79	1	-28.82	5	-1.82	5	-4.37	5	-0.21	5	-0.01	5
1240	-101	-133	Max	2.51	152.60	1	6.45	5	2.17	1	31.17	5	0.42	1	0.01	1
1240	-101	-133	Max	16.87	153.63	1	6.45	5	0.38	5	31.19	5	2.27	5	0.01	1
1240	-101	-133	Min.	2.51	-439.96	1	-29.46	5	-0.71	1	-4.31	5	-2.28	1	-0.01	1
1240	-101	-133	Min.	16.87	-438.94	1	-29.46	5	-2.22	5	-4.29	5	-0.27	5	-0.01	1
1240	-133	-165	Max	2.51	167.80	1	6.52	5	2.09	1	31.80	5	0.42	1	0.01	1
1240	-133	-165	Max	16.87	168.82	1	6.52	5	0.41	5	31.82	5	2.45	5	0.01	1
1240	-133	-165	Min.	2.51	-398.97	1	-30.05	5	-0.70	1	-4.35	5	-2.20	1	-0.01	1
1240	-133	-165	Min.	16.87	-397.95	1	-30.05	5	-2.39	5	-4.33	5	-0.29	5	-0.01	1
1240	-165	-197	Max	2.51	183.74	1	6.57	5	2.06	1	32.44	5	0.41	1	0.01	1
1240	-165	-197	Max	16.87	184.76	1	6.57	5	0.43	5	32.46	5	2.59	5	0.01	1
1240	-165	-197	Min.	2.51	-355.93	1	-30.67	5	-0.69	1	-4.37	5	-2.16	1	-0.01	1
1240	-165	-197	Min.	16.87	-354.91	1	-30.67	5	-2.52	5	-4.35	5	-0.31	5	-0.01	1
1240	-197	-229	Max	2.51	200.38	1	6.63	5	2.03	1	33.11	5	0.41	1	0.01	1
1240	-197	-229	Max	16.87	201.40	1	6.63	5	0.45	5	33.13	5	2.73	5	0.01	1
1240	-197	-229	Min.	2.51	-310.99	1	-31.29	5	-0.69	1	-4.38	5	-2.13	1	-0.01	1
1240	-197	-229	Min.	16.87	-309.97	1	-31.29	5	-2.65	5	-4.36	5	-0.32	5	-0.01	1
1240	-229	-261	Max	2.51	217.79	1	6.65	5	2.00	1	33.78	5	0.41	1	0.01	1
1240	-229	-261	Max	16.87	218.81	1	6.65	5	0.47	5	33.81	5	2.87	5	0.01	1
1240	-229	-261	Min.	2.51	-264.12	1	-31.93	5	-0.69	1	-4.37	5	-2.10	1	-0.01	1

1240	-229	-261	Min.	16.87	-263.10	1	-31.93	5	-2.78	5	-4.35	5	-0.33	5	-0.01	1
1240	-261	-293	Max	2.51	276.85	5	6.67	5	1.97	1	34.48	5	0.41	1	0.01	1
1240	-261	-293	Max	16.87	277.87	5	6.67	5	0.49	5	34.51	5	3.02	5	0.01	1
1240	-261	-293	Min.	2.51	-256.02	5	-32.59	5	-0.68	1	-4.35	5	-2.06	1	-0.01	1
1240	-261	-293	Min.	16.87	-255.00	5	-32.59	5	-2.92	5	-4.33	5	-0.34	5	-0.01	1
1240	-293	-325	Max	2.51	338.85	5	6.69	5	1.93	1	35.21	5	0.40	1	0.01	1
1240	-293	-325	Max	16.87	339.87	5	6.69	5	0.50	5	35.23	5	3.18	5	0.01	1
1240	-293	-325	Min.	2.51	-247.76	5	-33.28	5	-0.68	1	-4.31	5	-2.02	1	-0.01	1
1240	-293	-325	Min.	16.87	-246.74	5	-33.28	5	-3.08	5	-4.29	5	-0.35	5	-0.01	1
1240	-325	-357	Max	2.51	403.68	5	6.68	5	1.88	1	35.96	5	0.40	1	0.01	1
1240	-325	-357	Max	16.87	404.70	5	6.68	5	0.52	5	35.99	5	3.35	5	0.01	1
1240	-325	-357	Min.	2.51	-238.99	5	-33.97	5	-0.67	1	-4.26	5	-1.96	1	-0.01	1
1240	-325	-357	Min.	16.87	-237.97	5	-33.97	5	-3.24	5	-4.24	5	-0.36	5	-0.01	1
1240	-357	-389	Max	2.51	471.53	5	6.67	5	1.82	1	36.73	5	0.39	1	0.01	1
1240	-357	-389	Max	16.87	472.55	5	6.67	5	0.54	5	36.75	5	3.54	5	0.01	1
1240	-357	-389	Min.	2.51	-229.65	5	-34.73	5	-0.66	1	-4.18	5	-1.90	1	-0.01	1
1240	-357	-389	Min.	16.87	-228.63	5	-34.73	5	-3.42	5	-4.15	5	-0.37	5	-0.01	1
1240	-389	-421	Max	2.51	542.60	5	6.62	5	1.75	1	37.65	5	0.38	1	0.01	1
1240	-389	-421	Max	16.87	543.62	5	6.62	5	0.56	5	37.67	5	3.76	5	0.01	1
1240	-389	-421	Min.	2.51	-219.68	5	-35.29	5	-0.65	1	-4.19	5	-1.83	1	-0.01	1
1240	-389	-421	Min.	16.87	-218.66	5	-35.29	5	-3.58	5	-4.16	5	-0.39	5	-0.01	1
1240	-421	-453	Max	2.51	617.03	5	6.72	5	1.66	1	37.62	5	0.37	1	0.01	1
1240	-421	-453	Max	16.87	618.05	5	6.72	5	0.61	5	37.64	5	3.88	5	0.01	1
1240	-421	-453	Min.	2.51	-209.06	5	-37.61	5	-0.64	1	-3.42	5	-1.72	1	-0.01	1
1240	-421	-453	Min.	16.87	-208.04	5	-37.61	5	-4.02	5	-3.40	5	-0.31	5	-0.01	1
1240	-453	-485	Max	2.51	703.13	5	6.68	1	1.39	1	44.65	5	0.36	1	0.02	1
1240	-453	-485	Max	16.87	704.15	5	6.68	1	0.52	5	44.68	5	5.09	5	0.02	1
1240	-453	-485	Min.	2.51	-207.05	5	-28.73	1	-0.61	1	-7.88	5	-1.51	1	-0.01	1
1240	-453	-485	Min.	16.87	-206.03	5	-28.73	1	-2.91	5	-7.86	5	-0.96	5	-0.01	1
1240	-485	1302	Max	2.51	795.41	5	11.39	5	0.99	1	26.56	1	0.34	1	0.02	1
1240	-485	1302	Max	14.38	796.25	5	11.39	5	1.18	5	26.58	1	2.64	1	0.02	1
1240	-485	1302	Min.	2.51	-214.57	5	-90.49	5	-0.18	1	0.30	1	-0.52	1	-0.01	1
1240	-485	1302	Min.	14.38	-213.73	5	-90.49	5	-9.76	5	0.32	1	0.38	1	-0.01	1
1241	340	-11	Max	4.85	0.00	1	0.00	1	0.00	1	0.00	1	0.00	1	0.00	1
1241	340	-11	Min.	4.85	0.00	1	0.00	1	0.00	1	0.00	1	0.00	1	0.00	1
1241	-11	-43	Max	4.85	0.00	1	0.00	1	0.00	1	0.00	1	0.00	1	0.00	1
1241	-11	-43	Min.	4.85	0.00	1	0.00	1	0.00	1	0.00	1	0.00	1	0.00	1
1241	-43	-75	Max	5.01	147.11	1	5.71	5	2.62	5	6.64	5	3.18	1	0.01	1
1241	-43	-75	Max	16.87	147.95	1	5.71	5	0.07	5	6.66	5	0.13	5	0.01	1
1241	-43	-75	Min.	5.01	-508.98	1	-25.18	5	-0.71	5	-27.76	5	-0.97	1	-0.02	1
1241	-43	-75	Min.	16.87	-508.13	1	-25.18	5	-0.47	5	-27.75	5	-0.42	5	-0.02	1
1241	-75	-107	Max	2.51	122.24	1	5.75	5	2.23	1	4.50	5	2.55	1	0.01	1
1241	-75	-107	Max	16.87	123.26	1	5.75	5	0.25	5	4.52	5	0.24	5	0.01	1
1241	-75	-107	Min.	2.51	-515.58	1	-26.63	5	-0.65	1	-29.61	5	-0.48	1	-0.01	1
1241	-75	-107	Min.	16.87	-514.56	1	-26.63	5	-1.67	5	-29.59	5	-1.77	5	-0.01	1
1241	-107	-139	Max	2.51	89.38	1	5.82	5	1.95	1	4.70	5	2.24	1	0.01	1
1241	-107	-139	Max	16.87	90.40	1	5.82	5	0.33	5	4.73	5	0.30	5	0.01	1
1241	-107	-139	Min.	2.51	-524.76	1	-27.03	5	-0.61	1	-29.97	5	-0.50	1	-0.01	1
1241	-107	-139	Min.	16.87	-523.74	1	-27.03	5	-2.04	5	-29.95	5	-2.18	5	-0.01	1
1241	-139	-171	Max	2.51	53.34	1	5.88	5	1.87	1	4.72	5	2.16	1	0.01	1
1241	-139	-171	Max	16.87	54.36	1	5.88	5	0.36	5	4.74	5	0.32	5	0.01	1
1241	-139	-171	Min.	2.51	-535.02	1	-27.54	5	-0.60	1	-30.59	5	-0.49	1	-0.01	1
1241	-139	-171	Min.	16.87	-534.00	1	-27.54	5	-2.21	5	-30.57	5	-2.37	5	-0.01	1
1241	-171	-203	Max	2.51	15.20	1	5.93	5	1.83	1	4.72	5	2.13	1	0.01	1
1241	-171	-203	Max	16.87	16.22	1	5.93	5	0.38	5	4.74	5	0.33	5	0.01	1
1241	-171	-203	Min.	2.51	-546.08	1	-28.07	5	-0.60	1	-31.22	5	-0.49	1	-0.01	1
1241	-171	-203	Min.	16.87	-545.06	1	-28.07	5	-2.33	5	-31.20	5	-2.50	5	-0.01	1
1241	-203	-235	Max	2.51	-24.88	1	5.97	5	1.80	1	4.71	5	2.10	1	0.01	1
1241	-203	-235	Max	16.87	-23.86	1	5.97	5	0.40	5	4.74	5	0.35	5	0.01	1

1241	-203	-235	Min.	2.51	-557.89	1	-28.61	5	-0.60	1	-31.87	5	-0.49	1	-0.01	1
1241	-203	-235	Min.	16.87	-556.87	1	-28.61	5	-2.45	5	-31.85	5	-2.64	5	-0.01	1
1241	-235	-267	Max	2.51	-42.97	5	5.99	5	1.76	1	4.70	5	2.06	1	0.01	1
1241	-235	-267	Max	16.87	-41.95	5	5.99	5	0.42	5	4.72	5	0.36	5	0.01	1
1241	-235	-267	Min.	2.51	-594.48	5	-29.19	5	-0.59	1	-32.50	5	-0.49	1	-0.01	1
1241	-235	-267	Min.	16.87	-593.46	5	-29.19	5	-2.58	5	-32.48	5	-2.77	5	-0.01	1
1241	-267	-299	Max	2.51	-46.04	5	6.00	5	1.72	1	4.66	5	2.03	1	0.01	1
1241	-267	-299	Max	16.87	-45.02	5	6.00	5	0.43	5	4.68	5	0.37	5	0.01	1
1241	-267	-299	Min.	2.51	-649.08	5	-29.73	5	-0.59	1	-33.20	5	-0.49	1	-0.01	1
1241	-267	-299	Min.	16.87	-648.06	5	-29.73	5	-2.71	5	-33.18	5	-2.92	5	-0.01	1
1241	-299	-331	Max	2.51	-49.61	5	6.00	5	1.67	1	4.62	5	1.98	1	0.01	1
1241	-299	-331	Max	16.87	-48.59	5	6.00	5	0.45	5	4.64	5	0.38	5	0.01	1
1241	-299	-331	Min.	2.51	-706.36	5	-30.35	5	-0.58	1	-33.87	5	-0.48	1	-0.01	1
1241	-299	-331	Min.	16.87	-705.34	5	-30.35	5	-2.86	5	-33.85	5	-3.08	5	-0.01	1
1241	-331	-363	Max	2.51	-53.73	5	5.98	5	1.62	1	4.55	5	1.93	1	0.01	1
1241	-331	-363	Max	16.87	-52.71	5	5.98	5	0.47	5	4.57	5	0.39	5	0.01	1
1241	-331	-363	Min.	2.51	-766.51	5	-30.93	5	-0.58	1	-34.61	5	-0.48	1	-0.01	1
1241	-331	-363	Min.	16.87	-765.49	5	-30.93	5	-3.01	5	-34.59	5	-3.25	5	-0.01	1
1241	-363	-395	Max	2.51	-58.46	5	5.96	5	1.55	1	4.48	5	1.87	1	0.01	1
1241	-363	-395	Max	16.87	-57.44	5	5.96	5	0.49	5	4.51	5	0.40	5	0.01	1
1241	-363	-395	Min.	2.51	-829.74	5	-31.60	5	-0.57	1	-35.31	5	-0.47	1	-0.01	1
1241	-363	-395	Min.	16.87	-828.72	5	-31.60	5	-3.19	5	-35.28	5	-3.43	5	-0.01	1
1241	-395	-427	Max	2.51	-63.88	5	5.91	5	1.48	1	4.33	5	1.79	1	0.01	1
1241	-395	-427	Max	16.87	-62.86	5	5.91	5	0.51	5	4.36	5	0.40	5	0.01	1
1241	-395	-427	Min.	2.51	-896.25	5	-32.00	5	-0.56	1	-36.42	5	-0.47	1	-0.01	1
1241	-395	-427	Min.	16.87	-895.23	5	-32.00	5	-3.34	5	-36.39	5	-3.68	5	-0.01	1
1241	-427	-459	Max	2.51	-70.02	5	5.99	5	1.38	1	4.66	5	1.68	1	0.01	1
1241	-427	-459	Max	16.87	-69.00	5	5.99	5	0.55	5	4.68	5	0.47	5	0.01	1
1241	-427	-459	Min.	2.51	-966.17	5	-34.30	5	-0.54	1	-34.91	5	-0.47	1	-0.01	1
1241	-427	-459	Min.	16.87	-965.15	5	-34.30	5	-3.77	5	-34.89	5	-3.60	5	-0.01	1
1241	-459	-491	Max	2.51	-67.60	5	5.22	1	1.11	1	1.72	5	1.54	1	0.01	1
1241	-459	-491	Max	16.87	-66.58	5	5.22	1	0.46	5	1.74	5	0.11	5	0.01	1
1241	-459	-491	Min.	2.51	-1047.57	5	-24.45	1	-0.53	1	-51.22	5	-0.38	1	-0.00	1
1241	-459	-491	Min.	16.87	-1046.55	5	-24.45	1	-2.65	5	-51.19	5	-6.06	5	-0.00	1
1241	-491	1319	Max	2.51	-56.67	5	10.48	5	0.84	5	43.79	5	-0.02	5	0.01	5
1241	-491	1319	Max	14.38	-55.82	5	10.48	5	1.09	5	43.81	5	4.10	5	0.01	5
1241	-491	1319	Min.	2.51	-1136.12	5	-87.73	5	-0.15	5	10.77	5	-1.10	5	-0.00	5
1241	-491	1319	Min.	14.38	-1135.27	5	-87.73	5	-9.58	5	10.79	5	1.26	5	-0.00	5
1242	316	-3	Max	4.85	0.00	1	0.00	1	0.00	1	0.00	1	0.00	1	0.00	1
1242	316	-3	Min.	4.85	0.00	1	0.00	1	0.00	1	0.00	1	0.00	1	0.00	1
1242	-3	-35	Max	4.85	0.00	1	0.00	1	0.00	1	0.00	1	0.00	1	0.00	1
1242	-3	-35	Min.	4.85	0.00	1	0.00	1	0.00	1	0.00	1	0.00	1	0.00	1
1242	-35	-67	Max	5.01	190.38	1	3.76	5	3.19	5	30.04	5	0.80	1	0.00	5
1242	-35	-67	Max	14.50					0.51	3			0.41	3		
1242	-35	-67	Max	16.87	191.23	1	3.76	5	0.12	5	30.06	5	0.54	5	0.00	5
1242	-35	-67	Min.	5.01	-451.60	1	-29.87	5	-0.43	5	-4.77	5	-3.35	1	-0.02	5
1242	-35	-67	Min.	14.50					-0.23	3			-0.56	3		
1242	-35	-67	Min.	16.87	-450.75	1	-29.87	5	-0.46	5	-4.75	5	-0.09	5	-0.02	5
1242	-67	-99	Max	2.51	198.58	1	4.83	5	2.65	1	28.05	5	0.68	1	0.00	5
1242	-67	-99	Max	16.87	199.60	1	4.83	5	0.24	5	28.08	5	1.79	5	0.00	5
1242	-67	-99	Min.	2.51	-424.42	1	-30.27	5	-0.59	1	-5.99	5	-2.32	1	-0.01	5
1242	-67	-99	Min.	16.87	-423.39	1	-30.27	5	-1.83	5	-5.97	5	-0.26	5	-0.01	5
1242	-99	-131	Max	2.51	208.65	1	4.84	5	2.33	1	28.85	5	0.62	1	0.00	1
1242	-99	-131	Max	16.87	209.67	1	4.84	5	0.31	5	28.87	5	2.17	5	0.00	1
1242	-99	-131	Min.	2.51	-389.77	1	-30.92	5	-0.53	1	-5.94	5	-2.08	1	-0.01	1
1242	-99	-131	Min.	16.87	-388.75	1	-30.92	5	-2.25	5	-5.91	5	-0.34	5	-0.01	1
1242	-131	-163	Max	2.51	219.41	1	4.87	5	2.25	1	29.42	5	0.61	1	0.01	1
1242	-131	-163	Max	16.87	220.43	1	4.87	5	0.33	5	29.44	5	2.34	5	0.01	1
1242	-131	-163	Min.	2.51	-352.28	1	-31.55	5	-0.53	1	-6.02	5	-2.00	1	-0.01	1

1242	-131	-163	Min.	16.87	-351.26	1	-31.55	5	-2.44	5	-6.00	5	-0.37	5	-0.01	1
1242	-163	-195	Max	2.51	230.66	1	4.88	5	2.22	1	30.00	5	0.61	1	0.01	1
1242	-163	-195	Max	16.87	231.68	1	4.88	5	0.35	5	30.03	5	2.47	5	0.01	1
1242	-163	-195	Min.	2.51	-312.94	1	-32.19	5	-0.52	1	-6.08	5	-1.97	1	-0.01	1
1242	-163	-195	Min.	16.87	-311.92	1	-32.19	5	-2.58	5	-6.06	5	-0.39	5	-0.01	1
1242	-195	-227	Max	2.51	242.38	1	4.89	5	2.19	1	30.61	5	0.60	1	0.01	1
1242	-195	-227	Max	16.87	243.40	1	4.89	5	0.36	5	30.64	5	2.60	5	0.01	1
1242	-195	-227	Min.	2.51	-271.89	1	-32.86	5	-0.52	1	-6.13	5	-1.94	1	-0.01	1
1242	-195	-227	Min.	16.87	-270.87	1	-32.86	5	-2.71	5	-6.11	5	-0.41	5	-0.01	1
1242	-227	-259	Max	2.51	259.87	5	4.89	5	2.16	1	31.23	5	0.60	1	0.01	1
1242	-227	-259	Max	16.87	260.89	5	4.89	5	0.37	5	31.25	5	2.73	5	0.01	1
1242	-227	-259	Min.	2.51	-234.33	5	-33.54	5	-0.52	1	-6.16	5	-1.90	1	-0.01	1
1242	-227	-259	Min.	16.87	-233.31	5	-33.54	5	-2.85	5	-6.14	5	-0.43	5	-0.01	1
1242	-259	-291	Max	2.51	313.37	5	4.85	5	2.12	1	31.87	5	0.60	1	0.01	1
1242	-259	-291	Max	16.87	314.39	5	4.85	5	0.38	5	31.90	5	2.87	5	0.01	1
1242	-259	-291	Min.	2.51	-230.35	5	-34.23	5	-0.52	1	-6.19	5	-1.87	1	-0.01	1
1242	-259	-291	Min.	16.87	-229.33	5	-34.23	5	-3.00	5	-6.17	5	-0.45	5	-0.01	1
1242	-291	-323	Max	2.51	369.21	5	4.83	5	2.08	1	32.52	5	0.59	1	0.01	1
1242	-291	-323	Max	16.87	370.23	5	4.83	5	0.39	5	32.54	5	3.02	5	0.01	1
1242	-291	-323	Min.	2.51	-226.12	5	-34.97	5	-0.52	1	-6.19	5	-1.82	1	-0.01	1
1242	-291	-323	Min.	16.87	-225.10	5	-34.97	5	-3.16	5	-6.17	5	-0.47	5	-0.01	1
1242	-323	-355	Max	2.51	427.56	5	4.77	5	2.03	1	33.21	5	0.58	1	0.01	1
1242	-323	-355	Max	16.87	428.58	5	4.77	5	0.40	5	33.23	5	3.18	5	0.01	1
1242	-323	-355	Min.	2.51	-221.58	5	-35.70	5	-0.51	1	-6.19	5	-1.77	1	-0.01	1
1242	-323	-355	Min.	16.87	-220.56	5	-35.70	5	-3.33	5	-6.17	5	-0.48	5	-0.01	1
1242	-355	-387	Max	2.51	488.59	5	4.71	5	1.97	1	33.89	5	0.57	1	0.01	1
1242	-355	-387	Max	16.87	489.61	5	4.71	5	0.41	5	33.92	5	3.35	5	0.01	1
1242	-355	-387	Min.	2.51	-216.71	5	-36.51	5	-0.51	1	-6.16	5	-1.71	1	-0.01	1
1242	-355	-387	Min.	16.87	-215.69	5	-36.51	5	-3.52	5	-6.14	5	-0.50	5	-0.01	1
1242	-387	-419	Max	2.51	552.48	5	4.60	5	1.89	1	34.76	5	0.56	1	0.01	1
1242	-387	-419	Max	16.87	553.50	5	4.60	5	0.42	5	34.78	5	3.56	5	0.01	1
1242	-387	-419	Min.	2.51	-211.44	5	-37.08	5	-0.50	1	-6.23	5	-1.64	1	-0.01	1
1242	-387	-419	Min.	16.87	-210.42	5	-37.08	5	-3.70	5	-6.21	5	-0.54	5	-0.01	1
1242	-419	-451	Max	2.51	619.35	5	4.65	5	1.80	1	34.62	5	0.54	1	0.01	1
1242	-419	-451	Max	16.87	620.37	5	4.65	5	0.45	5	34.64	5	3.66	5	0.01	1
1242	-419	-451	Min.	2.51	-205.77	5	-39.52	5	-0.49	1	-5.49	5	-1.54	1	-0.01	1
1242	-419	-451	Min.	16.87	-204.75	5	-39.52	5	-4.16	5	-5.47	5	-0.47	5	-0.01	1
1242	-451	-483	Max	2.51	699.71	5	4.61	1	1.51	1	41.49	5	0.52	1	0.01	1
1242	-451	-483	Max	16.87	700.73	5	4.61	1	0.35	5	41.52	5	4.83	5	0.01	1
1242	-451	-483	Min.	2.51	-210.99	5	-30.54	1	-0.49	1	-10.11	5	-1.34	1	-0.01	1
1242	-451	-483	Min.	16.87	-209.97	5	-30.54	1	-3.05	5	-10.09	5	-1.15	5	-0.01	1
1242	-483	1299	Max	2.51	785.02	5	8.71	5	1.04	1	24.45	1	0.41	1	0.02	1
1242	-483	1299	Max	14.38	785.86	5	8.71	5	0.93	5	24.47	1	2.46	1	0.02	1
1242	-483	1299	Min.	2.51	-223.44	5	-93.02	5	-0.11	1	-2.02	1	-0.45	1	-0.01	1
1242	-483	1299	Min.	14.38	-222.59	5	-93.02	5	-10.01	5	-2.00	1	0.18	1	-0.01	1
1243	322	-7	Max	4.85	0.00	1	0.00	1	0.00	1	0.00	1	0.00	1	0.00	1
1243	322	-7	Min.	4.85	0.00	1	0.00	1	0.00	1	0.00	1	0.00	1	0.00	1
1243	-7	-39	Max	4.85	0.00	1	0.00	1	0.00	1	0.00	1	0.00	1	0.00	1
1243	-7	-39	Min.	4.85	0.00	1	0.00	1	0.00	1	0.00	1	0.00	1	0.00	1
1243	-39	-71	Max	5.01	89.04	1	11.26	5	2.29	5	26.97	5	0.75	5	0.00	5
1243	-39	-71	Max	14.50					0.26	3			0.21	3		
1243	-39	-71	Max	16.87	89.88	1	11.26	5	0.12	5	26.99	5	0.33	5	0.00	5
1243	-39	-71	Min.	5.01	-453.92	1	-22.90	5	-1.31	5	-7.43	5	-2.99	5	-0.01	5
1243	-39	-71	Min.	14.50					-0.37	3			-0.59	3		
1243	-39	-71	Min.	16.87	-453.07	1	-22.90	5	-0.51	5	-7.41	5	-0.25	5	-0.01	5
1243	-71	-103	Max	2.51	96.46	1	12.75	5	1.70	5	24.90	5	0.69	5	0.00	1
1243	-71	-103	Max	16.87	97.48	1	12.75	5	0.63	5	24.92	5	1.45	5	0.00	1
1243	-71	-103	Min.	2.51	-434.02	1	-22.47	5	-1.20	5	-8.68	5	-2.13	5	-0.00	1
1243	-71	-103	Min.	16.87	-433.00	1	-22.47	5	-1.53	5	-8.65	5	-0.55	5	-0.00	1

1243	-103	-135	Max	2.51	105.58	1	12.91	5	1.46	5	25.58	5	0.58	5	0.01	5
1243	-103	-135	Max	16.87	106.59	1	12.91	5	0.80	5	25.60	5	1.79	5	0.01	5
1243	-103	-135	Min.	2.51	-408.77	1	-22.97	5	-1.05	5	-8.73	5	-1.89	5	-0.01	5
1243	-103	-135	Min.	16.87	-407.75	1	-22.97	5	-1.84	5	-8.71	5	-0.67	5	-0.01	5
1243	-135	-167	Max	2.51	115.31	1	13.12	5	1.41	1	26.08	5	0.55	5	0.01	5
1243	-135	-167	Max	16.87	116.33	1	13.12	5	0.87	5	26.10	5	1.94	5	0.01	5
1243	-135	-167	Min.	2.51	-381.51	1	-23.42	5	-1.03	1	-8.88	5	-1.81	5	-0.01	5
1243	-135	-167	Min.	16.87	-380.49	1	-23.42	5	-1.97	5	-8.86	5	-0.72	5	-0.01	5
1243	-167	-199	Max	2.51	125.48	1	13.33	5	1.38	1	26.59	5	0.53	5	0.01	5
1243	-167	-199	Max	16.87	126.50	1	13.33	5	0.92	5	26.61	5	2.05	5	0.01	5
1243	-167	-199	Min.	2.51	-352.96	1	-23.88	5	-1.02	1	-9.02	5	-1.77	5	-0.01	5
1243	-167	-199	Min.	16.87	-351.94	1	-23.88	5	-2.07	5	-8.99	5	-0.76	5	-0.01	5
1243	-199	-231	Max	2.51	136.08	1	13.54	5	1.36	1	27.11	5	0.51	5	0.01	5
1243	-199	-231	Max	16.87	137.10	1	13.54	5	0.96	5	27.14	5	2.16	5	0.01	5
1243	-199	-231	Min.	2.51	-323.23	1	-24.34	5	-1.01	1	-9.14	5	-1.74	5	-0.01	5
1243	-199	-231	Min.	16.87	-322.21	1	-24.34	5	-2.17	5	-9.11	5	-0.80	5	-0.01	5
1243	-231	-263	Max	2.51	155.39	5	13.75	5	1.34	1	27.64	5	0.49	5	0.01	5
1243	-231	-263	Max	16.87	156.41	5	13.75	5	1.01	5	27.66	5	2.27	5	0.01	5
1243	-231	-263	Min.	2.51	-300.54	5	-24.82	5	-1.01	1	-9.24	5	-1.71	5	-0.01	5
1243	-231	-263	Min.	16.87	-299.52	5	-24.82	5	-2.27	5	-9.22	5	-0.83	5	-0.01	5
1243	-263	-295	Max	2.51	204.63	5	13.94	5	1.32	1	28.20	5	0.47	5	0.01	5
1243	-263	-295	Max	16.87	205.65	5	13.94	5	1.06	5	28.22	5	2.39	5	0.01	5
1243	-263	-295	Min.	2.51	-305.98	5	-25.29	5	-1.00	1	-9.35	5	-1.67	5	-0.01	5
1243	-263	-295	Min.	16.87	-304.96	5	-25.29	5	-2.37	5	-9.33	5	-0.87	5	-0.01	5
1243	-295	-327	Max	2.51	256.00	5	14.14	5	1.29	1	28.75	5	0.46	1	0.01	5
1243	-295	-327	Max	16.87	257.02	5	14.14	5	1.11	5	28.77	5	2.51	5	0.01	5
1243	-295	-327	Min.	2.51	-311.63	5	-25.79	5	-0.99	1	-9.44	5	-1.63	1	-0.01	5
1243	-295	-327	Min.	16.87	-310.61	5	-25.79	5	-2.48	5	-9.42	5	-0.91	5	-0.01	5
1243	-327	-359	Max	2.51	309.65	5	14.34	5	1.25	1	29.33	5	0.44	1	0.01	5
1243	-327	-359	Max	16.87	310.67	5	14.34	5	1.16	5	29.35	5	2.65	5	0.01	5
1243	-327	-359	Min.	2.51	-317.49	5	-26.30	5	-0.98	1	-9.53	5	-1.59	1	-0.01	5
1243	-327	-359	Min.	16.87	-316.47	5	-26.30	5	-2.60	5	-9.50	5	-0.94	5	-0.01	5
1243	-359	-391	Max	2.51	365.75	5	14.52	5	1.21	1	29.93	5	0.43	1	0.01	5
1243	-359	-391	Max	16.87	366.77	5	14.52	5	1.22	5	29.95	5	2.80	5	0.01	5
1243	-359	-391	Min.	2.51	-323.56	5	-26.82	5	-0.96	1	-9.60	5	-1.54	1	-0.01	5
1243	-359	-391	Min.	16.87	-322.55	5	-26.82	5	-2.74	5	-9.58	5	-0.99	5	-0.01	5
1243	-391	-423	Max	2.51	424.44	5	14.67	5	1.16	1	30.66	5	0.41	1	0.01	5
1243	-391	-423	Max	16.87	425.46	5	14.67	5	1.27	5	30.68	5	2.97	5	0.01	5
1243	-391	-423	Min.	2.51	-329.84	5	-27.18	5	-0.95	1	-9.78	5	-1.49	1	-0.01	5
1243	-391	-423	Min.	16.87	-328.82	5	-27.18	5	-2.85	5	-9.76	5	-1.05	5	-0.01	5
1243	-423	-455	Max	2.51	485.82	5	15.23	5	1.10	1	30.50	5	0.39	1	0.01	5
1243	-423	-455	Max	16.87	486.84	5	15.23	5	1.40	5	30.52	5	3.05	5	0.01	5
1243	-423	-455	Min.	2.51	-336.32	5	-29.06	5	-0.92	1	-9.08	5	-1.41	1	-0.01	5
1243	-423	-455	Min.	16.87	-335.30	5	-29.06	5	-3.20	5	-9.06	5	-0.99	5	-0.01	5
1243	-455	-487	Max	2.51	549.04	5	12.97	5	0.92	1	36.54	5	0.36	1	0.02	5
1243	-455	-487	Max	16.87	550.06	5	12.97	5	1.19	5	36.56	5	4.09	5	0.02	5
1243	-455	-487	Min.	2.51	-342.82	5	-20.75	5	-0.85	1	-14.24	5	-1.24	1	-0.01	5
1243	-455	-487	Min.	16.87	-341.80	5	-20.75	5	-2.24	5	-14.22	5	-1.77	5	-0.01	5
1243	-487	1305	Max	2.51	620.29	5	27.47	5	0.74	5	21.64	1	0.24	1	0.02	1
1243	-487	1305	Max	14.38	621.13	5	27.47	5	2.83	5	21.66	1	2.04	1	0.02	1
1243	-487	1305	Min.	2.51	-360.05	5	-72.64	5	-0.43	5	-1.23	1	-0.54	1	-0.01	1
1243	-487	1305	Min.	14.38	-359.21	5	-72.64	5	-7.88	5	-1.21	1	0.09	1	-0.01	1
1244	313	-1	Max	4.85	0.00	1	0.00	1	0.00	1	0.00	1	0.00	1	0.00	1
1244	313	-1	Min.	4.85	0.00	1	0.00	1	0.00	1	0.00	1	0.00	1	0.00	1
1244	-1	-33	Max	4.85	0.00	1	0.00	1	0.00	1	0.00	1	0.00	1	0.00	1
1244	-1	-33	Min.	4.85	0.00	1	0.00	1	0.00	1	0.00	1	0.00	1	0.00	1
1244	-33	-65	Max	5.01	304.90	1	7.52	5	2.46	5	21.35	5	1.35	1	0.01	5
1244	-33	-65	Max	16.87	305.74	1	7.52	5	0.22	5	21.37	5	0.53	5	0.01	5
1244	-33	-65	Min.	5.01	-275.00	1	-22.35	5	-0.76	5	-10.87	5	-2.16	1	-0.02	5

1244	-33	-65	Min.	16.87	-274.16	1	-22.35	5	-0.29	5	-10.85	5	-0.10	5	-0.02	5
1244	-65	-97	Max	2.51	306.88	1	8.05	5	2.06	1	20.46	5	1.07	5	0.01	5
1244	-65	-97	Max	16.87	307.90	1	8.05	5	0.52	5	20.48	5	1.41	5	0.01	5
1244	-65	-97	Min.	2.51	-259.93	1	-23.23	5	-0.69	1	-11.21	5	-1.53	5	-0.02	5
1244	-65	-97	Min.	16.87	-258.91	1	-23.23	5	-1.33	5	-11.19	5	-0.54	5	-0.02	5
1244	-97	-129	Max	2.51	308.96	1	8.17	5	1.82	1	20.99	5	0.94	1	0.01	5
1244	-97	-129	Max	16.87	309.98	1	8.17	5	0.63	5	21.01	5	1.69	5	0.01	5
1244	-97	-129	Min.	2.51	-240.96	1	-23.69	5	-0.61	1	-11.36	5	-1.33	1	-0.01	5
1244	-97	-129	Min.	16.87	-239.94	1	-23.69	5	-1.65	5	-11.33	5	-0.69	5	-0.01	5
1244	-129	-161	Max	2.51	311.00	1	8.28	5	1.76	1	21.38	5	0.93	1	0.01	5
1244	-129	-161	Max	16.87	312.03	1	8.28	5	0.68	5	21.40	5	1.82	5	0.01	5
1244	-129	-161	Min.	2.51	-220.56	1	-24.15	5	-0.59	1	-11.56	5	-1.27	1	-0.01	5
1244	-129	-161	Min.	16.87	-219.53	1	-24.15	5	-1.80	5	-11.54	5	-0.75	5	-0.01	5
1244	-161	-193	Max	2.51	313.06	1	8.39	5	1.73	1	21.78	5	0.92	1	0.01	5
1244	-161	-193	Max	16.87	314.08	1	8.39	5	0.72	5	21.80	5	1.91	5	0.01	5
1244	-161	-193	Min.	2.51	-199.24	1	-24.63	5	-0.58	1	-11.75	5	-1.25	1	-0.01	5
1244	-161	-193	Min.	16.87	-198.22	1	-24.63	5	-1.90	5	-11.73	5	-0.80	5	-0.01	5
1244	-193	-225	Max	2.51	315.14	1	8.48	5	1.71	1	22.19	5	0.91	1	0.01	5
1244	-193	-225	Max	16.87	316.16	1	8.48	5	0.75	5	22.21	5	2.01	5	0.01	5
1244	-193	-225	Min.	2.51	-177.09	1	-25.11	5	-0.58	1	-11.94	5	-1.22	1	-0.01	5
1244	-193	-225	Min.	16.87	-176.07	1	-25.11	5	-2.01	5	-11.92	5	-0.84	5	-0.01	5
1244	-225	-257	Max	2.51	334.09	5	8.56	5	1.69	1	22.60	5	0.90	1	0.01	5
1244	-225	-257	Max	16.87	335.11	5	8.56	5	0.78	5	22.62	5	2.10	5	0.01	5
1244	-225	-257	Min.	2.51	-170.93	5	-25.60	5	-0.57	1	-12.12	5	-1.20	1	-0.01	5
1244	-225	-257	Min.	16.87	-169.91	5	-25.60	5	-2.12	5	-12.09	5	-0.89	5	-0.01	5
1244	-257	-289	Max	2.51	372.25	5	8.63	5	1.66	1	23.01	5	0.90	1	0.01	5
1244	-257	-289	Max	16.87	373.27	5	8.63	5	0.82	5	23.04	5	2.20	5	0.01	5
1244	-257	-289	Min.	2.51	-183.04	5	-26.10	5	-0.56	1	-12.29	5	-1.17	1	-0.01	5
1244	-257	-289	Min.	16.87	-182.02	5	-26.10	5	-2.23	5	-12.27	5	-0.93	5	-0.01	5
1244	-289	-321	Max	2.51	411.99	5	8.70	5	1.62	1	23.44	5	0.88	1	0.01	5
1244	-289	-321	Max	16.87	413.01	5	8.70	5	0.85	5	23.46	5	2.31	5	0.01	5
1244	-289	-321	Min.	2.51	-195.70	5	-26.62	5	-0.55	1	-12.46	5	-1.14	1	-0.01	5
1244	-289	-321	Min.	16.87	-194.68	5	-26.62	5	-2.35	5	-12.43	5	-0.98	5	-0.01	5
1244	-321	-353	Max	2.51	453.41	5	8.75	5	1.58	1	23.88	5	0.87	1	0.01	5
1244	-321	-353	Max	16.87	454.43	5	8.75	5	0.89	5	23.90	5	2.43	5	0.01	5
1244	-321	-353	Min.	2.51	-208.94	5	-27.14	5	-0.54	1	-12.62	5	-1.10	1	-0.01	5
1244	-321	-353	Min.	16.87	-207.92	5	-27.14	5	-2.49	5	-12.60	5	-1.03	5	-0.01	5
1244	-353	-385	Max	2.51	496.61	5	8.80	5	1.54	1	24.31	5	0.85	1	0.01	5
1244	-353	-385	Max	16.87	497.63	5	8.80	5	0.93	5	24.34	5	2.55	5	0.01	5
1244	-353	-385	Min.	2.51	-222.77	5	-27.70	5	-0.53	1	-12.77	5	-1.05	1	-0.01	5
1244	-353	-385	Min.	16.87	-221.75	5	-27.70	5	-2.63	5	-12.75	5	-1.08	5	-0.01	5
1244	-385	-417	Max	2.51	541.70	5	8.78	5	1.48	1	24.90	5	0.83	1	0.01	5
1244	-385	-417	Max	16.87	542.72	5	8.78	5	0.96	5	24.92	5	2.70	5	0.01	5
1244	-385	-417	Min.	2.51	-237.22	5	-28.11	5	-0.51	1	-13.01	5	-1.00	1	-0.01	5
1244	-385	-417	Min.	16.87	-236.20	5	-28.11	5	-2.77	5	-12.99	5	-1.15	5	-0.01	5
1244	-417	-449	Max	2.51	588.78	5	9.29	5	1.41	1	24.48	5	0.80	1	0.01	5
1244	-417	-449	Max	16.87	589.80	5	9.29	5	1.08	5	24.51	5	2.73	5	0.01	5
1244	-417	-449	Min.	2.51	-252.30	5	-29.86	5	-0.49	1	-12.56	5	-0.93	1	-0.01	5
1244	-417	-449	Min.	16.87	-251.28	5	-29.86	5	-3.11	5	-12.53	5	-1.14	5	-0.01	5
1244	-449	-481	Max	2.51	637.26	5	6.30	1	1.20	1	31.14	5	0.73	1	0.01	1
1244	-449	-481	Max	16.87	638.28	5	6.30	1	0.70	5	31.17	5	3.81	5	0.01	1
1244	-449	-481	Min.	2.51	-267.67	5	-22.72	1	-0.45	1	-16.89	5	-0.80	1	-0.01	1
1244	-449	-481	Min.	16.87	-266.64	5	-22.72	1	-2.30	5	-16.87	5	-1.83	5	-0.01	1
1244	-481	1296	Max	2.51	688.85	5	25.08	5	0.77	5	14.18	1	0.58	5	0.02	1
1244	-481	1296	Max	14.38	689.69	5	25.08	5	2.78	5	14.20	1	1.42	1	0.02	1
1244	-481	1296	Min.	2.51	-286.01	5	-69.60	5	-0.20	5	-11.88	1	-0.28	5	-0.01	1
1244	-481	1296	Min.	14.38	-285.16	5	-69.60	5	-7.50	5	-11.86	1	-0.84	1	-0.01	1
1245	337	-9	Max	4.85	0.00	1	0.00	1	0.00	1	0.00	1	0.00	1	0.00	1
1245	337	-9	Min.	4.85	0.00	1	0.00	1	0.00	1	0.00	1	0.00	1	0.00	1

1245	-9	-41	Max	4.85	0.00	1	0.00	1	0.00	1	0.00	1	0.00	1	0.00	1
1245	-9	-41	Min.	4.85	0.00	1	0.00	1	0.00	1	0.00	1	0.00	1	0.00	1
1245	-41	-73	Max	5.01	241.62	1	9.33	5	1.68	5	9.72	5	2.63	5	0.01	5
1245	-41	-73	Max	16.87	242.46	1	9.33	5	0.08	5	9.74	5	0.25	5	0.01	5
1245	-41	-73	Min.	5.01	-338.81	1	-17.03	5	-1.13	5	-23.54	5	-1.01	5	-0.02	5
1245	-41	-73	Min.	16.87	-337.96	1	-17.03	5	-0.43	5	-23.53	5	-0.28	5	-0.02	5
1245	-73	-105	Max	2.51	226.45	1	9.97	5	1.35	1	8.67	5	2.11	5	0.01	5
1245	-73	-105	Max	16.87	227.47	1	9.97	5	0.46	5	8.69	5	0.57	5	0.01	5
1245	-73	-105	Min.	2.51	-341.54	1	-17.54	5	-1.01	1	-24.29	5	-0.68	5	-0.02	5
1245	-73	-105	Min.	16.87	-340.52	1	-17.54	5	-1.21	5	-24.27	5	-1.38	5	-0.02	5
1245	-105	-137	Max	2.51	206.17	1	10.10	5	1.16	1	8.87	5	1.82	5	0.01	5
1245	-105	-137	Max	16.87	207.19	1	10.10	5	0.60	5	8.89	5	0.68	5	0.01	5
1245	-105	-137	Min.	2.51	-345.73	1	-17.79	5	-0.92	1	-24.65	5	-0.59	5	-0.01	5
1245	-105	-137	Min.	16.87	-344.71	1	-17.79	5	-1.47	5	-24.62	5	-1.72	5	-0.01	5
1245	-137	-169	Max	2.51	183.83	1	10.25	5	1.11	1	8.97	5	1.74	5	0.01	5
1245	-137	-169	Max	16.87	184.85	1	10.25	5	0.66	5	9.00	5	0.73	5	0.01	5
1245	-137	-169	Min.	2.51	-350.58	1	-18.11	5	-0.90	1	-25.15	5	-0.56	5	-0.01	5
1245	-137	-169	Min.	16.87	-349.56	1	-18.11	5	-1.58	5	-25.12	5	-1.87	5	-0.01	5
1245	-169	-201	Max	2.51	160.15	1	10.40	5	1.08	1	9.08	5	1.71	1	0.01	5
1245	-169	-201	Max	16.87	161.17	1	10.40	5	0.70	5	9.10	5	0.77	5	0.01	5
1245	-169	-201	Min.	2.51	-355.91	1	-18.43	5	-0.90	1	-25.65	5	-0.55	1	-0.01	5
1245	-169	-201	Min.	16.87	-354.89	1	-18.43	5	-1.67	5	-25.62	5	-1.98	5	-0.01	5
1245	-201	-233	Max	2.51	135.24	1	10.54	5	1.06	1	9.17	5	1.69	1	0.01	5
1245	-201	-233	Max	16.87	136.26	1	10.54	5	0.74	5	9.20	5	0.80	5	0.01	5
1245	-201	-233	Min.	2.51	-361.72	1	-18.75	5	-0.89	1	-26.16	5	-0.54	1	-0.01	5
1245	-201	-233	Min.	16.87	-360.70	1	-18.75	5	-1.75	5	-26.13	5	-2.08	5	-0.01	5
1245	-233	-265	Max	2.51	135.61	5	10.67	5	1.03	1	9.26	5	1.67	1	0.01	5
1245	-233	-265	Max	16.87	136.63	5	10.67	5	0.78	5	9.28	5	0.83	5	0.01	5
1245	-233	-265	Min.	2.51	-394.60	5	-19.07	5	-0.88	1	-26.68	5	-0.53	1	-0.01	5
1245	-233	-265	Min.	16.87	-393.58	5	-19.07	5	-1.84	5	-26.66	5	-2.19	5	-0.01	5
1245	-265	-297	Max	2.51	145.75	5	10.80	5	0.99	1	9.34	5	1.64	1	0.01	5
1245	-265	-297	Max	16.87	146.78	5	10.80	5	0.82	5	9.36	5	0.87	5	0.01	5
1245	-265	-297	Min.	2.51	-439.12	5	-19.40	5	-0.87	1	-27.21	5	-0.52	1	-0.01	5
1245	-265	-297	Min.	16.87	-438.10	5	-19.40	5	-1.94	5	-27.19	5	-2.31	5	-0.01	5
1245	-297	-329	Max	2.51	156.06	5	10.92	5	0.96	1	9.41	5	1.61	1	0.01	5
1245	-297	-329	Max	16.87	157.08	5	10.92	5	0.87	5	9.43	5	0.90	5	0.01	5
1245	-297	-329	Min.	2.51	-485.82	5	-19.72	5	-0.86	1	-27.76	5	-0.51	1	-0.01	5
1245	-297	-329	Min.	16.87	-484.80	5	-19.72	5	-2.04	5	-27.73	5	-2.44	5	-0.01	5
1245	-329	-361	Max	2.51	166.52	5	11.03	5	0.91	1	9.47	5	1.57	1	0.01	5
1245	-329	-361	Max	16.87	167.54	5	11.03	5	0.91	5	9.49	5	0.94	5	0.01	5
1245	-329	-361	Min.	2.51	-534.86	5	-20.05	5	-0.85	1	-28.32	5	-0.50	1	-0.01	5
1245	-329	-361	Min.	16.87	-533.84	5	-20.05	5	-2.14	5	-28.30	5	-2.57	5	-0.01	5
1245	-361	-393	Max	2.51	177.14	5	11.14	5	0.86	1	9.52	5	1.52	1	0.01	5
1245	-361	-393	Max	16.87	178.16	5	11.14	5	0.97	5	9.54	5	0.98	5	0.01	5
1245	-361	-393	Min.	2.51	-586.38	5	-20.41	5	-0.83	1	-28.87	5	-0.48	1	-0.01	5
1245	-361	-393	Min.	16.87	-585.35	5	-20.41	5	-2.26	5	-28.85	5	-2.72	5	-0.01	5
1245	-393	-425	Max	2.51	187.91	5	11.20	5	0.81	1	9.59	5	1.47	1	0.01	5
1245	-393	-425	Max	16.87	188.93	5	11.20	5	1.01	5	9.62	5	1.03	5	0.01	5
1245	-393	-425	Min.	2.51	-640.53	5	-20.58	5	-0.81	1	-29.69	5	-0.46	1	-0.01	5
1245	-393	-425	Min.	16.87	-639.51	5	-20.58	5	-2.36	5	-29.67	5	-2.91	5	-0.01	5
1245	-425	-457	Max	2.51	198.82	5	11.66	5	0.74	1	9.42	5	1.39	1	0.01	5
1245	-425	-457	Max	16.87	199.84	5	11.66	5	1.13	5	9.44	5	1.05	5	0.01	5
1245	-425	-457	Min.	2.51	-697.44	5	-22.24	5	-0.78	1	-28.74	5	-0.44	1	-0.01	5
1245	-425	-457	Min.	16.87	-696.42	5	-22.24	5	-2.69	5	-28.72	5	-2.88	5	-0.01	5
1245	-457	-489	Max	2.51	209.86	5	9.44	1	0.56	1	10.95	5	1.27	1	0.01	5
1245	-457	-489	Max	16.87	210.88	5	9.44	1	0.90	5	10.98	5	1.33	5	0.01	5
1245	-457	-489	Min.	2.51	-756.32	5	-13.83	1	-0.72	1	-40.08	5	-0.37	1	-0.01	5
1245	-457	-489	Min.	16.87	-755.29	5	-13.83	1	-1.69	5	-40.06	5	-4.62	5	-0.01	5
1245	-489	1316	Max	2.51	225.71	5	23.74	5	0.47	5	27.52	5	0.31	5	0.00	5

1245	-489	1316	Max	14.38	226.56	5	23.74	5	2.52	5	27.54	5	2.55	5	0.00	5
1245	-489	1316	Min.	2.51	-818.30	5	-66.09	5	-0.30	5	-4.25	5	-0.72	5	-0.01	5
1245	-489	1316	Min.	14.38	-817.46	5	-66.09	5	-7.38	5	-4.23	5	-0.19	5	-0.01	5
1246	343	-13	Max	4.85	0.00	1	0.00	1	0.00	1	0.00	1	0.00	1	0.00	1
1246	343	-13	Min.	4.85	0.00	1	0.00	1	0.00	1	0.00	1	0.00	1	0.00	1
1246	-13	-45	Max	4.85	0.00	1	0.00	1	0.00	1	0.00	1	0.00	1	0.00	1
1246	-13	-45	Min.	4.85	0.00	1	0.00	1	0.00	1	0.00	1	0.00	1	0.00	1
1246	-45	-77	Max	5.01	90.41	1	4.33	5	2.98	5	8.54	5	2.86	1	0.01	1
1246	-45	-77	Max	16.87	91.25	1	4.33	5	0.10	5	8.56	5	0.09	5	0.01	1
1246	-45	-77	Min.	5.01	-571.84	1	-27.95	5	-0.52	5	-25.05	5	-1.28	1	-0.02	1
1246	-45	-77	Min.	16.87	-570.99	1	-27.95	5	-0.44	5	-25.03	5	-0.47	5	-0.02	1
1246	-77	-109	Max	2.51	68.03	1	4.06	5	2.51	1	6.16	5	2.33	1	0.01	1
1246	-77	-109	Max	16.87	69.05	1	4.06	5	0.20	5	6.18	5	0.30	5	0.01	1
1246	-77	-109	Min.	2.51	-575.27	1	-29.86	5	-0.40	1	-27.25	5	-0.70	1	-0.01	1
1246	-77	-109	Min.	16.87	-574.25	1	-29.86	5	-1.79	5	-27.22	5	-1.69	5	-0.01	1
1246	-109	-141	Max	2.51	38.40	1	4.11	5	2.19	1	6.40	5	2.03	1	0.01	1
1246	-109	-141	Max	16.87	39.42	1	4.11	5	0.26	5	6.42	5	0.37	5	0.01	1
1246	-109	-141	Min.	2.51	-580.36	1	-30.28	5	-0.39	1	-27.56	5	-0.70	1	-0.01	1
1246	-109	-141	Min.	16.87	-579.34	1	-30.28	5	-2.21	5	-27.53	5	-2.08	5	-0.01	1
1246	-141	-173	Max	2.51	5.88	1	4.13	5	2.11	1	6.46	5	1.96	1	0.01	1
1246	-141	-173	Max	16.87	6.90	1	4.13	5	0.28	5	6.48	5	0.41	5	0.01	1
1246	-141	-173	Min.	2.51	-586.16	1	-30.89	5	-0.38	1	-28.11	5	-0.69	1	-0.01	1
1246	-141	-173	Min.	16.87	-585.14	1	-30.89	5	-2.39	5	-28.08	5	-2.25	5	-0.01	1
1246	-173	-205	Max	2.51	-28.55	1	4.14	5	2.08	1	6.50	5	1.92	1	0.01	1
1246	-173	-205	Max	16.87	-27.52	1	4.14	5	0.29	5	6.53	5	0.43	5	0.01	1
1246	-173	-205	Min.	2.51	-592.50	1	-31.49	5	-0.38	1	-28.68	5	-0.69	1	-0.00	1
1246	-173	-205	Min.	16.87	-591.48	1	-31.49	5	-2.52	5	-28.65	5	-2.37	5	-0.00	1
1246	-205	-237	Max	2.51	-64.73	1	4.13	5	2.05	1	6.55	5	1.89	1	0.01	1
1246	-205	-237	Max	16.87	-63.71	1	4.13	5	0.30	5	6.57	5	0.44	5	0.01	1
1246	-205	-237	Min.	2.51	-599.37	1	-32.13	5	-0.38	1	-29.25	5	-0.69	1	-0.00	1
1246	-205	-237	Min.	16.87	-598.35	1	-32.13	5	-2.66	5	-29.23	5	-2.50	5	-0.00	1
1246	-237	-269	Max	2.51	-72.75	5	4.11	5	2.01	1	6.57	5	1.86	1	0.01	1
1246	-237	-269	Max	16.87	-71.73	5	4.11	5	0.31	5	6.59	5	0.46	5	0.01	1
1246	-237	-269	Min.	2.51	-636.76	5	-32.76	5	-0.38	1	-29.85	5	-0.68	1	-0.00	1
1246	-237	-269	Min.	16.87	-635.74	5	-32.76	5	-2.80	5	-29.82	5	-2.63	5	-0.00	1
1246	-269	-301	Max	2.51	-71.96	5	4.07	5	1.97	1	6.58	5	1.82	1	0.01	1
1246	-269	-301	Max	16.87	-70.94	5	4.07	5	0.32	5	6.60	5	0.48	5	0.01	1
1246	-269	-301	Min.	2.51	-685.47	5	-33.43	5	-0.37	1	-30.45	5	-0.68	1	-0.00	1
1246	-269	-301	Min.	16.87	-684.45	5	-33.43	5	-2.94	5	-30.43	5	-2.76	5	-0.00	1
1246	-301	-333	Max	2.51	-71.48	5	4.02	5	1.92	1	6.59	5	1.78	1	0.01	1
1246	-301	-333	Max	16.87	-70.46	5	4.02	5	0.33	5	6.61	5	0.50	5	0.01	1
1246	-301	-333	Min.	2.51	-736.58	5	-34.12	5	-0.37	1	-31.07	5	-0.68	1	-0.01	1
1246	-301	-333	Min.	16.87	-735.56	5	-34.12	5	-3.10	5	-31.05	5	-2.91	5	-0.01	1
1246	-333	-365	Max	2.51	-71.35	5	3.95	5	1.86	1	6.57	5	1.73	1	0.01	1
1246	-333	-365	Max	16.87	-70.33	5	3.95	5	0.34	5	6.60	5	0.52	5	0.01	1
1246	-333	-365	Min.	2.51	-790.25	5	-34.81	5	-0.36	1	-31.72	5	-0.67	1	-0.01	1
1246	-333	-365	Min.	16.87	-789.23	5	-34.81	5	-3.27	5	-31.70	5	-3.07	5	-0.01	1
1246	-365	-397	Max	2.51	-71.61	5	3.87	5	1.80	1	6.56	5	1.67	1	0.01	1
1246	-365	-397	Max	16.87	-70.59	5	3.87	5	0.35	5	6.59	5	0.54	5	0.01	1
1246	-365	-397	Min.	2.51	-846.64	5	-35.58	5	-0.35	1	-32.34	5	-0.67	1	-0.01	1
1246	-365	-397	Min.	16.87	-845.62	5	-35.58	5	-3.46	5	-32.32	5	-3.23	5	-0.01	1
1246	-397	-429	Max	2.51	-72.30	5	3.76	5	1.72	1	6.48	5	1.59	1	0.01	1
1246	-397	-429	Max	16.87	-71.28	5	3.76	5	0.36	5	6.50	5	0.55	5	0.01	1
1246	-397	-429	Min.	2.51	-905.92	5	-36.14	5	-0.35	1	-33.32	5	-0.66	1	-0.01	1
1246	-397	-429	Min.	16.87	-904.90	5	-36.14	5	-3.63	5	-33.30	5	-3.46	5	-0.01	1
1246	-429	-461	Max	2.51	-73.47	5	3.78	5	1.62	1	6.84	5	1.49	1	0.01	1
1246	-429	-461	Max	16.87	-72.45	5	3.78	5	0.38	5	6.86	5	0.63	5	0.01	1
1246	-429	-461	Min.	2.51	-968.26	5	-38.47	5	-0.34	1	-31.82	5	-0.65	1	-0.00	1
1246	-429	-461	Min.	16.87	-967.24	5	-38.47	5	-4.08	5	-31.80	5	-3.37	5	-0.00	1

1246	-461	-493	Max	2.51	-63.42	5	2.77	5	1.33	1	4.06	5	1.37	1	0.01	5
1246	-461	-493	Max	16.87	-62.40	5	2.77	5	0.28	5	4.08	5	0.30	5	0.01	5
1246	-461	-493	Min.	2.51	-1044.35	5	-28.45	5	-0.34	1	-47.90	5	-0.55	1	-0.00	5
1246	-461	-493	Min.	16.87	-1043.32	5	-28.45	5	-2.99	5	-47.88	5	-5.78	5	-0.00	5
1246	-493	1322	Max	2.51	-47.53	5	7.71	5	0.98	5	46.47	5	-0.08	5	0.01	5
1246	-493	1322	Max	14.38	-46.69	5	7.71	5	0.84	5	46.49	5	4.32	5	0.01	5
1246	-493	1322	Min.	2.51	-1125.90	5	-92.66	5	-0.08	5	12.65	5	-1.19	5	0.00	5
1246	-493	1322	Min.	14.38	-1125.06	5	-92.66	5	-10.02	5	12.67	5	1.42	5	0.00	5
1247	346	-15	Max	4.85	0.00	1	0.00	1	0.00	1	0.00	1	0.00	1	0.00	1
1247	346	-15	Min.	4.85	0.00	1	0.00	1	0.00	1	0.00	1	0.00	1	0.00	1
1247	-15	-47	Max	4.85	0.00	1	0.00	1	0.00	1	0.00	1	0.00	1	0.00	1
1247	-15	-47	Min.	4.85	0.00	1	0.00	1	0.00	1	0.00	1	0.00	1	0.00	1
1247	-47	-79	Max	5.01	45.37	1	9.43	5	2.62	5	13.21	5	1.82	1	0.01	1
1247	-47	-79	Max	16.87	46.21	1	9.43	5	0.23	5	13.23	5	0.10	5	0.01	1
1247	-47	-79	Min.	5.01	-538.15	1	-23.98	5	-0.99	5	-17.72	5	-1.65	1	-0.02	1
1247	-47	-79	Min.	16.87	-537.30	1	-23.98	5	-0.32	5	-17.70	5	-0.47	5	-0.02	1
1247	-79	-111	Max	2.51	35.08	1	9.13	5	2.24	5	11.32	5	1.49	5	0.01	1
1247	-79	-111	Max	16.87	36.10	1	9.13	5	0.59	5	11.34	5	0.56	5	0.01	1
1247	-79	-111	Min.	2.51	-535.41	1	-25.88	5	-0.72	5	-19.68	5	-1.07	5	-0.01	1
1247	-79	-111	Min.	16.87	-534.39	1	-25.88	5	-1.48	5	-19.65	5	-1.33	5	-0.01	1
1247	-111	-143	Max	2.51	21.12	1	9.26	5	1.94	5	11.62	5	1.29	1	0.01	1
1247	-111	-143	Max	16.87	22.14	1	9.26	5	0.71	5	11.65	5	0.71	5	0.01	1
1247	-111	-143	Min.	2.51	-532.49	1	-26.27	5	-0.62	5	-19.84	5	-1.01	1	-0.01	1
1247	-111	-143	Min.	16.87	-531.47	1	-26.27	5	-1.84	5	-19.81	5	-1.61	5	-0.01	1
1247	-143	-175	Max	2.51	5.69	1	9.39	5	1.85	5	11.80	5	1.23	1	0.01	5
1247	-143	-175	Max	16.87	6.71	1	9.39	5	0.76	5	11.82	5	0.77	5	0.01	5
1247	-143	-175	Min.	2.51	-529.58	1	-26.76	5	-0.59	5	-20.22	5	-0.99	1	-0.01	5
1247	-143	-175	Min.	16.87	-528.56	1	-26.76	5	-1.99	5	-20.20	5	-1.73	5	-0.01	5
1247	-175	-207	Max	2.51	-10.71	1	9.52	5	1.82	5	11.96	5	1.21	1	0.01	5
1247	-175	-207	Max	16.87	-9.68	1	9.52	5	0.80	5	11.99	5	0.82	5	0.01	5
1247	-175	-207	Min.	2.51	-526.72	1	-27.27	5	-0.57	5	-20.62	5	-0.98	1	-0.01	5
1247	-175	-207	Min.	16.87	-525.70	1	-27.27	5	-2.10	5	-20.59	5	-1.83	5	-0.01	5
1247	-207	-239	Max	2.51	-15.51	5	9.63	5	1.79	5	12.13	5	1.19	1	0.01	5
1247	-207	-239	Max	16.87	-14.49	5	9.63	5	0.83	5	12.15	5	0.86	5	0.01	5
1247	-207	-239	Min.	2.51	-536.40	5	-27.80	5	-0.55	5	-21.01	5	-0.97	1	-0.01	5
1247	-207	-239	Min.	16.87	-535.38	5	-27.80	5	-2.21	5	-20.98	5	-1.92	5	-0.01	5
1247	-239	-271	Max	2.51	0.87	5	9.74	5	1.75	5	12.29	5	1.16	1	0.01	5
1247	-239	-271	Max	16.87	1.89	5	9.74	5	0.87	5	12.31	5	0.90	5	0.01	5
1247	-239	-271	Min.	2.51	-568.26	5	-28.37	5	-0.53	5	-21.38	5	-0.97	1	-0.01	5
1247	-239	-271	Min.	16.87	-567.24	5	-28.37	5	-2.32	5	-21.36	5	-2.01	5	-0.01	5
1247	-271	-303	Max	2.51	17.75	5	9.84	5	1.71	5	12.44	5	1.13	1	0.01	5
1247	-271	-303	Max	16.87	18.77	5	9.84	5	0.91	5	12.47	5	0.95	5	0.01	5
1247	-271	-303	Min.	2.51	-601.64	5	-28.90	5	-0.51	5	-21.80	5	-0.96	1	-0.01	5
1247	-271	-303	Min.	16.87	-600.62	5	-28.90	5	-2.44	5	-21.77	5	-2.11	5	-0.01	5
1247	-303	-335	Max	2.51	35.13	5	9.93	5	1.67	5	12.59	5	1.10	1	0.01	5
1247	-303	-335	Max	16.87	36.15	5	9.93	5	0.94	5	12.62	5	0.99	5	0.01	5
1247	-303	-335	Min.	2.51	-636.65	5	-29.49	5	-0.48	5	-22.18	5	-0.95	1	-0.01	5
1247	-303	-335	Min.	16.87	-635.63	5	-29.49	5	-2.57	5	-22.16	5	-2.22	5	-0.01	5
1247	-335	-367	Max	2.51	53.05	5	10.01	5	1.61	5	12.74	5	1.06	1	0.01	5
1247	-335	-367	Max	16.87	54.07	5	10.01	5	0.98	5	12.76	5	1.04	5	0.01	5
1247	-335	-367	Min.	2.51	-673.37	5	-30.08	5	-0.46	5	-22.59	5	-0.94	1	-0.01	5
1247	-335	-367	Min.	16.87	-672.34	5	-30.08	5	-2.71	5	-22.56	5	-2.33	5	-0.01	5
1247	-367	-399	Max	2.51	71.51	5	10.09	5	1.55	5	12.88	5	1.02	1	0.01	5
1247	-367	-399	Max	16.87	72.53	5	10.09	5	1.03	5	12.91	5	1.09	5	0.01	5
1247	-367	-399	Min.	2.51	-711.93	5	-30.68	5	-0.42	5	-23.01	5	-0.92	1	-0.01	5
1247	-367	-399	Min.	16.87	-710.91	5	-30.68	5	-2.86	5	-22.98	5	-2.45	5	-0.01	5
1247	-399	-431	Max	2.51	90.55	5	10.10	5	1.48	5	13.04	5	0.97	1	0.01	5
1247	-399	-431	Max	16.87	91.57	5	10.10	5	1.06	5	13.06	5	1.15	5	0.01	5
1247	-399	-431	Min.	2.51	-752.46	5	-31.15	5	-0.39	5	-23.67	5	-0.90	1	-0.01	5

1247	-399	-431	Min.	16.87	-751.44	5	-31.15	5	-3.00	5	-23.65	5	-2.61	5	-0.01	5
1247	-431	-463	Max	2.51	110.15	5	10.66	5	1.39	5	13.07	5	0.89	1	0.01	5
1247	-431	-463	Max	16.87	111.17	5	10.66	5	1.18	5	13.10	5	1.21	5	0.01	5
1247	-431	-463	Min.	2.51	-795.01	5	-33.02	5	-0.35	5	-22.38	5	-0.88	1	-0.01	5
1247	-431	-463	Min.	16.87	-793.99	5	-33.02	5	-3.35	5	-22.36	5	-2.53	5	-0.01	5
1247	-463	-495	Max	2.51	130.17	5	7.41	5	1.15	1	13.93	5	0.81	1	0.02	5
1247	-463	-495	Max	16.87	131.19	5	7.41	5	0.82	5	13.95	5	1.42	5	0.02	5
1247	-463	-495	Min.	2.51	-839.04	5	-25.62	5	-0.30	1	-34.47	5	-0.77	1	-0.01	5
1247	-463	-495	Min.	16.87	-838.02	5	-25.62	5	-2.57	5	-34.45	5	-4.33	5	-0.01	5
1247	-495	1325	Max	2.51	157.42	5	26.69	5	0.88	5	37.71	5	0.05	5	0.02	5
1247	-495	1325	Max	14.38	158.27	5	26.69	5	2.92	5	37.73	5	3.41	5	0.02	5
1247	-495	1325	Min.	2.51	-891.59	5	-73.39	5	-0.25	5	3.86	5	-1.07	5	-0.01	5
1247	-495	1325	Min.	14.38	-890.75	5	-73.39	5	-7.83	5	3.88	5	0.51	5	-0.01	5
1272	373	-25	Max	4.85	0.00	1	0.00	1	0.00	1	0.00	1	0.00	1	0.00	1
1272	373	-25	Min.	4.85	0.00	1	0.00	1	0.00	1	0.00	1	0.00	1	0.00	1
1272	-25	-57	Max	4.85	0.00	1	0.00	1	0.00	1	0.00	1	0.00	1	0.00	1
1272	-25	-57	Min.	4.85	0.00	1	0.00	1	0.00	1	0.00	1	0.00	1	0.00	1
1272	-57	-89	Max	5.01	304.88	1	22.09	5	0.75	5	20.88	5	1.37	1	0.02	5
1272	-57	-89	Max	15.24					0.16	3			0.46	3		
1272	-57	-89	Max	16.87	305.73	1	22.09	5	0.25	5	20.90	5	0.49	5	0.02	5
1272	-57	-89	Min.	5.01	-274.81	1	-7.43	5	-2.45	5	-10.83	5	-2.16	1	-0.01	5
1272	-57	-89	Min.	15.24					-0.36	3			-0.22	3		
1272	-57	-89	Min.	16.87	-273.97	1	-7.43	5	-0.20	5	-10.81	5	-0.08	5	-0.01	5
1272	-89	-121	Max	2.51	306.86	1	22.88	5	0.71	1	19.90	5	1.07	5	0.02	5
1272	-89	-121	Max	16.87	307.88	1	22.88	5	1.30	5	19.92	5	1.37	5	0.02	5
1272	-89	-121	Min.	2.51	-259.79	1	-7.93	5	-2.07	1	-11.16	5	-1.49	5	-0.01	5
1272	-89	-121	Min.	16.87	-258.77	1	-7.93	5	-0.51	5	-11.14	5	-0.53	5	-0.01	5
1272	-121	-153	Max	2.51	308.90	1	23.25	5	0.64	1	20.31	5	0.98	1	0.01	5
1272	-121	-153	Max	16.87	309.93	1	23.25	5	1.62	5	20.34	5	1.65	5	0.01	5
1272	-121	-153	Min.	2.51	-240.86	1	-8.01	5	-1.83	1	-11.30	5	-1.32	1	-0.01	5
1272	-121	-153	Min.	16.87	-239.84	1	-8.01	5	-0.62	5	-11.27	5	-0.69	5	-0.01	5
1272	-153	-185	Max	2.51	310.92	1	23.69	5	0.62	1	20.67	5	0.97	1	0.01	5
1272	-153	-185	Max	16.87	311.94	1	23.69	5	1.76	5	20.69	5	1.77	5	0.01	5
1272	-153	-185	Min.	2.51	-220.50	1	-8.11	5	-1.77	1	-11.50	5	-1.27	1	-0.01	5
1272	-153	-185	Min.	16.87	-219.48	1	-8.11	5	-0.67	5	-11.48	5	-0.75	5	-0.01	5
1272	-185	-217	Max	2.51	312.93	1	24.14	5	0.62	1	21.04	5	0.96	1	0.01	5
1272	-185	-217	Max	16.87	313.95	1	24.14	5	1.87	5	21.06	5	1.86	5	0.01	5
1272	-185	-217	Min.	2.51	-199.23	1	-8.21	5	-1.74	1	-11.69	5	-1.24	1	-0.01	5
1272	-185	-217	Min.	16.87	-198.21	1	-8.21	5	-0.70	5	-11.67	5	-0.80	5	-0.01	5
1272	-217	-249	Max	2.51	314.97	1	24.60	5	0.61	1	21.40	5	0.96	1	0.01	5
1272	-217	-249	Max	16.87	315.99	1	24.60	5	1.97	5	21.43	5	1.95	5	0.01	5
1272	-217	-249	Min.	2.51	-177.14	1	-8.29	5	-1.72	1	-11.87	5	-1.22	1	-0.01	5
1272	-217	-249	Min.	16.87	-176.12	1	-8.29	5	-0.74	5	-11.85	5	-0.84	5	-0.01	5
1272	-249	-281	Max	2.51	333.89	5	25.07	5	0.61	1	21.80	5	0.95	1	0.01	5
1272	-249	-281	Max	16.87	334.91	5	25.07	5	2.08	5	21.82	5	2.04	5	0.01	5
1272	-249	-281	Min.	2.51	-171.05	5	-8.37	5	-1.70	1	-12.05	5	-1.19	1	-0.01	5
1272	-249	-281	Min.	16.87	-170.03	5	-8.37	5	-0.77	5	-12.03	5	-0.88	5	-0.01	5
1272	-281	-313	Max	2.51	372.01	5	25.55	5	0.60	1	22.18	5	0.94	1	0.01	5
1272	-281	-313	Max	16.87	373.03	5	25.55	5	2.19	5	22.20	5	2.14	5	0.01	5
1272	-281	-313	Min.	2.51	-183.21	5	-8.43	5	-1.67	1	-12.23	5	-1.16	1	-0.01	5
1272	-281	-313	Min.	16.87	-182.19	5	-8.43	5	-0.80	5	-12.20	5	-0.93	5	-0.01	5
1272	-313	-345	Max	2.51	411.71	5	26.02	5	0.59	1	22.55	5	0.93	1	0.01	5
1272	-313	-345	Max	16.87	412.73	5	26.02	5	2.31	5	22.58	5	2.25	5	0.01	5
1272	-313	-345	Min.	2.51	-195.93	5	-8.48	5	-1.63	1	-12.39	5	-1.13	1	-0.01	5
1272	-313	-345	Min.	16.87	-194.91	5	-8.48	5	-0.84	5	-12.37	5	-0.98	5	-0.01	5
1272	-345	-377	Max	2.51	453.06	5	26.52	5	0.58	1	22.96	5	0.92	1	0.01	5
1272	-345	-377	Max	16.87	454.08	5	26.52	5	2.44	5	22.99	5	2.36	5	0.01	5
1272	-345	-377	Min.	2.51	-209.22	5	-8.53	5	-1.60	1	-12.56	5	-1.09	1	-0.01	5
1272	-345	-377	Min.	16.87	-208.21	5	-8.53	5	-0.87	5	-12.53	5	-1.03	5	-0.01	5

1272	-377	-409	Max	2.51	496.20	5	27.06	5	0.57	1	23.36	5	0.91	1	0.01	5
1272	-377	-409	Max	16.87	497.22	5	27.06	5	2.59	5	23.38	5	2.48	5	0.01	5
1272	-377	-409	Min.	2.51	-223.12	5	-8.58	5	-1.55	1	-12.71	5	-1.04	1	-0.01	5
1272	-377	-409	Min.	16.87	-222.10	5	-8.58	5	-0.91	5	-12.69	5	-1.08	5	-0.01	5
1272	-409	-441	Max	2.51	541.24	5	27.43	5	0.56	1	23.90	5	0.89	1	0.01	5
1272	-409	-441	Max	16.87	542.26	5	27.43	5	2.72	5	23.92	5	2.63	5	0.01	5
1272	-409	-441	Min.	2.51	-237.63	5	-8.54	5	-1.49	1	-12.95	5	-0.99	1	-0.01	5
1272	-409	-441	Min.	16.87	-236.61	5	-8.54	5	-0.95	5	-12.93	5	-1.15	5	-0.01	5
1272	-441	-473	Max	2.51	588.25	5	29.16	5	0.54	1	23.45	5	0.86	1	0.01	5
1272	-441	-473	Max	16.87	589.27	5	29.16	5	3.06	5	23.48	5	2.66	5	0.01	5
1272	-441	-473	Min.	2.51	-252.78	5	-9.05	5	-1.42	1	-12.50	5	-0.92	1	-0.01	5
1272	-441	-473	Min.	16.87	-251.76	5	-9.05	5	-1.06	5	-12.48	5	-1.14	5	-0.01	5
1272	-473	-505	Max	2.51	636.86	5	22.88	1	0.49	1	30.01	5	0.79	1	0.01	1
1272	-473	-505	Max	16.87	637.88	5	22.88	1	2.25	5	30.04	5	3.71	5	0.01	1
1272	-473	-505	Min.	2.51	-268.29	5	-6.98	1	-1.21	1	-16.82	5	-0.80	1	-0.01	1
1272	-473	-505	Min.	16.87	-267.27	5	-6.98	1	-0.69	5	-16.80	5	-1.82	5	-0.01	1
1272	-505	1348	Max	2.51	688.00	5	69.31	5	0.23	1	14.33	1	0.68	5	0.01	1
1272	-505	1348	Max	14.38	688.84	5	69.31	5	7.50	5	14.35	1	1.42	1	0.01	1
1272	-505	1348	Min.	2.51	-286.55	5	-25.00	5	-0.77	1	-12.48	1	-0.31	5	-0.02	1
1272	-505	1348	Min.	14.38	-285.70	5	-25.00	5	-2.78	5	-12.46	1	-0.84	1	-0.02	1
1273	379	-29	Max	4.85	0.00	1	0.00	1	0.00	1	0.00	1	0.00	1	0.00	1
1273	379	-29	Min.	4.85	0.00	1	0.00	1	0.00	1	0.00	1	0.00	1	0.00	1
1273	-29	-61	Max	4.85	0.00	1	0.00	1	0.00	1	0.00	1	0.00	1	0.00	1
1273	-29	-61	Min.	4.85	0.00	1	0.00	1	0.00	1	0.00	1	0.00	1	0.00	1
1273	-61	-93	Max	5.01	126.43	1	28.12	5	0.61	5	32.08	5	0.52	1	0.02	5
1273	-61	-93	Max	15.39					0.29	3			0.32	3		
1273	-61	-93	Max	16.87	127.27	1	28.12	5	0.45	5	32.10	5	0.43	5	0.02	5
1273	-61	-93	Min.	5.01	-506.61	1	-5.14	5	-2.97	5	-2.95	5	-3.65	1	-0.00	5
1273	-61	-93	Min.	15.21					-0.31	3			-0.48	3		
1273	-61	-93	Min.	16.87	-505.76	1	-5.14	5	-0.08	5	-2.93	5	-0.11	5	-0.00	5
1273	-93	-125	Max	2.51	137.82	1	27.98	5	0.82	1	29.64	5	0.50	1	0.01	5
1273	-93	-125	Max	16.87	138.84	1	27.98	5	1.76	5	29.66	5	1.80	5	0.01	5
1273	-93	-125	Min.	2.51	-477.04	1	-6.52	5	-2.45	1	-4.41	5	-2.53	1	-0.00	5
1273	-93	-125	Min.	16.87	-476.02	1	-6.52	5	-0.30	5	-4.39	5	-0.21	5	-0.00	5
1273	-125	-157	Max	2.51	152.01	1	28.46	5	0.76	1	30.33	5	0.47	1	0.01	1
1273	-125	-157	Max	16.87	153.03	1	28.46	5	2.15	5	30.36	5	2.21	5	0.01	1
1273	-125	-157	Min.	2.51	-439.28	1	-6.55	5	-2.14	1	-4.34	5	-2.27	1	-0.00	1
1273	-125	-157	Min.	16.87	-438.26	1	-6.55	5	-0.38	5	-4.32	5	-0.27	5	-0.00	1
1273	-157	-189	Max	2.51	167.25	1	29.01	5	0.75	1	30.93	5	0.47	1	0.01	1
1273	-157	-189	Max	16.87	168.28	1	29.01	5	2.32	5	30.95	5	2.39	5	0.01	1
1273	-157	-189	Min.	2.51	-398.38	1	-6.61	5	-2.07	1	-4.38	5	-2.19	1	-0.01	1
1273	-157	-189	Min.	16.87	-397.36	1	-6.61	5	-0.42	5	-4.36	5	-0.30	5	-0.01	1
1273	-189	-221	Max	2.51	183.24	1	29.57	5	0.75	1	31.52	5	0.47	1	0.01	1
1273	-189	-221	Max	16.87	184.26	1	29.57	5	2.44	5	31.55	5	2.53	5	0.01	1
1273	-189	-221	Min.	2.51	-355.43	1	-6.68	5	-2.03	1	-4.41	5	-2.15	1	-0.01	1
1273	-189	-221	Min.	16.87	-354.41	1	-6.68	5	-0.44	5	-4.39	5	-0.31	5	-0.01	1
1273	-221	-253	Max	2.51	199.93	1	30.15	5	0.75	1	32.15	5	0.47	1	0.01	1
1273	-221	-253	Max	16.87	200.95	1	30.15	5	2.57	5	32.17	5	2.66	5	0.01	1
1273	-221	-253	Min.	2.51	-310.60	1	-6.74	5	-2.00	1	-4.42	5	-2.12	1	-0.01	1
1273	-221	-253	Min.	16.87	-309.58	1	-6.74	5	-0.46	5	-4.40	5	-0.32	5	-0.01	1
1273	-253	-285	Max	2.51	217.38	1	30.76	5	0.75	1	32.80	5	0.47	1	0.01	1
1273	-253	-285	Max	16.87	218.41	1	30.76	5	2.70	5	32.82	5	2.80	5	0.01	1
1273	-253	-285	Min.	2.51	-263.83	1	-6.77	5	-1.97	1	-4.42	5	-2.09	1	-0.01	1
1273	-253	-285	Min.	16.87	-262.81	1	-6.77	5	-0.48	5	-4.40	5	-0.33	5	-0.01	1
1273	-285	-317	Max	2.51	276.67	5	31.37	5	0.75	1	33.46	5	0.47	1	0.01	1
1273	-285	-317	Max	16.87	277.69	5	31.37	5	2.84	5	33.48	5	2.94	5	0.01	1
1273	-285	-317	Min.	2.51	-255.99	5	-6.80	5	-1.94	1	-4.40	5	-2.05	1	-0.01	1
1273	-285	-317	Min.	16.87	-254.97	5	-6.80	5	-0.49	5	-4.38	5	-0.35	5	-0.01	1
1273	-317	-349	Max	2.51	338.68	5	31.98	5	0.75	1	34.12	5	0.47	1	0.01	1

1273	-317	-349	Max	16.87	339.70	5	31.98	5	2.98	5	34.14	5	3.10	5	0.01	1
1273	-317	-349	Min.	2.51	-247.79	5	-6.82	5	-1.89	1	-4.37	5	-2.00	1	-0.01	1
1273	-317	-349	Min.	16.87	-246.76	5	-6.82	5	-0.51	5	-4.35	5	-0.36	5	-0.01	1
1273	-349	-381	Max	2.51	403.50	5	32.63	5	0.74	1	34.84	5	0.46	1	0.01	1
1273	-349	-381	Max	16.87	404.52	5	32.63	5	3.14	5	34.86	5	3.27	5	0.01	1
1273	-349	-381	Min.	2.51	-239.07	5	-6.82	5	-1.84	1	-4.32	5	-1.95	1	-0.01	1
1273	-349	-381	Min.	16.87	-238.05	5	-6.82	5	-0.53	5	-4.30	5	-0.37	5	-0.01	1
1273	-381	-413	Max	2.51	471.35	5	33.34	5	0.74	1	35.54	5	0.46	1	0.01	1
1273	-381	-413	Max	16.87	472.37	5	33.34	5	3.31	5	35.57	5	3.45	5	0.01	1
1273	-381	-413	Min.	2.51	-229.79	5	-6.83	5	-1.79	1	-4.26	5	-1.88	1	-0.01	1
1273	-381	-413	Min.	16.87	-228.77	5	-6.83	5	-0.55	5	-4.23	5	-0.38	5	-0.01	1
1273	-413	-445	Max	2.51	542.42	5	33.82	5	0.73	1	36.41	5	0.46	1	0.01	1
1273	-413	-445	Max	16.87	543.44	5	33.82	5	3.47	5	36.43	5	3.67	5	0.01	1
1273	-413	-445	Min.	2.51	-219.88	5	-6.79	5	-1.72	1	-4.27	5	-1.81	1	-0.01	1
1273	-413	-445	Min.	16.87	-218.86	5	-6.79	5	-0.57	5	-4.24	5	-0.40	5	-0.01	1
1273	-445	-477	Max	2.51	616.83	5	36.10	5	0.72	1	36.35	5	0.45	1	0.01	1
1273	-445	-477	Max	16.87	617.85	5	36.10	5	3.91	5	36.37	5	3.78	5	0.01	1
1273	-445	-477	Min.	2.51	-209.33	5	-6.91	5	-1.62	1	-3.52	5	-1.70	1	-0.01	1
1273	-445	-477	Min.	16.87	-208.31	5	-6.91	5	-0.62	5	-3.49	5	-0.32	5	-0.01	1
1273	-477	-509	Max	2.51	703.00	5	28.08	1	0.70	1	43.26	5	0.43	1	0.01	1
1273	-477	-509	Max	16.87	704.02	5	28.08	1	2.79	5	43.29	5	4.97	5	0.01	1
1273	-477	-509	Min.	2.51	-207.23	5	-7.89	1	-1.35	1	-7.98	5	-1.50	1	-0.02	1
1273	-477	-509	Min.	16.87	-206.21	5	-7.89	1	-0.54	5	-7.96	5	-0.96	5	-0.02	1
1273	-509	1354	Max	2.51	794.72	5	89.65	5	0.25	1	26.63	1	0.45	1	0.01	1
1273	-509	1354	Max	14.38	795.56	5	89.65	5	9.75	5	26.65	1	2.64	1	0.01	1
1273	-509	1354	Min.	2.51	-214.73	5	-11.46	5	-0.95	1	-0.52	1	-0.52	1	-0.02	1
1273	-509	1354	Min.	14.38	-213.89	5	-11.46	5	-1.17	5	-0.50	1	0.38	1	-0.02	1
1274	349	-17	Max	4.85	0.00	1	0.00	1	0.00	1	0.00	1	0.00	1	0.00	1
1274	349	-17	Min.	4.85	0.00	1	0.00	1	0.00	1	0.00	1	0.00	1	0.00	1
1274	-17	-49	Max	4.85	0.00	1	0.00	1	0.00	1	0.00	1	0.00	1	0.00	1
1274	-17	-49	Min.	4.85	0.00	1	0.00	1	0.00	1	0.00	1	0.00	1	0.00	1
1274	-49	-81	Max	5.01	240.53	1	17.57	5	1.13	5	9.86	5	2.64	5	0.02	5
1274	-49	-81	Max	14.87					0.40	3			0.50	3		
1274	-49	-81	Max	16.87	241.38	1	17.57	5	0.48	5	9.88	5	0.27	5	0.02	5
1274	-49	-81	Min.	5.01	-338.10	1	-9.44	5	-1.71	5	-23.88	5	-1.02	5	-0.01	5
1274	-49	-81	Min.	14.87					-0.18	3			-0.26	3		
1274	-49	-81	Min.	16.87	-337.26	1	-9.44	5	-0.10	5	-23.86	5	-0.31	5	-0.01	5
1274	-81	-113	Max	2.51	225.41	1	18.19	5	0.98	5	8.83	5	2.13	5	0.02	5
1274	-81	-113	Max	16.87	226.43	1	18.19	5	1.26	5	8.85	5	0.58	5	0.02	5
1274	-81	-113	Min.	2.51	-340.87	1	-10.10	5	-1.35	5	-24.70	5	-0.69	5	-0.01	5
1274	-81	-113	Min.	16.87	-339.85	1	-10.10	5	-0.47	5	-24.68	5	-1.41	5	-0.01	5
1274	-113	-145	Max	2.51	205.19	1	18.56	5	0.88	1	9.07	5	1.85	5	0.01	5
1274	-113	-145	Max	16.87	206.21	1	18.56	5	1.52	5	9.09	5	0.70	5	0.01	5
1274	-113	-145	Min.	2.51	-345.13	1	-10.25	5	-1.16	1	-25.14	5	-0.61	5	-0.01	5
1274	-113	-145	Min.	16.87	-344.12	1	-10.25	5	-0.61	5	-25.12	5	-1.76	5	-0.01	5
1274	-145	-177	Max	2.51	182.94	1	18.92	5	0.86	1	9.18	5	1.78	5	0.01	5
1274	-145	-177	Max	16.87	183.96	1	18.92	5	1.64	5	9.20	5	0.75	5	0.01	5
1274	-145	-177	Min.	2.51	-350.06	1	-10.41	5	-1.11	1	-25.66	5	-0.57	5	-0.01	5
1274	-145	-177	Min.	16.87	-349.04	1	-10.41	5	-0.67	5	-25.64	5	-1.91	5	-0.01	5
1274	-177	-209	Max	2.51	159.34	1	19.27	5	0.85	1	9.30	5	1.74	5	0.01	5
1274	-177	-209	Max	16.87	160.36	1	19.27	5	1.73	5	9.32	5	0.78	5	0.01	5
1274	-177	-209	Min.	2.51	-355.48	1	-10.56	5	-1.08	1	-26.19	5	-0.55	5	-0.01	5
1274	-177	-209	Min.	16.87	-354.46	1	-10.56	5	-0.71	5	-26.17	5	-2.02	5	-0.01	5
1274	-209	-241	Max	2.51	134.52	1	19.63	5	0.84	1	9.40	5	1.71	5	0.01	5
1274	-209	-241	Max	16.87	135.54	1	19.63	5	1.82	5	9.42	5	0.82	5	0.01	5
1274	-209	-241	Min.	2.51	-361.37	1	-10.70	5	-1.06	1	-26.72	5	-0.53	5	-0.01	5
1274	-209	-241	Min.	16.87	-360.35	1	-10.70	5	-0.75	5	-26.69	5	-2.12	5	-0.01	5
1274	-241	-273	Max	2.51	135.31	5	20.00	5	0.83	1	9.49	5	1.68	5	0.01	5
1274	-241	-273	Max	16.87	136.33	5	20.00	5	1.91	5	9.52	5	0.85	5	0.01	5

1274	-241	-273	Min.	2.51	-394.65	5	-10.84	5	-1.03	1	-27.28	5	-0.51	5	-0.01	5
1274	-241	-273	Min.	16.87	-393.63	5	-10.84	5	-0.79	5	-27.25	5	-2.24	5	-0.01	5
1274	-273	-305	Max	2.51	145.48	5	20.36	5	0.82	1	9.58	5	1.64	5	0.01	5
1274	-273	-305	Max	16.87	146.50	5	20.36	5	2.01	5	9.60	5	0.89	5	0.01	5
1274	-273	-305	Min.	2.51	-439.20	5	-10.97	5	-1.00	1	-27.84	5	-0.49	5	-0.01	5
1274	-273	-305	Min.	16.87	-438.18	5	-10.97	5	-0.84	5	-27.81	5	-2.36	5	-0.01	5
1274	-305	-337	Max	2.51	155.81	5	20.72	5	0.81	1	9.65	5	1.60	1	0.01	5
1274	-305	-337	Max	16.87	156.84	5	20.72	5	2.11	5	9.67	5	0.92	5	0.01	5
1274	-305	-337	Min.	2.51	-485.94	5	-11.09	5	-0.96	1	-28.39	5	-0.48	1	-0.01	5
1274	-305	-337	Min.	16.87	-484.92	5	-11.09	5	-0.88	5	-28.36	5	-2.48	5	-0.01	5
1274	-337	-369	Max	2.51	166.31	5	21.10	5	0.79	1	9.72	5	1.57	1	0.01	5
1274	-337	-369	Max	16.87	167.33	5	21.10	5	2.22	5	9.75	5	0.96	5	0.01	5
1274	-337	-369	Min.	2.51	-534.99	5	-11.21	5	-0.92	1	-28.99	5	-0.46	1	-0.01	5
1274	-337	-369	Min.	16.87	-533.97	5	-11.21	5	-0.93	5	-28.97	5	-2.62	5	-0.01	5
1274	-369	-401	Max	2.51	176.96	5	21.50	5	0.77	1	9.78	5	1.52	1	0.01	5
1274	-369	-401	Max	16.87	177.98	5	21.50	5	2.34	5	9.80	5	1.00	5	0.01	5
1274	-369	-401	Min.	2.51	-586.54	5	-11.33	5	-0.87	1	-29.57	5	-0.45	1	-0.01	5
1274	-369	-401	Min.	16.87	-585.52	5	-11.33	5	-0.98	5	-29.54	5	-2.77	5	-0.01	5
1274	-401	-433	Max	2.51	187.76	5	21.73	5	0.75	1	9.87	5	1.47	1	0.01	5
1274	-401	-433	Max	16.87	188.78	5	21.73	5	2.45	5	9.89	5	1.05	5	0.01	5
1274	-401	-433	Min.	2.51	-640.72	5	-11.39	5	-0.81	1	-30.43	5	-0.43	1	-0.01	5
1274	-401	-433	Min.	16.87	-639.70	5	-11.39	5	-1.03	5	-30.40	5	-2.96	5	-0.01	5
1274	-433	-465	Max	2.51	198.71	5	23.42	5	0.71	1	9.70	5	1.39	1	0.01	5
1274	-433	-465	Max	16.87	199.73	5	23.42	5	2.77	5	9.72	5	1.07	5	0.01	5
1274	-433	-465	Min.	2.51	-697.67	5	-11.84	5	-0.74	1	-29.49	5	-0.41	1	-0.01	5
1274	-433	-465	Min.	16.87	-696.64	5	-11.84	5	-1.14	5	-29.47	5	-2.93	5	-0.01	5
1274	-465	-497	Max	2.51	209.72	5	14.96	5	0.65	1	11.25	5	1.26	1	0.01	1
1274	-465	-497	Max	16.87	210.74	5	14.96	5	1.77	5	11.27	5	1.35	5	0.01	1
1274	-465	-497	Min.	2.51	-756.36	5	-9.49	5	-0.58	1	-40.92	5	-0.34	1	-0.01	1
1274	-465	-497	Min.	16.87	-755.34	5	-9.49	5	-0.91	5	-40.90	5	-4.70	5	-0.01	1
1274	-497	1328	Max	2.51	225.47	5	66.70	5	0.31	5	26.99	5	0.28	5	0.01	5
1274	-497	1328	Max	14.38	226.31	5	66.70	5	7.40	5	27.01	5	2.57	5	0.01	5
1274	-497	1328	Min.	2.51	-818.55	5	-23.89	5	-0.52	5	-3.96	5	-0.64	5	-0.00	5
1274	-497	1328	Min.	14.38	-817.71	5	-23.89	5	-2.53	5	-3.94	5	-0.19	5	-0.00	5
1275	358	-23	Max	4.85	0.00	1	0.00	1	0.00	1	0.00	1	0.00	1	0.00	1
1275	358	-23	Min.	4.85	0.00	1	0.00	1	0.00	1	0.00	1	0.00	1	0.00	1
1275	-23	-55	Max	4.85	0.00	1	0.00	1	0.00	1	0.00	1	0.00	1	0.00	1
1275	-23	-55	Min.	4.85	0.00	1	0.00	1	0.00	1	0.00	1	0.00	1	0.00	1
1275	-55	-87	Max	5.01	45.65	1	24.34	5	0.99	5	13.33	5	1.83	1	0.02	1
1275	-55	-87	Max	15.22					0.20	3			0.19	3		
1275	-55	-87	Max	16.87	46.49	1	24.34	5	0.36	5	13.35	5	0.12	5	0.02	1
1275	-55	-87	Min.	5.01	-537.83	1	-9.60	5	-2.64	5	-18.30	5	-1.64	1	-0.01	1
1275	-55	-87	Min.	15.22					-0.35	3			-0.50	3		
1275	-55	-87	Min.	16.87	-536.99	1	-9.60	5	-0.25	5	-18.28	5	-0.51	5	-0.01	1
1275	-87	-119	Max	2.51	35.32	1	26.33	5	0.74	5	11.45	5	1.54	5	0.01	1
1275	-87	-119	Max	16.87	36.34	1	26.33	5	1.51	5	11.48	5	0.57	5	0.01	1
1275	-87	-119	Min.	2.51	-535.08	1	-9.32	5	-2.27	5	-20.38	5	-1.07	5	-0.01	1
1275	-87	-119	Min.	16.87	-534.06	1	-9.32	5	-0.60	5	-20.35	5	-1.39	5	-0.01	1
1275	-119	-151	Max	2.51	21.33	1	26.80	5	0.64	5	11.80	5	1.30	1	0.01	1
1275	-119	-151	Max	16.87	22.35	1	26.80	5	1.88	5	11.82	5	0.72	5	0.01	1
1275	-119	-151	Min.	2.51	-532.18	1	-9.50	5	-1.97	5	-20.67	5	-0.98	1	-0.01	1
1275	-119	-151	Min.	16.87	-531.16	1	-9.50	5	-0.73	5	-20.64	5	-1.67	5	-0.01	1
1275	-151	-183	Max	2.51	5.87	1	27.34	5	0.60	5	11.97	5	1.25	1	0.01	5
1275	-151	-183	Max	16.87	6.89	1	27.34	5	2.03	5	11.99	5	0.79	5	0.01	5
1275	-151	-183	Min.	2.51	-529.29	1	-9.64	5	-1.90	5	-21.10	5	-0.95	1	-0.01	5
1275	-151	-183	Min.	16.87	-528.26	1	-9.64	5	-0.78	5	-21.08	5	-1.80	5	-0.01	5
1275	-183	-215	Max	2.51	-10.55	1	27.86	5	0.58	5	12.15	5	1.23	1	0.01	5
1275	-183	-215	Max	16.87	-9.53	1	27.86	5	2.14	5	12.17	5	0.83	5	0.01	5
1275	-183	-215	Min.	2.51	-526.45	1	-9.78	5	-1.86	5	-21.53	5	-0.95	1	-0.01	5

1275	-183	-215	Min.	16.87	-525.43	1	-9.78	5	-0.82	5	-21.51	5	-1.89	5	-0.01	5
1275	-215	-247	Max	2.51	-15.32	5	28.41	5	0.57	5	12.31	5	1.21	1	0.01	5
1275	-215	-247	Max	16.87	-14.30	5	28.41	5	2.25	5	12.34	5	0.87	5	0.01	5
1275	-215	-247	Min.	2.51	-536.23	5	-9.90	5	-1.83	5	-21.95	5	-0.94	1	-0.01	5
1275	-215	-247	Min.	16.87	-535.21	5	-9.90	5	-0.85	5	-21.93	5	-1.99	5	-0.01	5
1275	-247	-279	Max	2.51	1.03	5	29.02	5	0.55	5	12.48	5	1.18	1	0.01	5
1275	-247	-279	Max	16.87	2.05	5	29.02	5	2.37	5	12.51	5	0.91	5	0.01	5
1275	-247	-279	Min.	2.51	-568.11	5	-10.02	5	-1.80	5	-22.39	5	-0.93	1	-0.01	5
1275	-247	-279	Min.	16.87	-567.08	5	-10.02	5	-0.89	5	-22.36	5	-2.08	5	-0.01	5
1275	-279	-311	Max	2.51	17.88	5	29.58	5	0.53	5	12.64	5	1.15	1	0.01	5
1275	-279	-311	Max	16.87	18.90	5	29.58	5	2.49	5	12.67	5	0.96	5	0.01	5
1275	-279	-311	Min.	2.51	-601.53	5	-10.13	5	-1.76	5	-22.85	5	-0.92	1	-0.01	5
1275	-279	-311	Min.	16.87	-600.51	5	-10.13	5	-0.93	5	-22.82	5	-2.19	5	-0.01	5
1275	-311	-343	Max	2.51	35.23	5	30.19	5	0.50	5	12.80	5	1.12	1	0.01	5
1275	-311	-343	Max	16.87	36.25	5	30.19	5	2.62	5	12.82	5	1.01	5	0.01	5
1275	-311	-343	Min.	2.51	-636.57	5	-10.22	5	-1.72	5	-23.26	5	-0.91	1	-0.01	5
1275	-311	-343	Min.	16.87	-635.55	5	-10.22	5	-0.96	5	-23.23	5	-2.29	5	-0.01	5
1275	-343	-375	Max	2.51	53.10	5	30.82	5	0.48	5	12.95	5	1.08	1	0.01	5
1275	-343	-375	Max	16.87	54.12	5	30.82	5	2.76	5	12.97	5	1.06	5	0.01	5
1275	-343	-375	Min.	2.51	-673.31	5	-10.32	5	-1.67	5	-23.73	5	-0.89	1	-0.01	5
1275	-343	-375	Min.	16.87	-672.29	5	-10.32	5	-1.00	5	-23.71	5	-2.41	5	-0.01	5
1275	-375	-407	Max	2.51	71.53	5	31.44	5	0.45	5	13.10	5	1.04	1	0.01	5
1275	-375	-407	Max	16.87	72.55	5	31.44	5	2.91	5	13.13	5	1.11	5	0.01	5
1275	-375	-407	Min.	2.51	-711.91	5	-10.41	5	-1.61	5	-24.19	5	-0.88	1	-0.01	5
1275	-375	-407	Min.	16.87	-710.89	5	-10.41	5	-1.05	5	-24.16	5	-2.53	5	-0.01	5
1275	-407	-439	Max	2.51	90.52	5	31.96	5	0.41	5	13.26	5	0.99	1	0.01	5
1275	-407	-439	Max	16.87	91.54	5	31.96	5	3.05	5	13.28	5	1.17	5	0.01	5
1275	-407	-439	Min.	2.51	-752.47	5	-10.43	5	-1.54	5	-24.93	5	-0.86	1	-0.01	5
1275	-407	-439	Min.	16.87	-751.45	5	-10.43	5	-1.08	5	-24.90	5	-2.71	5	-0.01	5
1275	-439	-471	Max	2.51	110.09	5	33.84	5	0.37	5	13.30	5	0.92	1	0.01	5
1275	-439	-471	Max	16.87	111.11	5	33.84	5	3.41	5	13.32	5	1.23	5	0.01	5
1275	-439	-471	Min.	2.51	-795.07	5	-10.99	5	-1.45	5	-23.67	5	-0.83	1	-0.01	5
1275	-439	-471	Min.	16.87	-794.05	5	-10.99	5	-1.20	5	-23.64	5	-2.62	5	-0.01	5
1275	-471	-503	Max	2.51	129.98	5	26.54	5	0.27	5	14.18	5	0.83	1	0.01	5
1275	-471	-503	Max	16.87	131.00	5	26.54	5	2.62	5	14.21	5	1.45	5	0.01	5
1275	-471	-503	Min.	2.51	-838.95	5	-7.77	5	-1.19	5	-35.87	5	-0.73	1	-0.02	5
1275	-471	-503	Min.	16.87	-837.93	5	-7.77	5	-0.84	5	-35.84	5	-4.45	5	-0.02	5
1275	-503	1337	Max	2.51	157.40	5	73.79	5	0.27	5	36.90	5	0.01	5	0.01	5
1275	-503	1337	Max	14.38	158.24	5	73.79	5	7.85	5	36.92	5	3.42	5	0.01	5
1275	-503	1337	Min.	2.51	-891.97	5	-26.87	5	-0.91	5	4.09	5	-0.97	5	-0.02	5
1275	-503	1337	Min.	14.38	-891.13	5	-26.87	5	-2.92	5	4.11	5	0.50	5	-0.02	5
1276	352	-19	Max	4.85	0.00	1	0.00	1	0.00	1	0.00	1	0.00	1	0.00	1
1276	352	-19	Min.	4.85	0.00	1	0.00	1	0.00	1	0.00	1	0.00	1	0.00	1
1276	-19	-51	Max	4.85	0.00	1	0.00	1	0.00	1	0.00	1	0.00	1	0.00	1
1276	-19	-51	Min.	4.85	0.00	1	0.00	1	0.00	1	0.00	1	0.00	1	0.00	1
1276	-51	-83	Max	5.01	146.44	1	25.70	5	0.71	5	6.62	5	3.18	1	0.02	1
1276	-51	-83	Max	15.09					0.37	3			0.45	3		
1276	-51	-83	Max	16.87	147.28	1	25.70	5	0.52	5	6.64	5	0.14	5	0.02	1
1276	-51	-83	Min.	5.01	-508.19	1	-5.73	5	-2.65	5	-28.33	5	-0.94	1	-0.01	1
1276	-51	-83	Min.	15.09					-0.29	3			-0.40	3		
1276	-51	-83	Min.	16.87	-507.34	1	-5.73	5	-0.08	5	-28.31	5	-0.47	5	-0.01	1
1276	-83	-115	Max	2.51	121.59	1	27.27	5	0.61	1	4.47	5	2.56	1	0.01	1
1276	-83	-115	Max	16.87	122.61	1	27.27	5	1.72	5	4.49	5	0.24	5	0.01	1
1276	-83	-115	Min.	2.51	-514.82	1	-5.75	5	-2.24	1	-30.28	5	-0.44	1	-0.01	1
1276	-83	-115	Min.	16.87	-513.80	1	-5.75	5	-0.25	5	-30.26	5	-1.82	5	-0.01	1
1276	-115	-147	Max	2.51	88.76	1	27.81	5	0.57	1	4.68	5	2.25	1	0.01	1
1276	-115	-147	Max	16.87	89.78	1	27.81	5	2.10	5	4.71	5	0.30	5	0.01	1
1276	-115	-147	Min.	2.51	-524.07	1	-5.81	5	-1.96	1	-30.77	5	-0.45	1	-0.00	1
1276	-115	-147	Min.	16.87	-523.05	1	-5.81	5	-0.33	5	-30.75	5	-2.24	5	-0.00	1

1276	-147	-179	Max	2.51	52.76	1	28.38	5	0.56	1	4.69	5	2.17	1	0.01	1
1276	-147	-179	Max	16.87	53.78	1	28.38	5	2.27	5	4.71	5	0.32	5	0.01	1
1276	-147	-179	Min.	2.51	-534.42	1	-5.87	5	-1.88	1	-31.44	5	-0.44	1	-0.00	1
1276	-147	-179	Min.	16.87	-533.40	1	-5.87	5	-0.36	5	-31.42	5	-2.43	5	-0.00	1
1276	-179	-211	Max	2.51	14.67	1	28.94	5	0.55	1	4.70	5	2.14	1	0.01	1
1276	-179	-211	Max	16.87	15.69	1	28.94	5	2.40	5	4.72	5	0.33	5	0.01	1
1276	-179	-211	Min.	2.51	-545.56	1	-5.91	5	-1.84	1	-32.10	5	-0.44	1	-0.00	1
1276	-179	-211	Min.	16.87	-544.54	1	-5.91	5	-0.38	5	-32.08	5	-2.57	5	-0.00	1
1276	-211	-243	Max	2.51	-25.36	1	29.52	5	0.55	1	4.68	5	2.11	1	0.01	1
1276	-211	-243	Max	16.87	-24.34	1	29.52	5	2.52	5	4.71	5	0.34	5	0.01	1
1276	-211	-243	Min.	2.51	-557.46	1	-5.94	5	-1.81	1	-32.78	5	-0.44	1	-0.00	1
1276	-211	-243	Min.	16.87	-556.44	1	-5.94	5	-0.40	5	-32.76	5	-2.70	5	-0.00	1
1276	-243	-275	Max	2.51	-43.13	5	30.16	5	0.54	1	4.66	5	2.08	1	0.01	1
1276	-243	-275	Max	16.87	-42.10	5	30.16	5	2.65	5	4.69	5	0.35	5	0.01	1
1276	-243	-275	Min.	2.51	-594.42	5	-5.96	5	-1.78	1	-33.48	5	-0.43	1	-0.00	1
1276	-243	-275	Min.	16.87	-593.40	5	-5.96	5	-0.41	5	-33.45	5	-2.84	5	-0.00	1
1276	-275	-307	Max	2.51	-46.19	5	30.75	5	0.53	1	4.62	5	2.04	1	0.01	1
1276	-275	-307	Max	16.87	-45.17	5	30.75	5	2.79	5	4.64	5	0.36	5	0.01	1
1276	-275	-307	Min.	2.51	-649.07	5	-5.97	5	-1.74	1	-34.22	5	-0.43	1	-0.00	1
1276	-275	-307	Min.	16.87	-648.05	5	-5.97	5	-0.43	5	-34.20	5	-3.00	5	-0.00	1
1276	-307	-339	Max	2.51	-49.76	5	31.39	5	0.52	1	4.57	5	2.00	1	0.01	1
1276	-307	-339	Max	16.87	-48.74	5	31.39	5	2.94	5	4.59	5	0.37	5	0.01	1
1276	-307	-339	Min.	2.51	-706.41	5	-5.95	5	-1.69	1	-34.90	5	-0.42	1	-0.00	1
1276	-307	-339	Min.	16.87	-705.39	5	-5.95	5	-0.45	5	-34.88	5	-3.15	5	-0.00	1
1276	-339	-371	Max	2.51	-53.89	5	32.04	5	0.51	1	4.49	5	1.95	1	0.01	1
1276	-339	-371	Max	16.87	-52.87	5	32.04	5	3.09	5	4.52	5	0.38	5	0.01	1
1276	-339	-371	Min.	2.51	-766.60	5	-5.93	5	-1.64	1	-35.71	5	-0.41	1	-0.01	1
1276	-339	-371	Min.	16.87	-765.58	5	-5.93	5	-0.47	5	-35.69	5	-3.33	5	-0.01	1
1276	-371	-403	Max	2.51	-58.63	5	32.74	5	0.50	1	4.43	5	1.88	1	0.01	1
1276	-371	-403	Max	16.87	-57.61	5	32.74	5	3.27	5	4.45	5	0.39	5	0.01	1
1276	-371	-403	Min.	2.51	-829.88	5	-5.90	5	-1.57	1	-36.44	5	-0.41	1	-0.01	1
1276	-371	-403	Min.	16.87	-828.86	5	-5.90	5	-0.49	5	-36.42	5	-3.51	5	-0.01	1
1276	-403	-435	Max	2.51	-64.05	5	33.22	5	0.49	1	4.26	5	1.81	1	0.01	1
1276	-403	-435	Max	16.87	-63.03	5	33.22	5	3.43	5	4.29	5	0.39	5	0.01	1
1276	-403	-435	Min.	2.51	-896.43	5	-5.83	5	-1.50	1	-37.63	5	-0.40	1	-0.01	1
1276	-403	-435	Min.	16.87	-895.41	5	-5.83	5	-0.50	5	-37.60	5	-3.77	5	-0.01	1
1276	-435	-467	Max	2.51	-70.19	5	35.54	5	0.47	1	4.58	5	1.70	1	0.01	1
1276	-435	-467	Max	16.87	-69.17	5	35.54	5	3.86	5	4.61	5	0.46	5	0.01	1
1276	-435	-467	Min.	2.51	-966.42	5	-5.92	5	-1.41	1	-36.15	5	-0.39	1	-0.01	1
1276	-435	-467	Min.	16.87	-965.40	5	-5.92	5	-0.54	5	-36.12	5	-3.69	5	-0.01	1
1276	-467	-499	Max	2.51	-67.94	5	25.59	5	0.44	1	1.63	5	1.56	1	0.00	1
1276	-467	-499	Max	16.87	-66.91	5	25.59	5	2.73	5	1.66	5	0.10	5	0.00	1
1276	-467	-499	Min.	2.51	-1047.49	5	-4.87	5	-1.15	1	-52.58	5	-0.32	1	-0.01	1
1276	-467	-499	Min.	16.87	-1046.47	5	-4.87	5	-0.46	5	-52.55	5	-6.18	5	-0.01	1
1276	-499	1331	Max	2.51	-57.03	5	88.28	5	0.15	5	42.95	5	-0.04	5	0.00	5
1276	-499	1331	Max	14.38	-56.18	5	88.28	5	9.59	5	42.97	5	4.11	5	0.00	5
1276	-499	1331	Min.	2.51	-1136.55	5	-10.50	5	-0.89	5	10.90	5	-0.99	5	-0.01	5
1276	-499	1331	Min.	14.38	-1135.70	5	-10.50	5	-1.10	5	10.92	5	1.26	5	-0.01	5
1277	376	-27	Max	4.85	0.00	1	0.00	1	0.00	1	0.00	1	0.00	1	0.00	1
1277	376	-27	Min.	4.85	0.00	1	0.00	1	0.00	1	0.00	1	0.00	1	0.00	1
1277	-27	-59	Max	4.85	0.00	1	0.00	1	0.00	1	0.00	1	0.00	1	0.00	1
1277	-27	-59	Min.	4.85	0.00	1	0.00	1	0.00	1	0.00	1	0.00	1	0.00	1
1277	-59	-91	Max	5.01	190.17	1	29.19	5	0.43	5	29.41	5	0.82	1	0.02	5
1277	-59	-91	Max	15.36					0.24	3			0.40	3		
1277	-59	-91	Max	16.87	191.01	1	29.19	5	0.40	5	29.43	5	0.48	5	0.02	5
1277	-59	-91	Min.	5.01	-450.97	1	-3.78	5	-3.15	5	-4.84	5	-3.34	1	-0.00	5
1277	-59	-91	Min.	15.36					-0.34	3			-0.37	3		
1277	-59	-91	Min.	16.87	-450.13	1	-3.78	5	-0.11	5	-4.82	5	-0.08	5	-0.00	5
1277	-91	-123	Max	2.51	198.40	1	29.49	5	0.62	1	27.32	5	0.72	1	0.01	5

1277	-91	-123	Max	16.87	199.42	1	29.49	5	1.78	5	27.35	5	1.73	5	0.01	5
1277	-91	-123	Min.	2.51	-423.86	1	-4.84	5	-2.63	1	-6.07	5	-2.31	1	0.00	5
1277	-91	-123	Min.	16.87	-422.84	1	-4.84	5	-0.24	5	-6.04	5	-0.26	5	0.00	5
1277	-123	-155	Max	2.51	208.49	1	29.99	5	0.58	1	27.96	5	0.67	1	0.01	1
1277	-123	-155	Max	16.87	209.51	1	29.99	5	2.19	5	27.98	5	2.11	5	0.01	1
1277	-123	-155	Min.	2.51	-389.28	1	-4.86	5	-2.31	1	-6.03	5	-2.06	1	-0.00	1
1277	-123	-155	Min.	16.87	-388.26	1	-4.86	5	-0.31	5	-6.01	5	-0.35	5	-0.00	1
1277	-155	-187	Max	2.51	219.27	1	30.58	5	0.57	1	28.49	5	0.67	1	0.01	1
1277	-155	-187	Max	16.87	220.29	1	30.58	5	2.37	5	28.51	5	2.28	5	0.01	1
1277	-155	-187	Min.	2.51	-351.85	1	-4.89	5	-2.23	1	-6.12	5	-1.99	1	-0.01	1
1277	-155	-187	Min.	16.87	-350.83	1	-4.89	5	-0.33	5	-6.10	5	-0.38	5	-0.01	1
1277	-187	-219	Max	2.51	230.53	1	31.18	5	0.57	1	29.03	5	0.67	1	0.01	1
1277	-187	-219	Max	16.87	231.55	1	31.18	5	2.50	5	29.05	5	2.40	5	0.01	1
1277	-187	-219	Min.	2.51	-312.58	1	-4.92	5	-2.19	1	-6.19	5	-1.95	1	-0.01	1
1277	-187	-219	Min.	16.87	-311.56	1	-4.92	5	-0.35	5	-6.17	5	-0.40	5	-0.01	1
1277	-219	-251	Max	2.51	242.27	1	31.80	5	0.57	1	29.59	5	0.67	1	0.01	1
1277	-219	-251	Max	16.87	243.29	1	31.80	5	2.63	5	29.61	5	2.52	5	0.01	1
1277	-219	-251	Min.	2.51	-271.60	1	-4.92	5	-2.16	1	-6.25	5	-1.92	1	-0.01	1
1277	-219	-251	Min.	16.87	-270.58	1	-4.92	5	-0.36	5	-6.22	5	-0.42	5	-0.01	1
1277	-251	-283	Max	2.51	259.86	5	32.46	5	0.58	1	30.17	5	0.66	1	0.01	1
1277	-251	-283	Max	16.87	260.88	5	32.46	5	2.77	5	30.20	5	2.65	5	0.01	1
1277	-251	-283	Min.	2.51	-234.20	5	-4.93	5	-2.13	1	-6.28	5	-1.88	1	-0.01	1
1277	-251	-283	Min.	16.87	-233.18	5	-4.93	5	-0.37	5	-6.26	5	-0.44	5	-0.01	1
1277	-283	-315	Max	2.51	313.35	5	33.10	5	0.58	1	30.78	5	0.66	1	0.01	1
1277	-283	-315	Max	16.87	314.38	5	33.10	5	2.92	5	30.80	5	2.79	5	0.01	1
1277	-283	-315	Min.	2.51	-230.27	5	-4.90	5	-2.09	1	-6.32	5	-1.85	1	-0.01	1
1277	-283	-315	Min.	16.87	-229.25	5	-4.90	5	-0.38	5	-6.30	5	-0.46	5	-0.01	1
1277	-315	-347	Max	2.51	369.19	5	33.77	5	0.58	1	31.35	5	0.66	1	0.01	1
1277	-315	-347	Max	16.87	370.21	5	33.77	5	3.07	5	31.37	5	2.93	5	0.01	1
1277	-315	-347	Min.	2.51	-226.08	5	-4.87	5	-2.05	1	-6.33	5	-1.80	1	-0.01	1
1277	-315	-347	Min.	16.87	-225.06	5	-4.87	5	-0.39	5	-6.31	5	-0.48	5	-0.01	1
1277	-347	-379	Max	2.51	427.52	5	34.46	5	0.58	1	32.00	5	0.66	1	0.01	1
1277	-347	-379	Max	16.87	428.54	5	34.46	5	3.24	5	32.02	5	3.09	5	0.01	1
1277	-347	-379	Min.	2.51	-221.59	5	-4.82	5	-2.00	1	-6.34	5	-1.75	1	-0.01	1
1277	-347	-379	Min.	16.87	-220.57	5	-4.82	5	-0.40	5	-6.32	5	-0.50	5	-0.01	1
1277	-379	-411	Max	2.51	488.53	5	35.22	5	0.58	1	32.63	5	0.65	1	0.01	1
1277	-379	-411	Max	16.87	489.55	5	35.22	5	3.43	5	32.65	5	3.26	5	0.01	1
1277	-379	-411	Min.	2.51	-216.77	5	-4.77	5	-1.94	1	-6.33	5	-1.69	1	-0.01	1
1277	-379	-411	Min.	16.87	-215.75	5	-4.77	5	-0.42	5	-6.31	5	-0.51	5	-0.01	1
1277	-411	-443	Max	2.51	552.41	5	35.73	5	0.57	1	33.44	5	0.64	1	0.01	1
1277	-411	-443	Max	16.87	553.43	5	35.73	5	3.60	5	33.46	5	3.46	5	0.01	1
1277	-411	-443	Min.	2.51	-211.56	5	-4.67	5	-1.86	1	-6.41	5	-1.62	1	-0.01	1
1277	-411	-443	Min.	16.87	-210.54	5	-4.67	5	-0.42	5	-6.39	5	-0.55	5	-0.01	1
1277	-443	-475	Max	2.51	619.25	5	38.13	5	0.56	1	33.25	5	0.63	1	0.01	1
1277	-443	-475	Max	16.87	620.27	5	38.13	5	4.06	5	33.27	5	3.56	5	0.01	1
1277	-443	-475	Min.	2.51	-205.94	5	-4.73	5	-1.76	1	-5.69	5	-1.51	1	-0.01	1
1277	-443	-475	Min.	16.87	-204.92	5	-4.73	5	-0.46	5	-5.67	5	-0.48	5	-0.01	1
1277	-475	-507	Max	2.51	699.71	5	30.00	1	0.56	1	40.01	5	0.60	1	0.01	1
1277	-475	-507	Max	16.87	700.73	5	30.00	1	2.95	5	40.03	5	4.70	5	0.01	1
1277	-475	-507	Min.	2.51	-211.09	5	-5.67	1	-1.47	1	-10.31	5	-1.32	1	-0.01	1
1277	-475	-507	Min.	16.87	-210.07	5	-5.67	1	-0.37	5	-10.29	5	-1.16	5	-0.01	1
1277	-507	1351	Max	2.51	784.45	5	92.21	5	0.18	1	24.47	1	0.53	5	0.01	1
1277	-507	1351	Max	14.38	785.29	5	92.21	5	9.99	5	24.49	1	2.46	1	0.01	1
1277	-507	1351	Min.	2.51	-223.53	5	-8.73	5	-1.02	1	-2.90	1	-0.45	5	-0.02	1
1277	-507	1351	Min.	14.38	-222.69	5	-8.73	5	-0.92	5	-2.88	1	0.18	1	-0.02	1
1278	382	-31	Max	4.85	0.00	1	0.00	1	0.00	1	0.00	1	0.00	1	0.00	1
1278	382	-31	Min.	4.85	0.00	1	0.00	1	0.00	1	0.00	1	0.00	1	0.00	1
1278	-31	-63	Max	4.85	0.00	1	0.00	1	0.00	1	0.00	1	0.00	1	0.00	1
1278	-31	-63	Min.	4.85	0.00	1	0.00	1	0.00	1	0.00	1	0.00	1	0.00	1

1278	-63	-95	Max	5.01	88.07	1	22.36	5	1.29	5	26.52	5	0.74	5	0.01	5
1278	-63	-95	Max	14.50					0.34	3			0.18	3		
1278	-63	-95	Max	16.87	88.91	1	22.36	5	0.46	5	26.54	5	0.29	5	0.01	5
1278	-63	-95	Min.	5.01	-452.87	1	-11.14	5	-2.27	5	-7.23	5	-2.97	5	-0.00	5
1278	-63	-95	Min.	14.50					-0.25	3			-0.58	3		
1278	-63	-95	Min.	16.87	-452.03	1	-11.14	5	-0.11	5	-7.21	5	-0.23	5	-0.00	5
1278	-95	-127	Max	2.51	95.57	1	21.83	5	1.19	5	24.38	5	0.68	5	0.00	1
1278	-95	-127	Max	16.87	96.59	1	21.83	5	1.48	5	24.40	5	1.41	5	0.00	1
1278	-95	-127	Min.	2.51	-433.06	1	-12.61	5	-1.66	5	-8.44	5	-2.10	5	-0.00	1
1278	-95	-127	Min.	16.87	-432.04	1	-12.61	5	-0.62	5	-8.42	5	-0.53	5	-0.00	1
1278	-127	-159	Max	2.51	104.77	1	22.20	5	1.08	1	24.94	5	0.56	5	0.01	5
1278	-127	-159	Max	16.87	105.79	1	22.20	5	1.78	5	24.97	5	1.74	5	0.01	5
1278	-127	-159	Min.	2.51	-407.90	1	-12.76	5	-1.45	1	-8.46	5	-1.84	5	-0.01	5
1278	-127	-159	Min.	16.87	-406.88	1	-12.76	5	-0.79	5	-8.44	5	-0.65	5	-0.01	5
1278	-159	-191	Max	2.51	114.61	1	22.61	5	1.06	1	25.42	5	0.53	5	0.01	5
1278	-159	-191	Max	16.87	115.63	1	22.61	5	1.91	5	25.44	5	1.89	5	0.01	5
1278	-159	-191	Min.	2.51	-380.73	1	-12.96	5	-1.39	1	-8.59	5	-1.76	5	-0.01	5
1278	-159	-191	Min.	16.87	-379.71	1	-12.96	5	-0.86	5	-8.56	5	-0.70	5	-0.01	5
1278	-191	-223	Max	2.51	124.88	1	23.03	5	1.05	1	25.89	5	0.52	1	0.01	5
1278	-191	-223	Max	16.87	125.90	1	23.03	5	2.01	5	25.91	5	2.00	5	0.01	5
1278	-191	-223	Min.	2.51	-352.27	1	-13.17	5	-1.37	1	-8.72	5	-1.73	1	-0.01	5
1278	-191	-223	Min.	16.87	-351.25	1	-13.17	5	-0.91	5	-8.70	5	-0.74	5	-0.01	5
1278	-223	-255	Max	2.51	135.58	1	23.45	5	1.05	1	26.38	5	0.52	1	0.01	5
1278	-223	-255	Max	16.87	136.60	1	23.45	5	2.10	5	26.41	5	2.10	5	0.01	5
1278	-223	-255	Min.	2.51	-322.64	1	-13.36	5	-1.35	1	-8.83	5	-1.71	1	-0.01	5
1278	-223	-255	Min.	16.87	-321.62	1	-13.36	5	-0.95	5	-8.80	5	-0.77	5	-0.01	5
1278	-255	-287	Max	2.51	155.26	5	23.90	5	1.04	1	26.89	5	0.51	1	0.01	5
1278	-255	-287	Max	16.87	156.29	5	23.90	5	2.20	5	26.92	5	2.21	5	0.01	5
1278	-255	-287	Min.	2.51	-300.31	5	-13.58	5	-1.32	1	-8.92	5	-1.69	1	-0.01	5
1278	-255	-287	Min.	16.87	-299.29	5	-13.58	5	-1.00	5	-8.90	5	-0.81	5	-0.01	5
1278	-287	-319	Max	2.51	204.55	5	24.34	5	1.04	1	27.42	5	0.50	1	0.01	5
1278	-287	-319	Max	16.87	205.57	5	24.34	5	2.30	5	27.44	5	2.33	5	0.01	5
1278	-287	-319	Min.	2.51	-305.78	5	-13.76	5	-1.30	1	-9.03	5	-1.66	1	-0.01	5
1278	-287	-319	Min.	16.87	-304.76	5	-13.76	5	-1.04	5	-9.00	5	-0.84	5	-0.01	5
1278	-319	-351	Max	2.51	255.97	5	24.78	5	1.03	1	27.92	5	0.49	1	0.01	5
1278	-319	-351	Max	16.87	256.99	5	24.78	5	2.41	5	27.94	5	2.45	5	0.01	5
1278	-319	-351	Min.	2.51	-311.46	5	-13.96	5	-1.27	1	-9.09	5	-1.63	1	-0.01	5
1278	-319	-351	Min.	16.87	-310.44	5	-13.96	5	-1.09	5	-9.07	5	-0.88	5	-0.01	5
1278	-351	-383	Max	2.51	309.65	5	25.25	5	1.02	1	28.47	5	0.48	1	0.01	5
1278	-351	-383	Max	16.87	310.67	5	25.25	5	2.53	5	28.49	5	2.59	5	0.01	5
1278	-351	-383	Min.	2.51	-317.35	5	-14.15	5	-1.23	1	-9.17	5	-1.59	1	-0.01	5
1278	-351	-383	Min.	16.87	-316.33	5	-14.15	5	-1.15	5	-9.15	5	-0.92	5	-0.01	5
1278	-383	-415	Max	2.51	365.79	5	25.73	5	1.01	1	29.03	5	0.46	1	0.01	5
1278	-383	-415	Max	16.87	366.81	5	25.73	5	2.66	5	29.05	5	2.73	5	0.01	5
1278	-383	-415	Min.	2.51	-323.45	5	-14.34	5	-1.19	1	-9.24	5	-1.54	1	-0.01	5
1278	-383	-415	Min.	16.87	-322.43	5	-14.34	5	-1.20	5	-9.22	5	-0.96	5	-0.01	5
1278	-415	-447	Max	2.51	424.53	5	26.04	5	0.99	1	29.72	5	0.45	1	0.01	5
1278	-415	-447	Max	16.87	425.55	5	26.04	5	2.77	5	29.75	5	2.90	5	0.01	5
1278	-415	-447	Min.	2.51	-329.75	5	-14.47	5	-1.14	1	-9.40	5	-1.49	1	-0.01	5
1278	-415	-447	Min.	16.87	-328.73	5	-14.47	5	-1.26	5	-9.37	5	-1.02	5	-0.01	5
1278	-447	-479	Max	2.51	485.95	5	27.88	5	0.96	1	29.53	5	0.43	1	0.01	5
1278	-447	-479	Max	16.87	486.97	5	27.88	5	3.11	5	29.56	5	2.98	5	0.01	5
1278	-447	-479	Min.	2.51	-336.26	5	-15.04	5	-1.08	1	-8.70	5	-1.40	1	-0.01	5
1278	-447	-479	Min.	16.87	-335.24	5	-15.04	5	-1.38	5	-8.68	5	-0.97	5	-0.01	5
1278	-479	-511	Max	2.51	549.42	5	19.47	5	0.90	1	35.49	5	0.39	1	0.01	5
1278	-479	-511	Max	16.87	550.44	5	19.47	5	2.15	5	35.51	5	3.99	5	0.01	5
1278	-479	-511	Min.	2.51	-342.85	5	-12.75	5	-0.89	1	-13.82	5	-1.25	1	-0.02	5
1278	-479	-511	Min.	16.87	-341.83	5	-12.75	5	-1.18	5	-13.80	5	-1.73	5	-0.02	5
1278	-511	1357	Max	2.51	619.95	5	72.01	5	0.43	5	21.84	1	0.32	5	0.01	1

1278	-511	1357	Max	14.38	620.79	5	72.01	5	7.87	5	21.86	1	2.04	1	0.01	1
1278	-511	1357	Min.	2.51	-359.66	5	-27.34	5	-0.68	5	-1.79	1	-0.57	5	-0.02	1
1278	-511	1357	Min.	14.38	-358.81	5	-27.34	5	-2.82	5	-1.77	1	0.10	1	-0.02	1
1279	355	-21	Max	4.85	0.00	1	0.00	1	0.00	1	0.00	1	0.00	1	0.00	1
1279	355	-21	Min.	4.85	0.00	1	0.00	1	0.00	1	0.00	1	0.00	1	0.00	1
1279	-21	-53	Max	4.85	0.00	1	0.00	1	0.00	1	0.00	1	0.00	1	0.00	1
1279	-21	-53	Min.	4.85	0.00	1	0.00	1	0.00	1	0.00	1	0.00	1	0.00	1
1279	-53	-85	Max	5.01	90.12	1	28.40	5	0.52	5	8.47	5	2.87	1	0.02	1
1279	-53	-85	Max	16.87	90.96	1	28.40	5	0.49	5	8.49	5	0.10	5	0.02	1
1279	-53	-85	Min.	5.01	-571.24	1	-4.39	5	-3.00	5	-25.71	5	-1.25	1	-0.01	1
1279	-53	-85	Min.	16.87	-570.40	1	-4.39	5	-0.11	5	-25.69	5	-0.52	5	-0.01	1
1279	-85	-117	Max	2.51	67.73	1	30.43	5	0.39	5	6.07	5	2.34	1	0.01	1
1279	-85	-117	Max	16.87	68.75	1	30.43	5	1.84	5	6.10	5	0.29	5	0.01	1
1279	-85	-117	Min.	2.51	-574.70	1	-4.11	5	-2.53	5	-28.03	5	-0.66	1	-0.01	1
1279	-85	-117	Min.	16.87	-573.68	1	-4.11	5	-0.20	5	-28.01	5	-1.76	5	-0.01	1
1279	-117	-149	Max	2.51	38.10	1	30.97	5	0.34	1	6.32	5	2.05	1	0.01	1
1279	-117	-149	Max	16.87	39.12	1	30.97	5	2.26	5	6.34	5	0.37	5	0.01	1
1279	-117	-149	Min.	2.51	-579.85	1	-4.17	5	-2.20	1	-28.49	5	-0.65	1	-0.01	1
1279	-117	-149	Min.	16.87	-578.83	1	-4.17	5	-0.26	5	-28.47	5	-2.15	5	-0.01	1
1279	-149	-181	Max	2.51	5.57	1	31.63	5	0.34	1	6.36	5	1.98	1	0.01	1
1279	-149	-181	Max	16.87	6.59	1	31.63	5	2.44	5	6.39	5	0.40	5	0.01	1
1279	-149	-181	Min.	2.51	-585.73	1	-4.18	5	-2.12	1	-29.10	5	-0.64	1	-0.01	1
1279	-149	-181	Min.	16.87	-584.71	1	-4.18	5	-0.28	5	-29.08	5	-2.32	5	-0.01	1
1279	-181	-213	Max	2.51	-28.85	1	32.25	5	0.34	1	6.41	5	1.94	1	0.00	1
1279	-181	-213	Max	16.87	-27.83	1	32.25	5	2.58	5	6.43	5	0.42	5	0.00	1
1279	-181	-213	Min.	2.51	-592.15	1	-4.19	5	-2.08	1	-29.70	5	-0.63	1	-0.01	1
1279	-181	-213	Min.	16.87	-591.13	1	-4.19	5	-0.29	5	-29.68	5	-2.45	5	-0.01	1
1279	-213	-245	Max	2.51	-65.03	1	32.93	5	0.33	1	6.44	5	1.92	1	0.00	1
1279	-213	-245	Max	16.87	-64.01	1	32.93	5	2.71	5	6.46	5	0.44	5	0.00	1
1279	-213	-245	Min.	2.51	-599.09	1	-4.18	5	-2.05	1	-30.32	5	-0.63	1	-0.01	1
1279	-213	-245	Min.	16.87	-598.07	1	-4.18	5	-0.31	5	-30.30	5	-2.58	5	-0.01	1
1279	-245	-277	Max	2.51	-72.86	5	33.62	5	0.33	1	6.45	5	1.88	1	0.00	1
1279	-245	-277	Max	16.87	-71.84	5	33.62	5	2.86	5	6.48	5	0.45	5	0.00	1
1279	-245	-277	Min.	2.51	-636.75	5	-4.15	5	-2.02	1	-30.98	5	-0.62	1	-0.01	1
1279	-245	-277	Min.	16.87	-635.73	5	-4.15	5	-0.32	5	-30.96	5	-2.71	5	-0.01	1
1279	-277	-309	Max	2.51	-72.11	5	34.32	5	0.32	1	6.46	5	1.85	1	0.01	1
1279	-277	-309	Max	16.87	-71.09	5	34.32	5	3.01	5	6.48	5	0.47	5	0.01	1
1279	-277	-309	Min.	2.51	-685.54	5	-4.11	5	-1.98	1	-31.64	5	-0.62	1	-0.01	1
1279	-277	-309	Min.	16.87	-684.52	5	-4.11	5	-0.32	5	-31.62	5	-2.85	5	-0.01	1
1279	-309	-341	Max	2.51	-71.66	5	35.03	5	0.31	1	6.45	5	1.80	1	0.01	1
1279	-309	-341	Max	16.87	-70.64	5	35.03	5	3.17	5	6.48	5	0.49	5	0.01	1
1279	-309	-341	Min.	2.51	-736.72	5	-4.06	5	-1.93	1	-32.28	5	-0.61	1	-0.01	1
1279	-309	-341	Min.	16.87	-735.70	5	-4.06	5	-0.33	5	-32.26	5	-3.00	5	-0.01	1
1279	-341	-373	Max	2.51	-71.57	5	35.79	5	0.30	1	6.43	5	1.76	1	0.01	1
1279	-341	-373	Max	16.87	-70.55	5	35.79	5	3.34	5	6.45	5	0.50	5	0.01	1
1279	-341	-373	Min.	2.51	-790.44	5	-3.98	5	-1.87	1	-33.02	5	-0.60	1	-0.01	1
1279	-341	-373	Min.	16.87	-789.42	5	-3.98	5	-0.34	5	-32.99	5	-3.16	5	-0.01	1
1279	-373	-405	Max	2.51	-71.87	5	36.59	5	0.29	1	6.41	5	1.70	1	0.01	1
1279	-373	-405	Max	16.87	-70.85	5	36.59	5	3.53	5	6.44	5	0.52	5	0.01	1
1279	-373	-405	Min.	2.51	-846.90	5	-3.91	5	-1.81	1	-33.67	5	-0.59	1	-0.01	1
1279	-373	-405	Min.	16.87	-845.88	5	-3.91	5	-0.35	5	-33.65	5	-3.33	5	-0.01	1
1279	-405	-437	Max	2.51	-72.60	5	37.21	5	0.28	1	6.31	5	1.63	1	0.01	1
1279	-405	-437	Max	16.87	-71.58	5	37.21	5	3.71	5	6.33	5	0.54	5	0.01	1
1279	-405	-437	Min.	2.51	-906.24	5	-3.78	5	-1.74	1	-34.74	5	-0.58	1	-0.01	1
1279	-405	-437	Min.	16.87	-905.22	5	-3.78	5	-0.36	5	-34.72	5	-3.57	5	-0.01	1
1279	-437	-469	Max	2.51	-73.81	5	39.57	5	0.27	1	6.66	5	1.52	1	0.01	1
1279	-437	-469	Max	16.87	-72.79	5	39.57	5	4.16	5	6.69	5	0.62	5	0.01	1
1279	-437	-469	Min.	2.51	-968.66	5	-3.80	5	-1.63	1	-33.27	5	-0.57	1	-0.01	1
1279	-437	-469	Min.	16.87	-967.64	5	-3.80	5	-0.39	5	-33.25	5	-3.48	5	-0.01	1

1279	-469	-501	Max	2.51	-63.90	5	29.69	5	0.26	1	3.86	5	1.39	1	0.00	5
1279	-469	-501	Max	16.87	-62.88	5	29.69	5	3.05	5	3.89	5	0.29	5	0.00	5
1279	-469	-501	Min.	2.51	-1044.49	5	-2.78	5	-1.36	1	-49.49	5	-0.47	1	-0.01	5
1279	-469	-501	Min.	16.87	-1043.47	5	-2.78	5	-0.29	5	-49.46	5	-5.92	5	-0.01	5
1279	-501	1334	Max	2.51	-48.06	5	93.13	5	0.08	5	45.53	5	-0.10	5	0.00	5
1279	-501	1334	Max	14.38	-47.22	5	93.13	5	10.03	5	45.55	5	4.34	5	0.00	5
1279	-501	1334	Min.	2.51	-1126.60	5	-7.79	5	-1.03	5	12.72	5	-1.07	5	-0.01	5
1279	-501	1334	Min.	14.38	-1125.76	5	-7.79	5	-0.84	5	12.74	5	1.42	5	-0.01	5
1300	1299	1300	Max	1.77	84.98	5	16.11	1	3.65	5	1.07	1	0.34	5	0.01	1
1300	1299	1300	Max	10.00	84.98	5	16.69	1	3.38	5	1.07	1	0.31	5	0.01	1
1300	1299	1300	Min.	1.77	-10.96	5	-14.54	1	-1.48	5	-1.22	1	-0.03	5	-0.01	1
1300	1299	1300	Min.	10.00	-10.96	5	-13.96	1	-1.03	5	-1.22	1	-0.02	5	-0.01	1
1300	1300	1301	Max	0.00	85.00	5	16.69	1	3.38	5	1.07	1	0.31	5	0.01	1
1300	1300	1301	Max	8.23	85.00	5	17.28	1	3.90	5	1.07	1	0.33	5	0.01	1
1300	1300	1301	Min.	0.00	-10.99	5	-13.96	1	-1.03	5	-1.22	1	-0.02	5	-0.01	1
1300	1300	1301	Min.	8.23	-10.99	5	-13.37	1	-1.28	5	-1.22	1	-0.05	5	-0.01	1
1302	1319	1320	Max	1.77	-0.09	5	0.66	1	0.04	5	14.57	1	-0.15	5	0.02	1
1302	1319	1320	Max	10.00	-0.09	5	0.66	1	0.02	5	15.15	1	-0.40	5	0.02	1
1302	1319	1320	Min.	1.77	-98.96	5	-0.91	1	-0.31	5	-12.42	1	-5.65	5	-0.02	1
1302	1319	1320	Min.	10.00	-98.96	5	-0.91	1	-0.31	5	-11.84	1	-5.18	5	-0.02	1
1302	1320	1321	Max	0.00	-0.11	5	0.63	1	0.02	5	15.15	1	-0.40	5	0.02	1
1302	1320	1321	Max	8.23	-0.11	5	0.63	1	0.03	5	15.74	1	0.05	5	0.02	1
1302	1320	1321	Min.	0.00	-98.94	5	-0.88	1	-0.31	5	-11.84	1	-5.18	5	-0.02	1
1302	1320	1321	Min.	8.23	-98.94	5	-0.88	1	-0.34	5	-11.25	1	-5.30	5	-0.02	1
1344	1331	1332	Max	1.77	-0.20	5	14.46	1	-0.15	5	0.66	1	0.04	5	0.02	1
1344	1331	1332	Max	10.00	-0.20	5	15.04	1	-0.40	5	0.66	1	0.02	5	0.02	1
1344	1331	1332	Min.	1.77	-98.91	5	-12.46	1	-5.63	5	-0.92	1	-0.31	5	-0.01	1
1344	1331	1332	Min.	10.00	-98.91	5	-11.88	1	-5.18	5	-0.92	1	-0.31	5	-0.01	1
1344	1332	1333	Max	0.00	-0.23	5	15.04	1	-0.40	5	0.63	1	0.02	5	0.02	1
1344	1332	1333	Max	8.23	-0.23	5	15.63	1	0.06	5	0.63	1	0.03	5	0.02	1
1344	1332	1333	Min.	0.00	-98.88	5	-11.88	1	-5.18	5	-0.89	1	-0.31	5	-0.01	1
1344	1332	1333	Min.	8.23	-98.88	5	-11.29	1	-5.32	5	-0.89	1	-0.34	5	-0.01	1
1346	1351	1352	Max	1.77	84.92	5	1.08	1	0.33	5	15.85	1	3.67	5	0.01	1
1346	1351	1352	Max	10.00	84.92	5	1.08	1	0.31	5	16.43	1	3.38	5	0.01	1
1346	1351	1352	Min.	1.77	-10.83	5	-1.20	1	-0.04	5	-14.54	1	-1.48	5	-0.01	1
1346	1351	1352	Min.	10.00	-10.83	5	-1.20	1	-0.02	5	-13.95	1	-1.03	5	-0.01	1
1346	1352	1353	Max	0.00	84.94	5	1.07	1	0.31	5	16.43	1	3.38	5	0.01	1
1346	1352	1353	Max	8.23	84.94	5	1.07	1	0.33	5	17.02	1	3.88	5	0.01	1
1346	1352	1353	Min.	0.00	-10.85	5	-1.19	1	-0.02	5	-13.95	1	-1.03	5	-0.01	1
1346	1352	1353	Min.	8.23	-10.85	5	-1.19	1	-0.05	5	-13.37	1	-1.27	5	-0.01	1
1384	1328	1340	Max	1.77	6.64	1	0.72	5	0.18	5	46.96	5	1.15	5	0.08	5
1384	1328	1340	Max	10.00	6.64	1	0.72	5	0.04	1	47.54	5	-0.18	5	0.08	5
1384	1328	1340	Min.	1.77	-13.03	1	-2.20	5	-0.06	5	-16.43	5	-4.27	5	-0.22	5
1384	1328	1340	Min.	10.00	-13.03	1	-2.20	5	-0.05	1	-15.84	5	-0.38	5	-0.22	5
1384	1340	1348	Max	0.00	6.67	1	0.69	5	0.04	1	47.54	5	-0.18	5	0.08	5
1384	1340	1348	Max	8.23	6.67	1	0.69	5	0.07	5	48.13	5	3.55	5	0.08	5
1384	1340	1348	Min.	0.00	-13.06	1	-2.17	5	-0.05	1	-15.84	5	-0.38	5	-0.22	5
1384	1340	1348	Min.	8.23	-13.06	1	-2.17	5	-0.20	5	-15.26	5	-1.46	5	-0.22	5
1387	1330	1341	Max	1.77	6.47	1	49.92	5	0.98	5	1.03	5	0.24	5	0.21	5
1387	1330	1341	Max	10.00	6.47	1	50.50	5	-0.48	5	1.03	5	0.05	1	0.21	5
1387	1330	1341	Min.	1.77	-13.53	1	-18.00	5	-4.83	5	-2.79	5	-0.09	5	-0.07	5
1387	1330	1341	Min.	10.00	-13.53	1	-17.42	5	-0.70	5	-2.79	5	-0.04	1	-0.07	5
1387	1341	1350	Max	0.00	6.50	1	50.50	5	-0.48	5	1.00	5	0.05	1	0.21	5
1387	1341	1350	Max	8.23	6.50	1	51.09	5	3.48	5	1.00	5	0.10	5	0.21	5
1387	1341	1350	Min.	0.00	-13.56	1	-17.42	5	-0.70	5	-2.76	5	-0.04	1	-0.07	5
1387	1341	1350	Min.	8.23	-13.56	1	-16.83	5	-1.89	5	-2.76	5	-0.24	5	-0.07	5
1422	1331	1342	Max	1.77	7.32	1	0.20	5	0.26	5	62.10	5	-0.35	5	0.02	5
1422	1331	1342	Max	10.00	7.32	1	0.20	5	0.06	1	62.69	5	-0.59	1	0.02	5
1422	1331	1342	Min.	1.77	-22.46	1	-3.15	5	-0.03	5	-4.10	5	-6.13	5	-0.27	5

1422	1331	1342	Min.	10.00	-22.46	1	-3.15	5	-0.07	1	-3.52	5	-1.07	1	-0.27	5
1422	1342	1351	Max	0.00	7.34	1	0.17	5	0.06	1	62.69	5	-0.59	1	0.02	5
1422	1342	1351	Max	8.23	7.34	1	0.17	5	0.03	5	63.27	5	4.27	5	0.02	5
1422	1342	1351	Min.	0.00	-22.49	1	-3.12	5	-0.07	1	-3.52	5	-1.07	1	-0.27	5
1422	1342	1351	Min.	8.23	-22.49	1	-3.12	5	-0.28	5	-2.93	5	-1.02	5	-0.27	5
1425	1333	1343	Max	1.77	9.96	1	62.87	5	-0.31	5	0.20	5	0.29	5	0.27	5
1425	1333	1343	Max	10.00	9.96	1	63.45	5	-0.54	1	0.20	5	0.07	1	0.27	5
1425	1333	1343	Min.	1.77	-19.79	1	-4.18	5	-6.13	5	-3.29	5	-0.02	5	-0.02	5
1425	1333	1343	Min.	10.00	-19.79	1	-3.60	5	-1.02	1	-3.29	5	-0.06	1	-0.02	5
1425	1343	1353	Max	0.00	9.99	1	63.45	5	-0.54	1	0.17	5	0.07	1	0.27	5
1425	1343	1353	Max	8.23	9.99	1	64.04	5	4.40	5	0.17	5	0.04	5	0.27	5
1425	1343	1353	Min.	0.00	-19.82	1	-3.60	5	-1.02	1	-3.27	5	-0.06	1	-0.02	5
1425	1343	1353	Min.	8.23	-19.82	1	-3.01	5	-0.98	5	-3.27	5	-0.28	5	-0.02	5
1460	1334	1344	Max	1.77	10.22	1	0.20	5	0.29	5	62.90	5	-0.31	5	0.02	5
1460	1334	1344	Max	10.00	10.22	1	0.20	5	0.07	1	63.49	5	-0.55	1	0.02	5
1460	1334	1344	Min.	1.77	-19.22	1	-3.29	5	-0.02	5	-4.19	5	-6.15	5	-0.27	5
1460	1334	1344	Min.	10.00	-19.22	1	-3.29	5	-0.06	1	-3.61	5	-1.03	1	-0.27	5
1460	1344	1354	Max	0.00	10.25	1	0.18	5	0.07	1	63.49	5	-0.55	1	0.02	5
1460	1344	1354	Max	8.23	10.25	1	0.18	5	0.04	5	64.07	5	4.38	5	0.02	5
1460	1344	1354	Min.	0.00	-19.25	1	-3.27	5	-0.06	1	-3.61	5	-1.03	1	-0.27	5
1460	1344	1354	Min.	8.23	-19.25	1	-3.27	5	-0.28	5	-3.02	5	-0.98	5	-0.27	5
1463	1336	1345	Max	1.77	7.05	1	62.06	5	-0.36	5	0.19	5	0.26	5	0.27	5
1463	1336	1345	Max	10.00	7.05	1	62.65	5	-0.59	1	0.19	5	0.06	1	0.27	5
1463	1336	1345	Min.	1.77	-23.02	1	-4.10	5	-6.11	5	-3.15	5	-0.03	5	-0.02	5
1463	1336	1345	Min.	10.00	-23.02	1	-3.51	5	-1.06	1	-3.15	5	-0.07	1	-0.02	5
1463	1345	1356	Max	0.00	7.08	1	62.65	5	-0.59	1	0.17	5	0.06	1	0.27	5
1463	1345	1356	Max	8.23	7.08	1	63.23	5	4.29	5	0.17	5	0.03	5	0.27	5
1463	1345	1356	Min.	0.00	-23.05	1	-3.51	5	-1.06	1	-3.12	5	-0.07	1	-0.02	5
1463	1345	1356	Min.	8.23	-23.05	1	-2.93	5	-1.02	5	-3.12	5	-0.29	5	-0.02	5
1498	1337	1346	Max	1.77	6.62	1	1.03	5	0.24	5	49.94	5	0.98	5	0.07	5
1498	1337	1346	Max	10.00	6.62	1	1.03	5	0.05	1	50.52	5	-0.48	5	0.07	5
1498	1337	1346	Min.	1.77	-13.24	1	-2.79	5	-0.09	5	-17.98	5	-4.85	5	-0.21	5
1498	1337	1346	Min.	10.00	-13.24	1	-2.79	5	-0.04	1	-17.40	5	-0.72	5	-0.21	5
1498	1346	1357	Max	0.00	6.59	1	1.00	5	0.05	1	50.52	5	-0.48	5	0.07	5
1498	1346	1357	Max	8.23	6.59	1	1.00	5	0.10	5	51.11	5	3.47	5	0.07	5
1498	1346	1357	Min.	0.00	-13.21	1	-2.76	5	-0.04	1	-17.40	5	-0.72	5	-0.21	5
1498	1346	1357	Min.	8.23	-13.21	1	-2.76	5	-0.23	5	-16.81	5	-1.89	5	-0.21	5
1501	1339	1347	Max	1.77	6.57	1	46.95	5	1.15	5	0.72	5	0.18	5	0.22	5
1501	1339	1347	Max	10.00	6.57	1	47.53	5	-0.18	5	0.72	5	0.04	1	0.22	5
1501	1339	1347	Min.	1.77	-13.39	1	-16.43	5	-4.26	5	-2.20	5	-0.06	5	-0.08	5
1501	1339	1347	Min.	10.00	-13.39	1	-15.84	5	-0.37	5	-2.20	5	-0.05	1	-0.08	5
1501	1347	1359	Max	0.00	6.60	1	47.53	5	-0.18	5	0.69	5	0.04	1	0.22	5
1501	1347	1359	Max	8.23	6.60	1	48.12	5	3.57	5	0.69	5	0.07	5	0.22	5
1501	1347	1359	Min.	0.00	-13.42	1	-15.84	5	-0.37	5	-2.17	5	-0.05	1	-0.08	5
1501	1347	1359	Min.	8.23	-13.42	1	-15.26	5	-1.46	5	-2.17	5	-0.20	5	-0.08	5
1519	1032	1324	Max	8.49	20.71	1	2.75	5	1.00	5	-47.81	5	53.26	5	12.69	5
1519	1032	1324	Max	11.31	20.71	1	2.75	5	0.35	5	-48.01	5	19.26	5	12.69	5
1519	1032	1324	Min.	8.49	-23.30	1	-22.92	5	-0.12	5	-1202.03	5	-0.23	5	-1.35	5
1519	1032	1324	Min.	11.31	-23.30	1	-22.92	5	-0.04	5	-1202.23	5	-1.58	5	-1.35	5
1519	1302	1032	Max	2.83	-5.42	1	25.66	5	0.39	5	217.59	5	1.68	5	1.39	5
1519	1302	1032	Max	5.66	-5.42	1	25.66	5	1.12	5	217.39	5	7.83	5	1.39	5
1519	1302	1032	Min.	2.83	-51.37	1	-3.70	5	-0.05	5	-866.92	5	-19.14	5	-12.79	5
1519	1302	1032	Min.	5.66	-51.37	1	-3.70	5	-0.16	5	-867.12	5	-43.67	5	-12.79	5
1520	1029	1319	Max	8.49	20.65	1	23.06	5	0.11	5	-46.88	5	53.18	5	1.33	5
1520	1029	1319	Max	11.31	20.65	1	23.06	5	0.04	5	-47.08	5	19.21	5	1.33	5
1520	1029	1319	Min.	8.49	-23.39	1	-2.62	5	-1.01	5	-1200.84	5	-0.27	5	-12.69	5
1520	1029	1319	Min.	11.31	-23.39	1	-2.62	5	-0.35	5	-1201.04	5	-1.60	5	-12.69	5
1520	1301	1029	Max	2.83	-5.27	1	3.82	5	0.05	5	218.52	5	1.70	5	12.77	5
1520	1301	1029	Max	5.66	-5.27	1	3.82	5	0.16	5	218.32	5	7.87	5	12.77	5

1520	1301	1029	Min.	2.83	-51.35	1	-25.24	5	-0.39	5	-865.74	5	-19.10	5	-1.38	5
1520	1301	1029	Min.	5.66	-51.35	1	-25.24	5	-1.10	5	-865.94	5	-43.59	5	-1.38	5
1521	1299	1029	Max	2.83	-1.44	1	25.67	5	0.39	5	228.97	5	2.04	5	1.14	5
1521	1299	1029	Max	5.66	-1.44	1	25.67	5	1.11	5	228.77	5	8.51	5	1.14	5
1521	1299	1029	Min.	2.83	-47.24	1	-2.75	5	-0.04	5	-853.04	5	-18.67	5	-13.06	5
1521	1299	1029	Min.	5.66	-47.24	1	-2.75	5	-0.12	5	-853.24	5	-42.80	5	-13.06	5
1521	1029	1321	Max	8.49	16.52	1	1.72	5	1.11	5	-36.23	5	52.40	5	13.06	5
1521	1029	1321	Max	11.31	16.52	1	1.72	5	0.39	5	-36.43	5	18.78	5	13.06	5
1521	1029	1321	Min.	8.49	-27.21	1	-25.64	5	-0.08	5	-1188.34	5	-0.92	5	-1.10	5
1521	1029	1321	Min.	11.31	-27.21	1	-25.64	5	-0.03	5	-1188.54	5	-1.94	5	-1.10	5
1522	1035	1327	Max	8.49	21.65	1	5.44	5	0.66	5	247.15	5	39.17	5	10.12	5
1522	1035	1327	Max	11.31	21.65	1	5.44	5	0.24	5	246.95	5	14.59	5	10.12	5
1522	1035	1327	Min.	8.49	-16.46	1	-14.88	5	-0.23	5	-869.16	5	-12.56	5	-3.21	5
1522	1035	1327	Min.	11.31	-16.46	1	-14.88	5	-0.08	5	-869.36	5	-5.58	5	-3.21	5
1522	1305	1035	Max	2.83	0.62	1	21.86	5	0.34	5	375.54	5	5.64	5	3.38	5
1522	1305	1035	Max	5.66	0.62	1	21.86	5	0.96	5	375.34	5	16.26	5	3.38	5
1522	1305	1035	Min.	2.83	-37.82	1	-9.61	5	-0.14	5	-676.74	5	-14.51	5	-10.39	5
1522	1305	1035	Min.	5.66	-37.82	1	-9.61	5	-0.41	5	-676.94	5	-33.66	5	-10.39	5
1523	1026	1318	Max	8.49	9.83	1	7.94	5	0.98	5	180.20	5	41.65	5	10.00	5
1523	1026	1318	Max	11.31	9.83	1	7.94	5	0.33	5	180.00	5	15.11	5	10.00	5
1523	1026	1318	Min.	8.49	-25.27	1	-22.68	5	-0.35	5	-938.26	5	-9.89	5	-3.86	5
1523	1026	1318	Min.	11.31	-25.27	1	-22.68	5	-0.13	5	-938.46	5	-4.80	5	-3.86	5
1523	1296	1026	Max	2.83	11.15	1	17.51	5	0.26	5	302.99	5	4.86	5	3.78	5
1523	1296	1026	Max	5.66	11.15	1	17.51	5	0.76	5	302.79	5	13.43	5	3.78	5
1523	1296	1026	Min.	2.83	-27.58	1	-5.69	5	-0.09	5	-741.23	5	-15.03	5	-9.80	5
1523	1296	1026	Min.	5.66	-27.58	1	-5.69	5	-0.25	5	-741.43	5	-36.00	5	-9.80	5
1524	1026	1316	Max	8.49	21.67	1	14.70	5	0.23	5	247.52	5	39.13	5	3.20	5
1524	1026	1316	Max	11.31	21.67	1	14.70	5	0.08	5	247.32	5	14.57	5	3.20	5
1524	1026	1316	Min.	8.49	-16.45	1	-5.39	5	-0.66	5	-868.43	5	-12.57	5	-10.11	5
1524	1026	1316	Min.	11.31	-16.45	1	-5.39	5	-0.24	5	-868.63	5	-5.57	5	-10.11	5
1524	1298	1026	Max	2.83	0.70	1	9.57	5	0.13	5	375.41	5	5.63	5	10.39	5
1524	1298	1026	Max	5.66	0.70	1	9.57	5	0.41	5	375.21	5	16.25	5	10.39	5
1524	1298	1026	Min.	2.83	-37.80	1	-21.81	5	-0.34	5	-676.51	5	-14.49	5	-3.36	5
1524	1298	1026	Min.	5.66	-37.80	1	-21.81	5	-0.96	5	-676.71	5	-33.62	5	-3.36	5
1525	1032	1322	Max	8.49	16.43	1	25.81	5	0.07	5	-35.23	5	52.31	5	1.09	5
1525	1032	1322	Max	11.31	16.43	1	25.81	5	0.03	5	-35.43	5	18.73	5	1.09	5
1525	1032	1322	Min.	8.49	-27.33	1	-1.60	5	-1.12	5	-1187.14	5	-0.97	5	-13.06	5
1525	1032	1322	Min.	11.31	-27.33	1	-1.60	5	-0.39	5	-1187.34	5	-1.97	5	-13.06	5
1525	1304	1032	Max	2.83	-1.27	1	2.86	5	0.04	5	229.99	5	2.06	5	13.04	5
1525	1304	1032	Max	5.66	-1.27	1	2.86	5	0.12	5	229.79	5	8.56	5	13.04	5
1525	1304	1032	Min.	2.83	-47.20	1	-25.25	5	-0.38	5	-851.82	5	-18.62	5	-1.13	5
1525	1304	1032	Min.	5.66	-47.20	1	-25.25	5	-1.09	5	-852.02	5	-42.72	5	-1.13	5
1526	1035	1325	Max	8.49	9.71	1	22.36	5	0.34	5	180.77	5	41.59	5	3.85	5
1526	1035	1325	Max	11.31	9.71	1	22.36	5	0.12	5	180.57	5	15.07	5	3.85	5
1526	1035	1325	Min.	8.49	-25.37	1	-7.74	5	-0.96	5	-937.62	5	-9.92	5	-9.98	5
1526	1035	1325	Min.	11.31	-25.37	1	-7.74	5	-0.33	5	-937.82	5	-4.81	5	-9.98	5
1526	1307	1035	Max	2.83	11.25	1	5.82	5	0.10	5	304.06	5	4.87	5	9.80	5
1526	1307	1035	Max	5.66	11.25	1	5.82	5	0.26	5	303.87	5	13.47	5	9.80	5
1526	1307	1035	Min.	2.83	-27.60	1	-17.63	5	-0.26	5	-740.12	5	-14.99	5	-3.78	5
1526	1307	1035	Min.	5.66	-27.60	1	-17.63	5	-0.76	5	-740.32	5	-35.93	5	-3.78	5
1551	1330	1286	Max	2.83	9.72	1	22.35	5	0.33	5	937.88	5	15.07	5	3.85	5
1551	1330	1286	Max	5.66	9.72	1	22.35	5	0.96	5	937.68	5	41.60	5	3.85	5
1551	1330	1286	Min.	2.83	-25.36	1	-7.76	5	-0.12	5	-180.51	5	-4.81	5	-9.97	5
1551	1330	1286	Min.	5.66	-25.36	1	-7.76	5	-0.34	5	-180.71	5	-9.92	5	-9.97	5
1551	1286	1348	Max	8.49	11.27	1	5.77	5	0.76	5	740.73	5	13.45	5	9.79	5
1551	1286	1348	Max	11.31	11.27	1	5.77	5	0.26	5	740.53	5	4.87	5	9.79	5
1551	1286	1348	Min.	8.49	-27.56	1	-17.61	5	-0.26	5	-303.43	5	-35.95	5	-3.77	5
1551	1286	1348	Min.	11.31	-27.56	1	-17.61	5	-0.09	5	-303.63	5	-15.00	5	-3.77	5
1552	1336	1292	Max	2.83	20.62	1	22.94	5	0.35	5	1201.31	5	19.22	5	1.34	5

1552	1336	1292	Max	5.66	20.62	1	22.94	5	1.00	5	1201.11	5	53.19	5	1.34	5
1552	1336	1292	Min.	2.83	-23.33	1	-2.67	5	-0.04	5	47.45	5	-1.59	5	-12.68	5
1552	1336	1292	Min.	5.66	-23.33	1	-2.67	5	-0.11	5	47.25	5	-0.25	5	-12.68	5
1552	1292	1354	Max	8.49	-5.29	1	3.76	5	1.10	5	866.61	5	7.84	5	12.77	5
1552	1292	1354	Max	11.31	-5.29	1	3.76	5	0.39	5	866.41	5	1.69	5	12.77	5
1552	1292	1354	Min.	8.49	-51.26	1	-25.33	5	-0.16	5	-217.57	5	-43.62	5	-1.38	5
1552	1292	1354	Min.	11.31	-51.26	1	-25.33	5	-0.05	5	-217.77	5	-19.11	5	-1.38	5
1553	1328	1286	Max	2.83	21.61	1	5.43	5	0.08	5	868.67	5	14.58	5	10.13	5
1553	1328	1286	Max	5.66	21.61	1	5.43	5	0.23	5	868.47	5	39.14	5	10.13	5
1553	1328	1286	Min.	2.83	-16.35	1	-14.91	5	-0.24	5	-247.00	5	-5.57	5	-3.21	5
1553	1328	1286	Min.	5.66	-16.35	1	-14.91	5	-0.67	5	-247.19	5	-12.56	5	-3.21	5
1553	1286	1350	Max	8.49	0.56	1	21.84	5	0.41	5	676.61	5	16.24	5	3.37	5
1553	1286	1350	Max	11.31	0.56	1	21.84	5	0.14	5	676.41	5	5.63	5	3.37	5
1553	1286	1350	Min.	8.49	-37.74	1	-9.61	5	-0.96	5	-375.00	5	-33.64	5	-10.39	5
1553	1286	1350	Min.	11.31	-37.74	1	-9.61	5	-0.34	5	-375.20	5	-14.50	5	-10.39	5
1554	1337	1295	Max	2.83	9.82	1	7.80	5	0.12	5	938.03	5	15.10	5	9.99	5
1554	1337	1295	Max	5.66	9.82	1	7.80	5	0.34	5	937.83	5	41.63	5	9.99	5
1554	1337	1295	Min.	2.83	-25.27	1	-22.44	5	-0.33	5	-180.46	5	-4.81	5	-3.85	5
1554	1337	1295	Min.	5.66	-25.27	1	-22.44	5	-0.97	5	-180.66	5	-9.92	5	-3.85	5
1554	1295	1359	Max	8.49	11.13	1	17.75	5	0.26	5	740.88	5	13.45	5	3.78	5
1554	1295	1359	Max	11.31	11.13	1	17.75	5	0.10	5	740.68	5	4.87	5	3.78	5
1554	1295	1359	Min.	8.49	-27.58	1	-5.81	5	-0.77	5	-303.40	5	-35.97	5	-9.81	5
1554	1295	1359	Min.	11.31	-27.58	1	-5.81	5	-0.26	5	-303.60	5	-15.02	5	-9.81	5
1555	1331	1289	Max	2.83	20.69	1	2.70	5	0.04	5	1201.25	5	19.24	5	12.70	5
1555	1331	1289	Max	5.66	20.69	1	2.70	5	0.11	5	1201.05	5	53.22	5	12.70	5
1555	1331	1289	Min.	2.83	-23.22	1	-23.07	5	-0.36	5	47.48	5	-1.59	5	-1.34	5
1555	1331	1289	Min.	5.66	-23.22	1	-23.07	5	-1.01	5	47.28	5	-0.25	5	-1.34	5
1555	1289	1353	Max	8.49	-5.45	1	25.53	5	0.16	5	866.55	5	7.84	5	1.38	5
1555	1289	1353	Max	10.75					-0.00	7			1.54	7		
1555	1289	1353	Max	11.31	-5.45	1	25.53	5	0.05	5	866.35	5	1.68	5	1.38	5
1555	1289	1353	Min.	8.49	-51.29	1	-3.71	5	-1.11	5	-217.54	5	-43.64	5	-12.79	5
1555	1289	1353	Min.	10.75					-0.46	7			-22.65	7		
1555	1289	1353	Min.	11.31	-51.29	1	-3.71	5	-0.39	5	-217.74	5	-19.13	5	-12.79	5
1556	1289	1351	Max	8.49	-1.28	1	2.79	5	1.10	5	852.88	5	8.53	5	13.04	5
1556	1289	1351	Max	11.31	-1.28	1	2.79	5	0.38	5	852.68	5	2.05	5	13.04	5
1556	1289	1351	Min.	8.49	-47.14	1	-25.33	5	-0.12	5	-228.88	5	-42.75	5	-1.13	5
1556	1289	1351	Min.	11.31	-47.14	1	-25.33	5	-0.04	5	-229.08	5	-18.63	5	-1.13	5
1556	1333	1289	Max	2.83	16.42	1	25.69	5	0.39	5	1187.78	5	18.74	5	1.09	5
1556	1333	1289	Max	5.66	16.42	1	25.69	5	1.11	5	1187.58	5	52.34	5	1.09	5
1556	1333	1289	Min.	2.83	-27.28	1	-1.67	5	-0.03	5	35.93	5	-1.95	5	-13.05	5
1556	1333	1289	Min.	5.66	-27.28	1	-1.67	5	-0.07	5	35.73	5	-0.94	5	-13.05	5
1557	1339	1295	Max	2.83	21.59	1	14.83	5	0.24	5	868.84	5	14.57	5	3.21	5
1557	1339	1295	Max	5.66	21.59	1	14.83	5	0.66	5	868.64	5	39.14	5	3.21	5
1557	1339	1295	Min.	2.83	-16.40	1	-5.42	5	-0.08	5	-246.96	5	-5.57	5	-10.11	5
1557	1339	1295	Min.	5.66	-16.40	1	-5.42	5	-0.23	5	-247.16	5	-12.55	5	-10.11	5
1557	1295	1357	Max	8.49	0.65	1	9.56	5	0.95	5	676.76	5	16.24	5	10.37	5
1557	1295	1357	Max	11.31	0.65	1	9.56	5	0.34	5	676.56	5	5.63	5	10.37	5
1557	1295	1357	Min.	8.49	-37.74	1	-21.66	5	-0.41	5	-374.98	5	-33.63	5	-3.37	5
1557	1295	1357	Min.	11.31	-37.74	1	-21.66	5	-0.13	5	-375.18	5	-14.49	5	-3.37	5
1558	1292	1356	Max	8.49	-1.46	1	25.52	5	0.12	5	852.91	5	8.52	5	1.14	5
1558	1292	1356	Max	11.31	-1.46	1	25.52	5	0.04	5	852.71	5	2.04	5	1.14	5
1558	1292	1356	Min.	8.49	-47.18	1	-2.75	5	-1.11	5	-228.80	5	-42.78	5	-13.06	5
1558	1292	1356	Min.	11.31	-47.18	1	-2.75	5	-0.39	5	-229.00	5	-18.66	5	-13.06	5
1558	1334	1292	Max	2.83	16.52	1	1.71	5	0.03	5	1187.83	5	18.77	5	13.07	5
1558	1334	1292	Max	5.66	16.52	1	1.71	5	0.08	5	1187.63	5	52.37	5	13.07	5
1558	1334	1292	Min.	2.83	-27.14	1	-25.81	5	-0.39	5	36.00	5	-1.95	5	-1.09	5
1558	1334	1292	Min.	5.66	-27.14	1	-25.81	5	-1.12	5	35.80	5	-0.93	5	-1.09	5
1579	1302	1303	Max	1.77	84.93	5	13.45	1	3.87	5	1.19	1	0.33	5	0.01	1
1579	1302	1303	Max	10.00	84.93	5	14.04	1	3.38	5	1.19	1	0.31	5	0.01	1

1579	1302	1303	Min.	1.77	-10.86	5	-17.07	1	-1.28	5	-1.09	1	-0.05	5	-0.01	1
1579	1302	1303	Min.	10.00	-10.86	5	-16.49	1	-1.03	5	-1.09	1	-0.02	5	-0.01	1
1579	1303	1304	Max	0.00	84.92	5	14.04	1	3.38	5	1.20	1	0.31	5	0.01	1
1579	1303	1304	Max	8.23	84.92	5	14.62	1	3.68	5	1.20	1	0.33	5	0.01	1
1579	1303	1304	Min.	0.00	-10.85	5	-16.49	1	-1.03	5	-1.10	1	-0.02	5	-0.01	1
1579	1303	1304	Min.	8.23	-10.85	5	-15.90	1	-1.48	5	-1.10	1	-0.04	5	-0.01	1
1581	1322	1323	Max	1.77	-0.23	5	0.90	1	0.03	5	11.24	1	0.06	5	0.02	1
1581	1322	1323	Max	10.00	-0.23	5	0.90	1	0.02	5	11.82	1	-0.40	5	0.02	1
1581	1322	1323	Min.	1.77	-98.88	5	-0.62	1	-0.34	5	-15.72	1	-5.31	5	-0.01	1
1581	1322	1323	Min.	10.00	-98.88	5	-0.62	1	-0.31	5	-15.13	1	-5.18	5	-0.01	1
1581	1323	1324	Max	0.00	-0.21	5	0.93	1	0.02	5	11.82	1	-0.40	5	0.02	1
1581	1323	1324	Max	8.23	-0.21	5	0.93	1	0.04	5	12.41	1	-0.15	5	0.02	1
1581	1323	1324	Min.	0.00	-98.91	5	-0.65	1	-0.31	5	-15.13	1	-5.18	5	-0.01	1
1581	1323	1324	Min.	8.23	-98.91	5	-0.65	1	-0.31	5	-14.55	1	-5.64	5	-0.01	1
1623	1334	1335	Max	1.77	-0.11	5	11.20	1	0.05	5	0.90	1	0.03	5	0.01	1
1623	1334	1335	Max	10.00	-0.11	5	11.79	1	-0.40	5	0.90	1	0.02	5	0.01	1
1623	1334	1335	Min.	1.77	-98.94	5	-15.81	1	-5.29	5	-0.63	1	-0.34	5	-0.02	1
1623	1334	1335	Min.	10.00	-98.94	5	-15.22	1	-5.18	5	-0.63	1	-0.31	5	-0.02	1
1623	1335	1336	Max	0.00	-0.08	5	11.79	1	-0.40	5	0.93	1	0.02	5	0.01	1
1623	1335	1336	Max	8.23	-0.08	5	12.37	1	-0.15	5	0.93	1	0.04	5	0.01	1
1623	1335	1336	Min.	0.00	-98.97	5	-15.22	1	-5.18	5	-0.66	1	-0.31	5	-0.02	1
1623	1335	1336	Min.	8.23	-98.97	5	-14.64	1	-5.66	5	-0.66	1	-0.31	5	-0.02	1
1625	1354	1355	Max	1.77	85.02	5	1.20	1	0.33	5	13.31	1	3.90	5	0.01	1
1625	1354	1355	Max	10.00	85.02	5	1.20	1	0.31	5	13.90	1	3.38	5	0.01	1
1625	1354	1355	Min.	1.77	-10.98	5	-1.06	1	-0.05	5	-17.17	1	-1.28	5	-0.01	1
1625	1354	1355	Min.	10.00	-10.98	5	-1.06	1	-0.02	5	-16.58	1	-1.03	5	-0.01	1
1625	1355	1356	Max	0.00	84.99	5	1.21	1	0.31	5	13.90	1	3.38	5	0.01	1
1625	1355	1356	Max	8.23	84.99	5	1.21	1	0.34	5	14.48	1	3.65	5	0.01	1
1625	1355	1356	Min.	0.00	-10.95	5	-1.07	1	-0.02	5	-16.58	1	-1.03	5	-0.01	1
1625	1355	1356	Min.	8.23	-10.95	5	-1.07	1	-0.03	5	-16.00	1	-1.47	5	-0.01	1
1798	345	-14	Max	4.85	0.00	1	0.00	1	0.00	1	0.00	1	0.00	1	0.00	1
1798	345	-14	Min.	4.85	0.00	1	0.00	1	0.00	1	0.00	1	0.00	1	0.00	1
1798	-14	-46	Max	4.85	0.00	1	0.00	1	0.00	1	0.00	1	0.00	1	0.00	1
1798	-14	-46	Min.	4.85	0.00	1	0.00	1	0.00	1	0.00	1	0.00	1	0.00	1
1798	-46	-78	Max	5.01	146.61	1	25.61	5	0.71	5	6.63	5	3.19	1	0.02	1
1798	-46	-78	Max	15.09					0.37	3			0.45	3		
1798	-46	-78	Max	16.87	147.45	1	25.61	5	0.52	5	6.65	5	0.14	5	0.02	1
1798	-46	-78	Min.	5.01	-509.43	1	-5.75	5	-2.64	5	-28.35	5	-0.95	1	-0.01	1
1798	-46	-78	Min.	15.09					-0.29	3			-0.41	3		
1798	-46	-78	Min.	16.87	-508.58	1	-5.75	5	-0.09	5	-28.33	5	-0.47	5	-0.01	1
1798	-78	-110	Max	2.51	121.70	1	27.17	5	0.62	1	4.49	5	2.56	1	0.02	1
1798	-78	-110	Max	16.87	122.72	1	27.17	5	1.71	5	4.51	5	0.24	5	0.02	1
1798	-78	-110	Min.	2.51	-516.02	1	-5.78	5	-2.23	1	-30.30	5	-0.44	1	-0.01	1
1798	-78	-110	Min.	16.87	-515.00	1	-5.78	5	-0.26	5	-30.28	5	-1.82	5	-0.01	1
1798	-110	-142	Max	2.51	88.81	1	27.72	5	0.57	1	4.69	5	2.25	1	0.01	1
1798	-110	-142	Max	16.87	89.83	1	27.72	5	2.09	5	4.71	5	0.30	5	0.01	1
1798	-110	-142	Min.	2.51	-525.23	1	-5.84	5	-1.95	1	-30.80	5	-0.45	1	-0.00	1
1798	-110	-142	Min.	16.87	-524.21	1	-5.84	5	-0.33	5	-30.77	5	-2.24	5	-0.00	1
1798	-142	-174	Max	2.51	52.74	1	28.27	5	0.56	1	4.70	5	2.18	1	0.01	1
1798	-142	-174	Max	16.87	53.76	1	28.27	5	2.26	5	4.73	5	0.32	5	0.01	1
1798	-142	-174	Min.	2.51	-535.53	1	-5.90	5	-1.88	1	-31.46	5	-0.45	1	-0.00	1
1798	-142	-174	Min.	16.87	-534.51	1	-5.90	5	-0.36	5	-31.44	5	-2.43	5	-0.00	1
1798	-174	-206	Max	2.51	14.56	1	28.84	5	0.55	1	4.70	5	2.14	1	0.01	1
1798	-174	-206	Max	16.87	15.59	1	28.84	5	2.39	5	4.73	5	0.33	5	0.01	1
1798	-174	-206	Min.	2.51	-546.62	1	-5.94	5	-1.84	1	-32.13	5	-0.44	1	-0.00	1
1798	-174	-206	Min.	16.87	-545.60	1	-5.94	5	-0.38	5	-32.10	5	-2.57	5	-0.00	1
1798	-206	-238	Max	2.51	-25.55	1	29.43	5	0.55	1	4.70	5	2.11	1	0.01	1
1798	-206	-238	Max	16.87	-24.53	1	29.43	5	2.51	5	4.72	5	0.34	5	0.01	1
1798	-206	-238	Min.	2.51	-558.46	1	-5.98	5	-1.81	1	-32.80	5	-0.44	1	-0.00	1

1798	-206	-238	Min.	16.87	-557.44	1	-5.98	5	-0.40	5	-32.78	5	-2.70	5	-0.00	1
1798	-238	-270	Max	2.51	-43.68	5	30.02	5	0.54	1	4.67	5	2.08	1	0.01	1
1798	-238	-270	Max	16.87	-42.66	5	30.02	5	2.64	5	4.70	5	0.35	5	0.01	1
1798	-238	-270	Min.	2.51	-595.08	5	-5.99	5	-1.77	1	-33.50	5	-0.44	1	-0.00	1
1798	-238	-270	Min.	16.87	-594.06	5	-5.99	5	-0.42	5	-33.48	5	-2.85	5	-0.00	1
1798	-270	-302	Max	2.51	-46.77	5	30.64	5	0.54	1	4.63	5	2.04	1	0.01	1
1798	-270	-302	Max	16.87	-45.75	5	30.64	5	2.78	5	4.66	5	0.36	5	0.01	1
1798	-270	-302	Min.	2.51	-649.73	5	-6.00	5	-1.73	1	-34.22	5	-0.43	1	-0.00	1
1798	-270	-302	Min.	16.87	-648.71	5	-6.00	5	-0.43	5	-34.20	5	-3.00	5	-0.00	1
1798	-302	-334	Max	2.51	-50.36	5	31.28	5	0.53	1	4.58	5	2.00	1	0.01	1
1798	-302	-334	Max	16.87	-49.34	5	31.28	5	2.93	5	4.61	5	0.37	5	0.01	1
1798	-302	-334	Min.	2.51	-707.06	5	-5.99	5	-1.69	1	-34.95	5	-0.43	1	-0.00	1
1798	-302	-334	Min.	16.87	-706.04	5	-5.99	5	-0.45	5	-34.93	5	-3.16	5	-0.00	1
1798	-334	-366	Max	2.51	-54.51	5	31.92	5	0.52	1	4.51	5	1.95	1	0.01	1
1798	-334	-366	Max	16.87	-53.49	5	31.92	5	3.08	5	4.54	5	0.38	5	0.01	1
1798	-334	-366	Min.	2.51	-767.27	5	-5.97	5	-1.63	1	-35.73	5	-0.42	1	-0.01	1
1798	-334	-366	Min.	16.87	-766.25	5	-5.97	5	-0.47	5	-35.71	5	-3.33	5	-0.01	1
1798	-366	-398	Max	2.51	-59.28	5	32.63	5	0.51	1	4.44	5	1.89	1	0.01	1
1798	-366	-398	Max	16.87	-58.26	5	32.63	5	3.26	5	4.46	5	0.39	5	0.01	1
1798	-366	-398	Min.	2.51	-830.56	5	-5.94	5	-1.57	1	-36.48	5	-0.41	1	-0.01	1
1798	-366	-398	Min.	16.87	-829.54	5	-5.94	5	-0.49	5	-36.46	5	-3.52	5	-0.01	1
1798	-398	-430	Max	2.51	-64.72	5	33.10	5	0.49	1	4.28	5	1.82	1	0.01	1
1798	-398	-430	Max	16.87	-63.70	5	33.10	5	3.42	5	4.30	5	0.39	5	0.01	1
1798	-398	-430	Min.	2.51	-897.12	5	-5.87	5	-1.49	1	-37.64	5	-0.40	1	-0.01	1
1798	-398	-430	Min.	16.87	-896.10	5	-5.87	5	-0.51	5	-37.62	5	-3.77	5	-0.01	1
1798	-430	-462	Max	2.51	-70.89	5	35.43	5	0.47	1	4.60	5	1.70	1	0.01	1
1798	-430	-462	Max	16.87	-69.87	5	35.43	5	3.85	5	4.62	5	0.46	5	0.01	1
1798	-430	-462	Min.	2.51	-967.11	5	-5.95	5	-1.40	1	-36.18	5	-0.40	1	-0.01	1
1798	-430	-462	Min.	16.87	-966.09	5	-5.95	5	-0.55	5	-36.15	5	-3.69	5	-0.01	1
1798	-462	-494	Max	2.51	-68.50	5	25.46	5	0.45	1	1.64	5	1.56	1	0.00	1
1798	-462	-494	Max	16.87	-67.48	5	25.46	5	2.72	5	1.66	5	0.10	5	0.00	1
1798	-462	-494	Min.	2.51	-1048.36	5	-4.91	5	-1.14	1	-52.61	5	-0.32	1	-0.01	1
1798	-462	-494	Min.	16.87	-1047.34	5	-4.91	5	-0.46	5	-52.58	5	-6.18	5	-0.01	1
1798	-494	1324	Max	2.51	-57.56	5	88.13	5	0.15	5	42.99	5	-0.04	5	0.00	5
1798	-494	1324	Max	14.38	-56.72	5	88.13	5	9.58	5	43.01	5	4.12	5	0.00	5
1798	-494	1324	Min.	2.51	-1137.48	5	-10.58	5	-0.89	5	10.94	5	-0.99	5	-0.01	5
1798	-494	1324	Min.	14.38	-1136.63	5	-10.58	5	-1.10	5	10.96	5	1.26	5	-0.01	5
1799	318	-4	Max	4.85	0.00	1	0.00	1	0.00	1	0.00	1	0.00	1	0.00	1
1799	318	-4	Min.	4.85	0.00	1	0.00	1	0.00	1	0.00	1	0.00	1	0.00	1
1799	-4	-36	Max	4.85	0.00	1	0.00	1	0.00	1	0.00	1	0.00	1	0.00	1
1799	-4	-36	Min.	4.85	0.00	1	0.00	1	0.00	1	0.00	1	0.00	1	0.00	1
1799	-36	-68	Max	5.01	126.71	1	28.07	5	0.62	5	32.09	5	0.52	1	0.02	5
1799	-36	-68	Max	15.39					0.30	3			0.32	3		
1799	-36	-68	Max	16.87	127.56	1	28.07	5	0.45	5	32.11	5	0.43	5	0.02	5
1799	-36	-68	Min.	5.01	-507.96	1	-5.17	5	-2.97	5	-2.95	5	-3.66	1	-0.00	5
1799	-36	-68	Min.	15.19					-0.32	3			-0.49	3		
1799	-36	-68	Min.	16.87	-507.11	1	-5.17	5	-0.08	5	-2.93	5	-0.11	5	-0.00	5
1799	-68	-100	Max	2.51	138.04	1	27.92	5	0.83	1	29.63	5	0.50	1	0.01	5
1799	-68	-100	Max	16.87	139.06	1	27.92	5	1.75	5	29.66	5	1.80	5	0.01	5
1799	-68	-100	Min.	2.51	-478.35	1	-6.57	5	-2.45	1	-4.42	5	-2.53	1	-0.00	5
1799	-68	-100	Min.	16.87	-477.33	1	-6.57	5	-0.30	5	-4.40	5	-0.21	5	-0.00	5
1799	-100	-132	Max	2.51	152.16	1	28.41	5	0.77	1	30.34	5	0.47	1	0.01	1
1799	-100	-132	Max	16.87	153.18	1	28.41	5	2.14	5	30.36	5	2.21	5	0.01	1
1799	-100	-132	Min.	2.51	-440.53	1	-6.58	5	-2.15	1	-4.35	5	-2.27	1	-0.00	1
1799	-100	-132	Min.	16.87	-439.51	1	-6.58	5	-0.39	5	-4.33	5	-0.27	5	-0.00	1
1799	-132	-164	Max	2.51	167.33	1	28.96	5	0.76	1	30.93	5	0.47	1	0.01	1
1799	-132	-164	Max	16.87	168.35	1	28.96	5	2.31	5	30.95	5	2.39	5	0.01	1
1799	-132	-164	Min.	2.51	-399.56	1	-6.67	5	-2.07	1	-4.39	5	-2.19	1	-0.01	1
1799	-132	-164	Min.	16.87	-398.54	1	-6.67	5	-0.42	5	-4.37	5	-0.30	5	-0.01	1

1799	-164	-196	Max	2.51	183.24	1	29.52	5	0.76	1	31.53	5	0.47	1	0.01	1
1799	-164	-196	Max	16.87	184.25	1	29.52	5	2.44	5	31.55	5	2.53	5	0.01	1
1799	-164	-196	Min.	2.51	-356.55	1	-6.72	5	-2.03	1	-4.42	5	-2.15	1	-0.01	1
1799	-164	-196	Min.	16.87	-355.53	1	-6.72	5	-0.44	5	-4.40	5	-0.31	5	-0.01	1
1799	-196	-228	Max	2.51	199.84	1	30.10	5	0.76	1	32.15	5	0.47	1	0.01	1
1799	-196	-228	Max	16.87	200.87	1	30.10	5	2.56	5	32.17	5	2.66	5	0.01	1
1799	-196	-228	Min.	2.51	-311.65	1	-6.79	5	-2.00	1	-4.43	5	-2.12	1	-0.01	1
1799	-196	-228	Min.	16.87	-310.63	1	-6.79	5	-0.46	5	-4.40	5	-0.32	5	-0.01	1
1799	-228	-260	Max	2.51	217.21	1	30.69	5	0.76	1	32.80	5	0.47	1	0.01	1
1799	-228	-260	Max	16.87	218.23	1	30.69	5	2.69	5	32.82	5	2.80	5	0.01	1
1799	-228	-260	Min.	2.51	-264.81	1	-6.82	5	-1.97	1	-4.43	5	-2.09	1	-0.01	1
1799	-228	-260	Min.	16.87	-263.79	1	-6.82	5	-0.48	5	-4.41	5	-0.34	5	-0.01	1
1799	-260	-292	Max	2.51	276.22	5	31.31	5	0.76	1	33.45	5	0.47	1	0.01	1
1799	-260	-292	Max	16.87	277.24	5	31.31	5	2.83	5	33.47	5	2.94	5	0.01	1
1799	-260	-292	Min.	2.51	-256.73	5	-6.86	5	-1.94	1	-4.41	5	-2.05	1	-0.01	1
1799	-260	-292	Min.	16.87	-255.71	5	-6.86	5	-0.50	5	-4.38	5	-0.35	5	-0.01	1
1799	-292	-324	Max	2.51	338.17	5	31.92	5	0.76	1	34.14	5	0.47	1	0.01	1
1799	-292	-324	Max	16.87	339.19	5	31.92	5	2.98	5	34.16	5	3.10	5	0.01	1
1799	-292	-324	Min.	2.51	-248.50	5	-6.87	5	-1.89	1	-4.38	5	-2.00	1	-0.01	1
1799	-292	-324	Min.	16.87	-247.48	5	-6.87	5	-0.52	5	-4.36	5	-0.36	5	-0.01	1
1799	-324	-356	Max	2.51	402.95	5	32.57	5	0.75	1	34.83	5	0.47	1	0.01	1
1799	-324	-356	Max	16.87	403.97	5	32.57	5	3.14	5	34.86	5	3.27	5	0.01	1
1799	-324	-356	Min.	2.51	-239.76	5	-6.88	5	-1.84	1	-4.34	5	-1.95	1	-0.01	1
1799	-324	-356	Min.	16.87	-238.74	5	-6.88	5	-0.54	5	-4.31	5	-0.37	5	-0.01	1
1799	-356	-388	Max	2.51	470.74	5	33.27	5	0.75	1	35.54	5	0.46	1	0.01	1
1799	-356	-388	Max	16.87	471.76	5	33.27	5	3.31	5	35.57	5	3.45	5	0.01	1
1799	-356	-388	Min.	2.51	-230.45	5	-6.88	5	-1.79	1	-4.26	5	-1.89	1	-0.01	1
1799	-356	-388	Min.	16.87	-229.43	5	-6.88	5	-0.56	5	-4.24	5	-0.38	5	-0.01	1
1799	-388	-420	Max	2.51	541.75	5	33.76	5	0.74	1	36.41	5	0.46	1	0.01	1
1799	-388	-420	Max	16.87	542.77	5	33.76	5	3.47	5	36.43	5	3.67	5	0.01	1
1799	-388	-420	Min.	2.51	-220.51	5	-6.85	5	-1.72	1	-4.28	5	-1.81	1	-0.01	1
1799	-388	-420	Min.	16.87	-219.49	5	-6.85	5	-0.58	5	-4.26	5	-0.40	5	-0.01	1
1799	-420	-452	Max	2.51	616.11	5	36.03	5	0.73	1	36.35	5	0.45	1	0.01	1
1799	-420	-452	Max	16.87	617.13	5	36.03	5	3.90	5	36.37	5	3.78	5	0.01	1
1799	-420	-452	Min.	2.51	-209.92	5	-6.96	5	-1.62	1	-3.52	5	-1.70	1	-0.01	1
1799	-420	-452	Min.	16.87	-208.90	5	-6.96	5	-0.62	5	-3.50	5	-0.32	5	-0.01	1
1799	-452	-484	Max	2.51	702.35	5	28.09	1	0.71	1	43.25	5	0.43	1	0.01	1
1799	-452	-484	Max	16.87	703.37	5	28.09	1	2.79	5	43.28	5	4.97	5	0.01	1
1799	-452	-484	Min.	2.51	-207.93	5	-8.04	1	-1.35	1	-8.00	5	-1.50	1	-0.02	1
1799	-452	-484	Min.	16.87	-206.91	5	-8.04	1	-0.54	5	-7.98	5	-0.97	5	-0.02	1
1799	-484	1301	Max	2.51	794.06	5	89.60	5	0.25	1	26.70	1	0.44	1	0.01	1
1799	-484	1301	Max	14.38	794.90	5	89.60	5	9.74	5	26.72	1	2.65	1	0.01	1
1799	-484	1301	Min.	2.51	-215.45	5	-11.50	5	-0.95	1	-0.50	1	-0.53	1	-0.02	1
1799	-484	1301	Min.	14.38	-214.61	5	-11.50	5	-1.17	5	-0.48	1	0.39	1	-0.02	1
1800	342	-12	Max	4.85	0.00	1	0.00	1	0.00	1	0.00	1	0.00	1	0.00	1
1800	342	-12	Min.	4.85	0.00	1	0.00	1	0.00	1	0.00	1	0.00	1	0.00	1
1800	-12	-44	Max	4.85	0.00	1	0.00	1	0.00	1	0.00	1	0.00	1	0.00	1
1800	-12	-44	Min.	4.85	0.00	1	0.00	1	0.00	1	0.00	1	0.00	1	0.00	1
1800	-44	-76	Max	5.01	90.01	1	28.31	5	0.52	5	8.48	5	2.87	1	0.02	1
1800	-44	-76	Max	16.87	90.85	1	28.31	5	0.49	5	8.50	5	0.10	5	0.02	1
1800	-44	-76	Min.	5.01	-572.15	1	-4.40	5	-2.99	5	-25.73	5	-1.25	1	-0.01	1
1800	-44	-76	Min.	16.87	-571.31	1	-4.40	5	-0.11	5	-25.71	5	-0.53	5	-0.01	1
1800	-76	-108	Max	2.51	67.59	1	30.33	5	0.39	5	6.09	5	2.34	1	0.01	1
1800	-76	-108	Max	16.87	68.61	1	30.33	5	1.83	5	6.11	5	0.29	5	0.01	1
1800	-76	-108	Min.	2.51	-575.59	1	-4.12	5	-2.53	5	-28.04	5	-0.66	1	-0.01	1
1800	-76	-108	Min.	16.87	-574.57	1	-4.12	5	-0.21	5	-28.02	5	-1.76	5	-0.01	1
1800	-108	-140	Max	2.51	37.92	1	30.88	5	0.35	1	6.32	5	2.05	1	0.01	1
1800	-108	-140	Max	16.87	38.94	1	30.88	5	2.25	5	6.34	5	0.37	5	0.01	1
1800	-108	-140	Min.	2.51	-580.71	1	-4.18	5	-2.19	1	-28.51	5	-0.65	1	-0.01	1

1800	-108	-140	Min.	16.87	-579.69	1	-4.18	5	-0.26	5	-28.48	5	-2.15	5	-0.01	1
1800	-140	-172	Max	2.51	5.36	1	31.52	5	0.34	1	6.38	5	1.98	1	0.01	1
1800	-140	-172	Max	16.87	6.38	1	31.52	5	2.43	5	6.40	5	0.40	5	0.01	1
1800	-140	-172	Min.	2.51	-586.55	1	-4.20	5	-2.11	1	-29.10	5	-0.64	1	-0.01	1
1800	-140	-172	Min.	16.87	-585.53	1	-4.20	5	-0.28	5	-29.08	5	-2.32	5	-0.01	1
1800	-172	-204	Max	2.51	-29.10	1	32.16	5	0.34	1	6.41	5	1.94	1	0.01	1
1800	-172	-204	Max	16.87	-28.08	1	32.16	5	2.57	5	6.44	5	0.42	5	0.01	1
1800	-172	-204	Min.	2.51	-592.94	1	-4.20	5	-2.08	1	-29.72	5	-0.63	1	-0.01	1
1800	-172	-204	Min.	16.87	-591.92	1	-4.20	5	-0.30	5	-29.69	5	-2.45	5	-0.01	1
1800	-204	-236	Max	2.51	-65.32	1	32.84	5	0.33	1	6.45	5	1.92	1	0.01	1
1800	-204	-236	Max	16.87	-64.30	1	32.84	5	2.71	5	6.48	5	0.44	5	0.01	1
1800	-204	-236	Min.	2.51	-599.85	1	-4.19	5	-2.05	1	-30.33	5	-0.63	1	-0.01	1
1800	-204	-236	Min.	16.87	-598.83	1	-4.19	5	-0.31	5	-30.31	5	-2.58	5	-0.01	1
1800	-236	-268	Max	2.51	-73.38	5	33.49	5	0.33	1	6.46	5	1.89	1	0.01	1
1800	-236	-268	Max	16.87	-72.36	5	33.49	5	2.85	5	6.49	5	0.45	5	0.01	1
1800	-236	-268	Min.	2.51	-637.30	5	-4.17	5	-2.01	1	-30.99	5	-0.63	1	-0.01	1
1800	-236	-268	Min.	16.87	-636.27	5	-4.17	5	-0.32	5	-30.97	5	-2.71	5	-0.01	1
1800	-268	-300	Max	2.51	-72.63	5	34.22	5	0.32	1	6.47	5	1.85	1	0.01	1
1800	-268	-300	Max	16.87	-71.61	5	34.22	5	3.00	5	6.50	5	0.47	5	0.01	1
1800	-268	-300	Min.	2.51	-686.07	5	-4.12	5	-1.97	1	-31.62	5	-0.62	1	-0.01	1
1800	-268	-300	Min.	16.87	-685.05	5	-4.12	5	-0.33	5	-31.60	5	-2.85	5	-0.01	1
1800	-300	-332	Max	2.51	-72.19	5	34.91	5	0.31	1	6.46	5	1.81	1	0.01	1
1800	-300	-332	Max	16.87	-71.17	5	34.91	5	3.16	5	6.49	5	0.49	5	0.01	1
1800	-300	-332	Min.	2.51	-737.24	5	-4.07	5	-1.92	1	-32.32	5	-0.61	1	-0.01	1
1800	-300	-332	Min.	16.87	-736.22	5	-4.07	5	-0.34	5	-32.30	5	-3.00	5	-0.01	1
1800	-332	-364	Max	2.51	-72.10	5	35.67	5	0.30	1	6.44	5	1.76	1	0.01	1
1800	-332	-364	Max	16.87	-71.08	5	35.67	5	3.33	5	6.47	5	0.50	5	0.01	1
1800	-332	-364	Min.	2.51	-790.98	5	-4.00	5	-1.87	1	-33.01	5	-0.60	1	-0.01	1
1800	-332	-364	Min.	16.87	-789.96	5	-4.00	5	-0.34	5	-32.99	5	-3.16	5	-0.01	1
1800	-364	-396	Max	2.51	-72.41	5	36.48	5	0.30	1	6.42	5	1.70	1	0.01	1
1800	-364	-396	Max	16.87	-71.38	5	36.48	5	3.52	5	6.45	5	0.52	5	0.01	1
1800	-364	-396	Min.	2.51	-847.43	5	-3.92	5	-1.80	1	-33.69	5	-0.59	1	-0.01	1
1800	-364	-396	Min.	16.87	-846.41	5	-3.92	5	-0.35	5	-33.67	5	-3.33	5	-0.01	1
1800	-396	-428	Max	2.51	-73.14	5	37.08	5	0.28	1	6.32	5	1.63	1	0.01	1
1800	-396	-428	Max	16.87	-72.12	5	37.08	5	3.70	5	6.35	5	0.54	5	0.01	1
1800	-396	-428	Min.	2.51	-906.78	5	-3.80	5	-1.73	1	-34.74	5	-0.58	1	-0.01	1
1800	-396	-428	Min.	16.87	-905.76	5	-3.80	5	-0.36	5	-34.72	5	-3.57	5	-0.01	1
1800	-428	-460	Max	2.51	-74.36	5	39.45	5	0.27	1	6.67	5	1.52	1	0.01	1
1800	-428	-460	Max	16.87	-73.34	5	39.45	5	4.15	5	6.70	5	0.62	5	0.01	1
1800	-428	-460	Min.	2.51	-969.20	5	-3.81	5	-1.63	1	-33.29	5	-0.57	1	-0.01	1
1800	-428	-460	Min.	16.87	-968.18	5	-3.81	5	-0.39	5	-33.27	5	-3.48	5	-0.01	1
1800	-460	-492	Max	2.51	-64.36	5	29.55	5	0.26	1	3.87	5	1.39	1	0.00	5
1800	-460	-492	Max	16.87	-63.34	5	29.55	5	3.04	5	3.90	5	0.29	5	0.00	5
1800	-460	-492	Min.	2.51	-1045.14	5	-2.80	5	-1.35	1	-49.50	5	-0.48	1	-0.01	5
1800	-460	-492	Min.	16.87	-1044.12	5	-2.80	5	-0.29	5	-49.47	5	-5.92	5	-0.01	5
1800	-492	1321	Max	2.51	-48.49	5	92.98	5	0.08	5	45.57	5	-0.10	5	0.00	5
1800	-492	1321	Max	14.38	-47.65	5	92.98	5	10.02	5	45.59	5	4.34	5	0.00	5
1800	-492	1321	Min.	2.51	-1127.28	5	-7.84	5	-1.02	5	12.76	5	-1.07	5	-0.01	5
1800	-492	1321	Min.	14.38	-1126.43	5	-7.84	5	-0.85	5	12.78	5	1.42	5	-0.01	5
1801	348	-16	Max	4.85	0.00	1	0.00	1	0.00	1	0.00	1	0.00	1	0.00	1
1801	348	-16	Min.	4.85	0.00	1	0.00	1	0.00	1	0.00	1	0.00	1	0.00	1
1801	-16	-48	Max	4.85	0.00	1	0.00	1	0.00	1	0.00	1	0.00	1	0.00	1
1801	-16	-48	Min.	4.85	0.00	1	0.00	1	0.00	1	0.00	1	0.00	1	0.00	1
1801	-48	-80	Max	5.01	241.02	1	17.56	5	1.13	5	9.89	5	2.65	5	0.02	5
1801	-48	-80	Max	14.87					0.40	3			0.50	3		
1801	-48	-80	Max	16.87	241.86	1	17.56	5	0.48	5	9.91	5	0.27	5	0.02	5
1801	-48	-80	Min.	5.01	-339.43	1	-9.45	5	-1.71	5	-23.90	5	-1.02	5	-0.01	5
1801	-48	-80	Min.	14.87					-0.18	3			-0.26	3		
1801	-48	-80	Min.	16.87	-338.58	1	-9.45	5	-0.10	5	-23.88	5	-0.31	5	-0.01	5

1801	-80	-112	Max	2.51	225.84	1	18.18	5	0.98	5	8.86	5	2.13	5	0.02	5
1801	-80	-112	Max	16.87	226.86	1	18.18	5	1.26	5	8.88	5	0.58	5	0.02	5
1801	-80	-112	Min.	2.51	-342.14	1	-10.11	5	-1.35	5	-24.72	5	-0.69	5	-0.01	5
1801	-80	-112	Min.	16.87	-341.12	1	-10.11	5	-0.47	5	-24.69	5	-1.41	5	-0.01	5
1801	-112	-144	Max	2.51	205.55	1	18.54	5	0.88	1	9.09	5	1.86	5	0.01	5
1801	-112	-144	Max	16.87	206.57	1	18.54	5	1.52	5	9.11	5	0.70	5	0.01	5
1801	-112	-144	Min.	2.51	-346.32	1	-10.26	5	-1.16	1	-25.17	5	-0.61	5	-0.01	5
1801	-112	-144	Min.	16.87	-345.30	1	-10.26	5	-0.61	5	-25.14	5	-1.76	5	-0.01	5
1801	-144	-176	Max	2.51	183.22	1	18.89	5	0.86	1	9.21	5	1.78	5	0.01	5
1801	-144	-176	Max	16.87	184.24	1	18.89	5	1.64	5	9.23	5	0.75	5	0.01	5
1801	-144	-176	Min.	2.51	-351.17	1	-10.42	5	-1.11	1	-25.69	5	-0.57	5	-0.01	5
1801	-144	-176	Min.	16.87	-350.14	1	-10.42	5	-0.67	5	-25.67	5	-1.91	5	-0.01	5
1801	-176	-208	Max	2.51	159.54	1	19.27	5	0.85	1	9.32	5	1.74	5	0.01	5
1801	-176	-208	Max	16.87	160.56	1	19.27	5	1.73	5	9.34	5	0.79	5	0.01	5
1801	-176	-208	Min.	2.51	-356.49	1	-10.57	5	-1.08	1	-26.20	5	-0.56	5	-0.01	5
1801	-176	-208	Min.	16.87	-355.47	1	-10.57	5	-0.71	5	-26.18	5	-2.02	5	-0.01	5
1801	-208	-240	Max	2.51	134.63	1	19.62	5	0.84	1	9.42	5	1.71	5	0.01	5
1801	-208	-240	Max	16.87	135.65	1	19.62	5	1.82	5	9.45	5	0.82	5	0.01	5
1801	-208	-240	Min.	2.51	-362.29	1	-10.71	5	-1.06	1	-26.74	5	-0.54	5	-0.01	5
1801	-208	-240	Min.	16.87	-361.27	1	-10.71	5	-0.75	5	-26.72	5	-2.13	5	-0.01	5
1801	-240	-272	Max	2.51	134.96	5	19.96	5	0.83	1	9.52	5	1.68	5	0.01	5
1801	-240	-272	Max	16.87	135.98	5	19.96	5	1.91	5	9.54	5	0.85	5	0.01	5
1801	-240	-272	Min.	2.51	-395.10	5	-10.85	5	-1.03	1	-27.30	5	-0.52	5	-0.01	5
1801	-240	-272	Min.	16.87	-394.07	5	-10.85	5	-0.79	5	-27.28	5	-2.24	5	-0.01	5
1801	-272	-304	Max	2.51	145.12	5	20.35	5	0.82	1	9.60	5	1.64	1	0.01	5
1801	-272	-304	Max	16.87	146.14	5	20.35	5	2.00	5	9.63	5	0.89	5	0.01	5
1801	-272	-304	Min.	2.51	-439.63	5	-10.98	5	-1.00	1	-27.84	5	-0.50	1	-0.01	5
1801	-272	-304	Min.	16.87	-438.61	5	-10.98	5	-0.84	5	-27.81	5	-2.36	5	-0.01	5
1801	-304	-336	Max	2.51	155.45	5	20.69	5	0.80	1	9.68	5	1.61	1	0.01	5
1801	-304	-336	Max	16.87	156.47	5	20.69	5	2.11	5	9.71	5	0.92	5	0.01	5
1801	-304	-336	Min.	2.51	-486.35	5	-11.10	5	-0.96	1	-28.43	5	-0.48	1	-0.01	5
1801	-304	-336	Min.	16.87	-485.33	5	-11.10	5	-0.88	5	-28.41	5	-2.49	5	-0.01	5
1801	-336	-368	Max	2.51	165.95	5	21.06	5	0.79	1	9.75	5	1.57	1	0.01	5
1801	-336	-368	Max	16.87	166.97	5	21.06	5	2.22	5	9.78	5	0.96	5	0.01	5
1801	-336	-368	Min.	2.51	-535.41	5	-11.21	5	-0.92	1	-29.03	5	-0.47	1	-0.01	5
1801	-336	-368	Min.	16.87	-534.39	5	-11.21	5	-0.93	5	-29.00	5	-2.63	5	-0.01	5
1801	-368	-400	Max	2.51	176.59	5	21.50	5	0.77	1	9.81	5	1.52	1	0.01	5
1801	-368	-400	Max	16.87	177.61	5	21.50	5	2.34	5	9.83	5	1.00	5	0.01	5
1801	-368	-400	Min.	2.51	-586.94	5	-11.34	5	-0.87	1	-29.59	5	-0.45	1	-0.01	5
1801	-368	-400	Min.	16.87	-585.92	5	-11.34	5	-0.98	5	-29.56	5	-2.77	5	-0.01	5
1801	-400	-432	Max	2.51	187.38	5	21.72	5	0.75	1	9.89	5	1.47	1	0.01	5
1801	-400	-432	Max	16.87	188.41	5	21.72	5	2.45	5	9.92	5	1.05	5	0.01	5
1801	-400	-432	Min.	2.51	-641.09	5	-11.40	5	-0.81	1	-30.43	5	-0.43	1	-0.01	5
1801	-400	-432	Min.	16.87	-640.07	5	-11.40	5	-1.03	5	-30.41	5	-2.96	5	-0.01	5
1801	-432	-464	Max	2.51	198.33	5	23.38	5	0.71	1	9.73	5	1.39	1	0.01	5
1801	-432	-464	Max	16.87	199.35	5	23.38	5	2.77	5	9.76	5	1.07	5	0.01	5
1801	-432	-464	Min.	2.51	-698.02	5	-11.85	5	-0.74	1	-29.53	5	-0.41	1	-0.01	5
1801	-432	-464	Min.	16.87	-697.00	5	-11.85	5	-1.14	5	-29.51	5	-2.94	5	-0.01	5
1801	-464	-496	Max	2.51	209.35	5	14.92	5	0.65	1	11.28	5	1.26	1	0.01	1
1801	-464	-496	Max	16.87	210.37	5	14.92	5	1.77	5	11.30	5	1.36	5	0.01	1
1801	-464	-496	Min.	2.51	-756.72	5	-9.49	5	-0.58	1	-40.96	5	-0.35	1	-0.01	1
1801	-464	-496	Min.	16.87	-755.70	5	-9.49	5	-0.91	5	-40.94	5	-4.70	5	-0.01	1
1801	-496	1327	Max	2.51	225.39	5	66.69	5	0.31	5	27.05	5	0.28	5	0.01	5
1801	-496	1327	Max	14.38	226.23	5	66.69	5	7.39	5	27.07	5	2.57	5	0.01	5
1801	-496	1327	Min.	2.51	-819.20	5	-23.92	5	-0.52	5	-3.93	5	-0.64	5	-0.00	5
1801	-496	1327	Min.	14.38	-818.36	5	-23.92	5	-2.53	5	-3.91	5	-0.19	5	-0.00	5
1802	339	-10	Max	4.85	0.00	1	0.00	1	0.00	1	0.00	1	0.00	1	0.00	1
1802	339	-10	Min.	4.85	0.00	1	0.00	1	0.00	1	0.00	1	0.00	1	0.00	1
1802	-10	-42	Max	4.85	0.00	1	0.00	1	0.00	1	0.00	1	0.00	1	0.00	1

1802	-10	-42	Min.	4.85	0.00	1	0.00	1	0.00	1	0.00	1	0.00	1	0.00	1
1802	-42	-74	Max	5.01	45.54	1	24.51	5	1.00	5	13.32	5	1.83	1	0.01	1
1802	-42	-74	Max	15.20					0.20	3			0.19	3		
1802	-42	-74	Max	16.87	46.38	1	24.51	5	0.36	5	13.34	5	0.12	5	0.01	1
1802	-42	-74	Min.	5.01	-538.00	1	-9.69	5	-2.66	5	-18.31	5	-1.64	1	-0.01	1
1802	-42	-74	Min.	15.20					-0.35	3			-0.50	3		
1802	-42	-74	Min.	16.87	-537.16	1	-9.69	5	-0.25	5	-18.29	5	-0.52	5	-0.01	1
1802	-74	-106	Max	2.51	35.20	1	26.49	5	0.74	5	11.45	5	1.54	5	0.01	1
1802	-74	-106	Max	16.87	36.22	1	26.49	5	1.52	5	11.48	5	0.57	5	0.01	1
1802	-74	-106	Min.	2.51	-535.27	1	-9.41	5	-2.28	5	-20.38	5	-1.07	5	-0.01	1
1802	-74	-106	Min.	16.87	-534.25	1	-9.41	5	-0.61	5	-20.35	5	-1.39	5	-0.01	1
1802	-106	-138	Max	2.51	21.20	1	26.95	5	0.64	5	11.78	5	1.30	1	0.01	5
1802	-106	-138	Max	16.87	22.22	1	26.95	5	1.89	5	11.80	5	0.72	5	0.01	5
1802	-106	-138	Min.	2.51	-532.38	1	-9.59	5	-1.98	5	-20.69	5	-0.98	1	-0.01	5
1802	-106	-138	Min.	16.87	-531.36	1	-9.59	5	-0.74	5	-20.66	5	-1.67	5	-0.01	5
1802	-138	-170	Max	2.51	5.72	1	27.49	5	0.61	5	11.96	5	1.25	1	0.01	5
1802	-138	-170	Max	16.87	6.74	1	27.49	5	2.04	5	11.98	5	0.79	5	0.01	5
1802	-138	-170	Min.	2.51	-529.51	1	-9.73	5	-1.91	5	-21.11	5	-0.95	1	-0.01	5
1802	-138	-170	Min.	16.87	-528.49	1	-9.73	5	-0.79	5	-21.09	5	-1.80	5	-0.01	5
1802	-170	-202	Max	2.51	-10.72	1	28.04	5	0.59	5	12.14	5	1.23	1	0.01	5
1802	-170	-202	Max	16.87	-9.70	1	28.04	5	2.16	5	12.16	5	0.83	5	0.01	5
1802	-170	-202	Min.	2.51	-526.69	1	-9.87	5	-1.87	5	-21.54	5	-0.95	1	-0.01	5
1802	-170	-202	Min.	16.87	-525.67	1	-9.87	5	-0.83	5	-21.51	5	-1.90	5	-0.01	5
1802	-202	-234	Max	2.51	-15.54	5	28.60	5	0.57	5	12.31	5	1.21	1	0.01	5
1802	-202	-234	Max	16.87	-14.52	5	28.60	5	2.27	5	12.33	5	0.87	5	0.01	5
1802	-202	-234	Min.	2.51	-536.44	5	-10.00	5	-1.84	5	-21.96	5	-0.94	1	-0.01	5
1802	-202	-234	Min.	16.87	-535.42	5	-10.00	5	-0.86	5	-21.94	5	-1.99	5	-0.01	5
1802	-234	-266	Max	2.51	0.80	5	29.17	5	0.56	5	12.47	5	1.18	1	0.01	5
1802	-234	-266	Max	16.87	1.82	5	29.17	5	2.38	5	12.50	5	0.91	5	0.01	5
1802	-234	-266	Min.	2.51	-568.34	5	-10.11	5	-1.81	5	-22.40	5	-0.93	1	-0.01	5
1802	-234	-266	Min.	16.87	-567.32	5	-10.11	5	-0.90	5	-22.37	5	-2.09	5	-0.01	5
1802	-266	-298	Max	2.51	17.62	5	29.76	5	0.53	5	12.63	5	1.15	1	0.01	5
1802	-266	-298	Max	16.87	18.64	5	29.76	5	2.50	5	12.66	5	0.96	5	0.01	5
1802	-266	-298	Min.	2.51	-601.77	5	-10.22	5	-1.77	5	-22.84	5	-0.92	1	-0.01	5
1802	-266	-298	Min.	16.87	-600.75	5	-10.22	5	-0.93	5	-22.81	5	-2.19	5	-0.01	5
1802	-298	-330	Max	2.51	34.95	5	30.37	5	0.51	5	12.79	5	1.12	1	0.01	5
1802	-298	-330	Max	16.87	35.97	5	30.37	5	2.63	5	12.81	5	1.01	5	0.01	5
1802	-298	-330	Min.	2.51	-636.83	5	-10.33	5	-1.73	5	-23.29	5	-0.91	1	-0.01	5
1802	-298	-330	Min.	16.87	-635.81	5	-10.33	5	-0.97	5	-23.26	5	-2.30	5	-0.01	5
1802	-330	-362	Max	2.51	52.81	5	30.99	5	0.48	5	12.94	5	1.08	1	0.01	5
1802	-330	-362	Max	16.87	53.83	5	30.99	5	2.77	5	12.96	5	1.06	5	0.01	5
1802	-330	-362	Min.	2.51	-673.62	5	-10.42	5	-1.68	5	-23.75	5	-0.89	1	-0.01	5
1802	-330	-362	Min.	16.87	-672.59	5	-10.42	5	-1.01	5	-23.73	5	-2.41	5	-0.01	5
1802	-362	-394	Max	2.51	71.21	5	31.66	5	0.45	5	13.09	5	1.04	1	0.01	5
1802	-362	-394	Max	16.87	72.23	5	31.66	5	2.93	5	13.11	5	1.11	5	0.01	5
1802	-362	-394	Min.	2.51	-712.24	5	-10.52	5	-1.62	5	-24.19	5	-0.88	1	-0.01	5
1802	-362	-394	Min.	16.87	-711.22	5	-10.52	5	-1.06	5	-24.17	5	-2.54	5	-0.01	5
1802	-394	-426	Max	2.51	90.18	5	32.17	5	0.42	5	13.25	5	0.99	1	0.01	5
1802	-394	-426	Max	16.87	91.20	5	32.17	5	3.07	5	13.27	5	1.17	5	0.01	5
1802	-394	-426	Min.	2.51	-752.80	5	-10.54	5	-1.55	5	-24.91	5	-0.86	1	-0.01	5
1802	-394	-426	Min.	16.87	-751.78	5	-10.54	5	-1.09	5	-24.89	5	-2.71	5	-0.01	5
1802	-426	-458	Max	2.51	109.72	5	34.03	5	0.38	5	13.29	5	0.92	1	0.01	5
1802	-426	-458	Max	16.87	110.74	5	34.03	5	3.43	5	13.32	5	1.22	5	0.01	5
1802	-426	-458	Min.	2.51	-795.42	5	-11.10	5	-1.46	5	-23.70	5	-0.83	1	-0.01	5
1802	-426	-458	Min.	16.87	-794.40	5	-11.10	5	-1.21	5	-23.68	5	-2.63	5	-0.01	5
1802	-458	-490	Max	2.51	129.59	5	26.73	5	0.28	5	14.17	5	0.83	1	0.01	5
1802	-458	-490	Max	16.87	130.61	5	26.73	5	2.64	5	14.20	5	1.44	5	0.01	5
1802	-458	-490	Min.	2.51	-839.35	5	-7.88	5	-1.20	5	-35.89	5	-0.73	1	-0.02	5
1802	-458	-490	Min.	16.87	-838.33	5	-7.88	5	-0.85	5	-35.87	5	-4.45	5	-0.02	5

1802	-490	1318	Max	2.51	156.97	5	74.03	5	0.27	5	36.92	5	0.01	5	0.01	5
1802	-490	1318	Max	14.38	157.81	5	74.03	5	7.87	5	36.94	5	3.42	5	0.01	5
1802	-490	1318	Min.	2.51	-892.37	5	-27.01	5	-0.92	5	4.09	5	-0.97	5	-0.02	5
1802	-490	1318	Min.	14.38	-891.53	5	-27.01	5	-2.93	5	4.11	5	0.50	5	-0.02	5
1803	315	-2	Max	4.85	0.00	1	0.00	1	0.00	1	0.00	1	0.00	1	0.00	1
1803	315	-2	Min.	4.85	0.00	1	0.00	1	0.00	1	0.00	1	0.00	1	0.00	1
1803	-2	-34	Max	4.85	0.00	1	0.00	1	0.00	1	0.00	1	0.00	1	0.00	1
1803	-2	-34	Min.	4.85	0.00	1	0.00	1	0.00	1	0.00	1	0.00	1	0.00	1
1803	-34	-66	Max	5.01	88.91	1	22.45	5	1.30	5	26.53	5	0.74	5	0.01	5
1803	-34	-66	Max	14.87					0.35	3			0.20	3		
1803	-34	-66	Max	16.87	89.76	1	22.45	5	0.46	5	26.55	5	0.29	5	0.01	5
1803	-34	-66	Min.	5.01	-453.98	1	-11.15	5	-2.28	5	-7.23	5	-2.97	5	-0.00	5
1803	-34	-66	Min.	14.50					-0.25	3			-0.58	3		
1803	-34	-66	Min.	16.87	-453.13	1	-11.15	5	-0.11	5	-7.21	5	-0.23	5	-0.00	5
1803	-66	-98	Max	2.51	96.35	1	21.91	5	1.19	5	24.38	5	0.68	5	0.00	5
1803	-66	-98	Max	16.87	97.37	1	21.91	5	1.48	5	24.40	5	1.41	5	0.00	5
1803	-66	-98	Min.	2.51	-434.10	1	-12.62	5	-1.66	5	-8.44	5	-2.10	5	-0.00	5
1803	-66	-98	Min.	16.87	-433.08	1	-12.62	5	-0.62	5	-8.42	5	-0.54	5	-0.00	5
1803	-98	-130	Max	2.51	105.47	1	22.29	5	1.07	1	24.95	5	0.56	5	0.01	5
1803	-98	-130	Max	16.87	106.50	1	22.29	5	1.79	5	24.97	5	1.74	5	0.01	5
1803	-98	-130	Min.	2.51	-408.85	1	-12.76	5	-1.44	1	-8.46	5	-1.84	5	-0.01	5
1803	-98	-130	Min.	16.87	-407.83	1	-12.76	5	-0.79	5	-8.44	5	-0.65	5	-0.01	5
1803	-130	-162	Max	2.51	115.22	1	22.70	5	1.05	1	25.41	5	0.53	1	0.01	5
1803	-130	-162	Max	16.87	116.24	1	22.70	5	1.92	5	25.44	5	1.89	5	0.01	5
1803	-130	-162	Min.	2.51	-381.60	1	-12.96	5	-1.39	1	-8.60	5	-1.77	1	-0.01	5
1803	-130	-162	Min.	16.87	-380.58	1	-12.96	5	-0.86	5	-8.57	5	-0.70	5	-0.01	5
1803	-162	-194	Max	2.51	125.40	1	23.13	5	1.04	1	25.90	5	0.52	1	0.01	5
1803	-162	-194	Max	16.87	126.42	1	23.13	5	2.02	5	25.92	5	2.00	5	0.01	5
1803	-162	-194	Min.	2.51	-353.05	1	-13.17	5	-1.36	1	-8.72	5	-1.74	1	-0.01	5
1803	-162	-194	Min.	16.87	-352.02	1	-13.17	5	-0.91	5	-8.69	5	-0.74	5	-0.01	5
1803	-194	-226	Max	2.51	136.00	1	23.56	5	1.04	1	26.39	5	0.52	1	0.01	5
1803	-194	-226	Max	16.87	137.02	1	23.56	5	2.11	5	26.41	5	2.10	5	0.01	5
1803	-194	-226	Min.	2.51	-323.31	1	-13.38	5	-1.34	1	-8.83	5	-1.72	1	-0.01	5
1803	-194	-226	Min.	16.87	-322.29	1	-13.38	5	-0.95	5	-8.80	5	-0.77	5	-0.01	5
1803	-226	-258	Max	2.51	155.39	5	23.99	5	1.03	1	26.89	5	0.51	1	0.01	5
1803	-226	-258	Max	16.87	156.41	5	23.99	5	2.21	5	26.91	5	2.21	5	0.01	5
1803	-226	-258	Min.	2.51	-300.68	5	-13.58	5	-1.32	1	-8.93	5	-1.69	1	-0.01	5
1803	-226	-258	Min.	16.87	-299.66	5	-13.58	5	-1.00	5	-8.90	5	-0.81	5	-0.01	5
1803	-258	-290	Max	2.51	204.61	5	24.44	5	1.03	1	27.40	5	0.50	1	0.01	5
1803	-258	-290	Max	16.87	205.63	5	24.44	5	2.31	5	27.43	5	2.33	5	0.01	5
1803	-258	-290	Min.	2.51	-306.10	5	-13.77	5	-1.29	1	-9.02	5	-1.66	1	-0.01	5
1803	-258	-290	Min.	16.87	-305.08	5	-13.77	5	-1.04	5	-9.00	5	-0.84	5	-0.01	5
1803	-290	-322	Max	2.51	255.97	5	24.89	5	1.02	1	27.93	5	0.49	1	0.01	5
1803	-290	-322	Max	16.87	256.99	5	24.89	5	2.42	5	27.95	5	2.45	5	0.01	5
1803	-290	-322	Min.	2.51	-311.73	5	-13.96	5	-1.26	1	-9.10	5	-1.63	1	-0.01	5
1803	-290	-322	Min.	16.87	-310.71	5	-13.96	5	-1.09	5	-9.08	5	-0.88	5	-0.01	5
1803	-322	-354	Max	2.51	309.61	5	25.35	5	1.01	1	28.48	5	0.48	1	0.01	5
1803	-322	-354	Max	16.87	310.63	5	25.35	5	2.54	5	28.50	5	2.59	5	0.01	5
1803	-322	-354	Min.	2.51	-317.57	5	-14.15	5	-1.23	1	-9.18	5	-1.59	1	-0.01	5
1803	-322	-354	Min.	16.87	-316.55	5	-14.15	5	-1.15	5	-9.16	5	-0.92	5	-0.01	5
1803	-354	-386	Max	2.51	365.69	5	25.85	5	1.00	1	29.02	5	0.47	1	0.01	5
1803	-354	-386	Max	16.87	366.71	5	25.85	5	2.67	5	29.05	5	2.73	5	0.01	5
1803	-354	-386	Min.	2.51	-323.61	5	-14.35	5	-1.19	1	-9.23	5	-1.54	1	-0.01	5
1803	-354	-386	Min.	16.87	-322.59	5	-14.35	5	-1.20	5	-9.21	5	-0.96	5	-0.01	5
1803	-386	-418	Max	2.51	424.36	5	26.16	5	0.98	1	29.71	5	0.45	1	0.01	5
1803	-386	-418	Max	16.87	425.38	5	26.16	5	2.78	5	29.73	5	2.90	5	0.01	5
1803	-386	-418	Min.	2.51	-329.85	5	-14.49	5	-1.14	1	-9.40	5	-1.49	1	-0.01	5
1803	-386	-418	Min.	16.87	-328.83	5	-14.49	5	-1.26	5	-9.37	5	-1.02	5	-0.01	5
1803	-418	-450	Max	2.51	485.72	5	27.98	5	0.95	1	29.54	5	0.43	1	0.01	5

1803	-418	-450	Max	16.87	486.74	5	27.98	5	3.12	5	29.57	5	2.98	5	0.01	5
1803	-418	-450	Min.	2.51	-336.30	5	-15.04	5	-1.07	1	-8.70	5	-1.41	1	-0.01	5
1803	-418	-450	Min.	16.87	-335.28	5	-15.04	5	-1.38	5	-8.68	5	-0.97	5	-0.01	5
1803	-450	-482	Max	2.51	549.14	5	19.58	5	0.89	1	35.50	5	0.40	1	0.01	5
1803	-450	-482	Max	16.87	550.16	5	19.58	5	2.16	5	35.52	5	3.99	5	0.01	5
1803	-450	-482	Min.	2.51	-342.83	5	-12.77	5	-0.89	1	-13.83	5	-1.25	1	-0.02	5
1803	-450	-482	Min.	16.87	-341.81	5	-12.77	5	-1.18	5	-13.81	5	-1.73	5	-0.02	5
1803	-482	1298	Max	2.51	619.91	5	72.17	5	0.43	5	21.86	1	0.32	5	0.01	1
1803	-482	1298	Max	14.38	620.75	5	72.17	5	7.89	5	21.88	1	2.04	1	0.01	1
1803	-482	1298	Min.	2.51	-359.88	5	-27.32	5	-0.68	5	-1.82	1	-0.57	5	-0.02	1
1803	-482	1298	Min.	14.38	-359.03	5	-27.32	5	-2.82	5	-1.80	1	0.09	1	-0.02	1
1804	321	-6	Max	4.85	0.00	1	0.00	1	0.00	1	0.00	1	0.00	1	0.00	1
1804	321	-6	Min.	4.85	0.00	1	0.00	1	0.00	1	0.00	1	0.00	1	0.00	1
1804	-6	-38	Max	4.85	0.00	1	0.00	1	0.00	1	0.00	1	0.00	1	0.00	1
1804	-6	-38	Min.	4.85	0.00	1	0.00	1	0.00	1	0.00	1	0.00	1	0.00	1
1804	-38	-70	Max	5.01	190.08	1	29.15	5	0.43	5	29.42	5	0.83	1	0.02	5
1804	-38	-70	Max	15.35					0.24	3			0.40	3		
1804	-38	-70	Max	16.87	190.92	1	29.15	5	0.40	5	29.44	5	0.48	5	0.02	5
1804	-38	-70	Min.	5.01	-452.00	1	-3.82	5	-3.15	5	-4.85	5	-3.34	1	-0.00	5
1804	-38	-70	Min.	15.35					-0.34	3			-0.37	3		
1804	-38	-70	Min.	16.87	-451.16	1	-3.82	5	-0.11	5	-4.83	5	-0.08	5	-0.00	5
1804	-70	-102	Max	2.51	198.27	1	29.45	5	0.63	1	27.31	5	0.72	1	0.01	5
1804	-70	-102	Max	16.87	199.29	1	29.45	5	1.77	5	27.34	5	1.73	5	0.01	5
1804	-70	-102	Min.	2.51	-424.87	1	-4.90	5	-2.63	1	-6.08	5	-2.31	1	0.00	5
1804	-70	-102	Min.	16.87	-423.85	1	-4.90	5	-0.25	5	-6.06	5	-0.26	5	0.00	5
1804	-102	-134	Max	2.51	208.30	1	29.95	5	0.59	1	27.96	5	0.67	1	0.01	1
1804	-102	-134	Max	16.87	209.32	1	29.95	5	2.18	5	27.98	5	2.11	5	0.01	1
1804	-102	-134	Min.	2.51	-390.26	1	-4.91	5	-2.31	1	-6.04	5	-2.06	1	-0.00	1
1804	-102	-134	Min.	16.87	-389.25	1	-4.91	5	-0.31	5	-6.02	5	-0.35	5	-0.00	1
1804	-134	-166	Max	2.51	219.02	1	30.54	5	0.58	1	28.48	5	0.67	1	0.01	1
1804	-134	-166	Max	16.87	220.04	1	30.54	5	2.36	5	28.50	5	2.28	5	0.01	1
1804	-134	-166	Min.	2.51	-352.81	1	-4.94	5	-2.23	1	-6.13	5	-1.99	1	-0.01	1
1804	-134	-166	Min.	16.87	-351.79	1	-4.94	5	-0.34	5	-6.11	5	-0.38	5	-0.01	1
1804	-166	-198	Max	2.51	230.22	1	31.14	5	0.58	1	29.03	5	0.67	1	0.01	1
1804	-166	-198	Max	16.87	231.25	1	31.14	5	2.50	5	29.05	5	2.40	5	0.01	1
1804	-166	-198	Min.	2.51	-313.51	1	-4.97	5	-2.19	1	-6.20	5	-1.95	1	-0.01	1
1804	-166	-198	Min.	16.87	-312.49	1	-4.97	5	-0.35	5	-6.18	5	-0.40	5	-0.01	1
1804	-198	-230	Max	2.51	241.90	1	31.76	5	0.59	1	29.59	5	0.67	1	0.01	1
1804	-198	-230	Max	16.87	242.92	1	31.76	5	2.63	5	29.61	5	2.52	5	0.01	1
1804	-198	-230	Min.	2.51	-272.50	1	-4.98	5	-2.17	1	-6.26	5	-1.92	1	-0.01	1
1804	-198	-230	Min.	16.87	-271.47	1	-4.98	5	-0.36	5	-6.23	5	-0.42	5	-0.01	1
1804	-230	-262	Max	2.51	259.32	5	32.39	5	0.59	1	30.16	5	0.67	1	0.01	1
1804	-230	-262	Max	16.87	260.34	5	32.39	5	2.77	5	30.19	5	2.65	5	0.01	1
1804	-230	-262	Min.	2.51	-234.96	5	-4.97	5	-2.13	1	-6.30	5	-1.89	1	-0.01	1
1804	-230	-262	Min.	16.87	-233.94	5	-4.97	5	-0.38	5	-6.28	5	-0.44	5	-0.01	1
1804	-262	-294	Max	2.51	312.76	5	33.05	5	0.59	1	30.76	5	0.66	1	0.01	1
1804	-262	-294	Max	16.87	313.78	5	33.05	5	2.91	5	30.78	5	2.79	5	0.01	1
1804	-262	-294	Min.	2.51	-231.02	5	-4.96	5	-2.09	1	-6.33	5	-1.85	1	-0.01	1
1804	-262	-294	Min.	16.87	-230.00	5	-4.96	5	-0.39	5	-6.31	5	-0.46	5	-0.01	1
1804	-294	-326	Max	2.51	368.54	5	33.72	5	0.59	1	31.36	5	0.66	1	0.01	1
1804	-294	-326	Max	16.87	369.56	5	33.72	5	3.07	5	31.39	5	2.93	5	0.01	1
1804	-294	-326	Min.	2.51	-226.83	5	-4.93	5	-2.05	1	-6.35	5	-1.80	1	-0.01	1
1804	-294	-326	Min.	16.87	-225.81	5	-4.93	5	-0.40	5	-6.32	5	-0.48	5	-0.01	1
1804	-326	-358	Max	2.51	426.83	5	34.41	5	0.59	1	31.99	5	0.66	1	0.01	1
1804	-326	-358	Max	16.87	427.85	5	34.41	5	3.24	5	32.02	5	3.09	5	0.01	1
1804	-326	-358	Min.	2.51	-222.34	5	-4.88	5	-2.00	1	-6.36	5	-1.75	1	-0.01	1
1804	-326	-358	Min.	16.87	-221.32	5	-4.88	5	-0.41	5	-6.33	5	-0.50	5	-0.01	1
1804	-358	-390	Max	2.51	487.79	5	35.16	5	0.59	1	32.62	5	0.65	1	0.01	1
1804	-358	-390	Max	16.87	488.81	5	35.16	5	3.43	5	32.65	5	3.26	5	0.01	1

1804	-358	-390	Min.	2.51	-217.51	5	-4.83	5	-1.94	1	-6.34	5	-1.69	1	-0.01	1
1804	-358	-390	Min.	16.87	-216.49	5	-4.83	5	-0.42	5	-6.32	5	-0.52	5	-0.01	1
1804	-390	-422	Max	2.51	551.62	5	35.68	5	0.58	1	33.43	5	0.64	1	0.01	1
1804	-390	-422	Max	16.87	552.64	5	35.68	5	3.60	5	33.45	5	3.46	5	0.01	1
1804	-390	-422	Min.	2.51	-212.30	5	-4.74	5	-1.86	1	-6.43	5	-1.62	1	-0.01	1
1804	-390	-422	Min.	16.87	-211.28	5	-4.74	5	-0.43	5	-6.40	5	-0.55	5	-0.01	1
1804	-422	-454	Max	2.51	618.40	5	38.07	5	0.58	1	33.24	5	0.63	1	0.01	1
1804	-422	-454	Max	16.87	619.42	5	38.07	5	4.05	5	33.27	5	3.56	5	0.01	1
1804	-422	-454	Min.	2.51	-206.68	5	-4.79	5	-1.76	1	-5.70	5	-1.51	1	-0.01	1
1804	-422	-454	Min.	16.87	-205.66	5	-4.79	5	-0.46	5	-5.68	5	-0.48	5	-0.01	1
1804	-454	-486	Max	2.51	698.90	5	30.01	1	0.57	1	39.99	5	0.60	1	0.01	1
1804	-454	-486	Max	16.87	699.92	5	30.01	1	2.94	5	40.02	5	4.70	5	0.01	1
1804	-454	-486	Min.	2.51	-211.93	5	-5.83	1	-1.47	1	-10.34	5	-1.33	1	-0.01	1
1804	-454	-486	Min.	16.87	-210.91	5	-5.83	1	-0.37	5	-10.32	5	-1.16	5	-0.01	1
1804	-486	1304	Max	2.51	783.63	5	92.19	5	0.18	1	24.54	1	0.52	5	0.01	1
1804	-486	1304	Max	14.38	784.47	5	92.19	5	9.99	5	24.56	1	2.46	1	0.01	1
1804	-486	1304	Min.	2.51	-224.40	5	-8.78	5	-1.02	1	-2.86	1	-0.45	5	-0.02	1
1804	-486	1304	Min.	14.38	-223.56	5	-8.78	5	-0.92	5	-2.84	1	0.19	1	-0.02	1
1805	324	-8	Max	4.85	0.00	1	0.00	1	0.00	1	0.00	1	0.00	1	0.00	1
1805	324	-8	Min.	4.85	0.00	1	0.00	1	0.00	1	0.00	1	0.00	1	0.00	1
1805	-8	-40	Max	4.85	0.00	1	0.00	1	0.00	1	0.00	1	0.00	1	0.00	1
1805	-8	-40	Min.	4.85	0.00	1	0.00	1	0.00	1	0.00	1	0.00	1	0.00	1
1805	-40	-72	Max	5.01	304.57	1	22.10	5	0.76	5	20.89	5	1.37	1	0.02	5
1805	-40	-72	Max	15.22					0.16	3			0.47	3		
1805	-40	-72	Max	16.87	305.41	1	22.10	5	0.25	5	20.91	5	0.49	5	0.02	5
1805	-40	-72	Min.	5.01	-275.32	1	-7.47	5	-2.45	5	-10.82	5	-2.16	1	-0.01	5
1805	-40	-72	Min.	15.22					-0.36	3			-0.23	3		
1805	-40	-72	Min.	16.87	-274.48	1	-7.47	5	-0.20	5	-10.80	5	-0.08	5	-0.01	5
1805	-72	-104	Max	2.51	306.55	1	22.90	5	0.72	1	19.90	5	1.07	5	0.02	5
1805	-72	-104	Max	16.87	307.57	1	22.90	5	1.30	5	19.92	5	1.37	5	0.02	5
1805	-72	-104	Min.	2.51	-260.30	1	-7.98	5	-2.07	1	-11.16	5	-1.49	5	-0.01	5
1805	-72	-104	Min.	16.87	-259.28	1	-7.98	5	-0.51	5	-11.14	5	-0.53	5	-0.01	5
1805	-104	-136	Max	2.51	308.59	1	23.27	5	0.65	1	20.31	5	0.98	1	0.01	5
1805	-104	-136	Max	16.87	309.61	1	23.27	5	1.62	5	20.34	5	1.65	5	0.01	5
1805	-104	-136	Min.	2.51	-241.37	1	-8.05	5	-1.83	1	-11.30	5	-1.32	1	-0.01	5
1805	-104	-136	Min.	16.87	-240.35	1	-8.05	5	-0.62	5	-11.28	5	-0.69	5	-0.01	5
1805	-136	-168	Max	2.51	310.60	1	23.71	5	0.63	1	20.67	5	0.97	1	0.01	5
1805	-136	-168	Max	16.87	311.62	1	23.71	5	1.76	5	20.69	5	1.77	5	0.01	5
1805	-136	-168	Min.	2.51	-221.01	1	-8.15	5	-1.77	1	-11.50	5	-1.27	1	-0.01	5
1805	-136	-168	Min.	16.87	-219.99	1	-8.15	5	-0.67	5	-11.48	5	-0.75	5	-0.01	5
1805	-168	-200	Max	2.51	312.61	1	24.16	5	0.63	1	21.04	5	0.96	1	0.01	5
1805	-168	-200	Max	16.87	313.63	1	24.16	5	1.87	5	21.06	5	1.86	5	0.01	5
1805	-168	-200	Min.	2.51	-199.73	1	-8.26	5	-1.75	1	-11.69	5	-1.24	1	-0.01	5
1805	-168	-200	Min.	16.87	-198.71	1	-8.26	5	-0.71	5	-11.66	5	-0.80	5	-0.01	5
1805	-200	-232	Max	2.51	314.64	1	24.62	5	0.62	1	21.41	5	0.95	1	0.01	5
1805	-200	-232	Max	16.87	315.66	1	24.62	5	1.97	5	21.43	5	1.95	5	0.01	5
1805	-200	-232	Min.	2.51	-177.64	1	-8.34	5	-1.73	1	-11.87	5	-1.22	1	-0.01	5
1805	-200	-232	Min.	16.87	-176.62	1	-8.34	5	-0.74	5	-11.85	5	-0.84	5	-0.01	5
1805	-232	-264	Max	2.51	333.52	5	25.08	5	0.61	1	21.79	5	0.95	1	0.01	5
1805	-232	-264	Max	16.87	334.54	5	25.08	5	2.08	5	21.82	5	2.04	5	0.01	5
1805	-232	-264	Min.	2.51	-171.50	5	-8.41	5	-1.70	1	-12.06	5	-1.19	1	-0.01	5
1805	-232	-264	Min.	16.87	-170.48	5	-8.41	5	-0.77	5	-12.03	5	-0.88	5	-0.01	5
1805	-264	-296	Max	2.51	371.63	5	25.57	5	0.61	1	22.17	5	0.94	1	0.01	5
1805	-264	-296	Max	16.87	372.65	5	25.57	5	2.19	5	22.19	5	2.14	5	0.01	5
1805	-264	-296	Min.	2.51	-183.66	5	-8.49	5	-1.67	1	-12.22	5	-1.16	1	-0.01	5
1805	-264	-296	Min.	16.87	-182.64	5	-8.49	5	-0.81	5	-12.20	5	-0.93	5	-0.01	5
1805	-296	-328	Max	2.51	411.32	5	26.04	5	0.60	1	22.57	5	0.93	1	0.01	5
1805	-296	-328	Max	16.87	412.34	5	26.04	5	2.31	5	22.59	5	2.25	5	0.01	5
1805	-296	-328	Min.	2.51	-196.38	5	-8.53	5	-1.64	1	-12.40	5	-1.13	1	-0.01	5

1805	-296	-328	Min.	16.87	-195.36	5	-8.53	5	-0.84	5	-12.37	5	-0.98	5	-0.01	5
1805	-328	-360	Max	2.51	452.69	5	26.54	5	0.59	1	22.97	5	0.92	1	0.01	5
1805	-328	-360	Max	16.87	453.71	5	26.54	5	2.44	5	22.99	5	2.36	5	0.01	5
1805	-328	-360	Min.	2.51	-209.68	5	-8.58	5	-1.60	1	-12.56	5	-1.09	1	-0.01	5
1805	-328	-360	Min.	16.87	-208.66	5	-8.58	5	-0.88	5	-12.54	5	-1.03	5	-0.01	5
1805	-360	-392	Max	2.51	495.83	5	27.09	5	0.58	1	23.35	5	0.91	1	0.01	5
1805	-360	-392	Max	16.87	496.85	5	27.09	5	2.59	5	23.37	5	2.48	5	0.01	5
1805	-360	-392	Min.	2.51	-223.57	5	-8.64	5	-1.56	1	-12.70	5	-1.04	1	-0.01	5
1805	-360	-392	Min.	16.87	-222.55	5	-8.64	5	-0.92	5	-12.68	5	-1.08	5	-0.01	5
1805	-392	-424	Max	2.51	540.85	5	27.46	5	0.56	1	23.89	5	0.89	1	0.01	5
1805	-392	-424	Max	16.87	541.87	5	27.46	5	2.72	5	23.91	5	2.62	5	0.01	5
1805	-392	-424	Min.	2.51	-238.08	5	-8.60	5	-1.50	1	-12.95	5	-0.99	1	-0.01	5
1805	-392	-424	Min.	16.87	-237.06	5	-8.60	5	-0.95	5	-12.93	5	-1.15	5	-0.01	5
1805	-424	-456	Max	2.51	587.86	5	29.17	5	0.54	1	23.46	5	0.86	1	0.01	5
1805	-424	-456	Max	16.87	588.88	5	29.17	5	3.07	5	23.49	5	2.66	5	0.01	5
1805	-424	-456	Min.	2.51	-253.22	5	-9.10	5	-1.42	1	-12.50	5	-0.92	1	-0.01	5
1805	-424	-456	Min.	16.87	-252.20	5	-9.10	5	-1.06	5	-12.48	5	-1.14	5	-0.01	5
1805	-456	-488	Max	2.51	636.48	5	22.94	1	0.50	1	30.03	5	0.79	1	0.01	1
1805	-456	-488	Max	16.87	637.50	5	22.94	1	2.25	5	30.05	5	3.71	5	0.01	1
1805	-456	-488	Min.	2.51	-268.75	5	-7.09	1	-1.21	1	-16.84	5	-0.80	1	-0.01	1
1805	-456	-488	Min.	16.87	-267.72	5	-7.09	1	-0.69	5	-16.82	5	-1.82	5	-0.01	1
1805	-488	1307	Max	2.51	687.59	5	69.37	5	0.23	1	14.37	1	0.68	5	0.01	1
1805	-488	1307	Max	14.38	688.44	5	69.37	5	7.50	5	14.39	1	1.42	1	0.01	1
1805	-488	1307	Min.	2.51	-286.98	5	-25.06	5	-0.77	1	-12.47	1	-0.31	5	-0.02	1
1805	-488	1307	Min.	14.38	-286.13	5	-25.06	5	-2.78	5	-12.45	1	-0.83	1	-0.02	1
1830	351	-18	Max	4.85	0.00	1	0.00	1	0.00	1	0.00	1	0.00	1	0.00	1
1830	351	-18	Min.	4.85	0.00	1	0.00	1	0.00	1	0.00	1	0.00	1	0.00	1
1830	-18	-50	Max	4.85	0.00	1	0.00	1	0.00	1	0.00	1	0.00	1	0.00	1
1830	-18	-50	Min.	4.85	0.00	1	0.00	1	0.00	1	0.00	1	0.00	1	0.00	1
1830	-50	-82	Max	5.01	45.25	1	9.43	5	2.62	5	13.22	5	1.82	1	0.01	1
1830	-50	-82	Max	16.87	46.09	1	9.43	5	0.23	5	13.24	5	0.10	5	0.01	1
1830	-50	-82	Min.	5.01	-538.12	1	-23.96	5	-0.99	5	-17.71	5	-1.66	1	-0.02	1
1830	-50	-82	Min.	16.87	-537.28	1	-23.96	5	-0.32	5	-17.69	5	-0.47	5	-0.02	1
1830	-82	-114	Max	2.51	34.95	1	9.12	5	2.24	5	11.32	5	1.49	5	0.01	1
1830	-82	-114	Max	16.87	35.97	1	9.12	5	0.59	5	11.34	5	0.56	5	0.01	1
1830	-82	-114	Min.	2.51	-535.38	1	-25.88	5	-0.72	5	-19.68	5	-1.07	5	-0.01	1
1830	-82	-114	Min.	16.87	-534.36	1	-25.88	5	-1.48	5	-19.65	5	-1.33	5	-0.01	1
1830	-114	-146	Max	2.51	21.00	1	9.26	5	1.93	5	11.63	5	1.28	1	0.01	1
1830	-114	-146	Max	16.87	22.02	1	9.26	5	0.71	5	11.65	5	0.71	5	0.01	1
1830	-114	-146	Min.	2.51	-532.46	1	-26.23	5	-0.62	5	-19.84	5	-1.01	1	-0.01	1
1830	-114	-146	Min.	16.87	-531.44	1	-26.23	5	-1.84	5	-19.82	5	-1.61	5	-0.01	1
1830	-146	-178	Max	2.51	5.57	1	9.38	5	1.85	5	11.79	5	1.23	1	0.01	5
1830	-146	-178	Max	16.87	6.59	1	9.38	5	0.76	5	11.81	5	0.77	5	0.01	5
1830	-146	-178	Min.	2.51	-529.55	1	-26.74	5	-0.58	5	-20.23	5	-0.99	1	-0.01	5
1830	-146	-178	Min.	16.87	-528.53	1	-26.74	5	-1.99	5	-20.21	5	-1.74	5	-0.01	5
1830	-178	-210	Max	2.51	-10.83	1	9.51	5	1.82	5	11.97	5	1.21	1	0.01	5
1830	-178	-210	Max	16.87	-9.81	1	9.51	5	0.80	5	11.99	5	0.82	5	0.01	5
1830	-178	-210	Min.	2.51	-526.70	1	-27.25	5	-0.57	5	-20.61	5	-0.98	1	-0.01	5
1830	-178	-210	Min.	16.87	-525.68	1	-27.25	5	-2.10	5	-20.58	5	-1.83	5	-0.01	5
1830	-210	-242	Max	2.51	-15.58	5	9.63	5	1.78	5	12.13	5	1.19	1	0.01	5
1830	-210	-242	Max	16.87	-14.56	5	9.63	5	0.83	5	12.15	5	0.86	5	0.01	5
1830	-210	-242	Min.	2.51	-536.42	5	-27.78	5	-0.55	5	-20.99	5	-0.98	1	-0.01	5
1830	-210	-242	Min.	16.87	-535.40	5	-27.78	5	-2.21	5	-20.97	5	-1.92	5	-0.01	5
1830	-242	-274	Max	2.51	0.80	5	9.74	5	1.75	5	12.29	5	1.16	1	0.01	5
1830	-242	-274	Max	16.87	1.82	5	9.74	5	0.87	5	12.31	5	0.90	5	0.01	5
1830	-242	-274	Min.	2.51	-568.27	5	-28.34	5	-0.53	5	-21.40	5	-0.97	1	-0.01	5
1830	-242	-274	Min.	16.87	-567.25	5	-28.34	5	-2.32	5	-21.37	5	-2.01	5	-0.01	5
1830	-274	-306	Max	2.51	17.68	5	9.83	5	1.71	5	12.44	5	1.13	1	0.01	5
1830	-274	-306	Max	16.87	18.70	5	9.83	5	0.91	5	12.47	5	0.95	5	0.01	5

1830	-274	-306	Min.	2.51	-601.66	5	-28.90	5	-0.51	5	-21.80	5	-0.96	1	-0.01	5
1830	-274	-306	Min.	16.87	-600.64	5	-28.90	5	-2.44	5	-21.77	5	-2.11	5	-0.01	5
1830	-306	-338	Max	2.51	35.07	5	9.92	5	1.66	5	12.59	5	1.10	1	0.01	5
1830	-306	-338	Max	16.87	36.09	5	9.92	5	0.94	5	12.61	5	0.99	5	0.01	5
1830	-306	-338	Min.	2.51	-636.68	5	-29.45	5	-0.48	5	-22.18	5	-0.95	1	-0.01	5
1830	-306	-338	Min.	16.87	-635.66	5	-29.45	5	-2.57	5	-22.15	5	-2.22	5	-0.01	5
1830	-338	-370	Max	2.51	52.98	5	10.00	5	1.61	5	12.74	5	1.06	1	0.01	5
1830	-338	-370	Max	16.87	54.00	5	10.00	5	0.98	5	12.76	5	1.04	5	0.01	5
1830	-338	-370	Min.	2.51	-673.40	5	-30.05	5	-0.45	5	-22.61	5	-0.94	1	-0.01	5
1830	-338	-370	Min.	16.87	-672.38	5	-30.05	5	-2.70	5	-22.59	5	-2.33	5	-0.01	5
1830	-370	-402	Max	2.51	71.44	5	10.09	5	1.55	5	12.88	5	1.02	1	0.01	5
1830	-370	-402	Max	16.87	72.46	5	10.09	5	1.03	5	12.91	5	1.09	5	0.01	5
1830	-370	-402	Min.	2.51	-711.97	5	-30.67	5	-0.42	5	-22.98	5	-0.92	1	-0.01	5
1830	-370	-402	Min.	16.87	-710.95	5	-30.67	5	-2.85	5	-22.96	5	-2.45	5	-0.01	5
1830	-402	-434	Max	2.51	90.48	5	10.10	5	1.48	5	13.03	5	0.97	1	0.01	5
1830	-402	-434	Max	16.87	91.50	5	10.10	5	1.06	5	13.06	5	1.15	5	0.01	5
1830	-402	-434	Min.	2.51	-752.48	5	-31.15	5	-0.39	5	-23.67	5	-0.90	1	-0.01	5
1830	-402	-434	Min.	16.87	-751.45	5	-31.15	5	-3.00	5	-23.64	5	-2.61	5	-0.01	5
1830	-434	-466	Max	2.51	110.08	5	10.65	5	1.39	5	13.08	5	0.89	1	0.01	5
1830	-434	-466	Max	16.87	111.11	5	10.65	5	1.18	5	13.10	5	1.21	5	0.01	5
1830	-434	-466	Min.	2.51	-795.03	5	-32.97	5	-0.35	5	-22.39	5	-0.88	1	-0.01	5
1830	-434	-466	Min.	16.87	-794.01	5	-32.97	5	-3.35	5	-22.37	5	-2.53	5	-0.01	5
1830	-466	-498	Max	2.51	130.10	5	7.40	5	1.15	1	13.93	5	0.81	1	0.02	5
1830	-466	-498	Max	16.87	131.12	5	7.40	5	0.82	5	13.96	5	1.42	5	0.02	5
1830	-466	-498	Min.	2.51	-839.08	5	-25.59	5	-0.30	1	-34.49	5	-0.77	1	-0.01	5
1830	-466	-498	Min.	16.87	-838.06	5	-25.59	5	-2.57	5	-34.47	5	-4.33	5	-0.01	5
1830	-498	1330	Max	2.51	157.38	5	26.69	5	0.88	5	37.73	5	0.05	5	0.02	5
1830	-498	1330	Max	14.38	158.22	5	26.69	5	2.92	5	37.75	5	3.41	5	0.02	5
1830	-498	1330	Min.	2.51	-891.65	5	-73.35	5	-0.25	5	3.85	5	-1.07	5	-0.01	5
1830	-498	1330	Min.	14.38	-890.81	5	-73.35	5	-7.83	5	3.87	5	0.51	5	-0.01	5
1831	357	-22	Max	4.85	0.00	1	0.00	1	0.00	1	0.00	1	0.00	1	0.00	1
1831	357	-22	Min.	4.85	0.00	1	0.00	1	0.00	1	0.00	1	0.00	1	0.00	1
1831	-22	-54	Max	4.85	0.00	1	0.00	1	0.00	1	0.00	1	0.00	1	0.00	1
1831	-22	-54	Min.	4.85	0.00	1	0.00	1	0.00	1	0.00	1	0.00	1	0.00	1
1831	-54	-86	Max	5.01	146.20	1	5.74	5	2.61	5	6.64	5	3.18	1	0.01	1
1831	-54	-86	Max	16.87	147.04	1	5.74	5	0.07	5	6.66	5	0.13	5	0.01	1
1831	-54	-86	Min.	5.01	-508.35	1	-25.10	5	-0.71	5	-27.76	5	-0.97	1	-0.02	1
1831	-54	-86	Min.	16.87	-507.50	1	-25.10	5	-0.47	5	-27.74	5	-0.42	5	-0.02	1
1831	-86	-118	Max	2.51	121.38	1	5.77	5	2.23	1	4.48	5	2.55	1	0.01	1
1831	-86	-118	Max	16.87	122.40	1	5.77	5	0.26	5	4.51	5	0.24	5	0.01	1
1831	-86	-118	Min.	2.51	-515.00	1	-26.56	5	-0.65	1	-29.62	5	-0.47	1	-0.01	1
1831	-86	-118	Min.	16.87	-513.98	1	-26.56	5	-1.66	5	-29.60	5	-1.77	5	-0.01	1
1831	-118	-150	Max	2.51	88.57	1	5.85	5	1.94	1	4.70	5	2.24	1	0.00	1
1831	-118	-150	Max	16.87	89.59	1	5.85	5	0.33	5	4.72	5	0.30	5	0.00	1
1831	-118	-150	Min.	2.51	-524.25	1	-26.94	5	-0.61	1	-29.97	5	-0.50	1	-0.01	1
1831	-118	-150	Min.	16.87	-523.23	1	-26.94	5	-2.04	5	-29.95	5	-2.18	5	-0.01	1
1831	-150	-182	Max	2.51	52.58	1	5.91	5	1.87	1	4.70	5	2.16	1	0.00	1
1831	-150	-182	Max	16.87	53.61	1	5.91	5	0.36	5	4.73	5	0.32	5	0.00	1
1831	-150	-182	Min.	2.51	-534.60	1	-27.46	5	-0.61	1	-30.60	5	-0.49	1	-0.01	1
1831	-150	-182	Min.	16.87	-533.57	1	-27.46	5	-2.20	5	-30.58	5	-2.37	5	-0.01	1
1831	-182	-214	Max	2.51	14.51	1	5.96	5	1.83	1	4.72	5	2.12	1	0.00	1
1831	-182	-214	Max	16.87	15.53	1	5.96	5	0.38	5	4.74	5	0.33	5	0.00	1
1831	-182	-214	Min.	2.51	-545.73	1	-27.98	5	-0.60	1	-31.22	5	-0.49	1	-0.01	1
1831	-182	-214	Min.	16.87	-544.71	1	-27.98	5	-2.33	5	-31.20	5	-2.50	5	-0.01	1
1831	-214	-246	Max	2.51	-25.51	1	5.99	5	1.80	1	4.71	5	2.09	1	0.00	1
1831	-214	-246	Max	16.87	-24.49	1	5.99	5	0.40	5	4.73	5	0.34	5	0.00	1
1831	-214	-246	Min.	2.51	-557.62	1	-28.53	5	-0.60	1	-31.86	5	-0.49	1	-0.01	1
1831	-214	-246	Min.	16.87	-556.60	1	-28.53	5	-2.45	5	-31.83	5	-2.63	5	-0.01	1
1831	-246	-278	Max	2.51	-43.35	5	6.02	5	1.76	1	4.69	5	2.06	1	0.00	1

1831	-246	-278	Max	16.87	-42.33	5	6.02	5	0.42	5	4.71	5	0.36	5	0.00	1
1831	-246	-278	Min.	2.51	-594.48	5	-29.09	5	-0.60	1	-32.53	5	-0.49	1	-0.01	1
1831	-246	-278	Min.	16.87	-593.46	5	-29.09	5	-2.57	5	-32.51	5	-2.78	5	-0.01	1
1831	-278	-310	Max	2.51	-46.38	5	6.03	5	1.72	1	4.65	5	2.02	1	0.00	1
1831	-278	-310	Max	16.87	-45.36	5	6.03	5	0.44	5	4.67	5	0.37	5	0.00	1
1831	-278	-310	Min.	2.51	-649.13	5	-29.67	5	-0.59	1	-33.21	5	-0.48	1	-0.01	1
1831	-278	-310	Min.	16.87	-648.11	5	-29.67	5	-2.71	5	-33.19	5	-2.92	5	-0.01	1
1831	-310	-342	Max	2.51	-49.92	5	6.03	5	1.67	1	4.61	5	1.98	1	0.01	1
1831	-310	-342	Max	16.87	-48.90	5	6.03	5	0.45	5	4.63	5	0.38	5	0.01	1
1831	-310	-342	Min.	2.51	-706.48	5	-30.24	5	-0.59	1	-33.87	5	-0.48	1	-0.01	1
1831	-310	-342	Min.	16.87	-705.46	5	-30.24	5	-2.85	5	-33.85	5	-3.08	5	-0.01	1
1831	-342	-374	Max	2.51	-54.01	5	6.01	5	1.62	1	4.54	5	1.93	1	0.01	1
1831	-342	-374	Max	16.87	-52.99	5	6.01	5	0.47	5	4.56	5	0.38	5	0.01	1
1831	-342	-374	Min.	2.51	-766.68	5	-30.85	5	-0.58	1	-34.62	5	-0.48	1	-0.01	1
1831	-342	-374	Min.	16.87	-765.66	5	-30.85	5	-3.01	5	-34.60	5	-3.25	5	-0.01	1
1831	-374	-406	Max	2.51	-58.72	5	5.99	5	1.55	1	4.48	5	1.86	1	0.01	1
1831	-374	-406	Max	16.87	-57.70	5	5.99	5	0.49	5	4.50	5	0.40	5	0.01	1
1831	-374	-406	Min.	2.51	-829.97	5	-31.49	5	-0.57	1	-35.30	5	-0.47	1	-0.01	1
1831	-374	-406	Min.	16.87	-828.95	5	-31.49	5	-3.18	5	-35.28	5	-3.43	5	-0.01	1
1831	-406	-438	Max	2.51	-64.10	5	5.94	5	1.47	1	4.32	5	1.79	1	0.01	1
1831	-406	-438	Max	16.87	-63.08	5	5.94	5	0.51	5	4.34	5	0.40	5	0.01	1
1831	-406	-438	Min.	2.51	-896.53	5	-31.91	5	-0.56	1	-36.43	5	-0.46	1	-0.01	1
1831	-406	-438	Min.	16.87	-895.51	5	-31.91	5	-3.33	5	-36.41	5	-3.68	5	-0.01	1
1831	-438	-470	Max	2.51	-70.21	5	6.03	5	1.38	1	4.65	5	1.67	1	0.01	1
1831	-438	-470	Max	16.87	-69.19	5	6.03	5	0.55	5	4.67	5	0.47	5	0.01	1
1831	-438	-470	Min.	2.51	-966.51	5	-34.19	5	-0.55	1	-34.91	5	-0.46	1	-0.01	1
1831	-438	-470	Min.	16.87	-965.49	5	-34.19	5	-3.76	5	-34.89	5	-3.60	5	-0.01	1
1831	-470	-502	Max	2.51	-67.92	5	5.30	1	1.10	1	1.70	5	1.54	1	0.01	1
1831	-470	-502	Max	16.87	-66.90	5	5.30	1	0.46	5	1.73	5	0.10	5	0.01	1
1831	-470	-502	Min.	2.51	-1047.81	5	-24.42	1	-0.54	1	-51.23	5	-0.38	1	-0.00	1
1831	-470	-502	Min.	16.87	-1046.79	5	-24.42	1	-2.64	5	-51.21	5	-6.06	5	-0.00	1
1831	-502	1336	Max	2.51	-57.01	5	10.53	5	0.83	5	43.78	5	-0.02	5	0.01	5
1831	-502	1336	Max	14.38	-56.17	5	10.53	5	1.10	5	43.80	5	4.10	5	0.01	5
1831	-502	1336	Min.	2.51	-1136.37	5	-87.58	5	-0.15	5	10.78	5	-1.10	5	-0.00	5
1831	-502	1336	Min.	14.38	-1135.53	5	-87.58	5	-9.57	5	10.80	5	1.26	5	-0.00	5
1832	375	-26	Max	4.85	0.00	1	0.00	1	0.00	1	0.00	1	0.00	1	0.00	1
1832	375	-26	Min.	4.85	0.00	1	0.00	1	0.00	1	0.00	1	0.00	1	0.00	1
1832	-26	-58	Max	4.85	0.00	1	0.00	1	0.00	1	0.00	1	0.00	1	0.00	1
1832	-26	-58	Min.	4.85	0.00	1	0.00	1	0.00	1	0.00	1	0.00	1	0.00	1
1832	-58	-90	Max	5.01	88.08	1	11.27	5	2.29	5	26.94	5	0.75	5	0.00	5
1832	-58	-90	Max	14.50					0.26	3			0.21	3		
1832	-58	-90	Max	16.87	88.92	1	11.27	5	0.12	5	26.96	5	0.33	5	0.00	5
1832	-58	-90	Min.	5.01	-453.06	1	-22.88	5	-1.31	5	-7.41	5	-2.99	5	-0.01	5
1832	-58	-90	Min.	14.50					-0.37	3			-0.59	3		
1832	-58	-90	Min.	16.87	-452.22	1	-22.88	5	-0.51	5	-7.39	5	-0.25	5	-0.01	5
1832	-90	-122	Max	2.51	95.56	1	12.75	5	1.70	5	24.89	5	0.69	5	0.00	1
1832	-90	-122	Max	16.87	96.58	1	12.75	5	0.63	5	24.91	5	1.45	5	0.00	1
1832	-90	-122	Min.	2.51	-433.21	1	-22.45	5	-1.20	5	-8.65	5	-2.13	5	-0.00	1
1832	-90	-122	Min.	16.87	-432.19	1	-22.45	5	-1.53	5	-8.62	5	-0.55	5	-0.00	1
1832	-122	-154	Max	2.51	104.76	1	12.92	5	1.46	5	25.55	5	0.58	5	0.01	5
1832	-122	-154	Max	16.87	105.78	1	12.92	5	0.80	5	25.58	5	1.79	5	0.01	5
1832	-122	-154	Min.	2.51	-408.04	1	-22.95	5	-1.05	5	-8.71	5	-1.89	5	-0.01	5
1832	-122	-154	Min.	16.87	-407.02	1	-22.95	5	-1.84	5	-8.69	5	-0.67	5	-0.01	5
1832	-154	-186	Max	2.51	114.58	1	13.12	5	1.40	1	26.06	5	0.55	5	0.01	5
1832	-154	-186	Max	16.87	115.60	1	13.12	5	0.87	5	26.08	5	1.94	5	0.01	5
1832	-154	-186	Min.	2.51	-380.86	1	-23.41	5	-1.02	1	-8.85	5	-1.81	5	-0.01	5
1832	-154	-186	Min.	16.87	-379.84	1	-23.41	5	-1.97	5	-8.83	5	-0.72	5	-0.01	5
1832	-186	-218	Max	2.51	124.84	1	13.34	5	1.38	1	26.56	5	0.53	5	0.01	5
1832	-186	-218	Max	16.87	125.86	1	13.34	5	0.92	5	26.59	5	2.05	5	0.01	5

1832	-186	-218	Min.	2.51	-352.40	1	-23.86	5	-1.02	1	-8.99	5	-1.77	5	-0.01	5
1832	-186	-218	Min.	16.87	-351.38	1	-23.86	5	-2.07	5	-8.97	5	-0.76	5	-0.01	5
1832	-218	-250	Max	2.51	135.53	1	13.54	5	1.36	1	27.08	5	0.51	5	0.01	5
1832	-218	-250	Max	16.87	136.55	1	13.54	5	0.96	5	27.11	5	2.15	5	0.01	5
1832	-218	-250	Min.	2.51	-322.75	1	-24.32	5	-1.01	1	-9.10	5	-1.74	5	-0.01	5
1832	-218	-250	Min.	16.87	-321.73	1	-24.32	5	-2.16	5	-9.08	5	-0.79	5	-0.01	5
1832	-250	-282	Max	2.51	155.30	5	13.75	5	1.34	1	27.63	5	0.49	5	0.01	5
1832	-250	-282	Max	16.87	156.32	5	13.75	5	1.01	5	27.65	5	2.27	5	0.01	5
1832	-250	-282	Min.	2.51	-300.51	5	-24.80	5	-1.01	1	-9.22	5	-1.71	5	-0.01	5
1832	-250	-282	Min.	16.87	-299.49	5	-24.80	5	-2.27	5	-9.20	5	-0.83	5	-0.01	5
1832	-282	-314	Max	2.51	204.55	5	13.95	5	1.31	1	28.18	5	0.47	5	0.01	5
1832	-282	-314	Max	16.87	205.57	5	13.95	5	1.06	5	28.20	5	2.38	5	0.01	5
1832	-282	-314	Min.	2.51	-305.96	5	-25.28	5	-1.00	1	-9.33	5	-1.66	5	-0.01	5
1832	-282	-314	Min.	16.87	-304.94	5	-25.28	5	-2.37	5	-9.30	5	-0.87	5	-0.01	5
1832	-314	-346	Max	2.51	255.95	5	14.14	5	1.28	1	28.72	5	0.45	1	0.01	5
1832	-314	-346	Max	16.87	256.97	5	14.14	5	1.11	5	28.74	5	2.51	5	0.01	5
1832	-314	-346	Min.	2.51	-311.62	5	-25.76	5	-0.99	1	-9.41	5	-1.62	1	-0.01	5
1832	-314	-346	Min.	16.87	-310.60	5	-25.76	5	-2.48	5	-9.39	5	-0.90	5	-0.01	5
1832	-346	-378	Max	2.51	309.61	5	14.33	5	1.25	1	29.31	5	0.44	1	0.01	5
1832	-346	-378	Max	16.87	310.63	5	14.33	5	1.16	5	29.33	5	2.65	5	0.01	5
1832	-346	-378	Min.	2.51	-317.49	5	-26.27	5	-0.98	1	-9.50	5	-1.59	1	-0.01	5
1832	-346	-378	Min.	16.87	-316.46	5	-26.27	5	-2.60	5	-9.48	5	-0.94	5	-0.01	5
1832	-378	-410	Max	2.51	365.72	5	14.54	5	1.21	1	29.89	5	0.43	1	0.01	5
1832	-378	-410	Max	16.87	366.74	5	14.54	5	1.22	5	29.92	5	2.79	5	0.01	5
1832	-378	-410	Min.	2.51	-323.56	5	-26.81	5	-0.96	1	-9.57	5	-1.54	1	-0.01	5
1832	-378	-410	Min.	16.87	-322.54	5	-26.81	5	-2.73	5	-9.55	5	-0.98	5	-0.01	5
1832	-410	-442	Max	2.51	424.42	5	14.68	5	1.16	1	30.62	5	0.41	1	0.01	5
1832	-410	-442	Max	16.87	425.44	5	14.68	5	1.27	5	30.65	5	2.97	5	0.01	5
1832	-410	-442	Min.	2.51	-329.83	5	-27.17	5	-0.95	1	-9.74	5	-1.48	1	-0.01	5
1832	-410	-442	Min.	16.87	-328.81	5	-27.17	5	-2.85	5	-9.72	5	-1.04	5	-0.01	5
1832	-442	-474	Max	2.51	485.81	5	15.24	5	1.10	1	30.49	5	0.38	1	0.01	5
1832	-442	-474	Max	16.87	486.83	5	15.24	5	1.40	5	30.51	5	3.05	5	0.01	5
1832	-442	-474	Min.	2.51	-336.31	5	-29.02	5	-0.92	1	-9.07	5	-1.40	1	-0.01	5
1832	-442	-474	Min.	16.87	-335.29	5	-29.02	5	-3.19	5	-9.04	5	-0.99	5	-0.01	5
1832	-474	-506	Max	2.51	549.05	5	12.97	5	0.91	1	36.52	5	0.35	1	0.02	5
1832	-474	-506	Max	16.87	550.08	5	12.97	5	1.19	5	36.54	5	4.09	5	0.02	5
1832	-474	-506	Min.	2.51	-342.83	5	-20.72	5	-0.85	1	-14.21	5	-1.24	1	-0.01	5
1832	-474	-506	Min.	16.87	-341.81	5	-20.72	5	-2.24	5	-14.19	5	-1.76	5	-0.01	5
1832	-506	1350	Max	2.51	620.01	5	27.48	5	0.74	5	21.60	1	0.24	1	0.02	1
1832	-506	1350	Max	14.38	620.85	5	27.48	5	2.83	5	21.62	1	2.03	1	0.02	1
1832	-506	1350	Min.	2.51	-359.75	5	-72.65	5	-0.43	5	-1.23	1	-0.53	1	-0.01	1
1832	-506	1350	Min.	14.38	-358.91	5	-72.65	5	-7.88	5	-1.21	1	0.09	1	-0.01	1
1833	384	-32	Max	4.85	0.00	1	0.00	1	0.00	1	0.00	1	0.00	1	0.00	1
1833	384	-32	Min.	4.85	0.00	1	0.00	1	0.00	1	0.00	1	0.00	1	0.00	1
1833	-32	-64	Max	4.85	0.00	1	0.00	1	0.00	1	0.00	1	0.00	1	0.00	1
1833	-32	-64	Min.	4.85	0.00	1	0.00	1	0.00	1	0.00	1	0.00	1	0.00	1
1833	-64	-96	Max	5.01	304.56	1	7.60	5	2.47	5	21.35	5	1.35	1	0.01	5
1833	-64	-96	Max	16.87	305.40	1	7.60	5	0.22	5	21.36	5	0.53	5	0.01	5
1833	-64	-96	Min.	5.01	-275.23	1	-22.50	5	-0.77	5	-10.87	5	-2.16	1	-0.02	5
1833	-64	-96	Min.	16.87	-274.39	1	-22.50	5	-0.29	5	-10.86	5	-0.10	5	-0.02	5
1833	-96	-128	Max	2.51	306.53	1	8.13	5	2.07	1	20.45	5	1.07	5	0.01	5
1833	-96	-128	Max	16.87	307.55	1	8.13	5	0.53	5	20.48	5	1.41	5	0.01	5
1833	-96	-128	Min.	2.51	-260.17	1	-23.37	5	-0.69	1	-11.22	5	-1.53	5	-0.02	5
1833	-96	-128	Min.	16.87	-259.15	1	-23.37	5	-1.34	5	-11.19	5	-0.54	5	-0.02	5
1833	-128	-160	Max	2.51	308.59	1	8.25	5	1.83	1	20.98	5	0.94	1	0.01	5
1833	-128	-160	Max	16.87	309.61	1	8.25	5	0.64	5	21.01	5	1.69	5	0.01	5
1833	-128	-160	Min.	2.51	-241.22	1	-23.84	5	-0.61	1	-11.37	5	-1.33	1	-0.01	5
1833	-128	-160	Min.	16.87	-240.19	1	-23.84	5	-1.66	5	-11.34	5	-0.69	5	-0.01	5
1833	-160	-192	Max	2.51	310.62	1	8.36	5	1.77	1	21.37	5	0.93	1	0.01	5

1833	-160	-192	Max	16.87	311.64	1	8.36	5	0.69	5	21.40	5	1.82	5	0.01	5
1833	-160	-192	Min.	2.51	-220.82	1	-24.31	5	-0.60	1	-11.57	5	-1.27	1	-0.01	5
1833	-160	-192	Min.	16.87	-219.81	1	-24.31	5	-1.81	5	-11.55	5	-0.76	5	-0.01	5
1833	-192	-224	Max	2.51	312.65	1	8.48	5	1.74	1	21.77	5	0.92	1	0.01	5
1833	-192	-224	Max	16.87	313.67	1	8.48	5	0.72	5	21.80	5	1.91	5	0.01	5
1833	-192	-224	Min.	2.51	-199.52	1	-24.79	5	-0.59	1	-11.76	5	-1.25	1	-0.01	5
1833	-192	-224	Min.	16.87	-198.50	1	-24.79	5	-1.92	5	-11.74	5	-0.80	5	-0.01	5
1833	-224	-256	Max	2.51	314.72	1	8.57	5	1.72	1	22.17	5	0.91	1	0.01	5
1833	-224	-256	Max	16.87	315.74	1	8.57	5	0.76	5	22.19	5	2.00	5	0.01	5
1833	-224	-256	Min.	2.51	-177.40	1	-25.27	5	-0.58	1	-11.94	5	-1.22	1	-0.01	5
1833	-224	-256	Min.	16.87	-176.37	1	-25.27	5	-2.02	5	-11.92	5	-0.84	5	-0.01	5
1833	-256	-288	Max	2.51	333.70	5	8.65	5	1.70	1	22.60	5	0.90	1	0.01	5
1833	-256	-288	Max	16.87	334.72	5	8.65	5	0.79	5	22.62	5	2.10	5	0.01	5
1833	-256	-288	Min.	2.51	-171.31	5	-25.77	5	-0.58	1	-12.13	5	-1.20	1	-0.01	5
1833	-256	-288	Min.	16.87	-170.28	5	-25.77	5	-2.13	5	-12.11	5	-0.89	5	-0.01	5
1833	-288	-320	Max	2.51	371.85	5	8.73	5	1.67	1	23.01	5	0.90	1	0.01	5
1833	-288	-320	Max	16.87	372.87	5	8.73	5	0.82	5	23.03	5	2.20	5	0.01	5
1833	-288	-320	Min.	2.51	-183.43	5	-26.29	5	-0.57	1	-12.30	5	-1.17	1	-0.01	5
1833	-288	-320	Min.	16.87	-182.41	5	-26.29	5	-2.25	5	-12.27	5	-0.93	5	-0.01	5
1833	-320	-352	Max	2.51	411.58	5	8.78	5	1.63	1	23.43	5	0.88	1	0.01	5
1833	-320	-352	Max	16.87	412.60	5	8.78	5	0.86	5	23.45	5	2.31	5	0.01	5
1833	-320	-352	Min.	2.51	-196.12	5	-26.77	5	-0.56	1	-12.47	5	-1.13	1	-0.01	5
1833	-320	-352	Min.	16.87	-195.10	5	-26.77	5	-2.37	5	-12.44	5	-0.98	5	-0.01	5
1833	-352	-384	Max	2.51	452.97	5	8.84	5	1.60	1	23.88	5	0.87	1	0.01	5
1833	-352	-384	Max	16.87	453.99	5	8.84	5	0.89	5	23.90	5	2.42	5	0.01	5
1833	-352	-384	Min.	2.51	-209.38	5	-27.31	5	-0.55	1	-12.64	5	-1.10	1	-0.01	5
1833	-352	-384	Min.	16.87	-208.36	5	-27.31	5	-2.50	5	-12.61	5	-1.03	5	-0.01	5
1833	-384	-416	Max	2.51	496.15	5	8.91	5	1.55	1	24.30	5	0.85	1	0.01	5
1833	-384	-416	Max	16.87	497.17	5	8.91	5	0.94	5	24.33	5	2.55	5	0.01	5
1833	-384	-416	Min.	2.51	-223.23	5	-27.90	5	-0.53	1	-12.78	5	-1.05	1	-0.01	5
1833	-384	-416	Min.	16.87	-222.21	5	-27.90	5	-2.65	5	-12.76	5	-1.08	5	-0.01	5
1833	-416	-448	Max	2.51	541.21	5	8.88	5	1.50	1	24.88	5	0.83	1	0.01	5
1833	-416	-448	Max	16.87	542.23	5	8.88	5	0.97	5	24.91	5	2.70	5	0.01	5
1833	-416	-448	Min.	2.51	-237.69	5	-28.30	5	-0.52	1	-13.02	5	-1.00	1	-0.01	5
1833	-416	-448	Min.	16.87	-236.67	5	-28.30	5	-2.78	5	-13.00	5	-1.16	5	-0.01	5
1833	-448	-480	Max	2.51	588.26	5	9.39	5	1.42	1	24.49	5	0.80	1	0.01	5
1833	-448	-480	Max	16.87	589.28	5	9.39	5	1.08	5	24.51	5	2.73	5	0.01	5
1833	-448	-480	Min.	2.51	-252.80	5	-30.04	5	-0.50	1	-12.57	5	-0.93	1	-0.01	5
1833	-448	-480	Min.	16.87	-251.78	5	-30.04	5	-3.13	5	-12.55	5	-1.14	5	-0.01	5
1833	-480	-512	Max	2.51	636.73	5	6.41	1	1.21	1	31.14	5	0.73	1	0.01	1
1833	-480	-512	Max	16.87	637.75	5	6.41	1	0.71	5	31.16	5	3.81	5	0.01	1
1833	-480	-512	Min.	2.51	-268.20	5	-22.91	1	-0.45	1	-16.91	5	-0.80	1	-0.01	1
1833	-480	-512	Min.	16.87	-267.18	5	-22.91	1	-2.32	5	-16.89	5	-1.83	5	-0.01	1
1833	-512	1359	Max	2.51	688.32	5	25.19	5	0.78	5	14.20	1	0.58	5	0.02	1
1833	-512	1359	Max	14.38	689.17	5	25.19	5	2.79	5	14.22	1	1.42	1	0.02	1
1833	-512	1359	Min.	2.51	-286.60	5	-69.84	5	-0.20	5	-11.85	1	-0.28	5	-0.01	1
1833	-512	1359	Min.	14.38	-285.75	5	-69.84	5	-7.51	5	-11.83	1	-0.84	1	-0.01	1
1834	378	-28	Max	4.85	0.00	1	0.00	1	0.00	1	0.00	1	0.00	1	0.00	1
1834	378	-28	Min.	4.85	0.00	1	0.00	1	0.00	1	0.00	1	0.00	1	0.00	1
1834	-28	-60	Max	4.85	0.00	1	0.00	1	0.00	1	0.00	1	0.00	1	0.00	1
1834	-28	-60	Min.	4.85	0.00	1	0.00	1	0.00	1	0.00	1	0.00	1	0.00	1
1834	-60	-92	Max	5.01	126.26	1	5.08	5	3.00	5	32.64	5	0.49	1	0.00	5
1834	-60	-92	Max	15.39					0.26	3			0.35	3		
1834	-60	-92	Max	16.87	127.10	1	5.08	5	0.09	5	32.66	5	0.49	5	0.00	5
1834	-60	-92	Min.	5.01	-506.88	1	-28.76	5	-0.61	5	-2.92	5	-3.66	1	-0.02	5
1834	-60	-92	Min.	15.39					-0.33	3			-0.43	3		
1834	-60	-92	Min.	16.87	-506.04	1	-28.76	5	-0.51	5	-2.90	5	-0.12	5	-0.02	5
1834	-92	-124	Max	2.51	137.63	1	6.45	5	2.46	1	30.31	5	0.46	1	0.00	5
1834	-92	-124	Max	16.87	138.65	1	6.45	5	0.29	5	30.33	5	1.85	5	0.00	5

1834	-92	-124	Min.	2.51	-477.28	1	-28.73	5	-0.78	1	-4.38	5	-2.54	1	-0.01	5
1834	-92	-124	Min.	16.87	-476.26	1	-28.73	5	-1.82	5	-4.36	5	-0.21	5	-0.01	5
1834	-124	-156	Max	2.51	151.82	1	6.46	5	2.16	1	31.14	5	0.42	1	0.00	1
1834	-124	-156	Max	16.87	152.84	1	6.46	5	0.38	5	31.16	5	2.27	5	0.00	1
1834	-124	-156	Min.	2.51	-439.50	1	-29.37	5	-0.71	1	-4.30	5	-2.28	1	-0.01	1
1834	-124	-156	Min.	16.87	-438.47	1	-29.37	5	-2.21	5	-4.28	5	-0.27	5	-0.01	1
1834	-156	-188	Max	2.51	167.07	1	6.53	5	2.08	1	31.78	5	0.41	1	0.01	1
1834	-156	-188	Max	16.87	168.10	1	6.53	5	0.41	5	31.80	5	2.45	5	0.01	1
1834	-156	-188	Min.	2.51	-398.58	1	-29.97	5	-0.69	1	-4.34	5	-2.20	1	-0.01	1
1834	-156	-188	Min.	16.87	-397.56	1	-29.97	5	-2.39	5	-4.32	5	-0.29	5	-0.01	1
1834	-188	-220	Max	2.51	183.06	1	6.59	5	2.05	1	32.41	5	0.41	1	0.01	1
1834	-188	-220	Max	16.87	184.09	1	6.59	5	0.43	5	32.43	5	2.59	5	0.01	1
1834	-188	-220	Min.	2.51	-355.61	1	-30.58	5	-0.69	1	-4.37	5	-2.16	1	-0.01	1
1834	-188	-220	Min.	16.87	-354.59	1	-30.58	5	-2.52	5	-4.34	5	-0.31	5	-0.01	1
1834	-220	-252	Max	2.51	199.77	1	6.64	5	2.02	1	33.07	5	0.41	1	0.01	1
1834	-220	-252	Max	16.87	200.79	1	6.64	5	0.45	5	33.09	5	2.72	5	0.01	1
1834	-220	-252	Min.	2.51	-310.76	1	-31.20	5	-0.69	1	-4.36	5	-2.13	1	-0.01	1
1834	-220	-252	Min.	16.87	-309.74	1	-31.20	5	-2.64	5	-4.34	5	-0.32	5	-0.01	1
1834	-252	-284	Max	2.51	217.24	5	6.66	5	1.99	1	33.77	5	0.41	1	0.01	1
1834	-252	-284	Max	16.87	218.26	5	6.66	5	0.47	5	33.79	5	2.87	5	0.01	1
1834	-252	-284	Min.	2.51	-263.99	5	-31.85	5	-0.69	1	-4.37	5	-2.10	1	-0.01	1
1834	-252	-284	Min.	16.87	-262.97	5	-31.85	5	-2.78	5	-4.34	5	-0.33	5	-0.01	1
1834	-284	-316	Max	2.51	276.60	5	6.69	5	1.96	1	34.46	5	0.40	1	0.01	1
1834	-284	-316	Max	16.87	277.62	5	6.69	5	0.49	5	34.49	5	3.02	5	0.01	1
1834	-284	-316	Min.	2.51	-256.20	5	-32.52	5	-0.68	1	-4.34	5	-2.06	1	-0.01	1
1834	-284	-316	Min.	16.87	-255.18	5	-32.52	5	-2.92	5	-4.31	5	-0.34	5	-0.01	1
1834	-316	-348	Max	2.51	338.60	5	6.69	5	1.92	1	35.18	5	0.40	1	0.01	1
1834	-316	-348	Max	16.87	339.62	5	6.69	5	0.50	5	35.20	5	3.18	5	0.01	1
1834	-316	-348	Min.	2.51	-247.96	5	-33.17	5	-0.68	1	-4.30	5	-2.01	1	-0.01	1
1834	-316	-348	Min.	16.87	-246.94	5	-33.17	5	-3.07	5	-4.28	5	-0.35	5	-0.01	1
1834	-348	-380	Max	2.51	403.42	5	6.68	5	1.87	1	35.94	5	0.39	1	0.01	1
1834	-348	-380	Max	16.87	404.44	5	6.68	5	0.52	5	35.96	5	3.35	5	0.01	1
1834	-348	-380	Min.	2.51	-239.21	5	-33.88	5	-0.67	1	-4.25	5	-1.96	1	-0.01	1
1834	-348	-380	Min.	16.87	-238.19	5	-33.88	5	-3.23	5	-4.22	5	-0.36	5	-0.01	1
1834	-380	-412	Max	2.51	471.26	5	6.68	5	1.81	1	36.70	5	0.39	1	0.01	1
1834	-380	-412	Max	16.87	472.28	5	6.68	5	0.54	5	36.72	5	3.53	5	0.01	1
1834	-380	-412	Min.	2.51	-229.90	5	-34.64	5	-0.66	1	-4.17	5	-1.90	1	-0.01	1
1834	-380	-412	Min.	16.87	-228.88	5	-34.64	5	-3.41	5	-4.15	5	-0.37	5	-0.01	1
1834	-412	-444	Max	2.51	542.33	5	6.63	5	1.74	1	37.62	5	0.38	1	0.01	1
1834	-412	-444	Max	16.87	543.35	5	6.63	5	0.56	5	37.64	5	3.76	5	0.01	1
1834	-412	-444	Min.	2.51	-219.95	5	-35.19	5	-0.65	1	-4.17	5	-1.82	1	-0.01	1
1834	-412	-444	Min.	16.87	-218.93	5	-35.19	5	-3.57	5	-4.15	5	-0.39	5	-0.01	1
1834	-444	-476	Max	2.51	616.74	5	6.73	5	1.65	1	37.59	5	0.37	1	0.01	1
1834	-444	-476	Max	16.87	617.76	5	6.73	5	0.61	5	37.62	5	3.87	5	0.01	1
1834	-444	-476	Min.	2.51	-209.36	5	-37.51	5	-0.64	1	-3.41	5	-1.72	1	-0.01	1
1834	-444	-476	Min.	16.87	-208.34	5	-37.51	5	-4.01	5	-3.39	5	-0.31	5	-0.01	1
1834	-476	-508	Max	2.51	702.68	5	6.66	1	1.38	1	44.62	5	0.36	1	0.02	1
1834	-476	-508	Max	16.87	703.70	5	6.66	1	0.52	5	44.64	5	5.09	5	0.02	1
1834	-476	-508	Min.	2.51	-207.23	5	-28.58	1	-0.61	1	-7.87	5	-1.50	1	-0.01	1
1834	-476	-508	Min.	16.87	-206.21	5	-28.58	1	-2.90	5	-7.84	5	-0.96	5	-0.01	1
1834	-508	1353	Max	2.51	794.89	5	11.37	5	0.98	1	26.53	1	0.34	1	0.02	1
1834	-508	1353	Max	14.38	795.73	5	11.37	5	1.17	5	26.55	1	2.63	1	0.02	1
1834	-508	1353	Min.	2.51	-214.72	5	-90.42	5	-0.18	1	0.31	1	-0.52	1	-0.01	1
1834	-508	1353	Min.	14.38	-213.88	5	-90.42	5	-9.76	5	0.33	1	0.38	1	-0.01	1
1835	354	-20	Max	4.85	0.00	1	0.00	1	0.00	1	0.00	1	0.00	1	0.00	1
1835	354	-20	Min.	4.85	0.00	1	0.00	1	0.00	1	0.00	1	0.00	1	0.00	1
1835	-20	-52	Max	4.85	0.00	1	0.00	1	0.00	1	0.00	1	0.00	1	0.00	1
1835	-20	-52	Min.	4.85	0.00	1	0.00	1	0.00	1	0.00	1	0.00	1	0.00	1
1835	-52	-84	Max	5.01	89.78	1	4.37	5	2.97	5	8.54	5	2.86	1	0.01	1

1835	-52	-84	Max	16.87	90.62	1	4.37	5	0.10	5	8.56	5	0.09	5	0.01	1
1835	-52	-84	Min.	5.01	-571.52	1	-27.86	5	-0.52	5	-25.05	5	-1.28	1	-0.02	1
1835	-52	-84	Min.	16.87	-570.67	1	-27.86	5	-0.44	5	-25.03	5	-0.47	5	-0.02	1
1835	-84	-116	Max	2.51	67.42	1	4.08	5	2.51	1	6.14	5	2.32	1	0.01	1
1835	-84	-116	Max	16.87	68.44	1	4.08	5	0.20	5	6.16	5	0.29	5	0.01	1
1835	-84	-116	Min.	2.51	-575.00	1	-29.78	5	-0.40	1	-27.26	5	-0.70	1	-0.01	1
1835	-84	-116	Min.	16.87	-573.98	1	-29.78	5	-1.79	5	-27.24	5	-1.70	5	-0.01	1
1835	-116	-148	Max	2.51	37.81	1	4.15	5	2.19	1	6.40	5	2.03	1	0.01	1
1835	-116	-148	Max	16.87	38.83	1	4.15	5	0.26	5	6.42	5	0.37	5	0.01	1
1835	-116	-148	Min.	2.51	-580.13	1	-30.19	5	-0.39	1	-27.56	5	-0.70	1	-0.01	1
1835	-116	-148	Min.	16.87	-579.11	1	-30.19	5	-2.20	5	-27.54	5	-2.08	5	-0.01	1
1835	-148	-180	Max	2.51	5.32	1	4.16	5	2.11	1	6.45	5	1.95	1	0.01	1
1835	-148	-180	Max	16.87	6.34	1	4.16	5	0.28	5	6.47	5	0.40	5	0.01	1
1835	-148	-180	Min.	2.51	-586.00	1	-30.81	5	-0.39	1	-28.12	5	-0.69	1	-0.01	1
1835	-148	-180	Min.	16.87	-584.98	1	-30.81	5	-2.38	5	-28.10	5	-2.25	5	-0.01	1
1835	-180	-212	Max	2.51	-29.08	1	4.17	5	2.07	1	6.50	5	1.92	1	0.01	1
1835	-180	-212	Max	16.87	-28.06	1	4.17	5	0.29	5	6.52	5	0.42	5	0.01	1
1835	-180	-212	Min.	2.51	-592.40	1	-31.39	5	-0.38	1	-28.68	5	-0.69	1	-0.00	1
1835	-180	-212	Min.	16.87	-591.38	1	-31.39	5	-2.52	5	-28.66	5	-2.38	5	-0.00	1
1835	-212	-244	Max	2.51	-65.23	1	4.16	5	2.04	1	6.54	5	1.89	1	0.01	1
1835	-212	-244	Max	16.87	-64.21	1	4.16	5	0.30	5	6.56	5	0.44	5	0.01	1
1835	-212	-244	Min.	2.51	-599.32	1	-32.04	5	-0.38	1	-29.24	5	-0.69	1	-0.00	1
1835	-212	-244	Min.	16.87	-598.30	1	-32.04	5	-2.65	5	-29.22	5	-2.50	5	-0.00	1
1835	-244	-276	Max	2.51	-73.12	5	4.14	5	2.00	1	6.55	5	1.86	1	0.01	1
1835	-244	-276	Max	16.87	-72.10	5	4.14	5	0.31	5	6.58	5	0.46	5	0.01	1
1835	-244	-276	Min.	2.51	-636.87	5	-32.67	5	-0.38	1	-29.88	5	-0.68	1	-0.00	1
1835	-244	-276	Min.	16.87	-635.85	5	-32.67	5	-2.79	5	-29.85	5	-2.63	5	-0.00	1
1835	-276	-308	Max	2.51	-72.33	5	4.10	5	1.97	1	6.57	5	1.82	1	0.01	1
1835	-276	-308	Max	16.87	-71.31	5	4.10	5	0.32	5	6.60	5	0.48	5	0.01	1
1835	-276	-308	Min.	2.51	-685.64	5	-33.36	5	-0.38	1	-30.46	5	-0.68	1	-0.00	1
1835	-276	-308	Min.	16.87	-684.62	5	-33.36	5	-2.94	5	-30.43	5	-2.77	5	-0.00	1
1835	-308	-340	Max	2.51	-71.84	5	4.06	5	1.91	1	6.57	5	1.78	1	0.01	1
1835	-308	-340	Max	16.87	-70.82	5	4.06	5	0.33	5	6.59	5	0.50	5	0.01	1
1835	-308	-340	Min.	2.51	-736.81	5	-33.99	5	-0.37	1	-31.08	5	-0.68	1	-0.01	1
1835	-308	-340	Min.	16.87	-735.79	5	-33.99	5	-3.09	5	-31.06	5	-2.91	5	-0.01	1
1835	-340	-372	Max	2.51	-71.71	5	3.99	5	1.86	1	6.56	5	1.72	1	0.01	1
1835	-340	-372	Max	16.87	-70.69	5	3.99	5	0.34	5	6.58	5	0.51	5	0.01	1
1835	-340	-372	Min.	2.51	-790.52	5	-34.72	5	-0.36	1	-31.74	5	-0.67	1	-0.01	1
1835	-340	-372	Min.	16.87	-789.50	5	-34.72	5	-3.26	5	-31.72	5	-3.07	5	-0.01	1
1835	-372	-404	Max	2.51	-71.96	5	3.91	5	1.80	1	6.55	5	1.66	1	0.01	1
1835	-372	-404	Max	16.87	-70.94	5	3.91	5	0.35	5	6.58	5	0.53	5	0.01	1
1835	-372	-404	Min.	2.51	-846.97	5	-35.47	5	-0.36	1	-32.34	5	-0.66	1	-0.01	1
1835	-372	-404	Min.	16.87	-845.95	5	-35.47	5	-3.45	5	-32.32	5	-3.23	5	-0.01	1
1835	-404	-436	Max	2.51	-72.65	5	3.80	5	1.72	1	6.46	5	1.59	1	0.01	1
1835	-404	-436	Max	16.87	-71.63	5	3.80	5	0.36	5	6.48	5	0.55	5	0.01	1
1835	-404	-436	Min.	2.51	-906.30	5	-36.04	5	-0.35	1	-33.34	5	-0.65	1	-0.01	1
1835	-404	-436	Min.	16.87	-905.28	5	-36.04	5	-3.62	5	-33.32	5	-3.46	5	-0.01	1
1835	-436	-468	Max	2.51	-73.81	5	3.82	5	1.62	1	6.83	5	1.49	1	0.01	1
1835	-436	-468	Max	16.87	-72.79	5	3.82	5	0.39	5	6.85	5	0.63	5	0.01	1
1835	-436	-468	Min.	2.51	-968.70	5	-38.35	5	-0.34	1	-31.83	5	-0.65	1	-0.00	1
1835	-436	-468	Min.	16.87	-967.68	5	-38.35	5	-4.07	5	-31.80	5	-3.37	5	-0.00	1
1835	-468	-500	Max	2.51	-63.86	5	2.81	5	1.32	1	4.04	5	1.37	1	0.01	5
1835	-468	-500	Max	16.87	-62.84	5	2.81	5	0.28	5	4.06	5	0.30	5	0.01	5
1835	-468	-500	Min.	2.51	-1044.73	5	-28.36	5	-0.35	1	-47.92	5	-0.55	1	-0.00	5
1835	-468	-500	Min.	16.87	-1043.71	5	-28.36	5	-2.98	5	-47.90	5	-5.78	5	-0.00	5
1835	-500	1333	Max	2.51	-48.01	5	7.78	5	0.98	5	46.47	5	-0.09	5	0.01	5
1835	-500	1333	Max	14.38	-47.17	5	7.78	5	0.84	5	46.49	5	4.32	5	0.01	5
1835	-500	1333	Min.	2.51	-1126.32	5	-92.49	5	-0.08	5	12.66	5	-1.20	5	0.00	5
1835	-500	1333	Min.	14.38	-1125.47	5	-92.49	5	-10.00	5	12.68	5	1.42	5	0.00	5

1836	360	-24	Max	4.85	0.00	1	0.00	1	0.00	1	0.00	1	0.00	1	0.00	1
1836	360	-24	Min.	4.85	0.00	1	0.00	1	0.00	1	0.00	1	0.00	1	0.00	1
1836	-24	-56	Max	4.85	0.00	1	0.00	1	0.00	1	0.00	1	0.00	1	0.00	1
1836	-24	-56	Min.	4.85	0.00	1	0.00	1	0.00	1	0.00	1	0.00	1	0.00	1
1836	-56	-88	Max	5.01	240.34	1	9.35	5	1.69	5	9.72	5	2.63	5	0.01	5
1836	-56	-88	Max	16.87	241.18	1	9.35	5	0.08	5	9.74	5	0.25	5	0.01	5
1836	-56	-88	Min.	5.01	-338.08	1	-17.10	5	-1.13	5	-23.53	5	-1.01	5	-0.02	5
1836	-56	-88	Min.	16.87	-337.24	1	-17.10	5	-0.44	5	-23.51	5	-0.28	5	-0.02	5
1836	-88	-120	Max	2.51	225.24	1	10.00	5	1.34	1	8.66	5	2.11	5	0.01	5
1836	-88	-120	Max	16.87	226.26	1	10.00	5	0.47	5	8.68	5	0.57	5	0.01	5
1836	-88	-120	Min.	2.51	-340.88	1	-17.62	5	-1.00	1	-24.28	5	-0.68	5	-0.02	5
1836	-88	-120	Min.	16.87	-339.86	1	-17.62	5	-1.22	5	-24.26	5	-1.38	5	-0.02	5
1836	-120	-152	Max	2.51	205.04	1	10.12	5	1.16	1	8.86	5	1.82	5	0.01	5
1836	-120	-152	Max	16.87	206.06	1	10.12	5	0.60	5	8.88	5	0.68	5	0.01	5
1836	-120	-152	Min.	2.51	-345.15	1	-17.86	5	-0.91	1	-24.64	5	-0.59	5	-0.01	5
1836	-120	-152	Min.	16.87	-344.13	1	-17.86	5	-1.47	5	-24.62	5	-1.72	5	-0.01	5
1836	-152	-184	Max	2.51	182.79	1	10.28	5	1.11	1	8.97	5	1.74	5	0.01	5
1836	-152	-184	Max	16.87	183.81	1	10.28	5	0.66	5	8.99	5	0.73	5	0.01	5
1836	-152	-184	Min.	2.51	-350.09	1	-18.18	5	-0.89	1	-25.14	5	-0.56	5	-0.01	5
1836	-152	-184	Min.	16.87	-349.07	1	-18.18	5	-1.59	5	-25.12	5	-1.87	5	-0.01	5
1836	-184	-216	Max	2.51	159.20	1	10.42	5	1.08	1	9.07	5	1.71	1	0.01	5
1836	-184	-216	Max	16.87	160.22	1	10.42	5	0.70	5	9.10	5	0.77	5	0.01	5
1836	-184	-216	Min.	2.51	-355.52	1	-18.51	5	-0.89	1	-25.63	5	-0.54	1	-0.01	5
1836	-184	-216	Min.	16.87	-354.50	1	-18.51	5	-1.67	5	-25.61	5	-1.98	5	-0.01	5
1836	-216	-248	Max	2.51	134.39	1	10.56	5	1.05	1	9.17	5	1.69	1	0.01	5
1836	-216	-248	Max	16.87	135.41	1	10.56	5	0.74	5	9.19	5	0.80	5	0.01	5
1836	-216	-248	Min.	2.51	-361.42	1	-18.83	5	-0.88	1	-26.14	5	-0.54	1	-0.01	5
1836	-216	-248	Min.	16.87	-360.40	1	-18.83	5	-1.76	5	-26.11	5	-2.08	5	-0.01	5
1836	-248	-280	Max	2.51	135.09	5	10.70	5	1.02	1	9.26	5	1.67	1	0.01	5
1836	-248	-280	Max	16.87	136.11	5	10.70	5	0.78	5	9.28	5	0.83	5	0.01	5
1836	-248	-280	Min.	2.51	-394.61	5	-19.15	5	-0.87	1	-26.69	5	-0.53	1	-0.01	5
1836	-248	-280	Min.	16.87	-393.59	5	-19.15	5	-1.85	5	-26.66	5	-2.20	5	-0.01	5
1836	-280	-312	Max	2.51	145.28	5	10.83	5	0.99	1	9.33	5	1.64	1	0.01	5
1836	-280	-312	Max	16.87	146.30	5	10.83	5	0.83	5	9.36	5	0.87	5	0.01	5
1836	-280	-312	Min.	2.51	-439.19	5	-19.50	5	-0.86	1	-27.20	5	-0.52	1	-0.01	5
1836	-280	-312	Min.	16.87	-438.17	5	-19.50	5	-1.94	5	-27.18	5	-2.31	5	-0.01	5
1836	-312	-344	Max	2.51	155.64	5	10.94	5	0.95	1	9.40	5	1.60	1	0.01	5
1836	-312	-344	Max	16.87	156.66	5	10.94	5	0.87	5	9.42	5	0.90	5	0.01	5
1836	-312	-344	Min.	2.51	-485.95	5	-19.79	5	-0.85	1	-27.75	5	-0.51	1	-0.01	5
1836	-312	-344	Min.	16.87	-484.93	5	-19.79	5	-2.04	5	-27.73	5	-2.44	5	-0.01	5
1836	-344	-376	Max	2.51	166.16	5	11.05	5	0.91	1	9.46	5	1.57	1	0.01	5
1836	-344	-376	Max	16.87	167.18	5	11.05	5	0.92	5	9.49	5	0.94	5	0.01	5
1836	-344	-376	Min.	2.51	-535.05	5	-20.13	5	-0.83	1	-28.33	5	-0.49	1	-0.01	5
1836	-344	-376	Min.	16.87	-534.03	5	-20.13	5	-2.15	5	-28.31	5	-2.58	5	-0.01	5
1836	-376	-408	Max	2.51	176.83	5	11.17	5	0.86	1	9.51	5	1.52	1	0.01	5
1836	-376	-408	Max	16.87	177.85	5	11.17	5	0.97	5	9.53	5	0.98	5	0.01	5
1836	-376	-408	Min.	2.51	-586.63	5	-20.51	5	-0.82	1	-28.85	5	-0.48	1	-0.01	5
1836	-376	-408	Min.	16.87	-585.61	5	-20.51	5	-2.27	5	-28.83	5	-2.72	5	-0.01	5
1836	-408	-440	Max	2.51	187.65	5	11.23	5	0.80	1	9.59	5	1.47	1	0.01	5
1836	-408	-440	Max	16.87	188.67	5	11.23	5	1.02	5	9.61	5	1.03	5	0.01	5
1836	-408	-440	Min.	2.51	-640.82	5	-20.69	5	-0.80	1	-29.67	5	-0.46	1	-0.01	5
1836	-408	-440	Min.	16.87	-639.80	5	-20.69	5	-2.37	5	-29.65	5	-2.90	5	-0.01	5
1836	-440	-472	Max	2.51	198.63	5	11.68	5	0.73	1	9.42	5	1.38	1	0.01	5
1836	-440	-472	Max	16.87	199.65	5	11.68	5	1.13	5	9.44	5	1.05	5	0.01	5
1836	-440	-472	Min.	2.51	-697.79	5	-22.31	5	-0.77	1	-28.75	5	-0.44	1	-0.01	5
1836	-440	-472	Min.	16.87	-696.77	5	-22.31	5	-2.69	5	-28.72	5	-2.88	5	-0.01	5
1836	-472	-504	Max	2.51	209.73	5	9.30	5	0.55	1	10.95	5	1.26	1	0.01	5
1836	-472	-504	Max	16.87	210.75	5	9.30	5	0.90	5	10.97	5	1.33	5	0.01	5
1836	-472	-504	Min.	2.51	-756.75	5	-13.76	5	-0.71	1	-40.10	5	-0.37	1	-0.01	5

1836	-472	-504	Min.	16.87	-755.73	5	-13.76	5	-1.70	5	-40.08	5	-4.62	5	-0.01	5
1836	-504	1339	Max	2.51	225.37	5	23.80	5	0.48	5	27.55	5	0.31	5	0.00	5
1836	-504	1339	Max	14.38	226.21	5	23.80	5	2.53	5	27.57	5	2.56	5	0.00	5
1836	-504	1339	Min.	2.51	-818.53	5	-66.18	5	-0.30	5	-4.22	5	-0.72	5	-0.01	5
1836	-504	1339	Min.	14.38	-817.68	5	-66.18	5	-7.38	5	-4.20	5	-0.19	5	-0.01	5
1837	381	-30	Max	4.85	0.00	1	0.00	1	0.00	1	0.00	1	0.00	1	0.00	1
1837	381	-30	Min.	4.85	0.00	1	0.00	1	0.00	1	0.00	1	0.00	1	0.00	1
1837	-30	-62	Max	4.85	0.00	1	0.00	1	0.00	1	0.00	1	0.00	1	0.00	1
1837	-30	-62	Min.	4.85	0.00	1	0.00	1	0.00	1	0.00	1	0.00	1	0.00	1
1837	-62	-94	Max	5.01	189.88	1	3.76	5	3.18	5	30.02	5	0.79	1	0.00	5
1837	-62	-94	Max	14.50					0.50	3			0.41	3		
1837	-62	-94	Max	16.87	190.72	1	3.76	5	0.12	5	30.04	5	0.54	5	0.00	5
1837	-62	-94	Min.	5.01	-451.34	1	-29.78	5	-0.43	5	-4.76	5	-3.35	1	-0.02	5
1837	-62	-94	Min.	14.50					-0.23	3			-0.56	3		
1837	-62	-94	Min.	16.87	-450.50	1	-29.78	5	-0.45	5	-4.75	5	-0.09	5	-0.02	5
1837	-94	-126	Max	2.51	198.10	1	4.82	5	2.64	1	28.04	5	0.67	1	0.00	5
1837	-94	-126	Max	16.87	199.12	1	4.82	5	0.24	5	28.07	5	1.79	5	0.00	5
1837	-94	-126	Min.	2.51	-424.19	1	-30.18	5	-0.58	1	-5.98	5	-2.32	1	-0.01	5
1837	-94	-126	Min.	16.87	-423.17	1	-30.18	5	-1.83	5	-5.96	5	-0.26	5	-0.01	5
1837	-126	-158	Max	2.51	208.20	1	4.84	5	2.32	1	28.83	5	0.62	1	0.00	1
1837	-126	-158	Max	16.87	209.22	1	4.84	5	0.31	5	28.85	5	2.17	5	0.00	1
1837	-126	-158	Min.	2.51	-389.58	1	-30.82	5	-0.53	1	-5.93	5	-2.08	1	-0.01	1
1837	-126	-158	Min.	16.87	-388.56	1	-30.82	5	-2.25	5	-5.91	5	-0.34	5	-0.01	1
1837	-158	-190	Max	2.51	219.00	1	4.86	5	2.24	1	29.41	5	0.61	1	0.01	1
1837	-158	-190	Max	16.87	220.02	1	4.86	5	0.33	5	29.43	5	2.34	5	0.01	1
1837	-158	-190	Min.	2.51	-352.13	1	-31.45	5	-0.52	1	-6.01	5	-2.00	1	-0.01	1
1837	-158	-190	Min.	16.87	-351.11	1	-31.45	5	-2.43	5	-5.99	5	-0.37	5	-0.01	1
1837	-190	-222	Max	2.51	230.28	1	4.88	5	2.21	1	29.99	5	0.60	1	0.01	1
1837	-190	-222	Max	16.87	231.30	1	4.88	5	0.35	5	30.01	5	2.47	5	0.01	1
1837	-190	-222	Min.	2.51	-312.83	1	-32.09	5	-0.52	1	-6.08	5	-1.96	1	-0.01	1
1837	-190	-222	Min.	16.87	-311.81	1	-32.09	5	-2.57	5	-6.05	5	-0.39	5	-0.01	1
1837	-222	-254	Max	2.51	242.04	1	4.89	5	2.18	1	30.59	5	0.60	1	0.01	1
1837	-222	-254	Max	16.87	243.06	1	4.89	5	0.36	5	30.61	5	2.60	5	0.01	1
1837	-222	-254	Min.	2.51	-271.82	1	-32.75	5	-0.52	1	-6.12	5	-1.94	1	-0.01	1
1837	-222	-254	Min.	16.87	-270.80	1	-32.75	5	-2.70	5	-6.10	5	-0.41	5	-0.01	1
1837	-254	-286	Max	2.51	259.72	5	4.88	5	2.15	1	31.22	5	0.60	1	0.01	1
1837	-254	-286	Max	16.87	260.74	5	4.88	5	0.37	5	31.25	5	2.73	5	0.01	1
1837	-254	-286	Min.	2.51	-234.47	5	-33.44	5	-0.52	1	-6.16	5	-1.90	1	-0.01	1
1837	-254	-286	Min.	16.87	-233.45	5	-33.44	5	-2.84	5	-6.13	5	-0.43	5	-0.01	1
1837	-286	-318	Max	2.51	313.23	5	4.86	5	2.11	1	31.86	5	0.59	1	0.01	1
1837	-286	-318	Max	16.87	314.25	5	4.86	5	0.38	5	31.89	5	2.87	5	0.01	1
1837	-286	-318	Min.	2.51	-230.50	5	-34.14	5	-0.52	1	-6.18	5	-1.86	1	-0.01	1
1837	-286	-318	Min.	16.87	-229.48	5	-34.14	5	-2.99	5	-6.15	5	-0.45	5	-0.01	1
1837	-318	-350	Max	2.51	369.08	5	4.82	5	2.07	1	32.50	5	0.59	1	0.01	1
1837	-318	-350	Max	16.87	370.10	5	4.82	5	0.39	5	32.52	5	3.02	5	0.01	1
1837	-318	-350	Min.	2.51	-226.27	5	-34.84	5	-0.51	1	-6.18	5	-1.82	1	-0.01	1
1837	-318	-350	Min.	16.87	-225.25	5	-34.84	5	-3.15	5	-6.16	5	-0.47	5	-0.01	1
1837	-350	-382	Max	2.51	427.42	5	4.76	5	2.01	1	33.19	5	0.58	1	0.01	1
1837	-350	-382	Max	16.87	428.44	5	4.76	5	0.40	5	33.22	5	3.18	5	0.01	1
1837	-350	-382	Min.	2.51	-221.74	5	-35.59	5	-0.51	1	-6.18	5	-1.77	1	-0.01	1
1837	-350	-382	Min.	16.87	-220.72	5	-35.59	5	-3.32	5	-6.15	5	-0.48	5	-0.01	1
1837	-382	-414	Max	2.51	488.45	5	4.71	5	1.95	1	33.88	5	0.57	1	0.01	1
1837	-382	-414	Max	16.87	489.47	5	4.71	5	0.41	5	33.90	5	3.35	5	0.01	1
1837	-382	-414	Min.	2.51	-216.87	5	-36.39	5	-0.51	1	-6.15	5	-1.71	1	-0.01	1
1837	-382	-414	Min.	16.87	-215.84	5	-36.39	5	-3.52	5	-6.13	5	-0.50	5	-0.01	1
1837	-414	-446	Max	2.51	552.35	5	4.60	5	1.88	1	34.75	5	0.56	1	0.01	1
1837	-414	-446	Max	16.87	553.37	5	4.60	5	0.42	5	34.77	5	3.56	5	0.01	1
1837	-414	-446	Min.	2.51	-211.61	5	-36.96	5	-0.50	1	-6.22	5	-1.64	1	-0.01	1
1837	-414	-446	Min.	16.87	-210.59	5	-36.96	5	-3.69	5	-6.20	5	-0.54	5	-0.01	1

1837	-446	-478	Max	2.51	619.21	5	4.65	5	1.78	1	34.60	5	0.54	1	0.01	1
1837	-446	-478	Max	16.87	620.23	5	4.65	5	0.45	5	34.63	5	3.66	5	0.01	1
1837	-446	-478	Min.	2.51	-205.94	5	-39.40	5	-0.49	1	-5.49	5	-1.54	1	-0.01	1
1837	-446	-478	Min.	16.87	-204.92	5	-39.40	5	-4.15	5	-5.46	5	-0.47	5	-0.01	1
1837	-478	-510	Max	2.51	699.45	5	4.56	1	1.50	1	41.48	5	0.51	1	0.01	1
1837	-478	-510	Max	16.87	700.47	5	4.56	1	0.35	5	41.50	5	4.83	5	0.01	1
1837	-478	-510	Min.	2.51	-211.05	5	-30.36	1	-0.48	1	-10.09	5	-1.34	1	-0.01	1
1837	-478	-510	Min.	16.87	-210.03	5	-30.36	1	-3.04	5	-10.07	5	-1.14	5	-0.01	1
1837	-510	1356	Max	2.51	784.72	5	8.68	5	1.03	1	24.43	1	0.41	1	0.02	1
1837	-510	1356	Max	14.38	785.56	5	8.68	5	0.92	5	24.45	1	2.45	1	0.02	1
1837	-510	1356	Min.	2.51	-223.47	5	-92.92	5	-0.11	1	-2.02	1	-0.45	1	-0.01	1
1837	-510	1356	Min.	14.38	-222.63	5	-92.92	5	-10.00	5	-2.00	1	0.18	1	-0.01	1
1858	1305	1306	Max	1.77	67.90	5	9.98	1	3.20	5	1.01	1	0.27	5	0.01	5
1858	1305	1306	Max	10.00	67.90	5	10.56	1	2.87	5	1.01	1	0.24	5	0.01	5
1858	1305	1306	Min.	1.77	-26.79	5	-12.97	1	-1.63	5	-0.88	1	-0.12	5	0.01	5
1858	1305	1306	Min.	10.00	-26.79	5	-12.39	1	-1.50	5	-0.88	1	-0.08	5	0.01	5
1858	1306	1307	Max	0.00	67.93	5	10.56	1	2.87	5	1.04	1	0.24	5	0.01	5
1858	1306	1307	Max	0.41					2.86	7			0.24	7		
1858	1306	1307	Max	8.23	67.93	5	11.15	1	3.13	5	1.04	1	0.25	5	0.01	5
1858	1306	1307	Min.	0.00	-26.81	5	-12.39	1	-1.50	5	-0.90	1	-0.08	5	0.01	5
1858	1306	1307	Min.	0.41					-1.49	7			-0.08	7		
1858	1306	1307	Min.	8.23	-26.81	5	-11.80	1	-1.87	5	-0.90	1	-0.08	5	0.01	5
1860	1325	1326	Max	1.77	21.39	5	0.79	1	0.10	5	7.64	1	1.06	5	-0.00	1
1860	1325	1326	Max	10.00	21.39	5	0.79	1	0.08	5	8.23	1	0.81	5	-0.00	1
1860	1325	1326	Min.	1.77	-76.01	5	-0.38	1	-0.29	5	-12.05	1	-3.86	5	-0.02	1
1860	1325	1326	Min.	10.00	-76.01	5	-0.38	1	-0.24	5	-11.47	1	-3.92	5	-0.02	1
1860	1326	1327	Max	0.00	21.37	5	0.82	1	0.08	5	8.23	1	0.81	5	-0.00	1
1860	1326	1327	Max	0.41					0.08	7			0.80	7		
1860	1326	1327	Max	8.23	21.37	5	0.82	1	0.09	5	8.81	1	1.06	5	-0.00	1
1860	1326	1327	Min.	0.00	-75.99	5	-0.40	1	-0.24	5	-11.47	1	-3.92	5	-0.02	1
1860	1326	1327	Min.	0.41					-0.24	7			-3.93	7		
1860	1326	1327	Min.	8.23	-75.99	5	-0.40	1	-0.21	5	-10.88	1	-4.39	5	-0.02	1
1902	1337	1338	Max	1.77	21.44	5	7.63	1	1.05	5	0.80	1	0.10	5	0.02	1
1902	1337	1338	Max	10.00	21.44	5	8.21	1	0.81	5	0.80	1	0.08	5	0.02	1
1902	1337	1338	Min.	1.77	-75.95	5	-12.16	1	-3.84	5	-0.38	1	-0.29	5	0.00	1
1902	1337	1338	Min.	10.00	-75.95	5	-11.57	1	-3.93	5	-0.38	1	-0.24	5	0.00	1
1902	1338	1339	Max	0.00	21.46	5	8.21	1	0.81	5	0.83	1	0.08	5	0.02	1
1902	1338	1339	Max	8.23	21.46	5	8.80	1	1.06	5	0.83	1	0.09	5	0.02	1
1902	1338	1339	Min.	0.00	-75.97	5	-11.57	1	-3.93	5	-0.41	1	-0.24	5	0.00	1
1902	1338	1339	Min.	8.23	-75.97	5	-10.99	1	-4.41	5	-0.41	1	-0.21	5	0.00	1
1904	1357	1358	Max	1.77	67.77	5	1.00	1	0.27	5	9.81	1	3.22	5	-0.01	5
1904	1357	1358	Max	10.00	67.77	5	1.00	1	0.24	5	10.39	1	2.87	5	-0.01	5
1904	1357	1358	Min.	1.77	-26.72	5	-0.86	1	-0.12	5	-12.91	1	-1.63	5	-0.01	5
1904	1357	1358	Min.	10.00	-26.72	5	-0.86	1	-0.08	5	-12.32	1	-1.50	5	-0.01	5
1904	1358	1359	Max	0.00	67.79	5	1.03	1	0.24	5	10.39	1	2.87	5	-0.01	5
1904	1358	1359	Max	0.41					0.24	7			2.86	7		
1904	1358	1359	Max	8.23	67.79	5	1.03	1	0.25	5	10.98	1	3.12	5	-0.01	5
1904	1358	1359	Min.	0.00	-26.74	5	-0.89	1	-0.08	5	-12.32	1	-1.50	5	-0.01	5
1904	1358	1359	Min.	0.41					-0.08	7			-1.49	7		
1904	1358	1359	Min.	8.23	-26.74	5	-0.89	1	-0.08	5	-11.74	1	-1.85	5	-0.01	5
2022	2025	2026	Max	0.00	2.44	1	418.63	5	0.06	1	-16.20	1	0.15	1	31.09	5
2022	2025	2026	Max	0.63	2.44	1	418.63	5	2.59	5	-16.24	1	0.04	1	31.09	5
2022	2025	2026	Min.	0.00	-2.78	1	-996.36	5	-0.24	1	-112.86	1	0.01	1	-6.54	5
2022	2025	2026	Min.	0.63	-2.78	1	-996.36	5	-6.41	5	-112.90	1	-0.70	1	-6.54	5
2022	2026	2027	Max	5.37	4.87	1	1027.68	5	2.56	5	191.48	1	-0.32	1	5.82	5
2022	2026	2027	Max	6.00	4.87	1	1027.68	5	0.41	5	191.44	1	-0.03	1	5.82	5
2022	2026	2027	Min.	5.37	-5.73	1	-423.05	5	-6.07	5	41.00	1	-1.24	1	-31.81	5
2022	2026	2027	Min.	6.00	-5.73	1	-423.05	5	-0.10	5	40.96	1	-0.06	1	-31.81	5
2066	2285	2286	Max	0.00	2.41	1	990.58	5	0.19	1	-17.65	1	0.15	1	6.63	5

2066	2285	2286	Max	0.63	2.41	1	990.58	5	6.36	5	-17.70	1	0.04	1	6.63	5
2066	2285	2286	Min.	0.00	-2.71	1	-421.85	5	-0.03	1	-113.33	1	0.01	1	-30.95	5
2066	2285	2286	Min.	0.63	-2.71	1	-421.85	5	-2.61	5	-113.37	1	-0.71	1	-30.95	5
2066	2286	2287	Max	5.37	4.50	1	417.78	5	6.15	5	190.13	1	-0.32	1	31.85	5
2066	2286	2287	Max	6.00	4.50	1	417.78	5	0.07	5	190.09	1	-0.02	1	31.85	5
2066	2286	2287	Min.	5.37	-5.44	1	-1032.12	5	-2.56	5	40.76	1	-1.22	1	-5.79	5
2066	2286	2287	Min.	6.00	-5.44	1	-1032.12	5	-0.35	5	40.71	1	-0.07	1	-5.79	5
2106	2001	9	Max	0.00	3.68	1	0.67	1	0.11	1	2.75	1	0.74	1	0.03	1
2106	2001	9	Max	16.67	3.68	1	0.67	1	0.03	1	2.10	1	0.20	1	0.03	1
2106	2001	9	Min.	0.00	-17.72	1	-0.92	1	-0.08	1	-8.07	1	-0.22	1	-0.06	1
2106	2001	9	Min.	16.67	-17.72	1	-0.92	1	-0.04	1	-8.72	1	-0.67	1	-0.06	1
2106	9	17	Max	0.00	8.16	1	0.76	1	0.13	1	1.22	1	0.58	1	0.05	1
2106	9	17	Max	16.67	8.16	1	0.76	1	0.04	1	0.56	1	0.09	1	0.05	1
2106	9	17	Min.	0.00	-43.43	1	-1.09	1	-0.08	1	-8.77	1	-0.06	1	-0.07	1
2106	9	17	Min.	16.67	-43.43	1	-1.09	1	-0.05	1	-9.42	1	-0.93	1	-0.07	1
2106	17	2025	Max	0.00	12.17	1	1.55	1	0.05	1	11.40	5	0.58	5	0.02	1
2106	17	2025	Max	2.85					-0.00	3			0.32	3		
2106	17	2025	Max	16.67	12.17	1	1.55	1	0.21	1	10.74	5	2.33	5	0.02	1
2106	17	2025	Min.	0.00	-69.83	1	-2.08	1	-0.04	1	-10.58	5	-0.38	5	-0.05	1
2106	17	2025	Min.	2.85					-0.00	3			-0.10	3		
2106	17	2025	Min.	16.67	-69.83	1	-2.08	1	-0.29	1	-11.24	5	-2.11	5	-0.05	1
2106	2025	37	Max	0.00	471.69	5	0.22	1	0.18	1	126.02	5	-0.15	5	0.09	1
2106	2025	37	Max	21.56	471.69	5	0.22	1	0.03	5	125.18	5	5.21	5	0.09	1
2106	2025	37	Min.	0.00	-1129.33	5	-0.82	1	-0.05	1	16.48	5	-21.88	5	0.01	1
2106	2025	37	Min.	21.56	-1129.33	5	-0.82	1	-0.03	5	15.64	5	3.32	5	0.01	1
2106	37	45	Max	0.00	524.37	5	0.09	1	0.08	1	105.10	5	-0.29	5	0.09	1
2106	37	45	Max	21.56	524.37	5	0.09	1	0.02	1	104.25	5	8.05	5	0.09	1
2106	37	45	Min.	0.00	-843.58	5	-0.56	1	0.00	1	16.24	5	-14.52	5	0.01	1
2106	37	45	Min.	21.56	-843.58	5	-0.56	1	-0.05	1	15.39	5	3.11	5	0.01	1
2106	45	53	Max	0.00	565.31	5	-0.07	1	0.03	1	94.60	5	0.06	5	0.09	1
2106	45	53	Max	21.56	565.31	5	-0.07	1	0.01	1	93.75	5	8.23	5	0.09	1
2106	45	53	Min.	0.00	-585.03	5	-0.40	1	0.02	1	12.97	5	-12.08	5	0.00	1
2106	45	53	Min.	21.56	-585.03	5	-0.40	1	-0.06	1	12.12	5	2.76	5	0.00	1
2106	53	61	Max	0.00	596.08	5	-0.18	5	0.04	5	84.61	5	0.32	5	0.09	1
2106	53	61	Max	21.56	596.08	5	-0.18	5	-0.01	5	83.77	5	8.03	5	0.09	1
2106	53	61	Min.	0.00	-374.86	5	-0.23	5	-0.01	5	10.74	5	-10.13	5	-0.00	1
2106	53	61	Min.	21.56	-374.86	5	-0.23	5	-0.05	5	9.89	5	2.54	5	-0.00	1
2106	61	69	Max	0.00	611.88	5	0.17	1	0.06	1	68.95	5	1.17	5	0.05	1
2106	61	69	Max	17.25					0.02	7			3.85	7		
2106	61	69	Max	21.56	611.88	5	0.17	1	0.02	5	68.10	5	6.79	5	0.05	1
2106	61	69	Min.	0.00	-207.65	5	-0.27	1	-0.03	1	2.74	5	-7.98	5	0.02	1
2106	61	69	Min.	17.25					-0.02	7			1.59	7		
2106	61	69	Min.	21.56	-207.65	5	-0.27	1	-0.02	5	1.90	5	1.67	5	0.02	1
2106	69	77	Max	0.00	615.87	5	0.06	1	0.03	5	61.95	5	1.19	5	0.04	1
2106	69	77	Max	21.56	615.87	5	0.06	1	0.03	1	61.11	5	6.29	5	0.04	1
2106	69	77	Min.	0.00	-74.79	5	-0.28	1	0.00	5	0.92	5	-6.97	5	0.01	1
2106	69	77	Min.	21.56	-74.79	5	-0.28	1	-0.04	1	0.08	5	1.30	5	0.01	1
2106	77	85	Max	0.00	615.67	5	-0.05	5	0.03	1	56.29	5	1.27	5	0.04	1
2106	77	85	Max	21.56	615.67	5	-0.05	5	0.01	1	55.44	5	5.94	5	0.04	1
2106	77	85	Min.	0.00	35.56	5	-0.17	5	-0.02	1	-0.34	5	-6.10	5	0.00	1
2106	77	85	Min.	21.56	35.56	5	-0.17	5	-0.04	1	-1.18	5	1.10	5	0.00	1
2106	85	93	Max	0.00	611.66	5	0.09	1	0.02	5	50.98	5	1.54	5	0.05	1
2106	85	93	Max	21.56	611.66	5	0.09	1	0.02	1	50.13	5	5.74	5	0.05	1
2106	85	93	Min.	0.00	127.30	5	-0.23	1	-0.02	5	-1.77	5	-5.16	5	-0.01	1
2106	85	93	Min.	21.56	127.30	5	-0.23	1	-0.05	1	-2.62	5	1.06	5	-0.01	1
2106	93	101	Max	0.00	598.41	5	0.20	1	0.07	1	35.83	5	2.74	5	0.03	5
2106	93	101	Max	20.75					0.03	7			3.95	7		
2106	93	101	Max	21.56	598.41	5	0.20	1	0.03	5	34.98	5	4.26	5	0.03	5
2106	93	101	Min.	0.00	197.53	5	-0.30	1	-0.04	1	-13.37	5	-3.37	5	0.02	5

2106	93	101	Min.	20.75					-0.02	7			-0.10	7		
2106	93	101	Min.	21.56	197.53	5	-0.30	1	-0.02	5	-14.22	5	-0.24	5	0.02	5
2106	101	109	Max	0.00	577.50	5	0.08	1	0.03	5	31.92	5	2.60	5	0.02	1
2106	101	109	Max	21.56	577.50	5	0.08	1	0.03	1	31.07	5	3.75	5	0.02	1
2106	101	109	Min.	0.00	250.21	5	-0.26	1	-0.00	5	-14.38	5	-3.04	5	0.01	1
2106	101	109	Min.	21.56	250.21	5	-0.26	1	-0.04	1	-15.23	5	-0.59	5	0.01	1
2106	109	117	Max	0.00	555.60	5	-0.03	5	0.03	1	28.83	5	2.58	5	0.03	1
2106	109	117	Max	21.56	555.60	5	-0.03	5	0.01	1	27.98	5	3.47	5	0.03	1
2106	109	117	Min.	0.00	293.68	5	-0.16	5	-0.02	1	-14.86	5	-2.65	5	-0.01	1
2106	109	117	Min.	21.56	293.68	5	-0.16	5	-0.04	1	-15.70	5	-0.71	5	-0.01	1
2106	117	125	Max	0.00	532.88	5	0.08	1	0.01	5	25.64	5	2.78	5	0.04	1
2106	117	125	Max	21.56	532.88	5	0.08	1	0.02	1	24.79	5	3.34	5	0.04	1
2106	117	125	Min.	0.00	329.47	5	-0.21	1	-0.02	5	-15.74	5	-2.10	5	-0.02	1
2106	117	125	Min.	21.56	329.47	5	-0.21	1	-0.05	1	-16.59	5	-0.70	5	-0.02	1
2106	125	133	Max	0.00	505.71	5	0.27	1	0.05	1	14.65	5	3.73	5	0.02	5
2106	125	133	Max	19.41					0.02	7			1.88	7		
2106	125	133	Max	21.56	505.71	5	0.27	1	0.02	5	13.81	5	2.19	5	0.02	5
2106	125	133	Min.	0.00	355.14	5	-0.24	1	-0.05	1	-24.87	5	-0.88	5	0.00	5
2106	125	133	Min.	19.41					-0.01	7			-1.16	7		
2106	125	133	Min.	21.56	355.14	5	-0.24	1	-0.02	5	-25.71	5	-1.73	5	0.00	5
2106	133	141	Max	0.00	474.92	5	0.16	1	0.02	5	12.12	5	3.56	5	0.00	5
2106	133	141	Max	21.56	474.92	5	0.16	1	0.04	1	11.27	5	1.76	5	0.00	5
2106	133	141	Min.	0.00	372.23	5	-0.18	1	-0.01	5	-25.52	5	-0.76	5	-0.00	5
2106	133	141	Min.	21.56	372.23	5	-0.18	1	-0.04	1	-26.37	5	-2.03	5	-0.00	5
2106	141	149	Max	0.00	444.74	5	0.03	5	0.02	1	9.77	5	3.42	5	0.01	1
2106	141	149	Max	21.56	444.74	5	0.03	5	0.01	1	8.92	5	1.37	5	0.01	1
2106	141	149	Min.	0.00	385.56	5	-0.07	5	-0.04	1	-26.14	5	-0.65	5	-0.02	1
2106	141	149	Min.	21.56	385.56	5	-0.07	5	-0.04	1	-26.98	5	-2.31	5	-0.02	1
2106	149	157	Max	0.00	417.20	5	0.13	1	0.00	5	8.63	5	2.89	5	0.02	1
2106	149	157	Max	5.54					-0.00	7			1.45	7		
2106	149	157	Max	21.56	417.20	5	0.13	1	0.01	1	7.78	5	0.83	5	0.02	1
2106	149	157	Min.	0.00	397.69	5	-0.15	1	-0.03	5	-25.73	5	-0.94	5	-0.02	1
2106	149	157	Min.	5.54					-0.03	7			-0.47	7		
2106	149	157	Min.	21.56	397.69	5	-0.15	1	-0.04	1	-26.57	5	-2.75	5	-0.02	1
2106	157	165	Max	0.00	416.53	5	0.15	1	0.01	1	26.60	5	0.83	5	0.02	1
2106	157	165	Max	15.76					-0.00	7			1.39	7		
2106	157	165	Max	21.56	416.53	5	0.15	1	0.00	5	25.75	5	2.89	5	0.02	1
2106	157	165	Min.	0.00	398.38	5	-0.13	1	-0.04	1	-7.77	5	-2.75	5	-0.02	1
2106	157	165	Min.	15.76					-0.03	7			-0.45	7		
2106	157	165	Min.	21.56	398.38	5	-0.13	1	-0.03	5	-8.62	5	-0.94	5	-0.02	1
2106	165	173	Max	0.00	444.09	5	0.07	5	0.02	1	27.01	5	1.37	5	0.02	1
2106	165	173	Max	17.25					-0.01	7			2.28	7		
2106	165	173	Max	21.56	444.09	5	0.07	5	0.02	1	26.17	5	3.43	5	0.02	1
2106	165	173	Min.	0.00	386.27	5	-0.03	5	-0.04	1	-8.92	5	-2.31	5	-0.01	1
2106	165	173	Min.	17.25					-0.00	7			-0.22	7		
2106	165	173	Min.	21.56	386.27	5	-0.03	5	-0.04	1	-9.76	5	-0.65	5	-0.01	1
2106	173	181	Max	0.00	474.31	5	0.18	1	0.04	1	26.40	5	1.76	5	0.00	5
2106	173	181	Max	21.56	474.31	5	0.18	1	0.01	5	25.55	5	3.56	5	0.00	5
2106	173	181	Min.	0.00	372.94	5	-0.16	1	-0.04	1	-11.27	5	-2.04	5	-0.00	5
2106	173	181	Min.	21.56	372.94	5	-0.16	1	-0.01	5	-12.11	5	-0.76	5	-0.00	5
2106	181	189	Max	0.00	505.14	5	0.24	1	0.02	5	25.75	5	2.19	5	-0.00	5
2106	181	189	Max	1.53					0.02	7			1.96	7		
2106	181	189	Max	21.56	505.14	5	0.24	1	0.05	1	24.90	5	3.73	5	-0.00	5
2106	181	189	Min.	0.00	355.86	5	-0.27	1	-0.02	5	-13.80	5	-1.73	5	-0.02	5
2106	181	189	Min.	1.53					-0.01	7			-1.32	7		
2106	181	189	Min.	21.56	355.86	5	-0.27	1	-0.05	1	-14.65	5	-0.88	5	-0.02	5
2106	189	197	Max	0.00	532.35	5	0.21	1	0.02	1	16.62	5	3.34	5	0.02	1
2106	189	197	Max	21.56	532.35	5	0.21	1	0.01	5	15.77	5	2.79	5	0.02	1
2106	189	197	Min.	0.00	330.20	5	-0.08	1	-0.05	1	-24.78	5	-0.70	5	-0.04	1

2106	189	197	Min.	21.56	330.20	5	-0.08	1	-0.02	5	-25.63	5	-2.10	5	-0.04	1
2106	197	205	Max	0.00	555.11	5	0.16	5	0.01	1	15.73	5	3.47	5	0.01	1
2106	197	205	Max	21.56	555.11	5	0.16	5	0.03	1	14.89	5	2.58	5	0.01	1
2106	197	205	Min.	0.00	294.43	5	0.03	5	-0.04	1	-27.97	5	-0.72	5	-0.03	1
2106	197	205	Min.	21.56	294.43	5	0.03	5	-0.02	1	-28.82	5	-2.65	5	-0.03	1
2106	205	213	Max	0.00	577.05	5	0.27	1	0.03	1	15.26	5	3.75	5	-0.01	1
2106	205	213	Max	21.56	577.05	5	0.27	1	0.03	5	14.41	5	2.60	5	-0.01	1
2106	205	213	Min.	0.00	250.96	5	-0.09	1	-0.04	1	-31.06	5	-0.60	5	-0.02	1
2106	205	213	Min.	21.56	250.96	5	-0.09	1	-0.00	5	-31.90	5	-3.04	5	-0.02	1
2106	213	221	Max	0.00	598.01	5	0.30	1	0.02	5	14.25	5	4.26	5	-0.02	5
2106	213	221	Max	0.27					0.02	7			4.14	7		
2106	213	221	Max	21.56	598.01	5	0.30	1	0.07	1	13.40	5	2.74	5	-0.02	5
2106	213	221	Min.	0.00	198.31	5	-0.20	1	-0.02	5	-34.97	5	-0.24	5	-0.03	5
2106	213	221	Min.	0.27					-0.02	7			-0.18	7		
2106	213	221	Min.	21.56	198.31	5	-0.20	1	-0.04	1	-35.82	5	-3.37	5	-0.03	5
2106	221	229	Max	0.00	611.31	5	0.23	1	0.02	1	2.64	5	5.74	5	0.01	1
2106	221	229	Max	21.56	611.31	5	0.23	1	0.02	5	1.80	5	1.54	5	0.01	1
2106	221	229	Min.	0.00	128.08	5	-0.09	1	-0.05	1	-50.13	5	1.06	5	-0.05	1
2106	221	229	Min.	21.56	128.08	5	-0.09	1	-0.02	5	-50.97	5	-5.16	5	-0.05	1
2106	229	237	Max	0.00	615.37	5	0.17	5	0.01	1	1.21	5	5.94	5	0.00	1
2106	229	237	Max	21.56	615.37	5	0.17	5	0.03	1	0.36	5	1.27	5	0.00	1
2106	229	237	Min.	0.00	36.36	5	0.05	5	-0.04	1	-55.43	5	1.10	5	-0.04	1
2106	229	237	Min.	21.56	36.36	5	0.05	5	-0.02	1	-56.28	5	-6.10	5	-0.04	1
2106	237	245	Max	0.00	615.62	5	0.28	1	0.02	1	-0.05	5	6.29	5	-0.01	1
2106	237	245	Max	21.56	615.62	5	0.28	1	0.03	5	-0.90	5	1.20	5	-0.01	1
2106	237	245	Min.	0.00	-73.98	5	-0.07	1	-0.04	1	-61.10	5	1.30	5	-0.04	1
2106	237	245	Min.	21.56	-73.98	5	-0.07	1	0.00	5	-61.95	5	-6.97	5	-0.04	1
2106	245	253	Max	0.00	611.70	5	0.27	1	0.02	5	-1.86	5	6.79	5	-0.02	1
2106	245	253	Max	1.58					0.02	7			5.70	7		
2106	245	253	Max	21.56	611.70	5	0.27	1	0.06	1	-2.71	5	1.18	5	-0.02	1
2106	245	253	Min.	0.00	-206.83	5	-0.16	1	-0.02	5	-68.10	5	1.67	5	-0.05	1
2106	245	253	Min.	1.58					-0.02	7			1.66	7		
2106	245	253	Min.	21.56	-206.83	5	-0.16	1	-0.03	1	-68.94	5	-7.98	5	-0.05	1
2106	253	261	Max	0.00	595.94	5	0.23	5	-0.01	5	-9.91	5	8.03	5	0.00	1
2106	253	261	Max	21.56	595.94	5	0.23	5	0.04	5	-10.76	5	0.32	5	0.00	1
2106	253	261	Min.	0.00	-374.07	5	0.18	5	-0.05	5	-83.77	5	2.55	5	-0.09	1
2106	253	261	Min.	21.56	-374.07	5	0.18	5	-0.01	5	-84.62	5	-10.13	5	-0.09	1
2106	261	269	Max	0.00	565.21	5	0.40	1	0.02	1	-12.14	5	8.23	5	-0.00	1
2106	261	269	Max	21.56	565.21	5	0.40	1	0.03	1	-12.99	5	0.05	5	-0.00	1
2106	261	269	Min.	0.00	-584.32	5	0.07	1	-0.06	1	-93.76	5	2.76	5	-0.09	1
2106	261	269	Min.	21.56	-584.32	5	0.07	1	0.02	1	-94.60	5	-12.08	5	-0.09	1
2106	269	277	Max	0.00	523.69	5	0.56	1	0.02	1	-15.41	5	8.05	5	-0.01	1
2106	269	277	Max	21.56	523.69	5	0.56	1	0.08	1	-16.25	5	-0.30	5	-0.01	1
2106	269	277	Min.	0.00	-842.35	5	-0.10	1	-0.05	1	-104.25	5	3.12	5	-0.09	1
2106	269	277	Min.	21.56	-842.35	5	-0.10	1	0.00	1	-105.10	5	-14.52	5	-0.09	1
2106	277	2285	Max	0.00	470.94	5	0.82	1	0.03	5	-15.67	5	5.21	5	-0.01	1
2106	277	2285	Max	21.56	470.94	5	0.82	1	0.18	1	-16.51	5	-0.15	5	-0.01	1
2106	277	2285	Min.	0.00	-1128.14	5	-0.23	1	-0.03	5	-125.19	5	3.32	5	-0.09	1
2106	277	2285	Min.	21.56	-1128.14	5	-0.23	1	-0.06	1	-126.03	5	-21.88	5	-0.09	1
2106	2285	297	Max	0.00	4.17	1	2.00	1	0.20	1	11.85	5	2.21	5	0.05	1
2106	2285	297	Max	13.94					-0.01	3			0.31	3		
2106	2285	297	Max	16.67	4.17	1	2.00	1	0.08	1	11.19	5	0.59	5	0.05	1
2106	2285	297	Min.	0.00	-70.80	1	-1.51	1	-0.25	1	-9.83	5	-2.18	5	-0.02	1
2106	2285	297	Min.	13.94					0.02	3			-0.08	3		
2106	2285	297	Min.	16.67	-70.80	1	-1.51	1	-0.06	1	-10.49	5	-0.34	5	-0.02	1
2106	297	305	Max	0.00	3.48	1	1.14	1	0.06	1	9.84	1	-0.01	1	0.07	1
2106	297	305	Max	16.67	3.48	1	1.14	1	0.10	1	9.19	1	0.62	1	0.07	1
2106	297	305	Min.	0.00	-44.05	1	-0.86	1	-0.09	1	0.48	1	-0.96	1	-0.05	1
2106	297	305	Min.	16.67	-44.05	1	-0.86	1	-0.08	1	-0.17	1	0.01	1	-0.05	1

2106	305	2313	Max	0.00	1.92	1	1.13	1	0.04	1	8.68	1	0.13	1	0.06	1
2106	305	2313	Max	16.67	1.92	1	1.13	1	0.12	1	8.03	1	0.74	1	0.06	1
2106	305	2313	Min.	0.00	-17.62	1	-0.71	1	-0.06	1	-1.23	1	-0.66	1	-0.03	1
2106	305	2313	Min.	16.67	-17.62	1	-0.71	1	-0.08	1	-1.88	1	-0.14	1	-0.03	1
2107	-514	18	Max	0.00	-14.48	1	0.79	1	0.26	1	1.04	1	-0.03	1	0.00	5
2107	-514	18	Max	16.78					-0.00	3			-0.00	3		
2107	-514	18	Max	19.08	-14.85	1	0.79	1	0.01	5	0.39	1	0.03	5	0.00	5
2107	-514	18	Min.	0.00	-54.57	1	-1.58	1	-0.15	1	0.57	1	-0.24	1	-0.03	5
2107	-514	18	Min.	16.78					-0.02	3			-0.10	3		
2107	-514	18	Min.	19.08	-54.93	1	-1.58	1	-0.05	5	-0.09	1	-0.12	5	-0.03	5
2144	2003	11	Max	0.00	-21.16	1	0.58	1	0.12	1	-8.51	1	1.79	1	0.06	1
2144	2003	11	Max	16.67	-21.16	1	0.58	1	0.03	1	-9.17	1	-0.69	1	0.06	1
2144	2003	11	Min.	0.00	-43.66	1	-1.05	1	-0.07	1	-19.95	1	0.78	1	-0.02	1
2144	2003	11	Min.	16.67	-43.66	1	-1.05	1	-0.06	1	-20.60	1	-1.59	1	-0.02	1
2144	11	19	Max	0.00	-51.66	1	0.57	1	0.10	1	-10.43	1	1.35	1	0.09	1
2144	11	19	Max	16.67	-51.66	1	0.57	1	0.04	1	-11.09	1	-1.09	1	0.09	1
2144	11	19	Min.	0.00	-105.21	1	-1.06	1	-0.06	1	-20.18	1	0.70	1	-0.04	1
2144	11	19	Min.	16.67	-105.21	1	-1.06	1	-0.08	1	-20.83	1	-2.06	1	-0.04	1
2144	19	2028	Max	0.00	-77.83	1	1.48	1	0.08	1	2.13	5	1.04	5	0.05	1
2144	19	2028	Max	3.33									0.98	7		
2144	19	2028	Max	16.67	-77.83	1	1.48	1	0.19	1	1.47	5	1.21	5	0.05	1
2144	19	2028	Min.	0.00	-161.34	1	-1.86	1	-0.06	1	-20.78	5	0.02	5	-0.02	1
2144	19	2028	Min.	3.33					0.00	7			-0.55	7		
2144	19	2028	Min.	16.67	-161.34	1	-1.86	1	-0.24	1	-21.43	5	-3.37	5	-0.02	1
2144	2028	39	Max	0.00	159.58	5	0.86	1	0.14	1	195.77	5	-10.71	5	0.03	1
2144	2028	39	Max	21.56	159.58	5	0.86	1	0.01	5	194.93	5	9.51	5	0.03	1
2144	2028	39	Min.	0.00	-1472.85	5	-0.62	1	-0.17	1	85.19	5	-32.62	5	-0.03	1
2144	2028	39	Min.	21.56	-1472.85	5	-0.62	1	0.00	5	84.35	5	7.57	5	-0.03	1
2144	39	47	Max	0.00	377.35	5	0.35	1	0.02	1	163.44	5	-7.35	5	0.03	1
2144	39	47	Max	21.56	377.35	5	0.35	1	0.06	1	162.59	5	13.51	5	0.03	1
2144	39	47	Min.	0.00	-1022.83	5	-0.37	1	-0.02	1	74.09	5	-21.64	5	-0.04	1
2144	39	47	Min.	21.56	-1022.83	5	-0.37	1	-0.06	1	73.24	5	8.53	5	-0.04	1
2144	47	55	Max	0.00	562.45	5	0.07	1	0.03	1	145.79	5	-5.58	5	0.05	1
2144	47	55	Max	21.56	562.45	5	0.07	1	0.04	1	144.94	5	13.55	5	0.05	1
2144	47	55	Min.	0.00	-621.50	5	-0.07	1	-0.03	1	63.61	5	-17.79	5	-0.04	1
2144	47	55	Min.	21.56	-621.50	5	-0.07	1	-0.04	1	62.76	5	8.04	5	-0.04	1
2144	55	63	Max	0.00	705.02	5	0.16	1	0.00	5	128.81	5	-4.07	5	0.05	1
2144	55	63	Max	21.56	705.02	5	0.16	1	0.03	1	127.96	5	13.08	5	0.05	1
2144	55	63	Min.	0.00	-297.40	5	-0.13	1	-0.00	5	54.40	5	-14.60	5	-0.04	1
2144	55	63	Min.	21.56	-297.40	5	-0.13	1	-0.03	1	53.55	5	7.57	5	-0.04	1
2144	63	71	Max	0.00	797.62	5	0.24	1	0.08	1	97.22	5	-1.15	5	0.01	1
2144	63	71	Max	21.56	797.62	5	0.24	1	0.00	1	96.37	5	10.36	5	0.01	1
2144	63	71	Min.	0.00	-50.58	5	-0.36	1	-0.05	1	29.25	5	-10.51	5	0.00	1
2144	63	71	Min.	21.56	-50.58	5	-0.36	1	-0.00	1	28.40	5	5.06	5	0.00	1
2144	71	79	Max	0.00	853.08	5	0.16	1	0.02	1	86.15	5	-0.77	5	0.01	1
2144	71	79	Max	21.56	853.08	5	0.16	1	0.05	1	85.30	5	9.37	5	0.01	1
2144	71	79	Min.	0.00	137.10	5	-0.28	1	0.00	1	23.44	5	-9.12	5	0.01	1
2144	71	79	Min.	21.56	137.10	5	-0.28	1	-0.06	1	22.60	5	4.19	5	0.01	1
2144	79	87	Max	0.00	892.12	5	0.02	1	0.05	1	76.92	5	-0.28	5	0.03	1
2144	79	87	Max	21.56	892.12	5	0.02	1	0.02	1	76.08	5	8.69	5	0.03	1
2144	79	87	Min.	0.00	289.72	5	-0.14	1	-0.04	1	18.74	5	-7.81	5	-0.01	1
2144	79	87	Min.	21.56	289.72	5	-0.14	1	-0.04	1	17.89	5	3.67	5	-0.01	1
2144	87	95	Max	0.00	918.00	5	0.19	1	0.00	5	68.18	5	0.47	5	0.05	1
2144	87	95	Max	21.56	918.00	5	0.19	1	0.04	1	67.34	5	8.22	5	0.05	1
2144	87	95	Min.	0.00	414.10	5	-0.29	1	-0.00	5	13.91	5	-6.39	5	-0.03	1
2144	87	95	Min.	21.56	414.10	5	-0.29	1	-0.06	1	13.06	5	3.38	5	-0.03	1
2144	95	103	Max	0.00	924.33	5	0.29	1	0.08	1	46.00	5	2.48	5	0.02	1
2144	95	103	Max	21.56	924.33	5	0.29	1	0.01	1	45.15	5	6.00	5	0.02	1
2144	95	103	Min.	0.00	506.69	5	-0.32	1	-0.07	1	-4.80	5	-3.83	5	0.00	1

2144	95	103	Min.	21.56	506.69	5	-0.32	1	-0.01	1	-5.65	5	1.35	5	0.00	1
2144	103	111	Max	0.00	915.20	5	0.18	1	0.01	1	39.60	5	2.53	5	0.01	1
2144	103	111	Max	21.56	915.20	5	0.18	1	0.05	1	38.75	5	5.16	5	0.01	1
2144	103	111	Min.	0.00	573.55	5	-0.23	1	0.00	1	-8.23	5	-3.29	5	0.00	1
2144	103	111	Min.	21.56	573.55	5	-0.23	1	-0.05	1	-9.07	5	0.67	5	0.00	1
2144	111	119	Max	0.00	900.47	5	0.04	1	0.04	1	34.31	5	2.76	5	0.03	1
2144	111	119	Max	21.56	900.47	5	0.04	1	0.02	1	33.47	5	4.67	5	0.03	1
2144	111	119	Min.	0.00	626.38	5	-0.09	1	-0.04	1	-10.84	5	-2.64	5	-0.02	1
2144	111	119	Min.	21.56	626.38	5	-0.09	1	-0.03	1	-11.68	5	0.34	5	-0.02	1
2144	119	127	Max	0.00	880.66	5	0.18	1	0.00	1	28.72	5	3.37	5	0.04	1
2144	119	127	Max	21.56	880.66	5	0.18	1	0.04	1	27.87	5	4.42	5	0.04	1
2144	119	127	Min.	0.00	667.04	5	-0.22	1	-0.01	1	-14.07	5	-1.68	5	-0.03	1
2144	119	127	Min.	21.56	667.04	5	-0.22	1	-0.05	1	-14.92	5	0.24	5	-0.03	1
2144	127	135	Max	0.00	849.24	5	0.29	1	0.07	1	8.10	5	5.36	5	0.02	1
2144	127	135	Max	21.56	849.24	5	0.29	1	0.00	1	7.26	5	2.24	5	0.02	1
2144	127	135	Min.	0.00	690.29	5	-0.30	1	-0.07	1	-32.92	5	0.58	5	-0.01	1
2144	127	135	Min.	21.56	690.29	5	-0.30	1	-0.00	1	-33.76	5	-1.83	5	-0.01	1
2144	135	143	Max	0.00	808.42	5	0.18	1	0.01	1	3.85	5	5.18	5	0.01	1
2144	135	143	Max	21.56	808.42	5	0.18	1	0.05	1	3.00	5	1.44	5	0.01	1
2144	135	143	Min.	0.00	699.11	5	-0.21	1	-0.01	1	-35.26	5	0.70	5	-0.00	1
2144	135	143	Min.	21.56	699.11	5	-0.21	1	-0.05	1	-36.10	5	-2.51	5	-0.00	1
2144	143	151	Max	0.00	766.74	5	0.05	1	0.04	1	-0.26	5	5.04	5	0.02	1
2144	143	151	Max	21.56	766.74	5	0.05	1	0.03	1	-1.11	5	0.66	5	0.02	1
2144	143	151	Min.	0.00	702.61	5	-0.07	1	-0.04	1	-37.58	5	0.81	5	-0.02	1
2144	143	151	Min.	21.56	702.61	5	-0.07	1	-0.03	1	-38.43	5	-3.16	5	-0.02	1
2144	151	159	Max	0.00	728.82	5	0.17	1	0.00	1	-1.84	5	3.99	5	0.03	1
2144	151	159	Max	21.56	728.82	5	0.17	1	0.03	1	-2.69	5	-0.48	5	0.03	1
2144	151	159	Min.	0.00	705.91	5	-0.19	1	-0.01	1	-37.58	5	0.00	5	-0.03	1
2144	151	159	Min.	21.56	705.91	5	-0.19	1	-0.04	1	-38.43	5	-4.20	5	-0.03	1
2144	159	167	Max	0.00	729.17	5	0.19	1	0.03	1	38.42	5	-0.48	5	0.03	1
2144	159	167	Max	21.56	729.17	5	0.19	1	0.00	1	37.58	5	3.99	5	0.03	1
2144	159	167	Min.	0.00	705.56	5	-0.17	1	-0.04	1	2.69	5	-4.20	5	-0.03	1
2144	159	167	Min.	21.56	705.56	5	-0.17	1	-0.01	1	1.84	5	0.01	5	-0.03	1
2144	167	175	Max	0.00	767.10	5	0.07	1	0.03	1	38.43	5	0.66	5	0.02	1
2144	167	175	Max	21.56	767.10	5	0.07	1	0.04	1	37.58	5	5.04	5	0.02	1
2144	167	175	Min.	0.00	702.26	5	-0.05	1	-0.03	1	1.11	5	-3.16	5	-0.02	1
2144	167	175	Min.	21.56	702.26	5	-0.05	1	-0.04	1	0.26	5	0.81	5	-0.02	1
2144	175	183	Max	0.00	808.78	5	0.21	1	0.05	1	36.10	5	1.43	5	0.00	1
2144	175	183	Max	21.56	808.78	5	0.21	1	0.01	1	35.25	5	5.18	5	0.00	1
2144	175	183	Min.	0.00	698.77	5	-0.18	1	-0.05	1	-3.00	5	-2.51	5	-0.01	1
2144	175	183	Min.	21.56	698.77	5	-0.18	1	-0.01	1	-3.85	5	0.70	5	-0.01	1
2144	183	191	Max	0.00	849.59	5	0.30	1	0.00	1	33.76	5	2.24	5	0.01	1
2144	183	191	Max	21.56	849.59	5	0.30	1	0.07	1	32.92	5	5.36	5	0.01	1
2144	183	191	Min.	0.00	689.95	5	-0.29	1	-0.00	1	-7.26	5	-1.83	5	-0.02	1
2144	183	191	Min.	21.56	689.95	5	-0.29	1	-0.07	1	-8.10	5	0.58	5	-0.02	1
2144	191	199	Max	0.00	881.01	5	0.22	1	0.04	1	14.92	5	4.42	5	0.03	1
2144	191	199	Max	21.56	881.01	5	0.22	1	0.00	1	14.07	5	3.37	5	0.03	1
2144	191	199	Min.	0.00	666.71	5	-0.18	1	-0.05	1	-27.87	5	0.24	5	-0.04	1
2144	191	199	Min.	21.56	666.71	5	-0.18	1	-0.01	1	-28.72	5	-1.68	5	-0.04	1
2144	199	207	Max	0.00	900.82	5	0.09	1	0.02	1	11.68	5	4.67	5	0.02	1
2144	199	207	Max	21.56	900.82	5	0.09	1	0.04	1	10.84	5	2.76	5	0.02	1
2144	199	207	Min.	0.00	626.04	5	-0.04	1	-0.03	1	-33.47	5	0.34	5	-0.03	1
2144	199	207	Min.	21.56	626.04	5	-0.04	1	-0.04	1	-34.31	5	-2.64	5	-0.03	1
2144	207	215	Max	0.00	915.54	5	0.23	1	0.05	1	9.07	5	5.16	5	-0.00	1
2144	207	215	Max	21.56	915.54	5	0.23	1	0.01	1	8.22	5	2.53	5	-0.00	1
2144	207	215	Min.	0.00	573.22	5	-0.18	1	-0.05	1	-38.75	5	0.67	5	-0.01	1
2144	207	215	Min.	21.56	573.22	5	-0.18	1	0.00	1	-39.60	5	-3.29	5	-0.01	1
2144	215	223	Max	0.00	924.67	5	0.32	1	0.01	1	5.65	5	6.00	5	0.00	1
2144	215	223	Max	21.56	924.67	5	0.32	1	0.08	1	4.80	5	2.48	5	0.00	1

2144	215	223	Min.	0.00	506.35	5	-0.29	1	-0.01	1	-45.15	5	1.35	5	-0.02	1
2144	215	223	Min.	21.56	506.35	5	-0.29	1	-0.07	1	-46.00	5	-3.83	5	-0.02	1
2144	223	231	Max	0.00	918.34	5	0.29	1	0.04	1	-13.06	5	8.22	5	0.03	1
2144	223	231	Max	21.56	918.34	5	0.29	1	0.00	5	-13.91	5	0.47	5	0.03	1
2144	223	231	Min.	0.00	413.76	5	-0.19	1	-0.06	1	-67.35	5	3.38	5	-0.05	1
2144	223	231	Min.	21.56	413.76	5	-0.19	1	-0.00	5	-68.19	5	-6.39	5	-0.05	1
2144	231	239	Max	0.00	892.45	5	0.14	1	0.02	1	-17.89	5	8.69	5	0.01	1
2144	231	239	Max	21.56	892.45	5	0.14	1	0.05	1	-18.74	5	-0.28	5	0.01	1
2144	231	239	Min.	0.00	289.37	5	-0.02	1	-0.04	1	-76.08	5	3.67	5	-0.03	1
2144	231	239	Min.	21.56	289.37	5	-0.02	1	-0.04	1	-76.93	5	-7.81	5	-0.03	1
2144	239	247	Max	0.00	853.41	5	0.27	1	0.05	1	-22.60	5	9.37	5	-0.01	1
2144	239	247	Max	21.56	853.41	5	0.27	1	0.02	1	-23.45	5	-0.77	5	-0.01	1
2144	239	247	Min.	0.00	136.73	5	-0.15	1	-0.06	1	-85.31	5	4.19	5	-0.01	1
2144	239	247	Min.	21.56	136.73	5	-0.15	1	0.00	1	-86.15	5	-9.12	5	-0.01	1
2144	247	255	Max	0.00	797.94	5	0.36	1	0.00	1	-28.40	5	10.36	5	-0.00	1
2144	247	255	Max	21.56	797.94	5	0.36	1	0.08	1	-29.25	5	-1.15	5	-0.00	1
2144	247	255	Min.	0.00	-50.97	5	-0.24	1	-0.00	1	-96.38	5	5.07	5	-0.01	1
2144	247	255	Min.	21.56	-50.97	5	-0.24	1	-0.05	1	-97.23	5	-10.51	5	-0.01	1
2144	255	263	Max	0.00	705.29	5	0.13	1	0.03	1	-53.60	5	13.09	5	0.04	1
2144	255	263	Max	21.56	705.29	5	0.13	1	0.00	5	-54.44	5	-4.07	5	0.04	1
2144	255	263	Min.	0.00	-297.86	5	-0.16	1	-0.03	1	-128.00	5	7.58	5	-0.05	1
2144	255	263	Min.	21.56	-297.86	5	-0.16	1	-0.00	5	-128.84	5	-14.60	5	-0.05	1
2144	263	271	Max	0.00	562.65	5	0.07	1	0.04	1	-62.81	5	13.56	5	0.04	1
2144	263	271	Max	21.56	562.65	5	0.07	1	0.03	1	-63.66	5	-5.59	5	0.04	1
2144	263	271	Min.	0.00	-622.09	5	-0.06	1	-0.04	1	-144.99	5	8.05	5	-0.05	1
2144	263	271	Min.	21.56	-622.09	5	-0.06	1	-0.03	1	-145.83	5	-17.80	5	-0.05	1
2144	271	279	Max	0.00	377.45	5	0.37	1	0.06	1	-73.29	5	13.51	5	0.04	1
2144	271	279	Max	21.56	377.45	5	0.37	1	0.02	1	-74.14	5	-7.36	5	0.04	1
2144	271	279	Min.	0.00	-1023.58	5	-0.34	1	-0.06	1	-162.62	5	8.54	5	-0.03	1
2144	271	279	Min.	21.56	-1023.58	5	-0.34	1	-0.02	1	-163.47	5	-21.65	5	-0.03	1
2144	279	2288	Max	0.00	159.39	5	0.62	1	0.02	5	-84.42	5	9.51	5	0.03	1
2144	279	2288	Max	21.56	159.39	5	0.62	1	0.14	1	-85.27	5	-10.72	5	0.03	1
2144	279	2288	Min.	0.00	-1473.64	5	-0.85	1	0.00	5	-194.99	5	7.57	5	-0.03	1
2144	279	2288	Min.	21.56	-1473.64	5	-0.85	1	-0.17	1	-195.84	5	-32.62	5	-0.03	1
2144	2288	299	Max	0.00	-87.81	1	1.85	1	0.18	1	22.13	5	1.06	5	0.02	1
2144	2288	299	Max	13.33									0.97	7		
2144	2288	299	Max	16.67	-87.81	1	1.85	1	0.07	1	21.47	5	1.07	5	0.02	1
2144	2288	299	Min.	0.00	-166.58	1	-1.45	1	-0.24	1	-0.36	5	-3.47	5	-0.05	1
2144	2288	299	Min.	13.33					0.00	7			-0.55	7		
2144	2288	299	Min.	16.67	-166.58	1	-1.45	1	-0.06	1	-1.02	5	0.04	5	-0.05	1
2144	299	307	Max	0.00	-58.32	1	1.06	1	0.05	1	21.81	1	-1.24	1	0.04	1
2144	299	307	Max	16.67	-58.32	1	1.06	1	0.10	1	21.15	1	1.43	1	0.04	1
2144	299	307	Min.	0.00	-108.49	1	-0.70	1	-0.08	1	12.58	1	-2.15	1	-0.08	1
2144	299	307	Min.	16.67	-108.49	1	-0.70	1	-0.07	1	11.93	1	0.80	1	-0.08	1
2144	307	2315	Max	0.00	-23.72	1	1.03	1	0.02	1	21.01	1	-0.79	1	0.02	1
2144	307	2315	Max	16.67	-23.72	1	1.03	1	0.12	1	20.35	1	1.83	1	0.02	1
2144	307	2315	Min.	0.00	-44.55	1	-0.49	1	-0.06	1	10.46	1	-1.61	1	-0.06	1
2144	307	2315	Min.	16.67	-44.55	1	-0.49	1	-0.06	1	9.81	1	0.90	1	-0.06	1
2145	-516	20	Max	0.00	-32.06	1	0.68	1	0.20	1	1.45	1	-0.15	1	0.03	1
2145	-516	20	Max	18.61					0.02	3			-0.11	3		
2145	-516	20	Max	19.08	-32.43	1	0.68	1	0.02	1	0.80	1	-0.06	5	0.03	1
2145	-516	20	Min.	0.00	-72.27	1	-1.11	1	-0.11	1	0.64	1	-0.37	1	0.00	1
2145	-516	20	Min.	18.61					-0.01	3			-0.14	3		
2145	-516	20	Min.	19.08	-72.64	1	-1.11	1	-0.01	1	-0.01	1	-0.18	5	0.00	1
2182	2005	13	Max	0.00	-12.11	1	1.05	1	0.08	1	-3.97	1	1.42	1	0.03	1
2182	2005	13	Max	16.67	-12.11	1	1.05	1	0.06	1	-4.63	1	-0.33	1	0.03	1
2182	2005	13	Min.	0.00	-35.06	1	-0.68	1	-0.12	1	-15.63	1	0.39	1	-0.06	1
2182	2005	13	Min.	16.67	-35.06	1	-0.68	1	-0.03	1	-16.29	1	-1.24	1	-0.06	1
2182	13	21	Max	0.00	-30.54	1	0.92	1	0.07	1	-6.57	1	1.12	1	0.05	1

2182	13	21	Max	16.67	-30.54	1	0.92	1	0.07	1	-7.22	1	-0.69	1	0.05	1
2182	13	21	Min.	0.00	-84.26	1	-0.70	1	-0.08	1	-16.34	1	0.46	1	-0.08	1
2182	13	21	Min.	16.67	-84.26	1	-0.70	1	-0.05	1	-16.99	1	-1.66	1	-0.08	1
2182	21	2031	Max	0.00	-47.48	1	2.14	1	0.06	1	6.45	5	0.92	5	0.02	1
2182	21	2031	Max	16.67	-47.48	1	2.14	1	0.28	1	5.79	5	1.81	5	0.02	1
2182	21	2031	Min.	0.00	-131.23	1	-1.33	1	-0.08	1	-16.85	5	-0.10	5	-0.05	1
2182	21	2031	Min.	16.67	-131.23	1	-1.33	1	-0.16	1	-17.50	5	-2.83	5	-0.05	1
2182	2031	41	Max	0.00	160.77	5	0.90	1	0.13	1	195.29	5	-10.58	5	0.03	1
2182	2031	41	Max	21.56	160.77	5	0.90	1	0.01	5	194.45	5	9.46	5	0.03	1
2182	2031	41	Min.	0.00	-1476.20	5	-0.61	1	-0.19	1	84.28	5	-32.56	5	-0.03	1
2182	2031	41	Min.	21.56	-1476.20	5	-0.61	1	0.00	5	83.43	5	7.50	5	-0.03	1
2182	41	49	Max	0.00	375.12	5	0.38	1	0.02	1	163.09	5	-7.26	5	0.03	1
2182	41	49	Max	21.56	375.12	5	0.38	1	0.06	1	162.24	5	13.47	5	0.03	1
2182	41	49	Min.	0.00	-1026.15	5	-0.35	1	-0.02	1	73.30	5	-21.61	5	-0.04	1
2182	41	49	Min.	21.56	-1026.15	5	-0.35	1	-0.06	1	72.45	5	8.46	5	-0.04	1
2182	49	57	Max	0.00	559.12	5	0.09	1	0.03	1	145.29	5	-5.49	5	0.04	1
2182	49	57	Max	21.56	559.12	5	0.09	1	0.05	1	144.44	5	13.49	5	0.04	1
2182	49	57	Min.	0.00	-627.02	5	-0.05	1	-0.03	1	62.72	5	-17.75	5	-0.05	1
2182	49	57	Min.	21.56	-627.02	5	-0.05	1	-0.04	1	61.87	5	7.94	5	-0.05	1
2182	57	65	Max	0.00	701.38	5	0.14	1	0.00	5	128.32	5	-4.02	5	0.04	1
2182	57	65	Max	21.56	701.38	5	0.14	1	0.03	1	127.48	5	12.98	5	0.04	1
2182	57	65	Min.	0.00	-304.98	5	-0.15	1	-0.00	5	53.55	5	-14.60	5	-0.06	1
2182	57	65	Min.	21.56	-304.98	5	-0.15	1	-0.03	1	52.71	5	7.43	5	-0.06	1
2182	65	73	Max	0.00	796.35	5	0.35	1	0.06	1	99.33	5	-1.45	5	-0.00	1
2182	65	73	Max	21.56	796.35	5	0.35	1	0.00	5	98.48	5	10.54	5	-0.00	1
2182	65	73	Min.	0.00	-56.83	5	-0.26	1	-0.08	1	31.57	5	-10.80	5	-0.01	1
2182	65	73	Min.	21.56	-56.83	5	-0.26	1	-0.01	5	30.72	5	5.25	5	-0.01	1
2182	73	81	Max	0.00	855.88	5	0.28	1	-0.00	1	87.99	5	-0.99	5	-0.00	1
2182	73	81	Max	21.56	855.88	5	0.28	1	0.06	1	87.15	5	9.56	5	-0.00	1
2182	73	81	Min.	0.00	134.43	5	-0.17	1	-0.02	1	25.48	5	-9.32	5	-0.01	1
2182	73	81	Min.	21.56	134.43	5	-0.17	1	-0.05	1	24.64	5	4.41	5	-0.01	1
2182	81	89	Max	0.00	898.42	5	0.14	1	0.04	1	78.51	5	-0.45	5	0.02	1
2182	81	89	Max	21.56	898.42	5	0.14	1	0.04	1	77.67	5	8.87	5	0.02	1
2182	81	89	Min.	0.00	290.22	5	-0.03	1	-0.05	1	20.50	5	-7.97	5	-0.03	1
2182	81	89	Min.	21.56	290.22	5	-0.03	1	-0.02	1	19.66	5	3.88	5	-0.03	1
2182	89	97	Max	0.00	927.10	5	0.29	1	0.01	5	69.56	5	0.34	5	0.03	1
2182	89	97	Max	21.56	927.10	5	0.29	1	0.06	1	68.71	5	8.39	5	0.03	1
2182	89	97	Min.	0.00	417.12	5	-0.21	1	-0.01	5	15.43	5	-6.51	5	-0.05	1
2182	89	97	Min.	21.56	417.12	5	-0.21	1	-0.04	1	14.59	5	3.57	5	-0.05	1
2182	97	105	Max	0.00	935.30	5	0.32	1	0.07	1	46.76	5	2.43	5	0.00	1
2182	97	105	Max	21.56	935.30	5	0.32	1	0.01	1	45.91	5	6.10	5	0.00	1
2182	97	105	Min.	0.00	511.51	5	-0.30	1	-0.08	1	-4.19	5	-3.90	5	-0.02	1
2182	97	105	Min.	21.56	511.51	5	-0.30	1	-0.01	1	-5.04	5	1.44	5	-0.02	1
2182	105	113	Max	0.00	927.14	5	0.24	1	0.00	5	40.18	5	2.50	5	-0.00	1
2182	105	113	Max	21.56	927.14	5	0.24	1	0.05	1	39.33	5	5.23	5	-0.00	1
2182	105	113	Min.	0.00	579.37	5	-0.19	1	-0.01	5	-7.80	5	-3.34	5	-0.01	1
2182	105	113	Min.	21.56	579.37	5	-0.19	1	-0.05	1	-8.65	5	0.72	5	-0.01	1
2182	113	121	Max	0.00	913.04	5	0.10	1	0.04	1	34.74	5	2.74	5	0.02	1
2182	113	121	Max	12.94					-0.01	7			1.78	7		
2182	113	121	Max	21.56	913.04	5	0.10	1	0.03	1	33.89	5	4.72	5	0.02	1
2182	113	121	Min.	0.00	632.86	5	-0.04	1	-0.04	1	-10.56	5	-2.68	5	-0.03	1
2182	113	121	Min.	12.94					0.01	7			1.35	7		
2182	113	121	Min.	21.56	632.86	5	-0.04	1	-0.02	1	-11.40	5	0.38	5	-0.03	1
2182	121	129	Max	0.00	893.62	5	0.23	1	0.01	1	29.00	5	3.36	5	0.03	1
2182	121	129	Max	21.56	893.62	5	0.23	1	0.06	1	28.15	5	4.46	5	0.03	1
2182	121	129	Min.	0.00	673.98	5	-0.18	1	-0.00	1	-13.92	5	-1.71	5	-0.04	1
2182	121	129	Min.	21.56	673.98	5	-0.18	1	-0.04	1	-14.77	5	0.26	5	-0.04	1
2182	129	137	Max	0.00	862.53	5	0.30	1	0.07	1	8.57	5	5.33	5	0.01	1
2182	129	137	Max	21.56	862.53	5	0.30	1	0.00	1	7.72	5	2.29	5	0.01	1

2182	129	137	Min.	0.00	697.68	5	-0.29	1	-0.07	1	-32.58	5	0.53	5	-0.02	1
2182	129	137	Min.	21.56	697.68	5	-0.29	1	-0.00	1	-33.43	5	-1.79	5	-0.02	1
2182	137	145	Max	0.00	822.01	5	0.21	1	0.01	1	4.18	5	5.17	5	0.00	1
2182	137	145	Max	21.56	822.01	5	0.21	1	0.05	1	3.34	5	1.48	5	0.00	1
2182	137	145	Min.	0.00	706.97	5	-0.19	1	-0.01	1	-35.04	5	0.67	5	-0.01	1
2182	137	145	Min.	21.56	706.97	5	-0.19	1	-0.05	1	-35.89	5	-2.48	5	-0.01	1
2182	145	153	Max	0.00	780.47	5	0.08	1	0.05	1	-0.07	5	5.04	5	0.02	1
2182	145	153	Max	21.56	780.47	5	0.08	1	0.04	1	-0.92	5	0.69	5	0.02	1
2182	145	153	Min.	0.00	710.79	5	-0.05	1	-0.04	1	-37.50	5	0.80	5	-0.02	1
2182	145	153	Min.	21.56	710.79	5	-0.05	1	-0.03	1	-38.35	5	-3.14	5	-0.02	1
2182	153	161	Max	0.00	747.25	1	0.19	1	0.01	5	-1.77	5	4.01	5	0.03	1
2182	153	161	Max	21.56	747.25	1	0.19	1	0.04	1	-2.61	5	-0.47	5	0.03	1
2182	153	161	Min.	0.00	709.56	1	-0.17	1	-0.00	5	-37.64	5	0.01	5	-0.03	1
2182	153	161	Min.	21.56	709.56	1	-0.17	1	-0.03	1	-38.48	5	-4.20	5	-0.03	1
2182	161	169	Max	0.00	747.30	1	0.17	1	0.04	1	38.48	5	-0.47	5	0.03	1
2182	161	169	Max	21.56	747.30	1	0.17	1	0.01	5	37.63	5	4.01	5	0.03	1
2182	161	169	Min.	0.00	709.50	1	-0.19	1	-0.03	1	2.62	5	-4.20	5	-0.03	1
2182	161	169	Min.	21.56	709.50	1	-0.19	1	-0.00	5	1.77	5	0.01	5	-0.03	1
2182	169	177	Max	0.00	780.67	5	0.05	1	0.04	1	38.35	5	0.69	5	0.02	1
2182	169	177	Max	21.56	780.67	5	0.05	1	0.05	1	37.50	5	5.04	5	0.02	1
2182	169	177	Min.	0.00	710.58	5	-0.08	1	-0.03	1	0.92	5	-3.14	5	-0.02	1
2182	169	177	Min.	21.56	710.58	5	-0.08	1	-0.04	1	0.07	5	0.80	5	-0.02	1
2182	177	185	Max	0.00	822.20	5	0.19	1	0.05	1	35.88	5	1.48	5	0.01	1
2182	177	185	Max	21.56	822.20	5	0.19	1	0.01	1	35.03	5	5.17	5	0.01	1
2182	177	185	Min.	0.00	706.76	5	-0.21	1	-0.05	1	-3.34	5	-2.48	5	-0.00	1
2182	177	185	Min.	21.56	706.76	5	-0.21	1	-0.01	1	-4.18	5	0.67	5	-0.00	1
2182	185	193	Max	0.00	862.72	5	0.29	1	0.00	1	33.43	5	2.29	5	0.02	1
2182	185	193	Max	21.56	862.72	5	0.29	1	0.07	1	32.58	5	5.33	5	0.02	1
2182	185	193	Min.	0.00	697.47	5	-0.30	1	-0.00	1	-7.72	5	-1.79	5	-0.01	1
2182	185	193	Min.	21.56	697.47	5	-0.30	1	-0.07	1	-8.57	5	0.53	5	-0.01	1
2182	193	201	Max	0.00	893.80	5	0.18	1	0.05	1	14.77	5	4.46	5	0.04	1
2182	193	201	Max	21.56	893.80	5	0.18	1	0.01	1	13.92	5	3.36	5	0.04	1
2182	193	201	Min.	0.00	673.77	5	-0.23	1	-0.04	1	-28.16	5	0.26	5	-0.03	1
2182	193	201	Min.	21.56	673.77	5	-0.23	1	-0.01	1	-29.01	5	-1.71	5	-0.03	1
2182	201	209	Max	0.00	913.20	5	0.04	1	0.03	1	11.40	5	4.72	5	0.03	1
2182	201	209	Max	8.63					-0.01	7			1.78	7		
2182	201	209	Max	21.56	913.20	5	0.04	1	0.04	1	10.56	5	2.74	5	0.03	1
2182	201	209	Min.	0.00	632.64	5	-0.10	1	-0.02	1	-33.91	5	0.38	5	-0.02	1
2182	201	209	Min.	8.63					0.01	7			1.35	7		
2182	201	209	Min.	21.56	632.64	5	-0.10	1	-0.04	1	-34.75	5	-2.68	5	-0.02	1
2182	209	217	Max	0.00	927.30	5	0.19	1	0.05	1	8.65	5	5.23	5	0.01	1
2182	209	217	Max	21.56	927.30	5	0.19	1	0.00	5	7.80	5	2.50	5	0.01	1
2182	209	217	Min.	0.00	579.14	5	-0.24	1	-0.05	1	-39.34	5	0.73	5	0.00	1
2182	209	217	Min.	21.56	579.14	5	-0.24	1	-0.01	5	-40.19	5	-3.35	5	0.00	1
2182	217	225	Max	0.00	935.44	5	0.30	1	0.01	1	5.04	5	6.10	5	0.02	1
2182	217	225	Max	21.56	935.44	5	0.30	1	0.07	1	4.19	5	2.44	5	0.02	1
2182	217	225	Min.	0.00	511.27	5	-0.32	1	-0.01	1	-45.92	5	1.44	5	-0.00	1
2182	217	225	Min.	21.56	511.27	5	-0.32	1	-0.08	1	-46.77	5	-3.90	5	-0.00	1
2182	225	233	Max	0.00	927.22	5	0.21	1	0.06	1	-14.60	5	8.40	5	0.05	1
2182	225	233	Max	21.56	927.22	5	0.21	1	0.01	5	-15.45	5	0.33	5	0.05	1
2182	225	233	Min.	0.00	416.87	5	-0.29	1	-0.04	1	-68.73	5	3.57	5	-0.03	1
2182	225	233	Min.	21.56	416.87	5	-0.29	1	-0.01	5	-69.57	5	-6.51	5	-0.03	1
2182	233	241	Max	0.00	898.52	5	0.03	1	0.04	1	-19.67	5	8.87	5	0.03	1
2182	233	241	Max	21.56	898.52	5	0.03	1	0.04	1	-20.52	5	-0.45	5	0.03	1
2182	233	241	Min.	0.00	289.94	5	-0.14	1	-0.02	1	-77.68	5	3.88	5	-0.02	1
2182	233	241	Min.	21.56	289.94	5	-0.14	1	-0.05	1	-78.53	5	-7.97	5	-0.02	1
2182	241	249	Max	0.00	855.95	5	0.17	1	0.06	1	-24.65	5	9.57	5	0.01	1
2182	241	249	Max	21.56	855.95	5	0.17	1	-0.00	1	-25.50	5	-0.99	5	0.01	1
2182	241	249	Min.	0.00	134.13	5	-0.28	1	-0.05	1	-87.16	5	4.41	5	0.00	1

2182	241	249	Min.	21.56	134.13	5	-0.28	1	-0.02	1	-88.01	5	-9.32	5	0.00	1
2182	249	257	Max	0.00	796.39	5	0.26	1	0.00	5	-30.74	5	10.55	5	0.01	1
2182	249	257	Max	21.56	796.39	5	0.26	1	0.06	1	-31.59	5	-1.45	5	0.01	1
2182	249	257	Min.	0.00	-57.18	5	-0.35	1	-0.01	5	-98.50	5	5.25	5	0.00	1
2182	249	257	Min.	21.56	-57.18	5	-0.35	1	-0.08	1	-99.35	5	-10.80	5	0.00	1
2182	257	265	Max	0.00	701.33	5	0.15	1	0.03	1	-52.77	5	12.98	5	0.06	1
2182	257	265	Max	21.56	701.33	5	0.15	1	0.00	5	-53.62	5	-4.03	5	0.06	1
2182	257	265	Min.	0.00	-305.43	5	-0.14	1	-0.03	1	-127.54	5	7.44	5	-0.04	1
2182	257	265	Min.	21.56	-305.43	5	-0.14	1	-0.00	5	-128.39	5	-14.61	5	-0.04	1
2182	265	273	Max	0.00	558.94	5	0.05	1	0.04	1	-61.94	5	13.50	5	0.05	1
2182	265	273	Max	21.56	558.94	5	0.05	1	0.03	1	-62.78	5	-5.50	5	0.05	1
2182	265	273	Min.	0.00	-627.64	5	-0.08	1	-0.04	1	-144.52	5	7.95	5	-0.04	1
2182	265	273	Min.	21.56	-627.64	5	-0.08	1	-0.03	1	-145.36	5	-17.75	5	-0.04	1
2182	273	281	Max	0.00	374.85	5	0.35	1	0.06	1	-72.52	5	13.48	5	0.04	1
2182	273	281	Max	21.56	374.85	5	0.35	1	0.02	1	-73.36	5	-7.27	5	0.04	1
2182	273	281	Min.	0.00	-1027.07	5	-0.38	1	-0.06	1	-162.31	5	8.46	5	-0.03	1
2182	273	281	Min.	21.56	-1027.07	5	-0.38	1	-0.02	1	-163.16	5	-21.61	5	-0.03	1
2182	281	2291	Max	0.00	160.26	5	0.61	1	0.01	1	-83.53	5	9.47	5	0.03	1
2182	281	2291	Max	0.27					0.01	7			8.75	7		
2182	281	2291	Max	21.56	160.26	5	0.61	1	0.13	1	-84.37	5	-10.60	5	0.03	1
2182	281	2291	Min.	0.00	-1477.36	5	-0.89	1	0.00	1	-194.55	5	7.51	5	-0.03	1
2182	281	2291	Min.	0.27					0.00	7			7.48	7		
2182	281	2291	Min.	21.56	-1477.36	5	-0.89	1	-0.19	1	-195.40	5	-32.57	5	-0.03	1
2182	2291	301	Max	0.00	-59.41	1	1.30	1	0.27	1	18.42	5	1.62	5	0.05	1
2182	2291	301	Max	16.67	-59.41	1	1.30	1	0.05	1	17.77	5	0.95	5	0.05	1
2182	2291	301	Min.	0.00	-138.62	1	-2.11	1	-0.16	1	-4.45	5	-2.96	5	-0.02	1
2182	2291	301	Min.	16.67	-138.62	1	-2.11	1	-0.08	1	-5.10	5	-0.07	5	-0.02	1
2182	301	309	Max	0.00	-38.54	1	0.67	1	0.08	1	18.25	1	-0.86	1	0.08	1
2182	301	309	Max	16.67	-38.54	1	0.67	1	0.06	1	17.59	1	1.21	1	0.08	1
2182	301	309	Min.	0.00	-89.03	1	-1.10	1	-0.05	1	8.97	1	-1.77	1	-0.04	1
2182	301	309	Min.	16.67	-89.03	1	-1.10	1	-0.10	1	8.31	1	0.58	1	-0.04	1
2182	309	2317	Max	0.00	-15.21	1	0.67	1	0.04	1	17.00	1	-0.45	1	0.06	1
2182	309	2317	Max	16.67	-15.21	1	0.67	1	0.08	1	16.34	1	1.48	1	0.06	1
2182	309	2317	Min.	0.00	-36.52	1	-0.93	1	-0.03	1	6.21	1	-1.29	1	-0.03	1
2182	309	2317	Min.	16.67	-36.52	1	-0.93	1	-0.11	1	5.56	1	0.53	1	-0.03	1
2183	-518	22	Max	0.00	-46.68	1	0.95	1	0.14	1	1.60	1	-0.22	1	0.01	1
2183	-518	22	Max	19.08	-47.04	1	0.95	1	0.02	1	0.94	1	-0.12	5	0.01	1
2183	-518	22	Min.	0.00	-86.74	1	-0.83	1	-0.16	1	0.80	1	-0.44	1	-0.01	1
2183	-518	22	Min.	19.08	-87.10	1	-0.83	1	-0.02	1	0.14	1	-0.22	5	-0.01	1
2220	2007	15	Max	0.00	-2.90	1	1.30	1	0.09	1	-0.16	1	1.08	1	0.05	1
2220	2007	15	Max	16.67	-2.90	1	1.30	1	0.08	1	-0.81	1	-0.01	1	0.05	1
2220	2007	15	Min.	0.00	-25.21	1	-0.82	1	-0.14	1	-11.72	1	0.07	1	-0.03	1
2220	2007	15	Min.	16.67	-25.21	1	-0.82	1	-0.04	1	-12.38	1	-0.93	1	-0.03	1
2220	15	23	Max	0.00	-10.45	1	1.02	1	0.08	1	-2.92	1	0.92	1	0.07	1
2220	15	23	Max	16.67	-10.45	1	1.02	1	0.08	1	-3.57	1	-0.27	1	0.07	1
2220	15	23	Min.	0.00	-62.97	1	-0.81	1	-0.09	1	-12.89	1	0.27	1	-0.05	1
2220	15	23	Min.	16.67	-62.97	1	-0.81	1	-0.06	1	-13.54	1	-1.28	1	-0.05	1
2220	23	2034	Max	0.00	-18.48	1	2.29	1	0.06	1	5.58	5	0.91	5	0.05	1
2220	23	2034	Max	16.67	-18.48	1	2.29	1	0.29	1	4.93	5	1.68	5	0.05	1
2220	23	2034	Min.	0.00	-100.73	1	-1.50	1	-0.09	1	-17.02	5	-0.12	5	-0.02	1
2220	23	2034	Min.	16.67	-100.73	1	-1.50	1	-0.19	1	-17.68	5	-2.91	5	-0.02	1
2220	2034	43	Max	0.00	437.08	5	1.17	1	0.09	1	137.80	5	-1.82	5	-0.01	1
2220	2034	43	Max	21.56	437.08	5	1.17	1	0.03	5	136.96	5	6.06	5	-0.01	1
2220	2034	43	Min.	0.00	-1192.72	5	-0.38	1	-0.25	1	28.01	5	-23.57	5	-0.08	1
2220	2034	43	Min.	21.56	-1192.72	5	-0.38	1	-0.02	5	27.17	5	4.13	5	-0.08	1
2220	43	51	Max	0.00	517.47	5	0.61	1	-0.01	1	113.51	5	-1.23	5	-0.01	1
2220	43	51	Max	21.56	517.47	5	0.61	1	0.07	1	112.66	5	8.92	5	-0.01	1
2220	43	51	Min.	0.00	-883.38	5	-0.16	1	-0.06	1	24.49	5	-15.46	5	-0.09	1
2220	43	51	Min.	21.56	-883.38	5	-0.16	1	-0.04	1	23.64	5	3.96	5	-0.09	1

2220	51	59	Max	0.00	579.51	5	0.33	5	0.00	1	100.47	5	-0.51	5	0.00	1
2220	51	59	Max	21.56	579.51	5	0.33	5	0.07	1	99.62	5	8.91	5	0.00	1
2220	51	59	Min.	0.00	-609.05	5	0.14	5	-0.05	1	18.67	5	-12.66	5	-0.10	1
2220	51	59	Min.	21.56	-609.05	5	0.14	5	-0.02	1	17.82	5	3.42	5	-0.10	1
2220	59	67	Max	0.00	621.81	5	0.34	1	0.01	5	87.91	5	0.07	5	0.01	1
2220	59	67	Max	21.56	621.81	5	0.34	1	0.06	1	87.06	5	8.43	5	0.01	1
2220	59	67	Min.	0.00	-388.35	5	0.07	1	-0.03	5	13.81	5	-10.43	5	-0.10	1
2220	59	67	Min.	21.56	-388.35	5	0.07	1	-0.00	1	12.97	5	2.96	5	-0.10	1
2220	67	75	Max	0.00	642.85	5	0.37	1	0.06	1	72.45	5	1.10	5	-0.03	1
2220	67	75	Max	21.56	642.85	5	0.37	1	0.02	5	71.60	5	7.26	5	-0.03	1
2220	67	75	Min.	0.00	-214.44	5	-0.26	1	-0.08	1	4.34	5	-8.28	5	-0.04	1
2220	67	75	Min.	21.56	-214.44	5	-0.26	1	-0.02	5	3.49	5	1.94	5	-0.04	1
2220	75	83	Max	0.00	648.33	5	0.34	1	0.00	5	63.63	5	1.31	5	-0.01	1
2220	75	83	Max	21.56	648.33	5	0.34	1	0.06	1	62.79	5	6.60	5	-0.01	1
2220	75	83	Min.	0.00	-76.67	5	-0.13	1	-0.03	5	0.80	5	-7.03	5	-0.03	1
2220	75	83	Min.	21.56	-76.67	5	-0.13	1	-0.04	1	-0.05	5	1.39	5	-0.03	1
2220	83	91	Max	0.00	646.17	5	0.20	1	0.04	1	55.89	5	1.58	5	0.01	1
2220	83	91	Max	21.56	646.17	5	0.20	1	0.05	1	55.04	5	6.02	5	0.01	1
2220	83	91	Min.	0.00	34.98	5	0.02	1	-0.05	1	-2.41	5	-5.94	5	-0.05	1
2220	83	91	Min.	21.56	34.98	5	0.02	1	-0.02	1	-3.25	5	0.97	5	-0.05	1
2220	91	99	Max	0.00	638.30	5	0.31	1	0.02	5	48.95	5	1.87	5	0.02	1
2220	91	99	Max	21.56	638.30	5	0.31	1	0.07	1	48.11	5	5.47	5	0.02	1
2220	91	99	Min.	0.00	125.86	5	-0.17	1	-0.02	5	-5.50	5	-4.99	5	-0.06	1
2220	91	99	Min.	21.56	125.86	5	-0.17	1	-0.04	1	-6.35	5	0.59	5	-0.06	1
2220	99	107	Max	0.00	624.97	5	0.37	1	0.06	1	41.28	5	2.28	5	-0.01	1
2220	99	107	Max	21.56	624.97	5	0.37	1	0.02	5	40.44	5	4.73	5	-0.01	1
2220	99	107	Min.	0.00	199.33	5	-0.27	1	-0.09	1	-9.86	5	-4.08	5	-0.03	1
2220	99	107	Min.	21.56	199.33	5	-0.27	1	-0.03	5	-10.71	5	0.06	5	-0.03	1
2220	107	115	Max	0.00	607.15	5	0.31	1	0.01	5	35.53	5	2.48	5	-0.01	5
2220	107	115	Max	21.56	607.15	5	0.31	1	0.06	1	34.68	5	4.19	5	-0.01	5
2220	107	115	Min.	0.00	257.81	5	-0.13	1	-0.03	5	-12.60	5	-3.38	5	-0.02	5
2220	107	115	Min.	21.56	257.81	5	-0.13	1	-0.05	1	-13.45	5	-0.33	5	-0.02	5
2220	115	123	Max	0.00	586.24	5	0.18	1	0.03	1	30.28	5	2.72	5	0.02	1
2220	115	123	Max	21.56	586.24	5	0.18	1	0.04	1	29.43	5	3.71	5	0.02	1
2220	115	123	Min.	0.00	304.69	5	0.01	1	-0.05	1	-15.17	5	-2.73	5	-0.04	1
2220	115	123	Min.	21.56	304.69	5	0.01	1	-0.01	1	-16.01	5	-0.65	5	-0.04	1
2220	123	131	Max	0.00	562.44	5	0.26	1	0.02	5	25.22	5	3.03	5	0.03	1
2220	123	131	Max	21.56	562.44	5	0.26	1	0.07	1	24.38	5	3.30	5	0.03	1
2220	123	131	Min.	0.00	341.54	5	-0.13	1	-0.01	5	-17.84	5	-2.04	5	-0.05	1
2220	123	131	Min.	21.56	341.54	5	-0.13	1	-0.03	1	-18.68	5	-0.90	5	-0.05	1
2220	131	139	Max	0.00	534.34	5	0.29	1	0.07	1	16.65	5	3.70	5	0.01	1
2220	131	139	Max	21.56	534.34	5	0.29	1	0.01	5	15.81	5	2.43	5	0.01	1
2220	131	139	Min.	0.00	368.00	5	-0.32	1	-0.07	1	-24.46	5	-1.07	5	-0.02	1
2220	131	139	Min.	21.56	368.00	5	-0.32	1	-0.02	5	-25.30	5	-1.67	5	-0.02	1
2220	139	147	Max	0.00	502.74	5	0.22	1	0.01	5	12.37	5	3.80	5	0.00	1
2220	139	147	Max	21.56	502.74	5	0.22	1	0.05	1	11.52	5	1.90	5	0.00	1
2220	139	147	Min.	0.00	385.80	5	-0.20	1	-0.01	5	-26.80	5	-0.68	5	-0.01	1
2220	139	147	Min.	21.56	385.80	5	-0.20	1	-0.05	1	-27.65	5	-2.07	5	-0.01	1
2220	147	155	Max	0.00	470.20	5	0.09	1	0.05	1	7.98	5	3.85	5	0.02	1
2220	147	155	Max	21.56	470.20	5	0.09	1	0.04	1	7.13	5	1.26	5	0.02	1
2220	147	155	Min.	0.00	398.19	5	-0.05	1	-0.04	1	-29.40	5	-0.37	5	-0.02	1
2220	147	155	Min.	21.56	398.19	5	-0.05	1	-0.02	1	-30.25	5	-2.58	5	-0.02	1
2220	155	163	Max	0.00	447.14	1	0.19	1	0.03	5	5.38	5	3.26	5	0.03	1
2220	155	163	Max	1.41					0.03	7			2.83	7		
2220	155	163	Max	21.56	447.14	1	0.19	1	0.06	1	4.53	5	0.35	5	0.03	1
2220	155	163	Min.	0.00	400.64	1	-0.17	1	-0.00	5	-30.44	5	-0.72	5	-0.03	1
2220	155	163	Min.	1.41									-0.64	7		
2220	155	163	Min.	21.56	400.64	1	-0.17	1	-0.02	1	-31.29	5	-3.39	5	-0.03	1
2220	163	171	Max	0.00	447.17	1	0.17	1	0.06	1	31.29	5	0.35	5	0.03	1

2220	163	171	Max	19.62					0.03	7			2.66	7		
2220	163	171	Max	21.56	447.17	1	0.17	1	0.03	5	30.45	5	3.26	5	0.03	1
2220	163	171	Min.	0.00	400.61	1	-0.19	1	-0.02	1	-4.53	5	-3.39	5	-0.03	1
2220	163	171	Min.	19.62									-0.61	7		
2220	163	171	Min.	21.56	400.61	1	-0.19	1	-0.00	5	-5.38	5	-0.72	5	-0.03	1
2220	171	179	Max	0.00	470.32	5	0.05	1	0.04	1	30.26	5	1.26	5	0.02	1
2220	171	179	Max	21.56	470.32	5	0.05	1	0.05	1	29.41	5	3.85	5	0.02	1
2220	171	179	Min.	0.00	398.08	5	-0.09	1	-0.02	1	-7.14	5	-2.58	5	-0.02	1
2220	171	179	Min.	21.56	398.08	5	-0.09	1	-0.04	1	-7.98	5	-0.37	5	-0.02	1
2220	179	187	Max	0.00	502.86	5	0.20	1	0.05	1	27.65	5	1.90	5	0.01	1
2220	179	187	Max	21.56	502.86	5	0.20	1	0.01	5	26.81	5	3.80	5	0.01	1
2220	179	187	Min.	0.00	385.71	5	-0.22	1	-0.05	1	-11.52	5	-2.07	5	-0.00	1
2220	179	187	Min.	21.56	385.71	5	-0.22	1	-0.01	5	-12.37	5	-0.68	5	-0.00	1
2220	187	195	Max	0.00	534.46	5	0.32	1	0.01	5	25.32	5	2.43	5	0.02	1
2220	187	195	Max	21.56	534.46	5	0.32	1	0.07	1	24.47	5	3.70	5	0.02	1
2220	187	195	Min.	0.00	367.92	5	-0.29	1	-0.02	5	-15.81	5	-1.67	5	-0.01	1
2220	187	195	Min.	21.56	367.92	5	-0.29	1	-0.07	1	-16.66	5	-1.07	5	-0.01	1
2220	195	203	Max	0.00	562.55	5	0.13	1	0.07	1	18.69	5	3.30	5	0.05	1
2220	195	203	Max	21.56	562.55	5	0.13	1	0.02	5	17.85	5	3.04	5	0.05	1
2220	195	203	Min.	0.00	341.47	5	-0.26	1	-0.03	1	-24.38	5	-0.90	5	-0.03	1
2220	195	203	Min.	21.56	341.47	5	-0.26	1	-0.01	5	-25.22	5	-2.04	5	-0.03	1
2220	203	211	Max	0.00	586.35	5	-0.01	1	0.04	1	16.02	5	3.71	5	0.04	1
2220	203	211	Max	21.56	586.35	5	-0.01	1	0.03	1	15.18	5	2.72	5	0.04	1
2220	203	211	Min.	0.00	304.63	5	-0.18	1	-0.01	1	-29.44	5	-0.65	5	-0.02	1
2220	203	211	Min.	21.56	304.63	5	-0.18	1	-0.05	1	-30.28	5	-2.73	5	-0.02	1
2220	211	219	Max	0.00	607.26	5	0.13	1	0.06	1	13.46	5	4.19	5	0.02	5
2220	211	219	Max	21.56	607.26	5	0.13	1	0.01	5	12.62	5	2.48	5	0.02	5
2220	211	219	Min.	0.00	257.77	5	-0.31	1	-0.05	1	-34.68	5	-0.33	5	0.01	5
2220	211	219	Min.	21.56	257.77	5	-0.31	1	-0.03	5	-35.53	5	-3.38	5	0.01	5
2220	219	227	Max	0.00	625.08	5	0.27	1	0.02	5	10.72	5	4.73	5	0.03	1
2220	219	227	Max	21.56	625.08	5	0.27	1	0.06	1	9.88	5	2.28	5	0.03	1
2220	219	227	Min.	0.00	199.30	5	-0.37	1	-0.03	5	-40.44	5	0.06	5	0.01	1
2220	219	227	Min.	21.56	199.30	5	-0.37	1	-0.09	1	-41.28	5	-4.08	5	0.01	1
2220	227	235	Max	0.00	638.41	5	0.17	1	0.07	1	6.34	5	5.47	5	0.06	1
2220	227	235	Max	21.56	638.41	5	0.17	1	0.02	5	5.50	5	1.87	5	0.06	1
2220	227	235	Min.	0.00	125.85	5	-0.31	1	-0.04	1	-48.10	5	0.59	5	-0.02	1
2220	227	235	Min.	21.56	125.85	5	-0.31	1	-0.02	5	-48.95	5	-4.99	5	-0.02	1
2220	235	243	Max	0.00	646.29	5	-0.02	1	0.05	1	3.25	5	6.02	5	0.05	1
2220	235	243	Max	21.56	646.29	5	-0.02	1	0.04	1	2.41	5	1.58	5	0.05	1
2220	235	243	Min.	0.00	34.98	5	-0.20	1	-0.02	1	-55.04	5	0.97	5	-0.01	1
2220	235	243	Min.	21.56	34.98	5	-0.20	1	-0.05	1	-55.88	5	-5.94	5	-0.01	1
2220	243	251	Max	0.00	648.44	5	0.13	1	0.06	1	0.04	5	6.60	5	0.03	1
2220	243	251	Max	21.56	648.44	5	0.13	1	0.00	5	-0.80	5	1.31	5	0.03	1
2220	243	251	Min.	0.00	-76.65	5	-0.34	1	-0.04	1	-62.78	5	1.39	5	0.01	1
2220	243	251	Min.	21.56	-76.65	5	-0.34	1	-0.03	5	-63.63	5	-7.02	5	0.01	1
2220	251	259	Max	0.00	642.96	5	0.26	1	0.02	5	-3.49	5	7.26	5	0.04	1
2220	251	259	Max	21.56	642.96	5	0.26	1	0.06	1	-4.34	5	1.10	5	0.04	1
2220	251	259	Min.	0.00	-214.42	5	-0.37	1	-0.02	5	-71.59	5	1.93	5	0.03	1
2220	251	259	Min.	21.56	-214.42	5	-0.37	1	-0.08	1	-72.44	5	-8.28	5	0.03	1
2220	259	267	Max	0.00	621.90	5	-0.07	1	0.06	1	-12.97	5	8.43	5	0.10	1
2220	259	267	Max	21.56	621.90	5	-0.07	1	0.01	5	-13.82	5	0.07	5	0.10	1
2220	259	267	Min.	0.00	-388.33	5	-0.34	1	-0.00	1	-87.08	5	2.96	5	-0.01	1
2220	259	267	Min.	21.56	-388.33	5	-0.34	1	-0.03	5	-87.92	5	-10.43	5	-0.01	1
2220	267	275	Max	0.00	579.59	5	-0.14	5	0.07	1	-17.83	5	8.91	5	0.10	1
2220	267	275	Max	21.56	579.59	5	-0.14	5	0.00	1	-18.67	5	-0.51	5	0.10	1
2220	267	275	Min.	0.00	-609.08	5	-0.33	5	-0.02	1	-99.65	5	3.42	5	0.00	1
2220	267	275	Min.	21.56	-609.08	5	-0.33	5	-0.05	1	-100.49	5	-12.67	5	0.00	1
2220	275	283	Max	0.00	517.52	5	0.15	1	0.07	1	-23.65	5	8.92	5	0.09	1
2220	275	283	Max	21.56	517.52	5	0.15	1	-0.01	1	-24.49	5	-1.23	5	0.09	1

2220	275	283	Min.	0.00	-883.45	5	-0.61	1	-0.04	1	-112.68	5	3.96	5	0.01	1
2220	275	283	Min.	21.56	-883.45	5	-0.61	1	-0.06	1	-113.53	5	-15.47	5	0.01	1
2220	283	2294	Max	0.00	437.35	5	0.38	1	0.03	5	-27.18	5	6.06	5	0.08	1
2220	283	2294	Max	21.56	437.35	5	0.38	1	0.09	1	-28.03	5	-1.82	5	0.08	1
2220	283	2294	Min.	0.00	-1193.11	5	-1.16	1	-0.02	5	-136.99	5	4.13	5	0.01	1
2220	283	2294	Min.	21.56	-1193.11	5	-1.16	1	-0.25	1	-137.84	5	-23.57	5	0.01	1
2220	2294	303	Max	0.00	-23.03	1	1.50	1	0.29	1	17.78	5	1.61	5	0.02	1
2220	2294	303	Max	16.67	-23.03	1	1.50	1	0.06	1	17.13	5	0.92	5	0.02	1
2220	2294	303	Min.	0.00	-101.21	1	-2.23	1	-0.19	1	-4.41	5	-2.92	5	-0.05	1
2220	2294	303	Min.	16.67	-101.21	1	-2.23	1	-0.08	1	-5.07	5	-0.11	5	-0.05	1
2220	303	311	Max	0.00	-13.55	1	0.86	1	0.09	1	13.71	1	-0.34	1	0.05	1
2220	303	311	Max	16.67	-13.55	1	0.86	1	0.08	1	13.06	1	0.94	1	0.05	1
2220	303	311	Min.	0.00	-63.16	1	-1.16	1	-0.06	1	4.19	1	-1.29	1	-0.07	1
2220	303	311	Min.	16.67	-63.16	1	-1.16	1	-0.11	1	3.53	1	0.31	1	-0.07	1
2220	311	2319	Max	0.00	-4.23	1	0.78	1	0.07	1	12.27	1	-0.06	1	0.03	1
2220	311	2319	Max	16.67	-4.23	1	0.78	1	0.09	1	11.61	1	1.07	1	0.03	1
2220	311	2319	Min.	0.00	-25.04	1	-1.20	1	-0.04	1	1.51	1	-0.92	1	-0.05	1
2220	311	2319	Min.	16.67	-25.04	1	-1.20	1	-0.13	1	0.86	1	0.14	1	-0.05	1
2221	-520	24	Max	0.00	1.00	1	1.41	1	0.14	1	0.43	1	0.02	1	0.03	5
2221	-520	24	Max	7.63					0.08	1			0.03	1		
2221	-520	24	Max	19.08	0.64	1	1.41	1	0.07	5	-0.23	1	0.00	1	0.03	5
2221	-520	24	Min.	0.00	-35.69	1	-0.78	1	-0.21	1	0.21	1	-0.16	1	0.00	5
2221	-520	24	Min.	7.63					-0.10	1			-0.14	1		
2221	-520	24	Min.	19.08	-36.06	1	-0.78	1	-0.02	5	-0.44	1	-0.15	1	0.00	5
2301	2028	2029	Max	0.00	2.45	1	205.51	5	0.09	1	-88.30	1	0.07	1	41.48	5
2301	2028	2029	Max	0.63	2.45	1	205.51	5	1.25	5	-88.34	1	-0.51	1	41.48	5
2301	2028	2029	Min.	0.00	-6.81	1	-1247.44	5	-0.06	1	-291.31	1	0.05	1	3.35	5
2301	2028	2029	Min.	0.63	-6.81	1	-1247.44	5	-7.78	5	-291.36	1	-1.77	1	3.35	5
2301	2029	2030	Max	5.37	3.72	1	1259.91	5	1.20	5	272.81	1	-0.36	1	-3.75	5
2301	2029	2030	Max	6.00	3.72	1	1259.91	5	0.22	5	272.77	1	0.09	5	-3.75	5
2301	2029	2030	Min.	5.37	-5.95	1	-190.93	5	-7.72	5	70.70	1	-1.64	1	-41.70	5
2301	2029	2030	Min.	6.00	-5.95	1	-190.93	5	0.00	5	70.66	1	0.08	5	-41.70	5
2345	2288	2289	Max	0.00	2.40	1	1239.40	5	0.06	1	-89.95	1	0.07	5	-3.24	5
2345	2288	2289	Max	0.63	2.40	1	1239.40	5	7.73	5	-90.00	1	-0.51	1	-3.24	5
2345	2288	2289	Min.	0.00	-6.77	1	-211.14	5	-0.08	1	-291.87	1	0.05	5	-41.32	5
2345	2288	2289	Min.	0.63	-6.77	1	-211.14	5	-1.28	5	-291.92	1	-1.77	1	-41.32	5
2345	2289	2290	Max	5.37	3.39	1	182.57	5	7.78	5	270.71	1	-0.37	1	41.77	5
2345	2289	2290	Max	6.00	3.39	1	182.57	5	-0.01	5	270.66	1	0.08	5	41.77	5
2345	2289	2290	Min.	5.37	-5.79	1	-1267.83	5	-1.16	5	69.78	1	-1.62	1	3.82	5
2345	2289	2290	Min.	6.00	-5.79	1	-1267.83	5	-0.21	5	69.73	1	0.07	5	3.82	5
2386	2002	10	Max	0.00	-2.93	1	0.75	1	0.12	1	-0.76	1	1.00	1	0.03	1
2386	2002	10	Max	16.67	-2.93	1	0.75	1	0.04	1	-1.42	1	-0.10	1	0.03	1
2386	2002	10	Min.	0.00	-23.31	1	-1.00	1	-0.09	1	-12.32	1	0.08	1	-0.05	1
2386	2002	10	Min.	16.67	-23.31	1	-1.00	1	-0.05	1	-12.97	1	-1.11	1	-0.05	1
2386	10	18	Max	0.00	-6.12	1	0.57	1	0.12	1	-0.02	5	0.04	1	0.05	1
2386	10	18	Max	16.67	-6.12	1	0.57	1	0.02	1	-0.67	5	-0.03	1	0.05	1
2386	10	18	Min.	0.00	-41.76	1	-0.79	1	-0.07	1	-0.45	5	-0.19	1	-0.07	1
2386	10	18	Min.	16.67	-41.76	1	-0.79	1	-0.02	1	-1.11	5	-0.30	1	-0.07	1
2386	18	2027	Max	0.00	-24.78	1	1.78	1	0.08	1	4.48	5	1.06	5	0.03	1
2386	18	2027	Max	16.67	-24.78	1	1.78	1	0.23	1	3.82	5	1.62	5	0.03	1
2386	18	2027	Min.	0.00	-112.56	1	-2.59	1	-0.06	1	-17.73	5	-0.05	5	-0.06	1
2386	18	2027	Min.	16.67	-112.56	1	-2.59	1	-0.35	1	-18.39	5	-2.93	5	-0.06	1
2386	2027	38	Max	0.00	436.32	5	0.38	1	0.25	1	137.93	5	-1.83	5	0.08	1
2386	2027	38	Max	21.56	436.32	5	0.38	1	0.02	5	137.08	5	6.07	5	0.08	1
2386	2027	38	Min.	0.00	-1193.59	5	-1.16	1	-0.09	1	28.10	5	-23.58	5	0.01	1
2386	2027	38	Min.	21.56	-1193.59	5	-1.16	1	-0.03	5	27.26	5	4.14	5	0.01	1
2386	38	46	Max	0.00	516.29	5	0.15	1	0.06	5	113.61	5	-1.24	5	0.09	1
2386	38	46	Max	21.56	516.29	5	0.15	1	0.05	1	112.76	5	8.93	5	0.09	1
2386	38	46	Min.	0.00	-883.20	5	-0.61	1	0.01	5	24.56	5	-15.48	5	0.01	1

2386	38	46	Min.	21.56	-883.20	5	-0.61	1	-0.07	1	23.71	5	3.96	5	0.01	1
2386	46	54	Max	0.00	578.54	5	-0.14	5	0.05	1	100.56	5	-0.52	5	0.10	1
2386	46	54	Max	21.56	578.54	5	-0.14	5	0.02	1	99.71	5	8.92	5	0.10	1
2386	46	54	Min.	0.00	-608.65	5	-0.33	5	0.00	1	18.73	5	-12.67	5	0.00	1
2386	46	54	Min.	21.56	-608.65	5	-0.33	5	-0.07	1	17.88	5	3.43	5	0.00	1
2386	54	62	Max	0.00	621.00	5	-0.07	1	0.03	5	87.99	5	0.06	5	0.09	1
2386	54	62	Max	21.56	621.00	5	-0.07	1	0.00	1	87.14	5	8.44	5	0.09	1
2386	54	62	Min.	0.00	-387.77	5	-0.34	1	-0.01	5	13.87	5	-10.44	5	-0.01	1
2386	54	62	Min.	21.56	-387.77	5	-0.34	1	-0.07	1	13.03	5	2.96	5	-0.01	1
2386	62	70	Max	0.00	642.17	5	0.27	1	0.08	1	72.45	5	1.09	5	0.04	1
2386	62	70	Max	21.56	642.17	5	0.27	1	0.02	5	71.60	5	7.26	5	0.04	1
2386	62	70	Min.	0.00	-213.79	5	-0.37	1	-0.06	1	4.38	5	-8.28	5	0.03	1
2386	62	70	Min.	21.56	-213.79	5	-0.37	1	-0.02	5	3.53	5	1.94	5	0.03	1
2386	70	78	Max	0.00	647.73	5	0.12	1	0.03	5	63.63	5	1.31	5	0.03	1
2386	70	78	Max	21.56	647.73	5	0.12	1	0.05	1	62.79	5	6.60	5	0.03	1
2386	70	78	Min.	0.00	-76.01	5	-0.34	1	0.00	5	0.84	5	-7.03	5	0.01	1
2386	70	78	Min.	21.56	-76.01	5	-0.34	1	-0.06	1	-0.01	5	1.40	5	0.01	1
2386	78	86	Max	0.00	645.64	5	-0.02	1	0.05	1	55.89	5	1.57	5	0.05	1
2386	78	86	Max	21.56	645.64	5	-0.02	1	0.02	1	55.04	5	6.02	5	0.05	1
2386	78	86	Min.	0.00	35.64	5	-0.20	1	-0.04	1	-2.37	5	-5.94	5	-0.01	1
2386	78	86	Min.	21.56	35.64	5	-0.20	1	-0.05	1	-3.22	5	0.97	5	-0.01	1
2386	86	94	Max	0.00	637.82	5	0.17	1	0.02	5	48.95	5	1.86	5	0.06	1
2386	86	94	Max	21.56	637.82	5	0.17	1	0.04	1	48.10	5	5.47	5	0.06	1
2386	86	94	Min.	0.00	126.51	5	-0.31	1	-0.02	5	-5.47	5	-4.99	5	-0.02	1
2386	86	94	Min.	21.56	126.51	5	-0.31	1	-0.07	1	-6.32	5	0.59	5	-0.02	1
2386	94	102	Max	0.00	624.53	5	0.27	1	0.09	1	41.28	5	2.28	5	0.03	1
2386	94	102	Max	21.56	624.53	5	0.27	1	0.03	5	40.44	5	4.73	5	0.03	1
2386	94	102	Min.	0.00	199.96	5	-0.37	1	-0.06	1	-9.86	5	-4.08	5	0.01	1
2386	94	102	Min.	21.56	199.96	5	-0.37	1	-0.02	5	-10.70	5	0.06	5	0.01	1
2386	102	110	Max	0.00	606.75	5	0.13	1	0.04	5	35.53	5	2.48	5	0.02	5
2386	102	110	Max	21.56	606.75	5	0.13	1	0.05	1	34.68	5	4.19	5	0.02	5
2386	102	110	Min.	0.00	258.43	5	-0.31	1	-0.01	5	-12.60	5	-3.38	5	0.01	5
2386	102	110	Min.	21.56	258.43	5	-0.31	1	-0.06	1	-13.44	5	-0.33	5	0.01	5
2386	110	118	Max	0.00	585.87	5	-0.01	1	0.05	1	30.28	5	2.71	5	0.04	1
2386	110	118	Max	21.56	585.87	5	-0.01	1	0.01	1	29.43	5	3.71	5	0.04	1
2386	110	118	Min.	0.00	305.28	5	-0.18	1	-0.03	1	-15.16	5	-2.73	5	-0.02	1
2386	110	118	Min.	21.56	305.28	5	-0.18	1	-0.04	1	-16.01	5	-0.65	5	-0.02	1
2386	118	126	Max	0.00	562.10	5	0.13	1	0.01	5	25.22	5	3.03	5	0.05	1
2386	118	126	Max	21.56	562.10	5	0.13	1	0.03	1	24.38	5	3.30	5	0.05	1
2386	118	126	Min.	0.00	342.12	5	-0.26	1	-0.02	5	-17.83	5	-2.04	5	-0.03	1
2386	118	126	Min.	21.56	342.12	5	-0.26	1	-0.07	1	-18.67	5	-0.90	5	-0.03	1
2386	126	134	Max	0.00	534.02	5	0.32	1	0.07	1	16.65	5	3.70	5	0.02	1
2386	126	134	Max	21.56	534.02	5	0.32	1	0.02	5	15.81	5	2.43	5	0.02	1
2386	126	134	Min.	0.00	368.57	5	-0.29	1	-0.07	1	-24.45	5	-1.07	5	-0.01	1
2386	126	134	Min.	21.56	368.57	5	-0.29	1	-0.01	5	-25.30	5	-1.66	5	-0.01	1
2386	134	142	Max	0.00	502.45	5	0.20	1	0.01	5	12.37	5	3.80	5	0.01	1
2386	134	142	Max	21.56	502.45	5	0.20	1	0.05	1	11.52	5	1.90	5	0.01	1
2386	134	142	Min.	0.00	386.35	5	-0.22	1	-0.01	5	-26.80	5	-0.68	5	-0.00	1
2386	134	142	Min.	21.56	386.35	5	-0.22	1	-0.05	1	-27.64	5	-2.07	5	-0.00	1
2386	142	150	Max	0.00	469.92	5	0.06	1	0.04	1	7.98	5	3.85	5	0.02	1
2386	142	150	Max	21.56	469.92	5	0.06	1	0.02	1	7.13	5	1.26	5	0.02	1
2386	142	150	Min.	0.00	398.72	5	-0.09	1	-0.05	1	-29.40	5	-0.37	5	-0.02	1
2386	142	150	Min.	21.56	398.72	5	-0.09	1	-0.04	1	-30.24	5	-2.58	5	-0.02	1
2386	150	158	Max	0.00	446.62	1	0.17	1	0.00	5	5.38	5	3.26	5	0.03	1
2386	150	158	Max	21.56	446.62	1	0.17	1	0.02	1	4.53	5	0.35	5	0.03	1
2386	150	158	Min.	0.00	401.41	1	-0.19	1	-0.03	5	-30.44	5	-0.72	5	-0.03	1
2386	150	158	Min.	21.56	401.41	1	-0.19	1	-0.06	1	-31.28	5	-3.39	5	-0.03	1
2386	158	166	Max	0.00	446.80	1	0.19	1	0.02	1	31.28	5	0.35	5	0.03	1
2386	158	166	Max	17.25					-0.00	7			1.94	7		

2386	158	166	Max	21.56	446.80	1	0.19	1	0.00	5	30.44	5	3.26	5	0.03	1
2386	158	166	Min.	0.00	401.24	1	-0.17	1	-0.06	1	-4.52	5	-3.39	5	-0.03	1
2386	158	166	Min.	17.25					-0.03	7			-0.49	7		
2386	158	166	Min.	21.56	401.24	1	-0.17	1	-0.03	5	-5.37	5	-0.72	5	-0.03	1
2386	166	174	Max	0.00	470.49	5	0.09	1	0.02	1	30.25	5	1.26	5	0.02	1
2386	166	174	Max	21.56	470.49	5	0.09	1	0.04	1	29.40	5	3.85	5	0.02	1
2386	166	174	Min.	0.00	398.18	5	-0.05	1	-0.04	1	-7.12	5	-2.58	5	-0.02	1
2386	166	174	Min.	21.56	398.18	5	-0.05	1	-0.05	1	-7.97	5	-0.37	5	-0.02	1
2386	174	182	Max	0.00	503.03	5	0.22	1	0.05	1	27.64	5	1.89	5	0.00	1
2386	174	182	Max	21.56	503.03	5	0.22	1	0.01	5	26.80	5	3.80	5	0.00	1
2386	174	182	Min.	0.00	385.81	5	-0.20	1	-0.05	1	-11.51	5	-2.07	5	-0.01	1
2386	174	182	Min.	21.56	385.81	5	-0.20	1	-0.01	5	-12.35	5	-0.68	5	-0.01	1
2386	182	190	Max	0.00	534.63	5	0.29	1	0.02	5	25.30	5	2.43	5	0.01	1
2386	182	190	Max	21.56	534.63	5	0.29	1	0.07	1	24.46	5	3.70	5	0.01	1
2386	182	190	Min.	0.00	368.03	5	-0.32	1	-0.01	5	-15.80	5	-1.67	5	-0.02	1
2386	182	190	Min.	21.56	368.03	5	-0.32	1	-0.07	1	-16.64	5	-1.07	5	-0.02	1
2386	190	198	Max	0.00	562.72	5	0.26	1	0.03	1	18.68	5	3.30	5	0.03	1
2386	190	198	Max	21.56	562.72	5	0.26	1	0.01	5	17.84	5	3.03	5	0.03	1
2386	190	198	Min.	0.00	341.58	5	-0.13	1	-0.07	1	-24.37	5	-0.90	5	-0.05	1
2386	190	198	Min.	21.56	341.58	5	-0.13	1	-0.02	5	-25.21	5	-2.04	5	-0.05	1
2386	198	206	Max	0.00	586.52	5	0.18	1	0.01	1	16.02	5	3.71	5	0.02	1
2386	198	206	Max	21.56	586.52	5	0.18	1	0.05	1	15.17	5	2.72	5	0.02	1
2386	198	206	Min.	0.00	304.75	5	0.01	1	-0.04	1	-29.42	5	-0.65	5	-0.04	1
2386	198	206	Min.	21.56	304.75	5	0.01	1	-0.03	1	-30.27	5	-2.72	5	-0.04	1
2386	206	214	Max	0.00	607.43	5	0.31	1	0.05	1	13.45	5	4.19	5	-0.01	5
2386	206	214	Max	21.56	607.43	5	0.31	1	0.03	5	12.61	5	2.48	5	-0.01	5
2386	206	214	Min.	0.00	257.90	5	-0.13	1	-0.06	1	-34.67	5	-0.33	5	-0.02	5
2386	206	214	Min.	21.56	257.90	5	-0.13	1	-0.01	5	-35.52	5	-3.38	5	-0.02	5
2386	214	222	Max	0.00	625.25	5	0.37	1	0.03	5	10.72	5	4.73	5	-0.01	1
2386	214	222	Max	21.56	625.25	5	0.37	1	0.09	1	9.87	5	2.28	5	-0.01	1
2386	214	222	Min.	0.00	199.44	5	-0.27	1	-0.02	5	-40.42	5	0.06	5	-0.03	1
2386	214	222	Min.	21.56	199.44	5	-0.27	1	-0.06	1	-41.27	5	-4.08	5	-0.03	1
2386	222	230	Max	0.00	638.58	5	0.31	1	0.04	1	6.35	5	5.47	5	0.02	1
2386	222	230	Max	21.56	638.58	5	0.31	1	0.02	5	5.50	5	1.87	5	0.02	1
2386	222	230	Min.	0.00	126.00	5	-0.17	1	-0.07	1	-48.09	5	0.59	5	-0.06	1
2386	222	230	Min.	21.56	126.00	5	-0.17	1	-0.02	5	-48.94	5	-4.99	5	-0.06	1
2386	230	238	Max	0.00	646.46	5	0.20	1	0.02	1	3.25	5	6.02	5	0.01	1
2386	230	238	Max	21.56	646.46	5	0.20	1	0.05	1	2.41	5	1.58	5	0.01	1
2386	230	238	Min.	0.00	35.15	5	0.02	1	-0.05	1	-55.03	5	0.97	5	-0.05	1
2386	230	238	Min.	21.56	35.15	5	0.02	1	-0.04	1	-55.87	5	-5.94	5	-0.05	1
2386	238	246	Max	0.00	648.61	5	0.34	1	0.04	1	0.04	5	6.60	5	-0.01	1
2386	238	246	Max	21.56	648.61	5	0.34	1	0.03	5	-0.80	5	1.31	5	-0.01	1
2386	238	246	Min.	0.00	-76.47	5	-0.13	1	-0.06	1	-62.77	5	1.39	5	-0.03	1
2386	238	246	Min.	21.56	-76.47	5	-0.13	1	0.00	5	-63.62	5	-7.02	5	-0.03	1
2386	246	254	Max	0.00	643.13	5	0.37	1	0.02	5	-3.49	5	7.26	5	-0.03	1
2386	246	254	Max	21.56	643.13	5	0.37	1	0.08	1	-4.34	5	1.10	5	-0.03	1
2386	246	254	Min.	0.00	-214.22	5	-0.26	1	-0.02	5	-71.59	5	1.94	5	-0.04	1
2386	246	254	Min.	21.56	-214.22	5	-0.26	1	-0.06	1	-72.43	5	-8.28	5	-0.04	1
2386	254	262	Max	0.00	622.08	5	0.34	1	0.00	1	-12.97	5	8.43	5	0.01	1
2386	254	262	Max	21.56	622.08	5	0.34	1	0.03	5	-13.82	5	0.07	5	0.01	1
2386	254	262	Min.	0.00	-388.12	5	0.07	1	-0.06	1	-87.07	5	2.96	5	-0.10	1
2386	254	262	Min.	21.56	-388.12	5	0.07	1	-0.01	5	-87.91	5	-10.43	5	-0.10	1
2386	262	270	Max	0.00	579.78	5	0.33	5	0.02	1	-17.82	5	8.91	5	0.00	1
2386	262	270	Max	21.56	579.78	5	0.33	5	0.05	1	-18.67	5	-0.51	5	0.00	1
2386	262	270	Min.	0.00	-608.84	5	0.14	5	-0.07	1	-99.63	5	3.42	5	-0.10	1
2386	262	270	Min.	21.56	-608.84	5	0.14	5	0.00	1	-100.48	5	-12.66	5	-0.10	1
2386	270	278	Max	0.00	517.74	5	0.61	1	0.04	1	-23.64	5	8.92	5	-0.01	1
2386	270	278	Max	21.56	517.74	5	0.61	1	0.06	1	-24.49	5	-1.23	5	-0.01	1
2386	270	278	Min.	0.00	-883.18	5	-0.16	1	-0.07	1	-112.66	5	3.96	5	-0.09	1

2386	270	278	Min.	21.56	-883.18	5	-0.16	1	0.01	1	-113.51	5	-15.46	5	-0.09	1
2386	278	2287	Max	0.00	437.75	5	1.16	1	0.02	5	-27.17	5	6.06	5	-0.01	1
2386	278	2287	Max	21.56	437.75	5	1.16	1	0.25	1	-28.02	5	-1.82	5	-0.01	1
2386	278	2287	Min.	0.00	-1192.98	5	-0.39	1	-0.03	5	-136.97	5	4.13	5	-0.08	1
2386	278	2287	Min.	21.56	-1192.98	5	-0.39	1	-0.09	1	-137.81	5	-23.57	5	-0.08	1
2386	2287	298	Max	0.00	-22.83	1	2.22	1	0.19	1	17.77	5	1.61	5	0.05	1
2386	2287	298	Max	16.67	-22.83	1	2.22	1	0.08	1	17.11	5	0.92	5	0.05	1
2386	2287	298	Min.	0.00	-101.27	1	-1.49	1	-0.29	1	-4.41	5	-2.92	5	-0.02	1
2386	2287	298	Min.	16.67	-101.27	1	-1.49	1	-0.06	1	-5.06	5	-0.11	5	-0.02	1
2386	298	306	Max	0.00	-13.41	1	1.15	1	0.06	1	13.72	1	-0.33	1	0.07	1
2386	298	306	Max	16.67	-13.41	1	1.15	1	0.10	1	13.06	1	0.94	1	0.07	1
2386	298	306	Min.	0.00	-63.20	1	-0.85	1	-0.09	1	4.17	1	-1.29	1	-0.05	1
2386	298	306	Min.	16.67	-63.20	1	-0.85	1	-0.08	1	3.51	1	0.31	1	-0.05	1
2386	306	2314	Max	0.00	-4.18	1	1.19	1	0.04	1	12.27	1	-0.06	1	0.05	1
2386	306	2314	Max	16.67	-4.18	1	1.19	1	0.13	1	11.62	1	1.07	1	0.05	1
2386	306	2314	Min.	0.00	-25.05	1	-0.78	1	-0.07	1	1.49	1	-0.92	1	-0.03	1
2386	306	2314	Min.	16.67	-25.05	1	-0.78	1	-0.09	1	0.84	1	0.13	1	-0.03	1
2424	2004	12	Max	0.00	-13.79	1	0.78	1	0.11	1	-5.87	1	1.37	1	0.05	1
2424	2004	12	Max	16.67	-13.79	1	0.78	1	0.05	1	-6.52	1	-0.56	1	0.05	1
2424	2004	12	Min.	0.00	-33.98	1	-0.97	1	-0.08	1	-17.17	1	0.47	1	-0.03	1
2424	2004	12	Min.	16.67	-33.98	1	-0.97	1	-0.05	1	-17.83	1	-1.54	1	-0.03	1
2424	12	20	Max	0.00	-24.88	1	0.38	1	0.09	1	-0.45	5	-0.04	1	0.08	1
2424	12	20	Max	16.67	-24.88	1	0.38	1	0.02	1	-1.11	5	-0.22	1	0.08	1
2424	12	20	Min.	0.00	-59.84	1	-0.81	1	-0.04	1	-0.91	5	-0.27	1	-0.04	1
2424	12	20	Min.	16.67	-59.84	1	-0.81	1	-0.04	1	-1.56	5	-0.42	1	-0.04	1
2424	20	2030	Max	0.00	-66.63	1	1.46	1	0.10	1	3.82	5	1.16	5	0.07	1
2424	20	2030	Max	5.83					-0.01	7			1.15	7		
2424	20	2030	Max	16.67	-66.63	1	1.46	1	0.18	1	3.17	5	1.59	5	0.07	1
2424	20	2030	Min.	0.00	-153.26	1	-2.43	1	-0.07	1	-18.87	5	0.05	5	-0.02	1
2424	20	2030	Min.	5.83					-0.01	7			-0.83	7		
2424	20	2030	Min.	16.67	-153.26	1	-2.43	1	-0.31	1	-19.52	5	-2.99	5	-0.02	1
2424	2030	40	Max	0.00	158.61	5	0.62	1	0.19	1	195.54	5	-10.61	5	0.03	1
2424	2030	40	Max	21.56	158.61	5	0.62	1	-0.00	1	194.70	5	9.48	5	0.03	1
2424	2030	40	Min.	0.00	-1479.50	5	-0.89	1	-0.14	1	84.48	5	-32.59	5	-0.03	1
2424	2030	40	Min.	21.56	-1479.50	5	-0.89	1	-0.01	1	83.63	5	7.51	5	-0.03	1
2424	40	48	Max	0.00	373.52	5	0.36	1	0.02	1	163.29	5	-7.28	5	0.04	1
2424	40	48	Max	21.56	373.52	5	0.36	1	0.06	1	162.45	5	13.49	5	0.04	1
2424	40	48	Min.	0.00	-1028.74	5	-0.38	1	-0.02	1	73.46	5	-21.63	5	-0.03	1
2424	40	48	Min.	21.56	-1028.74	5	-0.38	1	-0.06	1	72.61	5	8.47	5	-0.03	1
2424	48	56	Max	0.00	557.95	5	0.05	1	0.03	1	145.47	5	-5.51	5	0.05	1
2424	48	56	Max	3.23					-0.01	7			-3.63	7		
2424	48	56	Max	21.56	557.95	5	0.05	1	0.04	1	144.63	5	13.51	5	0.05	1
2424	48	56	Min.	0.00	-629.09	5	-0.08	1	-0.03	1	62.87	5	-17.77	5	-0.04	1
2424	48	56	Min.	3.23					0.01	7			-12.91	7		
2424	48	56	Min.	21.56	-629.09	5	-0.08	1	-0.04	1	62.02	5	7.96	5	-0.04	1
2424	56	64	Max	0.00	700.53	5	0.15	1	0.00	5	128.49	5	-4.04	5	0.06	1
2424	56	64	Max	21.56	700.53	5	0.15	1	0.03	1	127.65	5	12.99	5	0.06	1
2424	56	64	Min.	0.00	-306.63	5	-0.14	1	-0.00	5	53.69	5	-14.62	5	-0.04	1
2424	56	64	Min.	21.56	-306.63	5	-0.14	1	-0.03	1	52.84	5	7.45	5	-0.04	1
2424	64	72	Max	0.00	795.71	5	0.26	1	0.08	1	99.41	5	-1.46	5	0.01	1
2424	64	72	Max	21.56	795.71	5	0.26	1	0.01	1	98.56	5	10.55	5	0.01	1
2424	64	72	Min.	0.00	-58.20	5	-0.35	1	-0.06	1	31.62	5	-10.81	5	0.00	1
2424	64	72	Min.	21.56	-58.20	5	-0.35	1	-0.00	1	30.77	5	5.25	5	0.00	1
2424	72	80	Max	0.00	855.34	5	0.17	1	0.02	1	88.07	5	-1.00	5	0.01	1
2424	72	80	Max	12.94					-0.01	7			2.26	7		
2424	72	80	Max	21.56	855.34	5	0.17	1	0.05	1	87.22	5	9.57	5	0.01	1
2424	72	80	Min.	0.00	133.23	5	-0.28	1	0.00	1	25.53	5	-9.33	5	0.01	1
2424	72	80	Min.	12.94					0.01	7			2.05	7		
2424	72	80	Min.	21.56	133.23	5	-0.28	1	-0.06	1	24.68	5	4.42	5	0.01	1

2424	80	88	Max	0.00	897.97	5	0.03	1	0.05	1	78.58	5	-0.46	5	0.03	1
2424	80	88	Max	21.56	897.97	5	0.03	1	0.02	1	77.73	5	8.88	5	0.03	1
2424	80	88	Min.	0.00	289.14	5	-0.14	1	-0.04	1	20.54	5	-7.97	5	-0.02	1
2424	80	88	Min.	21.56	289.14	5	-0.14	1	-0.04	1	19.70	5	3.88	5	-0.02	1
2424	88	96	Max	0.00	926.71	5	0.21	1	0.01	5	69.62	5	0.33	5	0.05	1
2424	88	96	Max	0.54					0.01	7			0.39	7		
2424	88	96	Max	21.56	926.71	5	0.21	1	0.04	1	68.78	5	8.40	5	0.05	1
2424	88	96	Min.	0.00	416.16	5	-0.29	1	-0.01	5	15.47	5	-6.52	5	-0.03	1
2424	88	96	Min.	0.54					-0.01	7			-6.12	7		
2424	88	96	Min.	21.56	416.16	5	-0.29	1	-0.06	1	14.63	5	3.58	5	-0.03	1
2424	96	104	Max	0.00	934.96	5	0.30	1	0.08	1	46.80	5	2.43	5	0.02	1
2424	96	104	Max	21.56	934.96	5	0.30	1	0.01	1	45.96	5	6.10	5	0.02	1
2424	96	104	Min.	0.00	510.64	5	-0.32	1	-0.07	1	-4.17	5	-3.90	5	-0.00	1
2424	96	104	Min.	21.56	510.64	5	-0.32	1	-0.01	1	-5.02	5	1.44	5	-0.00	1
2424	104	112	Max	0.00	926.83	5	0.19	1	0.01	5	40.22	5	2.50	5	0.01	1
2424	104	112	Max	21.56	926.83	5	0.19	1	0.05	1	39.37	5	5.23	5	0.01	1
2424	104	112	Min.	0.00	578.57	5	-0.24	1	-0.00	5	-7.78	5	-3.35	5	0.00	1
2424	104	112	Min.	21.56	578.57	5	-0.24	1	-0.05	1	-8.63	5	0.73	5	0.00	1
2424	112	120	Max	0.00	912.75	5	0.04	1	0.04	1	34.78	5	2.74	5	0.03	1
2424	112	120	Max	21.56	912.75	5	0.04	1	0.02	1	33.93	5	4.73	5	0.03	1
2424	112	120	Min.	0.00	632.12	5	-0.10	1	-0.04	1	-10.54	5	-2.68	5	-0.02	1
2424	112	120	Min.	21.56	632.12	5	-0.10	1	-0.03	1	-11.39	5	0.38	5	-0.02	1
2424	120	128	Max	0.00	893.36	5	0.18	1	0.00	1	29.04	5	3.35	5	0.04	1
2424	120	128	Max	21.56	893.36	5	0.18	1	0.04	1	28.19	5	4.46	5	0.04	1
2424	120	128	Min.	0.00	673.29	5	-0.23	1	-0.01	1	-13.91	5	-1.71	5	-0.04	1
2424	120	128	Min.	21.56	673.29	5	-0.23	1	-0.05	1	-14.75	5	0.26	5	-0.04	1
2424	128	136	Max	0.00	862.29	5	0.29	1	0.07	1	8.59	5	5.33	5	0.02	1
2424	128	136	Max	21.56	862.29	5	0.29	1	0.00	1	7.75	5	2.30	5	0.02	1
2424	128	136	Min.	0.00	697.03	5	-0.30	1	-0.07	1	-32.57	5	0.53	5	-0.01	1
2424	128	136	Min.	21.56	697.03	5	-0.30	1	-0.00	1	-33.42	5	-1.79	5	-0.01	1
2424	136	144	Max	0.00	821.78	5	0.19	1	0.01	1	4.21	5	5.17	5	0.01	1
2424	136	144	Max	21.56	821.78	5	0.19	1	0.05	1	3.36	5	1.48	5	0.01	1
2424	136	144	Min.	0.00	706.36	5	-0.21	1	-0.01	1	-35.03	5	0.67	5	-0.00	1
2424	136	144	Min.	21.56	706.36	5	-0.21	1	-0.05	1	-35.88	5	-2.48	5	-0.00	1
2424	144	152	Max	0.00	780.25	5	0.05	1	0.04	1	-0.05	5	5.04	5	0.02	1
2424	144	152	Max	21.56	780.25	5	0.05	1	0.03	1	-0.89	5	0.70	5	0.02	1
2424	144	152	Min.	0.00	710.20	5	-0.07	1	-0.05	1	-37.49	5	0.80	5	-0.02	1
2424	144	152	Min.	21.56	710.20	5	-0.07	1	-0.04	1	-38.34	5	-3.14	5	-0.02	1
2424	152	160	Max	0.00	746.90	1	0.17	1	0.00	5	-1.74	5	4.01	5	0.03	1
2424	152	160	Max	21.56	746.90	1	0.17	1	0.03	1	-2.59	5	-0.46	5	0.03	1
2424	152	160	Min.	0.00	709.14	1	-0.19	1	-0.01	5	-37.63	5	0.00	5	-0.03	1
2424	152	160	Min.	21.56	709.14	1	-0.19	1	-0.04	1	-38.47	5	-4.20	5	-0.03	1
2424	160	168	Max	0.00	746.87	1	0.19	1	0.03	1	38.49	5	-0.47	5	0.03	1
2424	160	168	Max	21.56	746.87	1	0.19	1	0.00	5	37.65	5	4.01	5	0.03	1
2424	160	168	Min.	0.00	709.20	1	-0.17	1	-0.04	1	2.62	5	-4.20	5	-0.03	1
2424	160	168	Min.	21.56	709.20	1	-0.17	1	-0.01	5	1.78	5	0.01	5	-0.03	1
2424	168	176	Max	0.00	780.14	5	0.08	1	0.03	1	38.37	5	0.69	5	0.02	1
2424	168	176	Max	21.56	780.14	5	0.08	1	0.04	1	37.52	5	5.04	5	0.02	1
2424	168	176	Min.	0.00	710.40	5	-0.05	1	-0.04	1	0.92	5	-3.14	5	-0.02	1
2424	168	176	Min.	21.56	710.40	5	-0.05	1	-0.05	1	0.08	5	0.80	5	-0.02	1
2424	176	184	Max	0.00	821.69	5	0.21	1	0.05	1	35.90	5	1.48	5	0.00	1
2424	176	184	Max	21.56	821.69	5	0.21	1	0.01	1	35.05	5	5.17	5	0.00	1
2424	176	184	Min.	0.00	706.60	5	-0.19	1	-0.05	1	-3.33	5	-2.48	5	-0.01	1
2424	176	184	Min.	21.56	706.60	5	-0.19	1	-0.01	1	-4.17	5	0.67	5	-0.01	1
2424	184	192	Max	0.00	862.24	5	0.30	1	0.00	1	33.44	5	2.29	5	0.01	1
2424	184	192	Max	21.56	862.24	5	0.30	1	0.07	1	32.60	5	5.33	5	0.01	1
2424	184	192	Min.	0.00	697.31	5	-0.29	1	-0.00	1	-7.71	5	-1.79	5	-0.02	1
2424	184	192	Min.	21.56	697.31	5	-0.29	1	-0.07	1	-8.56	5	0.54	5	-0.02	1
2424	192	200	Max	0.00	893.34	5	0.23	1	0.04	1	14.78	5	4.46	5	0.03	1

2424	192	200	Max	21.56	893.34	5	0.23	1	0.00	1	13.94	5	3.36	5	0.03	1
2424	192	200	Min.	0.00	673.62	5	-0.18	1	-0.06	1	-28.15	5	0.26	5	-0.04	1
2424	192	200	Min.	21.56	673.62	5	-0.18	1	-0.01	1	-29.00	5	-1.71	5	-0.04	1
2424	200	208	Max	0.00	912.76	5	0.10	1	0.02	1	11.42	5	4.72	5	0.02	1
2424	200	208	Max	21.56	912.76	5	0.10	1	0.04	1	10.57	5	2.74	5	0.02	1
2424	200	208	Min.	0.00	632.50	5	-0.04	1	-0.03	1	-33.90	5	0.37	5	-0.03	1
2424	200	208	Min.	21.56	632.50	5	-0.04	1	-0.04	1	-34.74	5	-2.68	5	-0.03	1
2424	208	216	Max	0.00	926.88	5	0.24	1	0.05	1	8.66	5	5.23	5	-0.00	1
2424	208	216	Max	21.56	926.88	5	0.24	1	0.01	5	7.81	5	2.50	5	-0.00	1
2424	208	216	Min.	0.00	579.02	5	-0.19	1	-0.05	1	-39.33	5	0.72	5	-0.01	1
2424	208	216	Min.	21.56	579.02	5	-0.19	1	-0.00	5	-40.18	5	-3.34	5	-0.01	1
2424	216	224	Max	0.00	935.05	5	0.32	1	0.01	1	5.06	5	6.10	5	0.00	1
2424	216	224	Max	21.56	935.05	5	0.32	1	0.08	1	4.21	5	2.44	5	0.00	1
2424	216	224	Min.	0.00	511.16	5	-0.30	1	-0.01	1	-45.91	5	1.44	5	-0.02	1
2424	216	224	Min.	21.56	511.16	5	-0.30	1	-0.07	1	-46.76	5	-3.90	5	-0.02	1
2424	224	232	Max	0.00	926.85	5	0.29	1	0.04	1	-14.59	5	8.40	5	0.03	1
2424	224	232	Max	21.16					0.01	7			0.37	7		
2424	224	232	Max	21.56	926.85	5	0.29	1	0.01	5	-15.44	5	0.33	5	0.03	1
2424	224	232	Min.	0.00	416.76	5	-0.21	1	-0.06	1	-68.72	5	3.57	5	-0.05	1
2424	224	232	Min.	21.16					-0.01	7			-6.21	7		
2424	224	232	Min.	21.56	416.76	5	-0.21	1	-0.01	5	-69.57	5	-6.51	5	-0.05	1
2424	232	240	Max	0.00	898.17	5	0.14	1	0.02	1	-19.66	5	8.87	5	0.02	1
2424	232	240	Max	21.56	898.17	5	0.14	1	0.05	1	-20.50	5	-0.45	5	0.02	1
2424	232	240	Min.	0.00	289.85	5	-0.03	1	-0.04	1	-77.67	5	3.88	5	-0.03	1
2424	232	240	Min.	21.56	289.85	5	-0.03	1	-0.04	1	-78.52	5	-7.97	5	-0.03	1
2424	240	248	Max	0.00	855.62	5	0.28	1	0.05	1	-24.64	5	9.56	5	-0.00	1
2424	240	248	Max	8.63					-0.01	7			2.26	7		
2424	240	248	Max	21.56	855.62	5	0.28	1	0.02	1	-25.49	5	-0.99	5	-0.00	1
2424	240	248	Min.	0.00	134.05	5	-0.17	1	-0.06	1	-87.16	5	4.41	5	-0.01	1
2424	240	248	Min.	8.63					0.01	7			2.05	7		
2424	240	248	Min.	21.56	134.05	5	-0.17	1	0.00	1	-88.00	5	-9.32	5	-0.01	1
2424	248	256	Max	0.00	796.09	5	0.35	1	0.01	5	-30.73	5	10.55	5	-0.00	1
2424	248	256	Max	21.56	796.09	5	0.35	1	0.08	1	-31.57	5	-1.45	5	-0.00	1
2424	248	256	Min.	0.00	-57.24	5	-0.26	1	-0.00	5	-98.49	5	5.25	5	-0.01	1
2424	248	256	Min.	21.56	-57.24	5	-0.26	1	-0.06	1	-99.34	5	-10.80	5	-0.01	1
2424	256	264	Max	0.00	701.06	5	0.14	1	0.03	1	-52.76	5	12.98	5	0.04	1
2424	256	264	Max	21.56	701.06	5	0.14	1	0.00	5	-53.61	5	-4.03	5	0.04	1
2424	256	264	Min.	0.00	-305.48	5	-0.15	1	-0.03	1	-127.53	5	7.44	5	-0.06	1
2424	256	264	Min.	21.56	-305.48	5	-0.15	1	-0.00	5	-128.38	5	-14.61	5	-0.06	1
2424	264	272	Max	0.00	558.69	5	0.08	1	0.04	1	-61.93	5	13.50	5	0.04	1
2424	264	272	Max	17.25					-0.01	7			-2.92	7		
2424	264	272	Max	21.56	558.69	5	0.08	1	0.03	1	-62.78	5	-5.49	5	0.04	1
2424	264	272	Min.	0.00	-627.68	5	-0.05	1	-0.04	1	-144.51	5	7.95	5	-0.05	1
2424	264	272	Min.	17.25					0.01	7			-11.36	7		
2424	264	272	Min.	21.56	-627.68	5	-0.05	1	-0.03	1	-145.35	5	-17.75	5	-0.05	1
2424	272	280	Max	0.00	374.60	5	0.38	1	0.06	1	-72.51	5	13.48	5	0.03	1
2424	272	280	Max	21.56	374.60	5	0.38	1	0.02	1	-73.36	5	-7.26	5	0.03	1
2424	272	280	Min.	0.00	-1027.06	5	-0.35	1	-0.06	1	-162.30	5	8.46	5	-0.04	1
2424	272	280	Min.	21.56	-1027.06	5	-0.35	1	-0.02	1	-163.15	5	-21.61	5	-0.04	1
2424	280	2290	Max	0.00	160.04	5	0.89	1	0.00	1	-83.52	5	9.47	5	0.03	1
2424	280	2290	Max	21.56	160.04	5	0.89	1	0.19	1	-84.36	5	-10.59	5	0.03	1
2424	280	2290	Min.	0.00	-1477.32	5	-0.61	1	-0.01	1	-194.54	5	7.50	5	-0.03	1
2424	280	2290	Min.	21.56	-1477.32	5	-0.61	1	-0.13	1	-195.38	5	-32.57	5	-0.03	1
2424	2290	300	Max	0.00	-59.41	1	2.11	1	0.16	1	18.42	5	1.62	5	0.02	1
2424	2290	300	Max	16.67	-59.41	1	2.11	1	0.08	1	17.77	5	0.95	5	0.02	1
2424	2290	300	Min.	0.00	-138.61	1	-1.30	1	-0.27	1	-4.44	5	-2.96	5	-0.05	1
2424	2290	300	Min.	16.67	-138.61	1	-1.30	1	-0.05	1	-5.10	5	-0.07	5	-0.05	1
2424	300	308	Max	0.00	-38.55	1	1.10	1	0.05	1	18.24	1	-0.86	1	0.04	1
2424	300	308	Max	16.67	-38.55	1	1.10	1	0.10	1	17.59	1	1.21	1	0.04	1

2424	300	308	Min.	0.00	-89.02	1	-0.67	1	-0.08	1	8.97	1	-1.77	1	-0.08	1
2424	300	308	Min.	16.67	-89.02	1	-0.67	1	-0.06	1	8.31	1	0.58	1	-0.08	1
2424	308	2316	Max	0.00	-15.21	1	0.93	1	0.03	1	16.99	1	-0.45	1	0.03	1
2424	308	2316	Max	16.67	-15.21	1	0.93	1	0.11	1	16.34	1	1.48	1	0.03	1
2424	308	2316	Min.	0.00	-36.52	1	-0.67	1	-0.04	1	6.21	1	-1.29	1	-0.06	1
2424	308	2316	Min.	16.67	-36.52	1	-0.67	1	-0.08	1	5.56	1	0.53	1	-0.06	1
2462	2006	14	Max	0.00	-21.77	1	1.16	1	0.06	1	-10.34	1	1.71	1	0.02	1
2462	2006	14	Max	16.67	-21.77	1	1.16	1	0.07	1	-10.99	1	-0.95	1	0.02	1
2462	2006	14	Min.	0.00	-41.60	1	-0.51	1	-0.12	1	-21.43	1	0.82	1	-0.06	1
2462	2006	14	Min.	16.67	-41.60	1	-0.51	1	-0.02	1	-22.08	1	-1.92	1	-0.06	1
2462	14	22	Max	0.00	-38.84	1	0.64	1	0.06	1	-0.51	5	-0.12	1	0.04	1
2462	14	22	Max	16.67	-38.84	1	0.64	1	0.04	1	-1.16	5	-0.31	1	0.04	1
2462	14	22	Min.	0.00	-73.12	1	-0.53	1	-0.06	1	-0.90	5	-0.35	1	-0.08	1
2462	14	22	Min.	16.67	-73.12	1	-0.53	1	-0.02	1	-1.55	5	-0.51	1	-0.08	1
2462	22	2033	Max	0.00	-97.65	1	2.11	1	0.07	1	-0.46	5	1.32	5	0.03	1
2462	22	2033	Max	16.67	-97.65	1	2.11	1	0.26	1	-1.12	5	1.03	5	0.03	1
2462	22	2033	Min.	0.00	-184.07	1	-1.67	1	-0.09	1	-22.79	5	0.20	5	-0.06	1
2462	22	2033	Min.	16.67	-184.07	1	-1.67	1	-0.21	1	-23.44	5	-3.49	5	-0.06	1
2462	2033	42	Max	0.00	157.59	5	0.63	1	0.17	1	196.02	5	-10.74	5	0.03	1
2462	2033	42	Max	21.56	157.59	5	0.63	1	-0.00	5	195.17	5	9.53	5	0.03	1
2462	2033	42	Min.	0.00	-1476.19	5	-0.85	1	-0.14	1	85.39	5	-32.65	5	-0.03	1
2462	2033	42	Min.	21.56	-1476.19	5	-0.85	1	-0.02	5	84.54	5	7.58	5	-0.03	1
2462	42	50	Max	0.00	375.87	5	0.37	1	0.02	1	163.63	5	-7.37	5	0.04	1
2462	42	50	Max	21.56	375.87	5	0.37	1	0.06	1	162.79	5	13.52	5	0.04	1
2462	42	50	Min.	0.00	-1025.38	5	-0.34	1	-0.03	1	74.24	5	-21.67	5	-0.03	1
2462	42	50	Min.	21.56	-1025.38	5	-0.34	1	-0.06	1	73.40	5	8.54	5	-0.03	1
2462	50	58	Max	0.00	561.37	5	0.07	1	0.03	1	145.97	5	-5.60	5	0.04	1
2462	50	58	Max	21.56	561.37	5	0.07	1	0.04	1	145.13	5	13.57	5	0.04	1
2462	50	58	Min.	0.00	-623.53	5	-0.06	1	-0.03	1	63.75	5	-17.82	5	-0.05	1
2462	50	58	Min.	21.56	-623.53	5	-0.06	1	-0.04	1	62.90	5	8.05	5	-0.05	1
2462	58	66	Max	0.00	704.26	5	0.13	1	0.00	5	128.97	5	-4.08	5	0.04	1
2462	58	66	Max	21.56	704.26	5	0.13	1	0.03	1	128.12	5	13.10	5	0.04	1
2462	58	66	Min.	0.00	-299.02	5	-0.16	1	-0.00	5	54.52	5	-14.62	5	-0.05	1
2462	58	66	Min.	21.56	-299.02	5	-0.16	1	-0.03	1	53.68	5	7.58	5	-0.05	1
2462	66	74	Max	0.00	797.05	5	0.36	1	0.05	1	97.29	5	-1.16	5	-0.00	1
2462	66	74	Max	21.56	797.05	5	0.36	1	0.00	1	96.45	5	10.37	5	-0.00	1
2462	66	74	Min.	0.00	-51.94	5	-0.24	1	-0.08	1	29.29	5	-10.52	5	-0.01	1
2462	66	74	Min.	21.56	-51.94	5	-0.24	1	-0.00	1	28.44	5	5.07	5	-0.01	1
2462	74	82	Max	0.00	852.60	5	0.28	1	-0.00	1	86.21	5	-0.78	5	-0.01	1
2462	74	82	Max	21.56	852.60	5	0.28	1	0.06	1	85.37	5	9.37	5	-0.01	1
2462	74	82	Min.	0.00	135.90	5	-0.15	1	-0.02	1	23.48	5	-9.12	5	-0.01	1
2462	74	82	Min.	21.56	135.90	5	-0.15	1	-0.05	1	22.64	5	4.20	5	-0.01	1
2462	82	90	Max	0.00	891.71	5	0.14	1	0.04	1	76.99	5	-0.28	5	0.01	1
2462	82	90	Max	21.56	891.71	5	0.14	1	0.04	1	76.14	5	8.70	5	0.01	1
2462	82	90	Min.	0.00	288.64	5	-0.02	1	-0.05	1	18.77	5	-7.81	5	-0.03	1
2462	82	90	Min.	21.56	288.64	5	-0.02	1	-0.02	1	17.93	5	3.68	5	-0.03	1
2462	90	98	Max	0.00	917.65	5	0.29	1	0.00	5	68.25	5	0.46	5	0.03	1
2462	90	98	Max	21.56	917.65	5	0.29	1	0.06	1	67.40	5	8.23	5	0.03	1
2462	90	98	Min.	0.00	413.12	5	-0.19	1	-0.00	5	13.94	5	-6.39	5	-0.05	1
2462	90	98	Min.	21.56	413.12	5	-0.19	1	-0.04	1	13.10	5	3.38	5	-0.05	1
2462	98	106	Max	0.00	924.02	5	0.32	1	0.07	1	46.04	5	2.48	5	0.00	1
2462	98	106	Max	21.56	924.02	5	0.32	1	0.01	1	45.20	5	6.01	5	0.00	1
2462	98	106	Min.	0.00	505.80	5	-0.29	1	-0.08	1	-4.78	5	-3.83	5	-0.02	1
2462	98	106	Min.	21.56	505.80	5	-0.29	1	-0.01	1	-5.63	5	1.35	5	-0.02	1
2462	106	114	Max	0.00	914.92	5	0.23	1	0.00	1	39.63	5	2.53	5	-0.00	1
2462	106	114	Max	21.56	914.92	5	0.23	1	0.05	1	38.79	5	5.16	5	-0.00	1
2462	106	114	Min.	0.00	572.73	5	-0.18	1	-0.01	1	-8.21	5	-3.29	5	-0.01	1
2462	106	114	Min.	21.56	572.73	5	-0.18	1	-0.05	1	-9.06	5	0.67	5	-0.01	1
2462	114	122	Max	0.00	900.22	5	0.09	1	0.04	1	34.35	5	2.76	5	0.02	1

2462	114	122	Max	21.56	900.22	5	0.09	1	0.03	1	33.50	5	4.67	5	0.02	1
2462	114	122	Min.	0.00	625.60	5	-0.04	1	-0.04	1	-10.82	5	-2.64	5	-0.03	1
2462	114	122	Min.	21.56	625.60	5	-0.04	1	-0.02	1	-11.67	5	0.34	5	-0.03	1
2462	122	130	Max	0.00	880.42	5	0.22	1	0.01	1	28.75	5	3.37	5	0.03	1
2462	122	130	Max	21.56	880.42	5	0.22	1	0.05	1	27.90	5	4.43	5	0.03	1
2462	122	130	Min.	0.00	666.31	5	-0.18	1	-0.00	1	-14.06	5	-1.68	5	-0.04	1
2462	122	130	Min.	21.56	666.31	5	-0.18	1	-0.04	1	-14.91	5	0.25	5	-0.04	1
2462	130	138	Max	0.00	849.01	5	0.30	1	0.07	1	8.12	5	5.36	5	0.01	1
2462	130	138	Max	21.56	849.01	5	0.30	1	0.00	1	7.28	5	2.24	5	0.01	1
2462	130	138	Min.	0.00	689.59	5	-0.29	1	-0.07	1	-32.91	5	0.58	5	-0.02	1
2462	130	138	Min.	21.56	689.59	5	-0.29	1	-0.00	1	-33.76	5	-1.83	5	-0.02	1
2462	138	146	Max	0.00	808.21	5	0.21	1	0.01	1	3.87	5	5.18	5	0.00	1
2462	138	146	Max	21.56	808.21	5	0.21	1	0.05	1	3.02	5	1.44	5	0.00	1
2462	138	146	Min.	0.00	698.44	5	-0.18	1	-0.01	1	-35.25	5	0.69	5	-0.01	1
2462	138	146	Min.	21.56	698.44	5	-0.18	1	-0.05	1	-36.10	5	-2.51	5	-0.01	1
2462	146	154	Max	0.00	766.53	5	0.07	1	0.04	1	-0.24	5	5.04	5	0.02	1
2462	146	154	Max	21.56	766.53	5	0.07	1	0.03	1	-1.09	5	0.66	5	0.02	1
2462	146	154	Min.	0.00	701.96	5	-0.05	1	-0.04	1	-37.57	5	0.81	5	-0.02	1
2462	146	154	Min.	21.56	701.96	5	-0.05	1	-0.03	1	-38.42	5	-3.16	5	-0.02	1
2462	154	162	Max	0.00	728.61	5	0.19	1	0.01	1	-1.82	5	3.99	5	0.03	1
2462	154	162	Max	21.56	728.61	5	0.19	1	0.04	1	-2.67	5	-0.48	5	0.03	1
2462	154	162	Min.	0.00	705.28	5	-0.17	1	0.00	1	-37.58	5	0.00	5	-0.03	1
2462	154	162	Min.	21.56	705.28	5	-0.17	1	-0.03	1	-38.42	5	-4.20	5	-0.03	1
2462	162	170	Max	0.00	728.49	5	0.17	1	0.04	1	38.44	5	-0.48	5	0.03	1
2462	162	170	Max	21.56	728.49	5	0.17	1	0.01	1	37.60	5	4.00	5	0.03	1
2462	162	170	Min.	0.00	705.43	5	-0.19	1	-0.03	1	2.69	5	-4.20	5	-0.03	1
2462	162	170	Min.	21.56	705.43	5	-0.19	1	0.00	1	1.85	5	0.01	5	-0.03	1
2462	170	178	Max	0.00	766.43	5	0.05	1	0.03	1	38.45	5	0.66	5	0.02	1
2462	170	178	Max	21.56	766.43	5	0.05	1	0.04	1	37.60	5	5.04	5	0.02	1
2462	170	178	Min.	0.00	702.13	5	-0.07	1	-0.03	1	1.12	5	-3.16	5	-0.02	1
2462	170	178	Min.	21.56	702.13	5	-0.07	1	-0.04	1	0.27	5	0.81	5	-0.02	1
2462	178	186	Max	0.00	808.13	5	0.18	1	0.05	1	36.12	5	1.43	5	0.01	1
2462	178	186	Max	21.56	808.13	5	0.18	1	0.01	1	35.27	5	5.19	5	0.01	1
2462	178	186	Min.	0.00	698.65	5	-0.21	1	-0.05	1	-3.00	5	-2.51	5	-0.00	1
2462	178	186	Min.	21.56	698.65	5	-0.21	1	-0.01	1	-3.84	5	0.70	5	-0.00	1
2462	186	194	Max	0.00	848.97	5	0.29	1	0.00	1	33.78	5	2.24	5	0.02	1
2462	186	194	Max	21.56	848.97	5	0.29	1	0.07	1	32.94	5	5.36	5	0.02	1
2462	186	194	Min.	0.00	689.83	5	-0.30	1	-0.00	1	-7.25	5	-1.83	5	-0.01	1
2462	186	194	Min.	21.56	689.83	5	-0.30	1	-0.07	1	-8.10	5	0.58	5	-0.01	1
2462	194	202	Max	0.00	880.42	5	0.18	1	0.05	1	14.93	5	4.42	5	0.04	1
2462	194	202	Max	21.56	880.42	5	0.18	1	0.01	1	14.09	5	3.37	5	0.04	1
2462	194	202	Min.	0.00	666.59	5	-0.22	1	-0.04	1	-27.87	5	0.24	5	-0.03	1
2462	194	202	Min.	21.56	666.59	5	-0.22	1	-0.00	1	-28.72	5	-1.68	5	-0.03	1
2462	202	210	Max	0.00	900.26	5	0.04	1	0.03	1	11.70	5	4.67	5	0.03	1
2462	202	210	Max	21.56	900.26	5	0.04	1	0.04	1	10.85	5	2.77	5	0.03	1
2462	202	210	Min.	0.00	625.92	5	-0.09	1	-0.02	1	-33.47	5	0.33	5	-0.02	1
2462	202	210	Min.	21.56	625.92	5	-0.09	1	-0.04	1	-34.31	5	-2.64	5	-0.02	1
2462	210	218	Max	0.00	915.00	5	0.18	1	0.05	1	9.09	5	5.16	5	0.01	1
2462	210	218	Max	21.56	915.00	5	0.18	1	0.00	1	8.24	5	2.53	5	0.01	1
2462	210	218	Min.	0.00	573.10	5	-0.23	1	-0.05	1	-38.75	5	0.67	5	0.00	1
2462	210	218	Min.	21.56	573.10	5	-0.23	1	-0.01	1	-39.60	5	-3.29	5	0.00	1
2462	218	226	Max	0.00	924.16	5	0.29	1	0.01	1	5.66	5	6.00	5	0.02	1
2462	218	226	Max	21.56	924.16	5	0.29	1	0.07	1	4.82	5	2.48	5	0.02	1
2462	218	226	Min.	0.00	506.24	5	-0.32	1	-0.01	1	-45.16	5	1.35	5	0.00	1
2462	218	226	Min.	21.56	506.24	5	-0.32	1	-0.08	1	-46.00	5	-3.83	5	0.00	1
2462	226	234	Max	0.00	917.85	5	0.19	1	0.06	1	-13.05	5	8.23	5	0.05	1
2462	226	234	Max	21.56	917.85	5	0.19	1	0.00	5	-13.90	5	0.47	5	0.05	1
2462	226	234	Min.	0.00	413.63	5	-0.29	1	-0.04	1	-67.35	5	3.38	5	-0.03	1
2462	226	234	Min.	21.56	413.63	5	-0.29	1	-0.00	5	-68.20	5	-6.39	5	-0.03	1

2462	234	242	Max	0.00	891.98	5	0.02	1	0.04	1	-17.88	5	8.69	5	0.03	1
2462	234	242	Max	21.56	891.98	5	0.02	1	0.04	1	-18.73	5	-0.27	5	0.03	1
2462	234	242	Min.	0.00	289.24	5	-0.14	1	-0.02	1	-76.09	5	3.67	5	-0.01	1
2462	234	242	Min.	21.56	289.24	5	-0.14	1	-0.05	1	-76.93	5	-7.81	5	-0.01	1
2462	242	250	Max	0.00	852.96	5	0.15	1	0.06	1	-22.59	5	9.37	5	0.01	1
2462	242	250	Max	21.56	852.96	5	0.15	1	-0.00	1	-23.44	5	-0.77	5	0.01	1
2462	242	250	Min.	0.00	136.60	5	-0.27	1	-0.05	1	-85.31	5	4.19	5	0.01	1
2462	242	250	Min.	21.56	136.60	5	-0.27	1	-0.02	1	-86.16	5	-9.12	5	0.01	1
2462	250	258	Max	0.00	797.52	5	0.24	1	0.00	1	-28.39	5	10.36	5	0.01	1
2462	250	258	Max	21.56	797.52	5	0.24	1	0.05	1	-29.24	5	-1.15	5	0.01	1
2462	250	258	Min.	0.00	-51.11	5	-0.36	1	-0.00	1	-96.38	5	5.06	5	0.00	1
2462	250	258	Min.	21.56	-51.11	5	-0.36	1	-0.08	1	-97.23	5	-10.51	5	0.00	1
2462	258	266	Max	0.00	704.91	5	0.16	1	0.03	1	-53.59	5	13.09	5	0.05	1
2462	258	266	Max	21.56	704.91	5	0.16	1	0.00	5	-54.43	5	-4.07	5	0.05	1
2462	258	266	Min.	0.00	-298.00	5	-0.13	1	-0.03	1	-128.00	5	7.58	5	-0.04	1
2462	258	266	Min.	21.56	-298.00	5	-0.13	1	-0.00	5	-128.84	5	-14.60	5	-0.04	1
2462	266	274	Max	0.00	562.29	5	0.06	1	0.04	1	-62.80	5	13.56	5	0.05	1
2462	266	274	Max	21.56	562.29	5	0.06	1	0.03	1	-63.65	5	-5.59	5	0.05	1
2462	266	274	Min.	0.00	-622.24	5	-0.07	1	-0.04	1	-144.99	5	8.05	5	-0.04	1
2462	266	274	Min.	21.56	-622.24	5	-0.07	1	-0.03	1	-145.84	5	-17.80	5	-0.04	1
2462	274	282	Max	0.00	377.13	5	0.34	1	0.06	1	-73.28	5	13.51	5	0.03	1
2462	274	282	Max	21.56	377.13	5	0.34	1	0.02	1	-74.13	5	-7.36	5	0.03	1
2462	274	282	Min.	0.00	-1023.75	5	-0.37	1	-0.06	1	-162.63	5	8.53	5	-0.04	1
2462	274	282	Min.	21.56	-1023.75	5	-0.37	1	-0.03	1	-163.47	5	-21.65	5	-0.04	1
2462	282	2293	Max	0.00	159.09	5	0.85	1	-0.00	5	-84.41	5	9.51	5	0.03	1
2462	282	2293	Max	21.56	159.09	5	0.85	1	0.17	1	-85.26	5	-10.72	5	0.03	1
2462	282	2293	Min.	0.00	-1473.83	5	-0.62	1	-0.02	5	-194.99	5	7.57	5	-0.03	1
2462	282	2293	Min.	21.56	-1473.83	5	-0.62	1	-0.14	1	-195.84	5	-32.62	5	-0.03	1
2462	2293	302	Max	0.00	-87.81	1	1.45	1	0.23	1	22.12	5	1.06	5	0.05	1
2462	2293	302	Max	13.33					-0.00	7			0.98	7		
2462	2293	302	Max	16.67	-87.81	1	1.45	1	0.06	1	21.47	5	1.07	5	0.05	1
2462	2293	302	Min.	0.00	-166.57	1	-1.84	1	-0.19	1	-0.36	5	-3.47	5	-0.02	1
2462	2293	302	Min.	13.33									-0.55	7		
2462	2293	302	Min.	16.67	-166.57	1	-1.84	1	-0.07	1	-1.02	5	0.04	5	-0.02	1
2462	302	310	Max	0.00	-58.32	1	0.70	1	0.08	1	21.81	1	-1.24	1	0.08	1
2462	302	310	Max	16.67	-58.32	1	0.70	1	0.07	1	21.15	1	1.43	1	0.08	1
2462	302	310	Min.	0.00	-108.49	1	-1.06	1	-0.05	1	12.58	1	-2.15	1	-0.04	1
2462	302	310	Min.	16.67	-108.49	1	-1.06	1	-0.10	1	11.92	1	0.80	1	-0.04	1
2462	310	2318	Max	0.00	-23.71	1	0.49	1	0.06	1	21.01	1	-0.79	1	0.06	1
2462	310	2318	Max	16.67	-23.71	1	0.49	1	0.06	1	20.35	1	1.83	1	0.06	1
2462	310	2318	Min.	0.00	-44.55	1	-1.03	1	-0.02	1	10.46	1	-1.61	1	-0.02	1
2462	310	2318	Min.	16.67	-44.55	1	-1.03	1	-0.12	1	9.81	1	0.90	1	-0.02	1
2500	2008	16	Max	0.00	2.00	1	1.24	1	0.08	1	1.98	1	0.69	1	0.05	1
2500	2008	16	Max	16.67	2.00	1	1.24	1	0.08	1	1.33	1	0.14	1	0.05	1
2500	2008	16	Min.	0.00	-16.26	1	-0.76	1	-0.13	1	-8.49	1	-0.14	1	-0.03	1
2500	2008	16	Min.	16.67	-16.26	1	-0.76	1	-0.04	1	-9.14	1	-0.78	1	-0.03	1
2500	16	24	Max	0.00	2.91	1	0.69	1	0.06	1	-0.14	5	0.07	1	0.07	1
2500	16	24	Max	16.67	2.91	1	0.69	1	0.04	1	-0.79	5	-0.01	1	0.07	1
2500	16	24	Min.	0.00	-29.08	1	-0.61	1	-0.07	1	-0.50	5	-0.14	1	-0.05	1
2500	16	24	Min.	16.67	-29.08	1	-0.61	1	-0.04	1	-1.15	5	-0.27	1	-0.05	1
2500	24	2036	Max	0.00	3.28	1	2.22	1	0.07	1	9.82	5	0.70	5	0.06	1
2500	24	2036	Max	3.33					-0.01	3			0.38	3		
2500	24	2036	Max	16.67	3.28	1	2.22	1	0.28	1	9.17	5	2.18	5	0.06	1
2500	24	2036	Min.	0.00	-77.72	1	-1.75	1	-0.09	1	-11.62	5	-0.32	5	-0.03	1
2500	24	2036	Min.	3.33					0.01	3			-0.07	3		
2500	24	2036	Min.	16.67	-77.72	1	-1.75	1	-0.22	1	-12.28	5	-2.21	5	-0.03	1
2500	2036	44	Max	0.00	470.74	5	0.83	1	0.06	1	126.12	5	-0.15	5	-0.01	1
2500	2036	44	Max	21.56	470.74	5	0.83	1	0.03	5	125.28	5	5.21	5	-0.01	1
2500	2036	44	Min.	0.00	-1129.32	5	-0.23	1	-0.18	1	16.54	5	-21.89	5	-0.09	1

2500	2036	44	Min.	21.56	-1129.32	5	-0.23	1	-0.03	5	15.69	5	3.32	5	-0.09	1
2500	44	52	Max	0.00	523.58	5	0.56	1	0.00	1	105.18	5	-0.30	5	-0.01	1
2500	44	52	Max	21.56	523.58	5	0.56	1	0.05	1	104.34	5	8.06	5	-0.01	1
2500	44	52	Min.	0.00	-843.28	5	-0.10	1	-0.08	1	16.28	5	-14.53	5	-0.09	1
2500	44	52	Min.	21.56	-843.28	5	-0.10	1	-0.02	1	15.44	5	3.12	5	-0.09	1
2500	52	60	Max	0.00	565.23	5	0.40	1	-0.02	1	94.67	5	0.05	5	-0.00	1
2500	52	60	Max	21.56	565.23	5	0.40	1	0.06	1	93.82	5	8.23	5	-0.00	1
2500	52	60	Min.	0.00	-585.11	5	0.07	1	-0.03	1	13.01	5	-12.09	5	-0.09	1
2500	52	60	Min.	21.56	-585.11	5	0.07	1	-0.02	1	12.16	5	2.76	5	-0.09	1
2500	60	68	Max	0.00	596.08	5	0.23	5	0.01	5	84.68	5	0.32	5	0.00	1
2500	60	68	Max	21.56	596.08	5	0.23	5	0.05	5	83.83	5	8.03	5	0.00	1
2500	60	68	Min.	0.00	-374.78	5	0.18	5	-0.04	5	10.78	5	-10.14	5	-0.09	1
2500	60	68	Min.	21.56	-374.78	5	0.18	5	0.01	5	9.93	5	2.55	5	-0.09	1
2500	68	76	Max	0.00	611.93	5	0.27	1	0.03	1	68.96	5	1.17	5	-0.02	1
2500	68	76	Max	21.56	611.93	5	0.27	1	0.02	5	68.12	5	6.80	5	-0.02	1
2500	68	76	Min.	0.00	-207.48	5	-0.17	1	-0.06	1	2.75	5	-7.98	5	-0.05	1
2500	68	76	Min.	21.56	-207.48	5	-0.17	1	-0.02	5	1.90	5	1.67	5	-0.05	1
2500	76	84	Max	0.00	615.93	5	0.28	1	0.00	5	61.96	5	1.19	5	-0.01	1
2500	76	84	Max	21.56	615.93	5	0.28	1	0.04	1	61.12	5	6.30	5	-0.01	1
2500	76	84	Min.	0.00	-74.59	5	-0.07	1	-0.03	5	0.93	5	-6.97	5	-0.04	1
2500	76	84	Min.	21.56	-74.59	5	-0.07	1	-0.02	1	0.08	5	1.30	5	-0.04	1
2500	84	92	Max	0.00	615.74	5	0.17	5	0.02	1	56.30	5	1.27	5	0.00	1
2500	84	92	Max	21.56	615.74	5	0.17	5	0.04	1	55.45	5	5.94	5	0.00	1
2500	84	92	Min.	0.00	35.78	5	0.05	5	-0.03	1	-0.33	5	-6.10	5	-0.04	1
2500	84	92	Min.	21.56	35.78	5	0.05	5	-0.01	1	-1.18	5	1.10	5	-0.04	1
2500	92	100	Max	0.00	611.73	5	0.23	1	0.02	5	50.99	5	1.54	5	0.01	1
2500	92	100	Max	21.56	611.73	5	0.23	1	0.05	1	50.14	5	5.74	5	0.01	1
2500	92	100	Min.	0.00	127.53	5	-0.09	1	-0.02	5	-1.77	5	-5.16	5	-0.05	1
2500	92	100	Min.	21.56	127.53	5	-0.09	1	-0.02	1	-2.61	5	1.06	5	-0.05	1
2500	100	108	Max	0.00	598.48	5	0.30	1	0.04	1	35.83	5	2.74	5	-0.02	5
2500	100	108	Max	21.56	598.48	5	0.30	1	0.02	5	34.98	5	4.26	5	-0.02	5
2500	100	108	Min.	0.00	197.78	5	-0.20	1	-0.07	1	-13.37	5	-3.37	5	-0.03	5
2500	100	108	Min.	21.56	197.78	5	-0.20	1	-0.02	5	-14.22	5	-0.24	5	-0.03	5
2500	108	116	Max	0.00	577.57	5	0.27	1	0.00	5	31.91	5	2.60	5	-0.01	1
2500	108	116	Max	21.56	577.57	5	0.27	1	0.04	1	31.07	5	3.75	5	-0.01	1
2500	108	116	Min.	0.00	250.45	5	-0.09	1	-0.03	5	-14.39	5	-3.04	5	-0.02	1
2500	108	116	Min.	21.56	250.45	5	-0.09	1	-0.03	1	-15.23	5	-0.59	5	-0.02	1
2500	116	124	Max	0.00	555.66	5	0.16	5	0.02	1	28.83	5	2.58	5	0.01	1
2500	116	124	Max	21.56	555.66	5	0.16	5	0.04	1	27.98	5	3.47	5	0.01	1
2500	116	124	Min.	0.00	293.92	5	0.03	5	-0.03	1	-14.86	5	-2.65	5	-0.03	1
2500	116	124	Min.	21.56	293.92	5	0.03	5	-0.01	1	-15.71	5	-0.71	5	-0.03	1
2500	124	132	Max	0.00	532.94	5	0.21	1	0.02	5	25.64	5	2.79	5	0.02	1
2500	124	132	Max	21.56	532.94	5	0.21	1	0.05	1	24.79	5	3.34	5	0.02	1
2500	124	132	Min.	0.00	329.71	5	-0.08	1	-0.01	5	-15.75	5	-2.10	5	-0.04	1
2500	124	132	Min.	21.56	329.71	5	-0.08	1	-0.02	1	-16.59	5	-0.70	5	-0.04	1
2500	132	140	Max	0.00	505.76	5	0.24	1	0.05	1	14.65	5	3.73	5	-0.00	5
2500	132	140	Max	19.41					0.01	7			1.88	7		
2500	132	140	Max	21.56	505.76	5	0.24	1	0.02	5	13.80	5	2.19	5	-0.00	5
2500	132	140	Min.	0.00	355.38	5	-0.27	1	-0.05	1	-24.87	5	-0.88	5	-0.02	5
2500	132	140	Min.	19.41					-0.02	7			-1.16	7		
2500	132	140	Min.	21.56	355.38	5	-0.27	1	-0.02	5	-25.72	5	-1.73	5	-0.02	5
2500	140	148	Max	0.00	474.96	5	0.18	1	0.01	5	12.12	5	3.56	5	0.00	5
2500	140	148	Max	21.56	474.96	5	0.18	1	0.04	1	11.27	5	1.76	5	0.00	5
2500	140	148	Min.	0.00	372.46	5	-0.16	1	-0.01	5	-25.53	5	-0.76	5	-0.00	5
2500	140	148	Min.	21.56	372.46	5	-0.16	1	-0.04	1	-26.37	5	-2.03	5	-0.00	5
2500	148	156	Max	0.00	444.78	5	0.07	5	0.04	1	9.77	5	3.42	5	0.02	1
2500	148	156	Max	21.56	444.78	5	0.07	5	0.04	1	8.92	5	1.37	5	0.02	1
2500	148	156	Min.	0.00	385.79	5	-0.03	5	-0.02	1	-26.14	5	-0.65	5	-0.01	1
2500	148	156	Min.	21.56	385.79	5	-0.03	5	-0.02	1	-26.99	5	-2.31	5	-0.01	1

2500	156	164	Max	0.00	417.24	5	0.15	1	0.03	5	8.62	5	2.89	5	0.02	1
2500	156	164	Max	5.92					0.03	7			1.36	7		
2500	156	164	Max	21.56	417.24	5	0.15	1	0.04	1	7.78	5	0.83	5	0.02	1
2500	156	164	Min.	0.00	397.91	5	-0.13	1	-0.00	5	-25.73	5	-0.94	5	-0.02	1
2500	156	164	Min.	5.92					0.00	7			-0.44	7		
2500	156	164	Min.	21.56	397.91	5	-0.13	1	-0.01	1	-26.58	5	-2.75	5	-0.02	1
2500	164	172	Max	0.00	417.16	5	0.13	1	0.04	1	26.58	5	0.83	5	0.02	1
2500	164	172	Max	15.13					0.03	7			1.22	7		
2500	164	172	Max	21.56	417.16	5	0.13	1	0.03	5	25.74	5	2.89	5	0.02	1
2500	164	172	Min.	0.00	398.00	5	-0.15	1	-0.01	1	-7.77	5	-2.75	5	-0.02	1
2500	164	172	Min.	15.13					0.00	7			-0.39	7		
2500	164	172	Min.	21.56	398.00	5	-0.15	1	-0.00	5	-8.62	5	-0.94	5	-0.02	1
2500	172	180	Max	0.00	444.71	5	0.03	5	0.04	1	27.00	5	1.37	5	0.01	1
2500	172	180	Max	21.56	444.71	5	0.03	5	0.04	1	26.15	5	3.42	5	0.01	1
2500	172	180	Min.	0.00	385.88	5	-0.07	5	-0.02	1	-8.92	5	-2.31	5	-0.02	1
2500	172	180	Min.	21.56	385.88	5	-0.07	5	-0.02	1	-9.76	5	-0.65	5	-0.02	1
2500	180	188	Max	0.00	474.90	5	0.16	1	0.04	1	26.38	5	1.76	5	0.00	5
2500	180	188	Max	21.56	474.90	5	0.16	1	0.01	5	25.53	5	3.56	5	0.00	5
2500	180	188	Min.	0.00	372.56	5	-0.18	1	-0.04	1	-11.26	5	-2.03	5	-0.00	5
2500	180	188	Min.	21.56	372.56	5	-0.18	1	-0.01	5	-12.11	5	-0.76	5	-0.00	5
2500	188	196	Max	0.00	505.71	5	0.27	1	0.02	5	25.73	5	2.19	5	0.02	5
2500	188	196	Max	2.16					0.01	7			1.88	7		
2500	188	196	Max	21.56	505.71	5	0.27	1	0.05	1	24.88	5	3.73	5	0.02	5
2500	188	196	Min.	0.00	355.48	5	-0.24	1	-0.02	5	-13.80	5	-1.73	5	0.00	5
2500	188	196	Min.	2.16					-0.02	7			-1.16	7		
2500	188	196	Min.	21.56	355.48	5	-0.24	1	-0.05	1	-14.65	5	-0.88	5	0.00	5
2500	196	204	Max	0.00	532.90	5	0.08	1	0.05	1	16.60	5	3.34	5	0.04	1
2500	196	204	Max	21.56	532.90	5	0.08	1	0.02	5	15.76	5	2.79	5	0.04	1
2500	196	204	Min.	0.00	329.82	5	-0.21	1	-0.02	1	-24.78	5	-0.70	5	-0.02	1
2500	196	204	Min.	21.56	329.82	5	-0.21	1	-0.01	5	-25.63	5	-2.10	5	-0.02	1
2500	204	212	Max	0.00	555.64	5	-0.03	5	0.04	1	15.72	5	3.47	5	0.03	1
2500	204	212	Max	21.56	555.64	5	-0.03	5	0.02	1	14.87	5	2.58	5	0.03	1
2500	204	212	Min.	0.00	294.05	5	-0.16	5	-0.01	1	-27.97	5	-0.72	5	-0.01	1
2500	204	212	Min.	21.56	294.05	5	-0.16	5	-0.03	1	-28.82	5	-2.65	5	-0.01	1
2500	212	220	Max	0.00	577.56	5	0.09	1	0.04	1	15.24	5	3.75	5	0.02	1
2500	212	220	Max	21.56	577.56	5	0.09	1	0.00	5	14.40	5	2.60	5	0.02	1
2500	212	220	Min.	0.00	250.58	5	-0.26	1	-0.03	1	-31.06	5	-0.59	5	0.01	1
2500	212	220	Min.	21.56	250.58	5	-0.26	1	-0.03	5	-31.91	5	-3.04	5	0.01	1
2500	220	228	Max	0.00	598.49	5	0.20	1	0.02	5	14.23	5	4.26	5	0.03	5
2500	220	228	Max	21.56	598.49	5	0.20	1	0.04	1	13.39	5	2.74	5	0.03	5
2500	220	228	Min.	0.00	197.92	5	-0.30	1	-0.03	5	-34.97	5	-0.24	5	0.02	5
2500	220	228	Min.	21.56	197.92	5	-0.30	1	-0.07	1	-35.82	5	-3.37	5	0.02	5
2500	228	236	Max	0.00	611.76	5	0.09	1	0.05	1	2.63	5	5.74	5	0.05	1
2500	228	236	Max	21.56	611.76	5	0.09	1	0.02	5	1.78	5	1.54	5	0.05	1
2500	228	236	Min.	0.00	127.70	5	-0.23	1	-0.02	1	-50.13	5	1.06	5	-0.01	1
2500	228	236	Min.	21.56	127.70	5	-0.23	1	-0.02	5	-50.98	5	-5.16	5	-0.01	1
2500	236	244	Max	0.00	615.80	5	-0.05	5	0.04	1	1.20	5	5.94	5	0.04	1
2500	236	244	Max	21.56	615.80	5	-0.05	5	0.02	1	0.35	5	1.27	5	0.04	1
2500	236	244	Min.	0.00	35.96	5	-0.17	5	-0.01	1	-55.44	5	1.10	5	0.00	1
2500	236	244	Min.	21.56	35.96	5	-0.17	5	-0.03	1	-56.29	5	-6.10	5	0.00	1
2500	244	252	Max	0.00	616.02	5	0.07	1	0.04	1	-0.07	5	6.29	5	0.04	1
2500	244	252	Max	21.56	616.02	5	0.07	1	0.00	5	-0.91	5	1.20	5	0.04	1
2500	244	252	Min.	0.00	-74.38	5	-0.28	1	-0.02	1	-61.10	5	1.30	5	0.01	1
2500	244	252	Min.	21.56	-74.38	5	-0.28	1	-0.03	5	-61.95	5	-6.97	5	0.01	1
2500	252	260	Max	0.00	612.06	5	0.17	1	0.02	5	-1.88	5	6.79	5	0.05	1
2500	252	260	Max	21.56	612.06	5	0.17	1	0.03	1	-2.73	5	1.18	5	0.05	1
2500	252	260	Min.	0.00	-207.24	5	-0.27	1	-0.02	5	-68.10	5	1.67	5	0.02	1
2500	252	260	Min.	21.56	-207.24	5	-0.27	1	-0.06	1	-68.95	5	-7.98	5	0.02	1
2500	260	268	Max	0.00	596.28	5	-0.18	5	0.05	5	-9.92	5	8.03	5	0.09	1

2500	260	268	Max	21.56	596.28	5	-0.18	5	0.01	5	-10.76	5	0.32	5	0.09	1
2500	260	268	Min.	0.00	-374.50	5	-0.23	5	0.01	5	-83.78	5	2.55	5	-0.00	1
2500	260	268	Min.	21.56	-374.50	5	-0.23	5	-0.04	5	-84.63	5	-10.13	5	-0.00	1
2500	268	276	Max	0.00	565.52	5	-0.07	1	0.06	1	-12.14	5	8.23	5	0.09	1
2500	268	276	Max	21.56	565.52	5	-0.07	1	-0.02	1	-12.99	5	0.05	5	0.09	1
2500	268	276	Min.	0.00	-584.76	5	-0.40	1	-0.02	1	-93.77	5	2.76	5	0.00	1
2500	268	276	Min.	21.56	-584.76	5	-0.40	1	-0.03	1	-94.62	5	-12.08	5	0.00	1
2500	276	284	Max	0.00	523.72	5	0.10	1	0.05	1	-15.41	5	8.05	5	0.09	1
2500	276	284	Max	21.56	523.72	5	0.10	1	0.00	1	-16.26	5	-0.30	5	0.09	1
2500	276	284	Min.	0.00	-842.56	5	-0.56	1	-0.02	1	-104.27	5	3.12	5	0.01	1
2500	276	284	Min.	21.56	-842.56	5	-0.56	1	-0.08	1	-105.11	5	-14.52	5	0.01	1
2500	284	2296	Max	0.00	470.95	5	0.23	1	0.03	5	-15.67	5	5.21	5	0.09	1
2500	284	2296	Max	21.56	470.95	5	0.23	1	0.06	1	-16.52	5	-0.15	5	0.09	1
2500	284	2296	Min.	0.00	-1128.39	5	-0.82	1	-0.03	5	-125.21	5	3.32	5	0.01	1
2500	284	2296	Min.	21.56	-1128.39	5	-0.82	1	-0.18	1	-126.05	5	-21.88	5	0.01	1
2500	2296	304	Max	0.00	4.14	1	1.52	1	0.26	1	11.83	5	2.21	5	0.02	1
2500	2296	304	Max	13.94					-0.02	3			0.31	3		
2500	2296	304	Max	16.67	4.14	1	1.52	1	0.06	1	11.17	5	0.59	5	0.02	1
2500	2296	304	Min.	0.00	-70.64	1	-2.01	1	-0.20	1	-9.83	5	-2.18	5	-0.05	1
2500	2296	304	Min.	13.94					0.01	3			-0.08	3		
2500	2296	304	Min.	16.67	-70.64	1	-2.01	1	-0.08	1	-10.49	5	-0.34	5	-0.05	1
2500	304	312	Max	0.00	3.47	1	0.86	1	0.09	1	9.83	1	-0.01	1	0.05	1
2500	304	312	Max	16.67	3.47	1	0.86	1	0.08	1	9.17	1	0.62	1	0.05	1
2500	304	312	Min.	0.00	-43.93	1	-1.15	1	-0.06	1	0.48	1	-0.96	1	-0.07	1
2500	304	312	Min.	16.67	-43.93	1	-1.15	1	-0.10	1	-0.17	1	0.01	1	-0.07	1
2500	312	2320	Max	0.00	1.91	1	0.72	1	0.07	1	8.66	1	0.13	1	0.03	1
2500	312	2320	Max	16.67	1.91	1	0.72	1	0.08	1	8.01	1	0.74	1	0.03	1
2500	312	2320	Min.	0.00	-17.57	1	-1.14	1	-0.04	1	-1.22	1	-0.66	1	-0.06	1
2500	312	2320	Min.	16.67	-17.57	1	-1.14	1	-0.12	1	-1.87	1	-0.14	1	-0.06	1
2580	2031	2032	Max	0.00	3.41	1	175.61	5	0.21	5	-67.88	1	0.08	1	41.97	5
2580	2031	2032	Max	0.63	3.41	1	175.61	5	1.12	5	-67.92	1	-0.36	1	41.97	5
2580	2031	2032	Min.	0.00	-5.84	1	-1277.64	5	0.01	5	-269.82	1	0.07	1	3.96	5
2580	2031	2032	Min.	0.63	-5.84	1	-1277.64	5	-7.84	5	-269.87	1	-1.62	1	3.96	5
2580	2032	2033	Max	5.37	2.62	1	1229.20	5	1.33	5	294.32	1	-0.51	1	-3.15	5
2580	2032	2033	Max	6.00	2.62	1	1229.20	5	0.10	1	294.28	1	0.07	5	-3.15	5
2580	2032	2033	Min.	5.37	-7.01	1	-221.35	5	-7.66	5	91.13	1	-1.80	1	-41.24	5
2580	2032	2033	Min.	6.00	-7.01	1	-221.35	5	-0.09	1	91.08	1	0.05	5	-41.24	5
2624	2291	2292	Max	0.00	3.39	1	1267.82	5	-0.01	5	-69.81	1	0.08	5	-3.82	5
2624	2291	2292	Max	0.63	3.39	1	1267.82	5	7.78	5	-69.86	1	-0.37	1	-3.82	5
2624	2291	2292	Min.	0.00	-5.79	1	-182.74	5	-0.21	5	-270.72	1	0.07	5	-41.77	5
2624	2291	2292	Min.	0.63	-5.79	1	-182.74	5	-1.16	5	-270.77	1	-1.62	1	-41.77	5
2624	2292	2293	Max	5.37	2.41	1	210.88	5	7.73	5	291.86	1	-0.51	1	41.33	5
2624	2292	2293	Max	6.00	2.41	1	210.88	5	0.06	1	291.82	1	0.07	5	41.33	5
2624	2292	2293	Min.	5.37	-6.77	1	-1239.58	5	-1.28	5	89.92	1	-1.77	1	3.24	5
2624	2292	2293	Min.	6.00	-6.77	1	-1239.58	5	-0.08	1	89.87	1	0.05	5	3.24	5
2859	2034	2035	Max	0.00	4.57	1	416.60	5	0.35	5	-39.99	1	-0.02	1	31.93	5
2859	2034	2035	Max	0.63	4.57	1	416.60	5	2.56	5	-40.04	1	-0.32	1	31.93	5
2859	2034	2035	Min.	0.00	-5.46	1	-1036.02	5	-0.07	5	-190.20	1	-0.07	1	-5.77	5
2859	2034	2035	Min.	0.63	-5.46	1	-1036.02	5	-6.17	5	-190.25	1	-1.22	1	-5.77	5
2859	2035	2036	Max	5.37	2.65	1	987.81	5	2.62	5	114.58	1	0.05	1	6.66	5
2859	2035	2036	Max	6.00	2.65	1	987.81	5	0.05	1	114.54	1	0.16	1	6.66	5
2859	2035	2036	Min.	5.37	-2.93	1	-424.94	5	-6.33	5	17.95	1	-0.72	1	-30.91	5
2859	2035	2036	Min.	6.00	-2.93	1	-424.94	5	-0.22	1	17.90	1	0.00	1	-30.91	5
2903	2294	2295	Max	0.00	4.52	1	1032.36	5	0.07	5	-40.79	1	-0.02	1	5.79	5
2903	2294	2295	Max	0.63	4.52	1	1032.36	5	6.15	5	-40.83	1	-0.32	1	5.79	5
2903	2294	2295	Min.	0.00	-5.45	1	-417.66	5	-0.35	5	-190.13	1	-0.07	1	-31.85	5
2903	2294	2295	Min.	0.63	-5.45	1	-417.66	5	-2.56	5	-190.17	1	-1.22	1	-31.85	5
2903	2295	2296	Max	5.37	2.42	1	421.94	5	6.36	5	113.36	1	0.04	1	30.96	5
2903	2295	2296	Max	6.00	2.42	1	421.94	5	0.20	1	113.31	1	0.15	1	30.96	5

2903	2295	2296	Min.	5.37	-2.72	1	-991.01	5	-2.61	5	17.67	1	-0.71	1	-6.62	5
2903	2295	2296	Min.	6.00	-2.72	1	-991.01	5	-0.03	1	17.62	1	0.01	1	-6.62	5
3001	3001	3002	Max	0.00	4.29	1	1.63	5	0.42	1	7.50	1	0.20	1	0.29	1
3001	3001	3002	Max	12.00	4.29	1	1.63	5	0.59	5	9.28	1	1.20	1	0.29	1
3001	3001	3002	Min.	0.00	-1.67	1	-6.15	5	-0.19	1	-18.60	1	-0.13	1	-0.18	1
3001	3001	3002	Min.	12.00	-1.67	1	-6.15	5	-0.90	5	-16.82	1	-2.26	1	-0.18	1
3001	3003	3004	Max	0.00	8.17	5	3.02	1	1.52	5	10.44	1	16.71	1	0.19	1
3001	3003	3004	Max	6.05					-0.41	3			16.72	3		
3001	3003	3004	Max	12.00	8.17	5	3.02	1	1.26	5	12.22	1	17.57	1	0.19	1
3001	3003	3004	Min.	0.00	-1.78	5	-5.87	1	-1.38	5	-14.41	1	16.07	1	-0.27	1
3001	3003	3004	Min.	6.05					0.38	3			15.86	3		
3001	3003	3004	Min.	12.00	-1.78	5	-5.87	1	-1.46	5	-12.63	1	14.94	1	-0.27	1
3001	3005	3006	Max	0.00	8.88	5	4.40	1	1.35	5	17.15	1	17.32	1	0.38	1
3001	3005	3006	Max	4.80					-0.38	3			16.83	3		
3001	3005	3006	Max	12.00	8.88	5	4.40	1	1.41	5	18.93	1	17.01	5	0.38	1
3001	3005	3006	Min.	0.00	-2.14	5	-4.65	1	-1.37	5	-7.94	1	14.71	1	-0.09	1
3001	3005	3006	Min.	4.80					0.35	3			15.68	3		
3001	3005	3006	Min.	12.00	-2.14	5	-4.65	1	-1.46	5	-6.16	1	16.34	5	-0.09	1
3001	3007	3008	Max	0.00	5.01	1	5.73	5	0.65	5	18.18	1	0.97	1	0.23	1
3001	3007	3008	Max	12.00	5.01	1	5.73	5	0.47	1	19.96	1	0.18	1	0.23	1
3001	3007	3008	Min.	0.00	-2.06	1	-2.02	5	-0.85	5	-7.50	1	-2.45	1	-0.25	1
3001	3007	3008	Min.	12.00	-2.06	1	-2.02	5	-0.22	1	-5.71	1	-0.16	1	-0.25	1
3087	3313	3314	Max	0.00	4.85	1	5.80	5	0.21	1	5.44	1	0.18	1	0.19	1
3087	3313	3314	Max	12.00	4.85	1	5.80	5	0.86	5	7.22	1	0.94	1	0.19	1
3087	3313	3314	Min.	0.00	-1.95	1	-1.70	5	-0.46	1	-18.53	1	-0.15	1	-0.25	1
3087	3313	3314	Min.	12.00	-1.95	1	-1.70	5	-0.61	5	-16.75	1	-2.26	1	-0.25	1
3087	3315	3316	Max	0.00	9.03	5	4.90	1	1.41	5	7.73	1	16.80	5	0.30	1
3087	3315	3316	Max	6.45					-0.37	3			16.78	3		
3087	3315	3316	Max	12.00	9.03	5	4.90	1	1.41	5	9.52	1	17.41	1	0.30	1
3087	3315	3316	Min.	0.00	-2.20	5	-3.52	1	-1.46	5	-15.42	1	16.20	5	-0.13	1
3087	3315	3316	Min.	6.45					0.41	3			15.79	3		
3087	3315	3316	Min.	12.00	-2.20	5	-3.52	1	-1.30	5	-13.64	1	14.88	1	-0.13	1
3087	3317	3318	Max	0.00	9.06	5	3.54	1	1.41	5	13.63	1	17.41	1	0.13	1
3087	3317	3318	Max	5.58					-0.37	3			16.77	3		
3087	3317	3318	Max	12.00	9.06	5	3.54	1	1.41	5	15.42	1	16.80	5	0.13	1
3087	3317	3318	Min.	0.00	-2.20	5	-4.88	1	-1.30	5	-9.52	1	14.88	1	-0.30	1
3087	3317	3318	Min.	5.58					0.41	3			15.80	3		
3087	3317	3318	Min.	12.00	-2.20	5	-4.88	1	-1.46	5	-7.74	1	16.20	5	-0.30	1
3087	3319	3320	Max	0.00	4.91	1	1.73	5	0.86	5	16.72	1	0.94	1	0.25	1
3087	3319	3320	Max	12.00	4.91	1	1.73	5	0.22	1	18.50	1	0.18	1	0.25	1
3087	3319	3320	Min.	0.00	-1.98	1	-5.91	5	-0.61	5	-7.22	1	-2.26	1	-0.19	1
3087	3319	3320	Min.	12.00	-1.98	1	-5.91	5	-0.47	1	-5.44	1	-0.15	1	-0.19	1
4022	4025	4026	Max	0.00	1.49	1	964.66	5	0.21	5	-39.45	1	0.14	1	22.39	5
4022	4025	4026	Max	0.63	1.49	1	964.66	5	5.71	5	-39.52	1	-0.25	1	22.39	5
4022	4025	4026	Min.	0.00	-3.58	1	-405.26	5	-0.45	5	-79.33	1	-0.01	1	-3.49	5
4022	4025	4026	Min.	0.63	-3.58	1	-405.26	5	-2.43	5	-79.39	1	-0.37	1	-3.49	5
4022	4026	4027	Max	5.37	61.16	1	411.75	5	5.13	5	100.82	1	17.80	1	2.64	5
4022	4026	4027	Max	6.00	61.16	1	411.75	5	1.29	5	100.76	1	18.43	1	2.64	5
4022	4026	4027	Min.	5.37	-29.97	1	-970.05	5	-1.40	5	37.29	1	-27.42	1	-23.20	5
4022	4026	4027	Min.	6.00	-29.97	1	-970.05	5	-1.08	5	37.22	1	-27.18	1	-23.20	5
4022	4028	4029	Max	0.00	59.53	1	1192.69	5	1.85	5	-51.56	1	3.84	1	30.57	5
4022	4028	4029	Max	0.63	59.53	1	1192.69	5	5.47	5	-51.63	1	2.80	1	30.57	5
4022	4028	4029	Min.	0.00	4.47	1	-209.53	5	-2.12	5	-165.87	1	-38.94	1	4.36	5
4022	4028	4029	Min.	0.63	4.47	1	-209.53	5	0.46	5	-165.94	1	-39.26	1	4.36	5
4022	4029	4030	Max	5.37	81.46	1	195.85	5	5.65	5	177.54	1	6.34	1	-4.79	5
4022	4029	4030	Max	6.00	81.46	1	195.85	5	1.87	5	177.48	1	7.44	1	-4.79	5
4022	4029	4030	Min.	5.37	-4.83	1	-1195.95	5	0.55	5	61.70	1	-34.69	1	-30.83	5
4022	4029	4030	Min.	6.00	-4.83	1	-1195.95	5	-1.97	5	61.64	1	-34.29	1	-30.83	5
4022	4031	4032	Max	0.00	80.59	1	1212.49	5	1.87	5	-58.44	1	7.31	1	31.08	5

4022	4031	4032	Max	0.63	80.59	1	1212.49	5	5.77	5	-58.51	1	6.22	1	31.08	5
4022	4031	4032	Min.	0.00	-4.03	1	-181.27	5	-1.96	5	-174.16	1	-34.43	1	4.98	5
4022	4031	4032	Min.	0.63	-4.03	1	-181.27	5	0.64	5	-174.22	1	-34.80	1	4.98	5
4022	4032	4033	Max	5.37	60.06	1	224.66	5	5.38	5	169.28	1	2.89	1	-4.20	5
4022	4032	4033	Max	6.00	60.06	1	224.66	5	1.86	5	169.22	1	3.96	1	-4.20	5
4022	4032	4033	Min.	5.37	3.53	1	-1175.68	5	0.36	5	54.83	1	-39.17	1	-30.35	5
4022	4032	4033	Min.	6.00	3.53	1	-1175.68	5	-2.12	5	54.77	1	-38.82	1	-30.35	5
4022	4034	4035	Max	0.00	60.41	1	980.32	5	1.31	5	-36.10	1	18.34	1	23.30	5
4022	4034	4035	Max	0.63	60.41	1	980.32	5	5.17	5	-36.16	1	17.72	1	23.30	5
4022	4034	4035	Min.	0.00	-29.48	1	-406.49	5	-1.12	5	-99.36	1	-27.28	1	-2.60	5
4022	4034	4035	Min.	0.63	-29.48	1	-406.49	5	-1.36	5	-99.43	1	-27.51	1	-2.60	5
4022	4035	4036	Max	5.37	2.01	1	411.26	5	5.66	5	80.99	1	-0.27	1	3.60	5
4022	4035	4036	Max	6.00	2.01	1	411.26	5	0.21	5	80.93	1	0.14	1	3.60	5
4022	4035	4036	Min.	5.37	-4.53	1	-955.22	5	-2.47	5	41.25	1	-0.38	1	-22.24	5
4022	4035	4036	Min.	6.00	-4.53	1	-955.22	5	-0.44	5	41.18	1	-0.02	1	-22.24	5
4066	4285	4286	Max	0.00	1.96	1	408.48	5	0.45	5	-40.14	1	0.14	1	3.57	5
4066	4285	4286	Max	0.63	1.96	1	408.48	5	2.45	5	-40.21	1	-0.26	1	3.57	5
4066	4285	4286	Min.	0.00	-4.44	1	-957.92	5	-0.21	5	-80.44	1	-0.01	1	-22.27	5
4066	4285	4286	Min.	0.63	-4.44	1	-957.92	5	-5.67	5	-80.51	1	-0.38	1	-22.27	5
4066	4286	4287	Max	5.37	60.66	1	976.56	5	1.38	5	100.20	1	17.74	1	23.21	5
4066	4286	4287	Max	6.00	60.66	1	976.56	5	1.12	5	100.14	1	18.38	1	23.21	5
4066	4286	4287	Min.	5.37	-29.63	1	-407.45	5	-5.15	5	36.30	1	-27.43	1	-2.62	5
4066	4286	4287	Min.	6.00	-29.63	1	-407.45	5	-1.30	5	36.24	1	-27.20	1	-2.62	5
4066	4288	4289	Max	0.00	59.85	1	214.67	5	2.12	5	-52.45	1	3.86	1	-4.26	5
4066	4288	4289	Max	0.63	59.85	1	214.67	5	-0.41	5	-52.52	1	2.81	1	-4.26	5
4066	4288	4289	Min.	0.00	3.63	1	-1185.26	5	-1.85	5	-167.51	1	-38.87	1	-30.41	5
4066	4288	4289	Min.	0.63	3.63	1	-1185.26	5	-5.44	5	-167.57	1	-39.20	1	-30.41	5
4066	4289	4290	Max	5.37	80.71	1	1203.22	5	-0.59	5	176.19	1	6.27	1	30.87	5
4066	4289	4290	Max	6.00	80.71	1	1203.22	5	1.96	5	176.13	1	7.37	1	30.87	5
4066	4289	4290	Min.	5.37	-4.33	1	-187.93	5	-5.71	5	59.78	1	-34.72	1	4.85	5
4066	4289	4290	Min.	6.00	-4.33	1	-187.93	5	-1.87	5	59.72	1	-34.33	1	4.85	5
4066	4291	4292	Max	0.00	80.81	1	187.87	5	1.96	5	-59.67	1	7.35	1	-4.85	5
4066	4291	4292	Max	0.63	80.81	1	187.87	5	-0.59	5	-59.73	1	6.25	1	-4.85	5
4066	4291	4292	Min.	0.00	-4.46	1	-1203.34	5	-1.87	5	-176.10	1	-34.34	1	-30.88	5
4066	4291	4292	Min.	0.63	-4.46	1	-1203.34	5	-5.71	5	-176.16	1	-34.73	1	-30.88	5
4066	4292	4293	Max	5.37	59.75	1	1185.28	5	-0.41	5	167.61	1	2.83	1	30.40	5
4066	4292	4293	Max	6.00	59.75	1	1185.28	5	2.12	5	167.54	1	3.88	1	30.40	5
4066	4292	4293	Min.	5.37	3.79	1	-214.65	5	-5.44	5	52.57	1	-39.19	1	4.26	5
4066	4292	4293	Min.	6.00	3.79	1	-214.65	5	-1.85	5	52.50	1	-38.86	1	4.26	5
4066	4294	4295	Max	0.00	60.55	1	407.41	5	1.11	5	-36.20	1	18.36	1	2.62	5
4066	4294	4295	Max	0.63	60.55	1	407.41	5	1.37	5	-36.26	1	17.73	1	2.62	5
4066	4294	4295	Min.	0.00	-29.65	1	-976.82	5	-1.31	5	-100.15	1	-27.23	1	-23.22	5
4066	4294	4295	Min.	0.63	-29.65	1	-976.82	5	-5.15	5	-100.21	1	-27.45	1	-23.22	5
4066	4295	4296	Max	5.37	1.98	1	958.09	5	2.45	5	80.52	1	-0.26	1	22.27	5
4066	4295	4296	Max	6.00	1.98	1	958.09	5	0.45	5	80.46	1	0.14	1	22.27	5
4066	4295	4296	Min.	5.37	-4.48	1	-408.33	5	-5.68	5	40.21	1	-0.38	1	-3.56	5
4066	4295	4296	Min.	6.00	-4.48	1	-408.33	5	-0.21	5	40.15	1	-0.02	1	-3.56	5
4106	3001	-513	Max	0.00	21.38	1	1.28	5	0.31	5	4.40	1	0.84	1	0.06	1
4106	3001	-513	Max	16.72	21.44	1	1.28	5	0.11	5	3.66	1	0.30	1	0.06	1
4106	3001	-513	Min.	0.00	-2.37	1	-3.66	5	-0.11	5	-9.29	1	-0.37	1	-0.10	1
4106	3001	-513	Min.	16.72	-2.31	1	-3.66	5	-0.31	5	-10.04	1	-0.77	1	-0.10	1
4106	-513	-529	Max	0.00	61.06	1	1.54	1	0.35	1	3.34	1	0.57	1	0.06	1
4106	-513	-529	Max	16.72	61.12	1	1.54	1	0.11	1	2.59	1	0.37	1	0.06	1
4106	-513	-529	Min.	0.00	-12.33	1	-3.46	1	-0.15	1	-8.35	1	-0.16	1	-0.07	1
4106	-513	-529	Min.	16.72	-12.27	1	-3.46	1	-0.23	1	-9.10	1	-0.91	1	-0.07	1
4106	-529	4025	Max	0.00	97.20	1	1.35	1	0.21	5	1.34	5	1.46	5	0.02	1
4106	-529	4025	Max	16.72	97.26	1	1.35	1	0.15	1	0.60	5	-0.26	1	0.02	1
4106	-529	4025	Min.	0.00	-20.49	1	-3.48	1	-0.07	5	-16.95	5	-0.68	5	-0.05	1
4106	-529	4025	Min.	16.72	-20.43	1	-3.48	1	-0.37	1	-17.70	5	-1.69	1	-0.05	1

4106	4025	-545	Max	0.00	1110.20	5	0.45	5	0.08	5	112.07	5	-0.99	5	0.09	1
4106	4025	-545	Max	21.63	1110.28	5	0.45	5	0.07	1	111.07	5	4.64	5	0.09	1
4106	4025	-545	Min.	0.00	-462.03	5	-0.07	5	-0.09	5	21.44	5	-19.50	5	0.01	1
4106	4025	-545	Min.	21.63	-461.95	5	-0.07	5	0.00	1	20.45	5	3.54	5	0.01	1
4106	-545	-561	Max	0.00	824.20	5	0.25	5	0.02	5	107.45	5	-0.12	5	0.09	1
4106	-545	-561	Max	21.63	824.28	5	0.25	5	0.03	1	106.46	5	8.23	5	0.09	1
4106	-545	-561	Min.	0.00	-514.69	5	0.00	5	-0.03	5	15.02	5	-14.91	5	0.01	1
4106	-545	-561	Min.	21.63	-514.61	5	0.00	5	0.01	1	14.03	5	3.03	5	0.01	1
4106	-561	-577	Max	0.00	563.85	5	0.31	1	0.02	1	94.40	5	0.08	5	0.09	1
4106	-561	-577	Max	2.16					-0.05	3			-3.51	3		
4106	-561	-577	Max	21.63	563.93	5	0.31	1	0.04	5	93.40	5	8.26	5	0.09	1
4106	-561	-577	Min.	0.00	-553.55	5	-0.06	1	-0.06	1	12.69	5	-12.05	5	0.01	1
4106	-561	-577	Min.	2.16					0.02	3			-6.14	3		
4106	-561	-577	Min.	21.63	-553.47	5	-0.06	1	-0.01	5	11.69	5	2.72	5	0.01	1
4106	-577	-593	Max	0.00	352.14	5	0.49	1	0.02	1	84.61	5	0.37	5	0.09	1
4106	-577	-593	Max	21.63	352.23	5	0.49	1	0.07	5	83.61	5	8.04	5	0.09	1
4106	-577	-593	Min.	0.00	-582.57	5	-0.30	1	-0.07	1	10.13	5	-10.15	5	0.03	1
4106	-577	-593	Min.	21.63	-582.49	5	-0.30	1	-0.08	5	9.14	5	2.45	5	0.03	1
4106	-593	-609	Max	0.00	195.23	5	0.42	1	0.13	1	68.35	5	1.28	5	0.05	1
4106	-593	-609	Max	21.63	195.31	5	0.42	1	0.03	5	67.35	5	6.78	5	0.05	1
4106	-593	-609	Min.	0.00	-605.29	5	-0.50	1	-0.07	1	1.94	5	-7.90	5	-0.01	1
4106	-593	-609	Min.	21.63	-605.21	5	-0.50	1	-0.00	5	0.95	5	1.59	5	-0.01	1
4106	-609	-625	Max	0.00	62.81	5	0.17	5	0.03	5	61.96	5	1.21	5	0.03	1
4106	-609	-625	Max	21.63	62.90	5	0.17	5	0.03	1	60.96	5	6.31	5	0.03	1
4106	-609	-625	Min.	0.00	-609.55	5	-0.14	5	-0.03	5	0.75	5	-6.99	5	0.01	1
4106	-609	-625	Min.	21.63	-609.47	5	-0.14	5	-0.03	1	-0.25	5	1.26	5	0.01	1
4106	-625	-641	Max	0.00	-47.05	5	0.18	5	0.03	1	55.99	5	1.30	5	0.02	5
4106	-625	-641	Max	21.63	-46.97	5	0.18	5	0.02	5	54.99	5	5.92	5	0.02	5
4106	-625	-641	Min.	0.00	-609.59	5	-0.14	5	-0.05	1	-0.72	5	-6.08	5	0.01	5
4106	-625	-641	Min.	21.63	-609.51	5	-0.14	5	-0.04	5	-1.72	5	1.04	5	0.01	5
4106	-641	-657	Max	0.00	-138.32	5	0.39	1	0.01	1	51.10	5	1.54	5	0.05	1
4106	-641	-657	Max	21.63	-138.24	5	0.39	1	0.05	5	50.10	5	5.77	5	0.05	1
4106	-641	-657	Min.	0.00	-605.86	5	-0.44	1	-0.06	1	-1.79	5	-5.18	5	-0.00	1
4106	-641	-657	Min.	21.63	-605.78	5	-0.44	1	-0.11	5	-2.78	5	1.04	5	-0.00	1
4106	-657	-673	Max	0.00	-209.66	5	0.45	1	0.14	1	35.17	5	2.83	5	0.07	1
4106	-657	-673	Max	21.63	-209.58	5	0.45	1	0.05	5	34.17	5	4.21	5	0.07	1
4106	-657	-673	Min.	0.00	-584.31	5	-0.56	1	-0.08	1	-14.09	5	-3.29	5	-0.03	1
4106	-657	-673	Min.	21.63	-584.23	5	-0.56	1	-0.01	5	-15.08	5	-0.32	5	-0.03	1
4106	-673	-689	Max	0.00	-261.85	5	0.18	5	0.04	5	31.92	5	2.59	5	0.03	1
4106	-673	-689	Max	21.63	-261.77	5	0.18	5	0.04	1	30.92	5	3.74	5	0.03	1
4106	-673	-689	Min.	0.00	-563.70	5	-0.21	5	-0.03	5	-14.35	5	-3.05	5	0.00	1
4106	-673	-689	Min.	21.63	-563.62	5	-0.21	5	-0.03	1	-15.34	5	-0.62	5	0.00	1
4106	-689	-705	Max	0.00	-304.79	5	0.19	5	0.04	1	28.52	5	2.61	5	0.02	1
4106	-689	-705	Max	21.63	-304.71	5	0.19	5	0.03	5	27.52	5	3.43	5	0.02	1
4106	-689	-705	Min.	0.00	-542.07	5	-0.21	5	-0.05	1	-15.12	5	-2.63	5	0.01	1
4106	-689	-705	Min.	21.63	-541.99	5	-0.21	5	-0.04	5	-16.12	5	-0.77	5	0.01	1
4106	-705	-721	Max	0.00	-340.06	5	0.46	1	0.02	1	25.77	5	2.77	5	0.08	1
4106	-705	-721	Max	21.63	-339.98	5	0.46	1	0.07	5	24.78	5	3.35	5	0.08	1
4106	-705	-721	Min.	0.00	-519.66	5	-0.54	1	-0.06	1	-15.50	5	-2.11	5	-0.03	1
4106	-705	-721	Min.	21.63	-519.58	5	-0.54	1	-0.12	5	-16.50	5	-0.69	5	-0.03	1
4106	-721	-737	Max	0.00	-350.76	5	0.44	1	0.14	1	14.10	5	3.80	5	0.06	1
4106	-721	-737	Max	21.63	-350.68	5	0.44	1	0.04	5	13.11	5	2.14	5	0.06	1
4106	-721	-737	Min.	0.00	-499.24	5	-0.66	1	-0.07	1	-25.36	5	-0.81	5	-0.08	1
4106	-721	-737	Min.	21.63	-499.15	5	-0.66	1	-0.02	5	-26.36	5	-1.79	5	-0.08	1
4106	-737	-753	Max	0.00	-367.31	5	0.12	5	0.05	5	12.08	5	3.55	5	0.01	1
4106	-737	-753	Max	19.47					-0.04	3			0.42	3		
4106	-737	-753	Max	21.63	-367.23	5	0.12	5	0.04	1	11.09	5	1.73	5	0.01	1
4106	-737	-753	Min.	0.00	-468.76	5	-0.29	5	-0.02	5	-25.45	5	-0.77	5	-0.02	1
4106	-737	-753	Min.	19.47					0.04	3			-0.42	3		

4106	-737	-753	Min.	21.63	-468.69	5	-0.29	5	-0.05	1	-26.45	5	-2.06	5	-0.02	1
4106	-753	-769	Max	0.00	-380.09	5	0.13	5	0.05	1	10.11	5	3.42	5	0.01	1
4106	-753	-769	Max	1.97					-0.02	7			2.90	7		
4106	-753	-769	Max	21.63	-380.01	5	0.13	5	0.02	5	9.12	5	1.43	5	0.01	1
4106	-753	-769	Min.	0.00	-438.90	5	-0.28	5	-0.05	1	-25.70	5	-0.65	5	-0.02	1
4106	-753	-769	Min.	1.97					0.01	7			-0.44	7		
4106	-753	-769	Min.	21.63	-438.82	5	-0.28	5	-0.05	5	-26.70	5	-2.25	5	-0.02	1
4106	-769	-785	Max	0.00	-391.55	5	0.49	1	0.03	5	6.97	5	3.01	5	0.07	1
4106	-769	-785	Max	6.73					0.02	7			1.16	7		
4106	-769	-785	Max	21.63	-391.47	5	0.49	1	0.08	1	5.98	5	0.59	5	0.07	1
4106	-769	-785	Min.	0.00	-411.60	5	-0.66	1	-0.05	5	-27.25	5	-0.81	5	-0.07	1
4106	-769	-785	Min.	6.73					-0.06	7			-0.36	7		
4106	-769	-785	Min.	21.63	-411.52	5	-0.66	1	-0.14	1	-28.25	5	-3.00	5	-0.07	1
4107	3002	-514	Max	0.00	23.36	1	1.55	5	0.33	5	0.96	1	1.19	1	0.06	1
4107	3002	-514	Max	16.72	23.61	1	1.55	5	0.12	5	-2.10	1	-0.10	1	0.06	1
4107	3002	-514	Min.	0.00	-0.55	1	-3.87	5	-0.14	5	-13.87	1	-0.00	1	-0.10	1
4107	3002	-514	Min.	16.72	-0.31	1	-3.87	5	-0.31	5	-16.93	1	-1.38	1	-0.10	1
4107	-514	-530	Max	0.00	91.67	1	1.51	1	0.34	1	4.30	5	-0.03	5	0.06	1
4107	-514	-530	Max	10.03					0.00	3			0.03	3		
4107	-514	-530	Max	16.72	91.92	1	1.51	1	0.10	1	1.24	5	0.32	5	0.06	1
4107	-514	-530	Min.	0.00	4.47	1	-3.44	1	-0.15	1	-1.76	5	-0.15	5	-0.07	1
4107	-514	-530	Min.	10.03									-0.14	3		
4107	-514	-530	Min.	16.72	4.72	1	-3.44	1	-0.23	1	-4.82	5	-0.58	5	-0.07	1
4107	-530	4027	Max	0.00	118.89	1	1.35	1	0.19	1	-3.21	5	1.79	5	0.01	1
4107	-530	4027	Max	16.72	119.14	1	1.35	1	0.15	1	-6.27	5	-1.00	1	0.01	1
4107	-530	4027	Min.	0.00	3.29	1	-3.09	1	-0.07	1	-21.56	5	-0.44	5	-0.01	1
4107	-530	4027	Min.	16.72	3.54	1	-3.09	1	-0.32	1	-24.62	5	-2.30	1	-0.01	1
4107	4027	-546	Max	0.00	1120.93	5	0.70	1	0.10	1	125.16	5	-2.68	5	0.05	1
4107	4027	-546	Max	21.63	1121.32	5	0.70	1	0.07	5	120.33	5	5.38	5	0.05	1
4107	4027	-546	Min.	0.00	-415.80	5	-0.15	1	-0.14	1	34.45	5	-21.18	5	0.03	1
4107	4027	-546	Min.	21.63	-415.41	5	-0.15	1	0.01	5	29.62	5	4.25	5	0.03	1
4107	-546	-562	Max	0.00	809.12	5	0.29	1	0.02	5	118.01	5	-1.16	5	0.08	1
4107	-546	-562	Max	21.63	809.52	5	0.29	1	0.06	1	113.18	5	9.05	5	0.08	1
4107	-546	-562	Min.	0.00	-494.32	5	-0.05	1	-0.03	5	25.39	5	-15.96	5	0.02	1
4107	-546	-562	Min.	21.63	-493.93	5	-0.05	1	-0.02	1	20.56	5	3.81	5	0.02	1
4107	-562	-578	Max	0.00	530.32	5	0.40	1	0.06	1	102.16	5	-0.56	5	0.09	1
4107	-562	-578	Max	21.63	530.71	5	0.40	1	0.04	5	97.33	5	8.88	5	0.09	1
4107	-562	-578	Min.	0.00	-551.73	5	-0.15	1	-0.09	1	20.26	5	-12.70	5	0.01	1
4107	-562	-578	Min.	21.63	-551.34	5	-0.15	1	-0.02	5	15.43	5	3.30	5	0.01	1
4107	-578	-594	Max	0.00	306.29	5	0.88	1	0.04	1	90.20	5	0.02	5	0.10	1
4107	-578	-594	Max	21.63	306.68	5	0.88	1	0.11	1	85.38	5	8.45	5	0.10	1
4107	-578	-594	Min.	0.00	-590.55	5	-0.69	1	-0.10	1	15.59	5	-10.54	5	0.02	1
4107	-578	-594	Min.	21.63	-590.16	5	-0.69	1	-0.12	1	10.77	5	2.87	5	0.02	1
4107	-594	-610	Max	0.00	125.15	5	0.85	1	0.19	1	74.18	5	1.05	5	0.04	1
4107	-594	-610	Max	21.63	125.55	5	0.85	1	0.05	1	69.35	5	7.20	5	0.04	1
4107	-594	-610	Min.	0.00	-605.08	5	-0.93	1	-0.14	1	5.95	5	-8.34	5	0.00	1
4107	-594	-610	Min.	21.63	-604.69	5	-0.93	1	-0.02	1	1.12	5	1.81	5	0.00	1
4107	-610	-626	Max	0.00	-11.28	5	0.27	1	0.03	5	65.39	5	1.27	5	0.02	5
4107	-610	-626	Max	17.31					-0.01	7			3.89	7		
4107	-610	-626	Max	21.63	-10.89	5	0.27	1	0.07	1	60.57	5	6.54	5	0.02	5
4107	-610	-626	Min.	0.00	-611.47	5	-0.23	1	-0.03	5	2.49	5	-7.09	5	0.01	5
4107	-610	-626	Min.	17.31					0.02	7			1.37	7		
4107	-610	-626	Min.	21.63	-611.08	5	-0.23	1	-0.06	1	-2.34	5	1.28	5	0.01	5
4107	-626	-642	Max	0.00	-121.44	5	0.28	1	0.07	1	57.59	5	1.54	5	0.03	1
4107	-626	-642	Max	21.63	-121.05	5	0.28	1	0.03	5	52.76	5	5.94	5	0.03	1
4107	-626	-642	Min.	0.00	-610.33	5	-0.25	1	-0.09	1	-0.75	5	-6.00	5	0.01	1
4107	-626	-642	Min.	21.63	-609.94	5	-0.25	1	-0.04	5	-5.57	5	0.85	5	0.01	1
4107	-642	-658	Max	0.00	-210.91	5	0.85	1	0.04	1	50.59	5	1.82	5	0.04	1
4107	-642	-658	Max	6.76					0.02	7			1.50	7		

4107	-642	-658	Max	21.63	-210.51	5	0.85	1	0.12	1	45.77	5	5.38	5	0.04	1
4107	-642	-658	Min.	0.00	-603.38	5	-0.89	1	-0.08	1	-3.71	5	-5.04	5	0.01	1
4107	-642	-658	Min.	6.76					-0.07	7			-1.66	7		
4107	-642	-658	Min.	21.63	-602.99	5	-0.89	1	-0.17	1	-8.53	5	0.49	5	0.01	1
4107	-658	-674	Max	0.00	-191.85	5	0.92	1	0.21	1	42.98	5	2.23	5	0.06	1
4107	-658	-674	Max	21.63	-191.46	5	0.92	1	0.06	1	38.16	5	4.65	5	0.06	1
4107	-658	-674	Min.	0.00	-590.62	5	-1.02	1	-0.16	1	-8.17	5	-4.13	5	-0.02	1
4107	-658	-674	Min.	21.63	-590.23	5	-1.02	1	-0.02	1	-12.99	5	-0.05	5	-0.02	1
4107	-674	-690	Max	0.00	-249.40	5	0.29	1	0.05	5	37.29	5	2.43	5	0.02	1
4107	-674	-690	Max	21.63	-249.01	5	0.29	1	0.08	1	32.46	5	4.11	5	0.02	1
4107	-674	-690	Min.	0.00	-573.21	5	-0.30	1	-0.03	5	-10.81	5	-3.44	5	0.01	1
4107	-674	-690	Min.	21.63	-572.82	5	-0.30	1	-0.07	1	-15.63	5	-0.43	5	0.01	1
4107	-690	-706	Max	0.00	-295.34	5	0.30	1	0.08	1	31.96	5	2.67	5	0.02	5
4107	-690	-706	Max	4.12					-0.03	7			2.09	7		
4107	-690	-706	Max	21.63	-294.95	5	0.30	1	0.03	5	27.13	5	3.61	5	0.02	5
4107	-690	-706	Min.	0.00	-552.68	5	-0.31	1	-0.09	1	-13.44	5	-2.78	5	0.01	5
4107	-690	-706	Min.	4.12					0.02	7			-1.47	7		
4107	-690	-706	Min.	21.63	-552.29	5	-0.31	1	-0.04	5	-18.26	5	-0.76	5	0.01	5
4107	-706	-722	Max	0.00	-331.27	5	0.95	1	0.05	1	27.18	5	2.96	5	0.07	1
4107	-706	-722	Max	6.07					0.02	7			1.96	7		
4107	-706	-722	Max	21.63	-330.88	5	0.95	1	0.14	1	22.35	5	3.24	5	0.07	1
4107	-706	-722	Min.	0.00	-529.28	5	-1.01	1	-0.08	1	-15.80	5	-2.11	5	-0.02	1
4107	-706	-722	Min.	6.07					-0.06	7			-0.50	7		
4107	-706	-722	Min.	21.63	-528.88	5	-1.01	1	-0.19	1	-20.62	5	-0.98	5	-0.02	1
4107	-722	-738	Max	0.00	-368.76	5	0.94	1	0.22	1	18.27	5	3.66	5	0.06	1
4107	-722	-738	Max	21.63	-368.37	5	0.94	1	0.06	1	13.45	5	2.33	5	0.06	1
4107	-722	-738	Min.	0.00	-495.95	5	-1.15	1	-0.16	1	-22.74	5	-1.10	5	-0.07	1
4107	-722	-738	Min.	21.63	-495.56	5	-1.15	1	-0.04	1	-27.56	5	-1.78	5	-0.07	1
4107	-738	-754	Max	0.00	-385.70	5	0.24	1	0.05	5	14.12	5	3.73	5	0.00	1
4107	-738	-754	Max	21.63	-385.30	5	0.24	1	0.08	1	9.30	5	1.79	5	0.00	1
4107	-738	-754	Min.	0.00	-464.65	5	-0.40	1	-0.03	5	-24.92	5	-0.74	5	-0.02	1
4107	-738	-754	Min.	21.63	-464.26	5	-0.40	1	-0.09	1	-29.74	5	-2.18	5	-0.02	1
4107	-754	-770	Max	0.00	-395.86	1	0.28	1	0.09	1	10.45	5	3.77	5	0.00	1
4107	-754	-770	Max	0.54					-0.03	7			3.61	7		
4107	-754	-770	Max	21.63	-395.46	1	0.28	1	0.03	5	5.62	5	1.29	5	0.00	1
4107	-754	-770	Min.	0.00	-433.82	1	-0.43	1	-0.09	1	-26.84	5	-0.45	5	-0.01	1
4107	-754	-770	Min.	0.54					0.03	7			-0.38	7		
4107	-754	-770	Min.	21.63	-433.43	1	-0.43	1	-0.06	5	-31.66	5	-2.56	5	-0.01	1
4107	-770	-786	Max	0.00	-387.32	1	1.00	1	0.05	1	5.10	5	3.36	5	0.06	1
4107	-770	-786	Max	4.99					0.03	7			1.81	7		
4107	-770	-786	Max	21.63	-386.93	1	1.00	1	0.16	1	0.27	5	-0.03	5	0.06	1
4107	-770	-786	Min.	0.00	-420.94	1	-1.16	1	-0.07	1	-30.53	5	-0.61	5	-0.07	1
4107	-770	-786	Min.	4.99					-0.06	7			-0.39	7		
4107	-770	-786	Min.	21.63	-420.55	1	-1.16	1	-0.22	1	-35.35	5	-3.77	5	-0.07	1
4144	3003	-515	Max	0.00	43.55	1	1.74	1	0.21	1	-6.68	1	1.92	1	0.11	1
4144	3003	-515	Max	16.72	43.80	1	1.74	1	0.14	1	-9.73	1	-0.70	1	0.11	1
4144	3003	-515	Min.	0.00	26.60	1	-2.46	1	-0.15	1	-20.59	1	0.67	1	-0.05	1
4144	3003	-515	Min.	16.72	26.85	1	-2.46	1	-0.21	1	-23.65	1	-1.78	1	-0.05	1
4144	-515	-531	Max	0.00	116.61	1	2.34	1	0.23	1	-6.24	1	1.36	1	0.10	1
4144	-515	-531	Max	16.72	116.86	1	2.34	1	0.20	1	-9.30	1	-0.72	1	0.10	1
4144	-515	-531	Min.	0.00	49.04	1	-2.77	1	-0.19	1	-19.38	1	0.56	1	-0.02	1
4144	-515	-531	Min.	16.72	49.29	1	-2.77	1	-0.24	1	-22.44	1	-2.16	1	-0.02	1
4144	-531	4028	Max	0.00	183.95	1	2.24	1	0.23	1	-11.89	5	1.98	5	-0.02	1
4144	-531	4028	Max	16.72	184.20	1	2.24	1	0.19	1	-14.95	5	-2.20	1	-0.02	1
4144	-531	4028	Min.	0.00	67.66	1	-2.95	1	-0.18	1	-30.06	5	-0.18	5	-0.03	1
4144	-531	4028	Min.	16.72	67.91	1	-2.95	1	-0.26	1	-33.12	5	-3.52	1	-0.03	1
4144	4028	-547	Max	0.00	1400.69	5	0.35	1	0.14	1	178.82	5	-10.98	5	0.02	1
4144	4028	-547	Max	21.63	1401.08	5	0.35	1	0.01	1	174.00	5	8.63	5	0.02	1
4144	4028	-547	Min.	0.00	-151.36	5	-0.60	1	-0.10	1	88.04	5	-29.54	5	0.01	1

4144	4028	-547	Min.	21.63	-150.97	5	-0.60	1	-0.03	1	83.21	5	7.54	5	0.01	1
4144	-547	-563	Max	0.00	949.58	5	0.17	1	0.01	1	168.41	5	-7.35	5	0.03	1
4144	-547	-563	Max	21.63	949.98	5	0.17	1	0.04	1	163.59	5	13.68	5	0.03	1
4144	-547	-563	Min.	0.00	-368.36	5	-0.16	1	-0.01	1	75.32	5	-22.23	5	-0.03	1
4144	-547	-563	Min.	21.63	-367.97	5	-0.16	1	-0.04	1	70.50	5	8.43	5	-0.03	1
4144	-563	-579	Max	0.00	545.56	5	0.22	1	0.07	1	147.01	5	-5.59	5	0.04	1
4144	-563	-579	Max	21.63	545.95	5	0.22	1	0.02	1	142.18	5	13.49	5	0.04	1
4144	-563	-579	Min.	0.00	-550.11	5	-0.23	1	-0.07	1	64.77	5	-17.79	5	-0.04	1
4144	-563	-579	Min.	21.63	-549.72	5	-0.23	1	-0.02	1	59.95	5	7.90	5	-0.04	1
4144	-579	-595	Max	0.00	219.53	5	0.68	1	0.06	1	131.20	5	-4.13	5	0.03	1
4144	-579	-595	Max	21.63	219.92	5	0.68	1	0.08	1	126.38	5	13.14	5	0.03	1
4144	-579	-595	Min.	0.00	-690.31	5	-0.72	1	-0.06	1	56.25	5	-14.73	5	-0.04	1
4144	-579	-595	Min.	21.63	-689.91	5	-0.72	1	-0.09	1	51.42	5	7.52	5	-0.04	1
4144	-595	-611	Max	0.00	-20.48	5	0.88	1	0.16	1	98.41	5	-1.13	5	0.03	1
4144	-595	-611	Max	21.63	-20.09	5	0.88	1	0.03	1	93.59	5	10.25	5	0.03	1
4144	-595	-611	Min.	0.00	-783.94	5	-0.84	1	-0.16	1	30.25	5	-10.52	5	0.00	1
4144	-595	-611	Min.	21.63	-783.54	5	-0.84	1	-0.02	1	25.43	5	4.89	5	0.00	1
4144	-611	-627	Max	0.00	-207.22	5	0.26	1	0.02	1	87.84	5	-0.82	5	0.01	1
4144	-611	-627	Max	21.63	-206.83	5	0.26	1	0.07	1	83.02	5	9.30	5	0.01	1
4144	-611	-627	Min.	0.00	-839.86	5	-0.21	1	-0.02	1	25.01	5	-9.18	5	0.01	1
4144	-611	-627	Min.	21.63	-839.46	5	-0.21	1	-0.06	1	20.18	5	4.07	5	0.01	1
4144	-627	-643	Max	0.00	-358.62	5	0.23	1	0.07	1	78.20	5	-0.28	5	0.02	1
4144	-627	-643	Max	21.63	-358.23	5	0.23	1	0.03	1	73.37	5	8.56	5	0.02	1
4144	-627	-643	Min.	0.00	-879.55	5	-0.18	1	-0.08	1	19.94	5	-7.83	5	0.01	1
4144	-627	-643	Min.	21.63	-879.16	5	-0.18	1	-0.03	1	15.11	5	3.51	5	0.01	1
4144	-643	-659	Max	0.00	-481.17	5	0.79	1	0.05	1	70.29	5	0.39	5	0.03	1
4144	-643	-659	Max	21.63	-480.78	5	0.79	1	0.11	1	65.46	5	8.21	5	0.03	1
4144	-643	-659	Min.	0.00	-906.79	5	-0.76	1	-0.07	1	15.98	5	-6.48	5	-0.00	1
4144	-643	-659	Min.	21.63	-906.40	5	-0.76	1	-0.12	1	11.16	5	3.33	5	-0.00	1
4144	-659	-675	Max	0.00	-540.26	5	0.91	1	0.18	1	47.08	5	2.51	5	0.04	1
4144	-659	-675	Max	21.63	-539.87	5	0.91	1	0.04	1	42.26	5	5.85	5	0.04	1
4144	-659	-675	Min.	0.00	-933.38	5	-0.94	1	-0.16	1	-3.76	5	-3.81	5	-0.04	1
4144	-659	-675	Min.	21.63	-932.99	5	-0.94	1	-0.03	1	-8.59	5	1.17	5	-0.04	1
4144	-675	-691	Max	0.00	-606.00	5	0.26	1	0.02	1	41.36	5	2.47	5	0.01	1
4144	-675	-691	Max	21.63	-605.60	5	0.26	1	0.08	1	36.53	5	5.07	5	0.01	1
4144	-675	-691	Min.	0.00	-924.88	5	-0.26	1	-0.02	1	-6.42	5	-3.36	5	0.00	1
4144	-675	-691	Min.	21.63	-924.49	5	-0.26	1	-0.07	1	-11.25	5	0.56	5	0.00	1
4144	-691	-707	Max	0.00	-657.69	5	0.24	1	0.08	1	35.59	5	2.75	5	0.01	1
4144	-691	-707	Max	21.63	-657.29	5	0.24	1	0.03	1	30.77	5	4.52	5	0.01	1
4144	-691	-707	Min.	0.00	-910.70	5	-0.24	1	-0.08	1	-9.51	5	-2.66	5	0.00	1
4144	-691	-707	Min.	21.63	-910.31	5	-0.24	1	-0.03	1	-14.33	5	0.17	5	0.00	1
4144	-707	-723	Max	0.00	-697.29	5	0.89	1	0.05	1	31.05	5	3.26	5	0.05	1
4144	-707	-723	Max	21.63	-696.90	5	0.89	1	0.13	1	26.22	5	4.41	5	0.05	1
4144	-707	-723	Min.	0.00	-891.48	5	-0.90	1	-0.06	1	-11.64	5	-1.78	5	-0.04	1
4144	-707	-723	Min.	21.63	-891.09	5	-0.90	1	-0.14	1	-16.46	5	0.22	5	-0.04	1
4144	-723	-739	Max	0.00	-715.47	5	0.98	1	0.18	1	9.09	5	5.41	5	0.06	1
4144	-723	-739	Max	21.63	-715.08	5	0.98	1	0.05	1	4.26	5	2.07	5	0.06	1
4144	-723	-739	Min.	0.00	-861.41	5	-1.00	1	-0.17	1	-31.88	5	0.63	5	-0.06	1
4144	-723	-739	Min.	21.63	-861.02	5	-1.00	1	-0.04	1	-36.71	5	-2.01	5	-0.06	1
4144	-739	-755	Max	0.00	-723.29	5	0.28	1	0.03	1	5.65	5	5.10	5	0.01	1
4144	-739	-755	Max	21.63	-722.90	5	0.28	1	0.09	1	0.82	5	1.31	5	0.01	1
4144	-739	-755	Min.	0.00	-821.10	5	-0.28	1	-0.03	1	-33.33	5	0.61	5	-0.01	1
4144	-739	-755	Min.	21.63	-820.71	5	-0.28	1	-0.09	1	-38.16	5	-2.64	5	-0.01	1
4144	-755	-771	Max	0.00	-725.78	5	0.30	1	0.09	1	2.43	5	4.96	5	0.01	1
4144	-755	-771	Max	21.63	-725.38	5	0.30	1	0.03	1	-2.40	5	0.74	5	0.01	1
4144	-755	-771	Min.	0.00	-779.93	5	-0.30	1	-0.09	1	-34.81	5	0.73	5	-0.01	1
4144	-755	-771	Min.	21.63	-779.54	5	-0.30	1	-0.03	1	-39.63	5	-3.09	5	-0.01	1
4144	-771	-787	Max	0.00	-720.58	1	1.00	1	0.05	1	-3.37	5	4.19	5	0.07	1
4144	-771	-787	Max	21.63	-720.18	1	1.00	1	0.16	1	-8.19	5	-1.04	5	0.07	1

4144	-771	-787	Min.	0.00	-749.58	1	-1.01	1	-0.06	1	-38.96	5	0.21	5	-0.06	1
4144	-771	-787	Min.	21.63	-749.19	1	-1.01	1	-0.17	1	-43.79	5	-4.76	5	-0.06	1
4145	3004	-516	Max	0.00	30.28	1	1.88	1	0.23	1	-3.92	1	1.52	1	0.09	1
4145	3004	-516	Max	16.72	30.54	1	1.88	1	0.15	1	-7.13	1	-0.57	1	0.09	1
4145	3004	-516	Min.	0.00	16.56	1	-2.69	1	-0.16	1	-18.38	1	0.35	1	-0.07	1
4145	3004	-516	Min.	16.72	16.82	1	-2.69	1	-0.22	1	-21.59	1	-1.82	1	-0.07	1
4145	-516	-532	Max	0.00	125.76	1	2.31	1	0.22	1	4.83	5	-0.14	5	0.10	1
4145	-516	-532	Max	13.91					0.12	3			-0.01	3		
4145	-516	-532	Max	16.72	126.02	1	2.31	1	0.20	1	1.62	5	0.27	5	0.10	1
4145	-516	-532	Min.	0.00	45.20	1	-2.73	1	-0.19	1	-1.35	5	-0.27	5	-0.02	1
4145	-516	-532	Min.	13.91					-0.15	3			-0.28	3		
4145	-516	-532	Min.	16.72	45.46	1	-2.73	1	-0.23	1	-4.56	5	-0.63	5	-0.02	1
4145	-532	4030	Max	0.00	165.67	1	2.40	1	0.21	1	-10.17	5	2.10	5	0.04	1
4145	-532	4030	Max	16.72	165.93	1	2.40	1	0.21	1	-13.38	5	-1.89	1	0.04	1
4145	-532	4030	Min.	0.00	49.82	1	-2.55	1	-0.19	1	-28.45	5	-0.13	5	0.04	1
4145	-532	4030	Min.	16.72	50.08	1	-2.55	1	-0.22	1	-31.66	5	-3.13	1	0.04	1
4145	4030	-548	Max	0.00	1396.76	5	0.60	1	0.11	1	179.01	5	-10.91	5	-0.01	1
4145	4030	-548	Max	12.22					-0.02	7			-0.43	7		
4145	4030	-548	Max	21.63	1397.18	5	0.60	1	0.03	1	173.94	5	8.63	5	-0.01	1
4145	4030	-548	Min.	0.00	-156.42	5	-0.37	1	-0.13	1	87.67	5	-29.55	5	-0.02	1
4145	4030	-548	Min.	12.22					0.02	7			-7.78	7		
4145	4030	-548	Min.	21.63	-156.01	5	-0.37	1	-0.01	1	82.59	5	7.51	5	-0.02	1
4145	-548	-564	Max	0.00	946.09	5	0.16	1	0.01	1	168.30	5	-7.27	5	0.03	1
4145	-548	-564	Max	21.63	946.50	5	0.16	1	0.04	1	163.22	5	13.65	5	0.03	1
4145	-548	-564	Min.	0.00	-371.68	5	-0.18	1	-0.00	1	74.75	5	-22.21	5	-0.03	1
4145	-548	-564	Min.	21.63	-371.27	5	-0.18	1	-0.04	1	69.68	5	8.36	5	-0.03	1
4145	-564	-580	Max	0.00	542.67	5	0.23	1	0.07	1	146.87	5	-5.52	5	0.04	1
4145	-564	-580	Max	21.63	543.09	5	0.23	1	0.02	1	141.79	5	13.45	5	0.04	1
4145	-564	-580	Min.	0.00	-551.67	5	-0.24	1	-0.07	1	64.21	5	-17.77	5	-0.04	1
4145	-564	-580	Min.	21.63	-551.25	5	-0.24	1	-0.02	1	59.13	5	7.82	5	-0.04	1
4145	-580	-596	Max	0.00	216.98	5	0.70	1	0.06	1	130.84	5	-4.09	5	0.04	1
4145	-580	-596	Max	21.63	217.39	5	0.70	1	0.09	1	125.76	5	13.02	5	0.04	1
4145	-580	-596	Min.	0.00	-690.54	5	-0.75	1	-0.07	1	55.50	5	-14.74	5	-0.04	1
4145	-580	-596	Min.	21.63	-690.13	5	-0.75	1	-0.10	1	50.43	5	7.37	5	-0.04	1
4145	-596	-612	Max	0.00	-27.54	5	0.90	1	0.17	1	100.71	5	-1.43	5	0.03	1
4145	-596	-612	Max	21.63	-27.12	5	0.90	1	0.04	1	95.64	5	10.44	5	0.03	1
4145	-596	-612	Min.	0.00	-788.14	5	-0.90	1	-0.16	1	32.73	5	-10.81	5	-0.00	1
4145	-596	-612	Min.	21.63	-787.73	5	-0.90	1	-0.02	1	27.66	5	5.08	5	-0.00	1
4145	-612	-628	Max	0.00	-217.99	5	0.27	1	0.02	1	89.86	5	-1.04	5	0.01	1
4145	-612	-628	Max	21.63	-217.58	5	0.27	1	0.07	1	84.79	5	9.49	5	0.01	1
4145	-612	-628	Min.	0.00	-848.24	5	-0.24	1	-0.02	1	27.19	5	-9.40	5	0.01	1
4145	-612	-628	Min.	21.63	-847.83	5	-0.24	1	-0.07	1	22.12	5	4.29	5	0.01	1
4145	-628	-644	Max	0.00	-372.88	5	0.23	1	0.07	1	79.97	5	-0.47	5	0.01	1
4145	-628	-644	Max	21.63	-372.47	5	0.23	1	0.03	1	74.89	5	8.75	5	0.01	1
4145	-628	-644	Min.	0.00	-891.31	5	-0.21	1	-0.08	1	21.86	5	-8.00	5	0.01	1
4145	-628	-644	Min.	21.63	-890.90	5	-0.21	1	-0.04	1	16.78	5	3.71	5	0.01	1
4145	-644	-660	Max	0.00	-498.91	5	0.82	1	0.05	1	71.81	5	0.25	5	0.03	1
4145	-644	-660	Max	21.63	-498.50	5	0.82	1	0.11	1	66.74	5	8.37	5	0.03	1
4145	-644	-660	Min.	0.00	-920.55	5	-0.82	1	-0.07	1	17.66	5	-6.61	5	-0.00	1
4145	-644	-660	Min.	21.63	-920.14	5	-0.82	1	-0.13	1	12.58	5	3.52	5	-0.00	1
4145	-660	-676	Max	0.00	-535.73	5	0.96	1	0.19	1	47.99	5	2.46	5	0.05	1
4145	-660	-676	Max	21.63	-535.32	5	0.96	1	0.04	1	42.92	5	5.95	5	0.05	1
4145	-660	-676	Min.	0.00	-925.47	5	-0.98	1	-0.17	1	-3.04	5	-3.89	5	-0.03	1
4145	-660	-676	Min.	21.63	-925.06	5	-0.98	1	-0.03	1	-8.11	5	1.26	5	-0.03	1
4145	-676	-692	Max	0.00	-602.72	5	0.28	1	0.02	1	42.11	5	2.43	5	0.01	1
4145	-676	-692	Max	21.63	-602.31	5	0.28	1	0.08	1	37.04	5	5.14	5	0.01	1
4145	-676	-692	Min.	0.00	-917.77	5	-0.28	1	-0.02	1	-5.85	5	-3.42	5	0.00	1
4145	-676	-692	Min.	21.63	-917.36	5	-0.28	1	-0.08	1	-10.92	5	0.61	5	0.00	1
4145	-692	-708	Max	0.00	-655.27	5	0.26	1	0.08	1	36.18	5	2.72	5	0.01	1

4145	-692	-708	Max	21.63	-654.86	5	0.26	1	0.03	1	31.11	5	4.57	5	0.01	1
4145	-692	-708	Min.	0.00	-904.08	5	-0.26	1	-0.09	1	-9.08	5	-2.71	5	0.00	1
4145	-692	-708	Min.	21.63	-903.66	5	-0.26	1	-0.03	1	-14.16	5	0.20	5	0.00	1
4145	-708	-724	Max	0.00	-695.49	5	0.93	1	0.05	1	31.49	5	3.24	5	0.05	1
4145	-708	-724	Max	21.63	-695.07	5	0.93	1	0.14	1	26.42	5	4.44	5	0.05	1
4145	-708	-724	Min.	0.00	-885.15	5	-0.94	1	-0.06	1	-11.36	5	-1.82	5	-0.03	1
4145	-708	-724	Min.	21.63	-884.74	5	-0.94	1	-0.15	1	-16.44	5	0.24	5	-0.03	1
4145	-724	-740	Max	0.00	-717.01	5	1.02	1	0.19	1	9.71	5	5.37	5	0.06	1
4145	-724	-740	Max	21.63	-716.60	5	1.02	1	0.05	1	4.64	5	2.12	5	0.06	1
4145	-724	-740	Min.	0.00	-853.94	5	-1.05	1	-0.18	1	-31.38	5	0.57	5	-0.06	1
4145	-724	-740	Min.	21.63	-853.53	5	-1.05	1	-0.04	1	-36.46	5	-1.97	5	-0.06	1
4145	-740	-756	Max	0.00	-725.25	5	0.29	1	0.03	1	6.12	5	5.08	5	0.01	1
4145	-740	-756	Max	21.63	-724.84	5	0.29	1	0.09	1	1.05	5	1.36	5	0.01	1
4145	-740	-756	Min.	0.00	-813.99	5	-0.31	1	-0.03	1	-32.99	5	0.58	5	-0.01	1
4145	-740	-756	Min.	21.63	-813.58	5	-0.31	1	-0.09	1	-38.06	5	-2.61	5	-0.01	1
4145	-756	-772	Max	0.00	-728.00	5	0.31	1	0.10	1	2.77	5	4.96	5	0.01	1
4145	-756	-772	Max	21.63	-727.58	5	0.31	1	0.03	1	-2.31	5	0.77	5	0.01	1
4145	-756	-772	Min.	0.00	-773.03	5	-0.32	1	-0.10	1	-34.59	5	0.72	5	-0.01	1
4145	-756	-772	Min.	21.63	-772.62	5	-0.32	1	-0.03	1	-39.67	5	-3.08	5	-0.01	1
4145	-772	-788	Max	0.00	-725.68	1	1.05	1	0.05	1	-3.17	5	4.20	5	0.06	1
4145	-772	-788	Max	21.63	-725.27	1	1.05	1	0.17	1	-8.24	5	-1.03	5	0.06	1
4145	-772	-788	Min.	0.00	-739.99	1	-1.06	1	-0.06	1	-38.87	5	0.20	5	-0.06	1
4145	-772	-788	Min.	21.63	-739.58	1	-1.06	1	-0.18	1	-43.94	5	-4.76	5	-0.06	1
4182	3005	-517	Max	0.00	32.54	1	2.41	1	0.18	1	-1.12	1	1.46	1	0.05	1
4182	3005	-517	Max	16.72	32.80	1	2.41	1	0.20	1	-4.33	1	-0.27	1	0.05	1
4182	3005	-517	Min.	0.00	16.41	1	-2.14	1	-0.21	1	-15.29	1	0.19	1	-0.11	1
4182	3005	-517	Min.	16.72	16.67	1	-2.14	1	-0.17	1	-18.50	1	-1.36	1	-0.11	1
4182	-517	-533	Max	0.00	90.42	1	2.78	1	0.19	1	-1.45	1	1.06	1	0.05	1
4182	-517	-533	Max	16.72	90.68	1	2.78	1	0.24	1	-4.66	1	-0.23	1	0.05	1
4182	-517	-533	Min.	0.00	24.65	1	-2.26	1	-0.22	1	-14.78	1	0.26	1	-0.07	1
4182	-517	-533	Min.	16.72	24.91	1	-2.26	1	-0.19	1	-17.99	1	-1.70	1	-0.07	1
4182	-533	4031	Max	0.00	146.39	1	2.38	1	0.20	1	-8.19	5	1.88	5	-0.04	1
4182	-533	4031	Max	16.72	146.65	1	2.38	1	0.21	1	-11.40	5	-1.68	1	-0.04	1
4182	-533	4031	Min.	0.00	32.71	1	-2.55	1	-0.19	1	-26.26	5	-0.29	5	-0.05	1
4182	-533	4031	Min.	16.72	32.97	1	-2.55	1	-0.22	1	-29.47	5	-3.02	1	-0.05	1
4182	4031	-549	Max	0.00	1396.04	5	0.37	1	0.13	1	178.79	5	-10.88	5	0.02	1
4182	4031	-549	Max	21.63	1396.45	5	0.37	1	0.01	1	173.72	5	8.61	5	0.02	1
4182	4031	-549	Min.	0.00	-157.94	5	-0.60	1	-0.11	1	87.49	5	-29.52	5	0.01	1
4182	4031	-549	Min.	21.63	-157.53	5	-0.60	1	-0.03	1	82.41	5	7.49	5	0.01	1
4182	-549	-565	Max	0.00	946.07	5	0.18	1	0.00	1	168.09	5	-7.24	5	0.03	1
4182	-549	-565	Max	21.63	946.48	5	0.18	1	0.04	1	163.01	5	13.63	5	0.03	1
4182	-549	-565	Min.	0.00	-372.63	5	-0.15	1	-0.01	1	74.58	5	-22.18	5	-0.03	1
4182	-549	-565	Min.	21.63	-372.22	5	-0.15	1	-0.04	1	69.51	5	8.34	5	-0.03	1
4182	-565	-581	Max	0.00	543.18	5	0.24	1	0.07	1	146.68	5	-5.51	5	0.04	1
4182	-565	-581	Max	21.63	543.59	5	0.24	1	0.03	1	141.61	5	13.43	5	0.04	1
4182	-565	-581	Min.	0.00	-552.20	5	-0.22	1	-0.07	1	64.06	5	-17.75	5	-0.04	1
4182	-565	-581	Min.	21.63	-551.79	5	-0.22	1	-0.02	1	58.98	5	7.80	5	-0.04	1
4182	-581	-597	Max	0.00	217.90	5	0.76	1	0.07	1	130.67	5	-4.08	5	0.04	1
4182	-581	-597	Max	21.63	218.31	5	0.76	1	0.10	1	125.59	5	13.00	5	0.04	1
4182	-581	-597	Min.	0.00	-690.74	5	-0.70	1	-0.06	1	55.37	5	-14.72	5	-0.04	1
4182	-581	-597	Min.	21.63	-690.33	5	-0.70	1	-0.08	1	50.30	5	7.35	5	-0.04	1
4182	-597	-613	Max	0.00	-27.06	5	0.90	1	0.16	1	100.64	5	-1.43	5	0.00	1
4182	-597	-613	Max	21.63	-26.64	5	0.90	1	0.02	1	95.56	5	10.44	5	0.00	1
4182	-597	-613	Min.	0.00	-788.28	5	-0.90	1	-0.18	1	32.69	5	-10.80	5	-0.03	1
4182	-597	-613	Min.	21.63	-787.87	5	-0.90	1	-0.04	1	27.61	5	5.08	5	-0.03	1
4182	-613	-629	Max	0.00	-217.34	5	0.24	1	0.02	1	89.79	5	-1.04	5	-0.01	1
4182	-613	-629	Max	21.63	-216.93	5	0.24	1	0.07	1	84.71	5	9.49	5	-0.01	1
4182	-613	-629	Min.	0.00	-848.28	5	-0.26	1	-0.02	1	27.15	5	-9.39	5	-0.01	1
4182	-613	-629	Min.	21.63	-847.87	5	-0.26	1	-0.07	1	22.07	5	4.29	5	-0.01	1

4182	-629	-645	Max	0.00	-372.10	5	0.21	1	0.08	1	79.90	5	-0.46	5	-0.01	1
4182	-629	-645	Max	21.63	-371.69	5	0.21	1	0.04	1	74.83	5	8.74	5	-0.01	1
4182	-629	-645	Min.	0.00	-891.27	5	-0.23	1	-0.07	1	21.82	5	-8.00	5	-0.01	1
4182	-629	-645	Min.	21.63	-890.86	5	-0.23	1	-0.03	1	16.74	5	3.71	5	-0.01	1
4182	-645	-661	Max	0.00	-498.02	5	0.82	1	0.07	1	71.75	5	0.25	5	0.00	1
4182	-645	-661	Max	21.63	-497.61	5	0.82	1	0.13	1	66.68	5	8.37	5	0.00	1
4182	-645	-661	Min.	0.00	-920.44	5	-0.81	1	-0.05	1	17.62	5	-6.60	5	-0.03	1
4182	-645	-661	Min.	21.63	-920.03	5	-0.81	1	-0.11	1	12.55	5	3.52	5	-0.03	1
4182	-661	-677	Max	0.00	-535.20	5	0.99	1	0.17	1	47.95	5	2.47	5	0.03	1
4182	-661	-677	Max	21.63	-534.78	5	0.99	1	0.03	1	42.88	5	5.94	5	0.03	1
4182	-661	-677	Min.	0.00	-925.40	5	-0.95	1	-0.19	1	-3.06	5	-3.88	5	-0.05	1
4182	-661	-677	Min.	21.63	-924.99	5	-0.95	1	-0.04	1	-8.13	5	1.26	5	-0.05	1
4182	-677	-693	Max	0.00	-602.12	5	0.29	1	0.02	1	42.07	5	2.43	5	0.00	1
4182	-677	-693	Max	21.63	-601.71	5	0.29	1	0.08	1	37.00	5	5.13	5	0.00	1
4182	-677	-693	Min.	0.00	-917.67	5	-0.28	1	-0.02	1	-5.87	5	-3.42	5	-0.01	1
4182	-677	-693	Min.	21.63	-917.26	5	-0.28	1	-0.08	1	-10.94	5	0.61	5	-0.01	1
4182	-693	-709	Max	0.00	-654.61	5	0.26	1	0.09	1	36.15	5	2.72	5	-0.00	1
4182	-693	-709	Max	21.63	-654.20	5	0.26	1	0.03	1	31.07	5	4.57	5	-0.00	1
4182	-693	-709	Min.	0.00	-903.95	5	-0.26	1	-0.08	1	-9.10	5	-2.71	5	-0.01	1
4182	-693	-709	Min.	21.63	-903.53	5	-0.26	1	-0.03	1	-14.18	5	0.20	5	-0.01	1
4182	-709	-725	Max	0.00	-694.78	5	0.94	1	0.07	1	31.46	5	3.25	5	0.03	1
4182	-709	-725	Max	21.63	-694.37	5	0.94	1	0.15	1	26.38	5	4.44	5	0.03	1
4182	-709	-725	Min.	0.00	-885.00	5	-0.93	1	-0.05	1	-11.38	5	-1.82	5	-0.05	1
4182	-709	-725	Min.	21.63	-884.58	5	-0.93	1	-0.14	1	-16.45	5	0.24	5	-0.05	1
4182	-725	-741	Max	0.00	-716.63	5	1.05	1	0.18	1	9.69	5	5.37	5	0.06	1
4182	-725	-741	Max	21.63	-716.22	5	1.05	1	0.04	1	4.61	5	2.12	5	0.06	1
4182	-725	-741	Min.	0.00	-853.86	5	-1.02	1	-0.19	1	-31.39	5	0.57	5	-0.06	1
4182	-725	-741	Min.	21.63	-853.45	5	-1.02	1	-0.05	1	-36.47	5	-1.97	5	-0.06	1
4182	-741	-757	Max	0.00	-724.84	5	0.31	1	0.03	1	6.10	5	5.08	5	0.01	1
4182	-741	-757	Max	21.63	-724.43	5	0.31	1	0.09	1	1.02	5	1.35	5	0.01	1
4182	-741	-757	Min.	0.00	-813.90	5	-0.29	1	-0.03	1	-33.00	5	0.58	5	-0.01	1
4182	-741	-757	Min.	21.63	-813.48	5	-0.29	1	-0.09	1	-38.07	5	-2.61	5	-0.01	1
4182	-757	-773	Max	0.00	-727.56	5	0.32	1	0.10	1	2.74	5	4.96	5	0.01	1
4182	-757	-773	Max	21.63	-727.15	5	0.32	1	0.04	1	-2.33	5	0.76	5	0.01	1
4182	-757	-773	Min.	0.00	-772.93	5	-0.31	1	-0.10	1	-34.60	5	0.72	5	-0.01	1
4182	-757	-773	Min.	21.63	-772.51	5	-0.31	1	-0.03	1	-39.68	5	-3.08	5	-0.01	1
4182	-773	-789	Max	0.00	-725.35	1	1.06	1	0.06	1	-3.19	5	4.20	5	0.06	1
4182	-773	-789	Max	21.63	-724.94	1	1.06	1	0.18	1	-8.27	5	-1.03	5	0.06	1
4182	-773	-789	Min.	0.00	-739.74	1	-1.05	1	-0.05	1	-38.88	5	0.20	5	-0.06	1
4182	-773	-789	Min.	21.63	-739.33	1	-1.05	1	-0.17	1	-43.95	5	-4.76	5	-0.06	1
4183	3006	-518	Max	0.00	39.95	1	2.24	1	0.18	1	-9.50	1	1.95	1	0.02	1
4183	3006	-518	Max	16.72	40.20	1	2.24	1	0.18	1	-12.56	1	-1.06	1	0.02	1
4183	3006	-518	Min.	0.00	26.04	1	-2.06	1	-0.19	1	-23.98	1	0.79	1	-0.13	1
4183	3006	-518	Min.	16.72	26.29	1	-2.06	1	-0.16	1	-27.04	1	-2.31	1	-0.13	1
4183	-518	-534	Max	0.00	156.81	1	2.75	1	0.19	1	3.55	5	-0.14	5	0.05	1
4183	-518	-534	Max	13.38					-0.01	7			-0.09	7		
4183	-518	-534	Max	16.72	157.06	1	2.75	1	0.24	1	0.49	5	0.07	5	0.05	1
4183	-518	-534	Min.	0.00	74.89	1	-2.23	1	-0.22	1	-2.38	5	-0.27	5	-0.07	1
4183	-518	-534	Min.	13.38					0.05	7			-0.49	7		
4183	-518	-534	Min.	16.72	75.14	1	-2.23	1	-0.19	1	-5.44	5	-0.79	5	-0.07	1
4183	-534	4033	Max	0.00	203.83	1	2.77	1	0.20	1	-13.84	5	2.24	5	0.02	1
4183	-534	4033	Max	16.72	204.08	1	2.77	1	0.25	1	-16.90	5	-2.37	1	0.02	1
4183	-534	4033	Min.	0.00	85.54	1	-2.36	1	-0.21	1	-32.24	5	0.02	5	0.01	1
4183	-534	4033	Min.	16.72	85.79	1	-2.36	1	-0.20	1	-35.30	5	-3.59	1	0.01	1
4183	4033	-550	Max	0.00	1401.26	5	0.60	1	0.10	1	179.04	5	-11.00	5	-0.01	1
4183	4033	-550	Max	20.82					-0.00	7			7.17	7		
4183	4033	-550	Max	21.63	1401.65	5	0.60	1	0.02	1	174.22	5	8.65	5	-0.01	1
4183	4033	-550	Min.	0.00	-149.88	5	-0.35	1	-0.14	1	88.21	5	-29.56	5	-0.02	1
4183	4033	-550	Min.	20.82					0.01	7			6.96	7		

4183	4033	-550	Min.	21.63	-149.49	5	-0.35	1	-0.01	1	83.38	5	7.56	5	-0.02	1
4183	-550	-566	Max	0.00	949.42	5	0.16	1	0.01	1	168.62	5	-7.37	5	0.03	1
4183	-550	-566	Max	21.63	949.82	5	0.16	1	0.04	1	163.79	5	13.69	5	0.03	1
4183	-550	-566	Min.	0.00	-367.45	5	-0.17	1	-0.01	1	75.48	5	-22.26	5	-0.03	1
4183	-550	-566	Min.	21.63	-367.06	5	-0.17	1	-0.04	1	70.66	5	8.44	5	-0.03	1
4183	-566	-582	Max	0.00	544.88	5	0.23	1	0.07	1	147.19	5	-5.61	5	0.04	1
4183	-566	-582	Max	21.63	545.27	5	0.23	1	0.02	1	142.36	5	13.51	5	0.04	1
4183	-566	-582	Min.	0.00	-549.60	5	-0.22	1	-0.07	1	64.91	5	-17.81	5	-0.04	1
4183	-566	-582	Min.	21.63	-549.21	5	-0.22	1	-0.02	1	60.09	5	7.91	5	-0.04	1
4183	-582	-598	Max	0.00	218.44	5	0.73	1	0.06	1	131.37	5	-4.14	5	0.04	1
4183	-582	-598	Max	21.63	218.83	5	0.73	1	0.10	1	126.54	5	13.15	5	0.04	1
4183	-582	-598	Min.	0.00	-690.11	5	-0.68	1	-0.06	1	56.38	5	-14.74	5	-0.04	1
4183	-582	-598	Min.	21.63	-689.72	5	-0.68	1	-0.08	1	51.55	5	7.53	5	-0.04	1
4183	-598	-614	Max	0.00	-21.03	5	0.84	1	0.15	1	98.49	5	-1.14	5	0.00	1
4183	-598	-614	Max	21.63	-20.64	5	0.84	1	0.02	1	93.66	5	10.26	5	0.00	1
4183	-598	-614	Min.	0.00	-783.85	5	-0.87	1	-0.16	1	30.29	5	-10.53	5	-0.03	1
4183	-598	-614	Min.	21.63	-783.46	5	-0.87	1	-0.03	1	25.47	5	4.90	5	-0.03	1
4183	-614	-630	Max	0.00	-207.93	5	0.21	1	0.02	1	87.91	5	-0.82	5	-0.01	1
4183	-614	-630	Max	21.63	-207.53	5	0.21	1	0.06	1	83.09	5	9.30	5	-0.01	1
4183	-614	-630	Min.	0.00	-839.86	5	-0.26	1	-0.02	1	25.05	5	-9.19	5	-0.01	1
4183	-614	-630	Min.	21.63	-839.47	5	-0.26	1	-0.07	1	20.22	5	4.08	5	-0.01	1
4183	-630	-646	Max	0.00	-359.43	5	0.18	1	0.08	1	78.26	5	-0.29	5	-0.01	1
4183	-630	-646	Max	21.63	-359.04	5	0.18	1	0.03	1	73.44	5	8.57	5	-0.01	1
4183	-630	-646	Min.	0.00	-879.64	5	-0.23	1	-0.07	1	19.98	5	-7.84	5	-0.02	1
4183	-630	-646	Min.	21.63	-879.25	5	-0.23	1	-0.03	1	15.15	5	3.51	5	-0.02	1
4183	-646	-662	Max	0.00	-482.09	5	0.77	1	0.07	1	70.34	5	0.39	5	0.00	1
4183	-646	-662	Max	21.63	-481.69	5	0.77	1	0.12	1	65.51	5	8.21	5	0.00	1
4183	-646	-662	Min.	0.00	-906.95	5	-0.78	1	-0.05	1	16.01	5	-6.48	5	-0.03	1
4183	-646	-662	Min.	21.63	-906.55	5	-0.78	1	-0.11	1	11.19	5	3.33	5	-0.03	1
4183	-662	-678	Max	0.00	-540.99	5	0.94	1	0.16	1	47.12	5	2.51	5	0.04	1
4183	-662	-678	Max	21.63	-540.60	5	0.94	1	0.03	1	42.29	5	5.86	5	0.04	1
4183	-662	-678	Min.	0.00	-933.41	5	-0.91	1	-0.18	1	-3.75	5	-3.82	5	-0.04	1
4183	-662	-678	Min.	21.63	-933.02	5	-0.91	1	-0.04	1	-8.57	5	1.17	5	-0.04	1
4183	-678	-694	Max	0.00	-606.79	5	0.26	1	0.02	1	41.39	5	2.47	5	0.00	1
4183	-678	-694	Max	21.63	-606.40	5	0.26	1	0.07	1	36.57	5	5.07	5	0.00	1
4183	-678	-694	Min.	0.00	-924.94	5	-0.26	1	-0.02	1	-6.41	5	-3.36	5	-0.01	1
4183	-678	-694	Min.	21.63	-924.55	5	-0.26	1	-0.08	1	-11.23	5	0.56	5	-0.01	1
4183	-694	-710	Max	0.00	-658.53	5	0.24	1	0.08	1	35.62	5	2.74	5	-0.00	1
4183	-694	-710	Max	21.63	-658.13	5	0.24	1	0.03	1	30.80	5	4.52	5	-0.00	1
4183	-694	-710	Min.	0.00	-910.78	5	-0.24	1	-0.08	1	-9.49	5	-2.66	5	-0.01	1
4183	-694	-710	Min.	21.63	-910.39	5	-0.24	1	-0.03	1	-14.32	5	0.17	5	-0.01	1
4183	-710	-726	Max	0.00	-698.18	5	0.90	1	0.06	1	31.08	5	3.26	5	0.04	1
4183	-710	-726	Max	21.63	-697.78	5	0.90	1	0.14	1	26.25	5	4.42	5	0.04	1
4183	-710	-726	Min.	0.00	-891.58	5	-0.88	1	-0.05	1	-11.62	5	-1.79	5	-0.05	1
4183	-710	-726	Min.	21.63	-891.18	5	-0.88	1	-0.13	1	-16.45	5	0.23	5	-0.05	1
4183	-726	-742	Max	0.00	-715.95	5	1.00	1	0.17	1	9.11	5	5.41	5	0.06	1
4183	-726	-742	Max	21.63	-715.56	5	1.00	1	0.04	1	4.28	5	2.07	5	0.06	1
4183	-726	-742	Min.	0.00	-861.48	5	-0.98	1	-0.18	1	-31.88	5	0.62	5	-0.06	1
4183	-726	-742	Min.	21.63	-861.09	5	-0.98	1	-0.05	1	-36.70	5	-2.01	5	-0.06	1
4183	-742	-758	Max	0.00	-723.79	5	0.28	1	0.03	1	5.67	5	5.10	5	0.01	1
4183	-742	-758	Max	21.63	-723.40	5	0.28	1	0.09	1	0.84	5	1.31	5	0.01	1
4183	-742	-758	Min.	0.00	-821.18	5	-0.27	1	-0.03	1	-33.33	5	0.61	5	-0.01	1
4183	-742	-758	Min.	21.63	-820.79	5	-0.27	1	-0.09	1	-38.15	5	-2.64	5	-0.01	1
4183	-758	-774	Max	0.00	-726.30	5	0.30	1	0.09	1	2.44	5	4.96	5	0.01	1
4183	-758	-774	Max	21.63	-725.91	5	0.30	1	0.03	1	-2.38	5	0.74	5	0.01	1
4183	-758	-774	Min.	0.00	-780.01	5	-0.29	1	-0.09	1	-34.80	5	0.73	5	-0.01	1
4183	-758	-774	Min.	21.63	-779.62	5	-0.29	1	-0.03	1	-39.63	5	-3.09	5	-0.01	1
4183	-774	-790	Max	0.00	-721.01	1	1.01	1	0.06	1	-3.35	5	4.19	5	0.06	1
4183	-774	-790	Max	21.63	-720.62	1	1.01	1	0.17	1	-8.18	5	-1.04	5	0.06	1

4183	-774	-790	Min.	0.00	-749.78	1	-1.00	1	-0.05	1	-38.96	5	0.20	5	-0.07	1
4183	-774	-790	Min.	21.63	-749.39	1	-1.00	1	-0.16	1	-43.78	5	-4.76	5	-0.07	1
4220	3007	-519	Max	0.00	26.00	1	4.31	1	0.16	1	1.90	1	1.21	1	0.09	1
4220	3007	-519	Max	16.72	26.25	1	4.31	1	0.35	1	-1.16	1	0.01	1	0.09	1
4220	3007	-519	Min.	0.00	-0.62	1	-1.81	1	-0.37	1	-12.28	1	-0.05	1	-0.07	1
4220	3007	-519	Min.	16.72	-0.37	1	-1.81	1	-0.15	1	-15.34	1	-1.10	1	-0.07	1
4220	-519	-535	Max	0.00	67.83	1	4.42	1	0.15	1	0.55	1	0.93	1	0.08	1
4220	-519	-535	Max	16.72	68.07	1	4.42	1	0.38	1	-2.51	1	0.02	1	0.08	1
4220	-519	-535	Min.	0.00	-5.16	1	-1.91	1	-0.36	1	-12.53	1	0.15	1	-0.04	1
4220	-519	-535	Min.	16.72	-4.92	1	-1.91	1	-0.16	1	-15.59	1	-1.45	1	-0.04	1
4220	-535	4034	Max	0.00	109.69	1	3.99	1	0.15	1	-2.58	5	1.69	5	0.01	1
4220	-535	4034	Max	16.72	109.94	1	3.99	1	0.34	1	-5.64	5	-0.93	1	0.01	1
4220	-535	4034	Min.	0.00	-7.75	1	-1.87	1	-0.33	1	-20.93	5	-0.52	5	-0.01	1
4220	-535	4034	Min.	16.72	-7.50	1	-1.87	1	-0.17	1	-23.99	5	-2.34	1	-0.01	1
4220	4034	-551	Max	0.00	1119.24	5	0.15	1	0.14	1	125.06	5	-2.67	5	-0.03	1
4220	4034	-551	Max	21.63	1119.63	5	0.15	1	-0.01	5	120.23	5	5.36	5	-0.03	1
4220	4034	-551	Min.	0.00	-416.90	5	-0.72	1	-0.10	1	34.38	5	-21.17	5	-0.05	1
4220	4034	-551	Min.	21.63	-416.51	5	-0.72	1	-0.07	5	29.55	5	4.25	5	-0.05	1
4220	-551	-567	Max	0.00	807.81	5	0.06	1	0.03	5	117.91	5	-1.15	5	-0.02	1
4220	-551	-567	Max	21.63	808.20	5	0.06	1	0.02	1	113.08	5	9.04	5	-0.02	1
4220	-551	-567	Min.	0.00	-495.17	5	-0.30	1	-0.02	5	25.31	5	-15.95	5	-0.08	1
4220	-551	-567	Min.	21.63	-494.78	5	-0.30	1	-0.06	1	20.49	5	3.81	5	-0.08	1
4220	-567	-583	Max	0.00	529.26	5	0.13	1	0.09	1	102.07	5	-0.55	5	-0.01	1
4220	-567	-583	Max	21.63	529.65	5	0.13	1	0.02	1	97.24	5	8.87	5	-0.01	1
4220	-567	-583	Min.	0.00	-552.40	5	-0.39	1	-0.05	1	20.19	5	-12.69	5	-0.09	1
4220	-567	-583	Min.	21.63	-552.00	5	-0.39	1	-0.04	1	15.37	5	3.30	5	-0.09	1
4220	-583	-599	Max	0.00	305.43	5	0.66	1	0.10	1	90.12	5	0.03	5	-0.02	1
4220	-583	-599	Max	8.65					0.05	7			1.29	7		
4220	-583	-599	Max	21.63	305.82	5	0.66	1	0.11	1	85.30	5	8.44	5	-0.02	1
4220	-583	-599	Min.	0.00	-591.08	5	-0.87	1	-0.04	1	15.54	5	-10.53	5	-0.10	1
4220	-583	-599	Min.	8.65					-0.01	7			-2.82	7		
4220	-583	-599	Min.	21.63	-590.68	5	-0.87	1	-0.10	1	10.71	5	2.86	5	-0.10	1
4220	-599	-615	Max	0.00	124.72	5	0.93	1	0.15	1	74.18	5	1.06	5	0.00	1
4220	-599	-615	Max	18.36					0.00	7			4.91	7		
4220	-599	-615	Max	21.63	125.11	5	0.93	1	0.02	1	69.35	5	7.19	5	0.00	1
4220	-599	-615	Min.	0.00	-605.38	5	-0.86	1	-0.20	1	5.91	5	-8.34	5	-0.04	1
4220	-599	-615	Min.	18.36					-0.04	7			1.77	7		
4220	-599	-615	Min.	21.63	-604.99	5	-0.86	1	-0.05	1	1.08	5	1.81	5	-0.04	1
4220	-615	-631	Max	0.00	-11.67	5	0.24	1	0.03	5	65.39	5	1.27	5	-0.01	5
4220	-615	-631	Max	21.63	-11.27	5	0.24	1	0.06	1	60.57	5	6.54	5	-0.01	5
4220	-615	-631	Min.	0.00	-611.74	5	-0.27	1	-0.03	5	2.45	5	-7.09	5	-0.02	5
4220	-615	-631	Min.	21.63	-611.34	5	-0.27	1	-0.07	1	-2.37	5	1.28	5	-0.02	5
4220	-631	-647	Max	0.00	-121.80	5	0.24	1	0.09	1	57.59	5	1.54	5	-0.01	1
4220	-631	-647	Max	21.63	-121.40	5	0.24	1	0.04	5	52.77	5	5.94	5	-0.01	1
4220	-631	-647	Min.	0.00	-610.56	5	-0.28	1	-0.07	1	-0.78	5	-6.00	5	-0.03	1
4220	-631	-647	Min.	21.63	-610.17	5	-0.28	1	-0.03	5	-5.61	5	0.85	5	-0.03	1
4220	-647	-663	Max	0.00	-211.24	5	0.87	1	0.08	1	50.59	5	1.82	5	-0.01	1
4220	-647	-663	Max	7.30					0.06	7			1.48	7		
4220	-647	-663	Max	21.63	-210.85	5	0.87	1	0.16	1	45.77	5	5.38	5	-0.01	1
4220	-647	-663	Min.	0.00	-603.58	5	-0.84	1	-0.04	1	-3.74	5	-5.04	5	-0.04	1
4220	-647	-663	Min.	7.30					-0.02	7			-1.40	7		
4220	-647	-663	Min.	21.63	-603.19	5	-0.84	1	-0.11	1	-8.56	5	0.49	5	-0.04	1
4220	-663	-679	Max	0.00	-192.19	5	1.02	1	0.16	1	42.98	5	2.24	5	0.02	1
4220	-663	-679	Max	17.31					0.02	7			2.97	7		
4220	-663	-679	Max	21.63	-191.80	5	1.02	1	0.02	1	38.16	5	4.65	5	0.02	1
4220	-663	-679	Min.	0.00	-590.79	5	-0.93	1	-0.21	1	-8.18	5	-4.13	5	-0.06	1
4220	-663	-679	Min.	17.31					-0.06	7			0.49	7		
4220	-663	-679	Min.	21.63	-590.40	5	-0.93	1	-0.06	1	-13.00	5	-0.06	5	-0.06	1
4220	-679	-695	Max	0.00	-249.74	5	0.31	1	0.03	5	37.29	5	2.43	5	-0.01	1

4220	-679	-695	Max	21.63	-249.35	5	0.31	1	0.07	1	32.46	5	4.11	5	-0.01	1
4220	-679	-695	Min.	0.00	-573.37	5	-0.29	1	-0.05	5	-10.81	5	-3.44	5	-0.02	1
4220	-679	-695	Min.	21.63	-572.98	5	-0.29	1	-0.08	1	-15.64	5	-0.43	5	-0.02	1
4220	-695	-711	Max	0.00	-295.68	5	0.30	1	0.09	1	31.96	5	2.67	5	-0.01	5
4220	-695	-711	Max	4.33					-0.02	7			2.06	7		
4220	-695	-711	Max	21.63	-295.29	5	0.30	1	0.04	5	27.13	5	3.61	5	-0.01	5
4220	-695	-711	Min.	0.00	-552.83	5	-0.30	1	-0.08	1	-13.44	5	-2.78	5	-0.02	5
4220	-695	-711	Min.	4.33					0.03	7			-1.41	7		
4220	-695	-711	Min.	21.63	-552.43	5	-0.30	1	-0.03	5	-18.27	5	-0.76	5	-0.02	5
4220	-711	-727	Max	0.00	-331.61	5	1.00	1	0.08	1	27.18	5	2.96	5	0.02	1
4220	-711	-727	Max	6.42					0.06	7			1.90	7		
4220	-711	-727	Max	21.63	-331.22	5	1.00	1	0.19	1	22.35	5	3.24	5	0.02	1
4220	-711	-727	Min.	0.00	-529.42	5	-0.94	1	-0.05	1	-15.80	5	-2.11	5	-0.07	1
4220	-711	-727	Min.	6.42					-0.02	7			-0.41	7		
4220	-711	-727	Min.	21.63	-529.02	5	-0.94	1	-0.14	1	-20.63	5	-0.98	5	-0.07	1
4220	-727	-743	Max	0.00	-368.90	5	1.15	1	0.16	1	18.27	5	3.66	5	0.07	1
4220	-727	-743	Max	17.31					0.02	7			1.72	7		
4220	-727	-743	Max	21.63	-368.51	5	1.15	1	0.04	1	13.45	5	2.33	5	0.07	1
4220	-727	-743	Min.	0.00	-496.01	5	-0.94	1	-0.22	1	-22.74	5	-1.10	5	-0.06	1
4220	-727	-743	Min.	17.31					-0.05	7			-0.60	7		
4220	-727	-743	Min.	21.63	-495.62	5	-0.94	1	-0.06	1	-27.57	5	-1.78	5	-0.06	1
4220	-743	-759	Max	0.00	-385.84	5	0.40	1	0.02	5	14.13	5	3.73	5	0.02	1
4220	-743	-759	Max	18.12					-0.02	7			1.44	7		
4220	-743	-759	Max	21.63	-385.45	5	0.40	1	0.09	1	9.30	5	1.79	5	0.02	1
4220	-743	-759	Min.	0.00	-464.71	5	-0.24	1	-0.05	5	-24.92	5	-0.74	5	-0.00	1
4220	-743	-759	Min.	18.12					0.02	7			-1.14	7		
4220	-743	-759	Min.	21.63	-464.32	5	-0.24	1	-0.08	1	-29.75	5	-2.18	5	-0.00	1
4220	-759	-775	Max	0.00	-395.50	1	0.42	1	0.09	1	10.45	5	3.77	5	0.01	1
4220	-759	-775	Max	21.63	-395.11	1	0.42	1	0.06	5	5.62	5	1.29	5	0.01	1
4220	-759	-775	Min.	0.00	-434.38	1	-0.28	1	-0.09	1	-26.84	5	-0.45	5	-0.00	1
4220	-759	-775	Min.	21.63	-433.99	1	-0.28	1	-0.03	5	-31.67	5	-2.56	5	-0.00	1
4220	-775	-791	Max	0.00	-386.82	1	1.15	1	0.07	1	5.10	5	3.36	5	0.07	1
4220	-775	-791	Max	6.15					0.06	7			1.44	7		
4220	-775	-791	Max	21.63	-386.43	1	1.15	1	0.22	1	0.28	5	-0.03	5	0.07	1
4220	-775	-791	Min.	0.00	-421.64	1	-0.99	1	-0.05	1	-30.53	5	-0.61	5	-0.06	1
4220	-775	-791	Min.	6.15					-0.03	7			-0.34	7		
4220	-775	-791	Min.	21.63	-421.25	1	-0.99	1	-0.16	1	-35.36	5	-3.77	5	-0.06	1
4221	3008	-520	Max	0.00	20.05	1	4.04	1	0.13	1	3.47	1	0.83	1	0.09	1
4221	3008	-520	Max	16.72	20.11	1	4.04	1	0.34	1	2.72	1	0.24	1	0.09	1
4221	3008	-520	Min.	0.00	-1.45	1	-1.57	1	-0.34	1	-10.35	1	-0.27	1	-0.07	1
4221	3008	-520	Min.	16.72	-1.39	1	-1.57	1	-0.13	1	-11.10	1	-0.96	1	-0.07	1
4221	-520	-536	Max	0.00	77.84	1	4.37	1	0.15	1	3.48	5	-0.00	5	0.08	1
4221	-520	-536	Max	16.72	77.90	1	4.37	1	0.37	1	2.73	5	0.40	5	0.08	1
4221	-520	-536	Min.	0.00	-8.94	1	-1.88	1	-0.36	1	-2.19	5	-0.12	5	-0.04	1
4221	-520	-536	Min.	16.72	-8.88	1	-1.88	1	-0.16	1	-2.93	5	-0.43	5	-0.04	1
4221	-536	4036	Max	0.00	111.25	1	4.41	1	0.15	1	0.22	5	1.58	5	0.04	1
4221	-536	4036	Max	16.72	111.31	1	4.41	1	0.39	1	-0.52	5	-0.42	1	0.04	1
4221	-536	4036	Min.	0.00	-15.48	1	-1.87	1	-0.35	1	-18.29	5	-0.62	5	-0.03	1
4221	-536	4036	Min.	16.72	-15.42	1	-1.87	1	-0.17	1	-19.03	5	-1.76	1	-0.03	1
4221	4036	-552	Max	0.00	1112.86	5	0.06	5	0.09	5	112.16	5	-1.00	5	-0.01	1
4221	4036	-552	Max	21.63	1112.95	5	0.06	5	0.00	1	111.16	5	4.65	5	-0.01	1
4221	4036	-552	Min.	0.00	-462.32	5	-0.45	5	-0.07	5	21.49	5	-19.51	5	-0.09	1
4221	4036	-552	Min.	21.63	-462.24	5	-0.45	5	-0.07	1	20.50	5	3.54	5	-0.09	1
4221	-552	-568	Max	0.00	826.57	5	-0.01	5	0.03	5	107.54	5	-0.12	5	-0.01	1
4221	-552	-568	Max	21.63	826.65	5	-0.01	5	-0.01	1	106.54	5	8.24	5	-0.01	1
4221	-552	-568	Min.	0.00	-515.12	5	-0.25	5	-0.02	5	15.07	5	-14.92	5	-0.09	1
4221	-552	-568	Min.	21.63	-515.04	5	-0.25	5	-0.03	1	14.08	5	3.03	5	-0.09	1
4221	-568	-584	Max	0.00	566.00	5	0.04	1	0.06	1	94.47	5	0.07	5	-0.01	1
4221	-568	-584	Max	21.63	566.08	5	0.04	1	0.01	5	93.48	5	8.27	5	-0.01	1

4221	-568	-584	Min.	0.00	-554.11	5	-0.30	1	-0.02	1	12.73	5	-12.06	5	-0.09	1
4221	-568	-584	Min.	21.63	-554.03	5	-0.30	1	-0.04	5	11.73	5	2.72	5	-0.09	1
4221	-584	-600	Max	0.00	353.14	5	0.28	1	0.08	1	84.68	5	0.36	5	-0.03	1
4221	-584	-600	Max	21.63	353.22	5	0.28	1	0.08	5	83.68	5	8.05	5	-0.03	1
4221	-584	-600	Min.	0.00	-582.22	5	-0.48	1	-0.02	1	10.17	5	-10.16	5	-0.09	1
4221	-584	-600	Min.	21.63	-582.14	5	-0.48	1	-0.07	5	9.17	5	2.45	5	-0.09	1
4221	-600	-616	Max	0.00	195.84	5	0.51	1	0.08	1	68.36	5	1.28	5	0.01	1
4221	-600	-616	Max	21.63	195.92	5	0.51	1	0.00	5	67.37	5	6.78	5	0.01	1
4221	-600	-616	Min.	0.00	-605.09	5	-0.44	1	-0.13	1	1.95	5	-7.90	5	-0.05	1
4221	-600	-616	Min.	21.63	-605.01	5	-0.44	1	-0.03	5	0.95	5	1.59	5	-0.05	1
4221	-616	-632	Max	0.00	63.39	5	0.13	5	0.02	5	61.97	5	1.21	5	-0.01	1
4221	-616	-632	Max	21.63	63.47	5	0.13	5	0.03	1	60.97	5	6.31	5	-0.01	1
4221	-616	-632	Min.	0.00	-609.36	5	-0.17	5	-0.03	5	0.75	5	-6.99	5	-0.03	1
4221	-616	-632	Min.	21.63	-609.28	5	-0.17	5	-0.04	1	-0.24	5	1.26	5	-0.03	1
4221	-632	-648	Max	0.00	-46.49	5	0.13	5	0.05	1	56.00	5	1.30	5	-0.01	5
4221	-632	-648	Max	21.63	-46.41	5	0.13	5	0.04	5	55.00	5	5.92	5	-0.01	5
4221	-632	-648	Min.	0.00	-609.41	5	-0.17	5	-0.03	1	-0.72	5	-6.09	5	-0.02	5
4221	-632	-648	Min.	21.63	-609.33	5	-0.17	5	-0.02	5	-1.72	5	1.04	5	-0.02	5
4221	-648	-664	Max	0.00	-137.48	5	0.42	1	0.06	1	51.11	5	1.54	5	0.00	1
4221	-648	-664	Max	21.63	-137.40	5	0.42	1	0.11	5	50.11	5	5.77	5	0.00	1
4221	-648	-664	Min.	0.00	-605.98	5	-0.38	1	-0.02	1	-1.79	5	-5.18	5	-0.05	1
4221	-648	-664	Min.	21.63	-605.90	5	-0.38	1	-0.05	5	-2.78	5	1.04	5	-0.05	1
4221	-664	-680	Max	0.00	-209.22	5	0.56	1	0.08	1	35.17	5	2.84	5	0.03	1
4221	-664	-680	Max	21.63	-209.14	5	0.56	1	0.01	5	34.17	5	4.21	5	0.03	1
4221	-664	-680	Min.	0.00	-584.17	5	-0.46	1	-0.14	1	-14.09	5	-3.29	5	-0.07	1
4221	-664	-680	Min.	21.63	-584.09	5	-0.46	1	-0.05	5	-15.09	5	-0.32	5	-0.07	1
4221	-680	-696	Max	0.00	-261.41	5	0.21	5	0.03	5	31.92	5	2.59	5	-0.00	1
4221	-680	-696	Max	21.63	-261.33	5	0.21	5	0.03	1	30.92	5	3.74	5	-0.00	1
4221	-680	-696	Min.	0.00	-563.56	5	-0.18	5	-0.04	5	-14.35	5	-3.05	5	-0.03	1
4221	-680	-696	Min.	21.63	-563.48	5	-0.18	5	-0.04	1	-15.34	5	-0.62	5	-0.03	1
4221	-696	-712	Max	0.00	-304.35	5	0.20	5	0.05	1	28.52	5	2.61	5	-0.01	1
4221	-696	-712	Max	21.63	-304.27	5	0.20	5	0.04	5	27.52	5	3.43	5	-0.01	1
4221	-696	-712	Min.	0.00	-541.92	5	-0.18	5	-0.04	1	-15.13	5	-2.63	5	-0.02	1
4221	-696	-712	Min.	21.63	-541.84	5	-0.18	5	-0.03	5	-16.12	5	-0.77	5	-0.02	1
4221	-712	-728	Max	0.00	-339.45	5	0.52	1	0.06	1	25.77	5	2.77	5	0.03	1
4221	-712	-728	Max	21.63	-339.37	5	0.52	1	0.12	5	24.78	5	3.35	5	0.03	1
4221	-712	-728	Min.	0.00	-519.68	5	-0.45	1	-0.02	1	-15.50	5	-2.11	5	-0.08	1
4221	-712	-728	Min.	21.63	-519.60	5	-0.45	1	-0.07	5	-16.50	5	-0.69	5	-0.08	1
4221	-728	-744	Max	0.00	-350.49	5	0.66	1	0.08	1	14.10	5	3.80	5	0.08	1
4221	-728	-744	Max	18.33					0.02	7			1.69	7		
4221	-728	-744	Max	21.63	-350.41	5	0.66	1	0.02	5	13.10	5	2.14	5	0.08	1
4221	-728	-744	Min.	0.00	-499.14	5	-0.45	1	-0.15	1	-25.37	5	-0.81	5	-0.06	1
4221	-728	-744	Min.	18.33					-0.05	7			-0.91	7		
4221	-728	-744	Min.	21.63	-499.06	5	-0.45	1	-0.04	5	-26.36	5	-1.79	5	-0.06	1
4221	-744	-760	Max	0.00	-367.04	5	0.28	5	0.02	5	12.08	5	3.55	5	0.02	1
4221	-744	-760	Max	21.63	-366.95	5	0.28	5	0.05	1	11.08	5	1.73	5	0.02	1
4221	-744	-760	Min.	0.00	-468.67	5	-0.12	5	-0.05	5	-25.45	5	-0.77	5	-0.01	1
4221	-744	-760	Min.	21.63	-468.58	5	-0.12	5	-0.04	1	-26.45	5	-2.07	5	-0.01	1
4221	-760	-776	Max	0.00	-379.81	5	0.27	5	0.05	1	10.11	5	3.42	5	0.02	1
4221	-760	-776	Max	21.63	-379.73	5	0.27	5	0.05	5	9.12	5	1.43	5	0.02	1
4221	-760	-776	Min.	0.00	-438.80	5	-0.13	5	-0.05	1	-25.71	5	-0.65	5	-0.01	1
4221	-760	-776	Min.	21.63	-438.72	5	-0.13	5	-0.02	5	-26.70	5	-2.25	5	-0.01	1
4221	-776	-792	Max	0.00	-391.18	5	0.65	1	0.05	5	6.97	5	3.01	5	0.07	1
4221	-776	-792	Max	21.63	-391.10	5	0.65	1	0.14	1	5.98	5	0.59	5	0.07	1
4221	-776	-792	Min.	0.00	-411.58	5	-0.49	1	-0.03	5	-27.26	5	-0.81	5	-0.07	1
4221	-776	-792	Min.	21.63	-411.50	5	-0.49	1	-0.08	1	-28.25	5	-3.00	5	-0.07	1
4385	-785	-777	Max	0.00	-390.90	5	0.65	1	0.08	1	28.28	5	0.59	5	0.07	1
4385	-785	-777	Max	13.31					0.02	7			0.72	7		
4385	-785	-777	Max	21.63	-390.98	5	0.65	1	0.03	5	27.28	5	3.01	5	0.07	1

4385	-785	-777	Min.	0.00	-412.01	5	-0.49	1	-0.13	1	-5.98	5	-3.00	5	-0.07	1
4385	-785	-777	Min.	13.31					-0.06	7			-0.25	7		
4385	-785	-777	Min.	21.63	-412.09	5	-0.49	1	-0.05	5	-6.97	5	-0.81	5	-0.07	1
4385	-777	-761	Max	0.00	-379.45	5	0.27	5	0.02	5	26.72	5	1.43	5	0.02	1
4385	-777	-761	Max	19.74					-0.01	7			2.92	7		
4385	-777	-761	Max	21.63	-379.53	5	0.27	5	0.05	1	25.73	5	3.42	5	0.02	1
4385	-777	-761	Min.	0.00	-439.34	5	-0.13	5	-0.05	5	-9.11	5	-2.25	5	-0.01	1
4385	-777	-761	Min.	19.74					0.01	7			-0.44	7		
4385	-777	-761	Min.	21.63	-439.42	5	-0.13	5	-0.05	1	-10.11	5	-0.65	5	-0.01	1
4385	-761	-745	Max	0.00	-366.68	5	0.28	5	0.04	1	26.48	5	1.73	5	0.02	1
4385	-761	-745	Max	21.63	-366.75	5	0.28	5	0.05	5	25.48	5	3.55	5	0.02	1
4385	-761	-745	Min.	0.00	-469.24	5	-0.12	5	-0.05	1	-11.08	5	-2.07	5	-0.01	1
4385	-761	-745	Min.	21.63	-469.32	5	-0.12	5	-0.02	5	-12.08	5	-0.77	5	-0.01	1
4385	-745	-729	Max	0.00	-350.14	5	0.66	1	0.04	5	26.39	5	2.14	5	0.08	1
4385	-745	-729	Max	21.63	-350.22	5	0.66	1	0.15	1	25.39	5	3.81	5	0.08	1
4385	-745	-729	Min.	0.00	-499.75	5	-0.45	1	-0.02	5	-13.10	5	-1.79	5	-0.06	1
4385	-745	-729	Min.	21.63	-499.83	5	-0.45	1	-0.08	1	-14.09	5	-0.81	5	-0.06	1
4385	-729	-713	Max	0.00	-339.35	5	0.52	1	0.07	5	16.52	5	3.35	5	0.03	1
4385	-729	-713	Max	21.63	-339.43	5	0.52	1	0.02	1	15.53	5	2.77	5	0.03	1
4385	-729	-713	Min.	0.00	-519.95	5	-0.45	1	-0.12	5	-24.77	5	-0.70	5	-0.08	1
4385	-729	-713	Min.	21.63	-520.03	5	-0.45	1	-0.06	1	-25.76	5	-2.11	5	-0.08	1
4385	-713	-697	Max	0.00	-304.09	5	0.20	5	0.03	5	16.15	5	3.43	5	-0.01	1
4385	-713	-697	Max	21.63	-304.17	5	0.20	5	0.04	1	15.15	5	2.61	5	-0.01	1
4385	-713	-697	Min.	0.00	-542.40	5	-0.19	5	-0.04	5	-27.51	5	-0.77	5	-0.02	1
4385	-713	-697	Min.	21.63	-542.48	5	-0.19	5	-0.05	1	-28.51	5	-2.63	5	-0.02	1
4385	-697	-681	Max	0.00	-261.16	5	0.21	5	0.04	1	15.37	5	3.74	5	-0.00	1
4385	-697	-681	Max	21.63	-261.24	5	0.21	5	0.04	5	14.38	5	2.59	5	-0.00	1
4385	-697	-681	Min.	0.00	-564.08	5	-0.19	5	-0.03	1	-30.91	5	-0.62	5	-0.03	1
4385	-697	-681	Min.	21.63	-564.16	5	-0.19	5	-0.03	5	-31.91	5	-3.05	5	-0.03	1
4385	-681	-665	Max	0.00	-208.99	5	0.56	1	0.05	5	15.12	5	4.21	5	0.03	1
4385	-681	-665	Max	21.63	-209.07	5	0.56	1	0.14	1	14.12	5	2.84	5	0.03	1
4385	-681	-665	Min.	0.00	-584.73	5	-0.46	1	-0.01	5	-34.16	5	-0.32	5	-0.07	1
4385	-681	-665	Min.	21.63	-584.81	5	-0.46	1	-0.08	1	-35.16	5	-3.29	5	-0.07	1
4385	-665	-649	Max	0.00	-137.54	5	0.42	1	0.05	5	2.81	5	5.77	5	0.00	1
4385	-665	-649	Max	21.63	-137.62	5	0.42	1	0.02	1	1.81	5	1.54	5	0.00	1
4385	-665	-649	Min.	0.00	-606.23	5	-0.38	1	-0.11	5	-50.09	5	1.04	5	-0.05	1
4385	-665	-649	Min.	21.63	-606.31	5	-0.38	1	-0.06	1	-51.09	5	-5.18	5	-0.05	1
4385	-649	-633	Max	0.00	-46.29	5	0.13	5	0.02	5	1.75	5	5.92	5	-0.01	5
4385	-649	-633	Max	21.63	-46.37	5	0.13	5	0.03	1	0.75	5	1.31	5	-0.01	5
4385	-649	-633	Min.	0.00	-610.01	5	-0.17	5	-0.04	5	-54.98	5	1.04	5	-0.02	5
4385	-649	-633	Min.	21.63	-610.09	5	-0.17	5	-0.05	1	-55.98	5	-6.08	5	-0.02	5
4385	-633	-617	Max	0.00	63.56	5	0.14	5	0.04	1	0.27	5	6.31	5	-0.01	1
4385	-633	-617	Max	21.63	63.48	5	0.14	5	0.03	5	-0.72	5	1.21	5	-0.01	1
4385	-633	-617	Min.	0.00	-610.02	5	-0.17	5	-0.03	1	-60.95	5	1.26	5	-0.03	1
4385	-633	-617	Min.	21.63	-610.10	5	-0.17	5	-0.02	5	-61.95	5	-6.99	5	-0.03	1
4385	-617	-601	Max	0.00	195.97	5	0.51	1	0.03	5	-0.91	5	6.78	5	0.01	1
4385	-617	-601	Max	21.63	195.89	5	0.51	1	0.13	1	-1.91	5	1.28	5	0.01	1
4385	-617	-601	Min.	0.00	-605.82	5	-0.44	1	-0.00	5	-67.35	5	1.59	5	-0.05	1
4385	-617	-601	Min.	21.63	-605.90	5	-0.44	1	-0.08	1	-68.34	5	-7.90	5	-0.05	1
4385	-601	-585	Max	0.00	353.20	5	0.28	1	0.07	5	-9.15	5	8.05	5	-0.03	1
4385	-601	-585	Max	21.63	353.12	5	0.28	1	0.02	1	-10.15	5	0.36	5	-0.03	1
4385	-601	-585	Min.	0.00	-582.98	5	-0.48	1	-0.08	5	-83.62	5	2.45	5	-0.09	1
4385	-601	-585	Min.	21.63	-583.06	5	-0.48	1	-0.08	1	-84.61	5	-10.15	5	-0.09	1
4385	-585	-569	Max	0.00	565.39	5	0.04	1	0.04	5	-11.71	5	8.26	5	-0.01	1
4385	-585	-569	Max	17.52					-0.04	3			-2.65	3		
4385	-585	-569	Max	21.63	565.31	5	0.04	1	0.02	1	-12.70	5	0.08	5	-0.01	1
4385	-585	-569	Min.	0.00	-554.40	5	-0.30	1	-0.01	5	-93.41	5	2.72	5	-0.09	1
4385	-585	-569	Min.	17.52					0.02	3			-4.92	3		
4385	-585	-569	Min.	21.63	-554.48	5	-0.30	1	-0.06	1	-94.40	5	-12.05	5	-0.09	1

4385	-569	-553	Max	0.00	825.77	5	-0.01	5	0.03	1	-14.05	5	8.23	5	-0.01	1
4385	-569	-553	Max	21.63	825.69	5	-0.01	5	0.02	5	-15.05	5	-0.12	5	-0.01	1
4385	-569	-553	Min.	0.00	-515.49	5	-0.25	5	0.01	1	-106.47	5	3.03	5	-0.09	1
4385	-569	-553	Min.	21.63	-515.57	5	-0.25	5	-0.03	5	-107.47	5	-14.91	5	-0.09	1
4385	-553	4285	Max	0.00	1111.81	5	0.07	5	0.07	1	-20.46	5	4.64	5	-0.01	1
4385	-553	4285	Max	21.63	1111.73	5	0.07	5	0.07	5	-21.46	5	-0.99	5	-0.01	1
4385	-553	4285	Min.	0.00	-462.76	5	-0.45	5	0.00	1	-111.07	5	3.54	5	-0.09	1
4385	-553	4285	Min.	21.63	-462.85	5	-0.45	5	-0.09	5	-112.07	5	-19.50	5	-0.09	1
4385	4285	-537	Max	0.00	103.41	1	4.33	1	0.16	1	18.35	5	-0.39	1	0.05	1
4385	4285	-537	Max	16.72	103.35	1	4.33	1	0.34	1	17.60	5	1.48	5	0.05	1
4385	4285	-537	Min.	0.00	-15.36	1	-1.82	1	-0.38	1	0.05	5	-1.75	1	-0.02	1
4385	4285	-537	Min.	16.72	-15.42	1	-1.82	1	-0.14	1	-0.70	5	-0.66	5	-0.02	1
4385	-537	-521	Max	0.00	61.14	1	4.59	1	0.17	1	9.68	1	0.31	1	0.08	1
4385	-537	-521	Max	16.72	61.08	1	4.59	1	0.38	1	8.94	1	0.63	1	0.08	1
4385	-537	-521	Min.	0.00	-7.74	1	-1.98	1	-0.39	1	-1.85	1	-0.97	1	-0.05	1
4385	-537	-521	Min.	16.72	-7.80	1	-1.98	1	-0.16	1	-2.60	1	-0.10	1	-0.05	1
4385	-521	3313	Max	0.00	21.53	1	3.99	1	0.13	1	10.00	1	0.23	1	0.09	1
4385	-521	3313	Max	16.72	21.47	1	3.99	1	0.33	1	9.25	1	0.85	1	0.09	1
4385	-521	3313	Min.	0.00	-1.06	1	-1.50	1	-0.33	1	-2.57	1	-0.76	1	-0.06	1
4385	-521	3313	Min.	16.72	-1.12	1	-1.50	1	-0.12	1	-3.31	1	-0.27	1	-0.06	1
4386	-786	-778	Max	0.00	-386.74	1	1.15	1	0.16	1	35.36	5	-0.03	5	0.07	1
4386	-786	-778	Max	16.43					0.03	7			1.74	7		
4386	-786	-778	Max	21.63	-387.13	1	1.15	1	0.05	1	30.53	5	3.36	5	0.07	1
4386	-786	-778	Min.	0.00	-420.75	1	-0.99	1	-0.22	1	-0.26	5	-3.77	5	-0.06	1
4386	-786	-778	Min.	16.43					-0.06	7			-0.38	7		
4386	-786	-778	Min.	21.63	-421.14	1	-0.99	1	-0.07	1	-5.09	5	-0.61	5	-0.06	1
4386	-778	-762	Max	0.00	-395.60	1	0.42	1	0.03	5	31.66	5	1.29	5	0.01	1
4386	-778	-762	Max	21.36					-0.03	7			3.68	7		
4386	-778	-762	Max	21.63	-395.99	1	0.42	1	0.09	1	26.84	5	3.77	5	0.01	1
4386	-778	-762	Min.	0.00	-433.32	1	-0.28	1	-0.06	5	-5.61	5	-2.56	5	-0.00	1
4386	-778	-762	Min.	21.36					0.03	7			-0.41	7		
4386	-778	-762	Min.	21.63	-433.72	1	-0.28	1	-0.09	1	-10.43	5	-0.45	5	-0.00	1
4386	-762	-746	Max	0.00	-385.82	5	0.40	1	0.08	1	29.75	5	1.79	5	0.02	1
4386	-762	-746	Max	21.63	-386.21	5	0.40	1	0.05	5	24.92	5	3.73	5	0.02	1
4386	-762	-746	Min.	0.00	-463.80	5	-0.25	1	-0.09	1	-9.29	5	-2.18	5	-0.00	1
4386	-762	-746	Min.	21.63	-464.19	5	-0.25	1	-0.03	5	-14.11	5	-0.74	5	-0.00	1
4386	-746	-730	Max	0.00	-368.89	5	1.15	1	0.06	1	27.57	5	2.33	5	0.07	1
4386	-746	-730	Max	21.63	-369.29	5	1.15	1	0.23	1	22.74	5	3.66	5	0.07	1
4386	-746	-730	Min.	0.00	-495.10	5	-0.95	1	-0.04	1	-13.43	5	-1.78	5	-0.06	1
4386	-746	-730	Min.	21.63	-495.49	5	-0.95	1	-0.16	1	-18.26	5	-1.10	5	-0.06	1
4386	-730	-714	Max	0.00	-331.53	5	1.00	1	0.14	1	20.63	5	3.24	5	0.02	1
4386	-730	-714	Max	15.40					0.02	7			1.93	7		
4386	-730	-714	Max	21.63	-331.93	5	1.00	1	0.05	1	15.81	5	2.96	5	0.02	1
4386	-730	-714	Min.	0.00	-528.70	5	-0.94	1	-0.19	1	-22.34	5	-0.98	5	-0.07	1
4386	-730	-714	Min.	15.40					-0.06	7			-0.46	7		
4386	-730	-714	Min.	21.63	-529.10	5	-0.94	1	-0.08	1	-27.17	5	-2.11	5	-0.07	1
4386	-714	-698	Max	0.00	-295.62	5	0.30	1	0.03	5	18.27	5	3.61	5	-0.01	5
4386	-714	-698	Max	17.78					-0.03	7			2.13	7		
4386	-714	-698	Max	21.63	-296.01	5	0.30	1	0.08	1	13.45	5	2.67	5	-0.01	5
4386	-714	-698	Min.	0.00	-552.12	5	-0.30	1	-0.04	5	-27.12	5	-0.76	5	-0.02	5
4386	-714	-698	Min.	17.78					0.02	7			-1.56	7		
4386	-714	-698	Min.	21.63	-552.51	5	-0.30	1	-0.09	1	-31.94	5	-2.78	5	-0.02	5
4386	-698	-682	Max	0.00	-249.69	5	0.31	1	0.08	1	15.64	5	4.11	5	-0.01	1
4386	-698	-682	Max	21.63	-250.09	5	0.31	1	0.05	5	10.82	5	2.43	5	-0.01	1
4386	-698	-682	Min.	0.00	-572.67	5	-0.29	1	-0.07	1	-32.45	5	-0.43	5	-0.02	1
4386	-698	-682	Min.	21.63	-573.06	5	-0.29	1	-0.03	5	-37.28	5	-3.44	5	-0.02	1
4386	-682	-666	Max	0.00	-192.16	5	1.02	1	0.06	1	13.01	5	4.65	5	0.02	1
4386	-682	-666	Max	21.63	-192.56	5	1.02	1	0.21	1	8.18	5	2.24	5	0.02	1
4386	-682	-666	Min.	0.00	-590.10	5	-0.94	1	-0.02	1	-38.15	5	-0.06	5	-0.06	1

4386	-682	-666	Min.	21.63	-590.49	5	-0.94	1	-0.16	1	-42.97	5	-4.13	5	-0.06	1
4386	-666	-650	Max	0.00	-211.31	5	0.87	1	0.11	1	8.56	5	5.38	5	-0.01	1
4386	-666	-650	Max	14.56					0.02	7			1.49	7		
4386	-666	-650	Max	21.63	-211.71	5	0.87	1	0.04	1	3.74	5	1.82	5	-0.01	1
4386	-666	-650	Min.	0.00	-602.84	5	-0.84	1	-0.16	1	-45.75	5	0.49	5	-0.04	1
4386	-666	-650	Min.	14.56					-0.06	7			-1.51	7		
4386	-666	-650	Min.	21.63	-603.24	5	-0.84	1	-0.08	1	-50.58	5	-5.04	5	-0.04	1
4386	-650	-634	Max	0.00	-121.89	5	0.24	1	0.03	5	5.61	5	5.94	5	-0.01	1
4386	-650	-634	Max	21.63	-122.28	5	0.24	1	0.07	1	0.78	5	1.54	5	-0.01	1
4386	-650	-634	Min.	0.00	-609.83	5	-0.28	1	-0.04	5	-52.75	5	0.85	5	-0.03	1
4386	-650	-634	Min.	21.63	-610.22	5	-0.28	1	-0.09	1	-57.58	5	-6.00	5	-0.03	1
4386	-634	-618	Max	0.00	-11.77	5	0.24	1	0.07	1	2.37	5	6.54	5	-0.01	5
4386	-634	-618	Max	4.33					-0.01	7			3.89	7		
4386	-634	-618	Max	21.63	-12.16	5	0.24	1	0.03	5	-2.45	5	1.27	5	-0.01	5
4386	-634	-618	Min.	0.00	-611.02	5	-0.28	1	-0.06	1	-60.55	5	1.28	5	-0.02	5
4386	-634	-618	Min.	4.33					0.02	7			1.37	7		
4386	-634	-618	Min.	21.63	-611.41	5	-0.28	1	-0.03	5	-65.38	5	-7.09	5	-0.02	5
4386	-618	-602	Max	0.00	124.60	5	0.93	1	0.05	1	-1.08	5	7.19	5	0.00	1
4386	-618	-602	Max	21.63	124.21	5	0.93	1	0.20	1	-5.91	5	1.06	5	0.00	1
4386	-618	-602	Min.	0.00	-604.68	5	-0.86	1	-0.02	1	-69.34	5	1.81	5	-0.04	1
4386	-618	-602	Min.	21.63	-605.07	5	-0.86	1	-0.15	1	-74.16	5	-8.34	5	-0.04	1
4386	-602	-586	Max	0.00	305.31	5	0.66	1	0.10	1	-10.71	5	8.44	5	-0.02	1
4386	-602	-586	Max	21.63	304.92	5	0.66	1	0.04	1	-15.54	5	0.03	5	-0.02	1
4386	-602	-586	Min.	0.00	-590.43	5	-0.87	1	-0.11	1	-85.30	5	2.87	5	-0.10	1
4386	-602	-586	Min.	21.63	-590.83	5	-0.87	1	-0.10	1	-90.12	5	-10.53	5	-0.10	1
4386	-586	-570	Max	0.00	529.16	5	0.13	1	0.04	1	-15.37	5	8.87	5	-0.01	1
4386	-586	-570	Max	21.63	528.77	5	0.13	1	0.05	1	-20.19	5	-0.55	5	-0.01	1
4386	-586	-570	Min.	0.00	-551.75	5	-0.39	1	-0.02	1	-97.25	5	3.30	5	-0.09	1
4386	-586	-570	Min.	21.63	-552.14	5	-0.39	1	-0.09	1	-102.07	5	-12.69	5	-0.09	1
4386	-570	-554	Max	0.00	807.72	5	0.06	1	0.06	1	-20.49	5	9.04	5	-0.02	1
4386	-570	-554	Max	21.63	807.33	5	0.06	1	0.02	5	-25.32	5	-1.15	5	-0.02	1
4386	-570	-554	Min.	0.00	-494.52	5	-0.30	1	-0.02	1	-113.10	5	3.81	5	-0.08	1
4386	-570	-554	Min.	21.63	-494.91	5	-0.30	1	-0.03	5	-117.92	5	-15.95	5	-0.08	1
4386	-554	4287	Max	0.00	1119.17	5	0.15	1	0.07	5	-29.55	5	5.36	5	-0.03	1
4386	-554	4287	Max	21.63	1118.78	5	0.15	1	0.10	1	-34.38	5	-2.67	5	-0.03	1
4386	-554	4287	Min.	0.00	-416.22	5	-0.72	1	0.01	5	-120.23	5	4.25	5	-0.05	1
4386	-554	4287	Min.	21.63	-416.61	5	-0.72	1	-0.14	1	-125.06	5	-21.17	5	-0.05	1
4386	4287	-538	Max	0.00	109.24	1	3.90	1	0.16	1	24.32	5	-1.00	1	0.01	1
4386	4287	-538	Max	16.72	109.00	1	3.90	1	0.32	1	21.27	5	1.70	5	0.01	1
4386	4287	-538	Min.	0.00	-1.98	1	-1.81	1	-0.33	1	5.88	5	-2.35	1	-0.01	1
4386	4287	-538	Min.	16.72	-2.23	1	-1.81	1	-0.14	1	2.82	5	-0.51	5	-0.01	1
4386	-538	-522	Max	0.00	67.33	1	4.59	1	0.17	1	15.73	1	-0.05	1	0.08	1
4386	-538	-522	Max	16.72	67.08	1	4.59	1	0.38	1	12.67	1	0.95	1	0.08	1
4386	-538	-522	Min.	0.00	-0.99	1	-1.98	1	-0.39	1	3.13	1	-1.45	1	-0.05	1
4386	-538	-522	Min.	16.72	-1.23	1	-1.98	1	-0.16	1	0.07	1	0.19	1	-0.05	1
4386	-522	3314	Max	0.00	26.05	1	4.25	5	0.14	5	15.22	1	-0.05	1	0.09	1
4386	-522	3314	Max	16.72	25.80	1	4.25	5	0.36	5	12.16	1	1.21	1	0.09	1
4386	-522	3314	Min.	0.00	0.58	1	-1.77	5	-0.35	5	1.99	1	-1.08	1	-0.06	1
4386	-522	3314	Min.	16.72	0.33	1	-1.77	5	-0.15	5	-1.07	1	0.03	1	-0.06	1
4423	-787	-779	Max	0.00	-720.32	1	1.02	1	0.16	1	43.79	5	-1.05	5	0.06	1
4423	-787	-779	Max	21.63	-720.71	1	1.02	1	0.05	1	38.96	5	4.19	5	0.06	1
4423	-787	-779	Min.	0.00	-749.18	1	-1.01	1	-0.17	1	8.20	5	-4.76	5	-0.07	1
4423	-787	-779	Min.	21.63	-749.57	1	-1.01	1	-0.06	1	3.37	5	0.21	5	-0.07	1
4423	-779	-763	Max	0.00	-725.68	5	0.30	1	0.03	1	39.63	5	0.74	5	0.01	1
4423	-779	-763	Max	21.63	-726.07	5	0.30	1	0.09	1	34.80	5	4.96	5	0.01	1
4423	-779	-763	Min.	0.00	-779.37	5	-0.30	1	-0.03	1	2.40	5	-3.09	5	-0.01	1
4423	-779	-763	Min.	21.63	-779.76	5	-0.30	1	-0.09	1	-2.42	5	0.73	5	-0.01	1
4423	-763	-747	Max	0.00	-723.20	5	0.28	1	0.09	1	38.16	5	1.31	5	0.01	1
4423	-763	-747	Max	21.63	-723.59	5	0.28	1	0.03	1	33.34	5	5.10	5	0.01	1

4423	-763	-747	Min.	0.00	-820.54	5	-0.27	1	-0.09	1	-0.82	5	-2.64	5	-0.01	1
4423	-763	-747	Min.	21.63	-820.94	5	-0.27	1	-0.03	1	-5.65	5	0.61	5	-0.01	1
4423	-747	-731	Max	0.00	-715.39	5	0.99	1	0.05	1	36.70	5	2.07	5	0.06	1
4423	-747	-731	Max	21.63	-715.78	5	0.99	1	0.18	1	31.88	5	5.41	5	0.06	1
4423	-747	-731	Min.	0.00	-860.85	5	-0.97	1	-0.04	1	-4.26	5	-2.01	5	-0.06	1
4423	-747	-731	Min.	21.63	-861.24	5	-0.97	1	-0.17	1	-9.08	5	0.63	5	-0.06	1
4423	-731	-715	Max	0.00	-697.53	5	0.90	1	0.13	1	16.46	5	4.41	5	0.04	1
4423	-731	-715	Max	21.63	-697.92	5	0.90	1	0.05	1	11.64	5	3.26	5	0.04	1
4423	-731	-715	Min.	0.00	-890.98	5	-0.89	1	-0.14	1	-26.22	5	0.22	5	-0.05	1
4423	-731	-715	Min.	21.63	-891.37	5	-0.89	1	-0.06	1	-31.04	5	-1.78	5	-0.05	1
4423	-715	-699	Max	0.00	-657.92	5	0.24	1	0.03	1	14.33	5	4.52	5	-0.00	1
4423	-715	-699	Max	21.63	-658.31	5	0.24	1	0.08	1	9.51	5	2.75	5	-0.00	1
4423	-715	-699	Min.	0.00	-910.20	5	-0.24	1	-0.03	1	-30.76	5	0.17	5	-0.01	1
4423	-715	-699	Min.	21.63	-910.59	5	-0.24	1	-0.08	1	-35.59	5	-2.66	5	-0.01	1
4423	-699	-683	Max	0.00	-606.23	5	0.26	1	0.08	1	11.25	5	5.07	5	0.00	1
4423	-699	-683	Max	21.63	-606.62	5	0.26	1	0.02	1	6.42	5	2.47	5	0.00	1
4423	-699	-683	Min.	0.00	-924.38	5	-0.26	1	-0.07	1	-36.53	5	0.56	5	-0.01	1
4423	-699	-683	Min.	21.63	-924.77	5	-0.26	1	-0.02	1	-41.36	5	-3.36	5	-0.01	1
4423	-683	-667	Max	0.00	-540.49	5	0.93	1	0.04	1	8.59	5	5.85	5	0.04	1
4423	-683	-667	Max	21.63	-540.88	5	0.93	1	0.18	1	3.76	5	2.51	5	0.04	1
4423	-683	-667	Min.	0.00	-932.88	5	-0.91	1	-0.03	1	-42.26	5	1.17	5	-0.04	1
4423	-683	-667	Min.	21.63	-933.27	5	-0.91	1	-0.16	1	-47.08	5	-3.81	5	-0.04	1
4423	-667	-651	Max	0.00	-481.47	5	0.77	1	0.11	1	-11.16	5	8.21	5	0.00	1
4423	-667	-651	Max	21.63	-481.86	5	0.77	1	0.05	1	-15.99	5	0.39	5	0.00	1
4423	-667	-651	Min.	0.00	-906.46	5	-0.79	1	-0.12	1	-65.47	5	3.33	5	-0.03	1
4423	-667	-651	Min.	21.63	-906.85	5	-0.79	1	-0.07	1	-70.29	5	-6.48	5	-0.03	1
4423	-651	-635	Max	0.00	-358.91	5	0.18	1	0.03	1	-15.12	5	8.56	5	-0.01	1
4423	-651	-635	Max	21.63	-359.30	5	0.18	1	0.07	1	-19.94	5	-0.28	5	-0.01	1
4423	-651	-635	Min.	0.00	-879.22	5	-0.23	1	-0.03	1	-73.38	5	3.51	5	-0.02	1
4423	-651	-635	Min.	21.63	-879.61	5	-0.23	1	-0.08	1	-78.20	5	-7.83	5	-0.02	1
4423	-635	-619	Max	0.00	-207.38	5	0.21	1	0.07	1	-20.19	5	9.30	5	-0.01	1
4423	-635	-619	Max	21.63	-207.77	5	0.21	1	0.02	1	-25.01	5	-0.82	5	-0.01	1
4423	-635	-619	Min.	0.00	-839.63	5	-0.26	1	-0.06	1	-83.03	5	4.07	5	-0.01	1
4423	-635	-619	Min.	21.63	-840.02	5	-0.26	1	-0.02	1	-87.85	5	-9.19	5	-0.01	1
4423	-619	-603	Max	0.00	-20.62	5	0.83	1	0.03	1	-25.43	5	10.25	5	0.00	1
4423	-619	-603	Max	21.63	-21.01	5	0.83	1	0.16	1	-30.25	5	-1.13	5	0.00	1
4423	-619	-603	Min.	0.00	-783.70	5	-0.87	1	-0.02	1	-93.60	5	4.89	5	-0.03	1
4423	-619	-603	Min.	21.63	-784.09	5	-0.87	1	-0.15	1	-98.42	5	-10.52	5	-0.03	1
4423	-603	-587	Max	0.00	218.78	5	0.73	1	0.09	1	-51.47	5	13.14	5	0.04	1
4423	-603	-587	Max	21.63	218.39	5	0.73	1	0.06	1	-56.30	5	-4.13	5	0.04	1
4423	-603	-587	Min.	0.00	-689.88	5	-0.68	1	-0.10	1	-126.41	5	7.53	5	-0.03	1
4423	-603	-587	Min.	21.63	-690.27	5	-0.68	1	-0.06	1	-131.24	5	-14.73	5	-0.03	1
4423	-587	-571	Max	0.00	544.90	5	0.23	1	0.02	1	-60.00	5	13.49	5	0.04	1
4423	-587	-571	Max	21.63	544.51	5	0.23	1	0.07	1	-64.82	5	-5.60	5	0.04	1
4423	-587	-571	Min.	0.00	-549.57	5	-0.22	1	-0.02	1	-142.22	5	7.90	5	-0.04	1
4423	-587	-571	Min.	21.63	-549.96	5	-0.22	1	-0.07	1	-147.04	5	-17.79	5	-0.04	1
4423	-571	-555	Max	0.00	949.04	5	0.15	1	0.04	1	-70.56	5	13.68	5	0.03	1
4423	-571	-555	Max	21.63	948.65	5	0.15	1	0.01	1	-75.39	5	-7.35	5	0.03	1
4423	-571	-555	Min.	0.00	-367.68	5	-0.17	1	-0.04	1	-163.64	5	8.43	5	-0.03	1
4423	-571	-555	Min.	21.63	-368.07	5	-0.17	1	-0.01	1	-168.47	5	-22.24	5	-0.03	1
4423	-555	4288	Max	0.00	1400.30	5	0.60	1	0.01	1	-83.27	5	8.63	5	-0.01	1
4423	-555	4288	Max	21.63	1399.91	5	0.60	1	0.14	1	-88.09	5	-10.99	5	-0.01	1
4423	-555	4288	Min.	0.00	-150.48	5	-0.35	1	-0.03	1	-174.03	5	7.55	5	-0.02	1
4423	-555	4288	Min.	21.63	-150.88	5	-0.35	1	-0.10	1	-178.86	5	-29.54	5	-0.02	1
4423	4288	-539	Max	0.00	187.40	1	2.84	1	0.19	1	33.98	5	-2.36	1	0.03	1
4423	4288	-539	Max	16.72	187.15	1	2.84	1	0.22	1	30.92	5	2.00	5	0.03	1
4423	4288	-539	Min.	0.00	77.66	1	-2.22	1	-0.25	1	15.78	5	-3.61	1	0.02	1
4423	4288	-539	Min.	16.72	77.41	1	-2.22	1	-0.18	1	12.72	5	-0.16	5	0.02	1
4423	-539	-523	Max	0.00	118.19	1	2.90	1	0.20	1	23.33	1	-0.87	1	0.04	1

4423	-539	-523	Max	16.72	117.94	1	2.90	1	0.24	1	20.27	1	1.43	1	0.04	1
4423	-539	-523	Min.	0.00	55.72	1	-2.36	1	-0.25	1	10.85	1	-2.24	1	-0.09	1
4423	-539	-523	Min.	16.72	55.47	1	-2.36	1	-0.19	1	7.79	1	0.66	1	-0.09	1
4423	-523	3315	Max	0.00	44.20	1	2.31	1	0.15	1	24.19	1	-0.81	1	0.03	1
4423	-523	3315	Max	16.72	43.95	1	2.31	1	0.20	1	21.13	1	1.98	1	0.03	1
4423	-523	3315	Min.	0.00	28.53	1	-1.82	1	-0.19	1	11.22	1	-1.81	1	-0.12	1
4423	-523	3315	Min.	16.72	28.28	1	-1.82	1	-0.16	1	8.16	1	0.81	1	-0.12	1
4424	-788	-780	Max	0.00	-725.14	1	1.06	1	0.17	1	43.96	5	-1.04	5	0.06	1
4424	-788	-780	Max	21.63	-725.55	1	1.06	1	0.05	1	38.89	5	4.20	5	0.06	1
4424	-788	-780	Min.	0.00	-739.61	1	-1.05	1	-0.18	1	8.27	5	-4.76	5	-0.06	1
4424	-788	-780	Min.	21.63	-740.02	1	-1.05	1	-0.06	1	3.20	5	0.21	5	-0.06	1
4424	-780	-764	Max	0.00	-727.39	5	0.32	1	0.03	1	39.68	5	0.76	5	0.01	1
4424	-780	-764	Max	21.63	-727.80	5	0.32	1	0.10	1	34.61	5	4.96	5	0.01	1
4424	-780	-764	Min.	0.00	-772.77	5	-0.31	1	-0.03	1	2.34	5	-3.08	5	-0.01	1
4424	-780	-764	Min.	21.63	-773.19	5	-0.31	1	-0.10	1	-2.74	5	0.72	5	-0.01	1
4424	-764	-748	Max	0.00	-724.67	5	0.31	1	0.09	1	38.09	5	1.35	5	0.01	1
4424	-764	-748	Max	21.63	-725.09	5	0.31	1	0.03	1	33.02	5	5.08	5	0.01	1
4424	-764	-748	Min.	0.00	-813.76	5	-0.29	1	-0.09	1	-1.01	5	-2.61	5	-0.01	1
4424	-764	-748	Min.	21.63	-814.17	5	-0.29	1	-0.03	1	-6.09	5	0.58	5	-0.01	1
4424	-748	-732	Max	0.00	-716.47	5	1.04	1	0.05	1	36.48	5	2.12	5	0.06	1
4424	-748	-732	Max	21.63	-716.88	5	1.04	1	0.19	1	31.40	5	5.37	5	0.06	1
4424	-748	-732	Min.	0.00	-853.75	5	-1.02	1	-0.04	1	-4.61	5	-1.97	5	-0.06	1
4424	-748	-732	Min.	21.63	-854.16	5	-1.02	1	-0.18	1	-9.68	5	0.57	5	-0.06	1
4424	-732	-716	Max	0.00	-694.83	5	0.94	1	0.14	1	16.47	5	4.44	5	0.03	1
4424	-732	-716	Max	21.63	-695.24	5	0.94	1	0.05	1	11.39	5	3.25	5	0.03	1
4424	-732	-716	Min.	0.00	-884.79	5	-0.93	1	-0.15	1	-26.39	5	0.24	5	-0.05	1
4424	-732	-716	Min.	21.63	-885.20	5	-0.93	1	-0.06	1	-31.46	5	-1.82	5	-0.05	1
4424	-716	-700	Max	0.00	-654.66	5	0.26	1	0.03	1	14.19	5	4.57	5	-0.00	1
4424	-716	-700	Max	21.63	-655.07	5	0.26	1	0.08	1	9.12	5	2.72	5	-0.00	1
4424	-716	-700	Min.	0.00	-903.76	5	-0.26	1	-0.03	1	-31.08	5	0.20	5	-0.01	1
4424	-716	-700	Min.	21.63	-904.17	5	-0.26	1	-0.09	1	-36.15	5	-2.71	5	-0.01	1
4424	-700	-684	Max	0.00	-602.16	5	0.28	1	0.08	1	10.95	5	5.13	5	0.00	1
4424	-700	-684	Max	21.63	-602.58	5	0.28	1	0.02	1	5.88	5	2.43	5	0.00	1
4424	-700	-684	Min.	0.00	-917.51	5	-0.28	1	-0.08	1	-37.00	5	0.61	5	-0.01	1
4424	-700	-684	Min.	21.63	-917.92	5	-0.28	1	-0.02	1	-42.07	5	-3.42	5	-0.01	1
4424	-684	-668	Max	0.00	-535.24	5	0.98	1	0.04	1	8.15	5	5.94	5	0.03	1
4424	-684	-668	Max	21.63	-535.65	5	0.98	1	0.19	1	3.08	5	2.47	5	0.03	1
4424	-684	-668	Min.	0.00	-925.25	5	-0.95	1	-0.03	1	-42.88	5	1.25	5	-0.05	1
4424	-684	-668	Min.	21.63	-925.67	5	-0.95	1	-0.17	1	-47.95	5	-3.88	5	-0.05	1
4424	-668	-652	Max	0.00	-498.20	5	0.82	1	0.11	1	-12.55	5	8.37	5	0.00	1
4424	-668	-652	Max	21.63	-498.62	5	0.82	1	0.05	1	-17.62	5	0.25	5	0.00	1
4424	-668	-652	Min.	0.00	-920.35	5	-0.82	1	-0.13	1	-66.68	5	3.52	5	-0.03	1
4424	-668	-652	Min.	21.63	-920.76	5	-0.82	1	-0.07	1	-71.76	5	-6.61	5	-0.03	1
4424	-652	-636	Max	0.00	-372.28	5	0.21	1	0.03	1	-16.74	5	8.74	5	-0.01	1
4424	-652	-636	Max	21.63	-372.69	5	0.21	1	0.07	1	-21.82	5	-0.46	5	-0.01	1
4424	-652	-636	Min.	0.00	-891.17	5	-0.23	1	-0.04	1	-74.83	5	3.71	5	-0.01	1
4424	-652	-636	Min.	21.63	-891.59	5	-0.23	1	-0.08	1	-79.91	5	-8.00	5	-0.01	1
4424	-636	-620	Max	0.00	-217.50	5	0.24	1	0.07	1	-22.08	5	9.49	5	-0.01	1
4424	-636	-620	Max	21.63	-217.91	5	0.24	1	0.02	1	-27.15	5	-1.04	5	-0.01	1
4424	-636	-620	Min.	0.00	-848.18	5	-0.26	1	-0.07	1	-84.72	5	4.29	5	-0.01	1
4424	-636	-620	Min.	21.63	-848.59	5	-0.26	1	-0.02	1	-89.80	5	-9.39	5	-0.01	1
4424	-620	-604	Max	0.00	-27.19	5	0.90	1	0.04	1	-27.61	5	10.44	5	0.00	1
4424	-620	-604	Max	21.63	-27.60	5	0.90	1	0.17	1	-32.69	5	-1.43	5	0.00	1
4424	-620	-604	Min.	0.00	-788.17	5	-0.90	1	-0.02	1	-95.57	5	5.08	5	-0.03	1
4424	-620	-604	Min.	21.63	-788.58	5	-0.90	1	-0.16	1	-100.64	5	-10.80	5	-0.03	1
4424	-604	-588	Max	0.00	217.45	5	0.76	1	0.09	1	-50.35	5	13.01	5	0.04	1
4424	-604	-588	Max	21.63	217.04	5	0.76	1	0.06	1	-55.42	5	-4.08	5	0.04	1
4424	-604	-588	Min.	0.00	-690.52	5	-0.71	1	-0.10	1	-125.65	5	7.36	5	-0.04	1
4424	-604	-588	Min.	21.63	-690.94	5	-0.71	1	-0.07	1	-130.72	5	-14.72	5	-0.04	1

4424	-588	-572	Max	0.00	542.86	5	0.24	1	0.02	1	-59.04	5	13.44	5	0.04	1
4424	-588	-572	Max	21.63	542.45	5	0.24	1	0.07	1	-64.11	5	-5.51	5	0.04	1
4424	-588	-572	Min.	0.00	-551.85	5	-0.23	1	-0.02	1	-141.67	5	7.81	5	-0.04	1
4424	-588	-572	Min.	21.63	-552.26	5	-0.23	1	-0.07	1	-146.74	5	-17.76	5	-0.04	1
4424	-572	-556	Max	0.00	945.93	5	0.18	1	0.04	1	-69.58	5	13.64	5	0.03	1
4424	-572	-556	Max	21.63	945.51	5	0.18	1	0.01	1	-74.65	5	-7.25	5	0.03	1
4424	-572	-556	Min.	0.00	-372.12	5	-0.15	1	-0.04	1	-163.09	5	8.35	5	-0.03	1
4424	-572	-556	Min.	21.63	-372.53	5	-0.15	1	-0.00	1	-168.17	5	-22.19	5	-0.03	1
4424	-556	4290	Max	0.00	1396.11	5	0.37	1	0.03	1	-82.48	5	8.62	5	0.02	1
4424	-556	4290	Max	10.98					-0.02	7			-1.79	7		
4424	-556	4290	Max	21.63	1395.70	5	0.37	1	0.11	1	-87.55	5	-10.89	5	0.02	1
4424	-556	4290	Min.	0.00	-157.21	5	-0.60	1	-0.01	1	-173.78	5	7.50	5	0.01	1
4424	-556	4290	Min.	10.98					0.02	7			-10.52	7		
4424	-556	4290	Min.	21.63	-157.62	5	-0.60	1	-0.13	1	-178.86	5	-29.53	5	0.01	1
4424	4290	-540	Max	0.00	151.99	1	2.43	1	0.21	1	30.55	5	-1.87	1	-0.04	1
4424	4290	-540	Max	16.72	151.72	1	2.43	1	0.20	1	27.34	5	1.91	5	-0.04	1
4424	4290	-540	Min.	0.00	44.37	1	-2.39	1	-0.21	1	12.43	5	-3.14	1	-0.05	1
4424	4290	-540	Min.	16.72	44.11	1	-2.39	1	-0.19	1	9.22	5	-0.27	5	-0.05	1
4424	-540	-524	Max	0.00	93.73	1	2.90	1	0.20	1	19.14	1	-0.41	1	0.04	1
4424	-540	-524	Max	16.72	93.47	1	2.90	1	0.24	1	15.93	1	1.15	1	0.04	1
4424	-540	-524	Min.	0.00	32.54	1	-2.35	1	-0.25	1	6.44	1	-1.81	1	-0.09	1
4424	-540	-524	Min.	16.72	32.28	1	-2.35	1	-0.19	1	3.23	1	0.37	1	-0.09	1
4424	-524	3316	Max	0.00	33.96	1	2.51	1	0.16	1	19.34	1	-0.40	1	0.06	1
4424	-524	3316	Max	16.72	33.70	1	2.51	1	0.21	1	16.13	1	1.55	1	0.06	1
4424	-524	3316	Min.	0.00	18.62	1	-1.92	1	-0.20	1	6.22	1	-1.42	1	-0.09	1
4424	-524	3316	Min.	16.72	18.36	1	-1.92	1	-0.17	1	3.01	1	0.37	1	-0.09	1
4461	-789	-781	Max	0.00	-725.07	1	1.05	1	0.18	1	43.95	5	-1.03	5	0.06	1
4461	-789	-781	Max	21.63	-725.49	1	1.05	1	0.06	1	38.88	5	4.20	5	0.06	1
4461	-789	-781	Min.	0.00	-739.34	1	-1.06	1	-0.17	1	8.26	5	-4.76	5	-0.06	1
4461	-789	-781	Min.	21.63	-739.75	1	-1.06	1	-0.05	1	3.19	5	0.20	5	-0.06	1
4461	-781	-765	Max	0.00	-727.36	5	0.31	1	0.03	1	39.67	5	0.76	5	0.01	1
4461	-781	-765	Max	21.63	-727.77	5	0.31	1	0.10	1	34.59	5	4.96	5	0.01	1
4461	-781	-765	Min.	0.00	-772.44	5	-0.32	1	-0.03	1	2.33	5	-3.08	5	-0.01	1
4461	-781	-765	Min.	21.63	-772.85	5	-0.32	1	-0.10	1	-2.74	5	0.72	5	-0.01	1
4461	-765	-749	Max	0.00	-724.63	5	0.29	1	0.09	1	38.07	5	1.35	5	0.01	1
4461	-765	-749	Max	21.63	-725.04	5	0.29	1	0.03	1	33.00	5	5.08	5	0.01	1
4461	-765	-749	Min.	0.00	-813.41	5	-0.30	1	-0.09	1	-1.02	5	-2.61	5	-0.01	1
4461	-765	-749	Min.	21.63	-813.82	5	-0.30	1	-0.03	1	-6.10	5	0.58	5	-0.01	1
4461	-749	-733	Max	0.00	-716.41	5	1.02	1	0.04	1	36.46	5	2.12	5	0.06	1
4461	-749	-733	Max	21.63	-716.82	5	1.02	1	0.18	1	31.39	5	5.37	5	0.06	1
4461	-749	-733	Min.	0.00	-853.38	5	-1.04	1	-0.05	1	-4.61	5	-1.97	5	-0.06	1
4461	-749	-733	Min.	21.63	-853.79	5	-1.04	1	-0.19	1	-9.69	5	0.57	5	-0.06	1
4461	-733	-717	Max	0.00	-694.78	5	0.93	1	0.15	1	16.45	5	4.44	5	0.05	1
4461	-733	-717	Max	21.63	-695.19	5	0.93	1	0.06	1	11.38	5	3.25	5	0.05	1
4461	-733	-717	Min.	0.00	-884.62	5	-0.94	1	-0.14	1	-26.39	5	0.24	5	-0.03	1
4461	-733	-717	Min.	21.63	-885.03	5	-0.94	1	-0.05	1	-31.47	5	-1.82	5	-0.03	1
4461	-717	-701	Max	0.00	-654.60	5	0.26	1	0.03	1	14.18	5	4.57	5	0.01	1
4461	-717	-701	Max	21.63	-655.01	5	0.26	1	0.09	1	9.10	5	2.72	5	0.01	1
4461	-717	-701	Min.	0.00	-903.57	5	-0.26	1	-0.03	1	-31.08	5	0.20	5	0.00	1
4461	-717	-701	Min.	21.63	-903.98	5	-0.26	1	-0.08	1	-36.16	5	-2.71	5	0.00	1
4461	-701	-685	Max	0.00	-602.09	5	0.28	1	0.08	1	10.94	5	5.13	5	0.01	1
4461	-701	-685	Max	21.63	-602.50	5	0.28	1	0.02	1	5.87	5	2.43	5	0.01	1
4461	-701	-685	Min.	0.00	-917.29	5	-0.28	1	-0.08	1	-37.01	5	0.61	5	0.00	1
4461	-701	-685	Min.	21.63	-917.70	5	-0.28	1	-0.02	1	-42.08	5	-3.42	5	0.00	1
4461	-685	-669	Max	0.00	-535.15	5	0.95	1	0.03	1	8.14	5	5.94	5	0.05	1
4461	-685	-669	Max	21.63	-535.56	5	0.95	1	0.17	1	3.06	5	2.47	5	0.05	1
4461	-685	-669	Min.	0.00	-925.02	5	-0.98	1	-0.04	1	-42.89	5	1.26	5	-0.03	1
4461	-685	-669	Min.	21.63	-925.43	5	-0.98	1	-0.19	1	-47.96	5	-3.88	5	-0.03	1
4461	-669	-653	Max	0.00	-498.14	5	0.82	1	0.13	1	-12.56	5	8.37	5	0.03	1

4461	-669	-653	Max	21.63	-498.56	5	0.82	1	0.07	1	-17.63	5	0.25	5	0.03	1
4461	-669	-653	Min.	0.00	-920.19	5	-0.82	1	-0.11	1	-66.69	5	3.52	5	-0.00	1
4461	-669	-653	Min.	21.63	-920.60	5	-0.82	1	-0.05	1	-71.76	5	-6.61	5	-0.00	1
4461	-653	-637	Max	0.00	-372.20	5	0.23	1	0.04	1	-16.75	5	8.74	5	0.01	1
4461	-653	-637	Max	21.63	-372.62	5	0.23	1	0.08	1	-21.83	5	-0.46	5	0.01	1
4461	-653	-637	Min.	0.00	-890.99	5	-0.21	1	-0.03	1	-74.84	5	3.71	5	0.01	1
4461	-653	-637	Min.	21.63	-891.40	5	-0.21	1	-0.07	1	-79.91	5	-8.00	5	0.01	1
4461	-637	-621	Max	0.00	-217.42	5	0.26	1	0.07	1	-22.09	5	9.49	5	0.01	5
4461	-637	-621	Max	21.63	-217.83	5	0.26	1	0.02	1	-27.16	5	-1.04	5	0.01	5
4461	-637	-621	Min.	0.00	-847.97	5	-0.24	1	-0.07	1	-84.73	5	4.29	5	0.01	5
4461	-637	-621	Min.	21.63	-848.38	5	-0.24	1	-0.02	1	-89.80	5	-9.39	5	0.01	5
4461	-621	-605	Max	0.00	-27.09	5	0.90	1	0.02	1	-27.63	5	10.44	5	0.03	1
4461	-621	-605	Max	21.63	-27.50	5	0.90	1	0.16	1	-32.70	5	-1.43	5	0.03	1
4461	-621	-605	Min.	0.00	-787.94	5	-0.90	1	-0.04	1	-95.58	5	5.08	5	-0.00	1
4461	-621	-605	Min.	21.63	-788.35	5	-0.90	1	-0.17	1	-100.65	5	-10.81	5	-0.00	1
4461	-605	-589	Max	0.00	217.55	5	0.71	1	0.10	1	-50.36	5	13.01	5	0.04	1
4461	-605	-589	Max	21.63	217.14	5	0.71	1	0.07	1	-55.43	5	-4.08	5	0.04	1
4461	-605	-589	Min.	0.00	-690.38	5	-0.76	1	-0.09	1	-125.66	5	7.36	5	-0.04	1
4461	-605	-589	Min.	21.63	-690.79	5	-0.76	1	-0.06	1	-130.73	5	-14.72	5	-0.04	1
4461	-589	-573	Max	0.00	542.99	5	0.23	1	0.02	1	-59.05	5	13.44	5	0.04	1
4461	-589	-573	Max	21.63	542.57	5	0.23	1	0.07	1	-64.12	5	-5.51	5	0.04	1
4461	-589	-573	Min.	0.00	-551.68	5	-0.24	1	-0.02	1	-141.68	5	7.81	5	-0.04	1
4461	-589	-573	Min.	21.63	-552.10	5	-0.24	1	-0.07	1	-146.75	5	-17.76	5	-0.04	1
4461	-573	-557	Max	0.00	946.07	5	0.15	1	0.04	1	-69.59	5	13.64	5	0.03	1
4461	-573	-557	Max	21.63	945.66	5	0.15	1	0.00	1	-74.66	5	-7.25	5	0.03	1
4461	-573	-557	Min.	0.00	-371.93	5	-0.18	1	-0.04	1	-163.10	5	8.35	5	-0.03	1
4461	-573	-557	Min.	21.63	-372.34	5	-0.18	1	-0.01	1	-168.18	5	-22.20	5	-0.03	1
4461	-557	4291	Max	0.00	1396.28	5	0.60	1	0.01	1	-82.49	5	8.62	5	-0.01	1
4461	-557	4291	Max	21.63	1395.87	5	0.60	1	0.13	1	-87.56	5	-10.89	5	-0.01	1
4461	-557	4291	Min.	0.00	-157.00	5	-0.37	1	-0.03	1	-173.79	5	7.50	5	-0.02	1
4461	-557	4291	Min.	21.63	-157.41	5	-0.37	1	-0.11	1	-178.86	5	-29.53	5	-0.02	1
4461	4291	-541	Max	0.00	152.05	1	2.40	1	0.21	1	30.56	5	-1.87	1	0.05	1
4461	4291	-541	Max	16.72	151.79	1	2.40	1	0.19	1	27.35	5	1.91	5	0.05	1
4461	4291	-541	Min.	0.00	44.52	1	-2.42	1	-0.21	1	12.43	5	-3.14	1	0.04	1
4461	4291	-541	Min.	16.72	44.26	1	-2.42	1	-0.20	1	9.22	5	-0.27	5	0.04	1
4461	-541	-525	Max	0.00	93.78	1	2.36	1	0.25	1	19.15	1	-0.41	1	0.09	1
4461	-541	-525	Max	16.72	93.52	1	2.36	1	0.20	1	15.94	1	1.15	1	0.09	1
4461	-541	-525	Min.	0.00	32.62	1	-2.89	1	-0.20	1	6.44	1	-1.81	1	-0.04	1
4461	-541	-525	Min.	16.72	32.36	1	-2.89	1	-0.24	1	3.23	1	0.37	1	-0.04	1
4461	-525	3317	Max	0.00	33.99	1	1.93	1	0.20	1	19.34	1	-0.40	1	0.09	1
4461	-525	3317	Max	16.72	33.73	1	1.93	1	0.17	1	16.13	1	1.55	1	0.09	1
4461	-525	3317	Min.	0.00	18.64	1	-2.50	1	-0.16	1	6.22	1	-1.42	1	-0.06	1
4461	-525	3317	Min.	16.72	18.38	1	-2.50	1	-0.21	1	3.01	1	0.37	1	-0.06	1
4462	-790	-782	Max	0.00	-720.54	1	1.01	1	0.17	1	43.81	5	-1.05	5	0.07	1
4462	-790	-782	Max	21.63	-720.93	1	1.01	1	0.05	1	38.98	5	4.19	5	0.07	1
4462	-790	-782	Min.	0.00	-749.34	1	-1.01	1	-0.16	1	8.20	5	-4.77	5	-0.06	1
4462	-790	-782	Min.	21.63	-749.73	1	-1.01	1	-0.05	1	3.38	5	0.21	5	-0.06	1
4462	-782	-766	Max	0.00	-725.76	5	0.30	1	0.03	1	39.65	5	0.73	5	0.01	1
4462	-782	-766	Max	21.63	-726.15	5	0.30	1	0.09	1	34.82	5	4.96	5	0.01	1
4462	-782	-766	Min.	0.00	-779.70	5	-0.30	1	-0.03	1	2.41	5	-3.09	5	-0.01	1
4462	-782	-766	Min.	21.63	-780.09	5	-0.30	1	-0.09	1	-2.42	5	0.73	5	-0.01	1
4462	-766	-750	Max	0.00	-723.29	5	0.27	1	0.09	1	38.18	5	1.31	5	0.01	1
4462	-766	-750	Max	21.63	-723.68	5	0.27	1	0.03	1	33.36	5	5.10	5	0.01	1
4462	-766	-750	Min.	0.00	-820.89	5	-0.28	1	-0.09	1	-0.82	5	-2.64	5	-0.01	1
4462	-766	-750	Min.	21.63	-821.28	5	-0.28	1	-0.03	1	-5.64	5	0.61	5	-0.01	1
4462	-750	-734	Max	0.00	-715.48	5	0.98	1	0.04	1	36.72	5	2.07	5	0.06	1
4462	-750	-734	Max	21.63	-715.87	5	0.98	1	0.17	1	31.90	5	5.41	5	0.06	1
4462	-750	-734	Min.	0.00	-861.22	5	-0.99	1	-0.05	1	-4.25	5	-2.01	5	-0.06	1
4462	-750	-734	Min.	21.63	-861.61	5	-0.99	1	-0.18	1	-9.08	5	0.63	5	-0.06	1

4462	-734	-718	Max	0.00	-697.58	5	0.89	1	0.14	1	16.48	5	4.41	5	0.05	1
4462	-734	-718	Max	21.63	-697.97	5	0.89	1	0.06	1	11.65	5	3.27	5	0.05	1
4462	-734	-718	Min.	0.00	-891.17	5	-0.90	1	-0.13	1	-26.22	5	0.22	5	-0.04	1
4462	-734	-718	Min.	21.63	-891.57	5	-0.90	1	-0.05	1	-31.05	5	-1.78	5	-0.04	1
4462	-718	-702	Max	0.00	-657.98	5	0.24	1	0.03	1	14.35	5	4.52	5	0.01	1
4462	-718	-702	Max	21.63	-658.37	5	0.24	1	0.08	1	9.52	5	2.75	5	0.01	1
4462	-718	-702	Min.	0.00	-910.42	5	-0.24	1	-0.03	1	-30.76	5	0.17	5	0.00	1
4462	-718	-702	Min.	21.63	-910.81	5	-0.24	1	-0.08	1	-35.59	5	-2.66	5	0.00	1
4462	-702	-686	Max	0.00	-606.29	5	0.26	1	0.07	1	11.26	5	5.07	5	0.01	1
4462	-702	-686	Max	21.63	-606.68	5	0.26	1	0.02	1	6.44	5	2.47	5	0.01	1
4462	-702	-686	Min.	0.00	-924.62	5	-0.26	1	-0.08	1	-36.53	5	0.56	5	0.00	1
4462	-702	-686	Min.	21.63	-925.01	5	-0.26	1	-0.02	1	-41.36	5	-3.36	5	0.00	1
4462	-686	-670	Max	0.00	-540.55	5	0.91	1	0.03	1	8.61	5	5.85	5	0.04	1
4462	-686	-670	Max	21.63	-540.95	5	0.91	1	0.16	1	3.78	5	2.51	5	0.04	1
4462	-686	-670	Min.	0.00	-933.14	5	-0.93	1	-0.04	1	-42.25	5	1.17	5	-0.04	1
4462	-686	-670	Min.	21.63	-933.53	5	-0.93	1	-0.18	1	-47.08	5	-3.81	5	-0.04	1
4462	-670	-654	Max	0.00	-481.49	5	0.79	1	0.12	1	-11.15	5	8.21	5	0.03	1
4462	-670	-654	Max	21.63	-481.88	5	0.79	1	0.07	1	-15.97	5	0.39	5	0.03	1
4462	-670	-654	Min.	0.00	-906.60	5	-0.76	1	-0.11	1	-65.47	5	3.33	5	-0.00	1
4462	-670	-654	Min.	21.63	-906.99	5	-0.76	1	-0.05	1	-70.29	5	-6.48	5	-0.00	1
4462	-654	-638	Max	0.00	-358.93	5	0.23	1	0.03	1	-15.10	5	8.56	5	0.02	1
4462	-654	-638	Max	21.63	-359.32	5	0.23	1	0.08	1	-19.93	5	-0.28	5	0.02	1
4462	-654	-638	Min.	0.00	-879.37	5	-0.18	1	-0.03	1	-73.38	5	3.51	5	0.01	1
4462	-654	-638	Min.	21.63	-879.76	5	-0.18	1	-0.07	1	-78.21	5	-7.83	5	0.01	1
4462	-638	-622	Max	0.00	-207.39	5	0.26	1	0.06	1	-20.17	5	9.30	5	0.01	1
4462	-638	-622	Max	21.63	-207.78	5	0.26	1	0.02	1	-25.00	5	-0.81	5	0.01	1
4462	-638	-622	Min.	0.00	-839.82	5	-0.21	1	-0.07	1	-83.03	5	4.07	5	0.01	1
4462	-638	-622	Min.	21.63	-840.21	5	-0.21	1	-0.02	1	-87.85	5	-9.19	5	0.01	1
4462	-622	-606	Max	0.00	-20.63	5	0.87	1	0.02	1	-25.41	5	10.25	5	0.03	1
4462	-622	-606	Max	21.63	-21.02	5	0.87	1	0.15	1	-30.24	5	-1.13	5	0.03	1
4462	-622	-606	Min.	0.00	-783.91	5	-0.83	1	-0.03	1	-93.60	5	4.89	5	0.00	1
4462	-622	-606	Min.	21.63	-784.31	5	-0.83	1	-0.16	1	-98.42	5	-10.52	5	0.00	1
4462	-606	-590	Max	0.00	218.77	5	0.68	1	0.10	1	-51.47	5	13.14	5	0.03	1
4462	-606	-590	Max	21.63	218.38	5	0.68	1	0.06	1	-56.29	5	-4.13	5	0.03	1
4462	-606	-590	Min.	0.00	-689.99	5	-0.73	1	-0.09	1	-126.42	5	7.52	5	-0.04	1
4462	-606	-590	Min.	21.63	-690.38	5	-0.73	1	-0.06	1	-131.24	5	-14.73	5	-0.04	1
4462	-590	-574	Max	0.00	544.90	5	0.22	1	0.02	1	-59.99	5	13.49	5	0.04	1
4462	-590	-574	Max	21.63	544.51	5	0.22	1	0.07	1	-64.81	5	-5.60	5	0.04	1
4462	-590	-574	Min.	0.00	-549.70	5	-0.23	1	-0.02	1	-142.22	5	7.90	5	-0.04	1
4462	-590	-574	Min.	21.63	-550.09	5	-0.23	1	-0.07	1	-147.05	5	-17.80	5	-0.04	1
4462	-574	-558	Max	0.00	949.04	5	0.17	1	0.04	1	-70.55	5	13.68	5	0.03	1
4462	-574	-558	Max	21.63	948.65	5	0.17	1	0.01	1	-75.38	5	-7.35	5	0.03	1
4462	-574	-558	Min.	0.00	-367.83	5	-0.15	1	-0.04	1	-163.65	5	8.43	5	-0.03	1
4462	-574	-558	Min.	21.63	-368.22	5	-0.15	1	-0.01	1	-168.47	5	-22.24	5	-0.03	1
4462	-558	4293	Max	0.00	1400.31	5	0.35	1	0.03	1	-83.26	5	8.63	5	0.02	1
4462	-558	4293	Max	0.95									6.92	7		
4462	-558	4293	Max	21.63	1399.92	5	0.35	1	0.10	1	-88.08	5	-10.98	5	0.02	1
4462	-558	4293	Min.	0.00	-150.66	5	-0.60	1	-0.01	1	-174.04	5	7.55	5	0.01	1
4462	-558	4293	Min.	0.95					0.01	7			6.83	7		
4462	-558	4293	Min.	21.63	-151.05	5	-0.60	1	-0.14	1	-178.87	5	-29.54	5	0.01	1
4462	4293	-542	Max	0.00	187.31	1	2.23	1	0.25	1	33.97	5	-2.36	1	-0.02	1
4462	4293	-542	Max	16.72	187.06	1	2.23	1	0.18	1	30.91	5	2.00	5	-0.02	1
4462	4293	-542	Min.	0.00	77.54	1	-2.83	1	-0.19	1	15.78	5	-3.60	1	-0.03	1
4462	4293	-542	Min.	16.72	77.29	1	-2.83	1	-0.22	1	12.72	5	-0.16	5	-0.03	1
4462	-542	-526	Max	0.00	118.14	1	2.37	1	0.25	1	23.33	1	-0.87	1	0.09	1
4462	-542	-526	Max	16.72	117.89	1	2.37	1	0.20	1	20.27	1	1.43	1	0.09	1
4462	-542	-526	Min.	0.00	55.64	1	-2.89	1	-0.20	1	10.85	1	-2.24	1	-0.04	1
4462	-542	-526	Min.	16.72	55.39	1	-2.89	1	-0.24	1	7.79	1	0.66	1	-0.04	1
4462	-526	3318	Max	0.00	44.19	1	1.82	1	0.19	1	24.18	1	-0.81	1	0.12	1

4462	-526	3318	Max	16.72	43.94	1	1.82	1	0.16	1	21.13	1	1.98	1	0.12	1
4462	-526	3318	Min.	0.00	28.49	1	-2.29	1	-0.15	1	11.22	1	-1.81	1	-0.03	1
4462	-526	3318	Min.	16.72	28.24	1	-2.29	1	-0.20	1	8.16	1	0.81	1	-0.03	1
4499	-791	-783	Max	0.00	-386.46	1	1.00	1	0.22	1	35.37	5	-0.03	5	0.06	1
4499	-791	-783	Max	12.98					0.06	7			0.63	7		
4499	-791	-783	Max	21.63	-386.85	1	1.00	1	0.07	1	30.54	5	3.36	5	0.06	1
4499	-791	-783	Min.	0.00	-421.26	1	-1.15	1	-0.16	1	-0.28	5	-3.77	5	-0.07	1
4499	-791	-783	Min.	12.98					-0.02	7			-0.26	7		
4499	-791	-783	Min.	21.63	-421.66	1	-1.15	1	-0.05	1	-5.10	5	-0.61	5	-0.07	1
4499	-783	-767	Max	0.00	-395.18	1	0.28	1	0.06	5	31.67	5	1.29	5	0.00	1
4499	-783	-767	Max	21.63	-395.57	1	0.28	1	0.09	1	26.85	5	3.77	5	0.00	1
4499	-783	-767	Min.	0.00	-433.97	1	-0.42	1	-0.03	5	-5.62	5	-2.56	5	-0.01	1
4499	-783	-767	Min.	21.63	-434.36	1	-0.42	1	-0.09	1	-10.45	5	-0.45	5	-0.01	1
4499	-767	-751	Max	0.00	-385.57	5	0.24	1	0.09	1	29.76	5	1.79	5	0.00	1
4499	-767	-751	Max	2.16					-0.02	7			1.57	7		
4499	-767	-751	Max	21.63	-385.96	5	0.24	1	0.02	5	24.93	5	3.73	5	0.00	1
4499	-767	-751	Min.	0.00	-464.27	5	-0.40	1	-0.08	1	-9.30	5	-2.18	5	-0.02	1
4499	-767	-751	Min.	2.16					0.02	7			-1.53	7		
4499	-767	-751	Min.	21.63	-464.66	5	-0.40	1	-0.05	5	-14.13	5	-0.74	5	-0.02	1
4499	-751	-735	Max	0.00	-368.63	5	0.94	1	0.04	1	27.58	5	2.33	5	0.06	1
4499	-751	-735	Max	4.33					0.02	7			1.71	7		
4499	-751	-735	Max	21.63	-369.02	5	0.94	1	0.16	1	22.75	5	3.66	5	0.06	1
4499	-751	-735	Min.	0.00	-495.58	5	-1.15	1	-0.06	1	-13.45	5	-1.78	5	-0.07	1
4499	-751	-735	Min.	4.33					-0.05	7			-0.60	7		
4499	-751	-735	Min.	21.63	-495.97	5	-1.15	1	-0.22	1	-18.27	5	-1.10	5	-0.07	1
4499	-735	-719	Max	0.00	-331.35	5	0.94	1	0.19	1	20.64	5	3.24	5	0.07	1
4499	-735	-719	Max	15.15					0.06	7			1.89	7		
4499	-735	-719	Max	21.63	-331.74	5	0.94	1	0.08	1	15.81	5	2.96	5	0.07	1
4499	-735	-719	Min.	0.00	-528.93	5	-1.00	1	-0.14	1	-22.35	5	-0.98	5	-0.02	1
4499	-735	-719	Min.	15.15					-0.02	7			-0.39	7		
4499	-735	-719	Min.	21.63	-529.33	5	-1.00	1	-0.05	1	-27.18	5	-2.11	5	-0.02	1
4499	-719	-703	Max	0.00	-295.42	5	0.30	1	0.04	5	18.28	5	3.61	5	0.02	5
4499	-719	-703	Max	17.72					-0.02	7			2.12	7		
4499	-719	-703	Max	21.63	-295.81	5	0.30	1	0.09	1	13.46	5	2.67	5	0.02	5
4499	-719	-703	Min.	0.00	-552.36	5	-0.31	1	-0.03	5	-27.13	5	-0.76	5	0.01	5
4499	-719	-703	Min.	17.72					0.03	7			-1.54	7		
4499	-719	-703	Min.	21.63	-552.75	5	-0.31	1	-0.08	1	-31.96	5	-2.78	5	0.01	5
4499	-703	-687	Max	0.00	-249.47	5	0.29	1	0.07	1	15.65	5	4.11	5	0.02	1
4499	-703	-687	Max	21.63	-249.86	5	0.29	1	0.03	5	10.83	5	2.43	5	0.02	1
4499	-703	-687	Min.	0.00	-572.92	5	-0.30	1	-0.08	1	-32.47	5	-0.43	5	0.01	1
4499	-703	-687	Min.	21.63	-573.31	5	-0.30	1	-0.05	5	-37.29	5	-3.44	5	0.01	1
4499	-687	-671	Max	0.00	-191.92	5	0.93	1	0.02	1	13.02	5	4.65	5	0.06	1
4499	-687	-671	Max	3.79					0.02	7			3.19	7		
4499	-687	-671	Max	21.63	-192.31	5	0.93	1	0.16	1	8.19	5	2.24	5	0.06	1
4499	-687	-671	Min.	0.00	-590.36	5	-1.02	1	-0.06	1	-38.16	5	-0.06	5	-0.02	1
4499	-687	-671	Min.	3.79					-0.06	7			0.42	7		
4499	-687	-671	Min.	21.63	-590.75	5	-1.02	1	-0.21	1	-42.99	5	-4.13	5	-0.02	1
4499	-671	-655	Max	0.00	-211.07	5	0.84	1	0.17	1	8.56	5	5.38	5	0.04	1
4499	-671	-655	Max	14.68					0.06	7			1.49	7		
4499	-671	-655	Max	21.63	-211.47	5	0.84	1	0.08	1	3.74	5	1.82	5	0.04	1
4499	-671	-655	Min.	0.00	-603.14	5	-0.88	1	-0.11	1	-45.76	5	0.49	5	0.01	1
4499	-671	-655	Min.	14.68					-0.02	7			-1.57	7		
4499	-671	-655	Min.	21.63	-603.53	5	-0.88	1	-0.04	1	-50.59	5	-5.04	5	0.01	1
4499	-655	-639	Max	0.00	-121.62	5	0.28	1	0.04	5	5.61	5	5.94	5	0.03	1
4499	-655	-639	Max	21.63	-122.02	5	0.28	1	0.09	1	0.78	5	1.54	5	0.03	1
4499	-655	-639	Min.	0.00	-610.13	5	-0.24	1	-0.03	5	-52.76	5	0.85	5	0.01	1
4499	-655	-639	Min.	21.63	-610.52	5	-0.24	1	-0.07	1	-57.58	5	-6.00	5	0.01	1
4499	-639	-623	Max	0.00	-11.48	5	0.27	1	0.06	1	2.37	5	6.54	5	0.02	5
4499	-639	-623	Max	21.63	-11.87	5	0.27	1	0.03	5	-2.45	5	1.27	5	0.02	5

4499	-639	-623	Min.	0.00	-611.33	5	-0.23	1	-0.07	1	-60.56	5	1.28	5	0.01	5
4499	-639	-623	Min.	21.63	-611.72	5	-0.23	1	-0.03	5	-65.39	5	-7.09	5	0.01	5
4499	-623	-607	Max	0.00	124.92	5	0.86	1	0.02	1	-1.08	5	7.19	5	0.04	1
4499	-623	-607	Max	3.25					0.00	7			4.93	7		
4499	-623	-607	Max	21.63	124.53	5	0.86	1	0.15	1	-5.91	5	1.06	5	0.04	1
4499	-623	-607	Min.	0.00	-605.01	5	-0.93	1	-0.05	1	-69.35	5	1.81	5	0.00	1
4499	-623	-607	Min.	3.25					-0.04	7			1.77	7		
4499	-623	-607	Min.	21.63	-605.40	5	-0.93	1	-0.19	1	-74.17	5	-8.34	5	0.00	1
4499	-607	-591	Max	0.00	305.60	5	0.87	1	0.11	1	-10.72	5	8.44	5	0.10	1
4499	-607	-591	Max	12.98					0.05	7			1.29	7		
4499	-607	-591	Max	21.63	305.21	5	0.87	1	0.10	1	-15.54	5	0.03	5	0.10	1
4499	-607	-591	Min.	0.00	-590.59	5	-0.67	1	-0.10	1	-85.31	5	2.87	5	0.02	1
4499	-607	-591	Min.	12.98					-0.01	7			-2.82	7		
4499	-607	-591	Min.	21.63	-590.98	5	-0.67	1	-0.04	1	-90.14	5	-10.53	5	0.02	1
4499	-591	-575	Max	0.00	529.49	5	0.39	1	0.02	1	-15.37	5	8.87	5	0.09	1
4499	-591	-575	Max	21.63	529.10	5	0.39	1	0.09	1	-20.20	5	-0.55	5	0.09	1
4499	-591	-575	Min.	0.00	-551.89	5	-0.14	1	-0.04	1	-97.26	5	3.30	5	0.01	1
4499	-591	-575	Min.	21.63	-552.28	5	-0.14	1	-0.05	1	-102.09	5	-12.69	5	0.01	1
4499	-575	-559	Max	0.00	808.09	5	0.30	1	0.02	1	-20.50	5	9.04	5	0.08	1
4499	-575	-559	Max	21.63	807.70	5	0.30	1	0.03	5	-25.32	5	-1.15	5	0.08	1
4499	-575	-559	Min.	0.00	-494.65	5	-0.05	1	-0.06	1	-113.11	5	3.81	5	0.02	1
4499	-575	-559	Min.	21.63	-495.04	5	-0.05	1	-0.02	5	-117.94	5	-15.95	5	0.02	1
4499	-559	4294	Max	0.00	1119.59	5	0.71	1	-0.01	5	-29.56	5	5.36	5	0.05	1
4499	-559	4294	Max	21.63	1119.19	5	0.71	1	0.14	1	-34.38	5	-2.67	5	0.05	1
4499	-559	4294	Min.	0.00	-416.34	5	-0.15	1	-0.07	5	-120.25	5	4.25	5	0.03	1
4499	-559	4294	Min.	21.63	-416.73	5	-0.15	1	-0.10	1	-125.07	5	-21.17	5	0.03	1
4499	4294	-543	Max	0.00	109.47	1	1.84	1	0.33	1	24.33	5	-1.01	1	0.01	1
4499	4294	-543	Max	16.72	109.22	1	1.84	1	0.14	1	21.27	5	1.70	5	0.01	1
4499	4294	-543	Min.	0.00	-2.29	1	-3.94	1	-0.16	1	5.90	5	-2.35	1	-0.01	1
4499	4294	-543	Min.	16.72	-2.54	1	-3.94	1	-0.32	1	2.84	5	-0.51	5	-0.01	1
4499	-543	-527	Max	0.00	67.47	1	2.01	1	0.39	1	15.73	1	-0.05	1	0.05	1
4499	-543	-527	Max	16.72	67.22	1	2.01	1	0.16	1	12.67	1	0.95	1	0.05	1
4499	-543	-527	Min.	0.00	-1.19	1	-4.64	1	-0.17	1	3.15	1	-1.45	1	-0.08	1
4499	-543	-527	Min.	16.72	-1.44	1	-4.64	1	-0.38	1	0.09	1	0.19	1	-0.08	1
4499	-527	3319	Max	0.00	26.11	1	1.75	5	0.35	1	15.22	1	-0.05	1	0.06	1
4499	-527	3319	Max	16.72	25.86	1	1.75	5	0.15	5	12.16	1	1.21	1	0.06	1
4499	-527	3319	Min.	0.00	0.49	1	-4.26	5	-0.14	1	2.01	1	-1.08	1	-0.09	1
4499	-527	3319	Min.	16.72	0.24	1	-4.26	5	-0.37	5	-1.05	1	0.03	1	-0.09	1
4500	-792	-784	Max	0.00	-391.04	5	0.49	1	0.14	1	28.26	5	0.59	5	0.07	1
4500	-792	-784	Max	21.63	-391.12	5	0.49	1	0.05	5	27.27	5	3.01	5	0.07	1
4500	-792	-784	Min.	0.00	-411.56	5	-0.65	1	-0.08	1	-5.97	5	-3.00	5	-0.07	1
4500	-792	-784	Min.	21.63	-411.64	5	-0.65	1	-0.03	5	-6.97	5	-0.81	5	-0.07	1
4500	-784	-768	Max	0.00	-379.65	5	0.13	5	0.05	5	26.71	5	1.43	5	0.01	1
4500	-784	-768	Max	21.63	-379.73	5	0.13	5	0.05	1	25.71	5	3.42	5	0.01	1
4500	-784	-768	Min.	0.00	-438.82	5	-0.28	5	-0.02	5	-9.11	5	-2.25	5	-0.02	1
4500	-784	-768	Min.	21.63	-438.90	5	-0.28	5	-0.05	1	-10.11	5	-0.65	5	-0.02	1
4500	-768	-752	Max	0.00	-366.87	5	0.12	5	0.05	1	26.46	5	1.73	5	0.01	1
4500	-768	-752	Max	21.63	-366.95	5	0.12	5	0.02	5	25.47	5	3.55	5	0.01	1
4500	-768	-752	Min.	0.00	-468.70	5	-0.28	5	-0.04	1	-11.08	5	-2.07	5	-0.02	1
4500	-768	-752	Min.	21.63	-468.78	5	-0.28	5	-0.05	5	-12.08	5	-0.77	5	-0.02	1
4500	-752	-736	Max	0.00	-350.34	5	0.44	1	0.02	5	26.37	5	2.14	5	0.06	1
4500	-752	-736	Max	3.79					0.02	7			1.62	7		
4500	-752	-736	Max	21.63	-350.42	5	0.44	1	0.08	1	25.37	5	3.80	5	0.06	1
4500	-752	-736	Min.	0.00	-499.18	5	-0.66	1	-0.04	5	-13.10	5	-1.79	5	-0.08	1
4500	-752	-736	Min.	3.79					-0.05	7			-0.79	7		
4500	-752	-736	Min.	21.63	-499.26	5	-0.66	1	-0.15	1	-14.09	5	-0.81	5	-0.08	1
4500	-736	-720	Max	0.00	-339.39	5	0.45	1	0.12	5	16.51	5	3.35	5	0.08	1
4500	-736	-720	Max	21.63	-339.48	5	0.45	1	0.06	1	15.51	5	2.77	5	0.08	1
4500	-736	-720	Min.	0.00	-519.68	5	-0.53	1	-0.07	5	-24.77	5	-0.69	5	-0.03	1

4500	-736	-720	Min.	21.63	-519.76	5	-0.53	1	-0.02	1	-25.76	5	-2.11	5	-0.03	1
4500	-720	-704	Max	0.00	-304.20	5	0.18	5	0.04	5	16.13	5	3.43	5	0.02	1
4500	-720	-704	Max	21.63	-304.28	5	0.18	5	0.05	1	15.14	5	2.61	5	0.02	1
4500	-720	-704	Min.	0.00	-542.05	5	-0.20	5	-0.03	5	-27.51	5	-0.77	5	0.01	1
4500	-720	-704	Min.	21.63	-542.13	5	-0.20	5	-0.04	1	-28.51	5	-2.63	5	0.01	1
4500	-704	-688	Max	0.00	-261.27	5	0.18	5	0.03	1	15.35	5	3.74	5	0.03	1
4500	-704	-688	Max	21.63	-261.35	5	0.18	5	0.03	5	14.36	5	2.59	5	0.03	1
4500	-704	-688	Min.	0.00	-563.70	5	-0.21	5	-0.04	1	-30.91	5	-0.62	5	0.00	1
4500	-704	-688	Min.	21.63	-563.78	5	-0.21	5	-0.04	5	-31.91	5	-3.05	5	0.00	1
4500	-688	-672	Max	0.00	-209.09	5	0.46	1	0.01	5	15.10	5	4.21	5	0.07	1
4500	-688	-672	Max	21.63	-209.17	5	0.46	1	0.08	1	14.11	5	2.84	5	0.07	1
4500	-688	-672	Min.	0.00	-584.33	5	-0.56	1	-0.05	5	-34.16	5	-0.32	5	-0.03	1
4500	-688	-672	Min.	21.63	-584.41	5	-0.56	1	-0.14	1	-35.16	5	-3.29	5	-0.03	1
4500	-672	-656	Max	0.00	-137.52	5	0.38	1	0.11	5	2.80	5	5.77	5	0.05	1
4500	-672	-656	Max	21.63	-137.60	5	0.38	1	0.06	1	1.80	5	1.54	5	0.05	1
4500	-672	-656	Min.	0.00	-605.99	5	-0.42	1	-0.05	5	-50.10	5	1.04	5	-0.00	1
4500	-672	-656	Min.	21.63	-606.08	5	-0.42	1	-0.02	1	-51.09	5	-5.18	5	-0.00	1
4500	-656	-640	Max	0.00	-46.33	5	0.17	5	0.04	5	1.73	5	5.92	5	0.02	5
4500	-656	-640	Max	21.63	-46.41	5	0.17	5	0.05	1	0.74	5	1.31	5	0.02	5
4500	-656	-640	Min.	0.00	-609.67	5	-0.13	5	-0.02	5	-54.99	5	1.04	5	0.01	5
4500	-656	-640	Min.	21.63	-609.76	5	-0.13	5	-0.03	1	-55.98	5	-6.08	5	0.01	5
4500	-640	-624	Max	0.00	63.53	5	0.17	5	0.03	1	0.26	5	6.31	5	0.03	1
4500	-640	-624	Max	21.63	63.45	5	0.17	5	0.02	5	-0.74	5	1.21	5	0.03	1
4500	-640	-624	Min.	0.00	-609.65	5	-0.13	5	-0.03	1	-60.96	5	1.26	5	0.01	1
4500	-640	-624	Min.	21.63	-609.74	5	-0.13	5	-0.03	5	-61.95	5	-6.99	5	0.01	1
4500	-624	-608	Max	0.00	195.94	5	0.43	1	0.00	5	-0.93	5	6.78	5	0.05	1
4500	-624	-608	Max	21.63	195.87	5	0.43	1	0.08	1	-1.93	5	1.28	5	0.05	1
4500	-624	-608	Min.	0.00	-605.42	5	-0.51	1	-0.03	5	-67.35	5	1.59	5	-0.01	1
4500	-624	-608	Min.	21.63	-605.50	5	-0.51	1	-0.13	1	-68.35	5	-7.90	5	-0.01	1
4500	-608	-592	Max	0.00	353.25	5	0.48	1	0.08	5	-9.16	5	8.05	5	0.09	1
4500	-608	-592	Max	21.63	353.17	5	0.48	1	0.08	1	-10.15	5	0.36	5	0.09	1
4500	-608	-592	Min.	0.00	-582.72	5	-0.28	1	-0.07	5	-83.63	5	2.45	5	0.03	1
4500	-608	-592	Min.	21.63	-582.80	5	-0.28	1	-0.02	1	-84.62	5	-10.15	5	0.03	1
4500	-592	-576	Max	0.00	565.59	5	0.30	1	0.01	5	-11.71	5	8.27	5	0.09	1
4500	-592	-576	Max	21.63	565.51	5	0.30	1	0.06	1	-12.71	5	0.08	5	0.09	1
4500	-592	-576	Min.	0.00	-554.25	5	-0.04	1	-0.04	5	-93.42	5	2.72	5	0.01	1
4500	-592	-576	Min.	21.63	-554.34	5	-0.04	1	-0.02	1	-94.42	5	-12.05	5	0.01	1
4500	-576	-560	Max	0.00	826.00	5	0.25	5	-0.01	1	-14.06	5	8.23	5	0.09	1
4500	-576	-560	Max	21.63	825.92	5	0.25	5	0.03	5	-15.05	5	-0.12	5	0.09	1
4500	-576	-560	Min.	0.00	-515.32	5	0.01	5	-0.03	1	-106.49	5	3.03	5	0.01	1
4500	-576	-560	Min.	21.63	-515.40	5	0.01	5	-0.02	5	-107.48	5	-14.91	5	0.01	1
4500	-560	4296	Max	0.00	1112.08	5	0.45	5	0.00	1	-20.47	5	4.64	5	0.09	1
4500	-560	4296	Max	21.63	1112.00	5	0.45	5	0.09	5	-21.47	5	-1.00	5	0.09	1
4500	-560	4296	Min.	0.00	-462.59	5	-0.06	5	-0.07	1	-111.09	5	3.54	5	0.01	1
4500	-560	4296	Min.	21.63	-462.67	5	-0.06	5	-0.07	5	-112.08	5	-19.50	5	0.01	1
4500	4296	-544	Max	0.00	103.69	1	1.84	1	0.38	1	18.34	5	-0.39	1	0.02	1
4500	4296	-544	Max	16.72	103.63	1	1.84	1	0.14	1	17.60	5	1.48	5	0.02	1
4500	4296	-544	Min.	0.00	-15.54	1	-4.37	1	-0.16	1	0.04	5	-1.75	1	-0.05	1
4500	4296	-544	Min.	16.72	-15.60	1	-4.37	1	-0.35	1	-0.71	5	-0.66	5	-0.05	1
4500	-544	-528	Max	0.00	61.32	1	2.01	1	0.39	1	9.66	1	0.31	1	0.05	1
4500	-544	-528	Max	16.72	61.26	1	2.01	1	0.16	1	8.92	1	0.62	1	0.05	1
4500	-544	-528	Min.	0.00	-7.86	1	-4.64	1	-0.17	1	-1.85	1	-0.97	1	-0.08	1
4500	-544	-528	Min.	16.72	-7.92	1	-4.64	1	-0.38	1	-2.59	1	-0.10	1	-0.08	1
4500	-528	3320	Max	0.00	21.62	1	1.53	1	0.34	1	9.98	1	0.23	1	0.06	1
4500	-528	3320	Max	16.72	21.56	1	1.53	1	0.13	1	9.24	1	0.85	1	0.06	1
4500	-528	3320	Min.	0.00	-1.12	1	-4.04	1	-0.13	1	-2.57	1	-0.76	1	-0.09	1
4500	-528	3320	Min.	16.72	-1.18	1	-4.04	1	-0.34	1	-3.31	1	-0.27	1	-0.09	1
6002	-513	-514	Max	0.00	0.03	5	7.26	1	0.83	1	-0.60	1	0.03	1	0.29	1
6002	-513	-514	Max	12.00	0.03	5	7.26	1	0.50	1	1.00	1	0.05	1	0.29	1

6002	-513	-514	Min.	0.00	-0.40	5	-15.64	1	-0.37	1	-0.63	1	-0.04	1	-0.19	1
6002	-513	-514	Min.	12.00	-0.40	5	-15.64	1	-1.05	1	0.97	1	-0.02	1	-0.19	1
6003	-529	-530	Max	0.00	0.73	1	4.35	1	0.54	1	0.38	1	0.03	5	0.05	1
6003	-529	-530	Max	12.00	0.73	1	4.35	1	0.26	1	0.85	1	0.08	1	0.05	1
6003	-529	-530	Min.	0.00	-0.32	1	-8.99	1	-0.26	1	-1.21	1	0.00	5	-0.03	1
6003	-529	-530	Min.	12.00	-0.32	1	-8.99	1	-0.54	1	-0.74	1	-0.09	1	-0.03	1
6004	313	314	Max	1.77	-2.38	5	1.00	1	0.09	1	1.98	1	-0.11	1	0.15	1
6004	313	314	Max	3.09					0.08	1			-0.11	1		
6004	313	314	Max	15.00	-2.38	5	1.00	1	0.01	5	1.04	1	-0.15	5	0.15	1
6004	313	314	Min.	1.77	-7.87	5	-0.64	1	-0.12	1	0.09	1	-0.39	1	-0.07	1
6004	313	314	Min.	3.09					-0.11	1			-0.36	1		
6004	313	314	Min.	15.00	-7.87	5	-0.64	1	0.01	5	-0.85	1	-0.19	5	-0.07	1
6004	314	315	Max	0.00	-2.38	5	1.00	1	0.01	5	1.04	1	-0.15	5	0.15	1
6004	314	315	Max	1.08					0.01	7			-0.16	7		
6004	314	315	Max	13.23	-2.38	5	1.00	1	0.14	1	0.10	1	-0.11	1	0.15	1
6004	314	315	Min.	0.00	-7.87	5	-0.64	1	0.01	5	-0.85	1	-0.19	5	-0.07	1
6004	314	315	Min.	1.08					0.01	7			-0.19	7		
6004	314	315	Min.	13.23	-7.87	5	-0.64	1	-0.08	1	-1.79	1	-0.33	1	-0.07	1
6005	-1	-2	Max	2.83	21.92	1	0.33	1	0.02	1	8.51	1	1.23	1	0.00	5
6005	-1	-2	Max	26.15	21.92	1	0.33	1	0.04	1	6.68	1	0.93	1	0.00	5
6005	-1	-2	Min.	2.83	19.66	1	-0.15	1	-0.04	1	-9.07	1	-0.84	1	0.00	5
6005	-1	-2	Min.	26.15	19.66	1	-0.15	1	-0.02	1	-10.90	1	-1.10	1	0.00	5
6006	-33	-34	Max	2.83	5.40	1	0.05	1	0.01	5	13.13	1	2.06	1	0.01	1
6006	-33	-34	Max	25.84	5.40	1	0.05	1	0.01	5	11.33	1	1.49	1	0.01	1
6006	-33	-34	Min.	2.83	4.38	1	-0.02	1	-0.01	5	-16.07	1	-1.32	1	-0.01	1
6006	-33	-34	Min.	25.84	4.38	1	-0.02	1	-0.01	5	-17.87	1	-1.85	1	-0.01	1
6007	-65	-66	Max	2.83	-0.47	5	0.12	1	0.02	1	11.18	1	1.70	1	0.00	5
6007	-65	-66	Max	13.67					-0.00	7			0.03	7		
6007	-65	-66	Max	25.22	-0.47	5	0.12	1	0.02	1	10.30	1	1.18	1	0.00	5
6007	-65	-66	Min.	2.83	-0.72	5	-0.18	1	-0.01	1	-14.75	1	-1.23	1	-0.00	5
6007	-65	-66	Min.	13.67					0.01	7			0.01	7		
6007	-65	-66	Min.	25.22	-0.72	5	-0.18	1	-0.02	1	-15.63	1	-1.70	1	-0.00	5
6008	-97	-98	Max	2.83	0.08	5	0.17	1	0.03	1	14.35	1	2.15	1	0.00	5
6008	-97	-98	Max	13.73					0.01	7			0.01	7		
6008	-97	-98	Max	24.59	0.08	5	0.17	1	0.03	1	13.50	1	1.49	1	0.00	5
6008	-97	-98	Min.	2.83	-0.12	5	-0.24	1	-0.02	1	-19.31	1	-1.54	1	-0.00	5
6008	-97	-98	Min.	13.73					-0.01	7			0.01	7		
6008	-97	-98	Min.	24.59	-0.12	5	-0.24	1	-0.03	1	-20.16	1	-2.14	1	-0.00	5
6009	-129	-130	Max	2.83	0.00	5	0.20	1	0.04	1	15.53	1	2.27	1	0.00	5
6009	-129	-130	Max	13.26					-0.01	7			0.02	7		
6009	-129	-130	Max	23.97	0.00	5	0.20	1	0.03	1	14.70	1	1.57	1	0.00	5
6009	-129	-130	Min.	2.83	-0.18	5	-0.28	1	-0.02	1	-21.04	1	-1.63	1	-0.00	5
6009	-129	-130	Min.	13.26					0.02	7			0.01	7		
6009	-129	-130	Min.	23.97	-0.18	5	-0.28	1	-0.03	1	-21.87	1	-2.26	1	-0.00	5
6010	-161	-162	Max	2.83	0.01	5	0.21	1	0.04	1	16.26	1	2.32	1	0.00	5
6010	-161	-162	Max	12.99					-0.01	7			0.02	7		
6010	-161	-162	Max	23.34	0.01	5	0.21	1	0.03	1	15.45	1	1.60	1	0.00	5
6010	-161	-162	Min.	2.83	-0.17	5	-0.30	1	-0.02	1	-22.15	1	-1.65	1	-0.00	5
6010	-161	-162	Min.	12.99					0.02	7			0.01	7		
6010	-161	-162	Min.	23.34	-0.17	5	-0.30	1	-0.03	1	-22.96	1	-2.30	1	-0.00	5
6011	-193	-194	Max	2.83	0.01	5	0.22	1	0.04	1	16.89	1	2.35	1	0.00	5
6011	-193	-194	Max	12.69					-0.01	7			0.02	7		
6011	-193	-194	Max	22.72	0.01	5	0.22	1	0.03	1	16.11	1	1.61	1	0.00	5
6011	-193	-194	Min.	2.83	-0.17	5	-0.31	1	-0.02	1	-23.15	1	-1.67	1	-0.00	5
6011	-193	-194	Min.	12.69					0.02	7			0.01	7		
6011	-193	-194	Min.	22.72	-0.17	5	-0.31	1	-0.03	1	-23.93	1	-2.33	1	-0.00	5
6012	-225	-226	Max	2.83	0.01	5	0.23	1	0.04	1	17.53	1	2.37	1	0.00	5
6012	-225	-226	Max	12.42					-0.01	7			0.01	7		
6012	-225	-226	Max	22.09	0.01	5	0.23	1	0.03	1	16.77	1	1.62	1	0.00	5

6012	-225	-226	Min.	2.83	-0.17	5	-0.33	1	-0.02	1	-24.15	1	-1.68	1	-0.00	5
6012	-225	-226	Min.	12.42					0.02	7			0.01	7		
6012	-225	-226	Min.	22.09	-0.17	5	-0.33	1	-0.03	1	-24.91	1	-2.35	1	-0.00	5
6013	-257	-258	Max	2.83	0.01	5	0.24	1	0.04	1	18.18	1	2.39	1	0.00	5
6013	-257	-258	Max	12.22					0.02	7			0.01	7		
6013	-257	-258	Max	21.47	0.01	5	0.24	1	0.03	1	17.44	1	1.63	1	0.00	5
6013	-257	-258	Min.	2.83	-0.18	5	-0.34	1	-0.02	1	-25.19	1	-1.69	1	-0.00	5
6013	-257	-258	Min.	12.22					-0.01	7			0.00	7		
6013	-257	-258	Min.	21.47	-0.18	5	-0.34	1	-0.03	1	-25.92	1	-2.37	1	-0.00	5
6014	-289	-290	Max	2.83	0.01	5	0.25	1	0.04	1	18.84	1	2.41	1	0.01	5
6014	-289	-290	Max	11.94					0.02	7			0.01	7		
6014	-289	-290	Max	20.84	0.01	5	0.25	1	0.03	1	18.14	1	1.64	1	0.01	5
6014	-289	-290	Min.	2.83	-0.18	5	-0.36	1	-0.02	1	-26.28	1	-1.69	1	-0.00	5
6014	-289	-290	Min.	11.94					-0.01	7			-0.00	7		
6014	-289	-290	Min.	20.84	-0.18	5	-0.36	1	-0.03	1	-26.98	1	-2.38	1	-0.00	5
6015	-321	-322	Max	2.83	0.01	5	0.26	1	0.04	1	19.53	1	2.43	1	0.01	5
6015	-321	-322	Max	9.78					-0.00	7			0.19	7		
6015	-321	-322	Max	20.22	0.01	5	0.26	1	0.03	1	18.85	1	1.64	1	0.01	5
6015	-321	-322	Min.	2.83	-0.18	5	-0.37	1	-0.02	1	-27.42	1	-1.70	1	-0.00	5
6015	-321	-322	Min.	9.78					0.02	7			-0.02	7		
6015	-321	-322	Min.	20.22	-0.18	5	-0.37	1	-0.03	1	-28.10	1	-2.40	1	-0.00	5
6016	-353	-354	Max	2.83	0.03	5	0.27	1	0.04	1	20.25	1	2.44	1	0.01	5
6016	-353	-354	Max	9.53					-0.00	7			0.19	7		
6016	-353	-354	Max	19.59	0.03	5	0.27	1	0.03	1	19.59	1	1.64	1	0.01	5
6016	-353	-354	Min.	2.83	-0.21	5	-0.39	1	-0.02	1	-28.61	1	-1.70	1	-0.00	5
6016	-353	-354	Min.	9.53					0.02	7			-0.02	7		
6016	-353	-354	Min.	19.59	-0.21	5	-0.39	1	-0.03	1	-29.27	1	-2.41	1	-0.00	5
6017	-385	-386	Max	2.83	0.02	5	0.28	1	0.04	1	20.98	1	2.45	1	0.01	5
6017	-385	-386	Max	9.28					-0.00	7			0.19	7		
6017	-385	-386	Max	18.97	0.02	5	0.28	1	0.03	1	20.35	1	1.64	1	0.01	5
6017	-385	-386	Min.	2.83	-0.10	5	-0.41	1	-0.02	1	-29.86	1	-1.70	1	-0.00	5
6017	-385	-386	Min.	9.28					0.02	7			-0.02	7		
6017	-385	-386	Min.	18.97	-0.10	5	-0.41	1	-0.03	1	-30.49	1	-2.41	1	-0.00	5
6018	-417	-418	Max	2.83	0.79	5	0.29	1	0.04	1	21.69	1	2.46	1	0.01	5
6018	-417	-418	Max	9.03					-0.00	7			0.20	7		
6018	-417	-418	Max	18.34	0.79	5	0.29	1	0.03	1	21.08	1	1.63	1	0.01	5
6018	-417	-418	Min.	2.83	-1.66	5	-0.42	1	-0.02	1	-31.07	1	-1.69	1	-0.00	5
6018	-417	-418	Min.	9.03					0.02	7			-0.03	7		
6018	-417	-418	Min.	18.34	-1.66	5	-0.42	1	-0.03	1	-31.68	1	-2.41	1	-0.00	5
6019	-449	-450	Max	2.83	9.81	5	0.29	1	0.04	1	22.02	1	2.41	1	0.01	5
6019	-449	-450	Max	8.78					-0.00	7			0.11	7		
6019	-449	-450	Max	17.72	9.81	5	0.29	1	0.03	1	21.43	1	1.55	1	0.01	5
6019	-449	-450	Min.	2.83	-5.28	5	-0.43	1	-0.02	1	-31.76	1	-1.68	1	-0.00	5
6019	-449	-450	Min.	8.78					0.02	7			0.02	7		
6019	-449	-450	Min.	17.72	-5.28	5	-0.43	1	-0.03	1	-32.35	1	-2.37	1	-0.00	5
6020	-481	-482	Max	2.83	30.72	5	0.27	1	0.03	1	20.10	1	2.27	1	0.01	5
6020	-481	-482	Max	9.86					0.01	7			0.50	7		
6020	-481	-482	Max	17.09	30.72	5	0.27	1	0.03	1	19.54	1	1.62	1	0.01	5
6020	-481	-482	Min.	2.83	-58.99	5	-0.34	1	-0.02	1	-28.55	1	-1.40	1	-0.00	5
6020	-481	-482	Min.	9.86					-0.00	7			-0.23	7		
6020	-481	-482	Min.	17.09	-58.99	5	-0.34	1	-0.02	1	-29.11	1	-2.02	1	-0.00	5
6024	-489	-490	Max	3.53	80.59	5	0.32	1	0.02	1	16.45	1	1.66	1	0.00	5
6024	-489	-490	Max	17.80	80.59	5	0.32	1	0.03	1	15.89	1	1.01	1	0.00	5
6024	-489	-490	Min.	3.53	-16.55	5	-0.20	1	-0.02	1	-27.59	1	-1.40	1	-0.00	5
6024	-489	-490	Min.	17.80	-16.55	5	-0.20	1	-0.01	1	-28.15	1	-2.42	1	-0.00	5
6025	-457	-458	Max	3.53	2.70	5	0.41	1	0.02	1	18.12	1	2.36	1	0.00	5
6025	-457	-458	Max	18.42	2.70	5	0.41	1	0.04	1	17.54	1	1.37	1	0.00	5
6025	-457	-458	Min.	3.53	-13.73	5	-0.22	1	-0.03	1	-30.95	1	-1.29	1	-0.00	5
6025	-457	-458	Min.	18.42	-13.73	5	-0.22	1	-0.01	1	-31.53	1	-2.29	1	-0.00	5

6026	-425	-426	Max	3.53	2.15	5	0.41	1	0.02	1	17.92	1	2.34	1	0.00	5
6026	-425	-426	Max	19.05	2.15	5	0.41	1	0.04	1	17.31	1	1.38	1	0.00	5
6026	-425	-426	Min.	3.53	-0.51	5	-0.23	1	-0.03	1	-30.23	1	-1.36	1	-0.00	5
6026	-425	-426	Min.	19.05	-0.51	5	-0.23	1	-0.02	1	-30.84	1	-2.40	1	-0.00	5
6027	-393	-394	Max	3.53	-0.04	5	0.39	1	0.02	1	17.40	1	2.35	1	0.00	5
6027	-393	-394	Max	19.67	-0.04	5	0.39	1	0.04	1	16.77	1	1.39	1	0.00	5
6027	-393	-394	Min.	3.53	-0.18	5	-0.23	1	-0.03	1	-29.05	1	-1.37	1	-0.00	5
6027	-393	-394	Min.	19.67	-0.18	5	-0.23	1	-0.02	1	-29.69	1	-2.39	1	-0.00	5
6028	-361	-362	Max	3.53	0.13	5	0.38	1	0.02	1	16.85	1	2.34	1	0.00	5
6028	-361	-362	Max	20.30	0.13	5	0.38	1	0.04	1	16.19	1	1.40	1	0.00	5
6028	-361	-362	Min.	3.53	-0.10	5	-0.22	1	-0.03	1	-27.85	1	-1.37	1	-0.00	5
6028	-361	-362	Min.	20.30	-0.10	5	-0.22	1	-0.02	1	-28.51	1	-2.39	1	-0.00	5
6029	-329	-330	Max	3.53	0.09	5	0.36	1	0.02	1	16.31	1	2.33	1	0.00	5
6029	-329	-330	Max	20.92	0.09	5	0.36	1	0.04	1	15.62	1	1.40	1	0.00	5
6029	-329	-330	Min.	3.53	-0.10	5	-0.21	1	-0.03	1	-26.69	1	-1.38	1	-0.00	5
6029	-329	-330	Min.	20.92	-0.10	5	-0.21	1	-0.02	1	-27.37	1	-2.37	1	-0.00	5
6030	-297	-298	Max	3.53	0.09	5	0.34	1	0.02	1	15.77	1	2.31	1	0.00	5
6030	-297	-298	Max	21.55	0.09	5	0.34	1	0.04	1	15.06	1	1.40	1	0.00	5
6030	-297	-298	Min.	3.53	-0.10	5	-0.20	1	-0.03	1	-25.59	1	-1.38	1	-0.00	5
6030	-297	-298	Min.	21.55	-0.10	5	-0.20	1	-0.02	1	-26.29	1	-2.36	1	-0.00	5
6031	-265	-266	Max	3.53	0.08	5	0.33	1	0.02	1	15.25	1	2.30	1	0.00	5
6031	-265	-266	Max	22.17	0.08	5	0.33	1	0.04	1	14.52	1	1.39	1	0.00	5
6031	-265	-266	Min.	3.53	-0.10	5	-0.19	1	-0.03	1	-24.53	1	-1.38	1	-0.00	5
6031	-265	-266	Min.	22.17	-0.10	5	-0.19	1	-0.02	1	-25.26	1	-2.34	1	-0.00	5
6032	-233	-234	Max	3.53	0.08	5	0.32	1	0.02	1	14.74	1	2.28	1	0.00	5
6032	-233	-234	Max	22.80	0.08	5	0.32	1	0.04	1	13.98	1	1.39	1	0.00	5
6032	-233	-234	Min.	3.53	-0.09	5	-0.19	1	-0.03	1	-23.52	1	-1.38	1	-0.00	5
6032	-233	-234	Min.	22.80	-0.09	5	-0.19	1	-0.02	1	-24.28	1	-2.33	1	-0.00	5
6033	-201	-202	Max	3.53	0.08	5	0.30	1	0.02	1	14.23	1	2.26	1	0.00	5
6033	-201	-202	Max	23.42	0.08	5	0.30	1	0.04	1	13.45	1	1.38	1	0.00	5
6033	-201	-202	Min.	3.53	-0.09	5	-0.18	1	-0.03	1	-22.55	1	-1.37	1	-0.00	5
6033	-201	-202	Min.	23.42	-0.09	5	-0.18	1	-0.02	1	-23.33	1	-2.31	1	-0.00	5
6034	-169	-170	Max	3.53	0.07	5	0.29	1	0.02	1	13.71	1	2.23	1	0.00	5
6034	-169	-170	Max	24.05	0.07	5	0.29	1	0.04	1	12.91	1	1.37	1	0.00	5
6034	-169	-170	Min.	3.53	-0.09	5	-0.17	1	-0.03	1	-21.58	1	-1.36	1	-0.00	5
6034	-169	-170	Min.	24.05	-0.09	5	-0.17	1	-0.02	1	-22.39	1	-2.28	1	-0.00	5
6035	-137	-138	Max	3.53	0.07	5	0.27	1	0.02	1	13.12	1	2.19	1	0.00	5
6035	-137	-138	Max	24.67	0.07	5	0.27	1	0.04	1	12.29	1	1.34	1	0.00	5
6035	-137	-138	Min.	3.53	-0.10	5	-0.16	1	-0.02	1	-20.50	1	-1.34	1	-0.00	5
6035	-137	-138	Min.	24.67	-0.10	5	-0.16	1	-0.02	1	-21.33	1	-2.24	1	-0.00	5
6036	-105	-106	Max	3.53	0.16	5	0.24	1	0.02	1	12.13	1	2.07	1	0.00	5
6036	-105	-106	Max	25.30	0.16	5	0.24	1	0.03	1	11.28	1	1.27	1	0.00	5
6036	-105	-106	Min.	3.53	-0.06	5	-0.14	1	-0.02	1	-18.81	1	-1.27	1	-0.00	5
6036	-105	-106	Min.	25.30	-0.06	5	-0.14	1	-0.01	1	-19.67	1	-2.12	1	-0.00	5
6037	-73	-74	Max	3.53	-0.59	5	0.17	1	0.02	1	9.46	1	1.63	1	0.00	5
6037	-73	-74	Max	25.92	-0.59	5	0.17	1	0.02	1	8.58	1	1.00	1	0.00	5
6037	-73	-74	Min.	3.53	-0.68	5	-0.11	1	-0.02	1	-14.36	1	-1.02	1	-0.00	5
6037	-73	-74	Min.	25.92	-0.68	5	-0.11	1	-0.01	1	-15.24	1	-1.68	1	-0.00	5
6038	-41	-42	Max	3.53	8.11	5	0.01	1	0.01	5	11.01	1	2.02	1	0.01	1
6038	-41	-42	Max	15.80					0.00	3			0.27	3		
6038	-41	-42	Max	26.55	8.11	5	0.01	1	0.01	5	9.20	1	1.30	1	0.01	1
6038	-41	-42	Min.	3.53	5.03	5	-0.02	1	-0.00	5	-15.63	1	-1.03	1	-0.01	1
6038	-41	-42	Min.	15.80					0.01	3			0.05	3		
6038	-41	-42	Min.	26.55	5.03	5	-0.02	1	-0.01	5	-17.43	1	-1.78	1	-0.01	1
6039	-9	-10	Max	3.53	32.51	5	0.16	1	0.04	1	6.96	1	1.20	1	0.00	1
6039	-9	-10	Max	26.86	32.51	5	0.16	1	0.02	1	5.13	1	0.78	1	0.00	1
6039	-9	-10	Min.	3.53	20.12	5	-0.33	1	-0.02	1	-8.71	1	-0.63	1	-0.00	1
6039	-9	-10	Min.	26.86	20.12	5	-0.33	1	-0.04	1	-10.54	1	-1.05	1	-0.00	1
6040	337	338	Max	1.77	-5.84	5	1.56	1	-0.19	1	0.98	1	0.08	1	0.07	1

6040	337	338	Max	4.56					-0.19	3			0.06	3		
6040	337	338	Max	15.00	-5.84	5	0.62	1	-0.17	5	0.98	1	0.01	5	0.07	1
6040	337	338	Min.	1.77	-7.60	5	0.25	1	-0.37	1	-0.55	1	-0.12	1	-0.15	1
6040	337	338	Min.	4.56					-0.32	3			-0.09	3		
6040	337	338	Min.	15.00	-7.60	5	-0.69	1	-0.27	5	-0.55	1	0.00	5	-0.15	1
6040	338	339	Max	0.00	-5.84	5	0.62	1	-0.17	5	0.98	1	0.01	5	0.07	1
6040	338	339	Max	8.09					-0.19	1			0.09	1		
6040	338	339	Max	13.23	-5.84	5	-0.32	1	-0.19	5	0.98	1	0.14	1	0.07	1
6040	338	339	Min.	0.00	-7.60	5	-0.69	1	-0.27	5	-0.55	1	0.00	5	-0.15	1
6040	338	339	Min.	8.09					-0.31	1			-0.04	1		
6040	338	339	Min.	13.23	-7.60	5	-1.64	1	-0.39	5	-0.55	1	-0.07	1	-0.15	1
6041	-593	-594	Max	0.00	1.44	1	7.10	5	0.26	5	-7.35	1	0.12	1	-0.06	1
6041	-593	-594	Max	12.00	1.44	1	7.10	5	0.74	5	-5.39	1	-0.72	1	-0.06	1
6041	-593	-594	Min.	0.00	-1.47	1	-9.11	5	-0.12	5	-20.96	1	0.04	1	-0.22	1
6041	-593	-594	Min.	12.00	-1.47	1	-9.11	5	-0.83	5	-19.00	1	-2.28	1	-0.22	1
6041	-595	-596	Max	0.00	46.51	5	4.89	1	0.53	1	3.81	1	18.22	1	0.05	1
6041	-595	-596	Max	12.00	46.51	5	4.89	1	0.35	1	5.77	1	18.78	1	0.05	1
6041	-595	-596	Min.	0.00	17.48	5	-6.76	1	-0.24	1	-7.61	1	17.93	1	-0.10	1
6041	-595	-596	Min.	12.00	17.48	5	-6.76	1	-0.29	1	-5.65	1	17.15	1	-0.10	1
6041	-597	-598	Max	0.00	46.50	5	7.15	1	0.33	1	5.85	1	18.77	1	0.10	1
6041	-597	-598	Max	12.00	46.50	5	7.15	1	0.55	1	7.81	1	18.23	1	0.10	1
6041	-597	-598	Min.	0.00	17.40	5	-4.45	1	-0.30	1	-5.60	1	17.14	1	-0.05	1
6041	-597	-598	Min.	12.00	17.40	5	-4.45	1	-0.21	1	-3.64	1	17.94	1	-0.05	1
6041	-599	-600	Max	0.00	1.43	1	8.81	5	0.75	5	19.06	1	-0.73	1	0.22	1
6041	-599	-600	Max	12.00	1.43	1	8.81	5	0.25	5	21.02	1	0.12	1	0.22	1
6041	-599	-600	Min.	0.00	-1.46	1	-7.22	5	-0.80	5	5.47	1	-2.28	1	0.06	1
6041	-599	-600	Min.	12.00	-1.46	1	-7.22	5	-0.12	5	7.43	1	0.04	1	0.06	1
6042	-657	-658	Max	0.00	1.75	1	4.27	5	0.28	5	-21.46	1	0.21	1	-0.04	5
6042	-657	-658	Max	2.40					-0.07	3			-0.31	3		
6042	-657	-658	Max	12.00	1.75	1	4.27	5	0.76	5	-19.50	1	-2.25	1	-0.04	5
6042	-657	-658	Min.	0.00	-1.73	1	-9.35	5	-0.11	5	-23.66	1	-0.18	1	-0.07	5
6042	-657	-658	Min.	2.40					0.12	3			-0.73	3		
6042	-657	-658	Min.	12.00	-1.73	1	-9.35	5	-1.19	5	-21.70	1	-2.90	1	-0.07	5
6042	-659	-660	Max	0.00	1.65	5	3.51	1	2.12	5	2.28	1	11.82	1	-0.02	1
6042	-659	-660	Max	5.83					-0.48	3			11.74	3		
6042	-659	-660	Max	12.00	1.65	5	3.51	1	1.81	5	4.24	1	11.85	1	-0.02	1
6042	-659	-660	Min.	0.00	-34.65	5	-7.03	1	-1.79	5	-0.68	1	10.53	1	-0.03	1
6042	-659	-660	Min.	5.83					0.60	3			10.76	3		
6042	-659	-660	Min.	12.00	-34.65	5	-7.03	1	-1.90	5	1.28	1	10.92	1	-0.03	1
6042	-661	-662	Max	0.00	1.66	5	7.37	1	1.78	5	-1.23	1	11.85	1	0.04	1
6042	-661	-662	Max	6.00					-0.48	3			11.74	3		
6042	-661	-662	Max	12.00	1.66	5	7.37	1	2.14	5	0.73	1	11.82	1	0.04	1
6042	-661	-662	Min.	0.00	-34.69	5	-3.42	1	-1.90	5	-4.21	1	10.92	1	0.02	1
6042	-661	-662	Min.	6.00					0.59	3			10.77	3		
6042	-661	-662	Min.	12.00	-34.69	5	-3.42	1	-1.79	5	-2.25	1	10.53	1	0.02	1
6042	-663	-664	Max	0.00	1.75	1	9.49	5	0.78	5	21.73	1	-2.25	1	0.07	5
6042	-663	-664	Max	9.45					-0.08	3			-0.34	3		
6042	-663	-664	Max	12.00	1.75	1	9.49	5	0.28	5	23.70	1	0.21	1	0.07	5
6042	-663	-664	Min.	0.00	-1.72	1	-4.55	5	-1.20	5	19.49	1	-2.90	1	0.04	5
6042	-663	-664	Min.	9.45					0.12	3			-0.76	3		
6042	-663	-664	Min.	12.00	-1.72	1	-4.55	5	-0.11	5	21.46	1	-0.18	1	0.04	5
6043	-721	-722	Max	0.00	1.90	1	7.03	5	0.27	5	-17.47	5	0.35	1	-0.02	1
6043	-721	-722	Max	12.00	1.90	1	7.03	5	0.73	5	-15.50	5	-1.68	1	-0.02	1
6043	-721	-722	Min.	0.00	-1.92	1	-13.48	5	-0.12	5	-18.61	5	-0.22	1	-0.03	1
6043	-721	-722	Min.	12.00	-1.92	1	-13.48	5	-1.34	5	-16.65	5	-2.29	1	-0.03	1
6043	-723	-724	Max	0.00	60.88	5	2.98	1	0.08	1	0.37	5	14.15	1	-0.01	1
6043	-723	-724	Max	12.00	60.88	5	2.98	1	0.04	1	2.34	5	14.29	1	-0.01	1
6043	-723	-724	Min.	0.00	44.37	5	-3.69	1	-0.32	1	0.14	5	13.13	1	-0.01	1
6043	-723	-724	Min.	12.00	44.37	5	-3.69	1	-0.36	1	2.10	5	13.28	1	-0.01	1

6043	-725	-726	Max	0.00	60.90	5	3.88	1	0.03	1	-2.06	5	14.29	1	0.02	1
6043	-725	-726	Max	12.00	60.90	5	3.88	1	0.10	1	-0.10	5	14.15	1	0.02	1
6043	-725	-726	Min.	0.00	44.32	5	-2.72	1	-0.37	1	-2.32	5	13.28	1	0.01	1
6043	-725	-726	Min.	12.00	44.32	5	-2.72	1	-0.30	1	-0.35	5	13.13	1	0.01	1
6043	-727	-728	Max	0.00	1.90	1	13.30	5	0.73	5	16.64	5	-1.67	1	0.03	1
6043	-727	-728	Max	12.00	1.90	1	13.30	5	0.27	5	18.60	5	0.35	1	0.03	1
6043	-727	-728	Min.	0.00	-1.92	1	-7.10	5	-1.33	5	15.50	5	-2.29	1	0.02	1
6043	-727	-728	Min.	12.00	-1.92	1	-7.10	5	-0.12	5	17.46	5	-0.22	1	0.02	1
6044	-785	-786	Max	0.00	1.77	1	5.64	5	0.18	5	-21.20	1	0.32	1	0.00	5
6044	-785	-786	Max	12.00	1.77	1	5.64	5	0.85	5	-19.24	1	-2.10	1	0.00	5
6044	-785	-786	Min.	0.00	-2.14	1	-5.73	5	-0.18	5	-23.52	1	-0.32	1	-0.00	5
6044	-785	-786	Min.	12.00	-2.14	1	-5.73	5	-0.86	5	-21.55	1	-3.02	1	-0.00	5
6044	-787	-788	Max	0.00	-166.36	1	1.27	5	1.89	5	0.18	1	10.36	1	0.00	5
6044	-787	-788	Max	12.00	-166.36	1	1.27	5	1.75	5	2.14	1	10.07	1	0.00	5
6044	-787	-788	Min.	0.00	-172.18	1	-1.18	5	-1.89	5	-3.46	1	9.16	1	0.00	5
6044	-787	-788	Min.	12.00	-172.18	1	-1.18	5	-1.74	5	-1.50	1	9.30	1	0.00	5
6044	-789	-790	Max	0.00	-166.34	1	1.35	5	1.73	5	1.53	1	10.07	1	0.00	5
6044	-789	-790	Max	12.00	-166.34	1	1.35	5	1.89	5	3.49	1	10.37	1	0.00	5
6044	-789	-790	Min.	0.00	-172.19	1	-1.23	5	-1.74	5	-2.09	1	9.30	1	0.00	5
6044	-789	-790	Min.	12.00	-172.19	1	-1.23	5	-1.89	5	-0.13	1	9.16	1	0.00	5
6044	-791	-792	Max	0.00	1.77	1	5.74	5	0.86	5	21.61	1	-2.09	1	0.01	5
6044	-791	-792	Max	12.00	1.77	1	5.74	5	0.17	5	23.57	1	0.32	1	0.01	5
6044	-791	-792	Min.	0.00	-2.14	1	-5.73	5	-0.86	5	19.15	1	-3.03	1	-0.01	5
6044	-791	-792	Min.	12.00	-2.14	1	-5.73	5	-0.17	5	21.11	1	-0.32	1	-0.01	5
6045	-729	-730	Max	0.00	1.90	1	13.38	5	0.12	5	-17.46	5	0.35	1	0.03	1
6045	-729	-730	Max	12.00	1.90	1	13.38	5	1.33	5	-15.50	5	-1.67	1	0.03	1
6045	-729	-730	Min.	0.00	-1.92	1	-7.28	5	-0.27	5	-18.60	5	-0.22	1	0.02	1
6045	-729	-730	Min.	12.00	-1.92	1	-7.28	5	-0.75	5	-16.64	5	-2.29	1	0.02	1
6045	-731	-732	Max	0.00	60.92	5	3.64	1	0.29	1	0.36	5	14.15	1	0.01	1
6045	-731	-732	Max	12.00	60.92	5	3.64	1	0.36	1	2.32	5	14.29	1	0.01	1
6045	-731	-732	Min.	0.00	44.32	5	-2.58	1	-0.08	1	0.12	5	13.13	1	0.01	1
6045	-731	-732	Min.	12.00	44.32	5	-2.58	1	-0.02	1	2.08	5	13.28	1	0.01	1
6045	-733	-734	Max	0.00	60.91	5	2.77	1	0.35	1	-2.08	5	14.29	1	-0.01	1
6045	-733	-734	Max	12.00	60.91	5	2.77	1	0.30	1	-0.12	5	14.15	1	-0.01	1
6045	-733	-734	Min.	0.00	44.32	5	-3.60	1	-0.03	1	-2.32	5	13.28	1	-0.01	1
6045	-733	-734	Min.	12.00	44.32	5	-3.60	1	-0.08	1	-0.36	5	13.13	1	-0.01	1
6045	-735	-736	Max	0.00	1.90	1	7.03	5	1.32	5	16.64	5	-1.68	1	-0.02	1
6045	-735	-736	Max	12.00	1.90	1	7.03	5	0.12	5	18.60	5	0.35	1	-0.02	1
6045	-735	-736	Min.	0.00	-1.92	1	-13.28	5	-0.73	5	15.51	5	-2.29	1	-0.03	1
6045	-735	-736	Min.	12.00	-1.92	1	-13.28	5	-0.27	5	17.47	5	-0.22	1	-0.03	1
6046	-665	-666	Max	0.00	1.74	1	9.41	5	0.11	5	-21.45	1	0.21	1	0.07	5
6046	-665	-666	Max	12.00	1.74	1	9.41	5	1.20	5	-19.49	1	-2.25	1	0.07	5
6046	-665	-666	Min.	0.00	-1.72	1	-4.56	5	-0.28	5	-23.68	1	-0.18	1	0.04	5
6046	-665	-666	Min.	12.00	-1.72	1	-4.56	5	-0.78	5	-21.72	1	-2.90	1	0.04	5
6046	-667	-668	Max	0.00	1.59	5	7.15	1	1.79	5	2.27	1	11.82	1	0.04	1
6046	-667	-668	Max	6.00					-0.60	3			11.74	3		
6046	-667	-668	Max	12.00	1.59	5	7.15	1	1.90	5	4.23	1	11.85	1	0.04	1
6046	-667	-668	Min.	0.00	-34.65	5	-3.40	1	-2.13	5	-0.70	1	10.53	1	0.02	1
6046	-667	-668	Min.	6.00					0.49	3			10.76	3		
6046	-667	-668	Min.	12.00	-34.65	5	-3.40	1	-1.79	5	1.26	1	10.92	1	0.02	1
6046	-669	-670	Max	0.00	1.60	5	3.43	1	1.90	5	-1.26	1	11.85	1	-0.02	1
6046	-669	-670	Max	4.80					-0.51	3			11.74	3		
6046	-669	-670	Max	12.00	1.60	5	3.43	1	1.79	5	0.70	1	11.82	1	-0.02	1
6046	-669	-670	Min.	0.00	-34.66	5	-7.08	1	-1.79	5	-4.22	1	10.92	1	-0.03	1
6046	-669	-670	Min.	4.80					0.44	3			10.80	3		
6046	-669	-670	Min.	12.00	-34.66	5	-7.08	1	-2.12	5	-2.26	1	10.53	1	-0.03	1
6046	-671	-672	Max	0.00	1.74	1	4.54	5	1.20	5	21.73	1	-2.24	1	-0.04	5
6046	-671	-672	Max	12.00	1.74	1	4.54	5	0.11	5	23.69	1	0.21	1	-0.04	5
6046	-671	-672	Min.	0.00	-1.72	1	-9.46	5	-0.78	5	19.49	1	-2.90	1	-0.07	5

6046	-671	-672	Min.	12.00	-1.72	1	-9.46	5	-0.28	5	21.45	1	-0.18	1	-0.07	5
6047	-601	-602	Max	0.00	1.43	1	8.81	5	0.12	5	-7.44	1	0.12	1	0.22	1
6047	-601	-602	Max	12.00	1.43	1	8.81	5	0.80	5	-5.48	1	-0.73	1	0.22	1
6047	-601	-602	Min.	0.00	-1.46	1	-7.28	5	-0.25	5	-20.96	1	0.04	1	0.06	1
6047	-601	-602	Min.	12.00	-1.46	1	-7.28	5	-0.75	5	-19.00	1	-2.28	1	0.06	1
6047	-603	-604	Max	0.00	46.54	5	6.73	1	0.20	1	3.71	1	18.23	1	0.10	1
6047	-603	-604	Max	12.00	46.54	5	6.73	1	0.28	1	5.67	1	18.77	1	0.10	1
6047	-603	-604	Min.	0.00	17.37	5	-4.37	1	-0.53	1	-7.67	1	17.93	1	-0.05	1
6047	-603	-604	Min.	12.00	17.37	5	-4.37	1	-0.32	1	-5.71	1	17.15	1	-0.05	1
6047	-605	-606	Max	0.00	46.52	5	4.48	1	0.28	1	5.71	1	18.77	1	0.05	1
6047	-605	-606	Max	12.00	46.52	5	4.48	1	0.21	1	7.67	1	18.23	1	0.05	1
6047	-605	-606	Min.	0.00	17.38	5	-6.72	1	-0.33	1	-5.67	1	17.15	1	-0.10	1
6047	-605	-606	Min.	12.00	17.38	5	-6.72	1	-0.53	1	-3.70	1	17.93	1	-0.10	1
6047	-607	-608	Max	0.00	1.43	1	7.11	5	0.80	5	19.00	1	-0.73	1	-0.06	1
6047	-607	-608	Max	12.00	1.43	1	7.11	5	0.12	5	20.96	1	0.12	1	-0.06	1
6047	-607	-608	Min.	0.00	-1.46	1	-8.76	5	-0.74	5	5.48	1	-2.28	1	-0.22	1
6047	-607	-608	Min.	12.00	-1.46	1	-8.76	5	-0.25	5	7.44	1	0.04	1	-0.22	1
6048	349	350	Max	1.77	-5.77	5	0.97	1	0.08	1	1.53	1	-0.19	1	0.15	1
6048	349	350	Max	7.06					0.05	1			-0.18	1		
6048	349	350	Max	15.00	-5.77	5	0.97	1	0.01	5	0.59	1	-0.18	5	0.15	1
6048	349	350	Min.	1.77	-7.64	5	-0.54	1	-0.12	1	0.27	1	-0.37	1	-0.07	1
6048	349	350	Min.	4.91					-0.09	3			-0.32	3		
6048	349	350	Min.	15.00	-7.64	5	-0.54	1	0.00	5	-0.67	1	-0.27	5	-0.07	1
6048	350	351	Max	0.00	-5.77	5	0.97	1	0.01	5	0.59	1	-0.18	5	0.15	1
6048	350	351	Max	5.29					0.04	5			-0.17	5		
6048	350	351	Max	13.23	-5.77	5	0.97	1	0.14	1	-0.35	1	-0.19	5	0.15	1
6048	350	351	Min.	0.00	-7.64	5	-0.54	1	0.00	5	-0.67	1	-0.27	5	-0.07	1
6048	350	351	Min.	7.94					-0.04	1			-0.30	1		
6048	350	351	Min.	13.23	-7.64	5	-0.54	1	-0.07	1	-1.61	1	-0.39	5	-0.07	1
6049	-17	-18	Max	2.83	32.55	5	0.33	1	0.02	1	6.90	1	1.19	1	0.00	1
6049	-17	-18	Max	26.15	32.55	5	0.33	1	0.04	1	5.07	1	0.76	1	0.00	1
6049	-17	-18	Min.	2.83	20.28	5	-0.16	1	-0.04	1	-8.53	1	-0.64	1	-0.00	1
6049	-17	-18	Min.	26.15	20.28	5	-0.16	1	-0.02	1	-10.36	1	-1.01	1	-0.00	1
6050	-49	-50	Max	2.83	8.09	5	0.02	1	0.00	5	10.92	1	2.03	1	0.01	1
6050	-49	-50	Max	13.78					-0.01	3			0.27	3		
6050	-49	-50	Max	25.84	8.09	5	0.02	1	0.01	5	9.11	1	1.27	1	0.01	1
6050	-49	-50	Min.	2.83	4.98	5	-0.01	1	-0.01	5	-15.37	1	-1.04	1	-0.01	1
6050	-49	-50	Min.	13.78					-0.00	3			0.14	3		
6050	-49	-50	Min.	25.84	4.98	5	-0.01	1	-0.01	5	-17.18	1	-1.72	1	-0.01	1
6051	-81	-82	Max	2.83	-0.56	1	0.11	1	0.02	1	9.34	1	1.64	1	0.00	5
6051	-81	-82	Max	14.05					0.00	7			0.01	7		
6051	-81	-82	Max	25.22	-0.56	1	0.11	1	0.01	1	8.46	1	0.97	1	0.00	5
6051	-81	-82	Min.	2.83	-0.69	1	-0.17	1	-0.02	1	-14.19	1	-1.02	1	-0.00	5
6051	-81	-82	Min.	14.05					-0.01	7			0.01	7		
6051	-81	-82	Min.	25.22	-0.69	1	-0.17	1	-0.02	1	-15.07	1	-1.64	1	-0.00	5
6052	-113	-114	Max	2.83	0.19	5	0.14	1	0.02	1	11.98	1	2.08	1	0.00	5
6052	-113	-114	Max	12.61					-0.01	7			0.08	7		
6052	-113	-114	Max	24.59	0.19	5	0.14	1	0.01	1	11.12	1	1.24	1	0.00	5
6052	-113	-114	Min.	2.83	-0.05	5	-0.23	1	-0.02	1	-18.59	1	-1.28	1	-0.00	5
6052	-113	-114	Min.	12.61					0.00	7			0.04	7		
6052	-113	-114	Min.	24.59	-0.05	5	-0.23	1	-0.03	1	-19.45	1	-2.06	1	-0.00	5
6053	-145	-146	Max	2.83	0.08	5	0.16	1	0.02	1	12.94	1	2.20	1	0.00	5
6053	-145	-146	Max	13.21					-0.02	7			0.03	7		
6053	-145	-146	Max	23.97	0.08	5	0.16	1	0.02	1	12.11	1	1.30	1	0.00	5
6053	-145	-146	Min.	2.83	-0.10	5	-0.27	1	-0.02	1	-20.26	1	-1.34	1	-0.00	5
6053	-145	-146	Min.	13.21					0.01	7			0.02	7		
6053	-145	-146	Min.	23.97	-0.10	5	-0.27	1	-0.04	1	-21.09	1	-2.17	1	-0.00	5
6054	-177	-178	Max	2.83	0.08	5	0.17	1	0.03	1	13.53	1	2.24	1	0.00	5
6054	-177	-178	Max	12.92					-0.02	7			0.02	7		

6054	-177	-178	Max	23.34	0.08	5	0.17	1	0.02	1	12.73	1	1.33	1	0.00	5
6054	-177	-178	Min.	2.83	-0.09	5	-0.29	1	-0.02	1	-21.33	1	-1.37	1	-0.00	5
6054	-177	-178	Min.	12.92					0.01	7			0.02	7		
6054	-177	-178	Min.	23.34	-0.09	5	-0.29	1	-0.04	1	-22.14	1	-2.22	1	-0.00	5
6055	-209	-210	Max	2.83	0.09	5	0.18	1	0.03	1	14.04	1	2.27	1	0.00	5
6055	-209	-210	Max	12.67					0.01	7			0.02	7		
6055	-209	-210	Max	22.72	0.09	5	0.18	1	0.02	1	13.26	1	1.34	1	0.00	5
6055	-209	-210	Min.	2.83	-0.09	5	-0.30	1	-0.02	1	-22.29	1	-1.38	1	-0.00	5
6055	-209	-210	Min.	12.67					-0.02	7			0.02	7		
6055	-209	-210	Min.	22.72	-0.09	5	-0.30	1	-0.04	1	-23.07	1	-2.24	1	-0.00	5
6056	-241	-242	Max	2.83	0.09	5	0.18	1	0.03	1	14.54	1	2.29	1	0.00	5
6056	-241	-242	Max	12.47					0.01	7			0.02	7		
6056	-241	-242	Max	22.09	0.09	5	0.18	1	0.02	1	13.78	1	1.34	1	0.00	5
6056	-241	-242	Min.	2.83	-0.09	5	-0.31	1	-0.02	1	-23.25	1	-1.38	1	-0.00	5
6056	-241	-242	Min.	12.47					-0.02	7			0.01	7		
6056	-241	-242	Min.	22.09	-0.09	5	-0.31	1	-0.04	1	-24.01	1	-2.26	1	-0.00	5
6057	-273	-274	Max	2.83	0.09	5	0.19	1	0.03	1	15.04	1	2.31	1	0.00	5
6057	-273	-274	Max	12.15					0.01	7			0.02	7		
6057	-273	-274	Max	21.47	0.09	5	0.19	1	0.02	1	14.31	1	1.35	1	0.00	5
6057	-273	-274	Min.	2.83	-0.09	5	-0.33	1	-0.02	1	-24.25	1	-1.39	1	-0.00	5
6057	-273	-274	Min.	12.15					-0.02	7			0.01	7		
6057	-273	-274	Min.	21.47	-0.09	5	-0.33	1	-0.04	1	-24.98	1	-2.27	1	-0.00	5
6058	-305	-306	Max	2.83	0.10	5	0.20	1	0.03	1	15.55	1	2.33	1	0.00	5
6058	-305	-306	Max	11.86					0.01	7			0.02	7		
6058	-305	-306	Max	20.84	0.10	5	0.20	1	0.02	1	14.84	1	1.35	1	0.00	5
6058	-305	-306	Min.	2.83	-0.09	5	-0.34	1	-0.02	1	-25.29	1	-1.39	1	-0.01	5
6058	-305	-306	Min.	11.86					-0.02	7			0.01	7		
6058	-305	-306	Min.	20.84	-0.09	5	-0.34	1	-0.04	1	-26.00	1	-2.29	1	-0.01	5
6059	-337	-338	Max	2.83	0.10	5	0.21	1	0.03	1	16.07	1	2.35	1	0.00	5
6059	-337	-338	Max	11.57					0.01	7			0.02	7		
6059	-337	-338	Max	20.22	0.10	5	0.21	1	0.02	1	15.39	1	1.35	1	0.00	5
6059	-337	-338	Min.	2.83	-0.09	5	-0.36	1	-0.02	1	-26.38	1	-1.39	1	-0.01	5
6059	-337	-338	Min.	11.57					-0.02	7			0.01	7		
6059	-337	-338	Min.	20.22	-0.09	5	-0.36	1	-0.04	1	-27.06	1	-2.30	1	-0.01	5
6060	-369	-370	Max	2.83	0.15	5	0.21	1	0.03	1	16.60	1	2.36	1	0.00	5
6060	-369	-370	Max	9.53					-0.01	7			0.16	7		
6060	-369	-370	Max	19.59	0.15	5	0.21	1	0.02	1	15.94	1	1.35	1	0.00	5
6060	-369	-370	Min.	2.83	-0.10	5	-0.37	1	-0.02	1	-27.52	1	-1.38	1	-0.01	5
6060	-369	-370	Min.	9.53					0.01	7			0.07	7		
6060	-369	-370	Min.	19.59	-0.10	5	-0.37	1	-0.04	1	-28.18	1	-2.31	1	-0.01	5
6061	-401	-402	Max	2.83	-0.03	5	0.22	1	0.03	1	17.14	1	2.37	1	0.00	5
6061	-401	-402	Max	9.28					-0.01	7			0.16	7		
6061	-401	-402	Max	18.97	-0.03	5	0.22	1	0.02	1	16.51	1	1.34	1	0.00	5
6061	-401	-402	Min.	2.83	-0.17	5	-0.39	1	-0.02	1	-28.71	1	-1.38	1	-0.01	5
6061	-401	-402	Min.	9.28					0.01	7			0.08	7		
6061	-401	-402	Min.	18.97	-0.17	5	-0.39	1	-0.04	1	-29.34	1	-2.31	1	-0.01	5
6062	-433	-434	Max	2.83	2.15	5	0.23	1	0.03	1	17.64	1	2.36	1	0.00	5
6062	-433	-434	Max	9.03					-0.01	7			0.16	7		
6062	-433	-434	Max	18.34	2.15	5	0.23	1	0.02	1	17.03	1	1.32	1	0.00	5
6062	-433	-434	Min.	2.83	-0.50	5	-0.40	1	-0.02	1	-29.87	1	-1.37	1	-0.01	5
6062	-433	-434	Min.	9.03					0.00	7			0.06	7		
6062	-433	-434	Min.	18.34	-0.50	5	-0.40	1	-0.04	1	-30.48	1	-2.32	1	-0.01	5
6063	-465	-466	Max	2.83	2.71	5	0.22	1	0.03	1	17.88	1	2.38	1	0.00	5
6063	-465	-466	Max	8.78					0.00	7			0.18	7		
6063	-465	-466	Max	17.72	2.71	5	0.22	1	0.01	1	17.30	1	1.32	1	0.00	5
6063	-465	-466	Min.	2.83	-13.72	5	-0.40	1	-0.02	1	-30.45	1	-1.30	1	-0.01	5
6063	-465	-466	Min.	8.78					-0.01	7			0.13	7		
6063	-465	-466	Min.	17.72	-13.72	5	-0.40	1	-0.04	1	-31.03	1	-2.19	1	-0.01	5
6064	-497	-498	Max	2.83	80.54	5	0.19	1	0.02	1	16.07	1	1.70	1	0.00	5

6064	-497	-498	Max	10.06					0.00	7			0.14	7		
6064	-497	-498	Max	17.09	80.54	5	0.19	1	0.01	1	15.51	1	0.95	1	0.00	5
6064	-497	-498	Min.	2.83	-16.70	5	-0.32	1	-0.02	1	-27.52	1	-1.39	1	-0.00	5
6064	-497	-498	Min.	10.06					-0.01	7			-0.69	7		
6064	-497	-498	Min.	17.09	-16.70	5	-0.32	1	-0.03	1	-28.08	1	-2.36	1	-0.00	5
6068	-505	-506	Max	3.53	30.71	5	0.35	1	0.02	1	19.98	1	2.25	1	0.00	1
6068	-505	-506	Max	11.38					0.00	7			0.41	7		
6068	-505	-506	Max	17.80	30.71	5	0.35	1	0.02	1	19.42	1	1.65	1	0.00	1
6068	-505	-506	Min.	3.53	-58.78	5	-0.27	1	-0.03	1	-28.77	1	-1.37	1	-0.01	1
6068	-505	-506	Min.	11.38					-0.01	7			-0.24	7		
6068	-505	-506	Min.	17.80	-58.78	5	-0.27	1	-0.03	1	-29.33	1	-2.10	1	-0.01	1
6069	-473	-474	Max	3.53	9.79	5	0.43	1	0.02	1	22.12	1	2.37	1	0.00	5
6069	-473	-474	Max	11.02					0.01	7			0.03	7		
6069	-473	-474	Max	18.42	9.79	5	0.43	1	0.03	1	21.54	1	1.60	1	0.00	5
6069	-473	-474	Min.	3.53	-5.29	5	-0.29	1	-0.04	1	-32.00	1	-1.65	1	-0.00	5
6069	-473	-474	Min.	11.02					-0.02	7			-0.08	7		
6069	-473	-474	Min.	18.42	-5.29	5	-0.29	1	-0.03	1	-32.58	1	-2.44	1	-0.00	5
6070	-441	-442	Max	3.53	0.79	5	0.43	1	0.02	1	21.71	1	2.42	1	0.00	5
6070	-441	-442	Max	12.07					-0.02	7			0.02	7		
6070	-441	-442	Max	19.05	0.79	5	0.43	1	0.03	1	21.10	1	1.67	1	0.00	5
6070	-441	-442	Min.	3.53	-1.67	5	-0.29	1	-0.04	1	-31.31	1	-1.65	1	-0.00	5
6070	-441	-442	Min.	12.07					0.01	7			-0.10	7		
6070	-441	-442	Min.	19.05	-1.67	5	-0.29	1	-0.03	1	-31.91	1	-2.49	1	-0.00	5
6071	-409	-410	Max	3.53	0.01	5	0.41	1	0.02	1	21.00	1	2.42	1	0.00	5
6071	-409	-410	Max	12.41					-0.02	7			0.02	7		
6071	-409	-410	Max	19.67	0.01	5	0.41	1	0.03	1	20.37	1	1.67	1	0.00	5
6071	-409	-410	Min.	3.53	-0.10	5	-0.28	1	-0.04	1	-30.08	1	-1.66	1	-0.00	5
6071	-409	-410	Min.	12.41					0.01	7			-0.10	7		
6071	-409	-410	Min.	19.67	-0.10	5	-0.28	1	-0.03	1	-30.71	1	-2.49	1	-0.00	5
6072	-377	-378	Max	3.53	0.02	5	0.39	1	0.02	1	20.27	1	2.41	1	0.00	5
6072	-377	-378	Max	12.75					-0.02	7			0.03	7		
6072	-377	-378	Max	20.30	0.02	5	0.39	1	0.03	1	19.61	1	1.68	1	0.00	5
6072	-377	-378	Min.	3.53	-0.22	5	-0.27	1	-0.04	1	-28.82	1	-1.67	1	-0.00	5
6072	-377	-378	Min.	12.75					0.01	7			-0.10	7		
6072	-377	-378	Min.	20.30	-0.22	5	-0.27	1	-0.03	1	-29.48	1	-2.48	1	-0.00	5
6073	-345	-346	Max	3.53	0.01	5	0.38	1	0.02	1	19.55	1	2.40	1	0.00	5
6073	-345	-346	Max	13.10					-0.02	7			0.03	7		
6073	-345	-346	Max	20.92	0.01	5	0.38	1	0.03	1	18.87	1	1.67	1	0.00	5
6073	-345	-346	Min.	3.53	-0.18	5	-0.26	1	-0.04	1	-27.62	1	-1.67	1	-0.00	5
6073	-345	-346	Min.	13.10					0.01	7			-0.10	7		
6073	-345	-346	Min.	20.92	-0.18	5	-0.26	1	-0.03	1	-28.30	1	-2.46	1	-0.00	5
6074	-313	-314	Max	3.53	0.01	5	0.36	1	0.02	1	18.86	1	2.38	1	0.00	5
6074	-313	-314	Max	13.44					-0.02	7			0.03	7		
6074	-313	-314	Max	21.55	0.01	5	0.36	1	0.03	1	18.15	1	1.67	1	0.00	5
6074	-313	-314	Min.	3.53	-0.18	5	-0.25	1	-0.04	1	-26.47	1	-1.66	1	-0.00	5
6074	-313	-314	Min.	13.44					0.01	7			-0.10	7		
6074	-313	-314	Min.	21.55	-0.18	5	-0.25	1	-0.03	1	-27.18	1	-2.45	1	-0.00	5
6075	-281	-282	Max	3.53	0.00	5	0.35	1	0.02	1	18.19	1	2.37	1	0.00	5
6075	-281	-282	Max	13.09					-0.02	7			0.01	7		
6075	-281	-282	Max	22.17	0.00	5	0.35	1	0.03	1	17.46	1	1.66	1	0.00	5
6075	-281	-282	Min.	3.53	-0.18	5	-0.24	1	-0.04	1	-25.37	1	-1.66	1	-0.00	5
6075	-281	-282	Min.	13.09					0.01	7			-0.02	7		
6075	-281	-282	Min.	22.17	-0.18	5	-0.24	1	-0.03	1	-26.10	1	-2.43	1	-0.00	5
6076	-249	-250	Max	3.53	0.00	5	0.33	1	0.02	1	17.54	1	2.35	1	0.00	5
6076	-249	-250	Max	13.13					0.01	7			0.01	7		
6076	-249	-250	Max	22.80	0.00	5	0.33	1	0.03	1	16.78	1	1.65	1	0.00	5
6076	-249	-250	Min.	3.53	-0.18	5	-0.23	1	-0.04	1	-24.33	1	-1.65	1	-0.00	5
6076	-249	-250	Min.	13.13					-0.02	7			0.00	7		
6076	-249	-250	Min.	22.80	-0.18	5	-0.23	1	-0.03	1	-25.08	1	-2.41	1	-0.00	5

6077	-217	-218	Max	3.53	0.00	5	0.32	1	0.02	1	16.90	1	2.33	1	0.00	5
6077	-217	-218	Max	13.45					0.01	7			0.01	7		
6077	-217	-218	Max	23.42	0.00	5	0.32	1	0.03	1	16.12	1	1.64	1	0.00	5
6077	-217	-218	Min.	3.53	-0.17	5	-0.22	1	-0.04	1	-23.32	1	-1.64	1	-0.00	5
6077	-217	-218	Min.	13.45					-0.02	7			0.00	7		
6077	-217	-218	Min.	23.42	-0.17	5	-0.22	1	-0.03	1	-24.10	1	-2.39	1	-0.00	5
6078	-185	-186	Max	3.53	0.00	5	0.30	1	0.02	1	16.26	1	2.30	1	0.00	5
6078	-185	-186	Max	13.79					0.01	7			0.00	7		
6078	-185	-186	Max	24.05	0.00	5	0.30	1	0.03	1	15.46	1	1.63	1	0.00	5
6078	-185	-186	Min.	3.53	-0.17	5	-0.21	1	-0.04	1	-22.31	1	-1.63	1	-0.00	5
6078	-185	-186	Min.	13.79					-0.02	7			0.00	7		
6078	-185	-186	Min.	24.05	-0.17	5	-0.21	1	-0.03	1	-23.12	1	-2.36	1	-0.00	5
6079	-153	-154	Max	3.53	-0.00	5	0.28	1	0.02	1	15.53	1	2.25	1	0.00	5
6079	-153	-154	Max	14.14					-0.02	7			0.01	7		
6079	-153	-154	Max	24.67	-0.00	5	0.28	1	0.03	1	14.70	1	1.60	1	0.00	5
6079	-153	-154	Min.	3.53	-0.18	5	-0.20	1	-0.04	1	-21.20	1	-1.60	1	-0.00	5
6079	-153	-154	Min.	14.14					0.01	7			0.00	7		
6079	-153	-154	Min.	24.67	-0.18	5	-0.20	1	-0.03	1	-22.03	1	-2.31	1	-0.00	5
6080	-121	-122	Max	3.53	0.06	5	0.25	1	0.02	1	14.36	1	2.13	1	0.00	5
6080	-121	-122	Max	14.47					-0.01	7			0.01	7		
6080	-121	-122	Max	25.30	0.06	5	0.25	1	0.03	1	13.50	1	1.51	1	0.00	5
6080	-121	-122	Min.	3.53	-0.13	5	-0.17	1	-0.03	1	-19.45	1	-1.52	1	-0.00	5
6080	-121	-122	Min.	14.47					0.01	7			0.00	7		
6080	-121	-122	Min.	25.30	-0.13	5	-0.17	1	-0.03	1	-20.31	1	-2.19	1	-0.00	5
6081	-89	-90	Max	3.53	-0.49	5	0.18	1	0.01	1	11.18	1	1.68	1	0.00	5
6081	-89	-90	Max	14.79					-0.01	7			0.01	7		
6081	-89	-90	Max	25.92	-0.49	5	0.18	1	0.02	1	10.30	1	1.19	1	0.00	5
6081	-89	-90	Min.	3.53	-0.72	5	-0.12	1	-0.02	1	-14.86	1	-1.21	1	-0.00	5
6081	-89	-90	Min.	14.79					0.00	7			0.00	7		
6081	-89	-90	Min.	25.92	-0.72	5	-0.12	1	-0.02	1	-15.74	1	-1.74	1	-0.00	5
6082	-57	-58	Max	3.53	5.27	5	0.03	1	0.01	5	13.09	1	2.04	1	0.01	1
6082	-57	-58	Max	15.13					-0.01	7			0.15	7		
6082	-57	-58	Max	26.55	5.27	5	0.03	1	0.01	5	11.29	1	1.51	1	0.01	1
6082	-57	-58	Min.	3.53	4.57	5	-0.05	1	-0.01	5	-16.25	1	-1.29	1	-0.01	1
6082	-57	-58	Min.	15.13					0.00	7			0.13	7		
6082	-57	-58	Min.	26.55	4.57	5	-0.05	1	-0.01	5	-18.05	1	-1.91	1	-0.01	1
6083	-25	-26	Max	3.53	22.22	1	0.15	1	0.04	1	8.49	1	1.22	1	0.00	5
6083	-25	-26	Max	26.86	22.22	1	0.15	1	0.02	1	6.66	1	0.94	1	0.00	5
6083	-25	-26	Min.	3.53	19.24	1	-0.33	1	-0.02	1	-9.20	1	-0.82	1	-0.00	5
6083	-25	-26	Min.	26.86	19.24	1	-0.33	1	-0.04	1	-11.03	1	-1.14	1	-0.00	5
6084	373	374	Max	1.77	-2.43	5	2.00	1	-0.10	1	1.00	1	0.09	1	0.07	1
6084	373	374	Max	2.76					-0.10	1			0.09	1		
6084	373	374	Max	15.00	-2.43	5	1.06	1	-0.15	5	1.00	1	0.01	5	0.07	1
6084	373	374	Min.	1.77	-7.84	5	0.07	1	-0.39	1	-0.64	1	-0.12	1	-0.14	1
6084	373	374	Min.	2.76					-0.37	1			-0.11	1		
6084	373	374	Min.	15.00	-7.84	5	-0.87	1	-0.19	5	-0.64	1	0.01	5	-0.14	1
6084	374	375	Max	0.00	-2.43	5	1.06	1	-0.15	5	1.00	1	0.01	5	0.07	1
6084	374	375	Max	1.08					-0.16	7			0.01	7		
6084	374	375	Max	13.23	-2.43	5	0.12	1	-0.11	1	1.00	1	0.14	1	0.07	1
6084	374	375	Min.	0.00	-7.84	5	-0.87	1	-0.19	5	-0.64	1	0.01	5	-0.14	1
6084	374	375	Min.	1.08					-0.18	7			0.01	7		
6084	374	375	Min.	13.23	-7.84	5	-1.81	1	-0.33	1	-0.64	1	-0.08	1	-0.14	1
6085	-537	-538	Max	0.00	0.24	1	14.72	1	0.43	1	0.12	1	0.04	1	0.13	1
6085	-537	-538	Max	12.00	0.24	1	14.72	1	0.87	1	1.72	1	0.08	1	0.13	1
6085	-537	-538	Min.	0.00	-0.14	1	-7.11	1	-0.89	1	-1.50	1	-0.03	1	-0.20	1
6085	-537	-538	Min.	12.00	-0.14	1	-7.11	1	-0.42	1	0.10	1	-0.05	1	-0.20	1
6086	-521	-522	Max	0.00	0.27	1	14.76	1	0.40	1	-0.59	1	0.06	5	0.20	1
6086	-521	-522	Max	12.00	0.27	1	14.76	1	0.89	1	1.01	1	0.02	1	0.20	1
6086	-521	-522	Min.	0.00	-0.28	1	-6.83	1	-0.88	1	-1.80	1	-0.01	5	-0.28	1

6086	-521	-522	Min.	12.00	-0.28	1	-6.83	1	-0.42	1	-0.20	1	-0.06	1	-0.28	1
6088	313	325	Max	1.77	181.69	1	267.49	1	13.61	1	9.39	1	0.06	1	0.23	1
6088	313	325	Max	15.00	181.69	1	266.55	1	20.02	1	9.39	1	1.00	1	0.23	1
6088	313	325	Min.	1.77	-164.87	1	-232.75	1	-15.32	1	-4.02	1	-0.24	1	-0.43	1
6088	313	325	Min.	15.00	-164.87	1	-233.69	1	-17.25	1	-4.02	1	-0.47	1	-0.43	1
6088	325	337	Max	0.00	167.94	1	252.24	1	17.70	1	3.66	1	1.01	1	0.43	1
6088	325	337	Max	13.23	167.94	1	251.30	1	14.05	1	3.66	1	0.05	1	0.43	1
6088	325	337	Min.	0.00	-170.61	1	-242.88	1	-19.28	1	-9.50	1	-0.44	1	-0.23	1
6088	325	337	Min.	13.23	-170.61	1	-243.81	1	-14.52	1	-9.50	1	-0.25	1	-0.23	1
6089	-1	-9	Max	3.53	140.20	1	0.06	5	0.02	5	20.36	5	1.09	5	0.00	5
6089	-1	-9	Max	26.86	140.20	1	0.06	5	0.01	5	18.52	5	2.39	5	0.00	5
6089	-1	-9	Min.	3.53	-106.94	1	-0.16	5	-0.01	5	-8.23	5	-2.15	5	0.00	5
6089	-1	-9	Min.	26.86	-106.94	1	-0.16	5	-0.02	5	-10.06	5	-1.05	5	0.00	5
6090	-33	-41	Max	3.53	51.57	1	0.11	5	0.03	5	31.66	5	1.66	5	0.00	5
6090	-33	-41	Max	26.55	51.57	1	0.11	5	0.01	5	29.85	5	3.79	5	0.00	5
6090	-33	-41	Min.	3.53	-45.66	1	-0.27	5	-0.01	5	-11.27	5	-3.64	5	0.00	5
6090	-33	-41	Min.	26.55	-45.66	1	-0.27	5	-0.03	5	-13.07	5	-1.49	5	0.00	5
6091	-65	-73	Max	3.53	1.80	1	0.12	5	0.04	5	27.32	5	1.10	5	0.00	5
6091	-65	-73	Max	25.92	1.80	1	0.12	5	0.01	5	26.44	5	3.02	5	0.00	5
6091	-65	-73	Min.	3.53	-2.76	1	-0.32	5	-0.01	5	-9.63	5	-3.00	5	-0.00	5
6091	-65	-73	Min.	25.92	-2.76	1	-0.32	5	-0.04	5	-10.51	5	-1.15	5	-0.00	5
6092	-97	-105	Max	3.53	0.13	5	0.16	5	0.05	5	35.34	5	1.39	5	0.00	5
6092	-97	-105	Max	25.30	0.13	5	0.16	5	0.02	5	34.48	5	3.82	5	0.00	5
6092	-97	-105	Min.	3.53	-0.03	5	-0.43	5	-0.02	5	-12.59	5	-3.78	5	-0.00	5
6092	-97	-105	Min.	25.30	-0.03	5	-0.43	5	-0.05	5	-13.44	5	-1.44	5	-0.00	5
6093	-129	-137	Max	3.53	0.02	1	0.18	5	0.06	5	38.39	5	1.47	5	0.00	5
6093	-129	-137	Max	24.67	0.02	1	0.18	5	0.02	5	37.56	5	4.03	5	0.00	5
6093	-129	-137	Min.	3.53	-0.09	1	-0.49	5	-0.02	5	-13.67	5	-3.99	5	-0.00	5
6093	-129	-137	Min.	24.67	-0.09	1	-0.49	5	-0.05	5	-14.50	5	-1.51	5	-0.00	5
6094	-161	-169	Max	3.53	0.04	1	0.19	5	0.06	5	40.35	5	1.49	5	0.00	5
6094	-161	-169	Max	24.05	0.04	1	0.19	5	0.02	5	39.54	5	4.12	5	0.00	5
6094	-161	-169	Min.	3.53	-0.09	1	-0.52	5	-0.02	5	-14.33	5	-4.07	5	-0.00	5
6094	-161	-169	Min.	24.05	-0.09	1	-0.52	5	-0.05	5	-15.14	5	-1.53	5	-0.00	5
6095	-193	-201	Max	3.53	0.03	1	0.20	5	0.06	5	42.12	5	1.50	5	0.00	5
6095	-193	-201	Max	23.42	0.03	1	0.20	5	0.02	5	41.34	5	4.18	5	0.00	5
6095	-193	-201	Min.	3.53	-0.08	1	-0.55	5	-0.02	5	-14.90	5	-4.12	5	-0.00	5
6095	-193	-201	Min.	23.42	-0.08	1	-0.55	5	-0.05	5	-15.68	5	-1.54	5	-0.00	5
6096	-225	-233	Max	3.53	0.04	1	0.21	5	0.06	5	43.93	5	1.50	5	0.01	5
6096	-225	-233	Max	22.80	0.04	1	0.21	5	0.02	5	43.18	5	4.22	5	0.01	5
6096	-225	-233	Min.	3.53	-0.08	1	-0.57	5	-0.02	5	-15.46	5	-4.17	5	-0.00	5
6096	-225	-233	Min.	22.80	-0.08	1	-0.57	5	-0.05	5	-16.21	5	-1.55	5	-0.00	5
6097	-257	-265	Max	3.53	0.04	1	0.22	5	0.06	5	45.83	5	1.50	5	0.01	5
6097	-257	-265	Max	22.17	0.04	1	0.22	5	0.02	5	45.10	5	4.27	5	0.01	5
6097	-257	-265	Min.	3.53	-0.08	1	-0.60	5	-0.02	5	-16.02	5	-4.20	5	-0.00	5
6097	-257	-265	Min.	22.17	-0.08	1	-0.60	5	-0.05	5	-16.75	5	-1.55	5	-0.00	5
6098	-289	-297	Max	3.53	0.04	1	0.22	5	0.06	5	47.84	5	1.50	5	0.01	5
6098	-289	-297	Max	21.55	0.04	1	0.22	5	0.02	5	47.14	5	4.31	5	0.01	5
6098	-289	-297	Min.	3.53	-0.09	1	-0.63	5	-0.02	5	-16.59	5	-4.24	5	-0.00	5
6098	-289	-297	Min.	21.55	-0.09	1	-0.63	5	-0.06	5	-17.30	5	-1.55	5	-0.00	5
6099	-321	-329	Max	3.53	0.05	1	0.23	5	0.06	5	49.98	5	1.50	5	0.01	5
6099	-321	-329	Max	20.92	0.05	1	0.23	5	0.02	5	49.30	5	4.35	5	0.01	5
6099	-321	-329	Min.	3.53	-0.09	1	-0.66	5	-0.02	5	-17.17	5	-4.28	5	-0.00	5
6099	-321	-329	Min.	20.92	-0.09	1	-0.66	5	-0.06	5	-17.86	5	-1.55	5	-0.00	5
6100	-353	-361	Max	3.53	0.05	1	0.24	5	0.06	5	52.25	5	1.49	5	0.01	5
6100	-353	-361	Max	20.30	0.05	1	0.24	5	0.02	5	51.59	5	4.39	5	0.01	5
6100	-353	-361	Min.	3.53	-0.08	1	-0.69	5	-0.02	5	-17.77	5	-4.31	5	-0.00	5
6100	-353	-361	Min.	20.30	-0.08	1	-0.69	5	-0.06	5	-18.43	5	-1.54	5	-0.00	5
6101	-385	-393	Max	3.53	0.04	1	0.25	5	0.06	5	54.65	5	1.49	5	0.01	5
6101	-385	-393	Max	19.67	0.04	1	0.25	5	0.02	5	54.02	5	4.43	5	0.01	5

6101	-385	-393	Min.	3.53	-0.10	1	-0.72	5	-0.02	5	-18.39	5	-4.34	5	-0.00	5
6101	-385	-393	Min.	19.67	-0.10	1	-0.72	5	-0.06	5	-19.02	5	-1.53	5	-0.00	5
6102	-417	-425	Max	3.53	0.22	5	0.26	5	0.06	5	57.11	5	1.47	5	0.01	5
6102	-417	-425	Max	19.05	0.22	5	0.26	5	0.02	5	56.50	5	4.45	5	0.01	5
6102	-417	-425	Min.	3.53	0.04	5	-0.76	5	-0.02	5	-18.98	5	-4.36	5	-0.00	5
6102	-417	-425	Min.	19.05	0.04	5	-0.76	5	-0.06	5	-19.59	5	-1.52	5	-0.00	5
6103	-449	-457	Max	3.53	-0.67	5	0.24	5	0.06	5	59.03	5	1.45	5	0.01	5
6103	-449	-457	Max	18.42	-0.67	5	0.24	5	0.02	5	58.45	5	4.43	5	0.01	5
6103	-449	-457	Min.	3.53	-1.29	5	-0.72	5	-0.02	5	-19.38	5	-4.31	5	-0.01	5
6103	-449	-457	Min.	18.42	-1.29	5	-0.72	5	-0.05	5	-19.96	5	-1.48	5	-0.01	5
6104	-481	-489	Max	3.53	7.10	5	0.29	5	0.07	5	56.43	5	1.27	5	0.01	5
6104	-481	-489	Max	17.80	7.10	5	0.29	5	0.02	5	55.87	5	3.99	5	0.01	5
6104	-481	-489	Min.	3.53	3.72	5	-0.87	5	-0.02	5	-18.27	5	-4.02	5	-0.03	5
6104	-481	-489	Min.	17.80	3.72	5	-0.87	5	-0.06	5	-18.83	5	-1.38	5	-0.03	5
6109	-482	-490	Max	2.83	15.14	5	0.98	5	0.03	5	62.11	5	1.46	5	0.04	5
6109	-482	-490	Max	17.09	15.14	5	0.98	5	0.07	5	61.55	5	4.21	5	0.04	5
6109	-482	-490	Min.	2.83	9.82	5	-0.34	5	-0.07	5	-21.26	5	-4.60	5	-0.01	5
6109	-482	-490	Min.	17.09	9.82	5	-0.34	5	-0.02	5	-21.82	5	-1.61	5	-0.01	5
6110	-450	-458	Max	2.83	-1.84	5	0.82	5	0.03	5	65.27	5	1.73	5	0.00	1
6110	-450	-458	Max	17.72	-1.84	5	0.82	5	0.06	5	64.69	5	4.79	5	0.00	1
6110	-450	-458	Min.	2.83	-2.70	5	-0.29	5	-0.06	5	-22.55	5	-4.88	5	-0.00	1
6110	-450	-458	Min.	17.72	-2.70	5	-0.29	5	-0.02	5	-23.13	5	-1.67	5	-0.00	1
6111	-418	-426	Max	2.83	0.35	1	0.85	5	0.03	5	63.09	5	1.75	5	0.00	5
6111	-418	-426	Max	18.34	0.35	1	0.85	5	0.07	5	62.48	5	4.81	5	0.00	5
6111	-418	-426	Min.	2.83	0.16	1	-0.31	5	-0.07	5	-22.05	5	-4.93	5	-0.00	5
6111	-418	-426	Min.	18.34	0.16	1	-0.31	5	-0.02	5	-22.66	5	-1.72	5	-0.00	5
6112	-386	-394	Max	2.83	-0.05	1	0.81	5	0.03	5	60.33	5	1.76	5	0.00	5
6112	-386	-394	Max	18.97	-0.05	1	0.81	5	0.07	5	59.70	5	4.78	5	0.00	5
6112	-386	-394	Min.	2.83	-0.18	1	-0.29	5	-0.07	5	-21.30	5	-4.90	5	-0.00	5
6112	-386	-394	Min.	18.97	-0.18	1	-0.29	5	-0.02	5	-21.93	5	-1.73	5	-0.00	5
6113	-354	-362	Max	2.83	0.01	1	0.77	5	0.03	5	57.63	5	1.76	5	0.00	5
6113	-354	-362	Max	19.59	0.01	1	0.77	5	0.07	5	56.98	5	4.75	5	0.00	5
6113	-354	-362	Min.	2.83	-0.13	1	-0.28	5	-0.07	5	-20.53	5	-4.86	5	-0.00	5
6113	-354	-362	Min.	19.59	-0.13	1	-0.28	5	-0.02	5	-21.19	5	-1.74	5	-0.00	5
6114	-322	-330	Max	2.83	-0.00	1	0.74	5	0.03	5	55.09	5	1.76	5	0.00	5
6114	-322	-330	Max	20.22	-0.00	1	0.74	5	0.07	5	54.41	5	4.71	5	0.00	5
6114	-322	-330	Min.	2.83	-0.13	1	-0.27	5	-0.06	5	-19.79	5	-4.81	5	-0.00	5
6114	-322	-330	Min.	20.22	-0.13	1	-0.27	5	-0.02	5	-20.47	5	-1.74	5	-0.00	5
6115	-290	-298	Max	2.83	-0.00	1	0.70	5	0.03	5	52.70	5	1.76	5	0.00	5
6115	-290	-298	Max	20.84	-0.00	1	0.70	5	0.07	5	51.99	5	4.66	5	0.00	5
6115	-290	-298	Min.	2.83	-0.13	1	-0.26	5	-0.06	5	-19.07	5	-4.77	5	-0.00	5
6115	-290	-298	Min.	20.84	-0.13	1	-0.26	5	-0.02	5	-19.78	5	-1.74	5	-0.00	5
6116	-258	-266	Max	2.83	-0.00	1	0.67	5	0.03	5	50.45	5	1.76	5	0.00	5
6116	-258	-266	Max	21.47	-0.00	1	0.67	5	0.07	5	49.72	5	4.62	5	0.00	5
6116	-258	-266	Min.	2.83	-0.13	1	-0.25	5	-0.06	5	-18.38	5	-4.72	5	-0.00	5
6116	-258	-266	Min.	21.47	-0.13	1	-0.25	5	-0.02	5	-19.11	5	-1.74	5	-0.00	5
6117	-226	-234	Max	2.83	-0.01	1	0.64	5	0.03	5	48.33	5	1.75	5	0.00	5
6117	-226	-234	Max	22.09	-0.01	1	0.64	5	0.06	5	47.58	5	4.57	5	0.00	5
6117	-226	-234	Min.	2.83	-0.13	1	-0.24	5	-0.06	5	-17.71	5	-4.67	5	-0.00	5
6117	-226	-234	Min.	22.09	-0.13	1	-0.24	5	-0.02	5	-18.46	5	-1.73	5	-0.00	5
6118	-194	-202	Max	2.83	-0.01	1	0.61	5	0.03	5	46.32	5	1.74	5	0.00	5
6118	-194	-202	Max	22.72	-0.01	1	0.61	5	0.06	5	45.54	5	4.52	5	0.00	5
6118	-194	-202	Min.	2.83	-0.12	1	-0.23	5	-0.06	5	-17.05	5	-4.62	5	-0.00	5
6118	-194	-202	Min.	22.72	-0.12	1	-0.23	5	-0.02	5	-17.83	5	-1.73	5	-0.00	5
6119	-162	-170	Max	2.83	-0.01	1	0.58	5	0.03	5	44.34	5	1.73	5	0.00	5
6119	-162	-170	Max	23.34	-0.01	1	0.58	5	0.06	5	43.54	5	4.46	5	0.00	5
6119	-162	-170	Min.	2.83	-0.13	1	-0.22	5	-0.06	5	-16.38	5	-4.55	5	-0.00	5
6119	-162	-170	Min.	23.34	-0.13	1	-0.22	5	-0.02	5	-17.18	5	-1.72	5	-0.00	5
6120	-130	-138	Max	2.83	-0.01	1	0.54	5	0.03	5	42.18	5	1.70	5	0.00	5

6120	-130	-138	Max	23.97	-0.01	1	0.54	5	0.06	5	41.35	5	4.37	5	0.00	5
6120	-130	-138	Min.	2.83	-0.12	1	-0.21	5	-0.06	5	-15.61	5	-4.46	5	-0.00	5
6120	-130	-138	Min.	23.97	-0.12	1	-0.21	5	-0.02	5	-16.44	5	-1.69	5	-0.00	5
6121	-98	-106	Max	2.83	0.10	5	0.48	5	0.02	5	38.82	5	1.61	5	0.00	5
6121	-98	-106	Max	24.59	0.10	5	0.48	5	0.05	5	37.97	5	4.13	5	0.00	5
6121	-98	-106	Min.	2.83	-0.02	5	-0.18	5	-0.05	5	-14.36	5	-4.22	5	-0.00	5
6121	-98	-106	Min.	24.59	-0.02	5	-0.18	5	-0.02	5	-15.22	5	-1.61	5	-0.00	5
6122	-66	-74	Max	2.83	0.20	1	0.34	5	0.02	5	30.02	5	1.27	5	0.00	5
6122	-66	-74	Max	25.22	0.20	1	0.34	5	0.04	5	29.14	5	3.27	5	0.00	5
6122	-66	-74	Min.	2.83	-4.39	1	-0.13	5	-0.04	5	-11.02	5	-3.35	5	-0.00	5
6122	-66	-74	Min.	25.22	-4.39	1	-0.13	5	-0.02	5	-11.90	5	-1.29	5	-0.00	5
6123	-34	-42	Max	2.83	85.42	1	0.31	5	0.02	5	34.91	5	2.27	5	0.00	5
6123	-34	-42	Max	25.84	85.42	1	0.31	5	0.04	5	33.11	5	4.68	5	0.00	5
6123	-34	-42	Min.	2.83	-12.41	1	-0.13	5	-0.04	5	-12.76	5	-3.51	5	0.00	5
6123	-34	-42	Min.	25.84	-12.41	1	-0.13	5	-0.01	5	-14.57	5	-1.24	5	0.00	5
6124	-2	-10	Max	2.83	225.52	1	0.19	5	0.01	5	22.63	5	1.21	5	0.00	1
6124	-2	-10	Max	26.15	225.52	1	0.19	5	0.02	5	20.80	5	2.56	5	0.00	1
6124	-2	-10	Min.	2.83	-21.84	1	-0.08	5	-0.02	5	-9.42	5	-2.51	5	0.00	1
6124	-2	-10	Min.	26.15	-21.84	1	-0.08	5	-0.01	5	-11.25	5	-1.20	5	0.00	1
6125	315	327	Max	1.77	61.68	1	5.41	1	0.14	1	95.65	1	23.27	1	0.21	1
6125	315	327	Max	15.00	61.68	1	5.41	1	0.55	1	94.71	1	7.27	1	0.21	1
6125	315	327	Min.	1.77	-270.91	1	-8.04	1	-0.17	1	-402.34	1	-5.32	1	-0.46	1
6125	315	327	Min.	15.00	-270.91	1	-8.04	1	-0.92	1	-403.28	1	-30.03	1	-0.46	1
6125	327	339	Max	0.00	56.18	1	7.87	1	0.54	1	427.86	1	5.20	1	0.46	1
6125	327	339	Max	13.23	56.18	1	7.87	1	0.13	1	426.92	1	24.20	1	0.46	1
6125	327	339	Min.	0.00	-289.36	1	-5.30	1	-0.91	1	-76.10	1	-32.36	1	-0.21	1
6125	327	339	Min.	13.23	-289.36	1	-5.30	1	-0.16	1	-77.04	1	-4.93	1	-0.21	1
6126	316	328	Max	1.77	143.08	1	182.09	1	21.36	1	9.90	1	0.08	1	0.37	1
6126	316	328	Max	15.00	143.08	1	181.15	1	12.78	1	9.90	1	1.02	1	0.37	1
6126	316	328	Min.	1.77	-250.16	1	-386.22	1	-11.33	1	-5.89	1	-0.29	1	-0.39	1
6126	316	328	Min.	15.00	-250.16	1	-387.16	1	-29.88	1	-5.89	1	-0.70	1	-0.39	1
6126	328	340	Max	0.00	119.22	1	376.15	1	14.76	1	5.78	1	0.97	1	0.39	1
6126	328	340	Max	13.23	119.22	1	375.21	1	22.06	1	5.78	1	0.07	1	0.39	1
6126	328	340	Min.	0.00	-273.36	1	-193.54	1	-27.65	1	-9.49	1	-0.69	1	-0.36	1
6126	328	340	Min.	13.23	-273.36	1	-194.48	1	-10.91	1	-9.49	1	-0.28	1	-0.36	1
6127	-3	-11	Max	3.53	221.02	1	0.02	5	0.03	5	31.23	5	0.22	5	0.00	1
6127	-3	-11	Max	26.86	221.02	1	0.02	5	0.00	5	29.40	5	3.70	5	0.00	1
6127	-3	-11	Min.	3.53	-61.99	1	-0.23	5	-0.00	5	-0.38	5	-3.40	5	0.00	1
6127	-3	-11	Min.	26.86	-61.99	1	-0.23	5	-0.03	5	-2.21	5	-0.10	5	0.00	1
6128	-35	-43	Max	3.53	81.43	1	0.03	5	0.05	5	43.69	5	1.03	5	0.00	1
6128	-35	-43	Max	26.55	81.43	1	0.03	5	0.00	5	41.88	5	5.61	5	0.00	1
6128	-35	-43	Min.	3.53	-30.13	1	-0.39	5	-0.01	5	-2.51	5	-4.65	5	0.00	1
6128	-35	-43	Min.	26.55	-30.13	1	-0.39	5	-0.05	5	-4.31	5	-0.17	5	0.00	1
6129	-67	-75	Max	3.53	0.92	1	0.04	5	0.05	5	36.76	5	0.33	5	0.00	1
6129	-67	-75	Max	25.92	0.92	1	0.04	5	0.01	5	35.89	5	4.08	5	0.00	1
6129	-67	-75	Min.	3.53	-4.27	1	-0.43	5	-0.01	5	-2.70	5	-4.05	5	-0.00	1
6129	-67	-75	Min.	25.92	-4.27	1	-0.43	5	-0.05	5	-3.58	5	-0.37	5	-0.00	1
6130	-99	-107	Max	3.53	0.23	5	0.05	5	0.07	5	47.54	5	0.43	5	0.00	1
6130	-99	-107	Max	25.30	0.23	5	0.05	5	0.01	5	46.69	5	5.16	5	0.00	1
6130	-99	-107	Min.	3.53	0.06	5	-0.58	5	-0.01	5	-3.62	5	-5.10	5	-0.00	1
6130	-99	-107	Min.	25.30	0.06	5	-0.58	5	-0.06	5	-4.48	5	-0.45	5	-0.00	1
6131	-131	-139	Max	3.53	0.04	1	0.06	5	0.07	5	51.68	5	0.44	5	0.00	1
6131	-131	-139	Max	24.67	0.04	1	0.06	5	0.01	5	50.85	5	5.45	5	0.00	1
6131	-131	-139	Min.	3.53	-0.09	1	-0.66	5	-0.01	5	-3.90	5	-5.38	5	-0.00	1
6131	-131	-139	Min.	24.67	-0.09	1	-0.66	5	-0.07	5	-4.73	5	-0.47	5	-0.00	1
6132	-163	-171	Max	3.53	0.05	1	0.06	5	0.08	5	54.37	5	0.44	5	0.00	1
6132	-163	-171	Max	24.05	0.05	1	0.06	5	0.01	5	53.56	5	5.57	5	0.00	1
6132	-163	-171	Min.	3.53	-0.10	1	-0.71	5	-0.01	5	-4.03	5	-5.50	5	-0.00	1
6132	-163	-171	Min.	24.05	-0.10	1	-0.71	5	-0.07	5	-4.83	5	-0.47	5	-0.00	1

6133	-195	-203	Max	3.53	0.05	1	0.06	5	0.08	5	56.83	5	0.43	5	0.00	1
6133	-195	-203	Max	23.42	0.05	1	0.06	5	0.01	5	56.05	5	5.65	5	0.00	1
6133	-195	-203	Min.	3.53	-0.09	1	-0.75	5	-0.01	5	-4.09	5	-5.57	5	-0.00	1
6133	-195	-203	Min.	23.42	-0.09	1	-0.75	5	-0.07	5	-4.87	5	-0.46	5	-0.00	1
6134	-227	-235	Max	3.53	0.06	1	0.06	5	0.08	5	59.36	5	0.42	5	0.00	1
6134	-227	-235	Max	22.80	0.06	1	0.06	5	0.01	5	58.60	5	5.73	5	0.00	1
6134	-227	-235	Min.	3.53	-0.10	1	-0.78	5	-0.01	5	-4.12	5	-5.64	5	-0.00	1
6134	-227	-235	Min.	22.80	-0.10	1	-0.78	5	-0.08	5	-4.88	5	-0.45	5	-0.00	1
6135	-259	-267	Max	3.53	0.06	1	0.06	5	0.08	5	62.02	5	0.41	5	0.00	1
6135	-259	-267	Max	22.17	0.06	1	0.06	5	0.01	5	61.29	5	5.79	5	0.00	1
6135	-259	-267	Min.	3.53	-0.10	1	-0.82	5	-0.01	5	-4.12	5	-5.70	5	-0.00	1
6135	-259	-267	Min.	22.17	-0.10	1	-0.82	5	-0.08	5	-4.85	5	-0.43	5	-0.00	1
6136	-291	-299	Max	3.53	0.06	1	0.06	5	0.08	5	64.84	5	0.39	5	0.00	1
6136	-291	-299	Max	21.55	0.06	1	0.06	5	0.01	5	64.14	5	5.86	5	0.00	1
6136	-291	-299	Min.	3.53	-0.10	1	-0.86	5	-0.01	5	-4.09	5	-5.76	5	-0.00	1
6136	-291	-299	Min.	21.55	-0.10	1	-0.86	5	-0.08	5	-4.80	5	-0.41	5	-0.00	1
6137	-323	-331	Max	3.53	0.07	1	0.06	5	0.08	5	67.86	5	0.37	5	0.00	1
6137	-323	-331	Max	20.92	0.07	1	0.06	5	0.01	5	67.17	5	5.93	5	0.00	1
6137	-323	-331	Min.	3.53	-0.10	1	-0.90	5	-0.01	5	-4.03	5	-5.81	5	-0.00	1
6137	-323	-331	Min.	20.92	-0.10	1	-0.90	5	-0.08	5	-4.72	5	-0.39	5	-0.00	1
6138	-355	-363	Max	3.53	0.08	1	0.06	5	0.08	5	71.07	5	0.35	5	0.00	1
6138	-355	-363	Max	20.30	0.08	1	0.06	5	0.01	5	70.41	5	5.99	5	0.00	1
6138	-355	-363	Min.	3.53	-0.09	1	-0.95	5	-0.01	5	-3.94	5	-5.87	5	-0.00	1
6138	-355	-363	Min.	20.30	-0.09	1	-0.95	5	-0.08	5	-4.60	5	-0.37	5	-0.00	1
6139	-387	-395	Max	3.53	0.00	1	0.06	5	0.08	5	74.49	5	0.32	5	0.00	1
6139	-387	-395	Max	19.67	0.00	1	0.06	5	0.01	5	73.86	5	6.05	5	0.00	1
6139	-387	-395	Min.	3.53	-0.14	1	-0.99	5	-0.01	5	-3.81	5	-5.92	5	-0.00	1
6139	-387	-395	Min.	19.67	-0.14	1	-0.99	5	-0.08	5	-4.44	5	-0.34	5	-0.00	1
6140	-419	-427	Max	3.53	0.63	1	0.05	5	0.08	5	78.00	5	0.30	5	0.00	1
6140	-419	-427	Max	19.05	0.63	1	0.05	5	0.01	5	77.39	5	6.09	5	0.00	1
6140	-419	-427	Min.	3.53	0.24	1	-1.04	5	-0.01	5	-3.64	5	-5.96	5	-0.00	1
6140	-419	-427	Min.	19.05	0.24	1	-1.04	5	-0.08	5	-4.24	5	-0.32	5	-0.00	1
6141	-451	-459	Max	3.53	-2.39	1	0.05	5	0.08	5	80.73	5	0.29	5	0.01	5
6141	-451	-459	Max	18.42	-2.39	1	0.05	5	0.01	5	80.15	5	6.09	5	0.01	5
6141	-451	-459	Min.	3.53	-3.62	1	-1.00	5	-0.01	5	-3.42	5	-5.89	5	-0.00	5
6141	-451	-459	Min.	18.42	-3.62	1	-1.00	5	-0.07	5	-4.01	5	-0.26	5	-0.00	5
6142	-483	-491	Max	3.53	21.36	1	0.06	5	0.09	5	77.07	5	0.10	5	0.00	5
6142	-483	-491	Max	17.80	21.36	1	0.06	5	0.01	5	76.51	5	5.37	5	0.00	5
6142	-483	-491	Min.	3.53	12.36	1	-1.19	5	-0.01	5	-2.97	5	-5.58	5	-0.04	5
6142	-483	-491	Min.	17.80	12.36	1	-1.19	5	-0.09	5	-3.53	5	-0.36	5	-0.04	5
6147	-484	-492	Max	2.83	21.37	1	1.21	5	0.01	5	78.09	5	0.13	5	0.04	5
6147	-484	-492	Max	17.09	21.37	1	1.21	5	0.09	5	77.53	5	5.30	5	0.04	5
6147	-484	-492	Min.	2.83	11.97	1	-0.07	5	-0.09	5	-3.23	5	-5.80	5	-0.00	5
6147	-484	-492	Min.	17.09	11.97	1	-0.07	5	-0.00	5	-3.79	5	-0.37	5	-0.00	5
6148	-452	-460	Max	2.83	-2.36	1	1.02	5	0.01	5	82.02	5	0.30	5	0.00	5
6148	-452	-460	Max	17.72	-2.36	1	1.02	5	0.08	5	81.44	5	6.03	5	0.00	5
6148	-452	-460	Min.	2.83	-3.65	1	-0.05	5	-0.08	5	-3.56	5	-6.13	5	-0.01	5
6148	-452	-460	Min.	17.72	-3.65	1	-0.05	5	-0.00	5	-4.15	5	-0.27	5	-0.01	5
6149	-420	-428	Max	2.83	0.54	1	1.06	5	0.01	5	79.19	5	0.32	5	0.00	1
6149	-420	-428	Max	18.34	0.54	1	1.06	5	0.08	5	78.58	5	6.04	5	0.00	1
6149	-420	-428	Min.	2.83	0.18	1	-0.06	5	-0.08	5	-3.81	5	-6.20	5	-0.00	1
6149	-420	-428	Min.	18.34	0.18	1	-0.06	5	-0.00	5	-4.42	5	-0.32	5	-0.00	1
6150	-388	-396	Max	2.83	-0.06	1	1.01	5	0.01	5	75.62	5	0.34	5	0.00	1
6150	-388	-396	Max	18.97	-0.06	1	1.01	5	0.08	5	74.99	5	6.01	5	0.00	1
6150	-388	-396	Min.	2.83	-0.21	1	-0.06	5	-0.08	5	-3.97	5	-6.15	5	-0.00	1
6150	-388	-396	Min.	18.97	-0.21	1	-0.06	5	-0.01	5	-4.60	5	-0.35	5	-0.00	1
6151	-356	-364	Max	2.83	0.02	1	0.96	5	0.01	5	72.15	5	0.37	5	0.00	1
6151	-356	-364	Max	19.59	0.02	1	0.96	5	0.08	5	71.49	5	5.95	5	0.00	1
6151	-356	-364	Min.	2.83	-0.15	1	-0.06	5	-0.08	5	-4.09	5	-6.09	5	-0.00	1

6151	-356	-364	Min.	19.59	-0.15	1	-0.06	5	-0.01	5	-4.75	5	-0.37	5	-0.00	1
6152	-324	-332	Max	2.83	0.01	1	0.92	5	0.01	5	68.88	5	0.39	5	0.00	1
6152	-324	-332	Max	20.22	0.01	1	0.92	5	0.08	5	68.20	5	5.89	5	0.00	1
6152	-324	-332	Min.	2.83	-0.15	1	-0.06	5	-0.08	5	-4.18	5	-6.02	5	-0.00	1
6152	-324	-332	Min.	20.22	-0.15	1	-0.06	5	-0.01	5	-4.86	5	-0.39	5	-0.00	1
6153	-292	-300	Max	2.83	0.01	1	0.87	5	0.01	5	65.82	5	0.41	5	0.00	1
6153	-292	-300	Max	20.84	0.01	1	0.87	5	0.08	5	65.11	5	5.83	5	0.00	1
6153	-292	-300	Min.	2.83	-0.15	1	-0.06	5	-0.08	5	-4.23	5	-5.96	5	-0.00	1
6153	-292	-300	Min.	20.84	-0.15	1	-0.06	5	-0.01	5	-4.94	5	-0.42	5	-0.00	1
6154	-260	-268	Max	2.83	0.01	1	0.83	5	0.01	5	62.94	5	0.43	5	0.00	1
6154	-260	-268	Max	21.47	0.01	1	0.83	5	0.08	5	62.21	5	5.77	5	0.00	1
6154	-260	-268	Min.	2.83	-0.15	1	-0.06	5	-0.08	5	-4.25	5	-5.89	5	-0.00	1
6154	-260	-268	Min.	21.47	-0.15	1	-0.06	5	-0.01	5	-4.98	5	-0.43	5	-0.00	1
6155	-228	-236	Max	2.83	0.00	1	0.79	5	0.01	5	60.24	5	0.44	5	0.00	1
6155	-228	-236	Max	22.09	0.00	1	0.79	5	0.08	5	59.48	5	5.71	5	0.00	1
6155	-228	-236	Min.	2.83	-0.14	1	-0.06	5	-0.08	5	-4.24	5	-5.82	5	-0.00	1
6155	-228	-236	Min.	22.09	-0.14	1	-0.06	5	-0.01	5	-5.00	5	-0.45	5	-0.00	1
6156	-196	-204	Max	2.83	0.00	1	0.76	5	0.01	5	57.68	5	0.45	5	0.00	1
6156	-196	-204	Max	22.72	0.00	1	0.76	5	0.08	5	56.89	5	5.64	5	0.00	1
6156	-196	-204	Min.	2.83	-0.14	1	-0.06	5	-0.08	5	-4.20	5	-5.75	5	-0.00	1
6156	-196	-204	Min.	22.72	-0.14	1	-0.06	5	-0.01	5	-4.98	5	-0.46	5	-0.00	1
6157	-164	-172	Max	2.83	0.00	1	0.72	5	0.01	5	55.17	5	0.46	5	0.00	1
6157	-164	-172	Max	23.34	0.00	1	0.72	5	0.08	5	54.37	5	5.56	5	0.00	1
6157	-164	-172	Min.	2.83	-0.14	1	-0.06	5	-0.08	5	-4.13	5	-5.67	5	-0.00	1
6157	-164	-172	Min.	23.34	-0.14	1	-0.06	5	-0.01	5	-4.94	5	-0.47	5	-0.00	1
6158	-132	-140	Max	2.83	-0.01	1	0.67	5	0.01	5	52.44	5	0.46	5	0.00	1
6158	-132	-140	Max	23.97	-0.01	1	0.67	5	0.07	5	51.61	5	5.44	5	0.00	1
6158	-132	-140	Min.	2.83	-0.14	1	-0.06	5	-0.07	5	-4.01	5	-5.55	5	-0.00	1
6158	-132	-140	Min.	23.97	-0.14	1	-0.06	5	-0.01	5	-4.84	5	-0.47	5	-0.00	1
6159	-100	-108	Max	2.83	0.11	5	0.59	5	0.01	5	48.25	5	0.44	5	0.00	1
6159	-100	-108	Max	24.59	0.11	5	0.59	5	0.07	5	47.39	5	5.15	5	0.00	1
6159	-100	-108	Min.	2.83	-0.02	5	-0.05	5	-0.07	5	-3.71	5	-5.25	5	-0.00	1
6159	-100	-108	Min.	24.59	-0.02	5	-0.05	5	-0.01	5	-4.57	5	-0.46	5	-0.00	1
6160	-68	-76	Max	2.83	0.40	1	0.43	5	0.01	5	37.30	5	0.34	5	0.00	1
6160	-68	-76	Max	25.22	0.40	1	0.43	5	0.05	5	36.42	5	4.08	5	0.00	1
6160	-68	-76	Min.	2.83	-4.89	1	-0.04	5	-0.05	5	-2.79	5	-4.18	5	-0.00	1
6160	-68	-76	Min.	25.22	-4.89	1	-0.04	5	-0.00	5	-3.67	5	-0.38	5	-0.00	1
6161	-36	-44	Max	2.83	93.10	1	0.40	5	0.01	5	44.42	5	1.15	5	0.00	1
6161	-36	-44	Max	25.84	93.10	1	0.40	5	0.05	5	42.61	5	5.78	5	0.00	1
6161	-36	-44	Min.	2.83	-19.78	1	-0.03	5	-0.05	5	-2.41	5	-4.65	5	0.00	1
6161	-36	-44	Min.	25.84	-19.78	1	-0.03	5	-0.00	5	-4.22	5	-0.03	5	0.00	1
6162	-4	-12	Max	2.83	248.61	1	0.24	5	0.00	5	31.71	5	0.20	5	0.00	1
6162	-4	-12	Max	26.15	248.61	1	0.24	5	0.03	5	29.88	5	3.66	5	0.00	1
6162	-4	-12	Min.	2.83	-36.81	1	-0.02	5	-0.03	5	-0.51	5	-3.52	5	0.00	1
6162	-4	-12	Min.	26.15	-36.81	1	-0.02	5	-0.00	5	-2.34	5	-0.13	5	0.00	1
6163	318	330	Max	1.77	104.30	1	8.43	1	0.11	1	131.30	1	24.62	1	0.32	1
6163	318	330	Max	15.00	104.30	1	8.43	1	0.86	1	130.36	1	8.97	1	0.32	1
6163	318	330	Min.	1.77	-285.08	1	-7.29	1	-0.26	1	-443.79	1	-8.34	1	-0.44	1
6163	318	330	Min.	15.00	-285.08	1	-7.29	1	-0.86	1	-444.73	1	-34.16	1	-0.44	1
6163	330	342	Max	0.00	83.70	1	7.24	1	0.81	1	434.40	1	10.99	1	0.44	1
6163	330	342	Max	13.23	83.70	1	7.24	1	0.10	1	433.46	1	25.41	1	0.44	1
6163	330	342	Min.	0.00	-313.05	1	-7.94	1	-0.86	1	-143.01	1	-32.01	1	-0.32	1
6163	330	342	Min.	13.23	-313.05	1	-7.94	1	-0.25	1	-143.95	1	-8.00	1	-0.32	1
6164	319	331	Max	1.77	105.12	1	131.68	1	24.60	1	8.45	1	0.11	1	0.44	1
6164	319	331	Max	15.00	105.12	1	130.74	1	9.00	1	8.45	1	0.86	1	0.44	1
6164	319	331	Min.	1.77	-284.44	1	-443.39	1	-8.37	1	-7.25	1	-0.26	1	-0.32	1
6164	319	331	Min.	15.00	-284.44	1	-444.33	1	-34.13	1	-7.25	1	-0.85	1	-0.32	1
6164	331	343	Max	0.00	84.12	1	434.28	1	11.01	1	7.26	1	0.81	1	0.33	1
6164	331	343	Max	13.23	84.12	1	433.34	1	25.40	1	7.26	1	0.10	1	0.33	1

6164	331	343	Min.	0.00	-312.62	1	-143.28	1	-32.00	1	-7.96	1	-0.86	1	-0.44	1
6164	331	343	Min.	13.23	-312.62	1	-144.22	1	-8.01	1	-7.96	1	-0.25	1	-0.44	1
6165	-5	-13	Max	3.53	249.03	1	0.02	5	0.03	5	31.78	5	0.20	5	0.00	1
6165	-5	-13	Max	26.86	249.03	1	0.02	5	0.00	5	29.95	5	3.74	5	0.00	1
6165	-5	-13	Min.	3.53	-36.68	1	-0.24	5	-0.00	5	-0.43	5	-3.47	5	0.00	1
6165	-5	-13	Min.	26.86	-36.68	1	-0.24	5	-0.03	5	-2.26	5	-0.13	5	0.00	1
6166	-37	-45	Max	3.53	92.52	1	0.03	5	0.05	5	44.43	5	1.16	5	0.00	1
6166	-37	-45	Max	26.55	92.52	1	0.03	5	0.00	5	42.62	5	5.86	5	0.00	1
6166	-37	-45	Min.	3.53	-20.14	1	-0.40	5	-0.01	5	-2.58	5	-4.55	5	0.00	1
6166	-37	-45	Min.	26.55	-20.14	1	-0.40	5	-0.05	5	-4.39	5	-0.04	5	0.00	1
6167	-69	-77	Max	3.53	0.46	1	0.04	5	0.05	5	37.41	5	0.33	5	0.00	1
6167	-69	-77	Max	25.92	0.46	1	0.04	5	0.00	5	36.53	5	4.15	5	0.00	1
6167	-69	-77	Min.	3.53	-4.79	1	-0.43	5	-0.01	5	-2.74	5	-4.13	5	-0.00	1
6167	-69	-77	Min.	25.92	-4.79	1	-0.43	5	-0.05	5	-3.62	5	-0.38	5	-0.00	1
6168	-101	-109	Max	3.53	0.24	5	0.05	5	0.07	5	48.38	5	0.43	5	0.00	1
6168	-101	-109	Max	25.30	0.24	5	0.05	5	0.01	5	47.52	5	5.25	5	0.00	1
6168	-101	-109	Min.	3.53	0.07	5	-0.60	5	-0.01	5	-3.68	5	-5.19	5	-0.00	1
6168	-101	-109	Min.	25.30	0.07	5	-0.60	5	-0.07	5	-4.53	5	-0.46	5	-0.00	1
6169	-133	-141	Max	3.53	0.03	1	0.06	5	0.07	5	52.59	5	0.45	5	0.00	1
6169	-133	-141	Max	24.67	0.03	1	0.06	5	0.01	5	51.76	5	5.55	5	0.00	1
6169	-133	-141	Min.	3.53	-0.11	1	-0.68	5	-0.01	5	-3.96	5	-5.48	5	-0.00	1
6169	-133	-141	Min.	24.67	-0.11	1	-0.68	5	-0.07	5	-4.79	5	-0.48	5	-0.00	1
6170	-165	-173	Max	3.53	0.04	1	0.06	5	0.08	5	55.33	5	0.45	5	0.00	1
6170	-165	-173	Max	24.05	0.04	1	0.06	5	0.01	5	54.52	5	5.67	5	0.00	1
6170	-165	-173	Min.	3.53	-0.11	1	-0.72	5	-0.01	5	-4.09	5	-5.59	5	-0.00	1
6170	-165	-173	Min.	24.05	-0.11	1	-0.72	5	-0.08	5	-4.89	5	-0.47	5	-0.00	1
6171	-197	-205	Max	3.53	0.04	1	0.06	5	0.08	5	57.84	5	0.44	5	0.00	1
6171	-197	-205	Max	23.42	0.04	1	0.06	5	0.01	5	57.06	5	5.75	5	0.00	1
6171	-197	-205	Min.	3.53	-0.11	1	-0.76	5	-0.01	5	-4.15	5	-5.67	5	-0.00	1
6171	-197	-205	Min.	23.42	-0.11	1	-0.76	5	-0.08	5	-4.93	5	-0.46	5	-0.00	1
6172	-229	-237	Max	3.53	0.04	1	0.06	5	0.08	5	60.41	5	0.43	5	0.00	1
6172	-229	-237	Max	22.80	0.04	1	0.06	5	0.01	5	59.66	5	5.83	5	0.00	1
6172	-229	-237	Min.	3.53	-0.11	1	-0.80	5	-0.01	5	-4.19	5	-5.74	5	-0.00	1
6172	-229	-237	Min.	22.80	-0.11	1	-0.80	5	-0.08	5	-4.94	5	-0.45	5	-0.00	1
6173	-261	-269	Max	3.53	0.05	1	0.06	5	0.08	5	63.13	5	0.41	5	0.00	1
6173	-261	-269	Max	22.17	0.05	1	0.06	5	0.01	5	62.39	5	5.90	5	0.00	1
6173	-261	-269	Min.	3.53	-0.11	1	-0.84	5	-0.01	5	-4.19	5	-5.80	5	-0.00	1
6173	-261	-269	Min.	22.17	-0.11	1	-0.84	5	-0.08	5	-4.92	5	-0.44	5	-0.00	1
6174	-293	-301	Max	3.53	0.05	1	0.06	5	0.08	5	66.01	5	0.40	5	0.00	1
6174	-293	-301	Max	21.55	0.05	1	0.06	5	0.01	5	65.30	5	5.97	5	0.00	1
6174	-293	-301	Min.	3.53	-0.11	1	-0.88	5	-0.01	5	-4.17	5	-5.86	5	-0.00	1
6174	-293	-301	Min.	21.55	-0.11	1	-0.88	5	-0.08	5	-4.87	5	-0.42	5	-0.00	1
6175	-325	-333	Max	3.53	0.05	1	0.06	5	0.08	5	69.08	5	0.38	5	0.00	1
6175	-325	-333	Max	20.92	0.05	1	0.06	5	0.01	5	68.40	5	6.03	5	0.00	1
6175	-325	-333	Min.	3.53	-0.11	1	-0.92	5	-0.01	5	-4.11	5	-5.92	5	-0.00	1
6175	-325	-333	Min.	20.92	-0.11	1	-0.92	5	-0.08	5	-4.79	5	-0.40	5	-0.00	1
6176	-357	-365	Max	3.53	0.07	1	0.06	5	0.08	5	72.36	5	0.35	5	0.00	1
6176	-357	-365	Max	20.30	0.07	1	0.06	5	0.01	5	71.71	5	6.10	5	0.00	1
6176	-357	-365	Min.	3.53	-0.11	1	-0.97	5	-0.01	5	-4.02	5	-5.98	5	-0.00	1
6176	-357	-365	Min.	20.30	-0.11	1	-0.97	5	-0.08	5	-4.68	5	-0.37	5	-0.00	1
6177	-389	-397	Max	3.53	-0.01	1	0.06	5	0.08	5	75.85	5	0.33	5	0.00	1
6177	-389	-397	Max	19.67	-0.01	1	0.06	5	0.01	5	75.22	5	6.16	5	0.00	1
6177	-389	-397	Min.	3.53	-0.16	1	-1.01	5	-0.01	5	-3.89	5	-6.03	5	-0.00	1
6177	-389	-397	Min.	19.67	-0.16	1	-1.01	5	-0.08	5	-4.53	5	-0.35	5	-0.00	1
6178	-421	-429	Max	3.53	0.59	1	0.06	5	0.08	5	79.43	5	0.30	5	0.00	1
6178	-421	-429	Max	19.05	0.59	1	0.06	5	0.00	5	78.82	5	6.20	5	0.00	1
6178	-421	-429	Min.	3.53	0.20	1	-1.07	5	-0.01	5	-3.72	5	-6.07	5	-0.00	1
6178	-421	-429	Min.	19.05	0.20	1	-1.07	5	-0.09	5	-4.33	5	-0.32	5	-0.00	1
6179	-453	-461	Max	3.53	-2.28	1	0.05	5	0.08	5	82.22	5	0.29	5	0.01	5

6179	-453	-461	Max	18.42	-2.28	1	0.05	5	0.00	5	81.64	5	6.20	5	0.01	5
6179	-453	-461	Min.	3.53	-3.51	1	-1.02	5	-0.01	5	-3.51	5	-6.00	5	-0.00	5
6179	-453	-461	Min.	18.42	-3.51	1	-1.02	5	-0.08	5	-4.10	5	-0.27	5	-0.00	5
6180	-485	-493	Max	3.53	20.50	1	0.06	5	0.09	5	78.45	5	0.11	5	0.00	5
6180	-485	-493	Max	17.80	20.50	1	0.06	5	0.00	5	77.89	5	5.48	5	0.00	5
6180	-485	-493	Min.	3.53	11.53	1	-1.22	5	-0.01	5	-3.06	5	-5.67	5	-0.04	5
6180	-485	-493	Min.	17.80	11.53	1	-1.22	5	-0.09	5	-3.62	5	-0.37	5	-0.04	5
6185	-486	-494	Max	2.83	22.21	1	1.18	5	0.01	5	76.69	5	0.12	5	0.04	5
6185	-486	-494	Max	17.09	22.21	1	1.18	5	0.08	5	76.13	5	5.19	5	0.04	5
6185	-486	-494	Min.	2.83	12.80	1	-0.07	5	-0.09	5	-3.15	5	-5.71	5	-0.00	5
6185	-486	-494	Min.	17.09	12.80	1	-0.07	5	-0.01	5	-3.71	5	-0.37	5	-0.00	5
6186	-454	-462	Max	2.83	-2.47	1	0.99	5	0.01	5	80.51	5	0.30	5	0.00	5
6186	-454	-462	Max	17.72	-2.47	1	0.99	5	0.07	5	79.93	5	5.92	5	0.00	5
6186	-454	-462	Min.	2.83	-3.76	1	-0.05	5	-0.08	5	-3.48	5	-6.02	5	-0.01	5
6186	-454	-462	Min.	17.72	-3.76	1	-0.05	5	-0.01	5	-4.07	5	-0.26	5	-0.01	5
6187	-422	-430	Max	2.83	0.58	1	1.04	5	0.01	5	77.73	5	0.31	5	0.00	1
6187	-422	-430	Max	18.34	0.58	1	1.04	5	0.08	5	77.12	5	5.93	5	0.00	1
6187	-422	-430	Min.	2.83	0.21	1	-0.06	5	-0.08	5	-3.73	5	-6.08	5	-0.00	1
6187	-422	-430	Min.	18.34	0.21	1	-0.06	5	-0.01	5	-4.34	5	-0.32	5	-0.00	1
6188	-390	-398	Max	2.83	-0.05	1	0.99	5	0.01	5	74.24	5	0.34	5	0.00	1
6188	-390	-398	Max	18.97	-0.05	1	0.99	5	0.08	5	73.61	5	5.90	5	0.00	1
6188	-390	-398	Min.	2.83	-0.20	1	-0.06	5	-0.08	5	-3.90	5	-6.03	5	-0.00	1
6188	-390	-398	Min.	18.97	-0.20	1	-0.06	5	-0.01	5	-4.53	5	-0.34	5	-0.00	1
6189	-358	-366	Max	2.83	0.03	1	0.94	5	0.01	5	70.83	5	0.36	5	0.00	1
6189	-358	-366	Max	19.59	0.03	1	0.94	5	0.08	5	70.18	5	5.84	5	0.00	1
6189	-358	-366	Min.	2.83	-0.13	1	-0.06	5	-0.08	5	-4.02	5	-5.98	5	-0.00	1
6189	-358	-366	Min.	19.59	-0.13	1	-0.06	5	-0.01	5	-4.68	5	-0.37	5	-0.00	1
6190	-326	-334	Max	2.83	0.02	1	0.90	5	0.01	5	67.63	5	0.39	5	0.00	1
6190	-326	-334	Max	20.22	0.02	1	0.90	5	0.08	5	66.95	5	5.79	5	0.00	1
6190	-326	-334	Min.	2.83	-0.14	1	-0.06	5	-0.08	5	-4.11	5	-5.91	5	-0.00	1
6190	-326	-334	Min.	20.22	-0.14	1	-0.06	5	-0.01	5	-4.79	5	-0.39	5	-0.00	1
6191	-294	-302	Max	2.83	0.02	1	0.86	5	0.01	5	64.63	5	0.40	5	0.00	1
6191	-294	-302	Max	20.84	0.02	1	0.86	5	0.08	5	63.93	5	5.73	5	0.00	1
6191	-294	-302	Min.	2.83	-0.13	1	-0.06	5	-0.08	5	-4.16	5	-5.85	5	-0.00	1
6191	-294	-302	Min.	20.84	-0.13	1	-0.06	5	-0.01	5	-4.87	5	-0.41	5	-0.00	1
6192	-262	-270	Max	2.83	0.02	1	0.82	5	0.01	5	61.82	5	0.42	5	0.00	1
6192	-262	-270	Max	21.47	0.02	1	0.82	5	0.08	5	61.09	5	5.67	5	0.00	1
6192	-262	-270	Min.	2.83	-0.13	1	-0.06	5	-0.08	5	-4.19	5	-5.79	5	-0.00	1
6192	-262	-270	Min.	21.47	-0.13	1	-0.06	5	-0.01	5	-4.92	5	-0.43	5	-0.00	1
6193	-230	-238	Max	2.83	0.02	1	0.78	5	0.01	5	59.17	5	0.44	5	0.00	1
6193	-230	-238	Max	22.09	0.02	1	0.78	5	0.08	5	58.41	5	5.60	5	0.00	1
6193	-230	-238	Min.	2.83	-0.13	1	-0.06	5	-0.08	5	-4.18	5	-5.72	5	-0.00	1
6193	-230	-238	Min.	22.09	-0.13	1	-0.06	5	-0.01	5	-4.94	5	-0.44	5	-0.00	1
6194	-198	-206	Max	2.83	0.02	1	0.74	5	0.01	5	56.66	5	0.45	5	0.00	1
6194	-198	-206	Max	22.72	0.02	1	0.74	5	0.07	5	55.88	5	5.54	5	0.00	1
6194	-198	-206	Min.	2.83	-0.13	1	-0.06	5	-0.08	5	-4.15	5	-5.65	5	-0.00	1
6194	-198	-206	Min.	22.72	-0.13	1	-0.06	5	-0.01	5	-4.93	5	-0.46	5	-0.00	1
6195	-166	-174	Max	2.83	0.02	1	0.71	5	0.01	5	54.20	5	0.45	5	0.00	1
6195	-166	-174	Max	23.34	0.02	1	0.71	5	0.07	5	53.40	5	5.46	5	0.00	1
6195	-166	-174	Min.	2.83	-0.13	1	-0.06	5	-0.08	5	-4.08	5	-5.57	5	-0.00	1
6195	-166	-174	Min.	23.34	-0.13	1	-0.06	5	-0.01	5	-4.88	5	-0.46	5	-0.00	1
6196	-134	-142	Max	2.83	0.00	1	0.66	5	0.01	5	51.52	5	0.46	5	0.00	1
6196	-134	-142	Max	23.97	0.00	1	0.66	5	0.07	5	50.69	5	5.35	5	0.00	1
6196	-134	-142	Min.	2.83	-0.13	1	-0.06	5	-0.07	5	-3.95	5	-5.46	5	-0.00	1
6196	-134	-142	Min.	23.97	-0.13	1	-0.06	5	-0.01	5	-4.78	5	-0.47	5	-0.00	1
6197	-102	-110	Max	2.83	0.10	5	0.58	5	0.01	5	47.40	5	0.44	5	0.00	1
6197	-102	-110	Max	24.59	0.10	5	0.58	5	0.06	5	46.55	5	5.06	5	0.00	1
6197	-102	-110	Min.	2.83	-0.02	5	-0.05	5	-0.07	5	-3.67	5	-5.16	5	-0.00	1
6197	-102	-110	Min.	24.59	-0.02	5	-0.05	5	-0.01	5	-4.52	5	-0.45	5	-0.00	1

6198	-70	-78	Max	2.83	0.87	1	0.43	5	0.01	5	36.65	5	0.34	5	0.00	1
6198	-70	-78	Max	25.22	0.87	1	0.43	5	0.05	5	35.77	5	4.01	5	0.00	1
6198	-70	-78	Min.	2.83	-4.38	1	-0.04	5	-0.05	5	-2.75	5	-4.10	5	-0.00	1
6198	-70	-78	Min.	25.22	-4.38	1	-0.04	5	-0.01	5	-3.63	5	-0.37	5	-0.00	1
6199	-38	-46	Max	2.83	82.00	1	0.39	5	0.01	5	43.62	5	1.02	5	0.00	1
6199	-38	-46	Max	25.84	82.00	1	0.39	5	0.05	5	41.82	5	5.52	5	0.00	1
6199	-38	-46	Min.	2.83	-29.77	1	-0.03	5	-0.05	5	-2.38	5	-4.74	5	-0.00	1
6199	-38	-46	Min.	25.84	-29.77	1	-0.03	5	-0.00	5	-4.19	5	-0.17	5	-0.00	1
6200	-6	-14	Max	2.83	220.62	1	0.23	5	0.00	5	31.18	5	0.22	5	0.00	5
6200	-6	-14	Max	26.15	220.62	1	0.23	5	0.03	5	29.35	5	3.62	5	0.00	5
6200	-6	-14	Min.	2.83	-62.13	1	-0.02	5	-0.03	5	-0.46	5	-3.44	5	0.00	5
6200	-6	-14	Min.	26.15	-62.13	1	-0.02	5	-0.00	5	-2.29	5	-0.11	5	0.00	5
6201	321	333	Max	1.77	142.25	1	9.88	1	0.08	1	181.83	1	21.39	1	0.39	1
6201	321	333	Max	15.00	142.25	1	9.88	1	1.02	1	180.89	1	12.77	1	0.39	1
6201	321	333	Min.	1.77	-250.80	1	-5.93	1	-0.29	1	-386.56	1	-11.31	1	-0.37	1
6201	321	333	Min.	15.00	-250.80	1	-5.93	1	-0.71	1	-387.50	1	-29.90	1	-0.37	1
6201	333	345	Max	0.00	118.85	1	5.76	1	0.97	1	376.39	1	14.73	1	0.36	1
6201	333	345	Max	13.23	118.85	1	5.76	1	0.07	1	375.45	1	22.08	1	0.36	1
6201	333	345	Min.	0.00	-273.84	1	-9.48	1	-0.69	1	-193.19	1	-27.67	1	-0.39	1
6201	333	345	Min.	13.23	-273.84	1	-9.48	1	-0.28	1	-194.13	1	-10.90	1	-0.39	1
6202	322	334	Max	1.77	61.90	1	95.92	1	23.28	1	5.43	1	0.14	1	0.46	1
6202	322	334	Max	15.00	61.90	1	94.98	1	7.30	1	5.43	1	0.55	1	0.46	1
6202	322	334	Min.	1.77	-270.90	1	-402.33	1	-5.33	1	-8.03	1	-0.17	1	-0.21	1
6202	322	334	Min.	15.00	-270.90	1	-403.27	1	-30.02	1	-8.03	1	-0.92	1	-0.21	1
6202	334	346	Max	0.00	56.10	1	427.99	1	5.18	1	7.84	1	0.54	1	0.21	1
6202	334	346	Max	13.23	56.10	1	427.05	1	24.20	1	7.84	1	0.13	1	0.21	1
6202	334	346	Min.	0.00	-288.93	1	-75.95	1	-32.37	1	-5.29	1	-0.91	1	-0.46	1
6202	334	346	Min.	13.23	-288.93	1	-76.89	1	-4.93	1	-5.29	1	-0.16	1	-0.46	1
6203	-7	-15	Max	3.53	225.93	1	0.08	5	0.02	5	22.59	5	1.19	5	0.00	1
6203	-7	-15	Max	26.86	225.93	1	0.08	5	0.01	5	20.76	5	2.60	5	0.00	1
6203	-7	-15	Min.	3.53	-21.76	1	-0.19	5	-0.01	5	-9.41	5	-2.47	5	0.00	1
6203	-7	-15	Min.	26.86	-21.76	1	-0.19	5	-0.02	5	-11.24	5	-1.23	5	0.00	1
6204	-39	-47	Max	3.53	85.18	1	0.13	5	0.04	5	34.72	5	2.26	5	0.00	1
6204	-39	-47	Max	26.55	85.18	1	0.13	5	0.01	5	32.91	5	4.71	5	0.00	1
6204	-39	-47	Min.	3.53	-12.45	1	-0.31	5	-0.02	5	-13.00	5	-3.41	5	0.00	1
6204	-39	-47	Min.	26.55	-12.45	1	-0.31	5	-0.04	5	-14.81	5	-1.28	5	0.00	1
6205	-71	-79	Max	3.53	0.22	1	0.13	5	0.04	5	29.97	5	1.26	5	0.00	5
6205	-71	-79	Max	25.92	0.22	1	0.13	5	0.02	5	29.09	5	3.31	5	0.00	5
6205	-71	-79	Min.	3.53	-4.31	1	-0.34	5	-0.02	5	-11.04	5	-3.30	5	-0.00	5
6205	-71	-79	Min.	25.92	-4.31	1	-0.34	5	-0.04	5	-11.92	5	-1.31	5	-0.00	5
6206	-103	-111	Max	3.53	0.19	5	0.19	5	0.05	5	38.75	5	1.59	5	0.00	1
6206	-103	-111	Max	25.30	0.19	5	0.19	5	0.02	5	37.90	5	4.19	5	0.00	1
6206	-103	-111	Min.	3.53	0.01	5	-0.48	5	-0.02	5	-14.42	5	-4.15	5	-0.00	1
6206	-103	-111	Min.	25.30	0.01	5	-0.48	5	-0.05	5	-15.27	5	-1.64	5	-0.00	1
6207	-135	-143	Max	3.53	0.00	1	0.21	5	0.06	5	42.10	5	1.67	5	0.00	1
6207	-135	-143	Max	24.67	0.00	1	0.21	5	0.02	5	41.27	5	4.43	5	0.00	1
6207	-135	-143	Min.	3.53	-0.10	1	-0.54	5	-0.03	5	-15.66	5	-4.38	5	-0.00	1
6207	-135	-143	Min.	24.67	-0.10	1	-0.54	5	-0.06	5	-16.49	5	-1.72	5	-0.00	1
6208	-167	-175	Max	3.53	0.01	1	0.22	5	0.06	5	44.26	5	1.70	5	0.00	1
6208	-167	-175	Max	24.05	0.01	1	0.22	5	0.02	5	43.46	5	4.53	5	0.00	1
6208	-167	-175	Min.	3.53	-0.11	1	-0.58	5	-0.03	5	-16.43	5	-4.47	5	-0.00	1
6208	-167	-175	Min.	24.05	-0.11	1	-0.58	5	-0.06	5	-17.24	5	-1.75	5	-0.00	1
6209	-199	-207	Max	3.53	0.01	1	0.23	5	0.06	5	46.23	5	1.72	5	0.00	1
6209	-199	-207	Max	23.42	0.01	1	0.23	5	0.02	5	45.45	5	4.59	5	0.00	1
6209	-199	-207	Min.	3.53	-0.11	1	-0.61	5	-0.03	5	-17.10	5	-4.53	5	-0.00	1
6209	-199	-207	Min.	23.42	-0.11	1	-0.61	5	-0.06	5	-17.88	5	-1.76	5	-0.00	1
6210	-231	-239	Max	3.53	0.01	1	0.24	5	0.06	5	48.25	5	1.72	5	0.00	1
6210	-231	-239	Max	22.80	0.01	1	0.24	5	0.02	5	47.49	5	4.64	5	0.00	1
6210	-231	-239	Min.	3.53	-0.11	1	-0.64	5	-0.03	5	-17.77	5	-4.58	5	-0.00	1

6210	-231	-239	Min.	22.80	-0.11	1	-0.64	5	-0.06	5	-18.52	5	-1.77	5	-0.00	1
6211	-263	-271	Max	3.53	0.02	1	0.25	5	0.06	5	50.37	5	1.73	5	0.00	1
6211	-263	-271	Max	22.17	0.02	1	0.25	5	0.02	5	49.63	5	4.70	5	0.00	1
6211	-263	-271	Min.	3.53	-0.11	1	-0.67	5	-0.03	5	-18.44	5	-4.62	5	-0.00	1
6211	-263	-271	Min.	22.17	-0.11	1	-0.67	5	-0.07	5	-19.17	5	-1.78	5	-0.00	1
6212	-295	-303	Max	3.53	0.02	1	0.26	5	0.06	5	52.61	5	1.73	5	0.00	1
6212	-295	-303	Max	21.55	0.02	1	0.26	5	0.02	5	51.90	5	4.75	5	0.00	1
6212	-295	-303	Min.	3.53	-0.11	1	-0.70	5	-0.03	5	-19.14	5	-4.67	5	-0.00	1
6212	-295	-303	Min.	21.55	-0.11	1	-0.70	5	-0.07	5	-19.84	5	-1.78	5	-0.00	1
6213	-327	-335	Max	3.53	0.02	1	0.27	5	0.06	5	54.99	5	1.73	5	0.00	1
6213	-327	-335	Max	20.92	0.02	1	0.27	5	0.02	5	54.31	5	4.79	5	0.00	1
6213	-327	-335	Min.	3.53	-0.11	1	-0.74	5	-0.03	5	-19.85	5	-4.71	5	-0.00	1
6213	-327	-335	Min.	20.92	-0.11	1	-0.74	5	-0.07	5	-20.54	5	-1.78	5	-0.00	1
6214	-359	-367	Max	3.53	0.03	1	0.28	5	0.06	5	57.53	5	1.73	5	0.00	1
6214	-359	-367	Max	20.30	0.03	1	0.28	5	0.02	5	56.88	5	4.84	5	0.00	1
6214	-359	-367	Min.	3.53	-0.11	1	-0.77	5	-0.03	5	-20.60	5	-4.75	5	-0.00	1
6214	-359	-367	Min.	20.30	-0.11	1	-0.77	5	-0.07	5	-21.26	5	-1.78	5	-0.00	1
6215	-391	-399	Max	3.53	-0.02	1	0.29	5	0.07	5	60.23	5	1.72	5	0.00	1
6215	-391	-399	Max	19.67	-0.02	1	0.29	5	0.02	5	59.59	5	4.88	5	0.00	1
6215	-391	-399	Min.	3.53	-0.15	1	-0.81	5	-0.03	5	-21.37	5	-4.78	5	-0.00	1
6215	-391	-399	Min.	19.67	-0.15	1	-0.81	5	-0.07	5	-22.00	5	-1.77	5	-0.00	1
6216	-423	-431	Max	3.53	0.39	1	0.31	5	0.07	5	62.99	5	1.71	5	0.00	5
6216	-423	-431	Max	19.05	0.39	1	0.31	5	0.02	5	62.38	5	4.91	5	0.00	5
6216	-423	-431	Min.	3.53	0.17	1	-0.85	5	-0.03	5	-22.12	5	-4.81	5	-0.00	5
6216	-423	-431	Min.	19.05	0.17	1	-0.85	5	-0.07	5	-22.73	5	-1.77	5	-0.00	5
6217	-455	-463	Max	3.53	-1.88	5	0.29	5	0.06	5	65.12	5	1.70	5	0.00	1
6217	-455	-463	Max	18.42	-1.88	5	0.29	5	0.02	5	64.53	5	4.90	5	0.00	1
6217	-455	-463	Min.	3.53	-2.55	5	-0.82	5	-0.02	5	-22.65	5	-4.75	5	-0.00	1
6217	-455	-463	Min.	18.42	-2.55	5	-0.82	5	-0.06	5	-23.23	5	-1.72	5	-0.00	1
6218	-487	-495	Max	3.53	14.18	5	0.35	5	0.07	5	62.10	5	1.42	5	0.01	5
6218	-487	-495	Max	17.80	14.18	5	0.35	5	0.02	5	61.54	5	4.34	5	0.01	5
6218	-487	-495	Min.	3.53	10.13	5	-0.98	5	-0.03	5	-21.26	5	-4.48	5	-0.04	5
6218	-487	-495	Min.	17.80	10.13	5	-0.98	5	-0.07	5	-21.82	5	-1.65	5	-0.04	5
6223	-488	-496	Max	2.83	8.02	5	0.87	5	0.02	5	56.59	5	1.32	5	0.03	5
6223	-488	-496	Max	17.09	8.02	5	0.87	5	0.06	5	56.03	5	3.89	5	0.03	5
6223	-488	-496	Min.	2.83	3.51	5	-0.29	5	-0.07	5	-18.48	5	-4.14	5	-0.01	5
6223	-488	-496	Min.	17.09	3.51	5	-0.29	5	-0.02	5	-19.04	5	-1.36	5	-0.01	5
6224	-456	-464	Max	2.83	-0.65	5	0.72	5	0.02	5	59.28	5	1.50	5	0.00	5
6224	-456	-464	Max	17.72	-0.65	5	0.72	5	0.05	5	58.69	5	4.34	5	0.00	5
6224	-456	-464	Min.	2.83	-1.43	5	-0.24	5	-0.06	5	-19.56	5	-4.44	5	-0.01	5
6224	-456	-464	Min.	17.72	-1.43	5	-0.24	5	-0.02	5	-20.15	5	-1.46	5	-0.01	5
6225	-424	-432	Max	2.83	0.19	1	0.76	5	0.02	5	57.33	5	1.52	5	0.00	5
6225	-424	-432	Max	18.34	0.19	1	0.76	5	0.06	5	56.72	5	4.37	5	0.00	5
6225	-424	-432	Min.	2.83	0.04	1	-0.26	5	-0.06	5	-19.17	5	-4.48	5	-0.01	5
6225	-424	-432	Min.	18.34	0.04	1	-0.26	5	-0.02	5	-19.78	5	-1.50	5	-0.01	5
6226	-392	-400	Max	2.83	0.01	1	0.72	5	0.02	5	54.86	5	1.53	5	0.00	5
6226	-392	-400	Max	18.97	0.01	1	0.72	5	0.06	5	54.23	5	4.35	5	0.00	5
6226	-392	-400	Min.	2.83	-0.13	1	-0.25	5	-0.06	5	-18.56	5	-4.45	5	-0.01	5
6226	-392	-400	Min.	18.97	-0.13	1	-0.25	5	-0.02	5	-19.19	5	-1.51	5	-0.01	5
6227	-360	-368	Max	2.83	0.03	1	0.69	5	0.02	5	52.45	5	1.54	5	0.00	5
6227	-360	-368	Max	19.59	0.03	1	0.69	5	0.06	5	51.79	5	4.32	5	0.00	5
6227	-360	-368	Min.	2.83	-0.10	1	-0.24	5	-0.06	5	-17.94	5	-4.42	5	-0.01	5
6227	-360	-368	Min.	19.59	-0.10	1	-0.24	5	-0.02	5	-18.60	5	-1.52	5	-0.01	5
6228	-328	-336	Max	2.83	0.02	1	0.66	5	0.02	5	50.17	5	1.54	5	0.00	5
6228	-328	-336	Max	20.22	0.02	1	0.66	5	0.06	5	49.49	5	4.28	5	0.00	5
6228	-328	-336	Min.	2.83	-0.10	1	-0.23	5	-0.06	5	-17.33	5	-4.38	5	-0.01	5
6228	-328	-336	Min.	20.22	-0.10	1	-0.23	5	-0.02	5	-18.01	5	-1.53	5	-0.01	5
6229	-296	-304	Max	2.83	0.02	1	0.63	5	0.02	5	48.03	5	1.55	5	0.00	5
6229	-296	-304	Max	20.84	0.02	1	0.63	5	0.06	5	47.32	5	4.24	5	0.00	5

6229	-296	-304	Min.	2.83	-0.10	1	-0.23	5	-0.06	5	-16.74	5	-4.34	5	-0.01	5
6229	-296	-304	Min.	20.84	-0.10	1	-0.23	5	-0.02	5	-17.44	5	-1.53	5	-0.01	5
6230	-264	-272	Max	2.83	0.02	1	0.60	5	0.02	5	46.01	5	1.55	5	0.00	5
6230	-264	-272	Max	21.47	0.02	1	0.60	5	0.05	5	45.28	5	4.21	5	0.00	5
6230	-264	-272	Min.	2.83	-0.10	1	-0.22	5	-0.06	5	-16.16	5	-4.30	5	-0.01	5
6230	-264	-272	Min.	21.47	-0.10	1	-0.22	5	-0.02	5	-16.89	5	-1.53	5	-0.01	5
6231	-232	-240	Max	2.83	0.02	1	0.57	5	0.02	5	44.10	5	1.54	5	0.00	5
6231	-232	-240	Max	22.09	0.02	1	0.57	5	0.05	5	43.35	5	4.16	5	0.00	5
6231	-232	-240	Min.	2.83	-0.10	1	-0.21	5	-0.06	5	-15.59	5	-4.26	5	-0.00	5
6231	-232	-240	Min.	22.09	-0.10	1	-0.21	5	-0.02	5	-16.34	5	-1.53	5	-0.00	5
6232	-200	-208	Max	2.83	0.01	1	0.55	5	0.02	5	42.29	5	1.54	5	0.00	5
6232	-200	-208	Max	22.72	0.01	1	0.55	5	0.05	5	41.51	5	4.12	5	0.00	5
6232	-200	-208	Min.	2.83	-0.10	1	-0.20	5	-0.06	5	-15.03	5	-4.21	5	-0.00	5
6232	-200	-208	Min.	22.72	-0.10	1	-0.20	5	-0.02	5	-15.81	5	-1.53	5	-0.00	5
6233	-168	-176	Max	2.83	0.02	1	0.52	5	0.02	5	40.50	5	1.53	5	0.00	5
6233	-168	-176	Max	23.34	0.02	1	0.52	5	0.05	5	39.70	5	4.07	5	0.00	5
6233	-168	-176	Min.	2.83	-0.10	1	-0.19	5	-0.06	5	-14.45	5	-4.16	5	-0.00	5
6233	-168	-176	Min.	23.34	-0.10	1	-0.19	5	-0.02	5	-15.26	5	-1.52	5	-0.00	5
6234	-136	-144	Max	2.83	0.00	1	0.49	5	0.02	5	38.54	5	1.50	5	0.00	5
6234	-136	-144	Max	23.97	0.00	1	0.49	5	0.05	5	37.71	5	3.98	5	0.00	5
6234	-136	-144	Min.	2.83	-0.10	1	-0.18	5	-0.06	5	-13.78	5	-4.07	5	-0.00	5
6234	-136	-144	Min.	23.97	-0.10	1	-0.18	5	-0.02	5	-14.61	5	-1.50	5	-0.00	5
6235	-104	-112	Max	2.83	0.06	5	0.43	5	0.02	5	35.48	5	1.43	5	0.00	5
6235	-104	-112	Max	24.59	0.06	5	0.43	5	0.05	5	34.63	5	3.77	5	0.00	5
6235	-104	-112	Min.	2.83	-0.06	5	-0.16	5	-0.05	5	-12.69	5	-3.86	5	-0.00	5
6235	-104	-112	Min.	24.59	-0.06	5	-0.16	5	-0.02	5	-13.54	5	-1.43	5	-0.00	5
6236	-72	-80	Max	2.83	1.76	1	0.32	5	0.01	5	27.44	5	1.13	5	0.00	5
6236	-72	-80	Max	25.22	1.76	1	0.32	5	0.04	5	26.56	5	2.98	5	0.00	5
6236	-72	-80	Min.	2.83	-2.82	1	-0.12	5	-0.04	5	-9.71	5	-3.06	5	-0.00	5
6236	-72	-80	Min.	25.22	-2.82	1	-0.12	5	-0.01	5	-10.59	5	-1.15	5	-0.00	5
6237	-40	-48	Max	2.83	51.75	1	0.28	5	0.01	5	31.78	5	1.69	5	0.00	5
6237	-40	-48	Max	25.84	51.75	1	0.28	5	0.03	5	29.97	5	3.74	5	0.00	5
6237	-40	-48	Min.	2.83	-45.43	1	-0.11	5	-0.03	5	-11.28	5	-3.72	5	-0.00	5
6237	-40	-48	Min.	25.84	-45.43	1	-0.11	5	-0.01	5	-13.08	5	-1.47	5	-0.00	5
6238	-8	-16	Max	2.83	140.09	1	0.17	5	0.01	5	20.53	5	1.11	5	0.00	5
6238	-8	-16	Max	26.15	140.09	1	0.17	5	0.02	5	18.70	5	2.37	5	0.00	5
6238	-8	-16	Min.	2.83	-106.82	1	-0.07	5	-0.02	5	-8.33	5	-2.21	5	-0.00	5
6238	-8	-16	Min.	26.15	-106.82	1	-0.07	5	-0.01	5	-10.16	5	-1.04	5	-0.00	5
6239	324	336	Max	1.77	181.54	1	9.42	1	0.06	1	267.36	1	13.63	1	0.43	1
6239	324	336	Max	15.00	181.54	1	9.42	1	1.00	1	266.42	1	20.01	1	0.43	1
6239	324	336	Min.	1.77	-165.40	1	-4.05	1	-0.24	1	-233.00	1	-15.31	1	-0.23	1
6239	324	336	Min.	15.00	-165.40	1	-4.05	1	-0.48	1	-233.94	1	-17.26	1	-0.23	1
6239	336	348	Max	0.00	167.47	1	3.63	1	1.00	1	252.64	1	17.67	1	0.23	1
6239	336	348	Max	13.23	167.47	1	3.63	1	0.04	1	251.70	1	14.07	1	0.23	1
6239	336	348	Min.	0.00	-170.86	1	-9.46	1	-0.44	1	-242.40	1	-19.32	1	-0.43	1
6239	336	348	Min.	13.23	-170.86	1	-9.46	1	-0.25	1	-243.34	1	-14.49	1	-0.43	1
6240	332	345	Max	0.00	-39.14	5	8.42	1	0.73	1	121.89	1	5.88	1	1.61	1
6240	332	345	Max	18.38	-39.14	5	8.42	1	0.41	1	120.59	1	6.97	1	1.61	1
6240	332	345	Min.	0.00	-68.02	5	-3.77	1	-1.14	1	3.79	1	-17.77	1	-2.06	1
6240	332	345	Min.	18.38	-68.02	5	-3.77	1	0.04	1	2.49	1	4.01	1	-2.06	1
6240	319	332	Max	2.83	-28.11	1	8.57	1	-0.01	1	-20.80	1	6.07	1	1.40	1
6240	319	332	Max	21.21	-28.11	1	8.57	1	1.22	1	-22.10	1	2.08	1	1.40	1
6240	319	332	Min.	2.83	-54.07	1	-3.59	1	-0.35	1	-136.62	1	3.43	1	-2.33	1
6240	319	332	Min.	21.21	-54.07	1	-3.59	1	-0.67	1	-137.92	1	-21.76	1	-2.33	1
6241	318	329	Max	2.83	-27.96	1	3.57	1	0.35	1	-20.89	1	6.08	1	2.33	1
6241	318	329	Max	21.21	-27.96	1	3.57	1	0.67	1	-22.19	1	2.06	1	2.33	1
6241	318	329	Min.	2.83	-54.14	1	-8.59	1	0.01	1	-136.72	1	3.43	1	-1.40	1
6241	318	329	Min.	21.21	-54.14	1	-8.59	1	-1.22	1	-138.02	1	-21.78	1	-1.40	1
6241	329	340	Max	0.00	-39.04	5	3.78	1	1.14	1	121.80	1	5.90	1	2.06	1

6241	329	340	Max	18.38	-39.04	5	3.78	1	-0.04	1	120.50	1	6.96	1	2.06	1
6241	329	340	Min.	0.00	-67.81	5	-8.41	1	-0.73	1	3.68	1	-17.76	1	-1.61	1
6241	329	340	Min.	18.38	-67.81	5	-8.41	1	-0.41	1	2.38	1	4.01	1	-1.61	1
6242	329	342	Max	0.00	-37.38	5	9.64	1	0.56	1	132.51	1	3.72	1	1.97	1
6242	329	342	Max	18.38	-37.38	5	9.64	1	0.44	1	131.21	1	6.79	1	1.97	1
6242	329	342	Min.	0.00	-65.01	5	-2.68	1	-1.33	1	14.70	1	-20.05	1	-1.72	1
6242	329	342	Min.	18.38	-65.01	5	-2.68	1	0.07	1	13.41	1	3.71	1	-1.72	1
6242	316	329	Max	2.83	-30.03	1	7.51	1	0.03	1	-9.58	1	6.25	1	1.07	1
6242	316	329	Max	21.21	-30.03	1	7.51	1	1.06	1	-10.88	1	4.29	1	1.07	1
6242	316	329	Min.	2.83	-55.59	1	-4.76	1	-0.32	1	-126.25	1	3.73	1	-2.69	1
6242	316	329	Min.	21.21	-55.59	1	-4.76	1	-0.85	1	-127.55	1	-19.53	1	-2.69	1
6243	335	348	Max	0.00	-20.63	5	5.24	1	0.89	1	87.90	1	7.99	1	0.65	1
6243	335	348	Max	18.38	-20.63	5	5.24	1	0.26	1	86.60	1	5.03	1	0.65	1
6243	335	348	Min.	0.00	-49.54	5	-5.20	1	-0.70	1	-18.34	1	-12.85	1	-2.49	1
6243	335	348	Min.	18.38	-49.54	5	-5.20	1	-0.07	1	-19.64	1	2.65	1	-2.49	1
6243	322	335	Max	2.83	-14.33	1	8.17	1	-0.02	1	-6.95	1	3.94	1	2.06	1
6243	322	335	Max	21.21	-14.33	1	8.17	1	1.20	1	-8.25	1	2.53	1	2.06	1
6243	322	335	Min.	2.83	-36.92	1	-2.11	1	-0.30	1	-105.03	1	1.48	1	-1.11	1
6243	322	335	Min.	21.21	-36.92	1	-2.11	1	-0.41	1	-106.33	1	-17.93	1	-1.11	1
6244	313	326	Max	2.83	-17.99	1	5.01	1	0.10	1	30.23	1	4.34	1	1.02	1
6244	313	326	Max	21.21	-17.99	1	5.01	1	0.70	1	28.93	1	9.75	1	1.02	1
6244	313	326	Min.	2.83	-36.51	1	-5.74	1	-0.22	1	-72.31	1	2.42	1	-2.23	1
6244	313	326	Min.	21.21	-36.51	1	-5.74	1	-0.96	1	-73.61	1	-10.97	1	-2.23	1
6244	326	339	Max	0.00	-19.83	5	8.85	1	0.38	1	120.43	1	0.85	1	1.78	1
6244	326	339	Max	18.38	-19.83	5	8.85	1	0.36	1	119.13	1	4.62	1	1.78	1
6244	326	339	Min.	0.00	-44.14	5	-1.86	1	-1.27	1	18.62	1	-19.85	1	-1.44	1
6244	326	339	Min.	18.38	-44.14	5	-1.86	1	0.04	1	17.32	1	1.71	1	-1.44	1
6245	315	326	Max	2.83	-14.39	1	2.10	1	0.30	1	-7.01	1	3.94	1	1.11	1
6245	315	326	Max	21.21	-14.39	1	2.10	1	0.40	1	-8.30	1	2.52	1	1.11	1
6245	315	326	Min.	2.83	-36.81	1	-8.18	1	0.02	1	-105.02	1	1.48	1	-2.06	1
6245	315	326	Min.	21.21	-36.81	1	-8.18	1	-1.20	1	-106.32	1	-17.94	1	-2.06	1
6245	326	337	Max	0.00	-20.47	5	5.22	1	0.70	1	87.70	1	8.02	1	2.49	1
6245	326	337	Max	18.38	-20.47	5	5.22	1	0.07	1	86.40	1	5.03	1	2.49	1
6245	326	337	Min.	0.00	-49.56	5	-5.24	1	-0.89	1	-18.54	1	-12.82	1	-0.65	1
6245	326	337	Min.	18.38	-49.56	5	-5.24	1	-0.26	1	-19.84	1	2.65	1	-0.65	1
6246	332	343	Max	0.00	-37.22	1	2.70	1	1.33	1	132.49	1	3.73	1	1.72	1
6246	332	343	Max	18.38	-37.22	1	2.70	1	-0.07	1	131.19	1	6.79	1	1.72	1
6246	332	343	Min.	0.00	-64.83	1	-9.63	1	-0.56	1	14.65	1	-20.05	1	-1.96	1
6246	332	343	Min.	18.38	-64.83	1	-9.63	1	-0.44	1	13.35	1	3.71	1	-1.96	1
6246	321	332	Max	2.83	-29.91	1	4.74	1	0.32	1	-9.62	1	6.25	1	2.68	1
6246	321	332	Max	21.21	-29.91	1	4.74	1	0.85	1	-10.92	1	4.29	1	2.68	1
6246	321	332	Min.	2.83	-55.65	1	-7.53	1	-0.03	1	-126.31	1	3.73	1	-1.07	1
6246	321	332	Min.	21.21	-55.65	1	-7.53	1	-1.06	1	-127.61	1	-19.54	1	-1.07	1
6247	324	335	Max	2.83	-17.91	1	5.75	1	0.22	1	30.17	1	4.35	1	2.23	1
6247	324	335	Max	21.21	-17.91	1	5.75	1	0.96	1	28.88	1	9.75	1	2.23	1
6247	324	335	Min.	2.83	-36.80	1	-5.03	1	-0.10	1	-72.37	1	2.42	1	-1.02	1
6247	324	335	Min.	21.21	-36.80	1	-5.03	1	-0.71	1	-73.67	1	-10.97	1	-1.02	1
6247	335	346	Max	0.00	-19.88	5	1.86	1	1.27	1	120.53	1	0.83	1	1.44	1
6247	335	346	Max	18.38	-19.88	5	1.86	1	-0.04	1	119.24	1	4.62	1	1.44	1
6247	335	346	Min.	0.00	-44.14	5	-8.84	1	-0.38	1	18.76	1	-19.86	1	-1.77	1
6247	335	346	Min.	18.38	-44.14	5	-8.84	1	-0.36	1	17.47	1	1.72	1	-1.77	1
6272	351	362	Max	2.83	-19.85	5	1.84	1	0.36	1	-17.31	1	4.61	1	1.43	1
6272	351	362	Max	21.21	-19.85	5	1.84	1	0.38	1	-18.61	1	0.85	1	1.43	1
6272	351	362	Min.	2.83	-44.11	5	-8.83	1	0.04	1	-119.33	1	1.72	1	-1.76	1
6272	351	362	Min.	21.21	-44.11	5	-8.83	1	-1.27	1	-120.63	1	-19.88	1	-1.76	1
6272	362	373	Max	0.00	-17.93	1	5.74	1	0.70	1	73.67	1	9.78	1	2.21	1
6272	362	373	Max	18.38	-17.93	1	5.74	1	0.10	1	72.37	1	4.34	1	2.21	1
6272	362	373	Min.	0.00	-36.71	1	-5.01	1	-0.96	1	-29.09	1	-10.98	1	-1.01	1
6272	362	373	Min.	18.38	-36.71	1	-5.01	1	-0.22	1	-30.38	1	2.42	1	-1.01	1

6273	357	368	Max	2.83	-39.01	5	3.77	1	0.41	1	-2.56	1	6.96	1	2.06	1
6273	357	368	Max	21.21	-39.01	5	3.77	1	0.73	1	-3.85	1	5.86	1	2.06	1
6273	357	368	Min.	2.83	-67.84	5	-8.40	1	0.04	1	-120.30	1	4.00	1	-1.61	1
6273	357	368	Min.	21.21	-67.84	5	-8.40	1	-1.14	1	-121.60	1	-17.72	1	-1.61	1
6273	368	379	Max	0.00	-28.01	1	3.57	1	1.22	1	137.72	1	2.05	1	2.33	1
6273	368	379	Max	18.38	-28.01	1	3.57	1	-0.01	1	136.42	1	6.07	1	2.33	1
6273	368	379	Min.	0.00	-54.05	1	-8.57	1	-0.66	1	22.24	1	-21.72	1	-1.40	1
6273	368	379	Min.	18.38	-54.05	1	-8.57	1	-0.35	1	20.95	1	3.43	1	-1.40	1
6274	362	375	Max	0.00	-14.32	1	8.17	1	0.40	1	105.98	1	2.47	1	2.06	1
6274	362	375	Max	18.38	-14.32	1	8.17	1	0.30	1	104.69	1	3.93	1	2.06	1
6274	362	375	Min.	0.00	-36.83	1	-2.10	1	-1.20	1	8.54	1	-17.88	1	-1.11	1
6274	362	375	Min.	18.38	-36.83	1	-2.10	1	0.02	1	7.25	1	1.48	1	-1.11	1
6274	349	362	Max	2.83	-20.57	5	5.23	1	0.07	1	19.46	1	5.03	1	0.65	1
6274	349	362	Max	21.21	-20.57	5	5.23	1	0.70	1	18.16	1	7.95	1	0.65	1
6274	349	362	Min.	2.83	-49.48	5	-5.20	1	-0.26	1	-86.20	1	2.65	1	-2.50	1
6274	349	362	Min.	21.21	-49.48	5	-5.20	1	-0.89	1	-87.50	1	-12.78	1	-2.50	1
6275	358	371	Max	2.83	-19.85	5	8.82	1	-0.04	1	-17.20	1	4.61	1	1.76	1
6275	358	371	Max	21.21	-19.85	5	8.82	1	1.27	1	-18.50	1	0.87	1	1.76	1
6275	358	371	Min.	2.83	-44.19	5	-1.84	1	-0.36	1	-119.24	1	1.72	1	-1.43	1
6275	358	371	Min.	21.21	-44.19	5	-1.84	1	-0.38	1	-120.54	1	-19.86	1	-1.43	1
6275	371	384	Max	0.00	-18.01	1	5.01	1	0.96	1	73.79	1	9.76	1	1.01	1
6275	371	384	Max	18.38	-18.01	1	5.01	1	0.22	1	72.49	1	4.34	1	1.01	1
6275	371	384	Min.	0.00	-36.60	1	-5.73	1	-0.70	1	-28.99	1	-11.00	1	-2.22	1
6275	371	384	Min.	18.38	-36.60	1	-5.73	1	-0.10	1	-30.29	1	2.42	1	-2.22	1
6276	352	365	Max	2.83	-39.06	5	8.40	1	-0.04	1	-2.53	1	6.96	1	1.60	1
6276	352	365	Max	21.21	-39.06	5	8.40	1	1.14	1	-3.83	1	5.86	1	1.60	1
6276	352	365	Min.	2.83	-67.89	5	-3.76	1	-0.41	1	-120.29	1	4.01	1	-2.06	1
6276	352	365	Min.	21.21	-67.89	5	-3.76	1	-0.73	1	-121.58	1	-17.72	1	-2.06	1
6276	365	378	Max	0.00	-28.09	1	8.56	1	0.67	1	137.71	1	2.04	1	1.40	1
6276	365	378	Max	18.38	-28.09	1	8.56	1	0.35	1	136.41	1	6.07	1	1.40	1
6276	365	378	Min.	0.00	-53.95	1	-3.58	1	-1.22	1	22.28	1	-21.72	1	-2.33	1
6276	365	378	Min.	18.38	-53.95	1	-3.58	1	0.01	1	20.98	1	3.42	1	-2.33	1
6277	354	365	Max	2.83	-37.23	1	2.69	1	0.44	1	-13.38	1	6.78	1	1.72	1
6277	354	365	Max	21.21	-37.23	1	2.69	1	0.56	1	-14.68	1	3.72	1	1.72	1
6277	354	365	Min.	2.83	-64.85	1	-9.62	1	0.07	1	-131.13	1	3.70	1	-1.96	1
6277	354	365	Min.	21.21	-64.85	1	-9.62	1	-1.33	1	-132.43	1	-20.04	1	-1.96	1
6277	365	376	Max	0.00	-29.96	1	4.73	1	1.06	1	127.45	1	4.30	1	2.68	1
6277	365	376	Max	18.38	-29.96	1	4.73	1	0.03	1	126.15	1	6.25	1	2.68	1
6277	365	376	Min.	0.00	-55.55	1	-7.51	1	-0.84	1	10.82	1	-19.51	1	-1.06	1
6277	365	376	Min.	18.38	-55.55	1	-7.51	1	-0.32	1	9.52	1	3.73	1	-1.06	1
6278	360	371	Max	2.83	-20.56	5	5.20	1	0.26	1	19.45	1	5.03	1	2.50	1
6278	360	371	Max	21.21	-20.56	5	5.20	1	0.89	1	18.15	1	7.95	1	2.50	1
6278	360	371	Min.	2.83	-49.48	5	-5.23	1	-0.07	1	-86.13	1	2.65	1	-0.66	1
6278	360	371	Min.	21.21	-49.48	5	-5.23	1	-0.70	1	-87.43	1	-12.77	1	-0.66	1
6278	371	382	Max	0.00	-14.27	1	2.10	1	1.20	1	106.03	1	2.47	1	1.12	1
6278	371	382	Max	18.38	-14.27	1	2.10	1	-0.02	1	104.74	1	3.94	1	1.12	1
6278	371	382	Min.	0.00	-36.89	1	-8.17	1	-0.40	1	8.57	1	-17.88	1	-2.06	1
6278	371	382	Min.	18.38	-36.89	1	-8.17	1	-0.30	1	7.27	1	1.48	1	-2.06	1
6279	355	368	Max	2.83	-37.32	5	9.62	1	-0.07	1	-13.31	1	6.78	1	1.96	1
6279	355	368	Max	21.21	-37.32	5	9.62	1	1.33	1	-14.61	1	3.73	1	1.96	1
6279	355	368	Min.	2.83	-64.89	5	-2.68	1	-0.44	1	-131.06	1	3.71	1	-1.72	1
6279	355	368	Min.	21.21	-64.89	5	-2.68	1	-0.56	1	-132.36	1	-20.03	1	-1.72	1
6279	368	381	Max	0.00	-30.02	1	7.50	1	0.85	1	127.50	1	4.28	1	1.06	1
6279	368	381	Max	18.38	-30.02	1	7.50	1	0.32	1	126.20	1	6.24	1	1.06	1
6279	368	381	Min.	0.00	-55.44	1	-4.74	1	-1.06	1	10.90	1	-19.52	1	-2.68	1
6279	368	381	Min.	18.38	-55.44	1	-4.74	1	-0.03	1	9.60	1	3.72	1	-2.68	1
6281	-515	-516	Max	0.00	0.37	5	7.81	1	0.59	1	0.15	1	0.03	1	0.15	1
6281	-515	-516	Max	12.00	0.37	5	7.81	1	0.52	1	1.76	1	0.10	1	0.15	1
6281	-515	-516	Min.	0.00	-0.64	5	-11.10	1	-0.42	1	-0.20	1	-0.05	1	-0.32	1

6281	-515	-516	Min.	12.00	-0.64	5	-11.10	1	-0.74	1	1.40	1	0.06	1	-0.32	1
6282	-531	-532	Max	0.00	0.35	1	8.05	1	0.61	1	-0.42	1	0.13	1	0.09	1
6282	-531	-532	Max	12.00	0.35	1	8.05	1	0.49	1	1.19	1	0.08	1	0.09	1
6282	-531	-532	Min.	0.00	-0.18	1	-10.10	1	-0.48	1	-2.59	1	0.03	1	-0.23	1
6282	-531	-532	Min.	12.00	-0.18	1	-10.10	1	-0.60	1	-0.99	1	-0.09	1	-0.23	1
6283	316	317	Max	1.77	-9.60	5	1.07	1	0.13	1	2.10	1	-0.22	1	0.13	1
6283	316	317	Max	8.70					0.02	5			-0.30	5		
6283	316	317	Max	15.00	-9.60	5	1.07	1	0.01	5	1.16	1	-0.31	5	0.13	1
6283	316	317	Min.	1.77	-16.28	5	-0.91	1	-0.14	1	-0.36	1	-0.56	1	-0.11	1
6283	316	317	Min.	8.70					-0.02	5			-0.39	5		
6283	316	317	Min.	15.00	-16.28	5	-0.91	1	0.00	5	-1.30	1	-0.36	5	-0.11	1
6283	317	318	Max	0.00	-9.60	5	1.07	1	0.01	5	1.16	1	-0.31	5	0.13	1
6283	317	318	Max	4.05					0.03	5			-0.31	5		
6283	317	318	Max	13.23	-9.60	5	1.07	1	0.15	1	0.22	1	-0.24	1	0.13	1
6283	317	318	Min.	0.00	-16.28	5	-0.91	1	0.00	5	-1.30	1	-0.36	5	-0.11	1
6283	317	318	Min.	4.05					-0.01	5			-0.38	5		
6283	317	318	Min.	13.23	-16.28	5	-0.91	1	-0.11	1	-2.24	1	-0.57	1	-0.11	1
6284	-3	-4	Max	2.83	38.27	5	0.29	1	0.03	1	11.02	1	1.47	1	0.00	1
6284	-3	-4	Max	26.15	38.27	5	0.29	1	0.04	1	9.19	1	1.27	1	0.00	1
6284	-3	-4	Min.	2.83	35.46	5	-0.24	1	-0.03	1	-10.81	1	-1.09	1	0.00	1
6284	-3	-4	Min.	26.15	35.46	5	-0.24	1	-0.03	1	-12.64	1	-1.26	1	0.00	1
6285	-35	-36	Max	2.83	10.05	5	0.05	1	0.01	5	17.58	1	2.44	1	0.01	1
6285	-35	-36	Max	13.79					-0.00	7			0.28	7		
6285	-35	-36	Max	25.84	10.05	5	0.05	1	0.01	5	15.77	1	2.08	1	0.01	1
6285	-35	-36	Min.	2.83	8.88	5	-0.05	1	-0.00	5	-18.54	1	-1.76	1	-0.01	1
6285	-35	-36	Min.	13.79					0.01	7			0.21	7		
6285	-35	-36	Min.	25.84	8.88	5	-0.05	1	-0.00	5	-20.35	1	-2.04	1	-0.01	1
6286	-67	-68	Max	2.83	-0.84	5	0.17	1	0.03	1	15.20	1	1.93	1	0.00	1
6286	-67	-68	Max	13.12									0.06	7		
6286	-67	-68	Max	25.22	-0.84	5	0.17	1	0.03	1	14.32	1	1.62	1	0.00	1
6286	-67	-68	Min.	2.83	-1.11	5	-0.20	1	-0.01	1	-16.87	1	-1.68	1	-0.00	1
6286	-67	-68	Min.	13.12					0.01	7			-0.03	7		
6286	-67	-68	Min.	25.22	-1.11	5	-0.20	1	-0.02	1	-17.75	1	-1.94	1	-0.00	1
6287	-99	-100	Max	2.83	0.08	5	0.24	1	0.04	1	19.60	1	2.45	1	0.00	1
6287	-99	-100	Max	13.06									0.06	7		
6287	-99	-100	Max	24.59	0.08	5	0.24	1	0.04	1	18.75	1	2.06	1	0.00	1
6287	-99	-100	Min.	2.83	-0.13	5	-0.28	1	-0.02	1	-22.06	1	-2.12	1	-0.00	1
6287	-99	-100	Min.	13.06					0.02	7			-0.02	7		
6287	-99	-100	Min.	24.59	-0.13	5	-0.28	1	-0.02	1	-22.91	1	-2.44	1	-0.00	1
6288	-131	-132	Max	2.83	-0.04	5	0.27	1	0.05	1	21.26	1	2.59	1	0.00	1
6288	-131	-132	Max	11.28									0.19	7		
6288	-131	-132	Max	23.97	-0.04	5	0.27	1	0.04	1	20.43	1	2.17	1	0.00	1
6288	-131	-132	Min.	2.83	-0.22	5	-0.32	1	-0.02	1	-24.04	1	-2.23	1	-0.00	1
6288	-131	-132	Min.	11.28					0.02	7			-0.10	7		
6288	-131	-132	Min.	23.97	-0.22	5	-0.32	1	-0.03	1	-24.87	1	-2.58	1	-0.00	1
6289	-163	-164	Max	2.83	-0.02	5	0.29	1	0.05	1	22.30	1	2.64	1	0.00	1
6289	-163	-164	Max	11.03									0.20	7		
6289	-163	-164	Max	23.34	-0.02	5	0.29	1	0.04	1	21.49	1	2.21	1	0.00	1
6289	-163	-164	Min.	2.83	-0.21	5	-0.34	1	-0.02	1	-25.31	1	-2.28	1	-0.00	1
6289	-163	-164	Min.	11.03					0.02	7			-0.10	7		
6289	-163	-164	Min.	23.34	-0.21	5	-0.34	1	-0.03	1	-26.11	1	-2.63	1	-0.00	1
6290	-195	-196	Max	2.83	-0.03	5	0.31	1	0.05	1	23.23	1	2.68	1	0.00	1
6290	-195	-196	Max	10.78									0.20	7		
6290	-195	-196	Max	22.72	-0.03	5	0.31	1	0.04	1	22.45	1	2.24	1	0.00	1
6290	-195	-196	Min.	2.83	-0.21	5	-0.36	1	-0.02	1	-26.45	1	-2.30	1	-0.00	1
6290	-195	-196	Min.	10.78					0.02	7			-0.11	7		
6290	-195	-196	Min.	22.72	-0.21	5	-0.36	1	-0.03	1	-27.24	1	-2.66	1	-0.00	1
6291	-227	-228	Max	2.83	-0.02	5	0.32	1	0.05	1	24.18	1	2.71	1	0.00	1
6291	-227	-228	Max	10.53									0.20	7		

6291	-227	-228	Max	22.09	-0.02	5	0.32	1	0.04	1	23.42	1	2.26	1	0.00	1
6291	-227	-228	Min.	2.83	-0.21	5	-0.37	1	-0.02	1	-27.62	1	-2.32	1	-0.00	1
6291	-227	-228	Min.	10.53					0.02	7			-0.11	7		
6291	-227	-228	Min.	22.09	-0.21	5	-0.37	1	-0.03	1	-28.38	1	-2.69	1	-0.00	1
6292	-259	-260	Max	2.83	-0.03	5	0.33	1	0.05	1	25.15	1	2.73	1	0.00	1
6292	-259	-260	Max	10.28					0.00	7			0.20	7		
6292	-259	-260	Max	21.47	-0.03	5	0.33	1	0.04	1	24.42	1	2.28	1	0.00	1
6292	-259	-260	Min.	2.83	-0.22	5	-0.39	1	-0.02	1	-28.83	1	-2.34	1	-0.00	1
6292	-259	-260	Min.	10.28					0.02	7			-0.11	7		
6292	-259	-260	Min.	21.47	-0.22	5	-0.39	1	-0.03	1	-29.56	1	-2.71	1	-0.00	1
6293	-291	-292	Max	2.83	-0.02	5	0.35	1	0.05	1	26.17	1	2.75	1	0.00	1
6293	-291	-292	Max	10.03					0.00	7			0.20	7		
6293	-291	-292	Max	20.84	-0.02	5	0.35	1	0.05	1	25.46	1	2.29	1	0.00	1
6293	-291	-292	Min.	2.83	-0.22	5	-0.41	1	-0.02	1	-30.10	1	-2.36	1	-0.00	1
6293	-291	-292	Min.	10.03					0.02	7			-0.11	7		
6293	-291	-292	Min.	20.84	-0.22	5	-0.41	1	-0.03	1	-30.81	1	-2.73	1	-0.00	1
6294	-323	-324	Max	2.83	-0.02	5	0.36	1	0.05	1	27.24	1	2.78	1	0.00	1
6294	-323	-324	Max	9.78					0.00	7			0.20	7		
6294	-323	-324	Max	20.22	-0.02	5	0.36	1	0.05	1	26.56	1	2.30	1	0.00	1
6294	-323	-324	Min.	2.83	-0.23	5	-0.43	1	-0.02	1	-31.43	1	-2.37	1	-0.00	1
6294	-323	-324	Min.	9.78					0.02	7			-0.11	7		
6294	-323	-324	Min.	20.22	-0.23	5	-0.43	1	-0.03	1	-32.11	1	-2.75	1	-0.00	1
6295	-355	-356	Max	2.83	-0.02	5	0.38	1	0.05	1	28.36	1	2.79	1	0.00	1
6295	-355	-356	Max	9.53					0.00	7			0.20	7		
6295	-355	-356	Max	19.59	-0.02	5	0.38	1	0.05	1	27.70	1	2.31	1	0.00	1
6295	-355	-356	Min.	2.83	-0.24	5	-0.45	1	-0.02	1	-32.84	1	-2.38	1	-0.00	1
6295	-355	-356	Min.	9.53					0.02	7			-0.11	7		
6295	-355	-356	Min.	19.59	-0.24	5	-0.45	1	-0.03	1	-33.50	1	-2.77	1	-0.00	1
6296	-387	-388	Max	2.83	-0.01	5	0.40	1	0.05	1	29.53	1	2.81	1	0.00	1
6296	-387	-388	Max	10.98					0.02	7			0.01	7		
6296	-387	-388	Max	18.97	-0.01	5	0.40	1	0.05	1	28.89	1	2.32	1	0.00	1
6296	-387	-388	Min.	2.83	-0.11	5	-0.47	1	-0.02	1	-34.30	1	-2.39	1	-0.00	1
6296	-387	-388	Min.	10.98					-0.00	7			-0.01	7		
6296	-387	-388	Min.	18.97	-0.11	5	-0.47	1	-0.03	1	-34.94	1	-2.78	1	-0.00	1
6297	-419	-420	Max	2.83	0.53	5	0.41	1	0.05	1	30.67	1	2.82	1	0.00	1
6297	-419	-420	Max	10.32									0.05	7		
6297	-419	-420	Max	18.34	0.53	5	0.41	1	0.05	1	30.06	1	2.32	1	0.00	1
6297	-419	-420	Min.	2.83	-1.96	5	-0.48	1	-0.02	1	-35.75	1	-2.39	1	-0.00	1
6297	-419	-420	Min.	10.32					0.02	7			-0.02	7		
6297	-419	-420	Min.	18.34	-1.96	5	-0.48	1	-0.03	1	-36.36	1	-2.77	1	-0.00	1
6298	-451	-452	Max	2.83	11.44	5	0.41	1	0.05	1	31.31	1	2.75	1	0.00	1
6298	-451	-452	Max	8.78					0.00	7			0.11	7		
6298	-451	-452	Max	17.72	11.44	5	0.41	1	0.04	1	30.73	1	2.26	1	0.00	1
6298	-451	-452	Min.	2.83	-3.77	5	-0.48	1	-0.02	1	-36.70	1	-2.38	1	-0.00	1
6298	-451	-452	Min.	8.78					0.02	7			-0.08	7		
6298	-451	-452	Min.	17.72	-3.77	5	-0.48	1	-0.03	1	-37.28	1	-2.78	1	-0.00	1
6299	-483	-484	Max	2.83	21.30	5	0.36	1	0.04	1	28.47	1	2.73	1	0.01	1
6299	-483	-484	Max	9.94					0.02	7			0.58	7		
6299	-483	-484	Max	17.09	21.30	5	0.36	1	0.04	1	27.91	1	2.29	1	0.01	1
6299	-483	-484	Min.	2.83	-68.99	5	-0.42	1	-0.02	1	-33.19	1	-1.96	1	-0.00	1
6299	-483	-484	Min.	9.94									-0.17	7		
6299	-483	-484	Min.	17.09	-68.99	5	-0.42	1	-0.02	1	-33.75	1	-2.27	1	-0.00	1
6303	-491	-492	Max	3.53	106.42	5	0.36	1	0.03	1	24.75	1	1.75	1	0.00	1
6303	-491	-492	Max	11.34					0.02	7			-0.15	7		
6303	-491	-492	Max	17.80	106.42	5	0.36	1	0.04	1	24.19	1	1.39	1	0.00	1
6303	-491	-492	Min.	3.53	8.36	5	-0.29	1	-0.02	1	-30.24	1	-2.32	1	0.00	1
6303	-491	-492	Min.	11.34									-0.87	7		
6303	-491	-492	Min.	17.80	8.36	5	-0.29	1	-0.02	1	-30.80	1	-2.83	1	0.00	1
6304	-459	-460	Max	3.53	-1.55	5	0.43	1	0.04	1	27.14	1	2.60	1	0.00	1

6304	-459	-460	Max	11.72									0.07	7		
6304	-459	-460	Max	18.42	-1.55	5	0.43	1	0.05	1	26.56	1	2.09	1	0.00	1
6304	-459	-460	Min.	3.53	-18.14	5	-0.34	1	-0.02	1	-33.66	1	-1.91	1	-0.00	1
6304	-459	-460	Min.	11.72					0.02	7			0.06	7		
6304	-459	-460	Min.	18.42	-18.14	5	-0.34	1	-0.02	1	-34.25	1	-2.45	1	-0.00	1
6305	-427	-428	Max	3.53	2.85	5	0.44	1	0.04	1	26.68	1	2.53	1	0.00	1
6305	-427	-428	Max	12.09									0.05	7		
6305	-427	-428	Max	19.05	2.85	5	0.44	1	0.05	1	26.08	1	2.07	1	0.00	1
6305	-427	-428	Min.	3.53	0.17	5	-0.35	1	-0.03	1	-32.79	1	-2.03	1	-0.00	1
6305	-427	-428	Min.	12.09					0.02	7			-0.10	7		
6305	-427	-428	Min.	19.05	0.17	5	-0.35	1	-0.02	1	-33.40	1	-2.60	1	-0.00	1
6306	-395	-396	Max	3.53	-0.08	5	0.42	1	0.04	1	25.73	1	2.55	1	0.00	1
6306	-395	-396	Max	12.47									0.07	7		
6306	-395	-396	Max	19.67	-0.08	5	0.42	1	0.05	1	25.10	1	2.08	1	0.00	1
6306	-395	-396	Min.	3.53	-0.20	5	-0.34	1	-0.03	1	-31.50	1	-2.02	1	-0.00	1
6306	-395	-396	Min.	12.47					0.02	7			-0.09	7		
6306	-395	-396	Min.	19.67	-0.20	5	-0.34	1	-0.02	1	-32.14	1	-2.59	1	-0.00	1
6307	-363	-364	Max	3.53	0.16	5	0.40	1	0.04	1	24.76	1	2.53	1	0.00	1
6307	-363	-364	Max	12.84									0.07	7		
6307	-363	-364	Max	20.30	0.16	5	0.40	1	0.05	1	24.11	1	2.07	1	0.00	1
6307	-363	-364	Min.	3.53	-0.06	5	-0.32	1	-0.03	1	-30.17	1	-2.03	1	-0.00	1
6307	-363	-364	Min.	12.84					0.02	7			-0.10	7		
6307	-363	-364	Min.	20.30	-0.06	5	-0.32	1	-0.02	1	-30.83	1	-2.58	1	-0.00	1
6308	-331	-332	Max	3.53	0.15	5	0.39	1	0.04	1	23.82	1	2.52	1	0.00	1
6308	-331	-332	Max	12.19					0.02	7			0.02	7		
6308	-331	-332	Max	20.92	0.15	5	0.39	1	0.05	1	23.14	1	2.06	1	0.00	1
6308	-331	-332	Min.	3.53	-0.06	5	-0.31	1	-0.03	1	-28.89	1	-2.02	1	-0.00	1
6308	-331	-332	Min.	12.19					-0.00	7			0.01	7		
6308	-331	-332	Min.	20.92	-0.06	5	-0.31	1	-0.02	1	-29.57	1	-2.56	1	-0.00	1
6309	-299	-300	Max	3.53	0.13	5	0.37	1	0.04	1	22.92	1	2.50	1	0.00	1
6309	-299	-300	Max	12.56					-0.00	7			0.01	7		
6309	-299	-300	Max	21.55	0.13	5	0.37	1	0.05	1	22.21	1	2.05	1	0.00	1
6309	-299	-300	Min.	3.53	-0.06	5	-0.30	1	-0.03	1	-27.69	1	-2.01	1	-0.00	1
6309	-299	-300	Min.	12.56					0.02	7			0.01	7		
6309	-299	-300	Min.	21.55	-0.06	5	-0.30	1	-0.02	1	-28.39	1	-2.55	1	-0.00	1
6310	-267	-268	Max	3.53	0.13	5	0.35	1	0.04	1	22.05	1	2.49	1	0.00	1
6310	-267	-268	Max	12.94					-0.00	7			0.02	7		
6310	-267	-268	Max	22.17	0.13	5	0.35	1	0.05	1	21.32	1	2.04	1	0.00	1
6310	-267	-268	Min.	3.53	-0.06	5	-0.28	1	-0.03	1	-26.54	1	-2.00	1	-0.00	1
6310	-267	-268	Min.	12.94					0.02	7			0.01	7		
6310	-267	-268	Min.	22.17	-0.06	5	-0.28	1	-0.02	1	-27.27	1	-2.53	1	-0.00	1
6311	-235	-236	Max	3.53	0.12	5	0.34	1	0.04	1	21.22	1	2.46	1	0.00	1
6311	-235	-236	Max	13.31					-0.00	7			0.02	7		
6311	-235	-236	Max	22.80	0.12	5	0.34	1	0.05	1	20.46	1	2.02	1	0.00	1
6311	-235	-236	Min.	3.53	-0.06	5	-0.27	1	-0.03	1	-25.43	1	-1.99	1	-0.00	1
6311	-235	-236	Min.	13.31					0.02	7			0.00	7		
6311	-235	-236	Min.	22.80	-0.06	5	-0.27	1	-0.02	1	-26.19	1	-2.51	1	-0.00	1
6312	-203	-204	Max	3.53	0.11	5	0.32	1	0.04	1	20.41	1	2.44	1	0.00	1
6312	-203	-204	Max	13.46					0.02	7			0.02	7		
6312	-203	-204	Max	23.42	0.11	5	0.32	1	0.05	1	19.63	1	2.00	1	0.00	1
6312	-203	-204	Min.	3.53	-0.07	5	-0.26	1	-0.03	1	-24.37	1	-1.98	1	-0.00	1
6312	-203	-204	Min.	13.46					-0.00	7			0.01	7		
6312	-203	-204	Min.	23.42	-0.07	5	-0.26	1	-0.02	1	-25.16	1	-2.48	1	-0.00	1
6313	-171	-172	Max	3.53	0.13	5	0.31	1	0.04	1	19.60	1	2.41	1	0.00	1
6313	-171	-172	Max	13.80					-0.00	7			0.02	7		
6313	-171	-172	Max	24.05	0.13	5	0.31	1	0.04	1	18.80	1	1.98	1	0.00	1
6313	-171	-172	Min.	3.53	-0.06	5	-0.25	1	-0.02	1	-23.32	1	-1.96	1	-0.00	1
6313	-171	-172	Min.	13.80					0.02	7			0.01	7		
6313	-171	-172	Min.	24.05	-0.06	5	-0.25	1	-0.02	1	-24.12	1	-2.46	1	-0.00	1

6314	-139	-140	Max	3.53	0.10	5	0.29	1	0.04	1	18.70	1	2.36	1	0.00	1
6314	-139	-140	Max	14.14					-0.00	7			0.02	7		
6314	-139	-140	Max	24.67	0.10	5	0.29	1	0.04	1	17.87	1	1.94	1	0.00	1
6314	-139	-140	Min.	3.53	-0.08	5	-0.23	1	-0.02	1	-22.15	1	-1.92	1	-0.00	1
6314	-139	-140	Min.	14.14					0.02	7			0.01	7		
6314	-139	-140	Min.	24.67	-0.08	5	-0.23	1	-0.02	1	-22.98	1	-2.41	1	-0.00	1
6315	-107	-108	Max	3.53	0.23	5	0.25	1	0.03	1	17.25	1	2.23	1	0.00	1
6315	-107	-108	Max	14.45					-0.00	7			0.02	7		
6315	-107	-108	Max	25.30	0.23	5	0.25	1	0.04	1	16.39	1	1.84	1	0.00	1
6315	-107	-108	Min.	3.53	0.01	5	-0.21	1	-0.02	1	-20.32	1	-1.82	1	-0.00	1
6315	-107	-108	Min.	14.45					0.02	7			0.01	7		
6315	-107	-108	Min.	25.30	0.01	5	-0.21	1	-0.02	1	-21.18	1	-2.28	1	-0.00	1
6316	-75	-76	Max	3.53	-0.79	1	0.19	1	0.03	1	13.38	1	1.76	1	0.00	1
6316	-75	-76	Max	14.73									0.01	7		
6316	-75	-76	Max	25.92	-0.79	1	0.19	1	0.03	1	12.51	1	1.45	1	0.00	1
6316	-75	-76	Min.	3.53	-0.89	1	-0.15	1	-0.02	1	-15.53	1	-1.45	1	-0.00	1
6316	-75	-76	Min.	14.73					0.01	7			0.01	7		
6316	-75	-76	Min.	25.92	-0.89	1	-0.15	1	-0.01	1	-16.41	1	-1.81	1	-0.00	1
6317	-43	-44	Max	3.53	10.41	5	0.03	1	0.01	5	15.36	1	2.25	1	0.01	1
6317	-43	-44	Max	16.26					0.00	3			0.43	3		
6317	-43	-44	Max	26.55	10.41	5	0.03	1	0.02	5	13.55	1	1.87	1	0.01	1
6317	-43	-44	Min.	3.53	7.79	5	-0.03	1	-0.00	5	-17.01	1	-1.46	1	-0.01	1
6317	-43	-44	Min.	16.26					0.01	3			0.02	3		
6317	-43	-44	Min.	26.55	7.79	5	-0.03	1	0.00	5	-18.82	1	-1.87	1	-0.01	1
6318	-11	-12	Max	3.53	42.64	5	0.25	1	0.04	1	9.46	1	1.37	1	0.00	1
6318	-11	-12	Max	26.86	42.64	5	0.25	1	0.03	1	7.62	1	1.13	1	0.00	1
6318	-11	-12	Min.	3.53	31.65	5	-0.30	1	-0.03	1	-9.72	1	-0.87	1	-0.00	1
6318	-11	-12	Min.	26.86	31.65	5	-0.30	1	-0.03	1	-11.55	1	-1.11	1	-0.00	1
6319	340	341	Max	1.77	-4.86	5	1.72	1	-0.23	1	1.00	1	0.13	1	0.11	1
6319	340	341	Max	9.71					-0.26	5			0.03	5		
6319	340	341	Max	15.00	-4.86	5	0.78	1	-0.27	5	1.00	1	0.02	5	0.11	1
6319	340	341	Min.	1.77	-7.55	5	-0.05	1	-0.49	1	-0.81	1	-0.11	1	-0.14	1
6319	340	341	Min.	9.71					-0.37	5			-0.01	5		
6319	340	341	Min.	15.00	-7.55	5	-0.99	1	-0.35	5	-0.81	1	0.01	5	-0.14	1
6319	341	342	Max	0.00	-4.86	5	0.78	1	-0.27	5	1.00	1	0.02	5	0.11	1
6319	341	342	Max	10.59					-0.26	1			0.13	1		
6319	341	342	Max	13.23	-4.86	5	-0.16	1	-0.26	1	1.00	1	0.15	1	0.11	1
6319	341	342	Min.	0.00	-7.55	5	-0.99	1	-0.35	5	-0.81	1	0.01	5	-0.14	1
6319	341	342	Min.	10.59					-0.46	1			-0.07	1		
6319	341	342	Min.	13.23	-7.55	5	-1.93	1	-0.51	1	-0.81	1	-0.09	1	-0.14	1
6327	352	353	Max	1.77	-4.77	5	1.00	1	0.12	1	1.70	1	-0.23	1	0.14	1
6327	352	353	Max	9.71					0.03	5			-0.26	5		
6327	352	353	Max	15.00	-4.77	5	1.00	1	0.02	5	0.76	1	-0.27	5	0.14	1
6327	352	353	Min.	1.77	-7.59	5	-0.81	1	-0.11	1	-0.08	1	-0.48	1	-0.11	1
6327	352	353	Min.	9.71					-0.01	5			-0.36	5		
6327	352	353	Min.	15.00	-7.59	5	-0.81	1	0.01	5	-1.02	1	-0.35	5	-0.11	1
6327	353	354	Max	0.00	-4.77	5	1.00	1	0.02	5	0.76	1	-0.27	5	0.14	1
6327	353	354	Max	10.59					0.13	1			-0.26	1		
6327	353	354	Max	13.23	-4.77	5	1.00	1	0.15	1	-0.18	1	-0.26	1	0.14	1
6327	353	354	Min.	0.00	-7.59	5	-0.81	1	0.01	5	-1.02	1	-0.35	5	-0.11	1
6327	353	354	Min.	10.59					-0.07	1			-0.47	1		
6327	353	354	Min.	13.23	-7.59	5	-0.81	1	-0.09	1	-1.96	1	-0.52	1	-0.11	1
6328	-19	-20	Max	2.83	42.55	5	0.30	1	0.03	1	9.47	1	1.39	1	0.00	1
6328	-19	-20	Max	26.15	42.55	5	0.30	1	0.03	1	7.64	1	1.11	1	0.00	1
6328	-19	-20	Min.	2.83	31.75	5	-0.25	1	-0.04	1	-9.72	1	-0.89	1	-0.00	1
6328	-19	-20	Min.	26.15	31.75	5	-0.25	1	-0.03	1	-11.56	1	-1.09	1	-0.00	1
6329	-51	-52	Max	2.83	10.41	5	0.02	1	0.00	5	15.37	1	2.29	1	0.01	1
6329	-51	-52	Max	25.84	10.41	5	0.02	1	0.00	5	13.56	1	1.83	1	0.01	1
6329	-51	-52	Min.	2.83	7.72	5	-0.04	1	-0.01	5	-17.02	1	-1.49	1	-0.01	1

6329	-51	-52	Min.	25.84	7.72	5	-0.04	1	-0.02	5	-18.82	1	-1.83	1	-0.01	1
6330	-83	-84	Max	2.83	-0.79	1	0.15	1	0.02	1	13.34	1	1.80	1	0.00	1
6330	-83	-84	Max	7.31					-0.01	7			0.37	7		
6330	-83	-84	Max	25.22	-0.79	1	0.15	1	0.01	1	12.46	1	1.42	1	0.00	1
6330	-83	-84	Min.	2.83	-0.88	1	-0.19	1	-0.03	1	-15.58	1	-1.47	1	-0.00	1
6330	-83	-84	Min.	7.31					-0.00	7			-0.15	7		
6330	-83	-84	Min.	25.22	-0.88	1	-0.19	1	-0.03	1	-16.46	1	-1.79	1	-0.00	1
6331	-115	-116	Max	2.83	0.25	5	0.20	1	0.02	1	17.19	1	2.28	1	0.00	1
6331	-115	-116	Max	7.18					-0.01	7			0.47	7		
6331	-115	-116	Max	24.59	0.25	5	0.20	1	0.02	1	16.34	1	1.80	1	0.00	1
6331	-115	-116	Min.	2.83	0.01	5	-0.26	1	-0.03	1	-20.39	1	-1.85	1	-0.00	1
6331	-115	-116	Min.	7.18					-0.00	7			-0.19	7		
6331	-115	-116	Min.	24.59	0.01	5	-0.26	1	-0.04	1	-21.25	1	-2.25	1	-0.00	1
6332	-147	-148	Max	2.83	0.10	5	0.23	1	0.02	1	18.64	1	2.41	1	0.00	1
6332	-147	-148	Max	7.06					-0.01	7			0.50	7		
6332	-147	-148	Max	23.97	0.10	5	0.23	1	0.02	1	17.81	1	1.90	1	0.00	1
6332	-147	-148	Min.	2.83	-0.07	5	-0.29	1	-0.04	1	-22.23	1	-1.95	1	-0.00	1
6332	-147	-148	Min.	7.06					-0.00	7			-0.20	7		
6332	-147	-148	Min.	23.97	-0.07	5	-0.29	1	-0.04	1	-23.06	1	-2.38	1	-0.00	1
6333	-179	-180	Max	2.83	0.14	5	0.25	1	0.03	1	19.54	1	2.46	1	0.00	1
6333	-179	-180	Max	6.93					-0.01	7			0.51	7		
6333	-179	-180	Max	23.34	0.14	5	0.25	1	0.02	1	18.73	1	1.94	1	0.00	1
6333	-179	-180	Min.	2.83	-0.05	5	-0.31	1	-0.04	1	-23.40	1	-1.99	1	-0.00	1
6333	-179	-180	Min.	6.93					-0.00	7			-0.20	7		
6333	-179	-180	Min.	23.34	-0.05	5	-0.31	1	-0.04	1	-24.21	1	-2.42	1	-0.00	1
6334	-211	-212	Max	2.83	0.11	5	0.26	1	0.03	1	20.34	1	2.49	1	0.00	1
6334	-211	-212	Max	6.81					-0.01	7			0.52	7		
6334	-211	-212	Max	22.72	0.11	5	0.26	1	0.02	1	19.56	1	1.96	1	0.00	1
6334	-211	-212	Min.	2.83	-0.06	5	-0.33	1	-0.04	1	-24.46	1	-2.01	1	-0.00	1
6334	-211	-212	Min.	6.81					-0.00	7			-0.20	7		
6334	-211	-212	Min.	22.72	-0.06	5	-0.33	1	-0.05	1	-25.24	1	-2.45	1	-0.00	1
6335	-243	-244	Max	2.83	0.13	5	0.27	1	0.03	1	21.15	1	2.52	1	0.00	1
6335	-243	-244	Max	6.68					-0.01	7			0.52	7		
6335	-243	-244	Max	22.09	0.13	5	0.27	1	0.02	1	20.39	1	1.98	1	0.00	1
6335	-243	-244	Min.	2.83	-0.06	5	-0.34	1	-0.04	1	-25.53	1	-2.02	1	-0.00	1
6335	-243	-244	Min.	6.68					-0.00	7			-0.20	7		
6335	-243	-244	Min.	22.09	-0.06	5	-0.34	1	-0.05	1	-26.28	1	-2.47	1	-0.00	1
6336	-275	-276	Max	2.83	0.13	5	0.28	1	0.03	1	21.98	1	2.54	1	0.00	1
6336	-275	-276	Max	6.56					-0.01	7			0.53	7		
6336	-275	-276	Max	21.47	0.13	5	0.28	1	0.02	1	21.24	1	1.99	1	0.00	1
6336	-275	-276	Min.	2.83	-0.06	5	-0.36	1	-0.04	1	-26.63	1	-2.04	1	-0.00	1
6336	-275	-276	Min.	6.56					-0.00	7			-0.20	7		
6336	-275	-276	Min.	21.47	-0.06	5	-0.36	1	-0.05	1	-27.37	1	-2.49	1	-0.00	1
6337	-307	-308	Max	2.83	0.14	5	0.29	1	0.03	1	22.84	1	2.56	1	0.00	1
6337	-307	-308	Max	6.43					-0.01	7			0.53	7		
6337	-307	-308	Max	20.84	0.14	5	0.29	1	0.02	1	22.13	1	2.00	1	0.00	1
6337	-307	-308	Min.	2.83	-0.06	5	-0.37	1	-0.04	1	-27.79	1	-2.05	1	-0.00	1
6337	-307	-308	Min.	6.43					-0.00	7			-0.20	7		
6337	-307	-308	Min.	20.84	-0.06	5	-0.37	1	-0.05	1	-28.50	1	-2.51	1	-0.00	1
6338	-339	-340	Max	2.83	0.15	5	0.31	1	0.03	1	23.74	1	2.58	1	0.00	1
6338	-339	-340	Max	6.31					-0.01	7			0.53	7		
6338	-339	-340	Max	20.22	0.15	5	0.31	1	0.02	1	23.05	1	2.01	1	0.00	1
6338	-339	-340	Min.	2.83	-0.05	5	-0.39	1	-0.04	1	-29.00	1	-2.06	1	-0.00	1
6338	-339	-340	Min.	6.31					-0.00	7			-0.20	7		
6338	-339	-340	Min.	20.22	-0.05	5	-0.39	1	-0.05	1	-29.68	1	-2.52	1	-0.00	1
6339	-371	-372	Max	2.83	0.16	5	0.32	1	0.03	1	24.67	1	2.60	1	0.00	1
6339	-371	-372	Max	12.89					-0.02	7			0.09	7		
6339	-371	-372	Max	19.59	0.16	5	0.32	1	0.02	1	24.01	1	2.02	1	0.00	1
6339	-371	-372	Min.	2.83	-0.06	5	-0.41	1	-0.04	1	-30.29	1	-2.06	1	-0.00	1

6339	-371	-372	Min.	12.89					-0.00	7			-0.16	7		
6339	-371	-372	Min.	19.59	-0.06	5	-0.41	1	-0.05	1	-30.95	1	-2.53	1	-0.00	1
6340	-403	-404	Max	2.83	-0.07	5	0.33	1	0.03	1	25.63	1	2.62	1	0.00	1
6340	-403	-404	Max	12.51					-0.02	7			0.10	7		
6340	-403	-404	Max	18.97	-0.07	5	0.33	1	0.02	1	25.00	1	2.02	1	0.00	1
6340	-403	-404	Min.	2.83	-0.20	5	-0.43	1	-0.04	1	-31.63	1	-2.06	1	-0.00	1
6340	-403	-404	Min.	12.51					-0.00	7			-0.16	7		
6340	-403	-404	Min.	18.97	-0.20	5	-0.43	1	-0.05	1	-32.26	1	-2.54	1	-0.00	1
6341	-435	-436	Max	2.83	2.86	5	0.34	1	0.03	1	26.58	1	2.61	1	0.00	1
6341	-435	-436	Max	12.14					-0.02	7			0.07	7		
6341	-435	-436	Max	18.34	2.86	5	0.34	1	0.02	1	25.97	1	2.01	1	0.00	1
6341	-435	-436	Min.	2.83	0.17	5	-0.44	1	-0.04	1	-32.94	1	-2.07	1	-0.00	1
6341	-435	-436	Min.	12.14					-0.00	7			-0.16	7		
6341	-435	-436	Min.	18.34	0.17	5	-0.44	1	-0.05	1	-33.55	1	-2.55	1	-0.00	1
6342	-467	-468	Max	2.83	-1.53	5	0.34	1	0.02	1	27.16	1	2.66	1	0.00	1
6342	-467	-468	Max	11.76					-0.02	7			0.11	7		
6342	-467	-468	Max	17.72	-1.53	5	0.34	1	0.02	1	26.57	1	2.04	1	0.00	1
6342	-467	-468	Min.	2.83	-18.14	5	-0.44	1	-0.04	1	-33.60	1	-1.96	1	-0.00	1
6342	-467	-468	Min.	11.76					-0.00	7			-0.02	7		
6342	-467	-468	Min.	17.72	-18.14	5	-0.44	1	-0.05	1	-34.19	1	-2.39	1	-0.00	1
6343	-499	-500	Max	2.83	106.47	5	0.28	1	0.02	1	24.40	1	1.83	1	0.00	5
6343	-499	-500	Max	11.39					-0.00	7			-0.21	7		
6343	-499	-500	Max	17.09	106.47	5	0.28	1	0.01	1	23.84	1	1.32	1	0.00	5
6343	-499	-500	Min.	2.83	8.18	5	-0.38	1	-0.03	1	-30.79	1	-2.33	1	-0.00	5
6343	-499	-500	Min.	11.39					-0.02	7			-0.86	7		
6343	-499	-500	Min.	17.09	8.18	5	-0.38	1	-0.04	1	-31.35	1	-2.81	1	-0.00	5
6347	-507	-508	Max	3.53	21.42	5	0.42	1	0.02	1	28.31	1	2.66	1	0.00	1
6347	-507	-508	Max	9.24					-0.00	7			0.51	7		
6347	-507	-508	Max	17.80	21.42	5	0.42	1	0.02	1	27.75	1	2.32	1	0.00	1
6347	-507	-508	Min.	3.53	-69.07	5	-0.36	1	-0.04	1	-33.17	1	-1.89	1	-0.00	1
6347	-507	-508	Min.	9.24					-0.02	7			-0.03	7		
6347	-507	-508	Min.	17.80	-69.07	5	-0.36	1	-0.04	1	-33.73	1	-2.33	1	-0.00	1
6348	-475	-476	Max	3.53	11.45	5	0.48	1	0.02	1	31.22	1	2.66	1	0.00	1
6348	-475	-476	Max	9.49					-0.02	7			0.08	7		
6348	-475	-476	Max	18.42	11.45	5	0.48	1	0.03	1	30.64	1	2.31	1	0.00	1
6348	-475	-476	Min.	3.53	-3.79	5	-0.41	1	-0.05	1	-36.36	1	-2.33	1	-0.00	1
6348	-475	-476	Min.	9.49					-0.00	7			-0.07	7		
6348	-475	-476	Min.	18.42	-3.79	5	-0.41	1	-0.04	1	-36.94	1	-2.83	1	-0.00	1
6349	-443	-444	Max	3.53	0.52	5	0.48	1	0.02	1	30.55	1	2.74	1	0.00	1
6349	-443	-444	Max	9.74					-0.02	7			0.19	7		
6349	-443	-444	Max	19.05	0.52	5	0.48	1	0.03	1	29.94	1	2.37	1	0.00	1
6349	-443	-444	Min.	3.53	-1.96	5	-0.41	1	-0.05	1	-35.53	1	-2.33	1	-0.00	1
6349	-443	-444	Min.	9.74					-0.00	7			-0.10	7		
6349	-443	-444	Min.	19.05	-1.96	5	-0.41	1	-0.05	1	-36.14	1	-2.82	1	-0.00	1
6350	-411	-412	Max	3.53	-0.01	5	0.47	1	0.02	1	29.41	1	2.73	1	0.00	1
6350	-411	-412	Max	11.57					0.00	7			0.00	7		
6350	-411	-412	Max	19.67	-0.01	5	0.47	1	0.03	1	28.78	1	2.36	1	0.00	1
6350	-411	-412	Min.	3.53	-0.11	5	-0.39	1	-0.05	1	-34.09	1	-2.33	1	-0.00	1
6350	-411	-412	Min.	11.57					-0.02	7			-0.01	7		
6350	-411	-412	Min.	19.67	-0.11	5	-0.39	1	-0.05	1	-34.72	1	-2.82	1	-0.00	1
6351	-379	-380	Max	3.53	-0.03	5	0.44	1	0.02	1	28.25	1	2.72	1	0.00	1
6351	-379	-380	Max	11.87					0.00	7			0.00	7		
6351	-379	-380	Max	20.30	-0.03	5	0.44	1	0.03	1	27.59	1	2.36	1	0.00	1
6351	-379	-380	Min.	3.53	-0.25	5	-0.38	1	-0.05	1	-32.64	1	-2.32	1	-0.00	1
6351	-379	-380	Min.	11.87					-0.02	7			-0.00	7		
6351	-379	-380	Min.	20.30	-0.25	5	-0.38	1	-0.05	1	-33.30	1	-2.81	1	-0.00	1
6352	-347	-348	Max	3.53	-0.02	5	0.42	1	0.02	1	27.13	1	2.70	1	0.00	1
6352	-347	-348	Max	12.18					0.00	7			0.01	7		
6352	-347	-348	Max	20.92	-0.02	5	0.42	1	0.03	1	26.45	1	2.34	1	0.00	1

6352	-347	-348	Min.	3.53	-0.24	5	-0.36	1	-0.05	1	-31.24	1	-2.32	1	-0.00	1
6352	-347	-348	Min.	12.18					-0.02	7			-0.00	7		
6352	-347	-348	Min.	20.92	-0.24	5	-0.36	1	-0.05	1	-31.92	1	-2.79	1	-0.00	1
6353	-315	-316	Max	3.53	-0.03	5	0.41	1	0.02	1	26.07	1	2.68	1	0.00	1
6353	-315	-316	Max	12.48					0.00	7			0.01	7		
6353	-315	-316	Max	21.55	-0.03	5	0.41	1	0.03	1	25.36	1	2.33	1	0.00	1
6353	-315	-316	Min.	3.53	-0.22	5	-0.35	1	-0.05	1	-29.92	1	-2.30	1	-0.00	1
6353	-315	-316	Min.	12.48					-0.02	7			-0.00	7		
6353	-315	-316	Min.	21.55	-0.22	5	-0.35	1	-0.05	1	-30.63	1	-2.77	1	-0.00	1
6354	-283	-284	Max	3.53	-0.03	5	0.39	1	0.02	1	25.05	1	2.66	1	0.00	1
6354	-283	-284	Max	18.44					-0.01	7			0.31	7		
6354	-283	-284	Max	22.17	-0.03	5	0.39	1	0.03	1	24.32	1	2.31	1	0.00	1
6354	-283	-284	Min.	3.53	-0.22	5	-0.33	1	-0.05	1	-28.66	1	-2.29	1	-0.00	1
6354	-283	-284	Min.	18.44					-0.00	7			-0.56	7		
6354	-283	-284	Min.	22.17	-0.22	5	-0.33	1	-0.04	1	-29.39	1	-2.75	1	-0.00	1
6355	-251	-252	Max	3.53	-0.03	5	0.37	1	0.02	1	24.08	1	2.64	1	0.00	1
6355	-251	-252	Max	18.94					-0.01	7			0.31	7		
6355	-251	-252	Max	22.80	-0.03	5	0.37	1	0.03	1	23.32	1	2.29	1	0.00	1
6355	-251	-252	Min.	3.53	-0.21	5	-0.32	1	-0.05	1	-27.46	1	-2.27	1	-0.00	1
6355	-251	-252	Min.	18.94					-0.00	7			-0.56	7		
6355	-251	-252	Min.	22.80	-0.21	5	-0.32	1	-0.04	1	-28.22	1	-2.72	1	-0.00	1
6356	-219	-220	Max	3.53	-0.03	5	0.36	1	0.02	1	23.14	1	2.62	1	0.00	1
6356	-219	-220	Max	19.44					-0.01	7			0.31	7		
6356	-219	-220	Max	23.42	-0.03	5	0.36	1	0.03	1	22.36	1	2.27	1	0.00	1
6356	-219	-220	Min.	3.53	-0.21	5	-0.30	1	-0.05	1	-26.30	1	-2.25	1	-0.00	1
6356	-219	-220	Min.	19.44					-0.00	7			-0.55	7		
6356	-219	-220	Min.	23.42	-0.21	5	-0.30	1	-0.04	1	-27.08	1	-2.69	1	-0.00	1
6357	-187	-188	Max	3.53	-0.02	5	0.34	1	0.02	1	22.20	1	2.58	1	0.00	1
6357	-187	-188	Max	19.94					-0.01	7			0.31	7		
6357	-187	-188	Max	24.05	-0.02	5	0.34	1	0.03	1	21.40	1	2.24	1	0.00	1
6357	-187	-188	Min.	3.53	-0.21	5	-0.29	1	-0.05	1	-25.16	1	-2.23	1	-0.00	1
6357	-187	-188	Min.	19.94					-0.00	7			-0.54	7		
6357	-187	-188	Min.	24.05	-0.21	5	-0.29	1	-0.04	1	-25.97	1	-2.66	1	-0.00	1
6358	-155	-156	Max	3.53	-0.04	5	0.32	1	0.02	1	21.17	1	2.53	1	0.00	1
6358	-155	-156	Max	20.44					-0.01	7			0.30	7		
6358	-155	-156	Max	24.67	-0.04	5	0.32	1	0.03	1	20.34	1	2.20	1	0.00	1
6358	-155	-156	Min.	3.53	-0.22	5	-0.27	1	-0.05	1	-23.90	1	-2.19	1	-0.00	1
6358	-155	-156	Min.	20.44					-0.00	7			-0.53	7		
6358	-155	-156	Min.	24.67	-0.22	5	-0.27	1	-0.04	1	-24.73	1	-2.61	1	-0.00	1
6359	-123	-124	Max	3.53	0.06	5	0.28	1	0.02	1	19.52	1	2.40	1	0.00	1
6359	-123	-124	Max	20.94					-0.01	7			0.29	7		
6359	-123	-124	Max	25.30	0.06	5	0.28	1	0.02	1	18.66	1	2.08	1	0.00	1
6359	-123	-124	Min.	3.53	-0.13	5	-0.24	1	-0.04	1	-21.93	1	-2.07	1	-0.00	1
6359	-123	-124	Min.	20.94					-0.00	7			-0.50	7		
6359	-123	-124	Min.	25.30	-0.13	5	-0.24	1	-0.04	1	-22.79	1	-2.47	1	-0.00	1
6360	-91	-92	Max	3.53	-0.84	5	0.20	1	0.01	1	15.14	1	1.89	1	0.00	1
6360	-91	-92	Max	21.44					-0.01	7			0.23	7		
6360	-91	-92	Max	25.92	-0.84	5	0.20	1	0.02	1	14.26	1	1.64	1	0.00	1
6360	-91	-92	Min.	3.53	-1.12	5	-0.17	1	-0.03	1	-16.77	1	-1.65	1	-0.00	1
6360	-91	-92	Min.	21.44					-0.00	7			-0.40	7		
6360	-91	-92	Min.	25.92	-1.12	5	-0.17	1	-0.03	1	-17.65	1	-1.96	1	-0.00	1
6361	-59	-60	Max	3.53	10.01	5	0.05	1	0.00	5	17.45	1	2.39	1	0.01	1
6361	-59	-60	Max	15.08					-0.01	7			0.24	7		
6361	-59	-60	Max	26.55	10.01	5	0.05	1	0.00	5	15.64	1	2.10	1	0.01	1
6361	-59	-60	Min.	3.53	8.94	5	-0.05	1	-0.01	5	-18.49	1	-1.70	1	-0.01	1
6361	-59	-60	Min.	15.08					0.00	7			0.22	7		
6361	-59	-60	Min.	26.55	8.94	5	-0.05	1	-0.01	5	-20.29	1	-2.07	1	-0.01	1
6362	-27	-28	Max	3.53	38.31	5	0.24	1	0.03	1	10.94	1	1.44	1	0.00	1
6362	-27	-28	Max	26.86	38.31	5	0.24	1	0.03	1	9.11	1	1.28	1	0.00	1

6362	-27	-28	Min.	3.53	35.27	5	-0.29	1	-0.03	1	-10.76	1	-1.06	1	-0.00	1
6362	-27	-28	Min.	26.86	35.27	5	-0.29	1	-0.04	1	-12.59	1	-1.28	1	-0.00	1
6363	376	377	Max	1.77	-9.67	5	2.11	1	-0.22	1	1.07	1	0.13	1	0.11	1
6363	376	377	Max	8.93					-0.30	5			0.02	5		
6363	376	377	Max	15.00	-9.67	5	1.17	1	-0.31	5	1.07	1	0.01	5	0.11	1
6363	376	377	Min.	1.77	-16.22	5	-0.33	1	-0.56	1	-0.91	1	-0.14	1	-0.13	1
6363	376	377	Min.	8.93					-0.39	5			-0.02	5		
6363	376	377	Min.	15.00	-16.22	5	-1.27	1	-0.36	5	-0.91	1	0.00	5	-0.13	1
6363	377	378	Max	0.00	-9.67	5	1.17	1	-0.31	5	1.07	1	0.01	5	0.11	1
6363	377	378	Max	4.18					-0.31	5			0.03	5		
6363	377	378	Max	13.23	-9.67	5	0.23	1	-0.24	1	1.07	1	0.15	1	0.11	1
6363	377	378	Min.	0.00	-16.22	5	-1.27	1	-0.36	5	-0.91	1	0.00	5	-0.13	1
6363	377	378	Min.	4.18					-0.38	5			-0.01	5		
6363	377	378	Min.	13.23	-16.22	5	-2.21	1	-0.57	1	-0.91	1	-0.11	1	-0.13	1
6364	-539	-540	Max	0.00	0.10	5	10.05	1	0.48	1	-0.03	1	0.12	1	0.23	1
6364	-539	-540	Max	12.00	0.10	5	10.05	1	0.60	1	1.57	1	0.09	1	0.23	1
6364	-539	-540	Min.	0.00	0.01	5	-8.05	1	-0.61	1	-1.97	1	-0.01	1	-0.10	1
6364	-539	-540	Min.	12.00	0.01	5	-8.05	1	-0.48	1	-0.37	1	-0.03	1	-0.10	1
6365	-523	-524	Max	0.00	0.40	5	9.70	1	0.43	1	-0.47	1	0.05	1	0.33	1
6365	-523	-524	Max	12.00	0.40	5	9.70	1	0.59	1	1.13	1	0.05	1	0.33	1
6365	-523	-524	Min.	0.00	-0.53	5	-7.30	1	-0.58	1	-1.21	1	0.00	1	-0.15	1
6365	-523	-524	Min.	12.00	-0.53	5	-7.30	1	-0.44	1	0.39	1	-0.00	1	-0.15	1
6367	349	361	Max	1.77	167.42	1	242.84	1	14.02	1	9.45	1	0.04	1	0.23	1
6367	349	361	Max	15.00	167.42	1	241.91	1	17.60	1	9.45	1	1.00	1	0.23	1
6367	349	361	Min.	1.77	-170.43	1	-250.58	1	-14.48	1	-3.62	1	-0.25	1	-0.43	1
6367	349	361	Min.	15.00	-170.43	1	-251.52	1	-19.21	1	-3.62	1	-0.44	1	-0.43	1
6367	361	373	Max	0.00	181.33	1	233.51	1	20.04	1	4.03	1	1.00	1	0.43	1
6367	361	373	Max	13.23	181.33	1	232.56	1	13.59	1	4.03	1	0.06	1	0.43	1
6367	361	373	Min.	0.00	-164.75	1	-266.60	1	-17.25	1	-9.40	1	-0.47	1	-0.23	1
6367	361	373	Min.	13.23	-164.75	1	-267.54	1	-15.30	1	-9.40	1	-0.24	1	-0.23	1
6368	-17	-25	Max	3.53	139.69	1	0.16	5	0.01	5	10.10	5	2.36	5	0.00	5
6368	-17	-25	Max	26.86	139.69	1	0.16	5	0.02	5	8.27	5	1.11	5	0.00	5
6368	-17	-25	Min.	3.53	-106.78	1	-0.06	5	-0.02	5	-18.65	5	-1.04	5	-0.00	5
6368	-17	-25	Min.	26.86	-106.78	1	-0.06	5	-0.01	5	-20.48	5	-2.20	5	-0.00	5
6369	-49	-57	Max	3.53	51.59	1	0.28	5	0.01	5	13.03	5	3.74	5	0.00	5
6369	-49	-57	Max	26.55	51.59	1	0.28	5	0.03	5	11.23	5	1.69	5	0.00	5
6369	-49	-57	Min.	3.53	-45.40	1	-0.11	5	-0.03	5	-29.95	5	-1.47	5	-0.00	5
6369	-49	-57	Min.	26.55	-45.40	1	-0.11	5	-0.01	5	-31.75	5	-3.72	5	-0.00	5
6370	-81	-89	Max	3.53	1.77	1	0.32	5	0.01	5	10.56	5	2.98	5	0.00	5
6370	-81	-89	Max	25.92	1.77	1	0.32	5	0.04	5	9.68	5	1.12	5	0.00	5
6370	-81	-89	Min.	3.53	-2.82	1	-0.12	5	-0.04	5	-26.54	5	-1.14	5	-0.00	5
6370	-81	-89	Min.	25.92	-2.82	1	-0.12	5	-0.01	5	-27.42	5	-3.06	5	-0.00	5
6371	-113	-121	Max	3.53	0.06	5	0.43	5	0.02	5	13.50	5	3.77	5	0.00	5
6371	-113	-121	Max	25.30	0.06	5	0.43	5	0.05	5	12.65	5	1.42	5	0.00	5
6371	-113	-121	Min.	3.53	-0.07	5	-0.16	5	-0.05	5	-34.61	5	-1.42	5	-0.00	5
6371	-113	-121	Min.	25.30	-0.07	5	-0.16	5	-0.02	5	-35.46	5	-3.85	5	-0.00	5
6372	-145	-153	Max	3.53	0.00	1	0.49	5	0.02	5	14.57	5	3.98	5	0.00	5
6372	-145	-153	Max	24.67	0.00	1	0.49	5	0.06	5	13.74	5	1.50	5	0.00	5
6372	-145	-153	Min.	3.53	-0.10	1	-0.18	5	-0.05	5	-37.69	5	-1.50	5	-0.00	5
6372	-145	-153	Min.	24.67	-0.10	1	-0.18	5	-0.02	5	-38.52	5	-4.07	5	-0.00	5
6373	-177	-185	Max	3.53	0.01	1	0.52	5	0.02	5	15.21	5	4.07	5	0.00	5
6373	-177	-185	Max	24.05	0.01	1	0.52	5	0.06	5	14.40	5	1.52	5	0.00	5
6373	-177	-185	Min.	3.53	-0.11	1	-0.19	5	-0.05	5	-39.68	5	-1.52	5	-0.00	5
6373	-177	-185	Min.	24.05	-0.11	1	-0.19	5	-0.02	5	-40.48	5	-4.16	5	-0.00	5
6374	-209	-217	Max	3.53	0.02	1	0.55	5	0.02	5	15.76	5	4.12	5	0.00	5
6374	-209	-217	Max	23.42	0.02	1	0.55	5	0.06	5	14.98	5	1.53	5	0.00	5
6374	-209	-217	Min.	3.53	-0.10	1	-0.20	5	-0.05	5	-41.48	5	-1.52	5	-0.00	5
6374	-209	-217	Min.	23.42	-0.10	1	-0.20	5	-0.02	5	-42.26	5	-4.21	5	-0.00	5
6375	-241	-249	Max	3.53	0.01	1	0.57	5	0.02	5	16.29	5	4.16	5	0.00	5

6375	-241	-249	Max	22.80	0.01	1	0.57	5	0.06	5	15.54	5	1.54	5	0.00	5
6375	-241	-249	Min.	3.53	-0.09	1	-0.21	5	-0.05	5	-43.32	5	-1.53	5	-0.00	5
6375	-241	-249	Min.	22.80	-0.09	1	-0.21	5	-0.02	5	-44.08	5	-4.26	5	-0.00	5
6376	-273	-281	Max	3.53	0.02	1	0.60	5	0.02	5	16.84	5	4.20	5	0.00	5
6376	-273	-281	Max	22.17	0.02	1	0.60	5	0.06	5	16.11	5	1.54	5	0.00	5
6376	-273	-281	Min.	3.53	-0.10	1	-0.22	5	-0.05	5	-45.27	5	-1.53	5	-0.01	5
6376	-273	-281	Min.	22.17	-0.10	1	-0.22	5	-0.02	5	-46.00	5	-4.30	5	-0.01	5
6377	-305	-313	Max	3.53	0.03	1	0.63	5	0.02	5	17.39	5	4.24	5	0.00	5
6377	-305	-313	Max	21.55	0.03	1	0.63	5	0.06	5	16.68	5	1.54	5	0.00	5
6377	-305	-313	Min.	3.53	-0.11	1	-0.22	5	-0.06	5	-47.30	5	-1.53	5	-0.01	5
6377	-305	-313	Min.	21.55	-0.11	1	-0.22	5	-0.02	5	-48.01	5	-4.34	5	-0.01	5
6378	-337	-345	Max	3.53	0.02	1	0.66	5	0.02	5	17.95	5	4.28	5	0.00	5
6378	-337	-345	Max	20.92	0.02	1	0.66	5	0.06	5	17.27	5	1.54	5	0.00	5
6378	-337	-345	Min.	3.53	-0.09	1	-0.23	5	-0.06	5	-49.46	5	-1.52	5	-0.01	5
6378	-337	-345	Min.	20.92	-0.09	1	-0.23	5	-0.02	5	-50.14	5	-4.38	5	-0.01	5
6379	-369	-377	Max	3.53	0.02	1	0.69	5	0.02	5	18.54	5	4.31	5	0.00	5
6379	-369	-377	Max	20.30	0.02	1	0.69	5	0.06	5	17.88	5	1.54	5	0.00	5
6379	-369	-377	Min.	3.53	-0.11	1	-0.24	5	-0.06	5	-51.76	5	-1.52	5	-0.01	5
6379	-369	-377	Min.	20.30	-0.11	1	-0.24	5	-0.02	5	-52.42	5	-4.42	5	-0.01	5
6380	-401	-409	Max	3.53	0.01	1	0.72	5	0.02	5	19.13	5	4.35	5	0.00	5
6380	-401	-409	Max	19.67	0.01	1	0.72	5	0.06	5	18.50	5	1.53	5	0.00	5
6380	-401	-409	Min.	3.53	-0.12	1	-0.25	5	-0.06	5	-54.20	5	-1.51	5	-0.01	5
6380	-401	-409	Min.	19.67	-0.12	1	-0.25	5	-0.02	5	-54.84	5	-4.45	5	-0.01	5
6381	-433	-441	Max	3.53	0.17	1	0.76	5	0.02	5	19.71	5	4.36	5	0.00	5
6381	-433	-441	Max	19.05	0.17	1	0.76	5	0.06	5	19.10	5	1.52	5	0.00	5
6381	-433	-441	Min.	3.53	0.03	1	-0.26	5	-0.06	5	-56.69	5	-1.49	5	-0.01	5
6381	-433	-441	Min.	19.05	0.03	1	-0.26	5	-0.02	5	-57.30	5	-4.48	5	-0.01	5
6382	-465	-473	Max	3.53	-0.65	5	0.72	5	0.02	5	20.08	5	4.34	5	0.00	5
6382	-465	-473	Max	18.42	-0.65	5	0.72	5	0.06	5	19.50	5	1.49	5	0.00	5
6382	-465	-473	Min.	3.53	-1.39	5	-0.24	5	-0.05	5	-58.67	5	-1.45	5	-0.01	5
6382	-465	-473	Min.	18.42	-1.39	5	-0.24	5	-0.02	5	-59.25	5	-4.44	5	-0.01	5
6383	-497	-505	Max	3.53	7.94	5	0.87	5	0.02	5	18.97	5	3.89	5	0.03	5
6383	-497	-505	Max	17.80	7.94	5	0.87	5	0.07	5	18.41	5	1.31	5	0.03	5
6383	-497	-505	Min.	3.53	3.49	5	-0.29	5	-0.06	5	-56.01	5	-1.35	5	-0.01	5
6383	-497	-505	Min.	17.80	3.49	5	-0.29	5	-0.02	5	-56.57	5	-4.14	5	-0.01	5
6388	-498	-506	Max	2.83	14.14	5	0.35	5	0.07	5	21.83	5	4.33	5	0.01	5
6388	-498	-506	Max	17.09	14.14	5	0.35	5	0.03	5	21.27	5	1.42	5	0.01	5
6388	-498	-506	Min.	2.83	10.14	5	-0.98	5	-0.02	5	-61.52	5	-1.65	5	-0.04	5
6388	-498	-506	Min.	17.09	10.14	5	-0.98	5	-0.07	5	-62.08	5	-4.48	5	-0.04	5
6389	-466	-474	Max	2.83	-1.89	5	0.29	5	0.06	5	23.24	5	4.90	5	0.00	1
6389	-466	-474	Max	17.72	-1.89	5	0.29	5	0.02	5	22.65	5	1.70	5	0.00	1
6389	-466	-474	Min.	2.83	-2.52	5	-0.82	5	-0.02	5	-64.51	5	-1.72	5	-0.00	1
6389	-466	-474	Min.	17.72	-2.52	5	-0.82	5	-0.06	5	-65.10	5	-4.75	5	-0.00	1
6390	-434	-442	Max	2.83	0.37	1	0.31	5	0.07	5	22.74	5	4.91	5	0.00	5
6390	-434	-442	Max	18.34	0.37	1	0.31	5	0.03	5	22.13	5	1.71	5	0.00	5
6390	-434	-442	Min.	2.83	0.16	1	-0.85	5	-0.02	5	-62.36	5	-1.77	5	-0.00	5
6390	-434	-442	Min.	18.34	0.16	1	-0.85	5	-0.07	5	-62.97	5	-4.81	5	-0.00	5
6391	-402	-410	Max	2.83	-0.01	1	0.29	5	0.07	5	22.01	5	4.88	5	0.00	1
6391	-402	-410	Max	18.97	-0.01	1	0.29	5	0.03	5	21.37	5	1.73	5	0.00	1
6391	-402	-410	Min.	2.83	-0.15	1	-0.81	5	-0.02	5	-59.57	5	-1.77	5	-0.00	1
6391	-402	-410	Min.	18.97	-0.15	1	-0.81	5	-0.07	5	-60.21	5	-4.78	5	-0.00	1
6392	-370	-378	Max	2.83	0.02	1	0.28	5	0.07	5	21.26	5	4.84	5	0.00	1
6392	-370	-378	Max	19.59	0.02	1	0.28	5	0.03	5	20.61	5	1.73	5	0.00	1
6392	-370	-378	Min.	2.83	-0.11	1	-0.77	5	-0.02	5	-56.86	5	-1.78	5	-0.00	1
6392	-370	-378	Min.	19.59	-0.11	1	-0.77	5	-0.06	5	-57.51	5	-4.75	5	-0.00	1
6393	-338	-346	Max	2.83	0.03	1	0.27	5	0.07	5	20.54	5	4.79	5	0.00	1
6393	-338	-346	Max	20.22	0.03	1	0.27	5	0.03	5	19.86	5	1.73	5	0.00	1
6393	-338	-346	Min.	2.83	-0.10	1	-0.74	5	-0.02	5	-54.29	5	-1.78	5	-0.00	1
6393	-338	-346	Min.	20.22	-0.10	1	-0.74	5	-0.06	5	-54.97	5	-4.71	5	-0.00	1

6394	-306	-314	Max	2.83	0.02	1	0.26	5	0.07	5	19.85	5	4.74	5	0.00	1
6394	-306	-314	Max	20.84	0.02	1	0.26	5	0.03	5	19.15	5	1.73	5	0.00	1
6394	-306	-314	Min.	2.83	-0.12	1	-0.70	5	-0.02	5	-51.89	5	-1.78	5	-0.00	1
6394	-306	-314	Min.	20.84	-0.12	1	-0.70	5	-0.06	5	-52.60	5	-4.66	5	-0.00	1
6395	-274	-282	Max	2.83	0.02	1	0.25	5	0.07	5	19.18	5	4.70	5	0.00	1
6395	-274	-282	Max	21.47	0.02	1	0.25	5	0.03	5	18.45	5	1.73	5	0.00	1
6395	-274	-282	Min.	2.83	-0.11	1	-0.67	5	-0.02	5	-49.63	5	-1.78	5	-0.00	1
6395	-274	-282	Min.	21.47	-0.11	1	-0.67	5	-0.06	5	-50.36	5	-4.62	5	-0.00	1
6396	-242	-250	Max	2.83	0.01	1	0.24	5	0.06	5	18.53	5	4.64	5	0.00	1
6396	-242	-250	Max	22.09	0.01	1	0.24	5	0.03	5	17.77	5	1.72	5	0.00	1
6396	-242	-250	Min.	2.83	-0.09	1	-0.64	5	-0.02	5	-47.47	5	-1.77	5	-0.00	1
6396	-242	-250	Min.	22.09	-0.09	1	-0.64	5	-0.06	5	-48.23	5	-4.57	5	-0.00	1
6397	-210	-218	Max	2.83	0.01	1	0.23	5	0.06	5	17.89	5	4.59	5	0.00	1
6397	-210	-218	Max	22.72	0.01	1	0.23	5	0.03	5	17.11	5	1.72	5	0.00	1
6397	-210	-218	Min.	2.83	-0.11	1	-0.61	5	-0.02	5	-45.44	5	-1.76	5	-0.00	1
6397	-210	-218	Min.	22.72	-0.11	1	-0.61	5	-0.06	5	-46.22	5	-4.53	5	-0.00	1
6398	-178	-186	Max	2.83	0.01	1	0.22	5	0.06	5	17.24	5	4.53	5	0.00	1
6398	-178	-186	Max	23.34	0.01	1	0.22	5	0.03	5	16.44	5	1.70	5	0.00	1
6398	-178	-186	Min.	2.83	-0.11	1	-0.58	5	-0.02	5	-43.44	5	-1.75	5	-0.00	1
6398	-178	-186	Min.	23.34	-0.11	1	-0.58	5	-0.06	5	-44.25	5	-4.47	5	-0.00	1
6399	-146	-154	Max	2.83	0.01	1	0.21	5	0.06	5	16.50	5	4.43	5	0.00	1
6399	-146	-154	Max	23.97	0.01	1	0.21	5	0.03	5	15.67	5	1.68	5	0.00	1
6399	-146	-154	Min.	2.83	-0.10	1	-0.54	5	-0.02	5	-41.26	5	-1.72	5	-0.00	1
6399	-146	-154	Min.	23.97	-0.10	1	-0.54	5	-0.06	5	-42.09	5	-4.38	5	-0.00	1
6400	-114	-122	Max	2.83	0.18	5	0.19	5	0.05	5	15.28	5	4.19	5	0.00	5
6400	-114	-122	Max	24.59	0.18	5	0.19	5	0.02	5	14.42	5	1.59	5	0.00	5
6400	-114	-122	Min.	2.83	0.01	5	-0.48	5	-0.02	5	-37.89	5	-1.64	5	-0.00	5
6400	-114	-122	Min.	24.59	0.01	5	-0.48	5	-0.05	5	-38.74	5	-4.15	5	-0.00	5
6401	-82	-90	Max	2.83	0.22	1	0.13	5	0.04	5	11.93	5	3.31	5	0.00	5
6401	-82	-90	Max	25.22	0.22	1	0.13	5	0.02	5	11.05	5	1.26	5	0.00	5
6401	-82	-90	Min.	2.83	-4.30	1	-0.34	5	-0.02	5	-29.08	5	-1.32	5	-0.00	5
6401	-82	-90	Min.	25.22	-4.30	1	-0.34	5	-0.04	5	-29.96	5	-3.30	5	-0.00	5
6402	-50	-58	Max	2.83	85.07	1	0.13	5	0.04	5	14.82	5	4.71	5	0.00	1
6402	-50	-58	Max	25.84	85.07	1	0.13	5	0.02	5	13.01	5	2.26	5	0.00	1
6402	-50	-58	Min.	2.83	-12.35	1	-0.31	5	-0.01	5	-32.90	5	-1.28	5	0.00	1
6402	-50	-58	Min.	25.84	-12.35	1	-0.31	5	-0.04	5	-34.71	5	-3.41	5	0.00	1
6403	-18	-26	Max	2.83	225.71	1	0.08	5	0.02	5	11.25	5	2.60	5	0.00	1
6403	-18	-26	Max	26.15	225.71	1	0.08	5	0.01	5	9.42	5	1.19	5	0.00	1
6403	-18	-26	Min.	2.83	-21.50	1	-0.19	5	-0.01	5	-20.76	5	-1.23	5	0.00	1
6403	-18	-26	Min.	26.15	-21.50	1	-0.19	5	-0.02	5	-22.59	5	-2.46	5	0.00	1
6404	351	363	Max	1.77	55.70	1	5.27	1	0.13	1	76.71	1	24.18	1	0.21	1
6404	351	363	Max	15.00	55.70	1	5.27	1	0.53	1	75.77	1	5.19	1	0.21	1
6404	351	363	Min.	1.77	-288.60	1	-7.84	1	-0.16	1	-427.01	1	-4.90	1	-0.46	1
6404	351	363	Min.	15.00	-288.60	1	-7.84	1	-0.91	1	-427.95	1	-32.38	1	-0.46	1
6404	363	375	Max	0.00	61.50	1	8.03	1	0.55	1	402.44	1	7.20	1	0.46	1
6404	363	375	Max	13.23	61.50	1	8.03	1	0.14	1	401.50	1	23.25	1	0.46	1
6404	363	375	Min.	0.00	-270.63	1	-5.40	1	-0.92	1	-93.98	1	-29.94	1	-0.21	1
6404	363	375	Min.	13.23	-270.63	1	-5.40	1	-0.17	1	-94.92	1	-5.29	1	-0.21	1
6405	352	364	Max	1.77	118.76	1	193.88	1	22.02	1	9.46	1	0.07	1	0.36	1
6405	352	364	Max	15.00	118.76	1	192.94	1	14.70	1	9.46	1	0.97	1	0.36	1
6405	352	364	Min.	1.77	-273.37	1	-374.44	1	-10.89	1	-5.76	1	-0.28	1	-0.39	1
6405	352	364	Min.	15.00	-273.37	1	-375.38	1	-27.58	1	-5.76	1	-0.69	1	-0.39	1
6405	364	376	Max	0.00	142.12	1	386.68	1	12.77	1	5.90	1	1.02	1	0.39	1
6405	364	376	Max	13.23	142.12	1	385.74	1	21.33	1	5.90	1	0.08	1	0.39	1
6405	364	376	Min.	0.00	-250.03	1	-180.89	1	-29.85	1	-9.87	1	-0.70	1	-0.37	1
6405	364	376	Min.	13.23	-250.03	1	-181.83	1	-11.30	1	-9.87	1	-0.29	1	-0.37	1
6406	-19	-27	Max	3.53	220.15	1	0.23	5	0.00	5	2.25	5	3.63	5	0.00	5
6406	-19	-27	Max	26.86	220.15	1	0.23	5	0.03	5	0.42	5	0.22	5	0.00	5
6406	-19	-27	Min.	3.53	-62.11	1	-0.02	5	-0.03	5	-29.37	5	-0.11	5	0.00	5

6406	-19	-27	Min.	26.86	-62.11	1	-0.02	5	-0.00	5	-31.20	5	-3.45	5	0.00	5
6407	-51	-59	Max	3.53	81.81	1	0.39	5	0.00	5	4.14	5	5.53	5	0.00	1
6407	-51	-59	Max	26.55	81.81	1	0.39	5	0.05	5	2.33	5	1.01	5	0.00	1
6407	-51	-59	Min.	3.53	-29.75	1	-0.03	5	-0.05	5	-41.86	5	-0.17	5	0.00	1
6407	-51	-59	Min.	26.55	-29.75	1	-0.03	5	-0.01	5	-43.67	5	-4.75	5	0.00	1
6408	-83	-91	Max	3.53	0.87	1	0.43	5	0.01	5	3.59	5	4.01	5	0.00	1
6408	-83	-91	Max	25.92	0.87	1	0.43	5	0.05	5	2.71	5	0.34	5	0.00	1
6408	-83	-91	Min.	3.53	-4.37	1	-0.04	5	-0.05	5	-35.81	5	-0.37	5	-0.00	1
6408	-83	-91	Min.	25.92	-4.37	1	-0.04	5	-0.01	5	-36.69	5	-4.11	5	-0.00	1
6409	-115	-123	Max	3.53	0.10	5	0.58	5	0.01	5	4.47	5	5.07	5	0.00	1
6409	-115	-123	Max	25.30	0.10	5	0.58	5	0.07	5	3.62	5	0.43	5	0.00	1
6409	-115	-123	Min.	3.53	-0.03	5	-0.05	5	-0.06	5	-46.60	5	-0.45	5	-0.00	1
6409	-115	-123	Min.	25.30	-0.03	5	-0.05	5	-0.01	5	-47.46	5	-5.17	5	-0.00	1
6410	-147	-155	Max	3.53	0.00	1	0.66	5	0.01	5	4.73	5	5.35	5	0.00	1
6410	-147	-155	Max	24.67	0.00	1	0.66	5	0.07	5	3.90	5	0.45	5	0.00	1
6410	-147	-155	Min.	3.53	-0.12	1	-0.06	5	-0.07	5	-50.75	5	-0.46	5	-0.00	1
6410	-147	-155	Min.	24.67	-0.12	1	-0.06	5	-0.01	5	-51.58	5	-5.46	5	-0.00	1
6411	-179	-187	Max	3.53	0.01	1	0.71	5	0.01	5	4.83	5	5.47	5	0.00	1
6411	-179	-187	Max	24.05	0.01	1	0.71	5	0.08	5	4.02	5	0.45	5	0.00	1
6411	-179	-187	Min.	3.53	-0.14	1	-0.06	5	-0.07	5	-53.46	5	-0.46	5	-0.00	1
6411	-179	-187	Min.	24.05	-0.14	1	-0.06	5	-0.01	5	-54.27	5	-5.58	5	-0.00	1
6412	-211	-219	Max	3.53	0.02	1	0.74	5	0.01	5	4.87	5	5.54	5	0.00	1
6412	-211	-219	Max	23.42	0.02	1	0.74	5	0.08	5	4.09	5	0.44	5	0.00	1
6412	-211	-219	Min.	3.53	-0.13	1	-0.06	5	-0.07	5	-55.94	5	-0.45	5	-0.00	1
6412	-211	-219	Min.	23.42	-0.13	1	-0.06	5	-0.01	5	-56.72	5	-5.66	5	-0.00	1
6413	-243	-251	Max	3.53	0.02	1	0.78	5	0.01	5	4.88	5	5.61	5	0.00	1
6413	-243	-251	Max	22.80	0.02	1	0.78	5	0.08	5	4.12	5	0.43	5	0.00	1
6413	-243	-251	Min.	3.53	-0.11	1	-0.06	5	-0.08	5	-58.48	5	-0.44	5	-0.00	1
6413	-243	-251	Min.	22.80	-0.11	1	-0.06	5	-0.01	5	-59.24	5	-5.73	5	-0.00	1
6414	-275	-283	Max	3.53	0.02	1	0.82	5	0.01	5	4.86	5	5.67	5	0.00	1
6414	-275	-283	Max	22.17	0.02	1	0.82	5	0.08	5	4.13	5	0.42	5	0.00	1
6414	-275	-283	Min.	3.53	-0.13	1	-0.06	5	-0.08	5	-61.17	5	-0.42	5	-0.00	1
6414	-275	-283	Min.	22.17	-0.13	1	-0.06	5	-0.01	5	-61.90	5	-5.79	5	-0.00	1
6415	-307	-315	Max	3.53	0.02	1	0.86	5	0.01	5	4.81	5	5.73	5	0.00	1
6415	-307	-315	Max	21.55	0.02	1	0.86	5	0.08	5	4.10	5	0.40	5	0.00	1
6415	-307	-315	Min.	3.53	-0.15	1	-0.06	5	-0.08	5	-64.01	5	-0.40	5	-0.00	1
6415	-307	-315	Min.	21.55	-0.15	1	-0.06	5	-0.01	5	-64.72	5	-5.86	5	-0.00	1
6416	-339	-347	Max	3.53	0.02	1	0.90	5	0.01	5	4.72	5	5.79	5	0.00	1
6416	-339	-347	Max	20.92	0.02	1	0.90	5	0.08	5	4.04	5	0.38	5	0.00	1
6416	-339	-347	Min.	3.53	-0.12	1	-0.06	5	-0.08	5	-67.03	5	-0.38	5	-0.00	1
6416	-339	-347	Min.	20.92	-0.12	1	-0.06	5	-0.01	5	-67.71	5	-5.92	5	-0.00	1
6417	-371	-379	Max	3.53	0.03	1	0.94	5	0.01	5	4.61	5	5.85	5	0.00	1
6417	-371	-379	Max	20.30	0.03	1	0.94	5	0.08	5	3.95	5	0.36	5	0.00	1
6417	-371	-379	Min.	3.53	-0.15	1	-0.06	5	-0.08	5	-70.26	5	-0.36	5	-0.00	1
6417	-371	-379	Min.	20.30	-0.15	1	-0.06	5	-0.01	5	-70.92	5	-5.98	5	-0.00	1
6418	-403	-411	Max	3.53	-0.04	1	0.99	5	0.01	5	4.45	5	5.90	5	0.00	1
6418	-403	-411	Max	19.67	-0.04	1	0.99	5	0.08	5	3.82	5	0.33	5	0.00	1
6418	-403	-411	Min.	3.53	-0.18	1	-0.06	5	-0.08	5	-73.70	5	-0.33	5	-0.00	1
6418	-403	-411	Min.	19.67	-0.18	1	-0.06	5	-0.01	5	-74.33	5	-6.04	5	-0.00	1
6419	-435	-443	Max	3.53	0.56	1	1.04	5	0.01	5	4.26	5	5.94	5	0.00	1
6419	-435	-443	Max	19.05	0.56	1	1.04	5	0.08	5	3.65	5	0.30	5	0.00	1
6419	-435	-443	Min.	3.53	0.20	1	-0.05	5	-0.08	5	-77.22	5	-0.31	5	-0.00	1
6419	-435	-443	Min.	19.05	0.20	1	-0.05	5	-0.01	5	-77.83	5	-6.09	5	-0.00	1
6420	-467	-475	Max	3.53	-2.45	1	0.99	5	0.01	5	3.98	5	5.93	5	0.00	5
6420	-467	-475	Max	18.42	-2.45	1	0.99	5	0.08	5	3.40	5	0.29	5	0.00	5
6420	-467	-475	Min.	3.53	-3.71	1	-0.05	5	-0.07	5	-80.03	5	-0.26	5	-0.01	5
6420	-467	-475	Min.	18.42	-3.71	1	-0.05	5	-0.01	5	-80.61	5	-6.03	5	-0.01	5
6421	-499	-507	Max	3.53	22.08	1	1.18	5	0.01	5	3.63	5	5.20	5	0.04	5
6421	-499	-507	Max	17.80	22.08	1	1.18	5	0.09	5	3.07	5	0.11	5	0.04	5

6421	-499	-507	Min.	3.53	12.73	1	-0.06	5	-0.08	5	-76.22	5	-0.37	5	-0.00	5
6421	-499	-507	Min.	17.80	12.73	1	-0.06	5	-0.01	5	-76.78	5	-5.71	5	-0.00	5
6426	-500	-508	Max	2.83	20.49	1	0.06	5	0.09	5	3.64	5	5.47	5	0.00	5
6426	-500	-508	Max	17.09	20.49	1	0.06	5	0.01	5	3.08	5	0.11	5	0.00	5
6426	-500	-508	Min.	2.83	11.58	1	-1.21	5	-0.00	5	-77.76	5	-0.37	5	-0.04	5
6426	-500	-508	Min.	17.09	11.58	1	-1.21	5	-0.09	5	-78.32	5	-5.66	5	-0.04	5
6427	-468	-476	Max	2.83	-2.28	1	0.05	5	0.08	5	4.12	5	6.19	5	0.01	5
6427	-468	-476	Max	17.72	-2.28	1	0.05	5	0.01	5	3.54	5	0.30	5	0.01	5
6427	-468	-476	Min.	2.83	-3.48	1	-1.02	5	-0.00	5	-81.50	5	-0.27	5	-0.00	5
6427	-468	-476	Min.	17.72	-3.48	1	-1.02	5	-0.08	5	-82.08	5	-5.99	5	-0.00	5
6428	-436	-444	Max	2.83	0.57	1	0.06	5	0.09	5	4.36	5	6.19	5	0.00	1
6428	-436	-444	Max	18.34	0.57	1	0.06	5	0.01	5	3.75	5	0.30	5	0.00	1
6428	-436	-444	Min.	2.83	0.20	1	-1.06	5	-0.00	5	-78.69	5	-0.33	5	-0.00	1
6428	-436	-444	Min.	18.34	0.20	1	-1.06	5	-0.08	5	-79.30	5	-6.06	5	-0.00	1
6429	-404	-412	Max	2.83	0.01	1	0.06	5	0.08	5	4.55	5	6.15	5	0.00	1
6429	-404	-412	Max	18.97	0.01	1	0.06	5	0.01	5	3.92	5	0.33	5	0.00	1
6429	-404	-412	Min.	2.83	-0.15	1	-1.01	5	-0.01	5	-75.09	5	-0.35	5	-0.00	1
6429	-404	-412	Min.	18.97	-0.15	1	-1.01	5	-0.08	5	-75.73	5	-6.02	5	-0.00	1
6430	-372	-380	Max	2.83	0.05	1	0.06	5	0.08	5	4.70	5	6.09	5	0.00	1
6430	-372	-380	Max	19.59	0.05	1	0.06	5	0.01	5	4.04	5	0.36	5	0.00	1
6430	-372	-380	Min.	2.83	-0.11	1	-0.96	5	-0.01	5	-71.59	5	-0.38	5	-0.00	1
6430	-372	-380	Min.	19.59	-0.11	1	-0.96	5	-0.08	5	-72.24	5	-5.97	5	-0.00	1
6431	-340	-348	Max	2.83	0.06	1	0.06	5	0.08	5	4.81	5	6.02	5	0.00	1
6431	-340	-348	Max	20.22	0.06	1	0.06	5	0.01	5	4.13	5	0.38	5	0.00	1
6431	-340	-348	Min.	2.83	-0.10	1	-0.92	5	-0.01	5	-68.28	5	-0.40	5	-0.00	1
6431	-340	-348	Min.	20.22	-0.10	1	-0.92	5	-0.08	5	-68.96	5	-5.91	5	-0.00	1
6432	-308	-316	Max	2.83	0.05	1	0.06	5	0.08	5	4.90	5	5.96	5	0.00	1
6432	-308	-316	Max	20.84	0.05	1	0.06	5	0.01	5	4.19	5	0.40	5	0.00	1
6432	-308	-316	Min.	2.83	-0.12	1	-0.88	5	-0.01	5	-65.20	5	-0.42	5	-0.00	1
6432	-308	-316	Min.	20.84	-0.12	1	-0.88	5	-0.08	5	-65.91	5	-5.85	5	-0.00	1
6433	-276	-284	Max	2.83	0.05	1	0.06	5	0.08	5	4.95	5	5.89	5	0.00	1
6433	-276	-284	Max	21.47	0.05	1	0.06	5	0.01	5	4.21	5	0.42	5	0.00	1
6433	-276	-284	Min.	2.83	-0.11	1	-0.83	5	-0.01	5	-62.30	5	-0.44	5	-0.00	1
6433	-276	-284	Min.	21.47	-0.11	1	-0.83	5	-0.08	5	-63.03	5	-5.79	5	-0.00	1
6434	-244	-252	Max	2.83	0.04	1	0.06	5	0.08	5	4.96	5	5.82	5	0.00	1
6434	-244	-252	Max	22.09	0.04	1	0.06	5	0.01	5	4.21	5	0.43	5	0.00	1
6434	-244	-252	Min.	2.83	-0.09	1	-0.80	5	-0.01	5	-59.55	5	-0.45	5	-0.00	1
6434	-244	-252	Min.	22.09	-0.09	1	-0.80	5	-0.08	5	-60.31	5	-5.73	5	-0.00	1
6435	-212	-220	Max	2.83	0.04	1	0.06	5	0.08	5	4.96	5	5.74	5	0.00	1
6435	-212	-220	Max	22.72	0.04	1	0.06	5	0.01	5	4.17	5	0.44	5	0.00	1
6435	-212	-220	Min.	2.83	-0.11	1	-0.76	5	-0.01	5	-56.96	5	-0.47	5	-0.00	1
6435	-212	-220	Min.	22.72	-0.11	1	-0.76	5	-0.08	5	-57.74	5	-5.66	5	-0.00	1
6436	-180	-188	Max	2.83	0.03	1	0.06	5	0.08	5	4.91	5	5.66	5	0.00	1
6436	-180	-188	Max	23.34	0.03	1	0.06	5	0.01	5	4.11	5	0.45	5	0.00	1
6436	-180	-188	Min.	2.83	-0.11	1	-0.72	5	-0.01	5	-54.43	5	-0.48	5	-0.00	1
6436	-180	-188	Min.	23.34	-0.11	1	-0.72	5	-0.08	5	-55.24	5	-5.58	5	-0.00	1
6437	-148	-156	Max	2.83	0.03	1	0.06	5	0.07	5	4.81	5	5.54	5	0.00	1
6437	-148	-156	Max	23.97	0.03	1	0.06	5	0.01	5	3.98	5	0.45	5	0.00	1
6437	-148	-156	Min.	2.83	-0.10	1	-0.67	5	-0.01	5	-51.67	5	-0.48	5	-0.00	1
6437	-148	-156	Min.	23.97	-0.10	1	-0.67	5	-0.07	5	-52.50	5	-5.47	5	-0.00	1
6438	-116	-124	Max	2.83	0.23	5	0.05	5	0.07	5	4.55	5	5.24	5	0.00	1
6438	-116	-124	Max	24.59	0.23	5	0.05	5	0.01	5	3.69	5	0.43	5	0.00	1
6438	-116	-124	Min.	2.83	0.07	5	-0.59	5	-0.01	5	-47.45	5	-0.46	5	-0.00	1
6438	-116	-124	Min.	24.59	0.07	5	-0.59	5	-0.07	5	-48.30	5	-5.18	5	-0.00	1
6439	-84	-92	Max	2.83	0.45	1	0.04	5	0.05	5	3.64	5	4.14	5	0.00	1
6439	-84	-92	Max	25.22	0.45	1	0.04	5	0.01	5	2.76	5	0.33	5	0.00	1
6439	-84	-92	Min.	2.83	-4.78	1	-0.43	5	-0.00	5	-36.47	5	-0.38	5	-0.00	1
6439	-84	-92	Min.	25.22	-4.78	1	-0.43	5	-0.05	5	-37.35	5	-4.12	5	-0.00	1
6440	-52	-60	Max	2.83	92.41	1	0.03	5	0.05	5	4.40	5	5.85	5	0.00	1

6440	-52	-60	Max	25.84	92.41	1	0.03	5	0.01	5	2.60	5	1.16	5	0.00	1
6440	-52	-60	Min.	2.83	-20.01	1	-0.40	5	-0.00	5	-42.55	5	-0.05	5	0.00	1
6440	-52	-60	Min.	25.84	-20.01	1	-0.40	5	-0.05	5	-44.36	5	-4.55	5	0.00	1
6441	-20	-28	Max	2.83	248.79	1	0.02	5	0.03	5	2.27	5	3.73	5	0.00	1
6441	-20	-28	Max	26.15	248.79	1	0.02	5	0.00	5	0.44	5	0.20	5	0.00	1
6441	-20	-28	Min.	2.83	-36.35	1	-0.24	5	-0.00	5	-29.91	5	-0.13	5	0.00	1
6441	-20	-28	Min.	26.15	-36.35	1	-0.24	5	-0.03	5	-31.74	5	-3.47	5	0.00	1
6442	354	366	Max	1.77	83.72	1	7.94	1	0.10	1	143.64	1	25.38	1	0.32	1
6442	354	366	Max	15.00	83.72	1	7.94	1	0.81	1	142.70	1	10.97	1	0.32	1
6442	354	366	Min.	1.77	-312.25	1	-7.24	1	-0.25	1	-433.01	1	-7.97	1	-0.44	1
6442	354	366	Min.	15.00	-312.25	1	-7.24	1	-0.86	1	-433.95	1	-31.98	1	-0.44	1
6442	366	378	Max	0.00	104.57	1	7.24	1	0.86	1	443.73	1	8.92	1	0.44	1
6442	366	378	Max	13.23	104.57	1	7.24	1	0.11	1	442.79	1	24.57	1	0.44	1
6442	366	378	Min.	0.00	-284.19	1	-8.42	1	-0.85	1	-129.85	1	-34.08	1	-0.32	1
6442	366	378	Min.	13.23	-284.19	1	-8.42	1	-0.26	1	-130.79	1	-8.32	1	-0.32	1
6443	355	367	Max	1.77	83.59	1	143.95	1	25.36	1	7.93	1	0.10	1	0.44	1
6443	355	367	Max	15.00	83.59	1	143.01	1	11.00	1	7.93	1	0.81	1	0.44	1
6443	355	367	Min.	1.77	-312.57	1	-432.71	1	-7.99	1	-7.23	1	-0.24	1	-0.32	1
6443	355	367	Min.	15.00	-312.57	1	-433.65	1	-31.96	1	-7.23	1	-0.86	1	-0.32	1
6443	367	379	Max	0.00	104.17	1	443.67	1	8.94	1	7.26	1	0.86	1	0.32	1
6443	367	379	Max	13.23	104.17	1	442.73	1	24.57	1	7.26	1	0.11	1	0.32	1
6443	367	379	Min.	0.00	-284.34	1	-130.10	1	-34.08	1	-8.42	1	-0.85	1	-0.44	1
6443	367	379	Min.	13.23	-284.34	1	-131.04	1	-8.33	1	-8.42	1	-0.26	1	-0.44	1
6444	-21	-29	Max	3.53	248.14	1	0.24	5	0.00	5	2.33	5	3.67	5	0.00	1
6444	-21	-29	Max	26.86	248.14	1	0.24	5	0.03	5	0.50	5	0.20	5	0.00	1
6444	-21	-29	Min.	3.53	-36.79	1	-0.02	5	-0.03	5	-29.93	5	-0.13	5	0.00	1
6444	-21	-29	Min.	26.86	-36.79	1	-0.02	5	-0.00	5	-31.76	5	-3.52	5	0.00	1
6445	-53	-61	Max	3.53	92.90	1	0.40	5	0.00	5	4.20	5	5.78	5	0.00	1
6445	-53	-61	Max	26.55	92.90	1	0.40	5	0.05	5	2.39	5	1.14	5	0.00	1
6445	-53	-61	Min.	3.53	-19.76	1	-0.03	5	-0.05	5	-42.68	5	-0.03	5	0.00	1
6445	-53	-61	Min.	26.55	-19.76	1	-0.03	5	-0.01	5	-44.49	5	-4.66	5	0.00	1
6446	-85	-93	Max	3.53	0.40	1	0.43	5	0.00	5	3.65	5	4.08	5	0.00	1
6446	-85	-93	Max	25.92	0.40	1	0.43	5	0.05	5	2.77	5	0.34	5	0.00	1
6446	-85	-93	Min.	3.53	-4.88	1	-0.04	5	-0.05	5	-36.48	5	-0.38	5	-0.00	1
6446	-85	-93	Min.	25.92	-4.88	1	-0.04	5	-0.01	5	-37.35	5	-4.18	5	-0.00	1
6447	-117	-125	Max	3.53	0.11	5	0.59	5	0.01	5	4.54	5	5.16	5	0.00	1
6447	-117	-125	Max	25.30	0.11	5	0.59	5	0.07	5	3.69	5	0.44	5	0.00	1
6447	-117	-125	Min.	3.53	-0.02	5	-0.05	5	-0.07	5	-47.46	5	-0.45	5	-0.00	1
6447	-117	-125	Min.	25.30	-0.02	5	-0.05	5	-0.01	5	-48.31	5	-5.26	5	-0.00	1
6448	-149	-157	Max	3.53	-0.01	1	0.67	5	0.01	5	4.80	5	5.45	5	0.00	1
6448	-149	-157	Max	24.67	-0.01	1	0.67	5	0.07	5	3.97	5	0.46	5	0.00	1
6448	-149	-157	Min.	3.53	-0.13	1	-0.06	5	-0.07	5	-51.69	5	-0.47	5	-0.00	1
6448	-149	-157	Min.	24.67	-0.13	1	-0.06	5	-0.01	5	-52.52	5	-5.56	5	-0.00	1
6449	-181	-189	Max	3.53	0.00	1	0.72	5	0.01	5	4.91	5	5.57	5	0.00	1
6449	-181	-189	Max	24.05	0.00	1	0.72	5	0.08	5	4.10	5	0.46	5	0.00	1
6449	-181	-189	Min.	3.53	-0.15	1	-0.06	5	-0.08	5	-54.45	5	-0.47	5	-0.00	1
6449	-181	-189	Min.	24.05	-0.15	1	-0.06	5	-0.01	5	-55.25	5	-5.68	5	-0.00	1
6450	-213	-221	Max	3.53	0.01	1	0.76	5	0.01	5	4.95	5	5.65	5	0.00	1
6450	-213	-221	Max	23.42	0.01	1	0.76	5	0.08	5	4.17	5	0.45	5	0.00	1
6450	-213	-221	Min.	3.53	-0.15	1	-0.06	5	-0.08	5	-56.97	5	-0.46	5	-0.00	1
6450	-213	-221	Min.	23.42	-0.15	1	-0.06	5	-0.01	5	-57.75	5	-5.76	5	-0.00	1
6451	-245	-253	Max	3.53	0.00	1	0.80	5	0.01	5	4.96	5	5.71	5	0.00	1
6451	-245	-253	Max	22.80	0.00	1	0.80	5	0.08	5	4.20	5	0.44	5	0.00	1
6451	-245	-253	Min.	3.53	-0.12	1	-0.06	5	-0.08	5	-59.57	5	-0.45	5	-0.00	1
6451	-245	-253	Min.	22.80	-0.12	1	-0.06	5	-0.01	5	-60.32	5	-5.83	5	-0.00	1
6452	-277	-285	Max	3.53	0.01	1	0.84	5	0.01	5	4.94	5	5.78	5	0.00	1
6452	-277	-285	Max	22.17	0.01	1	0.84	5	0.08	5	4.21	5	0.42	5	0.00	1
6452	-277	-285	Min.	3.53	-0.15	1	-0.06	5	-0.08	5	-62.31	5	-0.43	5	-0.00	1
6452	-277	-285	Min.	22.17	-0.15	1	-0.06	5	-0.01	5	-63.04	5	-5.90	5	-0.00	1

6453	-309	-317	Max	3.53	0.01	1	0.87	5	0.01	5	4.90	5	5.84	5	0.00	1
6453	-309	-317	Max	21.55	0.01	1	0.87	5	0.08	5	4.19	5	0.41	5	0.00	1
6453	-309	-317	Min.	3.53	-0.17	1	-0.06	5	-0.08	5	-65.21	5	-0.41	5	-0.00	1
6453	-309	-317	Min.	21.55	-0.17	1	-0.06	5	-0.01	5	-65.92	5	-5.97	5	-0.00	1
6454	-341	-349	Max	3.53	0.01	1	0.92	5	0.01	5	4.81	5	5.90	5	0.00	1
6454	-341	-349	Max	20.92	0.01	1	0.92	5	0.08	5	4.13	5	0.39	5	0.00	1
6454	-341	-349	Min.	3.53	-0.14	1	-0.06	5	-0.08	5	-68.29	5	-0.39	5	-0.00	1
6454	-341	-349	Min.	20.92	-0.14	1	-0.06	5	-0.01	5	-68.97	5	-6.03	5	-0.00	1
6455	-373	-381	Max	3.53	0.01	1	0.96	5	0.01	5	4.70	5	5.96	5	0.00	1
6455	-373	-381	Max	20.30	0.01	1	0.96	5	0.08	5	4.05	5	0.36	5	0.00	1
6455	-373	-381	Min.	3.53	-0.17	1	-0.06	5	-0.08	5	-71.59	5	-0.37	5	-0.00	1
6455	-373	-381	Min.	20.30	-0.17	1	-0.06	5	-0.01	5	-72.25	5	-6.10	5	-0.00	1
6456	-405	-413	Max	3.53	-0.05	1	1.01	5	0.01	5	4.55	5	6.01	5	0.00	1
6456	-405	-413	Max	19.67	-0.05	1	1.01	5	0.08	5	3.92	5	0.34	5	0.00	1
6456	-405	-413	Min.	3.53	-0.19	1	-0.06	5	-0.08	5	-75.10	5	-0.34	5	-0.00	1
6456	-405	-413	Min.	19.67	-0.19	1	-0.06	5	-0.01	5	-75.74	5	-6.16	5	-0.00	1
6457	-437	-445	Max	3.53	0.52	1	1.06	5	0.00	5	4.36	5	6.05	5	0.00	1
6457	-437	-445	Max	19.05	0.52	1	1.06	5	0.08	5	3.76	5	0.31	5	0.00	1
6457	-437	-445	Min.	3.53	0.17	1	-0.06	5	-0.08	5	-78.69	5	-0.32	5	-0.00	1
6457	-437	-445	Min.	19.05	0.17	1	-0.06	5	-0.01	5	-79.30	5	-6.21	5	-0.00	1
6458	-469	-477	Max	3.53	-2.34	1	1.02	5	0.00	5	4.09	5	6.04	5	0.00	5
6458	-469	-477	Max	18.42	-2.34	1	1.02	5	0.08	5	3.51	5	0.30	5	0.00	5
6458	-469	-477	Min.	3.53	-3.61	1	-0.05	5	-0.08	5	-81.56	5	-0.27	5	-0.01	5
6458	-469	-477	Min.	18.42	-3.61	1	-0.05	5	-0.01	5	-82.14	5	-6.14	5	-0.01	5
6459	-501	-509	Max	3.53	21.25	1	1.21	5	0.00	5	3.74	5	5.30	5	0.04	5
6459	-501	-509	Max	17.80	21.25	1	1.21	5	0.09	5	3.18	5	0.13	5	0.04	5
6459	-501	-509	Min.	3.53	11.93	1	-0.07	5	-0.09	5	-77.65	5	-0.37	5	-0.00	5
6459	-501	-509	Min.	17.80	11.93	1	-0.07	5	-0.01	5	-78.21	5	-5.81	5	-0.00	5
6464	-502	-510	Max	2.83	21.33	1	0.06	5	0.09	5	3.53	5	5.36	5	0.00	5
6464	-502	-510	Max	17.09	21.33	1	0.06	5	0.01	5	2.97	5	0.10	5	0.00	5
6464	-502	-510	Min.	2.83	12.39	1	-1.19	5	-0.01	5	-76.37	5	-0.36	5	-0.04	5
6464	-502	-510	Min.	17.09	12.39	1	-1.19	5	-0.09	5	-76.93	5	-5.57	5	-0.04	5
6465	-470	-478	Max	2.83	-2.39	1	0.05	5	0.07	5	4.01	5	6.08	5	0.01	5
6465	-470	-478	Max	17.72	-2.39	1	0.05	5	0.01	5	3.42	5	0.29	5	0.01	5
6465	-470	-478	Min.	2.83	-3.59	1	-1.00	5	-0.01	5	-79.99	5	-0.26	5	-0.00	5
6465	-470	-478	Min.	17.72	-3.59	1	-1.00	5	-0.08	5	-80.58	5	-5.88	5	-0.00	5
6466	-438	-446	Max	2.83	0.61	1	0.05	5	0.08	5	4.24	5	6.08	5	0.00	1
6466	-438	-446	Max	18.34	0.61	1	0.05	5	0.01	5	3.63	5	0.30	5	0.00	1
6466	-438	-446	Min.	2.83	0.23	1	-1.04	5	-0.01	5	-77.24	5	-0.32	5	-0.00	1
6466	-438	-446	Min.	18.34	0.23	1	-1.04	5	-0.08	5	-77.85	5	-5.95	5	-0.00	1
6467	-406	-414	Max	2.83	0.02	1	0.06	5	0.08	5	4.44	5	6.04	5	0.00	1
6467	-406	-414	Max	18.97	0.02	1	0.06	5	0.01	5	3.81	5	0.32	5	0.00	1
6467	-406	-414	Min.	2.83	-0.13	1	-0.99	5	-0.01	5	-73.71	5	-0.34	5	-0.00	1
6467	-406	-414	Min.	18.97	-0.13	1	-0.99	5	-0.08	5	-74.35	5	-5.91	5	-0.00	1
6468	-374	-382	Max	2.83	0.07	1	0.06	5	0.08	5	4.60	5	5.98	5	0.00	1
6468	-374	-382	Max	19.59	0.07	1	0.06	5	0.01	5	3.94	5	0.35	5	0.00	1
6468	-374	-382	Min.	2.83	-0.10	1	-0.94	5	-0.01	5	-70.28	5	-0.37	5	-0.00	1
6468	-374	-382	Min.	19.59	-0.10	1	-0.94	5	-0.08	5	-70.94	5	-5.86	5	-0.00	1
6469	-342	-350	Max	2.83	0.07	1	0.06	5	0.08	5	4.71	5	5.91	5	0.00	1
6469	-342	-350	Max	20.22	0.07	1	0.06	5	0.01	5	4.03	5	0.37	5	0.00	1
6469	-342	-350	Min.	2.83	-0.09	1	-0.90	5	-0.01	5	-67.04	5	-0.39	5	-0.00	1
6469	-342	-350	Min.	20.22	-0.09	1	-0.90	5	-0.08	5	-67.72	5	-5.80	5	-0.00	1
6470	-310	-318	Max	2.83	0.06	1	0.06	5	0.08	5	4.80	5	5.85	5	0.00	1
6470	-310	-318	Max	20.84	0.06	1	0.06	5	0.01	5	4.09	5	0.39	5	0.00	1
6470	-310	-318	Min.	2.83	-0.11	1	-0.86	5	-0.01	5	-64.02	5	-0.41	5	-0.00	1
6470	-310	-318	Min.	20.84	-0.11	1	-0.86	5	-0.08	5	-64.73	5	-5.75	5	-0.00	1
6471	-278	-286	Max	2.83	0.06	1	0.06	5	0.08	5	4.85	5	5.78	5	0.00	1
6471	-278	-286	Max	21.47	0.06	1	0.06	5	0.01	5	4.12	5	0.41	5	0.00	1
6471	-278	-286	Min.	2.83	-0.10	1	-0.82	5	-0.01	5	-61.18	5	-0.43	5	-0.00	1

6471	-278	-286	Min.	21.47	-0.10	1	-0.82	5	-0.08	5	-61.91	5	-5.69	5	-0.00	1
6472	-246	-254	Max	2.83	0.05	1	0.06	5	0.08	5	4.88	5	5.71	5	0.00	1
6472	-246	-254	Max	22.09	0.05	1	0.06	5	0.01	5	4.12	5	0.42	5	0.00	1
6472	-246	-254	Min.	2.83	-0.08	1	-0.78	5	-0.01	5	-58.49	5	-0.45	5	-0.00	1
6472	-246	-254	Min.	22.09	-0.08	1	-0.78	5	-0.08	5	-59.24	5	-5.62	5	-0.00	1
6473	-214	-222	Max	2.83	0.06	1	0.06	5	0.07	5	4.87	5	5.64	5	0.00	1
6473	-214	-222	Max	22.72	0.06	1	0.06	5	0.01	5	4.09	5	0.43	5	0.00	1
6473	-214	-222	Min.	2.83	-0.10	1	-0.74	5	-0.01	5	-55.94	5	-0.46	5	-0.00	1
6473	-214	-222	Min.	22.72	-0.10	1	-0.74	5	-0.08	5	-56.72	5	-5.56	5	-0.00	1
6474	-182	-190	Max	2.83	0.04	1	0.06	5	0.07	5	4.83	5	5.56	5	0.00	1
6474	-182	-190	Max	23.34	0.04	1	0.06	5	0.01	5	4.02	5	0.44	5	0.00	1
6474	-182	-190	Min.	2.83	-0.10	1	-0.71	5	-0.01	5	-53.46	5	-0.47	5	-0.00	1
6474	-182	-190	Min.	23.34	-0.10	1	-0.71	5	-0.08	5	-54.27	5	-5.49	5	-0.00	1
6475	-150	-158	Max	2.83	0.04	1	0.06	5	0.07	5	4.73	5	5.44	5	0.00	1
6475	-150	-158	Max	23.97	0.04	1	0.06	5	0.01	5	3.90	5	0.44	5	0.00	1
6475	-150	-158	Min.	2.83	-0.09	1	-0.66	5	-0.01	5	-50.75	5	-0.47	5	-0.00	1
6475	-150	-158	Min.	23.97	-0.09	1	-0.66	5	-0.07	5	-51.58	5	-5.37	5	-0.00	1
6476	-118	-126	Max	2.83	0.22	5	0.05	5	0.06	5	4.47	5	5.15	5	0.00	1
6476	-118	-126	Max	24.59	0.22	5	0.05	5	0.01	5	3.62	5	0.43	5	0.00	1
6476	-118	-126	Min.	2.83	0.06	5	-0.58	5	-0.01	5	-46.60	5	-0.45	5	-0.00	1
6476	-118	-126	Min.	24.59	0.06	5	-0.58	5	-0.07	5	-47.46	5	-5.09	5	-0.00	1
6477	-86	-94	Max	2.83	0.92	1	0.04	5	0.05	5	3.58	5	4.07	5	0.00	1
6477	-86	-94	Max	25.22	0.92	1	0.04	5	0.01	5	2.70	5	0.33	5	0.00	1
6477	-86	-94	Min.	2.83	-4.27	1	-0.43	5	-0.01	5	-35.82	5	-0.37	5	-0.00	1
6477	-86	-94	Min.	25.22	-4.27	1	-0.43	5	-0.05	5	-36.70	5	-4.05	5	-0.00	1
6478	-54	-62	Max	2.83	81.33	1	0.03	5	0.05	5	4.31	5	5.60	5	0.00	1
6478	-54	-62	Max	25.84	81.33	1	0.03	5	0.01	5	2.50	5	1.03	5	0.00	1
6478	-54	-62	Min.	2.83	-29.99	1	-0.39	5	-0.00	5	-41.80	5	-0.18	5	0.00	1
6478	-54	-62	Min.	25.84	-29.99	1	-0.39	5	-0.05	5	-43.61	5	-4.64	5	0.00	1
6479	-22	-30	Max	2.83	220.80	1	0.02	5	0.03	5	2.20	5	3.69	5	0.00	1
6479	-22	-30	Max	26.15	220.80	1	0.02	5	0.00	5	0.37	5	0.22	5	0.00	1
6479	-22	-30	Min.	2.83	-61.68	1	-0.23	5	-0.00	5	-29.34	5	-0.10	5	0.00	1
6479	-22	-30	Min.	26.15	-61.68	1	-0.23	5	-0.03	5	-31.17	5	-3.40	5	0.00	1
6480	357	369	Max	1.77	118.87	1	9.49	1	0.07	1	193.65	1	22.04	1	0.39	1
6480	357	369	Max	15.00	118.87	1	9.49	1	0.97	1	192.71	1	14.69	1	0.39	1
6480	357	369	Min.	1.77	-273.06	1	-5.77	1	-0.28	1	-374.64	1	-10.87	1	-0.36	1
6480	357	369	Min.	15.00	-273.06	1	-5.77	1	-0.69	1	-375.58	1	-27.60	1	-0.36	1
6480	369	381	Max	0.00	142.51	1	5.88	1	1.02	1	386.86	1	12.74	1	0.37	1
6480	369	381	Max	13.23	142.51	1	5.88	1	0.08	1	385.92	1	21.34	1	0.37	1
6480	369	381	Min.	0.00	-249.88	1	-9.86	1	-0.70	1	-180.57	1	-29.87	1	-0.39	1
6480	369	381	Min.	13.23	-249.88	1	-9.86	1	-0.29	1	-181.51	1	-11.29	1	-0.39	1
6481	358	370	Max	1.77	55.80	1	77.06	1	24.17	1	5.27	1	0.13	1	0.46	1
6481	358	370	Max	15.00	55.80	1	76.12	1	5.22	1	5.27	1	0.53	1	0.46	1
6481	358	370	Min.	1.77	-288.76	1	-426.71	1	-4.91	1	-7.82	1	-0.16	1	-0.21	1
6481	358	370	Min.	15.00	-288.76	1	-427.65	1	-32.36	1	-7.82	1	-0.91	1	-0.21	1
6481	370	382	Max	0.00	61.64	1	402.44	1	7.21	1	8.04	1	0.55	1	0.21	1
6481	370	382	Max	13.23	61.64	1	401.50	1	23.24	1	8.04	1	0.14	1	0.21	1
6481	370	382	Min.	0.00	-270.83	1	-94.09	1	-29.95	1	-5.42	1	-0.92	1	-0.46	1
6481	370	382	Min.	13.23	-270.83	1	-95.04	1	-5.31	1	-5.42	1	-0.17	1	-0.46	1
6482	-23	-31	Max	3.53	225.29	1	0.19	5	0.01	5	11.29	5	2.56	5	0.00	1
6482	-23	-31	Max	26.86	225.29	1	0.19	5	0.02	5	9.45	5	1.21	5	0.00	1
6482	-23	-31	Min.	3.53	-21.69	1	-0.08	5	-0.02	5	-20.79	5	-1.21	5	0.00	1
6482	-23	-31	Min.	26.86	-21.69	1	-0.08	5	-0.01	5	-22.62	5	-2.51	5	0.00	1
6483	-55	-63	Max	3.53	85.31	1	0.31	5	0.01	5	14.59	5	4.66	5	0.00	1
6483	-55	-63	Max	26.55	85.31	1	0.31	5	0.04	5	12.78	5	2.27	5	0.00	1
6483	-55	-63	Min.	3.53	-12.35	1	-0.13	5	-0.04	5	-33.06	5	-1.23	5	0.00	1
6483	-55	-63	Min.	26.55	-12.35	1	-0.13	5	-0.02	5	-34.87	5	-3.50	5	0.00	1
6484	-87	-95	Max	3.53	0.20	1	0.34	5	0.02	5	11.91	5	3.26	5	0.00	5
6484	-87	-95	Max	25.92	0.20	1	0.34	5	0.04	5	11.03	5	1.27	5	0.00	5

6484	-87	-95	Min.	3.53	-4.38	1	-0.13	5	-0.04	5	-29.09	5	-1.29	5	-0.00	5
6484	-87	-95	Min.	25.92	-4.38	1	-0.13	5	-0.02	5	-29.97	5	-3.35	5	-0.00	5
6485	-119	-127	Max	3.53	0.10	5	0.48	5	0.02	5	15.23	5	4.13	5	0.00	5
6485	-119	-127	Max	25.30	0.10	5	0.48	5	0.05	5	14.38	5	1.61	5	0.00	5
6485	-119	-127	Min.	3.53	-0.03	5	-0.19	5	-0.05	5	-37.91	5	-1.61	5	-0.00	5
6485	-119	-127	Min.	25.30	-0.03	5	-0.19	5	-0.02	5	-38.76	5	-4.22	5	-0.00	5
6486	-151	-159	Max	3.53	-0.01	1	0.54	5	0.02	5	16.45	5	4.36	5	0.00	5
6486	-151	-159	Max	24.67	-0.01	1	0.54	5	0.06	5	15.62	5	1.70	5	0.00	5
6486	-151	-159	Min.	3.53	-0.12	1	-0.21	5	-0.06	5	-41.28	5	-1.69	5	-0.00	5
6486	-151	-159	Min.	24.67	-0.12	1	-0.21	5	-0.03	5	-42.11	5	-4.45	5	-0.00	5
6487	-183	-191	Max	3.53	-0.01	1	0.58	5	0.02	5	17.20	5	4.45	5	0.00	5
6487	-183	-191	Max	24.05	-0.01	1	0.58	5	0.06	5	16.39	5	1.73	5	0.00	5
6487	-183	-191	Min.	3.53	-0.13	1	-0.22	5	-0.06	5	-43.47	5	-1.72	5	-0.00	5
6487	-183	-191	Min.	24.05	-0.13	1	-0.22	5	-0.03	5	-44.27	5	-4.55	5	-0.00	5
6488	-215	-223	Max	3.53	-0.01	1	0.61	5	0.02	5	17.85	5	4.51	5	0.00	5
6488	-215	-223	Max	23.42	-0.01	1	0.61	5	0.06	5	17.06	5	1.74	5	0.00	5
6488	-215	-223	Min.	3.53	-0.13	1	-0.23	5	-0.06	5	-45.46	5	-1.73	5	-0.00	5
6488	-215	-223	Min.	23.42	-0.13	1	-0.23	5	-0.03	5	-46.24	5	-4.61	5	-0.00	5
6489	-247	-255	Max	3.53	-0.01	1	0.64	5	0.02	5	18.48	5	4.56	5	0.00	5
6489	-247	-255	Max	22.80	-0.01	1	0.64	5	0.06	5	17.72	5	1.75	5	0.00	5
6489	-247	-255	Min.	3.53	-0.11	1	-0.24	5	-0.06	5	-47.50	5	-1.74	5	-0.00	5
6489	-247	-255	Min.	22.80	-0.11	1	-0.24	5	-0.03	5	-48.25	5	-4.66	5	-0.00	5
6490	-279	-287	Max	3.53	-0.00	1	0.67	5	0.02	5	19.13	5	4.61	5	0.00	5
6490	-279	-287	Max	22.17	-0.00	1	0.67	5	0.06	5	18.40	5	1.76	5	0.00	5
6490	-279	-287	Min.	3.53	-0.13	1	-0.25	5	-0.07	5	-49.65	5	-1.74	5	-0.00	5
6490	-279	-287	Min.	22.17	-0.13	1	-0.25	5	-0.03	5	-50.38	5	-4.71	5	-0.00	5
6491	-311	-319	Max	3.53	-0.00	1	0.70	5	0.02	5	19.80	5	4.65	5	0.00	5
6491	-311	-319	Max	21.55	-0.00	1	0.70	5	0.06	5	19.09	5	1.76	5	0.00	5
6491	-311	-319	Min.	3.53	-0.15	1	-0.26	5	-0.07	5	-51.91	5	-1.74	5	-0.00	5
6491	-311	-319	Min.	21.55	-0.15	1	-0.26	5	-0.03	5	-52.62	5	-4.76	5	-0.00	5
6492	-343	-351	Max	3.53	-0.00	1	0.74	5	0.02	5	20.49	5	4.70	5	0.00	5
6492	-343	-351	Max	20.92	-0.00	1	0.74	5	0.06	5	19.81	5	1.76	5	0.00	5
6492	-343	-351	Min.	3.53	-0.12	1	-0.27	5	-0.07	5	-54.31	5	-1.74	5	-0.00	5
6492	-343	-351	Min.	20.92	-0.12	1	-0.27	5	-0.03	5	-54.99	5	-4.81	5	-0.00	5
6493	-375	-383	Max	3.53	0.00	1	0.77	5	0.02	5	21.21	5	4.74	5	0.00	5
6493	-375	-383	Max	20.30	0.00	1	0.77	5	0.06	5	20.55	5	1.76	5	0.00	5
6493	-375	-383	Min.	3.53	-0.14	1	-0.28	5	-0.07	5	-56.88	5	-1.74	5	-0.00	5
6493	-375	-383	Min.	20.30	-0.14	1	-0.28	5	-0.03	5	-57.53	5	-4.85	5	-0.00	5
6494	-407	-415	Max	3.53	-0.04	1	0.81	5	0.02	5	21.95	5	4.78	5	0.00	5
6494	-407	-415	Max	19.67	-0.04	1	0.81	5	0.07	5	21.32	5	1.76	5	0.00	5
6494	-407	-415	Min.	3.53	-0.17	1	-0.29	5	-0.07	5	-59.60	5	-1.73	5	-0.00	5
6494	-407	-415	Min.	19.67	-0.17	1	-0.29	5	-0.03	5	-60.23	5	-4.89	5	-0.00	5
6495	-439	-447	Max	3.53	0.34	1	0.85	5	0.02	5	22.68	5	4.80	5	0.00	5
6495	-439	-447	Max	19.05	0.34	1	0.85	5	0.07	5	22.07	5	1.75	5	0.00	5
6495	-439	-447	Min.	3.53	0.15	1	-0.31	5	-0.07	5	-62.38	5	-1.72	5	-0.00	5
6495	-439	-447	Min.	19.05	0.15	1	-0.31	5	-0.03	5	-62.99	5	-4.92	5	-0.00	5
6496	-471	-479	Max	3.53	-1.85	5	0.82	5	0.02	5	23.15	5	4.79	5	0.00	1
6496	-471	-479	Max	18.42	-1.85	5	0.82	5	0.06	5	22.57	5	1.73	5	0.00	1
6496	-471	-479	Min.	3.53	-2.66	5	-0.29	5	-0.06	5	-64.57	5	-1.67	5	-0.00	1
6496	-471	-479	Min.	18.42	-2.66	5	-0.29	5	-0.03	5	-65.16	5	-4.87	5	-0.00	1
6497	-503	-511	Max	3.53	15.07	5	0.98	5	0.02	5	21.84	5	4.21	5	0.04	5
6497	-503	-511	Max	17.80	15.07	5	0.98	5	0.07	5	21.28	5	1.46	5	0.04	5
6497	-503	-511	Min.	3.53	9.82	5	-0.34	5	-0.07	5	-61.45	5	-1.61	5	-0.01	5
6497	-503	-511	Min.	17.80	9.82	5	-0.34	5	-0.03	5	-62.01	5	-4.60	5	-0.01	5
6502	-504	-512	Max	2.83	7.10	5	0.29	5	0.06	5	18.96	5	4.01	5	0.01	5
6502	-504	-512	Max	17.09	7.10	5	0.29	5	0.02	5	18.40	5	1.28	5	0.01	5
6502	-504	-512	Min.	2.83	3.78	5	-0.88	5	-0.02	5	-56.08	5	-1.39	5	-0.03	5
6502	-504	-512	Min.	17.09	3.78	5	-0.88	5	-0.07	5	-56.64	5	-4.03	5	-0.03	5
6503	-472	-480	Max	2.83	-0.69	5	0.24	5	0.05	5	20.11	5	4.45	5	0.01	5

6503	-472	-480	Max	17.72	-0.69	5	0.24	5	0.02	5	19.52	5	1.46	5	0.01	5
6503	-472	-480	Min.	2.83	-1.26	5	-0.72	5	-0.02	5	-58.68	5	-1.49	5	-0.01	5
6503	-472	-480	Min.	17.72	-1.26	5	-0.72	5	-0.06	5	-59.26	5	-4.33	5	-0.01	5
6504	-440	-448	Max	2.83	0.20	1	0.26	5	0.06	5	19.73	5	4.47	5	0.01	5
6504	-440	-448	Max	18.34	0.20	1	0.26	5	0.02	5	19.12	5	1.48	5	0.01	5
6504	-440	-448	Min.	2.83	0.04	1	-0.76	5	-0.02	5	-56.72	5	-1.53	5	-0.00	5
6504	-440	-448	Min.	18.34	0.04	1	-0.76	5	-0.06	5	-57.33	5	-4.38	5	-0.00	5
6505	-408	-416	Max	2.83	0.05	1	0.25	5	0.06	5	19.15	5	4.45	5	0.01	5
6505	-408	-416	Max	18.97	0.05	1	0.25	5	0.02	5	18.52	5	1.50	5	0.01	5
6505	-408	-416	Min.	2.83	-0.10	1	-0.72	5	-0.02	5	-54.23	5	-1.54	5	-0.00	5
6505	-408	-416	Min.	18.97	-0.10	1	-0.72	5	-0.06	5	-54.86	5	-4.36	5	-0.00	5
6506	-376	-384	Max	2.83	0.04	1	0.24	5	0.06	5	18.55	5	4.41	5	0.01	5
6506	-376	-384	Max	19.59	0.04	1	0.24	5	0.02	5	17.90	5	1.50	5	0.01	5
6506	-376	-384	Min.	2.83	-0.09	1	-0.69	5	-0.02	5	-51.79	5	-1.55	5	-0.00	5
6506	-376	-384	Min.	19.59	-0.09	1	-0.69	5	-0.06	5	-52.45	5	-4.33	5	-0.00	5
6507	-344	-352	Max	2.83	0.05	1	0.23	5	0.06	5	17.97	5	4.37	5	0.01	5
6507	-344	-352	Max	20.22	0.05	1	0.23	5	0.02	5	17.29	5	1.51	5	0.01	5
6507	-344	-352	Min.	2.83	-0.08	1	-0.66	5	-0.02	5	-49.48	5	-1.56	5	-0.00	5
6507	-344	-352	Min.	20.22	-0.08	1	-0.66	5	-0.06	5	-50.16	5	-4.29	5	-0.00	5
6508	-312	-320	Max	2.83	0.05	1	0.23	5	0.06	5	17.41	5	4.33	5	0.01	5
6508	-312	-320	Max	20.84	0.05	1	0.23	5	0.02	5	16.70	5	1.51	5	0.01	5
6508	-312	-320	Min.	2.83	-0.09	1	-0.63	5	-0.02	5	-47.32	5	-1.56	5	-0.00	5
6508	-312	-320	Min.	20.84	-0.09	1	-0.63	5	-0.06	5	-48.03	5	-4.26	5	-0.00	5
6509	-280	-288	Max	2.83	0.04	1	0.22	5	0.06	5	16.86	5	4.29	5	0.00	5
6509	-280	-288	Max	21.47	0.04	1	0.22	5	0.02	5	16.13	5	1.51	5	0.00	5
6509	-280	-288	Min.	2.83	-0.09	1	-0.60	5	-0.02	5	-45.28	5	-1.56	5	-0.00	5
6509	-280	-288	Min.	21.47	-0.09	1	-0.60	5	-0.06	5	-46.01	5	-4.22	5	-0.00	5
6510	-248	-256	Max	2.83	0.03	1	0.21	5	0.05	5	16.31	5	4.24	5	0.00	5
6510	-248	-256	Max	22.09	0.03	1	0.21	5	0.02	5	15.56	5	1.51	5	0.00	5
6510	-248	-256	Min.	2.83	-0.07	1	-0.58	5	-0.02	5	-43.34	5	-1.56	5	-0.00	5
6510	-248	-256	Min.	22.09	-0.07	1	-0.58	5	-0.06	5	-44.09	5	-4.18	5	-0.00	5
6511	-216	-224	Max	2.83	0.04	1	0.20	5	0.05	5	15.78	5	4.19	5	0.00	5
6511	-216	-224	Max	22.72	0.04	1	0.20	5	0.02	5	15.00	5	1.51	5	0.00	5
6511	-216	-224	Min.	2.83	-0.09	1	-0.55	5	-0.02	5	-41.50	5	-1.55	5	-0.00	5
6511	-216	-224	Min.	22.72	-0.09	1	-0.55	5	-0.06	5	-42.28	5	-4.14	5	-0.00	5
6512	-184	-192	Max	2.83	0.03	1	0.19	5	0.05	5	15.23	5	4.14	5	0.00	5
6512	-184	-192	Max	23.34	0.03	1	0.19	5	0.02	5	14.43	5	1.50	5	0.00	5
6512	-184	-192	Min.	2.83	-0.09	1	-0.52	5	-0.02	5	-39.69	5	-1.54	5	-0.00	5
6512	-184	-192	Min.	23.34	-0.09	1	-0.52	5	-0.06	5	-40.49	5	-4.09	5	-0.00	5
6513	-152	-160	Max	2.83	0.03	1	0.18	5	0.05	5	14.59	5	4.05	5	0.00	5
6513	-152	-160	Max	23.97	0.03	1	0.18	5	0.02	5	13.76	5	1.47	5	0.00	5
6513	-152	-160	Min.	2.83	-0.08	1	-0.49	5	-0.02	5	-37.70	5	-1.52	5	-0.00	5
6513	-152	-160	Min.	23.97	-0.08	1	-0.49	5	-0.06	5	-38.53	5	-4.01	5	-0.00	5
6514	-120	-128	Max	2.83	0.13	5	0.16	5	0.05	5	13.52	5	3.83	5	0.00	5
6514	-120	-128	Max	24.59	0.13	5	0.16	5	0.02	5	12.67	5	1.40	5	0.00	5
6514	-120	-128	Min.	2.83	-0.03	5	-0.43	5	-0.02	5	-34.61	5	-1.45	5	-0.00	5
6514	-120	-128	Min.	24.59	-0.03	5	-0.43	5	-0.05	5	-35.47	5	-3.79	5	-0.00	5
6515	-88	-96	Max	2.83	1.80	1	0.12	5	0.04	5	10.57	5	3.03	5	0.00	5
6515	-88	-96	Max	25.22	1.80	1	0.12	5	0.01	5	9.69	5	1.11	5	0.00	5
6515	-88	-96	Min.	2.83	-2.75	1	-0.32	5	-0.01	5	-26.54	5	-1.16	5	-0.00	5
6515	-88	-96	Min.	25.22	-2.75	1	-0.32	5	-0.04	5	-27.42	5	-3.01	5	-0.00	5
6516	-56	-64	Max	2.83	51.52	1	0.11	5	0.03	5	13.14	5	3.80	5	0.00	5
6516	-56	-64	Max	25.84	51.52	1	0.11	5	0.01	5	11.34	5	1.67	5	0.00	5
6516	-56	-64	Min.	2.83	-45.54	1	-0.28	5	-0.01	5	-29.97	5	-1.50	5	0.00	5
6516	-56	-64	Min.	25.84	-45.54	1	-0.28	5	-0.03	5	-31.78	5	-3.65	5	0.00	5
6517	-24	-32	Max	2.83	140.08	1	0.06	5	0.02	5	10.11	5	2.40	5	0.00	5
6517	-24	-32	Max	26.15	140.08	1	0.06	5	0.01	5	8.28	5	1.10	5	0.00	5
6517	-24	-32	Min.	2.83	-106.58	1	-0.16	5	-0.01	5	-18.60	5	-1.06	5	0.00	5
6517	-24	-32	Min.	26.15	-106.58	1	-0.16	5	-0.02	5	-20.43	5	-2.16	5	0.00	5

6518	360	372	Max	1.77	167.37	1	9.47	1	0.04	1	242.70	1	14.03	1	0.43	1
6518	360	372	Max	15.00	167.37	1	9.47	1	1.00	1	241.76	1	17.61	1	0.43	1
6518	360	372	Min.	1.77	-170.37	1	-3.64	1	-0.25	1	-250.61	1	-14.47	1	-0.23	1
6518	360	372	Min.	15.00	-170.37	1	-3.64	1	-0.44	1	-251.55	1	-19.22	1	-0.23	1
6518	372	384	Max	0.00	181.45	1	4.02	1	1.00	1	233.83	1	20.01	1	0.23	1
6518	372	384	Max	13.23	181.45	1	4.02	1	0.06	1	232.89	1	13.60	1	0.23	1
6518	372	384	Min.	0.00	-164.81	1	-9.39	1	-0.47	1	-266.30	1	-17.28	1	-0.43	1
6518	372	384	Min.	13.23	-164.81	1	-9.39	1	-0.24	1	-267.24	1	-15.29	1	-0.43	1
6560	-517	-518	Max	0.00	0.53	5	10.18	1	0.46	1	0.21	1	0.02	1	0.33	1
6560	-517	-518	Max	12.00	0.53	5	10.18	1	0.66	1	1.81	1	0.09	1	0.33	1
6560	-517	-518	Min.	0.00	-0.62	5	-8.47	1	-0.56	1	-0.20	1	-0.07	1	-0.14	1
6560	-517	-518	Min.	12.00	-0.62	5	-8.47	1	-0.55	1	1.40	1	0.05	1	-0.14	1
6561	-533	-534	Max	0.00	0.28	1	9.77	1	0.49	1	-0.06	1	0.11	1	0.22	1
6561	-533	-534	Max	12.00	0.28	1	9.77	1	0.60	1	1.54	1	0.11	1	0.22	1
6561	-533	-534	Min.	0.00	-0.19	1	-8.20	1	-0.58	1	-2.18	1	0.01	1	-0.10	1
6561	-533	-534	Min.	12.00	-0.19	1	-8.20	1	-0.49	1	-0.58	1	-0.07	1	-0.10	1
6562	319	320	Max	1.77	-9.68	5	0.92	1	0.15	1	2.22	1	-0.24	1	0.11	1
6562	319	320	Max	10.09					0.03	5			-0.31	5		
6562	319	320	Max	15.00	-9.68	5	0.92	1	0.01	5	1.28	1	-0.31	5	0.11	1
6562	319	320	Min.	1.77	-16.23	5	-1.07	1	-0.11	1	-0.24	1	-0.57	1	-0.13	1
6562	319	320	Min.	10.09					-0.01	5			-0.39	5		
6562	319	320	Min.	15.00	-16.23	5	-1.07	1	0.00	5	-1.18	1	-0.36	5	-0.13	1
6562	320	321	Max	0.00	-9.68	5	0.92	1	0.01	5	1.28	1	-0.31	5	0.11	1
6562	320	321	Max	5.42					0.02	5			-0.30	5		
6562	320	321	Max	13.23	-9.68	5	0.92	1	0.13	1	0.34	1	-0.22	1	0.11	1
6562	320	321	Min.	0.00	-16.23	5	-1.07	1	0.00	5	-1.18	1	-0.36	5	-0.13	1
6562	320	321	Min.	5.42					-0.02	5			-0.39	5		
6562	320	321	Min.	13.23	-16.23	5	-1.07	1	-0.14	1	-2.12	1	-0.57	1	-0.13	1
6563	-5	-6	Max	2.83	38.35	5	0.24	1	0.04	1	12.61	1	1.29	1	0.00	1
6563	-5	-6	Max	26.15	38.35	5	0.24	1	0.03	1	10.78	1	1.45	1	0.00	1
6563	-5	-6	Min.	2.83	35.31	5	-0.29	1	-0.03	1	-9.18	1	-1.29	1	-0.00	1
6563	-5	-6	Min.	26.15	35.31	5	-0.29	1	-0.03	1	-11.01	1	-1.07	1	-0.00	1
6564	-37	-38	Max	2.83	10.02	5	0.05	1	0.01	5	20.33	1	2.12	1	0.01	1
6564	-37	-38	Max	14.26					-0.00	7			0.24	7		
6564	-37	-38	Max	25.84	10.02	5	0.05	1	0.01	5	18.53	1	2.39	1	0.01	1
6564	-37	-38	Min.	2.83	8.95	5	-0.05	1	-0.00	5	-15.75	1	-2.08	1	-0.01	1
6564	-37	-38	Min.	14.26					0.01	7			0.22	7		
6564	-37	-38	Min.	25.84	8.95	5	-0.05	1	-0.00	5	-17.55	1	-1.71	1	-0.01	1
6565	-69	-70	Max	2.83	-0.85	5	0.20	1	0.03	1	17.68	1	1.65	1	0.00	1
6565	-69	-70	Max	14.04					0.01	7			0.01	7		
6565	-69	-70	Max	25.22	-0.85	5	0.20	1	0.03	1	16.80	1	1.90	1	0.00	1
6565	-69	-70	Min.	2.83	-1.12	5	-0.17	1	-0.02	1	-14.35	1	-1.96	1	-0.00	1
6565	-69	-70	Min.	14.04					-0.00	7			0.00	7		
6565	-69	-70	Min.	25.22	-1.12	5	-0.17	1	-0.01	1	-15.23	1	-1.66	1	-0.00	1
6566	-101	-102	Max	2.83	0.06	5	0.28	1	0.04	1	22.83	1	2.09	1	0.00	1
6566	-101	-102	Max	13.82					0.02	7			0.01	7		
6566	-101	-102	Max	24.59	0.06	5	0.28	1	0.04	1	21.98	1	2.40	1	0.00	1
6566	-101	-102	Min.	2.83	-0.13	5	-0.24	1	-0.02	1	-18.78	1	-2.47	1	-0.00	1
6566	-101	-102	Min.	13.82					-0.00	7			0.01	7		
6566	-101	-102	Min.	24.59	-0.13	5	-0.24	1	-0.02	1	-19.63	1	-2.09	1	-0.00	1
6567	-133	-134	Max	2.83	-0.04	5	0.32	1	0.04	1	24.78	1	2.21	1	0.00	1
6567	-133	-134	Max	13.47					0.02	7			0.01	7		
6567	-133	-134	Max	23.97	-0.04	5	0.32	1	0.05	1	23.95	1	2.54	1	0.00	1
6567	-133	-134	Min.	2.83	-0.22	5	-0.27	1	-0.03	1	-20.47	1	-2.61	1	-0.00	1
6567	-133	-134	Min.	13.47					-0.00	7			0.00	7		
6567	-133	-134	Min.	23.97	-0.22	5	-0.27	1	-0.02	1	-21.30	1	-2.20	1	-0.00	1
6568	-165	-166	Max	2.83	-0.02	5	0.34	1	0.04	1	26.02	1	2.26	1	0.00	1
6568	-165	-166	Max	13.15					0.02	7			0.01	7		
6568	-165	-166	Max	23.34	-0.02	5	0.34	1	0.05	1	25.21	1	2.59	1	0.00	1

6568	-165	-166	Min.	2.83	-0.21	5	-0.29	1	-0.03	1	-21.54	1	-2.67	1	-0.00	1
6568	-165	-166	Min.	13.15					-0.00	7			0.00	7		
6568	-165	-166	Min.	23.34	-0.21	5	-0.29	1	-0.02	1	-22.34	1	-2.24	1	-0.00	1
6569	-197	-198	Max	2.83	-0.04	5	0.36	1	0.04	1	27.14	1	2.28	1	0.00	1
6569	-197	-198	Max	12.83					0.02	7			0.01	7		
6569	-197	-198	Max	22.72	-0.04	5	0.36	1	0.05	1	26.36	1	2.62	1	0.00	1
6569	-197	-198	Min.	2.83	-0.21	5	-0.31	1	-0.03	1	-22.50	1	-2.70	1	-0.00	1
6569	-197	-198	Min.	12.83					-0.00	7			0.00	7		
6569	-197	-198	Min.	22.72	-0.21	5	-0.31	1	-0.02	1	-23.28	1	-2.27	1	-0.00	1
6570	-229	-230	Max	2.83	-0.02	5	0.37	1	0.04	1	28.27	1	2.31	1	0.00	1
6570	-229	-230	Max	12.51					0.02	7			0.01	7		
6570	-229	-230	Max	22.09	-0.02	5	0.37	1	0.05	1	27.51	1	2.65	1	0.00	1
6570	-229	-230	Min.	2.83	-0.22	5	-0.32	1	-0.03	1	-23.47	1	-2.73	1	-0.00	1
6570	-229	-230	Min.	12.51					-0.00	7			0.00	7		
6570	-229	-230	Min.	22.09	-0.22	5	-0.32	1	-0.02	1	-24.22	1	-2.29	1	-0.00	1
6571	-261	-262	Max	2.83	-0.03	5	0.39	1	0.04	1	29.44	1	2.33	1	0.00	1
6571	-261	-262	Max	12.29					0.02	7			0.01	7		
6571	-261	-262	Max	21.47	-0.03	5	0.39	1	0.05	1	28.71	1	2.67	1	0.00	1
6571	-261	-262	Min.	2.83	-0.22	5	-0.33	1	-0.03	1	-24.47	1	-2.75	1	-0.00	1
6571	-261	-262	Min.	12.29					-0.00	7			0.00	7		
6571	-261	-262	Min.	21.47	-0.22	5	-0.33	1	-0.02	1	-25.20	1	-2.30	1	-0.00	1
6572	-293	-294	Max	2.83	-0.04	5	0.41	1	0.05	1	30.69	1	2.34	1	0.00	1
6572	-293	-294	Max	11.97					0.02	7			0.01	7		
6572	-293	-294	Max	20.84	-0.04	5	0.41	1	0.05	1	29.98	1	2.69	1	0.00	1
6572	-293	-294	Min.	2.83	-0.21	5	-0.35	1	-0.03	1	-25.52	1	-2.77	1	-0.00	1
6572	-293	-294	Min.	11.97					-0.00	7			0.00	7		
6572	-293	-294	Min.	20.84	-0.21	5	-0.35	1	-0.02	1	-26.23	1	-2.32	1	-0.00	1
6573	-325	-326	Max	2.83	-0.02	5	0.43	1	0.05	1	31.99	1	2.36	1	0.00	1
6573	-325	-326	Max	11.64					0.02	7			0.01	7		
6573	-325	-326	Max	20.22	-0.02	5	0.43	1	0.05	1	31.30	1	2.71	1	0.00	1
6573	-325	-326	Min.	2.83	-0.24	5	-0.36	1	-0.03	1	-26.62	1	-2.79	1	-0.00	1
6573	-325	-326	Min.	11.64					-0.00	7			-0.00	7		
6573	-325	-326	Min.	20.22	-0.24	5	-0.36	1	-0.02	1	-27.30	1	-2.33	1	-0.00	1
6574	-357	-358	Max	2.83	-0.03	5	0.45	1	0.05	1	33.36	1	2.37	1	0.00	1
6574	-357	-358	Max	11.32					0.02	7			0.01	7		
6574	-357	-358	Max	19.59	-0.03	5	0.45	1	0.05	1	32.70	1	2.72	1	0.00	1
6574	-357	-358	Min.	2.83	-0.25	5	-0.38	1	-0.03	1	-27.77	1	-2.81	1	-0.00	1
6574	-357	-358	Min.	11.32					-0.00	7			-0.01	7		
6574	-357	-358	Min.	19.59	-0.25	5	-0.38	1	-0.02	1	-28.43	1	-2.34	1	-0.00	1
6575	-389	-390	Max	2.83	-0.01	5	0.47	1	0.05	1	34.79	1	2.38	1	0.00	1
6575	-389	-390	Max	11.00					0.02	7			0.01	7		
6575	-389	-390	Max	18.97	-0.01	5	0.47	1	0.05	1	34.16	1	2.73	1	0.00	1
6575	-389	-390	Min.	2.83	-0.11	5	-0.40	1	-0.03	1	-28.96	1	-2.83	1	-0.00	1
6575	-389	-390	Min.	11.00					-0.00	7			-0.01	7		
6575	-389	-390	Min.	18.97	-0.11	5	-0.40	1	-0.02	1	-29.60	1	-2.35	1	-0.00	1
6576	-421	-422	Max	2.83	0.52	5	0.48	1	0.05	1	36.21	1	2.38	1	0.00	1
6576	-421	-422	Max	10.68					0.02	7			0.01	7		
6576	-421	-422	Max	18.34	0.52	5	0.48	1	0.05	1	35.60	1	2.74	1	0.00	1
6576	-421	-422	Min.	2.83	-1.96	5	-0.41	1	-0.03	1	-30.14	1	-2.83	1	-0.00	1
6576	-421	-422	Min.	10.68									0.00	7		
6576	-421	-422	Min.	18.34	-1.96	5	-0.41	1	-0.02	1	-30.75	1	-2.34	1	-0.00	1
6577	-453	-454	Max	2.83	11.44	5	0.48	1	0.04	1	37.01	1	2.32	1	0.00	1
6577	-453	-454	Max	10.32					0.02	7			0.03	7		
6577	-453	-454	Max	17.72	11.44	5	0.48	1	0.05	1	36.43	1	2.67	1	0.00	1
6577	-453	-454	Min.	2.83	-3.79	5	-0.41	1	-0.03	1	-30.84	1	-2.83	1	-0.00	1
6577	-453	-454	Min.	10.32									-0.10	7		
6577	-453	-454	Min.	17.72	-3.79	5	-0.41	1	-0.02	1	-31.42	1	-2.34	1	-0.00	1
6578	-485	-486	Max	2.83	21.45	5	0.43	1	0.04	1	33.80	1	2.34	1	0.00	1
6578	-485	-486	Max	10.64					0.02	7			0.55	7		

6578	-485	-486	Max	17.09	21.45	5	0.43	1	0.04	1	33.24	1	2.66	1	0.00	1
6578	-485	-486	Min.	2.83	-69.05	5	-0.36	1	-0.02	1	-27.93	1	-2.33	1	-0.00	1
6578	-485	-486	Min.	10.64									-0.12	7		
6578	-485	-486	Min.	17.09	-69.05	5	-0.36	1	-0.02	1	-28.49	1	-1.90	1	-0.00	1
6582	-493	-494	Max	3.53	106.48	5	0.28	1	0.04	1	31.48	1	1.32	1	0.00	5
6582	-493	-494	Max	9.24					0.02	7			-0.21	7		
6582	-493	-494	Max	17.80	106.48	5	0.28	1	0.03	1	30.92	1	1.84	1	0.00	5
6582	-493	-494	Min.	3.53	8.19	5	-0.38	1	-0.01	1	-23.76	1	-2.82	1	-0.00	5
6582	-493	-494	Min.	9.24					0.00	7			-0.86	7		
6582	-493	-494	Min.	17.80	8.19	5	-0.38	1	-0.02	1	-24.32	1	-2.32	1	-0.00	5
6583	-461	-462	Max	3.53	-1.54	5	0.34	1	0.05	1	34.33	1	2.03	1	0.00	1
6583	-461	-462	Max	9.49					0.00	7			0.11	7		
6583	-461	-462	Max	18.42	-1.54	5	0.34	1	0.04	1	33.75	1	2.67	1	0.00	1
6583	-461	-462	Min.	3.53	-18.15	5	-0.44	1	-0.02	1	-26.50	1	-2.40	1	-0.00	1
6583	-461	-462	Min.	9.49					0.02	7			-0.02	7		
6583	-461	-462	Min.	18.42	-18.15	5	-0.44	1	-0.03	1	-27.08	1	-1.96	1	-0.00	1
6584	-429	-430	Max	3.53	2.86	5	0.34	1	0.05	1	33.68	1	2.00	1	0.00	1
6584	-429	-430	Max	9.74					0.00	7			0.07	7		
6584	-429	-430	Max	19.05	2.86	5	0.34	1	0.04	1	33.07	1	2.62	1	0.00	1
6584	-429	-430	Min.	3.53	0.17	5	-0.44	1	-0.02	1	-25.90	1	-2.56	1	-0.00	1
6584	-429	-430	Min.	9.74					0.02	7			-0.16	7		
6584	-429	-430	Min.	19.05	0.17	5	-0.44	1	-0.03	1	-26.50	1	-2.06	1	-0.00	1
6585	-397	-398	Max	3.53	-0.07	5	0.33	1	0.05	1	32.39	1	2.02	1	0.00	1
6585	-397	-398	Max	9.99					0.00	7			0.09	7		
6585	-397	-398	Max	19.67	-0.07	5	0.33	1	0.04	1	31.76	1	2.63	1	0.00	1
6585	-397	-398	Min.	3.53	-0.20	5	-0.43	1	-0.02	1	-24.93	1	-2.55	1	-0.00	1
6585	-397	-398	Min.	9.99					0.02	7			-0.16	7		
6585	-397	-398	Min.	19.67	-0.20	5	-0.43	1	-0.03	1	-25.57	1	-2.06	1	-0.00	1
6586	-365	-366	Max	3.53	0.16	5	0.32	1	0.05	1	31.08	1	2.01	1	0.00	1
6586	-365	-366	Max	10.24					0.00	7			0.09	7		
6586	-365	-366	Max	20.30	0.16	5	0.32	1	0.04	1	30.42	1	2.61	1	0.00	1
6586	-365	-366	Min.	3.53	-0.06	5	-0.41	1	-0.02	1	-23.95	1	-2.54	1	-0.00	1
6586	-365	-366	Min.	10.24					0.02	7			-0.16	7		
6586	-365	-366	Min.	20.30	-0.06	5	-0.41	1	-0.03	1	-24.61	1	-2.06	1	-0.00	1
6587	-333	-334	Max	3.53	0.17	5	0.31	1	0.05	1	29.81	1	2.01	1	0.00	1
6587	-333	-334	Max	10.61									0.09	7		
6587	-333	-334	Max	20.92	0.17	5	0.31	1	0.04	1	29.13	1	2.59	1	0.00	1
6587	-333	-334	Min.	3.53	-0.05	5	-0.39	1	-0.02	1	-22.99	1	-2.53	1	-0.00	1
6587	-333	-334	Min.	10.61					0.02	7			-0.15	7		
6587	-333	-334	Min.	20.92	-0.05	5	-0.39	1	-0.03	1	-23.67	1	-2.05	1	-0.00	1
6588	-301	-302	Max	3.53	0.11	5	0.29	1	0.05	1	28.62	1	2.00	1	0.00	1
6588	-301	-302	Max	10.89									0.08	7		
6588	-301	-302	Max	21.55	0.11	5	0.29	1	0.04	1	27.91	1	2.57	1	0.00	1
6588	-301	-302	Min.	3.53	-0.06	5	-0.37	1	-0.02	1	-22.07	1	-2.52	1	-0.00	1
6588	-301	-302	Min.	10.89					0.02	7			-0.14	7		
6588	-301	-302	Min.	21.55	-0.06	5	-0.37	1	-0.03	1	-22.78	1	-2.04	1	-0.00	1
6589	-269	-270	Max	3.53	0.13	5	0.28	1	0.05	1	27.47	1	1.99	1	0.00	1
6589	-269	-270	Max	11.17									0.08	7		
6589	-269	-270	Max	22.17	0.13	5	0.28	1	0.04	1	26.74	1	2.55	1	0.00	1
6589	-269	-270	Min.	3.53	-0.06	5	-0.36	1	-0.02	1	-21.19	1	-2.50	1	-0.00	1
6589	-269	-270	Min.	11.17					0.02	7			-0.14	7		
6589	-269	-270	Min.	22.17	-0.06	5	-0.36	1	-0.03	1	-21.92	1	-2.03	1	-0.00	1
6590	-237	-238	Max	3.53	0.15	5	0.27	1	0.05	1	26.39	1	1.97	1	0.00	1
6590	-237	-238	Max	11.45									0.08	7		
6590	-237	-238	Max	22.80	0.15	5	0.27	1	0.04	1	25.63	1	2.53	1	0.00	1
6590	-237	-238	Min.	3.53	-0.05	5	-0.34	1	-0.02	1	-20.34	1	-2.48	1	-0.00	1
6590	-237	-238	Min.	11.45					0.02	7			-0.14	7		
6590	-237	-238	Min.	22.80	-0.05	5	-0.34	1	-0.03	1	-21.09	1	-2.02	1	-0.00	1
6591	-205	-206	Max	3.53	0.10	5	0.26	1	0.05	1	25.34	1	1.96	1	0.00	1

6591	-205	-206	Max	11.73									0.08	7		
6591	-205	-206	Max	23.42	0.10	5	0.26	1	0.04	1	24.56	1	2.50	1	0.00	1
6591	-205	-206	Min.	3.53	-0.07	5	-0.33	1	-0.02	1	-19.52	1	-2.46	1	-0.00	1
6591	-205	-206	Min.	11.73					0.02	7			-0.13	7		
6591	-205	-206	Min.	23.42	-0.07	5	-0.33	1	-0.03	1	-20.30	1	-2.00	1	-0.00	1
6592	-173	-174	Max	3.53	0.14	5	0.25	1	0.05	1	24.30	1	1.94	1	0.00	1
6592	-173	-174	Max	13.61					-0.00	7			0.01	7		
6592	-173	-174	Max	24.05	0.14	5	0.25	1	0.04	1	23.50	1	2.47	1	0.00	1
6592	-173	-174	Min.	3.53	-0.05	5	-0.31	1	-0.02	1	-18.69	1	-2.43	1	-0.00	1
6592	-173	-174	Min.	13.61					0.02	7			0.01	7		
6592	-173	-174	Min.	24.05	-0.05	5	-0.31	1	-0.03	1	-19.49	1	-1.98	1	-0.00	1
6593	-141	-142	Max	3.53	0.10	5	0.23	1	0.04	1	23.15	1	1.90	1	0.00	1
6593	-141	-142	Max	13.89					-0.00	7			0.02	7		
6593	-141	-142	Max	24.67	0.10	5	0.23	1	0.04	1	22.32	1	2.42	1	0.00	1
6593	-141	-142	Min.	3.53	-0.07	5	-0.29	1	-0.02	1	-17.77	1	-2.39	1	-0.00	1
6593	-141	-142	Min.	13.89					0.02	7			0.01	7		
6593	-141	-142	Min.	24.67	-0.07	5	-0.29	1	-0.02	1	-18.60	1	-1.94	1	-0.00	1
6594	-109	-110	Max	3.53	0.25	5	0.20	1	0.04	1	21.33	1	1.80	1	0.00	1
6594	-109	-110	Max	14.19					-0.00	7			0.02	7		
6594	-109	-110	Max	25.30	0.25	5	0.20	1	0.03	1	20.48	1	2.29	1	0.00	1
6594	-109	-110	Min.	3.53	0.01	5	-0.26	1	-0.02	1	-16.30	1	-2.26	1	-0.00	1
6594	-109	-110	Min.	14.19					0.02	7			0.01	7		
6594	-109	-110	Min.	25.30	0.01	5	-0.26	1	-0.02	1	-17.15	1	-1.84	1	-0.00	1
6595	-77	-78	Max	3.53	-0.79	1	0.15	1	0.03	1	16.53	1	1.42	1	0.00	1
6595	-77	-78	Max	14.63					0.01	7			0.01	7		
6595	-77	-78	Max	25.92	-0.79	1	0.15	1	0.03	1	15.65	1	1.80	1	0.00	1
6595	-77	-78	Min.	3.53	-0.88	1	-0.19	1	-0.01	1	-12.43	1	-1.80	1	-0.00	1
6595	-77	-78	Min.	14.63									0.01	7		
6595	-77	-78	Min.	25.92	-0.88	1	-0.19	1	-0.02	1	-13.31	1	-1.47	1	-0.00	1
6596	-45	-46	Max	3.53	10.42	5	0.02	1	0.02	5	18.90	1	1.83	1	0.01	1
6596	-45	-46	Max	26.55	10.42	5	0.02	1	0.01	5	17.09	1	2.30	1	0.01	1
6596	-45	-46	Min.	3.53	7.73	5	-0.04	1	0.00	5	-13.52	1	-1.84	1	-0.01	1
6596	-45	-46	Min.	26.55	7.73	5	-0.04	1	-0.00	5	-15.33	1	-1.49	1	-0.01	1
6597	-13	-14	Max	3.53	42.60	5	0.30	1	0.03	1	11.60	1	1.11	1	0.00	1
6597	-13	-14	Max	26.86	42.60	5	0.30	1	0.04	1	9.77	1	1.40	1	0.00	1
6597	-13	-14	Min.	3.53	31.78	5	-0.25	1	-0.03	1	-7.60	1	-1.09	1	-0.00	1
6597	-13	-14	Min.	26.86	31.78	5	-0.25	1	-0.03	1	-9.43	1	-0.88	1	-0.00	1
6598	343	344	Max	1.77	-4.77	5	1.97	1	-0.26	1	0.81	1	0.15	1	0.14	1
6598	343	344	Max	4.41					-0.26	1			0.13	1		
6598	343	344	Max	15.00	-4.77	5	1.03	1	-0.27	5	0.81	1	0.02	5	0.14	1
6598	343	344	Min.	1.77	-7.61	5	0.19	1	-0.52	1	-1.01	1	-0.09	1	-0.11	1
6598	343	344	Min.	4.41					-0.47	1			-0.07	1		
6598	343	344	Min.	15.00	-7.61	5	-0.75	1	-0.35	5	-1.01	1	0.01	5	-0.11	1
6598	344	345	Max	0.00	-4.77	5	1.03	1	-0.27	5	0.81	1	0.02	5	0.14	1
6598	344	345	Max	5.29					-0.26	5			0.03	5		
6598	344	345	Max	13.23	-4.77	5	0.09	1	-0.23	1	0.81	1	0.12	1	0.14	1
6598	344	345	Min.	0.00	-7.61	5	-0.75	1	-0.35	5	-1.01	1	0.01	5	-0.11	1
6598	344	345	Min.	5.29					-0.36	5			-0.01	5		
6598	344	345	Min.	13.23	-7.61	5	-1.69	1	-0.48	1	-1.01	1	-0.11	1	-0.11	1
6606	355	356	Max	1.77	-4.85	5	0.81	1	0.15	1	1.95	1	-0.26	1	0.11	1
6606	355	356	Max	4.41					0.13	1			-0.26	1		
6606	355	356	Max	15.00	-4.85	5	0.81	1	0.02	5	1.01	1	-0.27	5	0.11	1
6606	355	356	Min.	1.77	-7.53	5	-1.00	1	-0.09	1	0.17	1	-0.52	1	-0.14	1
6606	355	356	Min.	4.41					-0.07	1			-0.47	1		
6606	355	356	Min.	15.00	-7.53	5	-1.00	1	0.01	5	-0.77	1	-0.35	5	-0.14	1
6606	356	357	Max	0.00	-4.85	5	0.81	1	0.02	5	1.01	1	-0.27	5	0.11	1
6606	356	357	Max	4.65					0.03	5			-0.26	5		
6606	356	357	Max	13.23	-4.85	5	0.81	1	0.12	1	0.07	1	-0.23	1	0.11	1
6606	356	357	Min.	0.00	-7.53	5	-1.00	1	0.01	5	-0.77	1	-0.35	5	-0.14	1

6606	356	357	Min.	4.65					-0.00	5			-0.36	5		
6606	356	357	Min.	13.23	-7.53	5	-1.00	1	-0.11	1	-1.71	1	-0.49	1	-0.14	1
6607	-21	-22	Max	2.83	42.59	5	0.25	1	0.03	1	11.59	1	1.12	1	0.00	1
6607	-21	-22	Max	26.15	42.59	5	0.25	1	0.03	1	9.76	1	1.38	1	0.00	1
6607	-21	-22	Min.	2.83	31.62	5	-0.30	1	-0.03	1	-7.60	1	-1.11	1	-0.00	1
6607	-21	-22	Min.	26.15	31.62	5	-0.30	1	-0.04	1	-9.43	1	-0.86	1	-0.00	1
6608	-53	-54	Max	2.83	10.40	5	0.03	1	0.00	5	18.87	1	1.86	1	0.01	1
6608	-53	-54	Max	25.84	10.40	5	0.03	1	0.00	5	17.07	1	2.26	1	0.01	1
6608	-53	-54	Min.	2.83	7.78	5	-0.03	1	-0.02	5	-13.52	1	-1.88	1	-0.01	1
6608	-53	-54	Min.	25.84	7.78	5	-0.03	1	-0.01	5	-15.32	1	-1.46	1	-0.01	1
6609	-85	-86	Max	2.83	-0.79	1	0.19	1	0.01	1	16.45	1	1.44	1	0.00	1
6609	-85	-86	Max	20.74					-0.01	7			0.36	7		
6609	-85	-86	Max	25.22	-0.79	1	0.19	1	0.02	1	15.57	1	1.77	1	0.00	1
6609	-85	-86	Min.	2.83	-0.90	1	-0.15	1	-0.03	1	-12.47	1	-1.82	1	-0.00	1
6609	-85	-86	Min.	20.74					-0.00	7			-0.15	7		
6609	-85	-86	Min.	25.22	-0.90	1	-0.15	1	-0.03	1	-13.35	1	-1.45	1	-0.00	1
6610	-117	-118	Max	2.83	0.23	5	0.26	1	0.02	1	21.24	1	1.83	1	0.00	1
6610	-117	-118	Max	20.24					-0.01	7			0.46	7		
6610	-117	-118	Max	24.59	0.23	5	0.26	1	0.02	1	20.39	1	2.24	1	0.00	1
6610	-117	-118	Min.	2.83	0.01	5	-0.21	1	-0.04	1	-16.35	1	-2.29	1	-0.00	1
6610	-117	-118	Min.	20.24					-0.00	7			-0.18	7		
6610	-117	-118	Min.	24.59	0.01	5	-0.21	1	-0.03	1	-17.21	1	-1.82	1	-0.00	1
6611	-149	-150	Max	2.83	0.10	5	0.29	1	0.02	1	23.05	1	1.94	1	0.00	1
6611	-149	-150	Max	19.74					-0.01	7			0.48	7		
6611	-149	-150	Max	23.97	0.10	5	0.29	1	0.02	1	22.22	1	2.37	1	0.00	1
6611	-149	-150	Min.	2.83	-0.08	5	-0.23	1	-0.04	1	-17.83	1	-2.42	1	-0.00	1
6611	-149	-150	Min.	19.74					-0.00	7			-0.19	7		
6611	-149	-150	Min.	23.97	-0.08	5	-0.23	1	-0.04	1	-18.66	1	-1.92	1	-0.00	1
6612	-181	-182	Max	2.83	0.14	5	0.31	1	0.02	1	24.19	1	1.98	1	0.00	1
6612	-181	-182	Max	19.24					-0.01	7			0.49	7		
6612	-181	-182	Max	23.34	0.14	5	0.31	1	0.02	1	23.39	1	2.42	1	0.00	1
6612	-181	-182	Min.	2.83	-0.06	5	-0.25	1	-0.04	1	-18.75	1	-2.46	1	-0.00	1
6612	-181	-182	Min.	19.24					-0.00	7			-0.19	7		
6612	-181	-182	Min.	23.34	-0.06	5	-0.25	1	-0.04	1	-19.56	1	-1.95	1	-0.00	1
6613	-213	-214	Max	2.83	0.09	5	0.32	1	0.02	1	25.23	1	2.00	1	0.00	1
6613	-213	-214	Max	18.74					-0.01	7			0.50	7		
6613	-213	-214	Max	22.72	0.09	5	0.32	1	0.03	1	24.45	1	2.45	1	0.00	1
6613	-213	-214	Min.	2.83	-0.07	5	-0.26	1	-0.05	1	-19.58	1	-2.49	1	-0.00	1
6613	-213	-214	Min.	18.74					-0.00	7			-0.19	7		
6613	-213	-214	Min.	22.72	-0.07	5	-0.26	1	-0.04	1	-20.36	1	-1.97	1	-0.00	1
6614	-245	-246	Max	2.83	0.15	5	0.34	1	0.02	1	26.26	1	2.02	1	0.00	1
6614	-245	-246	Max	18.24					-0.01	7			0.50	7		
6614	-245	-246	Max	22.09	0.15	5	0.34	1	0.03	1	25.51	1	2.47	1	0.00	1
6614	-245	-246	Min.	2.83	-0.06	5	-0.27	1	-0.05	1	-20.41	1	-2.52	1	-0.00	1
6614	-245	-246	Min.	18.24					-0.00	7			-0.19	7		
6614	-245	-246	Min.	22.09	-0.06	5	-0.27	1	-0.04	1	-21.16	1	-1.99	1	-0.00	1
6615	-277	-278	Max	2.83	0.13	5	0.36	1	0.02	1	27.34	1	2.03	1	0.00	1
6615	-277	-278	Max	17.74					-0.01	7			0.51	7		
6615	-277	-278	Max	21.47	0.13	5	0.36	1	0.03	1	26.61	1	2.49	1	0.00	1
6615	-277	-278	Min.	2.83	-0.06	5	-0.28	1	-0.05	1	-21.26	1	-2.54	1	-0.00	1
6615	-277	-278	Min.	17.74					-0.00	7			-0.19	7		
6615	-277	-278	Min.	21.47	-0.06	5	-0.28	1	-0.04	1	-21.99	1	-2.00	1	-0.00	1
6616	-309	-310	Max	2.83	0.10	5	0.37	1	0.02	1	28.48	1	2.05	1	0.00	1
6616	-309	-310	Max	17.24					-0.01	7			0.51	7		
6616	-309	-310	Max	20.84	0.10	5	0.37	1	0.03	1	27.77	1	2.51	1	0.00	1
6616	-309	-310	Min.	2.83	-0.07	5	-0.30	1	-0.05	1	-22.15	1	-2.55	1	-0.00	1
6616	-309	-310	Min.	17.24					-0.00	7			-0.19	7		
6616	-309	-310	Min.	20.84	-0.07	5	-0.30	1	-0.04	1	-22.86	1	-2.01	1	-0.00	1
6617	-341	-342	Max	2.83	0.17	5	0.39	1	0.02	1	29.67	1	2.06	1	0.00	1

6617	-341	-342	Max	16.74					-0.01	7			0.51	7		
6617	-341	-342	Max	20.22	0.17	5	0.39	1	0.03	1	28.99	1	2.53	1	0.00	1
6617	-341	-342	Min.	2.83	-0.06	5	-0.31	1	-0.05	1	-23.08	1	-2.57	1	-0.00	1
6617	-341	-342	Min.	16.74					-0.00	7			-0.19	7		
6617	-341	-342	Min.	20.22	-0.06	5	-0.31	1	-0.04	1	-23.76	1	-2.02	1	-0.00	1
6618	-373	-374	Max	2.83	0.16	5	0.41	1	0.02	1	30.93	1	2.06	1	0.00	1
6618	-373	-374	Max	11.31					0.00	7			0.03	7		
6618	-373	-374	Max	19.59	0.16	5	0.41	1	0.03	1	30.27	1	2.54	1	0.00	1
6618	-373	-374	Min.	2.83	-0.06	5	-0.32	1	-0.05	1	-24.04	1	-2.59	1	-0.00	1
6618	-373	-374	Min.	11.31					-0.02	7			0.01	7		
6618	-373	-374	Min.	19.59	-0.06	5	-0.32	1	-0.04	1	-24.70	1	-2.02	1	-0.00	1
6619	-405	-406	Max	2.83	-0.08	5	0.42	1	0.02	1	32.24	1	2.07	1	0.00	1
6619	-405	-406	Max	11.00					0.00	7			0.03	7		
6619	-405	-406	Max	18.97	-0.08	5	0.42	1	0.03	1	31.60	1	2.56	1	0.00	1
6619	-405	-406	Min.	2.83	-0.20	5	-0.34	1	-0.05	1	-25.03	1	-2.59	1	-0.00	1
6619	-405	-406	Min.	11.00					-0.02	7			0.01	7		
6619	-405	-406	Min.	18.97	-0.20	5	-0.34	1	-0.04	1	-25.67	1	-2.02	1	-0.00	1
6620	-437	-438	Max	2.83	2.86	5	0.44	1	0.02	1	33.51	1	2.06	1	0.00	1
6620	-437	-438	Max	9.03					-0.02	7			0.08	7		
6620	-437	-438	Max	18.34	2.86	5	0.44	1	0.03	1	32.90	1	2.54	1	0.00	1
6620	-437	-438	Min.	2.83	0.17	5	-0.35	1	-0.05	1	-26.01	1	-2.61	1	-0.00	1
6620	-437	-438	Min.	9.03					-0.00	7			-0.18	7		
6620	-437	-438	Min.	18.34	0.17	5	-0.35	1	-0.04	1	-26.62	1	-2.02	1	-0.00	1
6621	-469	-470	Max	2.83	-1.55	5	0.43	1	0.02	1	34.36	1	2.08	1	0.00	1
6621	-469	-470	Max	8.78					-0.02	7			0.12	7		
6621	-469	-470	Max	17.72	-1.55	5	0.43	1	0.02	1	33.77	1	2.61	1	0.00	1
6621	-469	-470	Min.	2.83	-18.14	5	-0.34	1	-0.05	1	-26.49	1	-2.46	1	-0.00	1
6621	-469	-470	Min.	8.78					-0.00	7			-0.05	7		
6621	-469	-470	Min.	17.72	-18.14	5	-0.34	1	-0.04	1	-27.07	1	-1.91	1	-0.00	1
6622	-501	-502	Max	2.83	106.41	5	0.37	1	0.02	1	30.90	1	1.39	1	0.00	1
6622	-501	-502	Max	8.53					-0.00	7			-0.23	7		
6622	-501	-502	Max	17.09	106.41	5	0.37	1	0.02	1	30.34	1	1.75	1	0.00	1
6622	-501	-502	Min.	2.83	8.34	5	-0.29	1	-0.04	1	-24.12	1	-2.84	1	0.00	1
6622	-501	-502	Min.	8.53					-0.02	7			-0.84	7		
6622	-501	-502	Min.	17.09	8.34	5	-0.29	1	-0.03	1	-24.68	1	-2.31	1	0.00	1
6626	-509	-510	Max	3.53	21.27	5	0.36	1	0.02	1	33.53	1	2.28	1	0.01	1
6626	-509	-510	Max	12.09					-0.00	7			0.49	7		
6626	-509	-510	Max	17.80	21.27	5	0.36	1	0.02	1	32.97	1	2.71	1	0.01	1
6626	-509	-510	Min.	3.53	-69.01	5	-0.42	1	-0.04	1	-27.82	1	-2.26	1	-0.00	1
6626	-509	-510	Min.	12.09					-0.02	7			-0.00	7		
6626	-509	-510	Min.	17.80	-69.01	5	-0.42	1	-0.04	1	-28.38	1	-1.95	1	-0.00	1
6627	-477	-478	Max	3.53	11.44	5	0.41	1	0.03	1	37.04	1	2.25	1	0.00	1
6627	-477	-478	Max	12.47					-0.02	7			0.11	7		
6627	-477	-478	Max	18.42	11.44	5	0.41	1	0.02	1	36.45	1	2.73	1	0.00	1
6627	-477	-478	Min.	3.53	-3.77	5	-0.48	1	-0.04	1	-30.63	1	-2.77	1	-0.00	1
6627	-477	-478	Min.	12.47					-0.00	7			-0.08	7		
6627	-477	-478	Min.	18.42	-3.77	5	-0.48	1	-0.05	1	-31.22	1	-2.38	1	-0.00	1
6628	-445	-446	Max	3.53	0.53	5	0.41	1	0.03	1	36.13	1	2.31	1	0.00	1
6628	-445	-446	Max	12.84					-0.02	7			0.21	7		
6628	-445	-446	Max	19.05	0.53	5	0.41	1	0.02	1	35.52	1	2.80	1	0.00	1
6628	-445	-446	Min.	3.53	-1.96	5	-0.48	1	-0.05	1	-29.97	1	-2.76	1	-0.00	1
6628	-445	-446	Min.	12.84					-0.00	7			-0.11	7		
6628	-445	-446	Min.	19.05	-1.96	5	-0.48	1	-0.05	1	-30.57	1	-2.38	1	-0.00	1
6629	-413	-414	Max	3.53	-0.01	5	0.40	1	0.03	1	34.71	1	2.31	1	0.00	1
6629	-413	-414	Max	13.22					-0.02	7			0.20	7		
6629	-413	-414	Max	19.67	-0.01	5	0.40	1	0.02	1	34.08	1	2.79	1	0.00	1
6629	-413	-414	Min.	3.53	-0.11	5	-0.46	1	-0.05	1	-28.80	1	-2.76	1	-0.00	1
6629	-413	-414	Min.	13.22					-0.00	7			-0.11	7		
6629	-413	-414	Min.	19.67	-0.11	5	-0.46	1	-0.05	1	-29.44	1	-2.39	1	-0.00	1

6630	-381	-382	Max	3.53	-0.02	5	0.38	1	0.03	1	33.28	1	2.31	1	0.00	1
6630	-381	-382	Max	13.59					-0.02	7			0.20	7		
6630	-381	-382	Max	20.30	-0.02	5	0.38	1	0.02	1	32.63	1	2.78	1	0.00	1
6630	-381	-382	Min.	3.53	-0.24	5	-0.44	1	-0.05	1	-27.62	1	-2.75	1	-0.00	1
6630	-381	-382	Min.	13.59					-0.00	7			-0.11	7		
6630	-381	-382	Min.	20.30	-0.24	5	-0.44	1	-0.05	1	-28.28	1	-2.38	1	-0.00	1
6631	-349	-350	Max	3.53	-0.02	5	0.36	1	0.03	1	31.91	1	2.30	1	0.00	1
6631	-349	-350	Max	13.97					-0.02	7			0.20	7		
6631	-349	-350	Max	20.92	-0.02	5	0.36	1	0.02	1	31.23	1	2.76	1	0.00	1
6631	-349	-350	Min.	3.53	-0.24	5	-0.42	1	-0.05	1	-26.47	1	-2.73	1	-0.00	1
6631	-349	-350	Min.	13.97					-0.00	7			-0.11	7		
6631	-349	-350	Min.	20.92	-0.24	5	-0.42	1	-0.05	1	-27.16	1	-2.37	1	-0.00	1
6632	-317	-318	Max	3.53	-0.04	5	0.35	1	0.03	1	30.61	1	2.28	1	0.00	1
6632	-317	-318	Max	14.34					-0.02	7			0.20	7		
6632	-317	-318	Max	21.55	-0.04	5	0.35	1	0.02	1	29.91	1	2.74	1	0.00	1
6632	-317	-318	Min.	3.53	-0.21	5	-0.41	1	-0.05	1	-25.39	1	-2.71	1	-0.00	1
6632	-317	-318	Min.	14.34					-0.00	7			-0.11	7		
6632	-317	-318	Min.	21.55	-0.21	5	-0.41	1	-0.05	1	-26.09	1	-2.35	1	-0.00	1
6633	-285	-286	Max	3.53	-0.03	5	0.33	1	0.03	1	29.37	1	2.27	1	0.00	1
6633	-285	-286	Max	14.72					-0.02	7			0.20	7		
6633	-285	-286	Max	22.17	-0.03	5	0.33	1	0.02	1	28.64	1	2.71	1	0.00	1
6633	-285	-286	Min.	3.53	-0.22	5	-0.39	1	-0.04	1	-24.34	1	-2.69	1	-0.00	1
6633	-285	-286	Min.	14.72					-0.00	7			-0.11	7		
6633	-285	-286	Min.	22.17	-0.22	5	-0.39	1	-0.05	1	-25.07	1	-2.34	1	-0.00	1
6634	-253	-254	Max	3.53	-0.02	5	0.32	1	0.03	1	28.20	1	2.25	1	0.00	1
6634	-253	-254	Max	7.39					-0.01	7			0.30	7		
6634	-253	-254	Max	22.80	-0.02	5	0.32	1	0.02	1	27.44	1	2.69	1	0.00	1
6634	-253	-254	Min.	3.53	-0.22	5	-0.37	1	-0.04	1	-23.35	1	-2.67	1	-0.00	1
6634	-253	-254	Min.	7.39					-0.00	7			-0.54	7		
6634	-253	-254	Min.	22.80	-0.22	5	-0.37	1	-0.05	1	-24.10	1	-2.32	1	-0.00	1
6635	-221	-222	Max	3.53	-0.04	5	0.31	1	0.03	1	27.07	1	2.23	1	0.00	1
6635	-221	-222	Max	7.51					-0.01	7			0.30	7		
6635	-221	-222	Max	23.42	-0.04	5	0.31	1	0.02	1	26.29	1	2.66	1	0.00	1
6635	-221	-222	Min.	3.53	-0.21	5	-0.35	1	-0.04	1	-22.39	1	-2.65	1	-0.00	1
6635	-221	-222	Min.	7.51					-0.00	7			-0.53	7		
6635	-221	-222	Min.	23.42	-0.21	5	-0.35	1	-0.05	1	-23.17	1	-2.30	1	-0.00	1
6636	-189	-190	Max	3.53	-0.02	5	0.29	1	0.03	1	25.95	1	2.21	1	0.00	1
6636	-189	-190	Max	7.64					-0.01	7			0.30	7		
6636	-189	-190	Max	24.05	-0.02	5	0.29	1	0.02	1	25.15	1	2.63	1	0.00	1
6636	-189	-190	Min.	3.53	-0.21	5	-0.34	1	-0.04	1	-21.43	1	-2.61	1	-0.00	1
6636	-189	-190	Min.	7.64					-0.00	7			-0.53	7		
6636	-189	-190	Min.	24.05	-0.21	5	-0.34	1	-0.05	1	-22.23	1	-2.27	1	-0.00	1
6637	-157	-158	Max	3.53	-0.04	5	0.27	1	0.03	1	24.71	1	2.17	1	0.00	1
6637	-157	-158	Max	7.76					-0.01	7			0.30	7		
6637	-157	-158	Max	24.67	-0.04	5	0.27	1	0.02	1	23.89	1	2.57	1	0.00	1
6637	-157	-158	Min.	3.53	-0.22	5	-0.31	1	-0.04	1	-20.36	1	-2.56	1	-0.00	1
6637	-157	-158	Min.	7.76					-0.00	7			-0.52	7		
6637	-157	-158	Min.	24.67	-0.22	5	-0.31	1	-0.05	1	-21.19	1	-2.23	1	-0.00	1
6638	-125	-126	Max	3.53	0.08	5	0.24	1	0.02	1	22.77	1	2.05	1	0.00	1
6638	-125	-126	Max	7.89					-0.01	7			0.28	7		
6638	-125	-126	Max	25.30	0.08	5	0.24	1	0.02	1	21.92	1	2.43	1	0.00	1
6638	-125	-126	Min.	3.53	-0.13	5	-0.28	1	-0.04	1	-18.69	1	-2.43	1	-0.00	1
6638	-125	-126	Min.	7.89					-0.00	7			-0.49	7		
6638	-125	-126	Min.	25.30	-0.13	5	-0.28	1	-0.04	1	-19.54	1	-2.11	1	-0.00	1
6639	-93	-94	Max	3.53	-0.84	5	0.17	1	0.02	1	17.64	1	1.62	1	0.00	1
6639	-93	-94	Max	8.01					-0.01	7			0.22	7		
6639	-93	-94	Max	25.92	-0.84	5	0.17	1	0.01	1	16.76	1	1.92	1	0.00	1
6639	-93	-94	Min.	3.53	-1.11	5	-0.20	1	-0.03	1	-14.28	1	-1.93	1	0.00	1
6639	-93	-94	Min.	8.01					-0.00	7			-0.39	7		

6639	-93	-94	Min.	25.92	-1.11	5	-0.20	1	-0.03	1	-15.16	1	-1.68	1	0.00	1
6640	-61	-62	Max	3.53	10.05	5	0.05	1	0.00	5	20.22	1	2.08	1	0.01	1
6640	-61	-62	Max	15.21					-0.01	7			0.25	7		
6640	-61	-62	Max	26.55	10.05	5	0.05	1	0.00	5	18.42	1	2.42	1	0.01	1
6640	-61	-62	Min.	3.53	8.87	5	-0.05	1	-0.01	5	-15.72	1	-2.02	1	-0.01	1
6640	-61	-62	Min.	15.21					0.00	7			0.22	7		
6640	-61	-62	Min.	26.55	8.87	5	-0.05	1	-0.01	5	-17.53	1	-1.75	1	-0.01	1
6641	-29	-30	Max	3.53	38.25	5	0.29	1	0.03	1	12.55	1	1.26	1	0.00	1
6641	-29	-30	Max	26.86	38.25	5	0.29	1	0.03	1	10.72	1	1.46	1	0.00	1
6641	-29	-30	Min.	3.53	35.41	5	-0.24	1	-0.04	1	-9.15	1	-1.25	1	0.00	1
6641	-29	-30	Min.	26.86	35.41	5	-0.24	1	-0.03	1	-10.99	1	-1.09	1	0.00	1
6642	379	380	Max	1.77	-9.58	5	2.22	1	-0.24	1	0.91	1	0.15	1	0.13	1
6642	379	380	Max	10.67					-0.31	5			0.03	5		
6642	379	380	Max	15.00	-9.58	5	1.28	1	-0.31	5	0.91	1	0.01	5	0.13	1
6642	379	380	Min.	1.77	-16.29	5	-0.21	1	-0.57	1	-1.07	1	-0.11	1	-0.11	1
6642	379	380	Min.	10.67					-0.38	5			-0.01	5		
6642	379	380	Min.	15.00	-16.29	5	-1.15	1	-0.36	5	-1.07	1	0.00	5	-0.11	1
6642	380	381	Max	0.00	-9.58	5	1.28	1	-0.31	5	0.91	1	0.01	5	0.13	1
6642	380	381	Max	5.57					-0.30	5			0.02	5		
6642	380	381	Max	13.23	-9.58	5	0.34	1	-0.22	1	0.91	1	0.13	1	0.13	1
6642	380	381	Min.	0.00	-16.29	5	-1.15	1	-0.36	5	-1.07	1	0.00	5	-0.11	1
6642	380	381	Min.	5.57					-0.39	5			-0.02	5		
6642	380	381	Min.	13.23	-16.29	5	-2.09	1	-0.56	1	-1.07	1	-0.14	1	-0.11	1
6643	-541	-542	Max	0.00	0.10	5	8.09	1	0.59	1	0.37	1	0.09	1	0.10	1
6643	-541	-542	Max	12.00	0.10	5	8.09	1	0.48	1	1.97	1	0.11	1	0.10	1
6643	-541	-542	Min.	0.00	0.01	5	-10.02	1	-0.49	1	-1.57	1	-0.03	1	-0.23	1
6643	-541	-542	Min.	12.00	0.01	5	-10.02	1	-0.61	1	0.03	1	-0.01	1	-0.23	1
6644	-525	-526	Max	0.00	0.40	5	7.34	1	0.59	1	-0.39	1	0.05	1	0.15	1
6644	-525	-526	Max	12.00	0.40	5	7.34	1	0.43	1	1.21	1	0.05	1	0.15	1
6644	-525	-526	Min.	0.00	-0.53	5	-9.66	1	-0.45	1	-1.13	1	-0.00	1	-0.32	1
6644	-525	-526	Min.	12.00	-0.53	5	-9.66	1	-0.57	1	0.47	1	0.00	1	-0.32	1
6839	-519	-520	Max	0.00	0.78	1	15.97	1	0.42	1	0.30	5	0.02	1	0.20	1
6839	-519	-520	Max	12.00	0.78	1	15.97	1	1.03	1	1.90	5	0.06	1	0.20	1
6839	-519	-520	Min.	0.00	-0.53	1	-7.69	1	-0.88	1	-0.65	5	-0.10	1	-0.28	1
6839	-519	-520	Min.	12.00	-0.53	1	-7.69	1	-0.51	1	0.95	5	0.02	1	-0.28	1
6840	-535	-536	Max	0.00	0.06	5	14.67	1	0.42	1	-0.07	1	0.08	1	0.13	1
6840	-535	-536	Max	12.00	0.06	5	14.67	1	0.90	1	1.53	1	0.07	1	0.13	1
6840	-535	-536	Min.	0.00	-0.25	5	-7.10	1	-0.86	1	-1.96	1	-0.03	1	-0.20	1
6840	-535	-536	Min.	12.00	-0.25	5	-7.10	1	-0.43	1	-0.36	1	-0.06	1	-0.20	1
6841	322	323	Max	1.77	-2.45	5	0.65	1	0.14	1	1.82	1	-0.11	1	0.07	1
6841	322	323	Max	13.92					0.01	7			-0.16	7		
6841	322	323	Max	15.00	-2.45	5	0.65	1	0.01	5	0.88	1	-0.15	5	0.07	1
6841	322	323	Min.	1.77	-7.84	5	-1.00	1	-0.08	1	-0.13	1	-0.33	1	-0.15	1
6841	322	323	Min.	13.92					0.01	7			-0.19	7		
6841	322	323	Min.	15.00	-7.84	5	-1.00	1	0.01	5	-1.07	1	-0.19	5	-0.15	1
6841	323	324	Max	0.00	-2.45	5	0.65	1	0.01	5	0.88	1	-0.15	5	0.07	1
6841	323	324	Max	12.24					0.09	1			-0.10	1		
6841	323	324	Max	13.23	-2.45	5	0.65	1	0.09	1	-0.07	1	-0.10	1	0.07	1
6841	323	324	Min.	0.00	-7.84	5	-1.00	1	0.01	5	-1.07	1	-0.19	5	-0.15	1
6841	323	324	Min.	12.24					-0.11	1			-0.37	1		
6841	323	324	Min.	13.23	-7.84	5	-1.00	1	-0.12	1	-2.01	1	-0.39	1	-0.15	1
6842	-7	-8	Max	2.83	22.20	1	0.15	1	0.04	1	11.06	1	0.95	1	0.00	5
6842	-7	-8	Max	26.15	22.20	1	0.15	1	0.02	1	9.23	1	1.22	1	0.00	5
6842	-7	-8	Min.	2.83	19.33	1	-0.33	1	-0.02	1	-6.70	1	-1.14	1	-0.00	5
6842	-7	-8	Min.	26.15	19.33	1	-0.33	1	-0.04	1	-8.53	1	-0.83	1	-0.00	5
6843	-39	-40	Max	2.83	5.28	5	0.03	1	0.01	5	18.09	1	1.52	1	0.01	1
6843	-39	-40	Max	25.84	5.28	5	0.03	1	0.01	5	16.29	1	2.05	1	0.01	1
6843	-39	-40	Min.	2.83	4.59	5	-0.05	1	-0.01	5	-11.35	1	-1.91	1	-0.01	1
6843	-39	-40	Min.	25.84	4.59	5	-0.05	1	-0.01	5	-13.16	1	-1.30	1	-0.01	1

6844	-71	-72	Max	2.83	-0.50	5	0.18	1	0.02	1	15.78	1	1.20	1	0.00	5
6844	-71	-72	Max	14.11					0.01	7			0.01	7		
6844	-71	-72	Max	25.22	-0.50	5	0.18	1	0.03	1	14.90	1	1.69	1	0.00	5
6844	-71	-72	Min.	2.83	-0.72	5	-0.12	1	-0.02	1	-10.36	1	-1.75	1	-0.00	5
6844	-71	-72	Min.	14.11					-0.00	7			0.00	7		
6844	-71	-72	Min.	25.22	-0.72	5	-0.12	1	-0.01	1	-11.24	1	-1.22	1	-0.00	5
6845	-103	-104	Max	2.83	0.06	5	0.25	1	0.03	1	20.36	1	1.52	1	0.00	5
6845	-103	-104	Max	13.81					0.01	7			0.01	7		
6845	-103	-104	Max	24.59	0.06	5	0.25	1	0.03	1	19.50	1	2.14	1	0.00	5
6845	-103	-104	Min.	2.83	-0.14	5	-0.17	1	-0.03	1	-13.58	1	-2.20	1	-0.00	5
6845	-103	-104	Min.	13.81					-0.01	7			0.01	7		
6845	-103	-104	Min.	24.59	-0.14	5	-0.17	1	-0.02	1	-14.43	1	-1.53	1	-0.00	5
6846	-135	-136	Max	2.83	-0.00	5	0.28	1	0.03	1	22.08	1	1.60	1	0.00	5
6846	-135	-136	Max	13.43					0.02	7			0.01	7		
6846	-135	-136	Max	23.97	-0.00	5	0.28	1	0.04	1	21.25	1	2.26	1	0.00	5
6846	-135	-136	Min.	2.83	-0.18	5	-0.20	1	-0.03	1	-14.78	1	-2.32	1	-0.00	5
6846	-135	-136	Min.	13.43					-0.01	7			0.00	7		
6846	-135	-136	Min.	23.97	-0.18	5	-0.20	1	-0.02	1	-15.61	1	-1.61	1	-0.00	5
6847	-167	-168	Max	2.83	0.00	5	0.30	1	0.03	1	23.17	1	1.63	1	0.00	5
6847	-167	-168	Max	13.07					-0.01	7			0.00	7		
6847	-167	-168	Max	23.34	0.00	5	0.30	1	0.04	1	22.37	1	2.30	1	0.00	5
6847	-167	-168	Min.	2.83	-0.16	5	-0.22	1	-0.03	1	-15.54	1	-2.37	1	-0.00	5
6847	-167	-168	Min.	13.07					0.02	7			0.00	7		
6847	-167	-168	Min.	23.34	-0.16	5	-0.22	1	-0.02	1	-16.34	1	-1.64	1	-0.00	5
6848	-199	-200	Max	2.83	0.00	5	0.32	1	0.03	1	24.15	1	1.65	1	0.00	5
6848	-199	-200	Max	12.91					0.02	7			0.01	7		
6848	-199	-200	Max	22.72	0.00	5	0.32	1	0.04	1	23.37	1	2.33	1	0.00	5
6848	-199	-200	Min.	2.83	-0.17	5	-0.23	1	-0.03	1	-16.21	1	-2.39	1	-0.00	5
6848	-199	-200	Min.	12.91					-0.01	7			0.01	7		
6848	-199	-200	Min.	22.72	-0.17	5	-0.23	1	-0.02	1	-16.99	1	-1.65	1	-0.00	5
6849	-231	-232	Max	2.83	0.00	5	0.33	1	0.03	1	25.14	1	1.66	1	0.00	5
6849	-231	-232	Max	12.60					0.02	7			0.01	7		
6849	-231	-232	Max	22.09	0.00	5	0.33	1	0.04	1	24.39	1	2.35	1	0.00	5
6849	-231	-232	Min.	2.83	-0.18	5	-0.24	1	-0.03	1	-16.87	1	-2.42	1	-0.00	5
6849	-231	-232	Min.	12.60					-0.01	7			0.01	7		
6849	-231	-232	Min.	22.09	-0.18	5	-0.24	1	-0.02	1	-17.63	1	-1.66	1	-0.00	5
6850	-263	-264	Max	2.83	0.01	5	0.35	1	0.03	1	26.17	1	1.67	1	0.00	5
6850	-263	-264	Max	12.23					0.02	7			0.01	7		
6850	-263	-264	Max	21.47	0.01	5	0.35	1	0.04	1	25.44	1	2.37	1	0.00	5
6850	-263	-264	Min.	2.83	-0.17	5	-0.24	1	-0.03	1	-17.55	1	-2.44	1	-0.00	5
6850	-263	-264	Min.	12.23					-0.01	7			-0.00	7		
6850	-263	-264	Min.	21.47	-0.17	5	-0.24	1	-0.02	1	-18.28	1	-1.67	1	-0.00	5
6851	-295	-296	Max	2.83	0.01	5	0.36	1	0.03	1	27.24	1	1.68	1	0.00	5
6851	-295	-296	Max	11.85					0.02	7			0.00	7		
6851	-295	-296	Max	20.84	0.01	5	0.36	1	0.04	1	26.53	1	2.39	1	0.00	5
6851	-295	-296	Min.	2.83	-0.19	5	-0.25	1	-0.03	1	-18.25	1	-2.45	1	-0.00	5
6851	-295	-296	Min.	11.85					-0.01	7			0.00	7		
6851	-295	-296	Min.	20.84	-0.19	5	-0.25	1	-0.02	1	-18.96	1	-1.67	1	-0.00	5
6852	-327	-328	Max	2.83	0.01	5	0.38	1	0.03	1	28.37	1	1.68	1	0.00	5
6852	-327	-328	Max	11.48					-0.01	7			0.00	7		
6852	-327	-328	Max	20.22	0.01	5	0.38	1	0.04	1	27.69	1	2.40	1	0.00	5
6852	-327	-328	Min.	2.83	-0.18	5	-0.26	1	-0.03	1	-18.97	1	-2.47	1	-0.00	5
6852	-327	-328	Min.	11.48					0.02	7			-0.00	7		
6852	-327	-328	Min.	20.22	-0.18	5	-0.26	1	-0.02	1	-19.66	1	-1.67	1	-0.00	5
6853	-359	-360	Max	2.83	0.02	5	0.40	1	0.03	1	29.55	1	1.69	1	0.00	5
6853	-359	-360	Max	12.14					-0.00	7			0.09	7		
6853	-359	-360	Max	19.59	0.02	5	0.40	1	0.04	1	28.89	1	2.42	1	0.00	5
6853	-359	-360	Min.	2.83	-0.21	5	-0.28	1	-0.03	1	-19.72	1	-2.48	1	-0.00	5
6853	-359	-360	Min.	12.14					0.02	7			-0.01	7		

6853	-359	-360	Min.	19.59	-0.21	5	-0.28	1	-0.02	1	-20.37	1	-1.67	1	-0.00	5
6854	-391	-392	Max	2.83	0.01	5	0.41	1	0.03	1	30.78	1	1.68	1	0.00	5
6854	-391	-392	Max	11.76					-0.00	7			0.08	7		
6854	-391	-392	Max	18.97	0.01	5	0.41	1	0.04	1	30.15	1	2.42	1	0.00	5
6854	-391	-392	Min.	2.83	-0.10	5	-0.29	1	-0.03	1	-20.48	1	-2.49	1	-0.00	5
6854	-391	-392	Min.	11.76					0.02	7			-0.00	7		
6854	-391	-392	Min.	18.97	-0.10	5	-0.29	1	-0.02	1	-21.11	1	-1.67	1	-0.00	5
6855	-423	-424	Max	2.83	0.79	5	0.43	1	0.03	1	31.99	1	1.68	1	0.00	5
6855	-423	-424	Max	11.39					-0.00	7			0.09	7		
6855	-423	-424	Max	18.34	0.79	5	0.43	1	0.04	1	31.39	1	2.42	1	0.00	5
6855	-423	-424	Min.	2.83	-1.67	5	-0.30	1	-0.03	1	-21.22	1	-2.49	1	-0.00	5
6855	-423	-424	Min.	11.39					0.02	7			-0.01	7		
6855	-423	-424	Min.	18.34	-1.67	5	-0.30	1	-0.02	1	-21.83	1	-1.66	1	-0.00	5
6856	-455	-456	Max	2.83	9.79	5	0.43	1	0.03	1	32.66	1	1.61	1	0.00	5
6856	-455	-456	Max	11.01					0.02	7			0.04	7		
6856	-455	-456	Max	17.72	9.79	5	0.43	1	0.04	1	32.08	1	2.37	1	0.00	5
6856	-455	-456	Min.	2.83	-5.29	5	-0.30	1	-0.03	1	-21.67	1	-2.45	1	-0.00	5
6856	-455	-456	Min.	11.01					-0.00	7			-0.01	7		
6856	-455	-456	Min.	17.72	-5.29	5	-0.30	1	-0.02	1	-22.25	1	-1.66	1	-0.00	5
6857	-487	-488	Max	2.83	30.75	5	0.35	1	0.03	1	29.41	1	1.65	1	0.00	1
6857	-487	-488	Max	10.03					0.01	7			0.50	7		
6857	-487	-488	Max	17.09	30.75	5	0.35	1	0.03	1	28.85	1	2.26	1	0.00	1
6857	-487	-488	Min.	2.83	-58.77	5	-0.27	1	-0.02	1	-19.53	1	-2.10	1	-0.01	1
6857	-487	-488	Min.	10.03					-0.00	7			-0.26	7		
6857	-487	-488	Min.	17.09	-58.77	5	-0.27	1	-0.02	1	-20.09	1	-1.37	1	-0.01	1
6861	-495	-496	Max	3.53	80.55	5	0.19	1	0.03	1	28.12	1	0.95	1	0.00	5
6861	-495	-496	Max	17.80	80.55	5	0.19	1	0.02	1	27.56	1	1.70	1	0.00	5
6861	-495	-496	Min.	3.53	-16.68	5	-0.32	1	-0.01	1	-15.53	1	-2.36	1	-0.00	5
6861	-495	-496	Min.	17.80	-16.68	5	-0.32	1	-0.02	1	-16.09	1	-1.39	1	-0.00	5
6862	-463	-464	Max	3.53	2.71	5	0.22	1	0.04	1	31.09	1	1.32	1	0.00	5
6862	-463	-464	Max	18.42	2.71	5	0.22	1	0.02	1	30.51	1	2.39	1	0.00	5
6862	-463	-464	Min.	3.53	-13.72	5	-0.40	1	-0.01	1	-17.31	1	-2.20	1	-0.01	5
6862	-463	-464	Min.	18.42	-13.72	5	-0.40	1	-0.03	1	-17.90	1	-1.30	1	-0.01	5
6863	-431	-432	Max	3.53	2.15	5	0.23	1	0.04	1	30.53	1	1.32	1	0.00	5
6863	-431	-432	Max	19.05	2.15	5	0.23	1	0.02	1	29.92	1	2.37	1	0.00	5
6863	-431	-432	Min.	3.53	-0.50	5	-0.40	1	-0.02	1	-17.05	1	-2.32	1	-0.01	5
6863	-431	-432	Min.	19.05	-0.50	5	-0.40	1	-0.03	1	-17.66	1	-1.37	1	-0.01	5
6864	-399	-400	Max	3.53	-0.03	5	0.22	1	0.04	1	29.38	1	1.34	1	0.00	5
6864	-399	-400	Max	19.67	-0.03	5	0.22	1	0.02	1	28.74	1	2.38	1	0.00	5
6864	-399	-400	Min.	3.53	-0.17	5	-0.39	1	-0.02	1	-16.53	1	-2.31	1	-0.01	5
6864	-399	-400	Min.	19.67	-0.17	5	-0.39	1	-0.03	1	-17.16	1	-1.38	1	-0.01	5
6865	-367	-368	Max	3.53	0.15	5	0.21	1	0.04	1	28.22	1	1.35	1	0.00	5
6865	-367	-368	Max	20.30	0.15	5	0.21	1	0.02	1	27.57	1	2.36	1	0.00	5
6865	-367	-368	Min.	3.53	-0.10	5	-0.37	1	-0.02	1	-15.96	1	-2.31	1	-0.01	5
6865	-367	-368	Min.	20.30	-0.10	5	-0.37	1	-0.03	1	-16.62	1	-1.38	1	-0.01	5
6866	-335	-336	Max	3.53	0.10	5	0.21	1	0.04	1	27.11	1	1.35	1	0.00	5
6866	-335	-336	Max	20.92	0.10	5	0.21	1	0.02	1	26.43	1	2.35	1	0.00	5
6866	-335	-336	Min.	3.53	-0.09	5	-0.36	1	-0.02	1	-15.40	1	-2.30	1	-0.01	5
6866	-335	-336	Min.	20.92	-0.09	5	-0.36	1	-0.03	1	-16.08	1	-1.39	1	-0.01	5
6867	-303	-304	Max	3.53	0.09	5	0.20	1	0.04	1	26.04	1	1.35	1	0.00	5
6867	-303	-304	Max	21.55	0.09	5	0.20	1	0.02	1	25.33	1	2.34	1	0.00	5
6867	-303	-304	Min.	3.53	-0.09	5	-0.34	1	-0.02	1	-14.86	1	-2.29	1	-0.01	5
6867	-303	-304	Min.	21.55	-0.09	5	-0.34	1	-0.03	1	-15.56	1	-1.39	1	-0.01	5
6868	-271	-272	Max	3.53	0.10	5	0.19	1	0.04	1	25.02	1	1.35	1	0.00	5
6868	-271	-272	Max	22.17	0.10	5	0.19	1	0.02	1	24.29	1	2.32	1	0.00	5
6868	-271	-272	Min.	3.53	-0.09	5	-0.33	1	-0.02	1	-14.32	1	-2.28	1	-0.00	5
6868	-271	-272	Min.	22.17	-0.09	5	-0.33	1	-0.03	1	-15.05	1	-1.39	1	-0.00	5
6869	-239	-240	Max	3.53	0.08	5	0.18	1	0.04	1	24.04	1	1.35	1	0.00	5
6869	-239	-240	Max	22.80	0.08	5	0.18	1	0.02	1	23.29	1	2.30	1	0.00	5

6869	-239	-240	Min.	3.53	-0.09	5	-0.31	1	-0.02	1	-13.80	1	-2.26	1	-0.00	5
6869	-239	-240	Min.	22.80	-0.09	5	-0.31	1	-0.03	1	-14.55	1	-1.38	1	-0.00	5
6870	-207	-208	Max	3.53	0.09	5	0.18	1	0.04	1	23.10	1	1.34	1	0.00	5
6870	-207	-208	Max	23.42	0.09	5	0.18	1	0.02	1	22.32	1	2.27	1	0.00	5
6870	-207	-208	Min.	3.53	-0.09	5	-0.30	1	-0.02	1	-13.28	1	-2.24	1	-0.00	5
6870	-207	-208	Min.	23.42	-0.09	5	-0.30	1	-0.03	1	-14.06	1	-1.38	1	-0.00	5
6871	-175	-176	Max	3.53	0.09	5	0.17	1	0.04	1	22.17	1	1.33	1	0.00	5
6871	-175	-176	Max	24.05	0.09	5	0.17	1	0.02	1	21.36	1	2.25	1	0.00	5
6871	-175	-176	Min.	3.53	-0.09	5	-0.29	1	-0.02	1	-12.74	1	-2.22	1	-0.00	5
6871	-175	-176	Min.	24.05	-0.09	5	-0.29	1	-0.03	1	-13.55	1	-1.37	1	-0.00	5
6872	-143	-144	Max	3.53	0.08	5	0.16	1	0.04	1	21.13	1	1.30	1	0.00	5
6872	-143	-144	Max	24.67	0.08	5	0.16	1	0.02	1	20.30	1	2.20	1	0.00	5
6872	-143	-144	Min.	3.53	-0.10	5	-0.27	1	-0.02	1	-12.13	1	-2.18	1	-0.00	5
6872	-143	-144	Min.	24.67	-0.10	5	-0.27	1	-0.02	1	-12.96	1	-1.35	1	-0.00	5
6873	-111	-112	Max	3.53	0.18	5	0.14	1	0.03	1	19.48	1	1.24	1	0.00	5
6873	-111	-112	Max	25.30	0.18	5	0.14	1	0.02	1	18.62	1	2.08	1	0.00	5
6873	-111	-112	Min.	3.53	-0.05	5	-0.24	1	-0.01	1	-11.14	1	-2.06	1	-0.00	5
6873	-111	-112	Min.	25.30	-0.05	5	-0.24	1	-0.02	1	-11.99	1	-1.28	1	-0.00	5
6874	-79	-80	Max	3.53	-0.56	1	0.11	1	0.02	1	15.09	1	0.97	1	0.00	5
6874	-79	-80	Max	25.92	-0.56	1	0.11	1	0.02	1	14.21	1	1.64	1	0.00	5
6874	-79	-80	Min.	3.53	-0.69	1	-0.17	1	-0.01	1	-8.47	1	-1.64	1	-0.00	5
6874	-79	-80	Min.	25.92	-0.69	1	-0.17	1	-0.02	1	-9.35	1	-1.02	1	-0.00	5
6875	-47	-48	Max	3.53	8.10	5	0.02	1	0.01	5	17.21	1	1.27	1	0.01	1
6875	-47	-48	Max	15.71					0.00	3			0.28	3		
6875	-47	-48	Max	26.55	8.10	5	0.02	1	0.01	5	15.40	1	2.03	1	0.01	1
6875	-47	-48	Min.	3.53	5.00	5	-0.02	1	-0.01	5	-9.12	1	-1.72	1	-0.01	1
6875	-47	-48	Min.	15.71					0.01	3			0.13	3		
6875	-47	-48	Min.	26.55	5.00	5	-0.02	1	-0.00	5	-10.93	1	-1.04	1	-0.01	1
6876	-15	-16	Max	3.53	32.59	5	0.33	1	0.02	1	10.38	1	0.76	1	0.00	1
6876	-15	-16	Max	26.86	32.59	5	0.33	1	0.04	1	8.55	1	1.20	1	0.00	1
6876	-15	-16	Min.	3.53	20.31	5	-0.16	1	-0.04	1	-5.07	1	-1.01	1	-0.00	1
6876	-15	-16	Min.	26.86	20.31	5	-0.16	1	-0.02	1	-6.90	1	-0.64	1	-0.00	1
6877	346	347	Max	1.77	-5.75	5	1.61	1	-0.20	5	0.54	1	0.14	1	0.15	1
6877	346	347	Max	7.06					-0.20	1			0.09	1		
6877	346	347	Max	15.00	-5.75	5	0.67	1	-0.18	5	0.54	1	0.01	5	0.15	1
6877	346	347	Min.	1.77	-7.69	5	0.35	1	-0.39	5	-0.97	1	-0.07	1	-0.07	1
6877	346	347	Min.	7.06					-0.30	1			-0.04	1		
6877	346	347	Min.	15.00	-7.69	5	-0.59	1	-0.27	5	-0.97	1	0.00	5	-0.07	1
6877	347	348	Max	0.00	-5.75	5	0.67	1	-0.18	5	0.54	1	0.01	5	0.15	1
6877	347	348	Max	9.47					-0.20	3			0.05	3		
6877	347	348	Max	13.23	-5.75	5	-0.27	1	-0.19	1	0.54	1	0.08	1	0.15	1
6877	347	348	Min.	0.00	-7.69	5	-0.59	1	-0.27	5	-0.97	1	0.00	5	-0.07	1
6877	347	348	Min.	9.47					-0.31	3			-0.08	3		
6877	347	348	Min.	13.23	-7.69	5	-1.53	1	-0.37	1	-0.97	1	-0.12	1	-0.07	1
6885	358	359	Max	1.77	-5.85	5	0.54	1	0.14	1	1.61	1	-0.19	5	0.07	1
6885	358	359	Max	9.71					0.04	5			-0.17	5		
6885	358	359	Max	15.00	-5.85	5	0.54	1	0.01	5	0.67	1	-0.18	5	0.07	1
6885	358	359	Min.	1.77	-7.60	5	-0.97	1	-0.07	1	0.34	1	-0.39	5	-0.15	1
6885	358	359	Min.	6.54					-0.04	1			-0.31	1		
6885	358	359	Min.	15.00	-7.60	5	-0.97	1	0.00	5	-0.60	1	-0.27	5	-0.15	1
6885	359	360	Max	0.00	-5.85	5	0.54	1	0.01	5	0.67	1	-0.18	5	0.07	1
6885	359	360	Max	7.38					0.05	1			-0.18	1		
6885	359	360	Max	13.23	-5.85	5	0.54	1	0.08	1	-0.27	1	-0.19	1	0.07	1
6885	359	360	Min.	0.00	-7.60	5	-0.97	1	0.00	5	-0.60	1	-0.27	5	-0.15	1
6885	359	360	Min.	9.40					-0.08	3			-0.31	3		
6885	359	360	Min.	13.23	-7.60	5	-0.97	1	-0.12	1	-1.54	1	-0.37	1	-0.15	1
6886	-23	-24	Max	2.83	32.49	5	0.15	1	0.04	1	10.42	1	0.77	1	0.00	1
6886	-23	-24	Max	26.15	32.49	5	0.15	1	0.02	1	8.59	1	1.18	1	0.00	1
6886	-23	-24	Min.	2.83	20.17	5	-0.33	1	-0.02	1	-5.04	1	-1.04	1	-0.00	1

6886	-23	-24	Min.	26.15	20.17	5	-0.33	1	-0.04	1	-6.87	1	-0.62	1	-0.00	1
6887	-55	-56	Max	2.83	8.10	5	0.01	1	0.01	5	17.26	1	1.28	1	0.01	1
6887	-55	-56	Max	13.41					-0.01	3			0.28	3		
6887	-55	-56	Max	25.84	8.10	5	0.01	1	0.00	5	15.45	1	2.00	1	0.01	1
6887	-55	-56	Min.	2.83	5.06	5	-0.02	1	-0.01	5	-9.07	1	-1.76	1	-0.01	1
6887	-55	-56	Min.	13.41					-0.00	3			0.02	3		
6887	-55	-56	Min.	25.84	5.06	5	-0.02	1	-0.01	5	-10.88	1	-1.01	1	-0.01	1
6888	-87	-88	Max	2.83	-0.59	5	0.17	1	0.01	1	15.09	1	0.99	1	0.00	1
6888	-87	-88	Max	14.03					-0.01	7			0.01	7		
6888	-87	-88	Max	25.22	-0.59	5	0.17	1	0.02	1	14.21	1	1.61	1	0.00	1
6888	-87	-88	Min.	2.83	-0.68	5	-0.11	1	-0.02	1	-8.47	1	-1.67	1	-0.00	1
6888	-87	-88	Min.	14.03					0.00	7			0.01	7		
6888	-87	-88	Min.	25.22	-0.68	5	-0.11	1	-0.02	1	-9.35	1	-1.00	1	-0.00	1
6889	-119	-120	Max	2.83	0.16	5	0.23	1	0.01	1	19.48	1	1.26	1	0.00	5
6889	-119	-120	Max	13.87					0.01	7			0.02	7		
6889	-119	-120	Max	24.59	0.16	5	0.23	1	0.02	1	18.62	1	2.05	1	0.00	5
6889	-119	-120	Min.	2.83	-0.06	5	-0.14	1	-0.03	1	-11.13	1	-2.10	1	-0.00	5
6889	-119	-120	Min.	13.87					-0.01	7			0.01	7		
6889	-119	-120	Min.	24.59	-0.06	5	-0.14	1	-0.02	1	-11.99	1	-1.26	1	-0.00	5
6890	-151	-152	Max	2.83	0.07	5	0.27	1	0.02	1	21.13	1	1.33	1	0.00	5
6890	-151	-152	Max	13.43					0.01	7			0.01	7		
6890	-151	-152	Max	23.97	0.07	5	0.27	1	0.02	1	20.30	1	2.16	1	0.00	5
6890	-151	-152	Min.	2.83	-0.10	5	-0.16	1	-0.04	1	-12.13	1	-2.21	1	-0.00	5
6890	-151	-152	Min.	13.43					-0.02	7			0.01	7		
6890	-151	-152	Min.	23.97	-0.10	5	-0.16	1	-0.02	1	-12.96	1	-1.32	1	-0.00	5
6891	-183	-184	Max	2.83	0.08	5	0.28	1	0.02	1	22.17	1	1.35	1	0.00	5
6891	-183	-184	Max	13.09					0.01	7			0.01	7		
6891	-183	-184	Max	23.34	0.08	5	0.28	1	0.03	1	21.36	1	2.21	1	0.00	5
6891	-183	-184	Min.	2.83	-0.09	5	-0.17	1	-0.04	1	-12.74	1	-2.26	1	-0.00	5
6891	-183	-184	Min.	13.09					-0.02	7			0.01	7		
6891	-183	-184	Min.	23.34	-0.09	5	-0.17	1	-0.02	1	-13.55	1	-1.35	1	-0.00	5
6892	-215	-216	Max	2.83	0.08	5	0.30	1	0.02	1	23.09	1	1.36	1	0.00	5
6892	-215	-216	Max	12.76					-0.02	7			0.01	7		
6892	-215	-216	Max	22.72	0.08	5	0.30	1	0.03	1	22.31	1	2.23	1	0.00	5
6892	-215	-216	Min.	2.83	-0.09	5	-0.18	1	-0.04	1	-13.28	1	-2.28	1	-0.00	5
6892	-215	-216	Min.	12.76					0.01	7			0.01	7		
6892	-215	-216	Min.	22.72	-0.09	5	-0.18	1	-0.02	1	-14.06	1	-1.36	1	-0.00	5
6893	-247	-248	Max	2.83	0.08	5	0.31	1	0.02	1	24.04	1	1.37	1	0.00	5
6893	-247	-248	Max	12.43					-0.02	7			0.01	7		
6893	-247	-248	Max	22.09	0.08	5	0.31	1	0.03	1	23.28	1	2.25	1	0.00	5
6893	-247	-248	Min.	2.83	-0.10	5	-0.18	1	-0.04	1	-13.80	1	-2.30	1	-0.00	5
6893	-247	-248	Min.	12.43					0.01	7			0.00	7		
6893	-247	-248	Min.	22.09	-0.10	5	-0.18	1	-0.02	1	-14.56	1	-1.36	1	-0.00	5
6894	-279	-280	Max	2.83	0.09	5	0.33	1	0.02	1	25.01	1	1.38	1	0.00	5
6894	-279	-280	Max	12.10					-0.02	7			0.01	7		
6894	-279	-280	Max	21.47	0.09	5	0.33	1	0.03	1	24.28	1	2.27	1	0.00	5
6894	-279	-280	Min.	2.83	-0.09	5	-0.19	1	-0.04	1	-14.33	1	-2.32	1	-0.00	5
6894	-279	-280	Min.	12.10					0.01	7			0.00	7		
6894	-279	-280	Min.	21.47	-0.09	5	-0.19	1	-0.02	1	-15.06	1	-1.36	1	-0.00	5
6895	-311	-312	Max	2.83	0.09	5	0.34	1	0.02	1	26.03	1	1.38	1	0.00	5
6895	-311	-312	Max	11.77					-0.02	7			0.01	7		
6895	-311	-312	Max	20.84	0.09	5	0.34	1	0.03	1	25.32	1	2.29	1	0.00	5
6895	-311	-312	Min.	2.83	-0.10	5	-0.20	1	-0.04	1	-14.87	1	-2.34	1	-0.00	5
6895	-311	-312	Min.	11.77					0.01	7			0.00	7		
6895	-311	-312	Min.	20.84	-0.10	5	-0.20	1	-0.02	1	-15.57	1	-1.36	1	-0.00	5
6896	-343	-344	Max	2.83	0.09	5	0.36	1	0.02	1	27.10	1	1.38	1	0.00	5
6896	-343	-344	Max	11.48					-0.02	7			0.01	7		
6896	-343	-344	Max	20.22	0.09	5	0.36	1	0.03	1	26.42	1	2.30	1	0.00	5
6896	-343	-344	Min.	2.83	-0.10	5	-0.21	1	-0.04	1	-15.41	1	-2.35	1	-0.00	5

6896	-343	-344	Min.	11.48					0.01	7			0.00	7		
6896	-343	-344	Min.	20.22	-0.10	5	-0.21	1	-0.02	1	-16.09	1	-1.36	1	-0.00	5
6897	-375	-376	Max	2.83	0.14	5	0.37	1	0.02	1	28.21	1	1.38	1	0.00	5
6897	-375	-376	Max	12.14					-0.02	7			0.08	7		
6897	-375	-376	Max	19.59	0.14	5	0.37	1	0.03	1	27.55	1	2.31	1	0.00	5
6897	-375	-376	Min.	2.83	-0.10	5	-0.21	1	-0.04	1	-15.97	1	-2.36	1	-0.00	5
6897	-375	-376	Min.	12.14					0.01	7			0.04	7		
6897	-375	-376	Min.	19.59	-0.10	5	-0.21	1	-0.02	1	-16.63	1	-1.36	1	-0.00	5
6898	-407	-408	Max	2.83	-0.04	5	0.39	1	0.02	1	29.37	1	1.37	1	0.00	5
6898	-407	-408	Max	11.76					-0.02	7			0.07	7		
6898	-407	-408	Max	18.97	-0.04	5	0.39	1	0.03	1	28.73	1	2.32	1	0.00	5
6898	-407	-408	Min.	2.83	-0.18	5	-0.22	1	-0.04	1	-16.54	1	-2.37	1	-0.00	5
6898	-407	-408	Min.	11.76					0.01	7			0.05	7		
6898	-407	-408	Min.	18.97	-0.18	5	-0.22	1	-0.02	1	-17.18	1	-1.35	1	-0.00	5
6899	-439	-440	Max	2.83	2.15	5	0.40	1	0.02	1	30.51	1	1.36	1	0.00	5
6899	-439	-440	Max	11.39					-0.02	7			0.07	7		
6899	-439	-440	Max	18.34	2.15	5	0.40	1	0.03	1	29.90	1	2.31	1	0.00	5
6899	-439	-440	Min.	2.83	-0.51	5	-0.23	1	-0.04	1	-17.07	1	-2.37	1	-0.00	5
6899	-439	-440	Min.	11.39					0.01	7			0.03	7		
6899	-439	-440	Min.	18.34	-0.51	5	-0.23	1	-0.02	1	-17.68	1	-1.34	1	-0.00	5
6900	-471	-472	Max	2.83	2.70	5	0.40	1	0.01	1	31.21	1	1.35	1	0.00	1
6900	-471	-472	Max	11.01					0.01	7			0.15	7		
6900	-471	-472	Max	17.72	2.70	5	0.40	1	0.03	1	30.62	1	2.34	1	0.00	1
6900	-471	-472	Min.	2.83	-13.73	5	-0.22	1	-0.04	1	-17.28	1	-2.26	1	-0.00	1
6900	-471	-472	Min.	11.01					-0.01	7			0.04	7		
6900	-471	-472	Min.	17.72	-13.73	5	-0.22	1	-0.02	1	-17.87	1	-1.27	1	-0.00	1
6901	-503	-504	Max	2.83	80.60	5	0.31	1	0.01	1	27.84	1	0.99	1	0.00	5
6901	-503	-504	Max	10.06					0.00	7			0.14	7		
6901	-503	-504	Max	17.09	80.60	5	0.31	1	0.02	1	27.28	1	1.65	1	0.00	5
6901	-503	-504	Min.	2.83	-16.56	5	-0.19	1	-0.03	1	-15.66	1	-2.39	1	-0.00	5
6901	-503	-504	Min.	10.06					-0.01	7			-0.68	7		
6901	-503	-504	Min.	17.09	-16.56	5	-0.19	1	-0.02	1	-16.22	1	-1.39	1	-0.00	5
6905	-511	-512	Max	3.53	30.74	5	0.27	1	0.02	1	29.25	1	1.62	1	0.01	5
6905	-511	-512	Max	9.24					0.00	7			0.36	7		
6905	-511	-512	Max	17.80	30.74	5	0.27	1	0.02	1	28.69	1	2.29	1	0.01	5
6905	-511	-512	Min.	3.53	-58.96	5	-0.35	1	-0.03	1	-19.55	1	-2.03	1	-0.00	5
6905	-511	-512	Min.	9.24					-0.01	7			-0.24	7		
6905	-511	-512	Min.	17.80	-58.96	5	-0.35	1	-0.03	1	-20.11	1	-1.40	1	-0.00	5
6906	-479	-480	Max	3.53	9.81	5	0.29	1	0.03	1	32.50	1	1.56	1	0.01	5
6906	-479	-480	Max	10.80					0.01	7			0.04	7		
6906	-479	-480	Max	18.42	9.81	5	0.29	1	0.02	1	31.91	1	2.42	1	0.01	5
6906	-479	-480	Min.	3.53	-5.29	5	-0.43	1	-0.03	1	-21.45	1	-2.39	1	-0.00	5
6906	-479	-480	Min.	10.80					-0.02	7			-0.08	7		
6906	-479	-480	Min.	18.42	-5.29	5	-0.43	1	-0.04	1	-22.04	1	-1.69	1	-0.00	5
6907	-447	-448	Max	3.53	0.79	5	0.30	1	0.03	1	31.83	1	1.63	1	0.01	5
6907	-447	-448	Max	9.74					-0.01	7			0.04	7		
6907	-447	-448	Max	19.05	0.79	5	0.30	1	0.02	1	31.22	1	2.47	1	0.01	5
6907	-447	-448	Min.	3.53	-1.66	5	-0.43	1	-0.03	1	-21.09	1	-2.42	1	-0.00	5
6907	-447	-448	Min.	9.74					0.01	7			-0.18	7		
6907	-447	-448	Min.	19.05	-1.66	5	-0.43	1	-0.04	1	-21.70	1	-1.69	1	-0.00	5
6908	-415	-416	Max	3.53	0.01	5	0.29	1	0.03	1	30.63	1	1.64	1	0.01	5
6908	-415	-416	Max	9.99					-0.01	7			0.04	7		
6908	-415	-416	Max	19.67	0.01	5	0.29	1	0.02	1	29.99	1	2.47	1	0.01	5
6908	-415	-416	Min.	3.53	-0.10	5	-0.41	1	-0.03	1	-20.36	1	-2.43	1	-0.00	5
6908	-415	-416	Min.	9.99					0.01	7			-0.19	7		
6908	-415	-416	Min.	19.67	-0.10	5	-0.41	1	-0.04	1	-20.99	1	-1.70	1	-0.00	5
6909	-383	-384	Max	3.53	0.03	5	0.27	1	0.03	1	29.40	1	1.64	1	0.01	5
6909	-383	-384	Max	10.24					-0.01	7			0.05	7		
6909	-383	-384	Max	20.30	0.03	5	0.27	1	0.02	1	28.74	1	2.46	1	0.01	5

6909	-383	-384	Min.	3.53	-0.21	5	-0.39	1	-0.03	1	-19.60	1	-2.42	1	-0.00	5
6909	-383	-384	Min.	10.24					0.01	7			-0.18	7		
6909	-383	-384	Min.	20.30	-0.21	5	-0.39	1	-0.04	1	-20.26	1	-1.70	1	-0.00	5
6910	-351	-352	Max	3.53	0.01	5	0.26	1	0.03	1	28.22	1	1.64	1	0.01	5
6910	-351	-352	Max	10.49					-0.01	7			0.05	7		
6910	-351	-352	Max	20.92	0.01	5	0.26	1	0.02	1	27.54	1	2.44	1	0.01	5
6910	-351	-352	Min.	3.53	-0.18	5	-0.38	1	-0.03	1	-18.87	1	-2.41	1	-0.00	5
6910	-351	-352	Min.	10.49					0.01	7			-0.18	7		
6910	-351	-352	Min.	20.92	-0.18	5	-0.38	1	-0.04	1	-19.55	1	-1.70	1	-0.00	5
6911	-319	-320	Max	3.53	0.01	5	0.25	1	0.03	1	27.10	1	1.64	1	0.00	5
6911	-319	-320	Max	10.74					-0.01	7			0.05	7		
6911	-319	-320	Max	21.55	0.01	5	0.25	1	0.02	1	26.39	1	2.42	1	0.00	5
6911	-319	-320	Min.	3.53	-0.18	5	-0.36	1	-0.03	1	-18.15	1	-2.39	1	-0.00	5
6911	-319	-320	Min.	10.74					0.01	7			-0.18	7		
6911	-319	-320	Min.	21.55	-0.18	5	-0.36	1	-0.04	1	-18.86	1	-1.70	1	-0.00	5
6912	-287	-288	Max	3.53	0.02	5	0.24	1	0.03	1	26.03	1	1.63	1	0.00	5
6912	-287	-288	Max	10.99					-0.01	7			0.05	7		
6912	-287	-288	Max	22.17	0.02	5	0.24	1	0.02	1	25.30	1	2.41	1	0.00	5
6912	-287	-288	Min.	3.53	-0.17	5	-0.35	1	-0.03	1	-17.45	1	-2.38	1	-0.00	5
6912	-287	-288	Min.	10.99					0.01	7			-0.18	7		
6912	-287	-288	Min.	22.17	-0.17	5	-0.35	1	-0.04	1	-18.19	1	-1.69	1	-0.00	5
6913	-255	-256	Max	3.53	0.00	5	0.23	1	0.03	1	25.01	1	1.62	1	0.00	5
6913	-255	-256	Max	11.35					-0.01	7			0.05	7		
6913	-255	-256	Max	22.80	0.00	5	0.23	1	0.02	1	24.26	1	2.38	1	0.00	5
6913	-255	-256	Min.	3.53	-0.17	5	-0.33	1	-0.03	1	-16.78	1	-2.36	1	-0.00	5
6913	-255	-256	Min.	11.35					0.01	7			-0.16	7		
6913	-255	-256	Min.	22.80	-0.17	5	-0.33	1	-0.04	1	-17.54	1	-1.68	1	-0.00	5
6914	-223	-224	Max	3.53	0.01	5	0.22	1	0.03	1	24.03	1	1.61	1	0.00	5
6914	-223	-224	Max	13.31					0.01	7			0.01	7		
6914	-223	-224	Max	23.42	0.01	5	0.22	1	0.02	1	23.25	1	2.36	1	0.00	5
6914	-223	-224	Min.	3.53	-0.17	5	-0.32	1	-0.03	1	-16.12	1	-2.34	1	-0.00	5
6914	-223	-224	Min.	13.31					-0.02	7			0.00	7		
6914	-223	-224	Min.	23.42	-0.17	5	-0.32	1	-0.04	1	-16.90	1	-1.67	1	-0.00	5
6915	-191	-192	Max	3.53	0.01	5	0.21	1	0.03	1	23.05	1	1.60	1	0.00	5
6915	-191	-192	Max	13.59					-0.02	7			0.01	7		
6915	-191	-192	Max	24.05	0.01	5	0.21	1	0.02	1	22.25	1	2.33	1	0.00	5
6915	-191	-192	Min.	3.53	-0.16	5	-0.30	1	-0.03	1	-15.46	1	-2.31	1	-0.00	5
6915	-191	-192	Min.	13.59					0.01	7			0.00	7		
6915	-191	-192	Min.	24.05	-0.16	5	-0.30	1	-0.04	1	-16.26	1	-1.65	1	-0.00	5
6916	-159	-160	Max	3.53	0.00	5	0.20	1	0.03	1	21.97	1	1.57	1	0.00	5
6916	-159	-160	Max	13.81					-0.02	7			0.01	7		
6916	-159	-160	Max	24.67	0.00	5	0.20	1	0.02	1	21.14	1	2.28	1	0.00	5
6916	-159	-160	Min.	3.53	-0.18	5	-0.28	1	-0.03	1	-14.71	1	-2.27	1	-0.00	5
6916	-159	-160	Min.	13.81					0.01	7			-0.01	7		
6916	-159	-160	Min.	24.67	-0.18	5	-0.28	1	-0.04	1	-15.54	1	-1.63	1	-0.00	5
6917	-127	-128	Max	3.53	0.07	5	0.17	1	0.03	1	20.25	1	1.49	1	0.00	5
6917	-127	-128	Max	14.43					-0.01	7			0.01	7		
6917	-127	-128	Max	25.30	0.07	5	0.17	1	0.02	1	19.39	1	2.16	1	0.00	5
6917	-127	-128	Min.	3.53	-0.12	5	-0.25	1	-0.03	1	-13.51	1	-2.15	1	-0.00	5
6917	-127	-128	Min.	14.43					0.01	7			0.01	7		
6917	-127	-128	Min.	25.30	-0.12	5	-0.25	1	-0.03	1	-14.36	1	-1.54	1	-0.00	5
6918	-95	-96	Max	3.53	-0.47	5	0.12	1	0.02	1	15.69	1	1.18	1	0.00	5
6918	-95	-96	Max	14.45					-0.01	7			0.01	7		
6918	-95	-96	Max	25.92	-0.47	5	0.12	1	0.01	1	14.81	1	1.70	1	0.00	5
6918	-95	-96	Min.	3.53	-0.72	5	-0.18	1	-0.02	1	-10.31	1	-1.71	1	-0.00	5
6918	-95	-96	Min.	14.45					0.00	7			-0.00	7		
6918	-95	-96	Min.	25.92	-0.72	5	-0.18	1	-0.03	1	-11.19	1	-1.23	1	-0.00	5
6919	-63	-64	Max	3.53	5.41	1	0.05	1	0.01	5	17.95	1	1.49	1	0.01	1
6919	-63	-64	Max	21.94					-0.00	3			1.30	3		

6919	-63	-64	Max	26.55	5.41	1	0.05	1	0.01	5	16.15	1	2.07	1	0.01	1
6919	-63	-64	Min.	3.53	4.39	1	-0.03	1	-0.01	5	-11.34	1	-1.86	1	-0.01	1
6919	-63	-64	Min.	21.94					-0.00	3			-0.71	3		
6919	-63	-64	Min.	26.55	4.39	1	-0.03	1	-0.01	5	-13.14	1	-1.32	1	-0.01	1
6920	-31	-32	Max	3.53	22.02	1	0.33	1	0.02	1	10.96	1	0.93	1	0.00	5
6920	-31	-32	Max	26.86	22.02	1	0.33	1	0.04	1	9.13	1	1.23	1	0.00	5
6920	-31	-32	Min.	3.53	19.60	1	-0.15	1	-0.04	1	-6.69	1	-1.11	1	0.00	5
6920	-31	-32	Min.	26.86	19.60	1	-0.15	1	-0.02	1	-8.52	1	-0.84	1	0.00	5
6921	382	383	Max	1.77	-2.35	5	1.81	1	-0.11	1	0.64	1	0.14	1	0.14	1
6921	382	383	Max	13.92					-0.16	7			0.01	7		
6921	382	383	Max	15.00	-2.35	5	0.87	1	-0.15	5	0.64	1	0.01	5	0.14	1
6921	382	383	Min.	1.77	-7.91	5	-0.11	1	-0.33	1	-1.00	1	-0.08	1	-0.07	1
6921	382	383	Min.	13.92					-0.19	7			0.01	7		
6921	382	383	Min.	15.00	-7.91	5	-1.05	1	-0.19	5	-1.00	1	0.01	5	-0.07	1
6921	383	384	Max	0.00	-2.35	5	0.87	1	-0.15	5	0.64	1	0.01	5	0.14	1
6921	383	384	Max	12.24					-0.10	1			0.09	1		
6921	383	384	Max	13.23	-2.35	5	-0.07	1	-0.10	1	0.64	1	0.09	1	0.14	1
6921	383	384	Min.	0.00	-7.91	5	-1.05	1	-0.19	5	-1.00	1	0.01	5	-0.07	1
6921	383	384	Min.	12.24					-0.37	1			-0.11	1		
6921	383	384	Min.	13.23	-7.91	5	-1.99	1	-0.39	1	-1.00	1	-0.12	1	-0.07	1
6922	-543	-544	Max	0.00	0.24	1	7.19	1	0.88	1	-0.09	1	0.08	1	0.20	1
6922	-543	-544	Max	12.00	0.24	1	7.19	1	0.43	1	1.51	1	0.04	1	0.20	1
6922	-543	-544	Min.	0.00	-0.14	1	-14.87	1	-0.43	1	-1.72	1	-0.05	1	-0.13	1
6922	-543	-544	Min.	12.00	-0.14	1	-14.87	1	-0.90	1	-0.12	1	-0.03	1	-0.13	1
6923	-527	-528	Max	0.00	0.26	1	6.91	1	0.90	1	0.21	1	0.02	1	0.28	1
6923	-527	-528	Max	12.00	0.26	1	6.91	1	0.41	1	1.81	1	0.06	5	0.28	1
6923	-527	-528	Min.	0.00	-0.28	1	-14.92	1	-0.42	1	-1.01	1	-0.06	1	-0.20	1
6923	-527	-528	Min.	12.00	-0.28	1	-14.92	1	-0.89	1	0.59	1	-0.01	5	-0.20	1
7001	3002	-815	Max	0.00	8.32	5	1.61	5	1.01	5	-16.58	1	1.40	1	-0.02	1
7001	3002	-815	Max	154.00	8.32	5	1.61	5	1.38	5	6.28	1	-8.86	1	-0.02	1
7001	3002	-815	Min.	0.00	-3.13	5	-1.57	5	-1.11	5	-18.13	1	-2.40	1	-0.04	1
7001	3002	-815	Min.	154.00	-3.13	5	-1.57	5	-1.41	5	4.73	1	-10.38	1	-0.04	1
7001	-815	3003	Max	0.00	7.53	5	1.92	5	1.38	5	6.28	1	-8.86	1	-0.02	1
7001	-815	3003	Max	154.00	7.53	5	1.92	5	1.56	5	29.13	1	16.94	1	-0.02	1
7001	-815	3003	Min.	0.00	-2.34	5	-1.88	5	-1.41	5	4.73	1	-10.38	1	-0.04	1
7001	-815	3003	Min.	154.00	-2.34	5	-1.88	5	-1.53	5	27.59	1	15.97	1	-0.04	1
7001	3004	-804	Max	0.00	9.81	5	1.88	5	1.48	5	-23.56	1	17.71	1	0.01	1
7001	3004	-804	Max	164.00	9.81	5	1.88	5	1.50	5	0.78	1	-3.65	5	0.01	1
7001	3004	-804	Min.	0.00	-2.41	5	-1.84	5	-1.59	5	-25.28	1	14.76	1	-0.01	1
7001	3004	-804	Min.	164.00	-2.41	5	-1.84	5	-1.53	5	-0.94	1	-4.08	5	-0.01	1
7001	-804	3005	Max	0.00	10.13	5	1.88	5	1.50	5	0.78	1	-3.65	5	0.01	1
7001	-804	3005	Max	164.00	10.13	5	1.88	5	1.55	5	25.12	1	17.43	1	0.01	1
7001	-804	3005	Min.	0.00	-2.74	5	-1.83	5	-1.53	5	-0.94	1	-4.08	5	-0.01	1
7001	-804	3005	Min.	164.00	-2.74	5	-1.83	5	-1.50	5	23.40	1	14.49	1	-0.01	1
7001	3006	-795	Max	0.00	8.44	5	1.93	5	1.48	5	-27.77	1	17.27	1	0.04	1
7001	3006	-795	Max	154.00	8.44	5	1.93	5	1.36	5	-4.91	1	-8.82	1	0.04	1
7001	3006	-795	Min.	0.00	-2.52	5	-1.87	5	-1.61	5	-29.31	1	16.28	1	0.02	1
7001	3006	-795	Min.	154.00	-2.52	5	-1.87	5	-1.40	5	-6.46	1	-10.33	1	0.02	1
7001	-795	3007	Max	0.00	9.43	5	1.64	5	1.36	5	-4.91	1	-8.82	1	0.04	1
7001	-795	3007	Max	154.00	9.43	5	1.64	5	1.12	5	17.95	1	1.16	1	0.04	1
7001	-795	3007	Min.	0.00	-3.51	5	-1.58	5	-1.40	5	-6.46	1	-10.33	1	0.02	1
7001	-795	3007	Min.	154.00	-3.51	5	-1.58	5	-1.07	5	16.40	1	-2.61	1	0.02	1
7002	4027	-816	Max	0.00	70.06	5	1.96	5	1.30	5	-6.37	1	27.36	1	-0.04	1
7002	4027	-816	Max	154.00	70.06	5	1.96	5	1.61	5	18.80	1	-7.61	1	-0.04	1
7002	4027	-816	Min.	0.00	-2.04	5	-1.89	5	-1.41	5	-35.29	1	-18.61	1	-0.04	1
7002	4027	-816	Min.	154.00	-2.04	5	-1.89	5	-1.61	5	-10.12	1	-9.04	1	-0.04	1
7002	-816	4028	Max	0.00	68.92	5	2.32	5	1.61	5	18.80	1	-7.61	1	-0.04	1
7002	-816	4028	Max	154.00	68.92	5	2.32	5	1.98	5	43.96	1	39.29	1	-0.04	1
7002	-816	4028	Min.	0.00	-0.90	5	-2.25	5	-1.61	5	-10.12	1	-9.04	1	-0.04	1

7002	-816	4028	Min.	154.00	-0.90	5	-2.25	5	-1.87	5	15.04	1	-3.83	1	-0.04	1
7002	4030	-805	Max	0.00	70.61	5	2.24	5	1.94	5	-13.94	1	34.62	1	0.00	1
7002	4030	-805	Max	164.00	70.61	5	2.24	5	1.77	5	12.86	1	-8.29	5	0.00	1
7002	4030	-805	Min.	0.00	29.50	5	-2.26	5	-1.90	5	-39.58	1	-7.45	1	0.00	1
7002	4030	-805	Min.	164.00	29.50	5	-2.26	5	-1.76	5	-12.78	1	-8.35	5	0.00	1
7002	-805	4031	Max	0.00	70.37	5	2.23	5	1.77	5	12.86	1	-8.29	5	0.00	1
7002	-805	4031	Max	164.00	70.37	5	2.23	5	1.89	5	39.66	1	34.76	1	0.00	1
7002	-805	4031	Min.	0.00	29.74	5	-2.24	5	-1.76	5	-12.78	1	-8.35	5	0.00	1
7002	-805	4031	Min.	164.00	29.74	5	-2.24	5	-1.91	5	14.03	1	-7.30	1	0.00	1
7002	4033	-794	Max	0.00	68.69	5	2.26	5	2.00	5	-14.97	1	39.17	1	0.04	1
7002	4033	-794	Max	154.00	68.69	5	2.26	5	1.61	5	10.20	1	-7.62	1	0.04	1
7002	4033	-794	Min.	0.00	-1.29	5	-2.33	5	-1.87	5	-43.89	1	-3.95	1	0.04	1
7002	4033	-794	Min.	154.00	-1.29	5	-2.33	5	-1.59	5	-18.73	1	-9.05	1	0.04	1
7002	-794	4034	Max	0.00	69.83	5	1.90	5	1.61	5	10.20	1	-7.62	1	0.04	1
7002	-794	4034	Max	154.00	69.83	5	1.90	5	1.33	5	35.36	1	27.46	1	0.04	1
7002	-794	4034	Min.	0.00	-2.43	5	-1.97	5	-1.59	5	-18.73	1	-9.05	1	0.04	1
7002	-794	4034	Min.	154.00	-2.43	5	-1.97	5	-1.42	5	6.44	1	-18.51	1	0.04	1
7003	-594	-817	Max	0.00	6.31	1	0.42	5	0.63	5	-22.83	5	-0.69	1	-0.08	1
7003	-594	-817	Max	154.00	6.31	1	0.42	5	0.07	5	2.34	5	-17.20	1	-0.08	1
7003	-594	-817	Min.	0.00	-6.38	1	-0.47	5	-0.58	5	-23.49	5	-2.14	1	-0.09	1
7003	-594	-817	Min.	154.00	-6.38	1	-0.47	5	-0.11	5	1.68	5	-18.21	1	-0.09	1
7003	-817	-595	Max	0.00	47.92	5	0.33	1	-0.00	1	10.88	1	-17.20	1	-0.09	1
7003	-817	-595	Max	154.00	47.92	5	0.33	1	0.40	1	36.04	1	18.30	1	-0.09	1
7003	-817	-595	Min.	0.00	16.01	5	-0.09	1	-0.11	1	10.47	1	-18.21	1	-0.09	1
7003	-817	-595	Min.	154.00	16.01	5	-0.09	1	-0.14	1	35.63	1	17.92	1	-0.09	1
7003	-596	-806	Max	0.00	47.93	5	0.06	1	0.28	1	-30.82	1	18.71	1	0.01	1
7003	-596	-806	Max	164.00	47.93	5	0.06	1	-0.01	5	-4.02	1	-11.15	5	0.01	1
7003	-596	-806	Min.	0.00	16.10	5	-0.27	1	-0.16	1	-31.89	1	17.17	1	0.00	1
7003	-596	-806	Min.	164.00	16.10	5	-0.27	1	-0.20	5	-5.09	1	-11.86	5	0.00	1
7003	-806	-597	Max	0.00	48.04	5	0.25	1	-0.01	5	5.09	1	-11.15	5	0.00	1
7003	-806	-597	Max	164.00	48.04	5	0.25	1	0.25	1	31.89	1	18.71	1	0.00	1
7003	-806	-597	Min.	0.00	15.90	5	-0.07	1	-0.20	5	4.02	1	-11.86	5	-0.01	1
7003	-806	-597	Min.	164.00	15.90	5	-0.07	1	-0.17	1	30.82	1	17.16	1	-0.01	1
7003	-598	-793	Max	0.00	47.85	5	0.06	1	0.42	1	-35.64	1	18.31	1	0.09	1
7003	-598	-793	Max	154.00	47.85	5	0.06	1	-0.02	1	-10.48	1	-17.20	1	0.09	1
7003	-598	-793	Min.	0.00	16.01	5	-0.35	1	-0.12	1	-36.05	1	17.93	1	0.09	1
7003	-598	-793	Min.	154.00	16.01	5	-0.35	1	-0.11	1	-10.89	1	-18.21	1	0.09	1
7003	-793	-599	Max	0.00	6.30	1	0.48	5	0.05	5	-1.68	5	-17.19	1	0.09	1
7003	-793	-599	Max	154.00	6.30	1	0.48	5	0.64	5	23.49	5	-0.70	1	0.09	1
7003	-793	-599	Min.	0.00	-6.36	1	-0.39	5	-0.11	5	-2.35	5	-18.21	1	0.08	1
7003	-793	-599	Min.	154.00	-6.36	1	-0.39	5	-0.56	5	22.82	5	-2.15	1	0.08	1
7004	-658	-818	Max	0.00	102.15	5	2.04	5	1.01	5	-20.29	1	-2.03	1	-0.06	5
7004	-658	-818	Max	154.00	102.15	5	2.04	5	1.86	5	4.88	1	-14.90	1	-0.06	5
7004	-658	-818	Min.	0.00	20.54	5	-1.86	5	-1.28	5	-21.15	1	-3.09	1	-0.06	5
7004	-658	-818	Min.	154.00	20.54	5	-1.86	5	-1.85	5	4.02	1	-15.26	1	-0.06	5
7004	-818	-659	Max	0.00	102.81	5	2.55	5	1.86	5	4.88	1	-14.90	1	-0.06	5
7004	-818	-659	Max	154.00	102.81	5	2.55	5	2.08	5	30.05	1	11.99	1	-0.06	5
7004	-818	-659	Min.	0.00	19.88	5	-2.37	5	-1.85	5	4.02	1	-15.26	1	-0.06	5
7004	-818	-659	Min.	154.00	19.88	5	-2.37	5	-1.80	5	29.19	1	10.31	1	-0.06	5
7004	-660	-807	Max	0.00	98.37	5	2.36	5	1.86	5	-26.66	1	11.67	1	0.00	1
7004	-660	-807	Max	164.00	98.37	5	2.36	5	1.97	5	0.14	1	-10.46	5	0.00	1
7004	-660	-807	Min.	0.00	38.51	5	-2.37	5	-1.90	5	-26.95	1	11.13	1	0.00	1
7004	-660	-807	Min.	164.00	38.51	5	-2.37	5	-2.02	5	-0.14	1	-10.69	5	0.00	1
7004	-807	-661	Max	0.00	98.34	5	2.35	5	1.97	5	0.14	1	-10.46	5	0.00	1
7004	-807	-661	Max	164.00	98.34	5	2.35	5	1.84	5	26.94	1	11.67	1	0.00	1
7004	-807	-661	Min.	0.00	38.54	5	-2.36	5	-2.02	5	-0.14	1	-10.69	5	0.00	1
7004	-807	-661	Min.	164.00	38.54	5	-2.36	5	-1.90	5	26.66	1	11.13	1	0.00	1
7004	-662	-796	Max	0.00	102.78	5	2.37	5	2.09	5	-29.19	1	12.00	1	0.06	5
7004	-662	-796	Max	154.00	102.78	5	2.37	5	1.86	5	-4.02	1	-14.90	1	0.06	5

7004	-662	-796	Min.	0.00	20.06	5	-2.55	5	-1.80	5	-30.05	1	10.31	1	0.06	5
7004	-662	-796	Min.	154.00	20.06	5	-2.55	5	-1.84	5	-4.88	1	-15.26	1	0.06	5
7004	-796	-663	Max	0.00	102.17	5	1.86	5	1.86	5	-4.02	1	-14.90	1	0.06	5
7004	-796	-663	Max	154.00	102.17	5	1.86	5	1.03	5	21.14	1	-2.03	1	0.06	5
7004	-796	-663	Min.	0.00	20.67	5	-2.04	5	-1.84	5	-4.88	1	-15.26	1	0.06	5
7004	-796	-663	Min.	154.00	20.67	5	-2.04	5	-1.29	5	20.28	1	-3.09	1	0.06	5
7005	-722	-819	Max	0.00	7.34	1	1.00	5	0.61	5	-23.93	1	-1.34	1	-0.02	5
7005	-722	-819	Max	154.00	7.34	1	1.00	5	0.47	5	1.24	1	-19.84	5	-0.02	5
7005	-722	-819	Min.	0.00	-7.37	1	-0.40	5	-1.08	5	-24.91	1	-2.51	1	-0.02	5
7005	-722	-819	Min.	154.00	-7.37	1	-0.40	5	-0.01	5	0.25	1	-20.46	5	-0.02	5
7005	-819	-723	Max	0.00	61.83	5	-0.11	1	0.33	5	9.87	1	-19.85	5	-0.02	5
7005	-819	-723	Max	154.00	61.83	5	-0.11	1	0.00	1	35.03	1	14.42	1	-0.02	5
7005	-819	-723	Min.	0.00	43.43	5	-0.34	1	0.10	5	8.84	1	-20.46	5	-0.02	5
7005	-819	-723	Min.	154.00	43.43	5	-0.34	1	-0.27	1	34.00	1	12.83	1	-0.02	5
7005	-724	-808	Max	0.00	62.56	5	0.26	1	-0.02	1	-31.07	5	14.02	1	0.00	1
7005	-724	-808	Max	164.00	62.56	5	0.26	1	0.16	1	-4.27	5	-15.37	5	0.00	1
7005	-724	-808	Min.	0.00	42.65	5	0.09	1	-0.27	1	-31.58	5	13.58	1	0.00	1
7005	-724	-808	Min.	164.00	42.65	5	0.09	1	0.13	1	-4.78	5	-15.83	5	0.00	1
7005	-808	-725	Max	0.00	62.58	5	-0.10	1	0.16	1	4.78	5	-15.37	5	-0.00	1
7005	-808	-725	Max	164.00	62.58	5	-0.10	1	-0.03	1	31.59	5	14.02	1	-0.00	1
7005	-808	-725	Min.	0.00	42.60	5	-0.27	1	0.13	1	4.27	5	-15.84	5	-0.00	1
7005	-808	-725	Min.	164.00	42.60	5	-0.27	1	-0.28	1	31.07	5	13.58	1	-0.00	1
7005	-726	-797	Max	0.00	61.82	5	0.32	1	0.01	1	-34.01	1	14.42	1	0.03	5
7005	-726	-797	Max	154.00	61.82	5	0.32	1	0.31	5	-8.84	1	-19.84	5	0.03	5
7005	-726	-797	Min.	0.00	43.42	5	0.11	1	-0.25	1	-35.03	1	12.84	1	0.02	5
7005	-726	-797	Min.	154.00	43.42	5	0.11	1	0.11	5	-9.87	1	-20.46	5	0.02	5
7005	-797	-727	Max	0.00	7.33	1	0.41	5	0.45	5	-0.25	1	-19.84	5	0.02	5
7005	-797	-727	Max	154.00	7.33	1	0.41	5	0.61	5	24.91	1	-1.33	1	0.02	5
7005	-797	-727	Min.	0.00	-7.36	1	-0.99	5	-0.01	5	-1.24	1	-20.46	5	0.02	5
7005	-797	-727	Min.	154.00	-7.36	1	-0.99	5	-1.07	5	23.93	1	-2.51	1	0.02	5
7006	-786	-820	Max	0.00	29.59	1	1.87	5	1.04	5	-20.61	1	-1.76	1	0.00	5
7006	-786	-820	Max	154.00	29.59	1	1.87	5	1.84	5	4.56	1	-15.71	1	0.00	5
7006	-786	-820	Min.	0.00	29.36	1	-1.87	5	-1.05	5	-21.73	1	-3.36	1	-0.00	5
7006	-786	-820	Min.	154.00	29.36	1	-1.87	5	-1.85	5	3.43	1	-15.86	1	-0.00	5
7006	-820	-787	Max	0.00	33.61	1	2.43	5	1.84	5	4.56	1	-15.71	1	0.00	5
7006	-820	-787	Max	154.00	33.61	1	2.43	5	1.90	5	29.72	1	10.68	1	0.00	5
7006	-820	-787	Min.	0.00	25.34	1	-2.43	5	-1.85	5	3.43	1	-15.86	1	-0.00	5
7006	-820	-787	Min.	154.00	25.34	1	-2.43	5	-1.90	5	28.60	1	8.80	1	-0.00	5
7006	-788	-809	Max	0.00	-24.89	1	2.30	5	1.80	5	-26.77	1	9.74	1	0.00	1
7006	-788	-809	Max	164.00	-24.89	1	2.30	5	1.99	5	0.03	1	-12.28	1	0.00	1
7006	-788	-809	Min.	0.00	-29.42	1	-2.31	5	-1.79	5	-26.83	1	9.65	1	0.00	1
7006	-788	-809	Min.	164.00	-29.42	1	-2.31	5	-1.99	5	-0.03	1	-12.28	1	0.00	1
7006	-809	-789	Max	0.00	-24.91	1	2.30	5	1.99	5	0.03	1	-12.28	1	0.00	1
7006	-809	-789	Max	164.00	-24.91	1	2.30	5	1.78	5	26.83	1	9.74	1	0.00	1
7006	-809	-789	Min.	0.00	-29.40	1	-2.30	5	-1.99	5	-0.03	1	-12.28	1	0.00	1
7006	-809	-789	Min.	164.00	-29.40	1	-2.30	5	-1.79	5	26.77	1	9.65	1	0.00	1
7006	-790	-798	Max	0.00	33.59	1	2.43	5	1.90	5	-28.60	1	10.69	1	0.00	5
7006	-790	-798	Max	154.00	33.59	1	2.43	5	1.84	5	-3.43	1	-15.72	1	0.00	5
7006	-790	-798	Min.	0.00	25.44	1	-2.43	5	-1.90	5	-29.73	1	8.81	1	-0.00	5
7006	-790	-798	Min.	154.00	25.44	1	-2.43	5	-1.84	5	-4.56	1	-15.85	1	-0.00	5
7006	-798	-791	Max	0.00	29.67	1	1.87	5	1.84	5	-3.43	1	-15.72	1	0.00	5
7006	-798	-791	Max	154.00	29.67	1	1.87	5	1.05	5	21.74	1	-1.75	1	0.00	5
7006	-798	-791	Min.	0.00	29.36	1	-1.88	5	-1.84	5	-4.56	1	-15.85	1	-0.00	5
7006	-798	-791	Min.	154.00	29.36	1	-1.88	5	-1.05	5	20.60	1	-3.36	1	-0.00	5
7007	-730	-821	Max	0.00	7.33	1	0.42	5	1.07	5	-23.93	1	-1.33	1	0.02	5
7007	-730	-821	Max	154.00	7.33	1	0.42	5	0.02	5	1.24	1	-19.84	5	0.02	5
7007	-730	-821	Min.	0.00	-7.36	1	-0.99	5	-0.63	5	-24.92	1	-2.51	1	0.02	5
7007	-730	-821	Min.	154.00	-7.36	1	-0.99	5	-0.46	5	0.25	1	-20.46	5	0.02	5
7007	-821	-731	Max	0.00	61.86	5	0.31	1	-0.10	5	9.86	1	-19.84	5	0.02	5

7007	-821	-731	Max	154.00	61.86	5	0.31	1	0.25	1	35.03	1	14.42	1	0.02	5
7007	-821	-731	Min.	0.00	43.40	5	0.12	1	-0.31	5	8.84	1	-20.46	5	0.02	5
7007	-821	-731	Min.	154.00	43.40	5	0.12	1	0.00	1	34.01	1	12.84	1	0.02	5
7007	-732	-810	Max	0.00	62.60	5	-0.10	1	0.27	1	-31.07	5	14.02	1	-0.00	1
7007	-732	-810	Max	164.00	62.60	5	-0.10	1	-0.13	1	-4.27	5	-15.37	5	-0.00	1
7007	-732	-810	Min.	0.00	42.61	5	-0.26	1	0.03	1	-31.58	5	13.58	1	-0.00	1
7007	-732	-810	Min.	164.00	42.61	5	-0.26	1	-0.16	1	-4.78	5	-15.83	5	-0.00	1
7007	-810	-733	Max	0.00	62.60	5	0.26	1	-0.13	1	4.79	5	-15.37	5	0.00	1
7007	-810	-733	Max	164.00	62.60	5	0.26	1	0.26	1	31.59	5	14.02	1	0.00	1
7007	-810	-733	Min.	0.00	42.60	5	0.09	1	-0.16	1	4.27	5	-15.84	5	0.00	1
7007	-810	-733	Min.	164.00	42.60	5	0.09	1	0.03	1	31.07	5	13.58	1	0.00	1
7007	-734	-799	Max	0.00	61.84	5	-0.13	1	0.26	1	-34.01	1	14.42	1	-0.02	5
7007	-734	-799	Max	154.00	61.84	5	-0.13	1	-0.11	5	-8.84	1	-19.84	5	-0.02	5
7007	-734	-799	Min.	0.00	43.41	5	-0.32	1	0.00	1	-35.03	1	12.84	1	-0.03	5
7007	-734	-799	Min.	154.00	43.41	5	-0.32	1	-0.32	5	-9.86	1	-20.46	5	-0.03	5
7007	-799	-735	Max	0.00	7.33	1	0.99	5	0.01	5	-0.25	1	-19.84	5	-0.02	5
7007	-799	-735	Max	154.00	7.33	1	0.99	5	1.06	5	24.91	1	-1.33	1	-0.02	5
7007	-799	-735	Min.	0.00	-7.36	1	-0.40	5	-0.46	5	-1.24	1	-20.46	5	-0.02	5
7007	-799	-735	Min.	154.00	-7.36	1	-0.40	5	-0.61	5	23.93	1	-2.51	1	-0.02	5
7008	-666	-822	Max	0.00	102.15	5	1.87	5	1.28	5	-20.28	1	-2.03	1	0.06	5
7008	-666	-822	Max	154.00	102.15	5	1.87	5	1.84	5	4.88	1	-14.90	1	0.06	5
7008	-666	-822	Min.	0.00	20.67	5	-2.04	5	-1.03	5	-21.14	1	-3.09	1	0.06	5
7008	-666	-822	Min.	154.00	20.67	5	-2.04	5	-1.86	5	4.02	1	-15.26	1	0.06	5
7008	-822	-667	Max	0.00	102.76	5	2.37	5	1.84	5	4.88	1	-14.90	1	0.06	5
7008	-822	-667	Max	154.00	102.76	5	2.37	5	1.80	5	30.05	1	12.00	1	0.06	5
7008	-822	-667	Min.	0.00	20.06	5	-2.55	5	-1.86	5	4.02	1	-15.26	1	0.06	5
7008	-822	-667	Min.	154.00	20.06	5	-2.55	5	-2.09	5	29.19	1	10.31	1	0.06	5
7008	-668	-811	Max	0.00	98.40	5	2.36	5	1.90	5	-26.66	1	11.67	1	0.00	1
7008	-668	-811	Max	164.00	98.40	5	2.36	5	2.02	5	0.14	1	-10.46	5	0.00	1
7008	-668	-811	Min.	0.00	38.50	5	-2.36	5	-1.85	5	-26.94	1	11.13	1	0.00	1
7008	-668	-811	Min.	164.00	38.50	5	-2.36	5	-1.97	5	-0.14	1	-10.69	5	0.00	1
7008	-811	-669	Max	0.00	98.39	5	2.36	5	2.02	5	0.14	1	-10.46	5	0.00	1
7008	-811	-669	Max	164.00	98.39	5	2.36	5	1.89	5	26.94	1	11.67	1	0.00	1
7008	-811	-669	Min.	0.00	38.51	5	-2.36	5	-1.97	5	-0.14	1	-10.69	5	0.00	1
7008	-811	-669	Min.	164.00	38.51	5	-2.36	5	-1.85	5	26.66	1	11.13	1	0.00	1
7008	-670	-800	Max	0.00	102.79	5	2.55	5	1.80	5	-29.19	1	12.00	1	-0.06	5
7008	-670	-800	Max	154.00	102.79	5	2.55	5	1.84	5	-4.02	1	-14.90	1	-0.06	5
7008	-670	-800	Min.	0.00	20.06	5	-2.37	5	-2.09	5	-30.05	1	10.31	1	-0.06	5
7008	-670	-800	Min.	154.00	20.06	5	-2.37	5	-1.86	5	-4.88	1	-15.26	1	-0.06	5
7008	-800	-671	Max	0.00	102.20	5	2.04	5	1.84	5	-4.02	1	-14.90	1	-0.06	5
7008	-800	-671	Max	154.00	102.20	5	2.04	5	1.28	5	21.14	1	-2.03	1	-0.06	5
7008	-800	-671	Min.	0.00	20.65	5	-1.87	5	-1.86	5	-4.88	1	-15.26	1	-0.06	5
7008	-800	-671	Min.	154.00	20.65	5	-1.87	5	-1.03	5	20.28	1	-3.09	1	-0.06	5
7009	-602	-823	Max	0.00	6.29	1	0.49	5	0.56	5	-22.83	5	-0.70	1	0.09	1
7009	-602	-823	Max	154.00	6.29	1	0.49	5	0.11	5	2.34	5	-17.20	1	0.09	1
7009	-602	-823	Min.	0.00	-6.36	1	-0.40	5	-0.64	5	-23.49	5	-2.15	1	0.08	1
7009	-602	-823	Min.	154.00	-6.36	1	-0.40	5	-0.05	5	1.68	5	-18.21	1	0.08	1
7009	-823	-603	Max	0.00	47.95	5	0.06	1	0.11	1	10.88	1	-17.20	1	0.09	1
7009	-823	-603	Max	154.00	47.95	5	0.06	1	0.11	1	36.05	1	18.30	1	0.09	1
7009	-823	-603	Min.	0.00	15.91	5	-0.33	1	0.02	1	10.47	1	-18.22	1	0.09	1
7009	-823	-603	Min.	154.00	15.91	5	-0.33	1	-0.40	1	35.64	1	17.92	1	0.09	1
7009	-604	-812	Max	0.00	48.06	5	0.25	1	0.15	1	-30.82	1	18.71	1	0.00	1
7009	-604	-812	Max	164.00	48.06	5	0.25	1	0.20	5	-4.02	1	-11.15	5	0.00	1
7009	-604	-812	Min.	0.00	15.89	5	-0.06	1	-0.25	1	-31.89	1	17.17	1	-0.01	1
7009	-604	-812	Min.	164.00	15.89	5	-0.06	1	0.01	5	-5.09	1	-11.86	5	-0.01	1
7009	-812	-605	Max	0.00	48.05	5	0.06	1	0.20	5	5.09	1	-11.15	5	0.01	1
7009	-812	-605	Max	164.00	48.05	5	0.06	1	0.15	1	31.89	1	18.71	1	0.01	1
7009	-812	-605	Min.	0.00	15.89	5	-0.25	1	0.02	5	4.02	1	-11.86	5	0.00	1
7009	-812	-605	Min.	164.00	15.89	5	-0.25	1	-0.26	1	30.82	1	17.17	1	0.00	1

7009	-606	-801	Max	0.00	47.93	5	0.33	1	0.12	1	-35.64	1	18.30	1	-0.09	1
7009	-606	-801	Max	154.00	47.93	5	0.33	1	0.11	1	-10.47	1	-17.20	1	-0.09	1
7009	-606	-801	Min.	0.00	15.91	5	-0.07	1	-0.40	1	-36.05	1	17.92	1	-0.09	1
7009	-606	-801	Min.	154.00	15.91	5	-0.07	1	0.02	1	-10.88	1	-18.21	1	-0.09	1
7009	-801	-607	Max	0.00	6.29	1	0.39	5	0.10	5	-1.68	5	-17.20	1	-0.08	1
7009	-801	-607	Max	154.00	6.29	1	0.39	5	0.55	5	23.49	5	-0.70	1	-0.08	1
7009	-801	-607	Min.	0.00	-6.36	1	-0.47	5	-0.05	5	-2.34	5	-18.21	1	-0.09	1
7009	-801	-607	Min.	154.00	-6.36	1	-0.47	5	-0.63	5	22.82	5	-2.15	1	-0.09	1
7010	4287	-824	Max	0.00	70.02	5	1.90	5	1.42	5	-6.41	1	27.38	1	0.04	1
7010	4287	-824	Max	154.00	70.02	5	1.90	5	1.59	5	18.76	1	-7.62	1	0.04	1
7010	4287	-824	Min.	0.00	-2.46	5	-1.96	5	-1.34	5	-35.30	1	-18.55	1	0.04	1
7010	4287	-824	Min.	154.00	-2.46	5	-1.96	5	-1.61	5	-10.14	1	-9.04	1	0.04	1
7010	-824	4288	Max	0.00	68.88	5	2.26	5	1.59	5	18.76	1	-7.62	1	0.04	1
7010	-824	4288	Max	154.00	68.88	5	2.26	5	1.87	5	43.92	1	39.22	1	0.04	1
7010	-824	4288	Min.	0.00	-1.33	5	-2.32	5	-1.61	5	-10.14	1	-9.04	1	0.04	1
7010	-824	4288	Min.	154.00	-1.33	5	-2.32	5	-1.98	5	15.03	1	-3.85	1	0.04	1
7010	4290	-813	Max	0.00	70.54	5	2.24	5	1.90	5	-13.99	1	34.66	1	0.00	1
7010	4290	-813	Max	164.00	70.54	5	2.24	5	1.77	5	12.81	1	-8.29	5	0.00	1
7010	4290	-813	Min.	0.00	29.36	5	-2.24	5	-1.91	5	-39.60	1	-7.37	1	0.00	1
7010	4290	-813	Min.	164.00	29.36	5	-2.24	5	-1.77	5	-12.80	1	-8.35	5	0.00	1
7010	-813	4291	Max	0.00	70.57	5	2.24	5	1.77	5	12.81	1	-8.29	5	0.00	1
7010	-813	4291	Max	164.00	70.57	5	2.24	5	1.90	5	39.61	1	34.67	1	0.00	1
7010	-813	4291	Min.	0.00	29.33	5	-2.24	5	-1.77	5	-12.80	1	-8.35	5	0.00	1
7010	-813	4291	Min.	164.00	29.33	5	-2.24	5	-1.91	5	14.00	1	-7.35	1	0.00	1
7010	4293	-802	Max	0.00	68.88	5	2.32	5	1.87	5	-15.01	1	39.21	1	-0.04	1
7010	4293	-802	Max	154.00	68.88	5	2.32	5	1.59	5	10.15	1	-7.62	1	-0.04	1
7010	4293	-802	Min.	0.00	-1.36	5	-2.25	5	-1.98	5	-43.91	1	-3.87	1	-0.04	1
7010	4293	-802	Min.	154.00	-1.36	5	-2.25	5	-1.61	5	-18.75	1	-9.04	1	-0.04	1
7010	-802	4294	Max	0.00	70.01	5	1.96	5	1.59	5	10.15	1	-7.62	1	-0.04	1
7010	-802	4294	Max	154.00	70.01	5	1.96	5	1.42	5	35.32	1	27.40	1	-0.04	1
7010	-802	4294	Min.	0.00	-2.50	5	-1.90	5	-1.61	5	-18.75	1	-9.04	1	-0.04	1
7010	-802	4294	Min.	154.00	-2.50	5	-1.90	5	-1.34	5	6.42	1	-18.53	1	-0.04	1
7011	3314	-825	Max	0.00	9.41	5	1.61	5	1.08	5	-16.55	1	1.13	1	0.04	1
7011	3314	-825	Max	154.00	9.41	5	1.61	5	1.40	5	6.30	1	-8.89	1	0.04	1
7011	3314	-825	Min.	0.00	-3.61	5	-1.59	5	-1.08	5	-17.97	1	-2.42	1	0.02	1
7011	3314	-825	Min.	154.00	-3.61	5	-1.59	5	-1.37	5	4.88	1	-10.37	1	0.02	1
7011	-825	3315	Max	0.00	8.43	5	1.91	5	1.40	5	6.30	1	-8.89	1	0.04	1
7011	-825	3315	Max	154.00	8.43	5	1.91	5	1.56	5	29.16	1	17.00	1	0.04	1
7011	-825	3315	Min.	0.00	-2.63	5	-1.89	5	-1.37	5	4.88	1	-10.37	1	0.02	1
7011	-825	3315	Min.	154.00	-2.63	5	-1.89	5	-1.51	5	27.74	1	16.17	1	0.02	1
7011	3316	-814	Max	0.00	10.44	5	1.85	5	1.54	5	-23.51	1	17.53	1	0.01	1
7011	3316	-814	Max	164.00	10.44	5	1.85	5	1.53	5	0.83	1	-3.64	5	0.01	1
7011	3316	-814	Min.	0.00	-2.76	5	-1.85	5	-1.50	5	-25.17	1	14.69	1	-0.01	1
7011	3316	-814	Min.	164.00	-2.76	5	-1.85	5	-1.50	5	-0.83	1	-4.06	5	-0.01	1
7011	-814	3317	Max	0.00	10.47	5	1.85	5	1.53	5	0.83	1	-3.64	5	0.01	1
7011	-814	3317	Max	164.00	10.47	5	1.85	5	1.53	5	25.17	1	17.53	1	0.01	1
7011	-814	3317	Min.	0.00	-2.79	5	-1.85	5	-1.50	5	-0.83	1	-4.06	5	-0.01	1
7011	-814	3317	Min.	164.00	-2.79	5	-1.85	5	-1.50	5	23.51	1	14.69	1	-0.01	1
7011	3318	-803	Max	0.00	8.45	5	1.89	5	1.56	5	-27.74	1	16.99	1	-0.02	1
7011	3318	-803	Max	154.00	8.45	5	1.89	5	1.40	5	-4.88	1	-8.89	1	-0.02	1
7011	3318	-803	Min.	0.00	-2.59	5	-1.90	5	-1.51	5	-29.16	1	16.17	1	-0.04	1
7011	3318	-803	Min.	154.00	-2.59	5	-1.90	5	-1.37	5	-6.30	1	-10.37	1	-0.04	1
7011	-803	3319	Max	0.00	9.44	5	1.59	5	1.40	5	-4.88	1	-8.89	1	-0.02	1
7011	-803	3319	Max	154.00	9.44	5	1.59	5	1.08	5	17.97	1	1.13	1	-0.02	1
7011	-803	3319	Min.	0.00	-3.58	5	-1.61	5	-1.37	5	-6.30	1	-10.37	1	-0.04	1
7011	-803	3319	Min.	154.00	-3.58	5	-1.61	5	-1.08	5	16.55	1	-2.41	1	-0.04	1
8001	4027	-817	Max	0.00	22.72	5	1.30	5	0.00	1	0.00	5	0.00	1	0.00	1
8001	4027	-817	Max	66.37					0.43	5			0.00	5		
8001	4027	-817	Max	176.65	22.86	5	-2.16	5	-0.76	5	0.00	5	0.00	5	0.00	1

8001	4027	-817	Min.	0.00	-68.72	5	1.30	5	0.00	1	-0.01	5	0.00	1	0.00	1
8001	4027	-817	Min.	66.37					0.43	5			-0.01	5		
8001	4027	-817	Min.	176.65	-68.59	5	-2.17	5	-0.77	5	-0.01	5	-0.03	5	0.00	1
8001	-817	-659	Max	0.00	15.29	5	2.17	5	-0.76	5	-0.00	5	0.06	5	0.00	5
8001	-817	-659	Max	109.53					0.43	5			0.02	5		
8001	-817	-659	Max	176.65	15.43	5	-1.30	5	0.00	5	-0.00	5	0.00	5	0.00	5
8001	-817	-659	Min.	0.00	-98.23	5	2.16	5	-0.77	5	-0.03	5	0.00	5	-0.00	5
8001	-817	-659	Min.	109.53					0.43	5			0.00	5		
8001	-817	-659	Min.	176.65	-98.10	5	-1.30	5	0.00	5	-0.03	5	0.00	5	-0.00	5
8002	-658	-817	Max	0.00	75.39	5	1.30	5	0.00	1	0.07	5	0.00	1	0.00	1
8002	-658	-817	Max	66.50					0.43	5			0.05	5		
8002	-658	-817	Max	176.65	75.25	5	-2.16	5	-0.76	5	0.07	5	0.13	5	0.00	1
8002	-658	-817	Min.	0.00	-47.14	5	1.30	5	0.00	1	-0.02	5	0.00	1	0.00	1
8002	-658	-817	Min.	66.50					0.43	5			-0.01	5		
8002	-658	-817	Min.	176.65	-47.27	5	-2.16	5	-0.76	5	-0.02	5	-0.04	5	0.00	1
8002	-817	4028	Max	0.00	62.74	5	2.16	5	-0.76	5	0.00	5	0.09	5	0.01	5
8002	-817	4028	Max	109.41					0.43	5			0.03	5		
8002	-817	4028	Max	176.65	62.60	5	-1.30	5	0.00	5	0.00	5	0.00	5	0.01	5
8002	-817	4028	Min.	0.00	-70.90	5	2.16	5	-0.76	5	-0.05	5	-0.00	5	-0.00	5
8002	-817	4028	Min.	109.41					0.43	5			-0.00	5		
8002	-817	4028	Min.	176.65	-71.04	5	-1.30	5	0.00	5	-0.05	5	0.00	5	-0.00	5
8003	-658	-819	Max	0.00	-68.51	1	1.30	5	0.00	1	0.02	5	0.00	1	0.00	1
8003	-658	-819	Max	66.40					0.43	5			0.01	5		
8003	-658	-819	Max	176.65	-68.37	1	-2.16	5	-0.76	5	0.02	5	0.03	5	0.00	1
8003	-658	-819	Min.	0.00	-100.47	1	1.30	5	0.00	1	-0.02	5	0.00	1	0.00	1
8003	-658	-819	Min.	66.40					0.43	5			-0.01	5		
8003	-658	-819	Min.	176.65	-100.33	1	-2.16	5	-0.76	5	-0.02	5	-0.03	5	0.00	1
8003	-819	-787	Max	0.00	-109.17	1	2.16	5	-0.76	5	-0.04	5	0.12	5	0.00	5
8003	-819	-787	Max	109.47					0.43	5			0.05	5		
8003	-819	-787	Max	176.65	-109.03	1	-1.30	5	0.00	1	-0.04	5	0.00	5	0.00	5
8003	-819	-787	Min.	0.00	-119.04	1	2.16	5	-0.76	5	-0.07	5	0.07	5	0.00	5
8003	-819	-787	Min.	109.47					0.43	5			0.03	5		
8003	-819	-787	Min.	176.65	-118.91	1	-1.30	5	0.00	1	-0.07	5	0.00	5	0.00	5
8004	-786	-819	Max	0.00	3.51	5	1.30	5	0.00	1	0.07	5	0.00	1	0.00	1
8004	-786	-819	Max	66.44					0.43	5			0.04	5		
8004	-786	-819	Max	176.65	3.37	5	-2.16	5	-0.76	5	0.07	5	0.12	5	0.00	1
8004	-786	-819	Min.	0.00	-37.57	5	1.30	5	0.00	1	0.01	5	0.00	1	0.00	1
8004	-786	-819	Min.	66.44					0.43	5			0.01	5		
8004	-786	-819	Min.	176.65	-37.71	5	-2.16	5	-0.76	5	0.01	5	0.02	5	0.00	1
8004	-819	-659	Max	0.00	-25.82	5	2.16	1	-0.76	1	0.03	5	0.03	5	-0.00	5
8004	-819	-659	Max	109.45					0.43	5			0.01	5		
8004	-819	-659	Max	176.65	-25.96	5	-1.30	1	0.00	1	0.03	5	0.00	5	-0.00	5
8004	-819	-659	Min.	0.00	-69.81	5	2.16	1	-0.76	1	-0.02	5	-0.05	5	-0.00	5
8004	-819	-659	Min.	109.45					0.43	5			-0.02	5		
8004	-819	-659	Min.	176.65	-69.95	5	-1.30	1	0.00	1	-0.02	5	0.00	5	-0.00	5
8005	-786	-821	Max	0.00	3.41	5	1.30	5	0.00	1	-0.01	5	0.00	1	0.00	1
8005	-786	-821	Max	66.44					0.43	5			-0.01	5		
8005	-786	-821	Max	176.65	3.27	5	-2.16	5	-0.76	5	-0.01	5	-0.02	5	0.00	1
8005	-786	-821	Min.	0.00	-37.67	5	1.30	5	0.00	1	-0.07	5	0.00	1	0.00	1
8005	-786	-821	Min.	66.44					0.43	5			-0.04	5		
8005	-786	-821	Min.	176.65	-37.81	5	-2.16	5	-0.76	5	-0.07	5	-0.12	5	0.00	1
8005	-821	-667	Max	0.00	-25.89	5	2.16	1	-0.76	1	0.02	5	0.05	5	0.00	5
8005	-821	-667	Max	109.45					0.43	5			0.02	5		
8005	-821	-667	Max	176.65	-26.02	5	-1.30	1	0.00	1	0.02	5	0.00	5	0.00	5
8005	-821	-667	Min.	0.00	-69.89	5	2.16	1	-0.76	1	-0.03	5	-0.03	5	0.00	5
8005	-821	-667	Min.	109.45					0.43	5			-0.01	5		
8005	-821	-667	Min.	176.65	-70.03	5	-1.30	1	0.00	1	-0.03	5	0.00	5	0.00	5
8006	-666	-821	Max	0.00	-68.34	1	1.30	5	0.00	1	0.02	5	0.00	1	0.00	1
8006	-666	-821	Max	66.40					0.43	5			0.01	5		

8006	-666	-821	Max	176.65	-68.20	1	-2.16	5	-0.76	5	0.02	5	0.03	5	0.00	1
8006	-666	-821	Min.	0.00	-100.50	1	1.30	5	0.00	1	-0.02	5	0.00	1	0.00	1
8006	-666	-821	Min.	66.40					0.43	5			-0.01	5		
8006	-666	-821	Min.	176.65	-100.37	1	-2.16	5	-0.76	5	-0.02	5	-0.03	5	0.00	1
8006	-821	-787	Max	0.00	-109.11	1	2.16	5	-0.76	5	0.07	5	-0.07	5	0.00	5
8006	-821	-787	Max	141.32					0.34	5			-0.01	5		
8006	-821	-787	Max	176.65	-108.97	1	-1.30	5	0.00	5	0.07	5	0.00	5	0.00	5
8006	-821	-787	Min.	0.00	-119.02	1	2.16	5	-0.76	5	0.04	5	-0.12	5	-0.00	5
8006	-821	-787	Min.	109.47					0.43	5			-0.05	5		
8006	-821	-787	Min.	176.65	-118.88	1	-1.30	5	0.00	5	0.04	5	0.00	5	-0.00	5
8007	-666	-823	Max	0.00	75.26	5	1.30	5	0.00	1	0.02	5	0.00	1	0.00	1
8007	-666	-823	Max	66.50					0.43	5			0.01	5		
8007	-666	-823	Max	176.65	75.12	5	-2.16	5	-0.76	5	0.02	5	0.03	5	0.00	1
8007	-666	-823	Min.	0.00	-47.29	5	1.30	5	0.00	1	-0.07	5	0.00	1	0.00	1
8007	-666	-823	Min.	66.50					0.43	5			-0.05	5		
8007	-666	-823	Min.	176.65	-47.43	5	-2.16	5	-0.76	5	-0.07	5	-0.13	5	0.00	1
8007	-823	4288	Max	0.00	62.70	5	2.16	5	-0.76	5	0.05	5	0.00	5	0.00	5
8007	-823	4288	Max	109.41					0.43	5			0.00	5		
8007	-823	4288	Max	176.65	62.56	5	-1.30	5	0.00	5	0.05	5	0.00	5	0.00	5
8007	-823	4288	Min.	0.00	-71.05	5	2.16	5	-0.76	5	-0.00	5	-0.09	5	-0.01	5
8007	-823	4288	Min.	109.41					0.43	5			-0.03	5		
8007	-823	4288	Min.	176.65	-71.18	5	-1.30	5	0.00	5	-0.00	5	0.00	5	-0.01	5
8008	4287	-823	Max	0.00	22.44	5	1.30	5	0.00	1	0.01	5	0.00	1	0.00	1
8008	4287	-823	Max	66.37					0.43	5			0.01	5		
8008	4287	-823	Max	176.65	22.58	5	-2.16	5	-0.76	5	0.01	5	0.03	5	0.00	1
8008	4287	-823	Min.	0.00	-68.50	5	1.30	5	0.00	1	-0.00	5	0.00	1	0.00	1
8008	4287	-823	Min.	66.37					0.43	5			-0.00	5		
8008	4287	-823	Min.	176.65	-68.37	5	-2.17	5	-0.77	5	-0.00	5	-0.00	5	0.00	1
8008	-823	-667	Max	0.00	15.05	5	2.17	5	-0.76	5	0.03	5	-0.00	5	0.00	5
8008	-823	-667	Max	109.53					0.43	5			0.00	5		
8008	-823	-667	Max	176.65	15.19	5	-1.30	5	0.00	5	0.03	5	0.00	5	0.00	5
8008	-823	-667	Min.	0.00	-98.08	5	2.16	5	-0.77	5	0.00	5	-0.06	5	-0.00	5
8008	-823	-667	Min.	70.66					0.27	5			-0.04	5		
8008	-823	-667	Min.	176.65	-97.94	5	-1.30	5	0.00	5	0.00	5	0.00	5	-0.00	5
8009	4030	-806	Max	0.00	38.52	5	1.37	5	0.00	1	0.01	5	0.00	1	0.00	1
8009	4030	-806	Max	69.66					0.48	5			0.01	5		
8009	4030	-806	Max	185.43	38.65	5	-2.27	5	-0.84	5	0.01	5	0.02	5	0.00	1
8009	4030	-806	Min.	0.00	-68.89	5	1.36	5	0.00	1	-0.01	5	0.00	1	0.00	1
8009	4030	-806	Min.	69.66					0.47	5			-0.01	5		
8009	4030	-806	Min.	185.43	-68.75	5	-2.27	5	-0.84	5	-0.01	5	-0.01	5	0.00	1
8009	-806	-661	Max	0.00	41.45	5	2.27	5	-0.84	5	0.01	5	0.08	5	0.00	5
8009	-806	-661	Max	114.95					0.48	5			0.03	5		
8009	-806	-661	Max	185.43	41.59	5	-1.36	5	0.00	5	0.01	5	0.00	1	0.00	5
8009	-806	-661	Min.	0.00	-72.18	5	2.27	5	-0.84	5	-0.04	5	-0.02	5	0.00	5
8009	-806	-661	Min.	114.95					0.47	5			-0.01	5		
8009	-806	-661	Min.	185.43	-72.05	5	-1.37	5	0.00	5	-0.04	5	0.00	1	0.00	5
8010	-660	-806	Max	0.00	41.67	5	1.37	5	0.00	1	0.04	5	0.00	1	0.00	1
8010	-660	-806	Max	69.64					0.48	5			0.03	5		
8010	-660	-806	Max	185.43	41.53	5	-2.27	5	-0.84	5	0.04	5	0.08	5	0.00	1
8010	-660	-806	Min.	0.00	-72.01	5	1.36	5	0.00	1	-0.01	5	0.00	1	0.00	1
8010	-660	-806	Min.	69.64					0.47	5			-0.01	5		
8010	-660	-806	Min.	185.43	-72.15	5	-2.27	5	-0.84	5	-0.01	5	-0.02	5	0.00	1
8010	-806	4031	Max	0.00	38.86	5	2.27	5	-0.84	5	0.01	5	0.02	5	0.01	5
8010	-806	4031	Max	114.94					0.48	5			0.01	5		
8010	-806	4031	Max	185.43	38.72	5	-1.36	5	0.00	5	0.01	5	0.00	5	0.01	5
8010	-806	4031	Min.	0.00	-68.73	5	2.27	5	-0.84	5	-0.01	5	-0.01	5	-0.00	5
8010	-806	4031	Min.	114.94					0.47	5			-0.01	5		
8010	-806	4031	Min.	185.43	-68.87	5	-1.37	5	0.00	5	-0.01	5	0.00	5	-0.00	5
8011	-660	-808	Max	0.00	-62.19	1	1.37	5	0.00	1	-0.01	5	0.00	1	0.00	1

8011	-660	-808	Max	69.68					0.48	5			-0.01	5		
8011	-660	-808	Max	185.43	-62.05	1	-2.27	5	-0.84	5	-0.01	5	-0.01	5	0.00	1
8011	-660	-808	Min.	0.00	-99.61	1	1.37	5	0.00	1	-0.02	5	0.00	1	0.00	1
8011	-660	-808	Min.	69.68					0.48	5			-0.01	5		
8011	-660	-808	Min.	185.43	-99.47	1	-2.27	5	-0.84	5	-0.02	5	-0.03	5	0.00	1
8011	-808	-789	Max	0.00	-67.86	5	2.27	5	-0.84	5	-0.04	5	0.10	5	0.00	5
8011	-808	-789	Max	114.93					0.48	5			0.04	5		
8011	-808	-789	Max	185.43	-67.72	5	-1.37	5	0.00	1	-0.04	5	0.00	1	0.00	5
8011	-808	-789	Min.	0.00	-93.10	5	2.27	5	-0.84	5	-0.05	5	0.07	5	0.00	5
8011	-808	-789	Min.	114.93					0.48	5			0.03	5		
8011	-808	-789	Min.	185.43	-92.96	5	-1.37	5	0.00	1	-0.05	5	0.00	1	0.00	5
8012	-788	-808	Max	0.00	-67.70	5	1.37	5	0.00	1	0.05	5	0.00	1	0.00	1
8012	-788	-808	Max	69.68					0.48	5			0.04	5		
8012	-788	-808	Max	185.43	-67.84	5	-2.27	5	-0.84	5	0.05	5	0.10	5	0.00	1
8012	-788	-808	Min.	0.00	-92.93	5	1.37	5	0.00	1	0.04	5	0.00	1	0.00	1
8012	-788	-808	Min.	69.68					0.48	5			0.03	5		
8012	-788	-808	Min.	185.43	-93.07	5	-2.27	5	-0.84	5	0.04	5	0.07	5	0.00	1
8012	-808	-661	Max	0.00	-62.01	1	2.27	5	-0.84	5	0.02	1	-0.02	1	-0.00	5
8012	-808	-661	Max	148.34					0.37	1			-0.00	1		
8012	-808	-661	Max	185.43	-62.15	1	-1.37	5	0.00	5	0.02	1	0.00	1	-0.00	5
8012	-808	-661	Min.	0.00	-99.42	1	2.27	5	-0.84	5	0.01	1	-0.03	1	-0.00	5
8012	-808	-661	Min.	114.93					0.48	1			-0.01	1		
8012	-808	-661	Min.	185.43	-99.56	1	-1.37	5	0.00	5	0.01	1	0.00	1	-0.00	5
8013	-788	-810	Max	0.00	-67.75	5	1.37	5	0.00	1	-0.04	5	0.00	1	0.00	1
8013	-788	-810	Max	69.68					0.48	5			-0.03	5		
8013	-788	-810	Max	185.43	-67.89	5	-2.27	5	-0.84	5	-0.04	5	-0.07	5	0.00	1
8013	-788	-810	Min.	0.00	-92.95	5	1.37	5	0.00	1	-0.05	5	0.00	1	0.00	1
8013	-788	-810	Min.	69.68					0.48	5			-0.04	5		
8013	-788	-810	Min.	185.43	-93.09	5	-2.27	5	-0.84	5	-0.05	5	-0.09	5	0.00	1
8013	-810	-669	Max	0.00	-62.11	1	2.27	5	-0.84	5	-0.01	5	0.03	5	0.00	5
8013	-810	-669	Max	114.93					0.48	5			0.01	5		
8013	-810	-669	Max	185.43	-62.25	1	-1.37	5	0.00	5	-0.01	5	0.00	1	0.00	5
8013	-810	-669	Min.	0.00	-99.40	1	2.27	5	-0.84	5	-0.02	5	0.02	5	0.00	5
8013	-810	-669	Min.	114.93					0.48	5			0.01	5		
8013	-810	-669	Min.	185.43	-99.54	1	-1.37	5	0.00	5	-0.02	5	0.00	1	0.00	5
8014	-668	-810	Max	0.00	-62.23	1	1.37	5	0.00	1	0.02	5	0.00	1	0.00	1
8014	-668	-810	Max	69.68					0.48	5			0.01	5		
8014	-668	-810	Max	185.43	-62.09	1	-2.27	5	-0.84	5	0.02	5	0.03	5	0.00	1
8014	-668	-810	Min.	0.00	-99.52	1	1.37	5	0.00	1	0.01	5	0.00	1	0.00	1
8014	-668	-810	Min.	69.68					0.48	5			0.01	5		
8014	-668	-810	Min.	185.43	-99.38	1	-2.27	5	-0.84	5	0.01	5	0.02	5	0.00	1
8014	-810	-789	Max	0.00	-67.86	5	2.27	5	-0.84	5	0.05	5	-0.07	5	-0.00	5
8014	-810	-789	Max	148.34					0.37	5			-0.01	5		
8014	-810	-789	Max	185.43	-67.72	5	-1.37	5	0.00	5	0.05	5	0.00	5	-0.00	5
8014	-810	-789	Min.	0.00	-93.06	5	2.27	5	-0.84	5	0.04	5	-0.10	5	-0.00	5
8014	-810	-789	Min.	114.93					0.48	5			-0.04	5		
8014	-810	-789	Min.	185.43	-92.92	5	-1.37	5	0.00	5	0.04	5	0.00	5	-0.00	5
8015	-668	-812	Max	0.00	41.55	5	1.37	5	0.00	1	0.01	5	0.00	1	0.00	1
8015	-668	-812	Max	69.64					0.48	5			0.01	5		
8015	-668	-812	Max	185.43	41.41	5	-2.27	5	-0.84	5	0.01	5	0.02	5	0.00	1
8015	-668	-812	Min.	0.00	-72.04	5	1.36	5	0.00	1	-0.04	5	0.00	1	0.00	1
8015	-668	-812	Min.	69.64					0.47	5			-0.03	5		
8015	-668	-812	Min.	185.43	-72.17	5	-2.27	5	-0.84	5	-0.04	5	-0.08	5	0.00	1
8015	-812	4291	Max	0.00	38.68	5	2.27	5	-0.84	5	0.01	5	0.01	5	0.00	5
8015	-812	4291	Max	114.94					0.48	5			0.01	5		
8015	-812	4291	Max	185.43	38.54	5	-1.36	5	0.00	5	0.01	5	0.00	1	0.00	5
8015	-812	4291	Min.	0.00	-68.74	5	2.27	5	-0.84	5	-0.01	5	-0.02	5	-0.01	5
8015	-812	4291	Min.	114.94					0.47	5			-0.01	5		
8015	-812	4291	Min.	185.43	-68.88	5	-1.37	5	0.00	5	-0.01	5	0.00	1	-0.01	5

8016	4290	-812	Max	0.00	38.58	5	1.37	5	0.00	1	0.01	5	0.00	1	0.00	1
8016	4290	-812	Max	69.66					0.48	5			0.01	5		
8016	4290	-812	Max	185.43	38.71	5	-2.27	5	-0.84	5	0.01	5	0.01	5	0.00	1
8016	4290	-812	Min.	0.00	-68.90	5	1.36	5	0.00	1	-0.01	5	0.00	1	0.00	1
8016	4290	-812	Min.	69.66					0.47	5			-0.01	5		
8016	4290	-812	Min.	185.43	-68.76	5	-2.27	5	-0.84	5	-0.01	5	-0.02	5	0.00	1
8016	-812	-669	Max	0.00	41.45	5	2.27	5	-0.84	5	0.04	5	0.02	5	0.00	5
8016	-812	-669	Max	114.95					0.48	5			0.01	5		
8016	-812	-669	Max	185.43	41.58	5	-1.36	5	0.00	5	0.04	5	0.00	5	0.00	5
8016	-812	-669	Min.	0.00	-72.18	5	2.27	5	-0.84	5	-0.01	5	-0.08	5	-0.00	5
8016	-812	-669	Min.	74.17					0.30	1			-0.03	1		
8016	-812	-669	Min.	185.43	-72.04	5	-1.37	5	0.00	5	-0.01	5	0.00	5	-0.00	5
8017	4033	-793	Max	0.00	62.47	5	1.30	5	0.00	1	0.05	5	0.00	1	0.00	1
8017	4033	-793	Max	66.49					0.43	5			0.03	5		
8017	4033	-793	Max	176.65	62.61	5	-2.16	5	-0.76	5	0.05	5	0.09	5	0.00	1
8017	4033	-793	Min.	0.00	-71.01	5	1.30	5	0.00	1	-0.00	5	0.00	1	0.00	1
8017	4033	-793	Min.	66.49					0.43	5			-0.00	5		
8017	4033	-793	Min.	176.65	-70.87	5	-2.16	5	-0.76	5	-0.00	5	-0.00	5	0.00	1
8017	-793	-663	Max	0.00	75.06	5	2.16	5	-0.76	5	0.02	5	0.13	5	0.00	5
8017	-793	-663	Max	109.40					0.43	5			0.05	5		
8017	-793	-663	Max	176.65	75.20	5	-1.30	5	0.00	1	0.02	5	0.00	5	0.00	5
8017	-793	-663	Min.	0.00	-47.30	5	2.16	5	-0.76	5	-0.07	5	-0.04	5	0.00	5
8017	-793	-663	Min.	109.40					0.43	5			-0.01	5		
8017	-793	-663	Min.	176.65	-47.17	5	-1.30	5	0.00	1	-0.07	5	0.00	5	0.00	5
8018	-662	-793	Max	0.00	15.24	5	1.30	5	0.00	1	0.03	5	0.00	1	0.00	1
8018	-662	-793	Max	66.31					0.43	5			0.02	5		
8018	-662	-793	Max	176.65	15.11	5	-2.16	5	-0.76	5	0.03	5	0.06	5	0.00	1
8018	-662	-793	Min.	0.00	-98.01	5	1.30	5	0.00	1	0.00	5	0.00	1	0.00	1
8018	-662	-793	Min.	66.31					0.43	5			0.00	5		
8018	-662	-793	Min.	176.65	-98.14	5	-2.17	5	-0.77	5	0.00	5	0.00	5	0.00	1
8018	-793	4034	Max	0.00	22.66	5	2.17	5	-0.76	5	0.01	5	0.00	5	0.01	5
8018	-793	4034	Max	109.49					0.43	5			0.00	5		
8018	-793	4034	Max	176.65	22.53	5	-1.30	5	0.00	5	0.01	5	0.00	1	0.01	5
8018	-793	4034	Min.	0.00	-68.45	5	2.16	5	-0.77	5	-0.00	5	-0.03	5	-0.00	5
8018	-793	4034	Min.	35.33					-0.12	7			-0.02	7		
8018	-793	4034	Min.	176.65	-68.58	5	-1.30	5	0.00	5	-0.00	5	0.00	1	-0.00	5
8019	-662	-797	Max	0.00	-26.05	5	1.30	1	0.00	1	0.02	5	0.00	1	0.00	1
8019	-662	-797	Max	66.43					0.43	5			0.01	5		
8019	-662	-797	Max	176.65	-25.91	5	-2.16	1	-0.76	1	0.02	5	0.03	5	0.00	1
8019	-662	-797	Min.	0.00	-69.98	5	1.30	1	0.00	1	-0.03	5	0.00	1	0.00	1
8019	-662	-797	Min.	66.43					0.43	5			-0.02	5		
8019	-662	-797	Min.	176.65	-69.84	5	-2.16	1	-0.76	1	-0.03	5	-0.05	5	0.00	1
8019	-797	-791	Max	0.00	3.24	5	2.16	5	-0.76	5	-0.01	5	0.12	5	0.00	5
8019	-797	-791	Max	109.44					0.43	5			0.04	5		
8019	-797	-791	Max	176.65	3.38	5	-1.30	5	0.00	5	-0.01	5	0.00	5	0.00	5
8019	-797	-791	Min.	0.00	-37.76	5	2.16	5	-0.76	5	-0.07	5	0.02	5	0.00	5
8019	-797	-791	Min.	109.44					0.43	5			0.01	5		
8019	-797	-791	Min.	176.65	-37.62	5	-1.30	5	0.00	5	-0.07	5	0.00	5	0.00	5
8020	-790	-797	Max	0.00	-109.01	1	1.30	5	0.00	1	0.07	5	0.00	1	0.00	1
8020	-790	-797	Max	66.40					0.43	5			0.05	5		
8020	-790	-797	Max	176.65	-109.15	1	-2.16	5	-0.76	5	0.07	5	0.12	5	0.00	1
8020	-790	-797	Min.	0.00	-118.90	1	1.30	5	0.00	1	0.04	5	0.00	1	0.00	1
8020	-790	-797	Min.	66.40					0.43	5			0.03	5		
8020	-790	-797	Min.	176.65	-119.04	1	-2.16	5	-0.76	5	0.04	5	0.07	5	0.00	1
8020	-797	-663	Max	0.00	-68.34	1	2.16	5	-0.76	5	0.02	5	0.03	5	0.00	5
8020	-797	-663	Max	109.47					0.43	5			0.01	5		
8020	-797	-663	Max	176.65	-68.48	1	-1.30	5	0.00	5	0.02	5	0.00	1	0.00	5
8020	-797	-663	Min.	0.00	-100.30	1	2.16	5	-0.76	5	-0.02	5	-0.03	5	-0.00	5
8020	-797	-663	Min.	109.47					0.43	5			-0.01	5		

8020	-797	-663	Min.	176.65	-100.44	1	-1.30	5	0.00	5	-0.02	5	0.00	1	-0.00	5
8021	-790	-799	Max	0.00	-109.09	1	1.30	5	0.00	1	-0.04	5	0.00	1	0.00	1
8021	-790	-799	Max	66.40					0.43	5			-0.03	5		
8021	-790	-799	Max	176.65	-109.23	1	-2.16	5	-0.76	5	-0.04	5	-0.07	5	0.00	1
8021	-790	-799	Min.	0.00	-118.86	1	1.30	5	0.00	1	-0.07	5	0.00	1	0.00	1
8021	-790	-799	Min.	66.40					0.43	5			-0.04	5		
8021	-790	-799	Min.	176.65	-119.00	1	-2.16	5	-0.76	5	-0.07	5	-0.12	5	0.00	1
8021	-799	-671	Max	0.00	-68.42	1	2.16	5	-0.76	5	0.02	5	0.03	5	0.00	5
8021	-799	-671	Max	109.47					0.43	5			0.01	5		
8021	-799	-671	Max	176.65	-68.56	1	-1.30	5	0.00	5	0.02	5	0.00	5	0.00	5
8021	-799	-671	Min.	0.00	-100.29	1	2.16	5	-0.76	5	-0.02	5	-0.03	5	0.00	5
8021	-799	-671	Min.	109.47					0.43	5			-0.01	5		
8021	-799	-671	Min.	176.65	-100.43	1	-1.30	5	0.00	5	-0.02	5	0.00	5	0.00	5
8022	-670	-799	Max	0.00	-26.03	5	1.30	1	0.00	1	0.03	5	0.00	1	0.00	1
8022	-670	-799	Max	66.43					0.43	5			0.02	5		
8022	-670	-799	Max	176.65	-25.90	5	-2.16	1	-0.76	1	0.03	5	0.05	5	0.00	1
8022	-670	-799	Min.	0.00	-69.95	5	1.30	1	0.00	1	-0.02	5	0.00	1	0.00	1
8022	-670	-799	Min.	66.43					0.43	5			-0.01	5		
8022	-670	-799	Min.	176.65	-69.82	5	-2.16	1	-0.76	1	-0.02	5	-0.03	5	0.00	1
8022	-799	-791	Max	0.00	3.27	5	2.16	5	-0.76	5	0.07	5	-0.02	5	0.00	5
8022	-799	-791	Max	141.32					0.34	5			-0.00	5		
8022	-799	-791	Max	176.65	3.40	5	-1.30	5	0.00	5	0.07	5	0.00	5	0.00	5
8022	-799	-791	Min.	0.00	-37.72	5	2.16	5	-0.76	5	0.01	5	-0.12	5	0.00	5
8022	-799	-791	Min.	109.44					0.43	5			-0.04	5		
8022	-799	-791	Min.	176.65	-37.58	5	-1.30	5	0.00	5	0.01	5	0.00	5	0.00	5
8023	-670	-801	Max	0.00	15.16	5	1.30	5	0.00	1	-0.00	5	0.00	1	0.00	1
8023	-670	-801	Max	66.31					0.43	5			0.00	5		
8023	-670	-801	Max	176.65	15.02	5	-2.16	5	-0.76	5	-0.00	5	-0.00	5	0.00	1
8023	-670	-801	Min.	0.00	-98.02	5	1.30	5	0.00	1	-0.03	5	0.00	1	0.00	1
8023	-670	-801	Min.	66.31					0.43	5			-0.02	5		
8023	-670	-801	Min.	176.65	-98.15	5	-2.17	5	-0.77	5	-0.03	5	-0.06	5	0.00	1
8023	-801	4294	Max	0.00	22.55	5	2.17	5	-0.76	5	0.00	5	0.02	5	0.00	5
8023	-801	4294	Max	109.49					0.43	5			0.01	5		
8023	-801	4294	Max	176.65	22.41	5	-1.30	5	0.00	5	0.00	5	0.00	5	0.00	5
8023	-801	4294	Min.	0.00	-68.46	5	2.16	5	-0.77	5	-0.01	5	-0.00	5	-0.01	5
8023	-801	4294	Min.	109.49					0.43	5			-0.00	5		
8023	-801	4294	Min.	176.65	-68.60	5	-1.30	5	0.00	5	-0.01	5	0.00	5	-0.01	5
8024	4293	-801	Max	0.00	62.55	5	1.30	5	0.00	1	0.00	5	0.00	1	0.00	1
8024	4293	-801	Max	66.49					0.43	5			0.00	5		
8024	4293	-801	Max	176.65	62.69	5	-2.16	5	-0.76	5	0.00	5	0.00	5	0.00	1
8024	4293	-801	Min.	0.00	-71.07	5	1.30	5	0.00	1	-0.05	5	0.00	1	0.00	1
8024	4293	-801	Min.	66.49					0.43	5			-0.03	5		
8024	4293	-801	Min.	176.65	-70.93	5	-2.16	5	-0.76	5	-0.05	5	-0.09	5	0.00	1
8024	-801	-671	Max	0.00	75.11	5	2.16	5	-0.76	5	0.07	5	0.03	5	0.00	5
8024	-801	-671	Max	109.40					0.43	5			0.01	5		
8024	-801	-671	Max	176.65	75.25	5	-1.30	5	0.00	5	0.07	5	0.00	1	0.00	5
8024	-801	-671	Min.	0.00	-47.30	5	2.16	5	-0.76	5	-0.02	5	-0.13	5	-0.00	5
8024	-801	-671	Min.	109.40					0.43	5			-0.05	5		
8024	-801	-671	Min.	176.65	-47.17	5	-1.30	5	0.00	5	-0.02	5	0.00	1	-0.00	5

Tipo di combinazione di carico: SND

Asta	N1	N2		X <cm>	N <daN>	C C	Ty <daN>	C C	Mz <daNm>	C C	Tz <daN>	C C	My <daNm>	C C	Mx <daNm>	C C
1	2001	3001	Max	0.00	11.77	1	2.07	1	0.11	1	35.60	1	1.02	1	0.24	1
1	2001	3001	Max	0.40					0.02	7			0.05	7		
1	2001	3001	Max	7.94	12.08	1	2.07	1	0.27	1	35.60	1	1.28	1	0.24	1
1	2001	3001	Min.	0.00	-17.08	1	-1.82	1	-0.13	1	-21.56	1	-1.54	1	-0.27	1

1	2001	3001	Min.	0.40					-0.05	7			-0.52	7		
1	2001	3001	Min.	7.94	-16.77	1	-1.82	1	-0.28	1	-21.56	1	-0.69	1	-0.27	1
2	2002	3002	Max	0.00	8.86	1	2.27	1	0.10	1	40.23	1	0.68	1	0.26	1
2	2002	3002	Max	0.84					0.02	7			-0.23	7		
2	2002	3002	Max	7.94	9.17	1	2.27	1	0.27	1	40.23	1	1.44	1	0.26	1
2	2002	3002	Min.	0.00	-21.94	1	-2.02	1	-0.12	1	-13.99	1	-1.76	1	-0.29	1
2	2002	3002	Min.	0.84					-0.04	7			-0.63	7		
2	2002	3002	Min.	7.94	-21.63	1	-2.02	1	-0.28	1	-13.99	1	-0.44	1	-0.29	1
3	2003	3003	Max	0.00	1.02	1	2.22	1	0.13	1	62.37	1	0.06	1	0.22	1
3	2003	3003	Max	7.94	1.33	1	2.22	1	0.31	1	62.37	1	2.32	1	0.22	1
3	2003	3003	Min.	0.00	-29.48	1	-1.75	1	-0.10	1	2.46	1	-2.63	1	-0.27	1
3	2003	3003	Min.	7.94	-29.17	1	-1.75	1	-0.23	1	2.46	1	0.25	1	-0.27	1
4	2004	3004	Max	0.00	3.55	1	2.25	1	0.11	1	50.76	1	0.28	1	0.24	1
4	2004	3004	Max	7.94	3.87	1	2.25	1	0.29	1	50.76	1	1.91	1	0.24	1
4	2004	3004	Min.	0.00	-26.60	1	-2.06	1	-0.09	1	-2.99	1	-2.12	1	-0.27	1
4	2004	3004	Min.	7.94	-26.28	1	-2.06	1	-0.25	1	-2.99	1	0.04	1	-0.27	1
5	2005	3005	Max	0.00	5.74	1	1.93	1	0.10	1	54.14	1	0.47	1	0.28	1
5	2005	3005	Max	7.94	6.06	1	1.93	1	0.25	1	54.14	1	2.03	1	0.28	1
5	2005	3005	Min.	0.00	-25.35	1	-2.30	1	-0.13	1	-6.97	1	-2.27	1	-0.24	1
5	2005	3005	Min.	7.94	-25.04	1	-2.30	1	-0.31	1	-6.97	1	-0.09	1	-0.24	1
6	2006	3006	Max	0.00	-1.09	1	1.71	1	0.08	1	58.08	1	-0.08	1	0.28	1
6	2006	3006	Max	7.94	-0.78	1	1.71	1	0.21	1	58.08	1	2.17	1	0.28	1
6	2006	3006	Min.	0.00	-30.67	1	-2.37	1	-0.12	1	5.30	1	-2.44	1	-0.22	1
6	2006	3006	Min.	7.94	-30.36	1	-2.37	1	-0.31	1	5.30	1	0.34	1	-0.22	1
7	2007	3007	Max	0.00	9.48	1	2.40	1	0.12	1	43.75	1	0.77	1	0.33	1
7	2007	3007	Max	0.60					0.05	7			-0.23	7		
7	2007	3007	Max	7.94	9.79	1	2.40	1	0.31	1	43.75	1	1.56	1	0.33	1
7	2007	3007	Min.	0.00	-21.36	1	-2.88	1	-0.10	1	-15.64	1	-1.92	1	-0.29	1
7	2007	3007	Min.	0.60					-0.03	7			-0.75	7		
7	2007	3007	Min.	7.94	-21.05	1	-2.88	1	-0.32	1	-15.64	1	-0.48	1	-0.29	1
8	2008	3008	Max	0.00	10.71	1	2.24	1	0.11	1	31.52	1	0.83	1	0.30	1
8	2008	3008	Max	0.84					0.04	7			0.01	7		
8	2008	3008	Max	7.94	11.02	1	2.24	1	0.29	1	31.52	1	1.13	1	0.30	1
8	2008	3008	Min.	0.00	-17.21	1	-2.72	1	-0.09	1	-17.26	1	-1.37	1	-0.26	1
8	2008	3008	Min.	0.84					-0.02	7			-0.44	7		
8	2008	3008	Min.	7.94	-16.90	1	-2.72	1	-0.30	1	-17.26	1	-0.54	1	-0.26	1
9	9	-513	Max	0.00	2.25	5	0.11	5	0.04	1	50.96	1	1.48	1	0.36	1
9	9	-513	Max	9.29	2.61	5	0.11	5	0.05	1	50.96	1	2.26	1	0.36	1
9	9	-513	Min.	0.00	-3.17	5	-0.03	5	-0.04	1	-29.73	1	-2.47	1	-0.41	1
9	9	-513	Min.	9.29	-2.81	5	-0.03	5	-0.04	1	-29.73	1	-1.28	1	-0.41	1
10	10	-514	Max	0.00	22.09	1	0.80	1	0.06	1	31.08	1	0.51	1	0.34	1
10	10	-514	Max	9.29	22.46	1	0.80	1	0.03	1	31.08	1	1.31	1	0.34	1
10	10	-514	Min.	0.00	-8.18	1	-0.83	1	-0.05	1	-9.45	1	-1.58	1	-0.39	1
10	10	-514	Min.	9.29	-7.81	1	-0.83	1	-0.02	1	-9.45	1	-0.37	1	-0.39	1
11	11	-515	Max	0.00	3.17	5	0.42	1	0.06	1	87.93	1	-0.14	1	0.29	1
11	11	-515	Max	2.41					0.02	7			-0.89	7		
11	11	-515	Max	9.29	3.53	5	0.42	1	0.03	1	87.93	1	3.98	1	0.29	1
11	11	-515	Min.	0.00	-4.00	5	-0.40	1	-0.05	1	4.11	1	-4.19	1	-0.36	1
11	11	-515	Min.	2.41					-0.01	7			-1.22	7		
11	11	-515	Min.	9.29	-3.64	5	-0.40	1	-0.02	1	4.11	1	0.25	1	-0.36	1
12	12	-516	Max	0.00	26.76	1	1.17	1	0.07	1	38.08	1	0.12	1	0.28	1
12	12	-516	Max	9.29	27.13	1	1.17	1	0.06	1	38.08	1	1.64	1	0.28	1
12	12	-516	Min.	0.00	-3.78	1	-0.93	1	-0.05	1	-1.12	1	-1.91	1	-0.33	1
12	12	-516	Min.	9.29	-3.41	1	-0.93	1	-0.02	1	-1.12	1	0.00	1	-0.33	1
13	13	-517	Max	0.00	2.72	5	0.53	1	0.05	1	75.79	1	0.46	1	0.35	1
13	13	-517	Max	9.29	3.08	5	0.53	1	0.03	1	75.79	1	3.44	1	0.35	1
13	13	-517	Min.	0.00	-4.71	5	-0.37	1	-0.06	1	-8.16	1	-3.60	1	-0.31	1
13	13	-517	Min.	9.29	-4.35	5	-0.37	1	-0.02	1	-8.16	1	-0.30	1	-0.31	1
14	14	-518	Max	0.00	31.11	1	1.26	1	0.06	1	43.54	1	-0.19	1	0.32	1

14	14	-518	Max	9.29	31.47	1	1.26	1	0.06	1	43.54	1	1.85	1	0.32	1
14	14	-518	Min.	0.00	0.56	1	-0.71	1	-0.05	1	5.04	1	-2.21	1	-0.27	1
14	14	-518	Min.	9.29	0.93	1	-0.71	1	-0.01	1	5.04	1	0.26	1	-0.27	1
15	15	-519	Max	0.00	2.57	5	0.81	1	0.06	1	64.35	1	0.96	1	0.41	1
15	15	-519	Max	9.29	2.93	5	0.81	1	0.02	5	64.35	1	2.89	1	0.41	1
15	15	-519	Min.	0.00	-5.18	5	-0.55	1	-0.07	1	-19.04	1	-3.09	1	-0.36	1
15	15	-519	Min.	9.29	-4.82	5	-0.55	1	0.00	5	-19.04	1	-0.81	1	-0.36	1
16	16	-520	Max	0.00	17.37	1	1.44	1	0.06	1	24.42	1	0.69	1	0.37	1
16	16	-520	Max	9.29	17.74	1	1.44	1	0.07	1	24.42	1	1.03	1	0.37	1
16	16	-520	Min.	0.00	-10.19	1	-1.04	1	-0.07	1	-12.50	1	-1.27	1	-0.33	1
16	16	-520	Min.	9.29	-9.83	1	-1.04	1	-0.04	1	-12.50	1	-0.50	1	-0.33	1
17	17	-529	Max	0.00	32.67	5	2.17	1	0.07	1	52.18	5	1.59	1	0.25	1
17	17	-529	Max	10.65	33.09	5	2.17	1	0.15	1	52.18	5	3.26	5	0.25	1
17	17	-529	Min.	0.00	-23.00	5	-1.97	1	-0.08	1	-29.80	5	-2.63	1	-0.26	1
17	17	-529	Min.	10.65	-22.58	5	-1.97	1	-0.14	1	-29.80	5	-1.92	5	-0.26	1
18	18	-530	Max	0.00	43.69	5	0.31	1	0.05	5	46.52	5	0.64	1	0.27	1
18	18	-530	Max	4.26					0.04	7			-0.04	7		
18	18	-530	Max	10.65	44.11	5	0.31	1	0.04	5	46.52	5	2.94	5	0.27	1
18	18	-530	Min.	0.00	-21.44	5	-0.52	1	-0.02	5	-18.14	5	-2.06	1	-0.30	1
18	18	-530	Min.	4.26					-0.02	7			-0.18	7		
18	18	-530	Min.	10.65	-21.02	5	-0.52	1	-0.04	5	-18.14	5	-1.34	5	-0.30	1
19	19	-531	Max	0.00	35.65	5	2.03	1	0.07	1	82.26	5	0.12	1	0.31	1
19	19	-531	Max	10.65	36.06	5	2.03	1	0.14	1	82.26	5	4.83	5	0.31	1
19	19	-531	Min.	0.00	-22.38	5	-2.14	1	-0.08	1	0.04	5	-4.33	1	-0.36	1
19	19	-531	Min.	10.65	-21.97	5	-2.14	1	-0.16	1	0.04	5	-0.28	5	-0.36	1
20	20	-532	Max	0.00	51.48	5	0.83	1	0.03	1	53.47	5	0.26	1	0.33	1
20	20	-532	Max	10.65	51.90	5	0.83	1	0.04	1	53.47	5	3.33	5	0.33	1
20	20	-532	Min.	0.00	-13.37	5	-0.72	1	-0.05	1	-10.45	5	-2.37	1	-0.40	1
20	20	-532	Min.	10.65	-12.95	5	-0.72	1	-0.05	1	-10.45	5	-0.86	5	-0.40	1
21	21	-533	Max	0.00	36.02	5	1.87	1	0.08	1	72.26	5	0.64	1	0.36	1
21	21	-533	Max	10.65	36.44	5	1.87	1	0.13	1	72.26	5	4.34	5	0.36	1
21	21	-533	Min.	0.00	-22.20	5	-2.46	1	-0.07	1	-8.35	5	-3.81	1	-0.32	1
21	21	-533	Min.	10.65	-21.78	5	-2.46	1	-0.18	1	-8.35	5	-0.71	5	-0.32	1
22	22	-534	Max	0.00	54.30	5	0.69	1	0.05	1	58.68	5	0.03	5	0.38	1
22	22	-534	Max	10.65	54.71	5	0.69	1	0.04	1	58.68	5	3.55	5	0.38	1
22	22	-534	Min.	0.00	-10.44	5	-0.89	1	-0.04	1	-6.60	5	-2.70	5	-0.34	1
22	22	-534	Min.	10.65	-10.03	5	-0.89	1	-0.05	1	-6.60	5	-0.68	5	-0.34	1
23	23	-535	Max	0.00	31.02	5	2.02	1	0.09	1	63.64	5	0.99	1	0.41	1
23	23	-535	Max	10.65	31.44	5	2.02	1	0.13	1	63.64	5	3.83	5	0.41	1
23	23	-535	Min.	0.00	-25.35	5	-2.60	1	-0.08	1	-17.85	5	-3.33	1	-0.36	1
23	23	-535	Min.	10.65	-24.93	5	-2.60	1	-0.18	1	-17.85	5	-1.29	5	-0.36	1
24	24	-536	Max	0.00	42.14	5	0.95	5	0.04	5	40.41	5	0.89	5	0.43	1
24	24	-536	Max	10.65	42.56	5	0.95	5	0.03	5	40.41	5	2.61	5	0.43	1
24	24	-536	Min.	0.00	-24.16	5	-0.72	5	-0.07	5	-22.76	5	-1.69	5	-0.38	1
24	24	-536	Min.	10.65	-23.75	5	-0.72	5	-0.03	5	-22.76	5	-1.54	5	-0.38	1
25	2025	4025	Max	0.00	93.36	1	0.52	1	-0.01	5	234.54	5	14.93	5	0.07	5
25	2025	4025	Max	12.00	93.83	1	0.52	1	0.04	1	234.54	5	10.92	5	0.07	5
25	2025	4025	Min.	0.00	-79.42	1	-0.12	1	-0.02	5	-212.30	5	-17.23	5	-0.10	5
25	2025	4025	Min.	12.00	-78.95	1	-0.12	1	-0.03	1	-212.30	5	-10.55	5	-0.10	5
26	1026	2026	Max	0.00	-119.05	5	197.66	5	686.87	5	167.62	1	20.68	1	3.46	5
26	1026	2026	Max	9.00	-117.02	5	197.66	5	704.66	5	167.62	1	35.77	1	3.46	5
26	1026	2026	Min.	0.00	-514.98	5	-133.02	5	-471.78	5	-134.86	1	-45.74	1	-4.20	5
26	1026	2026	Min.	9.00	-512.95	5	-133.02	5	-483.75	5	-134.86	1	-57.88	1	-4.20	5
26	2026	4026	Max	0.00	-98.93	1	145.65	1	30.36	1	4178.25	5	415.92	5	10.55	1
26	2026	4026	Max	7.00	-97.35	1	145.65	1	40.55	1	4178.25	5	201.69	5	10.55	1
26	2026	4026	Min.	0.00	-165.65	1	-112.36	1	-44.38	1	-3060.55	5	-589.52	5	-10.16	1
26	2026	4026	Min.	7.00	-164.08	1	-112.36	1	-52.25	1	-3060.55	5	-297.04	5	-10.16	1
27	2027	4027	Max	0.00	133.65	1	5.62	1	0.25	1	232.16	5	15.19	5	0.09	5
27	2027	4027	Max	12.00	134.12	1	5.62	1	0.46	1	232.16	5	10.76	5	0.09	5

27	2027	4027	Min.	0.00	-185.45	1	-6.50	1	-0.22	1	-216.86	5	-17.10	5	-0.06	5
27	2027	4027	Min.	12.00	-184.98	1	-6.50	1	-0.53	1	-216.86	5	-10.83	5	-0.06	5
28	2028	4028	Max	0.00	184.24	1	7.42	1	0.12	1	243.28	5	14.51	5	0.05	5
28	2028	4028	Max	12.00	184.71	1	7.42	1	0.62	1	243.28	5	11.03	5	0.05	5
28	2028	4028	Min.	0.00	-262.92	1	-3.68	1	-0.27	1	-211.11	5	-18.17	5	-0.09	5
28	2028	4028	Min.	12.00	-262.45	1	-3.68	1	-0.33	1	-211.11	5	-10.82	5	-0.09	5
29	1029	2029	Max	0.00	-410.79	5	233.46	5	776.62	5	195.21	1	80.73	1	2.50	1
29	1029	2029	Max	9.00	-408.77	5	233.46	5	797.63	5	195.21	1	98.30	1	2.50	1
29	1029	2029	Min.	0.00	-784.61	5	-105.79	5	-395.67	5	-180.44	1	-75.14	1	-2.76	1
29	1029	2029	Min.	9.00	-782.59	5	-105.79	5	-405.19	5	-180.44	1	-91.38	1	-2.76	1
29	2029	4029	Max	0.00	-223.79	5	167.74	1	77.59	1	4655.64	5	354.66	5	11.46	1
29	2029	4029	Max	7.00	-222.22	5	167.74	1	89.33	1	4655.64	5	167.59	5	11.46	1
29	2029	4029	Min.	0.00	-240.58	5	-155.11	1	-72.15	1	-2672.39	5	-663.20	5	-10.28	1
29	2029	4029	Min.	7.00	-239.01	5	-155.11	1	-83.01	1	-2672.39	5	-337.31	5	-10.28	1
30	2030	4030	Max	0.00	200.82	1	3.98	1	0.25	1	242.61	5	14.47	5	0.09	5
30	2030	4030	Max	12.00	201.29	1	3.98	1	0.35	1	242.61	5	10.99	5	0.09	5
30	2030	4030	Min.	0.00	-247.88	1	-6.91	1	-0.13	1	-210.60	5	-18.12	5	-0.05	5
30	2030	4030	Min.	12.00	-247.41	1	-6.91	1	-0.57	1	-210.60	5	-10.80	5	-0.05	5
31	2031	4031	Max	0.00	201.19	1	6.91	1	0.13	1	243.98	5	14.39	5	0.05	5
31	2031	4031	Max	12.00	201.66	1	6.91	1	0.58	1	243.98	5	11.07	5	0.05	5
31	2031	4031	Min.	0.00	-247.61	1	-3.97	1	-0.25	1	-209.30	5	-18.20	5	-0.10	5
31	2031	4031	Min.	12.00	-247.14	1	-3.97	1	-0.35	1	-209.30	5	-10.72	5	-0.10	5
32	1032	2032	Max	0.00	-410.80	5	233.46	5	776.60	5	180.40	1	74.73	1	2.87	1
32	1032	2032	Max	9.00	-408.77	5	233.46	5	797.62	5	180.40	1	90.97	1	2.87	1
32	1032	2032	Min.	0.00	-784.65	5	-105.83	5	-395.68	5	-195.31	1	-81.21	1	-2.41	1
32	1032	2032	Min.	9.00	-782.63	5	-105.83	5	-405.21	5	-195.31	1	-98.79	1	-2.41	1
32	2032	4032	Max	0.00	-223.80	5	155.06	1	72.04	1	4655.98	5	354.74	5	8.23	1
32	2032	4032	Max	7.00	-222.22	5	155.06	1	82.90	1	4655.98	5	167.58	5	8.23	1
32	2032	4032	Min.	0.00	-240.61	5	-168.02	1	-77.72	1	-2673.74	5	-663.21	5	-13.21	1
32	2032	4032	Min.	7.00	-239.03	5	-168.02	1	-89.48	1	-2673.74	5	-337.29	5	-13.21	1
33	2033	4033	Max	0.00	183.85	1	3.69	1	0.27	1	241.68	5	14.60	5	0.09	5
33	2033	4033	Max	12.00	184.32	1	3.69	1	0.33	1	241.68	5	10.93	5	0.09	5
33	2033	4033	Min.	0.00	-263.24	1	-7.42	1	-0.12	1	-212.65	5	-18.07	5	-0.05	5
33	2033	4033	Min.	12.00	-262.77	1	-7.42	1	-0.62	1	-212.65	5	-10.92	5	-0.05	5
34	2034	4034	Max	0.00	134.08	1	6.50	1	0.21	1	233.42	5	15.17	5	0.06	5
34	2034	4034	Max	12.00	134.55	1	6.50	1	0.53	1	233.42	5	10.84	5	0.06	5
34	2034	4034	Min.	0.00	-185.71	1	-5.61	1	-0.25	1	-216.41	5	-17.17	5	-0.09	5
34	2034	4034	Min.	12.00	-185.24	1	-5.61	1	-0.46	1	-216.41	5	-10.80	5	-0.09	5
35	1035	2035	Max	0.00	-120.10	5	197.68	5	686.84	5	134.87	1	45.56	1	4.14	5
35	1035	2035	Max	9.00	-118.08	5	197.68	5	704.63	5	134.87	1	57.70	1	4.14	5
35	1035	2035	Min.	0.00	-515.91	5	-133.18	5	-471.99	5	-167.71	1	-20.96	1	-3.43	5
35	1035	2035	Min.	9.00	-513.89	5	-133.18	5	-483.98	5	-167.71	1	-36.06	1	-3.43	5
35	2035	4035	Max	0.00	-99.14	1	112.59	1	44.35	1	4178.04	5	416.03	5	9.33	1
35	2035	4035	Max	7.00	-97.57	1	112.59	1	52.23	1	4178.04	5	201.81	5	9.33	1
35	2035	4035	Min.	0.00	-166.24	1	-146.04	1	-30.48	1	-3060.25	5	-589.50	5	-11.56	1
35	2035	4035	Min.	7.00	-164.67	1	-146.04	1	-40.70	1	-3060.25	5	-297.04	5	-11.56	1
36	2036	4036	Max	0.00	93.40	1	0.12	1	0.02	5	233.79	5	14.94	5	0.09	5
36	2036	4036	Max	12.00	93.87	1	0.12	1	0.03	1	233.79	5	10.87	5	0.09	5
36	2036	4036	Min.	0.00	-80.07	1	-0.53	1	0.01	5	-212.52	5	-17.19	5	-0.07	5
36	2036	4036	Min.	12.00	-79.60	1	-0.53	1	-0.05	1	-212.52	5	-10.56	5	-0.07	5
37	37	-545	Max	0.00	17.83	5	0.28	5	0.02	5	141.13	5	33.15	5	0.05	1
37	37	-545	Max	13.75	18.37	5	0.28	5	0.02	5	141.13	5	9.59	5	0.05	1
37	37	-545	Min.	0.00	-37.30	5	-0.40	5	-0.02	5	-479.56	5	-9.82	5	-0.13	1
37	37	-545	Min.	13.75	-36.76	5	-0.40	5	-0.03	5	-479.56	5	-32.79	5	-0.13	1
38	38	-546	Max	0.00	14.61	5	0.50	1	0.03	1	115.99	5	35.02	5	0.03	1
38	38	-546	Max	13.75	15.15	5	0.50	1	0.05	1	115.99	5	7.86	5	0.03	1
38	38	-546	Min.	0.00	-40.79	5	-0.82	1	-0.02	1	-506.36	5	-8.09	5	-0.11	1
38	38	-546	Min.	13.75	-40.25	5	-0.82	1	-0.08	1	-506.36	5	-34.61	5	-0.11	1
39	39	-547	Max	0.00	7.43	5	0.77	1	0.02	1	-21.66	5	44.67	5	0.07	1

39	39	-547	Max	13.75	7.97	5	0.77	1	0.08	1	-21.66	5	-1.58	5	0.07	1
39	39	-547	Min.	0.00	-49.19	5	-0.50	1	-0.02	1	-646.13	5	1.39	5	-0.06	1
39	39	-547	Min.	13.75	-48.65	5	-0.50	1	-0.05	1	-646.13	5	-44.17	5	-0.06	1
40	40	-548	Max	0.00	7.52	5	0.52	1	0.02	1	-18.77	5	44.72	5	0.05	1
40	40	-548	Max	13.75	8.06	5	0.52	1	0.05	1	-18.77	5	-1.39	5	0.05	1
40	40	-548	Min.	0.00	-49.10	5	-0.77	1	-0.02	1	-646.88	5	1.19	5	-0.07	1
40	40	-548	Min.	13.75	-48.56	5	-0.77	1	-0.08	1	-646.88	5	-44.23	5	-0.07	1
41	41	-549	Max	0.00	7.55	5	0.77	1	0.02	1	-18.33	5	44.66	5	0.07	1
41	41	-549	Max	13.75	8.09	5	0.77	1	0.08	1	-18.33	5	-1.36	5	0.07	1
41	41	-549	Min.	0.00	-49.04	5	-0.51	1	-0.03	1	-646.05	5	1.16	5	-0.05	1
41	41	-549	Min.	13.75	-48.50	5	-0.51	1	-0.05	1	-646.05	5	-44.17	5	-0.05	1
42	42	-550	Max	0.00	7.41	5	0.51	1	0.02	1	-22.10	5	44.73	5	0.06	1
42	42	-550	Max	13.75	7.95	5	0.51	1	0.05	1	-22.10	5	-1.61	5	0.06	1
42	42	-550	Min.	0.00	-49.24	5	-0.76	1	-0.02	1	-646.98	5	1.42	5	-0.07	1
42	42	-550	Min.	13.75	-48.70	5	-0.76	1	-0.08	1	-646.98	5	-44.23	5	-0.07	1
43	43	-551	Max	0.00	14.62	5	0.82	1	0.02	1	116.14	5	34.98	5	0.11	1
43	43	-551	Max	13.75	15.16	5	0.82	1	0.08	1	116.14	5	7.87	5	0.11	1
43	43	-551	Min.	0.00	-40.75	5	-0.49	1	-0.03	1	-505.87	5	-8.10	5	-0.03	1
43	43	-551	Min.	13.75	-40.21	5	-0.49	1	-0.05	1	-505.87	5	-34.57	5	-0.03	1
44	44	-552	Max	0.00	17.83	5	0.40	5	0.02	5	141.11	5	33.18	5	0.13	1
44	44	-552	Max	13.75	18.37	5	0.40	5	0.03	5	141.11	5	9.59	5	0.13	1
44	44	-552	Min.	0.00	-37.33	5	-0.27	5	-0.02	5	-479.99	5	-9.82	5	-0.05	1
44	44	-552	Min.	13.75	-36.79	5	-0.27	5	-0.02	5	-479.99	5	-32.82	5	-0.05	1
45	45	-561	Max	0.00	3.61	5	0.03	1	0.00	5	146.23	5	34.36	5	0.05	1
45	45	-561	Max	15.50	4.22	5	0.03	1	0.00	5	146.23	5	11.50	5	0.05	1
45	45	-561	Min.	0.00	-15.69	5	-0.03	1	-0.01	5	-445.72	5	-11.17	5	-0.13	1
45	45	-561	Min.	15.50	-15.08	5	-0.03	1	-0.01	5	-445.72	5	-34.73	5	-0.13	1
46	46	-562	Max	0.00	1.04	5	0.37	1	0.02	1	128.36	5	35.87	5	0.04	1
46	46	-562	Max	15.50	1.65	5	0.37	1	0.03	1	128.36	5	10.11	5	0.04	1
46	46	-562	Min.	0.00	-18.22	5	-0.36	1	-0.03	1	-465.17	5	-9.79	5	-0.12	1
46	46	-562	Min.	15.50	-17.61	5	-0.36	1	-0.04	1	-465.17	5	-36.23	5	-0.12	1
47	47	-563	Max	0.00	-3.65	5	0.35	1	0.03	1	4.73	5	45.62	5	0.08	1
47	47	-563	Max	15.50	-3.04	5	0.35	1	0.03	1	4.73	5	0.52	5	0.08	1
47	47	-563	Min.	0.00	-22.79	5	-0.37	1	-0.02	1	-591.16	5	-0.21	5	-0.08	1
47	47	-563	Min.	15.50	-22.18	5	-0.37	1	-0.03	1	-591.16	5	-46.01	5	-0.08	1
48	48	-564	Max	0.00	-3.73	5	0.39	1	0.02	1	7.50	5	45.66	5	0.07	1
48	48	-564	Max	15.50	-3.12	5	0.39	1	0.03	1	7.50	5	0.74	5	0.07	1
48	48	-564	Min.	0.00	-22.99	5	-0.38	1	-0.03	1	-591.58	5	-0.42	5	-0.08	1
48	48	-564	Min.	15.50	-22.39	5	-0.38	1	-0.03	1	-591.58	5	-46.04	5	-0.08	1
49	49	-565	Max	0.00	-3.72	5	0.38	1	0.03	1	7.84	5	45.61	5	0.08	1
49	49	-565	Max	15.50	-3.11	5	0.38	1	0.03	1	7.84	5	0.76	5	0.08	1
49	49	-565	Min.	0.00	-22.97	5	-0.39	1	-0.02	1	-590.97	5	-0.45	5	-0.07	1
49	49	-565	Min.	15.50	-22.37	5	-0.39	1	-0.03	1	-590.97	5	-45.99	5	-0.07	1
50	50	-566	Max	0.00	-3.66	5	0.37	1	0.02	1	4.42	5	45.67	5	0.08	1
50	50	-566	Max	15.50	-3.05	5	0.37	1	0.03	1	4.42	5	0.50	5	0.08	1
50	50	-566	Min.	0.00	-22.81	5	-0.35	1	-0.03	1	-591.78	5	-0.19	5	-0.08	1
50	50	-566	Min.	15.50	-22.20	5	-0.35	1	-0.03	1	-591.78	5	-46.06	5	-0.08	1
51	51	-567	Max	0.00	1.04	5	0.36	1	0.03	1	128.48	5	35.84	5	0.12	1
51	51	-567	Max	15.50	1.65	5	0.36	1	0.04	1	128.48	5	10.12	5	0.12	1
51	51	-567	Min.	0.00	-18.21	5	-0.37	1	-0.02	1	-464.85	5	-9.80	5	-0.04	1
51	51	-567	Min.	15.50	-17.60	5	-0.37	1	-0.03	1	-464.85	5	-36.21	5	-0.04	1
52	52	-568	Max	0.00	3.61	5	0.03	1	0.01	5	146.19	5	34.38	5	0.13	1
52	52	-568	Max	15.50	4.22	5	0.03	1	0.01	5	146.19	5	11.49	5	0.13	1
52	52	-568	Min.	0.00	-15.70	5	-0.03	1	-0.00	5	-446.00	5	-11.16	5	-0.05	1
52	52	-568	Min.	15.50	-15.09	5	-0.03	1	0.00	5	-446.00	5	-34.75	5	-0.05	1
53	53	-577	Max	0.00	5.08	5	0.24	5	0.02	5	126.72	5	31.62	5	0.06	1
53	53	-577	Max	17.25	5.76	5	0.24	5	0.01	5	126.72	5	11.04	5	0.06	1
53	53	-577	Min.	0.00	-15.60	5	-0.30	5	-0.03	5	-367.65	5	-10.82	5	-0.13	1
53	53	-577	Min.	17.25	-14.92	5	-0.30	5	-0.03	5	-367.65	5	-31.80	5	-0.13	1

54	54	-578	Max	0.00	2.42	5	0.24	5	0.02	5	116.65	5	32.68	5	0.08	1
54	54	-578	Max	17.25	3.09	5	0.24	5	0.01	5	116.65	5	10.16	5	0.08	1
54	54	-578	Min.	0.00	-18.15	5	-0.30	5	-0.03	5	-379.99	5	-9.96	5	-0.15	1
54	54	-578	Min.	17.25	-17.48	5	-0.30	5	-0.03	5	-379.99	5	-32.86	5	-0.15	1
55	55	-579	Max	0.00	-1.88	5	0.11	1	0.02	1	15.81	5	41.52	5	0.11	1
55	55	-579	Max	17.25	-1.21	5	0.11	1	0.01	1	15.81	5	1.47	5	0.11	1
55	55	-579	Min.	0.00	-22.62	5	-0.14	1	-0.01	1	-482.48	5	-1.26	5	-0.11	1
55	55	-579	Min.	17.25	-21.94	5	-0.14	1	-0.01	1	-482.48	5	-41.71	5	-0.11	1
56	56	-580	Max	0.00	-1.82	5	0.12	1	0.02	1	17.99	5	41.57	5	0.11	1
56	56	-580	Max	17.25	-1.15	5	0.12	1	0.01	1	17.99	5	1.66	5	0.11	1
56	56	-580	Min.	0.00	-22.64	5	-0.16	1	-0.01	1	-483.04	5	-1.45	5	-0.11	1
56	56	-580	Min.	17.25	-21.96	5	-0.16	1	-0.01	1	-483.04	5	-41.75	5	-0.11	1
57	57	-581	Max	0.00	-1.81	5	0.16	1	0.01	1	18.25	5	41.53	5	0.11	1
57	57	-581	Max	17.25	-1.14	5	0.16	1	0.01	1	18.25	5	1.68	5	0.11	1
57	57	-581	Min.	0.00	-22.62	5	-0.12	1	-0.02	1	-482.55	5	-1.47	5	-0.11	1
57	57	-581	Min.	17.25	-21.94	5	-0.12	1	-0.01	1	-482.55	5	-41.71	5	-0.11	1
58	58	-582	Max	0.00	-1.90	5	0.15	1	0.01	1	15.57	5	41.56	5	0.11	1
58	58	-582	Max	13.80					-0.00	7			0.51	7		
58	58	-582	Max	17.25	-1.22	5	0.15	1	0.01	1	15.57	5	1.44	5	0.11	1
58	58	-582	Min.	0.00	-22.64	5	-0.11	1	-0.02	1	-482.97	5	-1.24	5	-0.11	1
58	58	-582	Min.	13.80					-0.00	7			-24.69	7		
58	58	-582	Min.	17.25	-21.96	5	-0.11	1	-0.01	1	-482.97	5	-41.75	5	-0.11	1
59	59	-583	Max	0.00	2.42	5	0.29	5	0.03	5	116.75	5	32.66	5	0.15	1
59	59	-583	Max	17.25	3.10	5	0.29	5	0.03	5	116.75	5	10.17	5	0.15	1
59	59	-583	Min.	0.00	-18.14	5	-0.24	5	-0.02	5	-379.74	5	-9.97	5	-0.08	1
59	59	-583	Min.	17.25	-17.47	5	-0.24	5	-0.01	5	-379.74	5	-32.84	5	-0.08	1
60	60	-584	Max	0.00	5.08	5	0.28	5	0.03	5	126.68	5	31.63	5	0.13	1
60	60	-584	Max	9.49					0.00	3			-0.50	3		
60	60	-584	Max	17.25	5.76	5	0.28	5	0.03	5	126.68	5	11.03	5	0.13	1
60	60	-584	Min.	0.00	-15.61	5	-0.23	5	-0.02	5	-367.87	5	-10.82	5	-0.06	1
60	60	-584	Min.	9.49					0.01	3			-1.56	3		
60	60	-584	Min.	17.25	-14.93	5	-0.23	5	-0.01	5	-367.87	5	-31.82	5	-0.06	1
61	61	-593	Max	0.00	0.91	5	0.87	1	0.06	1	111.53	5	27.91	5	0.08	1
61	61	-593	Max	19.00	1.66	5	0.87	1	0.09	1	111.53	5	10.66	5	0.08	1
61	61	-593	Min.	0.00	-22.88	5	-1.18	1	-0.08	1	-294.56	5	-10.53	5	-0.17	1
61	61	-593	Min.	19.00	-22.13	5	-1.18	1	-0.17	1	-294.56	5	-28.06	5	-0.17	1
62	62	-594	Max	0.00	-0.84	1	1.47	1	0.11	1	109.23	5	28.87	5	0.08	1
62	62	-594	Max	19.00	-0.10	1	1.47	1	0.15	1	109.23	5	10.47	5	0.08	1
62	62	-594	Min.	0.00	-22.50	1	-1.78	1	-0.13	1	-304.38	5	-10.29	5	-0.16	1
62	62	-594	Min.	19.00	-21.75	1	-1.78	1	-0.23	1	-304.38	5	-28.96	5	-0.16	1
63	63	-595	Max	0.00	-16.98	1	1.68	1	0.12	1	36.56	5	35.69	5	0.09	1
63	63	-595	Max	19.00	-16.24	1	1.68	1	0.20	1	36.56	5	3.58	5	0.09	1
63	63	-595	Min.	0.00	-38.06	1	-1.54	1	-0.12	1	-375.98	5	-3.37	5	-0.11	1
63	63	-595	Min.	19.00	-37.32	1	-1.54	1	-0.17	1	-375.98	5	-35.75	5	-0.11	1
64	64	-596	Max	0.00	-13.75	1	1.69	1	0.13	1	35.92	5	36.02	5	0.09	1
64	64	-596	Max	19.00	-13.00	1	1.69	1	0.20	1	35.92	5	3.51	5	0.09	1
64	64	-596	Min.	0.00	-35.71	1	-1.60	1	-0.12	1	-379.53	5	-3.31	5	-0.12	1
64	64	-596	Min.	19.00	-34.97	1	-1.60	1	-0.18	1	-379.53	5	-36.09	5	-0.12	1
65	65	-597	Max	0.00	-13.66	1	1.60	1	0.12	1	36.07	5	35.99	5	0.12	1
65	65	-597	Max	19.00	-12.92	1	1.60	1	0.18	1	36.07	5	3.53	5	0.12	1
65	65	-597	Min.	0.00	-35.63	1	-1.69	1	-0.13	1	-379.19	5	-3.33	5	-0.09	1
65	65	-597	Min.	19.00	-34.88	1	-1.69	1	-0.20	1	-379.19	5	-36.06	5	-0.09	1
66	66	-598	Max	0.00	-17.06	1	1.54	1	0.12	1	36.43	5	35.72	5	0.11	1
66	66	-598	Max	19.00	-16.32	1	1.54	1	0.17	1	36.43	5	3.57	5	0.11	1
66	66	-598	Min.	0.00	-38.16	1	-1.68	1	-0.12	1	-376.31	5	-3.36	5	-0.09	1
66	66	-598	Min.	19.00	-37.41	1	-1.68	1	-0.20	1	-376.31	5	-35.78	5	-0.09	1
67	67	-599	Max	0.00	-0.76	1	1.77	1	0.13	1	109.31	5	28.86	5	0.17	1
67	67	-599	Max	19.00	-0.02	1	1.77	1	0.23	1	109.31	5	10.48	5	0.17	1
67	67	-599	Min.	0.00	-22.48	1	-1.46	1	-0.11	1	-304.25	5	-10.29	5	-0.08	1

67	67	-599	Min.	19.00	-21.73	1	-1.46	1	-0.15	1	-304.25	5	-28.95	5	-0.08	1
68	68	-600	Max	0.00	0.93	5	1.17	1	0.08	1	111.47	5	27.92	5	0.17	1
68	68	-600	Max	19.00	1.67	5	1.17	1	0.16	1	111.47	5	10.66	5	0.17	1
68	68	-600	Min.	0.00	-22.98	5	-0.86	1	-0.06	1	-294.63	5	-10.52	5	-0.09	1
68	68	-600	Min.	19.00	-22.23	5	-0.86	1	-0.09	1	-294.63	5	-28.06	5	-0.09	1
69	69	-609	Max	0.00	3.34	5	0.44	1	0.02	5	102.95	5	24.84	5	0.00	5
69	69	-609	Max	20.75	4.16	5	0.44	1	0.06	1	102.95	5	10.77	5	0.00	5
69	69	-609	Min.	0.00	-10.47	5	-0.33	1	-0.04	5	-239.79	5	-10.59	5	-0.04	5
69	69	-609	Min.	20.75	-9.65	5	-0.33	1	-0.06	1	-239.79	5	-24.92	5	-0.04	5
70	70	-610	Max	0.00	1.70	5	0.37	5	0.01	5	104.17	5	25.65	5	0.01	1
70	70	-610	Max	20.75	2.51	5	0.37	5	0.05	1	104.17	5	10.89	5	0.01	1
70	70	-610	Min.	0.00	-12.36	5	-0.25	5	-0.04	5	-247.52	5	-10.73	5	-0.04	1
70	70	-610	Min.	20.75	-11.55	5	-0.25	5	-0.05	1	-247.52	5	-25.71	5	-0.04	1
71	71	-611	Max	0.00	-0.56	5	0.24	1	0.01	1	54.27	5	30.84	5	0.02	1
71	71	-611	Max	20.75	0.25	5	0.24	1	0.05	1	54.27	5	5.73	5	0.02	1
71	71	-611	Min.	0.00	-14.62	5	-0.24	1	-0.00	1	-297.41	5	-5.53	5	-0.03	1
71	71	-611	Min.	20.75	-13.80	5	-0.24	1	-0.04	1	-297.41	5	-30.87	5	-0.03	1
72	72	-612	Max	0.00	-0.87	5	0.26	1	0.01	5	49.76	5	31.19	5	0.02	1
72	72	-612	Max	20.75	-0.06	5	0.26	1	0.05	1	49.76	5	5.26	5	0.02	1
72	72	-612	Min.	0.00	-14.87	5	-0.24	1	-0.00	5	-300.81	5	-5.06	5	-0.04	1
72	72	-612	Min.	20.75	-14.06	5	-0.24	1	-0.05	1	-300.81	5	-31.23	5	-0.04	1
73	73	-613	Max	0.00	-0.87	5	0.23	1	0.01	5	49.81	5	31.17	5	0.03	1
73	73	-613	Max	20.75	-0.05	5	0.23	1	0.04	1	49.81	5	5.27	5	0.03	1
73	73	-613	Min.	0.00	-14.86	5	-0.26	1	-0.01	5	-300.60	5	-5.07	5	-0.02	1
73	73	-613	Min.	20.75	-14.05	5	-0.26	1	-0.05	1	-300.60	5	-31.20	5	-0.02	1
74	74	-614	Max	0.00	-0.57	5	0.24	1	0.00	1	54.23	5	30.86	5	0.03	1
74	74	-614	Max	20.75	0.25	5	0.24	1	0.04	1	54.23	5	5.73	5	0.03	1
74	74	-614	Min.	0.00	-14.63	5	-0.25	1	-0.00	1	-297.61	5	-5.52	5	-0.02	1
74	74	-614	Min.	20.75	-13.81	5	-0.25	1	-0.05	1	-297.61	5	-30.89	5	-0.02	1
75	75	-615	Max	0.00	1.71	5	0.25	5	0.04	5	104.31	5	25.65	5	0.04	1
75	75	-615	Max	20.75	2.52	5	0.25	5	0.05	1	104.31	5	10.90	5	0.04	1
75	75	-615	Min.	0.00	-12.36	5	-0.36	5	-0.01	5	-247.57	5	-10.74	5	-0.01	1
75	75	-615	Min.	20.75	-11.55	5	-0.36	5	-0.05	1	-247.57	5	-25.72	5	-0.01	1
76	76	-616	Max	0.00	3.34	5	0.34	1	0.04	5	102.95	5	24.85	5	0.03	5
76	76	-616	Max	20.75	4.16	5	0.34	1	0.06	1	102.95	5	10.77	5	0.03	5
76	76	-616	Min.	0.00	-10.47	5	-0.46	1	-0.02	5	-239.84	5	-10.60	5	-0.00	5
76	76	-616	Min.	20.75	-9.66	5	-0.46	1	-0.06	1	-239.84	5	-24.92	5	-0.00	5
77	77	-625	Max	0.00	3.26	5	0.01	5	0.02	1	91.86	5	22.70	5	0.01	1
77	77	-625	Max	22.50	4.14	5	0.01	5	0.02	1	91.86	5	10.40	5	0.01	1
77	77	-625	Min.	0.00	-8.49	5	-0.01	5	-0.02	1	-202.01	5	-10.26	5	-0.04	1
77	77	-625	Min.	22.50	-7.61	5	-0.01	5	-0.02	1	-202.01	5	-22.75	5	-0.04	1
78	78	-626	Max	0.00	1.42	5	0.30	1	0.05	1	96.40	5	23.15	5	0.02	1
78	78	-626	Max	22.50	2.30	5	0.30	1	0.01	1	96.40	5	10.91	5	0.02	1
78	78	-626	Min.	0.00	-10.68	5	-0.29	1	-0.06	1	-205.96	5	-10.78	5	-0.05	1
78	78	-626	Min.	22.50	-9.79	5	-0.29	1	-0.02	1	-205.96	5	-23.19	5	-0.05	1
79	79	-627	Max	0.00	-0.10	5	0.29	1	0.05	1	55.15	5	27.76	5	0.01	1
79	79	-627	Max	22.50	0.78	5	0.29	1	0.01	1	55.15	5	6.29	5	0.01	1
79	79	-627	Min.	0.00	-12.14	5	-0.30	1	-0.05	1	-246.81	5	-6.12	5	-0.03	1
79	79	-627	Min.	22.50	-11.25	5	-0.30	1	-0.01	1	-246.81	5	-27.77	5	-0.03	1
80	80	-628	Max	0.00	-0.38	5	0.31	1	0.06	1	51.31	5	28.10	5	0.01	1
80	80	-628	Max	22.50	0.50	5	0.31	1	0.02	1	51.31	5	5.86	5	0.01	1
80	80	-628	Min.	0.00	-12.39	5	-0.31	1	-0.05	1	-249.85	5	-5.69	5	-0.03	1
80	80	-628	Min.	22.50	-11.51	5	-0.31	1	-0.02	1	-249.85	5	-28.11	5	-0.03	1
81	81	-629	Max	0.00	-0.38	5	0.31	1	0.05	1	51.34	5	28.08	5	0.03	1
81	81	-629	Max	22.50	0.50	5	0.31	1	0.02	1	51.34	5	5.86	5	0.03	1
81	81	-629	Min.	0.00	-12.39	5	-0.31	1	-0.05	1	-249.67	5	-5.69	5	-0.01	1
81	81	-629	Min.	22.50	-11.50	5	-0.31	1	-0.02	1	-249.67	5	-28.09	5	-0.01	1
82	82	-630	Max	0.00	-0.10	5	0.30	1	0.05	1	55.12	5	27.78	5	0.03	1
82	82	-630	Max	22.50	0.78	5	0.30	1	0.01	1	55.12	5	6.29	5	0.03	1

82	82	-630	Min.	0.00	-12.14	5	-0.29	1	-0.05	1	-246.97	5	-6.12	5	-0.01	1
82	82	-630	Min.	22.50	-11.26	5	-0.29	1	-0.01	1	-246.97	5	-27.79	5	-0.01	1
83	83	-631	Max	0.00	1.42	5	0.29	1	0.06	1	96.53	5	23.16	5	0.05	1
83	83	-631	Max	22.50	2.30	5	0.29	1	0.02	1	96.53	5	10.92	5	0.05	1
83	83	-631	Min.	0.00	-10.68	5	-0.30	1	-0.05	1	-206.02	5	-10.79	5	-0.02	1
83	83	-631	Min.	22.50	-9.80	5	-0.30	1	-0.01	1	-206.02	5	-23.20	5	-0.02	1
84	84	-632	Max	0.00	3.26	5	0.01	5	0.02	1	91.86	5	22.70	5	0.04	1
84	84	-632	Max	22.50	4.14	5	0.01	5	0.02	1	91.86	5	10.40	5	0.04	1
84	84	-632	Min.	0.00	-8.49	5	-0.01	5	-0.02	1	-202.04	5	-10.27	5	-0.01	1
84	84	-632	Min.	22.50	-7.61	5	-0.01	5	-0.02	1	-202.04	5	-22.76	5	-0.01	1
85	85	-641	Max	0.00	2.64	5	0.21	5	0.04	5	83.33	5	20.72	5	0.03	1
85	85	-641	Max	24.25	3.59	5	0.21	5	0.06	1	83.33	5	10.16	5	0.03	1
85	85	-641	Min.	0.00	-7.69	5	-0.29	5	-0.03	5	-171.06	5	-10.05	5	-0.06	1
85	85	-641	Min.	24.25	-6.73	5	-0.29	5	-0.08	1	-171.06	5	-20.76	5	-0.06	1
86	86	-642	Max	0.00	0.95	5	0.21	5	0.04	1	89.59	5	20.93	5	0.06	1
86	86	-642	Max	13.03					-0.04	3			-0.01	3		
86	86	-642	Max	24.25	1.90	5	0.21	5	0.05	1	89.59	5	10.92	5	0.06	1
86	86	-642	Min.	0.00	-9.29	5	-0.29	5	-0.04	1	-172.64	5	-10.81	5	-0.09	1
86	86	-642	Min.	13.03					0.04	3			-0.70	3		
86	86	-642	Min.	24.25	-8.34	5	-0.29	5	-0.07	1	-172.64	5	-20.94	5	-0.09	1
87	87	-643	Max	0.00	-0.73	5	0.05	1	0.04	1	55.72	5	24.97	5	0.06	1
87	87	-643	Max	12.41					-0.01	7			0.22	7		
87	87	-643	Max	24.25	0.23	5	0.05	1	0.05	1	55.72	5	6.82	5	0.06	1
87	87	-643	Min.	0.00	-11.15	5	-0.08	1	-0.04	1	-205.98	5	-6.69	5	-0.08	1
87	87	-643	Min.	12.41					0.01	7			-0.59	7		
87	87	-643	Min.	24.25	-10.20	5	-0.08	1	-0.05	1	-205.98	5	-24.98	5	-0.08	1
88	88	-644	Max	0.00	-0.99	5	0.06	5	0.04	1	52.67	5	25.27	5	0.07	1
88	88	-644	Max	12.44					-0.01	7			0.23	7		
88	88	-644	Max	24.25	-0.04	5	0.06	5	0.05	1	52.67	5	6.45	5	0.07	1
88	88	-644	Min.	0.00	-11.34	5	-0.09	5	-0.04	1	-208.43	5	-6.32	5	-0.08	1
88	88	-644	Min.	12.44					0.01	7			-0.64	7		
88	88	-644	Min.	24.25	-10.39	5	-0.09	5	-0.05	1	-208.43	5	-25.27	5	-0.08	1
89	89	-645	Max	0.00	-0.99	5	0.10	5	0.04	1	52.70	5	25.25	5	0.08	1
89	89	-645	Max	12.59					-0.01	7			0.30	7		
89	89	-645	Max	24.25	-0.04	5	0.10	5	0.05	1	52.70	5	6.46	5	0.08	1
89	89	-645	Min.	0.00	-11.34	5	-0.07	5	-0.04	1	-208.28	5	-6.32	5	-0.07	1
89	89	-645	Min.	12.59					0.01	7			-0.96	7		
89	89	-645	Min.	24.25	-10.39	5	-0.07	5	-0.05	1	-208.28	5	-25.26	5	-0.07	1
90	90	-646	Max	0.00	-0.73	5	0.08	1	0.04	1	55.70	5	24.99	5	0.08	1
90	90	-646	Max	24.25	0.22	5	0.08	1	0.05	1	55.70	5	6.82	5	0.08	1
90	90	-646	Min.	0.00	-11.15	5	-0.05	1	-0.04	1	-206.12	5	-6.69	5	-0.06	1
90	90	-646	Min.	24.25	-10.20	5	-0.05	1	-0.05	1	-206.12	5	-24.99	5	-0.06	1
91	91	-647	Max	0.00	0.96	5	0.28	5	0.04	1	89.69	5	20.93	5	0.09	1
91	91	-647	Max	24.25	1.91	5	0.28	5	0.06	1	89.69	5	10.93	5	0.09	1
91	91	-647	Min.	0.00	-9.29	5	-0.20	5	-0.04	1	-172.69	5	-10.82	5	-0.06	1
91	91	-647	Min.	24.25	-8.34	5	-0.20	5	-0.05	1	-172.69	5	-20.95	5	-0.06	1
92	92	-648	Max	0.00	2.64	5	0.28	5	0.03	1	83.33	5	20.72	5	0.06	1
92	92	-648	Max	24.25	3.59	5	0.28	5	0.08	1	83.33	5	10.16	5	0.06	1
92	92	-648	Min.	0.00	-7.69	5	-0.21	5	-0.04	1	-171.08	5	-10.05	5	-0.03	1
92	92	-648	Min.	24.25	-6.74	5	-0.21	5	-0.06	1	-171.08	5	-20.77	5	-0.03	1
93	93	-657	Max	0.00	-7.79	5	1.54	1	0.07	1	82.33	5	18.10	5	0.07	5
93	93	-657	Max	26.00	-6.77	5	1.54	1	0.33	1	82.33	5	10.74	5	0.07	5
93	93	-657	Min.	0.00	-17.26	5	-1.58	1	-0.08	1	-139.31	5	-10.66	5	-0.13	5
93	93	-657	Min.	26.00	-16.24	5	-1.58	1	-0.34	1	-139.31	5	-18.12	5	-0.13	5
94	94	-658	Max	0.00	-0.61	5	1.93	1	0.12	1	85.08	5	18.87	5	0.07	5
94	94	-658	Max	26.00	0.41	5	1.93	1	0.38	1	85.08	5	11.11	5	0.07	5
94	94	-658	Min.	0.00	-9.75	5	-1.97	1	-0.12	1	-145.24	5	-11.01	5	-0.13	5
94	94	-658	Min.	26.00	-8.73	5	-1.97	1	-0.39	1	-145.24	5	-18.89	5	-0.13	5
95	95	-659	Max	0.00	-14.96	5	1.92	1	0.12	1	65.06	5	21.34	5	0.05	1

95	95	-659	Max	26.00	-13.94	5	1.92	1	0.38	1	65.06	5	8.53	5	0.05	1
95	95	-659	Min.	0.00	-24.24	5	-1.99	1	-0.12	1	-163.98	5	-8.39	5	-0.07	1
95	95	-659	Min.	26.00	-23.22	5	-1.99	1	-0.40	1	-163.98	5	-21.30	5	-0.07	1
96	96	-660	Max	0.00	-15.99	5	1.96	1	0.12	1	63.12	5	21.58	5	0.06	1
96	96	-660	Max	26.00	-14.97	5	1.96	1	0.38	1	63.12	5	8.28	5	0.06	1
96	96	-660	Min.	0.00	-24.78	5	-2.01	1	-0.12	1	-165.85	5	-8.13	5	-0.08	1
96	96	-660	Min.	26.00	-23.76	5	-2.01	1	-0.40	1	-165.85	5	-21.54	5	-0.08	1
97	97	-661	Max	0.00	-15.97	5	2.01	1	0.12	1	63.13	5	21.56	5	0.08	1
97	97	-661	Max	26.00	-14.95	5	2.01	1	0.40	1	63.13	5	8.28	5	0.08	1
97	97	-661	Min.	0.00	-24.76	5	-1.96	1	-0.12	1	-165.72	5	-8.14	5	-0.06	1
97	97	-661	Min.	26.00	-23.74	5	-1.96	1	-0.38	1	-165.72	5	-21.52	5	-0.06	1
98	98	-662	Max	0.00	-14.97	5	1.99	1	0.12	1	65.06	5	21.35	5	0.07	1
98	98	-662	Max	26.00	-13.95	5	1.99	1	0.40	1	65.06	5	8.53	5	0.07	1
98	98	-662	Min.	0.00	-24.26	5	-1.92	1	-0.12	1	-164.11	5	-8.39	5	-0.05	1
98	98	-662	Min.	26.00	-23.24	5	-1.92	1	-0.38	1	-164.11	5	-21.31	5	-0.05	1
99	99	-663	Max	0.00	-0.61	5	1.96	1	0.12	1	85.16	5	18.88	5	0.13	5
99	99	-663	Max	26.00	0.41	5	1.96	1	0.39	1	85.16	5	11.12	5	0.13	5
99	99	-663	Min.	0.00	-9.74	5	-1.92	1	-0.12	1	-145.30	5	-11.02	5	-0.07	5
99	99	-663	Min.	26.00	-8.72	5	-1.92	1	-0.38	1	-145.30	5	-18.90	5	-0.07	5
100	100	-664	Max	0.00	-7.79	5	1.58	1	0.08	1	82.34	5	18.10	5	0.13	5
100	100	-664	Max	26.00	-6.77	5	1.58	1	0.34	1	82.34	5	10.75	5	0.13	5
100	100	-664	Min.	0.00	-17.28	5	-1.54	1	-0.07	1	-139.33	5	-10.66	5	-0.07	5
100	100	-664	Min.	26.00	-16.26	5	-1.54	1	-0.33	1	-139.33	5	-18.12	5	-0.07	5
101	101	-673	Max	0.00	2.25	5	0.40	1	0.02	5	81.72	5	15.75	5	0.01	5
101	101	-673	Max	27.75	3.34	5	0.40	1	0.11	1	81.72	5	11.39	5	0.01	5
101	101	-673	Min.	0.00	-5.49	5	-0.32	1	-0.04	5	-113.49	5	-11.29	5	-0.03	5
101	101	-673	Min.	27.75	-4.40	5	-0.32	1	-0.10	1	-113.49	5	-15.74	5	-0.03	5
102	102	-674	Max	0.00	0.64	5	0.36	1	0.03	5	81.07	5	16.89	5	0.02	1
102	102	-674	Max	27.75	1.73	5	0.36	1	0.11	1	81.07	5	11.29	5	0.02	1
102	102	-674	Min.	0.00	-7.44	5	-0.28	1	-0.04	5	-121.75	5	-11.20	5	-0.04	1
102	102	-674	Min.	27.75	-6.35	5	-0.28	1	-0.10	1	-121.75	5	-16.89	5	-0.04	1
103	103	-675	Max	0.00	-0.10	5	0.29	1	0.02	1	71.95	5	18.02	5	0.02	1
103	103	-675	Max	27.75	0.99	5	0.29	1	0.10	1	71.95	5	10.05	5	0.02	1
103	103	-675	Min.	0.00	-8.03	5	-0.27	1	-0.03	1	-129.69	5	-9.91	5	-0.03	1
103	103	-675	Min.	27.75	-6.95	5	-0.27	1	-0.10	1	-129.69	5	-17.97	5	-0.03	1
104	104	-676	Max	0.00	-0.28	5	0.30	1	0.02	1	71.20	5	18.20	5	0.03	1
104	104	-676	Max	27.75	0.81	5	0.30	1	0.10	1	71.20	5	9.95	5	0.03	1
104	104	-676	Min.	0.00	-8.22	5	-0.28	1	-0.03	1	-131.00	5	-9.81	5	-0.04	1
104	104	-676	Min.	27.75	-7.13	5	-0.28	1	-0.10	1	-131.00	5	-18.15	5	-0.04	1
105	105	-677	Max	0.00	-0.28	5	0.28	1	0.03	1	71.20	5	18.19	5	0.04	1
105	105	-677	Max	27.75	0.81	5	0.28	1	0.10	1	71.20	5	9.95	5	0.04	1
105	105	-677	Min.	0.00	-8.21	5	-0.31	1	-0.02	1	-130.91	5	-9.81	5	-0.03	1
105	105	-677	Min.	27.75	-7.12	5	-0.31	1	-0.10	1	-130.91	5	-18.14	5	-0.03	1
106	106	-678	Max	0.00	-0.10	5	0.26	1	0.03	1	71.95	5	18.03	5	0.03	1
106	106	-678	Max	27.75	0.99	5	0.26	1	0.10	1	71.95	5	10.05	5	0.03	1
106	106	-678	Min.	0.00	-8.05	5	-0.29	1	-0.02	1	-129.77	5	-9.91	5	-0.02	1
106	106	-678	Min.	27.75	-6.96	5	-0.29	1	-0.10	1	-129.77	5	-17.98	5	-0.02	1
107	107	-679	Max	0.00	0.64	5	0.29	1	0.04	5	81.09	5	16.89	5	0.04	1
107	107	-679	Max	27.75	1.73	5	0.29	1	0.10	1	81.09	5	11.30	5	0.04	1
107	107	-679	Min.	0.00	-7.44	5	-0.36	1	-0.03	5	-121.75	5	-11.21	5	-0.02	1
107	107	-679	Min.	27.75	-6.35	5	-0.36	1	-0.11	1	-121.75	5	-16.89	5	-0.02	1
108	108	-680	Max	0.00	2.25	5	0.33	1	0.04	5	81.73	5	15.75	5	0.03	5
108	108	-680	Max	27.75	3.34	5	0.33	1	0.10	1	81.73	5	11.39	5	0.03	5
108	108	-680	Min.	0.00	-5.49	5	-0.41	1	-0.02	5	-113.49	5	-11.29	5	-0.01	5
108	108	-680	Min.	27.75	-4.40	5	-0.41	1	-0.11	1	-113.49	5	-15.74	5	-0.01	5
109	109	-689	Max	0.00	2.55	5	0.03	1	0.03	1	75.86	5	14.38	5	0.02	1
109	109	-689	Max	29.50	3.71	5	0.03	1	0.04	1	75.86	5	11.23	5	0.02	1
109	109	-689	Min.	0.00	-4.42	5	-0.03	1	-0.04	1	-97.44	5	-11.15	5	-0.04	1
109	109	-689	Min.	29.50	-3.26	5	-0.03	1	-0.05	1	-97.44	5	-14.37	5	-0.04	1

110	110	-690	Max	0.00	0.52	5	0.19	1	0.07	1	77.11	5	15.21	5	0.02	1
110	110	-690	Max	29.50	1.68	5	0.19	1	0.01	1	77.11	5	11.41	5	0.02	1
110	110	-690	Min.	0.00	-6.64	5	-0.18	1	-0.07	1	-103.08	5	-11.33	5	-0.04	1
110	110	-690	Min.	29.50	-5.48	5	-0.18	1	-0.02	1	-103.08	5	-15.20	5	-0.04	1
111	111	-691	Max	0.00	0.46	5	0.18	1	0.07	1	70.49	5	16.04	5	0.02	1
111	111	-691	Max	29.50	1.62	5	0.18	1	0.01	1	70.49	5	10.45	5	0.02	1
111	111	-691	Min.	0.00	-6.66	5	-0.18	1	-0.07	1	-108.59	5	-10.34	5	-0.03	1
111	111	-691	Min.	29.50	-5.51	5	-0.18	1	-0.02	1	-108.59	5	-15.99	5	-0.03	1
112	112	-692	Max	0.00	0.32	5	0.20	1	0.07	1	70.12	5	16.19	5	0.02	1
112	112	-692	Max	29.50	1.48	5	0.20	1	0.01	1	70.12	5	10.40	5	0.02	1
112	112	-692	Min.	0.00	-6.83	5	-0.19	1	-0.07	1	-109.59	5	-10.29	5	-0.03	1
112	112	-692	Min.	29.50	-5.67	5	-0.19	1	-0.01	1	-109.59	5	-16.14	5	-0.03	1
113	113	-693	Max	0.00	0.32	5	0.19	1	0.07	1	70.13	5	16.18	5	0.03	1
113	113	-693	Max	29.50	1.48	5	0.19	1	0.01	1	70.13	5	10.40	5	0.03	1
113	113	-693	Min.	0.00	-6.82	5	-0.20	1	-0.07	1	-109.51	5	-10.29	5	-0.02	1
113	113	-693	Min.	29.50	-5.67	5	-0.20	1	-0.01	1	-109.51	5	-16.13	5	-0.02	1
114	114	-694	Max	0.00	0.46	5	0.18	1	0.07	1	70.49	5	16.05	5	0.03	1
114	114	-694	Max	29.50	1.62	5	0.18	1	0.02	1	70.49	5	10.45	5	0.03	1
114	114	-694	Min.	0.00	-6.67	5	-0.18	1	-0.07	1	-108.67	5	-10.34	5	-0.02	1
114	114	-694	Min.	29.50	-5.51	5	-0.18	1	-0.01	1	-108.67	5	-16.00	5	-0.02	1
115	115	-695	Max	0.00	0.52	5	0.18	1	0.07	1	77.13	5	15.21	5	0.04	1
115	115	-695	Max	29.50	1.68	5	0.18	1	0.02	1	77.13	5	11.42	5	0.04	1
115	115	-695	Min.	0.00	-6.64	5	-0.19	1	-0.07	1	-103.09	5	-11.34	5	-0.02	1
115	115	-695	Min.	29.50	-5.48	5	-0.19	1	-0.01	1	-103.09	5	-15.20	5	-0.02	1
116	116	-696	Max	0.00	2.55	5	0.03	1	0.04	1	75.87	5	14.38	5	0.04	1
116	116	-696	Max	29.50	3.71	5	0.03	1	0.05	1	75.87	5	11.23	5	0.04	1
116	116	-696	Min.	0.00	-4.42	5	-0.03	1	-0.03	1	-97.44	5	-11.15	5	-0.02	1
116	116	-696	Min.	29.50	-3.26	5	-0.03	1	-0.04	1	-97.44	5	-14.37	5	-0.02	1
117	117	-705	Max	0.00	1.88	5	0.29	1	0.03	1	70.95	5	13.13	5	0.04	1
117	117	-705	Max	31.25	3.11	5	0.29	1	0.11	1	70.95	5	11.11	5	0.04	1
117	117	-705	Min.	0.00	-4.27	5	-0.35	1	-0.04	1	-84.02	5	-11.06	5	-0.06	1
117	117	-705	Min.	31.25	-3.04	5	-0.35	1	-0.13	1	-84.02	5	-13.12	5	-0.06	1
118	118	-706	Max	0.00	0.17	5	0.24	1	0.04	1	74.05	5	13.62	5	0.07	1
118	118	-706	Max	31.25	1.39	5	0.24	1	0.10	1	74.05	5	11.60	5	0.07	1
118	118	-706	Min.	0.00	-6.20	5	-0.30	1	-0.04	1	-87.11	5	-11.54	5	-0.09	1
118	118	-706	Min.	31.25	-4.98	5	-0.30	1	-0.12	1	-87.11	5	-13.61	5	-0.09	1
119	119	-707	Max	0.00	-0.42	5	0.21	1	0.04	1	69.69	5	14.16	5	0.08	1
119	119	-707	Max	31.25	0.81	5	0.21	1	0.10	1	69.69	5	10.93	5	0.08	1
119	119	-707	Min.	0.00	-6.72	5	-0.22	1	-0.04	1	-90.54	5	-10.85	5	-0.08	1
119	119	-707	Min.	31.25	-5.49	5	-0.22	1	-0.10	1	-90.54	5	-14.13	5	-0.08	1
120	120	-708	Max	0.00	-0.54	5	0.21	1	0.04	1	69.51	5	14.28	5	0.08	1
120	120	-708	Max	31.25	0.69	5	0.21	1	0.10	1	69.51	5	10.90	5	0.08	1
120	120	-708	Min.	0.00	-6.88	5	-0.22	1	-0.04	1	-91.29	5	-10.82	5	-0.09	1
120	120	-708	Min.	31.25	-5.65	5	-0.22	1	-0.10	1	-91.29	5	-14.25	5	-0.09	1
121	121	-709	Max	0.00	-0.54	5	0.22	1	0.04	1	69.51	5	14.27	5	0.09	1
121	121	-709	Max	31.25	0.69	5	0.22	1	0.10	1	69.51	5	10.90	5	0.09	1
121	121	-709	Min.	0.00	-6.88	5	-0.21	1	-0.04	1	-91.22	5	-10.82	5	-0.08	1
121	121	-709	Min.	31.25	-5.65	5	-0.21	1	-0.10	1	-91.22	5	-14.24	5	-0.08	1
122	122	-710	Max	0.00	-0.42	5	0.22	1	0.04	1	69.69	5	14.17	5	0.08	1
122	122	-710	Max	31.25	0.81	5	0.22	1	0.10	1	69.69	5	10.93	5	0.08	1
122	122	-710	Min.	0.00	-6.72	5	-0.21	1	-0.04	1	-90.61	5	-10.85	5	-0.08	1
122	122	-710	Min.	31.25	-5.49	5	-0.21	1	-0.10	1	-90.61	5	-14.14	5	-0.08	1
123	123	-711	Max	0.00	0.17	5	0.29	1	0.04	1	74.07	5	13.62	5	0.09	1
123	123	-711	Max	17.07					-0.01	7			1.09	7		
123	123	-711	Max	31.25	1.39	5	0.29	1	0.12	1	74.07	5	11.60	5	0.09	1
123	123	-711	Min.	0.00	-6.20	5	-0.24	1	-0.04	1	-87.12	5	-11.54	5	-0.07	1
123	123	-711	Min.	17.07					0.03	7			-1.25	7		
123	123	-711	Min.	31.25	-4.98	5	-0.24	1	-0.10	1	-87.12	5	-13.61	5	-0.07	1
124	124	-712	Max	0.00	1.88	5	0.34	1	0.04	1	70.95	5	13.13	5	0.06	1

124	124	-712	Max	17.19					-0.02	7			1.12	7		
124	124	-712	Max	31.25	3.11	5	0.34	1	0.13	1	70.95	5	11.11	5	0.06	1
124	124	-712	Min.	0.00	-4.27	5	-0.29	1	-0.04	1	-84.02	5	-11.06	5	-0.04	1
124	124	-712	Min.	17.19					0.03	7			-1.30	7		
124	124	-712	Min.	31.25	-3.04	5	-0.29	1	-0.11	1	-84.02	5	-13.12	5	-0.04	1
125	125	-721	Max	0.00	-6.73	5	1.56	1	0.10	1	70.65	5	11.42	5	0.07	5
125	125	-721	Max	33.00	-5.44	5	1.56	1	0.42	1	70.65	5	11.68	5	0.07	5
125	125	-721	Min.	0.00	-11.69	5	-1.72	1	-0.10	1	-69.15	5	-11.63	5	-0.11	5
125	125	-721	Min.	33.00	-10.39	5	-1.72	1	-0.47	1	-69.15	5	-11.40	5	-0.11	5
126	126	-722	Max	0.00	-3.86	5	1.83	1	0.14	1	73.39	5	11.85	5	0.07	5
126	126	-722	Max	33.00	-2.57	5	1.83	1	0.46	1	73.39	5	12.14	5	0.07	5
126	126	-722	Min.	0.00	-9.63	5	-1.99	1	-0.14	1	-71.77	5	-12.08	5	-0.10	5
126	126	-722	Min.	33.00	-8.34	5	-1.99	1	-0.52	1	-71.77	5	-11.83	5	-0.10	5
127	127	-723	Max	0.00	-16.47	5	1.88	1	0.14	1	76.43	5	11.29	5	0.05	1
127	127	-723	Max	33.00	-15.18	5	1.88	1	0.48	1	76.43	5	12.66	5	0.05	1
127	127	-723	Min.	0.00	-21.29	5	-1.91	1	-0.14	1	-68.25	5	-12.57	5	-0.06	1
127	127	-723	Min.	33.00	-20.00	5	-1.91	1	-0.49	1	-68.25	5	-11.23	5	-0.06	1
128	128	-724	Max	0.00	-16.25	5	1.90	1	0.14	1	76.21	5	11.39	5	0.05	1
128	128	-724	Max	33.00	-14.96	5	1.90	1	0.49	1	76.21	5	12.62	5	0.05	1
128	128	-724	Min.	0.00	-21.16	5	-1.93	1	-0.14	1	-68.88	5	-12.53	5	-0.06	1
128	128	-724	Min.	33.00	-19.87	5	-1.93	1	-0.50	1	-68.88	5	-11.34	5	-0.06	1
129	129	-725	Max	0.00	-16.25	5	1.93	1	0.14	1	76.21	5	11.38	5	0.06	1
129	129	-725	Max	33.00	-14.96	5	1.93	1	0.50	1	76.21	5	12.62	5	0.06	1
129	129	-725	Min.	0.00	-21.15	5	-1.90	1	-0.14	1	-68.82	5	-12.53	5	-0.05	1
129	129	-725	Min.	33.00	-19.85	5	-1.90	1	-0.49	1	-68.82	5	-11.33	5	-0.05	1
130	130	-726	Max	0.00	-16.48	5	1.91	1	0.14	1	76.44	5	11.30	5	0.06	1
130	130	-726	Max	33.00	-15.18	5	1.91	1	0.49	1	76.44	5	12.66	5	0.06	1
130	130	-726	Min.	0.00	-21.31	5	-1.88	1	-0.14	1	-68.30	5	-12.57	5	-0.04	1
130	130	-726	Min.	33.00	-20.01	5	-1.88	1	-0.48	1	-68.30	5	-11.24	5	-0.04	1
131	131	-727	Max	0.00	-3.86	5	1.99	1	0.14	1	73.41	5	11.86	5	0.10	5
131	131	-727	Max	33.00	-2.56	5	1.99	1	0.52	1	73.41	5	12.14	5	0.10	5
131	131	-727	Min.	0.00	-9.64	5	-1.82	1	-0.14	1	-71.78	5	-12.08	5	-0.07	5
131	131	-727	Min.	33.00	-8.34	5	-1.82	1	-0.46	1	-71.78	5	-11.83	5	-0.07	5
132	132	-728	Max	0.00	-6.73	5	1.72	1	0.10	1	70.66	5	11.42	5	0.11	5
132	132	-728	Max	33.00	-5.44	5	1.72	1	0.47	1	70.66	5	11.69	5	0.11	5
132	132	-728	Min.	0.00	-11.69	5	-1.56	1	-0.10	1	-69.15	5	-11.63	5	-0.07	5
132	132	-728	Min.	33.00	-10.39	5	-1.56	1	-0.42	1	-69.15	5	-11.40	5	-0.07	5
133	133	-737	Max	0.00	1.76	5	0.42	1	0.02	5	70.13	5	9.82	5	0.01	5
133	133	-737	Max	19.11					-0.03	7			1.24	7		
133	133	-737	Max	34.75	3.12	5	0.42	1	0.15	1	70.13	5	12.22	5	0.01	5
133	133	-737	Min.	0.00	-3.25	5	-0.37	1	-0.04	5	-56.43	5	-12.16	5	-0.01	5
133	133	-737	Min.	19.11					0.02	7			-0.95	7		
133	133	-737	Min.	34.75	-1.89	5	-0.37	1	-0.15	1	-56.43	5	-9.79	5	-0.01	5
134	134	-738	Max	0.00	0.11	5	0.40	1	0.02	1	72.71	5	10.25	5	0.03	1
134	134	-738	Max	19.11					-0.03	7			1.28	7		
134	134	-738	Max	34.75	1.48	5	0.40	1	0.15	1	72.71	5	12.66	5	0.03	1
134	134	-738	Min.	0.00	-5.06	5	-0.35	1	-0.04	1	-58.91	5	-12.61	5	-0.03	1
134	134	-738	Min.	19.11					0.02	7			-1.00	7		
134	134	-738	Min.	34.75	-3.69	5	-0.35	1	-0.15	1	-58.91	5	-10.22	5	-0.03	1
135	135	-739	Max	0.00	0.11	5	0.35	1	0.02	1	81.67	5	8.67	5	0.03	1
135	135	-739	Max	34.75	1.47	5	0.35	1	0.14	1	81.67	5	14.24	5	0.03	1
135	135	-739	Min.	0.00	-5.01	5	-0.34	1	-0.03	1	-49.68	5	-14.14	5	-0.03	1
135	135	-739	Min.	34.75	-3.65	5	-0.34	1	-0.14	1	-49.68	5	-8.59	5	-0.03	1
136	136	-740	Max	0.00	-0.01	5	0.35	1	0.02	1	81.49	5	8.78	5	0.03	1
136	136	-740	Max	34.75	1.35	5	0.35	1	0.14	1	81.49	5	14.21	5	0.03	1
136	136	-740	Min.	0.00	-5.14	5	-0.34	1	-0.03	1	-50.31	5	-14.11	5	-0.04	1
136	136	-740	Min.	34.75	-3.78	5	-0.34	1	-0.14	1	-50.31	5	-8.70	5	-0.04	1
137	137	-741	Max	0.00	-0.01	5	0.34	1	0.03	1	81.49	5	8.77	5	0.04	1
137	137	-741	Max	34.75	1.35	5	0.34	1	0.14	1	81.49	5	14.21	5	0.04	1

137	137	-741	Min.	0.00	-5.14	5	-0.35	1	-0.02	1	-50.26	5	-14.11	5	-0.03	1
137	137	-741	Min.	34.75	-3.77	5	-0.35	1	-0.14	1	-50.26	5	-8.69	5	-0.03	1
138	138	-742	Max	0.00	0.11	5	0.34	1	0.03	1	81.67	5	8.68	5	0.03	1
138	138	-742	Max	34.75	1.47	5	0.34	1	0.14	1	81.67	5	14.24	5	0.03	1
138	138	-742	Min.	0.00	-5.01	5	-0.35	1	-0.02	1	-49.72	5	-14.14	5	-0.03	1
138	138	-742	Min.	34.75	-3.65	5	-0.35	1	-0.14	1	-49.72	5	-8.60	5	-0.03	1
139	139	-743	Max	0.00	0.12	5	0.35	1	0.04	1	72.72	5	10.25	5	0.03	1
139	139	-743	Max	34.75	1.48	5	0.35	1	0.15	1	72.72	5	12.66	5	0.03	1
139	139	-743	Min.	0.00	-5.06	5	-0.40	1	-0.02	1	-58.92	5	-12.61	5	-0.03	1
139	139	-743	Min.	34.75	-3.69	5	-0.40	1	-0.15	1	-58.92	5	-10.22	5	-0.03	1
140	140	-744	Max	0.00	1.76	5	0.37	1	0.04	5	70.14	5	9.82	5	0.01	5
140	140	-744	Max	34.75	3.12	5	0.37	1	0.15	1	70.14	5	12.22	5	0.01	5
140	140	-744	Min.	0.00	-3.25	5	-0.42	1	-0.02	5	-56.42	5	-12.16	5	-0.01	5
140	140	-744	Min.	34.75	-1.89	5	-0.42	1	-0.15	1	-56.42	5	-9.79	5	-0.01	5
141	141	-753	Max	0.00	1.68	5	0.11	1	0.03	1	65.88	5	8.96	5	0.03	1
141	141	-753	Max	36.50	3.12	5	0.11	1	0.07	1	65.88	5	12.04	5	0.03	1
141	141	-753	Min.	0.00	-2.96	5	-0.09	1	-0.04	1	-49.04	5	-12.01	5	-0.02	1
141	141	-753	Min.	36.50	-1.52	5	-0.09	1	-0.07	1	-49.04	5	-8.94	5	-0.02	1
142	142	-754	Max	0.00	-0.27	5	0.07	1	0.06	1	69.89	5	9.09	5	0.03	1
142	142	-754	Max	36.50	1.17	5	0.07	1	0.05	1	69.89	5	12.77	5	0.03	1
142	142	-754	Min.	0.00	-5.03	5	-0.05	1	-0.07	1	-49.74	5	-12.74	5	-0.03	1
142	142	-754	Min.	36.50	-3.60	5	-0.05	1	-0.04	1	-49.74	5	-9.07	5	-0.03	1
143	143	-755	Max	0.00	0.01	5	0.06	1	0.07	1	78.81	5	7.44	5	0.02	1
143	143	-755	Max	36.50	1.44	5	0.06	1	0.04	1	78.81	5	14.41	5	0.02	1
143	143	-755	Min.	0.00	-4.75	5	-0.06	1	-0.07	1	-40.63	5	-14.36	5	-0.02	1
143	143	-755	Min.	36.50	-3.32	5	-0.06	1	-0.05	1	-40.63	5	-7.39	5	-0.02	1
144	144	-756	Max	0.00	-0.12	5	0.07	1	0.07	1	78.77	5	7.52	5	0.02	1
144	144	-756	Max	36.50	1.31	5	0.07	1	0.04	1	78.77	5	14.40	5	0.02	1
144	144	-756	Min.	0.00	-4.90	5	-0.07	1	-0.07	1	-41.08	5	-14.35	5	-0.03	1
144	144	-756	Min.	36.50	-3.47	5	-0.07	1	-0.04	1	-41.08	5	-7.48	5	-0.03	1
145	145	-757	Max	0.00	-0.12	5	0.07	1	0.07	1	78.76	5	7.51	5	0.03	1
145	145	-757	Max	36.50	1.31	5	0.07	1	0.04	1	78.76	5	14.40	5	0.03	1
145	145	-757	Min.	0.00	-4.90	5	-0.07	1	-0.07	1	-41.04	5	-14.35	5	-0.02	1
145	145	-757	Min.	36.50	-3.47	5	-0.07	1	-0.04	1	-41.04	5	-7.47	5	-0.02	1
146	146	-758	Max	0.00	0.01	5	0.06	1	0.07	1	78.82	5	7.44	5	0.02	1
146	146	-758	Max	36.50	1.44	5	0.06	1	0.05	1	78.82	5	14.41	5	0.02	1
146	146	-758	Min.	0.00	-4.76	5	-0.06	1	-0.07	1	-40.66	5	-14.36	5	-0.02	1
146	146	-758	Min.	36.50	-3.32	5	-0.06	1	-0.04	1	-40.66	5	-7.40	5	-0.02	1
147	147	-759	Max	0.00	-0.27	5	0.05	1	0.07	1	69.90	5	9.09	5	0.03	1
147	147	-759	Max	36.50	1.17	5	0.05	1	0.05	1	69.90	5	12.77	5	0.03	1
147	147	-759	Min.	0.00	-5.03	5	-0.07	1	-0.06	1	-49.75	5	-12.74	5	-0.03	1
147	147	-759	Min.	36.50	-3.60	5	-0.07	1	-0.05	1	-49.75	5	-9.07	5	-0.03	1
148	148	-760	Max	0.00	1.68	5	0.09	1	0.04	1	65.89	5	8.96	5	0.02	1
148	148	-760	Max	36.50	3.12	5	0.09	1	0.07	1	65.89	5	12.04	5	0.02	1
148	148	-760	Min.	0.00	-2.96	5	-0.11	1	-0.03	1	-49.04	5	-12.01	5	-0.03	1
148	148	-760	Min.	36.50	-1.52	5	-0.11	1	-0.07	1	-49.04	5	-8.94	5	-0.03	1
149	149	-769	Max	0.00	2.55	5	0.38	1	0.03	5	60.00	5	8.56	5	0.04	1
149	149	-769	Max	21.87					-0.03	7			1.67	7		
149	149	-769	Max	38.25	4.05	5	0.38	1	0.15	1	60.00	5	11.51	5	0.04	1
149	149	-769	Min.	0.00	-1.59	5	-0.39	1	-0.03	5	-44.59	5	-11.44	5	-0.03	1
149	149	-769	Min.	21.87					0.03	7			-1.18	7		
149	149	-769	Min.	38.25	-0.09	5	-0.39	1	-0.15	1	-44.59	5	-8.50	5	-0.03	1
150	150	-770	Max	0.00	1.11	5	0.35	1	0.03	5	64.82	5	8.50	5	0.08	1
150	150	-770	Max	22.20					-0.03	7			2.02	7		
150	150	-770	Max	38.25	2.61	5	0.35	1	0.14	1	64.82	5	12.43	5	0.08	1
150	150	-770	Min.	0.00	-3.05	5	-0.36	1	-0.03	5	-44.21	5	-12.36	5	-0.07	1
150	150	-770	Min.	22.20					0.02	7			-1.31	7		
150	150	-770	Min.	38.25	-1.55	5	-0.36	1	-0.15	1	-44.21	5	-8.42	5	-0.07	1
151	151	-771	Max	0.00	2.16	5	0.31	1	0.02	1	71.75	5	7.16	5	0.07	1

151	151	-771	Max	38.25	3.66	5	0.31	1	0.14	1	71.75	5	13.79	5	0.07	1
151	151	-771	Min.	0.00	-2.04	5	-0.32	1	-0.02	1	-37.13	5	-13.66	5	-0.07	1
151	151	-771	Min.	38.25	-0.54	5	-0.32	1	-0.14	1	-37.13	5	-7.04	5	-0.07	1
152	152	-772	Max	0.00	2.01	5	0.32	1	0.02	1	71.84	5	7.22	5	0.07	1
152	152	-772	Max	38.25	3.51	5	0.32	1	0.14	1	71.84	5	13.80	5	0.07	1
152	152	-772	Min.	0.00	-2.15	5	-0.32	1	-0.02	1	-37.43	5	-13.68	5	-0.08	1
152	152	-772	Min.	38.25	-0.65	5	-0.32	1	-0.14	1	-37.43	5	-7.09	5	-0.08	1
153	153	-773	Max	0.00	2.02	5	0.33	1	0.02	1	71.84	5	7.22	5	0.08	1
153	153	-773	Max	38.25	3.52	5	0.33	1	0.14	1	71.84	5	13.80	5	0.08	1
153	153	-773	Min.	0.00	-2.15	5	-0.32	1	-0.02	1	-37.39	5	-13.68	5	-0.07	1
153	153	-773	Min.	38.25	-0.65	5	-0.32	1	-0.14	1	-37.39	5	-7.09	5	-0.07	1
154	154	-774	Max	0.00	2.16	5	0.32	1	0.02	1	71.76	5	7.17	5	0.07	1
154	154	-774	Max	38.25	3.66	5	0.32	1	0.14	1	71.76	5	13.79	5	0.07	1
154	154	-774	Min.	0.00	-2.04	5	-0.31	1	-0.02	1	-37.16	5	-13.66	5	-0.07	1
154	154	-774	Min.	38.25	-0.54	5	-0.31	1	-0.14	1	-37.16	5	-7.04	5	-0.07	1
155	155	-775	Max	0.00	1.11	5	0.36	1	0.03	5	64.83	5	8.50	5	0.07	1
155	155	-775	Max	21.52					-0.02	7			1.58	7		
155	155	-775	Max	38.25	2.61	5	0.36	1	0.15	1	64.83	5	12.43	5	0.07	1
155	155	-775	Min.	0.00	-3.05	5	-0.34	1	-0.03	5	-44.22	5	-12.36	5	-0.08	1
155	155	-775	Min.	21.52					0.03	7			-1.01	7		
155	155	-775	Min.	38.25	-1.55	5	-0.34	1	-0.14	1	-44.22	5	-8.42	5	-0.08	1
156	156	-776	Max	0.00	2.55	5	0.39	1	0.03	5	60.01	5	8.56	5	0.03	1
156	156	-776	Max	38.25	4.05	5	0.39	1	0.15	1	60.01	5	11.51	5	0.03	1
156	156	-776	Min.	0.00	-1.59	5	-0.37	1	-0.03	5	-44.58	5	-11.44	5	-0.04	1
156	156	-776	Min.	38.25	-0.09	5	-0.37	1	-0.15	1	-44.58	5	-8.50	5	-0.04	1
157	157	-785	Max	0.00	20.35	1	1.38	1	0.11	1	47.34	5	9.48	5	0.07	5
157	157	-785	Max	40.00	21.92	1	1.38	1	0.45	1	47.34	5	9.47	5	0.07	5
157	157	-785	Min.	0.00	17.27	1	-1.43	1	-0.10	1	-47.36	5	-9.47	5	-0.07	5
157	157	-785	Min.	40.00	18.84	1	-1.43	1	-0.46	1	-47.36	5	-9.47	5	-0.07	5
158	158	-786	Max	0.00	28.04	1	1.59	1	0.15	1	49.55	5	9.91	5	0.08	5
158	158	-786	Max	40.00	29.61	1	1.59	1	0.49	1	49.55	5	9.91	5	0.08	5
158	158	-786	Min.	0.00	25.47	1	-1.63	1	-0.14	1	-49.56	5	-9.91	5	-0.08	5
158	158	-786	Min.	40.00	27.04	1	-1.63	1	-0.50	1	-49.56	5	-9.91	5	-0.08	5
159	159	-787	Max	0.00	41.24	1	1.59	1	0.15	1	49.53	5	9.91	5	0.00	5
159	159	-787	Max	40.00	42.81	1	1.59	1	0.49	1	49.53	5	9.90	5	0.00	5
159	159	-787	Min.	0.00	40.99	1	-1.63	1	-0.14	1	-49.53	5	-9.91	5	-0.00	5
159	159	-787	Min.	40.00	42.56	1	-1.63	1	-0.51	1	-49.53	5	-9.90	5	-0.00	5
160	160	-788	Max	0.00	41.34	1	1.61	1	0.15	1	49.72	5	9.95	5	0.02	5
160	160	-788	Max	40.00	42.91	1	1.61	1	0.50	1	49.72	5	9.94	5	0.02	5
160	160	-788	Min.	0.00	40.84	1	-1.64	1	-0.15	1	-49.74	5	-9.95	5	-0.02	5
160	160	-788	Min.	40.00	42.41	1	-1.64	1	-0.51	1	-49.74	5	-9.95	5	-0.02	5
161	161	-789	Max	0.00	41.34	1	1.64	1	0.15	1	49.71	5	9.95	5	0.02	5
161	161	-789	Max	40.00	42.91	1	1.64	1	0.51	1	49.71	5	9.94	5	0.02	5
161	161	-789	Min.	0.00	40.85	1	-1.61	1	-0.15	1	-49.71	5	-9.95	5	-0.02	5
161	161	-789	Min.	40.00	42.42	1	-1.61	1	-0.50	1	-49.71	5	-9.94	5	-0.02	5
162	162	-790	Max	0.00	41.23	1	1.63	1	0.14	1	49.54	5	9.92	5	0.00	5
162	162	-790	Max	40.00	42.80	1	1.63	1	0.51	1	49.54	5	9.90	5	0.00	5
162	162	-790	Min.	0.00	41.00	1	-1.59	1	-0.15	1	-49.57	5	-9.91	5	-0.00	5
162	162	-790	Min.	40.00	42.57	1	-1.59	1	-0.49	1	-49.57	5	-9.91	5	-0.00	5
163	163	-791	Max	0.00	28.03	1	1.63	1	0.14	1	49.57	5	9.92	5	0.08	5
163	163	-791	Max	40.00	29.60	1	1.63	1	0.50	1	49.57	5	9.91	5	0.08	5
163	163	-791	Min.	0.00	25.48	1	-1.59	1	-0.15	1	-49.58	5	-9.92	5	-0.08	5
163	163	-791	Min.	40.00	27.05	1	-1.59	1	-0.49	1	-49.58	5	-9.91	5	-0.08	5
164	164	-792	Max	0.00	20.34	1	1.43	1	0.10	1	47.33	5	9.47	5	0.07	5
164	164	-792	Max	40.00	21.91	1	1.43	1	0.46	1	47.33	5	9.46	5	0.07	5
164	164	-792	Min.	0.00	17.27	1	-1.38	1	-0.11	1	-47.34	5	-9.47	5	-0.07	5
164	164	-792	Min.	40.00	18.84	1	-1.38	1	-0.45	1	-47.34	5	-9.46	5	-0.07	5
165	165	-777	Max	0.00	2.56	5	0.37	1	0.03	5	44.60	5	11.45	5	0.03	1
165	165	-777	Max	21.87					-0.03	7			1.18	7		

165	165	-777	Max	38.25	4.06	5	0.37	1	0.15	1	44.60	5	8.50	5	0.03	1
165	165	-777	Min.	0.00	-1.60	5	-0.39	1	-0.03	5	-60.05	5	-8.56	5	-0.04	1
165	165	-777	Min.	21.87					0.03	7			-1.66	7		
165	165	-777	Min.	38.25	-0.10	5	-0.39	1	-0.15	1	-60.05	5	-11.52	5	-0.04	1
166	166	-778	Max	0.00	1.12	5	0.34	1	0.03	5	44.19	5	12.36	5	0.07	1
166	166	-778	Max	22.20					-0.03	7			1.31	7		
166	166	-778	Max	38.25	2.62	5	0.34	1	0.14	1	44.19	5	8.41	5	0.07	1
166	166	-778	Min.	0.00	-3.06	5	-0.36	1	-0.03	5	-64.81	5	-8.49	5	-0.08	1
166	166	-778	Min.	22.20					0.02	7			-2.02	7		
166	166	-778	Min.	38.25	-1.56	5	-0.36	1	-0.15	1	-64.81	5	-12.43	5	-0.08	1
167	167	-779	Max	0.00	2.17	5	0.31	1	0.02	1	37.12	5	13.66	5	0.07	1
167	167	-779	Max	38.25	3.67	5	0.31	1	0.14	1	37.12	5	7.04	5	0.07	1
167	167	-779	Min.	0.00	-2.05	5	-0.32	1	-0.02	1	-71.75	5	-7.16	5	-0.07	1
167	167	-779	Min.	38.25	-0.55	5	-0.32	1	-0.14	1	-71.75	5	-13.79	5	-0.07	1
168	168	-780	Max	0.00	2.03	5	0.32	1	0.02	1	37.38	5	13.68	5	0.08	1
168	168	-780	Max	38.25	3.53	5	0.32	1	0.14	1	37.38	5	7.09	5	0.08	1
168	168	-780	Min.	0.00	-2.16	5	-0.33	1	-0.02	1	-71.86	5	-7.21	5	-0.07	1
168	168	-780	Min.	38.25	-0.66	5	-0.33	1	-0.14	1	-71.86	5	-13.80	5	-0.07	1
169	169	-781	Max	0.00	2.03	5	0.33	1	0.02	1	37.38	5	13.68	5	0.07	1
169	169	-781	Max	38.25	3.53	5	0.33	1	0.14	1	37.38	5	7.09	5	0.07	1
169	169	-781	Min.	0.00	-2.16	5	-0.32	1	-0.02	1	-71.83	5	-7.21	5	-0.08	1
169	169	-781	Min.	38.25	-0.66	5	-0.32	1	-0.14	1	-71.83	5	-13.80	5	-0.08	1
170	170	-782	Max	0.00	2.17	5	0.32	1	0.02	1	37.13	5	13.67	5	0.07	1
170	170	-782	Max	38.25	3.67	5	0.32	1	0.14	1	37.13	5	7.04	5	0.07	1
170	170	-782	Min.	0.00	-2.05	5	-0.31	1	-0.02	1	-71.78	5	-7.16	5	-0.07	1
170	170	-782	Min.	38.25	-0.55	5	-0.31	1	-0.14	1	-71.78	5	-13.79	5	-0.07	1
171	171	-783	Max	0.00	1.12	5	0.36	1	0.03	5	44.23	5	12.37	5	0.08	1
171	171	-783	Max	21.52					-0.02	7			1.01	7		
171	171	-783	Max	38.25	2.62	5	0.36	1	0.15	1	44.23	5	8.42	5	0.08	1
171	171	-783	Min.	0.00	-3.07	5	-0.34	1	-0.03	5	-64.85	5	-8.50	5	-0.07	1
171	171	-783	Min.	21.52					0.03	7			-1.58	7		
171	171	-783	Min.	38.25	-1.56	5	-0.34	1	-0.14	1	-64.85	5	-12.44	5	-0.07	1
172	172	-784	Max	0.00	2.56	5	0.39	1	0.03	5	44.58	5	11.45	5	0.04	1
172	172	-784	Max	38.25	4.06	5	0.39	1	0.15	1	44.58	5	8.49	5	0.04	1
172	172	-784	Min.	0.00	-1.60	5	-0.38	1	-0.03	5	-60.02	5	-8.56	5	-0.03	1
172	172	-784	Min.	38.25	-0.10	5	-0.38	1	-0.15	1	-60.02	5	-11.51	5	-0.03	1
173	173	-761	Max	0.00	1.67	5	0.11	1	0.03	1	49.05	5	12.02	5	0.02	1
173	173	-761	Max	36.50	3.11	5	0.11	1	0.07	1	49.05	5	8.94	5	0.02	1
173	173	-761	Min.	0.00	-2.95	5	-0.09	1	-0.04	1	-65.94	5	-8.96	5	-0.03	1
173	173	-761	Min.	36.50	-1.51	5	-0.09	1	-0.07	1	-65.94	5	-12.05	5	-0.03	1
174	174	-762	Max	0.00	-0.28	5	0.07	1	0.06	1	49.72	5	12.74	5	0.02	1
174	174	-762	Max	36.50	1.15	5	0.07	1	0.05	1	49.72	5	9.06	5	0.02	1
174	174	-762	Min.	0.00	-5.02	5	-0.05	1	-0.07	1	-69.89	5	-9.08	5	-0.03	1
174	174	-762	Min.	36.50	-3.59	5	-0.05	1	-0.05	1	-69.89	5	-12.77	5	-0.03	1
175	175	-763	Max	0.00	-0.00	5	0.06	1	0.07	1	40.62	5	14.36	5	0.03	1
175	175	-763	Max	36.50	1.43	5	0.06	1	0.04	1	40.62	5	7.39	5	0.03	1
175	175	-763	Min.	0.00	-4.75	5	-0.06	1	-0.07	1	-78.81	5	-7.43	5	-0.02	1
175	175	-763	Min.	36.50	-3.31	5	-0.06	1	-0.05	1	-78.81	5	-14.41	5	-0.02	1
176	176	-764	Max	0.00	-0.13	5	0.07	1	0.07	1	41.03	5	14.35	5	0.03	1
176	176	-764	Max	36.50	1.30	5	0.07	1	0.04	1	41.03	5	7.47	5	0.03	1
176	176	-764	Min.	0.00	-4.89	5	-0.07	1	-0.07	1	-78.78	5	-7.51	5	-0.02	1
176	176	-764	Min.	36.50	-3.46	5	-0.07	1	-0.04	1	-78.78	5	-14.40	5	-0.02	1
177	177	-765	Max	0.00	-0.14	5	0.07	1	0.07	1	41.03	5	14.35	5	0.02	1
177	177	-765	Max	36.50	1.30	5	0.07	1	0.04	1	41.03	5	7.47	5	0.02	1
177	177	-765	Min.	0.00	-4.89	5	-0.07	1	-0.07	1	-78.75	5	-7.51	5	-0.03	1
177	177	-765	Min.	36.50	-3.46	5	-0.07	1	-0.04	1	-78.75	5	-14.40	5	-0.03	1
178	178	-766	Max	0.00	-0.00	5	0.06	1	0.07	1	40.63	5	14.36	5	0.02	1
178	178	-766	Max	36.50	1.43	5	0.06	1	0.05	1	40.63	5	7.39	5	0.02	1
178	178	-766	Min.	0.00	-4.75	5	-0.06	1	-0.07	1	-78.84	5	-7.44	5	-0.02	1

178	178	-766	Min.	36.50	-3.31	5	-0.06	1	-0.04	1	-78.84	5	-14.42	5	-0.02	1
179	179	-767	Max	0.00	-0.28	5	0.05	1	0.07	1	49.76	5	12.75	5	0.03	1
179	179	-767	Max	36.50	1.16	5	0.05	1	0.04	1	49.76	5	9.07	5	0.03	1
179	179	-767	Min.	0.00	-5.02	5	-0.07	1	-0.06	1	-69.92	5	-9.09	5	-0.03	1
179	179	-767	Min.	36.50	-3.59	5	-0.07	1	-0.05	1	-69.92	5	-12.78	5	-0.03	1
180	180	-768	Max	0.00	1.67	5	0.09	1	0.04	1	49.03	5	12.01	5	0.03	1
180	180	-768	Max	36.50	3.10	5	0.09	1	0.07	1	49.03	5	8.94	5	0.03	1
180	180	-768	Min.	0.00	-2.95	5	-0.11	1	-0.03	1	-65.90	5	-8.96	5	-0.02	1
180	180	-768	Min.	36.50	-1.51	5	-0.11	1	-0.07	1	-65.90	5	-12.04	5	-0.02	1
181	181	-745	Max	0.00	1.77	5	0.42	1	0.02	5	56.44	5	12.17	5	0.01	5
181	181	-745	Max	16.29					-0.03	7			0.73	7		
181	181	-745	Max	34.75	3.14	5	0.42	1	0.15	1	56.44	5	9.79	5	0.01	5
181	181	-745	Min.	0.00	-3.26	5	-0.37	1	-0.04	5	-70.20	5	-9.82	5	-0.01	5
181	181	-745	Min.	16.29					0.02	7			-0.62	7		
181	181	-745	Min.	34.75	-1.90	5	-0.37	1	-0.15	1	-70.20	5	-12.23	5	-0.01	5
182	182	-746	Max	0.00	0.13	5	0.40	1	0.02	5	58.89	5	12.61	5	0.03	1
182	182	-746	Max	16.83					-0.03	7			0.37	7		
182	182	-746	Max	34.75	1.49	5	0.40	1	0.15	1	58.89	5	10.21	5	0.03	1
182	182	-746	Min.	0.00	-5.07	5	-0.36	1	-0.04	5	-72.71	5	-10.25	5	-0.03	1
182	182	-746	Min.	16.83					0.02	7			-0.34	7		
182	182	-746	Min.	34.75	-3.70	5	-0.36	1	-0.15	1	-72.71	5	-12.66	5	-0.03	1
183	183	-747	Max	0.00	0.12	5	0.35	1	0.02	1	49.67	5	14.14	5	0.03	1
183	183	-747	Max	34.75	1.48	5	0.35	1	0.14	1	49.67	5	8.59	5	0.03	1
183	183	-747	Min.	0.00	-5.02	5	-0.33	1	-0.03	1	-81.66	5	-8.67	5	-0.03	1
183	183	-747	Min.	34.75	-3.66	5	-0.33	1	-0.14	1	-81.66	5	-14.24	5	-0.03	1
184	184	-748	Max	0.00	0.00	5	0.35	1	0.02	1	50.25	5	14.11	5	0.03	1
184	184	-748	Max	34.75	1.37	5	0.35	1	0.14	1	50.25	5	8.69	5	0.03	1
184	184	-748	Min.	0.00	-5.15	5	-0.34	1	-0.03	1	-81.51	5	-8.77	5	-0.03	1
184	184	-748	Min.	34.75	-3.78	5	-0.34	1	-0.14	1	-81.51	5	-14.21	5	-0.03	1
185	185	-749	Max	0.00	0.00	5	0.34	1	0.03	1	50.25	5	14.11	5	0.03	1
185	185	-749	Max	34.75	1.36	5	0.34	1	0.14	1	50.25	5	8.69	5	0.03	1
185	185	-749	Min.	0.00	-5.15	5	-0.35	1	-0.02	1	-81.47	5	-8.77	5	-0.03	1
185	185	-749	Min.	34.75	-3.78	5	-0.35	1	-0.14	1	-81.47	5	-14.20	5	-0.03	1
186	186	-750	Max	0.00	0.12	5	0.33	1	0.03	1	49.68	5	14.15	5	0.03	1
186	186	-750	Max	34.75	1.49	5	0.33	1	0.14	1	49.68	5	8.59	5	0.03	1
186	186	-750	Min.	0.00	-5.02	5	-0.35	1	-0.02	1	-81.70	5	-8.67	5	-0.03	1
186	186	-750	Min.	34.75	-3.65	5	-0.35	1	-0.14	1	-81.70	5	-14.24	5	-0.03	1
187	187	-751	Max	0.00	0.13	5	0.35	1	0.04	1	58.93	5	12.61	5	0.03	1
187	187	-751	Max	34.75	1.50	5	0.35	1	0.15	1	58.93	5	10.22	5	0.03	1
187	187	-751	Min.	0.00	-5.07	5	-0.40	1	-0.02	1	-72.75	5	-10.26	5	-0.03	1
187	187	-751	Min.	34.75	-3.70	5	-0.40	1	-0.15	1	-72.75	5	-12.67	5	-0.03	1
188	188	-752	Max	0.00	1.77	5	0.37	1	0.04	5	56.42	5	12.16	5	0.01	5
188	188	-752	Max	34.75	3.13	5	0.37	1	0.15	1	56.42	5	9.79	5	0.01	5
188	188	-752	Min.	0.00	-3.26	5	-0.42	1	-0.02	5	-70.16	5	-9.82	5	-0.01	5
188	188	-752	Min.	34.75	-1.90	5	-0.42	1	-0.15	1	-70.16	5	-12.22	5	-0.01	5
189	189	-729	Max	0.00	-6.75	5	1.56	1	0.10	1	69.16	5	11.64	5	0.11	5
189	189	-729	Max	33.00	-5.45	5	1.56	1	0.42	1	69.16	5	11.40	5	0.11	5
189	189	-729	Min.	0.00	-11.67	5	-1.72	1	-0.10	1	-70.72	5	-11.42	5	-0.07	5
189	189	-729	Min.	33.00	-10.38	5	-1.72	1	-0.47	1	-70.72	5	-11.69	5	-0.07	5
190	190	-730	Max	0.00	-3.86	5	1.82	1	0.14	1	71.75	5	12.08	5	0.10	5
190	190	-730	Max	33.00	-2.56	5	1.82	1	0.46	1	71.75	5	11.83	5	0.10	5
190	190	-730	Min.	0.00	-9.64	5	-1.98	1	-0.14	1	-73.40	5	-11.85	5	-0.07	5
190	190	-730	Min.	33.00	-8.34	5	-1.98	1	-0.52	1	-73.40	5	-12.14	5	-0.07	5
191	191	-731	Max	0.00	-16.48	5	1.88	1	0.14	1	68.24	5	12.57	5	0.06	1
191	191	-731	Max	33.00	-15.18	5	1.88	1	0.48	1	68.24	5	11.23	5	0.06	1
191	191	-731	Min.	0.00	-21.30	5	-1.91	1	-0.14	1	-76.42	5	-11.29	5	-0.04	1
191	191	-731	Min.	33.00	-20.00	5	-1.91	1	-0.49	1	-76.42	5	-12.65	5	-0.04	1
192	192	-732	Max	0.00	-16.27	5	1.90	1	0.14	1	68.84	5	12.54	5	0.06	1
192	192	-732	Max	33.00	-14.97	5	1.90	1	0.49	1	68.84	5	11.33	5	0.06	1

192	192	-732	Min.	0.00	-21.15	5	-1.93	1	-0.14	1	-76.25	5	-11.39	5	-0.05	1
192	192	-732	Min.	33.00	-19.85	5	-1.93	1	-0.50	1	-76.25	5	-12.63	5	-0.05	1
193	193	-733	Max	0.00	-16.26	5	1.93	1	0.14	1	68.84	5	12.53	5	0.05	1
193	193	-733	Max	33.00	-14.96	5	1.93	1	0.50	1	68.84	5	11.33	5	0.05	1
193	193	-733	Min.	0.00	-21.15	5	-1.90	1	-0.14	1	-76.22	5	-11.39	5	-0.06	1
193	193	-733	Min.	33.00	-19.85	5	-1.90	1	-0.49	1	-76.22	5	-12.62	5	-0.06	1
194	194	-734	Max	0.00	-16.48	5	1.91	1	0.14	1	68.26	5	12.57	5	0.04	1
194	194	-734	Max	33.00	-15.19	5	1.91	1	0.49	1	68.26	5	11.23	5	0.04	1
194	194	-734	Min.	0.00	-21.29	5	-1.88	1	-0.14	1	-76.47	5	-11.29	5	-0.06	1
194	194	-734	Min.	33.00	-20.00	5	-1.88	1	-0.48	1	-76.47	5	-12.66	5	-0.06	1
195	195	-735	Max	0.00	-3.86	5	1.98	1	0.14	1	71.79	5	12.09	5	0.07	5
195	195	-735	Max	33.00	-2.56	5	1.98	1	0.52	1	71.79	5	11.83	5	0.07	5
195	195	-735	Min.	0.00	-9.64	5	-1.82	1	-0.14	1	-73.44	5	-11.86	5	-0.10	5
195	195	-735	Min.	33.00	-8.34	5	-1.82	1	-0.46	1	-73.44	5	-12.15	5	-0.10	5
196	196	-736	Max	0.00	-6.74	5	1.72	1	0.10	1	69.14	5	11.64	5	0.07	5
196	196	-736	Max	33.00	-5.44	5	1.72	1	0.47	1	69.14	5	11.40	5	0.07	5
196	196	-736	Min.	0.00	-11.68	5	-1.56	1	-0.10	1	-70.68	5	-11.42	5	-0.11	5
196	196	-736	Min.	33.00	-10.39	5	-1.56	1	-0.42	1	-70.68	5	-11.69	5	-0.11	5
197	197	-713	Max	0.00	1.89	5	0.28	1	0.04	1	84.03	5	11.07	5	0.06	1
197	197	-713	Max	31.25	3.11	5	0.28	1	0.11	1	84.03	5	13.12	5	0.06	1
197	197	-713	Min.	0.00	-4.27	5	-0.34	1	-0.04	1	-71.01	5	-13.13	5	-0.04	1
197	197	-713	Min.	31.25	-3.04	5	-0.34	1	-0.13	1	-71.01	5	-11.12	5	-0.04	1
198	198	-714	Max	0.00	0.17	5	0.23	1	0.04	1	87.10	5	11.54	5	0.09	1
198	198	-714	Max	31.25	1.40	5	0.23	1	0.10	1	87.10	5	13.60	5	0.09	1
198	198	-714	Min.	0.00	-6.20	5	-0.29	1	-0.04	1	-74.06	5	-13.61	5	-0.07	1
198	198	-714	Min.	31.25	-4.98	5	-0.29	1	-0.12	1	-74.06	5	-11.60	5	-0.07	1
199	199	-715	Max	0.00	-0.42	5	0.21	1	0.04	1	90.54	5	10.85	5	0.08	1
199	199	-715	Max	31.25	0.81	5	0.21	1	0.10	1	90.54	5	14.13	5	0.08	1
199	199	-715	Min.	0.00	-6.72	5	-0.22	1	-0.04	1	-69.68	5	-14.16	5	-0.08	1
199	199	-715	Min.	31.25	-5.49	5	-0.22	1	-0.10	1	-69.68	5	-10.93	5	-0.08	1
200	200	-716	Max	0.00	-0.54	5	0.21	1	0.04	1	91.24	5	10.83	5	0.09	1
200	200	-716	Max	31.25	0.69	5	0.21	1	0.10	1	91.24	5	14.24	5	0.09	1
200	200	-716	Min.	0.00	-6.88	5	-0.22	1	-0.04	1	-69.55	5	-14.27	5	-0.08	1
200	200	-716	Min.	31.25	-5.65	5	-0.22	1	-0.10	1	-69.55	5	-10.91	5	-0.08	1
201	201	-717	Max	0.00	-0.54	5	0.22	1	0.04	1	91.25	5	10.82	5	0.08	1
201	201	-717	Max	31.25	0.69	5	0.22	1	0.10	1	91.25	5	14.24	5	0.08	1
201	201	-717	Min.	0.00	-6.88	5	-0.21	1	-0.04	1	-69.52	5	-14.27	5	-0.09	1
201	201	-717	Min.	31.25	-5.65	5	-0.21	1	-0.10	1	-69.52	5	-10.90	5	-0.09	1
202	202	-718	Max	0.00	-0.42	5	0.22	1	0.04	1	90.56	5	10.86	5	0.08	1
202	202	-718	Max	31.25	0.81	5	0.22	1	0.10	1	90.56	5	14.13	5	0.08	1
202	202	-718	Min.	0.00	-6.72	5	-0.21	1	-0.04	1	-69.73	5	-14.17	5	-0.08	1
202	202	-718	Min.	31.25	-5.49	5	-0.21	1	-0.10	1	-69.73	5	-10.93	5	-0.08	1
203	203	-719	Max	0.00	0.17	5	0.29	1	0.04	1	87.14	5	11.55	5	0.07	1
203	203	-719	Max	17.08					-0.01	7			1.25	7		
203	203	-719	Max	31.25	1.40	5	0.29	1	0.12	1	87.14	5	13.61	5	0.07	1
203	203	-719	Min.	0.00	-6.21	5	-0.24	1	-0.04	1	-74.10	5	-13.62	5	-0.09	1
203	203	-719	Min.	17.08					0.03	7			-1.10	7		
203	203	-719	Min.	31.25	-4.98	5	-0.24	1	-0.10	1	-74.10	5	-11.61	5	-0.09	1
204	204	-720	Max	0.00	1.89	5	0.34	1	0.04	1	84.01	5	11.06	5	0.04	1
204	204	-720	Max	16.60					-0.02	7			0.81	7		
204	204	-720	Max	31.25	3.11	5	0.34	1	0.13	1	84.01	5	13.12	5	0.04	1
204	204	-720	Min.	0.00	-4.27	5	-0.29	1	-0.04	1	-70.97	5	-13.13	5	-0.06	1
204	204	-720	Min.	16.60					0.03	7			-0.71	7		
204	204	-720	Min.	31.25	-3.04	5	-0.29	1	-0.11	1	-70.97	5	-11.12	5	-0.06	1
205	205	-697	Max	0.00	2.55	5	0.03	1	0.03	1	97.45	5	11.16	5	0.04	1
205	205	-697	Max	29.50	3.71	5	0.03	1	0.04	1	97.45	5	14.37	5	0.04	1
205	205	-697	Min.	0.00	-4.42	5	-0.03	1	-0.04	1	-75.93	5	-14.38	5	-0.02	1
205	205	-697	Min.	29.50	-3.26	5	-0.03	1	-0.05	1	-75.93	5	-11.24	5	-0.02	1
206	206	-698	Max	0.00	0.52	5	0.19	1	0.07	1	103.07	5	11.34	5	0.04	1

206	206	-698	Max	29.50	1.68	5	0.19	1	0.01	1	103.07	5	15.20	5	0.04	1
206	206	-698	Min.	0.00	-6.64	5	-0.18	1	-0.07	1	-77.13	5	-15.21	5	-0.02	1
206	206	-698	Min.	29.50	-5.48	5	-0.18	1	-0.02	1	-77.13	5	-11.42	5	-0.02	1
207	207	-699	Max	0.00	0.46	5	0.18	1	0.07	1	108.59	5	10.34	5	0.03	1
207	207	-699	Max	29.50	1.62	5	0.18	1	0.01	1	108.59	5	15.99	5	0.03	1
207	207	-699	Min.	0.00	-6.66	5	-0.18	1	-0.07	1	-70.49	5	-16.04	5	-0.02	1
207	207	-699	Min.	29.50	-5.51	5	-0.18	1	-0.02	1	-70.49	5	-10.45	5	-0.02	1
208	208	-700	Max	0.00	0.32	5	0.20	1	0.07	1	109.53	5	10.29	5	0.03	1
208	208	-700	Max	29.50	1.48	5	0.20	1	0.01	1	109.53	5	16.13	5	0.03	1
208	208	-700	Min.	0.00	-6.82	5	-0.19	1	-0.07	1	-70.17	5	-16.18	5	-0.02	1
208	208	-700	Min.	29.50	-5.67	5	-0.19	1	-0.01	1	-70.17	5	-10.41	5	-0.02	1
209	209	-701	Max	0.00	0.32	5	0.19	1	0.07	1	109.54	5	10.29	5	0.02	1
209	209	-701	Max	29.50	1.48	5	0.19	1	0.01	1	109.54	5	16.13	5	0.02	1
209	209	-701	Min.	0.00	-6.82	5	-0.20	1	-0.07	1	-70.14	5	-16.18	5	-0.03	1
209	209	-701	Min.	29.50	-5.67	5	-0.20	1	-0.01	1	-70.14	5	-10.40	5	-0.03	1
210	210	-702	Max	0.00	0.46	5	0.18	1	0.07	1	108.61	5	10.35	5	0.02	1
210	210	-702	Max	29.50	1.62	5	0.18	1	0.02	1	108.61	5	16.00	5	0.02	1
210	210	-702	Min.	0.00	-6.66	5	-0.18	1	-0.07	1	-70.53	5	-16.04	5	-0.03	1
210	210	-702	Min.	29.50	-5.51	5	-0.18	1	-0.01	1	-70.53	5	-10.46	5	-0.03	1
211	211	-703	Max	0.00	0.52	5	0.18	1	0.07	1	103.12	5	11.34	5	0.02	1
211	211	-703	Max	29.50	1.68	5	0.18	1	0.02	1	103.12	5	15.21	5	0.02	1
211	211	-703	Min.	0.00	-6.64	5	-0.19	1	-0.07	1	-77.17	5	-15.21	5	-0.04	1
211	211	-703	Min.	29.50	-5.48	5	-0.19	1	-0.01	1	-77.17	5	-11.42	5	-0.04	1
212	212	-704	Max	0.00	2.55	5	0.03	1	0.04	1	97.43	5	11.16	5	0.02	1
212	212	-704	Max	29.50	3.71	5	0.03	1	0.05	1	97.43	5	14.37	5	0.02	1
212	212	-704	Min.	0.00	-4.42	5	-0.03	1	-0.03	1	-75.89	5	-14.38	5	-0.04	1
212	212	-704	Min.	29.50	-3.26	5	-0.03	1	-0.04	1	-75.89	5	-11.23	5	-0.04	1
213	213	-681	Max	0.00	2.26	5	0.41	1	0.02	5	113.50	5	11.30	5	0.03	5
213	213	-681	Max	27.75	3.35	5	0.41	1	0.11	1	113.50	5	15.74	5	0.03	5
213	213	-681	Min.	0.00	-5.49	5	-0.33	1	-0.04	5	-81.80	5	-15.75	5	-0.01	5
213	213	-681	Min.	27.75	-4.40	5	-0.33	1	-0.10	1	-81.80	5	-11.40	5	-0.01	5
214	214	-682	Max	0.00	0.65	5	0.36	1	0.03	5	121.73	5	11.21	5	0.04	1
214	214	-682	Max	27.75	1.73	5	0.36	1	0.11	1	121.73	5	16.89	5	0.04	1
214	214	-682	Min.	0.00	-7.44	5	-0.29	1	-0.04	5	-81.09	5	-16.89	5	-0.02	1
214	214	-682	Min.	27.75	-6.36	5	-0.29	1	-0.10	1	-81.09	5	-11.30	5	-0.02	1
215	215	-683	Max	0.00	-0.10	5	0.29	1	0.02	1	129.68	5	9.91	5	0.03	1
215	215	-683	Max	27.75	0.99	5	0.29	1	0.10	1	129.68	5	17.97	5	0.03	1
215	215	-683	Min.	0.00	-8.03	5	-0.26	1	-0.03	1	-71.95	5	-18.02	5	-0.02	1
215	215	-683	Min.	27.75	-6.94	5	-0.26	1	-0.10	1	-71.95	5	-10.05	5	-0.02	1
216	216	-684	Max	0.00	-0.27	5	0.30	1	0.02	1	130.94	5	9.81	5	0.04	1
216	216	-684	Max	27.75	0.81	5	0.30	1	0.10	1	130.94	5	18.14	5	0.04	1
216	216	-684	Min.	0.00	-8.22	5	-0.27	1	-0.03	1	-71.25	5	-18.19	5	-0.03	1
216	216	-684	Min.	27.75	-7.13	5	-0.27	1	-0.10	1	-71.25	5	-9.96	5	-0.03	1
217	217	-685	Max	0.00	-0.28	5	0.27	1	0.03	1	130.94	5	9.81	5	0.03	1
217	217	-685	Max	27.75	0.81	5	0.27	1	0.10	1	130.94	5	18.14	5	0.03	1
217	217	-685	Min.	0.00	-8.21	5	-0.30	1	-0.02	1	-71.22	5	-18.19	5	-0.04	1
217	217	-685	Min.	27.75	-7.12	5	-0.30	1	-0.10	1	-71.22	5	-9.95	5	-0.04	1
218	218	-686	Max	0.00	-0.09	5	0.26	1	0.03	1	129.71	5	9.92	5	0.02	1
218	218	-686	Max	27.75	0.99	5	0.26	1	0.10	1	129.71	5	17.97	5	0.02	1
218	218	-686	Min.	0.00	-8.04	5	-0.29	1	-0.02	1	-72.00	5	-18.02	5	-0.03	1
218	218	-686	Min.	27.75	-6.95	5	-0.29	1	-0.10	1	-72.00	5	-10.06	5	-0.03	1
219	219	-687	Max	0.00	0.64	5	0.29	1	0.04	5	121.78	5	11.21	5	0.02	1
219	219	-687	Max	27.75	1.73	5	0.29	1	0.10	1	121.78	5	16.90	5	0.02	1
219	219	-687	Min.	0.00	-7.44	5	-0.36	1	-0.03	5	-81.13	5	-16.90	5	-0.04	1
219	219	-687	Min.	27.75	-6.35	5	-0.36	1	-0.11	1	-81.13	5	-11.30	5	-0.04	1
220	220	-688	Max	0.00	2.25	5	0.32	1	0.04	5	113.48	5	11.29	5	0.01	5
220	220	-688	Max	27.75	3.34	5	0.32	1	0.10	1	113.48	5	15.74	5	0.01	5
220	220	-688	Min.	0.00	-5.49	5	-0.40	1	-0.02	5	-81.75	5	-15.75	5	-0.03	5
220	220	-688	Min.	27.75	-4.40	5	-0.40	1	-0.11	1	-81.75	5	-11.39	5	-0.03	5

221	221	-665	Max	0.00	-7.80	5	1.54	1	0.07	1	139.33	5	10.67	5	0.13	5
221	221	-665	Max	26.00	-6.78	5	1.54	1	0.33	1	139.33	5	18.12	5	0.13	5
221	221	-665	Min.	0.00	-17.27	5	-1.58	1	-0.08	1	-82.41	5	-18.11	5	-0.07	5
221	221	-665	Min.	26.00	-16.25	5	-1.58	1	-0.34	1	-82.41	5	-10.75	5	-0.07	5
222	222	-666	Max	0.00	-0.61	5	1.92	1	0.12	1	145.26	5	11.02	5	0.13	5
222	222	-666	Max	26.00	0.41	5	1.92	1	0.38	1	145.26	5	18.89	5	0.13	5
222	222	-666	Min.	0.00	-9.74	5	-1.96	1	-0.12	1	-85.15	5	-18.88	5	-0.07	5
222	222	-666	Min.	26.00	-8.72	5	-1.96	1	-0.39	1	-85.15	5	-11.12	5	-0.07	5
223	223	-667	Max	0.00	-14.96	5	1.92	1	0.12	1	163.99	5	8.39	5	0.07	1
223	223	-667	Max	26.00	-13.94	5	1.92	1	0.38	1	163.99	5	21.30	5	0.07	1
223	223	-667	Min.	0.00	-24.25	5	-1.99	1	-0.12	1	-65.06	5	-21.34	5	-0.05	1
223	223	-667	Min.	26.00	-23.23	5	-1.99	1	-0.40	1	-65.06	5	-8.53	5	-0.05	1
224	224	-668	Max	0.00	-15.99	5	1.95	1	0.12	1	165.74	5	8.14	5	0.08	1
224	224	-668	Max	26.00	-14.97	5	1.95	1	0.38	1	165.74	5	21.53	5	0.08	1
224	224	-668	Min.	0.00	-24.77	5	-2.01	1	-0.12	1	-63.15	5	-21.56	5	-0.05	1
224	224	-668	Min.	26.00	-23.75	5	-2.01	1	-0.40	1	-63.15	5	-8.28	5	-0.05	1
225	225	-669	Max	0.00	-15.98	5	2.01	1	0.12	1	165.74	5	8.13	5	0.06	1
225	225	-669	Max	26.00	-14.96	5	2.01	1	0.40	1	165.74	5	21.53	5	0.06	1
225	225	-669	Min.	0.00	-24.78	5	-1.95	1	-0.12	1	-63.11	5	-21.56	5	-0.08	1
225	225	-669	Min.	26.00	-23.76	5	-1.95	1	-0.38	1	-63.11	5	-8.28	5	-0.08	1
226	226	-670	Max	0.00	-14.97	5	1.99	1	0.12	1	164.02	5	8.39	5	0.05	1
226	226	-670	Max	26.00	-13.95	5	1.99	1	0.40	1	164.02	5	21.30	5	0.05	1
226	226	-670	Min.	0.00	-24.25	5	-1.92	1	-0.12	1	-65.11	5	-21.34	5	-0.07	1
226	226	-670	Min.	26.00	-23.23	5	-1.92	1	-0.38	1	-65.11	5	-8.54	5	-0.07	1
227	227	-671	Max	0.00	-0.61	5	1.96	1	0.12	1	145.28	5	11.02	5	0.07	5
227	227	-671	Max	26.00	0.41	5	1.96	1	0.39	1	145.28	5	18.89	5	0.07	5
227	227	-671	Min.	0.00	-9.74	5	-1.92	1	-0.12	1	-85.15	5	-18.88	5	-0.13	5
227	227	-671	Min.	26.00	-8.72	5	-1.92	1	-0.38	1	-85.15	5	-11.12	5	-0.13	5
228	228	-672	Max	0.00	-7.79	5	1.58	1	0.08	1	139.31	5	10.67	5	0.07	5
228	228	-672	Max	26.00	-6.77	5	1.58	1	0.34	1	139.31	5	18.12	5	0.07	5
228	228	-672	Min.	0.00	-17.28	5	-1.54	1	-0.07	1	-82.36	5	-18.10	5	-0.13	5
228	228	-672	Min.	26.00	-16.26	5	-1.54	1	-0.33	1	-82.36	5	-10.75	5	-0.13	5
229	229	-649	Max	0.00	2.64	5	0.21	5	0.04	1	171.07	5	10.06	5	0.06	1
229	229	-649	Max	24.25	3.59	5	0.21	5	0.06	1	171.07	5	20.76	5	0.06	1
229	229	-649	Min.	0.00	-7.69	5	-0.28	5	-0.03	1	-83.40	5	-20.72	5	-0.03	1
229	229	-649	Min.	24.25	-6.74	5	-0.28	5	-0.08	1	-83.40	5	-10.17	5	-0.03	1
230	230	-650	Max	0.00	0.96	5	0.21	5	0.04	1	172.64	5	10.82	5	0.09	1
230	230	-650	Max	13.00					-0.04	3			0.67	3		
230	230	-650	Max	24.25	1.91	5	0.21	5	0.05	1	172.64	5	20.94	5	0.09	1
230	230	-650	Min.	0.00	-9.29	5	-0.28	5	-0.04	1	-89.67	5	-20.93	5	-0.06	1
230	230	-650	Min.	13.00					0.04	3			0.01	3		
230	230	-650	Min.	24.25	-8.34	5	-0.28	5	-0.06	1	-89.67	5	-10.93	5	-0.06	1
231	231	-651	Max	0.00	-0.72	5	0.06	1	0.04	1	205.99	5	6.69	5	0.08	1
231	231	-651	Max	11.71					-0.01	7			0.16	7		
231	231	-651	Max	24.25	0.23	5	0.06	1	0.05	1	205.99	5	24.98	5	0.08	1
231	231	-651	Min.	0.00	-11.15	5	-0.08	1	-0.04	1	-55.72	5	-24.97	5	-0.06	1
231	231	-651	Min.	11.71					0.01	7			-0.84	7		
231	231	-651	Min.	24.25	-10.20	5	-0.08	1	-0.05	1	-55.72	5	-6.82	5	-0.06	1
232	232	-652	Max	0.00	-0.99	5	0.06	5	0.04	1	208.30	5	6.32	5	0.08	1
232	232	-652	Max	12.43					-0.01	7			0.63	7		
232	232	-652	Max	24.25	-0.03	5	0.06	5	0.05	1	208.30	5	25.26	5	0.08	1
232	232	-652	Min.	0.00	-11.34	5	-0.09	5	-0.04	1	-52.70	5	-25.25	5	-0.07	1
232	232	-652	Min.	12.43					0.01	7			-0.22	7		
232	232	-652	Min.	24.25	-10.39	5	-0.09	5	-0.05	1	-52.70	5	-6.46	5	-0.07	1
233	233	-653	Max	0.00	-0.98	5	0.09	5	0.04	1	208.30	5	6.32	5	0.07	1
233	233	-653	Max	12.59					-0.01	7			0.96	7		
233	233	-653	Max	24.25	-0.03	5	0.09	5	0.05	1	208.30	5	25.26	5	0.07	1
233	233	-653	Min.	0.00	-11.34	5	-0.07	5	-0.04	1	-52.68	5	-25.26	5	-0.08	1
233	233	-653	Min.	12.59					0.01	7			-0.30	7		

233	233	-653	Min.	24.25	-10.39	5	-0.07	5	-0.05	1	-52.68	5	-6.45	5	-0.08	1
234	234	-654	Max	0.00	-0.72	5	0.08	1	0.04	1	206.02	5	6.69	5	0.06	1
234	234	-654	Max	24.25	0.23	5	0.08	1	0.05	1	206.02	5	24.98	5	0.06	1
234	234	-654	Min.	0.00	-11.15	5	-0.06	1	-0.04	1	-55.76	5	-24.98	5	-0.08	1
234	234	-654	Min.	24.25	-10.19	5	-0.06	1	-0.05	1	-55.76	5	-6.83	5	-0.08	1
235	235	-655	Max	0.00	0.96	5	0.28	5	0.04	1	172.67	5	10.82	5	0.06	1
235	235	-655	Max	24.25	1.91	5	0.28	5	0.06	1	172.67	5	20.94	5	0.06	1
235	235	-655	Min.	0.00	-9.29	5	-0.20	5	-0.04	1	-89.68	5	-20.93	5	-0.09	1
235	235	-655	Min.	24.25	-8.34	5	-0.20	5	-0.05	1	-89.68	5	-10.93	5	-0.09	1
236	236	-656	Max	0.00	2.64	5	0.28	5	0.03	1	171.06	5	10.05	5	0.03	1
236	236	-656	Max	24.25	3.59	5	0.28	5	0.08	1	171.06	5	20.76	5	0.03	1
236	236	-656	Min.	0.00	-7.69	5	-0.21	5	-0.04	1	-83.36	5	-20.72	5	-0.06	1
236	236	-656	Min.	24.25	-6.74	5	-0.21	5	-0.06	1	-83.36	5	-10.16	5	-0.06	1
237	237	-633	Max	0.00	3.26	5	0.01	5	0.02	1	202.03	5	10.27	5	0.04	1
237	237	-633	Max	22.50	4.14	5	0.01	5	0.02	1	202.03	5	22.76	5	0.04	1
237	237	-633	Min.	0.00	-8.49	5	-0.01	5	-0.02	1	-91.95	5	-22.70	5	-0.01	1
237	237	-633	Min.	22.50	-7.61	5	-0.01	5	-0.02	1	-91.95	5	-10.41	5	-0.01	1
238	238	-634	Max	0.00	1.42	5	0.30	1	0.05	1	205.96	5	10.79	5	0.05	1
238	238	-634	Max	22.50	2.30	5	0.30	1	0.01	1	205.96	5	23.19	5	0.05	1
238	238	-634	Min.	0.00	-10.68	5	-0.29	1	-0.06	1	-96.50	5	-23.15	5	-0.02	1
238	238	-634	Min.	22.50	-9.79	5	-0.29	1	-0.02	1	-96.50	5	-10.92	5	-0.02	1
239	239	-635	Max	0.00	-0.11	5	0.29	1	0.05	1	246.83	5	6.12	5	0.03	1
239	239	-635	Max	22.50	0.78	5	0.29	1	0.01	1	246.83	5	27.77	5	0.03	1
239	239	-635	Min.	0.00	-12.14	5	-0.29	1	-0.05	1	-55.15	5	-27.76	5	-0.01	1
239	239	-635	Min.	22.50	-11.25	5	-0.29	1	-0.01	1	-55.15	5	-6.29	5	-0.01	1
240	240	-636	Max	0.00	-0.39	5	0.31	1	0.05	1	249.70	5	5.69	5	0.03	1
240	240	-636	Max	22.50	0.50	5	0.31	1	0.02	1	249.70	5	28.10	5	0.03	1
240	240	-636	Min.	0.00	-12.39	5	-0.31	1	-0.05	1	-51.35	5	-28.09	5	-0.01	1
240	240	-636	Min.	22.50	-11.50	5	-0.31	1	-0.02	1	-51.35	5	-5.86	5	-0.01	1
241	241	-637	Max	0.00	-0.39	5	0.31	1	0.05	1	249.71	5	5.69	5	0.01	1
241	241	-637	Max	22.50	0.49	5	0.31	1	0.02	1	249.71	5	28.10	5	0.01	1
241	241	-637	Min.	0.00	-12.39	5	-0.31	1	-0.05	1	-51.32	5	-28.09	5	-0.03	1
241	241	-637	Min.	22.50	-11.50	5	-0.31	1	-0.02	1	-51.32	5	-5.86	5	-0.03	1
242	242	-638	Max	0.00	-0.10	5	0.29	1	0.05	1	246.85	5	6.13	5	0.01	1
242	242	-638	Max	22.50	0.78	5	0.29	1	0.01	1	246.85	5	27.78	5	0.01	1
242	242	-638	Min.	0.00	-12.14	5	-0.29	1	-0.05	1	-55.20	5	-27.77	5	-0.03	1
242	242	-638	Min.	22.50	-11.26	5	-0.29	1	-0.01	1	-55.20	5	-6.29	5	-0.03	1
243	243	-639	Max	0.00	1.42	5	0.29	1	0.06	1	205.99	5	10.79	5	0.02	1
243	243	-639	Max	22.50	2.30	5	0.29	1	0.02	1	205.99	5	23.19	5	0.02	1
243	243	-639	Min.	0.00	-10.68	5	-0.30	1	-0.05	1	-96.51	5	-23.15	5	-0.05	1
243	243	-639	Min.	22.50	-9.79	5	-0.30	1	-0.01	1	-96.51	5	-10.92	5	-0.05	1
244	244	-640	Max	0.00	3.25	5	0.01	5	0.02	1	202.02	5	10.27	5	0.01	1
244	244	-640	Max	22.50	4.14	5	0.01	5	0.02	1	202.02	5	22.76	5	0.01	1
244	244	-640	Min.	0.00	-8.49	5	-0.01	5	-0.02	1	-91.90	5	-22.70	5	-0.04	1
244	244	-640	Min.	22.50	-7.61	5	-0.01	5	-0.02	1	-91.90	5	-10.41	5	-0.04	1
245	245	-617	Max	0.00	3.35	5	0.46	1	0.02	5	239.82	5	10.61	5	0.03	5
245	245	-617	Max	20.75	4.17	5	0.46	1	0.06	1	239.82	5	24.92	5	0.03	5
245	245	-617	Min.	0.00	-10.47	5	-0.34	1	-0.04	5	-103.05	5	-24.84	5	-0.00	5
245	245	-617	Min.	20.75	-9.66	5	-0.34	1	-0.06	1	-103.05	5	-10.78	5	-0.00	5
246	246	-618	Max	0.00	1.71	5	0.36	5	0.01	5	247.52	5	10.74	5	0.04	1
246	246	-618	Max	20.75	2.52	5	0.36	5	0.05	1	247.52	5	25.71	5	0.04	1
246	246	-618	Min.	0.00	-12.37	5	-0.25	5	-0.04	5	-104.28	5	-25.65	5	-0.01	1
246	246	-618	Min.	20.75	-11.55	5	-0.25	5	-0.05	1	-104.28	5	-10.90	5	-0.01	1
247	247	-619	Max	0.00	-0.56	5	0.24	1	0.00	1	297.44	5	5.53	5	0.03	1
247	247	-619	Max	20.75	0.25	5	0.24	1	0.05	1	297.44	5	30.88	5	0.03	1
247	247	-619	Min.	0.00	-14.62	5	-0.23	1	0.00	1	-54.27	5	-30.84	5	-0.02	1
247	247	-619	Min.	20.75	-13.81	5	-0.23	1	-0.04	1	-54.27	5	-5.73	5	-0.02	1
248	248	-620	Max	0.00	-0.86	5	0.26	1	0.01	5	300.63	5	5.07	5	0.03	1
248	248	-620	Max	20.75	-0.05	5	0.26	1	0.05	1	300.63	5	31.21	5	0.03	1

248	248	-620	Min.	0.00	-14.87	5	-0.23	1	-0.01	5	-49.81	5	-31.17	5	-0.02	1
248	248	-620	Min.	20.75	-14.05	5	-0.23	1	-0.04	1	-49.81	5	-5.27	5	-0.02	1
249	249	-621	Max	0.00	-0.86	5	0.23	1	0.01	5	300.64	5	5.06	5	0.02	1
249	249	-621	Max	20.75	-0.05	5	0.23	1	0.04	1	300.64	5	31.21	5	0.02	1
249	249	-621	Min.	0.00	-14.87	5	-0.26	1	-0.01	5	-49.77	5	-31.17	5	-0.03	1
249	249	-621	Min.	20.75	-14.05	5	-0.26	1	-0.05	1	-49.77	5	-5.27	5	-0.03	1
250	250	-622	Max	0.00	-0.56	5	0.23	1	0.00	1	297.47	5	5.53	5	0.02	1
250	250	-622	Max	20.75	0.26	5	0.23	1	0.04	1	297.47	5	30.88	5	0.02	1
250	250	-622	Min.	0.00	-14.62	5	-0.24	1	-0.00	1	-54.32	5	-30.85	5	-0.03	1
250	250	-622	Min.	20.75	-13.81	5	-0.24	1	-0.05	1	-54.32	5	-5.74	5	-0.03	1
251	251	-623	Max	0.00	1.71	5	0.25	5	0.04	5	247.55	5	10.74	5	0.01	1
251	251	-623	Max	20.75	2.52	5	0.25	5	0.05	1	247.55	5	25.72	5	0.01	1
251	251	-623	Min.	0.00	-12.37	5	-0.36	5	-0.01	5	-104.30	5	-25.65	5	-0.04	1
251	251	-623	Min.	20.75	-11.55	5	-0.36	5	-0.05	1	-104.30	5	-10.90	5	-0.04	1
252	252	-624	Max	0.00	3.35	5	0.34	1	0.04	5	239.82	5	10.60	5	0.00	5
252	252	-624	Max	20.75	4.16	5	0.34	1	0.06	1	239.82	5	24.92	5	0.00	5
252	252	-624	Min.	0.00	-10.47	5	-0.45	1	-0.02	5	-103.00	5	-24.84	5	-0.03	5
252	252	-624	Min.	20.75	-9.66	5	-0.45	1	-0.06	1	-103.00	5	-10.77	5	-0.03	5
253	253	-601	Max	0.00	0.91	5	0.86	1	0.06	1	294.47	5	10.52	5	0.17	1
253	253	-601	Max	19.00	1.65	5	0.86	1	0.09	1	294.47	5	28.05	5	0.17	1
253	253	-601	Min.	0.00	-22.93	5	-1.17	1	-0.08	1	-111.47	5	-27.90	5	-0.09	1
253	253	-601	Min.	19.00	-22.19	5	-1.17	1	-0.16	1	-111.47	5	-10.66	5	-0.09	1
254	254	-602	Max	0.00	-0.81	1	1.45	1	0.11	1	304.25	5	10.29	5	0.17	1
254	254	-602	Max	19.00	-0.07	1	1.45	1	0.15	1	304.25	5	28.95	5	0.17	1
254	254	-602	Min.	0.00	-22.45	1	-1.77	1	-0.13	1	-109.30	5	-28.86	5	-0.08	1
254	254	-602	Min.	19.00	-21.71	1	-1.77	1	-0.23	1	-109.30	5	-10.48	5	-0.08	1
255	255	-603	Max	0.00	-17.08	1	1.68	1	0.12	1	376.03	5	3.36	5	0.11	1
255	255	-603	Max	19.00	-16.34	1	1.68	1	0.20	1	376.03	5	35.75	5	0.11	1
255	255	-603	Min.	0.00	-38.03	1	-1.54	1	-0.12	1	-36.50	5	-35.69	5	-0.09	1
255	255	-603	Min.	19.00	-37.29	1	-1.54	1	-0.17	1	-36.50	5	-3.57	5	-0.09	1
256	256	-604	Max	0.00	-13.78	1	1.69	1	0.12	1	379.29	5	3.32	5	0.11	1
256	256	-604	Max	19.00	-13.03	1	1.69	1	0.20	1	379.29	5	36.07	5	0.11	1
256	256	-604	Min.	0.00	-35.61	1	-1.60	1	-0.12	1	-36.03	5	-36.00	5	-0.09	1
256	256	-604	Min.	19.00	-34.86	1	-1.60	1	-0.18	1	-36.03	5	-3.52	5	-0.09	1
257	257	-605	Max	0.00	-13.77	1	1.60	1	0.12	1	379.31	5	3.32	5	0.09	1
257	257	-605	Max	19.00	-13.02	1	1.60	1	0.18	1	379.31	5	36.07	5	0.09	1
257	257	-605	Min.	0.00	-35.61	1	-1.69	1	-0.12	1	-36.01	5	-36.00	5	-0.11	1
257	257	-605	Min.	19.00	-34.86	1	-1.69	1	-0.20	1	-36.01	5	-3.52	5	-0.11	1
258	258	-606	Max	0.00	-17.08	1	1.54	1	0.12	1	376.04	5	3.37	5	0.09	1
258	258	-606	Max	19.00	-16.34	1	1.54	1	0.17	1	376.04	5	35.76	5	0.09	1
258	258	-606	Min.	0.00	-38.04	1	-1.68	1	-0.12	1	-36.54	5	-35.69	5	-0.11	1
258	258	-606	Min.	19.00	-37.29	1	-1.68	1	-0.20	1	-36.54	5	-3.58	5	-0.11	1
259	259	-607	Max	0.00	-0.84	1	1.77	1	0.13	1	304.32	5	10.30	5	0.08	1
259	259	-607	Max	19.00	-0.09	1	1.77	1	0.23	1	304.32	5	28.95	5	0.08	1
259	259	-607	Min.	0.00	-22.44	1	-1.45	1	-0.11	1	-109.35	5	-28.87	5	-0.16	1
259	259	-607	Min.	19.00	-21.69	1	-1.45	1	-0.15	1	-109.35	5	-10.48	5	-0.16	1
260	260	-608	Max	0.00	0.92	5	1.17	1	0.08	1	294.50	5	10.52	5	0.09	1
260	260	-608	Max	19.00	1.66	5	1.17	1	0.16	1	294.50	5	28.05	5	0.09	1
260	260	-608	Min.	0.00	-22.94	5	-0.86	1	-0.06	1	-111.46	5	-27.90	5	-0.17	1
260	260	-608	Min.	19.00	-22.19	5	-0.86	1	-0.09	1	-111.46	5	-10.65	5	-0.17	1
261	261	-585	Max	0.00	5.08	5	0.23	5	0.02	5	367.63	5	10.82	5	0.13	1
261	261	-585	Max	17.25	5.76	5	0.23	5	0.01	5	367.63	5	31.80	5	0.13	1
261	261	-585	Min.	0.00	-15.60	5	-0.28	5	-0.03	5	-126.65	5	-31.61	5	-0.06	1
261	261	-585	Min.	17.25	-14.93	5	-0.28	5	-0.03	5	-126.65	5	-11.03	5	-0.06	1
262	262	-586	Max	0.00	2.42	5	0.24	5	0.02	5	379.76	5	9.97	5	0.15	1
262	262	-586	Max	17.25	3.10	5	0.24	5	0.01	5	379.76	5	32.84	5	0.15	1
262	262	-586	Min.	0.00	-18.15	5	-0.29	5	-0.03	5	-116.75	5	-32.67	5	-0.08	1
262	262	-586	Min.	17.25	-17.47	5	-0.29	5	-0.03	5	-116.75	5	-10.17	5	-0.08	1
263	263	-587	Max	0.00	-1.89	5	0.11	1	0.02	1	482.55	5	1.25	5	0.11	1

263	263	-587	Max	17.25	-1.21	5	0.11	1	0.01	1	482.55	5	41.71	5	0.11	1
263	263	-587	Min.	0.00	-22.63	5	-0.14	1	-0.01	1	-15.68	5	-41.53	5	-0.11	1
263	263	-587	Min.	17.25	-21.95	5	-0.14	1	-0.01	1	-15.68	5	-1.45	5	-0.11	1
264	264	-588	Max	0.00	-1.82	5	0.12	1	0.02	1	482.70	5	1.46	5	0.11	1
264	264	-588	Max	17.25	-1.14	5	0.12	1	0.01	1	482.70	5	41.72	5	0.11	1
264	264	-588	Min.	0.00	-22.63	5	-0.16	1	-0.01	1	-18.13	5	-41.54	5	-0.11	1
264	264	-588	Min.	17.25	-21.96	5	-0.16	1	-0.01	1	-18.13	5	-1.67	5	-0.11	1
265	265	-589	Max	0.00	-1.82	5	0.16	1	0.01	1	482.71	5	1.46	5	0.11	1
265	265	-589	Max	6.90					-0.00	7			0.02	7		
265	265	-589	Max	17.25	-1.14	5	0.16	1	0.01	1	482.71	5	41.72	5	0.11	1
265	265	-589	Min.	0.00	-22.63	5	-0.12	1	-0.02	1	-18.11	5	-41.55	5	-0.11	1
265	265	-589	Min.	6.90					-0.00	7			-8.05	7		
265	265	-589	Min.	17.25	-21.96	5	-0.12	1	-0.01	1	-18.11	5	-1.67	5	-0.11	1
266	266	-590	Max	0.00	-1.89	5	0.14	1	0.01	1	482.58	5	1.25	5	0.11	1
266	266	-590	Max	13.80					-0.00	7			24.68	7		
266	266	-590	Max	17.25	-1.21	5	0.14	1	0.01	1	482.58	5	41.71	5	0.11	1
266	266	-590	Min.	0.00	-22.63	5	-0.11	1	-0.02	1	-15.72	5	-41.53	5	-0.11	1
266	266	-590	Min.	13.80					-0.00	7			-0.53	7		
266	266	-590	Min.	17.25	-21.95	5	-0.11	1	-0.01	1	-15.72	5	-1.46	5	-0.11	1
267	267	-591	Max	0.00	2.42	5	0.29	5	0.03	5	379.82	5	9.97	5	0.08	1
267	267	-591	Max	17.25	3.10	5	0.29	5	0.03	5	379.82	5	32.85	5	0.08	1
267	267	-591	Min.	0.00	-18.15	5	-0.24	5	-0.02	5	-116.76	5	-32.67	5	-0.15	1
267	267	-591	Min.	17.25	-17.47	5	-0.24	5	-0.01	5	-116.76	5	-10.17	5	-0.15	1
268	268	-592	Max	0.00	5.08	5	0.28	5	0.03	5	367.67	5	10.82	5	0.06	1
268	268	-592	Max	9.49					0.00	3			1.56	3		
268	268	-592	Max	17.25	5.76	5	0.28	5	0.03	5	367.67	5	31.80	5	0.06	1
268	268	-592	Min.	0.00	-15.61	5	-0.23	5	-0.02	5	-126.65	5	-31.62	5	-0.13	1
268	268	-592	Min.	9.49					0.01	3			0.50	3		
268	268	-592	Min.	17.25	-14.93	5	-0.23	5	-0.01	5	-126.65	5	-11.03	5	-0.13	1
269	269	-569	Max	0.00	3.60	5	0.03	1	0.00	5	445.70	5	11.16	5	0.13	1
269	269	-569	Max	15.50	4.21	5	0.03	1	0.00	5	445.70	5	34.73	5	0.13	1
269	269	-569	Min.	0.00	-15.67	5	-0.03	1	-0.01	5	-146.15	5	-34.36	5	-0.05	1
269	269	-569	Min.	15.50	-15.07	5	-0.03	1	-0.01	5	-146.15	5	-11.49	5	-0.05	1
270	270	-570	Max	0.00	1.04	5	0.37	1	0.02	1	464.87	5	9.80	5	0.12	1
270	270	-570	Max	15.50	1.65	5	0.37	1	0.03	1	464.87	5	36.21	5	0.12	1
270	270	-570	Min.	0.00	-18.20	5	-0.36	1	-0.03	1	-128.48	5	-35.85	5	-0.04	1
270	270	-570	Min.	15.50	-17.59	5	-0.36	1	-0.04	1	-128.48	5	-10.12	5	-0.04	1
271	271	-571	Max	0.00	-3.65	5	0.35	1	0.03	1	591.25	5	0.20	5	0.08	1
271	271	-571	Max	15.50	-3.04	5	0.35	1	0.03	1	591.25	5	46.02	5	0.08	1
271	271	-571	Min.	0.00	-22.78	5	-0.37	1	-0.02	1	-4.56	5	-45.63	5	-0.08	1
271	271	-571	Min.	15.50	-22.17	5	-0.37	1	-0.03	1	-4.56	5	-0.51	5	-0.08	1
272	272	-572	Max	0.00	-3.72	5	0.39	1	0.02	1	591.15	5	0.44	5	0.08	1
272	272	-572	Max	15.50	-3.11	5	0.39	1	0.03	1	591.15	5	46.01	5	0.08	1
272	272	-572	Min.	0.00	-22.96	5	-0.38	1	-0.03	1	-7.68	5	-45.62	5	-0.08	1
272	272	-572	Min.	15.50	-22.35	5	-0.38	1	-0.03	1	-7.68	5	-0.75	5	-0.08	1
273	273	-573	Max	0.00	-3.72	5	0.38	1	0.03	1	591.17	5	0.44	5	0.07	1
273	273	-573	Max	15.50	-3.11	5	0.38	1	0.03	1	591.17	5	46.01	5	0.07	1
273	273	-573	Min.	0.00	-22.96	5	-0.39	1	-0.02	1	-7.66	5	-45.62	5	-0.08	1
273	273	-573	Min.	15.50	-22.35	5	-0.39	1	-0.03	1	-7.66	5	-0.75	5	-0.08	1
274	274	-574	Max	0.00	-3.65	5	0.37	1	0.02	1	591.29	5	0.20	5	0.08	1
274	274	-574	Max	15.50	-3.04	5	0.37	1	0.03	1	591.29	5	46.02	5	0.08	1
274	274	-574	Min.	0.00	-22.78	5	-0.35	1	-0.03	1	-4.61	5	-45.63	5	-0.08	1
274	274	-574	Min.	15.50	-22.17	5	-0.35	1	-0.03	1	-4.61	5	-0.51	5	-0.08	1
275	275	-575	Max	0.00	1.04	5	0.36	1	0.03	1	464.94	5	9.80	5	0.04	1
275	275	-575	Max	15.50	1.65	5	0.36	1	0.04	1	464.94	5	36.21	5	0.04	1
275	275	-575	Min.	0.00	-18.20	5	-0.37	1	-0.02	1	-128.49	5	-35.85	5	-0.12	1
275	275	-575	Min.	15.50	-17.59	5	-0.37	1	-0.03	1	-128.49	5	-10.12	5	-0.12	1
276	276	-576	Max	0.00	3.60	5	0.03	1	0.01	5	445.75	5	11.16	5	0.05	1
276	276	-576	Max	15.50	4.21	5	0.03	1	0.01	5	445.75	5	34.73	5	0.05	1

276	276	-576	Min.	0.00	-15.68	5	-0.03	1	-0.00	5	-146.15	5	-34.36	5	-0.13	1
276	276	-576	Min.	15.50	-15.07	5	-0.03	1	0.00	5	-146.15	5	-11.49	5	-0.13	1
277	277	-553	Max	0.00	17.83	5	0.27	5	0.02	5	479.60	5	9.81	5	0.13	1
277	277	-553	Max	13.75	18.37	5	0.27	5	0.02	5	479.60	5	32.79	5	0.13	1
277	277	-553	Min.	0.00	-37.35	5	-0.40	5	-0.02	5	-141.05	5	-33.15	5	-0.05	1
277	277	-553	Min.	13.75	-36.81	5	-0.40	5	-0.03	5	-141.05	5	-9.58	5	-0.05	1
278	278	-554	Max	0.00	14.63	5	0.50	1	0.03	1	505.90	5	8.09	5	0.11	1
278	278	-554	Max	13.75	15.17	5	0.50	1	0.05	1	505.90	5	34.58	5	0.11	1
278	278	-554	Min.	0.00	-40.80	5	-0.82	1	-0.02	1	-116.12	5	-34.98	5	-0.03	1
278	278	-554	Min.	13.75	-40.26	5	-0.82	1	-0.08	1	-116.12	5	-7.87	5	-0.03	1
279	279	-555	Max	0.00	7.41	5	0.77	1	0.02	1	646.24	5	-1.41	5	0.06	1
279	279	-555	Max	13.75	7.95	5	0.77	1	0.08	1	646.24	5	44.18	5	0.06	1
279	279	-555	Min.	0.00	-49.27	5	-0.51	1	-0.02	1	21.88	5	-44.68	5	-0.07	1
279	279	-555	Min.	13.75	-48.73	5	-0.51	1	-0.05	1	21.88	5	1.60	5	-0.07	1
280	280	-556	Max	0.00	7.53	5	0.52	1	0.03	1	646.27	5	-1.18	5	0.07	1
280	280	-556	Max	13.75	8.07	5	0.52	1	0.05	1	646.27	5	44.19	5	0.07	1
280	280	-556	Min.	0.00	-49.13	5	-0.77	1	-0.02	1	18.55	5	-44.67	5	-0.05	1
280	280	-556	Min.	13.75	-48.59	5	-0.77	1	-0.08	1	18.55	5	1.37	5	-0.05	1
281	281	-557	Max	0.00	7.53	5	0.77	1	0.02	1	646.30	5	-1.18	5	0.05	1
281	281	-557	Max	13.75	8.07	5	0.77	1	0.08	1	646.30	5	44.19	5	0.05	1
281	281	-557	Min.	0.00	-49.13	5	-0.52	1	-0.03	1	18.57	5	-44.68	5	-0.07	1
281	281	-557	Min.	13.75	-48.59	5	-0.52	1	-0.05	1	18.57	5	1.37	5	-0.07	1
282	282	-558	Max	0.00	7.41	5	0.51	1	0.02	1	646.28	5	-1.41	5	0.07	1
282	282	-558	Max	13.75	7.95	5	0.51	1	0.05	1	646.28	5	44.18	5	0.07	1
282	282	-558	Min.	0.00	-49.26	5	-0.77	1	-0.02	1	21.83	5	-44.68	5	-0.06	1
282	282	-558	Min.	13.75	-48.72	5	-0.77	1	-0.08	1	21.83	5	1.60	5	-0.06	1
283	283	-559	Max	0.00	14.63	5	0.82	1	0.02	1	505.97	5	8.09	5	0.03	1
283	283	-559	Max	13.75	15.17	5	0.82	1	0.08	1	505.97	5	34.58	5	0.03	1
283	283	-559	Min.	0.00	-40.82	5	-0.50	1	-0.03	1	-116.13	5	-34.99	5	-0.11	1
283	283	-559	Min.	13.75	-40.28	5	-0.50	1	-0.05	1	-116.13	5	-7.87	5	-0.11	1
284	284	-560	Max	0.00	17.83	5	0.40	5	0.02	5	479.65	5	9.81	5	0.05	1
284	284	-560	Max	13.75	18.37	5	0.40	5	0.03	5	479.65	5	32.79	5	0.05	1
284	284	-560	Min.	0.00	-37.36	5	-0.27	5	-0.02	5	-141.05	5	-33.16	5	-0.13	1
284	284	-560	Min.	13.75	-36.82	5	-0.27	5	-0.02	5	-141.05	5	-9.58	5	-0.13	1
285	2285	4285	Max	0.00	93.08	1	0.53	1	-0.01	5	212.19	5	17.20	5	0.09	5
285	2285	4285	Max	12.00	93.55	1	0.53	1	0.04	1	212.19	5	10.54	5	0.09	5
285	2285	4285	Min.	0.00	-79.50	1	-0.12	1	-0.02	5	-234.03	5	-14.92	5	-0.07	5
285	2285	4285	Min.	12.00	-79.03	1	-0.12	1	-0.03	1	-234.03	5	-10.89	5	-0.07	5
286	1286	2286	Max	0.00	-119.31	5	133.00	5	471.79	5	167.32	1	20.55	1	4.12	5
286	1286	2286	Max	9.00	-117.29	5	133.00	5	483.75	5	167.32	1	35.61	1	4.12	5
286	1286	2286	Min.	0.00	-515.23	5	-197.51	5	-686.65	5	-134.45	1	-45.31	1	-3.42	5
286	1286	2286	Min.	9.00	-513.20	5	-197.51	5	-704.43	5	-134.45	1	-57.41	1	-3.42	5
286	2286	4286	Max	0.00	-98.88	1	146.41	1	30.24	1	3059.45	5	589.38	5	8.95	1
286	2286	4286	Max	7.00	-97.31	1	146.41	1	40.49	1	3059.45	5	296.92	5	8.95	1
286	2286	4286	Min.	0.00	-165.89	1	-112.90	1	-44.16	1	-4178.00	5	-415.86	5	-10.55	1
286	2286	4286	Min.	7.00	-164.32	1	-112.90	1	-52.07	1	-4178.00	5	-201.70	5	-10.55	1
287	2287	4287	Max	0.00	133.54	1	5.61	1	0.25	1	216.38	5	17.15	5	0.06	5
287	2287	4287	Max	12.00	134.01	1	5.61	1	0.46	1	216.38	5	10.80	5	0.06	5
287	2287	4287	Min.	0.00	-185.14	1	-6.50	1	-0.21	1	-233.17	5	-15.17	5	-0.09	5
287	2287	4287	Min.	12.00	-184.67	1	-6.50	1	-0.53	1	-233.17	5	-10.83	5	-0.09	5
288	2288	4288	Max	0.00	183.52	1	7.42	1	0.12	1	211.31	5	18.15	5	0.09	5
288	2288	4288	Max	12.00	183.99	1	7.42	1	0.62	1	211.31	5	10.83	5	0.09	5
288	2288	4288	Min.	0.00	-262.48	1	-3.68	1	-0.27	1	-242.91	5	-14.52	5	-0.05	5
288	2288	4288	Min.	12.00	-262.00	1	-3.68	1	-0.33	1	-242.91	5	-11.00	5	-0.05	5
289	1289	2289	Max	0.00	-410.02	5	105.83	5	395.65	5	194.82	1	80.55	1	2.72	1
289	1289	2289	Max	9.00	-408.00	5	105.83	5	405.18	5	194.82	1	98.09	1	2.72	1
289	1289	2289	Min.	0.00	-783.82	5	-233.47	5	-776.62	5	-179.94	1	-74.57	1	-2.35	1
289	1289	2289	Min.	9.00	-781.79	5	-233.47	5	-797.64	5	-179.94	1	-90.76	1	-2.35	1
289	2289	4289	Max	0.00	-223.34	5	168.22	1	77.40	1	2672.00	5	663.32	5	8.53	1

289	2289	4289	Max	7.00	-221.77	5	168.22	1	89.17	1	2672.00	5	337.27	5	8.53	1
289	2289	4289	Min.	0.00	-240.28	5	-155.31	1	-71.85	1	-4657.87	5	-354.63	5	-11.38	1
289	2289	4289	Min.	7.00	-238.71	5	-155.31	1	-82.72	1	-4657.87	5	-167.59	5	-11.38	1
290	2290	4290	Max	0.00	200.42	1	3.97	1	0.25	1	209.52	5	18.18	5	0.05	5
290	2290	4290	Max	12.00	200.89	1	3.97	1	0.35	1	209.52	5	10.74	5	0.05	5
290	2290	4290	Min.	0.00	-247.09	1	-6.91	1	-0.13	1	-243.52	5	-14.41	5	-0.10	5
290	2290	4290	Min.	12.00	-246.62	1	-6.91	1	-0.57	1	-243.52	5	-11.05	5	-0.10	5
291	2291	4291	Max	0.00	200.41	1	6.91	1	0.13	1	209.52	5	18.18	5	0.10	5
291	2291	4291	Max	12.00	200.88	1	6.91	1	0.57	1	209.52	5	10.74	5	0.10	5
291	2291	4291	Min.	0.00	-247.19	1	-3.97	1	-0.25	1	-243.50	5	-14.41	5	-0.05	5
291	2291	4291	Min.	12.00	-246.72	1	-3.97	1	-0.35	1	-243.50	5	-11.04	5	-0.05	5
292	1292	2292	Max	0.00	-409.98	5	105.83	5	395.67	5	180.04	1	74.60	1	2.38	1
292	1292	2292	Max	9.00	-407.95	5	105.83	5	405.19	5	180.04	1	90.81	1	2.38	1
292	1292	2292	Min.	0.00	-783.87	5	-233.51	5	-776.67	5	-194.79	1	-80.55	1	-2.71	1
292	1292	2292	Min.	9.00	-781.84	5	-233.51	5	-797.68	5	-194.79	1	-98.08	1	-2.71	1
292	2292	4292	Max	0.00	-223.32	5	155.39	1	71.89	1	2672.05	5	663.36	5	11.38	1
292	2292	4292	Max	7.00	-221.75	5	155.39	1	82.76	1	2672.05	5	337.29	5	11.38	1
292	2292	4292	Min.	0.00	-240.30	5	-168.20	1	-77.39	1	-4658.15	5	-354.64	5	-8.52	1
292	2292	4292	Min.	7.00	-238.72	5	-168.20	1	-89.17	1	-4658.15	5	-167.60	5	-8.52	1
293	2293	4293	Max	0.00	183.54	1	3.68	1	0.27	1	211.30	5	18.15	5	0.05	5
293	2293	4293	Max	12.00	184.01	1	3.68	1	0.33	1	211.30	5	10.83	5	0.05	5
293	2293	4293	Min.	0.00	-262.37	1	-7.42	1	-0.12	1	-242.95	5	-14.52	5	-0.09	5
293	2293	4293	Min.	12.00	-261.90	1	-7.42	1	-0.62	1	-242.95	5	-11.01	5	-0.09	5
294	2294	4294	Max	0.00	133.53	1	6.50	1	0.21	1	216.36	5	17.15	5	0.09	5
294	2294	4294	Max	12.00	134.00	1	6.50	1	0.53	1	216.36	5	10.80	5	0.09	5
294	2294	4294	Min.	0.00	-185.21	1	-5.61	1	-0.25	1	-233.18	5	-15.17	5	-0.06	5
294	2294	4294	Min.	12.00	-184.74	1	-5.61	1	-0.46	1	-233.18	5	-10.83	5	-0.06	5
295	1295	2295	Max	0.00	-119.38	5	133.03	5	471.80	5	134.53	1	45.32	1	3.38	5
295	1295	2295	Max	9.00	-117.36	5	133.03	5	483.77	5	134.53	1	57.43	1	3.38	5
295	1295	2295	Min.	0.00	-515.23	5	-197.64	5	-686.76	5	-167.30	1	-20.55	1	-4.07	5
295	1295	2295	Min.	9.00	-513.20	5	-197.64	5	-704.55	5	-167.30	1	-35.61	1	-4.07	5
295	2295	4295	Max	0.00	-98.85	1	112.92	1	44.18	1	3059.49	5	589.48	5	10.56	1
295	2295	4295	Max	7.00	-97.28	1	112.92	1	52.09	1	3059.49	5	296.98	5	10.56	1
295	2295	4295	Min.	0.00	-165.91	1	-146.33	1	-30.25	1	-4178.65	5	-415.87	5	-8.95	1
295	2295	4295	Min.	7.00	-164.34	1	-146.33	1	-40.49	1	-4178.65	5	-201.71	5	-8.95	1
296	2296	4296	Max	0.00	93.10	1	0.12	1	0.02	5	212.23	5	17.20	5	0.07	5
296	2296	4296	Max	12.00	93.57	1	0.12	1	0.03	1	212.23	5	10.54	5	0.07	5
296	2296	4296	Min.	0.00	-79.47	1	-0.53	1	0.01	5	-234.10	5	-14.93	5	-0.09	5
296	2296	4296	Min.	12.00	-79.00	1	-0.53	1	-0.04	1	-234.10	5	-10.89	5	-0.09	5
297	297	-537	Max	0.00	32.94	5	1.82	1	0.07	1	26.99	5	2.57	1	0.40	1
297	297	-537	Max	10.65	33.36	5	1.82	1	0.12	1	26.99	5	1.74	5	0.40	1
297	297	-537	Min.	0.00	-23.32	5	-1.61	1	-0.07	1	-53.06	5	-1.34	1	-0.36	1
297	297	-537	Min.	10.65	-22.90	5	-1.61	1	-0.11	1	-53.06	5	-3.29	5	-0.36	1
298	298	-538	Max	0.00	30.94	5	2.18	1	0.07	1	17.26	5	3.30	1	0.41	1
298	298	-538	Max	10.65	31.36	5	2.18	1	0.15	1	17.26	5	1.26	5	0.41	1
298	298	-538	Min.	0.00	-25.10	5	-1.75	1	-0.08	1	-64.74	5	-0.87	1	-0.36	1
298	298	-538	Min.	10.65	-24.69	5	-1.75	1	-0.11	1	-64.74	5	-3.89	5	-0.36	1
299	299	-539	Max	0.00	36.05	5	1.84	1	0.06	1	-2.43	5	4.38	1	0.36	1
299	299	-539	Max	10.65	36.47	5	1.84	1	0.12	1	-2.43	5	0.15	5	0.36	1
299	299	-539	Min.	0.00	-22.12	5	-1.80	1	-0.07	1	-85.14	5	0.12	1	-0.32	1
299	299	-539	Min.	10.65	-21.70	5	-1.80	1	-0.13	1	-85.14	5	-4.98	5	-0.32	1
300	300	-540	Max	0.00	36.39	5	2.08	1	0.06	1	5.34	5	3.89	1	0.37	1
300	300	-540	Max	10.65	36.81	5	2.08	1	0.15	1	5.34	5	0.55	5	0.37	1
300	300	-540	Min.	0.00	-21.85	5	-1.69	1	-0.08	1	-75.79	5	-0.37	1	-0.32	1
300	300	-540	Min.	10.65	-21.43	5	-1.69	1	-0.12	1	-75.79	5	-4.53	5	-0.32	1
301	301	-541	Max	0.00	36.40	5	1.69	1	0.08	1	5.35	5	3.89	1	0.32	1
301	301	-541	Max	10.65	36.82	5	1.69	1	0.12	1	5.35	5	0.55	5	0.32	1
301	301	-541	Min.	0.00	-21.86	5	-2.08	1	-0.06	1	-75.81	5	-0.37	1	-0.37	1
301	301	-541	Min.	10.65	-21.44	5	-2.08	1	-0.15	1	-75.81	5	-4.53	5	-0.37	1

302	302	-542	Max	0.00	36.04	5	1.80	1	0.07	1	-2.44	5	4.38	1	0.32	1
302	302	-542	Max	10.65	36.46	5	1.80	1	0.13	1	-2.44	5	0.15	5	0.32	1
302	302	-542	Min.	0.00	-22.11	5	-1.84	1	-0.06	1	-85.14	5	0.12	1	-0.36	1
302	302	-542	Min.	10.65	-21.69	5	-1.84	1	-0.12	1	-85.14	5	-4.98	5	-0.36	1
303	303	-543	Max	0.00	30.96	5	1.76	1	0.08	1	17.16	5	3.30	1	0.36	1
303	303	-543	Max	10.65	31.37	5	1.76	1	0.11	1	17.16	5	1.26	5	0.36	1
303	303	-543	Min.	0.00	-25.12	5	-2.20	1	-0.07	1	-64.69	5	-0.86	1	-0.42	1
303	303	-543	Min.	10.65	-24.70	5	-2.20	1	-0.15	1	-64.69	5	-3.88	5	-0.42	1
304	304	-544	Max	0.00	32.94	5	1.62	1	0.07	1	27.03	5	2.56	1	0.36	1
304	304	-544	Max	10.65	33.36	5	1.62	1	0.11	1	27.03	5	1.75	5	0.36	1
304	304	-544	Min.	0.00	-23.32	5	-1.83	1	-0.07	1	-53.06	5	-1.34	1	-0.41	1
304	304	-544	Min.	10.65	-22.90	5	-1.83	1	-0.12	1	-53.06	5	-3.29	5	-0.41	1
305	305	-521	Max	0.00	2.44	5	0.04	5	0.05	1	24.98	1	2.42	1	0.41	1
305	305	-521	Max	9.29	2.81	5	0.04	5	0.04	1	24.98	1	1.07	1	0.41	1
305	305	-521	Min.	0.00	-4.00	5	-0.17	5	-0.05	1	-49.84	1	-1.25	1	-0.35	1
305	305	-521	Min.	9.29	-3.64	5	-0.17	5	-0.05	1	-49.84	1	-2.22	1	-0.35	1
306	306	-522	Max	0.00	2.28	5	0.22	5	0.06	1	15.91	1	3.04	1	0.41	1
306	306	-522	Max	9.29	2.64	5	0.22	5	0.03	1	15.91	1	0.66	1	0.41	1
306	306	-522	Min.	0.00	-5.09	5	-0.33	5	-0.06	1	-63.29	1	-0.81	1	-0.36	1
306	306	-522	Min.	9.29	-4.73	5	-0.33	5	-0.04	1	-63.29	1	-2.84	1	-0.36	1
307	307	-523	Max	0.00	2.83	5	0.13	5	0.05	1	-9.95	1	4.22	1	0.36	1
307	307	-523	Max	3.72					0.01	7			0.52	7		
307	307	-523	Max	9.29	3.19	5	0.13	5	0.05	1	-9.95	1	-0.52	1	0.36	1
307	307	-523	Min.	0.00	-4.43	5	-0.31	5	-0.05	1	-88.60	1	0.41	1	-0.29	1
307	307	-523	Min.	3.72					-0.02	7			0.45	7		
307	307	-523	Min.	9.29	-4.07	5	-0.31	5	-0.06	1	-88.60	1	-4.01	1	-0.29	1
308	308	-524	Max	0.00	2.35	5	0.36	5	0.06	1	1.58	1	3.68	1	0.35	1
308	308	-524	Max	5.40					0.03	7			-0.24	7		
308	308	-524	Max	9.29	2.72	5	0.36	5	0.07	1	1.58	1	-0.01	1	0.35	1
308	308	-524	Min.	0.00	-5.05	5	-0.18	5	-0.05	1	-77.43	1	-0.15	1	-0.30	1
308	308	-524	Min.	5.40					-0.00	7			-0.33	7		
308	308	-524	Min.	9.29	-4.69	5	-0.18	5	-0.04	1	-77.43	1	-3.52	1	-0.30	1
309	309	-525	Max	0.00	2.35	5	0.18	5	0.05	1	1.59	1	3.68	1	0.30	1
309	309	-525	Max	5.58					0.00	7			-0.28	7		
309	309	-525	Max	9.29	2.72	5	0.18	5	0.04	1	1.59	1	-0.01	1	0.30	1
309	309	-525	Min.	0.00	-5.05	5	-0.36	5	-0.06	1	-77.44	1	-0.15	1	-0.35	1
309	309	-525	Min.	5.58					-0.03	7			-0.42	7		
309	309	-525	Min.	9.29	-4.69	5	-0.36	5	-0.07	1	-77.44	1	-3.52	1	-0.35	1
310	310	-526	Max	0.00	2.83	5	0.31	5	0.05	1	-9.95	1	4.22	1	0.29	1
310	310	-526	Max	3.72					0.02	7			0.52	7		
310	310	-526	Max	9.29	3.19	5	0.31	5	0.06	1	-9.95	1	-0.52	1	0.29	1
310	310	-526	Min.	0.00	-4.43	5	-0.13	5	-0.05	1	-88.60	1	0.41	1	-0.36	1
310	310	-526	Min.	3.72					-0.01	7			0.45	7		
310	310	-526	Min.	9.29	-4.07	5	-0.13	5	-0.05	1	-88.60	1	-4.01	1	-0.36	1
311	311	-527	Max	0.00	2.28	5	0.33	5	0.06	1	15.75	1	3.03	1	0.36	1
311	311	-527	Max	9.29	2.65	5	0.33	5	0.04	1	15.75	1	0.66	1	0.36	1
311	311	-527	Min.	0.00	-5.09	5	-0.22	5	-0.06	1	-63.19	1	-0.81	1	-0.41	1
311	311	-527	Min.	9.29	-4.73	5	-0.22	5	-0.03	1	-63.19	1	-2.84	1	-0.41	1
312	312	-528	Max	0.00	2.44	5	0.17	5	0.05	1	24.91	1	2.41	1	0.36	1
312	312	-528	Max	9.29	2.81	5	0.17	5	0.05	1	24.91	1	1.07	1	0.36	1
312	312	-528	Min.	0.00	-4.00	5	-0.04	5	-0.05	1	-49.72	1	-1.25	1	-0.41	1
312	312	-528	Min.	9.29	-3.64	5	-0.04	5	-0.04	1	-49.72	1	-2.21	1	-0.41	1
313	2313	3313	Max	0.00	10.14	1	2.48	1	0.10	1	18.26	1	1.48	1	0.29	1
313	2313	3313	Max	0.84					0.02	7			0.47	7		
313	2313	3313	Max	7.94	10.45	1	2.48	1	0.29	1	18.26	1	0.58	1	0.29	1
313	2313	3313	Min.	0.00	-16.29	1	-2.07	1	-0.13	1	-33.96	1	-0.87	1	-0.25	1
313	2313	3313	Min.	0.84					-0.05	7			0.00	7		
313	2313	3313	Min.	7.94	-15.98	1	-2.07	1	-0.29	1	-33.96	1	-1.22	1	-0.25	1
314	2314	3314	Max	0.00	8.14	1	2.66	1	0.10	1	13.17	1	1.85	1	0.32	1

314	2314	3314	Max	7.94	8.45	1	2.66	1	0.31	1	13.17	1	0.40	1	0.32	1
314	2314	3314	Min.	0.00	-20.59	1	-2.24	1	-0.12	1	-42.40	1	-0.65	1	-0.28	1
314	2314	3314	Min.	7.94	-20.28	1	-2.24	1	-0.30	1	-42.40	1	-1.51	1	-0.28	1
315	2315	3315	Max	0.00	-1.02	1	2.12	1	0.14	1	-6.41	1	2.61	1	0.27	1
315	2315	3315	Max	7.94	-0.71	1	2.12	1	0.30	1	-6.41	1	-0.38	1	0.27	1
315	2315	3315	Min.	0.00	-29.14	1	-1.57	1	-0.10	1	-61.85	1	0.13	1	-0.21	1
315	2315	3315	Min.	7.94	-28.83	1	-1.57	1	-0.22	1	-61.85	1	-2.30	1	-0.21	1
316	2316	3316	Max	0.00	3.43	1	2.09	1	0.13	1	2.50	1	2.28	1	0.27	1
316	2316	3316	Max	7.94	3.74	1	2.09	1	0.29	1	2.50	1	-0.06	1	0.27	1
316	2316	3316	Min.	0.00	-25.33	1	-1.83	1	-0.10	1	-54.23	1	-0.26	1	-0.24	1
316	2316	3316	Min.	7.94	-25.02	1	-1.83	1	-0.25	1	-54.23	1	-2.03	1	-0.24	1
317	2317	3317	Max	0.00	3.43	1	1.83	1	0.10	1	2.50	1	2.28	1	0.24	1
317	2317	3317	Max	0.79					0.02	7			1.08	7		
317	2317	3317	Max	7.94	3.74	1	1.83	1	0.25	1	2.50	1	-0.06	1	0.24	1
317	2317	3317	Min.	0.00	-25.33	1	-2.09	1	-0.13	1	-54.22	1	-0.26	1	-0.27	1
317	2317	3317	Min.	0.79					-0.05	7			0.53	7		
317	2317	3317	Min.	7.94	-25.02	1	-2.09	1	-0.29	1	-54.22	1	-2.03	1	-0.27	1
318	2318	3318	Max	0.00	-1.02	1	1.57	1	0.10	1	-6.41	1	2.61	1	0.21	1
318	2318	3318	Max	7.94	-0.71	1	1.57	1	0.22	1	-6.41	1	-0.38	1	0.21	1
318	2318	3318	Min.	0.00	-29.14	1	-2.11	1	-0.14	1	-61.85	1	0.13	1	-0.27	1
318	2318	3318	Min.	7.94	-28.83	1	-2.11	1	-0.30	1	-61.85	1	-2.30	1	-0.27	1
319	2319	3319	Max	0.00	8.10	1	2.26	1	0.12	1	13.06	1	1.85	1	0.28	1
319	2319	3319	Max	0.40					0.05	7			0.82	7		
319	2319	3319	Max	7.94	8.42	1	2.26	1	0.30	1	13.06	1	0.39	1	0.28	1
319	2319	3319	Min.	0.00	-20.58	1	-2.68	1	-0.10	1	-42.34	1	-0.65	1	-0.32	1
319	2319	3319	Min.	0.40					-0.02	7			0.27	7		
319	2319	3319	Min.	7.94	-20.26	1	-2.68	1	-0.31	1	-42.34	1	-1.51	1	-0.32	1
320	2320	3320	Max	0.00	10.11	1	2.09	1	0.13	1	18.20	1	1.47	1	0.26	1
320	2320	3320	Max	0.60					0.05	7			0.50	7		
320	2320	3320	Max	7.94	10.42	1	2.09	1	0.29	1	18.20	1	0.58	1	0.26	1
320	2320	3320	Min.	0.00	-16.24	1	-2.51	1	-0.10	1	-33.86	1	-0.87	1	-0.30	1
320	2320	3320	Min.	0.60					-0.02	7			0.01	7		
320	2320	3320	Min.	7.94	-15.93	1	-2.51	1	-0.30	1	-33.86	1	-1.22	1	-0.30	1
901	325	326	Max	4.00	0.00	1	0.00	1	0.00	1	1316.52	1	55.02	1	3.36	5
901	325	326	Max	15.00	0.00	1	0.00	1	0.00	1	1341.52	1	201.21	1	3.36	5
901	325	326	Min.	4.00	0.00	1	0.00	1	0.00	1	-1333.03	1	-54.49	1	0.99	5
901	325	326	Min.	15.00	0.00	1	0.00	1	0.00	1	-1269.01	1	-197.58	1	0.99	5
901	326	327	Max	0.00	0.00	1	0.00	1	0.00	1	1159.39	1	302.45	1	7.34	5
901	326	327	Max	11.00	0.00	1	0.00	1	0.00	1	1176.53	1	429.11	1	7.34	5
901	326	327	Min.	0.00	0.00	1	0.00	1	0.00	1	-1495.00	1	-275.68	1	2.94	5
901	326	327	Min.	11.00	0.00	1	0.00	1	0.00	1	-1424.84	1	-434.44	1	2.94	5
901	327	328	Max	1.00	0.00	1	0.00	1	0.00	1	-322.16	5	472.05	1	10.83	5
901	327	328	Max	98.61									127.76	1		
901	327	328	Max	289.00	0.00	1	0.00	1	0.00	1	715.03	1	38.40	5	10.83	5
901	327	328	Min.	1.00	0.00	1	0.00	1	0.00	1	-636.48	5	-497.14	1	3.85	5
901	327	328	Min.	98.61									-739.15	1		
901	327	328	Min.	289.00	0.00	1	0.00	1	0.00	1	106.53	1	-78.75	5	3.85	5
901	328	329	Max	4.00	0.00	1	0.00	1	0.00	1	1439.95	1	46.67	5	8.00	5
901	328	329	Max	15.00	0.00	1	0.00	1	0.00	1	1467.06	1	185.30	1	8.00	5
901	328	329	Min.	4.00	0.00	1	0.00	1	0.00	1	-1057.02	1	-62.68	5	2.46	5
901	328	329	Min.	15.00	0.00	1	0.00	1	0.00	1	-1027.99	1	-156.10	1	2.46	5
901	329	330	Max	0.00	0.00	1	0.00	1	0.00	1	1167.33	1	290.13	1	3.02	5
901	329	330	Max	11.00	0.00	1	0.00	1	0.00	1	1192.86	1	419.81	1	3.02	5
901	329	330	Min.	0.00	0.00	1	0.00	1	0.00	1	-1299.59	1	-253.61	1	1.01	5
901	329	330	Min.	11.00	0.00	1	0.00	1	0.00	1	-1269.48	1	-394.78	1	1.01	5
901	330	331	Max	1.00	0.00	1	0.00	1	0.00	1	-60.71	1	462.98	1	0.60	1
901	330	331	Max	284.63									282.34	3		
901	330	331	Max	309.00	0.00	1	0.00	1	0.00	1	671.33	1	462.25	1	0.60	1
901	330	331	Min.	1.00	0.00	1	0.00	1	0.00	1	-671.67	1	-448.85	1	-0.74	1

901	330	331	Min.	269.21								-470.77	1		
901	330	331	Min.	309.00	0.00	1	0.00	1	0.00	1	60.34	1	-449.42	1	-0.74	1
901	331	332	Max	4.00	0.00	1	0.00	1	0.00	1	1269.88	1	419.10	1	-1.36	5
901	331	332	Max	15.00	0.00	1	0.00	1	0.00	1	1299.81	1	289.44	1	-1.36	5
901	331	332	Min.	4.00	0.00	1	0.00	1	0.00	1	-1192.79	1	-395.35	1	-2.94	5
901	331	332	Min.	15.00	0.00	1	0.00	1	0.00	1	-1167.06	1	-254.16	1	-2.94	5
901	332	333	Max	0.00	0.00	1	0.00	1	0.00	1	1028.35	1	184.66	1	-2.78	5
901	332	333	Max	11.00	0.00	1	0.00	1	0.00	1	1057.39	1	46.07	5	-2.78	5
901	332	333	Min.	0.00	0.00	1	0.00	1	0.00	1	-1466.98	1	-156.61	1	-7.91	5
901	332	333	Min.	11.00	0.00	1	0.00	1	0.00	1	-1439.85	1	-63.18	5	-7.91	5
901	333	334	Max	1.00	0.00	1	0.00	1	0.00	1	-106.87	1	37.85	5	-4.14	5
901	333	334	Max	191.06									126.10	1		
901	333	334	Max	289.00	0.00	1	0.00	1	0.00	1	637.30	5	471.90	1	-4.14	5
901	333	334	Min.	1.00	0.00	1	0.00	1	0.00	1	-715.38	1	-79.28	5	-10.75	5
901	333	334	Min.	191.06									-739.86	1		
901	333	334	Min.	289.00	0.00	1	0.00	1	0.00	1	322.99	5	-497.49	1	-10.75	5
901	334	335	Max	4.00	0.00	1	0.00	1	0.00	1	1425.58	1	428.98	1	-3.15	5
901	334	335	Max	15.00	0.00	1	0.00	1	0.00	1	1495.82	1	302.41	1	-3.15	5
901	334	335	Min.	4.00	0.00	1	0.00	1	0.00	1	-1175.60	1	-434.72	1	-7.28	5
901	334	335	Min.	15.00	0.00	1	0.00	1	0.00	1	-1158.38	1	-275.86	1	-7.28	5
901	335	336	Max	0.00	0.00	1	0.00	1	0.00	1	1269.83	1	201.16	1	-1.07	5
901	335	336	Max	11.00	0.00	1	0.00	1	0.00	1	1333.94	1	55.01	1	-1.07	5
901	335	336	Min.	0.00	0.00	1	0.00	1	0.00	1	-1341.26	1	-197.71	1	-3.33	5
901	335	336	Min.	11.00	0.00	1	0.00	1	0.00	1	-1316.18	1	-54.52	1	-3.33	5
902	361	362	Max	4.00	0.00	1	0.00	1	0.00	1	1313.98	1	54.92	1	-0.96	5
902	361	362	Max	15.00	0.00	1	0.00	1	0.00	1	1339.04	1	200.83	1	-0.96	5
902	361	362	Min.	4.00	0.00	1	0.00	1	0.00	1	-1330.51	1	-54.38	1	-3.44	5
902	361	362	Min.	15.00	0.00	1	0.00	1	0.00	1	-1266.52	1	-197.20	1	-3.44	5
902	362	363	Max	0.00	0.00	1	0.00	1	0.00	1	1156.74	1	301.92	1	-2.90	5
902	362	363	Max	11.00	0.00	1	0.00	1	0.00	1	1173.93	1	428.27	1	-2.90	5
902	362	363	Min.	0.00	0.00	1	0.00	1	0.00	1	-1492.52	1	-275.14	1	-7.52	5
902	362	363	Min.	11.00	0.00	1	0.00	1	0.00	1	-1422.38	1	-433.61	1	-7.52	5
902	363	364	Max	1.00	0.00	1	0.00	1	0.00	1	-322.36	5	471.12	1	-3.81	5
902	363	364	Max	98.69									126.60	1		
902	363	364	Max	289.00	0.00	1	0.00	1	0.00	1	714.28	1	37.94	5	-3.81	5
902	363	364	Min.	1.00	0.00	1	0.00	1	0.00	1	-636.73	5	-496.23	1	-11.07	5
902	363	364	Min.	98.69									-738.56	1		
902	363	364	Min.	289.00	0.00	1	0.00	1	0.00	1	106.74	1	-79.31	5	-11.07	5
902	364	365	Max	4.00	0.00	1	0.00	1	0.00	1	1437.54	1	46.15	5	-2.38	5
902	364	365	Max	15.00	0.00	1	0.00	1	0.00	1	1464.65	1	184.41	1	-2.38	5
902	364	365	Min.	4.00	0.00	1	0.00	1	0.00	1	-1054.73	1	-63.20	5	-8.30	5
902	364	365	Min.	15.00	0.00	1	0.00	1	0.00	1	-1025.73	1	-156.25	1	-8.30	5
902	365	366	Max	0.00	0.00	1	0.00	1	0.00	1	1165.16	1	289.03	1	-0.51	1
902	365	366	Max	11.00	0.00	1	0.00	1	0.00	1	1190.58	1	418.48	1	-0.51	1
902	365	366	Min.	0.00	0.00	1	0.00	1	0.00	1	-1297.04	1	-253.57	1	-3.78	1
902	365	366	Min.	11.00	0.00	1	0.00	1	0.00	1	-1266.86	1	-394.46	1	-3.78	1
902	366	367	Max	1.00	0.00	1	0.00	1	0.00	1	-60.85	1	461.57	1	1.50	1
902	366	367	Max	284.43									280.41	3		
902	366	367	Max	309.00	0.00	1	0.00	1	0.00	1	670.50	1	461.29	1	1.50	1
902	366	367	Min.	1.00	0.00	1	0.00	1	0.00	1	-670.57	1	-448.43	1	-1.63	1
902	366	367	Min.	269.00									-469.99	1		
902	366	367	Min.	309.00	0.00	1	0.00	1	0.00	1	60.73	1	-448.44	1	-1.63	1
902	367	368	Max	4.00	0.00	1	0.00	1	0.00	1	1267.51	1	418.23	1	3.60	1
902	367	368	Max	15.00	0.00	1	0.00	1	0.00	1	1297.28	1	288.84	1	3.60	1
902	367	368	Min.	4.00	0.00	1	0.00	1	0.00	1	-1190.47	1	-394.47	1	0.44	1
902	367	368	Min.	15.00	0.00	1	0.00	1	0.00	1	-1164.65	1	-253.56	1	0.44	1
902	368	369	Max	0.00	0.00	1	0.00	1	0.00	1	1026.23	1	184.26	1	8.01	5
902	368	369	Max	11.00	0.00	1	0.00	1	0.00	1	1055.23	1	46.09	5	8.01	5
902	368	369	Min.	0.00	0.00	1	0.00	1	0.00	1	-1464.40	1	-156.22	1	2.46	5

902	368	369	Min.	11.00	0.00	1	0.00	1	0.00	1	-1437.30	1	-63.16	5	2.46	5
902	369	370	Max	1.00	0.00	1	0.00	1	0.00	1	-106.85	1	37.94	5	10.80	5
902	369	370	Max	191.02									125.64	1		
902	369	370	Max	289.00	0.00	1	0.00	1	0.00	1	636.76	5	471.06	1	10.80	5
902	369	370	Min.	1.00	0.00	1	0.00	1	0.00	1	-714.36	1	-79.31	5	3.88	5
902	369	370	Min.	191.02									-738.61	1		
902	369	370	Min.	289.00	0.00	1	0.00	1	0.00	1	322.37	5	-496.46	1	3.88	5
902	370	371	Max	4.00	0.00	1	0.00	1	0.00	1	1422.65	1	428.22	1	7.33	5
902	370	371	Max	15.00	0.00	1	0.00	1	0.00	1	1492.78	1	301.87	1	7.33	5
902	370	371	Min.	4.00	0.00	1	0.00	1	0.00	1	-1173.42	1	-433.82	1	2.95	5
902	370	371	Min.	15.00	0.00	1	0.00	1	0.00	1	-1156.21	1	-275.27	1	2.95	5
902	371	372	Max	0.00	0.00	1	0.00	1	0.00	1	1267.12	1	200.81	1	3.36	5
902	371	372	Max	11.00	0.00	1	0.00	1	0.00	1	1331.13	1	54.91	1	3.36	5
902	371	372	Min.	0.00	0.00	1	0.00	1	0.00	1	-1338.87	1	-197.29	1	0.98	5
902	371	372	Min.	11.00	0.00	1	0.00	1	0.00	1	-1313.81	1	-54.41	1	0.98	5
903	326	362	Max	0.00	0.00	1	0.00	1	0.00	1	0.00	1	0.00	1	0.00	1
903	326	362	Max	690.00	0.00	1	0.00	1	0.00	1	0.00	1	0.00	1	0.00	1
903	326	362	Min.	0.00	0.00	1	0.00	1	0.00	1	0.00	1	0.00	1	0.00	1
903	326	362	Min.	690.00	0.00	1	0.00	1	0.00	1	0.00	1	0.00	1	0.00	1
904	335	371	Max	0.00	0.00	1	0.00	1	0.00	1	0.00	1	0.00	1	0.00	1
904	335	371	Max	690.00	0.00	1	0.00	1	0.00	1	0.00	1	0.00	1	0.00	1
904	335	371	Min.	0.00	0.00	1	0.00	1	0.00	1	0.00	1	0.00	1	0.00	1
904	335	371	Min.	690.00	0.00	1	0.00	1	0.00	1	0.00	1	0.00	1	0.00	1
1021	1296	1297	Max	1.77	146.61	5	30.51	1	7.27	5	2.45	1	0.52	5	-0.00	5
1021	1296	1297	Max	9.59					6.49	7			0.50	7		
1021	1296	1297	Max	10.00	146.61	5	31.10	1	6.52	5	2.45	1	0.51	5	-0.00	5
1021	1296	1297	Min.	1.77	-105.52	5	-29.84	1	-6.00	5	-2.58	1	-0.35	5	-0.02	5
1021	1296	1297	Min.	9.59					-5.12	7			-0.34	7		
1021	1296	1297	Min.	10.00	-105.52	5	-29.26	1	-5.14	5	-2.58	1	-0.35	5	-0.02	5
1021	1297	1298	Max	0.00	146.54	5	31.10	1	6.52	5	2.38	1	0.51	5	-0.00	5
1021	1297	1298	Max	8.23	146.54	5	31.68	1	7.23	5	2.38	1	0.59	5	-0.00	5
1021	1297	1298	Min.	0.00	-105.45	5	-29.26	1	-5.14	5	-2.51	1	-0.35	5	-0.02	5
1021	1297	1298	Min.	8.23	-105.45	5	-28.67	1	-5.66	5	-2.51	1	-0.44	5	-0.02	5
1023	1316	1317	Max	1.77	102.59	5	1.50	1	0.33	5	27.89	1	5.65	5	0.03	1
1023	1316	1317	Max	9.59					0.34	7			4.73	7		
1023	1316	1317	Max	10.00	102.59	5	1.50	1	0.35	5	28.48	1	4.75	5	0.03	1
1023	1316	1317	Min.	1.77	-157.12	5	-1.93	1	-0.45	5	-25.67	1	-9.00	5	-0.00	1
1023	1316	1317	Min.	9.59					-0.50	7			-7.86	7		
1023	1316	1317	Min.	10.00	-157.12	5	-1.93	1	-0.51	5	-25.08	1	-7.87	5	-0.00	1
1023	1317	1318	Max	0.00	102.52	5	1.43	1	0.35	5	28.48	1	4.75	5	0.03	1
1023	1317	1318	Max	8.23	102.52	5	1.43	1	0.42	5	29.06	1	5.12	5	0.03	1
1023	1317	1318	Min.	0.00	-157.05	5	-1.86	1	-0.51	5	-25.08	1	-7.87	5	-0.00	1
1023	1317	1318	Min.	8.23	-157.05	5	-1.86	1	-0.61	5	-24.50	1	-7.91	5	-0.00	1
1065	1328	1329	Max	1.77	102.46	5	27.24	1	5.60	5	1.43	1	0.33	5	0.01	1
1065	1328	1329	Max	9.59					4.73	7			0.35	7		
1065	1328	1329	Max	10.00	102.46	5	27.83	1	4.75	5	1.43	1	0.35	5	0.01	1
1065	1328	1329	Min.	1.77	-157.07	5	-25.20	1	-8.93	5	-1.84	1	-0.46	5	-0.03	1
1065	1328	1329	Min.	9.59					-7.86	7			-0.50	7		
1065	1328	1329	Min.	10.00	-157.07	5	-24.61	1	-7.87	5	-1.84	1	-0.51	5	-0.03	1
1065	1329	1330	Max	0.00	102.51	5	27.83	1	4.75	5	1.36	1	0.35	5	0.01	1
1065	1329	1330	Max	8.23	102.51	5	28.41	1	5.15	5	1.36	1	0.41	5	0.01	1
1065	1329	1330	Min.	0.00	-157.12	5	-24.61	1	-7.87	5	-1.77	1	-0.51	5	-0.03	1
1065	1329	1330	Min.	8.23	-157.12	5	-24.03	1	-7.96	5	-1.77	1	-0.61	5	-0.03	1
1067	1348	1349	Max	1.77	146.82	5	2.50	1	0.52	5	30.80	1	7.30	5	0.02	5
1067	1348	1349	Max	9.59					0.50	7			6.48	7		
1067	1348	1349	Max	10.00	146.82	5	2.50	1	0.51	5	31.38	1	6.51	5	0.02	5
1067	1348	1349	Min.	1.77	-105.69	5	-2.64	1	-0.35	5	-30.14	1	-6.03	5	0.00	5
1067	1348	1349	Min.	9.59					-0.34	7			-5.11	7		
1067	1348	1349	Min.	10.00	-105.69	5	-2.64	1	-0.35	5	-29.55	1	-5.14	5	0.00	5

1067	1349	1350	Max	0.00	146.75	5	2.43	1	0.51	5	31.38	1	6.51	5	0.02	5
1067	1349	1350	Max	8.23	146.75	5	2.43	1	0.59	5	31.97	1	7.21	5	0.02	5
1067	1349	1350	Min.	0.00	-105.61	5	-2.57	1	-0.35	5	-29.55	1	-5.14	5	0.00	5
1067	1349	1350	Min.	8.23	-105.61	5	-2.57	1	-0.44	5	-28.97	1	-5.64	5	0.00	5
1105	1296	1308	Max	1.77	23.40	1	4.50	5	0.29	5	67.83	5	7.74	5	0.47	5
1105	1296	1308	Max	10.00	23.40	1	4.50	5	0.12	1	68.42	5	-0.02	5	0.47	5
1105	1296	1308	Min.	1.77	-30.16	1	-3.03	5	-0.42	5	-100.65	5	-5.63	5	-0.32	5
1105	1296	1308	Min.	10.00	-30.16	1	-3.03	5	-0.13	1	-100.07	5	-0.52	5	-0.32	5
1105	1308	1316	Max	0.00	23.32	1	4.57	5	0.12	1	68.42	5	-0.02	5	0.47	5
1105	1308	1316	Max	0.41					-0.12	3			-0.25	3		
1105	1308	1316	Max	8.23	23.32	1	4.57	5	0.37	5	69.00	5	5.63	5	0.47	5
1105	1308	1316	Min.	0.00	-30.09	1	-3.10	5	-0.13	1	-100.07	5	-0.52	5	-0.32	5
1105	1308	1316	Min.	0.41					0.12	3			-0.42	3		
1105	1308	1316	Min.	8.23	-30.09	1	-3.10	5	-0.26	5	-99.48	5	-8.74	5	-0.32	5
1108	1298	1309	Max	1.77	23.15	1	73.44	5	7.95	5	5.92	5	0.38	5	0.31	5
1108	1298	1309	Max	10.00	23.15	1	74.03	5	-0.28	5	5.92	5	0.13	1	0.31	5
1108	1298	1309	Min.	1.77	-29.83	1	-107.82	5	-6.36	5	-4.15	5	-0.51	5	-0.45	5
1108	1298	1309	Min.	10.00	-29.83	1	-107.23	5	-0.92	5	-4.15	5	-0.12	1	-0.45	5
1108	1309	1318	Max	0.00	23.22	1	74.03	5	-0.28	5	5.99	5	0.13	1	0.31	5
1108	1309	1318	Max	8.23	23.22	1	74.61	5	5.84	5	5.99	5	0.52	5	0.31	5
1108	1309	1318	Min.	0.00	-29.90	1	-107.23	5	-0.92	5	-4.22	5	-0.12	1	-0.45	5
1108	1309	1318	Min.	8.23	-29.90	1	-106.65	5	-9.72	5	-4.22	5	-0.36	5	-0.45	5
1143	1299	1310	Max	1.77	32.33	1	5.90	5	0.29	5	58.13	5	8.73	5	0.52	5
1143	1299	1310	Max	10.00	32.33	1	5.90	5	0.17	1	58.71	5	-0.19	1	0.52	5
1143	1299	1310	Min.	1.77	-48.27	1	-2.92	5	-0.55	5	-118.51	5	-5.45	5	-0.27	5
1143	1299	1310	Min.	10.00	-48.27	1	-2.92	5	-0.19	1	-117.93	5	-1.46	1	-0.27	5
1143	1310	1319	Max	0.00	32.25	1	5.97	5	0.17	1	58.71	5	-0.19	1	0.52	5
1143	1310	1319	Max	0.41					0.17	3			-0.55	3		
1143	1310	1319	Max	8.23	32.25	1	5.97	5	0.50	5	59.30	5	4.45	5	0.52	5
1143	1310	1319	Min.	0.00	-48.19	1	-2.99	5	-0.19	1	-117.93	5	-1.46	1	-0.27	5
1143	1310	1319	Min.	0.41					-0.17	3			-1.33	3		
1143	1310	1319	Min.	8.23	-48.19	1	-2.99	5	-0.27	5	-117.34	5	-10.92	5	-0.27	5
1146	1301	1311	Max	1.77	34.93	1	58.93	5	8.83	5	6.12	5	0.31	5	0.26	5
1146	1301	1311	Max	10.00	34.93	1	59.52	5	-0.15	1	6.12	5	0.19	1	0.26	5
1146	1301	1311	Min.	1.77	-44.02	1	-119.90	5	-5.44	5	-3.05	5	-0.54	5	-0.52	5
1146	1301	1311	Min.	10.00	-44.02	1	-119.31	5	-1.44	1	-3.05	5	-0.17	1	-0.52	5
1146	1311	1321	Max	0.00	34.85	1	59.52	5	-0.15	1	6.19	5	0.19	1	0.26	5
1146	1311	1321	Max	8.23	34.85	1	60.10	5	4.55	5	6.19	5	0.54	5	0.26	5
1146	1311	1321	Min.	0.00	-43.94	1	-119.31	5	-1.44	1	-3.12	5	-0.17	1	-0.52	5
1146	1311	1321	Min.	8.23	-43.94	1	-118.73	5	-11.01	5	-3.12	5	-0.28	5	-0.52	5
1181	1302	1312	Max	1.77	34.98	1	6.16	5	0.31	5	58.92	5	8.89	5	0.52	5
1181	1302	1312	Max	10.00	34.98	1	6.16	5	0.18	1	59.50	5	-0.14	1	0.52	5
1181	1302	1312	Min.	1.77	-44.75	1	-3.04	5	-0.55	5	-120.03	5	-5.46	5	-0.26	5
1181	1302	1312	Min.	10.00	-44.75	1	-3.04	5	-0.17	1	-119.44	5	-1.41	1	-0.26	5
1181	1312	1322	Max	0.00	34.91	1	6.23	5	0.18	1	59.50	5	-0.14	1	0.52	5
1181	1312	1322	Max	8.23	34.91	1	6.23	5	0.54	5	60.09	5	4.54	5	0.52	5
1181	1312	1322	Min.	0.00	-44.68	1	-3.11	5	-0.17	1	-119.44	5	-1.41	1	-0.26	5
1181	1312	1322	Min.	8.23	-44.68	1	-3.11	5	-0.27	5	-118.86	5	-10.98	5	-0.26	5
1184	1304	1313	Max	1.77	32.29	1	58.14	5	8.67	5	5.86	5	0.29	5	0.27	5
1184	1304	1313	Max	10.00	32.29	1	58.72	5	-0.19	1	5.86	5	0.17	1	0.27	5
1184	1304	1313	Min.	1.77	-47.56	1	-118.39	5	-5.43	5	-2.92	5	-0.54	5	-0.52	5
1184	1304	1313	Min.	10.00	-47.56	1	-117.80	5	-1.48	1	-2.92	5	-0.18	1	-0.52	5
1184	1313	1324	Max	0.00	32.21	1	58.72	5	-0.19	1	5.93	5	0.17	1	0.27	5
1184	1313	1324	Max	8.23	32.21	1	59.31	5	4.46	5	5.93	5	0.50	5	0.27	5
1184	1313	1324	Min.	0.00	-47.48	1	-117.80	5	-1.48	1	-2.99	5	-0.18	1	-0.52	5
1184	1313	1324	Min.	8.23	-47.48	1	-117.22	5	-10.95	5	-2.99	5	-0.27	5	-0.52	5
1219	1305	1314	Max	1.77	23.33	1	5.90	5	0.38	5	73.43	5	7.96	5	0.45	5
1219	1305	1314	Max	10.00	23.33	1	5.90	5	0.13	1	74.01	5	-0.30	5	0.45	5
1219	1305	1314	Min.	1.77	-30.39	1	-4.14	5	-0.51	5	-107.69	5	-6.37	5	-0.31	5

1219	1305	1314	Min.	10.00	-30.39	1	-4.14	5	-0.12	1	-107.11	5	-0.88	5	-0.31	5
1219	1314	1325	Max	0.00	23.25	1	5.97	5	0.13	1	74.01	5	-0.30	5	0.45	5
1219	1314	1325	Max	8.23	23.25	1	5.97	5	0.51	5	74.60	5	5.82	5	0.45	5
1219	1314	1325	Min.	0.00	-30.31	1	-4.21	5	-0.12	1	-107.11	5	-0.88	5	-0.31	5
1219	1314	1325	Min.	8.23	-30.31	1	-4.21	5	-0.36	5	-106.53	5	-9.68	5	-0.31	5
1222	1307	1315	Max	1.77	23.20	1	68.16	5	7.73	5	4.57	5	0.29	5	0.32	5
1222	1307	1315	Max	10.00	23.20	1	68.75	5	-0.00	5	4.57	5	0.12	1	0.32	5
1222	1307	1315	Min.	1.77	-29.64	1	-101.01	5	-5.64	5	-3.09	5	-0.42	5	-0.47	5
1222	1307	1315	Min.	10.00	-29.64	1	-100.43	5	-0.56	5	-3.09	5	-0.13	1	-0.47	5
1222	1315	1327	Max	0.00	23.12	1	68.75	5	-0.00	5	4.64	5	0.12	1	0.32	5
1222	1315	1327	Max	8.23	23.12	1	69.33	5	5.68	5	4.64	5	0.38	5	0.32	5
1222	1315	1327	Min.	0.00	-29.56	1	-100.43	5	-0.56	5	-3.16	5	-0.13	1	-0.47	5
1222	1315	1327	Min.	8.23	-29.56	1	-99.84	5	-8.80	5	-3.16	5	-0.27	5	-0.47	5
1240	319	-5	Max	4.85	0.00	1	0.00	1	0.00	1	0.00	1	0.00	1	0.00	1
1240	319	-5	Min.	4.85	0.00	1	0.00	1	0.00	1	0.00	1	0.00	1	0.00	1
1240	-5	-37	Max	4.85	0.00	1	0.00	1	0.00	1	0.00	1	0.00	1	0.00	1
1240	-5	-37	Min.	4.85	0.00	1	0.00	1	0.00	1	0.00	1	0.00	1	0.00	1
1240	-37	-69	Max	5.01	655.96	1	33.32	5	6.03	5	62.35	5	3.96	1	0.02	5
1240	-37	-69	Max	16.87	656.80	1	33.32	5	0.58	5	62.36	5	1.00	5	0.02	5
1240	-37	-69	Min.	5.01	-1036.30	1	-57.10	5	-3.63	5	-32.59	5	-7.12	1	-0.03	5
1240	-37	-69	Min.	16.87	-1035.46	1	-57.10	5	-1.00	5	-32.58	5	-0.63	5	-0.03	5
1240	-69	-101	Max	2.51	652.02	1	35.83	5	5.18	1	59.25	5	2.96	1	0.01	5
1240	-69	-101	Max	16.87	653.04	1	35.83	5	2.05	5	59.27	5	3.57	5	0.01	5
1240	-69	-101	Min.	2.51	-991.38	1	-58.20	5	-3.50	1	-33.32	5	-5.04	1	-0.01	5
1240	-69	-101	Min.	16.87	-990.36	1	-58.20	5	-3.58	5	-33.30	5	-1.93	5	-0.01	5
1240	-101	-133	Max	2.51	646.41	1	36.37	5	4.57	1	60.73	5	2.67	1	0.01	1
1240	-101	-133	Max	16.87	647.43	1	36.37	5	2.54	5	60.76	5	4.39	5	0.01	1
1240	-101	-133	Min.	2.51	-933.77	1	-59.38	5	-3.10	1	-33.88	5	-4.53	1	-0.01	1
1240	-101	-133	Min.	16.87	-932.75	1	-59.38	5	-4.38	5	-33.85	5	-2.39	5	-0.01	1
1240	-133	-165	Max	2.51	640.11	1	37.00	5	4.42	1	61.92	5	2.60	1	0.02	1
1240	-133	-165	Max	16.87	641.13	1	37.00	5	2.74	5	61.95	5	4.74	5	0.02	1
1240	-133	-165	Min.	2.51	-871.28	1	-60.53	5	-3.02	1	-34.48	5	-4.38	1	-0.02	1
1240	-133	-165	Min.	16.87	-870.26	1	-60.53	5	-4.73	5	-34.45	5	-2.58	5	-0.02	1
1240	-165	-197	Max	2.51	633.46	1	37.61	5	4.35	1	63.12	5	2.56	1	0.02	1
1240	-165	-197	Max	16.87	634.49	1	37.61	5	2.89	5	63.14	5	5.01	5	0.02	1
1240	-165	-197	Min.	2.51	-805.65	1	-61.70	5	-2.98	1	-35.05	5	-4.31	1	-0.02	1
1240	-165	-197	Min.	16.87	-804.63	1	-61.70	5	-4.98	5	-35.03	5	-2.72	5	-0.02	1
1240	-197	-229	Max	2.51	626.53	1	38.22	5	4.30	1	64.35	5	2.54	1	0.02	1
1240	-197	-229	Max	16.87	627.55	1	38.22	5	3.03	5	64.37	5	5.27	5	0.02	1
1240	-197	-229	Min.	2.51	-737.14	1	-62.89	5	-2.96	1	-35.62	5	-4.26	1	-0.02	1
1240	-197	-229	Min.	16.87	-736.12	1	-62.89	5	-5.23	5	-35.60	5	-2.86	5	-0.02	1
1240	-229	-261	Max	2.51	619.38	1	38.81	5	4.25	1	65.58	5	2.50	1	0.02	1
1240	-229	-261	Max	16.87	620.40	1	38.81	5	3.18	5	65.60	5	5.53	5	0.02	1
1240	-229	-261	Min.	2.51	-665.71	1	-64.09	5	-2.93	1	-36.17	5	-4.19	1	-0.02	1
1240	-229	-261	Min.	16.87	-664.69	1	-64.09	5	-5.49	5	-36.15	5	-3.00	5	-0.02	1
1240	-261	-293	Max	2.51	720.91	5	39.39	5	4.18	1	66.85	5	2.46	1	0.02	1
1240	-261	-293	Max	16.87	721.93	5	39.39	5	3.33	5	66.87	5	5.82	5	0.02	1
1240	-261	-293	Min.	2.51	-700.08	5	-65.32	5	-2.89	1	-36.71	5	-4.12	1	-0.02	1
1240	-261	-293	Min.	16.87	-699.06	5	-65.32	5	-5.76	5	-36.69	5	-3.14	5	-0.02	1
1240	-293	-325	Max	2.51	827.69	5	39.99	5	4.10	1	68.14	5	2.42	1	0.02	1
1240	-293	-325	Max	16.87	828.71	5	39.99	5	3.49	5	68.17	5	6.12	5	0.02	1
1240	-293	-325	Min.	2.51	-736.60	5	-66.58	5	-2.85	1	-37.24	5	-4.03	1	-0.02	1
1240	-293	-325	Min.	16.87	-735.58	5	-66.58	5	-6.06	5	-37.22	5	-3.29	5	-0.02	1
1240	-325	-357	Max	2.51	939.24	5	40.55	5	4.00	1	69.48	5	2.36	1	0.02	1
1240	-325	-357	Max	16.87	940.26	5	40.55	5	3.66	5	69.51	5	6.45	5	0.02	1
1240	-325	-357	Min.	2.51	-774.54	5	-67.85	5	-2.80	1	-37.78	5	-3.93	1	-0.02	1
1240	-325	-357	Min.	16.87	-773.52	5	-67.85	5	-6.37	5	-37.76	5	-3.46	5	-0.02	1
1240	-357	-389	Max	2.51	1055.85	5	41.17	5	3.90	1	70.81	5	2.30	1	0.02	1
1240	-357	-389	Max	16.87	1056.87	5	41.17	5	3.84	5	70.84	5	6.79	5	0.02	1

1240	-357	-389	Min.	2.51	-813.97	5	-69.24	5	-2.74	1	-38.26	5	-3.81	1	-0.02	1
1240	-357	-389	Min.	16.87	-812.95	5	-69.24	5	-6.71	5	-38.24	5	-3.63	5	-0.02	1
1240	-389	-421	Max	2.51	1177.83	5	41.55	5	3.76	1	72.51	5	2.22	1	0.02	1
1240	-389	-421	Max	16.87	1178.85	5	41.55	5	4.01	5	72.53	5	7.22	5	0.02	1
1240	-389	-421	Min.	2.51	-854.91	5	-70.22	5	-2.66	1	-39.05	5	-3.67	1	-0.02	1
1240	-389	-421	Min.	16.87	-853.89	5	-70.22	5	-7.03	5	-39.02	5	-3.85	5	-0.02	1
1240	-421	-453	Max	2.51	1305.44	5	43.66	5	3.58	1	71.82	5	2.11	1	0.03	1
1240	-421	-453	Max	16.87	1306.46	5	43.66	5	4.46	5	71.84	5	7.37	5	0.03	1
1240	-421	-453	Min.	2.51	-897.46	5	-74.55	5	-2.55	1	-37.62	5	-3.46	1	-0.02	1
1240	-421	-453	Min.	16.87	-896.44	5	-74.55	5	-7.87	5	-37.60	5	-3.80	5	-0.02	1
1240	-453	-485	Max	2.51	1461.61	5	36.18	1	3.06	1	88.43	5	1.91	1	0.04	1
1240	-453	-485	Max	16.87	1462.63	5	36.18	1	3.37	5	88.46	5	10.14	5	0.04	1
1240	-453	-485	Min.	2.51	-965.53	5	-58.23	1	-2.28	1	-51.66	5	-3.06	1	-0.03	1
1240	-453	-485	Min.	16.87	-964.51	5	-58.23	1	-5.76	5	-51.64	5	-6.00	5	-0.03	1
1240	-485	1302	Max	2.51	1637.06	5	96.28	5	1.96	1	48.45	1	1.06	1	0.05	1
1240	-485	1302	Max	14.38	1637.90	5	96.28	5	10.30	5	48.47	1	4.52	1	0.05	1
1240	-485	1302	Min.	2.51	-1056.22	5	-175.38	5	-1.15	1	-21.59	1	-1.23	1	-0.04	1
1240	-485	1302	Min.	14.38	-1055.38	5	-175.38	5	-18.88	5	-21.57	1	-1.51	1	-0.04	1
1241	340	-11	Max	4.85	0.00	1	0.00	1	0.00	1	0.00	1	0.00	1	0.00	1
1241	340	-11	Min.	4.85	0.00	1	0.00	1	0.00	1	0.00	1	0.00	1	0.00	1
1241	-11	-43	Max	4.85	0.00	1	0.00	1	0.00	1	0.00	1	0.00	1	0.00	1
1241	-11	-43	Min.	4.85	0.00	1	0.00	1	0.00	1	0.00	1	0.00	1	0.00	1
1241	-43	-75	Max	5.01	693.85	1	31.46	5	5.40	5	35.32	5	6.64	1	0.03	1
1241	-43	-75	Max	16.87	694.69	1	31.46	5	0.52	5	35.34	5	0.59	5	0.03	1
1241	-43	-75	Min.	5.01	-1055.72	1	-50.93	5	-3.48	5	-56.44	5	-4.43	1	-0.04	1
1241	-43	-75	Min.	16.87	-1054.87	1	-50.93	5	-0.92	5	-56.42	5	-0.89	5	-0.04	1
1241	-75	-107	Max	2.51	653.76	1	32.73	5	4.63	1	32.92	5	5.08	1	0.02	1
1241	-75	-107	Max	16.87	654.78	1	32.73	5	1.86	5	32.95	5	1.92	5	0.02	1
1241	-75	-107	Min.	2.51	-1047.10	1	-53.61	5	-3.04	1	-58.04	5	-3.00	1	-0.03	1
1241	-75	-107	Min.	16.87	-1046.07	1	-53.61	5	-3.27	5	-58.01	5	-3.45	5	-0.03	1
1241	-107	-139	Max	2.51	601.16	1	33.19	5	4.07	1	33.60	5	4.52	1	0.02	1
1241	-107	-139	Max	16.87	602.18	1	33.19	5	2.31	5	33.62	5	2.37	5	0.02	1
1241	-107	-139	Min.	2.51	-1036.54	1	-54.40	5	-2.74	1	-58.87	5	-2.78	1	-0.02	1
1241	-107	-139	Min.	16.87	-1035.51	1	-54.40	5	-4.02	5	-58.84	5	-4.25	5	-0.02	1
1241	-139	-171	Max	2.51	543.64	1	33.74	5	3.93	1	34.14	5	4.38	1	0.02	1
1241	-139	-171	Max	16.87	544.66	1	33.74	5	2.50	5	34.17	5	2.56	5	0.02	1
1241	-139	-171	Min.	2.51	-1025.33	1	-55.39	5	-2.66	1	-60.02	5	-2.71	1	-0.02	1
1241	-139	-171	Min.	16.87	-1024.31	1	-55.39	5	-4.35	5	-60.00	5	-4.60	5	-0.02	1
1241	-171	-203	Max	2.51	482.93	1	34.26	5	3.86	1	34.67	5	4.31	1	0.02	1
1241	-171	-203	Max	16.87	483.95	1	34.26	5	2.64	5	34.69	5	2.70	5	0.02	1
1241	-171	-203	Min.	2.51	-1013.81	1	-56.40	5	-2.63	1	-61.17	5	-2.67	1	-0.02	1
1241	-171	-203	Min.	16.87	-1012.79	1	-56.40	5	-4.59	5	-61.15	5	-4.87	5	-0.02	1
1241	-203	-235	Max	2.51	419.30	1	34.78	5	3.79	1	35.20	5	4.25	1	0.02	1
1241	-203	-235	Max	16.87	420.32	1	34.78	5	2.78	5	35.22	5	2.83	5	0.02	1
1241	-203	-235	Min.	2.51	-1002.07	1	-57.42	5	-2.60	1	-62.36	5	-2.65	1	-0.02	1
1241	-203	-235	Min.	16.87	-1001.05	1	-57.42	5	-4.83	5	-62.33	5	-5.12	5	-0.02	1
1241	-235	-267	Max	2.51	416.62	5	35.30	5	3.73	1	35.70	5	4.19	1	0.02	1
1241	-235	-267	Max	16.87	417.64	5	35.30	5	2.92	5	35.73	5	2.96	5	0.02	1
1241	-235	-267	Min.	2.51	-1054.07	5	-58.50	5	-2.56	1	-63.51	5	-2.62	1	-0.02	1
1241	-235	-267	Min.	16.87	-1053.05	5	-58.50	5	-5.08	5	-63.48	5	-5.38	5	-0.02	1
1241	-267	-299	Max	2.51	456.49	5	35.78	5	3.65	1	36.21	5	4.12	1	0.02	1
1241	-267	-299	Max	16.87	457.51	5	35.78	5	3.06	5	36.24	5	3.11	5	0.02	1
1241	-267	-299	Min.	2.51	-1151.61	5	-59.51	5	-2.52	1	-64.76	5	-2.58	1	-0.02	1
1241	-267	-299	Min.	16.87	-1150.59	5	-59.51	5	-5.34	5	-64.74	5	-5.66	5	-0.02	1
1241	-299	-331	Max	2.51	497.69	5	36.29	5	3.55	1	36.69	5	4.03	1	0.02	1
1241	-299	-331	Max	16.87	498.71	5	36.29	5	3.21	5	36.71	5	3.26	5	0.02	1
1241	-299	-331	Min.	2.51	-1253.66	5	-60.64	5	-2.46	1	-65.94	5	-2.54	1	-0.02	1
1241	-299	-331	Min.	16.87	-1252.64	5	-60.64	5	-5.62	5	-65.92	5	-5.96	5	-0.02	1
1241	-331	-363	Max	2.51	540.26	5	36.75	5	3.44	1	37.18	5	3.93	1	0.02	1

1241	-331	-363	Max	16.87	541.28	5	36.75	5	3.37	5	37.21	5	3.42	5	0.02	1
1241	-331	-363	Min.	2.51	-1360.50	5	-61.70	5	-2.41	1	-67.24	5	-2.48	1	-0.02	1
1241	-331	-363	Min.	16.87	-1359.48	5	-61.70	5	-5.92	5	-67.22	5	-6.28	5	-0.02	1
1241	-363	-395	Max	2.51	584.27	5	37.26	5	3.32	1	37.64	5	3.82	1	0.02	1
1241	-363	-395	Max	16.87	585.29	5	37.26	5	3.55	5	37.67	5	3.58	5	0.02	1
1241	-363	-395	Min.	2.51	-1472.47	5	-62.89	5	-2.34	1	-68.47	5	-2.42	1	-0.02	1
1241	-363	-395	Min.	16.87	-1471.45	5	-62.89	5	-6.25	5	-68.44	5	-6.62	5	-0.02	1
1241	-395	-427	Max	2.51	629.77	5	37.50	5	3.17	1	38.29	5	3.68	1	0.02	1
1241	-395	-427	Max	16.87	630.79	5	37.50	5	3.71	5	38.32	5	3.79	5	0.02	1
1241	-395	-427	Min.	2.51	-1589.90	5	-63.59	5	-2.25	1	-70.37	5	-2.35	1	-0.02	1
1241	-395	-427	Min.	16.87	-1588.87	5	-63.59	5	-6.54	5	-70.35	5	-7.07	5	-0.02	1
1241	-427	-459	Max	2.51	676.77	5	39.57	5	2.98	1	37.63	5	3.46	1	0.02	1
1241	-427	-459	Max	16.87	677.80	5	39.57	5	4.15	5	37.65	5	3.86	5	0.02	1
1241	-427	-459	Min.	2.51	-1712.96	5	-67.87	5	-2.14	1	-67.88	5	-2.25	1	-0.02	1
1241	-427	-459	Min.	16.87	-1711.94	5	-67.87	5	-7.38	5	-67.86	5	-6.99	5	-0.02	1
1241	-459	-491	Max	2.51	749.03	5	29.94	1	2.47	1	45.83	5	3.15	1	0.02	1
1241	-459	-491	Max	16.87	750.05	5	29.94	1	3.05	5	45.85	5	5.24	5	0.02	1
1241	-459	-491	Min.	2.51	-1864.20	5	-49.18	1	-1.90	1	-95.33	5	-1.99	1	-0.01	1
1241	-459	-491	Min.	16.87	-1863.18	5	-49.18	1	-5.24	5	-95.30	5	-11.19	5	-0.01	1
1241	-491	1319	Max	2.51	842.87	5	92.32	5	1.66	5	71.31	5	0.88	5	0.01	5
1241	-491	1319	Max	14.38	843.72	5	92.32	5	9.99	5	71.33	5	6.47	5	0.01	5
1241	-491	1319	Min.	2.51	-2035.66	5	-169.57	5	-0.98	5	-16.75	5	-2.00	5	-0.01	5
1241	-491	1319	Min.	14.38	-2034.82	5	-169.57	5	-18.47	5	-16.73	5	-1.11	5	-0.01	5
1242	316	-3	Max	4.85	0.00	1	0.00	1	0.00	1	0.00	1	0.00	1	0.00	1
1242	316	-3	Min.	4.85	0.00	1	0.00	1	0.00	1	0.00	1	0.00	1	0.00	1
1242	-3	-35	Max	4.85	0.00	1	0.00	1	0.00	1	0.00	1	0.00	1	0.00	1
1242	-3	-35	Min.	4.85	0.00	1	0.00	1	0.00	1	0.00	1	0.00	1	0.00	1
1242	-35	-67	Max	5.01	725.37	1	31.79	5	6.20	5	59.06	5	4.25	1	0.02	5
1242	-35	-67	Max	16.87	726.21	1	31.79	5	0.59	5	59.08	5	1.06	5	0.02	5
1242	-35	-67	Min.	5.01	-986.58	1	-57.90	5	-3.44	5	-33.79	5	-6.80	1	-0.04	5
1242	-35	-67	Min.	16.87	-985.74	1	-57.90	5	-0.93	5	-33.77	5	-0.61	5	-0.04	5
1242	-67	-99	Max	2.51	717.74	1	34.08	5	5.35	1	56.42	5	3.17	1	0.01	5
1242	-67	-99	Max	16.87	718.76	1	34.08	5	1.97	5	56.45	5	3.49	5	0.01	5
1242	-67	-99	Min.	2.51	-943.58	1	-59.53	5	-3.29	1	-34.36	5	-4.81	1	-0.02	5
1242	-67	-99	Min.	16.87	-942.56	1	-59.53	5	-3.57	5	-34.34	5	-1.96	5	-0.02	5
1242	-99	-131	Max	2.51	707.33	1	34.63	5	4.72	1	57.83	5	2.87	1	0.01	1
1242	-99	-131	Max	16.87	708.35	1	34.63	5	2.44	5	57.86	5	4.27	5	0.01	1
1242	-99	-131	Min.	2.51	-888.46	1	-60.72	5	-2.92	1	-34.92	5	-4.33	1	-0.02	1
1242	-99	-131	Min.	16.87	-887.44	1	-60.72	5	-4.39	5	-34.90	5	-2.43	5	-0.02	1
1242	-131	-163	Max	2.51	695.81	1	35.21	5	4.57	1	58.95	5	2.79	1	0.02	1
1242	-131	-163	Max	16.87	696.83	1	35.21	5	2.64	5	58.97	5	4.61	5	0.02	1
1242	-131	-163	Min.	2.51	-828.69	1	-61.90	5	-2.84	1	-35.56	5	-4.18	1	-0.02	1
1242	-131	-163	Min.	16.87	-827.67	1	-61.90	5	-4.74	5	-35.53	5	-2.63	5	-0.02	1
1242	-163	-195	Max	2.51	683.65	1	35.78	5	4.50	1	60.08	5	2.75	1	0.02	1
1242	-163	-195	Max	16.87	684.67	1	35.78	5	2.78	5	60.10	5	4.86	5	0.02	1
1242	-163	-195	Min.	2.51	-765.93	1	-63.09	5	-2.81	1	-36.15	5	-4.11	1	-0.02	1
1242	-163	-195	Min.	16.87	-764.91	1	-63.09	5	-5.01	5	-36.13	5	-2.78	5	-0.02	1
1242	-195	-227	Max	2.51	670.94	1	36.34	5	4.45	1	61.24	5	2.72	1	0.02	1
1242	-195	-227	Max	16.87	671.96	1	36.34	5	2.91	5	61.26	5	5.11	5	0.02	1
1242	-195	-227	Min.	2.51	-700.45	1	-64.31	5	-2.78	1	-36.76	5	-4.05	1	-0.02	1
1242	-195	-227	Min.	16.87	-699.43	1	-64.31	5	-5.27	5	-36.73	5	-2.92	5	-0.02	1
1242	-227	-259	Max	2.51	671.70	5	36.91	5	4.39	1	62.38	5	2.69	1	0.02	1
1242	-227	-259	Max	16.87	672.72	5	36.91	5	3.05	5	62.40	5	5.36	5	0.02	1
1242	-227	-259	Min.	2.51	-646.16	5	-65.57	5	-2.76	1	-37.31	5	-3.99	1	-0.02	1
1242	-227	-259	Min.	16.87	-645.14	5	-65.57	5	-5.53	5	-37.29	5	-3.06	5	-0.02	1
1242	-259	-291	Max	2.51	766.47	5	37.43	5	4.32	1	63.59	5	2.65	1	0.02	1
1242	-259	-291	Max	16.87	767.49	5	37.43	5	3.20	5	63.61	5	5.63	5	0.02	1
1242	-259	-291	Min.	2.51	-683.45	5	-66.80	5	-2.72	1	-37.91	5	-3.92	1	-0.02	1
1242	-259	-291	Min.	16.87	-682.43	5	-66.80	5	-5.82	5	-37.88	5	-3.21	5	-0.02	1

1242	-291	-323	Max	2.51	865.31	5	37.99	5	4.24	1	64.77	5	2.60	1	0.02	1
1242	-291	-323	Max	16.87	866.33	5	37.99	5	3.35	5	64.79	5	5.92	5	0.02	1
1242	-291	-323	Min.	2.51	-722.22	5	-68.13	5	-2.68	1	-38.44	5	-3.83	1	-0.02	1
1242	-291	-323	Min.	16.87	-721.20	5	-68.13	5	-6.12	5	-38.42	5	-3.37	5	-0.02	1
1242	-323	-355	Max	2.51	968.50	5	38.49	5	4.14	1	66.04	5	2.54	1	0.02	1
1242	-323	-355	Max	16.87	969.52	5	38.49	5	3.51	5	66.06	5	6.23	5	0.02	1
1242	-323	-355	Min.	2.51	-762.53	5	-69.42	5	-2.63	1	-39.02	5	-3.73	1	-0.02	1
1242	-323	-355	Min.	16.87	-761.51	5	-69.42	5	-6.44	5	-39.00	5	-3.54	5	-0.02	1
1242	-355	-387	Max	2.51	1076.33	5	39.05	5	4.03	1	67.27	5	2.47	1	0.02	1
1242	-355	-387	Max	16.87	1077.35	5	39.05	5	3.69	5	67.29	5	6.56	5	0.02	1
1242	-355	-387	Min.	2.51	-804.45	5	-70.86	5	-2.57	1	-39.54	5	-3.61	1	-0.02	1
1242	-355	-387	Min.	16.87	-803.43	5	-70.86	5	-6.80	5	-39.51	5	-3.71	5	-0.02	1
1242	-387	-419	Max	2.51	1189.09	5	39.34	5	3.89	1	68.92	5	2.39	1	0.02	1
1242	-387	-419	Max	16.87	1190.11	5	39.34	5	3.85	5	68.95	5	6.97	5	0.02	1
1242	-387	-419	Min.	2.51	-848.04	5	-71.82	5	-2.50	1	-40.39	5	-3.47	1	-0.02	1
1242	-387	-419	Min.	16.87	-847.02	5	-71.82	5	-7.13	5	-40.37	5	-3.95	5	-0.02	1
1242	-419	-451	Max	2.51	1306.94	5	41.46	5	3.71	1	68.04	5	2.28	1	0.02	1
1242	-419	-451	Max	16.87	1307.96	5	41.46	5	4.29	5	68.06	5	7.09	5	0.02	1
1242	-419	-451	Min.	2.51	-893.37	5	-76.33	5	-2.40	1	-38.92	5	-3.27	1	-0.02	1
1242	-419	-451	Min.	16.87	-892.35	5	-76.33	5	-7.99	5	-38.90	5	-3.90	5	-0.02	1
1242	-451	-483	Max	2.51	1458.63	5	33.90	1	3.17	1	84.49	5	2.06	1	0.03	1
1242	-451	-483	Max	16.87	1459.65	5	33.90	1	3.19	5	84.52	5	9.81	5	0.03	1
1242	-451	-483	Min.	2.51	-969.91	5	-59.83	1	-2.15	1	-53.11	5	-2.89	1	-0.03	1
1242	-451	-483	Min.	16.87	-968.89	5	-59.83	1	-5.89	5	-53.09	5	-6.12	5	-0.03	1
1242	-483	1299	Max	2.51	1625.40	5	93.48	5	2.00	1	46.50	1	1.13	1	0.05	1
1242	-483	1299	Max	14.38	1626.25	5	93.48	5	10.04	5	46.52	1	4.35	1	0.05	1
1242	-483	1299	Min.	2.51	-1063.82	5	-177.79	5	-1.07	1	-24.07	1	-1.17	1	-0.04	1
1242	-483	1299	Min.	14.38	-1062.97	5	-177.79	5	-19.13	5	-24.05	1	-1.72	1	-0.04	1
1243	322	-7	Max	4.85	0.00	1	0.00	1	0.00	1	0.00	1	0.00	1	0.00	1
1243	322	-7	Min.	4.85	0.00	1	0.00	1	0.00	1	0.00	1	0.00	1	0.00	1
1243	-7	-39	Max	4.85	0.00	1	0.00	1	0.00	1	0.00	1	0.00	1	0.00	1
1243	-7	-39	Min.	4.85	0.00	1	0.00	1	0.00	1	0.00	1	0.00	1	0.00	1
1243	-39	-71	Max	5.01	541.50	1	39.72	5	5.29	5	55.64	5	3.87	5	0.01	5
1243	-39	-71	Max	16.87	542.35	1	39.72	5	0.65	5	55.66	5	0.82	5	0.01	5
1243	-39	-71	Min.	5.01	-906.38	1	-51.37	5	-4.30	5	-36.10	5	-6.11	5	-0.02	5
1243	-39	-71	Min.	16.87	-905.54	1	-51.37	5	-1.04	5	-36.08	5	-0.73	5	-0.02	5
1243	-71	-103	Max	2.51	538.52	1	42.09	5	4.11	5	52.88	5	3.04	5	0.01	1
1243	-71	-103	Max	16.87	539.54	1	42.09	5	2.43	5	52.90	5	3.12	5	0.01	1
1243	-71	-103	Min.	2.51	-876.08	1	-51.82	5	-3.61	5	-36.66	5	-4.48	5	-0.01	1
1243	-71	-103	Min.	16.87	-875.06	1	-51.82	5	-3.33	5	-36.63	5	-2.22	5	-0.01	1
1243	-103	-135	Max	2.51	534.19	1	42.81	5	3.56	5	54.17	5	2.64	5	0.02	5
1243	-103	-135	Max	16.87	535.21	1	42.81	5	3.00	5	54.20	5	3.84	5	0.02	5
1243	-103	-135	Min.	2.51	-837.38	1	-52.87	5	-3.15	5	-37.33	5	-3.94	5	-0.02	5
1243	-103	-135	Min.	16.87	-836.36	1	-52.87	5	-4.04	5	-37.30	5	-2.72	5	-0.02	5
1243	-135	-167	Max	2.51	529.33	1	43.57	5	3.43	1	55.21	5	2.52	5	0.03	5
1243	-135	-167	Max	16.87	530.35	1	43.57	5	3.24	5	55.24	5	4.16	5	0.03	5
1243	-135	-167	Min.	2.51	-795.53	1	-53.87	5	-3.05	1	-38.01	5	-3.78	5	-0.02	5
1243	-135	-167	Min.	16.87	-794.50	1	-53.87	5	-4.34	5	-37.99	5	-2.94	5	-0.02	5
1243	-167	-199	Max	2.51	524.18	1	44.33	5	3.38	1	56.26	5	2.45	5	0.03	5
1243	-167	-199	Max	16.87	525.20	1	44.33	5	3.41	5	56.29	5	4.39	5	0.03	5
1243	-167	-199	Min.	2.51	-751.66	1	-54.88	5	-3.02	1	-38.69	5	-3.69	5	-0.02	5
1243	-167	-199	Min.	16.87	-750.64	1	-54.88	5	-4.56	5	-38.67	5	-3.10	5	-0.02	5
1243	-199	-231	Max	2.51	518.84	1	45.10	5	3.34	1	57.32	5	2.39	5	0.03	5
1243	-199	-231	Max	16.87	519.86	1	45.10	5	3.57	5	57.35	5	4.62	5	0.03	5
1243	-199	-231	Min.	2.51	-705.99	1	-55.90	5	-2.99	1	-39.35	5	-3.62	5	-0.02	5
1243	-199	-231	Min.	16.87	-704.97	1	-55.90	5	-4.77	5	-39.32	5	-3.26	5	-0.02	5
1243	-231	-263	Max	2.51	535.34	5	45.89	5	3.30	1	58.38	5	2.33	5	0.03	5
1243	-231	-263	Max	16.87	536.36	5	45.89	5	3.74	5	58.40	5	4.85	5	0.03	5
1243	-231	-263	Min.	2.51	-680.48	5	-56.95	5	-2.97	1	-39.98	5	-3.54	5	-0.03	5

1243	-231	-263	Min.	16.87	-679.46	5	-56.95	5	-5.00	5	-39.95	5	-3.41	5	-0.03	5
1243	-263	-295	Max	2.51	630.13	5	46.62	5	3.25	1	59.49	5	2.26	5	0.03	5
1243	-263	-295	Max	16.87	631.15	5	46.62	5	3.91	5	59.51	5	5.10	5	0.03	5
1243	-263	-295	Min.	2.51	-731.48	5	-57.98	5	-2.93	1	-40.65	5	-3.45	5	-0.03	5
1243	-263	-295	Min.	16.87	-730.46	5	-57.98	5	-5.23	5	-40.62	5	-3.58	5	-0.03	5
1243	-295	-327	Max	2.51	729.03	5	47.42	5	3.19	1	60.57	5	2.20	1	0.03	5
1243	-295	-327	Max	16.87	730.05	5	47.42	5	4.10	5	60.60	5	5.36	5	0.03	5
1243	-295	-327	Min.	2.51	-784.66	5	-59.07	5	-2.89	1	-41.26	5	-3.37	1	-0.03	5
1243	-295	-327	Min.	16.87	-783.64	5	-59.07	5	-5.48	5	-41.24	5	-3.75	5	-0.03	5
1243	-327	-359	Max	2.51	832.27	5	48.20	5	3.11	1	61.70	5	2.14	1	0.03	5
1243	-327	-359	Max	16.87	833.29	5	48.20	5	4.30	5	61.73	5	5.64	5	0.03	5
1243	-327	-359	Min.	2.51	-840.11	5	-60.16	5	-2.84	1	-41.90	5	-3.28	1	-0.03	5
1243	-327	-359	Min.	16.87	-839.09	5	-60.16	5	-5.74	5	-41.88	5	-3.94	5	-0.03	5
1243	-359	-391	Max	2.51	940.17	5	48.98	5	3.03	1	62.87	5	2.07	1	0.03	5
1243	-359	-391	Max	16.87	941.19	5	48.98	5	4.51	5	62.89	5	5.95	5	0.03	5
1243	-359	-391	Min.	2.51	-897.99	5	-61.28	5	-2.78	1	-42.55	5	-3.19	1	-0.03	5
1243	-359	-391	Min.	16.87	-896.97	5	-61.28	5	-6.03	5	-42.52	5	-4.14	5	-0.03	5
1243	-391	-423	Max	2.51	1053.01	5	49.54	5	2.92	1	64.35	5	1.99	1	0.03	5
1243	-391	-423	Max	16.87	1054.04	5	49.54	5	4.71	5	64.38	5	6.32	5	0.03	5
1243	-391	-423	Min.	2.51	-958.41	5	-62.06	5	-2.71	1	-43.48	5	-3.07	1	-0.03	5
1243	-391	-423	Min.	16.87	-957.39	5	-62.06	5	-6.29	5	-43.46	5	-4.39	5	-0.03	5
1243	-423	-455	Max	2.51	1170.94	5	52.14	5	2.79	1	63.48	5	1.88	1	0.03	5
1243	-423	-455	Max	16.87	1171.96	5	52.14	5	5.22	5	63.51	5	6.43	5	0.03	5
1243	-423	-455	Min.	2.51	-1021.44	5	-65.97	5	-2.60	1	-42.07	5	-2.90	1	-0.03	5
1243	-423	-455	Min.	16.87	-1020.42	5	-65.97	5	-7.02	5	-42.05	5	-4.36	5	-0.03	5
1243	-455	-487	Max	2.51	1292.25	5	41.07	5	2.39	1	78.86	5	1.69	1	0.05	5
1243	-455	-487	Max	16.87	1293.27	5	41.07	5	4.04	5	78.88	5	8.97	5	0.05	5
1243	-455	-487	Min.	2.51	-1086.04	5	-48.86	5	-2.32	1	-56.56	5	-2.57	1	-0.04	5
1243	-455	-487	Min.	16.87	-1085.02	5	-48.86	5	-5.09	5	-56.54	5	-6.65	5	-0.04	5
1243	-487	1305	Max	2.51	1437.23	5	110.90	5	1.72	5	40.70	1	0.88	1	0.05	1
1243	-487	1305	Max	14.38	1438.08	5	110.90	5	11.76	5	40.72	1	3.66	1	0.05	1
1243	-487	1305	Min.	2.51	-1177.00	5	-156.06	5	-1.41	5	-20.29	1	-1.18	1	-0.04	1
1243	-487	1305	Min.	14.38	-1176.15	5	-156.06	5	-16.81	5	-20.28	1	-1.53	1	-0.04	1
1244	313	-1	Max	4.85	0.00	1	0.00	1	0.00	1	0.00	1	0.00	1	0.00	1
1244	313	-1	Min.	4.85	0.00	1	0.00	1	0.00	1	0.00	1	0.00	1	0.00	1
1244	-1	-33	Max	4.85	0.00	1	0.00	1	0.00	1	0.00	1	0.00	1	0.00	1
1244	-1	-33	Min.	4.85	0.00	1	0.00	1	0.00	1	0.00	1	0.00	1	0.00	1
1244	-33	-65	Max	5.01	788.15	1	32.41	5	5.13	5	48.20	5	4.27	1	0.03	5
1244	-33	-65	Max	16.87	788.99	1	32.41	5	0.65	5	48.22	5	1.05	5	0.03	5
1244	-33	-65	Min.	5.01	-758.25	1	-47.24	5	-3.44	5	-37.73	5	-5.08	1	-0.05	5
1244	-33	-65	Min.	16.87	-757.40	1	-47.24	5	-0.71	5	-37.71	5	-0.62	5	-0.05	5
1244	-65	-97	Max	2.51	779.23	1	34.12	5	4.34	1	46.85	5	3.24	5	0.03	5
1244	-65	-97	Max	16.87	780.25	1	34.12	5	2.07	5	46.88	5	3.04	5	0.03	5
1244	-65	-97	Min.	2.51	-732.28	1	-49.30	5	-2.97	1	-37.60	5	-3.70	5	-0.04	5
1244	-65	-97	Min.	16.87	-731.26	1	-49.30	5	-2.87	5	-37.58	5	-2.16	5	-0.04	5
1244	-97	-129	Max	2.51	767.22	1	34.72	5	3.84	1	47.94	5	2.84	1	0.02	5
1244	-97	-129	Max	16.87	768.24	1	34.72	5	2.54	5	47.97	5	3.68	5	0.02	5
1244	-97	-129	Min.	2.51	-699.23	1	-50.24	5	-2.63	1	-38.31	5	-3.22	1	-0.03	5
1244	-97	-129	Min.	16.87	-698.21	1	-50.24	5	-3.56	5	-38.29	5	-2.68	5	-0.03	5
1244	-129	-161	Max	2.51	753.97	1	35.31	5	3.71	1	48.83	5	2.76	1	0.02	5
1244	-129	-161	Max	16.87	754.99	1	35.31	5	2.75	5	48.85	5	3.97	5	0.02	5
1244	-129	-161	Min.	2.51	-663.52	1	-51.18	5	-2.55	1	-39.01	5	-3.11	1	-0.03	5
1244	-129	-161	Min.	16.87	-662.50	1	-51.18	5	-3.86	5	-38.99	5	-2.90	5	-0.03	5
1244	-161	-193	Max	2.51	739.97	1	35.90	5	3.66	1	49.73	5	2.72	1	0.02	5
1244	-161	-193	Max	16.87	740.99	1	35.90	5	2.90	5	49.75	5	4.18	5	0.02	5
1244	-161	-193	Min.	2.51	-626.15	1	-52.14	5	-2.51	1	-39.70	5	-3.05	1	-0.03	5
1244	-161	-193	Min.	16.87	-625.13	1	-52.14	5	-4.09	5	-39.68	5	-3.06	5	-0.03	5
1244	-193	-225	Max	2.51	725.33	1	36.47	5	3.62	1	50.62	5	2.69	1	0.02	5
1244	-193	-225	Max	16.87	726.35	1	36.47	5	3.05	5	50.65	5	4.38	5	0.02	5

1244	-193	-225	Min.	2.51	-587.28	1	-53.10	5	-2.49	1	-40.38	5	-3.00	1	-0.03	5
1244	-193	-225	Min.	16.87	-586.26	1	-53.10	5	-4.30	5	-40.35	5	-3.22	5	-0.03	5
1244	-225	-257	Max	2.51	754.93	5	37.03	5	3.57	1	51.52	5	2.66	1	0.02	5
1244	-225	-257	Max	16.87	755.96	5	37.03	5	3.20	5	51.55	5	4.59	5	0.02	5
1244	-225	-257	Min.	2.51	-591.78	5	-54.07	5	-2.45	1	-41.04	5	-2.95	1	-0.03	5
1244	-225	-257	Min.	16.87	-590.76	5	-54.07	5	-4.53	5	-41.02	5	-3.38	5	-0.03	5
1244	-257	-289	Max	2.51	835.00	5	37.58	5	3.51	1	52.43	5	2.62	1	0.03	5
1244	-257	-289	Max	16.87	836.02	5	37.58	5	3.36	5	52.46	5	4.81	5	0.03	5
1244	-257	-289	Min.	2.51	-645.78	5	-55.05	5	-2.41	1	-41.71	5	-2.89	1	-0.03	5
1244	-257	-289	Min.	16.87	-644.76	5	-55.05	5	-4.77	5	-41.69	5	-3.54	5	-0.03	5
1244	-289	-321	Max	2.51	918.40	5	38.12	5	3.44	1	53.35	5	2.57	1	0.03	5
1244	-289	-321	Max	16.87	919.42	5	38.12	5	3.52	5	53.38	5	5.05	5	0.03	5
1244	-289	-321	Min.	2.51	-702.11	5	-56.04	5	-2.37	1	-42.37	5	-2.82	1	-0.03	5
1244	-289	-321	Min.	16.87	-701.09	5	-56.04	5	-5.03	5	-42.35	5	-3.72	5	-0.03	5
1244	-321	-353	Max	2.51	1005.36	5	38.66	5	3.36	1	54.30	5	2.51	1	0.03	5
1244	-321	-353	Max	16.87	1006.38	5	38.66	5	3.70	5	54.32	5	5.31	5	0.03	5
1244	-321	-353	Min.	2.51	-760.89	5	-57.05	5	-2.31	1	-43.04	5	-2.74	1	-0.03	5
1244	-321	-353	Min.	16.87	-759.87	5	-57.05	5	-5.30	5	-43.02	5	-3.91	5	-0.03	5
1244	-353	-385	Max	2.51	1096.09	5	39.23	5	3.26	1	55.22	5	2.44	1	0.03	5
1244	-353	-385	Max	16.87	1097.11	5	39.23	5	3.90	5	55.24	5	5.57	5	0.03	5
1244	-353	-385	Min.	2.51	-822.25	5	-58.13	5	-2.25	1	-43.68	5	-2.64	1	-0.03	5
1244	-353	-385	Min.	16.87	-821.23	5	-58.13	5	-5.60	5	-43.65	5	-4.11	5	-0.03	5
1244	-385	-417	Max	2.51	1190.80	5	39.51	5	3.14	1	56.50	5	2.36	1	0.03	5
1244	-385	-417	Max	16.87	1191.82	5	39.51	5	4.07	5	56.52	5	5.91	5	0.03	5
1244	-385	-417	Min.	2.51	-886.32	5	-58.84	5	-2.17	1	-44.61	5	-2.53	1	-0.03	5
1244	-385	-417	Min.	16.87	-885.30	5	-58.84	5	-5.88	5	-44.59	5	-4.37	5	-0.03	5
1244	-417	-449	Max	2.51	1289.69	5	41.91	5	2.99	1	55.35	5	2.25	1	0.03	5
1244	-417	-449	Max	16.87	1290.71	5	41.91	5	4.57	5	55.37	5	5.96	5	0.03	5
1244	-417	-449	Min.	2.51	-953.20	5	-62.48	5	-2.07	1	-43.42	5	-2.37	1	-0.03	5
1244	-417	-449	Min.	16.87	-952.18	5	-62.48	5	-6.61	5	-43.40	5	-4.37	5	-0.03	5
1244	-449	-481	Max	2.51	1391.37	5	30.49	1	2.57	1	71.17	5	2.02	1	0.03	1
1244	-449	-481	Max	16.87	1392.39	5	30.49	1	3.20	5	71.19	5	8.51	5	0.03	1
1244	-449	-481	Min.	2.51	-1021.77	5	-46.91	1	-1.82	1	-56.92	5	-2.08	1	-0.03	1
1244	-449	-481	Min.	16.87	-1020.75	5	-46.91	1	-4.80	5	-56.89	5	-6.53	5	-0.03	1
1244	-481	1296	Max	2.51	1501.23	5	103.98	5	1.58	5	35.89	1	1.30	5	0.04	1
1244	-481	1296	Max	14.38	1502.07	5	103.98	5	11.34	5	35.91	1	3.30	1	0.04	1
1244	-481	1296	Min.	2.51	-1098.39	5	-148.50	5	-1.01	5	-33.59	1	-1.00	5	-0.03	1
1244	-481	1296	Min.	14.38	-1097.54	5	-148.50	5	-16.06	5	-33.57	1	-2.72	1	-0.03	1
1245	337	-9	Max	4.85	0.00	1	0.00	1	0.00	1	0.00	1	0.00	1	0.00	1
1245	337	-9	Min.	4.85	0.00	1	0.00	1	0.00	1	0.00	1	0.00	1	0.00	1
1245	-9	-41	Max	4.85	0.00	1	0.00	1	0.00	1	0.00	1	0.00	1	0.00	1
1245	-9	-41	Min.	4.85	0.00	1	0.00	1	0.00	1	0.00	1	0.00	1	0.00	1
1245	-41	-73	Max	5.01	725.30	1	31.29	5	4.03	5	37.44	5	5.67	5	0.04	5
1245	-41	-73	Max	16.87	726.15	1	31.29	5	0.50	5	37.46	5	0.69	5	0.04	5
1245	-41	-73	Min.	5.01	-822.49	1	-38.99	5	-3.47	5	-51.27	5	-4.05	5	-0.05	5
1245	-41	-73	Min.	16.87	-821.65	1	-38.99	5	-0.86	5	-51.25	5	-0.72	5	-0.05	5
1245	-73	-105	Max	2.51	699.78	1	32.91	5	3.31	1	36.13	5	4.43	5	0.03	5
1245	-73	-105	Max	16.87	700.80	1	32.91	5	1.86	5	36.16	5	2.19	5	0.03	5
1245	-73	-105	Min.	2.51	-814.87	1	-40.47	5	-2.97	1	-51.76	5	-3.00	5	-0.04	5
1245	-73	-105	Min.	16.87	-813.85	1	-40.47	5	-2.61	5	-51.73	5	-3.00	5	-0.04	5
1245	-105	-137	Max	2.51	666.08	1	33.35	5	2.90	1	36.79	5	3.83	5	0.03	5
1245	-105	-137	Max	16.87	667.10	1	33.35	5	2.33	5	36.82	5	2.69	5	0.03	5
1245	-105	-137	Min.	2.51	-805.65	1	-41.04	5	-2.66	1	-52.57	5	-2.60	5	-0.03	5
1245	-105	-137	Min.	16.87	-804.63	1	-41.04	5	-3.19	5	-52.55	5	-3.72	5	-0.03	5
1245	-137	-169	Max	2.51	629.17	1	33.89	5	2.79	1	37.41	5	3.66	5	0.02	5
1245	-137	-169	Max	16.87	630.19	1	33.89	5	2.53	5	37.43	5	2.90	5	0.02	5
1245	-137	-169	Min.	2.51	-795.92	1	-41.74	5	-2.58	1	-53.58	5	-2.47	5	-0.03	5
1245	-137	-169	Min.	16.87	-794.90	1	-41.74	5	-3.45	5	-53.56	5	-4.04	5	-0.03	5
1245	-169	-201	Max	2.51	590.20	1	34.43	5	2.73	1	38.02	5	3.60	1	0.02	5

1245	-169	-201	Max	16.87	591.22	1	34.43	5	2.68	5	38.04	5	3.06	5	0.02	5
1245	-169	-201	Min.	2.51	-785.96	1	-42.45	5	-2.54	1	-54.58	5	-2.43	1	-0.03	5
1245	-169	-201	Min.	16.87	-784.94	1	-42.45	5	-3.64	5	-54.56	5	-4.27	5	-0.03	5
1245	-201	-233	Max	2.51	549.37	1	34.95	5	2.68	1	38.62	5	3.55	1	0.02	5
1245	-201	-233	Max	16.87	550.39	1	34.95	5	2.82	5	38.64	5	3.21	5	0.02	5
1245	-201	-233	Min.	2.51	-775.86	1	-43.16	5	-2.51	1	-55.60	5	-2.40	1	-0.03	5
1245	-201	-233	Min.	16.87	-774.83	1	-43.16	5	-3.83	5	-55.58	5	-4.49	5	-0.03	5
1245	-233	-265	Max	2.51	577.46	5	35.46	5	2.62	1	39.21	5	3.50	1	0.02	5
1245	-233	-265	Max	16.87	578.48	5	35.46	5	2.97	5	39.23	5	3.36	5	0.02	5
1245	-233	-265	Min.	2.51	-836.44	5	-43.86	5	-2.47	1	-56.63	5	-2.36	1	-0.03	5
1245	-233	-265	Min.	16.87	-835.42	5	-43.86	5	-4.03	5	-56.60	5	-4.72	5	-0.03	5
1245	-265	-297	Max	2.51	633.15	5	35.96	5	2.55	1	39.79	5	3.44	1	0.02	5
1245	-265	-297	Max	16.87	634.17	5	35.96	5	3.12	5	39.82	5	3.52	5	0.02	5
1245	-265	-297	Min.	2.51	-926.51	5	-44.56	5	-2.43	1	-57.67	5	-2.32	1	-0.03	5
1245	-265	-297	Min.	16.87	-925.49	5	-44.56	5	-4.23	5	-57.65	5	-4.96	5	-0.03	5
1245	-297	-329	Max	2.51	690.96	5	36.45	5	2.47	1	40.38	5	3.37	1	0.02	5
1245	-297	-329	Max	16.87	691.98	5	36.45	5	3.29	5	40.40	5	3.69	5	0.02	5
1245	-297	-329	Min.	2.51	-1020.72	5	-45.26	5	-2.37	1	-58.73	5	-2.27	1	-0.03	5
1245	-297	-329	Min.	16.87	-1019.70	5	-45.26	5	-4.46	5	-58.70	5	-5.22	5	-0.03	5
1245	-329	-361	Max	2.51	751.01	5	36.93	5	2.38	1	40.96	5	3.29	1	0.03	5
1245	-329	-361	Max	16.87	752.03	5	36.93	5	3.46	5	40.98	5	3.87	5	0.03	5
1245	-329	-361	Min.	2.51	-1119.34	5	-45.95	5	-2.31	1	-59.81	5	-2.22	1	-0.03	5
1245	-329	-361	Min.	16.87	-1118.32	5	-45.95	5	-4.69	5	-59.79	5	-5.50	5	-0.03	5
1245	-361	-393	Max	2.51	813.40	5	37.44	5	2.27	1	41.51	5	3.20	1	0.03	5
1245	-361	-393	Max	16.87	814.42	5	37.44	5	3.65	5	41.53	5	4.06	5	0.03	5
1245	-361	-393	Min.	2.51	-1222.64	5	-46.71	5	-2.24	1	-60.87	5	-2.15	1	-0.03	5
1245	-361	-393	Min.	16.87	-1221.62	5	-46.71	5	-4.95	5	-60.84	5	-5.80	5	-0.03	5
1245	-393	-425	Max	2.51	878.27	5	37.68	5	2.15	1	42.33	5	3.08	1	0.03	5
1245	-393	-425	Max	16.87	879.29	5	37.68	5	3.83	5	42.35	5	4.31	5	0.03	5
1245	-393	-425	Min.	2.51	-1330.90	5	-47.06	5	-2.15	1	-62.43	5	-2.07	1	-0.03	5
1245	-393	-425	Min.	16.87	-1329.88	5	-47.06	5	-5.18	5	-62.40	5	-6.19	5	-0.03	5
1245	-425	-457	Max	2.51	945.70	5	39.91	5	2.00	1	41.23	5	2.91	1	0.03	5
1245	-425	-457	Max	16.87	946.72	5	39.91	5	4.31	5	41.25	5	4.32	5	0.03	5
1245	-425	-457	Min.	2.51	-1444.32	5	-50.49	5	-2.04	1	-60.55	5	-1.97	1	-0.03	5
1245	-425	-457	Min.	16.87	-1443.30	5	-50.49	5	-5.87	5	-60.53	5	-6.15	5	-0.03	5
1245	-457	-489	Max	2.51	1015.00	5	28.84	1	1.62	1	53.48	5	2.63	1	0.02	5
1245	-457	-489	Max	16.87	1016.02	5	28.84	1	3.06	5	53.51	5	6.29	5	0.02	5
1245	-457	-489	Min.	2.51	-1561.46	5	-33.22	1	-1.79	1	-82.61	5	-1.74	1	-0.02	5
1245	-457	-489	Min.	16.87	-1560.44	5	-33.22	1	-3.86	5	-82.59	5	-9.58	5	-0.02	5
1245	-489	1316	Max	2.51	1095.73	5	98.60	5	1.11	5	54.00	5	1.17	5	0.01	5
1245	-489	1316	Max	14.38	1096.57	5	98.60	5	10.77	5	54.02	5	4.84	5	0.01	5
1245	-489	1316	Min.	2.51	-1688.32	5	-140.95	5	-0.94	5	-30.73	5	-1.57	5	-0.02	5
1245	-489	1316	Min.	14.38	-1687.48	5	-140.95	5	-15.63	5	-30.71	5	-2.48	5	-0.02	5
1246	343	-13	Max	4.85	0.00	1	0.00	1	0.00	1	0.00	1	0.00	1	0.00	1
1246	343	-13	Min.	4.85	0.00	1	0.00	1	0.00	1	0.00	1	0.00	1	0.00	1
1246	-13	-45	Max	4.85	0.00	1	0.00	1	0.00	1	0.00	1	0.00	1	0.00	1
1246	-13	-45	Min.	4.85	0.00	1	0.00	1	0.00	1	0.00	1	0.00	1	0.00	1
1246	-45	-77	Max	5.01	642.28	1	31.23	5	5.89	5	36.53	5	6.31	1	0.03	1
1246	-45	-77	Max	16.87	643.12	1	31.23	5	0.55	5	36.55	5	0.57	5	0.03	1
1246	-45	-77	Min.	5.01	-1123.71	1	-54.84	5	-3.43	5	-53.04	5	-4.73	1	-0.04	1
1246	-45	-77	Min.	16.87	-1122.86	1	-54.84	5	-0.89	5	-53.03	5	-0.94	5	-0.04	1
1246	-77	-109	Max	2.51	604.12	1	32.32	5	4.94	1	33.99	5	4.85	1	0.02	1
1246	-77	-109	Max	16.87	605.14	1	32.32	5	1.86	5	34.02	5	1.95	5	0.02	1
1246	-77	-109	Min.	2.51	-1111.36	1	-58.13	5	-2.82	1	-55.08	5	-3.22	1	-0.03	1
1246	-77	-109	Min.	16.87	-1110.34	1	-58.13	5	-3.45	5	-55.06	5	-3.35	5	-0.03	1
1246	-109	-141	Max	2.51	554.03	1	32.78	5	4.35	1	34.70	5	4.31	1	0.02	1
1246	-109	-141	Max	16.87	555.05	1	32.78	5	2.31	5	34.72	5	2.42	5	0.02	1
1246	-109	-141	Min.	2.51	-1095.99	1	-58.95	5	-2.54	1	-55.85	5	-2.98	1	-0.02	1
1246	-109	-141	Min.	16.87	-1094.97	1	-58.95	5	-4.26	5	-55.83	5	-4.12	5	-0.02	1

1246	-141	-173	Max	2.51	499.25	1	33.31	5	4.20	1	35.27	5	4.16	1	0.02	1
1246	-141	-173	Max	16.87	500.27	1	33.31	5	2.50	5	35.29	5	2.62	5	0.02	1
1246	-141	-173	Min.	2.51	-1079.53	1	-60.07	5	-2.47	1	-56.92	5	-2.90	1	-0.02	1
1246	-141	-173	Min.	16.87	-1078.51	1	-60.07	5	-4.61	5	-56.89	5	-4.46	5	-0.02	1
1246	-173	-205	Max	2.51	441.42	1	33.83	5	4.12	1	35.82	5	4.10	1	0.02	1
1246	-173	-205	Max	16.87	442.44	1	33.83	5	2.64	5	35.84	5	2.76	5	0.02	1
1246	-173	-205	Min.	2.51	-1062.47	1	-61.18	5	-2.43	1	-57.99	5	-2.86	1	-0.01	1
1246	-173	-205	Min.	16.87	-1061.45	1	-61.18	5	-4.87	5	-57.97	5	-4.71	5	-0.01	1
1246	-205	-237	Max	2.51	380.81	1	34.35	5	4.07	1	36.38	5	4.04	1	0.02	1
1246	-205	-237	Max	16.87	381.83	1	34.35	5	2.77	5	36.40	5	2.89	5	0.02	1
1246	-205	-237	Min.	2.51	-1044.90	1	-62.34	5	-2.40	1	-59.08	5	-2.84	1	-0.02	1
1246	-205	-237	Min.	16.87	-1043.88	1	-62.34	5	-5.12	5	-59.06	5	-4.95	5	-0.02	1
1246	-237	-269	Max	2.51	397.26	5	34.83	5	4.00	1	36.91	5	3.98	1	0.02	1
1246	-237	-269	Max	16.87	398.28	5	34.83	5	2.90	5	36.93	5	3.03	5	0.02	1
1246	-237	-269	Min.	2.51	-1106.76	5	-63.49	5	-2.36	1	-60.19	5	-2.80	1	-0.02	1
1246	-237	-269	Min.	16.87	-1105.74	5	-63.49	5	-5.38	5	-60.17	5	-5.20	5	-0.02	1
1246	-269	-301	Max	2.51	439.30	5	35.32	5	3.92	1	37.44	5	3.91	1	0.02	1
1246	-269	-301	Max	16.87	440.32	5	35.32	5	3.04	5	37.47	5	3.18	5	0.02	1
1246	-269	-301	Min.	2.51	-1196.73	5	-64.67	5	-2.32	1	-61.31	5	-2.77	1	-0.02	1
1246	-269	-301	Min.	16.87	-1195.71	5	-64.67	5	-5.66	5	-61.29	5	-5.47	5	-0.02	1
1246	-301	-333	Max	2.51	482.77	5	35.80	5	3.83	1	37.97	5	3.82	1	0.02	1
1246	-301	-333	Max	16.87	483.79	5	35.80	5	3.19	5	37.99	5	3.34	5	0.02	1
1246	-301	-333	Min.	2.51	-1290.83	5	-65.90	5	-2.27	1	-62.45	5	-2.72	1	-0.02	1
1246	-301	-333	Min.	16.87	-1289.81	5	-65.90	5	-5.96	5	-62.43	5	-5.75	5	-0.02	1
1246	-333	-365	Max	2.51	527.73	5	36.25	5	3.72	1	38.49	5	3.72	1	0.02	1
1246	-333	-365	Max	16.87	528.75	5	36.25	5	3.35	5	38.51	5	3.50	5	0.02	1
1246	-333	-365	Min.	2.51	-1389.33	5	-67.11	5	-2.22	1	-63.64	5	-2.67	1	-0.02	1
1246	-333	-365	Min.	16.87	-1388.31	5	-67.11	5	-6.28	5	-63.61	5	-6.06	5	-0.02	1
1246	-365	-397	Max	2.51	574.25	5	36.75	5	3.60	1	38.98	5	3.61	1	0.02	1
1246	-365	-397	Max	16.87	575.27	5	36.75	5	3.52	5	39.01	5	3.68	5	0.02	1
1246	-365	-397	Min.	2.51	-1492.50	5	-68.45	5	-2.15	1	-64.76	5	-2.61	1	-0.02	1
1246	-365	-397	Min.	16.87	-1491.48	5	-68.45	5	-6.63	5	-64.74	5	-6.38	5	-0.02	1
1246	-397	-429	Max	2.51	622.39	5	37.00	5	3.45	1	39.64	5	3.47	1	0.02	1
1246	-397	-429	Max	16.87	623.41	5	37.00	5	3.68	5	39.67	5	3.89	5	0.02	1
1246	-397	-429	Min.	2.51	-1600.61	5	-69.38	5	-2.07	1	-66.48	5	-2.53	1	-0.02	1
1246	-397	-429	Min.	16.87	-1599.59	5	-69.38	5	-6.95	5	-66.46	5	-6.80	5	-0.02	1
1246	-429	-461	Max	2.51	672.19	5	38.99	5	3.25	1	39.06	5	3.27	1	0.02	1
1246	-429	-461	Max	16.87	673.21	5	38.99	5	4.11	5	39.08	5	3.96	5	0.02	1
1246	-429	-461	Min.	2.51	-1713.92	5	-73.69	5	-1.96	1	-64.04	5	-2.42	1	-0.02	1
1246	-429	-461	Min.	16.87	-1712.90	5	-73.69	5	-7.80	5	-64.02	5	-6.71	5	-0.02	1
1246	-461	-493	Max	2.51	754.02	5	28.79	5	2.72	1	47.36	5	2.96	1	0.02	5
1246	-461	-493	Max	16.87	755.04	5	28.79	5	3.01	5	47.38	5	5.37	5	0.02	5
1246	-461	-493	Min.	2.51	-1861.78	5	-54.48	5	-1.74	1	-91.20	5	-2.15	1	-0.01	5
1246	-461	-493	Min.	16.87	-1860.76	5	-54.48	5	-5.71	5	-91.17	5	-10.85	5	-0.01	5
1246	-493	1322	Max	2.51	851.11	5	91.35	5	1.87	5	74.66	5	0.84	5	0.02	5
1246	-493	1322	Max	14.38	851.95	5	91.35	5	9.89	5	74.68	5	6.75	5	0.02	5
1246	-493	1322	Min.	2.51	-2024.54	5	-176.30	5	-0.96	5	-15.54	5	-2.12	5	-0.01	5
1246	-493	1322	Min.	14.38	-2023.70	5	-176.30	5	-19.07	5	-15.52	5	-1.00	5	-0.01	5
1247	346	-15	Max	4.85	0.00	1	0.00	1	0.00	1	0.00	1	0.00	1	0.00	1
1247	346	-15	Min.	4.85	0.00	1	0.00	1	0.00	1	0.00	1	0.00	1	0.00	1
1247	-15	-47	Max	4.85	0.00	1	0.00	1	0.00	1	0.00	1	0.00	1	0.00	1
1247	-15	-47	Min.	4.85	0.00	1	0.00	1	0.00	1	0.00	1	0.00	1	0.00	1
1247	-47	-79	Max	5.01	531.64	1	37.27	5	5.63	5	38.99	5	4.72	1	0.03	1
1247	-47	-79	Max	16.87	532.48	1	37.27	5	0.69	5	39.01	5	0.58	5	0.03	1
1247	-47	-79	Min.	5.01	-1024.41	1	-51.82	5	-3.99	5	-43.50	5	-4.55	1	-0.03	1
1247	-47	-79	Min.	16.87	-1023.57	1	-51.82	5	-0.78	5	-43.48	5	-0.94	5	-0.03	1
1247	-79	-111	Max	2.51	510.48	1	38.30	5	4.71	5	37.15	5	3.63	5	0.02	1
1247	-79	-111	Max	16.87	511.50	1	38.30	5	2.31	5	37.18	5	2.14	5	0.02	1
1247	-79	-111	Min.	2.51	-1010.82	1	-55.06	5	-3.19	5	-45.51	5	-3.20	5	-0.02	1

1247	-79	-111	Min.	16.87	-1009.80	1	-55.06	5	-3.20	5	-45.48	5	-2.91	5	-0.02	1
1247	-111	-143	Max	2.51	482.46	1	38.86	5	4.06	5	37.84	5	3.20	1	0.02	1
1247	-111	-143	Max	16.87	483.48	1	38.86	5	2.84	5	37.86	5	2.65	5	0.02	1
1247	-111	-143	Min.	2.51	-993.83	1	-55.87	5	-2.75	5	-46.05	5	-2.92	1	-0.02	1
1247	-111	-143	Min.	16.87	-992.81	1	-55.87	5	-3.96	5	-46.03	5	-3.55	5	-0.02	1
1247	-143	-175	Max	2.51	451.74	1	39.52	5	3.89	5	38.48	5	3.09	1	0.03	5
1247	-143	-175	Max	16.87	452.76	1	39.52	5	3.06	5	38.50	5	2.86	5	0.03	5
1247	-143	-175	Min.	2.51	-975.63	1	-56.89	5	-2.62	5	-46.90	5	-2.84	1	-0.02	5
1247	-143	-175	Min.	16.87	-974.61	1	-56.89	5	-4.28	5	-46.88	5	-3.83	5	-0.02	5
1247	-175	-207	Max	2.51	419.31	1	40.17	5	3.80	5	39.11	5	3.03	1	0.03	5
1247	-175	-207	Max	16.87	420.33	1	40.17	5	3.22	5	39.14	5	3.02	5	0.03	5
1247	-175	-207	Min.	2.51	-956.73	1	-57.93	5	-2.55	5	-47.77	5	-2.80	1	-0.02	5
1247	-175	-207	Min.	16.87	-955.71	1	-57.93	5	-4.52	5	-47.74	5	-4.03	5	-0.02	5
1247	-207	-239	Max	2.51	418.56	5	40.83	5	3.73	5	39.74	5	2.99	1	0.03	5
1247	-207	-239	Max	16.87	419.58	5	40.83	5	3.37	5	39.76	5	3.17	5	0.03	5
1247	-207	-239	Min.	2.51	-970.48	5	-59.00	5	-2.49	5	-48.62	5	-2.78	1	-0.02	5
1247	-207	-239	Min.	16.87	-969.46	5	-59.00	5	-4.74	5	-48.59	5	-4.23	5	-0.02	5
1247	-239	-271	Max	2.51	475.15	5	41.49	5	3.65	5	40.34	5	2.94	1	0.03	5
1247	-239	-271	Max	16.87	476.17	5	41.49	5	3.53	5	40.37	5	3.33	5	0.03	5
1247	-239	-271	Min.	2.51	-1042.53	5	-60.12	5	-2.43	5	-49.43	5	-2.74	1	-0.02	5
1247	-239	-271	Min.	16.87	-1041.51	5	-60.12	5	-4.98	5	-49.41	5	-4.44	5	-0.02	5
1247	-271	-303	Max	2.51	533.91	5	42.12	5	3.56	5	40.98	5	2.88	1	0.03	5
1247	-271	-303	Max	16.87	534.93	5	42.12	5	3.69	5	41.00	5	3.49	5	0.03	5
1247	-271	-303	Min.	2.51	-1117.81	5	-61.18	5	-2.36	5	-50.33	5	-2.70	1	-0.02	5
1247	-271	-303	Min.	16.87	-1116.79	5	-61.18	5	-5.23	5	-50.31	5	-4.66	5	-0.02	5
1247	-303	-335	Max	2.51	594.95	5	42.78	5	3.46	5	41.57	5	2.81	1	0.03	5
1247	-303	-335	Max	16.87	595.97	5	42.78	5	3.87	5	41.59	5	3.67	5	0.03	5
1247	-303	-335	Min.	2.51	-1196.47	5	-62.35	5	-2.28	5	-51.15	5	-2.66	1	-0.03	5
1247	-303	-335	Min.	16.87	-1195.45	5	-62.35	5	-5.50	5	-51.13	5	-4.89	5	-0.03	5
1247	-335	-367	Max	2.51	658.39	5	43.43	5	3.34	5	42.18	5	2.72	1	0.03	5
1247	-335	-367	Max	16.87	659.41	5	43.43	5	4.06	5	42.20	5	3.85	5	0.03	5
1247	-335	-367	Min.	2.51	-1278.71	5	-63.50	5	-2.18	5	-52.03	5	-2.60	1	-0.03	5
1247	-335	-367	Min.	16.87	-1277.69	5	-63.50	5	-5.78	5	-52.00	5	-5.14	5	-0.03	5
1247	-367	-399	Max	2.51	724.38	5	44.08	5	3.20	5	42.79	5	2.63	1	0.03	5
1247	-367	-399	Max	16.87	725.40	5	44.08	5	4.26	5	42.81	5	4.05	5	0.03	5
1247	-367	-399	Min.	2.51	-1364.80	5	-64.67	5	-2.07	5	-52.91	5	-2.54	1	-0.03	5
1247	-367	-399	Min.	16.87	-1363.78	5	-64.67	5	-6.09	5	-52.89	5	-5.40	5	-0.03	5
1247	-399	-431	Max	2.51	793.05	5	44.48	5	3.04	5	43.63	5	2.52	1	0.03	5
1247	-399	-431	Max	16.87	794.08	5	44.48	5	4.44	5	43.66	5	4.30	5	0.03	5
1247	-399	-431	Min.	2.51	-1454.96	5	-65.53	5	-1.95	5	-54.27	5	-2.46	1	-0.03	5
1247	-399	-431	Min.	16.87	-1453.94	5	-65.53	5	-6.38	5	-54.24	5	-5.76	5	-0.03	5
1247	-431	-463	Max	2.51	864.46	5	47.05	5	2.84	5	42.62	5	2.36	1	0.03	5
1247	-431	-463	Max	16.87	865.48	5	47.05	5	4.96	5	42.64	5	4.33	5	0.03	5
1247	-431	-463	Min.	2.51	-1549.32	5	-69.42	5	-1.80	5	-51.93	5	-2.35	1	-0.03	5
1247	-431	-463	Min.	16.87	-1548.30	5	-69.42	5	-7.13	5	-51.91	5	-5.65	5	-0.03	5
1247	-463	-495	Max	2.51	937.84	5	34.93	5	2.36	1	54.27	5	2.13	1	0.04	5
1247	-463	-495	Max	16.87	938.87	5	34.93	5	3.64	5	54.29	5	6.22	5	0.04	5
1247	-463	-495	Min.	2.51	-1646.72	5	-53.14	5	-1.51	1	-74.81	5	-2.09	1	-0.03	5
1247	-463	-495	Min.	16.87	-1645.70	5	-53.14	5	-5.40	5	-74.79	5	-9.13	5	-0.03	5
1247	-495	1325	Max	2.51	1031.60	5	110.09	5	1.82	5	65.93	5	0.98	5	0.04	5
1247	-495	1325	Max	14.38	1032.45	5	110.09	5	11.88	5	65.95	5	5.83	5	0.04	5
1247	-495	1325	Min.	2.51	-1765.77	5	-156.79	5	-1.19	5	-24.35	5	-2.00	5	-0.03	5
1247	-495	1325	Min.	14.38	-1764.93	5	-156.79	5	-16.80	5	-24.33	5	-1.91	5	-0.03	5
1272	373	-25	Max	4.85	0.00	1	0.00	1	0.00	1	0.00	1	0.00	1	0.00	1
1272	373	-25	Min.	4.85	0.00	1	0.00	1	0.00	1	0.00	1	0.00	1	0.00	1
1272	-25	-57	Max	4.85	0.00	1	0.00	1	0.00	1	0.00	1	0.00	1	0.00	1
1272	-25	-57	Min.	4.85	0.00	1	0.00	1	0.00	1	0.00	1	0.00	1	0.00	1
1272	-57	-89	Max	5.01	787.96	1	46.68	5	3.43	5	47.30	5	4.31	1	0.05	5
1272	-57	-89	Max	16.87	788.80	1	46.68	5	0.62	5	47.32	5	0.97	5	0.05	5

1272	-57	-89	Min.	5.01	-757.88	1	-32.02	5	-5.12	5	-37.25	5	-5.09	1	-0.03	5
1272	-57	-89	Min.	16.87	-757.04	1	-32.02	5	-0.58	5	-37.23	5	-0.56	5	-0.03	5
1272	-89	-121	Max	2.51	779.08	1	48.56	5	3.03	1	45.78	5	3.20	5	0.03	5
1272	-89	-121	Max	16.87	780.10	1	48.56	5	2.81	5	45.80	5	2.95	5	0.03	5
1272	-89	-121	Min.	2.51	-732.00	1	-33.60	5	-4.38	1	-37.05	5	-3.62	5	-0.03	5
1272	-89	-121	Min.	16.87	-730.98	1	-33.60	5	-2.02	5	-37.02	5	-2.12	5	-0.03	5
1272	-121	-153	Max	2.51	767.04	1	49.30	5	2.70	1	46.65	5	2.90	1	0.03	5
1272	-121	-153	Max	16.87	768.07	1	49.30	5	3.49	5	46.67	5	3.59	5	0.03	5
1272	-121	-153	Min.	2.51	-699.00	1	-34.06	5	-3.89	1	-37.64	5	-3.24	1	-0.02	5
1272	-121	-153	Min.	16.87	-697.98	1	-34.06	5	-2.49	5	-37.61	5	-2.63	5	-0.02	5
1272	-153	-185	Max	2.51	753.76	1	50.19	5	2.61	1	47.47	5	2.83	1	0.03	5
1272	-153	-185	Max	16.87	754.79	1	50.19	5	3.79	5	47.50	5	3.87	5	0.03	5
1272	-153	-185	Min.	2.51	-663.35	1	-34.61	5	-3.76	1	-38.31	5	-3.13	1	-0.02	5
1272	-153	-185	Min.	16.87	-662.33	1	-34.61	5	-2.70	5	-38.28	5	-2.85	5	-0.02	5
1272	-185	-217	Max	2.51	739.73	1	51.10	5	2.59	1	48.31	5	2.79	1	0.03	5
1272	-185	-217	Max	16.87	740.75	1	51.10	5	4.01	5	48.33	5	4.07	5	0.03	5
1272	-185	-217	Min.	2.51	-626.03	1	-35.17	5	-3.71	1	-38.96	5	-3.07	1	-0.02	5
1272	-185	-217	Min.	16.87	-625.01	1	-35.17	5	-2.85	5	-38.94	5	-3.01	5	-0.02	5
1272	-217	-249	Max	2.51	725.05	1	52.00	5	2.56	1	49.13	5	2.77	1	0.03	5
1272	-217	-249	Max	16.87	726.08	1	52.00	5	4.23	5	49.16	5	4.27	5	0.03	5
1272	-217	-249	Min.	2.51	-587.23	1	-35.69	5	-3.66	1	-39.60	5	-3.03	1	-0.02	5
1272	-217	-249	Min.	16.87	-586.21	1	-35.69	5	-2.99	5	-39.58	5	-3.16	5	-0.02	5
1272	-249	-281	Max	2.51	754.67	5	52.94	5	2.53	1	50.00	5	2.73	1	0.03	5
1272	-249	-281	Max	16.87	755.69	5	52.94	5	4.45	5	50.03	5	4.48	5	0.03	5
1272	-249	-281	Min.	2.51	-591.83	5	-36.24	5	-3.62	1	-40.26	5	-2.97	1	-0.02	5
1272	-249	-281	Min.	16.87	-590.81	5	-36.24	5	-3.14	5	-40.24	5	-3.32	5	-0.02	5
1272	-281	-313	Max	2.51	834.70	5	53.87	5	2.49	1	50.85	5	2.69	1	0.03	5
1272	-281	-313	Max	16.87	835.72	5	53.87	5	4.69	5	50.88	5	4.70	5	0.03	5
1272	-281	-313	Min.	2.51	-645.90	5	-36.75	5	-3.56	1	-40.90	5	-2.91	1	-0.03	5
1272	-281	-313	Min.	16.87	-644.88	5	-36.75	5	-3.30	5	-40.88	5	-3.49	5	-0.03	5
1272	-313	-345	Max	2.51	918.07	5	54.78	5	2.45	1	51.67	5	2.65	1	0.03	5
1272	-313	-345	Max	16.87	919.09	5	54.78	5	4.94	5	51.69	5	4.93	5	0.03	5
1272	-313	-345	Min.	2.51	-702.30	5	-37.24	5	-3.49	1	-41.51	5	-2.84	1	-0.03	5
1272	-313	-345	Min.	16.87	-701.28	5	-37.24	5	-3.46	5	-41.48	5	-3.66	5	-0.03	5
1272	-345	-377	Max	2.51	1004.96	5	55.73	5	2.40	1	52.56	5	2.60	1	0.03	5
1272	-345	-377	Max	16.87	1005.98	5	55.73	5	5.21	5	52.59	5	5.18	5	0.03	5
1272	-345	-377	Min.	2.51	-761.13	5	-37.74	5	-3.41	1	-42.16	5	-2.76	1	-0.03	5
1272	-345	-377	Min.	16.87	-760.11	5	-37.74	5	-3.64	5	-42.13	5	-3.85	5	-0.03	5
1272	-377	-409	Max	2.51	1095.63	5	56.77	5	2.34	1	53.41	5	2.53	1	0.03	5
1272	-377	-409	Max	16.87	1096.65	5	56.77	5	5.50	5	53.44	5	5.44	5	0.03	5
1272	-377	-409	Min.	2.51	-822.55	5	-38.28	5	-3.32	1	-42.77	5	-2.67	1	-0.03	5
1272	-377	-409	Min.	16.87	-821.53	5	-38.28	5	-3.83	5	-42.74	5	-4.04	5	-0.03	5
1272	-409	-441	Max	2.51	1190.30	5	57.40	5	2.26	1	54.61	5	2.46	1	0.03	5
1272	-409	-441	Max	16.87	1191.32	5	57.40	5	5.77	5	54.63	5	5.77	5	0.03	5
1272	-409	-441	Min.	2.51	-886.69	5	-38.51	5	-3.20	1	-43.66	5	-2.56	1	-0.03	5
1272	-409	-441	Min.	16.87	-885.67	5	-38.51	5	-4.00	5	-43.64	5	-4.30	5	-0.03	5
1272	-441	-473	Max	2.51	1289.11	5	61.01	5	2.16	1	53.42	5	2.34	1	0.03	5
1272	-441	-473	Max	16.87	1290.13	5	61.01	5	6.50	5	53.44	5	5.82	5	0.03	5
1272	-441	-473	Min.	2.51	-953.63	5	-40.89	5	-3.05	1	-42.46	5	-2.40	1	-0.03	5
1272	-441	-473	Min.	16.87	-952.61	5	-40.89	5	-4.50	5	-42.44	5	-4.30	5	-0.03	5
1272	-473	-505	Max	2.51	1391.14	5	47.76	1	1.91	1	69.05	5	2.12	1	0.03	1
1272	-473	-505	Max	16.87	1392.16	5	47.76	1	4.70	5	69.07	5	8.32	5	0.03	1
1272	-473	-505	Min.	2.51	-1022.58	5	-31.86	1	-2.62	1	-55.85	5	-2.12	1	-0.03	1
1272	-473	-505	Min.	16.87	-1021.56	5	-31.86	1	-3.14	5	-55.83	5	-6.42	5	-0.03	1
1272	-505	1348	Max	2.51	1500.12	5	147.90	5	1.05	1	36.67	1	1.50	5	0.04	1
1272	-505	1348	Max	14.38	1500.96	5	147.90	5	16.06	5	36.69	1	3.30	1	0.04	1
1272	-505	1348	Min.	2.51	-1098.67	5	-103.59	5	-1.59	1	-34.82	1	-1.14	5	-0.04	1
1272	-505	1348	Min.	14.38	-1097.82	5	-103.59	5	-11.34	5	-34.80	1	-2.71	1	-0.04	1
1273	379	-29	Max	4.85	0.00	1	0.00	1	0.00	1	0.00	1	0.00	1	0.00	1

1273	379	-29	Min.	4.85	0.00	1	0.00	1	0.00	1	0.00	1	0.00	1	0.00	1
1273	-29	-61	Max	4.85	0.00	1	0.00	1	0.00	1	0.00	1	0.00	1	0.00	1
1273	-29	-61	Min.	4.85	0.00	1	0.00	1	0.00	1	0.00	1	0.00	1	0.00	1
1273	-61	-93	Max	5.01	653.96	1	55.83	5	3.60	5	61.27	5	3.99	1	0.03	5
1273	-61	-93	Max	16.87	654.80	1	55.83	5	0.89	5	61.29	5	0.89	5	0.03	5
1273	-61	-93	Min.	5.01	-1034.14	1	-32.86	5	-5.96	5	-32.14	5	-7.13	1	-0.02	5
1273	-61	-93	Min.	16.87	-1033.30	1	-32.86	5	-0.52	5	-32.12	5	-0.57	5	-0.02	5
1273	-93	-125	Max	2.51	650.20	1	56.72	5	3.54	1	58.02	5	3.02	1	0.01	5
1273	-93	-125	Max	16.87	651.22	1	56.72	5	3.47	5	58.04	5	3.48	5	0.01	5
1273	-93	-125	Min.	2.51	-989.43	1	-35.26	5	-5.17	1	-32.79	5	-5.06	1	-0.01	5
1273	-93	-125	Min.	16.87	-988.41	1	-35.26	5	-2.01	5	-32.77	5	-1.89	5	-0.01	5
1273	-125	-157	Max	2.51	644.75	1	57.63	5	3.18	1	59.23	5	2.75	1	0.01	1
1273	-125	-157	Max	16.87	645.77	1	57.63	5	4.25	5	59.26	5	4.28	5	0.01	1
1273	-125	-157	Min.	2.51	-932.02	1	-35.72	5	-4.56	1	-33.24	5	-4.55	1	-0.01	1
1273	-125	-157	Min.	16.87	-931.00	1	-35.72	5	-2.49	5	-33.22	5	-2.34	5	-0.01	1
1273	-157	-189	Max	2.51	638.61	1	58.71	5	3.09	1	60.36	5	2.68	1	0.02	1
1273	-157	-189	Max	16.87	639.63	1	58.71	5	4.59	5	60.38	5	4.63	5	0.02	1
1273	-157	-189	Min.	2.51	-869.73	1	-36.30	5	-4.41	1	-33.81	5	-4.40	1	-0.02	1
1273	-157	-189	Min.	16.87	-868.71	1	-36.30	5	-2.69	5	-33.79	5	-2.53	5	-0.02	1
1273	-189	-221	Max	2.51	632.13	1	59.79	5	3.07	1	61.47	5	2.65	1	0.02	1
1273	-189	-221	Max	16.87	633.15	1	59.79	5	4.85	5	61.49	5	4.89	5	0.02	1
1273	-189	-221	Min.	2.51	-804.32	1	-36.90	5	-4.35	1	-34.36	5	-4.33	1	-0.02	1
1273	-189	-221	Min.	16.87	-803.30	1	-36.90	5	-2.84	5	-34.34	5	-2.67	5	-0.02	1
1273	-221	-253	Max	2.51	625.37	1	60.90	5	3.04	1	62.62	5	2.63	1	0.02	1
1273	-221	-253	Max	16.87	626.39	1	60.90	5	5.09	5	62.64	5	5.14	5	0.02	1
1273	-221	-253	Min.	2.51	-736.04	1	-37.48	5	-4.30	1	-34.90	5	-4.28	1	-0.02	1
1273	-221	-253	Min.	16.87	-735.02	1	-37.48	5	-2.98	5	-34.87	5	-2.81	5	-0.02	1
1273	-253	-285	Max	2.51	618.40	1	62.04	5	3.02	1	63.82	5	2.60	1	0.02	1
1273	-253	-285	Max	16.87	619.42	1	62.04	5	5.34	5	63.84	5	5.41	5	0.02	1
1273	-253	-285	Min.	2.51	-664.84	1	-38.05	5	-4.24	1	-35.44	5	-4.21	1	-0.02	1
1273	-253	-285	Min.	16.87	-663.82	1	-38.05	5	-3.12	5	-35.42	5	-2.94	5	-0.02	1
1273	-285	-317	Max	2.51	720.55	5	63.18	5	2.99	1	65.01	5	2.56	1	0.02	1
1273	-285	-317	Max	16.87	721.58	5	63.18	5	5.61	5	65.04	5	5.69	5	0.02	1
1273	-285	-317	Min.	2.51	-699.88	5	-38.62	5	-4.17	1	-35.96	5	-4.14	1	-0.02	1
1273	-285	-317	Min.	16.87	-698.86	5	-38.62	5	-3.27	5	-35.93	5	-3.09	5	-0.02	1
1273	-317	-349	Max	2.51	827.39	5	64.32	5	2.95	1	66.19	5	2.52	1	0.02	1
1273	-317	-349	Max	16.87	828.41	5	64.32	5	5.89	5	66.21	5	5.98	5	0.02	1
1273	-317	-349	Min.	2.51	-736.50	5	-39.16	5	-4.09	1	-36.44	5	-4.06	1	-0.02	1
1273	-317	-349	Min.	16.87	-735.48	5	-39.16	5	-3.43	5	-36.42	5	-3.24	5	-0.02	1
1273	-349	-381	Max	2.51	938.97	5	65.51	5	2.90	1	67.47	5	2.47	1	0.02	1
1273	-349	-381	Max	16.87	939.99	5	65.51	5	6.20	5	67.49	5	6.30	5	0.02	1
1273	-349	-381	Min.	2.51	-774.55	5	-39.70	5	-4.00	1	-36.96	5	-3.95	1	-0.02	1
1273	-349	-381	Min.	16.87	-773.52	5	-39.70	5	-3.59	5	-36.94	5	-3.40	5	-0.02	1
1273	-381	-413	Max	2.51	1055.63	5	66.81	5	2.84	1	68.71	5	2.41	1	0.02	1
1273	-381	-413	Max	16.87	1056.65	5	66.81	5	6.54	5	68.74	5	6.64	5	0.02	1
1273	-381	-413	Min.	2.51	-814.07	5	-40.31	5	-3.89	1	-37.43	5	-3.84	1	-0.02	1
1273	-381	-413	Min.	16.87	-813.05	5	-40.31	5	-3.78	5	-37.40	5	-3.57	5	-0.02	1
1273	-413	-445	Max	2.51	1177.67	5	67.67	5	2.77	1	70.31	5	2.34	1	0.02	1
1273	-413	-445	Max	16.87	1178.69	5	67.67	5	6.85	5	70.33	5	7.06	5	0.02	1
1273	-413	-445	Min.	2.51	-855.14	5	-40.64	5	-3.76	1	-38.17	5	-3.70	1	-0.02	1
1273	-413	-445	Min.	16.87	-854.12	5	-40.64	5	-3.95	5	-38.14	5	-3.79	5	-0.02	1
1273	-445	-477	Max	2.51	1305.30	5	71.94	5	2.67	1	69.57	5	2.24	1	0.02	1
1273	-445	-477	Max	16.87	1306.32	5	71.94	5	7.68	5	69.59	5	7.20	5	0.02	1
1273	-445	-477	Min.	2.51	-897.80	5	-42.75	5	-3.57	1	-36.74	5	-3.49	1	-0.03	1
1273	-445	-477	Min.	16.87	-896.78	5	-42.75	5	-4.39	5	-36.72	5	-3.74	5	-0.03	1
1273	-477	-509	Max	2.51	1461.52	5	58.06	1	2.40	1	85.97	5	2.04	1	0.03	1
1273	-477	-509	Max	16.87	1462.54	5	58.06	1	5.57	5	85.99	5	9.91	5	0.03	1
1273	-477	-509	Min.	2.51	-965.76	5	-37.86	1	-3.05	1	-50.68	5	-3.10	1	-0.04	1
1273	-477	-509	Min.	16.87	-964.74	5	-37.86	1	-3.31	5	-50.66	5	-5.91	5	-0.04	1

1273	-509	1354	Max	2.51	1635.92	5	173.91	5	1.25	1	49.26	1	1.25	1	0.04	1
1273	-509	1354	Max	14.38	1636.76	5	173.91	5	18.84	5	49.28	1	4.52	1	0.04	1
1273	-509	1354	Min.	2.51	-1055.93	5	-95.72	5	-1.96	1	-23.15	1	-1.33	1	-0.05	1
1273	-509	1354	Min.	14.38	-1055.09	5	-95.72	5	-10.26	5	-23.13	1	-1.50	1	-0.05	1
1274	349	-17	Max	4.85	0.00	1	0.00	1	0.00	1	0.00	1	0.00	1	0.00	1
1274	349	-17	Min.	4.85	0.00	1	0.00	1	0.00	1	0.00	1	0.00	1	0.00	1
1274	-17	-49	Max	4.85	0.00	1	0.00	1	0.00	1	0.00	1	0.00	1	0.00	1
1274	-17	-49	Min.	4.85	0.00	1	0.00	1	0.00	1	0.00	1	0.00	1	0.00	1
1274	-49	-81	Max	5.01	722.73	1	40.08	5	3.51	5	37.98	5	5.70	5	0.05	5
1274	-49	-81	Max	16.87	723.57	1	40.08	5	0.96	5	38.00	5	0.75	5	0.05	5
1274	-49	-81	Min.	5.01	-820.29	1	-31.96	5	-4.09	5	-52.00	5	-4.07	5	-0.04	5
1274	-49	-81	Min.	16.87	-819.45	1	-31.96	5	-0.58	5	-51.98	5	-0.79	5	-0.04	5
1274	-81	-113	Max	2.51	697.30	1	41.77	5	2.92	5	36.77	5	4.48	5	0.04	5
1274	-81	-113	Max	16.87	698.33	1	41.77	5	2.71	5	36.79	5	2.24	5	0.04	5
1274	-81	-113	Min.	2.51	-812.77	1	-33.68	5	-3.29	5	-52.64	5	-3.04	5	-0.03	5
1274	-81	-113	Min.	16.87	-811.75	1	-33.68	5	-1.92	5	-52.62	5	-3.08	5	-0.03	5
1274	-113	-145	Max	2.51	663.80	1	42.57	5	2.58	1	37.57	5	3.90	5	0.03	5
1274	-113	-145	Max	16.87	664.82	1	42.57	5	3.30	5	37.60	5	2.74	5	0.03	5
1274	-113	-145	Min.	2.51	-803.74	1	-34.26	5	-2.87	1	-53.65	5	-2.65	5	-0.03	5
1274	-113	-145	Min.	16.87	-802.72	1	-34.26	5	-2.39	5	-53.62	5	-3.80	5	-0.03	5
1274	-145	-177	Max	2.51	627.10	1	43.37	5	2.50	1	38.22	5	3.74	5	0.03	5
1274	-145	-177	Max	16.87	628.13	1	43.37	5	3.57	5	38.24	5	2.96	5	0.03	5
1274	-145	-177	Min.	2.51	-794.23	1	-34.86	5	-2.76	1	-54.70	5	-2.53	5	-0.02	5
1274	-145	-177	Min.	16.87	-793.21	1	-34.86	5	-2.60	5	-54.68	5	-4.12	5	-0.02	5
1274	-177	-209	Max	2.51	588.36	1	44.13	5	2.46	1	38.87	5	3.66	5	0.03	5
1274	-177	-209	Max	16.87	589.38	1	44.13	5	3.76	5	38.89	5	3.12	5	0.03	5
1274	-177	-209	Min.	2.51	-784.50	1	-35.42	5	-2.70	1	-55.76	5	-2.47	5	-0.02	5
1274	-177	-209	Min.	16.87	-783.48	1	-35.42	5	-2.75	5	-55.74	5	-4.35	5	-0.02	5
1274	-209	-241	Max	2.51	547.76	1	44.90	5	2.42	1	39.49	5	3.58	5	0.03	5
1274	-209	-241	Max	16.87	548.78	1	44.90	5	3.96	5	39.51	5	3.27	5	0.03	5
1274	-209	-241	Min.	2.51	-774.62	1	-35.98	5	-2.64	1	-56.81	5	-2.41	5	-0.02	5
1274	-209	-241	Min.	16.87	-773.59	1	-35.98	5	-2.89	5	-56.79	5	-4.58	5	-0.02	5
1274	-241	-273	Max	2.51	576.93	5	45.70	5	2.38	1	40.13	5	3.51	5	0.03	5
1274	-241	-273	Max	16.87	577.96	5	45.70	5	4.16	5	40.16	5	3.43	5	0.03	5
1274	-241	-273	Min.	2.51	-836.28	5	-36.55	5	-2.58	1	-57.92	5	-2.34	5	-0.02	5
1274	-241	-273	Min.	16.87	-835.26	5	-36.55	5	-3.04	5	-57.89	5	-4.81	5	-0.02	5
1274	-273	-305	Max	2.51	632.71	5	46.48	5	2.33	1	40.76	5	3.41	5	0.03	5
1274	-273	-305	Max	16.87	633.73	5	46.48	5	4.37	5	40.78	5	3.59	5	0.03	5
1274	-273	-305	Min.	2.51	-926.44	5	-37.09	5	-2.51	1	-59.01	5	-2.27	5	-0.02	5
1274	-273	-305	Min.	16.87	-925.42	5	-37.09	5	-3.20	5	-58.99	5	-5.06	5	-0.02	5
1274	-305	-337	Max	2.51	690.61	5	47.22	5	2.28	1	41.35	5	3.34	1	0.03	5
1274	-305	-337	Max	16.87	691.63	5	47.22	5	4.60	5	41.37	5	3.76	5	0.03	5
1274	-305	-337	Min.	2.51	-1020.74	5	-37.60	5	-2.43	1	-60.08	5	-2.21	1	-0.02	5
1274	-305	-337	Min.	16.87	-1019.72	5	-37.60	5	-3.37	5	-60.06	5	-5.32	5	-0.02	5
1274	-337	-369	Max	2.51	750.73	5	48.03	5	2.21	1	41.99	5	3.26	1	0.03	5
1274	-337	-369	Max	16.87	751.75	5	48.03	5	4.84	5	42.01	5	3.95	5	0.03	5
1274	-337	-369	Min.	2.51	-1119.41	5	-38.14	5	-2.34	1	-61.26	5	-2.16	1	-0.03	5
1274	-337	-369	Min.	16.87	-1118.39	5	-38.14	5	-3.55	5	-61.24	5	-5.61	5	-0.03	5
1274	-369	-401	Max	2.51	813.21	5	48.86	5	2.13	1	42.57	5	3.16	1	0.03	5
1274	-369	-401	Max	16.87	814.23	5	48.86	5	5.11	5	42.59	5	4.14	5	0.03	5
1274	-369	-401	Min.	2.51	-1222.79	5	-38.68	5	-2.23	1	-62.36	5	-2.09	1	-0.03	5
1274	-369	-401	Min.	16.87	-1221.77	5	-38.68	5	-3.75	5	-62.33	5	-5.91	5	-0.03	5
1274	-401	-433	Max	2.51	878.16	5	49.32	5	2.05	1	43.44	5	3.05	1	0.03	5
1274	-401	-433	Max	16.87	879.18	5	49.32	5	5.34	5	43.47	5	4.39	5	0.03	5
1274	-401	-433	Min.	2.51	-1331.12	5	-38.98	5	-2.11	1	-64.00	5	-2.01	1	-0.03	5
1274	-401	-433	Min.	16.87	-1330.10	5	-38.98	5	-3.92	5	-63.98	5	-6.30	5	-0.03	5
1274	-433	-465	Max	2.51	945.68	5	52.80	5	1.93	1	42.36	5	2.88	1	0.03	5
1274	-433	-465	Max	16.87	946.71	5	52.80	5	6.04	5	42.38	5	4.40	5	0.03	5
1274	-433	-465	Min.	2.51	-1444.64	5	-41.23	5	-1.96	1	-62.15	5	-1.90	1	-0.03	5

1274	-433	-465	Min.	16.87	-1443.62	5	-41.23	5	-4.40	5	-62.13	5	-6.27	5	-0.03	5
1274	-465	-497	Max	2.51	1014.79	5	35.34	5	1.68	1	54.72	5	2.59	1	0.02	1
1274	-465	-497	Max	16.87	1015.81	5	35.34	5	4.01	5	54.74	5	6.40	5	0.02	1
1274	-465	-497	Min.	2.51	-1561.43	5	-29.86	5	-1.60	1	-84.39	5	-1.68	1	-0.02	1
1274	-465	-497	Min.	16.87	-1560.41	5	-29.86	5	-3.15	5	-84.37	5	-9.74	5	-0.02	1
1274	-497	1328	Max	2.51	1095.49	5	142.19	5	1.00	5	52.79	5	1.04	5	0.01	5
1274	-497	1328	Max	14.38	1096.33	5	142.19	5	15.67	5	52.81	5	4.87	5	0.01	5
1274	-497	1328	Min.	2.51	-1688.57	5	-99.38	5	-1.22	5	-29.75	5	-1.40	5	-0.01	5
1274	-497	1328	Min.	14.38	-1687.73	5	-99.38	5	-10.80	5	-29.73	5	-2.49	5	-0.01	5
1275	358	-23	Max	4.85	0.00	1	0.00	1	0.00	1	0.00	1	0.00	1	0.00	1
1275	358	-23	Min.	4.85	0.00	1	0.00	1	0.00	1	0.00	1	0.00	1	0.00	1
1275	-23	-55	Max	4.85	0.00	1	0.00	1	0.00	1	0.00	1	0.00	1	0.00	1
1275	-23	-55	Min.	4.85	0.00	1	0.00	1	0.00	1	0.00	1	0.00	1	0.00	1
1275	-55	-87	Max	5.01	531.88	1	52.63	5	4.02	5	39.69	5	4.72	1	0.03	1
1275	-55	-87	Max	15.24					0.66	3			0.76	3		
1275	-55	-87	Max	16.87	532.72	1	52.63	5	0.86	5	39.71	5	0.65	5	0.03	1
1275	-55	-87	Min.	5.01	-1024.06	1	-37.89	5	-5.67	5	-44.66	5	-4.53	1	-0.03	1
1275	-55	-87	Min.	15.24					-0.80	3			-1.07	3		
1275	-55	-87	Min.	16.87	-1023.22	1	-37.89	5	-0.76	5	-44.64	5	-1.04	5	-0.03	1
1275	-87	-119	Max	2.51	510.65	1	56.05	5	3.24	5	37.98	5	3.72	5	0.02	1
1275	-87	-119	Max	16.87	511.68	1	56.05	5	3.28	5	38.00	5	2.20	5	0.02	1
1275	-87	-119	Min.	2.51	-1010.42	1	-39.03	5	-4.77	5	-46.90	5	-3.25	5	-0.02	1
1275	-87	-119	Min.	16.87	-1009.40	1	-39.03	5	-2.37	5	-46.88	5	-3.02	5	-0.02	1
1275	-119	-151	Max	2.51	482.59	1	57.04	5	2.81	5	38.85	5	3.20	1	0.02	1
1275	-119	-151	Max	16.87	483.61	1	57.04	5	4.05	5	38.87	5	2.72	5	0.02	1
1275	-119	-151	Min.	2.51	-993.44	1	-39.74	5	-4.15	5	-47.72	5	-2.88	1	-0.02	1
1275	-119	-151	Min.	16.87	-992.42	1	-39.74	5	-2.90	5	-47.69	5	-3.67	5	-0.02	1
1275	-151	-183	Max	2.51	451.84	1	58.15	5	2.68	5	39.52	5	3.09	1	0.02	5
1275	-151	-183	Max	16.87	452.86	1	58.15	5	4.38	5	39.55	5	2.94	5	0.02	5
1275	-151	-183	Min.	2.51	-975.25	1	-40.45	5	-3.98	5	-48.66	5	-2.79	1	-0.03	5
1275	-151	-183	Min.	16.87	-974.23	1	-40.45	5	-3.13	5	-48.64	5	-3.95	5	-0.03	5
1275	-183	-215	Max	2.51	419.37	1	59.22	5	2.62	5	40.21	5	3.04	1	0.02	5
1275	-183	-215	Max	16.87	420.39	1	59.22	5	4.61	5	40.24	5	3.10	5	0.02	5
1275	-183	-215	Min.	2.51	-956.37	1	-41.14	5	-3.89	5	-49.59	5	-2.76	1	-0.03	5
1275	-183	-215	Min.	16.87	-955.35	1	-41.14	5	-3.29	5	-49.57	5	-4.17	5	-0.03	5
1275	-215	-247	Max	2.51	418.77	5	60.34	5	2.57	5	40.87	5	2.99	1	0.02	5
1275	-215	-247	Max	16.87	419.79	5	60.34	5	4.84	5	40.89	5	3.26	5	0.02	5
1275	-215	-247	Min.	2.51	-970.32	5	-41.83	5	-3.83	5	-50.51	5	-2.73	1	-0.03	5
1275	-215	-247	Min.	16.87	-969.30	5	-41.83	5	-3.44	5	-50.49	5	-4.37	5	-0.03	5
1275	-247	-279	Max	2.51	475.31	5	61.55	5	2.51	5	41.54	5	2.94	1	0.02	5
1275	-247	-279	Max	16.87	476.33	5	61.55	5	5.09	5	41.56	5	3.41	5	0.02	5
1275	-247	-279	Min.	2.51	-1042.39	5	-42.55	5	-3.76	5	-51.44	5	-2.69	1	-0.03	5
1275	-247	-279	Min.	16.87	-1041.37	5	-42.55	5	-3.61	5	-51.42	5	-4.58	5	-0.03	5
1275	-279	-311	Max	2.51	534.05	5	62.67	5	2.43	5	42.22	5	2.88	1	0.02	5
1275	-279	-311	Max	16.87	535.07	5	62.67	5	5.34	5	42.24	5	3.58	5	0.02	5
1275	-279	-311	Min.	2.51	-1117.70	5	-43.22	5	-3.67	5	-52.43	5	-2.65	1	-0.03	5
1275	-279	-311	Min.	16.87	-1116.68	5	-43.22	5	-3.77	5	-52.40	5	-4.81	5	-0.03	5
1275	-311	-343	Max	2.51	595.07	5	63.86	5	2.35	5	42.84	5	2.81	1	0.02	5
1275	-311	-343	Max	16.87	596.09	5	63.86	5	5.61	5	42.86	5	3.76	5	0.02	5
1275	-311	-343	Min.	2.51	-1196.41	5	-43.90	5	-3.57	5	-53.30	5	-2.60	1	-0.03	5
1275	-311	-343	Min.	16.87	-1195.39	5	-43.90	5	-3.95	5	-53.27	5	-5.05	5	-0.03	5
1275	-343	-375	Max	2.51	658.45	5	65.11	5	2.26	5	43.51	5	2.73	1	0.03	5
1275	-343	-375	Max	16.87	659.47	5	65.11	5	5.90	5	43.54	5	3.95	5	0.03	5
1275	-343	-375	Min.	2.51	-1278.66	5	-44.60	5	-3.45	5	-54.30	5	-2.54	1	-0.03	5
1275	-343	-375	Min.	16.87	-1277.64	5	-44.60	5	-4.14	5	-54.28	5	-5.30	5	-0.03	5
1275	-375	-407	Max	2.51	724.39	5	66.33	5	2.16	5	44.18	5	2.64	1	0.03	5
1275	-375	-407	Max	16.87	725.41	5	66.33	5	6.21	5	44.20	5	4.15	5	0.03	5
1275	-375	-407	Min.	2.51	-1364.78	5	-45.30	5	-3.32	5	-55.26	5	-2.48	1	-0.03	5
1275	-375	-407	Min.	16.87	-1363.76	5	-45.30	5	-4.35	5	-55.24	5	-5.57	5	-0.03	5

1275	-407	-439	Max	2.51	793.02	5	67.29	5	2.04	5	45.08	5	2.53	1	0.03	5
1275	-407	-439	Max	16.87	794.04	5	67.29	5	6.50	5	45.11	5	4.40	5	0.03	5
1275	-407	-439	Min.	2.51	-1454.96	5	-45.75	5	-3.16	5	-56.75	5	-2.39	1	-0.03	5
1275	-407	-439	Min.	16.87	-1453.94	5	-45.75	5	-4.53	5	-56.73	5	-5.94	5	-0.03	5
1275	-439	-471	Max	2.51	864.38	5	71.21	5	1.89	5	44.11	5	2.37	1	0.03	5
1275	-439	-471	Max	16.87	865.40	5	71.21	5	7.26	5	44.13	5	4.43	5	0.03	5
1275	-439	-471	Min.	2.51	-1549.37	5	-48.36	5	-2.97	5	-54.47	5	-2.28	1	-0.03	5
1275	-439	-471	Min.	16.87	-1548.35	5	-48.36	5	-5.05	5	-54.45	5	-5.83	5	-0.03	5
1275	-471	-503	Max	2.51	937.42	5	55.14	5	1.49	5	55.89	5	2.13	1	0.03	5
1275	-471	-503	Max	16.87	938.44	5	55.14	5	5.51	5	55.91	5	6.36	5	0.03	5
1275	-471	-503	Min.	2.51	-1646.39	5	-36.37	5	-2.41	5	-77.58	5	-2.02	1	-0.05	5
1275	-471	-503	Min.	16.87	-1645.37	5	-36.37	5	-3.73	5	-77.55	5	-9.37	5	-0.05	5
1275	-503	1337	Max	2.51	1031.87	5	157.67	5	1.25	5	64.24	5	0.83	5	0.03	5
1275	-503	1337	Max	14.38	1032.71	5	157.67	5	16.82	5	64.26	5	5.84	5	0.03	5
1275	-503	1337	Min.	2.51	-1766.44	5	-110.75	5	-1.90	5	-23.25	5	-1.78	5	-0.04	5
1275	-503	1337	Min.	14.38	-1765.60	5	-110.75	5	-11.90	5	-23.23	5	-1.93	5	-0.04	5
1276	352	-19	Max	4.85	0.00	1	0.00	1	0.00	1	0.00	1	0.00	1	0.00	1
1276	352	-19	Min.	4.85	0.00	1	0.00	1	0.00	1	0.00	1	0.00	1	0.00	1
1276	-19	-51	Max	4.85	0.00	1	0.00	1	0.00	1	0.00	1	0.00	1	0.00	1
1276	-19	-51	Min.	4.85	0.00	1	0.00	1	0.00	1	0.00	1	0.00	1	0.00	1
1276	-51	-83	Max	5.01	691.96	1	51.90	5	3.51	5	35.75	5	6.62	1	0.04	1
1276	-51	-83	Max	14.50					0.92	3			1.36	3		
1276	-51	-83	Max	16.87	692.81	1	51.90	5	1.02	5	35.77	5	0.65	5	0.04	1
1276	-51	-83	Min.	5.01	-1053.71	1	-31.92	5	-5.44	5	-57.45	5	-4.38	1	-0.03	1
1276	-51	-83	Min.	14.50					-0.96	3			-1.18	3		
1276	-51	-83	Min.	16.87	-1052.87	1	-31.92	5	-0.59	5	-57.43	5	-0.98	5	-0.03	1
1276	-83	-115	Max	2.51	651.93	1	54.79	5	2.99	1	33.43	5	5.06	1	0.03	1
1276	-83	-115	Max	16.87	652.95	1	54.79	5	3.36	5	33.45	5	1.96	5	0.03	1
1276	-83	-115	Min.	2.51	-1045.16	1	-33.27	5	-4.62	1	-59.24	5	-2.94	1	-0.02	1
1276	-83	-115	Min.	16.87	-1044.13	1	-33.27	5	-1.90	5	-59.22	5	-3.54	5	-0.02	1
1276	-115	-147	Max	2.51	599.45	1	55.83	5	2.67	1	34.23	5	4.50	1	0.02	1
1276	-115	-147	Max	16.87	600.47	1	55.83	5	4.13	5	34.25	5	2.41	5	0.02	1
1276	-115	-147	Min.	2.51	-1034.76	1	-33.83	5	-4.06	1	-60.32	5	-2.70	1	-0.02	1
1276	-115	-147	Min.	16.87	-1033.74	1	-33.83	5	-2.36	5	-60.30	5	-4.36	5	-0.02	1
1276	-147	-179	Max	2.51	542.08	1	56.92	5	2.59	1	34.79	5	4.35	1	0.02	1
1276	-147	-179	Max	16.87	543.10	1	56.92	5	4.46	5	34.82	5	2.61	5	0.02	1
1276	-147	-179	Min.	2.51	-1023.73	1	-34.41	5	-3.91	1	-61.55	5	-2.62	1	-0.01	1
1276	-147	-179	Min.	16.87	-1022.71	1	-34.41	5	-2.55	5	-61.53	5	-4.72	5	-0.01	1
1276	-179	-211	Max	2.51	481.53	1	57.98	5	2.55	1	35.36	5	4.29	1	0.02	1
1276	-179	-211	Max	16.87	482.55	1	57.98	5	4.71	5	35.38	5	2.75	5	0.02	1
1276	-179	-211	Min.	2.51	-1012.42	1	-34.95	5	-3.84	1	-62.76	5	-2.59	1	-0.01	1
1276	-179	-211	Min.	16.87	-1011.40	1	-34.95	5	-2.69	5	-62.74	5	-4.98	5	-0.01	1
1276	-211	-243	Max	2.51	418.05	1	59.07	5	2.51	1	35.90	5	4.23	1	0.02	1
1276	-211	-243	Max	16.87	419.07	1	59.07	5	4.95	5	35.93	5	2.88	5	0.02	1
1276	-211	-243	Min.	2.51	-1000.87	1	-35.49	5	-3.78	1	-64.00	5	-2.56	1	-0.01	1
1276	-211	-243	Min.	16.87	-999.85	1	-35.49	5	-2.83	5	-63.98	5	-5.24	5	-0.01	1
1276	-243	-275	Max	2.51	416.29	5	60.25	5	2.47	1	36.45	5	4.17	1	0.02	1
1276	-243	-275	Max	16.87	417.31	5	60.25	5	5.21	5	36.47	5	3.02	5	0.02	1
1276	-243	-275	Min.	2.51	-1053.84	5	-36.05	5	-3.71	1	-65.26	5	-2.53	1	-0.01	1
1276	-243	-275	Min.	16.87	-1052.82	5	-36.05	5	-2.97	5	-65.24	5	-5.51	5	-0.01	1
1276	-275	-307	Max	2.51	456.21	5	61.34	5	2.43	1	36.99	5	4.10	1	0.02	1
1276	-275	-307	Max	16.87	457.23	5	61.34	5	5.47	5	37.01	5	3.16	5	0.02	1
1276	-275	-307	Min.	2.51	-1151.47	5	-36.56	5	-3.63	1	-66.59	5	-2.48	1	-0.02	1
1276	-275	-307	Min.	16.87	-1150.45	5	-36.56	5	-3.12	5	-66.56	5	-5.80	5	-0.02	1
1276	-307	-339	Max	2.51	497.44	5	62.51	5	2.37	1	37.47	5	4.01	1	0.02	1
1276	-307	-339	Max	16.87	498.46	5	62.51	5	5.76	5	37.49	5	3.31	5	0.02	1
1276	-307	-339	Min.	2.51	-1253.61	5	-37.07	5	-3.54	1	-67.80	5	-2.44	1	-0.02	1
1276	-307	-339	Min.	16.87	-1252.59	5	-37.07	5	-3.27	5	-67.78	5	-6.09	5	-0.02	1
1276	-339	-371	Max	2.51	540.04	5	63.68	5	2.31	1	38.00	5	3.91	1	0.02	1

1276	-339	-371	Max	16.87	541.06	5	63.68	5	6.06	5	38.03	5	3.48	5	0.02	1
1276	-339	-371	Min.	2.51	-1360.53	5	-37.57	5	-3.43	1	-69.22	5	-2.38	1	-0.02	1
1276	-339	-371	Min.	16.87	-1359.51	5	-37.57	5	-3.43	5	-69.20	5	-6.43	5	-0.02	1
1276	-371	-403	Max	2.51	584.08	5	64.95	5	2.23	1	38.49	5	3.80	1	0.02	1
1276	-371	-403	Max	16.87	585.10	5	64.95	5	6.40	5	38.51	5	3.64	5	0.02	1
1276	-371	-403	Min.	2.51	-1472.59	5	-38.11	5	-3.31	1	-70.51	5	-2.32	1	-0.02	1
1276	-371	-403	Min.	16.87	-1471.57	5	-38.11	5	-3.61	5	-70.48	5	-6.77	5	-0.02	1
1276	-403	-435	Max	2.51	629.60	5	65.77	5	2.15	1	39.17	5	3.66	1	0.02	1
1276	-403	-435	Max	16.87	630.63	5	65.77	5	6.70	5	39.20	5	3.86	5	0.02	1
1276	-403	-435	Min.	2.51	-1590.09	5	-38.38	5	-3.16	1	-72.54	5	-2.24	1	-0.02	1
1276	-403	-435	Min.	16.87	-1589.07	5	-38.38	5	-3.77	5	-72.51	5	-7.23	5	-0.02	1
1276	-435	-467	Max	2.51	676.66	5	70.09	5	2.03	1	38.52	5	3.44	1	0.02	1
1276	-435	-467	Max	16.87	677.68	5	70.09	5	7.53	5	38.55	5	3.92	5	0.02	1
1276	-435	-467	Min.	2.51	-1713.27	5	-40.47	5	-2.97	1	-70.09	5	-2.14	1	-0.02	1
1276	-435	-467	Min.	16.87	-1712.25	5	-40.47	5	-4.22	5	-70.06	5	-7.15	5	-0.02	1
1276	-467	-499	Max	2.51	748.36	5	50.98	5	1.78	1	46.81	5	3.12	1	0.01	1
1276	-467	-499	Max	16.87	749.38	5	50.98	5	5.38	5	46.83	5	5.33	5	0.01	1
1276	-467	-499	Min.	2.51	-1863.79	5	-30.26	5	-2.48	1	-97.75	5	-1.88	1	-0.02	1
1276	-467	-499	Min.	16.87	-1862.77	5	-30.26	5	-3.11	5	-97.73	5	-11.41	5	-0.02	1
1276	-499	1331	Max	2.51	842.57	5	170.61	5	1.02	5	69.65	5	0.76	5	0.01	5
1276	-499	1331	Max	14.38	843.42	5	170.61	5	18.50	5	69.67	5	6.49	5	0.01	5
1276	-499	1331	Min.	2.51	-2036.15	5	-92.83	5	-1.76	5	-15.81	5	-1.78	5	-0.01	5
1276	-499	1331	Min.	14.38	-2035.30	5	-92.83	5	-10.00	5	-15.79	5	-1.12	5	-0.01	5
1277	376	-27	Max	4.85	0.00	1	0.00	1	0.00	1	0.00	1	0.00	1	0.00	1
1277	376	-27	Min.	4.85	0.00	1	0.00	1	0.00	1	0.00	1	0.00	1	0.00	1
1277	-27	-59	Max	4.85	0.00	1	0.00	1	0.00	1	0.00	1	0.00	1	0.00	1
1277	-27	-59	Min.	4.85	0.00	1	0.00	1	0.00	1	0.00	1	0.00	1	0.00	1
1277	-59	-91	Max	5.01	724.46	1	56.67	5	3.40	5	57.95	5	4.29	1	0.04	5
1277	-59	-91	Max	16.87	725.30	1	56.67	5	0.82	5	57.97	5	0.95	5	0.04	5
1277	-59	-91	Min.	5.01	-985.26	1	-31.26	5	-6.13	5	-33.38	5	-6.81	1	-0.02	5
1277	-59	-91	Min.	16.87	-984.41	1	-31.26	5	-0.53	5	-33.36	5	-0.55	5	-0.02	5
1277	-91	-123	Max	2.51	716.95	1	58.10	5	3.33	1	55.15	5	3.24	1	0.02	5
1277	-91	-123	Max	16.87	717.97	1	58.10	5	3.46	5	55.17	5	3.39	5	0.02	5
1277	-91	-123	Min.	2.51	-942.41	1	-33.45	5	-5.34	1	-33.89	5	-4.83	1	-0.01	5
1277	-91	-123	Min.	16.87	-941.39	1	-33.45	5	-1.93	5	-33.87	5	-1.92	5	-0.01	5
1277	-123	-155	Max	2.51	706.63	1	59.04	5	2.99	1	56.28	5	2.95	1	0.02	1
1277	-123	-155	Max	16.87	707.65	1	59.04	5	4.27	5	56.31	5	4.15	5	0.02	1
1277	-123	-155	Min.	2.51	-887.42	1	-33.91	5	-4.72	1	-34.36	5	-4.34	1	-0.01	1
1277	-123	-155	Min.	16.87	-886.40	1	-33.91	5	-2.39	5	-34.33	5	-2.39	5	-0.01	1
1277	-155	-187	Max	2.51	695.20	1	60.14	5	2.90	1	57.33	5	2.88	1	0.02	1
1277	-155	-187	Max	16.87	696.22	1	60.14	5	4.62	5	57.35	5	4.49	5	0.02	1
1277	-155	-187	Min.	2.51	-827.78	1	-34.44	5	-4.56	1	-34.96	5	-4.20	1	-0.02	1
1277	-155	-187	Min.	16.87	-826.76	1	-34.44	5	-2.58	5	-34.94	5	-2.59	5	-0.02	1
1277	-187	-219	Max	2.51	683.12	1	61.26	5	2.88	1	58.38	5	2.84	1	0.02	1
1277	-187	-219	Max	16.87	684.14	1	61.26	5	4.88	5	58.40	5	4.74	5	0.02	1
1277	-187	-219	Min.	2.51	-765.17	1	-35.00	5	-4.50	1	-35.54	5	-4.12	1	-0.02	1
1277	-187	-219	Min.	16.87	-764.15	1	-35.00	5	-2.72	5	-35.52	5	-2.74	5	-0.02	1
1277	-219	-251	Max	2.51	670.50	1	62.39	5	2.86	1	59.45	5	2.82	1	0.02	1
1277	-219	-251	Max	16.87	671.53	1	62.39	5	5.13	5	59.48	5	4.98	5	0.02	1
1277	-219	-251	Min.	2.51	-699.83	1	-35.51	5	-4.45	1	-36.11	5	-4.07	1	-0.02	1
1277	-219	-251	Min.	16.87	-698.81	1	-35.51	5	-2.85	5	-36.09	5	-2.87	5	-0.02	1
1277	-251	-283	Max	2.51	671.58	5	63.61	5	2.83	1	60.56	5	2.79	1	0.02	1
1277	-251	-283	Max	16.87	672.60	5	63.61	5	5.39	5	60.58	5	5.23	5	0.02	1
1277	-251	-283	Min.	2.51	-645.92	5	-36.08	5	-4.39	1	-36.67	5	-4.01	1	-0.02	1
1277	-251	-283	Min.	16.87	-644.90	5	-36.08	5	-2.99	5	-36.64	5	-3.01	5	-0.02	1
1277	-283	-315	Max	2.51	766.38	5	64.76	5	2.80	1	61.69	5	2.75	1	0.02	1
1277	-283	-315	Max	16.87	767.40	5	64.76	5	5.67	5	61.72	5	5.50	5	0.02	1
1277	-283	-315	Min.	2.51	-683.29	5	-36.56	5	-4.32	1	-37.24	5	-3.94	1	-0.02	1
1277	-283	-315	Min.	16.87	-682.27	5	-36.56	5	-3.13	5	-37.22	5	-3.16	5	-0.02	1

1277	-315	-347	Max	2.51	865.25	5	65.97	5	2.77	1	62.75	5	2.71	1	0.02	1
1277	-315	-347	Max	16.87	866.27	5	65.97	5	5.97	5	62.77	5	5.78	5	0.02	1
1277	-315	-347	Min.	2.51	-722.14	5	-37.07	5	-4.24	1	-37.73	5	-3.85	1	-0.02	1
1277	-315	-347	Min.	16.87	-721.12	5	-37.07	5	-3.29	5	-37.71	5	-3.32	5	-0.02	1
1277	-347	-379	Max	2.51	968.44	5	67.19	5	2.72	1	63.95	5	2.66	1	0.02	1
1277	-347	-379	Max	16.87	969.46	5	67.19	5	6.28	5	63.98	5	6.08	5	0.02	1
1277	-347	-379	Min.	2.51	-762.52	5	-37.55	5	-4.14	1	-38.30	5	-3.75	1	-0.02	1
1277	-347	-379	Min.	16.87	-761.50	5	-37.55	5	-3.44	5	-38.27	5	-3.49	5	-0.02	1
1277	-379	-411	Max	2.51	1076.28	5	68.54	5	2.67	1	65.10	5	2.60	1	0.02	1
1277	-379	-411	Max	16.87	1077.30	5	68.54	5	6.64	5	65.12	5	6.40	5	0.02	1
1277	-379	-411	Min.	2.51	-804.51	5	-38.10	5	-4.03	1	-38.80	5	-3.63	1	-0.02	1
1277	-379	-411	Min.	16.87	-803.49	5	-38.10	5	-3.62	5	-38.78	5	-3.66	5	-0.02	1
1277	-411	-443	Max	2.51	1189.06	5	69.40	5	2.60	1	66.65	5	2.52	1	0.02	1
1277	-411	-443	Max	16.87	1190.08	5	69.40	5	6.95	5	66.67	5	6.81	5	0.02	1
1277	-411	-443	Min.	2.51	-848.20	5	-38.34	5	-3.89	1	-39.62	5	-3.50	1	-0.02	1
1277	-411	-443	Min.	16.87	-847.18	5	-38.34	5	-3.78	5	-39.59	5	-3.89	5	-0.02	1
1277	-443	-475	Max	2.51	1306.91	5	73.84	5	2.50	1	65.70	5	2.41	1	0.02	1
1277	-443	-475	Max	16.87	1307.93	5	73.84	5	7.81	5	65.73	5	6.92	5	0.02	1
1277	-443	-475	Min.	2.51	-893.60	5	-40.45	5	-3.70	1	-38.14	5	-3.30	1	-0.02	1
1277	-443	-475	Min.	16.87	-892.58	5	-40.45	5	-4.21	5	-38.12	5	-3.85	5	-0.02	1
1277	-475	-507	Max	2.51	1458.70	5	59.72	1	2.25	1	81.94	5	2.20	1	0.03	1
1277	-475	-507	Max	16.87	1459.73	5	59.72	1	5.71	5	81.96	5	9.58	5	0.03	1
1277	-475	-507	Min.	2.51	-970.09	5	-35.40	1	-3.16	1	-52.24	5	-2.92	1	-0.03	1
1277	-475	-507	Min.	16.87	-969.07	5	-35.40	1	-3.13	5	-52.22	5	-6.04	5	-0.03	1
1277	-507	1351	Max	2.51	1624.43	5	176.34	5	1.17	1	47.28	1	1.34	5	0.04	1
1277	-507	1351	Max	14.38	1625.28	5	176.34	5	19.08	5	47.30	1	4.36	1	0.04	1
1277	-507	1351	Min.	2.51	-1063.51	5	-92.86	5	-2.01	1	-25.71	1	-1.26	5	-0.05	1
1277	-507	1351	Min.	14.38	-1062.67	5	-92.86	5	-10.00	5	-25.69	1	-1.72	1	-0.05	1
1278	382	-31	Max	4.85	0.00	1	0.00	1	0.00	1	0.00	1	0.00	1	0.00	1
1278	382	-31	Min.	4.85	0.00	1	0.00	1	0.00	1	0.00	1	0.00	1	0.00	1
1278	-31	-63	Max	4.85	0.00	1	0.00	1	0.00	1	0.00	1	0.00	1	0.00	1
1278	-31	-63	Min.	4.85	0.00	1	0.00	1	0.00	1	0.00	1	0.00	1	0.00	1
1278	-63	-95	Max	5.01	538.85	1	50.28	5	4.26	5	54.65	5	3.83	5	0.02	5
1278	-63	-95	Max	16.87	539.69	1	50.28	5	0.94	5	54.66	5	0.72	5	0.02	5
1278	-63	-95	Min.	5.01	-903.65	1	-39.06	5	-5.24	5	-35.36	5	-6.06	5	-0.01	5
1278	-63	-95	Min.	16.87	-902.81	1	-39.06	5	-0.58	5	-35.34	5	-0.66	5	-0.01	5
1278	-95	-127	Max	2.51	536.09	1	50.53	5	3.56	5	51.73	5	2.99	5	0.01	1
1278	-95	-127	Max	16.87	537.11	1	50.53	5	3.23	5	51.75	5	3.03	5	0.01	1
1278	-95	-127	Min.	2.51	-873.58	1	-41.31	5	-4.03	5	-35.79	5	-4.41	5	-0.01	1
1278	-95	-127	Min.	16.87	-872.56	1	-41.31	5	-2.37	5	-35.77	5	-2.15	5	-0.01	1
1278	-127	-159	Max	2.51	532.00	1	51.33	5	3.18	1	52.78	5	2.56	5	0.02	5
1278	-127	-159	Max	16.87	533.02	1	51.33	5	3.93	5	52.80	5	3.74	5	0.02	5
1278	-127	-159	Min.	2.51	-835.12	1	-41.89	5	-3.55	1	-36.29	5	-3.84	5	-0.02	5
1278	-127	-159	Min.	16.87	-834.10	1	-41.89	5	-2.94	5	-36.27	5	-2.65	5	-0.02	5
1278	-159	-191	Max	2.51	527.39	1	52.25	5	3.10	1	53.76	5	2.44	5	0.02	5
1278	-159	-191	Max	16.87	528.41	1	52.25	5	4.22	5	53.78	5	4.05	5	0.02	5
1278	-159	-191	Min.	2.51	-793.51	1	-42.60	5	-3.43	1	-36.93	5	-3.67	5	-0.03	5
1278	-159	-191	Min.	16.87	-792.49	1	-42.60	5	-3.17	5	-36.90	5	-2.87	5	-0.03	5
1278	-191	-223	Max	2.51	522.50	1	53.19	5	3.07	1	54.73	5	2.40	1	0.02	5
1278	-191	-223	Max	16.87	523.52	1	53.19	5	4.44	5	54.76	5	4.28	5	0.02	5
1278	-191	-223	Min.	2.51	-749.89	1	-43.33	5	-3.38	1	-37.56	5	-3.61	1	-0.03	5
1278	-191	-223	Min.	16.87	-748.88	1	-43.33	5	-3.34	5	-37.54	5	-3.02	5	-0.03	5
1278	-223	-255	Max	2.51	517.43	1	54.13	5	3.04	1	55.72	5	2.37	1	0.02	5
1278	-223	-255	Max	16.87	518.46	1	54.13	5	4.65	5	55.75	5	4.50	5	0.02	5
1278	-223	-255	Min.	2.51	-704.49	1	-44.04	5	-3.34	1	-38.17	5	-3.57	1	-0.03	5
1278	-223	-255	Min.	16.87	-703.47	1	-44.04	5	-3.49	5	-38.14	5	-3.17	5	-0.03	5
1278	-255	-287	Max	2.51	534.91	5	55.14	5	3.02	1	56.74	5	2.34	1	0.02	5
1278	-255	-287	Max	16.87	535.93	5	55.14	5	4.86	5	56.76	5	4.73	5	0.02	5
1278	-255	-287	Min.	2.51	-679.95	5	-44.81	5	-3.30	1	-38.77	5	-3.52	1	-0.03	5

1278	-255	-287	Min.	16.87	-678.93	5	-44.81	5	-3.66	5	-38.75	5	-3.33	5	-0.03	5
1278	-287	-319	Max	2.51	629.82	5	56.09	5	2.99	1	57.78	5	2.30	1	0.03	5
1278	-287	-319	Max	16.87	630.84	5	56.09	5	5.09	5	57.81	5	4.97	5	0.03	5
1278	-287	-319	Min.	2.51	-731.05	5	-45.51	5	-3.25	1	-39.39	5	-3.46	1	-0.03	5
1278	-287	-319	Min.	16.87	-730.03	5	-45.51	5	-3.83	5	-39.37	5	-3.49	5	-0.03	5
1278	-319	-351	Max	2.51	728.82	5	57.07	5	2.95	1	58.76	5	2.25	1	0.03	5
1278	-319	-351	Max	16.87	729.84	5	57.07	5	5.33	5	58.79	5	5.23	5	0.03	5
1278	-319	-351	Min.	2.51	-784.32	5	-46.24	5	-3.18	1	-39.94	5	-3.39	1	-0.03	5
1278	-319	-351	Min.	16.87	-783.30	5	-46.24	5	-4.01	5	-39.91	5	-3.66	5	-0.03	5
1278	-351	-383	Max	2.51	832.14	5	58.08	5	2.90	1	59.84	5	2.20	1	0.03	5
1278	-351	-383	Max	16.87	833.16	5	58.08	5	5.59	5	59.86	5	5.51	5	0.03	5
1278	-351	-383	Min.	2.51	-839.84	5	-46.98	5	-3.11	1	-40.54	5	-3.31	1	-0.03	5
1278	-351	-383	Min.	16.87	-838.82	5	-46.98	5	-4.21	5	-40.51	5	-3.84	5	-0.03	5
1278	-383	-415	Max	2.51	940.14	5	59.12	5	2.84	1	60.92	5	2.14	1	0.03	5
1278	-383	-415	Max	16.87	941.16	5	59.12	5	5.87	5	60.95	5	5.80	5	0.03	5
1278	-383	-415	Min.	2.51	-897.80	5	-47.73	5	-3.02	1	-41.13	5	-3.21	1	-0.03	5
1278	-383	-415	Min.	16.87	-896.78	5	-47.73	5	-4.42	5	-41.11	5	-4.03	5	-0.03	5
1278	-415	-447	Max	2.51	1053.10	5	59.80	5	2.77	1	62.32	5	2.06	1	0.03	5
1278	-415	-447	Max	16.87	1054.13	5	59.80	5	6.12	5	62.35	5	6.17	5	0.03	5
1278	-415	-447	Min.	2.51	-958.33	5	-48.23	5	-2.92	1	-42.00	5	-3.10	1	-0.03	5
1278	-415	-447	Min.	16.87	-957.30	5	-48.23	5	-4.61	5	-41.97	5	-4.29	5	-0.03	5
1278	-447	-479	Max	2.51	1171.12	5	63.65	5	2.67	1	61.40	5	1.95	1	0.03	5
1278	-447	-479	Max	16.87	1172.15	5	63.65	5	6.86	5	61.42	5	6.27	5	0.03	5
1278	-447	-479	Min.	2.51	-1021.44	5	-50.81	5	-2.78	1	-40.56	5	-2.93	1	-0.03	5
1278	-447	-479	Min.	16.87	-1020.42	5	-50.81	5	-5.13	5	-40.54	5	-4.26	5	-0.03	5
1278	-479	-511	Max	2.51	1292.99	5	46.33	5	2.39	1	76.57	5	1.76	1	0.04	5
1278	-479	-511	Max	16.87	1294.01	5	46.33	5	4.93	5	76.60	5	8.76	5	0.04	5
1278	-479	-511	Min.	2.51	-1086.42	5	-39.61	5	-2.38	1	-54.91	5	-2.61	1	-0.05	5
1278	-479	-511	Min.	16.87	-1085.40	5	-39.61	5	-3.96	5	-54.88	5	-6.50	5	-0.05	5
1278	-511	1357	Max	2.51	1436.29	5	154.80	5	1.35	5	41.52	1	1.07	5	0.04	1
1278	-511	1357	Max	14.38	1437.14	5	154.80	5	16.78	5	41.54	1	3.65	1	0.04	1
1278	-511	1357	Min.	2.51	-1176.00	5	-110.13	5	-1.60	5	-21.47	1	-1.32	5	-0.05	1
1278	-511	1357	Min.	14.38	-1175.16	5	-110.13	5	-11.73	5	-21.46	1	-1.52	1	-0.05	1
1279	355	-21	Max	4.85	0.00	1	0.00	1	0.00	1	0.00	1	0.00	1	0.00	1
1279	355	-21	Min.	4.85	0.00	1	0.00	1	0.00	1	0.00	1	0.00	1	0.00	1
1279	-21	-53	Max	4.85	0.00	1	0.00	1	0.00	1	0.00	1	0.00	1	0.00	1
1279	-21	-53	Min.	4.85	0.00	1	0.00	1	0.00	1	0.00	1	0.00	1	0.00	1
1279	-53	-85	Max	5.01	641.26	1	55.73	5	3.46	5	36.96	5	6.30	1	0.04	1
1279	-53	-85	Max	14.98					0.84	3			1.13	3		
1279	-53	-85	Max	16.87	642.10	1	55.73	5	0.99	5	36.98	5	0.63	5	0.04	1
1279	-53	-85	Min.	5.01	-1122.38	1	-31.71	5	-5.93	5	-54.20	5	-4.68	1	-0.03	1
1279	-53	-85	Min.	14.98					-0.92	3			-1.23	3		
1279	-53	-85	Min.	16.87	-1121.54	1	-31.71	5	-0.62	5	-54.18	5	-1.05	5	-0.03	1
1279	-85	-117	Max	2.51	603.10	1	59.21	5	2.82	5	34.50	5	4.84	1	0.03	1
1279	-85	-117	Max	16.87	604.12	1	59.21	5	3.54	5	34.52	5	1.99	5	0.03	1
1279	-85	-117	Min.	2.51	-1110.07	1	-32.89	5	-4.97	5	-56.46	5	-3.15	1	-0.02	1
1279	-85	-117	Min.	16.87	-1109.05	1	-32.89	5	-1.91	5	-56.43	5	-3.46	5	-0.02	1
1279	-117	-149	Max	2.51	553.05	1	60.25	5	2.46	1	35.32	5	4.30	1	0.02	1
1279	-117	-149	Max	16.87	554.07	1	60.25	5	4.35	5	35.35	5	2.46	5	0.02	1
1279	-117	-149	Min.	2.51	-1094.81	1	-33.45	5	-4.32	1	-57.50	5	-2.90	1	-0.02	1
1279	-117	-149	Min.	16.87	-1093.79	1	-33.45	5	-2.36	5	-57.48	5	-4.24	5	-0.02	1
1279	-149	-181	Max	2.51	498.32	1	61.47	5	2.39	1	35.91	5	4.16	1	0.01	1
1279	-149	-181	Max	16.87	499.35	1	61.47	5	4.71	5	35.94	5	2.66	5	0.01	1
1279	-149	-181	Min.	2.51	-1078.48	1	-34.02	5	-4.17	1	-58.65	5	-2.81	1	-0.02	1
1279	-149	-181	Min.	16.87	-1077.46	1	-34.02	5	-2.55	5	-58.63	5	-4.59	5	-0.02	1
1279	-181	-213	Max	2.51	440.56	1	62.62	5	2.35	1	36.50	5	4.09	1	0.01	1
1279	-181	-213	Max	16.87	441.58	1	62.62	5	4.98	5	36.53	5	2.81	5	0.01	1
1279	-181	-213	Min.	2.51	-1061.57	1	-34.56	5	-4.09	1	-59.80	5	-2.78	1	-0.02	1
1279	-181	-213	Min.	16.87	-1060.55	1	-34.56	5	-2.69	5	-59.78	5	-4.84	5	-0.02	1

1279	-213	-245	Max	2.51	380.01	1	63.85	5	2.32	1	37.07	5	4.04	1	0.01	1
1279	-213	-245	Max	16.87	381.04	1	63.85	5	5.23	5	37.10	5	2.95	5	0.01	1
1279	-213	-245	Min.	2.51	-1044.14	1	-35.10	5	-4.04	1	-60.95	5	-2.75	1	-0.02	1
1279	-213	-245	Min.	16.87	-1043.12	1	-35.10	5	-2.82	5	-60.93	5	-5.09	5	-0.02	1
1279	-245	-277	Max	2.51	397.05	5	65.09	5	2.28	1	37.65	5	3.97	1	0.02	1
1279	-245	-277	Max	16.87	398.07	5	65.09	5	5.50	5	37.67	5	3.09	5	0.02	1
1279	-245	-277	Min.	2.51	-1106.67	5	-35.63	5	-3.97	1	-62.18	5	-2.71	1	-0.02	1
1279	-245	-277	Min.	16.87	-1105.65	5	-35.63	5	-2.96	5	-62.15	5	-5.34	5	-0.02	1
1279	-277	-309	Max	2.51	439.08	5	66.35	5	2.23	1	38.21	5	3.90	1	0.02	1
1279	-277	-309	Max	16.87	440.11	5	66.35	5	5.78	5	38.23	5	3.24	5	0.02	1
1279	-277	-309	Min.	2.51	-1196.73	5	-36.14	5	-3.89	1	-63.39	5	-2.67	1	-0.02	1
1279	-277	-309	Min.	16.87	-1195.71	5	-36.14	5	-3.10	5	-63.36	5	-5.62	5	-0.02	1
1279	-309	-341	Max	2.51	482.55	5	67.61	5	2.18	1	38.74	5	3.82	1	0.02	1
1279	-309	-341	Max	16.87	483.57	5	67.61	5	6.08	5	38.76	5	3.39	5	0.02	1
1279	-309	-341	Min.	2.51	-1290.93	5	-36.63	5	-3.80	1	-64.56	5	-2.62	1	-0.02	1
1279	-309	-341	Min.	16.87	-1289.91	5	-36.63	5	-3.25	5	-64.54	5	-5.90	5	-0.02	1
1279	-341	-373	Max	2.51	527.49	5	68.93	5	2.12	1	39.30	5	3.72	1	0.02	1
1279	-341	-373	Max	16.87	528.51	5	68.93	5	6.41	5	39.32	5	3.56	5	0.02	1
1279	-341	-373	Min.	2.51	-1389.50	5	-37.13	5	-3.69	1	-65.88	5	-2.56	1	-0.02	1
1279	-341	-373	Min.	16.87	-1388.47	5	-37.13	5	-3.41	5	-65.86	5	-6.22	5	-0.02	1
1279	-373	-405	Max	2.51	573.99	5	70.33	5	2.05	1	39.82	5	3.60	1	0.02	1
1279	-373	-405	Max	16.87	575.01	5	70.33	5	6.76	5	39.84	5	3.74	5	0.02	1
1279	-373	-405	Min.	2.51	-1492.75	5	-37.65	5	-3.56	1	-67.08	5	-2.50	1	-0.02	1
1279	-373	-405	Min.	16.87	-1491.73	5	-37.65	5	-3.59	5	-67.06	5	-6.54	5	-0.02	1
1279	-405	-437	Max	2.51	622.10	5	71.38	5	1.96	1	40.51	5	3.47	1	0.02	1
1279	-405	-437	Max	16.87	623.12	5	71.38	5	7.09	5	40.54	5	3.95	5	0.02	1
1279	-405	-437	Min.	2.51	-1600.94	5	-37.94	5	-3.42	1	-68.94	5	-2.42	1	-0.02	1
1279	-405	-437	Min.	16.87	-1599.92	5	-37.94	5	-3.75	5	-68.92	5	-6.98	5	-0.02	1
1279	-437	-469	Max	2.51	671.89	5	75.72	5	1.85	1	39.94	5	3.26	1	0.02	1
1279	-437	-469	Max	16.87	672.91	5	75.72	5	7.95	5	39.97	5	4.03	5	0.02	1
1279	-437	-469	Min.	2.51	-1714.37	5	-39.95	5	-3.22	1	-66.55	5	-2.31	1	-0.02	1
1279	-437	-469	Min.	16.87	-1713.34	5	-39.95	5	-4.17	5	-66.53	5	-6.89	5	-0.02	1
1279	-469	-501	Max	2.51	753.26	5	56.74	5	1.62	1	48.32	5	2.95	1	0.01	5
1279	-469	-501	Max	16.87	754.28	5	56.74	5	5.84	5	48.35	5	5.46	5	0.01	5
1279	-469	-501	Min.	2.51	-1861.66	5	-29.84	5	-2.72	1	-93.95	5	-2.03	1	-0.03	5
1279	-469	-501	Min.	16.87	-1860.64	5	-29.84	5	-3.07	5	-93.92	5	-11.10	5	-0.03	5
1279	-501	1334	Max	2.51	850.72	5	177.23	5	1.01	5	72.87	5	0.72	5	0.01	5
1279	-501	1334	Max	14.38	851.57	5	177.23	5	19.09	5	72.88	5	6.77	5	0.01	5
1279	-501	1334	Min.	2.51	-2025.39	5	-91.90	5	-1.95	5	-14.61	5	-1.88	5	-0.02	5
1279	-501	1334	Min.	14.38	-2024.54	5	-91.90	5	-9.90	5	-14.59	5	-1.02	5	-0.02	5
1300	1299	1300	Max	1.77	164.93	5	41.65	1	7.92	5	2.98	1	0.65	5	0.03	1
1300	1299	1300	Max	10.00	164.93	5	42.24	1	7.05	5	2.98	1	0.58	5	0.03	1
1300	1299	1300	Min.	1.77	-90.92	5	-40.09	1	-5.75	5	-3.13	1	-0.35	5	-0.03	1
1300	1299	1300	Min.	10.00	-90.92	5	-39.50	1	-4.70	5	-3.13	1	-0.29	5	-0.03	1
1300	1300	1301	Max	0.00	165.00	5	42.24	1	7.05	5	2.97	1	0.58	5	0.03	1
1300	1300	1301	Max	8.23	165.00	5	42.82	1	8.22	5	2.97	1	0.64	5	0.03	1
1300	1300	1301	Min.	0.00	-90.99	5	-39.50	1	-4.70	5	-3.12	1	-0.29	5	-0.03	1
1300	1300	1301	Min.	8.23	-90.99	5	-38.92	1	-5.60	5	-3.12	1	-0.36	5	-0.03	1
1302	1319	1320	Max	1.77	82.31	5	1.97	1	0.33	5	37.06	1	4.45	5	0.04	1
1302	1319	1320	Max	10.00	82.31	5	1.97	1	0.29	5	37.64	1	3.58	5	0.04	1
1302	1319	1320	Min.	1.77	-181.36	5	-2.22	1	-0.60	5	-34.91	1	-10.25	5	-0.04	1
1302	1319	1320	Min.	10.00	-181.36	5	-2.22	1	-0.58	5	-34.33	1	-9.16	5	-0.04	1
1302	1320	1321	Max	0.00	82.24	5	1.89	1	0.29	5	37.64	1	3.58	5	0.04	1
1302	1320	1321	Max	8.23	82.24	5	1.89	1	0.33	5	38.23	1	4.51	5	0.04	1
1302	1320	1321	Min.	0.00	-181.29	5	-2.15	1	-0.58	5	-34.33	1	-9.16	5	-0.04	1
1302	1320	1321	Min.	8.23	-181.29	5	-2.15	1	-0.64	5	-33.74	1	-9.76	5	-0.04	1
1344	1331	1332	Max	1.77	82.05	5	36.89	1	4.42	5	1.97	1	0.33	5	0.04	1
1344	1331	1332	Max	10.00	82.05	5	37.48	1	3.59	5	1.97	1	0.29	5	0.04	1
1344	1331	1332	Min.	1.77	-181.16	5	-34.89	1	-10.21	5	-2.23	1	-0.60	5	-0.04	1

1344	1331	1332	Min.	10.00	-181.16	5	-34.31	1	-9.16	5	-2.23	1	-0.58	5	-0.04	1
1344	1332	1333	Max	0.00	81.98	5	37.48	1	3.59	5	1.90	1	0.29	5	0.04	1
1344	1332	1333	Max	8.23	81.98	5	38.06	1	4.54	5	1.90	1	0.33	5	0.04	1
1344	1332	1333	Min.	0.00	-181.09	5	-34.31	1	-9.16	5	-2.16	1	-0.58	5	-0.04	1
1344	1332	1333	Min.	8.23	-181.09	5	-33.72	1	-9.80	5	-2.16	1	-0.64	5	-0.04	1
1346	1351	1352	Max	1.77	164.71	5	2.98	1	0.64	5	41.17	1	7.97	5	0.03	1
1346	1351	1352	Max	10.00	164.71	5	2.98	1	0.58	5	41.76	1	7.05	5	0.03	1
1346	1351	1352	Min.	1.77	-90.62	5	-3.10	1	-0.34	5	-39.86	1	-5.78	5	-0.03	1
1346	1351	1352	Min.	10.00	-90.62	5	-3.10	1	-0.29	5	-39.27	1	-4.71	5	-0.03	1
1346	1352	1353	Max	0.00	164.77	5	2.95	1	0.58	5	41.76	1	7.05	5	0.03	1
1346	1352	1353	Max	8.23	164.77	5	2.95	1	0.64	5	42.34	1	8.17	5	0.03	1
1346	1352	1353	Min.	0.00	-90.68	5	-3.07	1	-0.29	5	-39.27	1	-4.71	5	-0.03	1
1346	1352	1353	Min.	8.23	-90.68	5	-3.07	1	-0.36	5	-38.69	1	-5.57	5	-0.03	1
1384	1328	1340	Max	1.77	23.03	1	3.15	5	0.38	5	99.78	5	5.67	5	0.32	5
1384	1328	1340	Max	10.00	23.03	1	3.15	5	0.12	1	100.36	5	-0.00	5	0.32	5
1384	1328	1340	Min.	1.77	-29.42	1	-4.63	5	-0.27	5	-69.25	5	-8.79	5	-0.47	5
1384	1328	1340	Min.	10.00	-29.42	1	-4.63	5	-0.13	1	-68.66	5	-0.56	5	-0.47	5
1384	1340	1348	Max	0.00	23.10	1	3.08	5	0.12	1	100.36	5	-0.00	5	0.32	5
1384	1340	1348	Max	8.23	23.10	1	3.08	5	0.29	5	100.95	5	7.73	5	0.32	5
1384	1340	1348	Min.	0.00	-29.49	1	-4.56	5	-0.13	1	-68.66	5	-0.56	5	-0.47	5
1384	1340	1348	Min.	8.23	-29.49	1	-4.56	5	-0.42	5	-68.08	5	-5.63	5	-0.47	5
1387	1330	1341	Max	1.77	23.14	1	106.51	5	5.82	5	4.21	5	0.51	5	0.45	5
1387	1330	1341	Max	10.00	23.14	1	107.10	5	-0.30	5	4.21	5	0.13	1	0.45	5
1387	1330	1341	Min.	1.77	-30.21	1	-74.60	5	-9.68	5	-5.97	5	-0.36	5	-0.31	5
1387	1330	1341	Min.	10.00	-30.21	1	-74.01	5	-0.88	5	-5.97	5	-0.12	1	-0.31	5
1387	1341	1350	Max	0.00	23.22	1	107.10	5	-0.30	5	4.14	5	0.13	1	0.45	5
1387	1341	1350	Max	8.23	23.22	1	107.68	5	7.96	5	4.14	5	0.38	5	0.45	5
1387	1341	1350	Min.	0.00	-30.28	1	-74.01	5	-0.88	5	-5.90	5	-0.12	1	-0.31	5
1387	1341	1350	Min.	8.23	-30.28	1	-73.43	5	-6.37	5	-5.90	5	-0.51	5	-0.31	5
1422	1331	1342	Max	1.77	32.13	1	2.99	5	0.51	5	117.27	5	4.46	5	0.27	5
1422	1331	1342	Max	10.00	32.13	1	2.99	5	0.17	1	117.86	5	-0.19	1	0.27	5
1422	1331	1342	Min.	1.77	-47.27	1	-5.94	5	-0.27	5	-59.27	5	-10.95	5	-0.52	5
1422	1331	1342	Min.	10.00	-47.27	1	-5.94	5	-0.18	1	-58.69	5	-1.47	1	-0.52	5
1422	1342	1351	Max	0.00	32.20	1	2.92	5	0.17	1	117.86	5	-0.19	1	0.27	5
1422	1342	1351	Max	8.23	32.20	1	2.92	5	0.29	5	118.44	5	8.69	5	0.27	5
1422	1342	1351	Min.	0.00	-47.35	1	-5.87	5	-0.18	1	-58.69	5	-1.47	1	-0.52	5
1422	1342	1351	Min.	8.23	-47.35	1	-5.87	5	-0.54	5	-58.10	5	-5.43	5	-0.52	5
1425	1333	1343	Max	1.77	34.75	1	118.74	5	4.53	5	3.11	5	0.54	5	0.52	5
1425	1333	1343	Max	10.00	34.75	1	119.32	5	-0.15	1	3.11	5	0.18	1	0.52	5
1425	1333	1343	Min.	1.77	-44.58	1	-60.05	5	-10.97	5	-6.20	5	-0.27	5	-0.26	5
1425	1333	1343	Min.	10.00	-44.58	1	-59.47	5	-1.41	1	-6.20	5	-0.17	1	-0.26	5
1425	1343	1353	Max	0.00	34.82	1	119.32	5	-0.15	1	3.04	5	0.18	1	0.52	5
1425	1343	1353	Max	8.23	34.82	1	119.91	5	8.88	5	3.04	5	0.31	5	0.52	5
1425	1343	1353	Min.	0.00	-44.66	1	-59.47	5	-1.41	1	-6.13	5	-0.17	1	-0.26	5
1425	1343	1353	Min.	8.23	-44.66	1	-58.88	5	-5.46	5	-6.13	5	-0.55	5	-0.26	5
1460	1334	1344	Max	1.77	34.76	1	3.12	5	0.55	5	118.82	5	4.55	5	0.26	5
1460	1334	1344	Max	10.00	34.76	1	3.12	5	0.18	1	119.40	5	-0.15	1	0.26	5
1460	1334	1344	Min.	1.77	-43.75	1	-6.21	5	-0.28	5	-60.10	5	-11.01	5	-0.52	5
1460	1334	1344	Min.	10.00	-43.75	1	-6.21	5	-0.17	1	-59.52	5	-1.43	1	-0.52	5
1460	1344	1354	Max	0.00	34.83	1	3.05	5	0.18	1	119.40	5	-0.15	1	0.26	5
1460	1344	1354	Max	8.23	34.83	1	3.05	5	0.31	5	119.99	5	8.84	5	0.26	5
1460	1344	1354	Min.	0.00	-43.83	1	-6.14	5	-0.17	1	-59.52	5	-1.43	1	-0.52	5
1460	1344	1354	Min.	8.23	-43.83	1	-6.14	5	-0.55	5	-58.93	5	-5.44	5	-0.52	5
1463	1336	1345	Max	1.77	32.11	1	117.20	5	4.44	5	2.98	5	0.50	5	0.52	5
1463	1336	1345	Max	9.38					-0.67	3			0.17	3		
1463	1336	1345	Max	10.00	32.11	1	117.78	5	-0.19	1	2.98	5	0.17	1	0.52	5
1463	1336	1345	Min.	1.77	-48.08	1	-59.23	5	-10.91	5	-5.94	5	-0.27	5	-0.27	5
1463	1336	1345	Min.	9.38					-1.34	3			-0.16	3		
1463	1336	1345	Min.	10.00	-48.08	1	-58.65	5	-1.46	1	-5.94	5	-0.18	1	-0.27	5

1463	1345	1356	Max	0.00	32.18	1	117.78	5	-0.19	1	2.91	5	0.17	1	0.52	5
1463	1345	1356	Max	8.23	32.18	1	118.37	5	8.72	5	2.91	5	0.29	5	0.52	5
1463	1345	1356	Min.	0.00	-48.16	1	-58.65	5	-1.46	1	-5.87	5	-0.18	1	-0.27	5
1463	1345	1356	Min.	8.23	-48.16	1	-58.06	5	-5.45	5	-5.87	5	-0.55	5	-0.27	5
1498	1337	1346	Max	1.77	23.16	1	4.21	5	0.51	5	106.54	5	5.84	5	0.31	5
1498	1337	1346	Max	10.00	23.16	1	4.21	5	0.13	1	107.13	5	-0.28	5	0.31	5
1498	1337	1346	Min.	1.77	-29.78	1	-5.97	5	-0.36	5	-74.58	5	-9.71	5	-0.45	5
1498	1337	1346	Min.	10.00	-29.78	1	-5.97	5	-0.12	1	-74.00	5	-0.92	5	-0.45	5
1498	1346	1357	Max	0.00	23.09	1	4.14	5	0.13	1	107.13	5	-0.28	5	0.31	5
1498	1346	1357	Max	8.23	23.09	1	4.14	5	0.37	5	107.71	5	7.93	5	0.31	5
1498	1346	1357	Min.	0.00	-29.71	1	-5.90	5	-0.12	1	-74.00	5	-0.92	5	-0.45	5
1498	1346	1357	Min.	8.23	-29.71	1	-5.90	5	-0.51	5	-73.41	5	-6.35	5	-0.45	5
1501	1339	1347	Max	1.77	23.20	1	99.76	5	5.65	5	3.15	5	0.38	5	0.47	5
1501	1339	1347	Max	9.59					-0.43	3			0.12	3		
1501	1339	1347	Max	10.00	23.20	1	100.35	5	-0.03	5	3.15	5	0.12	1	0.47	5
1501	1339	1347	Min.	1.77	-30.02	1	-69.24	5	-8.76	5	-4.63	5	-0.26	5	-0.32	5
1501	1339	1347	Min.	9.59					-0.25	3			-0.12	3		
1501	1339	1347	Min.	10.00	-30.02	1	-68.66	5	-0.53	5	-4.63	5	-0.13	1	-0.32	5
1501	1347	1359	Max	0.00	23.27	1	100.35	5	-0.03	5	3.08	5	0.12	1	0.47	5
1501	1347	1359	Max	8.23	23.27	1	100.93	5	7.76	5	3.08	5	0.30	5	0.47	5
1501	1347	1359	Min.	0.00	-30.09	1	-68.66	5	-0.53	5	-4.56	5	-0.13	1	-0.32	5
1501	1347	1359	Min.	8.23	-30.09	1	-68.07	5	-5.65	5	-4.56	5	-0.43	5	-0.32	5
1519	1032	1324	Max	8.49	57.38	1	24.13	5	1.93	5	914.03	5	97.83	5	24.38	5
1519	1032	1324	Max	11.31	57.38	1	24.13	5	0.68	5	913.83	5	36.62	5	24.38	5
1519	1032	1324	Min.	8.49	-59.97	1	-44.30	5	-1.05	5	-2163.88	5	-44.80	5	-13.04	5
1519	1032	1324	Min.	11.31	-59.97	1	-44.30	5	-0.37	5	-2164.08	5	-18.95	5	-13.04	5
1519	1302	1032	Max	2.83	32.88	1	50.13	5	0.76	5	1121.35	5	19.03	5	13.20	5
1519	1302	1032	Max	5.66	32.88	1	50.13	5	2.18	5	1121.15	5	50.74	5	13.20	5
1519	1302	1032	Min.	2.83	-89.67	1	-28.16	5	-0.42	5	-1770.68	5	-36.50	5	-24.61	5
1519	1302	1032	Min.	5.66	-89.67	1	-28.16	5	-1.22	5	-1770.88	5	-86.58	5	-24.61	5
1520	1029	1319	Max	8.49	57.35	1	44.45	5	1.04	5	914.76	5	97.72	5	13.02	5
1520	1029	1319	Max	11.31	57.35	1	44.45	5	0.36	5	914.56	5	36.55	5	13.02	5
1520	1029	1319	Min.	8.49	-60.10	1	-24.02	5	-1.94	5	-2162.48	5	-44.81	5	-24.37	5
1520	1029	1319	Min.	11.31	-60.10	1	-24.02	5	-0.68	5	-2162.68	5	-18.94	5	-24.37	5
1520	1301	1029	Max	2.83	33.13	1	28.03	5	0.42	5	1122.07	5	19.02	5	24.57	5
1520	1301	1029	Max	5.66	33.13	1	28.03	5	1.21	5	1121.87	5	50.76	5	24.57	5
1520	1301	1029	Min.	2.83	-89.75	1	-49.45	5	-0.75	5	-1769.29	5	-36.43	5	-13.17	5
1520	1301	1029	Min.	5.66	-89.75	1	-49.45	5	-2.15	5	-1769.49	5	-86.47	5	-13.17	5
1521	1299	1029	Max	2.83	36.73	1	49.36	5	0.74	5	1130.65	5	19.29	5	12.98	5
1521	1299	1029	Max	5.66	36.73	1	49.36	5	2.14	5	1130.45	5	51.27	5	12.98	5
1521	1299	1029	Min.	2.83	-85.40	1	-26.43	5	-0.40	5	-1754.72	5	-35.93	5	-24.89	5
1521	1299	1029	Min.	5.66	-85.40	1	-26.43	5	-1.15	5	-1754.92	5	-85.56	5	-24.89	5
1521	1029	1321	Max	8.49	52.96	1	24.53	5	2.10	5	923.86	5	96.83	5	24.86	5
1521	1029	1321	Max	11.31	52.96	1	24.53	5	0.73	5	923.65	5	36.06	5	24.86	5
1521	1029	1321	Min.	8.49	-63.65	1	-48.44	5	-1.07	5	-2148.42	5	-45.34	5	-12.90	5
1521	1029	1321	Min.	11.31	-63.65	1	-48.44	5	-0.37	5	-2148.62	5	-19.22	5	-12.90	5
1522	1035	1327	Max	8.49	53.40	1	22.37	5	1.41	5	1177.40	5	82.28	5	21.24	5
1522	1035	1327	Max	11.31	53.40	1	22.37	5	0.51	5	1177.21	5	31.39	5	21.24	5
1522	1035	1327	Min.	8.49	-48.21	1	-31.81	5	-0.98	5	-1799.41	5	-55.68	5	-14.33	5
1522	1035	1327	Min.	11.31	-48.21	1	-31.81	5	-0.34	5	-1799.61	5	-22.38	5	-14.33	5
1522	1305	1035	Max	2.83	32.65	1	48.09	5	0.74	5	1252.44	5	22.43	5	14.85	5
1522	1305	1035	Max	5.66	32.65	1	48.09	5	2.10	5	1252.24	5	57.85	5	14.85	5
1522	1305	1035	Min.	2.83	-69.85	1	-35.83	5	-0.53	5	-1553.63	5	-31.30	5	-21.86	5
1522	1305	1035	Min.	5.66	-69.85	1	-35.83	5	-1.55	5	-1553.83	5	-75.25	5	-21.86	5
1523	1026	1318	Max	8.49	39.07	1	33.45	5	2.08	5	1112.25	5	84.61	5	21.55	5
1523	1026	1318	Max	11.31	39.07	1	33.45	5	0.72	5	1112.05	5	31.70	5	21.55	5
1523	1026	1318	Min.	8.49	-54.51	1	-48.19	5	-1.46	5	-1870.31	5	-52.85	5	-15.42	5
1523	1026	1318	Min.	11.31	-54.51	1	-48.19	5	-0.51	5	-1870.51	5	-21.39	5	-15.42	5
1523	1296	1026	Max	2.83	43.42	1	36.83	5	0.56	5	1173.17	5	21.43	5	15.09	5

1523	1296	1026	Max	5.66	43.42	1	36.83	5	1.60	5	1172.97	5	54.61	5	15.09	5
1523	1296	1026	Min.	2.83	-59.86	1	-25.01	5	-0.39	5	-1611.41	5	-31.60	5	-21.11	5
1523	1296	1026	Min.	5.66	-59.86	1	-25.01	5	-1.10	5	-1611.61	5	-77.18	5	-21.11	5
1524	1026	1316	Max	8.49	53.43	1	31.45	5	0.96	5	1177.47	5	82.22	5	14.29	5
1524	1026	1316	Max	11.31	53.43	1	31.45	5	0.34	5	1177.27	5	31.35	5	14.29	5
1524	1026	1316	Min.	8.49	-48.21	1	-22.14	5	-1.39	5	-1798.38	5	-55.65	5	-21.20	5
1524	1026	1316	Min.	11.31	-48.21	1	-22.14	5	-0.50	5	-1798.58	5	-22.35	5	-21.20	5
1524	1298	1026	Max	2.83	32.79	1	35.72	5	0.53	5	1252.00	5	22.40	5	21.84	5
1524	1298	1026	Max	5.66	32.79	1	35.72	5	1.54	5	1251.80	5	57.81	5	21.84	5
1524	1298	1026	Min.	2.83	-69.88	1	-47.96	5	-0.74	5	-1553.11	5	-31.25	5	-14.82	5
1524	1298	1026	Min.	5.66	-69.88	1	-47.96	5	-2.09	5	-1553.31	5	-75.18	5	-14.82	5
1525	1032	1322	Max	8.49	52.89	1	48.65	5	1.06	5	924.70	5	96.71	5	12.88	5
1525	1032	1322	Max	11.31	52.89	1	48.65	5	0.37	5	924.50	5	35.98	5	12.88	5
1525	1032	1322	Min.	8.49	-63.80	1	-24.44	5	-2.11	5	-2147.07	5	-45.37	5	-24.85	5
1525	1032	1322	Min.	11.31	-63.80	1	-24.44	5	-0.73	5	-2147.27	5	-19.21	5	-24.85	5
1525	1304	1032	Max	2.83	37.00	1	26.28	5	0.40	5	1131.49	5	19.30	5	24.86	5
1525	1304	1032	Max	5.66	37.00	1	26.28	5	1.14	5	1131.29	5	51.30	5	24.86	5
1525	1304	1032	Min.	2.83	-85.47	1	-48.67	5	-0.73	5	-1753.33	5	-35.86	5	-12.95	5
1525	1304	1032	Min.	5.66	-85.47	1	-48.67	5	-2.11	5	-1753.53	5	-85.45	5	-12.95	5
1526	1035	1325	Max	8.49	38.95	1	47.44	5	1.43	5	1112.76	5	84.52	5	15.38	5
1526	1035	1325	Max	11.31	38.95	1	47.44	5	0.50	5	1112.56	5	31.64	5	15.38	5
1526	1035	1325	Min.	8.49	-54.61	1	-32.82	5	-2.05	5	-1869.61	5	-52.85	5	-21.50	5
1526	1035	1325	Min.	11.31	-54.61	1	-32.82	5	-0.71	5	-1869.81	5	-21.38	5	-21.50	5
1526	1307	1035	Max	2.83	43.62	1	25.35	5	0.39	5	1174.21	5	21.43	5	21.11	5
1526	1307	1035	Max	5.66	43.62	1	25.35	5	1.11	5	1174.02	5	54.64	5	21.11	5
1526	1307	1035	Min.	2.83	-59.97	1	-37.16	5	-0.56	5	-1610.27	5	-31.55	5	-15.09	5
1526	1307	1035	Min.	5.66	-59.97	1	-37.16	5	-1.61	5	-1610.47	5	-77.10	5	-15.09	5
1551	1330	1286	Max	2.83	38.95	1	47.43	5	0.71	5	1869.87	5	31.64	5	15.37	5
1551	1330	1286	Max	5.66	38.95	1	47.43	5	2.05	5	1869.67	5	84.53	5	15.37	5
1551	1330	1286	Min.	2.83	-54.59	1	-32.84	5	-0.50	5	-1112.51	5	-21.38	5	-21.49	5
1551	1330	1286	Min.	5.66	-54.59	1	-32.84	5	-1.43	5	-1112.71	5	-52.84	5	-21.49	5
1551	1286	1348	Max	8.49	43.62	1	25.26	5	1.61	5	1610.86	5	54.62	5	21.09	5
1551	1286	1348	Max	11.31	43.62	1	25.26	5	0.56	5	1610.66	5	21.43	5	21.09	5
1551	1286	1348	Min.	8.49	-59.92	1	-37.10	5	-1.11	5	-1173.56	5	-77.11	5	-15.08	5
1551	1286	1348	Min.	11.31	-59.92	1	-37.10	5	-0.39	5	-1173.76	5	-31.55	5	-15.08	5
1552	1336	1292	Max	2.83	57.25	1	44.29	5	0.68	5	2162.86	5	36.56	5	13.02	5
1552	1336	1292	Max	5.66	57.25	1	44.29	5	1.93	5	2162.66	5	97.73	5	13.02	5
1552	1336	1292	Min.	2.83	-59.96	1	-24.02	5	-0.36	5	-914.11	5	-18.93	5	-24.35	5
1552	1336	1292	Min.	5.66	-59.96	1	-24.02	5	-1.04	5	-914.31	5	-44.79	5	-24.35	5
1552	1292	1354	Max	8.49	33.02	1	28.00	5	2.16	5	1770.10	5	50.73	5	24.56	5
1552	1292	1354	Max	11.31	33.02	1	28.00	5	0.75	5	1769.90	5	19.01	5	24.56	5
1552	1292	1354	Min.	8.49	-89.57	1	-49.57	5	-1.21	5	-1121.06	5	-86.50	5	-13.17	5
1552	1292	1354	Min.	11.31	-89.57	1	-49.57	5	-0.42	5	-1121.26	5	-36.43	5	-13.17	5
1553	1328	1286	Max	2.83	53.24	1	22.38	5	0.34	5	1798.40	5	31.37	5	21.24	5
1553	1328	1286	Max	5.66	53.24	1	22.38	5	0.98	5	1798.20	5	82.23	5	21.24	5
1553	1328	1286	Min.	2.83	-47.99	1	-31.86	5	-0.51	5	-1176.72	5	-22.36	5	-14.33	5
1553	1328	1286	Min.	5.66	-47.99	1	-31.86	5	-1.41	5	-1176.92	5	-55.65	5	-14.33	5
1553	1286	1350	Max	8.49	32.47	1	48.04	5	1.55	5	1552.96	5	57.81	5	14.85	5
1553	1286	1350	Max	11.31	32.47	1	48.04	5	0.53	5	1552.76	5	22.41	5	14.85	5
1553	1286	1350	Min.	8.49	-69.65	1	-35.82	5	-2.10	5	-1251.35	5	-75.20	5	-21.86	5
1553	1286	1350	Min.	11.31	-69.65	1	-35.82	5	-0.74	5	-1251.55	5	-31.28	5	-21.86	5
1554	1337	1295	Max	2.83	39.07	1	32.99	5	0.50	5	1870.10	5	31.70	5	21.53	5
1554	1337	1295	Max	5.66	39.07	1	32.99	5	1.44	5	1869.90	5	84.59	5	21.53	5
1554	1337	1295	Min.	2.83	-54.52	1	-47.63	5	-0.71	5	-1112.53	5	-21.40	5	-15.39	5
1554	1337	1295	Min.	5.66	-54.52	1	-47.63	5	-2.06	5	-1112.73	5	-52.87	5	-15.39	5
1554	1295	1359	Max	8.49	43.40	1	37.38	5	1.12	5	1611.12	5	54.64	5	15.11	5
1554	1295	1359	Max	11.31	43.40	1	37.38	5	0.40	5	1610.92	5	21.44	5	15.11	5
1554	1295	1359	Min.	8.49	-59.84	1	-25.45	5	-1.62	5	-1173.64	5	-77.16	5	-21.14	5
1554	1295	1359	Min.	11.31	-59.84	1	-25.45	5	-0.57	5	-1173.84	5	-31.60	5	-21.14	5

1555	1331	1289	Max	2.83	57.27	1	24.19	5	0.37	5	2162.72	5	36.60	5	24.40	5
1555	1331	1289	Max	5.66	57.27	1	24.19	5	1.05	5	2162.52	5	97.77	5	24.40	5
1555	1331	1289	Min.	2.83	-59.80	1	-44.56	5	-0.68	5	-913.99	5	-18.94	5	-13.04	5
1555	1331	1289	Min.	5.66	-59.80	1	-44.56	5	-1.94	5	-914.19	5	-44.80	5	-13.04	5
1555	1289	1353	Max	8.49	32.74	1	49.89	5	1.22	5	1769.95	5	50.73	5	13.19	5
1555	1289	1353	Max	11.31	32.74	1	49.89	5	0.42	5	1769.75	5	19.02	5	13.19	5
1555	1289	1353	Min.	8.49	-89.49	1	-28.08	5	-2.17	5	-1120.94	5	-86.53	5	-24.60	5
1555	1289	1353	Min.	11.31	-89.49	1	-28.08	5	-0.76	5	-1121.14	5	-36.47	5	-24.60	5
1556	1289	1351	Max	8.49	36.94	1	26.22	5	2.12	5	1754.34	5	51.26	5	24.84	5
1556	1289	1351	Max	11.31	36.94	1	26.22	5	0.74	5	1754.14	5	19.28	5	24.84	5
1556	1289	1351	Min.	8.49	-85.36	1	-48.76	5	-1.14	5	-1130.34	5	-85.49	5	-12.94	5
1556	1289	1351	Min.	11.31	-85.36	1	-48.76	5	-0.40	5	-1130.54	5	-35.87	5	-12.94	5
1556	1333	1289	Max	2.83	52.84	1	48.49	5	0.73	5	2147.65	5	35.99	5	12.88	5
1556	1333	1289	Max	5.66	52.84	1	48.49	5	2.10	5	2147.45	5	96.73	5	12.88	5
1556	1333	1289	Min.	2.83	-63.70	1	-24.47	5	-0.37	5	-923.94	5	-19.20	5	-24.83	5
1556	1333	1289	Min.	5.66	-63.70	1	-24.47	5	-1.06	5	-924.13	5	-45.34	5	-24.83	5
1557	1339	1295	Max	2.83	53.25	1	31.71	5	0.51	5	1798.68	5	31.34	5	14.31	5
1557	1339	1295	Max	5.66	53.25	1	31.71	5	1.40	5	1798.48	5	82.21	5	14.31	5
1557	1339	1295	Min.	2.83	-48.06	1	-22.30	5	-0.34	5	-1176.79	5	-22.34	5	-21.21	5
1557	1339	1295	Min.	5.66	-48.06	1	-22.30	5	-0.97	5	-1176.99	5	-55.63	5	-21.21	5
1557	1295	1357	Max	8.49	32.63	1	35.58	5	2.08	5	1553.21	5	57.79	5	21.82	5
1557	1295	1357	Max	11.31	32.63	1	35.58	5	0.73	5	1553.01	5	22.39	5	21.82	5
1557	1295	1357	Min.	8.49	-69.72	1	-47.68	5	-1.54	5	-1251.43	5	-75.18	5	-14.82	5
1557	1295	1357	Min.	11.31	-69.72	1	-47.68	5	-0.53	5	-1251.63	5	-31.25	5	-14.82	5
1558	1292	1356	Max	8.49	36.65	1	49.08	5	1.14	5	1754.33	5	51.26	5	12.96	5
1558	1292	1356	Max	11.31	36.65	1	49.08	5	0.40	5	1754.13	5	19.29	5	12.96	5
1558	1292	1356	Min.	8.49	-85.29	1	-26.30	5	-2.13	5	-1130.23	5	-85.53	5	-24.89	5
1558	1292	1356	Min.	11.31	-85.29	1	-26.30	5	-0.74	5	-1130.43	5	-35.91	5	-24.89	5
1558	1334	1292	Max	2.83	52.90	1	24.63	5	0.37	5	2147.68	5	36.04	5	24.88	5
1558	1334	1292	Max	5.66	52.90	1	24.63	5	1.07	5	2147.48	5	96.78	5	24.88	5
1558	1334	1292	Min.	2.83	-63.52	1	-48.73	5	-0.74	5	-923.85	5	-19.21	5	-12.90	5
1558	1334	1292	Min.	5.66	-63.52	1	-48.73	5	-2.11	5	-924.05	5	-45.35	5	-12.90	5
1579	1302	1303	Max	1.77	164.76	5	38.90	1	8.17	5	3.08	1	0.65	5	0.03	1
1579	1302	1303	Max	10.00	164.76	5	39.48	1	7.05	5	3.08	1	0.58	5	0.03	1
1579	1302	1303	Min.	1.77	-90.69	5	-42.51	1	-5.57	5	-2.98	1	-0.36	5	-0.03	1
1579	1302	1303	Min.	10.00	-90.69	5	-41.93	1	-4.71	5	-2.98	1	-0.29	5	-0.03	1
1579	1303	1304	Max	0.00	164.72	5	39.48	1	7.05	5	3.12	1	0.58	5	0.03	1
1579	1303	1304	Max	8.23	164.72	5	40.07	1	7.98	5	3.12	1	0.64	5	0.03	1
1579	1303	1304	Min.	0.00	-90.65	5	-41.93	1	-4.71	5	-3.02	1	-0.29	5	-0.03	1
1579	1303	1304	Min.	8.23	-90.65	5	-41.34	1	-5.78	5	-3.02	1	-0.34	5	-0.03	1
1581	1322	1323	Max	1.77	81.97	5	2.16	1	0.33	5	33.70	1	4.54	5	0.04	1
1581	1322	1323	Max	10.00	81.97	5	2.16	1	0.29	5	34.28	1	3.59	5	0.04	1
1581	1322	1323	Min.	1.77	-181.09	5	-1.88	1	-0.64	5	-38.18	1	-9.79	5	-0.04	1
1581	1322	1323	Min.	10.00	-181.09	5	-1.88	1	-0.58	5	-37.59	1	-9.16	5	-0.04	1
1581	1323	1324	Max	0.00	82.04	5	2.24	1	0.29	5	34.28	1	3.59	5	0.04	1
1581	1323	1324	Max	8.23	82.04	5	2.24	1	0.33	5	34.87	1	4.42	5	0.04	1
1581	1323	1324	Min.	0.00	-181.16	5	-1.96	1	-0.58	5	-37.59	1	-9.16	5	-0.04	1
1581	1323	1324	Min.	8.23	-181.16	5	-1.96	1	-0.60	5	-37.01	1	-10.22	5	-0.04	1
1623	1334	1335	Max	1.77	82.26	5	33.71	1	4.51	5	2.17	1	0.33	5	0.04	1
1623	1334	1335	Max	10.00	82.26	5	34.29	1	3.58	5	2.17	1	0.29	5	0.04	1
1623	1334	1335	Min.	1.77	-181.31	5	-38.31	1	-9.75	5	-1.90	1	-0.64	5	-0.04	1
1623	1334	1335	Min.	10.00	-181.31	5	-37.73	1	-9.16	5	-1.90	1	-0.58	5	-0.04	1
1623	1335	1336	Max	0.00	82.33	5	34.29	1	3.58	5	2.25	1	0.29	5	0.04	1
1623	1335	1336	Max	8.23	82.33	5	34.88	1	4.45	5	2.25	1	0.33	5	0.04	1
1623	1335	1336	Min.	0.00	-181.38	5	-37.73	1	-9.16	5	-1.98	1	-0.58	5	-0.04	1
1623	1335	1336	Min.	8.23	-181.38	5	-37.14	1	-10.26	5	-1.98	1	-0.60	5	-0.04	1
1625	1354	1355	Max	1.77	165.01	5	3.09	1	0.64	5	38.71	1	8.21	5	0.03	1
1625	1354	1355	Max	10.00	165.01	5	3.09	1	0.58	5	39.29	1	7.05	5	0.03	1
1625	1354	1355	Min.	1.77	-90.98	5	-2.95	1	-0.36	5	-42.56	1	-5.60	5	-0.03	1

1625	1354	1355	Min.	10.00	-90.98	5	-2.95	1	-0.29	5	-41.98	1	-4.70	5	-0.03	1
1625	1355	1356	Max	0.00	164.94	5	3.10	1	0.58	5	39.29	1	7.05	5	0.03	1
1625	1355	1356	Max	8.23	164.94	5	3.10	1	0.65	5	39.88	1	7.92	5	0.03	1
1625	1355	1356	Min.	0.00	-90.91	5	-2.97	1	-0.29	5	-41.98	1	-4.70	5	-0.03	1
1625	1355	1356	Min.	8.23	-90.91	5	-2.97	1	-0.34	5	-41.39	1	-5.75	5	-0.03	1
1798	345	-14	Max	4.85	0.00	1	0.00	1	0.00	1	0.00	1	0.00	1	0.00	1
1798	345	-14	Min.	4.85	0.00	1	0.00	1	0.00	1	0.00	1	0.00	1	0.00	1
1798	-14	-46	Max	4.85	0.00	1	0.00	1	0.00	1	0.00	1	0.00	1	0.00	1
1798	-14	-46	Min.	4.85	0.00	1	0.00	1	0.00	1	0.00	1	0.00	1	0.00	1
1798	-46	-78	Max	5.01	693.30	1	51.75	5	3.50	5	35.79	5	6.63	1	0.04	1
1798	-46	-78	Max	14.50					0.92	3			1.36	3		
1798	-46	-78	Max	16.87	694.14	1	51.75	5	1.02	5	35.81	5	0.65	5	0.04	1
1798	-46	-78	Min.	5.01	-1056.12	1	-31.89	5	-5.43	5	-57.51	5	-4.39	1	-0.03	1
1798	-46	-78	Min.	14.50					-0.96	3			-1.18	3		
1798	-46	-78	Min.	16.87	-1055.28	1	-31.89	5	-0.59	5	-57.49	5	-0.98	5	-0.03	1
1798	-78	-110	Max	2.51	653.14	1	54.63	5	2.99	1	33.47	5	5.07	1	0.03	1
1798	-78	-110	Max	16.87	654.16	1	54.63	5	3.35	5	33.50	5	1.96	5	0.03	1
1798	-78	-110	Min.	2.51	-1047.46	1	-33.24	5	-4.61	1	-59.29	5	-2.95	1	-0.02	1
1798	-78	-110	Min.	16.87	-1046.44	1	-33.24	5	-1.90	5	-59.26	5	-3.54	5	-0.02	1
1798	-110	-142	Max	2.51	600.50	1	55.69	5	2.67	1	34.26	5	4.51	1	0.02	1
1798	-110	-142	Max	16.87	601.52	1	55.69	5	4.11	5	34.29	5	2.41	5	0.02	1
1798	-110	-142	Min.	2.51	-1036.92	1	-33.81	5	-4.05	1	-60.37	5	-2.71	1	-0.02	1
1798	-110	-142	Min.	16.87	-1035.90	1	-33.81	5	-2.36	5	-60.34	5	-4.36	5	-0.02	1
1798	-142	-174	Max	2.51	542.96	1	56.75	5	2.59	1	34.84	5	4.36	1	0.02	1
1798	-142	-174	Max	16.87	543.98	1	56.75	5	4.45	5	34.86	5	2.61	5	0.02	1
1798	-142	-174	Min.	2.51	-1025.75	1	-34.38	5	-3.90	1	-61.60	5	-2.63	1	-0.02	1
1798	-142	-174	Min.	16.87	-1024.73	1	-34.38	5	-2.55	5	-61.58	5	-4.72	5	-0.02	1
1798	-174	-206	Max	2.51	482.21	1	57.83	5	2.55	1	35.40	5	4.30	1	0.02	1
1798	-174	-206	Max	16.87	483.24	1	57.83	5	4.70	5	35.42	5	2.75	5	0.02	1
1798	-174	-206	Min.	2.51	-1014.27	1	-34.93	5	-3.83	1	-62.82	5	-2.60	1	-0.01	1
1798	-174	-206	Min.	16.87	-1013.25	1	-34.93	5	-2.69	5	-62.79	5	-4.99	5	-0.01	1
1798	-206	-238	Max	2.51	418.54	1	58.94	5	2.51	1	35.95	5	4.24	1	0.02	1
1798	-206	-238	Max	16.87	419.56	1	58.94	5	4.94	5	35.97	5	2.88	5	0.02	1
1798	-206	-238	Min.	2.51	-1002.55	1	-35.48	5	-3.77	1	-64.06	5	-2.57	1	-0.01	1
1798	-206	-238	Min.	16.87	-1001.53	1	-35.48	5	-2.83	5	-64.03	5	-5.24	5	-0.01	1
1798	-238	-270	Max	2.51	415.82	5	60.04	5	2.47	1	36.48	5	4.18	1	0.02	1
1798	-238	-270	Max	16.87	416.84	5	60.04	5	5.19	5	36.51	5	3.02	5	0.02	1
1798	-238	-270	Min.	2.51	-1054.58	5	-36.00	5	-3.70	1	-65.31	5	-2.53	1	-0.02	1
1798	-238	-270	Min.	16.87	-1053.56	5	-36.00	5	-2.97	5	-65.29	5	-5.51	5	-0.02	1
1798	-270	-302	Max	2.51	455.69	5	61.17	5	2.42	1	37.01	5	4.11	1	0.02	1
1798	-270	-302	Max	16.87	456.71	5	61.17	5	5.46	5	37.03	5	3.16	5	0.02	1
1798	-270	-302	Min.	2.51	-1152.19	5	-36.52	5	-3.62	1	-66.59	5	-2.49	1	-0.02	1
1798	-270	-302	Min.	16.87	-1151.17	5	-36.52	5	-3.11	5	-66.57	5	-5.80	5	-0.02	1
1798	-302	-334	Max	2.51	496.89	5	62.33	5	2.37	1	37.53	5	4.02	1	0.02	1
1798	-302	-334	Max	16.87	497.91	5	62.33	5	5.74	5	37.55	5	3.32	5	0.02	1
1798	-302	-334	Min.	2.51	-1254.31	5	-37.04	5	-3.53	1	-67.90	5	-2.45	1	-0.02	1
1798	-302	-334	Min.	16.87	-1253.29	5	-37.04	5	-3.27	5	-67.88	5	-6.10	5	-0.02	1
1798	-334	-366	Max	2.51	539.46	5	63.49	5	2.31	1	38.05	5	3.92	1	0.02	1
1798	-334	-366	Max	16.87	540.48	5	63.49	5	6.05	5	38.07	5	3.48	5	0.02	1
1798	-334	-366	Min.	2.51	-1361.24	5	-37.54	5	-3.42	1	-69.27	5	-2.39	1	-0.02	1
1798	-334	-366	Min.	16.87	-1360.22	5	-37.54	5	-3.43	5	-69.24	5	-6.43	5	-0.02	1
1798	-366	-398	Max	2.51	583.46	5	64.77	5	2.23	1	38.54	5	3.80	1	0.02	1
1798	-366	-398	Max	16.87	584.48	5	64.77	5	6.38	5	38.56	5	3.65	5	0.02	1
1798	-366	-398	Min.	2.51	-1473.30	5	-38.07	5	-3.30	1	-70.58	5	-2.33	1	-0.02	1
1798	-366	-398	Min.	16.87	-1472.28	5	-38.07	5	-3.61	5	-70.55	5	-6.77	5	-0.02	1
1798	-398	-430	Max	2.51	628.95	5	65.57	5	2.15	1	39.22	5	3.66	1	0.02	1
1798	-398	-430	Max	16.87	629.97	5	65.57	5	6.68	5	39.24	5	3.86	5	0.02	1
1798	-398	-430	Min.	2.51	-1590.79	5	-38.34	5	-3.15	1	-72.58	5	-2.25	1	-0.02	1
1798	-398	-430	Min.	16.87	-1589.77	5	-38.34	5	-3.77	5	-72.55	5	-7.23	5	-0.02	1

1798	-430	-462	Max	2.51	675.96	5	69.91	5	2.03	1	38.57	5	3.45	1	0.02	1
1798	-430	-462	Max	16.87	676.98	5	69.91	5	7.52	5	38.60	5	3.92	5	0.02	1
1798	-430	-462	Min.	2.51	-1713.96	5	-40.43	5	-2.96	1	-70.16	5	-2.15	1	-0.02	1
1798	-430	-462	Min.	16.87	-1712.94	5	-40.43	5	-4.21	5	-70.13	5	-7.15	5	-0.02	1
1798	-462	-494	Max	2.51	748.05	5	50.76	5	1.77	1	46.85	5	3.12	1	0.01	1
1798	-462	-494	Max	16.87	749.07	5	50.76	5	5.36	5	46.87	5	5.33	5	0.01	1
1798	-462	-494	Min.	2.51	-1864.91	5	-30.21	5	-2.47	1	-97.81	5	-1.88	1	-0.02	1
1798	-462	-494	Min.	16.87	-1863.89	5	-30.21	5	-3.11	5	-97.79	5	-11.41	5	-0.02	1
1798	-494	1324	Max	2.51	842.37	5	170.38	5	1.02	5	69.70	5	0.76	5	0.01	5
1798	-494	1324	Max	14.38	843.21	5	170.38	5	18.48	5	69.72	5	6.49	5	0.01	5
1798	-494	1324	Min.	2.51	-2037.41	5	-92.83	5	-1.75	5	-15.77	5	-1.78	5	-0.01	5
1798	-494	1324	Min.	14.38	-2036.56	5	-92.83	5	-10.01	5	-15.75	5	-1.12	5	-0.01	5
1799	318	-4	Max	4.85	0.00	1	0.00	1	0.00	1	0.00	1	0.00	1	0.00	1
1799	318	-4	Min.	4.85	0.00	1	0.00	1	0.00	1	0.00	1	0.00	1	0.00	1
1799	-4	-36	Max	4.85	0.00	1	0.00	1	0.00	1	0.00	1	0.00	1	0.00	1
1799	-4	-36	Min.	4.85	0.00	1	0.00	1	0.00	1	0.00	1	0.00	1	0.00	1
1799	-36	-68	Max	5.01	655.60	1	55.77	5	3.60	5	61.29	5	4.00	1	0.03	5
1799	-36	-68	Max	16.87	656.45	1	55.77	5	0.88	5	61.31	5	0.89	5	0.03	5
1799	-36	-68	Min.	5.01	-1036.85	1	-32.87	5	-5.95	5	-32.15	5	-7.14	1	-0.02	5
1799	-36	-68	Min.	16.87	-1036.00	1	-32.87	5	-0.52	5	-32.13	5	-0.57	5	-0.02	5
1799	-68	-100	Max	2.51	651.70	1	56.66	5	3.57	1	58.02	5	3.03	1	0.01	5
1799	-68	-100	Max	16.87	652.72	1	56.66	5	3.46	5	58.04	5	3.48	5	0.01	5
1799	-68	-100	Min.	2.51	-992.01	1	-35.30	5	-5.18	1	-32.81	5	-5.06	1	-0.01	5
1799	-68	-100	Min.	16.87	-990.99	1	-35.30	5	-2.01	5	-32.78	5	-1.89	5	-0.01	5
1799	-100	-132	Max	2.51	646.07	1	57.56	5	3.19	1	59.25	5	2.76	1	0.01	1
1799	-100	-132	Max	16.87	647.09	1	57.56	5	4.25	5	59.27	5	4.28	5	0.01	1
1799	-100	-132	Min.	2.51	-934.43	1	-35.74	5	-4.57	1	-33.26	5	-4.56	1	-0.01	1
1799	-100	-132	Min.	16.87	-933.41	1	-35.74	5	-2.49	5	-33.23	5	-2.34	5	-0.01	1
1799	-132	-164	Max	2.51	639.74	1	58.64	5	3.11	1	60.36	5	2.69	1	0.02	1
1799	-132	-164	Max	16.87	640.76	1	58.64	5	4.59	5	60.38	5	4.63	5	0.02	1
1799	-132	-164	Min.	2.51	-871.98	1	-36.35	5	-4.42	1	-33.83	5	-4.41	1	-0.02	1
1799	-132	-164	Min.	16.87	-870.95	1	-36.35	5	-2.70	5	-33.80	5	-2.54	5	-0.02	1
1799	-164	-196	Max	2.51	633.06	1	59.72	5	3.08	1	61.48	5	2.66	1	0.02	1
1799	-164	-196	Max	16.87	634.08	1	59.72	5	4.84	5	61.51	5	4.89	5	0.02	1
1799	-164	-196	Min.	2.51	-806.38	1	-36.93	5	-4.36	1	-34.38	5	-4.34	1	-0.02	1
1799	-164	-196	Min.	16.87	-805.36	1	-36.93	5	-2.84	5	-34.35	5	-2.68	5	-0.02	1
1799	-196	-228	Max	2.51	626.09	1	60.84	5	3.06	1	62.63	5	2.63	1	0.02	1
1799	-196	-228	Max	16.87	627.11	1	60.84	5	5.08	5	62.66	5	5.14	5	0.02	1
1799	-196	-228	Min.	2.51	-737.90	1	-37.53	5	-4.31	1	-34.91	5	-4.29	1	-0.02	1
1799	-196	-228	Min.	16.87	-736.88	1	-37.53	5	-2.98	5	-34.89	5	-2.81	5	-0.02	1
1799	-228	-260	Max	2.51	618.89	1	61.94	5	3.03	1	63.82	5	2.61	1	0.02	1
1799	-228	-260	Max	16.87	619.92	1	61.94	5	5.34	5	63.85	5	5.41	5	0.02	1
1799	-228	-260	Min.	2.51	-666.49	1	-38.07	5	-4.25	1	-35.46	5	-4.22	1	-0.02	1
1799	-228	-260	Min.	16.87	-665.47	1	-38.07	5	-3.12	5	-35.43	5	-2.95	5	-0.02	1
1799	-260	-292	Max	2.51	720.35	5	63.11	5	3.00	1	64.99	5	2.57	1	0.02	1
1799	-260	-292	Max	16.87	721.37	5	63.11	5	5.61	5	65.01	5	5.68	5	0.02	1
1799	-260	-292	Min.	2.51	-700.86	5	-38.66	5	-4.18	1	-35.95	5	-4.15	1	-0.02	1
1799	-260	-292	Min.	16.87	-699.84	5	-38.66	5	-3.27	5	-35.93	5	-3.09	5	-0.02	1
1799	-292	-324	Max	2.51	827.06	5	64.24	5	2.96	1	66.23	5	2.53	1	0.02	1
1799	-292	-324	Max	16.87	828.08	5	64.24	5	5.89	5	66.26	5	5.98	5	0.02	1
1799	-292	-324	Min.	2.51	-737.39	5	-39.19	5	-4.10	1	-36.48	5	-4.06	1	-0.02	1
1799	-292	-324	Min.	16.87	-736.37	5	-39.19	5	-3.43	5	-36.46	5	-3.24	5	-0.02	1
1799	-324	-356	Max	2.51	938.53	5	65.44	5	2.92	1	67.47	5	2.48	1	0.02	1
1799	-324	-356	Max	16.87	939.56	5	65.44	5	6.20	5	67.50	5	6.30	5	0.02	1
1799	-324	-356	Min.	2.51	-775.35	5	-39.75	5	-4.01	1	-36.98	5	-3.96	1	-0.02	1
1799	-324	-356	Min.	16.87	-774.33	5	-39.75	5	-3.60	5	-36.95	5	-3.40	5	-0.02	1
1799	-356	-388	Max	2.51	1055.07	5	66.73	5	2.86	1	68.72	5	2.42	1	0.02	1
1799	-356	-388	Max	16.87	1056.09	5	66.73	5	6.53	5	68.74	5	6.64	5	0.02	1
1799	-356	-388	Min.	2.51	-814.77	5	-40.34	5	-3.90	1	-37.44	5	-3.84	1	-0.02	1

1799	-356	-388	Min.	16.87	-813.75	5	-40.34	5	-3.78	5	-37.41	5	-3.57	5	-0.02	1
1799	-388	-420	Max	2.51	1176.97	5	67.59	5	2.79	1	70.32	5	2.35	1	0.02	1
1799	-388	-420	Max	16.87	1177.99	5	67.59	5	6.84	5	70.34	5	7.06	5	0.02	1
1799	-388	-420	Min.	2.51	-855.73	5	-40.69	5	-3.76	1	-38.19	5	-3.70	1	-0.02	1
1799	-388	-420	Min.	16.87	-854.71	5	-40.69	5	-3.95	5	-38.16	5	-3.79	5	-0.02	1
1799	-420	-452	Max	2.51	1304.46	5	71.85	5	2.69	1	69.57	5	2.24	1	0.02	1
1799	-420	-452	Max	16.87	1305.49	5	71.85	5	7.67	5	69.59	5	7.20	5	0.02	1
1799	-420	-452	Min.	2.51	-898.28	5	-42.78	5	-3.58	1	-36.75	5	-3.50	1	-0.03	1
1799	-420	-452	Min.	16.87	-897.26	5	-42.78	5	-4.39	5	-36.72	5	-3.74	5	-0.03	1
1799	-452	-484	Max	2.51	1460.91	5	58.20	1	2.42	1	85.97	5	2.04	1	0.03	1
1799	-452	-484	Max	16.87	1461.93	5	58.20	1	5.56	5	85.99	5	9.91	5	0.03	1
1799	-452	-484	Min.	2.51	-966.50	5	-38.14	1	-3.06	1	-50.72	5	-3.11	1	-0.04	1
1799	-452	-484	Min.	16.87	-965.48	5	-38.14	1	-3.32	5	-50.69	5	-5.91	5	-0.04	1
1799	-484	1301	Max	2.51	1635.32	5	173.85	5	1.26	1	49.38	1	1.25	1	0.04	1
1799	-484	1301	Max	14.38	1636.16	5	173.85	5	18.84	5	49.40	1	4.53	1	0.04	1
1799	-484	1301	Min.	2.51	-1056.71	5	-95.76	5	-1.96	1	-23.18	1	-1.33	1	-0.05	1
1799	-484	1301	Min.	14.38	-1055.87	5	-95.76	5	-10.27	5	-23.16	1	-1.50	1	-0.05	1
1800	342	-12	Max	4.85	0.00	1	0.00	1	0.00	1	0.00	1	0.00	1	0.00	1
1800	342	-12	Min.	4.85	0.00	1	0.00	1	0.00	1	0.00	1	0.00	1	0.00	1
1800	-12	-44	Max	4.85	0.00	1	0.00	1	0.00	1	0.00	1	0.00	1	0.00	1
1800	-12	-44	Min.	4.85	0.00	1	0.00	1	0.00	1	0.00	1	0.00	1	0.00	1
1800	-44	-76	Max	5.01	641.81	1	55.57	5	3.45	5	36.99	5	6.31	1	0.04	1
1800	-44	-76	Max	14.97					0.84	3			1.14	3		
1800	-44	-76	Max	16.87	642.65	1	55.57	5	0.99	5	37.01	5	0.62	5	0.04	1
1800	-44	-76	Min.	5.01	-1123.95	1	-31.66	5	-5.91	5	-54.23	5	-4.69	1	-0.03	1
1800	-44	-76	Min.	14.97					-0.92	3			-1.23	3		
1800	-44	-76	Min.	16.87	-1123.10	1	-31.66	5	-0.62	5	-54.21	5	-1.05	5	-0.03	1
1800	-76	-108	Max	2.51	603.58	1	59.03	5	2.81	5	34.53	5	4.84	1	0.03	1
1800	-76	-108	Max	16.87	604.60	1	59.03	5	3.53	5	34.56	5	2.00	5	0.03	1
1800	-76	-108	Min.	2.51	-1111.57	1	-32.83	5	-4.95	5	-56.48	5	-3.16	1	-0.02	1
1800	-76	-108	Min.	16.87	-1110.55	1	-32.83	5	-1.90	5	-56.46	5	-3.46	5	-0.02	1
1800	-108	-140	Max	2.51	553.44	1	60.10	5	2.46	1	35.34	5	4.30	1	0.02	1
1800	-108	-140	Max	16.87	554.47	1	60.10	5	4.34	5	35.37	5	2.46	5	0.02	1
1800	-108	-140	Min.	2.51	-1096.23	1	-33.39	5	-4.31	1	-57.53	5	-2.90	1	-0.02	1
1800	-108	-140	Min.	16.87	-1095.21	1	-33.39	5	-2.35	5	-57.51	5	-4.24	5	-0.02	1
1800	-140	-172	Max	2.51	498.62	1	61.29	5	2.39	1	35.95	5	4.16	1	0.02	1
1800	-140	-172	Max	16.87	499.64	1	61.29	5	4.70	5	35.97	5	2.66	5	0.02	1
1800	-140	-172	Min.	2.51	-1079.81	1	-33.96	5	-4.16	1	-58.67	5	-2.82	1	-0.02	1
1800	-140	-172	Min.	16.87	-1078.79	1	-33.96	5	-2.55	5	-58.65	5	-4.59	5	-0.02	1
1800	-172	-204	Max	2.51	440.76	1	62.46	5	2.35	1	36.53	5	4.09	1	0.02	1
1800	-172	-204	Max	16.87	441.78	1	62.46	5	4.96	5	36.55	5	2.81	5	0.02	1
1800	-172	-204	Min.	2.51	-1062.80	1	-34.50	5	-4.09	1	-59.83	5	-2.78	1	-0.02	1
1800	-172	-204	Min.	16.87	-1061.78	1	-34.50	5	-2.69	5	-59.81	5	-4.84	5	-0.02	1
1800	-204	-236	Max	2.51	380.12	1	63.70	5	2.32	1	37.10	5	4.04	1	0.02	1
1800	-204	-236	Max	16.87	381.14	1	63.70	5	5.22	5	37.13	5	2.95	5	0.02	1
1800	-204	-236	Min.	2.51	-1045.29	1	-35.05	5	-4.03	1	-60.98	5	-2.75	1	-0.02	1
1800	-204	-236	Min.	16.87	-1044.27	1	-35.05	5	-2.82	5	-60.96	5	-5.09	5	-0.02	1
1800	-236	-268	Max	2.51	396.56	5	64.88	5	2.28	1	37.68	5	3.98	1	0.02	1
1800	-236	-268	Max	16.87	397.58	5	64.88	5	5.48	5	37.70	5	3.09	5	0.02	1
1800	-236	-268	Min.	2.51	-1107.23	5	-35.55	5	-3.96	1	-62.20	5	-2.72	1	-0.02	1
1800	-236	-268	Min.	16.87	-1106.21	5	-35.55	5	-2.95	5	-62.18	5	-5.35	5	-0.02	1
1800	-268	-300	Max	2.51	438.57	5	66.17	5	2.23	1	38.22	5	3.91	1	0.02	1
1800	-268	-300	Max	16.87	439.59	5	66.17	5	5.77	5	38.24	5	3.24	5	0.02	1
1800	-268	-300	Min.	2.51	-1197.27	5	-36.08	5	-3.88	1	-63.37	5	-2.68	1	-0.02	1
1800	-268	-300	Min.	16.87	-1196.24	5	-36.08	5	-3.10	5	-63.34	5	-5.62	5	-0.02	1
1800	-300	-332	Max	2.51	482.01	5	67.40	5	2.18	1	38.78	5	3.82	1	0.02	1
1800	-300	-332	Max	16.87	483.04	5	67.40	5	6.07	5	38.81	5	3.39	5	0.02	1
1800	-300	-332	Min.	2.51	-1291.45	5	-36.56	5	-3.79	1	-64.65	5	-2.63	1	-0.02	1
1800	-300	-332	Min.	16.87	-1290.43	5	-36.56	5	-3.25	5	-64.62	5	-5.91	5	-0.02	1

1800	-332	-364	Max	2.51	526.96	5	68.72	5	2.12	1	39.32	5	3.72	1	0.02	1
1800	-332	-364	Max	16.87	527.98	5	68.72	5	6.39	5	39.35	5	3.56	5	0.02	1
1800	-332	-364	Min.	2.51	-1390.04	5	-37.06	5	-3.68	1	-65.90	5	-2.57	1	-0.02	1
1800	-332	-364	Min.	16.87	-1389.02	5	-37.06	5	-3.41	5	-65.87	5	-6.22	5	-0.02	1
1800	-364	-396	Max	2.51	573.45	5	70.14	5	2.05	1	39.85	5	3.61	1	0.02	1
1800	-364	-396	Max	16.87	574.47	5	70.14	5	6.75	5	39.87	5	3.74	5	0.02	1
1800	-364	-396	Min.	2.51	-1493.29	5	-37.58	5	-3.56	1	-67.12	5	-2.50	1	-0.02	1
1800	-364	-396	Min.	16.87	-1492.27	5	-37.58	5	-3.58	5	-67.10	5	-6.55	5	-0.02	1
1800	-396	-428	Max	2.51	621.55	5	71.15	5	1.96	1	40.54	5	3.47	1	0.02	1
1800	-396	-428	Max	16.87	622.58	5	71.15	5	7.08	5	40.56	5	3.95	5	0.02	1
1800	-396	-428	Min.	2.51	-1601.48	5	-37.86	5	-3.41	1	-68.96	5	-2.42	1	-0.02	1
1800	-396	-428	Min.	16.87	-1600.46	5	-37.86	5	-3.74	5	-68.93	5	-6.99	5	-0.02	1
1800	-428	-460	Max	2.51	671.33	5	75.51	5	1.85	1	39.98	5	3.27	1	0.02	1
1800	-428	-460	Max	16.87	672.35	5	75.51	5	7.93	5	40.00	5	4.03	5	0.02	1
1800	-428	-460	Min.	2.51	-1714.89	5	-39.87	5	-3.21	1	-66.59	5	-2.31	1	-0.02	1
1800	-428	-460	Min.	16.87	-1713.87	5	-39.87	5	-4.17	5	-66.57	5	-6.89	5	-0.02	1
1800	-460	-492	Max	2.51	752.96	5	56.51	5	1.61	1	48.35	5	2.95	1	0.01	5
1800	-460	-492	Max	16.87	753.98	5	56.51	5	5.82	5	48.37	5	5.47	5	0.01	5
1800	-460	-492	Min.	2.51	-1862.45	5	-29.75	5	-2.70	1	-93.97	5	-2.04	1	-0.02	5
1800	-460	-492	Min.	16.87	-1861.43	5	-29.75	5	-3.07	5	-93.95	5	-11.10	5	-0.02	5
1800	-492	1321	Max	2.51	850.49	5	176.99	5	1.01	5	72.91	5	0.72	5	0.01	5
1800	-492	1321	Max	14.38	851.34	5	176.99	5	19.07	5	72.93	5	6.77	5	0.01	5
1800	-492	1321	Min.	2.51	-2026.26	5	-91.85	5	-1.95	5	-14.58	5	-1.88	5	-0.02	5
1800	-492	1321	Min.	14.38	-2025.42	5	-91.85	5	-9.90	5	-14.56	5	-1.01	5	-0.02	5
1801	348	-16	Max	4.85	0.00	1	0.00	1	0.00	1	0.00	1	0.00	1	0.00	1
1801	348	-16	Min.	4.85	0.00	1	0.00	1	0.00	1	0.00	1	0.00	1	0.00	1
1801	-16	-48	Max	4.85	0.00	1	0.00	1	0.00	1	0.00	1	0.00	1	0.00	1
1801	-16	-48	Min.	4.85	0.00	1	0.00	1	0.00	1	0.00	1	0.00	1	0.00	1
1801	-48	-80	Max	5.01	724.73	1	40.06	5	3.51	5	38.05	5	5.70	5	0.05	5
1801	-48	-80	Max	16.87	725.57	1	40.06	5	0.96	5	38.07	5	0.75	5	0.05	5
1801	-48	-80	Min.	5.01	-823.13	1	-31.96	5	-4.08	5	-52.06	5	-4.08	5	-0.04	5
1801	-48	-80	Min.	16.87	-822.29	1	-31.96	5	-0.58	5	-52.04	5	-0.79	5	-0.04	5
1801	-80	-112	Max	2.51	699.15	1	41.75	5	2.92	5	36.83	5	4.49	5	0.04	5
1801	-80	-112	Max	16.87	700.17	1	41.75	5	2.71	5	36.85	5	2.25	5	0.04	5
1801	-80	-112	Min.	2.51	-815.45	1	-33.68	5	-3.29	5	-52.69	5	-3.05	5	-0.03	5
1801	-80	-112	Min.	16.87	-814.43	1	-33.68	5	-1.92	5	-52.67	5	-3.08	5	-0.03	5
1801	-112	-144	Max	2.51	665.45	1	42.54	5	2.58	1	37.63	5	3.91	5	0.03	5
1801	-112	-144	Max	16.87	666.47	1	42.54	5	3.30	5	37.66	5	2.75	5	0.03	5
1801	-112	-144	Min.	2.51	-806.21	1	-34.26	5	-2.86	1	-53.71	5	-2.66	5	-0.03	5
1801	-112	-144	Min.	16.87	-805.19	1	-34.26	5	-2.39	5	-53.69	5	-3.81	5	-0.03	5
1801	-144	-176	Max	2.51	628.53	1	43.32	5	2.50	1	38.29	5	3.74	5	0.03	5
1801	-144	-176	Max	16.87	629.55	1	43.32	5	3.56	5	38.31	5	2.96	5	0.03	5
1801	-144	-176	Min.	2.51	-796.48	1	-34.84	5	-2.75	1	-54.77	5	-2.54	5	-0.02	5
1801	-144	-176	Min.	16.87	-795.46	1	-34.84	5	-2.60	5	-54.75	5	-4.12	5	-0.02	5
1801	-176	-208	Max	2.51	589.56	1	44.13	5	2.46	1	38.93	5	3.66	5	0.03	5
1801	-176	-208	Max	16.87	590.58	1	44.13	5	3.76	5	38.95	5	3.12	5	0.03	5
1801	-176	-208	Min.	2.51	-786.51	1	-35.43	5	-2.69	1	-55.81	5	-2.47	5	-0.02	5
1801	-176	-208	Min.	16.87	-785.49	1	-35.43	5	-2.75	5	-55.79	5	-4.36	5	-0.02	5
1801	-208	-240	Max	2.51	548.73	1	44.90	5	2.42	1	39.56	5	3.59	5	0.03	5
1801	-208	-240	Max	16.87	549.75	1	44.90	5	3.96	5	39.59	5	3.27	5	0.03	5
1801	-208	-240	Min.	2.51	-776.39	1	-35.99	5	-2.64	1	-56.88	5	-2.41	5	-0.02	5
1801	-208	-240	Min.	16.87	-775.37	1	-35.99	5	-2.89	5	-56.85	5	-4.58	5	-0.02	5
1801	-240	-272	Max	2.51	576.66	5	45.64	5	2.38	1	40.20	5	3.51	5	0.03	5
1801	-240	-272	Max	16.87	577.68	5	45.64	5	4.16	5	40.22	5	3.43	5	0.03	5
1801	-240	-272	Min.	2.51	-836.80	5	-36.52	5	-2.58	1	-57.98	5	-2.35	5	-0.02	5
1801	-240	-272	Min.	16.87	-835.78	5	-36.52	5	-3.04	5	-57.96	5	-4.82	5	-0.02	5
1801	-272	-304	Max	2.51	632.41	5	46.45	5	2.33	1	40.80	5	3.42	1	0.03	5
1801	-272	-304	Max	16.87	633.43	5	46.45	5	4.37	5	40.83	5	3.59	5	0.03	5
1801	-272	-304	Min.	2.51	-926.92	5	-37.08	5	-2.51	1	-59.04	5	-2.28	1	-0.02	5

1801	-272	-304	Min.	16.87	-925.90	5	-37.08	5	-3.20	5	-59.02	5	-5.06	5	-0.02	5
1801	-304	-336	Max	2.51	690.29	5	47.19	5	2.27	1	41.44	5	3.35	1	0.03	5
1801	-304	-336	Max	16.87	691.31	5	47.19	5	4.60	5	41.47	5	3.77	5	0.03	5
1801	-304	-336	Min.	2.51	-1021.18	5	-37.59	5	-2.42	1	-60.19	5	-2.23	1	-0.02	5
1801	-304	-336	Min.	16.87	-1020.16	5	-37.59	5	-3.37	5	-60.17	5	-5.33	5	-0.02	5
1801	-336	-368	Max	2.51	750.41	5	47.96	5	2.21	1	42.07	5	3.27	1	0.03	5
1801	-336	-368	Max	16.87	751.43	5	47.96	5	4.84	5	42.09	5	3.95	5	0.03	5
1801	-336	-368	Min.	2.51	-1119.87	5	-38.11	5	-2.33	1	-61.34	5	-2.17	1	-0.03	5
1801	-336	-368	Min.	16.87	-1118.85	5	-38.11	5	-3.55	5	-61.32	5	-5.62	5	-0.03	5
1801	-368	-400	Max	2.51	812.87	5	48.86	5	2.13	1	42.64	5	3.17	1	0.03	5
1801	-368	-400	Max	16.87	813.89	5	48.86	5	5.11	5	42.66	5	4.15	5	0.03	5
1801	-368	-400	Min.	2.51	-1223.22	5	-38.70	5	-2.23	1	-62.41	5	-2.10	1	-0.03	5
1801	-368	-400	Min.	16.87	-1222.20	5	-38.70	5	-3.75	5	-62.39	5	-5.91	5	-0.03	5
1801	-400	-432	Max	2.51	877.78	5	49.31	5	2.04	1	43.50	5	3.06	1	0.03	5
1801	-400	-432	Max	16.87	878.80	5	49.31	5	5.34	5	43.52	5	4.39	5	0.03	5
1801	-400	-432	Min.	2.51	-1331.49	5	-38.99	5	-2.11	1	-64.03	5	-2.02	1	-0.03	5
1801	-400	-432	Min.	16.87	-1330.46	5	-38.99	5	-3.92	5	-64.01	5	-6.30	5	-0.03	5
1801	-432	-464	Max	2.51	945.29	5	52.75	5	1.92	1	42.46	5	2.89	1	0.03	5
1801	-432	-464	Max	16.87	946.31	5	52.75	5	6.03	5	42.48	5	4.41	5	0.03	5
1801	-432	-464	Min.	2.51	-1444.97	5	-41.21	5	-1.95	1	-62.26	5	-1.91	1	-0.03	5
1801	-432	-464	Min.	16.87	-1443.95	5	-41.21	5	-4.40	5	-62.23	5	-6.27	5	-0.03	5
1801	-464	-496	Max	2.51	1014.40	5	35.25	5	1.67	1	54.81	5	2.60	1	0.02	1
1801	-464	-496	Max	16.87	1015.43	5	35.25	5	4.00	5	54.84	5	6.41	5	0.02	1
1801	-464	-496	Min.	2.51	-1561.78	5	-29.83	5	-1.60	1	-84.50	5	-1.68	1	-0.02	1
1801	-464	-496	Min.	16.87	-1560.76	5	-29.83	5	-3.15	5	-84.48	5	-9.75	5	-0.02	1
1801	-496	1327	Max	2.51	1095.88	5	142.20	5	1.00	5	52.87	5	1.04	5	0.01	5
1801	-496	1327	Max	14.38	1096.72	5	142.20	5	15.67	5	52.89	5	4.87	5	0.01	5
1801	-496	1327	Min.	2.51	-1689.69	5	-99.42	5	-1.22	5	-29.74	5	-1.41	5	-0.01	5
1801	-496	1327	Min.	14.38	-1688.85	5	-99.42	5	-10.81	5	-29.72	5	-2.49	5	-0.01	5
1802	339	-10	Max	4.85	0.00	1	0.00	1	0.00	1	0.00	1	0.00	1	0.00	1
1802	339	-10	Min.	4.85	0.00	1	0.00	1	0.00	1	0.00	1	0.00	1	0.00	1
1802	-10	-42	Max	4.85	0.00	1	0.00	1	0.00	1	0.00	1	0.00	1	0.00	1
1802	-10	-42	Min.	4.85	0.00	1	0.00	1	0.00	1	0.00	1	0.00	1	0.00	1
1802	-42	-74	Max	5.01	531.82	1	53.01	5	4.05	5	39.69	5	4.72	1	0.03	1
1802	-42	-74	Max	15.23					0.66	3			0.76	3		
1802	-42	-74	Max	16.87	532.66	1	53.01	5	0.87	5	39.70	5	0.65	5	0.03	1
1802	-42	-74	Min.	5.01	-1024.29	1	-38.18	5	-5.71	5	-44.67	5	-4.52	1	-0.02	1
1802	-42	-74	Min.	15.23					-0.80	3			-1.08	3		
1802	-42	-74	Min.	16.87	-1023.45	1	-38.18	5	-0.76	5	-44.65	5	-1.04	5	-0.02	1
1802	-74	-106	Max	2.51	510.59	1	56.40	5	3.26	5	37.98	5	3.72	5	0.02	1
1802	-74	-106	Max	16.87	511.61	1	56.40	5	3.30	5	38.00	5	2.20	5	0.02	1
1802	-74	-106	Min.	2.51	-1010.66	1	-39.33	5	-4.80	5	-46.90	5	-3.25	5	-0.02	1
1802	-74	-106	Min.	16.87	-1009.64	1	-39.33	5	-2.39	5	-46.88	5	-3.02	5	-0.02	1
1802	-106	-138	Max	2.51	482.51	1	57.41	5	2.83	5	38.84	5	3.20	1	0.02	5
1802	-106	-138	Max	16.87	483.54	1	57.41	5	4.07	5	38.86	5	2.72	5	0.02	5
1802	-106	-138	Min.	2.51	-993.69	1	-40.04	5	-4.17	5	-47.74	5	-2.88	1	-0.02	5
1802	-106	-138	Min.	16.87	-992.67	1	-40.04	5	-2.92	5	-47.72	5	-3.67	5	-0.02	5
1802	-138	-170	Max	2.51	451.75	1	58.50	5	2.71	5	39.52	5	3.09	1	0.02	5
1802	-138	-170	Max	16.87	452.77	1	58.50	5	4.40	5	39.54	5	2.94	5	0.02	5
1802	-138	-170	Min.	2.51	-975.53	1	-40.75	5	-4.00	5	-48.67	5	-2.79	1	-0.03	5
1802	-138	-170	Min.	16.87	-974.51	1	-40.75	5	-3.15	5	-48.65	5	-3.95	5	-0.03	5
1802	-170	-202	Max	2.51	419.26	1	59.63	5	2.64	5	40.20	5	3.04	1	0.02	5
1802	-170	-202	Max	16.87	420.28	1	59.63	5	4.64	5	40.22	5	3.10	5	0.02	5
1802	-170	-202	Min.	2.51	-956.67	1	-41.46	5	-3.92	5	-49.60	5	-2.76	1	-0.03	5
1802	-170	-202	Min.	16.87	-955.64	1	-41.46	5	-3.31	5	-49.57	5	-4.17	5	-0.03	5
1802	-202	-234	Max	2.51	418.55	5	60.76	5	2.59	5	40.87	5	2.99	1	0.02	5
1802	-202	-234	Max	16.87	419.56	5	60.76	5	4.87	5	40.89	5	3.25	5	0.02	5
1802	-202	-234	Min.	2.51	-970.53	5	-42.16	5	-3.86	5	-50.52	5	-2.73	1	-0.03	5
1802	-202	-234	Min.	16.87	-969.50	5	-42.16	5	-3.47	5	-50.50	5	-4.37	5	-0.03	5

1802	-234	-266	Max	2.51	475.08	5	61.91	5	2.53	5	41.53	5	2.94	1	0.02	5
1802	-234	-266	Max	16.87	476.10	5	61.91	5	5.11	5	41.55	5	3.41	5	0.02	5
1802	-234	-266	Min.	2.51	-1042.62	5	-42.85	5	-3.78	5	-51.45	5	-2.69	1	-0.03	5
1802	-234	-266	Min.	16.87	-1041.60	5	-42.85	5	-3.63	5	-51.43	5	-4.58	5	-0.03	5
1802	-266	-298	Max	2.51	533.78	5	63.08	5	2.46	5	42.19	5	2.88	1	0.02	5
1802	-266	-298	Max	16.87	534.80	5	63.08	5	5.37	5	42.21	5	3.58	5	0.02	5
1802	-266	-298	Min.	2.51	-1117.93	5	-43.55	5	-3.70	5	-52.39	5	-2.65	1	-0.03	5
1802	-266	-298	Min.	16.87	-1116.91	5	-43.55	5	-3.80	5	-52.37	5	-4.81	5	-0.03	5
1802	-298	-330	Max	2.51	594.77	5	64.28	5	2.38	5	42.85	5	2.81	1	0.03	5
1802	-298	-330	Max	16.87	595.79	5	64.28	5	5.64	5	42.87	5	3.76	5	0.03	5
1802	-298	-330	Min.	2.51	-1196.65	5	-44.24	5	-3.60	5	-53.35	5	-2.60	1	-0.03	5
1802	-298	-330	Min.	16.87	-1195.63	5	-44.24	5	-3.98	5	-53.32	5	-5.05	5	-0.03	5
1802	-330	-362	Max	2.51	658.16	5	65.50	5	2.29	5	43.52	5	2.73	1	0.03	5
1802	-330	-362	Max	16.87	659.18	5	65.50	5	5.93	5	43.54	5	3.95	5	0.03	5
1802	-330	-362	Min.	2.51	-1278.97	5	-44.93	5	-3.48	5	-54.32	5	-2.54	1	-0.03	5
1802	-330	-362	Min.	16.87	-1277.95	5	-44.93	5	-4.17	5	-54.30	5	-5.31	5	-0.03	5
1802	-362	-394	Max	2.51	724.08	5	66.80	5	2.18	5	44.16	5	2.64	1	0.03	5
1802	-362	-394	Max	16.87	725.10	5	66.80	5	6.25	5	44.18	5	4.15	5	0.03	5
1802	-362	-394	Min.	2.51	-1365.11	5	-45.67	5	-3.35	5	-55.26	5	-2.47	1	-0.03	5
1802	-362	-394	Min.	16.87	-1364.09	5	-45.67	5	-4.38	5	-55.23	5	-5.57	5	-0.03	5
1802	-394	-426	Max	2.51	792.66	5	67.76	5	2.06	5	45.05	5	2.53	1	0.03	5
1802	-394	-426	Max	16.87	793.68	5	67.76	5	6.54	5	45.08	5	4.40	5	0.03	5
1802	-394	-426	Min.	2.51	-1455.28	5	-46.13	5	-3.19	5	-56.72	5	-2.39	1	-0.03	5
1802	-394	-426	Min.	16.87	-1454.26	5	-46.13	5	-4.56	5	-56.70	5	-5.93	5	-0.03	5
1802	-426	-458	Max	2.51	864.01	5	71.65	5	1.92	5	44.12	5	2.37	1	0.03	5
1802	-426	-458	Max	16.87	865.03	5	71.65	5	7.29	5	44.14	5	4.43	5	0.03	5
1802	-426	-458	Min.	2.51	-1549.71	5	-48.71	5	-3.00	5	-54.53	5	-2.28	1	-0.03	5
1802	-426	-458	Min.	16.87	-1548.68	5	-48.71	5	-5.08	5	-54.50	5	-5.84	5	-0.03	5
1802	-458	-490	Max	2.51	937.04	5	55.57	5	1.52	5	55.89	5	2.13	1	0.03	5
1802	-458	-490	Max	16.87	938.06	5	55.57	5	5.55	5	55.91	5	6.36	5	0.03	5
1802	-458	-490	Min.	2.51	-1646.80	5	-36.73	5	-2.44	5	-77.61	5	-2.02	1	-0.05	5
1802	-458	-490	Min.	16.87	-1645.78	5	-36.73	5	-3.76	5	-77.58	5	-9.37	5	-0.05	5
1802	-490	1318	Max	2.51	1031.41	5	158.22	5	1.27	5	64.27	5	0.83	5	0.03	5
1802	-490	1318	Max	14.38	1032.26	5	158.22	5	16.87	5	64.29	5	5.85	5	0.03	5
1802	-490	1318	Min.	2.51	-1766.82	5	-111.20	5	-1.92	5	-23.26	5	-1.79	5	-0.04	5
1802	-490	1318	Min.	14.38	-1765.98	5	-111.20	5	-11.94	5	-23.24	5	-1.93	5	-0.04	5
1803	315	-2	Max	4.85	0.00	1	0.00	1	0.00	1	0.00	1	0.00	1	0.00	1
1803	315	-2	Min.	4.85	0.00	1	0.00	1	0.00	1	0.00	1	0.00	1	0.00	1
1803	-2	-34	Max	4.85	0.00	1	0.00	1	0.00	1	0.00	1	0.00	1	0.00	1
1803	-2	-34	Min.	4.85	0.00	1	0.00	1	0.00	1	0.00	1	0.00	1	0.00	1
1803	-34	-66	Max	5.01	541.32	1	50.44	5	4.27	5	54.67	5	3.83	5	0.02	5
1803	-34	-66	Max	16.87	542.16	1	50.44	5	0.94	5	54.69	5	0.72	5	0.02	5
1803	-34	-66	Min.	5.01	-906.38	1	-39.14	5	-5.26	5	-35.37	5	-6.06	5	-0.01	5
1803	-34	-66	Min.	16.87	-905.54	1	-39.14	5	-0.58	5	-35.35	5	-0.66	5	-0.01	5
1803	-66	-98	Max	2.51	538.39	1	50.69	5	3.57	5	51.73	5	2.99	5	0.01	5
1803	-66	-98	Max	16.87	539.41	1	50.69	5	3.24	5	51.75	5	3.03	5	0.01	5
1803	-66	-98	Min.	2.51	-876.14	1	-41.41	5	-4.04	5	-35.80	5	-4.41	5	-0.01	5
1803	-66	-98	Min.	16.87	-875.12	1	-41.41	5	-2.38	5	-35.77	5	-2.15	5	-0.01	5
1803	-98	-130	Max	2.51	534.08	1	51.50	5	3.16	1	52.79	5	2.56	5	0.02	5
1803	-98	-130	Max	16.87	535.10	1	51.50	5	3.94	5	52.81	5	3.74	5	0.02	5
1803	-98	-130	Min.	2.51	-837.46	1	-41.97	5	-3.53	1	-36.30	5	-3.84	5	-0.02	5
1803	-98	-130	Min.	16.87	-836.44	1	-41.97	5	-2.94	5	-36.28	5	-2.65	5	-0.02	5
1803	-130	-162	Max	2.51	529.23	1	52.43	5	3.08	1	53.76	5	2.44	1	0.02	5
1803	-130	-162	Max	16.87	530.25	1	52.43	5	4.24	5	53.78	5	4.05	5	0.02	5
1803	-130	-162	Min.	2.51	-795.61	1	-42.69	5	-3.42	1	-36.94	5	-3.68	1	-0.03	5
1803	-130	-162	Min.	16.87	-794.59	1	-42.69	5	-3.18	5	-36.92	5	-2.87	5	-0.03	5
1803	-162	-194	Max	2.51	524.10	1	53.37	5	3.05	1	54.74	5	2.41	1	0.02	5
1803	-162	-194	Max	16.87	525.12	1	53.37	5	4.45	5	54.76	5	4.28	5	0.02	5
1803	-162	-194	Min.	2.51	-751.75	1	-43.42	5	-3.37	1	-37.56	5	-3.62	1	-0.03	5

1803	-162	-194	Min.	16.87	-750.72	1	-43.42	5	-3.34	5	-37.54	5	-3.02	5	-0.03	5
1803	-194	-226	Max	2.51	518.76	1	54.33	5	3.02	1	55.73	5	2.38	1	0.02	5
1803	-194	-226	Max	16.87	519.78	1	54.33	5	4.66	5	55.76	5	4.50	5	0.02	5
1803	-194	-226	Min.	2.51	-706.07	1	-44.15	5	-3.33	1	-38.17	5	-3.58	1	-0.03	5
1803	-194	-226	Min.	16.87	-705.05	1	-44.15	5	-3.50	5	-38.15	5	-3.17	5	-0.03	5
1803	-226	-258	Max	2.51	535.45	5	55.30	5	3.00	1	56.74	5	2.35	1	0.03	5
1803	-226	-258	Max	16.87	536.47	5	55.30	5	4.88	5	56.76	5	4.73	5	0.03	5
1803	-226	-258	Min.	2.51	-680.74	5	-44.88	5	-3.28	1	-38.78	5	-3.53	1	-0.03	5
1803	-226	-258	Min.	16.87	-679.72	5	-44.88	5	-3.67	5	-38.75	5	-3.33	5	-0.03	5
1803	-258	-290	Max	2.51	630.20	5	56.28	5	2.96	1	57.76	5	2.31	1	0.03	5
1803	-258	-290	Max	16.87	631.22	5	56.28	5	5.10	5	57.78	5	4.97	5	0.03	5
1803	-258	-290	Min.	2.51	-731.69	5	-45.61	5	-3.23	1	-39.37	5	-3.47	1	-0.03	5
1803	-258	-290	Min.	16.87	-730.67	5	-45.61	5	-3.84	5	-39.35	5	-3.49	5	-0.03	5
1803	-290	-322	Max	2.51	729.05	5	57.27	5	2.92	1	58.79	5	2.26	1	0.03	5
1803	-290	-322	Max	16.87	730.07	5	57.27	5	5.35	5	58.82	5	5.23	5	0.03	5
1803	-290	-322	Min.	2.51	-784.81	5	-46.34	5	-3.17	1	-39.96	5	-3.40	1	-0.03	5
1803	-290	-322	Min.	16.87	-783.79	5	-46.34	5	-4.02	5	-39.94	5	-3.66	5	-0.03	5
1803	-322	-354	Max	2.51	832.26	5	58.27	5	2.88	1	59.86	5	2.21	1	0.03	5
1803	-322	-354	Max	16.87	833.28	5	58.27	5	5.60	5	59.88	5	5.51	5	0.03	5
1803	-322	-354	Min.	2.51	-840.22	5	-47.07	5	-3.09	1	-40.56	5	-3.31	1	-0.03	5
1803	-322	-354	Min.	16.87	-839.20	5	-47.07	5	-4.21	5	-40.54	5	-3.84	5	-0.03	5
1803	-354	-386	Max	2.51	940.11	5	59.35	5	2.82	1	60.90	5	2.14	1	0.03	5
1803	-354	-386	Max	16.87	941.13	5	59.35	5	5.89	5	60.93	5	5.80	5	0.03	5
1803	-354	-386	Min.	2.51	-898.03	5	-47.85	5	-3.01	1	-41.11	5	-3.22	1	-0.03	5
1803	-354	-386	Min.	16.87	-897.01	5	-47.85	5	-4.43	5	-41.09	5	-4.03	5	-0.03	5
1803	-386	-418	Max	2.51	1052.88	5	60.04	5	2.75	1	62.30	5	2.07	1	0.03	5
1803	-386	-418	Max	16.87	1053.90	5	60.04	5	6.14	5	62.32	5	6.17	5	0.03	5
1803	-386	-418	Min.	2.51	-958.36	5	-48.37	5	-2.90	1	-41.98	5	-3.10	1	-0.03	5
1803	-386	-418	Min.	16.87	-957.34	5	-48.37	5	-4.62	5	-41.96	5	-4.28	5	-0.03	5
1803	-418	-450	Max	2.51	1170.73	5	63.84	5	2.64	1	61.41	5	1.96	1	0.03	5
1803	-418	-450	Max	16.87	1171.75	5	63.84	5	6.87	5	61.44	5	6.28	5	0.03	5
1803	-418	-450	Min.	2.51	-1021.31	5	-50.89	5	-2.76	1	-40.58	5	-2.94	1	-0.04	5
1803	-418	-450	Min.	16.87	-1020.29	5	-50.89	5	-5.13	5	-40.55	5	-4.26	5	-0.04	5
1803	-450	-482	Max	2.51	1292.45	5	46.53	5	2.36	1	76.60	5	1.77	1	0.04	5
1803	-450	-482	Max	16.87	1293.47	5	46.53	5	4.94	5	76.63	5	8.77	5	0.04	5
1803	-450	-482	Min.	2.51	-1086.14	5	-39.72	5	-2.36	1	-54.94	5	-2.62	1	-0.05	5
1803	-450	-482	Min.	16.87	-1085.12	5	-39.72	5	-3.96	5	-54.92	5	-6.50	5	-0.05	5
1803	-482	1298	Max	2.51	1436.39	5	155.09	5	1.36	5	41.60	1	1.07	5	0.04	1
1803	-482	1298	Max	14.38	1437.23	5	155.09	5	16.80	5	41.62	1	3.66	1	0.04	1
1803	-482	1298	Min.	2.51	-1176.36	5	-110.24	5	-1.61	5	-21.55	1	-1.32	5	-0.05	1
1803	-482	1298	Min.	14.38	-1175.52	5	-110.24	5	-11.73	5	-21.53	1	-1.53	1	-0.05	1
1804	321	-6	Max	4.85	0.00	1	0.00	1	0.00	1	0.00	1	0.00	1	0.00	1
1804	321	-6	Min.	4.85	0.00	1	0.00	1	0.00	1	0.00	1	0.00	1	0.00	1
1804	-6	-38	Max	4.85	0.00	1	0.00	1	0.00	1	0.00	1	0.00	1	0.00	1
1804	-6	-38	Min.	4.85	0.00	1	0.00	1	0.00	1	0.00	1	0.00	1	0.00	1
1804	-38	-70	Max	5.01	725.15	1	56.63	5	3.41	5	57.97	5	4.30	1	0.04	5
1804	-38	-70	Max	16.87	725.99	1	56.63	5	0.82	5	57.99	5	0.95	5	0.04	5
1804	-38	-70	Min.	5.01	-987.07	1	-31.30	5	-6.12	5	-33.40	5	-6.82	1	-0.02	5
1804	-38	-70	Min.	16.87	-986.22	1	-31.30	5	-0.53	5	-33.38	5	-0.55	5	-0.02	5
1804	-70	-102	Max	2.51	717.55	1	58.07	5	3.35	1	55.14	5	3.24	1	0.02	5
1804	-70	-102	Max	16.87	718.57	1	58.07	5	3.46	5	55.16	5	3.39	5	0.02	5
1804	-70	-102	Min.	2.51	-944.15	1	-33.52	5	-5.35	1	-33.91	5	-4.83	1	-0.01	5
1804	-70	-102	Min.	16.87	-943.13	1	-33.52	5	-1.93	5	-33.88	5	-1.93	5	-0.01	5
1804	-102	-134	Max	2.51	707.11	1	59.00	5	3.00	1	56.29	5	2.96	1	0.02	1
1804	-102	-134	Max	16.87	708.13	1	59.00	5	4.26	5	56.31	5	4.15	5	0.02	1
1804	-102	-134	Min.	2.51	-889.07	1	-33.96	5	-4.73	1	-34.37	5	-4.35	1	-0.01	1
1804	-102	-134	Min.	16.87	-888.05	1	-33.96	5	-2.39	5	-34.35	5	-2.39	5	-0.01	1
1804	-134	-166	Max	2.51	695.55	1	60.10	5	2.92	1	57.33	5	2.88	1	0.02	1
1804	-134	-166	Max	16.87	696.57	1	60.10	5	4.61	5	57.35	5	4.49	5	0.02	1

1804	-134	-166	Min.	2.51	-829.34	1	-34.51	5	-4.57	1	-34.98	5	-4.20	1	-0.02	1
1804	-134	-166	Min.	16.87	-828.32	1	-34.51	5	-2.59	5	-34.96	5	-2.59	5	-0.02	1
1804	-166	-198	Max	2.51	683.34	1	61.22	5	2.90	1	58.38	5	2.85	1	0.02	1
1804	-166	-198	Max	16.87	684.36	1	61.22	5	4.87	5	58.40	5	4.74	5	0.02	1
1804	-166	-198	Min.	2.51	-766.62	1	-35.05	5	-4.51	1	-35.56	5	-4.13	1	-0.02	1
1804	-166	-198	Min.	16.87	-765.60	1	-35.05	5	-2.73	5	-35.53	5	-2.74	5	-0.02	1
1804	-198	-230	Max	2.51	670.56	1	62.38	5	2.88	1	59.46	5	2.83	1	0.02	1
1804	-198	-230	Max	16.87	671.58	1	62.38	5	5.13	5	59.49	5	4.98	5	0.02	1
1804	-198	-230	Min.	2.51	-701.16	1	-35.60	5	-4.46	1	-36.13	5	-4.08	1	-0.02	1
1804	-198	-230	Min.	16.87	-700.14	1	-35.60	5	-2.86	5	-36.11	5	-2.88	5	-0.02	1
1804	-230	-262	Max	2.51	671.22	5	63.53	5	2.85	1	60.55	5	2.79	1	0.02	1
1804	-230	-262	Max	16.87	672.24	5	63.53	5	5.39	5	60.57	5	5.23	5	0.02	1
1804	-230	-262	Min.	2.51	-646.86	5	-36.11	5	-4.40	1	-36.68	5	-4.01	1	-0.02	1
1804	-230	-262	Min.	16.87	-645.84	5	-36.11	5	-3.00	5	-36.66	5	-3.02	5	-0.02	1
1804	-262	-294	Max	2.51	765.91	5	64.71	5	2.82	1	61.66	5	2.76	1	0.02	1
1804	-262	-294	Max	16.87	766.93	5	64.71	5	5.67	5	61.68	5	5.49	5	0.02	1
1804	-262	-294	Min.	2.51	-684.18	5	-36.63	5	-4.33	1	-37.23	5	-3.94	1	-0.02	1
1804	-262	-294	Min.	16.87	-683.16	5	-36.63	5	-3.14	5	-37.21	5	-3.16	5	-0.02	1
1804	-294	-326	Max	2.51	864.68	5	65.93	5	2.79	1	62.79	5	2.72	1	0.02	1
1804	-294	-326	Max	16.87	865.70	5	65.93	5	5.96	5	62.81	5	5.78	5	0.02	1
1804	-294	-326	Min.	2.51	-722.97	5	-37.14	5	-4.25	1	-37.77	5	-3.86	1	-0.02	1
1804	-294	-326	Min.	16.87	-721.95	5	-37.14	5	-3.29	5	-37.75	5	-3.32	5	-0.02	1
1804	-326	-358	Max	2.51	967.80	5	67.15	5	2.74	1	63.95	5	2.66	1	0.02	1
1804	-326	-358	Max	16.87	968.82	5	67.15	5	6.28	5	63.97	5	6.08	5	0.02	1
1804	-326	-358	Min.	2.51	-763.32	5	-37.63	5	-4.15	1	-38.32	5	-3.76	1	-0.02	1
1804	-326	-358	Min.	16.87	-762.29	5	-37.63	5	-3.45	5	-38.29	5	-3.49	5	-0.02	1
1804	-358	-390	Max	2.51	1075.54	5	68.49	5	2.69	1	65.10	5	2.60	1	0.02	1
1804	-358	-390	Max	16.87	1076.56	5	68.49	5	6.63	5	65.12	5	6.40	5	0.02	1
1804	-358	-390	Min.	2.51	-805.26	5	-38.16	5	-4.04	1	-38.81	5	-3.64	1	-0.02	1
1804	-358	-390	Min.	16.87	-804.24	5	-38.16	5	-3.63	5	-38.79	5	-3.66	5	-0.02	1
1804	-390	-422	Max	2.51	1188.21	5	69.36	5	2.62	1	66.65	5	2.53	1	0.02	1
1804	-390	-422	Max	16.87	1189.23	5	69.36	5	6.95	5	66.67	5	6.80	5	0.02	1
1804	-390	-422	Min.	2.51	-848.89	5	-38.42	5	-3.90	1	-39.64	5	-3.50	1	-0.02	1
1804	-390	-422	Min.	16.87	-847.87	5	-38.42	5	-3.78	5	-39.62	5	-3.90	5	-0.02	1
1804	-422	-454	Max	2.51	1305.96	5	73.79	5	2.52	1	65.70	5	2.42	1	0.03	1
1804	-422	-454	Max	16.87	1306.98	5	73.79	5	7.81	5	65.72	5	6.92	5	0.03	1
1804	-422	-454	Min.	2.51	-894.24	5	-40.51	5	-3.71	1	-38.15	5	-3.30	1	-0.02	1
1804	-422	-454	Min.	16.87	-893.22	5	-40.51	5	-4.22	5	-38.13	5	-3.85	5	-0.02	1
1804	-454	-486	Max	2.51	1457.93	5	59.87	1	2.27	1	81.94	5	2.20	1	0.03	1
1804	-454	-486	Max	16.87	1458.95	5	59.87	1	5.71	5	81.96	5	9.58	5	0.03	1
1804	-454	-486	Min.	2.51	-970.96	5	-35.69	1	-3.17	1	-52.28	5	-2.93	1	-0.03	1
1804	-454	-486	Min.	16.87	-969.94	5	-35.69	1	-3.13	5	-52.26	5	-6.05	5	-0.03	1
1804	-486	1304	Max	2.51	1623.65	5	176.33	5	1.18	1	47.37	1	1.34	5	0.04	1
1804	-486	1304	Max	14.38	1624.49	5	176.33	5	19.08	5	47.39	1	4.36	1	0.04	1
1804	-486	1304	Min.	2.51	-1064.43	5	-92.92	5	-2.01	1	-25.70	1	-1.26	5	-0.05	1
1804	-486	1304	Min.	14.38	-1063.58	5	-92.92	5	-10.01	5	-25.68	1	-1.71	1	-0.05	1
1805	324	-8	Max	4.85	0.00	1	0.00	1	0.00	1	0.00	1	0.00	1	0.00	1
1805	324	-8	Min.	4.85	0.00	1	0.00	1	0.00	1	0.00	1	0.00	1	0.00	1
1805	-8	-40	Max	4.85	0.00	1	0.00	1	0.00	1	0.00	1	0.00	1	0.00	1
1805	-8	-40	Min.	4.85	0.00	1	0.00	1	0.00	1	0.00	1	0.00	1	0.00	1
1805	-40	-72	Max	5.01	787.80	1	46.74	5	3.44	5	47.31	5	4.31	1	0.05	5
1805	-40	-72	Max	16.87	788.65	1	46.74	5	0.62	5	47.33	5	0.96	5	0.05	5
1805	-40	-72	Min.	5.01	-758.56	1	-32.10	5	-5.13	5	-37.25	5	-5.10	1	-0.03	5
1805	-40	-72	Min.	16.87	-757.72	1	-32.10	5	-0.58	5	-37.23	5	-0.56	5	-0.03	5
1805	-72	-104	Max	2.51	778.92	1	48.64	5	3.05	1	45.78	5	3.20	5	0.04	5
1805	-72	-104	Max	16.87	779.94	1	48.64	5	2.81	5	45.80	5	2.95	5	0.04	5
1805	-72	-104	Min.	2.51	-732.67	1	-33.71	5	-4.40	1	-37.04	5	-3.62	5	-0.03	5
1805	-72	-104	Min.	16.87	-731.65	1	-33.71	5	-2.03	5	-37.02	5	-2.12	5	-0.03	5
1805	-104	-136	Max	2.51	766.89	1	49.37	5	2.71	1	46.66	5	2.90	1	0.03	5

1805	-104	-136	Max	16.87	767.91	1	49.37	5	3.50	5	46.68	5	3.59	5	0.03	5
1805	-104	-136	Min.	2.51	-699.67	1	-34.15	5	-3.90	1	-37.64	5	-3.24	1	-0.02	5
1805	-104	-136	Min.	16.87	-698.65	1	-34.15	5	-2.50	5	-37.62	5	-2.63	5	-0.02	5
1805	-136	-168	Max	2.51	753.60	1	50.26	5	2.63	1	47.48	5	2.83	1	0.03	5
1805	-136	-168	Max	16.87	754.62	1	50.26	5	3.79	5	47.50	5	3.87	5	0.03	5
1805	-136	-168	Min.	2.51	-664.01	1	-34.70	5	-3.77	1	-38.31	5	-3.13	1	-0.02	5
1805	-136	-168	Min.	16.87	-663.00	1	-34.70	5	-2.70	5	-38.29	5	-2.85	5	-0.02	5
1805	-168	-200	Max	2.51	739.56	1	51.18	5	2.60	1	48.30	5	2.79	1	0.03	5
1805	-168	-200	Max	16.87	740.58	1	51.18	5	4.02	5	48.33	5	4.07	5	0.03	5
1805	-168	-200	Min.	2.51	-626.68	1	-35.27	5	-3.72	1	-38.96	5	-3.07	1	-0.02	5
1805	-168	-200	Min.	16.87	-625.66	1	-35.27	5	-2.85	5	-38.93	5	-3.01	5	-0.02	5
1805	-200	-232	Max	2.51	724.87	1	52.09	5	2.58	1	49.14	5	2.76	1	0.03	5
1805	-200	-232	Max	16.87	725.89	1	52.09	5	4.23	5	49.17	5	4.27	5	0.03	5
1805	-200	-232	Min.	2.51	-587.87	1	-35.81	5	-3.68	1	-39.61	5	-3.03	1	-0.02	5
1805	-200	-232	Min.	16.87	-586.85	1	-35.81	5	-3.00	5	-39.58	5	-3.16	5	-0.02	5
1805	-232	-264	Max	2.51	754.36	5	52.99	5	2.54	1	50.00	5	2.73	1	0.03	5
1805	-232	-264	Max	16.87	755.38	5	52.99	5	4.45	5	50.02	5	4.48	5	0.03	5
1805	-232	-264	Min.	2.51	-592.35	5	-36.32	5	-3.63	1	-40.26	5	-2.98	1	-0.02	5
1805	-232	-264	Min.	16.87	-591.33	5	-36.32	5	-3.15	5	-40.24	5	-3.32	5	-0.02	5
1805	-264	-296	Max	2.51	834.38	5	53.95	5	2.51	1	50.82	5	2.70	1	0.03	5
1805	-264	-296	Max	16.87	835.40	5	53.95	5	4.69	5	50.85	5	4.70	5	0.03	5
1805	-264	-296	Min.	2.51	-646.40	5	-36.86	5	-3.57	1	-40.88	5	-2.91	1	-0.03	5
1805	-264	-296	Min.	16.87	-645.38	5	-36.86	5	-3.30	5	-40.85	5	-3.48	5	-0.03	5
1805	-296	-328	Max	2.51	917.74	5	54.85	5	2.46	1	51.71	5	2.65	1	0.03	5
1805	-296	-328	Max	16.87	918.76	5	54.85	5	4.94	5	51.73	5	4.93	5	0.03	5
1805	-296	-328	Min.	2.51	-702.79	5	-37.34	5	-3.50	1	-41.54	5	-2.84	1	-0.03	5
1805	-296	-328	Min.	16.87	-701.77	5	-37.34	5	-3.47	5	-41.51	5	-3.66	5	-0.03	5
1805	-328	-360	Max	2.51	1004.66	5	55.80	5	2.41	1	52.58	5	2.60	1	0.03	5
1805	-328	-360	Max	16.87	1005.68	5	55.80	5	5.21	5	52.61	5	5.18	5	0.03	5
1805	-328	-360	Min.	2.51	-761.65	5	-37.84	5	-3.42	1	-42.18	5	-2.76	1	-0.03	5
1805	-328	-360	Min.	16.87	-760.63	5	-37.84	5	-3.64	5	-42.15	5	-3.85	5	-0.03	5
1805	-360	-392	Max	2.51	1095.33	5	56.86	5	2.35	1	53.40	5	2.53	1	0.03	5
1805	-360	-392	Max	16.87	1096.35	5	56.86	5	5.51	5	53.42	5	5.44	5	0.03	5
1805	-360	-392	Min.	2.51	-823.07	5	-38.41	5	-3.33	1	-42.75	5	-2.67	1	-0.03	5
1805	-360	-392	Min.	16.87	-822.05	5	-38.41	5	-3.84	5	-42.73	5	-4.04	5	-0.03	5
1805	-392	-424	Max	2.51	1189.96	5	57.52	5	2.28	1	54.59	5	2.46	1	0.03	5
1805	-392	-424	Max	16.87	1190.98	5	57.52	5	5.78	5	54.61	5	5.77	5	0.03	5
1805	-392	-424	Min.	2.51	-887.19	5	-38.65	5	-3.22	1	-43.65	5	-2.56	1	-0.03	5
1805	-392	-424	Min.	16.87	-886.17	5	-38.65	5	-4.01	5	-43.62	5	-4.30	5	-0.03	5
1805	-424	-456	Max	2.51	1288.77	5	61.06	5	2.18	1	53.44	5	2.35	1	0.03	5
1805	-424	-456	Max	16.87	1289.79	5	61.06	5	6.51	5	53.46	5	5.82	5	0.03	5
1805	-424	-456	Min.	2.51	-954.13	5	-40.98	5	-3.06	1	-42.48	5	-2.40	1	-0.03	5
1805	-424	-456	Min.	16.87	-953.11	5	-40.98	5	-4.51	5	-42.45	5	-4.30	5	-0.03	5
1805	-456	-488	Max	2.51	1390.83	5	47.95	1	1.92	1	69.08	5	2.12	1	0.03	1
1805	-456	-488	Max	16.87	1391.85	5	47.95	1	4.71	5	69.10	5	8.32	5	0.03	1
1805	-456	-488	Min.	2.51	-1023.10	5	-32.10	1	-2.64	1	-55.89	5	-2.12	1	-0.03	1
1805	-456	-488	Min.	16.87	-1022.08	5	-32.10	1	-3.15	5	-55.87	5	-6.43	5	-0.03	1
1805	-488	1307	Max	2.51	1499.73	5	148.07	5	1.06	1	36.73	1	1.50	5	0.04	1
1805	-488	1307	Max	14.38	1500.58	5	148.07	5	16.08	5	36.75	1	3.30	1	0.04	1
1805	-488	1307	Min.	2.51	-1099.12	5	-103.76	5	-1.60	1	-34.83	1	-1.14	5	-0.04	1
1805	-488	1307	Min.	14.38	-1098.28	5	-103.76	5	-11.36	5	-34.81	1	-2.71	1	-0.04	1
1830	351	-18	Max	4.85	0.00	1	0.00	1	0.00	1	0.00	1	0.00	1	0.00	1
1830	351	-18	Min.	4.85	0.00	1	0.00	1	0.00	1	0.00	1	0.00	1	0.00	1
1830	-18	-50	Max	4.85	0.00	1	0.00	1	0.00	1	0.00	1	0.00	1	0.00	1
1830	-18	-50	Min.	4.85	0.00	1	0.00	1	0.00	1	0.00	1	0.00	1	0.00	1
1830	-50	-82	Max	5.01	531.39	1	37.25	5	5.62	5	38.99	5	4.72	1	0.03	1
1830	-50	-82	Max	16.87	532.23	1	37.25	5	0.69	5	39.01	5	0.58	5	0.03	1
1830	-50	-82	Min.	5.01	-1024.26	1	-51.78	5	-3.99	5	-43.49	5	-4.55	1	-0.03	1
1830	-50	-82	Min.	16.87	-1023.42	1	-51.78	5	-0.78	5	-43.47	5	-0.94	5	-0.03	1

1830	-82	-114	Max	2.51	510.23	1	38.28	5	4.70	5	37.15	5	3.63	5	0.02	1
1830	-82	-114	Max	16.87	511.25	1	38.28	5	2.31	5	37.17	5	2.14	5	0.02	1
1830	-82	-114	Min.	2.51	-1010.66	1	-55.03	5	-3.19	5	-45.51	5	-3.20	5	-0.02	1
1830	-82	-114	Min.	16.87	-1009.64	1	-55.03	5	-3.20	5	-45.48	5	-2.91	5	-0.02	1
1830	-114	-146	Max	2.51	482.21	1	38.83	5	4.06	5	37.85	5	3.20	1	0.02	1
1830	-114	-146	Max	16.87	483.24	1	38.83	5	2.83	5	37.87	5	2.65	5	0.02	1
1830	-114	-146	Min.	2.51	-993.68	1	-55.80	5	-2.74	5	-46.06	5	-2.92	1	-0.02	1
1830	-114	-146	Min.	16.87	-992.66	1	-55.80	5	-3.96	5	-46.04	5	-3.55	5	-0.02	1
1830	-146	-178	Max	2.51	451.50	1	39.49	5	3.88	5	38.47	5	3.09	1	0.03	5
1830	-146	-178	Max	16.87	452.52	1	39.49	5	3.06	5	38.49	5	2.86	5	0.03	5
1830	-146	-178	Min.	2.51	-975.49	1	-56.85	5	-2.62	5	-46.91	5	-2.84	1	-0.02	5
1830	-146	-178	Min.	16.87	-974.47	1	-56.85	5	-4.28	5	-46.89	5	-3.83	5	-0.02	5
1830	-178	-210	Max	2.51	419.07	1	40.15	5	3.80	5	39.11	5	3.03	1	0.03	5
1830	-178	-210	Max	16.87	420.09	1	40.15	5	3.22	5	39.13	5	3.02	5	0.03	5
1830	-178	-210	Min.	2.51	-956.59	1	-57.88	5	-2.55	5	-47.75	5	-2.81	1	-0.02	5
1830	-178	-210	Min.	16.87	-955.57	1	-57.88	5	-4.52	5	-47.73	5	-4.03	5	-0.02	5
1830	-210	-242	Max	2.51	418.45	5	40.80	5	3.73	5	39.72	5	2.99	1	0.03	5
1830	-210	-242	Max	16.87	419.47	5	40.80	5	3.37	5	39.75	5	3.17	5	0.03	5
1830	-210	-242	Min.	2.51	-970.46	5	-58.95	5	-2.49	5	-48.59	5	-2.78	1	-0.02	5
1830	-210	-242	Min.	16.87	-969.44	5	-58.95	5	-4.74	5	-48.56	5	-4.23	5	-0.02	5
1830	-242	-274	Max	2.51	475.03	5	41.46	5	3.65	5	40.36	5	2.94	1	0.03	5
1830	-242	-274	Max	16.87	476.05	5	41.46	5	3.53	5	40.38	5	3.33	5	0.03	5
1830	-242	-274	Min.	2.51	-1042.50	5	-60.07	5	-2.43	5	-49.47	5	-2.74	1	-0.02	5
1830	-242	-274	Min.	16.87	-1041.48	5	-60.07	5	-4.98	5	-49.45	5	-4.44	5	-0.02	5
1830	-274	-306	Max	2.51	533.81	5	42.11	5	3.56	5	40.98	5	2.88	1	0.03	5
1830	-274	-306	Max	16.87	534.83	5	42.11	5	3.69	5	41.00	5	3.49	5	0.03	5
1830	-274	-306	Min.	2.51	-1117.79	5	-61.17	5	-2.36	5	-50.33	5	-2.70	1	-0.02	5
1830	-274	-306	Min.	16.87	-1116.77	5	-61.17	5	-5.23	5	-50.30	5	-4.66	5	-0.02	5
1830	-306	-338	Max	2.51	594.86	5	42.73	5	3.45	5	41.56	5	2.80	1	0.03	5
1830	-306	-338	Max	16.87	595.88	5	42.73	5	3.87	5	41.58	5	3.66	5	0.03	5
1830	-306	-338	Min.	2.51	-1196.47	5	-62.26	5	-2.27	5	-51.15	5	-2.66	1	-0.03	5
1830	-306	-338	Min.	16.87	-1195.45	5	-62.26	5	-5.49	5	-51.12	5	-4.89	5	-0.03	5
1830	-338	-370	Max	2.51	658.30	5	43.38	5	3.34	5	42.19	5	2.72	1	0.03	5
1830	-338	-370	Max	16.87	659.32	5	43.38	5	4.05	5	42.21	5	3.85	5	0.03	5
1830	-338	-370	Min.	2.51	-1278.72	5	-63.43	5	-2.18	5	-52.06	5	-2.60	1	-0.03	5
1830	-338	-370	Min.	16.87	-1277.70	5	-63.43	5	-5.78	5	-52.04	5	-5.14	5	-0.03	5
1830	-370	-402	Max	2.51	724.29	5	44.06	5	3.20	5	42.77	5	2.63	1	0.03	5
1830	-370	-402	Max	16.87	725.31	5	44.06	5	4.26	5	42.79	5	4.05	5	0.03	5
1830	-370	-402	Min.	2.51	-1364.81	5	-64.63	5	-2.07	5	-52.87	5	-2.54	1	-0.03	5
1830	-370	-402	Min.	16.87	-1363.79	5	-64.63	5	-6.09	5	-52.85	5	-5.40	5	-0.03	5
1830	-402	-434	Max	2.51	792.94	5	44.47	5	3.04	5	43.62	5	2.52	1	0.03	5
1830	-402	-434	Max	16.87	793.96	5	44.47	5	4.44	5	43.64	5	4.29	5	0.03	5
1830	-402	-434	Min.	2.51	-1454.94	5	-65.52	5	-1.95	5	-54.25	5	-2.46	1	-0.03	5
1830	-402	-434	Min.	16.87	-1453.92	5	-65.52	5	-6.38	5	-54.22	5	-5.75	5	-0.03	5
1830	-434	-466	Max	2.51	864.35	5	47.00	5	2.83	5	42.63	5	2.36	1	0.03	5
1830	-434	-466	Max	16.87	865.37	5	47.00	5	4.96	5	42.66	5	4.33	5	0.03	5
1830	-434	-466	Min.	2.51	-1549.30	5	-69.32	5	-1.80	5	-51.95	5	-2.35	1	-0.03	5
1830	-434	-466	Min.	16.87	-1548.28	5	-69.32	5	-7.12	5	-51.93	5	-5.65	5	-0.03	5
1830	-466	-498	Max	2.51	937.76	5	34.90	5	2.36	1	54.29	5	2.13	1	0.04	5
1830	-466	-498	Max	16.87	938.78	5	34.90	5	3.64	5	54.31	5	6.22	5	0.04	5
1830	-466	-498	Min.	2.51	-1646.74	5	-53.09	5	-1.51	1	-74.85	5	-2.09	1	-0.03	5
1830	-466	-498	Min.	16.87	-1645.72	5	-53.09	5	-5.39	5	-74.82	5	-9.13	5	-0.03	5
1830	-498	1330	Max	2.51	1031.57	5	110.06	5	1.82	5	65.97	5	0.98	5	0.04	5
1830	-498	1330	Max	14.38	1032.41	5	110.06	5	11.88	5	65.98	5	5.83	5	0.04	5
1830	-498	1330	Min.	2.51	-1765.85	5	-156.72	5	-1.19	5	-24.39	5	-2.01	5	-0.03	5
1830	-498	1330	Min.	14.38	-1765.00	5	-156.72	5	-16.79	5	-24.37	5	-1.91	5	-0.03	5
1831	357	-22	Max	4.85	0.00	1	0.00	1	0.00	1	0.00	1	0.00	1	0.00	1
1831	357	-22	Min.	4.85	0.00	1	0.00	1	0.00	1	0.00	1	0.00	1	0.00	1
1831	-22	-54	Max	4.85	0.00	1	0.00	1	0.00	1	0.00	1	0.00	1	0.00	1

1831	-22	-54	Min.	4.85	0.00	1	0.00	1	0.00	1	0.00	1	0.00	1	0.00	1
1831	-54	-86	Max	5.01	691.65	1	31.44	5	5.39	5	35.31	5	6.63	1	0.03	1
1831	-54	-86	Max	16.87	692.50	1	31.44	5	0.52	5	35.33	5	0.59	5	0.03	1
1831	-54	-86	Min.	5.01	-1053.80	1	-50.80	5	-3.48	5	-56.43	5	-4.42	1	-0.04	1
1831	-54	-86	Min.	16.87	-1052.96	1	-50.80	5	-0.91	5	-56.42	5	-0.88	5	-0.04	1
1831	-86	-118	Max	2.51	651.69	1	32.71	5	4.63	1	32.90	5	5.07	1	0.02	1
1831	-86	-118	Max	16.87	652.71	1	32.71	5	1.86	5	32.92	5	1.92	5	0.02	1
1831	-86	-118	Min.	2.51	-1045.31	1	-53.50	5	-3.05	1	-58.04	5	-2.99	1	-0.03	1
1831	-86	-118	Min.	16.87	-1044.29	1	-53.50	5	-3.26	5	-58.01	5	-3.45	5	-0.03	1
1831	-118	-150	Max	2.51	599.25	1	33.17	5	4.07	1	33.59	5	4.51	1	0.02	1
1831	-118	-150	Max	16.87	600.27	1	33.17	5	2.31	5	33.61	5	2.37	5	0.02	1
1831	-118	-150	Min.	2.51	-1034.93	1	-54.27	5	-2.74	1	-58.86	5	-2.77	1	-0.02	1
1831	-118	-150	Min.	16.87	-1033.91	1	-54.27	5	-4.01	5	-58.84	5	-4.25	5	-0.02	1
1831	-150	-182	Max	2.51	541.90	1	33.72	5	3.93	1	34.12	5	4.37	1	0.01	1
1831	-150	-182	Max	16.87	542.92	1	33.72	5	2.50	5	34.15	5	2.56	5	0.01	1
1831	-150	-182	Min.	2.51	-1023.91	1	-55.27	5	-2.67	1	-60.02	5	-2.70	1	-0.02	1
1831	-150	-182	Min.	16.87	-1022.89	1	-55.27	5	-4.34	5	-60.00	5	-4.60	5	-0.02	1
1831	-182	-214	Max	2.51	481.37	1	34.23	5	3.85	1	34.66	5	4.30	1	0.01	1
1831	-182	-214	Max	16.87	482.39	1	34.23	5	2.64	5	34.69	5	2.70	5	0.01	1
1831	-182	-214	Min.	2.51	-1012.60	1	-56.26	5	-2.63	1	-61.17	5	-2.67	1	-0.02	1
1831	-182	-214	Min.	16.87	-1011.58	1	-56.26	5	-4.58	5	-61.14	5	-4.87	5	-0.02	1
1831	-214	-246	Max	2.51	417.91	1	34.76	5	3.80	1	35.18	5	4.25	1	0.01	1
1831	-214	-246	Max	16.87	418.93	1	34.76	5	2.78	5	35.20	5	2.83	5	0.01	1
1831	-214	-246	Min.	2.51	-1001.04	1	-57.30	5	-2.60	1	-62.33	5	-2.64	1	-0.02	1
1831	-214	-246	Min.	16.87	-1000.02	1	-57.30	5	-4.82	5	-62.30	5	-5.12	5	-0.02	1
1831	-246	-278	Max	2.51	415.93	5	35.27	5	3.73	1	35.70	5	4.18	1	0.01	1
1831	-246	-278	Max	16.87	416.95	5	35.27	5	2.91	5	35.72	5	2.96	5	0.01	1
1831	-246	-278	Min.	2.51	-1053.76	5	-58.35	5	-2.56	1	-63.55	5	-2.61	1	-0.02	1
1831	-246	-278	Min.	16.87	-1052.74	5	-58.35	5	-5.07	5	-63.52	5	-5.38	5	-0.02	1
1831	-278	-310	Max	2.51	455.91	5	35.77	5	3.65	1	36.20	5	4.11	1	0.02	1
1831	-278	-310	Max	16.87	456.93	5	35.77	5	3.06	5	36.22	5	3.11	5	0.02	1
1831	-278	-310	Min.	2.51	-1151.43	5	-59.41	5	-2.52	1	-64.76	5	-2.57	1	-0.02	1
1831	-278	-310	Min.	16.87	-1150.40	5	-59.41	5	-5.33	5	-64.74	5	-5.67	5	-0.02	1
1831	-310	-342	Max	2.51	497.21	5	36.24	5	3.55	1	36.67	5	4.03	1	0.02	1
1831	-310	-342	Max	16.87	498.23	5	36.24	5	3.21	5	36.70	5	3.25	5	0.02	1
1831	-310	-342	Min.	2.51	-1253.61	5	-60.46	5	-2.47	1	-65.94	5	-2.53	1	-0.02	1
1831	-310	-342	Min.	16.87	-1252.58	5	-60.46	5	-5.61	5	-65.92	5	-5.96	5	-0.02	1
1831	-342	-374	Max	2.51	539.87	5	36.72	5	3.45	1	37.17	5	3.93	1	0.02	1
1831	-342	-374	Max	16.87	540.89	5	36.72	5	3.37	5	37.19	5	3.41	5	0.02	1
1831	-342	-374	Min.	2.51	-1360.57	5	-61.56	5	-2.41	1	-67.26	5	-2.48	1	-0.02	1
1831	-342	-374	Min.	16.87	-1359.55	5	-61.56	5	-5.91	5	-67.23	5	-6.28	5	-0.02	1
1831	-374	-406	Max	2.51	583.98	5	37.23	5	3.32	1	37.63	5	3.81	1	0.02	1
1831	-374	-406	Max	16.87	585.00	5	37.23	5	3.55	5	37.65	5	3.58	5	0.02	1
1831	-374	-406	Min.	2.51	-1472.67	5	-62.73	5	-2.35	1	-68.46	5	-2.42	1	-0.02	1
1831	-374	-406	Min.	16.87	-1471.65	5	-62.73	5	-6.24	5	-68.43	5	-6.62	5	-0.02	1
1831	-406	-438	Max	2.51	629.59	5	37.47	5	3.17	1	38.28	5	3.67	1	0.02	1
1831	-406	-438	Max	16.87	630.61	5	37.47	5	3.71	5	38.30	5	3.79	5	0.02	1
1831	-406	-438	Min.	2.51	-1590.22	5	-63.45	5	-2.26	1	-70.39	5	-2.34	1	-0.02	1
1831	-406	-438	Min.	16.87	-1589.20	5	-63.45	5	-6.53	5	-70.37	5	-7.07	5	-0.02	1
1831	-438	-470	Max	2.51	676.71	5	39.54	5	2.98	1	37.61	5	3.46	1	0.02	1
1831	-438	-470	Max	16.87	677.73	5	39.54	5	4.15	5	37.64	5	3.85	5	0.02	1
1831	-438	-470	Min.	2.51	-1713.43	5	-67.70	5	-2.15	1	-67.88	5	-2.25	1	-0.02	1
1831	-438	-470	Min.	16.87	-1712.41	5	-67.70	5	-7.36	5	-67.85	5	-6.99	5	-0.02	1
1831	-470	-502	Max	2.51	748.65	5	30.08	1	2.47	1	45.82	5	3.14	1	0.01	1
1831	-470	-502	Max	16.87	749.67	5	30.08	1	3.05	5	45.84	5	5.24	5	0.01	1
1831	-470	-502	Min.	2.51	-1864.38	5	-49.19	1	-1.91	1	-95.35	5	-1.98	1	-0.01	1
1831	-470	-502	Min.	16.87	-1863.36	5	-49.19	1	-5.23	5	-95.32	5	-11.19	5	-0.01	1
1831	-502	1336	Max	2.51	842.45	5	92.29	5	1.65	5	71.28	5	0.88	5	0.01	5
1831	-502	1336	Max	14.38	843.30	5	92.29	5	9.98	5	71.30	5	6.46	5	0.01	5

1831	-502	1336	Min.	2.51	-2035.83	5	-169.34	5	-0.97	5	-16.72	5	-2.00	5	-0.01	5
1831	-502	1336	Min.	14.38	-2034.99	5	-169.34	5	-18.45	5	-16.71	5	-1.10	5	-0.01	5
1832	375	-26	Max	4.85	0.00	1	0.00	1	0.00	1	0.00	1	0.00	1	0.00	1
1832	375	-26	Min.	4.85	0.00	1	0.00	1	0.00	1	0.00	1	0.00	1	0.00	1
1832	-26	-58	Max	4.85	0.00	1	0.00	1	0.00	1	0.00	1	0.00	1	0.00	1
1832	-26	-58	Min.	4.85	0.00	1	0.00	1	0.00	1	0.00	1	0.00	1	0.00	1
1832	-58	-90	Max	5.01	539.02	1	39.73	5	5.29	5	55.57	5	3.86	5	0.01	5
1832	-58	-90	Max	16.87	539.87	1	39.73	5	0.65	5	55.59	5	0.82	5	0.01	5
1832	-58	-90	Min.	5.01	-904.01	1	-51.34	5	-4.31	5	-36.03	5	-6.10	5	-0.02	5
1832	-58	-90	Min.	16.87	-903.16	1	-51.34	5	-1.04	5	-36.01	5	-0.73	5	-0.02	5
1832	-90	-122	Max	2.51	536.21	1	42.09	5	4.11	5	52.83	5	3.04	5	0.01	1
1832	-90	-122	Max	16.87	537.23	1	42.09	5	2.43	5	52.86	5	3.12	5	0.01	1
1832	-90	-122	Min.	2.51	-873.86	1	-51.79	5	-3.61	5	-36.59	5	-4.48	5	-0.01	1
1832	-90	-122	Min.	16.87	-872.84	1	-51.79	5	-3.33	5	-36.57	5	-2.22	5	-0.01	1
1832	-122	-154	Max	2.51	532.09	1	42.81	5	3.56	5	54.11	5	2.63	5	0.02	5
1832	-122	-154	Max	16.87	533.11	1	42.81	5	3.00	5	54.13	5	3.84	5	0.02	5
1832	-122	-154	Min.	2.51	-835.37	1	-52.84	5	-3.15	5	-37.27	5	-3.94	5	-0.02	5
1832	-122	-154	Min.	16.87	-834.35	1	-52.84	5	-4.03	5	-37.25	5	-2.72	5	-0.02	5
1832	-154	-186	Max	2.51	527.45	1	43.56	5	3.42	1	55.16	5	2.51	5	0.03	5
1832	-154	-186	Max	16.87	528.47	1	43.56	5	3.24	5	55.18	5	4.15	5	0.03	5
1832	-154	-186	Min.	2.51	-793.73	1	-53.84	5	-3.05	1	-37.95	5	-3.77	5	-0.02	5
1832	-154	-186	Min.	16.87	-792.71	1	-53.84	5	-4.34	5	-37.93	5	-2.94	5	-0.02	5
1832	-186	-218	Max	2.51	522.53	1	44.34	5	3.38	1	56.19	5	2.45	5	0.03	5
1832	-186	-218	Max	16.87	523.55	1	44.34	5	3.41	5	56.22	5	4.39	5	0.03	5
1832	-186	-218	Min.	2.51	-750.09	1	-54.85	5	-3.02	1	-38.62	5	-3.69	5	-0.02	5
1832	-186	-218	Min.	16.87	-749.07	1	-54.85	5	-4.56	5	-38.60	5	-3.10	5	-0.02	5
1832	-218	-250	Max	2.51	517.44	1	45.09	5	3.34	1	57.24	5	2.39	5	0.03	5
1832	-218	-250	Max	16.87	518.46	1	45.09	5	3.57	5	57.26	5	4.61	5	0.03	5
1832	-218	-250	Min.	2.51	-704.66	1	-55.87	5	-2.99	1	-39.26	5	-3.62	5	-0.02	5
1832	-218	-250	Min.	16.87	-703.64	1	-55.87	5	-4.77	5	-39.24	5	-3.25	5	-0.02	5
1832	-250	-282	Max	2.51	535.14	5	45.88	5	3.29	1	58.34	5	2.33	5	0.03	5
1832	-250	-282	Max	16.87	536.16	5	45.88	5	3.74	5	58.36	5	4.84	5	0.03	5
1832	-250	-282	Min.	2.51	-680.35	5	-56.92	5	-2.96	1	-39.93	5	-3.54	5	-0.03	5
1832	-250	-282	Min.	16.87	-679.33	5	-56.92	5	-4.99	5	-39.91	5	-3.41	5	-0.03	5
1832	-282	-314	Max	2.51	629.98	5	46.64	5	3.24	1	59.43	5	2.25	5	0.03	5
1832	-282	-314	Max	16.87	631.00	5	46.64	5	3.91	5	59.45	5	5.09	5	0.03	5
1832	-282	-314	Min.	2.51	-731.38	5	-57.97	5	-2.93	1	-40.58	5	-3.44	5	-0.03	5
1832	-282	-314	Min.	16.87	-730.36	5	-57.97	5	-5.23	5	-40.55	5	-3.58	5	-0.03	5
1832	-314	-346	Max	2.51	728.92	5	47.39	5	3.18	1	60.50	5	2.19	1	0.03	5
1832	-314	-346	Max	16.87	729.94	5	47.39	5	4.10	5	60.52	5	5.35	5	0.03	5
1832	-314	-346	Min.	2.51	-784.59	5	-59.01	5	-2.88	1	-41.19	5	-3.36	1	-0.03	5
1832	-314	-346	Min.	16.87	-783.57	5	-59.01	5	-5.47	5	-41.17	5	-3.75	5	-0.03	5
1832	-346	-378	Max	2.51	832.19	5	48.17	5	3.11	1	61.65	5	2.13	1	0.03	5
1832	-346	-378	Max	16.87	833.21	5	48.17	5	4.29	5	61.68	5	5.64	5	0.03	5
1832	-346	-378	Min.	2.51	-840.06	5	-60.10	5	-2.83	1	-41.84	5	-3.27	1	-0.03	5
1832	-346	-378	Min.	16.87	-839.04	5	-60.10	5	-5.74	5	-41.82	5	-3.94	5	-0.03	5
1832	-378	-410	Max	2.51	940.11	5	49.00	5	3.02	1	62.78	5	2.06	1	0.03	5
1832	-378	-410	Max	16.87	941.13	5	49.00	5	4.51	5	62.80	5	5.94	5	0.03	5
1832	-378	-410	Min.	2.51	-897.95	5	-61.27	5	-2.78	1	-42.46	5	-3.18	1	-0.03	5
1832	-378	-410	Min.	16.87	-896.93	5	-61.27	5	-6.03	5	-42.44	5	-4.13	5	-0.03	5
1832	-410	-442	Max	2.51	1052.96	5	49.55	5	2.92	1	64.26	5	1.98	1	0.03	5
1832	-410	-442	Max	16.87	1053.98	5	49.55	5	4.71	5	64.28	5	6.31	5	0.03	5
1832	-410	-442	Min.	2.51	-958.37	5	-62.05	5	-2.70	1	-43.38	5	-3.06	1	-0.03	5
1832	-410	-442	Min.	16.87	-957.35	5	-62.05	5	-6.29	5	-43.36	5	-4.39	5	-0.03	5
1832	-442	-474	Max	2.51	1170.91	5	52.12	5	2.78	1	63.44	5	1.87	1	0.03	5
1832	-442	-474	Max	16.87	1171.93	5	52.12	5	5.22	5	63.47	5	6.42	5	0.03	5
1832	-442	-474	Min.	2.51	-1021.42	5	-65.91	5	-2.60	1	-42.03	5	-2.89	1	-0.03	5
1832	-442	-474	Min.	16.87	-1020.40	5	-65.91	5	-7.02	5	-42.00	5	-4.36	5	-0.03	5
1832	-474	-506	Max	2.51	1292.29	5	41.05	5	2.38	1	78.80	5	1.68	1	0.05	5

1832	-474	-506	Max	16.87	1293.31	5	41.05	5	4.04	5	78.82	5	8.96	5	0.05	5
1832	-474	-506	Min.	2.51	-1086.06	5	-48.80	5	-2.32	1	-56.49	5	-2.57	1	-0.04	5
1832	-474	-506	Min.	16.87	-1085.04	5	-48.80	5	-5.09	5	-56.46	5	-6.64	5	-0.04	5
1832	-506	1350	Max	2.51	1436.47	5	110.92	5	1.72	5	40.62	1	0.88	1	0.05	1
1832	-506	1350	Max	14.38	1437.32	5	110.92	5	11.76	5	40.64	1	3.65	1	0.05	1
1832	-506	1350	Min.	2.51	-1176.22	5	-156.09	5	-1.41	5	-20.25	1	-1.18	1	-0.04	1
1832	-506	1350	Min.	14.38	-1175.37	5	-156.09	5	-16.81	5	-20.23	1	-1.53	1	-0.04	1
1833	384	-32	Max	4.85	0.00	1	0.00	1	0.00	1	0.00	1	0.00	1	0.00	1
1833	384	-32	Min.	4.85	0.00	1	0.00	1	0.00	1	0.00	1	0.00	1	0.00	1
1833	-32	-64	Max	4.85	0.00	1	0.00	1	0.00	1	0.00	1	0.00	1	0.00	1
1833	-32	-64	Min.	4.85	0.00	1	0.00	1	0.00	1	0.00	1	0.00	1	0.00	1
1833	-64	-96	Max	5.01	787.71	1	32.69	5	5.17	5	48.20	5	4.27	1	0.03	5
1833	-64	-96	Max	16.87	788.56	1	32.69	5	0.65	5	48.22	5	1.05	5	0.03	5
1833	-64	-96	Min.	5.01	-758.39	1	-47.58	5	-3.46	5	-37.72	5	-5.08	1	-0.05	5
1833	-64	-96	Min.	16.87	-757.54	1	-47.58	5	-0.71	5	-37.71	5	-0.62	5	-0.05	5
1833	-96	-128	Max	2.51	778.79	1	34.39	5	4.37	1	46.85	5	3.24	5	0.03	5
1833	-96	-128	Max	16.87	779.81	1	34.39	5	2.08	5	46.87	5	3.04	5	0.03	5
1833	-96	-128	Min.	2.51	-732.43	1	-49.63	5	-2.99	1	-37.61	5	-3.70	5	-0.04	5
1833	-96	-128	Min.	16.87	-731.41	1	-49.63	5	-2.89	5	-37.59	5	-2.16	5	-0.04	5
1833	-128	-160	Max	2.51	766.76	1	34.99	5	3.86	1	47.94	5	2.84	1	0.02	5
1833	-128	-160	Max	16.87	767.78	1	34.99	5	2.56	5	47.96	5	3.68	5	0.02	5
1833	-128	-160	Min.	2.51	-699.39	1	-50.58	5	-2.65	1	-38.33	5	-3.22	1	-0.03	5
1833	-128	-160	Min.	16.87	-698.37	1	-50.58	5	-3.59	5	-38.30	5	-2.68	5	-0.03	5
1833	-160	-192	Max	2.51	753.49	1	35.58	5	3.73	1	48.83	5	2.76	1	0.02	5
1833	-160	-192	Max	16.87	754.51	1	35.58	5	2.77	5	48.85	5	3.97	5	0.02	5
1833	-160	-192	Min.	2.51	-663.70	1	-51.53	5	-2.56	1	-39.03	5	-3.11	1	-0.03	5
1833	-160	-192	Min.	16.87	-662.68	1	-51.53	5	-3.89	5	-39.01	5	-2.90	5	-0.03	5
1833	-192	-224	Max	2.51	739.47	1	36.20	5	3.68	1	49.71	5	2.72	1	0.02	5
1833	-192	-224	Max	16.87	740.49	1	36.20	5	2.92	5	49.74	5	4.18	5	0.02	5
1833	-192	-224	Min.	2.51	-626.33	1	-52.52	5	-2.53	1	-39.70	5	-3.05	1	-0.03	5
1833	-192	-224	Min.	16.87	-625.31	1	-52.52	5	-4.11	5	-39.68	5	-3.06	5	-0.03	5
1833	-224	-256	Max	2.51	724.81	1	36.76	5	3.64	1	50.60	5	2.69	1	0.02	5
1833	-224	-256	Max	16.87	725.83	1	36.76	5	3.07	5	50.62	5	4.38	5	0.02	5
1833	-224	-256	Min.	2.51	-587.49	1	-53.47	5	-2.50	1	-40.37	5	-3.00	1	-0.03	5
1833	-224	-256	Min.	16.87	-586.47	1	-53.47	5	-4.33	5	-40.35	5	-3.22	5	-0.03	5
1833	-256	-288	Max	2.51	754.54	5	37.33	5	3.59	1	51.55	5	2.66	1	0.02	5
1833	-256	-288	Max	16.87	755.56	5	37.33	5	3.22	5	51.57	5	4.59	5	0.02	5
1833	-256	-288	Min.	2.51	-592.14	5	-54.45	5	-2.47	1	-41.08	5	-2.95	1	-0.03	5
1833	-256	-288	Min.	16.87	-591.12	5	-54.45	5	-4.56	5	-41.05	5	-3.38	5	-0.03	5
1833	-288	-320	Max	2.51	834.59	5	37.91	5	3.53	1	52.43	5	2.62	1	0.02	5
1833	-288	-320	Max	16.87	835.61	5	37.91	5	3.38	5	52.45	5	4.81	5	0.02	5
1833	-288	-320	Min.	2.51	-646.17	5	-55.47	5	-2.43	1	-41.72	5	-2.89	1	-0.03	5
1833	-288	-320	Min.	16.87	-645.15	5	-55.47	5	-4.80	5	-41.70	5	-3.55	5	-0.03	5
1833	-320	-352	Max	2.51	917.99	5	38.41	5	3.46	1	53.34	5	2.57	1	0.03	5
1833	-320	-352	Max	16.87	919.01	5	38.41	5	3.55	5	53.37	5	5.05	5	0.03	5
1833	-320	-352	Min.	2.51	-702.53	5	-56.40	5	-2.38	1	-42.38	5	-2.82	1	-0.03	5
1833	-320	-352	Min.	16.87	-701.51	5	-56.40	5	-5.05	5	-42.36	5	-3.72	5	-0.03	5
1833	-352	-384	Max	2.51	1004.93	5	38.96	5	3.38	1	54.31	5	2.51	1	0.03	5
1833	-352	-384	Max	16.87	1005.95	5	38.96	5	3.72	5	54.33	5	5.31	5	0.03	5
1833	-352	-384	Min.	2.51	-761.34	5	-57.43	5	-2.33	1	-43.07	5	-2.74	1	-0.03	5
1833	-352	-384	Min.	16.87	-760.32	5	-57.43	5	-5.33	5	-43.04	5	-3.91	5	-0.03	5
1833	-384	-416	Max	2.51	1095.63	5	39.58	5	3.29	1	55.20	5	2.44	1	0.03	5
1833	-384	-416	Max	16.87	1096.65	5	39.58	5	3.92	5	55.23	5	5.57	5	0.03	5
1833	-384	-416	Min.	2.51	-822.71	5	-58.57	5	-2.27	1	-43.68	5	-2.64	1	-0.03	5
1833	-384	-416	Min.	16.87	-821.69	5	-58.57	5	-5.63	5	-43.66	5	-4.11	5	-0.03	5
1833	-416	-448	Max	2.51	1190.29	5	39.87	5	3.17	1	56.47	5	2.36	1	0.03	5
1833	-416	-448	Max	16.87	1191.31	5	39.87	5	4.10	5	56.49	5	5.91	5	0.03	5
1833	-416	-448	Min.	2.51	-886.78	5	-59.29	5	-2.20	1	-44.60	5	-2.53	1	-0.03	5
1833	-416	-448	Min.	16.87	-885.76	5	-59.29	5	-5.91	5	-44.58	5	-4.37	5	-0.03	5

1833	-448	-480	Max	2.51	1289.14	5	42.24	5	3.02	1	55.38	5	2.25	1	0.03	5
1833	-448	-480	Max	16.87	1290.16	5	42.24	5	4.59	5	55.40	5	5.96	5	0.03	5
1833	-448	-480	Min.	2.51	-953.68	5	-62.90	5	-2.09	1	-43.46	5	-2.37	1	-0.03	5
1833	-448	-480	Min.	16.87	-952.66	5	-62.90	5	-6.64	5	-43.44	5	-4.37	5	-0.03	5
1833	-480	-512	Max	2.51	1390.84	5	30.84	1	2.60	1	71.18	5	2.02	1	0.03	1
1833	-480	-512	Max	16.87	1391.86	5	30.84	1	3.23	5	71.20	5	8.51	5	0.03	1
1833	-480	-512	Min.	2.51	-1022.30	5	-47.33	1	-1.84	1	-56.95	5	-2.08	1	-0.03	1
1833	-480	-512	Min.	16.87	-1021.28	5	-47.33	1	-4.84	5	-56.93	5	-6.53	5	-0.03	1
1833	-512	1359	Max	2.51	1500.76	5	104.37	5	1.60	5	35.90	1	1.31	5	0.04	1
1833	-512	1359	Max	14.38	1501.60	5	104.37	5	11.37	5	35.92	1	3.30	1	0.04	1
1833	-512	1359	Min.	2.51	-1099.03	5	-149.02	5	-1.02	5	-33.55	1	-1.01	5	-0.04	1
1833	-512	1359	Min.	14.38	-1098.19	5	-149.02	5	-16.10	5	-33.53	1	-2.72	1	-0.04	1
1834	378	-28	Max	4.85	0.00	1	0.00	1	0.00	1	0.00	1	0.00	1	0.00	1
1834	378	-28	Min.	4.85	0.00	1	0.00	1	0.00	1	0.00	1	0.00	1	0.00	1
1834	-28	-60	Max	4.85	0.00	1	0.00	1	0.00	1	0.00	1	0.00	1	0.00	1
1834	-28	-60	Min.	4.85	0.00	1	0.00	1	0.00	1	0.00	1	0.00	1	0.00	1
1834	-60	-92	Max	5.01	653.87	1	33.28	5	6.01	5	62.28	5	3.94	1	0.02	5
1834	-60	-92	Max	16.87	654.72	1	33.28	5	0.58	5	62.30	5	1.00	5	0.02	5
1834	-60	-92	Min.	5.01	-1034.50	1	-56.96	5	-3.62	5	-32.55	5	-7.11	1	-0.03	5
1834	-60	-92	Min.	16.87	-1033.66	1	-56.96	5	-1.00	5	-32.53	5	-0.63	5	-0.03	5
1834	-92	-124	Max	2.51	650.06	1	35.77	5	5.16	1	59.21	5	2.95	1	0.01	5
1834	-92	-124	Max	16.87	651.08	1	35.77	5	2.05	5	59.24	5	3.57	5	0.01	5
1834	-92	-124	Min.	2.51	-989.70	1	-58.05	5	-3.48	1	-33.29	5	-5.03	1	-0.01	5
1834	-92	-124	Min.	16.87	-988.68	1	-58.05	5	-3.57	5	-33.27	5	-1.93	5	-0.01	5
1834	-124	-156	Max	2.51	644.59	1	36.32	5	4.55	1	60.68	5	2.66	1	0.01	1
1834	-124	-156	Max	16.87	645.61	1	36.32	5	2.53	5	60.70	5	4.38	5	0.01	1
1834	-124	-156	Min.	2.51	-932.26	1	-59.23	5	-3.10	1	-33.84	5	-4.52	1	-0.01	1
1834	-124	-156	Min.	16.87	-931.24	1	-59.23	5	-4.37	5	-33.82	5	-2.38	5	-0.01	1
1834	-156	-188	Max	2.51	638.45	1	36.94	5	4.40	1	61.87	5	2.59	1	0.02	1
1834	-156	-188	Max	16.87	639.47	1	36.94	5	2.74	5	61.90	5	4.74	5	0.02	1
1834	-156	-188	Min.	2.51	-869.95	1	-60.39	5	-3.01	1	-34.44	5	-4.38	1	-0.02	1
1834	-156	-188	Min.	16.87	-868.93	1	-60.39	5	-4.72	5	-34.41	5	-2.58	5	-0.02	1
1834	-188	-220	Max	2.51	631.96	1	37.56	5	4.34	1	63.06	5	2.55	1	0.02	1
1834	-188	-220	Max	16.87	632.99	1	37.56	5	2.89	5	63.08	5	5.01	5	0.02	1
1834	-188	-220	Min.	2.51	-804.51	1	-61.55	5	-2.98	1	-35.01	5	-4.30	1	-0.02	1
1834	-188	-220	Min.	16.87	-803.49	1	-61.55	5	-4.97	5	-34.99	5	-2.72	5	-0.02	1
1834	-220	-252	Max	2.51	625.21	1	38.17	5	4.29	1	64.26	5	2.53	1	0.02	1
1834	-220	-252	Max	16.87	626.23	1	38.17	5	3.03	5	64.29	5	5.26	5	0.02	1
1834	-220	-252	Min.	2.51	-736.21	1	-62.73	5	-2.95	1	-35.56	5	-4.25	1	-0.02	1
1834	-220	-252	Min.	16.87	-735.19	1	-62.73	5	-5.22	5	-35.54	5	-2.85	5	-0.02	1
1834	-252	-284	Max	2.51	618.26	5	38.75	5	4.23	1	65.55	5	2.49	1	0.02	1
1834	-252	-284	Max	16.87	619.28	5	38.75	5	3.17	5	65.58	5	5.53	5	0.02	1
1834	-252	-284	Min.	2.51	-665.01	5	-63.94	5	-2.92	1	-36.15	5	-4.19	1	-0.02	1
1834	-252	-284	Min.	16.87	-663.99	5	-63.94	5	-5.48	5	-36.13	5	-3.00	5	-0.02	1
1834	-284	-316	Max	2.51	720.60	5	39.37	5	4.16	1	66.80	5	2.46	1	0.02	1
1834	-284	-316	Max	16.87	721.62	5	39.37	5	3.32	5	66.82	5	5.81	5	0.02	1
1834	-284	-316	Min.	2.51	-700.20	5	-65.19	5	-2.89	1	-36.67	5	-4.11	1	-0.02	1
1834	-284	-316	Min.	16.87	-699.17	5	-65.19	5	-5.76	5	-36.65	5	-3.14	5	-0.02	1
1834	-316	-348	Max	2.51	827.40	5	39.90	5	4.08	1	68.08	5	2.41	1	0.02	1
1834	-316	-348	Max	16.87	828.42	5	39.90	5	3.48	5	68.10	5	6.12	5	0.02	1
1834	-316	-348	Min.	2.51	-736.76	5	-66.38	5	-2.84	1	-37.20	5	-4.02	1	-0.02	1
1834	-316	-348	Min.	16.87	-735.74	5	-66.38	5	-6.04	5	-37.18	5	-3.29	5	-0.02	1
1834	-348	-380	Max	2.51	938.95	5	40.48	5	3.99	1	69.42	5	2.35	1	0.02	1
1834	-348	-380	Max	16.87	939.97	5	40.48	5	3.65	5	69.44	5	6.44	5	0.02	1
1834	-348	-380	Min.	2.51	-774.74	5	-67.68	5	-2.79	1	-37.73	5	-3.92	1	-0.02	1
1834	-348	-380	Min.	16.87	-773.72	5	-67.68	5	-6.36	5	-37.71	5	-3.45	5	-0.02	1
1834	-380	-412	Max	2.51	1055.56	5	41.12	5	3.88	1	70.75	5	2.29	1	0.02	1
1834	-380	-412	Max	16.87	1056.58	5	41.12	5	3.84	5	70.77	5	6.79	5	0.02	1
1834	-380	-412	Min.	2.51	-814.20	5	-69.07	5	-2.73	1	-38.22	5	-3.80	1	-0.02	1

1834	-380	-412	Min.	16.87	-813.18	5	-69.07	5	-6.70	5	-38.20	5	-3.62	5	-0.02	1
1834	-412	-444	Max	2.51	1177.55	5	41.48	5	3.74	1	72.44	5	2.21	1	0.02	1
1834	-412	-444	Max	16.87	1178.57	5	41.48	5	4.01	5	72.47	5	7.21	5	0.02	1
1834	-412	-444	Min.	2.51	-855.18	5	-70.04	5	-2.65	1	-38.99	5	-3.66	1	-0.02	1
1834	-412	-444	Min.	16.87	-854.16	5	-70.04	5	-7.02	5	-38.97	5	-3.85	5	-0.02	1
1834	-444	-476	Max	2.51	1305.16	5	43.60	5	3.56	1	71.77	5	2.11	1	0.03	1
1834	-444	-476	Max	16.87	1306.18	5	43.60	5	4.45	5	71.79	5	7.36	5	0.03	1
1834	-444	-476	Min.	2.51	-897.77	5	-74.38	5	-2.54	1	-37.58	5	-3.46	1	-0.02	1
1834	-444	-476	Min.	16.87	-896.75	5	-74.38	5	-7.86	5	-37.56	5	-3.80	5	-0.02	1
1834	-476	-508	Max	2.51	1460.93	5	36.03	1	3.04	1	88.35	5	1.90	1	0.04	1
1834	-476	-508	Max	16.87	1461.95	5	36.03	1	3.36	5	88.38	5	10.13	5	0.04	1
1834	-476	-508	Min.	2.51	-965.48	5	-57.95	1	-2.27	1	-51.60	5	-3.05	1	-0.03	1
1834	-476	-508	Min.	16.87	-964.46	5	-57.95	1	-5.74	5	-51.58	5	-5.99	5	-0.03	1
1834	-508	1353	Max	2.51	1636.23	5	96.18	5	1.95	1	48.38	1	1.05	1	0.05	1
1834	-508	1353	Max	14.38	1637.07	5	96.18	5	10.29	5	48.40	1	4.52	1	0.05	1
1834	-508	1353	Min.	2.51	-1056.06	5	-175.23	5	-1.14	1	-21.54	1	-1.23	1	-0.04	1
1834	-508	1353	Min.	14.38	-1055.22	5	-175.23	5	-18.87	5	-21.52	1	-1.50	1	-0.04	1
1835	354	-20	Max	4.85	0.00	1	0.00	1	0.00	1	0.00	1	0.00	1	0.00	1
1835	354	-20	Min.	4.85	0.00	1	0.00	1	0.00	1	0.00	1	0.00	1	0.00	1
1835	-20	-52	Max	4.85	0.00	1	0.00	1	0.00	1	0.00	1	0.00	1	0.00	1
1835	-20	-52	Min.	4.85	0.00	1	0.00	1	0.00	1	0.00	1	0.00	1	0.00	1
1835	-52	-84	Max	5.01	640.86	1	31.22	5	5.88	5	36.53	5	6.30	1	0.03	1
1835	-52	-84	Max	16.87	641.71	1	31.22	5	0.55	5	36.55	5	0.57	5	0.03	1
1835	-52	-84	Min.	5.01	-1122.60	1	-54.71	5	-3.43	5	-53.04	5	-4.72	1	-0.04	1
1835	-52	-84	Min.	16.87	-1121.76	1	-54.71	5	-0.89	5	-53.02	5	-0.94	5	-0.04	1
1835	-84	-116	Max	2.51	602.77	1	32.31	5	4.93	1	33.98	5	4.84	1	0.02	1
1835	-84	-116	Max	16.87	603.79	1	32.31	5	1.86	5	34.00	5	1.95	5	0.02	1
1835	-84	-116	Min.	2.51	-1110.34	1	-58.01	5	-2.82	1	-55.10	5	-3.21	1	-0.03	1
1835	-84	-116	Min.	16.87	-1109.32	1	-58.01	5	-3.45	5	-55.07	5	-3.35	5	-0.03	1
1835	-116	-148	Max	2.51	552.77	1	32.76	5	4.34	1	34.69	5	4.30	1	0.02	1
1835	-116	-148	Max	16.87	553.79	1	32.76	5	2.31	5	34.72	5	2.42	5	0.02	1
1835	-116	-148	Min.	2.51	-1095.09	1	-58.80	5	-2.54	1	-55.86	5	-2.97	1	-0.02	1
1835	-116	-148	Min.	16.87	-1094.07	1	-58.80	5	-4.25	5	-55.83	5	-4.12	5	-0.02	1
1835	-148	-180	Max	2.51	498.07	1	33.30	5	4.19	1	35.25	5	4.16	1	0.02	1
1835	-148	-180	Max	16.87	499.10	1	33.30	5	2.50	5	35.27	5	2.61	5	0.02	1
1835	-148	-180	Min.	2.51	-1078.75	1	-59.95	5	-2.47	1	-56.92	5	-2.89	1	-0.01	1
1835	-148	-180	Min.	16.87	-1077.73	1	-59.95	5	-4.60	5	-56.90	5	-4.46	5	-0.01	1
1835	-180	-212	Max	2.51	440.35	1	33.81	5	4.12	1	35.81	5	4.09	1	0.02	1
1835	-180	-212	Max	16.87	441.37	1	33.81	5	2.64	5	35.84	5	2.76	5	0.02	1
1835	-180	-212	Min.	2.51	-1061.83	1	-61.03	5	-2.43	1	-57.99	5	-2.86	1	-0.01	1
1835	-180	-212	Min.	16.87	-1060.81	1	-61.03	5	-4.86	5	-57.97	5	-4.71	5	-0.01	1
1835	-212	-244	Max	2.51	379.84	1	34.33	5	4.06	1	36.35	5	4.04	1	0.02	1
1835	-212	-244	Max	16.87	380.87	1	34.33	5	2.77	5	36.37	5	2.89	5	0.02	1
1835	-212	-244	Min.	2.51	-1044.39	1	-62.20	5	-2.40	1	-59.06	5	-2.83	1	-0.01	1
1835	-212	-244	Min.	16.87	-1043.37	1	-62.20	5	-5.11	5	-59.03	5	-4.95	5	-0.01	1
1835	-244	-276	Max	2.51	396.68	5	34.82	5	3.99	1	36.91	5	3.98	1	0.02	1
1835	-244	-276	Max	16.87	397.70	5	34.82	5	2.90	5	36.94	5	3.03	5	0.02	1
1835	-244	-276	Min.	2.51	-1106.67	5	-63.35	5	-2.37	1	-60.23	5	-2.80	1	-0.02	1
1835	-244	-276	Min.	16.87	-1105.65	5	-63.35	5	-5.37	5	-60.21	5	-5.20	5	-0.02	1
1835	-276	-308	Max	2.51	438.77	5	35.32	5	3.92	1	37.43	5	3.90	1	0.02	1
1835	-276	-308	Max	16.87	439.79	5	35.32	5	3.04	5	37.46	5	3.18	5	0.02	1
1835	-276	-308	Min.	2.51	-1196.74	5	-64.58	5	-2.33	1	-61.32	5	-2.76	1	-0.02	1
1835	-276	-308	Min.	16.87	-1195.72	5	-64.58	5	-5.66	5	-61.29	5	-5.47	5	-0.02	1
1835	-308	-340	Max	2.51	482.29	5	35.76	5	3.82	1	37.95	5	3.82	1	0.02	1
1835	-308	-340	Max	16.87	483.31	5	35.76	5	3.19	5	37.97	5	3.33	5	0.02	1
1835	-308	-340	Min.	2.51	-1290.94	5	-65.69	5	-2.28	1	-62.46	5	-2.72	1	-0.02	1
1835	-308	-340	Min.	16.87	-1289.92	5	-65.69	5	-5.95	5	-62.44	5	-5.75	5	-0.02	1
1835	-340	-372	Max	2.51	527.30	5	36.24	5	3.72	1	38.47	5	3.72	1	0.02	1
1835	-340	-372	Max	16.87	528.32	5	36.24	5	3.35	5	38.49	5	3.50	5	0.02	1

1835	-340	-372	Min.	2.51	-1389.54	5	-66.97	5	-2.22	1	-63.65	5	-2.66	1	-0.02	1
1835	-340	-372	Min.	16.87	-1388.52	5	-66.97	5	-6.27	5	-63.63	5	-6.06	5	-0.02	1
1835	-372	-404	Max	2.51	573.88	5	36.73	5	3.59	1	38.97	5	3.60	1	0.02	1
1835	-372	-404	Max	16.87	574.89	5	36.73	5	3.52	5	38.99	5	3.67	5	0.02	1
1835	-372	-404	Min.	2.51	-1492.80	5	-68.29	5	-2.15	1	-64.75	5	-2.60	1	-0.02	1
1835	-372	-404	Min.	16.87	-1491.78	5	-68.29	5	-6.62	5	-64.73	5	-6.38	5	-0.02	1
1835	-404	-436	Max	2.51	622.06	5	36.99	5	3.44	1	39.63	5	3.47	1	0.02	1
1835	-404	-436	Max	16.87	623.08	5	36.99	5	3.68	5	39.65	5	3.89	5	0.02	1
1835	-404	-436	Min.	2.51	-1601.01	5	-69.23	5	-2.08	1	-66.51	5	-2.53	1	-0.02	1
1835	-404	-436	Min.	16.87	-1599.99	5	-69.23	5	-6.94	5	-66.48	5	-6.81	5	-0.02	1
1835	-436	-468	Max	2.51	671.92	5	38.97	5	3.25	1	39.04	5	3.26	1	0.02	1
1835	-436	-468	Max	16.87	672.94	5	38.97	5	4.10	5	39.06	5	3.96	5	0.02	1
1835	-436	-468	Min.	2.51	-1714.43	5	-73.50	5	-1.97	1	-64.04	5	-2.42	1	-0.02	1
1835	-436	-468	Min.	16.87	-1713.41	5	-73.50	5	-7.79	5	-64.02	5	-6.71	5	-0.02	1
1835	-468	-500	Max	2.51	753.53	5	28.78	5	2.72	1	47.34	5	2.96	1	0.02	5
1835	-468	-500	Max	16.87	754.55	5	28.78	5	3.01	5	47.36	5	5.37	5	0.02	5
1835	-468	-500	Min.	2.51	-1862.13	5	-54.34	5	-1.74	1	-91.22	5	-2.14	1	-0.01	5
1835	-468	-500	Min.	16.87	-1861.11	5	-54.34	5	-5.70	5	-91.20	5	-10.85	5	-0.01	5
1835	-500	1333	Max	2.51	850.58	5	91.34	5	1.86	5	74.65	5	0.84	5	0.02	5
1835	-500	1333	Max	14.38	851.42	5	91.34	5	9.88	5	74.67	5	6.74	5	0.02	5
1835	-500	1333	Min.	2.51	-2024.90	5	-176.05	5	-0.96	5	-15.52	5	-2.12	5	-0.01	5
1835	-500	1333	Min.	14.38	-2024.06	5	-176.05	5	-19.04	5	-15.50	5	-1.00	5	-0.01	5
1836	360	-24	Max	4.85	0.00	1	0.00	1	0.00	1	0.00	1	0.00	1	0.00	1
1836	360	-24	Min.	4.85	0.00	1	0.00	1	0.00	1	0.00	1	0.00	1	0.00	1
1836	-24	-56	Max	4.85	0.00	1	0.00	1	0.00	1	0.00	1	0.00	1	0.00	1
1836	-24	-56	Min.	4.85	0.00	1	0.00	1	0.00	1	0.00	1	0.00	1	0.00	1
1836	-56	-88	Max	5.01	722.35	1	31.39	5	4.04	5	37.43	5	5.66	5	0.04	5
1836	-56	-88	Max	16.87	723.20	1	31.39	5	0.51	5	37.45	5	0.69	5	0.04	5
1836	-56	-88	Min.	5.01	-820.10	1	-39.14	5	-3.48	5	-51.25	5	-4.05	5	-0.05	5
1836	-56	-88	Min.	16.87	-819.25	1	-39.14	5	-0.86	5	-51.23	5	-0.71	5	-0.05	5
1836	-88	-120	Max	2.51	697.00	1	33.01	5	3.29	1	36.11	5	4.43	5	0.03	5
1836	-88	-120	Max	16.87	698.02	1	33.01	5	1.87	5	36.14	5	2.19	5	0.03	5
1836	-88	-120	Min.	2.51	-812.64	1	-40.64	5	-2.94	1	-51.73	5	-3.00	5	-0.04	5
1836	-88	-120	Min.	16.87	-811.62	1	-40.64	5	-2.62	5	-51.71	5	-3.00	5	-0.04	5
1836	-120	-152	Max	2.51	663.53	1	33.44	5	2.88	1	36.78	5	3.83	5	0.02	5
1836	-120	-152	Max	16.87	664.55	1	33.44	5	2.33	5	36.81	5	2.69	5	0.02	5
1836	-120	-152	Min.	2.51	-803.64	1	-41.17	5	-2.64	1	-52.56	5	-2.60	5	-0.03	5
1836	-120	-152	Min.	16.87	-802.62	1	-41.17	5	-3.20	5	-52.54	5	-3.72	5	-0.03	5
1836	-152	-184	Max	2.51	626.86	1	33.99	5	2.77	1	37.39	5	3.66	5	0.02	5
1836	-152	-184	Max	16.87	627.88	1	33.99	5	2.54	5	37.41	5	2.90	5	0.02	5
1836	-152	-184	Min.	2.51	-794.16	1	-41.90	5	-2.56	1	-53.57	5	-2.47	5	-0.03	5
1836	-152	-184	Min.	16.87	-793.14	1	-41.90	5	-3.46	5	-53.55	5	-4.04	5	-0.03	5
1836	-184	-216	Max	2.51	588.13	1	34.53	5	2.71	1	38.00	5	3.59	1	0.02	5
1836	-184	-216	Max	16.87	589.15	1	34.53	5	2.68	5	38.02	5	3.06	5	0.02	5
1836	-184	-216	Min.	2.51	-784.45	1	-42.62	5	-2.52	1	-54.55	5	-2.42	1	-0.03	5
1836	-184	-216	Min.	16.87	-783.43	1	-42.62	5	-3.65	5	-54.53	5	-4.26	5	-0.03	5
1836	-216	-248	Max	2.51	547.56	1	35.05	5	2.66	1	38.59	5	3.54	1	0.02	5
1836	-216	-248	Max	16.87	548.58	1	35.05	5	2.83	5	38.61	5	3.20	5	0.02	5
1836	-216	-248	Min.	2.51	-774.59	1	-43.32	5	-2.49	1	-55.56	5	-2.39	1	-0.03	5
1836	-216	-248	Min.	16.87	-773.57	1	-43.32	5	-3.84	5	-55.53	5	-4.48	5	-0.03	5
1836	-248	-280	Max	2.51	576.50	5	35.57	5	2.60	1	39.21	5	3.49	1	0.02	5
1836	-248	-280	Max	16.87	577.52	5	35.57	5	2.97	5	39.23	5	3.36	5	0.02	5
1836	-248	-280	Min.	2.51	-836.02	5	-44.02	5	-2.45	1	-56.64	5	-2.35	1	-0.03	5
1836	-248	-280	Min.	16.87	-835.00	5	-44.02	5	-4.04	5	-56.62	5	-4.72	5	-0.03	5
1836	-280	-312	Max	2.51	632.33	5	36.09	5	2.53	1	39.78	5	3.43	1	0.02	5
1836	-280	-312	Max	16.87	633.35	5	36.09	5	3.13	5	39.80	5	3.52	5	0.02	5
1836	-280	-312	Min.	2.51	-926.24	5	-44.77	5	-2.40	1	-57.65	5	-2.31	1	-0.03	5
1836	-280	-312	Min.	16.87	-925.22	5	-44.77	5	-4.25	5	-57.62	5	-4.96	5	-0.03	5
1836	-312	-344	Max	2.51	690.30	5	36.54	5	2.45	1	40.35	5	3.36	1	0.02	5

1836	-312	-344	Max	16.87	691.32	5	36.54	5	3.29	5	40.38	5	3.69	5	0.02	5
1836	-312	-344	Min.	2.51	-1020.61	5	-45.39	5	-2.35	1	-58.71	5	-2.26	1	-0.03	5
1836	-312	-344	Min.	16.87	-1019.59	5	-45.39	5	-4.47	5	-58.68	5	-5.22	5	-0.03	5
1836	-344	-376	Max	2.51	750.49	5	37.04	5	2.36	1	40.96	5	3.28	1	0.03	5
1836	-344	-376	Max	16.87	751.51	5	37.04	5	3.47	5	40.98	5	3.87	5	0.03	5
1836	-344	-376	Min.	2.51	-1119.39	5	-46.11	5	-2.29	1	-59.83	5	-2.21	1	-0.03	5
1836	-344	-376	Min.	16.87	-1118.36	5	-46.11	5	-4.70	5	-59.80	5	-5.51	5	-0.03	5
1836	-376	-408	Max	2.51	813.04	5	37.57	5	2.25	1	41.48	5	3.19	1	0.03	5
1836	-376	-408	Max	16.87	814.06	5	37.57	5	3.66	5	41.50	5	4.06	5	0.03	5
1836	-376	-408	Min.	2.51	-1222.84	5	-46.91	5	-2.21	1	-60.82	5	-2.14	1	-0.03	5
1836	-376	-408	Min.	16.87	-1221.82	5	-46.91	5	-4.96	5	-60.79	5	-5.80	5	-0.03	5
1836	-408	-440	Max	2.51	878.05	5	37.82	5	2.13	1	42.30	5	3.07	1	0.03	5
1836	-408	-440	Max	16.87	879.07	5	37.82	5	3.84	5	42.32	5	4.31	5	0.03	5
1836	-408	-440	Min.	2.51	-1331.22	5	-47.29	5	-2.13	1	-62.39	5	-2.07	1	-0.03	5
1836	-408	-440	Min.	16.87	-1330.20	5	-47.29	5	-5.19	5	-62.36	5	-6.18	5	-0.03	5
1836	-440	-472	Max	2.51	945.64	5	40.01	5	1.98	1	41.22	5	2.91	1	0.03	5
1836	-440	-472	Max	16.87	946.66	5	40.01	5	4.32	5	41.25	5	4.32	5	0.03	5
1836	-440	-472	Min.	2.51	-1444.81	5	-50.64	5	-2.01	1	-60.55	5	-1.96	1	-0.03	5
1836	-440	-472	Min.	16.87	-1443.79	5	-50.64	5	-5.88	5	-60.53	5	-6.15	5	-0.03	5
1836	-472	-504	Max	2.51	1015.14	5	28.52	5	1.60	1	53.49	5	2.63	1	0.02	5
1836	-472	-504	Max	16.87	1016.16	5	28.52	5	3.07	5	53.51	5	6.29	5	0.02	5
1836	-472	-504	Min.	2.51	-1562.16	5	-32.98	5	-1.76	1	-82.64	5	-1.73	1	-0.02	5
1836	-472	-504	Min.	16.87	-1561.14	5	-32.98	5	-3.87	5	-82.62	5	-9.58	5	-0.02	5
1836	-504	1339	Max	2.51	1095.27	5	98.79	5	1.12	5	54.04	5	1.17	5	0.01	5
1836	-504	1339	Max	14.38	1096.12	5	98.79	5	10.79	5	54.05	5	4.84	5	0.01	5
1836	-504	1339	Min.	2.51	-1688.43	5	-141.17	5	-0.94	5	-30.70	5	-1.58	5	-0.01	5
1836	-504	1339	Min.	14.38	-1687.59	5	-141.17	5	-15.64	5	-30.68	5	-2.47	5	-0.01	5
1837	381	-30	Max	4.85	0.00	1	0.00	1	0.00	1	0.00	1	0.00	1	0.00	1
1837	381	-30	Min.	4.85	0.00	1	0.00	1	0.00	1	0.00	1	0.00	1	0.00	1
1837	-30	-62	Max	4.85	0.00	1	0.00	1	0.00	1	0.00	1	0.00	1	0.00	1
1837	-30	-62	Min.	4.85	0.00	1	0.00	1	0.00	1	0.00	1	0.00	1	0.00	1
1837	-62	-94	Max	5.01	724.23	1	31.71	5	6.18	5	59.02	5	4.24	1	0.02	5
1837	-62	-94	Max	16.87	725.08	1	31.71	5	0.59	5	59.03	5	1.06	5	0.02	5
1837	-62	-94	Min.	5.01	-985.69	1	-57.73	5	-3.43	5	-33.76	5	-6.80	1	-0.04	5
1837	-62	-94	Min.	16.87	-984.85	1	-57.73	5	-0.93	5	-33.74	5	-0.61	5	-0.04	5
1837	-94	-126	Max	2.51	716.68	1	33.99	5	5.32	1	56.40	5	3.17	1	0.01	5
1837	-94	-126	Max	16.87	717.70	1	33.99	5	1.97	5	56.42	5	3.49	5	0.01	5
1837	-94	-126	Min.	2.51	-942.76	1	-59.35	5	-3.27	1	-34.34	5	-4.81	1	-0.02	5
1837	-94	-126	Min.	16.87	-941.74	1	-59.35	5	-3.56	5	-34.32	5	-1.96	5	-0.02	5
1837	-126	-158	Max	2.51	706.35	1	34.55	5	4.70	1	57.80	5	2.86	1	0.01	1
1837	-126	-158	Max	16.87	707.37	1	34.55	5	2.44	5	57.82	5	4.26	5	0.01	1
1837	-126	-158	Min.	2.51	-887.73	1	-60.54	5	-2.91	1	-34.90	5	-4.32	1	-0.02	1
1837	-126	-158	Min.	16.87	-886.71	1	-60.54	5	-4.37	5	-34.87	5	-2.43	5	-0.02	1
1837	-158	-190	Max	2.51	694.93	1	35.11	5	4.54	1	58.92	5	2.78	1	0.02	1
1837	-158	-190	Max	16.87	695.95	1	35.11	5	2.63	5	58.95	5	4.61	5	0.02	1
1837	-158	-190	Min.	2.51	-828.06	1	-61.71	5	-2.82	1	-35.53	5	-4.17	1	-0.02	1
1837	-158	-190	Min.	16.87	-827.04	1	-61.71	5	-4.73	5	-35.51	5	-2.63	5	-0.02	1
1837	-190	-222	Max	2.51	682.86	1	35.70	5	4.48	1	60.04	5	2.74	1	0.02	1
1837	-190	-222	Max	16.87	683.88	1	35.70	5	2.77	5	60.07	5	4.86	5	0.02	1
1837	-190	-222	Min.	2.51	-765.41	1	-62.90	5	-2.79	1	-36.13	5	-4.10	1	-0.02	1
1837	-190	-222	Min.	16.87	-764.39	1	-62.90	5	-5.00	5	-36.11	5	-2.78	5	-0.02	1
1837	-222	-254	Max	2.51	670.25	1	36.25	5	4.43	1	61.18	5	2.72	1	0.02	1
1837	-222	-254	Max	16.87	671.27	1	36.25	5	2.91	5	61.21	5	5.10	5	0.02	1
1837	-222	-254	Min.	2.51	-700.03	1	-64.12	5	-2.77	1	-36.71	5	-4.05	1	-0.02	1
1837	-222	-254	Min.	16.87	-699.01	1	-64.12	5	-5.25	5	-36.69	5	-2.92	5	-0.02	1
1837	-254	-286	Max	2.51	671.55	5	36.81	5	4.37	1	62.37	5	2.68	1	0.02	1
1837	-254	-286	Max	16.87	672.57	5	36.81	5	3.05	5	62.40	5	5.36	5	0.02	1
1837	-254	-286	Min.	2.51	-646.29	5	-65.37	5	-2.74	1	-37.31	5	-3.99	1	-0.02	1
1837	-254	-286	Min.	16.87	-645.27	5	-65.37	5	-5.52	5	-37.28	5	-3.06	5	-0.02	1

1837	-286	-318	Max	2.51	766.33	5	37.35	5	4.30	1	63.56	5	2.64	1	0.02	1
1837	-286	-318	Max	16.87	767.36	5	37.35	5	3.19	5	63.59	5	5.63	5	0.02	1
1837	-286	-318	Min.	2.51	-683.60	5	-66.63	5	-2.71	1	-37.88	5	-3.91	1	-0.02	1
1837	-286	-318	Min.	16.87	-682.58	5	-66.63	5	-5.80	5	-37.85	5	-3.21	5	-0.02	1
1837	-318	-350	Max	2.51	865.20	5	37.87	5	4.22	1	64.73	5	2.59	1	0.02	1
1837	-318	-350	Max	16.87	866.22	5	37.87	5	3.34	5	64.75	5	5.92	5	0.02	1
1837	-318	-350	Min.	2.51	-722.39	5	-67.89	5	-2.67	1	-38.41	5	-3.83	1	-0.02	1
1837	-318	-350	Min.	16.87	-721.37	5	-67.89	5	-6.11	5	-38.39	5	-3.37	5	-0.02	1
1837	-350	-382	Max	2.51	968.39	5	38.38	5	4.12	1	66.00	5	2.54	1	0.02	1
1837	-350	-382	Max	16.87	969.41	5	38.38	5	3.50	5	66.03	5	6.23	5	0.02	1
1837	-350	-382	Min.	2.51	-762.70	5	-69.21	5	-2.61	1	-38.99	5	-3.73	1	-0.02	1
1837	-350	-382	Min.	16.87	-761.68	5	-69.21	5	-6.43	5	-38.96	5	-3.54	5	-0.02	1
1837	-382	-414	Max	2.51	1076.21	5	38.96	5	4.01	1	67.24	5	2.47	1	0.02	1
1837	-382	-414	Max	16.87	1077.24	5	38.96	5	3.68	5	67.26	5	6.56	5	0.02	1
1837	-382	-414	Min.	2.51	-804.63	5	-70.64	5	-2.56	1	-39.51	5	-3.61	1	-0.02	1
1837	-382	-414	Min.	16.87	-803.61	5	-70.64	5	-6.79	5	-39.49	5	-3.71	5	-0.02	1
1837	-414	-446	Max	2.51	1188.97	5	39.23	5	3.87	1	68.88	5	2.39	1	0.02	1
1837	-414	-446	Max	16.87	1190.00	5	39.23	5	3.84	5	68.91	5	6.97	5	0.02	1
1837	-414	-446	Min.	2.51	-848.24	5	-71.60	5	-2.49	1	-40.36	5	-3.47	1	-0.02	1
1837	-414	-446	Min.	16.87	-847.22	5	-71.60	5	-7.11	5	-40.33	5	-3.95	5	-0.02	1
1837	-446	-478	Max	2.51	1306.83	5	41.35	5	3.68	1	68.01	5	2.27	1	0.02	1
1837	-446	-478	Max	16.87	1307.85	5	41.35	5	4.28	5	68.03	5	7.09	5	0.02	1
1837	-446	-478	Min.	2.51	-893.57	5	-76.11	5	-2.39	1	-38.90	5	-3.27	1	-0.02	1
1837	-446	-478	Min.	16.87	-892.54	5	-76.11	5	-7.98	5	-38.87	5	-3.90	5	-0.02	1
1837	-478	-510	Max	2.51	1458.21	5	33.66	1	3.15	1	84.45	5	2.06	1	0.03	1
1837	-478	-510	Max	16.87	1459.23	5	33.66	1	3.18	5	84.47	5	9.81	5	0.03	1
1837	-478	-510	Min.	2.51	-969.80	5	-59.46	1	-2.13	1	-53.07	5	-2.88	1	-0.03	1
1837	-478	-510	Min.	16.87	-968.78	5	-59.46	1	-5.87	5	-53.04	5	-6.12	5	-0.03	1
1837	-510	1356	Max	2.51	1624.88	5	93.35	5	1.99	1	46.47	1	1.13	1	0.05	1
1837	-510	1356	Max	14.38	1625.72	5	93.35	5	10.03	5	46.49	1	4.35	1	0.05	1
1837	-510	1356	Min.	2.51	-1063.63	5	-177.58	5	-1.07	1	-24.06	1	-1.17	1	-0.04	1
1837	-510	1356	Min.	14.38	-1062.79	5	-177.58	5	-19.11	5	-24.04	1	-1.72	1	-0.04	1
1858	1305	1306	Max	1.77	146.81	5	29.10	1	7.22	5	2.58	1	0.59	5	0.02	5
1858	1305	1306	Max	10.00	146.81	5	29.69	1	6.51	5	2.58	1	0.51	5	0.02	5
1858	1305	1306	Min.	1.77	-105.69	5	-32.10	1	-5.65	5	-2.45	1	-0.44	5	0.00	5
1858	1305	1306	Min.	10.00	-105.69	5	-31.51	1	-5.14	5	-2.45	1	-0.35	5	0.00	5
1858	1306	1307	Max	0.00	146.88	5	29.69	1	6.51	5	2.65	1	0.51	5	0.02	5
1858	1306	1307	Max	0.41					6.48	7			0.50	7		
1858	1306	1307	Max	8.23	146.88	5	30.27	1	7.30	5	2.65	1	0.52	5	0.02	5
1858	1306	1307	Min.	0.00	-105.76	5	-31.51	1	-5.14	5	-2.52	1	-0.35	5	0.00	5
1858	1306	1307	Min.	0.41					-5.12	7			-0.34	7		
1858	1306	1307	Min.	8.23	-105.76	5	-30.93	1	-6.03	5	-2.52	1	-0.35	5	0.00	5
1860	1325	1326	Max	1.77	102.56	5	1.77	1	0.41	5	24.06	1	5.16	5	0.01	1
1860	1325	1326	Max	10.00	102.56	5	1.77	1	0.35	5	24.64	1	4.75	5	0.01	1
1860	1325	1326	Min.	1.77	-157.18	5	-1.35	1	-0.61	5	-28.46	1	-7.96	5	-0.03	1
1860	1325	1326	Min.	10.00	-157.18	5	-1.35	1	-0.51	5	-27.88	1	-7.87	5	-0.03	1
1860	1326	1327	Max	0.00	102.49	5	1.84	1	0.35	5	24.64	1	4.75	5	0.01	1
1860	1326	1327	Max	0.41					0.35	7			4.73	7		
1860	1326	1327	Max	8.23	102.49	5	1.84	1	0.33	5	25.23	1	5.60	5	0.01	1
1860	1326	1327	Min.	0.00	-157.11	5	-1.42	1	-0.51	5	-27.88	1	-7.87	5	-0.03	1
1860	1326	1327	Min.	0.41					-0.50	7			-7.86	7		
1860	1326	1327	Min.	8.23	-157.11	5	-1.42	1	-0.46	5	-27.29	1	-8.93	5	-0.03	1
1902	1337	1338	Max	1.77	102.59	5	24.11	1	5.13	5	1.79	1	0.42	5	0.03	1
1902	1337	1338	Max	9.18					4.64	7			0.35	7		
1902	1337	1338	Max	10.00	102.59	5	24.70	1	4.75	5	1.79	1	0.35	5	0.03	1
1902	1337	1338	Min.	1.77	-157.10	5	-28.64	1	-7.92	5	-1.37	1	-0.61	5	-0.01	1
1902	1337	1338	Min.	9.18					-7.73	7			-0.51	7		
1902	1337	1338	Min.	10.00	-157.10	5	-28.06	1	-7.87	5	-1.37	1	-0.51	5	-0.01	1
1902	1338	1339	Max	0.00	102.66	5	24.70	1	4.75	5	1.86	1	0.35	5	0.03	1

1902	1338	1339	Max	0.41					4.73	7			0.34	7		
1902	1338	1339	Max	8.23	102.66	5	25.28	1	5.62	5	1.86	1	0.33	5	0.03	1
1902	1338	1339	Min.	0.00	-157.17	5	-28.06	1	-7.87	5	-1.44	1	-0.51	5	-0.01	1
1902	1338	1339	Min.	0.41					-7.86	7			-0.50	7		
1902	1338	1339	Min.	8.23	-157.17	5	-27.47	1	-8.97	5	-1.44	1	-0.45	5	-0.01	1
1904	1357	1358	Max	1.77	146.50	5	2.55	1	0.59	5	28.74	1	7.26	5	-0.00	5
1904	1357	1358	Max	10.00	146.50	5	2.55	1	0.51	5	29.32	1	6.52	5	-0.00	5
1904	1357	1358	Min.	1.77	-105.45	5	-2.41	1	-0.44	5	-31.84	1	-5.68	5	-0.02	5
1904	1357	1358	Min.	10.00	-105.45	5	-2.41	1	-0.35	5	-31.25	1	-5.14	5	-0.02	5
1904	1358	1359	Max	0.00	146.57	5	2.62	1	0.51	5	29.32	1	6.52	5	-0.00	5
1904	1358	1359	Max	0.41					0.50	7			6.48	7		
1904	1358	1359	Max	8.23	146.57	5	2.62	1	0.52	5	29.91	1	7.26	5	-0.00	5
1904	1358	1359	Min.	0.00	-105.52	5	-2.48	1	-0.35	5	-31.25	1	-5.14	5	-0.02	5
1904	1358	1359	Min.	0.41					-0.34	7			-5.12	7		
1904	1358	1359	Min.	8.23	-105.52	5	-2.48	1	-0.35	5	-30.67	1	-5.99	5	-0.02	5
2022	2025	2026	Max	0.00	6.79	1	1597.78	5	0.30	1	64.36	1	0.27	1	62.45	5
2022	2025	2026	Max	0.63	6.79	1	1597.78	5	10.10	5	64.31	1	0.66	1	62.45	5
2022	2025	2026	Min.	0.00	-7.12	1	-2175.52	5	-0.48	1	-193.41	1	-0.11	1	-37.90	5
2022	2025	2026	Min.	0.63	-7.12	1	-2175.52	5	-13.92	5	-193.46	1	-1.32	1	-37.90	5
2022	2026	2027	Max	5.37	13.70	1	2236.62	5	9.75	5	316.88	1	0.45	1	37.18	5
2022	2026	2027	Max	6.00	13.70	1	2236.62	5	0.83	5	316.83	1	-0.01	1	37.18	5
2022	2026	2027	Min.	5.37	-14.56	1	-1632.00	5	-13.26	5	-84.39	1	-2.01	1	-63.17	5
2022	2026	2027	Min.	6.00	-14.56	1	-1632.00	5	-0.53	5	-84.44	1	-0.08	1	-63.17	5
2066	2285	2286	Max	0.00	6.68	1	2167.59	5	0.38	1	62.08	1	0.27	1	37.94	5
2066	2285	2286	Max	0.63	6.68	1	2167.59	5	13.83	5	62.03	1	0.66	1	37.94	5
2066	2285	2286	Min.	0.00	-6.97	1	-1598.86	5	-0.22	1	-193.05	1	-0.11	1	-62.27	5
2066	2285	2286	Min.	0.63	-6.97	1	-1598.86	5	-10.09	5	-193.10	1	-1.33	1	-62.27	5
2066	2286	2287	Max	5.37	12.79	1	1626.02	5	13.41	5	314.61	1	0.43	1	63.21	5
2066	2286	2287	Max	6.00	12.79	1	1626.02	5	0.43	5	314.57	1	0.01	1	63.21	5
2066	2286	2287	Min.	5.37	-13.72	1	-2240.36	5	-9.82	5	-83.72	1	-1.97	1	-37.15	5
2066	2286	2287	Min.	6.00	-13.72	1	-2240.36	5	-0.70	5	-83.77	1	-0.10	1	-37.15	5
2106	2001	9	Max	0.00	21.51	1	2.00	1	0.27	1	11.77	1	1.54	1	0.11	1
2106	2001	9	Max	16.67	21.51	1	2.00	1	0.09	1	11.11	1	0.91	1	0.11	1
2106	2001	9	Min.	0.00	-35.55	1	-2.25	1	-0.24	1	-17.08	1	-1.02	1	-0.13	1
2106	2001	9	Min.	16.67	-35.55	1	-2.25	1	-0.10	1	-17.74	1	-1.39	1	-0.13	1
2106	9	17	Max	0.00	51.14	1	2.30	1	0.31	1	9.54	1	1.12	1	0.15	1
2106	9	17	Max	16.67	51.14	1	2.30	1	0.12	1	8.88	1	0.94	1	0.15	1
2106	9	17	Min.	0.00	-86.42	1	-2.63	1	-0.26	1	-17.09	1	-0.59	1	-0.17	1
2106	9	17	Min.	16.67	-86.42	1	-2.63	1	-0.13	1	-17.74	1	-1.79	1	-0.17	1
2106	17	2025	Max	0.00	80.50	1	4.57	1	0.14	1	29.71	5	1.37	5	0.07	1
2106	17	2025	Max	2.81					-0.00	3			0.66	3		
2106	17	2025	Max	16.67	80.50	1	4.57	1	0.64	1	29.06	5	6.03	5	0.07	1
2106	17	2025	Min.	0.00	-138.16	1	-5.10	1	-0.13	1	-28.90	5	-1.18	5	-0.10	1
2106	17	2025	Min.	2.81					-0.00	3			-0.45	3		
2106	17	2025	Min.	16.67	-138.16	1	-5.10	1	-0.71	1	-29.55	5	-5.81	5	-0.10	1
2106	2025	37	Max	0.00	1805.87	5	1.09	1	0.37	1	217.31	5	17.96	5	0.15	1
2106	2025	37	Max	21.56	1805.87	5	1.09	1	0.07	5	216.46	5	6.78	5	0.15	1
2106	2025	37	Min.	0.00	-2463.51	5	-1.68	1	-0.25	1	-74.80	5	-39.99	5	-0.05	1
2106	2025	37	Min.	21.56	-2463.51	5	-1.68	1	-0.07	5	-75.65	5	1.74	5	-0.05	1
2106	37	45	Max	0.00	1664.34	5	0.63	1	0.14	1	179.16	5	11.56	5	0.17	1
2106	37	45	Max	21.56	1664.34	5	0.63	1	0.08	1	178.31	5	12.17	5	0.17	1
2106	37	45	Min.	0.00	-1983.54	5	-1.10	1	-0.06	1	-57.82	5	-26.37	5	-0.06	1
2106	37	45	Min.	21.56	-1983.54	5	-1.10	1	-0.10	1	-58.67	5	-1.00	5	-0.06	1
2106	45	53	Max	0.00	1523.93	5	0.20	1	0.03	1	162.62	5	10.17	5	0.16	1
2106	45	53	Max	21.56	1523.93	5	0.20	1	0.08	1	161.77	5	12.78	5	0.16	1
2106	45	53	Min.	0.00	-1543.65	5	-0.67	1	0.02	1	-55.06	5	-22.19	5	-0.07	1
2106	45	53	Min.	21.56	-1543.65	5	-0.67	1	-0.12	1	-55.90	5	-1.79	5	-0.07	1
2106	53	61	Max	0.00	1405.19	5	-0.14	5	0.07	5	146.18	5	9.03	5	0.16	1
2106	53	61	Max	21.56	1405.19	5	-0.14	5	0.02	5	145.33	5	12.59	5	0.16	1

2106	53	61	Min.	0.00	-1183.98	5	-0.27	5	-0.05	5	-50.82	5	-18.84	5	-0.08	1
2106	53	61	Min.	21.56	-1183.98	5	-0.27	5	-0.08	5	-51.67	5	-2.02	5	-0.08	1
2106	61	69	Max	0.00	1294.83	5	0.54	1	0.13	1	124.12	5	8.80	5	0.08	1
2106	61	69	Max	19.41					0.05	7			8.37	7		
2106	61	69	Max	21.56	1294.83	5	0.54	1	0.06	5	123.28	5	11.06	5	0.08	1
2106	61	69	Min.	0.00	-890.59	5	-0.64	1	-0.11	1	-52.43	5	-15.61	5	-0.02	1
2106	61	69	Min.	19.41					-0.05	7			-1.42	7		
2106	61	69	Min.	21.56	-890.59	5	-0.64	1	-0.06	5	-53.28	5	-2.59	5	-0.02	1
2106	69	77	Max	0.00	1191.43	5	0.35	1	0.06	5	112.81	5	8.00	5	0.06	1
2106	69	77	Max	21.56	1191.43	5	0.35	1	0.08	1	111.96	5	10.45	5	0.06	1
2106	69	77	Min.	0.00	-650.35	5	-0.57	1	-0.02	5	-49.93	5	-13.78	5	-0.01	1
2106	69	77	Min.	21.56	-650.35	5	-0.57	1	-0.10	1	-50.78	5	-2.86	5	-0.01	1
2106	77	85	Max	0.00	1099.10	5	0.06	5	0.07	1	103.47	5	7.41	5	0.07	1
2106	77	85	Max	21.56	1099.10	5	0.06	5	0.04	1	102.63	5	9.98	5	0.07	1
2106	77	85	Min.	0.00	-447.87	5	-0.28	5	-0.06	1	-47.52	5	-12.24	5	-0.03	1
2106	77	85	Min.	21.56	-447.87	5	-0.28	5	-0.08	1	-48.37	5	-2.93	5	-0.03	1
2106	85	93	Max	0.00	1015.30	5	0.35	1	0.05	5	94.94	5	7.12	5	0.10	1
2106	85	93	Max	21.56	1015.30	5	0.35	1	0.07	1	94.09	5	9.64	5	0.10	1
2106	85	93	Min.	0.00	-276.34	5	-0.49	1	-0.05	5	-45.73	5	-10.74	5	-0.06	1
2106	85	93	Min.	21.56	-276.34	5	-0.49	1	-0.11	1	-46.58	5	-2.84	5	-0.06	1
2106	93	101	Max	0.00	932.48	5	0.62	1	0.16	1	76.83	5	7.83	5	0.03	5
2106	93	101	Max	20.75					0.06	7			7.33	7		
2106	93	101	Max	21.56	932.48	5	0.62	1	0.06	5	75.98	5	8.01	5	0.03	5
2106	93	101	Min.	0.00	-136.53	5	-0.72	1	-0.13	1	-54.37	5	-8.46	5	0.01	5
2106	93	101	Min.	20.75					-0.05	7			-3.48	7		
2106	93	101	Min.	21.56	-136.53	5	-0.72	1	-0.06	5	-55.22	5	-3.99	5	0.01	5
2106	101	109	Max	0.00	850.25	5	0.37	1	0.06	5	70.50	5	7.30	5	0.03	1
2106	101	109	Max	21.56	850.25	5	0.37	1	0.09	1	69.65	5	7.37	5	0.03	1
2106	101	109	Min.	0.00	-22.54	5	-0.55	1	-0.03	5	-52.96	5	-7.74	5	-0.01	1
2106	101	109	Min.	21.56	-22.54	5	-0.55	1	-0.09	1	-53.81	5	-4.21	5	-0.01	1
2106	109	117	Max	0.00	773.87	5	0.08	5	0.07	1	65.23	5	6.94	5	0.07	1
2106	109	117	Max	21.56	773.87	5	0.08	5	0.04	1	64.39	5	6.96	5	0.07	1
2106	109	117	Min.	0.00	75.42	5	-0.27	5	-0.06	1	-51.26	5	-7.01	5	-0.05	1
2106	109	117	Min.	21.56	75.42	5	-0.27	5	-0.07	1	-52.11	5	-4.20	5	-0.05	1
2106	117	125	Max	0.00	702.39	5	0.32	1	0.04	5	60.12	5	6.85	5	0.09	1
2106	117	125	Max	21.56	702.39	5	0.32	1	0.08	1	59.27	5	6.70	5	0.09	1
2106	117	125	Min.	0.00	159.97	5	-0.45	1	-0.05	5	-50.23	5	-6.17	5	-0.07	1
2106	117	125	Min.	21.56	159.97	5	-0.45	1	-0.12	1	-51.07	5	-4.07	5	-0.07	1
2106	125	133	Max	0.00	631.19	5	0.71	1	0.14	1	47.59	5	7.57	5	0.03	5
2106	125	133	Max	19.24					0.05	7			4.33	7		
2106	125	133	Max	21.56	631.19	5	0.71	1	0.05	5	46.74	5	5.45	5	0.03	5
2106	125	133	Min.	0.00	229.66	5	-0.67	1	-0.14	1	-57.80	5	-4.71	5	-0.01	5
2106	125	133	Min.	19.24					-0.04	7			-3.59	7		
2106	125	133	Min.	21.56	229.66	5	-0.67	1	-0.05	5	-58.65	5	-4.99	5	-0.01	5
2106	133	141	Max	0.00	560.50	5	0.45	1	0.04	5	43.49	5	7.17	5	0.01	5
2106	133	141	Max	21.56	560.50	5	0.45	1	0.10	1	42.64	5	4.92	5	0.01	5
2106	133	141	Min.	0.00	286.65	5	-0.47	1	-0.04	5	-56.89	5	-4.37	5	-0.01	5
2106	133	141	Min.	21.56	286.65	5	-0.47	1	-0.11	1	-57.74	5	-5.19	5	-0.01	5
2106	141	149	Max	0.00	494.05	5	0.13	5	0.07	1	39.69	5	6.81	5	0.04	1
2106	141	149	Max	21.56	494.05	5	0.13	5	0.06	1	38.84	5	4.43	5	0.04	1
2106	141	149	Min.	0.00	336.25	5	-0.16	5	-0.09	1	-56.06	5	-4.04	5	-0.05	1
2106	141	149	Min.	21.56	336.25	5	-0.16	5	-0.08	1	-56.90	5	-5.36	5	-0.05	1
2106	149	157	Max	0.00	433.47	5	0.37	1	0.03	5	37.25	5	6.08	5	0.06	1
2106	149	157	Max	5.54					0.02	7			3.06	7		
2106	149	157	Max	21.56	433.47	5	0.37	1	0.05	1	36.41	5	3.81	5	0.06	1
2106	149	157	Min.	0.00	381.42	5	-0.39	1	-0.06	5	-54.35	5	-4.13	5	-0.06	1
2106	149	157	Min.	5.54					-0.05	7			-2.07	7		
2106	149	157	Min.	21.56	381.42	5	-0.39	1	-0.09	1	-55.20	5	-5.73	5	-0.06	1
2106	157	165	Max	0.00	431.65	5	0.39	1	0.05	1	55.24	5	3.81	5	0.06	1

2106	157	165	Max	15.42					0.02	7			2.73	7		
2106	157	165	Max	21.56	431.65	5	0.39	1	0.03	5	54.39	5	6.08	5	0.06	1
2106	157	165	Min.	0.00	383.26	5	-0.37	1	-0.09	1	-36.41	5	-5.74	5	-0.06	1
2106	157	165	Min.	15.42					-0.05	7			-1.85	7		
2106	157	165	Min.	21.56	383.26	5	-0.37	1	-0.06	5	-37.26	5	-4.13	5	-0.06	1
2106	165	173	Max	0.00	492.28	5	0.16	5	0.06	1	56.96	5	4.43	5	0.05	1
2106	165	173	Max	21.56	492.28	5	0.16	5	0.08	1	56.11	5	6.82	5	0.05	1
2106	165	173	Min.	0.00	338.08	5	-0.12	5	-0.08	1	-38.86	5	-5.37	5	-0.04	1
2106	165	173	Min.	21.56	338.08	5	-0.12	5	-0.09	1	-39.70	5	-4.04	5	-0.04	1
2106	173	181	Max	0.00	558.79	5	0.47	1	0.10	1	57.78	5	4.92	5	0.01	5
2106	173	181	Max	21.56	558.79	5	0.47	1	0.04	5	56.94	5	7.17	5	0.01	5
2106	173	181	Min.	0.00	288.45	5	-0.45	1	-0.10	1	-42.65	5	-5.20	5	-0.01	5
2106	173	181	Min.	21.56	288.45	5	-0.45	1	-0.04	5	-43.50	5	-4.37	5	-0.01	5
2106	181	189	Max	0.00	629.54	5	0.67	1	0.05	5	58.71	5	5.46	5	0.01	5
2106	181	189	Max	1.95					0.05	7			4.50	7		
2106	181	189	Max	21.56	629.54	5	0.67	1	0.14	1	57.86	5	7.57	5	0.01	5
2106	181	189	Min.	0.00	231.46	5	-0.70	1	-0.05	5	-46.76	5	-5.00	5	-0.03	5
2106	181	189	Min.	1.95					-0.04	7			-3.81	7		
2106	181	189	Min.	21.56	231.46	5	-0.70	1	-0.14	1	-47.61	5	-4.72	5	-0.03	5
2106	189	197	Max	0.00	700.80	5	0.45	1	0.08	1	51.11	5	6.70	5	0.08	1
2106	189	197	Max	21.56	700.80	5	0.45	1	0.04	5	50.27	5	6.86	5	0.08	1
2106	189	197	Min.	0.00	161.75	5	-0.32	1	-0.11	1	-59.28	5	-4.07	5	-0.09	1
2106	189	197	Min.	21.56	161.75	5	-0.32	1	-0.05	5	-60.13	5	-6.17	5	-0.09	1
2106	197	205	Max	0.00	772.35	5	0.26	5	0.04	1	52.15	5	6.97	5	0.04	1
2106	197	205	Max	21.56	772.35	5	0.26	5	0.07	1	51.31	5	6.95	5	0.04	1
2106	197	205	Min.	0.00	77.19	5	-0.08	5	-0.07	1	-64.39	5	-4.21	5	-0.07	1
2106	197	205	Min.	21.56	77.19	5	-0.08	5	-0.06	1	-65.24	5	-7.01	5	-0.07	1
2106	205	213	Max	0.00	848.79	5	0.56	1	0.08	1	53.86	5	7.37	5	0.01	1
2106	205	213	Max	21.56	848.79	5	0.56	1	0.06	5	53.01	5	7.30	5	0.01	1
2106	205	213	Min.	0.00	-20.78	5	-0.38	1	-0.09	1	-69.66	5	-4.22	5	-0.03	1
2106	205	213	Min.	21.56	-20.78	5	-0.38	1	-0.03	5	-70.50	5	-7.74	5	-0.03	1
2106	213	221	Max	0.00	931.10	5	0.72	1	0.06	5	55.27	5	8.01	5	-0.01	5
2106	213	221	Max	0.27					0.06	7			7.73	7		
2106	213	221	Max	21.56	931.10	5	0.72	1	0.16	1	54.42	5	7.83	5	-0.01	5
2106	213	221	Min.	0.00	-134.78	5	-0.62	1	-0.06	5	-75.99	5	-3.99	5	-0.03	5
2106	213	221	Min.	0.27					-0.06	7			-3.77	7		
2106	213	221	Min.	21.56	-134.78	5	-0.62	1	-0.14	1	-76.84	5	-8.46	5	-0.03	5
2106	221	229	Max	0.00	1014.00	5	0.49	1	0.07	1	46.62	5	9.64	5	0.06	1
2106	221	229	Max	21.56	1014.00	5	0.49	1	0.05	5	45.77	5	7.12	5	0.06	1
2106	221	229	Min.	0.00	-274.60	5	-0.35	1	-0.10	1	-94.10	5	-2.84	5	-0.10	1
2106	221	229	Min.	21.56	-274.60	5	-0.35	1	-0.05	5	-94.95	5	-10.74	5	-0.10	1
2106	229	237	Max	0.00	1097.88	5	0.27	5	0.05	1	48.42	5	9.98	5	0.03	1
2106	229	237	Max	21.56	1097.88	5	0.27	5	0.07	1	47.57	5	7.41	5	0.03	1
2106	229	237	Min.	0.00	-446.16	5	-0.05	5	-0.08	1	-102.64	5	-2.94	5	-0.07	1
2106	229	237	Min.	21.56	-446.16	5	-0.05	5	-0.06	1	-103.48	5	-12.24	5	-0.07	1
2106	237	245	Max	0.00	1190.30	5	0.58	1	0.08	1	50.83	5	10.46	5	0.01	1
2106	237	245	Max	21.56	1190.30	5	0.58	1	0.06	5	49.98	5	8.01	5	0.01	1
2106	237	245	Min.	0.00	-648.65	5	-0.36	1	-0.10	1	-111.97	5	-2.86	5	-0.06	1
2106	237	245	Min.	21.56	-648.65	5	-0.36	1	-0.03	5	-112.82	5	-13.78	5	-0.06	1
2106	245	253	Max	0.00	1293.80	5	0.63	1	0.06	5	53.33	5	11.06	5	0.02	1
2106	245	253	Max	1.43					0.05	7			9.26	7		
2106	245	253	Max	21.56	1293.80	5	0.63	1	0.13	1	52.48	5	8.81	5	0.02	1
2106	245	253	Min.	0.00	-888.93	5	-0.53	1	-0.06	5	-123.29	5	-2.60	5	-0.09	1
2106	245	253	Min.	1.43					-0.05	7			-1.79	7		
2106	245	253	Min.	21.56	-888.93	5	-0.53	1	-0.11	1	-124.14	5	-15.61	5	-0.09	1
2106	253	261	Max	0.00	1404.28	5	0.28	5	0.01	5	51.64	5	12.59	5	0.08	1
2106	253	261	Max	21.56	1404.28	5	0.28	5	0.07	5	50.79	5	9.02	5	0.08	1
2106	253	261	Min.	0.00	-1182.41	5	0.14	5	-0.08	5	-145.32	5	-2.02	5	-0.16	1
2106	253	261	Min.	21.56	-1182.41	5	0.14	5	-0.04	5	-146.17	5	-18.83	5	-0.16	1

2106	261	269	Max	0.00	1523.15	5	0.68	1	0.08	1	55.88	5	12.78	5	0.07	1
2106	261	269	Max	21.56	1523.15	5	0.68	1	0.03	1	55.03	5	10.17	5	0.07	1
2106	261	269	Min.	0.00	-1542.25	5	-0.22	1	-0.13	1	-161.77	5	-1.79	5	-0.16	1
2106	261	269	Min.	21.56	-1542.25	5	-0.22	1	0.02	1	-162.62	5	-22.19	5	-0.16	1
2106	269	277	Max	0.00	1662.06	5	1.12	1	0.08	1	58.63	5	12.17	5	0.06	1
2106	269	277	Max	21.56	1662.06	5	1.12	1	0.14	1	57.79	5	11.56	5	0.06	1
2106	269	277	Min.	0.00	-1980.72	5	-0.65	1	-0.10	1	-178.29	5	-1.00	5	-0.17	1
2106	269	277	Min.	21.56	-1980.72	5	-0.65	1	-0.07	1	-179.14	5	-26.37	5	-0.17	1
2106	277	2285	Max	0.00	1803.51	5	1.70	1	0.07	5	75.60	5	6.78	5	0.05	1
2106	277	2285	Max	21.56	1803.51	5	1.70	1	0.38	1	74.76	5	17.96	5	0.05	1
2106	277	2285	Min.	0.00	-2460.71	5	-1.11	1	-0.07	5	-216.46	5	1.75	5	-0.15	1
2106	277	2285	Min.	21.56	-2460.71	5	-1.11	1	-0.26	1	-217.30	5	-39.98	5	-0.15	1
2106	2285	297	Max	0.00	66.65	1	4.93	1	0.57	1	29.91	5	5.87	5	0.11	1
2106	2285	297	Max	13.92					-0.03	3			0.64	3		
2106	2285	297	Max	16.67	66.65	1	4.93	1	0.19	1	29.26	5	1.37	5	0.11	1
2106	2285	297	Min.	0.00	-133.29	1	-4.44	1	-0.63	1	-27.90	5	-5.84	5	-0.08	1
2106	2285	297	Min.	13.92					0.04	3			-0.41	3		
2106	2285	297	Min.	16.67	-133.29	1	-4.44	1	-0.17	1	-28.55	5	-1.12	5	-0.08	1
2106	297	305	Max	0.00	43.09	1	2.81	1	0.19	1	17.64	1	0.78	1	0.17	1
2106	297	305	Max	16.67	43.09	1	2.81	1	0.26	1	16.99	1	1.13	1	0.17	1
2106	297	305	Min.	0.00	-83.65	1	-2.53	1	-0.21	1	-7.32	1	-1.76	1	-0.15	1
2106	297	305	Min.	16.67	-83.65	1	-2.53	1	-0.23	1	-7.97	1	-0.49	1	-0.15	1
2106	305	2313	Max	0.00	18.20	1	2.66	1	0.12	1	16.94	1	0.80	1	0.13	1
2106	305	2313	Max	16.67	18.20	1	2.66	1	0.29	1	16.29	1	1.48	1	0.13	1
2106	305	2313	Min.	0.00	-33.91	1	-2.25	1	-0.15	1	-9.48	1	-1.33	1	-0.10	1
2106	305	2313	Min.	16.67	-33.91	1	-2.25	1	-0.25	1	-10.14	1	-0.87	1	-0.10	1
2107	-514	18	Max	0.00	18.92	1	2.76	1	0.60	1	1.43	1	0.13	1	0.03	5
2107	-514	18	Max	11.61					0.19	1			0.16	1		
2107	-514	18	Max	19.08	18.55	1	2.76	1	0.06	5	0.78	1	0.16	5	0.03	5
2107	-514	18	Min.	0.00	-87.97	1	-3.55	1	-0.49	1	0.18	1	-0.41	1	-0.06	5
2107	-514	18	Min.	4.18					-0.25	3			-0.31	3		
2107	-514	18	Min.	19.08	-88.33	1	-3.55	1	-0.10	5	-0.48	1	-0.25	5	-0.06	5
2144	2003	11	Max	0.00	-2.41	1	1.93	1	0.27	1	1.02	1	2.63	1	0.13	1
2144	2003	11	Max	16.67	-2.41	1	1.93	1	0.11	1	0.36	1	0.06	1	0.13	1
2144	2003	11	Min.	0.00	-62.42	1	-2.40	1	-0.22	1	-29.48	1	-0.06	1	-0.10	1
2144	2003	11	Min.	16.67	-62.42	1	-2.40	1	-0.13	1	-30.14	1	-2.34	1	-0.10	1
2144	11	19	Max	0.00	-7.04	1	1.93	1	0.23	1	-2.31	1	1.90	1	0.19	1
2144	11	19	Max	16.67	-7.04	1	1.93	1	0.14	1	-2.96	1	-0.29	1	0.19	1
2144	11	19	Min.	0.00	-149.83	1	-2.42	1	-0.18	1	-28.30	1	0.15	1	-0.14	1
2144	11	19	Min.	16.67	-149.83	1	-2.42	1	-0.18	1	-28.95	1	-2.87	1	-0.14	1
2144	19	2028	Max	0.00	-8.24	1	4.26	1	0.19	1	21.22	5	1.89	5	0.12	1
2144	19	2028	Max	3.33					-0.03	3			0.83	3		
2144	19	2028	Max	16.67	-8.24	1	4.26	1	0.54	1	20.56	5	5.03	5	0.12	1
2144	19	2028	Min.	0.00	-230.93	1	-4.64	1	-0.17	1	-39.87	5	-0.83	5	-0.08	1
2144	19	2028	Min.	3.33					0.03	3			-0.39	3		
2144	19	2028	Min.	16.67	-230.93	1	-4.64	1	-0.59	1	-40.52	5	-7.19	5	-0.08	1
2144	2028	39	Max	0.00	1519.94	5	2.09	1	0.40	1	287.92	5	7.54	5	0.08	1
2144	2028	39	Max	21.56	1519.94	5	2.09	1	0.02	5	287.07	5	11.12	5	0.08	1
2144	2028	39	Min.	0.00	-2833.20	5	-1.85	1	-0.43	1	-6.95	5	-50.87	5	-0.08	1
2144	2028	39	Min.	21.56	-2833.20	5	-1.85	1	-0.01	5	-7.80	5	5.95	5	-0.08	1
2144	39	47	Max	0.00	1544.17	5	0.94	1	0.06	1	237.89	5	4.55	5	0.09	1
2144	39	47	Max	21.56	1544.17	5	0.94	1	0.15	1	237.04	5	17.65	5	0.09	1
2144	39	47	Min.	0.00	-2189.65	5	-0.97	1	-0.05	1	-0.37	5	-33.55	5	-0.10	1
2144	39	47	Min.	21.56	-2189.65	5	-0.97	1	-0.15	1	-1.21	5	4.38	5	-0.10	1
2144	47	55	Max	0.00	1549.08	5	0.18	1	0.07	1	214.28	5	4.59	5	0.12	1
2144	47	55	Max	21.56	1549.08	5	0.18	1	0.11	1	213.43	5	18.14	5	0.12	1
2144	47	55	Min.	0.00	-1608.12	5	-0.18	1	-0.07	1	-4.88	5	-27.97	5	-0.12	1
2144	47	55	Min.	21.56	-1608.12	5	-0.18	1	-0.11	1	-5.73	5	3.45	5	-0.12	1
2144	55	63	Max	0.00	1540.37	5	0.39	1	0.01	5	190.81	5	4.71	5	0.14	1

2144	55	63	Max	21.56	1540.37	5	0.39	1	0.08	1	189.97	5	17.67	5	0.14	1
2144	55	63	Min.	0.00	-1132.75	5	-0.36	1	-0.01	5	-7.61	5	-23.38	5	-0.13	1
2144	55	63	Min.	21.56	-1132.75	5	-0.36	1	-0.08	1	-8.46	5	2.98	5	-0.13	1
2144	63	71	Max	0.00	1504.46	5	0.74	1	0.19	1	153.86	5	6.65	5	0.02	1
2144	63	71	Max	21.56	1504.46	5	0.74	1	0.01	1	153.01	5	14.77	5	0.02	1
2144	63	71	Min.	0.00	-757.42	5	-0.85	1	-0.17	1	-27.40	5	-18.32	5	-0.00	1
2144	63	71	Min.	21.56	-757.42	5	-0.85	1	-0.01	1	-28.24	5	0.65	5	-0.00	1
2144	71	79	Max	0.00	1449.74	5	0.51	1	0.03	1	138.40	5	6.18	5	0.02	1
2144	71	79	Max	21.56	1449.74	5	0.51	1	0.14	1	137.55	5	13.68	5	0.02	1
2144	71	79	Min.	0.00	-459.56	5	-0.63	1	-0.01	1	-28.81	5	-16.07	5	0.00	1
2144	71	79	Min.	21.56	-459.56	5	-0.63	1	-0.14	1	-29.65	5	-0.12	5	0.00	1
2144	79	87	Max	0.00	1394.12	5	0.15	1	0.13	1	125.41	5	6.00	5	0.07	1
2144	79	87	Max	21.56	1394.12	5	0.15	1	0.07	1	124.57	5	12.87	5	0.07	1
2144	79	87	Min.	0.00	-212.28	5	-0.26	1	-0.12	1	-29.75	5	-14.08	5	-0.05	1
2144	79	87	Min.	21.56	-212.28	5	-0.26	1	-0.08	1	-30.60	5	-0.51	5	-0.05	1
2144	87	95	Max	0.00	1337.92	5	0.60	1	0.01	5	113.42	5	6.18	5	0.11	1
2144	87	95	Max	21.56	1337.92	5	0.60	1	0.13	1	112.57	5	12.26	5	0.11	1
2144	87	95	Min.	0.00	-5.82	5	-0.69	1	-0.01	5	-31.33	5	-12.10	5	-0.09	1
2144	87	95	Min.	21.56	-5.82	5	-0.69	1	-0.14	1	-32.17	5	-0.66	5	-0.09	1
2144	95	103	Max	0.00	1272.36	5	0.80	1	0.20	1	88.33	5	7.73	5	0.03	1
2144	95	103	Max	21.56	1272.36	5	0.80	1	0.02	1	87.49	5	9.88	5	0.03	1
2144	95	103	Min.	0.00	158.65	5	-0.83	1	-0.19	1	-47.13	5	-9.08	5	-0.02	1
2144	95	103	Min.	21.56	158.65	5	-0.83	1	-0.02	1	-47.98	5	-2.53	5	-0.02	1
2144	103	111	Max	0.00	1199.90	5	0.53	1	0.01	1	79.45	5	7.38	5	0.01	1
2144	103	111	Max	21.56	1199.90	5	0.53	1	0.13	1	78.61	5	8.90	5	0.01	1
2144	103	111	Min.	0.00	288.85	5	-0.58	1	-0.01	1	-48.08	5	-8.14	5	0.00	1
2144	103	111	Min.	21.56	288.85	5	-0.58	1	-0.13	1	-48.93	5	-3.08	5	0.00	1
2144	111	119	Max	0.00	1128.89	5	0.15	1	0.11	1	71.94	5	7.27	5	0.07	1
2144	111	119	Max	21.56	1128.89	5	0.15	1	0.07	1	71.10	5	8.28	5	0.07	1
2144	111	119	Min.	0.00	397.96	5	-0.20	1	-0.11	1	-48.47	5	-7.14	5	-0.06	1
2144	111	119	Min.	21.56	397.96	5	-0.20	1	-0.07	1	-49.31	5	-3.28	5	-0.06	1
2144	119	127	Max	0.00	1058.67	5	0.51	1	0.01	1	64.38	5	7.57	5	0.11	1
2144	119	127	Max	21.56	1058.67	5	0.51	1	0.12	1	63.53	5	7.91	5	0.11	1
2144	119	127	Min.	0.00	489.04	5	-0.55	1	-0.01	1	-49.73	5	-5.88	5	-0.10	1
2144	119	127	Min.	21.56	489.04	5	-0.55	1	-0.13	1	-50.58	5	-3.24	5	-0.10	1
2144	127	135	Max	0.00	981.69	5	0.78	1	0.18	1	42.29	5	9.34	5	0.04	1
2144	127	135	Max	21.56	981.69	5	0.78	1	0.01	1	41.44	5	5.63	5	0.04	1
2144	127	135	Min.	0.00	557.83	5	-0.80	1	-0.18	1	-67.10	5	-3.40	5	-0.03	1
2144	127	135	Min.	21.56	557.83	5	-0.80	1	-0.01	1	-67.95	5	-5.22	5	-0.03	1
2144	135	143	Max	0.00	899.51	5	0.51	1	0.03	1	36.44	5	8.92	5	0.01	1
2144	135	143	Max	21.56	899.51	5	0.51	1	0.14	1	35.59	5	4.72	5	0.01	1
2144	135	143	Min.	0.00	608.02	5	-0.54	1	-0.02	1	-67.84	5	-3.04	5	-0.01	1
2144	135	143	Min.	21.56	608.02	5	-0.54	1	-0.14	1	-68.69	5	-5.80	5	-0.01	1
2144	143	151	Max	0.00	820.19	5	0.14	1	0.12	1	30.84	5	8.56	5	0.06	1
2144	143	151	Max	21.56	820.19	5	0.14	1	0.08	1	29.99	5	3.84	5	0.06	1
2144	143	151	Min.	0.00	649.16	5	-0.17	1	-0.12	1	-68.68	5	-2.71	5	-0.05	1
2144	143	151	Min.	21.56	649.16	5	-0.17	1	-0.08	1	-69.53	5	-6.34	5	-0.05	1
2144	151	159	Max	0.00	747.90	5	0.47	1	0.01	1	27.95	5	7.32	5	0.07	1
2144	151	159	Max	21.56	747.90	5	0.47	1	0.09	1	27.10	5	2.61	5	0.07	1
2144	151	159	Min.	0.00	686.82	5	-0.50	1	-0.01	1	-67.37	5	-3.32	5	-0.07	1
2144	151	159	Min.	21.56	686.82	5	-0.50	1	-0.10	1	-68.21	5	-7.30	5	-0.07	1
2144	159	167	Max	0.00	748.85	5	0.50	1	0.09	1	68.20	5	2.61	5	0.07	1
2144	159	167	Max	21.56	748.85	5	0.50	1	0.01	1	67.36	5	7.32	5	0.07	1
2144	159	167	Min.	0.00	685.88	5	-0.47	1	-0.10	1	-27.09	5	-7.30	5	-0.07	1
2144	159	167	Min.	21.56	685.88	5	-0.47	1	-0.01	1	-27.94	5	-3.32	5	-0.07	1
2144	167	175	Max	0.00	821.13	5	0.18	1	0.08	1	69.53	5	3.84	5	0.05	1
2144	167	175	Max	21.56	821.13	5	0.18	1	0.12	1	68.68	5	8.56	5	0.05	1
2144	167	175	Min.	0.00	648.22	5	-0.15	1	-0.08	1	-29.99	5	-6.34	5	-0.06	1
2144	167	175	Min.	21.56	648.22	5	-0.15	1	-0.12	1	-30.84	5	-2.71	5	-0.06	1

2144	175	183	Max	0.00	900.45	5	0.54	1	0.14	1	68.68	5	4.72	5	0.01	1
2144	175	183	Max	21.56	900.45	5	0.54	1	0.03	1	67.83	5	8.92	5	0.01	1
2144	175	183	Min.	0.00	607.10	5	-0.51	1	-0.14	1	-35.58	5	-5.80	5	-0.01	1
2144	175	183	Min.	21.56	607.10	5	-0.51	1	-0.02	1	-36.43	5	-3.04	5	-0.01	1
2144	183	191	Max	0.00	982.62	5	0.80	1	0.01	1	67.95	5	5.63	5	0.03	1
2144	183	191	Max	21.56	982.62	5	0.80	1	0.18	1	67.10	5	9.34	5	0.03	1
2144	183	191	Min.	0.00	556.91	5	-0.78	1	-0.01	1	-41.44	5	-5.22	5	-0.04	1
2144	183	191	Min.	21.56	556.91	5	-0.78	1	-0.18	1	-42.29	5	-3.40	5	-0.04	1
2144	191	199	Max	0.00	1059.59	5	0.55	1	0.12	1	50.57	5	7.91	5	0.10	1
2144	191	199	Max	21.56	1059.59	5	0.55	1	0.01	1	49.73	5	7.58	5	0.10	1
2144	191	199	Min.	0.00	488.13	5	-0.51	1	-0.13	1	-63.53	5	-3.24	5	-0.11	1
2144	191	199	Min.	21.56	488.13	5	-0.51	1	-0.01	1	-64.37	5	-5.88	5	-0.11	1
2144	199	207	Max	0.00	1129.80	5	0.20	1	0.06	1	49.31	5	8.28	5	0.06	1
2144	199	207	Max	21.56	1129.80	5	0.20	1	0.11	1	48.46	5	7.27	5	0.06	1
2144	199	207	Min.	0.00	397.06	5	-0.15	1	-0.07	1	-71.09	5	-3.27	5	-0.07	1
2144	199	207	Min.	21.56	397.06	5	-0.15	1	-0.11	1	-71.94	5	-7.14	5	-0.07	1
2144	207	215	Max	0.00	1200.81	5	0.58	1	0.13	1	48.92	5	8.90	5	-0.00	1
2144	207	215	Max	21.56	1200.81	5	0.58	1	0.01	1	48.07	5	7.38	5	-0.00	1
2144	207	215	Min.	0.00	287.94	5	-0.53	1	-0.13	1	-78.60	5	-3.07	5	-0.01	1
2144	207	215	Min.	21.56	287.94	5	-0.53	1	-0.01	1	-79.45	5	-8.14	5	-0.01	1
2144	215	223	Max	0.00	1273.27	5	0.83	1	0.02	1	47.98	5	9.88	5	0.02	1
2144	215	223	Max	21.56	1273.27	5	0.83	1	0.20	1	47.13	5	7.73	5	0.02	1
2144	215	223	Min.	0.00	157.75	5	-0.80	1	-0.02	1	-87.48	5	-2.53	5	-0.03	1
2144	215	223	Min.	21.56	157.75	5	-0.80	1	-0.19	1	-88.33	5	-9.08	5	-0.03	1
2144	223	231	Max	0.00	1338.82	5	0.69	1	0.13	1	32.17	5	12.26	5	0.09	1
2144	223	231	Max	21.56	1338.82	5	0.69	1	0.01	5	31.32	5	6.18	5	0.09	1
2144	223	231	Min.	0.00	-6.73	5	-0.60	1	-0.14	1	-112.58	5	-0.66	5	-0.11	1
2144	223	231	Min.	21.56	-6.73	5	-0.60	1	-0.01	5	-113.43	5	-12.10	5	-0.11	1
2144	231	239	Max	0.00	1395.02	5	0.27	1	0.07	1	30.60	5	12.87	5	0.05	1
2144	231	239	Max	21.56	1395.02	5	0.27	1	0.13	1	29.76	5	6.00	5	0.05	1
2144	231	239	Min.	0.00	-213.20	5	-0.15	1	-0.08	1	-124.58	5	-0.51	5	-0.07	1
2144	231	239	Min.	21.56	-213.20	5	-0.15	1	-0.12	1	-125.42	5	-14.08	5	-0.07	1
2144	239	247	Max	0.00	1450.64	5	0.63	1	0.14	1	29.65	5	13.68	5	0.00	1
2144	239	247	Max	21.56	1450.64	5	0.63	1	0.03	1	28.80	5	6.18	5	0.00	1
2144	239	247	Min.	0.00	-460.50	5	-0.51	1	-0.14	1	-137.56	5	-0.12	5	-0.02	1
2144	239	247	Min.	21.56	-460.50	5	-0.51	1	-0.01	1	-138.41	5	-16.07	5	-0.02	1
2144	247	255	Max	0.00	1505.36	5	0.86	1	0.01	1	28.24	5	14.77	5	0.00	1
2144	247	255	Max	21.56	1505.36	5	0.86	1	0.19	1	27.40	5	6.65	5	0.00	1
2144	247	255	Min.	0.00	-758.39	5	-0.74	1	-0.01	1	-153.03	5	0.65	5	-0.02	1
2144	247	255	Min.	21.56	-758.39	5	-0.74	1	-0.17	1	-153.87	5	-18.32	5	-0.02	1
2144	255	263	Max	0.00	1541.25	5	0.36	1	0.09	1	8.40	5	17.68	5	0.13	1
2144	255	263	Max	21.56	1541.25	5	0.36	1	0.01	5	7.56	5	4.71	5	0.13	1
2144	255	263	Min.	0.00	-1133.82	5	-0.39	1	-0.08	1	-190.00	5	2.99	5	-0.14	1
2144	255	263	Min.	21.56	-1133.82	5	-0.39	1	-0.01	5	-190.84	5	-23.38	5	-0.14	1
2144	263	271	Max	0.00	1549.93	5	0.18	1	0.11	1	5.67	5	18.15	5	0.12	1
2144	263	271	Max	21.56	1549.93	5	0.18	1	0.07	1	4.82	5	4.59	5	0.12	1
2144	263	271	Min.	0.00	-1609.36	5	-0.17	1	-0.11	1	-213.47	5	3.46	5	-0.12	1
2144	263	271	Min.	21.56	-1609.36	5	-0.17	1	-0.07	1	-214.31	5	-27.97	5	-0.12	1
2144	271	279	Max	0.00	1544.99	5	0.96	1	0.15	1	1.15	5	17.66	5	0.10	1
2144	271	279	Max	21.56	1544.99	5	0.96	1	0.06	1	0.30	5	4.55	5	0.10	1
2144	271	279	Min.	0.00	-2191.11	5	-0.94	1	-0.15	1	-237.06	5	4.39	5	-0.09	1
2144	271	279	Min.	21.56	-2191.11	5	-0.94	1	-0.05	1	-237.91	5	-33.55	5	-0.09	1
2144	279	2288	Max	0.00	1520.25	5	1.85	1	0.03	5	7.72	5	11.13	5	0.08	1
2144	279	2288	Max	21.56	1520.25	5	1.85	1	0.40	1	6.87	5	7.53	5	0.08	1
2144	279	2288	Min.	0.00	-2834.51	5	-2.08	1	-0.01	5	-287.13	5	5.96	5	-0.08	1
2144	279	2288	Min.	21.56	-2834.51	5	-2.08	1	-0.43	1	-287.98	5	-50.88	5	-0.08	1
2144	2288	299	Max	0.00	-22.17	1	4.59	1	0.54	1	40.87	5	4.83	5	0.08	1
2144	2288	299	Max	13.33					-0.02	3			0.82	3		
2144	2288	299	Max	16.67	-22.17	1	4.59	1	0.18	1	40.22	5	1.92	5	0.08	1

2144	2288	299	Min.	0.00	-232.22	1	-4.19	1	-0.59	1	-19.11	5	-7.24	5	-0.12	1
2144	2288	299	Min.	13.33					0.03	3			-0.39	3		
2144	2288	299	Min.	16.67	-232.22	1	-4.19	1	-0.16	1	-19.76	5	-0.82	5	-0.12	1
2144	299	307	Max	0.00	-16.50	1	2.53	1	0.15	1	29.50	1	-0.48	1	0.14	1
2144	299	307	Max	16.67	-16.50	1	2.53	1	0.24	1	28.84	1	1.96	1	0.14	1
2144	299	307	Min.	0.00	-150.31	1	-2.17	1	-0.18	1	4.89	1	-2.91	1	-0.19	1
2144	299	307	Min.	16.67	-150.31	1	-2.17	1	-0.21	1	4.24	1	0.28	1	-0.19	1
2144	307	2315	Max	0.00	-6.36	1	2.30	1	0.08	1	29.79	1	-0.10	1	0.10	1
2144	307	2315	Max	16.67	-6.36	1	2.30	1	0.27	1	29.14	1	2.61	1	0.10	1
2144	307	2315	Min.	0.00	-61.90	1	-1.75	1	-0.12	1	1.68	1	-2.30	1	-0.14	1
2144	307	2315	Min.	16.67	-61.90	1	-1.75	1	-0.21	1	1.02	1	0.13	1	-0.14	1
2145	-516	20	Max	0.00	1.45	1	2.17	1	0.45	1	2.13	1	0.03	1	0.04	1
2145	-516	20	Max	4.12					0.35	1			0.03	1		
2145	-516	20	Max	19.08	1.08	1	2.17	1	0.05	1	1.47	1	0.03	5	0.04	1
2145	-516	20	Min.	0.00	-105.78	1	-2.60	1	-0.37	1	-0.03	1	-0.55	1	-0.02	1
2145	-516	20	Min.	4.12					-0.28	1			-0.47	1		
2145	-516	20	Min.	19.08	-106.15	1	-2.60	1	-0.04	1	-0.68	1	-0.28	5	-0.02	1
2182	2005	13	Max	0.00	7.02	1	2.49	1	0.24	1	5.74	1	2.27	1	0.10	1
2182	2005	13	Max	16.67	7.02	1	2.49	1	0.13	1	5.09	1	0.44	1	0.10	1
2182	2005	13	Min.	0.00	-54.19	1	-2.12	1	-0.28	1	-25.35	1	-0.47	1	-0.13	1
2182	2005	13	Min.	16.67	-54.19	1	-2.12	1	-0.11	1	-26.00	1	-2.01	1	-0.13	1
2182	13	21	Max	0.00	14.23	1	2.26	1	0.20	1	1.57	1	1.67	1	0.15	1
2182	13	21	Max	16.67	14.23	1	2.26	1	0.17	1	0.92	1	0.12	1	0.15	1
2182	13	21	Min.	0.00	-129.03	1	-2.05	1	-0.21	1	-24.48	1	-0.09	1	-0.19	1
2182	13	21	Min.	16.67	-129.03	1	-2.05	1	-0.15	1	-25.14	1	-2.47	1	-0.19	1
2182	21	2031	Max	0.00	22.30	1	5.03	1	0.17	1	25.86	5	1.77	5	0.08	1
2182	21	2031	Max	3.33					-0.03	3			0.85	3		
2182	21	2031	Max	16.67	22.30	1	5.03	1	0.64	1	25.20	5	5.68	5	0.08	1
2182	21	2031	Min.	0.00	-201.01	1	-4.23	1	-0.20	1	-36.26	5	-0.95	5	-0.11	1
2182	21	2031	Min.	3.33					0.03	3			-0.38	3		
2182	21	2031	Min.	16.67	-201.01	1	-4.23	1	-0.53	1	-36.91	5	-6.70	5	-0.11	1
2182	2031	41	Max	0.00	1524.91	5	2.16	1	0.40	1	287.81	5	7.73	5	0.08	1
2182	2031	41	Max	21.56	1524.91	5	2.16	1	0.01	5	286.96	5	11.10	5	0.08	1
2182	2031	41	Min.	0.00	-2840.33	5	-1.86	1	-0.46	1	-8.23	5	-50.87	5	-0.08	1
2182	2031	41	Min.	21.56	-2840.33	5	-1.86	1	-0.00	5	-9.08	5	5.86	5	-0.08	1
2182	41	49	Max	0.00	1542.84	5	0.99	1	0.05	1	237.92	5	4.70	5	0.09	1
2182	41	49	Max	21.56	1542.84	5	0.99	1	0.15	1	237.07	5	17.65	5	0.09	1
2182	41	49	Min.	0.00	-2193.88	5	-0.96	1	-0.06	1	-1.53	5	-33.56	5	-0.10	1
2182	41	49	Min.	21.56	-2193.88	5	-0.96	1	-0.15	1	-2.38	5	4.28	5	-0.10	1
2182	49	57	Max	0.00	1547.56	5	0.20	1	0.08	1	214.10	5	4.73	5	0.12	1
2182	49	57	Max	21.56	1547.56	5	0.20	1	0.12	1	213.25	5	18.11	5	0.12	1
2182	49	57	Min.	0.00	-1615.47	5	-0.16	1	-0.08	1	-6.09	5	-27.96	5	-0.12	1
2182	49	57	Min.	21.56	-1615.47	5	-0.16	1	-0.11	1	-6.94	5	3.32	5	-0.12	1
2182	57	65	Max	0.00	1540.01	5	0.39	1	0.01	5	190.63	5	4.79	5	0.13	1
2182	57	65	Max	21.56	1540.01	5	0.39	1	0.09	1	189.78	5	17.60	5	0.13	1
2182	57	65	Min.	0.00	-1143.61	5	-0.40	1	-0.01	5	-8.75	5	-23.42	5	-0.14	1
2182	57	65	Min.	21.56	-1143.61	5	-0.40	1	-0.08	1	-9.60	5	2.81	5	-0.14	1
2182	65	73	Max	0.00	1507.34	5	0.85	1	0.18	1	155.79	5	6.34	5	0.00	1
2182	65	73	Max	21.56	1507.34	5	0.85	1	0.01	5	154.94	5	14.96	5	0.00	1
2182	65	73	Min.	0.00	-767.82	5	-0.77	1	-0.20	1	-24.89	5	-18.59	5	-0.02	1
2182	65	73	Min.	21.56	-767.82	5	-0.77	1	-0.01	5	-25.74	5	0.83	5	-0.02	1
2182	73	81	Max	0.00	1457.08	5	0.65	1	0.01	1	140.08	5	5.95	5	0.00	1
2182	73	81	Max	21.56	1457.08	5	0.65	1	0.15	1	139.24	5	13.86	5	0.00	1
2182	73	81	Min.	0.00	-466.77	5	-0.54	1	-0.03	1	-26.61	5	-16.26	5	-0.02	1
2182	73	81	Min.	21.56	-466.77	5	-0.54	1	-0.14	1	-27.45	5	0.12	5	-0.02	1
2182	81	89	Max	0.00	1405.26	5	0.28	1	0.12	1	126.85	5	5.81	5	0.05	1
2182	81	89	Max	21.56	1405.26	5	0.28	1	0.09	1	126.01	5	13.03	5	0.05	1
2182	81	89	Min.	0.00	-216.63	5	-0.17	1	-0.13	1	-27.84	5	-14.23	5	-0.07	1
2182	81	89	Min.	21.56	-216.63	5	-0.17	1	-0.07	1	-28.68	5	-0.28	5	-0.07	1

2182	89	97	Max	0.00	1352.09	5	0.70	1	0.02	5	114.66	5	6.04	5	0.09	1
2182	89	97	Max	21.56	1352.09	5	0.70	1	0.15	1	113.81	5	12.41	5	0.09	1
2182	89	97	Min.	0.00	-7.87	5	-0.62	1	-0.02	5	-29.67	5	-12.22	5	-0.11	1
2182	89	97	Min.	21.56	-7.87	5	-0.62	1	-0.13	1	-30.52	5	-0.45	5	-0.11	1
2182	97	105	Max	0.00	1288.46	5	0.84	1	0.20	1	89.22	5	7.71	5	0.02	1
2182	97	105	Max	21.56	1288.46	5	0.84	1	0.03	1	88.37	5	9.98	5	0.02	1
2182	97	105	Min.	0.00	158.35	5	-0.81	1	-0.20	1	-46.65	5	-9.17	5	-0.04	1
2182	97	105	Min.	21.56	158.35	5	-0.81	1	-0.03	1	-47.50	5	-2.44	5	-0.04	1
2182	105	113	Max	0.00	1216.95	5	0.60	1	0.02	5	80.16	5	7.37	5	-0.00	1
2182	105	113	Max	21.56	1216.95	5	0.60	1	0.14	1	79.31	5	8.98	5	-0.00	1
2182	105	113	Min.	0.00	289.56	5	-0.54	1	-0.02	5	-47.78	5	-8.21	5	-0.01	1
2182	105	113	Min.	21.56	289.56	5	-0.54	1	-0.13	1	-48.63	5	-3.03	5	-0.01	1
2182	113	121	Max	0.00	1146.52	5	0.22	1	0.11	1	72.49	5	7.26	5	0.06	1
2182	113	121	Max	12.05					-0.02	7			1.50	7		
2182	113	121	Max	21.56	1146.52	5	0.22	1	0.07	1	71.64	5	8.34	5	0.06	1
2182	113	121	Min.	0.00	399.37	5	-0.16	1	-0.11	1	-48.31	5	-7.20	5	-0.07	1
2182	113	121	Min.	12.05					0.03	7			1.42	7		
2182	113	121	Min.	21.56	399.37	5	-0.16	1	-0.07	1	-49.15	5	-3.25	5	-0.07	1
2182	121	129	Max	0.00	1076.66	5	0.57	1	0.02	1	64.77	5	7.57	5	0.10	1
2182	121	129	Max	21.56	1076.66	5	0.57	1	0.14	1	63.92	5	7.95	5	0.10	1
2182	121	129	Min.	0.00	490.95	5	-0.52	1	-0.01	1	-49.69	5	-5.93	5	-0.11	1
2182	121	129	Min.	21.56	490.95	5	-0.52	1	-0.13	1	-50.54	5	-3.23	5	-0.11	1
2182	129	137	Max	0.00	999.92	5	0.80	1	0.18	1	42.86	5	9.32	5	0.03	1
2182	129	137	Max	21.56	999.92	5	0.80	1	0.01	1	42.01	5	5.70	5	0.03	1
2182	129	137	Min.	0.00	560.29	5	-0.79	1	-0.18	1	-66.87	5	-3.46	5	-0.04	1
2182	129	137	Min.	21.56	560.29	5	-0.79	1	-0.01	1	-67.72	5	-5.19	5	-0.04	1
2182	137	145	Max	0.00	917.87	5	0.55	1	0.03	1	36.87	5	8.92	5	0.01	1
2182	137	145	Max	21.56	917.87	5	0.55	1	0.14	1	36.02	5	4.78	5	0.01	1
2182	137	145	Min.	0.00	611.11	5	-0.53	1	-0.03	1	-67.73	5	-3.08	5	-0.01	1
2182	137	145	Min.	21.56	611.11	5	-0.53	1	-0.14	1	-68.58	5	-5.78	5	-0.01	1
2182	145	153	Max	0.00	838.53	5	0.18	1	0.12	1	31.12	5	8.57	5	0.06	1
2182	145	153	Max	21.56	838.53	5	0.18	1	0.09	1	30.28	5	3.89	5	0.06	1
2182	145	153	Min.	0.00	652.72	5	-0.16	1	-0.12	1	-68.70	5	-2.73	5	-0.06	1
2182	145	153	Min.	21.56	652.72	5	-0.16	1	-0.08	1	-69.55	5	-6.33	5	-0.06	1
2182	153	161	Max	0.00	778.65	1	0.50	1	0.02	5	28.12	5	7.35	5	0.08	1
2182	153	161	Max	21.56	778.65	1	0.50	1	0.11	1	27.28	5	2.64	5	0.08	1
2182	153	161	Min.	0.00	678.15	1	-0.48	1	-0.01	5	-67.53	5	-3.33	5	-0.08	1
2182	153	161	Min.	21.56	678.15	1	-0.48	1	-0.10	1	-68.38	5	-7.31	5	-0.08	1
2182	161	169	Max	0.00	778.80	1	0.48	1	0.11	1	68.36	5	2.64	5	0.08	1
2182	161	169	Max	21.56	778.80	1	0.48	1	0.02	5	67.51	5	7.34	5	0.08	1
2182	161	169	Min.	0.00	678.00	1	-0.50	1	-0.10	1	-27.27	5	-7.30	5	-0.08	1
2182	161	169	Min.	21.56	678.00	1	-0.50	1	-0.01	5	-28.11	5	-3.33	5	-0.08	1
2182	169	177	Max	0.00	839.08	5	0.16	1	0.09	1	69.54	5	3.89	5	0.06	1
2182	169	177	Max	21.56	839.08	5	0.16	1	0.12	1	68.70	5	8.57	5	0.06	1
2182	169	177	Min.	0.00	652.17	5	-0.18	1	-0.08	1	-30.28	5	-6.33	5	-0.06	1
2182	169	177	Min.	21.56	652.17	5	-0.18	1	-0.12	1	-31.12	5	-2.73	5	-0.06	1
2182	177	185	Max	0.00	918.40	5	0.53	1	0.14	1	68.56	5	4.78	5	0.01	1
2182	177	185	Max	21.56	918.40	5	0.53	1	0.03	1	67.71	5	8.92	5	0.01	1
2182	177	185	Min.	0.00	610.56	5	-0.55	1	-0.14	1	-36.02	5	-5.78	5	-0.01	1
2182	177	185	Min.	21.56	610.56	5	-0.55	1	-0.03	1	-36.86	5	-3.08	5	-0.01	1
2182	185	193	Max	0.00	1000.43	5	0.79	1	0.01	1	67.71	5	5.70	5	0.04	1
2182	185	193	Max	21.56	1000.43	5	0.79	1	0.18	1	66.87	5	9.32	5	0.04	1
2182	185	193	Min.	0.00	559.75	5	-0.80	1	-0.01	1	-42.01	5	-5.20	5	-0.03	1
2182	185	193	Min.	21.56	559.75	5	-0.80	1	-0.18	1	-42.86	5	-3.46	5	-0.03	1
2182	193	201	Max	0.00	1077.16	5	0.52	1	0.14	1	50.54	5	7.95	5	0.11	1
2182	193	201	Max	21.56	1077.16	5	0.52	1	0.02	1	49.70	5	7.58	5	0.11	1
2182	193	201	Min.	0.00	490.41	5	-0.57	1	-0.13	1	-63.94	5	-3.23	5	-0.10	1
2182	193	201	Min.	21.56	490.41	5	-0.57	1	-0.01	1	-64.78	5	-5.93	5	-0.10	1
2182	201	209	Max	0.00	1147.01	5	0.16	1	0.07	1	49.16	5	8.35	5	0.07	1

2182	201	209	Max	9.48					-0.02	7			1.52	7		
2182	201	209	Max	21.56	1147.01	5	0.16	1	0.11	1	48.31	5	7.26	5	0.07	1
2182	201	209	Min.	0.00	398.83	5	-0.22	1	-0.07	1	-71.66	5	-3.25	5	-0.06	1
2182	201	209	Min.	9.48					0.03	7			1.41	7		
2182	201	209	Min.	21.56	398.83	5	-0.22	1	-0.11	1	-72.51	5	-7.20	5	-0.06	1
2182	209	217	Max	0.00	1217.42	5	0.54	1	0.14	1	48.64	5	8.98	5	0.01	1
2182	209	217	Max	21.56	1217.42	5	0.54	1	0.02	5	47.79	5	7.37	5	0.01	1
2182	209	217	Min.	0.00	289.02	5	-0.60	1	-0.13	1	-79.33	5	-3.03	5	0.00	1
2182	209	217	Min.	21.56	289.02	5	-0.60	1	-0.02	5	-80.18	5	-8.22	5	0.00	1
2182	217	225	Max	0.00	1288.92	5	0.81	1	0.03	1	47.51	5	9.98	5	0.04	1
2182	217	225	Max	21.56	1288.92	5	0.81	1	0.20	1	46.66	5	7.71	5	0.04	1
2182	217	225	Min.	0.00	157.80	5	-0.84	1	-0.03	1	-88.39	5	-2.44	5	-0.02	1
2182	217	225	Min.	21.56	157.80	5	-0.84	1	-0.20	1	-89.24	5	-9.17	5	-0.02	1
2182	225	233	Max	0.00	1352.52	5	0.62	1	0.15	1	30.50	5	12.42	5	0.11	1
2182	225	233	Max	21.56	1352.52	5	0.62	1	0.02	5	29.66	5	6.04	5	0.11	1
2182	225	233	Min.	0.00	-8.43	5	-0.70	1	-0.13	1	-113.83	5	-0.45	5	-0.09	1
2182	225	233	Min.	21.56	-8.43	5	-0.70	1	-0.02	5	-114.68	5	-12.22	5	-0.09	1
2182	233	241	Max	0.00	1405.68	5	0.17	1	0.09	1	28.67	5	13.03	5	0.07	1
2182	233	241	Max	21.56	1405.68	5	0.17	1	0.12	1	27.83	5	5.81	5	0.07	1
2182	233	241	Min.	0.00	-217.22	5	-0.28	1	-0.07	1	-126.02	5	-0.28	5	-0.05	1
2182	233	241	Min.	21.56	-217.22	5	-0.28	1	-0.13	1	-126.87	5	-14.23	5	-0.05	1
2182	241	249	Max	0.00	1457.46	5	0.54	1	0.15	1	27.44	5	13.86	5	0.02	1
2182	241	249	Max	21.56	1457.46	5	0.54	1	0.01	1	26.59	5	5.95	5	0.02	1
2182	241	249	Min.	0.00	-467.39	5	-0.65	1	-0.14	1	-139.25	5	0.12	5	0.00	1
2182	241	249	Min.	21.56	-467.39	5	-0.65	1	-0.03	1	-140.10	5	-16.26	5	0.00	1
2182	249	257	Max	0.00	1507.69	5	0.77	1	0.01	5	25.73	5	14.96	5	0.02	1
2182	249	257	Max	21.56	1507.69	5	0.77	1	0.17	1	24.88	5	6.34	5	0.02	1
2182	249	257	Min.	0.00	-768.49	5	-0.86	1	-0.01	5	-154.97	5	0.83	5	-0.00	1
2182	249	257	Min.	21.56	-768.49	5	-0.86	1	-0.20	1	-155.81	5	-18.59	5	-0.00	1
2182	257	265	Max	0.00	1540.30	5	0.40	1	0.09	1	9.54	5	17.60	5	0.14	1
2182	257	265	Max	21.56	1540.30	5	0.40	1	0.01	5	8.69	5	4.79	5	0.14	1
2182	257	265	Min.	0.00	-1144.40	5	-0.39	1	-0.09	1	-189.85	5	2.82	5	-0.13	1
2182	257	265	Min.	21.56	-1144.40	5	-0.39	1	-0.01	5	-190.70	5	-23.42	5	-0.13	1
2182	265	273	Max	0.00	1547.77	5	0.16	1	0.12	1	6.88	5	18.12	5	0.12	1
2182	265	273	Max	21.56	1547.77	5	0.16	1	0.08	1	6.03	5	4.72	5	0.12	1
2182	265	273	Min.	0.00	-1616.47	5	-0.19	1	-0.11	1	-213.33	5	3.33	5	-0.12	1
2182	265	273	Min.	21.56	-1616.47	5	-0.19	1	-0.08	1	-214.18	5	-27.97	5	-0.12	1
2182	273	281	Max	0.00	1543.12	5	0.96	1	0.15	1	2.31	5	17.65	5	0.10	1
2182	273	281	Max	21.56	1543.12	5	0.96	1	0.05	1	1.46	5	4.69	5	0.10	1
2182	273	281	Min.	0.00	-2195.33	5	-0.98	1	-0.15	1	-237.14	5	4.28	5	-0.09	1
2182	273	281	Min.	21.56	-2195.33	5	-0.98	1	-0.06	1	-237.98	5	-33.57	5	-0.09	1
2182	281	2291	Max	0.00	1524.95	5	1.87	1	0.01	1	8.99	5	11.10	5	0.08	1
2182	281	2291	Max	21.56	1524.95	5	1.87	1	0.40	1	8.14	5	7.72	5	0.08	1
2182	281	2291	Min.	0.00	-2842.04	5	-2.15	1	-0.00	1	-287.07	5	5.87	5	-0.08	1
2182	281	2291	Min.	21.56	-2842.04	5	-2.15	1	-0.45	1	-287.92	5	-50.89	5	-0.08	1
2182	2291	301	Max	0.00	6.61	1	4.14	1	0.64	1	37.48	5	5.44	5	0.12	1
2182	2291	301	Max	13.33					-0.02	3			0.83	3		
2182	2291	301	Max	16.67	6.61	1	4.14	1	0.17	1	36.82	5	1.80	5	0.12	1
2182	2291	301	Min.	0.00	-204.63	1	-4.95	1	-0.52	1	-23.50	5	-6.78	5	-0.09	1
2182	2291	301	Min.	13.33					0.03	3			-0.38	3		
2182	2291	301	Min.	16.67	-204.63	1	-4.95	1	-0.19	1	-24.16	5	-0.92	5	-0.09	1
2182	301	309	Max	0.00	3.53	1	2.14	1	0.18	1	25.98	1	-0.10	1	0.19	1
2182	301	309	Max	16.67	3.53	1	2.14	1	0.20	1	25.32	1	1.74	1	0.19	1
2182	301	309	Min.	0.00	-131.10	1	-2.57	1	-0.15	1	1.24	1	-2.53	1	-0.15	1
2182	301	309	Min.	16.67	-131.10	1	-2.57	1	-0.24	1	0.58	1	0.05	1	-0.15	1
2182	309	2317	Max	0.00	2.55	1	2.01	1	0.11	1	25.98	1	0.26	1	0.13	1
2182	309	2317	Max	16.67	2.55	1	2.01	1	0.24	1	25.33	1	2.28	1	0.13	1
2182	309	2317	Min.	0.00	-54.27	1	-2.27	1	-0.10	1	-2.78	1	-2.00	1	-0.10	1
2182	309	2317	Min.	16.67	-54.27	1	-2.27	1	-0.27	1	-3.43	1	-0.26	1	-0.10	1

2183	-518	22	Max	0.00	-13.29	1	2.42	1	0.39	1	2.26	1	-0.05	1	0.03	1
2183	-518	22	Max	7.63					0.22	1			-0.03	1		
2183	-518	22	Max	19.08	-13.66	1	2.42	1	0.05	1	1.61	1	-0.03	5	0.03	1
2183	-518	22	Min.	0.00	-120.12	1	-2.30	1	-0.42	1	0.13	1	-0.62	1	-0.03	1
2183	-518	22	Min.	3.82					-0.32	3			-0.50	3		
2183	-518	22	Min.	19.08	-120.49	1	-2.30	1	-0.05	1	-0.52	1	-0.30	5	-0.03	1
2220	2007	15	Max	0.00	15.69	1	3.06	1	0.29	1	9.48	1	1.92	1	0.12	1
2220	2007	15	Max	16.67	15.69	1	3.06	1	0.18	1	8.82	1	0.76	1	0.12	1
2220	2007	15	Min.	0.00	-43.81	1	-2.58	1	-0.33	1	-21.36	1	-0.77	1	-0.10	1
2220	2007	15	Min.	16.67	-43.81	1	-2.58	1	-0.14	1	-22.01	1	-1.70	1	-0.10	1
2220	15	23	Max	0.00	33.32	1	2.55	1	0.21	1	5.39	1	1.46	1	0.18	1
2220	15	23	Max	16.67	33.32	1	2.55	1	0.19	1	4.74	1	0.57	1	0.18	1
2220	15	23	Min.	0.00	-106.74	1	-2.34	1	-0.23	1	-21.20	1	-0.27	1	-0.16	1
2220	15	23	Min.	16.67	-106.74	1	-2.34	1	-0.18	1	-21.85	1	-2.12	1	-0.16	1
2220	23	2034	Max	0.00	50.06	1	5.45	1	0.18	1	24.42	5	1.76	5	0.11	1
2220	23	2034	Max	2.77					-0.05	3			0.81	3		
2220	23	2034	Max	16.67	50.06	1	5.45	1	0.70	1	23.77	5	5.51	5	0.11	1
2220	23	2034	Min.	0.00	-169.27	1	-4.67	1	-0.21	1	-35.86	5	-0.97	5	-0.08	1
2220	23	2034	Min.	2.77					0.04	3			-0.34	3		
2220	23	2034	Min.	16.67	-169.27	1	-4.67	1	-0.60	1	-36.52	5	-6.73	5	-0.08	1
2220	2034	43	Max	0.00	1795.24	5	2.46	1	0.38	1	229.29	5	16.31	5	0.04	1
2220	2034	43	Max	21.16					0.06	7			6.26	7		
2220	2034	43	Max	21.56	1795.24	5	2.46	1	0.07	5	228.45	5	7.66	5	0.04	1
2220	2034	43	Min.	0.00	-2550.89	5	-1.68	1	-0.53	1	-63.48	5	-41.69	5	-0.13	1
2220	2034	43	Min.	21.16					-0.05	7			3.27	7		
2220	2034	43	Min.	21.56	-2550.89	5	-1.68	1	-0.05	5	-64.32	5	2.53	5	-0.13	1
2220	43	51	Max	0.00	1684.84	5	1.25	1	0.04	1	187.70	5	10.63	5	0.05	1
2220	43	51	Max	21.56	1684.84	5	1.25	1	0.16	1	186.85	5	13.06	5	0.05	1
2220	43	51	Min.	0.00	-2050.75	5	-0.80	1	-0.11	1	-49.70	5	-27.32	5	-0.16	1
2220	43	51	Min.	21.56	-2050.75	5	-0.80	1	-0.14	1	-50.55	5	-0.18	5	-0.16	1
2220	51	59	Max	0.00	1569.99	5	0.49	5	0.04	1	168.64	5	9.61	5	0.08	1
2220	51	59	Max	21.56	1569.99	5	0.49	5	0.15	1	167.79	5	13.48	5	0.08	1
2220	51	59	Min.	0.00	-1599.53	5	-0.02	5	-0.10	1	-49.50	5	-22.79	5	-0.17	1
2220	51	59	Min.	21.56	-1599.53	5	-0.02	5	-0.10	1	-50.35	5	-1.15	5	-0.17	1
2220	59	67	Max	0.00	1463.60	5	0.56	1	0.04	5	149.65	5	8.82	5	0.10	1
2220	59	67	Max	21.56	1463.60	5	0.56	1	0.12	1	148.80	5	13.00	5	0.10	1
2220	59	67	Min.	0.00	-1230.14	5	-0.15	1	-0.07	5	-47.93	5	-19.18	5	-0.18	1
2220	59	67	Min.	21.56	-1230.14	5	-0.15	1	-0.06	1	-48.78	5	-1.61	5	-0.18	1
2220	67	75	Max	0.00	1357.26	5	0.89	1	0.18	1	129.21	5	8.91	5	-0.01	1
2220	67	75	Max	21.56	1357.26	5	0.89	1	0.05	5	128.36	5	11.69	5	-0.01	1
2220	67	75	Min.	0.00	-928.86	5	-0.79	1	-0.20	1	-52.42	5	-16.09	5	-0.05	1
2220	67	75	Min.	21.56	-928.86	5	-0.79	1	-0.05	5	-53.27	5	-2.50	5	-0.05	1
2220	75	83	Max	0.00	1252.49	5	0.73	1	0.02	5	116.00	5	8.26	5	-0.00	1
2220	75	83	Max	21.56	1252.49	5	0.73	1	0.15	1	115.15	5	10.95	5	-0.00	1
2220	75	83	Min.	0.00	-680.83	5	-0.52	1	-0.06	5	-51.56	5	-13.97	5	-0.04	1
2220	75	83	Min.	21.56	-680.83	5	-0.52	1	-0.13	1	-52.41	5	-2.95	5	-0.04	1
2220	83	91	Max	0.00	1155.50	5	0.35	1	0.11	1	104.47	5	7.85	5	0.05	1
2220	83	91	Max	21.56	1155.50	5	0.35	1	0.10	1	103.63	5	10.22	5	0.05	1
2220	83	91	Min.	0.00	-474.34	5	-0.13	1	-0.13	1	-50.99	5	-12.21	5	-0.09	1
2220	83	91	Min.	21.56	-474.34	5	-0.13	1	-0.07	1	-51.84	5	-3.24	5	-0.09	1
2220	91	99	Max	0.00	1065.33	5	0.70	1	0.06	5	94.33	5	7.58	5	0.08	1
2220	91	99	Max	21.56	1065.33	5	0.70	1	0.16	1	93.48	5	9.54	5	0.08	1
2220	91	99	Min.	0.00	-301.17	5	-0.56	1	-0.05	5	-50.88	5	-10.71	5	-0.13	1
2220	91	99	Min.	21.56	-301.17	5	-0.56	1	-0.13	1	-51.72	5	-3.48	5	-0.13	1
2220	99	107	Max	0.00	979.67	5	0.90	1	0.19	1	83.90	5	7.57	5	0.01	1
2220	99	107	Max	21.56	979.67	5	0.90	1	0.07	5	83.06	5	8.63	5	0.01	1
2220	99	107	Min.	0.00	-155.38	5	-0.79	1	-0.22	1	-52.48	5	-9.37	5	-0.05	1
2220	99	107	Min.	21.56	-155.38	5	-0.79	1	-0.07	5	-53.33	5	-3.84	5	-0.05	1
2220	107	115	Max	0.00	898.26	5	0.68	1	0.04	5	75.64	5	7.37	5	0.00	5

2220	107	115	Max	21.56	898.26	5	0.68	1	0.14	1	74.79	5	7.95	5	0.00	5
2220	107	115	Min.	0.00	-33.30	5	-0.51	1	-0.07	5	-52.71	5	-8.27	5	-0.03	5
2220	107	115	Min.	21.56	-33.30	5	-0.51	1	-0.13	1	-53.56	5	-4.09	5	-0.03	5
2220	115	123	Max	0.00	820.86	5	0.32	1	0.10	1	68.15	5	7.25	5	0.06	1
2220	115	123	Max	21.56	820.86	5	0.32	1	0.09	1	67.31	5	7.35	5	0.06	1
2220	115	123	Min.	0.00	70.06	5	-0.13	1	-0.11	1	-53.04	5	-7.26	5	-0.08	1
2220	115	123	Min.	21.56	70.06	5	-0.13	1	-0.06	1	-53.88	5	-4.28	5	-0.08	1
2220	123	131	Max	0.00	746.52	5	0.59	1	0.05	5	61.10	5	7.26	5	0.10	1
2220	123	131	Max	21.56	746.52	5	0.59	1	0.16	1	60.26	5	6.81	5	0.10	1
2220	123	131	Min.	0.00	157.46	5	-0.46	1	-0.04	5	-53.72	5	-6.27	5	-0.12	1
2220	123	131	Min.	21.56	157.46	5	-0.46	1	-0.12	1	-54.56	5	-4.41	5	-0.12	1
2220	131	139	Max	0.00	672.96	5	0.79	1	0.19	1	50.91	5	7.67	5	0.03	1
2220	131	139	Max	21.56	672.96	5	0.79	1	0.04	5	50.07	5	5.84	5	0.03	1
2220	131	139	Min.	0.00	229.39	5	-0.82	1	-0.18	1	-58.71	5	-5.04	5	-0.05	1
2220	131	139	Min.	21.56	229.39	5	-0.82	1	-0.04	5	-59.56	5	-5.08	5	-0.05	1
2220	139	147	Max	0.00	600.20	5	0.57	1	0.04	5	45.01	5	7.53	5	0.01	1
2220	139	147	Max	21.56	600.20	5	0.57	1	0.14	1	44.16	5	5.20	5	0.01	1
2220	139	147	Min.	0.00	288.35	5	-0.55	1	-0.04	5	-59.44	5	-4.41	5	-0.01	1
2220	139	147	Min.	21.56	288.35	5	-0.55	1	-0.14	1	-60.29	5	-5.38	5	-0.01	1
2220	147	155	Max	0.00	530.21	5	0.21	1	0.12	1	39.13	5	7.37	5	0.06	1
2220	147	155	Max	21.56	530.21	5	0.21	1	0.10	1	38.29	5	4.46	5	0.06	1
2220	147	155	Min.	0.00	338.18	5	-0.17	1	-0.11	1	-60.55	5	-3.89	5	-0.05	1
2220	147	155	Min.	21.56	338.18	5	-0.17	1	-0.08	1	-61.40	5	-5.78	5	-0.05	1
2220	155	163	Max	0.00	485.90	1	0.49	1	0.06	5	35.23	5	6.58	5	0.08	1
2220	155	163	Max	1.63					0.05	7			5.58	7		
2220	155	163	Max	21.56	485.90	1	0.49	1	0.12	1	34.38	5	3.47	5	0.08	1
2220	155	163	Min.	0.00	361.88	1	-0.47	1	-0.03	5	-60.29	5	-4.04	5	-0.08	1
2220	155	163	Min.	1.63					-0.02	7			-3.45	7		
2220	155	163	Min.	21.56	361.88	1	-0.47	1	-0.09	1	-61.14	5	-6.51	5	-0.08	1
2220	163	171	Max	0.00	485.97	1	0.47	1	0.13	1	61.15	5	3.47	5	0.08	1
2220	163	171	Max	19.41					0.05	7			5.27	7		
2220	163	171	Max	21.56	485.97	1	0.47	1	0.06	5	60.30	5	6.58	5	0.08	1
2220	163	171	Min.	0.00	361.81	1	-0.49	1	-0.09	1	-34.39	5	-6.51	5	-0.08	1
2220	163	171	Min.	19.41					-0.02	7			-3.27	7		
2220	163	171	Min.	21.56	361.81	1	-0.49	1	-0.03	5	-35.23	5	-4.04	5	-0.08	1
2220	171	179	Max	0.00	530.51	5	0.18	1	0.10	1	61.43	5	4.46	5	0.05	1
2220	171	179	Max	21.56	530.51	5	0.18	1	0.12	1	60.58	5	7.37	5	0.05	1
2220	171	179	Min.	0.00	337.89	5	-0.21	1	-0.08	1	-38.30	5	-5.79	5	-0.06	1
2220	171	179	Min.	21.56	337.89	5	-0.21	1	-0.11	1	-39.15	5	-3.89	5	-0.06	1
2220	179	187	Max	0.00	600.49	5	0.55	1	0.14	1	60.30	5	5.20	5	0.01	1
2220	179	187	Max	21.56	600.49	5	0.55	1	0.04	5	59.46	5	7.53	5	0.01	1
2220	179	187	Min.	0.00	288.08	5	-0.57	1	-0.14	1	-44.17	5	-5.38	5	-0.01	1
2220	179	187	Min.	21.56	288.08	5	-0.57	1	-0.04	5	-45.01	5	-4.41	5	-0.01	1
2220	187	195	Max	0.00	673.24	5	0.82	1	0.04	5	59.59	5	5.84	5	0.05	1
2220	187	195	Max	21.56	673.24	5	0.82	1	0.19	1	58.74	5	7.68	5	0.05	1
2220	187	195	Min.	0.00	229.15	5	-0.79	1	-0.04	5	-50.08	5	-5.08	5	-0.03	1
2220	187	195	Min.	21.56	229.15	5	-0.79	1	-0.18	1	-50.93	5	-5.05	5	-0.03	1
2220	195	203	Max	0.00	746.79	5	0.46	1	0.16	1	54.59	5	6.81	5	0.12	1
2220	195	203	Max	21.56	746.79	5	0.46	1	0.05	5	53.74	5	7.27	5	0.12	1
2220	195	203	Min.	0.00	157.24	5	-0.59	1	-0.12	1	-60.27	5	-4.41	5	-0.10	1
2220	195	203	Min.	21.56	157.24	5	-0.59	1	-0.04	5	-61.12	5	-6.27	5	-0.10	1
2220	203	211	Max	0.00	821.12	5	0.13	1	0.09	1	53.91	5	7.35	5	0.08	1
2220	203	211	Max	21.56	821.12	5	0.13	1	0.10	1	53.06	5	7.25	5	0.08	1
2220	203	211	Min.	0.00	69.87	5	-0.32	1	-0.06	1	-67.32	5	-4.28	5	-0.06	1
2220	203	211	Min.	21.56	69.87	5	-0.32	1	-0.11	1	-68.17	5	-7.26	5	-0.06	1
2220	211	219	Max	0.00	898.51	5	0.50	1	0.14	1	53.59	5	7.95	5	0.03	5
2220	211	219	Max	21.56	898.51	5	0.50	1	0.04	5	52.74	5	7.37	5	0.03	5
2220	211	219	Min.	0.00	-33.47	5	-0.68	1	-0.13	1	-74.81	5	-4.09	5	0.00	5
2220	211	219	Min.	21.56	-33.47	5	-0.68	1	-0.07	5	-75.65	5	-8.27	5	0.00	5

2220	219	227	Max	0.00	979.90	5	0.80	1	0.07	5	53.36	5	8.63	5	0.05	1
2220	219	227	Max	21.56	979.90	5	0.80	1	0.19	1	52.51	5	7.57	5	0.05	1
2220	219	227	Min.	0.00	-155.51	5	-0.90	1	-0.07	5	-83.07	5	-3.84	5	-0.01	1
2220	219	227	Min.	21.56	-155.51	5	-0.90	1	-0.22	1	-83.92	5	-9.38	5	-0.01	1
2220	227	235	Max	0.00	1065.54	5	0.56	1	0.16	1	51.71	5	9.54	5	0.13	1
2220	227	235	Max	21.56	1065.54	5	0.56	1	0.06	5	50.87	5	7.58	5	0.13	1
2220	227	235	Min.	0.00	-301.29	5	-0.70	1	-0.13	1	-93.47	5	-3.48	5	-0.08	1
2220	227	235	Min.	21.56	-301.29	5	-0.70	1	-0.05	5	-94.32	5	-10.71	5	-0.08	1
2220	235	243	Max	0.00	1155.70	5	0.13	1	0.10	1	51.83	5	10.22	5	0.09	1
2220	235	243	Max	21.56	1155.70	5	0.13	1	0.11	1	50.98	5	7.85	5	0.09	1
2220	235	243	Min.	0.00	-474.43	5	-0.35	1	-0.07	1	-103.61	5	-3.24	5	-0.05	1
2220	235	243	Min.	21.56	-474.43	5	-0.35	1	-0.13	1	-104.46	5	-12.21	5	-0.05	1
2220	243	251	Max	0.00	1252.68	5	0.52	1	0.15	1	52.40	5	10.95	5	0.04	1
2220	243	251	Max	21.56	1252.68	5	0.52	1	0.02	5	51.55	5	8.26	5	0.04	1
2220	243	251	Min.	0.00	-680.89	5	-0.73	1	-0.13	1	-115.14	5	-2.95	5	0.00	1
2220	243	251	Min.	21.56	-680.89	5	-0.73	1	-0.06	5	-115.98	5	-13.97	5	0.00	1
2220	251	259	Max	0.00	1357.44	5	0.79	1	0.05	5	53.26	5	11.70	5	0.05	1
2220	251	259	Max	21.56	1357.44	5	0.79	1	0.18	1	52.42	5	8.91	5	0.05	1
2220	251	259	Min.	0.00	-928.90	5	-0.89	1	-0.05	5	-128.35	5	-2.50	5	0.01	1
2220	251	259	Min.	21.56	-928.90	5	-0.89	1	-0.20	1	-129.19	5	-16.09	5	0.01	1
2220	259	267	Max	0.00	1463.77	5	0.15	1	0.12	1	48.78	5	13.00	5	0.18	1
2220	259	267	Max	21.56	1463.77	5	0.15	1	0.04	5	47.93	5	8.82	5	0.18	1
2220	259	267	Min.	0.00	-1230.19	5	-0.56	1	-0.06	1	-148.83	5	-1.61	5	-0.10	1
2220	259	267	Min.	21.56	-1230.19	5	-0.56	1	-0.07	5	-149.68	5	-19.18	5	-0.10	1
2220	267	275	Max	0.00	1570.15	5	0.02	5	0.15	1	50.35	5	13.49	5	0.17	1
2220	267	275	Max	21.56	1570.15	5	0.02	5	0.04	1	49.51	5	9.62	5	0.17	1
2220	267	275	Min.	0.00	-1599.63	5	-0.49	5	-0.10	1	-167.83	5	-1.15	5	-0.08	1
2220	267	275	Min.	21.56	-1599.63	5	-0.49	5	-0.10	1	-168.67	5	-22.79	5	-0.08	1
2220	275	283	Max	0.00	1685.00	5	0.79	1	0.16	1	50.55	5	13.06	5	0.16	1
2220	275	283	Max	21.56	1685.00	5	0.79	1	0.03	1	49.70	5	10.63	5	0.16	1
2220	275	283	Min.	0.00	-2050.93	5	-1.25	1	-0.14	1	-186.87	5	-0.18	5	-0.05	1
2220	275	283	Min.	21.56	-2050.93	5	-1.25	1	-0.11	1	-187.72	5	-27.33	5	-0.05	1
2220	283	2294	Max	0.00	1796.06	5	1.67	1	0.07	5	64.33	5	7.66	5	0.13	1
2220	283	2294	Max	0.54					0.06	7			5.97	7		
2220	283	2294	Max	21.56	1796.06	5	1.67	1	0.37	1	63.48	5	16.31	5	0.13	1
2220	283	2294	Min.	0.00	-2551.83	5	-2.45	1	-0.05	5	-228.50	5	2.53	5	-0.04	1
2220	283	2294	Min.	0.54					-0.06	7			3.34	7		
2220	283	2294	Min.	21.56	-2551.83	5	-2.45	1	-0.53	1	-229.34	5	-41.70	5	-0.04	1
2220	2294	303	Max	0.00	42.12	1	4.61	1	0.69	1	36.27	5	5.39	5	0.08	1
2220	2294	303	Max	13.72					-0.04	3			0.80	3		
2220	2294	303	Max	16.67	42.12	1	4.61	1	0.18	1	35.62	5	1.78	5	0.08	1
2220	2294	303	Min.	0.00	-166.36	1	-5.34	1	-0.59	1	-22.91	5	-6.70	5	-0.11	1
2220	2294	303	Min.	13.72					0.03	3			-0.35	3		
2220	2294	303	Min.	16.67	-166.36	1	-5.34	1	-0.20	1	-23.56	5	-0.97	5	-0.11	1
2220	303	311	Max	0.00	27.78	1	2.54	1	0.21	1	21.65	1	0.46	1	0.16	1
2220	303	311	Max	16.67	27.78	1	2.54	1	0.23	1	20.99	1	1.46	1	0.16	1
2220	303	311	Min.	0.00	-104.50	1	-2.84	1	-0.19	1	-3.75	1	-2.09	1	-0.18	1
2220	303	311	Min.	16.67	-104.50	1	-2.84	1	-0.26	1	-4.40	1	-0.22	1	-0.18	1
2220	311	2319	Max	0.00	13.12	1	2.44	1	0.15	1	21.23	1	0.65	1	0.10	1
2220	311	2319	Max	16.67	13.12	1	2.44	1	0.28	1	20.58	1	1.85	1	0.10	1
2220	311	2319	Min.	0.00	-42.39	1	-2.86	1	-0.13	1	-7.45	1	-1.63	1	-0.12	1
2220	311	2319	Min.	16.67	-42.39	1	-2.86	1	-0.32	1	-8.10	1	-0.65	1	-0.12	1
2221	-520	24	Max	0.00	31.58	1	3.23	1	0.44	1	0.61	1	0.16	1	0.06	5
2221	-520	24	Max	3.82					0.34	1			0.17	1		
2221	-520	24	Max	19.08	31.22	1	3.23	1	0.14	5	-0.05	1	0.13	1	0.06	5
2221	-520	24	Min.	0.00	-66.27	1	-2.60	1	-0.51	1	0.03	1	-0.31	1	-0.02	5
2221	-520	24	Min.	3.82					-0.38	1			-0.29	1		
2221	-520	24	Min.	19.08	-66.64	1	-2.60	1	-0.08	5	-0.62	1	-0.28	1	-0.02	5
2301	2028	2029	Max	0.00	10.16	1	1416.29	5	0.21	1	80.88	1	0.08	1	73.27	5

2301	2028	2029	Max	0.63	10.16	1	1416.29	5	8.77	5	80.84	1	0.55	1	73.27	5
2301	2028	2029	Min.	0.00	-14.53	1	-2458.22	5	-0.18	1	-460.50	1	0.04	1	-28.44	5
2301	2028	2029	Min.	0.63	-14.53	1	-2458.22	5	-15.30	5	-460.54	1	-2.82	1	-28.44	5
2301	2029	2030	Max	5.37	11.78	1	2468.94	5	8.64	5	441.24	1	0.71	1	27.87	5
2301	2029	2030	Max	6.00	11.78	1	2468.94	5	0.40	5	441.20	1	0.11	5	27.87	5
2301	2029	2030	Min.	5.37	-14.01	1	-1399.96	5	-15.15	5	-97.73	1	-2.70	1	-73.33	5
2301	2029	2030	Min.	6.00	-14.01	1	-1399.96	5	-0.18	5	-97.77	1	0.07	5	-73.33	5
2345	2288	2289	Max	0.00	10.04	1	2448.19	5	0.19	1	78.31	1	0.08	5	28.50	5
2345	2288	2289	Max	0.63	10.04	1	2448.19	5	15.24	5	78.27	1	0.54	1	28.50	5
2345	2288	2289	Min.	0.00	-14.41	1	-1419.93	5	-0.21	1	-460.14	1	0.04	5	-73.06	5
2345	2288	2289	Min.	0.63	-14.41	1	-1419.93	5	-8.78	5	-460.19	1	-2.82	1	-73.06	5
2345	2289	2290	Max	5.37	11.04	1	1391.25	5	15.23	5	438.15	1	0.68	1	73.39	5
2345	2289	2290	Max	6.00	11.04	1	1391.25	5	0.16	5	438.11	1	0.09	5	73.39	5
2345	2289	2290	Min.	5.37	-13.43	1	-2476.51	5	-8.61	5	-97.66	1	-2.67	1	-27.80	5
2345	2289	2290	Min.	6.00	-13.43	1	-2476.51	5	-0.37	5	-97.71	1	0.06	5	-27.80	5
2386	2002	10	Max	0.00	14.04	1	2.20	1	0.29	1	8.86	1	1.76	1	0.10	1
2386	2002	10	Max	16.67	14.04	1	2.20	1	0.11	1	8.21	1	0.75	1	0.10	1
2386	2002	10	Min.	0.00	-40.29	1	-2.45	1	-0.26	1	-21.94	1	-0.68	1	-0.12	1
2386	2002	10	Min.	16.67	-40.29	1	-2.45	1	-0.12	1	-22.60	1	-1.96	1	-0.12	1
2386	10	18	Max	0.00	23.58	1	1.71	1	0.27	1	0.35	5	0.23	1	0.15	1
2386	10	18	Max	0.83					0.26	1			0.23	1		
2386	10	18	Max	16.67	23.58	1	1.71	1	0.06	1	-0.31	5	0.18	1	0.15	1
2386	10	18	Min.	0.00	-71.46	1	-1.93	1	-0.23	1	-0.82	5	-0.38	1	-0.16	1
2386	10	18	Min.	0.83					-0.21	1			-0.38	1		
2386	10	18	Min.	16.67	-71.46	1	-1.93	1	-0.05	1	-1.47	5	-0.52	1	-0.16	1
2386	18	2027	Max	0.00	48.37	1	5.43	1	0.20	1	22.98	5	1.98	5	0.10	1
2386	18	2027	Max	3.33					-0.00	3			0.86	3		
2386	18	2027	Max	16.67	48.37	1	5.43	1	0.72	1	22.33	5	5.40	5	0.10	1
2386	18	2027	Min.	0.00	-185.72	1	-6.23	1	-0.18	1	-36.24	5	-0.98	5	-0.14	1
2386	18	2027	Min.	3.33					-0.01	3			-0.30	3		
2386	18	2027	Min.	16.67	-185.72	1	-6.23	1	-0.84	1	-36.89	5	-6.71	5	-0.14	1
2386	2027	38	Max	0.00	1794.57	5	1.67	1	0.53	1	229.45	5	16.30	5	0.13	1
2386	2027	38	Max	21.56	1794.57	5	1.67	1	0.06	5	228.61	5	7.68	5	0.13	1
2386	2027	38	Min.	0.00	-2551.84	5	-2.44	1	-0.37	1	-63.42	5	-41.71	5	-0.04	1
2386	2027	38	Min.	21.56	-2551.84	5	-2.44	1	-0.07	5	-64.27	5	2.53	5	-0.04	1
2386	38	46	Max	0.00	1682.54	5	0.78	1	0.11	5	187.82	5	10.62	5	0.16	1
2386	38	46	Max	21.56	1682.54	5	0.78	1	0.14	1	186.97	5	13.07	5	0.16	1
2386	38	46	Min.	0.00	-2049.44	5	-1.24	1	-0.03	5	-49.65	5	-27.34	5	-0.05	1
2386	38	46	Min.	21.56	-2049.44	5	-1.24	1	-0.17	1	-50.50	5	-0.18	5	-0.05	1
2386	46	54	Max	0.00	1567.87	5	0.02	5	0.10	1	168.75	5	9.61	5	0.18	1
2386	46	54	Max	21.56	1567.87	5	0.02	5	0.10	1	167.90	5	13.49	5	0.18	1
2386	46	54	Min.	0.00	-1597.98	5	-0.50	5	-0.04	1	-49.46	5	-22.80	5	-0.08	1
2386	46	54	Min.	21.56	-1597.98	5	-0.50	5	-0.14	1	-50.31	5	-1.15	5	-0.08	1
2386	54	62	Max	0.00	1461.65	5	0.15	1	0.07	5	149.75	5	8.81	5	0.18	1
2386	54	62	Max	21.56	1461.65	5	0.15	1	0.06	1	148.90	5	13.01	5	0.18	1
2386	54	62	Min.	0.00	-1228.42	5	-0.56	1	-0.04	5	-47.89	5	-19.19	5	-0.10	1
2386	54	62	Min.	21.56	-1228.42	5	-0.56	1	-0.13	1	-48.74	5	-1.60	5	-0.10	1
2386	62	70	Max	0.00	1355.47	5	0.80	1	0.20	1	129.17	5	8.90	5	0.05	1
2386	62	70	Max	21.56	1355.47	5	0.80	1	0.05	5	128.33	5	11.70	5	0.05	1
2386	62	70	Min.	0.00	-927.09	5	-0.90	1	-0.18	1	-52.35	5	-16.09	5	0.02	1
2386	62	70	Min.	21.56	-927.09	5	-0.90	1	-0.05	5	-53.19	5	-2.50	5	0.02	1
2386	70	78	Max	0.00	1250.85	5	0.51	1	0.06	5	115.96	5	8.25	5	0.04	1
2386	70	78	Max	21.56	1250.85	5	0.51	1	0.13	1	115.12	5	10.94	5	0.04	1
2386	70	78	Min.	0.00	-679.12	5	-0.73	1	-0.03	5	-51.49	5	-13.97	5	0.00	1
2386	70	78	Min.	21.56	-679.12	5	-0.73	1	-0.15	1	-52.34	5	-2.94	5	0.00	1
2386	78	86	Max	0.00	1153.98	5	0.14	1	0.13	1	104.44	5	7.84	5	0.09	1
2386	78	86	Max	21.56	1153.98	5	0.14	1	0.07	1	103.59	5	10.22	5	0.09	1
2386	78	86	Min.	0.00	-472.70	5	-0.36	1	-0.11	1	-50.92	5	-12.21	5	-0.05	1
2386	78	86	Min.	21.56	-472.70	5	-0.36	1	-0.10	1	-51.77	5	-3.23	5	-0.05	1

2386	86	94	Max	0.00	1063.91	5	0.56	1	0.06	5	94.30	5	7.58	5	0.13	1
2386	86	94	Max	21.56	1063.91	5	0.56	1	0.13	1	93.46	5	9.54	5	0.13	1
2386	86	94	Min.	0.00	-299.58	5	-0.70	1	-0.06	5	-50.82	5	-10.70	5	-0.08	1
2386	86	94	Min.	21.56	-299.58	5	-0.70	1	-0.17	1	-51.67	5	-3.47	5	-0.08	1
2386	94	102	Max	0.00	978.34	5	0.80	1	0.22	1	83.90	5	7.57	5	0.05	1
2386	94	102	Max	21.56	978.34	5	0.80	1	0.07	5	83.05	5	8.63	5	0.05	1
2386	94	102	Min.	0.00	-153.84	5	-0.90	1	-0.19	1	-52.47	5	-9.37	5	-0.01	1
2386	94	102	Min.	21.56	-153.84	5	-0.90	1	-0.07	5	-53.32	5	-3.84	5	-0.01	1
2386	102	110	Max	0.00	897.02	5	0.50	1	0.07	5	75.63	5	7.37	5	0.03	5
2386	102	110	Max	21.56	897.02	5	0.50	1	0.13	1	74.78	5	7.95	5	0.03	5
2386	102	110	Min.	0.00	-31.84	5	-0.68	1	-0.04	5	-52.70	5	-8.27	5	-0.00	5
2386	102	110	Min.	21.56	-31.84	5	-0.68	1	-0.14	1	-53.55	5	-4.09	5	-0.00	5
2386	110	118	Max	0.00	819.68	5	0.14	1	0.11	1	68.15	5	7.25	5	0.08	1
2386	110	118	Max	21.56	819.68	5	0.14	1	0.06	1	67.30	5	7.34	5	0.08	1
2386	110	118	Min.	0.00	71.47	5	-0.32	1	-0.10	1	-53.03	5	-7.26	5	-0.06	1
2386	110	118	Min.	21.56	71.47	5	-0.32	1	-0.09	1	-53.87	5	-4.28	5	-0.06	1
2386	118	126	Max	0.00	745.41	5	0.46	1	0.04	5	61.10	5	7.26	5	0.12	1
2386	118	126	Max	21.56	745.41	5	0.46	1	0.12	1	60.25	5	6.81	5	0.12	1
2386	118	126	Min.	0.00	158.80	5	-0.59	1	-0.05	5	-53.70	5	-6.27	5	-0.10	1
2386	118	126	Min.	21.56	158.80	5	-0.59	1	-0.16	1	-54.55	5	-4.41	5	-0.10	1
2386	126	134	Max	0.00	671.91	5	0.82	1	0.18	1	50.91	5	7.67	5	0.05	1
2386	126	134	Max	21.56	671.91	5	0.82	1	0.04	5	50.06	5	5.84	5	0.05	1
2386	126	134	Min.	0.00	230.69	5	-0.79	1	-0.19	1	-58.70	5	-5.04	5	-0.03	1
2386	126	134	Min.	21.56	230.69	5	-0.79	1	-0.04	5	-59.55	5	-5.08	5	-0.03	1
2386	134	142	Max	0.00	599.19	5	0.55	1	0.04	5	45.00	5	7.53	5	0.01	1
2386	134	142	Max	21.56	599.19	5	0.55	1	0.14	1	44.16	5	5.20	5	0.01	1
2386	134	142	Min.	0.00	289.60	5	-0.56	1	-0.04	5	-59.43	5	-4.41	5	-0.01	1
2386	134	142	Min.	21.56	289.60	5	-0.56	1	-0.14	1	-60.28	5	-5.38	5	-0.01	1
2386	142	150	Max	0.00	529.25	5	0.18	1	0.11	1	39.13	5	7.36	5	0.05	1
2386	142	150	Max	21.56	529.25	5	0.18	1	0.08	1	38.28	5	4.46	5	0.05	1
2386	142	150	Min.	0.00	339.39	5	-0.21	1	-0.12	1	-60.54	5	-3.89	5	-0.06	1
2386	142	150	Min.	21.56	339.39	5	-0.21	1	-0.10	1	-61.39	5	-5.78	5	-0.06	1
2386	150	158	Max	0.00	484.30	1	0.47	1	0.03	5	35.23	5	6.58	5	0.08	1
2386	150	158	Max	1.08					0.03	7			5.91	7		
2386	150	158	Max	21.56	484.30	1	0.47	1	0.09	1	34.38	5	3.47	5	0.08	1
2386	150	158	Min.	0.00	363.74	1	-0.49	1	-0.06	5	-60.28	5	-4.04	5	-0.08	1
2386	150	158	Min.	1.08					-0.05	7			-3.64	7		
2386	150	158	Min.	21.56	363.74	1	-0.49	1	-0.13	1	-61.13	5	-6.51	5	-0.08	1
2386	158	166	Max	0.00	484.77	1	0.49	1	0.09	1	61.12	5	3.47	5	0.08	1
2386	158	166	Max	19.41					0.02	7			5.27	7		
2386	158	166	Max	21.56	484.77	1	0.49	1	0.03	5	60.27	5	6.58	5	0.08	1
2386	158	166	Min.	0.00	363.28	1	-0.47	1	-0.12	1	-34.36	5	-6.51	5	-0.08	1
2386	158	166	Min.	19.41					-0.05	7			-3.27	7		
2386	158	166	Min.	21.56	363.28	1	-0.47	1	-0.06	5	-35.20	5	-4.03	5	-0.08	1
2386	166	174	Max	0.00	530.75	5	0.21	1	0.08	1	61.40	5	4.46	5	0.06	1
2386	166	174	Max	21.56	530.75	5	0.21	1	0.11	1	60.55	5	7.36	5	0.06	1
2386	166	174	Min.	0.00	337.91	5	-0.17	1	-0.10	1	-38.27	5	-5.78	5	-0.05	1
2386	166	174	Min.	21.56	337.91	5	-0.17	1	-0.12	1	-39.11	5	-3.89	5	-0.05	1
2386	174	182	Max	0.00	600.73	5	0.57	1	0.14	1	60.27	5	5.20	5	0.01	1
2386	174	182	Max	21.56	600.73	5	0.57	1	0.04	5	59.42	5	7.53	5	0.01	1
2386	174	182	Min.	0.00	288.11	5	-0.55	1	-0.14	1	-44.13	5	-5.38	5	-0.01	1
2386	174	182	Min.	21.56	288.11	5	-0.55	1	-0.04	5	-44.98	5	-4.41	5	-0.01	1
2386	182	190	Max	0.00	673.46	5	0.79	1	0.04	5	59.55	5	5.84	5	0.03	1
2386	182	190	Max	21.56	673.46	5	0.79	1	0.18	1	58.71	5	7.67	5	0.03	1
2386	182	190	Min.	0.00	229.19	5	-0.82	1	-0.04	5	-50.05	5	-5.08	5	-0.05	1
2386	182	190	Min.	21.56	229.19	5	-0.82	1	-0.19	1	-50.89	5	-5.04	5	-0.05	1
2386	190	198	Max	0.00	747.00	5	0.59	1	0.12	1	54.56	5	6.81	5	0.10	1
2386	190	198	Max	21.56	747.00	5	0.59	1	0.04	5	53.71	5	7.26	5	0.10	1
2386	190	198	Min.	0.00	157.30	5	-0.46	1	-0.16	1	-60.24	5	-4.41	5	-0.12	1

2386	190	198	Min.	21.56	157.30	5	-0.46	1	-0.05	5	-61.09	5	-6.27	5	-0.12	1
2386	198	206	Max	0.00	821.32	5	0.32	1	0.06	1	53.88	5	7.34	5	0.06	1
2386	198	206	Max	21.56	821.32	5	0.32	1	0.11	1	53.04	5	7.25	5	0.06	1
2386	198	206	Min.	0.00	69.95	5	-0.13	1	-0.09	1	-67.29	5	-4.28	5	-0.08	1
2386	198	206	Min.	21.56	69.95	5	-0.13	1	-0.10	1	-68.14	5	-7.26	5	-0.08	1
2386	206	214	Max	0.00	898.71	5	0.68	1	0.13	1	53.56	5	7.95	5	0.00	5
2386	206	214	Max	21.56	898.71	5	0.68	1	0.07	5	52.71	5	7.37	5	0.00	5
2386	206	214	Min.	0.00	-33.38	5	-0.51	1	-0.14	1	-74.77	5	-4.09	5	-0.03	5
2386	206	214	Min.	21.56	-33.38	5	-0.51	1	-0.04	5	-75.62	5	-8.26	5	-0.03	5
2386	214	222	Max	0.00	980.09	5	0.90	1	0.07	5	53.33	5	8.63	5	0.01	1
2386	214	222	Max	21.56	980.09	5	0.90	1	0.22	1	52.49	5	7.57	5	0.01	1
2386	214	222	Min.	0.00	-155.40	5	-0.79	1	-0.07	5	-83.04	5	-3.84	5	-0.05	1
2386	214	222	Min.	21.56	-155.40	5	-0.79	1	-0.19	1	-83.89	5	-9.37	5	-0.05	1
2386	222	230	Max	0.00	1065.73	5	0.71	1	0.13	1	51.71	5	9.54	5	0.08	1
2386	222	230	Max	21.56	1065.73	5	0.71	1	0.06	5	50.86	5	7.58	5	0.08	1
2386	222	230	Min.	0.00	-301.15	5	-0.56	1	-0.16	1	-93.46	5	-3.48	5	-0.13	1
2386	222	230	Min.	21.56	-301.15	5	-0.56	1	-0.06	5	-94.31	5	-10.70	5	-0.13	1
2386	230	238	Max	0.00	1155.88	5	0.35	1	0.07	1	51.82	5	10.22	5	0.05	1
2386	230	238	Max	21.56	1155.88	5	0.35	1	0.13	1	50.98	5	7.84	5	0.05	1
2386	230	238	Min.	0.00	-474.28	5	-0.13	1	-0.10	1	-103.60	5	-3.24	5	-0.09	1
2386	230	238	Min.	21.56	-474.28	5	-0.13	1	-0.11	1	-104.44	5	-12.21	5	-0.09	1
2386	238	246	Max	0.00	1252.85	5	0.73	1	0.13	1	52.39	5	10.94	5	-0.00	1
2386	238	246	Max	21.56	1252.85	5	0.73	1	0.06	5	51.54	5	8.26	5	-0.00	1
2386	238	246	Min.	0.00	-680.71	5	-0.52	1	-0.15	1	-115.12	5	-2.95	5	-0.04	1
2386	238	246	Min.	21.56	-680.71	5	-0.52	1	-0.03	5	-115.97	5	-13.97	5	-0.04	1
2386	246	254	Max	0.00	1357.58	5	0.89	1	0.05	5	53.25	5	11.69	5	-0.01	1
2386	246	254	Max	21.56	1357.58	5	0.89	1	0.20	1	52.41	5	8.91	5	-0.01	1
2386	246	254	Min.	0.00	-928.68	5	-0.78	1	-0.05	5	-128.33	5	-2.50	5	-0.05	1
2386	246	254	Min.	21.56	-928.68	5	-0.78	1	-0.18	1	-129.18	5	-16.09	5	-0.05	1
2386	254	262	Max	0.00	1463.91	5	0.56	1	0.06	1	48.77	5	13.00	5	0.10	1
2386	254	262	Max	21.56	1463.91	5	0.56	1	0.07	5	47.93	5	8.82	5	0.10	1
2386	254	262	Min.	0.00	-1229.95	5	-0.15	1	-0.12	1	-148.81	5	-1.61	5	-0.18	1
2386	254	262	Min.	21.56	-1229.95	5	-0.15	1	-0.04	5	-149.66	5	-19.18	5	-0.18	1
2386	262	270	Max	0.00	1570.30	5	0.49	5	0.10	1	50.35	5	13.48	5	0.08	1
2386	262	270	Max	21.56	1570.30	5	0.49	5	0.10	1	49.51	5	9.62	5	0.08	1
2386	262	270	Min.	0.00	-1599.36	5	-0.02	5	-0.15	1	-167.81	5	-1.15	5	-0.17	1
2386	262	270	Min.	21.56	-1599.36	5	-0.02	5	-0.04	1	-168.65	5	-22.79	5	-0.17	1
2386	270	278	Max	0.00	1685.17	5	1.25	1	0.14	1	50.55	5	13.06	5	0.05	1
2386	270	278	Max	21.56	1685.17	5	1.25	1	0.11	1	49.70	5	10.63	5	0.05	1
2386	270	278	Min.	0.00	-2050.61	5	-0.79	1	-0.16	1	-186.85	5	-0.18	5	-0.16	1
2386	270	278	Min.	21.56	-2050.61	5	-0.79	1	-0.04	1	-187.70	5	-27.32	5	-0.16	1
2386	278	2287	Max	0.00	1796.70	5	2.46	1	0.05	5	64.32	5	7.66	5	0.04	1
2386	278	2287	Max	21.56	1796.70	5	2.46	1	0.53	1	63.47	5	16.31	5	0.04	1
2386	278	2287	Min.	0.00	-2551.93	5	-1.68	1	-0.07	5	-228.46	5	2.53	5	-0.13	1
2386	278	2287	Min.	21.56	-2551.93	5	-1.68	1	-0.38	1	-229.31	5	-41.69	5	-0.13	1
2386	2287	298	Max	0.00	42.54	1	5.31	1	0.59	1	36.25	5	5.39	5	0.11	1
2386	2287	298	Max	13.73					-0.03	3			0.80	3		
2386	2287	298	Max	16.67	42.54	1	5.31	1	0.20	1	35.59	5	1.78	5	0.11	1
2386	2287	298	Min.	0.00	-166.63	1	-4.58	1	-0.68	1	-22.89	5	-6.70	5	-0.08	1
2386	2287	298	Min.	13.73					0.04	3			-0.36	3		
2386	2287	298	Min.	16.67	-166.63	1	-4.58	1	-0.17	1	-23.54	5	-0.97	5	-0.08	1
2386	298	306	Max	0.00	28.07	1	2.82	1	0.19	1	21.67	1	0.47	1	0.18	1
2386	298	306	Max	16.67	28.07	1	2.82	1	0.26	1	21.02	1	1.47	1	0.18	1
2386	298	306	Min.	0.00	-104.69	1	-2.52	1	-0.21	1	-3.79	1	-2.09	1	-0.16	1
2386	298	306	Min.	16.67	-104.69	1	-2.52	1	-0.23	1	-4.44	1	-0.22	1	-0.16	1
2386	306	2314	Max	0.00	13.22	1	2.84	1	0.13	1	21.25	1	0.65	1	0.12	1
2386	306	2314	Max	16.67	13.22	1	2.84	1	0.32	1	20.59	1	1.85	1	0.12	1
2386	306	2314	Min.	0.00	-42.45	1	-2.42	1	-0.15	1	-7.49	1	-1.63	1	-0.10	1
2386	306	2314	Min.	16.67	-42.45	1	-2.42	1	-0.28	1	-8.14	1	-0.65	1	-0.10	1

2424	2004	12	Max	0.00	3.04	1	2.24	1	0.27	1	3.55	1	2.12	1	0.11	1
2424	2004	12	Max	16.67	3.04	1	2.24	1	0.13	1	2.90	1	0.26	1	0.11	1
2424	2004	12	Min.	0.00	-50.81	1	-2.43	1	-0.24	1	-26.60	1	-0.28	1	-0.09	1
2424	2004	12	Min.	16.67	-50.81	1	-2.43	1	-0.13	1	-27.25	1	-2.36	1	-0.09	1
2424	12	20	Max	0.00	4.25	1	1.38	1	0.20	1	-0.07	5	0.15	1	0.18	1
2424	12	20	Max	16.67	4.25	1	1.38	1	0.08	1	-0.73	5	-0.05	1	0.18	1
2424	12	20	Min.	0.00	-88.98	1	-1.80	1	-0.15	1	-1.29	5	-0.46	1	-0.14	1
2424	12	20	Min.	16.67	-88.98	1	-1.80	1	-0.10	1	-1.94	5	-0.59	1	-0.14	1
2424	20	2030	Max	0.00	5.56	1	4.71	1	0.24	1	22.73	5	2.09	5	0.15	1
2424	20	2030	Max	16.67	5.56	1	4.71	1	0.58	1	22.08	5	5.41	5	0.15	1
2424	20	2030	Min.	0.00	-225.45	1	-5.68	1	-0.20	1	-37.77	5	-0.87	5	-0.10	1
2424	20	2030	Min.	16.67	-225.45	1	-5.68	1	-0.71	1	-38.43	5	-6.81	5	-0.10	1
2424	2030	40	Max	0.00	1523.70	5	1.87	1	0.45	1	288.10	5	7.71	5	0.08	1
2424	2030	40	Max	21.56	1523.70	5	1.87	1	0.00	1	287.25	5	11.12	5	0.08	1
2424	2030	40	Min.	0.00	-2844.58	5	-2.14	1	-0.41	1	-8.08	5	-50.91	5	-0.08	1
2424	2030	40	Min.	21.56	-2844.58	5	-2.14	1	-0.01	1	-8.93	5	5.87	5	-0.08	1
2424	40	48	Max	0.00	1542.07	5	0.97	1	0.06	1	238.16	5	4.68	5	0.10	1
2424	40	48	Max	21.56	1542.07	5	0.97	1	0.15	1	237.31	5	17.67	5	0.10	1
2424	40	48	Min.	0.00	-2197.30	5	-0.98	1	-0.06	1	-1.40	5	-33.59	5	-0.09	1
2424	40	48	Min.	21.56	-2197.30	5	-0.98	1	-0.15	1	-2.25	5	4.29	5	-0.09	1
2424	48	56	Max	0.00	1547.14	5	0.16	1	0.08	1	214.31	5	4.71	5	0.12	1
2424	48	56	Max	21.56	1547.14	5	0.16	1	0.11	1	213.47	5	18.13	5	0.12	1
2424	48	56	Min.	0.00	-1618.29	5	-0.19	1	-0.08	1	-5.97	5	-27.99	5	-0.12	1
2424	48	56	Min.	21.56	-1618.29	5	-0.19	1	-0.12	1	-6.82	5	3.33	5	-0.12	1
2424	56	64	Max	0.00	1539.84	5	0.40	1	0.01	5	190.83	5	4.78	5	0.14	1
2424	56	64	Max	21.56	1539.84	5	0.40	1	0.09	1	189.98	5	17.62	5	0.14	1
2424	56	64	Min.	0.00	-1145.94	5	-0.39	1	-0.01	5	-8.65	5	-23.44	5	-0.13	1
2424	56	64	Min.	21.56	-1145.94	5	-0.39	1	-0.08	1	-9.49	5	2.82	5	-0.13	1
2424	64	72	Max	0.00	1507.30	5	0.77	1	0.20	1	155.90	5	6.34	5	0.02	1
2424	64	72	Max	21.56	1507.30	5	0.77	1	0.01	1	155.05	5	14.97	5	0.02	1
2424	64	72	Min.	0.00	-769.79	5	-0.85	1	-0.18	1	-24.87	5	-18.60	5	-0.00	1
2424	64	72	Min.	21.56	-769.79	5	-0.85	1	-0.01	1	-25.72	5	0.84	5	-0.00	1
2424	72	80	Max	0.00	1457.09	5	0.54	1	0.03	1	140.18	5	5.95	5	0.02	1
2424	72	80	Max	21.56	1457.09	5	0.54	1	0.14	1	139.33	5	13.86	5	0.02	1
2424	72	80	Min.	0.00	-468.53	5	-0.65	1	-0.01	1	-26.59	5	-16.27	5	0.00	1
2424	72	80	Min.	21.56	-468.53	5	-0.65	1	-0.15	1	-27.43	5	0.12	5	0.00	1
2424	80	88	Max	0.00	1405.32	5	0.17	1	0.13	1	126.94	5	5.81	5	0.07	1
2424	80	88	Max	21.56	1405.32	5	0.17	1	0.07	1	126.09	5	13.04	5	0.07	1
2424	80	88	Min.	0.00	-218.21	5	-0.28	1	-0.12	1	-27.82	5	-14.24	5	-0.05	1
2424	80	88	Min.	21.56	-218.21	5	-0.28	1	-0.09	1	-28.66	5	-0.28	5	-0.05	1
2424	88	96	Max	0.00	1352.17	5	0.62	1	0.02	5	114.75	5	6.04	5	0.11	1
2424	88	96	Max	21.56	1352.17	5	0.62	1	0.13	1	113.90	5	12.42	5	0.11	1
2424	88	96	Min.	0.00	-9.30	5	-0.70	1	-0.02	5	-29.65	5	-12.23	5	-0.09	1
2424	88	96	Min.	21.56	-9.30	5	-0.70	1	-0.15	1	-30.50	5	-0.45	5	-0.09	1
2424	96	104	Max	0.00	1288.55	5	0.81	1	0.20	1	89.28	5	7.71	5	0.04	1
2424	96	104	Max	21.56	1288.55	5	0.81	1	0.03	1	88.44	5	9.98	5	0.04	1
2424	96	104	Min.	0.00	157.05	5	-0.84	1	-0.20	1	-46.65	5	-9.18	5	-0.02	1
2424	96	104	Min.	21.56	157.05	5	-0.84	1	-0.03	1	-47.50	5	-2.44	5	-0.02	1
2424	104	112	Max	0.00	1217.05	5	0.55	1	0.02	5	80.22	5	7.37	5	0.01	1
2424	104	112	Max	21.56	1217.05	5	0.55	1	0.13	1	79.37	5	8.99	5	0.01	1
2424	104	112	Min.	0.00	288.36	5	-0.60	1	-0.01	5	-47.78	5	-8.22	5	0.00	1
2424	104	112	Min.	21.56	288.36	5	-0.60	1	-0.14	1	-48.63	5	-3.03	5	0.00	1
2424	112	120	Max	0.00	1146.62	5	0.16	1	0.11	1	72.54	5	7.26	5	0.07	1
2424	112	120	Max	21.56	1146.62	5	0.16	1	0.07	1	71.70	5	8.35	5	0.07	1
2424	112	120	Min.	0.00	398.25	5	-0.22	1	-0.11	1	-48.30	5	-7.20	5	-0.06	1
2424	112	120	Min.	21.56	398.25	5	-0.22	1	-0.07	1	-49.15	5	-3.25	5	-0.06	1
2424	120	128	Max	0.00	1076.76	5	0.52	1	0.01	1	64.82	5	7.57	5	0.11	1
2424	120	128	Max	21.56	1076.76	5	0.52	1	0.13	1	63.97	5	7.95	5	0.11	1
2424	120	128	Min.	0.00	489.90	5	-0.57	1	-0.01	1	-49.69	5	-5.93	5	-0.10	1

2424	120	128	Min.	21.56	489.90	5	-0.57	1	-0.14	1	-50.54	5	-3.23	5	-0.10	1
2424	128	136	Max	0.00	1000.02	5	0.79	1	0.18	1	42.90	5	9.32	5	0.04	1
2424	128	136	Max	21.56	1000.02	5	0.79	1	0.01	1	42.05	5	5.70	5	0.04	1
2424	128	136	Min.	0.00	559.31	5	-0.80	1	-0.18	1	-66.88	5	-3.46	5	-0.03	1
2424	128	136	Min.	21.56	559.31	5	-0.80	1	-0.01	1	-67.72	5	-5.19	5	-0.03	1
2424	136	144	Max	0.00	917.97	5	0.53	1	0.03	1	36.91	5	8.92	5	0.01	1
2424	136	144	Max	21.56	917.97	5	0.53	1	0.14	1	36.06	5	4.78	5	0.01	1
2424	136	144	Min.	0.00	610.17	5	-0.55	1	-0.03	1	-67.73	5	-3.08	5	-0.01	1
2424	136	144	Min.	21.56	610.17	5	-0.55	1	-0.14	1	-68.58	5	-5.78	5	-0.01	1
2424	144	152	Max	0.00	838.63	5	0.16	1	0.12	1	31.16	5	8.57	5	0.06	1
2424	144	152	Max	21.56	838.63	5	0.16	1	0.08	1	30.31	5	3.89	5	0.06	1
2424	144	152	Min.	0.00	651.83	5	-0.18	1	-0.12	1	-68.70	5	-2.74	5	-0.06	1
2424	144	152	Min.	21.56	651.83	5	-0.18	1	-0.09	1	-69.55	5	-6.33	5	-0.06	1
2424	152	160	Max	0.00	778.37	1	0.48	1	0.01	5	28.16	5	7.35	5	0.08	1
2424	152	160	Max	21.56	778.37	1	0.48	1	0.10	1	27.31	5	2.65	5	0.08	1
2424	152	160	Min.	0.00	677.67	1	-0.50	1	-0.02	5	-67.53	5	-3.33	5	-0.08	1
2424	152	160	Min.	21.56	677.67	1	-0.50	1	-0.11	1	-68.38	5	-7.31	5	-0.08	1
2424	160	168	Max	0.00	778.25	1	0.50	1	0.10	1	68.38	5	2.64	5	0.08	1
2424	160	168	Max	21.56	778.25	1	0.50	1	0.01	5	67.54	5	7.35	5	0.08	1
2424	160	168	Min.	0.00	677.82	1	-0.48	1	-0.11	1	-27.27	5	-7.31	5	-0.08	1
2424	160	168	Min.	21.56	677.82	1	-0.48	1	-0.02	5	-28.12	5	-3.33	5	-0.08	1
2424	168	176	Max	0.00	838.26	5	0.18	1	0.08	1	69.57	5	3.89	5	0.06	1
2424	168	176	Max	21.56	838.26	5	0.18	1	0.12	1	68.72	5	8.58	5	0.06	1
2424	168	176	Min.	0.00	652.28	5	-0.16	1	-0.09	1	-30.28	5	-6.33	5	-0.06	1
2424	168	176	Min.	21.56	652.28	5	-0.16	1	-0.12	1	-31.12	5	-2.73	5	-0.06	1
2424	176	184	Max	0.00	917.61	5	0.55	1	0.14	1	68.59	5	4.78	5	0.01	1
2424	176	184	Max	21.56	917.61	5	0.55	1	0.03	1	67.74	5	8.92	5	0.01	1
2424	176	184	Min.	0.00	610.68	5	-0.53	1	-0.14	1	-36.02	5	-5.78	5	-0.01	1
2424	176	184	Min.	21.56	610.68	5	-0.53	1	-0.03	1	-36.86	5	-3.08	5	-0.01	1
2424	184	192	Max	0.00	999.67	5	0.80	1	0.01	1	67.74	5	5.70	5	0.03	1
2424	184	192	Max	21.56	999.67	5	0.80	1	0.18	1	66.90	5	9.32	5	0.03	1
2424	184	192	Min.	0.00	559.87	5	-0.79	1	-0.01	1	-42.01	5	-5.20	5	-0.04	1
2424	184	192	Min.	21.56	559.87	5	-0.79	1	-0.18	1	-42.86	5	-3.46	5	-0.04	1
2424	192	200	Max	0.00	1076.43	5	0.57	1	0.13	1	50.56	5	7.95	5	0.10	1
2424	192	200	Max	21.56	1076.43	5	0.57	1	0.01	1	49.72	5	7.58	5	0.10	1
2424	192	200	Min.	0.00	490.53	5	-0.52	1	-0.14	1	-63.93	5	-3.23	5	-0.11	1
2424	192	200	Min.	21.56	490.53	5	-0.52	1	-0.02	1	-64.78	5	-5.93	5	-0.11	1
2424	200	208	Max	0.00	1146.31	5	0.22	1	0.07	1	49.18	5	8.35	5	0.06	1
2424	200	208	Max	21.56	1146.31	5	0.22	1	0.11	1	48.33	5	7.26	5	0.06	1
2424	200	208	Min.	0.00	398.95	5	-0.16	1	-0.07	1	-71.66	5	-3.25	5	-0.07	1
2424	200	208	Min.	21.56	398.95	5	-0.16	1	-0.11	1	-72.50	5	-7.20	5	-0.07	1
2424	208	216	Max	0.00	1216.76	5	0.60	1	0.13	1	48.66	5	8.98	5	-0.00	1
2424	208	216	Max	21.56	1216.76	5	0.60	1	0.02	5	47.81	5	7.37	5	-0.00	1
2424	208	216	Min.	0.00	289.14	5	-0.54	1	-0.14	1	-79.33	5	-3.03	5	-0.01	1
2424	208	216	Min.	21.56	289.14	5	-0.54	1	-0.02	5	-80.17	5	-8.21	5	-0.01	1
2424	216	224	Max	0.00	1288.29	5	0.84	1	0.03	1	47.53	5	9.98	5	0.02	1
2424	216	224	Max	21.56	1288.29	5	0.84	1	0.20	1	46.69	5	7.71	5	0.02	1
2424	216	224	Min.	0.00	157.92	5	-0.81	1	-0.03	1	-88.39	5	-2.44	5	-0.04	1
2424	216	224	Min.	21.56	157.92	5	-0.81	1	-0.20	1	-89.24	5	-9.17	5	-0.04	1
2424	224	232	Max	0.00	1351.93	5	0.70	1	0.13	1	30.52	5	12.42	5	0.09	1
2424	224	232	Max	21.56	1351.93	5	0.70	1	0.02	5	29.67	5	6.04	5	0.09	1
2424	224	232	Min.	0.00	-8.31	5	-0.62	1	-0.15	1	-113.83	5	-0.45	5	-0.11	1
2424	224	232	Min.	21.56	-8.31	5	-0.62	1	-0.02	5	-114.68	5	-12.22	5	-0.11	1
2424	232	240	Max	0.00	1405.11	5	0.28	1	0.07	1	28.69	5	13.03	5	0.05	1
2424	232	240	Max	21.56	1405.11	5	0.28	1	0.13	1	27.84	5	5.81	5	0.05	1
2424	232	240	Min.	0.00	-217.09	5	-0.17	1	-0.09	1	-126.02	5	-0.28	5	-0.07	1
2424	232	240	Min.	21.56	-217.09	5	-0.17	1	-0.12	1	-126.86	5	-14.23	5	-0.07	1
2424	240	248	Max	0.00	1456.93	5	0.65	1	0.14	1	27.45	5	13.86	5	0.00	1
2424	240	248	Max	21.56	1456.93	5	0.65	1	0.03	1	26.61	5	5.95	5	0.00	1

2424	240	248	Min.	0.00	-467.26	5	-0.54	1	-0.15	1	-139.25	5	0.12	5	-0.02	1
2424	240	248	Min.	21.56	-467.26	5	-0.54	1	-0.01	1	-140.10	5	-16.26	5	-0.02	1
2424	248	256	Max	0.00	1507.19	5	0.86	1	0.01	5	25.74	5	14.96	5	0.00	1
2424	248	256	Max	21.56	1507.19	5	0.86	1	0.20	1	24.90	5	6.34	5	0.00	1
2424	248	256	Min.	0.00	-768.35	5	-0.77	1	-0.01	5	-154.96	5	0.83	5	-0.02	1
2424	248	256	Min.	21.56	-768.35	5	-0.77	1	-0.17	1	-155.81	5	-18.59	5	-0.02	1
2424	256	264	Max	0.00	1539.84	5	0.39	1	0.09	1	9.55	5	17.60	5	0.13	1
2424	256	264	Max	21.56	1539.84	5	0.39	1	0.01	5	8.70	5	4.79	5	0.13	1
2424	256	264	Min.	0.00	-1144.26	5	-0.40	1	-0.09	1	-189.84	5	2.82	5	-0.14	1
2424	256	264	Min.	21.56	-1144.26	5	-0.40	1	-0.01	5	-190.69	5	-23.42	5	-0.14	1
2424	264	272	Max	0.00	1547.34	5	0.19	1	0.11	1	6.88	5	18.12	5	0.12	1
2424	264	272	Max	17.83					-0.02	7			4.11	7		
2424	264	272	Max	21.56	1547.34	5	0.19	1	0.08	1	6.04	5	4.72	5	0.12	1
2424	264	272	Min.	0.00	-1616.32	5	-0.16	1	-0.12	1	-213.32	5	3.33	5	-0.12	1
2424	264	272	Min.	17.83					0.03	7			-19.59	7		
2424	264	272	Min.	21.56	-1616.32	5	-0.16	1	-0.08	1	-214.17	5	-27.97	5	-0.12	1
2424	272	280	Max	0.00	1542.66	5	0.98	1	0.15	1	2.32	5	17.65	5	0.09	1
2424	272	280	Max	21.56	1542.66	5	0.98	1	0.06	1	1.47	5	4.69	5	0.09	1
2424	272	280	Min.	0.00	-2195.11	5	-0.96	1	-0.15	1	-237.13	5	4.28	5	-0.10	1
2424	272	280	Min.	21.56	-2195.11	5	-0.96	1	-0.05	1	-237.98	5	-33.57	5	-0.10	1
2424	280	2290	Max	0.00	1524.51	5	2.15	1	0.00	1	9.00	5	11.10	5	0.08	1
2424	280	2290	Max	21.56	1524.51	5	2.15	1	0.45	1	8.15	5	7.72	5	0.08	1
2424	280	2290	Min.	0.00	-2841.79	5	-1.87	1	-0.01	1	-287.05	5	5.87	5	-0.08	1
2424	280	2290	Min.	21.56	-2841.79	5	-1.87	1	-0.40	1	-287.90	5	-50.88	5	-0.08	1
2424	2290	300	Max	0.00	6.59	1	4.96	1	0.52	1	37.47	5	5.44	5	0.09	1
2424	2290	300	Max	13.33					-0.03	3			0.83	3		
2424	2290	300	Max	16.67	6.59	1	4.96	1	0.19	1	36.82	5	1.80	5	0.09	1
2424	2290	300	Min.	0.00	-204.61	1	-4.14	1	-0.64	1	-23.49	5	-6.78	5	-0.12	1
2424	2290	300	Min.	13.33					0.02	3			-0.38	3		
2424	2290	300	Min.	16.67	-204.61	1	-4.14	1	-0.17	1	-24.15	5	-0.92	5	-0.12	1
2424	300	308	Max	0.00	3.52	1	2.57	1	0.15	1	25.97	1	-0.10	1	0.15	1
2424	300	308	Max	16.67	3.52	1	2.57	1	0.24	1	25.32	1	1.74	1	0.15	1
2424	300	308	Min.	0.00	-131.09	1	-2.14	1	-0.18	1	1.24	1	-2.53	1	-0.19	1
2424	300	308	Min.	16.67	-131.09	1	-2.14	1	-0.20	1	0.59	1	0.05	1	-0.19	1
2424	308	2316	Max	0.00	2.55	1	2.27	1	0.10	1	25.98	1	0.26	1	0.10	1
2424	308	2316	Max	16.67	2.55	1	2.27	1	0.27	1	25.33	1	2.28	1	0.10	1
2424	308	2316	Min.	0.00	-54.28	1	-2.01	1	-0.11	1	-2.78	1	-2.00	1	-0.13	1
2424	308	2316	Min.	16.67	-54.28	1	-2.01	1	-0.24	1	-3.43	1	-0.26	1	-0.13	1
2462	2006	14	Max	0.00	-5.24	1	2.55	1	0.22	1	-1.09	1	2.44	1	0.08	1
2462	2006	14	Max	16.67	-5.24	1	2.55	1	0.15	1	-1.75	1	-0.15	1	0.08	1
2462	2006	14	Min.	0.00	-58.13	1	-1.90	1	-0.28	1	-30.67	1	0.08	1	-0.12	1
2462	2006	14	Min.	16.67	-58.13	1	-1.90	1	-0.10	1	-31.32	1	-2.73	1	-0.12	1
2462	14	22	Max	0.00	-10.27	1	1.61	1	0.17	1	-0.18	5	0.06	1	0.14	1
2462	14	22	Max	16.67	-10.27	1	1.61	1	0.10	1	-0.83	5	-0.15	1	0.14	1
2462	14	22	Min.	0.00	-101.69	1	-1.51	1	-0.17	1	-1.23	5	-0.54	1	-0.17	1
2462	14	22	Min.	16.67	-101.69	1	-1.51	1	-0.08	1	-1.88	5	-0.67	1	-0.17	1
2462	22	2033	Max	0.00	-25.63	1	5.26	1	0.20	1	18.14	5	2.25	5	0.11	1
2462	22	2033	Max	16.67	-25.63	1	5.26	1	0.65	1	17.48	5	4.80	5	0.11	1
2462	22	2033	Min.	0.00	-256.09	1	-4.82	1	-0.22	1	-41.39	5	-0.73	5	-0.14	1
2462	22	2033	Min.	16.67	-256.09	1	-4.82	1	-0.60	1	-42.04	5	-7.26	5	-0.14	1
2462	2033	42	Max	0.00	1519.08	5	1.86	1	0.43	1	288.22	5	7.52	5	0.08	1
2462	2033	42	Max	21.56	1519.08	5	1.86	1	0.01	5	287.37	5	11.15	5	0.08	1
2462	2033	42	Min.	0.00	-2837.68	5	-2.08	1	-0.40	1	-6.81	5	-50.90	5	-0.08	1
2462	2033	42	Min.	21.56	-2837.68	5	-2.08	1	-0.03	5	-7.66	5	5.96	5	-0.08	1
2462	42	50	Max	0.00	1543.57	5	0.97	1	0.05	1	238.13	5	4.54	5	0.10	1
2462	42	50	Max	21.56	1543.57	5	0.97	1	0.15	1	237.28	5	17.67	5	0.10	1
2462	42	50	Min.	0.00	-2193.09	5	-0.94	1	-0.06	1	-0.25	5	-33.58	5	-0.09	1
2462	42	50	Min.	21.56	-2193.09	5	-0.94	1	-0.15	1	-1.09	5	4.39	5	-0.09	1
2462	50	58	Max	0.00	1548.79	5	0.18	1	0.07	1	214.49	5	4.58	5	0.12	1

2462	50	58	Max	21.56	1548.79	5	0.18	1	0.11	1	213.65	5	18.16	5	0.12	1
2462	50	58	Min.	0.00	-1610.95	5	-0.17	1	-0.07	1	-4.77	5	-28.00	5	-0.12	1
2462	50	58	Min.	21.56	-1610.95	5	-0.17	1	-0.11	1	-5.62	5	3.46	5	-0.12	1
2462	58	66	Max	0.00	1540.33	5	0.36	1	0.01	5	191.01	5	4.70	5	0.13	1
2462	58	66	Max	21.56	1540.33	5	0.36	1	0.08	1	190.16	5	17.69	5	0.13	1
2462	58	66	Min.	0.00	-1135.09	5	-0.39	1	-0.01	5	-7.51	5	-23.40	5	-0.14	1
2462	58	66	Min.	21.56	-1135.09	5	-0.39	1	-0.08	1	-8.36	5	2.99	5	-0.14	1
2462	66	74	Max	0.00	1504.54	5	0.85	1	0.17	1	153.96	5	6.65	5	0.00	1
2462	66	74	Max	21.56	1504.54	5	0.85	1	0.01	1	153.12	5	14.78	5	0.00	1
2462	66	74	Min.	0.00	-759.43	5	-0.74	1	-0.19	1	-27.38	5	-18.33	5	-0.02	1
2462	66	74	Min.	21.56	-759.43	5	-0.74	1	-0.01	1	-28.22	5	0.66	5	-0.02	1
2462	74	82	Max	0.00	1449.86	5	0.63	1	0.01	1	138.49	5	6.18	5	0.00	1
2462	74	82	Max	21.56	1449.86	5	0.63	1	0.14	1	137.64	5	13.69	5	0.00	1
2462	74	82	Min.	0.00	-461.36	5	-0.51	1	-0.03	1	-28.79	5	-16.08	5	-0.02	1
2462	74	82	Min.	21.56	-461.36	5	-0.51	1	-0.14	1	-29.64	5	-0.12	5	-0.02	1
2462	82	90	Max	0.00	1394.27	5	0.27	1	0.12	1	125.50	5	6.00	5	0.05	1
2462	82	90	Max	21.56	1394.27	5	0.27	1	0.08	1	124.65	5	12.88	5	0.05	1
2462	82	90	Min.	0.00	-213.92	5	-0.15	1	-0.13	1	-29.74	5	-14.09	5	-0.07	1
2462	82	90	Min.	21.56	-213.92	5	-0.15	1	-0.07	1	-30.59	5	-0.51	5	-0.07	1
2462	90	98	Max	0.00	1338.09	5	0.69	1	0.01	5	113.50	5	6.18	5	0.09	1
2462	90	98	Max	21.56	1338.09	5	0.69	1	0.14	1	112.66	5	12.27	5	0.09	1
2462	90	98	Min.	0.00	-7.32	5	-0.60	1	-0.01	5	-31.31	5	-12.11	5	-0.11	1
2462	90	98	Min.	21.56	-7.32	5	-0.60	1	-0.13	1	-32.16	5	-0.66	5	-0.11	1
2462	98	106	Max	0.00	1272.54	5	0.83	1	0.19	1	88.40	5	7.73	5	0.02	1
2462	98	106	Max	21.56	1272.54	5	0.83	1	0.02	1	87.55	5	9.89	5	0.02	1
2462	98	106	Min.	0.00	157.28	5	-0.80	1	-0.20	1	-47.13	5	-9.09	5	-0.03	1
2462	98	106	Min.	21.56	157.28	5	-0.80	1	-0.02	1	-47.98	5	-2.53	5	-0.03	1
2462	106	114	Max	0.00	1200.08	5	0.58	1	0.01	1	79.50	5	7.38	5	-0.00	1
2462	106	114	Max	21.56	1200.08	5	0.58	1	0.13	1	78.66	5	8.91	5	-0.00	1
2462	106	114	Min.	0.00	287.56	5	-0.53	1	-0.01	1	-48.08	5	-8.14	5	-0.01	1
2462	106	114	Min.	21.56	287.56	5	-0.53	1	-0.13	1	-48.93	5	-3.08	5	-0.01	1
2462	114	122	Max	0.00	1129.07	5	0.20	1	0.11	1	71.99	5	7.27	5	0.06	1
2462	114	122	Max	21.56	1129.07	5	0.20	1	0.07	1	71.14	5	8.29	5	0.06	1
2462	114	122	Min.	0.00	396.75	5	-0.15	1	-0.11	1	-48.47	5	-7.15	5	-0.07	1
2462	114	122	Min.	21.56	396.75	5	-0.15	1	-0.06	1	-49.31	5	-3.28	5	-0.07	1
2462	122	130	Max	0.00	1058.84	5	0.55	1	0.01	1	64.42	5	7.58	5	0.10	1
2462	122	130	Max	21.56	1058.84	5	0.55	1	0.13	1	63.58	5	7.91	5	0.10	1
2462	122	130	Min.	0.00	487.89	5	-0.51	1	-0.01	1	-49.73	5	-5.89	5	-0.11	1
2462	122	130	Min.	21.56	487.89	5	-0.51	1	-0.12	1	-50.58	5	-3.24	5	-0.11	1
2462	130	138	Max	0.00	981.86	5	0.80	1	0.18	1	42.32	5	9.35	5	0.03	1
2462	130	138	Max	21.56	981.86	5	0.80	1	0.01	1	41.47	5	5.64	5	0.03	1
2462	130	138	Min.	0.00	556.74	5	-0.78	1	-0.18	1	-67.10	5	-3.41	5	-0.04	1
2462	130	138	Min.	21.56	556.74	5	-0.78	1	-0.01	1	-67.95	5	-5.22	5	-0.04	1
2462	138	146	Max	0.00	899.68	5	0.54	1	0.02	1	36.47	5	8.92	5	0.01	1
2462	138	146	Max	21.56	899.68	5	0.54	1	0.14	1	35.62	5	4.73	5	0.01	1
2462	138	146	Min.	0.00	606.97	5	-0.51	1	-0.03	1	-67.85	5	-3.05	5	-0.01	1
2462	138	146	Min.	21.56	606.97	5	-0.51	1	-0.14	1	-68.70	5	-5.80	5	-0.01	1
2462	146	154	Max	0.00	820.35	5	0.17	1	0.12	1	30.87	5	8.56	5	0.05	1
2462	146	154	Max	21.56	820.35	5	0.17	1	0.08	1	30.02	5	3.85	5	0.05	1
2462	146	154	Min.	0.00	648.14	5	-0.14	1	-0.12	1	-68.68	5	-2.72	5	-0.06	1
2462	146	154	Min.	21.56	648.14	5	-0.14	1	-0.08	1	-69.53	5	-6.34	5	-0.06	1
2462	154	162	Max	0.00	748.05	5	0.50	1	0.01	1	27.98	5	7.32	5	0.07	1
2462	154	162	Max	21.56	748.05	5	0.50	1	0.10	1	27.13	5	2.62	5	0.07	1
2462	154	162	Min.	0.00	685.84	5	-0.47	1	-0.01	1	-67.37	5	-3.32	5	-0.07	1
2462	154	162	Min.	21.56	685.84	5	-0.47	1	-0.09	1	-68.22	5	-7.30	5	-0.07	1
2462	162	170	Max	0.00	747.70	5	0.47	1	0.10	1	68.23	5	2.61	5	0.07	1
2462	162	170	Max	21.56	747.70	5	0.47	1	0.01	1	67.39	5	7.32	5	0.07	1
2462	162	170	Min.	0.00	686.22	5	-0.50	1	-0.09	1	-27.10	5	-7.30	5	-0.07	1
2462	162	170	Min.	21.56	686.22	5	-0.50	1	-0.01	1	-27.94	5	-3.32	5	-0.07	1

2462	170	178	Max	0.00	820.02	5	0.15	1	0.08	1	69.56	5	3.84	5	0.06	1
2462	170	178	Max	21.56	820.02	5	0.15	1	0.12	1	68.71	5	8.56	5	0.06	1
2462	170	178	Min.	0.00	648.55	5	-0.18	1	-0.08	1	-30.00	5	-6.34	5	-0.05	1
2462	170	178	Min.	21.56	648.55	5	-0.18	1	-0.12	1	-30.84	5	-2.72	5	-0.05	1
2462	178	186	Max	0.00	899.38	5	0.51	1	0.14	1	68.71	5	4.72	5	0.01	1
2462	178	186	Max	21.56	899.38	5	0.51	1	0.02	1	67.86	5	8.93	5	0.01	1
2462	178	186	Min.	0.00	607.41	5	-0.54	1	-0.14	1	-35.59	5	-5.80	5	-0.01	1
2462	178	186	Min.	21.56	607.41	5	-0.54	1	-0.03	1	-36.43	5	-3.04	5	-0.01	1
2462	186	194	Max	0.00	981.59	5	0.78	1	0.01	1	67.98	5	5.63	5	0.04	1
2462	186	194	Max	21.56	981.59	5	0.78	1	0.18	1	67.13	5	9.35	5	0.04	1
2462	186	194	Min.	0.00	557.21	5	-0.80	1	-0.01	1	-41.45	5	-5.22	5	-0.03	1
2462	186	194	Min.	21.56	557.21	5	-0.80	1	-0.18	1	-42.29	5	-3.40	5	-0.03	1
2462	194	202	Max	0.00	1058.61	5	0.51	1	0.13	1	50.60	5	7.91	5	0.11	1
2462	194	202	Max	21.56	1058.61	5	0.51	1	0.01	1	49.76	5	7.58	5	0.11	1
2462	194	202	Min.	0.00	488.40	5	-0.55	1	-0.12	1	-63.54	5	-3.24	5	-0.10	1
2462	194	202	Min.	21.56	488.40	5	-0.55	1	-0.01	1	-64.39	5	-5.88	5	-0.10	1
2462	202	210	Max	0.00	1128.86	5	0.15	1	0.07	1	49.34	5	8.28	5	0.07	1
2462	202	210	Max	21.56	1128.86	5	0.15	1	0.11	1	48.49	5	7.27	5	0.07	1
2462	202	210	Min.	0.00	397.32	5	-0.20	1	-0.06	1	-71.11	5	-3.28	5	-0.06	1
2462	202	210	Min.	21.56	397.32	5	-0.20	1	-0.11	1	-71.95	5	-7.14	5	-0.06	1
2462	210	218	Max	0.00	1199.92	5	0.53	1	0.13	1	48.95	5	8.90	5	0.01	1
2462	210	218	Max	21.56	1199.92	5	0.53	1	0.01	1	48.11	5	7.39	5	0.01	1
2462	210	218	Min.	0.00	288.19	5	-0.58	1	-0.13	1	-78.62	5	-3.08	5	0.00	1
2462	210	218	Min.	21.56	288.19	5	-0.58	1	-0.01	1	-79.46	5	-8.14	5	0.00	1
2462	218	226	Max	0.00	1272.42	5	0.80	1	0.02	1	48.01	5	9.88	5	0.03	1
2462	218	226	Max	21.56	1272.42	5	0.80	1	0.19	1	47.17	5	7.74	5	0.03	1
2462	218	226	Min.	0.00	157.97	5	-0.83	1	-0.02	1	-87.50	5	-2.53	5	-0.02	1
2462	218	226	Min.	21.56	157.97	5	-0.83	1	-0.20	1	-88.35	5	-9.08	5	-0.02	1
2462	226	234	Max	0.00	1338.02	5	0.60	1	0.14	1	32.19	5	12.27	5	0.11	1
2462	226	234	Max	21.56	1338.02	5	0.60	1	0.01	5	31.35	5	6.18	5	0.11	1
2462	226	234	Min.	0.00	-6.55	5	-0.69	1	-0.13	1	-112.60	5	-0.67	5	-0.09	1
2462	226	234	Min.	21.56	-6.55	5	-0.69	1	-0.01	5	-113.44	5	-12.10	5	-0.09	1
2462	234	242	Max	0.00	1394.26	5	0.15	1	0.08	1	30.63	5	12.87	5	0.07	1
2462	234	242	Max	21.56	1394.26	5	0.15	1	0.12	1	29.78	5	6.00	5	0.07	1
2462	234	242	Min.	0.00	-213.04	5	-0.27	1	-0.07	1	-124.59	5	-0.51	5	-0.05	1
2462	234	242	Min.	21.56	-213.04	5	-0.27	1	-0.13	1	-125.44	5	-14.08	5	-0.05	1
2462	242	250	Max	0.00	1449.93	5	0.51	1	0.14	1	29.68	5	13.68	5	0.02	1
2462	242	250	Max	21.56	1449.93	5	0.51	1	0.01	1	28.83	5	6.18	5	0.02	1
2462	242	250	Min.	0.00	-460.37	5	-0.63	1	-0.14	1	-137.57	5	-0.12	5	0.00	1
2462	242	250	Min.	21.56	-460.37	5	-0.63	1	-0.03	1	-138.42	5	-16.07	5	0.00	1
2462	250	258	Max	0.00	1504.70	5	0.74	1	0.01	1	28.27	5	14.77	5	0.02	1
2462	250	258	Max	21.56	1504.70	5	0.74	1	0.17	1	27.43	5	6.66	5	0.02	1
2462	250	258	Min.	0.00	-758.29	5	-0.86	1	-0.01	1	-153.04	5	0.65	5	-0.00	1
2462	250	258	Min.	21.56	-758.29	5	-0.86	1	-0.19	1	-153.89	5	-18.32	5	-0.00	1
2462	258	266	Max	0.00	1540.66	5	0.39	1	0.08	1	8.42	5	17.68	5	0.14	1
2462	258	266	Max	21.56	1540.66	5	0.39	1	0.01	5	7.57	5	4.71	5	0.14	1
2462	258	266	Min.	0.00	-1133.75	5	-0.36	1	-0.09	1	-190.00	5	2.98	5	-0.13	1
2462	258	266	Min.	21.56	-1133.75	5	-0.36	1	-0.01	5	-190.85	5	-23.38	5	-0.13	1
2462	266	274	Max	0.00	1549.40	5	0.17	1	0.11	1	5.69	5	18.15	5	0.12	1
2462	266	274	Max	21.56	1549.40	5	0.17	1	0.07	1	4.84	5	4.59	5	0.12	1
2462	266	274	Min.	0.00	-1609.35	5	-0.18	1	-0.11	1	-213.48	5	3.45	5	-0.12	1
2462	266	274	Min.	21.56	-1609.35	5	-0.18	1	-0.07	1	-214.33	5	-27.97	5	-0.12	1
2462	274	282	Max	0.00	1544.53	5	0.94	1	0.15	1	1.17	5	17.66	5	0.09	1
2462	274	282	Max	21.56	1544.53	5	0.94	1	0.05	1	0.32	5	4.55	5	0.09	1
2462	274	282	Min.	0.00	-2191.16	5	-0.96	1	-0.15	1	-237.08	5	4.39	5	-0.10	1
2462	274	282	Min.	21.56	-2191.16	5	-0.96	1	-0.06	1	-237.92	5	-33.55	5	-0.10	1
2462	282	2293	Max	0.00	1519.86	5	2.08	1	0.01	5	7.73	5	11.13	5	0.08	1
2462	282	2293	Max	21.56	1519.86	5	2.08	1	0.43	1	6.89	5	7.53	5	0.08	1
2462	282	2293	Min.	0.00	-2834.60	5	-1.85	1	-0.03	5	-287.14	5	5.95	5	-0.08	1

2462	282	2293	Min.	21.56	-2834.60	5	-1.85	1	-0.40	1	-287.99	5	-50.88	5	-0.08	1
2462	2293	302	Max	0.00	-22.18	1	4.19	1	0.58	1	40.86	5	4.83	5	0.12	1
2462	2293	302	Max	13.33					-0.03	3			0.82	3		
2462	2293	302	Max	16.67	-22.18	1	4.19	1	0.16	1	40.21	5	1.92	5	0.12	1
2462	2293	302	Min.	0.00	-232.21	1	-4.58	1	-0.53	1	-19.10	5	-7.24	5	-0.08	1
2462	2293	302	Min.	13.33					0.02	3			-0.39	3		
2462	2293	302	Min.	16.67	-232.21	1	-4.58	1	-0.18	1	-19.76	5	-0.82	5	-0.08	1
2462	302	310	Max	0.00	-16.51	1	2.17	1	0.18	1	29.49	1	-0.48	1	0.19	1
2462	302	310	Max	16.67	-16.51	1	2.17	1	0.21	1	28.84	1	1.96	1	0.19	1
2462	302	310	Min.	0.00	-150.30	1	-2.53	1	-0.15	1	4.89	1	-2.90	1	-0.14	1
2462	302	310	Min.	16.67	-150.30	1	-2.53	1	-0.24	1	4.24	1	0.28	1	-0.14	1
2462	310	2318	Max	0.00	-6.35	1	1.75	1	0.12	1	29.79	1	-0.10	1	0.14	1
2462	310	2318	Max	16.67	-6.35	1	1.75	1	0.21	1	29.14	1	2.61	1	0.14	1
2462	310	2318	Min.	0.00	-61.91	1	-2.29	1	-0.08	1	1.68	1	-2.30	1	-0.10	1
2462	310	2318	Min.	16.67	-61.91	1	-2.29	1	-0.27	1	1.02	1	0.13	1	-0.10	1
2500	2008	16	Max	0.00	17.21	1	2.90	1	0.26	1	10.71	1	1.37	1	0.11	1
2500	2008	16	Max	16.67	17.21	1	2.90	1	0.18	1	10.06	1	0.90	1	0.11	1
2500	2008	16	Min.	0.00	-31.47	1	-2.42	1	-0.30	1	-17.21	1	-0.83	1	-0.09	1
2500	2008	16	Min.	16.67	-31.47	1	-2.42	1	-0.15	1	-17.87	1	-1.55	1	-0.09	1
2500	16	24	Max	0.00	29.56	1	1.76	1	0.18	1	0.16	5	0.24	1	0.17	1
2500	16	24	Max	2.49					0.14	1			0.24	1		
2500	16	24	Max	16.67	29.56	1	1.76	1	0.10	1	-0.49	5	0.20	1	0.17	1
2500	16	24	Min.	0.00	-55.74	1	-1.69	1	-0.19	1	-0.80	5	-0.30	1	-0.15	1
2500	16	24	Min.	2.49					-0.15	1			-0.32	1		
2500	16	24	Min.	16.67	-55.74	1	-1.69	1	-0.10	1	-1.45	5	-0.48	1	-0.15	1
2500	24	2036	Max	0.00	70.78	1	5.54	1	0.21	1	27.69	5	1.54	5	0.14	1
2500	24	2036	Max	3.33					-0.04	3			0.76	3		
2500	24	2036	Max	16.67	70.78	1	5.54	1	0.69	1	27.04	5	5.83	5	0.14	1
2500	24	2036	Min.	0.00	-145.22	1	-5.07	1	-0.23	1	-29.49	5	-1.16	5	-0.10	1
2500	24	2036	Min.	3.33					0.04	3			-0.45	3		
2500	24	2036	Min.	16.67	-145.22	1	-5.07	1	-0.63	1	-30.15	5	-5.87	5	-0.10	1
2500	2036	44	Max	0.00	1804.13	5	1.70	1	0.26	1	217.44	5	17.96	5	0.05	1
2500	2036	44	Max	21.56	1804.13	5	1.70	1	0.07	5	216.60	5	6.79	5	0.05	1
2500	2036	44	Min.	0.00	-2462.71	5	-1.11	1	-0.38	1	-74.79	5	-40.00	5	-0.15	1
2500	2036	44	Min.	21.56	-2462.71	5	-1.11	1	-0.07	5	-75.63	5	1.74	5	-0.15	1
2500	44	52	Max	0.00	1662.62	5	1.12	1	0.07	1	179.27	5	11.56	5	0.06	1
2500	44	52	Max	21.56	1662.62	5	1.12	1	0.10	1	178.42	5	12.17	5	0.06	1
2500	44	52	Min.	0.00	-1982.32	5	-0.65	1	-0.14	1	-57.80	5	-26.39	5	-0.17	1
2500	44	52	Min.	21.56	-1982.32	5	-0.65	1	-0.08	1	-58.65	5	-1.00	5	-0.17	1
2500	52	60	Max	0.00	1523.85	5	0.68	1	-0.02	1	162.72	5	10.17	5	0.07	1
2500	52	60	Max	21.56	1523.85	5	0.68	1	0.13	1	161.88	5	12.79	5	0.07	1
2500	52	60	Min.	0.00	-1543.73	5	-0.22	1	-0.03	1	-55.04	5	-22.21	5	-0.16	1
2500	52	60	Min.	21.56	-1543.73	5	-0.22	1	-0.08	1	-55.89	5	-1.79	5	-0.16	1
2500	60	68	Max	0.00	1405.13	5	0.28	5	0.04	5	146.26	5	9.03	5	0.08	1
2500	60	68	Max	21.56	1405.13	5	0.28	5	0.08	5	145.42	5	12.60	5	0.08	1
2500	60	68	Min.	0.00	-1183.83	5	0.14	5	-0.07	5	-50.81	5	-18.85	5	-0.16	1
2500	60	68	Min.	21.56	-1183.83	5	0.14	5	-0.01	5	-51.65	5	-2.02	5	-0.16	1
2500	68	76	Max	0.00	1294.78	5	0.63	1	0.11	1	124.14	5	8.80	5	0.02	1
2500	68	76	Max	19.95					0.05	7			9.03	7		
2500	68	76	Max	21.56	1294.78	5	0.63	1	0.06	5	123.30	5	11.06	5	0.02	1
2500	68	76	Min.	0.00	-890.32	5	-0.53	1	-0.13	1	-52.43	5	-15.61	5	-0.09	1
2500	68	76	Min.	19.95					-0.05	7			-1.69	7		
2500	68	76	Min.	21.56	-890.32	5	-0.53	1	-0.06	5	-53.28	5	-2.59	5	-0.09	1
2500	76	84	Max	0.00	1191.37	5	0.58	1	0.02	5	112.83	5	8.00	5	0.01	1
2500	76	84	Max	21.56	1191.37	5	0.58	1	0.10	1	111.98	5	10.46	5	0.01	1
2500	76	84	Min.	0.00	-650.03	5	-0.36	1	-0.06	5	-49.94	5	-13.78	5	-0.06	1
2500	76	84	Min.	21.56	-650.03	5	-0.36	1	-0.08	1	-50.78	5	-2.86	5	-0.06	1
2500	84	92	Max	0.00	1099.04	5	0.27	5	0.06	1	103.49	5	7.41	5	0.03	1
2500	84	92	Max	21.56	1099.04	5	0.27	5	0.08	1	102.64	5	9.98	5	0.03	1

2500	84	92	Min.	0.00	-447.52	5	-0.05	5	-0.07	1	-47.53	5	-12.25	5	-0.07	1
2500	84	92	Min.	21.56	-447.52	5	-0.05	5	-0.05	1	-48.37	5	-2.93	5	-0.07	1
2500	92	100	Max	0.00	1015.23	5	0.49	1	0.05	5	94.96	5	7.12	5	0.06	1
2500	92	100	Max	2.67					0.05	7			5.79	7		
2500	92	100	Max	21.56	1015.23	5	0.49	1	0.10	1	94.11	5	9.64	5	0.06	1
2500	92	100	Min.	0.00	-275.96	5	-0.35	1	-0.05	5	-45.73	5	-10.74	5	-0.10	1
2500	92	100	Min.	2.67					-0.04	7			-8.10	7		
2500	92	100	Min.	21.56	-275.96	5	-0.35	1	-0.07	1	-46.58	5	-2.84	5	-0.10	1
2500	100	108	Max	0.00	932.40	5	0.72	1	0.14	1	76.83	5	7.83	5	-0.01	5
2500	100	108	Max	21.29					0.05	7			7.73	7		
2500	100	108	Max	21.56	932.40	5	0.72	1	0.06	5	75.98	5	8.01	5	-0.01	5
2500	100	108	Min.	0.00	-136.15	5	-0.62	1	-0.16	1	-54.37	5	-8.46	5	-0.03	5
2500	100	108	Min.	21.29					-0.06	7			-3.77	7		
2500	100	108	Min.	21.56	-136.15	5	-0.62	1	-0.06	5	-55.22	5	-3.99	5	-0.03	5
2500	108	116	Max	0.00	850.16	5	0.56	1	0.03	5	70.50	5	7.30	5	0.01	1
2500	108	116	Max	1.40					0.03	7			6.49	7		
2500	108	116	Max	21.56	850.16	5	0.56	1	0.09	1	69.65	5	7.37	5	0.01	1
2500	108	116	Min.	0.00	-22.15	5	-0.38	1	-0.06	5	-52.97	5	-7.74	5	-0.03	1
2500	108	116	Min.	1.40					-0.06	7			-6.69	7		
2500	108	116	Min.	21.56	-22.15	5	-0.38	1	-0.08	1	-53.82	5	-4.21	5	-0.03	1
2500	116	124	Max	0.00	773.77	5	0.26	5	0.06	1	65.23	5	6.94	5	0.04	1
2500	116	124	Max	21.56	773.77	5	0.26	5	0.07	1	64.39	5	6.96	5	0.04	1
2500	116	124	Min.	0.00	75.81	5	-0.08	5	-0.07	1	-51.27	5	-7.01	5	-0.07	1
2500	116	124	Min.	21.56	75.81	5	-0.08	5	-0.04	1	-52.11	5	-4.20	5	-0.07	1
2500	124	132	Max	0.00	702.29	5	0.45	1	0.05	5	60.12	5	6.85	5	0.08	1
2500	124	132	Max	21.56	702.29	5	0.45	1	0.11	1	59.27	5	6.70	5	0.08	1
2500	124	132	Min.	0.00	160.36	5	-0.32	1	-0.04	5	-50.23	5	-6.17	5	-0.09	1
2500	124	132	Min.	21.56	160.36	5	-0.32	1	-0.08	1	-51.08	5	-4.07	5	-0.09	1
2500	132	140	Max	0.00	631.09	5	0.67	1	0.14	1	47.59	5	7.57	5	0.01	5
2500	132	140	Max	19.62					0.04	7			4.50	7		
2500	132	140	Max	21.56	631.09	5	0.67	1	0.05	5	46.74	5	5.45	5	0.01	5
2500	132	140	Min.	0.00	230.05	5	-0.70	1	-0.14	1	-57.81	5	-4.71	5	-0.03	5
2500	132	140	Min.	19.62					-0.04	7			-3.81	7		
2500	132	140	Min.	21.56	230.05	5	-0.70	1	-0.05	5	-58.66	5	-4.99	5	-0.03	5
2500	140	148	Max	0.00	560.39	5	0.47	1	0.04	5	43.49	5	7.17	5	0.01	5
2500	140	148	Max	21.56	560.39	5	0.47	1	0.10	1	42.64	5	4.92	5	0.01	5
2500	140	148	Min.	0.00	287.03	5	-0.45	1	-0.04	5	-56.90	5	-4.37	5	-0.01	5
2500	140	148	Min.	21.56	287.03	5	-0.45	1	-0.10	1	-57.74	5	-5.19	5	-0.01	5
2500	148	156	Max	0.00	493.93	5	0.16	5	0.09	1	39.69	5	6.81	5	0.05	1
2500	148	156	Max	21.56	493.93	5	0.16	5	0.08	1	38.84	5	4.43	5	0.05	1
2500	148	156	Min.	0.00	336.64	5	-0.12	5	-0.07	1	-56.06	5	-4.04	5	-0.04	1
2500	148	156	Min.	21.56	336.64	5	-0.12	5	-0.06	1	-56.91	5	-5.37	5	-0.04	1
2500	156	164	Max	0.00	433.35	5	0.39	1	0.06	5	37.25	5	6.08	5	0.06	1
2500	156	164	Max	5.96					0.05	7			2.83	7		
2500	156	164	Max	21.56	433.35	5	0.39	1	0.09	1	36.40	5	3.81	5	0.06	1
2500	156	164	Min.	0.00	381.80	5	-0.37	1	-0.03	5	-54.36	5	-4.13	5	-0.06	1
2500	156	164	Min.	5.96					-0.02	7			-1.92	7		
2500	156	164	Min.	21.56	381.80	5	-0.37	1	-0.05	1	-55.20	5	-5.73	5	-0.06	1
2500	164	172	Max	0.00	433.13	5	0.37	1	0.09	1	55.21	5	3.81	5	0.06	1
2500	164	172	Max	15.67					0.05	7			2.87	7		
2500	164	172	Max	21.56	433.13	5	0.37	1	0.06	5	54.36	5	6.08	5	0.06	1
2500	164	172	Min.	0.00	382.03	5	-0.39	1	-0.05	1	-36.40	5	-5.73	5	-0.06	1
2500	164	172	Min.	15.67					-0.02	7			-1.94	7		
2500	164	172	Min.	21.56	382.03	5	-0.39	1	-0.03	5	-37.24	5	-4.13	5	-0.06	1
2500	172	180	Max	0.00	493.73	5	0.12	5	0.08	1	56.93	5	4.43	5	0.04	1
2500	172	180	Max	21.56	493.73	5	0.12	5	0.09	1	56.08	5	6.82	5	0.04	1
2500	172	180	Min.	0.00	336.87	5	-0.16	5	-0.06	1	-38.84	5	-5.37	5	-0.05	1
2500	172	180	Min.	21.56	336.87	5	-0.16	5	-0.07	1	-39.69	5	-4.04	5	-0.05	1
2500	180	188	Max	0.00	560.20	5	0.45	1	0.10	1	57.75	5	4.92	5	0.01	5

2500	180	188	Max	21.56	560.20	5	0.45	1	0.04	5	56.90	5	7.17	5	0.01	5
2500	180	188	Min.	0.00	287.26	5	-0.47	1	-0.10	1	-42.64	5	-5.19	5	-0.01	5
2500	180	188	Min.	21.56	287.26	5	-0.47	1	-0.04	5	-43.48	5	-4.37	5	-0.01	5
2500	188	196	Max	0.00	630.91	5	0.70	1	0.05	5	58.67	5	5.45	5	0.03	5
2500	188	196	Max	2.16					0.04	7			4.40	7		
2500	188	196	Max	21.56	630.91	5	0.70	1	0.14	1	57.83	5	7.57	5	0.03	5
2500	188	196	Min.	0.00	230.28	5	-0.67	1	-0.05	5	-46.74	5	-4.99	5	-0.01	5
2500	188	196	Min.	2.16					-0.04	7			-3.69	7		
2500	188	196	Min.	21.56	230.28	5	-0.67	1	-0.14	1	-47.59	5	-4.71	5	-0.01	5
2500	196	204	Max	0.00	702.13	5	0.32	1	0.11	1	51.09	5	6.70	5	0.09	1
2500	196	204	Max	21.56	702.13	5	0.32	1	0.05	5	50.24	5	6.86	5	0.09	1
2500	196	204	Min.	0.00	160.60	5	-0.45	1	-0.08	1	-59.27	5	-4.07	5	-0.08	1
2500	196	204	Min.	21.56	160.60	5	-0.45	1	-0.04	5	-60.11	5	-6.17	5	-0.08	1
2500	204	212	Max	0.00	773.63	5	0.08	5	0.07	1	52.13	5	6.96	5	0.07	1
2500	204	212	Max	21.56	773.63	5	0.08	5	0.06	1	51.28	5	6.94	5	0.07	1
2500	204	212	Min.	0.00	76.05	5	-0.26	5	-0.04	1	-64.38	5	-4.21	5	-0.04	1
2500	204	212	Min.	21.56	76.05	5	-0.26	5	-0.07	1	-65.23	5	-7.01	5	-0.04	1
2500	212	220	Max	0.00	850.04	5	0.38	1	0.09	1	53.83	5	7.37	5	0.03	1
2500	212	220	Max	20.21					0.03	7			6.52	7		
2500	212	220	Max	21.56	850.04	5	0.38	1	0.03	5	52.98	5	7.30	5	0.03	1
2500	212	220	Min.	0.00	-21.90	5	-0.56	1	-0.08	1	-69.65	5	-4.21	5	-0.01	1
2500	212	220	Min.	20.21					-0.06	7			-6.72	7		
2500	212	220	Min.	21.56	-21.90	5	-0.56	1	-0.06	5	-70.49	5	-7.74	5	-0.01	1
2500	220	228	Max	0.00	932.30	5	0.62	1	0.06	5	55.24	5	8.01	5	0.03	5
2500	220	228	Max	0.27					0.05	7			7.73	7		
2500	220	228	Max	21.56	932.30	5	0.62	1	0.14	1	54.39	5	7.83	5	0.03	5
2500	220	228	Min.	0.00	-135.88	5	-0.72	1	-0.06	5	-75.98	5	-3.99	5	0.01	5
2500	220	228	Min.	0.27					-0.06	7			-3.77	7		
2500	220	228	Min.	21.56	-135.88	5	-0.72	1	-0.16	1	-76.82	5	-8.46	5	0.01	5
2500	228	236	Max	0.00	1015.15	5	0.35	1	0.10	1	46.60	5	9.64	5	0.10	1
2500	228	236	Max	17.25					0.05	7			5.05	7		
2500	228	236	Max	21.56	1015.15	5	0.35	1	0.05	5	45.75	5	7.12	5	0.10	1
2500	228	236	Min.	0.00	-275.69	5	-0.49	1	-0.07	1	-94.10	5	-2.84	5	-0.06	1
2500	228	236	Min.	17.25					-0.04	7			-6.56	7		
2500	228	236	Min.	21.56	-275.69	5	-0.49	1	-0.05	5	-94.95	5	-10.74	5	-0.06	1
2500	236	244	Max	0.00	1099.00	5	0.05	5	0.08	1	48.39	5	9.98	5	0.07	1
2500	236	244	Max	21.56	1099.00	5	0.05	5	0.06	1	47.55	5	7.41	5	0.07	1
2500	236	244	Min.	0.00	-447.24	5	-0.27	5	-0.05	1	-102.64	5	-2.93	5	-0.03	1
2500	236	244	Min.	21.56	-447.24	5	-0.27	5	-0.07	1	-103.48	5	-12.24	5	-0.03	1
2500	244	252	Max	0.00	1191.36	5	0.36	1	0.10	1	50.80	5	10.45	5	0.06	1
2500	244	252	Max	21.56	1191.36	5	0.36	1	0.02	5	49.95	5	8.00	5	0.06	1
2500	244	252	Min.	0.00	-649.72	5	-0.57	1	-0.08	1	-111.97	5	-2.86	5	-0.01	1
2500	244	252	Min.	21.56	-649.72	5	-0.57	1	-0.06	5	-112.82	5	-13.78	5	-0.01	1
2500	252	260	Max	0.00	1294.82	5	0.53	1	0.06	5	53.30	5	11.06	5	0.08	1
2500	252	260	Max	1.35					0.05	7			9.35	7		
2500	252	260	Max	21.56	1294.82	5	0.53	1	0.11	1	52.46	5	8.81	5	0.08	1
2500	252	260	Min.	0.00	-889.99	5	-0.63	1	-0.06	5	-123.29	5	-2.60	5	-0.02	1
2500	252	260	Min.	1.35					-0.05	7			-1.83	7		
2500	252	260	Min.	21.56	-889.99	5	-0.63	1	-0.13	1	-124.14	5	-15.61	5	-0.02	1
2500	260	268	Max	0.00	1405.25	5	-0.14	5	0.08	5	51.64	5	12.59	5	0.16	1
2500	260	268	Max	21.56	1405.25	5	-0.14	5	0.04	5	50.79	5	9.02	5	0.16	1
2500	260	268	Min.	0.00	-1183.47	5	-0.28	5	-0.01	5	-145.34	5	-2.02	5	-0.08	1
2500	260	268	Min.	21.56	-1183.47	5	-0.28	5	-0.07	5	-146.19	5	-18.84	5	-0.08	1
2500	268	276	Max	0.00	1524.10	5	0.21	1	0.13	1	55.88	5	12.78	5	0.16	1
2500	268	276	Max	21.56	1524.10	5	0.21	1	-0.02	1	55.03	5	10.17	5	0.16	1
2500	268	276	Min.	0.00	-1543.34	5	-0.68	1	-0.08	1	-161.79	5	-1.79	5	-0.07	1
2500	268	276	Min.	21.56	-1543.34	5	-0.68	1	-0.03	1	-162.64	5	-22.20	5	-0.07	1
2500	276	284	Max	0.00	1662.29	5	0.65	1	0.10	1	58.63	5	12.17	5	0.17	1
2500	276	284	Max	21.56	1662.29	5	0.65	1	0.06	1	57.79	5	11.56	5	0.17	1

2500	276	284	Min.	0.00	-1981.13	5	-1.11	1	-0.08	1	-178.31	5	-1.00	5	-0.06	1
2500	276	284	Min.	21.56	-1981.13	5	-1.11	1	-0.14	1	-179.16	5	-26.37	5	-0.06	1
2500	284	2296	Max	0.00	1803.74	5	1.11	1	0.07	5	75.61	5	6.78	5	0.15	1
2500	284	2296	Max	21.56	1803.74	5	1.11	1	0.26	1	74.76	5	17.96	5	0.15	1
2500	284	2296	Min.	0.00	-2461.18	5	-1.70	1	-0.07	5	-216.48	5	1.75	5	-0.05	1
2500	284	2296	Min.	21.56	-2461.18	5	-1.70	1	-0.38	1	-217.33	5	-39.99	5	-0.05	1
2500	2296	304	Max	0.00	66.47	1	4.47	1	0.63	1	29.88	5	5.87	5	0.08	1
2500	2296	304	Max	13.92					-0.04	3			0.64	3		
2500	2296	304	Max	16.67	66.47	1	4.47	1	0.17	1	29.22	5	1.37	5	0.08	1
2500	2296	304	Min.	0.00	-132.97	1	-4.96	1	-0.57	1	-27.89	5	-5.84	5	-0.11	1
2500	2296	304	Min.	13.92					0.03	3			-0.41	3		
2500	2296	304	Min.	16.67	-132.97	1	-4.96	1	-0.19	1	-28.54	5	-1.12	5	-0.11	1
2500	304	312	Max	0.00	42.97	1	2.54	1	0.21	1	17.61	1	0.78	1	0.15	1
2500	304	312	Max	16.67	42.97	1	2.54	1	0.23	1	16.96	1	1.12	1	0.15	1
2500	304	312	Min.	0.00	-83.44	1	-2.83	1	-0.19	1	-7.30	1	-1.76	1	-0.17	1
2500	304	312	Min.	16.67	-83.44	1	-2.83	1	-0.26	1	-7.96	1	-0.49	1	-0.17	1
2500	312	2320	Max	0.00	18.15	1	2.27	1	0.15	1	16.90	1	0.80	1	0.10	1
2500	312	2320	Max	16.67	18.15	1	2.27	1	0.26	1	16.24	1	1.47	1	0.10	1
2500	312	2320	Min.	0.00	-33.81	1	-2.69	1	-0.12	1	-9.46	1	-1.32	1	-0.13	1
2500	312	2320	Min.	16.67	-33.81	1	-2.69	1	-0.30	1	-10.11	1	-0.87	1	-0.13	1
2580	2031	2032	Max	0.00	11.11	1	1386.65	5	0.37	5	100.42	1	0.10	1	73.64	5
2580	2031	2032	Max	0.63	11.11	1	1386.65	5	8.59	5	100.37	1	0.69	1	73.64	5
2580	2031	2032	Min.	0.00	-13.54	1	-2488.68	5	-0.15	5	-438.11	1	0.06	1	-27.71	5
2580	2031	2032	Min.	0.63	-13.54	1	-2488.68	5	-15.31	5	-438.16	1	-2.66	1	-27.71	5
2580	2032	2033	Max	5.37	10.64	1	2437.98	5	8.82	5	463.65	1	0.56	1	28.58	5
2580	2032	2033	Max	6.00	10.64	1	2437.98	5	0.27	1	463.60	1	0.08	5	28.58	5
2580	2032	2033	Min.	5.37	-15.03	1	-1430.14	5	-15.15	5	-78.20	1	-2.87	1	-72.97	5
2580	2032	2033	Min.	6.00	-15.03	1	-1430.14	5	-0.25	1	-78.25	1	0.04	5	-72.97	5
2624	2291	2292	Max	0.00	11.03	1	2476.63	5	0.16	5	97.61	1	0.09	5	27.80	5
2624	2291	2292	Max	0.63	11.03	1	2476.63	5	15.23	5	97.56	1	0.68	1	27.80	5
2624	2291	2292	Min.	0.00	-13.44	1	-1391.55	5	-0.37	5	-438.14	1	0.06	5	-73.40	5
2624	2291	2292	Min.	0.63	-13.44	1	-1391.55	5	-8.61	5	-438.19	1	-2.67	1	-73.40	5
2624	2292	2293	Max	5.37	10.05	1	1419.60	5	15.24	5	460.15	1	0.54	1	73.06	5
2624	2292	2293	Max	6.00	10.05	1	1419.60	5	0.18	1	460.11	1	0.08	5	73.06	5
2624	2292	2293	Min.	5.37	-14.41	1	-2448.30	5	-8.78	5	-78.37	1	-2.82	1	-28.50	5
2624	2292	2293	Min.	6.00	-14.41	1	-2448.30	5	-0.21	1	-78.41	1	0.04	5	-28.50	5
2859	2034	2035	Max	0.00	12.93	1	1627.12	5	0.70	5	85.18	1	0.02	1	63.34	5
2859	2034	2035	Max	0.63	12.93	1	1627.12	5	9.83	5	85.14	1	0.43	1	63.34	5
2859	2034	2035	Min.	0.00	-13.82	1	-2246.54	5	-0.42	5	-315.38	1	-0.11	1	-37.18	5
2859	2034	2035	Min.	0.63	-13.82	1	-2246.54	5	-13.45	5	-315.42	1	-1.97	1	-37.18	5
2859	2035	2036	Max	5.37	7.31	1	2165.09	5	10.09	5	195.11	1	0.69	1	37.97	5
2859	2035	2036	Max	6.00	7.31	1	2165.09	5	0.28	1	195.07	1	0.30	1	37.97	5
2859	2035	2036	Min.	5.37	-7.59	1	-1602.22	5	-13.80	5	-62.58	1	-1.36	1	-62.23	5
2859	2035	2036	Min.	6.00	-7.59	1	-1602.22	5	-0.45	1	-62.63	1	-0.13	1	-62.23	5
2903	2294	2295	Max	0.00	12.82	1	2240.70	5	0.42	5	83.66	1	0.01	1	37.15	5
2903	2294	2295	Max	0.63	12.82	1	2240.70	5	13.41	5	83.62	1	0.43	1	37.15	5
2903	2294	2295	Min.	0.00	-13.75	1	-1626.00	5	-0.71	5	-314.57	1	-0.10	1	-63.22	5
2903	2294	2295	Min.	0.63	-13.75	1	-1626.00	5	-9.82	5	-314.62	1	-1.97	1	-63.22	5
2903	2295	2296	Max	5.37	6.70	1	1599.41	5	13.83	5	193.09	1	0.66	1	62.28	5
2903	2295	2296	Max	6.00	6.70	1	1599.41	5	0.39	1	193.05	1	0.27	1	62.28	5
2903	2295	2296	Min.	5.37	-7.00	1	-2168.48	5	-10.08	5	-62.07	1	-1.33	1	-37.94	5
2903	2295	2296	Min.	6.00	-7.00	1	-2168.48	5	-0.22	1	-62.11	1	-0.11	1	-37.94	5
3001	3001	3002	Max	0.00	9.26	1	8.12	5	0.93	1	29.26	1	0.47	1	0.69	1
3001	3001	3002	Max	12.00	9.26	1	8.12	5	1.82	5	31.04	1	4.09	1	0.69	1
3001	3001	3002	Min.	0.00	-6.64	1	-12.64	5	-0.70	1	-40.36	1	-0.41	1	-0.57	1
3001	3001	3002	Min.	12.00	-6.64	1	-12.64	5	-2.14	5	-38.58	1	-5.15	1	-0.57	1
3001	3003	3004	Max	0.00	16.47	5	10.43	1	3.93	5	31.15	1	17.24	1	0.57	1
3001	3003	3004	Max	6.20					-1.07	3			17.49	3		
3001	3003	3004	Max	12.00	16.47	5	10.43	1	3.52	5	32.93	1	19.75	1	0.57	1

3001	3003	3004	Min.	0.00	-10.08	5	-13.28	1	-3.79	5	-35.12	1	15.53	1	-0.65	1
3001	3003	3004	Min.	6.20					1.03	3			15.09	3		
3001	3003	3004	Min.	12.00	-10.08	5	-13.28	1	-3.72	5	-33.34	1	12.76	1	-0.65	1
3001	3005	3006	Max	0.00	18.07	5	11.95	1	3.63	5	38.06	1	19.49	1	0.76	1
3001	3005	3006	Max	5.81					-1.04	3			17.50	3		
3001	3005	3006	Max	12.00	18.07	5	11.95	1	3.79	5	39.85	1	17.58	5	0.76	1
3001	3005	3006	Min.	0.00	-11.33	5	-12.20	1	-3.65	5	-28.85	1	12.54	1	-0.48	1
3001	3005	3006	Min.	5.81					1.01	3			15.11	3		
3001	3005	3006	Min.	12.00	-11.33	5	-12.20	1	-3.84	5	-27.07	1	15.77	5	-0.48	1
3001	3007	3008	Max	0.00	10.89	1	12.19	5	1.90	5	39.58	1	3.83	1	0.62	1
3001	3007	3008	Max	12.00	10.89	1	12.19	5	1.04	1	41.36	1	0.47	1	0.62	1
3001	3007	3008	Min.	0.00	-7.95	1	-8.47	5	-2.09	5	-28.89	1	-5.30	1	-0.65	1
3001	3007	3008	Min.	12.00	-7.95	1	-8.47	5	-0.79	1	-27.11	1	-0.44	1	-0.65	1
3087	3313	3314	Max	0.00	10.51	1	12.05	5	0.77	1	25.41	1	0.46	1	0.56	1
3087	3313	3314	Max	12.00	10.51	1	12.05	5	2.08	5	27.19	1	3.62	1	0.56	1
3087	3313	3314	Min.	0.00	-7.61	1	-7.95	5	-1.02	1	-38.50	1	-0.42	1	-0.62	1
3087	3313	3314	Min.	12.00	-7.61	1	-7.95	5	-1.84	5	-36.72	1	-4.94	1	-0.62	1
3087	3315	3316	Max	0.00	18.40	5	11.92	1	3.80	5	27.03	1	17.30	5	0.65	1
3087	3315	3316	Max	6.45					-1.03	3			17.60	3		
3087	3315	3316	Max	12.00	18.40	5	11.92	1	3.67	5	28.81	1	19.53	1	0.65	1
3087	3315	3316	Min.	0.00	-11.57	5	-10.54	1	-3.84	5	-34.72	1	15.70	5	-0.48	1
3087	3315	3316	Min.	6.45					1.07	3			14.97	3		
3087	3315	3316	Min.	12.00	-11.57	5	-10.54	1	-3.55	5	-32.93	1	12.77	1	-0.48	1
3087	3317	3318	Max	0.00	18.45	5	10.56	1	3.66	5	32.93	1	19.53	1	0.48	1
3087	3317	3318	Max	5.35					-1.01	3			17.65	3		
3087	3317	3318	Max	12.00	18.45	5	10.56	1	3.80	5	34.71	1	17.30	5	0.48	1
3087	3317	3318	Min.	0.00	-11.59	5	-11.89	1	-3.55	5	-28.82	1	12.77	1	-0.65	1
3087	3317	3318	Min.	5.35					1.06	3			14.90	3		
3087	3317	3318	Min.	12.00	-11.59	5	-11.89	1	-3.84	5	-27.04	1	15.70	5	-0.65	1
3087	3319	3320	Max	0.00	10.64	1	8.09	5	2.09	5	36.67	1	3.61	1	0.62	1
3087	3319	3320	Max	12.00	10.64	1	8.09	5	0.78	1	38.45	1	0.46	1	0.62	1
3087	3319	3320	Min.	0.00	-7.71	1	-12.27	5	-1.84	5	-27.17	1	-4.93	1	-0.56	1
3087	3319	3320	Min.	12.00	-7.71	1	-12.27	5	-1.03	1	-25.39	1	-0.42	1	-0.56	1
4022	4025	4026	Max	0.00	5.71	1	2106.27	5	0.76	5	-6.23	1	0.25	1	43.96	5
4022	4025	4026	Max	0.63	5.71	1	2106.27	5	12.50	5	-6.29	1	-0.14	1	43.96	5
4022	4025	4026	Min.	0.00	-7.80	1	-1546.87	5	-0.99	5	-112.56	1	-0.13	1	-25.05	5
4022	4025	4026	Min.	0.63	-7.80	1	-1546.87	5	-9.21	5	-112.62	1	-0.48	1	-25.05	5
4022	4026	4027	Max	5.37	137.10	1	1563.24	5	10.57	5	153.77	1	55.48	1	24.17	5
4022	4026	4027	Max	6.00	137.10	1	1563.24	5	3.27	5	153.71	1	56.45	1	24.17	5
4022	4026	4027	Min.	5.37	-105.92	1	-2121.55	5	-6.83	5	-15.66	1	-65.10	1	-44.73	5
4022	4026	4027	Min.	6.00	-105.92	1	-2121.55	5	-3.06	5	-15.73	1	-65.20	1	-44.73	5
4022	4028	4029	Max	0.00	105.41	1	2361.20	5	5.17	5	43.69	1	39.49	1	52.40	5
4022	4028	4029	Max	0.63	105.41	1	2361.20	5	9.64	5	43.63	1	37.85	1	52.40	5
4022	4028	4029	Min.	0.00	-41.40	1	-1378.04	5	-5.44	5	-261.13	1	-74.59	1	-17.47	5
4022	4028	4029	Min.	0.63	-41.40	1	-1378.04	5	-3.71	5	-261.19	1	-74.31	1	-17.47	5
4022	4029	4030	Max	5.37	153.37	1	1355.69	5	9.90	5	274.08	1	40.52	1	16.91	5
4022	4029	4030	Max	6.00	153.37	1	1355.69	5	5.07	5	274.01	1	42.22	1	16.91	5
4022	4029	4030	Min.	5.37	-76.74	1	-2355.79	5	-3.70	5	-34.83	1	-68.88	1	-52.53	5
4022	4029	4030	Min.	6.00	-76.74	1	-2355.79	5	-5.18	5	-34.89	1	-69.06	1	-52.53	5
4022	4031	4032	Max	0.00	151.10	1	2373.95	5	5.06	5	37.99	1	42.09	1	52.82	5
4022	4031	4032	Max	0.63	151.10	1	2373.95	5	10.04	5	37.92	1	40.41	1	52.82	5
4022	4031	4032	Min.	0.00	-74.55	1	-1342.73	5	-5.15	5	-270.59	1	-69.20	1	-16.76	5
4022	4031	4032	Min.	0.63	-74.55	1	-1342.73	5	-3.63	5	-270.65	1	-68.99	1	-16.76	5
4022	4032	4033	Max	5.37	107.17	1	1391.61	5	9.56	5	264.66	1	37.94	1	17.59	5
4022	4032	4033	Max	6.00	107.17	1	1391.61	5	5.17	5	264.60	1	39.60	1	17.59	5
4022	4032	4033	Min.	5.37	-43.58	1	-2342.64	5	-3.83	5	-40.54	1	-74.22	1	-52.14	5
4022	4032	4033	Min.	6.00	-43.58	1	-2342.64	5	-5.43	5	-40.61	1	-74.47	1	-52.14	5
4022	4034	4035	Max	0.00	135.31	1	2136.00	5	3.33	5	16.63	1	56.37	1	44.89	5
4022	4034	4035	Max	0.63	135.31	1	2136.00	5	10.61	5	16.56	1	55.41	1	44.89	5

4022	4034	4035	Min.	0.00	-104.38	1	-1562.16	5	-3.14	5	-152.09	1	-65.31	1	-24.19	5
4022	4034	4035	Min.	0.63	-104.38	1	-1562.16	5	-6.80	5	-152.15	1	-65.20	1	-24.19	5
4022	4035	4036	Max	5.37	7.47	1	1550.00	5	12.44	5	114.11	1	-0.17	1	25.13	5
4022	4035	4036	Max	6.00	7.47	1	1550.00	5	0.75	5	114.04	1	0.27	1	25.13	5
4022	4035	4036	Min.	5.37	-9.98	1	-2093.96	5	-9.25	5	8.13	1	-0.48	1	-43.77	5
4022	4035	4036	Min.	6.00	-9.98	1	-2093.96	5	-0.99	5	8.07	1	-0.15	1	-43.77	5
4066	4285	4286	Max	0.00	7.30	1	1547.15	5	1.00	5	-6.56	1	0.27	1	25.10	5
4066	4285	4286	Max	0.63	7.30	1	1547.15	5	9.21	5	-6.62	1	-0.16	1	25.10	5
4066	4285	4286	Min.	0.00	-9.78	1	-2096.59	5	-0.77	5	-114.03	1	-0.14	1	-43.80	5
4066	4285	4286	Min.	0.63	-9.78	1	-2096.59	5	-12.44	5	-114.09	1	-0.48	1	-43.80	5
4066	4286	4287	Max	5.37	135.90	1	2129.91	5	6.83	5	153.46	1	55.39	1	44.74	5
4066	4286	4287	Max	5.87					0.34	3			54.60	3		
4066	4286	4287	Max	6.00	135.90	1	2129.91	5	3.13	5	153.40	1	56.36	1	44.74	5
4066	4286	4287	Min.	5.37	-104.86	1	-1560.79	5	-10.60	5	-16.96	1	-65.08	1	-24.15	5
4066	4286	4287	Min.	5.87					-1.24	3			-63.60	3		
4066	4286	4287	Min.	6.00	-104.86	1	-1560.79	5	-3.32	5	-17.02	1	-65.19	1	-24.15	5
4066	4288	4289	Max	0.00	106.69	1	1381.28	5	5.43	5	43.42	1	39.48	1	17.54	5
4066	4288	4289	Max	0.63	106.69	1	1381.28	5	3.79	5	43.36	1	37.82	1	17.54	5
4066	4288	4289	Min.	0.00	-43.22	1	-2351.86	5	-5.16	5	-263.39	1	-74.49	1	-52.20	5
4066	4288	4289	Min.	0.63	-43.22	1	-2351.86	5	-9.64	5	-263.45	1	-74.22	1	-52.20	5
4066	4289	4290	Max	5.37	151.58	1	2362.50	5	3.67	5	273.20	1	40.42	1	52.56	5
4066	4289	4290	Max	6.00	151.58	1	2362.50	5	5.15	5	273.13	1	42.11	1	52.56	5
4066	4289	4290	Min.	5.37	-75.20	1	-1347.22	5	-9.98	5	-37.22	1	-68.87	1	-16.84	5
4066	4289	4290	Min.	6.00	-75.20	1	-1347.22	5	-5.06	5	-37.29	1	-69.07	1	-16.84	5
4066	4291	4292	Max	0.00	151.87	1	1347.22	5	5.15	5	37.36	1	42.09	1	16.85	5
4066	4291	4292	Max	0.63	151.87	1	1347.22	5	3.68	5	37.30	1	40.40	1	16.85	5
4066	4291	4292	Min.	0.00	-75.52	1	-2362.69	5	-5.05	5	-273.12	1	-69.08	1	-52.58	5
4066	4291	4292	Min.	0.63	-75.52	1	-2362.69	5	-9.98	5	-273.19	1	-68.87	1	-52.58	5
4066	4292	4293	Max	5.37	106.39	1	2351.88	5	3.79	5	263.47	1	37.85	1	52.19	5
4066	4292	4293	Max	6.00	106.39	1	2351.88	5	5.43	5	263.41	1	39.50	1	52.19	5
4066	4292	4293	Min.	5.37	-42.84	1	-1381.25	5	-9.64	5	-43.30	1	-74.21	1	-17.53	5
4066	4292	4293	Min.	6.00	-42.84	1	-1381.25	5	-5.16	5	-43.36	1	-74.48	1	-17.53	5
4066	4294	4295	Max	0.00	135.72	1	1560.93	5	3.13	5	17.09	1	56.36	1	24.16	5
4066	4294	4295	Max	0.13					0.31	3			54.58	3		
4066	4294	4295	Max	0.63	135.72	1	1560.93	5	6.81	5	17.03	1	55.39	1	24.16	5
4066	4294	4295	Min.	0.00	-104.82	1	-2130.34	5	-3.32	5	-153.44	1	-65.22	1	-44.76	5
4066	4294	4295	Min.	0.13					-1.22	3			-63.61	3		
4066	4294	4295	Min.	0.63	-104.82	1	-2130.34	5	-10.59	5	-153.50	1	-65.11	1	-44.76	5
4066	4295	4296	Max	5.37	7.37	1	2096.77	5	9.22	5	114.12	1	-0.16	1	43.80	5
4066	4295	4296	Max	6.00	7.37	1	2096.77	5	1.00	5	114.05	1	0.27	1	43.80	5
4066	4295	4296	Min.	5.37	-9.87	1	-1547.01	5	-12.45	5	6.62	1	-0.48	1	-25.09	5
4066	4295	4296	Min.	6.00	-9.87	1	-1547.01	5	-0.76	5	6.55	1	-0.14	1	-25.09	5
4106	3001	-513	Max	0.00	41.18	1	5.40	5	0.65	5	15.82	1	1.85	1	0.19	1
4106	3001	-513	Max	16.72	41.24	1	5.40	5	0.45	5	15.07	1	1.20	1	0.19	1
4106	3001	-513	Min.	0.00	-22.17	1	-7.77	5	-0.45	5	-20.71	1	-1.38	1	-0.23	1
4106	3001	-513	Min.	16.72	-22.11	1	-7.77	5	-0.65	5	-21.45	1	-1.67	1	-0.23	1
4106	-513	-529	Max	0.00	122.22	1	5.71	1	0.77	1	13.08	1	1.18	1	0.17	1
4106	-513	-529	Max	16.72	122.28	1	5.71	1	0.39	1	12.34	1	1.43	1	0.17	1
4106	-513	-529	Min.	0.00	-73.49	1	-7.63	1	-0.57	1	-18.09	1	-0.76	1	-0.18	1
4106	-513	-529	Min.	16.72	-73.43	1	-7.63	1	-0.51	1	-18.84	1	-1.98	1	-0.18	1
4106	-529	4025	Max	0.00	195.28	1	5.37	1	0.45	5	16.59	5	3.24	5	0.07	1
4106	-529	4025	Max	16.72	195.34	1	5.37	1	0.59	1	15.84	5	0.93	1	0.07	1
4106	-529	4025	Min.	0.00	-118.58	1	-7.50	1	-0.31	5	-32.20	5	-2.46	5	-0.10	1
4106	-529	4025	Min.	16.72	-118.52	1	-7.50	1	-0.81	1	-32.95	5	-2.88	1	-0.10	1
4106	4025	-545	Max	0.00	2420.39	5	0.88	5	0.21	5	187.59	5	14.43	5	0.15	1
4106	4025	-545	Max	21.63	2420.47	5	0.88	5	0.12	1	186.59	5	5.56	5	0.15	1
4106	4025	-545	Min.	0.00	-1772.22	5	-0.51	5	-0.22	5	-54.08	5	-34.92	5	-0.05	1
4106	4025	-545	Min.	21.63	-1772.14	5	-0.51	5	-0.05	1	-55.07	5	2.62	5	-0.05	1
4106	-545	-561	Max	0.00	1939.95	5	0.46	5	0.06	5	184.47	5	12.21	5	0.16	1

4106	-545	-561	Max	21.63	1940.03	5	0.46	5	0.04	1	183.48	5	12.57	5	0.16	1
4106	-545	-561	Min.	0.00	-1630.43	5	-0.21	5	-0.07	5	-62.00	5	-27.23	5	-0.06	1
4106	-545	-561	Min.	21.63	-1630.35	5	-0.21	5	0.00	1	-62.99	5	-1.31	5	-0.06	1
4106	-561	-577	Max	0.00	1495.01	5	0.61	1	0.09	1	162.49	5	10.19	5	0.16	1
4106	-561	-577	Max	21.63	1495.09	5	0.61	1	0.08	5	161.50	5	12.89	5	0.16	1
4106	-561	-577	Min.	0.00	-1484.72	5	-0.36	1	-0.12	1	-55.41	5	-22.16	5	-0.05	1
4106	-561	-577	Min.	21.63	-1484.64	5	-0.36	1	-0.06	5	-56.40	5	-1.91	5	-0.05	1
4106	-577	-593	Max	0.00	1131.08	5	1.16	1	0.10	1	146.67	5	9.13	5	0.15	1
4106	-577	-593	Max	21.63	1131.16	5	1.16	1	0.20	5	145.67	5	12.71	5	0.15	1
4106	-577	-593	Min.	0.00	-1361.51	5	-0.97	1	-0.15	1	-51.93	5	-18.91	5	-0.03	1
4106	-577	-593	Min.	21.63	-1361.43	5	-0.97	1	-0.21	5	-52.92	5	-2.21	5	-0.03	1
4106	-593	-609	Max	0.00	862.33	5	1.19	1	0.29	1	123.69	5	8.93	5	0.09	1
4106	-593	-609	Max	21.63	862.41	5	1.19	1	0.07	5	122.69	5	11.10	5	0.09	1
4106	-593	-609	Min.	0.00	-1272.38	5	-1.27	1	-0.24	1	-53.40	5	-15.55	5	-0.06	1
4106	-593	-609	Min.	21.63	-1272.30	5	-1.27	1	-0.03	5	-54.39	5	-2.73	5	-0.06	1
4106	-609	-625	Max	0.00	623.12	5	0.43	5	0.07	5	112.96	5	8.04	5	0.04	1
4106	-609	-625	Max	21.63	623.20	5	0.43	5	0.09	1	111.96	5	10.51	5	0.04	1
4106	-609	-625	Min.	0.00	-1169.85	5	-0.40	5	-0.07	5	-50.25	5	-13.82	5	-0.01	1
4106	-609	-625	Min.	21.63	-1169.77	5	-0.40	5	-0.08	1	-51.25	5	-2.94	5	-0.01	1
4106	-625	-641	Max	0.00	421.74	5	0.44	5	0.09	1	103.24	5	7.46	5	0.03	5
4106	-625	-641	Max	21.63	421.82	5	0.44	5	0.08	5	102.25	5	9.99	5	0.03	5
4106	-625	-641	Min.	0.00	-1078.38	5	-0.41	5	-0.11	1	-47.98	5	-12.24	5	0.01	5
4106	-625	-641	Min.	21.63	-1078.30	5	-0.41	5	-0.09	5	-48.98	5	-3.03	5	0.01	5
4106	-641	-657	Max	0.00	251.30	5	1.08	1	0.08	1	95.17	5	7.13	5	0.09	1
4106	-641	-657	Max	21.63	251.38	5	1.08	1	0.19	5	94.17	5	9.70	5	0.09	1
4106	-641	-657	Min.	0.00	-995.48	5	-1.13	1	-0.12	1	-45.86	5	-10.78	5	-0.04	1
4106	-641	-657	Min.	21.63	-995.40	5	-1.13	1	-0.25	5	-46.85	5	-2.90	5	-0.04	1
4106	-657	-673	Max	0.00	102.55	5	1.28	1	0.32	1	76.22	5	7.94	5	0.15	1
4106	-657	-673	Max	21.63	102.63	5	1.28	1	0.09	5	75.22	5	7.98	5	0.15	1
4106	-657	-673	Min.	0.00	-896.51	5	-1.39	1	-0.26	1	-55.14	5	-8.40	5	-0.11	1
4106	-657	-673	Min.	21.63	-896.43	5	-1.39	1	-0.06	5	-56.13	5	-4.09	5	-0.11	1
4106	-673	-689	Max	0.00	-10.31	5	0.51	5	0.10	5	70.47	5	7.30	5	0.05	1
4106	-673	-689	Max	21.63	-10.22	5	0.51	5	0.10	1	69.47	5	7.38	5	0.05	1
4106	-673	-689	Min.	0.00	-815.25	5	-0.54	5	-0.08	5	-52.90	5	-7.76	5	-0.02	1
4106	-673	-689	Min.	21.63	-815.16	5	-0.54	5	-0.09	1	-53.89	5	-4.25	5	-0.02	1
4106	-689	-705	Max	0.00	-107.06	5	0.51	5	0.11	1	64.88	5	6.97	5	0.04	1
4106	-689	-705	Max	21.63	-106.98	5	0.51	5	0.09	5	63.89	5	6.94	5	0.04	1
4106	-689	-705	Min.	0.00	-739.80	5	-0.53	5	-0.12	1	-51.49	5	-6.99	5	-0.01	1
4106	-689	-705	Min.	21.63	-739.72	5	-0.53	5	-0.10	5	-52.49	5	-4.27	5	-0.01	1
4106	-705	-721	Max	0.00	-190.40	5	1.29	1	0.08	1	60.17	5	6.84	5	0.16	1
4106	-705	-721	Max	21.63	-190.32	5	1.29	1	0.23	5	59.17	5	6.72	5	0.16	1
4106	-705	-721	Min.	0.00	-669.32	5	-1.37	1	-0.12	1	-49.90	5	-6.18	5	-0.11	1
4106	-705	-721	Min.	21.63	-669.24	5	-1.37	1	-0.28	5	-50.89	5	-4.06	5	-0.11	1
4106	-721	-737	Max	0.00	-227.03	5	1.35	1	0.33	1	46.99	5	7.64	5	0.18	1
4106	-721	-737	Max	21.63	-226.95	5	1.35	1	0.10	5	45.99	5	5.41	5	0.18	1
4106	-721	-737	Min.	0.00	-622.96	5	-1.57	1	-0.26	1	-58.25	5	-4.65	5	-0.19	1
4106	-721	-737	Min.	21.63	-622.88	5	-1.57	1	-0.08	5	-59.24	5	-5.07	5	-0.19	1
4106	-737	-753	Max	0.00	-282.76	5	0.45	5	0.11	5	43.36	5	7.15	5	0.04	1
4106	-737	-753	Max	21.63	-282.68	5	0.45	5	0.11	1	42.36	5	4.90	5	0.04	1
4106	-737	-753	Min.	0.00	-553.31	5	-0.62	5	-0.08	5	-56.73	5	-4.38	5	-0.05	1
4106	-737	-753	Min.	21.63	-553.23	5	-0.62	5	-0.12	1	-57.72	5	-5.23	5	-0.05	1
4106	-753	-769	Max	0.00	-331.08	5	0.47	5	0.13	1	39.96	5	6.81	5	0.03	1
4106	-753	-769	Max	21.63	-331.00	5	0.47	5	0.08	5	38.97	5	4.50	5	0.03	1
4106	-753	-769	Min.	0.00	-487.92	5	-0.62	5	-0.13	1	-55.55	5	-4.04	5	-0.04	1
4106	-753	-769	Min.	21.63	-487.83	5	-0.62	5	-0.11	5	-56.54	5	-5.31	5	-0.04	1
4106	-769	-785	Max	0.00	-374.83	5	1.45	1	0.09	5	35.50	5	6.19	5	0.18	1
4106	-769	-785	Max	21.63	-374.75	5	1.45	1	0.26	1	34.50	5	3.57	5	0.18	1
4106	-769	-785	Min.	0.00	-428.32	5	-1.62	1	-0.12	5	-55.78	5	-4.00	5	-0.19	1
4106	-769	-785	Min.	21.63	-428.24	5	-1.62	1	-0.32	1	-56.77	5	-5.98	5	-0.19	1

4107	3002	-514	Max	0.00	43.29	1	6.08	5	0.73	5	13.32	1	2.19	1	0.20	1
4107	3002	-514	Max	16.72	43.53	1	6.08	5	0.49	5	10.26	1	0.97	1	0.20	1
4107	3002	-514	Min.	0.00	-20.48	1	-8.40	5	-0.53	5	-26.22	1	-1.00	1	-0.24	1
4107	3002	-514	Min.	16.72	-20.23	1	-8.40	5	-0.68	5	-29.28	1	-2.45	1	-0.24	1
4107	-514	-530	Max	0.00	164.34	1	5.64	1	0.75	1	9.36	5	0.07	5	0.17	1
4107	-514	-530	Max	15.89					0.17	3			0.21	3		
4107	-514	-530	Max	16.72	164.59	1	5.64	1	0.38	1	6.30	5	1.07	5	0.17	1
4107	-514	-530	Min.	0.00	-68.20	1	-7.57	1	-0.56	1	-6.81	5	-0.25	5	-0.18	1
4107	-514	-530	Min.	15.89					-0.28	3			-0.44	3		
4107	-514	-530	Min.	16.72	-67.95	1	-7.57	1	-0.51	1	-9.87	5	-1.33	5	-0.18	1
4107	-530	4027	Max	0.00	215.22	1	5.04	1	0.41	1	12.08	5	3.66	5	0.02	1
4107	-530	4027	Max	16.72	215.47	1	5.04	1	0.55	1	9.02	5	0.09	1	0.02	1
4107	-530	4027	Min.	0.00	-93.04	1	-6.78	1	-0.29	1	-36.85	5	-2.31	5	-0.03	1
4107	-530	4027	Min.	16.72	-92.79	1	-6.78	1	-0.72	1	-39.91	5	-3.39	1	-0.03	1
4107	4027	-546	Max	0.00	2401.53	5	1.42	1	0.29	1	200.75	5	12.74	5	0.07	1
4107	4027	-546	Max	21.63	2401.93	5	1.42	1	0.11	5	195.93	5	6.31	5	0.07	1
4107	4027	-546	Min.	0.00	-1696.40	5	-0.86	1	-0.33	1	-41.14	5	-36.60	5	0.02	1
4107	4027	-546	Min.	21.63	-1696.01	5	-0.86	1	-0.03	5	-45.97	5	3.32	5	0.02	1
4107	-546	-562	Max	0.00	1895.33	5	0.58	1	0.07	5	195.19	5	11.18	5	0.13	1
4107	-546	-562	Max	21.63	1895.72	5	0.58	1	0.13	1	190.37	5	13.41	5	0.13	1
4107	-546	-562	Min.	0.00	-1580.53	5	-0.34	1	-0.08	5	-51.80	5	-28.30	5	-0.03	1
4107	-546	-562	Min.	21.63	-1580.14	5	-0.34	1	-0.09	1	-56.62	5	-0.55	5	-0.03	1
4107	-562	-578	Max	0.00	1432.03	5	0.85	1	0.18	1	170.41	5	9.56	5	0.16	1
4107	-562	-578	Max	21.63	1432.42	5	0.85	1	0.08	5	165.58	5	13.52	5	0.16	1
4107	-562	-578	Min.	0.00	-1453.44	5	-0.60	1	-0.21	1	-47.99	5	-22.82	5	-0.06	1
4107	-562	-578	Min.	21.63	-1453.05	5	-0.60	1	-0.06	5	-52.82	5	-1.34	5	-0.06	1
4107	-578	-594	Max	0.00	1053.65	5	2.19	1	0.15	1	152.38	5	8.82	5	0.17	1
4107	-578	-594	Max	21.63	1054.04	5	2.19	1	0.29	1	147.55	5	13.10	5	0.17	1
4107	-578	-594	Min.	0.00	-1337.91	5	-2.00	1	-0.21	1	-46.58	5	-19.34	5	-0.05	1
4107	-578	-594	Min.	21.63	-1337.52	5	-2.00	1	-0.31	1	-51.40	5	-1.78	5	-0.05	1
4107	-594	-610	Max	0.00	733.68	5	2.32	1	0.47	1	131.03	5	8.88	5	0.07	1
4107	-594	-610	Max	17.89					0.08	7			6.93	7		
4107	-594	-610	Max	21.63	734.08	5	2.32	1	0.10	1	126.21	5	11.68	5	0.07	1
4107	-594	-610	Min.	0.00	-1213.61	5	-2.41	1	-0.42	1	-50.91	5	-16.16	5	-0.03	1
4107	-594	-610	Min.	17.89					-0.04	7			-0.59	7		
4107	-594	-610	Min.	21.63	-1213.22	5	-2.41	1	-0.07	1	-55.73	5	-2.68	5	-0.03	1
4107	-610	-626	Max	0.00	488.88	5	0.68	1	0.08	5	117.81	5	8.23	5	0.03	5
4107	-610	-626	Max	17.31					-0.04	7			5.99	7		
4107	-610	-626	Max	21.63	489.27	5	0.68	1	0.18	1	112.99	5	10.91	5	0.03	5
4107	-610	-626	Min.	0.00	-1111.63	5	-0.65	1	-0.07	5	-49.93	5	-14.05	5	0.00	5
4107	-610	-626	Min.	17.31					0.05	7			-0.74	7		
4107	-610	-626	Min.	21.63	-1111.24	5	-0.65	1	-0.18	1	-54.76	5	-3.09	5	0.00	5
4107	-626	-642	Max	0.00	285.97	5	0.73	1	0.19	1	106.20	5	7.82	5	0.04	1
4107	-626	-642	Max	21.63	286.36	5	0.73	1	0.09	5	101.38	5	10.18	5	0.04	1
4107	-626	-642	Min.	0.00	-1017.74	5	-0.69	1	-0.21	1	-49.36	5	-12.28	5	-0.00	1
4107	-626	-642	Min.	21.63	-1017.35	5	-0.69	1	-0.11	5	-54.18	5	-3.38	5	-0.00	1
4107	-642	-658	Max	0.00	116.16	5	2.30	1	0.14	1	95.84	5	7.53	5	0.07	1
4107	-642	-658	Max	6.76					0.09	7			4.14	7		
4107	-642	-658	Max	21.63	116.55	5	2.30	1	0.35	1	91.02	5	9.45	5	0.07	1
4107	-642	-658	Min.	0.00	-930.45	5	-2.34	1	-0.19	1	-48.95	5	-10.76	5	-0.02	1
4107	-642	-658	Min.	6.76					-0.14	7			-4.30	7		
4107	-642	-658	Min.	21.63	-930.06	5	-2.34	1	-0.41	1	-53.78	5	-3.58	5	-0.02	1
4107	-658	-674	Max	0.00	140.46	5	2.54	1	0.52	1	85.61	5	7.54	5	0.13	1
4107	-658	-674	Max	21.63	140.85	5	2.54	1	0.13	1	80.79	5	8.56	5	0.13	1
4107	-658	-674	Min.	0.00	-922.93	5	-2.63	1	-0.46	1	-50.80	5	-9.43	5	-0.09	1
4107	-658	-674	Min.	21.63	-922.54	5	-2.63	1	-0.10	1	-55.62	5	-3.97	5	-0.09	1
4107	-674	-690	Max	0.00	20.44	5	0.77	1	0.12	5	77.37	5	7.32	5	0.03	1
4107	-674	-690	Max	21.63	20.83	5	0.77	1	0.20	1	72.54	5	7.89	5	0.03	1
4107	-674	-690	Min.	0.00	-843.05	5	-0.79	1	-0.10	5	-50.89	5	-8.33	5	-0.00	1

4107	-674	-690	Min.	21.63	-842.66	5	-0.79	1	-0.19	1	-55.71	5	-4.21	5	-0.00	1
4107	-690	-706	Max	0.00	-80.90	5	0.82	1	0.22	1	69.78	5	7.20	5	0.03	5
4107	-690	-706	Max	4.16					-0.06	7			5.04	7		
4107	-690	-706	Max	21.63	-80.51	5	0.82	1	0.09	5	64.96	5	7.26	5	0.03	5
4107	-690	-706	Min.	0.00	-767.12	5	-0.83	1	-0.23	1	-51.26	5	-7.31	5	0.00	5
4107	-690	-706	Min.	4.16					0.05	7			-4.42	7		
4107	-690	-706	Min.	21.63	-766.73	5	-0.83	1	-0.11	5	-56.09	5	-4.41	5	0.00	5
4107	-706	-722	Max	0.00	-166.26	5	2.58	1	0.15	1	62.99	5	7.19	5	0.14	1
4107	-706	-722	Max	6.07					0.09	7			4.00	7		
4107	-706	-722	Max	21.63	-165.87	5	2.58	1	0.42	1	58.16	5	6.76	5	0.14	1
4107	-706	-722	Min.	0.00	-694.28	5	-2.64	1	-0.19	1	-51.61	5	-6.35	5	-0.09	1
4107	-706	-722	Min.	6.07					-0.13	7			-2.55	7		
4107	-706	-722	Min.	21.63	-693.89	5	-2.64	1	-0.46	1	-56.43	5	-4.49	5	-0.09	1
4107	-722	-738	Max	0.00	-262.77	5	2.67	1	0.54	1	52.44	5	7.64	5	0.16	1
4107	-722	-738	Max	16.39					0.11	7			3.20	7		
4107	-722	-738	Max	21.63	-262.37	5	2.67	1	0.15	1	47.62	5	5.75	5	0.16	1
4107	-722	-738	Min.	0.00	-601.94	5	-2.88	1	-0.47	1	-56.91	5	-5.08	5	-0.17	1
4107	-722	-738	Min.	16.39					-0.07	7			-1.97	7		
4107	-722	-738	Min.	21.63	-601.55	5	-2.88	1	-0.12	1	-61.74	5	-5.20	5	-0.17	1
4107	-738	-754	Max	0.00	-319.90	5	0.77	1	0.11	5	46.66	5	7.46	5	0.02	1
4107	-738	-754	Max	21.63	-319.50	5	0.77	1	0.23	1	41.83	5	5.10	5	0.02	1
4107	-738	-754	Min.	0.00	-530.45	5	-0.93	1	-0.09	5	-57.45	5	-4.47	5	-0.03	1
4107	-738	-754	Min.	21.63	-530.06	5	-0.93	1	-0.24	1	-62.27	5	-5.49	5	-0.03	1
4107	-754	-770	Max	0.00	-364.22	1	0.87	1	0.25	1	41.52	5	7.28	5	0.02	1
4107	-754	-770	Max	0.54					-0.07	7			6.93	7		
4107	-754	-770	Max	21.63	-363.83	1	0.87	1	0.10	5	36.69	5	4.49	5	0.02	1
4107	-754	-770	Min.	0.00	-465.46	1	-1.01	1	-0.25	1	-57.91	5	-3.97	5	-0.03	1
4107	-754	-770	Min.	0.54					0.07	7			-3.70	7		
4107	-754	-770	Min.	21.63	-465.06	1	-1.01	1	-0.13	5	-62.73	5	-5.77	5	-0.03	1
4107	-770	-786	Max	0.00	-359.31	1	2.80	1	0.15	1	34.79	5	6.66	5	0.16	1
4107	-770	-786	Max	5.20					0.10	7			3.51	7		
4107	-770	-786	Max	21.63	-358.92	1	2.80	1	0.48	1	29.96	5	3.08	5	0.16	1
4107	-770	-786	Min.	0.00	-448.96	1	-2.96	1	-0.18	1	-60.21	5	-3.92	5	-0.17	1
4107	-770	-786	Min.	5.20					-0.14	7			-2.14	7		
4107	-770	-786	Min.	21.63	-448.57	1	-2.96	1	-0.54	1	-65.04	5	-6.88	5	-0.17	1
4144	3003	-515	Max	0.00	57.67	1	5.24	1	0.51	1	4.92	1	2.97	1	0.24	1
4144	3003	-515	Max	16.72	57.92	1	5.24	1	0.44	1	1.86	1	0.19	1	0.24	1
4144	3003	-515	Min.	0.00	12.47	1	-5.97	1	-0.45	1	-32.19	1	-0.38	1	-0.18	1
4144	3003	-515	Min.	16.72	12.72	1	-5.97	1	-0.50	1	-35.25	1	-2.68	1	-0.18	1
4144	-515	-531	Max	0.00	172.93	1	6.59	1	0.58	1	4.71	1	2.02	1	0.20	1
4144	-515	-531	Max	16.72	173.18	1	6.59	1	0.56	1	1.65	1	0.49	1	0.20	1
4144	-515	-531	Min.	0.00	-7.27	1	-7.02	1	-0.54	1	-30.33	1	-0.11	1	-0.12	1
4144	-515	-531	Min.	16.72	-7.03	1	-7.02	1	-0.60	1	-33.39	1	-3.37	1	-0.12	1
4144	-531	4028	Max	0.00	280.86	1	6.56	1	0.57	1	3.25	5	3.78	5	-0.01	1
4144	-531	4028	Max	16.72	281.11	1	6.56	1	0.57	1	0.19	5	-1.09	1	-0.01	1
4144	-531	4028	Min.	0.00	-29.25	1	-7.28	1	-0.53	1	-45.20	5	-1.98	5	-0.03	1
4144	-531	4028	Min.	16.72	-29.00	1	-7.28	1	-0.64	1	-48.26	5	-4.63	1	-0.03	1
4144	4028	-547	Max	0.00	2694.07	5	1.14	1	0.34	1	254.48	5	4.49	5	0.04	1
4144	4028	-547	Max	21.63	2694.46	5	1.14	1	0.04	1	249.65	5	9.53	5	0.04	1
4144	4028	-547	Min.	0.00	-1444.74	5	-1.39	1	-0.30	1	12.38	5	-45.00	5	-0.00	1
4144	4028	-547	Min.	21.63	-1444.35	5	-1.39	1	-0.06	1	7.56	5	6.64	5	-0.00	1
4144	-547	-563	Max	0.00	2047.87	5	0.44	1	0.02	1	245.98	5	5.06	5	0.08	1
4144	-547	-563	Max	21.63	2048.27	5	0.44	1	0.11	1	241.16	5	18.05	5	0.08	1
4144	-547	-563	Min.	0.00	-1466.65	5	-0.43	1	-0.02	1	-2.25	5	-34.64	5	-0.07	1
4144	-547	-563	Min.	21.63	-1466.26	5	-0.43	1	-0.11	1	-7.08	5	4.05	5	-0.07	1
4144	-563	-579	Max	0.00	1458.62	5	0.60	1	0.19	1	215.53	5	4.57	5	0.10	1
4144	-563	-579	Max	21.63	1459.01	5	0.60	1	0.06	1	210.71	5	18.15	5	0.10	1
4144	-563	-579	Min.	0.00	-1463.17	5	-0.61	1	-0.19	1	-3.76	5	-27.96	5	-0.10	1
4144	-563	-579	Min.	21.63	-1462.78	5	-0.61	1	-0.06	1	-8.58	5	3.24	5	-0.10	1

4144	-579	-595	Max	0.00	977.73	5	1.85	1	0.17	1	193.66	5	4.70	5	0.10	1
4144	-579	-595	Max	21.63	978.12	5	1.85	1	0.23	1	188.84	5	17.82	5	0.10	1
4144	-579	-595	Min.	0.00	-1448.50	5	-1.89	1	-0.17	1	-6.21	5	-23.56	5	-0.10	1
4144	-579	-595	Min.	21.63	-1448.11	5	-1.89	1	-0.24	1	-11.04	5	2.84	5	-0.10	1
4144	-595	-611	Max	0.00	615.73	5	2.31	1	0.43	1	155.22	5	6.69	5	0.06	1
4144	-595	-611	Max	21.63	616.12	5	2.31	1	0.08	1	150.39	5	14.71	5	0.06	1
4144	-595	-611	Min.	0.00	-1420.15	5	-2.26	1	-0.42	1	-26.55	5	-18.34	5	-0.03	1
4144	-595	-611	Min.	21.63	-1419.76	5	-2.26	1	-0.07	1	-31.38	5	0.43	5	-0.03	1
4144	-611	-627	Max	0.00	319.98	5	0.66	1	0.04	1	140.21	5	6.16	5	0.02	1
4144	-611	-627	Max	21.63	320.37	5	0.66	1	0.18	1	135.38	5	13.65	5	0.02	1
4144	-611	-627	Min.	0.00	-1367.05	5	-0.61	1	-0.05	1	-27.36	5	-16.16	5	0.01	1
4144	-611	-627	Min.	21.63	-1366.66	5	-0.61	1	-0.18	1	-32.18	5	-0.28	5	0.01	1
4144	-627	-643	Max	0.00	75.49	5	0.57	1	0.20	1	126.75	5	6.01	5	0.02	1
4144	-627	-643	Max	21.63	75.88	5	0.57	1	0.09	1	121.92	5	12.78	5	0.02	1
4144	-627	-643	Min.	0.00	-1313.66	5	-0.52	1	-0.21	1	-28.61	5	-14.12	5	0.00	1
4144	-627	-643	Min.	21.63	-1313.27	5	-0.52	1	-0.09	1	-33.44	5	-0.70	5	0.00	1
4144	-643	-659	Max	0.00	-126.48	5	2.08	1	0.14	1	115.54	5	6.12	5	0.06	1
4144	-643	-659	Max	21.63	-126.09	5	2.08	1	0.29	1	110.72	5	12.27	5	0.06	1
4144	-643	-659	Min.	0.00	-1261.47	5	-2.05	1	-0.16	1	-29.27	5	-12.20	5	-0.03	1
4144	-643	-659	Min.	21.63	-1261.08	5	-2.05	1	-0.30	1	-34.10	5	-0.74	5	-0.03	1
4144	-659	-675	Max	0.00	-212.66	5	2.46	1	0.46	1	89.45	5	7.78	5	0.11	1
4144	-659	-675	Max	21.63	-212.26	5	2.46	1	0.09	1	84.63	5	9.75	5	0.11	1
4144	-659	-675	Min.	0.00	-1260.98	5	-2.48	1	-0.45	1	-46.13	5	-9.09	5	-0.10	1
4144	-659	-675	Min.	21.63	-1260.59	5	-2.48	1	-0.08	1	-50.95	5	-2.73	5	-0.10	1
4144	-675	-691	Max	0.00	-340.25	5	0.70	1	0.05	1	81.18	5	7.32	5	0.02	1
4144	-675	-691	Max	21.63	-339.86	5	0.70	1	0.20	1	76.35	5	8.83	5	0.02	1
4144	-675	-691	Min.	0.00	-1190.63	5	-0.70	1	-0.05	1	-46.24	5	-8.21	5	-0.01	1
4144	-675	-691	Min.	21.63	-1190.23	5	-0.70	1	-0.20	1	-51.07	5	-3.20	5	-0.01	1
4144	-691	-707	Max	0.00	-446.84	5	0.65	1	0.22	1	73.17	5	7.25	5	0.01	1
4144	-691	-707	Max	21.63	-446.45	5	0.65	1	0.08	1	68.35	5	8.14	5	0.01	1
4144	-691	-707	Min.	0.00	-1121.55	5	-0.64	1	-0.22	1	-47.09	5	-7.17	5	-0.00	1
4144	-691	-707	Min.	21.63	-1121.16	5	-0.64	1	-0.08	1	-51.92	5	-3.46	5	-0.00	1
4144	-707	-723	Max	0.00	-535.48	5	2.37	1	0.15	1	66.62	5	7.47	5	0.12	1
4144	-707	-723	Max	21.63	-535.09	5	2.37	1	0.36	1	61.79	5	7.90	5	0.12	1
4144	-707	-723	Min.	0.00	-1053.29	5	-2.38	1	-0.16	1	-47.21	5	-5.99	5	-0.11	1
4144	-707	-723	Min.	21.63	-1052.90	5	-2.38	1	-0.37	1	-52.03	5	-3.27	5	-0.11	1
4144	-723	-739	Max	0.00	-593.86	5	2.63	1	0.47	1	43.23	5	9.40	5	0.17	1
4144	-723	-739	Max	21.63	-593.47	5	2.63	1	0.12	1	38.40	5	5.47	5	0.17	1
4144	-723	-739	Min.	0.00	-983.02	5	-2.64	1	-0.46	1	-66.02	5	-3.36	5	-0.16	1
4144	-723	-739	Min.	21.63	-982.63	5	-2.64	1	-0.11	1	-70.85	5	-5.41	5	-0.16	1
4144	-739	-755	Max	0.00	-641.78	5	0.74	1	0.07	1	38.14	5	8.83	5	0.03	1
4144	-739	-755	Max	21.63	-641.39	5	0.74	1	0.23	1	33.31	5	4.60	5	0.03	1
4144	-739	-755	Min.	0.00	-902.61	5	-0.75	1	-0.07	1	-65.82	5	-3.13	5	-0.02	1
4144	-739	-755	Min.	21.63	-902.22	5	-0.75	1	-0.23	1	-70.65	5	-5.93	5	-0.02	1
4144	-755	-771	Max	0.00	-680.65	5	0.79	1	0.25	1	33.45	5	8.48	5	0.02	1
4144	-755	-771	Max	21.63	-680.26	5	0.79	1	0.08	1	28.63	5	3.93	5	0.02	1
4144	-755	-771	Min.	0.00	-825.06	5	-0.79	1	-0.25	1	-65.83	5	-2.79	5	-0.02	1
4144	-755	-771	Min.	21.63	-824.67	5	-0.79	1	-0.08	1	-70.66	5	-6.28	5	-0.02	1
4144	-771	-787	Max	0.00	-696.41	1	2.69	1	0.14	1	26.29	5	7.50	5	0.17	1
4144	-771	-787	Max	21.63	-696.01	1	2.69	1	0.44	1	21.47	5	2.05	5	0.17	1
4144	-771	-787	Min.	0.00	-773.75	1	-2.69	1	-0.14	1	-68.62	5	-3.11	5	-0.16	1
4144	-771	-787	Min.	21.63	-773.36	1	-2.69	1	-0.45	1	-73.45	5	-7.86	5	-0.16	1
4145	3004	-516	Max	0.00	41.71	1	5.69	1	0.56	1	8.13	1	2.50	1	0.22	1
4145	3004	-516	Max	16.72	41.97	1	5.69	1	0.46	1	4.92	1	0.47	1	0.22	1
4145	3004	-516	Min.	0.00	5.13	1	-6.50	1	-0.49	1	-30.43	1	-0.63	1	-0.21	1
4145	3004	-516	Min.	16.72	5.39	1	-6.50	1	-0.53	1	-33.64	1	-2.87	1	-0.21	1
4145	-516	-532	Max	0.00	192.90	1	6.50	1	0.56	1	9.98	5	-0.03	5	0.20	1
4145	-516	-532	Max	16.72	193.16	1	6.50	1	0.56	1	6.77	5	1.02	5	0.20	1
4145	-516	-532	Min.	0.00	-21.93	1	-6.92	1	-0.53	1	-6.49	5	-0.38	5	-0.12	1

4145	-516	-532	Min.	16.72	-21.67	1	-6.92	1	-0.59	1	-9.70	5	-1.38	5	-0.12	1
4145	-532	4030	Max	0.00	262.22	1	6.53	1	0.54	1	5.06	5	3.96	5	0.05	1
4145	-532	4030	Max	16.72	262.48	1	6.53	1	0.57	1	1.85	5	-0.86	1	0.05	1
4145	-532	4030	Min.	0.00	-46.73	1	-6.68	1	-0.52	1	-43.68	5	-1.98	5	0.03	1
4145	-532	4030	Min.	16.72	-46.47	1	-6.68	1	-0.58	1	-46.89	5	-4.16	1	0.03	1
4145	4030	-548	Max	0.00	2691.09	5	1.41	1	0.31	1	255.14	5	4.63	5	0.01	1
4145	4030	-548	Max	21.63	2691.50	5	1.41	1	0.06	1	250.06	5	9.56	5	0.01	1
4145	4030	-548	Min.	0.00	-1450.75	5	-1.19	1	-0.34	1	11.54	5	-45.08	5	-0.03	1
4145	4030	-548	Min.	21.63	-1450.34	5	-1.19	1	-0.04	1	6.47	5	6.58	5	-0.03	1
4145	-548	-564	Max	0.00	2044.23	5	0.44	1	0.03	1	246.25	5	5.19	5	0.07	1
4145	-548	-564	Max	21.63	2044.64	5	0.44	1	0.12	1	241.18	5	18.06	5	0.07	1
4145	-548	-564	Min.	0.00	-1469.82	5	-0.46	1	-0.02	1	-3.20	5	-34.67	5	-0.07	1
4145	-548	-564	Min.	21.63	-1469.41	5	-0.46	1	-0.11	1	-8.28	5	3.95	5	-0.07	1
4145	-564	-580	Max	0.00	1454.62	5	0.61	1	0.19	1	215.75	5	4.68	5	0.10	1
4145	-564	-580	Max	21.63	1455.04	5	0.61	1	0.06	1	210.68	5	18.14	5	0.10	1
4145	-564	-580	Min.	0.00	-1463.62	5	-0.63	1	-0.19	1	-4.68	5	-27.98	5	-0.10	1
4145	-564	-580	Min.	21.63	-1463.20	5	-0.63	1	-0.06	1	-9.75	5	3.12	5	-0.10	1
4145	-580	-596	Max	0.00	973.25	5	1.92	1	0.17	1	193.61	5	4.78	5	0.10	1
4145	-580	-596	Max	21.63	973.66	5	1.92	1	0.24	1	188.54	5	17.73	5	0.10	1
4145	-580	-596	Min.	0.00	-1446.81	5	-1.97	1	-0.18	1	-7.27	5	-23.61	5	-0.10	1
4145	-580	-596	Min.	21.63	-1446.40	5	-1.97	1	-0.26	1	-12.35	5	2.66	5	-0.10	1
4145	-596	-612	Max	0.00	606.30	5	2.40	1	0.45	1	157.36	5	6.38	5	0.05	1
4145	-596	-612	Max	21.63	606.71	5	2.40	1	0.08	1	152.29	5	14.91	5	0.05	1
4145	-596	-612	Min.	0.00	-1421.98	5	-2.40	1	-0.44	1	-23.92	5	-18.63	5	-0.03	1
4145	-596	-612	Min.	21.63	-1421.56	5	-2.40	1	-0.07	1	-28.99	5	0.61	5	-0.03	1
4145	-612	-628	Max	0.00	307.21	5	0.69	1	0.05	1	142.09	5	5.92	5	0.02	1
4145	-612	-628	Max	21.63	307.63	5	0.69	1	0.19	1	137.01	5	13.83	5	0.02	1
4145	-612	-628	Min.	0.00	-1373.44	5	-0.66	1	-0.05	1	-25.03	5	-16.36	5	0.01	1
4145	-612	-628	Min.	21.63	-1373.03	5	-0.66	1	-0.18	1	-30.11	5	-0.04	5	0.01	1
4145	-628	-644	Max	0.00	59.14	5	0.60	1	0.20	1	128.39	5	5.81	5	0.02	1
4145	-628	-644	Max	21.63	59.55	5	0.60	1	0.09	1	123.32	5	12.94	5	0.02	1
4145	-628	-644	Min.	0.00	-1323.33	5	-0.57	1	-0.21	1	-26.57	5	-14.28	5	-0.00	1
4145	-628	-644	Min.	21.63	-1322.92	5	-0.57	1	-0.09	1	-31.64	5	-0.48	5	-0.00	1
4145	-644	-660	Max	0.00	-147.54	5	2.18	1	0.15	1	116.94	5	5.97	5	0.06	1
4145	-644	-660	Max	21.63	-147.13	5	2.18	1	0.31	1	111.86	5	12.42	5	0.06	1
4145	-644	-660	Min.	0.00	-1271.91	5	-2.18	1	-0.17	1	-27.47	5	-12.33	5	-0.03	1
4145	-644	-660	Min.	21.63	-1271.50	5	-2.18	1	-0.33	1	-32.54	5	-0.52	5	-0.03	1
4145	-660	-676	Max	0.00	-210.95	5	2.58	1	0.49	1	90.52	5	7.76	5	0.11	1
4145	-660	-676	Max	21.63	-210.54	5	2.58	1	0.10	1	85.44	5	9.85	5	0.11	1
4145	-660	-676	Min.	0.00	-1250.25	5	-2.60	1	-0.47	1	-45.57	5	-9.18	5	-0.10	1
4145	-660	-676	Min.	21.63	-1249.84	5	-2.60	1	-0.09	1	-50.64	5	-2.65	5	-0.10	1
4145	-676	-692	Max	0.00	-340.18	5	0.75	1	0.06	1	82.07	5	7.30	5	0.02	1
4145	-676	-692	Max	21.63	-339.76	5	0.75	1	0.21	1	77.00	5	8.91	5	0.02	1
4145	-676	-692	Min.	0.00	-1180.32	5	-0.75	1	-0.05	1	-45.81	5	-8.30	5	-0.01	1
4145	-676	-692	Min.	21.63	-1179.91	5	-0.75	1	-0.20	1	-50.89	5	-3.16	5	-0.01	1
4145	-692	-708	Max	0.00	-447.93	5	0.70	1	0.23	1	73.91	5	7.24	5	0.01	1
4145	-692	-708	Max	21.63	-447.52	5	0.70	1	0.08	1	68.84	5	8.21	5	0.01	1
4145	-692	-708	Min.	0.00	-1111.42	5	-0.69	1	-0.23	1	-46.81	5	-7.23	5	0.00	1
4145	-692	-708	Min.	21.63	-1111.00	5	-0.69	1	-0.09	1	-51.88	5	-3.43	5	0.00	1
4145	-708	-724	Max	0.00	-537.43	5	2.49	1	0.15	1	67.21	5	7.47	5	0.12	1
4145	-708	-724	Max	21.63	-537.02	5	2.49	1	0.38	1	62.13	5	7.95	5	0.12	1
4145	-708	-724	Min.	0.00	-1043.20	5	-2.50	1	-0.16	1	-47.07	5	-6.04	5	-0.10	1
4145	-708	-724	Min.	21.63	-1042.79	5	-2.50	1	-0.39	1	-52.15	5	-3.27	5	-0.10	1
4145	-724	-740	Max	0.00	-602.89	5	2.75	1	0.49	1	43.96	5	9.37	5	0.16	1
4145	-724	-740	Max	21.63	-602.48	5	2.75	1	0.12	1	38.89	5	5.54	5	0.16	1
4145	-724	-740	Min.	0.00	-968.05	5	-2.77	1	-0.48	1	-65.63	5	-3.43	5	-0.16	1
4145	-724	-740	Min.	21.63	-967.64	5	-2.77	1	-0.11	1	-70.70	5	-5.39	5	-0.16	1
4145	-740	-756	Max	0.00	-651.30	5	0.79	1	0.08	1	38.71	5	8.83	5	0.03	1
4145	-740	-756	Max	21.63	-650.89	5	0.79	1	0.24	1	33.64	5	4.66	5	0.03	1

4145	-740	-756	Min.	0.00	-887.94	5	-0.80	1	-0.07	1	-65.58	5	-3.17	5	-0.02	1
4145	-740	-756	Min.	21.63	-887.53	5	-0.80	1	-0.24	1	-70.66	5	-5.91	5	-0.02	1
4145	-756	-772	Max	0.00	-690.47	5	0.84	1	0.26	1	33.90	5	8.49	5	0.02	1
4145	-756	-772	Max	21.63	-690.05	5	0.84	1	0.09	1	28.83	5	3.97	5	0.02	1
4145	-756	-772	Min.	0.00	-810.57	5	-0.85	1	-0.26	1	-65.72	5	-2.82	5	-0.02	1
4145	-756	-772	Min.	21.63	-810.15	5	-0.85	1	-0.09	1	-70.80	5	-6.28	5	-0.02	1
4145	-772	-788	Max	0.00	-713.76	1	2.80	1	0.15	1	26.58	5	7.52	5	0.17	1
4145	-772	-788	Max	21.63	-713.35	1	2.80	1	0.47	1	21.51	5	2.08	5	0.17	1
4145	-772	-788	Min.	0.00	-751.91	1	-2.82	1	-0.15	1	-68.62	5	-3.13	5	-0.16	1
4145	-772	-788	Min.	21.63	-751.50	1	-2.82	1	-0.48	1	-73.69	5	-7.87	5	-0.16	1
4182	3005	-517	Max	0.00	45.98	1	6.20	1	0.51	1	10.69	1	2.52	1	0.19	1
4182	3005	-517	Max	16.72	46.25	1	6.20	1	0.50	1	7.48	1	0.65	1	0.19	1
4182	3005	-517	Min.	0.00	2.97	1	-5.93	1	-0.53	1	-27.10	1	-0.87	1	-0.24	1
4182	3005	-517	Min.	16.72	3.23	1	-5.93	1	-0.48	1	-30.31	1	-2.28	1	-0.24	1
4182	-517	-533	Max	0.00	145.24	1	6.98	1	0.53	1	9.65	1	1.73	1	0.15	1
4182	-517	-533	Max	16.72	145.50	1	6.98	1	0.60	1	6.44	1	0.99	1	0.15	1
4182	-517	-533	Min.	0.00	-30.16	1	-6.46	1	-0.57	1	-25.88	1	-0.41	1	-0.17	1
4182	-517	-533	Min.	16.72	-29.90	1	-6.46	1	-0.55	1	-29.09	1	-2.93	1	-0.17	1
4182	-533	4031	Max	0.00	241.12	1	6.50	1	0.53	1	6.87	5	3.69	5	-0.03	1
4182	-533	4031	Max	16.72	241.38	1	6.50	1	0.57	1	3.66	5	-0.56	1	-0.03	1
4182	-533	4031	Min.	0.00	-62.02	1	-6.66	1	-0.52	1	-41.31	5	-2.10	5	-0.05	1
4182	-533	4031	Min.	16.72	-61.76	1	-6.66	1	-0.58	1	-44.52	5	-4.14	1	-0.05	1
4182	4031	-549	Max	0.00	2691.01	5	1.18	1	0.33	1	254.88	5	4.65	5	0.03	1
4182	4031	-549	Max	21.63	2691.42	5	1.18	1	0.04	1	249.81	5	9.54	5	0.03	1
4182	4031	-549	Min.	0.00	-1452.92	5	-1.41	1	-0.31	1	11.40	5	-45.05	5	-0.01	1
4182	4031	-549	Min.	21.63	-1452.50	5	-1.41	1	-0.06	1	6.32	5	6.57	5	-0.01	1
4182	-549	-565	Max	0.00	2044.99	5	0.47	1	0.02	1	246.01	5	5.21	5	0.07	1
4182	-549	-565	Max	21.63	2045.40	5	0.47	1	0.11	1	240.94	5	18.04	5	0.07	1
4182	-549	-565	Min.	0.00	-1471.55	5	-0.44	1	-0.03	1	-3.34	5	-34.64	5	-0.07	1
4182	-549	-565	Min.	21.63	-1471.13	5	-0.44	1	-0.12	1	-8.41	5	3.94	5	-0.07	1
4182	-565	-581	Max	0.00	1455.99	5	0.63	1	0.19	1	215.54	5	4.70	5	0.10	1
4182	-565	-581	Max	21.63	1456.40	5	0.63	1	0.06	1	210.46	5	18.12	5	0.10	1
4182	-565	-581	Min.	0.00	-1465.01	5	-0.61	1	-0.19	1	-4.80	5	-27.96	5	-0.10	1
4182	-565	-581	Min.	21.63	-1464.60	5	-0.61	1	-0.06	1	-9.87	5	3.11	5	-0.10	1
4182	-581	-597	Max	0.00	975.11	5	1.98	1	0.18	1	193.42	5	4.79	5	0.10	1
4182	-581	-597	Max	21.63	975.52	5	1.98	1	0.26	1	188.34	5	17.71	5	0.10	1
4182	-581	-597	Min.	0.00	-1447.95	5	-1.92	1	-0.17	1	-7.38	5	-23.59	5	-0.10	1
4182	-581	-597	Min.	21.63	-1447.54	5	-1.92	1	-0.24	1	-12.45	5	2.65	5	-0.10	1
4182	-597	-613	Max	0.00	607.30	5	2.40	1	0.44	1	157.26	5	6.38	5	0.03	1
4182	-597	-613	Max	21.63	607.71	5	2.40	1	0.07	1	152.19	5	14.90	5	0.03	1
4182	-597	-613	Min.	0.00	-1422.64	5	-2.40	1	-0.45	1	-23.94	5	-18.62	5	-0.05	1
4182	-597	-613	Min.	21.63	-1422.23	5	-2.40	1	-0.09	1	-29.01	5	0.61	5	-0.05	1
4182	-613	-629	Max	0.00	308.43	5	0.66	1	0.05	1	141.99	5	5.92	5	-0.01	1
4182	-613	-629	Max	21.63	308.84	5	0.66	1	0.18	1	136.91	5	13.82	5	-0.01	1
4182	-613	-629	Min.	0.00	-1374.05	5	-0.68	1	-0.05	1	-25.06	5	-16.35	5	-0.01	1
4182	-613	-629	Min.	21.63	-1373.64	5	-0.68	1	-0.19	1	-30.13	5	-0.05	5	-0.01	1
4182	-629	-645	Max	0.00	60.54	5	0.58	1	0.21	1	128.30	5	5.82	5	0.00	1
4182	-629	-645	Max	21.63	60.95	5	0.58	1	0.09	1	123.23	5	12.93	5	0.00	1
4182	-629	-645	Min.	0.00	-1323.90	5	-0.60	1	-0.20	1	-26.59	5	-14.27	5	-0.02	1
4182	-629	-645	Min.	21.63	-1323.49	5	-0.60	1	-0.09	1	-31.66	5	-0.49	5	-0.02	1
4182	-645	-661	Max	0.00	-146.00	5	2.19	1	0.17	1	116.86	5	5.97	5	0.03	1
4182	-645	-661	Max	21.63	-145.59	5	2.19	1	0.34	1	111.78	5	12.41	5	0.03	1
4182	-645	-661	Min.	0.00	-1272.46	5	-2.18	1	-0.15	1	-27.49	5	-12.32	5	-0.06	1
4182	-645	-661	Min.	21.63	-1272.05	5	-2.18	1	-0.31	1	-32.56	5	-0.53	5	-0.06	1
4182	-661	-677	Max	0.00	-210.03	5	2.61	1	0.47	1	90.46	5	7.76	5	0.10	1
4182	-661	-677	Max	21.63	-209.62	5	2.61	1	0.09	1	85.39	5	9.85	5	0.10	1
4182	-661	-677	Min.	0.00	-1250.57	5	-2.57	1	-0.49	1	-45.57	5	-9.17	5	-0.11	1
4182	-661	-677	Min.	21.63	-1250.16	5	-2.57	1	-0.10	1	-50.64	5	-2.65	5	-0.11	1
4182	-677	-693	Max	0.00	-339.16	5	0.76	1	0.05	1	82.02	5	7.30	5	0.01	1

4182	-677	-693	Max	21.63	-338.75	5	0.76	1	0.20	1	76.94	5	8.90	5	0.01	1
4182	-677	-693	Min.	0.00	-1180.63	5	-0.75	1	-0.06	1	-45.82	5	-8.29	5	-0.02	1
4182	-677	-693	Min.	21.63	-1180.22	5	-0.75	1	-0.21	1	-50.89	5	-3.16	5	-0.02	1
4182	-693	-709	Max	0.00	-446.83	5	0.70	1	0.23	1	73.86	5	7.24	5	0.00	1
4182	-693	-709	Max	21.63	-446.42	5	0.70	1	0.09	1	68.78	5	8.20	5	0.00	1
4182	-693	-709	Min.	0.00	-1111.72	5	-0.70	1	-0.23	1	-46.81	5	-7.23	5	-0.01	1
4182	-693	-709	Min.	21.63	-1111.31	5	-0.70	1	-0.08	1	-51.89	5	-3.43	5	-0.01	1
4182	-709	-725	Max	0.00	-536.27	5	2.51	1	0.16	1	67.16	5	7.47	5	0.10	1
4182	-709	-725	Max	21.63	-535.85	5	2.51	1	0.40	1	62.08	5	7.94	5	0.10	1
4182	-709	-725	Min.	0.00	-1043.51	5	-2.49	1	-0.15	1	-47.08	5	-6.04	5	-0.12	1
4182	-709	-725	Min.	21.63	-1043.10	5	-2.49	1	-0.38	1	-52.15	5	-3.27	5	-0.12	1
4182	-725	-741	Max	0.00	-602.28	5	2.77	1	0.48	1	43.92	5	9.37	5	0.16	1
4182	-725	-741	Max	21.63	-601.87	5	2.77	1	0.11	1	38.85	5	5.53	5	0.16	1
4182	-725	-741	Min.	0.00	-968.22	5	-2.74	1	-0.49	1	-65.63	5	-3.42	5	-0.16	1
4182	-725	-741	Min.	21.63	-967.80	5	-2.74	1	-0.12	1	-70.70	5	-5.39	5	-0.16	1
4182	-741	-757	Max	0.00	-650.63	5	0.81	1	0.07	1	38.68	5	8.83	5	0.02	1
4182	-741	-757	Max	21.63	-650.22	5	0.81	1	0.24	1	33.60	5	4.66	5	0.02	1
4182	-741	-757	Min.	0.00	-888.11	5	-0.79	1	-0.08	1	-65.58	5	-3.16	5	-0.03	1
4182	-741	-757	Min.	21.63	-887.69	5	-0.79	1	-0.24	1	-70.66	5	-5.91	5	-0.03	1
4182	-757	-773	Max	0.00	-689.76	5	0.85	1	0.26	1	33.86	5	8.49	5	0.02	1
4182	-757	-773	Max	21.63	-689.35	5	0.85	1	0.09	1	28.79	5	3.96	5	0.02	1
4182	-757	-773	Min.	0.00	-810.73	5	-0.84	1	-0.26	1	-65.72	5	-2.81	5	-0.02	1
4182	-757	-773	Min.	21.63	-810.32	5	-0.84	1	-0.09	1	-70.80	5	-6.28	5	-0.02	1
4182	-773	-789	Max	0.00	-713.36	1	2.82	1	0.15	1	26.55	5	7.52	5	0.16	1
4182	-773	-789	Max	21.63	-712.95	1	2.82	1	0.48	1	21.47	5	2.07	5	0.16	1
4182	-773	-789	Min.	0.00	-751.73	1	-2.80	1	-0.15	1	-68.62	5	-3.12	5	-0.17	1
4182	-773	-789	Min.	21.63	-751.32	1	-2.80	1	-0.47	1	-73.69	5	-7.87	5	-0.17	1
4183	3006	-518	Max	0.00	51.54	1	5.82	1	0.49	1	2.56	1	2.92	1	0.16	1
4183	3006	-518	Max	16.72	51.79	1	5.82	1	0.47	1	-0.50	1	-0.01	1	0.16	1
4183	3006	-518	Min.	0.00	14.45	1	-5.64	1	-0.50	1	-36.05	1	-0.19	1	-0.27	1
4183	3006	-518	Min.	16.72	14.70	1	-5.64	1	-0.45	1	-39.11	1	-3.36	1	-0.27	1
4183	-518	-534	Max	0.00	225.08	1	6.90	1	0.52	1	8.49	5	-0.03	5	0.15	1
4183	-518	-534	Max	16.72	225.33	1	6.90	1	0.60	1	5.43	5	0.79	5	0.15	1
4183	-518	-534	Min.	0.00	6.63	1	-6.39	1	-0.56	1	-7.32	5	-0.38	5	-0.17	1
4183	-518	-534	Min.	16.72	6.88	1	-6.39	1	-0.54	1	-10.38	5	-1.51	5	-0.17	1
4183	-534	4033	Max	0.00	302.42	1	7.04	1	0.53	1	1.49	5	4.09	5	0.03	1
4183	-534	4033	Max	16.72	302.66	1	7.04	1	0.63	1	-1.57	5	-1.35	1	0.03	1
4183	-534	4033	Min.	0.00	-13.04	1	-6.64	1	-0.55	1	-47.58	5	-1.82	5	0.01	1
4183	-534	4033	Min.	16.72	-12.79	1	-6.64	1	-0.58	1	-50.64	5	-4.60	1	0.01	1
4183	4033	-550	Max	0.00	2693.86	5	1.39	1	0.30	1	254.73	5	4.47	5	0.00	1
4183	4033	-550	Max	17.43					-0.02	7			6.31	7		
4183	4033	-550	Max	21.63	2694.26	5	1.39	1	0.05	1	249.91	5	9.56	5	0.00	1
4183	4033	-550	Min.	0.00	-1442.49	5	-1.15	1	-0.34	1	12.52	5	-45.03	5	-0.04	1
4183	4033	-550	Min.	17.43					0.02	7			-0.97	7		
4183	4033	-550	Min.	21.63	-1442.09	5	-1.15	1	-0.04	1	7.69	5	6.66	5	-0.04	1
4183	-550	-566	Max	0.00	2046.82	5	0.43	1	0.02	1	246.22	5	5.04	5	0.07	1
4183	-550	-566	Max	21.63	2047.21	5	0.43	1	0.11	1	241.40	5	18.07	5	0.07	1
4183	-550	-566	Min.	0.00	-1464.84	5	-0.44	1	-0.02	1	-2.13	5	-34.67	5	-0.08	1
4183	-550	-566	Min.	21.63	-1464.45	5	-0.44	1	-0.11	1	-6.95	5	4.06	5	-0.08	1
4183	-566	-582	Max	0.00	1456.95	5	0.61	1	0.19	1	215.75	5	4.56	5	0.10	1
4183	-566	-582	Max	21.63	1457.34	5	0.61	1	0.06	1	210.92	5	18.17	5	0.10	1
4183	-566	-582	Min.	0.00	-1461.66	5	-0.60	1	-0.19	1	-3.65	5	-27.98	5	-0.10	1
4183	-566	-582	Min.	21.63	-1461.27	5	-0.60	1	-0.06	1	-8.47	5	3.25	5	-0.10	1
4183	-582	-598	Max	0.00	975.57	5	1.91	1	0.17	1	193.85	5	4.69	5	0.10	1
4183	-582	-598	Max	21.63	975.96	5	1.91	1	0.25	1	189.03	5	17.84	5	0.10	1
4183	-582	-598	Min.	0.00	-1447.24	5	-1.85	1	-0.17	1	-6.11	5	-23.58	5	-0.10	1
4183	-582	-598	Min.	21.63	-1446.85	5	-1.85	1	-0.23	1	-10.93	5	2.85	5	-0.10	1
4183	-598	-614	Max	0.00	614.64	5	2.26	1	0.42	1	155.31	5	6.69	5	0.03	1
4183	-598	-614	Max	21.63	615.04	5	2.26	1	0.07	1	150.49	5	14.72	5	0.03	1

4183	-598	-614	Min.	0.00	-1419.53	5	-2.30	1	-0.43	1	-26.54	5	-18.35	5	-0.06	1
4183	-598	-614	Min.	21.63	-1419.14	5	-2.30	1	-0.08	1	-31.36	5	0.43	5	-0.06	1
4183	-614	-630	Max	0.00	318.69	5	0.61	1	0.05	1	140.30	5	6.16	5	-0.01	1
4183	-614	-630	Max	21.63	319.08	5	0.61	1	0.18	1	135.47	5	13.66	5	-0.01	1
4183	-614	-630	Min.	0.00	-1366.48	5	-0.65	1	-0.04	1	-27.34	5	-16.17	5	-0.02	1
4183	-614	-630	Min.	21.63	-1366.08	5	-0.65	1	-0.18	1	-32.17	5	-0.28	5	-0.02	1
4183	-630	-646	Max	0.00	74.08	5	0.52	1	0.21	1	126.83	5	6.01	5	-0.00	1
4183	-630	-646	Max	21.63	74.47	5	0.52	1	0.09	1	122.01	5	12.79	5	-0.00	1
4183	-630	-646	Min.	0.00	-1313.16	5	-0.56	1	-0.20	1	-28.60	5	-14.13	5	-0.02	1
4183	-630	-646	Min.	21.63	-1312.76	5	-0.56	1	-0.09	1	-33.42	5	-0.70	5	-0.02	1
4183	-646	-662	Max	0.00	-128.04	5	2.06	1	0.16	1	115.61	5	6.12	5	0.03	1
4183	-646	-662	Max	21.63	-127.64	5	2.06	1	0.31	1	110.79	5	12.28	5	0.03	1
4183	-646	-662	Min.	0.00	-1260.99	5	-2.07	1	-0.14	1	-29.26	5	-12.21	5	-0.06	1
4183	-646	-662	Min.	21.63	-1260.60	5	-2.07	1	-0.29	1	-34.08	5	-0.74	5	-0.06	1
4183	-662	-678	Max	0.00	-213.98	5	2.48	1	0.44	1	89.50	5	7.78	5	0.10	1
4183	-662	-678	Max	21.63	-213.58	5	2.48	1	0.08	1	84.67	5	9.76	5	0.10	1
4183	-662	-678	Min.	0.00	-1260.43	5	-2.45	1	-0.46	1	-46.13	5	-9.09	5	-0.11	1
4183	-662	-678	Min.	21.63	-1260.04	5	-2.45	1	-0.09	1	-50.96	5	-2.73	5	-0.11	1
4183	-678	-694	Max	0.00	-341.66	5	0.70	1	0.05	1	81.23	5	7.32	5	0.01	1
4183	-678	-694	Max	21.63	-341.27	5	0.70	1	0.20	1	76.40	5	8.83	5	0.01	1
4183	-678	-694	Min.	0.00	-1190.07	5	-0.70	1	-0.05	1	-46.24	5	-8.22	5	-0.02	1
4183	-678	-694	Min.	21.63	-1189.68	5	-0.70	1	-0.20	1	-51.07	5	-3.20	5	-0.02	1
4183	-694	-710	Max	0.00	-448.31	5	0.64	1	0.22	1	73.22	5	7.25	5	0.00	1
4183	-694	-710	Max	21.63	-447.92	5	0.64	1	0.08	1	68.40	5	8.15	5	0.00	1
4183	-694	-710	Min.	0.00	-1121.00	5	-0.64	1	-0.22	1	-47.09	5	-7.17	5	-0.01	1
4183	-694	-710	Min.	21.63	-1120.61	5	-0.64	1	-0.08	1	-51.92	5	-3.46	5	-0.01	1
4183	-710	-726	Max	0.00	-537.01	5	2.39	1	0.16	1	66.66	5	7.47	5	0.11	1
4183	-710	-726	Max	21.63	-536.62	5	2.39	1	0.37	1	61.84	5	7.91	5	0.11	1
4183	-710	-726	Min.	0.00	-1052.74	5	-2.37	1	-0.15	1	-47.21	5	-5.99	5	-0.12	1
4183	-710	-726	Min.	21.63	-1052.35	5	-2.37	1	-0.36	1	-52.03	5	-3.27	5	-0.12	1
4183	-726	-742	Max	0.00	-594.67	5	2.64	1	0.46	1	43.26	5	9.40	5	0.16	1
4183	-726	-742	Max	21.63	-594.28	5	2.64	1	0.11	1	38.43	5	5.48	5	0.16	1
4183	-726	-742	Min.	0.00	-982.75	5	-2.62	1	-0.47	1	-66.03	5	-3.36	5	-0.17	1
4183	-726	-742	Min.	21.63	-982.36	5	-2.62	1	-0.12	1	-70.85	5	-5.41	5	-0.17	1
4183	-742	-758	Max	0.00	-642.64	5	0.75	1	0.07	1	38.16	5	8.83	5	0.02	1
4183	-742	-758	Max	21.63	-642.25	5	0.75	1	0.23	1	33.34	5	4.61	5	0.02	1
4183	-742	-758	Min.	0.00	-902.34	5	-0.74	1	-0.07	1	-65.82	5	-3.13	5	-0.03	1
4183	-742	-758	Min.	21.63	-901.94	5	-0.74	1	-0.23	1	-70.65	5	-5.93	5	-0.03	1
4183	-758	-774	Max	0.00	-681.53	5	0.79	1	0.25	1	33.48	5	8.48	5	0.02	1
4183	-758	-774	Max	21.63	-681.14	5	0.79	1	0.08	1	28.66	5	3.93	5	0.02	1
4183	-758	-774	Min.	0.00	-824.78	5	-0.79	1	-0.25	1	-65.84	5	-2.79	5	-0.02	1
4183	-758	-774	Min.	21.63	-824.38	5	-0.79	1	-0.08	1	-70.66	5	-6.28	5	-0.02	1
4183	-774	-790	Max	0.00	-697.04	1	2.69	1	0.14	1	26.32	5	7.51	5	0.16	1
4183	-774	-790	Max	21.63	-696.64	1	2.69	1	0.45	1	21.49	5	2.06	5	0.16	1
4183	-774	-790	Min.	0.00	-773.75	1	-2.68	1	-0.14	1	-68.62	5	-3.12	5	-0.17	1
4183	-774	-790	Min.	21.63	-773.36	1	-2.68	1	-0.44	1	-73.45	5	-7.86	5	-0.17	1
4220	3007	-519	Max	0.00	48.18	1	9.41	1	0.59	1	13.72	1	2.26	1	0.23	1
4220	3007	-519	Max	16.72	48.43	1	9.41	1	0.77	1	10.66	1	0.94	1	0.23	1
4220	3007	-519	Min.	0.00	-22.80	1	-6.91	1	-0.80	1	-24.10	1	-1.10	1	-0.21	1
4220	3007	-519	Min.	16.72	-22.55	1	-6.91	1	-0.57	1	-27.16	1	-2.02	1	-0.21	1
4220	-519	-535	Max	0.00	128.65	1	9.69	1	0.59	1	11.45	1	1.58	1	0.18	1
4220	-519	-535	Max	16.72	128.90	1	9.69	1	0.82	1	8.39	1	1.23	1	0.18	1
4220	-519	-535	Min.	0.00	-65.99	1	-7.18	1	-0.80	1	-23.43	1	-0.49	1	-0.14	1
4220	-519	-535	Min.	16.72	-65.74	1	-7.18	1	-0.61	1	-26.49	1	-2.66	1	-0.14	1
4220	-535	4034	Max	0.00	207.56	1	8.86	1	0.54	1	12.71	5	3.53	5	0.02	1
4220	-535	4034	Max	16.72	207.81	1	8.86	1	0.76	1	9.65	5	0.24	1	0.02	1
4220	-535	4034	Min.	0.00	-105.61	1	-6.74	1	-0.72	1	-36.22	5	-2.36	5	-0.02	1
4220	-535	4034	Min.	16.72	-105.37	1	-6.74	1	-0.59	1	-39.28	5	-3.51	1	-0.02	1
4220	4034	-551	Max	0.00	2399.35	5	0.88	1	0.34	1	200.63	5	12.75	5	-0.02	1

4220	4034	-551	Max	21.63	2399.74	5	0.88	1	0.03	5	195.80	5	6.29	5	-0.02	1
4220	4034	-551	Min.	0.00	-1697.01	5	-1.45	1	-0.30	1	-41.19	5	-36.59	5	-0.07	1
4220	4034	-551	Min.	21.63	-1696.62	5	-1.45	1	-0.11	5	-46.02	5	3.31	5	-0.07	1
4220	-551	-567	Max	0.00	1893.63	5	0.36	1	0.07	5	195.07	5	11.19	5	0.03	1
4220	-551	-567	Max	21.63	1894.02	5	0.36	1	0.08	1	190.24	5	13.40	5	0.03	1
4220	-551	-567	Min.	0.00	-1580.99	5	-0.60	1	-0.06	5	-51.85	5	-28.28	5	-0.13	1
4220	-551	-567	Min.	21.63	-1580.60	5	-0.60	1	-0.13	1	-56.67	5	-0.55	5	-0.13	1
4220	-567	-583	Max	0.00	1430.64	5	0.57	1	0.21	1	170.30	5	9.57	5	0.05	1
4220	-567	-583	Max	21.63	1431.04	5	0.57	1	0.06	1	165.47	5	13.51	5	0.05	1
4220	-567	-583	Min.	0.00	-1453.78	5	-0.83	1	-0.17	1	-48.04	5	-22.81	5	-0.16	1
4220	-567	-583	Min.	21.63	-1453.39	5	-0.83	1	-0.08	1	-52.86	5	-1.35	5	-0.16	1
4220	-583	-599	Max	0.00	1052.51	5	1.94	1	0.21	1	152.27	5	8.82	5	0.05	1
4220	-583	-599	Max	9.05					0.11	7			4.52	7		
4220	-583	-599	Max	21.63	1052.90	5	1.94	1	0.29	1	147.45	5	13.09	5	0.05	1
4220	-583	-599	Min.	0.00	-1338.16	5	-2.15	1	-0.16	1	-46.62	5	-19.33	5	-0.17	1
4220	-583	-599	Min.	9.05					-0.07	7			-5.65	7		
4220	-583	-599	Min.	21.63	-1337.77	5	-2.15	1	-0.28	1	-51.44	5	-1.78	5	-0.17	1
4220	-599	-615	Max	0.00	733.14	5	2.43	1	0.43	1	131.07	5	8.89	5	0.03	1
4220	-599	-615	Max	18.30					0.04	7			7.44	7		
4220	-599	-615	Max	21.63	733.53	5	2.43	1	0.07	1	126.25	5	11.68	5	0.03	1
4220	-599	-615	Min.	0.00	-1213.81	5	-2.36	1	-0.48	1	-50.98	5	-16.17	5	-0.07	1
4220	-599	-615	Min.	18.30					-0.08	7			-0.81	7		
4220	-599	-615	Min.	21.63	-1213.41	5	-2.36	1	-0.10	1	-55.81	5	-2.68	5	-0.07	1
4220	-615	-631	Max	0.00	488.39	5	0.66	1	0.07	5	117.84	5	8.24	5	-0.00	5
4220	-615	-631	Max	21.63	488.78	5	0.66	1	0.18	1	113.02	5	10.92	5	-0.00	5
4220	-615	-631	Min.	0.00	-1111.79	5	-0.70	1	-0.07	5	-50.00	5	-14.05	5	-0.03	5
4220	-615	-631	Min.	21.63	-1111.40	5	-0.70	1	-0.18	1	-54.82	5	-3.10	5	-0.03	5
4220	-631	-647	Max	0.00	285.51	5	0.67	1	0.21	1	106.23	5	7.82	5	0.00	1
4220	-631	-647	Max	21.63	285.90	5	0.67	1	0.10	5	101.41	5	10.18	5	0.00	1
4220	-631	-647	Min.	0.00	-1017.87	5	-0.71	1	-0.19	1	-49.42	5	-12.28	5	-0.04	1
4220	-631	-647	Min.	21.63	-1017.47	5	-0.71	1	-0.09	5	-54.25	5	-3.39	5	-0.04	1
4220	-647	-663	Max	0.00	115.72	5	2.31	1	0.19	1	95.87	5	7.54	5	0.02	1
4220	-647	-663	Max	7.30					0.13	7			3.87	7		
4220	-647	-663	Max	21.63	116.11	5	2.31	1	0.40	1	91.04	5	9.45	5	0.02	1
4220	-647	-663	Min.	0.00	-930.54	5	-2.27	1	-0.15	1	-49.02	5	-10.76	5	-0.07	1
4220	-647	-663	Min.	7.30					-0.09	7			-3.80	7		
4220	-647	-663	Min.	21.63	-930.15	5	-2.27	1	-0.34	1	-53.84	5	-3.59	5	-0.07	1
4220	-663	-679	Max	0.00	139.98	5	2.65	1	0.47	1	85.62	5	7.54	5	0.09	1
4220	-663	-679	Max	17.67					0.08	7			5.35	7		
4220	-663	-679	Max	21.63	140.37	5	2.65	1	0.09	1	80.79	5	8.57	5	0.09	1
4220	-663	-679	Min.	0.00	-922.96	5	-2.56	1	-0.53	1	-50.81	5	-9.44	5	-0.13	1
4220	-663	-679	Min.	17.67					-0.12	7			-1.79	7		
4220	-663	-679	Min.	21.63	-922.57	5	-2.56	1	-0.13	1	-55.64	5	-3.97	5	-0.13	1
4220	-679	-695	Max	0.00	19.95	5	0.80	1	0.10	5	77.37	5	7.32	5	0.00	1
4220	-679	-695	Max	21.63	20.34	5	0.80	1	0.19	1	72.55	5	7.89	5	0.00	1
4220	-679	-695	Min.	0.00	-843.06	5	-0.79	1	-0.11	5	-50.90	5	-8.33	5	-0.03	1
4220	-679	-695	Min.	21.63	-842.66	5	-0.79	1	-0.20	1	-55.72	5	-4.21	5	-0.03	1
4220	-695	-711	Max	0.00	-81.39	5	0.81	1	0.23	1	69.79	5	7.21	5	-0.00	5
4220	-695	-711	Max	4.20					-0.05	7			5.02	7		
4220	-695	-711	Max	21.63	-81.00	5	0.81	1	0.11	5	64.96	5	7.26	5	-0.00	5
4220	-695	-711	Min.	0.00	-767.11	5	-0.80	1	-0.22	1	-51.27	5	-7.31	5	-0.03	5
4220	-695	-711	Min.	4.20					0.06	7			-4.39	7		
4220	-695	-711	Min.	21.63	-766.72	5	-0.80	1	-0.09	5	-56.10	5	-4.41	5	-0.03	5
4220	-711	-727	Max	0.00	-166.77	5	2.62	1	0.19	1	62.99	5	7.19	5	0.09	1
4220	-711	-727	Max	6.15					0.12	7			3.96	7		
4220	-711	-727	Max	21.63	-166.38	5	2.62	1	0.46	1	58.17	5	6.76	5	0.09	1
4220	-711	-727	Min.	0.00	-694.25	5	-2.56	1	-0.15	1	-51.62	5	-6.35	5	-0.14	1
4220	-711	-727	Min.	6.15					-0.09	7			-2.50	7		
4220	-711	-727	Min.	21.63	-693.86	5	-2.56	1	-0.41	1	-56.44	5	-4.49	5	-0.14	1

4220	-727	-743	Max	0.00	-262.98	5	2.90	1	0.48	1	52.45	5	7.64	5	0.17	1
4220	-727	-743	Max	17.31					0.08	7			3.64	7		
4220	-727	-743	Max	21.63	-262.59	5	2.90	1	0.12	1	47.63	5	5.75	5	0.17	1
4220	-727	-743	Min.	0.00	-601.93	5	-2.69	1	-0.54	1	-56.92	5	-5.08	5	-0.16	1
4220	-727	-743	Min.	17.31					-0.11	7			-2.52	7		
4220	-727	-743	Min.	21.63	-601.54	5	-2.69	1	-0.14	1	-61.75	5	-5.20	5	-0.16	1
4220	-743	-759	Max	0.00	-320.12	5	0.94	1	0.09	5	46.66	5	7.46	5	0.03	1
4220	-743	-759	Max	17.73					-0.06	7			3.42	7		
4220	-743	-759	Max	21.63	-319.73	5	0.94	1	0.24	1	41.84	5	5.10	5	0.03	1
4220	-743	-759	Min.	0.00	-530.43	5	-0.78	1	-0.11	5	-57.46	5	-4.47	5	-0.02	1
4220	-743	-759	Min.	17.73					0.06	7			-3.04	7		
4220	-743	-759	Min.	21.63	-530.04	5	-0.78	1	-0.23	1	-62.28	5	-5.49	5	-0.02	1
4220	-759	-775	Max	0.00	-363.10	1	1.00	1	0.25	1	41.52	5	7.28	5	0.03	1
4220	-759	-775	Max	21.63	-362.71	1	1.00	1	0.13	5	36.70	5	4.49	5	0.03	1
4220	-759	-775	Min.	0.00	-466.78	1	-0.86	1	-0.25	1	-57.92	5	-3.97	5	-0.02	1
4220	-759	-775	Min.	21.63	-466.38	1	-0.86	1	-0.10	5	-62.74	5	-5.77	5	-0.02	1
4220	-775	-791	Max	0.00	-357.80	1	2.94	1	0.18	1	34.79	5	6.67	5	0.17	1
4220	-775	-791	Max	6.47					0.13	7			2.72	7		
4220	-775	-791	Max	21.63	-357.41	1	2.94	1	0.54	1	29.97	5	3.08	5	0.17	1
4220	-775	-791	Min.	0.00	-450.66	1	-2.78	1	-0.15	1	-60.22	5	-3.92	5	-0.16	1
4220	-775	-791	Min.	6.47					-0.10	7			-1.72	7		
4220	-775	-791	Min.	21.63	-450.27	1	-2.78	1	-0.48	1	-65.05	5	-6.88	5	-0.16	1
4221	3008	-520	Max	0.00	37.97	1	8.71	1	0.52	1	14.98	1	1.75	1	0.22	1
4221	3008	-520	Max	16.72	38.03	1	8.71	1	0.73	1	14.24	1	1.25	1	0.22	1
4221	3008	-520	Min.	0.00	-19.37	1	-6.24	1	-0.73	1	-21.87	1	-1.19	1	-0.20	1
4221	3008	-520	Min.	16.72	-19.31	1	-6.24	1	-0.52	1	-22.61	1	-1.97	1	-0.20	1
4221	-520	-536	Max	0.00	150.15	1	9.57	1	0.58	1	8.20	5	0.10	5	0.18	1
4221	-520	-536	Max	16.72	150.21	1	9.57	1	0.82	1	7.46	5	1.09	5	0.18	1
4221	-520	-536	Min.	0.00	-81.25	1	-7.08	1	-0.78	1	-6.91	5	-0.22	5	-0.14	1
4221	-520	-536	Min.	16.72	-81.19	1	-7.08	1	-0.61	1	-7.66	5	-1.12	5	-0.14	1
4221	-536	4036	Max	0.00	216.86	1	9.65	1	0.56	1	15.65	5	3.41	5	0.10	1
4221	-536	4036	Max	16.72	216.92	1	9.65	1	0.85	1	14.90	5	0.69	1	0.10	1
4221	-536	4036	Min.	0.00	-121.09	1	-7.11	1	-0.76	1	-33.72	5	-2.45	5	-0.08	1
4221	-536	4036	Min.	16.72	-121.03	1	-7.11	1	-0.63	1	-34.46	5	-2.87	1	-0.08	1
4221	4036	-552	Max	0.00	2425.52	5	0.49	5	0.22	5	187.71	5	14.42	5	0.05	1
4221	4036	-552	Max	21.63	2425.60	5	0.49	5	0.06	1	186.71	5	5.57	5	0.05	1
4221	4036	-552	Min.	0.00	-1774.98	5	-0.88	5	-0.21	5	-54.06	5	-34.93	5	-0.15	1
4221	4036	-552	Min.	21.63	-1774.89	5	-0.88	5	-0.13	1	-55.05	5	2.62	5	-0.15	1
4221	-552	-568	Max	0.00	1944.65	5	0.20	5	0.07	5	184.59	5	12.21	5	0.06	1
4221	-552	-568	Max	21.63	1944.73	5	0.20	5	-0.00	1	183.60	5	12.58	5	0.06	1
4221	-552	-568	Min.	0.00	-1633.20	5	-0.46	5	-0.06	5	-61.98	5	-27.25	5	-0.16	1
4221	-552	-568	Min.	21.63	-1633.12	5	-0.46	5	-0.04	1	-62.98	5	-1.31	5	-0.16	1
4221	-568	-584	Max	0.00	1499.43	5	0.32	1	0.12	1	162.59	5	10.19	5	0.05	1
4221	-568	-584	Max	21.63	1499.51	5	0.32	1	0.06	5	161.60	5	12.90	5	0.05	1
4221	-568	-584	Min.	0.00	-1487.53	5	-0.58	1	-0.09	1	-55.39	5	-22.17	5	-0.16	1
4221	-568	-584	Min.	21.63	-1487.45	5	-0.58	1	-0.08	5	-56.39	5	-1.90	5	-0.16	1
4221	-584	-600	Max	0.00	1132.62	5	0.91	1	0.16	1	146.76	5	9.13	5	0.03	1
4221	-584	-600	Max	21.63	1132.70	5	0.91	1	0.20	5	145.77	5	12.72	5	0.03	1
4221	-584	-600	Min.	0.00	-1361.69	5	-1.11	1	-0.10	1	-51.92	5	-18.93	5	-0.15	1
4221	-584	-600	Min.	21.63	-1361.61	5	-1.11	1	-0.19	5	-52.91	5	-2.21	5	-0.15	1
4221	-600	-616	Max	0.00	863.27	5	1.30	1	0.25	1	123.71	5	8.93	5	0.06	1
4221	-600	-616	Max	21.63	863.35	5	1.30	1	0.03	5	122.71	5	11.10	5	0.06	1
4221	-600	-616	Min.	0.00	-1272.52	5	-1.22	1	-0.30	1	-53.40	5	-15.55	5	-0.09	1
4221	-600	-616	Min.	21.63	-1272.44	5	-1.22	1	-0.06	5	-54.40	5	-2.73	5	-0.09	1
4221	-616	-632	Max	0.00	624.01	5	0.39	5	0.07	5	112.98	5	8.04	5	0.01	1
4221	-616	-632	Max	21.63	624.09	5	0.39	5	0.08	1	111.98	5	10.51	5	0.01	1
4221	-616	-632	Min.	0.00	-1169.98	5	-0.43	5	-0.07	5	-50.26	5	-13.82	5	-0.04	1
4221	-616	-632	Min.	21.63	-1169.90	5	-0.43	5	-0.09	1	-51.25	5	-2.94	5	-0.04	1
4221	-632	-648	Max	0.00	422.60	5	0.39	5	0.11	1	103.26	5	7.46	5	-0.01	5

4221	-632	-648	Max	21.63	422.69	5	0.39	5	0.09	5	102.27	5	9.99	5	-0.01	5
4221	-632	-648	Min.	0.00	-1078.51	5	-0.43	5	-0.09	1	-47.98	5	-12.24	5	-0.03	5
4221	-632	-648	Min.	21.63	-1078.43	5	-0.43	5	-0.08	5	-48.98	5	-3.03	5	-0.03	5
4221	-648	-664	Max	0.00	252.93	5	1.09	1	0.12	1	95.18	5	7.13	5	0.04	1
4221	-648	-664	Max	21.63	253.01	5	1.09	1	0.24	5	94.19	5	9.71	5	0.04	1
4221	-648	-664	Min.	0.00	-996.39	5	-1.05	1	-0.08	1	-45.86	5	-10.78	5	-0.09	1
4221	-648	-664	Min.	21.63	-996.31	5	-1.05	1	-0.19	5	-46.86	5	-2.90	5	-0.09	1
4221	-664	-680	Max	0.00	103.23	5	1.41	1	0.27	1	76.22	5	7.94	5	0.11	1
4221	-664	-680	Max	21.63	103.31	5	1.41	1	0.05	5	75.22	5	7.98	5	0.11	1
4221	-664	-680	Min.	0.00	-896.62	5	-1.31	1	-0.32	1	-55.14	5	-8.40	5	-0.15	1
4221	-664	-680	Min.	21.63	-896.54	5	-1.31	1	-0.09	5	-56.14	5	-4.09	5	-0.15	1
4221	-680	-696	Max	0.00	-9.62	5	0.53	5	0.08	5	70.47	5	7.30	5	0.02	1
4221	-680	-696	Max	21.63	-9.54	5	0.53	5	0.09	1	69.47	5	7.38	5	0.02	1
4221	-680	-696	Min.	0.00	-815.34	5	-0.51	5	-0.10	5	-52.90	5	-7.76	5	-0.05	1
4221	-680	-696	Min.	21.63	-815.26	5	-0.51	5	-0.10	1	-53.90	5	-4.26	5	-0.05	1
4221	-696	-712	Max	0.00	-106.38	5	0.52	5	0.12	1	64.89	5	6.97	5	0.01	1
4221	-696	-712	Max	21.63	-106.29	5	0.52	5	0.10	5	63.89	5	6.94	5	0.01	1
4221	-696	-712	Min.	0.00	-739.89	5	-0.50	5	-0.11	1	-51.50	5	-6.99	5	-0.04	1
4221	-696	-712	Min.	21.63	-739.81	5	-0.50	5	-0.09	5	-52.49	5	-4.27	5	-0.04	1
4221	-712	-728	Max	0.00	-189.25	5	1.34	1	0.12	1	60.17	5	6.84	5	0.11	1
4221	-712	-728	Max	21.63	-189.17	5	1.34	1	0.28	5	59.17	5	6.72	5	0.11	1
4221	-712	-728	Min.	0.00	-669.87	5	-1.27	1	-0.09	1	-49.90	5	-6.18	5	-0.16	1
4221	-712	-728	Min.	21.63	-669.79	5	-1.27	1	-0.22	5	-50.90	5	-4.06	5	-0.16	1
4221	-728	-744	Max	0.00	-226.62	5	1.58	1	0.26	1	46.99	5	7.64	5	0.19	1
4221	-728	-744	Max	21.63	-226.54	5	1.58	1	0.07	5	45.99	5	5.41	5	0.19	1
4221	-728	-744	Min.	0.00	-623.01	5	-1.37	1	-0.33	1	-58.25	5	-4.65	5	-0.18	1
4221	-728	-744	Min.	21.63	-622.93	5	-1.37	1	-0.10	5	-59.25	5	-5.07	5	-0.18	1
4221	-744	-760	Max	0.00	-282.34	5	0.62	5	0.08	5	43.36	5	7.15	5	0.05	1
4221	-744	-760	Max	21.63	-282.26	5	0.62	5	0.12	1	42.36	5	4.90	5	0.05	1
4221	-744	-760	Min.	0.00	-553.36	5	-0.45	5	-0.11	5	-56.73	5	-4.38	5	-0.04	1
4221	-744	-760	Min.	21.63	-553.28	5	-0.45	5	-0.11	1	-57.73	5	-5.23	5	-0.04	1
4221	-760	-776	Max	0.00	-330.66	5	0.61	5	0.13	1	39.96	5	6.81	5	0.04	1
4221	-760	-776	Max	21.63	-330.58	5	0.61	5	0.11	5	38.97	5	4.50	5	0.04	1
4221	-760	-776	Min.	0.00	-487.95	5	-0.46	5	-0.13	1	-55.55	5	-4.04	5	-0.03	1
4221	-760	-776	Min.	21.63	-487.87	5	-0.46	5	-0.08	5	-56.55	5	-5.31	5	-0.03	1
4221	-776	-792	Max	0.00	-374.18	5	1.60	1	0.11	5	35.50	5	6.19	5	0.19	1
4221	-776	-792	Max	21.63	-374.10	5	1.60	1	0.31	1	34.50	5	3.57	5	0.19	1
4221	-776	-792	Min.	0.00	-428.58	5	-1.44	1	-0.09	5	-55.78	5	-4.00	5	-0.18	1
4221	-776	-792	Min.	21.63	-428.50	5	-1.44	1	-0.25	1	-56.78	5	-5.98	5	-0.18	1
4385	-785	-777	Max	0.00	-373.31	5	1.59	1	0.25	1	56.82	5	3.57	5	0.19	1
4385	-785	-777	Max	21.63	-373.39	5	1.59	1	0.09	5	55.83	5	6.20	5	0.19	1
4385	-785	-777	Min.	0.00	-429.60	5	-1.43	1	-0.31	1	-34.52	5	-5.99	5	-0.18	1
4385	-785	-777	Min.	21.63	-429.68	5	-1.43	1	-0.12	5	-35.52	5	-4.00	5	-0.18	1
4385	-777	-761	Max	0.00	-329.54	5	0.61	5	0.08	5	56.59	5	4.50	5	0.04	1
4385	-777	-761	Max	21.63	-329.62	5	0.61	5	0.13	1	55.59	5	6.82	5	0.04	1
4385	-777	-761	Min.	0.00	-489.25	5	-0.47	5	-0.11	5	-38.97	5	-5.32	5	-0.03	1
4385	-777	-761	Min.	21.63	-489.33	5	-0.47	5	-0.13	1	-39.97	5	-4.04	5	-0.03	1
4385	-761	-745	Max	0.00	-281.21	5	0.62	5	0.11	1	57.78	5	4.90	5	0.05	1
4385	-761	-745	Max	21.63	-281.29	5	0.62	5	0.11	5	56.78	5	7.16	5	0.05	1
4385	-761	-745	Min.	0.00	-554.71	5	-0.46	5	-0.12	1	-42.38	5	-5.24	5	-0.04	1
4385	-761	-745	Min.	21.63	-554.79	5	-0.46	5	-0.08	5	-43.38	5	-4.38	5	-0.04	1
4385	-745	-729	Max	0.00	-225.46	5	1.59	1	0.10	5	59.29	5	5.41	5	0.19	1
4385	-745	-729	Max	21.63	-225.54	5	1.59	1	0.33	1	58.30	5	7.65	5	0.19	1
4385	-745	-729	Min.	0.00	-624.42	5	-1.38	1	-0.07	5	-46.00	5	-5.07	5	-0.18	1
4385	-745	-729	Min.	21.63	-624.50	5	-1.38	1	-0.27	1	-47.00	5	-4.65	5	-0.18	1
4385	-729	-713	Max	0.00	-188.84	5	1.33	1	0.23	5	50.93	5	6.73	5	0.11	1
4385	-729	-713	Max	21.63	-188.93	5	1.33	1	0.09	1	49.94	5	6.84	5	0.11	1
4385	-729	-713	Min.	0.00	-670.45	5	-1.26	1	-0.28	5	-59.18	5	-4.07	5	-0.16	1
4385	-729	-713	Min.	21.63	-670.53	5	-1.26	1	-0.12	1	-60.17	5	-6.18	5	-0.16	1

4385	-713	-697	Max	0.00	-105.49	5	0.52	5	0.09	5	52.53	5	6.94	5	0.01	1
4385	-713	-697	Max	21.63	-105.57	5	0.52	5	0.11	1	51.54	5	6.98	5	0.01	1
4385	-713	-697	Min.	0.00	-741.00	5	-0.51	5	-0.10	5	-63.90	5	-4.28	5	-0.04	1
4385	-713	-697	Min.	21.63	-741.08	5	-0.51	5	-0.12	1	-64.89	5	-6.99	5	-0.04	1
4385	-697	-681	Max	0.00	-8.73	5	0.54	5	0.10	1	53.94	5	7.38	5	0.02	1
4385	-697	-681	Max	21.63	-8.81	5	0.54	5	0.10	5	52.94	5	7.30	5	0.02	1
4385	-697	-681	Min.	0.00	-816.51	5	-0.52	5	-0.09	1	-69.48	5	-4.26	5	-0.05	1
4385	-697	-681	Min.	21.63	-816.59	5	-0.52	5	-0.08	5	-70.47	5	-7.76	5	-0.05	1
4385	-681	-665	Max	0.00	104.13	5	1.42	1	0.09	5	56.18	5	7.98	5	0.11	1
4385	-681	-665	Max	21.63	104.05	5	1.42	1	0.32	1	55.19	5	7.95	5	0.11	1
4385	-681	-665	Min.	0.00	-897.85	5	-1.32	1	-0.05	5	-75.23	5	-4.10	5	-0.15	1
4385	-681	-665	Min.	21.63	-897.93	5	-1.32	1	-0.27	1	-76.22	5	-8.40	5	-0.15	1
4385	-665	-649	Max	0.00	253.03	5	1.08	1	0.19	5	46.90	5	9.71	5	0.04	1
4385	-665	-649	Max	21.63	252.95	5	1.08	1	0.08	1	45.90	5	7.14	5	0.04	1
4385	-665	-649	Min.	0.00	-996.80	5	-1.05	1	-0.24	5	-94.18	5	-2.90	5	-0.09	1
4385	-665	-649	Min.	21.63	-996.88	5	-1.05	1	-0.12	1	-95.18	5	-10.78	5	-0.09	1
4385	-649	-633	Max	0.00	423.48	5	0.39	5	0.08	5	49.03	5	9.99	5	-0.01	5
4385	-649	-633	Max	21.63	423.40	5	0.39	5	0.09	1	48.03	5	7.47	5	-0.01	5
4385	-649	-633	Min.	0.00	-1079.78	5	-0.43	5	-0.09	5	-102.26	5	-3.03	5	-0.03	5
4385	-649	-633	Min.	21.63	-1079.86	5	-0.43	5	-0.11	1	-103.26	5	-12.24	5	-0.03	5
4385	-633	-617	Max	0.00	624.88	5	0.39	5	0.09	1	51.30	5	10.51	5	0.01	1
4385	-633	-617	Max	21.63	624.79	5	0.39	5	0.07	5	50.30	5	8.04	5	0.01	1
4385	-633	-617	Min.	0.00	-1171.33	5	-0.43	5	-0.08	1	-111.97	5	-2.95	5	-0.04	1
4385	-633	-617	Min.	21.63	-1171.41	5	-0.43	5	-0.07	5	-112.97	5	-13.82	5	-0.04	1
4385	-617	-601	Max	0.00	864.12	5	1.30	1	0.06	5	54.45	5	11.10	5	0.06	1
4385	-617	-601	Max	21.63	864.04	5	1.30	1	0.30	1	53.45	5	8.94	5	0.06	1
4385	-617	-601	Min.	0.00	-1273.97	5	-1.23	1	-0.03	5	-122.71	5	-2.73	5	-0.09	1
4385	-617	-601	Min.	21.63	-1274.05	5	-1.23	1	-0.25	1	-123.70	5	-15.55	5	-0.09	1
4385	-601	-585	Max	0.00	1133.35	5	0.91	1	0.19	5	52.90	5	12.71	5	0.03	1
4385	-601	-585	Max	21.63	1133.27	5	0.91	1	0.10	1	51.90	5	9.13	5	0.03	1
4385	-601	-585	Min.	0.00	-1363.13	5	-1.11	1	-0.20	5	-145.67	5	-2.21	5	-0.15	1
4385	-601	-585	Min.	21.63	-1363.21	5	-1.11	1	-0.16	1	-146.66	5	-18.91	5	-0.15	1
4385	-585	-569	Max	0.00	1498.56	5	0.32	1	0.08	5	56.38	5	12.89	5	0.05	1
4385	-585	-569	Max	21.63	1498.48	5	0.32	1	0.09	1	55.38	5	10.18	5	0.05	1
4385	-585	-569	Min.	0.00	-1487.57	5	-0.58	1	-0.06	5	-161.49	5	-1.90	5	-0.16	1
4385	-585	-569	Min.	21.63	-1487.65	5	-0.58	1	-0.12	1	-162.49	5	-22.16	5	-0.16	1
4385	-569	-553	Max	0.00	1943.48	5	0.20	5	0.04	1	62.97	5	12.57	5	0.06	1
4385	-569	-553	Max	21.63	1943.40	5	0.20	5	0.06	5	61.97	5	12.21	5	0.06	1
4385	-569	-553	Min.	0.00	-1633.20	5	-0.46	5	0.00	1	-183.49	5	-1.31	5	-0.16	1
4385	-569	-553	Min.	21.63	-1633.28	5	-0.46	5	-0.07	5	-184.49	5	-27.23	5	-0.16	1
4385	-553	4285	Max	0.00	2423.96	5	0.49	5	0.13	1	55.04	5	5.56	5	0.05	1
4385	-553	4285	Max	21.63	2423.88	5	0.49	5	0.21	5	54.05	5	14.42	5	0.05	1
4385	-553	4285	Min.	0.00	-1774.91	5	-0.88	5	-0.06	1	-186.58	5	2.62	5	-0.15	1
4385	-553	4285	Min.	21.63	-1774.99	5	-0.88	5	-0.22	5	-187.58	5	-34.91	5	-0.15	1
4385	4285	-537	Max	0.00	202.38	1	9.45	1	0.61	1	33.60	5	0.75	1	0.10	1
4385	4285	-537	Max	16.72	202.31	1	9.45	1	0.75	1	32.85	5	3.26	5	0.10	1
4385	4285	-537	Min.	0.00	-114.33	1	-6.94	1	-0.83	1	-15.20	5	-2.89	1	-0.08	1
4385	4285	-537	Min.	16.72	-114.39	1	-6.94	1	-0.55	1	-15.95	5	-2.45	5	-0.08	1
4385	-537	-521	Max	0.00	118.54	1	10.07	1	0.64	1	19.29	1	1.37	1	0.19	1
4385	-537	-521	Max	10.03					0.09	7			0.38	7		
4385	-537	-521	Max	16.72	118.48	1	10.07	1	0.83	1	18.55	1	1.23	1	0.19	1
4385	-537	-521	Min.	0.00	-65.14	1	-7.46	1	-0.85	1	-11.46	1	-2.03	1	-0.16	1
4385	-537	-521	Min.	10.03					-0.05	7			-0.29	7		
4385	-537	-521	Min.	16.72	-65.20	1	-7.46	1	-0.61	1	-12.20	1	-0.71	1	-0.16	1
4385	-521	3313	Max	0.00	40.36	1	8.57	1	0.51	1	20.47	1	1.05	1	0.21	1
4385	-521	3313	Max	16.72	40.30	1	8.57	1	0.71	1	19.73	1	1.78	1	0.21	1
4385	-521	3313	Min.	0.00	-19.89	1	-6.08	1	-0.72	1	-13.04	1	-1.58	1	-0.19	1
4385	-521	3313	Min.	16.72	-19.95	1	-6.08	1	-0.50	1	-13.79	1	-1.20	1	-0.19	1
4386	-786	-778	Max	0.00	-358.40	1	2.93	1	0.48	1	65.04	5	3.08	5	0.17	1

4386	-786	-778	Max	16.44					0.10	7			3.51	7		
4386	-786	-778	Max	21.63	-358.79	1	2.93	1	0.16	1	60.22	5	6.66	5	0.17	1
4386	-786	-778	Min.	0.00	-449.10	1	-2.78	1	-0.53	1	-29.95	5	-6.88	5	-0.16	1
4386	-786	-778	Min.	16.44					-0.14	7			-2.14	7		
4386	-786	-778	Min.	21.63	-449.49	1	-2.78	1	-0.18	1	-34.77	5	-3.92	5	-0.16	1
4386	-778	-762	Max	0.00	-364.16	1	0.99	1	0.10	5	62.73	5	4.49	5	0.03	1
4386	-778	-762	Max	21.23					-0.07	7			7.01	7		
4386	-778	-762	Max	21.63	-364.55	1	0.99	1	0.25	1	57.90	5	7.28	5	0.03	1
4386	-778	-762	Min.	0.00	-464.76	1	-0.85	1	-0.13	5	-36.67	5	-5.77	5	-0.02	1
4386	-778	-762	Min.	21.23					0.07	7			-3.76	7		
4386	-778	-762	Min.	21.63	-465.16	1	-0.85	1	-0.25	1	-41.49	5	-3.96	5	-0.02	1
4386	-762	-746	Max	0.00	-320.83	5	0.95	1	0.23	1	62.28	5	5.10	5	0.03	1
4386	-762	-746	Max	21.63	-321.23	5	0.95	1	0.11	5	57.45	5	7.46	5	0.03	1
4386	-762	-746	Min.	0.00	-528.78	5	-0.79	1	-0.24	1	-41.82	5	-5.49	5	-0.02	1
4386	-762	-746	Min.	21.63	-529.17	5	-0.79	1	-0.09	5	-46.64	5	-4.47	5	-0.02	1
4386	-746	-730	Max	0.00	-263.73	5	2.90	1	0.14	1	61.73	5	5.74	5	0.17	1
4386	-746	-730	Max	4.33					0.11	7			3.64	7		
4386	-746	-730	Max	21.63	-264.12	5	2.90	1	0.55	1	56.90	5	7.64	5	0.17	1
4386	-746	-730	Min.	0.00	-600.26	5	-2.70	1	-0.12	1	-47.60	5	-5.20	5	-0.16	1
4386	-746	-730	Min.	4.33					-0.08	7			-2.52	7		
4386	-746	-730	Min.	21.63	-600.65	5	-2.70	1	-0.48	1	-52.42	5	-5.07	5	-0.16	1
4386	-730	-714	Max	0.00	-167.22	5	2.61	1	0.41	1	56.45	5	6.76	5	0.09	1
4386	-730	-714	Max	12.98					0.08	7			2.63	7		
4386	-730	-714	Max	21.63	-167.62	5	2.61	1	0.15	1	51.62	5	7.20	5	0.09	1
4386	-730	-714	Min.	0.00	-693.01	5	-2.55	1	-0.45	1	-58.15	5	-4.49	5	-0.14	1
4386	-730	-714	Min.	12.98					-0.12	7			-0.97	7		
4386	-730	-714	Min.	21.63	-693.41	5	-2.55	1	-0.19	1	-62.98	5	-6.34	5	-0.14	1
4386	-714	-698	Max	0.00	-81.87	5	0.80	1	0.09	5	56.10	5	7.26	5	-0.00	5
4386	-714	-698	Max	17.77					-0.06	7			5.19	7		
4386	-714	-698	Max	21.63	-82.26	5	0.80	1	0.22	1	51.27	5	7.21	5	-0.00	5
4386	-714	-698	Min.	0.00	-765.87	5	-0.80	1	-0.11	5	-64.95	5	-4.41	5	-0.03	5
4386	-714	-698	Min.	17.77					0.05	7			-4.62	7		
4386	-714	-698	Min.	21.63	-766.26	5	-0.80	1	-0.23	1	-69.77	5	-7.31	5	-0.03	5
4386	-698	-682	Max	0.00	19.45	5	0.81	1	0.20	1	55.72	5	7.89	5	0.00	1
4386	-698	-682	Max	21.63	19.06	5	0.81	1	0.11	5	50.90	5	7.32	5	0.00	1
4386	-698	-682	Min.	0.00	-841.81	5	-0.80	1	-0.19	1	-72.53	5	-4.21	5	-0.03	1
4386	-698	-682	Min.	21.63	-842.20	5	-0.80	1	-0.10	5	-77.35	5	-8.33	5	-0.03	1
4386	-682	-666	Max	0.00	139.45	5	2.66	1	0.13	1	55.64	5	8.56	5	0.09	1
4386	-682	-666	Max	3.79					0.12	7			5.49	7		
4386	-682	-666	Max	21.63	139.06	5	2.66	1	0.53	1	50.81	5	7.54	5	0.09	1
4386	-682	-666	Min.	0.00	-921.71	5	-2.57	1	-0.09	1	-80.77	5	-3.97	5	-0.13	1
4386	-682	-666	Min.	3.79					-0.08	7			-1.88	7		
4386	-682	-666	Min.	21.63	-922.10	5	-2.57	1	-0.47	1	-85.60	5	-9.43	5	-0.13	1
4386	-666	-650	Max	0.00	114.96	5	2.30	1	0.34	1	53.82	5	9.45	5	0.02	1
4386	-666	-650	Max	14.25					0.09	7			3.83	7		
4386	-666	-650	Max	21.63	114.57	5	2.30	1	0.15	1	49.00	5	7.54	5	0.02	1
4386	-666	-650	Min.	0.00	-929.12	5	-2.27	1	-0.39	1	-91.02	5	-3.58	5	-0.07	1
4386	-666	-650	Min.	14.25					-0.13	7			-3.72	7		
4386	-666	-650	Min.	21.63	-929.51	5	-2.27	1	-0.19	1	-95.84	5	-10.76	5	-0.07	1
4386	-650	-634	Max	0.00	284.73	5	0.67	1	0.09	5	54.24	5	10.18	5	0.00	1
4386	-650	-634	Max	21.63	284.34	5	0.67	1	0.19	1	49.41	5	7.82	5	0.00	1
4386	-650	-634	Min.	0.00	-1016.45	5	-0.71	1	-0.10	5	-101.38	5	-3.39	5	-0.04	1
4386	-650	-634	Min.	21.63	-1016.84	5	-0.71	1	-0.21	1	-106.20	5	-12.28	5	-0.04	1
4386	-634	-618	Max	0.00	487.60	5	0.66	1	0.18	1	54.81	5	10.92	5	-0.00	5
4386	-634	-618	Max	4.33					-0.04	7			5.99	7		
4386	-634	-618	Max	21.63	487.21	5	0.66	1	0.07	5	49.98	5	8.24	5	-0.00	5
4386	-634	-618	Min.	0.00	-1110.39	5	-0.70	1	-0.18	1	-112.99	5	-3.10	5	-0.03	5
4386	-634	-618	Min.	4.33					0.05	7			-0.74	7		
4386	-634	-618	Min.	21.63	-1110.78	5	-0.70	1	-0.07	5	-117.81	5	-14.05	5	-0.03	5

4386	-618	-602	Max	0.00	732.33	5	2.43	1	0.10	1	55.79	5	11.68	5	0.03	1
4386	-618	-602	Max	3.25					0.08	7			7.56	7		
4386	-618	-602	Max	21.63	731.94	5	2.43	1	0.48	1	50.97	5	8.89	5	0.03	1
4386	-618	-602	Min.	0.00	-1212.41	5	-2.36	1	-0.07	1	-126.21	5	-2.68	5	-0.07	1
4386	-618	-602	Min.	3.25					-0.04	7			-0.86	7		
4386	-618	-602	Min.	21.63	-1212.80	5	-2.36	1	-0.43	1	-131.04	5	-16.16	5	-0.07	1
4386	-602	-586	Max	0.00	1051.76	5	1.94	1	0.28	1	51.44	5	13.09	5	0.05	1
4386	-602	-586	Max	21.63	1051.37	5	1.94	1	0.16	1	46.62	5	8.83	5	0.05	1
4386	-602	-586	Min.	0.00	-1336.89	5	-2.15	1	-0.29	1	-147.46	5	-1.78	5	-0.17	1
4386	-602	-586	Min.	21.63	-1337.28	5	-2.15	1	-0.21	1	-152.28	5	-19.33	5	-0.17	1
4386	-586	-570	Max	0.00	1429.92	5	0.57	1	0.08	1	52.86	5	13.51	5	0.05	1
4386	-586	-570	Max	21.63	1429.52	5	0.57	1	0.17	1	48.04	5	9.57	5	0.05	1
4386	-586	-570	Min.	0.00	-1452.51	5	-0.83	1	-0.06	1	-165.48	5	-1.34	5	-0.16	1
4386	-586	-570	Min.	21.63	-1452.90	5	-0.83	1	-0.21	1	-170.31	5	-22.81	5	-0.16	1
4386	-570	-554	Max	0.00	1892.92	5	0.36	1	0.13	1	56.68	5	13.40	5	0.03	1
4386	-570	-554	Max	21.63	1892.53	5	0.36	1	0.06	5	51.85	5	11.19	5	0.03	1
4386	-570	-554	Min.	0.00	-1579.72	5	-0.60	1	-0.08	1	-190.27	5	-0.55	5	-0.13	1
4386	-570	-554	Min.	21.63	-1580.11	5	-0.60	1	-0.07	5	-195.09	5	-28.28	5	-0.13	1
4386	-554	4287	Max	0.00	2398.67	5	0.87	1	0.11	5	46.02	5	6.29	5	-0.02	1
4386	-554	4287	Max	21.63	2398.28	5	0.87	1	0.30	1	41.19	5	12.75	5	-0.02	1
4386	-554	4287	Min.	0.00	-1695.72	5	-1.44	1	-0.03	5	-195.80	5	3.32	5	-0.07	1
4386	-554	4287	Min.	21.63	-1696.11	5	-1.44	1	-0.34	1	-200.63	5	-36.59	5	-0.07	1
4386	4287	-538	Max	0.00	201.93	1	8.66	1	0.57	1	39.69	5	0.12	1	0.02	1
4386	4287	-538	Max	16.72	201.68	1	8.66	1	0.71	1	36.63	5	3.55	5	0.02	1
4386	4287	-538	Min.	0.00	-94.66	1	-6.57	1	-0.74	1	-9.49	5	-3.47	1	-0.02	1
4386	4287	-538	Min.	16.72	-94.91	1	-6.57	1	-0.53	1	-12.55	5	-2.36	5	-0.02	1
4386	-538	-522	Max	0.00	124.26	1	10.07	1	0.64	1	26.23	1	1.12	1	0.19	1
4386	-538	-522	Max	16.72	124.01	1	10.07	1	0.83	1	23.17	1	1.58	1	0.19	1
4386	-538	-522	Min.	0.00	-57.91	1	-7.46	1	-0.85	1	-7.37	1	-2.62	1	-0.16	1
4386	-538	-522	Min.	16.72	-58.16	1	-7.46	1	-0.61	1	-10.43	1	-0.44	1	-0.16	1
4386	-522	3314	Max	0.00	47.27	1	9.27	5	0.55	5	26.24	1	0.82	1	0.22	1
4386	-522	3314	Max	16.72	47.02	1	9.27	5	0.80	5	23.18	1	2.18	1	0.22	1
4386	-522	3314	Min.	0.00	-20.64	1	-6.78	5	-0.75	5	-9.04	1	-1.95	1	-0.19	1
4386	-522	3314	Min.	16.72	-20.89	1	-6.78	5	-0.59	5	-12.10	1	-0.95	1	-0.19	1
4423	-787	-779	Max	0.00	-696.27	1	2.70	1	0.44	1	73.45	5	2.05	5	0.16	1
4423	-787	-779	Max	21.63	-696.66	1	2.70	1	0.14	1	68.63	5	7.51	5	0.16	1
4423	-787	-779	Min.	0.00	-773.24	1	-2.69	1	-0.45	1	-21.47	5	-7.86	5	-0.17	1
4423	-787	-779	Min.	21.63	-773.63	1	-2.69	1	-0.14	1	-26.29	5	-3.11	5	-0.17	1
4423	-779	-763	Max	0.00	-680.94	5	0.80	1	0.08	1	70.65	5	3.92	5	0.02	1
4423	-779	-763	Max	21.63	-681.33	5	0.80	1	0.25	1	65.82	5	8.48	5	0.02	1
4423	-779	-763	Min.	0.00	-824.12	5	-0.79	1	-0.08	1	-28.62	5	-6.28	5	-0.02	1
4423	-779	-763	Min.	21.63	-824.51	5	-0.79	1	-0.25	1	-33.44	5	-2.79	5	-0.02	1
4423	-763	-747	Max	0.00	-642.08	5	0.74	1	0.23	1	70.65	5	4.60	5	0.02	1
4423	-763	-747	Max	21.63	-642.48	5	0.74	1	0.07	1	65.82	5	8.83	5	0.02	1
4423	-763	-747	Min.	0.00	-901.66	5	-0.73	1	-0.23	1	-33.31	5	-5.93	5	-0.03	1
4423	-763	-747	Min.	21.63	-902.06	5	-0.73	1	-0.07	1	-38.13	5	-3.12	5	-0.03	1
4423	-747	-731	Max	0.00	-594.17	5	2.64	1	0.12	1	70.84	5	5.47	5	0.16	1
4423	-747	-731	Max	21.63	-594.56	5	2.64	1	0.46	1	66.01	5	9.40	5	0.16	1
4423	-747	-731	Min.	0.00	-982.07	5	-2.62	1	-0.11	1	-38.39	5	-5.41	5	-0.17	1
4423	-747	-731	Min.	21.63	-982.46	5	-2.62	1	-0.45	1	-43.22	5	-3.36	5	-0.17	1
4423	-731	-715	Max	0.00	-536.32	5	2.39	1	0.36	1	52.03	5	7.90	5	0.11	1
4423	-731	-715	Max	21.63	-536.71	5	2.39	1	0.15	1	47.21	5	7.47	5	0.11	1
4423	-731	-715	Min.	0.00	-1052.18	5	-2.37	1	-0.37	1	-61.79	5	-3.27	5	-0.12	1
4423	-731	-715	Min.	21.63	-1052.57	5	-2.37	1	-0.16	1	-66.61	5	-5.99	5	-0.12	1
4423	-715	-699	Max	0.00	-447.69	5	0.65	1	0.08	1	51.91	5	8.14	5	0.00	1
4423	-715	-699	Max	21.63	-448.08	5	0.65	1	0.22	1	47.09	5	7.25	5	0.00	1
4423	-715	-699	Min.	0.00	-1120.44	5	-0.65	1	-0.08	1	-68.35	5	-3.46	5	-0.01	1
4423	-715	-699	Min.	21.63	-1120.83	5	-0.65	1	-0.22	1	-73.17	5	-7.17	5	-0.01	1
4423	-699	-683	Max	0.00	-341.10	5	0.70	1	0.20	1	51.06	5	8.83	5	0.01	1

4423	-699	-683	Max	21.63	-341.49	5	0.70	1	0.05	1	46.24	5	7.32	5	0.01	1
4423	-699	-683	Min.	0.00	-1189.51	5	-0.70	1	-0.20	1	-76.35	5	-3.20	5	-0.02	1
4423	-699	-683	Min.	21.63	-1189.90	5	-0.70	1	-0.05	1	-81.17	5	-8.21	5	-0.02	1
4423	-683	-667	Max	0.00	-213.50	5	2.47	1	0.09	1	50.95	5	9.75	5	0.10	1
4423	-683	-667	Max	21.63	-213.90	5	2.47	1	0.46	1	46.13	5	7.78	5	0.10	1
4423	-683	-667	Min.	0.00	-1259.86	5	-2.44	1	-0.08	1	-84.62	5	-2.73	5	-0.11	1
4423	-683	-667	Min.	21.63	-1260.26	5	-2.44	1	-0.44	1	-89.45	5	-9.09	5	-0.11	1
4423	-667	-651	Max	0.00	-127.31	5	2.06	1	0.29	1	34.10	5	12.27	5	0.03	1
4423	-667	-651	Max	21.63	-127.70	5	2.06	1	0.14	1	29.27	5	6.12	5	0.03	1
4423	-667	-651	Min.	0.00	-1260.62	5	-2.08	1	-0.31	1	-110.73	5	-0.74	5	-0.06	1
4423	-667	-651	Min.	21.63	-1261.01	5	-2.08	1	-0.16	1	-115.55	5	-12.20	5	-0.06	1
4423	-651	-635	Max	0.00	74.68	5	0.52	1	0.09	1	33.44	5	12.78	5	-0.00	1
4423	-651	-635	Max	21.63	74.29	5	0.52	1	0.20	1	28.61	5	6.01	5	-0.00	1
4423	-651	-635	Min.	0.00	-1312.80	5	-0.57	1	-0.09	1	-121.93	5	-0.70	5	-0.02	1
4423	-651	-635	Min.	21.63	-1313.20	5	-0.57	1	-0.21	1	-126.76	5	-14.12	5	-0.02	1
4423	-635	-619	Max	0.00	319.49	5	0.60	1	0.18	1	32.18	5	13.65	5	-0.01	1
4423	-635	-619	Max	21.63	319.10	5	0.60	1	0.04	1	27.35	5	6.16	5	-0.01	1
4423	-635	-619	Min.	0.00	-1366.50	5	-0.65	1	-0.18	1	-135.39	5	-0.28	5	-0.02	1
4423	-635	-619	Min.	21.63	-1366.89	5	-0.65	1	-0.05	1	-140.22	5	-16.16	5	-0.02	1
4423	-619	-603	Max	0.00	615.27	5	2.25	1	0.08	1	31.38	5	14.72	5	0.03	1
4423	-619	-603	Max	21.63	614.88	5	2.25	1	0.42	1	26.56	5	6.69	5	0.03	1
4423	-619	-603	Min.	0.00	-1419.59	5	-2.29	1	-0.07	1	-150.41	5	0.43	5	-0.06	1
4423	-619	-603	Min.	21.63	-1419.98	5	-2.29	1	-0.42	1	-155.23	5	-18.34	5	-0.06	1
4423	-603	-587	Max	0.00	976.00	5	1.91	1	0.24	1	10.98	5	17.82	5	0.10	1
4423	-603	-587	Max	21.63	975.60	5	1.91	1	0.17	1	6.15	5	4.70	5	0.10	1
4423	-603	-587	Min.	0.00	-1447.09	5	-1.86	1	-0.25	1	-188.86	5	2.85	5	-0.10	1
4423	-603	-587	Min.	21.63	-1447.48	5	-1.86	1	-0.17	1	-193.69	5	-23.56	5	-0.10	1
4423	-587	-571	Max	0.00	1456.96	5	0.61	1	0.06	1	8.52	5	18.15	5	0.10	1
4423	-587	-571	Max	21.63	1456.57	5	0.61	1	0.19	1	3.70	5	4.57	5	0.10	1
4423	-587	-571	Min.	0.00	-1461.62	5	-0.60	1	-0.06	1	-210.74	5	3.24	5	-0.10	1
4423	-587	-571	Min.	21.63	-1462.02	5	-0.60	1	-0.19	1	-215.56	5	-27.96	5	-0.10	1
4423	-571	-555	Max	0.00	2046.30	5	0.42	1	0.11	1	7.01	5	18.06	5	0.07	1
4423	-571	-555	Max	21.63	2045.91	5	0.42	1	0.02	1	2.18	5	5.05	5	0.07	1
4423	-571	-555	Min.	0.00	-1464.94	5	-0.43	1	-0.11	1	-241.21	5	4.06	5	-0.08	1
4423	-571	-555	Min.	21.63	-1465.33	5	-0.43	1	-0.02	1	-246.04	5	-34.65	5	-0.08	1
4423	-555	4288	Max	0.00	2692.62	5	1.38	1	0.04	1	-7.63	5	9.53	5	0.00	1
4423	-555	4288	Max	21.63	2692.23	5	1.38	1	0.34	1	-12.46	5	4.48	5	0.00	1
4423	-555	4288	Min.	0.00	-1442.80	5	-1.13	1	-0.05	1	-249.67	5	6.65	5	-0.04	1
4423	-555	4288	Min.	21.63	-1443.20	5	-1.13	1	-0.30	1	-254.50	5	-45.00	5	-0.04	1
4423	4288	-539	Max	0.00	278.85	1	7.06	1	0.56	1	49.15	5	-1.32	1	0.03	1
4423	4288	-539	Max	16.72	278.60	1	7.06	1	0.56	1	46.09	5	3.81	5	0.03	1
4423	4288	-539	Min.	0.00	-13.79	1	-6.44	1	-0.62	1	0.61	5	-4.64	1	0.01	1
4423	4288	-539	Min.	16.72	-14.04	1	-6.44	1	-0.52	1	-2.45	5	-1.96	5	0.01	1
4423	-539	-523	Max	0.00	170.24	1	7.27	1	0.57	1	33.74	1	0.28	1	0.15	1
4423	-539	-523	Max	16.72	169.99	1	7.27	1	0.60	1	30.68	1	2.08	1	0.15	1
4423	-539	-523	Min.	0.00	3.67	1	-6.73	1	-0.62	1	0.45	1	-3.39	1	-0.20	1
4423	-539	-523	Min.	16.72	3.42	1	-6.73	1	-0.55	1	-2.61	1	0.01	1	-0.20	1
4423	-523	3315	Max	0.00	57.25	1	5.75	1	0.43	1	34.99	1	0.03	1	0.16	1
4423	-523	3315	Max	16.72	57.01	1	5.75	1	0.49	1	31.93	1	2.95	1	0.16	1
4423	-523	3315	Min.	0.00	15.48	1	-5.26	1	-0.47	1	0.42	1	-2.65	1	-0.24	1
4423	-523	3315	Min.	16.72	15.23	1	-5.26	1	-0.46	1	-2.64	1	-0.16	1	-0.24	1
4424	-788	-780	Max	0.00	-713.08	1	2.83	1	0.47	1	73.71	5	2.07	5	0.16	1
4424	-788	-780	Max	21.63	-713.49	1	2.83	1	0.15	1	68.63	5	7.53	5	0.16	1
4424	-788	-780	Min.	0.00	-751.67	1	-2.81	1	-0.48	1	-21.47	5	-7.87	5	-0.17	1
4424	-788	-780	Min.	21.63	-752.08	1	-2.81	1	-0.15	1	-26.55	5	-3.12	5	-0.17	1
4424	-780	-764	Max	0.00	-689.57	5	0.86	1	0.08	1	70.80	5	3.96	5	0.02	1
4424	-780	-764	Max	21.63	-689.98	5	0.86	1	0.26	1	65.73	5	8.49	5	0.02	1
4424	-780	-764	Min.	0.00	-810.60	5	-0.85	1	-0.09	1	-28.78	5	-6.28	5	-0.02	1
4424	-780	-764	Min.	21.63	-811.01	5	-0.85	1	-0.26	1	-33.86	5	-2.81	5	-0.02	1

4424	-764	-748	Max	0.00	-650.43	5	0.80	1	0.24	1	70.68	5	4.66	5	0.02	1
4424	-764	-748	Max	21.63	-650.85	5	0.80	1	0.08	1	65.60	5	8.83	5	0.02	1
4424	-764	-748	Min.	0.00	-888.00	5	-0.78	1	-0.24	1	-33.60	5	-5.92	5	-0.03	1
4424	-764	-748	Min.	21.63	-888.42	5	-0.78	1	-0.07	1	-38.68	5	-3.16	5	-0.03	1
4424	-748	-732	Max	0.00	-602.07	5	2.76	1	0.12	1	70.71	5	5.54	5	0.16	1
4424	-748	-732	Max	21.63	-602.48	5	2.76	1	0.49	1	65.64	5	9.37	5	0.16	1
4424	-748	-732	Min.	0.00	-968.15	5	-2.74	1	-0.12	1	-38.84	5	-5.39	5	-0.16	1
4424	-748	-732	Min.	21.63	-968.57	5	-2.74	1	-0.48	1	-43.91	5	-3.42	5	-0.16	1
4424	-732	-716	Max	0.00	-536.53	5	2.51	1	0.38	1	52.18	5	7.95	5	0.11	1
4424	-732	-716	Max	21.63	-536.94	5	2.51	1	0.15	1	47.10	5	7.47	5	0.11	1
4424	-732	-716	Min.	0.00	-1043.09	5	-2.49	1	-0.40	1	-62.10	5	-3.27	5	-0.12	1
4424	-732	-716	Min.	21.63	-1043.50	5	-2.49	1	-0.16	1	-67.17	5	-6.04	5	-0.12	1
4424	-716	-700	Max	0.00	-447.08	5	0.70	1	0.08	1	51.91	5	8.20	5	0.00	1
4424	-716	-700	Max	21.63	-447.49	5	0.70	1	0.23	1	46.84	5	7.24	5	0.00	1
4424	-716	-700	Min.	0.00	-1111.34	5	-0.70	1	-0.09	1	-68.80	5	-3.44	5	-0.01	1
4424	-716	-700	Min.	21.63	-1111.76	5	-0.70	1	-0.23	1	-73.87	5	-7.23	5	-0.01	1
4424	-700	-684	Max	0.00	-339.38	5	0.75	1	0.21	1	50.92	5	8.90	5	0.01	1
4424	-700	-684	Max	21.63	-339.79	5	0.75	1	0.06	1	45.84	5	7.30	5	0.01	1
4424	-700	-684	Min.	0.00	-1180.29	5	-0.75	1	-0.20	1	-76.96	5	-3.16	5	-0.02	1
4424	-700	-684	Min.	21.63	-1180.70	5	-0.75	1	-0.05	1	-82.03	5	-8.29	5	-0.02	1
4424	-684	-668	Max	0.00	-210.22	5	2.60	1	0.10	1	50.67	5	9.85	5	0.10	1
4424	-684	-668	Max	21.63	-210.63	5	2.60	1	0.49	1	45.60	5	7.76	5	0.10	1
4424	-684	-668	Min.	0.00	-1250.27	5	-2.56	1	-0.09	1	-85.40	5	-2.65	5	-0.11	1
4424	-684	-668	Min.	21.63	-1250.68	5	-2.56	1	-0.47	1	-90.47	5	-9.18	5	-0.11	1
4424	-668	-652	Max	0.00	-146.42	5	2.19	1	0.32	1	32.56	5	12.41	5	0.03	1
4424	-668	-652	Max	21.63	-146.83	5	2.19	1	0.15	1	27.49	5	5.97	5	0.03	1
4424	-668	-652	Min.	0.00	-1272.14	5	-2.18	1	-0.34	1	-111.79	5	-0.52	5	-0.06	1
4424	-668	-652	Min.	21.63	-1272.55	5	-2.18	1	-0.17	1	-116.87	5	-12.32	5	-0.06	1
4424	-652	-636	Max	0.00	60.14	5	0.58	1	0.09	1	31.67	5	12.94	5	0.00	1
4424	-652	-636	Max	21.63	59.73	5	0.58	1	0.20	1	26.59	5	5.82	5	0.00	1
4424	-652	-636	Min.	0.00	-1323.59	5	-0.60	1	-0.09	1	-123.24	5	-0.49	5	-0.02	1
4424	-652	-636	Min.	21.63	-1324.00	5	-0.60	1	-0.21	1	-128.32	5	-14.27	5	-0.02	1
4424	-636	-620	Max	0.00	308.06	5	0.65	1	0.19	1	30.13	5	13.82	5	-0.01	1
4424	-636	-620	Max	21.63	307.65	5	0.65	1	0.05	1	25.05	5	5.92	5	-0.01	1
4424	-636	-620	Min.	0.00	-1373.74	5	-0.68	1	-0.18	1	-136.93	5	-0.05	5	-0.01	1
4424	-636	-620	Min.	21.63	-1374.15	5	-0.68	1	-0.05	1	-142.00	5	-16.35	5	-0.01	1
4424	-620	-604	Max	0.00	606.97	5	2.39	1	0.09	1	29.02	5	14.91	5	0.03	1
4424	-620	-604	Max	21.63	606.55	5	2.39	1	0.45	1	23.94	5	6.38	5	0.03	1
4424	-620	-604	Min.	0.00	-1422.33	5	-2.39	1	-0.07	1	-152.20	5	0.61	5	-0.05	1
4424	-620	-604	Min.	21.63	-1422.74	5	-2.39	1	-0.43	1	-157.27	5	-18.62	5	-0.05	1
4424	-604	-588	Max	0.00	974.10	5	1.99	1	0.24	1	12.40	5	17.72	5	0.10	1
4424	-604	-588	Max	21.63	973.68	5	1.99	1	0.17	1	7.33	5	4.79	5	0.10	1
4424	-604	-588	Min.	0.00	-1447.17	5	-1.93	1	-0.26	1	-188.40	5	2.65	5	-0.10	1
4424	-604	-588	Min.	21.63	-1447.58	5	-1.93	1	-0.18	1	-193.47	5	-23.59	5	-0.10	1
4424	-588	-572	Max	0.00	1455.12	5	0.64	1	0.06	1	9.82	5	18.13	5	0.10	1
4424	-588	-572	Max	21.63	1454.71	5	0.64	1	0.19	1	4.74	5	4.69	5	0.10	1
4424	-588	-572	Min.	0.00	-1464.11	5	-0.62	1	-0.06	1	-210.53	5	3.12	5	-0.10	1
4424	-588	-572	Min.	21.63	-1464.52	5	-0.62	1	-0.19	1	-215.60	5	-27.96	5	-0.10	1
4424	-572	-556	Max	0.00	2044.30	5	0.46	1	0.12	1	8.35	5	18.04	5	0.07	1
4424	-572	-556	Max	21.63	2043.89	5	0.46	1	0.03	1	3.27	5	5.20	5	0.07	1
4424	-572	-556	Min.	0.00	-1470.49	5	-0.43	1	-0.11	1	-241.02	5	3.94	5	-0.07	1
4424	-572	-556	Min.	21.63	-1470.90	5	-0.43	1	-0.02	1	-246.10	5	-34.65	5	-0.07	1
4424	-556	4290	Max	0.00	2690.55	5	1.17	1	0.06	1	-6.39	5	9.54	5	0.03	1
4424	-556	4290	Max	21.63	2690.14	5	1.17	1	0.30	1	-11.46	5	4.64	5	0.03	1
4424	-556	4290	Min.	0.00	-1451.64	5	-1.40	1	-0.04	1	-249.87	5	6.57	5	-0.01	1
4424	-556	4290	Min.	21.63	-1452.06	5	-1.40	1	-0.33	1	-254.95	5	-45.06	5	-0.01	1
4424	4290	-540	Max	0.00	241.66	1	6.45	1	0.56	1	45.64	5	-0.82	1	-0.03	1
4424	4290	-540	Max	16.72	241.40	1	6.45	1	0.52	1	42.43	5	3.72	5	-0.03	1
4424	4290	-540	Min.	0.00	-45.30	1	-6.41	1	-0.56	1	-2.66	5	-4.20	1	-0.05	1

4424	4290	-540	Min.	16.72	-45.56	1	-6.41	1	-0.52	1	-5.87	5	-2.09	5	-0.05	1
4424	-540	-524	Max	0.00	144.73	1	7.27	1	0.57	1	29.73	1	0.76	1	0.15	1
4424	-540	-524	Max	16.72	144.47	1	7.27	1	0.60	1	26.52	1	1.80	1	0.15	1
4424	-540	-524	Min.	0.00	-18.46	1	-6.72	1	-0.62	1	-4.15	1	-2.98	1	-0.20	1
4424	-540	-524	Min.	16.72	-18.72	1	-6.72	1	-0.55	1	-7.36	1	-0.27	1	-0.20	1
4424	-524	3316	Max	0.00	46.75	1	6.20	1	0.45	1	30.27	1	0.45	1	0.19	1
4424	-524	3316	Max	16.72	46.49	1	6.20	1	0.53	1	27.06	1	2.53	1	0.19	1
4424	-524	3316	Min.	0.00	5.83	1	-5.61	1	-0.50	1	-4.72	1	-2.26	1	-0.22	1
4424	-524	3316	Min.	16.72	5.57	1	-5.61	1	-0.48	1	-7.93	1	-0.61	1	-0.22	1
4461	-789	-781	Max	0.00	-713.19	1	2.81	1	0.48	1	73.69	5	2.07	5	0.17	1
4461	-789	-781	Max	21.63	-713.60	1	2.81	1	0.15	1	68.61	5	7.52	5	0.17	1
4461	-789	-781	Min.	0.00	-751.22	1	-2.82	1	-0.47	1	-21.47	5	-7.87	5	-0.16	1
4461	-789	-781	Min.	21.63	-751.63	1	-2.82	1	-0.15	1	-26.55	5	-3.12	5	-0.16	1
4461	-781	-765	Max	0.00	-689.78	5	0.85	1	0.09	1	70.78	5	3.96	5	0.02	1
4461	-781	-765	Max	21.63	-690.20	5	0.85	1	0.26	1	65.70	5	8.49	5	0.02	1
4461	-781	-765	Min.	0.00	-810.01	5	-0.86	1	-0.09	1	-28.78	5	-6.28	5	-0.02	1
4461	-781	-765	Min.	21.63	-810.43	5	-0.86	1	-0.26	1	-33.86	5	-2.81	5	-0.02	1
4461	-765	-749	Max	0.00	-650.64	5	0.79	1	0.24	1	70.65	5	4.66	5	0.03	1
4461	-765	-749	Max	21.63	-651.06	5	0.79	1	0.07	1	65.58	5	8.83	5	0.03	1
4461	-765	-749	Min.	0.00	-887.39	5	-0.80	1	-0.24	1	-33.60	5	-5.91	5	-0.02	1
4461	-765	-749	Min.	21.63	-887.81	5	-0.80	1	-0.08	1	-38.68	5	-3.16	5	-0.02	1
4461	-749	-733	Max	0.00	-602.27	5	2.74	1	0.12	1	70.69	5	5.54	5	0.16	1
4461	-749	-733	Max	21.63	-602.69	5	2.74	1	0.48	1	65.61	5	9.36	5	0.16	1
4461	-749	-733	Min.	0.00	-967.51	5	-2.76	1	-0.12	1	-38.84	5	-5.39	5	-0.16	1
4461	-749	-733	Min.	21.63	-967.93	5	-2.76	1	-0.49	1	-43.92	5	-3.42	5	-0.16	1
4461	-733	-717	Max	0.00	-536.58	5	2.49	1	0.40	1	52.16	5	7.95	5	0.12	1
4461	-733	-717	Max	21.63	-536.99	5	2.49	1	0.16	1	47.09	5	7.47	5	0.12	1
4461	-733	-717	Min.	0.00	-1042.82	5	-2.51	1	-0.38	1	-62.10	5	-3.27	5	-0.11	1
4461	-733	-717	Min.	21.63	-1043.23	5	-2.51	1	-0.15	1	-67.17	5	-6.04	5	-0.11	1
4461	-717	-701	Max	0.00	-447.12	5	0.70	1	0.09	1	51.89	5	8.20	5	0.01	1
4461	-717	-701	Max	21.63	-447.54	5	0.70	1	0.23	1	46.82	5	7.24	5	0.01	1
4461	-717	-701	Min.	0.00	-1111.04	5	-0.70	1	-0.08	1	-68.80	5	-3.43	5	0.00	1
4461	-717	-701	Min.	21.63	-1111.45	5	-0.70	1	-0.23	1	-73.87	5	-7.23	5	0.00	1
4461	-701	-685	Max	0.00	-339.42	5	0.75	1	0.20	1	50.90	5	8.90	5	0.02	1
4461	-701	-685	Max	21.63	-339.83	5	0.75	1	0.05	1	45.82	5	7.30	5	0.02	1
4461	-701	-685	Min.	0.00	-1179.96	5	-0.75	1	-0.21	1	-76.96	5	-3.16	5	-0.01	1
4461	-701	-685	Min.	21.63	-1180.37	5	-0.75	1	-0.06	1	-82.04	5	-8.29	5	-0.01	1
4461	-685	-669	Max	0.00	-210.26	5	2.57	1	0.09	1	50.66	5	9.85	5	0.11	1
4461	-685	-669	Max	21.63	-210.67	5	2.57	1	0.47	1	45.58	5	7.76	5	0.11	1
4461	-685	-669	Min.	0.00	-1249.91	5	-2.60	1	-0.10	1	-85.41	5	-2.65	5	-0.10	1
4461	-685	-669	Min.	21.63	-1250.32	5	-2.60	1	-0.49	1	-90.48	5	-9.18	5	-0.10	1
4461	-669	-653	Max	0.00	-146.44	5	2.18	1	0.34	1	32.55	5	12.41	5	0.06	1
4461	-669	-653	Max	21.63	-146.86	5	2.18	1	0.17	1	27.48	5	5.97	5	0.06	1
4461	-669	-653	Min.	0.00	-1271.89	5	-2.19	1	-0.32	1	-111.80	5	-0.52	5	-0.03	1
4461	-669	-653	Min.	21.63	-1272.30	5	-2.19	1	-0.15	1	-116.87	5	-12.32	5	-0.03	1
4461	-653	-637	Max	0.00	60.12	5	0.60	1	0.09	1	31.65	5	12.94	5	0.02	1
4461	-653	-637	Max	21.63	59.71	5	0.60	1	0.21	1	26.58	5	5.81	5	0.02	1
4461	-653	-637	Min.	0.00	-1323.31	5	-0.58	1	-0.09	1	-123.25	5	-0.48	5	-0.00	1
4461	-653	-637	Min.	21.63	-1323.72	5	-0.58	1	-0.20	1	-128.32	5	-14.27	5	-0.00	1
4461	-637	-621	Max	0.00	308.05	5	0.68	1	0.18	1	30.11	5	13.82	5	0.01	5
4461	-637	-621	Max	21.63	307.63	5	0.68	1	0.05	1	25.04	5	5.92	5	0.01	5
4461	-637	-621	Min.	0.00	-1373.43	5	-0.65	1	-0.19	1	-136.93	5	-0.04	5	0.01	5
4461	-637	-621	Min.	21.63	-1373.84	5	-0.65	1	-0.05	1	-142.01	5	-16.35	5	0.01	5
4461	-621	-605	Max	0.00	606.96	5	2.39	1	0.07	1	29.00	5	14.91	5	0.05	1
4461	-621	-605	Max	21.63	606.55	5	2.39	1	0.44	1	23.93	5	6.38	5	0.05	1
4461	-621	-605	Min.	0.00	-1421.99	5	-2.39	1	-0.09	1	-152.20	5	0.61	5	-0.03	1
4461	-621	-605	Min.	21.63	-1422.40	5	-2.39	1	-0.45	1	-157.28	5	-18.62	5	-0.03	1
4461	-605	-589	Max	0.00	974.16	5	1.93	1	0.26	1	12.39	5	17.72	5	0.10	1
4461	-605	-589	Max	21.63	973.75	5	1.93	1	0.18	1	7.32	5	4.79	5	0.10	1

4461	-605	-589	Min.	0.00	-1446.99	5	-1.99	1	-0.24	1	-188.41	5	2.65	5	-0.10	1
4461	-605	-589	Min.	21.63	-1447.40	5	-1.99	1	-0.17	1	-193.48	5	-23.59	5	-0.10	1
4461	-589	-573	Max	0.00	1455.21	5	0.62	1	0.06	1	9.81	5	18.13	5	0.10	1
4461	-589	-573	Max	21.63	1454.80	5	0.62	1	0.19	1	4.73	5	4.69	5	0.10	1
4461	-589	-573	Min.	0.00	-1463.91	5	-0.64	1	-0.06	1	-210.53	5	3.12	5	-0.10	1
4461	-589	-573	Min.	21.63	-1464.32	5	-0.64	1	-0.19	1	-215.61	5	-27.96	5	-0.10	1
4461	-573	-557	Max	0.00	2044.41	5	0.43	1	0.11	1	8.34	5	18.04	5	0.07	1
4461	-573	-557	Max	21.63	2043.99	5	0.43	1	0.02	1	3.27	5	5.20	5	0.07	1
4461	-573	-557	Min.	0.00	-1470.27	5	-0.46	1	-0.12	1	-241.03	5	3.94	5	-0.07	1
4461	-573	-557	Min.	21.63	-1470.68	5	-0.46	1	-0.03	1	-246.11	5	-34.65	5	-0.07	1
4461	-557	4291	Max	0.00	2690.68	5	1.40	1	0.04	1	-6.40	5	9.54	5	0.01	1
4461	-557	4291	Max	21.63	2690.27	5	1.40	1	0.33	1	-11.47	5	4.64	5	0.01	1
4461	-557	4291	Min.	0.00	-1451.40	5	-1.17	1	-0.06	1	-249.88	5	6.57	5	-0.03	1
4461	-557	4291	Min.	21.63	-1451.81	5	-1.17	1	-0.30	1	-254.95	5	-45.06	5	-0.03	1
4461	4291	-541	Max	0.00	241.66	1	6.42	1	0.56	1	45.66	5	-0.82	1	0.05	1
4461	4291	-541	Max	16.72	241.40	1	6.42	1	0.52	1	42.45	5	3.72	5	0.05	1
4461	4291	-541	Min.	0.00	-45.10	1	-6.44	1	-0.56	1	-2.67	5	-4.20	1	0.03	1
4461	4291	-541	Min.	16.72	-45.36	1	-6.44	1	-0.52	1	-5.88	5	-2.09	5	0.03	1
4461	-541	-525	Max	0.00	144.75	1	6.74	1	0.62	1	29.73	1	0.76	1	0.20	1
4461	-541	-525	Max	16.72	144.49	1	6.74	1	0.55	1	26.52	1	1.80	1	0.20	1
4461	-541	-525	Min.	0.00	-18.34	1	-7.26	1	-0.57	1	-4.15	1	-2.98	1	-0.15	1
4461	-541	-525	Min.	16.72	-18.61	1	-7.26	1	-0.59	1	-7.36	1	-0.27	1	-0.15	1
4461	-525	3317	Max	0.00	46.78	1	5.62	1	0.50	1	30.27	1	0.45	1	0.22	1
4461	-525	3317	Max	16.72	46.52	1	5.62	1	0.48	1	27.06	1	2.53	1	0.22	1
4461	-525	3317	Min.	0.00	5.85	1	-6.18	1	-0.46	1	-4.71	1	-2.27	1	-0.19	1
4461	-525	3317	Min.	16.72	5.59	1	-6.18	1	-0.53	1	-7.92	1	-0.61	1	-0.19	1
4462	-790	-782	Max	0.00	-696.54	1	2.69	1	0.45	1	73.48	5	2.05	5	0.17	1
4462	-790	-782	Max	21.63	-696.94	1	2.69	1	0.14	1	68.65	5	7.51	5	0.17	1
4462	-790	-782	Min.	0.00	-773.34	1	-2.70	1	-0.44	1	-21.47	5	-7.87	5	-0.16	1
4462	-790	-782	Min.	21.63	-773.73	1	-2.70	1	-0.14	1	-26.30	5	-3.11	5	-0.16	1
4462	-782	-766	Max	0.00	-680.82	5	0.79	1	0.08	1	70.68	5	3.92	5	0.02	1
4462	-782	-766	Max	21.63	-681.21	5	0.79	1	0.25	1	65.85	5	8.48	5	0.02	1
4462	-782	-766	Min.	0.00	-824.65	5	-0.80	1	-0.08	1	-28.63	5	-6.28	5	-0.02	1
4462	-782	-766	Min.	21.63	-825.04	5	-0.80	1	-0.25	1	-33.45	5	-2.79	5	-0.02	1
4462	-766	-750	Max	0.00	-641.95	5	0.73	1	0.23	1	70.68	5	4.60	5	0.03	1
4462	-766	-750	Max	21.63	-642.35	5	0.73	1	0.07	1	65.85	5	8.84	5	0.03	1
4462	-766	-750	Min.	0.00	-902.23	5	-0.74	1	-0.23	1	-33.31	5	-5.93	5	-0.02	1
4462	-766	-750	Min.	21.63	-902.62	5	-0.74	1	-0.07	1	-38.14	5	-3.13	5	-0.02	1
4462	-750	-734	Max	0.00	-594.03	5	2.62	1	0.11	1	70.87	5	5.47	5	0.17	1
4462	-750	-734	Max	21.63	-594.42	5	2.62	1	0.45	1	66.04	5	9.40	5	0.17	1
4462	-750	-734	Min.	0.00	-982.67	5	-2.64	1	-0.12	1	-38.40	5	-5.41	5	-0.16	1
4462	-750	-734	Min.	21.63	-983.07	5	-2.64	1	-0.46	1	-43.22	5	-3.36	5	-0.16	1
4462	-734	-718	Max	0.00	-536.25	5	2.38	1	0.37	1	52.06	5	7.90	5	0.12	1
4462	-734	-718	Max	21.63	-536.64	5	2.38	1	0.16	1	47.23	5	7.47	5	0.12	1
4462	-734	-718	Min.	0.00	-1052.50	5	-2.39	1	-0.36	1	-61.80	5	-3.27	5	-0.11	1
4462	-734	-718	Min.	21.63	-1052.89	5	-2.39	1	-0.15	1	-66.63	5	-5.99	5	-0.11	1
4462	-718	-702	Max	0.00	-447.61	5	0.65	1	0.08	1	51.94	5	8.14	5	0.01	1
4462	-718	-702	Max	21.63	-448.00	5	0.65	1	0.22	1	47.12	5	7.25	5	0.01	1
4462	-718	-702	Min.	0.00	-1120.79	5	-0.65	1	-0.08	1	-68.36	5	-3.46	5	-0.00	1
4462	-718	-702	Min.	21.63	-1121.18	5	-0.65	1	-0.22	1	-73.18	5	-7.17	5	-0.00	1
4462	-702	-686	Max	0.00	-341.01	5	0.70	1	0.20	1	51.09	5	8.83	5	0.02	1
4462	-702	-686	Max	21.63	-341.40	5	0.70	1	0.05	1	46.27	5	7.33	5	0.02	1
4462	-702	-686	Min.	0.00	-1189.90	5	-0.70	1	-0.20	1	-76.36	5	-3.20	5	-0.01	1
4462	-702	-686	Min.	21.63	-1190.29	5	-0.70	1	-0.05	1	-81.19	5	-8.21	5	-0.01	1
4462	-686	-670	Max	0.00	-213.40	5	2.44	1	0.08	1	50.99	5	9.76	5	0.11	1
4462	-686	-670	Max	21.63	-213.79	5	2.44	1	0.44	1	46.16	5	7.79	5	0.11	1
4462	-686	-670	Min.	0.00	-1260.29	5	-2.47	1	-0.09	1	-84.63	5	-2.73	5	-0.10	1
4462	-686	-670	Min.	21.63	-1260.68	5	-2.47	1	-0.46	1	-89.46	5	-9.09	5	-0.10	1
4462	-670	-654	Max	0.00	-127.24	5	2.08	1	0.31	1	34.12	5	12.27	5	0.06	1

4462	-670	-654	Max	21.63	-127.63	5	2.08	1	0.16	1	29.29	5	6.12	5	0.06	1
4462	-670	-654	Min.	0.00	-1260.85	5	-2.06	1	-0.29	1	-110.73	5	-0.74	5	-0.03	1
4462	-670	-654	Min.	21.63	-1261.24	5	-2.06	1	-0.14	1	-115.56	5	-12.20	5	-0.03	1
4462	-654	-638	Max	0.00	74.76	5	0.57	1	0.09	1	33.46	5	12.78	5	0.02	1
4462	-654	-638	Max	21.63	74.37	5	0.57	1	0.21	1	28.64	5	6.01	5	0.02	1
4462	-654	-638	Min.	0.00	-1313.06	5	-0.52	1	-0.09	1	-121.95	5	-0.71	5	0.00	1
4462	-654	-638	Min.	21.63	-1313.46	5	-0.52	1	-0.20	1	-126.77	5	-14.12	5	0.00	1
4462	-638	-622	Max	0.00	319.63	5	0.65	1	0.18	1	32.20	5	13.65	5	0.02	1
4462	-638	-622	Max	21.63	319.24	5	0.65	1	0.05	1	27.38	5	6.16	5	0.02	1
4462	-638	-622	Min.	0.00	-1366.84	5	-0.60	1	-0.18	1	-135.41	5	-0.28	5	0.01	1
4462	-638	-622	Min.	21.63	-1367.23	5	-0.60	1	-0.04	1	-140.23	5	-16.16	5	0.01	1
4462	-622	-606	Max	0.00	615.45	5	2.29	1	0.07	1	31.41	5	14.72	5	0.06	1
4462	-622	-606	Max	21.63	615.05	5	2.29	1	0.42	1	26.58	5	6.70	5	0.06	1
4462	-622	-606	Min.	0.00	-1419.99	5	-2.25	1	-0.08	1	-150.42	5	0.42	5	-0.03	1
4462	-622	-606	Min.	21.63	-1420.38	5	-2.25	1	-0.42	1	-155.25	5	-18.35	5	-0.03	1
4462	-606	-590	Max	0.00	976.07	5	1.86	1	0.25	1	10.99	5	17.82	5	0.10	1
4462	-606	-590	Max	21.63	975.68	5	1.86	1	0.17	1	6.17	5	4.70	5	0.10	1
4462	-606	-590	Min.	0.00	-1447.28	5	-1.91	1	-0.24	1	-188.87	5	2.84	5	-0.10	1
4462	-606	-590	Min.	21.63	-1447.67	5	-1.91	1	-0.17	1	-193.70	5	-23.56	5	-0.10	1
4462	-590	-574	Max	0.00	1457.06	5	0.60	1	0.06	1	8.54	5	18.15	5	0.10	1
4462	-590	-574	Max	21.63	1456.67	5	0.60	1	0.19	1	3.71	5	4.57	5	0.10	1
4462	-590	-574	Min.	0.00	-1461.86	5	-0.61	1	-0.06	1	-210.75	5	3.24	5	-0.10	1
4462	-590	-574	Min.	21.63	-1462.25	5	-0.61	1	-0.19	1	-215.57	5	-27.96	5	-0.10	1
4462	-574	-558	Max	0.00	2046.44	5	0.43	1	0.11	1	7.03	5	18.06	5	0.08	1
4462	-574	-558	Max	21.63	2046.05	5	0.43	1	0.02	1	2.20	5	5.05	5	0.08	1
4462	-574	-558	Min.	0.00	-1465.22	5	-0.42	1	-0.11	1	-241.22	5	4.05	5	-0.07	1
4462	-574	-558	Min.	21.63	-1465.62	5	-0.42	1	-0.02	1	-246.05	5	-34.65	5	-0.07	1
4462	-558	4293	Max	0.00	2692.78	5	1.13	1	0.05	1	-7.61	5	9.53	5	0.04	1
4462	-558	4293	Max	3.25					-0.02	7			6.39	7		
4462	-558	4293	Max	21.63	2692.39	5	1.13	1	0.30	1	-12.43	5	4.48	5	0.04	1
4462	-558	4293	Min.	0.00	-1443.14	5	-1.38	1	-0.04	1	-249.69	5	6.65	5	-0.00	1
4462	-558	4293	Min.	3.25					0.02	7			1.42	7		
4462	-558	4293	Min.	21.63	-1443.53	5	-1.38	1	-0.34	1	-254.52	5	-45.01	5	-0.00	1
4462	4293	-542	Max	0.00	278.79	1	6.45	1	0.62	1	49.13	5	-1.32	1	-0.01	1
4462	4293	-542	Max	16.72	278.54	1	6.45	1	0.52	1	46.07	5	3.81	5	-0.01	1
4462	4293	-542	Min.	0.00	-13.94	1	-7.05	1	-0.56	1	0.62	5	-4.64	1	-0.03	1
4462	4293	-542	Min.	16.72	-14.19	1	-7.05	1	-0.56	1	-2.44	5	-1.96	5	-0.03	1
4462	-542	-526	Max	0.00	170.22	1	6.75	1	0.62	1	33.73	1	0.28	1	0.20	1
4462	-542	-526	Max	16.72	169.97	1	6.75	1	0.56	1	30.67	1	2.08	1	0.20	1
4462	-542	-526	Min.	0.00	3.55	1	-7.26	1	-0.57	1	0.44	1	-3.39	1	-0.15	1
4462	-542	-526	Min.	16.72	3.31	1	-7.26	1	-0.60	1	-2.62	1	0.01	1	-0.15	1
4462	-526	3318	Max	0.00	57.27	1	5.25	1	0.47	1	34.99	1	0.03	1	0.24	1
4462	-526	3318	Max	16.72	57.03	1	5.25	1	0.46	1	31.93	1	2.95	1	0.24	1
4462	-526	3318	Min.	0.00	15.41	1	-5.72	1	-0.43	1	0.42	1	-2.65	1	-0.16	1
4462	-526	3318	Min.	16.72	15.16	1	-5.72	1	-0.49	1	-2.64	1	-0.16	1	-0.16	1
4499	-791	-783	Max	0.00	-357.46	1	2.79	1	0.54	1	65.07	5	3.08	5	0.16	1
4499	-791	-783	Max	14.03					0.13	7			2.02	7		
4499	-791	-783	Max	21.63	-357.85	1	2.79	1	0.18	1	60.25	5	6.67	5	0.16	1
4499	-791	-783	Min.	0.00	-450.27	1	-2.94	1	-0.48	1	-29.98	5	-6.89	5	-0.17	1
4499	-791	-783	Min.	14.03					-0.09	7			-1.34	7		
4499	-791	-783	Min.	21.63	-450.66	1	-2.94	1	-0.15	1	-34.81	5	-3.92	5	-0.17	1
4499	-783	-767	Max	0.00	-362.85	1	0.86	1	0.13	5	62.76	5	4.49	5	0.02	1
4499	-783	-767	Max	21.63	-363.24	1	0.86	1	0.25	1	57.93	5	7.28	5	0.02	1
4499	-783	-767	Min.	0.00	-466.30	1	-1.00	1	-0.10	5	-36.70	5	-5.77	5	-0.03	1
4499	-783	-767	Min.	21.63	-466.69	1	-1.00	1	-0.25	1	-41.53	5	-3.97	5	-0.03	1
4499	-767	-751	Max	0.00	-319.98	5	0.78	1	0.24	1	62.31	5	5.10	5	0.02	1
4499	-767	-751	Max	3.48					-0.06	7			3.59	7		
4499	-767	-751	Max	21.63	-320.37	5	0.78	1	0.09	5	57.49	5	7.47	5	0.02	1
4499	-767	-751	Min.	0.00	-529.85	5	-0.94	1	-0.23	1	-41.85	5	-5.49	5	-0.03	1

4499	-767	-751	Min.	3.48					0.06	7			-3.30	7		
4499	-767	-751	Min.	21.63	-530.25	5	-0.94	1	-0.11	5	-46.68	5	-4.47	5	-0.03	1
4499	-751	-735	Max	0.00	-262.83	5	2.68	1	0.12	1	61.76	5	5.75	5	0.16	1
4499	-751	-735	Max	4.33					0.08	7			3.64	7		
4499	-751	-735	Max	21.63	-263.22	5	2.68	1	0.48	1	56.94	5	7.64	5	0.16	1
4499	-751	-735	Min.	0.00	-601.38	5	-2.89	1	-0.14	1	-47.63	5	-5.20	5	-0.17	1
4499	-751	-735	Min.	4.33					-0.11	7			-2.52	7		
4499	-751	-735	Min.	21.63	-601.77	5	-2.89	1	-0.54	1	-52.46	5	-5.08	5	-0.17	1
4499	-735	-719	Max	0.00	-166.70	5	2.56	1	0.46	1	56.47	5	6.76	5	0.14	1
4499	-735	-719	Max	12.98					0.12	7			2.63	7		
4499	-735	-719	Max	21.63	-167.09	5	2.56	1	0.19	1	51.64	5	7.20	5	0.14	1
4499	-735	-719	Min.	0.00	-693.59	5	-2.62	1	-0.41	1	-58.18	5	-4.50	5	-0.09	1
4499	-735	-719	Min.	12.98					-0.08	7			-0.97	7		
4499	-735	-719	Min.	21.63	-693.98	5	-2.62	1	-0.15	1	-63.01	5	-6.35	5	-0.09	1
4499	-719	-703	Max	0.00	-81.30	5	0.81	1	0.10	5	56.12	5	7.26	5	0.03	5
4499	-719	-703	Max	17.75					-0.05	7			5.18	7		
4499	-719	-703	Max	21.63	-81.69	5	0.81	1	0.23	1	51.30	5	7.21	5	0.03	5
4499	-719	-703	Min.	0.00	-766.48	5	-0.81	1	-0.09	5	-64.98	5	-4.41	5	0.00	5
4499	-719	-703	Min.	17.75					0.06	7			-4.60	7		
4499	-719	-703	Min.	21.63	-766.87	5	-0.81	1	-0.22	1	-69.80	5	-7.32	5	0.00	5
4499	-703	-687	Max	0.00	20.06	5	0.79	1	0.19	1	55.75	5	7.89	5	0.03	1
4499	-703	-687	Max	21.63	19.67	5	0.79	1	0.10	5	50.92	5	7.33	5	0.03	1
4499	-703	-687	Min.	0.00	-842.46	5	-0.80	1	-0.20	1	-72.56	5	-4.21	5	-0.00	1
4499	-703	-687	Min.	21.63	-842.85	5	-0.80	1	-0.11	5	-77.39	5	-8.33	5	-0.00	1
4499	-687	-671	Max	0.00	140.12	5	2.55	1	0.09	1	55.67	5	8.57	5	0.13	1
4499	-687	-671	Max	3.79					0.08	7			5.49	7		
4499	-687	-671	Max	21.63	139.72	5	2.55	1	0.47	1	50.84	5	7.54	5	0.13	1
4499	-687	-671	Min.	0.00	-922.40	5	-2.64	1	-0.13	1	-80.81	5	-3.98	5	-0.09	1
4499	-687	-671	Min.	3.79					-0.12	7			-1.88	7		
4499	-687	-671	Min.	21.63	-922.79	5	-2.64	1	-0.52	1	-85.64	5	-9.44	5	-0.09	1
4499	-671	-655	Max	0.00	115.64	5	2.28	1	0.40	1	53.83	5	9.45	5	0.07	1
4499	-671	-655	Max	14.72					0.13	7			4.07	7		
4499	-671	-655	Max	21.63	115.25	5	2.28	1	0.19	1	49.01	5	7.54	5	0.07	1
4499	-671	-655	Min.	0.00	-929.85	5	-2.31	1	-0.35	1	-91.03	5	-3.59	5	-0.02	1
4499	-671	-655	Min.	14.72					-0.09	7			-4.16	7		
4499	-671	-655	Min.	21.63	-930.25	5	-2.31	1	-0.14	1	-95.86	5	-10.76	5	-0.02	1
4499	-655	-639	Max	0.00	285.47	5	0.71	1	0.10	5	54.24	5	10.18	5	0.04	1
4499	-655	-639	Max	21.63	285.08	5	0.71	1	0.21	1	49.42	5	7.82	5	0.04	1
4499	-655	-639	Min.	0.00	-1017.22	5	-0.67	1	-0.09	5	-101.39	5	-3.39	5	-0.00	1
4499	-655	-639	Min.	21.63	-1017.62	5	-0.67	1	-0.19	1	-106.22	5	-12.28	5	-0.00	1
4499	-639	-623	Max	0.00	488.39	5	0.70	1	0.18	1	54.81	5	10.92	5	0.03	5
4499	-639	-623	Max	21.63	488.00	5	0.70	1	0.07	5	49.99	5	8.24	5	0.03	5
4499	-639	-623	Min.	0.00	-1111.21	5	-0.66	1	-0.18	1	-113.00	5	-3.10	5	0.00	5
4499	-639	-623	Min.	21.63	-1111.60	5	-0.66	1	-0.07	5	-117.83	5	-14.05	5	0.00	5
4499	-623	-607	Max	0.00	733.19	5	2.35	1	0.07	1	55.80	5	11.68	5	0.07	1
4499	-623	-607	Max	3.62					0.04	7			7.09	7		
4499	-623	-607	Max	21.63	732.80	5	2.35	1	0.43	1	50.98	5	8.89	5	0.07	1
4499	-623	-607	Min.	0.00	-1213.28	5	-2.42	1	-0.10	1	-126.23	5	-2.68	5	-0.03	1
4499	-623	-607	Min.	3.62					-0.08	7			-0.66	7		
4499	-623	-607	Min.	21.63	-1213.67	5	-2.42	1	-0.48	1	-131.06	5	-16.17	5	-0.03	1
4499	-607	-591	Max	0.00	1052.43	5	2.15	1	0.30	1	51.44	5	13.09	5	0.17	1
4499	-607	-591	Max	12.30					0.11	7			4.38	7		
4499	-607	-591	Max	21.63	1052.04	5	2.15	1	0.21	1	46.62	5	8.83	5	0.17	1
4499	-607	-591	Min.	0.00	-1337.41	5	-1.95	1	-0.28	1	-147.48	5	-1.78	5	-0.05	1
4499	-607	-591	Min.	12.30					-0.07	7			-5.21	7		
4499	-607	-591	Min.	21.63	-1337.80	5	-1.95	1	-0.15	1	-152.30	5	-19.34	5	-0.05	1
4499	-591	-575	Max	0.00	1430.64	5	0.83	1	0.06	1	52.87	5	13.51	5	0.16	1
4499	-591	-575	Max	21.63	1430.25	5	0.83	1	0.21	1	48.04	5	9.57	5	0.16	1
4499	-591	-575	Min.	0.00	-1453.04	5	-0.58	1	-0.08	1	-165.50	5	-1.35	5	-0.05	1

4499	-591	-575	Min.	21.63	-1453.44	5	-0.58	1	-0.17	1	-170.33	5	-22.81	5	-0.05	1
4499	-575	-559	Max	0.00	1893.71	5	0.60	1	0.08	1	56.68	5	13.40	5	0.13	1
4499	-575	-559	Max	21.63	1893.31	5	0.60	1	0.07	5	51.86	5	11.19	5	0.13	1
4499	-575	-559	Min.	0.00	-1580.27	5	-0.35	1	-0.13	1	-190.29	5	-0.55	5	-0.03	1
4499	-575	-559	Min.	21.63	-1580.66	5	-0.35	1	-0.06	5	-195.12	5	-28.29	5	-0.03	1
4499	-559	4294	Max	0.00	2399.52	5	1.43	1	0.03	5	46.02	5	6.30	5	0.07	1
4499	-559	4294	Max	21.63	2399.13	5	1.43	1	0.34	1	41.19	5	12.75	5	0.07	1
4499	-559	4294	Min.	0.00	-1696.27	5	-0.87	1	-0.11	5	-195.82	5	3.32	5	0.02	1
4499	-559	4294	Min.	21.63	-1696.67	5	-0.87	1	-0.29	1	-200.65	5	-36.59	5	0.02	1
4499	4294	-543	Max	0.00	202.61	1	6.65	1	0.75	1	39.69	5	0.11	1	0.02	1
4499	4294	-543	Max	16.72	202.36	1	6.65	1	0.53	1	36.63	5	3.55	5	0.02	1
4499	4294	-543	Min.	0.00	-95.43	1	-8.75	1	-0.58	1	-9.46	5	-3.47	1	-0.02	1
4499	4294	-543	Min.	16.72	-95.68	1	-8.75	1	-0.71	1	-12.52	5	-2.36	5	-0.02	1
4499	-543	-527	Max	0.00	124.69	1	7.55	1	0.86	1	26.22	1	1.12	1	0.16	1
4499	-543	-527	Max	16.72	124.44	1	7.55	1	0.62	1	23.16	1	1.58	1	0.16	1
4499	-543	-527	Min.	0.00	-58.41	1	-10.19	1	-0.64	1	-7.34	1	-2.62	1	-0.19	1
4499	-543	-527	Min.	16.72	-58.65	1	-10.19	1	-0.84	1	-10.40	1	-0.44	1	-0.19	1
4499	-527	3319	Max	0.00	47.46	1	6.77	5	0.76	1	26.23	1	0.82	1	0.19	1
4499	-527	3319	Max	16.72	47.21	1	6.77	5	0.59	5	23.17	1	2.18	1	0.19	1
4499	-527	3319	Min.	0.00	-20.87	1	-9.28	5	-0.55	1	-9.01	1	-1.95	1	-0.22	1
4499	-527	3319	Min.	16.72	-21.11	1	-9.28	5	-0.80	5	-12.06	1	-0.95	1	-0.22	1
4500	-792	-784	Max	0.00	-373.95	5	1.44	1	0.31	1	56.79	5	3.57	5	0.18	1
4500	-792	-784	Max	21.63	-374.03	5	1.44	1	0.11	5	55.80	5	6.20	5	0.18	1
4500	-792	-784	Min.	0.00	-428.65	5	-1.60	1	-0.26	1	-34.50	5	-5.98	5	-0.19	1
4500	-792	-784	Min.	21.63	-428.73	5	-1.60	1	-0.09	5	-35.50	5	-4.00	5	-0.19	1
4500	-784	-768	Max	0.00	-330.34	5	0.47	5	0.11	5	56.56	5	4.49	5	0.03	1
4500	-784	-768	Max	21.63	-330.42	5	0.47	5	0.13	1	55.56	5	6.81	5	0.03	1
4500	-784	-768	Min.	0.00	-488.13	5	-0.61	5	-0.08	5	-38.96	5	-5.32	5	-0.04	1
4500	-784	-768	Min.	21.63	-488.21	5	-0.61	5	-0.13	1	-39.95	5	-4.04	5	-0.04	1
4500	-768	-752	Max	0.00	-282.02	5	0.45	5	0.12	1	57.75	5	4.90	5	0.04	1
4500	-768	-752	Max	21.63	-282.10	5	0.45	5	0.08	5	56.75	5	7.15	5	0.04	1
4500	-768	-752	Min.	0.00	-553.55	5	-0.62	5	-0.11	1	-42.36	5	-5.23	5	-0.05	1
4500	-768	-752	Min.	21.63	-553.63	5	-0.62	5	-0.11	5	-43.36	5	-4.38	5	-0.05	1
4500	-752	-736	Max	0.00	-226.30	5	1.36	1	0.07	5	59.26	5	5.41	5	0.18	1
4500	-752	-736	Max	21.63	-226.38	5	1.36	1	0.26	1	58.26	5	7.65	5	0.18	1
4500	-752	-736	Min.	0.00	-623.22	5	-1.58	1	-0.10	5	-45.99	5	-5.07	5	-0.19	1
4500	-752	-736	Min.	21.63	-623.30	5	-1.58	1	-0.33	1	-46.98	5	-4.65	5	-0.19	1
4500	-736	-720	Max	0.00	-189.16	5	1.27	1	0.28	5	50.91	5	6.72	5	0.16	1
4500	-736	-720	Max	21.63	-189.24	5	1.27	1	0.12	1	49.91	5	6.84	5	0.16	1
4500	-736	-720	Min.	0.00	-669.91	5	-1.34	1	-0.22	5	-59.17	5	-4.07	5	-0.11	1
4500	-736	-720	Min.	21.63	-670.00	5	-1.34	1	-0.09	1	-60.16	5	-6.18	5	-0.11	1
4500	-720	-704	Max	0.00	-105.98	5	0.50	5	0.10	5	52.50	5	6.94	5	0.04	1
4500	-720	-704	Max	21.63	-106.06	5	0.50	5	0.12	1	51.51	5	6.97	5	0.04	1
4500	-720	-704	Min.	0.00	-740.26	5	-0.52	5	-0.09	5	-63.88	5	-4.28	5	-0.01	1
4500	-720	-704	Min.	21.63	-740.34	5	-0.52	5	-0.11	1	-64.88	5	-6.99	5	-0.01	1
4500	-704	-688	Max	0.00	-9.24	5	0.51	5	0.09	1	53.91	5	7.38	5	0.05	1
4500	-704	-688	Max	21.63	-9.32	5	0.51	5	0.08	5	52.91	5	7.30	5	0.05	1
4500	-704	-688	Min.	0.00	-815.73	5	-0.53	5	-0.10	1	-69.47	5	-4.26	5	-0.02	1
4500	-704	-688	Min.	21.63	-815.81	5	-0.53	5	-0.10	5	-70.46	5	-7.76	5	-0.02	1
4500	-688	-672	Max	0.00	103.60	5	1.30	1	0.05	5	56.15	5	7.98	5	0.15	1
4500	-688	-672	Max	21.63	103.52	5	1.30	1	0.26	1	55.16	5	7.95	5	0.15	1
4500	-688	-672	Min.	0.00	-897.02	5	-1.40	1	-0.09	5	-75.22	5	-4.10	5	-0.11	1
4500	-688	-672	Min.	21.63	-897.11	5	-1.40	1	-0.32	1	-76.21	5	-8.40	5	-0.11	1
4500	-672	-656	Max	0.00	252.88	5	1.06	1	0.24	5	46.87	5	9.70	5	0.09	1
4500	-672	-656	Max	21.63	252.80	5	1.06	1	0.12	1	45.88	5	7.14	5	0.09	1
4500	-672	-656	Min.	0.00	-996.39	5	-1.09	1	-0.19	5	-94.18	5	-2.90	5	-0.04	1
4500	-672	-656	Min.	21.63	-996.47	5	-1.09	1	-0.08	1	-95.17	5	-10.78	5	-0.04	1
4500	-656	-640	Max	0.00	423.13	5	0.43	5	0.09	5	49.00	5	9.99	5	0.03	5
4500	-656	-640	Max	21.63	423.04	5	0.43	5	0.11	1	48.01	5	7.47	5	0.03	5

4500	-656	-640	Min.	0.00	-1079.13	5	-0.39	5	-0.08	5	-102.26	5	-3.03	5	0.01	5
4500	-656	-640	Min.	21.63	-1079.21	5	-0.39	5	-0.09	1	-103.25	5	-12.24	5	0.01	5
4500	-640	-624	Max	0.00	624.51	5	0.42	5	0.08	1	51.27	5	10.51	5	0.04	1
4500	-640	-624	Max	21.63	624.43	5	0.42	5	0.07	5	50.28	5	8.04	5	0.04	1
4500	-640	-624	Min.	0.00	-1170.64	5	-0.39	5	-0.09	1	-111.97	5	-2.94	5	-0.01	1
4500	-640	-624	Min.	21.63	-1170.72	5	-0.39	5	-0.07	5	-112.97	5	-13.82	5	-0.01	1
4500	-624	-608	Max	0.00	863.75	5	1.21	1	0.03	5	54.42	5	11.10	5	0.09	1
4500	-624	-608	Max	21.63	863.67	5	1.21	1	0.25	1	53.43	5	8.93	5	0.09	1
4500	-624	-608	Min.	0.00	-1273.23	5	-1.29	1	-0.06	5	-122.70	5	-2.73	5	-0.06	1
4500	-624	-608	Min.	21.63	-1273.31	5	-1.29	1	-0.30	1	-123.70	5	-15.55	5	-0.06	1
4500	-608	-592	Max	0.00	1133.23	5	1.12	1	0.20	5	52.90	5	12.71	5	0.15	1
4500	-608	-592	Max	21.63	1133.15	5	1.12	1	0.15	1	51.91	5	9.13	5	0.15	1
4500	-608	-592	Min.	0.00	-1362.70	5	-0.92	1	-0.19	5	-145.69	5	-2.21	5	-0.03	1
4500	-608	-592	Min.	21.63	-1362.78	5	-0.92	1	-0.10	1	-146.68	5	-18.92	5	-0.03	1
4500	-592	-576	Max	0.00	1498.79	5	0.59	1	0.06	5	56.38	5	12.89	5	0.16	1
4500	-592	-576	Max	21.63	1498.71	5	0.59	1	0.12	1	55.38	5	10.18	5	0.16	1
4500	-592	-576	Min.	0.00	-1487.46	5	-0.33	1	-0.08	5	-161.51	5	-1.90	5	-0.05	1
4500	-592	-576	Min.	21.63	-1487.54	5	-0.33	1	-0.09	1	-162.51	5	-22.16	5	-0.05	1
4500	-576	-560	Max	0.00	1943.77	5	0.45	5	-0.00	1	62.97	5	12.57	5	0.16	1
4500	-576	-560	Max	21.63	1943.68	5	0.45	5	0.07	5	61.97	5	12.21	5	0.16	1
4500	-576	-560	Min.	0.00	-1633.09	5	-0.20	5	-0.04	1	-183.51	5	-1.31	5	-0.06	1
4500	-576	-560	Min.	21.63	-1633.17	5	-0.20	5	-0.06	5	-184.51	5	-27.24	5	-0.06	1
4500	-560	4296	Max	0.00	2424.30	5	0.88	5	0.06	1	55.04	5	5.56	5	0.15	1
4500	-560	4296	Max	21.63	2424.22	5	0.88	5	0.22	5	54.05	5	14.42	5	0.15	1
4500	-560	4296	Min.	0.00	-1774.81	5	-0.49	5	-0.12	1	-186.60	5	2.62	5	-0.05	1
4500	-560	4296	Min.	21.63	-1774.89	5	-0.49	5	-0.20	5	-187.60	5	-34.92	5	-0.05	1
4500	4296	-544	Max	0.00	203.04	1	7.02	1	0.84	1	33.60	5	0.75	1	0.08	1
4500	4296	-544	Max	16.72	202.98	1	7.02	1	0.55	1	32.86	5	3.27	5	0.08	1
4500	4296	-544	Min.	0.00	-114.89	1	-9.55	1	-0.62	1	-15.22	5	-2.88	1	-0.10	1
4500	4296	-544	Min.	16.72	-114.95	1	-9.55	1	-0.76	1	-15.96	5	-2.45	5	-0.10	1
4500	-544	-528	Max	0.00	118.97	1	7.55	1	0.86	1	19.25	1	1.37	1	0.16	1
4500	-544	-528	Max	10.46					0.06	7			0.39	7		
4500	-544	-528	Max	16.72	118.91	1	7.55	1	0.62	1	18.50	1	1.23	1	0.16	1
4500	-544	-528	Min.	0.00	-65.51	1	-10.18	1	-0.64	1	-11.44	1	-2.03	1	-0.19	1
4500	-544	-528	Min.	10.46					-0.11	7			-0.28	7		
4500	-544	-528	Min.	16.72	-65.57	1	-10.18	1	-0.84	1	-12.18	1	-0.70	1	-0.19	1
4500	-528	3320	Max	0.00	40.58	1	6.16	1	0.73	1	20.44	1	1.05	1	0.19	1
4500	-528	3320	Max	16.72	40.52	1	6.16	1	0.51	1	19.70	1	1.77	1	0.19	1
4500	-528	3320	Min.	0.00	-20.08	1	-8.68	1	-0.52	1	-13.03	1	-1.58	1	-0.22	1
4500	-528	3320	Min.	16.72	-20.14	1	-8.68	1	-0.72	1	-13.77	1	-1.19	1	-0.22	1
6002	-513	-514	Max	0.00	0.39	5	26.34	1	1.82	1	-0.58	1	0.08	1	0.68	1
6002	-513	-514	Max	12.00	0.39	5	26.34	1	1.79	1	1.02	1	0.11	1	0.68	1
6002	-513	-514	Min.	0.00	-0.76	5	-34.71	1	-1.37	1	-0.65	1	-0.09	1	-0.59	1
6002	-513	-514	Min.	12.00	-0.76	5	-34.71	1	-2.34	1	0.95	1	-0.07	1	-0.59	1
6003	-529	-530	Max	0.00	1.61	1	15.47	1	1.21	1	1.71	1	0.05	5	0.12	1
6003	-529	-530	Max	12.00	1.61	1	15.47	1	0.93	1	2.18	1	0.22	1	0.12	1
6003	-529	-530	Min.	0.00	-1.20	1	-20.11	1	-0.93	1	-2.53	1	-0.02	5	-0.11	1
6003	-529	-530	Min.	12.00	-1.20	1	-20.11	1	-1.20	1	-2.06	1	-0.24	1	-0.11	1
6004	313	314	Max	1.77	2.20	5	2.36	1	0.27	1	3.56	1	0.13	1	0.32	1
6004	313	314	Max	15.00	2.20	5	2.36	1	0.02	5	2.62	1	-0.12	5	0.32	1
6004	313	314	Min.	1.77	-12.45	5	-2.00	1	-0.30	1	-1.49	1	-0.62	1	-0.25	1
6004	313	314	Min.	15.00	-12.45	5	-2.00	1	0.00	5	-2.43	1	-0.22	5	-0.25	1
6004	314	315	Max	0.00	2.20	5	2.36	1	0.02	5	2.62	1	-0.12	5	0.32	1
6004	314	315	Max	0.83					0.01	7			-0.13	7		
6004	314	315	Max	13.23	2.20	5	2.36	1	0.32	1	1.68	1	0.07	1	0.32	1
6004	314	315	Min.	0.00	-12.45	5	-2.00	1	0.00	5	-2.43	1	-0.22	5	-0.25	1
6004	314	315	Min.	0.83					0.01	7			-0.21	7		
6004	314	315	Min.	13.23	-12.45	5	-2.00	1	-0.26	1	-3.37	1	-0.51	1	-0.25	1
6005	-1	-2	Max	2.83	23.80	1	0.73	1	0.07	1	23.17	1	2.95	1	0.00	5

6005	-1	-2	Max	26.15	23.80	1	0.73	1	0.09	1	21.34	1	2.62	1	0.00	5
6005	-1	-2	Min.	2.83	17.78	1	-0.55	1	-0.08	1	-23.73	1	-2.57	1	-0.00	5
6005	-1	-2	Min.	26.15	17.78	1	-0.55	1	-0.06	1	-25.56	1	-2.80	1	-0.00	5
6006	-33	-34	Max	2.83	6.25	1	0.11	1	0.02	5	37.47	1	4.88	1	0.03	1
6006	-33	-34	Max	25.84	6.25	1	0.11	1	0.03	5	35.66	1	4.27	1	0.03	1
6006	-33	-34	Min.	2.83	3.54	1	-0.08	1	-0.02	5	-40.40	1	-4.14	1	-0.03	1
6006	-33	-34	Min.	25.84	3.54	1	-0.08	1	-0.02	5	-42.21	1	-4.63	1	-0.03	1
6007	-65	-66	Max	2.83	-0.25	5	0.37	1	0.06	1	32.79	1	4.14	1	0.01	5
6007	-65	-66	Max	13.49					-0.02	7			0.07	7		
6007	-65	-66	Max	25.22	-0.25	5	0.37	1	0.05	1	31.91	1	3.57	1	0.01	5
6007	-65	-66	Min.	2.83	-0.94	5	-0.42	1	-0.04	1	-36.36	1	-3.67	1	-0.01	5
6007	-65	-66	Min.	13.49					0.02	7			-0.03	7		
6007	-65	-66	Min.	25.22	-0.94	5	-0.42	1	-0.05	1	-37.24	1	-4.10	1	-0.01	5
6008	-97	-98	Max	2.83	0.24	5	0.52	1	0.08	1	42.41	1	5.23	1	0.01	5
6008	-97	-98	Max	13.65					-0.02	7			0.02	7		
6008	-97	-98	Max	24.59	0.24	5	0.52	1	0.07	1	41.56	1	4.51	1	0.01	5
6008	-97	-98	Min.	2.83	-0.28	5	-0.59	1	-0.06	1	-47.37	1	-4.62	1	-0.01	5
6008	-97	-98	Min.	13.65					0.03	7			0.01	7		
6008	-97	-98	Min.	24.59	-0.28	5	-0.59	1	-0.07	1	-48.22	1	-5.17	1	-0.01	5
6009	-129	-130	Max	2.83	0.15	5	0.60	1	0.08	1	46.01	1	5.52	1	0.01	5
6009	-129	-130	Max	13.36					-0.02	7			0.01	7		
6009	-129	-130	Max	23.97	0.15	5	0.60	1	0.08	1	45.18	1	4.76	1	0.01	5
6009	-129	-130	Min.	2.83	-0.32	5	-0.68	1	-0.07	1	-51.52	1	-4.88	1	-0.01	5
6009	-129	-130	Min.	13.36					0.03	7			0.01	7		
6009	-129	-130	Min.	23.97	-0.32	5	-0.68	1	-0.08	1	-52.35	1	-5.45	1	-0.01	5
6010	-161	-162	Max	2.83	0.15	5	0.64	1	0.09	1	48.26	1	5.63	1	0.01	5
6010	-161	-162	Max	13.26					-0.02	7			0.01	7		
6010	-161	-162	Max	23.34	0.15	5	0.64	1	0.08	1	47.46	1	4.85	1	0.01	5
6010	-161	-162	Min.	2.83	-0.31	5	-0.73	1	-0.07	1	-54.16	1	-4.97	1	-0.01	5
6010	-161	-162	Min.	13.26					0.03	7			0.00	7		
6010	-161	-162	Min.	23.34	-0.31	5	-0.73	1	-0.08	1	-54.96	1	-5.56	1	-0.01	5
6011	-193	-194	Max	2.83	0.15	5	0.67	1	0.09	1	50.26	1	5.70	1	0.01	5
6011	-193	-194	Max	12.95					0.03	7			0.01	7		
6011	-193	-194	Max	22.72	0.15	5	0.67	1	0.08	1	49.48	1	4.90	1	0.01	5
6011	-193	-194	Min.	2.83	-0.32	5	-0.76	1	-0.07	1	-56.51	1	-5.02	1	-0.01	5
6011	-193	-194	Min.	12.95					-0.02	7			0.00	7		
6011	-193	-194	Min.	22.72	-0.32	5	-0.76	1	-0.08	1	-57.29	1	-5.62	1	-0.01	5
6012	-225	-226	Max	2.83	0.16	5	0.70	1	0.09	1	52.26	1	5.75	1	0.01	5
6012	-225	-226	Max	12.57					0.04	7			0.02	7		
6012	-225	-226	Max	22.09	0.16	5	0.70	1	0.08	1	51.50	1	4.93	1	0.01	5
6012	-225	-226	Min.	2.83	-0.32	5	-0.80	1	-0.07	1	-58.88	1	-5.06	1	-0.01	5
6012	-225	-226	Min.	12.57					-0.02	7			-0.01	7		
6012	-225	-226	Min.	22.09	-0.32	5	-0.80	1	-0.08	1	-59.64	1	-5.66	1	-0.01	5
6013	-257	-258	Max	2.83	0.16	5	0.73	1	0.09	1	54.31	1	5.80	1	0.01	5
6013	-257	-258	Max	12.27					0.04	7			0.02	7		
6013	-257	-258	Max	21.47	0.16	5	0.73	1	0.08	1	53.58	1	4.96	1	0.01	5
6013	-257	-258	Min.	2.83	-0.33	5	-0.83	1	-0.07	1	-61.33	1	-5.09	1	-0.01	5
6013	-257	-258	Min.	12.27					-0.02	7			-0.01	7		
6013	-257	-258	Min.	21.47	-0.33	5	-0.83	1	-0.08	1	-62.06	1	-5.70	1	-0.01	5
6014	-289	-290	Max	2.83	0.17	5	0.76	1	0.09	1	56.44	1	5.84	1	0.01	5
6014	-289	-290	Max	11.96					0.04	7			0.02	7		
6014	-289	-290	Max	20.84	0.17	5	0.76	1	0.08	1	55.74	1	4.98	1	0.01	5
6014	-289	-290	Min.	2.83	-0.34	5	-0.87	1	-0.07	1	-63.88	1	-5.12	1	-0.01	5
6014	-289	-290	Min.	11.96					-0.03	7			-0.01	7		
6014	-289	-290	Min.	20.84	-0.34	5	-0.87	1	-0.08	1	-64.58	1	-5.73	1	-0.01	5
6015	-321	-322	Max	2.83	0.17	5	0.80	1	0.09	1	58.66	1	5.87	1	0.01	5
6015	-321	-322	Max	11.66					0.04	7			0.02	7		
6015	-321	-322	Max	20.22	0.17	5	0.80	1	0.08	1	57.98	1	5.00	1	0.01	5
6015	-321	-322	Min.	2.83	-0.34	5	-0.91	1	-0.07	1	-66.54	1	-5.14	1	-0.01	5

6015	-321	-322	Min.	11.66					-0.03	7			-0.01	7		
6015	-321	-322	Min.	20.22	-0.34	5	-0.91	1	-0.08	1	-67.22	1	-5.76	1	-0.01	5
6016	-353	-354	Max	2.83	0.23	5	0.83	1	0.09	1	60.96	1	5.90	1	0.01	5
6016	-353	-354	Max	11.35					0.04	7			0.01	7		
6016	-353	-354	Max	19.59	0.23	5	0.83	1	0.08	1	60.31	1	5.01	1	0.01	5
6016	-353	-354	Min.	2.83	-0.41	5	-0.95	1	-0.07	1	-69.33	1	-5.15	1	-0.01	5
6016	-353	-354	Min.	11.35					-0.03	7			-0.01	7		
6016	-353	-354	Min.	19.59	-0.41	5	-0.95	1	-0.08	1	-69.98	1	-5.78	1	-0.01	5
6017	-385	-386	Max	2.83	0.11	5	0.86	1	0.09	1	63.34	1	5.92	1	0.01	5
6017	-385	-386	Max	10.87					0.04	7			0.02	7		
6017	-385	-386	Max	18.97	0.11	5	0.86	1	0.08	1	62.71	1	5.01	1	0.01	5
6017	-385	-386	Min.	2.83	-0.19	5	-0.99	1	-0.07	1	-72.22	1	-5.16	1	-0.01	5
6017	-385	-386	Min.	10.87					-0.03	7			0.00	7		
6017	-385	-386	Min.	18.97	-0.19	5	-0.99	1	-0.08	1	-72.85	1	-5.79	1	-0.01	5
6018	-417	-418	Max	2.83	2.84	5	0.89	1	0.09	1	65.66	1	5.91	1	0.01	5
6018	-417	-418	Max	10.71					-0.02	7			0.00	7		
6018	-417	-418	Max	18.34	2.84	5	0.89	1	0.08	1	65.05	1	5.00	1	0.01	5
6018	-417	-418	Min.	2.83	-3.70	5	-1.02	1	-0.07	1	-75.04	1	-5.14	1	-0.01	5
6018	-417	-418	Min.	10.71					0.04	7			0.00	7		
6018	-417	-418	Min.	18.34	-3.70	5	-1.02	1	-0.08	1	-75.65	1	-5.78	1	-0.01	5
6019	-449	-450	Max	2.83	22.39	5	0.89	1	0.09	1	66.83	1	5.82	1	0.01	5
6019	-449	-450	Max	10.18					0.03	7			0.14	7		
6019	-449	-450	Max	17.72	22.39	5	0.89	1	0.08	1	66.24	1	4.82	1	0.01	5
6019	-449	-450	Min.	2.83	-17.86	5	-1.02	1	-0.07	1	-76.57	1	-5.09	1	-0.01	5
6019	-449	-450	Min.	10.18					-0.02	7			-0.16	7		
6019	-449	-450	Min.	17.72	-17.86	5	-1.02	1	-0.08	1	-77.16	1	-5.64	1	-0.01	5
6020	-481	-482	Max	2.83	105.48	5	0.79	1	0.07	1	60.63	1	5.33	1	0.01	5
6020	-481	-482	Max	10.14					0.03	7			1.13	7		
6020	-481	-482	Max	17.09	105.48	5	0.79	1	0.07	1	60.07	1	4.65	1	0.01	5
6020	-481	-482	Min.	2.83	-133.75	5	-0.86	1	-0.06	1	-69.08	1	-4.46	1	-0.01	5
6020	-481	-482	Min.	10.14					-0.02	7			-0.89	7		
6020	-481	-482	Min.	17.09	-133.75	5	-0.86	1	-0.06	1	-69.64	1	-5.06	1	-0.01	5
6024	-489	-490	Max	3.53	161.54	5	0.75	1	0.05	1	53.14	1	4.21	1	0.01	5
6024	-489	-490	Max	17.80	161.54	5	0.75	1	0.06	1	52.58	1	3.86	1	0.01	5
6024	-489	-490	Min.	3.53	-97.49	5	-0.63	1	-0.05	1	-64.29	1	-3.95	1	-0.01	5
6024	-489	-490	Min.	17.80	-97.49	5	-0.63	1	-0.05	1	-64.85	1	-5.27	1	-0.01	5
6025	-457	-458	Max	3.53	16.39	5	0.93	1	0.06	1	59.01	1	5.41	1	0.01	5
6025	-457	-458	Max	18.42	16.39	5	0.93	1	0.08	1	58.43	1	4.41	1	0.01	5
6025	-457	-458	Min.	3.53	-27.41	5	-0.75	1	-0.07	1	-71.84	1	-4.33	1	-0.01	5
6025	-457	-458	Min.	18.42	-27.41	5	-0.75	1	-0.06	1	-72.42	1	-5.33	1	-0.01	5
6026	-425	-426	Max	3.53	4.36	5	0.94	1	0.07	1	58.04	1	5.41	1	0.01	5
6026	-425	-426	Max	11.48					-0.02	7			0.02	7		
6026	-425	-426	Max	19.05	4.36	5	0.94	1	0.09	1	57.43	1	4.52	1	0.01	5
6026	-425	-426	Min.	3.53	-2.72	5	-0.76	1	-0.07	1	-70.35	1	-4.43	1	-0.01	5
6026	-425	-426	Min.	11.48					0.04	7			-0.04	7		
6026	-425	-426	Min.	19.05	-2.72	5	-0.76	1	-0.06	1	-70.96	1	-5.55	1	-0.01	5
6027	-393	-394	Max	3.53	0.08	5	0.91	1	0.07	1	56.11	1	5.44	1	0.01	5
6027	-393	-394	Max	11.80					-0.02	7			0.04	7		
6027	-393	-394	Max	19.67	0.08	5	0.91	1	0.09	1	55.48	1	4.54	1	0.01	5
6027	-393	-394	Min.	3.53	-0.30	5	-0.74	1	-0.07	1	-67.77	1	-4.46	1	-0.01	5
6027	-393	-394	Min.	11.80					0.04	7			-0.05	7		
6027	-393	-394	Min.	19.67	-0.30	5	-0.74	1	-0.06	1	-68.40	1	-5.55	1	-0.01	5
6028	-361	-362	Max	3.53	0.33	5	0.87	1	0.07	1	54.10	1	5.43	1	0.01	5
6028	-361	-362	Max	12.13					-0.02	7			0.04	7		
6028	-361	-362	Max	20.30	0.33	5	0.87	1	0.09	1	53.44	1	4.55	1	0.01	5
6028	-361	-362	Min.	3.53	-0.30	5	-0.71	1	-0.07	1	-65.10	1	-4.47	1	-0.01	5
6028	-361	-362	Min.	12.13					0.04	7			-0.05	7		
6028	-361	-362	Min.	20.30	-0.30	5	-0.71	1	-0.06	1	-65.75	1	-5.54	1	-0.01	5
6029	-329	-330	Max	3.53	0.24	5	0.83	1	0.07	1	52.14	1	5.41	1	0.01	5

6029	-329	-330	Max	12.45					-0.02	7			0.04	7		
6029	-329	-330	Max	20.92	0.24	5	0.83	1	0.09	1	51.45	1	4.54	1	0.01	5
6029	-329	-330	Min.	3.53	-0.25	5	-0.68	1	-0.07	1	-62.52	1	-4.47	1	-0.01	5
6029	-329	-330	Min.	12.45					0.04	7			-0.05	7		
6029	-329	-330	Min.	20.92	-0.25	5	-0.68	1	-0.06	1	-63.20	1	-5.52	1	-0.01	5
6030	-297	-298	Max	3.53	0.24	5	0.80	1	0.07	1	50.24	1	5.39	1	0.01	5
6030	-297	-298	Max	12.77					-0.02	7			0.04	7		
6030	-297	-298	Max	21.55	0.24	5	0.80	1	0.09	1	49.53	1	4.53	1	0.01	5
6030	-297	-298	Min.	3.53	-0.25	5	-0.66	1	-0.07	1	-60.05	1	-4.46	1	-0.01	5
6030	-297	-298	Min.	12.77					0.04	7			-0.05	7		
6030	-297	-298	Min.	21.55	-0.25	5	-0.66	1	-0.06	1	-60.76	1	-5.49	1	-0.01	5
6031	-265	-266	Max	3.53	0.23	5	0.77	1	0.07	1	48.40	1	5.36	1	0.01	5
6031	-265	-266	Max	13.09					-0.02	7			0.04	7		
6031	-265	-266	Max	22.17	0.23	5	0.77	1	0.09	1	47.67	1	4.51	1	0.01	5
6031	-265	-266	Min.	3.53	-0.25	5	-0.63	1	-0.07	1	-57.68	1	-4.44	1	-0.01	5
6031	-265	-266	Min.	13.09					0.04	7			-0.05	7		
6031	-265	-266	Min.	22.17	-0.25	5	-0.63	1	-0.06	1	-58.41	1	-5.46	1	-0.01	5
6032	-233	-234	Max	3.53	0.23	5	0.74	1	0.07	1	46.62	1	5.32	1	0.01	5
6032	-233	-234	Max	13.41					-0.02	7			0.04	7		
6032	-233	-234	Max	22.80	0.23	5	0.74	1	0.09	1	45.86	1	4.48	1	0.01	5
6032	-233	-234	Min.	3.53	-0.24	5	-0.61	1	-0.07	1	-55.41	1	-4.42	1	-0.01	5
6032	-233	-234	Min.	13.41					0.04	7			-0.05	7		
6032	-233	-234	Min.	22.80	-0.24	5	-0.61	1	-0.06	1	-56.16	1	-5.42	1	-0.01	5
6033	-201	-202	Max	3.53	0.22	5	0.70	1	0.07	1	44.88	1	5.28	1	0.01	5
6033	-201	-202	Max	13.73					-0.02	7			0.04	7		
6033	-201	-202	Max	23.42	0.22	5	0.70	1	0.08	1	44.10	1	4.45	1	0.01	5
6033	-201	-202	Min.	3.53	-0.24	5	-0.58	1	-0.07	1	-53.20	1	-4.40	1	-0.01	5
6033	-201	-202	Min.	13.73					0.04	7			-0.04	7		
6033	-201	-202	Min.	23.42	-0.24	5	-0.58	1	-0.06	1	-53.98	1	-5.38	1	-0.01	5
6034	-169	-170	Max	3.53	0.22	5	0.67	1	0.06	1	43.12	1	5.22	1	0.01	5
6034	-169	-170	Max	14.05					-0.02	7			0.04	7		
6034	-169	-170	Max	24.05	0.22	5	0.67	1	0.08	1	42.32	1	4.41	1	0.01	5
6034	-169	-170	Min.	3.53	-0.24	5	-0.55	1	-0.07	1	-50.99	1	-4.36	1	-0.01	5
6034	-169	-170	Min.	14.05					0.03	7			-0.04	7		
6034	-169	-170	Min.	24.05	-0.24	5	-0.55	1	-0.06	1	-51.80	1	-5.32	1	-0.01	5
6035	-137	-138	Max	3.53	0.21	5	0.63	1	0.06	1	41.13	1	5.13	1	0.01	5
6035	-137	-138	Max	14.37					-0.02	7			0.04	7		
6035	-137	-138	Max	24.67	0.21	5	0.63	1	0.08	1	40.30	1	4.33	1	0.01	5
6035	-137	-138	Min.	3.53	-0.24	5	-0.52	1	-0.06	1	-48.52	1	-4.28	1	-0.01	5
6035	-137	-138	Min.	14.37					0.03	7			-0.04	7		
6035	-137	-138	Min.	24.67	-0.24	5	-0.52	1	-0.06	1	-49.35	1	-5.22	1	-0.01	5
6036	-105	-106	Max	3.53	0.33	5	0.55	1	0.06	1	37.92	1	4.86	1	0.01	5
6036	-105	-106	Max	14.69					-0.02	7			0.04	7		
6036	-105	-106	Max	25.30	0.33	5	0.55	1	0.07	1	37.07	1	4.10	1	0.01	5
6036	-105	-106	Min.	3.53	-0.23	5	-0.46	1	-0.06	1	-44.60	1	-4.06	1	-0.01	5
6036	-105	-106	Min.	14.69					0.03	7			-0.03	7		
6036	-105	-106	Min.	25.30	-0.23	5	-0.46	1	-0.05	1	-45.46	1	-4.94	1	-0.01	5
6037	-73	-74	Max	3.53	-0.52	5	0.40	1	0.04	1	29.31	1	3.84	1	0.01	5
6037	-73	-74	Max	14.84					-0.02	7			0.02	7		
6037	-73	-74	Max	25.92	-0.52	5	0.40	1	0.05	1	28.43	1	3.24	1	0.01	5
6037	-73	-74	Min.	3.53	-0.76	5	-0.34	1	-0.04	1	-34.21	1	-3.22	1	-0.01	5
6037	-73	-74	Min.	14.84					0.02	7			-0.01	7		
6037	-73	-74	Min.	25.92	-0.76	5	-0.34	1	-0.04	1	-35.09	1	-3.92	1	-0.01	5
6038	-41	-42	Max	3.53	10.68	5	0.05	1	0.02	5	33.21	1	4.56	1	0.03	1
6038	-41	-42	Max	15.61					-0.00	3			0.39	3		
6038	-41	-42	Max	26.55	10.68	5	0.05	1	0.03	5	31.40	1	3.87	1	0.03	1
6038	-41	-42	Min.	3.53	2.47	5	-0.05	1	-0.01	5	-37.83	1	-3.57	1	-0.02	1
6038	-41	-42	Min.	15.61					0.01	3			-0.06	3		
6038	-41	-42	Min.	26.55	2.47	5	-0.05	1	-0.02	5	-39.63	1	-4.35	1	-0.02	1

6039	-9	-10	Max	3.53	42.84	5	0.56	1	0.09	1	20.01	1	2.72	1	0.00	1
6039	-9	-10	Max	26.86	42.84	5	0.56	1	0.07	1	18.18	1	2.30	1	0.00	1
6039	-9	-10	Min.	3.53	9.79	5	-0.74	1	-0.07	1	-21.76	1	-2.15	1	-0.00	1
6039	-9	-10	Min.	26.86	9.79	5	-0.74	1	-0.09	1	-23.59	1	-2.57	1	-0.00	1
6040	337	338	Max	1.77	-4.37	5	2.66	1	-0.04	1	2.25	1	0.24	1	0.25	1
6040	337	338	Max	15.00	-4.37	5	1.72	1	-0.09	5	2.25	1	0.02	5	0.25	1
6040	337	338	Min.	1.77	-9.07	5	-0.85	1	-0.52	1	-1.82	1	-0.29	1	-0.33	1
6040	337	338	Min.	15.00	-9.07	5	-1.79	1	-0.35	5	-1.82	1	-0.00	5	-0.33	1
6040	338	339	Max	0.00	-4.37	5	1.72	1	-0.09	5	2.25	1	0.02	5	0.25	1
6040	338	339	Max	2.65					-0.09	7			0.02	7		
6040	338	339	Max	13.23	-4.37	5	0.78	1	-0.03	5	2.25	1	0.31	1	0.25	1
6040	338	339	Min.	0.00	-9.07	5	-1.79	1	-0.35	5	-1.82	1	-0.00	5	-0.33	1
6040	338	339	Min.	2.65					-0.36	7			0.01	7		
6040	338	339	Min.	13.23	-9.07	5	-2.73	1	-0.55	5	-1.82	1	-0.24	1	-0.33	1
6041	-593	-594	Max	0.00	3.86	1	20.61	5	0.57	5	3.99	1	0.19	1	0.08	1
6041	-593	-594	Max	12.00	3.86	1	20.61	5	2.04	5	5.95	1	0.57	1	0.08	1
6041	-593	-594	Min.	0.00	-3.89	1	-22.62	5	-0.43	5	-32.30	1	-0.03	1	-0.36	1
6041	-593	-594	Min.	12.00	-3.89	1	-22.62	5	-2.14	5	-30.34	1	-3.57	1	-0.36	1
6041	-595	-596	Max	0.00	70.71	5	14.60	1	1.17	1	13.32	1	18.46	1	0.17	1
6041	-595	-596	Max	12.00	70.71	5	14.60	1	0.89	1	15.28	1	20.13	1	0.17	1
6041	-595	-596	Min.	0.00	-6.71	5	-16.47	1	-0.88	1	-17.12	1	17.68	1	-0.22	1
6041	-595	-596	Min.	12.00	-6.71	5	-16.47	1	-0.82	1	-15.16	1	15.79	1	-0.22	1
6041	-597	-598	Max	0.00	70.75	5	16.81	1	0.85	1	15.39	1	20.13	1	0.22	1
6041	-597	-598	Max	12.00	70.75	5	16.81	1	1.19	1	17.35	1	18.47	1	0.22	1
6041	-597	-598	Min.	0.00	-6.85	5	-14.11	1	-0.83	1	-15.14	1	15.79	1	-0.17	1
6041	-597	-598	Min.	12.00	-6.85	5	-14.11	1	-0.84	1	-13.18	1	17.70	1	-0.17	1
6041	-599	-600	Max	0.00	3.84	1	22.16	5	2.04	5	30.38	1	0.56	1	0.36	1
6041	-599	-600	Max	12.00	3.84	1	22.16	5	0.56	5	32.34	1	0.18	1	0.36	1
6041	-599	-600	Min.	0.00	-3.87	1	-20.57	5	-2.10	5	-5.85	1	-3.58	1	-0.08	1
6041	-599	-600	Min.	12.00	-3.87	1	-20.57	5	-0.43	5	-3.89	1	-0.02	1	-0.08	1
6042	-657	-658	Max	0.00	4.64	1	15.62	5	0.61	5	-19.63	1	0.54	1	-0.01	5
6042	-657	-658	Max	2.55					-0.24	3			0.01	3		
6042	-657	-658	Max	12.00	4.64	1	15.62	5	2.38	5	-17.67	1	-1.70	1	-0.01	5
6042	-657	-658	Min.	0.00	-4.62	1	-20.69	5	-0.43	5	-25.50	1	-0.51	1	-0.09	5
6042	-657	-658	Min.	2.55					0.28	3			-1.11	3		
6042	-657	-658	Min.	12.00	-4.62	1	-20.69	5	-2.81	5	-23.54	1	-3.45	1	-0.09	5
6042	-659	-660	Max	0.00	31.91	5	12.30	1	5.38	5	4.75	1	12.89	1	-0.00	1
6042	-659	-660	Max	5.81					-1.38	3			12.55	3		
6042	-659	-660	Max	12.00	31.91	5	12.30	1	4.89	5	6.71	1	12.63	1	-0.00	1
6042	-659	-660	Min.	0.00	-64.90	5	-15.82	1	-5.05	5	-3.14	1	9.45	1	-0.05	1
6042	-659	-660	Min.	5.81					1.51	3			9.94	3		
6042	-659	-660	Min.	12.00	-64.90	5	-15.82	1	-4.99	5	-1.18	1	10.14	1	-0.05	1
6042	-661	-662	Max	0.00	31.95	5	16.36	1	4.85	5	1.26	1	12.63	1	0.05	1
6042	-661	-662	Max	6.18					-1.38	3			12.56	3		
6042	-661	-662	Max	12.00	31.95	5	16.36	1	5.41	5	3.22	1	12.90	1	0.05	1
6042	-661	-662	Min.	0.00	-64.98	5	-12.42	1	-4.97	5	-6.69	1	10.14	1	0.00	1
6042	-661	-662	Min.	6.18					1.50	3			9.94	3		
6042	-661	-662	Min.	12.00	-64.98	5	-12.42	1	-5.06	5	-4.73	1	9.46	1	0.00	1
6042	-663	-664	Max	0.00	4.64	1	21.19	5	2.44	5	23.60	1	-1.70	1	0.10	5
6042	-663	-664	Max	9.45					-0.24	3			0.01	3		
6042	-663	-664	Max	12.00	4.64	1	21.19	5	0.60	5	25.56	1	0.54	1	0.10	5
6042	-663	-664	Min.	0.00	-4.61	1	-16.25	5	-2.86	5	17.63	1	-3.45	1	0.01	5
6042	-663	-664	Min.	9.45					0.28	3			-1.11	3		
6042	-663	-664	Min.	12.00	-4.61	1	-16.25	5	-0.43	5	19.59	1	-0.50	1	0.01	5
6043	-721	-722	Max	0.00	5.09	1	24.12	5	0.60	5	-16.51	5	0.82	1	-0.02	1
6043	-721	-722	Max	12.00	5.09	1	24.12	5	2.45	5	-14.55	5	-1.17	1	-0.02	1
6043	-721	-722	Min.	0.00	-5.11	1	-30.56	5	-0.45	5	-19.57	5	-0.70	1	-0.03	1
6043	-721	-722	Min.	12.00	-5.11	1	-30.56	5	-3.07	5	-17.60	5	-2.80	1	-0.03	1
6043	-723	-724	Max	0.00	74.63	5	8.55	1	0.42	1	0.57	5	15.00	1	-0.01	1

6043	-723	-724	Max	12.00	74.63	5	8.55	1	0.37	1	2.53	5	15.14	1	-0.01	1
6043	-723	-724	Min.	0.00	30.61	5	-9.25	1	-0.66	1	-0.05	5	12.27	1	-0.02	1
6043	-723	-724	Min.	12.00	30.61	5	-9.25	1	-0.69	1	1.91	5	12.44	1	-0.02	1
6043	-725	-726	Max	0.00	74.71	5	9.39	1	0.35	1	-1.84	5	15.13	1	0.02	1
6043	-725	-726	Max	12.00	74.71	5	9.39	1	0.43	1	0.12	5	15.00	1	0.02	1
6043	-725	-726	Min.	0.00	30.50	5	-8.23	1	-0.70	1	-2.53	5	12.44	1	0.01	1
6043	-725	-726	Min.	12.00	30.50	5	-8.23	1	-0.63	1	-0.57	5	12.28	1	0.01	1
6043	-727	-728	Max	0.00	5.08	1	30.30	5	2.45	5	17.59	5	-1.16	1	0.04	1
6043	-727	-728	Max	12.00	5.08	1	30.30	5	0.60	5	19.55	5	0.82	1	0.04	1
6043	-727	-728	Min.	0.00	-5.10	1	-24.09	5	-3.04	5	14.56	5	-2.81	1	0.02	1
6043	-727	-728	Min.	12.00	-5.10	1	-24.09	5	-0.44	5	16.52	5	-0.70	1	0.02	1
6044	-785	-786	Max	0.00	5.02	1	15.11	5	0.47	5	-19.27	1	0.86	1	0.01	5
6044	-785	-786	Max	12.00	5.02	1	15.11	5	2.28	5	-17.31	1	-1.34	1	0.01	5
6044	-785	-786	Min.	0.00	-5.39	1	-15.21	5	-0.47	5	-25.44	1	-0.85	1	-0.01	5
6044	-785	-786	Min.	12.00	-5.39	1	-15.21	5	-2.29	5	-23.48	1	-3.79	1	-0.01	5
6044	-787	-788	Max	0.00	-161.51	1	3.30	5	5.04	5	3.22	1	11.37	1	0.00	5
6044	-787	-788	Max	12.00	-161.51	1	3.30	5	4.65	5	5.18	1	10.71	1	0.00	5
6044	-787	-788	Min.	0.00	-177.03	1	-3.21	5	-5.04	5	-6.49	1	8.16	1	0.00	5
6044	-787	-788	Min.	12.00	-177.03	1	-3.21	5	-4.65	5	-4.53	1	8.66	1	0.00	5
6044	-789	-790	Max	0.00	-161.45	1	3.50	5	4.63	5	4.54	1	10.71	1	0.00	5
6044	-789	-790	Max	12.00	-161.45	1	3.50	5	5.05	5	6.51	1	11.37	1	0.00	5
6044	-789	-790	Min.	0.00	-177.08	1	-3.38	5	-4.64	5	-5.10	1	8.66	1	0.00	5
6044	-789	-790	Min.	12.00	-177.08	1	-3.38	5	-5.04	5	-3.14	1	8.16	1	0.00	5
6044	-791	-792	Max	0.00	5.02	1	15.31	5	2.30	5	23.65	1	-1.31	1	0.01	5
6044	-791	-792	Max	12.00	5.02	1	15.31	5	0.46	5	25.61	1	0.86	1	0.01	5
6044	-791	-792	Min.	0.00	-5.39	1	-15.30	5	-2.30	5	17.10	1	-3.81	1	-0.01	5
6044	-791	-792	Min.	12.00	-5.39	1	-15.30	5	-0.46	5	19.06	1	-0.85	1	-0.01	5
6045	-729	-730	Max	0.00	5.08	1	30.59	5	0.45	5	-16.51	5	0.82	1	0.04	1
6045	-729	-730	Max	12.00	5.08	1	30.59	5	3.07	5	-14.55	5	-1.16	1	0.04	1
6045	-729	-730	Min.	0.00	-5.10	1	-24.50	5	-0.60	5	-19.55	5	-0.69	1	0.02	1
6045	-729	-730	Min.	12.00	-5.10	1	-24.50	5	-2.49	5	-17.59	5	-2.81	1	0.02	1
6045	-731	-732	Max	0.00	74.74	5	8.82	1	0.60	1	0.56	5	15.00	1	0.02	1
6045	-731	-732	Max	12.00	74.74	5	8.82	1	0.67	1	2.52	5	15.14	1	0.02	1
6045	-731	-732	Min.	0.00	30.50	5	-7.76	1	-0.39	1	-0.08	5	12.28	1	0.01	1
6045	-731	-732	Min.	12.00	30.50	5	-7.76	1	-0.33	1	1.88	5	12.43	1	0.01	1
6045	-733	-734	Max	0.00	74.74	5	8.08	1	0.67	1	-1.88	5	15.14	1	-0.01	1
6045	-733	-734	Max	12.00	74.74	5	8.08	1	0.62	1	0.08	5	15.00	1	-0.01	1
6045	-733	-734	Min.	0.00	30.49	5	-8.91	1	-0.35	1	-2.53	5	12.44	1	-0.02	1
6045	-733	-734	Min.	12.00	30.49	5	-8.91	1	-0.40	1	-0.57	5	12.28	1	-0.02	1
6045	-735	-736	Max	0.00	5.08	1	23.96	5	3.03	5	17.57	5	-1.16	1	-0.02	1
6045	-735	-736	Max	12.00	5.08	1	23.96	5	0.44	5	19.53	5	0.82	1	-0.02	1
6045	-735	-736	Min.	0.00	-5.10	1	-30.21	5	-2.43	5	14.57	5	-2.81	1	-0.03	1
6045	-735	-736	Min.	12.00	-5.10	1	-30.21	5	-0.59	5	16.53	5	-0.70	1	-0.03	1
6046	-665	-666	Max	0.00	4.64	1	21.06	5	0.44	5	-19.59	1	0.54	1	0.09	5
6046	-665	-666	Max	2.92					-0.27	3			-0.07	3		
6046	-665	-666	Max	12.00	4.64	1	21.06	5	2.85	5	-17.63	1	-1.70	1	0.09	5
6046	-665	-666	Min.	0.00	-4.61	1	-16.21	5	-0.61	5	-25.55	1	-0.50	1	0.01	5
6046	-665	-666	Min.	2.92					0.24	3			-1.20	3		
6046	-665	-666	Min.	12.00	-4.61	1	-16.21	5	-2.43	5	-23.58	1	-3.45	1	0.01	5
6046	-667	-668	Max	0.00	31.78	5	15.95	1	5.05	5	4.75	1	12.90	1	0.05	1
6046	-667	-668	Max	6.00					-1.50	3			12.55	3		
6046	-667	-668	Max	12.00	31.78	5	15.95	1	4.98	5	6.71	1	12.63	1	0.05	1
6046	-667	-668	Min.	0.00	-64.84	5	-12.20	1	-5.39	5	-3.18	1	9.45	1	0.00	1
6046	-667	-668	Min.	6.00					1.39	3			9.95	3		
6046	-667	-668	Min.	12.00	-64.84	5	-12.20	1	-4.86	5	-1.22	1	10.14	1	0.00	1
6046	-669	-670	Max	0.00	31.81	5	12.18	1	4.97	5	1.21	1	12.63	1	-0.00	1
6046	-669	-670	Max	4.80					-1.30	3			12.53	3		
6046	-669	-670	Max	12.00	31.81	5	12.18	1	5.05	5	3.17	1	12.89	1	-0.00	1
6046	-669	-670	Min.	0.00	-64.87	5	-15.84	1	-4.86	5	-6.70	1	10.14	1	-0.05	1

6046	-669	-670	Min.	4.80					1.24	3			10.02	3		
6046	-669	-670	Min.	12.00	-64.87	5	-15.84	1	-5.39	5	-4.74	1	9.46	1	-0.05	1
6046	-671	-672	Max	0.00	4.63	1	16.21	5	2.85	5	23.59	1	-1.70	1	-0.01	5
6046	-671	-672	Max	7.52					-0.19	3			-0.38	3		
6046	-671	-672	Max	12.00	4.63	1	16.21	5	0.43	5	25.55	1	0.54	1	-0.01	5
6046	-671	-672	Min.	0.00	-4.61	1	-21.13	5	-2.43	5	17.63	1	-3.45	1	-0.09	5
6046	-671	-672	Min.	7.52					0.24	3			-1.58	3		
6046	-671	-672	Min.	12.00	-4.61	1	-21.13	5	-0.60	5	19.59	1	-0.50	1	-0.09	5
6047	-601	-602	Max	0.00	3.84	1	22.22	5	0.43	5	3.82	1	0.18	1	0.36	1
6047	-601	-602	Max	12.00	3.84	1	22.22	5	2.10	5	5.78	1	0.55	1	0.36	1
6047	-601	-602	Min.	0.00	-3.87	1	-20.69	5	-0.56	5	-32.23	1	-0.02	1	-0.08	1
6047	-601	-602	Min.	12.00	-3.87	1	-20.69	5	-2.05	5	-30.26	1	-3.56	1	-0.08	1
6047	-603	-604	Max	0.00	70.85	5	15.98	1	0.81	1	13.19	1	18.47	1	0.22	1
6047	-603	-604	Max	12.00	70.85	5	15.98	1	0.78	1	15.15	1	20.12	1	0.22	1
6047	-603	-604	Min.	0.00	-6.93	5	-13.62	1	-1.14	1	-17.15	1	17.69	1	-0.17	1
6047	-603	-604	Min.	12.00	-6.93	5	-13.62	1	-0.82	1	-15.19	1	15.80	1	-0.17	1
6047	-605	-606	Max	0.00	70.80	5	13.80	1	0.78	1	15.19	1	20.12	1	0.17	1
6047	-605	-606	Max	12.00	70.80	5	13.80	1	0.82	1	17.15	1	18.47	1	0.17	1
6047	-605	-606	Min.	0.00	-6.90	5	-16.05	1	-0.83	1	-15.15	1	15.80	1	-0.22	1
6047	-605	-606	Min.	12.00	-6.90	5	-16.05	1	-1.14	1	-13.19	1	17.69	1	-0.22	1
6047	-607	-608	Max	0.00	3.83	1	20.33	5	2.08	5	30.26	1	0.55	1	0.08	1
6047	-607	-608	Max	12.00	3.83	1	20.33	5	0.42	5	32.22	1	0.19	1	0.08	1
6047	-607	-608	Min.	0.00	-3.87	1	-21.98	5	-2.02	5	-5.78	1	-3.56	1	-0.36	1
6047	-607	-608	Min.	12.00	-3.87	1	-21.98	5	-0.56	5	-3.82	1	-0.02	1	-0.36	1
6048	349	350	Max	1.77	-4.21	5	2.22	1	0.24	1	2.58	1	-0.05	1	0.33	1
6048	349	350	Max	15.00	-4.21	5	2.22	1	0.02	5	1.64	1	-0.10	5	0.33	1
6048	349	350	Min.	1.77	-9.20	5	-1.80	1	-0.28	1	-0.78	1	-0.51	1	-0.25	1
6048	349	350	Min.	15.00	-9.20	5	-1.80	1	-0.00	5	-1.72	1	-0.35	5	-0.25	1
6048	350	351	Max	0.00	-4.21	5	2.22	1	0.02	5	1.64	1	-0.10	5	0.33	1
6048	350	351	Max	1.98					0.02	7			-0.09	7		
6048	350	351	Max	13.23	-4.21	5	2.22	1	0.31	1	0.70	1	-0.03	5	0.33	1
6048	350	351	Min.	0.00	-9.20	5	-1.80	1	-0.00	5	-1.72	1	-0.35	5	-0.25	1
6048	350	351	Min.	1.98					0.01	7			-0.36	7		
6048	350	351	Min.	13.23	-9.20	5	-1.80	1	-0.23	1	-2.66	1	-0.55	5	-0.25	1
6049	-17	-18	Max	2.83	42.77	5	0.74	1	0.07	1	19.76	1	2.72	1	0.01	1
6049	-17	-18	Max	26.15	42.77	5	0.74	1	0.09	1	17.92	1	2.23	1	0.01	1
6049	-17	-18	Min.	2.83	10.05	5	-0.56	1	-0.09	1	-21.39	1	-2.16	1	-0.00	1
6049	-17	-18	Min.	26.15	10.05	5	-0.56	1	-0.07	1	-23.22	1	-2.48	1	-0.00	1
6050	-49	-50	Max	2.83	10.69	5	0.05	1	0.01	5	32.83	1	4.59	1	0.02	1
6050	-49	-50	Max	13.93					-0.01	3			0.32	3		
6050	-49	-50	Max	25.84	10.69	5	0.05	1	0.02	5	31.03	1	3.75	1	0.02	1
6050	-49	-50	Min.	2.83	2.38	5	-0.04	1	-0.02	5	-37.29	1	-3.60	1	-0.03	1
6050	-49	-50	Min.	13.93					0.00	3			0.08	3		
6050	-49	-50	Min.	25.84	2.38	5	-0.04	1	-0.03	5	-39.09	1	-4.20	1	-0.03	1
6051	-81	-82	Max	2.83	-0.45	1	0.34	1	0.04	1	28.94	1	3.85	1	0.01	5
6051	-81	-82	Max	14.02					0.02	7			0.02	7		
6051	-81	-82	Max	25.22	-0.45	1	0.34	1	0.04	1	28.07	1	3.15	1	0.01	5
6051	-81	-82	Min.	2.83	-0.79	1	-0.40	1	-0.04	1	-33.80	1	-3.23	1	-0.01	5
6051	-81	-82	Min.	14.02					-0.02	7			0.01	7		
6051	-81	-82	Min.	25.22	-0.79	1	-0.40	1	-0.05	1	-34.68	1	-3.81	1	-0.01	5
6052	-113	-114	Max	2.83	0.38	5	0.45	1	0.06	1	37.45	1	4.88	1	0.01	5
6052	-113	-114	Max	13.93					-0.03	7			0.02	7		
6052	-113	-114	Max	24.59	0.38	5	0.45	1	0.05	1	36.60	1	3.98	1	0.01	5
6052	-113	-114	Min.	2.83	-0.24	5	-0.55	1	-0.06	1	-44.07	1	-4.07	1	-0.01	5
6052	-113	-114	Min.	13.93					0.02	7			0.00	7		
6052	-113	-114	Min.	24.59	-0.24	5	-0.55	1	-0.07	1	-44.92	1	-4.81	1	-0.01	5
6053	-145	-146	Max	2.83	0.23	5	0.51	1	0.06	1	40.62	1	5.15	1	0.01	5
6053	-145	-146	Max	13.69					-0.03	7			0.03	7		
6053	-145	-146	Max	23.97	0.23	5	0.51	1	0.06	1	39.79	1	4.20	1	0.01	5

6053	-145	-146	Min.	2.83	-0.24	5	-0.62	1	-0.06	1	-47.94	1	-4.30	1	-0.01	5
6053	-145	-146	Min.	13.69					0.02	7			-0.02	7		
6053	-145	-146	Min.	23.97	-0.24	5	-0.62	1	-0.08	1	-48.77	1	-5.07	1	-0.01	5
6054	-177	-178	Max	2.83	0.23	5	0.55	1	0.07	1	42.58	1	5.25	1	0.01	5
6054	-177	-178	Max	14.01					-0.03	7			0.05	7		
6054	-177	-178	Max	23.34	0.23	5	0.55	1	0.06	1	41.78	1	4.28	1	0.01	5
6054	-177	-178	Min.	2.83	-0.24	5	-0.66	1	-0.06	1	-50.38	1	-4.37	1	-0.01	5
6054	-177	-178	Min.	14.01					0.02	7			-0.10	7		
6054	-177	-178	Min.	23.34	-0.24	5	-0.66	1	-0.08	1	-51.19	1	-5.17	1	-0.01	5
6055	-209	-210	Max	2.83	0.23	5	0.57	1	0.07	1	44.31	1	5.31	1	0.01	5
6055	-209	-210	Max	13.69					-0.03	7			0.05	7		
6055	-209	-210	Max	22.72	0.23	5	0.57	1	0.06	1	43.53	1	4.32	1	0.01	5
6055	-209	-210	Min.	2.83	-0.24	5	-0.70	1	-0.06	1	-52.56	1	-4.42	1	-0.01	5
6055	-209	-210	Min.	13.69					0.02	7			-0.10	7		
6055	-209	-210	Min.	22.72	-0.24	5	-0.70	1	-0.08	1	-53.34	1	-5.22	1	-0.01	5
6056	-241	-242	Max	2.83	0.24	5	0.60	1	0.07	1	46.02	1	5.36	1	0.01	5
6056	-241	-242	Max	13.35					-0.04	7			0.05	7		
6056	-241	-242	Max	22.09	0.24	5	0.60	1	0.06	1	45.27	1	4.35	1	0.01	5
6056	-241	-242	Min.	2.83	-0.24	5	-0.73	1	-0.07	1	-54.74	1	-4.45	1	-0.01	5
6056	-241	-242	Min.	13.35					0.02	7			-0.10	7		
6056	-241	-242	Min.	22.09	-0.24	5	-0.73	1	-0.08	1	-55.49	1	-5.26	1	-0.01	5
6057	-273	-274	Max	2.83	0.25	5	0.62	1	0.07	1	47.77	1	5.40	1	0.01	5
6057	-273	-274	Max	13.02					-0.04	7			0.05	7		
6057	-273	-274	Max	21.47	0.25	5	0.62	1	0.06	1	47.04	1	4.37	1	0.01	5
6057	-273	-274	Min.	2.83	-0.25	5	-0.76	1	-0.07	1	-56.98	1	-4.47	1	-0.01	5
6057	-273	-274	Min.	13.02					0.02	7			-0.11	7		
6057	-273	-274	Min.	21.47	-0.25	5	-0.76	1	-0.09	1	-57.72	1	-5.29	1	-0.01	5
6058	-305	-306	Max	2.83	0.26	5	0.65	1	0.07	1	49.58	1	5.43	1	0.01	5
6058	-305	-306	Max	12.69					-0.04	7			0.05	7		
6058	-305	-306	Max	20.84	0.26	5	0.65	1	0.06	1	48.87	1	4.38	1	0.01	5
6058	-305	-306	Min.	2.83	-0.26	5	-0.79	1	-0.07	1	-59.32	1	-4.49	1	-0.01	5
6058	-305	-306	Min.	12.69					0.02	7			-0.11	7		
6058	-305	-306	Min.	20.84	-0.26	5	-0.79	1	-0.09	1	-60.03	1	-5.32	1	-0.01	5
6059	-337	-338	Max	2.83	0.26	5	0.67	1	0.07	1	51.44	1	5.46	1	0.01	5
6059	-337	-338	Max	12.35					-0.04	7			0.05	7		
6059	-337	-338	Max	20.22	0.26	5	0.67	1	0.06	1	50.76	1	4.39	1	0.01	5
6059	-337	-338	Min.	2.83	-0.25	5	-0.82	1	-0.07	1	-61.75	1	-4.50	1	-0.01	5
6059	-337	-338	Min.	12.35					0.02	7			-0.11	7		
6059	-337	-338	Min.	20.22	-0.25	5	-0.82	1	-0.09	1	-62.44	1	-5.34	1	-0.01	5
6060	-369	-370	Max	2.83	0.36	5	0.70	1	0.07	1	53.37	1	5.48	1	0.01	5
6060	-369	-370	Max	12.02					-0.04	7			0.05	7		
6060	-369	-370	Max	19.59	0.36	5	0.70	1	0.06	1	52.71	1	4.39	1	0.01	5
6060	-369	-370	Min.	2.83	-0.31	5	-0.86	1	-0.07	1	-64.29	1	-4.50	1	-0.01	5
6060	-369	-370	Min.	12.02					0.02	7			-0.11	7		
6060	-369	-370	Min.	19.59	-0.31	5	-0.86	1	-0.09	1	-64.95	1	-5.35	1	-0.01	5
6061	-401	-402	Max	2.83	0.08	5	0.73	1	0.07	1	55.35	1	5.50	1	0.01	5
6061	-401	-402	Max	11.69					-0.04	7			0.06	7		
6061	-401	-402	Max	18.97	0.08	5	0.73	1	0.06	1	54.71	1	4.38	1	0.01	5
6061	-401	-402	Min.	2.83	-0.28	5	-0.90	1	-0.07	1	-66.92	1	-4.50	1	-0.01	5
6061	-401	-402	Min.	11.69					0.02	7			-0.12	7		
6061	-401	-402	Min.	18.97	-0.28	5	-0.90	1	-0.09	1	-67.55	1	-5.35	1	-0.01	5
6062	-433	-434	Max	2.83	4.37	5	0.75	1	0.07	1	57.24	1	5.47	1	0.01	5
6062	-433	-434	Max	11.38					-0.04	7			0.03	7		
6062	-433	-434	Max	18.34	4.37	5	0.75	1	0.06	1	56.63	1	4.36	1	0.01	5
6062	-433	-434	Min.	2.83	-2.71	5	-0.93	1	-0.07	1	-69.47	1	-4.47	1	-0.01	5
6062	-433	-434	Min.	11.38					0.02	7			-0.10	7		
6062	-433	-434	Min.	18.34	-2.71	5	-0.93	1	-0.09	1	-70.08	1	-5.35	1	-0.01	5
6063	-465	-466	Max	2.83	16.40	5	0.74	1	0.06	1	58.16	1	5.45	1	0.01	5
6063	-465	-466	Max	11.10					-0.04	7			0.01	7		

6063	-465	-466	Max	17.72	16.40	5	0.74	1	0.06	1	57.57	1	4.24	1	0.01	5
6063	-465	-466	Min.	2.83	-27.41	5	-0.92	1	-0.06	1	-70.72	1	-4.38	1	-0.01	5
6063	-465	-466	Min.	11.10					0.02	7			-0.00	7		
6063	-465	-466	Min.	17.72	-27.41	5	-0.92	1	-0.08	1	-71.31	1	-5.12	1	-0.01	5
6064	-497	-498	Max	2.83	161.57	5	0.62	1	0.05	1	52.40	1	4.28	1	0.01	5
6064	-497	-498	Max	10.64					0.02	7			0.76	7		
6064	-497	-498	Max	17.09	161.57	5	0.62	1	0.05	1	51.84	1	3.71	1	0.01	5
6064	-497	-498	Min.	2.83	-97.74	5	-0.75	1	-0.05	1	-63.84	1	-3.97	1	-0.01	5
6064	-497	-498	Min.	10.64					-0.03	7			-1.37	7		
6064	-497	-498	Min.	17.09	-97.74	5	-0.75	1	-0.06	1	-64.40	1	-5.11	1	-0.01	5
6068	-505	-506	Max	3.53	105.28	5	0.86	1	0.06	1	60.60	1	5.26	1	0.01	1
6068	-505	-506	Max	10.68					0.02	7			1.12	7		
6068	-505	-506	Max	17.80	105.28	5	0.86	1	0.06	1	60.04	1	4.77	1	0.01	1
6068	-505	-506	Min.	3.53	-133.35	5	-0.78	1	-0.07	1	-69.40	1	-4.38	1	-0.01	1
6068	-505	-506	Min.	10.68					-0.03	7			-0.88	7		
6068	-505	-506	Min.	17.80	-133.35	5	-0.78	1	-0.07	1	-69.96	1	-5.22	1	-0.01	1
6069	-473	-474	Max	3.53	22.36	5	1.03	1	0.07	1	67.22	1	5.71	1	0.01	5
6069	-473	-474	Max	11.72					-0.03	7			-0.05	7		
6069	-473	-474	Max	18.42	22.36	5	1.03	1	0.08	1	66.63	1	4.97	1	0.01	5
6069	-473	-474	Min.	3.53	-17.85	5	-0.90	1	-0.09	1	-77.09	1	-5.00	1	-0.01	5
6069	-473	-474	Min.	11.72					0.02	7			-0.07	7		
6069	-473	-474	Min.	18.42	-17.85	5	-0.90	1	-0.08	1	-77.68	1	-5.82	1	-0.01	5
6070	-441	-442	Max	3.53	2.84	5	1.03	1	0.07	1	65.89	1	5.80	1	0.01	5
6070	-441	-442	Max	12.09					-0.03	7			0.14	7		
6070	-441	-442	Max	19.05	2.84	5	1.03	1	0.08	1	65.28	1	5.14	1	0.01	5
6070	-441	-442	Min.	3.53	-3.72	5	-0.89	1	-0.09	1	-75.49	1	-5.04	1	-0.01	5
6070	-441	-442	Min.	12.09					0.02	7			-0.22	7		
6070	-441	-442	Min.	19.05	-3.72	5	-0.89	1	-0.08	1	-76.10	1	-5.95	1	-0.01	5
6071	-409	-410	Max	3.53	0.10	5	0.99	1	0.07	1	63.57	1	5.82	1	0.01	5
6071	-409	-410	Max	12.47					-0.03	7			0.14	7		
6071	-409	-410	Max	19.67	0.10	5	0.99	1	0.08	1	62.94	1	5.14	1	0.01	5
6071	-409	-410	Min.	3.53	-0.19	5	-0.86	1	-0.09	1	-72.64	1	-5.06	1	-0.01	5
6071	-409	-410	Min.	12.47					0.02	7			-0.23	7		
6071	-409	-410	Min.	19.67	-0.19	5	-0.86	1	-0.08	1	-73.28	1	-5.95	1	-0.01	5
6072	-377	-378	Max	3.53	0.22	5	0.95	1	0.07	1	61.17	1	5.81	1	0.01	5
6072	-377	-378	Max	12.84					-0.03	7			0.15	7		
6072	-377	-378	Max	20.30	0.22	5	0.95	1	0.08	1	60.52	1	5.14	1	0.01	5
6072	-377	-378	Min.	3.53	-0.42	5	-0.83	1	-0.09	1	-69.73	1	-5.06	1	-0.01	5
6072	-377	-378	Min.	12.84					0.02	7			-0.24	7		
6072	-377	-378	Min.	20.30	-0.42	5	-0.83	1	-0.08	1	-70.39	1	-5.94	1	-0.01	5
6073	-345	-346	Max	3.53	0.16	5	0.91	1	0.07	1	58.86	1	5.78	1	0.01	5
6073	-345	-346	Max	12.13					0.03	7			0.03	7		
6073	-345	-346	Max	20.92	0.16	5	0.91	1	0.08	1	58.17	1	5.12	1	0.01	5
6073	-345	-346	Min.	3.53	-0.34	5	-0.80	1	-0.09	1	-66.92	1	-5.05	1	-0.01	5
6073	-345	-346	Min.	12.13					-0.04	7			-0.02	7		
6073	-345	-346	Min.	20.92	-0.34	5	-0.80	1	-0.08	1	-67.60	1	-5.91	1	-0.01	5
6074	-313	-314	Max	3.53	0.17	5	0.87	1	0.07	1	56.63	1	5.75	1	0.01	5
6074	-313	-314	Max	12.46					0.03	7			0.02	7		
6074	-313	-314	Max	21.55	0.17	5	0.87	1	0.08	1	55.92	1	5.10	1	0.01	5
6074	-313	-314	Min.	3.53	-0.34	5	-0.77	1	-0.09	1	-64.24	1	-5.03	1	-0.01	5
6074	-313	-314	Min.	12.46					-0.04	7			-0.01	7		
6074	-313	-314	Min.	21.55	-0.34	5	-0.77	1	-0.08	1	-64.95	1	-5.88	1	-0.01	5
6075	-281	-282	Max	3.53	0.16	5	0.84	1	0.07	1	54.49	1	5.72	1	0.01	5
6075	-281	-282	Max	12.80					0.03	7			0.02	7		
6075	-281	-282	Max	22.17	0.16	5	0.84	1	0.08	1	53.76	1	5.07	1	0.01	5
6075	-281	-282	Min.	3.53	-0.33	5	-0.74	1	-0.09	1	-61.67	1	-5.01	1	-0.01	5
6075	-281	-282	Min.	12.80					-0.04	7			-0.01	7		
6075	-281	-282	Min.	22.17	-0.33	5	-0.74	1	-0.08	1	-62.41	1	-5.84	1	-0.01	5
6076	-249	-250	Max	3.53	0.15	5	0.80	1	0.07	1	52.42	1	5.68	1	0.01	5

6076	-249	-250	Max	13.13					0.02	7			0.01	7		
6076	-249	-250	Max	22.80	0.15	5	0.80	1	0.08	1	51.67	1	5.04	1	0.01	5
6076	-249	-250	Min.	3.53	-0.32	5	-0.71	1	-0.09	1	-59.21	1	-4.98	1	-0.01	5
6076	-249	-250	Min.	13.13					-0.04	7			-0.00	7		
6076	-249	-250	Min.	22.80	-0.32	5	-0.71	1	-0.08	1	-59.97	1	-5.80	1	-0.01	5
6077	-217	-218	Max	3.53	0.15	5	0.77	1	0.07	1	50.42	1	5.63	1	0.01	5
6077	-217	-218	Max	13.46					0.02	7			0.01	7		
6077	-217	-218	Max	23.42	0.15	5	0.77	1	0.08	1	49.64	1	5.00	1	0.01	5
6077	-217	-218	Min.	3.53	-0.32	5	-0.68	1	-0.09	1	-56.83	1	-4.95	1	-0.01	5
6077	-217	-218	Min.	13.46					-0.04	7			0.00	7		
6077	-217	-218	Min.	23.42	-0.32	5	-0.68	1	-0.08	1	-57.61	1	-5.75	1	-0.01	5
6078	-185	-186	Max	3.53	0.14	5	0.73	1	0.07	1	48.41	1	5.57	1	0.01	5
6078	-185	-186	Max	13.79					0.02	7			0.00	7		
6078	-185	-186	Max	24.05	0.14	5	0.73	1	0.08	1	47.60	1	4.95	1	0.01	5
6078	-185	-186	Min.	3.53	-0.31	5	-0.64	1	-0.09	1	-54.46	1	-4.90	1	-0.01	5
6078	-185	-186	Min.	13.79					-0.03	7			0.00	7		
6078	-185	-186	Min.	24.05	-0.31	5	-0.64	1	-0.08	1	-55.26	1	-5.68	1	-0.01	5
6079	-153	-154	Max	3.53	0.15	5	0.68	1	0.07	1	46.14	1	5.46	1	0.01	5
6079	-153	-154	Max	14.12					-0.03	7			0.01	7		
6079	-153	-154	Max	24.67	0.15	5	0.68	1	0.08	1	45.31	1	4.86	1	0.01	5
6079	-153	-154	Min.	3.53	-0.33	5	-0.60	1	-0.08	1	-51.81	1	-4.81	1	-0.01	5
6079	-153	-154	Min.	14.12					0.02	7			0.00	7		
6079	-153	-154	Min.	24.67	-0.33	5	-0.60	1	-0.08	1	-52.64	1	-5.57	1	-0.01	5
6080	-121	-122	Max	3.53	0.22	5	0.59	1	0.06	1	42.53	1	5.18	1	0.01	5
6080	-121	-122	Max	14.42					-0.03	7			0.01	7		
6080	-121	-122	Max	25.30	0.22	5	0.59	1	0.07	1	41.68	1	4.60	1	0.01	5
6080	-121	-122	Min.	3.53	-0.29	5	-0.52	1	-0.08	1	-47.63	1	-4.56	1	-0.01	5
6080	-121	-122	Min.	14.42					0.02	7			0.00	7		
6080	-121	-122	Min.	25.30	-0.29	5	-0.52	1	-0.07	1	-48.49	1	-5.28	1	-0.01	5
6081	-89	-90	Max	3.53	-0.31	5	0.42	1	0.04	1	32.89	1	4.10	1	0.01	5
6081	-89	-90	Max	15.85					-0.02	7			0.10	7		
6081	-89	-90	Max	25.92	-0.31	5	0.42	1	0.05	1	32.01	1	3.64	1	0.01	5
6081	-89	-90	Min.	3.53	-0.91	5	-0.37	1	-0.06	1	-36.56	1	-3.62	1	-0.01	5
6081	-89	-90	Min.	15.85					0.02	7			-0.14	7		
6081	-89	-90	Min.	25.92	-0.91	5	-0.37	1	-0.05	1	-37.44	1	-4.19	1	-0.01	5
6082	-57	-58	Max	3.53	5.85	5	0.08	1	0.02	5	37.54	1	4.82	1	0.03	1
6082	-57	-58	Max	15.44					-0.02	7			0.19	7		
6082	-57	-58	Max	26.55	5.85	5	0.08	1	0.02	5	35.74	1	4.36	1	0.03	1
6082	-57	-58	Min.	3.53	3.98	5	-0.11	1	-0.02	5	-40.70	1	-4.07	1	-0.03	1
6082	-57	-58	Min.	15.44					0.02	7			0.07	7		
6082	-57	-58	Min.	26.55	3.98	5	-0.11	1	-0.03	5	-42.50	1	-4.75	1	-0.03	1
6083	-25	-26	Max	3.53	24.70	1	0.54	1	0.08	1	23.23	1	2.92	1	0.00	5
6083	-25	-26	Max	26.86	24.70	1	0.54	1	0.07	1	21.40	1	2.68	1	0.00	5
6083	-25	-26	Min.	3.53	16.76	1	-0.73	1	-0.06	1	-23.95	1	-2.53	1	-0.00	5
6083	-25	-26	Min.	26.86	16.76	1	-0.73	1	-0.09	1	-25.78	1	-2.87	1	-0.00	5
6084	373	374	Max	1.77	2.08	5	3.60	1	0.14	1	2.37	1	0.27	1	0.25	1
6084	373	374	Max	15.00	2.08	5	2.66	1	-0.12	5	2.37	1	0.02	5	0.25	1
6084	373	374	Min.	1.77	-12.34	5	-1.53	1	-0.63	1	-2.01	1	-0.30	1	-0.32	1
6084	373	374	Min.	15.00	-12.34	5	-2.47	1	-0.23	5	-2.01	1	0.00	5	-0.32	1
6084	374	375	Max	0.00	2.08	5	2.66	1	-0.12	5	2.37	1	0.02	5	0.25	1
6084	374	375	Max	1.08					-0.13	7			0.01	7		
6084	374	375	Max	13.23	2.08	5	1.72	1	0.08	1	2.37	1	0.32	1	0.25	1
6084	374	375	Min.	0.00	-12.34	5	-2.47	1	-0.23	5	-2.01	1	0.00	5	-0.32	1
6084	374	375	Min.	1.08					-0.21	7			0.01	7		
6084	374	375	Min.	13.23	-12.34	5	-3.41	1	-0.52	1	-2.01	1	-0.26	1	-0.32	1
6085	-537	-538	Max	0.00	0.56	1	32.92	1	1.53	1	1.47	1	0.09	1	0.41	1
6085	-537	-538	Max	12.00	0.56	1	32.92	1	1.95	1	3.07	1	0.20	1	0.41	1
6085	-537	-538	Min.	0.00	-0.46	1	-25.31	1	-2.00	1	-2.85	1	-0.08	1	-0.49	1
6085	-537	-538	Min.	12.00	-0.46	1	-25.31	1	-1.51	1	-1.25	1	-0.16	1	-0.49	1

6086	-521	-522	Max	0.00	0.72	1	32.76	1	1.47	1	0.41	1	0.11	5	0.60	1
6086	-521	-522	Max	12.00	0.72	1	32.76	1	1.98	1	2.01	1	0.08	1	0.60	1
6086	-521	-522	Min.	0.00	-0.73	1	-24.83	1	-1.95	1	-2.80	1	-0.07	5	-0.68	1
6086	-521	-522	Min.	12.00	-0.73	1	-24.83	1	-1.51	1	-1.20	1	-0.13	1	-0.68	1
6088	313	325	Max	1.77	470.50	1	684.36	1	37.71	1	20.56	1	0.31	1	0.78	1
6088	313	325	Max	15.00	470.50	1	683.42	1	51.07	1	20.56	1	2.23	1	0.78	1
6088	313	325	Min.	1.77	-453.67	1	-649.62	1	-39.42	1	-15.19	1	-0.49	1	-0.98	1
6088	313	325	Min.	15.00	-453.67	1	-650.56	1	-48.31	1	-15.19	1	-1.70	1	-0.98	1
6088	325	337	Max	0.00	450.06	1	664.84	1	48.51	1	14.62	1	2.21	1	0.98	1
6088	325	337	Max	13.23	450.06	1	663.90	1	37.86	1	14.62	1	0.29	1	0.98	1
6088	325	337	Min.	0.00	-452.73	1	-655.47	1	-50.09	1	-20.47	1	-1.64	1	-0.78	1
6088	325	337	Min.	13.23	-452.73	1	-656.41	1	-38.32	1	-20.47	1	-0.50	1	-0.78	1
6089	-1	-9	Max	3.53	346.14	1	0.25	5	0.04	5	44.18	5	3.79	5	0.00	5
6089	-1	-9	Max	26.86	346.14	1	0.25	5	0.03	5	42.35	5	5.25	5	0.00	5
6089	-1	-9	Min.	3.53	-312.88	1	-0.35	5	-0.03	5	-32.05	5	-4.86	5	-0.00	5
6089	-1	-9	Min.	26.86	-312.88	1	-0.35	5	-0.04	5	-33.88	5	-3.92	5	-0.00	5
6090	-33	-41	Max	3.53	132.59	1	0.43	5	0.07	5	67.43	5	6.08	5	0.00	5
6090	-33	-41	Max	15.20					0.01	3			1.98	3		
6090	-33	-41	Max	26.55	132.59	1	0.43	5	0.05	5	65.63	5	8.20	5	0.00	5
6090	-33	-41	Min.	3.53	-126.69	1	-0.59	5	-0.05	5	-47.04	5	-8.06	5	-0.00	5
6090	-33	-41	Min.	15.20					-0.01	3			-1.68	3		
6090	-33	-41	Min.	26.55	-126.69	1	-0.59	5	-0.07	5	-48.84	5	-5.90	5	-0.00	5
6091	-65	-73	Max	3.53	5.60	1	0.49	5	0.08	5	58.12	5	4.52	5	0.01	5
6091	-65	-73	Max	25.92	5.60	1	0.49	5	0.06	5	57.24	5	6.49	5	0.01	5
6091	-65	-73	Min.	3.53	-6.55	1	-0.68	5	-0.06	5	-40.43	5	-6.42	5	-0.01	5
6091	-65	-73	Min.	25.92	-6.55	1	-0.68	5	-0.08	5	-41.31	5	-4.63	5	-0.01	5
6092	-97	-105	Max	3.53	0.26	5	0.65	5	0.11	5	75.28	5	5.70	5	0.01	5
6092	-97	-105	Max	25.30	0.26	5	0.65	5	0.07	5	74.42	5	8.20	5	0.01	5
6092	-97	-105	Min.	3.53	-0.16	5	-0.93	5	-0.08	5	-52.53	5	-8.09	5	-0.01	5
6092	-97	-105	Min.	25.30	-0.16	5	-0.93	5	-0.10	5	-53.38	5	-5.82	5	-0.01	5
6093	-129	-137	Max	3.53	0.11	1	0.74	5	0.12	5	81.77	5	6.01	5	0.01	5
6093	-129	-137	Max	24.67	0.11	1	0.74	5	0.08	5	80.94	5	8.66	5	0.01	5
6093	-129	-137	Min.	3.53	-0.18	1	-1.04	5	-0.08	5	-57.06	5	-8.54	5	-0.01	5
6093	-129	-137	Min.	24.67	-0.18	1	-1.04	5	-0.11	5	-57.89	5	-6.14	5	-0.01	5
6094	-161	-169	Max	3.53	0.14	1	0.78	5	0.12	5	85.91	5	6.12	5	0.01	5
6094	-161	-169	Max	24.05	0.14	1	0.78	5	0.08	5	85.11	5	8.83	5	0.01	5
6094	-161	-169	Min.	3.53	-0.19	1	-1.11	5	-0.09	5	-59.90	5	-8.71	5	-0.01	5
6094	-161	-169	Min.	24.05	-0.19	1	-1.11	5	-0.11	5	-60.71	5	-6.25	5	-0.01	5
6095	-193	-201	Max	3.53	0.13	1	0.82	5	0.12	5	89.65	5	6.18	5	0.01	5
6095	-193	-201	Max	23.42	0.13	1	0.82	5	0.08	5	88.86	5	8.94	5	0.01	5
6095	-193	-201	Min.	3.53	-0.18	1	-1.17	5	-0.09	5	-62.42	5	-8.81	5	-0.01	5
6095	-193	-201	Min.	23.42	-0.18	1	-1.17	5	-0.12	5	-63.21	5	-6.31	5	-0.01	5
6096	-225	-233	Max	3.53	0.14	1	0.86	5	0.13	5	93.43	5	6.22	5	0.01	5
6096	-225	-233	Max	22.80	0.14	1	0.86	5	0.09	5	92.67	5	9.04	5	0.01	5
6096	-225	-233	Min.	3.53	-0.19	1	-1.22	5	-0.09	5	-64.95	5	-8.89	5	-0.01	5
6096	-225	-233	Min.	22.80	-0.19	1	-1.22	5	-0.12	5	-65.71	5	-6.36	5	-0.01	5
6097	-257	-265	Max	3.53	0.15	1	0.89	5	0.13	5	97.38	5	6.26	5	0.01	5
6097	-257	-265	Max	22.17	0.15	1	0.89	5	0.09	5	96.65	5	9.12	5	0.01	5
6097	-257	-265	Min.	3.53	-0.19	1	-1.28	5	-0.09	5	-67.56	5	-8.96	5	-0.01	5
6097	-257	-265	Min.	22.17	-0.19	1	-1.28	5	-0.12	5	-68.29	5	-6.40	5	-0.01	5
6098	-289	-297	Max	3.53	0.15	1	0.93	5	0.13	5	101.54	5	6.29	5	0.01	5
6098	-289	-297	Max	21.55	0.15	1	0.93	5	0.09	5	100.83	5	9.20	5	0.01	5
6098	-289	-297	Min.	3.53	-0.19	1	-1.34	5	-0.09	5	-70.28	5	-9.03	5	-0.01	5
6098	-289	-297	Min.	21.55	-0.19	1	-1.34	5	-0.12	5	-70.99	5	-6.43	5	-0.01	5
6099	-321	-329	Max	3.53	0.16	1	0.97	5	0.13	5	105.94	5	6.31	5	0.01	5
6099	-321	-329	Max	20.92	0.16	1	0.97	5	0.09	5	105.25	5	9.27	5	0.01	5
6099	-321	-329	Min.	3.53	-0.20	1	-1.40	5	-0.09	5	-73.13	5	-9.09	5	-0.01	5
6099	-321	-329	Min.	20.92	-0.20	1	-1.40	5	-0.12	5	-73.82	5	-6.46	5	-0.01	5
6100	-353	-361	Max	3.53	0.17	1	1.01	5	0.13	5	110.60	5	6.33	5	0.01	5

6100	-353	-361	Max	20.30	0.17	1	1.01	5	0.09	5	109.94	5	9.34	5	0.01	5
6100	-353	-361	Min.	3.53	-0.20	1	-1.46	5	-0.09	5	-76.12	5	-9.15	5	-0.01	5
6100	-353	-361	Min.	20.30	-0.20	1	-1.46	5	-0.12	5	-76.78	5	-6.48	5	-0.01	5
6101	-385	-393	Max	3.53	0.15	1	1.05	5	0.13	5	115.52	5	6.34	5	0.01	5
6101	-385	-393	Max	19.67	0.15	1	1.05	5	0.09	5	114.88	5	9.40	5	0.01	5
6101	-385	-393	Min.	3.53	-0.22	1	-1.53	5	-0.09	5	-79.25	5	-9.19	5	-0.01	5
6101	-385	-393	Min.	19.67	-0.22	1	-1.53	5	-0.12	5	-79.88	5	-6.50	5	-0.01	5
6102	-417	-425	Max	3.53	0.36	5	1.10	5	0.13	5	120.52	5	6.33	5	0.01	5
6102	-417	-425	Max	19.05	0.36	5	1.10	5	0.09	5	119.91	5	9.43	5	0.01	5
6102	-417	-425	Min.	3.53	-0.10	5	-1.60	5	-0.09	5	-82.39	5	-9.22	5	-0.01	5
6102	-417	-425	Min.	19.05	-0.10	5	-1.60	5	-0.12	5	-83.00	5	-6.50	5	-0.01	5
6103	-449	-457	Max	3.53	-0.16	5	1.03	5	0.12	5	124.37	5	6.24	5	0.02	5
6103	-449	-457	Max	18.42	-0.16	5	1.03	5	0.08	5	123.79	5	9.36	5	0.02	5
6103	-449	-457	Min.	3.53	-1.80	5	-1.51	5	-0.08	5	-84.72	5	-9.11	5	-0.02	5
6103	-449	-457	Min.	18.42	-1.80	5	-1.51	5	-0.11	5	-85.31	5	-6.41	5	-0.02	5
6104	-481	-489	Max	3.53	9.91	5	1.26	5	0.14	5	118.67	5	5.67	5	0.04	5
6104	-481	-489	Max	17.80	9.91	5	1.26	5	0.09	5	118.11	5	8.46	5	0.04	5
6104	-481	-489	Min.	3.53	0.91	5	-1.84	5	-0.09	5	-80.51	5	-8.42	5	-0.06	5
6104	-481	-489	Min.	17.80	0.91	5	-1.84	5	-0.13	5	-81.07	5	-5.85	5	-0.06	5
6109	-482	-490	Max	2.83	19.57	5	2.08	5	0.11	5	131.59	5	6.52	5	0.08	5
6109	-482	-490	Max	17.09	19.57	5	2.08	5	0.15	5	131.03	5	9.07	5	0.08	5
6109	-482	-490	Min.	2.83	5.39	5	-1.45	5	-0.15	5	-90.74	5	-9.66	5	-0.05	5
6109	-482	-490	Min.	17.09	5.39	5	-1.45	5	-0.10	5	-91.30	5	-6.46	5	-0.05	5
6110	-450	-458	Max	2.83	-1.13	5	1.75	5	0.10	5	138.45	5	7.24	5	0.01	1
6110	-450	-458	Max	17.72	-1.13	5	1.75	5	0.13	5	137.87	5	10.18	5	0.01	1
6110	-450	-458	Min.	2.83	-3.41	5	-1.22	5	-0.13	5	-95.73	5	-10.39	5	-0.01	1
6110	-450	-458	Min.	17.72	-3.41	5	-1.22	5	-0.09	5	-96.31	5	-7.06	5	-0.01	1
6111	-418	-426	Max	2.83	0.52	1	1.82	5	0.10	5	134.05	5	7.31	5	0.01	5
6111	-418	-426	Max	18.34	0.52	1	1.82	5	0.15	5	133.44	5	10.24	5	0.01	5
6111	-418	-426	Min.	2.83	-0.00	1	-1.27	5	-0.14	5	-93.00	5	-10.50	5	-0.01	5
6111	-418	-426	Min.	18.34	-0.00	1	-1.27	5	-0.10	5	-93.61	5	-7.16	5	-0.01	5
6112	-386	-394	Max	2.83	0.07	1	1.73	5	0.10	5	128.36	5	7.31	5	0.01	5
6112	-386	-394	Max	18.97	0.07	1	1.73	5	0.14	5	127.72	5	10.21	5	0.01	5
6112	-386	-394	Min.	2.83	-0.30	1	-1.21	5	-0.14	5	-89.32	5	-10.45	5	-0.01	5
6112	-386	-394	Min.	18.97	-0.30	1	-1.21	5	-0.10	5	-89.95	5	-7.16	5	-0.01	5
6113	-354	-362	Max	2.83	0.12	1	1.65	5	0.10	5	122.77	5	7.28	5	0.01	5
6113	-354	-362	Max	19.59	0.12	1	1.65	5	0.14	5	122.11	5	10.15	5	0.01	5
6113	-354	-362	Min.	2.83	-0.24	1	-1.16	5	-0.14	5	-85.67	5	-10.38	5	-0.01	5
6113	-354	-362	Min.	19.59	-0.24	1	-1.16	5	-0.10	5	-86.33	5	-7.14	5	-0.01	5
6114	-322	-330	Max	2.83	0.11	1	1.58	5	0.10	5	117.49	5	7.24	5	0.01	5
6114	-322	-330	Max	20.22	0.11	1	1.58	5	0.14	5	116.81	5	10.07	5	0.01	5
6114	-322	-330	Min.	2.83	-0.24	1	-1.11	5	-0.14	5	-82.19	5	-10.29	5	-0.01	5
6114	-322	-330	Min.	20.22	-0.24	1	-1.11	5	-0.10	5	-82.87	5	-7.11	5	-0.01	5
6115	-290	-298	Max	2.83	0.10	1	1.51	5	0.10	5	112.51	5	7.20	5	0.01	5
6115	-290	-298	Max	20.84	0.10	1	1.51	5	0.14	5	111.81	5	10.00	5	0.01	5
6115	-290	-298	Min.	2.83	-0.24	1	-1.07	5	-0.14	5	-78.89	5	-10.21	5	-0.01	5
6115	-290	-298	Min.	20.84	-0.24	1	-1.07	5	-0.10	5	-79.59	5	-7.07	5	-0.01	5
6116	-258	-266	Max	2.83	0.10	1	1.44	5	0.10	5	107.82	5	7.15	5	0.01	5
6116	-258	-266	Max	21.47	0.10	1	1.44	5	0.14	5	107.08	5	9.91	5	0.01	5
6116	-258	-266	Min.	2.83	-0.23	1	-1.02	5	-0.14	5	-75.74	5	-10.11	5	-0.01	5
6116	-258	-266	Min.	21.47	-0.23	1	-1.02	5	-0.10	5	-76.47	5	-7.03	5	-0.01	5
6117	-226	-234	Max	2.83	0.10	1	1.38	5	0.10	5	103.37	5	7.10	5	0.01	5
6117	-226	-234	Max	22.09	0.10	1	1.38	5	0.14	5	102.61	5	9.82	5	0.01	5
6117	-226	-234	Min.	2.83	-0.23	1	-0.98	5	-0.14	5	-72.74	5	-10.02	5	-0.01	5
6117	-226	-234	Min.	22.09	-0.23	1	-0.98	5	-0.10	5	-73.50	5	-6.99	5	-0.01	5
6118	-194	-202	Max	2.83	0.09	1	1.32	5	0.10	5	99.12	5	7.04	5	0.01	5
6118	-194	-202	Max	22.72	0.09	1	1.32	5	0.14	5	98.34	5	9.72	5	0.01	5
6118	-194	-202	Min.	2.83	-0.22	1	-0.94	5	-0.13	5	-69.85	5	-9.91	5	-0.01	5
6118	-194	-202	Min.	22.72	-0.22	1	-0.94	5	-0.10	5	-70.63	5	-6.93	5	-0.01	5

6119	-162	-170	Max	2.83	0.09	1	1.25	5	0.10	5	94.94	5	6.96	5	0.01	5
6119	-162	-170	Max	23.34	0.09	1	1.25	5	0.13	5	94.14	5	9.61	5	0.01	5
6119	-162	-170	Min.	2.83	-0.23	1	-0.89	5	-0.13	5	-66.98	5	-9.79	5	-0.01	5
6119	-162	-170	Min.	23.34	-0.23	1	-0.89	5	-0.09	5	-67.78	5	-6.86	5	-0.01	5
6120	-130	-138	Max	2.83	0.07	1	1.17	5	0.09	5	90.33	5	6.83	5	0.01	5
6120	-130	-138	Max	23.97	0.07	1	1.17	5	0.13	5	89.50	5	9.42	5	0.01	5
6120	-130	-138	Min.	2.83	-0.21	1	-0.84	5	-0.13	5	-63.76	5	-9.59	5	-0.01	5
6120	-130	-138	Min.	23.97	-0.21	1	-0.84	5	-0.09	5	-64.59	5	-6.74	5	-0.01	5
6121	-98	-106	Max	2.83	0.20	5	1.03	5	0.09	5	83.15	5	6.47	5	0.01	5
6121	-98	-106	Max	24.59	0.20	5	1.03	5	0.12	5	82.29	5	8.92	5	0.01	5
6121	-98	-106	Min.	2.83	-0.12	5	-0.74	5	-0.11	5	-58.69	5	-9.08	5	-0.01	5
6121	-98	-106	Min.	24.59	-0.12	5	-0.74	5	-0.08	5	-59.54	5	-6.39	5	-0.01	5
6122	-66	-74	Max	2.83	4.02	1	0.74	5	0.06	5	64.21	5	5.13	5	0.01	5
6122	-66	-74	Max	25.22	4.02	1	0.74	5	0.09	5	63.33	5	7.07	5	0.01	5
6122	-66	-74	Min.	2.83	-8.21	1	-0.53	5	-0.08	5	-45.21	5	-7.21	5	-0.01	5
6122	-66	-74	Min.	25.22	-8.21	1	-0.53	5	-0.06	5	-46.09	5	-5.09	5	-0.01	5
6123	-34	-42	Max	2.83	166.95	1	0.68	5	0.06	5	74.64	5	7.08	5	0.00	5
6123	-34	-42	Max	25.84	166.95	1	0.68	5	0.08	5	72.83	5	9.61	5	0.00	5
6123	-34	-42	Min.	2.83	-93.94	1	-0.50	5	-0.08	5	-52.49	5	-8.32	5	-0.00	5
6123	-34	-42	Min.	25.84	-93.94	1	-0.50	5	-0.06	5	-54.30	5	-6.17	5	-0.00	5
6124	-2	-10	Max	2.83	431.65	1	0.41	5	0.03	5	49.33	5	4.31	5	0.00	1
6124	-2	-10	Max	26.15	431.65	1	0.41	5	0.05	5	47.50	5	5.69	5	0.00	1
6124	-2	-10	Min.	2.83	-227.97	1	-0.30	5	-0.05	5	-36.12	5	-5.61	5	-0.00	1
6124	-2	-10	Min.	26.15	-227.97	1	-0.30	5	-0.04	5	-37.95	5	-4.34	5	-0.00	1
6125	315	327	Max	1.77	338.83	1	16.62	1	0.40	1	510.64	1	47.11	1	0.77	1
6125	315	327	Max	15.00	338.83	1	16.62	1	1.78	1	509.70	1	38.35	1	0.77	1
6125	315	327	Min.	1.77	-548.06	1	-19.24	1	-0.42	1	-817.33	1	-29.16	1	-1.02	1
6125	315	327	Min.	15.00	-548.06	1	-19.24	1	-2.15	1	-818.27	1	-61.11	1	-1.02	1
6125	327	339	Max	0.00	344.13	1	18.83	1	1.75	1	847.84	1	36.50	1	1.02	1
6125	327	339	Max	13.23	344.13	1	18.83	1	0.37	1	846.90	1	48.47	1	1.02	1
6125	327	339	Min.	0.00	-577.31	1	-16.27	1	-2.12	1	-496.07	1	-63.65	1	-0.77	1
6125	327	339	Min.	13.23	-577.31	1	-16.27	1	-0.41	1	-497.01	1	-29.20	1	-0.77	1
6126	316	328	Max	1.77	470.79	1	655.68	1	48.60	1	23.05	1	0.38	1	1.00	1
6126	316	328	Max	15.00	470.79	1	654.74	1	48.33	1	23.05	1	2.46	1	1.00	1
6126	316	328	Min.	1.77	-577.87	1	-859.82	1	-38.57	1	-19.05	1	-0.59	1	-1.02	1
6126	316	328	Min.	15.00	-577.87	1	-860.75	1	-65.44	1	-19.05	1	-2.14	1	-1.02	1
6126	328	340	Max	0.00	446.37	1	850.90	1	50.09	1	18.50	1	2.36	1	1.02	1
6126	328	340	Max	13.23	446.37	1	849.96	1	49.55	1	18.50	1	0.36	1	1.02	1
6126	328	340	Min.	0.00	-600.51	1	-668.28	1	-62.98	1	-22.22	1	-2.08	1	-0.99	1
6126	328	340	Min.	13.23	-600.51	1	-669.22	1	-38.40	1	-22.22	1	-0.58	1	-0.99	1
6127	-3	-11	Max	3.53	456.86	1	0.22	5	0.05	5	57.58	5	3.23	5	0.00	1
6127	-3	-11	Max	26.86	456.86	1	0.22	5	0.03	5	55.75	5	6.86	5	0.00	1
6127	-3	-11	Min.	3.53	-297.84	1	-0.44	5	-0.03	5	-26.72	5	-6.41	5	-0.00	1
6127	-3	-11	Min.	26.86	-297.84	1	-0.44	5	-0.05	5	-28.55	5	-3.27	5	-0.00	1
6128	-35	-43	Max	3.53	174.38	1	0.38	5	0.09	5	82.19	5	5.76	5	0.00	1
6128	-35	-43	Max	26.55	174.38	1	0.38	5	0.05	5	80.38	5	10.43	5	0.00	1
6128	-35	-43	Min.	3.53	-123.08	1	-0.74	5	-0.05	5	-41.00	5	-9.39	5	-0.00	1
6128	-35	-43	Min.	26.55	-123.08	1	-0.74	5	-0.09	5	-42.81	5	-4.99	5	-0.00	1
6129	-67	-75	Max	3.53	5.25	1	0.42	5	0.10	5	69.65	5	3.98	5	0.01	1
6129	-67	-75	Max	25.92	5.25	1	0.42	5	0.05	5	68.78	5	7.79	5	0.01	1
6129	-67	-75	Min.	3.53	-8.60	1	-0.82	5	-0.05	5	-35.59	5	-7.70	5	-0.00	1
6129	-67	-75	Min.	25.92	-8.60	1	-0.82	5	-0.09	5	-36.47	5	-4.09	5	-0.00	1
6130	-99	-107	Max	3.53	0.37	5	0.58	5	0.13	5	90.18	5	5.03	5	0.01	1
6130	-99	-107	Max	25.30	0.37	5	0.58	5	0.07	5	89.33	5	9.83	5	0.01	1
6130	-99	-107	Min.	3.53	-0.08	5	-1.11	5	-0.07	5	-46.26	5	-9.70	5	-0.01	1
6130	-99	-107	Min.	25.30	-0.08	5	-1.11	5	-0.12	5	-47.11	5	-5.13	5	-0.01	1
6131	-131	-139	Max	3.53	0.15	1	0.65	5	0.14	5	98.00	5	5.30	5	0.01	1
6131	-131	-139	Max	24.67	0.15	1	0.65	5	0.07	5	97.17	5	10.39	5	0.01	1
6131	-131	-139	Min.	3.53	-0.21	1	-1.26	5	-0.08	5	-50.22	5	-10.24	5	-0.01	1

6131	-131	-139	Min.	24.67	-0.21	1	-1.26	5	-0.14	5	-51.05	5	-5.41	5	-0.01	1
6132	-163	-171	Max	3.53	0.18	1	0.70	5	0.15	5	103.03	5	5.39	5	0.01	1
6132	-163	-171	Max	24.05	0.18	1	0.70	5	0.08	5	102.23	5	10.61	5	0.01	1
6132	-163	-171	Min.	3.53	-0.22	1	-1.35	5	-0.08	5	-52.69	5	-10.44	5	-0.01	1
6132	-163	-171	Min.	24.05	-0.22	1	-1.35	5	-0.14	5	-53.49	5	-5.50	5	-0.01	1
6133	-195	-203	Max	3.53	0.17	1	0.73	5	0.15	5	107.60	5	5.44	5	0.01	1
6133	-195	-203	Max	23.42	0.17	1	0.73	5	0.08	5	106.82	5	10.75	5	0.01	1
6133	-195	-203	Min.	3.53	-0.22	1	-1.42	5	-0.08	5	-54.86	5	-10.57	5	-0.01	1
6133	-195	-203	Min.	23.42	-0.22	1	-1.42	5	-0.14	5	-55.64	5	-5.55	5	-0.01	1
6134	-227	-235	Max	3.53	0.18	1	0.76	5	0.15	5	112.26	5	5.47	5	0.01	1
6134	-227	-235	Max	22.80	0.18	1	0.76	5	0.08	5	111.50	5	10.87	5	0.01	1
6134	-227	-235	Min.	3.53	-0.22	1	-1.48	5	-0.08	5	-57.02	5	-10.68	5	-0.01	1
6134	-227	-235	Min.	22.80	-0.22	1	-1.48	5	-0.15	5	-57.77	5	-5.59	5	-0.01	1
6135	-259	-267	Max	3.53	0.19	1	0.79	5	0.15	5	117.14	5	5.49	5	0.01	1
6135	-259	-267	Max	22.17	0.19	1	0.79	5	0.08	5	116.40	5	10.98	5	0.01	1
6135	-259	-267	Min.	3.53	-0.22	1	-1.55	5	-0.08	5	-59.24	5	-10.78	5	-0.01	1
6135	-259	-267	Min.	22.17	-0.22	1	-1.55	5	-0.15	5	-59.97	5	-5.62	5	-0.01	1
6136	-291	-299	Max	3.53	0.20	1	0.83	5	0.15	5	122.30	5	5.51	5	0.01	1
6136	-291	-299	Max	21.55	0.20	1	0.83	5	0.08	5	121.59	5	11.09	5	0.01	1
6136	-291	-299	Min.	3.53	-0.23	1	-1.62	5	-0.08	5	-61.54	5	-10.88	5	-0.01	1
6136	-291	-299	Min.	21.55	-0.23	1	-1.62	5	-0.15	5	-62.25	5	-5.64	5	-0.01	1
6137	-323	-331	Max	3.53	0.20	1	0.86	5	0.16	5	127.77	5	5.52	5	0.01	1
6137	-323	-331	Max	20.92	0.20	1	0.86	5	0.08	5	127.08	5	11.19	5	0.01	1
6137	-323	-331	Min.	3.53	-0.23	1	-1.70	5	-0.08	5	-63.94	5	-10.97	5	-0.01	1
6137	-323	-331	Min.	20.92	-0.23	1	-1.70	5	-0.15	5	-64.63	5	-5.65	5	-0.01	1
6138	-355	-363	Max	3.53	0.23	1	0.90	5	0.16	5	133.58	5	5.53	5	0.01	1
6138	-355	-363	Max	20.30	0.23	1	0.90	5	0.08	5	132.92	5	11.29	5	0.01	1
6138	-355	-363	Min.	3.53	-0.24	1	-1.78	5	-0.08	5	-66.45	5	-11.05	5	-0.01	1
6138	-355	-363	Min.	20.30	-0.24	1	-1.78	5	-0.15	5	-67.11	5	-5.66	5	-0.01	1
6139	-387	-395	Max	3.53	0.12	1	0.93	5	0.16	5	139.74	5	5.53	5	0.01	1
6139	-387	-395	Max	19.67	0.12	1	0.93	5	0.08	5	139.11	5	11.38	5	0.01	1
6139	-387	-395	Min.	3.53	-0.27	1	-1.87	5	-0.08	5	-69.06	5	-11.12	5	-0.01	1
6139	-387	-395	Min.	19.67	-0.27	1	-1.87	5	-0.15	5	-69.69	5	-5.67	5	-0.01	1
6140	-419	-427	Max	3.53	0.96	1	0.97	5	0.16	5	146.03	5	5.51	5	0.01	1
6140	-419	-427	Max	19.05	0.96	1	0.97	5	0.08	5	145.42	5	11.43	5	0.01	1
6140	-419	-427	Min.	3.53	-0.09	1	-1.96	5	-0.08	5	-71.66	5	-11.17	5	-0.01	1
6140	-419	-427	Min.	19.05	-0.09	1	-1.96	5	-0.15	5	-72.27	5	-5.66	5	-0.01	1
6141	-451	-459	Max	3.53	-1.37	1	0.92	5	0.15	5	150.86	5	5.44	5	0.02	5
6141	-451	-459	Max	18.42	-1.37	1	0.92	5	0.07	5	150.28	5	11.38	5	0.02	5
6141	-451	-459	Min.	3.53	-4.64	1	-1.87	5	-0.07	5	-73.55	5	-11.03	5	-0.01	5
6141	-451	-459	Min.	18.42	-4.64	1	-1.87	5	-0.14	5	-74.14	5	-5.56	5	-0.01	5
6142	-483	-491	Max	3.53	28.87	1	1.11	5	0.16	5	143.77	5	4.83	5	0.04	5
6142	-483	-491	Max	17.80	28.87	1	1.11	5	0.08	5	143.21	5	10.15	5	0.04	5
6142	-483	-491	Min.	3.53	4.85	1	-2.24	5	-0.08	5	-69.67	5	-10.32	5	-0.08	5
6142	-483	-491	Min.	17.80	4.85	1	-2.24	5	-0.16	5	-70.23	5	-5.14	5	-0.08	5
6147	-484	-492	Max	2.83	29.20	1	2.27	5	0.09	5	145.86	5	5.07	5	0.08	5
6147	-484	-492	Max	17.09	29.20	1	2.27	5	0.16	5	145.30	5	10.02	5	0.08	5
6147	-484	-492	Min.	2.83	4.14	1	-1.13	5	-0.17	5	-70.99	5	-10.74	5	-0.04	5
6147	-484	-492	Min.	17.09	4.14	1	-1.13	5	-0.08	5	-71.55	5	-5.09	5	-0.04	5
6148	-452	-460	Max	2.83	-1.29	1	1.91	5	0.08	5	153.34	5	5.67	5	0.01	5
6148	-452	-460	Max	17.72	-1.29	1	1.91	5	0.15	5	152.76	5	11.28	5	0.01	5
6148	-452	-460	Min.	2.83	-4.72	1	-0.94	5	-0.15	5	-74.88	5	-11.50	5	-0.01	5
6148	-452	-460	Min.	17.72	-4.72	1	-0.94	5	-0.07	5	-75.47	5	-5.52	5	-0.01	5
6149	-420	-428	Max	2.83	0.85	1	1.99	5	0.08	5	148.34	5	5.74	5	0.01	1
6149	-420	-428	Max	18.34	0.85	1	1.99	5	0.16	5	147.74	5	11.34	5	0.01	1
6149	-420	-428	Min.	2.83	-0.12	1	-0.99	5	-0.16	5	-72.97	5	-11.62	5	-0.01	1
6149	-420	-428	Min.	18.34	-0.12	1	-0.99	5	-0.08	5	-73.58	5	-5.62	5	-0.01	1
6150	-388	-396	Max	2.83	0.07	1	1.90	5	0.08	5	141.95	5	5.75	5	0.01	1
6150	-388	-396	Max	18.97	0.07	1	1.90	5	0.16	5	141.32	5	11.30	5	0.01	1

6150	-388	-396	Min.	2.83	-0.34	1	-0.95	5	-0.16	5	-70.30	5	-11.56	5	-0.01	1
6150	-388	-396	Min.	18.97	-0.34	1	-0.95	5	-0.08	5	-70.93	5	-5.64	5	-0.01	1
6151	-356	-364	Max	2.83	0.16	1	1.81	5	0.08	5	135.68	5	5.75	5	0.01	1
6151	-356	-364	Max	19.59	0.16	1	1.81	5	0.16	5	135.02	5	11.22	5	0.01	1
6151	-356	-364	Min.	2.83	-0.29	1	-0.91	5	-0.16	5	-67.62	5	-11.47	5	-0.01	1
6151	-356	-364	Min.	19.59	-0.29	1	-0.91	5	-0.08	5	-68.28	5	-5.64	5	-0.01	1
6152	-324	-332	Max	2.83	0.14	1	1.73	5	0.08	5	129.76	5	5.74	5	0.01	1
6152	-324	-332	Max	20.22	0.14	1	1.73	5	0.16	5	129.07	5	11.13	5	0.01	1
6152	-324	-332	Min.	2.83	-0.29	1	-0.88	5	-0.16	5	-65.06	5	-11.37	5	-0.01	1
6152	-324	-332	Min.	20.22	-0.29	1	-0.88	5	-0.08	5	-65.74	5	-5.63	5	-0.01	1
6153	-292	-300	Max	2.83	0.14	1	1.65	5	0.08	5	124.19	5	5.72	5	0.01	1
6153	-292	-300	Max	20.84	0.14	1	1.65	5	0.15	5	123.48	5	11.04	5	0.01	1
6153	-292	-300	Min.	2.83	-0.28	1	-0.84	5	-0.16	5	-62.60	5	-11.27	5	-0.01	1
6153	-292	-300	Min.	20.84	-0.28	1	-0.84	5	-0.08	5	-63.31	5	-5.62	5	-0.01	1
6154	-260	-268	Max	2.83	0.13	1	1.58	5	0.08	5	118.94	5	5.69	5	0.01	1
6154	-260	-268	Max	21.47	0.13	1	1.58	5	0.15	5	118.21	5	10.94	5	0.01	1
6154	-260	-268	Min.	2.83	-0.27	1	-0.81	5	-0.15	5	-60.24	5	-11.16	5	-0.01	1
6154	-260	-268	Min.	21.47	-0.27	1	-0.81	5	-0.08	5	-60.98	5	-5.60	5	-0.01	1
6155	-228	-236	Max	2.83	0.13	1	1.51	5	0.08	5	113.97	5	5.66	5	0.01	1
6155	-228	-236	Max	22.09	0.13	1	1.51	5	0.15	5	113.22	5	10.83	5	0.01	1
6155	-228	-236	Min.	2.83	-0.26	1	-0.78	5	-0.15	5	-57.98	5	-11.05	5	-0.01	1
6155	-228	-236	Min.	22.09	-0.26	1	-0.78	5	-0.08	5	-58.73	5	-5.58	5	-0.01	1
6156	-196	-204	Max	2.83	0.12	1	1.44	5	0.08	5	109.24	5	5.62	5	0.01	1
6156	-196	-204	Max	22.72	0.12	1	1.44	5	0.15	5	108.46	5	10.72	5	0.01	1
6156	-196	-204	Min.	2.83	-0.26	1	-0.74	5	-0.15	5	-55.77	5	-10.93	5	-0.01	1
6156	-196	-204	Min.	22.72	-0.26	1	-0.74	5	-0.08	5	-56.55	5	-5.54	5	-0.01	1
6157	-164	-172	Max	2.83	0.12	1	1.37	5	0.08	5	104.59	5	5.57	5	0.01	1
6157	-164	-172	Max	23.34	0.12	1	1.37	5	0.15	5	103.79	5	10.59	5	0.01	1
6157	-164	-172	Min.	2.83	-0.26	1	-0.71	5	-0.15	5	-53.56	5	-10.78	5	-0.01	1
6157	-164	-172	Min.	23.34	-0.26	1	-0.71	5	-0.08	5	-54.36	5	-5.50	5	-0.01	1
6158	-132	-140	Max	2.83	0.10	1	1.28	5	0.08	5	99.48	5	5.47	5	0.01	1
6158	-132	-140	Max	23.97	0.10	1	1.28	5	0.14	5	98.65	5	10.37	5	0.01	1
6158	-132	-140	Min.	2.83	-0.25	1	-0.67	5	-0.14	5	-51.05	5	-10.56	5	-0.01	1
6158	-132	-140	Min.	23.97	-0.25	1	-0.67	5	-0.07	5	-51.88	5	-5.40	5	-0.01	1
6159	-100	-108	Max	2.83	0.21	5	1.13	5	0.07	5	91.55	5	5.19	5	0.01	1
6159	-100	-108	Max	24.59	0.21	5	1.13	5	0.13	5	90.69	5	9.83	5	0.01	1
6159	-100	-108	Min.	2.83	-0.12	5	-0.59	5	-0.13	5	-47.02	5	-10.00	5	-0.00	1
6159	-100	-108	Min.	24.59	-0.12	5	-0.59	5	-0.07	5	-47.87	5	-5.13	5	-0.00	1
6160	-68	-76	Max	2.83	4.81	1	0.83	5	0.05	5	70.71	5	4.11	5	0.00	1
6160	-68	-76	Max	25.22	4.81	1	0.83	5	0.10	5	69.83	5	7.79	5	0.00	1
6160	-68	-76	Min.	2.83	-9.31	1	-0.43	5	-0.10	5	-36.20	5	-7.94	5	-0.00	1
6160	-68	-76	Min.	25.22	-9.31	1	-0.43	5	-0.05	5	-37.08	5	-4.09	5	-0.00	1
6161	-36	-44	Max	2.83	187.16	1	0.75	5	0.05	5	83.45	5	5.98	5	0.00	1
6161	-36	-44	Max	25.84	187.16	1	0.75	5	0.09	5	81.64	5	10.61	5	0.00	1
6161	-36	-44	Min.	2.83	-113.84	1	-0.39	5	-0.09	5	-41.44	5	-9.49	5	-0.00	1
6161	-36	-44	Min.	25.84	-113.84	1	-0.39	5	-0.04	5	-43.25	5	-4.87	5	-0.00	1
6162	-4	-12	Max	2.83	486.46	1	0.45	5	0.03	5	58.56	5	3.30	5	0.00	1
6162	-4	-12	Max	26.15	486.46	1	0.45	5	0.05	5	56.73	5	6.83	5	0.00	1
6162	-4	-12	Min.	2.83	-274.67	1	-0.23	5	-0.05	5	-27.36	5	-6.62	5	-0.00	1
6162	-4	-12	Min.	26.15	-274.67	1	-0.23	5	-0.03	5	-29.19	5	-3.30	5	-0.00	1
6163	318	330	Max	1.77	428.78	1	21.53	1	0.41	1	610.55	1	52.09	1	0.96	1
6163	318	330	Max	15.00	428.78	1	21.53	1	2.29	1	609.61	1	44.91	1	0.96	1
6163	318	330	Min.	1.77	-609.56	1	-20.39	1	-0.56	1	-923.04	1	-35.82	1	-1.08	1
6163	318	330	Min.	15.00	-609.56	1	-20.39	1	-2.29	1	-923.98	1	-70.11	1	-1.08	1
6163	330	342	Max	0.00	414.32	1	19.89	1	2.20	1	915.58	1	46.82	1	1.08	1
6163	330	342	Max	13.23	414.32	1	19.89	1	0.39	1	914.64	1	53.25	1	1.08	1
6163	330	342	Min.	0.00	-643.67	1	-20.59	1	-2.25	1	-624.20	1	-67.84	1	-0.96	1
6163	330	342	Min.	13.23	-643.67	1	-20.59	1	-0.54	1	-625.13	1	-35.83	1	-0.96	1
6164	319	331	Max	1.77	429.74	1	610.91	1	52.07	1	21.53	1	0.41	1	1.08	1

6164	319	331	Max	15.00	429.74	1	609.98	1	44.94	1	21.53	1	2.29	1	1.08	1
6164	319	331	Min.	1.77	-609.07	1	-922.62	1	-35.84	1	-20.33	1	-0.56	1	-0.96	1
6164	319	331	Min.	15.00	-609.07	1	-923.56	1	-70.08	1	-20.33	1	-2.28	1	-0.96	1
6164	331	343	Max	0.00	414.73	1	915.58	1	46.85	1	19.93	1	2.20	1	0.96	1
6164	331	343	Max	13.23	414.73	1	914.64	1	53.25	1	19.93	1	0.40	1	0.96	1
6164	331	343	Min.	0.00	-643.23	1	-624.59	1	-67.84	1	-20.63	1	-2.25	1	-1.08	1
6164	331	343	Min.	13.23	-643.23	1	-625.53	1	-35.86	1	-20.63	1	-0.54	1	-1.08	1
6165	-5	-13	Max	3.53	487.11	1	0.23	5	0.05	5	58.63	5	3.26	5	0.00	1
6165	-5	-13	Max	26.86	487.11	1	0.23	5	0.03	5	56.80	5	6.96	5	0.00	1
6165	-5	-13	Min.	3.53	-274.77	1	-0.45	5	-0.03	5	-27.27	5	-6.53	5	-0.00	1
6165	-5	-13	Min.	26.86	-274.77	1	-0.45	5	-0.05	5	-29.10	5	-3.35	5	-0.00	1
6166	-37	-45	Max	3.53	186.41	1	0.39	5	0.09	5	83.60	5	5.92	5	0.00	1
6166	-37	-45	Max	26.55	186.41	1	0.39	5	0.05	5	81.80	5	10.78	5	0.00	1
6166	-37	-45	Min.	3.53	-114.03	1	-0.76	5	-0.05	5	-41.76	5	-9.32	5	-0.00	1
6166	-37	-45	Min.	26.55	-114.03	1	-0.76	5	-0.09	5	-43.56	5	-4.96	5	-0.00	1
6167	-69	-77	Max	3.53	4.83	1	0.43	5	0.10	5	70.87	5	4.05	5	0.00	1
6167	-69	-77	Max	25.92	4.83	1	0.43	5	0.05	5	69.99	5	7.93	5	0.00	1
6167	-69	-77	Min.	3.53	-9.16	1	-0.83	5	-0.05	5	-36.21	5	-7.84	5	-0.00	1
6167	-69	-77	Min.	25.92	-9.16	1	-0.83	5	-0.10	5	-37.08	5	-4.16	5	-0.00	1
6168	-101	-109	Max	3.53	0.38	5	0.59	5	0.13	5	91.75	5	5.11	5	0.01	1
6168	-101	-109	Max	25.30	0.38	5	0.59	5	0.07	5	90.90	5	10.01	5	0.01	1
6168	-101	-109	Min.	3.53	-0.07	5	-1.13	5	-0.07	5	-47.05	5	-9.87	5	-0.01	1
6168	-101	-109	Min.	25.30	-0.07	5	-1.13	5	-0.13	5	-47.91	5	-5.22	5	-0.01	1
6169	-133	-141	Max	3.53	0.14	1	0.67	5	0.14	5	99.71	5	5.39	5	0.01	1
6169	-133	-141	Max	24.67	0.14	1	0.67	5	0.07	5	98.88	5	10.57	5	0.01	1
6169	-133	-141	Min.	3.53	-0.22	1	-1.29	5	-0.08	5	-51.09	5	-10.42	5	-0.01	1
6169	-133	-141	Min.	24.67	-0.22	1	-1.29	5	-0.14	5	-51.92	5	-5.50	5	-0.01	1
6170	-165	-173	Max	3.53	0.16	1	0.71	5	0.15	5	104.84	5	5.48	5	0.01	1
6170	-165	-173	Max	24.05	0.16	1	0.71	5	0.08	5	104.03	5	10.79	5	0.01	1
6170	-165	-173	Min.	3.53	-0.23	1	-1.37	5	-0.08	5	-53.60	5	-10.63	5	-0.01	1
6170	-165	-173	Min.	24.05	-0.23	1	-1.37	5	-0.15	5	-54.40	5	-5.60	5	-0.01	1
6171	-197	-205	Max	3.53	0.16	1	0.75	5	0.15	5	109.50	5	5.53	5	0.01	1
6171	-197	-205	Max	23.42	0.16	1	0.75	5	0.08	5	108.72	5	10.94	5	0.01	1
6171	-197	-205	Min.	3.53	-0.23	1	-1.45	5	-0.08	5	-55.81	5	-10.76	5	-0.01	1
6171	-197	-205	Min.	23.42	-0.23	1	-1.45	5	-0.15	5	-56.59	5	-5.65	5	-0.01	1
6172	-229	-237	Max	3.53	0.16	1	0.78	5	0.15	5	114.24	5	5.56	5	0.01	1
6172	-229	-237	Max	22.80	0.16	1	0.78	5	0.08	5	113.49	5	11.06	5	0.01	1
6172	-229	-237	Min.	3.53	-0.23	1	-1.51	5	-0.08	5	-58.02	5	-10.87	5	-0.01	1
6172	-229	-237	Min.	22.80	-0.23	1	-1.51	5	-0.15	5	-58.77	5	-5.68	5	-0.01	1
6173	-261	-269	Max	3.53	0.17	1	0.81	5	0.15	5	119.22	5	5.59	5	0.01	1
6173	-261	-269	Max	22.17	0.17	1	0.81	5	0.08	5	118.49	5	11.18	5	0.01	1
6173	-261	-269	Min.	3.53	-0.24	1	-1.59	5	-0.08	5	-60.29	5	-10.98	5	-0.01	1
6173	-261	-269	Min.	22.17	-0.24	1	-1.59	5	-0.15	5	-61.02	5	-5.71	5	-0.01	1
6174	-293	-301	Max	3.53	0.18	1	0.84	5	0.16	5	124.49	5	5.61	5	0.01	1
6174	-293	-301	Max	21.55	0.18	1	0.84	5	0.08	5	123.78	5	11.29	5	0.01	1
6174	-293	-301	Min.	3.53	-0.24	1	-1.66	5	-0.08	5	-62.65	5	-11.07	5	-0.01	1
6174	-293	-301	Min.	21.55	-0.24	1	-1.66	5	-0.15	5	-63.35	5	-5.74	5	-0.01	1
6175	-325	-333	Max	3.53	0.19	1	0.88	5	0.16	5	130.08	5	5.62	5	0.01	1
6175	-325	-333	Max	20.92	0.19	1	0.88	5	0.08	5	129.40	5	11.39	5	0.01	1
6175	-325	-333	Min.	3.53	-0.24	1	-1.74	5	-0.08	5	-65.10	5	-11.17	5	-0.01	1
6175	-325	-333	Min.	20.92	-0.24	1	-1.74	5	-0.16	5	-65.79	5	-5.76	5	-0.01	1
6176	-357	-365	Max	3.53	0.21	1	0.91	5	0.16	5	136.02	5	5.63	5	0.01	1
6176	-357	-365	Max	20.30	0.21	1	0.91	5	0.08	5	135.36	5	11.49	5	0.01	1
6176	-357	-365	Min.	3.53	-0.25	1	-1.82	5	-0.08	5	-67.67	5	-11.25	5	-0.01	1
6176	-357	-365	Min.	20.30	-0.25	1	-1.82	5	-0.16	5	-68.33	5	-5.77	5	-0.01	1
6177	-389	-397	Max	3.53	0.11	1	0.95	5	0.16	5	142.31	5	5.63	5	0.01	1
6177	-389	-397	Max	19.67	0.11	1	0.95	5	0.08	5	141.67	5	11.58	5	0.01	1
6177	-389	-397	Min.	3.53	-0.28	1	-1.90	5	-0.08	5	-70.35	5	-11.33	5	-0.01	1
6177	-389	-397	Min.	19.67	-0.28	1	-1.90	5	-0.16	5	-70.98	5	-5.77	5	-0.01	1

6178	-421	-429	Max	3.53	0.92	1	0.99	5	0.16	5	148.73	5	5.61	5	0.01	1
6178	-421	-429	Max	19.05	0.92	1	0.99	5	0.08	5	148.12	5	11.64	5	0.01	1
6178	-421	-429	Min.	3.53	-0.12	1	-2.00	5	-0.08	5	-73.02	5	-11.38	5	-0.01	1
6178	-421	-429	Min.	19.05	-0.12	1	-2.00	5	-0.16	5	-73.62	5	-5.76	5	-0.01	1
6179	-453	-461	Max	3.53	-1.26	1	0.94	5	0.15	5	153.66	5	5.54	5	0.01	5
6179	-453	-461	Max	18.42	-1.26	1	0.94	5	0.07	5	153.08	5	11.59	5	0.01	5
6179	-453	-461	Min.	3.53	-4.53	1	-1.92	5	-0.08	5	-74.96	5	-11.24	5	-0.01	5
6179	-453	-461	Min.	18.42	-4.53	1	-1.92	5	-0.15	5	-75.54	5	-5.66	5	-0.01	5
6180	-485	-493	Max	3.53	27.98	1	1.13	5	0.17	5	146.37	5	4.93	5	0.04	5
6180	-485	-493	Max	17.80	27.98	1	1.13	5	0.08	5	145.81	5	10.35	5	0.04	5
6180	-485	-493	Min.	3.53	4.05	1	-2.28	5	-0.09	5	-70.98	5	-10.49	5	-0.08	5
6180	-485	-493	Min.	17.80	4.05	1	-2.28	5	-0.17	5	-71.54	5	-5.23	5	-0.08	5
6185	-486	-494	Max	2.83	30.06	1	2.22	5	0.08	5	143.22	5	4.97	5	0.08	5
6185	-486	-494	Max	17.09	30.06	1	2.22	5	0.16	5	142.66	5	9.82	5	0.08	5
6185	-486	-494	Min.	2.83	4.95	1	-1.11	5	-0.17	5	-69.68	5	-10.56	5	-0.04	5
6185	-486	-494	Min.	17.09	4.95	1	-1.11	5	-0.08	5	-70.24	5	-5.01	5	-0.04	5
6186	-454	-462	Max	2.83	-1.40	1	1.86	5	0.07	5	150.51	5	5.57	5	0.01	5
6186	-454	-462	Max	17.72	-1.40	1	1.86	5	0.14	5	149.92	5	11.08	5	0.01	5
6186	-454	-462	Min.	2.83	-4.83	1	-0.92	5	-0.15	5	-73.48	5	-11.28	5	-0.02	5
6186	-454	-462	Min.	17.72	-4.83	1	-0.92	5	-0.07	5	-74.06	5	-5.42	5	-0.02	5
6187	-422	-430	Max	2.83	0.89	1	1.95	5	0.08	5	145.61	5	5.64	5	0.01	1
6187	-422	-430	Max	18.34	0.89	1	1.95	5	0.15	5	145.00	5	11.13	5	0.01	1
6187	-422	-430	Min.	2.83	-0.10	1	-0.97	5	-0.16	5	-71.61	5	-11.41	5	-0.01	1
6187	-422	-430	Min.	18.34	-0.10	1	-0.97	5	-0.08	5	-72.22	5	-5.52	5	-0.01	1
6188	-390	-398	Max	2.83	0.08	1	1.86	5	0.08	5	139.35	5	5.65	5	0.01	1
6188	-390	-398	Max	18.97	0.08	1	1.86	5	0.15	5	138.72	5	11.09	5	0.01	1
6188	-390	-398	Min.	2.83	-0.32	1	-0.93	5	-0.16	5	-69.01	5	-11.34	5	-0.01	1
6188	-390	-398	Min.	18.97	-0.32	1	-0.93	5	-0.08	5	-69.64	5	-5.54	5	-0.01	1
6189	-358	-366	Max	2.83	0.17	1	1.78	5	0.08	5	133.22	5	5.65	5	0.01	1
6189	-358	-366	Max	19.59	0.17	1	1.78	5	0.15	5	132.56	5	11.02	5	0.01	1
6189	-358	-366	Min.	2.83	-0.27	1	-0.89	5	-0.16	5	-66.40	5	-11.26	5	-0.01	1
6189	-358	-366	Min.	19.59	-0.27	1	-0.89	5	-0.08	5	-67.06	5	-5.54	5	-0.01	1
6190	-326	-334	Max	2.83	0.15	1	1.69	5	0.08	5	127.42	5	5.63	5	0.01	1
6190	-326	-334	Max	20.22	0.15	1	1.69	5	0.15	5	126.74	5	10.93	5	0.01	1
6190	-326	-334	Min.	2.83	-0.27	1	-0.86	5	-0.16	5	-63.90	5	-11.16	5	-0.01	1
6190	-326	-334	Min.	20.22	-0.27	1	-0.86	5	-0.08	5	-64.58	5	-5.53	5	-0.01	1
6191	-294	-302	Max	2.83	0.15	1	1.62	5	0.08	5	121.97	5	5.62	5	0.01	1
6191	-294	-302	Max	20.84	0.15	1	1.62	5	0.15	5	121.26	5	10.84	5	0.01	1
6191	-294	-302	Min.	2.83	-0.26	1	-0.83	5	-0.15	5	-61.50	5	-11.06	5	-0.01	1
6191	-294	-302	Min.	20.84	-0.26	1	-0.83	5	-0.08	5	-62.20	5	-5.52	5	-0.01	1
6192	-262	-270	Max	2.83	0.14	1	1.55	5	0.08	5	116.83	5	5.59	5	0.01	1
6192	-262	-270	Max	21.47	0.14	1	1.55	5	0.15	5	116.09	5	10.74	5	0.01	1
6192	-262	-270	Min.	2.83	-0.26	1	-0.79	5	-0.15	5	-59.19	5	-10.96	5	-0.01	1
6192	-262	-270	Min.	21.47	-0.26	1	-0.79	5	-0.08	5	-59.93	5	-5.51	5	-0.01	1
6193	-230	-238	Max	2.83	0.14	1	1.48	5	0.08	5	111.96	5	5.57	5	0.01	1
6193	-230	-238	Max	22.09	0.14	1	1.48	5	0.15	5	111.21	5	10.64	5	0.01	1
6193	-230	-238	Min.	2.83	-0.25	1	-0.76	5	-0.15	5	-56.97	5	-10.85	5	-0.01	1
6193	-230	-238	Min.	22.09	-0.25	1	-0.76	5	-0.08	5	-57.73	5	-5.48	5	-0.01	1
6194	-198	-206	Max	2.83	0.14	1	1.41	5	0.08	5	107.32	5	5.53	5	0.01	1
6194	-198	-206	Max	22.72	0.14	1	1.41	5	0.14	5	106.54	5	10.53	5	0.01	1
6194	-198	-206	Min.	2.83	-0.24	1	-0.73	5	-0.15	5	-54.81	5	-10.73	5	-0.01	1
6194	-198	-206	Min.	22.72	-0.24	1	-0.73	5	-0.08	5	-55.59	5	-5.45	5	-0.01	1
6195	-166	-174	Max	2.83	0.14	1	1.34	5	0.08	5	102.77	5	5.48	5	0.01	1
6195	-166	-174	Max	23.34	0.14	1	1.34	5	0.14	5	101.96	5	10.40	5	0.01	1
6195	-166	-174	Min.	2.83	-0.25	1	-0.70	5	-0.15	5	-52.64	5	-10.60	5	-0.01	1
6195	-166	-174	Min.	23.34	-0.25	1	-0.70	5	-0.08	5	-53.45	5	-5.40	5	-0.01	1
6196	-134	-142	Max	2.83	0.11	1	1.26	5	0.08	5	97.75	5	5.38	5	0.01	1
6196	-134	-142	Max	23.97	0.11	1	1.26	5	0.14	5	96.92	5	10.19	5	0.01	1
6196	-134	-142	Min.	2.83	-0.23	1	-0.65	5	-0.14	5	-50.18	5	-10.38	5	-0.01	1

6196	-134	-142	Min.	23.97	-0.23	1	-0.65	5	-0.07	5	-51.01	5	-5.31	5	-0.01	1
6197	-102	-110	Max	2.83	0.20	5	1.11	5	0.07	5	89.96	5	5.11	5	0.00	1
6197	-102	-110	Max	24.59	0.20	5	1.11	5	0.12	5	89.10	5	9.65	5	0.00	1
6197	-102	-110	Min.	2.83	-0.13	5	-0.58	5	-0.13	5	-46.22	5	-9.83	5	-0.01	1
6197	-102	-110	Min.	24.59	-0.13	5	-0.58	5	-0.07	5	-47.08	5	-5.05	5	-0.01	1
6198	-70	-78	Max	2.83	5.24	1	0.81	5	0.05	5	69.48	5	4.04	5	0.00	1
6198	-70	-78	Max	25.22	5.24	1	0.81	5	0.09	5	68.61	5	7.66	5	0.00	1
6198	-70	-78	Min.	2.83	-8.75	1	-0.42	5	-0.10	5	-35.59	5	-7.80	5	-0.00	1
6198	-70	-78	Min.	25.22	-8.75	1	-0.42	5	-0.05	5	-36.46	5	-4.03	5	-0.00	1
6199	-38	-46	Max	2.83	175.15	1	0.74	5	0.05	5	81.96	5	5.82	5	0.00	1
6199	-38	-46	Max	25.84	175.15	1	0.74	5	0.09	5	80.15	5	10.25	5	0.00	1
6199	-38	-46	Min.	2.83	-122.92	1	-0.38	5	-0.09	5	-40.72	5	-9.54	5	-0.00	1
6199	-38	-46	Min.	25.84	-122.92	1	-0.38	5	-0.04	5	-42.52	5	-4.90	5	-0.00	1
6200	-6	-14	Max	2.83	456.25	1	0.44	5	0.03	5	57.54	5	3.27	5	0.00	5
6200	-6	-14	Max	26.15	456.25	1	0.44	5	0.05	5	55.71	5	6.74	5	0.00	5
6200	-6	-14	Min.	2.83	-297.75	1	-0.23	5	-0.05	5	-26.82	5	-6.50	5	-0.00	5
6200	-6	-14	Min.	26.15	-297.75	1	-0.23	5	-0.03	5	-28.65	5	-3.23	5	-0.00	5
6201	321	333	Max	1.77	469.80	1	23.05	1	0.38	1	655.49	1	48.63	1	1.02	1
6201	321	333	Max	15.00	469.80	1	23.05	1	2.46	1	654.55	1	48.33	1	1.02	1
6201	321	333	Min.	1.77	-578.35	1	-19.10	1	-0.59	1	-860.21	1	-38.55	1	-1.00	1
6201	321	333	Min.	15.00	-578.35	1	-19.10	1	-2.15	1	-861.15	1	-65.46	1	-1.00	1
6201	333	345	Max	0.00	446.10	1	18.46	1	2.36	1	851.05	1	50.06	1	0.99	1
6201	333	345	Max	13.23	446.10	1	18.46	1	0.36	1	850.11	1	49.55	1	0.99	1
6201	333	345	Min.	0.00	-601.09	1	-22.18	1	-2.08	1	-667.85	1	-63.00	1	-1.02	1
6201	333	345	Min.	13.23	-601.09	1	-22.18	1	-0.57	1	-668.79	1	-38.38	1	-1.02	1
6202	322	334	Max	1.77	339.23	1	511.13	1	47.12	1	16.64	1	0.40	1	1.02	1
6202	322	334	Max	15.00	339.23	1	510.19	1	38.40	1	16.64	1	1.78	1	1.02	1
6202	322	334	Min.	1.77	-548.23	1	-817.53	1	-29.18	1	-19.24	1	-0.42	1	-0.77	1
6202	322	334	Min.	15.00	-548.23	1	-818.47	1	-61.12	1	-19.24	1	-2.15	1	-0.77	1
6202	334	346	Max	0.00	343.63	1	847.94	1	36.48	1	18.79	1	1.74	1	0.77	1
6202	334	346	Max	13.23	343.63	1	847.00	1	48.47	1	18.79	1	0.37	1	0.77	1
6202	334	346	Min.	0.00	-576.46	1	-495.90	1	-63.67	1	-16.24	1	-2.11	1	-1.02	1
6202	334	346	Min.	13.23	-576.46	1	-496.84	1	-29.20	1	-16.24	1	-0.41	1	-1.02	1
6203	-7	-15	Max	3.53	432.33	1	0.29	5	0.05	5	49.25	5	4.24	5	0.00	1
6203	-7	-15	Max	26.86	432.33	1	0.29	5	0.04	5	47.42	5	5.79	5	0.00	1
6203	-7	-15	Min.	3.53	-228.16	1	-0.40	5	-0.03	5	-36.08	5	-5.51	5	-0.00	1
6203	-7	-15	Min.	26.86	-228.16	1	-0.40	5	-0.05	5	-37.91	5	-4.41	5	-0.00	1
6204	-39	-47	Max	3.53	166.53	1	0.50	5	0.08	5	74.48	5	6.99	5	0.00	1
6204	-39	-47	Max	26.55	166.53	1	0.50	5	0.06	5	72.68	5	9.71	5	0.00	1
6204	-39	-47	Min.	3.53	-93.81	1	-0.68	5	-0.06	5	-52.77	5	-8.13	5	-0.00	1
6204	-39	-47	Min.	26.55	-93.81	1	-0.68	5	-0.08	5	-54.58	5	-6.27	5	-0.00	1
6205	-71	-79	Max	3.53	4.00	1	0.53	5	0.08	5	64.14	5	5.05	5	0.01	5
6205	-71	-79	Max	25.92	4.00	1	0.53	5	0.06	5	63.27	5	7.17	5	0.01	5
6205	-71	-79	Min.	3.53	-8.09	1	-0.74	5	-0.06	5	-45.22	5	-7.09	5	-0.01	5
6205	-71	-79	Min.	25.92	-8.09	1	-0.74	5	-0.09	5	-46.10	5	-5.17	5	-0.01	5
6206	-103	-111	Max	3.53	0.33	5	0.74	5	0.11	5	83.06	5	6.37	5	0.01	1
6206	-103	-111	Max	25.30	0.33	5	0.74	5	0.08	5	82.20	5	9.05	5	0.01	1
6206	-103	-111	Min.	3.53	-0.14	5	-1.03	5	-0.09	5	-58.72	5	-8.93	5	-0.01	1
6206	-103	-111	Min.	25.30	-0.14	5	-1.03	5	-0.12	5	-59.58	5	-6.50	5	-0.01	1
6207	-135	-143	Max	3.53	0.09	1	0.84	5	0.13	5	90.23	5	6.72	5	0.01	1
6207	-135	-143	Max	24.67	0.09	1	0.84	5	0.09	5	89.40	5	9.56	5	0.01	1
6207	-135	-143	Min.	3.53	-0.19	1	-1.17	5	-0.09	5	-63.80	5	-9.42	5	-0.01	1
6207	-135	-143	Min.	24.67	-0.19	1	-1.17	5	-0.13	5	-64.63	5	-6.85	5	-0.01	1
6208	-167	-175	Max	3.53	0.11	1	0.90	5	0.13	5	94.84	5	6.85	5	0.01	1
6208	-167	-175	Max	24.05	0.11	1	0.90	5	0.09	5	94.03	5	9.76	5	0.01	1
6208	-167	-175	Min.	3.53	-0.21	1	-1.25	5	-0.10	5	-67.01	5	-9.61	5	-0.01	1
6208	-167	-175	Min.	24.05	-0.21	1	-1.25	5	-0.13	5	-67.81	5	-6.98	5	-0.01	1
6209	-199	-207	Max	3.53	0.11	1	0.94	5	0.13	5	99.02	5	6.92	5	0.01	1
6209	-199	-207	Max	23.42	0.11	1	0.94	5	0.10	5	98.23	5	9.88	5	0.01	1

6209	-199	-207	Min.	3.53	-0.20	1	-1.32	5	-0.10	5	-69.88	5	-9.73	5	-0.01	1
6209	-199	-207	Min.	23.42	-0.20	1	-1.32	5	-0.14	5	-70.67	5	-7.06	5	-0.01	1
6210	-231	-239	Max	3.53	0.11	1	0.98	5	0.14	5	103.26	5	6.97	5	0.01	1
6210	-231	-239	Max	22.80	0.11	1	0.98	5	0.10	5	102.50	5	9.99	5	0.01	1
6210	-231	-239	Min.	3.53	-0.21	1	-1.38	5	-0.10	5	-72.78	5	-9.83	5	-0.01	1
6210	-231	-239	Min.	22.80	-0.21	1	-1.38	5	-0.14	5	-73.53	5	-7.12	5	-0.01	1
6211	-263	-271	Max	3.53	0.12	1	1.02	5	0.14	5	107.70	5	7.02	5	0.01	1
6211	-263	-271	Max	22.17	0.12	1	1.02	5	0.10	5	106.97	5	10.09	5	0.01	1
6211	-263	-271	Min.	3.53	-0.21	1	-1.44	5	-0.10	5	-75.78	5	-9.91	5	-0.01	1
6211	-263	-271	Min.	22.17	-0.21	1	-1.44	5	-0.14	5	-76.51	5	-7.17	5	-0.01	1
6212	-295	-303	Max	3.53	0.13	1	1.07	5	0.14	5	112.39	5	7.06	5	0.01	1
6212	-295	-303	Max	21.55	0.13	1	1.07	5	0.10	5	111.69	5	10.18	5	0.01	1
6212	-295	-303	Min.	3.53	-0.22	1	-1.51	5	-0.10	5	-78.92	5	-10.00	5	-0.01	1
6212	-295	-303	Min.	21.55	-0.22	1	-1.51	5	-0.14	5	-79.63	5	-7.22	5	-0.01	1
6213	-327	-335	Max	3.53	0.13	1	1.11	5	0.14	5	117.36	5	7.10	5	0.01	1
6213	-327	-335	Max	20.92	0.13	1	1.11	5	0.10	5	116.68	5	10.27	5	0.01	1
6213	-327	-335	Min.	3.53	-0.22	1	-1.58	5	-0.10	5	-82.23	5	-10.07	5	-0.01	1
6213	-327	-335	Min.	20.92	-0.22	1	-1.58	5	-0.14	5	-82.91	5	-7.26	5	-0.01	1
6214	-359	-367	Max	3.53	0.14	1	1.17	5	0.14	5	122.64	5	7.13	5	0.01	1
6214	-359	-367	Max	20.30	0.14	1	1.17	5	0.10	5	121.98	5	10.36	5	0.01	1
6214	-359	-367	Min.	3.53	-0.22	1	-1.65	5	-0.10	5	-85.71	5	-10.14	5	-0.01	1
6214	-359	-367	Min.	20.30	-0.22	1	-1.65	5	-0.14	5	-86.37	5	-7.30	5	-0.01	1
6215	-391	-399	Max	3.53	0.09	1	1.22	5	0.14	5	128.22	5	7.15	5	0.01	1
6215	-391	-399	Max	19.67	0.09	1	1.22	5	0.10	5	127.59	5	10.43	5	0.01	1
6215	-391	-399	Min.	3.53	-0.26	1	-1.73	5	-0.10	5	-89.36	5	-10.21	5	-0.01	1
6215	-391	-399	Min.	19.67	-0.26	1	-1.73	5	-0.14	5	-89.99	5	-7.32	5	-0.01	1
6216	-423	-431	Max	3.53	0.57	1	1.27	5	0.14	5	133.91	5	7.15	5	0.01	5
6216	-423	-431	Max	19.05	0.57	1	1.27	5	0.10	5	133.30	5	10.48	5	0.01	5
6216	-423	-431	Min.	3.53	-0.01	1	-1.81	5	-0.10	5	-93.04	5	-10.25	5	-0.01	5
6216	-423	-431	Min.	19.05	-0.01	1	-1.81	5	-0.15	5	-93.65	5	-7.33	5	-0.01	5
6217	-455	-463	Max	3.53	-1.33	5	1.22	5	0.13	5	138.26	5	7.07	5	0.01	1
6217	-455	-463	Max	18.42	-1.33	5	1.22	5	0.09	5	137.67	5	10.42	5	0.01	1
6217	-455	-463	Min.	3.53	-3.10	5	-1.74	5	-0.10	5	-95.78	5	-10.12	5	-0.01	1
6217	-455	-463	Min.	18.42	-3.10	5	-1.74	5	-0.13	5	-96.37	5	-7.24	5	-0.01	1
6218	-487	-495	Max	3.53	17.56	5	1.45	5	0.15	5	131.56	5	6.34	5	0.06	5
6218	-487	-495	Max	17.80	17.56	5	1.45	5	0.10	5	131.01	5	9.33	5	0.06	5
6218	-487	-495	Min.	3.53	6.75	5	-2.08	5	-0.11	5	-90.73	5	-9.40	5	-0.08	5
6218	-487	-495	Min.	17.80	6.75	5	-2.08	5	-0.15	5	-91.29	5	-6.64	5	-0.08	5
6223	-488	-496	Max	2.83	11.78	5	1.85	5	0.09	5	119.15	5	5.87	5	0.06	5
6223	-488	-496	Max	17.09	11.78	5	1.85	5	0.13	5	118.59	5	8.26	5	0.06	5
6223	-488	-496	Min.	2.83	-0.25	5	-1.26	5	-0.14	5	-81.03	5	-8.69	5	-0.04	5
6223	-488	-496	Min.	17.09	-0.25	5	-1.26	5	-0.09	5	-81.59	5	-5.73	5	-0.04	5
6224	-456	-464	Max	2.83	0.00	5	1.52	5	0.08	5	124.98	5	6.44	5	0.02	5
6224	-456	-464	Max	17.72	0.00	5	1.52	5	0.11	5	124.40	5	9.18	5	0.02	5
6224	-456	-464	Min.	2.83	-2.09	5	-1.04	5	-0.12	5	-85.27	5	-9.38	5	-0.02	5
6224	-456	-464	Min.	17.72	-2.09	5	-1.04	5	-0.08	5	-85.85	5	-6.30	5	-0.02	5
6225	-424	-432	Max	2.83	0.31	1	1.61	5	0.09	5	121.08	5	6.52	5	0.01	5
6225	-424	-432	Max	18.34	0.31	1	1.61	5	0.12	5	120.47	5	9.25	5	0.01	5
6225	-424	-432	Min.	2.83	-0.08	1	-1.11	5	-0.13	5	-82.92	5	-9.48	5	-0.01	5
6225	-424	-432	Min.	18.34	-0.08	1	-1.11	5	-0.09	5	-83.53	5	-6.39	5	-0.01	5
6226	-392	-400	Max	2.83	0.12	1	1.53	5	0.09	5	116.05	5	6.53	5	0.01	5
6226	-392	-400	Max	18.97	0.12	1	1.53	5	0.12	5	115.42	5	9.23	5	0.01	5
6226	-392	-400	Min.	2.83	-0.25	1	-1.06	5	-0.13	5	-79.75	5	-9.45	5	-0.01	5
6226	-392	-400	Min.	18.97	-0.25	1	-1.06	5	-0.09	5	-80.38	5	-6.39	5	-0.01	5
6227	-360	-368	Max	2.83	0.13	1	1.47	5	0.09	5	111.10	5	6.51	5	0.01	5
6227	-360	-368	Max	19.59	0.13	1	1.47	5	0.12	5	110.45	5	9.18	5	0.01	5
6227	-360	-368	Min.	2.83	-0.21	1	-1.02	5	-0.13	5	-76.59	5	-9.39	5	-0.01	5
6227	-360	-368	Min.	19.59	-0.21	1	-1.02	5	-0.09	5	-77.25	5	-6.39	5	-0.01	5
6228	-328	-336	Max	2.83	0.13	1	1.40	5	0.09	5	106.42	5	6.48	5	0.01	5

6228	-328	-336	Max	20.22	0.13	1	1.40	5	0.12	5	105.74	5	9.12	5	0.01	5
6228	-328	-336	Min.	2.83	-0.21	1	-0.98	5	-0.13	5	-73.58	5	-9.32	5	-0.01	5
6228	-328	-336	Min.	20.22	-0.21	1	-0.98	5	-0.09	5	-74.26	5	-6.37	5	-0.01	5
6229	-296	-304	Max	2.83	0.12	1	1.34	5	0.09	5	102.00	5	6.45	5	0.01	5
6229	-296	-304	Max	20.84	0.12	1	1.34	5	0.12	5	101.29	5	9.06	5	0.01	5
6229	-296	-304	Min.	2.83	-0.20	1	-0.94	5	-0.13	5	-70.71	5	-9.25	5	-0.01	5
6229	-296	-304	Min.	20.84	-0.20	1	-0.94	5	-0.09	5	-71.41	5	-6.34	5	-0.01	5
6230	-264	-272	Max	2.83	0.12	1	1.28	5	0.09	5	97.82	5	6.42	5	0.01	5
6230	-264	-272	Max	21.47	0.12	1	1.28	5	0.12	5	97.08	5	8.99	5	0.01	5
6230	-264	-272	Min.	2.83	-0.20	1	-0.90	5	-0.13	5	-67.96	5	-9.17	5	-0.01	5
6230	-264	-272	Min.	21.47	-0.20	1	-0.90	5	-0.09	5	-68.69	5	-6.32	5	-0.01	5
6231	-232	-240	Max	2.83	0.11	1	1.23	5	0.09	5	93.85	5	6.38	5	0.01	5
6231	-232	-240	Max	22.09	0.11	1	1.23	5	0.12	5	93.09	5	8.91	5	0.01	5
6231	-232	-240	Min.	2.83	-0.19	1	-0.86	5	-0.13	5	-65.33	5	-9.09	5	-0.01	5
6231	-232	-240	Min.	22.09	-0.19	1	-0.86	5	-0.09	5	-66.09	5	-6.28	5	-0.01	5
6232	-200	-208	Max	2.83	0.11	1	1.17	5	0.09	5	90.05	5	6.33	5	0.01	5
6232	-200	-208	Max	22.72	0.11	1	1.17	5	0.12	5	89.27	5	8.83	5	0.01	5
6232	-200	-208	Min.	2.83	-0.19	1	-0.83	5	-0.13	5	-62.79	5	-9.00	5	-0.01	5
6232	-200	-208	Min.	22.72	-0.19	1	-0.83	5	-0.08	5	-63.57	5	-6.24	5	-0.01	5
6233	-168	-176	Max	2.83	0.11	1	1.12	5	0.09	5	86.30	5	6.26	5	0.01	5
6233	-168	-176	Max	23.34	0.11	1	1.12	5	0.11	5	85.49	5	8.72	5	0.01	5
6233	-168	-176	Min.	2.83	-0.20	1	-0.79	5	-0.12	5	-60.25	5	-8.89	5	-0.01	5
6233	-168	-176	Min.	23.34	-0.20	1	-0.79	5	-0.08	5	-61.05	5	-6.18	5	-0.01	5
6234	-136	-144	Max	2.83	0.09	1	1.05	5	0.08	5	82.14	5	6.15	5	0.01	5
6234	-136	-144	Max	23.97	0.09	1	1.05	5	0.11	5	81.31	5	8.55	5	0.01	5
6234	-136	-144	Min.	2.83	-0.19	1	-0.74	5	-0.12	5	-57.39	5	-8.72	5	-0.01	5
6234	-136	-144	Min.	23.97	-0.19	1	-0.74	5	-0.08	5	-58.22	5	-6.07	5	-0.01	5
6235	-104	-112	Max	2.83	0.16	5	0.93	5	0.08	5	75.62	5	5.83	5	0.01	5
6235	-104	-112	Max	24.59	0.16	5	0.93	5	0.10	5	74.76	5	8.10	5	0.01	5
6235	-104	-112	Min.	2.83	-0.17	5	-0.66	5	-0.11	5	-52.83	5	-8.26	5	-0.01	5
6235	-104	-112	Min.	24.59	-0.17	5	-0.66	5	-0.07	5	-53.68	5	-5.76	5	-0.01	5
6236	-72	-80	Max	2.83	5.59	1	0.69	5	0.06	5	58.39	5	4.62	5	0.01	5
6236	-72	-80	Max	25.22	5.59	1	0.69	5	0.08	5	57.52	5	6.43	5	0.01	5
6236	-72	-80	Min.	2.83	-6.65	1	-0.49	5	-0.08	5	-40.67	5	-6.55	5	-0.01	5
6236	-72	-80	Min.	25.22	-6.65	1	-0.49	5	-0.06	5	-41.55	5	-4.59	5	-0.01	5
6237	-40	-48	Max	2.83	132.73	1	0.60	5	0.05	5	67.65	5	6.21	5	0.00	5
6237	-40	-48	Max	14.39					0.01	3			2.00	3		
6237	-40	-48	Max	25.84	132.73	1	0.60	5	0.07	5	65.85	5	8.08	5	0.00	5
6237	-40	-48	Min.	2.83	-126.41	1	-0.43	5	-0.07	5	-47.15	5	-8.24	5	-0.00	5
6237	-40	-48	Min.	14.39					-0.01	3			-1.77	3		
6237	-40	-48	Min.	25.84	-126.41	1	-0.43	5	-0.05	5	-48.96	5	-5.81	5	-0.00	5
6238	-8	-16	Max	2.83	345.84	1	0.36	5	0.03	5	44.57	5	3.88	5	0.00	5
6238	-8	-16	Max	26.15	345.84	1	0.36	5	0.04	5	42.74	5	5.21	5	0.00	5
6238	-8	-16	Min.	2.83	-312.57	1	-0.26	5	-0.04	5	-32.37	5	-4.98	5	-0.00	5
6238	-8	-16	Min.	26.15	-312.57	1	-0.26	5	-0.03	5	-34.20	5	-3.88	5	-0.00	5
6239	324	336	Max	1.77	470.65	1	20.65	1	0.31	1	684.34	1	37.75	1	0.99	1
6239	324	336	Max	15.00	470.65	1	20.65	1	2.24	1	683.40	1	51.06	1	0.99	1
6239	324	336	Min.	1.77	-454.51	1	-15.28	1	-0.50	1	-649.98	1	-39.43	1	-0.78	1
6239	324	336	Min.	15.00	-454.51	1	-15.28	1	-1.71	1	-650.92	1	-48.32	1	-0.78	1
6239	336	348	Max	0.00	449.42	1	14.53	1	2.20	1	665.17	1	48.49	1	0.78	1
6239	336	348	Max	13.23	449.42	1	14.53	1	0.29	1	664.23	1	37.87	1	0.78	1
6239	336	348	Min.	0.00	-452.81	1	-20.36	1	-1.63	1	-654.93	1	-50.15	1	-0.98	1
6239	336	348	Min.	13.23	-452.81	1	-20.36	1	-0.50	1	-655.87	1	-38.29	1	-0.98	1
6240	332	345	Max	0.00	-15.07	5	18.57	1	2.29	1	220.31	1	25.59	1	4.66	1
6240	332	345	Max	18.38	-15.07	5	18.57	1	0.71	1	219.01	1	9.43	1	4.66	1
6240	332	345	Min.	0.00	-92.08	5	-13.92	1	-2.70	1	-94.63	1	-37.48	1	-5.12	1
6240	332	345	Min.	18.38	-92.08	5	-13.92	1	-0.27	1	-95.93	1	1.54	1	-5.12	1
6240	319	332	Max	2.83	-6.47	1	18.70	1	0.28	1	75.72	1	8.28	1	4.51	1
6240	319	332	Max	21.21	-6.47	1	18.70	1	2.80	1	74.42	1	21.95	1	4.51	1

6240	319	332	Min.	2.83	-75.71	1	-13.73	1	-0.64	1	-233.14	1	1.22	1	-5.44	1
6240	319	332	Min.	21.21	-75.71	1	-13.73	1	-2.24	1	-234.44	1	-41.63	1	-5.44	1
6241	318	329	Max	2.83	-6.15	1	13.71	1	0.64	1	75.64	1	8.28	1	5.44	1
6241	318	329	Max	21.21	-6.15	1	13.71	1	2.24	1	74.34	1	21.93	1	5.44	1
6241	318	329	Min.	2.83	-75.95	1	-18.73	1	-0.28	1	-233.24	1	1.22	1	-4.51	1
6241	318	329	Min.	21.21	-75.95	1	-18.73	1	-2.80	1	-234.54	1	-41.64	1	-4.51	1
6241	329	340	Max	0.00	-15.06	5	13.95	1	2.70	1	220.24	1	25.61	1	5.11	1
6241	329	340	Max	18.38	-15.06	5	13.95	1	0.27	1	218.94	1	9.43	1	5.11	1
6241	329	340	Min.	0.00	-91.78	5	-18.57	1	-2.29	1	-94.76	1	-37.47	1	-4.66	1
6241	329	340	Min.	18.38	-91.78	5	-18.57	1	-0.71	1	-96.06	1	1.55	1	-4.66	1
6242	329	342	Max	0.00	-14.35	5	19.90	1	2.14	1	230.69	1	23.53	1	5.04	1
6242	329	342	Max	18.38	-14.35	5	19.90	1	0.75	1	229.39	1	9.36	1	5.04	1
6242	329	342	Min.	0.00	-88.04	5	-12.95	1	-2.91	1	-83.47	1	-39.86	1	-4.80	1
6242	329	342	Min.	18.38	-88.04	5	-12.95	1	-0.24	1	-84.77	1	1.14	1	-4.80	1
6242	316	329	Max	2.83	-8.73	1	17.73	1	0.32	1	87.64	1	8.36	1	4.20	1
6242	316	329	Max	21.21	-8.73	1	17.73	1	2.64	1	86.34	1	24.14	1	4.20	1
6242	316	329	Min.	2.83	-76.89	1	-14.97	1	-0.61	1	-223.47	1	1.62	1	-5.82	1
6242	316	329	Min.	21.21	-76.89	1	-14.97	1	-2.44	1	-224.77	1	-39.38	1	-5.82	1
6243	335	348	Max	0.00	3.46	5	13.94	1	2.22	1	176.43	1	25.36	1	3.27	1
6243	335	348	Max	18.38	3.46	5	13.94	1	0.54	1	175.13	1	7.02	1	3.27	1
6243	335	348	Min.	0.00	-73.63	5	-13.90	1	-2.03	1	-106.87	1	-30.22	1	-5.11	1
6243	335	348	Min.	18.38	-73.63	5	-13.90	1	-0.34	1	-108.17	1	0.67	1	-5.11	1
6243	322	335	Max	2.83	4.49	1	16.74	1	0.22	1	74.79	1	5.99	1	4.70	1
6243	322	335	Max	21.21	4.49	1	16.74	1	2.54	1	73.49	1	19.59	1	4.70	1
6243	322	335	Min.	2.83	-55.74	1	-10.68	1	-0.54	1	-186.77	1	-0.56	1	-3.75	1
6243	322	335	Min.	21.21	-55.74	1	-10.68	1	-1.74	1	-188.07	1	-34.99	1	-3.75	1
6244	313	326	Max	2.83	-2.57	1	13.98	1	0.36	1	115.69	1	5.94	1	3.72	1
6244	313	326	Max	21.21	-2.57	1	13.98	1	2.09	1	114.39	1	27.03	1	3.72	1
6244	313	326	Min.	2.83	-51.93	1	-14.71	1	-0.48	1	-157.76	1	0.81	1	-4.93	1
6244	313	326	Min.	21.21	-51.93	1	-14.71	1	-2.34	1	-159.06	1	-28.24	1	-4.93	1
6244	326	339	Max	0.00	0.43	5	17.77	1	1.75	1	205.26	1	18.10	1	4.46	1
6244	326	339	Max	18.38	0.43	5	17.77	1	0.63	1	203.96	1	7.03	1	4.46	1
6244	326	339	Min.	0.00	-64.40	5	-10.78	1	-2.64	1	-66.21	1	-37.09	1	-4.12	1
6244	326	339	Min.	18.38	-64.40	5	-10.78	1	-0.23	1	-67.51	1	-0.71	1	-4.12	1
6245	315	326	Max	2.83	4.30	1	10.67	1	0.55	1	74.67	1	5.98	1	3.75	1
6245	315	326	Max	21.21	4.30	1	10.67	1	1.74	1	73.37	1	19.56	1	3.75	1
6245	315	326	Min.	2.83	-55.50	1	-16.74	1	-0.23	1	-186.69	1	-0.57	1	-4.70	1
6245	315	326	Min.	21.21	-55.50	1	-16.74	1	-2.54	1	-187.99	1	-34.98	1	-4.70	1
6245	326	337	Max	0.00	3.77	5	13.94	1	2.03	1	176.23	1	25.39	1	5.12	1
6245	326	337	Max	18.38	3.77	5	13.94	1	0.34	1	174.93	1	7.01	1	5.12	1
6245	326	337	Min.	0.00	-73.81	5	-13.96	1	-2.22	1	-107.07	1	-30.19	1	-3.28	1
6245	326	337	Min.	18.38	-73.81	5	-13.96	1	-0.54	1	-108.37	1	0.67	1	-3.28	1
6246	332	343	Max	0.00	-14.21	1	12.97	1	2.91	1	230.68	1	23.55	1	4.80	1
6246	332	343	Max	18.38	-14.21	1	12.97	1	0.24	1	229.38	1	9.35	1	4.80	1
6246	332	343	Min.	0.00	-87.85	1	-19.91	1	-2.14	1	-83.54	1	-39.87	1	-5.04	1
6246	332	343	Min.	18.38	-87.85	1	-19.91	1	-0.75	1	-84.84	1	1.14	1	-5.04	1
6246	321	332	Max	2.83	-8.46	1	14.96	1	0.62	1	87.63	1	8.36	1	5.81	1
6246	321	332	Max	21.21	-8.46	1	14.96	1	2.43	1	86.33	1	24.14	1	5.81	1
6246	321	332	Min.	2.83	-77.09	1	-17.76	1	-0.32	1	-223.56	1	1.62	1	-4.20	1
6246	321	332	Min.	21.21	-77.09	1	-17.76	1	-2.65	1	-224.86	1	-39.39	1	-4.20	1
6247	324	335	Max	2.83	-2.17	1	14.73	1	0.48	1	115.63	1	5.95	1	4.93	1
6247	324	335	Max	21.21	-2.17	1	14.73	1	2.34	1	114.33	1	27.01	1	4.93	1
6247	324	335	Min.	2.83	-52.55	1	-14.02	1	-0.36	1	-157.82	1	0.82	1	-3.73	1
6247	324	335	Min.	21.21	-52.55	1	-14.02	1	-2.09	1	-159.12	1	-28.24	1	-3.73	1
6247	335	346	Max	0.00	0.33	5	10.77	1	2.64	1	205.34	1	18.08	1	4.12	1
6247	335	346	Max	18.38	0.33	5	10.77	1	0.23	1	204.04	1	7.04	1	4.12	1
6247	335	346	Min.	0.00	-64.36	5	-17.75	1	-1.75	1	-66.04	1	-37.10	1	-4.45	1
6247	335	346	Min.	18.38	-64.36	5	-17.75	1	-0.63	1	-67.34	1	-0.70	1	-4.45	1
6272	351	362	Max	2.83	0.37	5	10.74	1	0.63	1	67.71	1	7.02	1	4.09	1

6272	351	362	Max	21.21	0.37	5	10.74	1	1.74	1	66.41	1	18.12	1	4.09	1
6272	351	362	Min.	2.83	-64.33	5	-17.73	1	-0.23	1	-204.35	1	-0.69	1	-4.42	1
6272	351	362	Min.	21.21	-64.33	5	-17.73	1	-2.63	1	-205.65	1	-37.15	1	-4.42	1
6272	362	373	Max	0.00	-2.28	1	14.70	1	2.09	1	159.30	1	27.07	1	4.90	1
6272	362	373	Max	18.38	-2.28	1	14.70	1	0.36	1	158.00	1	5.94	1	4.90	1
6272	362	373	Min.	0.00	-52.35	1	-13.98	1	-2.34	1	-114.72	1	-28.27	1	-3.70	1
6272	362	373	Min.	18.38	-52.35	1	-13.98	1	-0.48	1	-116.01	1	0.82	1	-3.70	1
6273	357	368	Max	2.83	-14.98	5	13.92	1	0.71	1	95.57	1	9.42	1	5.11	1
6273	357	368	Max	21.21	-14.98	5	13.92	1	2.29	1	94.27	1	25.51	1	5.11	1
6273	357	368	Min.	2.83	-91.87	5	-18.54	1	-0.27	1	-218.42	1	1.55	1	-4.66	1
6273	357	368	Min.	21.21	-91.87	5	-18.54	1	-2.70	1	-219.72	1	-37.37	1	-4.66	1
6273	368	379	Max	0.00	-6.30	1	13.69	1	2.79	1	233.94	1	21.86	1	5.44	1
6273	368	379	Max	18.38	-6.30	1	13.69	1	0.28	1	232.64	1	8.27	1	5.44	1
6273	368	379	Min.	0.00	-75.76	1	-18.69	1	-2.24	1	-73.98	1	-41.53	1	-4.51	1
6273	368	379	Min.	18.38	-75.76	1	-18.69	1	-0.64	1	-75.28	1	1.22	1	-4.51	1
6274	362	375	Max	0.00	4.43	1	16.73	1	1.74	1	187.19	1	19.43	1	4.71	1
6274	362	375	Max	18.38	4.43	1	16.73	1	0.54	1	185.89	1	5.98	1	4.71	1
6274	362	375	Min.	0.00	-55.59	1	-10.66	1	-2.53	1	-72.66	1	-34.83	1	-3.76	1
6274	362	375	Min.	18.38	-55.59	1	-10.66	1	-0.22	1	-73.96	1	-0.57	1	-3.76	1
6274	349	362	Max	2.83	3.52	5	13.92	1	0.34	1	107.51	1	7.01	1	3.28	1
6274	349	362	Max	21.21	3.52	5	13.92	1	2.02	1	106.21	1	25.23	1	3.28	1
6274	349	362	Min.	2.83	-73.57	5	-13.89	1	-0.54	1	-174.25	1	0.67	1	-5.13	1
6274	349	362	Min.	21.21	-73.57	5	-13.89	1	-2.21	1	-175.55	1	-30.06	1	-5.13	1
6275	358	371	Max	2.83	0.44	5	17.71	1	0.23	1	67.83	1	7.02	1	4.42	1
6275	358	371	Max	21.21	0.44	5	17.71	1	2.63	1	66.53	1	18.15	1	4.42	1
6275	358	371	Min.	2.83	-64.48	5	-10.73	1	-0.62	1	-204.27	1	-0.69	1	-4.09	1
6275	358	371	Min.	21.21	-64.48	5	-10.73	1	-1.74	1	-205.57	1	-37.14	1	-4.09	1
6275	371	384	Max	0.00	-2.52	1	13.97	1	2.34	1	159.44	1	27.06	1	3.69	1
6275	371	384	Max	18.38	-2.52	1	13.97	1	0.48	1	158.14	1	5.94	1	3.69	1
6275	371	384	Min.	0.00	-52.10	1	-14.69	1	-2.09	1	-114.64	1	-28.29	1	-4.90	1
6275	371	384	Min.	18.38	-52.10	1	-14.69	1	-0.36	1	-115.94	1	0.82	1	-4.90	1
6276	352	365	Max	2.83	-15.03	5	18.54	1	0.27	1	95.59	1	9.42	1	4.66	1
6276	352	365	Max	21.21	-15.03	5	18.54	1	2.70	1	94.29	1	25.52	1	4.66	1
6276	352	365	Min.	2.83	-91.92	5	-13.90	1	-0.71	1	-218.41	1	1.55	1	-5.12	1
6276	352	365	Min.	21.21	-91.92	5	-13.90	1	-2.29	1	-219.71	1	-37.37	1	-5.12	1
6276	365	378	Max	0.00	-6.53	1	18.67	1	2.24	1	233.90	1	21.84	1	4.51	1
6276	365	378	Max	18.38	-6.53	1	18.67	1	0.64	1	232.60	1	8.27	1	4.51	1
6276	365	378	Min.	0.00	-75.50	1	-13.69	1	-2.79	1	-73.91	1	-41.53	1	-5.44	1
6276	365	378	Min.	18.38	-75.50	1	-13.69	1	-0.28	1	-75.21	1	1.22	1	-5.44	1
6277	354	365	Max	2.83	-14.21	1	12.94	1	0.75	1	84.74	1	9.34	1	4.78	1
6277	354	365	Max	21.21	-14.21	1	12.94	1	2.14	1	83.45	1	23.52	1	4.78	1
6277	354	365	Min.	2.83	-87.87	1	-19.87	1	-0.24	1	-229.25	1	1.14	1	-5.02	1
6277	354	365	Min.	21.21	-87.87	1	-19.87	1	-2.90	1	-230.55	1	-39.84	1	-5.02	1
6277	365	376	Max	0.00	-8.63	1	14.93	1	2.64	1	224.65	1	24.14	1	5.80	1
6277	365	376	Max	18.38	-8.63	1	14.93	1	0.32	1	223.35	1	8.35	1	5.80	1
6277	365	376	Min.	0.00	-76.88	1	-17.71	1	-2.43	1	-86.38	1	-39.35	1	-4.18	1
6277	365	376	Min.	18.38	-76.88	1	-17.71	1	-0.62	1	-87.68	1	1.62	1	-4.18	1
6278	360	371	Max	2.83	3.53	5	13.90	1	0.54	1	107.44	1	7.01	1	5.13	1
6278	360	371	Max	21.21	3.53	5	13.90	1	2.21	1	106.14	1	25.22	1	5.13	1
6278	360	371	Min.	2.83	-73.57	5	-13.93	1	-0.34	1	-174.12	1	0.67	1	-3.29	1
6278	360	371	Min.	21.21	-73.57	5	-13.93	1	-2.02	1	-175.42	1	-30.04	1	-3.29	1
6278	371	382	Max	0.00	4.58	1	10.65	1	2.54	1	187.26	1	19.43	1	3.77	1
6278	371	382	Max	18.38	4.58	1	10.65	1	0.22	1	185.96	1	5.99	1	3.77	1
6278	371	382	Min.	0.00	-55.74	1	-16.72	1	-1.74	1	-72.66	1	-34.84	1	-4.71	1
6278	371	382	Min.	18.38	-55.74	1	-16.72	1	-0.54	1	-73.95	1	-0.57	1	-4.71	1
6279	355	368	Max	2.83	-14.33	5	19.87	1	0.24	1	84.81	1	9.34	1	5.02	1
6279	355	368	Max	21.21	-14.33	5	19.87	1	2.91	1	83.51	1	23.53	1	5.02	1
6279	355	368	Min.	2.83	-87.87	5	-12.93	1	-0.75	1	-229.18	1	1.14	1	-4.78	1
6279	355	368	Min.	21.21	-87.87	5	-12.93	1	-2.14	1	-230.48	1	-39.82	1	-4.78	1

6279	368	381	Max	0.00	-8.84	1	17.69	1	2.43	1	224.68	1	24.12	1	4.18	1
6279	368	381	Max	18.38	-8.84	1	17.69	1	0.61	1	223.38	1	8.34	1	4.18	1
6279	368	381	Min.	0.00	-76.62	1	-14.93	1	-2.64	1	-86.28	1	-39.35	1	-5.80	1
6279	368	381	Min.	18.38	-76.62	1	-14.93	1	-0.32	1	-87.57	1	1.62	1	-5.80	1
6281	-515	-516	Max	0.00	1.21	5	23.57	1	1.43	1	0.45	1	0.10	1	0.55	1
6281	-515	-516	Max	12.00	1.21	5	23.57	1	1.57	1	2.05	1	0.14	1	0.55	1
6281	-515	-516	Min.	0.00	-1.49	5	-26.86	1	-1.26	1	-0.50	1	-0.12	1	-0.72	1
6281	-515	-516	Min.	12.00	-1.49	5	-26.86	1	-1.79	1	1.11	1	0.03	1	-0.72	1
6282	-531	-532	Max	0.00	0.79	1	23.19	1	1.52	1	1.39	1	0.21	1	0.36	1
6282	-531	-532	Max	12.00	0.79	1	23.19	1	1.40	1	2.99	1	0.22	1	0.36	1
6282	-531	-532	Min.	0.00	-0.63	1	-25.24	1	-1.39	1	-4.40	1	-0.05	1	-0.50	1
6282	-531	-532	Min.	12.00	-0.63	1	-25.24	1	-1.51	1	-2.79	1	-0.23	1	-0.50	1
6283	316	317	Max	1.77	-4.03	5	2.73	1	0.35	1	4.15	1	0.07	1	0.34	1
6283	316	317	Max	15.00	-4.03	5	2.73	1	0.02	5	3.20	1	-0.27	5	0.34	1
6283	316	317	Min.	1.77	-21.85	5	-2.57	1	-0.36	1	-2.41	1	-0.85	1	-0.32	1
6283	316	317	Min.	15.00	-21.85	5	-2.57	1	-0.00	5	-3.35	1	-0.40	5	-0.32	1
6283	317	318	Max	0.00	-4.03	5	2.73	1	0.02	5	3.20	1	-0.27	5	0.34	1
6283	317	318	Max	10.59					0.29	3			-0.06	3		
6283	317	318	Max	13.23	-4.03	5	2.73	1	0.37	1	2.26	1	0.04	1	0.34	1
6283	317	318	Min.	0.00	-21.85	5	-2.57	1	-0.00	5	-3.35	1	-0.40	5	-0.32	1
6283	317	318	Min.	10.59					-0.26	3			-0.70	3		
6283	317	318	Min.	13.23	-21.85	5	-2.57	1	-0.33	1	-4.29	1	-0.85	1	-0.32	1
6284	-3	-4	Max	2.83	40.62	5	0.73	1	0.09	1	29.21	1	3.61	1	0.00	1
6284	-3	-4	Max	26.15	40.62	5	0.73	1	0.09	1	27.38	1	3.37	1	0.00	1
6284	-3	-4	Min.	2.83	33.11	5	-0.68	1	-0.08	1	-28.99	1	-3.23	1	-0.00	1
6284	-3	-4	Min.	26.15	33.11	5	-0.68	1	-0.08	1	-30.83	1	-3.37	1	-0.00	1
6285	-35	-36	Max	2.83	11.03	5	0.13	1	0.03	5	47.68	1	5.93	1	0.03	1
6285	-35	-36	Max	14.14					-0.01	7			0.28	7		
6285	-35	-36	Max	25.84	11.03	5	0.13	1	0.03	5	45.87	1	5.51	1	0.03	1
6285	-35	-36	Min.	2.83	7.90	5	-0.13	1	-0.02	5	-48.64	1	-5.25	1	-0.03	1
6285	-35	-36	Min.	14.14					0.02	7			0.19	7		
6285	-35	-36	Min.	25.84	7.90	5	-0.13	1	-0.02	5	-50.45	1	-5.47	1	-0.03	1
6286	-67	-68	Max	2.83	-0.61	5	0.48	1	0.07	1	41.92	1	4.94	1	0.00	1
6286	-67	-68	Max	13.95					-0.01	7			0.02	7		
6286	-67	-68	Max	25.22	-0.61	5	0.48	1	0.07	1	41.04	1	4.59	1	0.00	1
6286	-67	-68	Min.	2.83	-1.34	5	-0.51	1	-0.05	1	-43.59	1	-4.69	1	-0.00	1
6286	-67	-68	Min.	13.95					0.03	7			-0.00	7		
6286	-67	-68	Min.	25.22	-1.34	5	-0.51	1	-0.06	1	-44.47	1	-4.91	1	-0.00	1
6287	-99	-100	Max	2.83	0.25	5	0.67	1	0.09	1	54.31	1	6.26	1	0.01	1
6287	-99	-100	Max	13.68					-0.02	7			0.02	7		
6287	-99	-100	Max	24.59	0.25	5	0.67	1	0.09	1	53.46	1	5.81	1	0.01	1
6287	-99	-100	Min.	2.83	-0.30	5	-0.71	1	-0.07	1	-56.77	1	-5.92	1	-0.01	1
6287	-99	-100	Min.	13.68					0.04	7			0.00	7		
6287	-99	-100	Min.	24.59	-0.30	5	-0.71	1	-0.08	1	-57.62	1	-6.19	1	-0.01	1
6288	-131	-132	Max	2.83	0.11	5	0.76	1	0.10	1	59.00	1	6.61	1	0.01	1
6288	-131	-132	Max	13.55					0.04	7			0.01	7		
6288	-131	-132	Max	23.97	0.11	5	0.76	1	0.10	1	58.17	1	6.13	1	0.01	1
6288	-131	-132	Min.	2.83	-0.36	5	-0.81	1	-0.08	1	-61.78	1	-6.25	1	-0.01	1
6288	-131	-132	Min.	13.55					-0.02	7			0.00	7		
6288	-131	-132	Min.	23.97	-0.36	5	-0.81	1	-0.08	1	-62.61	1	-6.54	1	-0.01	1
6289	-163	-164	Max	2.83	0.14	5	0.82	1	0.11	1	61.97	1	6.74	1	0.01	1
6289	-163	-164	Max	13.23					0.04	7			0.01	7		
6289	-163	-164	Max	23.34	0.14	5	0.82	1	0.10	1	61.16	1	6.25	1	0.01	1
6289	-163	-164	Min.	2.83	-0.36	5	-0.87	1	-0.08	1	-64.97	1	-6.38	1	-0.01	1
6289	-163	-164	Min.	13.23					-0.02	7			0.00	7		
6289	-163	-164	Min.	23.34	-0.36	5	-0.87	1	-0.09	1	-65.78	1	-6.67	1	-0.01	1
6290	-195	-196	Max	2.83	0.11	5	0.86	1	0.11	1	64.64	1	6.83	1	0.01	1
6290	-195	-196	Max	12.87					0.04	7			0.02	7		
6290	-195	-196	Max	22.72	0.11	5	0.86	1	0.10	1	63.86	1	6.32	1	0.01	1

6290	-195	-196	Min.	2.83	-0.35	5	-0.91	1	-0.08	1	-67.86	1	-6.45	1	-0.01	1
6290	-195	-196	Min.	12.87					-0.02	7			-0.01	7		
6290	-195	-196	Min.	22.72	-0.35	5	-0.91	1	-0.09	1	-68.64	1	-6.75	1	-0.01	1
6291	-227	-228	Max	2.83	0.13	5	0.90	1	0.11	1	67.34	1	6.90	1	0.01	1
6291	-227	-228	Max	12.59					0.04	7			0.01	7		
6291	-227	-228	Max	22.09	0.13	5	0.90	1	0.11	1	66.58	1	6.38	1	0.01	1
6291	-227	-228	Min.	2.83	-0.37	5	-0.95	1	-0.09	1	-70.78	1	-6.52	1	-0.01	1
6291	-227	-228	Min.	12.59					-0.02	7			-0.01	7		
6291	-227	-228	Min.	22.09	-0.37	5	-0.95	1	-0.09	1	-71.54	1	-6.81	1	-0.01	1
6292	-259	-260	Max	2.83	0.13	5	0.94	1	0.11	1	70.14	1	6.96	1	0.01	1
6292	-259	-260	Max	12.00					-0.02	7			0.04	7		
6292	-259	-260	Max	21.47	0.13	5	0.94	1	0.11	1	69.41	1	6.43	1	0.01	1
6292	-259	-260	Min.	2.83	-0.37	5	-0.99	1	-0.09	1	-73.81	1	-6.57	1	-0.01	1
6292	-259	-260	Min.	12.00					0.04	7			-0.02	7		
6292	-259	-260	Min.	21.47	-0.37	5	-0.99	1	-0.09	1	-74.55	1	-6.87	1	-0.01	1
6293	-291	-292	Max	2.83	0.14	5	0.98	1	0.11	1	73.06	1	7.02	1	0.01	1
6293	-291	-292	Max	11.71					-0.02	7			0.04	7		
6293	-291	-292	Max	20.84	0.14	5	0.98	1	0.11	1	72.36	1	6.48	1	0.01	1
6293	-291	-292	Min.	2.83	-0.39	5	-1.04	1	-0.09	1	-76.99	1	-6.62	1	-0.01	1
6293	-291	-292	Min.	11.71					0.04	7			-0.02	7		
6293	-291	-292	Min.	20.84	-0.39	5	-1.04	1	-0.09	1	-77.70	1	-6.92	1	-0.01	1
6294	-323	-324	Max	2.83	0.15	5	1.02	1	0.11	1	76.13	1	7.07	1	0.01	1
6294	-323	-324	Max	11.44					-0.02	7			0.02	7		
6294	-323	-324	Max	20.22	0.15	5	1.02	1	0.11	1	75.45	1	6.51	1	0.01	1
6294	-323	-324	Min.	2.83	-0.41	5	-1.09	1	-0.09	1	-80.32	1	-6.66	1	-0.01	1
6294	-323	-324	Min.	11.44					0.04	7			-0.01	7		
6294	-323	-324	Min.	20.22	-0.41	5	-1.09	1	-0.09	1	-81.01	1	-6.96	1	-0.01	1
6295	-355	-356	Max	2.83	0.16	5	1.07	1	0.12	1	79.36	1	7.11	1	0.01	1
6295	-355	-356	Max	11.15					-0.02	7			0.02	7		
6295	-355	-356	Max	19.59	0.16	5	1.07	1	0.11	1	78.70	1	6.55	1	0.01	1
6295	-355	-356	Min.	2.83	-0.42	5	-1.14	1	-0.09	1	-83.84	1	-6.70	1	-0.01	1
6295	-355	-356	Min.	11.15					0.04	7			-0.01	7		
6295	-355	-356	Min.	19.59	-0.42	5	-1.14	1	-0.09	1	-84.50	1	-7.00	1	-0.01	1
6296	-387	-388	Max	2.83	0.07	5	1.12	1	0.12	1	82.72	1	7.14	1	0.01	1
6296	-387	-388	Max	10.87					-0.02	7			0.00	7		
6296	-387	-388	Max	18.97	0.07	5	1.12	1	0.11	1	82.08	1	6.57	1	0.01	1
6296	-387	-388	Min.	2.83	-0.19	5	-1.19	1	-0.09	1	-87.49	1	-6.73	1	-0.01	1
6296	-387	-388	Min.	10.87					0.04	7			0.00	7		
6296	-387	-388	Min.	18.97	-0.19	5	-1.19	1	-0.09	1	-88.13	1	-7.03	1	-0.01	1
6297	-419	-420	Max	2.83	2.60	5	1.16	1	0.12	1	86.02	1	7.16	1	0.01	1
6297	-419	-420	Max	10.58					-0.02	7			0.02	7		
6297	-419	-420	Max	18.34	2.60	5	1.16	1	0.11	1	85.41	1	6.56	1	0.01	1
6297	-419	-420	Min.	2.83	-4.03	5	-1.23	1	-0.09	1	-91.11	1	-6.73	1	-0.01	1
6297	-419	-420	Min.	10.58					0.04	7			-0.01	7		
6297	-419	-420	Min.	18.34	-4.03	5	-1.23	1	-0.09	1	-91.72	1	-7.02	1	-0.01	1
6298	-451	-452	Max	2.83	24.11	5	1.16	1	0.11	1	87.99	1	7.03	1	0.01	1
6298	-451	-452	Max	10.31					0.04	7			0.14	7		
6298	-451	-452	Max	17.72	24.11	5	1.16	1	0.11	1	87.41	1	6.46	1	0.01	1
6298	-451	-452	Min.	2.83	-16.45	5	-1.23	1	-0.08	1	-93.37	1	-6.66	1	-0.01	1
6298	-451	-452	Min.	10.31					-0.02	7			-0.20	7		
6298	-451	-452	Min.	17.72	-16.45	5	-1.23	1	-0.09	1	-93.96	1	-6.98	1	-0.01	1
6299	-483	-484	Max	2.83	96.54	5	1.02	1	0.09	1	79.85	1	6.63	1	0.01	1
6299	-483	-484	Max	9.86					0.03	7			1.19	7		
6299	-483	-484	Max	17.09	96.54	5	1.02	1	0.09	1	79.29	1	6.08	1	0.01	1
6299	-483	-484	Min.	2.83	-144.23	5	-1.07	1	-0.07	1	-84.57	1	-5.86	1	-0.01	1
6299	-483	-484	Min.	9.86					-0.01	7			-0.77	7		
6299	-483	-484	Min.	17.09	-144.23	5	-1.07	1	-0.08	1	-85.13	1	-6.07	1	-0.01	1
6303	-491	-492	Max	3.53	188.14	5	0.91	1	0.07	1	70.57	1	5.13	1	0.00	1
6303	-491	-492	Max	10.54					0.03	7			0.62	7		

6303	-491	-492	Max	17.80	188.14	5	0.91	1	0.08	1	70.01	1	4.91	1	0.00	1
6303	-491	-492	Min.	3.53	-73.36	5	-0.84	1	-0.06	1	-76.06	1	-5.70	1	-0.00	1
6303	-491	-492	Min.	10.54					-0.01	7			-1.60	7		
6303	-491	-492	Min.	17.80	-73.36	5	-0.84	1	-0.06	1	-76.62	1	-6.35	1	-0.00	1
6304	-459	-460	Max	3.53	12.28	5	1.08	1	0.09	1	77.82	1	6.36	1	0.01	1
6304	-459	-460	Max	11.73					-0.02	7			0.09	7		
6304	-459	-460	Max	18.42	12.28	5	1.08	1	0.10	1	77.23	1	5.87	1	0.01	1
6304	-459	-460	Min.	3.53	-31.97	5	-0.99	1	-0.08	1	-84.33	1	-5.68	1	-0.01	1
6304	-459	-460	Min.	11.73					0.04	7			0.04	7		
6304	-459	-460	Min.	18.42	-31.97	5	-0.99	1	-0.07	1	-84.92	1	-6.24	1	-0.01	1
6305	-427	-428	Max	3.53	5.09	5	1.09	1	0.10	1	76.25	1	6.33	1	0.01	1
6305	-427	-428	Max	12.02					-0.02	7			0.16	7		
6305	-427	-428	Max	19.05	5.09	5	1.09	1	0.10	1	75.64	1	5.95	1	0.01	1
6305	-427	-428	Min.	3.53	-2.07	5	-1.00	1	-0.08	1	-82.36	1	-5.83	1	-0.01	1
6305	-427	-428	Min.	12.02					0.04	7			-0.20	7		
6305	-427	-428	Min.	19.05	-2.07	5	-1.00	1	-0.08	1	-82.96	1	-6.49	1	-0.01	1
6306	-395	-396	Max	3.53	0.03	5	1.05	1	0.10	1	73.42	1	6.36	1	0.01	1
6306	-395	-396	Max	12.37					-0.02	7			0.17	7		
6306	-395	-396	Max	19.67	0.03	5	1.05	1	0.11	1	72.79	1	5.96	1	0.01	1
6306	-395	-396	Min.	3.53	-0.30	5	-0.97	1	-0.08	1	-79.20	1	-5.84	1	-0.01	1
6306	-395	-396	Min.	12.37					0.04	7			-0.19	7		
6306	-395	-396	Min.	19.67	-0.30	5	-0.97	1	-0.08	1	-79.83	1	-6.47	1	-0.01	1
6307	-363	-364	Max	3.53	0.34	5	1.01	1	0.10	1	70.54	1	6.33	1	0.01	1
6307	-363	-364	Max	12.71					-0.02	7			0.18	7		
6307	-363	-364	Max	20.30	0.34	5	1.01	1	0.10	1	69.88	1	5.94	1	0.01	1
6307	-363	-364	Min.	3.53	-0.24	5	-0.93	1	-0.08	1	-75.95	1	-5.82	1	-0.01	1
6307	-363	-364	Min.	12.71					0.04	7			-0.20	7		
6307	-363	-364	Min.	20.30	-0.24	5	-0.93	1	-0.08	1	-76.60	1	-6.45	1	-0.01	1
6308	-331	-332	Max	3.53	0.33	5	0.97	1	0.10	1	67.75	1	6.30	1	0.01	1
6308	-331	-332	Max	13.06					-0.02	7			0.18	7		
6308	-331	-332	Max	20.92	0.33	5	0.97	1	0.10	1	67.07	1	5.92	1	0.01	1
6308	-331	-332	Min.	3.53	-0.23	5	-0.89	1	-0.08	1	-72.82	1	-5.80	1	-0.01	1
6308	-331	-332	Min.	13.06					0.04	7			-0.20	7		
6308	-331	-332	Min.	20.92	-0.23	5	-0.89	1	-0.08	1	-73.50	1	-6.42	1	-0.01	1
6309	-299	-300	Max	3.53	0.29	5	0.92	1	0.10	1	65.09	1	6.27	1	0.01	1
6309	-299	-300	Max	13.38					-0.02	7			0.17	7		
6309	-299	-300	Max	21.55	0.29	5	0.92	1	0.10	1	64.38	1	5.88	1	0.01	1
6309	-299	-300	Min.	3.53	-0.22	5	-0.85	1	-0.08	1	-69.86	1	-5.78	1	-0.01	1
6309	-299	-300	Min.	13.38					0.04	7			-0.19	7		
6309	-299	-300	Min.	21.55	-0.22	5	-0.85	1	-0.08	1	-70.56	1	-6.38	1	-0.01	1
6310	-267	-268	Max	3.53	0.29	5	0.89	1	0.09	1	62.54	1	6.23	1	0.01	1
6310	-267	-268	Max	13.73					-0.02	7			0.17	7		
6310	-267	-268	Max	22.17	0.29	5	0.89	1	0.10	1	61.81	1	5.84	1	0.01	1
6310	-267	-268	Min.	3.53	-0.22	5	-0.82	1	-0.08	1	-67.03	1	-5.75	1	-0.01	1
6310	-267	-268	Min.	13.73					0.04	7			-0.19	7		
6310	-267	-268	Min.	22.17	-0.22	5	-0.82	1	-0.08	1	-67.76	1	-6.33	1	-0.01	1
6311	-235	-236	Max	3.53	0.27	5	0.85	1	0.09	1	60.10	1	6.18	1	0.01	1
6311	-235	-236	Max	14.06					-0.02	7			0.17	7		
6311	-235	-236	Max	22.80	0.27	5	0.85	1	0.10	1	59.34	1	5.80	1	0.01	1
6311	-235	-236	Min.	3.53	-0.21	5	-0.78	1	-0.08	1	-64.31	1	-5.71	1	-0.01	1
6311	-235	-236	Min.	14.06					0.04	7			-0.19	7		
6311	-235	-236	Min.	22.80	-0.21	5	-0.78	1	-0.07	1	-65.07	1	-6.28	1	-0.01	1
6312	-203	-204	Max	3.53	0.25	5	0.81	1	0.09	1	57.72	1	6.12	1	0.01	1
6312	-203	-204	Max	14.40					-0.02	7			0.17	7		
6312	-203	-204	Max	23.42	0.25	5	0.81	1	0.10	1	56.94	1	5.74	1	0.01	1
6312	-203	-204	Min.	3.53	-0.21	5	-0.75	1	-0.08	1	-61.69	1	-5.66	1	-0.01	1
6312	-203	-204	Min.	14.40					0.04	7			-0.18	7		
6312	-203	-204	Min.	23.42	-0.21	5	-0.75	1	-0.07	1	-62.47	1	-6.22	1	-0.01	1
6313	-171	-172	Max	3.53	0.29	5	0.77	1	0.09	1	55.37	1	6.05	1	0.01	1

6313	-171	-172	Max	14.74					-0.02	7			0.17	7		
6313	-171	-172	Max	24.05	0.29	5	0.77	1	0.10	1	54.57	1	5.68	1	0.01	1
6313	-171	-172	Min.	3.53	-0.22	5	-0.71	1	-0.08	1	-59.09	1	-5.60	1	-0.01	1
6313	-171	-172	Min.	14.74					0.04	7			-0.18	7		
6313	-171	-172	Min.	24.05	-0.22	5	-0.71	1	-0.07	1	-59.89	1	-6.15	1	-0.01	1
6314	-139	-140	Max	3.53	0.25	5	0.72	1	0.09	1	52.74	1	5.93	1	0.01	1
6314	-139	-140	Max	15.08					-0.02	7			0.17	7		
6314	-139	-140	Max	24.67	0.25	5	0.72	1	0.09	1	51.92	1	5.57	1	0.01	1
6314	-139	-140	Min.	3.53	-0.22	5	-0.67	1	-0.07	1	-56.19	1	-5.49	1	-0.01	1
6314	-139	-140	Min.	15.08					0.04	7			-0.18	7		
6314	-139	-140	Min.	24.67	-0.22	5	-0.67	1	-0.07	1	-57.02	1	-6.03	1	-0.01	1
6315	-107	-108	Max	3.53	0.41	5	0.64	1	0.08	1	48.56	1	5.62	1	0.01	1
6315	-107	-108	Max	14.26					0.03	7			0.02	7		
6315	-107	-108	Max	25.30	0.41	5	0.64	1	0.09	1	47.71	1	5.27	1	0.01	1
6315	-107	-108	Min.	3.53	-0.17	5	-0.59	1	-0.07	1	-51.63	1	-5.21	1	-0.01	1
6315	-107	-108	Min.	14.26					-0.02	7			0.01	7		
6315	-107	-108	Min.	25.30	-0.17	5	-0.59	1	-0.06	1	-52.49	1	-5.71	1	-0.01	1
6316	-75	-76	Max	3.53	-0.71	1	0.47	1	0.06	1	37.48	1	4.44	1	0.01	1
6316	-75	-76	Max	15.00					-0.01	7			0.04	7		
6316	-75	-76	Max	25.92	-0.71	1	0.47	1	0.07	1	36.60	1	4.16	1	0.01	1
6316	-75	-76	Min.	3.53	-0.98	1	-0.44	1	-0.05	1	-39.62	1	-4.13	1	-0.01	1
6316	-75	-76	Min.	15.00					0.03	7			-0.03	7		
6316	-75	-76	Min.	25.92	-0.98	1	-0.44	1	-0.05	1	-40.50	1	-4.53	1	-0.01	1
6317	-43	-44	Max	3.53	12.59	5	0.08	1	0.03	5	42.34	1	5.34	1	0.03	1
6317	-43	-44	Max	15.34					0.00	3			0.39	3		
6317	-43	-44	Max	26.55	12.59	5	0.08	1	0.03	5	40.53	1	4.98	1	0.03	1
6317	-43	-44	Min.	3.53	5.60	5	-0.08	1	-0.01	5	-43.98	1	-4.55	1	-0.03	1
6317	-43	-44	Min.	15.34					0.01	3			0.09	3		
6317	-43	-44	Min.	26.55	5.60	5	-0.08	1	-0.01	5	-45.79	1	-4.99	1	-0.03	1
6318	-11	-12	Max	3.53	51.81	5	0.70	1	0.09	1	25.43	1	3.23	1	0.01	1
6318	-11	-12	Max	26.86	51.81	5	0.70	1	0.09	1	23.60	1	2.99	1	0.01	1
6318	-11	-12	Min.	3.53	22.48	5	-0.75	1	-0.08	1	-25.69	1	-2.73	1	-0.01	1
6318	-11	-12	Min.	26.86	22.48	5	-0.75	1	-0.09	1	-27.52	1	-2.97	1	-0.01	1
6319	340	341	Max	1.77	-2.61	5	3.19	1	-0.02	1	2.50	1	0.32	1	0.32	1
6319	340	341	Max	4.67					-0.17	5			0.09	5		
6319	340	341	Max	15.00	-2.61	5	2.25	1	-0.20	5	2.50	1	0.03	5	0.32	1
6319	340	341	Min.	1.77	-9.79	5	-1.53	1	-0.70	1	-2.32	1	-0.31	1	-0.34	1
6319	340	341	Min.	4.67					-0.50	5			-0.07	5		
6319	340	341	Min.	15.00	-9.79	5	-2.47	1	-0.42	5	-2.32	1	0.00	5	-0.34	1
6319	341	342	Max	0.00	-2.61	5	2.25	1	-0.20	5	2.50	1	0.03	5	0.32	1
6319	341	342	Max	9.98					-0.17	5			0.12	5		
6319	341	342	Max	13.23	-2.61	5	1.31	1	-0.05	1	2.50	1	0.35	1	0.32	1
6319	341	342	Min.	0.00	-9.79	5	-2.47	1	-0.42	5	-2.32	1	0.00	5	-0.34	1
6319	341	342	Min.	9.98					-0.54	5			-0.07	5		
6319	341	342	Min.	13.23	-9.79	5	-3.41	1	-0.72	1	-2.32	1	-0.29	1	-0.34	1
6327	352	353	Max	1.77	-2.42	5	2.51	1	0.32	1	3.19	1	-0.02	1	0.34	1
6327	352	353	Max	4.41					0.09	5			-0.17	5		
6327	352	353	Max	15.00	-2.42	5	2.51	1	0.03	5	2.25	1	-0.20	5	0.34	1
6327	352	353	Min.	1.77	-9.93	5	-2.32	1	-0.31	1	-1.57	1	-0.70	1	-0.32	1
6327	352	353	Min.	4.41					-0.08	5			-0.50	5		
6327	352	353	Min.	15.00	-9.93	5	-2.32	1	0.00	5	-2.51	1	-0.42	5	-0.32	1
6327	353	354	Max	0.00	-2.42	5	2.51	1	0.03	5	2.25	1	-0.20	5	0.34	1
6327	353	354	Max	9.89					0.12	5			-0.17	5		
6327	353	354	Max	13.23	-2.42	5	2.51	1	0.35	1	1.31	1	-0.05	1	0.34	1
6327	353	354	Min.	0.00	-9.93	5	-2.32	1	0.00	5	-2.51	1	-0.42	5	-0.32	1
6327	353	354	Min.	9.89					-0.06	5			-0.54	5		
6327	353	354	Min.	13.23	-9.93	5	-2.32	1	-0.29	1	-3.45	1	-0.73	1	-0.32	1
6328	-19	-20	Max	2.83	51.56	5	0.75	1	0.08	1	25.46	1	3.29	1	0.01	1
6328	-19	-20	Max	26.15	51.56	5	0.75	1	0.09	1	23.63	1	2.94	1	0.01	1

6328	-19	-20	Min.	2.83	22.75	5	-0.70	1	-0.10	1	-25.72	1	-2.78	1	-0.01	1
6328	-19	-20	Min.	26.15	22.75	5	-0.70	1	-0.09	1	-27.55	1	-2.92	1	-0.01	1
6329	-51	-52	Max	2.83	12.65	5	0.07	1	0.01	5	42.36	1	5.44	1	0.03	1
6329	-51	-52	Max	14.21					0.01	7			0.33	7		
6329	-51	-52	Max	25.84	12.65	5	0.07	1	0.01	5	40.55	1	4.89	1	0.03	1
6329	-51	-52	Min.	2.83	5.48	5	-0.09	1	-0.03	5	-44.01	1	-4.65	1	-0.03	1
6329	-51	-52	Min.	14.21					-0.03	7			0.18	7		
6329	-51	-52	Min.	25.84	5.48	5	-0.09	1	-0.03	5	-45.81	1	-4.89	1	-0.03	1
6330	-83	-84	Max	2.83	-0.71	1	0.44	1	0.05	1	37.44	1	4.51	1	0.01	1
6330	-83	-84	Max	14.01					-0.03	7			0.01	7		
6330	-83	-84	Max	25.22	-0.71	1	0.44	1	0.05	1	36.56	1	4.10	1	0.01	1
6330	-83	-84	Min.	2.83	-0.95	1	-0.47	1	-0.06	1	-39.69	1	-4.19	1	-0.01	1
6330	-83	-84	Min.	14.01					0.01	7			0.01	7		
6330	-83	-84	Min.	25.22	-0.95	1	-0.47	1	-0.07	1	-40.57	1	-4.47	1	-0.01	1
6331	-115	-116	Max	2.83	0.45	5	0.59	1	0.07	1	48.52	1	5.72	1	0.01	1
6331	-115	-116	Max	13.89					-0.03	7			0.02	7		
6331	-115	-116	Max	24.59	0.45	5	0.59	1	0.06	1	47.66	1	5.18	1	0.01	1
6331	-115	-116	Min.	2.83	-0.19	5	-0.64	1	-0.08	1	-51.72	1	-5.28	1	-0.01	1
6331	-115	-116	Min.	13.89					0.02	7			0.01	7		
6331	-115	-116	Min.	24.59	-0.19	5	-0.64	1	-0.09	1	-52.57	1	-5.63	1	-0.01	1
6332	-147	-148	Max	2.83	0.24	5	0.67	1	0.07	1	52.70	1	6.04	1	0.01	1
6332	-147	-148	Max	13.57					-0.04	7			0.01	7		
6332	-147	-148	Max	23.97	0.24	5	0.67	1	0.07	1	51.87	1	5.47	1	0.01	1
6332	-147	-148	Min.	2.83	-0.21	5	-0.73	1	-0.09	1	-56.28	1	-5.58	1	-0.01	1
6332	-147	-148	Min.	13.57					0.02	7			0.01	7		
6332	-147	-148	Min.	23.97	-0.21	5	-0.73	1	-0.09	1	-57.11	1	-5.94	1	-0.01	1
6333	-179	-180	Max	2.83	0.30	5	0.71	1	0.08	1	55.32	1	6.16	1	0.01	1
6333	-179	-180	Max	13.23					0.02	7			0.02	7		
6333	-179	-180	Max	23.34	0.30	5	0.71	1	0.07	1	54.52	1	5.58	1	0.01	1
6333	-179	-180	Min.	2.83	-0.21	5	-0.78	1	-0.09	1	-59.18	1	-5.69	1	-0.01	1
6333	-179	-180	Min.	13.23					-0.04	7			0.01	7		
6333	-179	-180	Min.	23.34	-0.21	5	-0.78	1	-0.10	1	-59.99	1	-6.06	1	-0.01	1
6334	-211	-212	Max	2.83	0.25	5	0.75	1	0.08	1	57.67	1	6.24	1	0.01	1
6334	-211	-212	Max	12.92					0.02	7			0.02	7		
6334	-211	-212	Max	22.72	0.25	5	0.75	1	0.07	1	56.89	1	5.64	1	0.01	1
6334	-211	-212	Min.	2.83	-0.20	5	-0.81	1	-0.09	1	-61.79	1	-5.75	1	-0.01	1
6334	-211	-212	Min.	12.92					-0.04	7			0.01	7		
6334	-211	-212	Min.	22.72	-0.20	5	-0.81	1	-0.10	1	-62.57	1	-6.13	1	-0.01	1
6335	-243	-244	Max	2.83	0.29	5	0.78	1	0.08	1	60.04	1	6.30	1	0.01	1
6335	-243	-244	Max	12.61					0.02	7			0.02	7		
6335	-243	-244	Max	22.09	0.29	5	0.78	1	0.07	1	59.28	1	5.69	1	0.01	1
6335	-243	-244	Min.	2.83	-0.22	5	-0.85	1	-0.09	1	-64.42	1	-5.81	1	-0.01	1
6335	-243	-244	Min.	12.61					-0.04	7			0.01	7		
6335	-243	-244	Min.	22.09	-0.22	5	-0.85	1	-0.10	1	-65.18	1	-6.18	1	-0.01	1
6336	-275	-276	Max	2.83	0.28	5	0.82	1	0.08	1	62.48	1	6.36	1	0.01	1
6336	-275	-276	Max	12.31					0.02	7			0.02	7		
6336	-275	-276	Max	21.47	0.28	5	0.82	1	0.07	1	61.75	1	5.73	1	0.01	1
6336	-275	-276	Min.	2.83	-0.21	5	-0.89	1	-0.09	1	-67.14	1	-5.85	1	-0.01	1
6336	-275	-276	Min.	12.31					-0.04	7			0.01	7		
6336	-275	-276	Min.	21.47	-0.21	5	-0.89	1	-0.10	1	-67.87	1	-6.23	1	-0.01	1
6337	-307	-308	Max	2.83	0.31	5	0.85	1	0.08	1	65.03	1	6.40	1	0.01	1
6337	-307	-308	Max	12.01					0.02	7			0.02	7		
6337	-307	-308	Max	20.84	0.31	5	0.85	1	0.08	1	64.32	1	5.76	1	0.01	1
6337	-307	-308	Min.	2.83	-0.23	5	-0.93	1	-0.09	1	-69.98	1	-5.89	1	-0.01	1
6337	-307	-308	Min.	12.01					-0.04	7			0.01	7		
6337	-307	-308	Min.	20.84	-0.23	5	-0.93	1	-0.10	1	-70.69	1	-6.26	1	-0.01	1
6338	-339	-340	Max	2.83	0.33	5	0.89	1	0.08	1	67.68	1	6.45	1	0.01	1
6338	-339	-340	Max	11.41					-0.04	7			0.04	7		
6338	-339	-340	Max	20.22	0.33	5	0.89	1	0.08	1	67.00	1	5.79	1	0.01	1

6338	-339	-340	Min.	2.83	-0.23	5	-0.97	1	-0.10	1	-72.95	1	-5.92	1	-0.01	1
6338	-339	-340	Min.	11.41					0.02	7			0.01	7		
6338	-339	-340	Min.	20.22	-0.23	5	-0.97	1	-0.10	1	-73.63	1	-6.30	1	-0.01	1
6339	-371	-372	Max	2.83	0.35	5	0.93	1	0.08	1	70.47	1	6.48	1	0.01	1
6339	-371	-372	Max	11.10					-0.04	7			0.04	7		
6339	-371	-372	Max	19.59	0.35	5	0.93	1	0.08	1	69.81	1	5.81	1	0.01	1
6339	-371	-372	Min.	2.83	-0.24	5	-1.02	1	-0.10	1	-76.09	1	-5.95	1	-0.01	1
6339	-371	-372	Min.	11.10					0.02	7			0.01	7		
6339	-371	-372	Min.	19.59	-0.24	5	-1.02	1	-0.10	1	-76.75	1	-6.33	1	-0.01	1
6340	-403	-404	Max	2.83	0.03	5	0.97	1	0.08	1	73.35	1	6.52	1	0.01	1
6340	-403	-404	Max	10.79					-0.04	7			0.03	7		
6340	-403	-404	Max	18.97	0.03	5	0.97	1	0.08	1	72.72	1	5.82	1	0.01	1
6340	-403	-404	Min.	2.83	-0.30	5	-1.06	1	-0.10	1	-79.35	1	-5.96	1	-0.01	1
6340	-403	-404	Min.	10.79					0.02	7			0.02	7		
6340	-403	-404	Min.	18.97	-0.30	5	-1.06	1	-0.11	1	-79.98	1	-6.34	1	-0.01	1
6341	-435	-436	Max	2.83	5.09	5	1.00	1	0.08	1	76.17	1	6.50	1	0.01	1
6341	-435	-436	Max	10.48					-0.04	7			0.05	7		
6341	-435	-436	Max	18.34	5.09	5	1.00	1	0.08	1	75.56	1	5.81	1	0.01	1
6341	-435	-436	Min.	2.83	-2.06	5	-1.10	1	-0.10	1	-82.53	1	-5.96	1	-0.01	1
6341	-435	-436	Min.	10.48					0.02	7			-0.02	7		
6341	-435	-436	Min.	18.34	-2.06	5	-1.10	1	-0.10	1	-83.14	1	-6.35	1	-0.01	1
6342	-467	-468	Max	2.83	12.31	5	0.98	1	0.08	1	77.79	1	6.51	1	0.01	1
6342	-467	-468	Max	10.18					0.02	7			0.26	7		
6342	-467	-468	Max	17.72	12.31	5	0.98	1	0.07	1	77.21	1	5.74	1	0.01	1
6342	-467	-468	Min.	2.83	-31.99	5	-1.08	1	-0.09	1	-84.24	1	-5.82	1	-0.01	1
6342	-467	-468	Min.	10.18					-0.04	7			-0.06	7		
6342	-467	-468	Min.	17.72	-31.99	5	-1.08	1	-0.10	1	-84.82	1	-6.09	1	-0.01	1
6343	-499	-500	Max	2.83	188.38	5	0.84	1	0.06	1	70.38	1	5.30	1	0.00	5
6343	-499	-500	Max	10.02					0.01	7			0.62	7		
6343	-499	-500	Max	17.09	188.38	5	0.84	1	0.06	1	69.82	1	4.76	1	0.00	5
6343	-499	-500	Min.	2.83	-73.73	5	-0.93	1	-0.07	1	-76.78	1	-5.79	1	-0.00	5
6343	-499	-500	Min.	10.02					-0.03	7			-1.60	7		
6343	-499	-500	Min.	17.09	-73.73	5	-0.93	1	-0.08	1	-77.34	1	-6.25	1	-0.00	5
6347	-507	-508	Max	3.53	96.83	5	1.08	1	0.07	1	79.54	1	6.45	1	0.01	1
6347	-507	-508	Max	10.56					0.01	7			1.23	7		
6347	-507	-508	Max	17.80	96.83	5	1.08	1	0.08	1	78.98	1	6.19	1	0.01	1
6347	-507	-508	Min.	3.53	-144.49	5	-1.01	1	-0.09	1	-84.40	1	-5.68	1	-0.01	1
6347	-507	-508	Min.	10.56					-0.03	7			-0.82	7		
6347	-507	-508	Min.	17.80	-144.49	5	-1.01	1	-0.09	1	-84.96	1	-6.20	1	-0.01	1
6348	-475	-476	Max	3.53	24.14	5	1.22	1	0.08	1	87.54	1	6.82	1	0.01	1
6348	-475	-476	Max	10.77					0.02	7			0.13	7		
6348	-475	-476	Max	18.42	24.14	5	1.22	1	0.09	1	86.95	1	6.59	1	0.01	1
6348	-475	-476	Min.	3.53	-16.48	5	-1.15	1	-0.11	1	-92.67	1	-6.49	1	-0.01	1
6348	-475	-476	Min.	10.77					-0.04	7			-0.19	7		
6348	-475	-476	Min.	18.42	-16.48	5	-1.15	1	-0.11	1	-93.26	1	-7.10	1	-0.01	1
6349	-443	-444	Max	3.53	2.58	5	1.23	1	0.09	1	85.62	1	6.96	1	0.01	1
6349	-443	-444	Max	11.09					-0.04	7			0.03	7		
6349	-443	-444	Max	19.05	2.58	5	1.23	1	0.09	1	85.01	1	6.69	1	0.01	1
6349	-443	-444	Min.	3.53	-4.02	5	-1.15	1	-0.11	1	-90.60	1	-6.55	1	-0.01	1
6349	-443	-444	Min.	11.09					0.02	7			-0.02	7		
6349	-443	-444	Min.	19.05	-4.02	5	-1.15	1	-0.11	1	-91.21	1	-7.14	1	-0.01	1
6350	-411	-412	Max	3.53	0.06	5	1.18	1	0.09	1	82.32	1	6.94	1	0.01	1
6350	-411	-412	Max	11.44					0.02	7			0.01	7		
6350	-411	-412	Max	19.67	0.06	5	1.18	1	0.09	1	81.69	1	6.69	1	0.01	1
6350	-411	-412	Min.	3.53	-0.19	5	-1.11	1	-0.12	1	-87.00	1	-6.55	1	-0.01	1
6350	-411	-412	Min.	11.44					-0.04	7			-0.01	7		
6350	-411	-412	Min.	19.67	-0.19	5	-1.11	1	-0.11	1	-87.64	1	-7.15	1	-0.01	1
6351	-379	-380	Max	3.53	0.15	5	1.13	1	0.09	1	78.99	1	6.92	1	0.01	1
6351	-379	-380	Max	11.77					0.02	7			0.01	7		

6351	-379	-380	Max	20.30	0.15	5	1.13	1	0.09	1	78.33	1	6.66	1	0.01	1
6351	-379	-380	Min.	3.53	-0.43	5	-1.06	1	-0.11	1	-83.38	1	-6.53	1	-0.01	1
6351	-379	-380	Min.	11.77					-0.04	7			-0.01	7		
6351	-379	-380	Min.	20.30	-0.43	5	-1.06	1	-0.11	1	-84.03	1	-7.11	1	-0.01	1
6352	-347	-348	Max	3.53	0.15	5	1.08	1	0.09	1	75.77	1	6.88	1	0.01	1
6352	-347	-348	Max	12.11					0.02	7			0.02	7		
6352	-347	-348	Max	20.92	0.15	5	1.08	1	0.09	1	75.09	1	6.62	1	0.01	1
6352	-347	-348	Min.	3.53	-0.41	5	-1.02	1	-0.11	1	-79.89	1	-6.50	1	-0.01	1
6352	-347	-348	Min.	12.11					-0.04	7			-0.01	7		
6352	-347	-348	Min.	20.92	-0.41	5	-1.02	1	-0.11	1	-80.57	1	-7.07	1	-0.01	1
6353	-315	-316	Max	3.53	0.13	5	1.04	1	0.09	1	72.72	1	6.84	1	0.01	1
6353	-315	-316	Max	12.44					0.02	7			0.02	7		
6353	-315	-316	Max	21.55	0.13	5	1.04	1	0.09	1	72.01	1	6.58	1	0.01	1
6353	-315	-316	Min.	3.53	-0.39	5	-0.98	1	-0.11	1	-76.57	1	-6.46	1	-0.01	1
6353	-315	-316	Min.	12.44					-0.04	7			-0.02	7		
6353	-315	-316	Min.	21.55	-0.39	5	-0.98	1	-0.11	1	-77.28	1	-7.02	1	-0.01	1
6354	-283	-284	Max	3.53	0.14	5	0.99	1	0.09	1	69.81	1	6.79	1	0.01	1
6354	-283	-284	Max	12.78					0.02	7			0.02	7		
6354	-283	-284	Max	22.17	0.14	5	0.99	1	0.09	1	69.08	1	6.53	1	0.01	1
6354	-283	-284	Min.	3.53	-0.39	5	-0.93	1	-0.11	1	-73.42	1	-6.42	1	-0.01	1
6354	-283	-284	Min.	12.78					-0.04	7			-0.01	7		
6354	-283	-284	Min.	22.17	-0.39	5	-0.93	1	-0.11	1	-74.15	1	-6.96	1	-0.01	1
6355	-251	-252	Max	3.53	0.12	5	0.95	1	0.09	1	67.02	1	6.74	1	0.01	1
6355	-251	-252	Max	13.12					0.02	7			0.01	7		
6355	-251	-252	Max	22.80	0.12	5	0.95	1	0.09	1	66.27	1	6.47	1	0.01	1
6355	-251	-252	Min.	3.53	-0.36	5	-0.89	1	-0.11	1	-70.41	1	-6.37	1	-0.01	1
6355	-251	-252	Min.	13.12					-0.04	7			-0.01	7		
6355	-251	-252	Min.	22.80	-0.36	5	-0.89	1	-0.11	1	-71.16	1	-6.90	1	-0.01	1
6356	-219	-220	Max	3.53	0.12	5	0.91	1	0.08	1	64.33	1	6.67	1	0.01	1
6356	-219	-220	Max	13.45					0.02	7			0.01	7		
6356	-219	-220	Max	23.42	0.12	5	0.91	1	0.09	1	63.55	1	6.41	1	0.01	1
6356	-219	-220	Min.	3.53	-0.36	5	-0.85	1	-0.11	1	-67.50	1	-6.31	1	-0.01	1
6356	-219	-220	Min.	13.45					-0.04	7			0.00	7		
6356	-219	-220	Min.	23.42	-0.36	5	-0.85	1	-0.10	1	-68.28	1	-6.83	1	-0.01	1
6357	-187	-188	Max	3.53	0.14	5	0.86	1	0.08	1	61.68	1	6.60	1	0.01	1
6357	-187	-188	Max	13.79					-0.04	7			0.01	7		
6357	-187	-188	Max	24.05	0.14	5	0.86	1	0.09	1	60.87	1	6.33	1	0.01	1
6357	-187	-188	Min.	3.53	-0.37	5	-0.81	1	-0.11	1	-64.63	1	-6.24	1	-0.01	1
6357	-187	-188	Min.	13.79					0.02	7			0.00	7		
6357	-187	-188	Min.	24.05	-0.37	5	-0.81	1	-0.10	1	-65.44	1	-6.74	1	-0.01	1
6358	-155	-156	Max	3.53	0.11	5	0.80	1	0.08	1	58.72	1	6.47	1	0.01	1
6358	-155	-156	Max	14.13					-0.04	7			0.01	7		
6358	-155	-156	Max	24.67	0.11	5	0.80	1	0.08	1	57.89	1	6.20	1	0.01	1
6358	-155	-156	Min.	3.53	-0.38	5	-0.76	1	-0.10	1	-61.46	1	-6.12	1	-0.01	1
6358	-155	-156	Min.	14.13					0.02	7			0.00	7		
6358	-155	-156	Min.	24.67	-0.38	5	-0.76	1	-0.10	1	-62.29	1	-6.61	1	-0.01	1
6359	-123	-124	Max	3.53	0.22	5	0.70	1	0.07	1	54.06	1	6.12	1	0.01	1
6359	-123	-124	Max	14.45					-0.03	7			0.01	7		
6359	-123	-124	Max	25.30	0.22	5	0.70	1	0.08	1	53.20	1	5.87	1	0.01	1
6359	-123	-124	Min.	3.53	-0.29	5	-0.66	1	-0.09	1	-56.47	1	-5.80	1	-0.01	1
6359	-123	-124	Min.	14.45					0.02	7			-0.00	7		
6359	-123	-124	Min.	25.30	-0.29	5	-0.66	1	-0.09	1	-57.33	1	-6.26	1	-0.01	1
6360	-91	-92	Max	3.53	-0.61	5	0.50	1	0.05	1	41.73	1	4.84	1	0.00	1
6360	-91	-92	Max	14.76					-0.03	7			0.01	7		
6360	-91	-92	Max	25.92	-0.61	5	0.50	1	0.06	1	40.85	1	4.64	1	0.00	1
6360	-91	-92	Min.	3.53	-1.35	5	-0.48	1	-0.07	1	-43.36	1	-4.60	1	-0.00	1
6360	-91	-92	Min.	14.76					0.01	7			0.00	7		
6360	-91	-92	Min.	25.92	-1.35	5	-0.48	1	-0.07	1	-44.24	1	-4.96	1	-0.00	1
6361	-59	-60	Max	3.53	10.90	5	0.13	1	0.02	5	47.39	1	5.80	1	0.03	1

6361	-59	-60	Max	15.32					-0.02	7			0.28	7		
6361	-59	-60	Max	26.55	10.90	5	0.13	1	0.02	5	45.59	1	5.59	1	0.03	1
6361	-59	-60	Min.	3.53	8.05	5	-0.13	1	-0.03	5	-48.43	1	-5.11	1	-0.03	1
6361	-59	-60	Min.	15.32					0.01	7			0.17	7		
6361	-59	-60	Min.	26.55	8.05	5	-0.13	1	-0.03	5	-50.24	1	-5.56	1	-0.03	1
6362	-27	-28	Max	3.53	40.85	5	0.67	1	0.08	1	29.02	1	3.53	1	0.00	1
6362	-27	-28	Max	26.86	40.85	5	0.67	1	0.08	1	27.19	1	3.41	1	0.00	1
6362	-27	-28	Min.	3.53	32.73	5	-0.73	1	-0.08	1	-28.84	1	-3.15	1	-0.00	1
6362	-27	-28	Min.	26.86	32.73	5	-0.73	1	-0.09	1	-30.67	1	-3.42	1	-0.00	1
6363	376	377	Max	1.77	-4.20	5	4.14	1	0.07	1	2.72	1	0.35	1	0.32	1
6363	376	377	Max	15.00	-4.20	5	3.20	1	-0.27	5	2.72	1	0.02	5	0.32	1
6363	376	377	Min.	1.77	-21.69	5	-2.36	1	-0.85	1	-2.56	1	-0.35	1	-0.34	1
6363	376	377	Min.	15.00	-21.69	5	-3.30	1	-0.40	5	-2.56	1	-0.00	5	-0.34	1
6363	377	378	Max	0.00	-4.20	5	3.20	1	-0.27	5	2.72	1	0.02	5	0.32	1
6363	377	378	Max	12.24					-0.22	5			0.12	5		
6363	377	378	Max	13.23	-4.20	5	2.26	1	0.03	1	2.72	1	0.37	1	0.32	1
6363	377	378	Min.	0.00	-21.69	5	-3.30	1	-0.40	5	-2.56	1	-0.00	5	-0.34	1
6363	377	378	Min.	12.24					-0.57	5			-0.09	5		
6363	377	378	Min.	13.23	-21.69	5	-4.24	1	-0.84	1	-2.56	1	-0.33	1	-0.34	1
6364	-539	-540	Max	0.00	0.17	5	25.14	1	1.39	1	1.59	1	0.22	1	0.50	1
6364	-539	-540	Max	12.00	0.17	5	25.14	1	1.50	1	3.19	1	0.19	1	0.50	1
6364	-539	-540	Min.	0.00	-0.06	5	-23.13	1	-1.52	1	-3.59	1	-0.11	1	-0.37	1
6364	-539	-540	Min.	12.00	-0.06	5	-23.13	1	-1.39	1	-1.99	1	-0.13	1	-0.37	1
6365	-523	-524	Max	0.00	1.17	5	23.87	1	1.27	1	0.14	1	0.08	1	0.72	1
6365	-523	-524	Max	12.00	1.17	5	23.87	1	1.45	1	1.74	1	0.09	1	0.72	1
6365	-523	-524	Min.	0.00	-1.30	5	-21.47	1	-1.42	1	-1.83	1	-0.03	1	-0.54	1
6365	-523	-524	Min.	12.00	-1.30	5	-21.47	1	-1.31	1	-0.23	1	-0.05	1	-0.54	1
6367	349	361	Max	1.77	448.95	1	654.04	1	37.77	1	20.34	1	0.29	1	0.78	1
6367	349	361	Max	15.00	448.95	1	653.10	1	48.28	1	20.34	1	2.20	1	0.78	1
6367	349	361	Min.	1.77	-451.97	1	-661.77	1	-38.23	1	-14.51	1	-0.50	1	-0.98	1
6367	349	361	Min.	15.00	-451.97	1	-662.71	1	-49.89	1	-14.51	1	-1.63	1	-0.98	1
6367	361	373	Max	0.00	469.72	1	650.26	1	51.11	1	15.22	1	2.23	1	0.98	1
6367	361	373	Max	13.23	469.72	1	649.32	1	37.66	1	15.22	1	0.31	1	0.98	1
6367	361	373	Min.	0.00	-453.14	1	-683.35	1	-48.32	1	-20.60	1	-1.70	1	-0.78	1
6367	361	373	Min.	13.23	-453.14	1	-684.29	1	-39.37	1	-20.60	1	-0.50	1	-0.78	1
6368	-17	-25	Max	3.53	345.08	1	0.36	5	0.03	5	34.06	5	5.19	5	0.00	5
6368	-17	-25	Max	26.86	345.08	1	0.36	5	0.04	5	32.23	5	3.87	5	0.00	5
6368	-17	-25	Min.	3.53	-312.17	1	-0.26	5	-0.04	5	-42.61	5	-3.87	5	-0.00	5
6368	-17	-25	Min.	26.86	-312.17	1	-0.26	5	-0.03	5	-44.44	5	-4.96	5	-0.00	5
6369	-49	-57	Max	3.53	132.41	1	0.60	5	0.05	5	48.85	5	8.08	5	0.00	5
6369	-49	-57	Max	14.80					0.01	3			1.99	3		
6369	-49	-57	Max	26.55	132.41	1	0.60	5	0.07	5	47.05	5	6.19	5	0.00	5
6369	-49	-57	Min.	3.53	-126.22	1	-0.43	5	-0.07	5	-65.76	5	-5.81	5	-0.00	5
6369	-49	-57	Min.	14.80					-0.01	3			-1.72	3		
6369	-49	-57	Min.	26.55	-126.22	1	-0.43	5	-0.05	5	-67.57	5	-8.23	5	-0.00	5
6370	-81	-89	Max	3.53	5.58	1	0.69	5	0.06	5	41.48	5	6.42	5	0.01	5
6370	-81	-89	Max	25.92	5.58	1	0.69	5	0.08	5	40.60	5	4.61	5	0.01	5
6370	-81	-89	Min.	3.53	-6.63	1	-0.49	5	-0.08	5	-57.46	5	-4.58	5	-0.01	5
6370	-81	-89	Min.	25.92	-6.63	1	-0.49	5	-0.06	5	-58.34	5	-6.54	5	-0.01	5
6371	-113	-121	Max	3.53	0.17	5	0.93	5	0.07	5	53.59	5	8.10	5	0.01	5
6371	-113	-121	Max	25.30	0.17	5	0.93	5	0.11	5	52.74	5	5.82	5	0.01	5
6371	-113	-121	Min.	3.53	-0.18	5	-0.66	5	-0.10	5	-74.70	5	-5.75	5	-0.01	5
6371	-113	-121	Min.	25.30	-0.18	5	-0.66	5	-0.08	5	-75.55	5	-8.25	5	-0.01	5
6372	-145	-153	Max	3.53	0.09	1	1.05	5	0.08	5	58.12	5	8.55	5	0.01	5
6372	-145	-153	Max	24.67	0.09	1	1.05	5	0.12	5	57.29	5	6.14	5	0.01	5
6372	-145	-153	Min.	3.53	-0.18	1	-0.74	5	-0.11	5	-81.24	5	-6.06	5	-0.01	5
6372	-145	-153	Min.	24.67	-0.18	1	-0.74	5	-0.08	5	-82.07	5	-8.71	5	-0.01	5
6373	-177	-185	Max	3.53	0.12	1	1.12	5	0.08	5	60.95	5	8.72	5	0.01	5
6373	-177	-185	Max	24.05	0.12	1	1.12	5	0.12	5	60.14	5	6.25	5	0.01	5

6373	-177	-185	Min.	3.53	-0.21	1	-0.79	5	-0.11	5	-85.42	5	-6.17	5	-0.01	5
6373	-177	-185	Min.	24.05	-0.21	1	-0.79	5	-0.09	5	-86.22	5	-8.89	5	-0.01	5
6374	-209	-217	Max	3.53	0.12	1	1.17	5	0.09	5	63.46	5	8.82	5	0.01	5
6374	-209	-217	Max	23.42	0.12	1	1.17	5	0.13	5	62.68	5	6.32	5	0.01	5
6374	-209	-217	Min.	3.53	-0.20	1	-0.83	5	-0.12	5	-89.19	5	-6.23	5	-0.01	5
6374	-209	-217	Min.	23.42	-0.20	1	-0.83	5	-0.09	5	-89.97	5	-8.99	5	-0.01	5
6375	-241	-249	Max	3.53	0.09	1	1.23	5	0.09	5	65.98	5	8.90	5	0.01	5
6375	-241	-249	Max	22.80	0.09	1	1.23	5	0.13	5	65.22	5	6.37	5	0.01	5
6375	-241	-249	Min.	3.53	-0.17	1	-0.86	5	-0.12	5	-93.01	5	-6.27	5	-0.01	5
6375	-241	-249	Min.	22.80	-0.17	1	-0.86	5	-0.09	5	-93.76	5	-9.08	5	-0.01	5
6376	-273	-281	Max	3.53	0.12	1	1.28	5	0.09	5	68.59	5	8.98	5	0.01	5
6376	-273	-281	Max	22.17	0.12	1	1.28	5	0.13	5	67.86	5	6.41	5	0.01	5
6376	-273	-281	Min.	3.53	-0.20	1	-0.90	5	-0.12	5	-97.02	5	-6.31	5	-0.01	5
6376	-273	-281	Min.	22.17	-0.20	1	-0.90	5	-0.09	5	-97.75	5	-9.17	5	-0.01	5
6377	-305	-313	Max	3.53	0.14	1	1.34	5	0.09	5	71.30	5	9.05	5	0.01	5
6377	-305	-313	Max	21.55	0.14	1	1.34	5	0.13	5	70.59	5	6.44	5	0.01	5
6377	-305	-313	Min.	3.53	-0.22	1	-0.94	5	-0.12	5	-101.21	5	-6.33	5	-0.01	5
6377	-305	-313	Min.	21.55	-0.22	1	-0.94	5	-0.09	5	-101.92	5	-9.24	5	-0.01	5
6378	-337	-345	Max	3.53	0.12	1	1.40	5	0.09	5	74.13	5	9.11	5	0.01	5
6378	-337	-345	Max	20.92	0.12	1	1.40	5	0.13	5	73.44	5	6.47	5	0.01	5
6378	-337	-345	Min.	3.53	-0.19	1	-0.98	5	-0.12	5	-105.63	5	-6.36	5	-0.01	5
6378	-337	-345	Min.	20.92	-0.19	1	-0.98	5	-0.09	5	-106.31	5	-9.31	5	-0.01	5
6379	-369	-377	Max	3.53	0.14	1	1.47	5	0.09	5	77.12	5	9.17	5	0.01	5
6379	-369	-377	Max	20.30	0.14	1	1.47	5	0.13	5	76.46	5	6.50	5	0.01	5
6379	-369	-377	Min.	3.53	-0.23	1	-1.02	5	-0.12	5	-110.35	5	-6.37	5	-0.01	5
6379	-369	-377	Min.	20.30	-0.23	1	-1.02	5	-0.09	5	-111.01	5	-9.38	5	-0.01	5
6380	-401	-409	Max	3.53	0.12	1	1.53	5	0.09	5	80.24	5	9.22	5	0.01	5
6380	-401	-409	Max	19.67	0.12	1	1.53	5	0.13	5	79.61	5	6.51	5	0.01	5
6380	-401	-409	Min.	3.53	-0.22	1	-1.06	5	-0.12	5	-115.31	5	-6.38	5	-0.01	5
6380	-401	-409	Min.	19.67	-0.22	1	-1.06	5	-0.09	5	-115.95	5	-9.44	5	-0.01	5
6381	-433	-441	Max	3.53	0.28	1	1.61	5	0.09	5	83.38	5	9.24	5	0.01	5
6381	-433	-441	Max	19.05	0.28	1	1.61	5	0.13	5	82.77	5	6.51	5	0.01	5
6381	-433	-441	Min.	3.53	-0.08	1	-1.11	5	-0.12	5	-120.36	5	-6.37	5	-0.01	5
6381	-433	-441	Min.	19.05	-0.08	1	-1.11	5	-0.09	5	-120.97	5	-9.47	5	-0.01	5
6382	-465	-473	Max	3.53	-0.03	5	1.52	5	0.08	5	85.70	5	9.17	5	0.02	5
6382	-465	-473	Max	18.42	-0.03	5	1.52	5	0.12	5	85.12	5	6.43	5	0.02	5
6382	-465	-473	Min.	3.53	-2.01	5	-1.04	5	-0.11	5	-124.29	5	-6.29	5	-0.02	5
6382	-465	-473	Min.	18.42	-2.01	5	-1.04	5	-0.08	5	-124.88	5	-9.37	5	-0.02	5
6383	-497	-505	Max	3.53	11.64	5	1.85	5	0.09	5	81.45	5	8.26	5	0.06	5
6383	-497	-505	Max	17.80	11.64	5	1.85	5	0.14	5	80.89	5	5.86	5	0.06	5
6383	-497	-505	Min.	3.53	-0.21	5	-1.26	5	-0.13	5	-118.49	5	-5.72	5	-0.04	5
6383	-497	-505	Min.	17.80	-0.21	5	-1.26	5	-0.09	5	-119.05	5	-8.68	5	-0.04	5
6388	-498	-506	Max	2.83	17.48	5	1.45	5	0.15	5	91.29	5	9.32	5	0.06	5
6388	-498	-506	Max	17.09	17.48	5	1.45	5	0.11	5	90.73	5	6.34	5	0.06	5
6388	-498	-506	Min.	2.83	6.80	5	-2.08	5	-0.10	5	-130.97	5	-6.64	5	-0.08	5
6388	-498	-506	Min.	17.09	6.80	5	-2.08	5	-0.15	5	-131.53	5	-9.40	5	-0.08	5
6389	-466	-474	Max	2.83	-1.37	5	1.22	5	0.13	5	96.36	5	10.42	5	0.01	1
6389	-466	-474	Max	17.72	-1.37	5	1.22	5	0.10	5	95.78	5	7.07	5	0.01	1
6389	-466	-474	Min.	2.83	-3.04	5	-1.74	5	-0.09	5	-137.64	5	-7.24	5	-0.01	1
6389	-466	-474	Min.	17.72	-3.04	5	-1.74	5	-0.13	5	-138.22	5	-10.12	5	-0.01	1
6390	-434	-442	Max	2.83	0.54	1	1.27	5	0.15	5	93.65	5	10.48	5	0.01	5
6390	-434	-442	Max	18.34	0.54	1	1.27	5	0.10	5	93.04	5	7.15	5	0.01	5
6390	-434	-442	Min.	2.83	-0.01	1	-1.81	5	-0.10	5	-133.27	5	-7.33	5	-0.01	5
6390	-434	-442	Min.	18.34	-0.01	1	-1.81	5	-0.14	5	-133.88	5	-10.24	5	-0.01	5
6391	-402	-410	Max	2.83	0.11	1	1.21	5	0.14	5	89.99	5	10.43	5	0.01	1
6391	-402	-410	Max	18.97	0.11	1	1.21	5	0.10	5	89.36	5	7.15	5	0.01	1
6391	-402	-410	Min.	2.83	-0.27	1	-1.73	5	-0.10	5	-127.56	5	-7.32	5	-0.01	1
6391	-402	-410	Min.	18.97	-0.27	1	-1.73	5	-0.14	5	-128.19	5	-10.20	5	-0.01	1
6392	-370	-378	Max	2.83	0.12	1	1.16	5	0.14	5	86.36	5	10.35	5	0.01	1

6392	-370	-378	Max	19.59	0.12	1	1.16	5	0.10	5	85.71	5	7.13	5	0.01	1
6392	-370	-378	Min.	2.83	-0.21	1	-1.65	5	-0.10	5	-121.96	5	-7.29	5	-0.01	1
6392	-370	-378	Min.	19.59	-0.21	1	-1.65	5	-0.14	5	-122.61	5	-10.14	5	-0.01	1
6393	-338	-346	Max	2.83	0.13	1	1.12	5	0.14	5	82.90	5	10.27	5	0.01	1
6393	-338	-346	Max	20.22	0.13	1	1.12	5	0.10	5	82.22	5	7.10	5	0.01	1
6393	-338	-346	Min.	2.83	-0.21	1	-1.58	5	-0.10	5	-116.65	5	-7.26	5	-0.01	1
6393	-338	-346	Min.	20.22	-0.21	1	-1.58	5	-0.14	5	-117.33	5	-10.07	5	-0.01	1
6394	-306	-314	Max	2.83	0.13	1	1.07	5	0.14	5	79.64	5	10.18	5	0.01	1
6394	-306	-314	Max	20.84	0.13	1	1.07	5	0.10	5	78.93	5	7.06	5	0.01	1
6394	-306	-314	Min.	2.83	-0.24	1	-1.51	5	-0.10	5	-111.67	5	-7.22	5	-0.01	1
6394	-306	-314	Min.	20.84	-0.24	1	-1.51	5	-0.14	5	-112.38	5	-10.00	5	-0.01	1
6395	-274	-282	Max	2.83	0.12	1	1.02	5	0.14	5	76.53	5	10.09	5	0.01	1
6395	-274	-282	Max	21.47	0.12	1	1.02	5	0.10	5	75.79	5	7.02	5	0.01	1
6395	-274	-282	Min.	2.83	-0.21	1	-1.44	5	-0.10	5	-106.97	5	-7.17	5	-0.01	1
6395	-274	-282	Min.	21.47	-0.21	1	-1.44	5	-0.14	5	-107.70	5	-9.91	5	-0.01	1
6396	-242	-250	Max	2.83	0.10	1	0.98	5	0.14	5	73.53	5	9.99	5	0.01	1
6396	-242	-250	Max	22.09	0.10	1	0.98	5	0.10	5	72.78	5	6.97	5	0.01	1
6396	-242	-250	Min.	2.83	-0.18	1	-1.38	5	-0.10	5	-102.48	5	-7.12	5	-0.01	1
6396	-242	-250	Min.	22.09	-0.18	1	-1.38	5	-0.14	5	-103.23	5	-9.82	5	-0.01	1
6397	-210	-218	Max	2.83	0.12	1	0.94	5	0.14	5	70.67	5	9.88	5	0.01	1
6397	-210	-218	Max	22.72	0.12	1	0.94	5	0.10	5	69.89	5	6.92	5	0.01	1
6397	-210	-218	Min.	2.83	-0.22	1	-1.32	5	-0.10	5	-98.21	5	-7.06	5	-0.01	1
6397	-210	-218	Min.	22.72	-0.22	1	-1.32	5	-0.13	5	-98.99	5	-9.73	5	-0.01	1
6398	-178	-186	Max	2.83	0.10	1	0.90	5	0.13	5	67.82	5	9.76	5	0.01	1
6398	-178	-186	Max	23.34	0.10	1	0.90	5	0.10	5	67.01	5	6.85	5	0.01	1
6398	-178	-186	Min.	2.83	-0.21	1	-1.25	5	-0.09	5	-94.02	5	-6.98	5	-0.01	1
6398	-178	-186	Min.	23.34	-0.21	1	-1.25	5	-0.13	5	-94.82	5	-9.61	5	-0.01	1
6399	-146	-154	Max	2.83	0.10	1	0.84	5	0.13	5	64.63	5	9.56	5	0.01	1
6399	-146	-154	Max	23.97	0.10	1	0.84	5	0.09	5	63.80	5	6.72	5	0.01	1
6399	-146	-154	Min.	2.83	-0.19	1	-1.17	5	-0.09	5	-89.39	5	-6.85	5	-0.01	1
6399	-146	-154	Min.	23.97	-0.19	1	-1.17	5	-0.13	5	-90.22	5	-9.42	5	-0.01	1
6400	-114	-122	Max	2.83	0.32	5	0.74	5	0.12	5	59.58	5	9.05	5	0.01	5
6400	-114	-122	Max	24.59	0.32	5	0.74	5	0.09	5	58.72	5	6.37	5	0.01	5
6400	-114	-122	Min.	2.83	-0.13	5	-1.03	5	-0.08	5	-82.19	5	-6.50	5	-0.01	5
6400	-114	-122	Min.	24.59	-0.13	5	-1.03	5	-0.11	5	-83.04	5	-8.93	5	-0.01	5
6401	-82	-90	Max	2.83	3.99	1	0.53	5	0.09	5	46.10	5	7.17	5	0.01	5
6401	-82	-90	Max	25.22	3.99	1	0.53	5	0.06	5	45.22	5	5.05	5	0.01	5
6401	-82	-90	Min.	2.83	-8.07	1	-0.74	5	-0.06	5	-63.25	5	-5.17	5	-0.01	5
6401	-82	-90	Min.	25.22	-8.07	1	-0.74	5	-0.08	5	-64.13	5	-7.09	5	-0.01	5
6402	-50	-58	Max	2.83	166.26	1	0.50	5	0.08	5	54.58	5	9.70	5	0.00	1
6402	-50	-58	Max	25.84	166.26	1	0.50	5	0.06	5	52.78	5	6.99	5	0.00	1
6402	-50	-58	Min.	2.83	-93.53	1	-0.68	5	-0.06	5	-72.67	5	-6.26	5	-0.00	1
6402	-50	-58	Min.	25.84	-93.53	1	-0.68	5	-0.08	5	-74.48	5	-8.13	5	-0.00	1
6403	-18	-26	Max	2.83	431.71	1	0.29	5	0.05	5	37.92	5	5.79	5	0.00	1
6403	-18	-26	Max	26.15	431.71	1	0.29	5	0.03	5	36.09	5	4.23	5	0.00	1
6403	-18	-26	Min.	2.83	-227.50	1	-0.40	5	-0.04	5	-47.43	5	-4.42	5	-0.00	1
6403	-18	-26	Min.	26.15	-227.50	1	-0.40	5	-0.05	5	-49.26	5	-5.50	5	-0.00	1
6404	351	363	Max	1.77	342.62	1	16.20	1	0.37	1	496.47	1	48.41	1	0.76	1
6404	351	363	Max	15.00	342.62	1	16.20	1	1.74	1	495.53	1	36.50	1	0.76	1
6404	351	363	Min.	1.77	-575.51	1	-18.76	1	-0.41	1	-846.77	1	-29.13	1	-1.02	1
6404	351	363	Min.	15.00	-575.51	1	-18.76	1	-2.11	1	-847.71	1	-63.70	1	-1.02	1
6404	363	375	Max	0.00	338.28	1	19.22	1	1.78	1	816.12	1	38.16	1	1.02	1
6404	363	375	Max	13.23	338.28	1	19.22	1	0.40	1	815.18	1	47.03	1	1.02	1
6404	363	375	Min.	0.00	-547.40	1	-16.60	1	-2.15	1	-507.66	1	-60.90	1	-0.77	1
6404	363	375	Min.	13.23	-547.40	1	-16.60	1	-0.42	1	-508.60	1	-29.08	1	-0.77	1
6405	352	364	Max	1.77	445.53	1	667.47	1	49.45	1	22.14	1	0.36	1	0.99	1
6405	352	364	Max	15.00	445.53	1	666.53	1	49.94	1	22.14	1	2.36	1	0.99	1
6405	352	364	Min.	1.77	-600.15	1	-848.03	1	-38.32	1	-18.44	1	-0.57	1	-1.02	1
6405	352	364	Min.	15.00	-600.15	1	-848.97	1	-62.82	1	-18.44	1	-2.08	1	-1.02	1

6405	364	376	Max	0.00	468.92	1	859.66	1	48.29	1	19.04	1	2.45	1	1.02	1
6405	364	376	Max	13.23	468.92	1	858.72	1	48.52	1	19.04	1	0.38	1	1.02	1
6405	364	376	Min.	0.00	-576.83	1	-653.87	1	-65.37	1	-23.00	1	-2.14	1	-1.00	1
6405	364	376	Min.	13.23	-576.83	1	-654.81	1	-38.49	1	-23.00	1	-0.59	1	-1.00	1
6406	-19	-27	Max	3.53	455.37	1	0.44	5	0.03	5	28.60	5	6.74	5	0.00	5
6406	-19	-27	Max	26.86	455.37	1	0.44	5	0.05	5	26.77	5	3.28	5	0.00	5
6406	-19	-27	Min.	3.53	-297.32	1	-0.23	5	-0.05	5	-55.72	5	-3.22	5	-0.00	5
6406	-19	-27	Min.	26.86	-297.32	1	-0.23	5	-0.03	5	-57.55	5	-6.51	5	-0.00	5
6407	-51	-59	Max	3.53	174.78	1	0.74	5	0.04	5	42.48	5	10.27	5	0.00	1
6407	-51	-59	Max	26.55	174.78	1	0.74	5	0.09	5	40.67	5	5.81	5	0.00	1
6407	-51	-59	Min.	3.53	-122.72	1	-0.38	5	-0.09	5	-80.20	5	-4.91	5	-0.00	1
6407	-51	-59	Min.	26.55	-122.72	1	-0.38	5	-0.05	5	-82.01	5	-9.55	5	-0.00	1
6408	-83	-91	Max	3.53	5.23	1	0.82	5	0.05	5	36.43	5	7.66	5	0.00	1
6408	-83	-91	Max	25.92	5.23	1	0.82	5	0.10	5	35.55	5	4.04	5	0.00	1
6408	-83	-91	Min.	3.53	-8.73	1	-0.42	5	-0.09	5	-68.65	5	-4.02	5	-0.00	1
6408	-83	-91	Min.	25.92	-8.73	1	-0.42	5	-0.05	5	-69.53	5	-7.81	5	-0.00	1
6409	-115	-123	Max	3.53	0.21	5	1.11	5	0.07	5	47.04	5	9.66	5	0.00	1
6409	-115	-123	Max	25.30	0.21	5	1.11	5	0.13	5	46.18	5	5.10	5	0.00	1
6409	-115	-123	Min.	3.53	-0.14	5	-0.58	5	-0.12	5	-89.17	5	-5.04	5	-0.01	1
6409	-115	-123	Min.	25.30	-0.14	5	-0.58	5	-0.07	5	-90.02	5	-9.84	5	-0.01	1
6410	-147	-155	Max	3.53	0.11	1	1.26	5	0.07	5	50.97	5	10.20	5	0.00	1
6410	-147	-155	Max	24.67	0.11	1	1.26	5	0.14	5	50.14	5	5.38	5	0.00	1
6410	-147	-155	Min.	3.53	-0.23	1	-0.65	5	-0.14	5	-96.99	5	-5.31	5	-0.01	1
6410	-147	-155	Min.	24.67	-0.23	1	-0.65	5	-0.08	5	-97.82	5	-10.39	5	-0.01	1
6411	-179	-187	Max	3.53	0.14	1	1.34	5	0.08	5	53.40	5	10.41	5	0.01	1
6411	-179	-187	Max	24.05	0.14	1	1.34	5	0.15	5	52.60	5	5.47	5	0.01	1
6411	-179	-187	Min.	3.53	-0.26	1	-0.70	5	-0.14	5	-102.03	5	-5.40	5	-0.01	1
6411	-179	-187	Min.	24.05	-0.26	1	-0.70	5	-0.08	5	-102.84	5	-10.60	5	-0.01	1
6412	-211	-219	Max	3.53	0.14	1	1.41	5	0.08	5	55.55	5	10.54	5	0.01	1
6412	-211	-219	Max	23.42	0.14	1	1.41	5	0.15	5	54.77	5	5.52	5	0.01	1
6412	-211	-219	Min.	3.53	-0.25	1	-0.73	5	-0.14	5	-106.61	5	-5.45	5	-0.01	1
6412	-211	-219	Min.	23.42	-0.25	1	-0.73	5	-0.08	5	-107.39	5	-10.74	5	-0.01	1
6413	-243	-251	Max	3.53	0.12	1	1.48	5	0.08	5	57.68	5	10.65	5	0.01	1
6413	-243	-251	Max	22.80	0.12	1	1.48	5	0.15	5	56.92	5	5.56	5	0.01	1
6413	-243	-251	Min.	3.53	-0.22	1	-0.76	5	-0.15	5	-111.28	5	-5.48	5	-0.01	1
6413	-243	-251	Min.	22.80	-0.22	1	-0.76	5	-0.08	5	-112.04	5	-10.86	5	-0.01	1
6414	-275	-283	Max	3.53	0.14	1	1.55	5	0.08	5	59.88	5	10.75	5	0.01	1
6414	-275	-283	Max	22.17	0.14	1	1.55	5	0.15	5	59.15	5	5.59	5	0.01	1
6414	-275	-283	Min.	3.53	-0.25	1	-0.79	5	-0.15	5	-116.20	5	-5.50	5	-0.01	1
6414	-275	-283	Min.	22.17	-0.25	1	-0.79	5	-0.08	5	-116.93	5	-10.97	5	-0.01	1
6415	-307	-315	Max	3.53	0.16	1	1.62	5	0.08	5	62.15	5	10.85	5	0.01	1
6415	-307	-315	Max	21.55	0.16	1	1.62	5	0.15	5	61.45	5	5.61	5	0.01	1
6415	-307	-315	Min.	3.53	-0.29	1	-0.82	5	-0.15	5	-121.36	5	-5.52	5	-0.01	1
6415	-307	-315	Min.	21.55	-0.29	1	-0.82	5	-0.08	5	-122.07	5	-11.07	5	-0.01	1
6416	-339	-347	Max	3.53	0.15	1	1.70	5	0.08	5	64.51	5	10.94	5	0.01	1
6416	-339	-347	Max	20.92	0.15	1	1.70	5	0.16	5	63.83	5	5.63	5	0.01	1
6416	-339	-347	Min.	3.53	-0.24	1	-0.86	5	-0.15	5	-126.82	5	-5.53	5	-0.01	1
6416	-339	-347	Min.	20.92	-0.24	1	-0.86	5	-0.08	5	-127.50	5	-11.17	5	-0.01	1
6417	-371	-379	Max	3.53	0.17	1	1.78	5	0.08	5	67.00	5	11.02	5	0.01	1
6417	-371	-379	Max	20.30	0.17	1	1.78	5	0.16	5	66.34	5	5.64	5	0.01	1
6417	-371	-379	Min.	3.53	-0.30	1	-0.89	5	-0.15	5	-132.66	5	-5.53	5	-0.01	1
6417	-371	-379	Min.	20.30	-0.30	1	-0.89	5	-0.08	5	-133.31	5	-11.27	5	-0.01	1
6418	-403	-411	Max	3.53	0.08	1	1.86	5	0.08	5	69.58	5	11.10	5	0.01	1
6418	-403	-411	Max	19.67	0.08	1	1.86	5	0.16	5	68.95	5	5.64	5	0.01	1
6418	-403	-411	Min.	3.53	-0.29	1	-0.93	5	-0.15	5	-138.82	5	-5.53	5	-0.01	1
6418	-403	-411	Min.	19.67	-0.29	1	-0.93	5	-0.08	5	-139.46	5	-11.35	5	-0.01	1
6419	-435	-443	Max	3.53	0.85	1	1.95	5	0.08	5	72.16	5	11.14	5	0.01	1
6419	-435	-443	Max	19.05	0.85	1	1.95	5	0.16	5	71.55	5	5.63	5	0.01	1
6419	-435	-443	Min.	3.53	-0.10	1	-0.97	5	-0.15	5	-145.12	5	-5.51	5	-0.01	1

6419	-435	-443	Min.	19.05	-0.10	1	-0.97	5	-0.08	5	-145.73	5	-11.42	5	-0.01	1
6420	-467	-475	Max	3.53	-1.40	1	1.86	5	0.07	5	73.99	5	11.09	5	0.01	5
6420	-467	-475	Max	18.42	-1.40	1	1.86	5	0.15	5	73.41	5	5.56	5	0.01	5
6420	-467	-475	Min.	3.53	-4.77	1	-0.91	5	-0.14	5	-150.04	5	-5.41	5	-0.02	5
6420	-467	-475	Min.	18.42	-4.77	1	-0.91	5	-0.07	5	-150.62	5	-11.29	5	-0.02	5
6421	-499	-507	Max	3.53	29.86	1	2.23	5	0.08	5	70.18	5	9.83	5	0.08	5
6421	-499	-507	Max	17.80	29.86	1	2.23	5	0.17	5	69.62	5	4.97	5	0.08	5
6421	-499	-507	Min.	3.53	4.95	1	-1.10	5	-0.16	5	-142.77	5	-5.00	5	-0.04	5
6421	-499	-507	Min.	17.80	4.95	1	-1.10	5	-0.08	5	-143.33	5	-10.57	5	-0.04	5
6426	-500	-508	Max	2.83	27.91	1	1.13	5	0.17	5	71.48	5	10.33	5	0.04	5
6426	-500	-508	Max	17.09	27.91	1	1.13	5	0.09	5	70.92	5	4.92	5	0.04	5
6426	-500	-508	Min.	2.83	4.15	1	-2.28	5	-0.08	5	-145.60	5	-5.23	5	-0.08	5
6426	-500	-508	Min.	17.09	4.15	1	-2.28	5	-0.17	5	-146.16	5	-10.48	5	-0.08	5
6427	-468	-476	Max	2.83	-1.28	1	0.94	5	0.15	5	75.48	5	11.57	5	0.01	5
6427	-468	-476	Max	17.72	-1.28	1	0.94	5	0.08	5	74.89	5	5.53	5	0.01	5
6427	-468	-476	Min.	2.83	-4.49	1	-1.91	5	-0.07	5	-152.85	5	-5.66	5	-0.01	5
6427	-468	-476	Min.	17.72	-4.49	1	-1.91	5	-0.15	5	-153.43	5	-11.23	5	-0.01	5
6428	-436	-444	Max	2.83	0.88	1	0.99	5	0.16	5	73.56	5	11.62	5	0.01	1
6428	-436	-444	Max	18.34	0.88	1	0.99	5	0.08	5	72.95	5	5.61	5	0.01	1
6428	-436	-444	Min.	2.83	-0.12	1	-2.00	5	-0.08	5	-147.90	5	-5.76	5	-0.01	1
6428	-436	-444	Min.	18.34	-0.12	1	-2.00	5	-0.16	5	-148.50	5	-11.36	5	-0.01	1
6429	-404	-412	Max	2.83	0.14	1	0.95	5	0.16	5	70.92	5	11.57	5	0.01	1
6429	-404	-412	Max	18.97	0.14	1	0.95	5	0.08	5	70.29	5	5.63	5	0.01	1
6429	-404	-412	Min.	2.83	-0.28	1	-1.90	5	-0.08	5	-141.46	5	-5.77	5	-0.01	1
6429	-404	-412	Min.	18.97	-0.28	1	-1.90	5	-0.16	5	-142.10	5	-11.31	5	-0.01	1
6430	-372	-380	Max	2.83	0.19	1	0.91	5	0.16	5	68.27	5	11.47	5	0.01	1
6430	-372	-380	Max	19.59	0.19	1	0.91	5	0.08	5	67.62	5	5.63	5	0.01	1
6430	-372	-380	Min.	2.83	-0.25	1	-1.82	5	-0.08	5	-135.16	5	-5.76	5	-0.01	1
6430	-372	-380	Min.	19.59	-0.25	1	-1.82	5	-0.16	5	-135.82	5	-11.24	5	-0.01	1
6431	-340	-348	Max	2.83	0.20	1	0.88	5	0.16	5	65.72	5	11.37	5	0.01	1
6431	-340	-348	Max	20.22	0.20	1	0.88	5	0.08	5	65.04	5	5.62	5	0.01	1
6431	-340	-348	Min.	2.83	-0.23	1	-1.73	5	-0.08	5	-129.19	5	-5.75	5	-0.01	1
6431	-340	-348	Min.	20.22	-0.23	1	-1.73	5	-0.16	5	-129.88	5	-11.15	5	-0.01	1
6432	-308	-316	Max	2.83	0.19	1	0.84	5	0.15	5	63.31	5	11.27	5	0.01	1
6432	-308	-316	Max	20.84	0.19	1	0.84	5	0.08	5	62.60	5	5.61	5	0.01	1
6432	-308	-316	Min.	2.83	-0.27	1	-1.66	5	-0.08	5	-123.61	5	-5.73	5	-0.01	1
6432	-308	-316	Min.	20.84	-0.27	1	-1.66	5	-0.15	5	-124.32	5	-11.06	5	-0.01	1
6433	-276	-284	Max	2.83	0.17	1	0.81	5	0.15	5	60.98	5	11.16	5	0.01	1
6433	-276	-284	Max	21.47	0.17	1	0.81	5	0.08	5	60.25	5	5.59	5	0.01	1
6433	-276	-284	Min.	2.83	-0.24	1	-1.58	5	-0.08	5	-118.34	5	-5.71	5	-0.01	1
6433	-276	-284	Min.	21.47	-0.24	1	-1.58	5	-0.15	5	-119.07	5	-10.96	5	-0.01	1
6434	-244	-252	Max	2.83	0.15	1	0.78	5	0.15	5	58.73	5	11.04	5	0.01	1
6434	-244	-252	Max	22.09	0.15	1	0.78	5	0.08	5	57.97	5	5.56	5	0.01	1
6434	-244	-252	Min.	2.83	-0.19	1	-1.51	5	-0.08	5	-113.32	5	-5.68	5	-0.01	1
6434	-244	-252	Min.	22.09	-0.19	1	-1.51	5	-0.15	5	-114.08	5	-10.86	5	-0.01	1
6435	-212	-220	Max	2.83	0.17	1	0.75	5	0.15	5	56.55	5	10.92	5	0.01	1
6435	-212	-220	Max	22.72	0.17	1	0.75	5	0.08	5	55.77	5	5.53	5	0.01	1
6435	-212	-220	Min.	2.83	-0.25	1	-1.44	5	-0.08	5	-108.56	5	-5.64	5	-0.01	1
6435	-212	-220	Min.	22.72	-0.25	1	-1.44	5	-0.15	5	-109.34	5	-10.75	5	-0.01	1
6436	-180	-188	Max	2.83	0.15	1	0.71	5	0.15	5	54.36	5	10.78	5	0.01	1
6436	-180	-188	Max	23.34	0.15	1	0.71	5	0.08	5	53.56	5	5.48	5	0.01	1
6436	-180	-188	Min.	2.83	-0.23	1	-1.37	5	-0.08	5	-103.89	5	-5.59	5	-0.01	1
6436	-180	-188	Min.	23.34	-0.23	1	-1.37	5	-0.15	5	-104.69	5	-10.61	5	-0.01	1
6437	-148	-156	Max	2.83	0.15	1	0.67	5	0.14	5	51.88	5	10.56	5	0.01	1
6437	-148	-156	Max	23.97	0.15	1	0.67	5	0.08	5	51.05	5	5.38	5	0.01	1
6437	-148	-156	Min.	2.83	-0.22	1	-1.28	5	-0.07	5	-98.74	5	-5.49	5	-0.01	1
6437	-148	-156	Min.	23.97	-0.22	1	-1.28	5	-0.14	5	-99.57	5	-10.40	5	-0.01	1
6438	-116	-124	Max	2.83	0.37	5	0.59	5	0.13	5	47.87	5	9.99	5	0.01	1
6438	-116	-124	Max	24.59	0.37	5	0.59	5	0.07	5	47.02	5	5.11	5	0.01	1

6438	-116	-124	Min.	2.83	-0.07	5	-1.13	5	-0.07	5	-90.77	5	-5.21	5	-0.01	1
6438	-116	-124	Min.	24.59	-0.07	5	-1.13	5	-0.13	5	-91.63	5	-9.85	5	-0.01	1
6439	-84	-92	Max	2.83	4.81	1	0.43	5	0.10	5	37.06	5	7.92	5	0.00	1
6439	-84	-92	Max	25.22	4.81	1	0.43	5	0.05	5	36.18	5	4.04	5	0.00	1
6439	-84	-92	Min.	2.83	-9.14	1	-0.83	5	-0.05	5	-69.90	5	-4.15	5	-0.00	1
6439	-84	-92	Min.	25.22	-9.14	1	-0.83	5	-0.10	5	-70.77	5	-7.83	5	-0.00	1
6440	-52	-60	Max	2.83	186.10	1	0.39	5	0.09	5	43.53	5	10.77	5	0.00	1
6440	-52	-60	Max	25.84	186.10	1	0.39	5	0.05	5	41.73	5	5.91	5	0.00	1
6440	-52	-60	Min.	2.83	-113.69	1	-0.75	5	-0.05	5	-81.68	5	-4.96	5	-0.00	1
6440	-52	-60	Min.	25.84	-113.69	1	-0.75	5	-0.09	5	-83.49	5	-9.30	5	-0.00	1
6441	-20	-28	Max	2.83	486.41	1	0.23	5	0.05	5	29.08	5	6.95	5	0.00	1
6441	-20	-28	Max	26.15	486.41	1	0.23	5	0.03	5	27.25	5	3.25	5	0.00	1
6441	-20	-28	Min.	2.83	-273.96	1	-0.45	5	-0.03	5	-56.72	5	-3.34	5	-0.00	1
6441	-20	-28	Min.	26.15	-273.96	1	-0.45	5	-0.05	5	-58.55	5	-6.52	5	-0.00	1
6442	354	366	Max	1.77	413.69	1	20.60	1	0.39	1	624.19	1	53.17	1	0.96	1
6442	354	366	Max	15.00	413.69	1	20.60	1	2.20	1	623.25	1	46.77	1	0.96	1
6442	354	366	Min.	1.77	-642.23	1	-19.89	1	-0.54	1	-913.56	1	-35.77	1	-1.08	1
6442	354	366	Min.	15.00	-642.23	1	-19.89	1	-2.25	1	-914.50	1	-67.78	1	-1.08	1
6442	366	378	Max	0.00	428.53	1	20.29	1	2.28	1	921.72	1	44.76	1	1.08	1
6442	366	378	Max	13.23	428.53	1	20.29	1	0.41	1	920.78	1	51.98	1	1.08	1
6442	366	378	Min.	0.00	-608.15	1	-21.46	1	-2.28	1	-607.84	1	-69.92	1	-0.96	1
6442	366	378	Min.	13.23	-608.15	1	-21.46	1	-0.56	1	-608.78	1	-35.73	1	-0.96	1
6443	355	367	Max	1.77	413.72	1	624.51	1	53.16	1	20.57	1	0.39	1	1.08	1
6443	355	367	Max	15.00	413.72	1	623.57	1	46.79	1	20.57	1	2.20	1	1.08	1
6443	355	367	Min.	1.77	-642.70	1	-913.27	1	-35.78	1	-19.87	1	-0.53	1	-0.96	1
6443	355	367	Min.	15.00	-642.70	1	-914.21	1	-67.75	1	-19.87	1	-2.25	1	-0.96	1
6443	367	379	Max	0.00	427.93	1	921.80	1	44.79	1	20.33	1	2.28	1	0.96	1
6443	367	379	Max	13.23	427.93	1	920.86	1	51.98	1	20.33	1	0.41	1	0.96	1
6443	367	379	Min.	0.00	-608.09	1	-608.23	1	-69.93	1	-21.49	1	-2.28	1	-1.08	1
6443	367	379	Min.	13.23	-608.09	1	-609.17	1	-35.75	1	-21.49	1	-0.56	1	-1.08	1
6444	-21	-29	Max	3.53	485.58	1	0.45	5	0.03	5	29.21	5	6.84	5	0.00	1
6444	-21	-29	Max	26.86	485.58	1	0.45	5	0.05	5	27.38	5	3.30	5	0.00	1
6444	-21	-29	Min.	3.53	-274.23	1	-0.23	5	-0.05	5	-56.82	5	-3.30	5	-0.00	1
6444	-21	-29	Min.	26.86	-274.23	1	-0.23	5	-0.03	5	-58.65	5	-6.63	5	-0.00	1
6445	-53	-61	Max	3.53	186.79	1	0.76	5	0.05	5	43.26	5	10.63	5	0.00	1
6445	-53	-61	Max	26.55	186.79	1	0.76	5	0.09	5	41.45	5	5.98	5	0.00	1
6445	-53	-61	Min.	3.53	-113.64	1	-0.39	5	-0.09	5	-81.74	5	-4.87	5	-0.00	1
6445	-53	-61	Min.	26.55	-113.64	1	-0.39	5	-0.05	5	-83.55	5	-9.50	5	-0.00	1
6446	-85	-93	Max	3.53	4.81	1	0.83	5	0.05	5	37.08	5	7.80	5	0.00	1
6446	-85	-93	Max	25.92	4.81	1	0.83	5	0.10	5	36.20	5	4.11	5	0.00	1
6446	-85	-93	Min.	3.53	-9.29	1	-0.43	5	-0.10	5	-69.91	5	-4.09	5	-0.00	1
6446	-85	-93	Min.	25.92	-9.29	1	-0.43	5	-0.05	5	-70.79	5	-7.95	5	-0.00	1
6447	-117	-125	Max	3.53	0.22	5	1.13	5	0.07	5	47.87	5	9.84	5	0.01	1
6447	-117	-125	Max	25.30	0.22	5	1.13	5	0.13	5	47.02	5	5.19	5	0.01	1
6447	-117	-125	Min.	3.53	-0.13	5	-0.59	5	-0.13	5	-90.79	5	-5.13	5	-0.00	1
6447	-117	-125	Min.	25.30	-0.13	5	-0.59	5	-0.07	5	-91.65	5	-10.01	5	-0.00	1
6448	-149	-157	Max	3.53	0.10	1	1.28	5	0.07	5	51.88	5	10.39	5	0.01	1
6448	-149	-157	Max	24.67	0.10	1	1.28	5	0.14	5	51.05	5	5.47	5	0.01	1
6448	-149	-157	Min.	3.53	-0.24	1	-0.67	5	-0.14	5	-98.76	5	-5.40	5	-0.00	1
6448	-149	-157	Min.	24.67	-0.24	1	-0.67	5	-0.08	5	-99.59	5	-10.58	5	-0.00	1
6449	-181	-189	Max	3.53	0.13	1	1.37	5	0.08	5	54.36	5	10.60	5	0.01	1
6449	-181	-189	Max	24.05	0.13	1	1.37	5	0.15	5	53.56	5	5.57	5	0.01	1
6449	-181	-189	Min.	3.53	-0.27	1	-0.71	5	-0.15	5	-103.91	5	-5.50	5	-0.01	1
6449	-181	-189	Min.	24.05	-0.27	1	-0.71	5	-0.08	5	-104.71	5	-10.80	5	-0.01	1
6450	-213	-221	Max	3.53	0.13	1	1.44	5	0.08	5	56.56	5	10.73	5	0.01	1
6450	-213	-221	Max	23.42	0.13	1	1.44	5	0.15	5	55.77	5	5.62	5	0.01	1
6450	-213	-221	Min.	3.53	-0.27	1	-0.74	5	-0.15	5	-108.58	5	-5.54	5	-0.01	1
6450	-213	-221	Min.	23.42	-0.27	1	-0.74	5	-0.08	5	-109.36	5	-10.94	5	-0.01	1
6451	-245	-253	Max	3.53	0.11	1	1.51	5	0.08	5	58.73	5	10.85	5	0.01	1

6451	-245	-253	Max	22.80	0.11	1	1.51	5	0.15	5	57.98	5	5.66	5	0.01	1
6451	-245	-253	Min.	3.53	-0.23	1	-0.78	5	-0.15	5	-113.34	5	-5.58	5	-0.01	1
6451	-245	-253	Min.	22.80	-0.23	1	-0.78	5	-0.08	5	-114.10	5	-11.06	5	-0.01	1
6452	-277	-285	Max	3.53	0.13	1	1.58	5	0.08	5	60.99	5	10.95	5	0.01	1
6452	-277	-285	Max	22.17	0.13	1	1.58	5	0.15	5	60.26	5	5.69	5	0.01	1
6452	-277	-285	Min.	3.53	-0.27	1	-0.81	5	-0.15	5	-118.36	5	-5.60	5	-0.01	1
6452	-277	-285	Min.	22.17	-0.27	1	-0.81	5	-0.08	5	-119.09	5	-11.17	5	-0.01	1
6453	-309	-317	Max	3.53	0.15	1	1.66	5	0.08	5	63.32	5	11.05	5	0.01	1
6453	-309	-317	Max	21.55	0.15	1	1.66	5	0.16	5	62.61	5	5.72	5	0.01	1
6453	-309	-317	Min.	3.53	-0.31	1	-0.84	5	-0.15	5	-123.63	5	-5.62	5	-0.01	1
6453	-309	-317	Min.	21.55	-0.31	1	-0.84	5	-0.08	5	-124.34	5	-11.28	5	-0.01	1
6454	-341	-349	Max	3.53	0.13	1	1.73	5	0.08	5	65.73	5	11.14	5	0.01	1
6454	-341	-349	Max	20.92	0.13	1	1.73	5	0.16	5	65.05	5	5.74	5	0.01	1
6454	-341	-349	Min.	3.53	-0.26	1	-0.88	5	-0.16	5	-129.21	5	-5.63	5	-0.01	1
6454	-341	-349	Min.	20.92	-0.26	1	-0.88	5	-0.08	5	-129.90	5	-11.38	5	-0.01	1
6455	-373	-381	Max	3.53	0.16	1	1.82	5	0.08	5	68.29	5	11.23	5	0.01	1
6455	-373	-381	Max	20.30	0.16	1	1.82	5	0.16	5	67.63	5	5.75	5	0.01	1
6455	-373	-381	Min.	3.53	-0.32	1	-0.91	5	-0.16	5	-135.18	5	-5.64	5	-0.01	1
6455	-373	-381	Min.	20.30	-0.32	1	-0.91	5	-0.08	5	-135.84	5	-11.48	5	-0.01	1
6456	-405	-413	Max	3.53	0.07	1	1.90	5	0.08	5	70.94	5	11.31	5	0.01	1
6456	-405	-413	Max	19.67	0.07	1	1.90	5	0.16	5	70.30	5	5.76	5	0.01	1
6456	-405	-413	Min.	3.53	-0.31	1	-0.95	5	-0.16	5	-141.48	5	-5.64	5	-0.01	1
6456	-405	-413	Min.	19.67	-0.31	1	-0.95	5	-0.08	5	-142.12	5	-11.57	5	-0.01	1
6457	-437	-445	Max	3.53	0.81	1	2.00	5	0.08	5	73.58	5	11.35	5	0.01	1
6457	-437	-445	Max	19.05	0.81	1	2.00	5	0.16	5	72.97	5	5.74	5	0.01	1
6457	-437	-445	Min.	3.53	-0.13	1	-0.99	5	-0.16	5	-147.91	5	-5.62	5	-0.01	1
6457	-437	-445	Min.	19.05	-0.13	1	-0.99	5	-0.08	5	-148.52	5	-11.64	5	-0.01	1
6458	-469	-477	Max	3.53	-1.29	1	1.91	5	0.07	5	75.47	5	11.30	5	0.01	5
6458	-469	-477	Max	18.42	-1.29	1	1.91	5	0.15	5	74.89	5	5.67	5	0.01	5
6458	-469	-477	Min.	3.53	-4.66	1	-0.94	5	-0.15	5	-152.94	5	-5.52	5	-0.01	5
6458	-469	-477	Min.	18.42	-4.66	1	-0.94	5	-0.08	5	-153.52	5	-11.51	5	-0.01	5
6459	-501	-509	Max	3.53	29.03	1	2.27	5	0.08	5	71.56	5	10.03	5	0.08	5
6459	-501	-509	Max	17.80	29.03	1	2.27	5	0.17	5	71.00	5	5.07	5	0.08	5
6459	-501	-509	Min.	3.53	4.15	1	-1.13	5	-0.16	5	-145.47	5	-5.09	5	-0.04	5
6459	-501	-509	Min.	17.80	4.15	1	-1.13	5	-0.09	5	-146.03	5	-10.75	5	-0.04	5
6464	-502	-510	Max	2.83	28.78	1	1.11	5	0.16	5	70.11	5	10.13	5	0.04	5
6464	-502	-510	Max	17.09	28.78	1	1.11	5	0.08	5	69.55	5	4.83	5	0.04	5
6464	-502	-510	Min.	2.83	4.93	1	-2.23	5	-0.08	5	-142.94	5	-5.13	5	-0.08	5
6464	-502	-510	Min.	17.09	4.93	1	-2.23	5	-0.16	5	-143.50	5	-10.30	5	-0.08	5
6465	-470	-478	Max	2.83	-1.38	1	0.91	5	0.14	5	74.01	5	11.36	5	0.02	5
6465	-470	-478	Max	17.72	-1.38	1	0.91	5	0.07	5	73.42	5	5.43	5	0.02	5
6465	-470	-478	Min.	2.83	-4.60	1	-1.86	5	-0.07	5	-149.99	5	-5.55	5	-0.01	5
6465	-470	-478	Min.	17.72	-4.60	1	-1.86	5	-0.15	5	-150.58	5	-11.01	5	-0.01	5
6466	-438	-446	Max	2.83	0.92	1	0.97	5	0.15	5	72.14	5	11.41	5	0.01	1
6466	-438	-446	Max	18.34	0.92	1	0.97	5	0.08	5	71.54	5	5.50	5	0.01	1
6466	-438	-446	Min.	2.83	-0.09	1	-1.95	5	-0.08	5	-145.14	5	-5.65	5	-0.01	1
6466	-438	-446	Min.	18.34	-0.09	1	-1.95	5	-0.16	5	-145.75	5	-11.15	5	-0.01	1
6467	-406	-414	Max	2.83	0.15	1	0.93	5	0.15	5	69.57	5	11.35	5	0.01	1
6467	-406	-414	Max	18.97	0.15	1	0.93	5	0.08	5	68.94	5	5.52	5	0.01	1
6467	-406	-414	Min.	2.83	-0.27	1	-1.86	5	-0.08	5	-138.84	5	-5.66	5	-0.01	1
6467	-406	-414	Min.	18.97	-0.27	1	-1.86	5	-0.16	5	-139.48	5	-11.10	5	-0.01	1
6468	-374	-382	Max	2.83	0.20	1	0.89	5	0.15	5	66.99	5	11.26	5	0.01	1
6468	-374	-382	Max	19.59	0.20	1	0.89	5	0.08	5	66.33	5	5.52	5	0.01	1
6468	-374	-382	Min.	2.83	-0.24	1	-1.78	5	-0.08	5	-132.67	5	-5.65	5	-0.01	1
6468	-374	-382	Min.	19.59	-0.24	1	-1.78	5	-0.16	5	-133.33	5	-11.03	5	-0.01	1
6469	-342	-350	Max	2.83	0.21	1	0.86	5	0.15	5	64.51	5	11.17	5	0.01	1
6469	-342	-350	Max	20.22	0.21	1	0.86	5	0.08	5	63.82	5	5.51	5	0.01	1
6469	-342	-350	Min.	2.83	-0.22	1	-1.70	5	-0.08	5	-126.83	5	-5.64	5	-0.01	1
6469	-342	-350	Min.	20.22	-0.22	1	-1.70	5	-0.16	5	-127.52	5	-10.95	5	-0.01	1

6470	-310	-318	Max	2.83	0.21	1	0.82	5	0.15	5	62.15	5	11.07	5	0.01	1
6470	-310	-318	Max	20.84	0.21	1	0.82	5	0.08	5	61.44	5	5.50	5	0.01	1
6470	-310	-318	Min.	2.83	-0.26	1	-1.62	5	-0.08	5	-121.37	5	-5.63	5	-0.01	1
6470	-310	-318	Min.	20.84	-0.26	1	-1.62	5	-0.15	5	-122.08	5	-10.86	5	-0.01	1
6471	-278	-286	Max	2.83	0.19	1	0.79	5	0.15	5	59.88	5	10.96	5	0.01	1
6471	-278	-286	Max	21.47	0.19	1	0.79	5	0.08	5	59.15	5	5.49	5	0.01	1
6471	-278	-286	Min.	2.83	-0.22	1	-1.55	5	-0.08	5	-116.21	5	-5.61	5	-0.01	1
6471	-278	-286	Min.	21.47	-0.22	1	-1.55	5	-0.15	5	-116.94	5	-10.76	5	-0.01	1
6472	-246	-254	Max	2.83	0.16	1	0.76	5	0.15	5	57.68	5	10.85	5	0.01	1
6472	-246	-254	Max	22.09	0.16	1	0.76	5	0.08	5	56.92	5	5.46	5	0.01	1
6472	-246	-254	Min.	2.83	-0.19	1	-1.48	5	-0.08	5	-111.29	5	-5.58	5	-0.01	1
6472	-246	-254	Min.	22.09	-0.19	1	-1.48	5	-0.15	5	-112.05	5	-10.66	5	-0.01	1
6473	-214	-222	Max	2.83	0.19	1	0.73	5	0.14	5	55.55	5	10.73	5	0.01	1
6473	-214	-222	Max	22.72	0.19	1	0.73	5	0.08	5	54.77	5	5.43	5	0.01	1
6473	-214	-222	Min.	2.83	-0.23	1	-1.41	5	-0.08	5	-106.62	5	-5.54	5	-0.01	1
6473	-214	-222	Min.	22.72	-0.23	1	-1.41	5	-0.15	5	-107.40	5	-10.55	5	-0.01	1
6474	-182	-190	Max	2.83	0.17	1	0.70	5	0.14	5	53.41	5	10.59	5	0.01	1
6474	-182	-190	Max	23.34	0.17	1	0.70	5	0.08	5	52.60	5	5.38	5	0.01	1
6474	-182	-190	Min.	2.83	-0.22	1	-1.34	5	-0.08	5	-102.04	5	-5.49	5	-0.01	1
6474	-182	-190	Min.	23.34	-0.22	1	-1.34	5	-0.15	5	-102.84	5	-10.43	5	-0.01	1
6475	-150	-158	Max	2.83	0.16	1	0.65	5	0.14	5	50.97	5	10.37	5	0.01	1
6475	-150	-158	Max	23.97	0.16	1	0.65	5	0.08	5	50.14	5	5.29	5	0.01	1
6475	-150	-158	Min.	2.83	-0.20	1	-1.26	5	-0.07	5	-96.99	5	-5.40	5	-0.01	1
6475	-150	-158	Min.	23.97	-0.20	1	-1.26	5	-0.14	5	-97.82	5	-10.22	5	-0.01	1
6476	-118	-126	Max	2.83	0.36	5	0.58	5	0.12	5	47.04	5	9.82	5	0.01	1
6476	-118	-126	Max	24.59	0.36	5	0.58	5	0.07	5	46.18	5	5.02	5	0.01	1
6476	-118	-126	Min.	2.83	-0.07	5	-1.11	5	-0.07	5	-89.17	5	-5.12	5	-0.01	1
6476	-118	-126	Min.	24.59	-0.07	5	-1.11	5	-0.13	5	-90.02	5	-9.68	5	-0.01	1
6477	-86	-94	Max	2.83	5.24	1	0.42	5	0.09	5	36.41	5	7.78	5	0.01	1
6477	-86	-94	Max	25.22	5.24	1	0.42	5	0.05	5	35.54	5	3.97	5	0.01	1
6477	-86	-94	Min.	2.83	-8.59	1	-0.81	5	-0.05	5	-68.65	5	-4.08	5	-0.00	1
6477	-86	-94	Min.	25.22	-8.59	1	-0.81	5	-0.10	5	-69.53	5	-7.69	5	-0.00	1
6478	-54	-62	Max	2.83	174.09	1	0.38	5	0.09	5	42.74	5	10.42	5	0.00	1
6478	-54	-62	Max	25.84	174.09	1	0.38	5	0.05	5	40.93	5	5.75	5	0.00	1
6478	-54	-62	Min.	2.83	-122.76	1	-0.74	5	-0.05	5	-80.23	5	-4.99	5	-0.00	1
6478	-54	-62	Min.	25.84	-122.76	1	-0.74	5	-0.09	5	-82.03	5	-9.37	5	-0.00	1
6479	-22	-30	Max	2.83	456.20	1	0.22	5	0.05	5	28.49	5	6.85	5	0.00	1
6479	-22	-30	Max	26.15	456.20	1	0.22	5	0.03	5	26.65	5	3.24	5	0.00	1
6479	-22	-30	Min.	2.83	-297.08	1	-0.43	5	-0.03	5	-55.63	5	-3.26	5	-0.00	1
6479	-22	-30	Min.	26.15	-297.08	1	-0.43	5	-0.05	5	-57.46	5	-6.41	5	-0.00	1
6480	357	369	Max	1.77	445.48	1	22.20	1	0.36	1	667.23	1	49.46	1	1.02	1
6480	357	369	Max	15.00	445.48	1	22.20	1	2.36	1	666.29	1	49.93	1	1.02	1
6480	357	369	Min.	1.77	-599.67	1	-18.49	1	-0.58	1	-848.22	1	-38.30	1	-0.99	1
6480	357	369	Min.	15.00	-599.67	1	-18.49	1	-2.08	1	-849.16	1	-62.84	1	-0.99	1
6480	369	381	Max	0.00	469.51	1	19.00	1	2.45	1	859.72	1	48.25	1	1.00	1
6480	369	381	Max	13.23	469.51	1	19.00	1	0.38	1	858.78	1	48.53	1	1.00	1
6480	369	381	Min.	0.00	-576.88	1	-22.98	1	-2.14	1	-653.42	1	-65.38	1	-1.02	1
6480	369	381	Min.	13.23	-576.88	1	-22.98	1	-0.59	1	-654.36	1	-38.48	1	-1.02	1
6481	358	370	Max	1.77	342.93	1	496.87	1	48.40	1	16.18	1	0.37	1	1.02	1
6481	358	370	Max	15.00	342.93	1	495.93	1	36.54	1	16.18	1	1.74	1	1.02	1
6481	358	370	Min.	1.77	-575.89	1	-846.51	1	-29.15	1	-18.73	1	-0.40	1	-0.76	1
6481	358	370	Min.	15.00	-575.89	1	-847.45	1	-63.67	1	-18.73	1	-2.11	1	-0.76	1
6481	370	382	Max	0.00	338.70	1	816.23	1	38.17	1	19.25	1	1.78	1	0.77	1
6481	370	382	Max	13.23	338.70	1	815.29	1	47.03	1	19.25	1	0.40	1	0.77	1
6481	370	382	Min.	0.00	-547.89	1	-507.88	1	-60.91	1	-16.63	1	-2.15	1	-1.02	1
6481	370	382	Min.	13.23	-547.89	1	-508.82	1	-29.10	1	-16.63	1	-0.42	1	-1.02	1
6482	-23	-31	Max	3.53	431.11	1	0.41	5	0.04	5	38.01	5	5.69	5	0.00	1
6482	-23	-31	Max	26.86	431.11	1	0.41	5	0.05	5	36.18	5	4.31	5	0.00	1
6482	-23	-31	Min.	3.53	-227.51	1	-0.30	5	-0.05	5	-47.51	5	-4.35	5	-0.00	1

6482	-23	-31	Min.	26.86	-227.51	1	-0.30	5	-0.03	5	-49.34	5	-5.60	5	-0.00	1
6483	-55	-63	Max	3.53	166.70	1	0.68	5	0.06	5	54.30	5	9.58	5	0.00	1
6483	-55	-63	Max	26.55	166.70	1	0.68	5	0.08	5	52.49	5	7.08	5	0.00	1
6483	-55	-63	Min.	3.53	-93.74	1	-0.50	5	-0.08	5	-72.77	5	-6.15	5	-0.00	1
6483	-55	-63	Min.	26.55	-93.74	1	-0.50	5	-0.06	5	-74.58	5	-8.31	5	-0.00	1
6484	-87	-95	Max	3.53	4.01	1	0.74	5	0.06	5	46.07	5	7.06	5	0.01	5
6484	-87	-95	Max	25.92	4.01	1	0.74	5	0.08	5	45.19	5	5.12	5	0.01	5
6484	-87	-95	Min.	3.53	-8.20	1	-0.53	5	-0.09	5	-63.25	5	-5.09	5	-0.01	5
6484	-87	-95	Min.	25.92	-8.20	1	-0.53	5	-0.06	5	-64.13	5	-7.20	5	-0.01	5
6485	-119	-127	Max	3.53	0.21	5	1.03	5	0.08	5	59.52	5	8.91	5	0.01	5
6485	-119	-127	Max	25.30	0.21	5	1.03	5	0.11	5	58.67	5	6.47	5	0.01	5
6485	-119	-127	Min.	3.53	-0.13	5	-0.74	5	-0.12	5	-82.19	5	-6.39	5	-0.01	5
6485	-119	-127	Min.	25.30	-0.13	5	-0.74	5	-0.09	5	-83.05	5	-9.07	5	-0.01	5
6486	-151	-159	Max	3.53	0.07	1	1.17	5	0.09	5	64.57	5	9.40	5	0.01	5
6486	-151	-159	Max	24.67	0.07	1	1.17	5	0.13	5	63.74	5	6.82	5	0.01	5
6486	-151	-159	Min.	3.53	-0.20	1	-0.84	5	-0.13	5	-89.39	5	-6.73	5	-0.01	5
6486	-151	-159	Min.	24.67	-0.20	1	-0.84	5	-0.09	5	-90.22	5	-9.58	5	-0.01	5
6487	-183	-191	Max	3.53	0.10	1	1.25	5	0.09	5	67.75	5	9.59	5	0.01	5
6487	-183	-191	Max	24.05	0.10	1	1.25	5	0.13	5	66.95	5	6.96	5	0.01	5
6487	-183	-191	Min.	3.53	-0.24	1	-0.89	5	-0.13	5	-94.02	5	-6.86	5	-0.01	5
6487	-183	-191	Min.	24.05	-0.24	1	-0.89	5	-0.10	5	-94.83	5	-9.77	5	-0.01	5
6488	-215	-223	Max	3.53	0.10	1	1.32	5	0.10	5	70.60	5	9.71	5	0.01	5
6488	-215	-223	Max	23.42	0.10	1	1.32	5	0.13	5	69.82	5	7.03	5	0.01	5
6488	-215	-223	Min.	3.53	-0.23	1	-0.94	5	-0.14	5	-98.21	5	-6.93	5	-0.01	5
6488	-215	-223	Min.	23.42	-0.23	1	-0.94	5	-0.10	5	-98.99	5	-9.90	5	-0.01	5
6489	-247	-255	Max	3.53	0.08	1	1.38	5	0.10	5	73.46	5	9.81	5	0.01	5
6489	-247	-255	Max	22.80	0.08	1	1.38	5	0.14	5	72.71	5	7.09	5	0.01	5
6489	-247	-255	Min.	3.53	-0.19	1	-0.98	5	-0.14	5	-102.48	5	-6.98	5	-0.01	5
6489	-247	-255	Min.	22.80	-0.19	1	-0.98	5	-0.10	5	-103.23	5	-10.00	5	-0.01	5
6490	-279	-287	Max	3.53	0.10	1	1.44	5	0.10	5	76.45	5	9.90	5	0.01	5
6490	-279	-287	Max	22.17	0.10	1	1.44	5	0.14	5	75.72	5	7.15	5	0.01	5
6490	-279	-287	Min.	3.53	-0.23	1	-1.02	5	-0.14	5	-106.97	5	-7.03	5	-0.01	5
6490	-279	-287	Min.	22.17	-0.23	1	-1.02	5	-0.10	5	-107.70	5	-10.10	5	-0.01	5
6491	-311	-319	Max	3.53	0.11	1	1.51	5	0.10	5	79.56	5	9.98	5	0.01	5
6491	-311	-319	Max	21.55	0.11	1	1.51	5	0.14	5	78.86	5	7.20	5	0.01	5
6491	-311	-319	Min.	3.53	-0.26	1	-1.07	5	-0.14	5	-111.67	5	-7.07	5	-0.01	5
6491	-311	-319	Min.	21.55	-0.26	1	-1.07	5	-0.10	5	-112.38	5	-10.19	5	-0.01	5
6492	-343	-351	Max	3.53	0.10	1	1.58	5	0.10	5	82.82	5	10.06	5	0.01	5
6492	-343	-351	Max	20.92	0.10	1	1.58	5	0.14	5	82.14	5	7.24	5	0.01	5
6492	-343	-351	Min.	3.53	-0.22	1	-1.11	5	-0.14	5	-116.64	5	-7.10	5	-0.01	5
6492	-343	-351	Min.	20.92	-0.22	1	-1.11	5	-0.10	5	-117.33	5	-10.28	5	-0.01	5
6493	-375	-383	Max	3.53	0.12	1	1.65	5	0.10	5	86.28	5	10.13	5	0.01	5
6493	-375	-383	Max	20.30	0.12	1	1.65	5	0.14	5	85.62	5	7.27	5	0.01	5
6493	-375	-383	Min.	3.53	-0.26	1	-1.16	5	-0.14	5	-121.95	5	-7.13	5	-0.01	5
6493	-375	-383	Min.	20.30	-0.26	1	-1.16	5	-0.10	5	-122.61	5	-10.36	5	-0.01	5
6494	-407	-415	Max	3.53	0.06	1	1.73	5	0.10	5	89.91	5	10.20	5	0.01	5
6494	-407	-415	Max	19.67	0.06	1	1.73	5	0.14	5	89.27	5	7.30	5	0.01	5
6494	-407	-415	Min.	3.53	-0.28	1	-1.21	5	-0.14	5	-127.55	5	-7.15	5	-0.01	5
6494	-407	-415	Min.	19.67	-0.28	1	-1.21	5	-0.10	5	-128.19	5	-10.44	5	-0.01	5
6495	-439	-447	Max	3.53	0.49	1	1.81	5	0.10	5	93.56	5	10.23	5	0.01	5
6495	-439	-447	Max	19.05	0.49	1	1.81	5	0.14	5	92.95	5	7.31	5	0.01	5
6495	-439	-447	Min.	3.53	0.00	1	-1.27	5	-0.15	5	-133.26	5	-7.16	5	-0.01	5
6495	-439	-447	Min.	19.05	0.00	1	-1.27	5	-0.10	5	-133.87	5	-10.49	5	-0.01	5
6496	-471	-479	Max	3.53	-1.17	5	1.74	5	0.09	5	96.26	5	10.17	5	0.01	1
6496	-471	-479	Max	18.42	-1.17	5	1.74	5	0.13	5	95.67	5	7.23	5	0.01	1
6496	-471	-479	Min.	3.53	-3.33	5	-1.22	5	-0.13	5	-137.68	5	-7.05	5	-0.01	1
6496	-471	-479	Min.	18.42	-3.33	5	-1.22	5	-0.10	5	-138.26	5	-10.37	5	-0.01	1
6497	-503	-511	Max	3.53	19.44	5	2.08	5	0.10	5	91.25	5	9.05	5	0.08	5
6497	-503	-511	Max	17.80	19.44	5	2.08	5	0.15	5	90.69	5	6.52	5	0.08	5

6497	-503	-511	Min.	3.53	5.44	5	-1.45	5	-0.15	5	-130.85	5	-6.46	5	-0.05	5
6497	-503	-511	Min.	17.80	5.44	5	-1.45	5	-0.11	5	-131.41	5	-9.65	5	-0.05	5
6502	-504	-512	Max	2.83	9.86	5	1.26	5	0.13	5	81.50	5	8.50	5	0.04	5
6502	-504	-512	Max	17.09	9.86	5	1.26	5	0.09	5	80.94	5	5.70	5	0.04	5
6502	-504	-512	Min.	2.83	1.01	5	-1.85	5	-0.09	5	-118.62	5	-5.88	5	-0.06	5
6502	-504	-512	Min.	17.09	1.01	5	-1.85	5	-0.14	5	-119.18	5	-8.46	5	-0.06	5
6503	-472	-480	Max	2.83	-0.21	5	1.04	5	0.11	5	85.76	5	9.40	5	0.02	5
6503	-472	-480	Max	17.72	-0.21	5	1.04	5	0.08	5	85.18	5	6.28	5	0.02	5
6503	-472	-480	Min.	2.83	-1.74	5	-1.52	5	-0.08	5	-124.33	5	-6.45	5	-0.02	5
6503	-472	-480	Min.	17.72	-1.74	5	-1.52	5	-0.12	5	-124.91	5	-9.15	5	-0.02	5
6504	-440	-448	Max	2.83	0.33	1	1.11	5	0.12	5	83.44	5	9.47	5	0.01	5
6504	-440	-448	Max	18.34	0.33	1	1.11	5	0.09	5	82.83	5	6.36	5	0.01	5
6504	-440	-448	Min.	2.83	-0.09	1	-1.61	5	-0.09	5	-120.43	5	-6.53	5	-0.01	5
6504	-440	-448	Min.	18.34	-0.09	1	-1.61	5	-0.13	5	-121.04	5	-9.26	5	-0.01	5
6505	-408	-416	Max	2.83	0.17	1	1.06	5	0.12	5	80.30	5	9.44	5	0.01	5
6505	-408	-416	Max	18.97	0.17	1	1.06	5	0.09	5	79.67	5	6.37	5	0.01	5
6505	-408	-416	Min.	2.83	-0.23	1	-1.54	5	-0.09	5	-115.38	5	-6.53	5	-0.01	5
6505	-408	-416	Min.	18.97	-0.23	1	-1.54	5	-0.13	5	-116.01	5	-9.23	5	-0.01	5
6506	-376	-384	Max	2.83	0.15	1	1.02	5	0.12	5	77.17	5	9.38	5	0.01	5
6506	-376	-384	Max	19.59	0.15	1	1.02	5	0.09	5	76.52	5	6.36	5	0.01	5
6506	-376	-384	Min.	2.83	-0.19	1	-1.47	5	-0.09	5	-110.41	5	-6.52	5	-0.01	5
6506	-376	-384	Min.	19.59	-0.19	1	-1.47	5	-0.13	5	-111.06	5	-9.19	5	-0.01	5
6507	-344	-352	Max	2.83	0.16	1	0.98	5	0.12	5	74.18	5	9.31	5	0.01	5
6507	-344	-352	Max	20.22	0.16	1	0.98	5	0.09	5	73.50	5	6.34	5	0.01	5
6507	-344	-352	Min.	2.83	-0.19	1	-1.41	5	-0.09	5	-105.69	5	-6.49	5	-0.01	5
6507	-344	-352	Min.	20.22	-0.19	1	-1.41	5	-0.13	5	-106.37	5	-9.13	5	-0.01	5
6508	-312	-320	Max	2.83	0.17	1	0.94	5	0.12	5	71.35	5	9.23	5	0.01	5
6508	-312	-320	Max	20.84	0.17	1	0.94	5	0.09	5	70.64	5	6.32	5	0.01	5
6508	-312	-320	Min.	2.83	-0.21	1	-1.34	5	-0.09	5	-101.26	5	-6.47	5	-0.01	5
6508	-312	-320	Min.	20.84	-0.21	1	-1.34	5	-0.13	5	-101.97	5	-9.07	5	-0.01	5
6509	-280	-288	Max	2.83	0.15	1	0.90	5	0.12	5	68.64	5	9.16	5	0.01	5
6509	-280	-288	Max	21.47	0.15	1	0.90	5	0.09	5	67.91	5	6.29	5	0.01	5
6509	-280	-288	Min.	2.83	-0.19	1	-1.29	5	-0.09	5	-97.06	5	-6.43	5	-0.01	5
6509	-280	-288	Min.	21.47	-0.19	1	-1.29	5	-0.13	5	-97.80	5	-9.00	5	-0.01	5
6510	-248	-256	Max	2.83	0.12	1	0.86	5	0.12	5	66.02	5	9.07	5	0.01	5
6510	-248	-256	Max	22.09	0.12	1	0.86	5	0.09	5	65.27	5	6.25	5	0.01	5
6510	-248	-256	Min.	2.83	-0.16	1	-1.23	5	-0.09	5	-93.05	5	-6.39	5	-0.01	5
6510	-248	-256	Min.	22.09	-0.16	1	-1.23	5	-0.13	5	-93.80	5	-8.92	5	-0.01	5
6511	-216	-224	Max	2.83	0.15	1	0.83	5	0.12	5	63.51	5	8.98	5	0.01	5
6511	-216	-224	Max	22.72	0.15	1	0.83	5	0.09	5	62.73	5	6.21	5	0.01	5
6511	-216	-224	Min.	2.83	-0.20	1	-1.17	5	-0.09	5	-89.23	5	-6.34	5	-0.01	5
6511	-216	-224	Min.	22.72	-0.20	1	-1.17	5	-0.12	5	-90.01	5	-8.84	5	-0.01	5
6512	-184	-192	Max	2.83	0.13	1	0.79	5	0.11	5	61.00	5	8.87	5	0.01	5
6512	-184	-192	Max	23.34	0.13	1	0.79	5	0.09	5	60.19	5	6.15	5	0.01	5
6512	-184	-192	Min.	2.83	-0.19	1	-1.12	5	-0.08	5	-85.45	5	-6.28	5	-0.01	5
6512	-184	-192	Min.	23.34	-0.19	1	-1.12	5	-0.12	5	-86.26	5	-8.74	5	-0.01	5
6513	-152	-160	Max	2.83	0.12	1	0.74	5	0.11	5	58.16	5	8.69	5	0.01	5
6513	-152	-160	Max	23.97	0.12	1	0.74	5	0.08	5	57.34	5	6.04	5	0.01	5
6513	-152	-160	Min.	2.83	-0.18	1	-1.05	5	-0.08	5	-81.27	5	-6.16	5	-0.01	5
6513	-152	-160	Min.	23.97	-0.18	1	-1.05	5	-0.12	5	-82.10	5	-8.57	5	-0.01	5
6514	-120	-128	Max	2.83	0.25	5	0.66	5	0.10	5	53.63	5	8.23	5	0.01	5
6514	-120	-128	Max	24.59	0.25	5	0.66	5	0.08	5	52.78	5	5.73	5	0.01	5
6514	-120	-128	Min.	2.83	-0.15	5	-0.93	5	-0.07	5	-74.72	5	-5.85	5	-0.01	5
6514	-120	-128	Min.	24.59	-0.15	5	-0.93	5	-0.11	5	-75.58	5	-8.12	5	-0.01	5
6515	-88	-96	Max	2.83	5.59	1	0.49	5	0.08	5	41.50	5	6.52	5	0.01	5
6515	-88	-96	Max	25.22	5.59	1	0.49	5	0.06	5	40.62	5	4.54	5	0.01	5
6515	-88	-96	Min.	2.83	-6.55	1	-0.69	5	-0.06	5	-57.47	5	-4.65	5	-0.01	5
6515	-88	-96	Min.	25.22	-6.55	1	-0.69	5	-0.08	5	-58.35	5	-6.45	5	-0.01	5
6516	-56	-64	Max	2.83	132.41	1	0.43	5	0.07	5	49.07	5	8.22	5	0.00	5

6516	-56	-64	Max	13.39					0.01	3			1.89	3		
6516	-56	-64	Max	25.84	132.41	1	0.43	5	0.05	5	47.27	5	6.11	5	0.00	5
6516	-56	-64	Min.	2.83	-126.42	1	-0.60	5	-0.05	5	-65.90	5	-5.92	5	-0.00	5
6516	-56	-64	Min.	13.39					-0.01	3			-1.45	3		
6516	-56	-64	Min.	25.84	-126.42	1	-0.60	5	-0.07	5	-67.70	5	-8.09	5	-0.00	5
6517	-24	-32	Max	2.83	345.63	1	0.25	5	0.04	5	34.03	5	5.27	5	0.00	5
6517	-24	-32	Max	26.15	345.63	1	0.25	5	0.03	5	32.20	5	3.81	5	0.00	5
6517	-24	-32	Min.	2.83	-312.13	1	-0.35	5	-0.03	5	-42.53	5	-3.93	5	-0.00	5
6517	-24	-32	Min.	26.15	-312.13	1	-0.35	5	-0.04	5	-44.36	5	-4.88	5	-0.00	5
6518	360	372	Max	1.77	448.82	1	20.39	1	0.29	1	653.79	1	37.78	1	0.98	1
6518	360	372	Max	15.00	448.82	1	20.39	1	2.20	1	652.85	1	48.29	1	0.98	1
6518	360	372	Min.	1.77	-451.83	1	-14.56	1	-0.50	1	-661.70	1	-38.22	1	-0.78	1
6518	360	372	Min.	15.00	-451.83	1	-14.56	1	-1.64	1	-662.64	1	-49.91	1	-0.78	1
6518	372	384	Max	0.00	470.01	1	15.19	1	2.23	1	650.61	1	51.08	1	0.78	1
6518	372	384	Max	13.23	470.01	1	15.19	1	0.31	1	649.67	1	37.68	1	0.78	1
6518	372	384	Min.	0.00	-453.36	1	-20.57	1	-1.70	1	-683.08	1	-48.35	1	-0.98	1
6518	372	384	Min.	13.23	-453.36	1	-20.57	1	-0.49	1	-684.02	1	-39.36	1	-0.98	1
6560	-517	-518	Max	0.00	1.48	5	25.73	1	1.31	1	0.55	1	0.10	1	0.73	1
6560	-517	-518	Max	12.00	1.48	5	25.73	1	1.68	1	2.15	1	0.13	1	0.73	1
6560	-517	-518	Min.	0.00	-1.57	5	-24.01	1	-1.41	1	-0.54	1	-0.15	1	-0.54	1
6560	-517	-518	Min.	12.00	-1.57	5	-24.01	1	-1.57	1	1.06	1	0.01	1	-0.54	1
6561	-533	-534	Max	0.00	0.67	1	24.74	1	1.38	1	1.71	1	0.19	1	0.48	1
6561	-533	-534	Max	12.00	0.67	1	24.74	1	1.50	1	3.31	1	0.26	1	0.48	1
6561	-533	-534	Min.	0.00	-0.57	1	-23.17	1	-1.47	1	-3.95	1	-0.07	1	-0.37	1
6561	-533	-534	Min.	12.00	-0.57	1	-23.17	1	-1.40	1	-2.35	1	-0.21	1	-0.37	1
6562	319	320	Max	1.77	-4.22	5	2.57	1	0.37	1	4.27	1	0.04	1	0.32	1
6562	319	320	Max	2.57					0.12	5			-0.22	5		
6562	319	320	Max	15.00	-4.22	5	2.57	1	0.02	5	3.33	1	-0.27	5	0.32	1
6562	319	320	Min.	1.77	-21.69	5	-2.72	1	-0.33	1	-2.29	1	-0.84	1	-0.34	1
6562	319	320	Min.	2.57					-0.09	5			-0.58	5		
6562	319	320	Min.	15.00	-21.69	5	-2.72	1	-0.00	5	-3.23	1	-0.40	5	-0.34	1
6562	320	321	Max	0.00	-4.22	5	2.57	1	0.02	5	3.33	1	-0.27	5	0.32	1
6562	320	321	Max	13.23	-4.22	5	2.57	1	0.35	1	2.38	1	0.07	1	0.32	1
6562	320	321	Min.	0.00	-21.69	5	-2.72	1	-0.00	5	-3.23	1	-0.40	5	-0.34	1
6562	320	321	Min.	13.23	-21.69	5	-2.72	1	-0.36	1	-4.17	1	-0.85	1	-0.34	1
6563	-5	-6	Max	2.83	40.88	5	0.68	1	0.09	1	30.77	1	3.43	1	0.00	1
6563	-5	-6	Max	26.15	40.88	5	0.68	1	0.08	1	28.94	1	3.55	1	0.00	1
6563	-5	-6	Min.	2.83	32.78	5	-0.73	1	-0.08	1	-27.34	1	-3.43	1	-0.00	1
6563	-5	-6	Min.	26.15	32.78	5	-0.73	1	-0.08	1	-29.17	1	-3.17	1	-0.00	1
6564	-37	-38	Max	2.83	10.92	5	0.13	1	0.03	5	50.40	1	5.61	1	0.03	1
6564	-37	-38	Max	14.04					-0.01	7			0.28	7		
6564	-37	-38	Max	25.84	10.92	5	0.13	1	0.03	5	48.59	1	5.82	1	0.03	1
6564	-37	-38	Min.	2.83	8.05	5	-0.13	1	-0.02	5	-45.81	1	-5.57	1	-0.03	1
6564	-37	-38	Min.	14.04					0.02	7			0.17	7		
6564	-37	-38	Min.	25.84	8.05	5	-0.13	1	-0.02	5	-47.62	1	-5.14	1	-0.03	1
6565	-69	-70	Max	2.83	-0.61	5	0.51	1	0.07	1	44.37	1	4.66	1	0.00	1
6565	-69	-70	Max	14.13					0.03	7			0.01	7		
6565	-69	-70	Max	25.22	-0.61	5	0.51	1	0.07	1	43.50	1	4.86	1	0.00	1
6565	-69	-70	Min.	2.83	-1.35	5	-0.48	1	-0.06	1	-41.05	1	-4.98	1	-0.00	1
6565	-69	-70	Min.	14.13					-0.01	7			0.00	7		
6565	-69	-70	Min.	25.22	-1.35	5	-0.48	1	-0.05	1	-41.93	1	-4.62	1	-0.00	1
6566	-101	-102	Max	2.83	0.23	5	0.71	1	0.09	1	57.51	1	5.90	1	0.01	1
6566	-101	-102	Max	13.77					0.04	7			0.02	7		
6566	-101	-102	Max	24.59	0.23	5	0.71	1	0.09	1	56.65	1	6.14	1	0.01	1
6566	-101	-102	Min.	2.83	-0.29	5	-0.67	1	-0.08	1	-53.46	1	-6.28	1	-0.01	1
6566	-101	-102	Min.	13.77					-0.02	7			0.00	7		
6566	-101	-102	Min.	24.59	-0.29	5	-0.67	1	-0.07	1	-54.31	1	-5.83	1	-0.01	1
6567	-133	-134	Max	2.83	0.11	5	0.81	1	0.10	1	62.48	1	6.23	1	0.01	1
6567	-133	-134	Max	13.43					0.04	7			0.01	7		

6567	-133	-134	Max	23.97	0.11	5	0.81	1	0.10	1	61.65	1	6.49	1	0.01	1
6567	-133	-134	Min.	2.83	-0.37	5	-0.76	1	-0.08	1	-58.17	1	-6.63	1	-0.01	1
6567	-133	-134	Min.	13.43					-0.02	7			0.00	7		
6567	-133	-134	Min.	23.97	-0.37	5	-0.76	1	-0.08	1	-59.00	1	-6.15	1	-0.01	1
6568	-165	-166	Max	2.83	0.14	5	0.86	1	0.10	1	65.65	1	6.36	1	0.01	1
6568	-165	-166	Max	13.11					0.04	7			0.01	7		
6568	-165	-166	Max	23.34	0.14	5	0.86	1	0.11	1	64.84	1	6.62	1	0.01	1
6568	-165	-166	Min.	2.83	-0.37	5	-0.82	1	-0.09	1	-61.16	1	-6.77	1	-0.01	1
6568	-165	-166	Min.	13.11					-0.02	7			0.00	7		
6568	-165	-166	Min.	23.34	-0.37	5	-0.82	1	-0.08	1	-61.97	1	-6.27	1	-0.01	1
6569	-197	-198	Max	2.83	0.10	5	0.91	1	0.10	1	68.50	1	6.44	1	0.01	1
6569	-197	-198	Max	13.02					-0.02	7			0.03	7		
6569	-197	-198	Max	22.72	0.10	5	0.91	1	0.11	1	67.72	1	6.69	1	0.01	1
6569	-197	-198	Min.	2.83	-0.35	5	-0.86	1	-0.09	1	-63.87	1	-6.85	1	-0.01	1
6569	-197	-198	Min.	13.02					0.04	7			-0.01	7		
6569	-197	-198	Min.	22.72	-0.35	5	-0.86	1	-0.08	1	-64.65	1	-6.34	1	-0.01	1
6570	-229	-230	Max	2.83	0.15	5	0.95	1	0.11	1	71.38	1	6.50	1	0.01	1
6570	-229	-230	Max	12.69					-0.02	7			0.02	7		
6570	-229	-230	Max	22.09	0.15	5	0.95	1	0.11	1	70.62	1	6.76	1	0.01	1
6570	-229	-230	Min.	2.83	-0.39	5	-0.90	1	-0.09	1	-66.58	1	-6.92	1	-0.01	1
6570	-229	-230	Min.	12.69					0.04	7			-0.00	7		
6570	-229	-230	Min.	22.09	-0.39	5	-0.90	1	-0.09	1	-67.34	1	-6.40	1	-0.01	1
6571	-261	-262	Max	2.83	0.13	5	0.99	1	0.11	1	74.37	1	6.56	1	0.01	1
6571	-261	-262	Max	12.35					-0.02	7			0.01	7		
6571	-261	-262	Max	21.47	0.13	5	0.99	1	0.11	1	73.64	1	6.81	1	0.01	1
6571	-261	-262	Min.	2.83	-0.38	5	-0.94	1	-0.09	1	-69.40	1	-6.98	1	-0.01	1
6571	-261	-262	Min.	12.35					0.04	7			0.00	7		
6571	-261	-262	Min.	21.47	-0.38	5	-0.94	1	-0.09	1	-70.13	1	-6.45	1	-0.01	1
6572	-293	-294	Max	2.83	0.11	5	1.04	1	0.11	1	77.53	1	6.61	1	0.01	1
6572	-293	-294	Max	12.01					-0.02	7			0.01	7		
6572	-293	-294	Max	20.84	0.11	5	1.04	1	0.11	1	76.82	1	6.86	1	0.01	1
6572	-293	-294	Min.	2.83	-0.36	5	-0.98	1	-0.09	1	-72.36	1	-7.04	1	-0.01	1
6572	-293	-294	Min.	12.01					0.04	7			0.01	7		
6572	-293	-294	Min.	20.84	-0.36	5	-0.98	1	-0.09	1	-73.07	1	-6.49	1	-0.01	1
6573	-325	-326	Max	2.83	0.17	5	1.09	1	0.11	1	80.83	1	6.65	1	0.01	1
6573	-325	-326	Max	11.68					0.04	7			0.01	7		
6573	-325	-326	Max	20.22	0.17	5	1.09	1	0.11	1	80.14	1	6.91	1	0.01	1
6573	-325	-326	Min.	2.83	-0.43	5	-1.02	1	-0.09	1	-75.46	1	-7.09	1	-0.01	1
6573	-325	-326	Min.	11.68					-0.02	7			-0.00	7		
6573	-325	-326	Min.	20.22	-0.43	5	-1.02	1	-0.09	1	-76.14	1	-6.53	1	-0.01	1
6574	-357	-358	Max	2.83	0.15	5	1.13	1	0.11	1	84.30	1	6.69	1	0.01	1
6574	-357	-358	Max	11.34					0.04	7			0.02	7		
6574	-357	-358	Max	19.59	0.15	5	1.13	1	0.11	1	83.65	1	6.94	1	0.01	1
6574	-357	-358	Min.	2.83	-0.43	5	-1.07	1	-0.09	1	-78.71	1	-7.13	1	-0.01	1
6574	-357	-358	Min.	11.34					-0.02	7			-0.01	7		
6574	-357	-358	Min.	19.59	-0.43	5	-1.07	1	-0.09	1	-79.37	1	-6.56	1	-0.01	1
6575	-389	-390	Max	2.83	0.07	5	1.19	1	0.11	1	87.92	1	6.72	1	0.01	1
6575	-389	-390	Max	11.01					0.04	7			0.02	7		
6575	-389	-390	Max	18.97	0.07	5	1.19	1	0.12	1	87.28	1	6.97	1	0.01	1
6575	-389	-390	Min.	2.83	-0.19	5	-1.12	1	-0.09	1	-82.09	1	-7.17	1	-0.01	1
6575	-389	-390	Min.	11.01					-0.02	7			-0.02	7		
6575	-389	-390	Min.	18.97	-0.19	5	-1.12	1	-0.09	1	-82.73	1	-6.58	1	-0.01	1
6576	-421	-422	Max	2.83	2.59	5	1.23	1	0.11	1	91.50	1	6.72	1	0.01	1
6576	-421	-422	Max	10.69					0.04	7			0.01	7		
6576	-421	-422	Max	18.34	2.59	5	1.23	1	0.12	1	90.90	1	6.98	1	0.01	1
6576	-421	-422	Min.	2.83	-4.02	5	-1.16	1	-0.09	1	-85.43	1	-7.17	1	-0.01	1
6576	-421	-422	Min.	10.69					-0.02	7			-0.00	7		
6576	-421	-422	Min.	18.34	-4.02	5	-1.16	1	-0.09	1	-86.04	1	-6.58	1	-0.01	1
6577	-453	-454	Max	2.83	24.14	5	1.23	1	0.11	1	93.56	1	6.62	1	0.01	1

6577	-453	-454	Max	10.30					0.04	7			0.14	7		
6577	-453	-454	Max	17.72	24.14	5	1.23	1	0.11	1	92.98	1	6.85	1	0.01	1
6577	-453	-454	Min.	2.83	-16.49	5	-1.16	1	-0.09	1	-87.39	1	-7.13	1	-0.01	1
6577	-453	-454	Min.	10.30					-0.02	7			-0.20	7		
6577	-453	-454	Min.	17.72	-16.49	5	-1.16	1	-0.08	1	-87.97	1	-6.52	1	-0.01	1
6578	-485	-486	Max	2.83	96.86	5	1.08	1	0.09	1	85.24	1	6.22	1	0.01	1
6578	-485	-486	Max	10.07					0.03	7			1.23	7		
6578	-485	-486	Max	17.09	96.86	5	1.08	1	0.09	1	84.68	1	6.47	1	0.01	1
6578	-485	-486	Min.	2.83	-144.46	5	-1.01	1	-0.08	1	-79.38	1	-6.22	1	-0.01	1
6578	-485	-486	Min.	10.07					-0.01	7			-0.82	7		
6578	-485	-486	Min.	17.09	-144.46	5	-1.01	1	-0.07	1	-79.94	1	-5.71	1	-0.01	1
6582	-493	-494	Max	3.53	188.39	5	0.84	1	0.08	1	77.52	1	4.76	1	0.00	5
6582	-493	-494	Max	9.24					0.03	7			0.33	7		
6582	-493	-494	Max	17.80	188.39	5	0.84	1	0.07	1	76.96	1	5.30	1	0.00	5
6582	-493	-494	Min.	3.53	-73.71	5	-0.94	1	-0.06	1	-69.80	1	-6.26	1	-0.00	5
6582	-493	-494	Min.	9.24					-0.01	7			-1.40	7		
6582	-493	-494	Min.	17.80	-73.71	5	-0.94	1	-0.06	1	-70.36	1	-5.78	1	-0.00	5
6583	-461	-462	Max	3.53	12.31	5	0.98	1	0.10	1	85.02	1	5.73	1	0.01	1
6583	-461	-462	Max	11.05					0.04	7			0.27	7		
6583	-461	-462	Max	18.42	12.31	5	0.98	1	0.09	1	84.44	1	6.53	1	0.01	1
6583	-461	-462	Min.	3.53	-31.99	5	-1.09	1	-0.07	1	-77.19	1	-6.10	1	-0.01	1
6583	-461	-462	Min.	11.05					-0.02	7			-0.07	7		
6583	-461	-462	Min.	18.42	-31.99	5	-1.09	1	-0.08	1	-77.77	1	-5.81	1	-0.01	1
6584	-429	-430	Max	3.53	5.09	5	1.00	1	0.10	1	83.33	1	5.81	1	0.01	1
6584	-429	-430	Max	11.34					-0.02	7			0.04	7		
6584	-429	-430	Max	19.05	5.09	5	1.00	1	0.10	1	82.72	1	6.51	1	0.01	1
6584	-429	-430	Min.	3.53	-2.06	5	-1.10	1	-0.08	1	-75.54	1	-6.37	1	-0.01	1
6584	-429	-430	Min.	11.34					0.04	7			-0.01	7		
6584	-429	-430	Min.	19.05	-2.06	5	-1.10	1	-0.08	1	-76.15	1	-5.96	1	-0.01	1
6585	-397	-398	Max	3.53	0.03	5	0.97	1	0.11	1	80.17	1	5.82	1	0.01	1
6585	-397	-398	Max	11.67					-0.02	7			0.03	7		
6585	-397	-398	Max	19.67	0.03	5	0.97	1	0.10	1	79.53	1	6.53	1	0.01	1
6585	-397	-398	Min.	3.53	-0.30	5	-1.06	1	-0.08	1	-72.70	1	-6.35	1	-0.01	1
6585	-397	-398	Min.	11.67					0.04	7			0.02	7		
6585	-397	-398	Min.	19.67	-0.30	5	-1.06	1	-0.08	1	-73.34	1	-5.96	1	-0.01	1
6586	-365	-366	Max	3.53	0.35	5	0.93	1	0.10	1	76.93	1	5.81	1	0.01	1
6586	-365	-366	Max	11.95					0.04	7			0.02	7		
6586	-365	-366	Max	20.30	0.35	5	0.93	1	0.10	1	76.27	1	6.50	1	0.01	1
6586	-365	-366	Min.	3.53	-0.24	5	-1.02	1	-0.08	1	-69.80	1	-6.34	1	-0.01	1
6586	-365	-366	Min.	11.95					-0.02	7			0.02	7		
6586	-365	-366	Min.	20.30	-0.24	5	-1.02	1	-0.08	1	-70.46	1	-5.95	1	-0.01	1
6587	-333	-334	Max	3.53	0.36	5	0.89	1	0.10	1	73.81	1	5.79	1	0.01	1
6587	-333	-334	Max	12.22					0.04	7			0.03	7		
6587	-333	-334	Max	20.92	0.36	5	0.89	1	0.10	1	73.13	1	6.46	1	0.01	1
6587	-333	-334	Min.	3.53	-0.24	5	-0.97	1	-0.08	1	-66.99	1	-6.31	1	-0.01	1
6587	-333	-334	Min.	12.22					-0.02	7			0.01	7		
6587	-333	-334	Min.	20.92	-0.24	5	-0.97	1	-0.08	1	-67.67	1	-5.92	1	-0.01	1
6588	-301	-302	Max	3.53	0.25	5	0.85	1	0.10	1	70.86	1	5.76	1	0.01	1
6588	-301	-302	Max	12.50					0.04	7			0.03	7		
6588	-301	-302	Max	21.55	0.25	5	0.85	1	0.09	1	70.15	1	6.42	1	0.01	1
6588	-301	-302	Min.	3.53	-0.20	5	-0.93	1	-0.08	1	-64.31	1	-6.28	1	-0.01	1
6588	-301	-302	Min.	12.50					-0.02	7			0.00	7		
6588	-301	-302	Min.	21.55	-0.20	5	-0.93	1	-0.08	1	-65.02	1	-5.89	1	-0.01	1
6589	-269	-270	Max	3.53	0.29	5	0.81	1	0.10	1	68.02	1	5.73	1	0.01	1
6589	-269	-270	Max	12.30					-0.02	7			0.08	7		
6589	-269	-270	Max	22.17	0.29	5	0.81	1	0.09	1	67.29	1	6.37	1	0.01	1
6589	-269	-270	Min.	3.53	-0.22	5	-0.89	1	-0.07	1	-61.73	1	-6.24	1	-0.01	1
6589	-269	-270	Min.	12.30					0.04	7			-0.07	7		
6589	-269	-270	Min.	22.17	-0.22	5	-0.89	1	-0.08	1	-62.47	1	-5.85	1	-0.01	1

6590	-237	-238	Max	3.53	0.32	5	0.78	1	0.10	1	65.32	1	5.69	1	0.01	1
6590	-237	-238	Max	12.61					-0.02	7			0.08	7		
6590	-237	-238	Max	22.80	0.32	5	0.78	1	0.09	1	64.57	1	6.32	1	0.01	1
6590	-237	-238	Min.	3.53	-0.22	5	-0.85	1	-0.07	1	-59.27	1	-6.19	1	-0.01	1
6590	-237	-238	Min.	12.61					0.04	7			-0.07	7		
6590	-237	-238	Min.	22.80	-0.22	5	-0.85	1	-0.08	1	-60.03	1	-5.80	1	-0.01	1
6591	-205	-206	Max	3.53	0.24	5	0.75	1	0.10	1	62.72	1	5.64	1	0.01	1
6591	-205	-206	Max	12.91					-0.02	7			0.08	7		
6591	-205	-206	Max	23.42	0.24	5	0.75	1	0.09	1	61.94	1	6.25	1	0.01	1
6591	-205	-206	Min.	3.53	-0.20	5	-0.82	1	-0.07	1	-56.90	1	-6.14	1	-0.01	1
6591	-205	-206	Min.	12.91					0.04	7			-0.07	7		
6591	-205	-206	Min.	23.42	-0.20	5	-0.82	1	-0.08	1	-57.68	1	-5.75	1	-0.01	1
6592	-173	-174	Max	3.53	0.30	5	0.71	1	0.10	1	60.13	1	5.58	1	0.01	1
6592	-173	-174	Max	13.21					-0.02	7			0.08	7		
6592	-173	-174	Max	24.05	0.30	5	0.71	1	0.09	1	59.32	1	6.18	1	0.01	1
6592	-173	-174	Min.	3.53	-0.21	5	-0.78	1	-0.07	1	-54.52	1	-6.07	1	-0.01	1
6592	-173	-174	Min.	13.21					0.04	7			-0.07	7		
6592	-173	-174	Min.	24.05	-0.21	5	-0.78	1	-0.08	1	-55.32	1	-5.69	1	-0.01	1
6593	-141	-142	Max	3.53	0.24	5	0.67	1	0.09	1	57.25	1	5.47	1	0.01	1
6593	-141	-142	Max	11.99					-0.02	7			0.28	7		
6593	-141	-142	Max	24.67	0.24	5	0.67	1	0.09	1	56.42	1	6.05	1	0.01	1
6593	-141	-142	Min.	3.53	-0.21	5	-0.73	1	-0.07	1	-51.87	1	-5.96	1	-0.01	1
6593	-141	-142	Min.	11.99					0.04	7			-0.34	7		
6593	-141	-142	Min.	24.67	-0.21	5	-0.73	1	-0.08	1	-52.70	1	-5.58	1	-0.01	1
6594	-109	-110	Max	3.53	0.45	5	0.59	1	0.09	1	52.69	1	5.18	1	0.01	1
6594	-109	-110	Max	12.24					-0.01	7			0.27	7		
6594	-109	-110	Max	25.30	0.45	5	0.59	1	0.08	1	51.84	1	5.73	1	0.01	1
6594	-109	-110	Min.	3.53	-0.19	5	-0.64	1	-0.06	1	-47.66	1	-5.64	1	-0.01	1
6594	-109	-110	Min.	12.24					0.03	7			-0.32	7		
6594	-109	-110	Min.	25.30	-0.19	5	-0.64	1	-0.07	1	-48.51	1	-5.28	1	-0.01	1
6595	-77	-78	Max	3.53	-0.71	1	0.44	1	0.07	1	40.66	1	4.09	1	0.01	1
6595	-77	-78	Max	12.49					-0.01	7			0.21	7		
6595	-77	-78	Max	25.92	-0.71	1	0.44	1	0.06	1	39.78	1	4.53	1	0.01	1
6595	-77	-78	Min.	3.53	-0.96	1	-0.47	1	-0.05	1	-36.56	1	-4.48	1	-0.01	1
6595	-77	-78	Min.	12.49					0.02	7			-0.25	7		
6595	-77	-78	Min.	25.92	-0.96	1	-0.47	1	-0.05	1	-37.44	1	-4.19	1	-0.01	1
6596	-45	-46	Max	3.53	12.66	5	0.07	1	0.03	5	45.92	1	4.89	1	0.03	1
6596	-45	-46	Max	13.07					-0.01	7			0.37	7		
6596	-45	-46	Max	26.55	12.66	5	0.07	1	0.03	5	44.11	1	5.46	1	0.03	1
6596	-45	-46	Min.	3.53	5.49	5	-0.09	1	-0.01	5	-40.54	1	-4.90	1	-0.03	1
6596	-45	-46	Min.	13.07					0.03	7			0.06	7		
6596	-45	-46	Min.	26.55	5.49	5	-0.09	1	-0.01	5	-42.35	1	-4.65	1	-0.03	1
6597	-13	-14	Max	3.53	51.61	5	0.75	1	0.09	1	27.61	1	2.94	1	0.01	1
6597	-13	-14	Max	26.86	51.61	5	0.75	1	0.10	1	25.78	1	3.30	1	0.01	1
6597	-13	-14	Min.	3.53	22.77	5	-0.70	1	-0.09	1	-23.61	1	-2.93	1	-0.01	1
6597	-13	-14	Min.	26.86	22.77	5	-0.70	1	-0.08	1	-25.44	1	-2.78	1	-0.01	1
6598	343	344	Max	1.77	-2.40	5	3.46	1	-0.05	1	2.32	1	0.36	1	0.34	1
6598	343	344	Max	4.41					-0.17	5			0.13	5		
6598	343	344	Max	15.00	-2.40	5	2.52	1	-0.21	5	2.32	1	0.03	5	0.34	1
6598	343	344	Min.	1.77	-9.98	5	-1.29	1	-0.73	1	-2.52	1	-0.29	1	-0.32	1
6598	343	344	Min.	4.41					-0.56	5			-0.07	5		
6598	343	344	Min.	15.00	-9.98	5	-2.23	1	-0.42	5	-2.52	1	0.00	5	-0.32	1
6598	344	345	Max	0.00	-2.40	5	2.52	1	-0.21	5	2.32	1	0.03	5	0.34	1
6598	344	345	Max	9.82					-0.17	5			0.09	5		
6598	344	345	Max	13.23	-2.40	5	1.58	1	-0.01	1	2.32	1	0.32	1	0.34	1
6598	344	345	Min.	0.00	-9.98	5	-2.23	1	-0.42	5	-2.52	1	0.00	5	-0.32	1
6598	344	345	Min.	9.82					-0.49	5			-0.07	5		
6598	344	345	Min.	13.23	-9.98	5	-3.17	1	-0.69	1	-2.52	1	-0.31	1	-0.32	1
6606	355	356	Max	1.77	-2.62	5	2.32	1	0.35	1	3.44	1	-0.05	1	0.32	1

6606	355	356	Max	4.41					0.13	5			-0.17	5		
6606	355	356	Max	15.00	-2.62	5	2.32	1	0.03	5	2.49	1	-0.20	5	0.32	1
6606	355	356	Min.	1.77	-9.77	5	-2.51	1	-0.29	1	-1.32	1	-0.73	1	-0.34	1
6606	355	356	Min.	4.41					-0.07	5			-0.55	5		
6606	355	356	Min.	15.00	-9.77	5	-2.51	1	0.00	5	-2.26	1	-0.42	5	-0.34	1
6606	356	357	Max	0.00	-2.62	5	2.32	1	0.03	5	2.49	1	-0.20	5	0.32	1
6606	356	357	Max	9.65					0.09	5			-0.17	5		
6606	356	357	Max	13.23	-2.62	5	2.32	1	0.32	1	1.55	1	-0.02	1	0.32	1
6606	356	357	Min.	0.00	-9.77	5	-2.51	1	0.00	5	-2.26	1	-0.42	5	-0.34	1
6606	356	357	Min.	9.65					-0.07	5			-0.49	5		
6606	356	357	Min.	13.23	-9.77	5	-2.51	1	-0.31	1	-3.20	1	-0.70	1	-0.34	1
6607	-21	-22	Max	2.83	51.74	5	0.70	1	0.09	1	27.59	1	2.99	1	0.00	1
6607	-21	-22	Max	26.15	51.74	5	0.70	1	0.08	1	25.76	1	3.24	1	0.00	1
6607	-21	-22	Min.	2.83	22.47	5	-0.75	1	-0.09	1	-23.60	1	-2.98	1	-0.01	1
6607	-21	-22	Min.	26.15	22.47	5	-0.75	1	-0.09	1	-25.43	1	-2.73	1	-0.01	1
6608	-53	-54	Max	2.83	12.59	5	0.08	1	0.01	5	45.87	1	4.98	1	0.03	1
6608	-53	-54	Max	13.79					0.01	7			0.25	7		
6608	-53	-54	Max	25.84	12.59	5	0.08	1	0.01	5	44.06	1	5.35	1	0.03	1
6608	-53	-54	Min.	2.83	5.59	5	-0.08	1	-0.03	5	-40.51	1	-5.00	1	-0.03	1
6608	-53	-54	Min.	13.79					-0.03	7			0.23	7		
6608	-53	-54	Min.	25.84	5.59	5	-0.08	1	-0.03	5	-42.32	1	-4.55	1	-0.03	1
6609	-85	-86	Max	2.83	-0.71	1	0.47	1	0.05	1	40.56	1	4.16	1	0.01	1
6609	-85	-86	Max	14.00					-0.03	7			0.02	7		
6609	-85	-86	Max	25.22	-0.71	1	0.47	1	0.05	1	39.68	1	4.45	1	0.01	1
6609	-85	-86	Min.	2.83	-0.98	1	-0.44	1	-0.07	1	-36.58	1	-4.53	1	-0.01	1
6609	-85	-86	Min.	14.00					0.01	7			0.00	7		
6609	-85	-86	Min.	25.22	-0.98	1	-0.44	1	-0.06	1	-37.46	1	-4.13	1	-0.01	1
6610	-117	-118	Max	2.83	0.42	5	0.64	1	0.06	1	52.57	1	5.27	1	0.01	1
6610	-117	-118	Max	13.64					-0.04	7			0.03	7		
6610	-117	-118	Max	24.59	0.42	5	0.64	1	0.07	1	51.71	1	5.63	1	0.01	1
6610	-117	-118	Min.	2.83	-0.18	5	-0.59	1	-0.09	1	-47.68	1	-5.72	1	-0.01	1
6610	-117	-118	Min.	13.64					0.02	7			0.00	7		
6610	-117	-118	Min.	24.59	-0.18	5	-0.59	1	-0.08	1	-48.53	1	-5.20	1	-0.01	1
6611	-149	-150	Max	2.83	0.24	5	0.72	1	0.07	1	57.11	1	5.56	1	0.01	1
6611	-149	-150	Max	13.30					-0.04	7			0.03	7		
6611	-149	-150	Max	23.97	0.24	5	0.72	1	0.07	1	56.28	1	5.94	1	0.01	1
6611	-149	-150	Min.	2.83	-0.22	5	-0.67	1	-0.09	1	-51.89	1	-6.04	1	-0.01	1
6611	-149	-150	Min.	13.30					0.02	7			-0.01	7		
6611	-149	-150	Min.	23.97	-0.22	5	-0.67	1	-0.09	1	-52.72	1	-5.49	1	-0.01	1
6612	-181	-182	Max	2.83	0.30	5	0.77	1	0.07	1	59.98	1	5.67	1	0.01	1
6612	-181	-182	Max	12.97					-0.04	7			0.03	7		
6612	-181	-182	Max	23.34	0.30	5	0.77	1	0.08	1	59.18	1	6.06	1	0.01	1
6612	-181	-182	Min.	2.83	-0.22	5	-0.71	1	-0.10	1	-54.54	1	-6.16	1	-0.01	1
6612	-181	-182	Min.	12.97					0.02	7			-0.01	7		
6612	-181	-182	Min.	23.34	-0.22	5	-0.71	1	-0.09	1	-55.34	1	-5.60	1	-0.01	1
6613	-213	-214	Max	2.83	0.23	5	0.81	1	0.07	1	62.57	1	5.74	1	0.01	1
6613	-213	-214	Max	12.64					-0.04	7			0.04	7		
6613	-213	-214	Max	22.72	0.23	5	0.81	1	0.08	1	61.79	1	6.13	1	0.01	1
6613	-213	-214	Min.	2.83	-0.20	5	-0.75	1	-0.10	1	-56.92	1	-6.23	1	-0.01	1
6613	-213	-214	Min.	12.64					0.02	7			-0.01	7		
6613	-213	-214	Min.	22.72	-0.20	5	-0.75	1	-0.09	1	-57.70	1	-5.66	1	-0.01	1
6614	-245	-246	Max	2.83	0.32	5	0.85	1	0.07	1	65.16	1	5.79	1	0.01	1
6614	-245	-246	Max	12.59					0.02	7			0.03	7		
6614	-245	-246	Max	22.09	0.32	5	0.85	1	0.08	1	64.40	1	6.19	1	0.01	1
6614	-245	-246	Min.	2.83	-0.22	5	-0.78	1	-0.10	1	-59.30	1	-6.29	1	-0.01	1
6614	-245	-246	Min.	12.59					-0.04	7			0.00	7		
6614	-245	-246	Min.	22.09	-0.22	5	-0.78	1	-0.09	1	-60.06	1	-5.70	1	-0.01	1
6615	-277	-278	Max	2.83	0.29	5	0.89	1	0.08	1	67.85	1	5.84	1	0.01	1
6615	-277	-278	Max	12.27					0.02	7			0.03	7		

6615	-277	-278	Max	21.47	0.29	5	0.89	1	0.08	1	67.12	1	6.23	1	0.01	1
6615	-277	-278	Min.	2.83	-0.22	5	-0.82	1	-0.10	1	-61.77	1	-6.34	1	-0.01	1
6615	-277	-278	Min.	12.27					-0.04	7			0.00	7		
6615	-277	-278	Min.	21.47	-0.22	5	-0.82	1	-0.09	1	-62.50	1	-5.74	1	-0.01	1
6616	-309	-310	Max	2.83	0.24	5	0.93	1	0.08	1	70.68	1	5.88	1	0.01	1
6616	-309	-310	Max	11.81					-0.04	7			0.02	7		
6616	-309	-310	Max	20.84	0.24	5	0.93	1	0.08	1	69.97	1	6.28	1	0.01	1
6616	-309	-310	Min.	2.83	-0.21	5	-0.85	1	-0.10	1	-64.35	1	-6.39	1	-0.01	1
6616	-309	-310	Min.	11.81					0.02	7			0.01	7		
6616	-309	-310	Min.	20.84	-0.21	5	-0.85	1	-0.09	1	-65.06	1	-5.78	1	-0.01	1
6617	-341	-342	Max	2.83	0.35	5	0.97	1	0.08	1	73.63	1	5.91	1	0.01	1
6617	-341	-342	Max	11.49					-0.04	7			0.02	7		
6617	-341	-342	Max	20.22	0.35	5	0.97	1	0.08	1	72.94	1	6.31	1	0.01	1
6617	-341	-342	Min.	2.83	-0.24	5	-0.89	1	-0.10	1	-67.03	1	-6.43	1	-0.01	1
6617	-341	-342	Min.	11.49					0.02	7			0.01	7		
6617	-341	-342	Min.	20.22	-0.24	5	-0.89	1	-0.10	1	-67.72	1	-5.80	1	-0.01	1
6618	-373	-374	Max	2.83	0.34	5	1.01	1	0.08	1	76.73	1	5.94	1	0.01	1
6618	-373	-374	Max	11.17					-0.04	7			0.02	7		
6618	-373	-374	Max	19.59	0.34	5	1.01	1	0.08	1	76.07	1	6.35	1	0.01	1
6618	-373	-374	Min.	2.83	-0.24	5	-0.93	1	-0.10	1	-69.85	1	-6.46	1	-0.01	1
6618	-373	-374	Min.	11.17					0.02	7			0.01	7		
6618	-373	-374	Min.	19.59	-0.24	5	-0.93	1	-0.10	1	-70.51	1	-5.82	1	-0.01	1
6619	-405	-406	Max	2.83	0.03	5	1.05	1	0.08	1	79.96	1	5.96	1	0.01	1
6619	-405	-406	Max	10.85					-0.04	7			0.02	7		
6619	-405	-406	Max	18.97	0.03	5	1.05	1	0.08	1	79.33	1	6.37	1	0.01	1
6619	-405	-406	Min.	2.83	-0.31	5	-0.97	1	-0.11	1	-72.76	1	-6.48	1	-0.01	1
6619	-405	-406	Min.	10.85					0.02	7			0.01	7		
6619	-405	-406	Min.	18.97	-0.31	5	-0.97	1	-0.10	1	-73.39	1	-5.83	1	-0.01	1
6620	-437	-438	Max	2.83	5.10	5	1.09	1	0.08	1	83.11	1	5.95	1	0.01	1
6620	-437	-438	Max	10.54					-0.04	7			0.03	7		
6620	-437	-438	Max	18.34	5.10	5	1.09	1	0.08	1	82.50	1	6.34	1	0.01	1
6620	-437	-438	Min.	2.83	-2.07	5	-1.00	1	-0.10	1	-75.61	1	-6.50	1	-0.01	1
6620	-437	-438	Min.	10.54					0.02	7			-0.03	7		
6620	-437	-438	Min.	18.34	-2.07	5	-1.00	1	-0.10	1	-76.21	1	-5.82	1	-0.01	1
6621	-469	-470	Max	2.83	12.28	5	1.08	1	0.07	1	85.07	1	5.86	1	0.01	1
6621	-469	-470	Max	10.19					0.02	7			0.24	7		
6621	-469	-470	Max	17.72	12.28	5	1.08	1	0.08	1	84.48	1	6.38	1	0.01	1
6621	-469	-470	Min.	2.83	-31.97	5	-0.99	1	-0.10	1	-77.20	1	-6.24	1	-0.01	1
6621	-469	-470	Min.	10.19					-0.04	7			-0.07	7		
6621	-469	-470	Min.	17.72	-31.97	5	-0.99	1	-0.09	1	-77.78	1	-5.67	1	-0.01	1
6622	-501	-502	Max	2.83	188.13	5	0.91	1	0.06	1	76.76	1	4.91	1	0.00	1
6622	-501	-502	Max	10.08					0.01	7			0.62	7		
6622	-501	-502	Max	17.09	188.13	5	0.91	1	0.06	1	76.20	1	5.13	1	0.00	1
6622	-501	-502	Min.	2.83	-73.38	5	-0.84	1	-0.08	1	-69.98	1	-6.36	1	-0.00	1
6622	-501	-502	Min.	10.08					-0.03	7			-1.60	7		
6622	-501	-502	Min.	17.09	-73.38	5	-0.84	1	-0.07	1	-70.54	1	-5.70	1	-0.00	1
6626	-509	-510	Max	3.53	96.51	5	1.01	1	0.07	1	84.65	1	6.06	1	0.01	1
6626	-509	-510	Max	10.71					0.01	7			1.20	7		
6626	-509	-510	Max	17.80	96.51	5	1.01	1	0.07	1	84.09	1	6.60	1	0.01	1
6626	-509	-510	Min.	3.53	-144.25	5	-1.07	1	-0.09	1	-78.94	1	-6.04	1	-0.01	1
6626	-509	-510	Min.	10.71					-0.03	7			-0.79	7		
6626	-509	-510	Min.	17.80	-144.25	5	-1.07	1	-0.09	1	-79.50	1	-5.84	1	-0.01	1
6627	-477	-478	Max	3.53	24.12	5	1.15	1	0.09	1	93.43	1	6.43	1	0.01	1
6627	-477	-478	Max	10.94					0.02	7			0.14	7		
6627	-477	-478	Max	18.42	24.12	5	1.15	1	0.08	1	92.85	1	6.99	1	0.01	1
6627	-477	-478	Min.	3.53	-16.45	5	-1.22	1	-0.10	1	-87.03	1	-6.95	1	-0.01	1
6627	-477	-478	Min.	10.94					-0.04	7			-0.20	7		
6627	-477	-478	Min.	18.42	-16.45	5	-1.22	1	-0.11	1	-87.61	1	-6.64	1	-0.01	1
6628	-445	-446	Max	3.53	2.60	5	1.15	1	0.09	1	91.21	1	6.53	1	0.01	1

6628	-445	-446	Max	11.23					-0.04	7			0.00	7		
6628	-445	-446	Max	19.05	2.60	5	1.15	1	0.09	1	90.60	1	7.12	1	0.01	1
6628	-445	-446	Min.	3.53	-4.03	5	-1.22	1	-0.11	1	-85.05	1	-6.98	1	-0.01	1
6628	-445	-446	Min.	11.23					0.02	7			0.00	7		
6628	-445	-446	Min.	19.05	-4.03	5	-1.22	1	-0.12	1	-85.65	1	-6.70	1	-0.01	1
6629	-413	-414	Max	3.53	0.07	5	1.11	1	0.09	1	87.64	1	6.54	1	0.01	1
6629	-413	-414	Max	11.62					0.02	7			0.00	7		
6629	-413	-414	Max	19.67	0.07	5	1.11	1	0.09	1	87.01	1	7.10	1	0.01	1
6629	-413	-414	Min.	3.53	-0.19	5	-1.18	1	-0.11	1	-81.73	1	-6.99	1	-0.01	1
6629	-413	-414	Min.	11.62					-0.04	7			0.00	7		
6629	-413	-414	Min.	19.67	-0.19	5	-1.18	1	-0.12	1	-82.37	1	-6.70	1	-0.01	1
6630	-381	-382	Max	3.53	0.16	5	1.06	1	0.09	1	84.03	1	6.52	1	0.01	1
6630	-381	-382	Max	11.90					0.02	7			0.01	7		
6630	-381	-382	Max	20.30	0.16	5	1.06	1	0.09	1	83.38	1	7.07	1	0.01	1
6630	-381	-382	Min.	3.53	-0.42	5	-1.13	1	-0.11	1	-78.37	1	-6.96	1	-0.01	1
6630	-381	-382	Min.	11.90					-0.04	7			-0.00	7		
6630	-381	-382	Min.	20.30	-0.42	5	-1.13	1	-0.11	1	-79.03	1	-6.67	1	-0.01	1
6631	-349	-350	Max	3.53	0.17	5	1.02	1	0.09	1	80.57	1	6.49	1	0.01	1
6631	-349	-350	Max	12.19					0.02	7			0.01	7		
6631	-349	-350	Max	20.92	0.17	5	1.02	1	0.09	1	79.88	1	7.03	1	0.01	1
6631	-349	-350	Min.	3.53	-0.43	5	-1.08	1	-0.11	1	-75.13	1	-6.92	1	-0.01	1
6631	-349	-350	Min.	12.19					-0.04	7			-0.01	7		
6631	-349	-350	Min.	20.92	-0.43	5	-1.08	1	-0.11	1	-75.81	1	-6.63	1	-0.01	1
6632	-317	-318	Max	3.53	0.11	5	0.98	1	0.09	1	77.28	1	6.45	1	0.01	1
6632	-317	-318	Max	12.47					0.02	7			0.02	7		
6632	-317	-318	Max	21.55	0.11	5	0.98	1	0.09	1	76.57	1	6.98	1	0.01	1
6632	-317	-318	Min.	3.53	-0.35	5	-1.03	1	-0.11	1	-72.06	1	-6.88	1	-0.01	1
6632	-317	-318	Min.	12.47					-0.04	7			-0.01	7		
6632	-317	-318	Min.	21.55	-0.35	5	-1.03	1	-0.11	1	-72.76	1	-6.59	1	-0.01	1
6633	-285	-286	Max	3.53	0.13	5	0.93	1	0.09	1	74.14	1	6.40	1	0.01	1
6633	-285	-286	Max	12.76					0.02	7			0.02	7		
6633	-285	-286	Max	22.17	0.13	5	0.93	1	0.09	1	73.40	1	6.92	1	0.01	1
6633	-285	-286	Min.	3.53	-0.38	5	-0.99	1	-0.11	1	-69.10	1	-6.83	1	-0.01	1
6633	-285	-286	Min.	12.76					-0.04	7			-0.02	7		
6633	-285	-286	Min.	22.17	-0.38	5	-0.99	1	-0.11	1	-69.84	1	-6.54	1	-0.01	1
6634	-253	-254	Max	3.53	0.15	5	0.89	1	0.09	1	71.15	1	6.36	1	0.01	1
6634	-253	-254	Max	13.05					0.02	7			0.02	7		
6634	-253	-254	Max	22.80	0.15	5	0.89	1	0.09	1	70.40	1	6.86	1	0.01	1
6634	-253	-254	Min.	3.53	-0.39	5	-0.95	1	-0.11	1	-66.30	1	-6.77	1	-0.01	1
6634	-253	-254	Min.	13.05					-0.04	7			-0.01	7		
6634	-253	-254	Min.	22.80	-0.39	5	-0.95	1	-0.11	1	-67.06	1	-6.49	1	-0.01	1
6635	-221	-222	Max	3.53	0.10	5	0.86	1	0.09	1	68.28	1	6.30	1	0.01	1
6635	-221	-222	Max	13.01					-0.04	7			0.06	7		
6635	-221	-222	Max	23.42	0.10	5	0.86	1	0.08	1	67.50	1	6.79	1	0.01	1
6635	-221	-222	Min.	3.53	-0.35	5	-0.90	1	-0.10	1	-63.60	1	-6.71	1	-0.01	1
6635	-221	-222	Min.	13.01					0.02	7			-0.06	7		
6635	-221	-222	Min.	23.42	-0.35	5	-0.90	1	-0.11	1	-64.38	1	-6.43	1	-0.01	1
6636	-189	-190	Max	3.53	0.14	5	0.81	1	0.09	1	65.43	1	6.23	1	0.01	1
6636	-189	-190	Max	13.73					0.02	7			0.02	7		
6636	-189	-190	Max	24.05	0.14	5	0.81	1	0.08	1	64.63	1	6.71	1	0.01	1
6636	-189	-190	Min.	3.53	-0.36	5	-0.86	1	-0.10	1	-60.91	1	-6.63	1	-0.01	1
6636	-189	-190	Min.	13.73					-0.04	7			-0.00	7		
6636	-189	-190	Min.	24.05	-0.36	5	-0.86	1	-0.11	1	-61.71	1	-6.35	1	-0.01	1
6637	-157	-158	Max	3.53	0.11	5	0.76	1	0.08	1	62.28	1	6.11	1	0.01	1
6637	-157	-158	Max	14.04					0.02	7			0.02	7		
6637	-157	-158	Max	24.67	0.11	5	0.76	1	0.08	1	61.45	1	6.57	1	0.01	1
6637	-157	-158	Min.	3.53	-0.37	5	-0.80	1	-0.10	1	-57.93	1	-6.50	1	-0.01	1
6637	-157	-158	Min.	14.04					-0.04	7			-0.00	7		
6637	-157	-158	Min.	24.67	-0.37	5	-0.80	1	-0.10	1	-58.76	1	-6.23	1	-0.01	1

6638	-125	-126	Max	3.53	0.25	5	0.66	1	0.08	1	57.32	1	5.78	1	0.01	1
6638	-125	-126	Max	14.36					0.02	7			0.02	7		
6638	-125	-126	Max	25.30	0.25	5	0.66	1	0.07	1	56.46	1	6.22	1	0.01	1
6638	-125	-126	Min.	3.53	-0.30	5	-0.70	1	-0.09	1	-53.24	1	-6.16	1	-0.01	1
6638	-125	-126	Min.	14.36					-0.03	7			0.00	7		
6638	-125	-126	Min.	25.30	-0.30	5	-0.70	1	-0.09	1	-54.09	1	-5.90	1	-0.01	1
6639	-93	-94	Max	3.53	-0.61	5	0.47	1	0.06	1	44.23	1	4.57	1	0.00	1
6639	-93	-94	Max	14.69					0.01	7			0.01	7		
6639	-93	-94	Max	25.92	-0.61	5	0.47	1	0.05	1	43.36	1	4.92	1	0.00	1
6639	-93	-94	Min.	3.53	-1.34	5	-0.50	1	-0.07	1	-40.87	1	-4.89	1	-0.00	1
6639	-93	-94	Min.	14.69					-0.03	7			0.00	7		
6639	-93	-94	Min.	25.92	-1.34	5	-0.50	1	-0.07	1	-41.75	1	-4.68	1	-0.00	1
6640	-61	-62	Max	3.53	11.03	5	0.13	1	0.02	5	50.18	1	5.49	1	0.03	1
6640	-61	-62	Max	15.26					-0.02	7			0.28	7		
6640	-61	-62	Max	26.55	11.03	5	0.13	1	0.02	5	48.37	1	5.90	1	0.03	1
6640	-61	-62	Min.	3.53	7.88	5	-0.13	1	-0.03	5	-45.67	1	-5.44	1	-0.03	1
6640	-61	-62	Min.	15.26					0.01	7			0.19	7		
6640	-61	-62	Min.	26.55	7.88	5	-0.13	1	-0.03	5	-47.48	1	-5.23	1	-0.03	1
6641	-29	-30	Max	3.53	40.61	5	0.73	1	0.08	1	30.64	1	3.36	1	0.00	1
6641	-29	-30	Max	26.86	40.61	5	0.73	1	0.08	1	28.81	1	3.59	1	0.00	1
6641	-29	-30	Min.	3.53	33.04	5	-0.68	1	-0.09	1	-27.24	1	-3.35	1	-0.00	1
6641	-29	-30	Min.	26.86	33.04	5	-0.68	1	-0.09	1	-29.08	1	-3.22	1	-0.00	1
6642	379	380	Max	1.77	-3.99	5	4.25	1	0.03	1	2.56	1	0.37	1	0.34	1
6642	379	380	Max	2.43					-0.22	5			0.12	5		
6642	379	380	Max	15.00	-3.99	5	3.31	1	-0.27	5	2.56	1	0.02	5	0.34	1
6642	379	380	Min.	1.77	-21.88	5	-2.24	1	-0.85	1	-2.72	1	-0.33	1	-0.32	1
6642	379	380	Min.	2.43					-0.58	5			-0.09	5		
6642	379	380	Min.	15.00	-21.88	5	-3.18	1	-0.40	5	-2.72	1	-0.00	5	-0.32	1
6642	380	381	Max	0.00	-3.99	5	3.31	1	-0.27	5	2.56	1	0.02	5	0.34	1
6642	380	381	Max	13.23	-3.99	5	2.37	1	0.07	1	2.56	1	0.35	1	0.34	1
6642	380	381	Min.	0.00	-21.88	5	-3.18	1	-0.40	5	-2.72	1	-0.00	5	-0.32	1
6642	380	381	Min.	13.23	-21.88	5	-4.12	1	-0.85	1	-2.72	1	-0.35	1	-0.32	1
6643	-541	-542	Max	0.00	0.17	5	23.17	1	1.50	1	1.99	1	0.19	1	0.37	1
6643	-541	-542	Max	12.00	0.17	5	23.17	1	1.39	1	3.59	1	0.22	1	0.37	1
6643	-541	-542	Min.	0.00	-0.06	5	-25.10	1	-1.39	1	-3.19	1	-0.13	1	-0.50	1
6643	-541	-542	Min.	12.00	-0.06	5	-25.10	1	-1.52	1	-1.59	1	-0.11	1	-0.50	1
6644	-525	-526	Max	0.00	1.17	5	21.51	1	1.45	1	0.23	1	0.09	1	0.54	1
6644	-525	-526	Max	12.00	1.17	5	21.51	1	1.27	1	1.83	1	0.08	1	0.54	1
6644	-525	-526	Min.	0.00	-1.30	5	-23.83	1	-1.31	1	-1.75	1	-0.04	1	-0.72	1
6644	-525	-526	Min.	12.00	-1.30	5	-23.83	1	-1.41	1	-0.15	1	-0.03	1	-0.72	1
6839	-519	-520	Max	0.00	1.88	1	35.69	1	1.50	1	1.09	5	0.13	1	0.61	1
6839	-519	-520	Max	12.00	1.88	1	35.69	1	2.32	1	2.69	5	0.09	1	0.61	1
6839	-519	-520	Min.	0.00	-1.63	1	-27.41	1	-1.97	1	-1.44	5	-0.20	1	-0.69	1
6839	-519	-520	Min.	12.00	-1.63	1	-27.41	1	-1.79	1	0.16	5	-0.02	1	-0.69	1
6840	-535	-536	Max	0.00	0.33	5	32.81	1	1.49	1	1.51	1	0.18	1	0.40	1
6840	-535	-536	Max	12.00	0.33	5	32.81	1	2.00	1	3.11	1	0.18	1	0.40	1
6840	-535	-536	Min.	0.00	-0.51	5	-25.25	1	-1.94	1	-3.54	1	-0.12	1	-0.48	1
6840	-535	-536	Min.	12.00	-0.51	5	-25.25	1	-1.54	1	-1.94	1	-0.17	1	-0.48	1
6841	322	323	Max	1.77	2.05	5	2.02	1	0.33	1	3.43	1	0.08	1	0.25	1
6841	322	323	Max	13.92					0.01	7			-0.13	7		
6841	322	323	Max	15.00	2.05	5	2.02	1	0.02	5	2.49	1	-0.12	5	0.25	1
6841	322	323	Min.	1.77	-12.33	5	-2.38	1	-0.26	1	-1.74	1	-0.52	1	-0.32	1
6841	322	323	Min.	13.92					0.01	7			-0.21	7		
6841	322	323	Min.	15.00	-12.33	5	-2.38	1	0.00	5	-2.68	1	-0.23	5	-0.32	1
6841	323	324	Max	0.00	2.05	5	2.02	1	0.02	5	2.49	1	-0.12	5	0.25	1
6841	323	324	Max	13.23	2.05	5	2.02	1	0.28	1	1.55	1	0.14	1	0.25	1
6841	323	324	Min.	0.00	-12.33	5	-2.38	1	0.00	5	-2.68	1	-0.23	5	-0.32	1
6841	323	324	Min.	13.23	-12.33	5	-2.38	1	-0.31	1	-3.62	1	-0.63	1	-0.32	1
6842	-7	-8	Max	2.83	24.59	1	0.54	1	0.09	1	25.87	1	2.69	1	0.00	5

6842	-7	-8	Max	26.15	24.59	1	0.54	1	0.06	1	24.03	1	2.94	1	0.00	5
6842	-7	-8	Min.	2.83	16.95	1	-0.72	1	-0.07	1	-21.50	1	-2.88	1	-0.00	5
6842	-7	-8	Min.	26.15	16.95	1	-0.72	1	-0.08	1	-23.33	1	-2.54	1	-0.00	5
6843	-39	-40	Max	2.83	5.85	5	0.09	1	0.03	5	42.63	1	4.38	1	0.03	1
6843	-39	-40	Max	25.84	5.85	5	0.09	1	0.02	5	40.83	1	4.83	1	0.03	1
6843	-39	-40	Min.	2.83	4.02	5	-0.11	1	-0.02	5	-35.89	1	-4.77	1	-0.03	1
6843	-39	-40	Min.	25.84	4.02	5	-0.11	1	-0.02	5	-37.69	1	-4.09	1	-0.03	1
6844	-71	-72	Max	2.83	-0.31	5	0.42	1	0.05	1	37.56	1	3.65	1	0.01	5
6844	-71	-72	Max	14.28					-0.02	7			0.02	7		
6844	-71	-72	Max	25.22	-0.31	5	0.42	1	0.06	1	36.68	1	4.11	1	0.01	5
6844	-71	-72	Min.	2.83	-0.91	5	-0.37	1	-0.05	1	-32.14	1	-4.20	1	-0.01	5
6844	-71	-72	Min.	14.28					0.02	7			0.00	7		
6844	-71	-72	Min.	25.22	-0.91	5	-0.37	1	-0.04	1	-33.02	1	-3.64	1	-0.01	5
6845	-103	-104	Max	2.83	0.23	5	0.60	1	0.07	1	48.64	1	4.62	1	0.01	5
6845	-103	-104	Max	13.74					0.03	7			0.01	7		
6845	-103	-104	Max	24.59	0.23	5	0.60	1	0.08	1	47.78	1	5.19	1	0.01	5
6845	-103	-104	Min.	2.83	-0.31	5	-0.53	1	-0.07	1	-41.86	1	-5.30	1	-0.01	5
6845	-103	-104	Min.	13.74					-0.02	7			0.00	7		
6845	-103	-104	Min.	24.59	-0.31	5	-0.53	1	-0.06	1	-42.71	1	-4.58	1	-0.01	5
6846	-135	-136	Max	2.83	0.14	5	0.68	1	0.08	1	52.80	1	4.88	1	0.01	5
6846	-135	-136	Max	13.43					0.03	7			0.01	7		
6846	-135	-136	Max	23.97	0.14	5	0.68	1	0.08	1	51.97	1	5.48	1	0.01	5
6846	-135	-136	Min.	2.83	-0.33	5	-0.60	1	-0.08	1	-45.50	1	-5.59	1	-0.01	5
6846	-135	-136	Min.	13.43					-0.02	7			0.00	7		
6846	-135	-136	Min.	23.97	-0.33	5	-0.60	1	-0.07	1	-46.33	1	-4.83	1	-0.01	5
6847	-167	-168	Max	2.83	0.14	5	0.73	1	0.08	1	55.44	1	4.97	1	0.01	5
6847	-167	-168	Max	13.07					-0.02	7			0.01	7		
6847	-167	-168	Max	23.34	0.14	5	0.73	1	0.09	1	54.63	1	5.59	1	0.01	5
6847	-167	-168	Min.	2.83	-0.30	5	-0.65	1	-0.08	1	-47.80	1	-5.70	1	-0.01	5
6847	-167	-168	Min.	13.07					0.03	7			0.00	7		
6847	-167	-168	Min.	23.34	-0.30	5	-0.65	1	-0.07	1	-48.61	1	-4.92	1	-0.01	5
6848	-199	-200	Max	2.83	0.15	5	0.77	1	0.08	1	57.79	1	5.02	1	0.01	5
6848	-199	-200	Max	12.84					0.04	7			0.02	7		
6848	-199	-200	Max	22.72	0.15	5	0.77	1	0.09	1	57.01	1	5.65	1	0.01	5
6848	-199	-200	Min.	2.83	-0.32	5	-0.68	1	-0.08	1	-49.84	1	-5.76	1	-0.01	5
6848	-199	-200	Min.	12.84					-0.02	7			-0.01	7		
6848	-199	-200	Min.	22.72	-0.32	5	-0.68	1	-0.07	1	-50.62	1	-4.97	1	-0.01	5
6849	-231	-232	Max	2.83	0.16	5	0.81	1	0.08	1	60.15	1	5.06	1	0.01	5
6849	-231	-232	Max	12.52					0.04	7			0.02	7		
6849	-231	-232	Max	22.09	0.16	5	0.81	1	0.09	1	59.40	1	5.70	1	0.01	5
6849	-231	-232	Min.	2.83	-0.34	5	-0.71	1	-0.08	1	-51.88	1	-5.82	1	-0.01	5
6849	-231	-232	Min.	12.52					-0.02	7			-0.01	7		
6849	-231	-232	Min.	22.09	-0.34	5	-0.71	1	-0.07	1	-52.64	1	-5.00	1	-0.01	5
6850	-263	-264	Max	2.83	0.15	5	0.84	1	0.08	1	62.60	1	5.10	1	0.01	5
6850	-263	-264	Max	12.20					0.04	7			0.02	7		
6850	-263	-264	Max	21.47	0.15	5	0.84	1	0.09	1	61.87	1	5.74	1	0.01	5
6850	-263	-264	Min.	2.83	-0.32	5	-0.74	1	-0.08	1	-53.98	1	-5.86	1	-0.01	5
6850	-263	-264	Min.	12.20					-0.03	7			-0.01	7		
6850	-263	-264	Min.	21.47	-0.32	5	-0.74	1	-0.07	1	-54.71	1	-5.03	1	-0.01	5
6851	-295	-296	Max	2.83	0.17	5	0.88	1	0.08	1	65.15	1	5.12	1	0.01	5
6851	-295	-296	Max	11.86					0.04	7			0.01	7		
6851	-295	-296	Max	20.84	0.17	5	0.88	1	0.09	1	64.44	1	5.77	1	0.01	5
6851	-295	-296	Min.	2.83	-0.35	5	-0.77	1	-0.08	1	-56.16	1	-5.90	1	-0.01	5
6851	-295	-296	Min.	11.86					-0.03	7			-0.01	7		
6851	-295	-296	Min.	20.84	-0.35	5	-0.77	1	-0.07	1	-56.87	1	-5.06	1	-0.01	5
6852	-327	-328	Max	2.83	0.16	5	0.91	1	0.08	1	67.82	1	5.14	1	0.01	5
6852	-327	-328	Max	11.56					0.04	7			0.01	7		
6852	-327	-328	Max	20.22	0.16	5	0.91	1	0.09	1	67.14	1	5.80	1	0.01	5
6852	-327	-328	Min.	2.83	-0.34	5	-0.80	1	-0.08	1	-58.43	1	-5.93	1	-0.01	5

6852	-327	-328	Min.	11.56					-0.03	7			-0.01	7		
6852	-327	-328	Min.	20.22	-0.34	5	-0.80	1	-0.07	1	-59.11	1	-5.07	1	-0.01	5
6853	-359	-360	Max	2.83	0.22	5	0.95	1	0.08	1	70.61	1	5.16	1	0.01	5
6853	-359	-360	Max	11.24					0.04	7			0.01	7		
6853	-359	-360	Max	19.59	0.22	5	0.95	1	0.09	1	69.95	1	5.82	1	0.01	5
6853	-359	-360	Min.	2.83	-0.41	5	-0.83	1	-0.08	1	-60.77	1	-5.96	1	-0.01	5
6853	-359	-360	Min.	11.24					-0.03	7			-0.01	7		
6853	-359	-360	Min.	19.59	-0.41	5	-0.83	1	-0.07	1	-61.43	1	-5.08	1	-0.01	5
6854	-391	-392	Max	2.83	0.10	5	0.99	1	0.09	1	73.50	1	5.16	1	0.01	5
6854	-391	-392	Max	10.88					0.04	7			0.00	7		
6854	-391	-392	Max	18.97	0.10	5	0.99	1	0.09	1	72.87	1	5.84	1	0.01	5
6854	-391	-392	Min.	2.83	-0.20	5	-0.87	1	-0.08	1	-63.20	1	-5.97	1	-0.01	5
6854	-391	-392	Min.	10.88					-0.03	7			-0.01	7		
6854	-391	-392	Min.	18.97	-0.20	5	-0.87	1	-0.07	1	-63.83	1	-5.09	1	-0.01	5
6855	-423	-424	Max	2.83	2.84	5	1.03	1	0.08	1	76.34	1	5.16	1	0.01	5
6855	-423	-424	Max	10.52					-0.02	7			0.03	7		
6855	-423	-424	Max	18.34	2.84	5	1.03	1	0.09	1	75.73	1	5.82	1	0.01	5
6855	-423	-424	Min.	2.83	-3.72	5	-0.90	1	-0.08	1	-65.57	1	-5.97	1	-0.01	5
6855	-423	-424	Min.	10.52					0.04	7			-0.03	7		
6855	-423	-424	Min.	18.34	-3.72	5	-0.90	1	-0.07	1	-66.18	1	-5.06	1	-0.01	5
6856	-455	-456	Max	2.83	22.37	5	1.03	1	0.08	1	77.94	1	5.00	1	0.01	5
6856	-455	-456	Max	10.14					0.03	7			0.10	7		
6856	-455	-456	Max	17.72	22.37	5	1.03	1	0.09	1	77.35	1	5.73	1	0.01	5
6856	-455	-456	Min.	2.83	-17.86	5	-0.90	1	-0.08	1	-66.94	1	-5.84	1	-0.01	5
6856	-455	-456	Min.	10.14					-0.02	7			-0.16	7		
6856	-455	-456	Min.	17.72	-17.86	5	-0.90	1	-0.07	1	-67.52	1	-5.02	1	-0.01	5
6857	-487	-488	Max	2.83	105.35	5	0.87	1	0.07	1	70.19	1	4.78	1	0.01	1
6857	-487	-488	Max	9.96					0.03	7			1.12	7		
6857	-487	-488	Max	17.09	105.35	5	0.87	1	0.07	1	69.63	1	5.28	1	0.01	1
6857	-487	-488	Min.	2.83	-133.37	5	-0.78	1	-0.06	1	-60.31	1	-5.23	1	-0.01	1
6857	-487	-488	Min.	9.96					-0.02	7			-0.89	7		
6857	-487	-488	Min.	17.09	-133.37	5	-0.78	1	-0.06	1	-60.87	1	-4.40	1	-0.01	1
6861	-495	-496	Max	3.53	161.58	5	0.62	1	0.06	1	64.50	1	3.71	1	0.01	5
6861	-495	-496	Max	17.80	161.58	5	0.62	1	0.05	1	63.94	1	4.28	1	0.01	5
6861	-495	-496	Min.	3.53	-97.71	5	-0.75	1	-0.05	1	-51.90	1	-5.12	1	-0.01	5
6861	-495	-496	Min.	17.80	-97.71	5	-0.75	1	-0.05	1	-52.46	1	-3.98	1	-0.01	5
6862	-463	-464	Max	3.53	16.40	5	0.74	1	0.08	1	71.43	1	4.24	1	0.01	5
6862	-463	-464	Max	18.42	16.40	5	0.74	1	0.06	1	70.85	1	5.46	1	0.01	5
6862	-463	-464	Min.	3.53	-27.41	5	-0.92	1	-0.06	1	-57.65	1	-5.13	1	-0.01	5
6862	-463	-464	Min.	18.42	-27.41	5	-0.92	1	-0.07	1	-58.23	1	-4.38	1	-0.01	5
6863	-431	-432	Max	3.53	4.36	5	0.75	1	0.09	1	70.18	1	4.36	1	0.01	5
6863	-431	-432	Max	19.05	4.36	5	0.75	1	0.07	1	69.57	1	5.48	1	0.01	5
6863	-431	-432	Min.	3.53	-2.72	5	-0.93	1	-0.06	1	-56.70	1	-5.36	1	-0.01	5
6863	-431	-432	Min.	19.05	-2.72	5	-0.93	1	-0.07	1	-57.31	1	-4.48	1	-0.01	5
6864	-399	-400	Max	3.53	0.08	5	0.73	1	0.09	1	67.63	1	4.39	1	0.01	5
6864	-399	-400	Max	10.43					-0.02	7			0.07	7		
6864	-399	-400	Max	19.67	0.08	5	0.73	1	0.07	1	67.00	1	5.50	1	0.01	5
6864	-399	-400	Min.	3.53	-0.28	5	-0.90	1	-0.06	1	-54.78	1	-5.36	1	-0.01	5
6864	-399	-400	Min.	10.43					0.04	7			-0.17	7		
6864	-399	-400	Min.	19.67	-0.28	5	-0.90	1	-0.07	1	-55.42	1	-4.50	1	-0.01	5
6865	-367	-368	Max	3.53	0.36	5	0.70	1	0.09	1	65.05	1	4.39	1	0.01	5
6865	-367	-368	Max	11.20					-0.02	7			0.05	7		
6865	-367	-368	Max	20.30	0.36	5	0.70	1	0.07	1	64.39	1	5.49	1	0.01	5
6865	-367	-368	Min.	3.53	-0.31	5	-0.86	1	-0.06	1	-52.78	1	-5.36	1	-0.01	5
6865	-367	-368	Min.	11.20					0.04	7			-0.10	7		
6865	-367	-368	Min.	20.30	-0.31	5	-0.86	1	-0.07	1	-53.44	1	-4.51	1	-0.01	5
6866	-335	-336	Max	3.53	0.26	5	0.67	1	0.09	1	62.54	1	4.39	1	0.01	5
6866	-335	-336	Max	11.49					-0.02	7			0.05	7		
6866	-335	-336	Max	20.92	0.26	5	0.67	1	0.07	1	61.86	1	5.47	1	0.01	5

6866	-335	-336	Min.	3.53	-0.25	5	-0.83	1	-0.06	1	-50.83	1	-5.35	1	-0.01	5
6866	-335	-336	Min.	11.49					0.04	7			-0.10	7		
6866	-335	-336	Min.	20.92	-0.25	5	-0.83	1	-0.07	1	-51.51	1	-4.50	1	-0.01	5
6867	-303	-304	Max	3.53	0.25	5	0.65	1	0.09	1	60.12	1	4.39	1	0.01	5
6867	-303	-304	Max	11.78					-0.02	7			0.05	7		
6867	-303	-304	Max	21.55	0.25	5	0.65	1	0.07	1	59.41	1	5.44	1	0.01	5
6867	-303	-304	Min.	3.53	-0.25	5	-0.79	1	-0.06	1	-48.94	1	-5.33	1	-0.01	5
6867	-303	-304	Min.	11.78					0.04	7			-0.10	7		
6867	-303	-304	Min.	21.55	-0.25	5	-0.79	1	-0.07	1	-49.64	1	-4.49	1	-0.01	5
6868	-271	-272	Max	3.53	0.26	5	0.62	1	0.09	1	57.80	1	4.37	1	0.01	5
6868	-271	-272	Max	12.07					-0.02	7			0.05	7		
6868	-271	-272	Max	22.17	0.26	5	0.62	1	0.07	1	57.07	1	5.40	1	0.01	5
6868	-271	-272	Min.	3.53	-0.25	5	-0.76	1	-0.06	1	-47.11	1	-5.30	1	-0.01	5
6868	-271	-272	Min.	12.07					0.04	7			-0.09	7		
6868	-271	-272	Min.	22.17	-0.25	5	-0.76	1	-0.07	1	-47.84	1	-4.48	1	-0.01	5
6869	-239	-240	Max	3.53	0.23	5	0.60	1	0.08	1	55.58	1	4.35	1	0.01	5
6869	-239	-240	Max	12.36					-0.02	7			0.05	7		
6869	-239	-240	Max	22.80	0.23	5	0.60	1	0.07	1	54.82	1	5.37	1	0.01	5
6869	-239	-240	Min.	3.53	-0.24	5	-0.73	1	-0.06	1	-45.33	1	-5.27	1	-0.01	5
6869	-239	-240	Min.	12.36					0.04	7			-0.09	7		
6869	-239	-240	Min.	22.80	-0.24	5	-0.73	1	-0.07	1	-46.08	1	-4.45	1	-0.01	5
6870	-207	-208	Max	3.53	0.23	5	0.57	1	0.08	1	53.41	1	4.32	1	0.01	5
6870	-207	-208	Max	12.65					-0.02	7			0.05	7		
6870	-207	-208	Max	23.42	0.23	5	0.57	1	0.06	1	52.63	1	5.32	1	0.01	5
6870	-207	-208	Min.	3.53	-0.24	5	-0.70	1	-0.06	1	-43.59	1	-5.23	1	-0.01	5
6870	-207	-208	Min.	12.65					0.03	7			-0.09	7		
6870	-207	-208	Min.	23.42	-0.24	5	-0.70	1	-0.07	1	-44.37	1	-4.42	1	-0.01	5
6871	-175	-176	Max	3.53	0.25	5	0.55	1	0.08	1	51.26	1	4.28	1	0.01	5
6871	-175	-176	Max	12.94					-0.02	7			0.05	7		
6871	-175	-176	Max	24.05	0.25	5	0.55	1	0.06	1	50.46	1	5.26	1	0.01	5
6871	-175	-176	Min.	3.53	-0.25	5	-0.66	1	-0.06	1	-41.83	1	-5.17	1	-0.01	5
6871	-175	-176	Min.	12.94					0.03	7			-0.09	7		
6871	-175	-176	Min.	24.05	-0.25	5	-0.66	1	-0.07	1	-42.64	1	-4.38	1	-0.01	5
6872	-143	-144	Max	3.53	0.23	5	0.51	1	0.08	1	48.85	1	4.21	1	0.01	5
6872	-143	-144	Max	12.46					-0.02	7			0.07	7		
6872	-143	-144	Max	24.67	0.23	5	0.51	1	0.06	1	48.02	1	5.16	1	0.01	5
6872	-143	-144	Min.	3.53	-0.25	5	-0.62	1	-0.06	1	-39.84	1	-5.08	1	-0.01	5
6872	-143	-144	Min.	12.46					0.03	7			-0.17	7		
6872	-143	-144	Min.	24.67	-0.25	5	-0.62	1	-0.06	1	-40.67	1	-4.30	1	-0.01	5
6873	-111	-112	Max	3.53	0.36	5	0.45	1	0.07	1	44.99	1	3.99	1	0.01	5
6873	-111	-112	Max	12.24					-0.02	7			0.08	7		
6873	-111	-112	Max	25.30	0.36	5	0.45	1	0.06	1	44.14	1	4.88	1	0.01	5
6873	-111	-112	Min.	3.53	-0.23	5	-0.55	1	-0.05	1	-36.65	1	-4.82	1	-0.01	5
6873	-111	-112	Min.	12.24					0.03	7			-0.21	7		
6873	-111	-112	Min.	25.30	-0.23	5	-0.55	1	-0.06	1	-37.50	1	-4.08	1	-0.01	5
6874	-79	-80	Max	3.53	-0.45	1	0.34	1	0.05	1	34.73	1	3.15	1	0.01	5
6874	-79	-80	Max	12.49					-0.01	7			0.06	7		
6874	-79	-80	Max	25.92	-0.45	1	0.34	1	0.04	1	33.85	1	3.86	1	0.01	5
6874	-79	-80	Min.	3.53	-0.79	1	-0.40	1	-0.04	1	-28.11	1	-3.82	1	-0.01	5
6874	-79	-80	Min.	12.49					0.02	7			-0.16	7		
6874	-79	-80	Min.	25.92	-0.79	1	-0.40	1	-0.04	1	-28.98	1	-3.24	1	-0.01	5
6875	-47	-48	Max	3.53	10.69	5	0.05	1	0.03	5	39.15	1	3.76	1	0.02	1
6875	-47	-48	Max	15.68					-0.00	3			0.40	3		
6875	-47	-48	Max	26.55	10.69	5	0.05	1	0.02	5	37.34	1	4.59	1	0.02	1
6875	-47	-48	Min.	3.53	2.41	5	-0.05	1	-0.02	5	-31.06	1	-4.21	1	-0.03	1
6875	-47	-48	Min.	15.68					0.01	3			0.02	3		
6875	-47	-48	Min.	26.55	2.41	5	-0.05	1	-0.01	5	-32.87	1	-3.60	1	-0.03	1
6876	-15	-16	Max	3.53	42.84	5	0.74	1	0.07	1	23.25	1	2.23	1	0.01	1
6876	-15	-16	Max	26.86	42.84	5	0.74	1	0.09	1	21.42	1	2.72	1	0.01	1

6876	-15	-16	Min.	3.53	10.07	5	-0.56	1	-0.08	1	-17.94	1	-2.48	1	-0.00	1
6876	-15	-16	Min.	26.86	10.07	5	-0.56	1	-0.07	1	-19.77	1	-2.16	1	-0.00	1
6877	346	347	Max	1.77	-4.13	5	2.66	1	-0.04	5	1.80	1	0.31	1	0.33	1
6877	346	347	Max	12.35					-0.09	7			0.02	7		
6877	346	347	Max	15.00	-4.13	5	1.72	1	-0.10	5	1.80	1	0.02	5	0.33	1
6877	346	347	Min.	1.77	-9.32	5	-0.70	1	-0.55	5	-2.23	1	-0.23	1	-0.25	1
6877	346	347	Min.	12.35					-0.36	7			0.01	7		
6877	346	347	Min.	15.00	-9.32	5	-1.64	1	-0.35	5	-2.23	1	-0.00	5	-0.25	1
6877	347	348	Max	0.00	-4.13	5	1.72	1	-0.10	5	1.80	1	0.02	5	0.33	1
6877	347	348	Max	13.23	-4.13	5	0.78	1	-0.05	1	1.80	1	0.24	1	0.33	1
6877	347	348	Min.	0.00	-9.32	5	-1.64	1	-0.35	5	-2.23	1	-0.00	5	-0.25	1
6877	347	348	Min.	13.23	-9.32	5	-2.58	1	-0.52	1	-2.23	1	-0.28	1	-0.25	1
6885	358	359	Max	1.77	-4.39	5	1.80	1	0.31	1	2.67	1	-0.03	5	0.25	1
6885	358	359	Max	12.35					0.02	7			-0.09	7		
6885	358	359	Max	15.00	-4.39	5	1.80	1	0.02	5	1.73	1	-0.10	5	0.25	1
6885	358	359	Min.	1.77	-9.06	5	-2.23	1	-0.23	1	-0.72	1	-0.55	5	-0.33	1
6885	358	359	Min.	12.35					0.01	7			-0.36	7		
6885	358	359	Min.	15.00	-9.06	5	-2.23	1	-0.00	5	-1.66	1	-0.35	5	-0.33	1
6885	359	360	Max	0.00	-4.39	5	1.80	1	0.02	5	1.73	1	-0.10	5	0.25	1
6885	359	360	Max	13.23	-4.39	5	1.80	1	0.24	1	0.79	1	-0.05	1	0.25	1
6885	359	360	Min.	0.00	-9.06	5	-2.23	1	-0.00	5	-1.66	1	-0.35	5	-0.33	1
6885	359	360	Min.	13.23	-9.06	5	-2.23	1	-0.28	1	-2.60	1	-0.52	1	-0.33	1
6886	-23	-24	Max	2.83	42.76	5	0.56	1	0.09	1	23.30	1	2.27	1	0.00	1
6886	-23	-24	Max	26.15	42.76	5	0.56	1	0.07	1	21.47	1	2.68	1	0.00	1
6886	-23	-24	Min.	2.83	9.90	5	-0.73	1	-0.07	1	-17.92	1	-2.54	1	-0.01	1
6886	-23	-24	Min.	26.15	9.90	5	-0.73	1	-0.09	1	-19.75	1	-2.12	1	-0.01	1
6887	-55	-56	Max	2.83	10.64	5	0.04	1	0.02	5	39.20	1	3.82	1	0.03	1
6887	-55	-56	Max	13.76					-0.01	3			0.38	3		
6887	-55	-56	Max	25.84	10.64	5	0.04	1	0.01	5	37.39	1	4.51	1	0.03	1
6887	-55	-56	Min.	2.83	2.52	5	-0.05	1	-0.03	5	-31.01	1	-4.30	1	-0.02	1
6887	-55	-56	Min.	13.76					0.00	3			-0.06	3		
6887	-55	-56	Min.	25.84	2.52	5	-0.05	1	-0.02	5	-32.82	1	-3.52	1	-0.02	1
6888	-87	-88	Max	2.83	-0.52	5	0.40	1	0.04	1	34.72	1	3.20	1	0.01	1
6888	-87	-88	Max	13.50					-0.02	7			0.03	7		
6888	-87	-88	Max	25.22	-0.52	5	0.40	1	0.04	1	33.84	1	3.80	1	0.01	1
6888	-87	-88	Min.	2.83	-0.76	5	-0.34	1	-0.05	1	-28.11	1	-3.88	1	-0.01	1
6888	-87	-88	Min.	13.50					0.02	7			-0.04	7		
6888	-87	-88	Min.	25.22	-0.76	5	-0.34	1	-0.04	1	-28.98	1	-3.19	1	-0.01	1
6889	-119	-120	Max	2.83	0.34	5	0.55	1	0.05	1	44.99	1	4.05	1	0.01	5
6889	-119	-120	Max	13.19					-0.03	7			0.04	7		
6889	-119	-120	Max	24.59	0.34	5	0.55	1	0.06	1	44.13	1	4.80	1	0.01	5
6889	-119	-120	Min.	2.83	-0.25	5	-0.46	1	-0.07	1	-36.64	1	-4.89	1	-0.01	5
6889	-119	-120	Min.	13.19					0.02	7			-0.06	7		
6889	-119	-120	Min.	24.59	-0.25	5	-0.46	1	-0.06	1	-37.50	1	-4.01	1	-0.01	5
6890	-151	-152	Max	2.83	0.21	5	0.62	1	0.06	1	48.84	1	4.28	1	0.01	5
6890	-151	-152	Max	12.89					-0.03	7			0.04	7		
6890	-151	-152	Max	23.97	0.21	5	0.62	1	0.06	1	48.01	1	5.07	1	0.01	5
6890	-151	-152	Min.	2.83	-0.24	5	-0.51	1	-0.08	1	-39.84	1	-5.16	1	-0.01	5
6890	-151	-152	Min.	12.89					0.02	7			-0.06	7		
6890	-151	-152	Min.	23.97	-0.24	5	-0.51	1	-0.06	1	-40.67	1	-4.23	1	-0.01	5
6891	-183	-184	Max	2.83	0.22	5	0.66	1	0.06	1	51.26	1	4.36	1	0.01	5
6891	-183	-184	Max	12.68					-0.03	7			0.04	7		
6891	-183	-184	Max	23.34	0.22	5	0.66	1	0.07	1	50.45	1	5.17	1	0.01	5
6891	-183	-184	Min.	2.83	-0.23	5	-0.55	1	-0.08	1	-41.83	1	-5.26	1	-0.01	5
6891	-183	-184	Min.	12.68					0.02	7			-0.06	7		
6891	-183	-184	Min.	23.34	-0.23	5	-0.55	1	-0.06	1	-42.64	1	-4.31	1	-0.01	5
6892	-215	-216	Max	2.83	0.22	5	0.70	1	0.06	1	53.40	1	4.40	1	0.01	5
6892	-215	-216	Max	12.36					-0.04	7			0.04	7		
6892	-215	-216	Max	22.72	0.22	5	0.70	1	0.07	1	52.62	1	5.22	1	0.01	5

6892	-215	-216	Min.	2.83	-0.24	5	-0.57	1	-0.08	1	-43.59	1	-5.32	1	-0.01	5
6892	-215	-216	Min.	12.36					0.02	7			-0.06	7		
6892	-215	-216	Min.	22.72	-0.24	5	-0.57	1	-0.07	1	-44.37	1	-4.35	1	-0.01	5
6893	-247	-248	Max	2.83	0.23	5	0.73	1	0.06	1	55.57	1	4.43	1	0.01	5
6893	-247	-248	Max	12.06					-0.04	7			0.04	7		
6893	-247	-248	Max	22.09	0.23	5	0.73	1	0.07	1	54.81	1	5.27	1	0.01	5
6893	-247	-248	Min.	2.83	-0.25	5	-0.60	1	-0.08	1	-45.33	1	-5.36	1	-0.01	5
6893	-247	-248	Min.	12.06					0.02	7			-0.06	7		
6893	-247	-248	Min.	22.09	-0.25	5	-0.60	1	-0.07	1	-46.09	1	-4.37	1	-0.01	5
6894	-279	-280	Max	2.83	0.23	5	0.76	1	0.06	1	57.79	1	4.46	1	0.01	5
6894	-279	-280	Max	11.77					-0.04	7			0.05	7		
6894	-279	-280	Max	21.47	0.23	5	0.76	1	0.07	1	57.06	1	5.30	1	0.01	5
6894	-279	-280	Min.	2.83	-0.24	5	-0.62	1	-0.09	1	-47.11	1	-5.40	1	-0.01	5
6894	-279	-280	Min.	11.77					0.02	7			-0.07	7		
6894	-279	-280	Min.	21.47	-0.24	5	-0.62	1	-0.07	1	-47.84	1	-4.39	1	-0.01	5
6895	-311	-312	Max	2.83	0.25	5	0.79	1	0.06	1	60.11	1	4.47	1	0.01	5
6895	-311	-312	Max	11.46					-0.04	7			0.05	7		
6895	-311	-312	Max	20.84	0.25	5	0.79	1	0.07	1	59.40	1	5.33	1	0.01	5
6895	-311	-312	Min.	2.83	-0.26	5	-0.65	1	-0.09	1	-48.94	1	-5.43	1	-0.01	5
6895	-311	-312	Min.	11.46					0.02	7			-0.07	7		
6895	-311	-312	Min.	20.84	-0.26	5	-0.65	1	-0.07	1	-49.65	1	-4.41	1	-0.01	5
6896	-343	-344	Max	2.83	0.24	5	0.82	1	0.06	1	62.53	1	4.49	1	0.01	5
6896	-343	-344	Max	11.67					0.02	7			0.04	7		
6896	-343	-344	Max	20.22	0.24	5	0.82	1	0.07	1	61.85	1	5.36	1	0.01	5
6896	-343	-344	Min.	2.83	-0.25	5	-0.67	1	-0.09	1	-50.84	1	-5.46	1	-0.01	5
6896	-343	-344	Min.	11.67					-0.04	7			-0.00	7		
6896	-343	-344	Min.	20.22	-0.25	5	-0.67	1	-0.07	1	-51.52	1	-4.41	1	-0.01	5
6897	-375	-376	Max	2.83	0.34	5	0.86	1	0.06	1	65.04	1	4.49	1	0.01	5
6897	-375	-376	Max	11.02					-0.04	7			0.04	7		
6897	-375	-376	Max	19.59	0.34	5	0.86	1	0.07	1	64.38	1	5.37	1	0.01	5
6897	-375	-376	Min.	2.83	-0.30	5	-0.70	1	-0.09	1	-52.80	1	-5.48	1	-0.01	5
6897	-375	-376	Min.	11.02					0.03	7			-0.05	7		
6897	-375	-376	Min.	19.59	-0.30	5	-0.70	1	-0.07	1	-53.45	1	-4.41	1	-0.01	5
6898	-407	-408	Max	2.83	0.08	5	0.90	1	0.06	1	67.63	1	4.49	1	0.01	5
6898	-407	-408	Max	10.72					-0.04	7			0.04	7		
6898	-407	-408	Max	18.97	0.08	5	0.90	1	0.07	1	66.99	1	5.38	1	0.01	5
6898	-407	-408	Min.	2.83	-0.30	5	-0.73	1	-0.09	1	-54.80	1	-5.48	1	-0.01	5
6898	-407	-408	Min.	10.72					0.02	7			-0.04	7		
6898	-407	-408	Min.	18.97	-0.30	5	-0.73	1	-0.07	1	-55.44	1	-4.41	1	-0.01	5
6899	-439	-440	Max	2.83	4.36	5	0.92	1	0.06	1	70.17	1	4.47	1	0.01	5
6899	-439	-440	Max	9.03					-0.04	7			0.05	7		
6899	-439	-440	Max	18.34	4.36	5	0.92	1	0.07	1	69.56	1	5.35	1	0.01	5
6899	-439	-440	Min.	2.83	-2.73	5	-0.75	1	-0.09	1	-56.72	1	-5.49	1	-0.01	5
6899	-439	-440	Min.	9.03					0.02	7			-0.25	7		
6899	-439	-440	Min.	18.34	-2.73	5	-0.75	1	-0.07	1	-57.33	1	-4.38	1	-0.01	5
6900	-471	-472	Max	2.83	16.40	5	0.92	1	0.06	1	71.62	1	4.35	1	0.01	1
6900	-471	-472	Max	8.78					-0.04	7			0.20	7		
6900	-471	-472	Max	17.72	16.40	5	0.92	1	0.06	1	71.03	1	5.35	1	0.01	1
6900	-471	-472	Min.	2.83	-27.42	5	-0.74	1	-0.08	1	-57.69	1	-5.27	1	-0.01	1
6900	-471	-472	Min.	8.78					0.02	7			-0.30	7		
6900	-471	-472	Min.	17.72	-27.42	5	-0.74	1	-0.06	1	-58.28	1	-4.28	1	-0.01	1
6901	-503	-504	Max	2.83	161.57	5	0.74	1	0.05	1	64.09	1	3.81	1	0.01	5
6901	-503	-504	Max	8.53					0.02	7			0.63	7		
6901	-503	-504	Max	17.09	161.57	5	0.74	1	0.05	1	63.53	1	4.17	1	0.01	5
6901	-503	-504	Min.	2.83	-97.53	5	-0.61	1	-0.06	1	-51.90	1	-5.22	1	-0.01	5
6901	-503	-504	Min.	8.53					-0.03	7			-1.35	7		
6901	-503	-504	Min.	17.09	-97.53	5	-0.61	1	-0.05	1	-52.46	1	-3.92	1	-0.01	5
6905	-511	-512	Max	3.53	105.49	5	0.79	1	0.06	1	69.92	1	4.66	1	0.01	5
6905	-511	-512	Max	9.24					0.02	7			0.86	7		

6905	-511	-512	Max	17.80	105.49	5	0.79	1	0.06	1	69.36	1	5.37	1	0.01	5
6905	-511	-512	Min.	3.53	-133.72	5	-0.86	1	-0.07	1	-60.22	1	-5.08	1	-0.01	5
6905	-511	-512	Min.	9.24					-0.02	7			-0.73	7		
6905	-511	-512	Min.	17.80	-133.72	5	-0.86	1	-0.07	1	-60.78	1	-4.48	1	-0.01	5
6906	-479	-480	Max	3.53	22.39	5	0.90	1	0.08	1	77.46	1	4.85	1	0.01	5
6906	-479	-480	Max	9.49					-0.03	7			0.05	7		
6906	-479	-480	Max	18.42	22.39	5	0.90	1	0.07	1	76.87	1	5.84	1	0.01	5
6906	-479	-480	Min.	3.53	-17.87	5	-1.03	1	-0.08	1	-66.41	1	-5.68	1	-0.01	5
6906	-479	-480	Min.	9.49					0.02	7			-0.23	7		
6906	-479	-480	Min.	18.42	-17.87	5	-1.03	1	-0.09	1	-67.00	1	-5.11	1	-0.01	5
6907	-447	-448	Max	3.53	2.83	5	0.90	1	0.08	1	75.93	1	5.01	1	0.01	5
6907	-447	-448	Max	9.74					-0.03	7			0.22	7		
6907	-447	-448	Max	19.05	2.83	5	0.90	1	0.07	1	75.33	1	5.93	1	0.01	5
6907	-447	-448	Min.	3.53	-3.70	5	-1.03	1	-0.08	1	-65.20	1	-5.80	1	-0.01	5
6907	-447	-448	Min.	9.74					0.02	7			-0.36	7		
6907	-447	-448	Min.	19.05	-3.70	5	-1.03	1	-0.09	1	-65.81	1	-5.15	1	-0.01	5
6908	-415	-416	Max	3.53	0.11	5	0.87	1	0.08	1	73.11	1	5.02	1	0.01	5
6908	-415	-416	Max	9.99					-0.03	7			0.23	7		
6908	-415	-416	Max	19.67	0.11	5	0.87	1	0.07	1	72.48	1	5.94	1	0.01	5
6908	-415	-416	Min.	3.53	-0.19	5	-0.99	1	-0.08	1	-62.84	1	-5.81	1	-0.01	5
6908	-415	-416	Min.	9.99					0.02	7			-0.38	7		
6908	-415	-416	Min.	19.67	-0.19	5	-0.99	1	-0.09	1	-63.47	1	-5.17	1	-0.01	5
6909	-383	-384	Max	3.53	0.24	5	0.83	1	0.08	1	70.24	1	5.02	1	0.01	5
6909	-383	-384	Max	10.24					-0.03	7			0.24	7		
6909	-383	-384	Max	20.30	0.24	5	0.83	1	0.07	1	69.58	1	5.92	1	0.01	5
6909	-383	-384	Min.	3.53	-0.41	5	-0.95	1	-0.08	1	-60.44	1	-5.80	1	-0.01	5
6909	-383	-384	Min.	10.24					0.02	7			-0.38	7		
6909	-383	-384	Min.	20.30	-0.41	5	-0.95	1	-0.09	1	-61.10	1	-5.16	1	-0.01	5
6910	-351	-352	Max	3.53	0.17	5	0.80	1	0.08	1	67.46	1	5.01	1	0.01	5
6910	-351	-352	Max	12.09					0.03	7			0.02	7		
6910	-351	-352	Max	20.92	0.17	5	0.80	1	0.07	1	66.78	1	5.89	1	0.01	5
6910	-351	-352	Min.	3.53	-0.34	5	-0.91	1	-0.08	1	-58.11	1	-5.78	1	-0.01	5
6910	-351	-352	Min.	12.09					-0.04	7			-0.01	7		
6910	-351	-352	Min.	20.92	-0.34	5	-0.91	1	-0.09	1	-58.79	1	-5.15	1	-0.01	5
6911	-319	-320	Max	3.53	0.17	5	0.77	1	0.08	1	64.81	1	5.00	1	0.01	5
6911	-319	-320	Max	12.36					0.02	7			0.00	7		
6911	-319	-320	Max	21.55	0.17	5	0.77	1	0.07	1	64.10	1	5.86	1	0.01	5
6911	-319	-320	Min.	3.53	-0.34	5	-0.87	1	-0.08	1	-55.86	1	-5.75	1	-0.01	5
6911	-319	-320	Min.	12.36					-0.04	7			-0.00	7		
6911	-319	-320	Min.	21.55	-0.34	5	-0.87	1	-0.09	1	-56.56	1	-5.13	1	-0.01	5
6912	-287	-288	Max	3.53	0.17	5	0.74	1	0.08	1	62.27	1	4.97	1	0.01	5
6912	-287	-288	Max	12.69					0.02	7			0.01	7		
6912	-287	-288	Max	22.17	0.17	5	0.74	1	0.07	1	61.54	1	5.82	1	0.01	5
6912	-287	-288	Min.	3.53	-0.33	5	-0.84	1	-0.08	1	-53.69	1	-5.72	1	-0.01	5
6912	-287	-288	Min.	12.69					-0.04	7			-0.00	7		
6912	-287	-288	Min.	22.17	-0.33	5	-0.84	1	-0.09	1	-54.43	1	-5.10	1	-0.01	5
6913	-255	-256	Max	3.53	0.15	5	0.71	1	0.08	1	59.84	1	4.94	1	0.01	5
6913	-255	-256	Max	13.04					0.02	7			0.02	7		
6913	-255	-256	Max	22.80	0.15	5	0.71	1	0.07	1	59.08	1	5.77	1	0.01	5
6913	-255	-256	Min.	3.53	-0.32	5	-0.80	1	-0.08	1	-51.61	1	-5.68	1	-0.01	5
6913	-255	-256	Min.	13.04					-0.04	7			-0.01	7		
6913	-255	-256	Min.	22.80	-0.32	5	-0.80	1	-0.09	1	-52.37	1	-5.07	1	-0.01	5
6914	-223	-224	Max	3.53	0.15	5	0.68	1	0.08	1	57.48	1	4.91	1	0.01	5
6914	-223	-224	Max	13.38					0.02	7			0.02	7		
6914	-223	-224	Max	23.42	0.15	5	0.68	1	0.07	1	56.70	1	5.72	1	0.01	5
6914	-223	-224	Min.	3.53	-0.32	5	-0.77	1	-0.08	1	-49.58	1	-5.63	1	-0.01	5
6914	-223	-224	Min.	13.38					-0.03	7			-0.01	7		
6914	-223	-224	Min.	23.42	-0.32	5	-0.77	1	-0.09	1	-50.36	1	-5.03	1	-0.01	5
6915	-191	-192	Max	3.53	0.16	5	0.64	1	0.08	1	55.14	1	4.86	1	0.01	5

6915	-191	-192	Max	13.60					-0.03	7			0.01	7		
6915	-191	-192	Max	24.05	0.16	5	0.64	1	0.07	1	54.34	1	5.65	1	0.01	5
6915	-191	-192	Min.	3.53	-0.31	5	-0.73	1	-0.08	1	-47.55	1	-5.58	1	-0.01	5
6915	-191	-192	Min.	13.60					0.02	7			0.00	7		
6915	-191	-192	Min.	24.05	-0.31	5	-0.73	1	-0.09	1	-48.36	1	-4.98	1	-0.01	5
6916	-159	-160	Max	3.53	0.15	5	0.60	1	0.08	1	52.53	1	4.77	1	0.01	5
6916	-159	-160	Max	13.79					-0.03	7			0.02	7		
6916	-159	-160	Max	24.67	0.15	5	0.60	1	0.07	1	51.70	1	5.54	1	0.01	5
6916	-159	-160	Min.	3.53	-0.33	5	-0.68	1	-0.08	1	-45.27	1	-5.47	1	-0.01	5
6916	-159	-160	Min.	13.79					0.02	7			-0.02	7		
6916	-159	-160	Min.	24.67	-0.33	5	-0.68	1	-0.08	1	-46.10	1	-4.88	1	-0.01	5
6917	-127	-128	Max	3.53	0.23	5	0.52	1	0.07	1	48.38	1	4.52	1	0.01	5
6917	-127	-128	Max	14.26					0.02	7			0.01	7		
6917	-127	-128	Max	25.30	0.23	5	0.52	1	0.06	1	47.53	1	5.25	1	0.01	5
6917	-127	-128	Min.	3.53	-0.28	5	-0.59	1	-0.07	1	-41.64	1	-5.19	1	-0.01	5
6917	-127	-128	Min.	14.26					-0.03	7			0.01	7		
6917	-127	-128	Min.	25.30	-0.28	5	-0.59	1	-0.08	1	-42.49	1	-4.63	1	-0.01	5
6918	-95	-96	Max	3.53	-0.25	5	0.37	1	0.05	1	37.36	1	3.58	1	0.01	5
6918	-95	-96	Max	12.49					-0.02	7			0.17	7		
6918	-95	-96	Max	25.92	-0.25	5	0.37	1	0.04	1	36.48	1	4.15	1	0.01	5
6918	-95	-96	Min.	3.53	-0.94	5	-0.42	1	-0.05	1	-31.97	1	-4.12	1	-0.01	5
6918	-95	-96	Min.	12.49					0.01	7			-0.25	7		
6918	-95	-96	Min.	25.92	-0.94	5	-0.42	1	-0.06	1	-32.85	1	-3.68	1	-0.01	5
6919	-63	-64	Max	3.53	6.27	1	0.11	1	0.02	5	42.36	1	4.28	1	0.03	1
6919	-63	-64	Max	12.88					-0.02	7			0.32	7		
6919	-63	-64	Max	26.55	6.27	1	0.11	1	0.02	5	40.55	1	4.90	1	0.03	1
6919	-63	-64	Min.	3.53	3.53	1	-0.09	1	-0.03	5	-35.74	1	-4.64	1	-0.03	1
6919	-63	-64	Min.	12.88					0.02	7			-0.14	7		
6919	-63	-64	Min.	26.55	3.53	1	-0.09	1	-0.02	5	-37.55	1	-4.15	1	-0.03	1
6920	-31	-32	Max	3.53	24.03	1	0.72	1	0.06	1	25.67	1	2.63	1	0.00	5
6920	-31	-32	Max	26.86	24.03	1	0.72	1	0.08	1	23.84	1	2.96	1	0.00	5
6920	-31	-32	Min.	3.53	17.59	1	-0.54	1	-0.09	1	-21.40	1	-2.81	1	-0.00	5
6920	-31	-32	Min.	26.86	17.59	1	-0.54	1	-0.06	1	-23.23	1	-2.58	1	-0.00	5
6921	382	383	Max	1.77	2.29	5	3.41	1	0.07	1	2.01	1	0.32	1	0.32	1
6921	382	383	Max	13.92					-0.13	7			0.01	7		
6921	382	383	Max	15.00	2.29	5	2.47	1	-0.12	5	2.01	1	0.02	5	0.32	1
6921	382	383	Min.	1.77	-12.55	5	-1.71	1	-0.52	1	-2.37	1	-0.26	1	-0.25	1
6921	382	383	Min.	13.92					-0.21	7			0.01	7		
6921	382	383	Min.	15.00	-12.55	5	-2.65	1	-0.23	5	-2.37	1	0.00	5	-0.25	1
6921	383	384	Max	0.00	2.29	5	2.47	1	-0.12	5	2.01	1	0.02	5	0.32	1
6921	383	384	Max	13.23	2.29	5	1.53	1	0.14	1	2.01	1	0.27	1	0.32	1
6921	383	384	Min.	0.00	-12.55	5	-2.65	1	-0.23	5	-2.37	1	0.00	5	-0.25	1
6921	383	384	Min.	13.23	-12.55	5	-3.59	1	-0.63	1	-2.37	1	-0.30	1	-0.25	1
6922	-543	-544	Max	0.00	0.56	1	25.57	1	1.97	1	1.26	1	0.20	1	0.49	1
6922	-543	-544	Max	12.00	0.56	1	25.57	1	1.55	1	2.86	1	0.09	1	0.49	1
6922	-543	-544	Min.	0.00	-0.46	1	-33.26	1	-1.52	1	-3.07	1	-0.16	1	-0.41	1
6922	-543	-544	Min.	12.00	-0.46	1	-33.26	1	-2.02	1	-1.47	1	-0.08	1	-0.41	1
6923	-527	-528	Max	0.00	0.72	1	25.10	1	2.00	1	1.23	1	0.08	1	0.68	1
6923	-527	-528	Max	12.00	0.72	1	25.10	1	1.49	1	2.83	1	0.11	5	0.68	1
6923	-527	-528	Min.	0.00	-0.73	1	-33.12	1	-1.52	1	-2.03	1	-0.13	1	-0.60	1
6923	-527	-528	Min.	12.00	-0.73	1	-33.12	1	-1.97	1	-0.43	1	-0.07	5	-0.60	1
7001	3002	-815	Max	0.00	17.86	5	4.27	5	2.78	5	-15.29	1	4.56	1	-0.01	1
7001	3002	-815	Max	154.00	17.86	5	4.27	5	3.70	5	7.57	1	-7.60	1	-0.01	1
7001	3002	-815	Min.	0.00	-12.67	5	-4.23	5	-2.87	5	-19.42	1	-5.56	1	-0.06	1
7001	3002	-815	Min.	154.00	-12.67	5	-4.23	5	-3.73	5	3.44	1	-11.65	1	-0.06	1
7001	-815	3003	Max	0.00	15.76	5	5.10	5	3.70	5	7.57	1	-7.60	1	-0.01	1
7001	-815	3003	Max	154.00	15.76	5	5.10	5	4.14	5	30.42	1	17.75	1	-0.01	1
7001	-815	3003	Min.	0.00	-10.57	5	-5.06	5	-3.73	5	3.44	1	-11.65	1	-0.06	1
7001	-815	3003	Min.	154.00	-10.57	5	-5.06	5	-4.11	5	26.30	1	15.16	1	-0.06	1

7001	3004	-804	Max	0.00	19.99	5	4.98	5	4.04	5	-22.13	1	20.16	1	0.02	1
7001	3004	-804	Max	164.00	19.99	5	4.98	5	4.03	5	2.21	1	-3.29	5	0.02	1
7001	3004	-804	Min.	0.00	-12.60	5	-4.94	5	-4.15	5	-26.72	1	12.31	1	-0.02	1
7001	3004	-804	Min.	164.00	-12.60	5	-4.94	5	-4.06	5	-2.38	1	-4.43	5	-0.02	1
7001	-804	3005	Max	0.00	20.86	5	4.97	5	4.03	5	2.21	1	-3.29	5	0.02	1
7001	-804	3005	Max	164.00	20.86	5	4.97	5	4.09	5	26.55	1	19.87	1	0.02	1
7001	-804	3005	Min.	0.00	-13.47	5	-4.92	5	-4.06	5	-2.38	1	-4.43	5	-0.02	1
7001	-804	3005	Min.	164.00	-13.47	5	-4.92	5	-4.04	5	21.96	1	12.05	1	-0.02	1
7001	3006	-795	Max	0.00	17.58	5	5.10	5	4.07	5	-26.48	1	18.09	1	0.06	1
7001	3006	-795	Max	154.00	17.58	5	5.10	5	3.66	5	-3.62	1	-7.57	1	0.06	1
7001	3006	-795	Min.	0.00	-11.66	5	-5.04	5	-4.20	5	-30.60	1	15.46	1	0.00	1
7001	3006	-795	Min.	154.00	-11.66	5	-5.04	5	-3.70	5	-7.74	1	-11.58	1	0.00	1
7001	-795	3007	Max	0.00	20.22	5	4.31	5	3.66	5	-3.62	1	-7.57	1	0.06	1
7001	-795	3007	Max	154.00	20.22	5	4.31	5	2.94	5	19.24	1	4.31	1	0.06	1
7001	-795	3007	Min.	0.00	-14.30	5	-4.25	5	-3.70	5	-7.74	1	-11.58	1	0.00	1
7001	-795	3007	Min.	154.00	-14.30	5	-4.25	5	-2.89	5	15.11	1	-5.76	1	0.00	1
7002	4027	-816	Max	0.00	130.13	5	5.17	5	3.57	5	17.73	1	65.66	1	-0.03	1
7002	4027	-816	Max	154.00	130.13	5	5.17	5	4.29	5	42.90	1	-6.42	1	-0.03	1
7002	4027	-816	Min.	0.00	-62.11	5	-5.10	5	-3.67	5	-59.39	1	-56.92	1	-0.04	1
7002	4027	-816	Min.	154.00	-62.11	5	-5.10	5	-4.29	5	-34.23	1	-10.23	1	-0.04	1
7002	-816	4028	Max	0.00	127.10	5	6.14	5	4.29	5	42.90	1	-6.42	1	-0.03	1
7002	-816	4028	Max	154.00	127.10	5	6.14	5	5.18	5	68.07	1	75.22	1	-0.03	1
7002	-816	4028	Min.	0.00	-59.08	5	-6.07	5	-4.29	5	-34.23	1	-10.23	1	-0.04	1
7002	-816	4028	Min.	154.00	-59.08	5	-6.07	5	-5.07	5	-9.06	1	-39.75	1	-0.04	1
7002	4030	-805	Max	0.00	104.86	5	5.99	5	5.14	5	7.43	1	69.67	1	0.00	1
7002	4030	-805	Max	164.00	104.86	5	5.99	5	4.72	5	34.23	1	-8.24	5	0.00	1
7002	4030	-805	Min.	0.00	-4.75	5	-6.01	5	-5.11	5	-60.94	1	-42.50	1	-0.00	1
7002	4030	-805	Min.	164.00	-4.75	5	-6.01	5	-4.71	5	-34.14	1	-8.40	5	-0.00	1
7002	-805	4031	Max	0.00	104.22	5	5.96	5	4.72	5	34.23	1	-8.24	5	0.00	1
7002	-805	4031	Max	164.00	104.22	5	5.96	5	5.06	5	61.03	1	69.82	1	0.00	1
7002	-805	4031	Min.	0.00	-4.12	5	-5.98	5	-4.71	5	-34.14	1	-8.40	5	-0.00	1
7002	-805	4031	Min.	164.00	-4.12	5	-5.98	5	-5.08	5	-7.34	1	-42.36	1	-0.00	1
7002	4033	-794	Max	0.00	127.00	5	6.08	5	5.22	5	9.13	1	75.09	1	0.04	1
7002	4033	-794	Max	154.00	127.00	5	6.08	5	4.27	5	34.30	1	-6.43	1	0.04	1
7002	4033	-794	Min.	0.00	-59.60	5	-6.15	5	-5.09	5	-67.99	1	-39.87	1	0.03	1
7002	4033	-794	Min.	154.00	-59.60	5	-6.15	5	-4.25	5	-42.83	1	-10.24	1	0.03	1
7002	-794	4034	Max	0.00	130.04	5	5.12	5	4.27	5	34.30	1	-6.43	1	0.04	1
7002	-794	4034	Max	154.00	130.04	5	5.12	5	3.63	5	59.46	1	65.76	1	0.04	1
7002	-794	4034	Min.	0.00	-62.64	5	-5.19	5	-4.25	5	-42.83	1	-10.24	1	0.03	1
7002	-794	4034	Min.	154.00	-62.64	5	-5.19	5	-3.72	5	-17.66	1	-56.81	1	0.03	1
7003	-594	-817	Max	0.00	16.89	1	1.16	5	1.63	5	-22.28	5	0.52	1	-0.08	1
7003	-594	-817	Max	154.00	16.89	1	1.16	5	0.21	5	2.89	5	-16.36	1	-0.08	1
7003	-594	-817	Min.	0.00	-16.96	1	-1.22	5	-1.59	5	-24.04	5	-3.36	1	-0.09	1
7003	-594	-817	Min.	154.00	-16.96	1	-1.22	5	-0.25	5	1.13	5	-19.05	1	-0.09	1
7003	-817	-595	Max	0.00	74.52	5	0.69	1	0.09	1	11.22	1	-16.36	1	-0.08	1
7003	-817	-595	Max	154.00	74.52	5	0.69	1	0.86	1	36.38	1	18.61	1	-0.08	1
7003	-817	-595	Min.	0.00	-10.59	5	-0.45	1	-0.20	1	10.13	1	-19.05	1	-0.10	1
7003	-817	-595	Min.	154.00	-10.59	5	-0.45	1	-0.60	1	35.29	1	17.60	1	-0.10	1
7003	-596	-806	Max	0.00	74.45	5	0.34	1	0.65	1	-29.93	1	20.00	1	0.02	1
7003	-596	-806	Max	164.00	74.45	5	0.34	1	0.14	5	-3.13	1	-10.57	5	0.02	1
7003	-596	-806	Min.	0.00	-10.42	5	-0.54	1	-0.53	1	-32.78	1	15.88	1	-0.01	1
7003	-596	-806	Min.	164.00	-10.42	5	-0.54	1	-0.36	5	-5.98	1	-12.45	5	-0.01	1
7003	-806	-597	Max	0.00	74.82	5	0.51	1	0.14	5	5.98	1	-10.55	5	0.01	1
7003	-806	-597	Max	164.00	74.82	5	0.51	1	0.61	1	32.78	1	19.99	1	0.01	1
7003	-806	-597	Min.	0.00	-10.88	5	-0.33	1	-0.35	5	3.13	1	-12.46	5	-0.02	1
7003	-806	-597	Min.	164.00	-10.88	5	-0.33	1	-0.52	1	29.93	1	15.88	1	-0.02	1
7003	-598	-793	Max	0.00	74.38	5	0.41	1	0.88	1	-35.30	1	18.62	1	0.10	1
7003	-598	-793	Max	154.00	74.38	5	0.41	1	0.06	1	-10.13	1	-16.36	1	0.10	1
7003	-598	-793	Min.	0.00	-10.53	5	-0.69	1	-0.57	1	-36.40	1	17.62	1	0.08	1

7003	-598	-793	Min.	154.00	-10.53	5	-0.69	1	-0.19	1	-11.23	1	-19.06	1	0.08	1
7003	-793	-599	Max	0.00	16.85	1	1.21	5	0.18	5	-1.13	5	-16.35	1	0.09	1
7003	-793	-599	Max	154.00	16.85	1	1.21	5	1.63	5	24.04	5	0.52	1	0.09	1
7003	-793	-599	Min.	0.00	-16.92	1	-1.12	5	-0.24	5	-2.90	5	-19.06	1	0.08	1
7003	-793	-599	Min.	154.00	-16.92	1	-1.12	5	-1.55	5	22.27	5	-3.37	1	0.08	1
7004	-658	-818	Max	0.00	170.16	5	5.29	5	2.92	5	-19.57	1	-1.15	1	-0.05	5
7004	-658	-818	Max	154.00	170.16	5	5.29	5	4.96	5	5.60	1	-14.60	1	-0.05	5
7004	-658	-818	Min.	0.00	-47.47	5	-5.11	5	-3.18	5	-21.86	1	-3.96	1	-0.06	5
7004	-658	-818	Min.	154.00	-47.47	5	-5.11	5	-4.95	5	3.30	1	-15.57	1	-0.06	5
7004	-818	-659	Max	0.00	171.93	5	6.64	5	4.96	5	5.60	1	-14.60	1	-0.05	5
7004	-818	-659	Max	154.00	171.93	5	6.64	5	5.32	5	30.76	1	13.40	1	-0.05	5
7004	-818	-659	Min.	0.00	-49.24	5	-6.46	5	-4.95	5	3.30	1	-15.57	1	-0.06	5
7004	-818	-659	Min.	154.00	-49.24	5	-6.46	5	-5.04	5	28.47	1	8.90	1	-0.06	5
7004	-660	-807	Max	0.00	148.24	5	6.30	5	4.99	5	-26.42	1	12.12	1	0.00	1
7004	-660	-807	Max	164.00	148.24	5	6.30	5	5.30	5	0.38	1	-10.27	5	0.00	1
7004	-660	-807	Min.	0.00	-11.36	5	-6.31	5	-5.03	5	-27.19	1	10.68	1	-0.00	1
7004	-660	-807	Min.	164.00	-11.36	5	-6.31	5	-5.35	5	-0.38	1	-10.88	5	-0.00	1
7004	-807	-661	Max	0.00	148.16	5	6.28	5	5.30	5	0.38	1	-10.27	5	0.00	1
7004	-807	-661	Max	164.00	148.16	5	6.28	5	4.95	5	27.18	1	12.12	1	0.00	1
7004	-807	-661	Min.	0.00	-11.28	5	-6.29	5	-5.35	5	-0.38	1	-10.88	5	-0.00	1
7004	-807	-661	Min.	164.00	-11.28	5	-6.29	5	-5.01	5	26.42	1	10.68	1	-0.00	1
7004	-662	-796	Max	0.00	171.71	5	6.47	5	5.34	5	-28.47	1	13.41	1	0.06	5
7004	-662	-796	Max	154.00	171.71	5	6.47	5	4.94	5	-3.31	1	-14.60	1	0.06	5
7004	-662	-796	Min.	0.00	-48.88	5	-6.65	5	-5.05	5	-30.77	1	8.91	1	0.05	5
7004	-662	-796	Min.	154.00	-48.88	5	-6.65	5	-4.93	5	-5.60	1	-15.56	1	0.05	5
7004	-796	-663	Max	0.00	170.08	5	5.12	5	4.94	5	-3.31	1	-14.60	1	0.06	5
7004	-796	-663	Max	154.00	170.08	5	5.12	5	2.96	5	21.86	1	-1.15	1	0.06	5
7004	-796	-663	Min.	0.00	-47.24	5	-5.30	5	-4.93	5	-5.60	1	-15.56	1	0.05	5
7004	-796	-663	Min.	154.00	-47.24	5	-5.30	5	-3.22	5	19.57	1	-3.97	1	0.05	5
7005	-722	-819	Max	0.00	19.59	1	2.17	5	2.02	5	-23.11	1	-0.36	1	-0.01	5
7005	-722	-819	Max	154.00	19.59	1	2.17	5	0.86	5	2.06	1	-19.33	5	-0.01	5
7005	-722	-819	Min.	0.00	-19.62	1	-1.57	5	-2.49	5	-25.73	1	-3.48	1	-0.03	5
7005	-722	-819	Min.	154.00	-19.62	1	-1.57	5	-0.41	5	-0.56	1	-20.97	5	-0.03	5
7005	-819	-723	Max	0.00	77.17	5	0.07	1	0.51	5	10.72	1	-19.33	5	-0.02	5
7005	-819	-723	Max	22.63					0.11	3			-17.30	3		
7005	-819	-723	Max	154.00	77.17	5	0.07	1	0.23	1	35.89	1	15.75	1	-0.02	5
7005	-819	-723	Min.	0.00	28.09	5	-0.53	1	-0.08	5	7.98	1	-20.97	5	-0.03	5
7005	-819	-723	Min.	22.63					0.22	3			-17.94	3		
7005	-819	-723	Min.	154.00	28.09	5	-0.53	1	-0.50	1	33.15	1	11.51	1	-0.03	5
7005	-724	-808	Max	0.00	79.16	5	0.41	1	0.19	1	-30.64	5	14.39	1	0.00	1
7005	-724	-808	Max	164.00	79.16	5	0.41	1	0.19	1	-3.84	5	-14.98	5	0.00	1
7005	-724	-808	Min.	0.00	26.06	5	-0.06	1	-0.48	1	-32.01	5	13.21	1	0.00	1
7005	-724	-808	Min.	164.00	26.06	5	-0.06	1	0.10	1	-5.21	5	-16.22	5	0.00	1
7005	-808	-725	Max	0.00	79.23	5	0.05	1	0.19	1	5.21	5	-14.98	5	0.00	1
7005	-808	-725	Max	164.00	79.23	5	0.05	1	0.18	1	32.01	5	14.39	1	0.00	1
7005	-808	-725	Min.	0.00	25.95	5	-0.41	1	0.10	1	3.84	5	-16.23	5	-0.00	1
7005	-808	-725	Min.	164.00	25.95	5	-0.41	1	-0.49	1	30.64	5	13.21	1	-0.00	1
7005	-726	-797	Max	0.00	77.15	5	0.48	1	0.23	1	-33.15	1	15.75	1	0.03	5
7005	-726	-797	Max	130.51					0.09	3			-17.17	3		
7005	-726	-797	Max	154.00	77.15	5	0.48	1	0.49	5	-7.99	1	-19.33	5	0.03	5
7005	-726	-797	Min.	0.00	28.09	5	-0.06	1	-0.48	1	-35.89	1	11.52	1	0.02	5
7005	-726	-797	Min.	130.51					0.23	3			-17.83	3		
7005	-726	-797	Min.	154.00	28.09	5	-0.06	1	-0.07	5	-10.72	1	-20.97	5	0.02	5
7005	-797	-727	Max	0.00	19.58	1	1.56	5	0.84	5	0.57	1	-19.32	5	0.02	5
7005	-797	-727	Max	154.00	19.58	1	1.56	5	2.01	5	25.74	1	-0.35	1	0.02	5
7005	-797	-727	Min.	0.00	-19.61	1	-2.15	5	-0.40	5	-2.06	1	-20.98	5	0.01	5
7005	-797	-727	Min.	154.00	-19.61	1	-2.15	5	-2.47	5	23.10	1	-3.49	1	0.01	5
7006	-786	-820	Max	0.00	29.78	1	5.00	5	2.78	5	-19.67	1	-0.44	1	0.01	5
7006	-786	-820	Max	154.00	29.78	1	5.00	5	4.92	5	5.50	1	-15.59	1	0.01	5

7006	-786	-820	Min.	0.00	29.17	1	-5.00	5	-2.78	5	-22.67	1	-4.68	1	-0.01	5
7006	-786	-820	Min.	154.00	29.17	1	-5.00	5	-4.93	5	2.49	1	-15.98	1	-0.01	5
7006	-820	-787	Max	0.00	40.50	1	6.49	5	4.92	5	5.50	1	-15.59	1	0.01	5
7006	-820	-787	Max	154.00	40.50	1	6.49	5	5.07	5	30.66	1	12.25	1	0.01	5
7006	-820	-787	Min.	0.00	18.45	1	-6.49	5	-4.93	5	2.49	1	-15.98	1	-0.01	5
7006	-820	-787	Min.	154.00	18.45	1	-6.49	5	-5.07	5	27.66	1	7.24	1	-0.01	5
7006	-788	-809	Max	0.00	-21.12	1	6.14	5	4.78	5	-26.73	1	9.82	1	0.00	1
7006	-788	-809	Max	164.00	-21.12	1	6.14	5	5.30	5	0.07	1	-12.28	1	0.00	1
7006	-788	-809	Min.	0.00	-33.19	1	-6.15	5	-4.78	5	-26.88	1	9.58	1	0.00	1
7006	-788	-809	Min.	164.00	-33.19	1	-6.15	5	-5.30	5	-0.08	1	-12.28	1	0.00	1
7006	-809	-789	Max	0.00	-21.18	1	6.14	5	5.30	5	0.07	1	-12.28	1	0.00	1
7006	-809	-789	Max	164.00	-21.18	1	6.14	5	4.76	5	26.87	1	9.82	1	0.00	1
7006	-809	-789	Min.	0.00	-33.13	1	-6.14	5	-5.30	5	-0.08	1	-12.28	1	0.00	1
7006	-809	-789	Min.	164.00	-33.13	1	-6.14	5	-4.77	5	26.72	1	9.57	1	0.00	1
7006	-790	-798	Max	0.00	40.38	1	6.48	5	5.07	5	-27.65	1	12.25	1	0.01	5
7006	-790	-798	Max	154.00	40.38	1	6.48	5	4.91	5	-2.49	1	-15.60	1	0.01	5
7006	-790	-798	Min.	0.00	18.65	1	-6.48	5	-5.06	5	-30.67	1	7.24	1	-0.01	5
7006	-790	-798	Min.	154.00	18.65	1	-6.48	5	-4.91	5	-5.50	1	-15.96	1	-0.01	5
7006	-798	-791	Max	0.00	29.93	1	5.00	5	4.91	5	-2.49	1	-15.60	1	0.01	5
7006	-798	-791	Max	154.00	29.93	1	5.00	5	2.79	5	22.68	1	-0.41	1	0.01	5
7006	-798	-791	Min.	0.00	29.10	1	-5.00	5	-4.91	5	-5.50	1	-15.96	1	-0.01	5
7006	-798	-791	Min.	154.00	29.10	1	-5.00	5	-2.79	5	19.66	1	-4.70	1	-0.01	5
7007	-730	-821	Max	0.00	19.57	1	1.60	5	2.49	5	-23.10	1	-0.35	1	0.03	5
7007	-730	-821	Max	154.00	19.57	1	1.60	5	0.41	5	2.07	1	-19.32	5	0.03	5
7007	-730	-821	Min.	0.00	-19.60	1	-2.17	5	-2.05	5	-25.74	1	-3.49	1	0.01	5
7007	-730	-821	Min.	154.00	-19.60	1	-2.17	5	-0.85	5	-0.57	1	-20.98	5	0.01	5
7007	-821	-731	Max	0.00	77.25	5	0.47	1	0.07	5	10.72	1	-19.33	5	0.03	5
7007	-821	-731	Max	154.00	77.25	5	0.47	1	0.45	1	35.88	1	15.74	1	0.03	5
7007	-821	-731	Min.	0.00	28.01	5	-0.03	1	-0.49	5	7.99	1	-20.97	5	0.02	5
7007	-821	-731	Min.	154.00	28.01	5	-0.03	1	-0.20	1	33.15	1	11.52	1	0.02	5
7007	-732	-810	Max	0.00	79.26	5	0.03	1	0.46	1	-30.64	5	14.39	1	0.00	1
7007	-732	-810	Max	164.00	79.26	5	0.03	1	-0.11	1	-3.84	5	-14.98	5	0.00	1
7007	-732	-810	Min.	0.00	25.95	5	-0.39	1	-0.16	1	-32.01	5	13.21	1	-0.00	1
7007	-732	-810	Min.	164.00	25.95	5	-0.39	1	-0.18	1	-5.21	5	-16.22	5	-0.00	1
7007	-810	-733	Max	0.00	79.26	5	0.39	1	-0.10	1	5.21	5	-14.98	5	0.00	1
7007	-810	-733	Max	164.00	79.26	5	0.39	1	0.46	1	32.01	5	14.39	1	0.00	1
7007	-810	-733	Min.	0.00	25.94	5	-0.04	1	-0.18	1	3.84	5	-16.23	5	0.00	1
7007	-810	-733	Min.	164.00	25.94	5	-0.04	1	-0.17	1	30.64	5	13.21	1	0.00	1
7007	-734	-799	Max	0.00	77.19	5	0.04	1	0.47	1	-33.15	1	15.74	1	-0.02	5
7007	-734	-799	Max	154.00	77.19	5	0.04	1	0.07	5	-7.99	1	-19.33	5	-0.02	5
7007	-734	-799	Min.	0.00	28.05	5	-0.48	1	-0.21	1	-35.88	1	11.52	1	-0.03	5
7007	-734	-799	Min.	154.00	28.05	5	-0.48	1	-0.49	5	-10.72	1	-20.97	5	-0.03	5
7007	-799	-735	Max	0.00	19.57	1	2.14	5	0.39	5	0.57	1	-19.33	5	-0.01	5
7007	-799	-735	Max	154.00	19.57	1	2.14	5	2.46	5	25.74	1	-0.36	1	-0.01	5
7007	-799	-735	Min.	0.00	-19.60	1	-1.56	5	-0.84	5	-2.06	1	-20.97	5	-0.02	5
7007	-799	-735	Min.	154.00	-19.60	1	-1.56	5	-2.00	5	23.10	1	-3.49	1	-0.02	5
7008	-666	-822	Max	0.00	170.06	5	5.12	5	3.21	5	-19.57	1	-1.15	1	0.06	5
7008	-666	-822	Max	154.00	170.06	5	5.12	5	4.93	5	5.60	1	-14.59	1	0.06	5
7008	-666	-822	Min.	0.00	-47.23	5	-5.29	5	-2.96	5	-21.86	1	-3.96	1	0.05	5
7008	-666	-822	Min.	154.00	-47.23	5	-5.29	5	-4.94	5	3.30	1	-15.57	1	0.05	5
7008	-822	-667	Max	0.00	171.68	5	6.48	5	4.93	5	5.60	1	-14.59	1	0.06	5
7008	-822	-667	Max	154.00	171.68	5	6.48	5	5.05	5	30.76	1	13.40	1	0.06	5
7008	-822	-667	Min.	0.00	-48.86	5	-6.65	5	-4.94	5	3.30	1	-15.57	1	0.05	5
7008	-822	-667	Min.	154.00	-48.86	5	-6.65	5	-5.33	5	28.47	1	8.90	1	0.05	5
7008	-668	-811	Max	0.00	148.31	5	6.29	5	5.02	5	-26.42	1	12.12	1	0.00	1
7008	-668	-811	Max	164.00	148.31	5	6.29	5	5.35	5	0.38	1	-10.27	5	0.00	1
7008	-668	-811	Min.	0.00	-11.41	5	-6.29	5	-4.97	5	-27.18	1	10.68	1	-0.00	1
7008	-668	-811	Min.	164.00	-11.41	5	-6.29	5	-5.30	5	-0.38	1	-10.88	5	-0.00	1
7008	-811	-669	Max	0.00	148.29	5	6.29	5	5.35	5	0.38	1	-10.27	5	0.00	1

7008	-811	-669	Max	164.00	148.29	5	6.29	5	5.01	5	27.18	1	12.12	1	0.00	1
7008	-811	-669	Min.	0.00	-11.39	5	-6.29	5	-5.30	5	-0.38	1	-10.88	5	-0.00	1
7008	-811	-669	Min.	164.00	-11.39	5	-6.29	5	-4.96	5	26.42	1	10.68	1	-0.00	1
7008	-670	-800	Max	0.00	171.74	5	6.64	5	5.04	5	-28.47	1	13.40	1	-0.05	5
7008	-670	-800	Max	154.00	171.74	5	6.64	5	4.93	5	-3.31	1	-14.60	1	-0.05	5
7008	-670	-800	Min.	0.00	-48.89	5	-6.47	5	-5.33	5	-30.76	1	8.91	1	-0.06	5
7008	-670	-800	Min.	154.00	-48.89	5	-6.47	5	-4.94	5	-5.60	1	-15.56	1	-0.06	5
7008	-800	-671	Max	0.00	170.16	5	5.29	5	4.93	5	-3.31	1	-14.60	1	-0.05	5
7008	-800	-671	Max	154.00	170.16	5	5.29	5	3.21	5	21.86	1	-1.15	1	-0.05	5
7008	-800	-671	Min.	0.00	-47.31	5	-5.12	5	-4.94	5	-5.60	1	-15.56	1	-0.06	5
7008	-800	-671	Min.	154.00	-47.31	5	-5.12	5	-2.96	5	19.57	1	-3.97	1	-0.06	5
7009	-602	-823	Max	0.00	16.84	1	1.22	5	1.56	5	-22.28	5	0.51	1	0.09	1
7009	-602	-823	Max	154.00	16.84	1	1.22	5	0.24	5	2.89	5	-16.35	1	0.09	1
7009	-602	-823	Min.	0.00	-16.90	1	-1.13	5	-1.64	5	-24.03	5	-3.36	1	0.08	1
7009	-602	-823	Min.	154.00	-16.90	1	-1.13	5	-0.19	5	1.13	5	-19.06	1	0.08	1
7009	-823	-603	Max	0.00	74.65	5	0.38	1	0.17	1	11.23	1	-16.35	1	0.10	1
7009	-823	-603	Max	154.00	74.65	5	0.38	1	0.54	1	36.39	1	18.62	1	0.10	1
7009	-823	-603	Min.	0.00	-10.80	5	-0.65	1	-0.05	1	10.13	1	-19.06	1	0.08	1
7009	-823	-603	Min.	154.00	-10.80	5	-0.65	1	-0.83	1	35.29	1	17.61	1	0.08	1
7009	-604	-812	Max	0.00	74.87	5	0.51	1	0.50	1	-29.94	1	19.99	1	0.01	1
7009	-604	-812	Max	164.00	74.87	5	0.51	1	0.35	5	-3.13	1	-10.57	5	0.01	1
7009	-604	-812	Min.	0.00	-10.91	5	-0.32	1	-0.60	1	-32.77	1	15.89	1	-0.02	1
7009	-604	-812	Min.	164.00	-10.91	5	-0.32	1	-0.14	5	-5.97	1	-12.45	5	-0.02	1
7009	-812	-605	Max	0.00	74.85	5	0.32	1	0.35	5	5.97	1	-10.55	5	0.02	1
7009	-812	-605	Max	164.00	74.85	5	0.32	1	0.49	1	32.77	1	19.99	1	0.02	1
7009	-812	-605	Min.	0.00	-10.91	5	-0.51	1	-0.14	5	3.13	1	-12.46	5	-0.01	1
7009	-812	-605	Min.	164.00	-10.91	5	-0.51	1	-0.60	1	29.93	1	15.89	1	-0.01	1
7009	-606	-801	Max	0.00	74.61	5	0.66	1	0.56	1	-35.30	1	18.62	1	-0.08	1
7009	-606	-801	Max	154.00	74.61	5	0.66	1	0.18	1	-10.13	1	-16.36	1	-0.08	1
7009	-606	-801	Min.	0.00	-10.77	5	-0.40	1	-0.84	1	-36.39	1	17.61	1	-0.10	1
7009	-606	-801	Min.	154.00	-10.77	5	-0.40	1	-0.06	1	-11.22	1	-19.05	1	-0.10	1
7009	-801	-607	Max	0.00	16.84	1	1.11	5	0.23	5	-1.13	5	-16.35	1	-0.08	1
7009	-801	-607	Max	154.00	16.84	1	1.11	5	1.54	5	24.04	5	0.51	1	-0.08	1
7009	-801	-607	Min.	0.00	-16.90	1	-1.20	5	-0.18	5	-2.90	5	-19.06	1	-0.09	1
7009	-801	-607	Min.	154.00	-16.90	1	-1.20	5	-1.61	5	22.27	5	-3.35	1	-0.09	1
7010	4287	-824	Max	0.00	130.42	5	5.12	5	3.72	5	17.67	1	65.64	1	0.04	1
7010	4287	-824	Max	154.00	130.42	5	5.12	5	4.26	5	42.83	1	-6.43	1	0.04	1
7010	4287	-824	Min.	0.00	-62.87	5	-5.18	5	-3.64	5	-59.38	1	-56.81	1	0.03	1
7010	4287	-824	Min.	154.00	-62.87	5	-5.18	5	-4.28	5	-34.22	1	-10.23	1	0.03	1
7010	-824	4288	Max	0.00	127.39	5	6.07	5	4.26	5	42.83	1	-6.43	1	0.04	1
7010	-824	4288	Max	154.00	127.39	5	6.07	5	5.07	5	68.00	1	75.12	1	0.04	1
7010	-824	4288	Min.	0.00	-59.84	5	-6.14	5	-4.28	5	-34.22	1	-10.23	1	0.03	1
7010	-824	4288	Min.	154.00	-59.84	5	-6.14	5	-5.19	5	-9.05	1	-39.75	1	0.03	1
7010	4290	-813	Max	0.00	104.85	5	5.98	5	5.08	5	7.36	1	69.68	1	0.00	1
7010	4290	-813	Max	164.00	104.85	5	5.98	5	4.71	5	34.16	1	-8.24	5	0.00	1
7010	4290	-813	Min.	0.00	-4.95	5	-5.98	5	-5.09	5	-60.95	1	-42.39	1	0.00	1
7010	4290	-813	Min.	164.00	-4.95	5	-5.98	5	-4.72	5	-34.15	1	-8.40	5	0.00	1
7010	-813	4291	Max	0.00	104.94	5	5.97	5	4.71	5	34.16	1	-8.24	5	0.00	1
7010	-813	4291	Max	164.00	104.94	5	5.97	5	5.08	5	60.96	1	69.69	1	0.00	1
7010	-813	4291	Min.	0.00	-5.04	5	-5.98	5	-4.72	5	-34.15	1	-8.40	5	0.00	1
7010	-813	4291	Min.	164.00	-5.04	5	-5.98	5	-5.09	5	-7.35	1	-42.37	1	0.00	1
7010	4293	-802	Max	0.00	127.41	5	6.13	5	5.07	5	9.07	1	75.11	1	-0.03	1
7010	4293	-802	Max	154.00	127.41	5	6.13	5	4.26	5	34.24	1	-6.43	1	-0.03	1
7010	4293	-802	Min.	0.00	-59.89	5	-6.07	5	-5.19	5	-67.99	1	-39.77	1	-0.04	1
7010	4293	-802	Min.	154.00	-59.89	5	-6.07	5	-4.27	5	-42.83	1	-10.22	1	-0.04	1
7010	-802	4294	Max	0.00	130.44	5	5.18	5	4.26	5	34.24	1	-6.43	1	-0.03	1
7010	-802	4294	Max	154.00	130.44	5	5.18	5	3.72	5	59.40	1	65.67	1	-0.03	1
7010	-802	4294	Min.	0.00	-62.92	5	-5.12	5	-4.27	5	-42.83	1	-10.22	1	-0.04	1
7010	-802	4294	Min.	154.00	-62.92	5	-5.12	5	-3.63	5	-17.66	1	-56.80	1	-0.04	1

7011	3314	-825	Max	0.00	20.27	5	4.27	5	2.89	5	-15.37	1	4.09	1	0.05	1
7011	3314	-825	Max	154.00	20.27	5	4.27	5	3.70	5	7.49	1	-7.66	1	0.05	1
7011	3314	-825	Min.	0.00	-14.47	5	-4.25	5	-2.89	5	-19.16	1	-5.37	1	0.01	1
7011	3314	-825	Min.	154.00	-14.47	5	-4.25	5	-3.68	5	3.70	1	-11.60	1	0.01	1
7011	-825	3315	Max	0.00	17.64	5	5.07	5	3.70	5	7.49	1	-7.66	1	0.05	1
7011	-825	3315	Max	154.00	17.64	5	5.07	5	4.13	5	30.34	1	17.68	1	0.05	1
7011	-825	3315	Min.	0.00	-11.84	5	-5.05	5	-3.68	5	3.70	1	-11.60	1	0.01	1
7011	-825	3315	Min.	154.00	-11.84	5	-5.05	5	-4.08	5	26.56	1	15.48	1	0.01	1
7011	3316	-814	Max	0.00	21.44	5	4.94	5	4.07	5	-22.13	1	19.90	1	0.02	1
7011	3316	-814	Max	164.00	21.44	5	4.94	5	4.06	5	2.21	1	-3.29	5	0.02	1
7011	3316	-814	Min.	0.00	-13.76	5	-4.94	5	-4.04	5	-26.55	1	12.31	1	-0.02	1
7011	3316	-814	Min.	164.00	-13.76	5	-4.94	5	-4.03	5	-2.21	1	-4.41	5	-0.02	1
7011	-814	3317	Max	0.00	21.51	5	4.93	5	4.06	5	2.21	1	-3.29	5	0.02	1
7011	-814	3317	Max	164.00	21.51	5	4.93	5	4.07	5	26.55	1	19.90	1	0.02	1
7011	-814	3317	Min.	0.00	-13.83	5	-4.94	5	-4.03	5	-2.21	1	-4.41	5	-0.02	1
7011	-814	3317	Min.	164.00	-13.83	5	-4.94	5	-4.03	5	22.13	1	12.31	1	-0.02	1
7011	3318	-803	Max	0.00	17.66	5	5.05	5	4.13	5	-26.56	1	17.68	1	-0.01	1
7011	3318	-803	Max	154.00	17.66	5	5.05	5	3.70	5	-3.70	1	-7.66	1	-0.01	1
7011	3318	-803	Min.	0.00	-11.80	5	-5.06	5	-4.07	5	-30.34	1	15.48	1	-0.05	1
7011	3318	-803	Min.	154.00	-11.80	5	-5.06	5	-3.67	5	-7.48	1	-11.60	1	-0.05	1
7011	-803	3319	Max	0.00	20.30	5	4.26	5	3.70	5	-3.70	1	-7.66	1	-0.01	1
7011	-803	3319	Max	154.00	20.30	5	4.26	5	2.89	5	19.16	1	4.09	1	-0.01	1
7011	-803	3319	Min.	0.00	-14.44	5	-4.27	5	-3.67	5	-7.48	1	-11.60	1	-0.05	1
7011	-803	3319	Min.	154.00	-14.44	5	-4.27	5	-2.89	5	15.37	1	-5.37	1	-0.05	1
8001	4027	-817	Max	0.00	98.93	5	1.30	5	0.00	1	0.02	5	0.00	1	0.00	1
8001	4027	-817	Max	66.49					0.43	5			0.01	5		
8001	4027	-817	Max	176.65	99.07	5	-2.16	5	-0.76	5	0.02	5	0.03	5	0.00	1
8001	4027	-817	Min.	0.00	-144.93	5	1.30	5	0.00	1	-0.03	5	0.00	1	0.00	1
8001	4027	-817	Min.	66.49					0.43	5			-0.02	5		
8001	4027	-817	Min.	176.65	-144.79	5	-2.17	5	-0.77	5	-0.03	5	-0.05	5	0.00	1
8001	-817	-659	Max	0.00	109.89	5	2.17	5	-0.76	5	0.02	5	0.11	5	0.01	5
8001	-817	-659	Max	109.46					0.43	5			0.04	5		
8001	-817	-659	Max	176.65	110.03	5	-1.30	5	0.00	5	0.02	5	0.00	5	0.01	5
8001	-817	-659	Min.	0.00	-192.84	5	2.16	5	-0.77	5	-0.06	5	-0.04	5	-0.00	5
8001	-817	-659	Min.	109.46					0.43	5			-0.02	5		
8001	-817	-659	Min.	176.65	-192.70	5	-1.30	5	0.00	5	-0.06	5	0.00	5	-0.00	5
8002	-658	-817	Max	0.00	177.50	5	1.31	5	0.00	1	0.15	5	0.00	1	0.00	1
8002	-658	-817	Max	66.59					0.43	5			0.10	5		
8002	-658	-817	Max	176.65	177.36	5	-2.16	5	-0.75	5	0.15	5	0.26	5	0.00	1
8002	-658	-817	Min.	0.00	-149.24	5	1.30	5	0.00	1	-0.10	5	0.00	1	0.00	1
8002	-658	-817	Min.	66.59					0.43	5			-0.06	5		
8002	-658	-817	Min.	176.65	-149.38	5	-2.16	5	-0.76	5	-0.10	5	-0.17	5	0.00	1
8002	-817	4028	Max	0.00	174.10	5	2.17	5	-0.75	5	0.04	5	0.16	5	0.02	5
8002	-817	4028	Max	109.33					0.43	5			0.06	5		
8002	-817	4028	Max	176.65	173.97	5	-1.30	5	0.00	5	0.04	5	0.00	5	0.02	5
8002	-817	4028	Min.	0.00	-182.27	5	2.16	5	-0.77	5	-0.09	5	-0.08	5	-0.02	5
8002	-817	4028	Min.	109.33					0.43	5			-0.03	5		
8002	-817	4028	Min.	176.65	-182.41	5	-1.31	5	0.00	5	-0.09	5	0.00	5	-0.02	5
8003	-658	-819	Max	0.00	-41.88	1	1.30	5	0.00	1	0.04	5	0.00	1	0.00	1
8003	-658	-819	Max	66.40					0.43	5			0.03	5		
8003	-658	-819	Max	176.65	-41.74	1	-2.16	5	-0.76	5	0.04	5	0.08	5	0.00	1
8003	-658	-819	Min.	0.00	-127.10	1	1.30	5	0.00	1	-0.04	5	0.00	1	0.00	1
8003	-658	-819	Min.	66.40					0.43	5			-0.03	5		
8003	-658	-819	Min.	176.65	-126.96	1	-2.16	5	-0.76	5	-0.04	5	-0.08	5	0.00	1
8003	-819	-787	Max	0.00	-100.94	1	2.16	5	-0.76	5	-0.02	5	0.16	5	0.00	5
8003	-819	-787	Max	109.44					0.43	5			0.06	5		
8003	-819	-787	Max	176.65	-100.80	1	-1.30	5	0.00	1	-0.02	5	0.00	5	0.00	5
8003	-819	-787	Min.	0.00	-127.27	1	2.16	5	-0.76	5	-0.09	5	0.03	5	0.00	5
8003	-819	-787	Min.	109.44					0.43	5			0.01	5		

8003	-819	-787	Min.	176.65	-127.14	1	-1.30	5	0.00	1	-0.09	5	0.00	5	0.00	5
8004	-786	-819	Max	0.00	37.74	5	1.30	5	0.00	1	0.11	5	0.00	1	0.00	1
8004	-786	-819	Max	66.46					0.43	5			0.07	5		
8004	-786	-819	Max	176.65	37.60	5	-2.16	5	-0.76	5	0.11	5	0.20	5	0.00	1
8004	-786	-819	Min.	0.00	-71.81	5	1.30	5	0.00	1	-0.03	5	0.00	1	0.00	1
8004	-786	-819	Min.	66.46					0.43	5			-0.02	5		
8004	-786	-819	Min.	176.65	-71.95	5	-2.16	5	-0.76	5	-0.03	5	-0.06	5	0.00	1
8004	-819	-659	Max	0.00	10.83	5	2.16	1	-0.76	1	0.07	5	0.10	5	-0.00	5
8004	-819	-659	Max	109.44					0.43	5			0.04	5		
8004	-819	-659	Max	176.65	10.70	5	-1.30	1	0.00	1	0.07	5	0.00	5	-0.00	5
8004	-819	-659	Min.	0.00	-106.47	5	2.16	1	-0.76	1	-0.05	5	-0.12	5	-0.01	5
8004	-819	-659	Min.	109.44					0.43	5			-0.05	5		
8004	-819	-659	Min.	176.65	-106.61	5	-1.30	1	0.00	1	-0.05	5	0.00	5	-0.01	5
8005	-786	-821	Max	0.00	37.65	5	1.30	5	0.00	1	0.03	5	0.00	1	0.00	1
8005	-786	-821	Max	66.46					0.43	5			0.02	5		
8005	-786	-821	Max	176.65	37.51	5	-2.16	5	-0.76	5	0.03	5	0.06	5	0.00	1
8005	-786	-821	Min.	0.00	-71.91	5	1.30	5	0.00	1	-0.11	5	0.00	1	0.00	1
8005	-786	-821	Min.	66.46					0.43	5			-0.07	5		
8005	-786	-821	Min.	176.65	-72.05	5	-2.16	5	-0.76	5	-0.11	5	-0.20	5	0.00	1
8005	-821	-667	Max	0.00	10.78	5	2.16	1	-0.76	1	0.05	5	0.12	5	0.01	5
8005	-821	-667	Max	109.44					0.43	5			0.05	5		
8005	-821	-667	Max	176.65	10.65	5	-1.30	1	0.00	1	0.05	5	0.00	5	0.01	5
8005	-821	-667	Min.	0.00	-106.56	5	2.16	1	-0.76	1	-0.07	5	-0.10	5	0.00	5
8005	-821	-667	Min.	109.44					0.43	5			-0.04	5		
8005	-821	-667	Min.	176.65	-106.70	5	-1.30	1	0.00	1	-0.07	5	0.00	5	0.00	5
8006	-666	-821	Max	0.00	-41.53	1	1.30	5	0.00	1	0.04	5	0.00	1	0.00	1
8006	-666	-821	Max	66.40					0.43	5			0.03	5		
8006	-666	-821	Max	176.65	-41.39	1	-2.16	5	-0.76	5	0.04	5	0.08	5	0.00	1
8006	-666	-821	Min.	0.00	-127.31	1	1.30	5	0.00	1	-0.04	5	0.00	1	0.00	1
8006	-666	-821	Min.	66.40					0.43	5			-0.03	5		
8006	-666	-821	Min.	176.65	-127.17	1	-2.16	5	-0.76	5	-0.04	5	-0.08	5	0.00	1
8006	-821	-787	Max	0.00	-100.84	1	2.16	5	-0.76	5	0.09	5	-0.03	5	0.00	5
8006	-821	-787	Max	141.32					0.34	5			-0.01	5		
8006	-821	-787	Max	176.65	-100.70	1	-1.30	5	0.00	5	0.09	5	0.00	5	0.00	5
8006	-821	-787	Min.	0.00	-127.28	1	2.16	5	-0.76	5	0.02	5	-0.16	5	-0.00	5
8006	-821	-787	Min.	109.44					0.43	5			-0.06	5		
8006	-821	-787	Min.	176.65	-127.15	1	-1.30	5	0.00	5	0.02	5	0.00	5	-0.00	5
8007	-666	-823	Max	0.00	177.38	5	1.31	5	0.00	1	0.10	5	0.00	1	0.00	1
8007	-666	-823	Max	66.59					0.43	5			0.06	5		
8007	-666	-823	Max	176.65	177.25	5	-2.16	5	-0.75	5	0.10	5	0.17	5	0.00	1
8007	-666	-823	Min.	0.00	-149.41	5	1.30	5	0.00	1	-0.15	5	0.00	1	0.00	1
8007	-666	-823	Min.	66.59					0.43	5			-0.10	5		
8007	-666	-823	Min.	176.65	-149.55	5	-2.16	5	-0.76	5	-0.15	5	-0.26	5	0.00	1
8007	-823	4288	Max	0.00	174.16	5	2.17	5	-0.75	5	0.09	5	0.08	5	0.02	5
8007	-823	4288	Max	109.33					0.43	5			0.03	5		
8007	-823	4288	Max	176.65	174.02	5	-1.30	5	0.00	5	0.09	5	0.00	5	0.02	5
8007	-823	4288	Min.	0.00	-182.50	5	2.16	5	-0.77	5	-0.04	5	-0.16	5	-0.02	5
8007	-823	4288	Min.	109.33					0.43	5			-0.06	5		
8007	-823	4288	Min.	176.65	-182.64	5	-1.31	5	0.00	5	-0.04	5	0.00	5	-0.02	5
8008	4287	-823	Max	0.00	98.23	5	1.30	5	0.00	1	0.03	5	0.00	1	0.00	1
8008	4287	-823	Max	66.49					0.43	5			0.02	5		
8008	4287	-823	Max	176.65	98.37	5	-2.16	5	-0.76	5	0.03	5	0.05	5	0.00	1
8008	4287	-823	Min.	0.00	-144.29	5	1.30	5	0.00	1	-0.02	5	0.00	1	0.00	1
8008	4287	-823	Min.	66.49					0.43	5			-0.01	5		
8008	4287	-823	Min.	176.65	-144.16	5	-2.17	5	-0.77	5	-0.02	5	-0.03	5	0.00	1
8008	-823	-667	Max	0.00	109.32	5	2.17	5	-0.76	5	0.06	5	0.05	5	0.00	5
8008	-823	-667	Max	109.46					0.43	5			0.02	5		
8008	-823	-667	Max	176.65	109.46	5	-1.30	5	0.00	5	0.06	5	0.00	5	0.00	5
8008	-823	-667	Min.	0.00	-192.35	5	2.16	5	-0.77	5	-0.03	5	-0.11	5	-0.01	5

8008	-823	-667	Min.	109.46					0.43	5			-0.04	5		
8008	-823	-667	Min.	176.65	-192.22	5	-1.30	5	0.00	5	-0.03	5	0.00	5	-0.01	5
8009	4030	-806	Max	0.00	128.02	5	1.37	5	0.00	1	0.03	5	0.00	1	0.00	1
8009	4030	-806	Max	69.77					0.48	5			0.02	5		
8009	4030	-806	Max	185.43	128.16	5	-2.27	5	-0.83	5	0.03	5	0.05	5	0.00	1
8009	4030	-806	Min.	0.00	-158.39	5	1.36	5	0.00	1	-0.02	5	0.00	1	0.00	1
8009	4030	-806	Min.	69.77					0.47	5			-0.02	5		
8009	4030	-806	Min.	185.43	-158.25	5	-2.27	5	-0.85	5	-0.02	5	-0.04	5	0.00	1
8009	-806	-661	Max	0.00	136.14	5	2.27	5	-0.84	5	0.06	5	0.17	5	0.01	5
8009	-806	-661	Max	114.89					0.48	5			0.06	5		
8009	-806	-661	Max	185.43	136.28	5	-1.36	5	0.00	5	0.06	5	0.00	1	0.01	5
8009	-806	-661	Min.	0.00	-166.88	5	2.27	5	-0.85	5	-0.09	5	-0.11	5	-0.00	5
8009	-806	-661	Min.	114.89					0.47	5			-0.04	5		
8009	-806	-661	Min.	185.43	-166.74	5	-1.37	5	0.00	5	-0.09	5	0.00	1	-0.00	5
8010	-660	-806	Max	0.00	136.41	5	1.37	5	0.00	1	0.09	5	0.00	1	0.00	1
8010	-660	-806	Max	69.73					0.48	5			0.06	5		
8010	-660	-806	Max	185.43	136.27	5	-2.27	5	-0.84	5	0.09	5	0.17	5	0.00	1
8010	-660	-806	Min.	0.00	-166.75	5	1.36	5	0.00	1	-0.06	5	0.00	1	0.00	1
8010	-660	-806	Min.	69.73					0.47	5			-0.04	5		
8010	-660	-806	Min.	185.43	-166.88	5	-2.27	5	-0.85	5	-0.06	5	-0.11	5	0.00	1
8010	-806	4031	Max	0.00	128.52	5	2.27	5	-0.83	5	0.02	5	0.04	5	0.03	5
8010	-806	4031	Max	114.86					0.48	5			0.02	5		
8010	-806	4031	Max	185.43	128.38	5	-1.36	5	0.00	5	0.02	5	0.00	5	0.03	5
8010	-806	4031	Min.	0.00	-158.39	5	2.27	5	-0.85	5	-0.02	5	-0.04	5	-0.01	5
8010	-806	4031	Min.	114.86					0.47	5			-0.02	5		
8010	-806	4031	Min.	185.43	-158.52	5	-1.37	5	0.00	5	-0.02	5	0.00	5	-0.01	5
8011	-660	-808	Max	0.00	-31.01	1	1.37	5	0.00	1	-0.00	5	0.00	1	0.00	1
8011	-660	-808	Max	69.68					0.48	5			-0.00	5		
8011	-660	-808	Max	185.43	-30.87	1	-2.27	5	-0.84	5	-0.00	5	-0.00	5	0.00	1
8011	-660	-808	Min.	0.00	-130.78	1	1.37	5	0.00	1	-0.02	5	0.00	1	0.00	1
8011	-660	-808	Min.	69.68					0.48	5			-0.02	5		
8011	-660	-808	Min.	185.43	-130.65	1	-2.27	5	-0.84	5	-0.02	5	-0.04	5	0.00	1
8011	-808	-789	Max	0.00	-46.83	5	2.27	5	-0.84	5	-0.02	5	0.12	5	0.00	5
8011	-808	-789	Max	114.91					0.48	5			0.04	5		
8011	-808	-789	Max	185.43	-46.69	5	-1.37	5	0.00	1	-0.02	5	0.00	1	0.00	5
8011	-808	-789	Min.	0.00	-114.13	5	2.27	5	-0.84	5	-0.06	5	0.04	5	0.00	5
8011	-808	-789	Min.	114.91					0.48	5			0.02	5		
8011	-808	-789	Min.	185.43	-113.99	5	-1.37	5	0.00	1	-0.06	5	0.00	1	0.00	5
8012	-788	-808	Max	0.00	-46.68	5	1.37	5	0.00	1	0.06	5	0.00	1	0.00	1
8012	-788	-808	Max	69.70					0.48	5			0.04	5		
8012	-788	-808	Max	185.43	-46.82	5	-2.27	5	-0.84	5	0.06	5	0.12	5	0.00	1
8012	-788	-808	Min.	0.00	-113.96	5	1.37	5	0.00	1	0.03	5	0.00	1	0.00	1
8012	-788	-808	Min.	69.70					0.48	5			0.02	5		
8012	-788	-808	Min.	185.43	-114.09	5	-2.27	5	-0.84	5	0.03	5	0.05	5	0.00	1
8012	-808	-661	Max	0.00	-30.83	1	2.27	5	-0.84	5	0.02	1	-0.00	1	-0.00	5
8012	-808	-661	Max	148.34					0.37	5			-0.00	5		
8012	-808	-661	Max	185.43	-30.97	1	-1.37	5	0.00	5	0.02	1	0.00	1	-0.00	5
8012	-808	-661	Min.	0.00	-130.60	1	2.27	5	-0.84	5	0.00	1	-0.04	1	-0.01	5
8012	-808	-661	Min.	111.26					0.47	1			-0.02	1		
8012	-808	-661	Min.	185.43	-130.74	1	-1.37	5	0.00	5	0.00	1	0.00	1	-0.01	5
8013	-788	-810	Max	0.00	-46.76	5	1.37	5	0.00	1	-0.02	5	0.00	1	0.00	1
8013	-788	-810	Max	69.70					0.48	5			-0.02	5		
8013	-788	-810	Max	185.43	-46.90	5	-2.27	5	-0.84	5	-0.02	5	-0.05	5	0.00	1
8013	-788	-810	Min.	0.00	-113.94	5	1.37	5	0.00	1	-0.06	5	0.00	1	0.00	1
8013	-788	-810	Min.	69.70					0.48	5			-0.04	5		
8013	-788	-810	Min.	185.43	-114.08	5	-2.27	5	-0.84	5	-0.06	5	-0.12	5	0.00	1
8013	-810	-669	Max	0.00	-31.04	1	2.27	5	-0.84	5	-0.00	5	0.04	5	0.01	5
8013	-810	-669	Max	114.92					0.48	5			0.01	5		
8013	-810	-669	Max	185.43	-31.17	1	-1.37	5	0.00	5	-0.00	5	0.00	1	0.01	5

8013	-810	-669	Min.	0.00	-130.48	1	2.27	5	-0.84	5	-0.02	5	0.00	5	0.00	5
8013	-810	-669	Min.	114.92					0.48	5			0.00	5		
8013	-810	-669	Min.	185.43	-130.61	1	-1.37	5	0.00	5	-0.02	5	0.00	1	0.00	5
8014	-668	-810	Max	0.00	-31.15	1	1.37	5	0.00	1	0.02	5	0.00	1	0.00	1
8014	-668	-810	Max	69.68					0.48	5			0.02	5		
8014	-668	-810	Max	185.43	-31.01	1	-2.27	5	-0.84	5	0.02	5	0.04	5	0.00	1
8014	-668	-810	Min.	0.00	-130.59	1	1.37	5	0.00	1	0.00	5	0.00	1	0.00	1
8014	-668	-810	Min.	69.68					0.48	5			0.00	5		
8014	-668	-810	Min.	185.43	-130.46	1	-2.27	5	-0.84	5	0.00	5	0.00	5	0.00	1
8014	-810	-789	Max	0.00	-46.86	5	2.27	5	-0.84	5	0.06	5	-0.05	5	-0.00	5
8014	-810	-789	Max	148.34					0.37	5			-0.01	5		
8014	-810	-789	Max	185.43	-46.72	5	-1.37	5	0.00	5	0.06	5	0.00	5	-0.00	5
8014	-810	-789	Min.	0.00	-114.06	5	2.27	5	-0.84	5	0.02	5	-0.12	5	-0.00	5
8014	-810	-789	Min.	114.91					0.48	5			-0.04	5		
8014	-810	-789	Min.	185.43	-113.92	5	-1.37	5	0.00	5	0.02	5	0.00	5	-0.00	5
8015	-668	-812	Max	0.00	136.20	5	1.37	5	0.00	1	0.06	5	0.00	1	0.00	1
8015	-668	-812	Max	69.73					0.48	5			0.04	5		
8015	-668	-812	Max	185.43	136.06	5	-2.27	5	-0.84	5	0.06	5	0.11	5	0.00	1
8015	-668	-812	Min.	0.00	-166.69	5	1.36	5	0.00	1	-0.09	5	0.00	1	0.00	1
8015	-668	-812	Min.	69.73					0.47	5			-0.06	5		
8015	-668	-812	Min.	185.43	-166.83	5	-2.27	5	-0.85	5	-0.09	5	-0.17	5	0.00	1
8015	-812	4291	Max	0.00	128.20	5	2.27	5	-0.83	5	0.02	5	0.04	5	0.01	5
8015	-812	4291	Max	114.86					0.48	5			0.02	5		
8015	-812	4291	Max	185.43	128.06	5	-1.36	5	0.00	5	0.02	5	0.00	1	0.01	5
8015	-812	4291	Min.	0.00	-158.26	5	2.27	5	-0.85	5	-0.02	5	-0.04	5	-0.03	5
8015	-812	4291	Min.	114.86					0.47	5			-0.02	5		
8015	-812	4291	Min.	185.43	-158.40	5	-1.37	5	0.00	5	-0.02	5	0.00	1	-0.03	5
8016	4290	-812	Max	0.00	128.14	5	1.37	5	0.00	1	0.02	5	0.00	1	0.00	1
8016	4290	-812	Max	69.77					0.48	5			0.02	5		
8016	4290	-812	Max	185.43	128.28	5	-2.27	5	-0.83	5	0.02	5	0.04	5	0.00	1
8016	4290	-812	Min.	0.00	-158.46	5	1.36	5	0.00	1	-0.02	5	0.00	1	0.00	1
8016	4290	-812	Min.	69.77					0.47	5			-0.02	5		
8016	4290	-812	Min.	185.43	-158.32	5	-2.27	5	-0.85	5	-0.02	5	-0.04	5	0.00	1
8016	-812	-669	Max	0.00	136.13	5	2.27	5	-0.84	5	0.09	5	0.11	5	0.00	5
8016	-812	-669	Max	114.89					0.48	5			0.04	5		
8016	-812	-669	Max	185.43	136.27	5	-1.36	5	0.00	5	0.09	5	0.00	5	0.00	5
8016	-812	-669	Min.	0.00	-166.86	5	2.27	5	-0.85	5	-0.06	5	-0.17	5	-0.01	5
8016	-812	-669	Min.	114.89					0.47	5			-0.06	5		
8016	-812	-669	Min.	185.43	-166.72	5	-1.37	5	0.00	5	-0.06	5	0.00	5	-0.01	5
8017	4033	-793	Max	0.00	173.71	5	1.31	5	0.00	1	0.09	5	0.00	1	0.00	1
8017	4033	-793	Max	66.61					0.43	5			0.06	5		
8017	4033	-793	Max	176.65	173.85	5	-2.16	5	-0.75	5	0.09	5	0.16	5	0.00	1
8017	4033	-793	Min.	0.00	-182.25	5	1.30	5	0.00	1	-0.04	5	0.00	1	0.00	1
8017	4033	-793	Min.	66.61					0.43	5			-0.03	5		
8017	4033	-793	Min.	176.65	-182.11	5	-2.17	5	-0.77	5	-0.04	5	-0.08	5	0.00	1
8017	-793	-663	Max	0.00	177.03	5	2.16	5	-0.75	5	0.10	5	0.27	5	0.01	5
8017	-793	-663	Max	109.33					0.43	5			0.10	5		
8017	-793	-663	Max	176.65	177.17	5	-1.30	5	0.00	1	0.10	5	0.00	5	0.01	5
8017	-793	-663	Min.	0.00	-149.28	5	2.16	5	-0.76	5	-0.15	5	-0.17	5	-0.00	5
8017	-793	-663	Min.	109.33					0.43	5			-0.07	5		
8017	-793	-663	Min.	176.65	-149.14	5	-1.31	5	0.00	1	-0.15	5	0.00	5	-0.00	5
8018	-662	-793	Max	0.00	109.62	5	1.30	5	0.00	1	0.06	5	0.00	1	0.00	1
8018	-662	-793	Max	66.41					0.43	5			0.04	5		
8018	-662	-793	Max	176.65	109.48	5	-2.16	5	-0.76	5	0.06	5	0.11	5	0.00	1
8018	-662	-793	Min.	0.00	-192.38	5	1.30	5	0.00	1	-0.03	5	0.00	1	0.00	1
8018	-662	-793	Min.	66.41					0.43	5			-0.02	5		
8018	-662	-793	Min.	176.65	-192.52	5	-2.17	5	-0.77	5	-0.03	5	-0.05	5	0.00	1
8018	-793	4034	Max	0.00	98.59	5	2.17	5	-0.76	5	0.03	5	0.03	5	0.03	5
8018	-793	4034	Max	109.41					0.43	5			0.01	5		

8018	-793	4034	Max	176.65	98.45	5	-1.30	5	0.00	5	0.03	5	0.00	1	0.03	5
8018	-793	4034	Min.	0.00	-144.37	5	2.16	5	-0.77	5	-0.02	5	-0.05	5	-0.01	5
8018	-793	4034	Min.	109.41					0.43	5			-0.02	5		
8018	-793	4034	Min.	176.65	-144.51	5	-1.30	5	0.00	5	-0.02	5	0.00	1	-0.01	5
8019	-662	-797	Max	0.00	10.56	5	1.30	1	0.00	1	0.05	5	0.00	1	0.00	1
8019	-662	-797	Max	66.44					0.43	5			0.04	5		
8019	-662	-797	Max	176.65	10.70	5	-2.16	1	-0.76	1	0.05	5	0.10	5	0.00	1
8019	-662	-797	Min.	0.00	-106.59	5	1.30	1	0.00	1	-0.07	5	0.00	1	0.00	1
8019	-662	-797	Min.	66.44					0.43	5			-0.05	5		
8019	-662	-797	Min.	176.65	-106.45	5	-2.16	1	-0.76	1	-0.07	5	-0.12	5	0.00	1
8019	-797	-791	Max	0.00	37.41	5	2.16	5	-0.76	5	0.03	5	0.20	5	0.00	5
8019	-797	-791	Max	109.42					0.43	5			0.07	5		
8019	-797	-791	Max	176.65	37.55	5	-1.30	5	0.00	5	0.03	5	0.00	5	0.00	5
8019	-797	-791	Min.	0.00	-71.93	5	2.16	5	-0.76	5	-0.11	5	-0.06	5	0.00	5
8019	-797	-791	Min.	109.42					0.43	5			-0.02	5		
8019	-797	-791	Min.	176.65	-71.79	5	-1.30	5	0.00	5	-0.11	5	0.00	5	0.00	5
8020	-790	-797	Max	0.00	-100.77	1	1.30	5	0.00	1	0.09	5	0.00	1	0.00	1
8020	-790	-797	Max	66.43					0.43	5			0.06	5		
8020	-790	-797	Max	176.65	-100.91	1	-2.16	5	-0.76	5	0.09	5	0.16	5	0.00	1
8020	-790	-797	Min.	0.00	-127.14	1	1.30	5	0.00	1	0.02	5	0.00	1	0.00	1
8020	-790	-797	Min.	66.43					0.43	5			0.01	5		
8020	-790	-797	Min.	176.65	-127.28	1	-2.16	5	-0.76	5	0.02	5	0.03	5	0.00	1
8020	-797	-663	Max	0.00	-41.71	1	2.16	5	-0.76	5	0.04	5	0.08	5	0.00	5
8020	-797	-663	Max	109.46					0.43	5			0.03	5		
8020	-797	-663	Max	176.65	-41.85	1	-1.30	5	0.00	5	0.04	5	0.00	1	0.00	5
8020	-797	-663	Min.	0.00	-126.94	1	2.16	5	-0.76	5	-0.04	5	-0.08	5	-0.00	5
8020	-797	-663	Min.	109.46					0.43	5			-0.03	5		
8020	-797	-663	Min.	176.65	-127.07	1	-1.30	5	0.00	5	-0.04	5	0.00	1	-0.00	5
8021	-790	-799	Max	0.00	-100.95	1	1.30	5	0.00	1	-0.02	5	0.00	1	0.00	1
8021	-790	-799	Max	66.43					0.43	5			-0.01	5		
8021	-790	-799	Max	176.65	-101.08	1	-2.16	5	-0.76	5	-0.02	5	-0.03	5	0.00	1
8021	-790	-799	Min.	0.00	-127.01	1	1.30	5	0.00	1	-0.09	5	0.00	1	0.00	1
8021	-790	-799	Min.	66.43					0.43	5			-0.06	5		
8021	-790	-799	Min.	176.65	-127.15	1	-2.16	5	-0.76	5	-0.09	5	-0.16	5	0.00	1
8021	-799	-671	Max	0.00	-41.86	1	2.16	5	-0.76	5	0.04	5	0.08	5	0.00	5
8021	-799	-671	Max	109.47					0.43	5			0.03	5		
8021	-799	-671	Max	176.65	-42.00	1	-1.30	5	0.00	5	0.04	5	0.00	5	0.00	5
8021	-799	-671	Min.	0.00	-126.85	1	2.16	5	-0.76	5	-0.04	5	-0.08	5	-0.00	5
8021	-799	-671	Min.	109.47					0.43	5			-0.03	5		
8021	-799	-671	Min.	176.65	-126.98	1	-1.30	5	0.00	5	-0.04	5	0.00	5	-0.00	5
8022	-670	-799	Max	0.00	10.57	5	1.30	1	0.00	1	0.07	5	0.00	1	0.00	1
8022	-670	-799	Max	66.44					0.43	5			0.05	5		
8022	-670	-799	Max	176.65	10.70	5	-2.16	1	-0.76	1	0.07	5	0.12	5	0.00	1
8022	-670	-799	Min.	0.00	-106.55	5	1.30	1	0.00	1	-0.05	5	0.00	1	0.00	1
8022	-670	-799	Min.	66.44					0.43	5			-0.04	5		
8022	-670	-799	Min.	176.65	-106.42	5	-2.16	1	-0.76	1	-0.05	5	-0.10	5	0.00	1
8022	-799	-791	Max	0.00	37.42	5	2.16	5	-0.76	5	0.11	5	0.06	5	0.00	5
8022	-799	-791	Max	109.42					0.43	5			0.02	5		
8022	-799	-791	Max	176.65	37.55	5	-1.30	5	0.00	5	0.11	5	0.00	5	0.00	5
8022	-799	-791	Min.	0.00	-71.87	5	2.16	5	-0.76	5	-0.03	5	-0.20	5	-0.00	5
8022	-799	-791	Min.	109.42					0.43	5			-0.07	5		
8022	-799	-791	Min.	176.65	-71.73	5	-1.30	5	0.00	5	-0.03	5	0.00	5	-0.00	5
8023	-670	-801	Max	0.00	109.47	5	1.30	5	0.00	1	0.03	5	0.00	1	0.00	1
8023	-670	-801	Max	66.42					0.43	5			0.02	5		
8023	-670	-801	Max	176.65	109.33	5	-2.16	5	-0.76	5	0.03	5	0.05	5	0.00	1
8023	-670	-801	Min.	0.00	-192.33	5	1.30	5	0.00	1	-0.06	5	0.00	1	0.00	1
8023	-670	-801	Min.	66.42					0.43	5			-0.04	5		
8023	-670	-801	Min.	176.65	-192.47	5	-2.17	5	-0.77	5	-0.06	5	-0.11	5	0.00	1
8023	-801	4294	Max	0.00	98.39	5	2.17	5	-0.76	5	0.02	5	0.05	5	0.01	5

8023	-801	4294	Max	109.41					0.43	5			0.02	5		
8023	-801	4294	Max	176.65	98.25	5	-1.30	5	0.00	5	0.02	5	0.00	5	0.01	5
8023	-801	4294	Min.	0.00	-144.30	5	2.16	5	-0.77	5	-0.03	5	-0.03	5	-0.03	5
8023	-801	4294	Min.	109.41					0.43	5			-0.01	5		
8023	-801	4294	Min.	176.65	-144.44	5	-1.30	5	0.00	5	-0.03	5	0.00	5	-0.03	5
8024	4293	-801	Max	0.00	173.90	5	1.31	5	0.00	1	0.04	5	0.00	1	0.00	1
8024	4293	-801	Max	66.61					0.43	5			0.03	5		
8024	4293	-801	Max	176.65	174.04	5	-2.16	5	-0.75	5	0.04	5	0.08	5	0.00	1
8024	4293	-801	Min.	0.00	-182.42	5	1.30	5	0.00	1	-0.09	5	0.00	1	0.00	1
8024	4293	-801	Min.	66.61					0.43	5			-0.06	5		
8024	4293	-801	Min.	176.65	-182.28	5	-2.17	5	-0.77	5	-0.09	5	-0.16	5	0.00	1
8024	-801	-671	Max	0.00	177.12	5	2.16	5	-0.75	5	0.15	5	0.17	5	0.00	5
8024	-801	-671	Max	109.33					0.43	5			0.06	5		
8024	-801	-671	Max	176.65	177.26	5	-1.30	5	0.00	5	0.15	5	0.00	1	0.00	5
8024	-801	-671	Min.	0.00	-149.31	5	2.16	5	-0.76	5	-0.10	5	-0.26	5	-0.01	5
8024	-801	-671	Min.	109.33					0.43	5			-0.10	5		
8024	-801	-671	Min.	176.65	-149.18	5	-1.31	5	0.00	5	-0.10	5	0.00	1	-0.01	5

Tipo di combinazione di carico: SLD

Asta	N1	N2		X <cm>	N <daN>	C C	Ty <daN>	C C	Mz <daNm>	C C	Tz <daN>	C C	My <daNm>	C C	Mx <daNm>	C C
1	2001	3001	Max	0.00	3.55	2	0.96	2	0.04	2	19.32	2	0.29	2	0.09	2
1	2001	3001	Max	0.84					0.00	8			-0.09	8		
1	2001	3001	Max	7.94	3.86	2	0.96	2	0.12	2	19.32	2	0.72	2	0.09	2
1	2001	3001	Min.	0.00	-8.87	2	-0.71	2	-0.06	2	-5.29	2	-0.81	2	-0.13	2
1	2001	3001	Min.	0.84					-0.03	8			-0.31	8		
1	2001	3001	Min.	7.94	-8.56	2	-0.71	2	-0.12	2	-5.29	2	-0.13	2	-0.13	2
2	2002	3002	Max	0.00	0.09	2	1.05	2	0.04	2	24.79	2	-0.02	2	0.10	2
2	2002	3002	Max	7.94	0.40	2	1.05	2	0.12	2	24.79	2	0.91	2	0.10	2
2	2002	3002	Min.	0.00	-13.17	2	-0.80	2	-0.06	2	1.45	2	-1.06	2	-0.13	2
2	2002	3002	Min.	7.94	-12.86	2	-0.80	2	-0.12	2	1.45	2	0.10	2	-0.13	2
3	2003	3003	Max	0.00	-7.67	2	1.09	2	0.07	2	45.31	2	-0.71	2	0.08	2
3	2003	3003	Max	7.94	-7.35	2	1.09	2	0.15	2	45.31	2	1.73	2	0.08	2
3	2003	3003	Min.	0.00	-20.80	2	-0.62	2	-0.03	2	19.52	2	-1.87	2	-0.13	2
3	2003	3003	Min.	7.94	-20.49	2	-0.62	2	-0.08	2	19.52	2	0.84	2	-0.13	2
4	2004	3004	Max	0.00	-5.03	2	1.02	2	0.05	2	35.45	2	-0.41	2	0.10	2
4	2004	3004	Max	7.94	-4.72	2	1.02	2	0.13	2	35.45	2	1.37	2	0.10	2
4	2004	3004	Min.	0.00	-18.01	2	-0.83	2	-0.04	2	12.32	2	-1.44	2	-0.13	2
4	2004	3004	Min.	7.94	-17.70	2	-0.83	2	-0.10	2	12.32	2	0.57	2	-0.13	2
5	2005	3005	Max	0.00	-3.11	2	0.73	2	0.04	2	36.74	2	-0.31	2	0.13	2
5	2005	3005	Max	7.94	-2.80	2	0.73	2	0.09	2	36.74	2	1.43	2	0.13	2
5	2005	3005	Min.	0.00	-16.49	2	-1.10	2	-0.06	2	10.43	2	-1.49	2	-0.09	2
5	2005	3005	Min.	7.94	-16.18	2	-1.10	2	-0.15	2	10.43	2	0.52	2	-0.09	2
6	2006	3006	Max	0.00	-9.51	2	0.55	2	0.02	2	43.05	2	-0.75	2	0.14	2
6	2006	3006	Max	7.94	-9.20	2	0.55	2	0.07	2	43.05	2	1.65	2	0.14	2
6	2006	3006	Min.	0.00	-22.25	2	-1.20	2	-0.07	2	20.32	2	-1.77	2	-0.08	2
6	2006	3006	Min.	7.94	-21.94	2	-1.20	2	-0.16	2	20.32	2	0.86	2	-0.08	2
7	2007	3007	Max	0.00	0.70	2	0.90	2	0.06	2	26.84	2	0.00	2	0.16	2
7	2007	3007	Max	0.40					0.02	8			-0.40	8		
7	2007	3007	Max	7.94	1.01	2	0.90	2	0.13	2	26.84	2	0.98	2	0.16	2
7	2007	3007	Min.	0.00	-12.58	2	-1.37	2	-0.04	2	1.27	2	-1.15	2	-0.11	2
7	2007	3007	Min.	0.40					-0.00	8			-0.64	8		
7	2007	3007	Min.	7.94	-12.27	2	-1.37	2	-0.14	2	1.27	2	0.10	2	-0.11	2
8	2008	3008	Max	0.00	2.76	2	0.83	2	0.06	2	17.63	2	0.20	2	0.14	2
8	2008	3008	Max	0.84					0.03	8			-0.12	8		
8	2008	3008	Max	7.94	3.07	2	0.83	2	0.12	2	17.63	2	0.65	2	0.14	2
8	2008	3008	Min.	0.00	-9.26	2	-1.31	2	-0.03	2	-3.37	2	-0.75	2	-0.10	2

8	2008	3008	Min.	0.84					-0.00	8			-0.31	8		
8	2008	3008	Min.	7.94	-8.95	2	-1.31	2	-0.13	2	-3.37	2	-0.07	2	-0.10	2
9	9	-513	Max	0.00	0.70	6	0.07	6	0.02	2	27.99	2	0.35	2	0.14	2
9	9	-513	Max	9.29	1.07	6	0.07	6	0.03	2	27.99	2	1.25	2	0.14	2
9	9	-513	Min.	0.00	-1.63	6	0.01	6	-0.02	2	-6.75	2	-1.35	2	-0.19	2
9	9	-513	Min.	9.29	-1.26	6	0.01	6	-0.01	2	-6.75	2	-0.27	2	-0.19	2
10	10	-514	Max	0.00	13.47	2	0.34	2	0.03	2	19.54	2	-0.08	2	0.13	2
10	10	-514	Max	9.29	13.84	2	0.34	2	0.01	2	19.54	2	0.83	2	0.13	2
10	10	-514	Min.	0.00	0.44	2	-0.36	2	-0.02	2	2.09	2	-0.98	2	-0.18	2
10	10	-514	Min.	9.29	0.81	2	-0.36	2	-0.01	2	2.09	2	0.11	2	-0.18	2
11	11	-515	Max	0.00	1.12	6	0.19	2	0.03	2	64.06	2	-1.29	2	0.10	2
11	11	-515	Max	2.61					0.01	8			-0.90	8		
11	11	-515	Max	9.29	1.49	6	0.19	2	0.02	2	64.06	2	2.92	2	0.10	2
11	11	-515	Min.	0.00	-1.96	6	-0.17	2	-0.02	2	27.98	2	-3.04	2	-0.17	2
11	11	-515	Min.	2.61					0.00	8			-1.03	8		
11	11	-515	Min.	9.29	-1.59	6	-0.17	2	-0.00	2	27.98	2	1.31	2	-0.17	2
12	12	-516	Max	0.00	18.07	2	0.57	2	0.04	2	26.92	2	-0.46	2	0.11	2
12	12	-516	Max	9.29	18.43	2	0.57	2	0.04	2	26.92	2	1.17	2	0.11	2
12	12	-516	Min.	0.00	4.92	2	-0.34	2	-0.01	2	10.04	2	-1.33	2	-0.16	2
12	12	-516	Min.	9.29	5.28	2	-0.34	2	0.00	2	10.04	2	0.47	2	-0.16	2
13	13	-517	Max	0.00	0.60	6	0.27	2	0.02	2	51.89	2	-0.70	2	0.16	2
13	13	-517	Max	9.29	0.96	6	0.27	2	0.01	2	51.89	2	2.37	2	0.16	2
13	13	-517	Min.	0.00	-2.60	6	-0.11	2	-0.03	2	15.74	2	-2.45	2	-0.12	2
13	13	-517	Min.	9.29	-2.23	6	-0.11	2	-0.01	2	15.74	2	0.76	2	-0.12	2
14	14	-518	Max	0.00	22.41	2	0.70	2	0.03	2	32.58	2	-0.77	2	0.15	2
14	14	-518	Max	9.29	22.77	2	0.70	2	0.04	2	32.58	2	1.40	2	0.15	2
14	14	-518	Min.	0.00	9.26	2	-0.15	2	-0.02	2	16.00	2	-1.64	2	-0.10	2
14	14	-518	Min.	9.29	9.62	2	-0.15	2	0.01	2	16.00	2	0.71	2	-0.10	2
15	15	-519	Max	0.00	0.36	6	0.43	2	0.03	2	40.61	2	-0.19	2	0.19	2
15	15	-519	Max	9.29	0.72	6	0.43	2	0.01	6	40.61	2	1.84	2	0.19	2
15	15	-519	Min.	0.00	-2.97	6	-0.16	2	-0.03	2	4.70	2	-1.94	2	-0.14	2
15	15	-519	Min.	9.29	-2.61	6	-0.16	2	0.01	6	4.70	2	0.24	2	-0.14	2
16	16	-520	Max	0.00	9.52	2	0.74	2	0.02	2	13.91	2	0.13	2	0.17	2
16	16	-520	Max	9.29	9.89	2	0.74	2	0.04	2	13.91	2	0.59	2	0.17	2
16	16	-520	Min.	0.00	-2.34	2	-0.33	2	-0.03	2	-1.99	2	-0.71	2	-0.13	2
16	16	-520	Min.	9.29	-1.98	2	-0.33	2	-0.01	2	-1.99	2	-0.06	2	-0.13	2
17	17	-529	Max	0.00	16.79	6	0.99	2	0.03	2	28.80	6	0.39	2	0.10	2
17	17	-529	Max	10.65	17.21	6	0.99	2	0.07	2	28.80	6	1.78	6	0.10	2
17	17	-529	Min.	0.00	-7.11	6	-0.79	2	-0.04	2	-6.42	6	-1.43	2	-0.12	2
17	17	-529	Min.	10.65	-6.70	6	-0.79	2	-0.06	2	-6.42	6	-0.44	6	-0.12	2
18	18	-530	Max	0.00	25.11	6	0.07	2	0.03	6	28.08	6	-0.13	2	0.11	2
18	18	-530	Max	10.65	25.53	6	0.07	2	0.02	6	28.08	6	1.72	6	0.11	2
18	18	-530	Min.	0.00	-2.86	6	-0.29	2	-0.00	6	0.30	6	-1.30	2	-0.14	2
18	18	-530	Min.	10.65	-2.44	6	-0.29	2	-0.02	6	0.30	6	-0.12	6	-0.14	2
19	19	-531	Max	0.00	19.09	6	0.84	2	0.03	2	58.81	6	-1.15	2	0.12	2
19	19	-531	Max	10.65	19.51	6	0.84	2	0.05	2	58.81	6	3.37	6	0.12	2
19	19	-531	Min.	0.00	-5.83	6	-0.95	2	-0.04	2	23.49	6	-3.07	2	-0.17	2
19	19	-531	Min.	10.65	-5.41	6	-0.95	2	-0.08	2	23.49	6	1.18	6	-0.17	2
20	20	-532	Max	0.00	32.98	6	0.39	2	0.01	2	35.24	6	-0.49	2	0.12	2
20	20	-532	Max	10.65	33.40	6	0.39	2	0.01	2	35.24	6	2.14	6	0.12	2
20	20	-532	Min.	0.00	5.13	6	-0.28	2	-0.03	2	7.78	6	-1.62	2	-0.19	2
20	20	-532	Min.	10.65	5.55	6	-0.28	2	-0.02	2	7.78	6	0.34	6	-0.19	2
21	21	-533	Max	0.00	19.41	6	0.64	2	0.04	2	49.27	6	-0.63	2	0.17	2
21	21	-533	Max	10.65	19.83	6	0.64	2	0.04	2	49.27	6	2.90	6	0.17	2
21	21	-533	Min.	0.00	-5.59	6	-1.23	2	-0.03	2	14.64	6	-2.54	2	-0.12	2
21	21	-533	Min.	10.65	-5.17	6	-1.23	2	-0.09	2	14.64	6	0.73	6	-0.12	2
22	22	-534	Max	0.00	35.83	6	0.24	2	0.02	2	40.06	6	-0.75	6	0.17	2
22	22	-534	Max	10.65	36.24	6	0.24	2	0.01	2	40.06	6	2.35	6	0.17	2
22	22	-534	Min.	0.00	8.03	6	-0.44	2	-0.01	2	12.02	6	-1.92	6	-0.13	2

22	22	-534	Min.	10.65	8.45	6	-0.44	2	-0.02	2	12.02	6	0.53	6	-0.13	2
23	23	-535	Max	0.00	14.94	6	0.70	2	0.04	2	40.40	6	-0.24	2	0.19	2
23	23	-535	Max	10.65	15.36	6	0.70	2	0.04	2	40.40	6	2.37	6	0.19	2
23	23	-535	Min.	0.00	-9.27	6	-1.29	2	-0.03	2	5.39	6	-2.10	2	-0.14	2
23	23	-535	Min.	10.65	-8.85	6	-1.29	2	-0.09	2	5.39	6	0.17	6	-0.14	2
24	24	-536	Max	0.00	23.22	6	0.47	6	0.01	6	22.39	6	0.15	6	0.20	2
24	24	-536	Max	8.52					-0.01	4			0.39	4		
24	24	-536	Max	10.65	23.64	6	0.47	6	0.01	6	22.39	6	1.43	6	0.20	2
24	24	-536	Min.	0.00	-5.25	6	-0.24	6	-0.04	6	-4.74	6	-0.96	6	-0.15	2
24	24	-536	Min.	8.52					-0.00	4			0.31	4		
24	24	-536	Min.	10.65	-4.83	6	-0.24	6	-0.02	6	-4.74	6	-0.35	6	-0.15	2
25	2025	4025	Max	0.00	44.16	2	0.34	2	-0.01	6	107.05	6	5.75	6	0.02	6
25	2025	4025	Max	12.00	44.63	2	0.34	2	0.02	2	107.05	6	4.79	6	0.02	6
25	2025	4025	Min.	0.00	-30.22	2	0.06	2	-0.02	6	-84.80	6	-8.05	6	-0.05	6
25	2025	4025	Min.	12.00	-29.74	2	0.06	2	-0.01	2	-84.80	6	-4.42	6	-0.05	6
26	1026	2026	Max	0.00	-232.00	6	103.31	6	356.27	6	81.49	2	1.77	2	1.27	6
26	1026	2026	Max	9.00	-229.98	6	103.31	6	365.56	6	81.49	2	9.10	2	1.27	6
26	1026	2026	Min.	0.00	-402.02	6	-38.66	6	-141.18	6	-48.73	2	-26.83	2	-2.02	6
26	1026	2026	Min.	9.00	-400.00	6	-38.66	6	-144.66	6	-48.73	2	-31.22	2	-2.02	6
26	2026	4026	Max	0.00	-117.93	2	72.18	2	9.08	2	2112.78	6	129.04	6	4.65	2
26	2026	4026	Max	7.00	-116.36	2	72.18	2	14.13	2	2112.78	6	59.38	6	4.65	2
26	2026	4026	Min.	0.00	-146.65	2	-38.90	2	-23.10	2	-995.07	6	-302.63	6	-4.26	2
26	2026	4026	Min.	7.00	-145.07	2	-38.90	2	-25.82	2	-995.07	6	-154.74	6	-4.26	2
27	2027	4027	Max	0.00	42.78	2	2.17	2	0.12	2	104.05	6	5.98	6	0.04	6
27	2027	4027	Max	12.00	43.25	2	2.17	2	0.18	2	104.05	6	4.60	6	0.04	6
27	2027	4027	Min.	0.00	-94.58	2	-3.05	2	-0.08	2	-88.74	6	-7.88	6	-0.02	6
27	2027	4027	Min.	12.00	-94.11	2	-3.05	2	-0.25	2	-88.74	6	-4.67	6	-0.02	6
28	2028	4028	Max	0.00	56.91	2	4.26	2	0.00	2	113.63	6	5.19	6	0.01	6
28	2028	4028	Max	12.00	57.38	2	4.26	2	0.35	2	113.63	6	4.79	6	0.01	6
28	2028	4028	Min.	0.00	-135.60	2	-0.52	2	-0.16	2	-81.46	6	-8.84	6	-0.05	6
28	2028	4028	Min.	12.00	-135.13	2	-0.52	2	-0.06	2	-81.46	6	-4.59	6	-0.05	6
29	1029	2029	Max	0.00	-517.46	6	136.66	6	442.12	6	88.25	2	36.35	2	1.01	2
29	1029	2029	Max	9.00	-515.43	6	136.66	6	454.42	6	88.25	2	44.29	2	1.01	2
29	1029	2029	Min.	0.00	-677.95	6	-8.99	6	-61.18	6	-73.49	2	-30.76	2	-1.26	2
29	1029	2029	Min.	9.00	-675.92	6	-8.99	6	-61.98	6	-73.49	2	-37.37	2	-1.26	2
29	2029	4029	Max	0.00	-228.58	6	75.82	2	34.95	2	2564.70	6	64.23	6	5.27	2
29	2029	4029	Max	7.00	-227.01	6	75.82	2	40.26	2	2564.70	6	23.53	6	5.27	2
29	2029	4029	Min.	0.00	-235.79	6	-63.19	2	-29.52	2	-581.45	6	-372.77	6	-4.09	2
29	2029	4029	Min.	7.00	-234.22	6	-63.19	2	-33.94	2	-581.45	6	-193.24	6	-4.09	2
30	2030	4030	Max	0.00	73.06	2	0.88	2	0.15	2	113.30	6	5.17	6	0.05	6
30	2030	4030	Max	12.00	73.53	2	0.88	2	0.09	2	113.30	6	4.77	6	0.05	6
30	2030	4030	Min.	0.00	-120.11	2	-3.81	2	-0.02	2	-81.29	6	-8.82	6	-0.01	6
30	2030	4030	Min.	12.00	-119.64	2	-3.81	2	-0.31	2	-81.29	6	-4.58	6	-0.01	6
31	2031	4031	Max	0.00	73.40	2	3.82	2	0.02	2	114.65	6	5.09	6	0.01	6
31	2031	4031	Max	12.00	73.87	2	3.82	2	0.31	2	114.65	6	4.86	6	0.01	6
31	2031	4031	Min.	0.00	-119.81	2	-0.87	2	-0.15	2	-79.97	6	-8.90	6	-0.06	6
31	2031	4031	Min.	12.00	-119.34	2	-0.87	2	-0.09	2	-79.97	6	-4.50	6	-0.06	6
32	1032	2032	Max	0.00	-517.47	6	136.65	6	442.11	6	73.43	2	30.33	2	1.36	2
32	1032	2032	Max	9.00	-515.45	6	136.65	6	454.41	6	73.43	2	36.94	2	1.36	2
32	1032	2032	Min.	0.00	-677.98	6	-9.02	6	-61.19	6	-88.34	2	-36.81	2	-0.91	2
32	1032	2032	Min.	9.00	-675.96	6	-9.02	6	-62.00	6	-88.34	2	-44.76	2	-0.91	2
32	2032	4032	Max	0.00	-228.59	6	63.07	2	29.40	2	2564.56	6	64.29	6	2.12	2
32	2032	4032	Max	7.00	-227.02	6	63.07	2	33.82	2	2564.56	6	23.52	6	2.12	2
32	2032	4032	Min.	0.00	-235.81	6	-76.03	2	-35.08	2	-582.32	6	-372.75	6	-7.11	2
32	2032	4032	Min.	7.00	-234.24	6	-76.03	2	-40.40	2	-582.32	6	-193.24	6	-7.11	2
33	2033	4033	Max	0.00	56.54	2	0.53	2	0.16	2	112.05	6	5.28	6	0.05	6
33	2033	4033	Max	12.00	57.01	2	0.53	2	0.06	2	112.05	6	4.69	6	0.05	6
33	2033	4033	Min.	0.00	-135.94	2	-4.26	2	-0.01	2	-83.02	6	-8.75	6	-0.01	6
33	2033	4033	Min.	12.00	-135.46	2	-4.26	2	-0.35	2	-83.02	6	-4.68	6	-0.01	6

34	2034	4034	Max	0.00	43.02	2	3.06	2	0.08	2	105.07	6	5.94	6	0.02	6
34	2034	4034	Max	12.00	43.49	2	3.06	2	0.25	2	105.07	6	4.67	6	0.02	6
34	2034	4034	Min.	0.00	-94.65	2	-2.16	2	-0.12	2	-88.06	6	-7.94	6	-0.05	6
34	2034	4034	Min.	12.00	-94.18	2	-2.16	2	-0.18	2	-88.06	6	-4.62	6	-0.05	6
35	1035	2035	Max	0.00	-233.02	6	103.28	6	356.18	6	48.72	2	26.62	2	1.98	6
35	1035	2035	Max	9.00	-231.00	6	103.28	6	365.48	6	48.72	2	31.00	2	1.98	6
35	1035	2035	Min.	0.00	-402.99	6	-38.77	6	-141.34	6	-81.55	2	-2.02	2	-1.27	6
35	1035	2035	Min.	9.00	-400.96	6	-38.77	6	-144.83	6	-81.55	2	-9.36	2	-1.27	6
35	2035	4035	Max	0.00	-118.25	2	38.95	2	23.05	2	2112.71	6	129.12	6	3.38	2
35	2035	4035	Max	7.00	-116.68	2	38.95	2	25.77	2	2112.71	6	59.47	6	3.38	2
35	2035	4035	Min.	0.00	-147.13	2	-72.40	2	-9.17	2	-994.92	6	-302.59	6	-5.61	2
35	2035	4035	Min.	7.00	-145.56	2	-72.40	2	-14.24	2	-994.92	6	-154.70	6	-5.61	2
36	2036	4036	Max	0.00	44.00	2	-0.06	2	0.02	6	106.45	6	5.78	6	0.05	6
36	2036	4036	Max	12.00	44.47	2	-0.06	2	0.01	2	106.45	6	4.76	6	0.05	6
36	2036	4036	Min.	0.00	-30.67	2	-0.34	2	0.01	6	-85.18	6	-8.02	6	-0.03	6
36	2036	4036	Min.	12.00	-30.20	2	-0.34	2	-0.02	2	-85.18	6	-4.44	6	-0.03	6
37	37	-545	Max	0.00	2.10	6	0.08	6	0.01	6	-35.97	6	20.89	6	-0.00	2
37	37	-545	Max	13.75	2.64	6	0.08	6	0.01	6	-35.97	6	-2.50	6	-0.00	2
37	37	-545	Min.	0.00	-21.57	6	-0.21	6	-0.01	6	-302.47	6	2.44	6	-0.08	2
37	37	-545	Min.	13.75	-21.03	6	-0.21	6	-0.02	6	-302.47	6	-20.70	6	-0.08	2
38	38	-546	Max	0.00	-1.19	6	0.13	2	0.02	2	-61.58	6	22.72	6	-0.01	2
38	38	-546	Max	13.75	-0.65	6	0.13	2	0.01	2	-61.58	6	-4.25	6	-0.01	2
38	38	-546	Min.	0.00	-24.98	6	-0.44	2	-0.00	2	-328.79	6	4.21	6	-0.07	2
38	38	-546	Min.	13.75	-24.44	6	-0.44	2	-0.04	2	-328.79	6	-22.49	6	-0.07	2
39	39	-547	Max	0.00	-8.72	6	0.41	2	0.01	2	-199.84	6	32.33	6	0.03	2
39	39	-547	Max	13.75	-8.18	6	0.41	2	0.05	2	-199.84	6	-13.73	6	0.03	2
39	39	-547	Min.	0.00	-33.03	6	-0.14	2	-0.01	2	-467.95	6	13.74	6	-0.02	2
39	39	-547	Min.	13.75	-32.49	6	-0.14	2	-0.01	2	-467.95	6	-32.02	6	-0.02	2
40	40	-548	Max	0.00	-8.63	6	0.15	2	0.01	2	-197.99	6	32.30	6	0.02	2
40	40	-548	Max	13.75	-8.09	6	0.15	2	0.01	2	-197.99	6	-13.61	6	0.02	2
40	40	-548	Min.	0.00	-32.94	6	-0.40	2	-0.01	2	-467.67	6	13.61	6	-0.03	2
40	40	-548	Min.	13.75	-32.40	6	-0.40	2	-0.04	2	-467.67	6	-32.01	6	-0.03	2
41	41	-549	Max	0.00	-8.60	6	0.41	2	0.01	2	-197.43	6	32.25	6	0.03	2
41	41	-549	Max	13.75	-8.06	6	0.41	2	0.04	2	-197.43	6	-13.57	6	0.03	2
41	41	-549	Min.	0.00	-32.90	6	-0.14	2	-0.01	2	-466.95	6	13.57	6	-0.02	2
41	41	-549	Min.	13.75	-32.36	6	-0.14	2	-0.01	2	-466.95	6	-31.96	6	-0.02	2
42	42	-550	Max	0.00	-8.76	6	0.15	2	0.01	2	-200.39	6	32.38	6	0.02	2
42	42	-550	Max	13.75	-8.22	6	0.15	2	0.01	2	-200.39	6	-13.77	6	0.02	2
42	42	-550	Min.	0.00	-33.08	6	-0.40	2	-0.01	2	-468.69	6	13.78	6	-0.03	2
42	42	-550	Min.	13.75	-32.54	6	-0.40	2	-0.05	2	-468.69	6	-32.07	6	-0.03	2
43	43	-551	Max	0.00	-1.18	6	0.44	2	0.00	2	-61.33	6	22.69	6	0.07	2
43	43	-551	Max	13.75	-0.64	6	0.44	2	0.04	2	-61.33	6	-4.24	6	0.07	2
43	43	-551	Min.	0.00	-24.95	6	-0.12	2	-0.02	2	-328.40	6	4.20	6	0.01	2
43	43	-551	Min.	13.75	-24.41	6	-0.12	2	-0.01	2	-328.40	6	-22.46	6	0.01	2
44	44	-552	Max	0.00	2.09	6	0.21	6	0.01	6	-36.10	6	20.91	6	0.08	2
44	44	-552	Max	13.75	2.63	6	0.21	6	0.02	6	-36.10	6	-2.51	6	0.08	2
44	44	-552	Min.	0.00	-21.59	6	-0.08	6	-0.01	6	-302.78	6	2.45	6	0.00	2
44	44	-552	Min.	13.75	-21.05	6	-0.08	6	-0.00	6	-302.78	6	-20.72	6	0.00	2
45	45	-561	Max	0.00	-1.90	6	0.01	2	0.00	6	-22.67	6	21.37	6	0.00	2
45	45	-561	Max	15.50	-1.29	6	0.01	2	-0.00	6	-22.67	6	-1.69	6	0.00	2
45	45	-561	Min.	0.00	-10.18	6	-0.01	2	-0.01	6	-276.82	6	1.82	6	-0.08	2
45	45	-561	Min.	15.50	-9.57	6	-0.01	2	-0.00	6	-276.82	6	-21.54	6	-0.08	2
46	46	-562	Max	0.00	-4.46	6	0.16	2	0.01	2	-40.98	6	22.84	6	-0.00	2
46	46	-562	Max	12.40					-0.00	8			-2.13	8		
46	46	-562	Max	15.50	-3.85	6	0.16	2	0.01	2	-40.98	6	-3.11	6	-0.00	2
46	46	-562	Min.	0.00	-12.73	6	-0.15	2	-0.01	2	-295.82	6	3.24	6	-0.07	2
46	46	-562	Min.	12.40					-0.00	8			-13.55	8		
46	46	-562	Min.	15.50	-12.12	6	-0.15	2	-0.02	2	-295.82	6	-23.01	6	-0.07	2
47	47	-563	Max	0.00	-9.11	6	0.15	2	0.01	2	-165.29	6	32.54	6	0.03	2

47	47	-563	Max	15.50	-8.50	6	0.15	2	0.02	2	-165.29	6	-12.75	6	0.03	2
47	47	-563	Min.	0.00	-17.33	6	-0.17	2	-0.01	2	-421.14	6	12.87	6	-0.03	2
47	47	-563	Min.	15.50	-16.72	6	-0.17	2	-0.01	2	-421.14	6	-32.73	6	-0.03	2
48	48	-564	Max	0.00	-9.22	6	0.17	2	0.01	2	-163.43	6	32.51	6	0.03	2
48	48	-564	Max	15.50	-8.62	6	0.17	2	0.01	2	-163.43	6	-12.61	6	0.03	2
48	48	-564	Min.	0.00	-17.50	6	-0.16	2	-0.01	2	-420.65	6	12.72	6	-0.03	2
48	48	-564	Min.	15.50	-16.89	6	-0.16	2	-0.02	2	-420.65	6	-32.69	6	-0.03	2
49	49	-565	Max	0.00	-9.21	6	0.16	2	0.01	2	-163.02	6	32.47	6	0.03	2
49	49	-565	Max	15.50	-8.60	6	0.16	2	0.02	2	-163.02	6	-12.58	6	0.03	2
49	49	-565	Min.	0.00	-17.48	6	-0.17	2	-0.01	2	-420.12	6	12.69	6	-0.03	2
49	49	-565	Min.	15.50	-16.87	6	-0.17	2	-0.01	2	-420.12	6	-32.65	6	-0.03	2
50	50	-566	Max	0.00	-9.12	6	0.17	2	0.01	2	-165.69	6	32.59	6	0.03	2
50	50	-566	Max	15.50	-8.51	6	0.17	2	0.01	2	-165.69	6	-12.78	6	0.03	2
50	50	-566	Min.	0.00	-17.34	6	-0.15	2	-0.01	2	-421.67	6	12.90	6	-0.03	2
50	50	-566	Min.	15.50	-16.74	6	-0.15	2	-0.02	2	-421.67	6	-32.77	6	-0.03	2
51	51	-567	Max	0.00	-4.45	6	0.15	2	0.01	2	-40.81	6	22.82	6	0.07	2
51	51	-567	Max	15.50	-3.84	6	0.15	2	0.02	2	-40.81	6	-3.10	6	0.07	2
51	51	-567	Min.	0.00	-12.72	6	-0.16	2	-0.01	2	-295.56	6	3.23	6	0.00	2
51	51	-567	Min.	15.50	-12.11	6	-0.16	2	-0.01	2	-295.56	6	-22.99	6	0.00	2
52	52	-568	Max	0.00	-1.90	6	0.01	2	0.01	6	-22.78	6	21.39	6	0.08	2
52	52	-568	Max	15.50	-1.29	6	0.01	2	0.00	6	-22.78	6	-1.70	6	0.08	2
52	52	-568	Min.	0.00	-10.19	6	-0.01	2	0.00	6	-277.04	6	1.83	6	0.00	2
52	52	-568	Min.	15.50	-9.58	6	-0.01	2	0.00	6	-277.04	6	-21.56	6	0.00	2
53	53	-577	Max	0.00	-0.82	6	0.09	6	0.01	6	-14.33	6	19.51	6	0.00	2
53	53	-577	Max	17.25	-0.14	6	0.09	6	0.00	6	-14.33	6	-1.19	6	0.00	2
53	53	-577	Min.	0.00	-9.70	6	-0.15	6	-0.02	6	-226.59	6	1.29	6	-0.08	2
53	53	-577	Min.	17.25	-9.02	6	-0.15	6	-0.02	6	-226.59	6	-19.58	6	-0.08	2
54	54	-578	Max	0.00	-3.45	6	0.09	6	0.01	6	-25.05	6	20.52	6	0.01	2
54	54	-578	Max	17.25	-2.77	6	0.09	6	0.00	6	-25.05	6	-2.11	6	0.01	2
54	54	-578	Min.	0.00	-12.28	6	-0.14	6	-0.02	6	-238.28	6	2.21	6	-0.09	2
54	54	-578	Min.	17.25	-11.61	6	-0.14	6	-0.02	6	-238.28	6	-20.59	6	-0.09	2
55	55	-579	Max	0.00	-7.80	6	0.04	2	0.01	2	-126.36	6	29.31	6	0.05	2
55	55	-579	Max	17.25	-7.12	6	0.04	2	0.01	2	-126.36	6	-10.85	6	0.05	2
55	55	-579	Min.	0.00	-16.70	6	-0.07	2	-0.00	2	-340.31	6	10.95	6	-0.05	2
55	55	-579	Min.	17.25	-16.03	6	-0.07	2	-0.00	2	-340.31	6	-29.39	6	-0.05	2
56	56	-580	Max	0.00	-7.76	6	0.04	2	0.01	2	-124.96	6	29.30	6	0.05	2
56	56	-580	Max	17.25	-7.09	6	0.04	2	0.00	2	-124.96	6	-10.73	6	0.05	2
56	56	-580	Min.	0.00	-16.70	6	-0.08	2	-0.00	2	-340.08	6	10.83	6	-0.05	2
56	56	-580	Min.	17.25	-16.02	6	-0.08	2	-0.00	2	-340.08	6	-29.37	6	-0.05	2
57	57	-581	Max	0.00	-7.75	6	0.08	2	0.00	2	-124.64	6	29.26	6	0.05	2
57	57	-581	Max	6.90					-0.00	8			5.75	8		
57	57	-581	Max	17.25	-7.07	6	0.08	2	0.00	2	-124.64	6	-10.70	6	0.05	2
57	57	-581	Min.	0.00	-16.68	6	-0.04	2	-0.01	2	-339.66	6	10.80	6	-0.05	2
57	57	-581	Min.	6.90					-0.00	8			2.28	8		
57	57	-581	Min.	17.25	-16.01	6	-0.04	2	-0.00	2	-339.66	6	-29.33	6	-0.05	2
58	58	-582	Max	0.00	-7.81	6	0.07	2	0.00	2	-126.67	6	29.35	6	0.05	2
58	58	-582	Max	13.80					-0.00	6			-6.51	6		
58	58	-582	Max	17.25	-7.14	6	0.07	2	0.00	2	-126.67	6	-10.88	6	0.05	2
58	58	-582	Min.	0.00	-16.72	6	-0.04	2	-0.01	2	-340.72	6	10.97	6	-0.05	2
58	58	-582	Min.	13.80					-0.00	6			-17.67	6		
58	58	-582	Min.	17.25	-16.04	6	-0.04	2	-0.01	2	-340.72	6	-29.42	6	-0.05	2
59	59	-583	Max	0.00	-3.45	6	0.14	6	0.02	6	-24.91	6	20.50	6	0.09	2
59	59	-583	Max	17.25	-2.77	6	0.14	6	0.02	6	-24.91	6	-2.10	6	0.09	2
59	59	-583	Min.	0.00	-12.28	6	-0.09	6	-0.00	6	-238.09	6	2.20	6	-0.01	2
59	59	-583	Min.	17.25	-11.60	6	-0.09	6	0.00	6	-238.09	6	-20.57	6	-0.01	2
60	60	-584	Max	0.00	-0.82	6	0.14	6	0.02	6	-14.42	6	19.52	6	0.08	2
60	60	-584	Max	17.25	-0.14	6	0.14	6	0.02	6	-14.42	6	-1.19	6	0.08	2
60	60	-584	Min.	0.00	-9.71	6	-0.08	6	-0.01	6	-226.76	6	1.30	6	-0.00	2
60	60	-584	Min.	17.25	-9.03	6	-0.08	6	0.00	6	-226.76	6	-19.59	6	-0.00	2

61	61	-593	Max	0.00	-5.87	6	0.29	2	0.02	2	-4.34	6	16.94	6	0.01	2
61	61	-593	Max	19.00	-5.13	6	0.29	2	0.02	2	-4.34	6	-0.39	6	0.01	2
61	61	-593	Min.	0.00	-16.09	6	-0.60	2	-0.04	2	-178.69	6	0.44	6	-0.10	2
61	61	-593	Min.	19.00	-15.35	6	-0.60	2	-0.09	2	-178.69	6	-17.01	6	-0.10	2
62	62	-594	Max	0.00	-7.01	2	0.54	2	0.04	2	-8.78	6	17.70	6	0.01	2
62	62	-594	Max	19.00	-6.26	2	0.54	2	0.04	2	-8.78	6	-0.78	6	0.01	2
62	62	-594	Min.	0.00	-16.33	2	-0.85	2	-0.06	2	-186.36	6	0.89	6	-0.09	2
62	62	-594	Min.	19.00	-15.58	2	-0.85	2	-0.12	2	-186.36	6	-17.71	6	-0.09	2
63	63	-595	Max	0.00	-22.99	2	0.77	2	0.05	2	-81.15	6	24.54	6	0.04	2
63	63	-595	Max	19.00	-22.24	2	0.77	2	0.10	2	-81.15	6	-7.64	6	0.04	2
63	63	-595	Min.	0.00	-32.06	2	-0.62	2	-0.05	2	-258.27	6	7.78	6	-0.05	2
63	63	-595	Min.	19.00	-31.31	2	-0.62	2	-0.06	2	-258.27	6	-24.53	6	-0.05	2
64	64	-596	Max	0.00	-20.00	2	0.76	2	0.05	2	-82.62	6	24.80	6	0.03	2
64	64	-596	Max	19.00	-19.26	2	0.76	2	0.09	2	-82.62	6	-7.79	6	0.03	2
64	64	-596	Min.	0.00	-29.46	2	-0.66	2	-0.05	2	-260.99	6	7.91	6	-0.06	2
64	64	-596	Min.	19.00	-28.71	2	-0.66	2	-0.07	2	-260.99	6	-24.79	6	-0.06	2
65	65	-597	Max	0.00	-19.92	2	0.66	2	0.05	2	-82.42	6	24.77	6	0.06	2
65	65	-597	Max	19.00	-19.17	2	0.66	2	0.07	2	-82.42	6	-7.77	6	0.06	2
65	65	-597	Min.	0.00	-29.37	2	-0.75	2	-0.05	2	-260.70	6	7.89	6	-0.03	2
65	65	-597	Min.	19.00	-28.62	2	-0.75	2	-0.09	2	-260.70	6	-24.76	6	-0.03	2
66	66	-598	Max	0.00	-23.07	2	0.62	2	0.05	2	-81.33	6	24.57	6	0.05	2
66	66	-598	Max	19.00	-22.33	2	0.62	2	0.06	2	-81.33	6	-7.66	6	0.05	2
66	66	-598	Min.	0.00	-32.15	2	-0.76	2	-0.05	2	-258.54	6	7.79	6	-0.03	2
66	66	-598	Min.	19.00	-31.40	2	-0.76	2	-0.10	2	-258.54	6	-24.55	6	-0.03	2
67	67	-599	Max	0.00	-6.95	2	0.85	2	0.06	2	-8.70	6	17.69	6	0.09	2
67	67	-599	Max	19.00	-6.20	2	0.85	2	0.12	2	-8.70	6	-0.77	6	0.09	2
67	67	-599	Min.	0.00	-16.29	2	-0.54	2	-0.04	2	-186.25	6	0.88	6	-0.01	2
67	67	-599	Min.	19.00	-15.55	2	-0.54	2	-0.04	2	-186.25	6	-17.70	6	-0.01	2
68	68	-600	Max	0.00	-5.89	6	0.59	2	0.04	2	-4.40	6	16.95	6	0.10	2
68	68	-600	Max	19.00	-5.15	6	0.59	2	0.09	2	-4.40	6	-0.39	6	0.10	2
68	68	-600	Min.	0.00	-16.16	6	-0.28	2	-0.02	2	-178.75	6	0.44	6	-0.02	2
68	68	-600	Min.	19.00	-15.42	6	-0.28	2	-0.02	2	-178.75	6	-17.02	6	-0.02	2
69	69	-609	Max	0.00	-0.60	6	0.22	2	0.00	6	5.15	6	14.73	6	-0.01	6
69	69	-609	Max	20.75	0.22	6	0.22	2	0.02	2	5.15	6	0.59	6	-0.01	6
69	69	-609	Min.	0.00	-6.53	6	-0.11	2	-0.02	6	-142.00	6	-0.48	6	-0.02	6
69	69	-609	Min.	20.75	-5.71	6	-0.11	2	-0.02	2	-142.00	6	-14.73	6	-0.02	6
70	70	-610	Max	0.00	-2.31	6	0.19	6	-0.00	6	3.82	6	15.27	6	-0.01	2
70	70	-610	Max	20.75	-1.50	6	0.19	6	0.02	2	3.82	6	0.44	6	-0.01	2
70	70	-610	Min.	0.00	-8.35	6	-0.08	6	-0.02	6	-147.17	6	-0.35	6	-0.03	2
70	70	-610	Min.	20.75	-7.54	6	-0.08	6	-0.02	2	-147.17	6	-15.27	6	-0.03	2
71	71	-611	Max	0.00	-4.57	6	0.11	2	0.00	2	-46.07	6	20.46	6	0.00	2
71	71	-611	Max	20.75	-3.76	6	0.11	2	0.02	2	-46.07	6	-4.71	6	0.00	2
71	71	-611	Min.	0.00	-10.61	6	-0.10	2	0.00	2	-197.06	6	4.85	6	-0.02	2
71	71	-611	Min.	20.75	-9.79	6	-0.10	2	-0.02	2	-197.06	6	-20.43	6	-0.02	2
72	72	-612	Max	0.00	-4.87	6	0.12	2	0.00	6	-50.27	6	20.85	6	0.00	2
72	72	-612	Max	20.75	-4.05	6	0.12	2	0.02	2	-50.27	6	-5.15	6	0.00	2
72	72	-612	Min.	0.00	-10.88	6	-0.10	2	-0.00	6	-200.78	6	5.28	6	-0.02	2
72	72	-612	Min.	20.75	-10.06	6	-0.10	2	-0.02	2	-200.78	6	-20.81	6	-0.02	2
73	73	-613	Max	0.00	-4.86	6	0.09	2	0.00	6	-50.17	6	20.83	6	0.02	2
73	73	-613	Max	20.75	-4.05	6	0.09	2	0.02	2	-50.17	6	-5.14	6	0.02	2
73	73	-613	Min.	0.00	-10.87	6	-0.12	2	-0.00	6	-200.61	6	5.27	6	-0.00	2
73	73	-613	Min.	20.75	-10.05	6	-0.12	2	-0.02	2	-200.61	6	-20.80	6	-0.00	2
74	74	-614	Max	0.00	-4.58	6	0.10	2	0.00	2	-46.16	6	20.48	6	0.02	2
74	74	-614	Max	20.75	-3.76	6	0.10	2	0.02	2	-46.16	6	-4.72	6	0.02	2
74	74	-614	Min.	0.00	-10.62	6	-0.11	2	-0.00	2	-197.22	6	4.86	6	-0.00	2
74	74	-614	Min.	20.75	-9.80	6	-0.11	2	-0.02	2	-197.22	6	-20.44	6	-0.00	2
75	75	-615	Max	0.00	-2.31	6	0.08	6	0.02	6	3.91	6	15.27	6	0.03	2
75	75	-615	Max	20.75	-1.49	6	0.08	6	0.02	2	3.91	6	0.45	6	0.03	2
75	75	-615	Min.	0.00	-8.35	6	-0.19	6	0.00	6	-147.17	6	-0.36	6	0.01	2

75	75	-615	Min.	20.75	-7.53	6	-0.19	6	-0.02	2	-147.17	6	-15.27	6	0.01	2
76	76	-616	Max	0.00	-0.60	6	0.12	2	0.02	6	5.14	6	14.73	6	0.02	6
76	76	-616	Max	20.75	0.22	6	0.12	2	0.03	2	5.14	6	0.58	6	0.02	6
76	76	-616	Min.	0.00	-6.53	6	-0.23	2	0.00	6	-142.03	6	-0.48	6	0.01	6
76	76	-616	Min.	20.75	-5.71	6	-0.23	2	-0.02	2	-142.03	6	-14.74	6	0.01	6
77	77	-625	Max	0.00	-0.10	6	0.01	6	0.01	2	8.01	6	13.29	6	-0.00	2
77	77	-625	Max	13.50					-0.00	8			0.20	8		
77	77	-625	Max	22.50	0.79	6	0.01	6	0.01	2	8.01	6	0.94	6	-0.00	2
77	77	-625	Min.	0.00	-5.14	6	-0.00	6	-0.01	2	-118.16	6	-0.86	6	-0.03	2
77	77	-625	Min.	13.50					-0.00	8			-2.63	8		
77	77	-625	Min.	22.50	-4.26	6	-0.00	6	-0.01	2	-118.16	6	-13.29	6	-0.03	2
78	78	-626	Max	0.00	-2.04	6	0.13	2	0.02	2	10.13	6	13.47	6	0.00	2
78	78	-626	Max	22.50	-1.15	6	0.13	2	0.00	2	10.13	6	1.18	6	0.00	2
78	78	-626	Min.	0.00	-7.23	6	-0.13	2	-0.03	2	-119.69	6	-1.10	6	-0.03	2
78	78	-626	Min.	22.50	-6.34	6	-0.13	2	-0.01	2	-119.69	6	-13.46	6	-0.03	2
79	79	-627	Max	0.00	-3.54	6	0.12	2	0.02	2	-31.01	6	18.09	6	0.00	2
79	79	-627	Max	22.50	-2.65	6	0.12	2	0.01	2	-31.01	6	-3.43	6	0.00	2
79	79	-627	Min.	0.00	-8.70	6	-0.13	2	-0.02	2	-160.65	6	3.55	6	-0.02	2
79	79	-627	Min.	22.50	-7.82	6	-0.13	2	-0.01	2	-160.65	6	-18.05	6	-0.02	2
80	80	-628	Max	0.00	-3.81	6	0.13	2	0.02	2	-34.62	6	18.46	6	0.00	2
80	80	-628	Max	22.50	-2.93	6	0.13	2	0.01	2	-34.62	6	-3.84	6	0.00	2
80	80	-628	Min.	0.00	-8.97	6	-0.14	2	-0.02	2	-163.92	6	3.95	6	-0.02	2
80	80	-628	Min.	22.50	-8.08	6	-0.14	2	-0.01	2	-163.92	6	-18.42	6	-0.02	2
81	81	-629	Max	0.00	-3.81	6	0.14	2	0.02	2	-34.55	6	18.45	6	0.02	2
81	81	-629	Max	22.50	-2.93	6	0.14	2	0.01	2	-34.55	6	-3.83	6	0.02	2
81	81	-629	Min.	0.00	-8.96	6	-0.13	2	-0.02	2	-163.78	6	3.95	6	-0.00	2
81	81	-629	Min.	22.50	-8.08	6	-0.13	2	-0.01	2	-163.78	6	-18.40	6	-0.00	2
82	82	-630	Max	0.00	-3.54	6	0.13	2	0.02	2	-31.08	6	18.11	6	0.02	2
82	82	-630	Max	22.50	-2.65	6	0.13	2	0.01	2	-31.08	6	-3.44	6	0.02	2
82	82	-630	Min.	0.00	-8.71	6	-0.12	2	-0.02	2	-160.78	6	3.55	6	0.00	2
82	82	-630	Min.	22.50	-7.82	6	-0.12	2	-0.01	2	-160.78	6	-18.07	6	0.00	2
83	83	-631	Max	0.00	-2.03	6	0.13	2	0.03	2	10.20	6	13.47	6	0.03	2
83	83	-631	Max	22.50	-1.15	6	0.13	2	0.01	2	10.20	6	1.19	6	0.03	2
83	83	-631	Min.	0.00	-7.23	6	-0.13	2	-0.02	2	-119.69	6	-1.11	6	0.00	2
83	83	-631	Min.	22.50	-6.34	6	-0.13	2	-0.00	2	-119.69	6	-13.46	6	0.00	2
84	84	-632	Max	0.00	-0.10	6	0.00	6	0.01	2	8.00	6	13.29	6	0.03	2
84	84	-632	Max	22.50	0.79	6	0.00	6	0.01	2	8.00	6	0.94	6	0.03	2
84	84	-632	Min.	0.00	-5.14	6	-0.01	6	-0.01	2	-118.18	6	-0.86	6	0.00	2
84	84	-632	Min.	22.50	-4.26	6	-0.01	6	-0.01	2	-118.18	6	-13.30	6	0.00	2
85	85	-641	Max	0.00	-0.31	6	0.07	6	0.02	6	10.74	6	11.94	6	0.00	2
85	85	-641	Max	24.25	0.64	6	0.07	6	0.02	2	10.74	6	1.34	6	0.00	2
85	85	-641	Min.	0.00	-4.74	6	-0.15	6	-0.01	6	-98.47	6	-1.27	6	-0.03	2
85	85	-641	Min.	24.25	-3.79	6	-0.15	6	-0.04	2	-98.47	6	-11.94	6	-0.03	2
86	86	-642	Max	0.00	-1.97	6	0.07	6	0.02	2	14.77	6	11.87	6	0.02	2
86	86	-642	Max	12.98					-0.02	4			-0.19	4		
86	86	-642	Max	24.25	-1.02	6	0.07	6	0.02	2	14.77	6	1.83	6	0.02	2
86	86	-642	Min.	0.00	-6.37	6	-0.14	6	-0.01	2	-97.82	6	-1.75	6	-0.05	2
86	86	-642	Min.	12.98					0.02	4			-0.47	4		
86	86	-642	Min.	24.25	-5.42	6	-0.14	6	-0.03	2	-97.82	6	-11.85	6	-0.05	2
87	87	-643	Max	0.00	-3.70	6	0.02	2	0.02	2	-18.95	6	15.94	6	0.02	2
87	87	-643	Max	10.95					-0.01	8			1.55	8		
87	87	-643	Max	24.25	-2.75	6	0.02	2	0.02	2	-18.95	6	-2.25	6	0.02	2
87	87	-643	Min.	0.00	-8.18	6	-0.04	2	-0.02	2	-131.31	6	2.34	6	-0.04	2
87	87	-643	Min.	10.95					0.00	8			0.28	8		
87	87	-643	Min.	24.25	-7.22	6	-0.04	2	-0.02	2	-131.31	6	-15.90	6	-0.04	2
88	88	-644	Max	0.00	-3.95	6	0.02	6	0.02	2	-21.83	6	16.26	6	0.02	2
88	88	-644	Max	12.45					-0.01	8			-0.03	8		
88	88	-644	Max	24.25	-2.99	6	0.02	6	0.02	2	-21.83	6	-2.60	6	0.02	2
88	88	-644	Min.	0.00	-8.39	6	-0.05	6	-0.02	2	-133.93	6	2.69	6	-0.04	2

88	88	-644	Min.	12.45					0.00	8			-0.42	8		
88	88	-644	Min.	24.25	-7.44	6	-0.05	6	-0.02	2	-133.93	6	-16.22	6	-0.04	2
89	89	-645	Max	0.00	-3.94	6	0.05	6	0.02	2	-21.77	6	16.24	6	0.04	2
89	89	-645	Max	13.03					-0.00	8			-0.15	8		
89	89	-645	Max	24.25	-2.99	6	0.05	6	0.03	2	-21.77	6	-2.59	6	0.04	2
89	89	-645	Min.	0.00	-8.39	6	-0.02	6	-0.02	2	-133.81	6	2.69	6	-0.02	2
89	89	-645	Min.	13.03					0.01	8			-1.20	8		
89	89	-645	Min.	24.25	-7.44	6	-0.02	6	-0.02	2	-133.81	6	-16.21	6	-0.02	2
90	90	-646	Max	0.00	-3.70	6	0.04	2	0.02	2	-19.01	6	15.95	6	0.04	2
90	90	-646	Max	24.25	-2.75	6	0.04	2	0.02	2	-19.01	6	-2.26	6	0.04	2
90	90	-646	Min.	0.00	-8.18	6	-0.02	2	-0.02	2	-131.41	6	2.35	6	-0.02	2
90	90	-646	Min.	24.25	-7.22	6	-0.02	2	-0.02	2	-131.41	6	-15.92	6	-0.02	2
91	91	-647	Max	0.00	-1.97	6	0.14	6	0.01	2	14.83	6	11.87	6	0.05	2
91	91	-647	Max	24.25	-1.01	6	0.14	6	0.03	2	14.83	6	1.83	6	0.05	2
91	91	-647	Min.	0.00	-6.37	6	-0.07	6	-0.02	2	-97.83	6	-1.76	6	-0.02	2
91	91	-647	Min.	24.25	-5.42	6	-0.07	6	-0.02	2	-97.83	6	-11.85	6	-0.02	2
92	92	-648	Max	0.00	-0.31	6	0.14	6	0.01	2	10.74	6	11.94	6	0.03	2
92	92	-648	Max	24.25	0.64	6	0.14	6	0.04	2	10.74	6	1.34	6	0.03	2
92	92	-648	Min.	0.00	-4.74	6	-0.07	6	-0.02	2	-98.49	6	-1.27	6	-0.00	2
92	92	-648	Min.	24.25	-3.79	6	-0.07	6	-0.02	2	-98.49	6	-11.94	6	-0.00	2
93	93	-657	Max	0.00	-10.49	6	0.65	2	0.03	2	19.09	6	9.90	6	0.01	6
93	93	-657	Max	26.00	-9.47	6	0.65	2	0.14	2	19.09	6	2.51	6	0.01	6
93	93	-657	Min.	0.00	-14.56	6	-0.69	2	-0.03	2	-76.07	6	-2.45	6	-0.07	6
93	93	-657	Min.	26.00	-13.54	6	-0.69	2	-0.15	2	-76.07	6	-9.88	6	-0.07	6
94	94	-658	Max	0.00	-3.22	6	0.82	2	0.05	2	19.36	6	10.35	6	0.01	6
94	94	-658	Max	26.00	-2.20	6	0.82	2	0.16	2	19.36	6	2.55	6	0.01	6
94	94	-658	Min.	0.00	-7.14	6	-0.86	2	-0.05	2	-79.52	6	-2.48	6	-0.08	6
94	94	-658	Min.	26.00	-6.12	6	-0.86	2	-0.17	2	-79.52	6	-10.33	6	-0.08	6
95	95	-659	Max	0.00	-17.61	6	0.81	2	0.05	2	-0.29	6	12.86	6	0.02	2
95	95	-659	Max	26.00	-16.59	6	0.81	2	0.16	2	-0.29	6	0.02	6	0.02	2
95	95	-659	Min.	0.00	-21.59	6	-0.88	2	-0.05	2	-98.63	6	0.09	6	-0.04	2
95	95	-659	Min.	26.00	-20.57	6	-0.88	2	-0.18	2	-98.63	6	-12.79	6	-0.04	2
96	96	-660	Max	0.00	-18.50	6	0.83	2	0.05	2	-2.21	6	13.10	6	0.02	2
96	96	-660	Max	26.00	-17.48	6	0.83	2	0.16	2	-2.21	6	-0.23	6	0.02	2
96	96	-660	Min.	0.00	-22.27	6	-0.88	2	-0.05	2	-100.52	6	0.34	6	-0.04	2
96	96	-660	Min.	26.00	-21.25	6	-0.88	2	-0.18	2	-100.52	6	-13.03	6	-0.04	2
97	97	-661	Max	0.00	-18.48	6	0.88	2	0.05	2	-2.17	6	13.09	6	0.04	2
97	97	-661	Max	26.00	-17.46	6	0.88	2	0.18	2	-2.17	6	-0.23	6	0.04	2
97	97	-661	Min.	0.00	-22.25	6	-0.83	2	-0.05	2	-100.42	6	0.34	6	-0.02	2
97	97	-661	Min.	26.00	-21.23	6	-0.83	2	-0.16	2	-100.42	6	-13.02	6	-0.02	2
98	98	-662	Max	0.00	-17.62	6	0.88	2	0.05	2	-0.33	6	12.87	6	0.04	2
98	98	-662	Max	26.00	-16.60	6	0.88	2	0.18	2	-0.33	6	0.01	6	0.04	2
98	98	-662	Min.	0.00	-21.61	6	-0.81	2	-0.05	2	-98.72	6	0.10	6	-0.02	2
98	98	-662	Min.	26.00	-20.59	6	-0.81	2	-0.16	2	-98.72	6	-12.80	6	-0.02	2
99	99	-663	Max	0.00	-3.21	6	0.86	2	0.05	2	19.40	6	10.35	6	0.07	6
99	99	-663	Max	26.00	-2.19	6	0.86	2	0.17	2	19.40	6	2.56	6	0.07	6
99	99	-663	Min.	0.00	-7.13	6	-0.82	2	-0.05	2	-79.54	6	-2.49	6	-0.01	6
99	99	-663	Min.	26.00	-6.11	6	-0.82	2	-0.16	2	-79.54	6	-10.33	6	-0.01	6
100	100	-664	Max	0.00	-10.50	6	0.69	2	0.03	2	19.09	6	9.90	6	0.07	6
100	100	-664	Max	26.00	-9.48	6	0.69	2	0.15	2	19.09	6	2.51	6	0.07	6
100	100	-664	Min.	0.00	-14.57	6	-0.65	2	-0.03	2	-76.08	6	-2.45	6	-0.01	6
100	100	-664	Min.	26.00	-13.55	6	-0.65	2	-0.14	2	-76.08	6	-9.88	6	-0.01	6
101	101	-673	Max	0.00	0.04	6	0.19	2	0.01	6	26.02	6	8.04	6	-0.00	6
101	101	-673	Max	27.75	1.13	6	0.19	2	0.05	2	26.02	6	3.65	6	-0.00	6
101	101	-673	Min.	0.00	-3.28	6	-0.11	2	-0.02	6	-57.79	6	-3.57	6	-0.02	6
101	101	-673	Min.	27.75	-2.19	6	-0.11	2	-0.04	2	-57.79	6	-8.00	6	-0.02	6
102	102	-674	Max	0.00	-1.67	6	0.18	2	0.01	6	23.20	6	8.88	6	0.00	2
102	102	-674	Max	27.75	-0.58	6	0.18	2	0.05	2	23.20	6	3.25	6	0.00	2
102	102	-674	Min.	0.00	-5.14	6	-0.10	2	-0.02	6	-63.88	6	-3.19	6	-0.03	2

102	102	-674	Min.	27.75	-4.05	6	-0.10	2	-0.04	2	-63.88	6	-8.85	6	-0.03	2
103	103	-675	Max	0.00	-2.36	6	0.13	2	0.01	2	14.42	6	10.05	6	0.01	2
103	103	-675	Max	27.75	-1.28	6	0.13	2	0.04	2	14.42	6	2.06	6	0.01	2
103	103	-675	Min.	0.00	-5.77	6	-0.11	2	-0.01	2	-72.15	6	-1.94	6	-0.02	2
103	103	-675	Min.	27.75	-4.68	6	-0.11	2	-0.04	2	-72.15	6	-9.97	6	-0.02	2
104	104	-676	Max	0.00	-2.55	6	0.14	2	0.01	2	13.50	6	10.21	6	0.01	2
104	104	-676	Max	27.75	-1.46	6	0.14	2	0.04	2	13.50	6	1.93	6	0.01	2
104	104	-676	Min.	0.00	-5.96	6	-0.11	2	-0.01	2	-73.31	6	-1.82	6	-0.02	2
104	104	-676	Min.	27.75	-4.87	6	-0.11	2	-0.04	2	-73.31	6	-10.13	6	-0.02	2
105	105	-677	Max	0.00	-2.54	6	0.11	2	0.01	2	13.53	6	10.20	6	0.02	2
105	105	-677	Max	13.76					-0.01	8			0.12	8		
105	105	-677	Max	27.75	-1.46	6	0.11	2	0.04	2	13.53	6	1.94	6	0.02	2
105	105	-677	Min.	0.00	-5.95	6	-0.14	2	-0.01	2	-73.24	6	-1.82	6	-0.01	2
105	105	-677	Min.	13.76					0.01	8			0.04	8		
105	105	-677	Min.	27.75	-4.86	6	-0.14	2	-0.04	2	-73.24	6	-10.12	6	-0.01	2
106	106	-678	Max	0.00	-2.37	6	0.11	2	0.01	2	14.39	6	10.06	6	0.02	2
106	106	-678	Max	27.75	-1.28	6	0.11	2	0.04	2	14.39	6	2.05	6	0.02	2
106	106	-678	Min.	0.00	-5.78	6	-0.13	2	-0.01	2	-72.21	6	-1.94	6	-0.01	2
106	106	-678	Min.	27.75	-4.69	6	-0.13	2	-0.04	2	-72.21	6	-9.98	6	-0.01	2
107	107	-679	Max	0.00	-1.67	6	0.10	2	0.02	6	23.21	6	8.88	6	0.03	2
107	107	-679	Max	27.75	-0.58	6	0.10	2	0.04	2	23.21	6	3.25	6	0.03	2
107	107	-679	Min.	0.00	-5.14	6	-0.18	2	-0.01	6	-63.88	6	-3.19	6	-0.00	2
107	107	-679	Min.	27.75	-4.05	6	-0.18	2	-0.05	2	-63.88	6	-8.85	6	-0.00	2
108	108	-680	Max	0.00	0.04	6	0.12	2	0.02	6	26.03	6	8.04	6	0.02	6
108	108	-680	Max	27.75	1.13	6	0.12	2	0.04	2	26.03	6	3.65	6	0.02	6
108	108	-680	Min.	0.00	-3.28	6	-0.20	2	-0.01	6	-57.79	6	-3.57	6	0.00	6
108	108	-680	Min.	27.75	-2.19	6	-0.20	2	-0.05	2	-57.79	6	-8.00	6	0.00	6
109	109	-689	Max	0.00	0.56	6	0.02	2	0.01	2	26.41	6	7.09	6	0.00	2
109	109	-689	Max	29.50	1.72	6	0.02	2	0.02	2	26.41	6	3.92	6	0.00	2
109	109	-689	Min.	0.00	-2.43	6	-0.01	2	-0.02	2	-47.99	6	-3.87	6	-0.02	2
109	109	-689	Min.	29.50	-1.27	6	-0.01	2	-0.02	2	-47.99	6	-7.06	6	-0.02	2
110	110	-690	Max	0.00	-1.52	6	0.08	2	0.03	2	25.69	6	7.64	6	0.00	2
110	110	-690	Max	29.50	-0.36	6	0.08	2	0.00	2	25.69	6	3.82	6	0.00	2
110	110	-690	Min.	0.00	-4.59	6	-0.08	2	-0.03	2	-51.67	6	-3.76	6	-0.02	2
110	110	-690	Min.	29.50	-3.44	6	-0.08	2	-0.01	2	-51.67	6	-7.61	6	-0.02	2
111	111	-691	Max	0.00	-1.57	6	0.08	2	0.03	2	19.39	6	8.51	6	0.01	2
111	111	-691	Max	29.50	-0.41	6	0.08	2	0.01	2	19.39	6	2.91	6	0.01	2
111	111	-691	Min.	0.00	-4.63	6	-0.08	2	-0.03	2	-57.49	6	-2.81	6	-0.01	2
111	111	-691	Min.	29.50	-3.47	6	-0.08	2	-0.01	2	-57.49	6	-8.45	6	-0.01	2
112	112	-692	Max	0.00	-1.72	6	0.09	2	0.03	2	18.85	6	8.63	6	0.01	2
112	112	-692	Max	29.50	-0.56	6	0.09	2	0.01	2	18.85	6	2.83	6	0.01	2
112	112	-692	Min.	0.00	-4.79	6	-0.08	2	-0.03	2	-58.31	6	-2.73	6	-0.01	2
112	112	-692	Min.	29.50	-3.63	6	-0.08	2	-0.01	2	-58.31	6	-8.57	6	-0.01	2
113	113	-693	Max	0.00	-1.72	6	0.08	2	0.03	2	18.87	6	8.62	6	0.01	2
113	113	-693	Max	29.50	-0.56	6	0.08	2	0.01	2	18.87	6	2.83	6	0.01	2
113	113	-693	Min.	0.00	-4.78	6	-0.09	2	-0.03	2	-58.25	6	-2.74	6	-0.01	2
113	113	-693	Min.	29.50	-3.63	6	-0.09	2	-0.01	2	-58.25	6	-8.56	6	-0.01	2
114	114	-694	Max	0.00	-1.57	6	0.08	2	0.03	2	19.37	6	8.52	6	0.01	2
114	114	-694	Max	29.50	-0.42	6	0.08	2	0.01	2	19.37	6	2.90	6	0.01	2
114	114	-694	Min.	0.00	-4.63	6	-0.08	2	-0.03	2	-57.54	6	-2.81	6	-0.01	2
114	114	-694	Min.	29.50	-3.47	6	-0.08	2	-0.01	2	-57.54	6	-8.45	6	-0.01	2
115	115	-695	Max	0.00	-1.52	6	0.08	2	0.03	2	25.71	6	7.64	6	0.02	2
115	115	-695	Max	29.50	-0.36	6	0.08	2	0.01	2	25.71	6	3.82	6	0.02	2
115	115	-695	Min.	0.00	-4.59	6	-0.08	2	-0.03	2	-51.67	6	-3.76	6	-0.00	2
115	115	-695	Min.	29.50	-3.44	6	-0.08	2	-0.00	2	-51.67	6	-7.61	6	-0.00	2
116	116	-696	Max	0.00	0.56	6	0.01	2	0.02	2	26.42	6	7.09	6	0.02	2
116	116	-696	Max	29.50	1.72	6	0.01	2	0.02	2	26.42	6	3.92	6	0.02	2
116	116	-696	Min.	0.00	-2.43	6	-0.02	2	-0.01	2	-47.99	6	-3.87	6	-0.00	2
116	116	-696	Min.	29.50	-1.27	6	-0.02	2	-0.02	2	-47.99	6	-7.06	6	-0.00	2

117	117	-705	Max	0.00	0.13	6	0.11	2	0.01	2	26.73	6	6.23	6	0.01	2
117	117	-705	Max	31.25	1.36	6	0.11	2	0.04	2	26.73	6	4.20	6	0.01	2
117	117	-705	Min.	0.00	-2.51	6	-0.17	2	-0.02	2	-39.80	6	-4.16	6	-0.03	2
117	117	-705	Min.	31.25	-1.28	6	-0.17	2	-0.06	2	-39.80	6	-6.21	6	-0.03	2
118	118	-706	Max	0.00	-1.65	6	0.09	2	0.02	2	28.07	6	6.44	6	0.03	2
118	118	-706	Max	31.25	-0.42	6	0.09	2	0.04	2	28.07	6	4.41	6	0.03	2
118	118	-706	Min.	0.00	-4.38	6	-0.14	2	-0.02	2	-41.13	6	-4.36	6	-0.05	2
118	118	-706	Min.	31.25	-3.16	6	-0.14	2	-0.06	2	-41.13	6	-6.41	6	-0.05	2
119	119	-707	Max	0.00	-2.22	6	0.09	2	0.02	2	23.97	6	7.03	6	0.03	2
119	119	-707	Max	31.25	-0.99	6	0.09	2	0.04	2	23.97	6	3.78	6	0.03	2
119	119	-707	Min.	0.00	-4.92	6	-0.10	2	-0.02	2	-44.82	6	-3.71	6	-0.04	2
119	119	-707	Min.	31.25	-3.69	6	-0.10	2	-0.05	2	-44.82	6	-6.98	6	-0.04	2
120	120	-708	Max	0.00	-2.35	6	0.09	2	0.02	2	23.63	6	7.12	6	0.03	2
120	120	-708	Max	31.25	-1.12	6	0.09	2	0.04	2	23.63	6	3.72	6	0.03	2
120	120	-708	Min.	0.00	-5.07	6	-0.10	2	-0.02	2	-45.41	6	-3.66	6	-0.04	2
120	120	-708	Min.	31.25	-3.84	6	-0.10	2	-0.05	2	-45.41	6	-7.07	6	-0.04	2
121	121	-709	Max	0.00	-2.35	6	0.10	2	0.02	2	23.65	6	7.11	6	0.04	2
121	121	-709	Max	31.25	-1.12	6	0.10	2	0.05	2	23.65	6	3.73	6	0.04	2
121	121	-709	Min.	0.00	-5.07	6	-0.09	2	-0.02	2	-45.36	6	-3.66	6	-0.03	2
121	121	-709	Min.	31.25	-3.84	6	-0.09	2	-0.04	2	-45.36	6	-7.06	6	-0.03	2
122	122	-710	Max	0.00	-2.22	6	0.10	2	0.02	2	23.95	6	7.03	6	0.04	2
122	122	-710	Max	31.25	-0.99	6	0.10	2	0.05	2	23.95	6	3.77	6	0.04	2
122	122	-710	Min.	0.00	-4.92	6	-0.08	2	-0.02	2	-44.87	6	-3.71	6	-0.03	2
122	122	-710	Min.	31.25	-3.70	6	-0.08	2	-0.04	2	-44.87	6	-6.99	6	-0.03	2
123	123	-711	Max	0.00	-1.65	6	0.14	2	0.02	2	28.08	6	6.44	6	0.05	2
123	123	-711	Max	16.86					-0.00	8			0.37	8		
123	123	-711	Max	31.25	-0.42	6	0.14	2	0.06	2	28.08	6	4.41	6	0.05	2
123	123	-711	Min.	0.00	-4.39	6	-0.09	2	-0.02	2	-41.13	6	-4.36	6	-0.03	2
123	123	-711	Min.	16.86					0.01	8			-0.49	8		
123	123	-711	Min.	31.25	-3.16	6	-0.09	2	-0.04	2	-41.13	6	-6.41	6	-0.03	2
124	124	-712	Max	0.00	0.13	6	0.16	2	0.02	2	26.74	6	6.23	6	0.03	2
124	124	-712	Max	16.68					-0.00	8			0.30	8		
124	124	-712	Max	31.25	1.36	6	0.16	2	0.06	2	26.74	6	4.20	6	0.03	2
124	124	-712	Min.	0.00	-2.51	6	-0.11	2	-0.01	2	-39.80	6	-4.16	6	-0.01	2
124	124	-712	Min.	16.68					0.01	8			-0.40	8		
124	124	-712	Min.	31.25	-1.28	6	-0.11	2	-0.04	2	-39.80	6	-6.21	6	-0.01	2
125	125	-721	Max	0.00	-8.14	6	0.63	2	0.04	2	30.76	6	4.84	6	0.02	6
125	125	-721	Max	33.00	-6.85	6	0.63	2	0.16	2	30.76	6	5.10	6	0.02	6
125	125	-721	Min.	0.00	-10.27	6	-0.79	2	-0.04	2	-29.26	6	-5.05	6	-0.06	6
125	125	-721	Min.	33.00	-8.98	6	-0.79	2	-0.22	2	-29.26	6	-4.81	6	-0.06	6
126	126	-722	Max	0.00	-5.51	6	0.74	2	0.06	2	31.97	6	5.02	6	0.02	6
126	126	-722	Max	33.00	-4.21	6	0.74	2	0.18	2	31.97	6	5.30	6	0.02	6
126	126	-722	Min.	0.00	-7.99	6	-0.90	2	-0.06	2	-30.35	6	-5.25	6	-0.05	6
126	126	-722	Min.	33.00	-6.69	6	-0.90	2	-0.24	2	-30.35	6	-4.99	6	-0.05	6
127	127	-723	Max	0.00	-17.85	6	0.80	2	0.06	2	35.15	6	4.48	6	0.02	2
127	127	-723	Max	33.00	-16.55	6	0.80	2	0.21	2	35.15	6	5.84	6	0.02	2
127	127	-723	Min.	0.00	-19.92	6	-0.83	2	-0.06	2	-26.97	6	-5.76	6	-0.03	2
127	127	-723	Min.	33.00	-18.62	6	-0.83	2	-0.21	2	-26.97	6	-4.42	6	-0.03	2
128	128	-724	Max	0.00	-17.65	6	0.81	2	0.06	2	34.81	6	4.57	6	0.02	2
128	128	-724	Max	33.00	-16.36	6	0.81	2	0.21	2	34.81	6	5.78	6	0.02	2
128	128	-724	Min.	0.00	-19.76	6	-0.84	2	-0.06	2	-27.48	6	-5.70	6	-0.03	2
128	128	-724	Min.	33.00	-18.47	6	-0.84	2	-0.22	2	-27.48	6	-4.50	6	-0.03	2
129	129	-725	Max	0.00	-17.65	6	0.84	2	0.06	2	34.83	6	4.56	6	0.03	2
129	129	-725	Max	33.00	-16.35	6	0.84	2	0.22	2	34.83	6	5.79	6	0.03	2
129	129	-725	Min.	0.00	-19.75	6	-0.81	2	-0.06	2	-27.44	6	-5.71	6	-0.02	2
129	129	-725	Min.	33.00	-18.46	6	-0.81	2	-0.21	2	-27.44	6	-4.49	6	-0.02	2
130	130	-726	Max	0.00	-17.85	6	0.83	2	0.06	2	35.14	6	4.49	6	0.03	2
130	130	-726	Max	33.00	-16.56	6	0.83	2	0.21	2	35.14	6	5.84	6	0.03	2
130	130	-726	Min.	0.00	-19.93	6	-0.80	2	-0.06	2	-27.00	6	-5.76	6	-0.02	2

130	130	-726	Min.	33.00	-18.63	6	-0.80	2	-0.21	2	-27.00	6	-4.42	6	-0.02	2
131	131	-727	Max	0.00	-5.51	6	0.90	2	0.06	2	31.98	6	5.02	6	0.05	6
131	131	-727	Max	33.00	-4.21	6	0.90	2	0.24	2	31.98	6	5.30	6	0.05	6
131	131	-727	Min.	0.00	-7.99	6	-0.74	2	-0.06	2	-30.35	6	-5.25	6	-0.02	6
131	131	-727	Min.	33.00	-6.69	6	-0.74	2	-0.18	2	-30.35	6	-4.99	6	-0.02	6
132	132	-728	Max	0.00	-8.15	6	0.79	2	0.04	2	30.77	6	4.84	6	0.06	6
132	132	-728	Max	33.00	-6.85	6	0.79	2	0.22	2	30.77	6	5.10	6	0.06	6
132	132	-728	Min.	0.00	-10.27	6	-0.62	2	-0.04	2	-29.26	6	-5.06	6	-0.02	6
132	132	-728	Min.	33.00	-8.98	6	-0.62	2	-0.16	2	-29.26	6	-4.81	6	-0.02	6
133	133	-737	Max	0.00	0.33	6	0.19	2	0.00	6	34.02	6	3.55	6	0.01	6
133	133	-737	Max	34.75	1.69	6	0.19	2	0.06	2	34.02	6	5.94	6	0.01	6
133	133	-737	Min.	0.00	-1.82	6	-0.14	2	-0.02	6	-20.32	6	-5.88	6	-0.00	6
133	133	-737	Min.	34.75	-0.46	6	-0.14	2	-0.06	2	-20.32	6	-3.51	6	-0.00	6
134	134	-738	Max	0.00	-1.36	6	0.19	2	0.01	2	35.15	6	3.73	6	0.02	2
134	134	-738	Max	34.75	0.00	6	0.19	2	0.06	2	35.15	6	6.13	6	0.02	2
134	134	-738	Min.	0.00	-3.58	6	-0.14	2	-0.02	2	-21.36	6	-6.08	6	-0.01	2
134	134	-738	Min.	34.75	-2.22	6	-0.14	2	-0.06	2	-21.36	6	-3.69	6	-0.01	2
135	135	-739	Max	0.00	-1.35	6	0.15	2	0.01	2	44.19	6	2.16	6	0.01	2
135	135	-739	Max	34.75	0.01	6	0.15	2	0.06	2	44.19	6	7.72	6	0.01	2
135	135	-739	Min.	0.00	-3.55	6	-0.14	2	-0.01	2	-12.20	6	-7.63	6	-0.02	2
135	135	-739	Min.	34.75	-2.19	6	-0.14	2	-0.06	2	-12.20	6	-2.08	6	-0.02	2
136	136	-740	Max	0.00	-1.48	6	0.15	2	0.01	2	43.88	6	2.25	6	0.01	2
136	136	-740	Max	34.75	-0.11	6	0.15	2	0.06	2	43.88	6	7.67	6	0.01	2
136	136	-740	Min.	0.00	-3.68	6	-0.14	2	-0.01	2	-12.70	6	-7.58	6	-0.02	2
136	136	-740	Min.	34.75	-2.31	6	-0.14	2	-0.06	2	-12.70	6	-2.17	6	-0.02	2
137	137	-741	Max	0.00	-1.48	6	0.14	2	0.01	2	43.90	6	2.24	6	0.02	2
137	137	-741	Max	34.75	-0.11	6	0.14	2	0.06	2	43.90	6	7.67	6	0.02	2
137	137	-741	Min.	0.00	-3.68	6	-0.15	2	-0.01	2	-12.67	6	-7.58	6	-0.01	2
137	137	-741	Min.	34.75	-2.31	6	-0.15	2	-0.06	2	-12.67	6	-2.16	6	-0.01	2
138	138	-742	Max	0.00	-1.35	6	0.14	2	0.01	2	44.18	6	2.17	6	0.02	2
138	138	-742	Max	34.75	0.01	6	0.14	2	0.06	2	44.18	6	7.72	6	0.02	2
138	138	-742	Min.	0.00	-3.55	6	-0.15	2	-0.01	2	-12.23	6	-7.63	6	-0.01	2
138	138	-742	Min.	34.75	-2.19	6	-0.15	2	-0.06	2	-12.23	6	-2.08	6	-0.01	2
139	139	-743	Max	0.00	-1.36	6	0.14	2	0.02	2	35.16	6	3.73	6	0.01	2
139	139	-743	Max	34.75	0.00	6	0.14	2	0.06	2	35.16	6	6.13	6	0.01	2
139	139	-743	Min.	0.00	-3.58	6	-0.19	2	-0.00	2	-21.36	6	-6.09	6	-0.02	2
139	139	-743	Min.	34.75	-2.22	6	-0.19	2	-0.06	2	-21.36	6	-3.69	6	-0.02	2
140	140	-744	Max	0.00	0.33	6	0.14	2	0.02	6	34.03	6	3.55	6	0.00	6
140	140	-744	Max	34.75	1.69	6	0.14	2	0.06	2	34.03	6	5.94	6	0.00	6
140	140	-744	Min.	0.00	-1.82	6	-0.20	2	-0.00	6	-20.31	6	-5.89	6	-0.01	6
140	140	-744	Min.	34.75	-0.46	6	-0.20	2	-0.06	2	-20.31	6	-3.51	6	-0.01	6
141	141	-753	Max	0.00	0.36	6	0.05	2	0.01	2	33.09	6	2.98	6	0.02	2
141	141	-753	Max	36.50	1.79	6	0.05	2	0.03	2	33.09	6	6.05	6	0.02	2
141	141	-753	Min.	0.00	-1.63	6	-0.03	2	-0.02	2	-16.25	6	-6.02	6	-0.01	2
141	141	-753	Min.	36.50	-0.20	6	-0.03	2	-0.03	2	-16.25	6	-2.95	6	-0.01	2
142	142	-754	Max	0.00	-1.62	6	0.04	2	0.03	2	35.76	6	2.86	6	0.02	2
142	142	-754	Max	36.50	-0.19	6	0.04	2	0.02	2	35.76	6	6.54	6	0.02	2
142	142	-754	Min.	0.00	-3.67	6	-0.02	2	-0.03	2	-15.60	6	-6.51	6	-0.01	2
142	142	-754	Min.	36.50	-2.24	6	-0.02	2	-0.02	2	-15.60	6	-2.84	6	-0.01	2
143	143	-755	Max	0.00	-1.35	6	0.03	2	0.03	2	44.73	6	1.22	6	0.01	2
143	143	-755	Max	36.50	0.08	6	0.03	2	0.02	2	44.73	6	8.19	6	0.01	2
143	143	-755	Min.	0.00	-3.39	6	-0.02	2	-0.03	2	-6.55	6	-8.14	6	-0.01	2
143	143	-755	Min.	36.50	-1.96	6	-0.02	2	-0.02	2	-6.55	6	-1.17	6	-0.01	2
144	144	-756	Max	0.00	-1.48	6	0.03	2	0.03	2	44.57	6	1.28	6	0.01	2
144	144	-756	Max	36.50	-0.05	6	0.03	2	0.02	2	44.57	6	8.16	6	0.01	2
144	144	-756	Min.	0.00	-3.54	6	-0.03	2	-0.03	2	-6.89	6	-8.11	6	-0.01	2
144	144	-756	Min.	36.50	-2.11	6	-0.03	2	-0.02	2	-6.89	6	-1.23	6	-0.01	2
145	145	-757	Max	0.00	-1.48	6	0.03	2	0.03	2	44.58	6	1.27	6	0.01	2
145	145	-757	Max	36.50	-0.05	6	0.03	2	0.02	2	44.58	6	8.16	6	0.01	2

145	145	-757	Min.	0.00	-3.54	6	-0.03	2	-0.03	2	-6.86	6	-8.11	6	-0.01	2
145	145	-757	Min.	36.50	-2.10	6	-0.03	2	-0.02	2	-6.86	6	-1.23	6	-0.01	2
146	146	-758	Max	0.00	-1.35	6	0.02	2	0.03	2	44.73	6	1.22	6	0.01	2
146	146	-758	Max	36.50	0.08	6	0.02	2	0.02	2	44.73	6	8.19	6	0.01	2
146	146	-758	Min.	0.00	-3.40	6	-0.03	2	-0.03	2	-6.57	6	-8.14	6	-0.01	2
146	146	-758	Min.	36.50	-1.96	6	-0.03	2	-0.02	2	-6.57	6	-1.18	6	-0.01	2
147	147	-759	Max	0.00	-1.62	6	0.02	2	0.03	2	35.76	6	2.86	6	0.01	2
147	147	-759	Max	36.50	-0.19	6	0.02	2	0.02	2	35.76	6	6.54	6	0.01	2
147	147	-759	Min.	0.00	-3.67	6	-0.03	2	-0.03	2	-15.61	6	-6.51	6	-0.02	2
147	147	-759	Min.	36.50	-2.24	6	-0.03	2	-0.02	2	-15.61	6	-2.84	6	-0.02	2
148	148	-760	Max	0.00	0.36	6	0.03	2	0.02	2	33.10	6	2.98	6	0.01	2
148	148	-760	Max	36.50	1.79	6	0.03	2	0.03	2	33.10	6	6.05	6	0.01	2
148	148	-760	Min.	0.00	-1.63	6	-0.05	2	-0.01	2	-16.25	6	-6.03	6	-0.02	2
148	148	-760	Min.	36.50	-0.20	6	-0.05	2	-0.03	2	-16.25	6	-2.95	6	-0.02	2
149	149	-769	Max	0.00	1.37	6	0.16	2	0.01	6	30.16	6	2.85	6	0.02	2
149	149	-769	Max	22.20					-0.01	8			0.95	8		
149	149	-769	Max	38.25	2.87	6	0.16	2	0.06	2	30.16	6	5.80	6	0.02	2
149	149	-769	Min.	0.00	-0.41	6	-0.17	2	-0.01	6	-14.74	6	-5.74	6	-0.01	2
149	149	-769	Min.	22.20					0.01	8			-0.42	8		
149	149	-769	Min.	38.25	1.09	6	-0.17	2	-0.07	2	-14.74	6	-2.79	6	-0.01	2
150	150	-770	Max	0.00	-0.08	6	0.14	2	0.01	6	33.71	6	2.54	6	0.04	2
150	150	-770	Max	22.22					-0.01	8			1.07	8		
150	150	-770	Max	38.25	1.42	6	0.14	2	0.06	2	33.71	6	6.48	6	0.04	2
150	150	-770	Min.	0.00	-1.87	6	-0.16	2	-0.01	6	-13.10	6	-6.41	6	-0.03	2
150	150	-770	Min.	22.22					0.01	8			-0.36	8		
150	150	-770	Min.	38.25	-0.36	6	-0.16	2	-0.06	2	-13.10	6	-2.47	6	-0.03	2
151	151	-771	Max	0.00	0.96	6	0.13	2	0.01	2	40.69	6	1.22	6	0.03	2
151	151	-771	Max	38.25	2.46	6	0.13	2	0.06	2	40.69	6	7.84	6	0.03	2
151	151	-771	Min.	0.00	-0.85	6	-0.14	2	-0.01	2	-6.06	6	-7.72	6	-0.03	2
151	151	-771	Min.	38.25	0.66	6	-0.14	2	-0.06	2	-6.06	6	-1.10	6	-0.03	2
152	152	-772	Max	0.00	0.82	6	0.14	2	0.01	2	40.66	6	1.26	6	0.03	2
152	152	-772	Max	38.25	2.33	6	0.14	2	0.06	2	40.66	6	7.84	6	0.03	2
152	152	-772	Min.	0.00	-0.96	6	-0.14	2	-0.01	2	-6.25	6	-7.71	6	-0.03	2
152	152	-772	Min.	38.25	0.54	6	-0.14	2	-0.06	2	-6.25	6	-1.13	6	-0.03	2
153	153	-773	Max	0.00	0.83	6	0.14	2	0.01	2	40.67	6	1.25	6	0.03	2
153	153	-773	Max	38.25	2.33	6	0.14	2	0.06	2	40.67	6	7.84	6	0.03	2
153	153	-773	Min.	0.00	-0.96	6	-0.14	2	-0.01	2	-6.22	6	-7.72	6	-0.03	2
153	153	-773	Min.	38.25	0.54	6	-0.14	2	-0.06	2	-6.22	6	-1.13	6	-0.03	2
154	154	-774	Max	0.00	0.96	6	0.14	2	0.01	2	40.68	6	1.23	6	0.03	2
154	154	-774	Max	38.25	2.46	6	0.14	2	0.06	2	40.68	6	7.84	6	0.03	2
154	154	-774	Min.	0.00	-0.84	6	-0.13	2	-0.01	2	-6.08	6	-7.72	6	-0.03	2
154	154	-774	Min.	38.25	0.66	6	-0.13	2	-0.06	2	-6.08	6	-1.10	6	-0.03	2
155	155	-775	Max	0.00	-0.08	6	0.16	2	0.01	6	33.71	6	2.54	6	0.03	2
155	155	-775	Max	21.52					-0.01	8			0.84	8		
155	155	-775	Max	38.25	1.42	6	0.16	2	0.06	2	33.71	6	6.49	6	0.03	2
155	155	-775	Min.	0.00	-1.87	6	-0.14	2	-0.01	6	-13.10	6	-6.41	6	-0.04	2
155	155	-775	Min.	21.52					0.01	8			-0.27	8		
155	155	-775	Min.	38.25	-0.37	6	-0.14	2	-0.06	2	-13.10	6	-2.47	6	-0.04	2
156	156	-776	Max	0.00	1.37	6	0.17	2	0.01	6	30.16	6	2.85	6	0.01	2
156	156	-776	Max	38.25	2.87	6	0.17	2	0.07	2	30.16	6	5.80	6	0.01	2
156	156	-776	Min.	0.00	-0.41	6	-0.16	2	-0.01	6	-14.74	6	-5.74	6	-0.02	2
156	156	-776	Min.	38.25	1.09	6	-0.16	2	-0.06	2	-14.74	6	-2.79	6	-0.02	2
157	157	-785	Max	0.00	19.48	2	0.58	2	0.05	2	20.32	6	4.07	6	0.03	6
157	157	-785	Max	40.00	21.05	2	0.58	2	0.19	2	20.32	6	4.06	6	0.03	6
157	157	-785	Min.	0.00	18.14	2	-0.63	2	-0.04	2	-20.34	6	-4.07	6	-0.03	6
157	157	-785	Min.	40.00	19.71	2	-0.63	2	-0.20	2	-20.34	6	-4.07	6	-0.03	6
158	158	-786	Max	0.00	27.31	2	0.67	2	0.07	2	21.27	6	4.26	6	0.03	6
158	158	-786	Max	40.00	28.88	2	0.67	2	0.21	2	21.27	6	4.25	6	0.03	6
158	158	-786	Min.	0.00	26.20	2	-0.71	2	-0.06	2	-21.28	6	-4.26	6	-0.03	6

158	158	-786	Min.	40.00	27.77	2	-0.71	2	-0.22	2	-21.28	6	-4.25	6	-0.03	6
159	159	-787	Max	0.00	41.17	2	0.67	2	0.06	2	21.26	6	4.25	6	0.00	6
159	159	-787	Max	40.00	42.74	2	0.67	2	0.21	2	21.26	6	4.25	6	0.00	6
159	159	-787	Min.	0.00	41.06	2	-0.72	2	-0.06	2	-21.27	6	-4.25	6	-0.00	6
159	159	-787	Min.	40.00	42.63	2	-0.72	2	-0.22	2	-21.27	6	-4.25	6	-0.00	6
160	160	-788	Max	0.00	41.20	2	0.68	2	0.06	2	21.34	6	4.27	6	0.01	6
160	160	-788	Max	40.00	42.77	2	0.68	2	0.21	2	21.34	6	4.27	6	0.01	6
160	160	-788	Min.	0.00	40.98	2	-0.72	2	-0.06	2	-21.36	6	-4.27	6	-0.01	6
160	160	-788	Min.	40.00	42.55	2	-0.72	2	-0.22	2	-21.36	6	-4.27	6	-0.01	6
161	161	-789	Max	0.00	41.20	2	0.72	2	0.06	2	21.34	6	4.27	6	0.01	6
161	161	-789	Max	40.00	42.77	2	0.72	2	0.22	2	21.34	6	4.27	6	0.01	6
161	161	-789	Min.	0.00	40.99	2	-0.68	2	-0.06	2	-21.34	6	-4.27	6	-0.01	6
161	161	-789	Min.	40.00	42.56	2	-0.68	2	-0.21	2	-21.34	6	-4.27	6	-0.01	6
162	162	-790	Max	0.00	41.16	2	0.72	2	0.06	2	21.26	6	4.26	6	0.00	6
162	162	-790	Max	40.00	42.73	2	0.72	2	0.22	2	21.26	6	4.25	6	0.00	6
162	162	-790	Min.	0.00	41.06	2	-0.67	2	-0.06	2	-21.29	6	-4.25	6	-0.00	6
162	162	-790	Min.	40.00	42.63	2	-0.67	2	-0.21	2	-21.29	6	-4.26	6	-0.00	6
163	163	-791	Max	0.00	27.31	2	0.71	2	0.06	2	21.28	6	4.26	6	0.03	6
163	163	-791	Max	40.00	28.88	2	0.71	2	0.22	2	21.28	6	4.25	6	0.03	6
163	163	-791	Min.	0.00	26.21	2	-0.67	2	-0.07	2	-21.29	6	-4.26	6	-0.03	6
163	163	-791	Min.	40.00	27.78	2	-0.67	2	-0.21	2	-21.29	6	-4.26	6	-0.03	6
164	164	-792	Max	0.00	19.47	2	0.63	2	0.04	2	20.32	6	4.07	6	0.03	6
164	164	-792	Max	40.00	21.04	2	0.63	2	0.20	2	20.32	6	4.06	6	0.03	6
164	164	-792	Min.	0.00	18.14	2	-0.58	2	-0.05	2	-20.33	6	-4.07	6	-0.03	6
164	164	-792	Min.	40.00	19.71	2	-0.58	2	-0.19	2	-20.33	6	-4.06	6	-0.03	6
165	165	-777	Max	0.00	1.38	6	0.16	2	0.01	6	14.74	6	5.74	6	0.01	2
165	165	-777	Max	21.99					-0.01	8			0.39	8		
165	165	-777	Max	38.25	2.88	6	0.16	2	0.06	2	14.74	6	2.79	6	0.01	2
165	165	-777	Min.	0.00	-0.41	6	-0.17	2	-0.01	6	-30.19	6	-2.85	6	-0.02	2
165	165	-777	Min.	21.99					0.01	8			-0.89	8		
165	165	-777	Min.	38.25	1.09	6	-0.17	2	-0.07	2	-30.19	6	-5.81	6	-0.02	2
166	166	-778	Max	0.00	-0.07	6	0.14	2	0.01	6	13.09	6	6.41	6	0.03	2
166	166	-778	Max	22.29					-0.01	8			0.37	8		
166	166	-778	Max	38.25	1.43	6	0.14	2	0.06	2	13.09	6	2.46	6	0.03	2
166	166	-778	Min.	0.00	-1.87	6	-0.16	2	-0.01	6	-33.71	6	-2.54	6	-0.04	2
166	166	-778	Min.	22.29					0.01	8			-1.10	8		
166	166	-778	Min.	38.25	-0.37	6	-0.16	2	-0.06	2	-33.71	6	-6.48	6	-0.04	2
167	167	-779	Max	0.00	0.97	6	0.13	2	0.01	2	6.06	6	7.72	6	0.03	2
167	167	-779	Max	38.25	2.47	6	0.13	2	0.06	2	6.06	6	1.09	6	0.03	2
167	167	-779	Min.	0.00	-0.85	6	-0.14	2	-0.01	2	-40.69	6	-1.22	6	-0.03	2
167	167	-779	Min.	38.25	0.65	6	-0.14	2	-0.06	2	-40.69	6	-7.84	6	-0.03	2
168	168	-780	Max	0.00	0.83	6	0.14	2	0.01	2	6.21	6	7.72	6	0.03	2
168	168	-780	Max	38.25	2.34	6	0.14	2	0.06	2	6.21	6	1.12	6	0.03	2
168	168	-780	Min.	0.00	-0.97	6	-0.14	2	-0.01	2	-40.69	6	-1.25	6	-0.03	2
168	168	-780	Min.	38.25	0.54	6	-0.14	2	-0.06	2	-40.69	6	-7.84	6	-0.03	2
169	169	-781	Max	0.00	0.83	6	0.14	2	0.01	2	6.22	6	7.71	6	0.03	2
169	169	-781	Max	38.25	2.34	6	0.14	2	0.06	2	6.22	6	1.13	6	0.03	2
169	169	-781	Min.	0.00	-0.97	6	-0.14	2	-0.01	2	-40.67	6	-1.25	6	-0.03	2
169	169	-781	Min.	38.25	0.53	6	-0.14	2	-0.06	2	-40.67	6	-7.84	6	-0.03	2
170	170	-782	Max	0.00	0.97	6	0.14	2	0.01	2	6.05	6	7.72	6	0.03	2
170	170	-782	Max	38.25	2.47	6	0.14	2	0.06	2	6.05	6	1.09	6	0.03	2
170	170	-782	Min.	0.00	-0.85	6	-0.13	2	-0.01	2	-40.71	6	-1.22	6	-0.03	2
170	170	-782	Min.	38.25	0.65	6	-0.13	2	-0.06	2	-40.71	6	-7.85	6	-0.03	2
171	171	-783	Max	0.00	-0.07	6	0.16	2	0.01	6	13.11	6	6.41	6	0.04	2
171	171	-783	Max	21.52					-0.01	8			0.27	8		
171	171	-783	Max	38.25	1.43	6	0.16	2	0.06	2	13.11	6	2.47	6	0.04	2
171	171	-783	Min.	0.00	-1.87	6	-0.14	2	-0.01	6	-33.72	6	-2.55	6	-0.03	2
171	171	-783	Min.	21.52					0.01	8			-0.84	8		
171	171	-783	Min.	38.25	-0.37	6	-0.14	2	-0.06	2	-33.72	6	-6.49	6	-0.03	2

172	172	-784	Max	0.00	1.37	6	0.17	2	0.01	6	14.74	6	5.74	6	0.02	2
172	172	-784	Max	38.25	2.88	6	0.17	2	0.07	2	14.74	6	2.79	6	0.02	2
172	172	-784	Min.	0.00	-0.41	6	-0.16	2	-0.01	6	-30.17	6	-2.85	6	-0.01	2
172	172	-784	Min.	38.25	1.09	6	-0.16	2	-0.06	2	-30.17	6	-5.80	6	-0.01	2
173	173	-761	Max	0.00	0.35	6	0.05	2	0.01	2	16.24	6	6.03	6	0.01	2
173	173	-761	Max	36.50	1.79	6	0.05	2	0.03	2	16.24	6	2.95	6	0.01	2
173	173	-761	Min.	0.00	-1.63	6	-0.03	2	-0.02	2	-33.13	6	-2.98	6	-0.02	2
173	173	-761	Min.	36.50	-0.20	6	-0.03	2	-0.03	2	-33.13	6	-6.06	6	-0.02	2
174	174	-762	Max	0.00	-1.63	6	0.03	2	0.03	2	15.59	6	6.51	6	0.01	2
174	174	-762	Max	36.50	-0.20	6	0.03	2	0.02	2	15.59	6	2.83	6	0.01	2
174	174	-762	Min.	0.00	-3.67	6	-0.02	2	-0.03	2	-35.76	6	-2.86	6	-0.02	2
174	174	-762	Min.	36.50	-2.23	6	-0.02	2	-0.02	2	-35.76	6	-6.54	6	-0.02	2
175	175	-763	Max	0.00	-1.36	6	0.03	2	0.03	2	6.54	6	8.14	6	0.01	2
175	175	-763	Max	36.50	0.08	6	0.03	2	0.02	2	6.54	6	1.17	6	0.01	2
175	175	-763	Min.	0.00	-3.39	6	-0.02	2	-0.03	2	-44.73	6	-1.22	6	-0.01	2
175	175	-763	Min.	36.50	-1.96	6	-0.02	2	-0.02	2	-44.73	6	-8.19	6	-0.01	2
176	176	-764	Max	0.00	-1.49	6	0.03	2	0.03	2	6.85	6	8.11	6	0.01	2
176	176	-764	Max	36.50	-0.06	6	0.03	2	0.02	2	6.85	6	1.23	6	0.01	2
176	176	-764	Min.	0.00	-3.53	6	-0.03	2	-0.03	2	-44.59	6	-1.27	6	-0.01	2
176	176	-764	Min.	36.50	-2.10	6	-0.03	2	-0.02	2	-44.59	6	-8.16	6	-0.01	2
177	177	-765	Max	0.00	-1.49	6	0.03	2	0.03	2	6.86	6	8.11	6	0.01	2
177	177	-765	Max	36.50	-0.06	6	0.03	2	0.02	2	6.86	6	1.23	6	0.01	2
177	177	-765	Min.	0.00	-3.53	6	-0.03	2	-0.03	2	-44.57	6	-1.27	6	-0.01	2
177	177	-765	Min.	36.50	-2.10	6	-0.03	2	-0.02	2	-44.57	6	-8.16	6	-0.01	2
178	178	-766	Max	0.00	-1.36	6	0.02	2	0.03	2	6.54	6	8.14	6	0.01	2
178	178	-766	Max	36.50	0.08	6	0.02	2	0.02	2	6.54	6	1.17	6	0.01	2
178	178	-766	Min.	0.00	-3.39	6	-0.03	2	-0.03	2	-44.75	6	-1.22	6	-0.01	2
178	178	-766	Min.	36.50	-1.96	6	-0.03	2	-0.02	2	-44.75	6	-8.19	6	-0.01	2
179	179	-767	Max	0.00	-1.63	6	0.02	2	0.03	2	15.61	6	6.52	6	0.02	2
179	179	-767	Max	36.50	-0.20	6	0.02	2	0.02	2	15.61	6	2.84	6	0.02	2
179	179	-767	Min.	0.00	-3.67	6	-0.03	2	-0.03	2	-35.78	6	-2.86	6	-0.01	2
179	179	-767	Min.	36.50	-2.24	6	-0.03	2	-0.02	2	-35.78	6	-6.54	6	-0.01	2
180	180	-768	Max	0.00	0.35	6	0.03	2	0.02	2	16.24	6	6.03	6	0.02	2
180	180	-768	Max	36.50	1.79	6	0.03	2	0.03	2	16.24	6	2.95	6	0.02	2
180	180	-768	Min.	0.00	-1.63	6	-0.05	2	-0.01	2	-33.11	6	-2.98	6	-0.01	2
180	180	-768	Min.	36.50	-0.20	6	-0.05	2	-0.03	2	-33.11	6	-6.06	6	-0.01	2
181	181	-745	Max	0.00	0.34	6	0.20	2	0.00	6	20.31	6	5.89	6	0.00	6
181	181	-745	Max	34.75	1.70	6	0.20	2	0.06	2	20.31	6	3.51	6	0.00	6
181	181	-745	Min.	0.00	-1.82	6	-0.15	2	-0.02	6	-34.06	6	-3.55	6	-0.01	6
181	181	-745	Min.	34.75	-0.46	6	-0.15	2	-0.06	2	-34.06	6	-5.94	6	-0.01	6
182	182	-746	Max	0.00	-1.35	6	0.19	2	0.00	2	21.34	6	6.09	6	0.01	2
182	182	-746	Max	34.75	0.01	6	0.19	2	0.06	2	21.34	6	3.69	6	0.01	2
182	182	-746	Min.	0.00	-3.58	6	-0.14	2	-0.02	2	-35.16	6	-3.73	6	-0.02	2
182	182	-746	Min.	34.75	-2.22	6	-0.14	2	-0.06	2	-35.16	6	-6.13	6	-0.02	2
183	183	-747	Max	0.00	-1.35	6	0.15	2	0.01	2	12.20	6	7.63	6	0.02	2
183	183	-747	Max	34.75	0.02	6	0.15	2	0.06	2	12.20	6	2.08	6	0.02	2
183	183	-747	Min.	0.00	-3.55	6	-0.14	2	-0.01	2	-44.19	6	-2.16	6	-0.01	2
183	183	-747	Min.	34.75	-2.19	6	-0.14	2	-0.06	2	-44.19	6	-7.72	6	-0.01	2
184	184	-748	Max	0.00	-1.47	6	0.15	2	0.01	2	12.66	6	7.58	6	0.02	2
184	184	-748	Max	34.75	-0.10	6	0.15	2	0.06	2	12.66	6	2.16	6	0.02	2
184	184	-748	Min.	0.00	-3.68	6	-0.14	2	-0.01	2	-43.91	6	-2.24	6	-0.01	2
184	184	-748	Min.	34.75	-2.31	6	-0.14	2	-0.06	2	-43.91	6	-7.68	6	-0.01	2
185	185	-749	Max	0.00	-1.47	6	0.14	2	0.01	2	12.67	6	7.58	6	0.01	2
185	185	-749	Max	34.75	-0.10	6	0.14	2	0.06	2	12.67	6	2.16	6	0.01	2
185	185	-749	Min.	0.00	-3.68	6	-0.15	2	-0.01	2	-43.89	6	-2.24	6	-0.02	2
185	185	-749	Min.	34.75	-2.31	6	-0.15	2	-0.06	2	-43.89	6	-7.67	6	-0.02	2
186	186	-750	Max	0.00	-1.34	6	0.14	2	0.01	2	12.19	6	7.64	6	0.01	2
186	186	-750	Max	34.75	0.02	6	0.14	2	0.06	2	12.19	6	2.08	6	0.01	2
186	186	-750	Min.	0.00	-3.55	6	-0.15	2	-0.01	2	-44.21	6	-2.16	6	-0.02	2

186	186	-750	Min.	34.75	-2.19	6	-0.15	2	-0.06	2	-44.21	6	-7.73	6	-0.02	2
187	187	-751	Max	0.00	-1.35	6	0.14	2	0.02	2	21.36	6	6.09	6	0.02	2
187	187	-751	Max	34.75	0.01	6	0.14	2	0.06	2	21.36	6	3.69	6	0.02	2
187	187	-751	Min.	0.00	-3.58	6	-0.19	2	-0.00	2	-35.17	6	-3.73	6	-0.01	2
187	187	-751	Min.	34.75	-2.22	6	-0.19	2	-0.06	2	-35.17	6	-6.13	6	-0.01	2
188	188	-752	Max	0.00	0.33	6	0.14	2	0.02	6	20.31	6	5.89	6	0.01	6
188	188	-752	Max	34.75	1.70	6	0.14	2	0.06	2	20.31	6	3.51	6	0.01	6
188	188	-752	Min.	0.00	-1.82	6	-0.20	2	-0.00	6	-34.04	6	-3.55	6	-0.00	6
188	188	-752	Min.	34.75	-0.46	6	-0.20	2	-0.06	2	-34.04	6	-5.94	6	-0.00	6
189	189	-729	Max	0.00	-8.15	6	0.62	2	0.04	2	29.25	6	5.06	6	0.06	6
189	189	-729	Max	33.00	-6.86	6	0.62	2	0.16	2	29.25	6	4.81	6	0.06	6
189	189	-729	Min.	0.00	-10.27	6	-0.79	2	-0.04	2	-30.80	6	-4.84	6	-0.02	6
189	189	-729	Min.	33.00	-8.97	6	-0.79	2	-0.22	2	-30.80	6	-5.10	6	-0.02	6
190	190	-730	Max	0.00	-5.51	6	0.74	2	0.06	2	30.34	6	5.25	6	0.05	6
190	190	-730	Max	33.00	-4.21	6	0.74	2	0.18	2	30.34	6	4.99	6	0.05	6
190	190	-730	Min.	0.00	-7.99	6	-0.90	2	-0.06	2	-31.98	6	-5.02	6	-0.02	6
190	190	-730	Min.	33.00	-6.69	6	-0.90	2	-0.24	2	-31.98	6	-5.30	6	-0.02	6
191	191	-731	Max	0.00	-17.85	6	0.80	2	0.06	2	26.96	6	5.76	6	0.03	2
191	191	-731	Max	33.00	-16.56	6	0.80	2	0.21	2	26.96	6	4.42	6	0.03	2
191	191	-731	Min.	0.00	-19.92	6	-0.83	2	-0.06	2	-35.15	6	-4.48	6	-0.02	2
191	191	-731	Min.	33.00	-18.62	6	-0.83	2	-0.21	2	-35.15	6	-5.84	6	-0.02	2
192	192	-732	Max	0.00	-17.66	6	0.81	2	0.06	2	27.44	6	5.71	6	0.03	2
192	192	-732	Max	33.00	-16.36	6	0.81	2	0.21	2	27.44	6	4.49	6	0.03	2
192	192	-732	Min.	0.00	-19.75	6	-0.84	2	-0.06	2	-34.85	6	-4.56	6	-0.02	2
192	192	-732	Min.	33.00	-18.46	6	-0.84	2	-0.22	2	-34.85	6	-5.79	6	-0.02	2
193	193	-733	Max	0.00	-17.65	6	0.84	2	0.06	2	27.45	6	5.71	6	0.02	2
193	193	-733	Max	33.00	-16.36	6	0.84	2	0.22	2	27.45	6	4.50	6	0.02	2
193	193	-733	Min.	0.00	-19.75	6	-0.81	2	-0.06	2	-34.83	6	-4.56	6	-0.03	2
193	193	-733	Min.	33.00	-18.46	6	-0.81	2	-0.21	2	-34.83	6	-5.79	6	-0.03	2
194	194	-734	Max	0.00	-17.86	6	0.83	2	0.06	2	26.96	6	5.76	6	0.02	2
194	194	-734	Max	33.00	-16.56	6	0.83	2	0.21	2	26.96	6	4.41	6	0.02	2
194	194	-734	Min.	0.00	-19.92	6	-0.80	2	-0.06	2	-35.17	6	-4.48	6	-0.03	2
194	194	-734	Min.	33.00	-18.63	6	-0.80	2	-0.21	2	-35.17	6	-5.84	6	-0.03	2
195	195	-735	Max	0.00	-5.51	6	0.90	2	0.06	2	30.36	6	5.26	6	0.02	6
195	195	-735	Max	33.00	-4.21	6	0.90	2	0.24	2	30.36	6	4.99	6	0.02	6
195	195	-735	Min.	0.00	-7.99	6	-0.74	2	-0.06	2	-32.00	6	-5.03	6	-0.05	6
195	195	-735	Min.	33.00	-6.69	6	-0.74	2	-0.18	2	-32.00	6	-5.30	6	-0.05	6
196	196	-736	Max	0.00	-8.15	6	0.79	2	0.04	2	29.25	6	5.06	6	0.02	6
196	196	-736	Max	33.00	-6.85	6	0.79	2	0.22	2	29.25	6	4.81	6	0.02	6
196	196	-736	Min.	0.00	-10.27	6	-0.62	2	-0.04	2	-30.78	6	-4.84	6	-0.06	6
196	196	-736	Min.	33.00	-8.98	6	-0.62	2	-0.16	2	-30.78	6	-5.10	6	-0.06	6
197	197	-713	Max	0.00	0.13	6	0.11	2	0.01	2	39.79	6	4.16	6	0.03	2
197	197	-713	Max	31.25	1.36	6	0.11	2	0.04	2	39.79	6	6.21	6	0.03	2
197	197	-713	Min.	0.00	-2.51	6	-0.16	2	-0.02	2	-26.77	6	-6.23	6	-0.01	2
197	197	-713	Min.	31.25	-1.28	6	-0.16	2	-0.06	2	-26.77	6	-4.20	6	-0.01	2
198	198	-714	Max	0.00	-1.65	6	0.09	2	0.02	2	41.11	6	4.36	6	0.05	2
198	198	-714	Max	31.25	-0.42	6	0.09	2	0.04	2	41.11	6	6.41	6	0.05	2
198	198	-714	Min.	0.00	-4.38	6	-0.14	2	-0.02	2	-28.08	6	-6.44	6	-0.03	2
198	198	-714	Min.	31.25	-3.16	6	-0.14	2	-0.06	2	-28.08	6	-4.41	6	-0.03	2
199	199	-715	Max	0.00	-2.21	6	0.09	2	0.02	2	44.82	6	3.71	6	0.04	2
199	199	-715	Max	31.25	-0.99	6	0.09	2	0.04	2	44.82	6	6.98	6	0.04	2
199	199	-715	Min.	0.00	-4.92	6	-0.10	2	-0.02	2	-23.97	6	-7.03	6	-0.03	2
199	199	-715	Min.	31.25	-3.69	6	-0.10	2	-0.05	2	-23.97	6	-3.78	6	-0.03	2
200	200	-716	Max	0.00	-2.35	6	0.09	2	0.02	2	45.36	6	3.67	6	0.04	2
200	200	-716	Max	31.25	-1.12	6	0.09	2	0.04	2	45.36	6	7.07	6	0.04	2
200	200	-716	Min.	0.00	-5.07	6	-0.10	2	-0.02	2	-23.67	6	-7.11	6	-0.03	2
200	200	-716	Min.	31.25	-3.84	6	-0.10	2	-0.05	2	-23.67	6	-3.73	6	-0.03	2
201	201	-717	Max	0.00	-2.35	6	0.10	2	0.02	2	45.37	6	3.66	6	0.03	2
201	201	-717	Max	31.25	-1.12	6	0.10	2	0.05	2	45.37	6	7.07	6	0.03	2

201	201	-717	Min.	0.00	-5.07	6	-0.09	2	-0.02	2	-23.65	6	-7.11	6	-0.04	2
201	201	-717	Min.	31.25	-3.84	6	-0.09	2	-0.04	2	-23.65	6	-3.73	6	-0.04	2
202	202	-718	Max	0.00	-2.22	6	0.10	2	0.02	2	44.82	6	3.72	6	0.03	2
202	202	-718	Max	31.25	-0.99	6	0.10	2	0.05	2	44.82	6	6.98	6	0.03	2
202	202	-718	Min.	0.00	-4.92	6	-0.09	2	-0.02	2	-23.99	6	-7.03	6	-0.04	2
202	202	-718	Min.	31.25	-3.70	6	-0.09	2	-0.04	2	-23.99	6	-3.78	6	-0.04	2
203	203	-719	Max	0.00	-1.65	6	0.14	2	0.02	2	41.13	6	4.37	6	0.03	2
203	203	-719	Max	16.86					-0.00	8			0.49	8		
203	203	-719	Max	31.25	-0.42	6	0.14	2	0.06	2	41.13	6	6.41	6	0.03	2
203	203	-719	Min.	0.00	-4.39	6	-0.09	2	-0.02	2	-28.09	6	-6.44	6	-0.05	2
203	203	-719	Min.	16.86					0.01	8			-0.37	8		
203	203	-719	Min.	31.25	-3.16	6	-0.09	2	-0.04	2	-28.09	6	-4.41	6	-0.05	2
204	204	-720	Max	0.00	0.13	6	0.16	2	0.02	2	39.79	6	4.16	6	0.01	2
204	204	-720	Max	16.69					-0.00	8			0.41	8		
204	204	-720	Max	31.25	1.36	6	0.16	2	0.06	2	39.79	6	6.21	6	0.01	2
204	204	-720	Min.	0.00	-2.51	6	-0.11	2	-0.01	2	-26.75	6	-6.23	6	-0.03	2
204	204	-720	Min.	16.69					0.01	8			-0.30	8		
204	204	-720	Min.	31.25	-1.28	6	-0.11	2	-0.04	2	-26.75	6	-4.20	6	-0.03	2
205	205	-697	Max	0.00	0.56	6	0.02	2	0.01	2	47.98	6	3.87	6	0.02	2
205	205	-697	Max	29.50	1.72	6	0.02	2	0.02	2	47.98	6	7.06	6	0.02	2
205	205	-697	Min.	0.00	-2.43	6	-0.01	2	-0.02	2	-26.46	6	-7.09	6	-0.00	2
205	205	-697	Min.	29.50	-1.27	6	-0.01	2	-0.02	2	-26.46	6	-3.93	6	-0.00	2
206	206	-698	Max	0.00	-1.52	6	0.08	2	0.03	2	51.65	6	3.76	6	0.02	2
206	206	-698	Max	29.50	-0.36	6	0.08	2	0.00	2	51.65	6	7.60	6	0.02	2
206	206	-698	Min.	0.00	-4.59	6	-0.08	2	-0.03	2	-25.71	6	-7.63	6	-0.00	2
206	206	-698	Min.	29.50	-3.44	6	-0.08	2	-0.01	2	-25.71	6	-3.82	6	-0.00	2
207	207	-699	Max	0.00	-1.57	6	0.08	2	0.03	2	57.49	6	2.81	6	0.01	2
207	207	-699	Max	29.50	-0.42	6	0.08	2	0.01	2	57.49	6	8.45	6	0.01	2
207	207	-699	Min.	0.00	-4.63	6	-0.08	2	-0.03	2	-19.39	6	-8.51	6	-0.01	2
207	207	-699	Min.	29.50	-3.47	6	-0.08	2	-0.01	2	-19.39	6	-2.91	6	-0.01	2
208	208	-700	Max	0.00	-1.72	6	0.09	2	0.03	2	58.26	6	2.74	6	0.01	2
208	208	-700	Max	29.50	-0.56	6	0.09	2	0.01	2	58.26	6	8.56	6	0.01	2
208	208	-700	Min.	0.00	-4.78	6	-0.08	2	-0.03	2	-18.89	6	-8.63	6	-0.01	2
208	208	-700	Min.	29.50	-3.63	6	-0.08	2	-0.01	2	-18.89	6	-2.83	6	-0.01	2
209	209	-701	Max	0.00	-1.72	6	0.08	2	0.03	2	58.27	6	2.74	6	0.01	2
209	209	-701	Max	29.50	-0.56	6	0.08	2	0.01	2	58.27	6	8.56	6	0.01	2
209	209	-701	Min.	0.00	-4.79	6	-0.09	2	-0.03	2	-18.87	6	-8.63	6	-0.01	2
209	209	-701	Min.	29.50	-3.63	6	-0.09	2	-0.01	2	-18.87	6	-2.83	6	-0.01	2
210	210	-702	Max	0.00	-1.57	6	0.08	2	0.03	2	57.49	6	2.82	6	0.01	2
210	210	-702	Max	29.50	-0.41	6	0.08	2	0.01	2	57.49	6	8.45	6	0.01	2
210	210	-702	Min.	0.00	-4.63	6	-0.08	2	-0.03	2	-19.42	6	-8.51	6	-0.01	2
210	210	-702	Min.	29.50	-3.47	6	-0.08	2	-0.01	2	-19.42	6	-2.91	6	-0.01	2
211	211	-703	Max	0.00	-1.52	6	0.08	2	0.03	2	51.68	6	3.77	6	0.00	2
211	211	-703	Max	29.50	-0.36	6	0.08	2	0.01	2	51.68	6	7.61	6	0.00	2
211	211	-703	Min.	0.00	-4.59	6	-0.08	2	-0.03	2	-25.73	6	-7.64	6	-0.02	2
211	211	-703	Min.	29.50	-3.44	6	-0.08	2	-0.00	2	-25.73	6	-3.82	6	-0.02	2
212	212	-704	Max	0.00	0.56	6	0.01	2	0.02	2	47.98	6	3.87	6	0.00	2
212	212	-704	Max	29.50	1.72	6	0.01	2	0.02	2	47.98	6	7.06	6	0.00	2
212	212	-704	Min.	0.00	-2.43	6	-0.02	2	-0.01	2	-26.44	6	-7.09	6	-0.02	2
212	212	-704	Min.	29.50	-1.27	6	-0.02	2	-0.02	2	-26.44	6	-3.93	6	-0.02	2
213	213	-681	Max	0.00	0.05	6	0.20	2	0.01	6	57.77	6	3.58	6	0.02	6
213	213	-681	Max	27.75	1.14	6	0.20	2	0.05	2	57.77	6	8.00	6	0.02	6
213	213	-681	Min.	0.00	-3.28	6	-0.12	2	-0.02	6	-26.07	6	-8.04	6	0.00	6
213	213	-681	Min.	27.75	-2.19	6	-0.12	2	-0.04	2	-26.07	6	-3.66	6	0.00	6
214	214	-682	Max	0.00	-1.66	6	0.18	2	0.01	6	63.86	6	3.19	6	0.03	2
214	214	-682	Max	27.75	-0.57	6	0.18	2	0.05	2	63.86	6	8.85	6	0.03	2
214	214	-682	Min.	0.00	-5.14	6	-0.10	2	-0.02	6	-23.22	6	-8.87	6	-0.00	2
214	214	-682	Min.	27.75	-4.05	6	-0.10	2	-0.04	2	-23.22	6	-3.25	6	-0.00	2
215	215	-683	Max	0.00	-2.36	6	0.13	2	0.01	2	72.15	6	1.94	6	0.02	2

215	215	-683	Max	27.75	-1.27	6	0.13	2	0.04	2	72.15	6	9.97	6	0.02	2
215	215	-683	Min.	0.00	-5.77	6	-0.11	2	-0.01	2	-14.42	6	-10.05	6	-0.01	2
215	215	-683	Min.	27.75	-4.68	6	-0.11	2	-0.04	2	-14.42	6	-2.06	6	-0.01	2
216	216	-684	Max	0.00	-2.54	6	0.14	2	0.01	2	73.25	6	1.82	6	0.02	2
216	216	-684	Max	27.75	-1.45	6	0.14	2	0.04	2	73.25	6	10.12	6	0.02	2
216	216	-684	Min.	0.00	-5.95	6	-0.11	2	-0.01	2	-13.56	6	-10.20	6	-0.01	2
216	216	-684	Min.	27.75	-4.86	6	-0.11	2	-0.04	2	-13.56	6	-1.94	6	-0.01	2
217	217	-685	Max	0.00	-2.54	6	0.11	2	0.01	2	73.26	6	1.82	6	0.01	2
217	217	-685	Max	13.44					-0.01	8			0.00	8		
217	217	-685	Max	27.75	-1.45	6	0.11	2	0.04	2	73.26	6	10.13	6	0.01	2
217	217	-685	Min.	0.00	-5.95	6	-0.14	2	-0.01	2	-13.53	6	-10.20	6	-0.02	2
217	217	-685	Min.	13.44					0.01	8			-0.36	8		
217	217	-685	Min.	27.75	-4.86	6	-0.14	2	-0.04	2	-13.53	6	-1.94	6	-0.02	2
218	218	-686	Max	0.00	-2.36	6	0.11	2	0.01	2	72.15	6	1.95	6	0.01	2
218	218	-686	Max	27.75	-1.27	6	0.11	2	0.04	2	72.15	6	9.97	6	0.01	2
218	218	-686	Min.	0.00	-5.77	6	-0.13	2	-0.01	2	-14.44	6	-10.05	6	-0.02	2
218	218	-686	Min.	27.75	-4.69	6	-0.13	2	-0.04	2	-14.44	6	-2.06	6	-0.02	2
219	219	-687	Max	0.00	-1.67	6	0.10	2	0.02	6	63.88	6	3.19	6	0.00	2
219	219	-687	Max	27.75	-0.58	6	0.10	2	0.04	2	63.88	6	8.85	6	0.00	2
219	219	-687	Min.	0.00	-5.14	6	-0.18	2	-0.01	6	-23.23	6	-8.88	6	-0.03	2
219	219	-687	Min.	27.75	-4.05	6	-0.18	2	-0.05	2	-23.23	6	-3.26	6	-0.03	2
220	220	-688	Max	0.00	0.05	6	0.12	2	0.02	6	57.77	6	3.58	6	-0.00	6
220	220	-688	Max	27.75	1.13	6	0.12	2	0.04	2	57.77	6	8.00	6	-0.00	6
220	220	-688	Min.	0.00	-3.28	6	-0.20	2	-0.01	6	-26.05	6	-8.04	6	-0.02	6
220	220	-688	Min.	27.75	-2.19	6	-0.20	2	-0.05	2	-26.05	6	-3.65	6	-0.02	6
221	221	-665	Max	0.00	-10.50	6	0.65	2	0.03	2	76.06	6	2.46	6	0.07	6
221	221	-665	Max	26.00	-9.48	6	0.65	2	0.14	2	76.06	6	9.88	6	0.07	6
221	221	-665	Min.	0.00	-14.57	6	-0.69	2	-0.03	2	-19.14	6	-9.89	6	-0.01	6
221	221	-665	Min.	26.00	-13.55	6	-0.69	2	-0.15	2	-19.14	6	-2.52	6	-0.01	6
222	222	-666	Max	0.00	-3.21	6	0.82	2	0.05	2	79.52	6	2.49	6	0.07	6
222	222	-666	Max	26.00	-2.19	6	0.82	2	0.16	2	79.52	6	10.33	6	0.07	6
222	222	-666	Min.	0.00	-7.14	6	-0.86	2	-0.05	2	-19.41	6	-10.35	6	-0.01	6
222	222	-666	Min.	26.00	-6.12	6	-0.86	2	-0.17	2	-19.41	6	-2.56	6	-0.01	6
223	223	-667	Max	0.00	-17.61	6	0.81	2	0.05	2	98.63	6	-0.09	6	0.04	2
223	223	-667	Max	26.00	-16.59	6	0.81	2	0.16	2	98.63	6	12.79	6	0.04	2
223	223	-667	Min.	0.00	-21.60	6	-0.88	2	-0.05	2	0.29	6	-12.86	6	-0.01	2
223	223	-667	Min.	26.00	-20.58	6	-0.88	2	-0.18	2	0.29	6	-0.02	6	-0.01	2
224	224	-668	Max	0.00	-18.50	6	0.83	2	0.05	2	100.43	6	-0.34	6	0.04	2
224	224	-668	Max	26.00	-17.48	6	0.83	2	0.16	2	100.43	6	13.02	6	0.04	2
224	224	-668	Min.	0.00	-22.27	6	-0.88	2	-0.05	2	2.16	6	-13.09	6	-0.02	2
224	224	-668	Min.	26.00	-21.25	6	-0.88	2	-0.18	2	2.16	6	0.22	6	-0.02	2
225	225	-669	Max	0.00	-18.49	6	0.88	2	0.05	2	100.44	6	-0.34	6	0.02	2
225	225	-669	Max	26.00	-17.47	6	0.88	2	0.18	2	100.44	6	13.02	6	0.02	2
225	225	-669	Min.	0.00	-22.27	6	-0.83	2	-0.05	2	2.19	6	-13.09	6	-0.04	2
225	225	-669	Min.	26.00	-21.25	6	-0.83	2	-0.16	2	2.19	6	0.23	6	-0.04	2
226	226	-670	Max	0.00	-17.62	6	0.88	2	0.05	2	98.64	6	-0.09	6	0.02	2
226	226	-670	Max	26.00	-16.60	6	0.88	2	0.18	2	98.64	6	12.79	6	0.02	2
226	226	-670	Min.	0.00	-21.60	6	-0.81	2	-0.05	2	0.27	6	-12.86	6	-0.04	2
226	226	-670	Min.	26.00	-20.58	6	-0.81	2	-0.16	2	0.27	6	-0.02	6	-0.04	2
227	227	-671	Max	0.00	-3.21	6	0.86	2	0.05	2	79.53	6	2.49	6	0.01	6
227	227	-671	Max	26.00	-2.19	6	0.86	2	0.17	2	79.53	6	10.33	6	0.01	6
227	227	-671	Min.	0.00	-7.14	6	-0.82	2	-0.05	2	-19.40	6	-10.35	6	-0.07	6
227	227	-671	Min.	26.00	-6.12	6	-0.82	2	-0.16	2	-19.40	6	-2.56	6	-0.07	6
228	228	-672	Max	0.00	-10.50	6	0.69	2	0.03	2	76.06	6	2.46	6	0.01	6
228	228	-672	Max	26.00	-9.48	6	0.69	2	0.15	2	76.06	6	9.88	6	0.01	6
228	228	-672	Min.	0.00	-14.57	6	-0.65	2	-0.03	2	-19.11	6	-9.89	6	-0.07	6
228	228	-672	Min.	26.00	-13.55	6	-0.65	2	-0.14	2	-19.11	6	-2.51	6	-0.07	6
229	229	-649	Max	0.00	-0.30	6	0.07	6	0.02	2	98.46	6	1.28	6	0.03	2
229	229	-649	Max	12.99					-0.02	4			0.49	4		

229	229	-649	Max	24.25	0.65	6	0.07	6	0.02	2	98.46	6	11.94	6	0.03	2
229	229	-649	Min.	0.00	-4.74	6	-0.14	6	-0.01	2	-10.79	6	-11.94	6	-0.00	2
229	229	-649	Min.	12.99					0.02	4			0.23	4		
229	229	-649	Min.	24.25	-3.79	6	-0.14	6	-0.04	2	-10.79	6	-1.34	6	-0.00	2
230	230	-650	Max	0.00	-1.97	6	0.07	6	0.02	2	97.80	6	1.76	6	0.05	2
230	230	-650	Max	12.53					-0.02	4			0.21	4		
230	230	-650	Max	24.25	-1.02	6	0.07	6	0.02	2	97.80	6	11.85	6	0.05	2
230	230	-650	Min.	0.00	-6.37	6	-0.14	6	-0.02	2	-14.82	6	-11.87	6	-0.02	2
230	230	-650	Min.	12.53					0.02	4			0.08	4		
230	230	-650	Min.	24.25	-5.42	6	-0.14	6	-0.03	2	-14.82	6	-1.83	6	-0.02	2
231	231	-651	Max	0.00	-3.70	6	0.02	2	0.02	2	131.32	6	-2.34	6	0.04	2
231	231	-651	Max	10.47					-0.01	8			-0.38	8		
231	231	-651	Max	24.25	-2.75	6	0.02	2	0.02	2	131.32	6	15.91	6	0.04	2
231	231	-651	Min.	0.00	-8.18	6	-0.04	2	-0.02	2	18.96	6	-15.94	6	-0.02	2
231	231	-651	Min.	10.47					0.00	8			-2.17	8		
231	231	-651	Min.	24.25	-7.22	6	-0.04	2	-0.02	2	18.96	6	2.25	6	-0.02	2
232	232	-652	Max	0.00	-3.94	6	0.02	6	0.02	2	133.83	6	-2.69	6	0.04	2
232	232	-652	Max	11.55					-0.01	8			-0.17	8		
232	232	-652	Max	24.25	-2.99	6	0.02	6	0.02	2	133.83	6	16.21	6	0.04	2
232	232	-652	Min.	0.00	-8.39	6	-0.05	6	-0.02	2	21.77	6	-16.24	6	-0.02	2
232	232	-652	Min.	11.55					0.00	8			-0.78	8		
232	232	-652	Min.	24.25	-7.43	6	-0.05	6	-0.03	2	21.77	6	2.59	6	-0.02	2
233	233	-653	Max	0.00	-3.94	6	0.05	6	0.02	2	133.84	6	-2.69	6	0.02	2
233	233	-653	Max	13.03					-0.00	8			1.20	8		
233	233	-653	Max	24.25	-2.99	6	0.05	6	0.03	2	133.84	6	16.21	6	0.02	2
233	233	-653	Min.	0.00	-8.39	6	-0.02	6	-0.02	2	21.79	6	-16.25	6	-0.04	2
233	233	-653	Min.	13.03					0.01	8			0.16	8		
233	233	-653	Min.	24.25	-7.44	6	-0.02	6	-0.02	2	21.79	6	2.60	6	-0.04	2
234	234	-654	Max	0.00	-3.70	6	0.04	2	0.02	2	131.32	6	-2.34	6	0.02	2
234	234	-654	Max	24.25	-2.74	6	0.04	2	0.02	2	131.32	6	15.91	6	0.02	2
234	234	-654	Min.	0.00	-8.17	6	-0.02	2	-0.02	2	18.93	6	-15.94	6	-0.04	2
234	234	-654	Min.	24.25	-7.22	6	-0.02	2	-0.02	2	18.93	6	2.25	6	-0.04	2
235	235	-655	Max	0.00	-1.96	6	0.14	6	0.01	2	97.81	6	1.76	6	0.02	2
235	235	-655	Max	24.25	-1.01	6	0.14	6	0.03	2	97.81	6	11.85	6	0.02	2
235	235	-655	Min.	0.00	-6.37	6	-0.07	6	-0.02	2	-14.82	6	-11.87	6	-0.05	2
235	235	-655	Min.	24.25	-5.42	6	-0.07	6	-0.02	2	-14.82	6	-1.83	6	-0.05	2
236	236	-656	Max	0.00	-0.31	6	0.14	6	0.01	2	98.47	6	1.27	6	0.00	2
236	236	-656	Max	24.25	0.65	6	0.14	6	0.04	2	98.47	6	11.94	6	0.00	2
236	236	-656	Min.	0.00	-4.74	6	-0.07	6	-0.02	2	-10.77	6	-11.94	6	-0.03	2
236	236	-656	Min.	24.25	-3.79	6	-0.07	6	-0.02	2	-10.77	6	-1.34	6	-0.03	2
237	237	-633	Max	0.00	-0.09	6	0.01	6	0.01	2	118.15	6	0.87	6	0.03	2
237	237	-633	Max	9.00					-0.00	8			0.11	8		
237	237	-633	Max	22.50	0.79	6	0.01	6	0.01	2	118.15	6	13.29	6	0.03	2
237	237	-633	Min.	0.00	-5.14	6	-0.00	6	-0.01	2	-8.07	6	-13.29	6	0.00	2
237	237	-633	Min.	9.00					-0.00	8			-2.63	8		
237	237	-633	Min.	22.50	-4.25	6	-0.00	6	-0.01	2	-8.07	6	-0.95	6	0.00	2
238	238	-634	Max	0.00	-2.03	6	0.13	2	0.02	2	119.66	6	1.11	6	0.03	2
238	238	-634	Max	22.50	-1.15	6	0.13	2	0.00	2	119.66	6	13.46	6	0.03	2
238	238	-634	Min.	0.00	-7.23	6	-0.13	2	-0.03	2	-10.20	6	-13.47	6	0.00	2
238	238	-634	Min.	22.50	-6.34	6	-0.13	2	-0.01	2	-10.20	6	-1.19	6	0.00	2
239	239	-635	Max	0.00	-3.54	6	0.12	2	0.02	2	160.67	6	-3.55	6	0.02	2
239	239	-635	Max	22.50	-2.66	6	0.12	2	0.01	2	160.67	6	18.06	6	0.02	2
239	239	-635	Min.	0.00	-8.70	6	-0.13	2	-0.02	2	31.01	6	-18.09	6	0.00	2
239	239	-635	Min.	22.50	-7.82	6	-0.13	2	-0.01	2	31.01	6	3.43	6	0.00	2
240	240	-636	Max	0.00	-3.81	6	0.13	2	0.02	2	163.80	6	-3.95	6	0.02	2
240	240	-636	Max	22.50	-2.93	6	0.13	2	0.01	2	163.80	6	18.41	6	0.02	2
240	240	-636	Min.	0.00	-8.96	6	-0.14	2	-0.02	2	34.55	6	-18.45	6	-0.00	2
240	240	-636	Min.	22.50	-8.08	6	-0.14	2	-0.01	2	34.55	6	3.83	6	-0.00	2
241	241	-637	Max	0.00	-3.81	6	0.14	2	0.02	2	163.81	6	-3.95	6	0.00	2

241	241	-637	Max	22.50	-2.93	6	0.14	2	0.01	2	163.81	6	18.41	6	0.00	2
241	241	-637	Min.	0.00	-8.96	6	-0.13	2	-0.02	2	34.57	6	-18.45	6	-0.02	2
241	241	-637	Min.	22.50	-8.08	6	-0.13	2	-0.01	2	34.57	6	3.83	6	-0.02	2
242	242	-638	Max	0.00	-3.54	6	0.13	2	0.02	2	160.67	6	-3.54	6	0.00	2
242	242	-638	Max	22.50	-2.65	6	0.13	2	0.01	2	160.67	6	18.06	6	0.00	2
242	242	-638	Min.	0.00	-8.70	6	-0.12	2	-0.02	2	30.99	6	-18.10	6	-0.02	2
242	242	-638	Min.	22.50	-7.82	6	-0.12	2	-0.01	2	30.99	6	3.43	6	-0.02	2
243	243	-639	Max	0.00	-2.04	6	0.13	2	0.03	2	119.68	6	1.11	6	-0.00	2
243	243	-639	Max	22.50	-1.15	6	0.13	2	0.01	2	119.68	6	13.46	6	-0.00	2
243	243	-639	Min.	0.00	-7.23	6	-0.13	2	-0.02	2	-10.20	6	-13.47	6	-0.03	2
243	243	-639	Min.	22.50	-6.34	6	-0.13	2	-0.00	2	-10.20	6	-1.19	6	-0.03	2
244	244	-640	Max	0.00	-0.10	6	0.00	6	0.01	2	118.16	6	0.86	6	-0.00	2
244	244	-640	Max	22.50	0.79	6	0.00	6	0.01	2	118.16	6	13.29	6	-0.00	2
244	244	-640	Min.	0.00	-5.14	6	-0.01	6	-0.01	2	-8.04	6	-13.29	6	-0.03	2
244	244	-640	Min.	22.50	-4.25	6	-0.01	6	-0.01	2	-8.04	6	-0.95	6	-0.03	2
245	245	-617	Max	0.00	-0.59	6	0.23	2	0.00	6	141.99	6	0.49	6	0.02	6
245	245	-617	Max	20.75	0.22	6	0.23	2	0.02	2	141.99	6	14.73	6	0.02	6
245	245	-617	Min.	0.00	-6.53	6	-0.12	2	-0.02	6	-5.22	6	-14.73	6	0.01	6
245	245	-617	Min.	20.75	-5.71	6	-0.12	2	-0.03	2	-5.22	6	-0.59	6	0.01	6
246	246	-618	Max	0.00	-2.31	6	0.19	6	-0.00	6	147.14	6	0.36	6	0.03	2
246	246	-618	Max	20.75	-1.49	6	0.19	6	0.02	2	147.14	6	15.27	6	0.03	2
246	246	-618	Min.	0.00	-8.35	6	-0.08	6	-0.02	6	-3.90	6	-15.26	6	0.01	2
246	246	-618	Min.	20.75	-7.54	6	-0.08	6	-0.02	2	-3.90	6	-0.45	6	0.01	2
247	247	-619	Max	0.00	-4.57	6	0.11	2	0.00	2	197.09	6	-4.85	6	0.02	2
247	247	-619	Max	20.75	-3.76	6	0.11	2	0.02	2	197.09	6	20.43	6	0.02	2
247	247	-619	Min.	0.00	-10.61	6	-0.10	2	0.00	2	46.09	6	-20.46	6	-0.00	2
247	247	-619	Min.	20.75	-9.79	6	-0.10	2	-0.02	2	46.09	6	4.71	6	-0.00	2
248	248	-620	Max	0.00	-4.86	6	0.12	2	0.00	6	200.64	6	-5.27	6	0.02	2
248	248	-620	Max	20.75	-4.04	6	0.12	2	0.02	2	200.64	6	20.80	6	0.02	2
248	248	-620	Min.	0.00	-10.87	6	-0.09	2	-0.00	6	50.18	6	-20.83	6	-0.00	2
248	248	-620	Min.	20.75	-10.06	6	-0.09	2	-0.02	2	50.18	6	5.14	6	-0.00	2
249	249	-621	Max	0.00	-4.86	6	0.09	2	0.00	6	200.66	6	-5.28	6	0.00	2
249	249	-621	Max	20.75	-4.05	6	0.09	2	0.02	2	200.66	6	20.80	6	0.00	2
249	249	-621	Min.	0.00	-10.87	6	-0.12	2	-0.00	6	50.21	6	-20.84	6	-0.02	2
249	249	-621	Min.	20.75	-10.06	6	-0.12	2	-0.02	2	50.21	6	5.14	6	-0.02	2
250	250	-622	Max	0.00	-4.57	6	0.10	2	0.00	2	197.09	6	-4.85	6	0.00	2
250	250	-622	Max	20.75	-3.76	6	0.10	2	0.02	2	197.09	6	20.43	6	0.00	2
250	250	-622	Min.	0.00	-10.61	6	-0.11	2	-0.00	2	46.06	6	-20.47	6	-0.02	2
250	250	-622	Min.	20.75	-9.79	6	-0.11	2	-0.02	2	46.06	6	4.71	6	-0.02	2
251	251	-623	Max	0.00	-2.31	6	0.08	6	0.02	6	147.16	6	0.36	6	-0.01	2
251	251	-623	Max	20.75	-1.49	6	0.08	6	0.02	2	147.16	6	15.27	6	-0.01	2
251	251	-623	Min.	0.00	-8.35	6	-0.19	6	0.00	6	-3.91	6	-15.27	6	-0.03	2
251	251	-623	Min.	20.75	-7.53	6	-0.19	6	-0.02	2	-3.91	6	-0.45	6	-0.03	2
252	252	-624	Max	0.00	-0.59	6	0.11	2	0.02	6	142.00	6	0.49	6	-0.01	6
252	252	-624	Max	20.75	0.22	6	0.11	2	0.03	2	142.00	6	14.73	6	-0.01	6
252	252	-624	Min.	0.00	-6.53	6	-0.23	2	0.00	6	-5.18	6	-14.73	6	-0.02	6
252	252	-624	Min.	20.75	-5.71	6	-0.23	2	-0.02	2	-5.18	6	-0.59	6	-0.02	6
253	253	-601	Max	0.00	-5.89	6	0.28	2	0.02	2	178.64	6	-0.44	6	0.10	2
253	253	-601	Max	19.00	-5.15	6	0.28	2	0.02	2	178.64	6	17.00	6	0.10	2
253	253	-601	Min.	0.00	-16.14	6	-0.59	2	-0.04	2	4.36	6	-16.94	6	-0.02	2
253	253	-601	Min.	19.00	-15.39	6	-0.59	2	-0.09	2	4.36	6	0.39	6	-0.02	2
254	254	-602	Max	0.00	-6.98	2	0.54	2	0.04	2	186.25	6	-0.88	6	0.09	2
254	254	-602	Max	19.00	-6.23	2	0.54	2	0.04	2	186.25	6	17.70	6	0.09	2
254	254	-602	Min.	0.00	-16.29	2	-0.85	2	-0.06	2	8.70	6	-17.69	6	-0.01	2
254	254	-602	Min.	19.00	-15.54	2	-0.85	2	-0.12	2	8.70	6	0.77	6	-0.01	2
255	255	-603	Max	0.00	-23.05	2	0.76	2	0.05	2	258.32	6	-7.78	6	0.05	2
255	255	-603	Max	19.00	-22.30	2	0.76	2	0.10	2	258.32	6	24.53	6	0.05	2
255	255	-603	Min.	0.00	-32.06	2	-0.62	2	-0.05	2	81.21	6	-24.55	6	-0.03	2
255	255	-603	Min.	19.00	-31.32	2	-0.62	2	-0.06	2	81.21	6	7.65	6	-0.03	2

256	256	-604	Max	0.00	-20.00	2	0.76	2	0.05	2	260.79	6	-7.90	6	0.06	2
256	256	-604	Max	19.00	-19.25	2	0.76	2	0.09	2	260.79	6	24.77	6	0.06	2
256	256	-604	Min.	0.00	-29.39	2	-0.66	2	-0.05	2	82.47	6	-24.78	6	-0.03	2
256	256	-604	Min.	19.00	-28.64	2	-0.66	2	-0.07	2	82.47	6	7.77	6	-0.03	2
257	257	-605	Max	0.00	-19.99	2	0.66	2	0.05	2	260.81	6	-7.90	6	0.03	2
257	257	-605	Max	19.00	-19.24	2	0.66	2	0.07	2	260.81	6	24.77	6	0.03	2
257	257	-605	Min.	0.00	-29.39	2	-0.76	2	-0.05	2	82.49	6	-24.78	6	-0.06	2
257	257	-605	Min.	19.00	-28.64	2	-0.76	2	-0.09	2	82.49	6	7.78	6	-0.06	2
258	258	-606	Max	0.00	-23.05	2	0.62	2	0.05	2	258.32	6	-7.78	6	0.03	2
258	258	-606	Max	19.00	-22.31	2	0.62	2	0.06	2	258.32	6	24.53	6	0.03	2
258	258	-606	Min.	0.00	-32.07	2	-0.76	2	-0.05	2	81.18	6	-24.55	6	-0.05	2
258	258	-606	Min.	19.00	-31.32	2	-0.76	2	-0.10	2	81.18	6	7.65	6	-0.05	2
259	259	-607	Max	0.00	-6.99	2	0.85	2	0.06	2	186.29	6	-0.88	6	0.01	2
259	259	-607	Max	19.00	-6.24	2	0.85	2	0.12	2	186.29	6	17.70	6	0.01	2
259	259	-607	Min.	0.00	-16.28	2	-0.54	2	-0.04	2	8.68	6	-17.69	6	-0.09	2
259	259	-607	Min.	19.00	-15.54	2	-0.54	2	-0.04	2	8.68	6	0.77	6	-0.09	2
260	260	-608	Max	0.00	-5.89	6	0.59	2	0.04	2	178.67	6	-0.44	6	0.01	2
260	260	-608	Max	19.00	-5.14	6	0.59	2	0.09	2	178.67	6	17.01	6	0.01	2
260	260	-608	Min.	0.00	-16.13	6	-0.28	2	-0.02	2	4.38	6	-16.94	6	-0.10	2
260	260	-608	Min.	19.00	-15.39	6	-0.28	2	-0.02	2	4.38	6	0.39	6	-0.10	2
261	261	-585	Max	0.00	-0.82	6	0.08	6	0.01	6	226.60	6	-1.29	6	0.08	2
261	261	-585	Max	17.25	-0.14	6	0.08	6	0.00	6	226.60	6	19.58	6	0.08	2
261	261	-585	Min.	0.00	-9.70	6	-0.14	6	-0.02	6	14.38	6	-19.51	6	-0.00	2
261	261	-585	Min.	17.25	-9.02	6	-0.14	6	-0.02	6	14.38	6	1.19	6	-0.00	2
262	262	-586	Max	0.00	-3.45	6	0.09	6	0.00	6	238.10	6	-2.20	6	0.09	2
262	262	-586	Max	17.25	-2.77	6	0.09	6	0.00	6	238.10	6	20.57	6	0.09	2
262	262	-586	Min.	0.00	-12.28	6	-0.14	6	-0.02	6	24.92	6	-20.50	6	-0.01	2
262	262	-586	Min.	17.25	-11.60	6	-0.14	6	-0.02	6	24.92	6	2.10	6	-0.01	2
263	263	-587	Max	0.00	-7.81	6	0.04	2	0.01	2	340.39	6	-10.96	6	0.05	2
263	263	-587	Max	17.25	-7.13	6	0.04	2	0.01	2	340.39	6	29.40	6	0.05	2
263	263	-587	Min.	0.00	-16.71	6	-0.07	2	0.00	2	126.48	6	-29.32	6	-0.05	2
263	263	-587	Min.	17.25	-16.03	6	-0.07	2	-0.00	2	126.48	6	10.86	6	-0.05	2
264	264	-588	Max	0.00	-7.76	6	0.04	2	0.01	2	339.80	6	-10.81	6	0.05	2
264	264	-588	Max	17.25	-7.08	6	0.04	2	0.00	2	339.80	6	29.34	6	0.05	2
264	264	-588	Min.	0.00	-16.69	6	-0.08	2	-0.00	2	124.77	6	-29.27	6	-0.05	2
264	264	-588	Min.	17.25	-16.02	6	-0.08	2	-0.00	2	124.77	6	10.71	6	-0.05	2
265	265	-589	Max	0.00	-7.76	6	0.08	2	0.00	2	339.82	6	-10.81	6	0.05	2
265	265	-589	Max	10.35					-0.00	8			5.81	8		
265	265	-589	Max	17.25	-7.08	6	0.08	2	0.00	2	339.82	6	29.34	6	0.05	2
265	265	-589	Min.	0.00	-16.69	6	-0.04	2	-0.01	2	124.78	6	-29.28	6	-0.05	2
265	265	-589	Min.	10.35					-0.00	8			2.19	8		
265	265	-589	Min.	17.25	-16.02	6	-0.04	2	-0.00	2	124.78	6	10.71	6	-0.05	2
266	266	-590	Max	0.00	-7.81	6	0.07	2	0.00	2	340.40	6	-10.95	6	0.05	2
266	266	-590	Max	17.25	-7.13	6	0.07	2	0.00	2	340.40	6	29.40	6	0.05	2
266	266	-590	Min.	0.00	-16.71	6	-0.04	2	-0.01	2	126.46	6	-29.32	6	-0.05	2
266	266	-590	Min.	17.25	-16.03	6	-0.04	2	-0.01	2	126.46	6	10.86	6	-0.05	2
267	267	-591	Max	0.00	-3.45	6	0.14	6	0.02	6	238.13	6	-2.20	6	0.01	2
267	267	-591	Max	17.25	-2.77	6	0.14	6	0.02	6	238.13	6	20.57	6	0.01	2
267	267	-591	Min.	0.00	-12.28	6	-0.09	6	-0.00	6	24.92	6	-20.50	6	-0.09	2
267	267	-591	Min.	17.25	-11.60	6	-0.09	6	0.00	6	24.92	6	2.10	6	-0.09	2
268	268	-592	Max	0.00	-0.82	6	0.14	6	0.02	6	226.63	6	-1.29	6	0.00	2
268	268	-592	Max	17.25	-0.14	6	0.14	6	0.02	6	226.63	6	19.58	6	0.00	2
268	268	-592	Min.	0.00	-9.70	6	-0.08	6	-0.01	6	14.39	6	-19.51	6	-0.08	2
268	268	-592	Min.	17.25	-9.03	6	-0.08	6	0.00	6	14.39	6	1.19	6	-0.08	2
269	269	-569	Max	0.00	-1.90	6	0.01	2	-0.00	6	276.83	6	-1.83	6	0.08	2
269	269	-569	Max	15.50	-1.29	6	0.01	2	-0.00	6	276.83	6	21.54	6	0.08	2
269	269	-569	Min.	0.00	-10.17	6	-0.01	2	-0.01	6	22.72	6	-21.37	6	0.00	2
269	269	-569	Min.	15.50	-9.57	6	-0.01	2	-0.00	6	22.72	6	1.70	6	0.00	2
270	270	-570	Max	0.00	-4.45	6	0.16	2	0.01	2	295.58	6	-3.23	6	0.07	2

270	270	-570	Max	12.40					-0.01	8			13.54	8		
270	270	-570	Max	15.50	-3.84	6	0.16	2	0.01	2	295.58	6	22.99	6	0.07	2
270	270	-570	Min.	0.00	-12.71	6	-0.15	2	-0.01	2	40.81	6	-22.82	6	0.00	2
270	270	-570	Min.	12.40					-0.00	8			2.12	8		
270	270	-570	Min.	15.50	-12.10	6	-0.15	2	-0.02	2	40.81	6	3.10	6	0.00	2
271	271	-571	Max	0.00	-9.11	6	0.15	2	0.01	2	421.25	6	-12.88	6	0.03	2
271	271	-571	Max	15.50	-8.50	6	0.15	2	0.02	2	421.25	6	32.74	6	0.03	2
271	271	-571	Min.	0.00	-17.32	6	-0.17	2	-0.01	2	165.44	6	-32.55	6	-0.03	2
271	271	-571	Min.	15.50	-16.71	6	-0.17	2	-0.01	2	165.44	6	12.76	6	-0.03	2
272	272	-572	Max	0.00	-9.21	6	0.17	2	0.01	2	420.29	6	-12.70	6	0.03	2
272	272	-572	Max	15.50	-8.60	6	0.17	2	0.01	2	420.29	6	32.67	6	0.03	2
272	272	-572	Min.	0.00	-17.47	6	-0.16	2	-0.01	2	163.18	6	-32.48	6	-0.03	2
272	272	-572	Min.	15.50	-16.86	6	-0.16	2	-0.02	2	163.18	6	12.59	6	-0.03	2
273	273	-573	Max	0.00	-9.21	6	0.16	2	0.01	2	420.31	6	-12.71	6	0.03	2
273	273	-573	Max	15.50	-8.60	6	0.16	2	0.02	2	420.31	6	32.67	6	0.03	2
273	273	-573	Min.	0.00	-17.47	6	-0.17	2	-0.01	2	163.20	6	-32.48	6	-0.03	2
273	273	-573	Min.	15.50	-16.86	6	-0.17	2	-0.01	2	163.20	6	12.59	6	-0.03	2
274	274	-574	Max	0.00	-9.10	6	0.17	2	0.01	2	421.26	6	-12.88	6	0.03	2
274	274	-574	Max	15.50	-8.50	6	0.17	2	0.01	2	421.26	6	32.74	6	0.03	2
274	274	-574	Min.	0.00	-17.32	6	-0.15	2	-0.01	2	165.41	6	-32.55	6	-0.03	2
274	274	-574	Min.	15.50	-16.71	6	-0.15	2	-0.02	2	165.41	6	12.76	6	-0.03	2
275	275	-575	Max	0.00	-4.45	6	0.15	2	0.01	2	295.62	6	-3.23	6	-0.00	2
275	275	-575	Max	15.50	-3.84	6	0.15	2	0.02	2	295.62	6	22.99	6	-0.00	2
275	275	-575	Min.	0.00	-12.71	6	-0.16	2	-0.01	2	40.82	6	-22.83	6	-0.07	2
275	275	-575	Min.	15.50	-12.10	6	-0.16	2	-0.01	2	40.82	6	3.10	6	-0.07	2
276	276	-576	Max	0.00	-1.90	6	0.01	2	0.01	6	276.87	6	-1.83	6	-0.00	2
276	276	-576	Max	15.50	-1.29	6	0.01	2	0.00	6	276.87	6	21.54	6	-0.00	2
276	276	-576	Min.	0.00	-10.18	6	-0.01	2	0.00	6	22.73	6	-21.37	6	-0.08	2
276	276	-576	Min.	15.50	-9.57	6	-0.01	2	0.00	6	22.73	6	1.70	6	-0.08	2
277	277	-553	Max	0.00	2.08	6	0.08	6	0.01	6	302.51	6	-2.45	6	0.08	2
277	277	-553	Max	13.75	2.62	6	0.08	6	0.00	6	302.51	6	20.70	6	0.08	2
277	277	-553	Min.	0.00	-21.61	6	-0.21	6	-0.01	6	36.03	6	-20.90	6	0.00	2
277	277	-553	Min.	13.75	-21.07	6	-0.21	6	-0.02	6	36.03	6	2.51	6	0.00	2
278	278	-554	Max	0.00	-1.19	6	0.12	2	0.02	2	328.43	6	-4.20	6	0.07	2
278	278	-554	Max	13.75	-0.65	6	0.12	2	0.01	2	328.43	6	22.47	6	0.07	2
278	278	-554	Min.	0.00	-24.99	6	-0.44	2	-0.00	2	61.36	6	-22.69	6	0.01	2
278	278	-554	Min.	13.75	-24.45	6	-0.44	2	-0.04	2	61.36	6	4.24	6	0.01	2
279	279	-555	Max	0.00	-8.76	6	0.40	2	0.01	2	468.10	6	-13.76	6	0.02	2
279	279	-555	Max	13.75	-8.22	6	0.40	2	0.05	2	468.10	6	32.03	6	0.02	2
279	279	-555	Min.	0.00	-33.10	6	-0.14	2	-0.01	2	200.03	6	-32.34	6	-0.03	2
279	279	-555	Min.	13.75	-32.56	6	-0.14	2	-0.01	2	200.03	6	13.75	6	-0.03	2
280	280	-556	Max	0.00	-8.64	6	0.15	2	0.01	2	467.17	6	-13.59	6	0.03	2
280	280	-556	Max	13.75	-8.10	6	0.15	2	0.01	2	467.17	6	31.97	6	0.03	2
280	280	-556	Min.	0.00	-32.96	6	-0.41	2	-0.01	2	197.65	6	-32.26	6	-0.02	2
280	280	-556	Min.	13.75	-32.42	6	-0.41	2	-0.04	2	197.65	6	13.59	6	-0.02	2
281	281	-557	Max	0.00	-8.64	6	0.41	2	0.01	2	467.20	6	-13.59	6	0.02	2
281	281	-557	Max	13.75	-8.10	6	0.41	2	0.04	2	467.20	6	31.97	6	0.02	2
281	281	-557	Min.	0.00	-32.97	6	-0.15	2	-0.01	2	197.68	6	-32.27	6	-0.03	2
281	281	-557	Min.	13.75	-32.43	6	-0.15	2	-0.01	2	197.68	6	13.59	6	-0.03	2
282	282	-558	Max	0.00	-8.76	6	0.14	2	0.01	2	468.11	6	-13.75	6	0.03	2
282	282	-558	Max	13.75	-8.22	6	0.14	2	0.01	2	468.11	6	32.03	6	0.03	2
282	282	-558	Min.	0.00	-33.09	6	-0.40	2	-0.01	2	200.00	6	-32.34	6	-0.02	2
282	282	-558	Min.	13.75	-32.55	6	-0.40	2	-0.05	2	200.00	6	13.75	6	-0.02	2
283	283	-559	Max	0.00	-1.19	6	0.44	2	0.00	2	328.47	6	-4.20	6	-0.01	2
283	283	-559	Max	13.75	-0.65	6	0.44	2	0.04	2	328.47	6	22.47	6	-0.01	2
283	283	-559	Min.	0.00	-25.00	6	-0.12	2	-0.02	2	61.37	6	-22.70	6	-0.07	2
283	283	-559	Min.	13.75	-24.46	6	-0.12	2	-0.01	2	61.37	6	4.24	6	-0.07	2
284	284	-560	Max	0.00	2.08	6	0.21	6	0.01	6	302.55	6	-2.45	6	-0.00	2
284	284	-560	Max	13.75	2.62	6	0.21	6	0.02	6	302.55	6	20.70	6	-0.00	2

284	284	-560	Min.	0.00	-21.61	6	-0.08	6	-0.01	6	36.05	6	-20.90	6	-0.08	2
284	284	-560	Min.	13.75	-21.07	6	-0.08	6	-0.00	6	36.05	6	2.51	6	-0.08	2
285	2285	4285	Max	0.00	43.93	2	0.34	2	-0.01	6	84.87	6	8.03	6	0.05	6
285	2285	4285	Max	12.00	44.41	2	0.34	2	0.02	2	84.87	6	4.43	6	0.05	6
285	2285	4285	Min.	0.00	-30.35	2	0.06	2	-0.02	6	-106.71	6	-5.76	6	-0.02	6
285	2285	4285	Min.	12.00	-29.88	2	0.06	2	-0.01	2	-106.71	6	-4.77	6	-0.02	6
286	1286	2286	Max	0.00	-232.27	6	38.69	6	141.24	6	81.40	2	1.80	2	1.97	6
286	1286	2286	Max	9.00	-230.24	6	38.69	6	144.72	6	81.40	2	9.12	2	1.97	6
286	1286	2286	Min.	0.00	-402.28	6	-103.21	6	-356.11	6	-48.52	2	-26.56	2	-1.27	6
286	1286	2286	Min.	9.00	-400.25	6	-103.21	6	-365.40	6	-48.52	2	-30.92	2	-1.27	6
286	2286	4286	Max	0.00	-117.97	2	72.58	2	9.06	2	994.36	6	302.55	6	3.40	2
286	2286	4286	Max	7.00	-116.39	2	72.58	2	14.14	2	994.36	6	154.65	6	3.40	2
286	2286	4286	Min.	0.00	-146.81	2	-39.07	2	-22.98	2	-2112.91	6	-129.03	6	-5.00	2
286	2286	4286	Min.	7.00	-145.23	2	-39.07	2	-25.71	2	-2112.91	6	-59.43	6	-5.00	2
287	2287	4287	Max	0.00	42.79	2	2.16	2	0.12	2	88.11	6	7.93	6	0.02	6
287	2287	4287	Max	12.00	43.26	2	2.16	2	0.18	2	88.11	6	4.63	6	0.02	6
287	2287	4287	Min.	0.00	-94.39	2	-3.05	2	-0.08	2	-104.90	6	-5.94	6	-0.05	6
287	2287	4287	Min.	12.00	-93.92	2	-3.05	2	-0.25	2	-104.90	6	-4.66	6	-0.05	6
288	2288	4288	Max	0.00	56.53	2	4.26	2	0.01	2	81.70	6	8.83	6	0.05	6
288	2288	4288	Max	12.00	57.00	2	4.26	2	0.35	2	81.70	6	4.60	6	0.05	6
288	2288	4288	Min.	0.00	-135.48	2	-0.52	2	-0.16	2	-113.31	6	-5.20	6	-0.01	6
288	2288	4288	Min.	12.00	-135.01	2	-0.52	2	-0.06	2	-113.31	6	-4.77	6	-0.01	6
289	1289	2289	Max	0.00	-516.68	6	9.01	6	61.16	6	88.12	2	36.39	2	1.28	2
289	1289	2289	Max	9.00	-514.65	6	9.01	6	61.98	6	88.12	2	44.32	2	1.28	2
289	1289	2289	Min.	0.00	-677.16	6	-136.66	6	-442.13	6	-73.24	2	-30.40	2	-0.91	2
289	1289	2289	Min.	9.00	-675.14	6	-136.66	6	-454.43	6	-73.24	2	-36.99	2	-0.91	2
289	2289	4289	Max	0.00	-228.18	6	76.10	2	34.90	2	580.54	6	372.86	6	2.86	2
289	2289	4289	Max	7.00	-226.60	6	76.10	2	40.23	2	580.54	6	193.21	6	2.86	2
289	2289	4289	Min.	0.00	-235.45	6	-63.20	2	-29.36	2	-2566.41	6	-64.18	6	-5.71	2
289	2289	4289	Min.	7.00	-233.87	6	-63.20	2	-33.78	2	-2566.41	6	-23.54	6	-5.71	2
290	2290	4290	Max	0.00	72.99	2	0.87	2	0.15	2	80.26	6	8.88	6	0.01	6
290	2290	4290	Max	12.00	73.46	2	0.87	2	0.09	2	80.26	6	4.52	6	0.01	6
290	2290	4290	Min.	0.00	-119.66	2	-3.81	2	-0.02	2	-114.25	6	-5.11	6	-0.05	6
290	2290	4290	Min.	12.00	-119.19	2	-3.81	2	-0.31	2	-114.25	6	-4.83	6	-0.05	6
291	2291	4291	Max	0.00	72.95	2	3.81	2	0.02	2	80.26	6	8.88	6	0.05	6
291	2291	4291	Max	12.00	73.42	2	3.81	2	0.31	2	80.26	6	4.52	6	0.05	6
291	2291	4291	Min.	0.00	-119.74	2	-0.87	2	-0.15	2	-114.24	6	-5.11	6	-0.01	6
291	2291	4291	Min.	12.00	-119.27	2	-0.87	2	-0.09	2	-114.24	6	-4.83	6	-0.01	6
292	1292	2292	Max	0.00	-516.66	6	9.00	6	61.16	6	73.32	2	30.43	2	0.93	2
292	1292	2292	Max	9.00	-514.64	6	9.00	6	61.97	6	73.32	2	37.02	2	0.93	2
292	1292	2292	Min.	0.00	-677.18	6	-136.69	6	-442.16	6	-88.07	2	-36.37	2	-1.26	2
292	1292	2292	Min.	9.00	-675.16	6	-136.69	6	-454.46	6	-88.07	2	-44.30	2	-1.26	2
292	2292	4292	Max	0.00	-228.17	6	63.26	2	29.38	2	580.50	6	372.89	6	5.71	2
292	2292	4292	Max	7.00	-226.59	6	63.26	2	33.81	2	580.50	6	193.23	6	5.71	2
292	2292	4292	Min.	0.00	-235.46	6	-76.06	2	-34.89	2	-2566.59	6	-64.17	6	-2.85	2
292	2292	4292	Min.	7.00	-233.88	6	-76.06	2	-40.21	2	-2566.59	6	-23.54	6	-2.85	2
293	2293	4293	Max	0.00	56.57	2	0.52	2	0.16	2	81.69	6	8.83	6	0.01	6
293	2293	4293	Max	12.00	57.04	2	0.52	2	0.06	2	81.69	6	4.60	6	0.01	6
293	2293	4293	Min.	0.00	-135.40	2	-4.26	2	-0.01	2	-113.34	6	-5.20	6	-0.05	6
293	2293	4293	Min.	12.00	-134.93	2	-4.26	2	-0.35	2	-113.34	6	-4.77	6	-0.05	6
294	2294	4294	Max	0.00	42.76	2	3.05	2	0.08	2	88.09	6	7.93	6	0.05	6
294	2294	4294	Max	12.00	43.24	2	3.05	2	0.25	2	88.09	6	4.63	6	0.05	6
294	2294	4294	Min.	0.00	-94.44	2	-2.16	2	-0.12	2	-104.92	6	-5.94	6	-0.02	6
294	2294	4294	Min.	12.00	-93.97	2	-2.16	2	-0.18	2	-104.92	6	-4.66	6	-0.02	6
295	1295	2295	Max	0.00	-232.31	6	38.68	6	141.22	6	48.58	2	26.57	2	1.26	6
295	1295	2295	Max	9.00	-230.29	6	38.68	6	144.70	6	48.58	2	30.94	2	1.26	6
295	1295	2295	Min.	0.00	-402.29	6	-103.29	6	-356.18	6	-81.36	2	-1.80	2	-1.95	6
295	1295	2295	Min.	9.00	-400.27	6	-103.29	6	-365.48	6	-81.36	2	-9.12	2	-1.95	6
295	2295	4295	Max	0.00	-117.95	2	39.11	2	22.99	2	994.20	6	302.62	6	5.00	2

295	2295	4295	Max	7.00	-116.38	2	39.11	2	25.73	2	994.20	6	154.68	6	5.00	2
295	2295	4295	Min.	0.00	-146.81	2	-72.51	2	-9.05	2	-2113.36	6	-129.01	6	-3.40	2
295	2295	4295	Min.	7.00	-145.24	2	-72.51	2	-14.13	2	-2113.36	6	-59.42	6	-3.40	2
296	2296	4296	Max	0.00	43.95	2	-0.06	2	0.02	6	84.88	6	8.04	6	0.02	6
296	2296	4296	Max	12.00	44.42	2	-0.06	2	0.01	2	84.88	6	4.43	6	0.02	6
296	2296	4296	Min.	0.00	-30.33	2	-0.34	2	0.01	6	-106.75	6	-5.76	6	-0.05	6
296	2296	4296	Min.	12.00	-29.86	2	-0.34	2	-0.02	2	-106.75	6	-4.77	6	-0.05	6
297	297	-537	Max	0.00	16.89	6	0.84	2	0.03	2	4.16	6	1.46	2	0.19	2
297	297	-537	Max	10.65	17.30	6	0.84	2	0.06	2	4.16	6	0.31	6	0.19	2
297	297	-537	Min.	0.00	-7.27	6	-0.64	2	-0.03	2	-30.23	6	-0.23	2	-0.14	2
297	297	-537	Min.	10.65	-6.85	6	-0.64	2	-0.04	2	-30.23	6	-1.86	6	-0.14	2
298	298	-538	Max	0.00	14.95	6	1.06	2	0.03	2	-6.13	6	2.11	2	0.19	2
298	298	-538	Max	10.65	15.37	6	1.06	2	0.07	2	-6.13	6	-0.21	6	0.19	2
298	298	-538	Min.	0.00	-9.11	6	-0.63	2	-0.04	2	-41.35	6	0.32	2	-0.14	2
298	298	-538	Min.	10.65	-8.70	6	-0.63	2	-0.04	2	-41.35	6	-2.42	6	-0.14	2
299	299	-539	Max	0.00	19.45	6	0.80	2	0.02	2	-26.02	6	3.16	2	0.17	2
299	299	-539	Max	10.65	19.87	6	0.80	2	0.05	2	-26.02	6	-1.31	6	0.17	2
299	299	-539	Min.	0.00	-5.52	6	-0.76	2	-0.03	2	-61.55	6	1.33	2	-0.12	2
299	299	-539	Min.	10.65	-5.10	6	-0.76	2	-0.06	2	-61.55	6	-3.52	6	-0.12	2
300	300	-540	Max	0.00	19.77	6	1.00	2	0.02	2	-17.80	6	2.68	2	0.18	2
300	300	-540	Max	10.65	20.19	6	1.00	2	0.07	2	-17.80	6	-0.90	6	0.18	2
300	300	-540	Min.	0.00	-5.23	6	-0.62	2	-0.04	2	-52.65	6	0.84	2	-0.12	2
300	300	-540	Min.	10.65	-4.81	6	-0.62	2	-0.04	2	-52.65	6	-3.08	6	-0.12	2
301	301	-541	Max	0.00	19.78	6	0.62	2	0.04	2	-17.79	6	2.68	2	0.12	2
301	301	-541	Max	10.65	20.20	6	0.62	2	0.04	2	-17.79	6	-0.90	6	0.12	2
301	301	-541	Min.	0.00	-5.24	6	-1.00	2	-0.02	2	-52.66	6	0.84	2	-0.18	2
301	301	-541	Min.	10.65	-4.82	6	-1.00	2	-0.07	2	-52.66	6	-3.08	6	-0.18	2
302	302	-542	Max	0.00	19.45	6	0.76	2	0.03	2	-26.03	6	3.16	2	0.12	2
302	302	-542	Max	10.65	19.87	6	0.76	2	0.06	2	-26.03	6	-1.31	6	0.12	2
302	302	-542	Min.	0.00	-5.52	6	-0.80	2	-0.02	2	-61.55	6	1.33	2	-0.17	2
302	302	-542	Min.	10.65	-5.10	6	-0.80	2	-0.05	2	-61.55	6	-3.52	6	-0.17	2
303	303	-543	Max	0.00	14.96	6	0.64	2	0.04	2	-6.18	6	2.11	2	0.14	2
303	303	-543	Max	10.65	15.38	6	0.64	2	0.04	2	-6.18	6	-0.21	6	0.14	2
303	303	-543	Min.	0.00	-9.12	6	-1.07	2	-0.03	2	-41.34	6	0.32	2	-0.19	2
303	303	-543	Min.	10.65	-8.70	6	-1.07	2	-0.07	2	-41.34	6	-2.42	6	-0.19	2
304	304	-544	Max	0.00	16.89	6	0.64	2	0.03	2	4.19	6	1.45	2	0.14	2
304	304	-544	Max	10.65	17.31	6	0.64	2	0.04	2	4.19	6	0.31	6	0.14	2
304	304	-544	Min.	0.00	-7.26	6	-0.85	2	-0.03	2	-30.22	6	-0.23	2	-0.19	2
304	304	-544	Min.	10.65	-6.85	6	-0.85	2	-0.06	2	-30.22	6	-1.85	6	-0.19	2
305	305	-521	Max	0.00	0.61	6	-0.02	6	0.02	2	3.67	2	1.37	2	0.19	2
305	305	-521	Max	9.29	0.97	6	-0.02	6	0.01	2	3.67	2	0.13	2	0.19	2
305	305	-521	Min.	0.00	-2.16	6	-0.11	6	-0.02	2	-28.54	2	-0.21	2	-0.14	2
305	305	-521	Min.	9.29	-1.80	6	-0.11	6	-0.02	2	-28.54	2	-1.28	2	-0.14	2
306	306	-522	Max	0.00	0.18	6	0.06	6	0.03	2	-6.64	2	1.94	2	0.19	2
306	306	-522	Max	9.29	0.54	6	0.06	6	0.01	2	-6.64	2	-0.33	2	0.19	2
306	306	-522	Min.	0.00	-2.99	6	-0.18	6	-0.02	2	-40.74	2	0.28	2	-0.14	2
306	306	-522	Min.	9.29	-2.62	6	-0.18	6	-0.02	2	-40.74	2	-1.84	2	-0.14	2
307	307	-523	Max	0.00	0.76	6	0.00	6	0.02	2	-32.34	2	3.14	2	0.17	2
307	307	-523	Max	3.72					0.01	8			0.50	8		
307	307	-523	Max	9.29	1.12	6	0.00	6	0.02	2	-32.34	2	-1.51	2	0.17	2
307	307	-523	Min.	0.00	-2.36	6	-0.19	6	-0.02	2	-66.21	2	1.49	2	-0.11	2
307	307	-523	Min.	3.72					-0.01	8			0.47	8		
307	307	-523	Min.	9.29	-2.00	6	-0.19	6	-0.03	2	-66.21	2	-3.02	2	-0.11	2
308	308	-524	Max	0.00	0.24	6	0.20	6	0.03	2	-20.91	2	2.59	2	0.17	2
308	308	-524	Max	5.44					0.02	8			-0.28	8		
308	308	-524	Max	9.29	0.61	6	0.20	6	0.04	2	-20.91	2	-1.01	2	0.17	2
308	308	-524	Min.	0.00	-2.94	6	-0.03	6	-0.02	2	-54.93	2	0.94	2	-0.12	2
308	308	-524	Min.	5.44					0.01	8			-0.32	8		
308	308	-524	Min.	9.29	-2.58	6	-0.03	6	-0.01	2	-54.93	2	-2.52	2	-0.12	2

309	309	-525	Max	0.00	0.24	6	0.03	6	0.02	2	-20.91	2	2.59	2	0.12	2
309	309	-525	Max	5.17					-0.01	8			-0.19	8		
309	309	-525	Max	9.29	0.61	6	0.03	6	0.01	2	-20.91	2	-1.01	2	0.12	2
309	309	-525	Min.	0.00	-2.94	6	-0.20	6	-0.03	2	-54.94	2	0.94	2	-0.17	2
309	309	-525	Min.	5.17					-0.02	8			-0.20	8		
309	309	-525	Min.	9.29	-2.58	6	-0.20	6	-0.04	2	-54.94	2	-2.52	2	-0.17	2
310	310	-526	Max	0.00	0.76	6	0.19	6	0.02	2	-32.34	2	3.14	2	0.11	2
310	310	-526	Max	4.27					-0.00	8			0.21	8		
310	310	-526	Max	9.29	1.12	6	0.19	6	0.03	2	-32.34	2	-1.51	2	0.11	2
310	310	-526	Min.	0.00	-2.36	6	-0.00	6	-0.02	2	-66.20	2	1.49	2	-0.17	2
310	310	-526	Min.	4.27					0.01	8			0.21	8		
310	310	-526	Min.	9.29	-2.00	6	-0.00	6	-0.02	2	-66.20	2	-3.02	2	-0.17	2
311	311	-527	Max	0.00	0.18	6	0.18	6	0.02	2	-6.73	2	1.94	2	0.14	2
311	311	-527	Max	9.29	0.54	6	0.18	6	0.02	2	-6.73	2	-0.34	2	0.14	2
311	311	-527	Min.	0.00	-2.99	6	-0.06	6	-0.03	2	-40.71	2	0.29	2	-0.19	2
311	311	-527	Min.	9.29	-2.62	6	-0.06	6	-0.01	2	-40.71	2	-1.84	2	-0.19	2
312	312	-528	Max	0.00	0.60	6	0.11	6	0.02	2	3.66	2	1.37	2	0.14	2
312	312	-528	Max	9.29	0.97	6	0.11	6	0.02	2	3.66	2	0.13	2	0.14	2
312	312	-528	Min.	0.00	-2.16	6	0.02	6	-0.02	2	-28.47	2	-0.21	2	-0.19	2
312	312	-528	Min.	9.29	-1.80	6	0.02	6	-0.01	2	-28.47	2	-1.28	2	-0.19	2
313	2313	3313	Max	0.00	2.61	2	1.19	2	0.04	2	3.39	2	0.81	2	0.14	2
313	2313	3313	Max	7.94	2.93	2	1.19	2	0.13	2	3.39	2	0.07	2	0.14	2
313	2313	3313	Min.	0.00	-8.76	2	-0.77	2	-0.06	2	-19.09	2	-0.20	2	-0.10	2
313	2313	3313	Min.	7.94	-8.45	2	-0.77	2	-0.12	2	-19.09	2	-0.71	2	-0.10	2
314	2314	3314	Max	0.00	-0.04	2	1.26	2	0.04	2	-2.65	2	1.14	2	0.15	2
314	2314	3314	Max	7.94	0.27	2	1.26	2	0.14	2	-2.65	2	-0.15	2	0.15	2
314	2314	3314	Min.	0.00	-12.41	2	-0.85	2	-0.06	2	-26.58	2	0.06	2	-0.11	2
314	2314	3314	Min.	7.94	-12.10	2	-0.85	2	-0.13	2	-26.58	2	-0.97	2	-0.11	2
315	2315	3315	Max	0.00	-9.03	2	1.07	2	0.07	2	-22.20	2	1.90	2	0.13	2
315	2315	3315	Max	7.94	-8.72	2	1.07	2	0.15	2	-22.20	2	-0.93	2	0.13	2
315	2315	3315	Min.	0.00	-21.14	2	-0.52	2	-0.03	2	-46.07	2	0.83	2	-0.08	2
315	2315	3315	Min.	7.94	-20.82	2	-0.52	2	-0.07	2	-46.07	2	-1.76	2	-0.08	2
316	2316	3316	Max	0.00	-4.76	2	0.97	2	0.06	2	-13.65	2	1.56	2	0.13	2
316	2316	3316	Max	7.94	-4.44	2	0.97	2	0.14	2	-13.65	2	-0.62	2	0.13	2
316	2316	3316	Min.	0.00	-17.14	2	-0.71	2	-0.04	2	-38.07	2	0.46	2	-0.09	2
316	2316	3316	Min.	7.94	-16.83	2	-0.71	2	-0.09	2	-38.07	2	-1.47	2	-0.09	2
317	2317	3317	Max	0.00	-4.76	2	0.72	2	0.04	2	-13.65	2	1.56	2	0.09	2
317	2317	3317	Max	0.79					0.00	8			0.92	8		
317	2317	3317	Max	7.94	-4.45	2	0.72	2	0.09	2	-13.65	2	-0.62	2	0.09	2
317	2317	3317	Min.	0.00	-17.14	2	-0.97	2	-0.06	2	-38.07	2	0.46	2	-0.12	2
317	2317	3317	Min.	0.79					-0.03	8			0.68	8		
317	2317	3317	Min.	7.94	-16.83	2	-0.97	2	-0.14	2	-38.07	2	-1.47	2	-0.12	2
318	2318	3318	Max	0.00	-9.03	2	0.52	2	0.03	2	-22.19	2	1.90	2	0.08	2
318	2318	3318	Max	7.94	-8.72	2	0.52	2	0.07	2	-22.19	2	-0.93	2	0.08	2
318	2318	3318	Min.	0.00	-21.13	2	-1.06	2	-0.07	2	-46.07	2	0.83	2	-0.13	2
318	2318	3318	Min.	7.94	-20.82	2	-1.06	2	-0.15	2	-46.07	2	-1.76	2	-0.13	2
319	2319	3319	Max	0.00	-0.06	2	0.85	2	0.06	2	-2.71	2	1.14	2	0.11	2
319	2319	3319	Max	0.40					0.03	8			0.66	8		
319	2319	3319	Max	7.94	0.25	2	0.85	2	0.13	2	-2.71	2	-0.15	2	0.11	2
319	2319	3319	Min.	0.00	-12.41	2	-1.27	2	-0.04	2	-26.56	2	0.07	2	-0.15	2
319	2319	3319	Min.	0.40					-0.00	8			0.43	8		
319	2319	3319	Min.	7.94	-12.10	2	-1.27	2	-0.14	2	-26.56	2	-0.97	2	-0.15	2
320	2320	3320	Max	0.00	2.61	2	0.78	2	0.06	2	3.38	2	0.81	2	0.10	2
320	2320	3320	Max	0.40					0.03	8			0.38	8		
320	2320	3320	Max	7.94	2.92	2	0.78	2	0.12	2	3.38	2	0.07	2	0.10	2
320	2320	3320	Min.	0.00	-8.74	2	-1.20	2	-0.04	2	-19.04	2	-0.20	2	-0.14	2
320	2320	3320	Min.	0.40					-0.00	8			0.16	8		
320	2320	3320	Min.	7.94	-8.43	2	-1.20	2	-0.13	2	-19.04	2	-0.71	2	-0.14	2
901	325	326	Max	4.00	0.00	2	0.00	2	0.00	2	562.13	2	23.84	2	2.68	6

901	325	326	Max	15.00	0.00	2	0.00	2	0.00	2	598.23	2	87.67	2	2.68	6
901	325	326	Min.	4.00	0.00	2	0.00	2	0.00	2	-578.64	2	-23.31	2	1.66	6
901	325	326	Min.	15.00	0.00	2	0.00	2	0.00	2	-525.72	2	-84.03	2	1.66	6
901	326	327	Max	0.00	0.00	2	0.00	2	0.00	2	403.61	2	137.84	2	6.08	6
901	326	327	Max	11.00	0.00	2	0.00	2	0.00	2	435.85	2	183.24	2	6.08	6
901	326	327	Min.	0.00	0.00	2	0.00	2	0.00	2	-739.23	2	-111.07	2	4.20	6
901	326	327	Min.	11.00	0.00	2	0.00	2	0.00	2	-684.17	2	-188.56	2	4.20	6
901	327	328	Max	1.00	0.00	2	0.00	2	0.00	2	-411.85	6	196.10	2	8.84	6
901	327	328	Max	118.16									-151.04	2		
901	327	328	Max	289.00	0.00	2	0.00	2	0.00	2	541.74	2	4.98	6	8.84	6
901	327	328	Min.	1.00	0.00	2	0.00	2	0.00	2	-546.80	6	-221.19	2	5.84	6
901	327	328	Min.	118.16									-499.63	2		
901	327	328	Min.	289.00	0.00	2	0.00	2	0.00	2	279.82	2	-45.33	6	5.84	6
901	328	329	Max	4.00	0.00	2	0.00	2	0.00	2	728.99	2	15.47	6	6.42	6
901	328	329	Max	15.00	0.00	2	0.00	2	0.00	2	756.64	2	88.08	2	6.42	6
901	328	329	Min.	4.00	0.00	2	0.00	2	0.00	2	-346.06	2	-31.49	6	4.04	6
901	328	329	Min.	15.00	0.00	2	0.00	2	0.00	2	-317.57	2	-58.88	2	4.04	6
901	329	330	Max	0.00	0.00	2	0.00	2	0.00	2	464.94	2	135.30	2	2.45	6
901	329	330	Max	11.00	0.00	2	0.00	2	0.00	2	491.77	2	187.87	2	2.45	6
901	329	330	Min.	0.00	0.00	2	0.00	2	0.00	2	-597.20	2	-98.78	2	1.59	6
901	329	330	Min.	11.00	0.00	2	0.00	2	0.00	2	-568.40	2	-162.83	2	1.59	6
901	330	331	Max	1.00	0.00	2	0.00	2	0.00	2	-234.70	2	203.34	2	0.22	2
901	330	331	Max	207.37									-161.65	2		
901	330	331	Max	309.00	0.00	2	0.00	2	0.00	2	497.34	2	202.67	2	0.22	2
901	330	331	Min.	1.00	0.00	2	0.00	2	0.00	2	-497.69	2	-189.22	2	-0.36	2
901	330	331	Min.	169.37									-317.15	6		
901	330	331	Min.	309.00	0.00	2	0.00	2	0.00	2	234.33	2	-189.83	2	-0.36	2
901	331	332	Max	4.00	0.00	2	0.00	2	0.00	2	568.70	2	187.20	2	-1.81	6
901	331	332	Max	15.00	0.00	2	0.00	2	0.00	2	597.43	2	134.66	2	-1.81	6
901	331	332	Min.	4.00	0.00	2	0.00	2	0.00	2	-491.61	2	-163.44	2	-2.49	6
901	331	332	Min.	15.00	0.00	2	0.00	2	0.00	2	-464.69	2	-99.37	2	-2.49	6
901	332	333	Max	0.00	0.00	2	0.00	2	0.00	2	317.85	2	87.48	2	-4.24	6
901	332	333	Max	11.00	0.00	2	0.00	2	0.00	2	346.35	2	14.91	6	-4.24	6
901	332	333	Min.	0.00	0.00	2	0.00	2	0.00	2	-756.48	2	-59.42	2	-6.45	6
901	332	333	Min.	11.00	0.00	2	0.00	2	0.00	2	-728.81	2	-32.01	6	-6.45	6
901	333	334	Max	1.00	0.00	2	0.00	2	0.00	2	-280.16	2	4.44	6	-6.02	6
901	333	334	Max	171.48									-152.33	2		
901	333	334	Max	289.00	0.00	2	0.00	2	0.00	2	547.62	6	195.90	2	-6.02	6
901	333	334	Min.	1.00	0.00	2	0.00	2	0.00	2	-542.09	2	-45.87	6	-8.86	6
901	333	334	Min.	171.48									-500.40	2		
901	333	334	Min.	289.00	0.00	2	0.00	2	0.00	2	412.68	6	-221.48	2	-8.86	6
901	334	335	Max	4.00	0.00	2	0.00	2	0.00	2	684.96	2	183.06	2	-4.33	6
901	334	335	Max	15.00	0.00	2	0.00	2	0.00	2	740.10	2	137.76	2	-4.33	6
901	334	335	Min.	4.00	0.00	2	0.00	2	0.00	2	-434.98	2	-188.81	2	-6.10	6
901	334	335	Min.	15.00	0.00	2	0.00	2	0.00	2	-402.65	2	-111.21	2	-6.10	6
901	335	336	Max	0.00	0.00	2	0.00	2	0.00	2	526.38	2	87.59	2	-1.72	6
901	335	336	Max	11.00	0.00	2	0.00	2	0.00	2	579.38	2	23.82	2	-1.72	6
901	335	336	Min.	0.00	0.00	2	0.00	2	0.00	2	-597.81	2	-84.14	2	-2.69	6
901	335	336	Min.	11.00	0.00	2	0.00	2	0.00	2	-561.63	2	-23.34	2	-2.69	6
902	361	362	Max	4.00	0.00	2	0.00	2	0.00	2	561.02	2	23.80	2	-1.67	6
902	361	362	Max	15.00	0.00	2	0.00	2	0.00	2	597.16	2	87.50	2	-1.67	6
902	361	362	Min.	4.00	0.00	2	0.00	2	0.00	2	-577.56	2	-23.26	2	-2.73	6
902	361	362	Min.	15.00	0.00	2	0.00	2	0.00	2	-524.64	2	-83.87	2	-2.73	6
902	362	363	Max	0.00	0.00	2	0.00	2	0.00	2	402.42	2	137.61	2	-4.22	6
902	362	363	Max	11.00	0.00	2	0.00	2	0.00	2	434.69	2	182.87	2	-4.22	6
902	362	363	Min.	0.00	0.00	2	0.00	2	0.00	2	-738.20	2	-110.83	2	-6.20	6
902	362	363	Min.	11.00	0.00	2	0.00	2	0.00	2	-683.15	2	-188.21	2	-6.20	6
902	363	364	Max	1.00	0.00	2	0.00	2	0.00	2	-412.06	6	195.69	2	-5.88	6
902	363	364	Max	117.91									-151.20	2		

902	363	364	Max	289.00	0.00	2	0.00	2	0.00	2	541.27	2	4.49	6	-5.88	6
902	363	364	Min.	1.00	0.00	2	0.00	2	0.00	2	-547.03	6	-220.80	2	-9.00	6
902	363	364	Min.	117.91									-499.52	2		
902	363	364	Min.	289.00	0.00	2	0.00	2	0.00	2	279.76	2	-45.86	6	-9.00	6
902	364	365	Max	4.00	0.00	2	0.00	2	0.00	2	727.91	2	14.96	6	-4.07	6
902	364	365	Max	15.00	0.00	2	0.00	2	0.00	2	755.56	2	87.40	2	-4.07	6
902	364	365	Min.	4.00	0.00	2	0.00	2	0.00	2	-345.10	2	-32.00	6	-6.61	6
902	364	365	Min.	15.00	0.00	2	0.00	2	0.00	2	-316.64	2	-59.24	2	-6.61	6
902	365	366	Max	0.00	0.00	2	0.00	2	0.00	2	464.12	2	134.53	2	-1.44	2
902	365	366	Max	11.00	0.00	2	0.00	2	0.00	2	490.89	2	187.00	2	-1.44	2
902	365	366	Min.	0.00	0.00	2	0.00	2	0.00	2	-596.00	2	-99.06	2	-2.85	2
902	365	366	Min.	11.00	0.00	2	0.00	2	0.00	2	-567.17	2	-162.98	2	-2.85	2
902	366	367	Max	1.00	0.00	2	0.00	2	0.00	2	-234.48	2	202.46	2	0.61	2
902	366	367	Max	207.20									-162.12	2		
902	366	367	Max	309.00	0.00	2	0.00	2	0.00	2	496.86	2	202.26	2	0.61	2
902	366	367	Min.	1.00	0.00	2	0.00	2	0.00	2	-496.94	2	-189.32	2	-0.74	2
902	366	367	Min.	169.27									-317.10	6		
902	366	367	Min.	309.00	0.00	2	0.00	2	0.00	2	234.38	2	-189.41	2	-0.74	2
902	367	368	Max	4.00	0.00	2	0.00	2	0.00	2	567.66	2	186.82	2	2.70	2
902	367	368	Max	15.00	0.00	2	0.00	2	0.00	2	596.32	2	134.40	2	2.70	2
902	367	368	Min.	4.00	0.00	2	0.00	2	0.00	2	-490.63	2	-163.06	2	1.34	2
902	367	368	Min.	15.00	0.00	2	0.00	2	0.00	2	-463.68	2	-99.11	2	1.34	2
902	368	369	Max	0.00	0.00	2	0.00	2	0.00	2	317.06	2	87.31	2	6.43	6
902	368	369	Max	11.00	0.00	2	0.00	2	0.00	2	345.53	2	14.92	6	6.43	6
902	368	369	Min.	0.00	0.00	2	0.00	2	0.00	2	-755.24	2	-59.26	2	4.04	6
902	368	369	Min.	11.00	0.00	2	0.00	2	0.00	2	-727.60	2	-32.00	6	4.04	6
902	369	370	Max	1.00	0.00	2	0.00	2	0.00	2	-279.85	2	4.50	6	8.83	6
902	369	370	Max	171.46									-152.23	2		
902	369	370	Max	289.00	0.00	2	0.00	2	0.00	2	547.05	6	195.58	2	8.83	6
902	369	370	Min.	1.00	0.00	2	0.00	2	0.00	2	-541.35	2	-45.87	6	5.85	6
902	369	370	Min.	171.46									-499.62	2		
902	369	370	Min.	289.00	0.00	2	0.00	2	0.00	2	412.07	6	-220.98	2	5.85	6
902	370	371	Max	4.00	0.00	2	0.00	2	0.00	2	683.48	2	182.78	2	6.08	6
902	370	371	Max	15.00	0.00	2	0.00	2	0.00	2	738.54	2	137.55	2	6.08	6
902	370	371	Min.	4.00	0.00	2	0.00	2	0.00	2	-434.25	2	-188.37	2	4.20	6
902	370	371	Min.	15.00	0.00	2	0.00	2	0.00	2	-401.97	2	-110.94	2	4.20	6
902	371	372	Max	0.00	0.00	2	0.00	2	0.00	2	525.13	2	87.46	2	2.68	6
902	371	372	Max	11.00	0.00	2	0.00	2	0.00	2	578.05	2	23.79	2	2.68	6
902	371	372	Min.	0.00	0.00	2	0.00	2	0.00	2	-596.88	2	-83.95	2	1.66	6
902	371	372	Min.	11.00	0.00	2	0.00	2	0.00	2	-560.73	2	-23.28	2	1.66	6
903	326	362	Max	0.00	0.00	2	0.00	2	0.00	2	0.00	2	0.00	2	0.00	2
903	326	362	Max	690.00	0.00	2	0.00	2	0.00	2	0.00	2	0.00	2	0.00	2
903	326	362	Min.	0.00	0.00	2	0.00	2	0.00	2	0.00	2	0.00	2	0.00	2
903	326	362	Min.	690.00	0.00	2	0.00	2	0.00	2	0.00	2	0.00	2	0.00	2
904	335	371	Max	0.00	0.00	2	0.00	2	0.00	2	0.00	2	0.00	2	0.00	2
904	335	371	Max	690.00	0.00	2	0.00	2	0.00	2	0.00	2	0.00	2	0.00	2
904	335	371	Min.	0.00	0.00	2	0.00	2	0.00	2	0.00	2	0.00	2	0.00	2
904	335	371	Min.	690.00	0.00	2	0.00	2	0.00	2	0.00	2	0.00	2	0.00	2
1021	1296	1297	Max	1.77	74.67	6	13.33	2	3.49	6	1.02	2	0.27	6	-0.01	6
1021	1296	1297	Max	9.59					3.18	8			0.26	8		
1021	1296	1297	Max	10.00	74.67	6	13.91	2	3.19	6	1.02	2	0.26	6	-0.01	6
1021	1296	1297	Min.	1.77	-33.58	6	-12.66	2	-2.21	6	-1.15	2	-0.10	6	-0.01	6
1021	1296	1297	Min.	9.59					-1.81	8			-0.10	8		
1021	1296	1297	Min.	10.00	-33.58	6	-12.07	2	-1.82	6	-1.15	2	-0.10	6	-0.01	6
1021	1297	1298	Max	0.00	74.64	6	13.91	2	3.19	6	0.99	2	0.26	6	-0.01	6
1021	1297	1298	Max	8.23	74.64	6	14.50	2	3.56	6	0.99	2	0.30	6	-0.01	6
1021	1297	1298	Min.	0.00	-33.55	6	-12.07	2	-1.82	6	-1.12	2	-0.10	6	-0.01	6
1021	1297	1298	Min.	8.23	-33.55	6	-11.49	2	-1.98	6	-1.12	2	-0.15	6	-0.01	6
1023	1316	1317	Max	1.77	28.49	6	0.52	2	0.11	6	12.64	2	1.47	6	0.02	2

1023	1316	1317	Max	10.00	28.49	6	0.52	2	0.10	6	13.22	2	1.15	6	0.02	2
1023	1316	1317	Min.	1.77	-83.02	6	-0.96	2	-0.23	6	-10.42	2	-4.82	6	0.00	2
1023	1316	1317	Min.	10.00	-83.02	6	-0.96	2	-0.26	6	-9.83	2	-4.27	6	0.00	2
1023	1317	1318	Max	0.00	28.46	6	0.49	2	0.10	6	13.22	2	1.15	6	0.02	2
1023	1317	1318	Max	8.23	28.46	6	0.49	2	0.12	6	13.81	2	1.40	6	0.02	2
1023	1317	1318	Min.	0.00	-82.99	6	-0.92	2	-0.26	6	-9.83	2	-4.27	6	0.00	2
1023	1317	1318	Min.	8.23	-82.99	6	-0.92	2	-0.32	6	-9.25	2	-4.20	6	0.00	2
1065	1328	1329	Max	1.77	28.41	6	12.31	2	1.45	6	0.50	2	0.11	6	-0.00	2
1065	1328	1329	Max	9.59					1.14	8			0.10	8		
1065	1328	1329	Max	10.00	28.41	6	12.89	2	1.15	6	0.50	2	0.10	6	-0.00	2
1065	1328	1329	Min.	1.77	-83.02	6	-10.27	2	-4.78	6	-0.91	2	-0.23	6	-0.02	2
1065	1328	1329	Min.	9.59					-4.27	8			-0.26	8		
1065	1328	1329	Min.	10.00	-83.02	6	-9.68	2	-4.27	6	-0.91	2	-0.26	6	-0.02	2
1065	1329	1330	Max	0.00	28.43	6	12.89	2	1.15	6	0.47	2	0.10	6	-0.00	2
1065	1329	1330	Max	8.23	28.43	6	13.48	2	1.41	6	0.47	2	0.12	6	-0.00	2
1065	1329	1330	Min.	0.00	-83.04	6	-9.68	2	-4.27	6	-0.88	2	-0.26	6	-0.02	2
1065	1329	1330	Min.	8.23	-83.04	6	-9.10	2	-4.22	6	-0.88	2	-0.32	6	-0.02	2
1067	1348	1349	Max	1.77	74.77	6	1.04	2	0.27	6	13.45	2	3.50	6	0.01	6
1067	1348	1349	Max	10.00	74.77	6	1.04	2	0.26	6	14.03	2	3.19	6	0.01	6
1067	1348	1349	Min.	1.77	-33.64	6	-1.18	2	-0.10	6	-12.79	2	-2.23	6	0.01	6
1067	1348	1349	Min.	10.00	-33.64	6	-1.18	2	-0.10	6	-12.20	2	-1.82	6	0.01	6
1067	1349	1350	Max	0.00	74.74	6	1.01	2	0.26	6	14.03	2	3.19	6	0.01	6
1067	1349	1350	Max	8.23	74.74	6	1.01	2	0.30	6	14.62	2	3.55	6	0.01	6
1067	1349	1350	Min.	0.00	-33.61	6	-1.14	2	-0.10	6	-12.20	2	-1.82	6	0.01	6
1067	1349	1350	Min.	8.23	-33.61	6	-1.14	2	-0.15	6	-11.62	2	-1.98	6	0.01	6
1105	1296	1308	Max	1.77	8.15	2	2.35	6	0.09	6	19.76	6	3.92	6	0.24	6
1105	1296	1308	Max	10.00	8.15	2	2.35	6	0.05	2	20.34	6	-0.17	6	0.24	6
1105	1296	1308	Min.	1.77	-14.91	2	-0.88	6	-0.22	6	-52.58	6	-1.82	6	-0.10	6
1105	1296	1308	Min.	10.00	-14.91	2	-0.88	6	-0.06	2	-51.99	6	-0.38	6	-0.10	6
1105	1308	1316	Max	0.00	8.11	2	2.38	6	0.05	2	20.34	6	-0.17	6	0.24	6
1105	1308	1316	Max	8.23	8.11	2	2.38	6	0.19	6	20.93	6	1.53	6	0.24	6
1105	1308	1316	Min.	0.00	-14.88	2	-0.91	6	-0.06	2	-51.99	6	-0.38	6	-0.10	6
1105	1308	1316	Min.	8.23	-14.88	2	-0.91	6	-0.08	6	-51.41	6	-4.64	6	-0.10	6
1108	1298	1309	Max	1.77	8.07	2	21.72	6	3.86	6	3.05	6	0.12	6	0.09	6
1108	1298	1309	Max	10.00	8.07	2	22.31	6	-0.46	6	3.05	6	0.06	2	0.09	6
1108	1298	1309	Min.	1.77	-14.74	2	-56.10	6	-2.28	6	-1.28	6	-0.26	6	-0.23	6
1108	1298	1309	Min.	10.00	-14.74	2	-55.51	6	-0.74	6	-1.28	6	-0.05	2	-0.23	6
1108	1309	1318	Max	0.00	8.10	2	22.31	6	-0.46	6	3.08	6	0.06	2	0.09	6
1108	1309	1318	Max	8.23	8.10	2	22.89	6	1.40	6	3.08	6	0.27	6	0.09	6
1108	1309	1318	Min.	0.00	-14.77	2	-55.51	6	-0.74	6	-1.31	6	-0.05	2	-0.23	6
1108	1309	1318	Min.	8.23	-14.77	2	-54.93	6	-5.28	6	-1.31	6	-0.11	6	-0.23	6
1143	1299	1310	Max	1.77	9.38	2	3.38	6	0.05	6	7.73	6	4.68	6	0.30	6
1143	1299	1310	Max	10.00	9.38	2	3.38	6	0.07	2	8.31	6	-0.55	2	0.30	6
1143	1299	1310	Min.	1.77	-25.32	2	-0.41	6	-0.31	6	-68.11	6	-1.41	6	-0.04	6
1143	1299	1310	Min.	10.00	-25.32	2	-0.41	6	-0.08	2	-67.53	6	-1.10	2	-0.04	6
1143	1310	1319	Max	0.00	9.35	2	3.41	6	0.07	2	8.31	6	-0.55	2	0.30	6
1143	1310	1319	Max	8.23	9.35	2	3.41	6	0.28	6	8.90	6	0.06	6	0.30	6
1143	1310	1319	Min.	0.00	-25.29	2	-0.44	6	-0.08	2	-67.53	6	-1.10	2	-0.04	6
1143	1310	1319	Min.	8.23	-25.29	2	-0.44	6	-0.05	6	-66.94	6	-6.53	6	-0.04	6
1146	1301	1311	Max	1.77	12.45	2	7.91	6	4.76	6	3.51	6	0.06	6	0.04	6
1146	1301	1311	Max	10.00	12.45	2	8.49	6	-0.51	2	3.51	6	0.08	2	0.04	6
1146	1301	1311	Min.	1.77	-21.54	2	-68.87	6	-1.37	6	-0.43	6	-0.30	6	-0.29	6
1146	1301	1311	Min.	10.00	-21.54	2	-68.29	6	-1.07	2	-0.43	6	-0.07	2	-0.29	6
1146	1311	1321	Max	0.00	12.42	2	8.49	6	-0.51	2	3.54	6	0.08	2	0.04	6
1146	1311	1321	Max	8.23	12.42	2	9.08	6	0.11	6	3.54	6	0.31	6	0.04	6
1146	1311	1321	Min.	0.00	-21.51	2	-68.29	6	-1.07	2	-0.46	6	-0.07	2	-0.29	6
1146	1311	1321	Min.	8.23	-21.51	2	-67.70	6	-6.57	6	-0.46	6	-0.04	6	-0.29	6
1181	1302	1312	Max	1.77	12.28	2	3.53	6	0.06	6	7.86	6	4.79	6	0.29	6
1181	1302	1312	Max	10.00	12.28	2	3.53	6	0.08	2	8.44	6	-0.50	2	0.29	6

1181	1302	1312	Min.	1.77	-22.05	2	-0.42	6	-0.31	6	-68.97	6	-1.37	6	-0.04	6
1181	1302	1312	Min.	10.00	-22.05	2	-0.42	6	-0.07	2	-68.39	6	-1.05	2	-0.04	6
1181	1312	1322	Max	0.00	12.25	2	3.56	6	0.08	2	8.44	6	-0.50	2	0.29	6
1181	1312	1322	Max	8.23	12.25	2	3.56	6	0.31	6	9.03	6	0.11	6	0.29	6
1181	1312	1322	Min.	0.00	-22.02	2	-0.45	6	-0.07	2	-68.39	6	-1.05	2	-0.04	6
1181	1312	1322	Min.	8.23	-22.02	2	-0.45	6	-0.04	6	-67.80	6	-6.55	6	-0.04	6
1184	1304	1313	Max	1.77	9.55	2	7.77	6	4.65	6	3.35	6	0.05	6	0.04	6
1184	1304	1313	Max	10.00	9.55	2	8.36	6	-0.56	2	3.35	6	0.07	2	0.04	6
1184	1304	1313	Min.	1.77	-24.82	2	-68.02	6	-1.41	6	-0.42	6	-0.31	6	-0.30	6
1184	1304	1313	Min.	10.00	-24.82	2	-67.43	6	-1.11	2	-0.42	6	-0.08	2	-0.30	6
1184	1313	1324	Max	0.00	9.52	2	8.36	6	-0.56	2	3.38	6	0.07	2	0.04	6
1184	1313	1324	Max	8.23	9.52	2	8.94	6	0.07	6	3.38	6	0.28	6	0.04	6
1184	1313	1324	Min.	0.00	-24.79	2	-67.43	6	-1.11	2	-0.45	6	-0.08	2	-0.30	6
1184	1313	1324	Min.	8.23	-24.79	2	-66.85	6	-6.55	6	-0.45	6	-0.05	6	-0.30	6
1219	1305	1314	Max	1.77	8.03	2	3.04	6	0.12	6	21.75	6	3.87	6	0.23	6
1219	1305	1314	Max	10.00	8.03	2	3.04	6	0.06	2	22.33	6	-0.47	6	0.23	6
1219	1305	1314	Min.	1.77	-15.09	2	-1.28	6	-0.26	6	-56.02	6	-2.28	6	-0.09	6
1219	1305	1314	Min.	10.00	-15.09	2	-1.28	6	-0.05	2	-55.43	6	-0.72	6	-0.09	6
1219	1314	1325	Max	0.00	8.00	2	3.07	6	0.06	2	22.33	6	-0.47	6	0.23	6
1219	1314	1325	Max	8.23	8.00	2	3.07	6	0.26	6	22.92	6	1.40	6	0.23	6
1219	1314	1325	Min.	0.00	-15.06	2	-1.31	6	-0.05	2	-55.43	6	-0.72	6	-0.09	6
1219	1314	1325	Min.	8.23	-15.06	2	-1.31	6	-0.11	6	-54.85	6	-5.26	6	-0.09	6
1222	1307	1315	Max	1.77	8.15	2	19.89	6	3.92	6	2.38	6	0.09	6	0.10	6
1222	1307	1315	Max	10.00	8.15	2	20.48	6	-0.16	6	2.38	6	0.05	2	0.10	6
1222	1307	1315	Min.	1.77	-14.59	2	-52.74	6	-1.82	6	-0.90	6	-0.22	6	-0.24	6
1222	1307	1315	Min.	10.00	-14.59	2	-52.16	6	-0.40	6	-0.90	6	-0.06	2	-0.24	6
1222	1315	1327	Max	0.00	8.12	2	20.48	6	-0.16	6	2.41	6	0.05	2	0.10	6
1222	1315	1327	Max	8.23	8.12	2	21.06	6	1.55	6	2.41	6	0.19	6	0.10	6
1222	1315	1327	Min.	0.00	-14.56	2	-52.16	6	-0.40	6	-0.93	6	-0.06	2	-0.24	6
1222	1315	1327	Min.	8.23	-14.56	2	-51.57	6	-4.67	6	-0.93	6	-0.08	6	-0.24	6
1240	319	-5	Max	4.85	0.00	2	0.00	2	0.00	2	0.00	2	0.00	2	0.00	2
1240	319	-5	Min.	4.85	0.00	2	0.00	2	0.00	2	0.00	2	0.00	2	0.00	2
1240	-5	-37	Max	4.85	0.00	2	0.00	2	0.00	2	0.00	2	0.00	2	0.00	2
1240	-5	-37	Min.	4.85	0.00	2	0.00	2	0.00	2	0.00	2	0.00	2	0.00	2
1240	-37	-69	Max	5.01	174.11	2	7.53	6	3.27	6	35.27	6	0.80	2	0.00	6
1240	-37	-69	Max	15.09					0.39	4			0.41	4		
1240	-37	-69	Max	16.87	174.96	2	7.53	6	0.13	6	35.29	6	0.53	6	0.00	6
1240	-37	-69	Min.	5.01	-554.46	2	-31.31	6	-0.87	6	-5.52	6	-3.97	2	-0.02	6
1240	-37	-69	Min.	15.09					-0.39	4			-0.58	4		
1240	-37	-69	Min.	16.87	-553.62	2	-31.31	6	-0.55	6	-5.50	6	-0.17	6	-0.02	6
1240	-69	-101	Max	2.51	184.07	2	9.01	6	2.71	2	32.85	6	0.68	2	0.00	6
1240	-69	-101	Max	16.87	185.09	2	9.01	6	0.44	6	32.87	6	2.00	6	0.00	6
1240	-69	-101	Min.	2.51	-523.43	2	-31.38	6	-1.02	2	-6.92	6	-2.76	2	-0.01	6
1240	-69	-101	Min.	16.87	-522.41	2	-31.38	6	-1.97	6	-6.90	6	-0.36	6	-0.01	6
1240	-101	-133	Max	2.51	196.44	2	9.06	6	2.38	2	33.75	6	0.62	2	0.01	2
1240	-101	-133	Max	16.87	197.46	2	9.06	6	0.57	6	33.77	6	2.45	6	0.01	2
1240	-101	-133	Min.	2.51	-483.79	2	-32.07	6	-0.92	2	-6.89	6	-2.48	2	-0.01	2
1240	-101	-133	Min.	16.87	-482.77	2	-32.07	6	-2.41	6	-6.87	6	-0.45	6	-0.01	2
1240	-133	-165	Max	2.51	209.69	2	9.18	6	2.30	2	34.43	6	0.61	2	0.01	2
1240	-133	-165	Max	16.87	210.72	2	9.18	6	0.61	6	34.45	6	2.65	6	0.01	2
1240	-133	-165	Min.	2.51	-440.86	2	-32.71	6	-0.90	2	-6.98	6	-2.39	2	-0.01	2
1240	-133	-165	Min.	16.87	-439.84	2	-32.71	6	-2.60	6	-6.96	6	-0.49	6	-0.01	2
1240	-165	-197	Max	2.51	223.59	2	9.28	6	2.26	2	35.12	6	0.60	2	0.01	2
1240	-165	-197	Max	16.87	224.62	2	9.28	6	0.64	6	35.14	6	2.80	6	0.01	2
1240	-165	-197	Min.	2.51	-395.79	2	-33.38	6	-0.89	2	-7.05	6	-2.35	2	-0.01	2
1240	-165	-197	Min.	16.87	-394.76	2	-33.38	6	-2.74	6	-7.03	6	-0.52	6	-0.01	2
1240	-197	-229	Max	2.51	238.11	2	9.38	6	2.23	2	35.83	6	0.60	2	0.01	2
1240	-197	-229	Max	16.87	239.13	2	9.38	6	0.67	6	35.86	6	2.95	6	0.01	2
1240	-197	-229	Min.	2.51	-348.72	2	-34.05	6	-0.89	2	-7.11	6	-2.32	2	-0.01	2

1240	-197	-229	Min.	16.87	-347.70	2	-34.05	6	-2.88	6	-7.08	6	-0.54	6	-0.01	2
1240	-229	-261	Max	2.51	253.30	2	9.46	6	2.20	2	36.56	6	0.59	2	0.01	2
1240	-229	-261	Max	16.87	254.32	2	9.46	6	0.70	6	36.58	6	3.10	6	0.01	2
1240	-229	-261	Min.	2.51	-299.63	2	-34.74	6	-0.89	2	-7.15	6	-2.29	2	-0.01	2
1240	-229	-261	Min.	16.87	-298.61	2	-34.74	6	-3.02	6	-7.12	6	-0.56	6	-0.01	2
1240	-261	-293	Max	2.51	315.61	6	9.53	6	2.16	2	37.31	6	0.59	2	0.01	2
1240	-261	-293	Max	16.87	316.63	6	9.53	6	0.73	6	37.33	6	3.26	6	0.01	2
1240	-261	-293	Min.	2.51	-294.78	6	-35.45	6	-0.88	2	-7.17	6	-2.24	2	-0.01	2
1240	-261	-293	Min.	16.87	-293.76	6	-35.45	6	-3.17	6	-7.15	6	-0.59	6	-0.01	2
1240	-293	-325	Max	2.51	381.48	6	9.59	6	2.12	2	38.08	6	0.58	2	0.01	2
1240	-293	-325	Max	16.87	382.50	6	9.59	6	0.76	6	38.11	6	3.44	6	0.01	2
1240	-293	-325	Min.	2.51	-290.38	6	-36.19	6	-0.87	2	-7.18	6	-2.19	2	-0.01	2
1240	-293	-325	Min.	16.87	-289.36	6	-36.19	6	-3.34	6	-7.16	6	-0.61	6	-0.01	2
1240	-325	-357	Max	2.51	450.34	6	9.63	6	2.07	2	38.89	6	0.57	2	0.01	2
1240	-325	-357	Max	16.87	451.36	6	9.63	6	0.80	6	38.91	6	3.62	6	0.01	2
1240	-325	-357	Min.	2.51	-285.65	6	-36.93	6	-0.86	2	-7.19	6	-2.14	2	-0.01	2
1240	-325	-357	Min.	16.87	-284.63	6	-36.93	6	-3.51	6	-7.16	6	-0.63	6	-0.01	2
1240	-357	-389	Max	2.51	522.40	6	9.68	6	2.01	2	39.70	6	0.56	2	0.01	2
1240	-357	-389	Max	16.87	523.42	6	9.68	6	0.83	6	39.72	6	3.82	6	0.01	2
1240	-357	-389	Min.	2.51	-280.52	6	-37.75	6	-0.85	2	-7.15	6	-2.07	2	-0.01	2
1240	-357	-389	Min.	16.87	-279.50	6	-37.75	6	-3.70	6	-7.13	6	-0.65	6	-0.01	2
1240	-389	-421	Max	2.51	597.87	6	9.67	6	1.93	2	40.69	6	0.54	2	0.01	2
1240	-389	-421	Max	16.87	598.89	6	9.67	6	0.86	6	40.71	6	4.06	6	0.01	2
1240	-389	-421	Min.	2.51	-274.94	6	-38.34	6	-0.83	2	-7.23	6	-1.99	2	-0.01	2
1240	-389	-421	Min.	16.87	-273.92	6	-38.34	6	-3.88	6	-7.20	6	-0.69	6	-0.01	2
1240	-421	-453	Max	2.51	676.89	6	9.94	6	1.83	2	40.61	6	0.52	2	0.01	2
1240	-421	-453	Max	16.87	677.91	6	9.94	6	0.94	6	40.63	6	4.18	6	0.01	2
1240	-421	-453	Min.	2.51	-268.92	6	-40.84	6	-0.81	2	-6.40	6	-1.88	2	-0.01	2
1240	-421	-453	Min.	16.87	-267.89	6	-40.84	6	-4.35	6	-6.38	6	-0.62	6	-0.01	2
1240	-453	-485	Max	2.51	769.08	6	9.29	2	1.54	2	48.47	6	0.50	2	0.02	2
1240	-453	-485	Max	16.87	770.10	6	9.29	2	0.77	6	48.50	6	5.53	6	0.02	2
1240	-453	-485	Min.	2.51	-273.00	6	-31.34	2	-0.76	2	-11.70	6	-1.64	2	-0.01	2
1240	-453	-485	Min.	16.87	-271.98	6	-31.34	2	-3.15	6	-11.68	6	-1.40	6	-0.01	2
1240	-485	1302	Max	2.51	868.62	6	18.78	6	1.07	2	28.50	2	0.40	2	0.02	2
1240	-485	1302	Max	14.38	869.46	6	18.78	6	1.97	6	28.52	2	2.80	2	0.02	2
1240	-485	1302	Min.	2.51	-287.78	6	-97.89	6	-0.26	2	-1.64	2	-0.58	2	-0.01	2
1240	-485	1302	Min.	14.38	-286.94	6	-97.89	6	-10.56	6	-1.62	2	0.21	2	-0.01	2
1241	340	-11	Max	4.85	0.00	2	0.00	2	0.00	2	0.00	2	0.00	2	0.00	2
1241	340	-11	Min.	4.85	0.00	2	0.00	2	0.00	2	0.00	2	0.00	2	0.00	2
1241	-11	-43	Max	4.85	0.00	2	0.00	2	0.00	2	0.00	2	0.00	2	0.00	2
1241	-11	-43	Min.	4.85	0.00	2	0.00	2	0.00	2	0.00	2	0.00	2	0.00	2
1241	-43	-75	Max	5.01	195.66	2	7.96	6	2.87	6	9.15	6	3.49	2	0.01	2
1241	-43	-75	Max	16.87	196.50	2	7.96	6	0.11	6	9.17	6	0.17	6	0.01	2
1241	-43	-75	Min.	5.01	-557.52	2	-27.43	6	-0.95	6	-30.27	6	-1.28	2	-0.02	2
1241	-43	-75	Min.	16.87	-556.68	2	-27.43	6	-0.51	6	-30.25	6	-0.47	6	-0.02	2
1241	-75	-107	Max	2.51	169.42	2	8.10	6	2.44	2	6.98	6	2.78	2	0.01	2
1241	-75	-107	Max	16.87	170.44	2	8.10	6	0.39	6	7.00	6	0.39	6	0.01	2
1241	-75	-107	Min.	2.51	-562.75	2	-28.98	6	-0.86	2	-32.09	6	-0.70	2	-0.02	2
1241	-75	-107	Min.	16.87	-561.73	2	-28.98	6	-1.81	6	-32.07	6	-1.92	6	-0.02	2
1241	-107	-139	Max	2.51	134.77	2	8.21	6	2.13	2	7.23	6	2.44	2	0.01	2
1241	-107	-139	Max	16.87	135.79	2	8.21	6	0.50	6	7.25	6	0.48	6	0.01	2
1241	-107	-139	Min.	2.51	-570.15	2	-29.42	6	-0.80	2	-32.49	6	-0.70	2	-0.01	2
1241	-107	-139	Min.	16.87	-569.13	2	-29.42	6	-2.22	6	-32.47	6	-2.36	6	-0.01	2
1241	-139	-171	Max	2.51	96.80	2	8.31	6	2.05	2	7.29	6	2.36	2	0.01	2
1241	-139	-171	Max	16.87	97.82	2	8.31	6	0.55	6	7.31	6	0.52	6	0.01	2
1241	-139	-171	Min.	2.51	-578.48	2	-29.97	6	-0.79	2	-33.16	6	-0.69	2	-0.01	2
1241	-139	-171	Min.	16.87	-577.46	2	-29.97	6	-2.40	6	-33.14	6	-2.56	6	-0.01	2
1241	-171	-203	Max	2.51	56.62	2	8.40	6	2.01	2	7.34	6	2.32	2	0.01	2
1241	-171	-203	Max	16.87	57.64	2	8.40	6	0.58	6	7.36	6	0.54	6	0.01	2

1241	-171	-203	Min.	2.51	-587.50	2	-30.54	6	-0.78	2	-33.83	6	-0.68	2	-0.01	2
1241	-171	-203	Min.	16.87	-586.48	2	-30.54	6	-2.53	6	-33.81	6	-2.71	6	-0.01	2
1241	-203	-235	Max	2.51	14.42	2	8.48	6	1.97	2	7.38	6	2.29	2	0.01	2
1241	-203	-235	Max	16.87	15.44	2	8.48	6	0.61	6	7.40	6	0.56	6	0.01	2
1241	-203	-235	Min.	2.51	-597.19	2	-31.12	6	-0.78	2	-34.53	6	-0.68	2	-0.01	2
1241	-203	-235	Min.	16.87	-596.17	2	-31.12	6	-2.66	6	-34.51	6	-2.85	6	-0.01	2
1241	-235	-267	Max	2.51	-2.84	6	8.55	6	1.94	2	7.41	6	2.25	2	0.01	2
1241	-235	-267	Max	16.87	-1.82	6	8.55	6	0.63	6	7.43	6	0.58	6	0.01	2
1241	-235	-267	Min.	2.51	-634.62	6	-31.75	6	-0.77	2	-35.21	6	-0.68	2	-0.01	2
1241	-235	-267	Min.	16.87	-633.60	6	-31.75	6	-2.80	6	-35.19	6	-3.00	6	-0.01	2
1241	-267	-299	Max	2.51	-2.20	6	8.60	6	1.89	2	7.41	6	2.21	2	0.01	2
1241	-267	-299	Max	16.87	-1.18	6	8.60	6	0.66	6	7.44	6	0.61	6	0.01	2
1241	-267	-299	Min.	2.51	-692.92	6	-32.33	6	-0.76	2	-35.96	6	-0.67	2	-0.01	2
1241	-267	-299	Min.	16.87	-691.90	6	-32.33	6	-2.94	6	-35.94	6	-3.16	6	-0.01	2
1241	-299	-331	Max	2.51	-1.90	6	8.64	6	1.84	2	7.42	6	2.16	2	0.01	2
1241	-299	-331	Max	16.87	-0.88	6	8.64	6	0.69	6	7.44	6	0.63	6	0.01	2
1241	-299	-331	Min.	2.51	-754.07	6	-33.00	6	-0.75	2	-36.67	6	-0.67	2	-0.01	2
1241	-299	-331	Min.	16.87	-753.05	6	-33.00	6	-3.10	6	-36.65	6	-3.33	6	-0.01	2
1241	-331	-363	Max	2.51	-1.99	6	8.67	6	1.78	2	7.40	6	2.11	2	0.01	2
1241	-331	-363	Max	16.87	-0.97	6	8.67	6	0.72	6	7.42	6	0.65	6	0.01	2
1241	-331	-363	Min.	2.51	-818.25	6	-33.62	6	-0.74	2	-37.46	6	-0.66	2	-0.01	2
1241	-331	-363	Min.	16.87	-817.23	6	-33.62	6	-3.27	6	-37.44	6	-3.52	6	-0.01	2
1241	-363	-395	Max	2.51	-2.52	6	8.69	6	1.71	2	7.38	6	2.04	2	0.01	2
1241	-363	-395	Max	16.87	-1.50	6	8.69	6	0.76	6	7.40	6	0.67	6	0.01	2
1241	-363	-395	Min.	2.51	-885.69	6	-34.33	6	-0.73	2	-38.20	6	-0.65	2	-0.01	2
1241	-363	-395	Min.	16.87	-884.67	6	-34.33	6	-3.45	6	-38.18	6	-3.71	6	-0.01	2
1241	-395	-427	Max	2.51	-3.53	6	8.66	6	1.63	2	7.30	6	1.96	2	0.01	2
1241	-395	-427	Max	16.87	-2.51	6	8.66	6	0.79	6	7.32	6	0.69	6	0.01	2
1241	-395	-427	Min.	2.51	-956.60	6	-34.76	6	-0.71	2	-39.38	6	-0.63	2	-0.01	2
1241	-395	-427	Min.	16.87	-955.58	6	-34.76	6	-3.62	6	-39.36	6	-3.97	6	-0.01	2
1241	-427	-459	Max	2.51	-5.08	6	8.93	6	1.52	2	7.53	6	1.84	2	0.01	2
1241	-427	-459	Max	16.87	-4.06	6	8.93	6	0.86	6	7.56	6	0.76	6	0.01	2
1241	-427	-459	Min.	2.51	-1031.10	6	-37.23	6	-0.68	2	-37.79	6	-0.62	2	-0.01	2
1241	-427	-459	Min.	16.87	-1030.08	6	-37.23	6	-4.09	6	-37.77	6	-3.89	6	-0.01	2
1241	-459	-491	Max	2.51	3.40	6	7.40	2	1.23	2	5.56	6	1.68	2	0.01	2
1241	-459	-491	Max	16.87	4.42	6	7.40	2	0.68	6	5.59	6	0.55	6	0.01	2
1241	-459	-491	Min.	2.51	-1118.57	6	-26.64	2	-0.65	2	-55.06	6	-0.53	2	-0.00	2
1241	-459	-491	Min.	16.87	-1117.55	6	-26.64	2	-2.88	6	-55.04	6	-6.50	6	-0.00	2
1241	-491	1319	Max	2.51	21.57	6	17.61	6	0.91	6	46.19	6	0.06	6	0.01	6
1241	-491	1319	Max	14.38	22.42	6	17.61	6	1.87	6	46.21	6	4.31	6	0.01	6
1241	-491	1319	Min.	2.51	-1214.36	6	-94.86	6	-0.22	6	8.36	6	-1.18	6	-0.00	6
1241	-491	1319	Min.	14.38	-1213.51	6	-94.86	6	-10.35	6	8.38	6	1.05	6	-0.00	6
1242	316	-3	Max	4.85	0.00	2	0.00	2	0.00	2	0.00	2	0.00	2	0.00	2
1242	316	-3	Min.	4.85	0.00	2	0.00	2	0.00	2	0.00	2	0.00	2	0.00	2
1242	-3	-35	Max	4.85	0.00	2	0.00	2	0.00	2	0.00	2	0.00	2	0.00	2
1242	-3	-35	Min.	4.85	0.00	2	0.00	2	0.00	2	0.00	2	0.00	2	0.00	2
1242	-35	-67	Max	5.01	237.91	2	6.20	6	3.45	6	32.58	6	1.10	2	0.00	6
1242	-35	-67	Max	15.03					0.46	4			0.50	4		
1242	-35	-67	Max	16.87	238.75	2	6.20	6	0.16	6	32.60	6	0.58	6	0.00	6
1242	-35	-67	Min.	5.01	-499.12	2	-32.32	6	-0.69	6	-7.31	6	-3.65	2	-0.02	6
1242	-35	-67	Min.	15.03					-0.32	4			-0.51	4		
1242	-35	-67	Min.	16.87	-498.28	2	-32.32	6	-0.50	6	-7.29	6	-0.13	6	-0.02	6
1242	-67	-99	Max	2.51	244.68	2	7.39	6	2.89	2	30.53	6	0.90	2	0.00	6
1242	-67	-99	Max	16.87	245.70	2	7.39	6	0.39	6	30.55	6	1.94	6	0.00	6
1242	-67	-99	Min.	2.51	-470.51	2	-32.83	6	-0.83	2	-8.47	6	-2.54	2	-0.01	6
1242	-67	-99	Min.	16.87	-469.50	2	-32.83	6	-1.99	6	-8.45	6	-0.41	6	-0.01	6
1242	-99	-131	Max	2.51	252.90	2	7.44	6	2.55	2	31.38	6	0.82	2	0.00	2
1242	-99	-131	Max	16.87	253.92	2	7.44	6	0.49	6	31.40	6	2.36	6	0.00	2
1242	-99	-131	Min.	2.51	-434.03	2	-33.52	6	-0.74	2	-8.47	6	-2.28	2	-0.01	2

1242	-99	-131	Min.	16.87	-433.01	2	-33.52	6	-2.44	6	-8.44	6	-0.52	6	-0.01	2
1242	-131	-163	Max	2.51	261.65	2	7.52	6	2.46	2	31.99	6	0.80	2	0.01	2
1242	-131	-163	Max	16.87	262.67	2	7.52	6	0.53	6	32.02	6	2.54	6	0.01	2
1242	-131	-163	Min.	2.51	-394.53	2	-34.20	6	-0.73	2	-8.60	6	-2.19	2	-0.01	2
1242	-131	-163	Min.	16.87	-393.51	2	-34.20	6	-2.64	6	-8.58	6	-0.57	6	-0.01	2
1242	-163	-195	Max	2.51	270.79	2	7.58	6	2.42	2	32.63	6	0.80	2	0.01	2
1242	-163	-195	Max	16.87	271.81	2	7.58	6	0.56	6	32.65	6	2.68	6	0.01	2
1242	-163	-195	Min.	2.51	-353.08	2	-34.89	6	-0.73	2	-8.71	6	-2.16	2	-0.01	2
1242	-163	-195	Min.	16.87	-352.06	2	-34.89	6	-2.79	6	-8.68	6	-0.60	6	-0.01	2
1242	-195	-227	Max	2.51	280.32	2	7.63	6	2.39	2	33.29	6	0.79	2	0.01	2
1242	-195	-227	Max	16.87	281.34	2	7.63	6	0.58	6	33.31	6	2.82	6	0.01	2
1242	-195	-227	Min.	2.51	-309.83	2	-35.60	6	-0.72	2	-8.81	6	-2.12	2	-0.01	2
1242	-195	-227	Min.	16.87	-308.81	2	-35.60	6	-2.93	6	-8.78	6	-0.63	6	-0.01	2
1242	-227	-259	Max	2.51	295.85	6	7.68	6	2.36	2	33.95	6	0.79	2	0.01	2
1242	-227	-259	Max	16.87	296.87	6	7.68	6	0.60	6	33.97	6	2.96	6	0.01	2
1242	-227	-259	Min.	2.51	-270.31	6	-36.34	6	-0.72	2	-8.88	6	-2.09	2	-0.01	2
1242	-227	-259	Min.	16.87	-269.29	6	-36.34	6	-3.08	6	-8.86	6	-0.66	6	-0.01	2
1242	-259	-291	Max	2.51	352.91	6	7.70	6	2.32	2	34.64	6	0.78	2	0.01	2
1242	-259	-291	Max	16.87	353.93	6	7.70	6	0.63	6	34.66	6	3.11	6	0.01	2
1242	-259	-291	Min.	2.51	-269.90	6	-37.08	6	-0.71	2	-8.96	6	-2.05	2	-0.01	2
1242	-259	-291	Min.	16.87	-268.88	6	-37.08	6	-3.25	6	-8.93	6	-0.69	6	-0.01	2
1242	-291	-323	Max	2.51	412.46	6	7.72	6	2.27	2	35.33	6	0.77	2	0.01	2
1242	-291	-323	Max	16.87	413.48	6	7.72	6	0.65	6	35.36	6	3.27	6	0.01	2
1242	-291	-323	Min.	2.51	-269.37	6	-37.86	6	-0.71	2	-9.00	6	-2.00	2	-0.01	2
1242	-291	-323	Min.	16.87	-268.35	6	-37.86	6	-3.42	6	-8.98	6	-0.72	6	-0.01	2
1242	-323	-355	Max	2.51	474.68	6	7.71	6	2.21	2	36.07	6	0.75	2	0.01	2
1242	-323	-355	Max	16.87	475.70	6	7.71	6	0.67	6	36.10	6	3.45	6	0.01	2
1242	-323	-355	Min.	2.51	-268.71	6	-38.64	6	-0.70	2	-9.06	6	-1.94	2	-0.01	2
1242	-323	-355	Min.	16.87	-267.69	6	-38.64	6	-3.60	6	-9.03	6	-0.75	6	-0.01	2
1242	-355	-387	Max	2.51	539.75	6	7.71	6	2.15	2	36.81	6	0.74	2	0.01	2
1242	-355	-387	Max	16.87	540.77	6	7.71	6	0.70	6	36.83	6	3.63	6	0.01	2
1242	-355	-387	Min.	2.51	-267.87	6	-39.51	6	-0.69	2	-9.07	6	-1.88	2	-0.01	2
1242	-355	-387	Min.	16.87	-266.85	6	-39.51	6	-3.81	6	-9.05	6	-0.78	6	-0.01	2
1242	-387	-419	Max	2.51	607.87	6	7.64	6	2.07	2	37.74	6	0.72	2	0.01	2
1242	-387	-419	Max	16.87	608.89	6	7.64	6	0.72	6	37.77	6	3.86	6	0.01	2
1242	-387	-419	Min.	2.51	-266.82	6	-40.12	6	-0.68	2	-9.21	6	-1.80	2	-0.01	2
1242	-387	-419	Min.	16.87	-265.80	6	-40.12	6	-4.00	6	-9.19	6	-0.83	6	-0.01	2
1242	-419	-451	Max	2.51	679.13	6	7.86	6	1.97	2	37.53	6	0.70	2	0.01	2
1242	-419	-451	Max	16.87	680.15	6	7.86	6	0.79	6	37.56	6	3.96	6	0.01	2
1242	-419	-451	Min.	2.51	-265.56	6	-42.74	6	-0.66	2	-8.41	6	-1.69	2	-0.01	2
1242	-419	-451	Min.	16.87	-264.53	6	-42.74	6	-4.49	6	-8.39	6	-0.77	6	-0.01	2
1242	-451	-483	Max	2.51	765.70	6	7.20	2	1.66	2	45.24	6	0.65	2	0.02	2
1242	-451	-483	Max	16.87	766.72	6	7.20	2	0.60	6	45.27	6	5.26	6	0.02	2
1242	-451	-483	Min.	2.51	-276.98	6	-33.13	2	-0.63	2	-13.86	6	-1.48	2	-0.01	2
1242	-451	-483	Min.	16.87	-275.96	6	-33.13	2	-3.30	6	-13.84	6	-1.58	6	-0.01	2
1242	-483	1299	Max	2.51	858.12	6	16.10	6	1.13	2	26.40	2	0.48	2	0.02	2
1242	-483	1299	Max	14.38	858.97	6	16.10	6	1.72	6	26.42	2	2.62	2	0.02	2
1242	-483	1299	Min.	2.51	-296.54	6	-100.41	6	-0.20	2	-3.97	2	-0.51	2	-0.01	2
1242	-483	1299	Min.	14.38	-295.69	6	-100.41	6	-10.80	6	-3.95	2	0.01	2	-0.01	2
1243	322	-7	Max	4.85	0.00	2	0.00	2	0.00	2	0.00	2	0.00	2	0.00	2
1243	322	-7	Min.	4.85	0.00	2	0.00	2	0.00	2	0.00	2	0.00	2	0.00	2
1243	-7	-39	Max	4.85	0.00	2	0.00	2	0.00	2	0.00	2	0.00	2	0.00	2
1243	-7	-39	Min.	4.85	0.00	2	0.00	2	0.00	2	0.00	2	0.00	2	0.00	2
1243	-39	-71	Max	5.01	129.25	2	13.74	6	2.56	6	29.47	6	1.02	6	0.00	6
1243	-39	-71	Max	15.16					0.23	4			0.29	4		
1243	-39	-71	Max	16.87	130.09	2	13.74	6	0.17	6	29.49	6	0.37	6	0.00	6
1243	-39	-71	Min.	5.01	-494.13	2	-25.38	6	-1.57	6	-9.93	6	-3.26	6	-0.01	6
1243	-39	-71	Min.	15.16					-0.42	4			-0.54	4		
1243	-39	-71	Min.	16.87	-493.28	2	-25.38	6	-0.56	6	-9.91	6	-0.29	6	-0.01	6

1243	-71	-103	Max	2.51	135.72	2	15.31	6	1.91	6	27.34	6	0.90	6	0.00	2
1243	-71	-103	Max	16.87	136.74	2	15.31	6	0.79	6	27.36	6	1.59	6	0.00	2
1243	-71	-103	Min.	2.51	-473.28	2	-25.03	6	-1.41	6	-11.12	6	-2.33	6	-0.00	2
1243	-71	-103	Min.	16.87	-472.26	2	-25.03	6	-1.69	6	-11.09	6	-0.70	6	-0.00	2
1243	-103	-135	Max	2.51	143.62	2	15.52	6	1.65	6	28.07	6	0.76	6	0.01	6
1243	-103	-135	Max	16.87	144.64	2	15.52	6	0.99	6	28.10	6	1.97	6	0.01	6
1243	-103	-135	Min.	2.51	-446.81	2	-25.58	6	-1.23	6	-11.23	6	-2.07	6	-0.01	6
1243	-103	-135	Min.	16.87	-445.79	2	-25.58	6	-2.03	6	-11.20	6	-0.85	6	-0.01	6
1243	-135	-167	Max	2.51	152.03	2	15.78	6	1.58	2	28.62	6	0.72	6	0.01	6
1243	-135	-167	Max	16.87	153.05	2	15.78	6	1.08	6	28.64	6	2.13	6	0.01	6
1243	-135	-167	Min.	2.51	-418.23	2	-26.08	6	-1.21	2	-11.42	6	-1.98	6	-0.01	6
1243	-135	-167	Min.	16.87	-417.21	2	-26.08	6	-2.18	6	-11.40	6	-0.92	6	-0.01	6
1243	-167	-199	Max	2.51	160.81	2	16.03	6	1.56	2	29.18	6	0.70	6	0.01	6
1243	-167	-199	Max	16.87	161.83	2	16.03	6	1.14	6	29.20	6	2.25	6	0.01	6
1243	-167	-199	Min.	2.51	-388.29	2	-26.58	6	-1.20	2	-11.60	6	-1.94	6	-0.01	6
1243	-167	-199	Min.	16.87	-387.27	2	-26.58	6	-2.29	6	-11.58	6	-0.97	6	-0.01	6
1243	-199	-231	Max	2.51	169.96	2	16.29	6	1.54	2	29.75	6	0.68	6	0.01	6
1243	-199	-231	Max	16.87	170.98	2	16.29	6	1.19	6	29.77	6	2.37	6	0.01	6
1243	-199	-231	Min.	2.51	-357.11	2	-27.09	6	-1.19	2	-11.77	6	-1.91	6	-0.01	6
1243	-199	-231	Min.	16.87	-356.09	2	-27.09	6	-2.39	6	-11.75	6	-1.01	6	-0.01	6
1243	-231	-263	Max	2.51	188.58	6	16.55	6	1.51	2	30.32	6	0.66	6	0.01	6
1243	-231	-263	Max	16.87	189.60	6	16.55	6	1.25	6	30.34	6	2.49	6	0.01	6
1243	-231	-263	Min.	2.51	-333.73	6	-27.62	6	-1.18	2	-11.92	6	-1.87	6	-0.01	6
1243	-231	-263	Min.	16.87	-332.71	6	-27.62	6	-2.50	6	-11.90	6	-1.06	6	-0.01	6
1243	-263	-295	Max	2.51	241.76	6	16.79	6	1.49	2	30.92	6	0.63	6	0.01	6
1243	-263	-295	Max	16.87	242.78	6	16.79	6	1.30	6	30.95	6	2.62	6	0.01	6
1243	-263	-295	Min.	2.51	-343.11	6	-28.14	6	-1.17	2	-12.08	6	-1.82	6	-0.01	6
1243	-263	-295	Min.	16.87	-342.09	6	-28.14	6	-2.62	6	-12.06	6	-1.10	6	-0.01	6
1243	-295	-327	Max	2.51	297.24	6	17.05	6	1.45	2	31.52	6	0.61	2	0.01	6
1243	-295	-327	Max	16.87	298.26	6	17.05	6	1.37	6	31.55	6	2.76	6	0.01	6
1243	-295	-327	Min.	2.51	-352.88	6	-28.69	6	-1.16	2	-12.22	6	-1.78	2	-0.01	6
1243	-295	-327	Min.	16.87	-351.85	6	-28.69	6	-2.74	6	-12.19	6	-1.15	6	-0.01	6
1243	-327	-359	Max	2.51	355.18	6	17.29	6	1.42	2	32.15	6	0.59	2	0.01	6
1243	-327	-359	Max	16.87	356.20	6	17.29	6	1.43	6	32.17	6	2.91	6	0.01	6
1243	-327	-359	Min.	2.51	-363.02	6	-29.25	6	-1.14	2	-12.35	6	-1.74	2	-0.01	6
1243	-327	-359	Min.	16.87	-362.00	6	-29.25	6	-2.88	6	-12.33	6	-1.21	6	-0.01	6
1243	-359	-391	Max	2.51	415.76	6	17.53	6	1.37	2	32.80	6	0.58	2	0.02	6
1243	-359	-391	Max	16.87	416.78	6	17.53	6	1.50	6	32.82	6	3.07	6	0.02	6
1243	-359	-391	Min.	2.51	-373.58	6	-29.83	6	-1.12	2	-12.48	6	-1.69	2	-0.01	6
1243	-359	-391	Min.	16.87	-372.56	6	-29.83	6	-3.02	6	-12.45	6	-1.26	6	-0.01	6
1243	-391	-423	Max	2.51	479.14	6	17.71	6	1.32	2	33.60	6	0.55	2	0.02	6
1243	-391	-423	Max	16.87	480.16	6	17.71	6	1.57	6	33.62	6	3.26	6	0.02	6
1243	-391	-423	Min.	2.51	-384.54	6	-30.23	6	-1.10	2	-12.72	6	-1.63	2	-0.01	6
1243	-391	-423	Min.	16.87	-383.52	6	-30.23	6	-3.15	6	-12.70	6	-1.34	6	-0.01	6
1243	-423	-455	Max	2.51	545.41	6	18.45	6	1.25	2	33.38	6	0.52	2	0.02	6
1243	-423	-455	Max	16.87	546.43	6	18.45	6	1.73	6	33.40	6	3.35	6	0.02	6
1243	-423	-455	Min.	2.51	-395.91	6	-32.28	6	-1.07	2	-11.96	6	-1.54	2	-0.01	6
1243	-423	-455	Min.	16.87	-394.89	6	-32.28	6	-3.53	6	-11.94	6	-1.29	6	-0.01	6
1243	-455	-487	Max	2.51	613.65	6	15.42	6	1.05	2	40.23	6	0.47	2	0.02	6
1243	-455	-487	Max	16.87	614.67	6	15.42	6	1.44	6	40.25	6	4.51	6	0.02	6
1243	-455	-487	Min.	2.51	-407.44	6	-23.21	6	-0.98	2	-17.93	6	-1.36	2	-0.01	6
1243	-455	-487	Min.	16.87	-406.41	6	-23.21	6	-2.49	6	-17.91	6	-2.19	6	-0.01	6
1243	-487	1305	Max	2.51	691.32	6	34.74	6	0.83	6	23.33	2	0.29	2	0.02	2
1243	-487	1305	Max	14.38	692.16	6	34.74	6	3.61	6	23.35	2	2.18	2	0.02	2
1243	-487	1305	Min.	2.51	-431.08	6	-79.90	6	-0.52	6	-2.92	2	-0.59	2	-0.02	2
1243	-487	1305	Min.	14.38	-430.24	6	-79.90	6	-8.66	6	-2.90	2	-0.05	2	-0.02	2
1244	313	-1	Max	4.85	0.00	2	0.00	2	0.00	2	0.00	2	0.00	2	0.00	2
1244	313	-1	Min.	4.85	0.00	2	0.00	2	0.00	2	0.00	2	0.00	2	0.00	2
1244	-1	-33	Max	4.85	0.00	2	0.00	2	0.00	2	0.00	2	0.00	2	0.00	2

1244	-1	-33	Min.	4.85	0.00	2	0.00	2	0.00	2	0.00	2	0.00	2	0.00	2
1244	-33	-65	Max	5.01	347.81	2	9.69	6	2.69	6	23.69	6	1.61	2	0.01	6
1244	-33	-65	Max	16.87	348.65	2	9.69	6	0.26	6	23.71	6	0.58	6	0.01	6
1244	-33	-65	Min.	5.01	-317.91	2	-24.52	6	-0.99	6	-13.22	6	-2.42	2	-0.02	6
1244	-33	-65	Min.	16.87	-317.07	2	-24.52	6	-0.32	6	-13.20	6	-0.14	6	-0.02	6
1244	-65	-97	Max	2.51	348.81	2	10.33	6	2.26	2	22.76	6	1.26	6	0.01	6
1244	-65	-97	Max	16.87	349.83	2	10.33	6	0.66	6	22.79	6	1.55	6	0.01	6
1244	-65	-97	Min.	2.51	-301.86	2	-25.50	6	-0.89	2	-13.51	6	-1.72	6	-0.02	6
1244	-65	-97	Min.	16.87	-300.84	2	-25.50	6	-1.46	6	-13.49	6	-0.68	6	-0.02	6
1244	-97	-129	Max	2.51	349.61	2	10.49	6	2.00	2	23.34	6	1.11	2	0.01	6
1244	-97	-129	Max	16.87	350.63	2	10.49	6	0.80	6	23.36	6	1.87	6	0.01	6
1244	-97	-129	Min.	2.51	-281.61	2	-26.01	6	-0.79	2	-13.71	6	-1.50	2	-0.02	6
1244	-97	-129	Min.	16.87	-280.59	2	-26.01	6	-1.82	6	-13.69	6	-0.86	6	-0.02	6
1244	-129	-161	Max	2.51	350.27	2	10.64	6	1.93	2	23.77	6	1.09	2	0.01	6
1244	-129	-161	Max	16.87	351.29	2	10.64	6	0.86	6	23.80	6	2.01	6	0.01	6
1244	-129	-161	Min.	2.51	-259.82	2	-26.51	6	-0.76	2	-13.96	6	-1.44	2	-0.01	6
1244	-129	-161	Min.	16.87	-258.80	2	-26.51	6	-1.98	6	-13.93	6	-0.94	6	-0.01	6
1244	-161	-193	Max	2.51	350.87	2	10.79	6	1.90	2	24.22	6	1.08	2	0.01	6
1244	-161	-193	Max	16.87	351.89	2	10.79	6	0.91	6	24.24	6	2.11	6	0.01	6
1244	-161	-193	Min.	2.51	-237.05	2	-27.03	6	-0.76	2	-14.19	6	-1.41	2	-0.01	6
1244	-161	-193	Min.	16.87	-236.03	2	-27.03	6	-2.09	6	-14.17	6	-1.00	6	-0.01	6
1244	-193	-225	Max	2.51	351.43	2	10.92	6	1.88	2	24.67	6	1.07	2	0.01	6
1244	-193	-225	Max	16.87	352.45	2	10.92	6	0.95	6	24.69	6	2.21	6	0.01	6
1244	-193	-225	Min.	2.51	-213.39	2	-27.55	6	-0.75	2	-14.42	6	-1.38	2	-0.01	6
1244	-193	-225	Min.	16.87	-212.37	2	-27.55	6	-2.21	6	-14.40	6	-1.05	6	-0.01	6
1244	-225	-257	Max	2.51	370.84	6	11.05	6	1.85	2	25.12	6	1.06	2	0.01	6
1244	-225	-257	Max	16.87	371.86	6	11.05	6	0.99	6	25.14	6	2.32	6	0.01	6
1244	-225	-257	Min.	2.51	-207.69	6	-28.09	6	-0.74	2	-14.64	6	-1.35	2	-0.01	6
1244	-225	-257	Min.	16.87	-206.67	6	-28.09	6	-2.33	6	-14.62	6	-1.10	6	-0.01	6
1244	-257	-289	Max	2.51	412.63	6	11.16	6	1.82	2	25.58	6	1.05	2	0.01	6
1244	-257	-289	Max	16.87	413.65	6	11.16	6	1.04	6	25.60	6	2.43	6	0.01	6
1244	-257	-289	Min.	2.51	-223.42	6	-28.63	6	-0.73	2	-14.86	6	-1.32	2	-0.01	6
1244	-257	-289	Min.	16.87	-222.40	6	-28.63	6	-2.45	6	-14.83	6	-1.16	6	-0.01	6
1244	-289	-321	Max	2.51	456.15	6	11.26	6	1.78	2	26.05	6	1.03	2	0.01	6
1244	-289	-321	Max	16.87	457.17	6	11.26	6	1.08	6	26.07	6	2.55	6	0.01	6
1244	-289	-321	Min.	2.51	-239.86	6	-29.18	6	-0.71	2	-15.07	6	-1.28	2	-0.02	6
1244	-289	-321	Min.	16.87	-238.84	6	-29.18	6	-2.59	6	-15.04	6	-1.22	6	-0.02	6
1244	-321	-353	Max	2.51	501.50	6	11.36	6	1.74	2	26.53	6	1.02	2	0.01	6
1244	-321	-353	Max	16.87	502.52	6	11.36	6	1.13	6	26.56	6	2.68	6	0.01	6
1244	-321	-353	Min.	2.51	-257.03	6	-29.75	6	-0.70	2	-15.28	6	-1.24	2	-0.02	6
1244	-321	-353	Min.	16.87	-256.01	6	-29.75	6	-2.73	6	-15.25	6	-1.28	6	-0.02	6
1244	-353	-385	Max	2.51	548.81	6	11.46	6	1.69	2	27.01	6	0.99	2	0.01	6
1244	-353	-385	Max	16.87	549.83	6	11.46	6	1.19	6	27.03	6	2.81	6	0.01	6
1244	-353	-385	Min.	2.51	-274.97	6	-30.36	6	-0.68	2	-15.47	6	-1.19	2	-0.02	6
1244	-353	-385	Min.	16.87	-273.95	6	-30.36	6	-2.89	6	-15.44	6	-1.35	6	-0.02	6
1244	-385	-417	Max	2.51	598.19	6	11.46	6	1.63	2	27.66	6	0.97	2	0.01	6
1244	-385	-417	Max	16.87	599.21	6	11.46	6	1.23	6	27.68	6	2.98	6	0.01	6
1244	-385	-417	Min.	2.51	-293.71	6	-30.79	6	-0.66	2	-15.77	6	-1.14	2	-0.02	6
1244	-385	-417	Min.	16.87	-292.69	6	-30.79	6	-3.04	6	-15.75	6	-1.43	6	-0.02	6
1244	-417	-449	Max	2.51	649.75	6	12.13	6	1.55	2	27.17	6	0.93	2	0.01	6
1244	-417	-449	Max	16.87	650.77	6	12.13	6	1.38	6	27.20	6	3.01	6	0.01	6
1244	-417	-449	Min.	2.51	-313.27	6	-32.71	6	-0.63	2	-15.25	6	-1.06	2	-0.02	6
1244	-417	-449	Min.	16.87	-312.25	6	-32.71	6	-3.42	6	-15.23	6	-1.42	6	-0.02	6
1244	-449	-481	Max	2.51	702.83	6	8.44	2	1.32	2	34.63	6	0.85	2	0.01	2
1244	-449	-481	Max	16.87	703.85	6	8.44	2	0.92	6	34.65	6	4.22	6	0.01	2
1244	-449	-481	Min.	2.51	-333.24	6	-24.86	2	-0.57	2	-20.38	6	-0.92	2	-0.01	2
1244	-449	-481	Min.	16.87	-332.21	6	-24.86	2	-2.52	6	-20.36	6	-2.24	6	-0.01	2
1244	-481	1296	Max	2.51	759.47	6	31.95	6	0.84	6	16.10	2	0.65	6	0.02	2
1244	-481	1296	Max	14.38	760.32	6	31.95	6	3.52	6	16.12	2	1.58	2	0.02	2

1244	-481	1296	Min.	2.51	-356.63	6	-76.47	6	-0.27	6	-13.80	2	-0.35	6	-0.01	2
1244	-481	1296	Min.	14.38	-355.79	6	-76.47	6	-8.24	6	-13.78	2	-1.01	2	-0.01	2
1245	337	-9	Max	4.85	0.00	2	0.00	2	0.00	2	0.00	2	0.00	2	0.00	2
1245	337	-9	Min.	4.85	0.00	2	0.00	2	0.00	2	0.00	2	0.00	2	0.00	2
1245	-9	-41	Max	4.85	0.00	2	0.00	2	0.00	2	0.00	2	0.00	2	0.00	2
1245	-9	-41	Min.	4.85	0.00	2	0.00	2	0.00	2	0.00	2	0.00	2	0.00	2
1245	-41	-73	Max	5.01	284.57	2	11.24	6	1.89	6	12.14	6	2.89	6	0.01	6
1245	-41	-73	Max	16.87	285.41	2	11.24	6	0.11	6	12.16	6	0.29	6	0.01	6
1245	-41	-73	Min.	5.01	-381.76	2	-18.94	6	-1.33	6	-25.96	6	-1.28	6	-0.02	6
1245	-41	-73	Min.	16.87	-380.91	2	-18.94	6	-0.47	6	-25.94	6	-0.31	6	-0.02	6
1245	-73	-105	Max	2.51	268.46	2	11.98	6	1.52	2	11.06	6	2.31	6	0.01	6
1245	-73	-105	Max	16.87	269.48	2	11.98	6	0.59	6	11.09	6	0.71	6	0.01	6
1245	-73	-105	Min.	2.51	-383.55	2	-19.54	6	-1.18	2	-26.69	6	-0.88	6	-0.02	6
1245	-73	-105	Min.	16.87	-382.53	2	-19.54	6	-1.33	6	-26.66	6	-1.52	6	-0.02	6
1245	-105	-137	Max	2.51	246.96	2	12.13	6	1.32	2	11.30	6	1.99	6	0.01	6
1245	-105	-137	Max	16.87	247.98	2	12.13	6	0.75	6	11.33	6	0.86	6	0.01	6
1245	-105	-137	Min.	2.51	-386.52	2	-19.82	6	-1.08	2	-27.08	6	-0.77	6	-0.01	6
1245	-105	-137	Min.	16.87	-385.50	2	-19.82	6	-1.62	6	-27.06	6	-1.89	6	-0.01	6
1245	-137	-169	Max	2.51	223.30	2	12.32	6	1.26	2	11.46	6	1.91	6	0.01	6
1245	-137	-169	Max	16.87	224.32	2	12.32	6	0.82	6	11.48	6	0.92	6	0.01	6
1245	-137	-169	Min.	2.51	-390.05	2	-20.17	6	-1.05	2	-27.63	6	-0.72	6	-0.01	6
1245	-137	-169	Min.	16.87	-389.03	2	-20.17	6	-1.74	6	-27.60	6	-2.06	6	-0.01	6
1245	-169	-201	Max	2.51	198.23	2	12.50	6	1.23	2	11.60	6	1.88	2	0.01	6
1245	-169	-201	Max	16.87	199.25	2	12.50	6	0.87	6	11.63	6	0.97	6	0.01	6
1245	-169	-201	Min.	2.51	-393.99	2	-20.52	6	-1.04	2	-28.17	6	-0.71	2	-0.01	6
1245	-169	-201	Min.	16.87	-392.97	2	-20.52	6	-1.84	6	-28.15	6	-2.18	6	-0.01	6
1245	-201	-233	Max	2.51	171.87	2	12.67	6	1.20	2	11.74	6	1.86	2	0.01	6
1245	-201	-233	Max	16.87	172.89	2	12.67	6	0.92	6	11.77	6	1.01	6	0.01	6
1245	-201	-233	Min.	2.51	-398.36	2	-20.88	6	-1.03	2	-28.73	6	-0.70	2	-0.01	6
1245	-201	-233	Min.	16.87	-397.34	2	-20.88	6	-1.93	6	-28.70	6	-2.29	6	-0.01	6
1245	-233	-265	Max	2.51	174.19	6	12.84	6	1.17	2	11.87	6	1.83	2	0.01	6
1245	-233	-265	Max	16.87	175.22	6	12.84	6	0.97	6	11.90	6	1.05	6	0.01	6
1245	-233	-265	Min.	2.51	-433.18	6	-21.23	6	-1.02	2	-29.29	6	-0.69	2	-0.01	6
1245	-233	-265	Min.	16.87	-432.16	6	-21.23	6	-2.03	6	-29.27	6	-2.41	6	-0.01	6
1245	-265	-297	Max	2.51	188.27	6	12.99	6	1.13	2	11.99	6	1.80	2	0.01	6
1245	-265	-297	Max	16.87	189.29	6	12.99	6	1.02	6	12.02	6	1.10	6	0.01	6
1245	-265	-297	Min.	2.51	-481.64	6	-21.59	6	-1.01	2	-29.87	6	-0.68	2	-0.01	6
1245	-265	-297	Min.	16.87	-480.62	6	-21.59	6	-2.14	6	-29.84	6	-2.54	6	-0.01	6
1245	-297	-329	Max	2.51	202.69	6	13.14	6	1.09	2	12.11	6	1.76	2	0.01	6
1245	-297	-329	Max	16.87	203.71	6	13.14	6	1.08	6	12.13	6	1.15	6	0.01	6
1245	-297	-329	Min.	2.51	-532.45	6	-21.95	6	-0.99	2	-30.46	6	-0.67	2	-0.02	6
1245	-297	-329	Min.	16.87	-531.43	6	-21.95	6	-2.25	6	-30.44	6	-2.68	6	-0.02	6
1245	-329	-361	Max	2.51	217.44	6	13.29	6	1.04	2	12.21	6	1.72	2	0.01	6
1245	-329	-361	Max	16.87	218.46	6	13.29	6	1.14	6	12.24	6	1.20	6	0.01	6
1245	-329	-361	Min.	2.51	-585.77	6	-22.31	6	-0.98	2	-31.07	6	-0.65	2	-0.02	6
1245	-329	-361	Min.	16.87	-584.75	6	-22.31	6	-2.37	6	-31.05	6	-2.83	6	-0.02	6
1245	-361	-393	Max	2.51	232.54	6	13.44	6	0.99	2	12.31	6	1.67	2	0.01	6
1245	-361	-393	Max	16.87	233.56	6	13.44	6	1.20	6	12.33	6	1.25	6	0.01	6
1245	-361	-393	Min.	2.51	-641.77	6	-22.71	6	-0.95	2	-31.67	6	-0.63	2	-0.02	6
1245	-361	-393	Min.	16.87	-640.75	6	-22.71	6	-2.50	6	-31.64	6	-2.98	6	-0.02	6
1245	-393	-425	Max	2.51	247.98	6	13.51	6	0.92	2	12.45	6	1.61	2	0.01	6
1245	-393	-425	Max	16.87	249.00	6	13.51	6	1.26	6	12.47	6	1.32	6	0.01	6
1245	-393	-425	Min.	2.51	-700.61	6	-22.89	6	-0.93	2	-32.55	6	-0.61	2	-0.02	6
1245	-393	-425	Min.	16.87	-699.59	6	-22.89	6	-2.61	6	-32.52	6	-3.19	6	-0.02	6
1245	-425	-457	Max	2.51	263.78	6	14.12	6	0.85	2	12.20	6	1.52	2	0.01	6
1245	-425	-457	Max	16.87	264.81	6	14.12	6	1.40	6	12.22	6	1.34	6	0.01	6
1245	-425	-457	Min.	2.51	-762.40	6	-24.71	6	-0.89	2	-31.52	6	-0.58	2	-0.02	6
1245	-425	-457	Min.	16.87	-761.38	6	-24.71	6	-2.97	6	-31.50	6	-3.16	6	-0.02	6
1245	-457	-489	Max	2.51	279.86	6	11.16	2	0.65	2	14.66	6	1.39	2	0.01	6

1245	-457	-489	Max	16.87	280.88	6	11.16	2	1.09	6	14.68	6	1.76	6	0.01	6
1245	-457	-489	Min.	2.51	-826.32	6	-15.54	2	-0.82	2	-43.79	6	-0.50	2	-0.01	6
1245	-457	-489	Min.	16.87	-825.30	6	-15.54	2	-1.88	6	-43.77	6	-5.05	6	-0.01	6
1245	-489	1316	Max	2.51	301.35	6	30.26	6	0.53	6	29.83	6	0.39	6	0.00	6
1245	-489	1316	Max	14.38	302.19	6	30.26	6	3.24	6	29.85	6	2.75	6	0.00	6
1245	-489	1316	Min.	2.51	-893.94	6	-72.61	6	-0.35	6	-6.56	6	-0.79	6	-0.01	6
1245	-489	1316	Min.	14.38	-893.10	6	-72.61	6	-8.09	6	-6.54	6	-0.39	6	-0.01	6
1246	343	-13	Max	4.85	0.00	2	0.00	2	0.00	2	0.00	2	0.00	2	0.00	2
1246	343	-13	Min.	4.85	0.00	2	0.00	2	0.00	2	0.00	2	0.00	2	0.00	2
1246	-13	-45	Max	4.85	0.00	2	0.00	2	0.00	2	0.00	2	0.00	2	0.00	2
1246	-13	-45	Min.	4.85	0.00	2	0.00	2	0.00	2	0.00	2	0.00	2	0.00	2
1246	-45	-77	Max	5.01	139.40	2	6.68	6	3.23	6	10.98	6	3.17	2	0.01	2
1246	-45	-77	Max	16.87	140.24	2	6.68	6	0.14	6	11.00	6	0.14	6	0.01	2
1246	-45	-77	Min.	5.01	-620.83	2	-30.29	6	-0.77	6	-27.50	6	-1.58	2	-0.02	2
1246	-45	-77	Min.	16.87	-619.98	2	-30.29	6	-0.48	6	-27.48	6	-0.51	6	-0.02	2
1246	-77	-109	Max	2.51	115.60	2	6.52	6	2.73	2	8.59	6	2.55	2	0.01	2
1246	-77	-109	Max	16.87	116.62	2	6.52	6	0.35	6	8.61	6	0.44	6	0.01	2
1246	-77	-109	Min.	2.51	-622.84	2	-32.33	6	-0.61	2	-29.68	6	-0.92	2	-0.01	2
1246	-77	-109	Min.	16.87	-621.82	2	-32.33	6	-1.94	6	-29.65	6	-1.84	6	-0.01	2
1246	-109	-141	Max	2.51	84.13	2	6.61	6	2.39	2	8.87	6	2.23	2	0.01	2
1246	-109	-141	Max	16.87	85.15	2	6.61	6	0.43	6	8.89	6	0.55	6	0.01	2
1246	-109	-141	Min.	2.51	-626.09	2	-32.79	6	-0.58	2	-30.03	6	-0.90	2	-0.01	2
1246	-109	-141	Min.	16.87	-625.07	2	-32.79	6	-2.39	6	-30.00	6	-2.26	6	-0.01	2
1246	-141	-173	Max	2.51	49.60	2	6.68	6	2.30	2	8.98	6	2.15	2	0.01	2
1246	-141	-173	Max	16.87	50.62	2	6.68	6	0.47	6	9.00	6	0.60	6	0.01	2
1246	-141	-173	Min.	2.51	-629.88	2	-33.43	6	-0.57	2	-30.62	6	-0.89	2	-0.01	2
1246	-141	-173	Min.	16.87	-628.86	2	-33.43	6	-2.58	6	-30.60	6	-2.44	6	-0.01	2
1246	-173	-205	Max	2.51	13.07	2	6.73	6	2.26	2	9.06	6	2.11	2	0.01	2
1246	-173	-205	Max	16.87	14.09	2	6.73	6	0.49	6	9.09	6	0.63	6	0.01	2
1246	-173	-205	Min.	2.51	-634.12	2	-34.08	6	-0.56	2	-31.23	6	-0.88	2	-0.01	2
1246	-173	-205	Min.	16.87	-633.10	2	-34.08	6	-2.73	6	-31.21	6	-2.58	6	-0.01	2
1246	-205	-237	Max	2.51	-25.32	2	6.77	6	2.22	2	9.15	6	2.08	2	0.01	2
1246	-205	-237	Max	16.87	-24.29	2	6.77	6	0.52	6	9.17	6	0.66	6	0.01	2
1246	-205	-237	Min.	2.51	-638.78	2	-34.76	6	-0.56	2	-31.86	6	-0.88	2	-0.01	2
1246	-205	-237	Min.	16.87	-637.76	2	-34.76	6	-2.87	6	-31.83	6	-2.71	6	-0.01	2
1246	-237	-269	Max	2.51	-31.71	6	6.79	6	2.18	2	9.22	6	2.05	2	0.01	2
1246	-237	-269	Max	16.87	-30.69	6	6.79	6	0.54	6	9.24	6	0.69	6	0.01	2
1246	-237	-269	Min.	2.51	-677.79	6	-35.45	6	-0.55	2	-32.49	6	-0.87	2	-0.01	2
1246	-237	-269	Min.	16.87	-676.77	6	-35.45	6	-3.02	6	-32.47	6	-2.85	6	-0.01	2
1246	-269	-301	Max	2.51	-27.36	6	6.80	6	2.14	2	9.28	6	2.01	2	0.01	2
1246	-269	-301	Max	16.87	-26.34	6	6.80	6	0.56	6	9.30	6	0.71	6	0.01	2
1246	-269	-301	Min.	2.51	-730.07	6	-36.15	6	-0.54	2	-33.15	6	-0.87	2	-0.01	2
1246	-269	-301	Min.	16.87	-729.05	6	-36.15	6	-3.18	6	-33.12	6	-3.00	6	-0.01	2
1246	-301	-333	Max	2.51	-23.17	6	6.79	6	2.09	2	9.33	6	1.96	2	0.01	2
1246	-301	-333	Max	16.87	-22.15	6	6.79	6	0.58	6	9.35	6	0.74	6	0.01	2
1246	-301	-333	Min.	2.51	-784.89	6	-36.89	6	-0.54	2	-33.81	6	-0.86	2	-0.01	2
1246	-301	-333	Min.	16.87	-783.87	6	-36.89	6	-3.35	6	-33.79	6	-3.16	6	-0.01	2
1246	-333	-365	Max	2.51	-19.17	6	6.77	6	2.03	2	9.36	6	1.90	2	0.01	2
1246	-333	-365	Max	16.87	-18.15	6	6.77	6	0.60	6	9.38	6	0.78	6	0.01	2
1246	-333	-365	Min.	2.51	-842.43	6	-37.63	6	-0.53	2	-34.51	6	-0.85	2	-0.01	2
1246	-333	-365	Min.	16.87	-841.41	6	-37.63	6	-3.53	6	-34.49	6	-3.33	6	-0.01	2
1246	-365	-397	Max	2.51	-15.39	6	6.74	6	1.96	2	9.39	6	1.84	2	0.01	2
1246	-365	-397	Max	16.87	-14.37	6	6.74	6	0.63	6	9.42	6	0.81	6	0.01	2
1246	-365	-397	Min.	2.51	-902.86	6	-38.45	6	-0.51	2	-35.17	6	-0.84	2	-0.01	2
1246	-365	-397	Min.	16.87	-901.84	6	-38.45	6	-3.73	6	-35.15	6	-3.51	6	-0.01	2
1246	-397	-429	Max	2.51	-11.86	6	6.66	6	1.88	2	9.37	6	1.76	2	0.01	2
1246	-397	-429	Max	16.87	-10.84	6	6.66	6	0.65	6	9.40	6	0.84	6	0.01	2
1246	-397	-429	Min.	2.51	-966.35	6	-39.04	6	-0.50	2	-36.22	6	-0.82	2	-0.01	2
1246	-397	-429	Min.	16.87	-965.33	6	-39.04	6	-3.92	6	-36.19	6	-3.75	6	-0.01	2

1246	-429	-461	Max	2.51	-8.64	6	6.85	6	1.76	2	9.65	6	1.65	2	0.01	2
1246	-429	-461	Max	16.87	-7.61	6	6.85	6	0.71	6	9.68	6	0.92	6	0.01	2
1246	-429	-461	Min.	2.51	-1033.09	6	-41.55	6	-0.48	2	-34.64	6	-0.80	2	-0.01	2
1246	-429	-461	Min.	16.87	-1032.07	6	-41.55	6	-4.41	6	-34.61	6	-3.66	6	-0.01	2
1246	-461	-493	Max	2.51	7.66	6	5.05	6	1.45	2	7.84	6	1.51	2	0.01	6
1246	-461	-493	Max	16.87	8.68	6	5.05	6	0.52	6	7.86	6	0.75	6	0.01	6
1246	-461	-493	Min.	2.51	-1115.42	6	-30.73	6	-0.47	2	-51.68	6	-0.69	2	-0.00	6
1246	-461	-493	Min.	16.87	-1114.40	6	-30.73	6	-3.23	6	-51.65	6	-6.22	6	-0.00	6
1246	-493	1322	Max	2.51	30.63	6	15.00	6	1.06	6	48.93	6	-0.00	6	0.01	6
1246	-493	1322	Max	14.38	31.48	6	15.00	6	1.63	6	48.95	6	4.54	6	0.01	6
1246	-493	1322	Min.	2.51	-1204.07	6	-99.94	6	-0.16	6	10.19	6	-1.28	6	0.00	6
1246	-493	1322	Min.	14.38	-1203.23	6	-99.94	6	-10.81	6	10.21	6	1.21	6	0.00	6
1247	346	-15	Max	4.85	0.00	2	0.00	2	0.00	2	0.00	2	0.00	2	0.00	2
1247	346	-15	Min.	4.85	0.00	2	0.00	2	0.00	2	0.00	2	0.00	2	0.00	2
1247	-15	-47	Max	4.85	0.00	2	0.00	2	0.00	2	0.00	2	0.00	2	0.00	2
1247	-15	-47	Min.	4.85	0.00	2	0.00	2	0.00	2	0.00	2	0.00	2	0.00	2
1247	-47	-79	Max	5.01	88.52	2	11.86	6	2.88	6	15.46	6	2.08	2	0.01	2
1247	-47	-79	Max	16.87	89.36	2	11.86	6	0.27	6	15.48	6	0.14	6	0.01	2
1247	-47	-79	Min.	5.01	-581.29	2	-26.41	6	-1.25	6	-19.97	6	-1.91	2	-0.02	2
1247	-47	-79	Min.	16.87	-580.45	2	-26.41	6	-0.36	6	-19.95	6	-0.51	6	-0.02	2
1247	-79	-111	Max	2.51	77.24	2	11.67	6	2.45	6	13.58	6	1.68	6	0.01	2
1247	-79	-111	Max	16.87	78.26	2	11.67	6	0.74	6	13.60	6	0.70	6	0.01	2
1247	-79	-111	Min.	2.51	-577.58	2	-28.43	6	-0.94	6	-21.93	6	-1.25	6	-0.01	2
1247	-79	-111	Min.	16.87	-576.55	2	-28.43	6	-1.63	6	-21.91	6	-1.47	6	-0.01	2
1247	-111	-143	Max	2.51	62.01	2	11.84	6	2.12	6	13.91	6	1.45	2	0.01	2
1247	-111	-143	Max	16.87	63.03	2	11.84	6	0.90	6	13.93	6	0.88	6	0.01	2
1247	-111	-143	Min.	2.51	-573.38	2	-28.85	6	-0.80	6	-22.12	6	-1.18	2	-0.01	2
1247	-111	-143	Min.	16.87	-572.36	2	-28.85	6	-2.02	6	-22.10	6	-1.78	6	-0.01	2
1247	-143	-175	Max	2.51	45.19	2	12.02	6	2.03	6	14.12	6	1.40	2	0.01	6
1247	-143	-175	Max	16.87	46.21	2	12.02	6	0.96	6	14.15	6	0.96	6	0.01	6
1247	-143	-175	Min.	2.51	-569.08	2	-29.39	6	-0.76	6	-22.55	6	-1.15	2	-0.01	6
1247	-143	-175	Min.	16.87	-568.06	2	-29.39	6	-2.19	6	-22.53	6	-1.92	6	-0.01	6
1247	-175	-207	Max	2.51	27.35	2	12.19	6	1.99	6	14.33	6	1.37	2	0.01	6
1247	-175	-207	Max	16.87	28.37	2	12.19	6	1.01	6	14.35	6	1.01	6	0.01	6
1247	-175	-207	Min.	2.51	-564.77	2	-29.94	6	-0.74	6	-22.99	6	-1.14	2	-0.01	6
1247	-175	-207	Min.	16.87	-563.75	2	-29.94	6	-2.31	6	-22.96	6	-2.02	6	-0.01	6
1247	-207	-239	Max	2.51	22.40	6	12.35	6	1.96	6	14.54	6	1.35	2	0.01	6
1247	-207	-239	Max	16.87	23.42	6	12.35	6	1.06	6	14.56	6	1.06	6	0.01	6
1247	-207	-239	Min.	2.51	-574.32	6	-30.52	6	-0.72	6	-23.42	6	-1.13	2	-0.01	6
1247	-207	-239	Min.	16.87	-573.30	6	-30.52	6	-2.43	6	-23.39	6	-2.12	6	-0.01	6
1247	-239	-271	Max	2.51	42.26	6	12.51	6	1.92	6	14.74	6	1.32	2	0.01	6
1247	-239	-271	Max	16.87	43.29	6	12.51	6	1.10	6	14.76	6	1.11	6	0.01	6
1247	-239	-271	Min.	2.51	-609.65	6	-31.14	6	-0.70	6	-23.83	6	-1.13	2	-0.01	6
1247	-239	-271	Min.	16.87	-608.63	6	-31.14	6	-2.55	6	-23.80	6	-2.22	6	-0.01	6
1247	-271	-303	Max	2.51	62.76	6	12.65	6	1.87	6	14.93	6	1.29	2	0.01	6
1247	-271	-303	Max	16.87	63.78	6	12.65	6	1.15	6	14.96	6	1.17	6	0.01	6
1247	-271	-303	Min.	2.51	-646.66	6	-31.71	6	-0.67	6	-24.29	6	-1.11	2	-0.01	6
1247	-271	-303	Min.	16.87	-645.64	6	-31.71	6	-2.68	6	-24.26	6	-2.33	6	-0.01	6
1247	-303	-335	Max	2.51	83.92	6	12.79	6	1.82	6	15.12	6	1.25	2	0.01	6
1247	-303	-335	Max	16.87	84.94	6	12.79	6	1.20	6	15.14	6	1.22	6	0.01	6
1247	-303	-335	Min.	2.51	-685.44	6	-32.36	6	-0.64	6	-24.71	6	-1.10	2	-0.01	6
1247	-303	-335	Min.	16.87	-684.42	6	-32.36	6	-2.82	6	-24.68	6	-2.45	6	-0.01	6
1247	-335	-367	Max	2.51	105.77	6	12.93	6	1.76	6	15.31	6	1.21	2	0.01	6
1247	-335	-367	Max	16.87	106.79	6	12.93	6	1.25	6	15.33	6	1.29	6	0.01	6
1247	-335	-367	Min.	2.51	-726.09	6	-33.00	6	-0.61	6	-25.16	6	-1.08	2	-0.01	6
1247	-335	-367	Min.	16.87	-725.07	6	-33.00	6	-2.98	6	-25.13	6	-2.57	6	-0.01	6
1247	-367	-399	Max	2.51	128.34	6	13.06	6	1.70	6	15.49	6	1.16	2	0.02	6
1247	-367	-399	Max	16.87	129.36	6	13.06	6	1.31	6	15.52	6	1.35	6	0.02	6
1247	-367	-399	Min.	2.51	-768.76	6	-33.65	6	-0.57	6	-25.61	6	-1.06	2	-0.01	6

1247	-367	-399	Min.	16.87	-767.74	6	-33.65	6	-3.14	6	-25.59	6	-2.71	6	-0.01	6
1247	-399	-431	Max	2.51	151.67	6	13.10	6	1.62	6	15.71	6	1.10	2	0.02	6
1247	-399	-431	Max	16.87	152.69	6	13.10	6	1.36	6	15.73	6	1.43	6	0.02	6
1247	-399	-431	Min.	2.51	-813.58	6	-34.15	6	-0.53	6	-26.34	6	-1.04	2	-0.01	6
1247	-399	-431	Min.	16.87	-812.56	6	-34.15	6	-3.29	6	-26.32	6	-2.89	6	-0.01	6
1247	-431	-463	Max	2.51	175.76	6	13.83	6	1.52	6	15.65	6	1.02	2	0.02	6
1247	-431	-463	Max	16.87	176.78	6	13.83	6	1.51	6	15.68	6	1.48	6	0.02	6
1247	-431	-463	Min.	2.51	-860.62	6	-36.20	6	-0.48	6	-24.96	6	-1.01	2	-0.01	6
1247	-431	-463	Min.	16.87	-859.60	6	-36.20	6	-3.68	6	-24.94	6	-2.80	6	-0.01	6
1247	-463	-495	Max	2.51	200.39	6	9.81	6	1.26	2	17.45	6	0.93	2	0.02	6
1247	-463	-495	Max	16.87	201.41	6	9.81	6	1.06	6	17.47	6	1.84	6	0.02	6
1247	-463	-495	Min.	2.51	-909.26	6	-28.02	6	-0.40	2	-37.99	6	-0.89	2	-0.01	6
1247	-463	-495	Min.	16.87	-908.24	6	-28.02	6	-2.82	6	-37.97	6	-4.75	6	-0.01	6
1247	-495	1325	Max	2.51	233.43	6	33.95	6	0.96	6	40.18	6	0.13	6	0.02	6
1247	-495	1325	Max	14.38	234.27	6	33.95	6	3.70	6	40.19	6	3.62	6	0.02	6
1247	-495	1325	Min.	2.51	-967.60	6	-80.64	6	-0.33	6	1.40	6	-1.15	6	-0.01	6
1247	-495	1325	Min.	14.38	-966.75	6	-80.64	6	-8.61	6	1.42	6	0.30	6	-0.01	6
1272	373	-25	Max	4.85	0.00	2	0.00	2	0.00	2	0.00	2	0.00	2	0.00	2
1272	373	-25	Min.	4.85	0.00	2	0.00	2	0.00	2	0.00	2	0.00	2	0.00	2
1272	-25	-57	Max	4.85	0.00	2	0.00	2	0.00	2	0.00	2	0.00	2	0.00	2
1272	-25	-57	Min.	4.85	0.00	2	0.00	2	0.00	2	0.00	2	0.00	2	0.00	2
1272	-57	-89	Max	5.01	347.78	2	24.23	6	0.99	6	23.18	6	1.63	2	0.02	6
1272	-57	-89	Max	15.25					0.20	4			0.51	4		
1272	-57	-89	Max	16.87	348.62	2	24.23	6	0.28	6	23.20	6	0.53	6	0.02	6
1272	-57	-89	Min.	5.01	-317.70	2	-9.57	6	-2.68	6	-13.13	6	-2.42	2	-0.01	6
1272	-57	-89	Min.	15.25					-0.39	4			-0.27	4		
1272	-57	-89	Min.	16.87	-316.86	2	-9.57	6	-0.24	6	-13.11	6	-0.12	6	-0.01	6
1272	-89	-121	Max	2.51	348.78	2	25.12	6	0.91	2	22.16	6	1.26	6	0.02	6
1272	-89	-121	Max	16.87	349.80	2	25.12	6	1.43	6	22.18	6	1.51	6	0.02	6
1272	-89	-121	Min.	2.51	-301.70	2	-10.17	6	-2.27	2	-13.42	6	-1.68	6	-0.01	6
1272	-89	-121	Min.	16.87	-300.68	2	-10.17	6	-0.64	6	-13.40	6	-0.67	6	-0.01	6
1272	-121	-153	Max	2.51	349.54	2	25.53	6	0.82	2	22.61	6	1.15	2	0.01	6
1272	-121	-153	Max	16.87	350.56	2	25.53	6	1.79	6	22.63	6	1.82	6	0.01	6
1272	-121	-153	Min.	2.51	-281.50	2	-10.28	6	-2.01	2	-13.59	6	-1.49	2	-0.01	6
1272	-121	-153	Min.	16.87	-280.48	2	-10.28	6	-0.79	6	-13.57	6	-0.86	6	-0.01	6
1272	-153	-185	Max	2.51	350.17	2	26.00	6	0.80	2	23.01	6	1.13	2	0.01	6
1272	-153	-185	Max	16.87	351.19	2	26.00	6	1.94	6	23.03	6	1.95	6	0.01	6
1272	-153	-185	Min.	2.51	-259.75	2	-10.42	6	-1.94	2	-13.84	6	-1.43	2	-0.01	6
1272	-153	-185	Min.	16.87	-258.73	2	-10.42	6	-0.85	6	-13.82	6	-0.93	6	-0.01	6
1272	-185	-217	Max	2.51	350.73	2	26.50	6	0.79	2	23.42	6	1.12	2	0.01	6
1272	-185	-217	Max	16.87	351.75	2	26.50	6	2.06	6	23.44	6	2.05	6	0.01	6
1272	-185	-217	Min.	2.51	-237.03	2	-10.56	6	-1.92	2	-14.07	6	-1.40	2	-0.01	6
1272	-185	-217	Min.	16.87	-236.01	2	-10.56	6	-0.89	6	-14.05	6	-0.99	6	-0.01	6
1272	-217	-249	Max	2.51	351.25	2	26.99	6	0.78	2	23.82	6	1.12	2	0.01	6
1272	-217	-249	Max	16.87	352.27	2	26.99	6	2.17	6	23.85	6	2.15	6	0.01	6
1272	-217	-249	Min.	2.51	-213.42	2	-10.68	6	-1.89	2	-14.29	6	-1.38	2	-0.01	6
1272	-217	-249	Min.	16.87	-212.40	2	-10.68	6	-0.93	6	-14.27	6	-1.04	6	-0.01	6
1272	-249	-281	Max	2.51	370.64	6	27.51	6	0.78	2	24.26	6	1.11	2	0.01	6
1272	-249	-281	Max	16.87	371.66	6	27.51	6	2.28	6	24.28	6	2.26	6	0.01	6
1272	-249	-281	Min.	2.51	-207.80	6	-10.80	6	-1.87	2	-14.52	6	-1.35	2	-0.01	6
1272	-249	-281	Min.	16.87	-206.78	6	-10.80	6	-0.97	6	-14.49	6	-1.09	6	-0.01	6
1272	-281	-313	Max	2.51	412.39	6	28.02	6	0.77	2	24.68	6	1.10	2	0.01	6
1272	-281	-313	Max	16.87	413.41	6	28.02	6	2.41	6	24.71	6	2.36	6	0.01	6
1272	-281	-313	Min.	2.51	-223.59	6	-10.91	6	-1.84	2	-14.73	6	-1.32	2	-0.01	6
1272	-281	-313	Min.	16.87	-222.57	6	-10.91	6	-1.02	6	-14.71	6	-1.15	6	-0.01	6
1272	-313	-345	Max	2.51	455.86	6	28.53	6	0.76	2	25.09	6	1.08	2	0.01	6
1272	-313	-345	Max	16.87	456.88	6	28.53	6	2.54	6	25.12	6	2.48	6	0.01	6
1272	-313	-345	Min.	2.51	-240.08	6	-10.99	6	-1.80	2	-14.93	6	-1.28	2	-0.01	6
1272	-313	-345	Min.	16.87	-239.06	6	-10.99	6	-1.06	6	-14.91	6	-1.21	6	-0.01	6

1272	-345	-377	Max	2.51	501.15	6	29.07	6	0.74	2	25.55	6	1.07	2	0.02	6
1272	-345	-377	Max	16.87	502.17	6	29.07	6	2.68	6	25.57	6	2.60	6	0.02	6
1272	-345	-377	Min.	2.51	-257.31	6	-11.08	6	-1.76	2	-15.14	6	-1.24	2	-0.01	6
1272	-345	-377	Min.	16.87	-256.29	6	-11.08	6	-1.11	6	-15.12	6	-1.27	6	-0.01	6
1272	-377	-409	Max	2.51	548.39	6	29.66	6	0.73	2	25.98	6	1.05	2	0.02	6
1272	-377	-409	Max	16.87	549.41	6	29.66	6	2.84	6	26.00	6	2.74	6	0.02	6
1272	-377	-409	Min.	2.51	-275.31	6	-11.17	6	-1.71	2	-15.33	6	-1.19	2	-0.01	6
1272	-377	-409	Min.	16.87	-274.29	6	-11.17	6	-1.17	6	-15.31	6	-1.34	6	-0.01	6
1272	-409	-441	Max	2.51	597.72	6	30.04	6	0.71	2	26.58	6	1.03	2	0.02	6
1272	-409	-441	Max	16.87	598.75	6	30.04	6	2.99	6	26.60	6	2.90	6	0.02	6
1272	-409	-441	Min.	2.51	-294.12	6	-11.16	6	-1.65	2	-15.63	6	-1.13	2	-0.01	6
1272	-409	-441	Min.	16.87	-293.10	6	-11.16	6	-1.21	6	-15.61	6	-1.42	6	-0.01	6
1272	-441	-473	Max	2.51	649.22	6	31.94	6	0.68	2	26.07	6	0.99	2	0.02	6
1272	-441	-473	Max	16.87	650.24	6	31.94	6	3.36	6	26.09	6	2.93	6	0.02	6
1272	-441	-473	Min.	2.51	-313.74	6	-11.83	6	-1.57	2	-15.11	6	-1.05	2	-0.01	6
1272	-441	-473	Min.	16.87	-312.72	6	-11.83	6	-1.36	6	-15.09	6	-1.41	6	-0.01	6
1272	-473	-505	Max	2.51	702.44	6	25.08	2	0.62	2	33.42	6	0.91	2	0.01	2
1272	-473	-505	Max	16.87	703.46	6	25.08	2	2.47	6	33.44	6	4.11	6	0.01	2
1272	-473	-505	Min.	2.51	-333.88	6	-9.18	2	-1.33	2	-20.23	6	-0.92	2	-0.01	2
1272	-473	-505	Min.	16.87	-332.86	6	-9.18	2	-0.90	6	-20.20	6	-2.22	6	-0.01	2
1272	-505	1348	Max	2.51	758.60	6	76.16	6	0.30	2	16.30	2	0.75	6	0.01	2
1272	-505	1348	Max	14.38	759.44	6	76.16	6	8.24	6	16.32	2	1.59	2	0.01	2
1272	-505	1348	Min.	2.51	-357.15	6	-31.84	6	-0.84	2	-14.46	2	-0.38	6	-0.02	2
1272	-505	1348	Min.	14.38	-356.31	6	-31.84	6	-3.52	6	-14.44	2	-1.00	2	-0.02	2
1273	379	-29	Max	4.85	0.00	2	0.00	2	0.00	2	0.00	2	0.00	2	0.00	2
1273	379	-29	Min.	4.85	0.00	2	0.00	2	0.00	2	0.00	2	0.00	2	0.00	2
1273	-29	-61	Max	4.85	0.00	2	0.00	2	0.00	2	0.00	2	0.00	2	0.00	2
1273	-29	-61	Min.	4.85	0.00	2	0.00	2	0.00	2	0.00	2	0.00	2	0.00	2
1273	-61	-93	Max	5.01	173.30	2	30.53	6	0.87	6	34.63	6	0.82	2	0.02	6
1273	-61	-93	Max	15.41					0.33	4			0.38	4		
1273	-61	-93	Max	16.87	174.15	2	30.53	6	0.48	6	34.65	6	0.47	6	0.02	6
1273	-61	-93	Min.	5.01	-553.48	2	-7.56	6	-3.23	6	-5.50	6	-3.96	2	-0.00	6
1273	-61	-93	Min.	15.41					-0.31	4			-0.49	4		
1273	-61	-93	Min.	16.87	-552.64	2	-7.56	6	-0.12	6	-5.48	6	-0.15	6	-0.00	6
1273	-93	-125	Max	2.51	183.32	2	30.49	6	1.06	2	32.12	6	0.72	2	0.01	6
1273	-93	-125	Max	16.87	184.34	2	30.49	6	1.91	6	32.14	6	1.95	6	0.01	6
1273	-93	-125	Min.	2.51	-522.55	2	-9.03	6	-2.69	2	-6.89	6	-2.76	2	-0.00	6
1273	-93	-125	Min.	16.87	-521.53	2	-9.03	6	-0.45	6	-6.87	6	-0.36	6	-0.00	6
1273	-125	-157	Max	2.51	195.74	2	31.01	6	0.97	2	32.86	6	0.67	2	0.01	2
1273	-125	-157	Max	16.87	196.76	2	31.01	6	2.33	6	32.88	6	2.39	6	0.01	2
1273	-125	-157	Min.	2.51	-483.01	2	-9.09	6	-2.36	2	-6.87	6	-2.47	2	-0.01	2
1273	-125	-157	Min.	16.87	-481.99	2	-9.09	6	-0.57	6	-6.84	6	-0.45	6	-0.01	2
1273	-157	-189	Max	2.51	209.06	2	31.61	6	0.96	2	33.50	6	0.66	2	0.01	2
1273	-157	-189	Max	16.87	210.08	2	31.61	6	2.52	6	33.52	6	2.59	6	0.01	2
1273	-157	-189	Min.	2.51	-440.18	2	-9.21	6	-2.27	2	-6.95	6	-2.38	2	-0.01	2
1273	-157	-189	Min.	16.87	-439.16	2	-9.21	6	-0.61	6	-6.93	6	-0.49	6	-0.01	2
1273	-189	-221	Max	2.51	223.02	2	32.21	6	0.95	2	34.14	6	0.66	2	0.01	2
1273	-189	-221	Max	16.87	224.04	2	32.21	6	2.65	6	34.16	6	2.73	6	0.01	2
1273	-189	-221	Min.	2.51	-395.21	2	-9.32	6	-2.24	2	-7.03	6	-2.34	2	-0.01	2
1273	-189	-221	Min.	16.87	-394.19	2	-9.32	6	-0.65	6	-7.01	6	-0.52	6	-0.01	2
1273	-221	-253	Max	2.51	237.60	2	32.84	6	0.95	2	34.81	6	0.66	2	0.01	2
1273	-221	-253	Max	16.87	238.62	2	32.84	6	2.79	6	34.83	6	2.87	6	0.01	2
1273	-221	-253	Min.	2.51	-348.26	2	-9.42	6	-2.21	2	-7.08	6	-2.31	2	-0.01	2
1273	-221	-253	Min.	16.87	-347.24	2	-9.42	6	-0.68	6	-7.06	6	-0.54	6	-0.01	2
1273	-253	-285	Max	2.51	252.85	2	33.49	6	0.95	2	35.51	6	0.66	2	0.01	2
1273	-253	-285	Max	16.87	253.87	2	33.49	6	2.93	6	35.53	6	3.02	6	0.01	2
1273	-253	-285	Min.	2.51	-299.29	2	-9.51	6	-2.17	2	-7.13	6	-2.27	2	-0.01	2
1273	-253	-285	Min.	16.87	-298.27	2	-9.51	6	-0.71	6	-7.11	6	-0.56	6	-0.01	2
1273	-285	-317	Max	2.51	315.41	6	34.15	6	0.95	2	36.21	6	0.65	2	0.01	2

1273	-285	-317	Max	16.87	316.43	6	34.15	6	3.08	6	36.24	6	3.18	6	0.01	2
1273	-285	-317	Min.	2.51	-294.74	6	-9.58	6	-2.13	2	-7.16	6	-2.23	2	-0.01	2
1273	-285	-317	Min.	16.87	-293.72	6	-9.58	6	-0.74	6	-7.14	6	-0.58	6	-0.01	2
1273	-317	-349	Max	2.51	381.29	6	34.81	6	0.94	2	36.92	6	0.65	2	0.01	2
1273	-317	-349	Max	16.87	382.31	6	34.81	6	3.24	6	36.94	6	3.35	6	0.01	2
1273	-317	-349	Min.	2.51	-290.40	6	-9.65	6	-2.09	2	-7.17	6	-2.18	2	-0.01	2
1273	-317	-349	Min.	16.87	-289.38	6	-9.65	6	-0.77	6	-7.15	6	-0.61	6	-0.01	2
1273	-349	-381	Max	2.51	450.15	6	35.50	6	0.93	2	37.69	6	0.64	2	0.01	2
1273	-349	-381	Max	16.87	451.17	6	35.50	6	3.41	6	37.71	6	3.53	6	0.01	2
1273	-349	-381	Min.	2.51	-285.72	6	-9.69	6	-2.03	2	-7.17	6	-2.12	2	-0.01	2
1273	-349	-381	Min.	16.87	-284.70	6	-9.69	6	-0.80	6	-7.15	6	-0.63	6	-0.01	2
1273	-381	-413	Max	2.51	522.21	6	36.26	6	0.93	2	38.44	6	0.63	2	0.01	2
1273	-381	-413	Max	16.87	523.23	6	36.26	6	3.60	6	38.46	6	3.73	6	0.01	2
1273	-381	-413	Min.	2.51	-280.66	6	-9.76	6	-1.97	2	-7.15	6	-2.06	2	-0.01	2
1273	-381	-413	Min.	16.87	-279.64	6	-9.76	6	-0.84	6	-7.13	6	-0.65	6	-0.01	2
1273	-413	-445	Max	2.51	597.69	6	36.78	6	0.91	2	39.37	6	0.62	2	0.01	2
1273	-413	-445	Max	16.87	598.71	6	36.78	6	3.77	6	39.39	6	3.96	6	0.01	2
1273	-413	-445	Min.	2.51	-275.15	6	-9.75	6	-1.90	2	-7.23	6	-1.98	2	-0.01	2
1273	-413	-445	Min.	16.87	-274.13	6	-9.75	6	-0.87	6	-7.20	6	-0.69	6	-0.01	2
1273	-445	-477	Max	2.51	676.70	6	39.23	6	0.89	2	39.25	6	0.61	2	0.01	2
1273	-445	-477	Max	16.87	677.72	6	39.23	6	4.24	6	39.27	6	4.08	6	0.01	2
1273	-445	-477	Min.	2.51	-269.19	6	-10.04	6	-1.80	2	-6.42	6	-1.86	2	-0.01	2
1273	-445	-477	Min.	16.87	-268.17	6	-10.04	6	-0.95	6	-6.40	6	-0.62	6	-0.01	2
1273	-477	-509	Max	2.51	768.95	6	30.74	2	0.85	2	46.99	6	0.57	2	0.01	2
1273	-477	-509	Max	16.87	769.97	6	30.74	2	3.03	6	47.01	6	5.40	6	0.01	2
1273	-477	-509	Min.	2.51	-273.19	6	-10.54	2	-1.50	2	-11.71	6	-1.64	2	-0.02	2
1273	-477	-509	Min.	16.87	-272.17	6	-10.54	2	-0.78	6	-11.68	6	-1.39	6	-0.02	2
1273	-509	1354	Max	2.51	867.88	6	96.99	6	0.34	2	28.63	2	0.52	2	0.01	2
1273	-509	1354	Max	14.38	868.73	6	96.99	6	10.54	6	28.65	2	2.81	2	0.01	2
1273	-509	1354	Min.	2.51	-287.90	6	-18.80	6	-1.04	2	-2.52	2	-0.59	2	-0.02	2
1273	-509	1354	Min.	14.38	-287.05	6	-18.80	6	-1.96	6	-2.51	2	0.22	2	-0.02	2
1274	349	-17	Max	4.85	0.00	2	0.00	2	0.00	2	0.00	2	0.00	2	0.00	2
1274	349	-17	Min.	4.85	0.00	2	0.00	2	0.00	2	0.00	2	0.00	2	0.00	2
1274	-17	-49	Max	4.85	0.00	2	0.00	2	0.00	2	0.00	2	0.00	2	0.00	2
1274	-17	-49	Min.	4.85	0.00	2	0.00	2	0.00	2	0.00	2	0.00	2	0.00	2
1274	-49	-81	Max	5.01	283.35	2	19.53	6	1.34	6	12.31	6	2.91	6	0.02	6
1274	-49	-81	Max	14.50					0.44	4			0.61	4		
1274	-49	-81	Max	16.87	284.19	2	19.53	6	0.52	6	12.33	6	0.31	6	0.02	6
1274	-49	-81	Min.	5.01	-380.92	2	-11.41	6	-1.92	6	-26.34	6	-1.29	6	-0.01	6
1274	-49	-81	Min.	14.50					-0.25	4			-0.31	4		
1274	-49	-81	Min.	16.87	-380.07	2	-11.41	6	-0.14	6	-26.32	6	-0.35	6	-0.01	6
1274	-81	-113	Max	2.51	267.29	2	20.25	6	1.15	6	11.26	6	2.34	6	0.02	6
1274	-81	-113	Max	16.87	268.31	2	20.25	6	1.39	6	11.29	6	0.73	6	0.02	6
1274	-81	-113	Min.	2.51	-382.75	2	-12.16	6	-1.52	6	-27.14	6	-0.89	6	-0.01	6
1274	-81	-113	Min.	16.87	-381.74	2	-12.16	6	-0.60	6	-27.11	6	-1.56	6	-0.01	6
1274	-113	-145	Max	2.51	245.87	2	20.66	6	1.03	2	11.55	6	2.03	6	0.01	6
1274	-113	-145	Max	16.87	246.89	2	20.66	6	1.68	6	11.58	6	0.88	6	0.01	6
1274	-113	-145	Min.	2.51	-385.81	2	-12.34	6	-1.31	2	-27.63	6	-0.78	6	-0.01	6
1274	-113	-145	Min.	16.87	-384.79	2	-12.34	6	-0.77	6	-27.60	6	-1.93	6	-0.01	6
1274	-145	-177	Max	2.51	222.30	2	21.05	6	1.00	2	11.71	6	1.95	6	0.01	6
1274	-145	-177	Max	16.87	223.32	2	21.05	6	1.81	6	11.74	6	0.94	6	0.01	6
1274	-145	-177	Min.	2.51	-389.43	2	-12.54	6	-1.26	2	-28.20	6	-0.74	6	-0.01	6
1274	-145	-177	Min.	16.87	-388.41	2	-12.54	6	-0.84	6	-28.17	6	-2.10	6	-0.01	6
1274	-177	-209	Max	2.51	197.33	2	21.44	6	0.99	2	11.87	6	1.91	6	0.01	6
1274	-177	-209	Max	16.87	198.35	2	21.44	6	1.91	6	11.90	6	0.99	6	0.01	6
1274	-177	-209	Min.	2.51	-393.47	2	-12.73	6	-1.23	2	-28.77	6	-0.72	6	-0.01	6
1274	-177	-209	Min.	16.87	-392.45	2	-12.73	6	-0.89	6	-28.74	6	-2.22	6	-0.01	6
1274	-209	-241	Max	2.51	171.07	2	21.83	6	0.98	2	12.02	6	1.88	6	0.01	6
1274	-209	-241	Max	16.87	172.09	2	21.83	6	2.00	6	12.04	6	1.03	6	0.01	6

1274	-209	-241	Min.	2.51	-397.93	2	-12.91	6	-1.20	2	-29.34	6	-0.70	6	-0.01	6
1274	-209	-241	Min.	16.87	-396.91	2	-12.91	6	-0.94	6	-29.32	6	-2.34	6	-0.01	6
1274	-241	-273	Max	2.51	173.87	6	22.24	6	0.97	2	12.17	6	1.84	6	0.01	6
1274	-241	-273	Max	16.87	174.89	6	22.24	6	2.10	6	12.19	6	1.08	6	0.01	6
1274	-241	-273	Min.	2.51	-433.21	6	-13.09	6	-1.17	2	-29.95	6	-0.67	6	-0.01	6
1274	-241	-273	Min.	16.87	-432.19	6	-13.09	6	-0.99	6	-29.93	6	-2.46	6	-0.01	6
1274	-273	-305	Max	2.51	187.98	6	22.64	6	0.95	2	12.30	6	1.79	2	0.01	6
1274	-273	-305	Max	16.87	189.00	6	22.64	6	2.21	6	12.32	6	1.12	6	0.01	6
1274	-273	-305	Min.	2.51	-481.71	6	-13.25	6	-1.13	2	-30.55	6	-0.65	2	-0.01	6
1274	-273	-305	Min.	16.87	-480.69	6	-13.25	6	-1.04	6	-30.53	6	-2.59	6	-0.01	6
1274	-305	-337	Max	2.51	202.44	6	23.03	6	0.94	2	12.41	6	1.76	2	0.01	6
1274	-305	-337	Max	16.87	203.46	6	23.03	6	2.32	6	12.44	6	1.17	6	0.01	6
1274	-305	-337	Min.	2.51	-532.56	6	-13.40	6	-1.09	2	-31.15	6	-0.63	2	-0.01	6
1274	-305	-337	Min.	16.87	-531.54	6	-13.40	6	-1.10	6	-31.13	6	-2.73	6	-0.01	6
1274	-337	-369	Max	2.51	217.22	6	23.45	6	0.91	2	12.54	6	1.72	2	0.02	6
1274	-337	-369	Max	16.87	218.24	6	23.45	6	2.45	6	12.56	6	1.22	6	0.02	6
1274	-337	-369	Min.	2.51	-585.91	6	-13.56	6	-1.04	2	-31.81	6	-0.61	2	-0.01	6
1274	-337	-369	Min.	16.87	-584.88	6	-13.56	6	-1.16	6	-31.79	6	-2.88	6	-0.01	6
1274	-369	-401	Max	2.51	232.35	6	23.89	6	0.89	2	12.64	6	1.67	2	0.02	6
1274	-369	-401	Max	16.87	233.38	6	23.89	6	2.58	6	12.66	6	1.27	6	0.02	6
1274	-369	-401	Min.	2.51	-641.94	6	-13.71	6	-0.99	2	-32.43	6	-0.59	2	-0.01	6
1274	-369	-401	Min.	16.87	-640.92	6	-13.71	6	-1.22	6	-32.40	6	-3.04	6	-0.01	6
1274	-401	-433	Max	2.51	247.84	6	24.13	6	0.86	2	12.80	6	1.61	2	0.02	6
1274	-401	-433	Max	16.87	248.86	6	24.13	6	2.70	6	12.82	6	1.34	6	0.02	6
1274	-401	-433	Min.	2.51	-700.80	6	-13.79	6	-0.93	2	-33.35	6	-0.57	2	-0.01	6
1274	-401	-433	Min.	16.87	-699.78	6	-13.79	6	-1.28	6	-33.33	6	-3.25	6	-0.01	6
1274	-433	-465	Max	2.51	263.68	6	25.98	6	0.82	2	12.55	6	1.52	2	0.02	6
1274	-433	-465	Max	16.87	264.70	6	25.98	6	3.06	6	12.57	6	1.36	6	0.02	6
1274	-433	-465	Min.	2.51	-762.64	6	-14.41	6	-0.85	2	-32.34	6	-0.54	2	-0.01	6
1274	-433	-465	Min.	16.87	-761.62	6	-14.41	6	-1.43	6	-32.32	6	-3.22	6	-0.01	6
1274	-465	-497	Max	2.51	279.72	6	16.74	6	0.74	2	15.04	6	1.38	2	0.01	2
1274	-465	-497	Max	16.87	280.74	6	16.74	6	1.97	6	15.06	6	1.79	6	0.01	2
1274	-465	-497	Min.	2.51	-826.36	6	-11.27	6	-0.67	2	-44.71	6	-0.46	2	-0.01	2
1274	-465	-497	Min.	16.87	-825.34	6	-11.27	6	-1.11	6	-44.68	6	-5.14	6	-0.01	2
1274	-497	1328	Max	2.51	301.11	6	73.27	6	0.37	6	29.25	6	0.34	6	0.01	6
1274	-497	1328	Max	14.38	301.95	6	73.27	6	8.12	6	29.27	6	2.77	6	0.01	6
1274	-497	1328	Min.	2.51	-894.19	6	-30.46	6	-0.58	6	-6.21	6	-0.71	6	-0.00	6
1274	-497	1328	Min.	14.38	-893.35	6	-30.46	6	-3.25	6	-6.19	6	-0.39	6	-0.00	6
1275	358	-23	Max	4.85	0.00	2	0.00	2	0.00	2	0.00	2	0.00	2	0.00	2
1275	358	-23	Min.	4.85	0.00	2	0.00	2	0.00	2	0.00	2	0.00	2	0.00	2
1275	-23	-55	Max	4.85	0.00	2	0.00	2	0.00	2	0.00	2	0.00	2	0.00	2
1275	-23	-55	Min.	4.85	0.00	2	0.00	2	0.00	2	0.00	2	0.00	2	0.00	2
1275	-55	-87	Max	5.01	88.79	2	26.81	6	1.26	6	15.63	6	2.09	2	0.02	2
1275	-55	-87	Max	15.10					0.24	4			0.26	4		
1275	-55	-87	Max	16.87	89.63	2	26.81	6	0.40	6	15.65	6	0.17	6	0.02	2
1275	-55	-87	Min.	5.01	-580.98	2	-12.07	6	-2.90	6	-20.60	6	-1.89	2	-0.01	2
1275	-55	-87	Min.	15.10					-0.40	4			-0.57	4		
1275	-55	-87	Min.	16.87	-580.13	2	-12.07	6	-0.30	6	-20.58	6	-0.56	6	-0.01	2
1275	-87	-119	Max	2.51	77.48	2	28.92	6	0.95	6	13.77	6	1.73	6	0.01	2
1275	-87	-119	Max	16.87	78.50	2	28.92	6	1.67	6	13.79	6	0.71	6	0.01	2
1275	-87	-119	Min.	2.51	-577.24	2	-11.91	6	-2.49	6	-22.69	6	-1.26	6	-0.01	2
1275	-87	-119	Min.	16.87	-576.22	2	-11.91	6	-0.76	6	-22.67	6	-1.53	6	-0.01	2
1275	-119	-151	Max	2.51	62.21	2	29.43	6	0.83	6	14.16	6	1.47	2	0.01	2
1275	-119	-151	Max	16.87	63.23	2	29.43	6	2.06	6	14.18	6	0.90	6	0.01	2
1275	-119	-151	Min.	2.51	-573.06	2	-12.14	6	-2.16	6	-23.03	6	-1.15	2	-0.01	2
1275	-119	-151	Min.	16.87	-572.04	2	-12.14	6	-0.92	6	-23.00	6	-1.85	6	-0.01	2
1275	-151	-183	Max	2.51	45.37	2	30.02	6	0.78	6	14.37	6	1.41	2	0.01	6
1275	-151	-183	Max	16.87	46.39	2	30.02	6	2.24	6	14.39	6	0.97	6	0.01	6
1275	-151	-183	Min.	2.51	-568.78	2	-12.32	6	-2.08	6	-23.51	6	-1.12	2	-0.01	6

1275	-151	-183	Min.	16.87	-567.76	2	-12.32	6	-0.99	6	-23.48	6	-1.99	6	-0.01	6
1275	-183	-215	Max	2.51	27.49	2	30.59	6	0.76	6	14.60	6	1.39	2	0.01	6
1275	-183	-215	Max	16.87	28.51	2	30.59	6	2.36	6	14.62	6	1.03	6	0.01	6
1275	-183	-215	Min.	2.51	-564.50	2	-12.51	6	-2.04	6	-23.98	6	-1.11	2	-0.01	6
1275	-183	-215	Min.	16.87	-563.48	2	-12.51	6	-1.03	6	-23.95	6	-2.09	6	-0.01	6
1275	-215	-247	Max	2.51	22.60	6	31.20	6	0.74	6	14.81	6	1.36	2	0.01	6
1275	-215	-247	Max	16.87	23.62	6	31.20	6	2.48	6	14.83	6	1.08	6	0.01	6
1275	-215	-247	Min.	2.51	-574.15	6	-12.68	6	-2.00	6	-24.45	6	-1.10	2	-0.01	6
1275	-215	-247	Min.	16.87	-573.13	6	-12.68	6	-1.08	6	-24.42	6	-2.20	6	-0.01	6
1275	-247	-279	Max	2.51	42.43	6	31.85	6	0.72	6	15.02	6	1.34	2	0.01	6
1275	-247	-279	Max	16.87	43.45	6	31.85	6	2.61	6	15.04	6	1.13	6	0.01	6
1275	-247	-279	Min.	2.51	-609.50	6	-12.85	6	-1.97	6	-24.92	6	-1.09	2	-0.01	6
1275	-247	-279	Min.	16.87	-608.48	6	-12.85	6	-1.13	6	-24.90	6	-2.30	6	-0.01	6
1275	-279	-311	Max	2.51	62.89	6	32.47	6	0.69	6	15.22	6	1.31	2	0.01	6
1275	-279	-311	Max	16.87	63.91	6	32.47	6	2.74	6	15.25	6	1.19	6	0.01	6
1275	-279	-311	Min.	2.51	-646.54	6	-13.01	6	-1.93	6	-25.43	6	-1.07	2	-0.01	6
1275	-279	-311	Min.	16.87	-645.52	6	-13.01	6	-1.17	6	-25.41	6	-2.42	6	-0.01	6
1275	-311	-343	Max	2.51	84.02	6	33.12	6	0.67	6	15.42	6	1.27	2	0.01	6
1275	-311	-343	Max	16.87	85.04	6	33.12	6	2.88	6	15.44	6	1.25	6	0.01	6
1275	-311	-343	Min.	2.51	-685.36	6	-13.16	6	-1.88	6	-25.88	6	-1.06	2	-0.01	6
1275	-311	-343	Min.	16.87	-684.34	6	-13.16	6	-1.22	6	-25.85	6	-2.53	6	-0.01	6
1275	-343	-375	Max	2.51	105.83	6	33.81	6	0.63	6	15.61	6	1.23	2	0.01	6
1275	-343	-375	Max	16.87	106.85	6	33.81	6	3.03	6	15.64	6	1.31	6	0.01	6
1275	-343	-375	Min.	2.51	-726.04	6	-13.31	6	-1.82	6	-26.40	6	-1.04	2	-0.01	6
1275	-343	-375	Min.	16.87	-725.02	6	-13.31	6	-1.28	6	-26.38	6	-2.66	6	-0.01	6
1275	-375	-407	Max	2.51	128.36	6	34.48	6	0.60	6	15.81	6	1.18	2	0.01	6
1275	-375	-407	Max	16.87	129.38	6	34.48	6	3.20	6	15.84	6	1.37	6	0.01	6
1275	-375	-407	Min.	2.51	-768.75	6	-13.45	6	-1.75	6	-26.90	6	-1.02	2	-0.01	6
1275	-375	-407	Min.	16.87	-767.73	6	-13.45	6	-1.34	6	-26.87	6	-2.80	6	-0.01	6
1275	-407	-439	Max	2.51	151.65	6	35.04	6	0.56	6	16.04	6	1.13	2	0.01	6
1275	-407	-439	Max	16.87	152.67	6	35.04	6	3.35	6	16.06	6	1.45	6	0.01	6
1275	-407	-439	Min.	2.51	-813.59	6	-13.51	6	-1.68	6	-27.70	6	-0.99	2	-0.02	6
1275	-407	-439	Min.	16.87	-812.57	6	-13.51	6	-1.39	6	-27.68	6	-2.99	6	-0.02	6
1275	-439	-471	Max	2.51	175.69	6	37.10	6	0.51	6	15.99	6	1.04	2	0.01	6
1275	-439	-471	Max	16.87	176.71	6	37.10	6	3.75	6	16.01	6	1.51	6	0.01	6
1275	-439	-471	Min.	2.51	-860.67	6	-14.25	6	-1.58	6	-26.35	6	-0.96	2	-0.02	6
1275	-439	-471	Min.	16.87	-859.65	6	-14.25	6	-1.54	6	-26.33	6	-2.90	6	-0.02	6
1275	-471	-503	Max	2.51	200.18	6	29.04	6	0.38	6	17.82	6	0.95	2	0.01	6
1275	-471	-503	Max	16.87	201.20	6	29.04	6	2.88	6	17.84	6	1.87	6	0.01	6
1275	-471	-503	Min.	2.51	-909.15	6	-10.27	6	-1.29	6	-39.50	6	-0.84	2	-0.02	6
1275	-471	-503	Min.	16.87	-908.13	6	-10.27	6	-1.09	6	-39.48	6	-4.88	6	-0.02	6
1275	-503	1337	Max	2.51	233.43	6	81.09	6	0.35	6	39.28	6	0.09	6	0.01	6
1275	-503	1337	Max	14.38	234.27	6	81.09	6	8.63	6	39.30	6	3.63	6	0.01	6
1275	-503	1337	Min.	2.51	-968.00	6	-34.17	6	-1.00	6	1.70	6	-1.04	6	-0.02	6
1275	-503	1337	Min.	14.38	-967.16	6	-34.17	6	-3.70	6	1.72	6	0.29	6	-0.02	6
1276	352	-19	Max	4.85	0.00	2	0.00	2	0.00	2	0.00	2	0.00	2	0.00	2
1276	352	-19	Min.	4.85	0.00	2	0.00	2	0.00	2	0.00	2	0.00	2	0.00	2
1276	-19	-51	Max	4.85	0.00	2	0.00	2	0.00	2	0.00	2	0.00	2	0.00	2
1276	-19	-51	Min.	4.85	0.00	2	0.00	2	0.00	2	0.00	2	0.00	2	0.00	2
1276	-51	-83	Max	5.01	194.88	2	27.99	6	0.95	6	9.17	6	3.49	2	0.02	2
1276	-51	-83	Max	15.09					0.41	4			0.52	4		
1276	-51	-83	Max	16.87	195.72	2	27.99	6	0.56	6	9.19	6	0.18	6	0.02	2
1276	-51	-83	Min.	5.01	-556.62	2	-8.01	6	-2.89	6	-30.87	6	-1.25	2	-0.01	2
1276	-51	-83	Min.	15.09					-0.34	4			-0.47	4		
1276	-51	-83	Min.	16.87	-555.78	2	-8.01	6	-0.13	6	-30.85	6	-0.52	6	-0.01	2
1276	-83	-115	Max	2.51	168.66	2	29.67	6	0.83	2	7.00	6	2.78	2	0.02	2
1276	-83	-115	Max	16.87	169.68	2	29.67	6	1.86	6	7.02	6	0.39	6	0.02	2
1276	-83	-115	Min.	2.51	-561.88	2	-8.15	6	-2.45	2	-32.81	6	-0.66	2	-0.01	2
1276	-83	-115	Min.	16.87	-560.86	2	-8.15	6	-0.40	6	-32.79	6	-1.97	6	-0.01	2

1276	-115	-147	Max	2.51	134.06	2	30.26	6	0.75	2	7.26	6	2.45	2	0.01	2
1276	-115	-147	Max	16.87	135.08	2	30.26	6	2.28	6	7.29	6	0.48	6	0.01	2
1276	-115	-147	Min.	2.51	-569.37	2	-8.26	6	-2.14	2	-33.35	6	-0.65	2	-0.01	2
1276	-115	-147	Min.	16.87	-568.34	2	-8.26	6	-0.51	6	-33.33	6	-2.43	6	-0.01	2
1276	-147	-179	Max	2.51	96.13	2	30.87	6	0.74	2	7.31	6	2.37	2	0.01	2
1276	-147	-179	Max	16.87	97.15	2	30.87	6	2.46	6	7.34	6	0.52	6	0.01	2
1276	-147	-179	Min.	2.51	-577.79	2	-8.36	6	-2.06	2	-34.07	6	-0.64	2	-0.01	2
1276	-147	-179	Min.	16.87	-576.77	2	-8.36	6	-0.55	6	-34.05	6	-2.63	6	-0.01	2
1276	-179	-211	Max	2.51	56.01	2	31.47	6	0.73	2	7.37	6	2.33	2	0.01	2
1276	-179	-211	Max	16.87	57.03	2	31.47	6	2.60	6	7.40	6	0.54	6	0.01	2
1276	-179	-211	Min.	2.51	-586.90	2	-8.45	6	-2.02	2	-34.78	6	-0.63	2	-0.01	2
1276	-179	-211	Min.	16.87	-585.88	2	-8.45	6	-0.58	6	-34.75	6	-2.78	6	-0.01	2
1276	-211	-243	Max	2.51	13.87	2	32.09	6	0.72	2	7.41	6	2.30	2	0.01	2
1276	-211	-243	Max	16.87	14.89	2	32.09	6	2.73	6	7.43	6	0.56	6	0.01	2
1276	-211	-243	Min.	2.51	-596.69	2	-8.52	6	-1.99	2	-35.51	6	-0.62	2	-0.01	2
1276	-211	-243	Min.	16.87	-595.67	2	-8.52	6	-0.61	6	-35.48	6	-2.92	6	-0.01	2
1276	-243	-275	Max	2.51	-3.01	6	32.78	6	0.71	2	7.44	6	2.26	2	0.01	2
1276	-243	-275	Max	16.87	-1.99	6	32.78	6	2.87	6	7.46	6	0.59	6	0.01	2
1276	-243	-275	Min.	2.51	-634.54	6	-8.58	6	-1.95	2	-36.25	6	-0.62	2	-0.01	2
1276	-243	-275	Min.	16.87	-633.52	6	-8.58	6	-0.64	6	-36.23	6	-3.08	6	-0.01	2
1276	-275	-307	Max	2.51	-2.36	6	33.42	6	0.70	2	7.44	6	2.22	2	0.01	2
1276	-275	-307	Max	16.87	-1.34	6	33.42	6	3.02	6	7.47	6	0.61	6	0.01	2
1276	-275	-307	Min.	2.51	-692.90	6	-8.64	6	-1.91	2	-37.05	6	-0.61	2	-0.01	2
1276	-275	-307	Min.	16.87	-691.88	6	-8.64	6	-0.67	6	-37.02	6	-3.24	6	-0.01	2
1276	-307	-339	Max	2.51	-2.06	6	34.11	6	0.69	2	7.44	6	2.17	2	0.01	2
1276	-307	-339	Max	16.87	-1.04	6	34.11	6	3.18	6	7.47	6	0.63	6	0.01	2
1276	-307	-339	Min.	2.51	-754.11	6	-8.67	6	-1.86	2	-37.77	6	-0.60	2	-0.01	2
1276	-307	-339	Min.	16.87	-753.09	6	-8.67	6	-0.69	6	-37.75	6	-3.41	6	-0.01	2
1276	-339	-371	Max	2.51	-2.15	6	34.80	6	0.67	2	7.42	6	2.12	2	0.01	2
1276	-339	-371	Max	16.87	-1.13	6	34.80	6	3.35	6	7.44	6	0.65	6	0.01	2
1276	-339	-371	Min.	2.51	-818.33	6	-8.69	6	-1.80	2	-38.64	6	-0.59	2	-0.01	2
1276	-339	-371	Min.	16.87	-817.31	6	-8.69	6	-0.72	6	-38.62	6	-3.60	6	-0.01	2
1276	-371	-403	Max	2.51	-2.68	6	35.55	6	0.66	2	7.40	6	2.05	2	0.01	2
1276	-371	-403	Max	16.87	-1.66	6	35.55	6	3.54	6	7.43	6	0.68	6	0.01	2
1276	-371	-403	Min.	2.51	-885.83	6	-8.71	6	-1.73	2	-39.42	6	-0.58	2	-0.01	2
1276	-371	-403	Min.	16.87	-884.81	6	-8.71	6	-0.76	6	-39.39	6	-3.80	6	-0.01	2
1276	-403	-435	Max	2.51	-3.70	6	36.06	6	0.64	2	7.31	6	1.98	2	0.01	2
1276	-403	-435	Max	16.87	-2.68	6	36.06	6	3.71	6	7.33	6	0.69	6	0.01	2
1276	-403	-435	Min.	2.51	-956.78	6	-8.67	6	-1.65	2	-40.67	6	-0.56	2	-0.01	2
1276	-403	-435	Min.	16.87	-955.76	6	-8.67	6	-0.79	6	-40.65	6	-4.07	6	-0.01	2
1276	-435	-467	Max	2.51	-5.25	6	38.56	6	0.61	2	7.55	6	1.85	2	0.01	2
1276	-435	-467	Max	16.87	-4.23	6	38.56	6	4.18	6	7.57	6	0.76	6	0.01	2
1276	-435	-467	Min.	2.51	-1031.36	6	-8.93	6	-1.55	2	-39.11	6	-0.55	2	-0.01	2
1276	-435	-467	Min.	16.87	-1030.34	6	-8.93	6	-0.86	6	-39.09	6	-3.99	6	-0.01	2
1276	-467	-499	Max	2.51	3.04	6	27.81	6	0.56	2	5.57	6	1.69	2	0.00	2
1276	-467	-499	Max	16.87	4.06	6	27.81	6	2.96	6	5.60	6	0.56	6	0.00	2
1276	-467	-499	Min.	2.51	-1118.47	6	-7.09	6	-1.27	2	-56.52	6	-0.46	2	-0.01	2
1276	-467	-499	Min.	16.87	-1117.45	6	-7.09	6	-0.69	6	-56.49	6	-6.63	6	-0.01	2
1276	-499	1331	Max	2.51	21.22	6	95.46	6	0.23	6	45.28	6	0.03	6	0.00	6
1276	-499	1331	Max	14.38	22.06	6	95.46	6	10.37	6	45.30	6	4.32	6	0.00	6
1276	-499	1331	Min.	2.51	-1214.79	6	-17.67	6	-0.97	6	8.57	6	-1.06	6	-0.01	6
1276	-499	1331	Min.	14.38	-1213.95	6	-17.67	6	-1.87	6	8.59	6	1.05	6	-0.01	6
1277	376	-27	Max	4.85	0.00	2	0.00	2	0.00	2	0.00	2	0.00	2	0.00	2
1277	376	-27	Min.	4.85	0.00	2	0.00	2	0.00	2	0.00	2	0.00	2	0.00	2
1277	-27	-59	Max	4.85	0.00	2	0.00	2	0.00	2	0.00	2	0.00	2	0.00	2
1277	-27	-59	Min.	4.85	0.00	2	0.00	2	0.00	2	0.00	2	0.00	2	0.00	2
1277	-59	-91	Max	5.01	237.63	2	31.59	6	0.69	6	31.91	6	1.13	2	0.02	6
1277	-59	-91	Max	15.25					0.28	4			0.46	4		
1277	-59	-91	Max	16.87	238.48	2	31.59	6	0.43	6	31.92	6	0.52	6	0.02	6

1277	-59	-91	Min.	5.01	-498.43	2	-6.18	6	-3.41	6	-7.33	6	-3.65	2	-0.00	6
1277	-59	-91	Min.	15.25					-0.40	4			-0.46	4		
1277	-59	-91	Min.	16.87	-497.59	2	-6.18	6	-0.14	6	-7.31	6	-0.12	6	-0.00	6
1277	-91	-123	Max	2.51	244.44	2	31.99	6	0.86	2	29.75	6	0.94	2	0.01	6
1277	-91	-123	Max	16.87	245.46	2	31.99	6	1.92	6	29.78	6	1.88	6	0.01	6
1277	-91	-123	Min.	2.51	-469.91	2	-7.34	6	-2.87	2	-8.50	6	-2.53	2	-0.00	6
1277	-91	-123	Min.	16.87	-468.89	2	-7.34	6	-0.39	6	-8.47	6	-0.41	6	-0.00	6
1277	-123	-155	Max	2.51	252.69	2	32.53	6	0.79	2	30.43	6	0.87	2	0.01	2
1277	-123	-155	Max	16.87	253.71	2	32.53	6	2.37	6	30.45	6	2.29	6	0.01	2
1277	-123	-155	Min.	2.51	-433.49	2	-7.40	6	-2.52	2	-8.50	6	-2.26	2	-0.00	2
1277	-123	-155	Min.	16.87	-432.46	2	-7.40	6	-0.49	6	-8.48	6	-0.52	6	-0.00	2
1277	-155	-187	Max	2.51	261.47	2	33.17	6	0.78	2	31.01	6	0.86	2	0.01	2
1277	-155	-187	Max	16.87	262.49	2	33.17	6	2.56	6	31.03	6	2.47	6	0.01	2
1277	-155	-187	Min.	2.51	-394.06	2	-7.47	6	-2.44	2	-8.64	6	-2.18	2	-0.01	2
1277	-155	-187	Min.	16.87	-393.04	2	-7.47	6	-0.53	6	-8.62	6	-0.57	6	-0.01	2
1277	-187	-219	Max	2.51	270.63	2	33.81	6	0.78	2	31.59	6	0.86	2	0.01	2
1277	-187	-219	Max	16.87	271.65	2	33.81	6	2.71	6	31.61	6	2.61	6	0.01	2
1277	-187	-219	Min.	2.51	-352.68	2	-7.54	6	-2.40	2	-8.75	6	-2.14	2	-0.01	2
1277	-187	-219	Min.	16.87	-351.66	2	-7.54	6	-0.56	6	-8.73	6	-0.60	6	-0.01	2
1277	-219	-251	Max	2.51	280.18	2	34.47	6	0.78	2	32.20	6	0.86	2	0.01	2
1277	-219	-251	Max	16.87	281.20	2	34.47	6	2.85	6	32.22	6	2.74	6	0.01	2
1277	-219	-251	Min.	2.51	-309.51	2	-7.59	6	-2.37	2	-8.86	6	-2.11	2	-0.01	2
1277	-219	-251	Min.	16.87	-308.49	2	-7.59	6	-0.58	6	-8.83	6	-0.63	6	-0.01	2
1277	-251	-283	Max	2.51	295.83	6	35.18	6	0.78	2	32.83	6	0.85	2	0.01	2
1277	-251	-283	Max	16.87	296.85	6	35.18	6	3.00	6	32.85	6	2.88	6	0.01	2
1277	-251	-283	Min.	2.51	-270.18	6	-7.65	6	-2.33	2	-8.94	6	-2.07	2	-0.01	2
1277	-251	-283	Min.	16.87	-269.15	6	-7.65	6	-0.60	6	-8.91	6	-0.66	6	-0.01	2
1277	-283	-315	Max	2.51	352.89	6	35.86	6	0.77	2	33.48	6	0.85	2	0.01	2
1277	-283	-315	Max	16.87	353.91	6	35.86	6	3.16	6	33.50	6	3.03	6	0.01	2
1277	-283	-315	Min.	2.51	-269.81	6	-7.66	6	-2.29	2	-9.02	6	-2.03	2	-0.01	2
1277	-283	-315	Min.	16.87	-268.79	6	-7.66	6	-0.62	6	-9.00	6	-0.69	6	-0.01	2
1277	-315	-347	Max	2.51	412.44	6	36.58	6	0.77	2	34.09	6	0.84	2	0.01	2
1277	-315	-347	Max	16.87	413.46	6	36.58	6	3.33	6	34.12	6	3.18	6	0.01	2
1277	-315	-347	Min.	2.51	-269.33	6	-7.68	6	-2.24	2	-9.07	6	-1.98	2	-0.01	2
1277	-315	-347	Min.	16.87	-268.31	6	-7.68	6	-0.65	6	-9.05	6	-0.72	6	-0.01	2
1277	-347	-379	Max	2.51	474.64	6	37.32	6	0.77	2	34.79	6	0.83	2	0.01	2
1277	-347	-379	Max	16.87	475.66	6	37.32	6	3.51	6	34.81	6	3.35	6	0.01	2
1277	-347	-379	Min.	2.51	-268.72	6	-7.68	6	-2.19	2	-9.13	6	-1.93	2	-0.01	2
1277	-347	-379	Min.	16.87	-267.70	6	-7.68	6	-0.67	6	-9.11	6	-0.76	6	-0.01	2
1277	-379	-411	Max	2.51	539.70	6	38.13	6	0.76	2	35.46	6	0.82	2	0.01	2
1277	-379	-411	Max	16.87	540.72	6	38.13	6	3.71	6	35.49	6	3.53	6	0.01	2
1277	-379	-411	Min.	2.51	-267.93	6	-7.68	6	-2.12	2	-9.17	6	-1.86	2	-0.01	2
1277	-379	-411	Min.	16.87	-266.91	6	-7.68	6	-0.70	6	-9.14	6	-0.79	6	-0.01	2
1277	-411	-443	Max	2.51	607.80	6	38.67	6	0.75	2	36.34	6	0.81	2	0.01	2
1277	-411	-443	Max	16.87	608.82	6	38.67	6	3.89	6	36.36	6	3.75	6	0.01	2
1277	-411	-443	Min.	2.51	-266.94	6	-7.61	6	-2.04	2	-9.31	6	-1.78	2	-0.01	2
1277	-411	-443	Min.	16.87	-265.92	6	-7.61	6	-0.72	6	-9.29	6	-0.84	6	-0.01	2
1277	-443	-475	Max	2.51	679.04	6	41.25	6	0.74	2	36.08	6	0.79	2	0.01	2
1277	-443	-475	Max	16.87	680.06	6	41.25	6	4.38	6	36.11	6	3.85	6	0.01	2
1277	-443	-475	Min.	2.51	-265.73	6	-7.85	6	-1.93	2	-8.53	6	-1.67	2	-0.01	2
1277	-443	-475	Min.	16.87	-264.71	6	-7.85	6	-0.78	6	-8.50	6	-0.77	6	-0.01	2
1277	-475	-507	Max	2.51	765.70	6	32.63	2	0.71	2	43.67	6	0.74	2	0.01	2
1277	-475	-507	Max	16.87	766.72	6	32.63	2	3.19	6	43.69	6	5.13	6	0.01	2
1277	-475	-507	Min.	2.51	-277.09	6	-8.30	2	-1.62	2	-13.97	6	-1.47	2	-0.02	2
1277	-475	-507	Min.	16.87	-276.07	6	-8.30	2	-0.61	6	-13.95	6	-1.58	6	-0.02	2
1277	-507	1351	Max	2.51	857.52	6	99.54	6	0.26	2	26.49	2	0.60	2	0.01	2
1277	-507	1351	Max	14.38	858.36	6	99.54	6	10.78	6	26.51	2	2.63	2	0.01	2
1277	-507	1351	Min.	2.51	-296.60	6	-16.06	6	-1.10	2	-4.92	2	-0.52	2	-0.02	2
1277	-507	1351	Min.	14.38	-295.75	6	-16.06	6	-1.71	6	-4.90	2	0.01	2	-0.02	2

1278	382	-31	Max	4.85	0.00	2	0.00	2	0.00	2	0.00	2	0.00	2	0.00	2
1278	382	-31	Min.	4.85	0.00	2	0.00	2	0.00	2	0.00	2	0.00	2	0.00	2
1278	-31	-63	Max	4.85	0.00	2	0.00	2	0.00	2	0.00	2	0.00	2	0.00	2
1278	-31	-63	Min.	4.85	0.00	2	0.00	2	0.00	2	0.00	2	0.00	2	0.00	2
1278	-63	-95	Max	5.01	128.12	2	24.79	6	1.55	6	28.97	6	1.01	6	0.01	6
1278	-63	-95	Max	15.41					0.37	4			0.27	4		
1278	-63	-95	Max	16.87	128.97	2	24.79	6	0.50	6	28.99	6	0.33	6	0.01	6
1278	-63	-95	Min.	5.01	-492.93	2	-13.58	6	-2.53	6	-9.69	6	-3.24	6	-0.00	6
1278	-63	-95	Min.	15.14					-0.23	4			-0.53	4		
1278	-63	-95	Min.	16.87	-492.09	2	-13.58	6	-0.15	6	-9.67	6	-0.27	6	-0.00	6
1278	-95	-127	Max	2.51	134.69	2	24.33	6	1.40	2	26.77	6	0.88	6	0.00	2
1278	-95	-127	Max	16.87	135.71	2	24.33	6	1.63	6	26.79	6	1.55	6	0.00	2
1278	-95	-127	Min.	2.51	-472.19	2	-15.11	6	-1.86	2	-10.83	6	-2.30	6	-0.00	2
1278	-95	-127	Min.	16.87	-471.17	2	-15.11	6	-0.78	6	-10.80	6	-0.68	6	-0.00	2
1278	-127	-159	Max	2.51	142.69	2	24.74	6	1.27	2	27.37	6	0.73	6	0.01	6
1278	-127	-159	Max	16.87	143.71	2	24.74	6	1.97	6	27.39	6	1.92	6	0.01	6
1278	-127	-159	Min.	2.51	-445.81	2	-15.30	6	-1.63	2	-10.89	6	-2.02	6	-0.01	6
1278	-127	-159	Min.	16.87	-444.80	2	-15.30	6	-0.98	6	-10.86	6	-0.83	6	-0.01	6
1278	-159	-191	Max	2.51	151.22	2	25.20	6	1.24	2	27.89	6	0.70	2	0.01	6
1278	-159	-191	Max	16.87	152.24	2	25.20	6	2.11	6	27.91	6	2.08	6	0.01	6
1278	-159	-191	Min.	2.51	-417.33	2	-15.54	6	-1.57	2	-11.06	6	-1.93	2	-0.01	6
1278	-159	-191	Min.	16.87	-416.31	2	-15.54	6	-1.06	6	-11.04	6	-0.89	6	-0.01	6
1278	-191	-223	Max	2.51	160.11	2	25.66	6	1.23	2	28.41	6	0.69	2	0.01	6
1278	-191	-223	Max	16.87	161.13	2	25.66	6	2.22	6	28.43	6	2.20	6	0.01	6
1278	-191	-223	Min.	2.51	-387.50	2	-15.80	6	-1.55	2	-11.24	6	-1.90	2	-0.01	6
1278	-191	-223	Min.	16.87	-386.48	2	-15.80	6	-1.12	6	-11.21	6	-0.94	6	-0.01	6
1278	-223	-255	Max	2.51	169.38	2	26.13	6	1.23	2	28.94	6	0.68	2	0.01	6
1278	-223	-255	Max	16.87	170.40	2	26.13	6	2.32	6	28.97	6	2.31	6	0.01	6
1278	-223	-255	Min.	2.51	-356.44	2	-16.04	6	-1.52	2	-11.39	6	-1.88	2	-0.01	6
1278	-223	-255	Min.	16.87	-355.42	2	-16.04	6	-1.17	6	-11.36	6	-0.98	6	-0.01	6
1278	-255	-287	Max	2.51	188.43	6	26.63	6	1.22	2	29.50	6	0.67	2	0.01	6
1278	-255	-287	Max	16.87	189.45	6	26.63	6	2.43	6	29.52	6	2.43	6	0.01	6
1278	-255	-287	Min.	2.51	-333.47	6	-16.30	6	-1.50	2	-11.53	6	-1.85	2	-0.01	6
1278	-255	-287	Min.	16.87	-332.45	6	-16.30	6	-1.23	6	-11.51	6	-1.03	6	-0.01	6
1278	-287	-319	Max	2.51	241.66	6	27.11	6	1.21	2	30.07	6	0.66	2	0.01	6
1278	-287	-319	Max	16.87	242.68	6	27.11	6	2.55	6	30.09	6	2.56	6	0.01	6
1278	-287	-319	Min.	2.51	-342.89	6	-16.53	6	-1.47	2	-11.68	6	-1.82	2	-0.01	6
1278	-287	-319	Min.	16.87	-341.87	6	-16.53	6	-1.29	6	-11.65	6	-1.07	6	-0.01	6
1278	-319	-351	Max	2.51	297.19	6	27.60	6	1.20	2	30.61	6	0.65	2	0.01	6
1278	-319	-351	Max	16.87	298.21	6	27.60	6	2.67	6	30.63	6	2.69	6	0.01	6
1278	-319	-351	Min.	2.51	-352.69	6	-16.77	6	-1.44	2	-11.78	6	-1.78	2	-0.01	6
1278	-319	-351	Min.	16.87	-351.67	6	-16.77	6	-1.35	6	-11.76	6	-1.12	6	-0.01	6
1278	-351	-383	Max	2.51	355.17	6	28.12	6	1.19	2	31.21	6	0.63	2	0.01	6
1278	-351	-383	Max	16.87	356.19	6	28.12	6	2.80	6	31.23	6	2.84	6	0.01	6
1278	-351	-383	Min.	2.51	-362.87	6	-17.01	6	-1.40	2	-11.91	6	-1.74	2	-0.01	6
1278	-351	-383	Min.	16.87	-361.85	6	-17.01	6	-1.41	6	-11.88	6	-1.17	6	-0.01	6
1278	-383	-415	Max	2.51	415.79	6	28.65	6	1.17	2	31.81	6	0.61	2	0.01	6
1278	-383	-415	Max	16.87	416.81	6	28.65	6	2.94	6	31.84	6	3.00	6	0.01	6
1278	-383	-415	Min.	2.51	-373.45	6	-17.25	6	-1.35	2	-12.02	6	-1.69	2	-0.01	6
1278	-383	-415	Min.	16.87	-372.43	6	-17.25	6	-1.48	6	-12.00	6	-1.23	6	-0.01	6
1278	-415	-447	Max	2.51	479.23	6	28.99	6	1.15	2	32.57	6	0.59	2	0.01	6
1278	-415	-447	Max	16.87	480.25	6	28.99	6	3.06	6	32.59	6	3.19	6	0.01	6
1278	-415	-447	Min.	2.51	-384.45	6	-17.42	6	-1.30	2	-12.24	6	-1.63	2	-0.02	6
1278	-415	-447	Min.	16.87	-383.43	6	-17.42	6	-1.55	6	-12.22	6	-1.30	6	-0.02	6
1278	-447	-479	Max	2.51	545.54	6	31.00	6	1.12	2	32.31	6	0.56	2	0.01	6
1278	-447	-479	Max	16.87	546.56	6	31.00	6	3.44	6	32.34	6	3.27	6	0.01	6
1278	-447	-479	Min.	2.51	-395.86	6	-18.16	6	-1.23	2	-11.48	6	-1.54	2	-0.02	6
1278	-447	-479	Min.	16.87	-394.84	6	-18.16	6	-1.71	6	-11.46	6	-1.25	6	-0.02	6
1278	-479	-511	Max	2.51	614.07	6	21.82	6	1.03	2	39.07	6	0.51	2	0.01	6

1278	-479	-511	Max	16.87	615.09	6	21.82	6	2.39	6	39.09	6	4.41	6	0.01	6
1278	-479	-511	Min.	2.51	-407.50	6	-15.10	6	-1.02	2	-17.40	6	-1.37	2	-0.02	6
1278	-479	-511	Min.	16.87	-406.48	6	-15.10	6	-1.42	6	-17.38	6	-2.15	6	-0.02	6
1278	-511	1357	Max	2.51	690.93	6	79.22	6	0.51	6	23.58	2	0.39	6	0.02	2
1278	-511	1357	Max	14.38	691.77	6	79.22	6	8.65	6	23.60	2	2.18	2	0.02	2
1278	-511	1357	Min.	2.51	-430.64	6	-34.55	6	-0.76	6	-3.53	2	-0.64	6	-0.02	2
1278	-511	1357	Min.	14.38	-429.79	6	-34.55	6	-3.59	6	-3.51	2	-0.05	2	-0.02	2
1279	355	-21	Max	4.85	0.00	2	0.00	2	0.00	2	0.00	2	0.00	2	0.00	2
1279	355	-21	Min.	4.85	0.00	2	0.00	2	0.00	2	0.00	2	0.00	2	0.00	2
1279	-21	-53	Max	4.85	0.00	2	0.00	2	0.00	2	0.00	2	0.00	2	0.00	2
1279	-21	-53	Min.	4.85	0.00	2	0.00	2	0.00	2	0.00	2	0.00	2	0.00	2
1279	-53	-85	Max	5.01	139.05	2	30.78	6	0.78	6	10.96	6	3.17	2	0.02	2
1279	-53	-85	Max	15.24					0.35	4			0.39	4		
1279	-53	-85	Max	16.87	139.89	2	30.78	6	0.53	6	10.98	6	0.15	6	0.02	2
1279	-53	-85	Min.	5.01	-620.17	2	-6.77	6	-3.25	6	-28.20	6	-1.55	2	-0.01	2
1279	-53	-85	Min.	15.24					-0.37	4			-0.54	4		
1279	-53	-85	Min.	16.87	-619.33	2	-6.77	6	-0.16	6	-28.18	6	-0.57	6	-0.01	2
1279	-85	-117	Max	2.51	115.24	2	32.94	6	0.60	6	8.56	6	2.56	2	0.01	2
1279	-85	-117	Max	16.87	116.26	2	32.94	6	1.99	6	8.58	6	0.44	6	0.01	2
1279	-85	-117	Min.	2.51	-622.21	2	-6.62	6	-2.75	6	-30.52	6	-0.88	2	-0.01	2
1279	-85	-117	Min.	16.87	-621.19	2	-6.62	6	-0.35	6	-30.49	6	-1.90	6	-0.01	2
1279	-117	-149	Max	2.51	83.76	2	33.53	6	0.53	2	8.85	6	2.25	2	0.01	2
1279	-117	-149	Max	16.87	84.78	2	33.53	6	2.44	6	8.87	6	0.55	6	0.01	2
1279	-117	-149	Min.	2.51	-625.52	2	-6.72	6	-2.39	2	-31.02	6	-0.85	2	-0.01	2
1279	-117	-149	Min.	16.87	-624.50	2	-6.72	6	-0.44	6	-31.00	6	-2.33	6	-0.01	2
1279	-149	-181	Max	2.51	49.24	2	34.23	6	0.52	2	8.94	6	2.17	2	0.01	2
1279	-149	-181	Max	16.87	50.26	2	34.23	6	2.64	6	8.96	6	0.60	6	0.01	2
1279	-149	-181	Min.	2.51	-629.40	2	-6.78	6	-2.30	2	-31.68	6	-0.83	2	-0.01	2
1279	-149	-181	Min.	16.87	-628.38	2	-6.78	6	-0.48	6	-31.66	6	-2.52	6	-0.01	2
1279	-181	-213	Max	2.51	12.71	2	34.90	6	0.51	2	9.04	6	2.13	2	0.01	2
1279	-181	-213	Max	16.87	13.73	2	34.90	6	2.79	6	9.06	6	0.63	6	0.01	2
1279	-181	-213	Min.	2.51	-633.72	2	-6.84	6	-2.26	2	-32.33	6	-0.82	2	-0.01	2
1279	-181	-213	Min.	16.87	-632.70	2	-6.84	6	-0.50	6	-32.31	6	-2.66	6	-0.01	2
1279	-213	-245	Max	2.51	-25.67	2	35.63	6	0.51	2	9.11	6	2.10	2	0.01	2
1279	-213	-245	Max	16.87	-24.64	2	35.63	6	2.93	6	9.14	6	0.65	6	0.01	2
1279	-213	-245	Min.	2.51	-638.46	2	-6.88	6	-2.23	2	-32.99	6	-0.82	2	-0.01	2
1279	-213	-245	Min.	16.87	-637.44	2	-6.88	6	-0.52	6	-32.97	6	-2.79	6	-0.01	2
1279	-245	-277	Max	2.51	-31.83	6	36.36	6	0.50	2	9.18	6	2.07	2	0.01	2
1279	-245	-277	Max	16.87	-30.81	6	36.36	6	3.09	6	9.20	6	0.68	6	0.01	2
1279	-245	-277	Min.	2.51	-677.78	6	-6.90	6	-2.19	2	-33.70	6	-0.81	2	-0.01	2
1279	-245	-277	Min.	16.87	-676.76	6	-6.90	6	-0.55	6	-33.68	6	-2.94	6	-0.01	2
1279	-277	-309	Max	2.51	-27.52	6	37.12	6	0.49	2	9.23	6	2.03	2	0.01	2
1279	-277	-309	Max	16.87	-26.50	6	37.12	6	3.25	6	9.25	6	0.71	6	0.01	2
1279	-277	-309	Min.	2.51	-730.13	6	-6.91	6	-2.15	2	-34.41	6	-0.80	2	-0.01	2
1279	-277	-309	Min.	16.87	-729.11	6	-6.91	6	-0.57	6	-34.39	6	-3.09	6	-0.01	2
1279	-309	-341	Max	2.51	-23.36	6	37.88	6	0.48	2	9.27	6	1.98	2	0.01	2
1279	-309	-341	Max	16.87	-22.34	6	37.88	6	3.42	6	9.30	6	0.74	6	0.01	2
1279	-309	-341	Min.	2.51	-785.02	6	-6.90	6	-2.09	2	-35.10	6	-0.79	2	-0.01	2
1279	-309	-341	Min.	16.87	-784.00	6	-6.90	6	-0.59	6	-35.08	6	-3.25	6	-0.01	2
1279	-341	-373	Max	2.51	-19.39	6	38.68	6	0.46	2	9.30	6	1.93	2	0.01	2
1279	-341	-373	Max	16.87	-18.37	6	38.68	6	3.61	6	9.32	6	0.77	6	0.01	2
1279	-341	-373	Min.	2.51	-842.62	6	-6.88	6	-2.04	2	-35.88	6	-0.77	2	-0.01	2
1279	-341	-373	Min.	16.87	-841.60	6	-6.88	6	-0.61	6	-35.86	6	-3.43	6	-0.01	2
1279	-373	-405	Max	2.51	-15.65	6	39.53	6	0.45	2	9.33	6	1.87	2	0.01	2
1279	-373	-405	Max	16.87	-14.63	6	39.53	6	3.81	6	9.35	6	0.80	6	0.01	2
1279	-373	-405	Min.	2.51	-903.11	6	-6.85	6	-1.97	2	-36.59	6	-0.76	2	-0.01	2
1279	-373	-405	Min.	16.87	-902.09	6	-6.85	6	-0.63	6	-36.57	6	-3.61	6	-0.01	2
1279	-405	-437	Max	2.51	-12.16	6	40.20	6	0.43	2	9.29	6	1.79	2	0.01	2
1279	-405	-437	Max	16.87	-11.14	6	40.20	6	4.00	6	9.32	6	0.83	6	0.01	2

1279	-405	-437	Min.	2.51	-966.67	6	-6.76	6	-1.88	2	-37.72	6	-0.74	2	-0.01	2
1279	-405	-437	Min.	16.87	-965.65	6	-6.76	6	-0.65	6	-37.70	6	-3.86	6	-0.01	2
1279	-437	-469	Max	2.51	-8.98	6	42.72	6	0.41	2	9.57	6	1.68	2	0.01	2
1279	-437	-469	Max	16.87	-7.96	6	42.72	6	4.49	6	9.59	6	0.91	6	0.01	2
1279	-437	-469	Min.	2.51	-1033.50	6	-6.95	6	-1.77	2	-36.18	6	-0.72	2	-0.01	2
1279	-437	-469	Min.	16.87	-1032.48	6	-6.95	6	-0.72	6	-36.15	6	-3.78	6	-0.01	2
1279	-469	-501	Max	2.51	7.15	6	32.05	6	0.38	2	7.74	6	1.53	2	0.00	6
1279	-469	-501	Max	16.87	8.17	6	32.05	6	3.30	6	7.76	6	0.74	6	0.00	6
1279	-469	-501	Min.	2.51	-1115.55	6	-5.14	6	-1.48	2	-53.37	6	-0.61	2	-0.01	6
1279	-469	-501	Min.	16.87	-1114.53	6	-5.14	6	-0.53	6	-53.34	6	-6.37	6	-0.01	6
1279	-501	1334	Max	2.51	30.12	6	100.45	6	0.16	6	47.91	6	-0.02	6	0.00	6
1279	-501	1334	Max	14.38	30.96	6	100.45	6	10.82	6	47.93	6	4.55	6	0.00	6
1279	-501	1334	Min.	2.51	-1204.78	6	-15.12	6	-1.11	6	10.34	6	-1.14	6	-0.01	6
1279	-501	1334	Min.	14.38	-1203.94	6	-15.12	6	-1.63	6	10.36	6	1.20	6	-0.01	6
1300	1299	1300	Max	1.77	91.93	6	18.38	2	4.02	6	1.24	2	0.36	6	0.01	2
1300	1299	1300	Max	10.00	91.93	6	18.96	2	3.70	6	1.24	2	0.33	6	0.01	2
1300	1299	1300	Min.	1.77	-17.91	6	-16.81	2	-1.85	6	-1.39	2	-0.06	6	-0.01	2
1300	1299	1300	Min.	10.00	-17.91	6	-16.23	2	-1.35	6	-1.39	2	-0.04	6	-0.01	2
1300	1300	1301	Max	0.00	91.96	6	18.96	2	3.70	6	1.24	2	0.33	6	0.01	2
1300	1300	1301	Max	8.23	91.96	6	19.55	2	4.28	6	1.24	2	0.35	6	0.01	2
1300	1300	1301	Min.	0.00	-17.95	6	-16.23	2	-1.35	6	-1.39	2	-0.04	6	-0.01	2
1300	1300	1301	Min.	8.23	-17.95	6	-15.64	2	-1.66	6	-1.39	2	-0.08	6	-0.01	2
1302	1319	1320	Max	1.77	7.08	6	0.77	2	0.06	6	16.57	2	0.26	6	0.02	2
1302	1319	1320	Max	10.00	7.08	6	0.77	2	0.04	6	17.15	2	-0.05	6	0.02	2
1302	1319	1320	Min.	1.77	-106.13	6	-1.03	2	-0.33	6	-14.42	2	-6.06	6	-0.02	2
1302	1319	1320	Min.	10.00	-106.13	6	-1.03	2	-0.33	6	-13.83	2	-5.52	6	-0.02	2
1302	1320	1321	Max	0.00	7.05	6	0.74	2	0.04	6	17.15	2	-0.05	6	0.02	2
1302	1320	1321	Max	8.23	7.05	6	0.74	2	0.05	6	17.74	2	0.44	6	0.02	2
1302	1320	1321	Min.	0.00	-106.10	6	-1.00	2	-0.33	6	-13.83	2	-5.52	6	-0.02	2
1302	1320	1321	Min.	8.23	-106.10	6	-1.00	2	-0.36	6	-13.25	2	-5.69	6	-0.02	2
1344	1331	1332	Max	1.77	6.95	6	16.45	2	0.25	6	0.78	2	0.06	6	0.02	2
1344	1331	1332	Max	10.00	6.95	6	17.04	2	-0.05	6	0.78	2	0.04	6	0.02	2
1344	1331	1332	Min.	1.77	-106.06	6	-14.45	2	-6.03	6	-1.04	2	-0.33	6	-0.02	2
1344	1331	1332	Min.	10.00	-106.06	6	-13.87	2	-5.52	6	-1.04	2	-0.33	6	-0.02	2
1344	1332	1333	Max	0.00	6.92	6	17.04	2	-0.05	6	0.74	2	0.04	6	0.02	2
1344	1332	1333	Max	8.23	6.92	6	17.62	2	0.45	6	0.74	2	0.05	6	0.02	2
1344	1332	1333	Min.	0.00	-106.03	6	-13.87	2	-5.52	6	-1.00	2	-0.33	6	-0.02	2
1344	1332	1333	Min.	8.23	-106.03	6	-13.28	2	-5.71	6	-1.00	2	-0.36	6	-0.02	2
1346	1351	1352	Max	1.77	91.85	6	1.25	2	0.36	6	18.10	2	4.05	6	0.01	2
1346	1351	1352	Max	10.00	91.85	6	1.25	2	0.33	6	18.68	2	3.70	6	0.01	2
1346	1351	1352	Min.	1.77	-17.76	6	-1.37	2	-0.06	6	-16.79	2	-1.86	6	-0.02	2
1346	1351	1352	Min.	10.00	-17.76	6	-1.37	2	-0.04	6	-16.20	2	-1.35	6	-0.02	2
1346	1352	1353	Max	0.00	91.88	6	1.24	2	0.33	6	18.68	2	3.70	6	0.01	2
1346	1352	1353	Max	8.23	91.88	6	1.24	2	0.36	6	19.27	2	4.25	6	0.01	2
1346	1352	1353	Min.	0.00	-17.79	6	-1.35	2	-0.04	6	-16.20	2	-1.35	6	-0.02	2
1346	1352	1353	Min.	8.23	-17.79	6	-1.35	2	-0.08	6	-15.62	2	-1.65	6	-0.02	2
1384	1328	1340	Max	1.77	8.09	2	0.93	6	0.19	6	51.55	6	1.54	6	0.10	6
1384	1328	1340	Max	10.00	8.09	2	0.93	6	0.05	2	52.14	6	-0.16	6	0.10	6
1384	1328	1340	Min.	1.77	-14.49	2	-2.41	6	-0.08	6	-21.02	6	-4.67	6	-0.24	6
1384	1328	1340	Min.	10.00	-14.49	2	-2.41	6	-0.06	2	-20.43	6	-0.40	6	-0.24	6
1384	1340	1348	Max	0.00	8.13	2	0.90	6	0.05	2	52.14	6	-0.16	6	0.10	6
1384	1340	1348	Max	8.23	8.13	2	0.90	6	0.09	6	52.72	6	3.92	6	0.10	6
1384	1340	1348	Min.	0.00	-14.52	2	-2.38	6	-0.06	2	-20.43	6	-0.40	6	-0.24	6
1384	1340	1348	Min.	8.23	-14.52	2	-2.38	6	-0.22	6	-19.85	6	-1.82	6	-0.24	6
1387	1330	1341	Max	1.77	7.95	2	54.84	6	1.40	6	1.31	6	0.26	6	0.23	6
1387	1330	1341	Max	10.00	7.95	2	55.42	6	-0.47	6	1.31	6	0.06	2	0.23	6
1387	1330	1341	Min.	1.77	-15.02	2	-22.92	6	-5.26	6	-3.07	6	-0.11	6	-0.09	6
1387	1330	1341	Min.	10.00	-15.02	2	-22.34	6	-0.72	6	-3.07	6	-0.05	2	-0.09	6
1387	1341	1350	Max	0.00	7.99	2	55.42	6	-0.47	6	1.28	6	0.06	2	0.23	6

1387	1341	1350	Max	8.23	7.99	2	56.01	6	3.87	6	1.28	6	0.12	6	0.23	6
1387	1341	1350	Min.	0.00	-15.05	2	-22.34	6	-0.72	6	-3.04	6	-0.05	2	-0.09	6
1387	1341	1350	Min.	8.23	-15.05	2	-21.75	6	-2.28	6	-3.04	6	-0.26	6	-0.09	6
1422	1331	1342	Max	1.77	9.52	2	0.44	6	0.28	6	66.90	6	0.06	6	0.04	6
1422	1331	1342	Max	10.00	9.52	2	0.44	6	0.07	2	67.48	6	-0.56	2	0.04	6
1422	1331	1342	Min.	1.77	-24.67	2	-3.39	6	-0.05	6	-8.90	6	-6.55	6	-0.30	6
1422	1331	1342	Min.	10.00	-24.67	2	-3.39	6	-0.08	2	-8.31	6	-1.11	2	-0.30	6
1422	1342	1351	Max	0.00	9.55	2	0.41	6	0.07	2	67.48	6	-0.56	2	0.04	6
1422	1342	1351	Max	8.23	9.55	2	0.41	6	0.05	6	68.07	6	4.66	6	0.04	6
1422	1342	1351	Min.	0.00	-24.70	2	-3.36	6	-0.08	2	-8.31	6	-1.11	2	-0.30	6
1422	1342	1351	Min.	8.23	-24.70	2	-3.36	6	-0.31	6	-7.73	6	-1.40	6	-0.30	6
1425	1333	1343	Max	1.77	12.16	2	67.72	6	0.11	6	0.45	6	0.31	6	0.29	6
1425	1333	1343	Max	10.00	12.16	2	68.31	6	-0.51	2	0.45	6	0.08	2	0.29	6
1425	1333	1343	Min.	1.77	-21.99	2	-9.04	6	-6.55	6	-3.55	6	-0.04	6	-0.04	6
1425	1333	1343	Min.	10.00	-21.99	2	-8.45	6	-1.05	2	-3.55	6	-0.07	2	-0.04	6
1425	1343	1353	Max	0.00	12.19	2	68.31	6	-0.51	2	0.42	6	0.08	2	0.29	6
1425	1343	1353	Max	8.23	12.19	2	68.89	6	4.79	6	0.42	6	0.06	6	0.29	6
1425	1343	1353	Min.	0.00	-22.03	2	-8.45	6	-1.05	2	-3.52	6	-0.07	2	-0.04	6
1425	1343	1353	Min.	8.23	-22.03	2	-7.87	6	-1.37	6	-3.52	6	-0.31	6	-0.04	6
1460	1334	1344	Max	1.77	12.40	2	0.46	6	0.31	6	67.77	6	0.11	6	0.04	6
1460	1334	1344	Max	10.00	12.40	2	0.46	6	0.08	2	68.35	6	-0.51	2	0.04	6
1460	1334	1344	Min.	1.77	-21.40	2	-3.55	6	-0.04	6	-9.05	6	-6.57	6	-0.29	6
1460	1334	1344	Min.	10.00	-21.40	2	-3.55	6	-0.07	2	-8.47	6	-1.06	2	-0.29	6
1460	1344	1354	Max	0.00	12.44	2	0.43	6	0.08	2	68.35	6	-0.51	2	0.04	6
1460	1344	1354	Max	8.23	12.44	2	0.43	6	0.06	6	68.94	6	4.77	6	0.04	6
1460	1344	1354	Min.	0.00	-21.43	2	-3.52	6	-0.07	2	-8.47	6	-1.06	2	-0.29	6
1460	1344	1354	Min.	8.23	-21.43	2	-3.52	6	-0.30	6	-7.88	6	-1.37	6	-0.29	6
1463	1336	1345	Max	1.77	9.27	2	66.86	6	0.06	6	0.44	6	0.28	6	0.30	6
1463	1336	1345	Max	10.00	9.27	2	67.44	6	-0.55	2	0.44	6	0.07	2	0.30	6
1463	1336	1345	Min.	1.77	-25.25	2	-8.89	6	-6.53	6	-3.39	6	-0.05	6	-0.04	6
1463	1336	1345	Min.	10.00	-25.25	2	-8.31	6	-1.10	2	-3.39	6	-0.08	2	-0.04	6
1463	1345	1356	Max	0.00	9.31	2	67.44	6	-0.55	2	0.41	6	0.07	2	0.30	6
1463	1345	1356	Max	8.23	9.31	2	68.03	6	4.68	6	0.41	6	0.05	6	0.30	6
1463	1345	1356	Min.	0.00	-25.28	2	-8.31	6	-1.10	2	-3.36	6	-0.08	2	-0.04	6
1463	1345	1356	Min.	8.23	-25.28	2	-7.72	6	-1.41	6	-3.36	6	-0.31	6	-0.04	6
1498	1337	1346	Max	1.77	8.09	2	1.31	6	0.26	6	54.86	6	1.40	6	0.09	6
1498	1337	1346	Max	10.00	8.09	2	1.31	6	0.06	2	55.44	6	-0.46	6	0.09	6
1498	1337	1346	Min.	1.77	-14.71	2	-3.06	6	-0.11	6	-22.90	6	-5.27	6	-0.23	6
1498	1337	1346	Min.	10.00	-14.71	2	-3.06	6	-0.05	2	-22.32	6	-0.73	6	-0.23	6
1498	1346	1357	Max	0.00	8.05	2	1.28	6	0.06	2	55.44	6	-0.46	6	0.09	6
1498	1346	1357	Max	8.23	8.05	2	1.28	6	0.12	6	56.03	6	3.85	6	0.09	6
1498	1346	1357	Min.	0.00	-14.68	2	-3.03	6	-0.05	2	-22.32	6	-0.73	6	-0.23	6
1498	1346	1357	Min.	8.23	-14.68	2	-3.03	6	-0.26	6	-21.73	6	-2.27	6	-0.23	6
1501	1339	1347	Max	1.77	8.05	2	51.54	6	1.54	6	0.93	6	0.19	6	0.24	6
1501	1339	1347	Max	10.00	8.05	2	52.13	6	-0.17	6	0.93	6	0.05	2	0.24	6
1501	1339	1347	Min.	1.77	-14.87	2	-21.02	6	-4.65	6	-2.41	6	-0.08	6	-0.10	6
1501	1339	1347	Min.	10.00	-14.87	2	-20.44	6	-0.38	6	-2.41	6	-0.06	2	-0.10	6
1501	1347	1359	Max	0.00	8.08	2	52.13	6	-0.17	6	0.90	6	0.05	2	0.24	6
1501	1347	1359	Max	8.23	8.08	2	52.71	6	3.93	6	0.90	6	0.09	6	0.24	6
1501	1347	1359	Min.	0.00	-14.90	2	-20.44	6	-0.38	6	-2.38	6	-0.06	2	-0.10	6
1501	1347	1359	Min.	8.23	-14.90	2	-19.85	6	-1.83	6	-2.38	6	-0.22	6	-0.10	6
1519	1032	1324	Max	8.49	23.96	2	4.61	6	1.08	6	35.86	6	57.14	6	13.71	6
1519	1032	1324	Max	11.31	23.96	2	4.61	6	0.38	6	35.66	6	20.77	6	13.71	6
1519	1032	1324	Min.	8.49	-26.55	2	-24.78	6	-0.20	6	-1285.70	6	-4.11	6	-2.36	6
1519	1032	1324	Min.	11.31	-26.55	2	-24.78	6	-0.07	6	-1285.90	6	-3.09	6	-2.36	6
1519	1302	1032	Max	2.83	-2.02	2	27.80	6	0.42	6	296.21	6	3.19	6	2.41	6
1519	1302	1032	Max	5.66	-2.02	2	27.80	6	1.21	6	296.01	6	11.56	6	2.41	6
1519	1302	1032	Min.	2.83	-54.76	2	-5.83	6	-0.08	6	-945.54	6	-20.65	6	-13.82	6
1519	1302	1032	Min.	5.66	-54.76	2	-5.83	6	-0.25	6	-945.74	6	-47.40	6	-13.82	6

1520	1029	1319	Max	8.49	23.90	2	24.92	6	0.19	6	36.78	6	57.06	6	2.35	6
1520	1029	1319	Max	11.31	23.90	2	24.92	6	0.07	6	36.58	6	20.72	6	2.35	6
1520	1029	1319	Min.	8.49	-26.65	2	-4.49	6	-1.09	6	-1284.49	6	-4.15	6	-13.70	6
1520	1029	1319	Min.	11.31	-26.65	2	-4.49	6	-0.38	6	-1284.69	6	-3.11	6	-13.70	6
1520	1301	1029	Max	2.83	-1.87	2	5.93	6	0.09	6	297.12	6	3.20	6	13.80	6
1520	1301	1029	Max	5.66	-1.87	2	5.93	6	0.25	6	296.92	6	11.61	6	13.80	6
1520	1301	1029	Min.	2.83	-54.75	2	-27.35	6	-0.42	6	-944.34	6	-20.61	6	-2.40	6
1520	1301	1029	Min.	5.66	-54.75	2	-27.35	6	-1.19	6	-944.54	6	-47.32	6	-2.40	6
1521	1299	1029	Max	2.83	1.94	2	27.74	6	0.42	6	307.42	6	3.54	6	2.17	6
1521	1299	1029	Max	5.66	1.94	2	27.74	6	1.20	6	307.22	6	12.23	6	2.17	6
1521	1299	1029	Min.	2.83	-50.62	2	-4.81	6	-0.07	6	-931.48	6	-20.17	6	-14.09	6
1521	1299	1029	Min.	5.66	-50.62	2	-4.81	6	-0.21	6	-931.68	6	-46.52	6	-14.09	6
1521	1029	1321	Max	8.49	19.75	2	3.71	6	1.20	6	47.29	6	56.26	6	14.09	6
1521	1029	1321	Max	11.31	19.75	2	3.71	6	0.42	6	47.09	6	20.29	6	14.09	6
1521	1029	1321	Min.	8.49	-30.44	2	-27.63	6	-0.16	6	-1271.86	6	-4.78	6	-2.13	6
1521	1029	1321	Min.	11.31	-30.44	2	-27.63	6	-0.06	6	-1272.06	6	-3.45	6	-2.13	6
1522	1035	1327	Max	8.49	24.46	2	6.91	6	0.73	6	328.03	6	42.92	6	11.09	6
1522	1035	1327	Max	11.31	24.46	2	6.91	6	0.27	6	327.83	6	16.05	6	11.09	6
1522	1035	1327	Min.	8.49	-19.27	2	-16.36	6	-0.30	6	-950.04	6	-16.31	6	-4.18	6
1522	1035	1327	Min.	11.31	-19.27	2	-16.36	6	-0.10	6	-950.24	6	-7.04	6	-4.18	6
1522	1305	1035	Max	2.83	3.45	2	24.15	6	0.38	6	451.79	6	7.10	6	4.37	6
1522	1305	1035	Max	5.66	3.45	2	24.15	6	1.06	6	451.59	6	19.88	6	4.37	6
1522	1305	1035	Min.	2.83	-40.66	2	-11.89	6	-0.17	6	-752.99	6	-15.97	6	-11.39	6
1522	1305	1035	Min.	5.66	-40.66	2	-11.89	6	-0.51	6	-753.19	6	-37.27	6	-11.39	6
1523	1026	1318	Max	8.49	12.42	2	10.16	6	1.07	6	261.25	6	45.39	6	11.01	6
1523	1026	1318	Max	11.31	12.42	2	10.16	6	0.37	6	261.05	6	16.56	6	11.01	6
1523	1026	1318	Min.	8.49	-27.86	2	-24.90	6	-0.45	6	-1019.30	6	-13.63	6	-4.87	6
1523	1026	1318	Min.	11.31	-27.86	2	-24.90	6	-0.16	6	-1019.50	6	-6.24	6	-4.87	6
1523	1296	1026	Max	2.83	14.00	2	19.19	6	0.29	6	378.65	6	6.30	6	4.76	6
1523	1296	1026	Max	5.66	14.00	2	19.19	6	0.83	6	378.45	6	17.01	6	4.76	6
1523	1296	1026	Min.	2.83	-30.44	2	-7.37	6	-0.12	6	-816.89	6	-16.47	6	-10.78	6
1523	1296	1026	Min.	5.66	-30.44	2	-7.37	6	-0.33	6	-817.09	6	-39.58	6	-10.78	6
1524	1026	1316	Max	8.49	24.48	2	16.16	6	0.29	6	328.37	6	42.88	6	4.17	6
1524	1026	1316	Max	11.31	24.48	2	16.16	6	0.10	6	328.17	6	16.03	6	4.17	6
1524	1026	1316	Min.	8.49	-19.26	2	-6.85	6	-0.72	6	-949.29	6	-16.32	6	-11.08	6
1524	1026	1316	Min.	11.31	-19.26	2	-6.85	6	-0.26	6	-949.49	6	-7.03	6	-11.08	6
1524	1298	1026	Max	2.83	3.54	2	11.85	6	0.17	6	451.63	6	7.09	6	11.38	6
1524	1298	1026	Max	5.66	3.54	2	11.85	6	0.50	6	451.44	6	19.86	6	11.38	6
1524	1298	1026	Min.	2.83	-40.64	2	-24.09	6	-0.37	6	-752.74	6	-15.94	6	-4.36	6
1524	1298	1026	Min.	5.66	-40.64	2	-24.09	6	-1.06	6	-752.94	6	-37.24	6	-4.36	6
1525	1032	1322	Max	8.49	19.66	2	27.80	6	0.16	6	48.28	6	56.18	6	2.11	6
1525	1032	1322	Max	11.31	19.66	2	27.80	6	0.06	6	48.08	6	20.24	6	2.11	6
1525	1032	1322	Min.	8.49	-30.57	2	-3.59	6	-1.20	6	-1270.65	6	-4.83	6	-14.09	6
1525	1032	1322	Min.	11.31	-30.57	2	-3.59	6	-0.42	6	-1270.85	6	-3.47	6	-14.09	6
1525	1304	1032	Max	2.83	2.12	2	4.90	6	0.07	6	308.42	6	3.56	6	14.07	6
1525	1304	1032	Max	5.66	2.12	2	4.90	6	0.21	6	308.21	6	12.28	6	14.07	6
1525	1304	1032	Min.	2.83	-50.59	2	-27.29	6	-0.41	6	-930.25	6	-20.12	6	-2.16	6
1525	1304	1032	Min.	5.66	-50.59	2	-27.29	6	-1.18	6	-930.45	6	-46.44	6	-2.16	6
1526	1035	1325	Max	8.49	12.30	2	24.54	6	0.44	6	261.81	6	45.33	6	4.85	6
1526	1035	1325	Max	11.31	12.30	2	24.54	6	0.16	6	261.61	6	16.51	6	4.85	6
1526	1035	1325	Min.	8.49	-27.96	2	-9.92	6	-1.06	6	-1018.66	6	-13.65	6	-10.98	6
1526	1035	1325	Min.	11.31	-27.96	2	-9.92	6	-0.36	6	-1018.86	6	-6.25	6	-10.98	6
1526	1307	1035	Max	2.83	14.11	2	7.52	6	0.12	6	379.72	6	6.31	6	10.78	6
1526	1307	1035	Max	5.66	14.11	2	7.52	6	0.33	6	379.52	6	17.05	6	10.78	6
1526	1307	1035	Min.	2.83	-30.46	2	-19.33	6	-0.29	6	-815.77	6	-16.43	6	-4.76	6
1526	1307	1035	Min.	5.66	-30.46	2	-19.33	6	-0.84	6	-815.97	6	-39.51	6	-4.76	6
1551	1330	1286	Max	2.83	12.31	2	24.53	6	0.36	6	1018.92	6	16.52	6	4.85	6
1551	1330	1286	Max	5.66	12.31	2	24.53	6	1.06	6	1018.72	6	45.33	6	4.85	6
1551	1330	1286	Min.	2.83	-27.95	2	-9.94	6	-0.16	6	-261.55	6	-6.25	6	-10.97	6

1551	1330	1286	Min.	5.66	-27.95	2	-9.94	6	-0.44	6	-261.75	6	-13.65	6	-10.97	6
1551	1286	1348	Max	8.49	14.13	2	7.47	6	0.83	6	816.38	6	17.03	6	10.78	6
1551	1286	1348	Max	11.31	14.13	2	7.47	6	0.29	6	816.18	6	6.31	6	10.78	6
1551	1286	1348	Min.	8.49	-30.43	2	-19.31	6	-0.33	6	-379.08	6	-39.53	6	-4.76	6
1551	1286	1348	Min.	11.31	-30.43	2	-19.31	6	-0.12	6	-379.28	6	-16.44	6	-4.76	6
1552	1336	1292	Max	2.83	23.87	2	24.80	6	0.38	6	1284.95	6	20.73	6	2.35	6
1552	1336	1292	Max	5.66	23.87	2	24.80	6	1.08	6	1284.75	6	57.07	6	2.35	6
1552	1336	1292	Min.	2.83	-26.58	2	-4.53	6	-0.07	6	-36.20	6	-3.10	6	-13.69	6
1552	1336	1292	Min.	5.66	-26.58	2	-4.53	6	-0.19	6	-36.40	6	-4.13	6	-13.69	6
1552	1292	1354	Max	8.49	-1.90	2	5.88	6	1.20	6	945.21	6	11.57	6	13.80	6
1552	1292	1354	Max	11.31	-1.90	2	5.88	6	0.42	6	945.01	6	3.19	6	13.80	6
1552	1292	1354	Min.	8.49	-54.65	2	-27.44	6	-0.25	6	-296.17	6	-47.35	6	-2.40	6
1552	1292	1354	Min.	11.31	-54.65	2	-27.44	6	-0.09	6	-296.37	6	-20.61	6	-2.40	6
1553	1328	1286	Max	2.83	24.41	2	6.90	6	0.10	6	949.51	6	16.04	6	11.09	6
1553	1328	1286	Max	5.66	24.41	2	6.90	6	0.29	6	949.31	6	42.89	6	11.09	6
1553	1328	1286	Min.	2.83	-19.16	2	-16.39	6	-0.27	6	-327.83	6	-7.03	6	-4.18	6
1553	1328	1286	Min.	5.66	-19.16	2	-16.39	6	-0.73	6	-328.03	6	-16.31	6	-4.18	6
1553	1286	1350	Max	8.49	3.38	2	24.12	6	0.51	6	752.82	6	19.86	6	4.37	6
1553	1286	1350	Max	11.31	3.38	2	24.12	6	0.17	6	752.62	6	7.09	6	4.37	6
1553	1286	1350	Min.	8.49	-40.56	2	-11.89	6	-1.06	6	-451.21	6	-37.25	6	-11.39	6
1553	1286	1350	Min.	11.31	-40.56	2	-11.89	6	-0.38	6	-451.41	6	-15.96	6	-11.39	6
1554	1337	1295	Max	2.83	12.42	2	9.99	6	0.16	6	1019.08	6	16.55	6	11.00	6
1554	1337	1295	Max	5.66	12.42	2	9.99	6	0.44	6	1018.88	6	45.37	6	11.00	6
1554	1337	1295	Min.	2.83	-27.86	2	-24.63	6	-0.36	6	-261.51	6	-6.25	6	-4.86	6
1554	1337	1295	Min.	5.66	-27.86	2	-24.63	6	-1.06	6	-261.71	6	-13.65	6	-4.86	6
1554	1295	1359	Max	8.49	13.99	2	19.46	6	0.33	6	816.54	6	17.03	6	4.76	6
1554	1295	1359	Max	11.31	13.99	2	19.46	6	0.12	6	816.34	6	6.31	6	4.76	6
1554	1295	1359	Min.	8.49	-30.44	2	-7.53	6	-0.84	6	-379.07	6	-39.56	6	-10.80	6
1554	1295	1359	Min.	11.31	-30.44	2	-7.53	6	-0.29	6	-379.27	6	-16.46	6	-10.80	6
1555	1331	1289	Max	2.83	23.93	2	4.58	6	0.07	6	1284.89	6	20.75	6	13.72	6
1555	1331	1289	Max	5.66	23.93	2	4.58	6	0.20	6	1284.69	6	57.09	6	13.72	6
1555	1331	1289	Min.	2.83	-26.46	2	-24.95	6	-0.38	6	-36.16	6	-3.10	6	-2.36	6
1555	1331	1289	Min.	5.66	-26.46	2	-24.95	6	-1.09	6	-36.36	6	-4.12	6	-2.36	6
1555	1289	1353	Max	8.49	-2.07	2	27.65	6	0.25	6	945.14	6	11.57	6	2.41	6
1555	1289	1353	Max	11.31	-2.07	2	27.65	6	0.08	6	944.94	6	3.19	6	2.41	6
1555	1289	1353	Min.	8.49	-54.67	2	-5.84	6	-1.20	6	-296.13	6	-47.37	6	-13.82	6
1555	1289	1353	Min.	11.31	-54.67	2	-5.84	6	-0.42	6	-296.33	6	-20.64	6	-13.82	6
1556	1289	1351	Max	8.49	2.11	2	4.83	6	1.19	6	931.30	6	12.24	6	14.06	6
1556	1289	1351	Max	11.31	2.11	2	4.83	6	0.41	6	931.10	6	3.55	6	14.06	6
1556	1289	1351	Min.	8.49	-50.53	2	-27.37	6	-0.21	6	-307.31	6	-46.47	6	-2.16	6
1556	1289	1351	Min.	11.31	-50.53	2	-27.37	6	-0.07	6	-307.50	6	-20.13	6	-2.16	6
1556	1333	1289	Max	2.83	19.65	2	27.67	6	0.42	6	1271.28	6	20.25	6	2.12	6
1556	1333	1289	Max	5.66	19.65	2	27.67	6	1.20	6	1271.08	6	56.20	6	2.12	6
1556	1333	1289	Min.	2.83	-30.51	2	-3.66	6	-0.06	6	-47.57	6	-3.45	6	-14.07	6
1556	1333	1289	Min.	5.66	-30.51	2	-3.66	6	-0.16	6	-47.77	6	-4.80	6	-14.07	6
1557	1339	1295	Max	2.83	24.40	2	16.30	6	0.26	6	949.69	6	16.03	6	4.17	6
1557	1339	1295	Max	5.66	24.40	2	16.30	6	0.73	6	949.49	6	42.88	6	4.17	6
1557	1339	1295	Min.	2.83	-19.20	2	-6.89	6	-0.10	6	-327.80	6	-7.03	6	-11.08	6
1557	1339	1295	Min.	5.66	-19.20	2	-6.89	6	-0.29	6	-328.00	6	-16.30	6	-11.08	6
1557	1295	1357	Max	8.49	3.48	2	11.83	6	1.05	6	752.97	6	19.85	6	11.37	6
1557	1295	1357	Max	11.31	3.48	2	11.83	6	0.37	6	752.77	6	7.09	6	11.37	6
1557	1295	1357	Min.	8.49	-40.57	2	-23.93	6	-0.50	6	-451.19	6	-37.24	6	-4.36	6
1557	1295	1357	Min.	11.31	-40.57	2	-23.93	6	-0.17	6	-451.39	6	-15.95	6	-4.36	6
1558	1292	1356	Max	8.49	1.92	2	27.58	6	0.21	6	931.33	6	12.23	6	2.17	6
1558	1292	1356	Max	11.31	1.92	2	27.58	6	0.07	6	931.13	6	3.54	6	2.17	6
1558	1292	1356	Min.	8.49	-50.56	2	-4.80	6	-1.20	6	-307.23	6	-46.50	6	-14.09	6
1558	1292	1356	Min.	11.31	-50.56	2	-4.80	6	-0.42	6	-307.43	6	-20.16	6	-14.09	6
1558	1334	1292	Max	2.83	19.75	2	3.70	6	0.06	6	1271.33	6	20.28	6	14.10	6
1558	1334	1292	Max	5.66	19.75	2	3.70	6	0.16	6	1271.13	6	56.23	6	14.10	6

1558	1334	1292	Min.	2.83	-30.37	2	-27.80	6	-0.42	6	-47.50	6	-3.45	6	-2.12	6
1558	1334	1292	Min.	5.66	-30.37	2	-27.80	6	-1.21	6	-47.70	6	-4.80	6	-2.12	6
1579	1302	1303	Max	1.77	91.87	6	15.72	2	4.25	6	1.35	2	0.36	6	0.01	2
1579	1302	1303	Max	10.00	91.87	6	16.30	2	3.70	6	1.35	2	0.33	6	0.01	2
1579	1302	1303	Min.	1.77	-17.80	6	-19.34	2	-1.65	6	-1.25	2	-0.08	6	-0.02	2
1579	1302	1303	Min.	10.00	-17.80	6	-18.75	2	-1.35	6	-1.25	2	-0.04	6	-0.02	2
1579	1303	1304	Max	0.00	91.85	6	16.30	2	3.70	6	1.37	2	0.33	6	0.01	2
1579	1303	1304	Max	8.23	91.85	6	16.89	2	4.05	6	1.37	2	0.36	6	0.01	2
1579	1303	1304	Min.	0.00	-17.78	6	-18.75	2	-1.35	6	-1.27	2	-0.04	6	-0.02	2
1579	1303	1304	Min.	8.23	-17.78	6	-18.17	2	-1.86	6	-1.27	2	-0.06	6	-0.02	2
1581	1322	1323	Max	1.77	6.91	6	1.01	2	0.05	6	13.23	2	0.45	6	0.02	2
1581	1322	1323	Max	10.00	6.91	6	1.01	2	0.04	6	13.82	2	-0.05	6	0.02	2
1581	1322	1323	Min.	1.77	-106.03	6	-0.73	2	-0.37	6	-17.71	2	-5.70	6	-0.02	2
1581	1322	1323	Min.	10.00	-106.03	6	-0.73	2	-0.33	6	-17.13	2	-5.52	6	-0.02	2
1581	1323	1324	Max	0.00	6.94	6	1.04	2	0.04	6	13.82	2	-0.05	6	0.02	2
1581	1323	1324	Max	8.23	6.94	6	1.04	2	0.07	6	14.40	2	0.25	6	0.02	2
1581	1323	1324	Min.	0.00	-106.06	6	-0.76	2	-0.33	6	-17.13	2	-5.52	6	-0.02	2
1581	1323	1324	Min.	8.23	-106.06	6	-0.76	2	-0.33	6	-16.54	2	-6.04	6	-0.02	2
1623	1334	1335	Max	1.77	7.05	6	13.20	2	0.44	6	1.01	2	0.05	6	0.02	2
1623	1334	1335	Max	10.00	7.05	6	13.79	2	-0.05	6	1.01	2	0.04	6	0.02	2
1623	1334	1335	Min.	1.77	-106.11	6	-17.81	2	-5.68	6	-0.74	2	-0.37	6	-0.02	2
1623	1334	1335	Min.	10.00	-106.11	6	-17.22	2	-5.52	6	-0.74	2	-0.33	6	-0.02	2
1623	1335	1336	Max	0.00	7.08	6	13.79	2	-0.05	6	1.04	2	0.04	6	0.02	2
1623	1335	1336	Max	8.23	7.08	6	14.37	2	0.25	6	1.04	2	0.06	6	0.02	2
1623	1335	1336	Min.	0.00	-106.14	6	-17.22	2	-5.52	6	-0.77	2	-0.33	6	-0.02	2
1623	1335	1336	Min.	8.23	-106.14	6	-16.64	2	-6.06	6	-0.77	2	-0.33	6	-0.02	2
1625	1354	1355	Max	1.77	91.97	6	1.37	2	0.35	6	15.57	2	4.28	6	0.01	2
1625	1354	1355	Max	10.00	91.97	6	1.37	2	0.33	6	16.15	2	3.70	6	0.01	2
1625	1354	1355	Min.	1.77	-17.94	6	-1.23	2	-0.08	6	-19.42	2	-1.66	6	-0.01	2
1625	1354	1355	Min.	10.00	-17.94	6	-1.23	2	-0.04	6	-18.84	2	-1.35	6	-0.01	2
1625	1355	1356	Max	0.00	91.94	6	1.37	2	0.33	6	16.15	2	3.70	6	0.01	2
1625	1355	1356	Max	8.23	91.94	6	1.37	2	0.36	6	16.74	2	4.02	6	0.01	2
1625	1355	1356	Min.	0.00	-17.90	6	-1.24	2	-0.04	6	-18.84	2	-1.35	6	-0.01	2
1625	1355	1356	Min.	8.23	-17.90	6	-1.24	2	-0.06	6	-18.25	2	-1.85	6	-0.01	2
1798	345	-14	Max	4.85	0.00	2	0.00	2	0.00	2	0.00	2	0.00	2	0.00	2
1798	345	-14	Min.	4.85	0.00	2	0.00	2	0.00	2	0.00	2	0.00	2	0.00	2
1798	-14	-46	Max	4.85	0.00	2	0.00	2	0.00	2	0.00	2	0.00	2	0.00	2
1798	-14	-46	Min.	4.85	0.00	2	0.00	2	0.00	2	0.00	2	0.00	2	0.00	2
1798	-46	-78	Max	5.01	195.15	2	27.89	6	0.96	6	9.18	6	3.49	2	0.02	2
1798	-46	-78	Max	15.07					0.42	4			0.52	4		
1798	-46	-78	Max	16.87	195.99	2	27.89	6	0.56	6	9.20	6	0.18	6	0.02	2
1798	-46	-78	Min.	5.01	-557.97	2	-8.03	6	-2.88	6	-30.90	6	-1.25	2	-0.01	2
1798	-46	-78	Min.	15.07					-0.34	4			-0.47	4		
1798	-46	-78	Min.	16.87	-557.13	2	-8.03	6	-0.13	6	-30.88	6	-0.52	6	-0.01	2
1798	-78	-110	Max	2.51	168.87	2	29.57	6	0.83	2	7.02	6	2.79	2	0.02	2
1798	-78	-110	Max	16.87	169.89	2	29.57	6	1.86	6	7.04	6	0.39	6	0.02	2
1798	-78	-110	Min.	2.51	-563.19	2	-8.18	6	-2.44	2	-32.83	6	-0.66	2	-0.01	2
1798	-78	-110	Min.	16.87	-562.17	2	-8.18	6	-0.40	6	-32.81	6	-1.97	6	-0.01	2
1798	-110	-142	Max	2.51	134.19	2	30.16	6	0.75	2	7.27	6	2.45	2	0.01	2
1798	-110	-142	Max	16.87	135.22	2	30.16	6	2.27	6	7.30	6	0.48	6	0.01	2
1798	-110	-142	Min.	2.51	-570.61	2	-8.28	6	-2.14	2	-33.38	6	-0.65	2	-0.01	2
1798	-110	-142	Min.	16.87	-569.59	2	-8.28	6	-0.51	6	-33.35	6	-2.43	6	-0.01	2
1798	-142	-174	Max	2.51	96.19	2	30.76	6	0.74	2	7.33	6	2.37	2	0.01	2
1798	-142	-174	Max	16.87	97.21	2	30.76	6	2.45	6	7.36	6	0.52	6	0.01	2
1798	-142	-174	Min.	2.51	-578.98	2	-8.39	6	-2.05	2	-34.09	6	-0.64	2	-0.01	2
1798	-142	-174	Min.	16.87	-577.96	2	-8.39	6	-0.55	6	-34.07	6	-2.63	6	-0.01	2
1798	-174	-206	Max	2.51	55.98	2	31.37	6	0.73	2	7.38	6	2.33	2	0.01	2
1798	-174	-206	Max	16.87	57.00	2	31.37	6	2.59	6	7.41	6	0.54	6	0.01	2
1798	-174	-206	Min.	2.51	-588.03	2	-8.47	6	-2.01	2	-34.80	6	-0.63	2	-0.01	2

1798	-174	-206	Min.	16.87	-587.01	2	-8.47	6	-0.58	6	-34.78	6	-2.78	6	-0.01	2
1798	-206	-238	Max	2.51	13.74	2	32.01	6	0.72	2	7.43	6	2.30	2	0.01	2
1798	-206	-238	Max	16.87	14.76	2	32.01	6	2.72	6	7.45	6	0.57	6	0.01	2
1798	-206	-238	Min.	2.51	-597.75	2	-8.55	6	-1.98	2	-35.53	6	-0.63	2	-0.01	2
1798	-206	-238	Min.	16.87	-596.73	2	-8.55	6	-0.61	6	-35.51	6	-2.93	6	-0.01	2
1798	-238	-270	Max	2.51	-3.55	6	32.64	6	0.71	2	7.45	6	2.27	2	0.01	2
1798	-238	-270	Max	16.87	-2.53	6	32.64	6	2.86	6	7.47	6	0.59	6	0.01	2
1798	-238	-270	Min.	2.51	-635.21	6	-8.61	6	-1.94	2	-36.28	6	-0.62	2	-0.01	2
1798	-238	-270	Min.	16.87	-634.19	6	-8.61	6	-0.64	6	-36.25	6	-3.08	6	-0.01	2
1798	-270	-302	Max	2.51	-2.93	6	33.30	6	0.70	2	7.46	6	2.23	2	0.01	2
1798	-270	-302	Max	16.87	-1.91	6	33.30	6	3.01	6	7.48	6	0.61	6	0.01	2
1798	-270	-302	Min.	2.51	-693.56	6	-8.66	6	-1.90	2	-37.04	6	-0.61	2	-0.01	2
1798	-270	-302	Min.	16.87	-692.54	6	-8.66	6	-0.67	6	-37.02	6	-3.24	6	-0.01	2
1798	-302	-334	Max	2.51	-2.66	6	33.99	6	0.69	2	7.46	6	2.18	2	0.01	2
1798	-302	-334	Max	16.87	-1.64	6	33.99	6	3.17	6	7.48	6	0.63	6	0.01	2
1798	-302	-334	Min.	2.51	-754.76	6	-8.70	6	-1.85	2	-37.83	6	-0.60	2	-0.01	2
1798	-302	-334	Min.	16.87	-753.74	6	-8.70	6	-0.70	6	-37.81	6	-3.42	6	-0.01	2
1798	-334	-366	Max	2.51	-2.77	6	34.67	6	0.67	2	7.44	6	2.12	2	0.01	2
1798	-334	-366	Max	16.87	-1.75	6	34.67	6	3.34	6	7.46	6	0.65	6	0.01	2
1798	-334	-366	Min.	2.51	-819.01	6	-8.72	6	-1.79	2	-38.66	6	-0.59	2	-0.01	2
1798	-334	-366	Min.	16.87	-817.99	6	-8.72	6	-0.73	6	-38.63	6	-3.60	6	-0.01	2
1798	-366	-398	Max	2.51	-3.33	6	35.44	6	0.66	2	7.42	6	2.06	2	0.01	2
1798	-366	-398	Max	16.87	-2.31	6	35.44	6	3.53	6	7.44	6	0.68	6	0.01	2
1798	-366	-398	Min.	2.51	-886.51	6	-8.74	6	-1.72	2	-39.45	6	-0.58	2	-0.01	2
1798	-366	-398	Min.	16.87	-885.49	6	-8.74	6	-0.76	6	-39.43	6	-3.80	6	-0.01	2
1798	-398	-430	Max	2.51	-4.37	6	35.93	6	0.64	2	7.33	6	1.98	2	0.01	2
1798	-398	-430	Max	16.87	-3.35	6	35.93	6	3.70	6	7.35	6	0.69	6	0.01	2
1798	-398	-430	Min.	2.51	-957.47	6	-8.70	6	-1.64	2	-40.69	6	-0.57	2	-0.01	2
1798	-398	-430	Min.	16.87	-956.45	6	-8.70	6	-0.79	6	-40.67	6	-4.07	6	-0.01	2
1798	-430	-462	Max	2.51	-5.95	6	38.43	6	0.61	2	7.56	6	1.86	2	0.01	2
1798	-430	-462	Max	16.87	-4.93	6	38.43	6	4.17	6	7.59	6	0.76	6	0.01	2
1798	-430	-462	Min.	2.51	-1032.05	6	-8.96	6	-1.54	2	-39.14	6	-0.55	2	-0.01	2
1798	-430	-462	Min.	16.87	-1031.03	6	-8.96	6	-0.87	6	-39.12	6	-3.99	6	-0.01	2
1798	-462	-494	Max	2.51	2.50	6	27.67	6	0.56	2	5.58	6	1.70	2	0.00	2
1798	-462	-494	Max	16.87	3.52	6	27.67	6	2.95	6	5.61	6	0.56	6	0.00	2
1798	-462	-494	Min.	2.51	-1119.36	6	-7.12	6	-1.26	2	-56.55	6	-0.46	2	-0.01	2
1798	-462	-494	Min.	16.87	-1118.33	6	-7.12	6	-0.69	6	-56.52	6	-6.64	6	-0.01	2
1798	-494	1324	Max	2.51	20.71	6	95.29	6	0.23	6	45.32	6	0.03	6	0.00	6
1798	-494	1324	Max	14.38	21.55	6	95.29	6	10.35	6	45.34	6	4.32	6	0.00	6
1798	-494	1324	Min.	2.51	-1215.75	6	-17.74	6	-0.96	6	8.61	6	-1.06	6	-0.01	6
1798	-494	1324	Min.	14.38	-1214.91	6	-17.74	6	-1.88	6	8.63	6	1.05	6	-0.01	6
1799	318	-4	Max	4.85	0.00	2	0.00	2	0.00	2	0.00	2	0.00	2	0.00	2
1799	318	-4	Min.	4.85	0.00	2	0.00	2	0.00	2	0.00	2	0.00	2	0.00	2
1799	-4	-36	Max	4.85	0.00	2	0.00	2	0.00	2	0.00	2	0.00	2	0.00	2
1799	-4	-36	Min.	4.85	0.00	2	0.00	2	0.00	2	0.00	2	0.00	2	0.00	2
1799	-36	-68	Max	5.01	173.71	2	30.48	6	0.88	6	34.64	6	0.83	2	0.02	6
1799	-36	-68	Max	15.41					0.34	4			0.38	4		
1799	-36	-68	Max	16.87	174.55	2	30.48	6	0.48	6	34.66	6	0.47	6	0.02	6
1799	-36	-68	Min.	5.01	-554.95	2	-7.59	6	-3.23	6	-5.50	6	-3.97	2	-0.00	6
1799	-36	-68	Min.	15.41					-0.31	4			-0.49	4		
1799	-36	-68	Min.	16.87	-554.11	2	-7.59	6	-0.12	6	-5.48	6	-0.15	6	-0.00	6
1799	-68	-100	Max	2.51	183.66	2	30.43	6	1.07	2	32.11	6	0.72	2	0.01	6
1799	-68	-100	Max	16.87	184.68	2	30.43	6	1.90	6	32.14	6	1.95	6	0.01	6
1799	-68	-100	Min.	2.51	-523.97	2	-9.08	6	-2.69	2	-6.90	6	-2.76	2	-0.00	6
1799	-68	-100	Min.	16.87	-522.95	2	-9.08	6	-0.45	6	-6.88	6	-0.36	6	-0.00	6
1799	-100	-132	Max	2.51	196.00	2	30.95	6	0.98	2	32.87	6	0.67	2	0.01	2
1799	-100	-132	Max	16.87	197.02	2	30.95	6	2.33	6	32.89	6	2.39	6	0.01	2
1799	-100	-132	Min.	2.51	-484.37	2	-9.13	6	-2.36	2	-6.87	6	-2.48	2	-0.01	2
1799	-100	-132	Min.	16.87	-483.35	2	-9.13	6	-0.57	6	-6.85	6	-0.45	6	-0.01	2

1799	-132	-164	Max	2.51	209.23	2	31.55	6	0.97	2	33.50	6	0.67	2	0.01	2
1799	-132	-164	Max	16.87	210.25	2	31.55	6	2.51	6	33.52	6	2.59	6	0.01	2
1799	-132	-164	Min.	2.51	-441.46	2	-9.26	6	-2.28	2	-6.96	6	-2.39	2	-0.01	2
1799	-132	-164	Min.	16.87	-440.44	2	-9.26	6	-0.62	6	-6.94	6	-0.49	6	-0.01	2
1799	-164	-196	Max	2.51	223.10	2	32.16	6	0.96	2	34.14	6	0.66	2	0.01	2
1799	-164	-196	Max	16.87	224.12	2	32.16	6	2.65	6	34.17	6	2.73	6	0.01	2
1799	-164	-196	Min.	2.51	-396.42	2	-9.36	6	-2.24	2	-7.04	6	-2.35	2	-0.01	2
1799	-164	-196	Min.	16.87	-395.40	2	-9.36	6	-0.65	6	-7.01	6	-0.52	6	-0.01	2
1799	-196	-228	Max	2.51	237.58	2	32.79	6	0.96	2	34.81	6	0.66	2	0.01	2
1799	-196	-228	Max	16.87	238.60	2	32.79	6	2.78	6	34.84	6	2.87	6	0.01	2
1799	-196	-228	Min.	2.51	-349.39	2	-9.47	6	-2.21	2	-7.09	6	-2.31	2	-0.01	2
1799	-196	-228	Min.	16.87	-348.37	2	-9.47	6	-0.68	6	-7.06	6	-0.54	6	-0.01	2
1799	-228	-260	Max	2.51	252.74	2	33.42	6	0.96	2	35.51	6	0.66	2	0.01	2
1799	-228	-260	Max	16.87	253.76	2	33.42	6	2.92	6	35.53	6	3.02	6	0.01	2
1799	-228	-260	Min.	2.51	-300.33	2	-9.55	6	-2.17	2	-7.14	6	-2.28	2	-0.01	2
1799	-228	-260	Min.	16.87	-299.31	2	-9.55	6	-0.71	6	-7.12	6	-0.56	6	-0.01	2
1799	-260	-292	Max	2.51	314.99	6	34.09	6	0.96	2	36.20	6	0.66	2	0.01	2
1799	-260	-292	Max	16.87	316.01	6	34.09	6	3.07	6	36.22	6	3.18	6	0.01	2
1799	-260	-292	Min.	2.51	-295.50	6	-9.64	6	-2.14	2	-7.16	6	-2.24	2	-0.01	2
1799	-260	-292	Min.	16.87	-294.48	6	-9.64	6	-0.74	6	-7.14	6	-0.59	6	-0.01	2
1799	-292	-324	Max	2.51	380.80	6	34.74	6	0.95	2	36.94	6	0.65	2	0.01	2
1799	-292	-324	Max	16.87	381.82	6	34.74	6	3.23	6	36.96	6	3.35	6	0.01	2
1799	-292	-324	Min.	2.51	-291.13	6	-9.69	6	-2.09	2	-7.19	6	-2.19	2	-0.01	2
1799	-292	-324	Min.	16.87	-290.11	6	-9.69	6	-0.77	6	-7.16	6	-0.61	6	-0.01	2
1799	-324	-356	Max	2.51	449.61	6	35.44	6	0.94	2	37.68	6	0.64	2	0.01	2
1799	-324	-356	Max	16.87	450.63	6	35.44	6	3.40	6	37.71	6	3.53	6	0.01	2
1799	-324	-356	Min.	2.51	-286.42	6	-9.75	6	-2.04	2	-7.19	6	-2.13	2	-0.01	2
1799	-324	-356	Min.	16.87	-285.40	6	-9.75	6	-0.80	6	-7.16	6	-0.63	6	-0.01	2
1799	-356	-388	Max	2.51	521.61	6	36.19	6	0.94	2	38.44	6	0.64	2	0.01	2
1799	-356	-388	Max	16.87	522.63	6	36.19	6	3.59	6	38.46	6	3.73	6	0.01	2
1799	-356	-388	Min.	2.51	-281.32	6	-9.80	6	-1.97	2	-7.16	6	-2.06	2	-0.01	2
1799	-356	-388	Min.	16.87	-280.30	6	-9.80	6	-0.84	6	-7.14	6	-0.66	6	-0.01	2
1799	-388	-420	Max	2.51	597.02	6	36.71	6	0.92	2	39.37	6	0.63	2	0.01	2
1799	-388	-420	Max	16.87	598.04	6	36.71	6	3.76	6	39.39	6	3.96	6	0.01	2
1799	-388	-420	Min.	2.51	-275.77	6	-9.81	6	-1.90	2	-7.24	6	-1.98	2	-0.01	2
1799	-388	-420	Min.	16.87	-274.75	6	-9.81	6	-0.87	6	-7.22	6	-0.70	6	-0.01	2
1799	-420	-452	Max	2.51	675.96	6	39.16	6	0.90	2	39.25	6	0.61	2	0.01	2
1799	-420	-452	Max	16.87	676.98	6	39.16	6	4.23	6	39.27	6	4.08	6	0.01	2
1799	-420	-452	Min.	2.51	-269.78	6	-10.09	6	-1.80	2	-6.42	6	-1.86	2	-0.01	2
1799	-420	-452	Min.	16.87	-268.76	6	-10.09	6	-0.95	6	-6.40	6	-0.62	6	-0.01	2
1799	-452	-484	Max	2.51	768.30	6	30.76	2	0.86	2	46.98	6	0.58	2	0.01	2
1799	-452	-484	Max	16.87	769.32	6	30.76	2	3.03	6	47.00	6	5.40	6	0.01	2
1799	-452	-484	Min.	2.51	-273.89	6	-10.70	2	-1.50	2	-11.73	6	-1.64	2	-0.02	2
1799	-452	-484	Min.	16.87	-272.87	6	-10.70	2	-0.79	6	-11.71	6	-1.40	6	-0.02	2
1799	-484	1301	Max	2.51	867.23	6	96.94	6	0.34	2	28.71	2	0.52	2	0.01	2
1799	-484	1301	Max	14.38	868.08	6	96.94	6	10.54	6	28.73	2	2.81	2	0.01	2
1799	-484	1301	Min.	2.51	-288.63	6	-18.85	6	-1.04	2	-2.51	2	-0.60	2	-0.02	2
1799	-484	1301	Min.	14.38	-287.78	6	-18.85	6	-1.96	6	-2.49	2	0.22	2	-0.02	2
1800	342	-12	Max	4.85	0.00	2	0.00	2	0.00	2	0.00	2	0.00	2	0.00	2
1800	342	-12	Min.	4.85	0.00	2	0.00	2	0.00	2	0.00	2	0.00	2	0.00	2
1800	-12	-44	Max	4.85	0.00	2	0.00	2	0.00	2	0.00	2	0.00	2	0.00	2
1800	-12	-44	Min.	4.85	0.00	2	0.00	2	0.00	2	0.00	2	0.00	2	0.00	2
1800	-44	-76	Max	5.01	138.99	2	30.69	6	0.78	6	10.97	6	3.18	2	0.02	2
1800	-44	-76	Max	15.24					0.35	4			0.39	4		
1800	-44	-76	Max	16.87	139.84	2	30.69	6	0.53	6	10.99	6	0.15	6	0.02	2
1800	-44	-76	Min.	5.01	-621.13	2	-6.78	6	-3.24	6	-28.21	6	-1.56	2	-0.01	2
1800	-44	-76	Min.	15.24					-0.37	4			-0.54	4		
1800	-44	-76	Min.	16.87	-620.29	2	-6.78	6	-0.16	6	-28.20	6	-0.57	6	-0.01	2
1800	-76	-108	Max	2.51	115.15	2	32.83	6	0.60	6	8.57	6	2.56	2	0.01	2

1800	-76	-108	Max	16.87	116.17	2	32.83	6	1.98	6	8.60	6	0.44	6	0.01	2
1800	-76	-108	Min.	2.51	-623.15	2	-6.63	6	-2.74	6	-30.52	6	-0.88	2	-0.01	2
1800	-76	-108	Min.	16.87	-622.13	2	-6.63	6	-0.35	6	-30.50	6	-1.91	6	-0.01	2
1800	-108	-140	Max	2.51	83.64	2	33.43	6	0.53	2	8.85	6	2.25	2	0.01	2
1800	-108	-140	Max	16.87	84.66	2	33.43	6	2.43	6	8.88	6	0.55	6	0.01	2
1800	-108	-140	Min.	2.51	-626.42	2	-6.73	6	-2.38	2	-31.04	6	-0.85	2	-0.01	2
1800	-108	-140	Min.	16.87	-625.40	2	-6.73	6	-0.44	6	-31.02	6	-2.33	6	-0.01	2
1800	-140	-172	Max	2.51	49.07	2	34.12	6	0.52	2	8.96	6	2.17	2	0.01	2
1800	-140	-172	Max	16.87	50.09	2	34.12	6	2.63	6	8.98	6	0.60	6	0.01	2
1800	-140	-172	Min.	2.51	-630.26	2	-6.79	6	-2.30	2	-31.69	6	-0.83	2	-0.01	2
1800	-140	-172	Min.	16.87	-629.25	2	-6.79	6	-0.48	6	-31.66	6	-2.52	6	-0.01	2
1800	-172	-204	Max	2.51	12.50	2	34.80	6	0.52	2	9.04	6	2.13	2	0.01	2
1800	-172	-204	Max	16.87	13.52	2	34.80	6	2.78	6	9.07	6	0.63	6	0.01	2
1800	-172	-204	Min.	2.51	-634.54	2	-6.84	6	-2.25	2	-32.35	6	-0.82	2	-0.01	2
1800	-172	-204	Min.	16.87	-633.52	2	-6.84	6	-0.50	6	-32.32	6	-2.66	6	-0.01	2
1800	-204	-236	Max	2.51	-25.92	2	35.53	6	0.51	2	9.13	6	2.10	2	0.01	2
1800	-204	-236	Max	16.87	-24.90	2	35.53	6	2.93	6	9.15	6	0.65	6	0.01	2
1800	-204	-236	Min.	2.51	-639.25	2	-6.88	6	-2.22	2	-33.00	6	-0.82	2	-0.01	2
1800	-204	-236	Min.	16.87	-638.23	2	-6.88	6	-0.53	6	-32.98	6	-2.80	6	-0.01	2
1800	-236	-268	Max	2.51	-32.34	6	36.23	6	0.50	2	9.19	6	2.07	2	0.01	2
1800	-236	-268	Max	16.87	-31.32	6	36.23	6	3.08	6	9.21	6	0.68	6	0.01	2
1800	-236	-268	Min.	2.51	-678.33	6	-6.91	6	-2.18	2	-33.72	6	-0.81	2	-0.01	2
1800	-236	-268	Min.	16.87	-677.31	6	-6.91	6	-0.55	6	-33.69	6	-2.94	6	-0.01	2
1800	-268	-300	Max	2.51	-28.04	6	37.01	6	0.49	2	9.25	6	2.03	2	0.01	2
1800	-268	-300	Max	16.87	-27.02	6	37.01	6	3.24	6	9.27	6	0.71	6	0.01	2
1800	-268	-300	Min.	2.51	-730.66	6	-6.91	6	-2.14	2	-34.39	6	-0.80	2	-0.01	2
1800	-268	-300	Min.	16.87	-729.64	6	-6.91	6	-0.57	6	-34.37	6	-3.09	6	-0.01	2
1800	-300	-332	Max	2.51	-23.89	6	37.75	6	0.48	2	9.28	6	1.99	2	0.01	2
1800	-300	-332	Max	16.87	-22.87	6	37.75	6	3.41	6	9.31	6	0.74	6	0.01	2
1800	-300	-332	Min.	2.51	-785.55	6	-6.91	6	-2.09	2	-35.15	6	-0.79	2	-0.01	2
1800	-300	-332	Min.	16.87	-784.52	6	-6.91	6	-0.59	6	-35.12	6	-3.26	6	-0.01	2
1800	-332	-364	Max	2.51	-19.92	6	38.55	6	0.46	2	9.31	6	1.93	2	0.01	2
1800	-332	-364	Max	16.87	-18.90	6	38.55	6	3.60	6	9.34	6	0.77	6	0.01	2
1800	-332	-364	Min.	2.51	-843.15	6	-6.88	6	-2.03	2	-35.89	6	-0.78	2	-0.01	2
1800	-332	-364	Min.	16.87	-842.13	6	-6.88	6	-0.61	6	-35.86	6	-3.43	6	-0.01	2
1800	-364	-396	Max	2.51	-16.19	6	39.42	6	0.45	2	9.34	6	1.87	2	0.01	2
1800	-364	-396	Max	16.87	-15.17	6	39.42	6	3.80	6	9.36	6	0.80	6	0.01	2
1800	-364	-396	Min.	2.51	-903.65	6	-6.85	6	-1.96	2	-36.61	6	-0.76	2	-0.01	2
1800	-364	-396	Min.	16.87	-902.63	6	-6.85	6	-0.63	6	-36.59	6	-3.61	6	-0.01	2
1800	-396	-428	Max	2.51	-12.71	6	40.06	6	0.43	2	9.31	6	1.79	2	0.01	2
1800	-396	-428	Max	16.87	-11.69	6	40.06	6	3.99	6	9.33	6	0.83	6	0.01	2
1800	-396	-428	Min.	2.51	-967.21	6	-6.77	6	-1.88	2	-37.73	6	-0.74	2	-0.01	2
1800	-396	-428	Min.	16.87	-966.19	6	-6.77	6	-0.65	6	-37.70	6	-3.86	6	-0.01	2
1800	-428	-460	Max	2.51	-9.53	6	42.60	6	0.41	2	9.58	6	1.68	2	0.01	2
1800	-428	-460	Max	16.87	-8.51	6	42.60	6	4.48	6	9.61	6	0.91	6	0.01	2
1800	-428	-460	Min.	2.51	-1034.03	6	-6.96	6	-1.77	2	-36.20	6	-0.72	2	-0.01	2
1800	-428	-460	Min.	16.87	-1033.01	6	-6.96	6	-0.72	6	-36.17	6	-3.78	6	-0.01	2
1800	-460	-492	Max	2.51	6.71	6	31.91	6	0.38	2	7.75	6	1.53	2	0.00	6
1800	-460	-492	Max	16.87	7.73	6	31.91	6	3.29	6	7.77	6	0.74	6	0.00	6
1800	-460	-492	Min.	2.51	-1116.20	6	-5.15	6	-1.47	2	-53.38	6	-0.61	2	-0.01	6
1800	-460	-492	Min.	16.87	-1115.18	6	-5.15	6	-0.53	6	-53.35	6	-6.37	6	-0.01	6
1800	-492	1321	Max	2.51	29.70	6	100.30	6	0.16	6	47.96	6	-0.03	6	0.00	6
1800	-492	1321	Max	14.38	30.54	6	100.30	6	10.80	6	47.98	6	4.55	6	0.00	6
1800	-492	1321	Min.	2.51	-1205.47	6	-15.15	6	-1.10	6	10.38	6	-1.14	6	-0.01	6
1800	-492	1321	Min.	14.38	-1204.63	6	-15.15	6	-1.64	6	10.40	6	1.21	6	-0.01	6
1801	348	-16	Max	4.85	0.00	2	0.00	2	0.00	2	0.00	2	0.00	2	0.00	2
1801	348	-16	Min.	4.85	0.00	2	0.00	2	0.00	2	0.00	2	0.00	2	0.00	2
1801	-16	-48	Max	4.85	0.00	2	0.00	2	0.00	2	0.00	2	0.00	2	0.00	2
1801	-16	-48	Min.	4.85	0.00	2	0.00	2	0.00	2	0.00	2	0.00	2	0.00	2

1801	-48	-80	Max	5.01	283.97	2	19.52	6	1.34	6	12.35	6	2.91	6	0.02	6
1801	-48	-80	Max	14.50					0.44	4			0.61	4		
1801	-48	-80	Max	16.87	284.81	2	19.52	6	0.52	6	12.37	6	0.31	6	0.02	6
1801	-48	-80	Min.	5.01	-382.38	2	-11.41	6	-1.92	6	-26.36	6	-1.29	6	-0.01	6
1801	-48	-80	Min.	14.50					-0.25	4			-0.32	4		
1801	-48	-80	Min.	16.87	-381.53	2	-11.41	6	-0.14	6	-26.34	6	-0.35	6	-0.01	6
1801	-80	-112	Max	2.51	267.84	2	20.23	6	1.15	6	11.30	6	2.34	6	0.02	6
1801	-80	-112	Max	16.87	268.87	2	20.23	6	1.39	6	11.32	6	0.73	6	0.02	6
1801	-80	-112	Min.	2.51	-384.14	2	-12.16	6	-1.52	6	-27.16	6	-0.90	6	-0.01	6
1801	-80	-112	Min.	16.87	-383.12	2	-12.16	6	-0.60	6	-27.13	6	-1.56	6	-0.01	6
1801	-112	-144	Max	2.51	246.34	2	20.63	6	1.03	2	11.58	6	2.03	6	0.01	6
1801	-112	-144	Max	16.87	247.36	2	20.63	6	1.67	6	11.60	6	0.88	6	0.01	6
1801	-112	-144	Min.	2.51	-387.11	2	-12.35	6	-1.31	2	-27.66	6	-0.79	6	-0.01	6
1801	-112	-144	Min.	16.87	-386.09	2	-12.35	6	-0.77	6	-27.63	6	-1.94	6	-0.01	6
1801	-144	-176	Max	2.51	222.68	2	21.03	6	1.00	2	11.74	6	1.95	6	0.01	6
1801	-144	-176	Max	16.87	223.70	2	21.03	6	1.81	6	11.77	6	0.94	6	0.01	6
1801	-144	-176	Min.	2.51	-390.63	2	-12.55	6	-1.26	2	-28.23	6	-0.75	6	-0.01	6
1801	-144	-176	Min.	16.87	-389.61	2	-12.55	6	-0.84	6	-28.21	6	-2.10	6	-0.01	6
1801	-176	-208	Max	2.51	197.61	2	21.43	6	0.99	2	11.90	6	1.91	6	0.01	6
1801	-176	-208	Max	16.87	198.63	2	21.43	6	1.91	6	11.93	6	0.99	6	0.01	6
1801	-176	-208	Min.	2.51	-394.57	2	-12.74	6	-1.23	2	-28.79	6	-0.72	6	-0.01	6
1801	-176	-208	Min.	16.87	-393.55	2	-12.74	6	-0.89	6	-28.76	6	-2.22	6	-0.01	6
1801	-208	-240	Max	2.51	171.26	2	21.82	6	0.98	2	12.05	6	1.88	6	0.01	6
1801	-208	-240	Max	16.87	172.28	2	21.82	6	2.00	6	12.08	6	1.03	6	0.01	6
1801	-208	-240	Min.	2.51	-398.92	2	-12.92	6	-1.20	2	-29.37	6	-0.70	6	-0.01	6
1801	-208	-240	Min.	16.87	-397.90	2	-12.92	6	-0.94	6	-29.35	6	-2.34	6	-0.01	6
1801	-240	-272	Max	2.51	173.52	6	22.20	6	0.97	2	12.19	6	1.84	6	0.01	6
1801	-240	-272	Max	16.87	174.54	6	22.20	6	2.10	6	12.22	6	1.08	6	0.01	6
1801	-240	-272	Min.	2.51	-433.66	6	-13.09	6	-1.16	2	-29.98	6	-0.68	6	-0.01	6
1801	-240	-272	Min.	16.87	-432.64	6	-13.09	6	-0.99	6	-29.95	6	-2.46	6	-0.01	6
1801	-272	-304	Max	2.51	187.63	6	22.62	6	0.95	2	12.32	6	1.80	2	0.01	6
1801	-272	-304	Max	16.87	188.65	6	22.62	6	2.21	6	12.35	6	1.12	6	0.01	6
1801	-272	-304	Min.	2.51	-482.14	6	-13.26	6	-1.13	2	-30.56	6	-0.65	2	-0.01	6
1801	-272	-304	Min.	16.87	-481.12	6	-13.26	6	-1.04	6	-30.54	6	-2.59	6	-0.01	6
1801	-304	-336	Max	2.51	202.08	6	23.00	6	0.93	2	12.45	6	1.76	2	0.01	6
1801	-304	-336	Max	16.87	203.10	6	23.00	6	2.32	6	12.48	6	1.17	6	0.01	6
1801	-304	-336	Min.	2.51	-532.97	6	-13.41	6	-1.09	2	-31.20	6	-0.64	2	-0.01	6
1801	-304	-336	Min.	16.87	-531.95	6	-13.41	6	-1.10	6	-31.18	6	-2.73	6	-0.01	6
1801	-336	-368	Max	2.51	216.86	6	23.41	6	0.91	2	12.57	6	1.72	2	0.02	6
1801	-336	-368	Max	16.87	217.88	6	23.41	6	2.44	6	12.60	6	1.22	6	0.02	6
1801	-336	-368	Min.	2.51	-586.32	6	-13.56	6	-1.04	2	-31.85	6	-0.62	2	-0.01	6
1801	-336	-368	Min.	16.87	-585.30	6	-13.56	6	-1.16	6	-31.82	6	-2.89	6	-0.01	6
1801	-368	-400	Max	2.51	231.99	6	23.88	6	0.89	2	12.67	6	1.67	2	0.02	6
1801	-368	-400	Max	16.87	233.01	6	23.88	6	2.58	6	12.70	6	1.28	6	0.02	6
1801	-368	-400	Min.	2.51	-642.34	6	-13.72	6	-0.99	2	-32.45	6	-0.60	2	-0.01	6
1801	-368	-400	Min.	16.87	-641.32	6	-13.72	6	-1.22	6	-32.43	6	-3.04	6	-0.01	6
1801	-400	-432	Max	2.51	247.46	6	24.12	6	0.86	2	12.82	6	1.61	2	0.02	6
1801	-400	-432	Max	16.87	248.48	6	24.12	6	2.70	6	12.85	6	1.34	6	0.02	6
1801	-400	-432	Min.	2.51	-701.17	6	-13.80	6	-0.93	2	-33.36	6	-0.57	2	-0.01	6
1801	-400	-432	Min.	16.87	-700.15	6	-13.80	6	-1.28	6	-33.34	6	-3.25	6	-0.01	6
1801	-432	-464	Max	2.51	263.30	6	25.94	6	0.82	2	12.59	6	1.52	2	0.02	6
1801	-432	-464	Max	16.87	264.32	6	25.94	6	3.05	6	12.61	6	1.36	6	0.02	6
1801	-432	-464	Min.	2.51	-762.99	6	-14.41	6	-0.85	2	-32.39	6	-0.55	2	-0.01	6
1801	-432	-464	Min.	16.87	-761.97	6	-14.41	6	-1.43	6	-32.37	6	-3.23	6	-0.01	6
1801	-464	-496	Max	2.51	279.34	6	16.69	6	0.74	2	15.07	6	1.38	2	0.01	2
1801	-464	-496	Max	16.87	280.37	6	16.69	6	1.96	6	15.10	6	1.80	6	0.01	2
1801	-464	-496	Min.	2.51	-826.72	6	-11.27	6	-0.67	2	-44.76	6	-0.46	2	-0.01	2
1801	-464	-496	Min.	16.87	-825.70	6	-11.27	6	-1.11	6	-44.73	6	-5.14	6	-0.01	2
1801	-496	1327	Max	2.51	301.07	6	73.26	6	0.37	6	29.30	6	0.34	6	0.01	6

1801	-496	1327	Max	14.38	301.91	6	73.26	6	8.11	6	29.32	6	2.77	6	0.01	6
1801	-496	1327	Min.	2.51	-894.88	6	-30.49	6	-0.59	6	-6.18	6	-0.71	6	-0.00	6
1801	-496	1327	Min.	14.38	-894.03	6	-30.49	6	-3.25	6	-6.16	6	-0.39	6	-0.00	6
1802	339	-10	Max	4.85	0.00	2	0.00	2	0.00	2	0.00	2	0.00	2	0.00	2
1802	339	-10	Min.	4.85	0.00	2	0.00	2	0.00	2	0.00	2	0.00	2	0.00	2
1802	-10	-42	Max	4.85	0.00	2	0.00	2	0.00	2	0.00	2	0.00	2	0.00	2
1802	-10	-42	Min.	4.85	0.00	2	0.00	2	0.00	2	0.00	2	0.00	2	0.00	2
1802	-42	-74	Max	5.01	88.68	2	26.99	6	1.27	6	15.63	6	2.09	2	0.02	2
1802	-42	-74	Max	15.06					0.24	4			0.27	4		
1802	-42	-74	Max	16.87	89.53	2	26.99	6	0.40	6	15.64	6	0.17	6	0.02	2
1802	-42	-74	Min.	5.01	-581.15	2	-12.17	6	-2.92	6	-20.61	6	-1.89	2	-0.01	2
1802	-42	-74	Min.	15.06					-0.40	4			-0.57	4		
1802	-42	-74	Min.	16.87	-580.31	2	-12.17	6	-0.30	6	-20.59	6	-0.56	6	-0.01	2
1802	-74	-106	Max	2.51	77.36	2	29.10	6	0.96	6	13.77	6	1.73	6	0.01	2
1802	-74	-106	Max	16.87	78.38	2	29.10	6	1.68	6	13.79	6	0.71	6	0.01	2
1802	-74	-106	Min.	2.51	-577.43	2	-12.02	6	-2.50	6	-22.69	6	-1.27	6	-0.01	2
1802	-74	-106	Min.	16.87	-576.41	2	-12.02	6	-0.76	6	-22.67	6	-1.53	6	-0.01	2
1802	-106	-138	Max	2.51	62.09	2	29.61	6	0.83	6	14.14	6	1.47	2	0.01	6
1802	-106	-138	Max	16.87	63.11	2	29.61	6	2.08	6	14.16	6	0.90	6	0.01	6
1802	-106	-138	Min.	2.51	-573.26	2	-12.24	6	-2.18	6	-23.05	6	-1.14	2	-0.01	6
1802	-106	-138	Min.	16.87	-572.24	2	-12.24	6	-0.93	6	-23.02	6	-1.85	6	-0.01	6
1802	-138	-170	Max	2.51	45.22	2	30.19	6	0.79	6	14.37	6	1.41	2	0.01	6
1802	-138	-170	Max	16.87	46.25	2	30.19	6	2.25	6	14.39	6	0.97	6	0.01	6
1802	-138	-170	Min.	2.51	-569.01	2	-12.44	6	-2.09	6	-23.52	6	-1.12	2	-0.01	6
1802	-138	-170	Min.	16.87	-567.99	2	-12.44	6	-0.99	6	-23.49	6	-1.99	6	-0.01	6
1802	-170	-202	Max	2.51	27.33	2	30.79	6	0.77	6	14.59	6	1.39	2	0.01	6
1802	-170	-202	Max	16.87	28.35	2	30.79	6	2.37	6	14.61	6	1.03	6	0.01	6
1802	-170	-202	Min.	2.51	-564.74	2	-12.62	6	-2.05	6	-23.98	6	-1.11	2	-0.01	6
1802	-170	-202	Min.	16.87	-563.72	2	-12.62	6	-1.04	6	-23.96	6	-2.09	6	-0.01	6
1802	-202	-234	Max	2.51	22.38	6	31.40	6	0.75	6	14.80	6	1.36	2	0.01	6
1802	-202	-234	Max	16.87	23.40	6	31.40	6	2.49	6	14.82	6	1.08	6	0.01	6
1802	-202	-234	Min.	2.51	-574.36	6	-12.80	6	-2.02	6	-24.45	6	-1.10	2	-0.01	6
1802	-202	-234	Min.	16.87	-573.34	6	-12.80	6	-1.09	6	-24.43	6	-2.20	6	-0.01	6
1802	-234	-266	Max	2.51	42.19	6	32.03	6	0.73	6	15.01	6	1.34	2	0.01	6
1802	-234	-266	Max	16.87	43.21	6	32.03	6	2.62	6	15.03	6	1.13	6	0.01	6
1802	-234	-266	Min.	2.51	-609.73	6	-12.97	6	-1.98	6	-24.93	6	-1.09	2	-0.01	6
1802	-234	-266	Min.	16.87	-608.71	6	-12.97	6	-1.14	6	-24.91	6	-2.30	6	-0.01	6
1802	-266	-298	Max	2.51	62.64	6	32.67	6	0.70	6	15.21	6	1.31	2	0.01	6
1802	-266	-298	Max	16.87	63.66	6	32.67	6	2.75	6	15.23	6	1.19	6	0.01	6
1802	-266	-298	Min.	2.51	-646.79	6	-13.13	6	-1.94	6	-25.41	6	-1.07	2	-0.01	6
1802	-266	-298	Min.	16.87	-645.77	6	-13.13	6	-1.18	6	-25.39	6	-2.42	6	-0.01	6
1802	-298	-330	Max	2.51	83.74	6	33.32	6	0.67	6	15.41	6	1.27	2	0.01	6
1802	-298	-330	Max	16.87	84.76	6	33.32	6	2.89	6	15.43	6	1.25	6	0.01	6
1802	-298	-330	Min.	2.51	-685.62	6	-13.28	6	-1.89	6	-25.91	6	-1.06	2	-0.01	6
1802	-298	-330	Min.	16.87	-684.60	6	-13.28	6	-1.23	6	-25.88	6	-2.54	6	-0.01	6
1802	-330	-362	Max	2.51	105.53	6	34.00	6	0.64	6	15.61	6	1.23	2	0.01	6
1802	-330	-362	Max	16.87	106.55	6	34.00	6	3.05	6	15.63	6	1.31	6	0.01	6
1802	-330	-362	Min.	2.51	-726.34	6	-13.43	6	-1.84	6	-26.42	6	-1.04	2	-0.02	6
1802	-330	-362	Min.	16.87	-725.32	6	-13.43	6	-1.29	6	-26.39	6	-2.67	6	-0.02	6
1802	-362	-394	Max	2.51	128.04	6	34.72	6	0.61	6	15.80	6	1.18	2	0.01	6
1802	-362	-394	Max	16.87	129.06	6	34.72	6	3.22	6	15.82	6	1.37	6	0.01	6
1802	-362	-394	Min.	2.51	-769.07	6	-13.59	6	-1.77	6	-26.90	6	-1.02	2	-0.02	6
1802	-362	-394	Min.	16.87	-768.05	6	-13.59	6	-1.35	6	-26.88	6	-2.80	6	-0.02	6
1802	-394	-426	Max	2.51	151.31	6	35.27	6	0.56	6	16.02	6	1.13	2	0.01	6
1802	-394	-426	Max	16.87	152.32	6	35.27	6	3.37	6	16.05	6	1.45	6	0.01	6
1802	-394	-426	Min.	2.51	-813.92	6	-13.64	6	-1.69	6	-27.69	6	-0.99	2	-0.02	6
1802	-394	-426	Min.	16.87	-812.90	6	-13.64	6	-1.40	6	-27.67	6	-2.99	6	-0.02	6
1802	-426	-458	Max	2.51	175.32	6	37.31	6	0.52	6	15.98	6	1.05	2	0.01	6
1802	-426	-458	Max	16.87	176.34	6	37.31	6	3.76	6	16.01	6	1.50	6	0.01	6

1802	-426	-458	Min.	2.51	-861.02	6	-14.38	6	-1.60	6	-26.39	6	-0.96	2	-0.02	6
1802	-426	-458	Min.	16.87	-860.00	6	-14.38	6	-1.55	6	-26.36	6	-2.91	6	-0.02	6
1802	-458	-490	Max	2.51	199.79	6	29.25	6	0.39	6	17.81	6	0.95	2	0.01	6
1802	-458	-490	Max	16.87	200.81	6	29.25	6	2.89	6	17.83	6	1.87	6	0.01	6
1802	-458	-490	Min.	2.51	-909.55	6	-10.40	6	-1.31	6	-39.53	6	-0.84	2	-0.02	6
1802	-458	-490	Min.	16.87	-908.53	6	-10.40	6	-1.10	6	-39.50	6	-4.88	6	-0.02	6
1802	-490	1318	Max	2.51	232.99	6	81.36	6	0.36	6	39.31	6	0.09	6	0.01	6
1802	-490	1318	Max	14.38	233.84	6	81.36	6	8.65	6	39.32	6	3.63	6	0.01	6
1802	-490	1318	Min.	2.51	-968.40	6	-34.33	6	-1.01	6	1.71	6	-1.04	6	-0.02	6
1802	-490	1318	Min.	14.38	-967.56	6	-34.33	6	-3.72	6	1.73	6	0.29	6	-0.02	6
1803	315	-2	Max	4.85	0.00	2	0.00	2	0.00	2	0.00	2	0.00	2	0.00	2
1803	315	-2	Min.	4.85	0.00	2	0.00	2	0.00	2	0.00	2	0.00	2	0.00	2
1803	-2	-34	Max	4.85	0.00	2	0.00	2	0.00	2	0.00	2	0.00	2	0.00	2
1803	-2	-34	Min.	4.85	0.00	2	0.00	2	0.00	2	0.00	2	0.00	2	0.00	2
1803	-34	-66	Max	5.01	129.12	2	24.89	6	1.56	6	28.99	6	1.01	6	0.01	6
1803	-34	-66	Max	15.41					0.37	4			0.27	4		
1803	-34	-66	Max	16.87	129.96	2	24.89	6	0.51	6	29.01	6	0.33	6	0.01	6
1803	-34	-66	Min.	5.01	-494.18	2	-13.59	6	-2.54	6	-9.69	6	-3.24	6	-0.00	6
1803	-34	-66	Min.	14.87					-0.26	4			-0.58	4		
1803	-34	-66	Min.	16.87	-493.33	2	-13.59	6	-0.15	6	-9.67	6	-0.27	6	-0.00	6
1803	-66	-98	Max	2.51	135.61	2	24.42	6	1.40	6	26.76	6	0.88	6	0.00	6
1803	-66	-98	Max	16.87	136.63	2	24.42	6	1.64	6	26.79	6	1.55	6	0.00	6
1803	-66	-98	Min.	2.51	-473.36	2	-15.14	6	-1.87	6	-10.83	6	-2.30	6	-0.00	6
1803	-66	-98	Min.	16.87	-472.34	2	-15.14	6	-0.78	6	-10.81	6	-0.68	6	-0.00	6
1803	-98	-130	Max	2.51	143.52	2	24.84	6	1.25	2	27.38	6	0.73	6	0.01	6
1803	-98	-130	Max	16.87	144.54	2	24.84	6	1.98	6	27.40	6	1.92	6	0.01	6
1803	-98	-130	Min.	2.51	-446.89	2	-15.31	6	-1.63	2	-10.89	6	-2.02	6	-0.01	6
1803	-98	-130	Min.	16.87	-445.88	2	-15.31	6	-0.98	6	-10.87	6	-0.83	6	-0.01	6
1803	-130	-162	Max	2.51	151.94	2	25.30	6	1.23	2	27.89	6	0.70	2	0.01	6
1803	-130	-162	Max	16.87	152.96	2	25.30	6	2.12	6	27.91	6	2.08	6	0.01	6
1803	-130	-162	Min.	2.51	-418.31	2	-15.56	6	-1.57	2	-11.07	6	-1.93	2	-0.01	6
1803	-130	-162	Min.	16.87	-417.29	2	-15.56	6	-1.06	6	-11.05	6	-0.89	6	-0.01	6
1803	-162	-194	Max	2.51	160.72	2	25.77	6	1.22	2	28.41	6	0.69	2	0.01	6
1803	-162	-194	Max	16.87	161.74	2	25.77	6	2.23	6	28.44	6	2.20	6	0.01	6
1803	-162	-194	Min.	2.51	-388.37	2	-15.81	6	-1.54	2	-11.23	6	-1.91	2	-0.01	6
1803	-162	-194	Min.	16.87	-387.35	2	-15.81	6	-1.12	6	-11.21	6	-0.94	6	-0.01	6
1803	-194	-226	Max	2.51	169.88	2	26.24	6	1.21	2	28.95	6	0.68	2	0.01	6
1803	-194	-226	Max	16.87	170.90	2	26.24	6	2.33	6	28.97	6	2.31	6	0.01	6
1803	-194	-226	Min.	2.51	-357.19	2	-16.06	6	-1.52	2	-11.39	6	-1.88	2	-0.01	6
1803	-194	-226	Min.	16.87	-356.17	2	-16.06	6	-1.17	6	-11.36	6	-0.98	6	-0.01	6
1803	-226	-258	Max	2.51	188.59	6	26.72	6	1.21	2	29.49	6	0.67	2	0.01	6
1803	-226	-258	Max	16.87	189.61	6	26.72	6	2.44	6	29.52	6	2.43	6	0.01	6
1803	-226	-258	Min.	2.51	-333.88	6	-16.31	6	-1.49	2	-11.53	6	-1.85	2	-0.01	6
1803	-226	-258	Min.	16.87	-332.86	6	-16.31	6	-1.23	6	-11.51	6	-1.03	6	-0.01	6
1803	-258	-290	Max	2.51	241.75	6	27.21	6	1.20	2	30.05	6	0.66	2	0.01	6
1803	-258	-290	Max	16.87	242.77	6	27.21	6	2.55	6	30.08	6	2.56	6	0.01	6
1803	-258	-290	Min.	2.51	-343.24	6	-16.55	6	-1.47	2	-11.67	6	-1.82	2	-0.01	6
1803	-258	-290	Min.	16.87	-342.22	6	-16.55	6	-1.29	6	-11.64	6	-1.07	6	-0.01	6
1803	-290	-322	Max	2.51	297.22	6	27.71	6	1.19	2	30.62	6	0.65	2	0.01	6
1803	-290	-322	Max	16.87	298.24	6	27.71	6	2.67	6	30.65	6	2.69	6	0.01	6
1803	-290	-322	Min.	2.51	-352.98	6	-16.79	6	-1.43	2	-11.80	6	-1.79	2	-0.01	6
1803	-290	-322	Min.	16.87	-351.95	6	-16.79	6	-1.35	6	-11.77	6	-1.12	6	-0.01	6
1803	-322	-354	Max	2.51	355.14	6	28.22	6	1.18	2	31.21	6	0.63	2	0.01	6
1803	-322	-354	Max	16.87	356.17	6	28.22	6	2.80	6	31.24	6	2.84	6	0.01	6
1803	-322	-354	Min.	2.51	-363.10	6	-17.02	6	-1.39	2	-11.92	6	-1.74	2	-0.02	6
1803	-322	-354	Min.	16.87	-362.08	6	-17.02	6	-1.41	6	-11.89	6	-1.17	6	-0.02	6
1803	-354	-386	Max	2.51	415.70	6	28.77	6	1.16	2	31.80	6	0.62	2	0.01	6
1803	-354	-386	Max	16.87	416.72	6	28.77	6	2.95	6	31.83	6	3.00	6	0.01	6
1803	-354	-386	Min.	2.51	-373.62	6	-17.27	6	-1.35	2	-12.01	6	-1.69	2	-0.02	6

1803	-354	-386	Min.	16.87	-372.60	6	-17.27	6	-1.48	6	-11.99	6	-1.23	6	-0.02	6
1803	-386	-418	Max	2.51	479.06	6	29.12	6	1.14	2	32.55	6	0.59	2	0.01	6
1803	-386	-418	Max	16.87	480.08	6	29.12	6	3.07	6	32.58	6	3.19	6	0.01	6
1803	-386	-418	Min.	2.51	-384.54	6	-17.44	6	-1.29	2	-12.24	6	-1.63	2	-0.02	6
1803	-386	-418	Min.	16.87	-383.52	6	-17.44	6	-1.55	6	-12.22	6	-1.30	6	-0.02	6
1803	-418	-450	Max	2.51	545.30	6	31.11	6	1.10	2	32.32	6	0.56	2	0.01	6
1803	-418	-450	Max	16.87	546.32	6	31.11	6	3.45	6	32.35	6	3.27	6	0.01	6
1803	-418	-450	Min.	2.51	-395.88	6	-18.17	6	-1.22	2	-11.48	6	-1.54	2	-0.02	6
1803	-418	-450	Min.	16.87	-394.86	6	-18.17	6	-1.71	6	-11.46	6	-1.25	6	-0.02	6
1803	-450	-482	Max	2.51	613.76	6	21.93	6	1.02	2	39.08	6	0.52	2	0.01	6
1803	-450	-482	Max	16.87	614.78	6	21.93	6	2.40	6	39.10	6	4.41	6	0.01	6
1803	-450	-482	Min.	2.51	-407.45	6	-15.12	6	-1.02	2	-17.42	6	-1.37	2	-0.02	6
1803	-450	-482	Min.	16.87	-406.43	6	-15.12	6	-1.42	6	-17.39	6	-2.15	6	-0.02	6
1803	-482	1298	Max	2.51	690.90	6	79.39	6	0.51	6	23.61	2	0.39	6	0.02	2
1803	-482	1298	Max	14.38	691.74	6	79.39	6	8.66	6	23.63	2	2.18	2	0.02	2
1803	-482	1298	Min.	2.51	-430.87	6	-34.54	6	-0.77	6	-3.56	2	-0.64	6	-0.02	2
1803	-482	1298	Min.	14.38	-430.02	6	-34.54	6	-3.59	6	-3.55	2	-0.05	2	-0.02	2
1804	321	-6	Max	4.85	0.00	2	0.00	2	0.00	2	0.00	2	0.00	2	0.00	2
1804	321	-6	Min.	4.85	0.00	2	0.00	2	0.00	2	0.00	2	0.00	2	0.00	2
1804	-6	-38	Max	4.85	0.00	2	0.00	2	0.00	2	0.00	2	0.00	2	0.00	2
1804	-6	-38	Min.	4.85	0.00	2	0.00	2	0.00	2	0.00	2	0.00	2	0.00	2
1804	-38	-70	Max	5.01	237.61	2	31.55	6	0.69	6	31.91	6	1.13	2	0.02	6
1804	-38	-70	Max	15.25					0.28	4			0.46	4		
1804	-38	-70	Max	16.87	238.46	2	31.55	6	0.43	6	31.93	6	0.52	6	0.02	6
1804	-38	-70	Min.	5.01	-499.53	2	-6.22	6	-3.41	6	-7.34	6	-3.65	2	-0.00	6
1804	-38	-70	Min.	15.25					-0.41	4			-0.46	4		
1804	-38	-70	Min.	16.87	-498.69	2	-6.22	6	-0.14	6	-7.32	6	-0.12	6	-0.00	6
1804	-70	-102	Max	2.51	244.38	2	31.95	6	0.87	2	29.74	6	0.94	2	0.01	6
1804	-70	-102	Max	16.87	245.40	2	31.95	6	1.92	6	29.76	6	1.87	6	0.01	6
1804	-70	-102	Min.	2.51	-470.98	2	-7.40	6	-2.87	2	-8.51	6	-2.53	2	-0.00	6
1804	-70	-102	Min.	16.87	-469.96	2	-7.40	6	-0.39	6	-8.49	6	-0.41	6	-0.00	6
1804	-102	-134	Max	2.51	252.57	2	32.49	6	0.80	2	30.43	6	0.88	2	0.01	2
1804	-102	-134	Max	16.87	253.59	2	32.49	6	2.36	6	30.45	6	2.29	6	0.01	2
1804	-102	-134	Min.	2.51	-434.53	2	-7.45	6	-2.53	2	-8.51	6	-2.27	2	-0.00	2
1804	-102	-134	Min.	16.87	-433.51	2	-7.45	6	-0.49	6	-8.49	6	-0.53	6	-0.00	2
1804	-134	-166	Max	2.51	261.28	2	33.12	6	0.79	2	31.00	6	0.87	2	0.01	2
1804	-134	-166	Max	16.87	262.30	2	33.12	6	2.56	6	31.02	6	2.47	6	0.01	2
1804	-134	-166	Min.	2.51	-395.07	2	-7.53	6	-2.44	2	-8.65	6	-2.18	2	-0.01	2
1804	-134	-166	Min.	16.87	-394.05	2	-7.53	6	-0.53	6	-8.63	6	-0.57	6	-0.01	2
1804	-166	-198	Max	2.51	270.37	2	33.76	6	0.79	2	31.59	6	0.86	2	0.01	2
1804	-166	-198	Max	16.87	271.39	2	33.76	6	2.71	6	31.61	6	2.61	6	0.01	2
1804	-166	-198	Min.	2.51	-353.66	2	-7.59	6	-2.40	2	-8.76	6	-2.14	2	-0.01	2
1804	-166	-198	Min.	16.87	-352.63	2	-7.59	6	-0.56	6	-8.74	6	-0.61	6	-0.01	2
1804	-198	-230	Max	2.51	279.85	2	34.44	6	0.79	2	32.20	6	0.86	2	0.01	2
1804	-198	-230	Max	16.87	280.87	2	34.44	6	2.85	6	32.22	6	2.74	6	0.01	2
1804	-198	-230	Min.	2.51	-310.44	2	-7.66	6	-2.37	2	-8.86	6	-2.11	2	-0.01	2
1804	-198	-230	Min.	16.87	-309.42	2	-7.66	6	-0.58	6	-8.84	6	-0.63	6	-0.01	2
1804	-230	-262	Max	2.51	295.31	6	35.11	6	0.79	2	32.82	6	0.85	2	0.01	2
1804	-230	-262	Max	16.87	296.33	6	35.11	6	3.00	6	32.84	6	2.88	6	0.01	2
1804	-230	-262	Min.	2.51	-270.95	6	-7.69	6	-2.33	2	-8.95	6	-2.07	2	-0.01	2
1804	-230	-262	Min.	16.87	-269.93	6	-7.69	6	-0.60	6	-8.93	6	-0.66	6	-0.01	2
1804	-262	-294	Max	2.51	352.31	6	35.81	6	0.78	2	33.45	6	0.85	2	0.01	2
1804	-262	-294	Max	16.87	353.33	6	35.81	6	3.15	6	33.48	6	3.02	6	0.01	2
1804	-262	-294	Min.	2.51	-270.57	6	-7.72	6	-2.29	2	-9.03	6	-2.03	2	-0.01	2
1804	-262	-294	Min.	16.87	-269.55	6	-7.72	6	-0.63	6	-9.00	6	-0.69	6	-0.01	2
1804	-294	-326	Max	2.51	411.80	6	36.54	6	0.78	2	34.11	6	0.84	2	0.01	2
1804	-294	-326	Max	16.87	412.82	6	36.54	6	3.32	6	34.13	6	3.18	6	0.01	2
1804	-294	-326	Min.	2.51	-270.09	6	-7.75	6	-2.24	2	-9.09	6	-1.98	2	-0.01	2
1804	-294	-326	Min.	16.87	-269.07	6	-7.75	6	-0.65	6	-9.07	6	-0.73	6	-0.01	2

1804	-326	-358	Max	2.51	473.96	6	37.27	6	0.78	2	34.78	6	0.83	2	0.01	2
1804	-326	-358	Max	16.87	474.98	6	37.27	6	3.50	6	34.81	6	3.35	6	0.01	2
1804	-326	-358	Min.	2.51	-269.47	6	-7.74	6	-2.19	2	-9.15	6	-1.93	2	-0.01	2
1804	-326	-358	Min.	16.87	-268.45	6	-7.74	6	-0.67	6	-9.12	6	-0.76	6	-0.01	2
1804	-358	-390	Max	2.51	538.96	6	38.07	6	0.77	2	35.46	6	0.82	2	0.01	2
1804	-358	-390	Max	16.87	539.98	6	38.07	6	3.71	6	35.48	6	3.53	6	0.01	2
1804	-358	-390	Min.	2.51	-268.68	6	-7.74	6	-2.12	2	-9.18	6	-1.86	2	-0.01	2
1804	-358	-390	Min.	16.87	-267.66	6	-7.74	6	-0.70	6	-9.15	6	-0.79	6	-0.01	2
1804	-390	-422	Max	2.51	607.00	6	38.62	6	0.76	2	36.33	6	0.81	2	0.01	2
1804	-390	-422	Max	16.87	608.02	6	38.62	6	3.89	6	36.35	6	3.75	6	0.01	2
1804	-390	-422	Min.	2.51	-267.68	6	-7.68	6	-2.04	2	-9.33	6	-1.78	2	-0.01	2
1804	-390	-422	Min.	16.87	-266.66	6	-7.68	6	-0.72	6	-9.30	6	-0.84	6	-0.01	2
1804	-422	-454	Max	2.51	678.18	6	41.19	6	0.75	2	36.08	6	0.79	2	0.01	2
1804	-422	-454	Max	16.87	679.20	6	41.19	6	4.38	6	36.10	6	3.85	6	0.01	2
1804	-422	-454	Min.	2.51	-266.46	6	-7.91	6	-1.94	2	-8.53	6	-1.67	2	-0.01	2
1804	-422	-454	Min.	16.87	-265.44	6	-7.91	6	-0.79	6	-8.51	6	-0.78	6	-0.01	2
1804	-454	-486	Max	2.51	764.90	6	32.65	2	0.72	2	43.65	6	0.74	2	0.01	2
1804	-454	-486	Max	16.87	765.92	6	32.65	2	3.19	6	43.68	6	5.12	6	0.01	2
1804	-454	-486	Min.	2.51	-277.93	6	-8.47	2	-1.62	2	-14.00	6	-1.47	2	-0.02	2
1804	-454	-486	Min.	16.87	-276.91	6	-8.47	2	-0.61	6	-13.98	6	-1.59	6	-0.02	2
1804	-486	1304	Max	2.51	856.70	6	99.52	6	0.27	2	26.56	2	0.60	2	0.01	2
1804	-486	1304	Max	14.38	857.54	6	99.52	6	10.78	6	26.58	2	2.63	2	0.01	2
1804	-486	1304	Min.	2.51	-297.47	6	-16.11	6	-1.10	2	-4.88	2	-0.52	2	-0.02	2
1804	-486	1304	Min.	14.38	-296.63	6	-16.11	6	-1.71	6	-4.87	2	0.02	2	-0.02	2
1805	324	-8	Max	4.85	0.00	2	0.00	2	0.00	2	0.00	2	0.00	2	0.00	2
1805	324	-8	Min.	4.85	0.00	2	0.00	2	0.00	2	0.00	2	0.00	2	0.00	2
1805	-8	-40	Max	4.85	0.00	2	0.00	2	0.00	2	0.00	2	0.00	2	0.00	2
1805	-8	-40	Min.	4.85	0.00	2	0.00	2	0.00	2	0.00	2	0.00	2	0.00	2
1805	-40	-72	Max	5.01	347.48	2	24.25	6	0.99	6	23.19	6	1.63	2	0.02	6
1805	-40	-72	Max	15.25					0.20	4			0.51	4		
1805	-40	-72	Max	16.87	348.32	2	24.25	6	0.28	6	23.21	6	0.53	6	0.02	6
1805	-40	-72	Min.	5.01	-318.23	2	-9.61	6	-2.69	6	-13.13	6	-2.42	2	-0.01	6
1805	-40	-72	Min.	15.25					-0.39	4			-0.27	4		
1805	-40	-72	Min.	16.87	-317.39	2	-9.61	6	-0.24	6	-13.11	6	-0.12	6	-0.01	6
1805	-72	-104	Max	2.51	348.47	2	25.15	6	0.92	2	22.15	6	1.25	6	0.02	6
1805	-72	-104	Max	16.87	349.49	2	25.15	6	1.43	6	22.18	6	1.51	6	0.02	6
1805	-72	-104	Min.	2.51	-302.23	2	-10.22	6	-2.28	2	-13.42	6	-1.68	6	-0.01	6
1805	-72	-104	Min.	16.87	-301.21	2	-10.22	6	-0.65	6	-13.40	6	-0.67	6	-0.01	6
1805	-104	-136	Max	2.51	349.24	2	25.55	6	0.83	2	22.61	6	1.15	2	0.01	6
1805	-104	-136	Max	16.87	350.26	2	25.55	6	1.79	6	22.64	6	1.81	6	0.01	6
1805	-104	-136	Min.	2.51	-282.02	2	-10.33	6	-2.02	2	-13.60	6	-1.49	2	-0.01	6
1805	-104	-136	Min.	16.87	-281.00	2	-10.33	6	-0.79	6	-13.57	6	-0.86	6	-0.01	6
1805	-136	-168	Max	2.51	349.87	2	26.03	6	0.81	2	23.01	6	1.13	2	0.01	6
1805	-136	-168	Max	16.87	350.88	2	26.03	6	1.94	6	23.03	6	1.95	6	0.01	6
1805	-136	-168	Min.	2.51	-260.28	2	-10.47	6	-1.95	2	-13.84	6	-1.43	2	-0.01	6
1805	-136	-168	Min.	16.87	-259.26	2	-10.47	6	-0.85	6	-13.82	6	-0.93	6	-0.01	6
1805	-168	-200	Max	2.51	350.42	2	26.52	6	0.80	2	23.41	6	1.12	2	0.01	6
1805	-168	-200	Max	16.87	351.44	2	26.52	6	2.06	6	23.44	6	2.05	6	0.01	6
1805	-168	-200	Min.	2.51	-237.55	2	-10.62	6	-1.92	2	-14.07	6	-1.40	2	-0.01	6
1805	-168	-200	Min.	16.87	-236.53	2	-10.62	6	-0.89	6	-14.04	6	-0.99	6	-0.01	6
1805	-200	-232	Max	2.51	350.94	2	27.02	6	0.79	2	23.83	6	1.12	2	0.01	6
1805	-200	-232	Max	16.87	351.96	2	27.02	6	2.17	6	23.85	6	2.15	6	0.01	6
1805	-200	-232	Min.	2.51	-213.94	2	-10.74	6	-1.90	2	-14.29	6	-1.38	2	-0.01	6
1805	-200	-232	Min.	16.87	-212.91	2	-10.74	6	-0.94	6	-14.27	6	-1.04	6	-0.01	6
1805	-232	-264	Max	2.51	370.27	6	27.52	6	0.78	2	24.25	6	1.11	2	0.01	6
1805	-232	-264	Max	16.87	371.29	6	27.52	6	2.29	6	24.28	6	2.26	6	0.01	6
1805	-232	-264	Min.	2.51	-208.26	6	-10.85	6	-1.87	2	-14.52	6	-1.35	2	-0.01	6
1805	-232	-264	Min.	16.87	-207.24	6	-10.85	6	-0.98	6	-14.49	6	-1.09	6	-0.01	6
1805	-264	-296	Max	2.51	412.01	6	28.05	6	0.78	2	24.67	6	1.10	2	0.01	6

1805	-264	-296	Max	16.87	413.03	6	28.05	6	2.41	6	24.69	6	2.36	6	0.01	6
1805	-264	-296	Min.	2.51	-224.04	6	-10.96	6	-1.84	2	-14.72	6	-1.32	2	-0.01	6
1805	-264	-296	Min.	16.87	-223.02	6	-10.96	6	-1.02	6	-14.70	6	-1.15	6	-0.01	6
1805	-296	-328	Max	2.51	455.47	6	28.56	6	0.76	2	25.11	6	1.08	2	0.01	6
1805	-296	-328	Max	16.87	456.50	6	28.56	6	2.54	6	25.13	6	2.48	6	0.01	6
1805	-296	-328	Min.	2.51	-240.53	6	-11.05	6	-1.80	2	-14.94	6	-1.28	2	-0.01	6
1805	-296	-328	Min.	16.87	-239.51	6	-11.05	6	-1.07	6	-14.92	6	-1.21	6	-0.01	6
1805	-328	-360	Max	2.51	500.78	6	29.09	6	0.75	2	25.56	6	1.07	2	0.02	6
1805	-328	-360	Max	16.87	501.80	6	29.09	6	2.68	6	25.58	6	2.60	6	0.02	6
1805	-328	-360	Min.	2.51	-257.77	6	-11.13	6	-1.76	2	-15.15	6	-1.24	2	-0.01	6
1805	-328	-360	Min.	16.87	-256.75	6	-11.13	6	-1.12	6	-15.12	6	-1.27	6	-0.01	6
1805	-360	-392	Max	2.51	548.03	6	29.69	6	0.73	2	25.97	6	1.05	2	0.02	6
1805	-360	-392	Max	16.87	549.05	6	29.69	6	2.84	6	26.00	6	2.73	6	0.02	6
1805	-360	-392	Min.	2.51	-275.77	6	-11.23	6	-1.71	2	-15.33	6	-1.19	2	-0.01	6
1805	-360	-392	Min.	16.87	-274.75	6	-11.23	6	-1.17	6	-15.30	6	-1.34	6	-0.01	6
1805	-392	-424	Max	2.51	597.34	6	30.09	6	0.71	2	26.57	6	1.03	2	0.02	6
1805	-392	-424	Max	16.87	598.36	6	30.09	6	2.99	6	26.59	6	2.90	6	0.02	6
1805	-392	-424	Min.	2.51	-294.57	6	-11.23	6	-1.65	2	-15.63	6	-1.13	2	-0.01	6
1805	-392	-424	Min.	16.87	-293.55	6	-11.23	6	-1.22	6	-15.60	6	-1.42	6	-0.01	6
1805	-424	-456	Max	2.51	648.83	6	31.95	6	0.69	2	26.08	6	0.99	2	0.02	6
1805	-424	-456	Max	16.87	649.85	6	31.95	6	3.37	6	26.10	6	2.93	6	0.02	6
1805	-424	-456	Min.	2.51	-314.19	6	-11.88	6	-1.57	2	-15.12	6	-1.05	2	-0.01	6
1805	-424	-456	Min.	16.87	-313.17	6	-11.88	6	-1.36	6	-15.10	6	-1.41	6	-0.01	6
1805	-456	-488	Max	2.51	702.07	6	25.15	2	0.62	2	33.43	6	0.91	2	0.01	2
1805	-456	-488	Max	16.87	703.09	6	25.15	2	2.47	6	33.45	6	4.11	6	0.01	2
1805	-456	-488	Min.	2.51	-334.34	6	-9.30	2	-1.34	2	-20.25	6	-0.92	2	-0.01	2
1805	-456	-488	Min.	16.87	-333.32	6	-9.30	2	-0.91	6	-20.22	6	-2.22	6	-0.01	2
1805	-488	1307	Max	2.51	758.20	6	76.23	6	0.30	2	16.35	2	0.75	6	0.02	2
1805	-488	1307	Max	14.38	759.04	6	76.23	6	8.25	6	16.37	2	1.59	2	0.02	2
1805	-488	1307	Min.	2.51	-357.58	6	-31.92	6	-0.84	2	-14.44	2	-0.39	6	-0.02	2
1805	-488	1307	Min.	14.38	-356.74	6	-31.92	6	-3.53	6	-14.43	2	-1.00	2	-0.02	2
1830	351	-18	Max	4.85	0.00	2	0.00	2	0.00	2	0.00	2	0.00	2	0.00	2
1830	351	-18	Min.	4.85	0.00	2	0.00	2	0.00	2	0.00	2	0.00	2	0.00	2
1830	-18	-50	Max	4.85	0.00	2	0.00	2	0.00	2	0.00	2	0.00	2	0.00	2
1830	-18	-50	Min.	4.85	0.00	2	0.00	2	0.00	2	0.00	2	0.00	2	0.00	2
1830	-50	-82	Max	5.01	88.38	2	11.85	6	2.88	6	15.47	6	2.08	2	0.01	2
1830	-50	-82	Max	16.87	89.23	2	11.85	6	0.27	6	15.49	6	0.14	6	0.01	2
1830	-50	-82	Min.	5.01	-581.25	2	-26.38	6	-1.25	6	-19.96	6	-1.91	2	-0.02	2
1830	-50	-82	Min.	16.87	-580.41	2	-26.38	6	-0.36	6	-19.94	6	-0.51	6	-0.02	2
1830	-82	-114	Max	2.51	77.11	2	11.66	6	2.45	6	13.57	6	1.68	6	0.01	2
1830	-82	-114	Max	16.87	78.13	2	11.66	6	0.74	6	13.59	6	0.70	6	0.01	2
1830	-82	-114	Min.	2.51	-577.53	2	-28.42	6	-0.94	6	-21.93	6	-1.25	6	-0.01	2
1830	-82	-114	Min.	16.87	-576.51	2	-28.42	6	-1.63	6	-21.91	6	-1.47	6	-0.01	2
1830	-114	-146	Max	2.51	61.87	2	11.84	6	2.12	6	13.91	6	1.45	2	0.01	2
1830	-114	-146	Max	16.87	62.90	2	11.84	6	0.90	6	13.94	6	0.88	6	0.01	2
1830	-114	-146	Min.	2.51	-573.34	2	-28.80	6	-0.80	6	-22.13	6	-1.18	2	-0.01	2
1830	-114	-146	Min.	16.87	-572.32	2	-28.80	6	-2.02	6	-22.10	6	-1.78	6	-0.01	2
1830	-146	-178	Max	2.51	45.06	2	12.01	6	2.03	6	14.12	6	1.40	2	0.01	6
1830	-146	-178	Max	16.87	46.08	2	12.01	6	0.96	6	14.14	6	0.96	6	0.01	6
1830	-146	-178	Min.	2.51	-569.05	2	-29.37	6	-0.76	6	-22.56	6	-1.15	2	-0.01	6
1830	-146	-178	Min.	16.87	-568.03	2	-29.37	6	-2.19	6	-22.54	6	-1.92	6	-0.01	6
1830	-178	-210	Max	2.51	27.21	2	12.18	6	1.99	6	14.34	6	1.37	2	0.01	6
1830	-178	-210	Max	16.87	28.24	2	12.18	6	1.01	6	14.36	6	1.01	6	0.01	6
1830	-178	-210	Min.	2.51	-564.74	2	-29.92	6	-0.74	6	-22.97	6	-1.14	2	-0.01	6
1830	-178	-210	Min.	16.87	-563.72	2	-29.92	6	-2.31	6	-22.95	6	-2.02	6	-0.01	6
1830	-210	-242	Max	2.51	22.33	6	12.34	6	1.95	6	14.54	6	1.35	2	0.01	6
1830	-210	-242	Max	16.87	23.35	6	12.34	6	1.06	6	14.56	6	1.06	6	0.01	6
1830	-210	-242	Min.	2.51	-574.34	6	-30.50	6	-0.72	6	-23.40	6	-1.13	2	-0.01	6
1830	-210	-242	Min.	16.87	-573.32	6	-30.50	6	-2.43	6	-23.37	6	-2.12	6	-0.01	6

1830	-242	-274	Max	2.51	42.19	6	12.50	6	1.92	6	14.74	6	1.32	2	0.01	6
1830	-242	-274	Max	16.87	43.21	6	12.50	6	1.10	6	14.76	6	1.11	6	0.01	6
1830	-242	-274	Min.	2.51	-609.66	6	-31.10	6	-0.69	6	-23.85	6	-1.13	2	-0.01	6
1830	-242	-274	Min.	16.87	-608.64	6	-31.10	6	-2.55	6	-23.82	6	-2.22	6	-0.01	6
1830	-274	-306	Max	2.51	62.69	6	12.65	6	1.87	6	14.93	6	1.29	2	0.01	6
1830	-274	-306	Max	16.87	63.72	6	12.65	6	1.15	6	14.96	6	1.17	6	0.01	6
1830	-274	-306	Min.	2.51	-646.67	6	-31.71	6	-0.67	6	-24.28	6	-1.11	2	-0.01	6
1830	-274	-306	Min.	16.87	-645.65	6	-31.71	6	-2.68	6	-24.26	6	-2.33	6	-0.01	6
1830	-306	-338	Max	2.51	83.86	6	12.78	6	1.82	6	15.12	6	1.25	2	0.01	6
1830	-306	-338	Max	16.87	84.88	6	12.78	6	1.20	6	15.14	6	1.22	6	0.01	6
1830	-306	-338	Min.	2.51	-685.46	6	-32.31	6	-0.64	6	-24.70	6	-1.10	2	-0.01	6
1830	-306	-338	Min.	16.87	-684.44	6	-32.31	6	-2.82	6	-24.68	6	-2.45	6	-0.01	6
1830	-338	-370	Max	2.51	105.70	6	12.91	6	1.76	6	15.31	6	1.21	2	0.01	6
1830	-338	-370	Max	16.87	106.72	6	12.91	6	1.25	6	15.33	6	1.29	6	0.01	6
1830	-338	-370	Min.	2.51	-726.13	6	-32.96	6	-0.61	6	-25.18	6	-1.08	2	-0.01	6
1830	-338	-370	Min.	16.87	-725.11	6	-32.96	6	-2.97	6	-25.16	6	-2.58	6	-0.01	6
1830	-370	-402	Max	2.51	128.28	6	13.05	6	1.69	6	15.49	6	1.16	2	0.02	6
1830	-370	-402	Max	16.87	129.29	6	13.05	6	1.31	6	15.51	6	1.35	6	0.02	6
1830	-370	-402	Min.	2.51	-768.80	6	-33.63	6	-0.57	6	-25.59	6	-1.06	2	-0.01	6
1830	-370	-402	Min.	16.87	-767.78	6	-33.63	6	-3.14	6	-25.57	6	-2.70	6	-0.01	6
1830	-402	-434	Max	2.51	151.60	6	13.09	6	1.61	6	15.70	6	1.10	2	0.02	6
1830	-402	-434	Max	16.87	152.62	6	13.09	6	1.36	6	15.73	6	1.43	6	0.02	6
1830	-402	-434	Min.	2.51	-813.60	6	-34.14	6	-0.53	6	-26.33	6	-1.04	2	-0.01	6
1830	-402	-434	Min.	16.87	-812.58	6	-34.14	6	-3.29	6	-26.31	6	-2.89	6	-0.01	6
1830	-434	-466	Max	2.51	175.69	6	13.82	6	1.51	6	15.66	6	1.02	2	0.02	6
1830	-434	-466	Max	16.87	176.71	6	13.82	6	1.51	6	15.68	6	1.48	6	0.02	6
1830	-434	-466	Min.	2.51	-860.63	6	-36.14	6	-0.48	6	-24.97	6	-1.01	2	-0.01	6
1830	-434	-466	Min.	16.87	-859.61	6	-36.14	6	-3.68	6	-24.95	6	-2.80	6	-0.01	6
1830	-466	-498	Max	2.51	200.32	6	9.80	6	1.26	2	17.45	6	0.93	2	0.02	6
1830	-466	-498	Max	16.87	201.34	6	9.80	6	1.06	6	17.48	6	1.84	6	0.02	6
1830	-466	-498	Min.	2.51	-909.30	6	-27.99	6	-0.40	2	-38.01	6	-0.89	2	-0.01	6
1830	-466	-498	Min.	16.87	-908.28	6	-27.99	6	-2.82	6	-37.99	6	-4.75	6	-0.01	6
1830	-498	1330	Max	2.51	233.38	6	33.95	6	0.96	6	40.19	6	0.13	6	0.02	6
1830	-498	1330	Max	14.38	234.23	6	33.95	6	3.70	6	40.21	6	3.62	6	0.02	6
1830	-498	1330	Min.	2.51	-967.66	6	-80.61	6	-0.33	6	1.38	6	-1.15	6	-0.01	6
1830	-498	1330	Min.	14.38	-966.82	6	-80.61	6	-8.61	6	1.40	6	0.30	6	-0.01	6
1831	357	-22	Max	4.85	0.00	2	0.00	2	0.00	2	0.00	2	0.00	2	0.00	2
1831	357	-22	Min.	4.85	0.00	2	0.00	2	0.00	2	0.00	2	0.00	2	0.00	2
1831	-22	-54	Max	4.85	0.00	2	0.00	2	0.00	2	0.00	2	0.00	2	0.00	2
1831	-22	-54	Min.	4.85	0.00	2	0.00	2	0.00	2	0.00	2	0.00	2	0.00	2
1831	-54	-86	Max	5.01	194.63	2	7.98	6	2.86	6	9.15	6	3.48	2	0.01	2
1831	-54	-86	Max	16.87	195.47	2	7.98	6	0.11	6	9.16	6	0.17	6	0.01	2
1831	-54	-86	Min.	5.01	-556.78	2	-27.34	6	-0.95	6	-30.27	6	-1.28	2	-0.02	2
1831	-54	-86	Min.	16.87	-555.94	2	-27.34	6	-0.51	6	-30.25	6	-0.46	6	-0.02	2
1831	-86	-118	Max	2.51	168.44	2	8.12	6	2.44	2	6.96	6	2.77	2	0.01	2
1831	-86	-118	Max	16.87	169.46	2	8.12	6	0.40	6	6.99	6	0.39	6	0.01	2
1831	-86	-118	Min.	2.51	-562.07	2	-28.91	6	-0.86	2	-32.10	6	-0.70	2	-0.02	2
1831	-86	-118	Min.	16.87	-561.05	2	-28.91	6	-1.80	6	-32.08	6	-1.92	6	-0.02	2
1831	-118	-150	Max	2.51	133.86	2	8.23	6	2.13	2	7.22	6	2.44	2	0.01	2
1831	-118	-150	Max	16.87	134.88	2	8.23	6	0.51	6	7.24	6	0.48	6	0.01	2
1831	-118	-150	Min.	2.51	-569.55	2	-29.33	6	-0.80	2	-32.49	6	-0.70	2	-0.01	2
1831	-118	-150	Min.	16.87	-568.53	2	-29.33	6	-2.21	6	-32.47	6	-2.36	6	-0.01	2
1831	-150	-182	Max	2.51	95.95	2	8.33	6	2.05	2	7.27	6	2.36	2	0.01	2
1831	-150	-182	Max	16.87	96.97	2	8.33	6	0.55	6	7.29	6	0.52	6	0.01	2
1831	-150	-182	Min.	2.51	-577.97	2	-29.89	6	-0.79	2	-33.17	6	-0.68	2	-0.01	2
1831	-150	-182	Min.	16.87	-576.94	2	-29.89	6	-2.39	6	-33.15	6	-2.56	6	-0.01	2
1831	-182	-214	Max	2.51	55.85	2	8.42	6	2.01	2	7.33	6	2.32	2	0.01	2
1831	-182	-214	Max	16.87	56.87	2	8.42	6	0.58	6	7.35	6	0.54	6	0.01	2
1831	-182	-214	Min.	2.51	-587.08	2	-30.45	6	-0.78	2	-33.84	6	-0.68	2	-0.01	2

1831	-182	-214	Min.	16.87	-586.06	2	-30.45	6	-2.52	6	-33.81	6	-2.71	6	-0.01	2
1831	-214	-246	Max	2.51	13.72	2	8.50	6	1.97	2	7.37	6	2.29	2	0.01	2
1831	-214	-246	Max	16.87	14.74	2	8.50	6	0.61	6	7.39	6	0.56	6	0.01	2
1831	-214	-246	Min.	2.51	-596.85	2	-31.04	6	-0.78	2	-34.52	6	-0.68	2	-0.01	2
1831	-214	-246	Min.	16.87	-595.83	2	-31.04	6	-2.65	6	-34.49	6	-2.85	6	-0.01	2
1831	-246	-278	Max	2.51	-3.24	6	8.57	6	1.93	2	7.39	6	2.25	2	0.01	2
1831	-246	-278	Max	16.87	-2.22	6	8.57	6	0.64	6	7.42	6	0.58	6	0.01	2
1831	-246	-278	Min.	2.51	-634.59	6	-31.65	6	-0.77	2	-35.24	6	-0.67	2	-0.01	2
1831	-246	-278	Min.	16.87	-633.57	6	-31.65	6	-2.79	6	-35.22	6	-3.00	6	-0.01	2
1831	-278	-310	Max	2.51	-2.56	6	8.62	6	1.89	2	7.41	6	2.21	2	0.01	2
1831	-278	-310	Max	16.87	-1.54	6	8.62	6	0.67	6	7.43	6	0.60	6	0.01	2
1831	-278	-310	Min.	2.51	-692.95	6	-32.26	6	-0.77	2	-35.96	6	-0.67	2	-0.01	2
1831	-278	-310	Min.	16.87	-691.93	6	-32.26	6	-2.94	6	-35.94	6	-3.16	6	-0.01	2
1831	-310	-342	Max	2.51	-2.23	6	8.66	6	1.84	2	7.41	6	2.16	2	0.01	2
1831	-310	-342	Max	16.87	-1.21	6	8.66	6	0.69	6	7.43	6	0.63	6	0.01	2
1831	-310	-342	Min.	2.51	-754.17	6	-32.87	6	-0.76	2	-36.67	6	-0.66	2	-0.01	2
1831	-310	-342	Min.	16.87	-753.15	6	-32.87	6	-3.09	6	-36.65	6	-3.33	6	-0.01	2
1831	-342	-374	Max	2.51	-2.28	6	8.69	6	1.78	2	7.39	6	2.10	2	0.01	2
1831	-342	-374	Max	16.87	-1.26	6	8.69	6	0.73	6	7.41	6	0.65	6	0.01	2
1831	-342	-374	Min.	2.51	-818.41	6	-33.53	6	-0.74	2	-37.47	6	-0.65	2	-0.01	2
1831	-342	-374	Min.	16.87	-817.39	6	-33.53	6	-3.26	6	-37.45	6	-3.52	6	-0.01	2
1831	-374	-406	Max	2.51	-2.78	6	8.72	6	1.71	2	7.37	6	2.04	2	0.01	2
1831	-374	-406	Max	16.87	-1.76	6	8.72	6	0.76	6	7.40	6	0.67	6	0.01	2
1831	-374	-406	Min.	2.51	-885.91	6	-34.22	6	-0.73	2	-38.20	6	-0.65	2	-0.01	2
1831	-374	-406	Min.	16.87	-884.89	6	-34.22	6	-3.44	6	-38.18	6	-3.71	6	-0.01	2
1831	-406	-438	Max	2.51	-3.76	6	8.69	6	1.62	2	7.29	6	1.96	2	0.01	2
1831	-406	-438	Max	16.87	-2.73	6	8.69	6	0.79	6	7.31	6	0.69	6	0.01	2
1831	-406	-438	Min.	2.51	-956.88	6	-34.66	6	-0.71	2	-39.40	6	-0.63	2	-0.01	2
1831	-406	-438	Min.	16.87	-955.86	6	-34.66	6	-3.61	6	-39.37	6	-3.97	6	-0.01	2
1831	-438	-470	Max	2.51	-5.27	6	8.95	6	1.52	2	7.53	6	1.83	2	0.01	2
1831	-438	-470	Max	16.87	-4.24	6	8.95	6	0.87	6	7.55	6	0.76	6	0.01	2
1831	-438	-470	Min.	2.51	-1031.46	6	-37.11	6	-0.69	2	-37.79	6	-0.62	2	-0.01	2
1831	-438	-470	Min.	16.87	-1030.44	6	-37.11	6	-4.08	6	-37.77	6	-3.89	6	-0.01	2
1831	-470	-502	Max	2.51	3.07	6	7.49	2	1.23	2	5.55	6	1.68	2	0.01	2
1831	-470	-502	Max	16.87	4.10	6	7.49	2	0.69	6	5.57	6	0.55	6	0.01	2
1831	-470	-502	Min.	2.51	-1118.81	6	-26.61	2	-0.66	2	-55.08	6	-0.52	2	-0.00	2
1831	-470	-502	Min.	16.87	-1117.79	6	-26.61	2	-2.87	6	-55.06	6	-6.50	6	-0.00	2
1831	-502	1336	Max	2.51	21.22	6	17.65	6	0.90	6	46.18	6	0.06	6	0.01	6
1831	-502	1336	Max	14.38	22.06	6	17.65	6	1.87	6	46.20	6	4.30	6	0.01	6
1831	-502	1336	Min.	2.51	-1214.60	6	-94.70	6	-0.22	6	8.38	6	-1.18	6	-0.00	6
1831	-502	1336	Min.	14.38	-1213.76	6	-94.70	6	-10.34	6	8.39	6	1.05	6	-0.00	6
1832	375	-26	Max	4.85	0.00	2	0.00	2	0.00	2	0.00	2	0.00	2	0.00	2
1832	375	-26	Min.	4.85	0.00	2	0.00	2	0.00	2	0.00	2	0.00	2	0.00	2
1832	-26	-58	Max	4.85	0.00	2	0.00	2	0.00	2	0.00	2	0.00	2	0.00	2
1832	-26	-58	Min.	4.85	0.00	2	0.00	2	0.00	2	0.00	2	0.00	2	0.00	2
1832	-58	-90	Max	5.01	128.15	2	13.75	6	2.55	6	29.44	6	1.02	6	0.00	6
1832	-58	-90	Max	15.17					0.22	4			0.29	4		
1832	-58	-90	Max	16.87	128.99	2	13.75	6	0.17	6	29.46	6	0.37	6	0.00	6
1832	-58	-90	Min.	5.01	-493.13	2	-25.36	6	-1.57	6	-9.90	6	-3.26	6	-0.01	6
1832	-58	-90	Min.	15.17					-0.42	4			-0.54	4		
1832	-58	-90	Min.	16.87	-492.29	2	-25.36	6	-0.56	6	-9.89	6	-0.29	6	-0.01	6
1832	-90	-122	Max	2.51	134.70	2	15.31	6	1.91	6	27.33	6	0.89	6	0.00	2
1832	-90	-122	Max	16.87	135.72	2	15.31	6	0.79	6	27.35	6	1.59	6	0.00	2
1832	-90	-122	Min.	2.51	-472.35	2	-25.01	6	-1.41	6	-11.08	6	-2.33	6	-0.00	2
1832	-90	-122	Min.	16.87	-471.33	2	-25.01	6	-1.69	6	-11.06	6	-0.70	6	-0.00	2
1832	-122	-154	Max	2.51	142.69	2	15.53	6	1.64	6	28.04	6	0.76	6	0.01	6
1832	-122	-154	Max	16.87	143.71	2	15.53	6	1.00	6	28.07	6	1.97	6	0.01	6
1832	-122	-154	Min.	2.51	-445.97	2	-25.56	6	-1.24	6	-11.20	6	-2.06	6	-0.01	6
1832	-122	-154	Min.	16.87	-444.94	2	-25.56	6	-2.03	6	-11.18	6	-0.85	6	-0.01	6

1832	-154	-186	Max	2.51	151.19	2	15.77	6	1.58	2	28.60	6	0.72	6	0.01	6
1832	-154	-186	Max	16.87	152.22	2	15.77	6	1.08	6	28.62	6	2.13	6	0.01	6
1832	-154	-186	Min.	2.51	-417.48	2	-26.06	6	-1.20	2	-11.39	6	-1.98	6	-0.01	6
1832	-154	-186	Min.	16.87	-416.46	2	-26.06	6	-2.18	6	-11.37	6	-0.92	6	-0.01	6
1832	-186	-218	Max	2.51	160.08	2	16.05	6	1.56	2	29.15	6	0.70	6	0.01	6
1832	-186	-218	Max	16.87	161.10	2	16.05	6	1.14	6	29.17	6	2.25	6	0.01	6
1832	-186	-218	Min.	2.51	-387.63	2	-26.56	6	-1.20	2	-11.57	6	-1.94	6	-0.01	6
1832	-186	-218	Min.	16.87	-386.61	2	-26.56	6	-2.29	6	-11.55	6	-0.96	6	-0.01	6
1832	-218	-250	Max	2.51	169.34	2	16.30	6	1.53	2	29.71	6	0.68	6	0.01	6
1832	-218	-250	Max	16.87	170.36	2	16.30	6	1.19	6	29.74	6	2.37	6	0.01	6
1832	-218	-250	Min.	2.51	-356.56	2	-27.07	6	-1.19	2	-11.74	6	-1.90	6	-0.01	6
1832	-218	-250	Min.	16.87	-355.54	2	-27.07	6	-2.39	6	-11.71	6	-1.01	6	-0.01	6
1832	-250	-282	Max	2.51	188.48	6	16.55	6	1.51	2	30.31	6	0.65	6	0.01	6
1832	-250	-282	Max	16.87	189.50	6	16.55	6	1.25	6	30.33	6	2.49	6	0.01	6
1832	-250	-282	Min.	2.51	-333.69	6	-27.60	6	-1.18	2	-11.90	6	-1.87	6	-0.01	6
1832	-250	-282	Min.	16.87	-332.67	6	-27.60	6	-2.50	6	-11.88	6	-1.05	6	-0.01	6
1832	-282	-314	Max	2.51	241.68	6	16.80	6	1.48	2	30.90	6	0.63	6	0.01	6
1832	-282	-314	Max	16.87	242.70	6	16.80	6	1.31	6	30.92	6	2.62	6	0.01	6
1832	-282	-314	Min.	2.51	-343.08	6	-28.13	6	-1.17	2	-12.05	6	-1.82	6	-0.01	6
1832	-282	-314	Min.	16.87	-342.06	6	-28.13	6	-2.62	6	-12.03	6	-1.10	6	-0.01	6
1832	-314	-346	Max	2.51	297.18	6	17.04	6	1.45	2	31.49	6	0.61	2	0.01	6
1832	-314	-346	Max	16.87	298.20	6	17.04	6	1.37	6	31.51	6	2.76	6	0.01	6
1832	-314	-346	Min.	2.51	-352.86	6	-28.66	6	-1.16	2	-12.18	6	-1.78	2	-0.01	6
1832	-314	-346	Min.	16.87	-351.83	6	-28.66	6	-2.74	6	-12.16	6	-1.15	6	-0.01	6
1832	-346	-378	Max	2.51	355.14	6	17.28	6	1.41	2	32.13	6	0.59	2	0.01	6
1832	-346	-378	Max	16.87	356.16	6	17.28	6	1.43	6	32.15	6	2.91	6	0.01	6
1832	-346	-378	Min.	2.51	-363.01	6	-29.22	6	-1.14	2	-12.32	6	-1.73	2	-0.01	6
1832	-346	-378	Min.	16.87	-361.99	6	-29.22	6	-2.88	6	-12.30	6	-1.20	6	-0.01	6
1832	-378	-410	Max	2.51	415.73	6	17.55	6	1.37	2	32.76	6	0.57	2	0.02	6
1832	-378	-410	Max	16.87	416.75	6	17.55	6	1.50	6	32.78	6	3.07	6	0.02	6
1832	-378	-410	Min.	2.51	-373.57	6	-29.82	6	-1.12	2	-12.44	6	-1.68	2	-0.01	6
1832	-378	-410	Min.	16.87	-372.55	6	-29.82	6	-3.02	6	-12.42	6	-1.26	6	-0.01	6
1832	-410	-442	Max	2.51	479.11	6	17.72	6	1.32	2	33.56	6	0.55	2	0.02	6
1832	-410	-442	Max	16.87	480.13	6	17.72	6	1.57	6	33.58	6	3.26	6	0.02	6
1832	-410	-442	Min.	2.51	-384.52	6	-30.21	6	-1.10	2	-12.68	6	-1.62	2	-0.01	6
1832	-410	-442	Min.	16.87	-383.50	6	-30.21	6	-3.15	6	-12.65	6	-1.33	6	-0.01	6
1832	-442	-474	Max	2.51	545.39	6	18.45	6	1.25	2	33.36	6	0.52	2	0.02	6
1832	-442	-474	Max	16.87	546.41	6	18.45	6	1.73	6	33.38	6	3.35	6	0.02	6
1832	-442	-474	Min.	2.51	-395.90	6	-32.24	6	-1.06	2	-11.94	6	-1.54	2	-0.01	6
1832	-442	-474	Min.	16.87	-394.88	6	-32.24	6	-3.53	6	-11.92	6	-1.29	6	-0.01	6
1832	-474	-506	Max	2.51	613.67	6	15.42	6	1.04	2	40.21	6	0.47	2	0.02	6
1832	-474	-506	Max	16.87	614.69	6	15.42	6	1.44	6	40.23	6	4.51	6	0.02	6
1832	-474	-506	Min.	2.51	-407.44	6	-23.17	6	-0.98	2	-17.90	6	-1.36	2	-0.01	6
1832	-474	-506	Min.	16.87	-406.42	6	-23.17	6	-2.49	6	-17.87	6	-2.19	6	-0.01	6
1832	-506	1350	Max	2.51	691.00	6	34.75	6	0.83	6	23.28	2	0.29	2	0.02	2
1832	-506	1350	Max	14.38	691.84	6	34.75	6	3.61	6	23.30	2	2.17	2	0.02	2
1832	-506	1350	Min.	2.51	-430.74	6	-79.91	6	-0.52	6	-2.91	2	-0.59	2	-0.02	2
1832	-506	1350	Min.	14.38	-429.90	6	-79.91	6	-8.66	6	-2.89	2	-0.05	2	-0.02	2
1833	384	-32	Max	4.85	0.00	2	0.00	2	0.00	2	0.00	2	0.00	2	0.00	2
1833	384	-32	Min.	4.85	0.00	2	0.00	2	0.00	2	0.00	2	0.00	2	0.00	2
1833	-32	-64	Max	4.85	0.00	2	0.00	2	0.00	2	0.00	2	0.00	2	0.00	2
1833	-32	-64	Min.	4.85	0.00	2	0.00	2	0.00	2	0.00	2	0.00	2	0.00	2
1833	-64	-96	Max	5.01	347.46	2	9.79	6	2.71	6	23.69	6	1.61	2	0.01	6
1833	-64	-96	Max	16.87	348.30	2	9.79	6	0.26	6	23.71	6	0.58	6	0.01	6
1833	-64	-96	Min.	5.01	-318.13	2	-24.69	6	-1.00	6	-13.22	6	-2.42	2	-0.02	6
1833	-64	-96	Min.	16.87	-317.29	2	-24.69	6	-0.32	6	-13.20	6	-0.14	6	-0.02	6
1833	-96	-128	Max	2.51	348.45	2	10.43	6	2.27	2	22.76	6	1.26	6	0.01	6
1833	-96	-128	Max	16.87	349.47	2	10.43	6	0.66	6	22.78	6	1.55	6	0.01	6
1833	-96	-128	Min.	2.51	-302.09	2	-25.67	6	-0.89	2	-13.52	6	-1.72	6	-0.02	6

1833	-96	-128	Min.	16.87	-301.07	2	-25.67	6	-1.47	6	-13.50	6	-0.68	6	-0.02	6
1833	-128	-160	Max	2.51	349.23	2	10.58	6	2.01	2	23.33	6	1.11	2	0.01	6
1833	-128	-160	Max	16.87	350.25	2	10.58	6	0.81	6	23.36	6	1.87	6	0.01	6
1833	-128	-160	Min.	2.51	-281.86	2	-26.17	6	-0.79	2	-13.72	6	-1.49	2	-0.01	6
1833	-128	-160	Min.	16.87	-280.83	2	-26.17	6	-1.83	6	-13.70	6	-0.87	6	-0.01	6
1833	-160	-192	Max	2.51	349.88	2	10.74	6	1.94	2	23.77	6	1.09	2	0.01	6
1833	-160	-192	Max	16.87	350.90	2	10.74	6	0.87	6	23.79	6	2.01	6	0.01	6
1833	-160	-192	Min.	2.51	-260.08	2	-26.68	6	-0.77	2	-13.97	6	-1.44	2	-0.01	6
1833	-160	-192	Min.	16.87	-259.06	2	-26.68	6	-1.99	6	-13.95	6	-0.94	6	-0.01	6
1833	-192	-224	Max	2.51	350.45	2	10.90	6	1.91	2	24.21	6	1.08	2	0.01	6
1833	-192	-224	Max	16.87	351.48	2	10.90	6	0.91	6	24.23	6	2.11	6	0.01	6
1833	-192	-224	Min.	2.51	-237.32	2	-27.21	6	-0.76	2	-14.20	6	-1.41	2	-0.01	6
1833	-192	-224	Min.	16.87	-236.30	2	-27.21	6	-2.11	6	-14.17	6	-1.00	6	-0.01	6
1833	-224	-256	Max	2.51	351.00	2	11.03	6	1.89	2	24.65	6	1.07	2	0.01	6
1833	-224	-256	Max	16.87	352.02	2	11.03	6	0.96	6	24.67	6	2.21	6	0.01	6
1833	-224	-256	Min.	2.51	-213.68	2	-27.73	6	-0.75	2	-14.42	6	-1.38	2	-0.01	6
1833	-224	-256	Min.	16.87	-212.66	2	-27.73	6	-2.22	6	-14.40	6	-1.05	6	-0.01	6
1833	-256	-288	Max	2.51	370.45	6	11.15	6	1.86	2	25.13	6	1.06	2	0.01	6
1833	-256	-288	Max	16.87	371.48	6	11.15	6	1.00	6	25.15	6	2.32	6	0.01	6
1833	-256	-288	Min.	2.51	-208.06	6	-28.27	6	-0.74	2	-14.66	6	-1.35	2	-0.01	6
1833	-256	-288	Min.	16.87	-207.04	6	-28.27	6	-2.34	6	-14.63	6	-1.10	6	-0.01	6
1833	-288	-320	Max	2.51	412.23	6	11.28	6	1.83	2	25.58	6	1.05	2	0.01	6
1833	-288	-320	Max	16.87	413.25	6	11.28	6	1.05	6	25.60	6	2.43	6	0.01	6
1833	-288	-320	Min.	2.51	-223.81	6	-28.83	6	-0.73	2	-14.86	6	-1.32	2	-0.01	6
1833	-288	-320	Min.	16.87	-222.79	6	-28.83	6	-2.47	6	-14.84	6	-1.16	6	-0.01	6
1833	-320	-352	Max	2.51	455.73	6	11.37	6	1.80	2	26.04	6	1.03	2	0.01	6
1833	-320	-352	Max	16.87	456.75	6	11.37	6	1.09	6	26.06	6	2.55	6	0.01	6
1833	-320	-352	Min.	2.51	-240.27	6	-29.36	6	-0.72	2	-15.08	6	-1.28	2	-0.01	6
1833	-320	-352	Min.	16.87	-239.25	6	-29.36	6	-2.60	6	-15.05	6	-1.22	6	-0.01	6
1833	-352	-384	Max	2.51	501.06	6	11.47	6	1.75	2	26.53	6	1.02	2	0.01	6
1833	-352	-384	Max	16.87	502.09	6	11.47	6	1.14	6	26.56	6	2.68	6	0.01	6
1833	-352	-384	Min.	2.51	-257.47	6	-29.94	6	-0.70	2	-15.29	6	-1.24	2	-0.01	6
1833	-352	-384	Min.	16.87	-256.45	6	-29.94	6	-2.75	6	-15.27	6	-1.28	6	-0.01	6
1833	-384	-416	Max	2.51	548.35	6	11.59	6	1.70	2	27.00	6	0.99	2	0.01	6
1833	-384	-416	Max	16.87	549.37	6	11.59	6	1.20	6	27.02	6	2.81	6	0.01	6
1833	-384	-416	Min.	2.51	-275.43	6	-30.58	6	-0.69	2	-15.47	6	-1.19	2	-0.02	6
1833	-384	-416	Min.	16.87	-274.41	6	-30.58	6	-2.91	6	-15.45	6	-1.35	6	-0.02	6
1833	-416	-448	Max	2.51	597.70	6	11.59	6	1.64	2	27.64	6	0.97	2	0.01	6
1833	-416	-448	Max	16.87	598.72	6	11.59	6	1.24	6	27.66	6	2.98	6	0.01	6
1833	-416	-448	Min.	2.51	-294.18	6	-31.01	6	-0.67	2	-15.77	6	-1.13	2	-0.02	6
1833	-416	-448	Min.	16.87	-293.16	6	-31.01	6	-3.06	6	-15.75	6	-1.43	6	-0.02	6
1833	-448	-480	Max	2.51	649.23	6	12.25	6	1.56	2	27.18	6	0.93	2	0.01	6
1833	-448	-480	Max	16.87	650.25	6	12.25	6	1.39	6	27.21	6	3.01	6	0.01	6
1833	-448	-480	Min.	2.51	-313.77	6	-32.91	6	-0.64	2	-15.27	6	-1.06	2	-0.02	6
1833	-448	-480	Min.	16.87	-312.75	6	-32.91	6	-3.43	6	-15.25	6	-1.42	6	-0.02	6
1833	-480	-512	Max	2.51	702.30	6	8.57	2	1.34	2	34.63	6	0.85	2	0.01	2
1833	-480	-512	Max	16.87	703.32	6	8.57	2	0.93	6	34.65	6	4.22	6	0.01	2
1833	-480	-512	Min.	2.51	-333.77	6	-25.07	2	-0.58	2	-20.40	6	-0.92	2	-0.01	2
1833	-480	-512	Min.	16.87	-332.75	6	-25.07	2	-2.54	6	-20.38	6	-2.24	6	-0.01	2
1833	-512	1359	Max	2.51	758.95	6	32.08	6	0.85	6	16.12	2	0.65	6	0.02	2
1833	-512	1359	Max	14.38	759.79	6	32.08	6	3.53	6	16.14	2	1.58	2	0.02	2
1833	-512	1359	Min.	2.51	-357.23	6	-76.73	6	-0.28	6	-13.77	2	-0.35	6	-0.01	2
1833	-512	1359	Min.	14.38	-356.38	6	-76.73	6	-8.26	6	-13.75	2	-1.00	2	-0.01	2
1834	378	-28	Max	4.85	0.00	2	0.00	2	0.00	2	0.00	2	0.00	2	0.00	2
1834	378	-28	Min.	4.85	0.00	2	0.00	2	0.00	2	0.00	2	0.00	2	0.00	2
1834	-28	-60	Max	4.85	0.00	2	0.00	2	0.00	2	0.00	2	0.00	2	0.00	2
1834	-28	-60	Min.	4.85	0.00	2	0.00	2	0.00	2	0.00	2	0.00	2	0.00	2
1834	-60	-92	Max	5.01	173.14	2	7.54	6	3.26	6	35.23	6	0.79	2	0.00	6
1834	-60	-92	Max	15.10					0.38	4			0.41	4		

1834	-60	-92	Max	16.87	173.98	2	7.54	6	0.13	6	35.25	6	0.53	6	0.00	6
1834	-60	-92	Min.	5.01	-553.76	2	-31.22	6	-0.88	6	-5.50	6	-3.96	2	-0.02	6
1834	-60	-92	Min.	15.10					-0.38	4			-0.57	4		
1834	-60	-92	Min.	16.87	-552.92	2	-31.22	6	-0.55	6	-5.48	6	-0.17	6	-0.02	6
1834	-92	-124	Max	2.51	183.14	2	9.01	6	2.70	2	32.83	6	0.68	2	0.00	6
1834	-92	-124	Max	16.87	184.16	2	9.01	6	0.44	6	32.85	6	2.00	6	0.00	6
1834	-92	-124	Min.	2.51	-522.79	2	-31.30	6	-1.02	2	-6.90	6	-2.76	2	-0.01	6
1834	-92	-124	Min.	16.87	-521.77	2	-31.30	6	-1.97	6	-6.88	6	-0.36	6	-0.01	6
1834	-124	-156	Max	2.51	195.56	2	9.07	6	2.37	2	33.72	6	0.62	2	0.01	2
1834	-124	-156	Max	16.87	196.58	2	9.07	6	0.57	6	33.74	6	2.45	6	0.01	2
1834	-124	-156	Min.	2.51	-483.23	2	-31.98	6	-0.92	2	-6.88	6	-2.48	2	-0.01	2
1834	-124	-156	Min.	16.87	-482.21	2	-31.98	6	-2.40	6	-6.86	6	-0.45	6	-0.01	2
1834	-156	-188	Max	2.51	208.88	2	9.18	6	2.29	2	34.40	6	0.61	2	0.01	2
1834	-156	-188	Max	16.87	209.91	2	9.18	6	0.61	6	34.43	6	2.65	6	0.01	2
1834	-156	-188	Min.	2.51	-440.38	2	-32.63	6	-0.90	2	-6.97	6	-2.39	2	-0.01	2
1834	-156	-188	Min.	16.87	-439.36	2	-32.63	6	-2.59	6	-6.94	6	-0.49	6	-0.01	2
1834	-188	-220	Max	2.51	222.85	2	9.29	6	2.25	2	35.08	6	0.60	2	0.01	2
1834	-188	-220	Max	16.87	223.87	2	9.29	6	0.65	6	35.11	6	2.80	6	0.01	2
1834	-188	-220	Min.	2.51	-395.40	2	-33.28	6	-0.89	2	-7.04	6	-2.35	2	-0.01	2
1834	-188	-220	Min.	16.87	-394.38	2	-33.28	6	-2.73	6	-7.02	6	-0.52	6	-0.01	2
1834	-220	-252	Max	2.51	237.44	2	9.39	6	2.22	2	35.79	6	0.60	2	0.01	2
1834	-220	-252	Max	16.87	238.46	2	9.39	6	0.67	6	35.82	6	2.95	6	0.01	2
1834	-220	-252	Min.	2.51	-348.43	2	-33.96	6	-0.89	2	-7.09	6	-2.32	2	-0.01	2
1834	-220	-252	Min.	16.87	-347.41	2	-33.96	6	-2.87	6	-7.06	6	-0.54	6	-0.01	2
1834	-252	-284	Max	2.51	252.69	2	9.47	6	2.19	2	36.55	6	0.59	2	0.01	2
1834	-252	-284	Max	16.87	253.71	2	9.47	6	0.70	6	36.57	6	3.10	6	0.01	2
1834	-252	-284	Min.	2.51	-299.44	2	-34.65	6	-0.88	2	-7.14	6	-2.28	2	-0.01	2
1834	-252	-284	Min.	16.87	-298.42	2	-34.65	6	-3.01	6	-7.12	6	-0.56	6	-0.01	2
1834	-284	-316	Max	2.51	315.35	6	9.55	6	2.15	2	37.29	6	0.58	2	0.01	2
1834	-284	-316	Max	16.87	316.37	6	9.55	6	0.73	6	37.31	6	3.26	6	0.01	2
1834	-284	-316	Min.	2.51	-294.95	6	-35.37	6	-0.88	2	-7.16	6	-2.24	2	-0.01	2
1834	-284	-316	Min.	16.87	-293.93	6	-35.37	6	-3.17	6	-7.13	6	-0.58	6	-0.01	2
1834	-316	-348	Max	2.51	381.22	6	9.59	6	2.11	2	38.05	6	0.58	2	0.01	2
1834	-316	-348	Max	16.87	382.24	6	9.59	6	0.76	6	38.07	6	3.43	6	0.01	2
1834	-316	-348	Min.	2.51	-290.58	6	-36.07	6	-0.87	2	-7.17	6	-2.19	2	-0.01	2
1834	-316	-348	Min.	16.87	-289.56	6	-36.07	6	-3.33	6	-7.15	6	-0.61	6	-0.01	2
1834	-348	-380	Max	2.51	450.08	6	9.63	6	2.06	2	38.86	6	0.57	2	0.01	2
1834	-348	-380	Max	16.87	451.10	6	9.63	6	0.80	6	38.88	6	3.62	6	0.01	2
1834	-348	-380	Min.	2.51	-285.87	6	-36.83	6	-0.86	2	-7.17	6	-2.13	2	-0.01	2
1834	-348	-380	Min.	16.87	-284.85	6	-36.83	6	-3.50	6	-7.14	6	-0.63	6	-0.01	2
1834	-380	-412	Max	2.51	522.13	6	9.69	6	2.00	2	39.67	6	0.56	2	0.01	2
1834	-380	-412	Max	16.87	523.15	6	9.69	6	0.83	6	39.69	6	3.82	6	0.01	2
1834	-380	-412	Min.	2.51	-280.77	6	-37.64	6	-0.85	2	-7.14	6	-2.07	2	-0.01	2
1834	-380	-412	Min.	16.87	-279.75	6	-37.64	6	-3.70	6	-7.12	6	-0.65	6	-0.01	2
1834	-412	-444	Max	2.51	597.59	6	9.67	6	1.92	2	40.66	6	0.54	2	0.01	2
1834	-412	-444	Max	16.87	598.61	6	9.67	6	0.86	6	40.68	6	4.06	6	0.01	2
1834	-412	-444	Min.	2.51	-275.22	6	-38.23	6	-0.83	2	-7.21	6	-1.99	2	-0.01	2
1834	-412	-444	Min.	16.87	-274.20	6	-38.23	6	-3.87	6	-7.19	6	-0.69	6	-0.01	2
1834	-444	-476	Max	2.51	676.60	6	9.95	6	1.82	2	40.58	6	0.52	2	0.01	2
1834	-444	-476	Max	16.87	677.62	6	9.95	6	0.94	6	40.60	6	4.18	6	0.01	2
1834	-444	-476	Min.	2.51	-269.22	6	-40.73	6	-0.81	2	-6.39	6	-1.87	2	-0.01	2
1834	-444	-476	Min.	16.87	-268.20	6	-40.73	6	-4.35	6	-6.37	6	-0.62	6	-0.01	2
1834	-476	-508	Max	2.51	768.61	6	9.26	2	1.53	2	48.43	6	0.49	2	0.02	2
1834	-476	-508	Max	16.87	769.63	6	9.26	2	0.77	6	48.46	6	5.53	6	0.02	2
1834	-476	-508	Min.	2.51	-273.16	6	-31.18	2	-0.76	2	-11.68	6	-1.64	2	-0.01	2
1834	-476	-508	Min.	16.87	-272.13	6	-31.18	2	-3.15	6	-11.66	6	-1.40	6	-0.01	2
1834	-508	1353	Max	2.51	868.07	6	18.76	6	1.07	2	28.47	2	0.40	2	0.02	2
1834	-508	1353	Max	14.38	868.91	6	18.76	6	1.97	6	28.49	2	2.80	2	0.02	2
1834	-508	1353	Min.	2.51	-287.90	6	-97.81	6	-0.26	2	-1.62	2	-0.58	2	-0.01	2

1834	-508	1353	Min.	14.38	-287.06	6	-97.81	6	-10.55	6	-1.60	2	0.21	2	-0.01	2
1835	354	-20	Max	4.85	0.00	2	0.00	2	0.00	2	0.00	2	0.00	2	0.00	2
1835	354	-20	Min.	4.85	0.00	2	0.00	2	0.00	2	0.00	2	0.00	2	0.00	2
1835	-20	-52	Max	4.85	0.00	2	0.00	2	0.00	2	0.00	2	0.00	2	0.00	2
1835	-20	-52	Min.	4.85	0.00	2	0.00	2	0.00	2	0.00	2	0.00	2	0.00	2
1835	-52	-84	Max	5.01	138.70	2	6.71	6	3.22	6	10.98	6	3.16	2	0.01	2
1835	-52	-84	Max	16.87	139.55	2	6.71	6	0.14	6	11.00	6	0.14	6	0.01	2
1835	-52	-84	Min.	5.01	-620.44	2	-30.20	6	-0.78	6	-27.50	6	-1.58	2	-0.02	2
1835	-52	-84	Min.	16.87	-619.60	2	-30.20	6	-0.48	6	-27.48	6	-0.51	6	-0.02	2
1835	-84	-116	Max	2.51	114.93	2	6.55	6	2.72	2	8.57	6	2.55	2	0.01	2
1835	-84	-116	Max	16.87	115.95	2	6.55	6	0.35	6	8.59	6	0.44	6	0.01	2
1835	-84	-116	Min.	2.51	-622.50	2	-32.25	6	-0.61	2	-29.69	6	-0.92	2	-0.01	2
1835	-84	-116	Min.	16.87	-621.48	2	-32.25	6	-1.93	6	-29.67	6	-1.84	6	-0.01	2
1835	-116	-148	Max	2.51	83.48	2	6.64	6	2.38	2	8.87	6	2.23	2	0.01	2
1835	-116	-148	Max	16.87	84.50	2	6.64	6	0.44	6	8.89	6	0.55	6	0.01	2
1835	-116	-148	Min.	2.51	-625.80	2	-32.68	6	-0.58	2	-30.03	6	-0.90	2	-0.01	2
1835	-116	-148	Min.	16.87	-624.78	2	-32.68	6	-2.38	6	-30.01	6	-2.26	6	-0.01	2
1835	-148	-180	Max	2.51	48.98	2	6.70	6	2.30	2	8.96	6	2.15	2	0.01	2
1835	-148	-180	Max	16.87	50.00	2	6.70	6	0.47	6	8.98	6	0.60	6	0.01	2
1835	-148	-180	Min.	2.51	-629.66	2	-33.35	6	-0.57	2	-30.64	6	-0.88	2	-0.01	2
1835	-148	-180	Min.	16.87	-628.64	2	-33.35	6	-2.58	6	-30.61	6	-2.44	6	-0.01	2
1835	-180	-212	Max	2.51	12.48	2	6.76	6	2.25	2	9.06	6	2.11	2	0.01	2
1835	-180	-212	Max	16.87	13.50	2	6.76	6	0.50	6	9.08	6	0.63	6	0.01	2
1835	-180	-212	Min.	2.51	-633.96	2	-33.98	6	-0.57	2	-31.24	6	-0.88	2	-0.01	2
1835	-180	-212	Min.	16.87	-632.94	2	-33.98	6	-2.72	6	-31.22	6	-2.58	6	-0.01	2
1835	-212	-244	Max	2.51	-25.86	2	6.79	6	2.22	2	9.14	6	2.08	2	0.01	2
1835	-212	-244	Max	16.87	-24.84	2	6.79	6	0.52	6	9.16	6	0.66	6	0.01	2
1835	-212	-244	Min.	2.51	-638.69	2	-34.67	6	-0.56	2	-31.84	6	-0.88	2	-0.01	2
1835	-212	-244	Min.	16.87	-637.67	2	-34.67	6	-2.86	6	-31.82	6	-2.71	6	-0.01	2
1835	-244	-276	Max	2.51	-32.10	6	6.82	6	2.18	2	9.21	6	2.05	2	0.01	2
1835	-244	-276	Max	16.87	-31.08	6	6.82	6	0.54	6	9.23	6	0.68	6	0.01	2
1835	-244	-276	Min.	2.51	-677.89	6	-35.35	6	-0.56	2	-32.53	6	-0.87	2	-0.01	2
1835	-244	-276	Min.	16.87	-676.87	6	-35.35	6	-3.01	6	-32.50	6	-2.85	6	-0.01	2
1835	-276	-308	Max	2.51	-27.74	6	6.83	6	2.14	2	9.27	6	2.00	2	0.01	2
1835	-276	-308	Max	16.87	-26.72	6	6.83	6	0.56	6	9.29	6	0.71	6	0.01	2
1835	-276	-308	Min.	2.51	-730.23	6	-36.08	6	-0.55	2	-33.15	6	-0.87	2	-0.01	2
1835	-276	-308	Min.	16.87	-729.20	6	-36.08	6	-3.17	6	-33.13	6	-3.00	6	-0.01	2
1835	-308	-340	Max	2.51	-23.54	6	6.82	6	2.08	2	9.31	6	1.96	2	0.01	2
1835	-308	-340	Max	16.87	-22.52	6	6.82	6	0.58	6	9.33	6	0.74	6	0.01	2
1835	-308	-340	Min.	2.51	-785.11	6	-36.75	6	-0.54	2	-33.82	6	-0.86	2	-0.01	2
1835	-308	-340	Min.	16.87	-784.09	6	-36.75	6	-3.34	6	-33.80	6	-3.16	6	-0.01	2
1835	-340	-372	Max	2.51	-19.54	6	6.80	6	2.02	2	9.34	6	1.90	2	0.01	2
1835	-340	-372	Max	16.87	-18.52	6	6.80	6	0.60	6	9.37	6	0.77	6	0.01	2
1835	-340	-372	Min.	2.51	-842.70	6	-37.53	6	-0.53	2	-34.53	6	-0.85	2	-0.01	2
1835	-340	-372	Min.	16.87	-841.68	6	-37.53	6	-3.52	6	-34.50	6	-3.33	6	-0.01	2
1835	-372	-404	Max	2.51	-15.75	6	6.78	6	1.95	2	9.38	6	1.84	2	0.01	2
1835	-372	-404	Max	16.87	-14.73	6	6.78	6	0.63	6	9.41	6	0.81	6	0.01	2
1835	-372	-404	Min.	2.51	-903.18	6	-38.33	6	-0.52	2	-35.17	6	-0.84	2	-0.01	2
1835	-372	-404	Min.	16.87	-902.16	6	-38.33	6	-3.72	6	-35.15	6	-3.51	6	-0.01	2
1835	-404	-436	Max	2.51	-12.21	6	6.69	6	1.87	2	9.36	6	1.76	2	0.01	2
1835	-404	-436	Max	16.87	-11.19	6	6.69	6	0.65	6	9.38	6	0.84	6	0.01	2
1835	-404	-436	Min.	2.51	-966.73	6	-38.93	6	-0.50	2	-36.24	6	-0.82	2	-0.01	2
1835	-404	-436	Min.	16.87	-965.71	6	-38.93	6	-3.91	6	-36.21	6	-3.76	6	-0.01	2
1835	-436	-468	Max	2.51	-8.98	6	6.89	6	1.76	2	9.64	6	1.64	2	0.01	2
1835	-436	-468	Max	16.87	-7.96	6	6.89	6	0.71	6	9.66	6	0.92	6	0.01	2
1835	-436	-468	Min.	2.51	-1033.54	6	-41.42	6	-0.48	2	-34.64	6	-0.80	2	-0.01	2
1835	-436	-468	Min.	16.87	-1032.51	6	-41.42	6	-4.40	6	-34.62	6	-3.66	6	-0.01	2
1835	-468	-500	Max	2.51	7.21	6	5.08	6	1.45	2	7.82	6	1.51	2	0.01	6
1835	-468	-500	Max	16.87	8.23	6	5.08	6	0.52	6	7.84	6	0.74	6	0.01	6

1835	-468	-500	Min.	2.51	-1115.81	6	-30.63	6	-0.47	2	-51.70	6	-0.69	2	-0.00	6
1835	-468	-500	Min.	16.87	-1114.79	6	-30.63	6	-3.22	6	-51.67	6	-6.23	6	-0.00	6
1835	-500	1333	Max	2.51	30.15	6	15.06	6	1.06	6	48.93	6	-0.00	6	0.01	6
1835	-500	1333	Max	14.38	31.00	6	15.06	6	1.63	6	48.95	6	4.54	6	0.01	6
1835	-500	1333	Min.	2.51	-1204.48	6	-99.77	6	-0.16	6	10.20	6	-1.28	6	0.00	6
1835	-500	1333	Min.	14.38	-1203.63	6	-99.77	6	-10.79	6	10.22	6	1.21	6	0.00	6
1836	360	-24	Max	4.85	0.00	2	0.00	2	0.00	2	0.00	2	0.00	2	0.00	2
1836	360	-24	Min.	4.85	0.00	2	0.00	2	0.00	2	0.00	2	0.00	2	0.00	2
1836	-24	-56	Max	4.85	0.00	2	0.00	2	0.00	2	0.00	2	0.00	2	0.00	2
1836	-24	-56	Min.	4.85	0.00	2	0.00	2	0.00	2	0.00	2	0.00	2	0.00	2
1836	-56	-88	Max	5.01	283.14	2	11.27	6	1.90	6	12.14	6	2.89	6	0.01	6
1836	-56	-88	Max	16.87	283.98	2	11.27	6	0.12	6	12.16	6	0.29	6	0.01	6
1836	-56	-88	Min.	5.01	-380.88	2	-19.02	6	-1.33	6	-25.95	6	-1.28	6	-0.02	6
1836	-56	-88	Min.	16.87	-380.04	2	-19.02	6	-0.47	6	-25.93	6	-0.31	6	-0.02	6
1836	-88	-120	Max	2.51	267.11	2	12.00	6	1.51	2	11.06	6	2.31	6	0.01	6
1836	-88	-120	Max	16.87	268.13	2	12.00	6	0.59	6	11.08	6	0.71	6	0.01	6
1836	-88	-120	Min.	2.51	-382.75	2	-19.63	6	-1.17	2	-26.67	6	-0.88	6	-0.02	6
1836	-88	-120	Min.	16.87	-381.73	2	-19.63	6	-1.34	6	-26.65	6	-1.52	6	-0.02	6
1836	-120	-152	Max	2.51	245.70	2	12.16	6	1.31	2	11.30	6	1.99	6	0.01	6
1836	-120	-152	Max	16.87	246.72	2	12.16	6	0.75	6	11.32	6	0.86	6	0.01	6
1836	-120	-152	Min.	2.51	-385.81	2	-19.89	6	-1.07	2	-27.08	6	-0.77	6	-0.01	6
1836	-120	-152	Min.	16.87	-384.79	2	-19.89	6	-1.62	6	-27.06	6	-1.89	6	-0.01	6
1836	-152	-184	Max	2.51	222.14	2	12.35	6	1.25	2	11.45	6	1.91	6	0.01	6
1836	-152	-184	Max	16.87	223.16	2	12.35	6	0.83	6	11.47	6	0.92	6	0.01	6
1836	-152	-184	Min.	2.51	-389.45	2	-20.25	6	-1.04	2	-27.62	6	-0.72	6	-0.01	6
1836	-152	-184	Min.	16.87	-388.43	2	-20.25	6	-1.75	6	-27.60	6	-2.06	6	-0.01	6
1836	-184	-216	Max	2.51	197.18	2	12.53	6	1.22	2	11.60	6	1.88	2	0.01	6
1836	-184	-216	Max	16.87	198.20	2	12.53	6	0.88	6	11.62	6	0.97	6	0.01	6
1836	-184	-216	Min.	2.51	-393.50	2	-20.61	6	-1.03	2	-28.15	6	-0.71	2	-0.01	6
1836	-184	-216	Min.	16.87	-392.48	2	-20.61	6	-1.85	6	-28.13	6	-2.18	6	-0.01	6
1836	-216	-248	Max	2.51	170.94	2	12.70	6	1.19	2	11.73	6	1.85	2	0.01	6
1836	-216	-248	Max	16.87	171.96	2	12.70	6	0.92	6	11.76	6	1.01	6	0.01	6
1836	-216	-248	Min.	2.51	-397.97	2	-20.97	6	-1.02	2	-28.70	6	-0.70	2	-0.01	6
1836	-216	-248	Min.	16.87	-396.95	2	-20.97	6	-1.94	6	-28.68	6	-2.29	6	-0.01	6
1836	-248	-280	Max	2.51	173.63	6	12.87	6	1.16	2	11.87	6	1.83	2	0.01	6
1836	-248	-280	Max	16.87	174.65	6	12.87	6	0.97	6	11.89	6	1.05	6	0.01	6
1836	-248	-280	Min.	2.51	-433.15	6	-21.32	6	-1.01	2	-29.30	6	-0.69	2	-0.01	6
1836	-248	-280	Min.	16.87	-432.13	6	-21.32	6	-2.04	6	-29.28	6	-2.42	6	-0.01	6
1836	-280	-312	Max	2.51	187.77	6	13.03	6	1.13	2	11.99	6	1.80	2	0.01	6
1836	-280	-312	Max	16.87	188.79	6	13.03	6	1.03	6	12.01	6	1.10	6	0.01	6
1836	-280	-312	Min.	2.51	-481.68	6	-21.70	6	-1.00	2	-29.86	6	-0.68	2	-0.01	6
1836	-280	-312	Min.	16.87	-480.66	6	-21.70	6	-2.14	6	-29.84	6	-2.54	6	-0.01	6
1836	-312	-344	Max	2.51	202.25	6	13.17	6	1.08	2	12.10	6	1.76	2	0.01	6
1836	-312	-344	Max	16.87	203.27	6	13.17	6	1.08	6	12.12	6	1.15	6	0.01	6
1836	-312	-344	Min.	2.51	-532.56	6	-22.02	6	-0.98	2	-30.45	6	-0.66	2	-0.01	6
1836	-312	-344	Min.	16.87	-531.54	6	-22.02	6	-2.25	6	-30.43	6	-2.68	6	-0.01	6
1836	-344	-376	Max	2.51	217.06	6	13.32	6	1.04	2	12.21	6	1.72	2	0.01	6
1836	-344	-376	Max	16.87	218.08	6	13.32	6	1.14	6	12.23	6	1.20	6	0.01	6
1836	-344	-376	Min.	2.51	-585.95	6	-22.40	6	-0.96	2	-31.08	6	-0.64	2	-0.01	6
1836	-344	-376	Min.	16.87	-584.93	6	-22.40	6	-2.37	6	-31.06	6	-2.83	6	-0.01	6
1836	-376	-408	Max	2.51	232.22	6	13.47	6	0.98	2	12.30	6	1.67	2	0.01	6
1836	-376	-408	Max	16.87	233.24	6	13.47	6	1.20	6	12.32	6	1.25	6	0.01	6
1836	-376	-408	Min.	2.51	-642.02	6	-22.81	6	-0.94	2	-31.64	6	-0.63	2	-0.02	6
1836	-376	-408	Min.	16.87	-641.00	6	-22.81	6	-2.50	6	-31.62	6	-2.98	6	-0.02	6
1836	-408	-440	Max	2.51	247.73	6	13.55	6	0.92	2	12.44	6	1.61	2	0.01	6
1836	-408	-440	Max	16.87	248.75	6	13.55	6	1.26	6	12.46	6	1.31	6	0.01	6
1836	-408	-440	Min.	2.51	-700.90	6	-23.01	6	-0.91	2	-32.53	6	-0.60	2	-0.02	6
1836	-408	-440	Min.	16.87	-699.88	6	-23.01	6	-2.62	6	-32.50	6	-3.19	6	-0.02	6
1836	-440	-472	Max	2.51	263.60	6	14.15	6	0.84	2	12.19	6	1.52	2	0.01	6

1836	-440	-472	Max	16.87	264.63	6	14.15	6	1.41	6	12.22	6	1.33	6	0.01	6
1836	-440	-472	Min.	2.51	-762.77	6	-24.79	6	-0.88	2	-31.52	6	-0.58	2	-0.02	6
1836	-440	-472	Min.	16.87	-761.75	6	-24.79	6	-2.97	6	-31.50	6	-3.16	6	-0.02	6
1836	-472	-504	Max	2.51	279.76	6	10.98	6	0.64	2	14.65	6	1.38	2	0.01	6
1836	-472	-504	Max	16.87	280.78	6	10.98	6	1.09	6	14.68	6	1.76	6	0.01	6
1836	-472	-504	Min.	2.51	-826.78	6	-15.44	6	-0.80	2	-43.81	6	-0.49	2	-0.01	6
1836	-472	-504	Min.	16.87	-825.76	6	-15.44	6	-1.89	6	-43.79	6	-5.05	6	-0.01	6
1836	-504	1339	Max	2.51	300.99	6	30.33	6	0.53	6	29.87	6	0.39	6	0.00	6
1836	-504	1339	Max	14.38	301.84	6	30.33	6	3.25	6	29.89	6	2.75	6	0.00	6
1836	-504	1339	Min.	2.51	-894.15	6	-72.71	6	-0.35	6	-6.53	6	-0.79	6	-0.01	6
1836	-504	1339	Min.	14.38	-893.31	6	-72.71	6	-8.10	6	-6.51	6	-0.39	6	-0.01	6
1837	381	-30	Max	4.85	0.00	2	0.00	2	0.00	2	0.00	2	0.00	2	0.00	2
1837	381	-30	Min.	4.85	0.00	2	0.00	2	0.00	2	0.00	2	0.00	2	0.00	2
1837	-30	-62	Max	4.85	0.00	2	0.00	2	0.00	2	0.00	2	0.00	2	0.00	2
1837	-30	-62	Min.	4.85	0.00	2	0.00	2	0.00	2	0.00	2	0.00	2	0.00	2
1837	-62	-94	Max	5.01	237.35	2	6.20	6	3.44	6	32.56	6	1.10	2	0.00	6
1837	-62	-94	Max	15.04					0.45	4			0.50	4		
1837	-62	-94	Max	16.87	238.19	2	6.20	6	0.16	6	32.58	6	0.58	6	0.00	6
1837	-62	-94	Min.	5.01	-498.81	2	-32.22	6	-0.69	6	-7.30	6	-3.65	2	-0.02	6
1837	-62	-94	Min.	15.04					-0.32	4			-0.51	4		
1837	-62	-94	Min.	16.87	-497.97	2	-32.22	6	-0.50	6	-7.28	6	-0.13	6	-0.02	6
1837	-94	-126	Max	2.51	244.15	2	7.37	6	2.88	2	30.52	6	0.90	2	0.00	6
1837	-94	-126	Max	16.87	245.17	2	7.37	6	0.39	6	30.54	6	1.94	6	0.00	6
1837	-94	-126	Min.	2.51	-470.24	2	-32.73	6	-0.82	2	-8.46	6	-2.54	2	-0.01	6
1837	-94	-126	Min.	16.87	-469.21	2	-32.73	6	-1.98	6	-8.44	6	-0.41	6	-0.01	6
1837	-126	-158	Max	2.51	252.41	2	7.43	6	2.53	2	31.36	6	0.81	2	0.00	2
1837	-126	-158	Max	16.87	253.43	2	7.43	6	0.49	6	31.38	6	2.35	6	0.00	2
1837	-126	-158	Min.	2.51	-433.79	2	-33.42	6	-0.74	2	-8.46	6	-2.28	2	-0.01	2
1837	-126	-158	Min.	16.87	-432.77	2	-33.42	6	-2.43	6	-8.44	6	-0.52	6	-0.01	2
1837	-158	-190	Max	2.51	261.20	2	7.50	6	2.45	2	31.98	6	0.80	2	0.01	2
1837	-158	-190	Max	16.87	262.22	2	7.50	6	0.53	6	32.01	6	2.54	6	0.01	2
1837	-158	-190	Min.	2.51	-394.33	2	-34.10	6	-0.72	2	-8.59	6	-2.19	2	-0.01	2
1837	-158	-190	Min.	16.87	-393.31	2	-34.10	6	-2.63	6	-8.57	6	-0.57	6	-0.01	2
1837	-190	-222	Max	2.51	270.38	2	7.57	6	2.41	2	32.61	6	0.79	2	0.01	2
1837	-190	-222	Max	16.87	271.40	2	7.57	6	0.56	6	32.64	6	2.68	6	0.01	2
1837	-190	-222	Min.	2.51	-352.93	2	-34.78	6	-0.72	2	-8.70	6	-2.15	2	-0.01	2
1837	-190	-222	Min.	16.87	-351.91	2	-34.78	6	-2.78	6	-8.68	6	-0.60	6	-0.01	2
1837	-222	-254	Max	2.51	279.94	2	7.63	6	2.38	2	33.26	6	0.79	2	0.01	2
1837	-222	-254	Max	16.87	280.96	2	7.63	6	0.58	6	33.28	6	2.82	6	0.01	2
1837	-222	-254	Min.	2.51	-309.72	2	-35.49	6	-0.72	2	-8.79	6	-2.12	2	-0.01	2
1837	-222	-254	Min.	16.87	-308.70	2	-35.49	6	-2.92	6	-8.77	6	-0.63	6	-0.01	2
1837	-254	-286	Max	2.51	295.70	6	7.67	6	2.34	2	33.94	6	0.78	2	0.01	2
1837	-254	-286	Max	16.87	296.72	6	7.67	6	0.60	6	33.97	6	2.96	6	0.01	2
1837	-254	-286	Min.	2.51	-270.45	6	-36.23	6	-0.72	2	-8.87	6	-2.09	2	-0.01	2
1837	-254	-286	Min.	16.87	-269.43	6	-36.23	6	-3.08	6	-8.85	6	-0.66	6	-0.01	2
1837	-286	-318	Max	2.51	352.77	6	7.69	6	2.30	2	34.63	6	0.77	2	0.01	2
1837	-286	-318	Max	16.87	353.79	6	7.69	6	0.63	6	34.65	6	3.11	6	0.01	2
1837	-286	-318	Min.	2.51	-270.04	6	-36.97	6	-0.71	2	-8.94	6	-2.05	2	-0.01	2
1837	-286	-318	Min.	16.87	-269.02	6	-36.97	6	-3.24	6	-8.92	6	-0.69	6	-0.01	2
1837	-318	-350	Max	2.51	412.34	6	7.70	6	2.26	2	35.31	6	0.77	2	0.01	2
1837	-318	-350	Max	16.87	413.36	6	7.70	6	0.65	6	35.33	6	3.27	6	0.01	2
1837	-318	-350	Min.	2.51	-269.52	6	-37.73	6	-0.71	2	-9.00	6	-2.00	2	-0.01	2
1837	-318	-350	Min.	16.87	-268.50	6	-37.73	6	-3.41	6	-8.97	6	-0.72	6	-0.01	2
1837	-350	-382	Max	2.51	474.55	6	7.70	6	2.20	2	36.06	6	0.75	2	0.01	2
1837	-350	-382	Max	16.87	475.57	6	7.70	6	0.67	6	36.08	6	3.44	6	0.01	2
1837	-350	-382	Min.	2.51	-268.86	6	-38.52	6	-0.70	2	-9.04	6	-1.94	2	-0.01	2
1837	-350	-382	Min.	16.87	-267.84	6	-38.52	6	-3.60	6	-9.02	6	-0.75	6	-0.01	2
1837	-382	-414	Max	2.51	539.62	6	7.70	6	2.14	2	36.79	6	0.74	2	0.01	2
1837	-382	-414	Max	16.87	540.64	6	7.70	6	0.70	6	36.81	6	3.63	6	0.01	2

1837	-382	-414	Min.	2.51	-268.03	6	-39.38	6	-0.69	2	-9.07	6	-1.88	2	-0.01	2
1837	-382	-414	Min.	16.87	-267.01	6	-39.38	6	-3.80	6	-9.04	6	-0.78	6	-0.01	2
1837	-414	-446	Max	2.51	607.73	6	7.62	6	2.06	2	37.73	6	0.72	2	0.01	2
1837	-414	-446	Max	16.87	608.75	6	7.62	6	0.72	6	37.75	6	3.85	6	0.01	2
1837	-414	-446	Min.	2.51	-266.99	6	-39.99	6	-0.68	2	-9.20	6	-1.80	2	-0.01	2
1837	-414	-446	Min.	16.87	-265.97	6	-39.99	6	-3.99	6	-9.18	6	-0.83	6	-0.01	2
1837	-446	-478	Max	2.51	678.99	6	7.85	6	1.95	2	37.52	6	0.70	2	0.01	2
1837	-446	-478	Max	16.87	680.01	6	7.85	6	0.78	6	37.54	6	3.96	6	0.01	2
1837	-446	-478	Min.	2.51	-265.73	6	-42.61	6	-0.66	2	-8.40	6	-1.69	2	-0.01	2
1837	-446	-478	Min.	16.87	-264.71	6	-42.61	6	-4.48	6	-8.38	6	-0.76	6	-0.01	2
1837	-478	-510	Max	2.51	765.43	6	7.13	2	1.64	2	45.22	6	0.65	2	0.02	2
1837	-478	-510	Max	16.87	766.45	6	7.13	2	0.60	6	45.25	6	5.26	6	0.02	2
1837	-478	-510	Min.	2.51	-277.03	6	-32.94	2	-0.63	2	-13.84	6	-1.48	2	-0.01	2
1837	-478	-510	Min.	16.87	-276.01	6	-32.94	2	-3.29	6	-13.82	6	-1.58	6	-0.01	2
1837	-510	1356	Max	2.51	857.80	6	16.06	6	1.12	2	26.38	2	0.48	2	0.02	2
1837	-510	1356	Max	14.38	858.65	6	16.06	6	1.72	6	26.40	2	2.62	2	0.02	2
1837	-510	1356	Min.	2.51	-296.55	6	-100.29	6	-0.20	2	-3.97	2	-0.51	2	-0.01	2
1837	-510	1356	Min.	14.38	-295.71	6	-100.29	6	-10.80	6	-3.95	2	0.01	2	-0.01	2
1858	1305	1306	Max	1.77	74.76	6	11.68	2	3.55	6	1.15	2	0.30	6	0.01	6
1858	1305	1306	Max	10.00	74.76	6	12.26	2	3.19	6	1.15	2	0.26	6	0.01	6
1858	1305	1306	Min.	1.77	-33.65	6	-14.67	2	-1.98	6	-1.02	2	-0.15	6	0.01	6
1858	1305	1306	Min.	10.00	-33.65	6	-14.09	2	-1.82	6	-1.02	2	-0.10	6	0.01	6
1858	1306	1307	Max	0.00	74.79	6	12.26	2	3.19	6	1.18	2	0.26	6	0.01	6
1858	1306	1307	Max	0.41					3.17	8			0.26	8		
1858	1306	1307	Max	8.23	74.79	6	12.85	2	3.50	6	1.18	2	0.27	6	0.01	6
1858	1306	1307	Min.	0.00	-33.68	6	-14.09	2	-1.82	6	-1.05	2	-0.10	6	0.01	6
1858	1306	1307	Min.	0.41					-1.81	8			-0.10	8		
1858	1306	1307	Min.	8.23	-33.68	6	-13.50	2	-2.23	6	-1.05	2	-0.10	6	0.01	6
1860	1325	1326	Max	1.77	28.45	6	0.88	2	0.12	6	9.10	2	1.41	6	-0.00	2
1860	1325	1326	Max	10.00	28.45	6	0.88	2	0.10	6	9.69	2	1.15	6	-0.00	2
1860	1325	1326	Min.	1.77	-83.07	6	-0.46	2	-0.32	6	-13.51	2	-4.22	6	-0.02	2
1860	1325	1326	Min.	10.00	-83.07	6	-0.46	2	-0.26	6	-12.92	2	-4.27	6	-0.02	2
1860	1326	1327	Max	0.00	28.42	6	0.91	2	0.10	6	9.69	2	1.15	6	-0.00	2
1860	1326	1327	Max	0.41					0.10	8			1.14	8		
1860	1326	1327	Max	8.23	28.42	6	0.91	2	0.11	6	10.27	2	1.45	6	-0.00	2
1860	1326	1327	Min.	0.00	-83.04	6	-0.49	2	-0.26	6	-12.92	2	-4.27	6	-0.02	2
1860	1326	1327	Min.	0.41					-0.26	8			-4.27	8		
1860	1326	1327	Min.	8.23	-83.04	6	-0.49	2	-0.23	6	-12.34	2	-4.79	6	-0.02	2
1902	1337	1338	Max	1.77	28.49	6	9.09	2	1.41	6	0.89	2	0.12	6	0.02	2
1902	1337	1338	Max	10.00	28.49	6	9.68	2	1.15	6	0.89	2	0.10	6	0.02	2
1902	1337	1338	Min.	1.77	-83.00	6	-13.62	2	-4.20	6	-0.47	2	-0.32	6	0.00	2
1902	1337	1338	Min.	10.00	-83.00	6	-13.04	2	-4.27	6	-0.47	2	-0.26	6	0.00	2
1902	1338	1339	Max	0.00	28.52	6	9.68	2	1.15	6	0.92	2	0.10	6	0.02	2
1902	1338	1339	Max	8.23	28.52	6	10.26	2	1.46	6	0.92	2	0.11	6	0.02	2
1902	1338	1339	Min.	0.00	-83.03	6	-13.04	2	-4.27	6	-0.50	2	-0.26	6	0.00	2
1902	1338	1339	Min.	8.23	-83.03	6	-12.45	2	-4.81	6	-0.50	2	-0.23	6	0.00	2
1904	1357	1358	Max	1.77	74.61	6	1.14	2	0.29	6	11.49	2	3.57	6	-0.01	6
1904	1357	1358	Max	10.00	74.61	6	1.14	2	0.26	6	12.08	2	3.19	6	-0.01	6
1904	1357	1358	Min.	1.77	-33.56	6	-0.99	2	-0.15	6	-14.59	2	-1.99	6	-0.01	6
1904	1357	1358	Min.	10.00	-33.56	6	-0.99	2	-0.10	6	-14.01	2	-1.82	6	-0.01	6
1904	1358	1359	Max	0.00	74.64	6	1.17	2	0.26	6	12.08	2	3.19	6	-0.01	6
1904	1358	1359	Max	0.41					0.26	8			3.17	8		
1904	1358	1359	Max	8.23	74.64	6	1.17	2	0.27	6	12.66	2	3.48	6	-0.01	6
1904	1358	1359	Min.	0.00	-33.59	6	-1.03	2	-0.10	6	-14.01	2	-1.82	6	-0.01	6
1904	1358	1359	Min.	0.41					-0.10	8			-1.81	8		
1904	1358	1359	Min.	8.23	-33.59	6	-1.03	2	-0.10	6	-13.42	2	-2.21	6	-0.01	6
2022	2025	2026	Max	0.00	2.83	2	521.15	6	0.08	2	-9.07	2	0.16	2	33.81	6
2022	2025	2026	Max	0.63	2.83	2	521.15	6	3.25	6	-9.11	2	0.10	2	33.81	6
2022	2025	2026	Min.	0.00	-3.16	2	-1098.89	6	-0.26	2	-119.99	2	-0.00	2	-9.27	6

2022	2025	2026	Min.	0.63	-3.16	2	-1098.89	6	-7.07	6	-120.03	2	-0.76	2	-9.27	6
2022	2026	2027	Max	5.37	5.65	2	1132.80	6	3.19	6	202.60	2	-0.25	2	8.54	6
2022	2026	2027	Max	6.00	5.65	2	1132.80	6	0.44	6	202.55	2	-0.03	2	8.54	6
2022	2026	2027	Min.	5.37	-6.51	2	-528.17	6	-6.69	6	29.89	2	-1.31	2	-34.54	6
2022	2026	2027	Min.	6.00	-6.51	2	-528.17	6	-0.14	6	29.84	2	-0.06	2	-34.54	6
2066	2285	2286	Max	0.00	2.79	2	1092.91	6	0.21	2	-10.60	2	0.16	2	9.35	6
2066	2285	2286	Max	0.63	2.79	2	1092.91	6	7.01	6	-10.64	2	0.09	2	9.35	6
2066	2285	2286	Min.	0.00	-3.09	2	-524.18	6	-0.05	2	-120.38	2	-0.00	2	-33.68	6
2066	2285	2286	Min.	0.63	-3.09	2	-524.18	6	-3.26	6	-120.42	2	-0.76	2	-33.68	6
2066	2286	2287	Max	5.37	5.24	2	522.83	6	6.78	6	201.17	2	-0.26	2	34.57	6
2066	2286	2287	Max	6.00	5.24	2	522.83	6	0.10	6	201.12	2	-0.02	2	34.57	6
2066	2286	2287	Min.	5.37	-6.17	2	-1137.17	6	-3.19	6	29.72	2	-1.29	2	-8.51	6
2066	2286	2287	Min.	6.00	-6.17	2	-1137.17	6	-0.38	6	29.68	2	-0.07	2	-8.51	6
2106	2001	9	Max	0.00	5.26	2	0.79	2	0.13	2	3.55	2	0.81	2	0.04	2
2106	2001	9	Max	16.67	5.26	2	0.79	2	0.04	2	2.90	2	0.26	2	0.04	2
2106	2001	9	Min.	0.00	-19.30	2	-1.04	2	-0.09	2	-8.87	2	-0.29	2	-0.06	2
2106	2001	9	Min.	16.67	-19.30	2	-1.04	2	-0.05	2	-9.52	2	-0.73	2	-0.06	2
2106	9	17	Max	0.00	11.97	2	0.90	2	0.15	2	1.96	2	0.63	2	0.06	2
2106	9	17	Max	16.67	11.97	2	0.90	2	0.05	2	1.30	2	0.16	2	0.06	2
2106	9	17	Min.	0.00	-47.25	2	-1.22	2	-0.10	2	-9.50	2	-0.11	2	-0.08	2
2106	9	17	Min.	16.67	-47.25	2	-1.22	2	-0.06	2	-10.16	2	-1.01	2	-0.08	2
2106	17	2025	Max	0.00	18.23	2	1.82	2	0.06	2	12.99	6	0.65	6	0.02	2
2106	17	2025	Max	2.84					-0.00	4			0.35	4		
2106	17	2025	Max	16.67	18.23	2	1.82	2	0.25	2	12.34	6	2.65	6	0.02	2
2106	17	2025	Min.	0.00	-75.89	2	-2.35	2	-0.05	2	-12.18	6	-0.45	6	-0.05	2
2106	17	2025	Min.	2.84					-0.00	4			-0.13	4		
2106	17	2025	Min.	16.67	-75.89	2	-2.35	2	-0.33	2	-12.83	6	-2.43	6	-0.05	2
2106	2025	37	Max	0.00	587.68	6	0.30	2	0.20	2	133.96	6	1.43	6	0.09	2
2106	2025	37	Max	21.56	587.68	6	0.30	2	0.03	6	133.12	6	5.34	6	0.09	2
2106	2025	37	Min.	0.00	-1245.32	6	-0.89	2	-0.07	2	8.54	6	-23.45	6	0.01	2
2106	2025	37	Min.	21.56	-1245.32	6	-0.89	2	-0.03	6	7.70	6	3.18	6	0.01	2
2106	37	45	Max	0.00	623.47	6	0.14	2	0.08	2	111.54	6	0.74	6	0.10	2
2106	37	45	Max	21.56	623.47	6	0.14	2	0.03	2	110.69	6	8.41	6	0.10	2
2106	37	45	Min.	0.00	-942.68	6	-0.61	2	-0.00	2	9.79	6	-15.55	6	0.00	2
2106	37	45	Min.	21.56	-942.68	6	-0.61	2	-0.05	2	8.95	6	2.76	6	0.00	2
2106	45	53	Max	0.00	648.65	6	-0.05	2	0.03	2	100.51	6	0.94	6	0.10	2
2106	45	53	Max	21.56	648.65	6	-0.05	2	0.02	2	99.67	6	8.62	6	0.10	2
2106	45	53	Min.	0.00	-668.37	6	-0.42	2	0.02	2	7.05	6	-12.96	6	-0.00	2
2106	45	53	Min.	21.56	-668.37	6	-0.42	2	-0.07	2	6.21	6	2.36	6	-0.00	2
2106	53	61	Max	0.00	666.42	6	-0.18	6	0.04	6	89.97	6	1.08	6	0.09	2
2106	53	61	Max	21.56	666.42	6	-0.18	6	-0.01	6	89.12	6	8.42	6	0.09	2
2106	53	61	Min.	0.00	-445.21	6	-0.24	6	-0.01	6	5.39	6	-10.89	6	-0.01	2
2106	53	61	Min.	21.56	-445.21	6	-0.24	6	-0.05	6	4.54	6	2.15	6	-0.01	2
2106	61	69	Max	0.00	671.26	6	0.20	2	0.06	2	73.75	6	1.84	6	0.06	2
2106	61	69	Max	18.89					0.02	8			5.21	8		
2106	61	69	Max	21.56	671.26	6	0.20	2	0.03	6	72.90	6	7.17	6	0.06	2
2106	61	69	Min.	0.00	-267.02	6	-0.31	2	-0.04	2	-2.05	6	-8.65	6	0.01	2
2106	61	69	Min.	18.89					-0.02	8			1.39	8		
2106	61	69	Min.	21.56	-267.02	6	-0.31	2	-0.03	6	-2.90	6	1.30	6	0.01	2
2106	69	77	Max	0.00	665.91	6	0.09	2	0.03	6	66.38	6	1.79	6	0.04	2
2106	69	77	Max	21.56	665.91	6	0.09	2	0.03	2	65.53	6	6.66	6	0.04	2
2106	69	77	Min.	0.00	-124.83	6	-0.31	2	-0.00	6	-3.50	6	-7.56	6	0.01	2
2106	69	77	Min.	21.56	-124.83	6	-0.31	2	-0.05	2	-4.34	6	0.94	6	0.01	2
2106	77	85	Max	0.00	657.71	6	-0.04	6	0.04	2	60.39	6	1.80	6	0.04	2
2106	77	85	Max	21.56	657.71	6	-0.04	6	0.01	2	59.54	6	6.29	6	0.04	2
2106	77	85	Min.	0.00	-6.47	6	-0.18	6	-0.02	2	-4.44	6	-6.64	6	-0.00	2
2106	77	85	Min.	21.56	-6.47	6	-0.18	6	-0.04	2	-5.28	6	0.75	6	-0.00	2
2106	85	93	Max	0.00	646.75	6	0.11	2	0.02	6	54.80	6	2.02	6	0.06	2
2106	85	93	Max	21.56	646.75	6	0.11	2	0.02	2	53.96	6	6.08	6	0.06	2

2106	85	93	Min.	0.00	92.20	6	-0.25	2	-0.02	6	-5.59	6	-5.65	6	-0.01	2
2106	85	93	Min.	21.56	92.20	6	-0.25	2	-0.06	2	-6.44	6	0.72	6	-0.01	2
2106	93	101	Max	0.00	627.46	6	0.24	2	0.08	2	39.40	6	3.18	6	0.03	6
2106	93	101	Max	20.75					0.03	8			4.25	8		
2106	93	101	Max	21.56	627.46	6	0.24	2	0.03	6	38.55	6	4.59	6	0.03	6
2106	93	101	Min.	0.00	168.49	6	-0.34	2	-0.05	2	-16.93	6	-3.82	6	0.01	6
2106	93	101	Min.	20.75					-0.02	8			-0.39	8		
2106	93	101	Min.	21.56	168.49	6	-0.34	2	-0.02	6	-17.78	6	-0.56	6	0.01	6
2106	101	109	Max	0.00	601.22	6	0.11	2	0.03	6	35.27	6	3.01	6	0.02	2
2106	101	109	Max	21.56	601.22	6	0.11	2	0.03	2	34.42	6	4.06	6	0.02	2
2106	101	109	Min.	0.00	226.49	6	-0.29	2	-0.00	6	-17.74	6	-3.45	6	0.00	2
2106	101	109	Min.	21.56	226.49	6	-0.29	2	-0.04	2	-18.58	6	-0.91	6	0.00	2
2106	109	117	Max	0.00	574.58	6	-0.02	6	0.03	2	31.99	6	2.96	6	0.03	2
2106	109	117	Max	21.56	574.58	6	-0.02	6	0.01	2	31.15	6	3.78	6	0.03	2
2106	109	117	Min.	0.00	274.71	6	-0.17	6	-0.02	2	-18.02	6	-3.03	6	-0.01	2
2106	109	117	Min.	21.56	274.71	6	-0.17	6	-0.04	2	-18.87	6	-1.02	6	-0.01	2
2106	117	125	Max	0.00	547.62	6	0.10	2	0.02	6	28.64	6	3.14	6	0.05	2
2106	117	125	Max	21.56	547.62	6	0.10	2	0.02	2	27.79	6	3.63	6	0.05	2
2106	117	125	Min.	0.00	314.74	6	-0.23	2	-0.02	6	-18.74	6	-2.45	6	-0.03	2
2106	117	125	Min.	21.56	314.74	6	-0.23	2	-0.06	2	-19.59	6	-0.99	6	-0.03	2
2106	125	133	Max	0.00	516.62	6	0.31	2	0.06	2	17.52	6	4.06	6	0.02	6
2106	125	133	Max	19.41					0.02	8			2.10	8		
2106	125	133	Max	21.56	516.62	6	0.31	2	0.02	6	16.67	6	2.47	6	0.02	6
2106	125	133	Min.	0.00	344.23	6	-0.28	2	-0.06	2	-27.73	6	-1.21	6	0.00	6
2106	125	133	Min.	19.41					-0.02	8			-1.38	8		
2106	125	133	Min.	21.56	344.23	6	-0.28	2	-0.02	6	-28.58	6	-2.01	6	0.00	6
2106	133	141	Max	0.00	482.36	6	0.19	2	0.02	6	14.85	6	3.87	6	0.00	6
2106	133	141	Max	21.56	482.36	6	0.19	2	0.04	2	14.00	6	2.03	6	0.00	6
2106	133	141	Min.	0.00	364.78	6	-0.21	2	-0.02	6	-28.25	6	-1.08	6	-0.00	6
2106	133	141	Min.	21.56	364.78	6	-0.21	2	-0.05	2	-29.10	6	-2.31	6	-0.00	6
2106	141	149	Max	0.00	449.03	6	0.04	6	0.03	2	12.37	6	3.72	6	0.02	2
2106	141	149	Max	21.56	449.03	6	0.04	6	0.02	2	11.52	6	1.63	6	0.02	2
2106	141	149	Min.	0.00	381.28	6	-0.08	6	-0.04	2	-28.74	6	-0.94	6	-0.02	2
2106	141	149	Min.	21.56	381.28	6	-0.08	6	-0.04	2	-29.58	6	-2.57	6	-0.02	2
2106	149	157	Max	0.00	418.62	6	0.15	2	0.00	6	11.11	6	3.16	6	0.02	2
2106	149	157	Max	8.62					-0.00	8			0.72	8		
2106	149	157	Max	21.56	418.62	6	0.15	2	0.01	2	10.27	6	1.09	6	0.02	2
2106	149	157	Min.	0.00	396.27	6	-0.18	2	-0.03	6	-28.22	6	-1.22	6	-0.03	2
2106	149	157	Min.	8.62					-0.03	8			-0.28	8		
2106	149	157	Min.	21.56	396.27	6	-0.18	2	-0.05	2	-29.06	6	-3.01	6	-0.03	2
2106	157	165	Max	0.00	417.85	6	0.18	2	0.01	2	29.09	6	1.09	6	0.03	2
2106	157	165	Max	12.94					-0.00	8			0.72	8		
2106	157	165	Max	21.56	417.85	6	0.18	2	0.00	6	28.24	6	3.17	6	0.03	2
2106	157	165	Min.	0.00	397.06	6	-0.15	2	-0.05	2	-10.26	6	-3.01	6	-0.02	2
2106	157	165	Min.	12.94					-0.03	8			-0.28	8		
2106	157	165	Min.	21.56	397.06	6	-0.15	2	-0.03	6	-11.11	6	-1.22	6	-0.02	2
2106	165	173	Max	0.00	448.29	6	0.08	6	0.02	2	29.62	6	1.63	6	0.02	2
2106	165	173	Max	21.56	448.29	6	0.08	6	0.03	2	28.77	6	3.72	6	0.02	2
2106	165	173	Min.	0.00	382.08	6	-0.04	6	-0.04	2	-11.52	6	-2.57	6	-0.02	2
2106	165	173	Min.	21.56	382.08	6	-0.04	6	-0.04	2	-12.37	6	-0.94	6	-0.02	2
2106	173	181	Max	0.00	481.66	6	0.21	2	0.04	2	29.13	6	2.03	6	0.00	6
2106	173	181	Max	21.56	481.66	6	0.21	2	0.02	6	28.28	6	3.88	6	0.00	6
2106	173	181	Min.	0.00	365.59	6	-0.19	2	-0.05	2	-13.99	6	-2.31	6	-0.00	6
2106	173	181	Min.	21.56	365.59	6	-0.19	2	-0.02	6	-14.84	6	-1.08	6	-0.00	6
2106	181	189	Max	0.00	515.96	6	0.28	2	0.02	6	28.61	6	2.47	6	0.00	6
2106	181	189	Max	1.56					0.02	8			2.19	8		
2106	181	189	Max	21.56	515.96	6	0.28	2	0.06	2	27.77	6	4.07	6	0.00	6
2106	181	189	Min.	0.00	345.04	6	-0.31	2	-0.02	6	-16.67	6	-2.01	6	-0.02	6
2106	181	189	Min.	1.56					-0.02	8			-1.55	8		

2106	181	189	Min.	21.56	345.04	6	-0.31	2	-0.06	2	-17.51	6	-1.21	6	-0.02	6
2106	189	197	Max	0.00	547.00	6	0.23	2	0.02	2	19.62	6	3.63	6	0.03	2
2106	189	197	Max	21.56	547.00	6	0.23	2	0.02	6	18.77	6	3.14	6	0.03	2
2106	189	197	Min.	0.00	315.56	6	-0.10	2	-0.06	2	-27.78	6	-1.00	6	-0.05	2
2106	189	197	Min.	21.56	315.56	6	-0.10	2	-0.02	6	-28.63	6	-2.45	6	-0.05	2
2106	197	205	Max	0.00	574.00	6	0.17	6	0.01	2	18.90	6	3.78	6	0.01	2
2106	197	205	Max	21.56	574.00	6	0.17	6	0.03	2	18.05	6	2.96	6	0.01	2
2106	197	205	Min.	0.00	275.54	6	0.02	6	-0.04	2	-31.14	6	-1.02	6	-0.03	2
2106	197	205	Min.	21.56	275.54	6	0.02	6	-0.02	2	-31.98	6	-3.03	6	-0.03	2
2106	205	213	Max	0.00	600.68	6	0.29	2	0.03	2	18.61	6	4.06	6	-0.00	2
2106	205	213	Max	21.56	600.68	6	0.29	2	0.03	6	17.77	6	3.01	6	-0.00	2
2106	205	213	Min.	0.00	227.34	6	-0.11	2	-0.04	2	-34.41	6	-0.91	6	-0.02	2
2106	205	213	Min.	21.56	227.34	6	-0.11	2	-0.01	6	-35.26	6	-3.45	6	-0.02	2
2106	213	221	Max	0.00	626.97	6	0.34	2	0.03	6	17.82	6	4.59	6	-0.01	6
2106	213	221	Max	0.27					0.03	8			4.45	8		
2106	213	221	Max	21.56	626.97	6	0.34	2	0.08	2	16.97	6	3.18	6	-0.01	6
2106	213	221	Min.	0.00	169.34	6	-0.24	2	-0.02	6	-38.54	6	-0.57	6	-0.03	6
2106	213	221	Min.	0.27					-0.02	8			-0.49	8		
2106	213	221	Min.	21.56	169.34	6	-0.24	2	-0.05	2	-39.38	6	-3.81	6	-0.03	6
2106	221	229	Max	0.00	646.32	6	0.25	2	0.02	2	6.47	6	6.08	6	0.01	2
2106	221	229	Max	21.56	646.32	6	0.25	2	0.02	6	5.62	6	2.02	6	0.01	2
2106	221	229	Min.	0.00	93.07	6	-0.11	2	-0.05	2	-53.95	6	0.72	6	-0.06	2
2106	221	229	Min.	21.56	93.07	6	-0.11	2	-0.02	6	-54.80	6	-5.64	6	-0.06	2
2106	229	237	Max	0.00	657.32	6	0.18	6	0.01	2	5.32	6	6.29	6	0.00	2
2106	229	237	Max	21.56	657.32	6	0.18	6	0.04	2	4.47	6	1.80	6	0.00	2
2106	229	237	Min.	0.00	-5.60	6	0.04	6	-0.04	2	-59.54	6	0.75	6	-0.04	2
2106	229	237	Min.	21.56	-5.60	6	0.04	6	-0.02	2	-60.38	6	-6.64	6	-0.04	2
2106	237	245	Max	0.00	665.59	6	0.31	2	0.03	2	4.37	6	6.66	6	-0.01	2
2106	237	245	Max	21.56	665.59	6	0.31	2	0.03	6	3.53	6	1.79	6	-0.01	2
2106	237	245	Min.	0.00	-123.95	6	-0.09	2	-0.05	2	-65.52	6	0.94	6	-0.04	2
2106	237	245	Min.	21.56	-123.95	6	-0.09	2	-0.00	6	-66.37	6	-7.56	6	-0.04	2
2106	245	253	Max	0.00	671.00	6	0.30	2	0.02	6	2.94	6	7.17	6	-0.01	2
2106	245	253	Max	1.41					0.02	8			6.12	8		
2106	245	253	Max	21.56	671.00	6	0.30	2	0.06	2	2.09	6	1.84	6	-0.01	2
2106	245	253	Min.	0.00	-266.13	6	-0.20	2	-0.02	6	-72.90	6	1.30	6	-0.06	2
2106	245	253	Min.	1.41					-0.02	8			1.36	8		
2106	245	253	Min.	21.56	-266.13	6	-0.20	2	-0.04	2	-73.74	6	-8.64	6	-0.06	2
2106	253	261	Max	0.00	666.22	6	0.24	6	-0.01	6	-4.56	6	8.42	6	0.01	2
2106	253	261	Max	21.56	666.22	6	0.24	6	0.04	6	-5.41	6	1.08	6	0.01	2
2106	253	261	Min.	0.00	-444.35	6	0.18	6	-0.05	6	-89.12	6	2.15	6	-0.09	2
2106	253	261	Min.	21.56	-444.35	6	0.18	6	-0.01	6	-89.97	6	-10.88	6	-0.09	2
2106	261	269	Max	0.00	648.49	6	0.43	2	0.02	2	-6.22	6	8.62	6	0.00	2
2106	261	269	Max	21.56	648.49	6	0.43	2	0.03	2	-7.07	6	0.93	6	0.00	2
2106	261	269	Min.	0.00	-667.59	6	0.04	2	-0.07	2	-99.67	6	2.37	6	-0.10	2
2106	261	269	Min.	21.56	-667.59	6	0.04	2	0.02	2	-100.52	6	-12.96	6	-0.10	2
2106	269	277	Max	0.00	622.65	6	0.61	2	0.03	2	-8.97	6	8.41	6	-0.00	2
2106	269	277	Max	21.56	622.65	6	0.61	2	0.08	2	-9.82	6	0.73	6	-0.00	2
2106	269	277	Min.	0.00	-941.31	6	-0.15	2	-0.05	2	-110.69	6	2.76	6	-0.10	2
2106	269	277	Min.	21.56	-941.31	6	-0.15	2	-0.01	2	-111.54	6	-15.55	6	-0.10	2
2106	277	2285	Max	0.00	586.79	6	0.90	2	0.03	6	-7.73	6	5.35	6	-0.01	2
2106	277	2285	Max	21.56	586.79	6	0.90	2	0.20	2	-8.57	6	1.42	6	-0.01	2
2106	277	2285	Min.	0.00	-1243.99	6	-0.31	2	-0.03	6	-133.13	6	3.18	6	-0.09	2
2106	277	2285	Min.	21.56	-1243.99	6	-0.31	2	-0.08	2	-133.97	6	-23.45	6	-0.09	2
2106	2285	297	Max	0.00	9.71	2	2.26	2	0.23	2	13.42	6	2.53	6	0.06	2
2106	2285	297	Max	13.92					-0.01	4			0.34	4		
2106	2285	297	Max	16.67	9.71	2	2.26	2	0.09	2	12.77	6	0.66	6	0.06	2
2106	2285	297	Min.	0.00	-76.35	2	-1.77	2	-0.29	2	-11.41	6	-2.50	6	-0.03	2
2106	2285	297	Min.	13.92					0.02	4			-0.11	4		
2106	2285	297	Min.	16.67	-76.35	2	-1.77	2	-0.07	2	-12.06	6	-0.41	6	-0.03	2

2106	297	305	Max	0.00	7.00	2	1.29	2	0.07	2	10.53	2	0.06	2	0.08	2
2106	297	305	Max	16.67	7.00	2	1.29	2	0.12	2	9.88	2	0.67	2	0.08	2
2106	297	305	Min.	0.00	-47.56	2	-1.01	2	-0.10	2	-0.21	2	-1.04	2	-0.06	2
2106	297	305	Min.	16.67	-47.56	2	-1.01	2	-0.09	2	-0.86	2	-0.03	2	-0.06	2
2106	305	2313	Max	0.00	3.37	2	1.26	2	0.04	2	9.42	2	0.19	2	0.06	2
2106	305	2313	Max	16.67	3.37	2	1.26	2	0.14	2	8.76	2	0.81	2	0.06	2
2106	305	2313	Min.	0.00	-19.07	2	-0.85	2	-0.07	2	-1.96	2	-0.72	2	-0.04	2
2106	305	2313	Min.	16.67	-19.07	2	-0.85	2	-0.10	2	-2.61	2	-0.20	2	-0.04	2
2107	-514	18	Max	0.00	-11.52	2	0.96	2	0.29	2	1.08	2	-0.02	2	0.00	6
2107	-514	18	Max	18.61					-0.00	2			0.04	2		
2107	-514	18	Max	19.08	-11.88	2	0.96	2	0.02	6	0.42	2	0.04	6	0.00	6
2107	-514	18	Min.	0.00	-57.53	2	-1.75	2	-0.18	2	0.53	2	-0.25	2	-0.03	6
2107	-514	18	Min.	18.61					-0.04	2			-0.13	2		
2107	-514	18	Min.	19.08	-57.89	2	-1.75	2	-0.06	6	-0.12	2	-0.13	6	-0.03	6
2144	2003	11	Max	0.00	-19.49	2	0.70	2	0.13	2	-7.67	2	1.87	2	0.07	2
2144	2003	11	Max	16.67	-19.49	2	0.70	2	0.04	2	-8.32	2	-0.62	2	0.07	2
2144	2003	11	Min.	0.00	-45.33	2	-1.17	2	-0.08	2	-20.80	2	0.71	2	-0.03	2
2144	2003	11	Min.	16.67	-45.33	2	-1.17	2	-0.06	2	-21.45	2	-1.65	2	-0.03	2
2144	11	19	Max	0.00	-47.70	2	0.69	2	0.11	2	-9.71	2	1.40	2	0.10	2
2144	11	19	Max	16.67	-47.70	2	0.69	2	0.05	2	-10.36	2	-1.02	2	0.10	2
2144	11	19	Min.	0.00	-109.17	2	-1.18	2	-0.07	2	-20.90	2	0.65	2	-0.05	2
2144	11	19	Min.	16.67	-109.17	2	-1.18	2	-0.09	2	-21.55	2	-2.13	2	-0.05	2
2144	19	2028	Max	0.00	-71.66	2	1.73	2	0.09	2	3.79	6	1.12	6	0.06	2
2144	19	2028	Max	3.33									1.09	8		
2144	19	2028	Max	16.67	-71.66	2	1.73	2	0.22	2	3.14	6	1.54	6	0.06	2
2144	19	2028	Min.	0.00	-167.51	2	-2.10	2	-0.07	2	-22.45	6	-0.06	6	-0.02	2
2144	19	2028	Min.	3.33					0.00	8			-0.66	8		
2144	19	2028	Min.	16.67	-167.51	2	-2.10	2	-0.27	2	-23.10	6	-3.70	6	-0.02	2
2144	2028	39	Max	0.00	277.84	6	0.97	2	0.16	2	203.79	6	-9.13	6	0.03	2
2144	2028	39	Max	21.56	277.84	6	0.97	2	0.01	6	202.94	6	9.65	6	0.03	2
2144	2028	39	Min.	0.00	-1591.11	6	-0.73	2	-0.20	2	77.18	6	-34.20	6	-0.04	2
2144	2028	39	Min.	21.56	-1591.11	6	-0.73	2	0.00	6	76.33	6	7.42	6	-0.04	2
2144	39	47	Max	0.00	478.78	6	0.40	2	0.03	2	169.91	6	-6.32	6	0.04	2
2144	39	47	Max	21.56	478.78	6	0.40	2	0.07	2	169.06	6	13.87	6	0.04	2
2144	39	47	Min.	0.00	-1124.26	6	-0.42	2	-0.02	2	67.61	6	-22.68	6	-0.04	2
2144	39	47	Min.	21.56	-1124.26	6	-0.42	2	-0.06	2	66.77	6	8.17	6	-0.04	2
2144	47	55	Max	0.00	648.23	6	0.08	2	0.03	2	151.75	6	-4.70	6	0.05	2
2144	47	55	Max	21.56	648.23	6	0.08	2	0.05	2	150.90	6	13.95	6	0.05	2
2144	47	55	Min.	0.00	-707.27	6	-0.08	2	-0.03	2	57.65	6	-18.68	6	-0.05	2
2144	47	55	Min.	21.56	-707.27	6	-0.08	2	-0.05	2	56.80	6	7.64	6	-0.05	2
2144	55	63	Max	0.00	777.65	6	0.18	2	0.00	6	134.20	6	-3.30	6	0.06	2
2144	55	63	Max	21.56	777.65	6	0.18	2	0.04	2	133.35	6	13.48	6	0.06	2
2144	55	63	Min.	0.00	-370.03	6	-0.15	2	-0.00	6	49.00	6	-15.36	6	-0.05	2
2144	55	63	Min.	21.56	-370.03	6	-0.15	2	-0.03	2	48.16	6	7.17	6	-0.05	2
2144	63	71	Max	0.00	859.08	6	0.29	2	0.09	2	102.14	6	-0.47	6	0.01	2
2144	63	71	Max	21.56	859.08	6	0.29	2	0.00	2	101.30	6	10.74	6	0.01	2
2144	63	71	Min.	0.00	-112.04	6	-0.40	2	-0.06	2	24.32	6	-11.19	6	0.00	2
2144	63	71	Min.	21.56	-112.04	6	-0.40	2	-0.00	2	23.48	6	4.68	6	0.00	2
2144	71	79	Max	0.00	904.96	6	0.19	2	0.02	2	90.69	6	-0.17	6	0.01	2
2144	71	79	Max	21.56	904.96	6	0.19	2	0.06	2	89.84	6	9.74	6	0.01	2
2144	71	79	Min.	0.00	85.22	6	-0.31	2	0.00	2	18.90	6	-9.72	6	0.01	2
2144	71	79	Min.	21.56	85.22	6	-0.31	2	-0.06	2	18.06	6	3.82	6	0.01	2
2144	79	87	Max	0.00	935.77	6	0.03	2	0.06	2	81.14	6	0.27	6	0.04	2
2144	79	87	Max	21.56	935.77	6	0.03	2	0.03	2	80.29	6	9.05	6	0.04	2
2144	79	87	Min.	0.00	246.07	6	-0.15	2	-0.05	2	14.52	6	-8.35	6	-0.02	2
2144	79	87	Min.	21.56	246.07	6	-0.15	2	-0.04	2	13.67	6	3.31	6	-0.02	2
2144	87	95	Max	0.00	954.51	6	0.23	2	0.01	6	72.12	6	0.97	6	0.05	2
2144	87	95	Max	21.56	954.51	6	0.23	2	0.05	2	71.27	6	8.57	6	0.05	2
2144	87	95	Min.	0.00	377.58	6	-0.32	2	-0.00	6	9.97	6	-6.88	6	-0.03	2

2144	87	95	Min.	21.56	377.58	6	-0.32	2	-0.07	2	9.13	6	3.02	6	-0.03	2
2144	95	103	Max	0.00	954.59	6	0.34	2	0.09	2	49.68	6	2.93	6	0.02	2
2144	95	103	Max	21.56	954.59	6	0.34	2	0.01	2	48.83	6	6.34	6	0.02	2
2144	95	103	Min.	0.00	476.42	6	-0.36	2	-0.08	2	-8.48	6	-4.29	6	-0.00	2
2144	95	103	Min.	21.56	476.42	6	-0.36	2	-0.01	2	-9.33	6	1.01	6	-0.00	2
2144	103	111	Max	0.00	939.95	6	0.21	2	0.01	2	43.06	6	2.95	6	0.01	2
2144	103	111	Max	21.56	939.95	6	0.21	2	0.05	2	42.22	6	5.48	6	0.01	2
2144	103	111	Min.	0.00	548.79	6	-0.26	2	0.00	2	-11.69	6	-3.71	6	0.00	2
2144	103	111	Min.	21.56	548.79	6	-0.26	2	-0.06	2	-12.54	6	0.34	6	0.00	2
2144	111	119	Max	0.00	920.34	6	0.05	2	0.05	2	37.59	6	3.16	6	0.03	2
2144	111	119	Max	21.56	920.34	6	0.05	2	0.03	2	36.74	6	4.98	6	0.03	2
2144	111	119	Min.	0.00	606.51	6	-0.10	2	-0.04	2	-14.11	6	-3.03	6	-0.02	2
2144	111	119	Min.	21.56	606.51	6	-0.10	2	-0.03	2	-14.96	6	0.02	6	-0.02	2
2144	119	127	Max	0.00	896.14	6	0.21	2	0.01	2	31.82	6	3.73	6	0.05	2
2144	119	127	Max	21.56	896.14	6	0.21	2	0.05	2	30.97	6	4.73	6	0.05	2
2144	119	127	Min.	0.00	651.56	6	-0.25	2	-0.01	2	-17.17	6	-2.04	6	-0.04	2
2144	119	127	Min.	21.56	651.56	6	-0.25	2	-0.06	2	-18.02	6	-0.06	6	-0.04	2
2144	127	135	Max	0.00	860.76	6	0.33	2	0.08	2	11.08	6	5.71	6	0.02	2
2144	127	135	Max	21.56	860.76	6	0.33	2	0.00	2	10.23	6	2.54	6	0.02	2
2144	127	135	Min.	0.00	678.77	6	-0.35	2	-0.08	2	-35.89	6	0.24	6	-0.01	2
2144	127	135	Min.	21.56	678.77	6	-0.35	2	-0.00	2	-36.73	6	-2.12	6	-0.01	2
2144	135	143	Max	0.00	816.35	6	0.21	2	0.01	2	6.68	6	5.51	6	0.01	2
2144	135	143	Max	21.56	816.35	6	0.21	2	0.06	2	5.84	6	1.72	6	0.01	2
2144	135	143	Min.	0.00	691.19	6	-0.24	2	-0.01	2	-38.09	6	0.37	6	-0.00	2
2144	135	143	Min.	21.56	691.19	6	-0.24	2	-0.06	2	-38.94	6	-2.80	6	-0.00	2
2144	143	151	Max	0.00	771.40	6	0.05	2	0.05	2	2.44	6	5.34	6	0.02	2
2144	143	151	Max	21.56	771.40	6	0.05	2	0.03	2	1.60	6	0.94	6	0.02	2
2144	143	151	Min.	0.00	697.96	6	-0.08	2	-0.05	2	-40.28	6	0.50	6	-0.02	2
2144	143	151	Min.	21.56	697.96	6	-0.08	2	-0.04	2	-41.13	6	-3.43	6	-0.02	2
2144	151	159	Max	0.00	730.48	6	0.20	2	0.00	2	0.75	6	4.28	6	0.03	2
2144	151	159	Max	21.56	730.48	6	0.20	2	0.04	2	-0.10	6	-0.21	6	0.03	2
2144	151	159	Min.	0.00	704.24	6	-0.22	2	-0.01	2	-40.17	6	-0.28	6	-0.03	2
2144	151	159	Min.	21.56	704.24	6	-0.22	2	-0.05	2	-41.02	6	-4.47	6	-0.03	2
2144	159	167	Max	0.00	730.89	6	0.22	2	0.04	2	41.01	6	-0.21	6	0.03	2
2144	159	167	Max	21.56	730.89	6	0.22	2	0.00	2	40.17	6	4.28	6	0.03	2
2144	159	167	Min.	0.00	703.84	6	-0.20	2	-0.05	2	0.10	6	-4.47	6	-0.03	2
2144	159	167	Min.	21.56	703.84	6	-0.20	2	-0.01	2	-0.75	6	-0.28	6	-0.03	2
2144	167	175	Max	0.00	771.80	6	0.08	2	0.03	2	41.13	6	0.94	6	0.02	2
2144	167	175	Max	21.56	771.80	6	0.08	2	0.05	2	40.29	6	5.34	6	0.02	2
2144	167	175	Min.	0.00	697.55	6	-0.05	2	-0.04	2	-1.59	6	-3.43	6	-0.02	2
2144	167	175	Min.	21.56	697.55	6	-0.05	2	-0.05	2	-2.44	6	0.50	6	-0.02	2
2144	175	183	Max	0.00	816.75	6	0.24	2	0.06	2	38.93	6	1.72	6	0.00	2
2144	175	183	Max	21.56	816.75	6	0.24	2	0.01	2	38.08	6	5.51	6	0.00	2
2144	175	183	Min.	0.00	690.79	6	-0.21	2	-0.06	2	-5.83	6	-2.79	6	-0.01	2
2144	175	183	Min.	21.56	690.79	6	-0.21	2	-0.01	2	-6.68	6	0.37	6	-0.01	2
2144	183	191	Max	0.00	861.16	6	0.35	2	0.00	2	36.74	6	2.53	6	0.01	2
2144	183	191	Max	21.56	861.16	6	0.35	2	0.08	2	35.89	6	5.71	6	0.01	2
2144	183	191	Min.	0.00	678.38	6	-0.33	2	-0.00	2	-10.23	6	-2.12	6	-0.02	2
2144	183	191	Min.	21.56	678.38	6	-0.33	2	-0.07	2	-11.07	6	0.24	6	-0.02	2
2144	191	199	Max	0.00	896.54	6	0.25	2	0.05	2	18.02	6	4.73	6	0.04	2
2144	191	199	Max	21.56	896.54	6	0.25	2	0.01	2	17.17	6	3.73	6	0.04	2
2144	191	199	Min.	0.00	651.18	6	-0.21	2	-0.06	2	-30.97	6	-0.06	6	-0.05	2
2144	191	199	Min.	21.56	651.18	6	-0.21	2	-0.01	2	-31.82	6	-2.04	6	-0.05	2
2144	199	207	Max	0.00	920.73	6	0.10	2	0.03	2	14.96	6	4.98	6	0.02	2
2144	199	207	Max	21.56	920.73	6	0.10	2	0.05	2	14.11	6	3.16	6	0.02	2
2144	199	207	Min.	0.00	606.13	6	-0.05	2	-0.03	2	-36.74	6	0.02	6	-0.03	2
2144	199	207	Min.	21.56	606.13	6	-0.05	2	-0.04	2	-37.58	6	-3.03	6	-0.03	2
2144	207	215	Max	0.00	940.35	6	0.26	2	0.05	2	12.53	6	5.48	6	-0.00	2
2144	207	215	Max	21.56	940.35	6	0.26	2	0.01	2	11.69	6	2.95	6	-0.00	2

2144	207	215	Min.	0.00	548.41	6	-0.21	2	-0.06	2	-42.22	6	0.34	6	-0.01	2
2144	207	215	Min.	21.56	548.41	6	-0.21	2	0.00	2	-43.06	6	-3.71	6	-0.01	2
2144	215	223	Max	0.00	954.98	6	0.36	2	0.01	2	9.33	6	6.34	6	0.00	2
2144	215	223	Max	21.56	954.98	6	0.36	2	0.09	2	8.48	6	2.93	6	0.00	2
2144	215	223	Min.	0.00	476.04	6	-0.34	2	-0.01	2	-48.83	6	1.01	6	-0.02	2
2144	215	223	Min.	21.56	476.04	6	-0.34	2	-0.08	2	-49.68	6	-4.28	6	-0.02	2
2144	223	231	Max	0.00	954.90	6	0.32	2	0.05	2	-9.13	6	8.58	6	0.03	2
2144	223	231	Max	21.56	954.90	6	0.32	2	0.00	6	-9.98	6	0.97	6	0.03	2
2144	223	231	Min.	0.00	377.19	6	-0.23	2	-0.07	2	-71.28	6	3.03	6	-0.05	2
2144	223	231	Min.	21.56	377.19	6	-0.23	2	-0.00	6	-72.13	6	-6.88	6	-0.05	2
2144	231	239	Max	0.00	936.15	6	0.15	2	0.03	2	-13.68	6	9.05	6	0.02	2
2144	231	239	Max	21.56	936.15	6	0.15	2	0.06	2	-14.52	6	0.27	6	0.02	2
2144	231	239	Min.	0.00	245.67	6	-0.03	2	-0.04	2	-80.30	6	3.31	6	-0.04	2
2144	231	239	Min.	21.56	245.67	6	-0.03	2	-0.05	2	-81.15	6	-8.35	6	-0.04	2
2144	239	247	Max	0.00	905.34	6	0.31	2	0.06	2	-18.06	6	9.74	6	-0.01	2
2144	239	247	Max	21.56	905.34	6	0.31	2	0.02	2	-18.91	6	-0.17	6	-0.01	2
2144	239	247	Min.	0.00	84.80	6	-0.18	2	-0.06	2	-89.85	6	3.82	6	-0.01	2
2144	239	247	Min.	21.56	84.80	6	-0.18	2	0.00	2	-90.70	6	-9.72	6	-0.01	2
2144	247	255	Max	0.00	859.45	6	0.40	2	0.00	2	-23.48	6	10.74	6	-0.00	2
2144	247	255	Max	21.56	859.45	6	0.40	2	0.09	2	-24.33	6	-0.47	6	-0.00	2
2144	247	255	Min.	0.00	-112.48	6	-0.29	2	-0.00	2	-101.31	6	4.68	6	-0.01	2
2144	247	255	Min.	21.56	-112.48	6	-0.29	2	-0.06	2	-102.15	6	-11.19	6	-0.01	2
2144	255	263	Max	0.00	777.98	6	0.15	2	0.04	2	-48.20	6	13.49	6	0.05	2
2144	255	263	Max	21.56	777.98	6	0.15	2	0.00	6	-49.05	6	-3.31	6	0.05	2
2144	255	263	Min.	0.00	-370.54	6	-0.18	2	-0.03	2	-133.39	6	7.18	6	-0.06	2
2144	255	263	Min.	21.56	-370.54	6	-0.18	2	-0.00	6	-134.23	6	-15.37	6	-0.06	2
2144	263	271	Max	0.00	648.48	6	0.08	2	0.05	2	-56.86	6	13.96	6	0.05	2
2144	263	271	Max	21.56	648.48	6	0.08	2	0.03	2	-57.70	6	-4.70	6	0.05	2
2144	263	271	Min.	0.00	-707.92	6	-0.07	2	-0.05	2	-150.94	6	7.65	6	-0.05	2
2144	263	271	Min.	21.56	-707.92	6	-0.07	2	-0.03	2	-151.79	6	-18.68	6	-0.05	2
2144	271	279	Max	0.00	478.95	6	0.42	2	0.07	2	-66.82	6	13.87	6	0.04	2
2144	271	279	Max	21.56	478.95	6	0.42	2	0.03	2	-67.67	6	-6.32	6	0.04	2
2144	271	279	Min.	0.00	-1125.08	6	-0.40	2	-0.06	2	-169.10	6	8.17	6	-0.04	2
2144	271	279	Min.	21.56	-1125.08	6	-0.40	2	-0.02	2	-169.94	6	-22.68	6	-0.04	2
2144	279	2288	Max	0.00	277.69	6	0.73	2	0.02	6	-76.41	6	9.65	6	0.04	2
2144	279	2288	Max	21.56	277.69	6	0.73	2	0.16	2	-77.26	6	-9.14	6	0.04	2
2144	279	2288	Min.	0.00	-1591.95	6	-0.96	2	0.00	6	-203.00	6	7.43	6	-0.03	2
2144	279	2288	Min.	21.56	-1591.95	6	-0.96	2	-0.19	2	-203.85	6	-34.21	6	-0.03	2
2144	2288	299	Max	0.00	-81.99	2	2.09	2	0.22	2	23.76	6	1.39	6	0.03	2
2144	2288	299	Max	13.33									1.09	8		
2144	2288	299	Max	16.67	-81.99	2	2.09	2	0.08	2	23.11	6	1.14	6	0.03	2
2144	2288	299	Min.	0.00	-172.40	2	-1.69	2	-0.27	2	-2.00	6	-3.80	6	-0.06	2
2144	2288	299	Min.	13.33					0.00	8			-0.66	8		
2144	2288	299	Min.	16.67	-172.40	2	-1.69	2	-0.07	2	-2.65	6	-0.03	6	-0.06	2
2144	299	307	Max	0.00	-54.60	2	1.19	2	0.06	2	22.49	2	-1.17	2	0.05	2
2144	299	307	Max	16.67	-54.60	2	1.19	2	0.11	2	21.84	2	1.48	2	0.05	2
2144	299	307	Min.	0.00	-112.21	2	-0.83	2	-0.09	2	11.90	2	-2.22	2	-0.09	2
2144	299	307	Min.	16.67	-112.21	2	-0.83	2	-0.08	2	11.24	2	0.75	2	-0.09	2
2144	307	2315	Max	0.00	-22.17	2	1.14	2	0.03	2	21.79	2	-0.72	2	0.03	2
2144	307	2315	Max	16.67	-22.17	2	1.14	2	0.13	2	21.14	2	1.90	2	0.03	2
2144	307	2315	Min.	0.00	-46.09	2	-0.60	2	-0.06	2	9.68	2	-1.67	2	-0.07	2
2144	307	2315	Min.	16.67	-46.09	2	-0.60	2	-0.08	2	9.03	2	0.83	2	-0.07	2
2145	-516	20	Max	0.00	-29.09	2	0.81	2	0.22	2	1.51	2	-0.14	2	0.03	2
2145	-516	20	Max	17.13					0.01	4			-0.10	4		
2145	-516	20	Max	19.08	-29.45	2	0.81	2	0.02	2	0.86	2	-0.05	6	0.03	2
2145	-516	20	Min.	0.00	-75.25	2	-1.24	2	-0.13	2	0.59	2	-0.38	2	0.00	2
2145	-516	20	Min.	17.13					0.01	4			-0.16	4		
2145	-516	20	Min.	19.08	-75.61	2	-1.24	2	-0.02	2	-0.07	2	-0.19	6	0.00	2
2182	2005	13	Max	0.00	-10.41	2	1.18	2	0.09	2	-3.11	2	1.49	2	0.04	2

2182	2005	13	Max	16.67	-10.41	2	1.18	2	0.06	2	-3.76	2	-0.26	2	0.04	2
2182	2005	13	Min.	0.00	-36.76	2	-0.81	2	-0.13	2	-16.49	2	0.31	2	-0.06	2
2182	2005	13	Min.	16.67	-36.76	2	-0.81	2	-0.04	2	-17.15	2	-1.31	2	-0.06	2
2182	13	21	Max	0.00	-26.56	2	1.04	2	0.08	2	-5.85	2	1.17	2	0.06	2
2182	13	21	Max	16.67	-26.56	2	1.04	2	0.08	2	-6.50	2	-0.62	2	0.06	2
2182	13	21	Min.	0.00	-88.24	2	-0.82	2	-0.10	2	-17.06	2	0.41	2	-0.09	2
2182	13	21	Min.	16.67	-88.24	2	-0.82	2	-0.06	2	-17.72	2	-1.73	2	-0.09	2
2182	21	2031	Max	0.00	-41.29	2	2.40	2	0.07	2	8.14	6	0.99	6	0.03	2
2182	21	2031	Max	16.67	-41.29	2	2.40	2	0.31	2	7.49	6	2.15	6	0.03	2
2182	21	2031	Min.	0.00	-137.42	2	-1.59	2	-0.09	2	-18.54	6	-0.17	6	-0.05	2
2182	21	2031	Min.	16.67	-137.42	2	-1.59	2	-0.20	2	-19.19	6	-3.17	6	-0.05	2
2182	2031	41	Max	0.00	279.37	6	1.01	2	0.16	2	203.34	6	-8.99	6	0.03	2
2182	2031	41	Max	21.56	279.37	6	1.01	2	0.01	6	202.50	6	9.60	6	0.03	2
2182	2031	41	Min.	0.00	-1594.79	6	-0.72	2	-0.21	2	76.23	6	-34.15	6	-0.04	2
2182	2031	41	Min.	21.56	-1594.79	6	-0.72	2	0.00	6	75.39	6	7.35	6	-0.04	2
2182	41	49	Max	0.00	476.63	6	0.43	2	0.02	2	169.60	6	-6.22	6	0.04	2
2182	41	49	Max	21.56	476.63	6	0.43	2	0.07	2	168.75	6	13.83	6	0.04	2
2182	41	49	Min.	0.00	-1127.66	6	-0.41	2	-0.03	2	66.79	6	-22.65	6	-0.05	2
2182	41	49	Min.	21.56	-1127.66	6	-0.41	2	-0.07	2	65.94	6	8.09	6	-0.05	2
2182	49	57	Max	0.00	645.05	6	0.09	2	0.03	2	151.27	6	-4.60	6	0.05	2
2182	49	57	Max	21.56	645.05	6	0.09	2	0.05	2	150.43	6	13.89	6	0.05	2
2182	49	57	Min.	0.00	-712.95	6	-0.06	2	-0.03	2	56.73	6	-18.63	6	-0.06	2
2182	49	57	Min.	21.56	-712.95	6	-0.06	2	-0.05	2	55.89	6	7.54	6	-0.06	2
2182	57	65	Max	0.00	774.29	6	0.17	2	0.00	6	133.74	6	-3.26	6	0.05	2
2182	57	65	Max	21.56	774.29	6	0.17	2	0.04	2	132.90	6	13.38	6	0.05	2
2182	57	65	Min.	0.00	-377.89	6	-0.17	2	-0.00	6	48.14	6	-15.37	6	-0.06	2
2182	57	65	Min.	21.56	-377.89	6	-0.17	2	-0.04	2	47.29	6	7.03	6	-0.06	2
2182	65	73	Max	0.00	858.17	6	0.39	2	0.07	2	104.24	6	-0.77	6	-0.00	2
2182	65	73	Max	21.56	858.17	6	0.39	2	0.00	6	103.39	6	10.93	6	-0.00	2
2182	65	73	Min.	0.00	-118.65	6	-0.31	2	-0.09	2	26.66	6	-11.48	6	-0.01	2
2182	65	73	Min.	21.56	-118.65	6	-0.31	2	-0.01	6	25.82	6	4.86	6	-0.01	2
2182	73	81	Max	0.00	908.15	6	0.31	2	-0.00	2	92.52	6	-0.39	6	-0.00	2
2182	73	81	Max	21.56	908.15	6	0.31	2	0.06	2	91.68	6	9.94	6	-0.00	2
2182	73	81	Min.	0.00	82.16	6	-0.20	2	-0.02	2	20.96	6	-9.92	6	-0.01	2
2182	73	81	Min.	21.56	82.16	6	-0.20	2	-0.06	2	20.11	6	4.04	6	-0.01	2
2182	81	89	Max	0.00	942.50	6	0.15	2	0.05	2	82.71	6	0.09	6	0.02	2
2182	81	89	Max	21.56	942.50	6	0.15	2	0.04	2	81.87	6	9.23	6	0.02	2
2182	81	89	Min.	0.00	246.14	6	-0.04	2	-0.06	2	16.30	6	-8.51	6	-0.04	2
2182	81	89	Min.	21.56	246.14	6	-0.04	2	-0.03	2	15.45	6	3.52	6	-0.04	2
2182	89	97	Max	0.00	964.06	6	0.32	2	0.01	6	73.48	6	0.83	6	0.03	2
2182	89	97	Max	21.56	964.06	6	0.32	2	0.07	2	72.63	6	8.74	6	0.03	2
2182	89	97	Min.	0.00	380.16	6	-0.24	2	-0.01	6	11.51	6	-7.01	6	-0.05	2
2182	89	97	Min.	21.56	380.16	6	-0.24	2	-0.05	2	10.67	6	3.22	6	-0.05	2
2182	97	105	Max	0.00	966.02	6	0.37	2	0.08	2	50.45	6	2.89	6	0.00	2
2182	97	105	Max	21.56	966.02	6	0.37	2	0.01	2	49.60	6	6.43	6	0.00	2
2182	97	105	Min.	0.00	480.79	6	-0.34	2	-0.09	2	-7.89	6	-4.35	6	-0.02	2
2182	97	105	Min.	21.56	480.79	6	-0.34	2	-0.01	2	-8.73	6	1.10	6	-0.02	2
2182	105	113	Max	0.00	952.35	6	0.27	2	0.00	6	43.65	6	2.92	6	-0.00	2
2182	105	113	Max	21.56	952.35	6	0.27	2	0.06	2	42.81	6	5.55	6	-0.00	2
2182	105	113	Min.	0.00	554.16	6	-0.22	2	-0.01	6	-11.28	6	-3.77	6	-0.01	2
2182	105	113	Min.	21.56	554.16	6	-0.22	2	-0.06	2	-12.12	6	0.40	6	-0.01	2
2182	113	121	Max	0.00	933.35	6	0.11	2	0.05	2	38.02	6	3.14	6	0.03	2
2182	113	121	Max	12.47					-0.01	8			1.64	8		
2182	113	121	Max	21.56	933.35	6	0.11	2	0.03	2	37.18	6	5.04	6	0.03	2
2182	113	121	Min.	0.00	612.54	6	-0.05	2	-0.05	2	-13.84	6	-3.07	6	-0.03	2
2182	113	121	Min.	12.47					0.01	8			1.38	8		
2182	113	121	Min.	21.56	612.54	6	-0.05	2	-0.03	2	-14.69	6	0.06	6	-0.03	2
2182	121	129	Max	0.00	909.55	6	0.26	2	0.01	2	32.11	6	3.72	6	0.04	2
2182	121	129	Max	21.56	909.55	6	0.26	2	0.06	2	31.26	6	4.76	6	0.04	2

2182	121	129	Min.	0.00	658.06	6	-0.21	2	-0.01	2	-17.03	6	-2.07	6	-0.05	2
2182	121	129	Min.	21.56	658.06	6	-0.21	2	-0.05	2	-17.88	6	-0.04	6	-0.05	2
2182	129	137	Max	0.00	874.49	6	0.35	2	0.08	2	11.55	6	5.67	6	0.01	2
2182	129	137	Max	21.56	874.49	6	0.35	2	0.00	2	10.70	6	2.59	6	0.01	2
2182	129	137	Min.	0.00	685.72	6	-0.34	2	-0.08	2	-35.56	6	0.19	6	-0.02	2
2182	129	137	Min.	21.56	685.72	6	-0.34	2	-0.00	2	-36.41	6	-2.09	6	-0.02	2
2182	137	145	Max	0.00	830.36	6	0.24	2	0.01	2	7.02	6	5.50	6	0.00	2
2182	137	145	Max	21.56	830.36	6	0.24	2	0.06	2	6.18	6	1.77	6	0.00	2
2182	137	145	Min.	0.00	698.62	6	-0.22	2	-0.01	2	-37.89	6	0.34	6	-0.01	2
2182	137	145	Min.	21.56	698.62	6	-0.22	2	-0.06	2	-38.73	6	-2.76	6	-0.01	2
2182	145	153	Max	0.00	785.53	6	0.08	2	0.05	2	2.64	6	5.35	6	0.02	2
2182	145	153	Max	21.56	785.53	6	0.08	2	0.04	2	1.79	6	0.97	6	0.02	2
2182	145	153	Min.	0.00	705.72	6	-0.06	2	-0.05	2	-40.22	6	0.49	6	-0.02	2
2182	145	153	Min.	21.56	705.72	6	-0.06	2	-0.03	2	-41.06	6	-3.42	6	-0.02	2
2182	153	161	Max	0.00	750.03	2	0.22	2	0.01	6	0.83	6	4.30	6	0.03	2
2182	153	161	Max	21.56	750.03	2	0.22	2	0.05	2	-0.02	6	-0.19	6	0.03	2
2182	153	161	Min.	0.00	706.78	2	-0.20	2	-0.00	6	-40.24	6	-0.28	6	-0.03	2
2182	153	161	Min.	21.56	706.78	2	-0.20	2	-0.04	2	-41.08	6	-4.47	6	-0.03	2
2182	161	169	Max	0.00	750.09	2	0.20	2	0.05	2	41.07	6	-0.20	6	0.03	2
2182	161	169	Max	21.56	750.09	2	0.20	2	0.01	6	40.23	6	4.30	6	0.03	2
2182	161	169	Min.	0.00	706.71	2	-0.22	2	-0.04	2	0.02	6	-4.47	6	-0.03	2
2182	161	169	Min.	21.56	706.71	2	-0.22	2	-0.00	6	-0.83	6	-0.28	6	-0.03	2
2182	169	177	Max	0.00	785.76	6	0.06	2	0.04	2	41.06	6	0.97	6	0.02	2
2182	169	177	Max	21.56	785.76	6	0.06	2	0.05	2	40.21	6	5.35	6	0.02	2
2182	169	177	Min.	0.00	705.48	6	-0.08	2	-0.03	2	-1.80	6	-3.42	6	-0.02	2
2182	169	177	Min.	21.56	705.48	6	-0.08	2	-0.05	2	-2.64	6	0.49	6	-0.02	2
2182	177	185	Max	0.00	830.58	6	0.22	2	0.06	2	38.72	6	1.77	6	0.01	2
2182	177	185	Max	21.56	830.58	6	0.22	2	0.01	2	37.88	6	5.50	6	0.01	2
2182	177	185	Min.	0.00	698.38	6	-0.24	2	-0.06	2	-6.18	6	-2.76	6	-0.00	2
2182	177	185	Min.	21.56	698.38	6	-0.24	2	-0.01	2	-7.02	6	0.34	6	-0.00	2
2182	185	193	Max	0.00	874.71	6	0.34	2	0.00	2	36.41	6	2.59	6	0.02	2
2182	185	193	Max	21.56	874.71	6	0.34	2	0.08	2	35.56	6	5.67	6	0.02	2
2182	185	193	Min.	0.00	685.48	6	-0.35	2	-0.00	2	-10.70	6	-2.09	6	-0.01	2
2182	185	193	Min.	21.56	685.48	6	-0.35	2	-0.08	2	-11.55	6	0.19	6	-0.01	2
2182	193	201	Max	0.00	909.75	6	0.21	2	0.06	2	17.88	6	4.76	6	0.05	2
2182	193	201	Max	21.56	909.75	6	0.21	2	0.01	2	17.03	6	3.72	6	0.05	2
2182	193	201	Min.	0.00	657.81	6	-0.26	2	-0.05	2	-31.27	6	-0.04	6	-0.04	2
2182	193	201	Min.	21.56	657.81	6	-0.26	2	-0.01	2	-32.12	6	-2.07	6	-0.04	2
2182	201	209	Max	0.00	933.54	6	0.05	2	0.03	2	14.69	6	5.04	6	0.03	2
2182	201	209	Max	9.14					-0.01	8			1.62	8		
2182	201	209	Max	21.56	933.54	6	0.05	2	0.05	2	13.84	6	3.14	6	0.03	2
2182	201	209	Min.	0.00	612.30	6	-0.11	2	-0.03	2	-37.19	6	0.06	6	-0.03	2
2182	201	209	Min.	9.14					0.01	8			1.39	8		
2182	201	209	Min.	21.56	612.30	6	-0.11	2	-0.05	2	-38.03	6	-3.07	6	-0.03	2
2182	209	217	Max	0.00	952.53	6	0.22	2	0.06	2	12.12	6	5.56	6	0.01	2
2182	209	217	Max	21.56	952.53	6	0.22	2	0.00	6	11.28	6	2.92	6	0.01	2
2182	209	217	Min.	0.00	553.91	6	-0.27	2	-0.06	2	-42.82	6	0.40	6	0.00	2
2182	209	217	Min.	21.56	553.91	6	-0.27	2	-0.01	6	-43.67	6	-3.77	6	0.00	2
2182	217	225	Max	0.00	966.19	6	0.34	2	0.01	2	8.73	6	6.43	6	0.02	2
2182	217	225	Max	21.56	966.19	6	0.34	2	0.08	2	7.89	6	2.89	6	0.02	2
2182	217	225	Min.	0.00	480.53	6	-0.37	2	-0.01	2	-49.61	6	1.10	6	-0.00	2
2182	217	225	Min.	21.56	480.53	6	-0.37	2	-0.09	2	-50.46	6	-4.36	6	-0.00	2
2182	225	233	Max	0.00	964.21	6	0.24	2	0.07	2	-10.68	6	8.75	6	0.05	2
2182	225	233	Max	21.56	964.21	6	0.24	2	0.01	6	-11.53	6	0.83	6	0.05	2
2182	225	233	Min.	0.00	379.88	6	-0.32	2	-0.05	2	-72.65	6	3.22	6	-0.03	2
2182	225	233	Min.	21.56	379.88	6	-0.32	2	-0.01	6	-73.49	6	-7.01	6	-0.03	2
2182	233	241	Max	0.00	942.63	6	0.04	2	0.04	2	-15.47	6	9.24	6	0.04	2
2182	233	241	Max	21.56	942.63	6	0.04	2	0.05	2	-16.31	6	0.09	6	0.04	2
2182	233	241	Min.	0.00	245.83	6	-0.15	2	-0.03	2	-81.88	6	3.52	6	-0.02	2

2182	233	241	Min.	21.56	245.83	6	-0.15	2	-0.06	2	-82.73	6	-8.51	6	-0.02	2
2182	241	249	Max	0.00	908.25	6	0.20	2	0.06	2	-20.13	6	9.94	6	0.01	2
2182	241	249	Max	21.56	908.25	6	0.20	2	0.00	2	-20.97	6	-0.39	6	0.01	2
2182	241	249	Min.	0.00	81.82	6	-0.31	2	-0.06	2	-91.69	6	4.04	6	0.00	2
2182	241	249	Min.	21.56	81.82	6	-0.31	2	-0.02	2	-92.54	6	-9.92	6	0.00	2
2182	249	257	Max	0.00	858.24	6	0.31	2	0.00	6	-25.83	6	10.93	6	0.01	2
2182	249	257	Max	21.56	858.24	6	0.31	2	0.07	2	-26.68	6	-0.77	6	0.01	2
2182	249	257	Min.	0.00	-119.03	6	-0.39	2	-0.01	6	-103.41	6	4.87	6	0.00	2
2182	249	257	Min.	21.56	-119.03	6	-0.39	2	-0.09	2	-104.26	6	-11.48	6	0.00	2
2182	257	265	Max	0.00	774.28	6	0.17	2	0.04	2	-47.35	6	13.39	6	0.06	2
2182	257	265	Max	21.56	774.28	6	0.17	2	0.00	6	-48.20	6	-3.26	6	0.06	2
2182	257	265	Min.	0.00	-378.38	6	-0.17	2	-0.04	2	-132.96	6	7.04	6	-0.05	2
2182	257	265	Min.	21.56	-378.38	6	-0.17	2	-0.00	6	-133.81	6	-15.37	6	-0.05	2
2182	265	273	Max	0.00	644.91	6	0.06	2	0.05	2	-55.95	6	13.90	6	0.06	2
2182	265	273	Max	21.56	644.91	6	0.06	2	0.03	2	-56.80	6	-4.61	6	0.06	2
2182	265	273	Min.	0.00	-713.61	6	-0.09	2	-0.05	2	-150.50	6	7.55	6	-0.05	2
2182	265	273	Min.	21.56	-713.61	6	-0.09	2	-0.03	2	-151.35	6	-18.64	6	-0.05	2
2182	273	281	Max	0.00	476.41	6	0.41	2	0.07	2	-66.01	6	13.84	6	0.05	2
2182	273	281	Max	21.56	476.41	6	0.41	2	0.02	2	-66.86	6	-6.23	6	0.05	2
2182	273	281	Min.	0.00	-1128.62	6	-0.43	2	-0.07	2	-168.82	6	8.10	6	-0.04	2
2182	273	281	Min.	21.56	-1128.62	6	-0.43	2	-0.03	2	-169.66	6	-22.65	6	-0.04	2
2182	281	2291	Max	0.00	278.91	6	0.72	2	0.01	2	-75.48	6	9.61	6	0.04	2
2182	281	2291	Max	0.27					0.01	8			8.84	8		
2182	281	2291	Max	21.56	278.91	6	0.72	2	0.16	2	-76.33	6	-9.00	6	0.04	2
2182	281	2291	Min.	0.00	-1596.00	6	-1.00	2	0.00	2	-202.60	6	7.36	6	-0.03	2
2182	281	2291	Min.	0.27					0.00	8			7.39	8		
2182	281	2291	Min.	21.56	-1596.00	6	-1.00	2	-0.21	2	-203.44	6	-34.17	6	-0.03	2
2182	2291	301	Max	0.00	-53.55	2	1.55	2	0.31	2	20.08	6	1.96	6	0.06	2
2182	2291	301	Max	16.67	-53.55	2	1.55	2	0.06	2	19.43	6	1.03	6	0.06	2
2182	2291	301	Min.	0.00	-144.48	2	-2.36	2	-0.19	2	-6.11	6	-3.30	6	-0.03	2
2182	2291	301	Min.	16.67	-144.48	2	-2.36	2	-0.09	2	-6.76	6	-0.15	6	-0.03	2
2182	301	309	Max	0.00	-34.80	2	0.80	2	0.09	2	18.93	2	-0.80	2	0.09	2
2182	301	309	Max	16.67	-34.80	2	0.80	2	0.08	2	18.28	2	1.26	2	0.09	2
2182	301	309	Min.	0.00	-92.77	2	-1.23	2	-0.06	2	8.28	2	-1.84	2	-0.05	2
2182	301	309	Min.	16.67	-92.77	2	-1.23	2	-0.12	2	7.63	2	0.53	2	-0.05	2
2182	309	2317	Max	0.00	-13.63	2	0.79	2	0.05	2	17.79	2	-0.38	2	0.06	2
2182	309	2317	Max	16.67	-13.63	2	0.79	2	0.09	2	17.14	2	1.56	2	0.06	2
2182	309	2317	Min.	0.00	-38.09	2	-1.05	2	-0.04	2	5.41	2	-1.36	2	-0.04	2
2182	309	2317	Min.	16.67	-38.09	2	-1.05	2	-0.12	2	4.76	2	0.46	2	-0.04	2
2183	-518	22	Max	0.00	-43.71	2	1.08	2	0.16	2	1.66	2	-0.21	2	0.01	2
2183	-518	22	Max	19.08	-44.08	2	1.08	2	0.02	2	1.00	2	-0.11	6	0.01	2
2183	-518	22	Min.	0.00	-89.70	2	-0.96	2	-0.19	2	0.74	2	-0.46	2	-0.02	2
2183	-518	22	Min.	19.08	-90.06	2	-0.96	2	-0.02	2	0.08	2	-0.22	6	-0.02	2
2220	2007	15	Max	0.00	-1.25	2	1.45	2	0.11	2	0.70	2	1.15	2	0.06	2
2220	2007	15	Max	16.67	-1.25	2	1.45	2	0.09	2	0.04	2	0.06	2	0.06	2
2220	2007	15	Min.	0.00	-26.86	2	-0.97	2	-0.16	2	-12.58	2	-0.00	2	-0.04	2
2220	2007	15	Min.	16.67	-26.86	2	-0.97	2	-0.05	2	-13.23	2	-1.00	2	-0.04	2
2220	15	23	Max	0.00	-6.56	2	1.16	2	0.09	2	-2.18	2	0.97	2	0.08	2
2220	15	23	Max	16.67	-6.56	2	1.16	2	0.09	2	-2.83	2	-0.20	2	0.08	2
2220	15	23	Min.	0.00	-66.86	2	-0.95	2	-0.10	2	-13.63	2	0.22	2	-0.06	2
2220	15	23	Min.	16.67	-66.86	2	-0.95	2	-0.07	2	-14.28	2	-1.36	2	-0.06	2
2220	23	2034	Max	0.00	-12.40	2	2.57	2	0.07	2	7.23	6	0.98	6	0.06	2
2220	23	2034	Max	2.54					-0.03	4			0.47	4		
2220	23	2034	Max	16.67	-12.40	2	2.57	2	0.33	2	6.57	6	2.02	6	0.06	2
2220	23	2034	Min.	0.00	-106.81	2	-1.78	2	-0.10	2	-18.67	6	-0.19	6	-0.02	2
2220	23	2034	Min.	2.54					0.02	4			0.02	4		
2220	23	2034	Min.	16.67	-106.81	2	-1.78	2	-0.23	2	-19.32	6	-3.24	6	-0.02	2
2220	2034	43	Max	0.00	555.15	6	1.28	2	0.12	2	145.76	6	-0.24	6	-0.01	2
2220	2034	43	Max	21.29					0.03	8			5.60	8		

2220	2034	43	Max	21.56	555.15	6	1.28	2	0.03	6	144.91	6	6.20	6	-0.01	2
2220	2034	43	Min.	0.00	-1310.79	6	-0.50	2	-0.27	2	20.06	6	-25.14	6	-0.08	2
2220	2034	43	Min.	21.29					-0.02	8			4.15	8		
2220	2034	43	Min.	21.56	-1310.79	6	-0.50	2	-0.02	6	19.21	6	3.99	6	-0.08	2
2220	43	51	Max	0.00	618.95	6	0.67	2	-0.01	2	119.96	6	-0.20	6	-0.01	2
2220	43	51	Max	21.56	618.95	6	0.67	2	0.08	2	119.12	6	9.28	6	-0.01	2
2220	43	51	Min.	0.00	-984.86	6	-0.21	2	-0.07	2	18.03	6	-16.50	6	-0.10	2
2220	43	51	Min.	21.56	-984.86	6	-0.21	2	-0.05	2	17.19	6	3.60	6	-0.10	2
2220	51	59	Max	0.00	665.63	6	0.34	6	0.00	2	106.40	6	0.37	6	0.01	2
2220	51	59	Max	21.56	665.63	6	0.34	6	0.08	2	105.55	6	9.31	6	0.01	2
2220	51	59	Min.	0.00	-695.17	6	0.12	6	-0.06	2	12.74	6	-13.54	6	-0.10	2
2220	51	59	Min.	21.56	-695.17	6	0.12	6	-0.03	2	11.89	6	3.02	6	-0.10	2
2220	59	67	Max	0.00	695.00	6	0.36	2	0.01	6	93.28	6	0.83	6	0.02	2
2220	59	67	Max	21.56	695.00	6	0.36	2	0.07	2	92.43	6	8.83	6	0.02	2
2220	59	67	Min.	0.00	-461.54	6	0.05	2	-0.04	6	8.44	6	-11.19	6	-0.10	2
2220	59	67	Min.	21.56	-461.54	6	0.05	2	-0.01	2	7.60	6	2.56	6	-0.10	2
2220	67	75	Max	0.00	704.98	6	0.41	2	0.07	2	77.38	6	1.78	6	-0.03	2
2220	67	75	Max	21.56	704.98	6	0.41	2	0.02	6	76.54	6	7.64	6	-0.03	2
2220	67	75	Min.	0.00	-276.57	6	-0.31	2	-0.09	2	-0.60	6	-8.96	6	-0.04	2
2220	67	75	Min.	21.56	-276.57	6	-0.31	2	-0.02	6	-1.44	6	1.55	6	-0.04	2
2220	75	83	Max	0.00	700.87	6	0.38	2	0.00	6	68.19	6	1.92	6	-0.01	2
2220	75	83	Max	21.56	700.87	6	0.38	2	0.07	2	67.34	6	6.98	6	-0.01	2
2220	75	83	Min.	0.00	-129.21	6	-0.16	2	-0.03	6	-3.75	6	-7.63	6	-0.03	2
2220	75	83	Min.	21.56	-129.21	6	-0.16	2	-0.05	2	-4.60	6	1.02	6	-0.03	2
2220	83	91	Max	0.00	690.47	6	0.21	2	0.04	2	60.11	6	2.12	6	0.01	2
2220	83	91	Max	21.56	690.47	6	0.21	2	0.05	2	59.27	6	6.38	6	0.01	2
2220	83	91	Min.	0.00	-9.31	6	0.01	2	-0.06	2	-6.63	6	-6.49	6	-0.05	2
2220	83	91	Min.	21.56	-9.31	6	0.01	2	-0.02	2	-7.48	6	0.60	6	-0.05	2
2220	91	99	Max	0.00	675.44	6	0.34	2	0.02	6	52.90	6	2.36	6	0.02	2
2220	91	99	Max	21.56	675.44	6	0.34	2	0.08	2	52.05	6	5.83	6	0.02	2
2220	91	99	Min.	0.00	88.72	6	-0.20	2	-0.02	6	-9.44	6	-5.49	6	-0.07	2
2220	91	99	Min.	21.56	88.72	6	-0.20	2	-0.05	2	-10.29	6	0.24	6	-0.07	2
2220	99	107	Max	0.00	655.82	6	0.41	2	0.07	2	44.99	6	2.74	6	-0.01	2
2220	99	107	Max	21.56	655.82	6	0.41	2	0.03	6	44.14	6	5.07	6	-0.01	2
2220	99	107	Min.	0.00	168.47	6	-0.31	2	-0.10	2	-13.57	6	-4.54	6	-0.03	2
2220	99	107	Min.	21.56	168.47	6	-0.31	2	-0.03	6	-14.41	6	-0.28	6	-0.03	2
2220	107	115	Max	0.00	632.47	6	0.34	2	0.01	6	39.01	6	2.91	6	-0.01	6
2220	107	115	Max	21.56	632.47	6	0.34	2	0.06	2	38.17	6	4.52	6	-0.01	6
2220	107	115	Min.	0.00	232.49	6	-0.17	2	-0.04	6	-16.09	6	-3.80	6	-0.02	6
2220	107	115	Min.	21.56	232.49	6	-0.17	2	-0.05	2	-16.94	6	-0.65	6	-0.02	6
2220	115	123	Max	0.00	606.65	6	0.19	2	0.04	2	33.57	6	3.11	6	0.02	2
2220	115	123	Max	21.56	606.65	6	0.19	2	0.05	2	32.73	6	4.03	6	0.02	2
2220	115	123	Min.	0.00	284.27	6	-0.00	2	-0.05	2	-18.46	6	-3.12	6	-0.04	2
2220	115	123	Min.	21.56	284.27	6	-0.00	2	-0.02	2	-19.30	6	-0.96	6	-0.04	2
2220	123	131	Max	0.00	578.46	6	0.29	2	0.02	6	28.34	6	3.40	6	0.04	2
2220	123	131	Max	21.56	578.46	6	0.29	2	0.08	2	27.49	6	3.61	6	0.04	2
2220	123	131	Min.	0.00	325.52	6	-0.16	2	-0.02	6	-20.95	6	-2.41	6	-0.06	2
2220	123	131	Min.	21.56	325.52	6	-0.16	2	-0.04	2	-21.80	6	-1.21	6	-0.06	2
2220	131	139	Max	0.00	546.41	6	0.33	2	0.08	2	19.63	6	4.04	6	0.01	2
2220	131	139	Max	21.56	546.41	6	0.33	2	0.02	6	18.79	6	2.73	6	0.01	2
2220	131	139	Min.	0.00	355.94	6	-0.36	2	-0.08	2	-27.43	6	-1.42	6	-0.03	2
2220	131	139	Min.	21.56	355.94	6	-0.36	2	-0.02	6	-28.28	6	-1.96	6	-0.03	2
2220	139	147	Max	0.00	511.23	6	0.25	2	0.02	6	15.21	6	4.12	6	0.01	2
2220	139	147	Max	21.56	511.23	6	0.25	2	0.06	2	14.36	6	2.18	6	0.01	2
2220	139	147	Min.	0.00	377.31	6	-0.23	2	-0.02	6	-29.64	6	-1.00	6	-0.01	2
2220	139	147	Min.	21.56	377.31	6	-0.23	2	-0.06	2	-30.48	6	-2.36	6	-0.01	2
2220	147	155	Max	0.00	475.44	6	0.10	2	0.06	2	10.69	6	4.15	6	0.03	2
2220	147	155	Max	21.56	475.44	6	0.10	2	0.05	2	9.84	6	1.54	6	0.03	2
2220	147	155	Min.	0.00	392.95	6	-0.07	2	-0.04	2	-32.11	6	-0.68	6	-0.02	2

2220	147	155	Min.	21.56	392.95	6	-0.07	2	-0.03	2	-32.96	6	-2.86	6	-0.02	2
2220	155	163	Max	0.00	450.58	2	0.22	2	0.03	6	7.98	6	3.55	6	0.04	2
2220	155	163	Max	1.41					0.03	8			3.08	8		
2220	155	163	Max	21.56	450.58	2	0.22	2	0.06	2	7.13	6	0.62	6	0.04	2
2220	155	163	Min.	0.00	397.20	2	-0.20	2	-0.00	6	-33.03	6	-1.01	6	-0.03	2
2220	155	163	Min.	1.41					-0.00	8			-0.89	8		
2220	155	163	Min.	21.56	397.20	2	-0.20	2	-0.03	2	-33.88	6	-3.67	6	-0.03	2
2220	163	171	Max	0.00	450.61	2	0.20	2	0.06	2	33.89	6	0.62	6	0.03	2
2220	163	171	Max	19.62					0.03	8			2.90	8		
2220	163	171	Max	21.56	450.61	2	0.20	2	0.03	6	33.04	6	3.55	6	0.03	2
2220	163	171	Min.	0.00	397.17	2	-0.22	2	-0.03	2	-7.13	6	-3.67	6	-0.04	2
2220	163	171	Min.	19.62					-0.00	8			-0.85	8		
2220	163	171	Min.	21.56	397.17	2	-0.22	2	-0.00	6	-7.98	6	-1.01	6	-0.04	2
2220	171	179	Max	0.00	475.57	6	0.07	2	0.05	2	32.97	6	1.54	6	0.02	2
2220	171	179	Max	21.56	475.57	6	0.07	2	0.06	2	32.12	6	4.16	6	0.02	2
2220	171	179	Min.	0.00	392.83	6	-0.10	2	-0.03	2	-9.85	6	-2.86	6	-0.03	2
2220	171	179	Min.	21.56	392.83	6	-0.10	2	-0.04	2	-10.69	6	-0.68	6	-0.03	2
2220	179	187	Max	0.00	511.37	6	0.23	2	0.06	2	30.49	6	2.18	6	0.01	2
2220	179	187	Max	21.56	511.37	6	0.23	2	0.02	6	29.65	6	4.12	6	0.01	2
2220	179	187	Min.	0.00	377.20	6	-0.25	2	-0.06	2	-14.36	6	-2.36	6	-0.01	2
2220	179	187	Min.	21.56	377.20	6	-0.25	2	-0.02	6	-15.21	6	-1.00	6	-0.01	2
2220	187	195	Max	0.00	546.54	6	0.36	2	0.02	6	28.29	6	2.73	6	0.03	2
2220	187	195	Max	21.56	546.54	6	0.36	2	0.08	2	27.45	6	4.05	6	0.03	2
2220	187	195	Min.	0.00	355.84	6	-0.33	2	-0.02	6	-18.79	6	-1.96	6	-0.01	2
2220	187	195	Min.	21.56	355.84	6	-0.33	2	-0.08	2	-19.64	6	-1.42	6	-0.01	2
2220	195	203	Max	0.00	578.59	6	0.16	2	0.08	2	21.81	6	3.61	6	0.06	2
2220	195	203	Max	21.56	578.59	6	0.16	2	0.02	6	20.97	6	3.40	6	0.06	2
2220	195	203	Min.	0.00	325.44	6	-0.29	2	-0.04	2	-27.50	6	-1.21	6	-0.04	2
2220	195	203	Min.	21.56	325.44	6	-0.29	2	-0.02	6	-28.34	6	-2.41	6	-0.04	2
2220	203	211	Max	0.00	606.78	6	0.00	2	0.05	2	19.32	6	4.03	6	0.04	2
2220	203	211	Max	21.56	606.78	6	0.00	2	0.04	2	18.47	6	3.11	6	0.04	2
2220	203	211	Min.	0.00	284.21	6	-0.19	2	-0.02	2	-32.73	6	-0.96	6	-0.02	2
2220	203	211	Min.	21.56	284.21	6	-0.19	2	-0.05	2	-33.58	6	-3.12	6	-0.02	2
2220	211	219	Max	0.00	632.60	6	0.17	2	0.06	2	16.95	6	4.52	6	0.02	6
2220	211	219	Max	21.56	632.60	6	0.17	2	0.01	6	16.10	6	2.91	6	0.02	6
2220	211	219	Min.	0.00	232.44	6	-0.34	2	-0.05	2	-38.17	6	-0.65	6	0.01	6
2220	211	219	Min.	21.56	232.44	6	-0.34	2	-0.04	6	-39.02	6	-3.81	6	0.01	6
2220	219	227	Max	0.00	655.95	6	0.31	2	0.03	6	14.43	6	5.07	6	0.03	2
2220	219	227	Max	21.56	655.95	6	0.31	2	0.07	2	13.58	6	2.74	6	0.03	2
2220	219	227	Min.	0.00	168.44	6	-0.41	2	-0.03	6	-44.14	6	-0.28	6	0.01	2
2220	219	227	Min.	21.56	168.44	6	-0.41	2	-0.10	2	-44.99	6	-4.54	6	0.01	2
2220	227	235	Max	0.00	675.56	6	0.20	2	0.08	2	10.29	6	5.82	6	0.07	2
2220	227	235	Max	21.56	675.56	6	0.20	2	0.02	6	9.44	6	2.36	6	0.07	2
2220	227	235	Min.	0.00	88.70	6	-0.34	2	-0.05	2	-52.05	6	0.24	6	-0.02	2
2220	227	235	Min.	21.56	88.70	6	-0.34	2	-0.02	6	-52.89	6	-5.49	6	-0.02	2
2220	235	243	Max	0.00	690.59	6	-0.00	2	0.05	2	7.48	6	6.38	6	0.05	2
2220	235	243	Max	21.56	690.59	6	-0.00	2	0.04	2	6.63	6	2.12	6	0.05	2
2220	235	243	Min.	0.00	-9.32	6	-0.21	2	-0.02	2	-59.26	6	0.60	6	-0.01	2
2220	235	243	Min.	21.56	-9.32	6	-0.21	2	-0.06	2	-60.11	6	-6.49	6	-0.01	2
2220	243	251	Max	0.00	700.99	6	0.16	2	0.07	2	4.60	6	6.98	6	0.03	2
2220	243	251	Max	21.56	700.99	6	0.16	2	0.00	6	3.75	6	1.92	6	0.03	2
2220	243	251	Min.	0.00	-129.20	6	-0.38	2	-0.05	2	-67.33	6	1.02	6	0.01	2
2220	243	251	Min.	21.56	-129.20	6	-0.38	2	-0.03	6	-68.18	6	-7.63	6	0.01	2
2220	251	259	Max	0.00	705.09	6	0.31	2	0.02	6	1.44	6	7.65	6	0.04	2
2220	251	259	Max	21.56	705.09	6	0.31	2	0.07	2	0.60	6	1.78	6	0.04	2
2220	251	259	Min.	0.00	-276.55	6	-0.41	2	-0.02	6	-76.53	6	1.55	6	0.03	2
2220	251	259	Min.	21.56	-276.55	6	-0.41	2	-0.09	2	-77.37	6	-8.96	6	0.03	2
2220	259	267	Max	0.00	695.11	6	-0.05	2	0.07	2	-7.60	6	8.83	6	0.10	2
2220	259	267	Max	21.56	695.11	6	-0.05	2	0.01	6	-8.45	6	0.83	6	0.10	2

2220	259	267	Min.	0.00	-461.53	6	-0.36	2	-0.01	2	-92.45	6	2.56	6	-0.02	2
2220	259	267	Min.	21.56	-461.53	6	-0.36	2	-0.04	6	-93.30	6	-11.19	6	-0.02	2
2220	267	275	Max	0.00	665.71	6	-0.12	6	0.08	2	-11.90	6	9.31	6	0.10	2
2220	267	275	Max	21.56	665.71	6	-0.12	6	0.00	2	-12.74	6	0.37	6	0.10	2
2220	267	275	Min.	0.00	-695.20	6	-0.34	6	-0.03	2	-105.58	6	3.03	6	-0.01	2
2220	267	275	Min.	21.56	-695.20	6	-0.34	6	-0.06	2	-106.42	6	-13.55	6	-0.01	2
2220	275	283	Max	0.00	619.01	6	0.21	2	0.08	2	-17.19	6	9.28	6	0.10	2
2220	275	283	Max	21.56	619.01	6	0.21	2	-0.01	2	-18.04	6	-0.20	6	0.10	2
2220	275	283	Min.	0.00	-984.94	6	-0.67	2	-0.05	2	-119.13	6	3.60	6	0.01	2
2220	275	283	Min.	21.56	-984.94	6	-0.67	2	-0.07	2	-119.98	6	-16.50	6	0.01	2
2220	283	2294	Max	0.00	555.46	6	0.50	2	0.03	6	-19.22	6	6.20	6	0.08	2
2220	283	2294	Max	0.27					0.03	8			5.60	8		
2220	283	2294	Max	21.56	555.46	6	0.50	2	0.12	2	-20.07	6	-0.24	6	0.08	2
2220	283	2294	Min.	0.00	-1311.23	6	-1.28	2	-0.02	6	-144.95	6	4.00	6	0.01	2
2220	283	2294	Min.	0.27					-0.02	8			4.15	8		
2220	283	2294	Min.	21.56	-1311.23	6	-1.28	2	-0.27	2	-145.80	6	-25.15	6	0.01	2
2220	2294	303	Max	0.00	-17.25	2	1.77	2	0.32	2	19.39	6	1.94	6	0.03	2
2220	2294	303	Max	14.09					-0.02	4			0.47	4		
2220	2294	303	Max	16.67	-17.25	2	1.77	2	0.07	2	18.74	6	0.99	6	0.03	2
2220	2294	303	Min.	0.00	-106.99	2	-2.51	2	-0.23	2	-6.03	6	-3.25	6	-0.06	2
2220	2294	303	Min.	14.09					0.02	4			0.02	4		
2220	2294	303	Min.	16.67	-106.99	2	-2.51	2	-0.09	2	-6.68	6	-0.19	6	-0.06	2
2220	303	311	Max	0.00	-9.88	2	1.01	2	0.10	2	14.42	2	-0.26	2	0.06	2
2220	303	311	Max	16.67	-9.88	2	1.01	2	0.09	2	13.76	2	0.98	2	0.06	2
2220	303	311	Min.	0.00	-66.83	2	-1.31	2	-0.07	2	3.48	2	-1.36	2	-0.08	2
2220	303	311	Min.	16.67	-66.83	2	-1.31	2	-0.12	2	2.83	2	0.26	2	-0.08	2
2220	311	2319	Max	0.00	-2.69	2	0.93	2	0.07	2	13.06	2	0.00	2	0.04	2
2220	311	2319	Max	16.67	-2.69	2	0.93	2	0.11	2	12.41	2	1.14	2	0.04	2
2220	311	2319	Min.	0.00	-26.59	2	-1.35	2	-0.05	2	0.72	2	-0.98	2	-0.06	2
2220	311	2319	Min.	16.67	-26.59	2	-1.35	2	-0.15	2	0.06	2	0.07	2	-0.06	2
2221	-520	24	Max	0.00	3.72	2	1.57	2	0.17	2	0.44	2	0.03	2	0.03	6
2221	-520	24	Max	7.63					0.10	2			0.04	2		
2221	-520	24	Max	19.08	3.35	2	1.57	2	0.07	6	-0.21	2	0.01	2	0.03	6
2221	-520	24	Min.	0.00	-38.41	2	-0.94	2	-0.24	2	0.19	2	-0.17	2	-0.00	6
2221	-520	24	Min.	7.63					-0.12	2			-0.15	2		
2221	-520	24	Min.	19.08	-38.77	2	-0.94	2	-0.02	6	-0.46	2	-0.16	2	-0.00	6
2301	2028	2029	Max	0.00	3.13	2	310.79	6	0.10	2	-73.29	2	0.07	2	44.25	6
2301	2028	2029	Max	0.63	3.13	2	310.79	6	1.90	6	-73.34	2	-0.41	2	44.25	6
2301	2028	2029	Min.	0.00	-7.50	2	-1352.72	6	-0.07	2	-306.32	2	0.05	2	0.58	6
2301	2028	2029	Min.	0.63	-7.50	2	-1352.72	6	-8.44	6	-306.36	2	-1.86	2	0.58	6
2301	2029	2030	Max	5.37	4.44	2	1365.04	6	1.85	6	287.75	2	-0.26	2	-1.00	6
2301	2029	2030	Max	6.00	4.44	2	1365.04	6	0.24	6	287.71	2	0.09	6	-1.00	6
2301	2029	2030	Min.	5.37	-6.67	2	-296.05	6	-8.36	6	55.76	2	-1.73	2	-44.45	6
2301	2029	2030	Min.	6.00	-6.67	2	-296.05	6	-0.02	6	55.72	2	0.08	6	-44.45	6
2345	2288	2289	Max	0.00	3.08	2	1344.51	6	0.07	2	-75.03	2	0.07	6	-0.48	6
2345	2288	2289	Max	0.63	3.08	2	1344.51	6	8.39	6	-75.07	2	-0.42	2	-0.48	6
2345	2288	2289	Min.	0.00	-7.45	2	-316.25	6	-0.10	2	-306.80	2	0.05	6	-44.08	6
2345	2288	2289	Min.	0.63	-7.45	2	-316.25	6	-1.93	6	-306.84	2	-1.87	2	-44.08	6
2345	2289	2290	Max	5.37	4.07	2	287.67	6	8.43	6	285.56	2	-0.27	2	44.52	6
2345	2289	2290	Max	6.00	4.07	2	287.67	6	0.01	6	285.52	2	0.09	6	44.52	6
2345	2289	2290	Min.	5.37	-6.47	2	-1372.92	6	-1.81	6	54.93	2	-1.71	2	1.07	6
2345	2289	2290	Min.	6.00	-6.47	2	-1372.92	6	-0.22	6	54.88	2	0.07	6	1.07	6
2386	2002	10	Max	0.00	-1.43	2	0.88	2	0.13	2	0.09	2	1.06	2	0.04	2
2386	2002	10	Max	16.67	-1.43	2	0.88	2	0.04	2	-0.56	2	-0.02	2	0.04	2
2386	2002	10	Min.	0.00	-24.82	2	-1.13	2	-0.10	2	-13.17	2	0.02	2	-0.06	2
2386	2002	10	Min.	16.67	-24.82	2	-1.13	2	-0.05	2	-13.82	2	-1.19	2	-0.06	2
2386	10	18	Max	0.00	-3.48	2	0.67	2	0.13	2	0.01	6	0.06	2	0.06	2
2386	10	18	Max	0.42					0.10	6			-0.01	6		
2386	10	18	Max	16.67	-3.48	2	0.67	2	0.03	2	-0.64	6	-0.01	2	0.06	2

2386	10	18	Min.	0.00	-44.40	2	-0.89	2	-0.09	2	-0.49	6	-0.20	2	-0.07	2
2386	10	18	Min.	0.42					-0.06	6			-0.14	6		
2386	10	18	Min.	16.67	-44.40	2	-0.89	2	-0.02	2	-1.14	6	-0.32	2	-0.07	2
2386	18	2027	Max	0.00	-18.29	2	2.11	2	0.09	2	6.09	6	1.14	6	0.03	2
2386	18	2027	Max	16.67	-18.29	2	2.11	2	0.28	2	5.44	6	1.95	6	0.03	2
2386	18	2027	Min.	0.00	-119.05	2	-2.91	2	-0.07	2	-19.35	6	-0.13	6	-0.07	2
2386	18	2027	Min.	16.67	-119.05	2	-2.91	2	-0.40	2	-20.00	6	-3.26	6	-0.07	2
2386	2027	38	Max	0.00	554.40	6	0.50	2	0.27	2	145.89	6	-0.25	6	0.08	2
2386	2027	38	Max	21.56	554.40	6	0.50	2	0.02	6	145.04	6	6.21	6	0.08	2
2386	2027	38	Min.	0.00	-1311.67	6	-1.27	2	-0.11	2	20.14	6	-25.16	6	0.01	2
2386	2027	38	Min.	21.56	-1311.67	6	-1.27	2	-0.03	6	19.30	6	4.00	6	0.01	2
2386	38	46	Max	0.00	617.68	6	0.20	2	0.07	6	120.06	6	-0.21	6	0.10	2
2386	38	46	Max	21.56	617.68	6	0.20	2	0.05	2	119.22	6	9.29	6	0.10	2
2386	38	46	Min.	0.00	-984.58	6	-0.66	2	0.01	6	18.10	6	-16.51	6	0.01	2
2386	38	46	Min.	21.56	-984.58	6	-0.66	2	-0.08	2	17.26	6	3.60	6	0.01	2
2386	46	54	Max	0.00	664.56	6	-0.12	6	0.06	2	106.49	6	0.36	6	0.10	2
2386	46	54	Max	21.56	664.56	6	-0.12	6	0.03	2	105.64	6	9.32	6	0.10	2
2386	46	54	Min.	0.00	-694.66	6	-0.35	6	-0.00	2	12.80	6	-13.55	6	-0.01	2
2386	46	54	Min.	21.56	-694.66	6	-0.35	6	-0.08	2	11.95	6	3.03	6	-0.01	2
2386	54	62	Max	0.00	694.10	6	-0.05	2	0.04	6	93.36	6	0.82	6	0.10	2
2386	54	62	Max	21.56	694.10	6	-0.05	2	0.01	2	92.51	6	8.84	6	0.10	2
2386	54	62	Min.	0.00	-460.87	6	-0.36	2	-0.01	6	8.50	6	-11.20	6	-0.02	2
2386	54	62	Min.	21.56	-460.87	6	-0.36	2	-0.07	2	7.65	6	2.56	6	-0.02	2
2386	62	70	Max	0.00	704.20	6	0.31	2	0.09	2	77.38	6	1.77	6	0.04	2
2386	62	70	Max	21.56	704.20	6	0.31	2	0.02	6	76.53	6	7.65	6	0.04	2
2386	62	70	Min.	0.00	-275.82	6	-0.41	2	-0.07	2	-0.55	6	-8.96	6	0.03	2
2386	62	70	Min.	21.56	-275.82	6	-0.41	2	-0.02	6	-1.40	6	1.55	6	0.03	2
2386	70	78	Max	0.00	700.18	6	0.16	2	0.03	6	68.18	6	1.91	6	0.03	2
2386	70	78	Max	21.56	700.18	6	0.16	2	0.05	2	67.34	6	6.98	6	0.03	2
2386	70	78	Min.	0.00	-128.46	6	-0.37	2	-0.00	6	-3.71	6	-7.63	6	0.01	2
2386	70	78	Min.	21.56	-128.46	6	-0.37	2	-0.07	2	-4.56	6	1.02	6	0.01	2
2386	78	86	Max	0.00	689.85	6	-0.00	2	0.06	2	60.11	6	2.12	6	0.05	2
2386	78	86	Max	21.56	689.85	6	-0.00	2	0.02	2	59.26	6	6.38	6	0.05	2
2386	78	86	Min.	0.00	-8.57	6	-0.22	2	-0.04	2	-6.59	6	-6.49	6	-0.01	2
2386	78	86	Min.	21.56	-8.57	6	-0.22	2	-0.05	2	-7.44	6	0.61	6	-0.01	2
2386	86	94	Max	0.00	674.88	6	0.20	2	0.02	6	52.89	6	2.36	6	0.07	2
2386	86	94	Max	21.56	674.88	6	0.20	2	0.05	2	52.05	6	5.83	6	0.07	2
2386	86	94	Min.	0.00	89.45	6	-0.34	2	-0.03	6	-9.41	6	-5.49	6	-0.02	2
2386	86	94	Min.	21.56	89.45	6	-0.34	2	-0.08	2	-10.26	6	0.24	6	-0.02	2
2386	94	102	Max	0.00	655.31	6	0.32	2	0.10	2	44.99	6	2.74	6	0.03	2
2386	94	102	Max	21.56	655.31	6	0.32	2	0.03	6	44.14	6	5.07	6	0.03	2
2386	94	102	Min.	0.00	169.19	6	-0.42	2	-0.07	2	-13.56	6	-4.54	6	0.01	2
2386	94	102	Min.	21.56	169.19	6	-0.42	2	-0.03	6	-14.41	6	-0.28	6	0.01	2
2386	102	110	Max	0.00	632.00	6	0.17	2	0.04	6	39.01	6	2.91	6	0.02	6
2386	102	110	Max	21.56	632.00	6	0.17	2	0.06	2	38.17	6	4.52	6	0.02	6
2386	102	110	Min.	0.00	233.18	6	-0.34	2	-0.01	6	-16.08	6	-3.80	6	0.01	6
2386	102	110	Min.	21.56	233.18	6	-0.34	2	-0.06	2	-16.93	6	-0.65	6	0.01	6
2386	110	118	Max	0.00	606.21	6	0.01	2	0.05	2	33.57	6	3.11	6	0.04	2
2386	110	118	Max	21.56	606.21	6	0.01	2	0.02	2	32.73	6	4.03	6	0.04	2
2386	110	118	Min.	0.00	284.94	6	-0.19	2	-0.04	2	-18.45	6	-3.12	6	-0.02	2
2386	110	118	Min.	21.56	284.94	6	-0.19	2	-0.05	2	-19.30	6	-0.96	6	-0.02	2
2386	118	126	Max	0.00	578.05	6	0.16	2	0.02	6	28.34	6	3.40	6	0.06	2
2386	118	126	Max	21.56	578.05	6	0.16	2	0.04	2	27.50	6	3.61	6	0.06	2
2386	118	126	Min.	0.00	326.16	6	-0.29	2	-0.02	6	-20.95	6	-2.41	6	-0.04	2
2386	118	126	Min.	21.56	326.16	6	-0.29	2	-0.08	2	-21.79	6	-1.21	6	-0.04	2
2386	126	134	Max	0.00	546.03	6	0.36	2	0.08	2	19.63	6	4.04	6	0.03	2
2386	126	134	Max	21.56	546.03	6	0.36	2	0.02	6	18.79	6	2.73	6	0.03	2
2386	126	134	Min.	0.00	356.56	6	-0.33	2	-0.08	2	-27.43	6	-1.42	6	-0.01	2
2386	126	134	Min.	21.56	356.56	6	-0.33	2	-0.02	6	-28.27	6	-1.96	6	-0.01	2

2386	134	142	Max	0.00	510.88	6	0.23	2	0.02	6	15.20	6	4.12	6	0.01	2
2386	134	142	Max	21.56	510.88	6	0.23	2	0.06	2	14.36	6	2.18	6	0.01	2
2386	134	142	Min.	0.00	377.92	6	-0.25	2	-0.02	6	-29.63	6	-1.00	6	-0.01	2
2386	134	142	Min.	21.56	377.92	6	-0.25	2	-0.06	2	-30.48	6	-2.36	6	-0.01	2
2386	142	150	Max	0.00	475.10	6	0.07	2	0.04	2	10.69	6	4.15	6	0.02	2
2386	142	150	Max	21.56	475.10	6	0.07	2	0.03	2	9.84	6	1.54	6	0.02	2
2386	142	150	Min.	0.00	393.55	6	-0.10	2	-0.06	2	-32.11	6	-0.68	6	-0.03	2
2386	142	150	Min.	21.56	393.55	6	-0.10	2	-0.05	2	-32.95	6	-2.86	6	-0.03	2
2386	150	158	Max	0.00	449.96	2	0.20	2	0.00	6	7.97	6	3.55	6	0.03	2
2386	150	158	Max	1.11					0.00	8			3.18	8		
2386	150	158	Max	21.56	449.96	2	0.20	2	0.03	2	7.13	6	0.62	6	0.03	2
2386	150	158	Min.	0.00	398.07	2	-0.22	2	-0.03	6	-33.03	6	-1.01	6	-0.04	2
2386	150	158	Min.	1.11					-0.03	8			-0.91	8		
2386	150	158	Min.	21.56	398.07	2	-0.22	2	-0.06	2	-33.88	6	-3.66	6	-0.04	2
2386	158	166	Max	0.00	450.17	2	0.22	2	0.03	2	33.88	6	0.62	6	0.04	2
2386	158	166	Max	19.98					0.00	8			3.02	8		
2386	158	166	Max	21.56	450.17	2	0.22	2	0.00	6	33.03	6	3.55	6	0.04	2
2386	158	166	Min.	0.00	397.88	2	-0.20	2	-0.06	2	-7.11	6	-3.66	6	-0.03	2
2386	158	166	Min.	19.98					-0.03	8			-0.88	8		
2386	158	166	Min.	21.56	397.88	2	-0.20	2	-0.03	6	-7.96	6	-1.01	6	-0.03	2
2386	166	174	Max	0.00	475.75	6	0.10	2	0.03	2	32.96	6	1.54	6	0.03	2
2386	166	174	Max	21.56	475.75	6	0.10	2	0.04	2	32.11	6	4.15	6	0.03	2
2386	166	174	Min.	0.00	392.92	6	-0.06	2	-0.05	2	-9.83	6	-2.86	6	-0.02	2
2386	166	174	Min.	21.56	392.92	6	-0.06	2	-0.06	2	-10.68	6	-0.68	6	-0.02	2
2386	174	182	Max	0.00	511.55	6	0.25	2	0.06	2	30.48	6	2.18	6	0.01	2
2386	174	182	Max	21.56	511.55	6	0.25	2	0.02	6	29.63	6	4.12	6	0.01	2
2386	174	182	Min.	0.00	377.29	6	-0.23	2	-0.06	2	-14.34	6	-2.36	6	-0.01	2
2386	174	182	Min.	21.56	377.29	6	-0.23	2	-0.02	6	-15.19	6	-1.00	6	-0.01	2
2386	182	190	Max	0.00	546.72	6	0.33	2	0.02	6	28.28	6	2.73	6	0.01	2
2386	182	190	Max	21.56	546.72	6	0.33	2	0.08	2	27.43	6	4.04	6	0.01	2
2386	182	190	Min.	0.00	355.94	6	-0.36	2	-0.02	6	-18.77	6	-1.96	6	-0.03	2
2386	182	190	Min.	21.56	355.94	6	-0.36	2	-0.08	2	-19.62	6	-1.41	6	-0.03	2
2386	190	198	Max	0.00	578.76	6	0.29	2	0.04	2	21.80	6	3.61	6	0.04	2
2386	190	198	Max	21.56	578.76	6	0.29	2	0.02	6	20.96	6	3.40	6	0.04	2
2386	190	198	Min.	0.00	325.54	6	-0.16	2	-0.08	2	-27.48	6	-1.21	6	-0.06	2
2386	190	198	Min.	21.56	325.54	6	-0.16	2	-0.02	6	-28.33	6	-2.41	6	-0.06	2
2386	198	206	Max	0.00	606.95	6	0.19	2	0.02	2	19.31	6	4.03	6	0.02	2
2386	198	206	Max	21.56	606.95	6	0.19	2	0.05	2	18.46	6	3.11	6	0.02	2
2386	198	206	Min.	0.00	284.32	6	-0.00	2	-0.05	2	-32.71	6	-0.96	6	-0.04	2
2386	198	206	Min.	21.56	284.32	6	-0.00	2	-0.04	2	-33.56	6	-3.12	6	-0.04	2
2386	206	214	Max	0.00	632.77	6	0.34	2	0.05	2	16.94	6	4.52	6	-0.01	6
2386	206	214	Max	21.56	632.77	6	0.34	2	0.04	6	16.09	6	2.91	6	-0.01	6
2386	206	214	Min.	0.00	232.56	6	-0.17	2	-0.06	2	-38.16	6	-0.65	6	-0.02	6
2386	206	214	Min.	21.56	232.56	6	-0.17	2	-0.01	6	-39.00	6	-3.80	6	-0.02	6
2386	214	222	Max	0.00	656.11	6	0.41	2	0.03	6	14.42	6	5.07	6	-0.01	2
2386	214	222	Max	21.56	656.11	6	0.41	2	0.10	2	13.57	6	2.74	6	-0.01	2
2386	214	222	Min.	0.00	168.57	6	-0.31	2	-0.03	6	-44.13	6	-0.28	6	-0.03	2
2386	214	222	Min.	21.56	168.57	6	-0.31	2	-0.07	2	-44.97	6	-4.54	6	-0.03	2
2386	222	230	Max	0.00	675.73	6	0.34	2	0.05	2	10.29	6	5.82	6	0.02	2
2386	222	230	Max	21.56	675.73	6	0.34	2	0.02	6	9.44	6	2.36	6	0.02	2
2386	222	230	Min.	0.00	88.85	6	-0.20	2	-0.08	2	-52.04	6	0.24	6	-0.07	2
2386	222	230	Min.	21.56	88.85	6	-0.20	2	-0.02	6	-52.88	6	-5.49	6	-0.07	2
2386	230	238	Max	0.00	690.76	6	0.21	2	0.02	2	7.48	6	6.38	6	0.01	2
2386	230	238	Max	21.56	690.76	6	0.21	2	0.06	2	6.63	6	2.12	6	0.01	2
2386	230	238	Min.	0.00	-9.16	6	0.01	2	-0.05	2	-59.25	6	0.60	6	-0.05	2
2386	230	238	Min.	21.56	-9.16	6	0.01	2	-0.04	2	-60.10	6	-6.49	6	-0.05	2
2386	238	246	Max	0.00	701.16	6	0.38	2	0.05	2	4.60	6	6.98	6	-0.01	2
2386	238	246	Max	21.56	701.16	6	0.38	2	0.03	6	3.75	6	1.92	6	-0.01	2
2386	238	246	Min.	0.00	-129.02	6	-0.16	2	-0.07	2	-67.32	6	1.02	6	-0.03	2

2386	238	246	Min.	21.56	-129.02	6	-0.16	2	-0.00	6	-68.17	6	-7.63	6	-0.03	2
2386	246	254	Max	0.00	705.25	6	0.41	2	0.02	6	1.44	6	7.64	6	-0.03	2
2386	246	254	Max	21.56	705.25	6	0.41	2	0.09	2	0.60	6	1.78	6	-0.03	2
2386	246	254	Min.	0.00	-276.35	6	-0.31	2	-0.02	6	-76.52	6	1.55	6	-0.04	2
2386	246	254	Min.	21.56	-276.35	6	-0.31	2	-0.07	2	-77.37	6	-8.95	6	-0.04	2
2386	254	262	Max	0.00	695.28	6	0.36	2	0.01	2	-7.60	6	8.83	6	0.02	2
2386	254	262	Max	21.56	695.28	6	0.36	2	0.04	6	-8.45	6	0.83	6	0.02	2
2386	254	262	Min.	0.00	-461.31	6	0.05	2	-0.07	2	-92.44	6	2.56	6	-0.10	2
2386	254	262	Min.	21.56	-461.31	6	0.05	2	-0.01	6	-93.28	6	-11.19	6	-0.10	2
2386	262	270	Max	0.00	665.90	6	0.34	6	0.03	2	-11.89	6	9.31	6	0.01	2
2386	262	270	Max	21.56	665.90	6	0.34	6	0.06	2	-12.74	6	0.37	6	0.01	2
2386	262	270	Min.	0.00	-694.96	6	0.12	6	-0.08	2	-105.56	6	3.03	6	-0.10	2
2386	262	270	Min.	21.56	-694.96	6	0.12	6	-0.00	2	-106.41	6	-13.54	6	-0.10	2
2386	270	278	Max	0.00	619.22	6	0.67	2	0.05	2	-17.19	6	9.28	6	-0.01	2
2386	270	278	Max	21.56	619.22	6	0.67	2	0.07	2	-18.03	6	-0.20	6	-0.01	2
2386	270	278	Min.	0.00	-984.67	6	-0.21	2	-0.08	2	-119.12	6	3.60	6	-0.10	2
2386	270	278	Min.	21.56	-984.67	6	-0.21	2	0.01	2	-119.96	6	-16.50	6	-0.10	2
2386	278	2287	Max	0.00	555.89	6	1.28	2	0.02	6	-19.22	6	6.20	6	-0.01	2
2386	278	2287	Max	21.56	555.89	6	1.28	2	0.27	2	-20.06	6	-0.24	6	-0.01	2
2386	278	2287	Min.	0.00	-1311.12	6	-0.50	2	-0.03	6	-144.93	6	4.00	6	-0.08	2
2386	278	2287	Min.	21.56	-1311.12	6	-0.50	2	-0.12	2	-145.77	6	-25.14	6	-0.08	2
2386	2287	298	Max	0.00	-17.03	2	2.49	2	0.23	2	19.38	6	1.94	6	0.06	2
2386	2287	298	Max	14.09					-0.02	4			0.47	4		
2386	2287	298	Max	16.67	-17.03	2	2.49	2	0.09	2	18.73	6	0.99	6	0.06	2
2386	2287	298	Min.	0.00	-107.06	2	-1.76	2	-0.32	2	-6.02	6	-3.25	6	-0.03	2
2386	2287	298	Min.	14.09					0.02	4			0.02	4		
2386	2287	298	Min.	16.67	-107.06	2	-1.76	2	-0.07	2	-6.68	6	-0.19	6	-0.03	2
2386	298	306	Max	0.00	-9.73	2	1.30	2	0.07	2	14.42	2	-0.26	2	0.08	2
2386	298	306	Max	16.67	-9.73	2	1.30	2	0.12	2	13.77	2	0.99	2	0.08	2
2386	298	306	Min.	0.00	-66.89	2	-1.00	2	-0.10	2	3.46	2	-1.36	2	-0.06	2
2386	298	306	Min.	16.67	-66.89	2	-1.00	2	-0.09	2	2.81	2	0.26	2	-0.06	2
2386	306	2314	Max	0.00	-2.63	2	1.34	2	0.05	2	13.07	2	0.00	2	0.06	2
2386	306	2314	Max	16.67	-2.63	2	1.34	2	0.15	2	12.41	2	1.14	2	0.06	2
2386	306	2314	Min.	0.00	-26.60	2	-0.92	2	-0.07	2	0.70	2	-0.98	2	-0.04	2
2386	306	2314	Min.	16.67	-26.60	2	-0.92	2	-0.11	2	0.04	2	0.06	2	-0.04	2
2424	2004	12	Max	0.00	-12.29	2	0.91	2	0.13	2	-5.03	2	1.44	2	0.05	2
2424	2004	12	Max	16.67	-12.29	2	0.91	2	0.05	2	-5.68	2	-0.49	2	0.05	2
2424	2004	12	Min.	0.00	-35.48	2	-1.10	2	-0.10	2	-18.01	2	0.41	2	-0.04	2
2424	2004	12	Min.	16.67	-35.48	2	-1.10	2	-0.06	2	-18.66	2	-1.62	2	-0.04	2
2424	12	20	Max	0.00	-22.29	2	0.47	2	0.10	2	-0.42	6	-0.02	2	0.09	2
2424	12	20	Max	16.67	-22.29	2	0.47	2	0.03	2	-1.07	6	-0.20	2	0.09	2
2424	12	20	Min.	0.00	-62.43	2	-0.90	2	-0.05	2	-0.94	6	-0.28	2	-0.05	2
2424	12	20	Min.	16.67	-62.43	2	-0.90	2	-0.05	2	-1.60	6	-0.44	2	-0.05	2
2424	20	2030	Max	0.00	-60.23	2	1.75	2	0.11	2	5.47	6	1.25	6	0.08	2
2424	20	2030	Max	16.67	-60.23	2	1.75	2	0.21	2	4.82	6	1.92	6	0.08	2
2424	20	2030	Min.	0.00	-159.66	2	-2.72	2	-0.08	2	-20.52	6	-0.03	6	-0.03	2
2424	20	2030	Min.	16.67	-159.66	2	-2.72	2	-0.34	2	-21.17	6	-3.32	6	-0.03	2
2424	2030	40	Max	0.00	277.29	6	0.73	2	0.21	2	203.59	6	-9.02	6	0.04	2
2424	2030	40	Max	21.56	277.29	6	0.73	2	-0.00	2	202.75	6	9.63	6	0.04	2
2424	2030	40	Min.	0.00	-1598.17	6	-1.00	2	-0.16	2	76.43	6	-34.18	6	-0.03	2
2424	2030	40	Min.	21.56	-1598.17	6	-1.00	2	-0.01	2	75.58	6	7.37	6	-0.03	2
2424	40	48	Max	0.00	475.10	6	0.41	2	0.03	2	169.81	6	-6.24	6	0.05	2
2424	40	48	Max	21.56	475.10	6	0.41	2	0.07	2	168.96	6	13.85	6	0.05	2
2424	40	48	Min.	0.00	-1130.33	6	-0.43	2	-0.02	2	66.95	6	-22.67	6	-0.04	2
2424	40	48	Min.	21.56	-1130.33	6	-0.43	2	-0.07	2	66.10	6	8.11	6	-0.04	2
2424	48	56	Max	0.00	643.94	6	0.06	2	0.03	2	151.46	6	-4.62	6	0.06	2
2424	48	56	Max	3.23					-0.01	8			-2.96	8		
2424	48	56	Max	21.56	643.94	6	0.06	2	0.05	2	150.62	6	13.91	6	0.06	2
2424	48	56	Min.	0.00	-715.09	6	-0.09	2	-0.03	2	56.88	6	-18.66	6	-0.05	2

2424	48	56	Min.	3.23					0.01	8			-13.58	8		
2424	48	56	Min.	21.56	-715.09	6	-0.09	2	-0.05	2	56.03	6	7.56	6	-0.05	2
2424	56	64	Max	0.00	773.51	6	0.17	2	0.00	6	133.91	6	-3.27	6	0.06	2
2424	56	64	Max	21.56	773.51	6	0.17	2	0.04	2	133.07	6	13.40	6	0.06	2
2424	56	64	Min.	0.00	-379.61	6	-0.16	2	-0.00	6	48.27	6	-15.39	6	-0.05	2
2424	56	64	Min.	21.56	-379.61	6	-0.16	2	-0.04	2	47.42	6	7.05	6	-0.05	2
2424	64	72	Max	0.00	857.58	6	0.30	2	0.09	2	104.32	6	-0.78	6	0.01	2
2424	64	72	Max	21.56	857.58	6	0.30	2	0.01	2	103.47	6	10.94	6	0.01	2
2424	64	72	Min.	0.00	-120.08	6	-0.39	2	-0.07	2	26.71	6	-11.49	6	0.00	2
2424	64	72	Min.	21.56	-120.08	6	-0.39	2	-0.00	2	25.86	6	4.87	6	0.00	2
2424	72	80	Max	0.00	907.66	6	0.20	2	0.02	2	92.60	6	-0.39	6	0.01	2
2424	72	80	Max	12.94					-0.01	8			2.28	8		
2424	72	80	Max	21.56	907.66	6	0.20	2	0.06	2	91.75	6	9.94	6	0.01	2
2424	72	80	Min.	0.00	80.90	6	-0.31	2	0.00	2	21.00	6	-9.93	6	0.00	2
2424	72	80	Min.	12.94					0.01	8			2.03	8		
2424	72	80	Min.	21.56	80.90	6	-0.31	2	-0.06	2	20.15	6	4.04	6	0.00	2
2424	80	88	Max	0.00	942.09	6	0.04	2	0.06	2	82.78	6	0.09	6	0.04	2
2424	80	88	Max	21.56	942.09	6	0.04	2	0.03	2	81.94	6	9.24	6	0.04	2
2424	80	88	Min.	0.00	245.02	6	-0.15	2	-0.05	2	16.34	6	-8.52	6	-0.02	2
2424	80	88	Min.	21.56	245.02	6	-0.15	2	-0.04	2	15.49	6	3.52	6	-0.02	2
2424	88	96	Max	0.00	963.71	6	0.24	2	0.01	6	73.55	6	0.83	6	0.05	2
2424	88	96	Max	0.54					0.01	8			0.86	8		
2424	88	96	Max	21.56	963.71	6	0.24	2	0.05	2	72.70	6	8.75	6	0.05	2
2424	88	96	Min.	0.00	379.16	6	-0.32	2	-0.01	6	11.55	6	-7.02	6	-0.03	2
2424	88	96	Min.	0.54					-0.01	8			-6.59	8		
2424	88	96	Min.	21.56	379.16	6	-0.32	2	-0.07	2	10.70	6	3.23	6	-0.03	2
2424	96	104	Max	0.00	965.71	6	0.34	2	0.09	2	50.50	6	2.89	6	0.02	2
2424	96	104	Max	21.56	965.71	6	0.34	2	0.01	2	49.65	6	6.44	6	0.02	2
2424	96	104	Min.	0.00	479.89	6	-0.37	2	-0.08	2	-7.87	6	-4.36	6	-0.00	2
2424	96	104	Min.	21.56	479.89	6	-0.37	2	-0.01	2	-8.71	6	1.10	6	-0.00	2
2424	104	112	Max	0.00	952.08	6	0.22	2	0.01	6	43.69	6	2.92	6	0.01	2
2424	104	112	Max	21.56	952.08	6	0.22	2	0.06	2	42.85	6	5.56	6	0.01	2
2424	104	112	Min.	0.00	553.33	6	-0.27	2	-0.00	6	-11.26	6	-3.77	6	0.00	2
2424	104	112	Min.	21.56	553.33	6	-0.27	2	-0.06	2	-12.10	6	0.40	6	0.00	2
2424	112	120	Max	0.00	933.10	6	0.05	2	0.05	2	38.06	6	3.13	6	0.03	2
2424	112	120	Max	21.56	933.10	6	0.05	2	0.03	2	37.22	6	5.04	6	0.03	2
2424	112	120	Min.	0.00	611.77	6	-0.11	2	-0.05	2	-13.82	6	-3.08	6	-0.03	2
2424	112	120	Min.	21.56	611.77	6	-0.11	2	-0.03	2	-14.67	6	0.06	6	-0.03	2
2424	120	128	Max	0.00	909.32	6	0.21	2	0.01	2	32.15	6	3.72	6	0.05	2
2424	120	128	Max	21.56	909.32	6	0.21	2	0.05	2	31.30	6	4.76	6	0.05	2
2424	120	128	Min.	0.00	657.33	6	-0.26	2	-0.01	2	-17.02	6	-2.08	6	-0.04	2
2424	120	128	Min.	21.56	657.33	6	-0.26	2	-0.06	2	-17.86	6	-0.04	6	-0.04	2
2424	128	136	Max	0.00	874.28	6	0.34	2	0.08	2	11.58	6	5.67	6	0.02	2
2424	128	136	Max	21.56	874.28	6	0.34	2	0.00	2	10.73	6	2.59	6	0.02	2
2424	128	136	Min.	0.00	685.04	6	-0.35	2	-0.08	2	-35.55	6	0.18	6	-0.01	2
2424	128	136	Min.	21.56	685.04	6	-0.35	2	-0.00	2	-36.40	6	-2.09	6	-0.01	2
2424	136	144	Max	0.00	830.16	6	0.22	2	0.01	2	7.05	6	5.50	6	0.01	2
2424	136	144	Max	21.56	830.16	6	0.22	2	0.06	2	6.20	6	1.77	6	0.01	2
2424	136	144	Min.	0.00	697.98	6	-0.24	2	-0.01	2	-37.88	6	0.34	6	-0.00	2
2424	136	144	Min.	21.56	697.98	6	-0.24	2	-0.06	2	-38.72	6	-2.76	6	-0.00	2
2424	144	152	Max	0.00	785.34	6	0.06	2	0.05	2	2.67	6	5.35	6	0.02	2
2424	144	152	Max	21.56	785.34	6	0.06	2	0.03	2	1.82	6	0.97	6	0.02	2
2424	144	152	Min.	0.00	705.11	6	-0.08	2	-0.05	2	-40.21	6	0.49	6	-0.02	2
2424	144	152	Min.	21.56	705.11	6	-0.08	2	-0.04	2	-41.05	6	-3.41	6	-0.02	2
2424	152	160	Max	0.00	749.69	2	0.20	2	0.00	6	0.86	6	4.30	6	0.03	2
2424	152	160	Max	21.56	749.69	2	0.20	2	0.04	2	0.01	6	-0.19	6	0.03	2
2424	152	160	Min.	0.00	706.35	2	-0.22	2	-0.01	6	-40.23	6	-0.29	6	-0.03	2
2424	152	160	Min.	21.56	706.35	2	-0.22	2	-0.05	2	-41.07	6	-4.47	6	-0.03	2
2424	160	168	Max	0.00	749.65	2	0.22	2	0.04	2	41.09	6	-0.20	6	0.03	2

2424	160	168	Max	21.56	749.65	2	0.22	2	0.00	6	40.24	6	4.30	6	0.03	2
2424	160	168	Min.	0.00	706.42	2	-0.20	2	-0.05	2	0.02	6	-4.47	6	-0.03	2
2424	160	168	Min.	21.56	706.42	2	-0.20	2	-0.01	6	-0.82	6	-0.28	6	-0.03	2
2424	168	176	Max	0.00	785.21	6	0.08	2	0.03	2	41.08	6	0.97	6	0.02	2
2424	168	176	Max	21.56	785.21	6	0.08	2	0.05	2	40.23	6	5.35	6	0.02	2
2424	168	176	Min.	0.00	705.33	6	-0.06	2	-0.04	2	-1.79	6	-3.42	6	-0.02	2
2424	168	176	Min.	21.56	705.33	6	-0.06	2	-0.05	2	-2.63	6	0.49	6	-0.02	2
2424	176	184	Max	0.00	830.05	6	0.24	2	0.06	2	38.74	6	1.77	6	0.00	2
2424	176	184	Max	21.56	830.05	6	0.24	2	0.01	2	37.89	6	5.50	6	0.00	2
2424	176	184	Min.	0.00	698.24	6	-0.22	2	-0.06	2	-6.17	6	-2.77	6	-0.01	2
2424	176	184	Min.	21.56	698.24	6	-0.22	2	-0.01	2	-7.02	6	0.34	6	-0.01	2
2424	184	192	Max	0.00	874.20	6	0.35	2	0.00	2	36.43	6	2.59	6	0.01	2
2424	184	192	Max	21.56	874.20	6	0.35	2	0.08	2	35.58	6	5.68	6	0.01	2
2424	184	192	Min.	0.00	685.35	6	-0.34	2	-0.00	2	-10.69	6	-2.09	6	-0.02	2
2424	184	192	Min.	21.56	685.35	6	-0.34	2	-0.08	2	-11.54	6	0.19	6	-0.02	2
2424	192	200	Max	0.00	909.27	6	0.26	2	0.05	2	17.89	6	4.76	6	0.04	2
2424	192	200	Max	21.56	909.27	6	0.26	2	0.01	2	17.05	6	3.72	6	0.04	2
2424	192	200	Min.	0.00	657.69	6	-0.21	2	-0.06	2	-31.27	6	-0.04	6	-0.05	2
2424	192	200	Min.	21.56	657.69	6	-0.21	2	-0.01	2	-32.11	6	-2.07	6	-0.05	2
2424	200	208	Max	0.00	933.08	6	0.11	2	0.03	2	14.70	6	5.04	6	0.03	2
2424	200	208	Max	21.56	933.08	6	0.11	2	0.05	2	13.85	6	3.14	6	0.03	2
2424	200	208	Min.	0.00	612.18	6	-0.05	2	-0.03	2	-37.18	6	0.06	6	-0.03	2
2424	200	208	Min.	21.56	612.18	6	-0.05	2	-0.05	2	-38.03	6	-3.07	6	-0.03	2
2424	208	216	Max	0.00	952.09	6	0.27	2	0.06	2	12.14	6	5.55	6	-0.00	2
2424	208	216	Max	21.56	952.09	6	0.27	2	0.01	6	11.29	6	2.92	6	-0.00	2
2424	208	216	Min.	0.00	553.81	6	-0.22	2	-0.06	2	-42.81	6	0.40	6	-0.01	2
2424	208	216	Min.	21.56	553.81	6	-0.22	2	-0.00	6	-43.66	6	-3.77	6	-0.01	2
2424	216	224	Max	0.00	965.77	6	0.37	2	0.01	2	8.75	6	6.43	6	0.00	2
2424	216	224	Max	21.56	965.77	6	0.37	2	0.09	2	7.90	6	2.90	6	0.00	2
2424	216	224	Min.	0.00	480.44	6	-0.34	2	-0.01	2	-49.61	6	1.10	6	-0.02	2
2424	216	224	Min.	21.56	480.44	6	-0.34	2	-0.08	2	-50.45	6	-4.35	6	-0.02	2
2424	224	232	Max	0.00	963.82	6	0.32	2	0.05	2	-10.67	6	8.75	6	0.03	2
2424	224	232	Max	21.16					0.01	8			0.85	8		
2424	224	232	Max	21.56	963.82	6	0.32	2	0.01	6	-11.52	6	0.83	6	0.03	2
2424	224	232	Min.	0.00	379.80	6	-0.24	2	-0.07	2	-72.64	6	3.22	6	-0.05	2
2424	224	232	Min.	21.16					-0.01	8			-6.68	8		
2424	224	232	Min.	21.56	379.80	6	-0.24	2	-0.01	6	-73.49	6	-7.01	6	-0.05	2
2424	232	240	Max	0.00	942.26	6	0.15	2	0.03	2	-15.46	6	9.23	6	0.02	2
2424	232	240	Max	21.56	942.26	6	0.15	2	0.06	2	-16.30	6	0.09	6	0.02	2
2424	232	240	Min.	0.00	245.76	6	-0.04	2	-0.04	2	-81.88	6	3.52	6	-0.04	2
2424	232	240	Min.	21.56	245.76	6	-0.04	2	-0.05	2	-82.72	6	-8.51	6	-0.04	2
2424	240	248	Max	0.00	907.91	6	0.31	2	0.06	2	-20.11	6	9.94	6	-0.00	2
2424	240	248	Max	8.63					-0.01	8			2.28	8		
2424	240	248	Max	21.56	907.91	6	0.31	2	0.02	2	-20.96	6	-0.39	6	-0.00	2
2424	240	248	Min.	0.00	81.76	6	-0.20	2	-0.06	2	-91.69	6	4.04	6	-0.01	2
2424	240	248	Min.	8.63					0.01	8			2.03	8		
2424	240	248	Min.	21.56	81.76	6	-0.20	2	0.00	2	-92.53	6	-9.92	6	-0.01	2
2424	248	256	Max	0.00	857.92	6	0.39	2	0.01	6	-25.82	6	10.93	6	-0.00	2
2424	248	256	Max	21.56	857.92	6	0.39	2	0.09	2	-26.66	6	-0.77	6	-0.00	2
2424	248	256	Min.	0.00	-119.08	6	-0.31	2	-0.00	6	-103.40	6	4.86	6	-0.01	2
2424	248	256	Min.	21.56	-119.08	6	-0.31	2	-0.07	2	-104.25	6	-11.48	6	-0.01	2
2424	256	264	Max	0.00	773.99	6	0.16	2	0.04	2	-47.34	6	13.39	6	0.05	2
2424	256	264	Max	21.56	773.99	6	0.16	2	0.00	6	-48.19	6	-3.26	6	0.05	2
2424	256	264	Min.	0.00	-378.41	6	-0.17	2	-0.04	2	-132.95	6	7.04	6	-0.06	2
2424	256	264	Min.	21.56	-378.41	6	-0.17	2	-0.00	6	-133.80	6	-15.37	6	-0.06	2
2424	264	272	Max	0.00	644.64	6	0.09	2	0.05	2	-55.95	6	13.90	6	0.05	2
2424	264	272	Max	17.58					-0.01	8			-2.51	8		
2424	264	272	Max	21.56	644.64	6	0.09	2	0.03	2	-56.79	6	-4.61	6	0.05	2
2424	264	272	Min.	0.00	-713.63	6	-0.06	2	-0.05	2	-150.49	6	7.55	6	-0.06	2

2424	264	272	Min.	17.58					0.01	8			-12.45	8		
2424	264	272	Min.	21.56	-713.63	6	-0.06	2	-0.03	2	-151.34	6	-18.64	6	-0.06	2
2424	272	280	Max	0.00	476.14	6	0.43	2	0.07	2	-66.00	6	13.84	6	0.04	2
2424	272	280	Max	21.56	476.14	6	0.43	2	0.03	2	-66.85	6	-6.23	6	0.04	2
2424	272	280	Min.	0.00	-1128.60	6	-0.41	2	-0.07	2	-168.81	6	8.10	6	-0.05	2
2424	272	280	Min.	21.56	-1128.60	6	-0.41	2	-0.02	2	-169.66	6	-22.65	6	-0.05	2
2424	280	2290	Max	0.00	278.66	6	1.00	2	0.00	2	-75.47	6	9.61	6	0.03	2
2424	280	2290	Max	21.56	278.66	6	1.00	2	0.21	2	-76.32	6	-9.00	6	0.03	2
2424	280	2290	Min.	0.00	-1595.95	6	-0.72	2	-0.01	2	-202.59	6	7.36	6	-0.04	2
2424	280	2290	Min.	21.56	-1595.95	6	-0.72	2	-0.16	2	-203.43	6	-34.16	6	-0.04	2
2424	2290	300	Max	0.00	-53.56	2	2.37	2	0.19	2	20.08	6	1.96	6	0.03	2
2424	2290	300	Max	16.67	-53.56	2	2.37	2	0.09	2	19.43	6	1.03	6	0.03	2
2424	2290	300	Min.	0.00	-144.47	2	-1.55	2	-0.31	2	-6.10	6	-3.29	6	-0.06	2
2424	2290	300	Min.	16.67	-144.47	2	-1.55	2	-0.06	2	-6.76	6	-0.15	6	-0.06	2
2424	300	308	Max	0.00	-34.81	2	1.23	2	0.06	2	18.93	2	-0.80	2	0.05	2
2424	300	308	Max	16.67	-34.81	2	1.23	2	0.12	2	18.28	2	1.26	2	0.05	2
2424	300	308	Min.	0.00	-92.76	2	-0.80	2	-0.09	2	8.28	2	-1.84	2	-0.09	2
2424	300	308	Min.	16.67	-92.76	2	-0.80	2	-0.08	2	7.63	2	0.53	2	-0.09	2
2424	308	2316	Max	0.00	-13.63	2	1.05	2	0.04	2	17.79	2	-0.38	2	0.04	2
2424	308	2316	Max	16.67	-13.63	2	1.05	2	0.13	2	17.14	2	1.56	2	0.04	2
2424	308	2316	Min.	0.00	-38.10	2	-0.79	2	-0.05	2	5.41	2	-1.36	2	-0.06	2
2424	308	2316	Min.	16.67	-38.10	2	-0.79	2	-0.09	2	4.76	2	0.46	2	-0.06	2
2462	2006	14	Max	0.00	-20.30	2	1.28	2	0.08	2	-9.51	2	1.77	2	0.02	2
2462	2006	14	Max	16.67	-20.30	2	1.28	2	0.08	2	-10.17	2	-0.88	2	0.02	2
2462	2006	14	Min.	0.00	-43.07	2	-0.63	2	-0.14	2	-22.25	2	0.75	2	-0.07	2
2462	2006	14	Min.	16.67	-43.07	2	-0.63	2	-0.03	2	-22.90	2	-1.99	2	-0.07	2
2462	14	22	Max	0.00	-36.30	2	0.73	2	0.07	2	-0.48	6	-0.11	2	0.05	2
2462	14	22	Max	16.67	-36.30	2	0.73	2	0.05	2	-1.13	6	-0.30	2	0.05	2
2462	14	22	Min.	0.00	-75.66	2	-0.62	2	-0.07	2	-0.93	6	-0.37	2	-0.09	2
2462	14	22	Min.	16.67	-75.66	2	-0.62	2	-0.03	2	-1.58	6	-0.52	2	-0.09	2
2462	22	2033	Max	0.00	-91.26	2	2.39	2	0.08	2	1.16	6	1.40	6	0.04	2
2462	22	2033	Max	3.50					-0.00	8			1.26	8		
2462	22	2033	Max	16.67	-91.26	2	2.39	2	0.30	2	0.51	6	1.36	6	0.04	2
2462	22	2033	Min.	0.00	-190.46	2	-1.95	2	-0.10	2	-24.41	6	0.12	6	-0.07	2
2462	22	2033	Min.	3.50					0.00	8			-0.55	8		
2462	22	2033	Min.	16.67	-190.46	2	-1.95	2	-0.24	2	-25.06	6	-3.82	6	-0.07	2
2462	2033	42	Max	0.00	275.95	6	0.74	2	0.19	2	204.04	6	-9.15	6	0.04	2
2462	2033	42	Max	21.56	275.95	6	0.74	2	-0.00	6	203.19	6	9.67	6	0.04	2
2462	2033	42	Min.	0.00	-1594.55	6	-0.96	2	-0.16	2	77.37	6	-34.23	6	-0.03	2
2462	2033	42	Min.	21.56	-1594.55	6	-0.96	2	-0.02	6	76.52	6	7.44	6	-0.03	2
2462	42	50	Max	0.00	477.38	6	0.43	2	0.02	2	170.11	6	-6.34	6	0.04	2
2462	42	50	Max	21.56	477.38	6	0.43	2	0.06	2	169.27	6	13.88	6	0.04	2
2462	42	50	Min.	0.00	-1126.89	6	-0.40	2	-0.03	2	67.77	6	-22.70	6	-0.04	2
2462	42	50	Min.	21.56	-1126.89	6	-0.40	2	-0.07	2	66.92	6	8.18	6	-0.04	2
2462	50	58	Max	0.00	647.22	6	0.08	2	0.03	2	151.93	6	-4.71	6	0.05	2
2462	50	58	Max	21.56	647.22	6	0.08	2	0.05	2	151.09	6	13.97	6	0.05	2
2462	50	58	Min.	0.00	-709.38	6	-0.07	2	-0.03	2	57.79	6	-18.70	6	-0.05	2
2462	50	58	Min.	21.56	-709.38	6	-0.07	2	-0.05	2	56.94	6	7.65	6	-0.05	2
2462	58	66	Max	0.00	776.95	6	0.15	2	0.00	6	134.37	6	-3.32	6	0.05	2
2462	58	66	Max	21.56	776.95	6	0.15	2	0.03	2	133.52	6	13.50	6	0.05	2
2462	58	66	Min.	0.00	-371.71	6	-0.18	2	-0.00	6	49.13	6	-15.38	6	-0.06	2
2462	58	66	Min.	21.56	-371.71	6	-0.18	2	-0.04	2	48.28	6	7.18	6	-0.06	2
2462	66	74	Max	0.00	858.56	6	0.40	2	0.06	2	102.22	6	-0.48	6	-0.00	2
2462	66	74	Max	21.56	858.56	6	0.40	2	0.00	2	101.37	6	10.75	6	-0.00	2
2462	66	74	Min.	0.00	-113.45	6	-0.29	2	-0.09	2	24.36	6	-11.20	6	-0.01	2
2462	66	74	Min.	21.56	-113.45	6	-0.29	2	-0.00	2	23.52	6	4.69	6	-0.01	2
2462	74	82	Max	0.00	904.53	6	0.31	2	-0.00	2	90.76	6	-0.17	6	-0.01	2
2462	74	82	Max	21.56	904.53	6	0.31	2	0.06	2	89.91	6	9.75	6	-0.01	2
2462	74	82	Min.	0.00	83.97	6	-0.19	2	-0.02	2	18.94	6	-9.73	6	-0.01	2

2462	74	82	Min.	21.56	83.97	6	-0.19	2	-0.06	2	18.09	6	3.82	6	-0.01	2
2462	82	90	Max	0.00	935.41	6	0.15	2	0.05	2	81.20	6	0.27	6	0.02	2
2462	82	90	Max	21.56	935.41	6	0.15	2	0.04	2	80.36	6	9.06	6	0.02	2
2462	82	90	Min.	0.00	244.94	6	-0.03	2	-0.06	2	14.55	6	-8.36	6	-0.04	2
2462	82	90	Min.	21.56	244.94	6	-0.03	2	-0.03	2	13.71	6	3.31	6	-0.04	2
2462	90	98	Max	0.00	954.21	6	0.32	2	0.00	6	72.18	6	0.96	6	0.03	2
2462	90	98	Max	21.56	954.21	6	0.32	2	0.07	2	71.34	6	8.58	6	0.03	2
2462	90	98	Min.	0.00	376.57	6	-0.23	2	-0.00	6	10.01	6	-6.89	6	-0.05	2
2462	90	98	Min.	21.56	376.57	6	-0.23	2	-0.05	2	9.16	6	3.03	6	-0.05	2
2462	98	106	Max	0.00	954.33	6	0.36	2	0.08	2	49.72	6	2.93	6	0.00	2
2462	98	106	Max	21.56	954.33	6	0.36	2	0.01	2	48.88	6	6.34	6	0.00	2
2462	98	106	Min.	0.00	475.50	6	-0.34	2	-0.09	2	-8.46	6	-4.29	6	-0.02	2
2462	98	106	Min.	21.56	475.50	6	-0.34	2	-0.01	2	-9.31	6	1.01	6	-0.02	2
2462	106	114	Max	0.00	939.72	6	0.27	2	0.00	2	43.10	6	2.95	6	-0.00	2
2462	106	114	Max	21.56	939.72	6	0.27	2	0.06	2	42.25	6	5.49	6	-0.00	2
2462	106	114	Min.	0.00	547.93	6	-0.21	2	-0.01	2	-11.68	6	-3.71	6	-0.01	2
2462	106	114	Min.	21.56	547.93	6	-0.21	2	-0.05	2	-12.52	6	0.34	6	-0.01	2
2462	114	122	Max	0.00	920.12	6	0.10	2	0.04	2	37.62	6	3.15	6	0.02	2
2462	114	122	Max	21.56	920.12	6	0.10	2	0.03	2	36.77	6	4.99	6	0.02	2
2462	114	122	Min.	0.00	605.70	6	-0.05	2	-0.05	2	-14.10	6	-3.03	6	-0.03	2
2462	114	122	Min.	21.56	605.70	6	-0.05	2	-0.03	2	-14.94	6	0.02	6	-0.03	2
2462	122	130	Max	0.00	895.94	6	0.25	2	0.01	2	31.85	6	3.73	6	0.04	2
2462	122	130	Max	21.56	895.94	6	0.25	2	0.06	2	31.00	6	4.73	6	0.04	2
2462	122	130	Min.	0.00	650.79	6	-0.21	2	-0.00	2	-17.16	6	-2.05	6	-0.05	2
2462	122	130	Min.	21.56	650.79	6	-0.21	2	-0.05	2	-18.01	6	-0.06	6	-0.05	2
2462	130	138	Max	0.00	860.56	6	0.35	2	0.08	2	11.10	6	5.71	6	0.01	2
2462	130	138	Max	21.56	860.56	6	0.35	2	0.00	2	10.25	6	2.54	6	0.01	2
2462	130	138	Min.	0.00	678.03	6	-0.33	2	-0.08	2	-35.88	6	0.23	6	-0.02	2
2462	130	138	Min.	21.56	678.03	6	-0.33	2	-0.00	2	-36.73	6	-2.12	6	-0.02	2
2462	138	146	Max	0.00	816.16	6	0.24	2	0.01	2	6.70	6	5.51	6	0.00	2
2462	138	146	Max	21.56	816.16	6	0.24	2	0.06	2	5.86	6	1.72	6	0.00	2
2462	138	146	Min.	0.00	690.48	6	-0.21	2	-0.01	2	-38.08	6	0.37	6	-0.01	2
2462	138	146	Min.	21.56	690.48	6	-0.21	2	-0.06	2	-38.93	6	-2.79	6	-0.01	2
2462	146	154	Max	0.00	771.22	6	0.08	2	0.05	2	2.46	6	5.34	6	0.02	2
2462	146	154	Max	21.56	771.22	6	0.08	2	0.04	2	1.61	6	0.94	6	0.02	2
2462	146	154	Min.	0.00	697.27	6	-0.05	2	-0.05	2	-40.28	6	0.50	6	-0.02	2
2462	146	154	Min.	21.56	697.27	6	-0.05	2	-0.03	2	-41.13	6	-3.43	6	-0.02	2
2462	154	162	Max	0.00	730.31	6	0.22	2	0.01	2	0.77	6	4.28	6	0.03	2
2462	154	162	Max	21.56	730.31	6	0.22	2	0.05	2	-0.08	6	-0.21	6	0.03	2
2462	154	162	Min.	0.00	703.58	6	-0.20	2	-0.00	2	-40.17	6	-0.29	6	-0.03	2
2462	154	162	Min.	21.56	703.58	6	-0.20	2	-0.04	2	-41.01	6	-4.47	6	-0.03	2
2462	162	170	Max	0.00	730.16	6	0.20	2	0.05	2	41.03	6	-0.21	6	0.03	2
2462	162	170	Max	21.56	730.16	6	0.20	2	0.01	2	40.19	6	4.29	6	0.03	2
2462	162	170	Min.	0.00	703.75	6	-0.22	2	-0.04	2	0.10	6	-4.47	6	-0.03	2
2462	162	170	Min.	21.56	703.75	6	-0.22	2	-0.00	2	-0.74	6	-0.28	6	-0.03	2
2462	170	178	Max	0.00	771.10	6	0.05	2	0.04	2	41.15	6	0.94	6	0.02	2
2462	170	178	Max	21.56	771.10	6	0.05	2	0.05	2	40.31	6	5.35	6	0.02	2
2462	170	178	Min.	0.00	697.47	6	-0.08	2	-0.03	2	-1.59	6	-3.44	6	-0.02	2
2462	170	178	Min.	21.56	697.47	6	-0.08	2	-0.05	2	-2.44	6	0.50	6	-0.02	2
2462	178	186	Max	0.00	816.07	6	0.21	2	0.06	2	38.95	6	1.72	6	0.01	2
2462	178	186	Max	21.56	816.07	6	0.21	2	0.01	2	38.10	6	5.51	6	0.01	2
2462	178	186	Min.	0.00	690.71	6	-0.24	2	-0.06	2	-5.83	6	-2.80	6	-0.00	2
2462	178	186	Min.	21.56	690.71	6	-0.24	2	-0.01	2	-6.67	6	0.37	6	-0.00	2
2462	186	194	Max	0.00	860.51	6	0.33	2	0.00	2	36.76	6	2.53	6	0.02	2
2462	186	194	Max	21.56	860.51	6	0.33	2	0.08	2	35.91	6	5.71	6	0.02	2
2462	186	194	Min.	0.00	678.29	6	-0.35	2	-0.00	2	-10.22	6	-2.13	6	-0.01	2
2462	186	194	Min.	21.56	678.29	6	-0.35	2	-0.08	2	-11.07	6	0.24	6	-0.01	2
2462	194	202	Max	0.00	895.91	6	0.21	2	0.06	2	18.03	6	4.73	6	0.05	2
2462	194	202	Max	21.56	895.91	6	0.21	2	0.01	2	17.19	6	3.74	6	0.05	2

2462	194	202	Min.	0.00	651.10	6	-0.25	2	-0.05	2	-30.97	6	-0.06	6	-0.04	2
2462	194	202	Min.	21.56	651.10	6	-0.25	2	-0.01	2	-31.82	6	-2.04	6	-0.04	2
2462	202	210	Max	0.00	920.14	6	0.05	2	0.03	2	14.97	6	4.98	6	0.03	2
2462	202	210	Max	21.56	920.14	6	0.05	2	0.04	2	14.13	6	3.16	6	0.03	2
2462	202	210	Min.	0.00	606.04	6	-0.10	2	-0.03	2	-36.74	6	0.02	6	-0.02	2
2462	202	210	Min.	21.56	606.04	6	-0.10	2	-0.05	2	-37.59	6	-3.03	6	-0.02	2
2462	210	218	Max	0.00	939.78	6	0.21	2	0.06	2	12.55	6	5.48	6	0.01	2
2462	210	218	Max	21.56	939.78	6	0.21	2	0.00	2	11.71	6	2.96	6	0.01	2
2462	210	218	Min.	0.00	548.33	6	-0.26	2	-0.05	2	-42.22	6	0.34	6	0.00	2
2462	210	218	Min.	21.56	548.33	6	-0.26	2	-0.01	2	-43.06	6	-3.71	6	0.00	2
2462	218	226	Max	0.00	954.44	6	0.34	2	0.01	2	9.34	6	6.34	6	0.02	2
2462	218	226	Max	21.56	954.44	6	0.34	2	0.08	2	8.50	6	2.94	6	0.02	2
2462	218	226	Min.	0.00	475.96	6	-0.36	2	-0.01	2	-48.84	6	1.01	6	-0.00	2
2462	218	226	Min.	21.56	475.96	6	-0.36	2	-0.09	2	-49.68	6	-4.28	6	-0.00	2
2462	226	234	Max	0.00	954.38	6	0.23	2	0.07	2	-9.12	6	8.58	6	0.05	2
2462	226	234	Max	21.56	954.38	6	0.23	2	0.00	6	-9.97	6	0.97	6	0.05	2
2462	226	234	Min.	0.00	377.10	6	-0.32	2	-0.05	2	-71.29	6	3.02	6	-0.03	2
2462	226	234	Min.	21.56	377.10	6	-0.32	2	-0.00	6	-72.13	6	-6.89	6	-0.03	2
2462	234	242	Max	0.00	935.65	6	0.03	2	0.04	2	-13.66	6	9.05	6	0.04	2
2462	234	242	Max	21.56	935.65	6	0.03	2	0.05	2	-14.51	6	0.27	6	0.04	2
2462	234	242	Min.	0.00	245.57	6	-0.15	2	-0.03	2	-80.30	6	3.31	6	-0.02	2
2462	234	242	Min.	21.56	245.57	6	-0.15	2	-0.06	2	-81.15	6	-8.35	6	-0.02	2
2462	242	250	Max	0.00	904.87	6	0.18	2	0.06	2	-18.05	6	9.74	6	0.01	2
2462	242	250	Max	21.56	904.87	6	0.18	2	-0.00	2	-18.89	6	-0.17	6	0.01	2
2462	242	250	Min.	0.00	84.69	6	-0.31	2	-0.06	2	-89.85	6	3.82	6	0.01	2
2462	242	250	Min.	21.56	84.69	6	-0.31	2	-0.02	2	-90.70	6	-9.72	6	0.01	2
2462	250	258	Max	0.00	859.01	6	0.29	2	0.00	2	-23.46	6	10.74	6	0.01	2
2462	250	258	Max	21.56	859.01	6	0.29	2	0.06	2	-24.31	6	-0.47	6	0.01	2
2462	250	258	Min.	0.00	-112.59	6	-0.40	2	-0.00	2	-101.31	6	4.68	6	0.00	2
2462	250	258	Min.	21.56	-112.59	6	-0.40	2	-0.09	2	-102.16	6	-11.19	6	0.00	2
2462	258	266	Max	0.00	777.57	6	0.18	2	0.03	2	-48.20	6	13.49	6	0.06	2
2462	258	266	Max	21.56	777.57	6	0.18	2	0.00	6	-49.04	6	-3.31	6	0.06	2
2462	258	266	Min.	0.00	-370.66	6	-0.15	2	-0.04	2	-133.39	6	7.18	6	-0.05	2
2462	258	266	Min.	21.56	-370.66	6	-0.15	2	-0.00	6	-134.24	6	-15.37	6	-0.05	2
2462	266	274	Max	0.00	648.11	6	0.07	2	0.05	2	-56.85	6	13.96	6	0.05	2
2462	266	274	Max	21.56	648.11	6	0.07	2	0.03	2	-57.69	6	-4.70	6	0.05	2
2462	266	274	Min.	0.00	-708.06	6	-0.08	2	-0.05	2	-150.95	6	7.65	6	-0.05	2
2462	266	274	Min.	21.56	-708.06	6	-0.08	2	-0.03	2	-151.79	6	-18.68	6	-0.05	2
2462	274	282	Max	0.00	478.61	6	0.40	2	0.06	2	-66.81	6	13.87	6	0.04	2
2462	274	282	Max	21.56	478.61	6	0.40	2	0.02	2	-67.66	6	-6.32	6	0.04	2
2462	274	282	Min.	0.00	-1125.24	6	-0.42	2	-0.07	2	-169.10	6	8.17	6	-0.04	2
2462	274	282	Min.	21.56	-1125.24	6	-0.42	2	-0.03	2	-169.95	6	-22.68	6	-0.04	2
2462	282	2293	Max	0.00	277.39	6	0.96	2	-0.00	6	-76.40	6	9.65	6	0.03	2
2462	282	2293	Max	21.56	277.39	6	0.96	2	0.19	2	-77.25	6	-9.13	6	0.03	2
2462	282	2293	Min.	0.00	-1592.12	6	-0.73	2	-0.02	6	-203.01	6	7.43	6	-0.04	2
2462	282	2293	Min.	21.56	-1592.12	6	-0.73	2	-0.16	2	-203.85	6	-34.21	6	-0.04	2
2462	2293	302	Max	0.00	-81.99	2	1.69	2	0.27	2	23.76	6	1.39	6	0.06	2
2462	2293	302	Max	13.33					-0.00	8			1.09	8		
2462	2293	302	Max	16.67	-81.99	2	1.69	2	0.07	2	23.11	6	1.14	6	0.06	2
2462	2293	302	Min.	0.00	-172.39	2	-2.08	2	-0.22	2	-2.00	6	-3.80	6	-0.03	2
2462	2293	302	Min.	13.33									-0.66	8		
2462	2293	302	Min.	16.67	-172.39	2	-2.08	2	-0.08	2	-2.65	6	-0.03	6	-0.03	2
2462	302	310	Max	0.00	-54.60	2	0.84	2	0.09	2	22.49	2	-1.17	2	0.09	2
2462	302	310	Max	16.67	-54.60	2	0.84	2	0.08	2	21.83	2	1.48	2	0.09	2
2462	302	310	Min.	0.00	-112.20	2	-1.19	2	-0.06	2	11.90	2	-2.22	2	-0.05	2
2462	302	310	Min.	16.67	-112.20	2	-1.19	2	-0.11	2	11.24	2	0.75	2	-0.05	2
2462	310	2318	Max	0.00	-22.17	2	0.60	2	0.06	2	21.79	2	-0.72	2	0.07	2
2462	310	2318	Max	16.67	-22.17	2	0.60	2	0.08	2	21.13	2	1.90	2	0.07	2
2462	310	2318	Min.	0.00	-46.09	2	-1.14	2	-0.03	2	9.68	2	-1.67	2	-0.03	2

2462	310	2318	Min.	16.67	-46.09	2	-1.14	2	-0.13	2	9.03	2	0.83	2	-0.03	2
2500	2008	16	Max	0.00	3.35	2	1.39	2	0.10	2	2.76	2	0.75	2	0.06	2
2500	2008	16	Max	16.67	3.35	2	1.39	2	0.09	2	2.10	2	0.20	2	0.06	2
2500	2008	16	Min.	0.00	-17.61	2	-0.91	2	-0.14	2	-9.26	2	-0.20	2	-0.03	2
2500	2008	16	Min.	16.67	-17.61	2	-0.91	2	-0.05	2	-9.92	2	-0.85	2	-0.03	2
2500	16	24	Max	0.00	5.28	2	0.78	2	0.08	2	-0.11	6	0.08	2	0.08	2
2500	16	24	Max	16.67	5.28	2	0.78	2	0.05	2	-0.76	6	0.00	2	0.08	2
2500	16	24	Min.	0.00	-31.45	2	-0.70	2	-0.08	2	-0.52	6	-0.15	2	-0.06	2
2500	16	24	Min.	16.67	-31.45	2	-0.70	2	-0.04	2	-1.18	6	-0.29	2	-0.06	2
2500	24	2036	Max	0.00	9.27	2	2.52	2	0.09	2	11.38	6	0.77	6	0.07	2
2500	24	2036	Max	3.33					-0.02	4			0.41	4		
2500	24	2036	Max	16.67	9.27	2	2.52	2	0.32	2	10.73	6	2.50	6	0.07	2
2500	24	2036	Min.	0.00	-83.70	2	-2.05	2	-0.10	2	-13.18	6	-0.39	6	-0.03	2
2500	24	2036	Min.	3.33					0.02	4			-0.10	4		
2500	24	2036	Min.	16.67	-83.70	2	-2.05	2	-0.25	2	-13.84	6	-2.53	6	-0.03	2
2500	2036	44	Max	0.00	586.66	6	0.90	2	0.07	2	134.06	6	1.42	6	-0.01	2
2500	2036	44	Max	21.56	586.66	6	0.90	2	0.03	6	133.22	6	5.35	6	-0.01	2
2500	2036	44	Min.	0.00	-1245.24	6	-0.31	2	-0.20	2	8.59	6	-23.46	6	-0.09	2
2500	2036	44	Min.	21.56	-1245.24	6	-0.31	2	-0.03	6	7.75	6	3.18	6	-0.09	2
2500	44	52	Max	0.00	622.60	6	0.61	2	0.01	2	111.63	6	0.73	6	-0.00	2
2500	44	52	Max	21.56	622.60	6	0.61	2	0.05	2	110.78	6	8.42	6	-0.00	2
2500	44	52	Min.	0.00	-942.29	6	-0.15	2	-0.08	2	9.84	6	-15.56	6	-0.10	2
2500	44	52	Min.	21.56	-942.29	6	-0.15	2	-0.03	2	8.99	6	2.76	6	-0.10	2
2500	52	60	Max	0.00	648.57	6	0.43	2	-0.02	2	100.59	6	0.93	6	0.00	2
2500	52	60	Max	21.56	648.57	6	0.43	2	0.07	2	99.74	6	8.63	6	0.00	2
2500	52	60	Min.	0.00	-668.45	6	0.04	2	-0.03	2	7.09	6	-12.97	6	-0.10	2
2500	52	60	Min.	21.56	-668.45	6	0.04	2	-0.02	2	6.24	6	2.37	6	-0.10	2
2500	60	68	Max	0.00	666.42	6	0.24	6	0.01	6	90.04	6	1.07	6	0.01	2
2500	60	68	Max	21.56	666.42	6	0.24	6	0.05	6	89.19	6	8.43	6	0.01	2
2500	60	68	Min.	0.00	-445.12	6	0.18	6	-0.04	6	5.42	6	-10.89	6	-0.09	2
2500	60	68	Min.	21.56	-445.12	6	0.18	6	0.01	6	4.58	6	2.15	6	-0.09	2
2500	68	76	Max	0.00	671.30	6	0.30	2	0.04	2	73.76	6	1.84	6	-0.01	2
2500	68	76	Max	21.56	671.30	6	0.30	2	0.02	6	72.92	6	7.17	6	-0.01	2
2500	68	76	Min.	0.00	-266.85	6	-0.20	2	-0.06	2	-2.05	6	-8.65	6	-0.06	2
2500	68	76	Min.	21.56	-266.85	6	-0.20	2	-0.02	6	-2.90	6	1.30	6	-0.06	2
2500	76	84	Max	0.00	665.96	6	0.31	2	0.00	6	66.39	6	1.79	6	-0.01	2
2500	76	84	Max	21.56	665.96	6	0.31	2	0.05	2	65.54	6	6.66	6	-0.01	2
2500	76	84	Min.	0.00	-124.62	6	-0.09	2	-0.03	6	-3.49	6	-7.57	6	-0.04	2
2500	76	84	Min.	21.56	-124.62	6	-0.09	2	-0.03	2	-4.34	6	0.94	6	-0.04	2
2500	84	92	Max	0.00	657.76	6	0.18	6	0.02	2	60.40	6	1.80	6	0.00	2
2500	84	92	Max	21.56	657.76	6	0.18	6	0.04	2	59.55	6	6.29	6	0.00	2
2500	84	92	Min.	0.00	-6.24	6	0.04	6	-0.04	2	-4.44	6	-6.64	6	-0.04	2
2500	84	92	Min.	21.56	-6.24	6	0.04	6	-0.01	2	-5.28	6	0.75	6	-0.04	2
2500	92	100	Max	0.00	646.81	6	0.25	2	0.02	6	54.81	6	2.02	6	0.01	2
2500	92	100	Max	2.96					0.02	8			1.81	8		
2500	92	100	Max	21.56	646.81	6	0.25	2	0.05	2	53.97	6	6.08	6	0.01	2
2500	92	100	Min.	0.00	92.45	6	-0.11	2	-0.02	6	-5.59	6	-5.65	6	-0.06	2
2500	92	100	Min.	2.96					-0.02	8			-3.98	8		
2500	92	100	Min.	21.56	92.45	6	-0.11	2	-0.02	2	-6.44	6	0.72	6	-0.06	2
2500	100	108	Max	0.00	627.51	6	0.34	2	0.05	2	39.39	6	3.18	6	-0.01	6
2500	100	108	Max	21.29					0.02	8			4.45	8		
2500	100	108	Max	21.56	627.51	6	0.34	2	0.02	6	38.55	6	4.59	6	-0.01	6
2500	100	108	Min.	0.00	168.74	6	-0.24	2	-0.08	2	-16.94	6	-3.82	6	-0.03	6
2500	100	108	Min.	21.29					-0.03	8			-0.49	8		
2500	100	108	Min.	21.56	168.74	6	-0.24	2	-0.03	6	-17.78	6	-0.57	6	-0.03	6
2500	108	116	Max	0.00	601.27	6	0.29	2	0.00	6	35.27	6	3.01	6	-0.00	2
2500	108	116	Max	21.56	601.27	6	0.29	2	0.04	2	34.42	6	4.06	6	-0.00	2
2500	108	116	Min.	0.00	226.75	6	-0.11	2	-0.03	6	-17.74	6	-3.45	6	-0.02	2
2500	108	116	Min.	21.56	226.75	6	-0.11	2	-0.03	2	-18.59	6	-0.91	6	-0.02	2

2500	116	124	Max	0.00	574.63	6	0.17	6	0.02	2	31.99	6	2.96	6	0.01	2
2500	116	124	Max	21.56	574.63	6	0.17	6	0.04	2	31.15	6	3.78	6	0.01	2
2500	116	124	Min.	0.00	274.96	6	0.02	6	-0.03	2	-18.03	6	-3.03	6	-0.03	2
2500	116	124	Min.	21.56	274.96	6	0.02	6	-0.01	2	-18.87	6	-1.02	6	-0.03	2
2500	124	132	Max	0.00	547.66	6	0.23	2	0.02	6	28.63	6	3.14	6	0.03	2
2500	124	132	Max	21.56	547.66	6	0.23	2	0.06	2	27.79	6	3.63	6	0.03	2
2500	124	132	Min.	0.00	314.99	6	-0.10	2	-0.01	6	-18.74	6	-2.45	6	-0.05	2
2500	124	132	Min.	21.56	314.99	6	-0.10	2	-0.02	2	-19.59	6	-0.99	6	-0.05	2
2500	132	140	Max	0.00	516.66	6	0.28	2	0.06	2	17.51	6	4.06	6	0.00	6
2500	132	140	Max	19.41					0.02	8			2.10	8		
2500	132	140	Max	21.56	516.66	6	0.28	2	0.02	6	16.67	6	2.47	6	0.00	6
2500	132	140	Min.	0.00	344.48	6	-0.31	2	-0.06	2	-27.74	6	-1.21	6	-0.02	6
2500	132	140	Min.	19.41					-0.02	8			-1.38	8		
2500	132	140	Min.	21.56	344.48	6	-0.31	2	-0.02	6	-28.58	6	-2.01	6	-0.02	6
2500	140	148	Max	0.00	482.39	6	0.21	2	0.02	6	14.85	6	3.88	6	0.00	6
2500	140	148	Max	21.56	482.39	6	0.21	2	0.05	2	14.00	6	2.03	6	0.00	6
2500	140	148	Min.	0.00	365.03	6	-0.19	2	-0.02	6	-28.25	6	-1.08	6	-0.00	6
2500	140	148	Min.	21.56	365.03	6	-0.19	2	-0.04	2	-29.10	6	-2.31	6	-0.00	6
2500	148	156	Max	0.00	449.05	6	0.08	6	0.04	2	12.37	6	3.72	6	0.02	2
2500	148	156	Max	21.56	449.05	6	0.08	6	0.04	2	11.52	6	1.63	6	0.02	2
2500	148	156	Min.	0.00	381.52	6	-0.04	6	-0.03	2	-28.74	6	-0.94	6	-0.02	2
2500	148	156	Min.	21.56	381.52	6	-0.04	6	-0.02	2	-29.59	6	-2.57	6	-0.02	2
2500	156	164	Max	0.00	418.64	6	0.18	2	0.03	6	11.11	6	3.16	6	0.03	2
2500	156	164	Max	5.72					0.03	8			1.54	8		
2500	156	164	Max	21.56	418.64	6	0.18	2	0.05	2	10.27	6	1.09	6	0.03	2
2500	156	164	Min.	0.00	396.51	6	-0.15	2	-0.00	6	-28.22	6	-1.22	6	-0.02	2
2500	156	164	Min.	5.72									-0.59	8		
2500	156	164	Min.	21.56	396.51	6	-0.15	2	-0.01	2	-29.07	6	-3.01	6	-0.02	2
2500	164	172	Max	0.00	418.55	6	0.15	2	0.05	2	29.07	6	1.08	6	0.02	2
2500	164	172	Max	15.24					0.03	8			1.37	8		
2500	164	172	Max	21.56	418.55	6	0.15	2	0.03	6	28.23	6	3.17	6	0.02	2
2500	164	172	Min.	0.00	396.61	6	-0.18	2	-0.01	2	-10.26	6	-3.01	6	-0.03	2
2500	164	172	Min.	15.24									-0.52	8		
2500	164	172	Min.	21.56	396.61	6	-0.18	2	-0.00	6	-11.11	6	-1.22	6	-0.03	2
2500	172	180	Max	0.00	448.97	6	0.04	6	0.04	2	29.60	6	1.63	6	0.02	2
2500	172	180	Max	21.56	448.97	6	0.04	6	0.04	2	28.75	6	3.72	6	0.02	2
2500	172	180	Min.	0.00	381.62	6	-0.08	6	-0.02	2	-11.52	6	-2.57	6	-0.02	2
2500	172	180	Min.	21.56	381.62	6	-0.08	6	-0.03	2	-12.36	6	-0.94	6	-0.02	2
2500	180	188	Max	0.00	482.32	6	0.19	2	0.05	2	29.11	6	2.03	6	0.00	6
2500	180	188	Max	21.56	482.32	6	0.19	2	0.02	6	28.26	6	3.88	6	0.00	6
2500	180	188	Min.	0.00	365.14	6	-0.21	2	-0.04	2	-13.99	6	-2.31	6	-0.00	6
2500	180	188	Min.	21.56	365.14	6	-0.21	2	-0.02	6	-14.84	6	-1.08	6	-0.00	6
2500	188	196	Max	0.00	516.60	6	0.31	2	0.02	6	28.60	6	2.47	6	0.02	6
2500	188	196	Max	2.16					0.02	8			2.10	8		
2500	188	196	Max	21.56	516.60	6	0.31	2	0.06	2	27.75	6	4.06	6	0.02	6
2500	188	196	Min.	0.00	344.59	6	-0.28	2	-0.02	6	-16.66	6	-2.01	6	0.00	6
2500	188	196	Min.	2.16					-0.02	8			-1.38	8		
2500	188	196	Min.	21.56	344.59	6	-0.28	2	-0.06	2	-17.51	6	-1.21	6	0.00	6
2500	196	204	Max	0.00	547.61	6	0.10	2	0.06	2	19.60	6	3.63	6	0.05	2
2500	196	204	Max	21.56	547.61	6	0.10	2	0.02	6	18.75	6	3.14	6	0.05	2
2500	196	204	Min.	0.00	315.11	6	-0.23	2	-0.02	2	-27.78	6	-0.99	6	-0.03	2
2500	196	204	Min.	21.56	315.11	6	-0.23	2	-0.01	6	-28.63	6	-2.45	6	-0.03	2
2500	204	212	Max	0.00	574.59	6	-0.02	6	0.04	2	18.88	6	3.78	6	0.03	2
2500	204	212	Max	21.56	574.59	6	-0.02	6	0.02	2	18.04	6	2.96	6	0.03	2
2500	204	212	Min.	0.00	275.09	6	-0.17	6	-0.01	2	-31.14	6	-1.02	6	-0.01	2
2500	204	212	Min.	21.56	275.09	6	-0.17	6	-0.03	2	-31.98	6	-3.03	6	-0.01	2
2500	212	220	Max	0.00	601.25	6	0.11	2	0.04	2	18.60	6	4.06	6	0.02	2
2500	212	220	Max	21.56	601.25	6	0.11	2	0.00	6	17.75	6	3.01	6	0.02	2
2500	212	220	Min.	0.00	226.89	6	-0.29	2	-0.03	2	-34.41	6	-0.91	6	0.00	2

2500	212	220	Min.	21.56	226.89	6	-0.29	2	-0.03	6	-35.26	6	-3.45	6	0.00	2
2500	220	228	Max	0.00	627.51	6	0.24	2	0.02	6	17.80	6	4.59	6	0.03	6
2500	220	228	Max	0.27					0.02	8			4.45	8		
2500	220	228	Max	21.56	627.51	6	0.24	2	0.05	2	16.95	6	3.18	6	0.03	6
2500	220	228	Min.	0.00	168.90	6	-0.34	2	-0.03	6	-38.54	6	-0.57	6	0.01	6
2500	220	228	Min.	0.27					-0.03	8			-0.49	8		
2500	220	228	Min.	21.56	168.90	6	-0.34	2	-0.08	2	-39.38	6	-3.82	6	0.01	6
2500	228	236	Max	0.00	646.84	6	0.11	2	0.05	2	6.45	6	6.08	6	0.06	2
2500	228	236	Max	19.00					0.02	8			1.83	8		
2500	228	236	Max	21.56	646.84	6	0.11	2	0.02	6	5.61	6	2.02	6	0.06	2
2500	228	236	Min.	0.00	92.62	6	-0.25	2	-0.02	2	-53.96	6	0.72	6	-0.01	2
2500	228	236	Min.	19.00					-0.02	8			-4.20	8		
2500	228	236	Min.	21.56	92.62	6	-0.25	2	-0.02	6	-54.80	6	-5.65	6	-0.01	2
2500	236	244	Max	0.00	657.81	6	-0.04	6	0.04	2	5.30	6	6.29	6	0.04	2
2500	236	244	Max	21.56	657.81	6	-0.04	6	0.02	2	4.45	6	1.80	6	0.04	2
2500	236	244	Min.	0.00	-6.05	6	-0.18	6	-0.01	2	-59.54	6	0.75	6	-0.00	2
2500	236	244	Min.	21.56	-6.05	6	-0.18	6	-0.04	2	-60.39	6	-6.64	6	-0.00	2
2500	244	252	Max	0.00	666.05	6	0.09	2	0.05	2	4.36	6	6.66	6	0.04	2
2500	244	252	Max	21.56	666.05	6	0.09	2	0.00	6	3.51	6	1.79	6	0.04	2
2500	244	252	Min.	0.00	-124.41	6	-0.31	2	-0.03	2	-65.53	6	0.94	6	0.01	2
2500	244	252	Min.	21.56	-124.41	6	-0.31	2	-0.03	6	-66.37	6	-7.56	6	0.01	2
2500	252	260	Max	0.00	671.43	6	0.20	2	0.02	6	2.92	6	7.17	6	0.06	2
2500	252	260	Max	21.56	671.43	6	0.20	2	0.04	2	2.07	6	1.84	6	0.06	2
2500	252	260	Min.	0.00	-266.60	6	-0.30	2	-0.02	6	-72.90	6	1.30	6	0.01	2
2500	252	260	Min.	21.56	-266.60	6	-0.30	2	-0.06	2	-73.75	6	-8.65	6	0.01	2
2500	260	268	Max	0.00	666.61	6	-0.18	6	0.05	6	-4.56	6	8.42	6	0.09	2
2500	260	268	Max	21.56	666.61	6	-0.18	6	0.01	6	-5.41	6	1.08	6	0.09	2
2500	260	268	Min.	0.00	-444.83	6	-0.24	6	0.01	6	-89.14	6	2.15	6	-0.01	2
2500	260	268	Min.	21.56	-444.83	6	-0.24	6	-0.04	6	-89.98	6	-10.89	6	-0.01	2
2500	268	276	Max	0.00	648.86	6	-0.04	2	0.07	2	-6.23	6	8.62	6	0.10	2
2500	268	276	Max	21.56	648.86	6	-0.04	2	-0.02	2	-7.08	6	0.93	6	0.10	2
2500	268	276	Min.	0.00	-668.10	6	-0.43	2	-0.02	2	-99.69	6	2.37	6	-0.00	2
2500	268	276	Min.	21.56	-668.10	6	-0.43	2	-0.03	2	-100.53	6	-12.96	6	-0.00	2
2500	276	284	Max	0.00	622.70	6	0.14	2	0.05	2	-8.97	6	8.41	6	0.10	2
2500	276	284	Max	21.56	622.70	6	0.14	2	0.01	2	-9.82	6	0.73	6	0.10	2
2500	276	284	Min.	0.00	-941.54	6	-0.61	2	-0.03	2	-110.71	6	2.76	6	0.00	2
2500	276	284	Min.	21.56	-941.54	6	-0.61	2	-0.08	2	-111.55	6	-15.55	6	0.00	2
2500	284	2296	Max	0.00	586.82	6	0.31	2	0.03	6	-7.73	6	5.35	6	0.09	2
2500	284	2296	Max	21.56	586.82	6	0.31	2	0.07	2	-8.58	6	1.42	6	0.09	2
2500	284	2296	Min.	0.00	-1244.26	6	-0.90	2	-0.03	6	-133.14	6	3.18	6	0.01	2
2500	284	2296	Min.	21.56	-1244.26	6	-0.90	2	-0.20	2	-133.99	6	-23.45	6	0.01	2
2500	2296	304	Max	0.00	9.67	2	1.78	2	0.29	2	13.40	6	2.53	6	0.03	2
2500	2296	304	Max	13.92					-0.02	4			0.34	4		
2500	2296	304	Max	16.67	9.67	2	1.78	2	0.07	2	12.75	6	0.66	6	0.03	2
2500	2296	304	Min.	0.00	-76.17	2	-2.28	2	-0.23	2	-11.41	6	-2.50	6	-0.06	2
2500	2296	304	Min.	13.92					0.01	4			-0.11	4		
2500	2296	304	Min.	16.67	-76.17	2	-2.28	2	-0.09	2	-12.06	6	-0.41	6	-0.06	2
2500	304	312	Max	0.00	6.98	2	1.01	2	0.10	2	10.52	2	0.06	2	0.06	2
2500	304	312	Max	16.67	6.98	2	1.01	2	0.09	2	9.86	2	0.66	2	0.06	2
2500	304	312	Min.	0.00	-47.44	2	-1.30	2	-0.07	2	-0.21	2	-1.03	2	-0.08	2
2500	304	312	Min.	16.67	-47.44	2	-1.30	2	-0.12	2	-0.86	2	-0.03	2	-0.08	2
2500	312	2320	Max	0.00	3.35	2	0.86	2	0.07	2	9.39	2	0.19	2	0.04	2
2500	312	2320	Max	16.67	3.35	2	0.86	2	0.10	2	8.74	2	0.81	2	0.04	2
2500	312	2320	Min.	0.00	-19.01	2	-1.27	2	-0.04	2	-1.95	2	-0.72	2	-0.06	2
2500	312	2320	Min.	16.67	-19.01	2	-1.27	2	-0.14	2	-2.61	2	-0.20	2	-0.06	2
2580	2031	2032	Max	0.00	4.09	2	280.91	6	0.22	6	-52.95	2	0.08	2	44.72	6
2580	2031	2032	Max	0.63	4.09	2	280.91	6	1.77	6	-52.99	2	-0.27	2	44.72	6
2580	2031	2032	Min.	0.00	-6.52	2	-1382.94	6	-0.00	6	-284.75	2	0.07	2	1.21	6
2580	2031	2032	Min.	0.63	-6.52	2	-1382.94	6	-8.49	6	-284.80	2	-1.71	2	1.21	6

2580	2032	2033	Max	5.37	3.33	2	1334.30	6	1.98	6	309.34	2	-0.41	2	-0.39	6
2580	2032	2033	Max	6.00	3.33	2	1334.30	6	0.12	2	309.29	2	0.07	6	-0.39	6
2580	2032	2033	Min.	5.37	-7.72	2	-326.46	6	-8.31	6	76.11	2	-1.89	2	-44.00	6
2580	2032	2033	Min.	6.00	-7.72	2	-326.46	6	-0.11	2	76.06	2	0.05	6	-44.00	6
2624	2291	2292	Max	0.00	4.07	2	1372.93	6	0.01	6	-54.96	2	0.09	6	-1.08	6
2624	2291	2292	Max	0.63	4.07	2	1372.93	6	8.43	6	-55.01	2	-0.28	2	-1.08	6
2624	2291	2292	Min.	0.00	-6.47	2	-287.85	6	-0.22	6	-285.57	2	0.07	6	-44.52	6
2624	2291	2292	Min.	0.63	-6.47	2	-287.85	6	-1.81	6	-285.62	2	-1.71	2	-44.52	6
2624	2292	2293	Max	5.37	3.09	2	315.98	6	8.39	6	306.79	2	-0.42	2	44.08	6
2624	2292	2293	Max	6.00	3.09	2	315.98	6	0.07	2	306.74	2	0.07	6	44.08	6
2624	2292	2293	Min.	5.37	-7.45	2	-1344.68	6	-1.93	6	74.99	2	-1.87	2	0.48	6
2624	2292	2293	Min.	6.00	-7.45	2	-1344.68	6	-0.10	2	74.95	2	0.05	6	0.48	6
2859	2034	2035	Max	0.00	5.31	2	521.86	6	0.38	6	-28.90	2	-0.02	2	34.66	6
2859	2034	2035	Max	0.63	5.31	2	521.86	6	3.19	6	-28.94	2	-0.25	2	34.66	6
2859	2034	2035	Min.	0.00	-6.20	2	-1141.28	6	-0.10	6	-201.30	2	-0.07	2	-8.50	6
2859	2034	2035	Min.	0.63	-6.20	2	-1141.28	6	-6.81	6	-201.34	2	-1.29	2	-8.50	6
2859	2035	2036	Max	5.37	3.07	2	1090.17	6	3.27	6	121.71	2	0.11	2	9.38	6
2859	2035	2036	Max	6.00	3.07	2	1090.17	6	0.07	2	121.66	2	0.18	2	9.38	6
2859	2035	2036	Min.	5.37	-3.34	2	-527.30	6	-6.98	6	10.82	2	-0.77	2	-33.64	6
2859	2035	2036	Min.	6.00	-3.34	2	-527.30	6	-0.24	2	10.78	2	-0.01	2	-33.64	6
2903	2294	2295	Max	0.00	5.25	2	1137.42	6	0.10	6	-29.75	2	-0.02	2	8.51	6
2903	2294	2295	Max	0.63	5.25	2	1137.42	6	6.78	6	-29.80	2	-0.26	2	8.51	6
2903	2294	2295	Min.	0.00	-6.18	2	-522.72	6	-0.38	6	-201.16	2	-0.07	2	-34.58	6
2903	2294	2295	Min.	0.63	-6.18	2	-522.72	6	-3.19	6	-201.20	2	-1.29	2	-34.58	6
2903	2295	2296	Max	5.37	2.80	2	524.32	6	7.01	6	120.41	2	0.09	2	33.68	6
2903	2295	2296	Max	6.00	2.80	2	524.32	6	0.21	2	120.37	2	0.16	2	33.68	6
2903	2295	2296	Min.	5.37	-3.10	2	-1093.39	6	-3.26	6	10.61	2	-0.76	2	-9.35	6
2903	2295	2296	Min.	6.00	-3.10	2	-1093.39	6	-0.05	2	10.57	2	-0.00	2	-9.35	6
3001	3001	3002	Max	0.00	4.73	2	2.20	6	0.46	2	9.44	2	0.22	2	0.33	2
3001	3001	3002	Max	12.00	4.73	2	2.20	6	0.69	6	11.22	2	1.46	2	0.33	2
3001	3001	3002	Min.	0.00	-2.11	2	-6.71	6	-0.24	2	-20.54	2	-0.16	2	-0.21	2
3001	3001	3002	Min.	12.00	-2.11	2	-6.71	6	-1.01	6	-18.76	2	-2.52	2	-0.21	2
3001	3003	3004	Max	0.00	8.89	6	3.68	2	1.73	6	12.28	2	16.75	2	0.22	2
3001	3003	3004	Max	4.80					-0.39	4			16.63	4		
3001	3003	3004	Max	12.00	8.89	6	3.68	2	1.46	6	14.06	2	17.76	2	0.22	2
3001	3003	3004	Min.	0.00	-2.50	6	-6.53	2	-1.59	6	-16.25	2	16.02	2	-0.30	2
3001	3003	3004	Min.	4.80					0.40	4			15.99	4		
3001	3003	3004	Min.	12.00	-2.50	6	-6.53	2	-1.66	6	-14.47	2	14.75	2	-0.30	2
3001	3005	3006	Max	0.00	9.68	6	5.07	2	1.55	6	19.01	2	17.51	2	0.41	2
3001	3005	3006	Max	4.80					-0.43	4			16.91	4		
3001	3005	3006	Max	12.00	9.68	6	5.07	2	1.62	6	20.79	2	17.06	6	0.41	2
3001	3005	3006	Min.	0.00	-2.94	6	-5.32	2	-1.57	6	-9.80	2	14.52	2	-0.12	2
3001	3005	3006	Min.	4.80					0.40	4			15.59	4		
3001	3005	3006	Min.	12.00	-2.94	6	-5.32	2	-1.66	6	-8.02	2	16.29	6	-0.12	2
3001	3007	3008	Max	0.00	5.53	2	6.29	6	0.76	6	20.09	2	1.23	2	0.26	2
3001	3007	3008	Max	12.00	5.53	2	6.29	6	0.52	2	21.87	2	0.21	2	0.26	2
3001	3007	3008	Min.	0.00	-2.58	2	-2.58	6	-0.95	6	-9.40	2	-2.70	2	-0.29	2
3001	3007	3008	Min.	12.00	-2.58	2	-2.58	6	-0.27	2	-7.62	2	-0.18	2	-0.29	2
3087	3313	3314	Max	0.00	5.35	2	6.34	6	0.26	2	7.21	2	0.21	2	0.22	2
3087	3313	3314	Max	12.00	5.35	2	6.34	6	0.96	6	8.99	2	1.18	2	0.22	2
3087	3313	3314	Min.	0.00	-2.45	2	-2.24	6	-0.51	2	-20.31	2	-0.17	2	-0.28	2
3087	3313	3314	Min.	12.00	-2.45	2	-2.24	6	-0.72	6	-18.53	2	-2.50	2	-0.28	2
3087	3315	3316	Max	0.00	9.85	6	5.52	2	1.62	6	9.45	2	16.85	6	0.33	2
3087	3315	3316	Max	6.45					-0.43	4			16.85	4		
3087	3315	3316	Max	12.00	9.85	6	5.52	2	1.61	6	11.23	2	17.60	2	0.33	2
3087	3315	3316	Min.	0.00	-3.02	6	-4.14	2	-1.66	6	-17.13	2	16.16	6	-0.16	2
3087	3315	3316	Min.	6.45					0.47	4			15.72	4		
3087	3315	3316	Min.	12.00	-3.02	6	-4.14	2	-1.49	6	-15.35	2	14.69	2	-0.16	2
3087	3317	3318	Max	0.00	9.88	6	4.17	2	1.61	6	15.35	2	17.60	2	0.16	2

3087	3317	3318	Max	5.60					-0.43	4			16.84	4		
3087	3317	3318	Max	12.00	9.88	6	4.17	2	1.62	6	17.13	2	16.85	6	0.16	2
3087	3317	3318	Min.	0.00	-3.02	6	-5.50	2	-1.49	6	-11.24	2	14.69	2	-0.33	2
3087	3317	3318	Min.	5.60					0.47	4			15.73	4		
3087	3317	3318	Min.	12.00	-3.02	6	-5.50	2	-1.66	6	-9.46	2	16.16	6	-0.33	2
3087	3319	3320	Max	0.00	5.41	2	2.28	6	0.97	6	18.49	2	1.18	2	0.28	2
3087	3319	3320	Max	12.00	5.41	2	2.28	6	0.27	2	20.27	2	0.21	2	0.28	2
3087	3319	3320	Min.	0.00	-2.48	2	-6.46	6	-0.72	6	-8.99	2	-2.50	2	-0.22	2
3087	3319	3320	Min.	12.00	-2.48	2	-6.46	6	-0.52	2	-7.21	2	-0.17	2	-0.22	2
4022	4025	4026	Max	0.00	1.86	2	1063.93	6	0.26	6	-36.50	2	0.15	2	24.27	6
4022	4025	4026	Max	0.63	1.86	2	1063.93	6	6.31	6	-36.57	2	-0.24	2	24.27	6
4022	4025	4026	Min.	0.00	-3.95	2	-504.53	6	-0.49	6	-82.28	2	-0.02	2	-5.36	6
4022	4025	4026	Min.	0.63	-3.95	2	-504.53	6	-3.02	6	-82.34	2	-0.38	2	-5.36	6
4022	4026	4027	Max	5.37	67.91	2	511.88	6	5.60	6	105.53	2	21.15	2	4.51	6
4022	4026	4027	Max	6.00	67.91	2	511.88	6	1.47	6	105.46	2	21.81	2	4.51	6
4022	4026	4027	Min.	5.37	-36.72	2	-1070.18	6	-1.87	6	32.58	2	-30.77	2	-25.07	6
4022	4026	4027	Min.	6.00	-36.72	2	-1070.18	6	-1.25	6	32.52	2	-30.56	2	-25.07	6
4022	4028	4029	Max	0.00	63.59	2	1294.30	6	2.14	6	-43.10	2	7.01	2	32.47	6
4022	4028	4029	Max	0.63	63.59	2	1294.30	6	5.83	6	-43.16	2	5.91	2	32.47	6
4022	4028	4029	Min.	0.00	0.41	2	-311.15	6	-2.41	6	-174.34	2	-42.10	2	2.46	6
4022	4028	4029	Min.	0.63	0.41	2	-311.15	6	0.10	6	-174.41	2	-42.38	2	2.46	6
4022	4029	4030	Max	5.37	87.83	2	296.72	6	6.02	6	186.12	2	9.38	2	-2.90	6
4022	4029	4030	Max	6.00	87.83	2	296.72	6	2.15	6	186.06	2	10.54	2	-2.90	6
4022	4029	4030	Min.	5.37	-11.20	2	-1296.81	6	0.18	6	53.13	2	-37.73	2	-32.72	6
4022	4029	4030	Min.	6.00	-11.20	2	-1296.81	6	-2.25	6	53.06	2	-37.38	2	-32.72	6
4022	4031	4032	Max	0.00	86.84	2	1313.49	6	2.15	6	-49.87	2	10.40	2	32.97	6
4022	4031	4032	Max	0.63	86.84	2	1313.49	6	6.14	6	-49.94	2	9.26	2	32.97	6
4022	4031	4032	Min.	0.00	-10.28	2	-282.27	6	-2.23	6	-182.73	2	-37.52	2	3.09	6
4022	4031	4032	Min.	0.63	-10.28	2	-282.27	6	0.27	6	-182.79	2	-37.84	2	3.09	6
4022	4032	4033	Max	5.37	64.23	2	326.14	6	5.74	6	177.76	2	6.01	2	-2.30	6
4022	4032	4033	Max	6.00	64.23	2	326.14	6	2.15	6	177.70	2	7.12	2	-2.30	6
4022	4032	4033	Min.	5.37	-0.64	2	-1277.17	6	-0.01	6	46.36	2	-42.28	2	-32.24	6
4022	4032	4033	Min.	6.00	-0.64	2	-1277.17	6	-2.41	6	46.29	2	-41.99	2	-32.24	6
4022	4034	4035	Max	0.00	67.06	2	1080.82	6	1.49	6	-31.41	2	21.72	2	25.18	6
4022	4034	4035	Max	0.63	67.06	2	1080.82	6	5.64	6	-31.48	2	21.07	2	25.18	6
4022	4034	4035	Min.	0.00	-36.14	2	-506.99	6	-1.29	6	-104.05	2	-30.66	2	-4.48	6
4022	4034	4035	Min.	0.63	-36.14	2	-506.99	6	-1.83	6	-104.11	2	-30.86	2	-4.48	6
4022	4035	4036	Max	5.37	2.50	2	510.28	6	6.25	6	83.93	2	-0.26	2	5.47	6
4022	4035	4036	Max	6.00	2.50	2	510.28	6	0.26	6	83.87	2	0.15	2	5.47	6
4022	4035	4036	Min.	5.37	-5.01	2	-1054.24	6	-3.06	6	38.31	2	-0.39	2	-24.11	6
4022	4035	4036	Min.	6.00	-5.01	2	-1054.24	6	-0.49	6	38.24	2	-0.03	2	-24.11	6
4066	4285	4286	Max	0.00	2.43	2	507.49	6	0.50	6	-37.16	2	0.15	2	5.44	6
4066	4285	4286	Max	0.63	2.43	2	507.49	6	3.03	6	-37.22	2	-0.25	2	5.44	6
4066	4285	4286	Min.	0.00	-4.91	2	-1056.94	6	-0.26	6	-83.43	2	-0.03	2	-24.14	6
4066	4285	4286	Min.	0.63	-4.91	2	-1056.94	6	-6.26	6	-83.49	2	-0.39	2	-24.14	6
4066	4286	4287	Max	5.37	67.35	2	1076.85	6	1.86	6	104.94	2	21.09	2	25.08	6
4066	4286	4287	Max	6.00	67.35	2	1076.85	6	1.29	6	104.87	2	21.75	2	25.08	6
4066	4286	4287	Min.	5.37	-36.31	2	-507.74	6	-5.63	6	31.57	2	-30.78	2	-4.49	6
4066	4286	4287	Min.	6.00	-36.31	2	-507.74	6	-1.48	6	31.51	2	-30.58	2	-4.49	6
4066	4288	4289	Max	0.00	64.00	2	316.12	6	2.41	6	-43.93	2	7.03	2	-2.36	6
4066	4288	4289	Max	0.63	64.00	2	316.12	6	-0.04	6	-43.99	2	5.92	2	-2.36	6
4066	4288	4289	Min.	0.00	-0.52	2	-1286.71	6	-2.14	6	-176.03	2	-42.04	2	-32.30	6
4066	4288	4289	Min.	0.63	-0.52	2	-1286.71	6	-5.81	6	-176.09	2	-42.32	2	-32.30	6
4066	4289	4290	Max	5.37	86.99	2	1304.03	6	-0.22	6	184.81	2	9.30	2	32.76	6
4066	4289	4290	Max	6.00	86.99	2	1304.03	6	2.24	6	184.75	2	10.46	2	32.76	6
4066	4289	4290	Min.	5.37	-10.61	2	-288.74	6	-6.08	6	51.16	2	-37.75	2	2.96	6
4066	4289	4290	Min.	6.00	-10.61	2	-288.74	6	-2.15	6	51.10	2	-37.42	2	2.96	6
4066	4291	4292	Max	0.00	87.11	2	288.69	6	2.24	6	-51.04	2	10.44	2	-2.96	6
4066	4291	4292	Max	0.63	87.11	2	288.69	6	-0.22	6	-51.11	2	9.29	2	-2.96	6

4066	4291	4292	Min.	0.00	-10.76	2	-1304.16	6	-2.14	6	-184.72	2	-37.43	2	-32.77	6
4066	4291	4292	Min.	0.63	-10.76	2	-1304.16	6	-6.08	6	-184.78	2	-37.76	2	-32.77	6
4066	4292	4293	Max	5.37	63.88	2	1286.73	6	-0.04	6	176.13	2	5.94	2	32.30	6
4066	4292	4293	Max	6.00	63.88	2	1286.73	6	2.41	6	176.06	2	7.05	2	32.30	6
4066	4292	4293	Min.	5.37	-0.33	2	-316.10	6	-5.81	6	44.05	2	-42.30	2	2.36	6
4066	4292	4293	Min.	6.00	-0.33	2	-316.10	6	-2.14	6	43.98	2	-42.03	2	2.36	6
4066	4294	4295	Max	0.00	67.23	2	507.72	6	1.29	6	-31.46	2	21.74	2	4.50	6
4066	4294	4295	Max	0.63	67.23	2	507.72	6	1.85	6	-31.53	2	21.08	2	4.50	6
4066	4294	4295	Min.	0.00	-36.33	2	-1077.12	6	-1.48	6	-104.88	2	-30.60	2	-25.10	6
4066	4294	4295	Min.	0.63	-36.33	2	-1077.12	6	-5.62	6	-104.94	2	-30.80	2	-25.10	6
4066	4295	4296	Max	5.37	2.46	2	1057.10	6	3.04	6	83.51	2	-0.25	2	24.14	6
4066	4295	4296	Max	6.00	2.46	2	1057.10	6	0.50	6	83.44	2	0.15	2	24.14	6
4066	4295	4296	Min.	5.37	-4.96	2	-507.35	6	-6.26	6	37.23	2	-0.39	2	-5.44	6
4066	4295	4296	Min.	6.00	-4.96	2	-507.35	6	-0.26	6	37.16	2	-0.03	2	-5.44	6
4106	3001	-513	Max	0.00	23.14	2	1.64	6	0.34	6	5.42	2	0.93	2	0.07	2
4106	3001	-513	Max	16.72	23.20	2	1.64	6	0.14	6	4.67	2	0.38	2	0.07	2
4106	3001	-513	Min.	0.00	-4.13	2	-4.02	6	-0.14	6	-10.31	2	-0.46	2	-0.11	2
4106	3001	-513	Min.	16.72	-4.07	2	-4.02	6	-0.34	6	-11.05	2	-0.85	2	-0.11	2
4106	-513	-529	Max	0.00	66.49	2	1.91	2	0.39	2	4.20	2	0.63	2	0.07	2
4106	-513	-529	Max	16.72	66.56	2	1.91	2	0.13	2	3.46	2	0.46	2	0.07	2
4106	-513	-529	Min.	0.00	-17.76	2	-3.83	2	-0.19	2	-9.22	2	-0.21	2	-0.08	2
4106	-513	-529	Min.	16.72	-17.70	2	-3.83	2	-0.25	2	-9.96	2	-1.01	2	-0.08	2
4106	-529	4025	Max	0.00	105.90	2	1.71	2	0.24	6	2.67	6	1.62	6	0.02	2
4106	-529	4025	Max	16.72	105.96	2	1.71	2	0.19	2	1.93	6	-0.16	2	0.02	2
4106	-529	4025	Min.	0.00	-29.19	2	-3.83	2	-0.09	6	-18.28	6	-0.83	6	-0.05	2
4106	-529	4025	Min.	16.72	-29.13	2	-3.83	2	-0.41	2	-19.03	6	-1.79	2	-0.05	2
4106	4025	-545	Max	0.00	1224.11	6	0.48	6	0.09	6	118.63	6	0.35	6	0.09	2
4106	4025	-545	Max	21.63	1224.19	6	0.48	6	0.07	2	117.64	6	4.72	6	0.09	2
4106	4025	-545	Min.	0.00	-575.94	6	-0.11	6	-0.10	6	14.87	6	-20.84	6	0.01	2
4106	4025	-545	Min.	21.63	-575.86	6	-0.11	6	-0.00	2	13.88	6	3.46	6	0.01	2
4106	-545	-561	Max	0.00	921.21	6	0.27	6	0.02	6	114.15	6	0.96	6	0.10	2
4106	-545	-561	Max	20.55					0.02	8			7.22	8		
4106	-545	-561	Max	21.63	921.29	6	0.27	6	0.03	2	113.16	6	8.61	6	0.10	2
4106	-545	-561	Min.	0.00	-611.69	6	-0.02	6	-0.03	6	8.33	6	-15.98	6	0.01	2
4106	-545	-561	Min.	20.55					0.02	8			2.73	8		
4106	-545	-561	Min.	21.63	-611.61	6	-0.02	6	0.01	2	7.33	6	2.65	6	0.01	2
4106	-561	-577	Max	0.00	644.79	6	0.33	2	0.03	2	100.32	6	0.96	6	0.10	2
4106	-561	-577	Max	2.16					-0.05	4			-3.32	4		
4106	-561	-577	Max	21.63	644.88	6	0.33	2	0.04	6	99.33	6	8.67	6	0.10	2
4106	-561	-577	Min.	0.00	-634.50	6	-0.08	2	-0.06	2	6.77	6	-12.93	6	0.01	2
4106	-561	-577	Min.	2.16					0.03	4			-6.33	4		
4106	-561	-577	Min.	21.63	-634.42	6	-0.08	2	-0.02	6	5.77	6	2.31	6	0.01	2
4106	-577	-593	Max	0.00	419.86	6	0.55	2	0.03	2	90.00	6	1.13	6	0.10	2
4106	-577	-593	Max	21.63	419.94	6	0.55	2	0.08	6	89.01	6	8.45	6	0.10	2
4106	-577	-593	Min.	0.00	-650.29	6	-0.36	2	-0.08	2	4.73	6	-10.91	6	0.02	2
4106	-577	-593	Min.	21.63	-650.21	6	-0.36	2	-0.09	6	3.74	6	2.04	6	0.02	2
4106	-593	-609	Max	0.00	253.23	6	0.49	2	0.14	2	73.16	6	1.95	6	0.05	2
4106	-593	-609	Max	21.63	253.31	6	0.49	2	0.04	6	72.16	6	7.15	6	0.05	2
4106	-593	-609	Min.	0.00	-663.28	6	-0.57	2	-0.09	2	-2.87	6	-8.57	6	-0.01	2
4106	-593	-609	Min.	21.63	-663.20	6	-0.57	2	-0.00	6	-3.86	6	1.22	6	-0.01	2
4106	-609	-625	Max	0.00	111.53	6	0.19	6	0.03	6	66.39	6	1.80	6	0.03	2
4106	-609	-625	Max	21.63	111.61	6	0.19	6	0.04	2	65.39	6	6.67	6	0.03	2
4106	-609	-625	Min.	0.00	-658.26	6	-0.16	6	-0.03	6	-3.68	6	-7.58	6	0.01	2
4106	-609	-625	Min.	21.63	-658.18	6	-0.16	6	-0.03	2	-4.68	6	0.90	6	0.01	2
4106	-625	-641	Max	0.00	-6.29	6	0.20	6	0.03	2	60.09	6	1.84	6	0.02	6
4106	-625	-641	Max	21.63	-6.21	6	0.20	6	0.03	6	59.10	6	6.27	6	0.02	6
4106	-625	-641	Min.	0.00	-650.35	6	-0.16	6	-0.05	2	-4.83	6	-6.62	6	0.01	6
4106	-625	-641	Min.	21.63	-650.27	6	-0.16	6	-0.04	6	-5.83	6	0.69	6	0.01	6
4106	-641	-657	Max	0.00	-104.45	6	0.45	2	0.02	2	54.93	6	2.02	6	0.05	2

4106	-641	-657	Max	21.63	-104.36	6	0.45	2	0.07	6	53.93	6	6.11	6	0.05	2
4106	-641	-657	Min.	0.00	-639.73	6	-0.50	2	-0.07	2	-5.62	6	-5.67	6	-0.01	2
4106	-641	-657	Min.	21.63	-639.65	6	-0.50	2	-0.12	6	-6.62	6	0.70	6	-0.01	2
4106	-657	-673	Max	0.00	-182.52	6	0.52	2	0.15	2	38.74	6	3.28	6	0.08	2
4106	-657	-673	Max	21.63	-182.44	6	0.52	2	0.05	6	37.74	6	4.53	6	0.08	2
4106	-657	-673	Min.	0.00	-611.45	6	-0.63	2	-0.09	2	-17.66	6	-3.74	6	-0.04	2
4106	-657	-673	Min.	21.63	-611.37	6	-0.63	2	-0.01	6	-18.65	6	-0.65	6	-0.04	2
4106	-673	-689	Max	0.00	-239.98	6	0.21	6	0.05	6	35.27	6	3.00	6	0.03	2
4106	-673	-689	Max	21.63	-239.90	6	0.21	6	0.04	2	34.27	6	4.06	6	0.03	2
4106	-673	-689	Min.	0.00	-585.57	6	-0.24	6	-0.03	6	-17.70	6	-3.46	6	0.00	2
4106	-673	-689	Min.	21.63	-585.49	6	-0.24	6	-0.04	2	-18.69	6	-0.94	6	0.00	2
4106	-689	-705	Max	0.00	-287.60	6	0.22	6	0.04	2	31.68	6	2.99	6	0.02	2
4106	-689	-705	Max	21.63	-287.52	6	0.22	6	0.03	6	30.68	6	3.74	6	0.02	2
4106	-689	-705	Min.	0.00	-559.26	6	-0.23	6	-0.05	2	-18.29	6	-3.01	6	0.01	2
4106	-689	-705	Min.	21.63	-559.18	6	-0.23	6	-0.05	6	-19.28	6	-1.07	6	0.01	2
4106	-705	-721	Max	0.00	-327.05	6	0.53	2	0.03	2	28.76	6	3.12	6	0.08	2
4106	-705	-721	Max	21.63	-326.97	6	0.53	2	0.08	6	27.77	6	3.65	6	0.08	2
4106	-705	-721	Min.	0.00	-532.67	6	-0.61	2	-0.06	2	-18.49	6	-2.47	6	-0.03	2
4106	-705	-721	Min.	21.63	-532.59	6	-0.61	2	-0.14	6	-19.49	6	-0.99	6	-0.03	2
4106	-721	-737	Max	0.00	-340.00	6	0.52	2	0.16	2	16.96	6	4.14	6	0.07	2
4106	-721	-737	Max	21.63	-339.92	6	0.52	2	0.05	6	15.97	6	2.42	6	0.07	2
4106	-721	-737	Min.	0.00	-509.99	6	-0.74	2	-0.09	2	-28.22	6	-1.14	6	-0.09	2
4106	-721	-737	Min.	21.63	-509.91	6	-0.74	2	-0.03	6	-29.22	6	-2.08	6	-0.09	2
4106	-737	-753	Max	0.00	-359.96	6	0.15	6	0.05	6	14.80	6	3.86	6	0.01	2
4106	-737	-753	Max	21.63	-359.88	6	0.15	6	0.05	2	13.81	6	2.01	6	0.01	2
4106	-737	-753	Min.	0.00	-476.12	6	-0.31	6	-0.03	6	-28.17	6	-1.09	6	-0.02	2
4106	-737	-753	Min.	21.63	-476.04	6	-0.31	6	-0.05	2	-29.16	6	-2.34	6	-0.02	2
4106	-753	-769	Max	0.00	-375.83	6	0.16	6	0.06	2	12.71	6	3.71	6	0.01	2
4106	-753	-769	Max	21.63	-375.75	6	0.16	6	0.03	6	11.71	6	1.70	6	0.01	2
4106	-753	-769	Min.	0.00	-443.17	6	-0.31	6	-0.06	2	-28.30	6	-0.95	6	-0.02	2
4106	-753	-769	Min.	21.63	-443.08	6	-0.31	6	-0.06	6	-29.29	6	-2.52	6	-0.02	2
4106	-769	-785	Max	0.00	-390.09	6	0.58	2	0.03	6	9.45	6	3.28	6	0.08	2
4106	-769	-785	Max	7.25					0.03	8			1.12	8		
4106	-769	-785	Max	21.63	-390.01	6	0.58	2	0.09	2	8.46	6	0.85	6	0.08	2
4106	-769	-785	Min.	0.00	-413.06	6	-0.74	2	-0.06	6	-29.73	6	-1.09	6	-0.08	2
4106	-769	-785	Min.	7.25					-0.07	8			-0.42	8		
4106	-769	-785	Min.	21.63	-412.98	6	-0.74	2	-0.15	2	-30.73	6	-3.26	6	-0.08	2
4107	3002	-514	Max	0.00	25.12	2	1.95	6	0.37	6	2.06	2	1.28	2	0.07	2
4107	3002	-514	Max	16.72	25.37	2	1.95	6	0.15	6	-1.00	2	-0.00	2	0.07	2
4107	3002	-514	Min.	0.00	-2.32	2	-4.27	6	-0.17	6	-14.96	2	-0.09	2	-0.11	2
4107	3002	-514	Min.	16.72	-2.07	2	-4.27	6	-0.35	6	-18.02	2	-1.48	2	-0.11	2
4107	-514	-530	Max	0.00	98.13	2	1.88	2	0.38	2	4.74	6	-0.02	6	0.07	2
4107	-514	-530	Max	10.03					0.00	4			0.05	4		
4107	-514	-530	Max	16.72	98.37	2	1.88	2	0.13	2	1.69	6	0.39	6	0.07	2
4107	-514	-530	Min.	0.00	-1.99	2	-3.81	2	-0.18	2	-2.20	6	-0.16	6	-0.08	2
4107	-514	-530	Min.	10.03									-0.15	4		
4107	-514	-530	Min.	16.72	-1.74	2	-3.81	2	-0.26	2	-5.26	6	-0.65	6	-0.08	2
4107	-530	4027	Max	0.00	127.44	2	1.67	2	0.21	2	-1.88	6	1.95	6	0.01	2
4107	-530	4027	Max	16.72	127.69	2	1.67	2	0.19	2	-4.94	6	-0.90	2	0.01	2
4107	-530	4027	Min.	0.00	-5.26	2	-3.41	2	-0.09	2	-22.89	6	-0.60	6	-0.01	2
4107	-530	4027	Min.	16.72	-5.01	2	-3.41	2	-0.36	2	-25.95	6	-2.40	2	-0.01	2
4107	4027	-546	Max	0.00	1232.28	6	0.77	2	0.11	2	131.74	6	-1.34	6	0.05	2
4107	4027	-546	Max	21.63	1232.67	6	0.77	2	0.07	6	126.91	6	5.46	6	0.05	2
4107	4027	-546	Min.	0.00	-527.15	6	-0.21	2	-0.15	2	27.88	6	-22.52	6	0.03	2
4107	4027	-546	Min.	21.63	-526.76	6	-0.21	2	0.01	6	23.05	6	4.17	6	0.03	2
4107	-546	-562	Max	0.00	903.57	6	0.32	2	0.03	6	124.72	6	-0.08	6	0.09	2
4107	-546	-562	Max	21.63	903.96	6	0.32	2	0.07	2	119.90	6	9.43	6	0.09	2
4107	-546	-562	Min.	0.00	-588.77	6	-0.08	2	-0.03	6	18.67	6	-17.03	6	0.02	2
4107	-546	-562	Min.	21.63	-588.38	6	-0.08	2	-0.02	2	13.85	6	3.43	6	0.02	2

4107	-562	-578	Max	0.00	608.72	6	0.44	2	0.07	2	108.09	6	0.32	6	0.10	2
4107	-562	-578	Max	21.63	609.11	6	0.44	2	0.04	6	103.27	6	9.28	6	0.10	2
4107	-562	-578	Min.	0.00	-630.13	6	-0.19	2	-0.10	2	14.32	6	-13.58	6	0.01	2
4107	-562	-578	Min.	21.63	-629.73	6	-0.19	2	-0.02	6	9.50	6	2.90	6	0.01	2
4107	-578	-594	Max	0.00	371.26	6	1.00	2	0.05	2	95.61	6	0.78	6	0.11	2
4107	-578	-594	Max	21.63	371.65	6	1.00	2	0.12	2	90.78	6	8.85	6	0.11	2
4107	-578	-594	Min.	0.00	-655.52	6	-0.80	2	-0.11	2	10.19	6	-11.31	6	0.01	2
4107	-578	-594	Min.	21.63	-655.13	6	-0.80	2	-0.14	2	5.36	6	2.47	6	0.01	2
4107	-594	-610	Max	0.00	178.05	6	0.98	2	0.22	2	79.12	6	1.73	6	0.04	2
4107	-594	-610	Max	21.63	178.44	6	0.98	2	0.05	2	74.29	6	7.59	6	0.04	2
4107	-594	-610	Min.	0.00	-657.98	6	-1.06	2	-0.17	2	1.01	6	-9.02	6	-0.00	2
4107	-594	-610	Min.	21.63	-657.59	6	-1.06	2	-0.02	2	-3.82	6	1.42	6	-0.00	2
4107	-610	-626	Max	0.00	32.20	6	0.30	2	0.03	6	69.95	6	1.87	6	0.02	6
4107	-610	-626	Max	17.31					-0.02	8			4.07	8		
4107	-610	-626	Max	21.63	32.59	6	0.30	2	0.08	2	65.13	6	6.92	6	0.02	6
4107	-610	-626	Min.	0.00	-654.95	6	-0.27	2	-0.03	6	-2.07	6	-7.69	6	0.01	6
4107	-610	-626	Min.	17.31					0.02	8			1.18	8		
4107	-610	-626	Min.	21.63	-654.56	6	-0.27	2	-0.07	2	-6.89	6	0.90	6	0.01	6
4107	-626	-642	Max	0.00	-86.02	6	0.32	2	0.08	2	61.82	6	2.08	6	0.03	2
4107	-626	-642	Max	21.63	-85.63	6	0.32	2	0.04	6	56.99	6	6.31	6	0.03	2
4107	-626	-642	Min.	0.00	-645.75	6	-0.29	2	-0.10	2	-4.97	6	-6.54	6	0.01	2
4107	-626	-642	Min.	21.63	-645.36	6	-0.29	2	-0.05	6	-9.80	6	0.49	6	0.01	2
4107	-642	-658	Max	0.00	-182.47	6	0.98	2	0.05	2	54.53	6	2.31	6	0.04	2
4107	-642	-658	Max	6.76					0.02	8			1.73	8		
4107	-642	-658	Max	21.63	-182.08	6	0.98	2	0.14	2	49.70	6	5.73	6	0.04	2
4107	-642	-658	Min.	0.00	-631.82	6	-1.02	2	-0.09	2	-7.64	6	-5.54	6	0.00	2
4107	-642	-658	Min.	6.76					-0.07	8			-1.89	8		
4107	-642	-658	Min.	21.63	-631.43	6	-1.02	2	-0.19	2	-12.47	6	0.14	6	0.00	2
4107	-658	-674	Max	0.00	-162.94	6	1.07	2	0.24	2	46.69	6	2.70	6	0.07	2
4107	-658	-674	Max	21.63	-162.55	6	1.07	2	0.07	2	41.86	6	4.99	6	0.07	2
4107	-658	-674	Min.	0.00	-619.53	6	-1.16	2	-0.18	2	-11.87	6	-4.59	6	-0.03	2
4107	-658	-674	Min.	21.63	-619.13	6	-1.16	2	-0.03	2	-16.70	6	-0.40	6	-0.03	2
4107	-674	-690	Max	0.00	-225.93	6	0.33	2	0.05	6	40.77	6	2.86	6	0.02	2
4107	-674	-690	Max	21.63	-225.53	6	0.33	2	0.09	2	35.95	6	4.44	6	0.02	2
4107	-674	-690	Min.	0.00	-596.68	6	-0.35	2	-0.04	6	-14.29	6	-3.86	6	0.01	2
4107	-674	-690	Min.	21.63	-596.29	6	-0.35	2	-0.08	2	-19.12	6	-0.76	6	0.01	2
4107	-690	-706	Max	0.00	-276.68	6	0.35	2	0.09	2	35.24	6	3.06	6	0.02	6
4107	-690	-706	Max	4.12					-0.03	8			2.35	8		
4107	-690	-706	Max	21.63	-276.29	6	0.35	2	0.04	6	30.42	6	3.93	6	0.02	6
4107	-690	-706	Min.	0.00	-571.34	6	-0.36	2	-0.10	2	-16.72	6	-3.17	6	0.01	6
4107	-690	-706	Min.	4.12					0.02	8			-1.73	8		
4107	-690	-706	Min.	21.63	-570.95	6	-0.36	2	-0.05	6	-21.55	6	-1.08	6	0.01	6
4107	-706	-722	Max	0.00	-316.91	6	1.09	2	0.05	2	30.29	6	3.33	6	0.07	2
4107	-706	-722	Max	6.07					0.03	8			2.13	8		
4107	-706	-722	Max	21.63	-316.52	6	1.09	2	0.16	2	25.47	6	3.55	6	0.07	2
4107	-706	-722	Min.	0.00	-543.64	6	-1.16	2	-0.09	2	-18.91	6	-2.48	6	-0.02	2
4107	-706	-722	Min.	6.07					-0.07	8			-0.68	8		
4107	-706	-722	Min.	21.63	-543.25	6	-1.16	2	-0.21	2	-23.74	6	-1.28	6	-0.02	2
4107	-722	-738	Max	0.00	-359.53	6	1.09	2	0.25	2	21.24	6	4.01	6	0.07	2
4107	-722	-738	Max	21.63	-359.14	6	1.09	2	0.07	2	16.42	6	2.62	6	0.07	2
4107	-722	-738	Min.	0.00	-505.18	6	-1.30	2	-0.18	2	-25.71	6	-1.45	6	-0.08	2
4107	-722	-738	Min.	21.63	-504.79	6	-1.30	2	-0.05	2	-30.53	6	-2.07	6	-0.08	2
4107	-738	-754	Max	0.00	-379.96	6	0.29	2	0.06	6	16.95	6	4.06	6	0.01	2
4107	-738	-754	Max	21.63	-379.57	6	0.29	2	0.10	2	12.13	6	2.08	6	0.01	2
4107	-738	-754	Min.	0.00	-470.39	6	-0.45	2	-0.03	6	-27.74	6	-1.07	6	-0.02	2
4107	-738	-754	Min.	21.63	-470.00	6	-0.45	2	-0.11	2	-32.57	6	-2.47	6	-0.02	2
4107	-754	-770	Max	0.00	-393.06	2	0.33	2	0.11	2	13.15	6	4.07	6	0.00	2
4107	-754	-770	Max	0.54					-0.03	8			3.89	8		
4107	-754	-770	Max	21.63	-392.67	2	0.33	2	0.03	6	8.32	6	1.57	6	0.00	2

4107	-754	-770	Min.	0.00	-436.62	2	-0.48	2	-0.11	2	-29.54	6	-0.76	6	-0.02	2
4107	-754	-770	Min.	0.54					0.03	8			-0.67	8		
4107	-754	-770	Min.	21.63	-436.23	2	-0.48	2	-0.07	6	-34.37	6	-2.84	6	-0.02	2
4107	-770	-786	Max	0.00	-384.84	2	1.16	2	0.06	2	7.68	6	3.64	6	0.07	2
4107	-770	-786	Max	5.07					0.04	8			1.94	8		
4107	-770	-786	Max	21.63	-384.45	2	1.16	2	0.19	2	2.86	6	0.24	6	0.07	2
4107	-770	-786	Min.	0.00	-423.43	2	-1.32	2	-0.08	2	-33.11	6	-0.90	6	-0.08	2
4107	-770	-786	Min.	5.07					-0.07	8			-0.54	8		
4107	-770	-786	Min.	21.63	-423.04	2	-1.32	2	-0.25	2	-37.93	6	-4.04	6	-0.08	2
4144	3003	-515	Max	0.00	44.80	2	2.05	2	0.24	2	-5.64	2	2.01	2	0.12	2
4144	3003	-515	Max	16.72	45.05	2	2.05	2	0.17	2	-8.70	2	-0.62	2	0.12	2
4144	3003	-515	Min.	0.00	25.35	2	-2.78	2	-0.18	2	-21.62	2	0.58	2	-0.06	2
4144	3003	-515	Min.	16.72	25.59	2	-2.78	2	-0.23	2	-24.68	2	-1.86	2	-0.06	2
4144	-515	-531	Max	0.00	121.61	2	2.71	2	0.26	2	-5.27	2	1.42	2	0.11	2
4144	-515	-531	Max	16.72	121.86	2	2.71	2	0.23	2	-8.33	2	-0.61	2	0.11	2
4144	-515	-531	Min.	0.00	44.04	2	-3.15	2	-0.22	2	-20.35	2	0.50	2	-0.03	2
4144	-515	-531	Min.	16.72	44.29	2	-3.15	2	-0.27	2	-23.41	2	-2.27	2	-0.03	2
4144	-531	4028	Max	0.00	192.54	2	2.62	2	0.26	2	-10.57	6	2.14	6	-0.02	2
4144	-531	4028	Max	16.72	192.79	2	2.62	2	0.23	2	-13.63	6	-2.10	2	-0.02	2
4144	-531	4028	Min.	0.00	59.07	2	-3.34	2	-0.21	2	-31.38	6	-0.33	6	-0.03	2
4144	-531	4028	Min.	16.72	59.32	2	-3.34	2	-0.30	2	-34.44	6	-3.62	2	-0.03	2
4144	4028	-547	Max	0.00	1513.14	6	0.42	2	0.16	2	185.40	6	-9.63	6	0.03	2
4144	4028	-547	Max	21.63	1513.53	6	0.42	2	0.01	2	180.58	6	8.71	6	0.03	2
4144	4028	-547	Min.	0.00	-263.81	6	-0.67	2	-0.12	2	81.46	6	-30.88	6	0.01	2
4144	4028	-547	Min.	21.63	-263.42	6	-0.67	2	-0.03	2	76.64	6	7.47	6	0.01	2
4144	-547	-563	Max	0.00	1045.07	6	0.19	2	0.01	2	175.16	6	-6.27	6	0.03	2
4144	-547	-563	Max	21.63	1045.46	6	0.19	2	0.05	2	170.33	6	14.06	6	0.03	2
4144	-547	-563	Min.	0.00	-463.85	6	-0.18	2	-0.01	2	68.58	6	-23.31	6	-0.03	2
4144	-547	-563	Min.	21.63	-463.46	6	-0.18	2	-0.05	2	63.75	6	8.05	6	-0.03	2
4144	-563	-579	Max	0.00	624.94	6	0.26	2	0.08	2	152.97	6	-4.71	6	0.04	2
4144	-563	-579	Max	21.63	625.33	6	0.26	2	0.03	2	148.14	6	13.89	6	0.04	2
4144	-563	-579	Min.	0.00	-629.49	6	-0.26	2	-0.08	2	58.81	6	-18.67	6	-0.04	2
4144	-563	-579	Min.	21.63	-629.10	6	-0.26	2	-0.03	2	53.99	6	7.49	6	-0.04	2
4144	-579	-595	Max	0.00	285.44	6	0.79	2	0.07	2	136.63	6	-3.36	6	0.04	2
4144	-579	-595	Max	21.63	285.83	6	0.79	2	0.10	2	131.81	6	13.54	6	0.04	2
4144	-579	-595	Min.	0.00	-756.22	6	-0.83	2	-0.07	2	50.82	6	-15.49	6	-0.05	2
4144	-579	-595	Min.	21.63	-755.83	6	-0.83	2	-0.11	2	45.99	6	7.11	6	-0.05	2
4144	-595	-611	Max	0.00	34.83	6	1.01	2	0.18	2	103.35	6	-0.45	6	0.03	2
4144	-595	-611	Max	21.63	35.22	6	1.01	2	0.04	2	98.53	6	10.64	6	0.03	2
4144	-595	-611	Min.	0.00	-839.25	6	-0.96	2	-0.18	2	25.31	6	-11.20	6	-0.00	2
4144	-595	-611	Min.	21.63	-838.85	6	-0.96	2	-0.02	2	20.49	6	4.50	6	-0.00	2
4144	-611	-627	Max	0.00	-161.39	6	0.30	2	0.02	2	92.40	6	-0.21	6	0.01	2
4144	-611	-627	Max	21.63	-161.00	6	0.30	2	0.08	2	87.57	6	9.68	6	0.01	2
4144	-611	-627	Min.	0.00	-885.68	6	-0.25	2	-0.02	2	20.45	6	-9.79	6	0.01	2
4144	-611	-627	Min.	21.63	-885.29	6	-0.25	2	-0.07	2	15.63	6	3.69	6	0.01	2
4144	-627	-643	Max	0.00	-320.88	6	0.26	2	0.08	2	82.42	6	0.26	6	0.02	2
4144	-627	-643	Max	21.63	-320.49	6	0.26	2	0.04	2	77.59	6	8.93	6	0.02	2
4144	-627	-643	Min.	0.00	-917.29	6	-0.21	2	-0.09	2	15.72	6	-8.38	6	0.01	2
4144	-627	-643	Min.	21.63	-916.90	6	-0.21	2	-0.04	2	10.89	6	3.14	6	0.01	2
4144	-643	-659	Max	0.00	-450.33	6	0.90	2	0.06	2	74.22	6	0.89	6	0.03	2
4144	-643	-659	Max	21.63	-449.94	6	0.90	2	0.12	2	69.40	6	8.56	6	0.03	2
4144	-643	-659	Min.	0.00	-937.62	6	-0.88	2	-0.07	2	12.05	6	-6.97	6	-0.01	2
4144	-643	-659	Min.	21.63	-937.23	6	-0.88	2	-0.13	2	7.22	6	2.97	6	-0.01	2
4144	-659	-675	Max	0.00	-511.76	6	1.05	2	0.20	2	50.77	6	2.97	6	0.05	2
4144	-659	-675	Max	21.63	-511.37	6	1.05	2	0.04	2	45.94	6	6.19	6	0.05	2
4144	-659	-675	Min.	0.00	-961.87	6	-1.07	2	-0.19	2	-7.44	6	-4.27	6	-0.04	2
4144	-659	-675	Min.	21.63	-961.48	6	-1.07	2	-0.03	2	-12.27	6	0.83	6	-0.04	2
4144	-675	-691	Max	0.00	-582.88	6	0.30	2	0.02	2	44.82	6	2.89	6	0.01	2
4144	-675	-691	Max	21.63	-582.49	6	0.30	2	0.09	2	39.99	6	5.39	6	0.01	2

4144	-675	-691	Min.	0.00	-948.00	6	-0.30	2	-0.02	2	-9.89	6	-3.78	6	0.00	2
4144	-675	-691	Min.	21.63	-947.61	6	-0.30	2	-0.08	2	-14.71	6	0.23	6	0.00	2
4144	-691	-707	Max	0.00	-639.34	6	0.28	2	0.09	2	38.86	6	3.14	6	0.01	2
4144	-691	-707	Max	21.63	-638.95	6	0.28	2	0.03	2	34.03	6	4.83	6	0.01	2
4144	-691	-707	Min.	0.00	-929.05	6	-0.28	2	-0.10	2	-12.78	6	-3.05	6	0.00	2
4144	-691	-707	Min.	21.63	-928.66	6	-0.28	2	-0.04	2	-17.60	6	-0.15	6	0.00	2
4144	-707	-723	Max	0.00	-683.21	6	1.02	2	0.06	2	34.14	6	3.63	6	0.06	2
4144	-707	-723	Max	21.63	-682.82	6	1.02	2	0.15	2	29.31	6	4.71	6	0.06	2
4144	-707	-723	Min.	0.00	-905.56	6	-1.03	2	-0.07	2	-14.73	6	-2.15	6	-0.04	2
4144	-707	-723	Min.	21.63	-905.17	6	-1.03	2	-0.16	2	-19.56	6	-0.08	6	-0.04	2
4144	-723	-739	Max	0.00	-704.89	6	1.13	2	0.20	2	12.05	6	5.76	6	0.07	2
4144	-723	-739	Max	21.63	-704.50	6	1.13	2	0.05	2	7.23	6	2.37	6	0.07	2
4144	-723	-739	Min.	0.00	-872.00	6	-1.14	2	-0.19	2	-34.85	6	0.28	6	-0.07	2
4144	-723	-739	Min.	21.63	-871.60	6	-1.14	2	-0.05	2	-39.68	6	-2.30	6	-0.07	2
4144	-739	-755	Max	0.00	-716.19	6	0.32	2	0.03	2	8.47	6	5.42	6	0.01	2
4144	-739	-755	Max	21.63	-715.80	6	0.32	2	0.10	2	3.65	6	1.60	6	0.01	2
4144	-739	-755	Min.	0.00	-828.20	6	-0.32	2	-0.03	2	-36.16	6	0.29	6	-0.01	2
4144	-739	-755	Min.	21.63	-827.81	6	-0.32	2	-0.10	2	-40.98	6	-2.92	6	-0.01	2
4144	-755	-771	Max	0.00	-721.84	6	0.34	2	0.11	2	5.12	6	5.27	6	0.01	2
4144	-755	-771	Max	21.63	-721.45	6	0.34	2	0.03	2	0.30	6	1.01	6	0.01	2
4144	-755	-771	Min.	0.00	-783.87	6	-0.34	2	-0.11	2	-37.50	6	0.43	6	-0.01	2
4144	-755	-771	Min.	21.63	-783.47	6	-0.34	2	-0.04	2	-42.33	6	-3.37	6	-0.01	2
4144	-771	-787	Max	0.00	-718.43	2	1.15	2	0.06	2	-0.79	6	4.48	6	0.08	2
4144	-771	-787	Max	21.63	-718.04	2	1.15	2	0.19	2	-5.61	6	-0.78	6	0.08	2
4144	-771	-787	Min.	0.00	-751.73	2	-1.16	2	-0.06	2	-41.54	6	-0.08	6	-0.07	2
4144	-771	-787	Min.	21.63	-751.33	2	-1.16	2	-0.19	2	-46.37	6	-5.03	6	-0.07	2
4145	3004	-516	Max	0.00	31.29	2	2.22	2	0.26	2	-2.85	2	1.61	2	0.10	2
4145	3004	-516	Max	16.72	31.55	2	2.22	2	0.18	2	-6.06	2	-0.48	2	0.10	2
4145	3004	-516	Min.	0.00	15.55	2	-3.03	2	-0.19	2	-19.45	2	0.26	2	-0.09	2
4145	3004	-516	Min.	16.72	15.81	2	-3.03	2	-0.25	2	-22.66	2	-1.92	2	-0.09	2
4145	-516	-532	Max	0.00	131.72	2	2.68	2	0.25	2	5.28	6	-0.13	6	0.11	2
4145	-516	-532	Max	14.95					0.17	4			0.01	4		
4145	-516	-532	Max	16.72	131.99	2	2.68	2	0.23	2	2.07	6	0.34	6	0.11	2
4145	-516	-532	Min.	0.00	39.24	2	-3.10	2	-0.22	2	-1.80	6	-0.28	6	-0.03	2
4145	-516	-532	Min.	14.95					-0.20	4			-0.33	4		
4145	-516	-532	Min.	16.72	39.50	2	-3.10	2	-0.27	2	-5.00	6	-0.70	6	-0.03	2
4145	-532	4030	Max	0.00	174.24	2	2.77	2	0.24	2	-8.85	6	2.26	6	0.04	2
4145	-532	4030	Max	16.72	174.50	2	2.77	2	0.24	2	-12.06	6	-1.80	2	0.04	2
4145	-532	4030	Min.	0.00	41.25	2	-2.92	2	-0.22	2	-29.78	6	-0.29	6	0.03	2
4145	-532	4030	Min.	16.72	41.51	2	-2.92	2	-0.25	2	-32.99	6	-3.22	2	0.03	2
4145	4030	-548	Max	0.00	1509.31	6	0.67	2	0.13	2	185.63	6	-9.55	6	-0.00	2
4145	4030	-548	Max	11.92					-0.02	8			-0.14	8		
4145	4030	-548	Max	21.63	1509.72	6	0.67	2	0.03	2	180.56	6	8.71	6	-0.00	2
4145	4030	-548	Min.	0.00	-268.97	6	-0.45	2	-0.15	2	81.05	6	-30.90	6	-0.02	2
4145	4030	-548	Min.	11.92					0.02	8			-8.86	8		
4145	4030	-548	Min.	21.63	-268.55	6	-0.45	2	-0.01	2	75.97	6	7.43	6	-0.02	2
4145	-548	-564	Max	0.00	1041.57	6	0.18	2	0.01	2	175.08	6	-6.18	6	0.03	2
4145	-548	-564	Max	21.63	1041.98	6	0.18	2	0.05	2	170.00	6	14.03	6	0.03	2
4145	-548	-564	Min.	0.00	-467.16	6	-0.21	2	-0.01	2	67.97	6	-23.29	6	-0.03	2
4145	-548	-564	Min.	21.63	-466.75	6	-0.21	2	-0.05	2	62.90	6	7.97	6	-0.03	2
4145	-564	-580	Max	0.00	621.96	6	0.26	2	0.08	2	152.86	6	-4.64	6	0.04	2
4145	-564	-580	Max	21.63	622.37	6	0.26	2	0.03	2	147.78	6	13.86	6	0.04	2
4145	-564	-580	Min.	0.00	-630.95	6	-0.27	2	-0.08	2	58.21	6	-18.66	6	-0.04	2
4145	-564	-580	Min.	21.63	-630.54	6	-0.27	2	-0.03	2	53.14	6	7.41	6	-0.04	2
4145	-580	-596	Max	0.00	282.73	6	0.81	2	0.07	2	136.30	6	-3.32	6	0.04	2
4145	-580	-596	Max	21.63	283.14	6	0.81	2	0.10	2	131.22	6	13.43	6	0.04	2
4145	-580	-596	Min.	0.00	-756.29	6	-0.86	2	-0.08	2	50.04	6	-15.51	6	-0.04	2
4145	-580	-596	Min.	21.63	-755.87	6	-0.86	2	-0.12	2	44.97	6	6.96	6	-0.04	2
4145	-596	-612	Max	0.00	27.57	6	1.04	2	0.20	2	105.64	6	-0.75	6	0.03	2

4145	-596	-612	Max	21.63	27.98	6	1.04	2	0.04	2	100.56	6	10.83	6	0.03	2
4145	-596	-612	Min.	0.00	-843.25	6	-1.03	2	-0.18	2	27.81	6	-11.49	6	-0.00	2
4145	-596	-612	Min.	21.63	-842.83	6	-1.03	2	-0.03	2	22.73	6	4.69	6	-0.00	2
4145	-612	-628	Max	0.00	-172.33	6	0.30	2	0.02	2	94.40	6	-0.44	6	0.01	2
4145	-612	-628	Max	21.63	-171.92	6	0.30	2	0.08	2	89.33	6	9.87	6	0.01	2
4145	-612	-628	Min.	0.00	-893.90	6	-0.28	2	-0.02	2	22.65	6	-10.00	6	0.01	2
4145	-612	-628	Min.	21.63	-893.49	6	-0.28	2	-0.08	2	17.58	6	3.92	6	0.01	2
4145	-628	-644	Max	0.00	-335.32	6	0.26	2	0.09	2	84.18	6	0.08	6	0.01	2
4145	-628	-644	Max	21.63	-334.91	6	0.26	2	0.04	2	79.10	6	9.11	6	0.01	2
4145	-628	-644	Min.	0.00	-928.87	6	-0.24	2	-0.09	2	17.65	6	-8.55	6	0.01	2
4145	-628	-644	Min.	21.63	-928.46	6	-0.24	2	-0.04	2	12.57	6	3.35	6	0.01	2
4145	-644	-660	Max	0.00	-468.36	6	0.94	2	0.06	2	75.73	6	0.75	6	0.03	2
4145	-644	-660	Max	21.63	-467.95	6	0.94	2	0.13	2	70.66	6	8.73	6	0.03	2
4145	-644	-660	Min.	0.00	-951.10	6	-0.94	2	-0.08	2	13.73	6	-7.11	6	-0.01	2
4145	-644	-660	Min.	21.63	-950.69	6	-0.94	2	-0.15	2	8.66	6	3.17	6	-0.01	2
4145	-660	-676	Max	0.00	-507.49	6	1.10	2	0.22	2	51.69	6	2.92	6	0.05	2
4145	-660	-676	Max	21.63	-507.08	6	1.10	2	0.05	2	46.61	6	6.29	6	0.05	2
4145	-660	-676	Min.	0.00	-953.71	6	-1.13	2	-0.20	2	-6.74	6	-4.35	6	-0.04	2
4145	-660	-676	Min.	21.63	-953.30	6	-1.13	2	-0.03	2	-11.81	6	0.92	6	-0.04	2
4145	-676	-692	Max	0.00	-579.89	6	0.32	2	0.03	2	45.58	6	2.85	6	0.01	2
4145	-676	-692	Max	21.63	-579.48	6	0.32	2	0.09	2	40.51	6	5.47	6	0.01	2
4145	-676	-692	Min.	0.00	-940.61	6	-0.32	2	-0.02	2	-9.32	6	-3.85	6	0.00	2
4145	-676	-692	Min.	21.63	-940.20	6	-0.32	2	-0.09	2	-14.40	6	0.28	6	0.00	2
4145	-692	-708	Max	0.00	-637.24	6	0.30	2	0.10	2	39.46	6	3.11	6	0.01	2
4145	-692	-708	Max	21.63	-636.82	6	0.30	2	0.04	2	34.39	6	4.89	6	0.01	2
4145	-692	-708	Min.	0.00	-922.11	6	-0.30	2	-0.10	2	-12.36	6	-3.10	6	0.00	2
4145	-692	-708	Min.	21.63	-921.70	6	-0.30	2	-0.04	2	-17.44	6	-0.11	6	0.00	2
4145	-708	-724	Max	0.00	-681.74	6	1.07	2	0.06	2	34.60	6	3.61	6	0.06	2
4145	-708	-724	Max	21.63	-681.33	6	1.07	2	0.16	2	29.52	6	4.75	6	0.06	2
4145	-708	-724	Min.	0.00	-898.90	6	-1.08	2	-0.07	2	-14.47	6	-2.19	6	-0.04	2
4145	-708	-724	Min.	21.63	-898.49	6	-1.08	2	-0.17	2	-19.54	6	-0.07	6	-0.04	2
4145	-724	-740	Max	0.00	-707.08	6	1.18	2	0.21	2	12.69	6	5.71	6	0.07	2
4145	-724	-740	Max	21.63	-706.67	6	1.18	2	0.05	2	7.62	6	2.42	6	0.07	2
4145	-724	-740	Min.	0.00	-863.87	6	-1.20	2	-0.20	2	-34.36	6	0.22	6	-0.07	2
4145	-724	-740	Min.	21.63	-863.46	6	-1.20	2	-0.05	2	-39.43	6	-2.27	6	-0.07	2
4145	-740	-756	Max	0.00	-718.81	6	0.34	2	0.03	2	8.95	6	5.40	6	0.01	2
4145	-740	-756	Max	21.63	-718.40	6	0.34	2	0.10	2	3.88	6	1.64	6	0.01	2
4145	-740	-756	Min.	0.00	-820.42	6	-0.35	2	-0.03	2	-35.82	6	0.25	6	-0.01	2
4145	-740	-756	Min.	21.63	-820.01	6	-0.35	2	-0.10	2	-40.90	6	-2.90	6	-0.01	2
4145	-756	-772	Max	0.00	-724.73	6	0.36	2	0.11	2	5.47	6	5.26	6	0.01	2
4145	-756	-772	Max	21.63	-724.32	6	0.36	2	0.04	2	0.40	6	1.04	6	0.01	2
4145	-756	-772	Min.	0.00	-776.30	6	-0.37	2	-0.11	2	-37.30	6	0.41	6	-0.01	2
4145	-756	-772	Min.	21.63	-775.89	6	-0.37	2	-0.04	2	-42.37	6	-3.35	6	-0.01	2
4145	-772	-788	Max	0.00	-724.63	2	1.20	2	0.06	2	-0.58	6	4.49	6	0.07	2
4145	-772	-788	Max	21.63	-724.21	2	1.20	2	0.20	2	-5.66	6	-0.76	6	0.07	2
4145	-772	-788	Min.	0.00	-741.05	2	-1.22	2	-0.07	2	-41.45	6	-0.09	6	-0.07	2
4145	-772	-788	Min.	21.63	-740.64	2	-1.22	2	-0.21	2	-46.53	6	-5.03	6	-0.07	2
4182	3005	-517	Max	0.00	33.73	2	2.75	2	0.21	2	-0.07	2	1.56	2	0.06	2
4182	3005	-517	Max	16.72	34.00	2	2.75	2	0.22	2	-3.28	2	-0.19	2	0.06	2
4182	3005	-517	Min.	0.00	15.22	2	-2.47	2	-0.24	2	-16.34	2	0.09	2	-0.12	2
4182	3005	-517	Min.	16.72	15.48	2	-2.47	2	-0.20	2	-19.55	2	-1.44	2	-0.12	2
4182	-517	-533	Max	0.00	95.29	2	3.16	2	0.22	2	-0.47	2	1.12	2	0.06	2
4182	-517	-533	Max	16.72	95.55	2	3.16	2	0.27	2	-3.68	2	-0.12	2	0.06	2
4182	-517	-533	Min.	0.00	19.78	2	-2.63	2	-0.25	2	-15.76	2	0.20	2	-0.08	2
4182	-517	-533	Min.	16.72	20.04	2	-2.63	2	-0.22	2	-18.97	2	-1.81	2	-0.08	2
4182	-533	4031	Max	0.00	154.79	2	2.75	2	0.23	2	-6.88	6	2.04	6	-0.04	2
4182	-533	4031	Max	16.72	155.05	2	2.75	2	0.24	2	-10.08	6	-1.58	2	-0.04	2
4182	-533	4031	Min.	0.00	24.31	2	-2.92	2	-0.22	2	-27.57	6	-0.45	6	-0.05	2
4182	-533	4031	Min.	16.72	24.57	2	-2.92	2	-0.26	2	-30.78	6	-3.12	2	-0.05	2

4182	4031	-549	Max	0.00	1508.63	6	0.44	2	0.15	2	185.41	6	-9.53	6	0.02	2
4182	4031	-549	Max	21.63	1509.05	6	0.44	2	0.01	2	180.34	6	8.69	6	0.02	2
4182	4031	-549	Min.	0.00	-270.54	6	-0.68	2	-0.12	2	80.87	6	-30.87	6	0.00	2
4182	4031	-549	Min.	21.63	-270.13	6	-0.68	2	-0.03	2	75.80	6	7.41	6	0.00	2
4182	-549	-565	Max	0.00	1041.62	6	0.21	2	0.00	2	174.87	6	-6.16	6	0.03	2
4182	-549	-565	Max	21.63	1042.03	6	0.21	2	0.05	2	169.79	6	14.01	6	0.03	2
4182	-549	-565	Min.	0.00	-468.17	6	-0.18	2	-0.01	2	67.81	6	-23.27	6	-0.03	2
4182	-549	-565	Min.	21.63	-467.76	6	-0.18	2	-0.05	2	62.73	6	7.96	6	-0.03	2
4182	-565	-581	Max	0.00	622.54	6	0.28	2	0.08	2	152.67	6	-4.62	6	0.04	2
4182	-565	-581	Max	21.63	622.95	6	0.28	2	0.03	2	147.60	6	13.84	6	0.04	2
4182	-565	-581	Min.	0.00	-631.55	6	-0.26	2	-0.08	2	58.07	6	-18.64	6	-0.04	2
4182	-565	-581	Min.	21.63	-631.14	6	-0.26	2	-0.03	2	53.00	6	7.40	6	-0.04	2
4182	-581	-597	Max	0.00	283.73	6	0.87	2	0.08	2	136.13	6	-3.31	6	0.04	2
4182	-581	-597	Max	21.63	284.14	6	0.87	2	0.12	2	131.05	6	13.41	6	0.04	2
4182	-581	-597	Min.	0.00	-756.57	6	-0.81	2	-0.07	2	49.91	6	-15.49	6	-0.05	2
4182	-581	-597	Min.	21.63	-756.16	6	-0.81	2	-0.10	2	44.84	6	6.94	6	-0.05	2
4182	-597	-613	Max	0.00	28.09	6	1.04	2	0.18	2	105.56	6	-0.75	6	0.00	2
4182	-597	-613	Max	21.63	28.51	6	1.04	2	0.03	2	100.48	6	10.82	6	0.00	2
4182	-597	-613	Min.	0.00	-843.43	6	-1.03	2	-0.20	2	27.76	6	-11.48	6	-0.03	2
4182	-597	-613	Min.	21.63	-843.02	6	-1.03	2	-0.04	2	22.69	6	4.69	6	-0.03	2
4182	-613	-629	Max	0.00	-171.63	6	0.28	2	0.02	2	94.33	6	-0.43	6	-0.01	2
4182	-613	-629	Max	21.63	-171.22	6	0.28	2	0.08	2	89.25	6	9.86	6	-0.01	2
4182	-613	-629	Min.	0.00	-893.99	6	-0.30	2	-0.02	2	22.61	6	-9.99	6	-0.01	2
4182	-613	-629	Min.	21.63	-893.58	6	-0.30	2	-0.08	2	17.53	6	3.91	6	-0.01	2
4182	-629	-645	Max	0.00	-334.49	6	0.24	2	0.09	2	84.11	6	0.08	6	-0.01	2
4182	-629	-645	Max	21.63	-334.07	6	0.24	2	0.04	2	79.03	6	9.11	6	-0.01	2
4182	-629	-645	Min.	0.00	-928.88	6	-0.26	2	-0.09	2	17.61	6	-8.54	6	-0.01	2
4182	-629	-645	Min.	21.63	-928.47	6	-0.26	2	-0.04	2	12.53	6	3.34	6	-0.01	2
4182	-645	-661	Max	0.00	-467.41	6	0.94	2	0.08	2	75.67	6	0.75	6	0.01	2
4182	-645	-661	Max	21.63	-467.00	6	0.94	2	0.15	2	70.60	6	8.72	6	0.01	2
4182	-645	-661	Min.	0.00	-951.05	6	-0.93	2	-0.06	2	13.70	6	-7.10	6	-0.03	2
4182	-645	-661	Min.	21.63	-950.63	6	-0.93	2	-0.13	2	8.62	6	3.17	6	-0.03	2
4182	-661	-677	Max	0.00	-506.92	6	1.13	2	0.20	2	51.65	6	2.93	6	0.04	2
4182	-661	-677	Max	21.63	-506.51	6	1.13	2	0.03	2	46.57	6	6.28	6	0.04	2
4182	-661	-677	Min.	0.00	-953.68	6	-1.10	2	-0.22	2	-6.76	6	-4.34	6	-0.05	2
4182	-661	-677	Min.	21.63	-953.26	6	-1.10	2	-0.05	2	-11.83	6	0.92	6	-0.05	2
4182	-677	-693	Max	0.00	-579.25	6	0.33	2	0.02	2	45.54	6	2.85	6	0.00	2
4182	-677	-693	Max	21.63	-578.84	6	0.33	2	0.09	2	40.47	6	5.46	6	0.00	2
4182	-677	-693	Min.	0.00	-940.54	6	-0.32	2	-0.03	2	-9.34	6	-3.84	6	-0.01	2
4182	-677	-693	Min.	21.63	-940.13	6	-0.32	2	-0.09	2	-14.41	6	0.28	6	-0.01	2
4182	-693	-709	Max	0.00	-636.54	6	0.30	2	0.10	2	39.43	6	3.11	6	-0.00	2
4182	-693	-709	Max	21.63	-636.13	6	0.30	2	0.04	2	34.35	6	4.88	6	-0.00	2
4182	-693	-709	Min.	0.00	-922.02	6	-0.30	2	-0.10	2	-12.38	6	-3.10	6	-0.01	2
4182	-693	-709	Min.	21.63	-921.61	6	-0.30	2	-0.04	2	-17.45	6	-0.11	6	-0.01	2
4182	-709	-725	Max	0.00	-680.99	6	1.08	2	0.07	2	34.56	6	3.61	6	0.04	2
4182	-709	-725	Max	21.63	-680.58	6	1.08	2	0.17	2	29.49	6	4.75	6	0.04	2
4182	-709	-725	Min.	0.00	-898.78	6	-1.07	2	-0.06	2	-14.48	6	-2.18	6	-0.06	2
4182	-709	-725	Min.	21.63	-898.37	6	-1.07	2	-0.16	2	-19.56	6	-0.07	6	-0.06	2
4182	-725	-741	Max	0.00	-706.69	6	1.20	2	0.20	2	12.66	6	5.72	6	0.07	2
4182	-725	-741	Max	21.63	-706.28	6	1.20	2	0.05	2	7.59	6	2.42	6	0.07	2
4182	-725	-741	Min.	0.00	-863.81	6	-1.17	2	-0.21	2	-34.37	6	0.23	6	-0.07	2
4182	-725	-741	Min.	21.63	-863.40	6	-1.17	2	-0.05	2	-39.44	6	-2.27	6	-0.07	2
4182	-741	-757	Max	0.00	-718.39	6	0.35	2	0.03	2	8.93	6	5.40	6	0.01	2
4182	-741	-757	Max	21.63	-717.98	6	0.35	2	0.10	2	3.85	6	1.64	6	0.01	2
4182	-741	-757	Min.	0.00	-820.35	6	-0.34	2	-0.03	2	-35.83	6	0.26	6	-0.01	2
4182	-741	-757	Min.	21.63	-819.94	6	-0.34	2	-0.10	2	-40.91	6	-2.90	6	-0.01	2
4182	-757	-773	Max	0.00	-724.27	6	0.37	2	0.11	2	5.45	6	5.26	6	0.01	2
4182	-757	-773	Max	21.63	-723.86	6	0.37	2	0.04	2	0.37	6	1.04	6	0.01	2
4182	-757	-773	Min.	0.00	-776.22	6	-0.36	2	-0.11	2	-37.31	6	0.41	6	-0.01	2

4182	-757	-773	Min.	21.63	-775.81	6	-0.36	2	-0.04	2	-42.38	6	-3.36	6	-0.01	2
4182	-773	-789	Max	0.00	-724.29	2	1.22	2	0.07	2	-0.61	6	4.49	6	0.07	2
4182	-773	-789	Max	21.63	-723.88	2	1.22	2	0.21	2	-5.68	6	-0.76	6	0.07	2
4182	-773	-789	Min.	0.00	-740.81	2	-1.20	2	-0.06	2	-41.46	6	-0.08	6	-0.07	2
4182	-773	-789	Min.	21.63	-740.40	2	-1.20	2	-0.20	2	-46.54	6	-5.03	6	-0.07	2
4183	3006	-518	Max	0.00	40.98	2	2.55	2	0.21	2	-8.43	2	2.04	2	0.04	2
4183	3006	-518	Max	16.72	41.22	2	2.55	2	0.21	2	-11.49	2	-0.97	2	0.04	2
4183	3006	-518	Min.	0.00	25.02	2	-2.38	2	-0.22	2	-25.05	2	0.70	2	-0.15	2
4183	3006	-518	Min.	16.72	25.27	2	-2.38	2	-0.19	2	-28.11	2	-2.41	2	-0.15	2
4183	-518	-534	Max	0.00	162.87	2	3.11	2	0.22	2	3.98	6	-0.13	6	0.06	2
4183	-518	-534	Max	15.05					-0.02	8			-0.06	8		
4183	-518	-534	Max	16.72	163.12	2	3.11	2	0.27	2	0.92	6	0.13	6	0.06	2
4183	-518	-534	Min.	0.00	68.84	2	-2.60	2	-0.25	2	-2.81	6	-0.28	6	-0.08	2
4183	-518	-534	Min.	15.05					0.06	8			-0.59	8		
4183	-518	-534	Min.	16.72	69.08	2	-2.60	2	-0.22	2	-5.87	6	-0.85	6	-0.08	2
4183	-534	4033	Max	0.00	212.57	2	3.15	2	0.23	2	-12.51	6	2.40	6	0.02	2
4183	-534	4033	Max	16.72	212.82	2	3.15	2	0.28	2	-15.57	6	-2.28	2	0.02	2
4183	-534	4033	Min.	0.00	76.80	2	-2.74	2	-0.24	2	-33.58	6	-0.14	6	0.01	2
4183	-534	4033	Min.	16.72	77.05	2	-2.74	2	-0.23	2	-36.64	6	-3.68	2	0.01	2
4183	4033	-550	Max	0.00	1513.64	6	0.67	2	0.12	2	185.62	6	-9.65	6	-0.01	2
4183	4033	-550	Max	20.75					-0.00	8			7.06	8		
4183	4033	-550	Max	21.63	1514.03	6	0.67	2	0.03	2	180.80	6	8.73	6	-0.01	2
4183	4033	-550	Min.	0.00	-262.26	6	-0.43	2	-0.16	2	81.63	6	-30.91	6	-0.03	2
4183	4033	-550	Min.	20.75					0.01	8			6.89	8		
4183	4033	-550	Min.	21.63	-261.87	6	-0.43	2	-0.01	2	76.80	6	7.48	6	-0.03	2
4183	-550	-566	Max	0.00	1044.83	6	0.18	2	0.01	2	175.36	6	-6.29	6	0.03	2
4183	-550	-566	Max	21.63	1045.23	6	0.18	2	0.05	2	170.54	6	14.08	6	0.03	2
4183	-550	-566	Min.	0.00	-462.86	6	-0.19	2	-0.01	2	68.73	6	-23.34	6	-0.03	2
4183	-550	-566	Min.	21.63	-462.46	6	-0.19	2	-0.05	2	63.91	6	8.06	6	-0.03	2
4183	-566	-582	Max	0.00	624.18	6	0.27	2	0.08	2	153.15	6	-4.73	6	0.04	2
4183	-566	-582	Max	21.63	624.57	6	0.27	2	0.03	2	148.32	6	13.91	6	0.04	2
4183	-566	-582	Min.	0.00	-628.89	6	-0.25	2	-0.08	2	58.95	6	-18.70	6	-0.04	2
4183	-566	-582	Min.	21.63	-628.50	6	-0.25	2	-0.03	2	54.13	6	7.51	6	-0.04	2
4183	-582	-598	Max	0.00	284.26	6	0.83	2	0.07	2	136.80	6	-3.37	6	0.04	2
4183	-582	-598	Max	21.63	284.65	6	0.83	2	0.11	2	131.97	6	13.56	6	0.04	2
4183	-582	-598	Min.	0.00	-755.93	6	-0.78	2	-0.07	2	50.95	6	-15.51	6	-0.04	2
4183	-582	-598	Min.	21.63	-755.54	6	-0.78	2	-0.10	2	46.12	6	7.13	6	-0.04	2
4183	-598	-614	Max	0.00	34.23	6	0.96	2	0.18	2	103.43	6	-0.45	6	0.00	2
4183	-598	-614	Max	21.63	34.62	6	0.96	2	0.02	2	98.60	6	10.65	6	0.00	2
4183	-598	-614	Min.	0.00	-839.11	6	-1.00	2	-0.19	2	25.35	6	-11.21	6	-0.03	2
4183	-598	-614	Min.	21.63	-838.72	6	-1.00	2	-0.04	2	20.53	6	4.51	6	-0.03	2
4183	-614	-630	Max	0.00	-162.15	6	0.25	2	0.02	2	92.47	6	-0.21	6	-0.01	2
4183	-614	-630	Max	21.63	-161.75	6	0.25	2	0.07	2	87.64	6	9.68	6	-0.01	2
4183	-614	-630	Min.	0.00	-885.64	6	-0.29	2	-0.02	2	20.49	6	-9.80	6	-0.01	2
4183	-614	-630	Min.	21.63	-885.25	6	-0.29	2	-0.08	2	15.67	6	3.70	6	-0.01	2
4183	-630	-646	Max	0.00	-321.75	6	0.21	2	0.09	2	82.48	6	0.26	6	-0.01	2
4183	-630	-646	Max	21.63	-321.36	6	0.21	2	0.04	2	77.66	6	8.94	6	-0.01	2
4183	-630	-646	Min.	0.00	-917.33	6	-0.26	2	-0.08	2	15.75	6	-8.39	6	-0.02	2
4183	-630	-646	Min.	21.63	-916.94	6	-0.26	2	-0.04	2	10.93	6	3.15	6	-0.02	2
4183	-646	-662	Max	0.00	-451.31	6	0.88	2	0.07	2	74.28	6	0.89	6	0.01	2
4183	-646	-662	Max	21.63	-450.92	6	0.88	2	0.14	2	69.45	6	8.57	6	0.01	2
4183	-646	-662	Min.	0.00	-937.72	6	-0.90	2	-0.06	2	12.08	6	-6.98	6	-0.03	2
4183	-646	-662	Min.	21.63	-937.33	6	-0.90	2	-0.12	2	7.25	6	2.98	6	-0.03	2
4183	-662	-678	Max	0.00	-512.55	6	1.07	2	0.19	2	50.80	6	2.97	6	0.04	2
4183	-662	-678	Max	21.63	-512.16	6	1.07	2	0.03	2	45.97	6	6.20	6	0.04	2
4183	-662	-678	Min.	0.00	-961.85	6	-1.04	2	-0.20	2	-7.43	6	-4.28	6	-0.05	2
4183	-662	-678	Min.	21.63	-961.46	6	-1.04	2	-0.04	2	-12.26	6	0.83	6	-0.05	2
4183	-678	-694	Max	0.00	-583.73	6	0.30	2	0.02	2	44.86	6	2.89	6	0.00	2
4183	-678	-694	Max	21.63	-583.33	6	0.30	2	0.08	2	40.03	6	5.40	6	0.00	2

4183	-678	-694	Min.	0.00	-948.01	6	-0.30	2	-0.02	2	-9.87	6	-3.78	6	-0.01	2
4183	-678	-694	Min.	21.63	-947.62	6	-0.30	2	-0.09	2	-14.70	6	0.23	6	-0.01	2
4183	-694	-710	Max	0.00	-640.24	6	0.28	2	0.10	2	38.89	6	3.14	6	-0.00	2
4183	-694	-710	Max	21.63	-639.85	6	0.28	2	0.04	2	34.07	6	4.84	6	-0.00	2
4183	-694	-710	Min.	0.00	-929.07	6	-0.28	2	-0.09	2	-12.76	6	-3.06	6	-0.01	2
4183	-694	-710	Min.	21.63	-928.68	6	-0.28	2	-0.03	2	-17.59	6	-0.15	6	-0.01	2
4183	-710	-726	Max	0.00	-684.15	6	1.03	2	0.07	2	34.17	6	3.63	6	0.04	2
4183	-710	-726	Max	21.63	-683.76	6	1.03	2	0.17	2	29.35	6	4.72	6	0.04	2
4183	-710	-726	Min.	0.00	-905.60	6	-1.02	2	-0.06	2	-14.72	6	-2.15	6	-0.06	2
4183	-710	-726	Min.	21.63	-905.21	6	-1.02	2	-0.15	2	-19.54	6	-0.08	6	-0.06	2
4183	-726	-742	Max	0.00	-705.39	6	1.14	2	0.19	2	12.08	6	5.76	6	0.07	2
4183	-726	-742	Max	21.63	-705.00	6	1.14	2	0.04	2	7.25	6	2.37	6	0.07	2
4183	-726	-742	Min.	0.00	-872.03	6	-1.12	2	-0.20	2	-34.84	6	0.28	6	-0.07	2
4183	-726	-742	Min.	21.63	-871.64	6	-1.12	2	-0.05	2	-39.67	6	-2.30	6	-0.07	2
4183	-742	-758	Max	0.00	-716.73	6	0.32	2	0.03	2	8.49	6	5.42	6	0.01	2
4183	-742	-758	Max	21.63	-716.33	6	0.32	2	0.10	2	3.67	6	1.60	6	0.01	2
4183	-742	-758	Min.	0.00	-828.25	6	-0.31	2	-0.03	2	-36.15	6	0.28	6	-0.01	2
4183	-742	-758	Min.	21.63	-827.86	6	-0.31	2	-0.10	2	-40.98	6	-2.92	6	-0.01	2
4183	-758	-774	Max	0.00	-722.39	6	0.34	2	0.11	2	5.14	6	5.27	6	0.01	2
4183	-758	-774	Max	21.63	-722.00	6	0.34	2	0.04	2	0.32	6	1.01	6	0.01	2
4183	-758	-774	Min.	0.00	-783.92	6	-0.34	2	-0.11	2	-37.50	6	0.42	6	-0.01	2
4183	-758	-774	Min.	21.63	-783.53	6	-0.34	2	-0.03	2	-42.32	6	-3.37	6	-0.01	2
4183	-774	-790	Max	0.00	-718.88	2	1.16	2	0.06	2	-0.77	6	4.47	6	0.07	2
4183	-774	-790	Max	21.63	-718.49	2	1.16	2	0.20	2	-5.60	6	-0.77	6	0.07	2
4183	-774	-790	Min.	0.00	-751.91	2	-1.15	2	-0.06	2	-41.53	6	-0.08	6	-0.08	2
4183	-774	-790	Min.	21.63	-751.51	2	-1.15	2	-0.19	2	-46.36	6	-5.03	6	-0.08	2
4220	3007	-519	Max	0.00	27.97	2	4.76	2	0.19	2	2.95	2	1.31	2	0.10	2
4220	3007	-519	Max	16.72	28.21	2	4.76	2	0.39	2	-0.11	2	0.10	2	0.10	2
4220	3007	-519	Min.	0.00	-2.58	2	-2.26	2	-0.40	2	-13.33	2	-0.14	2	-0.08	2
4220	3007	-519	Min.	16.72	-2.34	2	-2.26	2	-0.18	2	-16.39	2	-1.18	2	-0.08	2
4220	-519	-535	Max	0.00	73.23	2	4.89	2	0.19	2	1.52	2	0.99	2	0.09	2
4220	-519	-535	Max	16.72	73.48	2	4.89	2	0.42	2	-1.54	2	0.12	2	0.09	2
4220	-519	-535	Min.	0.00	-10.57	2	-2.37	2	-0.40	2	-13.50	2	0.10	2	-0.05	2
4220	-519	-535	Min.	16.72	-10.32	2	-2.37	2	-0.20	2	-16.56	2	-1.55	2	-0.05	2
4220	-535	4034	Max	0.00	118.39	2	4.42	2	0.18	2	-1.25	6	1.85	6	0.01	2
4220	-535	4034	Max	16.72	118.63	2	4.42	2	0.38	2	-4.31	6	-0.83	2	0.01	2
4220	-535	4034	Min.	0.00	-16.44	2	-2.30	2	-0.36	2	-22.26	6	-0.68	6	-0.01	2
4220	-535	4034	Min.	16.72	-16.19	2	-2.30	2	-0.20	2	-25.32	6	-2.44	2	-0.01	2
4220	4034	-551	Max	0.00	1230.55	6	0.22	2	0.16	2	131.63	6	-1.33	6	-0.03	2
4220	4034	-551	Max	21.63	1230.94	6	0.22	2	-0.01	6	126.81	6	5.44	6	-0.03	2
4220	4034	-551	Min.	0.00	-528.21	6	-0.79	2	-0.12	2	27.80	6	-22.51	6	-0.05	2
4220	4034	-551	Min.	21.63	-527.82	6	-0.79	2	-0.07	6	22.98	6	4.16	6	-0.05	2
4220	-551	-567	Max	0.00	902.22	6	0.08	2	0.03	6	124.62	6	-0.07	6	-0.02	2
4220	-551	-567	Max	21.63	902.61	6	0.08	2	0.02	2	119.79	6	9.42	6	-0.02	2
4220	-551	-567	Min.	0.00	-589.59	6	-0.33	2	-0.02	6	18.60	6	-17.02	6	-0.09	2
4220	-551	-567	Min.	21.63	-589.19	6	-0.33	2	-0.07	2	13.78	6	3.43	6	-0.09	2
4220	-567	-583	Max	0.00	607.63	6	0.17	2	0.10	2	108.00	6	0.33	6	-0.01	2
4220	-567	-583	Max	21.63	608.02	6	0.17	2	0.02	2	103.18	6	9.27	6	-0.01	2
4220	-567	-583	Min.	0.00	-630.77	6	-0.43	2	-0.07	2	14.26	6	-13.57	6	-0.10	2
4220	-567	-583	Min.	21.63	-630.37	6	-0.43	2	-0.04	2	9.43	6	2.89	6	-0.10	2
4220	-583	-599	Max	0.00	370.37	6	0.78	2	0.11	2	95.53	6	0.79	6	-0.01	2
4220	-583	-599	Max	9.15					0.06	8			1.62	8		
4220	-583	-599	Max	21.63	370.77	6	0.78	2	0.13	2	90.70	6	8.85	6	-0.01	2
4220	-583	-599	Min.	0.00	-656.02	6	-0.98	2	-0.05	2	10.13	6	-11.30	6	-0.11	2
4220	-583	-599	Min.	9.15					-0.02	8			-2.65	8		
4220	-583	-599	Min.	21.63	-655.63	6	-0.98	2	-0.12	2	5.31	6	2.46	6	-0.11	2
4220	-599	-615	Max	0.00	177.61	6	1.07	2	0.17	2	79.13	6	1.74	6	0.00	2
4220	-599	-615	Max	18.35					0.01	8			5.13	8		
4220	-599	-615	Max	21.63	178.00	6	1.07	2	0.02	2	74.30	6	7.58	6	0.00	2

4220	-599	-615	Min.	0.00	-658.28	6	-0.99	2	-0.22	2	0.96	6	-9.02	6	-0.04	2
4220	-599	-615	Min.	18.35					-0.04	8			1.54	8		
4220	-599	-615	Min.	21.63	-657.88	6	-0.99	2	-0.05	2	-3.86	6	1.42	6	-0.04	2
4220	-615	-631	Max	0.00	31.80	6	0.27	2	0.03	6	69.95	6	1.88	6	-0.01	6
4220	-615	-631	Max	21.63	32.20	6	0.27	2	0.07	2	65.13	6	6.92	6	-0.01	6
4220	-615	-631	Min.	0.00	-655.21	6	-0.31	2	-0.03	6	-2.11	6	-7.69	6	-0.02	6
4220	-615	-631	Min.	21.63	-654.82	6	-0.31	2	-0.08	2	-6.93	6	0.90	6	-0.02	6
4220	-631	-647	Max	0.00	-86.39	6	0.28	2	0.10	2	61.82	6	2.09	6	-0.01	2
4220	-631	-647	Max	21.63	-85.99	6	0.28	2	0.05	6	56.99	6	6.31	6	-0.01	2
4220	-631	-647	Min.	0.00	-645.97	6	-0.32	2	-0.08	2	-5.01	6	-6.54	6	-0.03	2
4220	-631	-647	Min.	21.63	-645.58	6	-0.32	2	-0.04	6	-9.83	6	0.48	6	-0.03	2
4220	-647	-663	Max	0.00	-182.81	6	1.00	2	0.09	2	54.53	6	2.32	6	-0.00	2
4220	-647	-663	Max	7.30					0.07	8			1.68	8		
4220	-647	-663	Max	21.63	-182.42	6	1.00	2	0.19	2	49.70	6	5.73	6	-0.00	2
4220	-647	-663	Min.	0.00	-632.01	6	-0.97	2	-0.05	2	-7.68	6	-5.54	6	-0.04	2
4220	-647	-663	Min.	7.30					-0.02	8			-1.61	8		
4220	-647	-663	Min.	21.63	-631.62	6	-0.97	2	-0.13	2	-12.50	6	0.13	6	-0.04	2
4220	-663	-679	Max	0.00	-163.30	6	1.17	2	0.19	2	46.69	6	2.70	6	0.03	2
4220	-663	-679	Max	17.82					0.02	8			3.37	8		
4220	-663	-679	Max	21.63	-162.91	6	1.17	2	0.03	2	41.86	6	4.99	6	0.03	2
4220	-663	-679	Min.	0.00	-619.69	6	-1.08	2	-0.24	2	-11.88	6	-4.59	6	-0.07	2
4220	-663	-679	Min.	17.82					-0.06	8			0.23	8		
4220	-663	-679	Min.	21.63	-619.29	6	-1.08	2	-0.06	2	-16.71	6	-0.40	6	-0.07	2
4220	-679	-695	Max	0.00	-226.28	6	0.35	2	0.04	6	40.77	6	2.86	6	-0.01	2
4220	-679	-695	Max	21.63	-225.89	6	0.35	2	0.08	2	35.95	6	4.44	6	-0.01	2
4220	-679	-695	Min.	0.00	-596.83	6	-0.34	2	-0.05	6	-14.30	6	-3.86	6	-0.02	2
4220	-679	-695	Min.	21.63	-596.44	6	-0.34	2	-0.09	2	-19.12	6	-0.76	6	-0.02	2
4220	-695	-711	Max	0.00	-277.04	6	0.35	2	0.10	2	35.24	6	3.06	6	-0.01	6
4220	-695	-711	Max	3.68					-0.02	8			2.43	8		
4220	-695	-711	Max	21.63	-276.64	6	0.35	2	0.05	2	30.42	6	3.93	6	-0.01	6
4220	-695	-711	Min.	0.00	-571.47	6	-0.34	2	-0.09	2	-16.73	6	-3.17	6	-0.02	6
4220	-695	-711	Min.	3.68					0.03	8			-1.88	8		
4220	-695	-711	Min.	21.63	-571.08	6	-0.34	2	-0.04	2	-21.56	6	-1.08	6	-0.02	6
4220	-711	-727	Max	0.00	-317.26	6	1.14	2	0.09	2	30.29	6	3.33	6	0.02	2
4220	-711	-727	Max	6.15					0.06	8			2.12	8		
4220	-711	-727	Max	21.63	-316.87	6	1.14	2	0.21	2	25.47	6	3.55	6	0.02	2
4220	-711	-727	Min.	0.00	-543.76	6	-1.08	2	-0.06	2	-18.92	6	-2.48	6	-0.07	2
4220	-711	-727	Min.	6.15					-0.03	8			-0.65	8		
4220	-711	-727	Min.	21.63	-543.37	6	-1.08	2	-0.16	2	-23.74	6	-1.28	6	-0.07	2
4220	-727	-743	Max	0.00	-359.68	6	1.31	2	0.19	2	21.24	6	4.01	6	0.08	2
4220	-727	-743	Max	17.31					0.02	8			1.88	8		
4220	-727	-743	Max	21.63	-359.29	6	1.31	2	0.05	2	16.42	6	2.62	6	0.08	2
4220	-727	-743	Min.	0.00	-505.23	6	-1.10	2	-0.25	2	-25.71	6	-1.45	6	-0.07	2
4220	-727	-743	Min.	17.31					-0.05	8			-0.76	8		
4220	-727	-743	Min.	21.63	-504.84	6	-1.10	2	-0.07	2	-30.54	6	-2.08	6	-0.07	2
4220	-743	-759	Max	0.00	-380.11	6	0.45	2	0.03	6	16.95	6	4.06	6	0.02	2
4220	-743	-759	Max	18.12					-0.02	8			1.62	8		
4220	-743	-759	Max	21.63	-379.72	6	0.45	2	0.11	2	12.13	6	2.08	6	0.02	2
4220	-743	-759	Min.	0.00	-470.44	6	-0.29	2	-0.05	6	-27.75	6	-1.07	6	-0.01	2
4220	-743	-759	Min.	18.12					0.03	8			-1.32	8		
4220	-743	-759	Min.	21.63	-470.04	6	-0.29	2	-0.10	2	-32.57	6	-2.47	6	-0.01	2
4220	-759	-775	Max	0.00	-392.63	2	0.47	2	0.11	2	13.15	6	4.07	6	0.02	2
4220	-759	-775	Max	21.63	-392.24	2	0.47	2	0.06	6	8.32	6	1.57	6	0.02	2
4220	-759	-775	Min.	0.00	-437.24	2	-0.33	2	-0.11	2	-29.54	6	-0.76	6	-0.00	2
4220	-759	-775	Min.	21.63	-436.85	2	-0.33	2	-0.03	6	-34.37	6	-2.84	6	-0.00	2
4220	-775	-791	Max	0.00	-384.25	2	1.31	2	0.08	2	7.68	6	3.64	6	0.08	2
4220	-775	-791	Max	7.57					0.07	8			1.07	8		
4220	-775	-791	Max	21.63	-383.86	2	1.31	2	0.25	2	2.86	6	0.24	6	0.08	2
4220	-775	-791	Min.	0.00	-424.22	2	-1.15	2	-0.06	2	-33.11	6	-0.90	6	-0.07	2

4220	-775	-791	Min.	7.57					-0.03	8			-0.38	8		
4220	-775	-791	Min.	21.63	-423.82	2	-1.15	2	-0.19	2	-37.94	6	-4.04	6	-0.07	2
4221	3008	-520	Max	0.00	21.64	2	4.45	2	0.16	2	4.49	2	0.91	2	0.10	2
4221	3008	-520	Max	16.72	21.70	2	4.45	2	0.37	2	3.74	2	0.33	2	0.10	2
4221	3008	-520	Min.	0.00	-3.04	2	-1.99	2	-0.37	2	-11.38	2	-0.35	2	-0.08	2
4221	3008	-520	Min.	16.72	-2.98	2	-1.99	2	-0.17	2	-12.12	2	-1.05	2	-0.08	2
4221	-520	-536	Max	0.00	84.26	2	4.83	2	0.19	2	3.89	6	0.01	6	0.09	2
4221	-520	-536	Max	16.72	84.32	2	4.83	2	0.41	2	3.15	6	0.46	6	0.09	2
4221	-520	-536	Min.	0.00	-15.36	2	-2.34	2	-0.40	2	-2.60	6	-0.13	6	-0.05	2
4221	-520	-536	Min.	16.72	-15.30	2	-2.34	2	-0.20	2	-3.35	6	-0.49	6	-0.05	2
4221	-536	4036	Max	0.00	120.61	2	4.88	2	0.18	2	1.57	6	1.74	6	0.05	2
4221	-536	4036	Max	16.72	120.67	2	4.88	2	0.43	2	0.82	6	-0.32	2	0.05	2
4221	-536	4036	Min.	0.00	-24.84	2	-2.34	2	-0.39	2	-19.64	6	-0.78	6	-0.03	2
4221	-536	4036	Min.	16.72	-24.78	2	-2.34	2	-0.21	2	-20.38	6	-1.86	2	-0.03	2
4221	4036	-552	Max	0.00	1226.99	6	0.10	6	0.10	6	118.73	6	0.34	6	-0.01	2
4221	4036	-552	Max	21.63	1227.07	6	0.10	6	0.01	2	117.73	6	4.73	6	-0.01	2
4221	4036	-552	Min.	0.00	-576.45	6	-0.49	6	-0.08	6	14.92	6	-20.85	6	-0.09	2
4221	4036	-552	Min.	21.63	-576.37	6	-0.49	6	-0.07	2	13.93	6	3.46	6	-0.09	2
4221	-552	-568	Max	0.00	923.77	6	0.01	6	0.03	6	114.24	6	0.95	6	-0.01	2
4221	-552	-568	Max	21.63	923.86	6	0.01	6	-0.01	2	113.24	6	8.62	6	-0.01	2
4221	-552	-568	Min.	0.00	-612.33	6	-0.27	6	-0.02	6	8.37	6	-15.99	6	-0.10	2
4221	-552	-568	Min.	21.63	-612.25	6	-0.27	6	-0.03	2	7.37	6	2.65	6	-0.10	2
4221	-568	-584	Max	0.00	647.15	6	0.07	2	0.06	2	100.40	6	0.95	6	-0.01	2
4221	-568	-584	Max	21.63	647.23	6	0.07	2	0.02	6	99.40	6	8.67	6	-0.01	2
4221	-568	-584	Min.	0.00	-635.25	6	-0.32	2	-0.03	2	6.80	6	-12.94	6	-0.10	2
4221	-568	-584	Min.	21.63	-635.17	6	-0.32	2	-0.04	6	5.81	6	2.32	6	-0.10	2
4221	-584	-600	Max	0.00	420.90	6	0.33	2	0.08	2	90.07	6	1.12	6	-0.02	2
4221	-584	-600	Max	21.63	420.98	6	0.33	2	0.09	6	89.08	6	8.46	6	-0.02	2
4221	-584	-600	Min.	0.00	-649.98	6	-0.54	2	-0.03	2	4.77	6	-10.92	6	-0.10	2
4221	-584	-600	Min.	21.63	-649.90	6	-0.54	2	-0.08	6	3.77	6	2.05	6	-0.10	2
4221	-600	-616	Max	0.00	253.86	6	0.58	2	0.09	2	73.17	6	1.95	6	0.01	2
4221	-600	-616	Max	21.63	253.94	6	0.58	2	0.00	6	72.18	6	7.16	6	0.01	2
4221	-600	-616	Min.	0.00	-663.11	6	-0.51	2	-0.14	2	-2.87	6	-8.57	6	-0.05	2
4221	-600	-616	Min.	21.63	-663.03	6	-0.51	2	-0.04	6	-3.86	6	1.22	6	-0.05	2
4221	-616	-632	Max	0.00	112.12	6	0.16	6	0.03	6	66.40	6	1.80	6	-0.01	2
4221	-616	-632	Max	21.63	112.20	6	0.16	6	0.03	2	65.41	6	6.67	6	-0.01	2
4221	-616	-632	Min.	0.00	-658.10	6	-0.19	6	-0.03	6	-3.68	6	-7.58	6	-0.03	2
4221	-616	-632	Min.	21.63	-658.02	6	-0.19	6	-0.04	2	-4.68	6	0.90	6	-0.03	2
4221	-632	-648	Max	0.00	-5.72	6	0.16	6	0.05	2	60.11	6	1.84	6	-0.01	6
4221	-632	-648	Max	21.63	-5.63	6	0.16	6	0.04	6	59.11	6	6.27	6	-0.01	6
4221	-632	-648	Min.	0.00	-650.19	6	-0.19	6	-0.03	2	-4.83	6	-6.62	6	-0.02	6
4221	-632	-648	Min.	21.63	-650.11	6	-0.19	6	-0.03	6	-5.83	6	0.69	6	-0.02	6
4221	-648	-664	Max	0.00	-103.55	6	0.48	2	0.07	2	54.94	6	2.02	6	0.01	2
4221	-648	-664	Max	21.63	-103.47	6	0.48	2	0.12	6	53.94	6	6.11	6	0.01	2
4221	-648	-664	Min.	0.00	-639.92	6	-0.44	2	-0.02	2	-5.62	6	-5.67	6	-0.05	2
4221	-648	-664	Min.	21.63	-639.84	6	-0.44	2	-0.06	6	-6.61	6	0.70	6	-0.05	2
4221	-664	-680	Max	0.00	-182.06	6	0.64	2	0.10	2	38.74	6	3.28	6	0.04	2
4221	-664	-680	Max	21.63	-181.98	6	0.64	2	0.01	6	37.74	6	4.53	6	0.04	2
4221	-664	-680	Min.	0.00	-611.33	6	-0.54	2	-0.16	2	-17.66	6	-3.74	6	-0.08	2
4221	-664	-680	Min.	21.63	-611.25	6	-0.54	2	-0.05	6	-18.66	6	-0.65	6	-0.08	2
4221	-680	-696	Max	0.00	-239.52	6	0.24	6	0.03	6	35.27	6	3.00	6	0.00	2
4221	-680	-696	Max	21.63	-239.44	6	0.24	6	0.04	2	34.27	6	4.06	6	0.00	2
4221	-680	-696	Min.	0.00	-585.45	6	-0.21	6	-0.04	6	-17.70	6	-3.46	6	-0.03	2
4221	-680	-696	Min.	21.63	-585.36	6	-0.21	6	-0.04	2	-18.70	6	-0.94	6	-0.03	2
4221	-696	-712	Max	0.00	-287.14	6	0.23	6	0.05	2	31.68	6	2.99	6	-0.01	2
4221	-696	-712	Max	21.63	-287.06	6	0.23	6	0.05	6	30.68	6	3.74	6	-0.01	2
4221	-696	-712	Min.	0.00	-559.13	6	-0.21	6	-0.04	2	-18.29	6	-3.01	6	-0.03	2
4221	-696	-712	Min.	21.63	-559.05	6	-0.21	6	-0.03	6	-19.28	6	-1.08	6	-0.03	2
4221	-712	-728	Max	0.00	-326.39	6	0.60	2	0.06	2	28.76	6	3.12	6	0.03	2

4221	-712	-728	Max	21.63	-326.31	6	0.60	2	0.13	6	27.77	6	3.65	6	0.03	2
4221	-712	-728	Min.	0.00	-532.73	6	-0.52	2	-0.03	2	-18.49	6	-2.47	6	-0.08	2
4221	-712	-728	Min.	21.63	-532.65	6	-0.52	2	-0.08	6	-19.49	6	-0.99	6	-0.08	2
4221	-728	-744	Max	0.00	-339.72	6	0.74	2	0.09	2	16.96	6	4.14	6	0.09	2
4221	-728	-744	Max	18.05					0.02	8			1.83	8		
4221	-728	-744	Max	21.63	-339.64	6	0.74	2	0.03	6	15.96	6	2.42	6	0.09	2
4221	-728	-744	Min.	0.00	-509.91	6	-0.53	2	-0.16	2	-28.23	6	-1.14	6	-0.07	2
4221	-728	-744	Min.	18.05					-0.05	8			-1.02	8		
4221	-728	-744	Min.	21.63	-509.83	6	-0.53	2	-0.05	6	-29.22	6	-2.08	6	-0.07	2
4221	-744	-760	Max	0.00	-359.67	6	0.31	6	0.03	6	14.80	6	3.86	6	0.02	2
4221	-744	-760	Max	21.63	-359.59	6	0.31	6	0.05	2	13.80	6	2.01	6	0.02	2
4221	-744	-760	Min.	0.00	-476.03	6	-0.15	6	-0.05	6	-28.17	6	-1.09	6	-0.01	2
4221	-744	-760	Min.	21.63	-475.95	6	-0.15	6	-0.05	2	-29.17	6	-2.34	6	-0.01	2
4221	-760	-776	Max	0.00	-375.54	6	0.30	6	0.06	2	12.71	6	3.71	6	0.02	2
4221	-760	-776	Max	21.63	-375.46	6	0.30	6	0.06	6	11.71	6	1.70	6	0.02	2
4221	-760	-776	Min.	0.00	-443.07	6	-0.16	6	-0.06	2	-28.30	6	-0.95	6	-0.01	2
4221	-760	-776	Min.	21.63	-442.99	6	-0.16	6	-0.03	6	-29.30	6	-2.52	6	-0.01	2
4221	-776	-792	Max	0.00	-389.70	6	0.73	2	0.06	6	9.45	6	3.29	6	0.08	2
4221	-776	-792	Max	21.63	-389.62	6	0.73	2	0.15	2	8.46	6	0.85	6	0.08	2
4221	-776	-792	Min.	0.00	-413.06	6	-0.57	2	-0.03	6	-29.74	6	-1.09	6	-0.08	2
4221	-776	-792	Min.	21.63	-412.98	6	-0.57	2	-0.09	2	-30.73	6	-3.26	6	-0.08	2
4385	-785	-777	Max	0.00	-389.37	6	0.73	2	0.09	2	30.76	6	0.85	6	0.08	2
4385	-785	-777	Max	13.16					0.03	8			0.75	8		
4385	-785	-777	Max	21.63	-389.45	6	0.73	2	0.03	6	29.76	6	3.29	6	0.08	2
4385	-785	-777	Min.	0.00	-413.54	6	-0.57	2	-0.15	2	-8.46	6	-3.26	6	-0.08	2
4385	-785	-777	Min.	13.16					-0.07	8			-0.31	8		
4385	-785	-777	Min.	21.63	-413.62	6	-0.57	2	-0.06	6	-9.45	6	-1.09	6	-0.08	2
4385	-777	-761	Max	0.00	-375.11	6	0.30	6	0.03	6	29.32	6	1.70	6	0.02	2
4385	-777	-761	Max	21.63	-375.19	6	0.30	6	0.06	2	28.32	6	3.72	6	0.02	2
4385	-777	-761	Min.	0.00	-443.68	6	-0.16	6	-0.06	6	-11.71	6	-2.52	6	-0.01	2
4385	-777	-761	Min.	21.63	-443.76	6	-0.16	6	-0.06	2	-12.70	6	-0.94	6	-0.01	2
4385	-761	-745	Max	0.00	-359.24	6	0.31	6	0.05	2	29.20	6	2.01	6	0.02	2
4385	-761	-745	Max	21.63	-359.32	6	0.31	6	0.05	6	28.20	6	3.87	6	0.02	2
4385	-761	-745	Min.	0.00	-476.67	6	-0.15	6	-0.05	2	-13.80	6	-2.34	6	-0.01	2
4385	-761	-745	Min.	21.63	-476.75	6	-0.15	6	-0.03	6	-14.80	6	-1.09	6	-0.01	2
4385	-745	-729	Max	0.00	-339.30	6	0.75	2	0.05	6	29.25	6	2.42	6	0.09	2
4385	-745	-729	Max	21.63	-339.38	6	0.75	2	0.16	2	28.25	6	4.14	6	0.09	2
4385	-745	-729	Min.	0.00	-510.58	6	-0.53	2	-0.03	6	-15.96	6	-2.08	6	-0.07	2
4385	-745	-729	Min.	21.63	-510.67	6	-0.53	2	-0.09	2	-16.95	6	-1.14	6	-0.07	2
4385	-729	-713	Max	0.00	-326.26	6	0.59	2	0.08	6	19.52	6	3.65	6	0.03	2
4385	-729	-713	Max	21.63	-326.35	6	0.59	2	0.03	2	18.52	6	3.13	6	0.03	2
4385	-729	-713	Min.	0.00	-533.03	6	-0.52	2	-0.13	6	-27.76	6	-0.99	6	-0.08	2
4385	-729	-713	Min.	21.63	-533.12	6	-0.52	2	-0.06	2	-28.75	6	-2.47	6	-0.08	2
4385	-713	-697	Max	0.00	-286.82	6	0.23	6	0.03	6	19.31	6	3.74	6	-0.01	2
4385	-713	-697	Max	21.63	-286.90	6	0.23	6	0.04	2	18.32	6	2.99	6	-0.01	2
4385	-713	-697	Min.	0.00	-559.67	6	-0.21	6	-0.05	6	-30.67	6	-1.08	6	-0.03	2
4385	-713	-697	Min.	21.63	-559.75	6	-0.21	6	-0.05	2	-31.67	6	-3.00	6	-0.03	2
4385	-697	-681	Max	0.00	-239.22	6	0.24	6	0.04	2	18.72	6	4.06	6	0.00	2
4385	-697	-681	Max	21.63	-239.30	6	0.24	6	0.04	6	17.73	6	3.00	6	0.00	2
4385	-697	-681	Min.	0.00	-586.02	6	-0.22	6	-0.04	2	-34.26	6	-0.94	6	-0.03	2
4385	-697	-681	Min.	21.63	-586.10	6	-0.22	6	-0.03	6	-35.26	6	-3.46	6	-0.03	2
4385	-681	-665	Max	0.00	-181.77	6	0.64	2	0.05	6	18.69	6	4.53	6	0.04	2
4385	-681	-665	Max	21.63	-181.85	6	0.64	2	0.16	2	17.69	6	3.28	6	0.04	2
4385	-681	-665	Min.	0.00	-611.95	6	-0.54	2	-0.01	6	-37.73	6	-0.65	6	-0.08	2
4385	-681	-665	Min.	21.63	-612.03	6	-0.54	2	-0.10	2	-38.73	6	-3.74	6	-0.08	2
4385	-665	-649	Max	0.00	-103.59	6	0.48	2	0.07	6	6.64	6	6.11	6	0.01	2
4385	-665	-649	Max	21.63	-103.67	6	0.48	2	0.02	2	5.65	6	2.03	6	0.01	2
4385	-665	-649	Min.	0.00	-640.18	6	-0.44	2	-0.12	6	-53.93	6	0.70	6	-0.05	2
4385	-665	-649	Min.	21.63	-640.26	6	-0.44	2	-0.07	2	-54.92	6	-5.67	6	-0.05	2

4385	-649	-633	Max	0.00	-5.45	6	0.16	6	0.03	6	5.86	6	6.27	6	-0.01	6
4385	-649	-633	Max	21.63	-5.53	6	0.16	6	0.03	2	4.86	6	1.84	6	-0.01	6
4385	-649	-633	Min.	0.00	-650.85	6	-0.20	6	-0.04	6	-59.09	6	0.68	6	-0.02	6
4385	-649	-633	Min.	21.63	-650.93	6	-0.20	6	-0.05	2	-60.09	6	-6.62	6	-0.02	6
4385	-633	-617	Max	0.00	112.36	6	0.16	6	0.04	2	4.71	6	6.67	6	-0.01	2
4385	-633	-617	Max	21.63	112.28	6	0.16	6	0.03	6	3.72	6	1.81	6	-0.01	2
4385	-633	-617	Min.	0.00	-658.81	6	-0.20	6	-0.03	2	-65.39	6	0.90	6	-0.03	2
4385	-633	-617	Min.	21.63	-658.89	6	-0.20	6	-0.03	6	-66.38	6	-7.58	6	-0.03	2
4385	-617	-601	Max	0.00	254.06	6	0.58	2	0.04	6	3.90	6	7.15	6	0.01	2
4385	-617	-601	Max	21.63	253.97	6	0.58	2	0.14	2	2.91	6	1.95	6	0.01	2
4385	-617	-601	Min.	0.00	-663.90	6	-0.51	2	-0.00	6	-72.16	6	1.21	6	-0.05	2
4385	-617	-601	Min.	21.63	-663.98	6	-0.51	2	-0.10	2	-73.15	6	-8.56	6	-0.05	2
4385	-601	-585	Max	0.00	421.02	6	0.33	2	0.08	6	-3.76	6	8.45	6	-0.02	2
4385	-601	-585	Max	21.63	420.94	6	0.33	2	0.03	2	-4.75	6	1.13	6	-0.02	2
4385	-601	-585	Min.	0.00	-650.80	6	-0.54	2	-0.09	6	-89.01	6	2.05	6	-0.10	2
4385	-601	-585	Min.	21.63	-650.88	6	-0.54	2	-0.08	2	-90.01	6	-10.91	6	-0.10	2
4385	-585	-569	Max	0.00	646.52	6	0.07	2	0.04	6	-5.79	6	8.67	6	-0.01	2
4385	-585	-569	Max	18.93					-0.05	4			-3.09	4		
4385	-585	-569	Max	21.63	646.44	6	0.07	2	0.03	2	-6.78	6	0.96	6	-0.01	2
4385	-585	-569	Min.	0.00	-635.53	6	-0.32	2	-0.02	6	-99.33	6	2.32	6	-0.10	2
4385	-585	-569	Min.	18.93					0.03	4			-5.99	4		
4385	-585	-569	Min.	21.63	-635.61	6	-0.32	2	-0.06	2	-100.33	6	-12.93	6	-0.10	2
4385	-569	-553	Max	0.00	922.94	6	0.01	6	0.03	2	-7.35	6	8.61	6	-0.01	2
4385	-569	-553	Max	21.63	922.86	6	0.01	6	0.02	6	-8.35	6	0.95	6	-0.01	2
4385	-569	-553	Min.	0.00	-612.66	6	-0.27	6	0.01	2	-113.17	6	2.65	6	-0.10	2
4385	-569	-553	Min.	21.63	-612.74	6	-0.27	6	-0.03	6	-114.17	6	-15.98	6	-0.10	2
4385	-553	4285	Max	0.00	1225.89	6	0.10	6	0.07	2	-13.90	6	4.72	6	-0.01	2
4385	-553	4285	Max	21.63	1225.81	6	0.10	6	0.08	6	-14.89	6	0.35	6	-0.01	2
4385	-553	4285	Min.	0.00	-576.85	6	-0.49	6	-0.01	2	-117.64	6	3.46	6	-0.09	2
4385	-553	4285	Min.	21.63	-576.93	6	-0.49	6	-0.10	6	-118.64	6	-20.84	6	-0.09	2
4385	4285	-537	Max	0.00	112.18	2	4.78	2	0.20	2	19.68	6	-0.28	2	0.05	2
4385	4285	-537	Max	16.72	112.12	2	4.78	2	0.38	2	18.93	6	1.63	6	0.05	2
4385	4285	-537	Min.	0.00	-24.13	2	-2.28	2	-0.42	2	-1.28	6	-1.85	2	-0.03	2
4385	4285	-537	Min.	16.72	-24.19	2	-2.28	2	-0.18	2	-2.03	6	-0.82	6	-0.03	2
4385	-537	-521	Max	0.00	66.24	2	5.08	2	0.21	2	10.53	2	0.40	2	0.09	2
4385	-537	-521	Max	16.72	66.18	2	5.08	2	0.42	2	9.79	2	0.68	2	0.09	2
4385	-537	-521	Min.	0.00	-12.84	2	-2.47	2	-0.43	2	-2.70	2	-1.06	2	-0.06	2
4385	-537	-521	Min.	16.72	-12.90	2	-2.47	2	-0.20	2	-3.45	2	-0.15	2	-0.06	2
4385	-521	3313	Max	0.00	23.20	2	4.39	2	0.16	2	10.93	2	0.30	2	0.10	2
4385	-521	3313	Max	16.72	23.14	2	4.39	2	0.37	2	10.19	2	0.93	2	0.10	2
4385	-521	3313	Min.	0.00	-2.73	2	-1.91	2	-0.37	2	-3.50	2	-0.83	2	-0.07	2
4385	-521	3313	Min.	16.72	-2.79	2	-1.91	2	-0.16	2	-4.24	2	-0.35	2	-0.07	2
4386	-786	-778	Max	0.00	-384.23	2	1.30	2	0.19	2	37.94	6	0.24	6	0.08	2
4386	-786	-778	Max	16.39					0.04	8			1.88	8		
4386	-786	-778	Max	21.63	-384.62	2	1.30	2	0.06	2	33.11	6	3.64	6	0.08	2
4386	-786	-778	Min.	0.00	-423.27	2	-1.15	2	-0.25	2	-2.85	6	-4.04	6	-0.07	2
4386	-786	-778	Min.	16.39					-0.07	8			-0.53	8		
4386	-786	-778	Min.	21.63	-423.66	2	-1.15	2	-0.08	2	-7.67	6	-0.90	6	-0.07	2
4386	-778	-762	Max	0.00	-392.81	2	0.47	2	0.03	6	34.37	6	1.56	6	0.02	2
4386	-778	-762	Max	21.36					-0.03	8			3.98	8		
4386	-778	-762	Max	21.63	-393.20	2	0.47	2	0.11	2	29.54	6	4.07	6	0.02	2
4386	-778	-762	Min.	0.00	-436.11	2	-0.33	2	-0.07	6	-8.31	6	-2.84	6	-0.00	2
4386	-778	-762	Min.	21.36					0.03	8			-0.70	8		
4386	-778	-762	Min.	21.63	-436.50	2	-0.33	2	-0.11	2	-13.13	6	-0.76	6	-0.00	2
4386	-762	-746	Max	0.00	-380.15	6	0.45	2	0.10	2	32.58	6	2.08	6	0.02	2
4386	-762	-746	Max	21.63	-380.55	6	0.45	2	0.05	6	27.75	6	4.06	6	0.02	2
4386	-762	-746	Min.	0.00	-469.46	6	-0.30	2	-0.11	2	-12.12	6	-2.47	6	-0.01	2
4386	-762	-746	Min.	21.63	-469.85	6	-0.30	2	-0.03	6	-16.94	6	-1.07	6	-0.01	2
4386	-746	-730	Max	0.00	-359.74	6	1.31	2	0.07	2	30.54	6	2.62	6	0.08	2

4386	-746	-730	Max	21.63	-360.13	6	1.31	2	0.25	2	25.71	6	4.01	6	0.08	2
4386	-746	-730	Min.	0.00	-504.25	6	-1.10	2	-0.05	2	-16.40	6	-2.07	6	-0.07	2
4386	-746	-730	Min.	21.63	-504.64	6	-1.10	2	-0.19	2	-21.23	6	-1.45	6	-0.07	2
4386	-730	-714	Max	0.00	-317.23	6	1.14	2	0.16	2	23.75	6	3.55	6	0.02	2
4386	-730	-714	Max	15.37					0.03	8			2.10	8		
4386	-730	-714	Max	21.63	-317.62	6	1.14	2	0.06	2	18.92	6	3.33	6	0.02	2
4386	-730	-714	Min.	0.00	-543.00	6	-1.08	2	-0.21	2	-25.45	6	-1.28	6	-0.07	2
4386	-730	-714	Min.	15.37					-0.06	8			-0.62	8		
4386	-730	-714	Min.	21.63	-543.40	6	-1.08	2	-0.09	2	-30.28	6	-2.48	6	-0.07	2
4386	-714	-698	Max	0.00	-277.02	6	0.35	2	0.04	2	21.56	6	3.93	6	-0.01	6
4386	-714	-698	Max	17.78					-0.03	8			2.40	8		
4386	-714	-698	Max	21.63	-277.41	6	0.35	2	0.09	2	16.74	6	3.06	6	-0.01	6
4386	-714	-698	Min.	0.00	-570.72	6	-0.34	2	-0.05	2	-30.41	6	-1.08	6	-0.02	6
4386	-714	-698	Min.	17.78					0.02	8			-1.82	8		
4386	-714	-698	Min.	21.63	-571.11	6	-0.34	2	-0.10	2	-35.23	6	-3.17	6	-0.02	6
4386	-698	-682	Max	0.00	-226.28	6	0.35	2	0.09	2	19.13	6	4.43	6	-0.01	2
4386	-698	-682	Max	21.63	-226.67	6	0.35	2	0.05	6	14.30	6	2.86	6	-0.01	2
4386	-698	-682	Min.	0.00	-596.08	6	-0.34	2	-0.08	2	-35.94	6	-0.76	6	-0.02	2
4386	-698	-682	Min.	21.63	-596.47	6	-0.34	2	-0.04	6	-40.76	6	-3.86	6	-0.02	2
4386	-682	-666	Max	0.00	-163.32	6	1.17	2	0.06	2	16.71	6	4.99	6	0.03	2
4386	-682	-666	Max	21.63	-163.71	6	1.17	2	0.24	2	11.89	6	2.70	6	0.03	2
4386	-682	-666	Min.	0.00	-618.94	6	-1.08	2	-0.03	2	-41.85	6	-0.40	6	-0.07	2
4386	-682	-666	Min.	21.63	-619.34	6	-1.08	2	-0.19	2	-46.68	6	-4.59	6	-0.07	2
4386	-666	-650	Max	0.00	-182.95	6	1.00	2	0.13	2	12.50	6	5.73	6	-0.00	2
4386	-666	-650	Max	14.56					0.02	8			1.70	8		
4386	-666	-650	Max	21.63	-183.34	6	1.00	2	0.05	2	7.67	6	2.32	6	-0.00	2
4386	-666	-650	Min.	0.00	-631.21	6	-0.97	2	-0.18	2	-49.69	6	0.13	6	-0.04	2
4386	-666	-650	Min.	14.56					-0.07	8			-1.73	8		
4386	-666	-650	Min.	21.63	-631.60	6	-0.97	2	-0.09	2	-54.51	6	-5.54	6	-0.04	2
4386	-650	-634	Max	0.00	-86.54	6	0.28	2	0.04	6	9.83	6	6.31	6	-0.01	2
4386	-650	-634	Max	21.63	-86.93	6	0.28	2	0.08	2	5.01	6	2.09	6	-0.01	2
4386	-650	-634	Min.	0.00	-645.18	6	-0.32	2	-0.05	6	-56.98	6	0.48	6	-0.03	2
4386	-650	-634	Min.	21.63	-645.57	6	-0.32	2	-0.10	2	-61.80	6	-6.54	6	-0.03	2
4386	-634	-618	Max	0.00	31.64	6	0.27	2	0.08	2	6.93	6	6.92	6	-0.01	6
4386	-634	-618	Max	4.33					-0.01	8			4.07	8		
4386	-634	-618	Max	21.63	31.25	6	0.27	2	0.03	6	2.10	6	1.88	6	-0.01	6
4386	-634	-618	Min.	0.00	-654.43	6	-0.31	2	-0.07	2	-65.11	6	0.90	6	-0.02	6
4386	-634	-618	Min.	4.33					0.02	8			1.18	8		
4386	-634	-618	Min.	21.63	-654.82	6	-0.31	2	-0.03	6	-69.94	6	-7.69	6	-0.02	6
4386	-618	-602	Max	0.00	177.43	6	1.07	2	0.05	2	3.86	6	7.58	6	0.00	2
4386	-618	-602	Max	3.65					0.04	8			4.85	8		
4386	-618	-602	Max	21.63	177.04	6	1.07	2	0.22	2	-0.96	6	1.74	6	0.00	2
4386	-618	-602	Min.	0.00	-657.51	6	-1.00	2	-0.02	2	-74.28	6	1.42	6	-0.04	2
4386	-618	-602	Min.	3.65					-0.01	8			1.55	8		
4386	-618	-602	Min.	21.63	-657.90	6	-1.00	2	-0.17	2	-79.11	6	-9.02	6	-0.04	2
4386	-602	-586	Max	0.00	370.20	6	0.78	2	0.12	2	-5.31	6	8.85	6	-0.01	2
4386	-602	-586	Max	21.63	369.81	6	0.78	2	0.05	2	-10.13	6	0.79	6	-0.01	2
4386	-602	-586	Min.	0.00	-655.33	6	-0.98	2	-0.13	2	-90.71	6	2.46	6	-0.11	2
4386	-602	-586	Min.	21.63	-655.72	6	-0.98	2	-0.11	2	-95.53	6	-11.30	6	-0.11	2
4386	-586	-570	Max	0.00	607.47	6	0.17	2	0.04	2	-9.43	6	9.27	6	-0.01	2
4386	-586	-570	Max	21.63	607.08	6	0.17	2	0.07	2	-14.26	6	0.33	6	-0.01	2
4386	-586	-570	Min.	0.00	-630.07	6	-0.43	2	-0.02	2	-103.18	6	2.89	6	-0.10	2
4386	-586	-570	Min.	21.63	-630.46	6	-0.43	2	-0.10	2	-108.01	6	-13.57	6	-0.10	2
4386	-570	-554	Max	0.00	902.08	6	0.08	2	0.07	2	-13.78	6	9.42	6	-0.02	2
4386	-570	-554	Max	21.63	901.69	6	0.08	2	0.02	6	-18.61	6	-0.07	6	-0.02	2
4386	-570	-554	Min.	0.00	-588.88	6	-0.33	2	-0.02	2	-119.81	6	3.43	6	-0.09	2
4386	-570	-554	Min.	21.63	-589.27	6	-0.33	2	-0.03	6	-124.63	6	-17.02	6	-0.09	2
4386	-554	4287	Max	0.00	1230.43	6	0.21	2	0.07	6	-22.98	6	5.45	6	-0.03	2
4386	-554	4287	Max	21.63	1230.04	6	0.21	2	0.11	2	-27.80	6	-1.33	6	-0.03	2

4386	-554	4287	Min.	0.00	-527.48	6	-0.78	2	0.01	6	-126.81	6	4.17	6	-0.05	2
4386	-554	4287	Min.	21.63	-527.87	6	-0.78	2	-0.16	2	-131.63	6	-22.51	6	-0.05	2
4386	4287	-538	Max	0.00	117.47	2	4.32	2	0.20	2	25.66	6	-0.90	2	0.01	2
4386	4287	-538	Max	16.72	117.23	2	4.32	2	0.35	2	22.61	6	1.86	6	0.01	2
4386	4287	-538	Min.	0.00	-10.21	2	-2.24	2	-0.37	2	4.54	6	-2.45	2	-0.01	2
4386	4287	-538	Min.	16.72	-10.46	2	-2.24	2	-0.18	2	1.48	6	-0.67	6	-0.01	2
4386	-538	-522	Max	0.00	72.39	2	5.08	2	0.21	2	16.66	2	0.05	2	0.09	2
4386	-538	-522	Max	16.72	72.14	2	5.08	2	0.42	2	13.60	2	1.00	2	0.09	2
4386	-538	-522	Min.	0.00	-6.05	2	-2.47	2	-0.43	2	2.20	2	-1.56	2	-0.06	2
4386	-538	-522	Min.	16.72	-6.29	2	-2.47	2	-0.20	2	-0.86	2	0.13	2	-0.06	2
4386	-522	3314	Max	0.00	27.93	2	4.69	6	0.18	6	16.20	2	0.03	2	0.10	2
4386	-522	3314	Max	16.72	27.68	2	4.69	6	0.40	6	13.14	2	1.29	2	0.10	2
4386	-522	3314	Min.	0.00	-1.30	2	-2.20	6	-0.38	6	1.01	2	-1.16	2	-0.08	2
4386	-522	3314	Min.	16.72	-1.55	2	-2.20	6	-0.19	6	-2.05	2	-0.06	2	-0.08	2
4423	-787	-779	Max	0.00	-718.18	2	1.17	2	0.19	2	46.37	6	-0.78	6	0.07	2
4423	-787	-779	Max	21.63	-718.58	2	1.17	2	0.06	2	41.54	6	4.48	6	0.07	2
4423	-787	-779	Min.	0.00	-751.32	2	-1.15	2	-0.20	2	5.62	6	-5.03	6	-0.08	2
4423	-787	-779	Min.	21.63	-751.71	2	-1.15	2	-0.06	2	0.79	6	-0.08	6	-0.08	2
4423	-779	-763	Max	0.00	-721.78	6	0.34	2	0.03	2	42.32	6	1.01	6	0.01	2
4423	-779	-763	Max	21.63	-722.17	6	0.34	2	0.11	2	37.50	6	5.27	6	0.01	2
4423	-779	-763	Min.	0.00	-783.27	6	-0.34	2	-0.04	2	-0.29	6	-3.37	6	-0.01	2
4423	-779	-763	Min.	21.63	-783.67	6	-0.34	2	-0.11	2	-5.12	6	0.43	6	-0.01	2
4423	-763	-747	Max	0.00	-716.14	6	0.32	2	0.10	2	40.99	6	1.60	6	0.01	2
4423	-763	-747	Max	21.63	-716.53	6	0.32	2	0.03	2	36.16	6	5.42	6	0.01	2
4423	-763	-747	Min.	0.00	-827.61	6	-0.31	2	-0.10	2	-3.64	6	-2.92	6	-0.01	2
4423	-763	-747	Min.	21.63	-828.00	6	-0.31	2	-0.03	2	-8.47	6	0.29	6	-0.01	2
4423	-747	-731	Max	0.00	-704.84	6	1.14	2	0.05	2	39.67	6	2.37	6	0.07	2
4423	-747	-731	Max	21.63	-705.23	6	1.14	2	0.20	2	34.85	6	5.76	6	0.07	2
4423	-747	-731	Min.	0.00	-871.40	6	-1.12	2	-0.05	2	-7.22	6	-2.30	6	-0.07	2
4423	-747	-731	Min.	21.63	-871.79	6	-1.12	2	-0.19	2	-12.05	6	0.28	6	-0.07	2
4423	-731	-715	Max	0.00	-683.50	6	1.03	2	0.15	2	19.56	6	4.71	6	0.04	2
4423	-731	-715	Max	21.63	-683.89	6	1.03	2	0.06	2	14.73	6	3.63	6	0.04	2
4423	-731	-715	Min.	0.00	-905.01	6	-1.02	2	-0.17	2	-29.31	6	-0.08	6	-0.06	2
4423	-731	-715	Min.	21.63	-905.40	6	-1.02	2	-0.07	2	-34.14	6	-2.15	6	-0.06	2
4423	-715	-699	Max	0.00	-639.63	6	0.28	2	0.03	2	17.60	6	4.83	6	-0.00	2
4423	-715	-699	Max	21.63	-640.02	6	0.28	2	0.09	2	12.77	6	3.14	6	-0.00	2
4423	-715	-699	Min.	0.00	-928.49	6	-0.28	2	-0.04	2	-34.03	6	-0.15	6	-0.01	2
4423	-715	-699	Min.	21.63	-928.88	6	-0.28	2	-0.10	2	-38.86	6	-3.05	6	-0.01	2
4423	-699	-683	Max	0.00	-583.17	6	0.30	2	0.09	2	14.71	6	5.39	6	0.00	2
4423	-699	-683	Max	21.63	-583.56	6	0.30	2	0.02	2	9.88	6	2.89	6	0.00	2
4423	-699	-683	Min.	0.00	-947.45	6	-0.30	2	-0.08	2	-39.99	6	0.23	6	-0.01	2
4423	-699	-683	Min.	21.63	-947.84	6	-0.30	2	-0.02	2	-44.82	6	-3.78	6	-0.01	2
4423	-683	-667	Max	0.00	-512.05	6	1.07	2	0.04	2	12.27	6	6.19	6	0.04	2
4423	-683	-667	Max	21.63	-512.44	6	1.07	2	0.20	2	7.44	6	2.97	6	0.04	2
4423	-683	-667	Min.	0.00	-961.32	6	-1.04	2	-0.03	2	-45.94	6	0.83	6	-0.05	2
4423	-683	-667	Min.	21.63	-961.71	6	-1.04	2	-0.19	2	-50.76	6	-4.27	6	-0.05	2
4423	-667	-651	Max	0.00	-450.68	6	0.88	2	0.12	2	-7.23	6	8.56	6	0.01	2
4423	-667	-651	Max	21.63	-451.07	6	0.88	2	0.06	2	-12.05	6	0.89	6	0.01	2
4423	-667	-651	Min.	0.00	-937.25	6	-0.90	2	-0.14	2	-69.40	6	2.98	6	-0.03	2
4423	-667	-651	Min.	21.63	-937.64	6	-0.90	2	-0.07	2	-74.23	6	-6.97	6	-0.03	2
4423	-651	-635	Max	0.00	-321.22	6	0.21	2	0.04	2	-10.89	6	8.93	6	-0.01	2
4423	-651	-635	Max	21.63	-321.61	6	0.21	2	0.08	2	-15.72	6	0.26	6	-0.01	2
4423	-651	-635	Min.	0.00	-916.91	6	-0.26	2	-0.04	2	-77.60	6	3.14	6	-0.02	2
4423	-651	-635	Min.	21.63	-917.30	6	-0.26	2	-0.09	2	-82.43	6	-8.38	6	-0.02	2
4423	-635	-619	Max	0.00	-161.58	6	0.24	2	0.08	2	-15.63	6	9.68	6	-0.01	2
4423	-635	-619	Max	21.63	-161.97	6	0.24	2	0.02	2	-20.46	6	-0.21	6	-0.01	2
4423	-635	-619	Min.	0.00	-885.43	6	-0.29	2	-0.07	2	-87.58	6	3.69	6	-0.01	2
4423	-635	-619	Min.	21.63	-885.82	6	-0.29	2	-0.02	2	-92.40	6	-9.79	6	-0.01	2
4423	-619	-603	Max	0.00	34.66	6	0.96	2	0.04	2	-20.49	6	10.64	6	0.00	2

4423	-619	-603	Max	21.63	34.27	6	0.96	2	0.18	2	-25.31	6	-0.45	6	0.00	2
4423	-619	-603	Min.	0.00	-838.98	6	-1.00	2	-0.02	2	-98.54	6	4.50	6	-0.03	2
4423	-619	-603	Min.	21.63	-839.37	6	-1.00	2	-0.18	2	-103.36	6	-11.20	6	-0.03	2
4423	-603	-587	Max	0.00	284.61	6	0.83	2	0.10	2	-46.04	6	13.55	6	0.05	2
4423	-603	-587	Max	21.63	284.22	6	0.83	2	0.07	2	-50.87	6	-3.36	6	0.05	2
4423	-603	-587	Min.	0.00	-755.70	6	-0.79	2	-0.11	2	-131.84	6	7.12	6	-0.04	2
4423	-603	-587	Min.	21.63	-756.09	6	-0.79	2	-0.07	2	-136.67	6	-15.50	6	-0.04	2
4423	-587	-571	Max	0.00	624.20	6	0.27	2	0.03	2	-54.04	6	13.90	6	0.04	2
4423	-587	-571	Max	21.63	623.80	6	0.27	2	0.08	2	-58.86	6	-4.71	6	0.04	2
4423	-587	-571	Min.	0.00	-628.86	6	-0.26	2	-0.03	2	-148.18	6	7.50	6	-0.04	2
4423	-587	-571	Min.	21.63	-629.25	6	-0.26	2	-0.08	2	-153.00	6	-18.68	6	-0.04	2
4423	-571	-555	Max	0.00	1044.44	6	0.18	2	0.05	2	-63.81	6	14.06	6	0.03	2
4423	-571	-555	Max	21.63	1044.05	6	0.18	2	0.01	2	-68.64	6	-6.28	6	0.03	2
4423	-571	-555	Min.	0.00	-463.08	6	-0.19	2	-0.05	2	-170.39	6	8.05	6	-0.03	2
4423	-571	-555	Min.	21.63	-463.47	6	-0.19	2	-0.01	2	-175.21	6	-23.32	6	-0.03	2
4423	-555	4288	Max	0.00	1512.66	6	0.67	2	0.01	2	-76.69	6	8.71	6	-0.01	2
4423	-555	4288	Max	21.63	1512.27	6	0.67	2	0.16	2	-81.52	6	-9.64	6	-0.01	2
4423	-555	4288	Min.	0.00	-262.85	6	-0.42	2	-0.03	2	-180.61	6	7.47	6	-0.03	2
4423	-555	4288	Min.	21.63	-263.24	6	-0.42	2	-0.12	2	-185.44	6	-30.88	6	-0.03	2
4423	4288	-539	Max	0.00	195.50	2	3.21	2	0.22	2	35.30	6	-2.27	2	0.03	2
4423	4288	-539	Max	16.72	195.25	2	3.21	2	0.25	2	32.24	6	2.16	6	0.03	2
4423	4288	-539	Min.	0.00	69.55	2	-2.60	2	-0.29	2	14.46	6	-3.70	2	0.01	2
4423	4288	-539	Min.	16.72	69.30	2	-2.60	2	-0.21	2	11.40	6	-0.32	6	0.01	2
4423	-539	-523	Max	0.00	122.81	2	3.29	2	0.23	2	24.26	2	-0.77	2	0.05	2
4423	-539	-523	Max	16.72	122.56	2	3.29	2	0.27	2	21.20	2	1.49	2	0.05	2
4423	-539	-523	Min.	0.00	51.10	2	-2.74	2	-0.28	2	9.93	2	-2.35	2	-0.10	2
4423	-539	-523	Min.	16.72	50.85	2	-2.74	2	-0.23	2	6.87	2	0.60	2	-0.10	2
4423	-523	3315	Max	0.00	45.35	2	2.61	2	0.17	2	25.15	2	-0.73	2	0.04	2
4423	-523	3315	Max	16.72	45.11	2	2.61	2	0.22	2	22.09	2	2.06	2	0.04	2
4423	-523	3315	Min.	0.00	27.37	2	-2.13	2	-0.22	2	10.26	2	-1.89	2	-0.13	2
4423	-523	3315	Min.	16.72	27.13	2	-2.13	2	-0.19	2	7.20	2	0.73	2	-0.13	2
4424	-788	-780	Max	0.00	-724.07	2	1.22	2	0.20	2	46.55	6	-0.77	6	0.07	2
4424	-788	-780	Max	21.63	-724.48	2	1.22	2	0.06	2	41.48	6	4.49	6	0.07	2
4424	-788	-780	Min.	0.00	-740.68	2	-1.20	2	-0.21	2	5.69	6	-5.03	6	-0.07	2
4424	-788	-780	Min.	21.63	-741.10	2	-1.20	2	-0.07	2	0.61	6	-0.08	6	-0.07	2
4424	-780	-764	Max	0.00	-724.10	6	0.37	2	0.04	2	42.39	6	1.04	6	0.01	2
4424	-780	-764	Max	21.63	-724.51	6	0.37	2	0.11	2	37.31	6	5.27	6	0.01	2
4424	-780	-764	Min.	0.00	-776.07	6	-0.36	2	-0.04	2	-0.37	6	-3.36	6	-0.01	2
4424	-780	-764	Min.	21.63	-776.48	6	-0.36	2	-0.11	2	-5.44	6	0.41	6	-0.01	2
4424	-764	-748	Max	0.00	-718.22	6	0.35	2	0.10	2	40.92	6	1.64	6	0.01	2
4424	-764	-748	Max	21.63	-718.63	6	0.35	2	0.03	2	35.85	6	5.41	6	0.01	2
4424	-764	-748	Min.	0.00	-820.22	6	-0.33	2	-0.10	2	-3.85	6	-2.90	6	-0.01	2
4424	-764	-748	Min.	21.63	-820.64	6	-0.33	2	-0.03	2	-8.92	6	0.26	6	-0.01	2
4424	-748	-732	Max	0.00	-706.52	6	1.20	2	0.05	2	39.45	6	2.42	6	0.07	2
4424	-748	-732	Max	21.63	-706.93	6	1.20	2	0.21	2	34.38	6	5.72	6	0.07	2
4424	-748	-732	Min.	0.00	-863.70	6	-1.17	2	-0.05	2	-7.58	6	-2.27	6	-0.07	2
4424	-748	-732	Min.	21.63	-864.11	6	-1.17	2	-0.20	2	-12.66	6	0.23	6	-0.07	2
4424	-732	-716	Max	0.00	-681.06	6	1.08	2	0.16	2	19.57	6	4.75	6	0.04	2
4424	-732	-716	Max	21.63	-681.47	6	1.08	2	0.06	2	14.50	6	3.62	6	0.04	2
4424	-732	-716	Min.	0.00	-898.56	6	-1.07	2	-0.17	2	-29.49	6	-0.07	6	-0.06	2
4424	-732	-716	Min.	21.63	-898.97	6	-1.07	2	-0.07	2	-34.56	6	-2.18	6	-0.06	2
4424	-716	-700	Max	0.00	-636.61	6	0.30	2	0.03	2	17.47	6	4.88	6	-0.00	2
4424	-716	-700	Max	21.63	-637.02	6	0.30	2	0.10	2	12.40	6	3.11	6	-0.00	2
4424	-716	-700	Min.	0.00	-921.82	6	-0.30	2	-0.04	2	-34.35	6	-0.12	6	-0.01	2
4424	-716	-700	Min.	21.63	-922.23	6	-0.30	2	-0.10	2	-39.43	6	-3.10	6	-0.01	2
4424	-700	-684	Max	0.00	-579.31	6	0.32	2	0.09	2	14.43	6	5.46	6	0.00	2
4424	-700	-684	Max	21.63	-579.72	6	0.32	2	0.03	2	9.35	6	2.85	6	0.00	2
4424	-700	-684	Min.	0.00	-940.36	6	-0.32	2	-0.09	2	-40.47	6	0.28	6	-0.01	2
4424	-700	-684	Min.	21.63	-940.77	6	-0.32	2	-0.02	2	-45.55	6	-3.84	6	-0.01	2

4424	-684	-668	Max	0.00	-506.97	6	1.13	2	0.05	2	11.85	6	6.28	6	0.04	2
4424	-684	-668	Max	21.63	-507.38	6	1.13	2	0.22	2	6.77	6	2.93	6	0.04	2
4424	-684	-668	Min.	0.00	-953.52	6	-1.10	2	-0.03	2	-46.57	6	0.91	6	-0.05	2
4424	-684	-668	Min.	21.63	-953.93	6	-1.10	2	-0.20	2	-51.65	6	-4.34	6	-0.05	2
4424	-668	-652	Max	0.00	-467.62	6	0.94	2	0.13	2	-8.63	6	8.72	6	0.01	2
4424	-668	-652	Max	21.63	-468.03	6	0.94	2	0.06	2	-13.70	6	0.75	6	0.01	2
4424	-668	-652	Min.	0.00	-950.94	6	-0.94	2	-0.15	2	-70.60	6	3.17	6	-0.03	2
4424	-668	-652	Min.	21.63	-951.35	6	-0.94	2	-0.08	2	-75.68	6	-7.10	6	-0.03	2
4424	-652	-636	Max	0.00	-334.68	6	0.24	2	0.04	2	-12.53	6	9.11	6	-0.01	2
4424	-652	-636	Max	21.63	-335.09	6	0.24	2	0.09	2	-17.61	6	0.08	6	-0.01	2
4424	-652	-636	Min.	0.00	-928.77	6	-0.27	2	-0.04	2	-79.04	6	3.34	6	-0.01	2
4424	-652	-636	Min.	21.63	-929.18	6	-0.27	2	-0.09	2	-84.12	6	-8.54	6	-0.01	2
4424	-636	-620	Max	0.00	-171.81	6	0.27	2	0.08	2	-17.54	6	9.87	6	-0.01	2
4424	-636	-620	Max	21.63	-172.22	6	0.27	2	0.02	2	-22.61	6	-0.43	6	-0.01	2
4424	-636	-620	Min.	0.00	-893.87	6	-0.30	2	-0.08	2	-89.26	6	3.91	6	-0.01	2
4424	-636	-620	Min.	21.63	-894.28	6	-0.30	2	-0.02	2	-94.34	6	-9.99	6	-0.01	2
4424	-620	-604	Max	0.00	27.95	6	1.03	2	0.04	2	-22.69	6	10.83	6	0.00	2
4424	-620	-604	Max	21.63	27.53	6	1.03	2	0.20	2	-27.76	6	-0.75	6	0.00	2
4424	-620	-604	Min.	0.00	-843.30	6	-1.03	2	-0.03	2	-100.49	6	4.69	6	-0.03	2
4424	-620	-604	Min.	21.63	-843.72	6	-1.03	2	-0.18	2	-105.57	6	-11.48	6	-0.03	2
4424	-604	-588	Max	0.00	283.23	6	0.87	2	0.10	2	-44.89	6	13.42	6	0.04	2
4424	-604	-588	Max	21.63	282.81	6	0.87	2	0.07	2	-49.97	6	-3.31	6	0.04	2
4424	-604	-588	Min.	0.00	-756.30	6	-0.81	2	-0.12	2	-131.11	6	6.95	6	-0.04	2
4424	-604	-588	Min.	21.63	-756.71	6	-0.81	2	-0.08	2	-136.18	6	-15.49	6	-0.04	2
4424	-588	-572	Max	0.00	622.17	6	0.28	2	0.03	2	-53.05	6	13.85	6	0.04	2
4424	-588	-572	Max	21.63	621.76	6	0.28	2	0.08	2	-58.13	6	-4.62	6	0.04	2
4424	-588	-572	Min.	0.00	-631.16	6	-0.26	2	-0.03	2	-147.66	6	7.40	6	-0.04	2
4424	-588	-572	Min.	21.63	-631.57	6	-0.26	2	-0.08	2	-152.73	6	-18.65	6	-0.04	2
4424	-572	-556	Max	0.00	1041.42	6	0.20	2	0.05	2	-62.80	6	14.02	6	0.03	2
4424	-572	-556	Max	21.63	1041.01	6	0.20	2	0.01	2	-67.88	6	-6.17	6	0.03	2
4424	-572	-556	Min.	0.00	-467.62	6	-0.18	2	-0.05	2	-169.87	6	7.97	6	-0.03	2
4424	-572	-556	Min.	21.63	-468.03	6	-0.18	2	-0.01	2	-174.95	6	-23.28	6	-0.03	2
4424	-556	4290	Max	0.00	1508.66	6	0.44	2	0.03	2	-75.86	6	8.70	6	0.02	2
4424	-556	4290	Max	11.15					-0.02	8			-1.29	8		
4424	-556	4290	Max	21.63	1508.25	6	0.44	2	0.12	2	-80.93	6	-9.54	6	0.02	2
4424	-556	4290	Min.	0.00	-269.76	6	-0.67	2	-0.01	2	-180.40	6	7.42	6	0.00	2
4424	-556	4290	Min.	11.15					0.02	8			-11.45	8		
4424	-556	4290	Min.	21.63	-270.17	6	-0.67	2	-0.15	2	-185.48	6	-30.88	6	0.00	2
4424	4290	-540	Max	0.00	159.94	2	2.79	2	0.24	2	31.86	6	-1.78	2	-0.04	2
4424	4290	-540	Max	16.72	159.68	2	2.79	2	0.23	2	28.65	6	2.07	6	-0.04	2
4424	4290	-540	Min.	0.00	36.42	2	-2.75	2	-0.24	2	11.12	6	-3.23	2	-0.05	2
4424	4290	-540	Min.	16.72	36.16	2	-2.75	2	-0.22	2	7.91	6	-0.43	6	-0.05	2
4424	-540	-524	Max	0.00	98.26	2	3.29	2	0.23	2	20.08	2	-0.30	2	0.05	2
4424	-540	-524	Max	16.72	98.00	2	3.29	2	0.27	2	16.87	2	1.21	2	0.05	2
4424	-540	-524	Min.	0.00	28.01	2	-2.74	2	-0.28	2	5.50	2	-1.91	2	-0.10	2
4424	-540	-524	Min.	16.72	27.75	2	-2.74	2	-0.23	2	2.29	2	0.32	2	-0.10	2
4424	-524	3316	Max	0.00	35.10	2	2.83	2	0.18	2	20.31	2	-0.33	2	0.07	2
4424	-524	3316	Max	16.72	34.84	2	2.83	2	0.24	2	17.10	2	1.63	2	0.07	2
4424	-524	3316	Min.	0.00	17.49	2	-2.25	2	-0.23	2	5.25	2	-1.49	2	-0.10	2
4424	-524	3316	Min.	16.72	17.23	2	-2.25	2	-0.19	2	2.04	2	0.28	2	-0.10	2
4461	-789	-781	Max	0.00	-724.02	2	1.21	2	0.21	2	46.53	6	-0.76	6	0.07	2
4461	-789	-781	Max	21.63	-724.43	2	1.21	2	0.07	2	41.46	6	4.49	6	0.07	2
4461	-789	-781	Min.	0.00	-740.39	2	-1.22	2	-0.20	2	5.68	6	-5.03	6	-0.07	2
4461	-789	-781	Min.	21.63	-740.80	2	-1.22	2	-0.06	2	0.61	6	-0.08	6	-0.07	2
4461	-781	-765	Max	0.00	-724.08	6	0.36	2	0.04	2	42.37	6	1.04	6	0.01	2
4461	-781	-765	Max	21.63	-724.49	6	0.36	2	0.11	2	37.30	6	5.26	6	0.01	2
4461	-781	-765	Min.	0.00	-775.72	6	-0.37	2	-0.04	2	-0.37	6	-3.35	6	-0.01	2
4461	-781	-765	Min.	21.63	-776.13	6	-0.37	2	-0.11	2	-5.45	6	0.41	6	-0.01	2
4461	-765	-749	Max	0.00	-718.19	6	0.34	2	0.10	2	40.90	6	1.64	6	0.01	2

4461	-765	-749	Max	21.63	-718.60	6	0.34	2	0.03	2	35.83	6	5.40	6	0.01	2
4461	-765	-749	Min.	0.00	-819.85	6	-0.35	2	-0.10	2	-3.85	6	-2.90	6	-0.01	2
4461	-765	-749	Min.	21.63	-820.26	6	-0.35	2	-0.03	2	-8.93	6	0.26	6	-0.01	2
4461	-749	-733	Max	0.00	-706.48	6	1.17	2	0.05	2	39.43	6	2.42	6	0.07	2
4461	-749	-733	Max	21.63	-706.89	6	1.17	2	0.20	2	34.36	6	5.72	6	0.07	2
4461	-749	-733	Min.	0.00	-863.30	6	-1.20	2	-0.05	2	-7.59	6	-2.27	6	-0.07	2
4461	-749	-733	Min.	21.63	-863.72	6	-1.20	2	-0.21	2	-12.66	6	0.23	6	-0.07	2
4461	-733	-717	Max	0.00	-681.02	6	1.07	2	0.17	2	19.56	6	4.75	6	0.06	2
4461	-733	-717	Max	21.63	-681.43	6	1.07	2	0.07	2	14.48	6	3.61	6	0.06	2
4461	-733	-717	Min.	0.00	-898.38	6	-1.08	2	-0.16	2	-29.50	6	-0.07	6	-0.04	2
4461	-733	-717	Min.	21.63	-898.79	6	-1.08	2	-0.06	2	-34.57	6	-2.18	6	-0.04	2
4461	-717	-701	Max	0.00	-636.55	6	0.30	2	0.04	2	17.46	6	4.88	6	0.01	2
4461	-717	-701	Max	21.63	-636.97	6	0.30	2	0.10	2	12.38	6	3.11	6	0.01	2
4461	-717	-701	Min.	0.00	-921.61	6	-0.30	2	-0.04	2	-34.36	6	-0.11	6	0.00	2
4461	-717	-701	Min.	21.63	-922.02	6	-0.30	2	-0.10	2	-39.44	6	-3.10	6	0.00	2
4461	-701	-685	Max	0.00	-579.25	6	0.32	2	0.09	2	14.41	6	5.46	6	0.01	2
4461	-701	-685	Max	21.63	-579.66	6	0.32	2	0.02	2	9.34	6	2.85	6	0.01	2
4461	-701	-685	Min.	0.00	-940.13	6	-0.32	2	-0.09	2	-40.48	6	0.28	6	0.00	2
4461	-701	-685	Min.	21.63	-940.55	6	-0.32	2	-0.03	2	-45.55	6	-3.84	6	0.00	2
4461	-685	-669	Max	0.00	-506.89	6	1.10	2	0.03	2	11.83	6	6.28	6	0.05	2
4461	-685	-669	Max	21.63	-507.31	6	1.10	2	0.20	2	6.76	6	2.93	6	0.05	2
4461	-685	-669	Min.	0.00	-953.27	6	-1.13	2	-0.05	2	-46.58	6	0.92	6	-0.04	2
4461	-685	-669	Min.	21.63	-953.68	6	-1.13	2	-0.22	2	-51.66	6	-4.34	6	-0.04	2
4461	-669	-653	Max	0.00	-467.57	6	0.94	2	0.15	2	-8.64	6	8.72	6	0.03	2
4461	-669	-653	Max	21.63	-467.98	6	0.94	2	0.08	2	-13.71	6	0.75	6	0.03	2
4461	-669	-653	Min.	0.00	-950.76	6	-0.94	2	-0.13	2	-70.61	6	3.17	6	-0.01	2
4461	-669	-653	Min.	21.63	-951.18	6	-0.94	2	-0.06	2	-75.69	6	-7.10	6	-0.01	2
4461	-653	-637	Max	0.00	-334.62	6	0.27	2	0.04	2	-12.54	6	9.11	6	0.01	2
4461	-653	-637	Max	21.63	-335.03	6	0.27	2	0.09	2	-17.62	6	0.08	6	0.01	2
4461	-653	-637	Min.	0.00	-928.58	6	-0.24	2	-0.04	2	-79.05	6	3.35	6	0.01	2
4461	-653	-637	Min.	21.63	-928.99	6	-0.24	2	-0.09	2	-84.12	6	-8.54	6	0.01	2
4461	-637	-621	Max	0.00	-171.73	6	0.30	2	0.08	2	-17.55	6	9.87	6	0.01	6
4461	-637	-621	Max	21.63	-172.14	6	0.30	2	0.02	2	-22.62	6	-0.43	6	0.01	6
4461	-637	-621	Min.	0.00	-893.65	6	-0.27	2	-0.08	2	-89.27	6	3.91	6	0.01	6
4461	-637	-621	Min.	21.63	-894.07	6	-0.27	2	-0.02	2	-94.34	6	-9.99	6	0.01	6
4461	-621	-605	Max	0.00	28.04	6	1.03	2	0.03	2	-22.70	6	10.83	6	0.03	2
4461	-621	-605	Max	21.63	27.63	6	1.03	2	0.18	2	-27.78	6	-0.75	6	0.03	2
4461	-621	-605	Min.	0.00	-843.06	6	-1.03	2	-0.04	2	-100.50	6	4.69	6	-0.00	2
4461	-621	-605	Min.	21.63	-843.48	6	-1.03	2	-0.20	2	-105.57	6	-11.48	6	-0.00	2
4461	-605	-589	Max	0.00	283.32	6	0.81	2	0.12	2	-44.90	6	13.42	6	0.04	2
4461	-605	-589	Max	21.63	282.91	6	0.81	2	0.08	2	-49.97	6	-3.31	6	0.04	2
4461	-605	-589	Min.	0.00	-756.15	6	-0.87	2	-0.10	2	-131.12	6	6.95	6	-0.04	2
4461	-605	-589	Min.	21.63	-756.56	6	-0.87	2	-0.07	2	-136.19	6	-15.50	6	-0.04	2
4461	-589	-573	Max	0.00	622.29	6	0.26	2	0.03	2	-53.06	6	13.85	6	0.04	2
4461	-589	-573	Max	21.63	621.88	6	0.26	2	0.08	2	-58.13	6	-4.63	6	0.04	2
4461	-589	-573	Min.	0.00	-630.99	6	-0.28	2	-0.03	2	-147.67	6	7.40	6	-0.04	2
4461	-589	-573	Min.	21.63	-631.40	6	-0.28	2	-0.08	2	-152.74	6	-18.65	6	-0.04	2
4461	-573	-557	Max	0.00	1041.56	6	0.18	2	0.05	2	-62.81	6	14.02	6	0.03	2
4461	-573	-557	Max	21.63	1041.15	6	0.18	2	0.01	2	-67.89	6	-6.17	6	0.03	2
4461	-573	-557	Min.	0.00	-467.43	6	-0.20	2	-0.05	2	-169.88	6	7.97	6	-0.03	2
4461	-573	-557	Min.	21.63	-467.84	6	-0.20	2	-0.01	2	-174.96	6	-23.28	6	-0.03	2
4461	-557	4291	Max	0.00	1508.83	6	0.67	2	0.01	2	-75.87	6	8.70	6	-0.00	2
4461	-557	4291	Max	21.63	1508.42	6	0.67	2	0.15	2	-80.94	6	-9.54	6	-0.00	2
4461	-557	4291	Min.	0.00	-269.54	6	-0.44	2	-0.03	2	-180.41	6	7.42	6	-0.02	2
4461	-557	4291	Min.	21.63	-269.96	6	-0.44	2	-0.12	2	-185.48	6	-30.88	6	-0.02	2
4461	4291	-541	Max	0.00	160.00	2	2.76	2	0.24	2	31.87	6	-1.78	2	0.05	2
4461	4291	-541	Max	16.72	159.74	2	2.76	2	0.22	2	28.66	6	2.07	6	0.05	2
4461	4291	-541	Min.	0.00	36.57	2	-2.78	2	-0.24	2	11.11	6	-3.23	2	0.04	2
4461	4291	-541	Min.	16.72	36.31	2	-2.78	2	-0.23	2	7.90	6	-0.43	6	0.04	2

4461	-541	-525	Max	0.00	98.31	2	2.75	2	0.28	2	20.09	2	-0.30	2	0.10	2
4461	-541	-525	Max	16.72	98.05	2	2.75	2	0.23	2	16.88	2	1.21	2	0.10	2
4461	-541	-525	Min.	0.00	28.09	2	-3.27	2	-0.23	2	5.50	2	-1.91	2	-0.05	2
4461	-541	-525	Min.	16.72	27.83	2	-3.27	2	-0.27	2	2.29	2	0.32	2	-0.05	2
4461	-525	3317	Max	0.00	35.12	2	2.26	2	0.23	2	20.31	2	-0.33	2	0.10	2
4461	-525	3317	Max	16.72	34.86	2	2.26	2	0.19	2	17.10	2	1.64	2	0.10	2
4461	-525	3317	Min.	0.00	17.51	2	-2.82	2	-0.18	2	5.25	2	-1.49	2	-0.07	2
4461	-525	3317	Min.	16.72	17.25	2	-2.82	2	-0.24	2	2.04	2	0.28	2	-0.07	2
4462	-790	-782	Max	0.00	-718.41	2	1.16	2	0.19	2	46.38	6	-0.78	6	0.08	2
4462	-790	-782	Max	21.63	-718.80	2	1.16	2	0.06	2	41.56	6	4.48	6	0.08	2
4462	-790	-782	Min.	0.00	-751.47	2	-1.16	2	-0.19	2	5.62	6	-5.04	6	-0.07	2
4462	-790	-782	Min.	21.63	-751.86	2	-1.16	2	-0.06	2	0.80	6	-0.08	6	-0.07	2
4462	-782	-766	Max	0.00	-721.84	6	0.34	2	0.04	2	42.34	6	1.01	6	0.01	2
4462	-782	-766	Max	21.63	-722.24	6	0.34	2	0.11	2	37.52	6	5.27	6	0.01	2
4462	-782	-766	Min.	0.00	-783.62	6	-0.34	2	-0.03	2	-0.29	6	-3.37	6	-0.01	2
4462	-782	-766	Min.	21.63	-784.01	6	-0.34	2	-0.11	2	-5.12	6	0.43	6	-0.01	2
4462	-766	-750	Max	0.00	-716.21	6	0.31	2	0.10	2	41.01	6	1.60	6	0.01	2
4462	-766	-750	Max	21.63	-716.60	6	0.31	2	0.03	2	36.18	6	5.42	6	0.01	2
4462	-766	-750	Min.	0.00	-827.98	6	-0.32	2	-0.10	2	-3.64	6	-2.93	6	-0.01	2
4462	-766	-750	Min.	21.63	-828.37	6	-0.32	2	-0.03	2	-8.47	6	0.29	6	-0.01	2
4462	-750	-734	Max	0.00	-704.91	6	1.12	2	0.05	2	39.69	6	2.37	6	0.07	2
4462	-750	-734	Max	21.63	-705.30	6	1.12	2	0.19	2	34.87	6	5.76	6	0.07	2
4462	-750	-734	Min.	0.00	-871.79	6	-1.14	2	-0.05	2	-7.22	6	-2.31	6	-0.07	2
4462	-750	-734	Min.	21.63	-872.18	6	-1.14	2	-0.20	2	-12.05	6	0.28	6	-0.07	2
4462	-734	-718	Max	0.00	-683.54	6	1.02	2	0.16	2	19.57	6	4.72	6	0.06	2
4462	-734	-718	Max	21.63	-683.93	6	1.02	2	0.07	2	14.75	6	3.63	6	0.06	2
4462	-734	-718	Min.	0.00	-905.21	6	-1.03	2	-0.15	2	-29.31	6	-0.08	6	-0.04	2
4462	-734	-718	Min.	21.63	-905.61	6	-1.03	2	-0.06	2	-34.14	6	-2.15	6	-0.04	2
4462	-718	-702	Max	0.00	-639.67	6	0.28	2	0.04	2	17.62	6	4.83	6	0.01	2
4462	-718	-702	Max	21.63	-640.07	6	0.28	2	0.10	2	12.79	6	3.14	6	0.01	2
4462	-718	-702	Min.	0.00	-928.72	6	-0.28	2	-0.03	2	-34.03	6	-0.15	6	0.00	2
4462	-718	-702	Min.	21.63	-929.11	6	-0.28	2	-0.09	2	-38.86	6	-3.05	6	0.00	2
4462	-702	-686	Max	0.00	-583.21	6	0.30	2	0.08	2	14.73	6	5.39	6	0.01	2
4462	-702	-686	Max	21.63	-583.61	6	0.30	2	0.02	2	9.90	6	2.89	6	0.01	2
4462	-702	-686	Min.	0.00	-947.70	6	-0.30	2	-0.09	2	-40.00	6	0.23	6	0.00	2
4462	-702	-686	Min.	21.63	-948.09	6	-0.30	2	-0.02	2	-44.82	6	-3.78	6	0.00	2
4462	-686	-670	Max	0.00	-512.10	6	1.04	2	0.03	2	12.29	6	6.19	6	0.05	2
4462	-686	-670	Max	21.63	-512.49	6	1.04	2	0.19	2	7.47	6	2.97	6	0.05	2
4462	-686	-670	Min.	0.00	-961.59	6	-1.07	2	-0.04	2	-45.94	6	0.83	6	-0.04	2
4462	-686	-670	Min.	21.63	-961.98	6	-1.07	2	-0.20	2	-50.76	6	-4.27	6	-0.04	2
4462	-670	-654	Max	0.00	-450.70	6	0.90	2	0.14	2	-7.21	6	8.56	6	0.03	2
4462	-670	-654	Max	21.63	-451.09	6	0.90	2	0.07	2	-12.04	6	0.89	6	0.03	2
4462	-670	-654	Min.	0.00	-937.39	6	-0.88	2	-0.12	2	-69.40	6	2.97	6	-0.01	2
4462	-670	-654	Min.	21.63	-937.79	6	-0.88	2	-0.06	2	-74.23	6	-6.97	6	-0.01	2
4462	-654	-638	Max	0.00	-321.23	6	0.26	2	0.04	2	-10.88	6	8.93	6	0.02	2
4462	-654	-638	Max	21.63	-321.62	6	0.26	2	0.09	2	-15.71	6	0.27	6	0.02	2
4462	-654	-638	Min.	0.00	-917.07	6	-0.21	2	-0.04	2	-77.60	6	3.14	6	0.01	2
4462	-654	-638	Min.	21.63	-917.46	6	-0.21	2	-0.08	2	-82.43	6	-8.38	6	0.01	2
4462	-638	-622	Max	0.00	-161.57	6	0.29	2	0.07	2	-15.62	6	9.68	6	0.01	2
4462	-638	-622	Max	21.63	-161.97	6	0.29	2	0.02	2	-20.45	6	-0.21	6	0.01	2
4462	-638	-622	Min.	0.00	-885.63	6	-0.24	2	-0.08	2	-87.58	6	3.69	6	0.01	2
4462	-638	-622	Min.	21.63	-886.02	6	-0.24	2	-0.02	2	-92.41	6	-9.79	6	0.01	2
4462	-622	-606	Max	0.00	34.67	6	1.00	2	0.02	2	-20.47	6	10.64	6	0.03	2
4462	-622	-606	Max	21.63	34.28	6	1.00	2	0.18	2	-25.30	6	-0.45	6	0.03	2
4462	-622	-606	Min.	0.00	-839.21	6	-0.96	2	-0.04	2	-98.54	6	4.50	6	-0.00	2
4462	-622	-606	Min.	21.63	-839.60	6	-0.96	2	-0.18	2	-103.36	6	-11.20	6	-0.00	2
4462	-606	-590	Max	0.00	284.61	6	0.79	2	0.11	2	-46.03	6	13.55	6	0.04	2
4462	-606	-590	Max	21.63	284.21	6	0.79	2	0.07	2	-50.86	6	-3.36	6	0.04	2
4462	-606	-590	Min.	0.00	-755.82	6	-0.83	2	-0.10	2	-131.85	6	7.12	6	-0.05	2

4462	-606	-590	Min.	21.63	-756.21	6	-0.83	2	-0.07	2	-136.67	6	-15.50	6	-0.05	2
4462	-590	-574	Max	0.00	624.20	6	0.26	2	0.03	2	-54.03	6	13.90	6	0.04	2
4462	-590	-574	Max	21.63	623.81	6	0.26	2	0.08	2	-58.86	6	-4.71	6	0.04	2
4462	-590	-574	Min.	0.00	-629.00	6	-0.27	2	-0.03	2	-148.18	6	7.50	6	-0.04	2
4462	-590	-574	Min.	21.63	-629.39	6	-0.27	2	-0.08	2	-153.01	6	-18.68	6	-0.04	2
4462	-574	-558	Max	0.00	1044.45	6	0.19	2	0.05	2	-63.80	6	14.06	6	0.03	2
4462	-574	-558	Max	21.63	1044.06	6	0.19	2	0.01	2	-68.63	6	-6.28	6	0.03	2
4462	-574	-558	Min.	0.00	-463.24	6	-0.18	2	-0.05	2	-170.39	6	8.05	6	-0.03	2
4462	-574	-558	Min.	21.63	-463.63	6	-0.18	2	-0.01	2	-175.22	6	-23.32	6	-0.03	2
4462	-558	4293	Max	0.00	1512.68	6	0.42	2	0.03	2	-76.68	6	8.71	6	0.03	2
4462	-558	4293	Max	0.98					-0.00	8			6.87	8		
4462	-558	4293	Max	21.63	1512.29	6	0.42	2	0.12	2	-81.51	6	-9.64	6	0.03	2
4462	-558	4293	Min.	0.00	-263.04	6	-0.67	2	-0.01	2	-180.62	6	7.47	6	0.01	2
4462	-558	4293	Min.	0.98					0.01	8			6.80	8		
4462	-558	4293	Min.	21.63	-263.43	6	-0.67	2	-0.16	2	-185.44	6	-30.89	6	0.01	2
4462	4293	-542	Max	0.00	195.42	2	2.61	2	0.29	2	35.29	6	-2.27	2	-0.01	2
4462	4293	-542	Max	16.72	195.17	2	2.61	2	0.21	2	32.23	6	2.16	6	-0.01	2
4462	4293	-542	Min.	0.00	69.43	2	-3.20	2	-0.22	2	14.46	6	-3.70	2	-0.03	2
4462	4293	-542	Min.	16.72	69.18	2	-3.20	2	-0.25	2	11.40	6	-0.32	6	-0.03	2
4462	-542	-526	Max	0.00	122.76	2	2.76	2	0.28	2	24.25	2	-0.77	2	0.10	2
4462	-542	-526	Max	16.72	122.51	2	2.76	2	0.23	2	21.19	2	1.49	2	0.10	2
4462	-542	-526	Min.	0.00	51.01	2	-3.27	2	-0.23	2	9.92	2	-2.35	2	-0.05	2
4462	-542	-526	Min.	16.72	50.77	2	-3.27	2	-0.27	2	6.86	2	0.60	2	-0.05	2
4462	-526	3318	Max	0.00	45.35	2	2.13	2	0.21	2	25.14	2	-0.73	2	0.13	2
4462	-526	3318	Max	16.72	45.10	2	2.13	2	0.19	2	22.09	2	2.06	2	0.13	2
4462	-526	3318	Min.	0.00	27.33	2	-2.59	2	-0.17	2	10.26	2	-1.89	2	-0.04	2
4462	-526	3318	Min.	16.72	27.08	2	-2.59	2	-0.22	2	7.20	2	0.73	2	-0.04	2
4499	-791	-783	Max	0.00	-383.89	2	1.15	2	0.25	2	37.95	6	0.24	6	0.07	2
4499	-791	-783	Max	13.09					0.07	8			0.74	8		
4499	-791	-783	Max	21.63	-384.28	2	1.15	2	0.08	2	33.13	6	3.65	6	0.07	2
4499	-791	-783	Min.	0.00	-423.84	2	-1.31	2	-0.19	2	-2.86	6	-4.04	6	-0.08	2
4499	-791	-783	Min.	13.09					-0.03	8			-0.33	8		
4499	-791	-783	Min.	21.63	-424.23	2	-1.31	2	-0.06	2	-7.69	6	-0.90	6	-0.08	2
4499	-783	-767	Max	0.00	-392.31	2	0.33	2	0.06	6	34.38	6	1.57	6	0.00	2
4499	-783	-767	Max	21.63	-392.71	2	0.33	2	0.11	2	29.55	6	4.07	6	0.00	2
4499	-783	-767	Min.	0.00	-436.83	2	-0.47	2	-0.03	6	-8.32	6	-2.84	6	-0.02	2
4499	-783	-767	Min.	21.63	-437.22	2	-0.47	2	-0.11	2	-13.15	6	-0.76	6	-0.02	2
4499	-767	-751	Max	0.00	-379.85	6	0.29	2	0.11	2	32.59	6	2.08	6	0.01	2
4499	-767	-751	Max	2.16					-0.02	8			1.79	8		
4499	-767	-751	Max	21.63	-380.24	6	0.29	2	0.03	6	27.76	6	4.06	6	0.01	2
4499	-767	-751	Min.	0.00	-469.99	6	-0.45	2	-0.10	2	-12.13	6	-2.47	6	-0.02	2
4499	-767	-751	Min.	2.16					0.03	8			-1.75	8		
4499	-767	-751	Min.	21.63	-470.38	6	-0.45	2	-0.05	6	-16.96	6	-1.07	6	-0.02	2
4499	-751	-735	Max	0.00	-359.41	6	1.10	2	0.05	2	30.55	6	2.62	6	0.07	2
4499	-751	-735	Max	4.33					0.02	8			1.88	8		
4499	-751	-735	Max	21.63	-359.81	6	1.10	2	0.19	2	25.72	6	4.01	6	0.07	2
4499	-751	-735	Min.	0.00	-504.80	6	-1.30	2	-0.07	2	-16.42	6	-2.08	6	-0.08	2
4499	-751	-735	Min.	4.33					-0.05	8			-0.76	8		
4499	-751	-735	Min.	21.63	-505.19	6	-1.30	2	-0.25	2	-21.24	6	-1.45	6	-0.08	2
4499	-735	-719	Max	0.00	-317.02	6	1.09	2	0.21	2	23.75	6	3.55	6	0.07	2
4499	-735	-719	Max	13.46					0.06	8			1.71	8		
4499	-735	-719	Max	21.63	-317.41	6	1.09	2	0.09	2	18.93	6	3.33	6	0.07	2
4499	-735	-719	Min.	0.00	-543.26	6	-1.15	2	-0.16	2	-25.47	6	-1.28	6	-0.02	2
4499	-735	-719	Min.	13.46					-0.02	8			-0.08	8		
4499	-735	-719	Min.	21.63	-543.66	6	-1.15	2	-0.06	2	-30.29	6	-2.48	6	-0.02	2
4499	-719	-703	Max	0.00	-276.79	6	0.34	2	0.05	6	21.57	6	3.93	6	0.02	6
4499	-719	-703	Max	17.73					-0.02	8			2.39	8		
4499	-719	-703	Max	21.63	-277.18	6	0.34	2	0.10	2	16.75	6	3.06	6	0.02	6
4499	-719	-703	Min.	0.00	-570.99	6	-0.35	2	-0.04	6	-30.42	6	-1.08	6	0.01	6

4499	-719	-703	Min.	17.73					0.03	8			-1.81	8		
4499	-719	-703	Min.	21.63	-571.38	6	-0.35	2	-0.09	2	-35.25	6	-3.17	6	0.01	6
4499	-703	-687	Max	0.00	-226.02	6	0.33	2	0.08	2	19.14	6	4.44	6	0.02	2
4499	-703	-687	Max	21.63	-226.42	6	0.33	2	0.04	6	14.31	6	2.86	6	0.02	2
4499	-703	-687	Min.	0.00	-596.37	6	-0.35	2	-0.09	2	-35.95	6	-0.76	6	0.01	2
4499	-703	-687	Min.	21.63	-596.76	6	-0.35	2	-0.05	6	-40.78	6	-3.86	6	0.01	2
4499	-687	-671	Max	0.00	-163.04	6	1.07	2	0.03	2	16.73	6	4.99	6	0.07	2
4499	-687	-671	Max	3.79					0.02	8			3.39	8		
4499	-687	-671	Max	21.63	-163.43	6	1.07	2	0.19	2	11.90	6	2.70	6	0.07	2
4499	-687	-671	Min.	0.00	-619.25	6	-1.16	2	-0.07	2	-41.87	6	-0.40	6	-0.03	2
4499	-687	-671	Min.	3.79					-0.06	8			0.22	8		
4499	-687	-671	Min.	21.63	-619.64	6	-1.16	2	-0.24	2	-46.69	6	-4.59	6	-0.03	2
4499	-671	-655	Max	0.00	-182.67	6	0.97	2	0.19	2	12.50	6	5.73	6	0.04	2
4499	-671	-655	Max	14.69					0.07	8			1.72	8		
4499	-671	-655	Max	21.63	-183.06	6	0.97	2	0.09	2	7.67	6	2.32	6	0.04	2
4499	-671	-655	Min.	0.00	-631.54	6	-1.00	2	-0.13	2	-49.70	6	0.13	6	0.00	2
4499	-671	-655	Min.	14.69					-0.02	8			-1.80	8		
4499	-671	-655	Min.	21.63	-631.93	6	-1.00	2	-0.05	2	-54.52	6	-5.54	6	0.00	2
4499	-655	-639	Max	0.00	-86.23	6	0.32	2	0.05	6	9.83	6	6.31	6	0.03	2
4499	-655	-639	Max	21.63	-86.62	6	0.32	2	0.10	2	5.01	6	2.09	6	0.03	2
4499	-655	-639	Min.	0.00	-645.52	6	-0.28	2	-0.04	6	-56.99	6	0.48	6	0.01	2
4499	-655	-639	Min.	21.63	-645.91	6	-0.28	2	-0.08	2	-61.81	6	-6.54	6	0.01	2
4499	-639	-623	Max	0.00	31.97	6	0.31	2	0.07	2	6.93	6	6.92	6	0.02	6
4499	-639	-623	Max	21.63	31.58	6	0.31	2	0.03	6	2.11	6	1.88	6	0.02	6
4499	-639	-623	Min.	0.00	-654.79	6	-0.27	2	-0.08	2	-65.12	6	0.90	6	0.01	6
4499	-639	-623	Min.	21.63	-655.18	6	-0.27	2	-0.03	6	-69.95	6	-7.69	6	0.01	6
4499	-623	-607	Max	0.00	177.80	6	0.99	2	0.02	2	3.86	6	7.58	6	0.04	2
4499	-623	-607	Max	3.25					0.01	8			5.15	8		
4499	-623	-607	Max	21.63	177.41	6	0.99	2	0.17	2	-0.96	6	1.74	6	0.04	2
4499	-623	-607	Min.	0.00	-657.88	6	-1.06	2	-0.05	2	-74.29	6	1.42	6	-0.00	2
4499	-623	-607	Min.	3.25					-0.04	8			1.54	8		
4499	-623	-607	Min.	21.63	-658.27	6	-1.06	2	-0.22	2	-79.12	6	-9.02	6	-0.00	2
4499	-607	-591	Max	0.00	370.53	6	0.98	2	0.13	2	-5.31	6	8.85	6	0.11	2
4499	-607	-591	Max	12.84					0.06	8			1.60	8		
4499	-607	-591	Max	21.63	370.14	6	0.98	2	0.11	2	-10.14	6	0.79	6	0.11	2
4499	-607	-591	Min.	0.00	-655.51	6	-0.78	2	-0.12	2	-90.72	6	2.46	6	0.01	2
4499	-607	-591	Min.	12.84					-0.02	8			-2.98	8		
4499	-607	-591	Min.	21.63	-655.90	6	-0.78	2	-0.05	2	-95.55	6	-11.30	6	0.01	2
4499	-591	-575	Max	0.00	607.84	6	0.43	2	0.02	2	-9.44	6	9.27	6	0.10	2
4499	-591	-575	Max	21.63	607.44	6	0.43	2	0.10	2	-14.26	6	0.33	6	0.10	2
4499	-591	-575	Min.	0.00	-630.24	6	-0.18	2	-0.04	2	-103.20	6	2.89	6	0.01	2
4499	-591	-575	Min.	21.63	-630.63	6	-0.18	2	-0.07	2	-108.02	6	-13.57	6	0.01	2
4499	-575	-559	Max	0.00	902.48	6	0.33	2	0.02	2	-13.79	6	9.42	6	0.09	2
4499	-575	-559	Max	21.63	902.09	6	0.33	2	0.03	6	-18.61	6	-0.07	6	0.09	2
4499	-575	-559	Min.	0.00	-589.04	6	-0.08	2	-0.07	2	-119.83	6	3.43	6	0.02	2
4499	-575	-559	Min.	21.63	-589.43	6	-0.08	2	-0.02	6	-124.65	6	-17.02	6	0.02	2
4499	-559	4294	Max	0.00	1230.88	6	0.78	2	-0.01	6	-22.98	6	5.45	6	0.05	2
4499	-559	4294	Max	21.63	1230.49	6	0.78	2	0.16	2	-27.81	6	-1.33	6	0.05	2
4499	-559	4294	Min.	0.00	-527.63	6	-0.21	2	-0.07	6	-126.82	6	4.17	6	0.03	2
4499	-559	4294	Min.	21.63	-528.02	6	-0.21	2	-0.11	2	-131.65	6	-22.51	6	0.03	2
4499	4294	-543	Max	0.00	117.74	2	2.26	2	0.37	2	25.67	6	-0.91	2	0.01	2
4499	4294	-543	Max	16.72	117.50	2	2.26	2	0.18	2	22.61	6	1.86	6	0.01	2
4499	4294	-543	Min.	0.00	-10.56	2	-4.37	2	-0.20	2	4.56	6	-2.45	2	-0.01	2
4499	4294	-543	Min.	16.72	-10.81	2	-4.37	2	-0.36	2	1.50	6	-0.67	6	-0.01	2
4499	-543	-527	Max	0.00	72.56	2	2.50	2	0.43	2	16.66	2	0.05	2	0.06	2
4499	-543	-527	Max	16.72	72.31	2	2.50	2	0.20	2	13.60	2	1.00	2	0.06	2
4499	-543	-527	Min.	0.00	-6.27	2	-5.13	2	-0.21	2	2.22	2	-1.56	2	-0.09	2
4499	-543	-527	Min.	16.72	-6.52	2	-5.13	2	-0.42	2	-0.84	2	0.13	2	-0.09	2
4499	-527	3319	Max	0.00	28.00	2	2.19	6	0.39	2	16.20	2	0.03	2	0.08	2

4499	-527	3319	Max	16.72	27.75	2	2.19	6	0.19	6	13.14	2	1.29	2	0.08	2
4499	-527	3319	Min.	0.00	-1.41	2	-4.70	6	-0.18	2	1.03	2	-1.16	2	-0.10	2
4499	-527	3319	Min.	16.72	-1.65	2	-4.70	6	-0.40	6	-2.03	2	-0.05	2	-0.10	2
4500	-792	-784	Max	0.00	-389.56	6	0.57	2	0.15	2	30.74	6	0.85	6	0.08	2
4500	-792	-784	Max	21.63	-389.64	6	0.57	2	0.06	6	29.75	6	3.29	6	0.08	2
4500	-792	-784	Min.	0.00	-413.04	6	-0.74	2	-0.09	2	-8.45	6	-3.26	6	-0.08	2
4500	-792	-784	Min.	21.63	-413.12	6	-0.74	2	-0.03	6	-9.45	6	-1.09	6	-0.08	2
4500	-784	-768	Max	0.00	-375.36	6	0.16	6	0.06	6	29.30	6	1.70	6	0.01	2
4500	-784	-768	Max	21.63	-375.44	6	0.16	6	0.06	2	28.31	6	3.72	6	0.01	2
4500	-784	-768	Min.	0.00	-443.11	6	-0.31	6	-0.03	6	-11.71	6	-2.52	6	-0.02	2
4500	-784	-768	Min.	21.63	-443.19	6	-0.31	6	-0.06	2	-12.70	6	-0.94	6	-0.02	2
4500	-768	-752	Max	0.00	-359.50	6	0.15	6	0.05	2	29.18	6	2.01	6	0.01	2
4500	-768	-752	Max	21.63	-359.58	6	0.15	6	0.03	6	28.19	6	3.86	6	0.01	2
4500	-768	-752	Min.	0.00	-476.07	6	-0.31	6	-0.05	2	-13.80	6	-2.34	6	-0.02	2
4500	-768	-752	Min.	21.63	-476.15	6	-0.31	6	-0.05	6	-14.79	6	-1.09	6	-0.02	2
4500	-752	-736	Max	0.00	-339.55	6	0.52	2	0.03	6	29.23	6	2.42	6	0.07	2
4500	-752	-736	Max	3.79					0.02	8			1.80	8		
4500	-752	-736	Max	21.63	-339.63	6	0.52	2	0.09	2	28.23	6	4.14	6	0.07	2
4500	-752	-736	Min.	0.00	-509.97	6	-0.74	2	-0.05	6	-15.96	6	-2.08	6	-0.09	2
4500	-752	-736	Min.	3.79					-0.06	8			-0.96	8		
4500	-752	-736	Min.	21.63	-510.05	6	-0.74	2	-0.16	2	-16.95	6	-1.14	6	-0.09	2
4500	-736	-720	Max	0.00	-326.33	6	0.53	2	0.13	6	19.50	6	3.65	6	0.08	2
4500	-736	-720	Max	21.63	-326.42	6	0.53	2	0.06	2	18.50	6	3.12	6	0.08	2
4500	-736	-720	Min.	0.00	-532.74	6	-0.60	2	-0.08	6	-27.76	6	-0.99	6	-0.03	2
4500	-736	-720	Min.	21.63	-532.82	6	-0.60	2	-0.03	2	-28.76	6	-2.47	6	-0.03	2
4500	-720	-704	Max	0.00	-286.96	6	0.21	6	0.05	6	19.29	6	3.74	6	0.02	2
4500	-720	-704	Max	21.63	-287.05	6	0.21	6	0.05	2	18.30	6	2.99	6	0.02	2
4500	-720	-704	Min.	0.00	-559.28	6	-0.23	6	-0.03	6	-30.68	6	-1.08	6	0.01	2
4500	-720	-704	Min.	21.63	-559.36	6	-0.23	6	-0.04	2	-31.67	6	-3.01	6	0.01	2
4500	-704	-688	Max	0.00	-239.36	6	0.21	6	0.04	2	18.71	6	4.06	6	0.03	2
4500	-704	-688	Max	21.63	-239.44	6	0.21	6	0.03	6	17.71	6	3.00	6	0.03	2
4500	-704	-688	Min.	0.00	-585.61	6	-0.23	6	-0.04	2	-34.26	6	-0.94	6	0.00	2
4500	-704	-688	Min.	21.63	-585.69	6	-0.23	6	-0.04	6	-35.26	6	-3.46	6	0.00	2
4500	-688	-672	Max	0.00	-181.91	6	0.53	2	0.01	6	18.67	6	4.53	6	0.08	2
4500	-688	-672	Max	21.63	-181.99	6	0.53	2	0.10	2	17.67	6	3.28	6	0.08	2
4500	-688	-672	Min.	0.00	-611.51	6	-0.63	2	-0.05	6	-37.73	6	-0.65	6	-0.04	2
4500	-688	-672	Min.	21.63	-611.59	6	-0.63	2	-0.15	2	-38.73	6	-3.74	6	-0.04	2
4500	-672	-656	Max	0.00	-103.58	6	0.44	2	0.12	6	6.63	6	6.11	6	0.05	2
4500	-672	-656	Max	21.63	-103.66	6	0.44	2	0.07	2	5.63	6	2.02	6	0.05	2
4500	-672	-656	Min.	0.00	-639.93	6	-0.48	2	-0.06	6	-53.93	6	0.70	6	-0.01	2
4500	-672	-656	Min.	21.63	-640.01	6	-0.48	2	-0.02	2	-54.93	6	-5.67	6	-0.01	2
4500	-656	-640	Max	0.00	-5.52	6	0.19	6	0.04	6	5.84	6	6.27	6	0.02	6
4500	-656	-640	Max	21.63	-5.60	6	0.19	6	0.05	2	4.85	6	1.84	6	0.02	6
4500	-656	-640	Min.	0.00	-650.49	6	-0.16	6	-0.03	6	-59.10	6	0.69	6	0.01	6
4500	-656	-640	Min.	21.63	-650.57	6	-0.16	6	-0.03	2	-60.09	6	-6.62	6	0.01	6
4500	-640	-624	Max	0.00	112.30	6	0.19	6	0.03	2	4.69	6	6.67	6	0.03	2
4500	-640	-624	Max	21.63	112.22	6	0.19	6	0.03	6	3.70	6	1.80	6	0.03	2
4500	-640	-624	Min.	0.00	-658.42	6	-0.16	6	-0.04	2	-65.39	6	0.90	6	0.01	2
4500	-640	-624	Min.	21.63	-658.50	6	-0.16	6	-0.03	6	-66.39	6	-7.58	6	0.01	2
4500	-624	-608	Max	0.00	254.00	6	0.50	2	0.00	6	3.88	6	7.15	6	0.05	2
4500	-624	-608	Max	21.63	253.92	6	0.50	2	0.09	2	2.89	6	1.95	6	0.05	2
4500	-624	-608	Min.	0.00	-663.48	6	-0.58	2	-0.04	6	-72.16	6	1.22	6	-0.01	2
4500	-624	-608	Min.	21.63	-663.56	6	-0.58	2	-0.14	2	-73.16	6	-8.57	6	-0.01	2
4500	-608	-592	Max	0.00	421.05	6	0.54	2	0.09	6	-3.76	6	8.45	6	0.10	2
4500	-608	-592	Max	21.63	420.97	6	0.54	2	0.08	2	-4.76	6	1.13	6	0.10	2
4500	-608	-592	Min.	0.00	-650.53	6	-0.34	2	-0.08	6	-89.03	6	2.05	6	0.02	2
4500	-608	-592	Min.	21.63	-650.61	6	-0.34	2	-0.03	2	-90.02	6	-10.91	6	0.02	2
4500	-592	-576	Max	0.00	646.72	6	0.33	2	0.02	6	-5.79	6	8.67	6	0.10	2
4500	-592	-576	Max	21.63	646.63	6	0.33	2	0.06	2	-6.79	6	0.96	6	0.10	2

4500	-592	-576	Min.	0.00	-635.38	6	-0.07	2	-0.04	6	-99.34	6	2.32	6	0.01	2
4500	-592	-576	Min.	21.63	-635.46	6	-0.07	2	-0.03	2	-100.34	6	-12.93	6	0.01	2
4500	-576	-560	Max	0.00	923.17	6	0.27	6	-0.01	2	-7.36	6	8.61	6	0.10	2
4500	-576	-560	Max	21.63	923.09	6	0.27	6	0.03	6	-8.35	6	0.95	6	0.10	2
4500	-576	-560	Min.	0.00	-612.50	6	-0.01	6	-0.03	2	-113.19	6	2.65	6	0.01	2
4500	-576	-560	Min.	21.63	-612.58	6	-0.01	6	-0.02	6	-114.18	6	-15.98	6	0.01	2
4500	-560	4296	Max	0.00	1226.17	6	0.49	6	0.00	2	-13.90	6	4.72	6	0.09	2
4500	-560	4296	Max	21.63	1226.09	6	0.49	6	0.10	6	-14.90	6	0.35	6	0.09	2
4500	-560	4296	Min.	0.00	-576.67	6	-0.10	6	-0.07	2	-117.65	6	3.46	6	0.01	2
4500	-560	4296	Min.	21.63	-576.76	6	-0.10	6	-0.08	6	-118.65	6	-20.84	6	0.01	2
4500	4296	-544	Max	0.00	112.49	2	2.30	2	0.42	2	19.67	6	-0.28	2	0.03	2
4500	4296	-544	Max	16.72	112.43	2	2.30	2	0.18	2	18.93	6	1.63	6	0.03	2
4500	4296	-544	Min.	0.00	-24.34	2	-4.83	2	-0.20	2	-1.29	6	-1.85	2	-0.05	2
4500	4296	-544	Min.	16.72	-24.40	2	-4.83	2	-0.38	2	-2.04	6	-0.82	6	-0.05	2
4500	-544	-528	Max	0.00	66.44	2	2.50	2	0.43	2	10.51	2	0.40	2	0.06	2
4500	-544	-528	Max	16.72	66.38	2	2.50	2	0.20	2	9.77	2	0.68	2	0.06	2
4500	-544	-528	Min.	0.00	-12.98	2	-5.13	2	-0.21	2	-2.70	2	-1.06	2	-0.09	2
4500	-544	-528	Min.	16.72	-13.04	2	-5.13	2	-0.42	2	-3.44	2	-0.15	2	-0.09	2
4500	-528	3320	Max	0.00	23.31	2	1.94	2	0.37	2	10.91	2	0.30	2	0.07	2
4500	-528	3320	Max	16.72	23.25	2	1.94	2	0.16	2	10.17	2	0.93	2	0.07	2
4500	-528	3320	Min.	0.00	-2.80	2	-4.45	2	-0.16	2	-3.50	2	-0.83	2	-0.10	2
4500	-528	3320	Min.	16.72	-2.86	2	-4.45	2	-0.37	2	-4.24	2	-0.35	2	-0.10	2
6002	-513	-514	Max	0.00	0.06	6	8.95	2	0.91	2	-0.60	2	0.03	2	0.32	2
6002	-513	-514	Max	12.00	0.06	6	8.95	2	0.61	2	1.00	2	0.06	2	0.32	2
6002	-513	-514	Min.	0.00	-0.43	6	-17.32	2	-0.46	2	-0.63	2	-0.04	2	-0.23	2
6002	-513	-514	Min.	12.00	-0.43	6	-17.32	2	-1.17	2	0.97	2	-0.02	2	-0.23	2
6003	-529	-530	Max	0.00	0.81	2	5.34	2	0.60	2	0.50	2	0.03	6	0.06	2
6003	-529	-530	Max	12.00	0.81	2	5.34	2	0.32	2	0.97	2	0.09	2	0.06	2
6003	-529	-530	Min.	0.00	-0.40	2	-9.98	2	-0.32	2	-1.33	2	0.00	6	-0.04	2
6003	-529	-530	Min.	12.00	-0.40	2	-9.98	2	-0.60	2	-0.86	2	-0.11	2	-0.04	2
6004	313	314	Max	1.77	-1.98	6	1.12	2	0.11	2	2.12	2	-0.08	2	0.16	2
6004	313	314	Max	2.76					0.10	4			-0.11	4		
6004	313	314	Max	15.00	-1.98	6	1.12	2	0.01	6	1.18	2	-0.15	6	0.16	2
6004	313	314	Min.	1.77	-8.27	6	-0.76	2	-0.14	2	-0.05	2	-0.41	2	-0.09	2
6004	313	314	Min.	2.76					-0.13	4			-0.36	4		
6004	313	314	Min.	15.00	-8.27	6	-0.76	2	0.01	6	-0.99	2	-0.19	6	-0.09	2
6004	314	315	Max	0.00	-1.98	6	1.12	2	0.01	6	1.18	2	-0.15	6	0.16	2
6004	314	315	Max	1.08					0.01	8			-0.15	8		
6004	314	315	Max	13.23	-1.98	6	1.12	2	0.16	2	0.24	2	-0.09	2	0.16	2
6004	314	315	Min.	0.00	-8.27	6	-0.76	2	0.01	6	-0.99	2	-0.19	6	-0.09	2
6004	314	315	Min.	1.08					0.01	8			-0.19	8		
6004	314	315	Min.	13.23	-8.27	6	-0.76	2	-0.09	2	-1.93	2	-0.35	2	-0.09	2
6005	-1	-2	Max	2.83	22.09	2	0.37	2	0.02	2	9.82	2	1.38	2	0.00	6
6005	-1	-2	Max	26.15	22.09	2	0.37	2	0.05	2	7.99	2	1.08	2	0.00	6
6005	-1	-2	Min.	2.83	19.50	2	-0.18	2	-0.04	2	-10.37	2	-1.00	2	0.00	6
6005	-1	-2	Min.	26.15	19.50	2	-0.18	2	-0.02	2	-12.21	2	-1.25	2	0.00	6
6006	-33	-34	Max	2.83	5.47	2	0.05	2	0.01	6	15.30	2	2.31	2	0.01	2
6006	-33	-34	Max	25.84	5.47	2	0.05	2	0.01	6	13.49	2	1.74	2	0.01	2
6006	-33	-34	Min.	2.83	4.31	2	-0.03	2	-0.01	6	-18.23	2	-1.57	2	-0.02	2
6006	-33	-34	Min.	25.84	4.31	2	-0.03	2	-0.01	6	-20.04	2	-2.09	2	-0.02	2
6007	-65	-66	Max	2.83	-0.45	6	0.14	2	0.03	2	13.10	2	1.91	2	0.00	6
6007	-65	-66	Max	13.91					-0.01	8			0.02	8		
6007	-65	-66	Max	25.22	-0.45	6	0.14	2	0.02	2	12.22	2	1.39	2	0.00	6
6007	-65	-66	Min.	2.83	-0.74	6	-0.20	2	-0.02	2	-16.67	2	-1.45	2	-0.00	6
6007	-65	-66	Min.	13.91					0.01	8			0.01	8		
6007	-65	-66	Min.	25.22	-0.74	6	-0.20	2	-0.02	2	-17.55	2	-1.92	2	-0.00	6
6008	-97	-98	Max	2.83	0.09	6	0.20	2	0.04	2	16.85	2	2.43	2	0.00	6
6008	-97	-98	Max	12.57					-0.01	8			0.10	8		
6008	-97	-98	Max	24.59	0.09	6	0.20	2	0.03	2	15.99	2	1.76	2	0.00	6

6008	-97	-98	Min.	2.83	-0.13	6	-0.28	2	-0.02	2	-21.80	2	-1.82	2	-0.00	6
6008	-97	-98	Min.	12.57					0.02	8			-0.01	8		
6008	-97	-98	Min.	24.59	-0.13	6	-0.28	2	-0.03	2	-22.66	2	-2.41	2	-0.00	6
6009	-129	-130	Max	2.83	0.02	6	0.24	2	0.04	2	18.24	2	2.56	2	0.00	6
6009	-129	-130	Max	12.63					-0.01	8			0.08	8		
6009	-129	-130	Max	23.97	0.02	6	0.24	2	0.03	2	17.41	2	1.85	2	0.00	6
6009	-129	-130	Min.	2.83	-0.19	6	-0.31	2	-0.02	2	-23.75	2	-1.91	2	-0.00	6
6009	-129	-130	Min.	12.63					0.02	8			-0.01	8		
6009	-129	-130	Min.	23.97	-0.19	6	-0.31	2	-0.03	2	-24.58	2	-2.54	2	-0.00	6
6010	-161	-162	Max	2.83	0.02	6	0.25	2	0.04	2	19.10	2	2.62	2	0.01	6
6010	-161	-162	Max	12.39					-0.01	8			0.07	8		
6010	-161	-162	Max	23.34	0.02	6	0.25	2	0.03	2	18.30	2	1.89	2	0.01	6
6010	-161	-162	Min.	2.83	-0.18	6	-0.34	2	-0.02	2	-25.00	2	-1.95	2	-0.00	6
6010	-161	-162	Min.	12.39					0.02	8			-0.01	8		
6010	-161	-162	Min.	23.34	-0.18	6	-0.34	2	-0.03	2	-25.80	2	-2.59	2	-0.00	6
6011	-193	-194	Max	2.83	0.02	6	0.26	2	0.04	2	19.86	2	2.65	2	0.01	6
6011	-193	-194	Max	12.67					-0.01	8			0.02	8		
6011	-193	-194	Max	22.72	0.02	6	0.26	2	0.04	2	19.08	2	1.90	2	0.01	6
6011	-193	-194	Min.	2.83	-0.18	6	-0.35	2	-0.02	2	-26.11	2	-1.97	2	-0.00	6
6011	-193	-194	Min.	12.67					0.02	8			0.01	8		
6011	-193	-194	Min.	22.72	-0.18	6	-0.35	2	-0.03	2	-26.89	2	-2.62	2	-0.00	6
6012	-225	-226	Max	2.83	0.02	6	0.28	2	0.04	2	20.61	2	2.67	2	0.01	6
6012	-225	-226	Max	12.36					-0.01	8			0.02	8		
6012	-225	-226	Max	22.09	0.02	6	0.28	2	0.04	2	19.86	2	1.92	2	0.01	6
6012	-225	-226	Min.	2.83	-0.19	6	-0.37	2	-0.02	2	-27.24	2	-1.98	2	-0.00	6
6012	-225	-226	Min.	12.36					0.02	8			0.01	8		
6012	-225	-226	Min.	22.09	-0.19	6	-0.37	2	-0.03	2	-27.99	2	-2.64	2	-0.00	6
6013	-257	-258	Max	2.83	0.02	6	0.29	2	0.04	2	21.39	2	2.70	2	0.01	6
6013	-257	-258	Max	12.21					0.02	8			0.01	8		
6013	-257	-258	Max	21.47	0.02	6	0.29	2	0.04	2	20.66	2	1.93	2	0.01	6
6013	-257	-258	Min.	2.83	-0.19	6	-0.39	2	-0.02	2	-28.40	2	-1.99	2	-0.00	6
6013	-257	-258	Min.	12.21					-0.01	8			0.00	8		
6013	-257	-258	Min.	21.47	-0.19	6	-0.39	2	-0.03	2	-29.13	2	-2.66	2	-0.00	6
6014	-289	-290	Max	2.83	0.03	6	0.30	2	0.04	2	22.18	2	2.72	2	0.01	6
6014	-289	-290	Max	11.76					-0.01	8			0.01	8		
6014	-289	-290	Max	20.84	0.03	6	0.30	2	0.04	2	21.48	2	1.93	2	0.01	6
6014	-289	-290	Min.	2.83	-0.19	6	-0.40	2	-0.02	2	-29.62	2	-2.00	2	-0.00	6
6014	-289	-290	Min.	11.76					0.02	8			0.01	8		
6014	-289	-290	Min.	20.84	-0.19	6	-0.40	2	-0.03	2	-30.32	2	-2.68	2	-0.00	6
6015	-321	-322	Max	2.83	0.03	6	0.31	2	0.05	2	23.01	2	2.74	2	0.01	6
6015	-321	-322	Max	11.63					0.02	8			0.01	8		
6015	-321	-322	Max	20.22	0.03	6	0.31	2	0.04	2	22.33	2	1.94	2	0.01	6
6015	-321	-322	Min.	2.83	-0.19	6	-0.42	2	-0.02	2	-30.89	2	-2.00	2	-0.00	6
6015	-321	-322	Min.	11.63					-0.01	8			-0.00	8		
6015	-321	-322	Min.	20.22	-0.19	6	-0.42	2	-0.04	2	-31.57	2	-2.70	2	-0.00	6
6016	-353	-354	Max	2.83	0.05	6	0.32	2	0.05	2	23.87	2	2.75	2	0.01	6
6016	-353	-354	Max	11.04					-0.01	8			0.02	8		
6016	-353	-354	Max	19.59	0.05	6	0.32	2	0.04	2	23.21	2	1.94	2	0.01	6
6016	-353	-354	Min.	2.83	-0.23	6	-0.44	2	-0.02	2	-32.23	2	-2.01	2	-0.00	6
6016	-353	-354	Min.	11.04					0.02	8			0.01	8		
6016	-353	-354	Min.	19.59	-0.23	6	-0.44	2	-0.04	2	-32.89	2	-2.71	2	-0.00	6
6017	-385	-386	Max	2.83	0.02	6	0.34	2	0.05	2	24.75	2	2.76	2	0.01	6
6017	-385	-386	Max	10.76					-0.01	8			0.02	8		
6017	-385	-386	Max	18.97	0.02	6	0.34	2	0.04	2	24.11	2	1.93	2	0.01	6
6017	-385	-386	Min.	2.83	-0.10	6	-0.46	2	-0.02	2	-33.62	2	-2.01	2	-0.00	6
6017	-385	-386	Min.	10.76					0.02	8			0.01	8		
6017	-385	-386	Min.	18.97	-0.10	6	-0.46	2	-0.04	2	-34.25	2	-2.71	2	-0.00	6
6018	-417	-418	Max	2.83	0.97	6	0.35	2	0.05	2	25.59	2	2.76	2	0.01	6
6018	-417	-418	Max	10.50					-0.01	8			0.02	8		

6018	-417	-418	Max	18.34	0.97	6	0.35	2	0.04	2	24.99	2	1.93	2	0.01	6
6018	-417	-418	Min.	2.83	-1.84	6	-0.48	2	-0.02	2	-34.98	2	-1.99	2	-0.00	6
6018	-417	-418	Min.	10.50					0.02	8			0.00	8		
6018	-417	-418	Min.	18.34	-1.84	6	-0.48	2	-0.04	2	-35.59	2	-2.71	2	-0.00	6
6019	-449	-450	Max	2.83	10.91	6	0.35	2	0.04	2	26.00	2	2.71	2	0.01	6
6019	-449	-450	Max	10.25					0.02	8			0.06	8		
6019	-449	-450	Max	17.72	10.91	6	0.35	2	0.03	2	25.41	2	1.85	2	0.01	6
6019	-449	-450	Min.	2.83	-6.38	6	-0.48	2	-0.02	2	-35.74	2	-1.99	2	-0.00	6
6019	-449	-450	Min.	10.25					-0.01	8			-0.08	8		
6019	-449	-450	Min.	17.72	-6.38	6	-0.48	2	-0.03	2	-36.33	2	-2.66	2	-0.00	6
6020	-481	-482	Max	2.83	37.22	6	0.32	2	0.03	2	23.70	2	2.55	2	0.01	6
6020	-481	-482	Max	9.97					0.01	8			0.55	8		
6020	-481	-482	Max	17.09	37.22	6	0.32	2	0.03	2	23.14	2	1.89	2	0.01	6
6020	-481	-482	Min.	2.83	-65.49	6	-0.39	2	-0.02	2	-32.15	2	-1.67	2	-0.00	6
6020	-481	-482	Min.	9.97					-0.01	8			-0.30	8		
6020	-481	-482	Min.	17.09	-65.49	6	-0.39	2	-0.03	2	-32.71	2	-2.29	2	-0.00	6
6024	-489	-490	Max	3.53	87.63	6	0.36	2	0.02	2	19.71	2	1.89	2	0.00	6
6024	-489	-490	Max	17.80	87.63	6	0.36	2	0.03	2	19.15	2	1.26	2	0.00	6
6024	-489	-490	Min.	3.53	-23.58	6	-0.23	2	-0.02	2	-30.85	2	-1.63	2	-0.00	6
6024	-489	-490	Min.	17.80	-23.58	6	-0.23	2	-0.02	2	-31.41	2	-2.67	2	-0.00	6
6025	-457	-458	Max	3.53	3.89	6	0.45	2	0.03	2	21.75	2	2.63	2	0.01	6
6025	-457	-458	Max	18.42	3.89	6	0.45	2	0.04	2	21.17	2	1.64	2	0.01	6
6025	-457	-458	Min.	3.53	-14.92	6	-0.27	2	-0.03	2	-34.58	2	-1.56	2	-0.00	6
6025	-457	-458	Min.	18.42	-14.92	6	-0.27	2	-0.02	2	-35.16	2	-2.56	2	-0.00	6
6026	-425	-426	Max	3.53	2.34	6	0.45	2	0.03	2	21.48	2	2.61	2	0.00	6
6026	-425	-426	Max	19.05	2.34	6	0.45	2	0.04	2	20.87	2	1.66	2	0.00	6
6026	-425	-426	Min.	3.53	-0.70	6	-0.28	2	-0.03	2	-33.79	2	-1.63	2	-0.00	6
6026	-425	-426	Min.	19.05	-0.70	6	-0.28	2	-0.02	2	-34.40	2	-2.68	2	-0.00	6
6027	-393	-394	Max	3.53	-0.03	6	0.44	2	0.03	2	20.84	2	2.62	2	0.00	6
6027	-393	-394	Max	19.67	-0.03	6	0.44	2	0.05	2	20.21	2	1.67	2	0.00	6
6027	-393	-394	Min.	3.53	-0.19	6	-0.27	2	-0.03	2	-32.49	2	-1.64	2	-0.00	6
6027	-393	-394	Min.	19.67	-0.19	6	-0.27	2	-0.02	2	-33.12	2	-2.67	2	-0.00	6
6028	-361	-362	Max	3.53	0.15	6	0.42	2	0.03	2	20.16	2	2.61	2	0.00	6
6028	-361	-362	Max	20.30	0.15	6	0.42	2	0.04	2	19.50	2	1.68	2	0.00	6
6028	-361	-362	Min.	3.53	-0.12	6	-0.26	2	-0.03	2	-31.16	2	-1.65	2	-0.00	6
6028	-361	-362	Min.	20.30	-0.12	6	-0.26	2	-0.02	2	-31.81	2	-2.67	2	-0.00	6
6029	-329	-330	Max	3.53	0.10	6	0.40	2	0.03	2	19.49	2	2.60	2	0.00	6
6029	-329	-330	Max	20.92	0.10	6	0.40	2	0.04	2	18.80	2	1.68	2	0.00	6
6029	-329	-330	Min.	3.53	-0.11	6	-0.25	2	-0.03	2	-29.87	2	-1.65	2	-0.00	6
6029	-329	-330	Min.	20.92	-0.11	6	-0.25	2	-0.02	2	-30.55	2	-2.65	2	-0.00	6
6030	-297	-298	Max	3.53	0.10	6	0.39	2	0.03	2	18.83	2	2.59	2	0.00	6
6030	-297	-298	Max	21.55	0.10	6	0.39	2	0.04	2	18.13	2	1.67	2	0.00	6
6030	-297	-298	Min.	3.53	-0.11	6	-0.24	2	-0.03	2	-28.65	2	-1.65	2	-0.00	6
6030	-297	-298	Min.	21.55	-0.11	6	-0.24	2	-0.02	2	-29.35	2	-2.64	2	-0.00	6
6031	-265	-266	Max	3.53	0.10	6	0.37	2	0.03	2	18.19	2	2.57	2	0.00	6
6031	-265	-266	Max	22.17	0.10	6	0.37	2	0.04	2	17.46	2	1.67	2	0.00	6
6031	-265	-266	Min.	3.53	-0.11	6	-0.23	2	-0.03	2	-27.48	2	-1.65	2	-0.00	6
6031	-265	-266	Min.	22.17	-0.11	6	-0.23	2	-0.02	2	-28.21	2	-2.62	2	-0.00	6
6032	-233	-234	Max	3.53	0.09	6	0.35	2	0.03	2	17.57	2	2.55	2	0.00	6
6032	-233	-234	Max	22.80	0.09	6	0.35	2	0.04	2	16.81	2	1.66	2	0.00	6
6032	-233	-234	Min.	3.53	-0.11	6	-0.22	2	-0.03	2	-26.35	2	-1.65	2	-0.00	6
6032	-233	-234	Min.	22.80	-0.11	6	-0.22	2	-0.02	2	-27.11	2	-2.60	2	-0.00	6
6033	-201	-202	Max	3.53	0.09	6	0.34	2	0.03	2	16.95	2	2.53	2	0.00	6
6033	-201	-202	Max	23.42	0.09	6	0.34	2	0.04	2	16.17	2	1.65	2	0.00	6
6033	-201	-202	Min.	3.53	-0.11	6	-0.22	2	-0.03	2	-25.27	2	-1.64	2	-0.00	6
6033	-201	-202	Min.	23.42	-0.11	6	-0.22	2	-0.02	2	-26.05	2	-2.58	2	-0.00	6
6034	-169	-170	Max	3.53	0.09	6	0.32	2	0.03	2	16.32	2	2.50	2	0.00	6
6034	-169	-170	Max	24.05	0.09	6	0.32	2	0.04	2	15.52	2	1.64	2	0.00	6
6034	-169	-170	Min.	3.53	-0.11	6	-0.21	2	-0.03	2	-24.19	2	-1.63	2	-0.00	6

6034	-169	-170	Min.	24.05	-0.11	6	-0.21	2	-0.02	2	-25.00	2	-2.55	2	-0.00	6
6035	-137	-138	Max	3.53	0.08	6	0.30	2	0.03	2	15.60	2	2.45	2	0.00	6
6035	-137	-138	Max	24.67	0.08	6	0.30	2	0.04	2	14.77	2	1.61	2	0.00	6
6035	-137	-138	Min.	3.53	-0.11	6	-0.19	2	-0.03	2	-22.99	2	-1.60	2	-0.00	6
6035	-137	-138	Min.	24.67	-0.11	6	-0.19	2	-0.02	2	-23.82	2	-2.50	2	-0.00	6
6036	-105	-106	Max	3.53	0.17	6	0.26	2	0.02	2	14.42	2	2.32	2	0.00	6
6036	-105	-106	Max	25.30	0.17	6	0.26	2	0.04	2	13.57	2	1.52	2	0.00	6
6036	-105	-106	Min.	3.53	-0.07	6	-0.17	2	-0.03	2	-21.10	2	-1.52	2	-0.00	6
6036	-105	-106	Min.	25.30	-0.07	6	-0.17	2	-0.02	2	-21.96	2	-2.37	2	-0.00	6
6037	-73	-74	Max	3.53	-0.59	6	0.19	2	0.02	2	11.22	2	1.83	2	0.00	6
6037	-73	-74	Max	25.92	-0.59	6	0.19	2	0.03	2	10.34	2	1.20	2	0.00	6
6037	-73	-74	Min.	3.53	-0.69	6	-0.13	2	-0.02	2	-16.13	2	-1.21	2	-0.00	6
6037	-73	-74	Min.	25.92	-0.69	6	-0.13	2	-0.01	2	-17.00	2	-1.88	2	-0.00	6
6038	-41	-42	Max	3.53	8.33	6	0.02	2	0.01	6	12.98	2	2.25	2	0.01	2
6038	-41	-42	Max	15.93									0.30	4		
6038	-41	-42	Max	26.55	8.33	6	0.02	2	0.01	6	11.18	2	1.53	2	0.01	2
6038	-41	-42	Min.	3.53	4.81	6	-0.03	2	-0.00	6	-17.60	2	-1.25	2	-0.01	2
6038	-41	-42	Min.	15.93					0.01	4			0.00	4		
6038	-41	-42	Min.	26.55	4.81	6	-0.03	2	-0.01	6	-19.41	2	-2.01	2	-0.01	2
6039	-9	-10	Max	3.53	33.41	6	0.19	2	0.05	2	8.12	2	1.33	2	0.00	2
6039	-9	-10	Max	26.86	33.41	6	0.19	2	0.03	2	6.29	2	0.91	2	0.00	2
6039	-9	-10	Min.	3.53	19.22	6	-0.37	2	-0.02	2	-9.87	2	-0.77	2	-0.00	2
6039	-9	-10	Min.	26.86	19.22	6	-0.37	2	-0.04	2	-11.70	2	-1.18	2	-0.00	2
6040	337	338	Max	1.77	-5.71	6	1.66	2	-0.18	2	1.09	2	0.09	2	0.09	2
6040	337	338	Max	3.86					-0.18	4			0.08	4		
6040	337	338	Max	15.00	-5.71	6	0.72	2	-0.17	6	1.09	2	0.01	6	0.09	2
6040	337	338	Min.	1.77	-7.73	6	0.15	2	-0.39	2	-0.66	2	-0.13	2	-0.16	2
6040	337	338	Min.	3.86					-0.34	4			-0.11	4		
6040	337	338	Min.	15.00	-7.73	6	-0.79	2	-0.28	6	-0.66	2	0.00	6	-0.16	2
6040	338	339	Max	0.00	-5.71	6	0.72	2	-0.17	6	1.09	2	0.01	6	0.09	2
6040	338	339	Max	9.84					-0.18	2			0.12	2		
6040	338	339	Max	13.23	-5.71	6	-0.22	2	-0.18	6	1.09	2	0.15	2	0.09	2
6040	338	339	Min.	0.00	-7.73	6	-0.79	2	-0.28	6	-0.66	2	0.00	6	-0.16	2
6040	338	339	Min.	9.84					-0.34	2			-0.06	2		
6040	338	339	Min.	13.23	-7.73	6	-1.73	2	-0.40	6	-0.66	2	-0.08	2	-0.16	2
6041	-593	-594	Max	0.00	1.65	2	8.28	6	0.29	6	-6.35	2	0.13	2	-0.05	2
6041	-593	-594	Max	12.00	1.65	2	8.28	6	0.85	6	-4.39	2	-0.61	2	-0.05	2
6041	-593	-594	Min.	0.00	-1.68	2	-10.29	6	-0.14	6	-21.97	2	0.04	2	-0.23	2
6041	-593	-594	Min.	12.00	-1.68	2	-10.29	6	-0.95	6	-20.01	2	-2.39	2	-0.23	2
6041	-595	-596	Max	0.00	48.61	6	5.75	2	0.59	2	4.66	2	18.24	2	0.06	2
6041	-595	-596	Max	12.00	48.61	6	5.75	2	0.40	2	6.62	2	18.90	2	0.06	2
6041	-595	-596	Min.	0.00	15.38	6	-7.62	2	-0.29	2	-8.45	2	17.91	2	-0.11	2
6041	-595	-596	Min.	12.00	15.38	6	-7.62	2	-0.33	2	-6.49	2	17.03	2	-0.11	2
6041	-597	-598	Max	0.00	48.61	6	8.00	2	0.37	2	6.70	2	18.89	2	0.11	2
6041	-597	-598	Max	12.00	48.61	6	8.00	2	0.61	2	8.66	2	18.25	2	0.11	2
6041	-597	-598	Min.	0.00	15.30	6	-5.31	2	-0.35	2	-6.45	2	17.02	2	-0.06	2
6041	-597	-598	Min.	12.00	15.30	6	-5.31	2	-0.26	2	-4.49	2	17.92	2	-0.06	2
6041	-599	-600	Max	0.00	1.64	2	9.97	6	0.86	6	20.06	2	-0.62	2	0.23	2
6041	-599	-600	Max	12.00	1.64	2	9.97	6	0.28	6	22.02	2	0.13	2	0.23	2
6041	-599	-600	Min.	0.00	-1.67	2	-8.38	6	-0.92	6	4.47	2	-2.40	2	0.05	2
6041	-599	-600	Min.	12.00	-1.67	2	-8.38	6	-0.15	6	6.43	2	0.04	2	0.05	2
6042	-657	-658	Max	0.00	2.00	2	5.26	6	0.31	6	-21.30	2	0.24	2	-0.04	6
6042	-657	-658	Max	2.40					-0.08	4			-0.28	4		
6042	-657	-658	Max	12.00	2.00	2	5.26	6	0.90	6	-19.34	2	-2.20	2	-0.04	6
6042	-657	-658	Min.	0.00	-1.98	2	-10.33	6	-0.14	6	-23.83	2	-0.21	2	-0.07	6
6042	-657	-658	Min.	2.40					0.13	4			-0.76	4		
6042	-657	-658	Min.	12.00	-1.98	2	-10.33	6	-1.33	6	-21.86	2	-2.95	2	-0.07	6
6042	-659	-660	Max	0.00	4.28	6	4.29	2	2.40	6	2.50	2	11.91	2	-0.02	2
6042	-659	-660	Max	5.47					-0.54	4			11.81	4		

6042	-659	-660	Max	12.00	4.28	6	4.29	2	2.07	6	4.46	2	11.92	2	-0.02	2
6042	-659	-660	Min.	0.00	-37.28	6	-7.81	2	-2.07	6	-0.90	2	10.43	2	-0.04	2
6042	-659	-660	Min.	5.47					0.68	4			10.67	4		
6042	-659	-660	Min.	12.00	-37.28	6	-7.81	2	-2.17	6	1.07	2	10.85	2	-0.04	2
6042	-661	-662	Max	0.00	4.29	6	8.17	2	2.04	6	-1.01	2	11.92	2	0.04	2
6042	-661	-662	Max	6.00					-0.56	4			11.81	4		
6042	-661	-662	Max	12.00	4.29	6	8.17	2	2.42	6	0.96	2	11.92	2	0.04	2
6042	-661	-662	Min.	0.00	-37.32	6	-4.22	2	-2.17	6	-4.43	2	10.85	2	0.02	2
6042	-661	-662	Min.	6.00					0.67	4			10.69	4		
6042	-661	-662	Min.	12.00	-37.32	6	-4.22	2	-2.07	6	-2.47	2	10.44	2	0.02	2
6042	-663	-664	Max	0.00	2.00	2	10.51	6	0.93	6	21.90	2	-2.20	2	0.07	6
6042	-663	-664	Max	9.60					-0.08	4			-0.28	4		
6042	-663	-664	Max	12.00	2.00	2	10.51	6	0.31	6	23.86	2	0.24	2	0.07	6
6042	-663	-664	Min.	0.00	-1.98	2	-5.57	6	-1.35	6	19.33	2	-2.95	2	0.04	6
6042	-663	-664	Min.	9.60					0.13	4			-0.76	4		
6042	-663	-664	Min.	12.00	-1.98	2	-5.57	6	-0.14	6	21.29	2	-0.21	2	0.04	6
6043	-721	-722	Max	0.00	2.19	2	8.52	6	0.30	6	-17.38	6	0.39	2	-0.02	2
6043	-721	-722	Max	12.00	2.19	2	8.52	6	0.88	6	-15.42	6	-1.63	2	-0.02	2
6043	-721	-722	Min.	0.00	-2.20	2	-14.96	6	-0.15	6	-18.69	6	-0.26	2	-0.03	2
6043	-721	-722	Min.	12.00	-2.20	2	-14.96	6	-1.49	6	-16.73	6	-2.34	2	-0.03	2
6043	-723	-724	Max	0.00	62.07	6	3.48	2	0.11	2	0.39	6	14.22	2	-0.01	2
6043	-723	-724	Max	12.00	62.07	6	3.48	2	0.07	2	2.35	6	14.37	2	-0.01	2
6043	-723	-724	Min.	0.00	43.17	6	-4.18	2	-0.35	2	0.13	6	13.05	2	-0.02	2
6043	-723	-724	Min.	12.00	43.17	6	-4.18	2	-0.39	2	2.09	6	13.20	2	-0.02	2
6043	-725	-726	Max	0.00	62.10	6	4.37	2	0.05	2	-2.04	6	14.37	2	0.02	2
6043	-725	-726	Max	12.00	62.10	6	4.37	2	0.13	2	-0.08	6	14.23	2	0.02	2
6043	-725	-726	Min.	0.00	43.11	6	-3.21	2	-0.40	2	-2.33	6	13.21	2	0.01	2
6043	-725	-726	Min.	12.00	43.11	6	-3.21	2	-0.33	2	-0.37	6	13.06	2	0.01	2
6043	-727	-728	Max	0.00	2.18	2	14.78	6	0.88	6	16.72	6	-1.63	2	0.03	2
6043	-727	-728	Max	12.00	2.18	2	14.78	6	0.30	6	18.68	6	0.39	2	0.03	2
6043	-727	-728	Min.	0.00	-2.20	2	-8.57	6	-1.47	6	15.42	6	-2.34	2	0.02	2
6043	-727	-728	Min.	12.00	-2.20	2	-8.57	6	-0.15	6	17.38	6	-0.26	2	0.02	2
6044	-785	-786	Max	0.00	2.06	2	6.46	6	0.20	6	-21.03	2	0.37	2	0.01	6
6044	-785	-786	Max	12.00	2.06	2	6.46	6	0.98	6	-19.07	2	-2.03	2	0.01	6
6044	-785	-786	Min.	0.00	-2.43	2	-6.56	6	-0.20	6	-23.69	2	-0.37	2	-0.01	6
6044	-785	-786	Min.	12.00	-2.43	2	-6.56	6	-0.99	6	-21.73	2	-3.09	2	-0.01	6
6044	-787	-788	Max	0.00	-165.93	2	1.44	6	2.16	6	0.45	2	10.45	2	0.00	6
6044	-787	-788	Max	12.00	-165.93	2	1.44	6	2.00	6	2.41	2	10.12	2	0.00	6
6044	-787	-788	Min.	0.00	-172.61	2	-1.35	6	-2.17	6	-3.73	2	9.07	2	0.00	6
6044	-787	-788	Min.	12.00	-172.61	2	-1.35	6	-1.99	6	-1.77	2	9.24	2	0.00	6
6044	-789	-790	Max	0.00	-165.90	2	1.54	6	1.99	6	1.80	2	10.12	2	0.00	6
6044	-789	-790	Max	12.00	-165.90	2	1.54	6	2.17	6	3.76	2	10.46	2	0.00	6
6044	-789	-790	Min.	0.00	-172.63	2	-1.42	6	-1.99	6	-2.36	2	9.24	2	0.00	6
6044	-789	-790	Min.	12.00	-172.63	2	-1.42	6	-2.16	6	-0.40	2	9.08	2	0.00	6
6044	-791	-792	Max	0.00	2.06	2	6.57	6	0.99	6	21.79	2	-2.02	2	0.01	6
6044	-791	-792	Max	12.00	2.06	2	6.57	6	0.20	6	23.75	2	0.37	2	0.01	6
6044	-791	-792	Min.	0.00	-2.43	2	-6.57	6	-0.99	6	18.97	2	-3.10	2	-0.01	6
6044	-791	-792	Min.	12.00	-2.43	2	-6.57	6	-0.20	6	20.93	2	-0.37	2	-0.01	6
6045	-729	-730	Max	0.00	2.18	2	14.87	6	0.15	6	-17.37	6	0.39	2	0.03	2
6045	-729	-730	Max	12.00	2.18	2	14.87	6	1.48	6	-15.41	6	-1.63	2	0.03	2
6045	-729	-730	Min.	0.00	-2.20	2	-8.78	6	-0.30	6	-18.68	6	-0.26	2	0.02	2
6045	-729	-730	Min.	12.00	-2.20	2	-8.78	6	-0.90	6	-16.72	6	-2.34	2	0.02	2
6045	-731	-732	Max	0.00	62.12	6	4.10	2	0.32	2	0.38	6	14.22	2	0.02	2
6045	-731	-732	Max	12.00	62.12	6	4.10	2	0.38	2	2.34	6	14.37	2	0.02	2
6045	-731	-732	Min.	0.00	43.12	6	-3.04	2	-0.11	2	0.11	6	13.05	2	0.01	2
6045	-731	-732	Min.	12.00	43.12	6	-3.04	2	-0.05	2	2.07	6	13.20	2	0.01	2
6045	-733	-734	Max	0.00	62.11	6	3.24	2	0.38	2	-2.06	6	14.37	2	-0.01	2
6045	-733	-734	Max	12.00	62.11	6	3.24	2	0.33	2	-0.10	6	14.22	2	-0.01	2
6045	-733	-734	Min.	0.00	43.11	6	-4.07	2	-0.06	2	-2.34	6	13.21	2	-0.02	2

6045	-733	-734	Min.	12.00	43.11	6	-4.07	2	-0.11	2	-0.38	6	13.06	2	-0.02	2
6045	-735	-736	Max	0.00	2.18	2	8.51	6	1.47	6	16.72	6	-1.63	2	-0.02	2
6045	-735	-736	Max	12.00	2.18	2	8.51	6	0.15	6	18.68	6	0.39	2	-0.02	2
6045	-735	-736	Min.	0.00	-2.20	2	-14.76	6	-0.87	6	15.43	6	-2.34	2	-0.03	2
6045	-735	-736	Min.	12.00	-2.20	2	-14.76	6	-0.30	6	17.39	6	-0.26	2	-0.03	2
6046	-665	-666	Max	0.00	2.00	2	10.43	6	0.14	6	-21.29	2	0.24	2	0.07	6
6046	-665	-666	Max	12.00	2.00	2	10.43	6	1.34	6	-19.33	2	-2.20	2	0.07	6
6046	-665	-666	Min.	0.00	-1.98	2	-5.58	6	-0.31	6	-23.85	2	-0.21	2	0.04	6
6046	-665	-666	Min.	12.00	-1.98	2	-5.58	6	-0.93	6	-21.89	2	-2.95	2	0.04	6
6046	-667	-668	Max	0.00	4.21	6	7.93	2	2.07	6	2.49	2	11.92	2	0.04	2
6046	-667	-668	Max	6.15					-0.66	4			11.81	4		
6046	-667	-668	Max	12.00	4.21	6	7.93	2	2.17	6	4.45	2	11.92	2	0.04	2
6046	-667	-668	Min.	0.00	-37.27	6	-4.19	2	-2.41	6	-0.92	2	10.43	2	0.02	2
6046	-667	-668	Min.	6.15					0.56	4			10.70	4		
6046	-667	-668	Min.	12.00	-37.27	6	-4.19	2	-2.06	6	1.04	2	10.85	2	0.02	2
6046	-669	-670	Max	0.00	4.22	6	4.20	2	2.16	6	-1.04	2	11.92	2	-0.02	2
6046	-669	-670	Max	4.80					-0.58	4			11.81	4		
6046	-669	-670	Max	12.00	4.22	6	4.20	2	2.08	6	0.92	2	11.92	2	-0.02	2
6046	-669	-670	Min.	0.00	-37.29	6	-7.86	2	-2.06	6	-4.44	2	10.85	2	-0.04	2
6046	-669	-670	Min.	4.80					0.51	4			10.73	4		
6046	-669	-670	Min.	12.00	-37.29	6	-7.86	2	-2.41	6	-2.48	2	10.44	2	-0.04	2
6046	-671	-672	Max	0.00	2.00	2	5.56	6	1.34	6	21.89	2	-2.20	2	-0.04	6
6046	-671	-672	Max	12.00	2.00	2	5.56	6	0.14	6	23.85	2	0.24	2	-0.04	6
6046	-671	-672	Min.	0.00	-1.98	2	-10.48	6	-0.93	6	19.33	2	-2.95	2	-0.07	6
6046	-671	-672	Min.	12.00	-1.98	2	-10.48	6	-0.31	6	21.29	2	-0.21	2	-0.07	6
6047	-601	-602	Max	0.00	1.64	2	9.98	6	0.15	6	-6.44	2	0.13	2	0.23	2
6047	-601	-602	Max	12.00	1.64	2	9.98	6	0.92	6	-4.48	2	-0.62	2	0.23	2
6047	-601	-602	Min.	0.00	-1.67	2	-8.45	6	-0.28	6	-21.96	2	0.04	2	0.05	2
6047	-601	-602	Min.	12.00	-1.67	2	-8.45	6	-0.87	6	-20.00	2	-2.39	2	0.05	2
6047	-603	-604	Max	0.00	48.65	6	7.55	2	0.26	2	4.55	2	18.25	2	0.11	2
6047	-603	-604	Max	12.00	48.65	6	7.55	2	0.33	2	6.51	2	18.89	2	0.11	2
6047	-603	-604	Min.	0.00	15.26	6	-5.19	2	-0.58	2	-8.51	2	17.91	2	-0.06	2
6047	-603	-604	Min.	12.00	15.26	6	-5.19	2	-0.37	2	-6.55	2	17.03	2	-0.06	2
6047	-605	-606	Max	0.00	48.63	6	5.30	2	0.32	2	6.55	2	18.89	2	0.06	2
6047	-605	-606	Max	12.00	48.63	6	5.30	2	0.26	2	8.52	2	18.25	2	0.06	2
6047	-605	-606	Min.	0.00	15.27	6	-7.55	2	-0.37	2	-6.51	2	17.03	2	-0.11	2
6047	-605	-606	Min.	12.00	15.27	6	-7.55	2	-0.58	2	-4.55	2	17.91	2	-0.11	2
6047	-607	-608	Max	0.00	1.64	2	8.26	6	0.91	6	19.99	2	-0.62	2	-0.05	2
6047	-607	-608	Max	12.00	1.64	2	8.26	6	0.14	6	21.96	2	0.13	2	-0.05	2
6047	-607	-608	Min.	0.00	-1.67	2	-9.91	6	-0.85	6	4.48	2	-2.39	2	-0.23	2
6047	-607	-608	Min.	12.00	-1.67	2	-9.91	6	-0.28	6	6.44	2	0.04	2	-0.23	2
6048	349	350	Max	1.77	-5.64	6	1.08	2	0.09	2	1.63	2	-0.18	2	0.16	2
6048	349	350	Max	6.31					0.06	2			-0.17	2		
6048	349	350	Max	15.00	-5.64	6	1.08	2	0.01	6	0.68	2	-0.17	6	0.16	2
6048	349	350	Min.	1.77	-7.78	6	-0.65	2	-0.13	2	0.18	2	-0.38	2	-0.09	2
6048	349	350	Min.	4.41					-0.10	4			-0.33	4		
6048	349	350	Min.	15.00	-7.78	6	-0.65	2	0.00	6	-0.76	2	-0.28	6	-0.09	2
6048	350	351	Max	0.00	-5.64	6	1.08	2	0.01	6	0.68	2	-0.17	6	0.16	2
6048	350	351	Max	5.29					0.04	6			-0.16	6		
6048	350	351	Max	13.23	-5.64	6	1.08	2	0.15	2	-0.26	2	-0.18	6	0.16	2
6048	350	351	Min.	0.00	-7.78	6	-0.65	2	0.00	6	-0.76	2	-0.28	6	-0.09	2
6048	350	351	Min.	9.64					-0.06	2			-0.34	2		
6048	350	351	Min.	13.23	-7.78	6	-0.65	2	-0.08	2	-1.70	2	-0.40	6	-0.09	2
6049	-17	-18	Max	2.83	33.44	6	0.37	2	0.02	2	8.04	2	1.33	2	0.00	2
6049	-17	-18	Max	26.15	33.44	6	0.37	2	0.04	2	6.21	2	0.89	2	0.00	2
6049	-17	-18	Min.	2.83	19.39	6	-0.19	2	-0.05	2	-9.67	2	-0.77	2	-0.00	2
6049	-17	-18	Min.	26.15	19.39	6	-0.19	2	-0.02	2	-11.51	2	-1.14	2	-0.00	2
6050	-49	-50	Max	2.83	8.32	6	0.02	2	0.00	6	12.87	2	2.26	2	0.01	2
6050	-49	-50	Max	13.71					-0.01	4			0.29	4		

6050	-49	-50	Max	25.84	8.32	6	0.02	2	0.01	6	11.06	2	1.49	2	0.01	2
6050	-49	-50	Min.	2.83	4.75	6	-0.02	2	-0.01	6	-17.32	2	-1.27	2	-0.02	2
6050	-49	-50	Min.	13.71					-0.00	4			0.13	4		
6050	-49	-50	Min.	25.84	4.75	6	-0.02	2	-0.01	6	-19.13	2	-1.94	2	-0.02	2
6051	-81	-82	Max	2.83	-0.55	2	0.13	2	0.02	2	11.08	2	1.83	2	0.00	6
6051	-81	-82	Max	13.15					-0.01	8			0.05	8		
6051	-81	-82	Max	25.22	-0.55	2	0.13	2	0.01	2	10.20	2	1.17	2	0.00	6
6051	-81	-82	Min.	2.83	-0.69	2	-0.19	2	-0.02	2	-15.93	2	-1.21	2	-0.00	6
6051	-81	-82	Min.	13.15					0.00	8			0.02	8		
6051	-81	-82	Min.	25.22	-0.69	2	-0.19	2	-0.03	2	-16.81	2	-1.83	2	-0.00	6
6052	-113	-114	Max	2.83	0.20	6	0.17	2	0.03	2	14.24	2	2.33	2	0.00	6
6052	-113	-114	Max	11.53					-0.01	8			0.15	8		
6052	-113	-114	Max	24.59	0.20	6	0.17	2	0.02	2	13.38	2	1.48	2	0.00	6
6052	-113	-114	Min.	2.83	-0.06	6	-0.26	2	-0.02	2	-20.86	2	-1.53	2	-0.00	6
6052	-113	-114	Min.	11.53					0.01	8			0.04	8		
6052	-113	-114	Min.	24.59	-0.06	6	-0.26	2	-0.04	2	-21.71	2	-2.30	2	-0.00	6
6053	-145	-146	Max	2.83	0.09	6	0.19	2	0.03	2	15.40	2	2.46	2	0.00	6
6053	-145	-146	Max	11.28					-0.01	8			0.16	8		
6053	-145	-146	Max	23.97	0.09	6	0.19	2	0.02	2	14.57	2	1.56	2	0.00	6
6053	-145	-146	Min.	2.83	-0.11	6	-0.30	2	-0.03	2	-22.72	2	-1.61	2	-0.00	6
6053	-145	-146	Min.	11.28					0.01	8			0.05	8		
6053	-145	-146	Min.	23.97	-0.11	6	-0.30	2	-0.04	2	-23.55	2	-2.43	2	-0.00	6
6054	-177	-178	Max	2.83	0.10	6	0.20	2	0.03	2	16.11	2	2.51	2	0.00	6
6054	-177	-178	Max	12.64					-0.02	8			0.05	8		
6054	-177	-178	Max	23.34	0.10	6	0.20	2	0.02	2	15.31	2	1.59	2	0.00	6
6054	-177	-178	Min.	2.83	-0.11	6	-0.32	2	-0.03	2	-23.91	2	-1.63	2	-0.01	6
6054	-177	-178	Min.	12.64					0.01	8			0.03	8		
6054	-177	-178	Min.	23.34	-0.11	6	-0.32	2	-0.04	2	-24.72	2	-2.48	2	-0.01	6
6055	-209	-210	Max	2.83	0.10	6	0.21	2	0.03	2	16.73	2	2.54	2	0.00	6
6055	-209	-210	Max	12.34					-0.02	8			0.04	8		
6055	-209	-210	Max	22.72	0.10	6	0.21	2	0.02	2	15.95	2	1.60	2	0.00	6
6055	-209	-210	Min.	2.83	-0.10	6	-0.33	2	-0.03	2	-24.98	2	-1.65	2	-0.01	6
6055	-209	-210	Min.	12.34					0.01	8			0.03	8		
6055	-209	-210	Min.	22.72	-0.10	6	-0.33	2	-0.04	2	-25.76	2	-2.50	2	-0.01	6
6056	-241	-242	Max	2.83	0.10	6	0.22	2	0.03	2	17.33	2	2.57	2	0.00	6
6056	-241	-242	Max	12.04					-0.02	8			0.04	8		
6056	-241	-242	Max	22.09	0.10	6	0.22	2	0.02	2	16.58	2	1.61	2	0.00	6
6056	-241	-242	Min.	2.83	-0.11	6	-0.35	2	-0.03	2	-26.05	2	-1.66	2	-0.01	6
6056	-241	-242	Min.	12.04					0.01	8			0.03	8		
6056	-241	-242	Min.	22.09	-0.11	6	-0.35	2	-0.04	2	-26.80	2	-2.52	2	-0.01	6
6057	-273	-274	Max	2.83	0.11	6	0.23	2	0.03	2	17.94	2	2.59	2	0.00	6
6057	-273	-274	Max	10.28					-0.01	8			0.16	8		
6057	-273	-274	Max	21.47	0.11	6	0.23	2	0.02	2	17.21	2	1.62	2	0.00	6
6057	-273	-274	Min.	2.83	-0.11	6	-0.37	2	-0.03	2	-27.15	2	-1.66	2	-0.01	6
6057	-273	-274	Min.	10.28					0.01	8			0.05	8		
6057	-273	-274	Min.	21.47	-0.11	6	-0.37	2	-0.04	2	-27.89	2	-2.54	2	-0.01	6
6058	-305	-306	Max	2.83	0.12	6	0.24	2	0.03	2	18.57	2	2.61	2	0.00	6
6058	-305	-306	Max	10.03					-0.01	8			0.16	8		
6058	-305	-306	Max	20.84	0.12	6	0.24	2	0.02	2	17.86	2	1.62	2	0.00	6
6058	-305	-306	Min.	2.83	-0.11	6	-0.38	2	-0.03	2	-28.31	2	-1.66	2	-0.01	6
6058	-305	-306	Min.	10.03					0.01	8			0.06	8		
6058	-305	-306	Min.	20.84	-0.11	6	-0.38	2	-0.04	2	-29.02	2	-2.56	2	-0.01	6
6059	-337	-338	Max	2.83	0.11	6	0.25	2	0.03	2	19.21	2	2.62	2	0.00	6
6059	-337	-338	Max	9.78					-0.01	8			0.17	8		
6059	-337	-338	Max	20.22	0.11	6	0.25	2	0.02	2	18.53	2	1.62	2	0.00	6
6059	-337	-338	Min.	2.83	-0.11	6	-0.40	2	-0.03	2	-29.52	2	-1.66	2	-0.01	6
6059	-337	-338	Min.	9.78					0.01	8			0.06	8		
6059	-337	-338	Min.	20.22	-0.11	6	-0.40	2	-0.04	2	-30.20	2	-2.57	2	-0.01	6
6060	-369	-370	Max	2.83	0.17	6	0.26	2	0.03	2	19.87	2	2.64	2	0.00	6

6060	-369	-370	Max	9.53					-0.01	8			0.17	8		
6060	-369	-370	Max	19.59	0.17	6	0.26	2	0.02	2	19.21	2	1.62	2	0.00	6
6060	-369	-370	Min.	2.83	-0.12	6	-0.42	2	-0.03	2	-30.79	2	-1.66	2	-0.01	6
6060	-369	-370	Min.	9.53					0.01	8			0.06	8		
6060	-369	-370	Min.	19.59	-0.12	6	-0.42	2	-0.04	2	-31.45	2	-2.58	2	-0.01	6
6061	-401	-402	Max	2.83	-0.02	6	0.27	2	0.03	2	20.53	2	2.65	2	0.00	6
6061	-401	-402	Max	9.28					-0.01	8			0.17	8		
6061	-401	-402	Max	18.97	-0.02	6	0.27	2	0.02	2	19.90	2	1.61	2	0.00	6
6061	-401	-402	Min.	2.83	-0.18	6	-0.43	2	-0.03	2	-32.10	2	-1.65	2	-0.01	6
6061	-401	-402	Min.	9.28					0.01	8			0.07	8		
6061	-401	-402	Min.	18.97	-0.18	6	-0.43	2	-0.04	2	-32.74	2	-2.58	2	-0.01	6
6062	-433	-434	Max	2.83	2.35	6	0.27	2	0.03	2	21.16	2	2.64	2	0.00	6
6062	-433	-434	Max	9.03					-0.01	8			0.17	8		
6062	-433	-434	Max	18.34	2.35	6	0.27	2	0.02	2	20.55	2	1.59	2	0.00	6
6062	-433	-434	Min.	2.83	-0.69	6	-0.45	2	-0.03	2	-33.39	2	-1.64	2	-0.01	6
6062	-433	-434	Min.	9.03					0.01	8			0.05	8		
6062	-433	-434	Min.	18.34	-0.69	6	-0.45	2	-0.04	2	-34.00	2	-2.59	2	-0.01	6
6063	-465	-466	Max	2.83	3.90	6	0.26	2	0.03	2	21.46	2	2.66	2	0.00	6
6063	-465	-466	Max	8.78					0.01	8			0.19	8		
6063	-465	-466	Max	17.72	3.90	6	0.26	2	0.02	2	20.88	2	1.58	2	0.00	6
6063	-465	-466	Min.	2.83	-14.91	6	-0.45	2	-0.03	2	-34.02	2	-1.58	2	-0.01	6
6063	-465	-466	Min.	8.78					-0.01	8			0.13	8		
6063	-465	-466	Min.	17.72	-14.91	6	-0.45	2	-0.04	2	-34.61	2	-2.45	2	-0.01	6
6064	-497	-498	Max	2.83	87.58	6	0.23	2	0.02	2	19.30	2	1.93	2	0.01	6
6064	-497	-498	Max	10.05					0.01	8			0.20	8		
6064	-497	-498	Max	17.09	87.58	6	0.23	2	0.01	2	18.74	2	1.20	2	0.01	6
6064	-497	-498	Min.	2.83	-23.75	6	-0.36	2	-0.02	2	-30.74	2	-1.62	2	-0.00	6
6064	-497	-498	Min.	10.05					-0.01	8			-0.74	8		
6064	-497	-498	Min.	17.09	-23.75	6	-0.36	2	-0.03	2	-31.30	2	-2.60	2	-0.00	6
6068	-505	-506	Max	3.53	37.19	6	0.40	2	0.02	2	23.59	2	2.52	2	0.00	2
6068	-505	-506	Max	11.38					0.01	8			0.46	8		
6068	-505	-506	Max	17.80	37.19	6	0.40	2	0.03	2	23.03	2	1.92	2	0.00	2
6068	-505	-506	Min.	3.53	-65.26	6	-0.31	2	-0.03	2	-32.38	2	-1.63	2	-0.01	2
6068	-505	-506	Min.	11.38					-0.01	8			-0.29	8		
6068	-505	-506	Min.	17.80	-65.26	6	-0.31	2	-0.03	2	-32.94	2	-2.37	2	-0.01	2
6069	-473	-474	Max	3.53	10.89	6	0.48	2	0.02	2	26.13	2	2.66	2	0.00	6
6069	-473	-474	Max	11.03					0.01	8			0.04	8		
6069	-473	-474	Max	18.42	10.89	6	0.48	2	0.03	2	25.54	2	1.90	2	0.00	6
6069	-473	-474	Min.	3.53	-6.38	6	-0.35	2	-0.04	2	-36.00	2	-1.95	2	-0.00	6
6069	-473	-474	Min.	11.03					-0.02	8			-0.09	8		
6069	-473	-474	Min.	18.42	-6.38	6	-0.35	2	-0.04	2	-36.59	2	-2.74	2	-0.00	6
6070	-441	-442	Max	3.53	0.97	6	0.48	2	0.02	2	25.64	2	2.72	2	0.00	6
6070	-441	-442	Max	11.32					-0.02	8			0.01	8		
6070	-441	-442	Max	19.05	0.97	6	0.48	2	0.04	2	25.03	2	1.98	2	0.00	6
6070	-441	-442	Min.	3.53	-1.85	6	-0.35	2	-0.05	2	-35.23	2	-1.95	2	-0.00	6
6070	-441	-442	Min.	11.32					0.01	8			-0.01	8		
6070	-441	-442	Min.	19.05	-1.85	6	-0.35	2	-0.04	2	-35.84	2	-2.80	2	-0.00	6
6071	-409	-410	Max	3.53	0.02	6	0.46	2	0.02	2	24.79	2	2.72	2	0.00	6
6071	-409	-410	Max	11.66					-0.02	8			-0.00	8		
6071	-409	-410	Max	19.67	0.02	6	0.46	2	0.04	2	24.15	2	1.98	2	0.00	6
6071	-409	-410	Min.	3.53	-0.11	6	-0.34	2	-0.05	2	-33.86	2	-1.97	2	-0.00	6
6071	-409	-410	Min.	11.66					0.01	8			-0.01	8		
6071	-409	-410	Min.	19.67	-0.11	6	-0.34	2	-0.04	2	-34.49	2	-2.80	2	-0.00	6
6072	-377	-378	Max	3.53	0.04	6	0.44	2	0.02	2	23.90	2	2.71	2	0.00	6
6072	-377	-378	Max	12.00					-0.02	8			0.00	8		
6072	-377	-378	Max	20.30	0.04	6	0.44	2	0.04	2	23.24	2	1.98	2	0.00	6
6072	-377	-378	Min.	3.53	-0.24	6	-0.32	2	-0.05	2	-32.46	2	-1.97	2	-0.00	6
6072	-377	-378	Min.	12.00					0.01	8			-0.01	8		
6072	-377	-378	Min.	20.30	-0.24	6	-0.32	2	-0.04	2	-33.11	2	-2.78	2	-0.00	6

6073	-345	-346	Max	3.53	0.02	6	0.42	2	0.02	2	23.04	2	2.70	2	0.00	6
6073	-345	-346	Max	12.35					-0.02	8			0.00	8		
6073	-345	-346	Max	20.92	0.02	6	0.42	2	0.04	2	22.36	2	1.98	2	0.00	6
6073	-345	-346	Min.	3.53	-0.20	6	-0.31	2	-0.05	2	-31.11	2	-1.97	2	-0.00	6
6073	-345	-346	Min.	12.35					0.01	8			-0.01	8		
6073	-345	-346	Min.	20.92	-0.20	6	-0.31	2	-0.04	2	-31.79	2	-2.77	2	-0.00	6
6074	-313	-314	Max	3.53	0.02	6	0.41	2	0.02	2	22.21	2	2.68	2	0.00	6
6074	-313	-314	Max	12.52					0.01	8			0.01	8		
6074	-313	-314	Max	21.55	0.02	6	0.41	2	0.04	2	21.51	2	1.97	2	0.00	6
6074	-313	-314	Min.	3.53	-0.20	6	-0.30	2	-0.05	2	-29.82	2	-1.96	2	-0.00	6
6074	-313	-314	Min.	12.52					-0.02	8			-0.00	8		
6074	-313	-314	Min.	21.55	-0.20	6	-0.30	2	-0.04	2	-30.53	2	-2.75	2	-0.00	6
6075	-281	-282	Max	3.53	0.02	6	0.39	2	0.02	2	21.41	2	2.66	2	0.00	6
6075	-281	-282	Max	12.86					0.01	8			0.00	8		
6075	-281	-282	Max	22.17	0.02	6	0.39	2	0.04	2	20.68	2	1.97	2	0.00	6
6075	-281	-282	Min.	3.53	-0.19	6	-0.29	2	-0.04	2	-28.60	2	-1.96	2	-0.00	6
6075	-281	-282	Min.	12.86					-0.02	8			0.00	8		
6075	-281	-282	Min.	22.17	-0.19	6	-0.29	2	-0.04	2	-29.33	2	-2.73	2	-0.00	6
6076	-249	-250	Max	3.53	0.02	6	0.37	2	0.02	2	20.64	2	2.64	2	0.00	6
6076	-249	-250	Max	13.20					-0.02	8			0.00	8		
6076	-249	-250	Max	22.80	0.02	6	0.37	2	0.03	2	19.88	2	1.96	2	0.00	6
6076	-249	-250	Min.	3.53	-0.19	6	-0.28	2	-0.04	2	-27.43	2	-1.95	2	-0.00	6
6076	-249	-250	Min.	13.20					0.01	8			0.00	8		
6076	-249	-250	Min.	22.80	-0.19	6	-0.28	2	-0.04	2	-28.18	2	-2.71	2	-0.00	6
6077	-217	-218	Max	3.53	0.01	6	0.36	2	0.02	2	19.88	2	2.62	2	0.00	6
6077	-217	-218	Max	13.54					-0.02	8			0.01	8		
6077	-217	-218	Max	23.42	0.01	6	0.36	2	0.03	2	19.10	2	1.94	2	0.00	6
6077	-217	-218	Min.	3.53	-0.19	6	-0.26	2	-0.04	2	-26.29	2	-1.94	2	-0.00	6
6077	-217	-218	Min.	13.54					0.01	8			-0.00	8		
6077	-217	-218	Min.	23.42	-0.19	6	-0.26	2	-0.04	2	-27.07	2	-2.69	2	-0.00	6
6078	-185	-186	Max	3.53	0.01	6	0.34	2	0.02	2	19.12	2	2.59	2	0.00	6
6078	-185	-186	Max	13.76					0.01	8			0.01	8		
6078	-185	-186	Max	24.05	0.01	6	0.34	2	0.03	2	18.31	2	1.92	2	0.00	6
6078	-185	-186	Min.	3.53	-0.18	6	-0.25	2	-0.04	2	-25.17	2	-1.92	2	-0.00	6
6078	-185	-186	Min.	13.76					-0.02	8			0.00	8		
6078	-185	-186	Min.	24.05	-0.18	6	-0.25	2	-0.03	2	-25.97	2	-2.66	2	-0.00	6
6079	-153	-154	Max	3.53	0.01	6	0.32	2	0.02	2	18.25	2	2.54	2	0.00	6
6079	-153	-154	Max	14.10					0.01	8			0.01	8		
6079	-153	-154	Max	24.67	0.01	6	0.32	2	0.03	2	17.42	2	1.89	2	0.00	6
6079	-153	-154	Min.	3.53	-0.19	6	-0.24	2	-0.04	2	-23.92	2	-1.88	2	-0.00	6
6079	-153	-154	Min.	14.10					-0.02	8			0.01	8		
6079	-153	-154	Min.	24.67	-0.19	6	-0.24	2	-0.03	2	-24.75	2	-2.60	2	-0.00	6
6080	-121	-122	Max	3.53	0.07	6	0.28	2	0.02	2	16.86	2	2.40	2	0.00	6
6080	-121	-122	Max	14.47					-0.02	8			0.01	8		
6080	-121	-122	Max	25.30	0.07	6	0.28	2	0.03	2	16.01	2	1.79	2	0.00	6
6080	-121	-122	Min.	3.53	-0.15	6	-0.20	2	-0.04	2	-21.96	2	-1.79	2	-0.00	6
6080	-121	-122	Min.	14.47					0.01	8			0.00	8		
6080	-121	-122	Min.	25.30	-0.15	6	-0.20	2	-0.03	2	-22.81	2	-2.47	2	-0.00	6
6081	-89	-90	Max	3.53	-0.48	6	0.20	2	0.02	2	13.11	2	1.90	2	0.00	6
6081	-89	-90	Max	14.82					-0.01	8			0.01	8		
6081	-89	-90	Max	25.92	-0.48	6	0.20	2	0.02	2	12.23	2	1.41	2	0.00	6
6081	-89	-90	Min.	3.53	-0.74	6	-0.14	2	-0.03	2	-16.79	2	-1.43	2	-0.00	6
6081	-89	-90	Min.	14.82					0.01	8			0.00	8		
6081	-89	-90	Min.	25.92	-0.74	6	-0.14	2	-0.02	2	-17.67	2	-1.96	2	-0.00	6
6082	-57	-58	Max	3.53	5.32	6	0.03	2	0.01	6	15.27	2	2.29	2	0.02	2
6082	-57	-58	Max	15.14					-0.01	8			0.15	8		
6082	-57	-58	Max	26.55	5.32	6	0.03	2	0.01	6	13.46	2	1.77	2	0.02	2
6082	-57	-58	Min.	3.53	4.52	6	-0.05	2	-0.01	6	-18.42	2	-1.54	2	-0.01	2
6082	-57	-58	Min.	15.14					0.01	8			0.13	8		

6082	-57	-58	Min.	26.55	4.52	6	-0.05	2	-0.01	6	-20.23	2	-2.16	2	-0.01	2
6083	-25	-26	Max	3.53	22.44	2	0.18	2	0.04	2	9.80	2	1.37	2	0.00	6
6083	-25	-26	Max	26.86	22.44	2	0.18	2	0.02	2	7.97	2	1.10	2	0.00	6
6083	-25	-26	Min.	3.53	19.02	2	-0.37	2	-0.02	2	-10.51	2	-0.98	2	-0.00	6
6083	-25	-26	Min.	26.86	19.02	2	-0.37	2	-0.05	2	-12.34	2	-1.29	2	-0.00	6
6084	373	374	Max	1.77	-2.04	6	2.14	2	-0.08	2	1.12	2	0.11	2	0.09	2
6084	373	374	Max	2.53					-0.11	4			0.10	4		
6084	373	374	Max	15.00	-2.04	6	1.20	2	-0.15	6	1.12	2	0.01	6	0.09	2
6084	373	374	Min.	1.77	-8.23	6	-0.07	2	-0.41	2	-0.76	2	-0.14	2	-0.16	2
6084	373	374	Min.	2.53					-0.37	4			-0.13	4		
6084	373	374	Min.	15.00	-8.23	6	-1.01	2	-0.19	6	-0.76	2	0.01	6	-0.16	2
6084	374	375	Max	0.00	-2.04	6	1.20	2	-0.15	6	1.12	2	0.01	6	0.09	2
6084	374	375	Max	1.08					-0.15	8			0.01	8		
6084	374	375	Max	13.23	-2.04	6	0.26	2	-0.09	2	1.12	2	0.16	2	0.09	2
6084	374	375	Min.	0.00	-8.23	6	-1.01	2	-0.19	6	-0.76	2	0.01	6	-0.16	2
6084	374	375	Min.	1.08					-0.19	8			0.01	8		
6084	374	375	Min.	13.23	-8.23	6	-1.95	2	-0.35	2	-0.76	2	-0.09	2	-0.16	2
6085	-537	-538	Max	0.00	0.27	2	16.33	2	0.53	2	0.24	2	0.04	2	0.16	2
6085	-537	-538	Max	12.00	0.27	2	16.33	2	0.97	2	1.84	2	0.09	2	0.16	2
6085	-537	-538	Min.	0.00	-0.17	2	-8.72	2	-0.99	2	-1.62	2	-0.03	2	-0.23	2
6085	-537	-538	Min.	12.00	-0.17	2	-8.72	2	-0.52	2	-0.02	2	-0.06	2	-0.23	2
6086	-521	-522	Max	0.00	0.31	2	16.35	2	0.50	2	-0.51	2	0.06	6	0.23	2
6086	-521	-522	Max	12.00	0.31	2	16.35	2	0.99	2	1.10	2	0.02	2	0.23	2
6086	-521	-522	Min.	0.00	-0.32	2	-8.42	2	-0.97	2	-1.89	2	-0.01	6	-0.32	2
6086	-521	-522	Min.	12.00	-0.32	2	-8.42	2	-0.51	2	-0.29	2	-0.07	2	-0.32	2
6088	313	325	Max	1.77	207.35	2	304.54	2	15.75	2	10.38	2	0.08	2	0.28	2
6088	313	325	Max	15.00	207.35	2	303.60	2	22.78	2	10.38	2	1.11	2	0.28	2
6088	313	325	Min.	1.77	-190.53	2	-269.80	2	-17.46	2	-5.01	2	-0.26	2	-0.48	2
6088	313	325	Min.	15.00	-190.53	2	-270.74	2	-20.01	2	-5.01	2	-0.58	2	-0.48	2
6088	325	337	Max	0.00	193.01	2	288.92	2	20.44	2	4.63	2	1.11	2	0.48	2
6088	325	337	Max	13.23	193.01	2	287.98	2	16.17	2	4.63	2	0.07	2	0.48	2
6088	325	337	Min.	0.00	-195.68	2	-279.55	2	-22.02	2	-10.48	2	-0.55	2	-0.28	2
6088	325	337	Min.	13.23	-195.68	2	-280.49	2	-16.63	2	-10.48	2	-0.27	2	-0.28	2
6089	-1	-9	Max	3.53	158.50	2	0.08	6	0.02	6	22.43	6	1.33	6	0.00	6
6089	-1	-9	Max	26.86	158.50	2	0.08	6	0.01	6	20.60	6	2.64	6	0.00	6
6089	-1	-9	Min.	3.53	-125.24	2	-0.18	6	-0.01	6	-10.30	6	-2.39	6	0.00	6
6089	-1	-9	Min.	26.86	-125.24	2	-0.18	6	-0.02	6	-12.13	6	-1.30	6	0.00	6
6090	-33	-41	Max	3.53	58.77	2	0.14	6	0.04	6	34.77	6	2.05	6	0.00	6
6090	-33	-41	Max	26.55	58.77	2	0.14	6	0.02	6	32.96	6	4.18	6	0.00	6
6090	-33	-41	Min.	3.53	-52.87	2	-0.30	6	-0.02	6	-14.38	6	-4.03	6	-0.00	6
6090	-33	-41	Min.	26.55	-52.87	2	-0.30	6	-0.03	6	-16.18	6	-1.88	6	-0.00	6
6091	-65	-73	Max	3.53	2.14	2	0.15	6	0.04	6	30.00	6	1.40	6	0.00	6
6091	-65	-73	Max	25.92	2.14	2	0.15	6	0.02	6	29.12	6	3.32	6	0.00	6
6091	-65	-73	Min.	3.53	-3.09	2	-0.35	6	-0.02	6	-12.31	6	-3.30	6	-0.00	6
6091	-65	-73	Min.	25.92	-3.09	2	-0.35	6	-0.04	6	-13.19	6	-1.46	6	-0.00	6
6092	-97	-105	Max	3.53	0.14	6	0.20	6	0.06	6	38.81	6	1.77	6	0.00	6
6092	-97	-105	Max	25.30	0.14	6	0.20	6	0.02	6	37.96	6	4.20	6	0.00	6
6092	-97	-105	Min.	3.53	-0.04	6	-0.47	6	-0.02	6	-16.06	6	-4.16	6	-0.00	6
6092	-97	-105	Min.	25.30	-0.04	6	-0.47	6	-0.05	6	-16.91	6	-1.82	6	-0.00	6
6093	-129	-137	Max	3.53	0.03	2	0.23	6	0.06	6	42.16	6	1.86	6	0.01	6
6093	-129	-137	Max	24.67	0.03	2	0.23	6	0.03	6	41.33	6	4.44	6	0.01	6
6093	-129	-137	Min.	3.53	-0.09	2	-0.54	6	-0.03	6	-17.45	6	-4.39	6	-0.00	6
6093	-129	-137	Min.	24.67	-0.09	2	-0.54	6	-0.06	6	-18.28	6	-1.91	6	-0.00	6
6094	-161	-169	Max	3.53	0.05	2	0.24	6	0.06	6	44.31	6	1.89	6	0.01	6
6094	-161	-169	Max	24.05	0.05	2	0.24	6	0.03	6	43.50	6	4.53	6	0.01	6
6094	-161	-169	Min.	3.53	-0.10	2	-0.57	6	-0.03	6	-18.30	6	-4.48	6	-0.00	6
6094	-161	-169	Min.	24.05	-0.10	2	-0.57	6	-0.06	6	-19.10	6	-1.94	6	-0.00	6
6095	-193	-201	Max	3.53	0.04	2	0.25	6	0.06	6	46.26	6	1.90	6	0.01	6
6095	-193	-201	Max	23.42	0.04	2	0.25	6	0.03	6	45.47	6	4.59	6	0.01	6

6095	-193	-201	Min.	3.53	-0.09	2	-0.60	6	-0.03	6	-19.04	6	-4.53	6	-0.00	6
6095	-193	-201	Min.	23.42	-0.09	2	-0.60	6	-0.06	6	-19.82	6	-1.96	6	-0.00	6
6096	-225	-233	Max	3.53	0.05	2	0.26	6	0.07	6	48.24	6	1.91	6	0.01	6
6096	-225	-233	Max	22.80	0.05	2	0.26	6	0.03	6	47.48	6	4.64	6	0.01	6
6096	-225	-233	Min.	3.53	-0.09	2	-0.63	6	-0.03	6	-19.76	6	-4.58	6	-0.00	6
6096	-225	-233	Min.	22.80	-0.09	2	-0.63	6	-0.06	6	-20.52	6	-1.97	6	-0.00	6
6097	-257	-265	Max	3.53	0.05	2	0.27	6	0.07	6	50.32	6	1.92	6	0.01	6
6097	-257	-265	Max	22.17	0.05	2	0.27	6	0.03	6	49.58	6	4.69	6	0.01	6
6097	-257	-265	Min.	3.53	-0.09	2	-0.66	6	-0.03	6	-20.50	6	-4.62	6	-0.00	6
6097	-257	-265	Min.	22.17	-0.09	2	-0.66	6	-0.06	6	-21.23	6	-1.97	6	-0.00	6
6098	-289	-297	Max	3.53	0.05	2	0.28	6	0.07	6	52.51	6	1.92	6	0.01	6
6098	-289	-297	Max	21.55	0.05	2	0.28	6	0.03	6	51.81	6	4.74	6	0.01	6
6098	-289	-297	Min.	3.53	-0.09	2	-0.69	6	-0.03	6	-21.26	6	-4.66	6	-0.00	6
6098	-289	-297	Min.	21.55	-0.09	2	-0.69	6	-0.06	6	-21.96	6	-1.97	6	-0.00	6
6099	-321	-329	Max	3.53	0.06	2	0.30	6	0.07	6	54.84	6	1.92	6	0.01	6
6099	-321	-329	Max	20.92	0.06	2	0.30	6	0.03	6	54.16	6	4.78	6	0.01	6
6099	-321	-329	Min.	3.53	-0.10	2	-0.72	6	-0.03	6	-22.04	6	-4.70	6	-0.00	6
6099	-321	-329	Min.	20.92	-0.10	2	-0.72	6	-0.06	6	-22.72	6	-1.97	6	-0.00	6
6100	-353	-361	Max	3.53	0.07	2	0.31	6	0.07	6	57.32	6	1.91	6	0.01	6
6100	-353	-361	Max	20.30	0.07	2	0.31	6	0.03	6	56.66	6	4.82	6	0.01	6
6100	-353	-361	Min.	3.53	-0.09	2	-0.76	6	-0.03	6	-22.85	6	-4.73	6	-0.00	6
6100	-353	-361	Min.	20.30	-0.09	2	-0.76	6	-0.06	6	-23.50	6	-1.97	6	-0.00	6
6101	-385	-393	Max	3.53	0.05	2	0.32	6	0.07	6	59.94	6	1.91	6	0.01	6
6101	-385	-393	Max	19.67	0.05	2	0.32	6	0.03	6	59.31	6	4.86	6	0.01	6
6101	-385	-393	Min.	3.53	-0.11	2	-0.79	6	-0.03	6	-23.68	6	-4.76	6	-0.00	6
6101	-385	-393	Min.	19.67	-0.11	2	-0.79	6	-0.06	6	-24.31	6	-1.96	6	-0.00	6
6102	-417	-425	Max	3.53	0.23	6	0.33	6	0.07	6	62.62	6	1.89	6	0.01	6
6102	-417	-425	Max	19.05	0.23	6	0.33	6	0.03	6	62.01	6	4.89	6	0.01	6
6102	-417	-425	Min.	3.53	0.03	6	-0.83	6	-0.03	6	-24.49	6	-4.78	6	-0.00	6
6102	-417	-425	Min.	19.05	0.03	6	-0.83	6	-0.06	6	-25.10	6	-1.95	6	-0.00	6
6103	-449	-457	Max	3.53	-0.63	6	0.31	6	0.06	6	64.71	6	1.86	6	0.01	6
6103	-449	-457	Max	18.42	-0.63	6	0.31	6	0.02	6	64.13	6	4.86	6	0.01	6
6103	-449	-457	Min.	3.53	-1.33	6	-0.79	6	-0.02	6	-25.06	6	-4.73	6	-0.01	6
6103	-449	-457	Min.	18.42	-1.33	6	-0.79	6	-0.06	6	-25.65	6	-1.91	6	-0.01	6
6104	-481	-489	Max	3.53	7.34	6	0.37	6	0.07	6	61.84	6	1.65	6	0.01	6
6104	-481	-489	Max	17.80	7.34	6	0.37	6	0.03	6	61.28	6	4.38	6	0.01	6
6104	-481	-489	Min.	3.53	3.48	6	-0.96	6	-0.03	6	-23.68	6	-4.40	6	-0.03	6
6104	-481	-489	Min.	17.80	3.48	6	-0.96	6	-0.07	6	-24.24	6	-1.77	6	-0.03	6
6109	-482	-490	Max	2.83	15.53	6	1.07	6	0.03	6	68.15	6	1.90	6	0.04	6
6109	-482	-490	Max	17.09	15.53	6	1.07	6	0.08	6	67.59	6	4.64	6	0.04	6
6109	-482	-490	Min.	2.83	9.43	6	-0.44	6	-0.08	6	-27.30	6	-5.04	6	-0.02	6
6109	-482	-490	Min.	17.09	9.43	6	-0.44	6	-0.03	6	-27.86	6	-2.03	6	-0.02	6
6110	-450	-458	Max	2.83	-1.78	6	0.90	6	0.03	6	71.63	6	2.21	6	0.00	2
6110	-450	-458	Max	17.72	-1.78	6	0.90	6	0.07	6	71.05	6	5.26	6	0.00	2
6110	-450	-458	Min.	2.83	-2.76	6	-0.37	6	-0.07	6	-28.91	6	-5.36	6	-0.00	2
6110	-450	-458	Min.	17.72	-2.76	6	-0.37	6	-0.03	6	-29.49	6	-2.14	6	-0.00	2
6111	-418	-426	Max	2.83	0.37	2	0.94	6	0.03	6	69.26	6	2.23	6	0.01	6
6111	-418	-426	Max	18.34	0.37	2	0.94	6	0.08	6	68.65	6	5.28	6	0.01	6
6111	-418	-426	Min.	2.83	0.14	2	-0.39	6	-0.07	6	-28.22	6	-5.42	6	-0.00	6
6111	-418	-426	Min.	18.34	0.14	2	-0.39	6	-0.03	6	-28.83	6	-2.19	6	-0.00	6
6112	-386	-394	Max	2.83	-0.03	2	0.89	6	0.03	6	66.25	6	2.24	6	0.00	6
6112	-386	-394	Max	18.97	-0.03	2	0.89	6	0.08	6	65.61	6	5.26	6	0.00	6
6112	-386	-394	Min.	2.83	-0.19	2	-0.37	6	-0.07	6	-27.21	6	-5.38	6	-0.00	6
6112	-386	-394	Min.	18.97	-0.19	2	-0.37	6	-0.03	6	-27.84	6	-2.20	6	-0.00	6
6113	-354	-362	Max	2.83	0.02	2	0.85	6	0.03	6	63.30	6	2.24	6	0.00	6
6113	-354	-362	Max	19.59	0.02	2	0.85	6	0.07	6	62.64	6	5.22	6	0.00	6
6113	-354	-362	Min.	2.83	-0.14	2	-0.36	6	-0.07	6	-26.20	6	-5.34	6	-0.00	6
6113	-354	-362	Min.	19.59	-0.14	2	-0.36	6	-0.03	6	-26.85	6	-2.21	6	-0.00	6
6114	-322	-330	Max	2.83	0.01	2	0.81	6	0.03	6	60.51	6	2.24	6	0.00	6

6114	-322	-330	Max	20.22	0.01	2	0.81	6	0.07	6	59.83	6	5.17	6	0.00	6
6114	-322	-330	Min.	2.83	-0.14	2	-0.35	6	-0.07	6	-25.22	6	-5.29	6	-0.00	6
6114	-322	-330	Min.	20.22	-0.14	2	-0.35	6	-0.03	6	-25.90	6	-2.21	6	-0.00	6
6115	-290	-298	Max	2.83	0.01	2	0.77	6	0.03	6	57.90	6	2.23	6	0.00	6
6115	-290	-298	Max	20.84	0.01	2	0.77	6	0.07	6	57.19	6	5.13	6	0.00	6
6115	-290	-298	Min.	2.83	-0.14	2	-0.33	6	-0.07	6	-24.27	6	-5.24	6	-0.00	6
6115	-290	-298	Min.	20.84	-0.14	2	-0.33	6	-0.03	6	-24.98	6	-2.20	6	-0.00	6
6116	-258	-266	Max	2.83	0.00	2	0.74	6	0.03	6	55.44	6	2.22	6	0.00	6
6116	-258	-266	Max	21.47	0.00	2	0.74	6	0.07	6	54.71	6	5.08	6	0.00	6
6116	-258	-266	Min.	2.83	-0.14	2	-0.32	6	-0.07	6	-23.37	6	-5.19	6	-0.00	6
6116	-258	-266	Min.	21.47	-0.14	2	-0.32	6	-0.03	6	-24.10	6	-2.20	6	-0.00	6
6117	-226	-234	Max	2.83	0.00	2	0.71	6	0.03	6	53.12	6	2.21	6	0.00	6
6117	-226	-234	Max	22.09	0.00	2	0.71	6	0.07	6	52.36	6	5.03	6	0.00	6
6117	-226	-234	Min.	2.83	-0.14	2	-0.31	6	-0.07	6	-22.49	6	-5.13	6	-0.00	6
6117	-226	-234	Min.	22.09	-0.14	2	-0.31	6	-0.03	6	-23.25	6	-2.19	6	-0.00	6
6118	-194	-202	Max	2.83	0.00	2	0.67	6	0.03	6	50.91	6	2.20	6	0.00	6
6118	-194	-202	Max	22.72	0.00	2	0.67	6	0.07	6	50.13	6	4.97	6	0.00	6
6118	-194	-202	Min.	2.83	-0.13	2	-0.30	6	-0.07	6	-21.64	6	-5.08	6	-0.00	6
6118	-194	-202	Min.	22.72	-0.13	2	-0.30	6	-0.03	6	-22.42	6	-2.18	6	-0.00	6
6119	-162	-170	Max	2.83	0.00	2	0.64	6	0.03	6	48.74	6	2.18	6	0.00	6
6119	-162	-170	Max	23.34	0.00	2	0.64	6	0.07	6	47.94	6	4.91	6	0.00	6
6119	-162	-170	Min.	2.83	-0.14	2	-0.28	6	-0.07	6	-20.77	6	-5.01	6	-0.00	6
6119	-162	-170	Min.	23.34	-0.14	2	-0.28	6	-0.03	6	-21.58	6	-2.16	6	-0.00	6
6120	-130	-138	Max	2.83	-0.01	2	0.60	6	0.03	6	46.37	6	2.14	6	0.00	6
6120	-130	-138	Max	23.97	-0.01	2	0.60	6	0.07	6	45.54	6	4.81	6	0.00	6
6120	-130	-138	Min.	2.83	-0.13	2	-0.26	6	-0.06	6	-19.80	6	-4.91	6	-0.00	6
6120	-130	-138	Min.	23.97	-0.13	2	-0.26	6	-0.03	6	-20.63	6	-2.13	6	-0.00	6
6121	-98	-106	Max	2.83	0.11	6	0.53	6	0.03	6	42.68	6	2.03	6	0.00	6
6121	-98	-106	Max	24.59	0.11	6	0.53	6	0.06	6	41.82	6	4.55	6	0.00	6
6121	-98	-106	Min.	2.83	-0.03	6	-0.23	6	-0.06	6	-18.22	6	-4.64	6	-0.00	6
6121	-98	-106	Min.	24.59	-0.03	6	-0.23	6	-0.03	6	-19.07	6	-2.02	6	-0.00	6
6122	-66	-74	Max	2.83	0.54	2	0.38	6	0.02	6	32.99	6	1.61	6	0.00	6
6122	-66	-74	Max	25.22	0.54	2	0.38	6	0.04	6	32.11	6	3.60	6	0.00	6
6122	-66	-74	Min.	2.83	-4.73	2	-0.17	6	-0.04	6	-13.99	6	-3.69	6	-0.00	6
6122	-66	-74	Min.	25.22	-4.73	2	-0.17	6	-0.02	6	-14.87	6	-1.62	6	-0.00	6
6123	-34	-42	Max	2.83	92.66	2	0.34	6	0.02	6	38.37	6	2.69	6	0.00	6
6123	-34	-42	Max	25.84	92.66	2	0.34	6	0.04	6	36.56	6	5.11	6	0.00	6
6123	-34	-42	Min.	2.83	-19.65	2	-0.16	6	-0.04	6	-16.22	6	-3.93	6	0.00	6
6123	-34	-42	Min.	25.84	-19.65	2	-0.16	6	-0.02	6	-18.02	6	-1.67	6	0.00	6
6124	-2	-10	Max	2.83	243.82	2	0.21	6	0.01	6	24.95	6	1.48	6	0.00	2
6124	-2	-10	Max	26.15	243.82	2	0.21	6	0.02	6	23.12	6	2.83	6	0.00	2
6124	-2	-10	Min.	2.83	-40.15	2	-0.10	6	-0.02	6	-11.74	6	-2.78	6	0.00	2
6124	-2	-10	Min.	26.15	-40.15	2	-0.10	6	-0.01	6	-13.57	6	-1.48	6	0.00	2
6125	315	327	Max	1.77	86.31	2	6.41	2	0.16	2	132.52	2	25.39	2	0.26	2
6125	315	327	Max	15.00	86.31	2	6.41	2	0.66	2	131.58	2	10.03	2	0.26	2
6125	315	327	Min.	1.77	-295.54	2	-9.03	2	-0.19	2	-439.20	2	-7.44	2	-0.51	2
6125	315	327	Min.	15.00	-295.54	2	-9.03	2	-1.03	2	-440.14	2	-32.79	2	-0.51	2
6125	327	339	Max	0.00	81.75	2	8.84	2	0.64	2	465.16	2	7.98	2	0.51	2
6125	327	339	Max	13.23	81.75	2	8.84	2	0.15	2	464.22	2	26.35	2	0.51	2
6125	327	339	Min.	0.00	-314.93	2	-6.27	2	-1.02	2	-113.40	2	-35.14	2	-0.26	2
6125	327	339	Min.	13.23	-314.93	2	-6.27	2	-0.19	2	-114.34	2	-7.08	2	-0.26	2
6126	316	328	Max	1.77	172.20	2	224.18	2	23.78	2	11.07	2	0.10	2	0.42	2
6126	316	328	Max	15.00	172.20	2	223.24	2	15.94	2	11.07	2	1.15	2	0.42	2
6126	316	328	Min.	1.77	-279.29	2	-428.31	2	-13.75	2	-7.06	2	-0.32	2	-0.45	2
6126	316	328	Min.	15.00	-279.29	2	-429.26	2	-33.04	2	-7.06	2	-0.83	2	-0.45	2
6126	328	340	Max	0.00	148.28	2	418.35	2	17.90	2	6.91	2	1.10	2	0.45	2
6126	328	340	Max	13.23	148.28	2	417.41	2	24.51	2	6.91	2	0.10	2	0.45	2
6126	328	340	Min.	0.00	-302.42	2	-235.73	2	-30.79	2	-10.62	2	-0.82	2	-0.42	2
6126	328	340	Min.	13.23	-302.42	2	-236.67	2	-13.36	2	-10.62	2	-0.31	2	-0.42	2

6127	-3	-11	Max	3.53	241.98	2	0.04	6	0.03	6	33.52	6	0.48	6	0.00	2
6127	-3	-11	Max	26.86	241.98	2	0.04	6	0.00	6	31.69	6	3.97	6	0.00	2
6127	-3	-11	Min.	3.53	-82.95	2	-0.25	6	-0.00	6	-2.67	6	-3.66	6	0.00	2
6127	-3	-11	Min.	26.86	-82.95	2	-0.25	6	-0.03	6	-4.50	6	-0.38	6	0.00	2
6128	-35	-43	Max	3.53	89.69	2	0.06	6	0.05	6	47.04	6	1.44	6	0.00	2
6128	-35	-43	Max	26.55	89.69	2	0.06	6	0.01	6	45.23	6	6.03	6	0.00	2
6128	-35	-43	Min.	3.53	-38.39	2	-0.42	6	-0.01	6	-5.86	6	-5.07	6	0.00	2
6128	-35	-43	Min.	26.55	-38.39	2	-0.42	6	-0.05	6	-7.66	6	-0.59	6	0.00	2
6129	-67	-75	Max	3.53	1.31	2	0.07	6	0.05	6	39.62	6	0.65	6	0.00	2
6129	-67	-75	Max	25.92	1.31	2	0.07	6	0.01	6	38.75	6	4.40	6	0.00	2
6129	-67	-75	Min.	3.53	-4.66	2	-0.46	6	-0.01	6	-5.56	6	-4.37	6	-0.00	2
6129	-67	-75	Min.	25.92	-4.66	2	-0.46	6	-0.05	6	-6.44	6	-0.70	6	-0.00	2
6130	-99	-107	Max	3.53	0.24	6	0.10	6	0.07	6	51.25	6	0.83	6	0.00	2
6130	-99	-107	Max	25.30	0.24	6	0.10	6	0.01	6	50.40	6	5.56	6	0.00	2
6130	-99	-107	Min.	3.53	0.05	6	-0.63	6	-0.01	6	-7.33	6	-5.50	6	-0.00	2
6130	-99	-107	Min.	25.30	0.05	6	-0.63	6	-0.07	6	-8.18	6	-0.86	6	-0.00	2
6131	-131	-139	Max	3.53	0.05	2	0.11	6	0.08	6	55.71	6	0.86	6	0.00	2
6131	-131	-139	Max	24.67	0.05	2	0.11	6	0.01	6	54.88	6	5.88	6	0.00	2
6131	-131	-139	Min.	3.53	-0.10	2	-0.71	6	-0.01	6	-7.93	6	-5.81	6	-0.00	2
6131	-131	-139	Min.	24.67	-0.10	2	-0.71	6	-0.08	6	-8.76	6	-0.90	6	-0.00	2
6132	-163	-171	Max	3.53	0.06	2	0.11	6	0.08	6	58.60	6	0.87	6	0.00	2
6132	-163	-171	Max	24.05	0.06	2	0.11	6	0.01	6	57.80	6	6.01	6	0.00	2
6132	-163	-171	Min.	3.53	-0.11	2	-0.76	6	-0.01	6	-8.26	6	-5.93	6	-0.00	2
6132	-163	-171	Min.	24.05	-0.11	2	-0.76	6	-0.08	6	-9.06	6	-0.90	6	-0.00	2
6133	-195	-203	Max	3.53	0.06	2	0.12	6	0.08	6	61.25	6	0.87	6	0.00	2
6133	-195	-203	Max	23.42	0.06	2	0.12	6	0.01	6	60.47	6	6.10	6	0.00	2
6133	-195	-203	Min.	3.53	-0.11	2	-0.80	6	-0.01	6	-8.50	6	-6.01	6	-0.00	2
6133	-195	-203	Min.	23.42	-0.11	2	-0.80	6	-0.08	6	-9.28	6	-0.90	6	-0.00	2
6134	-227	-235	Max	3.53	0.07	2	0.12	6	0.09	6	63.96	6	0.86	6	0.00	2
6134	-227	-235	Max	22.80	0.07	2	0.12	6	0.01	6	63.20	6	6.17	6	0.00	2
6134	-227	-235	Min.	3.53	-0.11	2	-0.84	6	-0.01	6	-8.72	6	-6.07	6	-0.00	2
6134	-227	-235	Min.	22.80	-0.11	2	-0.84	6	-0.08	6	-9.48	6	-0.89	6	-0.00	2
6135	-259	-267	Max	3.53	0.07	2	0.12	6	0.09	6	66.81	6	0.85	6	0.00	2
6135	-259	-267	Max	22.17	0.07	2	0.12	6	0.01	6	66.08	6	6.24	6	0.00	2
6135	-259	-267	Min.	3.53	-0.11	2	-0.88	6	-0.01	6	-8.92	6	-6.14	6	-0.00	2
6135	-259	-267	Min.	22.17	-0.11	2	-0.88	6	-0.08	6	-9.65	6	-0.88	6	-0.00	2
6136	-291	-299	Max	3.53	0.08	2	0.13	6	0.09	6	69.84	6	0.84	6	0.00	2
6136	-291	-299	Max	21.55	0.08	2	0.13	6	0.01	6	69.13	6	6.31	6	0.00	2
6136	-291	-299	Min.	3.53	-0.11	2	-0.93	6	-0.01	6	-9.09	6	-6.20	6	-0.00	2
6136	-291	-299	Min.	21.55	-0.11	2	-0.93	6	-0.08	6	-9.80	6	-0.87	6	-0.00	2
6137	-323	-331	Max	3.53	0.08	2	0.13	6	0.09	6	73.07	6	0.82	6	0.00	2
6137	-323	-331	Max	20.92	0.08	2	0.13	6	0.01	6	72.38	6	6.38	6	0.00	2
6137	-323	-331	Min.	3.53	-0.11	2	-0.97	6	-0.01	6	-9.24	6	-6.26	6	-0.00	2
6137	-323	-331	Min.	20.92	-0.11	2	-0.97	6	-0.09	6	-9.93	6	-0.85	6	-0.00	2
6138	-355	-363	Max	3.53	0.10	2	0.13	6	0.09	6	76.51	6	0.80	6	0.00	2
6138	-355	-363	Max	20.30	0.10	2	0.13	6	0.01	6	75.85	6	6.45	6	0.00	2
6138	-355	-363	Min.	3.53	-0.10	2	-1.02	6	-0.01	6	-9.38	6	-6.32	6	-0.00	2
6138	-355	-363	Min.	20.30	-0.10	2	-1.02	6	-0.09	6	-10.03	6	-0.83	6	-0.00	2
6139	-387	-395	Max	3.53	0.01	2	0.13	6	0.09	6	80.16	6	0.78	6	0.00	2
6139	-387	-395	Max	19.67	0.01	2	0.13	6	0.01	6	79.53	6	6.51	6	0.00	2
6139	-387	-395	Min.	3.53	-0.16	2	-1.07	6	-0.01	6	-9.48	6	-6.37	6	-0.00	2
6139	-387	-395	Min.	19.67	-0.16	2	-1.07	6	-0.09	6	-10.12	6	-0.80	6	-0.00	2
6140	-419	-427	Max	3.53	0.66	2	0.13	6	0.09	6	83.91	6	0.75	6	0.00	2
6140	-419	-427	Max	19.05	0.66	2	0.13	6	0.01	6	83.30	6	6.56	6	0.00	2
6140	-419	-427	Min.	3.53	0.21	2	-1.12	6	-0.01	6	-9.55	6	-6.41	6	-0.00	2
6140	-419	-427	Min.	19.05	0.21	2	-1.12	6	-0.09	6	-10.16	6	-0.78	6	-0.00	2
6141	-451	-459	Max	3.53	-2.30	2	0.12	6	0.08	6	86.83	6	0.74	6	0.01	6
6141	-451	-459	Max	18.42	-2.30	2	0.12	6	0.01	6	86.25	6	6.55	6	0.01	6
6141	-451	-459	Min.	3.53	-3.71	2	-1.07	6	-0.01	6	-9.52	6	-6.33	6	-0.00	6

6141	-451	-459	Min.	18.42	-3.71	2	-1.07	6	-0.08	6	-10.11	6	-0.72	6	-0.00	6
6142	-483	-491	Max	3.53	22.03	2	0.15	6	0.09	6	82.87	6	0.51	6	0.01	6
6142	-483	-491	Max	17.80	22.03	2	0.15	6	0.01	6	82.31	6	5.79	6	0.01	6
6142	-483	-491	Min.	3.53	11.69	2	-1.28	6	-0.01	6	-8.77	6	-5.99	6	-0.04	6
6142	-483	-491	Min.	17.80	11.69	2	-1.28	6	-0.09	6	-9.33	6	-0.78	6	-0.04	6
6147	-484	-492	Max	2.83	22.06	2	1.30	6	0.01	6	83.99	6	0.56	6	0.04	6
6147	-484	-492	Max	17.09	22.06	2	1.30	6	0.09	6	83.43	6	5.71	6	0.04	6
6147	-484	-492	Min.	2.83	11.28	2	-0.16	6	-0.09	6	-9.12	6	-6.23	6	-0.01	6
6147	-484	-492	Min.	17.09	11.28	2	-0.16	6	-0.01	6	-9.68	6	-0.78	6	-0.01	6
6148	-452	-460	Max	2.83	-2.27	2	1.09	6	0.01	6	88.22	6	0.77	6	0.00	6
6148	-452	-460	Max	17.72	-2.27	2	1.09	6	0.08	6	87.64	6	6.49	6	0.00	6
6148	-452	-460	Min.	2.83	-3.74	2	-0.13	6	-0.08	6	-9.76	6	-6.60	6	-0.01	6
6148	-452	-460	Min.	17.72	-3.74	2	-0.13	6	-0.01	6	-10.35	6	-0.73	6	-0.01	6
6149	-420	-428	Max	2.83	0.57	2	1.14	6	0.01	6	85.20	6	0.79	6	0.00	2
6149	-420	-428	Max	18.34	0.57	2	1.14	6	0.09	6	84.59	6	6.50	6	0.00	2
6149	-420	-428	Min.	2.83	0.15	2	-0.14	6	-0.09	6	-9.82	6	-6.67	6	-0.00	2
6149	-420	-428	Min.	18.34	0.15	2	-0.14	6	-0.01	6	-10.43	6	-0.78	6	-0.00	2
6150	-388	-396	Max	2.83	-0.05	2	1.09	6	0.01	6	81.39	6	0.82	6	0.00	2
6150	-388	-396	Max	18.97	-0.05	2	1.09	6	0.09	6	80.76	6	6.47	6	0.00	2
6150	-388	-396	Min.	2.83	-0.22	2	-0.14	6	-0.09	6	-9.74	6	-6.62	6	-0.00	2
6150	-388	-396	Min.	18.97	-0.22	2	-0.14	6	-0.01	6	-10.37	6	-0.81	6	-0.00	2
6151	-356	-364	Max	2.83	0.03	2	1.04	6	0.02	6	77.67	6	0.84	6	0.00	2
6151	-356	-364	Max	19.59	0.03	2	1.04	6	0.09	6	77.01	6	6.41	6	0.00	2
6151	-356	-364	Min.	2.83	-0.16	2	-0.13	6	-0.09	6	-9.62	6	-6.56	6	-0.00	2
6151	-356	-364	Min.	19.59	-0.16	2	-0.13	6	-0.01	6	-10.27	6	-0.83	6	-0.00	2
6152	-324	-332	Max	2.83	0.02	2	0.99	6	0.02	6	74.17	6	0.86	6	0.00	2
6152	-324	-332	Max	20.22	0.02	2	0.99	6	0.09	6	73.49	6	6.35	6	0.00	2
6152	-324	-332	Min.	2.83	-0.16	2	-0.13	6	-0.09	6	-9.47	6	-6.49	6	-0.00	2
6152	-324	-332	Min.	20.22	-0.16	2	-0.13	6	-0.01	6	-10.15	6	-0.85	6	-0.00	2
6153	-292	-300	Max	2.83	0.02	2	0.94	6	0.02	6	70.89	6	0.87	6	0.00	2
6153	-292	-300	Max	20.84	0.02	2	0.94	6	0.09	6	70.18	6	6.28	6	0.00	2
6153	-292	-300	Min.	2.83	-0.16	2	-0.13	6	-0.09	6	-9.31	6	-6.42	6	-0.00	2
6153	-292	-300	Min.	20.84	-0.16	2	-0.13	6	-0.01	6	-10.01	6	-0.87	6	-0.00	2
6154	-260	-268	Max	2.83	0.02	2	0.90	6	0.02	6	67.81	6	0.88	6	0.00	2
6154	-260	-268	Max	21.47	0.02	2	0.90	6	0.09	6	67.08	6	6.22	6	0.00	2
6154	-260	-268	Min.	2.83	-0.16	2	-0.13	6	-0.09	6	-9.12	6	-6.35	6	-0.00	2
6154	-260	-268	Min.	21.47	-0.16	2	-0.13	6	-0.01	6	-9.85	6	-0.88	6	-0.00	2
6155	-228	-236	Max	2.83	0.01	2	0.86	6	0.02	6	64.91	6	0.89	6	0.00	2
6155	-228	-236	Max	22.09	0.01	2	0.86	6	0.09	6	64.16	6	6.15	6	0.00	2
6155	-228	-236	Min.	2.83	-0.15	2	-0.12	6	-0.08	6	-8.91	6	-6.28	6	-0.00	2
6155	-228	-236	Min.	22.09	-0.15	2	-0.12	6	-0.01	6	-9.67	6	-0.89	6	-0.00	2
6156	-196	-204	Max	2.83	0.01	2	0.82	6	0.02	6	62.16	6	0.90	6	0.00	2
6156	-196	-204	Max	22.72	0.01	2	0.82	6	0.08	6	61.38	6	6.08	6	0.00	2
6156	-196	-204	Min.	2.83	-0.15	2	-0.12	6	-0.08	6	-8.69	6	-6.20	6	-0.00	2
6156	-196	-204	Min.	22.72	-0.15	2	-0.12	6	-0.01	6	-9.47	6	-0.90	6	-0.00	2
6157	-164	-172	Max	2.83	0.01	2	0.78	6	0.02	6	59.47	6	0.90	6	0.00	2
6157	-164	-172	Max	23.34	0.01	2	0.78	6	0.08	6	58.67	6	6.00	6	0.00	2
6157	-164	-172	Min.	2.83	-0.15	2	-0.12	6	-0.08	6	-8.43	6	-6.12	6	-0.00	2
6157	-164	-172	Min.	23.34	-0.15	2	-0.12	6	-0.01	6	-9.24	6	-0.91	6	-0.00	2
6158	-132	-140	Max	2.83	0.00	2	0.73	6	0.02	6	56.53	6	0.90	6	0.00	2
6158	-132	-140	Max	23.97	0.00	2	0.73	6	0.08	6	55.70	6	5.87	6	0.00	2
6158	-132	-140	Min.	2.83	-0.15	2	-0.11	6	-0.08	6	-8.10	6	-5.99	6	-0.00	2
6158	-132	-140	Min.	23.97	-0.15	2	-0.11	6	-0.01	6	-8.93	6	-0.90	6	-0.00	2
6159	-100	-108	Max	2.83	0.11	6	0.64	6	0.01	6	52.01	6	0.86	6	0.00	2
6159	-100	-108	Max	24.59	0.11	6	0.64	6	0.07	6	51.16	6	5.56	6	0.00	2
6159	-100	-108	Min.	2.83	-0.03	6	-0.10	6	-0.07	6	-7.48	6	-5.67	6	-0.00	2
6159	-100	-108	Min.	24.59	-0.03	6	-0.10	6	-0.01	6	-8.33	6	-0.86	6	-0.00	2
6160	-68	-76	Max	2.83	0.79	2	0.47	6	0.01	6	40.21	6	0.67	6	0.00	2
6160	-68	-76	Max	25.22	0.79	2	0.47	6	0.05	6	39.33	6	4.40	6	0.00	2

6160	-68	-76	Min.	2.83	-5.29	2	-0.07	6	-0.05	6	-5.70	6	-4.50	6	-0.00	2
6160	-68	-76	Min.	25.22	-5.29	2	-0.07	6	-0.01	6	-6.57	6	-0.70	6	-0.00	2
6161	-36	-44	Max	2.83	101.45	2	0.43	6	0.01	6	47.81	6	1.57	6	0.00	2
6161	-36	-44	Max	25.84	101.45	2	0.43	6	0.05	6	46.01	6	6.20	6	0.00	2
6161	-36	-44	Min.	2.83	-28.14	2	-0.06	6	-0.05	6	-5.81	6	-5.07	6	0.00	2
6161	-36	-44	Min.	25.84	-28.14	2	-0.06	6	-0.01	6	-7.61	6	-0.45	6	0.00	2
6162	-4	-12	Max	2.83	269.74	2	0.26	6	0.00	6	34.04	6	0.47	6	0.00	2
6162	-4	-12	Max	26.15	269.74	2	0.26	6	0.03	6	32.21	6	3.94	6	0.00	2
6162	-4	-12	Min.	2.83	-57.95	2	-0.04	6	-0.03	6	-2.85	6	-3.79	6	0.00	2
6162	-4	-12	Min.	26.15	-57.95	2	-0.04	6	-0.00	6	-4.68	6	-0.41	6	0.00	2
6163	318	330	Max	1.77	133.14	2	9.60	2	0.14	2	173.89	2	27.06	2	0.38	2
6163	318	330	Max	15.00	133.14	2	9.60	2	0.99	2	172.95	2	12.16	2	0.38	2
6163	318	330	Min.	1.77	-313.92	2	-8.46	2	-0.28	2	-486.38	2	-10.79	2	-0.50	2
6163	318	330	Min.	15.00	-313.92	2	-8.46	2	-0.98	2	-487.32	2	-37.36	2	-0.50	2
6163	330	342	Max	0.00	113.06	2	8.36	2	0.93	2	477.16	2	14.17	2	0.50	2
6163	330	342	Max	13.23	113.06	2	8.36	2	0.13	2	476.21	2	27.89	2	0.50	2
6163	330	342	Min.	0.00	-342.41	2	-9.07	2	-0.98	2	-185.77	2	-35.19	2	-0.38	2
6163	330	342	Min.	13.23	-342.41	2	-9.07	2	-0.27	2	-186.71	2	-10.47	2	-0.38	2
6164	319	331	Max	1.77	133.97	2	174.27	2	27.04	2	9.61	2	0.13	2	0.50	2
6164	319	331	Max	15.00	133.97	2	173.33	2	12.19	2	9.61	2	0.99	2	0.50	2
6164	319	331	Min.	1.77	-313.29	2	-485.98	2	-10.81	2	-8.41	2	-0.28	2	-0.38	2
6164	319	331	Min.	15.00	-313.29	2	-486.92	2	-37.33	2	-8.41	2	-0.98	2	-0.38	2
6164	331	343	Max	0.00	113.48	2	477.05	2	14.19	2	8.38	2	0.93	2	0.38	2
6164	331	343	Max	13.23	113.48	2	476.10	2	27.88	2	8.38	2	0.13	2	0.38	2
6164	331	343	Min.	0.00	-341.98	2	-186.05	2	-35.18	2	-9.08	2	-0.98	2	-0.50	2
6164	331	343	Min.	13.23	-341.98	2	-186.99	2	-10.49	2	-9.08	2	-0.27	2	-0.50	2
6165	-5	-13	Max	3.53	270.18	2	0.04	6	0.03	6	34.12	6	0.46	6	0.00	2
6165	-5	-13	Max	26.86	270.18	2	0.04	6	0.00	6	32.29	6	4.02	6	0.00	2
6165	-5	-13	Min.	3.53	-57.83	2	-0.25	6	-0.00	6	-2.76	6	-3.74	6	0.00	2
6165	-5	-13	Min.	26.86	-57.83	2	-0.25	6	-0.03	6	-4.59	6	-0.41	6	0.00	2
6166	-37	-45	Max	3.53	100.86	2	0.06	6	0.05	6	47.84	6	1.57	6	0.00	2
6166	-37	-45	Max	26.55	100.86	2	0.06	6	0.01	6	46.03	6	6.29	6	0.00	2
6166	-37	-45	Min.	3.53	-28.49	2	-0.43	6	-0.01	6	-5.99	6	-4.97	6	-0.00	2
6166	-37	-45	Min.	26.55	-28.49	2	-0.43	6	-0.05	6	-7.79	6	-0.47	6	-0.00	2
6167	-69	-77	Max	3.53	0.85	2	0.07	6	0.05	6	40.32	6	0.66	6	0.00	2
6167	-69	-77	Max	25.92	0.85	2	0.07	6	0.01	6	39.44	6	4.48	6	0.00	2
6167	-69	-77	Min.	3.53	-5.17	2	-0.47	6	-0.01	6	-5.65	6	-4.45	6	-0.00	2
6167	-69	-77	Min.	25.92	-5.17	2	-0.47	6	-0.05	6	-6.53	6	-0.71	6	-0.00	2
6168	-101	-109	Max	3.53	0.25	6	0.10	6	0.07	6	52.15	6	0.84	6	0.00	2
6168	-101	-109	Max	25.30	0.25	6	0.10	6	0.01	6	51.29	6	5.66	6	0.00	2
6168	-101	-109	Min.	3.53	0.06	6	-0.64	6	-0.01	6	-7.45	6	-5.59	6	-0.00	2
6168	-101	-109	Min.	25.30	0.06	6	-0.64	6	-0.07	6	-8.30	6	-0.87	6	-0.00	2
6169	-133	-141	Max	3.53	0.04	2	0.11	6	0.08	6	56.68	6	0.88	6	0.00	2
6169	-133	-141	Max	24.67	0.04	2	0.11	6	0.01	6	55.85	6	5.99	6	0.00	2
6169	-133	-141	Min.	3.53	-0.12	2	-0.73	6	-0.02	6	-8.06	6	-5.91	6	-0.00	2
6169	-133	-141	Min.	24.67	-0.12	2	-0.73	6	-0.08	6	-8.89	6	-0.91	6	-0.00	2
6170	-165	-173	Max	3.53	0.05	2	0.12	6	0.08	6	59.63	6	0.88	6	0.00	2
6170	-165	-173	Max	24.05	0.05	2	0.12	6	0.01	6	58.83	6	6.12	6	0.00	2
6170	-165	-173	Min.	3.53	-0.12	2	-0.78	6	-0.02	6	-8.39	6	-6.03	6	-0.00	2
6170	-165	-173	Min.	24.05	-0.12	2	-0.78	6	-0.08	6	-9.20	6	-0.92	6	-0.00	2
6171	-197	-205	Max	3.53	0.05	2	0.12	6	0.08	6	62.33	6	0.88	6	0.00	2
6171	-197	-205	Max	23.42	0.05	2	0.12	6	0.01	6	61.55	6	6.21	6	0.00	2
6171	-197	-205	Min.	3.53	-0.12	2	-0.82	6	-0.02	6	-8.64	6	-6.11	6	-0.00	2
6171	-197	-205	Min.	23.42	-0.12	2	-0.82	6	-0.08	6	-9.43	6	-0.92	6	-0.00	2
6172	-229	-237	Max	3.53	0.05	2	0.12	6	0.08	6	65.09	6	0.87	6	0.00	2
6172	-229	-237	Max	22.80	0.05	2	0.12	6	0.01	6	64.34	6	6.28	6	0.00	2
6172	-229	-237	Min.	3.53	-0.12	2	-0.86	6	-0.02	6	-8.87	6	-6.18	6	-0.00	2
6172	-229	-237	Min.	22.80	-0.12	2	-0.86	6	-0.09	6	-9.62	6	-0.91	6	-0.00	2
6173	-261	-269	Max	3.53	0.06	2	0.13	6	0.09	6	68.00	6	0.86	6	0.00	2

6173	-261	-269	Max	22.17	0.06	2	0.13	6	0.01	6	67.27	6	6.36	6	0.00	2
6173	-261	-269	Min.	3.53	-0.12	2	-0.90	6	-0.02	6	-9.07	6	-6.25	6	-0.00	2
6173	-261	-269	Min.	22.17	-0.12	2	-0.90	6	-0.09	6	-9.80	6	-0.89	6	-0.00	2
6174	-293	-301	Max	3.53	0.06	2	0.13	6	0.09	6	71.09	6	0.85	6	0.00	2
6174	-293	-301	Max	21.55	0.06	2	0.13	6	0.01	6	70.39	6	6.43	6	0.00	2
6174	-293	-301	Min.	3.53	-0.12	2	-0.94	6	-0.02	6	-9.25	6	-6.31	6	-0.00	2
6174	-293	-301	Min.	21.55	-0.12	2	-0.94	6	-0.09	6	-9.96	6	-0.88	6	-0.00	2
6175	-325	-333	Max	3.53	0.06	2	0.13	6	0.09	6	74.39	6	0.83	6	0.00	2
6175	-325	-333	Max	20.92	0.06	2	0.13	6	0.01	6	73.70	6	6.50	6	0.00	2
6175	-325	-333	Min.	3.53	-0.12	2	-0.99	6	-0.02	6	-9.41	6	-6.38	6	-0.00	2
6175	-325	-333	Min.	20.92	-0.12	2	-0.99	6	-0.09	6	-10.10	6	-0.86	6	-0.00	2
6176	-357	-365	Max	3.53	0.08	2	0.13	6	0.09	6	77.90	6	0.81	6	0.00	2
6176	-357	-365	Max	20.30	0.08	2	0.13	6	0.01	6	77.24	6	6.57	6	0.00	2
6176	-357	-365	Min.	3.53	-0.12	2	-1.04	6	-0.02	6	-9.55	6	-6.44	6	-0.00	2
6176	-357	-365	Min.	20.30	-0.12	2	-1.04	6	-0.09	6	-10.21	6	-0.84	6	-0.00	2
6177	-389	-397	Max	3.53	0.00	2	0.13	6	0.09	6	81.63	6	0.79	6	0.00	2
6177	-389	-397	Max	19.67	0.00	2	0.13	6	0.01	6	81.00	6	6.63	6	0.00	2
6177	-389	-397	Min.	3.53	-0.17	2	-1.09	6	-0.01	6	-9.67	6	-6.49	6	-0.00	2
6177	-389	-397	Min.	19.67	-0.17	2	-1.09	6	-0.09	6	-10.30	6	-0.82	6	-0.00	2
6178	-421	-429	Max	3.53	0.62	2	0.14	6	0.09	6	85.46	6	0.76	6	0.00	2
6178	-421	-429	Max	19.05	0.62	2	0.14	6	0.01	6	84.85	6	6.68	6	0.00	2
6178	-421	-429	Min.	3.53	0.18	2	-1.15	6	-0.01	6	-9.75	6	-6.53	6	-0.00	2
6178	-421	-429	Min.	19.05	0.18	2	-1.15	6	-0.09	6	-10.36	6	-0.80	6	-0.00	2
6179	-453	-461	Max	3.53	-2.19	2	0.13	6	0.08	6	88.43	6	0.75	6	0.01	6
6179	-453	-461	Max	18.42	-2.19	2	0.13	6	0.01	6	87.85	6	6.67	6	0.01	6
6179	-453	-461	Min.	3.53	-3.60	2	-1.10	6	-0.01	6	-9.72	6	-6.45	6	-0.00	6
6179	-453	-461	Min.	18.42	-3.60	2	-1.10	6	-0.08	6	-10.31	6	-0.74	6	-0.00	6
6180	-485	-493	Max	3.53	21.17	2	0.16	6	0.09	6	84.36	6	0.53	6	0.01	6
6180	-485	-493	Max	17.80	21.17	2	0.16	6	0.01	6	83.80	6	5.90	6	0.01	6
6180	-485	-493	Min.	3.53	10.87	2	-1.31	6	-0.01	6	-8.96	6	-6.09	6	-0.04	6
6180	-485	-493	Min.	17.80	10.87	2	-1.31	6	-0.10	6	-9.52	6	-0.79	6	-0.04	6
6185	-486	-494	Max	2.83	22.91	2	1.27	6	0.01	6	82.48	6	0.54	6	0.04	6
6185	-486	-494	Max	17.09	22.91	2	1.27	6	0.09	6	81.92	6	5.59	6	0.04	6
6185	-486	-494	Min.	2.83	12.10	2	-0.16	6	-0.09	6	-8.94	6	-6.13	6	-0.01	6
6185	-486	-494	Min.	17.09	12.10	2	-0.16	6	-0.01	6	-9.50	6	-0.77	6	-0.01	6
6186	-454	-462	Max	2.83	-2.37	2	1.07	6	0.01	6	86.60	6	0.76	6	0.00	6
6186	-454	-462	Max	17.72	-2.37	2	1.07	6	0.08	6	86.01	6	6.37	6	0.00	6
6186	-454	-462	Min.	2.83	-3.85	2	-0.12	6	-0.08	6	-9.57	6	-6.48	6	-0.01	6
6186	-454	-462	Min.	17.72	-3.85	2	-0.12	6	-0.01	6	-10.15	6	-0.71	6	-0.01	6
6187	-422	-430	Max	2.83	0.61	2	1.12	6	0.01	6	83.63	6	0.77	6	0.00	2
6187	-422	-430	Max	18.34	0.61	2	1.12	6	0.09	6	83.02	6	6.38	6	0.00	2
6187	-422	-430	Min.	2.83	0.19	2	-0.14	6	-0.09	6	-9.63	6	-6.54	6	-0.00	2
6187	-422	-430	Min.	18.34	0.19	2	-0.14	6	-0.01	6	-10.24	6	-0.77	6	-0.00	2
6188	-390	-398	Max	2.83	-0.04	2	1.06	6	0.01	6	79.90	6	0.80	6	0.00	2
6188	-390	-398	Max	18.97	-0.04	2	1.06	6	0.09	6	79.27	6	6.35	6	0.00	2
6188	-390	-398	Min.	2.83	-0.21	2	-0.13	6	-0.09	6	-9.56	6	-6.50	6	-0.00	2
6188	-390	-398	Min.	18.97	-0.21	2	-0.13	6	-0.01	6	-10.19	6	-0.79	6	-0.00	2
6189	-358	-366	Max	2.83	0.05	2	1.01	6	0.01	6	76.26	6	0.82	6	0.00	2
6189	-358	-366	Max	19.59	0.05	2	1.01	6	0.09	6	75.60	6	6.29	6	0.00	2
6189	-358	-366	Min.	2.83	-0.15	2	-0.13	6	-0.09	6	-9.45	6	-6.44	6	-0.00	2
6189	-358	-366	Min.	19.59	-0.15	2	-0.13	6	-0.01	6	-10.10	6	-0.82	6	-0.00	2
6190	-326	-334	Max	2.83	0.03	2	0.97	6	0.01	6	72.83	6	0.84	6	0.00	2
6190	-326	-334	Max	20.22	0.03	2	0.97	6	0.08	6	72.15	6	6.23	6	0.00	2
6190	-326	-334	Min.	2.83	-0.15	2	-0.13	6	-0.09	6	-9.31	6	-6.37	6	-0.00	2
6190	-326	-334	Min.	20.22	-0.15	2	-0.13	6	-0.01	6	-9.99	6	-0.84	6	-0.00	2
6191	-294	-302	Max	2.83	0.03	2	0.92	6	0.01	6	69.62	6	0.86	6	0.00	2
6191	-294	-302	Max	20.84	0.03	2	0.92	6	0.08	6	68.91	6	6.17	6	0.00	2
6191	-294	-302	Min.	2.83	-0.15	2	-0.13	6	-0.09	6	-9.15	6	-6.30	6	-0.00	2
6191	-294	-302	Min.	20.84	-0.15	2	-0.13	6	-0.01	6	-9.86	6	-0.85	6	-0.00	2

6192	-262	-270	Max	2.83	0.03	2	0.88	6	0.01	6	66.60	6	0.87	6	0.00	2
6192	-262	-270	Max	21.47	0.03	2	0.88	6	0.08	6	65.87	6	6.11	6	0.00	2
6192	-262	-270	Min.	2.83	-0.14	2	-0.13	6	-0.09	6	-8.97	6	-6.24	6	-0.00	2
6192	-262	-270	Min.	21.47	-0.14	2	-0.13	6	-0.01	6	-9.70	6	-0.87	6	-0.00	2
6193	-230	-238	Max	2.83	0.03	2	0.84	6	0.01	6	63.76	6	0.88	6	0.00	2
6193	-230	-238	Max	22.09	0.03	2	0.84	6	0.08	6	63.00	6	6.04	6	0.00	2
6193	-230	-238	Min.	2.83	-0.14	2	-0.12	6	-0.09	6	-8.77	6	-6.17	6	-0.00	2
6193	-230	-238	Min.	22.09	-0.14	2	-0.12	6	-0.01	6	-9.53	6	-0.88	6	-0.00	2
6194	-198	-206	Max	2.83	0.03	2	0.80	6	0.01	6	61.06	6	0.89	6	0.00	2
6194	-198	-206	Max	22.72	0.03	2	0.80	6	0.08	6	60.28	6	5.97	6	0.00	2
6194	-198	-206	Min.	2.83	-0.14	2	-0.12	6	-0.08	6	-8.55	6	-6.09	6	-0.00	2
6194	-198	-206	Min.	22.72	-0.14	2	-0.12	6	-0.01	6	-9.33	6	-0.89	6	-0.00	2
6195	-166	-174	Max	2.83	0.03	2	0.76	6	0.01	6	58.42	6	0.89	6	0.00	2
6195	-166	-174	Max	23.34	0.03	2	0.76	6	0.08	6	57.62	6	5.89	6	0.00	2
6195	-166	-174	Min.	2.83	-0.14	2	-0.11	6	-0.08	6	-8.30	6	-6.01	6	-0.00	2
6195	-166	-174	Min.	23.34	-0.14	2	-0.11	6	-0.01	6	-9.11	6	-0.89	6	-0.00	2
6196	-134	-142	Max	2.83	0.01	2	0.71	6	0.01	6	55.54	6	0.88	6	0.00	2
6196	-134	-142	Max	23.97	0.01	2	0.71	6	0.08	6	54.71	6	5.77	6	0.00	2
6196	-134	-142	Min.	2.83	-0.14	2	-0.11	6	-0.08	6	-7.97	6	-5.88	6	-0.00	2
6196	-134	-142	Min.	23.97	-0.14	2	-0.11	6	-0.01	6	-8.80	6	-0.89	6	-0.00	2
6197	-102	-110	Max	2.83	0.11	6	0.63	6	0.01	6	51.10	6	0.84	6	0.00	2
6197	-102	-110	Max	24.59	0.11	6	0.63	6	0.07	6	50.25	6	5.46	6	0.00	2
6197	-102	-110	Min.	2.83	-0.03	6	-0.10	6	-0.07	6	-7.37	6	-5.57	6	-0.00	2
6197	-102	-110	Min.	24.59	-0.03	6	-0.10	6	-0.01	6	-8.22	6	-0.85	6	-0.00	2
6198	-70	-78	Max	2.83	1.26	2	0.46	6	0.01	6	39.50	6	0.66	6	0.00	2
6198	-70	-78	Max	25.22	1.26	2	0.46	6	0.05	6	38.63	6	4.32	6	0.00	2
6198	-70	-78	Min.	2.83	-4.77	2	-0.07	6	-0.05	6	-5.61	6	-4.42	6	-0.00	2
6198	-70	-78	Min.	25.22	-4.77	2	-0.07	6	-0.01	6	-6.48	6	-0.69	6	-0.00	2
6199	-38	-46	Max	2.83	90.28	2	0.42	6	0.01	6	46.96	6	1.44	6	0.00	2
6199	-38	-46	Max	25.84	90.28	2	0.42	6	0.05	6	45.15	6	5.93	6	0.00	2
6199	-38	-46	Min.	2.83	-38.05	2	-0.06	6	-0.05	6	-5.71	6	-5.16	6	-0.00	2
6199	-38	-46	Min.	25.84	-38.05	2	-0.06	6	-0.01	6	-7.52	6	-0.58	6	-0.00	2
6200	-6	-14	Max	2.83	241.56	2	0.25	6	0.00	6	33.47	6	0.49	6	0.00	6
6200	-6	-14	Max	26.15	241.56	2	0.25	6	0.03	6	31.64	6	3.90	6	0.00	6
6200	-6	-14	Min.	2.83	-83.06	2	-0.04	6	-0.03	6	-2.75	6	-3.71	6	-0.00	6
6200	-6	-14	Min.	26.15	-83.06	2	-0.04	6	-0.00	6	-4.58	6	-0.38	6	-0.00	6
6201	321	333	Max	1.77	171.36	2	11.05	2	0.10	2	223.93	2	23.81	2	0.45	2
6201	321	333	Max	15.00	171.36	2	11.05	2	1.15	2	222.99	2	15.93	2	0.45	2
6201	321	333	Min.	1.77	-279.91	2	-7.10	2	-0.32	2	-428.66	2	-13.73	2	-0.42	2
6201	321	333	Min.	15.00	-279.91	2	-7.10	2	-0.84	2	-429.60	2	-33.06	2	-0.42	2
6201	333	345	Max	0.00	147.93	2	6.89	2	1.10	2	418.58	2	17.87	2	0.42	2
6201	333	345	Max	13.23	147.93	2	6.89	2	0.10	2	417.64	2	24.52	2	0.42	2
6201	333	345	Min.	0.00	-302.91	2	-10.61	2	-0.82	2	-235.38	2	-30.81	2	-0.45	2
6201	333	345	Min.	13.23	-302.91	2	-10.61	2	-0.31	2	-236.32	2	-13.34	2	-0.45	2
6202	322	334	Max	1.77	86.55	2	132.81	2	25.40	2	6.42	2	0.16	2	0.51	2
6202	322	334	Max	15.00	86.55	2	131.87	2	10.06	2	6.42	2	0.66	2	0.51	2
6202	322	334	Min.	1.77	-295.55	2	-439.22	2	-7.45	2	-9.03	2	-0.19	2	-0.26	2
6202	322	334	Min.	15.00	-295.55	2	-440.16	2	-32.78	2	-9.03	2	-1.03	2	-0.26	2
6202	334	346	Max	0.00	81.63	2	465.29	2	7.96	2	8.81	2	0.64	2	0.26	2
6202	334	346	Max	13.23	81.63	2	464.35	2	26.36	2	8.81	2	0.15	2	0.26	2
6202	334	346	Min.	0.00	-314.46	2	-113.25	2	-35.15	2	-6.27	2	-1.02	2	-0.51	2
6202	334	346	Min.	13.23	-314.46	2	-114.19	2	-7.08	2	-6.27	2	-0.19	2	-0.51	2
6203	-7	-15	Max	3.53	244.26	2	0.09	6	0.02	6	24.91	6	1.46	6	0.00	2
6203	-7	-15	Max	26.86	244.26	2	0.09	6	0.01	6	23.07	6	2.88	6	0.00	2
6203	-7	-15	Min.	3.53	-40.09	2	-0.21	6	-0.01	6	-11.73	6	-2.73	6	0.00	2
6203	-7	-15	Min.	26.86	-40.09	2	-0.21	6	-0.02	6	-13.56	6	-1.50	6	0.00	2
6204	-39	-47	Max	3.53	92.40	2	0.16	6	0.04	6	38.17	6	2.67	6	0.00	2
6204	-39	-47	Max	26.55	92.40	2	0.16	6	0.02	6	36.37	6	5.15	6	0.00	2
6204	-39	-47	Min.	3.53	-19.68	2	-0.34	6	-0.02	6	-16.46	6	-3.82	6	-0.00	2

6204	-39	-47	Min.	26.55	-19.68	2	-0.34	6	-0.04	6	-18.27	6	-1.71	6	-0.00	2
6205	-71	-79	Max	3.53	0.56	2	0.17	6	0.04	6	32.94	6	1.59	6	0.00	6
6205	-71	-79	Max	25.92	0.56	2	0.17	6	0.02	6	32.06	6	3.65	6	0.00	6
6205	-71	-79	Min.	3.53	-4.65	2	-0.38	6	-0.02	6	-14.01	6	-3.63	6	-0.00	6
6205	-71	-79	Min.	25.92	-4.65	2	-0.38	6	-0.04	6	-14.89	6	-1.65	6	-0.00	6
6206	-103	-111	Max	3.53	0.20	6	0.23	6	0.06	6	42.60	6	2.01	6	0.00	2
6206	-103	-111	Max	25.30	0.20	6	0.23	6	0.03	6	41.75	6	4.62	6	0.00	2
6206	-103	-111	Min.	3.53	-0.00	6	-0.52	6	-0.03	6	-18.27	6	-4.56	6	-0.00	2
6206	-103	-111	Min.	25.30	-0.00	6	-0.52	6	-0.06	6	-19.12	6	-2.06	6	-0.00	2
6207	-135	-143	Max	3.53	0.01	2	0.26	6	0.06	6	46.28	6	2.11	6	0.00	2
6207	-135	-143	Max	24.67	0.01	2	0.26	6	0.03	6	45.45	6	4.88	6	0.00	2
6207	-135	-143	Min.	3.53	-0.11	2	-0.60	6	-0.03	6	-19.85	6	-4.82	6	-0.00	2
6207	-135	-143	Min.	24.67	-0.11	2	-0.60	6	-0.07	6	-20.68	6	-2.17	6	-0.00	2
6208	-167	-175	Max	3.53	0.02	2	0.28	6	0.07	6	48.66	6	2.15	6	0.00	2
6208	-167	-175	Max	24.05	0.02	2	0.28	6	0.03	6	47.85	6	4.98	6	0.00	2
6208	-167	-175	Min.	3.53	-0.12	2	-0.64	6	-0.03	6	-20.83	6	-4.92	6	-0.00	2
6208	-167	-175	Min.	24.05	-0.12	2	-0.64	6	-0.07	6	-21.63	6	-2.21	6	-0.00	2
6209	-199	-207	Max	3.53	0.02	2	0.30	6	0.07	6	50.82	6	2.17	6	0.00	2
6209	-199	-207	Max	23.42	0.02	2	0.30	6	0.03	6	50.04	6	5.05	6	0.00	2
6209	-199	-207	Min.	3.53	-0.11	2	-0.67	6	-0.03	6	-21.69	6	-4.98	6	-0.00	2
6209	-199	-207	Min.	23.42	-0.11	2	-0.67	6	-0.07	6	-22.47	6	-2.22	6	-0.00	2
6210	-231	-239	Max	3.53	0.02	2	0.31	6	0.07	6	53.03	6	2.18	6	0.00	2
6210	-231	-239	Max	22.80	0.02	2	0.31	6	0.03	6	52.28	6	5.11	6	0.00	2
6210	-231	-239	Min.	3.53	-0.12	2	-0.70	6	-0.03	6	-22.55	6	-5.03	6	-0.00	2
6210	-231	-239	Min.	22.80	-0.12	2	-0.70	6	-0.07	6	-23.31	6	-2.24	6	-0.00	2
6211	-263	-271	Max	3.53	0.02	2	0.32	6	0.07	6	55.35	6	2.19	6	0.00	2
6211	-263	-271	Max	22.17	0.02	2	0.32	6	0.03	6	54.62	6	5.17	6	0.00	2
6211	-263	-271	Min.	3.53	-0.12	2	-0.74	6	-0.03	6	-23.43	6	-5.08	6	-0.00	2
6211	-263	-271	Min.	22.17	-0.12	2	-0.74	6	-0.07	6	-24.16	6	-2.25	6	-0.00	2
6212	-295	-303	Max	3.53	0.03	2	0.33	6	0.07	6	57.81	6	2.19	6	0.00	2
6212	-295	-303	Max	21.55	0.03	2	0.33	6	0.03	6	57.10	6	5.22	6	0.00	2
6212	-295	-303	Min.	3.53	-0.12	2	-0.77	6	-0.03	6	-24.34	6	-5.13	6	-0.00	2
6212	-295	-303	Min.	21.55	-0.12	2	-0.77	6	-0.07	6	-25.04	6	-2.25	6	-0.00	2
6213	-327	-335	Max	3.53	0.03	2	0.35	6	0.07	6	60.42	6	2.20	6	0.00	2
6213	-327	-335	Max	20.92	0.03	2	0.35	6	0.03	6	59.73	6	5.27	6	0.00	2
6213	-327	-335	Min.	3.53	-0.12	2	-0.81	6	-0.03	6	-25.28	6	-5.17	6	-0.00	2
6213	-327	-335	Min.	20.92	-0.12	2	-0.81	6	-0.07	6	-25.96	6	-2.26	6	-0.00	2
6214	-359	-367	Max	3.53	0.04	2	0.36	6	0.07	6	63.19	6	2.20	6	0.00	2
6214	-359	-367	Max	20.30	0.04	2	0.36	6	0.03	6	62.54	6	5.32	6	0.00	2
6214	-359	-367	Min.	3.53	-0.12	2	-0.85	6	-0.03	6	-26.26	6	-5.22	6	-0.00	2
6214	-359	-367	Min.	20.30	-0.12	2	-0.85	6	-0.07	6	-26.92	6	-2.26	6	-0.00	2
6215	-391	-399	Max	3.53	-0.01	2	0.37	6	0.07	6	66.14	6	2.20	6	0.00	2
6215	-391	-399	Max	19.67	-0.01	2	0.37	6	0.03	6	65.51	6	5.37	6	0.00	2
6215	-391	-399	Min.	3.53	-0.16	2	-0.89	6	-0.03	6	-27.28	6	-5.25	6	-0.00	2
6215	-391	-399	Min.	19.67	-0.16	2	-0.89	6	-0.08	6	-27.91	6	-2.26	6	-0.00	2
6216	-423	-431	Max	3.53	0.40	2	0.39	6	0.07	6	69.15	6	2.18	6	0.00	6
6216	-423	-431	Max	19.05	0.40	2	0.39	6	0.03	6	68.55	6	5.40	6	0.00	6
6216	-423	-431	Min.	3.53	0.15	2	-0.93	6	-0.03	6	-28.29	6	-5.28	6	-0.01	6
6216	-423	-431	Min.	19.05	0.15	2	-0.93	6	-0.08	6	-28.90	6	-2.25	6	-0.01	6
6217	-455	-463	Max	3.53	-1.83	6	0.37	6	0.07	6	71.48	6	2.16	6	0.00	2
6217	-455	-463	Max	18.42	-1.83	6	0.37	6	0.03	6	70.89	6	5.38	6	0.00	2
6217	-455	-463	Min.	3.53	-2.60	6	-0.90	6	-0.03	6	-29.01	6	-5.22	6	-0.00	2
6217	-455	-463	Min.	18.42	-2.60	6	-0.90	6	-0.07	6	-29.59	6	-2.20	6	-0.00	2
6218	-487	-495	Max	3.53	14.48	6	0.44	6	0.08	6	68.14	6	1.85	6	0.02	6
6218	-487	-495	Max	17.80	14.48	6	0.44	6	0.03	6	67.58	6	4.77	6	0.02	6
6218	-487	-495	Min.	3.53	9.83	6	-1.07	6	-0.03	6	-27.30	6	-4.91	6	-0.04	6
6218	-487	-495	Min.	17.80	9.83	6	-1.07	6	-0.08	6	-27.86	6	-2.09	6	-0.04	6
6223	-488	-496	Max	2.83	8.35	6	0.96	6	0.03	6	62.03	6	1.71	6	0.03	6
6223	-488	-496	Max	17.09	8.35	6	0.96	6	0.07	6	61.47	6	4.27	6	0.03	6

6223	-488	-496	Min.	2.83	3.18	6	-0.38	6	-0.07	6	-23.92	6	-4.54	6	-0.01	6
6223	-488	-496	Min.	17.09	3.18	6	-0.38	6	-0.03	6	-24.47	6	-1.74	6	-0.01	6
6224	-456	-464	Max	2.83	-0.59	6	0.79	6	0.02	6	64.99	6	1.93	6	0.01	6
6224	-456	-464	Max	17.72	-0.59	6	0.79	6	0.06	6	64.41	6	4.76	6	0.01	6
6224	-456	-464	Min.	2.83	-1.49	6	-0.31	6	-0.06	6	-25.28	6	-4.87	6	-0.01	6
6224	-456	-464	Min.	17.72	-1.49	6	-0.31	6	-0.02	6	-25.86	6	-1.88	6	-0.01	6
6225	-424	-432	Max	2.83	0.20	2	0.83	6	0.03	6	62.87	6	1.96	6	0.00	6
6225	-424	-432	Max	18.34	0.20	2	0.83	6	0.06	6	62.26	6	4.79	6	0.00	6
6225	-424	-432	Min.	2.83	0.03	2	-0.33	6	-0.07	6	-24.71	6	-4.91	6	-0.01	6
6225	-424	-432	Min.	18.34	0.03	2	-0.33	6	-0.03	6	-25.32	6	-1.92	6	-0.01	6
6226	-392	-400	Max	2.83	0.02	2	0.79	6	0.03	6	60.18	6	1.97	6	0.00	6
6226	-392	-400	Max	18.97	0.02	2	0.79	6	0.06	6	59.55	6	4.77	6	0.00	6
6226	-392	-400	Min.	2.83	-0.14	2	-0.32	6	-0.07	6	-23.88	6	-4.89	6	-0.01	6
6226	-392	-400	Min.	18.97	-0.14	2	-0.32	6	-0.03	6	-24.52	6	-1.94	6	-0.01	6
6227	-360	-368	Max	2.83	0.04	2	0.76	6	0.03	6	57.55	6	1.97	6	0.00	6
6227	-360	-368	Max	19.59	0.04	2	0.76	6	0.06	6	56.89	6	4.74	6	0.00	6
6227	-360	-368	Min.	2.83	-0.11	2	-0.31	6	-0.07	6	-23.04	6	-4.85	6	-0.01	6
6227	-360	-368	Min.	19.59	-0.11	2	-0.31	6	-0.03	6	-23.70	6	-1.94	6	-0.01	6
6228	-328	-336	Max	2.83	0.03	2	0.72	6	0.03	6	55.06	6	1.97	6	0.00	6
6228	-328	-336	Max	20.22	0.03	2	0.72	6	0.06	6	54.38	6	4.70	6	0.00	6
6228	-328	-336	Min.	2.83	-0.11	2	-0.30	6	-0.07	6	-22.22	6	-4.81	6	-0.01	6
6228	-328	-336	Min.	20.22	-0.11	2	-0.30	6	-0.03	6	-22.90	6	-1.95	6	-0.01	6
6229	-296	-304	Max	2.83	0.03	2	0.69	6	0.03	6	52.72	6	1.97	6	0.00	6
6229	-296	-304	Max	20.84	0.03	2	0.69	6	0.06	6	52.01	6	4.66	6	0.00	6
6229	-296	-304	Min.	2.83	-0.11	2	-0.29	6	-0.07	6	-21.43	6	-4.77	6	-0.01	6
6229	-296	-304	Min.	20.84	-0.11	2	-0.29	6	-0.03	6	-22.14	6	-1.95	6	-0.01	6
6230	-264	-272	Max	2.83	0.03	2	0.66	6	0.03	6	50.52	6	1.97	6	0.00	6
6230	-264	-272	Max	21.47	0.03	2	0.66	6	0.06	6	49.78	6	4.62	6	0.00	6
6230	-264	-272	Min.	2.83	-0.11	2	-0.28	6	-0.07	6	-20.66	6	-4.73	6	-0.01	6
6230	-264	-272	Min.	21.47	-0.11	2	-0.28	6	-0.03	6	-21.39	6	-1.95	6	-0.01	6
6231	-232	-240	Max	2.83	0.02	2	0.63	6	0.03	6	48.43	6	1.96	6	0.00	6
6231	-232	-240	Max	22.09	0.02	2	0.63	6	0.06	6	47.67	6	4.58	6	0.00	6
6231	-232	-240	Min.	2.83	-0.11	2	-0.27	6	-0.07	6	-19.91	6	-4.68	6	-0.01	6
6231	-232	-240	Min.	22.09	-0.11	2	-0.27	6	-0.03	6	-20.67	6	-1.95	6	-0.01	6
6232	-200	-208	Max	2.83	0.02	2	0.60	6	0.03	6	46.44	6	1.95	6	0.00	6
6232	-200	-208	Max	22.72	0.02	2	0.60	6	0.06	6	45.66	6	4.53	6	0.00	6
6232	-200	-208	Min.	2.83	-0.11	2	-0.26	6	-0.06	6	-19.18	6	-4.63	6	-0.01	6
6232	-200	-208	Min.	22.72	-0.11	2	-0.26	6	-0.03	6	-19.96	6	-1.94	6	-0.01	6
6233	-168	-176	Max	2.83	0.02	2	0.57	6	0.03	6	44.49	6	1.94	6	0.00	6
6233	-168	-176	Max	23.34	0.02	2	0.57	6	0.06	6	43.68	6	4.47	6	0.00	6
6233	-168	-176	Min.	2.83	-0.11	2	-0.24	6	-0.06	6	-18.43	6	-4.57	6	-0.01	6
6233	-168	-176	Min.	23.34	-0.11	2	-0.24	6	-0.03	6	-19.24	6	-1.93	6	-0.01	6
6234	-136	-144	Max	2.83	0.01	2	0.54	6	0.03	6	42.33	6	1.91	6	0.00	6
6234	-136	-144	Max	23.97	0.01	2	0.54	6	0.06	6	41.50	6	4.38	6	0.00	6
6234	-136	-144	Min.	2.83	-0.11	2	-0.23	6	-0.06	6	-17.58	6	-4.48	6	-0.00	6
6234	-136	-144	Min.	23.97	-0.11	2	-0.23	6	-0.03	6	-18.41	6	-1.90	6	-0.00	6
6235	-104	-112	Max	2.83	0.07	6	0.48	6	0.02	6	38.97	6	1.81	6	0.00	6
6235	-104	-112	Max	24.59	0.07	6	0.48	6	0.05	6	38.12	6	4.15	6	0.00	6
6235	-104	-112	Min.	2.83	-0.07	6	-0.21	6	-0.06	6	-16.18	6	-4.24	6	-0.00	6
6235	-104	-112	Min.	24.59	-0.07	6	-0.21	6	-0.02	6	-17.03	6	-1.80	6	-0.00	6
6236	-72	-80	Max	2.83	2.10	2	0.35	6	0.02	6	30.13	6	1.43	6	0.00	6
6236	-72	-80	Max	25.22	2.10	2	0.35	6	0.04	6	29.25	6	3.28	6	0.00	6
6236	-72	-80	Min.	2.83	-3.16	2	-0.15	6	-0.04	6	-12.41	6	-3.36	6	-0.00	6
6236	-72	-80	Min.	25.22	-3.16	2	-0.15	6	-0.02	6	-13.28	6	-1.44	6	-0.00	6
6237	-40	-48	Max	2.83	58.95	2	0.30	6	0.02	6	34.90	6	2.09	6	0.00	6
6237	-40	-48	Max	25.84	58.95	2	0.30	6	0.03	6	33.09	6	4.12	6	0.00	6
6237	-40	-48	Min.	2.83	-52.62	2	-0.14	6	-0.04	6	-14.40	6	-4.12	6	-0.00	6
6237	-40	-48	Min.	25.84	-52.62	2	-0.14	6	-0.02	6	-16.20	6	-1.85	6	-0.00	6
6238	-8	-16	Max	2.83	158.38	2	0.18	6	0.01	6	22.62	6	1.35	6	0.00	6

6238	-8	-16	Max	26.15	158.38	2	0.18	6	0.02	6	20.79	6	2.61	6	0.00	6
6238	-8	-16	Min.	2.83	-125.11	2	-0.08	6	-0.02	6	-10.42	6	-2.45	6	-0.00	6
6238	-8	-16	Min.	26.15	-125.11	2	-0.08	6	-0.01	6	-12.25	6	-1.29	6	-0.00	6
6239	324	336	Max	1.77	207.22	2	10.42	2	0.08	2	304.42	2	15.78	2	0.48	2
6239	324	336	Max	15.00	207.22	2	10.42	2	1.11	2	303.48	2	22.77	2	0.48	2
6239	324	336	Min.	1.77	-191.08	2	-5.05	2	-0.27	2	-270.06	2	-17.45	2	-0.28	2
6239	324	336	Min.	15.00	-191.08	2	-5.05	2	-0.59	2	-271.00	2	-20.02	2	-0.28	2
6239	336	348	Max	0.00	192.53	2	4.60	2	1.11	2	289.31	2	20.41	2	0.28	2
6239	336	348	Max	13.23	192.53	2	4.60	2	0.07	2	288.37	2	16.18	2	0.28	2
6239	336	348	Min.	0.00	-195.92	2	-10.43	2	-0.54	2	-279.07	2	-22.06	2	-0.48	2
6239	336	348	Min.	13.23	-195.92	2	-10.43	2	-0.27	2	-280.01	2	-16.61	2	-0.48	2
6240	332	345	Max	0.00	-37.03	6	9.32	2	0.87	2	130.63	2	7.63	2	1.88	2
6240	332	345	Max	18.38	-37.03	6	9.32	2	0.43	2	129.33	2	7.18	2	1.88	2
6240	332	345	Min.	0.00	-70.12	6	-4.67	2	-1.28	2	-4.95	2	-19.52	2	-2.33	2
6240	332	345	Min.	18.38	-70.12	6	-4.67	2	0.01	2	-6.25	2	3.79	2	-2.33	2
6240	319	332	Max	2.83	-26.19	2	9.47	2	0.02	2	-12.23	2	6.27	2	1.68	2
6240	319	332	Max	21.21	-26.19	2	9.47	2	1.36	2	-13.53	2	3.85	2	1.68	2
6240	319	332	Min.	2.83	-55.99	2	-4.49	2	-0.38	2	-145.20	2	3.23	2	-2.61	2
6240	319	332	Min.	21.21	-55.99	2	-4.49	2	-0.81	2	-146.50	2	-23.52	2	-2.61	2
6241	318	329	Max	2.83	-26.02	2	4.48	2	0.38	2	-12.32	2	6.27	2	2.61	2
6241	318	329	Max	21.21	-26.02	2	4.48	2	0.81	2	-13.61	2	3.83	2	2.61	2
6241	318	329	Min.	2.83	-56.07	2	-9.49	2	-0.02	2	-145.29	2	3.23	2	-1.68	2
6241	318	329	Min.	21.21	-56.07	2	-9.49	2	-1.36	2	-146.59	2	-23.54	2	-1.68	2
6241	329	340	Max	0.00	-36.94	6	4.69	2	1.28	2	130.54	2	7.65	2	2.33	2
6241	329	340	Max	18.38	-36.94	6	4.69	2	-0.01	2	129.25	2	7.18	2	2.33	2
6241	329	340	Min.	0.00	-69.90	6	-9.31	2	-0.87	2	-5.07	2	-19.51	2	-1.88	2
6241	329	340	Min.	18.38	-69.90	6	-9.31	2	-0.43	2	-6.37	2	3.79	2	-1.88	2
6242	329	342	Max	0.00	-35.37	6	10.55	2	0.70	2	141.23	2	5.48	2	2.24	2
6242	329	342	Max	18.38	-35.37	6	10.55	2	0.47	2	139.93	2	7.02	2	2.24	2
6242	329	342	Min.	0.00	-67.02	6	-3.59	2	-1.47	2	5.99	2	-21.81	2	-2.00	2
6242	329	342	Min.	18.38	-67.02	6	-3.59	2	0.04	2	4.69	2	3.48	2	-2.00	2
6242	316	329	Max	2.83	-28.14	2	8.41	2	0.05	2	-0.94	2	6.44	2	1.35	2
6242	316	329	Max	21.21	-28.14	2	8.41	2	1.20	2	-2.24	2	6.06	2	1.35	2
6242	316	329	Min.	2.83	-57.48	2	-5.66	2	-0.35	2	-134.89	2	3.54	2	-2.97	2
6242	316	329	Min.	21.21	-57.48	2	-5.66	2	-0.99	2	-136.19	2	-21.29	2	-2.97	2
6243	335	348	Max	0.00	-18.53	6	6.02	2	1.01	2	95.76	2	9.53	2	0.88	2
6243	335	348	Max	18.38	-18.53	6	6.02	2	0.29	2	94.46	2	5.21	2	0.88	2
6243	335	348	Min.	0.00	-51.64	6	-5.97	2	-0.82	2	-26.20	2	-14.39	2	-2.73	2
6243	335	348	Min.	18.38	-51.64	6	-5.97	2	-0.09	2	-27.50	2	2.48	2	-2.73	2
6243	322	335	Max	2.83	-12.66	2	8.93	2	0.01	2	0.31	2	4.12	2	2.29	2
6243	322	335	Max	21.21	-12.66	2	8.93	2	1.32	2	-0.99	2	4.05	2	2.29	2
6243	322	335	Min.	2.83	-38.59	2	-2.87	2	-0.32	2	-112.29	2	1.30	2	-1.35	2
6243	322	335	Min.	21.21	-38.59	2	-2.87	2	-0.52	2	-113.59	2	-19.45	2	-1.35	2
6244	313	326	Max	2.83	-16.63	2	5.81	2	0.12	2	37.83	2	4.48	2	1.26	2
6244	313	326	Max	21.21	-16.63	2	5.81	2	0.83	2	36.53	2	11.29	2	1.26	2
6244	313	326	Min.	2.83	-37.87	2	-6.54	2	-0.24	2	-79.91	2	2.27	2	-2.47	2
6244	313	326	Min.	21.21	-37.87	2	-6.54	2	-1.08	2	-81.21	2	-12.51	2	-2.47	2
6244	326	339	Max	0.00	-18.06	6	9.64	2	0.50	2	127.95	2	2.38	2	2.01	2
6244	326	339	Max	18.38	-18.06	6	9.64	2	0.38	2	126.66	2	4.83	2	2.01	2
6244	326	339	Min.	0.00	-45.91	6	-2.65	2	-1.39	2	11.09	2	-21.38	2	-1.68	2
6244	326	339	Min.	18.38	-45.91	6	-2.65	2	0.01	2	9.79	2	1.50	2	-1.68	2
6245	315	326	Max	2.83	-12.73	2	2.87	2	0.33	2	0.25	2	4.12	2	1.35	2
6245	315	326	Max	21.21	-12.73	2	2.87	2	0.52	2	-1.05	2	4.03	2	1.35	2
6245	315	326	Min.	2.83	-38.47	2	-8.94	2	-0.01	2	-112.27	2	1.30	2	-2.29	2
6245	315	326	Min.	21.21	-38.47	2	-8.94	2	-1.32	2	-113.57	2	-19.45	2	-2.29	2
6245	326	337	Max	0.00	-18.36	6	6.00	2	0.82	2	95.56	2	9.56	2	2.73	2
6245	326	337	Max	18.38	-18.36	6	6.00	2	0.09	2	94.26	2	5.20	2	2.73	2
6245	326	337	Min.	0.00	-51.68	6	-6.02	2	-1.01	2	-26.40	2	-14.36	2	-0.89	2
6245	326	337	Min.	18.38	-51.68	6	-6.02	2	-0.29	2	-27.70	2	2.47	2	-0.89	2

6246	332	343	Max	0.00	-35.18	2	3.61	2	1.47	2	141.21	2	5.49	2	2.00	2
6246	332	343	Max	18.38	-35.18	2	3.61	2	-0.04	2	139.91	2	7.02	2	2.00	2
6246	332	343	Min.	0.00	-66.87	2	-10.54	2	-0.70	2	5.93	2	-21.81	2	-2.24	2
6246	332	343	Min.	18.38	-66.87	2	-10.54	2	-0.47	2	4.63	2	3.48	2	-2.24	2
6246	321	332	Max	2.83	-28.01	2	5.65	2	0.35	2	-0.98	2	6.44	2	2.96	2
6246	321	332	Max	21.21	-28.01	2	5.65	2	0.99	2	-2.28	2	6.05	2	2.96	2
6246	321	332	Min.	2.83	-57.55	2	-8.44	2	-0.05	2	-134.96	2	3.54	2	-1.35	2
6246	321	332	Min.	21.21	-57.55	2	-8.44	2	-1.20	2	-136.25	2	-21.30	2	-1.35	2
6247	324	335	Max	2.83	-16.52	2	6.54	2	0.24	2	37.77	2	4.49	2	2.47	2
6247	324	335	Max	21.21	-16.52	2	6.54	2	1.08	2	36.47	2	11.28	2	2.47	2
6247	324	335	Min.	2.83	-38.20	2	-5.83	2	-0.12	2	-79.97	2	2.28	2	-1.26	2
6247	324	335	Min.	21.21	-38.20	2	-5.83	2	-0.83	2	-81.26	2	-12.51	2	-1.26	2
6247	335	346	Max	0.00	-18.12	6	2.65	2	1.39	2	128.06	2	2.36	2	1.68	2
6247	335	346	Max	18.38	-18.12	6	2.65	2	-0.01	2	126.76	2	4.84	2	1.68	2
6247	335	346	Min.	0.00	-45.91	6	-9.63	2	-0.50	2	11.24	2	-21.39	2	-2.01	2
6247	335	346	Min.	18.38	-45.91	6	-9.63	2	-0.38	2	9.94	2	1.51	2	-2.01	2
6272	351	362	Max	2.83	-18.08	6	2.63	2	0.38	2	-9.76	2	4.83	2	1.67	2
6272	351	362	Max	21.21	-18.08	6	2.63	2	0.50	2	-11.06	2	2.38	2	1.67	2
6272	351	362	Min.	2.83	-45.88	6	-9.62	2	0.01	2	-126.88	2	1.51	2	-2.00	2
6272	351	362	Min.	21.21	-45.88	6	-9.62	2	-1.39	2	-128.18	2	-21.41	2	-2.00	2
6272	362	373	Max	0.00	-16.54	2	6.53	2	0.83	2	81.28	2	11.32	2	2.45	2
6272	362	373	Max	18.38	-16.54	2	6.53	2	0.12	2	79.98	2	4.48	2	2.45	2
6272	362	373	Min.	0.00	-38.09	2	-5.81	2	-1.08	2	-36.70	2	-12.51	2	-1.25	2
6272	362	373	Min.	18.38	-38.09	2	-5.81	2	-0.24	2	-38.00	2	2.28	2	-1.25	2
6273	357	368	Max	2.83	-36.91	6	4.68	2	0.43	2	6.16	2	7.17	2	2.33	2
6273	357	368	Max	21.21	-36.91	6	4.68	2	0.87	2	4.86	2	7.60	2	2.33	2
6273	357	368	Min.	2.83	-69.94	6	-9.30	2	0.01	2	-129.02	2	3.79	2	-1.88	2
6273	357	368	Min.	21.21	-69.94	6	-9.30	2	-1.28	2	-130.31	2	-19.47	2	-1.88	2
6273	368	379	Max	0.00	-26.08	2	4.47	2	1.36	2	146.26	2	3.81	2	2.61	2
6273	368	379	Max	18.38	-26.08	2	4.47	2	0.02	2	144.96	2	6.27	2	2.61	2
6273	368	379	Min.	0.00	-55.98	2	-9.47	2	-0.80	2	13.70	2	-23.48	2	-1.68	2
6273	368	379	Min.	18.38	-55.98	2	-9.47	2	-0.38	2	12.40	2	3.23	2	-1.68	2
6274	362	375	Max	0.00	-12.66	2	8.93	2	0.52	2	113.20	2	3.98	2	2.30	2
6274	362	375	Max	18.38	-12.66	2	8.93	2	0.32	2	111.90	2	4.12	2	2.30	2
6274	362	375	Min.	0.00	-38.49	2	-2.86	2	-1.32	2	1.33	2	-19.38	2	-1.35	2
6274	362	375	Min.	18.38	-38.49	2	-2.86	2	-0.01	2	0.03	2	1.30	2	-1.35	2
6274	349	362	Max	2.83	-18.47	6	6.00	2	0.09	2	27.28	2	5.20	2	0.89	2
6274	349	362	Max	21.21	-18.47	6	6.00	2	0.82	2	25.98	2	9.49	2	0.89	2
6274	349	362	Min.	2.83	-51.58	6	-5.97	2	-0.29	2	-94.02	2	2.48	2	-2.73	2
6274	349	362	Min.	21.21	-51.58	6	-5.97	2	-1.01	2	-95.32	2	-14.32	2	-2.73	2
6275	358	371	Max	2.83	-18.07	6	9.61	2	-0.01	2	-9.65	2	4.83	2	2.00	2
6275	358	371	Max	21.21	-18.07	6	9.61	2	1.39	2	-10.95	2	2.41	2	2.00	2
6275	358	371	Min.	2.83	-45.96	6	-2.63	2	-0.38	2	-126.78	2	1.51	2	-1.67	2
6275	358	371	Min.	21.21	-45.96	6	-2.63	2	-0.50	2	-128.08	2	-21.39	2	-1.67	2
6275	371	384	Max	0.00	-16.64	2	5.81	2	1.08	2	81.40	2	11.30	2	1.25	2
6275	371	384	Max	18.38	-16.64	2	5.81	2	0.24	2	80.10	2	4.48	2	1.25	2
6275	371	384	Min.	0.00	-37.98	2	-6.53	2	-0.83	2	-36.61	2	-12.53	2	-2.45	2
6275	371	384	Min.	18.38	-37.98	2	-6.53	2	-0.12	2	-37.90	2	2.28	2	-2.45	2
6276	352	365	Max	2.83	-36.96	6	9.30	2	-0.01	2	6.18	2	7.18	2	1.88	2
6276	352	365	Max	21.21	-36.96	6	9.30	2	1.28	2	4.88	2	7.61	2	1.88	2
6276	352	365	Min.	2.83	-69.99	6	-4.67	2	-0.43	2	-129.00	2	3.79	2	-2.33	2
6276	352	365	Min.	21.21	-69.99	6	-4.67	2	-0.87	2	-130.30	2	-19.46	2	-2.33	2
6276	365	378	Max	0.00	-26.17	2	9.46	2	0.81	2	146.25	2	3.80	2	1.68	2
6276	365	378	Max	18.38	-26.17	2	9.46	2	0.38	2	144.95	2	6.26	2	1.68	2
6276	365	378	Min.	0.00	-55.86	2	-4.47	2	-1.36	2	13.73	2	-23.48	2	-2.60	2
6276	365	378	Min.	18.38	-55.86	2	-4.47	2	-0.02	2	12.44	2	3.23	2	-2.60	2
6277	354	365	Max	2.83	-35.19	2	3.60	2	0.47	2	-4.67	2	7.01	2	1.99	2
6277	354	365	Max	21.21	-35.19	2	3.60	2	0.70	2	-5.97	2	5.48	2	1.99	2
6277	354	365	Min.	2.83	-66.88	2	-10.53	2	0.04	2	-139.84	2	3.48	2	-2.23	2

6277	354	365	Min.	21.21	-66.88	2	-10.53	2	-1.47	2	-141.14	2	-21.80	2	-2.23	2
6277	365	376	Max	0.00	-28.06	2	5.64	2	1.20	2	136.09	2	6.06	2	2.96	2
6277	365	376	Max	18.38	-28.06	2	5.64	2	0.05	2	134.79	2	6.43	2	2.96	2
6277	365	376	Min.	0.00	-57.45	2	-8.41	2	-0.99	2	2.18	2	-21.27	2	-1.34	2
6277	365	376	Min.	18.38	-57.45	2	-8.41	2	-0.35	2	0.88	2	3.54	2	-1.34	2
6278	360	371	Max	2.83	-18.46	6	5.97	2	0.29	2	27.27	2	5.20	2	2.73	2
6278	360	371	Max	21.21	-18.46	6	5.97	2	1.01	2	25.97	2	9.48	2	2.73	2
6278	360	371	Min.	2.83	-51.58	6	-6.01	2	-0.09	2	-93.95	2	2.47	2	-0.89	2
6278	360	371	Min.	21.21	-51.58	6	-6.01	2	-0.82	2	-95.25	2	-14.31	2	-0.89	2
6278	371	382	Max	0.00	-12.60	2	2.86	2	1.32	2	113.25	2	3.98	2	1.35	2
6278	371	382	Max	18.38	-12.60	2	2.86	2	0.01	2	111.95	2	4.12	2	1.35	2
6278	371	382	Min.	0.00	-38.57	2	-8.93	2	-0.52	2	1.35	2	-19.39	2	-2.30	2
6278	371	382	Min.	18.38	-38.57	2	-8.93	2	-0.32	2	0.05	2	1.30	2	-2.30	2
6279	355	368	Max	2.83	-35.31	6	10.53	2	-0.04	2	-4.60	2	7.01	2	2.23	2
6279	355	368	Max	21.21	-35.31	6	10.53	2	1.47	2	-5.90	2	5.49	2	2.23	2
6279	355	368	Min.	2.83	-66.90	6	-3.59	2	-0.47	2	-139.77	2	3.48	2	-1.99	2
6279	355	368	Min.	21.21	-66.90	6	-3.59	2	-0.70	2	-141.07	2	-21.78	2	-1.99	2
6279	368	381	Max	0.00	-28.14	2	8.40	2	0.99	2	136.14	2	6.04	2	1.34	2
6279	368	381	Max	18.38	-28.14	2	8.40	2	0.35	2	134.84	2	6.43	2	1.34	2
6279	368	381	Min.	0.00	-57.32	2	-5.64	2	-1.20	2	2.26	2	-21.28	2	-2.96	2
6279	368	381	Min.	18.38	-57.32	2	-5.64	2	-0.05	2	0.96	2	3.54	2	-2.96	2
6281	-515	-516	Max	0.00	0.44	6	9.21	2	0.66	2	0.18	2	0.04	2	0.19	2
6281	-515	-516	Max	12.00	0.44	6	9.21	2	0.61	2	1.78	2	0.11	2	0.19	2
6281	-515	-516	Min.	0.00	-0.72	6	-12.50	2	-0.49	2	-0.23	2	-0.06	2	-0.36	2
6281	-515	-516	Min.	12.00	-0.72	6	-12.50	2	-0.84	2	1.38	2	0.06	2	-0.36	2
6282	-531	-532	Max	0.00	0.39	2	9.40	2	0.69	2	-0.26	2	0.13	2	0.11	2
6282	-531	-532	Max	12.00	0.39	2	9.40	2	0.57	2	1.35	2	0.09	2	0.11	2
6282	-531	-532	Min.	0.00	-0.22	2	-11.45	2	-0.56	2	-2.75	2	0.02	2	-0.26	2
6282	-531	-532	Min.	12.00	-0.22	2	-11.45	2	-0.68	2	-1.15	2	-0.10	2	-0.26	2
6283	316	317	Max	1.77	-9.12	6	1.22	2	0.15	2	2.28	2	-0.19	2	0.15	2
6283	316	317	Max	7.26					0.03	6			-0.29	6		
6283	316	317	Max	15.00	-9.12	6	1.22	2	0.01	6	1.34	2	-0.31	6	0.15	2
6283	316	317	Min.	1.77	-16.77	6	-1.06	2	-0.16	2	-0.54	2	-0.59	2	-0.13	2
6283	316	317	Min.	7.26					-0.03	6			-0.41	6		
6283	316	317	Min.	15.00	-16.77	6	-1.06	2	0.00	6	-1.48	2	-0.37	6	-0.13	2
6283	317	318	Max	0.00	-9.12	6	1.22	2	0.01	6	1.34	2	-0.31	6	0.15	2
6283	317	318	Max	4.54					0.03	6			-0.30	6		
6283	317	318	Max	13.23	-9.12	6	1.22	2	0.17	2	0.40	2	-0.22	2	0.15	2
6283	317	318	Min.	0.00	-16.77	6	-1.06	2	0.00	6	-1.48	2	-0.37	6	-0.13	2
6283	317	318	Min.	4.54					-0.01	6			-0.39	6		
6283	317	318	Min.	13.23	-16.77	6	-1.06	2	-0.13	2	-2.42	2	-0.60	2	-0.13	2
6284	-3	-4	Max	2.83	38.48	6	0.33	2	0.04	2	12.64	2	1.66	2	0.00	2
6284	-3	-4	Max	26.15	38.48	6	0.33	2	0.04	2	10.81	2	1.45	2	0.00	2
6284	-3	-4	Min.	2.83	35.25	6	-0.28	2	-0.04	2	-12.42	2	-1.28	2	0.00	2
6284	-3	-4	Min.	26.15	35.25	6	-0.28	2	-0.03	2	-14.25	2	-1.45	2	0.00	2
6285	-35	-36	Max	2.83	10.14	6	0.05	2	0.02	6	20.25	2	2.75	2	0.01	2
6285	-35	-36	Max	13.91					-0.00	8			0.27	8		
6285	-35	-36	Max	25.84	10.14	6	0.05	2	0.02	6	18.45	2	2.39	2	0.01	2
6285	-35	-36	Min.	2.83	8.79	6	-0.06	2	-0.00	6	-21.22	2	-2.07	2	-0.01	2
6285	-35	-36	Min.	13.91					0.01	8			0.21	8		
6285	-35	-36	Min.	25.84	8.79	6	-0.06	2	-0.00	6	-23.02	2	-2.34	2	-0.01	2
6286	-67	-68	Max	2.83	-0.82	6	0.20	2	0.03	2	17.58	2	2.20	2	0.00	2
6286	-67	-68	Max	11.78									0.16	8		
6286	-67	-68	Max	25.22	-0.82	6	0.20	2	0.03	2	16.70	2	1.89	2	0.00	2
6286	-67	-68	Min.	2.83	-1.13	6	-0.23	2	-0.02	2	-19.24	2	-1.95	2	-0.00	2
6286	-67	-68	Min.	11.78					0.01	8			-0.09	8		
6286	-67	-68	Min.	25.22	-1.13	6	-0.23	2	-0.02	2	-20.12	2	-2.21	2	-0.00	2
6287	-99	-100	Max	2.83	0.09	6	0.28	2	0.05	2	22.68	2	2.79	2	0.00	2
6287	-99	-100	Max	11.53									0.21	8		

6287	-99	-100	Max	24.59	0.09	6	0.28	2	0.04	2	21.83	2	2.39	2	0.00	2
6287	-99	-100	Min.	2.83	-0.15	6	-0.32	2	-0.02	2	-25.14	2	-2.45	2	-0.00	2
6287	-99	-100	Min.	11.53					0.02	8			-0.12	8		
6287	-99	-100	Min.	24.59	-0.15	6	-0.32	2	-0.03	2	-26.00	2	-2.78	2	-0.00	2
6288	-131	-132	Max	2.83	-0.03	6	0.32	2	0.05	2	24.61	2	2.95	2	0.00	2
6288	-131	-132	Max	11.28									0.22	8		
6288	-131	-132	Max	23.97	-0.03	6	0.32	2	0.05	2	23.78	2	2.52	2	0.00	2
6288	-131	-132	Min.	2.83	-0.23	6	-0.36	2	-0.03	2	-27.39	2	-2.59	2	-0.00	2
6288	-131	-132	Min.	11.28					0.02	8			-0.12	8		
6288	-131	-132	Min.	23.97	-0.23	6	-0.36	2	-0.03	2	-28.22	2	-2.93	2	-0.00	2
6289	-163	-164	Max	2.83	-0.00	6	0.34	2	0.05	2	25.82	2	3.01	2	0.00	2
6289	-163	-164	Max	11.03									0.22	8		
6289	-163	-164	Max	23.34	-0.00	6	0.34	2	0.05	2	25.02	2	2.57	2	0.00	2
6289	-163	-164	Min.	2.83	-0.22	6	-0.39	2	-0.03	2	-28.83	2	-2.64	2	-0.00	2
6289	-163	-164	Min.	11.03					0.02	8			-0.13	8		
6289	-163	-164	Min.	23.34	-0.22	6	-0.39	2	-0.03	2	-29.64	2	-2.99	2	-0.00	2
6290	-195	-196	Max	2.83	-0.02	6	0.36	2	0.05	2	26.91	2	3.05	2	0.00	2
6290	-195	-196	Max	10.78									0.22	8		
6290	-195	-196	Max	22.72	-0.02	6	0.36	2	0.05	2	26.13	2	2.60	2	0.00	2
6290	-195	-196	Min.	2.83	-0.22	6	-0.41	2	-0.03	2	-30.13	2	-2.67	2	-0.00	2
6290	-195	-196	Min.	10.78					0.02	8			-0.13	8		
6290	-195	-196	Min.	22.72	-0.22	6	-0.41	2	-0.03	2	-30.92	2	-3.02	2	-0.00	2
6291	-227	-228	Max	2.83	-0.01	6	0.37	2	0.05	2	28.01	2	3.08	2	0.00	2
6291	-227	-228	Max	10.53									0.22	8		
6291	-227	-228	Max	22.09	-0.01	6	0.37	2	0.05	2	27.26	2	2.63	2	0.00	2
6291	-227	-228	Min.	2.83	-0.23	6	-0.43	2	-0.03	2	-31.46	2	-2.70	2	-0.00	2
6291	-227	-228	Min.	10.53					0.02	8			-0.13	8		
6291	-227	-228	Min.	22.09	-0.23	6	-0.43	2	-0.03	2	-32.21	2	-3.05	2	-0.00	2
6292	-259	-260	Max	2.83	-0.02	6	0.39	2	0.06	2	29.15	2	3.11	2	0.00	2
6292	-259	-260	Max	10.28									0.22	8		
6292	-259	-260	Max	21.47	-0.02	6	0.39	2	0.05	2	28.42	2	2.65	2	0.00	2
6292	-259	-260	Min.	2.83	-0.23	6	-0.44	2	-0.03	2	-32.83	2	-2.72	2	-0.00	2
6292	-259	-260	Min.	10.28					0.02	8			-0.13	8		
6292	-259	-260	Min.	21.47	-0.23	6	-0.44	2	-0.04	2	-33.56	2	-3.08	2	-0.00	2
6293	-291	-292	Max	2.83	-0.01	6	0.40	2	0.06	2	30.34	2	3.13	2	0.00	2
6293	-291	-292	Max	10.03									0.23	8		
6293	-291	-292	Max	20.84	-0.01	6	0.40	2	0.05	2	29.63	2	2.66	2	0.00	2
6293	-291	-292	Min.	2.83	-0.24	6	-0.46	2	-0.03	2	-34.27	2	-2.74	2	-0.00	2
6293	-291	-292	Min.	10.03					0.02	8			-0.13	8		
6293	-291	-292	Min.	20.84	-0.24	6	-0.46	2	-0.04	2	-34.97	2	-3.10	2	-0.00	2
6294	-323	-324	Max	2.83	-0.01	6	0.42	2	0.06	2	31.58	2	3.16	2	0.00	2
6294	-323	-324	Max	9.78									0.23	8		
6294	-323	-324	Max	20.22	-0.01	6	0.42	2	0.05	2	30.90	2	2.68	2	0.00	2
6294	-323	-324	Min.	2.83	-0.25	6	-0.49	2	-0.03	2	-35.78	2	-2.75	2	-0.00	2
6294	-323	-324	Min.	9.78					0.02	8			-0.13	8		
6294	-323	-324	Min.	20.22	-0.25	6	-0.49	2	-0.04	2	-36.46	2	-3.12	2	-0.00	2
6295	-355	-356	Max	2.83	-0.01	6	0.44	2	0.06	2	32.89	2	3.18	2	0.00	2
6295	-355	-356	Max	9.53									0.23	8		
6295	-355	-356	Max	19.59	-0.01	6	0.44	2	0.05	2	32.24	2	2.69	2	0.00	2
6295	-355	-356	Min.	2.83	-0.26	6	-0.51	2	-0.03	2	-37.37	2	-2.77	2	-0.00	2
6295	-355	-356	Min.	9.53					0.02	8			-0.13	8		
6295	-355	-356	Min.	19.59	-0.26	6	-0.51	2	-0.04	2	-38.03	2	-3.14	2	-0.00	2
6296	-387	-388	Max	2.83	-0.00	6	0.46	2	0.06	2	34.25	2	3.19	2	0.00	2
6296	-387	-388	Max	9.28									0.22	8		
6296	-387	-388	Max	18.97	-0.00	6	0.46	2	0.05	2	33.62	2	2.70	2	0.00	2
6296	-387	-388	Min.	2.83	-0.11	6	-0.53	2	-0.03	2	-39.03	2	-2.78	2	-0.00	2
6296	-387	-388	Min.	9.28					0.02	8			-0.13	8		
6296	-387	-388	Min.	18.97	-0.11	6	-0.53	2	-0.04	2	-39.66	2	-3.16	2	-0.00	2
6297	-419	-420	Max	2.83	0.71	6	0.48	2	0.06	2	35.59	2	3.21	2	0.00	2

6297	-419	-420	Max	9.03									0.23	8		
6297	-419	-420	Max	18.34	0.71	6	0.48	2	0.05	2	34.98	2	2.70	2	0.00	2
6297	-419	-420	Min.	2.83	-2.14	6	-0.55	2	-0.03	2	-40.67	2	-2.78	2	-0.00	2
6297	-419	-420	Min.	9.03					0.02	8			-0.14	8		
6297	-419	-420	Min.	18.34	-2.14	6	-0.55	2	-0.04	2	-41.28	2	-3.15	2	-0.00	2
6298	-451	-452	Max	2.83	12.54	6	0.48	2	0.06	2	36.35	2	3.13	2	0.00	2
6298	-451	-452	Max	8.78									0.13	8		
6298	-451	-452	Max	17.72	12.54	6	0.48	2	0.05	2	35.77	2	2.63	2	0.00	2
6298	-451	-452	Min.	2.83	-4.88	6	-0.55	2	-0.03	2	-41.73	2	-2.76	2	-0.00	2
6298	-451	-452	Min.	8.78					0.02	8			-0.10	8		
6298	-451	-452	Min.	17.72	-4.88	6	-0.55	2	-0.03	2	-42.32	2	-3.16	2	-0.00	2
6299	-483	-484	Max	2.83	27.84	6	0.42	2	0.04	2	33.04	2	3.07	2	0.01	2
6299	-483	-484	Max	9.95					0.02	8			0.64	8		
6299	-483	-484	Max	17.09	27.84	6	0.42	2	0.04	2	32.48	2	2.62	2	0.01	2
6299	-483	-484	Min.	2.83	-75.53	6	-0.48	2	-0.03	2	-37.76	2	-2.31	2	-0.00	2
6299	-483	-484	Min.	9.95					-0.00	8			-0.22	8		
6299	-483	-484	Min.	17.09	-75.53	6	-0.48	2	-0.03	2	-38.31	2	-2.61	2	-0.00	2
6303	-491	-492	Max	3.53	113.53	6	0.41	2	0.03	2	28.82	2	2.05	2	0.00	2
6303	-491	-492	Max	11.34					0.02	8			-0.10	8		
6303	-491	-492	Max	17.80	113.53	6	0.41	2	0.04	2	28.26	2	1.71	2	0.00	2
6303	-491	-492	Min.	3.53	1.26	6	-0.34	2	-0.02	2	-34.31	2	-2.62	2	0.00	2
6303	-491	-492	Min.	11.34									-0.93	8		
6303	-491	-492	Min.	17.80	1.26	6	-0.34	2	-0.02	2	-34.87	2	-3.14	2	0.00	2
6304	-459	-460	Max	3.53	-0.35	6	0.49	2	0.04	2	31.65	2	2.94	2	0.00	2
6304	-459	-460	Max	11.72					-0.00	8			0.07	8		
6304	-459	-460	Max	18.42	-0.35	6	0.49	2	0.05	2	31.06	2	2.42	2	0.00	2
6304	-459	-460	Min.	3.53	-19.35	6	-0.40	2	-0.03	2	-38.17	2	-2.25	2	-0.00	2
6304	-459	-460	Min.	11.72					0.02	8			0.06	8		
6304	-459	-460	Min.	18.42	-19.35	6	-0.40	2	-0.02	2	-38.75	2	-2.79	2	-0.00	2
6305	-427	-428	Max	3.53	3.05	6	0.49	2	0.05	2	31.09	2	2.87	2	0.00	2
6305	-427	-428	Max	12.09					-0.00	8			0.06	8		
6305	-427	-428	Max	19.05	3.05	6	0.49	2	0.05	2	30.48	2	2.41	2	0.00	2
6305	-427	-428	Min.	3.53	-0.03	6	-0.41	2	-0.03	2	-37.20	2	-2.36	2	-0.00	2
6305	-427	-428	Min.	12.09					0.02	8			-0.11	8		
6305	-427	-428	Min.	19.05	-0.03	6	-0.41	2	-0.02	2	-37.81	2	-2.95	2	-0.00	2
6306	-395	-396	Max	3.53	-0.07	6	0.48	2	0.05	2	29.97	2	2.89	2	0.00	2
6306	-395	-396	Max	12.47					-0.00	8			0.08	8		
6306	-395	-396	Max	19.67	-0.07	6	0.48	2	0.05	2	29.34	2	2.42	2	0.00	2
6306	-395	-396	Min.	3.53	-0.21	6	-0.39	2	-0.03	2	-35.74	2	-2.36	2	-0.00	2
6306	-395	-396	Min.	12.47					0.02	8			-0.10	8		
6306	-395	-396	Min.	19.67	-0.21	6	-0.39	2	-0.03	2	-36.37	2	-2.93	2	-0.00	2
6307	-363	-364	Max	3.53	0.17	6	0.46	2	0.05	2	28.83	2	2.87	2	0.00	2
6307	-363	-364	Max	12.84					-0.00	8			0.08	8		
6307	-363	-364	Max	20.30	0.17	6	0.46	2	0.05	2	28.17	2	2.41	2	0.00	2
6307	-363	-364	Min.	3.53	-0.07	6	-0.38	2	-0.03	2	-34.24	2	-2.36	2	-0.00	2
6307	-363	-364	Min.	12.84					0.02	8			-0.11	8		
6307	-363	-364	Min.	20.30	-0.07	6	-0.38	2	-0.03	2	-34.90	2	-2.92	2	-0.00	2
6308	-331	-332	Max	3.53	0.17	6	0.44	2	0.05	2	27.73	2	2.86	2	0.00	2
6308	-331	-332	Max	12.19					0.02	8			0.02	8		
6308	-331	-332	Max	20.92	0.17	6	0.44	2	0.05	2	27.04	2	2.40	2	0.00	2
6308	-331	-332	Min.	3.53	-0.07	6	-0.36	2	-0.03	2	-32.79	2	-2.36	2	-0.00	2
6308	-331	-332	Min.	12.19					-0.00	8			0.01	8		
6308	-331	-332	Min.	20.92	-0.07	6	-0.36	2	-0.02	2	-33.48	2	-2.90	2	-0.00	2
6309	-299	-300	Max	3.53	0.15	6	0.42	2	0.04	2	26.67	2	2.84	2	0.00	2
6309	-299	-300	Max	12.56					-0.00	8			0.01	8		
6309	-299	-300	Max	21.55	0.15	6	0.42	2	0.05	2	25.96	2	2.39	2	0.00	2
6309	-299	-300	Min.	3.53	-0.07	6	-0.35	2	-0.03	2	-31.43	2	-2.35	2	-0.00	2
6309	-299	-300	Min.	12.56					0.02	8			0.01	8		
6309	-299	-300	Min.	21.55	-0.07	6	-0.35	2	-0.02	2	-32.14	2	-2.89	2	-0.00	2

6310	-267	-268	Max	3.53	0.14	6	0.40	2	0.04	2	25.65	2	2.82	2	0.00	2
6310	-267	-268	Max	12.94					-0.00	8			0.02	8		
6310	-267	-268	Max	22.17	0.14	6	0.40	2	0.05	2	24.92	2	2.38	2	0.00	2
6310	-267	-268	Min.	3.53	-0.08	6	-0.33	2	-0.03	2	-30.13	2	-2.34	2	-0.00	2
6310	-267	-268	Min.	12.94					0.02	8			0.01	8		
6310	-267	-268	Min.	22.17	-0.08	6	-0.33	2	-0.02	2	-30.87	2	-2.87	2	-0.00	2
6311	-235	-236	Max	3.53	0.13	6	0.38	2	0.04	2	24.67	2	2.79	2	0.00	2
6311	-235	-236	Max	13.24					-0.00	8			0.02	8		
6311	-235	-236	Max	22.80	0.13	6	0.38	2	0.05	2	23.92	2	2.36	2	0.00	2
6311	-235	-236	Min.	3.53	-0.07	6	-0.32	2	-0.03	2	-28.89	2	-2.32	2	-0.00	2
6311	-235	-236	Min.	13.24					0.02	8			0.01	8		
6311	-235	-236	Min.	22.80	-0.07	6	-0.32	2	-0.02	2	-29.65	2	-2.84	2	-0.00	2
6312	-203	-204	Max	3.53	0.12	6	0.37	2	0.04	2	23.72	2	2.77	2	0.00	2
6312	-203	-204	Max	13.57					-0.00	8			0.02	8		
6312	-203	-204	Max	23.42	0.12	6	0.37	2	0.05	2	22.94	2	2.34	2	0.00	2
6312	-203	-204	Min.	3.53	-0.08	6	-0.30	2	-0.03	2	-27.69	2	-2.30	2	-0.00	2
6312	-203	-204	Min.	13.57					0.02	8			0.00	8		
6312	-203	-204	Min.	23.42	-0.08	6	-0.30	2	-0.02	2	-28.47	2	-2.82	2	-0.00	2
6313	-171	-172	Max	3.53	0.15	6	0.35	2	0.04	2	22.78	2	2.73	2	0.00	2
6313	-171	-172	Max	13.91					-0.00	8			0.02	8		
6313	-171	-172	Max	24.05	0.15	6	0.35	2	0.05	2	21.98	2	2.31	2	0.00	2
6313	-171	-172	Min.	3.53	-0.07	6	-0.29	2	-0.03	2	-26.50	2	-2.28	2	-0.00	2
6313	-171	-172	Min.	13.91					0.02	8			0.00	8		
6313	-171	-172	Min.	24.05	-0.07	6	-0.29	2	-0.02	2	-27.30	2	-2.78	2	-0.00	2
6314	-139	-140	Max	3.53	0.11	6	0.33	2	0.04	2	21.73	2	2.68	2	0.00	2
6314	-139	-140	Max	14.06					0.02	8			0.02	8		
6314	-139	-140	Max	24.67	0.11	6	0.33	2	0.05	2	20.90	2	2.26	2	0.00	2
6314	-139	-140	Min.	3.53	-0.09	6	-0.27	2	-0.03	2	-25.18	2	-2.24	2	-0.00	2
6314	-139	-140	Min.	14.06					-0.00	8			0.01	8		
6314	-139	-140	Min.	24.67	-0.09	6	-0.27	2	-0.02	2	-26.01	2	-2.73	2	-0.00	2
6315	-107	-108	Max	3.53	0.25	6	0.29	2	0.04	2	20.03	2	2.54	2	0.00	2
6315	-107	-108	Max	14.37					0.02	8			0.02	8		
6315	-107	-108	Max	25.30	0.25	6	0.29	2	0.04	2	19.18	2	2.14	2	0.00	2
6315	-107	-108	Min.	3.53	-0.01	6	-0.24	2	-0.03	2	-23.11	2	-2.12	2	-0.00	2
6315	-107	-108	Min.	14.37					-0.00	8			0.01	8		
6315	-107	-108	Min.	25.30	-0.01	6	-0.24	2	-0.02	2	-23.96	2	-2.59	2	-0.00	2
6316	-75	-76	Max	3.53	-0.78	2	0.21	2	0.03	2	15.53	2	2.00	2	0.00	2
6316	-75	-76	Max	14.90					-0.00	8			0.02	8		
6316	-75	-76	Max	25.92	-0.78	2	0.21	2	0.03	2	14.65	2	1.69	2	0.00	2
6316	-75	-76	Min.	3.53	-0.90	2	-0.18	2	-0.02	2	-17.67	2	-1.69	2	-0.00	2
6316	-75	-76	Min.	14.90					0.02	8			-0.00	8		
6316	-75	-76	Min.	25.92	-0.90	2	-0.18	2	-0.02	2	-18.55	2	-2.05	2	-0.00	2
6317	-43	-44	Max	3.53	10.60	6	0.04	2	0.02	6	17.76	2	2.52	2	0.01	2
6317	-43	-44	Max	16.20					0.00	4			0.45	4		
6317	-43	-44	Max	26.55	10.60	6	0.04	2	0.02	6	15.95	2	2.14	2	0.01	2
6317	-43	-44	Min.	3.53	7.60	6	-0.03	2	-0.00	6	-19.41	2	-1.74	2	-0.01	2
6317	-43	-44	Min.	16.20					0.01	4			0.00	4		
6317	-43	-44	Min.	26.55	7.60	6	-0.03	2	-0.00	6	-21.21	2	-2.15	2	-0.01	2
6318	-11	-12	Max	3.53	43.44	6	0.29	2	0.04	2	10.88	2	1.54	2	0.00	2
6318	-11	-12	Max	26.86	43.44	6	0.29	2	0.04	2	9.04	2	1.29	2	0.00	2
6318	-11	-12	Min.	3.53	30.85	6	-0.34	2	-0.03	2	-11.14	2	-1.03	2	-0.00	2
6318	-11	-12	Min.	26.86	30.85	6	-0.34	2	-0.04	2	-12.97	2	-1.28	2	-0.00	2
6319	340	341	Max	1.77	-4.66	6	1.85	2	-0.21	2	1.13	2	0.14	2	0.13	2
6319	340	341	Max	9.71					-0.26	6			0.03	6		
6319	340	341	Max	15.00	-4.66	6	0.91	2	-0.27	6	1.13	2	0.02	6	0.13	2
6319	340	341	Min.	1.77	-7.74	6	-0.18	2	-0.51	2	-0.95	2	-0.13	2	-0.15	2
6319	340	341	Min.	9.71					-0.37	6			-0.01	6		
6319	340	341	Min.	15.00	-7.74	6	-1.12	2	-0.36	6	-0.95	2	0.01	6	-0.15	2
6319	341	342	Max	0.00	-4.66	6	0.91	2	-0.27	6	1.13	2	0.02	6	0.13	2

6319	341	342	Max	12.57					-0.24	2			0.16	2		
6319	341	342	Max	13.23	-4.66	6	-0.03	2	-0.24	2	1.13	2	0.17	2	0.13	2
6319	341	342	Min.	0.00	-7.74	6	-1.12	2	-0.36	6	-0.95	2	0.01	6	-0.15	2
6319	341	342	Min.	12.57					-0.52	2			-0.10	2		
6319	341	342	Min.	13.23	-7.74	6	-2.06	2	-0.53	2	-0.95	2	-0.11	2	-0.15	2
6327	352	353	Max	1.77	-4.56	6	1.14	2	0.14	2	1.83	2	-0.21	2	0.15	2
6327	352	353	Max	9.71					0.03	6			-0.26	6		
6327	352	353	Max	15.00	-4.56	6	1.14	2	0.02	6	0.89	2	-0.27	6	0.15	2
6327	352	353	Min.	1.77	-7.79	6	-0.94	2	-0.13	2	-0.21	2	-0.50	2	-0.13	2
6327	352	353	Min.	9.71					-0.01	6			-0.37	6		
6327	352	353	Min.	15.00	-7.79	6	-0.94	2	0.01	6	-1.15	2	-0.36	6	-0.13	2
6327	353	354	Max	0.00	-4.56	6	1.14	2	0.02	6	0.89	2	-0.27	6	0.15	2
6327	353	354	Max	12.57					0.16	2			-0.24	2		
6327	353	354	Max	13.23	-4.56	6	1.14	2	0.17	2	-0.05	2	-0.24	2	0.15	2
6327	353	354	Min.	0.00	-7.79	6	-0.94	2	0.01	6	-1.15	2	-0.36	6	-0.13	2
6327	353	354	Min.	12.57					-0.10	2			-0.52	2		
6327	353	354	Min.	13.23	-7.79	6	-0.94	2	-0.11	2	-2.09	2	-0.54	2	-0.13	2
6328	-19	-20	Max	2.83	43.34	6	0.34	2	0.03	2	10.89	2	1.56	2	0.00	2
6328	-19	-20	Max	26.15	43.34	6	0.34	2	0.04	2	9.06	2	1.27	2	0.00	2
6328	-19	-20	Min.	2.83	30.97	6	-0.29	2	-0.04	2	-11.15	2	-1.05	2	-0.00	2
6328	-19	-20	Min.	26.15	30.97	6	-0.29	2	-0.04	2	-12.98	2	-1.25	2	-0.00	2
6329	-51	-52	Max	2.83	10.60	6	0.03	2	0.00	6	17.77	2	2.57	2	0.01	2
6329	-51	-52	Max	12.03					-0.01	8			0.36	8		
6329	-51	-52	Max	25.84	10.60	6	0.03	2	0.00	6	15.96	2	2.11	2	0.01	2
6329	-51	-52	Min.	2.83	7.53	6	-0.04	2	-0.01	6	-19.42	2	-1.77	2	-0.01	2
6329	-51	-52	Min.	12.03					0.00	8			0.21	8		
6329	-51	-52	Min.	25.84	7.53	6	-0.04	2	-0.02	6	-21.22	2	-2.11	2	-0.01	2
6330	-83	-84	Max	2.83	-0.78	2	0.18	2	0.02	2	15.48	2	2.04	2	0.00	2
6330	-83	-84	Max	13.90					-0.02	8			0.02	8		
6330	-83	-84	Max	25.22	-0.78	2	0.18	2	0.02	2	14.60	2	1.66	2	0.00	2
6330	-83	-84	Min.	2.83	-0.89	2	-0.21	2	-0.03	2	-17.73	2	-1.71	2	-0.00	2
6330	-83	-84	Min.	13.90					0.00	8			0.01	8		
6330	-83	-84	Min.	25.22	-0.89	2	-0.21	2	-0.03	2	-18.60	2	-2.03	2	-0.00	2
6331	-115	-116	Max	2.83	0.27	6	0.24	2	0.03	2	19.98	2	2.58	2	0.00	2
6331	-115	-116	Max	13.67					-0.02	8			0.02	8		
6331	-115	-116	Max	24.59	0.27	6	0.24	2	0.02	2	19.12	2	2.10	2	0.00	2
6331	-115	-116	Min.	2.83	-0.01	6	-0.29	2	-0.04	2	-23.18	2	-2.15	2	-0.00	2
6331	-115	-116	Min.	13.67					0.00	8			0.02	8		
6331	-115	-116	Min.	24.59	-0.01	6	-0.29	2	-0.04	2	-24.03	2	-2.55	2	-0.00	2
6332	-147	-148	Max	2.83	0.11	6	0.27	2	0.03	2	21.67	2	2.73	2	0.00	2
6332	-147	-148	Max	13.37					-0.02	8			0.02	8		
6332	-147	-148	Max	23.97	0.11	6	0.27	2	0.02	2	20.84	2	2.22	2	0.00	2
6332	-147	-148	Min.	2.83	-0.08	6	-0.33	2	-0.04	2	-25.25	2	-2.27	2	-0.00	2
6332	-147	-148	Min.	13.37					0.00	8			0.02	8		
6332	-147	-148	Min.	23.97	-0.08	6	-0.33	2	-0.05	2	-26.08	2	-2.69	2	-0.00	2
6333	-179	-180	Max	2.83	0.15	6	0.29	2	0.03	2	22.72	2	2.79	2	0.00	2
6333	-179	-180	Max	13.05					-0.02	8			0.02	8		
6333	-179	-180	Max	23.34	0.15	6	0.29	2	0.02	2	21.91	2	2.26	2	0.00	2
6333	-179	-180	Min.	2.83	-0.07	6	-0.35	2	-0.04	2	-26.58	2	-2.31	2	-0.00	2
6333	-179	-180	Min.	13.05					0.00	8			0.02	8		
6333	-179	-180	Min.	23.34	-0.07	6	-0.35	2	-0.05	2	-27.39	2	-2.75	2	-0.00	2
6334	-211	-212	Max	2.83	0.12	6	0.30	2	0.03	2	23.66	2	2.83	2	0.00	2
6334	-211	-212	Max	12.74					-0.02	8			0.02	8		
6334	-211	-212	Max	22.72	0.12	6	0.30	2	0.02	2	22.88	2	2.29	2	0.00	2
6334	-211	-212	Min.	2.83	-0.07	6	-0.37	2	-0.04	2	-27.78	2	-2.34	2	-0.00	2
6334	-211	-212	Min.	12.74					0.00	8			0.02	8		
6334	-211	-212	Min.	22.72	-0.07	6	-0.37	2	-0.05	2	-28.56	2	-2.78	2	-0.00	2
6335	-243	-244	Max	2.83	0.14	6	0.32	2	0.03	2	24.60	2	2.85	2	0.00	2
6335	-243	-244	Max	12.42					-0.02	8			0.02	8		

6335	-243	-244	Max	22.09	0.14	6	0.32	2	0.02	2	23.85	2	2.31	2	0.00	2
6335	-243	-244	Min.	2.83	-0.07	6	-0.39	2	-0.04	2	-28.98	2	-2.36	2	-0.00	2
6335	-243	-244	Min.	12.42					0.00	8			0.02	8		
6335	-243	-244	Min.	22.09	-0.07	6	-0.39	2	-0.05	2	-29.74	2	-2.80	2	-0.00	2
6336	-275	-276	Max	2.83	0.14	6	0.33	2	0.03	2	25.58	2	2.88	2	0.00	2
6336	-275	-276	Max	12.11					-0.02	8			0.02	8		
6336	-275	-276	Max	21.47	0.14	6	0.33	2	0.02	2	24.84	2	2.32	2	0.00	2
6336	-275	-276	Min.	2.83	-0.07	6	-0.40	2	-0.04	2	-30.23	2	-2.37	2	-0.00	2
6336	-275	-276	Min.	12.11					0.00	8			0.02	8		
6336	-275	-276	Min.	21.47	-0.07	6	-0.40	2	-0.05	2	-30.97	2	-2.82	2	-0.00	2
6337	-307	-308	Max	2.83	0.16	6	0.34	2	0.03	2	26.59	2	2.90	2	0.00	2
6337	-307	-308	Max	11.79					-0.02	8			0.02	8		
6337	-307	-308	Max	20.84	0.16	6	0.34	2	0.02	2	25.88	2	2.34	2	0.00	2
6337	-307	-308	Min.	2.83	-0.07	6	-0.42	2	-0.04	2	-31.54	2	-2.39	2	-0.00	2
6337	-307	-308	Min.	11.79					0.00	8			0.02	8		
6337	-307	-308	Min.	20.84	-0.07	6	-0.42	2	-0.05	2	-32.25	2	-2.84	2	-0.00	2
6338	-339	-340	Max	2.83	0.17	6	0.36	2	0.03	2	27.64	2	2.93	2	0.00	2
6338	-339	-340	Max	11.48					-0.02	8			0.02	8		
6338	-339	-340	Max	20.22	0.17	6	0.36	2	0.02	2	26.96	2	2.35	2	0.00	2
6338	-339	-340	Min.	2.83	-0.07	6	-0.44	2	-0.05	2	-32.91	2	-2.40	2	-0.00	2
6338	-339	-340	Min.	11.48					0.00	8			0.02	8		
6338	-339	-340	Min.	20.22	-0.07	6	-0.44	2	-0.05	2	-33.59	2	-2.86	2	-0.00	2
6339	-371	-372	Max	2.83	0.18	6	0.37	2	0.03	2	28.74	2	2.95	2	0.00	2
6339	-371	-372	Max	11.16					-0.02	8			0.02	8		
6339	-371	-372	Max	19.59	0.18	6	0.37	2	0.02	2	28.08	2	2.36	2	0.00	2
6339	-371	-372	Min.	2.83	-0.07	6	-0.46	2	-0.05	2	-34.36	2	-2.41	2	-0.00	2
6339	-371	-372	Min.	11.16					0.00	8			0.02	8		
6339	-371	-372	Min.	19.59	-0.07	6	-0.46	2	-0.05	2	-35.02	2	-2.87	2	-0.00	2
6340	-403	-404	Max	2.83	-0.07	6	0.39	2	0.03	2	29.87	2	2.96	2	0.00	2
6340	-403	-404	Max	10.84					0.00	8			0.02	8		
6340	-403	-404	Max	18.97	-0.07	6	0.39	2	0.02	2	29.24	2	2.36	2	0.00	2
6340	-403	-404	Min.	2.83	-0.21	6	-0.48	2	-0.05	2	-35.87	2	-2.41	2	-0.00	2
6340	-403	-404	Min.	10.84					-0.02	8			0.02	8		
6340	-403	-404	Min.	18.97	-0.21	6	-0.48	2	-0.05	2	-36.50	2	-2.88	2	-0.00	2
6341	-435	-436	Max	2.83	3.05	6	0.40	2	0.03	2	30.98	2	2.95	2	0.00	2
6341	-435	-436	Max	10.52					-0.02	8			0.02	8		
6341	-435	-436	Max	18.34	3.05	6	0.40	2	0.02	2	30.38	2	2.35	2	0.00	2
6341	-435	-436	Min.	2.83	-0.02	6	-0.50	2	-0.05	2	-37.34	2	-2.41	2	-0.00	2
6341	-435	-436	Min.	10.52					0.00	8			0.00	8		
6341	-435	-436	Min.	18.34	-0.02	6	-0.50	2	-0.05	2	-37.95	2	-2.89	2	-0.00	2
6342	-467	-468	Max	2.83	-0.33	6	0.40	2	0.03	2	31.66	2	3.00	2	0.00	2
6342	-467	-468	Max	10.09					0.00	8			0.17	8		
6342	-467	-468	Max	17.72	-0.33	6	0.40	2	0.02	2	31.07	2	2.37	2	0.00	2
6342	-467	-468	Min.	2.83	-19.35	6	-0.49	2	-0.04	2	-38.10	2	-2.31	2	-0.00	2
6342	-467	-468	Min.	10.09					-0.02	8			0.04	8		
6342	-467	-468	Min.	17.72	-19.35	6	-0.49	2	-0.05	2	-38.69	2	-2.72	2	-0.00	2
6343	-499	-500	Max	2.83	113.59	6	0.33	2	0.02	2	28.48	2	2.14	2	0.00	6
6343	-499	-500	Max	5.68					-0.00	8			-0.32	8		
6343	-499	-500	Max	17.09	113.59	6	0.33	2	0.02	2	27.92	2	1.63	2	0.00	6
6343	-499	-500	Min.	2.83	1.06	6	-0.43	2	-0.03	2	-34.88	2	-2.63	2	-0.00	6
6343	-499	-500	Min.	5.68					-0.01	8			-0.36	8		
6343	-499	-500	Min.	17.09	1.06	6	-0.43	2	-0.04	2	-35.44	2	-3.11	2	-0.00	6
6347	-507	-508	Max	3.53	27.98	6	0.48	2	0.02	2	32.86	2	3.00	2	0.00	2
6347	-507	-508	Max	14.94					-0.01	8			0.12	8		
6347	-507	-508	Max	17.80	27.98	6	0.48	2	0.03	2	32.30	2	2.66	2	0.00	2
6347	-507	-508	Min.	3.53	-75.63	6	-0.41	2	-0.05	2	-37.72	2	-2.23	2	-0.00	2
6347	-507	-508	Min.	14.94					-0.00	8			0.04	8		
6347	-507	-508	Min.	17.80	-75.63	6	-0.41	2	-0.04	2	-38.28	2	-2.67	2	-0.00	2
6348	-475	-476	Max	3.53	12.55	6	0.55	2	0.03	2	36.23	2	3.03	2	0.00	2

6348	-475	-476	Max	11.99					-0.02	8			-0.02	8		
6348	-475	-476	Max	18.42	12.55	6	0.55	2	0.03	2	35.64	2	2.69	2	0.00	2
6348	-475	-476	Min.	3.53	-4.89	6	-0.47	2	-0.05	2	-41.36	2	-2.70	2	-0.00	2
6348	-475	-476	Min.	11.99					0.00	8			-0.11	8		
6348	-475	-476	Min.	18.42	-4.89	6	-0.47	2	-0.05	2	-41.95	2	-3.21	2	-0.00	2
6349	-443	-444	Max	3.53	0.70	6	0.55	2	0.03	2	35.44	2	3.11	2	0.00	2
6349	-443	-444	Max	12.58					-0.02	8			0.11	8		
6349	-443	-444	Max	19.05	0.70	6	0.55	2	0.04	2	34.83	2	2.75	2	0.00	2
6349	-443	-444	Min.	3.53	-2.14	6	-0.47	2	-0.06	2	-40.43	2	-2.70	2	-0.00	2
6349	-443	-444	Min.	12.58					0.00	8			-0.19	8		
6349	-443	-444	Min.	19.05	-2.14	6	-0.47	2	-0.05	2	-41.04	2	-3.21	2	-0.00	2
6350	-411	-412	Max	3.53	-0.01	6	0.53	2	0.03	2	34.11	2	3.10	2	0.00	2
6350	-411	-412	Max	12.94					-0.02	8			0.10	8		
6350	-411	-412	Max	19.67	-0.01	6	0.53	2	0.04	2	33.48	2	2.75	2	0.00	2
6350	-411	-412	Min.	3.53	-0.12	6	-0.46	2	-0.06	2	-38.79	2	-2.71	2	-0.00	2
6350	-411	-412	Min.	12.94					0.00	8			-0.18	8		
6350	-411	-412	Min.	19.67	-0.12	6	-0.46	2	-0.05	2	-39.42	2	-3.21	2	-0.00	2
6351	-379	-380	Max	3.53	-0.01	6	0.51	2	0.03	2	32.76	2	3.09	2	0.00	2
6351	-379	-380	Max	11.96					-0.02	8			0.00	8		
6351	-379	-380	Max	20.30	-0.01	6	0.51	2	0.04	2	32.10	2	2.74	2	0.00	2
6351	-379	-380	Min.	3.53	-0.26	6	-0.44	2	-0.06	2	-37.15	2	-2.70	2	-0.00	2
6351	-379	-380	Min.	11.96					0.00	8			-0.01	8		
6351	-379	-380	Min.	20.30	-0.26	6	-0.44	2	-0.05	2	-37.81	2	-3.19	2	-0.00	2
6352	-347	-348	Max	3.53	-0.01	6	0.48	2	0.03	2	31.45	2	3.07	2	0.00	2
6352	-347	-348	Max	12.27					-0.02	8			0.00	8		
6352	-347	-348	Max	20.92	-0.01	6	0.48	2	0.04	2	30.77	2	2.72	2	0.00	2
6352	-347	-348	Min.	3.53	-0.25	6	-0.42	2	-0.06	2	-35.57	2	-2.69	2	-0.00	2
6352	-347	-348	Min.	12.27					0.00	8			-0.00	8		
6352	-347	-348	Min.	20.92	-0.25	6	-0.42	2	-0.05	2	-36.25	2	-3.17	2	-0.00	2
6353	-315	-316	Max	3.53	-0.02	6	0.46	2	0.03	2	30.21	2	3.05	2	0.00	2
6353	-315	-316	Max	12.57					-0.02	8			0.00	8		
6353	-315	-316	Max	21.55	-0.02	6	0.46	2	0.04	2	29.51	2	2.71	2	0.00	2
6353	-315	-316	Min.	3.53	-0.24	6	-0.40	2	-0.06	2	-34.07	2	-2.67	2	-0.00	2
6353	-315	-316	Min.	12.57					0.00	8			-0.00	8		
6353	-315	-316	Min.	21.55	-0.24	6	-0.40	2	-0.05	2	-34.77	2	-3.15	2	-0.00	2
6354	-283	-284	Max	3.53	-0.01	6	0.44	2	0.03	2	29.03	2	3.03	2	0.00	2
6354	-283	-284	Max	12.88					-0.02	8			0.00	8		
6354	-283	-284	Max	22.17	-0.01	6	0.44	2	0.04	2	28.30	2	2.69	2	0.00	2
6354	-283	-284	Min.	3.53	-0.24	6	-0.39	2	-0.06	2	-32.64	2	-2.66	2	-0.00	2
6354	-283	-284	Min.	12.88					0.00	8			-0.00	8		
6354	-283	-284	Min.	22.17	-0.24	6	-0.39	2	-0.05	2	-33.37	2	-3.12	2	-0.00	2
6355	-251	-252	Max	3.53	-0.02	6	0.42	2	0.03	2	27.89	2	3.01	2	0.00	2
6355	-251	-252	Max	13.19					-0.02	8			0.00	8		
6355	-251	-252	Max	22.80	-0.02	6	0.42	2	0.03	2	27.14	2	2.66	2	0.00	2
6355	-251	-252	Min.	3.53	-0.22	6	-0.37	2	-0.05	2	-31.28	2	-2.64	2	-0.00	2
6355	-251	-252	Min.	13.19					0.00	8			0.00	8		
6355	-251	-252	Min.	22.80	-0.22	6	-0.37	2	-0.05	2	-32.03	2	-3.09	2	-0.00	2
6356	-219	-220	Max	3.53	-0.02	6	0.40	2	0.03	2	26.80	2	2.98	2	0.00	2
6356	-219	-220	Max	13.50					-0.02	8			0.01	8		
6356	-219	-220	Max	23.42	-0.02	6	0.40	2	0.03	2	26.02	2	2.64	2	0.00	2
6356	-219	-220	Min.	3.53	-0.23	6	-0.35	2	-0.05	2	-29.96	2	-2.61	2	-0.00	2
6356	-219	-220	Min.	13.50					0.00	8			0.00	8		
6356	-219	-220	Min.	23.42	-0.23	6	-0.35	2	-0.05	2	-30.75	2	-3.06	2	-0.00	2
6357	-187	-188	Max	3.53	-0.01	6	0.38	2	0.03	2	25.71	2	2.94	2	0.00	2
6357	-187	-188	Max	13.81					-0.02	8			0.01	8		
6357	-187	-188	Max	24.05	-0.01	6	0.38	2	0.03	2	24.91	2	2.61	2	0.00	2
6357	-187	-188	Min.	3.53	-0.22	6	-0.34	2	-0.05	2	-28.67	2	-2.59	2	-0.00	2
6357	-187	-188	Min.	13.81					0.00	8			0.00	8		
6357	-187	-188	Min.	24.05	-0.22	6	-0.34	2	-0.05	2	-29.47	2	-3.02	2	-0.00	2

6358	-155	-156	Max	3.53	-0.03	6	0.36	2	0.03	2	24.51	2	2.88	2	0.00	2
6358	-155	-156	Max	14.11					-0.02	8			0.01	8		
6358	-155	-156	Max	24.67	-0.03	6	0.36	2	0.03	2	23.68	2	2.55	2	0.00	2
6358	-155	-156	Min.	3.53	-0.24	6	-0.31	2	-0.05	2	-27.24	2	-2.54	2	-0.00	2
6358	-155	-156	Min.	14.11					0.00	8			0.00	8		
6358	-155	-156	Min.	24.67	-0.24	6	-0.31	2	-0.05	2	-28.07	2	-2.96	2	-0.00	2
6359	-123	-124	Max	3.53	0.08	6	0.31	2	0.02	2	22.59	2	2.73	2	0.00	2
6359	-123	-124	Max	14.42					-0.02	8			0.01	8		
6359	-123	-124	Max	25.30	0.08	6	0.31	2	0.03	2	21.73	2	2.42	2	0.00	2
6359	-123	-124	Min.	3.53	-0.14	6	-0.27	2	-0.05	2	-25.00	2	-2.40	2	-0.00	2
6359	-123	-124	Min.	14.42					0.00	8			0.01	8		
6359	-123	-124	Min.	25.30	-0.14	6	-0.27	2	-0.04	2	-25.86	2	-2.80	2	-0.00	2
6360	-91	-92	Max	3.53	-0.82	6	0.23	2	0.02	2	17.50	2	2.15	2	0.00	2
6360	-91	-92	Max	14.72					0.00	8			0.01	8		
6360	-91	-92	Max	25.92	-0.82	6	0.23	2	0.02	2	16.62	2	1.91	2	0.00	2
6360	-91	-92	Min.	3.53	-1.14	6	-0.20	2	-0.03	2	-19.13	2	-1.91	2	-0.00	2
6360	-91	-92	Min.	14.72					-0.01	8			0.00	8		
6360	-91	-92	Min.	25.92	-1.14	6	-0.20	2	-0.03	2	-20.01	2	-2.23	2	-0.00	2
6361	-59	-60	Max	3.53	10.08	6	0.06	2	0.00	6	20.11	2	2.69	2	0.01	2
6361	-59	-60	Max	15.15					-0.01	8			0.24	8		
6361	-59	-60	Max	26.55	10.08	6	0.06	2	0.00	6	18.30	2	2.41	2	0.01	2
6361	-59	-60	Min.	3.53	8.86	6	-0.05	2	-0.02	6	-21.15	2	-2.01	2	-0.01	2
6361	-59	-60	Min.	15.15					0.00	8			0.22	8		
6361	-59	-60	Min.	26.55	8.86	6	-0.05	2	-0.02	6	-22.96	2	-2.38	2	-0.01	2
6362	-27	-28	Max	3.53	38.53	6	0.28	2	0.04	2	12.55	2	1.63	2	0.00	2
6362	-27	-28	Max	26.86	38.53	6	0.28	2	0.03	2	10.72	2	1.47	2	0.00	2
6362	-27	-28	Min.	3.53	35.05	6	-0.33	2	-0.04	2	-12.36	2	-1.25	2	-0.00	2
6362	-27	-28	Min.	26.86	35.05	6	-0.33	2	-0.04	2	-14.20	2	-1.47	2	-0.00	2
6363	376	377	Max	1.77	-9.19	6	2.29	2	-0.19	2	1.21	2	0.15	2	0.13	2
6363	376	377	Max	7.48					-0.29	6			0.03	6		
6363	376	377	Max	15.00	-9.19	6	1.35	2	-0.31	6	1.21	2	0.01	6	0.13	2
6363	376	377	Min.	1.77	-16.70	6	-0.51	2	-0.59	2	-1.06	2	-0.15	2	-0.15	2
6363	376	377	Min.	7.48					-0.41	6			-0.03	6		
6363	376	377	Min.	15.00	-16.70	6	-1.45	2	-0.36	6	-1.06	2	0.00	6	-0.15	2
6363	377	378	Max	0.00	-9.19	6	1.35	2	-0.31	6	1.21	2	0.01	6	0.13	2
6363	377	378	Max	4.54					-0.30	6			0.03	6		
6363	377	378	Max	13.23	-9.19	6	0.41	2	-0.22	2	1.21	2	0.17	2	0.13	2
6363	377	378	Min.	0.00	-16.70	6	-1.45	2	-0.36	6	-1.06	2	0.00	6	-0.15	2
6363	377	378	Min.	4.54					-0.39	6			-0.01	6		
6363	377	378	Min.	13.23	-16.70	6	-2.39	2	-0.59	2	-1.06	2	-0.13	2	-0.15	2
6364	-539	-540	Max	0.00	0.11	6	11.39	2	0.56	2	0.11	2	0.12	2	0.25	2
6364	-539	-540	Max	12.00	0.11	6	11.39	2	0.68	2	1.71	2	0.10	2	0.25	2
6364	-539	-540	Min.	0.00	0.01	6	-9.39	2	-0.69	2	-2.12	2	-0.02	2	-0.12	2
6364	-539	-540	Min.	12.00	0.01	6	-9.39	2	-0.56	2	-0.51	2	-0.04	2	-0.12	2
6365	-523	-524	Max	0.00	0.46	6	10.96	2	0.51	2	-0.42	2	0.05	2	0.36	2
6365	-523	-524	Max	12.00	0.46	6	10.96	2	0.66	2	1.18	2	0.05	2	0.36	2
6365	-523	-524	Min.	0.00	-0.60	6	-8.56	2	-0.65	2	-1.27	2	0.00	2	-0.18	2
6365	-523	-524	Min.	12.00	-0.60	6	-8.56	2	-0.52	2	0.33	2	-0.01	2	-0.18	2
6367	349	361	Max	1.77	192.43	2	279.39	2	16.13	2	10.42	2	0.07	2	0.28	2
6367	349	361	Max	15.00	192.43	2	278.45	2	20.33	2	10.42	2	1.11	2	0.28	2
6367	349	361	Min.	1.77	-195.45	2	-287.13	2	-16.59	2	-4.59	2	-0.27	2	-0.48	2
6367	349	361	Min.	15.00	-195.45	2	-288.07	2	-21.94	2	-4.59	2	-0.54	2	-0.48	2
6367	361	373	Max	0.00	206.95	2	270.54	2	22.80	2	5.02	2	1.11	2	0.48	2
6367	361	373	Max	13.23	206.95	2	269.60	2	15.73	2	5.02	2	0.08	2	0.48	2
6367	361	373	Min.	0.00	-190.37	2	-303.63	2	-20.01	2	-10.40	2	-0.58	2	-0.28	2
6367	361	373	Min.	13.23	-190.37	2	-304.57	2	-17.44	2	-10.40	2	-0.27	2	-0.28	2
6368	-17	-25	Max	3.53	157.94	2	0.18	6	0.01	6	12.18	6	2.61	6	0.00	6
6368	-17	-25	Max	26.86	157.94	2	0.18	6	0.02	6	10.35	6	1.35	6	0.00	6
6368	-17	-25	Min.	3.53	-125.04	2	-0.08	6	-0.02	6	-20.74	6	-1.28	6	-0.00	6

6368	-17	-25	Min.	26.86	-125.04	2	-0.08	6	-0.01	6	-22.57	6	-2.44	6	-0.00	6
6369	-49	-57	Max	3.53	58.77	2	0.30	6	0.02	6	16.15	6	4.12	6	0.00	6
6369	-49	-57	Max	26.55	58.77	2	0.30	6	0.04	6	14.34	6	2.08	6	0.00	6
6369	-49	-57	Min.	3.53	-52.58	2	-0.14	6	-0.03	6	-33.06	6	-1.85	6	-0.00	6
6369	-49	-57	Min.	26.55	-52.58	2	-0.14	6	-0.02	6	-34.87	6	-4.11	6	-0.00	6
6370	-81	-89	Max	3.53	2.10	2	0.35	6	0.02	6	13.25	6	3.28	6	0.00	6
6370	-81	-89	Max	25.92	2.10	2	0.35	6	0.04	6	12.37	6	1.43	6	0.00	6
6370	-81	-89	Min.	3.53	-3.15	2	-0.15	6	-0.04	6	-29.23	6	-1.44	6	-0.00	6
6370	-81	-89	Min.	25.92	-3.15	2	-0.15	6	-0.02	6	-30.11	6	-3.36	6	-0.00	6
6371	-113	-121	Max	3.53	0.07	6	0.48	6	0.02	6	16.99	6	4.15	6	0.00	6
6371	-113	-121	Max	25.30	0.07	6	0.48	6	0.06	6	16.13	6	1.80	6	0.00	6
6371	-113	-121	Min.	3.53	-0.08	6	-0.20	6	-0.05	6	-38.09	6	-1.80	6	-0.00	6
6371	-113	-121	Min.	25.30	-0.08	6	-0.20	6	-0.02	6	-38.95	6	-4.24	6	-0.00	6
6372	-145	-153	Max	3.53	0.01	2	0.54	6	0.03	6	18.36	6	4.38	6	0.00	6
6372	-145	-153	Max	24.67	0.01	2	0.54	6	0.06	6	17.53	6	1.90	6	0.00	6
6372	-145	-153	Min.	3.53	-0.10	2	-0.23	6	-0.06	6	-41.48	6	-1.89	6	-0.00	6
6372	-145	-153	Min.	24.67	-0.10	2	-0.23	6	-0.03	6	-42.31	6	-4.47	6	-0.00	6
6373	-177	-185	Max	3.53	0.02	2	0.57	6	0.03	6	19.19	6	4.47	6	0.00	6
6373	-177	-185	Max	24.05	0.02	2	0.57	6	0.06	6	18.38	6	1.93	6	0.00	6
6373	-177	-185	Min.	3.53	-0.11	2	-0.24	6	-0.06	6	-43.66	6	-1.92	6	-0.01	6
6373	-177	-185	Min.	24.05	-0.11	2	-0.24	6	-0.03	6	-44.46	6	-4.57	6	-0.01	6
6374	-209	-217	Max	3.53	0.03	2	0.60	6	0.03	6	19.91	6	4.53	6	0.00	6
6374	-209	-217	Max	23.42	0.03	2	0.60	6	0.06	6	19.13	6	1.95	6	0.00	6
6374	-209	-217	Min.	3.53	-0.11	2	-0.26	6	-0.06	6	-45.63	6	-1.93	6	-0.01	6
6374	-209	-217	Min.	23.42	-0.11	2	-0.26	6	-0.03	6	-46.41	6	-4.63	6	-0.01	6
6375	-241	-249	Max	3.53	0.02	2	0.63	6	0.03	6	20.61	6	4.57	6	0.00	6
6375	-241	-249	Max	22.80	0.02	2	0.63	6	0.07	6	19.86	6	1.96	6	0.00	6
6375	-241	-249	Min.	3.53	-0.10	2	-0.27	6	-0.06	6	-47.64	6	-1.94	6	-0.01	6
6375	-241	-249	Min.	22.80	-0.10	2	-0.27	6	-0.03	6	-48.40	6	-4.68	6	-0.01	6
6376	-273	-281	Max	3.53	0.03	2	0.66	6	0.03	6	21.34	6	4.62	6	0.00	6
6376	-273	-281	Max	22.17	0.03	2	0.66	6	0.07	6	20.61	6	1.96	6	0.00	6
6376	-273	-281	Min.	3.53	-0.11	2	-0.28	6	-0.06	6	-49.77	6	-1.94	6	-0.01	6
6376	-273	-281	Min.	22.17	-0.11	2	-0.28	6	-0.03	6	-50.50	6	-4.72	6	-0.01	6
6377	-305	-313	Max	3.53	0.04	2	0.69	6	0.03	6	22.08	6	4.66	6	0.00	6
6377	-305	-313	Max	21.55	0.04	2	0.69	6	0.07	6	21.37	6	1.97	6	0.00	6
6377	-305	-313	Min.	3.53	-0.12	2	-0.29	6	-0.06	6	-51.99	6	-1.94	6	-0.01	6
6377	-305	-313	Min.	21.55	-0.12	2	-0.29	6	-0.03	6	-52.70	6	-4.77	6	-0.01	6
6378	-337	-345	Max	3.53	0.03	2	0.72	6	0.03	6	22.84	6	4.70	6	0.00	6
6378	-337	-345	Max	20.92	0.03	2	0.72	6	0.07	6	22.15	6	1.97	6	0.00	6
6378	-337	-345	Min.	3.53	-0.10	2	-0.30	6	-0.06	6	-54.34	6	-1.94	6	-0.01	6
6378	-337	-345	Min.	20.92	-0.10	2	-0.30	6	-0.03	6	-55.03	6	-4.81	6	-0.01	6
6379	-369	-377	Max	3.53	0.03	2	0.76	6	0.03	6	23.63	6	4.74	6	0.00	6
6379	-369	-377	Max	20.30	0.03	2	0.76	6	0.07	6	22.97	6	1.97	6	0.00	6
6379	-369	-377	Min.	3.53	-0.12	2	-0.31	6	-0.06	6	-56.86	6	-1.94	6	-0.01	6
6379	-369	-377	Min.	20.30	-0.12	2	-0.31	6	-0.03	6	-57.52	6	-4.85	6	-0.01	6
6380	-401	-409	Max	3.53	0.02	2	0.79	6	0.03	6	24.44	6	4.77	6	0.00	6
6380	-401	-409	Max	19.67	0.02	2	0.79	6	0.07	6	23.81	6	1.96	6	0.00	6
6380	-401	-409	Min.	3.53	-0.13	2	-0.32	6	-0.06	6	-59.52	6	-1.93	6	-0.01	6
6380	-401	-409	Min.	19.67	-0.13	2	-0.32	6	-0.03	6	-60.15	6	-4.89	6	-0.01	6
6381	-433	-441	Max	3.53	0.18	2	0.83	6	0.03	6	25.25	6	4.79	6	0.00	6
6381	-433	-441	Max	19.05	0.18	2	0.83	6	0.07	6	24.64	6	1.95	6	0.00	6
6381	-433	-441	Min.	3.53	0.02	2	-0.33	6	-0.06	6	-62.23	6	-1.92	6	-0.01	6
6381	-433	-441	Min.	19.05	0.02	2	-0.33	6	-0.03	6	-62.84	6	-4.91	6	-0.01	6
6382	-465	-473	Max	3.53	-0.60	6	0.79	6	0.02	6	25.79	6	4.76	6	0.01	6
6382	-465	-473	Max	18.42	-0.60	6	0.79	6	0.06	6	25.20	6	1.92	6	0.01	6
6382	-465	-473	Min.	3.53	-1.45	6	-0.31	6	-0.06	6	-64.37	6	-1.87	6	-0.01	6
6382	-465	-473	Min.	18.42	-1.45	6	-0.31	6	-0.02	6	-64.96	6	-4.86	6	-0.01	6
6383	-497	-505	Max	3.53	8.26	6	0.96	6	0.03	6	24.40	6	4.27	6	0.03	6
6383	-497	-505	Max	17.80	8.26	6	0.96	6	0.07	6	23.84	6	1.71	6	0.03	6

6383	-497	-505	Min.	3.53	3.17	6	-0.38	6	-0.07	6	-61.44	6	-1.73	6	-0.01	6
6383	-497	-505	Min.	17.80	3.17	6	-0.38	6	-0.03	6	-62.00	6	-4.53	6	-0.01	6
6388	-498	-506	Max	2.83	14.44	6	0.44	6	0.08	6	27.87	6	4.77	6	0.02	6
6388	-498	-506	Max	17.09	14.44	6	0.44	6	0.03	6	27.31	6	1.85	6	0.02	6
6388	-498	-506	Min.	2.83	9.85	6	-1.07	6	-0.03	6	-67.56	6	-2.09	6	-0.04	6
6388	-498	-506	Min.	17.09	9.85	6	-1.07	6	-0.08	6	-68.12	6	-4.91	6	-0.04	6
6389	-466	-474	Max	2.83	-1.85	6	0.37	6	0.07	6	29.60	6	5.38	6	0.00	2
6389	-466	-474	Max	17.72	-1.85	6	0.37	6	0.03	6	29.01	6	2.16	6	0.00	2
6389	-466	-474	Min.	2.83	-2.56	6	-0.90	6	-0.03	6	-70.87	6	-2.20	6	-0.00	2
6389	-466	-474	Min.	17.72	-2.56	6	-0.90	6	-0.07	6	-71.45	6	-5.21	6	-0.00	2
6390	-434	-442	Max	2.83	0.39	2	0.39	6	0.08	6	28.90	6	5.39	6	0.00	6
6390	-434	-442	Max	18.34	0.39	2	0.39	6	0.03	6	28.29	6	2.19	6	0.00	6
6390	-434	-442	Min.	2.83	0.15	2	-0.93	6	-0.03	6	-68.52	6	-2.25	6	-0.01	6
6390	-434	-442	Min.	18.34	0.15	2	-0.93	6	-0.07	6	-69.13	6	-5.28	6	-0.01	6
6391	-402	-410	Max	2.83	0.00	2	0.37	6	0.07	6	27.92	6	5.37	6	0.00	2
6391	-402	-410	Max	18.97	0.00	2	0.37	6	0.03	6	27.29	6	2.20	6	0.00	2
6391	-402	-410	Min.	2.83	-0.16	2	-0.89	6	-0.03	6	-65.49	6	-2.26	6	-0.00	2
6391	-402	-410	Min.	18.97	-0.16	2	-0.89	6	-0.07	6	-66.12	6	-5.25	6	-0.00	2
6392	-370	-378	Max	2.83	0.03	2	0.36	6	0.07	6	26.92	6	5.32	6	0.00	2
6392	-370	-378	Max	19.59	0.03	2	0.36	6	0.03	6	26.27	6	2.20	6	0.00	2
6392	-370	-378	Min.	2.83	-0.12	2	-0.85	6	-0.03	6	-62.52	6	-2.26	6	-0.00	2
6392	-370	-378	Min.	19.59	-0.12	2	-0.85	6	-0.07	6	-63.17	6	-5.22	6	-0.00	2
6393	-338	-346	Max	2.83	0.04	2	0.35	6	0.07	6	25.96	6	5.27	6	0.00	2
6393	-338	-346	Max	20.22	0.04	2	0.35	6	0.03	6	25.28	6	2.20	6	0.00	2
6393	-338	-346	Min.	2.83	-0.11	2	-0.81	6	-0.03	6	-59.71	6	-2.26	6	-0.00	2
6393	-338	-346	Min.	20.22	-0.11	2	-0.81	6	-0.07	6	-60.39	6	-5.17	6	-0.00	2
6394	-306	-314	Max	2.83	0.03	2	0.33	6	0.07	6	25.05	6	5.22	6	0.00	2
6394	-306	-314	Max	20.84	0.03	2	0.33	6	0.03	6	24.34	6	2.20	6	0.00	2
6394	-306	-314	Min.	2.83	-0.13	2	-0.77	6	-0.03	6	-57.09	6	-2.25	6	-0.00	2
6394	-306	-314	Min.	20.84	-0.13	2	-0.77	6	-0.07	6	-57.79	6	-5.13	6	-0.00	2
6395	-274	-282	Max	2.83	0.02	2	0.32	6	0.07	6	24.17	6	5.16	6	0.00	2
6395	-274	-282	Max	21.47	0.02	2	0.32	6	0.03	6	23.44	6	2.19	6	0.00	2
6395	-274	-282	Min.	2.83	-0.12	2	-0.74	6	-0.03	6	-54.61	6	-2.25	6	-0.00	2
6395	-274	-282	Min.	21.47	-0.12	2	-0.74	6	-0.07	6	-55.34	6	-5.08	6	-0.00	2
6396	-242	-250	Max	2.83	0.02	2	0.31	6	0.07	6	23.31	6	5.11	6	0.00	2
6396	-242	-250	Max	22.09	0.02	2	0.31	6	0.03	6	22.56	6	2.18	6	0.00	2
6396	-242	-250	Min.	2.83	-0.10	2	-0.70	6	-0.03	6	-52.26	6	-2.24	6	-0.00	2
6396	-242	-250	Min.	22.09	-0.10	2	-0.70	6	-0.07	6	-53.01	6	-5.03	6	-0.00	2
6397	-210	-218	Max	2.83	0.02	2	0.30	6	0.07	6	22.48	6	5.05	6	0.00	2
6397	-210	-218	Max	22.72	0.02	2	0.30	6	0.03	6	21.70	6	2.17	6	0.00	2
6397	-210	-218	Min.	2.83	-0.12	2	-0.67	6	-0.03	6	-50.02	6	-2.23	6	-0.00	2
6397	-210	-218	Min.	22.72	-0.12	2	-0.67	6	-0.07	6	-50.81	6	-4.98	6	-0.00	2
6398	-178	-186	Max	2.83	0.01	2	0.28	6	0.07	6	21.64	6	4.98	6	0.00	2
6398	-178	-186	Max	23.34	0.01	2	0.28	6	0.03	6	20.84	6	2.15	6	0.00	2
6398	-178	-186	Min.	2.83	-0.12	2	-0.64	6	-0.03	6	-47.84	6	-2.21	6	-0.00	2
6398	-178	-186	Min.	23.34	-0.12	2	-0.64	6	-0.07	6	-48.65	6	-4.92	6	-0.00	2
6399	-146	-154	Max	2.83	0.02	2	0.27	6	0.07	6	20.68	6	4.88	6	0.00	2
6399	-146	-154	Max	23.97	0.02	2	0.27	6	0.03	6	19.86	6	2.11	6	0.00	2
6399	-146	-154	Min.	2.83	-0.11	2	-0.60	6	-0.03	6	-45.44	6	-2.17	6	-0.00	2
6399	-146	-154	Min.	23.97	-0.11	2	-0.60	6	-0.06	6	-46.27	6	-4.82	6	-0.00	2
6400	-114	-122	Max	2.83	0.19	6	0.23	6	0.06	6	19.13	6	4.61	6	0.00	6
6400	-114	-122	Max	24.59	0.19	6	0.23	6	0.03	6	18.27	6	2.01	6	0.00	6
6400	-114	-122	Min.	2.83	-0.00	6	-0.52	6	-0.03	6	-41.74	6	-2.06	6	-0.00	6
6400	-114	-122	Min.	24.59	-0.00	6	-0.52	6	-0.06	6	-42.59	6	-4.56	6	-0.00	6
6401	-82	-90	Max	2.83	0.55	2	0.17	6	0.04	6	14.90	6	3.65	6	0.00	6
6401	-82	-90	Max	25.22	0.55	2	0.17	6	0.02	6	14.02	6	1.59	6	0.00	6
6401	-82	-90	Min.	2.83	-4.64	2	-0.38	6	-0.02	6	-32.05	6	-1.65	6	-0.00	6
6401	-82	-90	Min.	25.22	-4.64	2	-0.38	6	-0.04	6	-32.93	6	-3.63	6	-0.00	6
6402	-50	-58	Max	2.83	92.29	2	0.16	6	0.04	6	18.27	6	5.14	6	0.00	2

6402	-50	-58	Max	25.84	92.29	2	0.16	6	0.02	6	16.47	6	2.67	6	0.00	2
6402	-50	-58	Min.	2.83	-19.56	2	-0.34	6	-0.02	6	-36.36	6	-1.71	6	-0.00	2
6402	-50	-58	Min.	25.84	-19.56	2	-0.34	6	-0.04	6	-38.17	6	-3.82	6	-0.00	2
6403	-18	-26	Max	2.83	244.00	2	0.09	6	0.02	6	13.57	6	2.88	6	0.00	2
6403	-18	-26	Max	26.15	244.00	2	0.09	6	0.01	6	11.74	6	1.45	6	0.00	2
6403	-18	-26	Min.	2.83	-39.79	2	-0.20	6	-0.01	6	-23.08	6	-1.50	6	0.00	2
6403	-18	-26	Min.	26.15	-39.79	2	-0.20	6	-0.02	6	-24.91	6	-2.72	6	0.00	2
6404	351	363	Max	1.77	81.17	2	6.25	2	0.15	2	113.99	2	26.33	2	0.26	2
6404	351	363	Max	15.00	81.17	2	6.25	2	0.64	2	113.05	2	7.97	2	0.26	2
6404	351	363	Min.	1.77	-314.07	2	-8.81	2	-0.18	2	-464.29	2	-7.05	2	-0.51	2
6404	351	363	Min.	15.00	-314.07	2	-8.81	2	-1.02	2	-465.23	2	-35.17	2	-0.51	2
6404	363	375	Max	0.00	86.10	2	9.02	2	0.66	2	439.19	2	9.95	2	0.51	2
6404	363	375	Max	13.23	86.10	2	9.02	2	0.16	2	438.25	2	25.36	2	0.51	2
6404	363	375	Min.	0.00	-295.23	2	-6.40	2	-1.03	2	-130.73	2	-32.69	2	-0.26	2
6404	363	375	Min.	13.23	-295.23	2	-6.40	2	-0.19	2	-131.67	2	-7.41	2	-0.26	2
6405	352	364	Max	1.77	147.79	2	235.97	2	24.46	2	10.59	2	0.10	2	0.42	2
6405	352	364	Max	15.00	147.79	2	235.03	2	17.84	2	10.59	2	1.09	2	0.42	2
6405	352	364	Min.	1.77	-302.40	2	-416.53	2	-13.33	2	-6.88	2	-0.31	2	-0.45	2
6405	352	364	Min.	15.00	-302.40	2	-417.47	2	-30.72	2	-6.88	2	-0.82	2	-0.45	2
6405	364	376	Max	0.00	171.16	2	428.72	2	15.93	2	7.07	2	1.14	2	0.45	2
6405	364	376	Max	13.23	171.16	2	427.78	2	23.75	2	7.07	2	0.10	2	0.45	2
6405	364	376	Min.	0.00	-279.07	2	-222.93	2	-33.01	2	-11.03	2	-0.83	2	-0.42	2
6405	364	376	Min.	13.23	-279.07	2	-223.87	2	-13.72	2	-11.03	2	-0.32	2	-0.42	2
6406	-19	-27	Max	3.53	241.05	2	0.25	6	0.00	6	4.54	6	3.90	6	0.00	6
6406	-19	-27	Max	26.86	241.05	2	0.25	6	0.03	6	2.71	6	0.49	6	0.00	6
6406	-19	-27	Min.	3.53	-83.01	2	-0.04	6	-0.03	6	-31.66	6	-0.38	6	-0.00	6
6406	-19	-27	Min.	26.86	-83.01	2	-0.04	6	-0.00	6	-33.49	6	-3.72	6	-0.00	6
6407	-51	-59	Max	3.53	90.07	2	0.42	6	0.01	6	7.47	6	5.94	6	0.00	2
6407	-51	-59	Max	26.55	90.07	2	0.42	6	0.05	6	5.67	6	1.43	6	0.00	2
6407	-51	-59	Min.	3.53	-38.02	2	-0.06	6	-0.05	6	-45.20	6	-0.58	6	-0.00	2
6407	-51	-59	Min.	26.55	-38.02	2	-0.06	6	-0.01	6	-47.00	6	-5.17	6	-0.00	2
6408	-83	-91	Max	3.53	1.26	2	0.46	6	0.01	6	6.45	6	4.33	6	0.00	2
6408	-83	-91	Max	25.92	1.26	2	0.46	6	0.05	6	5.57	6	0.66	6	0.00	2
6408	-83	-91	Min.	3.53	-4.76	2	-0.07	6	-0.05	6	-38.67	6	-0.69	6	-0.00	2
6408	-83	-91	Min.	25.92	-4.76	2	-0.07	6	-0.01	6	-39.55	6	-4.43	6	-0.00	2
6409	-115	-123	Max	3.53	0.11	6	0.63	6	0.01	6	8.17	6	5.47	6	0.00	2
6409	-115	-123	Max	25.30	0.11	6	0.63	6	0.07	6	7.32	6	0.84	6	0.00	2
6409	-115	-123	Min.	3.53	-0.04	6	-0.10	6	-0.07	6	-50.30	6	-0.85	6	-0.00	2
6409	-115	-123	Min.	25.30	-0.04	6	-0.10	6	-0.01	6	-51.16	6	-5.57	6	-0.00	2
6410	-147	-155	Max	3.53	0.01	2	0.71	6	0.01	6	8.75	6	5.77	6	0.00	2
6410	-147	-155	Max	24.67	0.01	2	0.71	6	0.08	6	7.92	6	0.88	6	0.00	2
6410	-147	-155	Min.	3.53	-0.13	2	-0.11	6	-0.08	6	-54.77	6	-0.88	6	-0.00	2
6410	-147	-155	Min.	24.67	-0.13	2	-0.11	6	-0.01	6	-55.60	6	-5.89	6	-0.00	2
6411	-179	-187	Max	3.53	0.02	2	0.76	6	0.01	6	9.05	6	5.90	6	0.00	2
6411	-179	-187	Max	24.05	0.02	2	0.76	6	0.08	6	8.25	6	0.89	6	0.00	2
6411	-179	-187	Min.	3.53	-0.15	2	-0.11	6	-0.08	6	-57.68	6	-0.89	6	-0.00	2
6411	-179	-187	Min.	24.05	-0.15	2	-0.11	6	-0.01	6	-58.49	6	-6.02	6	-0.00	2
6412	-211	-219	Max	3.53	0.03	2	0.80	6	0.01	6	9.28	6	5.98	6	0.00	2
6412	-211	-219	Max	23.42	0.03	2	0.80	6	0.08	6	8.50	6	0.88	6	0.00	2
6412	-211	-219	Min.	3.53	-0.14	2	-0.12	6	-0.08	6	-60.34	6	-0.88	6	-0.00	2
6412	-211	-219	Min.	23.42	-0.14	2	-0.12	6	-0.01	6	-61.13	6	-6.10	6	-0.00	2
6413	-243	-251	Max	3.53	0.02	2	0.84	6	0.01	6	9.47	6	6.05	6	0.00	2
6413	-243	-251	Max	22.80	0.02	2	0.84	6	0.09	6	8.71	6	0.88	6	0.00	2
6413	-243	-251	Min.	3.53	-0.12	2	-0.12	6	-0.08	6	-63.07	6	-0.88	6	-0.00	2
6413	-243	-251	Min.	22.80	-0.12	2	-0.12	6	-0.01	6	-63.83	6	-6.17	6	-0.00	2
6414	-275	-283	Max	3.53	0.03	2	0.88	6	0.01	6	9.64	6	6.12	6	0.00	2
6414	-275	-283	Max	22.17	0.03	2	0.88	6	0.09	6	8.91	6	0.87	6	0.00	2
6414	-275	-283	Min.	3.53	-0.14	2	-0.12	6	-0.08	6	-65.96	6	-0.86	6	-0.00	2
6414	-275	-283	Min.	22.17	-0.14	2	-0.12	6	-0.01	6	-66.69	6	-6.24	6	-0.00	2

6415	-307	-315	Max	3.53	0.03	2	0.92	6	0.01	6	9.79	6	6.18	6	0.00	2
6415	-307	-315	Max	21.55	0.03	2	0.92	6	0.09	6	9.09	6	0.85	6	0.00	2
6415	-307	-315	Min.	3.53	-0.16	2	-0.13	6	-0.08	6	-69.00	6	-0.85	6	-0.00	2
6415	-307	-315	Min.	21.55	-0.16	2	-0.13	6	-0.01	6	-69.70	6	-6.31	6	-0.00	2
6416	-339	-347	Max	3.53	0.04	2	0.97	6	0.01	6	9.92	6	6.24	6	0.00	2
6416	-339	-347	Max	20.92	0.04	2	0.97	6	0.09	6	9.24	6	0.84	6	0.00	2
6416	-339	-347	Min.	3.53	-0.13	2	-0.13	6	-0.08	6	-72.23	6	-0.83	6	-0.00	2
6416	-339	-347	Min.	20.92	-0.13	2	-0.13	6	-0.01	6	-72.91	6	-6.38	6	-0.00	2
6417	-371	-379	Max	3.53	0.04	2	1.02	6	0.01	6	10.03	6	6.30	6	0.00	2
6417	-371	-379	Max	20.30	0.04	2	1.02	6	0.09	6	9.37	6	0.82	6	0.00	2
6417	-371	-379	Min.	3.53	-0.16	2	-0.13	6	-0.09	6	-75.69	6	-0.81	6	-0.00	2
6417	-371	-379	Min.	20.30	-0.16	2	-0.13	6	-0.01	6	-76.35	6	-6.44	6	-0.00	2
6418	-403	-411	Max	3.53	-0.03	2	1.06	6	0.01	6	10.12	6	6.35	6	0.00	2
6418	-403	-411	Max	19.67	-0.03	2	1.06	6	0.09	6	9.48	6	0.79	6	0.00	2
6418	-403	-411	Min.	3.53	-0.19	2	-0.13	6	-0.09	6	-79.36	6	-0.79	6	-0.00	2
6418	-403	-411	Min.	19.67	-0.19	2	-0.13	6	-0.01	6	-79.99	6	-6.50	6	-0.00	2
6419	-435	-443	Max	3.53	0.58	2	1.12	6	0.01	6	10.16	6	6.39	6	0.00	2
6419	-435	-443	Max	19.05	0.58	2	1.12	6	0.09	6	9.55	6	0.77	6	0.00	2
6419	-435	-443	Min.	3.53	0.17	2	-0.13	6	-0.09	6	-83.12	6	-0.76	6	-0.00	2
6419	-435	-443	Min.	19.05	0.17	2	-0.13	6	-0.01	6	-83.73	6	-6.55	6	-0.00	2
6420	-467	-475	Max	3.53	-2.36	2	1.07	6	0.01	6	10.07	6	6.38	6	0.00	6
6420	-467	-475	Max	18.42	-2.36	2	1.07	6	0.08	6	9.49	6	0.75	6	0.00	6
6420	-467	-475	Min.	3.53	-3.81	2	-0.12	6	-0.08	6	-86.12	6	-0.70	6	-0.01	6
6420	-467	-475	Min.	18.42	-3.81	2	-0.12	6	-0.01	6	-86.70	6	-6.48	6	-0.01	6
6421	-499	-507	Max	3.53	22.77	2	1.28	6	0.01	6	9.42	6	5.60	6	0.04	6
6421	-499	-507	Max	17.80	22.77	2	1.28	6	0.09	6	8.86	6	0.54	6	0.04	6
6421	-499	-507	Min.	3.53	12.05	2	-0.15	6	-0.09	6	-82.01	6	-0.77	6	-0.01	6
6421	-499	-507	Min.	17.80	12.05	2	-0.15	6	-0.01	6	-82.57	6	-6.14	6	-0.01	6
6426	-500	-508	Max	2.83	21.14	2	0.16	6	0.10	6	9.54	6	5.89	6	0.01	6
6426	-500	-508	Max	17.09	21.14	2	0.16	6	0.01	6	8.98	6	0.53	6	0.01	6
6426	-500	-508	Min.	2.83	10.92	2	-1.31	6	-0.01	6	-83.66	6	-0.79	6	-0.04	6
6426	-500	-508	Min.	17.09	10.92	2	-1.31	6	-0.09	6	-84.22	6	-6.08	6	-0.04	6
6427	-468	-476	Max	2.83	-2.19	2	0.13	6	0.08	6	10.33	6	6.66	6	0.01	6
6427	-468	-476	Max	17.72	-2.19	2	0.13	6	0.01	6	9.74	6	0.75	6	0.01	6
6427	-468	-476	Min.	2.83	-3.57	2	-1.10	6	-0.01	6	-87.70	6	-0.74	6	-0.00	6
6427	-468	-476	Min.	17.72	-3.57	2	-1.10	6	-0.08	6	-88.29	6	-6.44	6	-0.00	6
6428	-436	-444	Max	2.83	0.60	2	0.14	6	0.09	6	10.37	6	6.67	6	0.00	2
6428	-436	-444	Max	18.34	0.60	2	0.14	6	0.01	6	9.77	6	0.76	6	0.00	2
6428	-436	-444	Min.	2.83	0.17	2	-1.15	6	-0.01	6	-84.71	6	-0.80	6	-0.00	2
6428	-436	-444	Min.	18.34	0.17	2	-1.15	6	-0.09	6	-85.32	6	-6.52	6	-0.00	2
6429	-404	-412	Max	2.83	0.02	2	0.14	6	0.09	6	10.32	6	6.62	6	0.00	2
6429	-404	-412	Max	18.97	0.02	2	0.14	6	0.01	6	9.69	6	0.79	6	0.00	2
6429	-404	-412	Min.	2.83	-0.16	2	-1.09	6	-0.01	6	-80.86	6	-0.82	6	-0.00	2
6429	-404	-412	Min.	18.97	-0.16	2	-1.09	6	-0.09	6	-81.50	6	-6.48	6	-0.00	2
6430	-372	-380	Max	2.83	0.06	2	0.13	6	0.09	6	10.23	6	6.56	6	0.00	2
6430	-372	-380	Max	19.59	0.06	2	0.13	6	0.02	6	9.57	6	0.81	6	0.00	2
6430	-372	-380	Min.	2.83	-0.12	2	-1.04	6	-0.01	6	-77.11	6	-0.84	6	-0.00	2
6430	-372	-380	Min.	19.59	-0.12	2	-1.04	6	-0.09	6	-77.77	6	-6.42	6	-0.00	2
6431	-340	-348	Max	2.83	0.07	2	0.13	6	0.09	6	10.11	6	6.49	6	0.00	2
6431	-340	-348	Max	20.22	0.07	2	0.13	6	0.02	6	9.43	6	0.83	6	0.00	2
6431	-340	-348	Min.	2.83	-0.11	2	-0.99	6	-0.01	6	-73.58	6	-0.86	6	-0.00	2
6431	-340	-348	Min.	20.22	-0.11	2	-0.99	6	-0.09	6	-74.26	6	-6.36	6	-0.00	2
6432	-308	-316	Max	2.83	0.06	2	0.13	6	0.09	6	9.97	6	6.42	6	0.00	2
6432	-308	-316	Max	20.84	0.06	2	0.13	6	0.02	6	9.27	6	0.85	6	0.00	2
6432	-308	-316	Min.	2.83	-0.14	2	-0.94	6	-0.01	6	-70.28	6	-0.88	6	-0.00	2
6432	-308	-316	Min.	20.84	-0.14	2	-0.94	6	-0.09	6	-70.99	6	-6.30	6	-0.00	2
6433	-276	-284	Max	2.83	0.06	2	0.13	6	0.09	6	9.82	6	6.35	6	0.00	2
6433	-276	-284	Max	21.47	0.06	2	0.13	6	0.02	6	9.09	6	0.87	6	0.00	2
6433	-276	-284	Min.	2.83	-0.12	2	-0.90	6	-0.01	6	-67.18	6	-0.90	6	-0.00	2

6433	-276	-284	Min.	21.47	-0.12	2	-0.90	6	-0.09	6	-67.91	6	-6.24	6	-0.00	2
6434	-244	-252	Max	2.83	0.05	2	0.12	6	0.09	6	9.64	6	6.27	6	0.00	2
6434	-244	-252	Max	22.09	0.05	2	0.12	6	0.02	6	8.88	6	0.88	6	0.00	2
6434	-244	-252	Min.	2.83	-0.10	2	-0.86	6	-0.01	6	-64.23	6	-0.91	6	-0.00	2
6434	-244	-252	Min.	22.09	-0.10	2	-0.86	6	-0.08	6	-64.99	6	-6.17	6	-0.00	2
6435	-212	-220	Max	2.83	0.05	2	0.12	6	0.08	6	9.44	6	6.19	6	0.00	2
6435	-212	-220	Max	22.72	0.05	2	0.12	6	0.02	6	8.66	6	0.88	6	0.00	2
6435	-212	-220	Min.	2.83	-0.13	2	-0.82	6	-0.01	6	-61.45	6	-0.92	6	-0.00	2
6435	-212	-220	Min.	22.72	-0.13	2	-0.82	6	-0.08	6	-62.23	6	-6.10	6	-0.00	2
6436	-180	-188	Max	2.83	0.04	2	0.12	6	0.08	6	9.21	6	6.11	6	0.00	2
6436	-180	-188	Max	23.34	0.04	2	0.12	6	0.02	6	8.41	6	0.89	6	0.00	2
6436	-180	-188	Min.	2.83	-0.12	2	-0.78	6	-0.01	6	-58.73	6	-0.92	6	-0.00	2
6436	-180	-188	Min.	23.34	-0.12	2	-0.78	6	-0.08	6	-59.54	6	-6.02	6	-0.00	2
6437	-148	-156	Max	2.83	0.04	2	0.11	6	0.08	6	8.90	6	5.98	6	0.00	2
6437	-148	-156	Max	23.97	0.04	2	0.11	6	0.02	6	8.07	6	0.88	6	0.00	2
6437	-148	-156	Min.	2.83	-0.11	2	-0.73	6	-0.01	6	-55.76	6	-0.91	6	-0.00	2
6437	-148	-156	Min.	23.97	-0.11	2	-0.73	6	-0.08	6	-56.59	6	-5.90	6	-0.00	2
6438	-116	-124	Max	2.83	0.25	6	0.10	6	0.07	6	8.31	6	5.65	6	0.00	2
6438	-116	-124	Max	24.59	0.25	6	0.10	6	0.01	6	7.46	6	0.84	6	0.00	2
6438	-116	-124	Min.	2.83	0.06	6	-0.64	6	-0.01	6	-51.21	6	-0.88	6	-0.00	2
6438	-116	-124	Min.	24.59	0.06	6	-0.64	6	-0.07	6	-52.07	6	-5.58	6	-0.00	2
6439	-84	-92	Max	2.83	0.84	2	0.07	6	0.05	6	6.54	6	4.47	6	0.00	2
6439	-84	-92	Max	25.22	0.84	2	0.07	6	0.01	6	5.66	6	0.66	6	0.00	2
6439	-84	-92	Min.	2.83	-5.17	2	-0.47	6	-0.01	6	-39.38	6	-0.71	6	-0.00	2
6439	-84	-92	Min.	25.22	-5.17	2	-0.47	6	-0.05	6	-40.26	6	-4.44	6	-0.00	2
6440	-52	-60	Max	2.83	100.74	2	0.06	6	0.05	6	7.80	6	6.28	6	0.00	2
6440	-52	-60	Max	25.84	100.74	2	0.06	6	0.01	6	6.00	6	1.57	6	0.00	2
6440	-52	-60	Min.	2.83	-28.33	2	-0.43	6	-0.01	6	-45.96	6	-0.47	6	0.00	2
6440	-52	-60	Min.	25.84	-28.33	2	-0.43	6	-0.05	6	-47.76	6	-4.96	6	0.00	2
6441	-20	-28	Max	2.83	269.90	2	0.04	6	0.03	6	4.60	6	4.01	6	0.00	2
6441	-20	-28	Max	26.15	269.90	2	0.04	6	0.00	6	2.77	6	0.46	6	0.00	2
6441	-20	-28	Min.	2.83	-57.46	2	-0.25	6	-0.00	6	-32.24	6	-0.41	6	0.00	2
6441	-20	-28	Min.	26.15	-57.46	2	-0.25	6	-0.03	6	-34.07	6	-3.73	6	0.00	2
6442	354	366	Max	1.77	113.02	2	9.07	2	0.13	2	186.34	2	27.85	2	0.38	2
6442	354	366	Max	15.00	113.02	2	9.07	2	0.93	2	185.40	2	14.15	2	0.38	2
6442	354	366	Min.	1.77	-341.56	2	-8.37	2	-0.27	2	-475.71	2	-10.44	2	-0.50	2
6442	354	366	Min.	15.00	-341.56	2	-8.37	2	-0.98	2	-476.65	2	-35.16	2	-0.50	2
6442	366	378	Max	0.00	133.36	2	8.40	2	0.98	2	486.21	2	12.11	2	0.50	2
6442	366	378	Max	13.23	133.36	2	8.40	2	0.13	2	485.27	2	27.01	2	0.50	2
6442	366	378	Min.	0.00	-312.98	2	-9.58	2	-0.98	2	-172.32	2	-37.27	2	-0.38	2
6442	366	378	Min.	13.23	-312.98	2	-9.58	2	-0.28	2	-173.26	2	-10.76	2	-0.38	2
6443	355	367	Max	1.77	112.91	2	186.65	2	27.83	2	9.05	2	0.13	2	0.50	2
6443	355	367	Max	15.00	112.91	2	185.71	2	14.18	2	9.05	2	0.93	2	0.50	2
6443	355	367	Min.	1.77	-341.89	2	-475.41	2	-10.46	2	-8.36	2	-0.27	2	-0.38	2
6443	355	367	Min.	15.00	-341.89	2	-476.35	2	-35.14	2	-8.36	2	-0.98	2	-0.38	2
6443	367	379	Max	0.00	132.95	2	486.15	2	12.13	2	8.42	2	0.98	2	0.38	2
6443	367	379	Max	13.23	132.95	2	485.21	2	27.00	2	8.42	2	0.13	2	0.38	2
6443	367	379	Min.	0.00	-313.11	2	-172.58	2	-37.26	2	-9.58	2	-0.98	2	-0.50	2
6443	367	379	Min.	13.23	-313.11	2	-173.52	2	-10.77	2	-9.58	2	-0.28	2	-0.50	2
6444	-21	-29	Max	3.53	269.24	2	0.26	6	0.00	6	4.67	6	3.95	6	0.00	2
6444	-21	-29	Max	26.86	269.24	2	0.26	6	0.03	6	2.84	6	0.47	6	0.00	2
6444	-21	-29	Min.	3.53	-57.88	2	-0.04	6	-0.03	6	-32.27	6	-0.41	6	0.00	2
6444	-21	-29	Min.	26.86	-57.88	2	-0.04	6	-0.00	6	-34.10	6	-3.79	6	0.00	2
6445	-53	-61	Max	3.53	101.25	2	0.43	6	0.01	6	7.59	6	6.21	6	0.00	2
6445	-53	-61	Max	26.55	101.25	2	0.43	6	0.05	6	5.79	6	1.56	6	0.00	2
6445	-53	-61	Min.	3.53	-28.10	2	-0.06	6	-0.05	6	-46.08	6	-0.45	6	0.00	2
6445	-53	-61	Min.	26.55	-28.10	2	-0.06	6	-0.01	6	-47.88	6	-5.08	6	0.00	2
6446	-85	-93	Max	3.53	0.79	2	0.47	6	0.01	6	6.55	6	4.41	6	0.00	2
6446	-85	-93	Max	25.92	0.79	2	0.47	6	0.05	6	5.68	6	0.67	6	0.00	2

6446	-85	-93	Min.	3.53	-5.28	2	-0.07	6	-0.05	6	-39.38	6	-0.70	6	-0.00	2
6446	-85	-93	Min.	25.92	-5.28	2	-0.07	6	-0.01	6	-40.26	6	-4.51	6	-0.00	2
6447	-117	-125	Max	3.53	0.12	6	0.64	6	0.01	6	8.31	6	5.57	6	0.00	2
6447	-117	-125	Max	25.30	0.12	6	0.64	6	0.07	6	7.45	6	0.85	6	0.00	2
6447	-117	-125	Min.	3.53	-0.03	6	-0.10	6	-0.07	6	-51.23	6	-0.86	6	-0.00	2
6447	-117	-125	Min.	25.30	-0.03	6	-0.10	6	-0.01	6	-52.08	6	-5.68	6	-0.00	2
6448	-149	-157	Max	3.53	0.00	2	0.73	6	0.01	6	8.90	6	5.88	6	0.00	2
6448	-149	-157	Max	24.67	0.00	2	0.73	6	0.08	6	8.07	6	0.89	6	0.00	2
6448	-149	-157	Min.	3.53	-0.14	2	-0.11	6	-0.08	6	-55.78	6	-0.90	6	-0.00	2
6448	-149	-157	Min.	24.67	-0.14	2	-0.11	6	-0.02	6	-56.61	6	-6.00	6	-0.00	2
6449	-181	-189	Max	3.53	0.01	2	0.78	6	0.01	6	9.21	6	6.01	6	0.00	2
6449	-181	-189	Max	24.05	0.01	2	0.78	6	0.08	6	8.40	6	0.90	6	0.00	2
6449	-181	-189	Min.	3.53	-0.16	2	-0.12	6	-0.08	6	-58.75	6	-0.90	6	-0.00	2
6449	-181	-189	Min.	24.05	-0.16	2	-0.12	6	-0.02	6	-59.55	6	-6.13	6	-0.00	2
6450	-213	-221	Max	3.53	0.02	2	0.82	6	0.01	6	9.44	6	6.09	6	0.00	2
6450	-213	-221	Max	23.42	0.02	2	0.82	6	0.08	6	8.66	6	0.90	6	0.00	2
6450	-213	-221	Min.	3.53	-0.16	2	-0.12	6	-0.08	6	-61.46	6	-0.90	6	-0.00	2
6450	-213	-221	Min.	23.42	-0.16	2	-0.12	6	-0.02	6	-62.24	6	-6.21	6	-0.00	2
6451	-245	-253	Max	3.53	0.01	2	0.86	6	0.01	6	9.64	6	6.16	6	0.00	2
6451	-245	-253	Max	22.80	0.01	2	0.86	6	0.08	6	8.88	6	0.89	6	0.00	2
6451	-245	-253	Min.	3.53	-0.13	2	-0.12	6	-0.09	6	-64.24	6	-0.89	6	-0.00	2
6451	-245	-253	Min.	22.80	-0.13	2	-0.12	6	-0.02	6	-65.00	6	-6.29	6	-0.00	2
6452	-277	-285	Max	3.53	0.02	2	0.90	6	0.01	6	9.82	6	6.23	6	0.00	2
6452	-277	-285	Max	22.17	0.02	2	0.90	6	0.09	6	9.09	6	0.88	6	0.00	2
6452	-277	-285	Min.	3.53	-0.16	2	-0.13	6	-0.09	6	-67.19	6	-0.88	6	-0.00	2
6452	-277	-285	Min.	22.17	-0.16	2	-0.13	6	-0.02	6	-67.92	6	-6.36	6	-0.00	2
6453	-309	-317	Max	3.53	0.02	2	0.94	6	0.01	6	9.98	6	6.29	6	0.00	2
6453	-309	-317	Max	21.55	0.02	2	0.94	6	0.09	6	9.27	6	0.87	6	0.00	2
6453	-309	-317	Min.	3.53	-0.18	2	-0.13	6	-0.09	6	-70.29	6	-0.86	6	-0.00	2
6453	-309	-317	Min.	21.55	-0.18	2	-0.13	6	-0.02	6	-71.00	6	-6.43	6	-0.00	2
6454	-341	-349	Max	3.53	0.02	2	0.99	6	0.01	6	10.11	6	6.36	6	0.00	2
6454	-341	-349	Max	20.92	0.02	2	0.99	6	0.09	6	9.43	6	0.85	6	0.00	2
6454	-341	-349	Min.	3.53	-0.15	2	-0.13	6	-0.09	6	-73.59	6	-0.85	6	-0.00	2
6454	-341	-349	Min.	20.92	-0.15	2	-0.13	6	-0.02	6	-74.27	6	-6.50	6	-0.00	2
6455	-373	-381	Max	3.53	0.02	2	1.04	6	0.01	6	10.23	6	6.42	6	0.00	2
6455	-373	-381	Max	20.30	0.02	2	1.04	6	0.09	6	9.57	6	0.83	6	0.00	2
6455	-373	-381	Min.	3.53	-0.18	2	-0.13	6	-0.09	6	-77.12	6	-0.83	6	-0.00	2
6455	-373	-381	Min.	20.30	-0.18	2	-0.13	6	-0.02	6	-77.78	6	-6.56	6	-0.00	2
6456	-405	-413	Max	3.53	-0.04	2	1.09	6	0.01	6	10.33	6	6.47	6	0.00	2
6456	-405	-413	Max	19.67	-0.04	2	1.09	6	0.09	6	9.69	6	0.81	6	0.00	2
6456	-405	-413	Min.	3.53	-0.20	2	-0.14	6	-0.09	6	-80.87	6	-0.80	6	-0.00	2
6456	-405	-413	Min.	19.67	-0.20	2	-0.14	6	-0.01	6	-81.51	6	-6.63	6	-0.00	2
6457	-437	-445	Max	3.53	0.55	2	1.14	6	0.01	6	10.38	6	6.51	6	0.00	2
6457	-437	-445	Max	19.05	0.55	2	1.14	6	0.09	6	9.77	6	0.78	6	0.00	2
6457	-437	-445	Min.	3.53	0.14	2	-0.14	6	-0.09	6	-84.71	6	-0.78	6	-0.00	2
6457	-437	-445	Min.	19.05	0.14	2	-0.14	6	-0.01	6	-85.32	6	-6.68	6	-0.00	2
6458	-469	-477	Max	3.53	-2.25	2	1.10	6	0.01	6	10.30	6	6.50	6	0.00	6
6458	-469	-477	Max	18.42	-2.25	2	1.10	6	0.08	6	9.72	6	0.77	6	0.00	6
6458	-469	-477	Min.	3.53	-3.70	2	-0.13	6	-0.08	6	-87.77	6	-0.72	6	-0.01	6
6458	-469	-477	Min.	18.42	-3.70	2	-0.13	6	-0.01	6	-88.35	6	-6.61	6	-0.01	6
6459	-501	-509	Max	3.53	21.94	2	1.30	6	0.01	6	9.63	6	5.72	6	0.04	6
6459	-501	-509	Max	17.80	21.94	2	1.30	6	0.10	6	9.07	6	0.56	6	0.04	6
6459	-501	-509	Min.	3.53	11.24	2	-0.16	6	-0.09	6	-83.55	6	-0.78	6	-0.01	6
6459	-501	-509	Min.	17.80	11.24	2	-0.16	6	-0.01	6	-84.11	6	-6.24	6	-0.01	6
6464	-502	-510	Max	2.83	21.99	2	0.15	6	0.09	6	9.32	6	5.77	6	0.01	6
6464	-502	-510	Max	17.09	21.99	2	0.15	6	0.01	6	8.76	6	0.51	6	0.01	6
6464	-502	-510	Min.	2.83	11.72	2	-1.28	6	-0.01	6	-82.16	6	-0.78	6	-0.04	6
6464	-502	-510	Min.	17.09	11.72	2	-1.28	6	-0.09	6	-82.72	6	-5.98	6	-0.04	6
6465	-470	-478	Max	2.83	-2.30	2	0.12	6	0.08	6	10.09	6	6.54	6	0.01	6

6465	-470	-478	Max	17.72	-2.30	2	0.12	6	0.01	6	9.51	6	0.74	6	0.01	6
6465	-470	-478	Min.	2.83	-3.68	2	-1.07	6	-0.01	6	-86.08	6	-0.72	6	-0.00	6
6465	-470	-478	Min.	17.72	-3.68	2	-1.07	6	-0.08	6	-86.66	6	-6.32	6	-0.00	6
6466	-438	-446	Max	2.83	0.64	2	0.13	6	0.09	6	10.15	6	6.54	6	0.00	2
6466	-438	-446	Max	18.34	0.64	2	0.13	6	0.01	6	9.54	6	0.75	6	0.00	2
6466	-438	-446	Min.	2.83	0.20	2	-1.12	6	-0.01	6	-83.14	6	-0.78	6	-0.00	2
6466	-438	-446	Min.	18.34	0.20	2	-1.12	6	-0.09	6	-83.75	6	-6.40	6	-0.00	2
6467	-406	-414	Max	2.83	0.03	2	0.13	6	0.09	6	10.11	6	6.50	6	0.00	2
6467	-406	-414	Max	18.97	0.03	2	0.13	6	0.01	6	9.47	6	0.78	6	0.00	2
6467	-406	-414	Min.	2.83	-0.15	2	-1.07	6	-0.01	6	-79.38	6	-0.80	6	-0.00	2
6467	-406	-414	Min.	18.97	-0.15	2	-1.07	6	-0.09	6	-80.01	6	-6.36	6	-0.00	2
6468	-374	-382	Max	2.83	0.08	2	0.13	6	0.09	6	10.02	6	6.44	6	0.00	2
6468	-374	-382	Max	19.59	0.08	2	0.13	6	0.01	6	9.36	6	0.80	6	0.00	2
6468	-374	-382	Min.	2.83	-0.11	2	-1.02	6	-0.01	6	-75.70	6	-0.83	6	-0.00	2
6468	-374	-382	Min.	19.59	-0.11	2	-1.02	6	-0.09	6	-76.36	6	-6.31	6	-0.00	2
6469	-342	-350	Max	2.83	0.09	2	0.13	6	0.09	6	9.91	6	6.37	6	0.00	2
6469	-342	-350	Max	20.22	0.09	2	0.13	6	0.01	6	9.23	6	0.82	6	0.00	2
6469	-342	-350	Min.	2.83	-0.10	2	-0.97	6	-0.01	6	-72.24	6	-0.85	6	-0.00	2
6469	-342	-350	Min.	20.22	-0.10	2	-0.97	6	-0.09	6	-72.92	6	-6.25	6	-0.00	2
6470	-310	-318	Max	2.83	0.08	2	0.13	6	0.08	6	9.79	6	6.30	6	0.00	2
6470	-310	-318	Max	20.84	0.08	2	0.13	6	0.01	6	9.08	6	0.83	6	0.00	2
6470	-310	-318	Min.	2.83	-0.12	2	-0.92	6	-0.01	6	-69.01	6	-0.86	6	-0.00	2
6470	-310	-318	Min.	20.84	-0.12	2	-0.92	6	-0.09	6	-69.71	6	-6.19	6	-0.00	2
6471	-278	-286	Max	2.83	0.07	2	0.12	6	0.08	6	9.64	6	6.23	6	0.00	2
6471	-278	-286	Max	21.47	0.07	2	0.12	6	0.01	6	8.91	6	0.85	6	0.00	2
6471	-278	-286	Min.	2.83	-0.11	2	-0.88	6	-0.01	6	-65.97	6	-0.88	6	-0.00	2
6471	-278	-286	Min.	21.47	-0.11	2	-0.88	6	-0.09	6	-66.70	6	-6.13	6	-0.00	2
6472	-246	-254	Max	2.83	0.06	2	0.12	6	0.08	6	9.47	6	6.16	6	0.00	2
6472	-246	-254	Max	22.09	0.06	2	0.12	6	0.01	6	8.71	6	0.86	6	0.00	2
6472	-246	-254	Min.	2.83	-0.09	2	-0.84	6	-0.01	6	-63.08	6	-0.89	6	-0.00	2
6472	-246	-254	Min.	22.09	-0.09	2	-0.84	6	-0.08	6	-63.84	6	-6.06	6	-0.00	2
6473	-214	-222	Max	2.83	0.07	2	0.12	6	0.08	6	9.28	6	6.08	6	0.00	2
6473	-214	-222	Max	22.72	0.07	2	0.12	6	0.01	6	8.50	6	0.87	6	0.00	2
6473	-214	-222	Min.	2.83	-0.11	2	-0.80	6	-0.01	6	-60.35	6	-0.90	6	-0.00	2
6473	-214	-222	Min.	22.72	-0.11	2	-0.80	6	-0.08	6	-61.13	6	-5.99	6	-0.00	2
6474	-182	-190	Max	2.83	0.06	2	0.11	6	0.08	6	9.05	6	6.00	6	0.00	2
6474	-182	-190	Max	23.34	0.06	2	0.11	6	0.01	6	8.25	6	0.87	6	0.00	2
6474	-182	-190	Min.	2.83	-0.11	2	-0.76	6	-0.01	6	-57.69	6	-0.90	6	-0.00	2
6474	-182	-190	Min.	23.34	-0.11	2	-0.76	6	-0.08	6	-58.49	6	-5.92	6	-0.00	2
6475	-150	-158	Max	2.83	0.05	2	0.11	6	0.08	6	8.75	6	5.87	6	0.00	2
6475	-150	-158	Max	23.97	0.05	2	0.11	6	0.01	6	7.92	6	0.86	6	0.00	2
6475	-150	-158	Min.	2.83	-0.10	2	-0.71	6	-0.01	6	-54.77	6	-0.90	6	-0.00	2
6475	-150	-158	Min.	23.97	-0.10	2	-0.71	6	-0.08	6	-55.60	6	-5.79	6	-0.00	2
6476	-118	-126	Max	2.83	0.24	6	0.10	6	0.07	6	8.18	6	5.55	6	0.00	2
6476	-118	-126	Max	24.59	0.24	6	0.10	6	0.01	6	7.32	6	0.83	6	0.00	2
6476	-118	-126	Min.	2.83	0.05	6	-0.63	6	-0.01	6	-50.30	6	-0.86	6	-0.00	2
6476	-118	-126	Min.	24.59	0.05	6	-0.63	6	-0.07	6	-51.16	6	-5.49	6	-0.00	2
6477	-86	-94	Max	2.83	1.30	2	0.07	6	0.05	6	6.44	6	4.39	6	0.00	2
6477	-86	-94	Max	25.22	1.30	2	0.07	6	0.01	6	5.56	6	0.65	6	0.00	2
6477	-86	-94	Min.	2.83	-4.65	2	-0.46	6	-0.01	6	-38.67	6	-0.70	6	-0.00	2
6477	-86	-94	Min.	25.22	-4.65	2	-0.46	6	-0.05	6	-39.55	6	-4.36	6	-0.00	2
6478	-54	-62	Max	2.83	89.57	2	0.06	6	0.05	6	7.65	6	6.02	6	0.00	2
6478	-54	-62	Max	25.84	89.57	2	0.06	6	0.01	6	5.85	6	1.44	6	0.00	2
6478	-54	-62	Min.	2.83	-38.24	2	-0.42	6	-0.01	6	-45.14	6	-0.60	6	0.00	2
6478	-54	-62	Min.	25.84	-38.24	2	-0.42	6	-0.05	6	-46.95	6	-5.06	6	0.00	2
6479	-22	-30	Max	2.83	241.72	2	0.04	6	0.03	6	4.49	6	3.96	6	0.00	2
6479	-22	-30	Max	26.15	241.72	2	0.04	6	0.00	6	2.65	6	0.48	6	0.00	2
6479	-22	-30	Min.	2.83	-82.60	2	-0.25	6	-0.00	6	-31.63	6	-0.38	6	0.00	2
6479	-22	-30	Min.	26.15	-82.60	2	-0.25	6	-0.03	6	-33.46	6	-3.66	6	0.00	2

6480	357	369	Max	1.77	147.89	2	10.62	2	0.10	2	235.74	2	24.48	2	0.45	2
6480	357	369	Max	15.00	147.89	2	10.62	2	1.10	2	234.80	2	17.82	2	0.45	2
6480	357	369	Min.	1.77	-302.07	2	-6.90	2	-0.31	2	-416.73	2	-13.31	2	-0.42	2
6480	357	369	Min.	15.00	-302.07	2	-6.90	2	-0.82	2	-417.67	2	-30.73	2	-0.42	2
6480	369	381	Max	0.00	171.57	2	7.05	2	1.14	2	428.89	2	15.90	2	0.42	2
6480	369	381	Max	13.23	171.57	2	7.05	2	0.10	2	427.95	2	23.76	2	0.42	2
6480	369	381	Min.	0.00	-278.94	2	-11.03	2	-0.83	2	-222.59	2	-33.02	2	-0.45	2
6480	369	381	Min.	13.23	-278.94	2	-11.03	2	-0.31	2	-223.53	2	-13.71	2	-0.45	2
6481	358	370	Max	1.77	81.29	2	114.35	2	26.32	2	6.24	2	0.15	2	0.51	2
6481	358	370	Max	15.00	81.29	2	113.41	2	8.00	2	6.24	2	0.64	2	0.51	2
6481	358	370	Min.	1.77	-314.25	2	-463.99	2	-7.07	2	-8.79	2	-0.18	2	-0.26	2
6481	358	370	Min.	15.00	-314.25	2	-464.93	2	-35.14	2	-8.79	2	-1.01	2	-0.26	2
6481	370	382	Max	0.00	86.27	2	439.21	2	9.96	2	9.04	2	0.66	2	0.26	2
6481	370	382	Max	13.23	86.27	2	438.27	2	25.36	2	9.04	2	0.16	2	0.26	2
6481	370	382	Min.	0.00	-295.46	2	-130.86	2	-32.70	2	-6.42	2	-1.03	2	-0.51	2
6481	370	382	Min.	13.23	-295.46	2	-131.80	2	-7.42	2	-6.42	2	-0.19	2	-0.51	2
6482	-23	-31	Max	3.53	243.57	2	0.20	6	0.01	6	13.61	6	2.83	6	0.00	2
6482	-23	-31	Max	26.86	243.57	2	0.20	6	0.02	6	11.78	6	1.48	6	0.00	2
6482	-23	-31	Min.	3.53	-39.97	2	-0.10	6	-0.02	6	-23.11	6	-1.48	6	0.00	2
6482	-23	-31	Min.	26.86	-39.97	2	-0.10	6	-0.01	6	-24.94	6	-2.77	6	0.00	2
6483	-55	-63	Max	3.53	92.54	2	0.34	6	0.02	6	18.04	6	5.09	6	0.00	2
6483	-55	-63	Max	26.55	92.54	2	0.34	6	0.04	6	16.24	6	2.69	6	0.00	2
6483	-55	-63	Min.	3.53	-19.58	2	-0.16	6	-0.04	6	-36.51	6	-1.66	6	0.00	2
6483	-55	-63	Min.	26.55	-19.58	2	-0.16	6	-0.02	6	-38.32	6	-3.92	6	0.00	2
6484	-87	-95	Max	3.53	0.53	2	0.38	6	0.02	6	14.88	6	3.59	6	0.00	6
6484	-87	-95	Max	25.92	0.53	2	0.38	6	0.04	6	14.00	6	1.61	6	0.00	6
6484	-87	-95	Min.	3.53	-4.72	2	-0.17	6	-0.04	6	-32.06	6	-1.62	6	-0.00	6
6484	-87	-95	Min.	25.92	-4.72	2	-0.17	6	-0.02	6	-32.94	6	-3.68	6	-0.00	6
6485	-119	-127	Max	3.53	0.11	6	0.52	6	0.03	6	19.08	6	4.54	6	0.00	6
6485	-119	-127	Max	25.30	0.11	6	0.52	6	0.06	6	18.23	6	2.04	6	0.00	6
6485	-119	-127	Min.	3.53	-0.04	6	-0.23	6	-0.06	6	-41.76	6	-2.02	6	-0.00	6
6485	-119	-127	Min.	25.30	-0.04	6	-0.23	6	-0.03	6	-42.61	6	-4.64	6	-0.00	6
6486	-151	-159	Max	3.53	-0.01	2	0.60	6	0.03	6	20.64	6	4.80	6	0.00	6
6486	-151	-159	Max	24.67	-0.01	2	0.60	6	0.06	6	19.81	6	2.14	6	0.00	6
6486	-151	-159	Min.	3.53	-0.13	2	-0.26	6	-0.07	6	-45.46	6	-2.13	6	-0.00	6
6486	-151	-159	Min.	24.67	-0.13	2	-0.26	6	-0.03	6	-46.29	6	-4.90	6	-0.00	6
6487	-183	-191	Max	3.53	0.00	2	0.64	6	0.03	6	21.59	6	4.90	6	0.00	6
6487	-183	-191	Max	24.05	0.00	2	0.64	6	0.07	6	20.79	6	2.18	6	0.00	6
6487	-183	-191	Min.	3.53	-0.14	2	-0.28	6	-0.07	6	-47.86	6	-2.16	6	-0.00	6
6487	-183	-191	Min.	24.05	-0.14	2	-0.28	6	-0.03	6	-48.67	6	-5.00	6	-0.00	6
6488	-215	-223	Max	3.53	0.00	2	0.67	6	0.03	6	22.43	6	4.96	6	0.00	6
6488	-215	-223	Max	23.42	0.00	2	0.67	6	0.07	6	21.65	6	2.20	6	0.00	6
6488	-215	-223	Min.	3.53	-0.14	2	-0.30	6	-0.07	6	-50.05	6	-2.18	6	-0.00	6
6488	-215	-223	Min.	23.42	-0.14	2	-0.30	6	-0.03	6	-50.83	6	-5.07	6	-0.00	6
6489	-247	-255	Max	3.53	0.00	2	0.70	6	0.03	6	23.26	6	5.02	6	0.00	6
6489	-247	-255	Max	22.80	0.00	2	0.70	6	0.07	6	22.51	6	2.22	6	0.00	6
6489	-247	-255	Min.	3.53	-0.12	2	-0.31	6	-0.07	6	-52.28	6	-2.19	6	-0.00	6
6489	-247	-255	Min.	22.80	-0.12	2	-0.31	6	-0.03	6	-53.03	6	-5.12	6	-0.00	6
6490	-279	-287	Max	3.53	0.00	2	0.74	6	0.03	6	24.12	6	5.07	6	0.00	6
6490	-279	-287	Max	22.17	0.00	2	0.74	6	0.07	6	23.39	6	2.23	6	0.00	6
6490	-279	-287	Min.	3.53	-0.14	2	-0.32	6	-0.07	6	-54.63	6	-2.20	6	-0.00	6
6490	-279	-287	Min.	22.17	-0.14	2	-0.32	6	-0.03	6	-55.36	6	-5.18	6	-0.00	6
6491	-311	-319	Max	3.53	0.01	2	0.77	6	0.03	6	25.00	6	5.12	6	0.00	6
6491	-311	-319	Max	21.55	0.01	2	0.77	6	0.07	6	24.29	6	2.23	6	0.00	6
6491	-311	-319	Min.	3.53	-0.16	2	-0.33	6	-0.07	6	-57.11	6	-2.20	6	-0.00	6
6491	-311	-319	Min.	21.55	-0.16	2	-0.33	6	-0.03	6	-57.82	6	-5.23	6	-0.00	6
6492	-343	-351	Max	3.53	0.01	2	0.81	6	0.03	6	25.91	6	5.16	6	0.00	6
6492	-343	-351	Max	20.92	0.01	2	0.81	6	0.07	6	25.23	6	2.24	6	0.00	6
6492	-343	-351	Min.	3.53	-0.13	2	-0.35	6	-0.07	6	-59.73	6	-2.21	6	-0.00	6

6492	-343	-351	Min.	20.92	-0.13	2	-0.35	6	-0.03	6	-60.41	6	-5.28	6	-0.00	6
6493	-375	-383	Max	3.53	0.01	2	0.85	6	0.03	6	26.87	6	5.21	6	0.00	6
6493	-375	-383	Max	20.30	0.01	2	0.85	6	0.07	6	26.21	6	2.24	6	0.00	6
6493	-375	-383	Min.	3.53	-0.15	2	-0.36	6	-0.07	6	-62.54	6	-2.21	6	-0.00	6
6493	-375	-383	Min.	20.30	-0.15	2	-0.36	6	-0.03	6	-63.19	6	-5.33	6	-0.00	6
6494	-407	-415	Max	3.53	-0.03	2	0.89	6	0.03	6	27.86	6	5.25	6	0.00	6
6494	-407	-415	Max	19.67	-0.03	2	0.89	6	0.07	6	27.23	6	2.24	6	0.00	6
6494	-407	-415	Min.	3.53	-0.18	2	-0.37	6	-0.07	6	-65.50	6	-2.20	6	-0.00	6
6494	-407	-415	Min.	19.67	-0.18	2	-0.37	6	-0.03	6	-66.14	6	-5.37	6	-0.00	6
6495	-439	-447	Max	3.53	0.35	2	0.93	6	0.03	6	28.84	6	5.27	6	0.01	6
6495	-439	-447	Max	19.05	0.35	2	0.93	6	0.07	6	28.24	6	2.23	6	0.01	6
6495	-439	-447	Min.	3.53	0.14	2	-0.39	6	-0.08	6	-68.54	6	-2.19	6	-0.00	6
6495	-439	-447	Min.	19.05	0.14	2	-0.39	6	-0.03	6	-69.15	6	-5.41	6	-0.00	6
6496	-471	-479	Max	3.53	-1.79	6	0.90	6	0.03	6	29.51	6	5.25	6	0.00	2
6496	-471	-479	Max	18.42	-1.79	6	0.90	6	0.07	6	28.93	6	2.21	6	0.00	2
6496	-471	-479	Min.	3.53	-2.72	6	-0.37	6	-0.07	6	-70.93	6	-2.14	6	-0.00	2
6496	-471	-479	Min.	18.42	-2.72	6	-0.37	6	-0.03	6	-71.52	6	-5.35	6	-0.00	2
6497	-503	-511	Max	3.53	15.45	6	1.07	6	0.03	6	27.88	6	4.63	6	0.04	6
6497	-503	-511	Max	17.80	15.45	6	1.07	6	0.08	6	27.32	6	1.90	6	0.04	6
6497	-503	-511	Min.	3.53	9.43	6	-0.44	6	-0.08	6	-67.48	6	-2.03	6	-0.02	6
6497	-503	-511	Min.	17.80	9.43	6	-0.44	6	-0.03	6	-68.04	6	-5.04	6	-0.02	6
6502	-504	-512	Max	2.83	7.34	6	0.38	6	0.07	6	24.40	6	4.40	6	0.01	6
6502	-504	-512	Max	17.09	7.34	6	0.38	6	0.03	6	23.84	6	1.66	6	0.01	6
6502	-504	-512	Min.	2.83	3.54	6	-0.96	6	-0.03	6	-61.52	6	-1.78	6	-0.03	6
6502	-504	-512	Min.	17.09	3.54	6	-0.96	6	-0.07	6	-62.08	6	-4.42	6	-0.03	6
6503	-472	-480	Max	2.83	-0.65	6	0.31	6	0.06	6	25.82	6	4.88	6	0.01	6
6503	-472	-480	Max	17.72	-0.65	6	0.31	6	0.02	6	25.23	6	1.88	6	0.01	6
6503	-472	-480	Min.	2.83	-1.30	6	-0.79	6	-0.02	6	-64.38	6	-1.92	6	-0.01	6
6503	-472	-480	Min.	17.72	-1.30	6	-0.79	6	-0.06	6	-64.97	6	-4.75	6	-0.01	6
6504	-440	-448	Max	2.83	0.21	2	0.33	6	0.06	6	25.27	6	4.90	6	0.01	6
6504	-440	-448	Max	18.34	0.21	2	0.33	6	0.03	6	24.66	6	1.91	6	0.01	6
6504	-440	-448	Min.	2.83	0.03	2	-0.84	6	-0.03	6	-62.26	6	-1.97	6	-0.00	6
6504	-440	-448	Min.	18.34	0.03	2	-0.84	6	-0.07	6	-62.87	6	-4.80	6	-0.00	6
6505	-408	-416	Max	2.83	0.06	2	0.32	6	0.06	6	24.47	6	4.88	6	0.01	6
6505	-408	-416	Max	18.97	0.06	2	0.32	6	0.03	6	23.83	6	1.92	6	0.01	6
6505	-408	-416	Min.	2.83	-0.11	2	-0.79	6	-0.03	6	-59.55	6	-1.98	6	-0.00	6
6505	-408	-416	Min.	18.97	-0.11	2	-0.79	6	-0.07	6	-60.18	6	-4.78	6	-0.00	6
6506	-376	-384	Max	2.83	0.05	2	0.31	6	0.06	6	23.65	6	4.84	6	0.01	6
6506	-376	-384	Max	19.59	0.05	2	0.31	6	0.03	6	22.99	6	1.93	6	0.01	6
6506	-376	-384	Min.	2.83	-0.10	2	-0.76	6	-0.03	6	-56.88	6	-1.98	6	-0.00	6
6506	-376	-384	Min.	19.59	-0.10	2	-0.76	6	-0.07	6	-57.54	6	-4.75	6	-0.00	6
6507	-344	-352	Max	2.83	0.06	2	0.30	6	0.06	6	22.86	6	4.80	6	0.01	6
6507	-344	-352	Max	20.22	0.06	2	0.30	6	0.03	6	22.18	6	1.93	6	0.01	6
6507	-344	-352	Min.	2.83	-0.09	2	-0.73	6	-0.03	6	-54.37	6	-1.98	6	-0.00	6
6507	-344	-352	Min.	20.22	-0.09	2	-0.73	6	-0.07	6	-55.05	6	-4.71	6	-0.00	6
6508	-312	-320	Max	2.83	0.06	2	0.29	6	0.06	6	22.10	6	4.76	6	0.01	6
6508	-312	-320	Max	20.84	0.06	2	0.29	6	0.03	6	21.39	6	1.93	6	0.01	6
6508	-312	-320	Min.	2.83	-0.10	2	-0.69	6	-0.03	6	-52.01	6	-1.99	6	-0.00	6
6508	-312	-320	Min.	20.84	-0.10	2	-0.69	6	-0.07	6	-52.72	6	-4.68	6	-0.00	6
6509	-280	-288	Max	2.83	0.05	2	0.28	6	0.06	6	21.36	6	4.71	6	0.01	6
6509	-280	-288	Max	21.47	0.05	2	0.28	6	0.03	6	20.63	6	1.93	6	0.01	6
6509	-280	-288	Min.	2.83	-0.09	2	-0.66	6	-0.03	6	-49.78	6	-1.98	6	-0.00	6
6509	-280	-288	Min.	21.47	-0.09	2	-0.66	6	-0.07	6	-50.52	6	-4.64	6	-0.00	6
6510	-248	-256	Max	2.83	0.04	2	0.27	6	0.06	6	20.64	6	4.66	6	0.01	6
6510	-248	-256	Max	22.09	0.04	2	0.27	6	0.03	6	19.88	6	1.92	6	0.01	6
6510	-248	-256	Min.	2.83	-0.08	2	-0.63	6	-0.03	6	-47.66	6	-1.98	6	-0.00	6
6510	-248	-256	Min.	22.09	-0.08	2	-0.63	6	-0.07	6	-48.42	6	-4.59	6	-0.00	6
6511	-216	-224	Max	2.83	0.05	2	0.26	6	0.06	6	19.93	6	4.61	6	0.01	6
6511	-216	-224	Max	22.72	0.05	2	0.26	6	0.03	6	19.15	6	1.92	6	0.01	6

6511	-216	-224	Min.	2.83	-0.10	2	-0.60	6	-0.03	6	-45.65	6	-1.97	6	-0.00	6
6511	-216	-224	Min.	22.72	-0.10	2	-0.60	6	-0.06	6	-46.43	6	-4.55	6	-0.00	6
6512	-184	-192	Max	2.83	0.04	2	0.24	6	0.06	6	19.21	6	4.55	6	0.01	6
6512	-184	-192	Max	23.34	0.04	2	0.24	6	0.03	6	18.41	6	1.90	6	0.01	6
6512	-184	-192	Min.	2.83	-0.10	2	-0.57	6	-0.03	6	-43.67	6	-1.96	6	-0.00	6
6512	-184	-192	Min.	23.34	-0.10	2	-0.57	6	-0.06	6	-44.47	6	-4.49	6	-0.00	6
6513	-152	-160	Max	2.83	0.04	2	0.23	6	0.06	6	18.38	6	4.45	6	0.00	6
6513	-152	-160	Max	23.97	0.04	2	0.23	6	0.03	6	17.55	6	1.87	6	0.00	6
6513	-152	-160	Min.	2.83	-0.09	2	-0.54	6	-0.03	6	-41.49	6	-1.93	6	-0.00	6
6513	-152	-160	Min.	23.97	-0.09	2	-0.54	6	-0.06	6	-42.32	6	-4.40	6	-0.00	6
6514	-120	-128	Max	2.83	0.14	6	0.21	6	0.05	6	17.01	6	4.21	6	0.00	6
6514	-120	-128	Max	24.59	0.14	6	0.21	6	0.02	6	16.16	6	1.78	6	0.00	6
6514	-120	-128	Min.	2.83	-0.04	6	-0.48	6	-0.02	6	-38.10	6	-1.83	6	-0.00	6
6514	-120	-128	Min.	24.59	-0.04	6	-0.48	6	-0.06	6	-38.95	6	-4.17	6	-0.00	6
6515	-88	-96	Max	2.83	2.14	2	0.15	6	0.04	6	13.26	6	3.33	6	0.00	6
6515	-88	-96	Max	25.22	2.14	2	0.15	6	0.02	6	12.38	6	1.41	6	0.00	6
6515	-88	-96	Min.	2.83	-3.09	2	-0.35	6	-0.02	6	-29.23	6	-1.46	6	-0.00	6
6515	-88	-96	Min.	25.22	-3.09	2	-0.35	6	-0.04	6	-30.11	6	-3.31	6	-0.00	6
6516	-56	-64	Max	2.83	58.71	2	0.14	6	0.03	6	16.27	6	4.19	6	0.00	6
6516	-56	-64	Max	25.84	58.71	2	0.14	6	0.02	6	14.46	6	2.06	6	0.00	6
6516	-56	-64	Min.	2.83	-52.73	2	-0.30	6	-0.02	6	-33.09	6	-1.88	6	-0.00	6
6516	-56	-64	Min.	25.84	-52.73	2	-0.30	6	-0.04	6	-34.90	6	-4.04	6	-0.00	6
6517	-24	-32	Max	2.83	158.35	2	0.08	6	0.02	6	12.19	6	2.65	6	0.00	6
6517	-24	-32	Max	26.15	158.35	2	0.08	6	0.01	6	10.36	6	1.33	6	0.00	6
6517	-24	-32	Min.	2.83	-124.85	2	-0.18	6	-0.01	6	-20.68	6	-1.31	6	0.00	6
6517	-24	-32	Min.	26.15	-124.85	2	-0.18	6	-0.02	6	-22.51	6	-2.40	6	0.00	6
6518	360	372	Max	1.77	192.38	2	10.44	2	0.07	2	279.24	2	16.14	2	0.48	2
6518	360	372	Max	15.00	192.38	2	10.44	2	1.11	2	278.30	2	20.33	2	0.48	2
6518	360	372	Min.	1.77	-195.38	2	-4.61	2	-0.27	2	-287.15	2	-16.58	2	-0.28	2
6518	360	372	Min.	15.00	-195.38	2	-4.61	2	-0.54	2	-288.09	2	-21.95	2	-0.28	2
6518	372	384	Max	0.00	207.09	2	5.01	2	1.11	2	270.87	2	22.77	2	0.28	2
6518	372	384	Max	13.23	207.09	2	5.01	2	0.08	2	269.93	2	15.74	2	0.28	2
6518	372	384	Min.	0.00	-190.44	2	-10.38	2	-0.58	2	-303.34	2	-20.04	2	-0.48	2
6518	372	384	Min.	13.23	-190.44	2	-10.38	2	-0.27	2	-304.28	2	-17.43	2	-0.48	2
6560	-517	-518	Max	0.00	0.61	6	11.56	2	0.54	2	0.24	2	0.03	2	0.37	2
6560	-517	-518	Max	12.00	0.61	6	11.56	2	0.75	2	1.84	2	0.09	2	0.37	2
6560	-517	-518	Min.	0.00	-0.70	6	-9.85	2	-0.63	2	-0.23	2	-0.08	2	-0.18	2
6560	-517	-518	Min.	12.00	-0.70	6	-9.85	2	-0.64	2	1.37	2	0.04	2	-0.18	2
6561	-533	-534	Max	0.00	0.32	2	11.10	2	0.57	2	0.10	2	0.12	2	0.24	2
6561	-533	-534	Max	12.00	0.32	2	11.10	2	0.68	2	1.70	2	0.12	2	0.24	2
6561	-533	-534	Min.	0.00	-0.22	2	-9.53	2	-0.66	2	-2.34	2	0.01	2	-0.13	2
6561	-533	-534	Min.	12.00	-0.22	2	-9.53	2	-0.57	2	-0.74	2	-0.08	2	-0.13	2
6562	319	320	Max	1.77	-9.21	6	1.06	2	0.17	2	2.40	2	-0.21	2	0.13	2
6562	319	320	Max	9.71					0.03	6			-0.30	6		
6562	319	320	Max	15.00	-9.21	6	1.06	2	0.01	6	1.46	2	-0.31	6	0.13	2
6562	319	320	Min.	1.77	-16.70	6	-1.22	2	-0.13	2	-0.42	2	-0.59	2	-0.15	2
6562	319	320	Min.	9.71					-0.01	6			-0.40	6		
6562	319	320	Min.	15.00	-16.70	6	-1.22	2	0.00	6	-1.37	2	-0.37	6	-0.15	2
6562	320	321	Max	0.00	-9.21	6	1.06	2	0.01	6	1.46	2	-0.31	6	0.13	2
6562	320	321	Max	6.89					0.03	6			-0.29	6		
6562	320	321	Max	13.23	-9.21	6	1.06	2	0.15	2	0.52	2	-0.19	2	0.13	2
6562	320	321	Min.	0.00	-16.70	6	-1.22	2	0.00	6	-1.37	2	-0.37	6	-0.15	2
6562	320	321	Min.	6.89					-0.03	6			-0.41	6		
6562	320	321	Min.	13.23	-16.70	6	-1.22	2	-0.16	2	-2.31	2	-0.59	2	-0.15	2
6563	-5	-6	Max	2.83	38.57	6	0.28	2	0.04	2	14.23	2	1.48	2	0.00	2
6563	-5	-6	Max	26.15	38.57	6	0.28	2	0.04	2	12.40	2	1.63	2	0.00	2
6563	-5	-6	Min.	2.83	35.09	6	-0.33	2	-0.03	2	-10.79	2	-1.48	2	-0.00	2
6563	-5	-6	Min.	26.15	35.09	6	-0.33	2	-0.04	2	-12.63	2	-1.26	2	-0.00	2
6564	-37	-38	Max	2.83	10.10	6	0.06	2	0.02	6	23.01	2	2.43	2	0.02	2

6564	-37	-38	Max	14.22					-0.00	8			0.24	8		
6564	-37	-38	Max	25.84	10.10	6	0.06	2	0.02	6	21.20	2	2.70	2	0.02	2
6564	-37	-38	Min.	2.83	8.87	6	-0.05	2	-0.00	6	-18.42	2	-2.39	2	-0.01	2
6564	-37	-38	Min.	14.22					0.01	8			0.22	8		
6564	-37	-38	Min.	25.84	8.87	6	-0.05	2	-0.00	6	-20.23	2	-2.02	2	-0.01	2
6565	-69	-70	Max	2.83	-0.83	6	0.23	2	0.03	2	20.05	2	1.92	2	0.00	2
6565	-69	-70	Max	15.24					-0.00	8			0.08	8		
6565	-69	-70	Max	25.22	-0.83	6	0.23	2	0.03	2	19.17	2	2.16	2	0.00	2
6565	-69	-70	Min.	2.83	-1.14	6	-0.20	2	-0.02	2	-16.73	2	-2.23	2	-0.00	2
6565	-69	-70	Min.	15.24					0.01	8			-0.04	8		
6565	-69	-70	Min.	25.22	-1.14	6	-0.20	2	-0.02	2	-17.60	2	-1.92	2	-0.00	2
6566	-101	-102	Max	2.83	0.08	6	0.31	2	0.04	2	25.91	2	2.43	2	0.00	2
6566	-101	-102	Max	14.80					-0.00	8			0.09	8		
6566	-101	-102	Max	24.59	0.08	6	0.31	2	0.05	2	25.06	2	2.74	2	0.00	2
6566	-101	-102	Min.	2.83	-0.15	6	-0.28	2	-0.03	2	-21.86	2	-2.81	2	-0.00	2
6566	-101	-102	Min.	14.80					0.02	8			-0.04	8		
6566	-101	-102	Min.	24.59	-0.15	6	-0.28	2	-0.02	2	-22.72	2	-2.42	2	-0.00	2
6567	-133	-134	Max	2.83	-0.03	6	0.36	2	0.05	2	28.13	2	2.57	2	0.00	2
6567	-133	-134	Max	14.42					-0.00	8			0.09	8		
6567	-133	-134	Max	23.97	-0.03	6	0.36	2	0.05	2	27.30	2	2.89	2	0.00	2
6567	-133	-134	Min.	2.83	-0.24	6	-0.32	2	-0.03	2	-23.82	2	-2.97	2	-0.00	2
6567	-133	-134	Min.	14.42					0.02	8			-0.05	8		
6567	-133	-134	Min.	23.97	-0.24	6	-0.32	2	-0.03	2	-24.65	2	-2.55	2	-0.00	2
6568	-165	-166	Max	2.83	-0.01	6	0.39	2	0.05	2	29.54	2	2.62	2	0.00	2
6568	-165	-166	Max	14.09					-0.00	8			0.09	8		
6568	-165	-166	Max	23.34	-0.01	6	0.39	2	0.05	2	28.73	2	2.95	2	0.00	2
6568	-165	-166	Min.	2.83	-0.22	6	-0.34	2	-0.03	2	-25.06	2	-3.03	2	-0.00	2
6568	-165	-166	Min.	14.09					0.02	8			-0.05	8		
6568	-165	-166	Min.	23.34	-0.22	6	-0.34	2	-0.03	2	-25.86	2	-2.60	2	-0.00	2
6569	-197	-198	Max	2.83	-0.03	6	0.41	2	0.05	2	30.82	2	2.65	2	0.00	2
6569	-197	-198	Max	13.76					-0.00	8			0.09	8		
6569	-197	-198	Max	22.72	-0.03	6	0.41	2	0.05	2	30.04	2	2.98	2	0.00	2
6569	-197	-198	Min.	2.83	-0.22	6	-0.36	2	-0.03	2	-26.18	2	-3.07	2	-0.00	2
6569	-197	-198	Min.	13.76					0.02	8			-0.05	8		
6569	-197	-198	Min.	22.72	-0.22	6	-0.36	2	-0.03	2	-26.96	2	-2.63	2	-0.00	2
6570	-229	-230	Max	2.83	-0.01	6	0.42	2	0.05	2	32.10	2	2.68	2	0.00	2
6570	-229	-230	Max	13.43					-0.00	8			0.09	8		
6570	-229	-230	Max	22.09	-0.01	6	0.42	2	0.05	2	31.34	2	3.01	2	0.00	2
6570	-229	-230	Min.	2.83	-0.24	6	-0.37	2	-0.03	2	-27.30	2	-3.10	2	-0.00	2
6570	-229	-230	Min.	13.43					0.02	8			-0.05	8		
6570	-229	-230	Min.	22.09	-0.24	6	-0.37	2	-0.03	2	-28.06	2	-2.65	2	-0.00	2
6571	-261	-262	Max	2.83	-0.02	6	0.44	2	0.05	2	33.44	2	2.70	2	0.00	2
6571	-261	-262	Max	13.10					-0.00	8			0.10	8		
6571	-261	-262	Max	21.47	-0.02	6	0.44	2	0.06	2	32.71	2	3.04	2	0.00	2
6571	-261	-262	Min.	2.83	-0.23	6	-0.39	2	-0.04	2	-28.46	2	-3.13	2	-0.00	2
6571	-261	-262	Min.	13.10					0.02	8			-0.05	8		
6571	-261	-262	Min.	21.47	-0.23	6	-0.39	2	-0.03	2	-29.19	2	-2.67	2	-0.00	2
6572	-293	-294	Max	2.83	-0.03	6	0.46	2	0.05	2	34.85	2	2.72	2	0.00	2
6572	-293	-294	Max	12.76					-0.00	8			0.10	8		
6572	-293	-294	Max	20.84	-0.03	6	0.46	2	0.06	2	34.14	2	3.06	2	0.00	2
6572	-293	-294	Min.	2.83	-0.22	6	-0.41	2	-0.04	2	-29.69	2	-3.15	2	-0.00	2
6572	-293	-294	Min.	12.76					0.02	8			-0.05	8		
6572	-293	-294	Min.	20.84	-0.22	6	-0.41	2	-0.03	2	-30.39	2	-2.69	2	-0.00	2
6573	-325	-326	Max	2.83	-0.00	6	0.48	2	0.05	2	36.33	2	2.74	2	0.00	2
6573	-325	-326	Max	12.43					-0.00	8			0.10	8		
6573	-325	-326	Max	20.22	-0.00	6	0.48	2	0.06	2	35.65	2	3.08	2	0.00	2
6573	-325	-326	Min.	2.83	-0.26	6	-0.42	2	-0.04	2	-30.96	2	-3.18	2	-0.00	2
6573	-325	-326	Min.	12.43					0.02	8			-0.05	8		
6573	-325	-326	Min.	20.22	-0.26	6	-0.42	2	-0.03	2	-31.64	2	-2.70	2	-0.00	2

6574	-357	-358	Max	2.83	-0.01	6	0.51	2	0.05	2	37.89	2	2.75	2	0.00	2
6574	-357	-358	Max	12.10					-0.00	8			0.10	8		
6574	-357	-358	Max	19.59	-0.01	6	0.51	2	0.06	2	37.23	2	3.10	2	0.00	2
6574	-357	-358	Min.	2.83	-0.26	6	-0.44	2	-0.04	2	-32.30	2	-3.20	2	-0.00	2
6574	-357	-358	Min.	12.10					0.02	8			-0.06	8		
6574	-357	-358	Min.	19.59	-0.26	6	-0.44	2	-0.03	2	-32.96	2	-2.71	2	-0.00	2
6575	-389	-390	Max	2.83	-0.01	6	0.53	2	0.05	2	39.51	2	2.76	2	0.00	2
6575	-389	-390	Max	11.78					-0.00	8			0.10	8		
6575	-389	-390	Max	18.97	-0.01	6	0.53	2	0.06	2	38.88	2	3.11	2	0.00	2
6575	-389	-390	Min.	2.83	-0.12	6	-0.46	2	-0.04	2	-33.69	2	-3.21	2	-0.00	2
6575	-389	-390	Min.	11.78					0.02	8			-0.06	8		
6575	-389	-390	Min.	18.97	-0.12	6	-0.46	2	-0.03	2	-34.32	2	-2.72	2	-0.00	2
6576	-421	-422	Max	2.83	0.70	6	0.55	2	0.05	2	41.13	2	2.77	2	0.00	2
6576	-421	-422	Max	11.46					-0.00	8			0.11	8		
6576	-421	-422	Max	18.34	0.70	6	0.55	2	0.06	2	40.52	2	3.12	2	0.00	2
6576	-421	-422	Min.	2.83	-2.14	6	-0.48	2	-0.04	2	-35.05	2	-3.21	2	-0.00	2
6576	-421	-422	Min.	11.46					0.02	8			-0.06	8		
6576	-421	-422	Min.	18.34	-2.14	6	-0.48	2	-0.03	2	-35.66	2	-2.72	2	-0.00	2
6577	-453	-454	Max	2.83	12.55	6	0.55	2	0.05	2	42.04	2	2.71	2	0.00	2
6577	-453	-454	Max	11.05					-0.00	8			-0.01	8		
6577	-453	-454	Max	17.72	12.55	6	0.55	2	0.05	2	41.46	2	3.04	2	0.00	2
6577	-453	-454	Min.	2.83	-4.89	6	-0.48	2	-0.03	2	-35.87	2	-3.21	2	-0.00	2
6577	-453	-454	Min.	11.05					0.02	8			-0.01	8		
6577	-453	-454	Min.	17.72	-4.89	6	-0.48	2	-0.03	2	-36.45	2	-2.72	2	-0.00	2
6578	-485	-486	Max	2.83	28.00	6	0.48	2	0.04	2	38.37	2	2.68	2	0.00	2
6578	-485	-486	Max	10.01					0.02	8			0.64	8		
6578	-485	-486	Max	17.09	28.00	6	0.48	2	0.05	2	37.81	2	3.00	2	0.00	2
6578	-485	-486	Min.	2.83	-75.60	6	-0.42	2	-0.03	2	-32.51	2	-2.68	2	-0.00	2
6578	-485	-486	Min.	10.01					-0.00	8			-0.23	8		
6578	-485	-486	Min.	17.09	-75.60	6	-0.42	2	-0.02	2	-33.07	2	-2.24	2	-0.00	2
6582	-493	-494	Max	3.53	113.60	6	0.33	2	0.04	2	35.57	2	1.62	2	0.00	6
6582	-493	-494	Max	9.24					0.02	8			-0.17	8		
6582	-493	-494	Max	17.80	113.60	6	0.33	2	0.03	2	35.01	2	2.15	2	0.00	6
6582	-493	-494	Min.	3.53	1.07	6	-0.43	2	-0.02	2	-27.85	2	-3.12	2	-0.00	6
6582	-493	-494	Min.	9.24									-0.91	8		
6582	-493	-494	Min.	17.80	1.07	6	-0.43	2	-0.02	2	-28.41	2	-2.63	2	-0.00	6
6583	-461	-462	Max	3.53	-0.33	6	0.39	2	0.05	2	38.84	2	2.36	2	0.00	2
6583	-461	-462	Max	9.49									0.12	8		
6583	-461	-462	Max	18.42	-0.33	6	0.39	2	0.04	2	38.25	2	3.01	2	0.00	2
6583	-461	-462	Min.	3.53	-19.35	6	-0.50	2	-0.02	2	-31.00	2	-2.73	2	-0.00	2
6583	-461	-462	Min.	9.49					0.02	8			-0.03	8		
6583	-461	-462	Min.	18.42	-19.35	6	-0.50	2	-0.03	2	-31.59	2	-2.30	2	-0.00	2
6584	-429	-430	Max	3.53	3.05	6	0.40	2	0.05	2	38.10	2	2.34	2	0.00	2
6584	-429	-430	Max	9.74									0.09	8		
6584	-429	-430	Max	19.05	3.05	6	0.40	2	0.05	2	37.49	2	2.96	2	0.00	2
6584	-429	-430	Min.	3.53	-0.02	6	-0.50	2	-0.02	2	-30.31	2	-2.90	2	-0.00	2
6584	-429	-430	Min.	9.74					0.02	8			-0.18	8		
6584	-429	-430	Min.	19.05	-0.02	6	-0.50	2	-0.03	2	-30.92	2	-2.41	2	-0.00	2
6585	-397	-398	Max	3.53	-0.07	6	0.39	2	0.05	2	36.64	2	2.36	2	0.00	2
6585	-397	-398	Max	9.99									0.11	8		
6585	-397	-398	Max	19.67	-0.07	6	0.39	2	0.05	2	36.01	2	2.97	2	0.00	2
6585	-397	-398	Min.	3.53	-0.20	6	-0.48	2	-0.02	2	-29.18	2	-2.89	2	-0.00	2
6585	-397	-398	Min.	9.99					0.02	8			-0.18	8		
6585	-397	-398	Min.	19.67	-0.20	6	-0.48	2	-0.03	2	-29.81	2	-2.40	2	-0.00	2
6586	-365	-366	Max	3.53	0.18	6	0.37	2	0.05	2	35.15	2	2.35	2	0.00	2
6586	-365	-366	Max	10.24									0.11	8		
6586	-365	-366	Max	20.30	0.18	6	0.37	2	0.05	2	34.49	2	2.96	2	0.00	2
6586	-365	-366	Min.	3.53	-0.07	6	-0.46	2	-0.02	2	-28.02	2	-2.88	2	-0.00	2
6586	-365	-366	Min.	10.24					0.02	8			-0.18	8		

6586	-365	-366	Min.	20.30	-0.07	6	-0.46	2	-0.03	2	-28.68	2	-2.40	2	-0.00	2
6587	-333	-334	Max	3.53	0.19	6	0.36	2	0.05	2	33.72	2	2.34	2	0.00	2
6587	-333	-334	Max	10.49									0.11	8		
6587	-333	-334	Max	20.92	0.19	6	0.36	2	0.04	2	33.04	2	2.94	2	0.00	2
6587	-333	-334	Min.	3.53	-0.07	6	-0.44	2	-0.02	2	-26.90	2	-2.87	2	-0.00	2
6587	-333	-334	Min.	10.49					0.02	8			-0.18	8		
6587	-333	-334	Min.	20.92	-0.07	6	-0.44	2	-0.03	2	-27.58	2	-2.39	2	-0.00	2
6588	-301	-302	Max	3.53	0.12	6	0.34	2	0.05	2	32.37	2	2.33	2	0.00	2
6588	-301	-302	Max	10.74									0.11	8		
6588	-301	-302	Max	21.55	0.12	6	0.34	2	0.04	2	31.66	2	2.92	2	0.00	2
6588	-301	-302	Min.	3.53	-0.07	6	-0.42	2	-0.02	2	-25.83	2	-2.85	2	-0.00	2
6588	-301	-302	Min.	10.74					0.02	8			-0.18	8		
6588	-301	-302	Min.	21.55	-0.07	6	-0.42	2	-0.03	2	-26.53	2	-2.38	2	-0.00	2
6589	-269	-270	Max	3.53	0.15	6	0.33	2	0.05	2	31.07	2	2.32	2	0.00	2
6589	-269	-270	Max	10.99									0.11	8		
6589	-269	-270	Max	22.17	0.15	6	0.33	2	0.04	2	30.34	2	2.89	2	0.00	2
6589	-269	-270	Min.	3.53	-0.07	6	-0.41	2	-0.02	2	-24.79	2	-2.83	2	-0.00	2
6589	-269	-270	Min.	10.99					0.02	8			-0.17	8		
6589	-269	-270	Min.	22.17	-0.07	6	-0.41	2	-0.03	2	-25.52	2	-2.37	2	-0.00	2
6590	-237	-238	Max	3.53	0.17	6	0.31	2	0.05	2	29.85	2	2.30	2	0.00	2
6590	-237	-238	Max	13.00					0.02	8			0.02	8		
6590	-237	-238	Max	22.80	0.17	6	0.31	2	0.04	2	29.09	2	2.86	2	0.00	2
6590	-237	-238	Min.	3.53	-0.07	6	-0.39	2	-0.02	2	-23.80	2	-2.81	2	-0.00	2
6590	-237	-238	Min.	13.00					-0.00	8			0.01	8		
6590	-237	-238	Min.	22.80	-0.07	6	-0.39	2	-0.03	2	-24.55	2	-2.35	2	-0.00	2
6591	-205	-206	Max	3.53	0.11	6	0.30	2	0.05	2	28.66	2	2.28	2	0.00	2
6591	-205	-206	Max	13.26					-0.00	8			0.02	8		
6591	-205	-206	Max	23.42	0.11	6	0.30	2	0.04	2	27.88	2	2.84	2	0.00	2
6591	-205	-206	Min.	3.53	-0.08	6	-0.37	2	-0.02	2	-22.84	2	-2.79	2	-0.00	2
6591	-205	-206	Min.	13.26					0.02	8			0.01	8		
6591	-205	-206	Min.	23.42	-0.08	6	-0.37	2	-0.03	2	-23.62	2	-2.34	2	-0.00	2
6592	-173	-174	Max	3.53	0.15	6	0.29	2	0.05	2	27.49	2	2.26	2	0.00	2
6592	-173	-174	Max	13.52					-0.00	8			0.02	8		
6592	-173	-174	Max	24.05	0.15	6	0.29	2	0.04	2	26.68	2	2.80	2	0.00	2
6592	-173	-174	Min.	3.53	-0.07	6	-0.35	2	-0.02	2	-21.87	2	-2.76	2	-0.00	2
6592	-173	-174	Min.	13.52					0.02	8			0.00	8		
6592	-173	-174	Min.	24.05	-0.07	6	-0.35	2	-0.03	2	-22.68	2	-2.31	2	-0.00	2
6593	-141	-142	Max	3.53	0.11	6	0.27	2	0.05	2	26.18	2	2.22	2	0.00	2
6593	-141	-142	Max	13.78					-0.00	8			0.02	8		
6593	-141	-142	Max	24.67	0.11	6	0.27	2	0.04	2	25.35	2	2.74	2	0.00	2
6593	-141	-142	Min.	3.53	-0.08	6	-0.33	2	-0.02	2	-20.80	2	-2.70	2	-0.00	2
6593	-141	-142	Min.	13.78					0.02	8			0.00	8		
6593	-141	-142	Min.	24.67	-0.08	6	-0.33	2	-0.03	2	-21.63	2	-2.27	2	-0.00	2
6594	-109	-110	Max	3.53	0.27	6	0.24	2	0.04	2	24.12	2	2.10	2	0.00	2
6594	-109	-110	Max	14.40					0.02	8			0.02	8		
6594	-109	-110	Max	25.30	0.27	6	0.24	2	0.04	2	23.26	2	2.59	2	0.00	2
6594	-109	-110	Min.	3.53	-0.01	6	-0.29	2	-0.02	2	-19.09	2	-2.56	2	-0.00	2
6594	-109	-110	Min.	14.40					-0.00	8			0.02	8		
6594	-109	-110	Min.	25.30	-0.01	6	-0.29	2	-0.03	2	-19.94	2	-2.15	2	-0.00	2
6595	-77	-78	Max	3.53	-0.78	2	0.18	2	0.03	2	18.67	2	1.65	2	0.00	2
6595	-77	-78	Max	14.73					-0.00	8			0.01	8		
6595	-77	-78	Max	25.92	-0.78	2	0.18	2	0.03	2	17.79	2	2.04	2	0.00	2
6595	-77	-78	Min.	3.53	-0.89	2	-0.22	2	-0.02	2	-14.57	2	-2.04	2	-0.00	2
6595	-77	-78	Min.	14.73					0.02	8			0.01	8		
6595	-77	-78	Min.	25.92	-0.89	2	-0.22	2	-0.02	2	-15.45	2	-1.71	2	-0.00	2
6596	-45	-46	Max	3.53	10.61	6	0.03	2	0.02	6	21.30	2	2.10	2	0.01	2
6596	-45	-46	Max	26.55	10.61	6	0.03	2	0.01	6	19.49	2	2.58	2	0.01	2
6596	-45	-46	Min.	3.53	7.53	6	-0.04	2	-0.00	6	-15.93	2	-2.11	2	-0.01	2
6596	-45	-46	Min.	26.55	7.53	6	-0.04	2	-0.00	6	-17.73	2	-1.77	2	-0.01	2

6597	-13	-14	Max	3.53	43.38	6	0.34	2	0.04	2	13.03	2	1.27	2	0.00	2
6597	-13	-14	Max	26.86	43.38	6	0.34	2	0.04	2	11.19	2	1.57	2	0.00	2
6597	-13	-14	Min.	3.53	31.00	6	-0.29	2	-0.04	2	-9.02	2	-1.26	2	-0.00	2
6597	-13	-14	Min.	26.86	31.00	6	-0.29	2	-0.03	2	-10.86	2	-1.05	2	-0.00	2
6598	343	344	Max	1.77	-4.56	6	2.10	2	-0.25	2	0.94	2	0.17	2	0.15	2
6598	343	344	Max	2.43					-0.25	2			0.16	2		
6598	343	344	Max	15.00	-4.56	6	1.16	2	-0.27	6	0.94	2	0.02	6	0.15	2
6598	343	344	Min.	1.77	-7.81	6	0.06	2	-0.54	2	-1.14	2	-0.11	2	-0.13	2
6598	343	344	Min.	2.43					-0.52	2			-0.10	2		
6598	343	344	Min.	15.00	-7.81	6	-0.88	2	-0.36	6	-1.14	2	0.01	6	-0.13	2
6598	344	345	Max	0.00	-4.56	6	1.16	2	-0.27	6	0.94	2	0.02	6	0.15	2
6598	344	345	Max	5.29					-0.26	6			0.03	6		
6598	344	345	Max	13.23	-4.56	6	0.22	2	-0.21	2	0.94	2	0.14	2	0.15	2
6598	344	345	Min.	0.00	-7.81	6	-0.88	2	-0.36	6	-1.14	2	0.01	6	-0.13	2
6598	344	345	Min.	5.29					-0.37	6			-0.01	6		
6598	344	345	Min.	13.23	-7.81	6	-1.82	2	-0.50	2	-1.14	2	-0.13	2	-0.13	2
6606	355	356	Max	1.77	-4.66	6	0.94	2	0.17	2	2.08	2	-0.24	2	0.13	2
6606	355	356	Max	2.10					0.17	2			-0.24	2		
6606	355	356	Max	15.00	-4.66	6	0.94	2	0.02	6	1.14	2	-0.27	6	0.13	2
6606	355	356	Min.	1.77	-7.73	6	-1.13	2	-0.11	2	0.03	2	-0.53	2	-0.15	2
6606	355	356	Min.	2.10					-0.11	2			-0.53	2		
6606	355	356	Min.	15.00	-7.73	6	-1.13	2	0.01	6	-0.91	2	-0.36	6	-0.15	2
6606	356	357	Max	0.00	-4.66	6	0.94	2	0.02	6	1.14	2	-0.27	6	0.13	2
6606	356	357	Max	5.29					0.03	6			-0.26	6		
6606	356	357	Max	13.23	-4.66	6	0.94	2	0.14	2	0.20	2	-0.21	2	0.13	2
6606	356	357	Min.	0.00	-7.73	6	-1.13	2	0.01	6	-0.91	2	-0.36	6	-0.15	2
6606	356	357	Min.	5.29					-0.01	6			-0.37	6		
6606	356	357	Min.	13.23	-7.73	6	-1.13	2	-0.13	2	-1.85	2	-0.50	2	-0.15	2
6607	-21	-22	Max	2.83	43.39	6	0.29	2	0.04	2	13.02	2	1.29	2	0.00	2
6607	-21	-22	Max	26.15	43.39	6	0.29	2	0.03	2	11.19	2	1.54	2	0.00	2
6607	-21	-22	Min.	2.83	30.82	6	-0.34	2	-0.04	2	-9.02	2	-1.28	2	-0.00	2
6607	-21	-22	Min.	26.15	30.82	6	-0.34	2	-0.04	2	-10.86	2	-1.03	2	-0.00	2
6608	-53	-54	Max	2.83	10.60	6	0.04	2	0.00	6	21.27	2	2.14	2	0.01	2
6608	-53	-54	Max	13.85					0.00	8			0.25	8		
6608	-53	-54	Max	25.84	10.60	6	0.04	2	0.00	6	19.47	2	2.53	2	0.01	2
6608	-53	-54	Min.	2.83	7.59	6	-0.03	2	-0.02	6	-15.92	2	-2.16	2	-0.01	2
6608	-53	-54	Min.	13.85					-0.01	8			0.23	8		
6608	-53	-54	Min.	25.84	7.59	6	-0.03	2	-0.02	6	-17.72	2	-1.73	2	-0.01	2
6609	-85	-86	Max	2.83	-0.78	2	0.21	2	0.02	2	18.59	2	1.68	2	0.00	2
6609	-85	-86	Max	14.09					0.00	8			0.01	8		
6609	-85	-86	Max	25.22	-0.78	2	0.21	2	0.02	2	17.72	2	2.00	2	0.00	2
6609	-85	-86	Min.	2.83	-0.90	2	-0.18	2	-0.03	2	-14.62	2	-2.06	2	-0.00	2
6609	-85	-86	Min.	14.09					-0.02	8			0.01	8		
6609	-85	-86	Min.	25.22	-0.90	2	-0.18	2	-0.03	2	-15.49	2	-1.69	2	-0.00	2
6610	-117	-118	Max	2.83	0.25	6	0.29	2	0.02	2	24.02	2	2.14	2	0.00	2
6610	-117	-118	Max	13.80					0.00	8			0.02	8		
6610	-117	-118	Max	24.59	0.25	6	0.29	2	0.03	2	23.17	2	2.54	2	0.00	2
6610	-117	-118	Min.	2.83	-0.01	6	-0.24	2	-0.04	2	-19.14	2	-2.59	2	-0.00	2
6610	-117	-118	Min.	13.80					-0.02	8			0.01	8		
6610	-117	-118	Min.	24.59	-0.01	6	-0.24	2	-0.04	2	-19.99	2	-2.12	2	-0.00	2
6611	-149	-150	Max	2.83	0.11	6	0.33	2	0.02	2	26.07	2	2.26	2	0.00	2
6611	-149	-150	Max	13.50					0.00	8			0.02	8		
6611	-149	-150	Max	23.97	0.11	6	0.33	2	0.03	2	25.24	2	2.69	2	0.00	2
6611	-149	-150	Min.	2.83	-0.09	6	-0.27	2	-0.05	2	-20.85	2	-2.74	2	-0.00	2
6611	-149	-150	Min.	13.50					-0.02	8			0.01	8		
6611	-149	-150	Min.	23.97	-0.09	6	-0.27	2	-0.04	2	-21.68	2	-2.24	2	-0.00	2
6612	-181	-182	Max	2.83	0.15	6	0.35	2	0.02	2	27.37	2	2.30	2	0.00	2
6612	-181	-182	Max	13.19					0.00	8			0.02	8		
6612	-181	-182	Max	23.34	0.15	6	0.35	2	0.03	2	26.57	2	2.74	2	0.00	2

6612	-181	-182	Min.	2.83	-0.07	6	-0.29	2	-0.05	2	-21.93	2	-2.79	2	-0.00	2
6612	-181	-182	Min.	13.19					-0.02	8			0.01	8		
6612	-181	-182	Min.	23.34	-0.07	6	-0.29	2	-0.04	2	-22.74	2	-2.28	2	-0.00	2
6613	-213	-214	Max	2.83	0.11	6	0.37	2	0.02	2	28.55	2	2.33	2	0.00	2
6613	-213	-214	Max	12.89					0.00	8			0.02	8		
6613	-213	-214	Max	22.72	0.11	6	0.37	2	0.03	2	27.77	2	2.77	2	0.00	2
6613	-213	-214	Min.	2.83	-0.08	6	-0.30	2	-0.05	2	-22.90	2	-2.82	2	-0.00	2
6613	-213	-214	Min.	12.89					-0.02	8			0.01	8		
6613	-213	-214	Min.	22.72	-0.08	6	-0.30	2	-0.04	2	-23.68	2	-2.30	2	-0.00	2
6614	-245	-246	Max	2.83	0.16	6	0.39	2	0.02	2	29.72	2	2.35	2	0.00	2
6614	-245	-246	Max	12.58					0.00	8			0.02	8		
6614	-245	-246	Max	22.09	0.16	6	0.39	2	0.03	2	28.97	2	2.80	2	0.00	2
6614	-245	-246	Min.	2.83	-0.07	6	-0.32	2	-0.05	2	-23.87	2	-2.85	2	-0.00	2
6614	-245	-246	Min.	12.58					-0.02	8			0.01	8		
6614	-245	-246	Min.	22.09	-0.07	6	-0.32	2	-0.04	2	-24.62	2	-2.32	2	-0.00	2
6615	-277	-278	Max	2.83	0.14	6	0.40	2	0.02	2	30.94	2	2.37	2	0.00	2
6615	-277	-278	Max	12.27					0.00	8			0.02	8		
6615	-277	-278	Max	21.47	0.14	6	0.40	2	0.03	2	30.21	2	2.82	2	0.00	2
6615	-277	-278	Min.	2.83	-0.07	6	-0.33	2	-0.05	2	-24.86	2	-2.87	2	-0.00	2
6615	-277	-278	Min.	12.27					-0.02	8			0.01	8		
6615	-277	-278	Min.	21.47	-0.07	6	-0.33	2	-0.04	2	-25.59	2	-2.33	2	-0.00	2
6616	-309	-310	Max	2.83	0.12	6	0.42	2	0.02	2	32.23	2	2.39	2	0.00	2
6616	-309	-310	Max	12.65					-0.02	8			0.08	8		
6616	-309	-310	Max	20.84	0.12	6	0.42	2	0.03	2	31.52	2	2.85	2	0.00	2
6616	-309	-310	Min.	2.83	-0.08	6	-0.35	2	-0.05	2	-25.90	2	-2.90	2	-0.00	2
6616	-309	-310	Min.	12.65					0.00	8			-0.01	8		
6616	-309	-310	Min.	20.84	-0.08	6	-0.35	2	-0.04	2	-26.61	2	-2.34	2	-0.00	2
6617	-341	-342	Max	2.83	0.18	6	0.44	2	0.02	2	33.58	2	2.40	2	0.00	2
6617	-341	-342	Max	12.31					-0.02	8			0.08	8		
6617	-341	-342	Max	20.22	0.18	6	0.44	2	0.03	2	32.89	2	2.86	2	0.00	2
6617	-341	-342	Min.	2.83	-0.07	6	-0.36	2	-0.05	2	-26.98	2	-2.91	2	-0.00	2
6617	-341	-342	Min.	12.31					0.00	8			-0.01	8		
6617	-341	-342	Min.	20.22	-0.07	6	-0.36	2	-0.05	2	-27.67	2	-2.35	2	-0.00	2
6618	-373	-374	Max	2.83	0.17	6	0.46	2	0.02	2	35.00	2	2.41	2	0.00	2
6618	-373	-374	Max	11.98					-0.02	8			0.08	8		
6618	-373	-374	Max	19.59	0.17	6	0.46	2	0.03	2	34.34	2	2.88	2	0.00	2
6618	-373	-374	Min.	2.83	-0.08	6	-0.38	2	-0.05	2	-28.11	2	-2.93	2	-0.00	2
6618	-373	-374	Min.	11.98					0.00	8			-0.01	8		
6618	-373	-374	Min.	19.59	-0.08	6	-0.38	2	-0.05	2	-28.77	2	-2.36	2	-0.00	2
6619	-405	-406	Max	2.83	-0.07	6	0.48	2	0.02	2	36.48	2	2.42	2	0.00	2
6619	-405	-406	Max	11.65					-0.02	8			0.09	8		
6619	-405	-406	Max	18.97	-0.07	6	0.48	2	0.03	2	35.85	2	2.90	2	0.00	2
6619	-405	-406	Min.	2.83	-0.21	6	-0.39	2	-0.05	2	-29.27	2	-2.94	2	-0.00	2
6619	-405	-406	Min.	11.65					0.00	8			-0.00	8		
6619	-405	-406	Min.	18.97	-0.21	6	-0.39	2	-0.05	2	-29.91	2	-2.36	2	-0.00	2
6620	-437	-438	Max	2.83	3.05	6	0.50	2	0.02	2	37.92	2	2.41	2	0.00	2
6620	-437	-438	Max	11.32					-0.02	8			0.09	8		
6620	-437	-438	Max	18.34	3.05	6	0.50	2	0.03	2	37.31	2	2.88	2	0.00	2
6620	-437	-438	Min.	2.83	-0.03	6	-0.41	2	-0.05	2	-30.42	2	-2.95	2	-0.00	2
6620	-437	-438	Min.	11.32					0.00	8			-0.03	8		
6620	-437	-438	Min.	18.34	-0.03	6	-0.41	2	-0.05	2	-31.02	2	-2.36	2	-0.00	2
6621	-469	-470	Max	2.83	-0.34	6	0.49	2	0.02	2	38.87	2	2.42	2	0.00	2
6621	-469	-470	Max	10.98					0.00	8			0.15	8		
6621	-469	-470	Max	17.72	-0.34	6	0.49	2	0.03	2	38.28	2	2.94	2	0.00	2
6621	-469	-470	Min.	2.83	-19.34	6	-0.40	2	-0.05	2	-31.00	2	-2.80	2	-0.00	2
6621	-469	-470	Min.	10.98					-0.02	8			0.09	8		
6621	-469	-470	Min.	17.72	-19.34	6	-0.40	2	-0.04	2	-31.58	2	-2.24	2	-0.00	2
6622	-501	-502	Max	2.83	113.51	6	0.41	2	0.02	2	34.98	2	1.70	2	0.00	2
6622	-501	-502	Max	14.24					-0.00	8			-0.31	8		

6622	-501	-502	Max	17.09	113.51	6	0.41	2	0.02	2	34.42	2	2.05	2	0.00	2
6622	-501	-502	Min.	2.83	1.24	6	-0.34	2	-0.04	2	-28.20	2	-3.15	2	0.00	2
6622	-501	-502	Min.	14.24					-0.01	8			-0.41	8		
6622	-501	-502	Min.	17.09	1.24	6	-0.34	2	-0.03	2	-28.76	2	-2.61	2	0.00	2
6626	-509	-510	Max	3.53	27.81	6	0.42	2	0.03	2	38.07	2	2.62	2	0.01	2
6626	-509	-510	Max	6.39					-0.01	8			0.10	8		
6626	-509	-510	Max	17.80	27.81	6	0.42	2	0.02	2	37.51	2	3.06	2	0.01	2
6626	-509	-510	Min.	3.53	-75.56	6	-0.47	2	-0.04	2	-32.36	2	-2.59	2	-0.00	2
6626	-509	-510	Min.	6.39					-0.00	8			0.09	8		
6626	-509	-510	Min.	17.80	-75.56	6	-0.47	2	-0.04	2	-32.92	2	-2.30	2	-0.00	2
6627	-477	-478	Max	3.53	12.54	6	0.47	2	0.03	2	42.05	2	2.62	2	0.00	2
6627	-477	-478	Max	6.51					-0.02	8			0.25	8		
6627	-477	-478	Max	18.42	12.54	6	0.47	2	0.03	2	41.47	2	3.11	2	0.00	2
6627	-477	-478	Min.	3.53	-4.87	6	-0.55	2	-0.05	2	-35.65	2	-3.14	2	-0.00	2
6627	-477	-478	Min.	6.51					-0.00	8			-0.57	8		
6627	-477	-478	Min.	18.42	-4.87	6	-0.55	2	-0.06	2	-36.23	2	-2.76	2	-0.00	2
6628	-445	-446	Max	3.53	0.71	6	0.48	2	0.04	2	41.03	2	2.69	2	0.00	2
6628	-445	-446	Max	6.64					-0.02	8			0.37	8		
6628	-445	-446	Max	19.05	0.71	6	0.48	2	0.03	2	40.42	2	3.19	2	0.00	2
6628	-445	-446	Min.	3.53	-2.14	6	-0.55	2	-0.05	2	-34.86	2	-3.13	2	-0.00	2
6628	-445	-446	Min.	6.64					-0.00	8			-0.63	8		
6628	-445	-446	Min.	19.05	-2.14	6	-0.55	2	-0.06	2	-35.47	2	-2.77	2	-0.00	2
6629	-413	-414	Max	3.53	-0.00	6	0.46	2	0.04	2	39.42	2	2.69	2	0.00	2
6629	-413	-414	Max	6.76					-0.02	8			0.36	8		
6629	-413	-414	Max	19.67	-0.00	6	0.46	2	0.03	2	38.78	2	3.17	2	0.00	2
6629	-413	-414	Min.	3.53	-0.11	6	-0.53	2	-0.05	2	-33.51	2	-3.14	2	-0.00	2
6629	-413	-414	Min.	6.76					-0.00	8			-0.62	8		
6629	-413	-414	Min.	19.67	-0.11	6	-0.53	2	-0.06	2	-34.14	2	-2.77	2	-0.00	2
6630	-381	-382	Max	3.53	-0.01	6	0.44	2	0.04	2	37.79	2	2.68	2	0.00	2
6630	-381	-382	Max	11.92					0.00	8			0.00	8		
6630	-381	-382	Max	20.30	-0.01	6	0.44	2	0.03	2	37.14	2	3.16	2	0.00	2
6630	-381	-382	Min.	3.53	-0.26	6	-0.50	2	-0.05	2	-32.13	2	-3.12	2	-0.00	2
6630	-381	-382	Min.	11.92					-0.02	8			0.00	8		
6630	-381	-382	Min.	20.30	-0.26	6	-0.50	2	-0.06	2	-32.79	2	-2.76	2	-0.00	2
6631	-349	-350	Max	3.53	-0.00	6	0.42	2	0.04	2	36.24	2	2.67	2	0.00	2
6631	-349	-350	Max	12.24					-0.02	8			0.00	8		
6631	-349	-350	Max	20.92	-0.00	6	0.42	2	0.03	2	35.55	2	3.14	2	0.00	2
6631	-349	-350	Min.	3.53	-0.26	6	-0.48	2	-0.05	2	-30.80	2	-3.10	2	-0.00	2
6631	-349	-350	Min.	12.24					0.00	8			0.00	8		
6631	-349	-350	Min.	20.92	-0.26	6	-0.48	2	-0.06	2	-31.48	2	-2.74	2	-0.00	2
6632	-317	-318	Max	3.53	-0.02	6	0.40	2	0.04	2	34.76	2	2.65	2	0.00	2
6632	-317	-318	Max	12.56					-0.02	8			0.01	8		
6632	-317	-318	Max	21.55	-0.02	6	0.40	2	0.03	2	34.05	2	3.11	2	0.00	2
6632	-317	-318	Min.	3.53	-0.22	6	-0.46	2	-0.05	2	-29.54	2	-3.08	2	-0.00	2
6632	-317	-318	Min.	12.56					0.00	8			0.00	8		
6632	-317	-318	Min.	21.55	-0.22	6	-0.46	2	-0.06	2	-30.24	2	-2.73	2	-0.00	2
6633	-285	-286	Max	3.53	-0.01	6	0.39	2	0.03	2	33.35	2	2.64	2	0.00	2
6633	-285	-286	Max	12.88					-0.02	8			0.01	8		
6633	-285	-286	Max	22.17	-0.01	6	0.39	2	0.03	2	32.62	2	3.09	2	0.00	2
6633	-285	-286	Min.	3.53	-0.23	6	-0.44	2	-0.05	2	-28.32	2	-3.06	2	-0.00	2
6633	-285	-286	Min.	12.88					0.00	8			0.00	8		
6633	-285	-286	Min.	22.17	-0.23	6	-0.44	2	-0.06	2	-29.05	2	-2.71	2	-0.00	2
6634	-253	-254	Max	3.53	-0.00	6	0.37	2	0.03	2	32.02	2	2.62	2	0.00	2
6634	-253	-254	Max	13.20					-0.02	8			0.01	8		
6634	-253	-254	Max	22.80	-0.00	6	0.37	2	0.03	2	31.26	2	3.06	2	0.00	2
6634	-253	-254	Min.	3.53	-0.23	6	-0.42	2	-0.05	2	-27.16	2	-3.04	2	-0.00	2
6634	-253	-254	Min.	13.20					0.00	8			0.00	8		
6634	-253	-254	Min.	22.80	-0.23	6	-0.42	2	-0.05	2	-27.92	2	-2.69	2	-0.00	2
6635	-221	-222	Max	3.53	-0.02	6	0.35	2	0.03	2	30.73	2	2.59	2	0.00	2

6635	-221	-222	Max	13.51					-0.02	8			0.01	8		
6635	-221	-222	Max	23.42	-0.02	6	0.35	2	0.03	2	29.95	2	3.03	2	0.00	2
6635	-221	-222	Min.	3.53	-0.22	6	-0.40	2	-0.05	2	-26.05	2	-3.01	2	-0.00	2
6635	-221	-222	Min.	13.51					0.00	8			0.00	8		
6635	-221	-222	Min.	23.42	-0.22	6	-0.40	2	-0.05	2	-26.83	2	-2.66	2	-0.00	2
6636	-189	-190	Max	3.53	-0.01	6	0.34	2	0.03	2	29.46	2	2.56	2	0.00	2
6636	-189	-190	Max	13.83					-0.02	8			0.01	8		
6636	-189	-190	Max	24.05	-0.01	6	0.34	2	0.03	2	28.66	2	2.99	2	0.00	2
6636	-189	-190	Min.	3.53	-0.22	6	-0.38	2	-0.05	2	-24.94	2	-2.97	2	-0.00	2
6636	-189	-190	Min.	13.83					0.00	8			0.00	8		
6636	-189	-190	Min.	24.05	-0.22	6	-0.38	2	-0.05	2	-25.74	2	-2.63	2	-0.00	2
6637	-157	-158	Max	3.53	-0.03	6	0.31	2	0.03	2	28.05	2	2.52	2	0.00	2
6637	-157	-158	Max	14.14					-0.02	8			0.01	8		
6637	-157	-158	Max	24.67	-0.03	6	0.31	2	0.03	2	27.22	2	2.93	2	0.00	2
6637	-157	-158	Min.	3.53	-0.23	6	-0.36	2	-0.05	2	-23.70	2	-2.91	2	-0.00	2
6637	-157	-158	Min.	14.14					0.00	8			0.01	8		
6637	-157	-158	Min.	24.67	-0.23	6	-0.36	2	-0.05	2	-24.53	2	-2.58	2	-0.00	2
6638	-125	-126	Max	3.53	0.09	6	0.27	2	0.03	2	25.84	2	2.38	2	0.00	2
6638	-125	-126	Max	14.46					-0.02	8			0.02	8		
6638	-125	-126	Max	25.30	0.09	6	0.27	2	0.02	2	24.99	2	2.77	2	0.00	2
6638	-125	-126	Min.	3.53	-0.14	6	-0.31	2	-0.04	2	-21.76	2	-2.76	2	-0.00	2
6638	-125	-126	Min.	14.46					0.00	8			0.01	8		
6638	-125	-126	Min.	25.30	-0.14	6	-0.31	2	-0.05	2	-22.61	2	-2.45	2	-0.00	2
6639	-93	-94	Max	3.53	-0.82	6	0.20	2	0.02	2	20.00	2	1.88	2	0.00	2
6639	-93	-94	Max	14.75					-0.01	8			0.01	8		
6639	-93	-94	Max	25.92	-0.82	6	0.20	2	0.02	2	19.12	2	2.19	2	0.00	2
6639	-93	-94	Min.	3.53	-1.13	6	-0.23	2	-0.03	2	-16.64	2	-2.19	2	-0.00	2
6639	-93	-94	Min.	14.75					0.00	8			0.01	8		
6639	-93	-94	Min.	25.92	-1.13	6	-0.23	2	-0.03	2	-17.52	2	-1.94	2	-0.00	2
6640	-61	-62	Max	3.53	10.13	6	0.05	2	0.00	6	22.88	2	2.38	2	0.01	2
6640	-61	-62	Max	14.50					-0.01	8			0.25	8		
6640	-61	-62	Max	26.55	10.13	6	0.05	2	0.00	6	21.08	2	2.73	2	0.01	2
6640	-61	-62	Min.	3.53	8.78	6	-0.06	2	-0.02	6	-18.38	2	-2.33	2	-0.01	2
6640	-61	-62	Min.	14.50					0.00	8			0.20	8		
6640	-61	-62	Min.	26.55	8.78	6	-0.06	2	-0.02	6	-20.19	2	-2.06	2	-0.01	2
6641	-29	-30	Max	3.53	38.45	6	0.33	2	0.03	2	14.16	2	1.45	2	0.00	2
6641	-29	-30	Max	26.86	38.45	6	0.33	2	0.04	2	12.33	2	1.65	2	0.00	2
6641	-29	-30	Min.	3.53	35.20	6	-0.28	2	-0.04	2	-10.76	2	-1.44	2	0.00	2
6641	-29	-30	Min.	26.86	35.20	6	-0.28	2	-0.04	2	-12.59	2	-1.28	2	0.00	2
6642	379	380	Max	1.77	-9.09	6	2.40	2	-0.22	2	1.06	2	0.17	2	0.15	2
6642	379	380	Max	9.71					-0.30	6			0.03	6		
6642	379	380	Max	15.00	-9.09	6	1.46	2	-0.31	6	1.06	2	0.01	6	0.15	2
6642	379	380	Min.	1.77	-16.77	6	-0.39	2	-0.60	2	-1.21	2	-0.13	2	-0.13	2
6642	379	380	Min.	9.71					-0.40	6			-0.01	6		
6642	379	380	Min.	15.00	-16.77	6	-1.33	2	-0.36	6	-1.21	2	0.00	6	-0.13	2
6642	380	381	Max	0.00	-9.09	6	1.46	2	-0.31	6	1.06	2	0.01	6	0.15	2
6642	380	381	Max	7.01					-0.29	6			0.03	6		
6642	380	381	Max	13.23	-9.09	6	0.52	2	-0.19	2	1.06	2	0.15	2	0.15	2
6642	380	381	Min.	0.00	-16.77	6	-1.33	2	-0.36	6	-1.21	2	0.00	6	-0.13	2
6642	380	381	Min.	7.01					-0.41	6			-0.03	6		
6642	380	381	Min.	13.23	-16.77	6	-2.27	2	-0.59	2	-1.21	2	-0.15	2	-0.13	2
6643	-541	-542	Max	0.00	0.11	6	9.43	2	0.67	2	0.51	2	0.10	2	0.12	2
6643	-541	-542	Max	12.00	0.11	6	9.43	2	0.56	2	2.11	2	0.12	2	0.12	2
6643	-541	-542	Min.	0.00	0.01	6	-11.36	2	-0.57	2	-1.72	2	-0.04	2	-0.25	2
6643	-541	-542	Min.	12.00	0.01	6	-11.36	2	-0.69	2	-0.12	2	-0.02	2	-0.25	2
6644	-525	-526	Max	0.00	0.46	6	8.60	2	0.66	2	-0.33	2	0.05	2	0.18	2
6644	-525	-526	Max	12.00	0.46	6	8.60	2	0.51	2	1.27	2	0.05	2	0.18	2
6644	-525	-526	Min.	0.00	-0.59	6	-10.92	2	-0.52	2	-1.19	2	-0.01	2	-0.36	2
6644	-525	-526	Min.	12.00	-0.59	6	-10.92	2	-0.65	2	0.42	2	0.00	2	-0.36	2

6839	-519	-520	Max	0.00	0.88	2	17.72	2	0.51	2	0.37	6	0.03	2	0.24	2
6839	-519	-520	Max	12.00	0.88	2	17.72	2	1.15	2	1.97	6	0.06	2	0.24	2
6839	-519	-520	Min.	0.00	-0.63	2	-9.44	2	-0.98	2	-0.72	6	-0.11	2	-0.32	2
6839	-519	-520	Min.	12.00	-0.63	2	-9.44	2	-0.62	2	0.88	6	0.01	2	-0.32	2
6840	-535	-536	Max	0.00	0.09	6	16.27	2	0.52	2	0.07	2	0.09	2	0.15	2
6840	-535	-536	Max	12.00	0.09	6	16.27	2	0.99	2	1.67	2	0.08	2	0.15	2
6840	-535	-536	Min.	0.00	-0.27	6	-8.71	2	-0.96	2	-2.10	2	-0.03	2	-0.23	2
6840	-535	-536	Min.	12.00	-0.27	6	-8.71	2	-0.53	2	-0.50	2	-0.07	2	-0.23	2
6841	322	323	Max	1.77	-2.05	6	0.77	2	0.16	2	1.96	2	-0.09	2	0.09	2
6841	322	323	Max	13.92					0.01	8			-0.15	8		
6841	322	323	Max	15.00	-2.05	6	0.77	2	0.01	6	1.02	2	-0.15	6	0.09	2
6841	322	323	Min.	1.77	-8.23	6	-1.13	2	-0.09	2	-0.27	2	-0.35	2	-0.16	2
6841	322	323	Min.	13.92					0.01	8			-0.19	8		
6841	322	323	Min.	15.00	-8.23	6	-1.13	2	0.01	6	-1.21	2	-0.19	6	-0.16	2
6841	323	324	Max	0.00	-2.05	6	0.77	2	0.01	6	1.02	2	-0.15	6	0.09	2
6841	323	324	Max	12.57					0.10	4			-0.11	4		
6841	323	324	Max	13.23	-2.05	6	0.77	2	0.11	2	0.08	2	-0.08	2	0.09	2
6841	323	324	Min.	0.00	-8.23	6	-1.13	2	0.01	6	-1.21	2	-0.19	6	-0.16	2
6841	323	324	Min.	12.57					-0.13	4			-0.37	4		
6841	323	324	Min.	13.23	-8.23	6	-1.13	2	-0.14	2	-2.15	2	-0.41	2	-0.16	2
6842	-7	-8	Max	2.83	22.41	2	0.18	2	0.05	2	12.38	2	1.10	2	0.00	6
6842	-7	-8	Max	26.15	22.41	2	0.18	2	0.02	2	10.55	2	1.38	2	0.00	6
6842	-7	-8	Min.	2.83	19.12	2	-0.36	2	-0.02	2	-8.01	2	-1.30	2	-0.00	6
6842	-7	-8	Min.	26.15	19.12	2	-0.36	2	-0.04	2	-9.85	2	-0.98	2	-0.00	6
6843	-39	-40	Max	2.83	5.33	6	0.03	2	0.01	6	20.28	2	1.78	2	0.02	2
6843	-39	-40	Max	25.84	5.33	6	0.03	2	0.01	6	18.47	2	2.29	2	0.02	2
6843	-39	-40	Min.	2.83	4.54	6	-0.05	2	-0.01	6	-13.53	2	-2.16	2	-0.01	2
6843	-39	-40	Min.	25.84	4.54	6	-0.05	2	-0.01	6	-15.34	2	-1.55	2	-0.01	2
6844	-71	-72	Max	2.83	-0.48	6	0.20	2	0.02	2	17.71	2	1.42	2	0.00	6
6844	-71	-72	Max	14.20					0.01	8			0.01	8		
6844	-71	-72	Max	25.22	-0.48	6	0.20	2	0.03	2	16.83	2	1.90	2	0.00	6
6844	-71	-72	Min.	2.83	-0.74	6	-0.14	2	-0.02	2	-12.30	2	-1.96	2	-0.00	6
6844	-71	-72	Min.	14.20					-0.01	8			0.01	8		
6844	-71	-72	Min.	25.22	-0.74	6	-0.14	2	-0.02	2	-13.18	2	-1.43	2	-0.00	6
6845	-103	-104	Max	2.83	0.08	6	0.28	2	0.03	2	22.87	2	1.80	2	0.00	6
6845	-103	-104	Max	13.68					-0.01	8			0.01	8		
6845	-103	-104	Max	24.59	0.08	6	0.28	2	0.04	2	22.02	2	2.41	2	0.00	6
6845	-103	-104	Min.	2.83	-0.16	6	-0.21	2	-0.03	2	-16.09	2	-2.47	2	-0.00	6
6845	-103	-104	Min.	13.68					0.02	8			0.00	8		
6845	-103	-104	Min.	24.59	-0.16	6	-0.21	2	-0.02	2	-16.94	2	-1.80	2	-0.00	6
6846	-135	-136	Max	2.83	0.01	6	0.32	2	0.03	2	24.81	2	1.90	2	0.00	6
6846	-135	-136	Max	13.59					-0.01	8			0.01	8		
6846	-135	-136	Max	23.97	0.01	6	0.32	2	0.04	2	23.98	2	2.55	2	0.00	6
6846	-135	-136	Min.	2.83	-0.19	6	-0.24	2	-0.03	2	-17.51	2	-2.61	2	-0.00	6
6846	-135	-136	Min.	13.59					0.02	8			0.01	8		
6846	-135	-136	Min.	23.97	-0.19	6	-0.24	2	-0.02	2	-18.34	2	-1.89	2	-0.00	6
6847	-167	-168	Max	2.83	0.01	6	0.34	2	0.03	2	26.04	2	1.93	2	0.00	6
6847	-167	-168	Max	13.12					0.02	8			0.01	8		
6847	-167	-168	Max	23.34	0.01	6	0.34	2	0.04	2	25.24	2	2.60	2	0.00	6
6847	-167	-168	Min.	2.83	-0.18	6	-0.25	2	-0.03	2	-18.41	2	-2.66	2	-0.00	6
6847	-167	-168	Min.	13.12					-0.01	8			0.00	8		
6847	-167	-168	Min.	23.34	-0.18	6	-0.25	2	-0.02	2	-19.21	2	-1.93	2	-0.00	6
6848	-199	-200	Max	2.83	0.01	6	0.36	2	0.04	2	27.14	2	1.95	2	0.00	6
6848	-199	-200	Max	12.78					0.02	8			0.01	8		
6848	-199	-200	Max	22.72	0.01	6	0.36	2	0.04	2	26.36	2	2.63	2	0.00	6
6848	-199	-200	Min.	2.83	-0.19	6	-0.27	2	-0.03	2	-19.20	2	-2.69	2	-0.00	6
6848	-199	-200	Min.	12.78					-0.01	8			0.00	8		
6848	-199	-200	Min.	22.72	-0.19	6	-0.27	2	-0.02	2	-19.98	2	-1.94	2	-0.00	6
6849	-231	-232	Max	2.83	0.02	6	0.37	2	0.04	2	28.25	2	1.97	2	0.00	6

6849	-231	-232	Max	12.45					0.02	8			0.00	8		
6849	-231	-232	Max	22.09	0.02	6	0.37	2	0.04	2	27.50	2	2.65	2	0.00	6
6849	-231	-232	Min.	2.83	-0.20	6	-0.28	2	-0.03	2	-19.98	2	-2.72	2	-0.00	6
6849	-231	-232	Min.	12.45					-0.01	8			0.00	8		
6849	-231	-232	Min.	22.09	-0.20	6	-0.28	2	-0.02	2	-20.74	2	-1.96	2	-0.00	6
6850	-263	-264	Max	2.83	0.02	6	0.39	2	0.04	2	29.41	2	1.98	2	0.00	6
6850	-263	-264	Max	12.15					0.02	8			0.00	8		
6850	-263	-264	Max	21.47	0.02	6	0.39	2	0.04	2	28.67	2	2.67	2	0.00	6
6850	-263	-264	Min.	2.83	-0.19	6	-0.29	2	-0.04	2	-20.79	2	-2.74	2	-0.00	6
6850	-263	-264	Min.	12.15					-0.01	8			0.00	8		
6850	-263	-264	Min.	21.47	-0.19	6	-0.29	2	-0.02	2	-21.52	2	-1.97	2	-0.00	6
6851	-295	-296	Max	2.83	0.02	6	0.41	2	0.04	2	30.61	2	1.98	2	0.00	6
6851	-295	-296	Max	11.82					-0.01	8			0.00	8		
6851	-295	-296	Max	20.84	0.02	6	0.41	2	0.05	2	29.90	2	2.69	2	0.00	6
6851	-295	-296	Min.	2.83	-0.20	6	-0.30	2	-0.04	2	-21.62	2	-2.76	2	-0.00	6
6851	-295	-296	Min.	11.82					0.02	8			0.00	8		
6851	-295	-296	Min.	20.84	-0.20	6	-0.30	2	-0.02	2	-22.33	2	-1.97	2	-0.00	6
6852	-327	-328	Max	2.83	0.02	6	0.43	2	0.04	2	31.88	2	1.99	2	0.00	6
6852	-327	-328	Max	11.48					-0.01	8			0.00	8		
6852	-327	-328	Max	20.22	0.02	6	0.43	2	0.05	2	31.19	2	2.71	2	0.00	6
6852	-327	-328	Min.	2.83	-0.20	6	-0.31	2	-0.04	2	-22.48	2	-2.78	2	-0.00	6
6852	-327	-328	Min.	11.48					0.02	8			-0.00	8		
6852	-327	-328	Min.	20.22	-0.20	6	-0.31	2	-0.02	2	-23.16	2	-1.98	2	-0.00	6
6853	-359	-360	Max	2.83	0.04	6	0.45	2	0.04	2	33.20	2	1.99	2	0.00	6
6853	-359	-360	Max	12.14					-0.01	8			0.10	8		
6853	-359	-360	Max	19.59	0.04	6	0.45	2	0.05	2	32.54	2	2.72	2	0.00	6
6853	-359	-360	Min.	2.83	-0.23	6	-0.32	2	-0.04	2	-23.37	2	-2.79	2	-0.00	6
6853	-359	-360	Min.	12.14					0.02	8			-0.01	8		
6853	-359	-360	Min.	19.59	-0.23	6	-0.32	2	-0.02	2	-24.02	2	-1.98	2	-0.00	6
6854	-391	-392	Max	2.83	0.02	6	0.46	2	0.04	2	34.58	2	1.99	2	0.00	6
6854	-391	-392	Max	11.76					-0.01	8			0.09	8		
6854	-391	-392	Max	18.97	0.02	6	0.46	2	0.05	2	33.95	2	2.73	2	0.00	6
6854	-391	-392	Min.	2.83	-0.11	6	-0.34	2	-0.04	2	-24.28	2	-2.80	2	-0.00	6
6854	-391	-392	Min.	11.76					0.02	8			-0.01	8		
6854	-391	-392	Min.	18.97	-0.11	6	-0.34	2	-0.02	2	-24.91	2	-1.98	2	-0.00	6
6855	-423	-424	Max	2.83	0.97	6	0.48	2	0.04	2	35.94	2	1.99	2	0.00	6
6855	-423	-424	Max	11.39					-0.01	8			0.10	8		
6855	-423	-424	Max	18.34	0.97	6	0.48	2	0.05	2	35.33	2	2.72	2	0.00	6
6855	-423	-424	Min.	2.83	-1.85	6	-0.35	2	-0.04	2	-25.16	2	-2.80	2	-0.00	6
6855	-423	-424	Min.	11.39					0.02	8			-0.02	8		
6855	-423	-424	Min.	18.34	-1.85	6	-0.35	2	-0.02	2	-25.77	2	-1.96	2	-0.00	6
6856	-455	-456	Max	2.83	10.89	6	0.48	2	0.04	2	36.69	2	1.91	2	0.00	6
6856	-455	-456	Max	11.01					0.02	8			0.04	8		
6856	-455	-456	Max	17.72	10.89	6	0.48	2	0.04	2	36.10	2	2.67	2	0.00	6
6856	-455	-456	Min.	2.83	-6.38	6	-0.35	2	-0.03	2	-25.69	2	-2.75	2	-0.00	6
6856	-455	-456	Min.	11.01					-0.01	8			-0.01	8		
6856	-455	-456	Min.	17.72	-6.38	6	-0.35	2	-0.02	2	-26.27	2	-1.96	2	-0.00	6
6857	-487	-488	Max	2.83	37.24	6	0.40	2	0.03	2	33.03	2	1.93	2	0.00	2
6857	-487	-488	Max	10.61					0.01	8			0.53	8		
6857	-487	-488	Max	17.09	37.24	6	0.40	2	0.03	2	32.47	2	2.52	2	0.00	2
6857	-487	-488	Min.	2.83	-65.25	6	-0.31	2	-0.03	2	-23.16	2	-2.38	2	-0.01	2
6857	-487	-488	Min.	10.61					-0.00	8			-0.24	8		
6857	-487	-488	Min.	17.09	-65.25	6	-0.31	2	-0.02	2	-23.72	2	-1.64	2	-0.01	2
6861	-495	-496	Max	3.53	87.60	6	0.23	2	0.03	2	31.35	2	1.20	2	0.01	6
6861	-495	-496	Max	17.80	87.60	6	0.23	2	0.02	2	30.79	2	1.93	2	0.01	6
6861	-495	-496	Min.	3.53	-23.73	6	-0.36	2	-0.01	2	-18.76	2	-2.60	2	-0.00	6
6861	-495	-496	Min.	17.80	-23.73	6	-0.36	2	-0.02	2	-19.32	2	-1.62	2	-0.00	6
6862	-463	-464	Max	3.53	3.90	6	0.27	2	0.04	2	34.67	2	1.58	2	0.00	6
6862	-463	-464	Max	18.42	3.90	6	0.27	2	0.03	2	34.09	2	2.66	2	0.00	6

6862	-463	-464	Min.	3.53	-14.91	6	-0.45	2	-0.02	2	-20.89	2	-2.46	2	-0.01	6
6862	-463	-464	Min.	18.42	-14.91	6	-0.45	2	-0.03	2	-21.48	2	-1.58	2	-0.01	6
6863	-431	-432	Max	3.53	2.34	6	0.27	2	0.04	2	34.05	2	1.59	2	0.00	6
6863	-431	-432	Max	19.05	2.34	6	0.27	2	0.03	2	33.44	2	2.64	2	0.00	6
6863	-431	-432	Min.	3.53	-0.70	6	-0.45	2	-0.02	2	-20.57	2	-2.59	2	-0.01	6
6863	-431	-432	Min.	19.05	-0.70	6	-0.45	2	-0.03	2	-21.18	2	-1.64	2	-0.01	6
6864	-399	-400	Max	3.53	-0.02	6	0.27	2	0.04	2	32.78	2	1.61	2	0.00	6
6864	-399	-400	Max	19.67	-0.02	6	0.27	2	0.03	2	32.14	2	2.65	2	0.00	6
6864	-399	-400	Min.	3.53	-0.18	6	-0.43	2	-0.02	2	-19.93	2	-2.58	2	-0.01	6
6864	-399	-400	Min.	19.67	-0.18	6	-0.43	2	-0.03	2	-20.56	2	-1.65	2	-0.01	6
6865	-367	-368	Max	3.53	0.17	6	0.26	2	0.04	2	31.49	2	1.62	2	0.00	6
6865	-367	-368	Max	20.30	0.17	6	0.26	2	0.03	2	30.84	2	2.64	2	0.00	6
6865	-367	-368	Min.	3.53	-0.12	6	-0.42	2	-0.02	2	-19.23	2	-2.58	2	-0.01	6
6865	-367	-368	Min.	20.30	-0.12	6	-0.42	2	-0.03	2	-19.89	2	-1.66	2	-0.01	6
6866	-335	-336	Max	3.53	0.12	6	0.25	2	0.04	2	30.26	2	1.62	2	0.00	6
6866	-335	-336	Max	20.92	0.12	6	0.25	2	0.03	2	29.58	2	2.63	2	0.00	6
6866	-335	-336	Min.	3.53	-0.11	6	-0.40	2	-0.02	2	-18.55	2	-2.57	2	-0.01	6
6866	-335	-336	Min.	20.92	-0.11	6	-0.40	2	-0.03	2	-19.23	2	-1.66	2	-0.01	6
6867	-303	-304	Max	3.53	0.11	6	0.24	2	0.04	2	29.06	2	1.62	2	0.00	6
6867	-303	-304	Max	21.55	0.11	6	0.24	2	0.03	2	28.36	2	2.61	2	0.00	6
6867	-303	-304	Min.	3.53	-0.11	6	-0.38	2	-0.02	2	-17.88	2	-2.56	2	-0.01	6
6867	-303	-304	Min.	21.55	-0.11	6	-0.38	2	-0.03	2	-18.59	2	-1.66	2	-0.01	6
6868	-271	-272	Max	3.53	0.11	6	0.23	2	0.04	2	27.93	2	1.62	2	0.00	6
6868	-271	-272	Max	22.17	0.11	6	0.23	2	0.03	2	27.20	2	2.59	2	0.00	6
6868	-271	-272	Min.	3.53	-0.11	6	-0.37	2	-0.02	2	-17.23	2	-2.55	2	-0.01	6
6868	-271	-272	Min.	22.17	-0.11	6	-0.37	2	-0.03	2	-17.96	2	-1.66	2	-0.01	6
6869	-239	-240	Max	3.53	0.10	6	0.22	2	0.04	2	26.84	2	1.61	2	0.00	6
6869	-239	-240	Max	22.80	0.10	6	0.22	2	0.03	2	26.09	2	2.57	2	0.00	6
6869	-239	-240	Min.	3.53	-0.11	6	-0.35	2	-0.02	2	-16.60	2	-2.53	2	-0.01	6
6869	-239	-240	Min.	22.80	-0.11	6	-0.35	2	-0.03	2	-17.35	2	-1.66	2	-0.01	6
6870	-207	-208	Max	3.53	0.10	6	0.21	2	0.04	2	25.79	2	1.60	2	0.00	6
6870	-207	-208	Max	23.42	0.10	6	0.21	2	0.03	2	25.01	2	2.54	2	0.00	6
6870	-207	-208	Min.	3.53	-0.10	6	-0.34	2	-0.02	2	-15.97	2	-2.51	2	-0.01	6
6870	-207	-208	Min.	23.42	-0.10	6	-0.34	2	-0.03	2	-16.75	2	-1.65	2	-0.01	6
6871	-175	-176	Max	3.53	0.11	6	0.20	2	0.04	2	24.75	2	1.59	2	0.00	6
6871	-175	-176	Max	24.05	0.11	6	0.20	2	0.03	2	23.95	2	2.51	2	0.00	6
6871	-175	-176	Min.	3.53	-0.11	6	-0.32	2	-0.02	2	-15.32	2	-2.48	2	-0.01	6
6871	-175	-176	Min.	24.05	-0.11	6	-0.32	2	-0.03	2	-16.13	2	-1.64	2	-0.01	6
6872	-143	-144	Max	3.53	0.09	6	0.19	2	0.04	2	23.59	2	1.56	2	0.00	6
6872	-143	-144	Max	24.67	0.09	6	0.19	2	0.03	2	22.76	2	2.46	2	0.00	6
6872	-143	-144	Min.	3.53	-0.11	6	-0.30	2	-0.02	2	-14.59	2	-2.44	2	-0.00	6
6872	-143	-144	Min.	24.67	-0.11	6	-0.30	2	-0.03	2	-15.42	2	-1.61	2	-0.00	6
6873	-111	-112	Max	3.53	0.19	6	0.17	2	0.04	2	21.74	2	1.48	2	0.00	6
6873	-111	-112	Max	25.30	0.19	6	0.17	2	0.02	2	20.89	2	2.33	2	0.00	6
6873	-111	-112	Min.	3.53	-0.06	6	-0.26	2	-0.02	2	-13.40	2	-2.31	2	-0.00	6
6873	-111	-112	Min.	25.30	-0.06	6	-0.26	2	-0.03	2	-14.26	2	-1.53	2	-0.00	6
6874	-79	-80	Max	3.53	-0.55	2	0.13	2	0.03	2	16.84	2	1.17	2	0.00	6
6874	-79	-80	Max	25.92	-0.55	2	0.13	2	0.02	2	15.96	2	1.84	2	0.00	6
6874	-79	-80	Min.	3.53	-0.70	2	-0.19	2	-0.01	2	-10.21	2	-1.83	2	-0.00	6
6874	-79	-80	Min.	25.92	-0.70	2	-0.19	2	-0.02	2	-11.09	2	-1.22	2	-0.00	6
6875	-47	-48	Max	3.53	8.33	6	0.02	2	0.01	6	19.15	2	1.49	2	0.01	2
6875	-47	-48	Max	15.65					0.00	4			0.28	4		
6875	-47	-48	Max	26.55	8.33	6	0.02	2	0.01	6	17.35	2	2.26	2	0.01	2
6875	-47	-48	Min.	3.53	4.77	6	-0.02	2	-0.01	6	-11.07	2	-1.94	2	-0.02	2
6875	-47	-48	Min.	15.65					0.01	4			0.13	4		
6875	-47	-48	Min.	26.55	4.77	6	-0.02	2	-0.00	6	-12.88	2	-1.27	2	-0.02	2
6876	-15	-16	Max	3.53	33.49	6	0.37	2	0.02	2	11.52	2	0.89	2	0.00	2
6876	-15	-16	Max	26.86	33.49	6	0.37	2	0.05	2	9.69	2	1.33	2	0.00	2
6876	-15	-16	Min.	3.53	19.42	6	-0.19	2	-0.04	2	-6.21	2	-1.14	2	-0.00	2

6876	-15	-16	Min.	26.86	19.42	6	-0.19	2	-0.02	2	-8.04	2	-0.77	2	-0.00	2
6877	346	347	Max	1.77	-5.61	6	1.71	2	-0.18	6	0.65	2	0.15	2	0.16	2
6877	346	347	Max	4.74					-0.19	2			0.12	2		
6877	346	347	Max	15.00	-5.61	6	0.77	2	-0.17	6	0.65	2	0.01	6	0.16	2
6877	346	347	Min.	1.77	-7.84	6	0.26	2	-0.40	6	-1.08	2	-0.08	2	-0.09	2
6877	346	347	Min.	4.74					-0.34	2			-0.06	2		
6877	346	347	Min.	15.00	-7.84	6	-0.68	2	-0.28	6	-1.08	2	0.00	6	-0.09	2
6877	347	348	Max	0.00	-5.61	6	0.77	2	-0.17	6	0.65	2	0.01	6	0.16	2
6877	347	348	Max	10.59					-0.19	4			0.07	4		
6877	347	348	Max	13.23	-5.61	6	-0.17	2	-0.18	2	0.65	2	0.09	2	0.16	2
6877	347	348	Min.	0.00	-7.84	6	-0.68	2	-0.28	6	-1.08	2	0.00	6	-0.09	2
6877	347	348	Min.	10.59					-0.33	4			-0.10	4		
6877	347	348	Min.	13.23	-7.84	6	-1.62	2	-0.38	2	-1.08	2	-0.13	2	-0.09	2
6885	358	359	Max	1.77	-5.72	6	0.66	2	0.15	2	1.70	2	-0.18	6	0.09	2
6885	358	359	Max	8.88					0.05	6			-0.16	6		
6885	358	359	Max	15.00	-5.72	6	0.66	2	0.01	6	0.76	2	-0.17	6	0.09	2
6885	358	359	Min.	1.77	-7.73	6	-1.08	2	-0.08	2	0.25	2	-0.40	6	-0.16	2
6885	358	359	Min.	4.56					-0.06	2			-0.35	2		
6885	358	359	Min.	15.00	-7.73	6	-1.08	2	0.00	6	-0.70	2	-0.28	6	-0.16	2
6885	359	360	Max	0.00	-5.72	6	0.66	2	0.01	6	0.76	2	-0.17	6	0.09	2
6885	359	360	Max	7.94					0.06	2			-0.17	2		
6885	359	360	Max	13.23	-5.72	6	0.66	2	0.09	2	-0.18	2	-0.18	2	0.09	2
6885	359	360	Min.	0.00	-7.73	6	-1.08	2	0.00	6	-0.70	2	-0.28	6	-0.16	2
6885	359	360	Min.	10.59					-0.10	4			-0.33	4		
6885	359	360	Min.	13.23	-7.73	6	-1.08	2	-0.13	2	-1.64	2	-0.38	2	-0.16	2
6886	-23	-24	Max	2.83	33.38	6	0.19	2	0.04	2	11.57	2	0.90	2	0.00	2
6886	-23	-24	Max	26.15	33.38	6	0.19	2	0.02	2	9.74	2	1.32	2	0.00	2
6886	-23	-24	Min.	2.83	19.27	6	-0.37	2	-0.02	2	-6.18	2	-1.17	2	-0.00	2
6886	-23	-24	Min.	26.15	19.27	6	-0.37	2	-0.05	2	-8.01	2	-0.75	2	-0.00	2
6887	-55	-56	Max	2.83	8.32	6	0.02	2	0.01	6	19.21	2	1.51	2	0.01	2
6887	-55	-56	Max	12.43					-0.01	4			0.41	4		
6887	-55	-56	Max	25.84	8.32	6	0.02	2	0.00	6	17.40	2	2.23	2	0.01	2
6887	-55	-56	Min.	2.83	4.84	6	-0.02	2	-0.01	6	-11.02	2	-1.99	2	-0.01	2
6887	-55	-56	Min.	12.43					-0.00	4			-0.18	4		
6887	-55	-56	Min.	25.84	4.84	6	-0.02	2	-0.01	6	-12.83	2	-1.23	2	-0.01	2
6888	-87	-88	Max	2.83	-0.59	6	0.19	2	0.01	2	16.83	2	1.19	2	0.00	2
6888	-87	-88	Max	14.04					-0.01	8			0.01	8		
6888	-87	-88	Max	25.22	-0.59	6	0.19	2	0.02	2	15.95	2	1.81	2	0.00	2
6888	-87	-88	Min.	2.83	-0.69	6	-0.13	2	-0.03	2	-10.21	2	-1.86	2	-0.00	2
6888	-87	-88	Min.	14.04					0.01	8			0.01	8		
6888	-87	-88	Min.	25.22	-0.69	6	-0.13	2	-0.02	2	-11.09	2	-1.20	2	-0.00	2
6889	-119	-120	Max	2.83	0.17	6	0.26	2	0.02	2	21.74	2	1.51	2	0.00	6
6889	-119	-120	Max	14.80					-0.01	8			0.07	8		
6889	-119	-120	Max	24.59	0.17	6	0.26	2	0.03	2	20.89	2	2.29	2	0.00	6
6889	-119	-120	Min.	2.83	-0.08	6	-0.17	2	-0.04	2	-13.40	2	-2.35	2	-0.00	6
6889	-119	-120	Min.	14.80					0.01	8			0.03	8		
6889	-119	-120	Min.	24.59	-0.08	6	-0.17	2	-0.02	2	-14.25	2	-1.50	2	-0.00	6
6890	-151	-152	Max	2.83	0.08	6	0.30	2	0.02	2	23.59	2	1.59	2	0.00	6
6890	-151	-152	Max	14.41					-0.02	8			0.07	8		
6890	-151	-152	Max	23.97	0.08	6	0.30	2	0.03	2	22.76	2	2.42	2	0.00	6
6890	-151	-152	Min.	2.83	-0.11	6	-0.19	2	-0.04	2	-14.59	2	-2.48	2	-0.00	6
6890	-151	-152	Min.	14.41					0.01	8			0.03	8		
6890	-151	-152	Min.	23.97	-0.11	6	-0.19	2	-0.03	2	-15.42	2	-1.58	2	-0.00	6
6891	-183	-184	Max	2.83	0.09	6	0.32	2	0.02	2	24.75	2	1.62	2	0.00	6
6891	-183	-184	Max	14.04					-0.02	8			0.07	8		
6891	-183	-184	Max	23.34	0.09	6	0.32	2	0.03	2	23.95	2	2.47	2	0.00	6
6891	-183	-184	Min.	2.83	-0.10	6	-0.20	2	-0.04	2	-15.33	2	-2.52	2	-0.00	6
6891	-183	-184	Min.	14.04					0.01	8			0.03	8		
6891	-183	-184	Min.	23.34	-0.10	6	-0.20	2	-0.03	2	-16.13	2	-1.61	2	-0.00	6

6892	-215	-216	Max	2.83	0.09	6	0.33	2	0.02	2	25.79	2	1.63	2	0.00	6
6892	-215	-216	Max	13.69					-0.02	8			0.07	8		
6892	-215	-216	Max	22.72	0.09	6	0.33	2	0.03	2	25.00	2	2.50	2	0.00	6
6892	-215	-216	Min.	2.83	-0.11	6	-0.21	2	-0.04	2	-15.97	2	-2.55	2	-0.00	6
6892	-215	-216	Min.	13.69					0.01	8			0.03	8		
6892	-215	-216	Min.	22.72	-0.11	6	-0.21	2	-0.03	2	-16.75	2	-1.62	2	-0.00	6
6893	-247	-248	Max	2.83	0.09	6	0.35	2	0.02	2	26.84	2	1.64	2	0.00	6
6893	-247	-248	Max	13.36					-0.02	8			0.07	8		
6893	-247	-248	Max	22.09	0.09	6	0.35	2	0.03	2	26.08	2	2.52	2	0.00	6
6893	-247	-248	Min.	2.83	-0.11	6	-0.22	2	-0.04	2	-16.60	2	-2.57	2	-0.00	6
6893	-247	-248	Min.	13.36					0.01	8			0.03	8		
6893	-247	-248	Min.	22.09	-0.11	6	-0.22	2	-0.03	2	-17.36	2	-1.63	2	-0.00	6
6894	-279	-280	Max	2.83	0.10	6	0.36	2	0.02	2	27.92	2	1.65	2	0.00	6
6894	-279	-280	Max	13.04					-0.02	8			0.07	8		
6894	-279	-280	Max	21.47	0.10	6	0.36	2	0.03	2	27.19	2	2.54	2	0.00	6
6894	-279	-280	Min.	2.83	-0.10	6	-0.23	2	-0.04	2	-17.24	2	-2.59	2	-0.00	6
6894	-279	-280	Min.	13.04					0.01	8			0.04	8		
6894	-279	-280	Min.	21.47	-0.10	6	-0.23	2	-0.03	2	-17.97	2	-1.63	2	-0.00	6
6895	-311	-312	Max	2.83	0.10	6	0.38	2	0.02	2	29.06	2	1.65	2	0.00	6
6895	-311	-312	Max	12.71					-0.02	8			0.07	8		
6895	-311	-312	Max	20.84	0.10	6	0.38	2	0.03	2	28.35	2	2.56	2	0.00	6
6895	-311	-312	Min.	2.83	-0.12	6	-0.24	2	-0.04	2	-17.89	2	-2.61	2	-0.00	6
6895	-311	-312	Min.	12.71					0.01	8			0.04	8		
6895	-311	-312	Min.	20.84	-0.12	6	-0.24	2	-0.03	2	-18.60	2	-1.63	2	-0.00	6
6896	-343	-344	Max	2.83	0.10	6	0.40	2	0.02	2	30.25	2	1.65	2	0.00	6
6896	-343	-344	Max	12.40					-0.02	8			0.07	8		
6896	-343	-344	Max	20.22	0.10	6	0.40	2	0.03	2	29.57	2	2.57	2	0.00	6
6896	-343	-344	Min.	2.83	-0.11	6	-0.25	2	-0.04	2	-18.56	2	-2.63	2	-0.00	6
6896	-343	-344	Min.	12.40					0.01	8			0.04	8		
6896	-343	-344	Min.	20.22	-0.11	6	-0.25	2	-0.03	2	-19.24	2	-1.63	2	-0.00	6
6897	-375	-376	Max	2.83	0.16	6	0.41	2	0.02	2	31.48	2	1.65	2	0.00	6
6897	-375	-376	Max	12.07					-0.02	8			0.07	8		
6897	-375	-376	Max	19.59	0.16	6	0.41	2	0.03	2	30.82	2	2.58	2	0.00	6
6897	-375	-376	Min.	2.83	-0.12	6	-0.26	2	-0.04	2	-19.24	2	-2.64	2	-0.00	6
6897	-375	-376	Min.	12.07					0.01	8			0.04	8		
6897	-375	-376	Min.	19.59	-0.12	6	-0.26	2	-0.03	2	-19.90	2	-1.63	2	-0.00	6
6898	-407	-408	Max	2.83	-0.03	6	0.43	2	0.02	2	32.77	2	1.65	2	0.00	6
6898	-407	-408	Max	11.73					-0.02	8			0.07	8		
6898	-407	-408	Max	18.97	-0.03	6	0.43	2	0.03	2	32.13	2	2.59	2	0.00	6
6898	-407	-408	Min.	2.83	-0.19	6	-0.27	2	-0.04	2	-19.94	2	-2.64	2	-0.00	6
6898	-407	-408	Min.	11.73					0.01	8			0.04	8		
6898	-407	-408	Min.	18.97	-0.19	6	-0.27	2	-0.03	2	-20.57	2	-1.62	2	-0.00	6
6899	-439	-440	Max	2.83	2.34	6	0.45	2	0.02	2	34.03	2	1.63	2	0.00	6
6899	-439	-440	Max	11.37					-0.02	8			0.07	8		
6899	-439	-440	Max	18.34	2.34	6	0.45	2	0.03	2	33.43	2	2.58	2	0.00	6
6899	-439	-440	Min.	2.83	-0.70	6	-0.27	2	-0.04	2	-20.59	2	-2.65	2	-0.00	6
6899	-439	-440	Min.	11.37					0.01	8			0.03	8		
6899	-439	-440	Min.	18.34	-0.70	6	-0.27	2	-0.03	2	-21.20	2	-1.61	2	-0.00	6
6900	-471	-472	Max	2.83	3.89	6	0.45	2	0.02	2	34.80	2	1.61	2	0.01	2
6900	-471	-472	Max	11.05					0.01	8			0.16	8		
6900	-471	-472	Max	17.72	3.89	6	0.45	2	0.03	2	34.21	2	2.61	2	0.01	2
6900	-471	-472	Min.	2.83	-14.92	6	-0.27	2	-0.04	2	-20.87	2	-2.53	2	-0.00	2
6900	-471	-472	Min.	11.05					-0.02	8			0.04	8		
6900	-471	-472	Min.	17.72	-14.92	6	-0.27	2	-0.03	2	-21.46	2	-1.54	2	-0.00	2
6901	-503	-504	Max	2.83	87.64	6	0.35	2	0.02	2	31.06	2	1.24	2	0.00	6
6901	-503	-504	Max	9.95					0.01	8			0.20	8		
6901	-503	-504	Max	17.09	87.64	6	0.35	2	0.02	2	30.50	2	1.87	2	0.00	6
6901	-503	-504	Min.	2.83	-23.60	6	-0.23	2	-0.03	2	-18.87	2	-2.64	2	-0.00	6
6901	-503	-504	Min.	9.95					-0.01	8			-0.75	8		

6901	-503	-504	Min.	17.09	-23.60	6	-0.23	2	-0.02	2	-19.43	2	-1.61	2	-0.00	6
6905	-511	-512	Max	3.53	37.24	6	0.32	2	0.03	2	32.86	2	1.89	2	0.01	6
6905	-511	-512	Max	9.24					0.00	8			0.40	8		
6905	-511	-512	Max	17.80	37.24	6	0.32	2	0.02	2	32.30	2	2.56	2	0.01	6
6905	-511	-512	Min.	3.53	-65.46	6	-0.39	2	-0.03	2	-23.17	2	-2.30	2	-0.00	6
6905	-511	-512	Min.	9.24					-0.01	8			-0.28	8		
6905	-511	-512	Min.	17.80	-65.46	6	-0.39	2	-0.03	2	-23.73	2	-1.68	2	-0.00	6
6906	-479	-480	Max	3.53	10.90	6	0.35	2	0.03	2	36.49	2	1.86	2	0.01	6
6906	-479	-480	Max	9.49					-0.02	8			-0.03	8		
6906	-479	-480	Max	18.42	10.90	6	0.35	2	0.02	2	35.91	2	2.72	2	0.01	6
6906	-479	-480	Min.	3.53	-6.38	6	-0.48	2	-0.04	2	-25.45	2	-2.68	2	-0.00	6
6906	-479	-480	Min.	9.49					0.01	8			-0.15	8		
6906	-479	-480	Min.	18.42	-6.38	6	-0.48	2	-0.04	2	-26.03	2	-1.99	2	-0.00	6
6907	-447	-448	Max	3.53	0.97	6	0.35	2	0.04	2	35.75	2	1.93	2	0.01	6
6907	-447	-448	Max	11.21					0.01	8			0.01	8		
6907	-447	-448	Max	19.05	0.97	6	0.35	2	0.02	2	35.14	2	2.78	2	0.01	6
6907	-447	-448	Min.	3.53	-1.84	6	-0.48	2	-0.04	2	-25.01	2	-2.72	2	-0.00	6
6907	-447	-448	Min.	11.21					-0.02	8			0.00	8		
6907	-447	-448	Min.	19.05	-1.84	6	-0.48	2	-0.05	2	-25.62	2	-2.00	2	-0.00	6
6908	-415	-416	Max	3.53	0.02	6	0.34	2	0.04	2	34.40	2	1.94	2	0.01	6
6908	-415	-416	Max	11.43					0.01	8			0.00	8		
6908	-415	-416	Max	19.67	0.02	6	0.34	2	0.02	2	33.77	2	2.77	2	0.01	6
6908	-415	-416	Min.	3.53	-0.10	6	-0.46	2	-0.04	2	-24.13	2	-2.73	2	-0.00	6
6908	-415	-416	Min.	11.43					-0.02	8			-0.01	8		
6908	-415	-416	Min.	19.67	-0.10	6	-0.46	2	-0.05	2	-24.76	2	-2.01	2	-0.00	6
6909	-383	-384	Max	3.53	0.05	6	0.32	2	0.04	2	33.03	2	1.94	2	0.01	6
6909	-383	-384	Max	11.72					0.01	8			0.00	8		
6909	-383	-384	Max	20.30	0.05	6	0.32	2	0.02	2	32.37	2	2.76	2	0.01	6
6909	-383	-384	Min.	3.53	-0.23	6	-0.44	2	-0.04	2	-23.23	2	-2.72	2	-0.00	6
6909	-383	-384	Min.	11.72					-0.02	8			-0.00	8		
6909	-383	-384	Min.	20.30	-0.23	6	-0.44	2	-0.05	2	-23.89	2	-2.01	2	-0.00	6
6910	-351	-352	Max	3.53	0.03	6	0.31	2	0.04	2	31.71	2	1.94	2	0.01	6
6910	-351	-352	Max	11.99					-0.02	8			0.00	8		
6910	-351	-352	Max	20.92	0.03	6	0.31	2	0.02	2	31.03	2	2.75	2	0.01	6
6910	-351	-352	Min.	3.53	-0.19	6	-0.42	2	-0.04	2	-22.35	2	-2.71	2	-0.00	6
6910	-351	-352	Min.	11.99					0.01	8			-0.01	8		
6910	-351	-352	Min.	20.92	-0.19	6	-0.42	2	-0.05	2	-23.04	2	-2.01	2	-0.00	6
6911	-319	-320	Max	3.53	0.02	6	0.30	2	0.04	2	30.45	2	1.94	2	0.01	6
6911	-319	-320	Max	12.25					-0.02	8			0.00	8		
6911	-319	-320	Max	21.55	0.02	6	0.30	2	0.02	2	29.74	2	2.73	2	0.01	6
6911	-319	-320	Min.	3.53	-0.20	6	-0.41	2	-0.04	2	-21.50	2	-2.69	2	-0.00	6
6911	-319	-320	Min.	12.25					0.01	8			-0.01	8		
6911	-319	-320	Min.	21.55	-0.20	6	-0.41	2	-0.05	2	-22.21	2	-2.00	2	-0.00	6
6912	-287	-288	Max	3.53	0.03	6	0.29	2	0.03	2	29.25	2	1.93	2	0.01	6
6912	-287	-288	Max	12.64					-0.02	8			0.00	8		
6912	-287	-288	Max	22.17	0.03	6	0.29	2	0.02	2	28.52	2	2.71	2	0.01	6
6912	-287	-288	Min.	3.53	-0.19	6	-0.39	2	-0.04	2	-20.68	2	-2.68	2	-0.00	6
6912	-287	-288	Min.	12.64					0.01	8			0.00	8		
6912	-287	-288	Min.	22.17	-0.19	6	-0.39	2	-0.04	2	-21.41	2	-1.99	2	-0.00	6
6913	-255	-256	Max	3.53	0.01	6	0.28	2	0.03	2	28.11	2	1.92	2	0.01	6
6913	-255	-256	Max	13.17					0.01	8			0.01	8		
6913	-255	-256	Max	22.80	0.01	6	0.28	2	0.02	2	27.35	2	2.69	2	0.01	6
6913	-255	-256	Min.	3.53	-0.19	6	-0.37	2	-0.04	2	-19.88	2	-2.66	2	-0.00	6
6913	-255	-256	Min.	13.17					-0.02	8			0.01	8		
6913	-255	-256	Min.	22.80	-0.19	6	-0.37	2	-0.04	2	-20.63	2	-1.98	2	-0.00	6
6914	-223	-224	Max	3.53	0.02	6	0.26	2	0.03	2	27.00	2	1.91	2	0.01	6
6914	-223	-224	Max	13.44					0.01	8			0.01	8		
6914	-223	-224	Max	23.42	0.02	6	0.26	2	0.02	2	26.22	2	2.66	2	0.01	6
6914	-223	-224	Min.	3.53	-0.18	6	-0.36	2	-0.04	2	-19.10	2	-2.63	2	-0.00	6

6914	-223	-224	Min.	13.44					-0.02	8			0.00	8		
6914	-223	-224	Min.	23.42	-0.18	6	-0.36	2	-0.04	2	-19.88	2	-1.97	2	-0.00	6
6915	-191	-192	Max	3.53	0.03	6	0.25	2	0.03	2	25.90	2	1.89	2	0.00	6
6915	-191	-192	Max	13.72					0.01	8			0.01	8		
6915	-191	-192	Max	24.05	0.03	6	0.25	2	0.02	2	25.10	2	2.63	2	0.00	6
6915	-191	-192	Min.	3.53	-0.18	6	-0.34	2	-0.03	2	-18.31	2	-2.60	2	-0.00	6
6915	-191	-192	Min.	13.72					-0.02	8			0.00	8		
6915	-191	-192	Min.	24.05	-0.18	6	-0.34	2	-0.04	2	-19.12	2	-1.95	2	-0.00	6
6916	-159	-160	Max	3.53	0.02	6	0.24	2	0.03	2	24.68	2	1.85	2	0.00	6
6916	-159	-160	Max	14.00					0.01	8			0.01	8		
6916	-159	-160	Max	24.67	0.02	6	0.24	2	0.02	2	23.85	2	2.57	2	0.00	6
6916	-159	-160	Min.	3.53	-0.19	6	-0.32	2	-0.03	2	-17.42	2	-2.56	2	-0.00	6
6916	-159	-160	Min.	14.00					-0.02	8			0.00	8		
6916	-159	-160	Min.	24.67	-0.19	6	-0.32	2	-0.04	2	-18.25	2	-1.92	2	-0.00	6
6917	-127	-128	Max	3.53	0.08	6	0.20	2	0.03	2	22.75	2	1.76	2	0.00	6
6917	-127	-128	Max	14.17					-0.02	8			0.01	8		
6917	-127	-128	Max	25.30	0.08	6	0.20	2	0.02	2	21.89	2	2.44	2	0.00	6
6917	-127	-128	Min.	3.53	-0.13	6	-0.28	2	-0.03	2	-16.01	2	-2.42	2	-0.00	6
6917	-127	-128	Min.	14.17					0.01	8			0.00	8		
6917	-127	-128	Min.	25.30	-0.13	6	-0.28	2	-0.04	2	-16.86	2	-1.82	2	-0.00	6
6918	-95	-96	Max	3.53	-0.45	6	0.14	2	0.02	2	17.62	2	1.39	2	0.00	6
6918	-95	-96	Max	14.37					-0.01	8			0.01	8		
6918	-95	-96	Max	25.92	-0.45	6	0.14	2	0.02	2	16.74	2	1.92	2	0.00	6
6918	-95	-96	Min.	3.53	-0.74	6	-0.20	2	-0.02	2	-12.23	2	-1.92	2	-0.00	6
6918	-95	-96	Min.	14.37					0.01	8			-0.01	8		
6918	-95	-96	Min.	25.92	-0.74	6	-0.20	2	-0.03	2	-13.11	2	-1.45	2	-0.00	6
6919	-63	-64	Max	3.53	5.49	2	0.05	2	0.01	6	20.12	2	1.74	2	0.01	2
6919	-63	-64	Max	14.61					-0.01	8			0.15	8		
6919	-63	-64	Max	26.55	5.49	2	0.05	2	0.01	6	18.32	2	2.32	2	0.01	2
6919	-63	-64	Min.	3.53	4.31	2	-0.03	2	-0.01	6	-13.50	2	-2.10	2	-0.02	2
6919	-63	-64	Min.	14.61					0.01	8			0.12	8		
6919	-63	-64	Min.	26.55	4.31	2	-0.03	2	-0.01	6	-15.31	2	-1.58	2	-0.02	2
6920	-31	-32	Max	3.53	22.19	2	0.36	2	0.02	2	12.27	2	1.08	2	0.00	6
6920	-31	-32	Max	26.86	22.19	2	0.36	2	0.04	2	10.44	2	1.39	2	0.00	6
6920	-31	-32	Min.	3.53	19.42	2	-0.18	2	-0.04	2	-8.00	2	-1.26	2	0.00	6
6920	-31	-32	Min.	26.86	19.42	2	-0.18	2	-0.02	2	-9.83	2	-1.00	2	0.00	6
6921	382	383	Max	1.77	-1.94	6	1.95	2	-0.09	2	0.76	2	0.16	2	0.16	2
6921	382	383	Max	13.92					-0.15	8			0.01	8		
6921	382	383	Max	15.00	-1.94	6	1.01	2	-0.15	6	0.76	2	0.01	6	0.16	2
6921	382	383	Min.	1.77	-8.32	6	-0.25	2	-0.35	2	-1.12	2	-0.09	2	-0.09	2
6921	382	383	Min.	13.92					-0.19	8			0.01	8		
6921	382	383	Min.	15.00	-8.32	6	-1.19	2	-0.19	6	-1.12	2	0.01	6	-0.09	2
6921	383	384	Max	0.00	-1.94	6	1.01	2	-0.15	6	0.76	2	0.01	6	0.16	2
6921	383	384	Max	11.91					-0.11	4			0.10	4		
6921	383	384	Max	13.23	-1.94	6	0.07	2	-0.08	2	0.76	2	0.11	2	0.16	2
6921	383	384	Min.	0.00	-8.32	6	-1.19	2	-0.19	6	-1.12	2	0.01	6	-0.09	2
6921	383	384	Min.	11.91					-0.36	4			-0.12	4		
6921	383	384	Min.	13.23	-8.32	6	-2.13	2	-0.41	2	-1.12	2	-0.14	2	-0.09	2
6922	-543	-544	Max	0.00	0.27	2	8.81	2	0.98	2	0.03	2	0.09	2	0.23	2
6922	-543	-544	Max	12.00	0.27	2	8.81	2	0.53	2	1.63	2	0.04	2	0.23	2
6922	-543	-544	Min.	0.00	-0.17	2	-16.50	2	-0.53	2	-1.84	2	-0.06	2	-0.16	2
6922	-543	-544	Min.	12.00	-0.17	2	-16.50	2	-1.00	2	-0.24	2	-0.03	2	-0.16	2
6923	-527	-528	Max	0.00	0.30	2	8.52	2	1.00	2	0.30	2	0.02	2	0.32	2
6923	-527	-528	Max	12.00	0.30	2	8.52	2	0.50	2	1.90	2	0.06	6	0.32	2
6923	-527	-528	Min.	0.00	-0.32	2	-16.53	2	-0.52	2	-1.10	2	-0.07	2	-0.23	2
6923	-527	-528	Min.	12.00	-0.32	2	-16.53	2	-0.98	2	0.50	2	-0.01	6	-0.23	2
7001	3002	-815	Max	0.00	9.15	6	1.84	6	1.17	6	-16.46	2	1.68	2	-0.02	2
7001	3002	-815	Max	154.00	9.15	6	1.84	6	1.58	6	6.39	2	-8.75	2	-0.02	2
7001	3002	-815	Min.	0.00	-3.96	6	-1.80	6	-1.26	6	-18.24	2	-2.68	2	-0.04	2

7001	3002	-815	Min.	154.00	-3.96	6	-1.80	6	-1.61	6	4.62	2	-10.50	2	-0.04	2
7001	-815	3003	Max	0.00	8.25	6	2.20	6	1.58	6	6.39	2	-8.75	2	-0.02	2
7001	-815	3003	Max	154.00	8.25	6	2.20	6	1.78	6	29.25	2	17.01	2	-0.02	2
7001	-815	3003	Min.	0.00	-3.06	6	-2.16	6	-1.61	6	4.62	2	-10.50	2	-0.04	2
7001	-815	3003	Min.	154.00	-3.06	6	-2.16	6	-1.76	6	27.47	2	15.90	2	-0.04	2
7001	3004	-804	Max	0.00	10.69	6	2.15	6	1.71	6	-23.44	2	17.92	2	0.01	2
7001	3004	-804	Max	164.00	10.69	6	2.15	6	1.72	6	0.90	2	-3.62	6	0.01	2
7001	3004	-804	Min.	0.00	-3.30	6	-2.11	6	-1.81	6	-25.41	2	14.54	2	-0.01	2
7001	3004	-804	Min.	164.00	-3.30	6	-2.11	6	-1.75	6	-1.07	2	-4.11	6	-0.01	2
7001	-804	3005	Max	0.00	11.07	6	2.15	6	1.72	6	0.90	2	-3.62	6	0.01	2
7001	-804	3005	Max	164.00	11.07	6	2.15	6	1.77	6	25.24	2	17.64	2	0.01	2
7001	-804	3005	Min.	0.00	-3.68	6	-2.10	6	-1.75	6	-1.07	2	-4.11	6	-0.01	2
7001	-804	3005	Min.	164.00	-3.68	6	-2.10	6	-1.72	6	23.27	2	14.27	2	-0.01	2
7001	3006	-795	Max	0.00	9.23	6	2.21	6	1.71	6	-27.65	2	17.34	2	0.04	2
7001	3006	-795	Max	154.00	9.23	6	2.21	6	1.56	6	-4.79	2	-8.71	2	0.04	2
7001	3006	-795	Min.	0.00	-3.32	6	-2.15	6	-1.84	6	-29.43	2	16.21	2	0.02	2
7001	3006	-795	Min.	154.00	-3.32	6	-2.15	6	-1.60	6	-6.57	2	-10.44	2	0.02	2
7001	-795	3007	Max	0.00	10.37	6	1.87	6	1.56	6	-4.79	2	-8.71	2	0.04	2
7001	-795	3007	Max	154.00	10.37	6	1.87	6	1.28	6	18.06	2	1.44	2	0.04	2
7001	-795	3007	Min.	0.00	-4.46	6	-1.81	6	-1.60	6	-6.57	2	-10.44	2	0.02	2
7001	-795	3007	Min.	154.00	-4.46	6	-1.81	6	-1.22	6	16.29	2	-2.89	2	0.02	2
7002	4027	-816	Max	0.00	75.29	6	2.24	6	1.50	6	-4.23	2	30.76	2	-0.04	2
7002	4027	-816	Max	154.00	75.29	6	2.24	6	1.84	6	20.94	2	-7.51	2	-0.04	2
7002	4027	-816	Min.	0.00	-7.27	6	-2.17	6	-1.61	6	-37.43	2	-22.01	2	-0.04	2
7002	4027	-816	Min.	154.00	-7.27	6	-2.17	6	-1.84	6	-12.27	2	-9.14	2	-0.04	2
7002	-816	4028	Max	0.00	73.98	6	2.65	6	1.84	6	20.94	2	-7.51	2	-0.04	2
7002	-816	4028	Max	154.00	73.98	6	2.65	6	2.26	6	46.11	2	42.48	2	-0.04	2
7002	-816	4028	Min.	0.00	-5.97	6	-2.58	6	-1.84	6	-12.27	2	-9.14	2	-0.04	2
7002	-816	4028	Min.	154.00	-5.97	6	-2.58	6	-2.15	6	12.90	2	-7.02	2	-0.04	2
7002	4030	-805	Max	0.00	73.59	6	2.57	6	2.22	6	-12.04	2	37.73	2	0.00	2
7002	4030	-805	Max	164.00	73.59	6	2.57	6	2.03	6	14.76	2	-8.29	6	0.00	2
7002	4030	-805	Min.	0.00	26.52	6	-2.58	6	-2.18	6	-41.47	2	-10.56	2	0.00	2
7002	4030	-805	Min.	164.00	26.52	6	-2.58	6	-2.02	6	-14.67	2	-8.35	6	0.00	2
7002	-805	4031	Max	0.00	73.31	6	2.56	6	2.03	6	14.76	2	-8.29	6	0.00	2
7002	-805	4031	Max	164.00	73.31	6	2.56	6	2.17	6	41.56	2	37.88	2	0.00	2
7002	-805	4031	Min.	0.00	26.79	6	-2.57	6	-2.02	6	-14.67	2	-8.35	6	0.00	2
7002	-805	4031	Min.	164.00	26.79	6	-2.57	6	-2.18	6	12.13	2	-10.42	2	0.00	2
7002	4033	-794	Max	0.00	73.77	6	2.59	6	2.28	6	-12.83	2	42.36	2	0.04	2
7002	4033	-794	Max	154.00	73.77	6	2.59	6	1.84	6	12.34	2	-7.52	2	0.04	2
7002	4033	-794	Min.	0.00	-6.37	6	-2.66	6	-2.15	6	-46.03	2	-7.14	2	0.04	2
7002	4033	-794	Min.	154.00	-6.37	6	-2.66	6	-1.82	6	-20.87	2	-9.15	2	0.04	2
7002	-794	4034	Max	0.00	75.07	6	2.18	6	1.84	6	12.34	2	-7.52	2	0.04	2
7002	-794	4034	Max	154.00	75.07	6	2.18	6	1.53	6	37.50	2	30.86	2	0.04	2
7002	-794	4034	Min.	0.00	-7.67	6	-2.25	6	-1.82	6	-20.87	2	-9.15	2	0.04	2
7002	-794	4034	Min.	154.00	-7.67	6	-2.25	6	-1.62	6	4.30	2	-21.91	2	0.04	2
7003	-594	-817	Max	0.00	7.25	2	0.48	6	0.71	6	-22.78	6	-0.58	2	-0.08	2
7003	-594	-817	Max	154.00	7.25	2	0.48	6	0.08	6	2.39	6	-17.13	2	-0.08	2
7003	-594	-817	Min.	0.00	-7.32	2	-0.54	6	-0.67	6	-23.54	6	-2.25	2	-0.09	2
7003	-594	-817	Min.	154.00	-7.32	2	-0.54	6	-0.12	6	1.63	6	-18.28	2	-0.09	2
7003	-817	-595	Max	0.00	50.24	6	0.37	2	0.01	2	10.91	2	-17.13	2	-0.09	2
7003	-817	-595	Max	154.00	50.24	6	0.37	2	0.44	2	36.07	2	18.32	2	-0.09	2
7003	-817	-595	Min.	0.00	13.69	6	-0.12	2	-0.12	2	10.44	2	-18.29	2	-0.09	2
7003	-817	-595	Min.	154.00	13.69	6	-0.12	2	-0.18	2	35.60	2	17.89	2	-0.09	2
7003	-596	-806	Max	0.00	50.24	6	0.09	2	0.31	2	-30.74	2	18.83	2	0.01	2
7003	-596	-806	Max	164.00	50.24	6	0.09	2	0.00	6	-3.94	2	-11.10	6	0.01	2
7003	-596	-806	Min.	0.00	13.79	6	-0.29	2	-0.19	2	-31.97	2	17.05	2	-0.00	2
7003	-596	-806	Min.	164.00	13.79	6	-0.29	2	-0.22	6	-5.17	2	-11.91	6	-0.00	2
7003	-806	-597	Max	0.00	50.37	6	0.27	2	0.00	6	5.16	2	-11.10	6	0.00	2
7003	-806	-597	Max	164.00	50.37	6	0.27	2	0.29	2	31.96	2	18.82	2	0.00	2

7003	-806	-597	Min.	0.00	13.57	6	-0.09	2	-0.21	6	3.94	2	-11.91	6	-0.01	2
7003	-806	-597	Min.	164.00	13.57	6	-0.09	2	-0.20	2	30.74	2	17.05	2	-0.01	2
7003	-598	-793	Max	0.00	50.16	6	0.09	2	0.46	2	-35.61	2	18.34	2	0.09	2
7003	-598	-793	Max	154.00	50.16	6	0.09	2	-0.01	2	-10.45	2	-17.13	2	0.09	2
7003	-598	-793	Min.	0.00	13.70	6	-0.38	2	-0.16	2	-36.08	2	17.91	2	0.09	2
7003	-598	-793	Min.	154.00	13.70	6	-0.38	2	-0.12	2	-10.92	2	-18.29	2	0.09	2
7003	-793	-599	Max	0.00	7.24	2	0.55	6	0.06	6	-1.63	6	-17.12	2	0.09	2
7003	-793	-599	Max	154.00	7.24	2	0.55	6	0.72	6	23.53	6	-0.59	2	0.09	2
7003	-793	-599	Min.	0.00	-7.30	2	-0.46	6	-0.12	6	-2.39	6	-18.29	2	0.08	2
7003	-793	-599	Min.	154.00	-7.30	2	-0.46	6	-0.64	6	22.77	6	-2.26	2	0.08	2
7004	-658	-818	Max	0.00	108.06	6	2.32	6	1.18	6	-20.22	2	-1.95	2	-0.06	6
7004	-658	-818	Max	154.00	108.06	6	2.32	6	2.13	6	4.94	2	-14.87	2	-0.06	6
7004	-658	-818	Min.	0.00	14.62	6	-2.14	6	-1.44	6	-21.21	2	-3.16	2	-0.06	6
7004	-658	-818	Min.	154.00	14.62	6	-2.14	6	-2.12	6	3.96	2	-15.29	2	-0.06	6
7004	-818	-659	Max	0.00	108.82	6	2.90	6	2.13	6	4.94	2	-14.87	2	-0.06	6
7004	-818	-659	Max	154.00	108.82	6	2.90	6	2.37	6	30.11	2	12.12	2	-0.06	6
7004	-818	-659	Min.	0.00	13.86	6	-2.73	6	-2.12	6	3.96	2	-15.29	2	-0.06	6
7004	-818	-659	Min.	154.00	13.86	6	-2.73	6	-2.08	6	29.12	2	10.18	2	-0.06	6
7004	-660	-807	Max	0.00	102.70	6	2.70	6	2.13	6	-26.64	2	11.71	2	0.00	2
7004	-660	-807	Max	164.00	102.70	6	2.70	6	2.26	6	0.16	2	-10.45	6	0.00	2
7004	-660	-807	Min.	0.00	34.18	6	-2.71	6	-2.17	6	-26.97	2	11.09	2	-0.00	2
7004	-660	-807	Min.	164.00	34.18	6	-2.71	6	-2.31	6	-0.17	2	-10.71	6	-0.00	2
7004	-807	-661	Max	0.00	102.67	6	2.70	6	2.26	6	0.16	2	-10.45	6	0.00	2
7004	-807	-661	Max	164.00	102.67	6	2.70	6	2.11	6	26.96	2	11.71	2	0.00	2
7004	-807	-661	Min.	0.00	34.21	6	-2.70	6	-2.31	6	-0.17	2	-10.71	6	-0.00	2
7004	-807	-661	Min.	164.00	34.21	6	-2.70	6	-2.17	6	26.63	2	11.09	2	-0.00	2
7004	-662	-796	Max	0.00	108.77	6	2.73	6	2.38	6	-29.13	2	12.13	2	0.06	6
7004	-662	-796	Max	154.00	108.77	6	2.73	6	2.13	6	-3.96	2	-14.87	2	0.06	6
7004	-662	-796	Min.	0.00	14.06	6	-2.91	6	-2.08	6	-30.11	2	10.19	2	0.06	6
7004	-662	-796	Min.	154.00	14.06	6	-2.91	6	-2.11	6	-4.95	2	-15.29	2	0.06	6
7004	-796	-663	Max	0.00	108.07	6	2.15	6	2.13	6	-3.96	2	-14.87	2	0.06	6
7004	-796	-663	Max	154.00	108.07	6	2.15	6	1.20	6	21.21	2	-1.95	2	0.06	6
7004	-796	-663	Min.	0.00	14.77	6	-2.33	6	-2.11	6	-4.95	2	-15.29	2	0.06	6
7004	-796	-663	Min.	154.00	14.77	6	-2.33	6	-1.45	6	20.22	2	-3.17	2	0.06	6
7005	-722	-819	Max	0.00	8.42	2	1.10	6	0.73	6	-23.85	2	-1.25	2	-0.02	6
7005	-722	-819	Max	154.00	8.42	2	1.10	6	0.50	6	1.31	2	-19.80	6	-0.02	6
7005	-722	-819	Min.	0.00	-8.46	2	-0.50	6	-1.20	6	-24.98	2	-2.59	2	-0.02	6
7005	-722	-819	Min.	154.00	-8.46	2	-0.50	6	-0.05	6	0.18	2	-20.50	6	-0.02	6
7005	-819	-723	Max	0.00	63.17	6	-0.10	2	0.34	6	9.94	2	-19.80	6	-0.02	6
7005	-819	-723	Max	154.00	63.17	6	-0.10	2	0.02	2	35.11	2	14.54	2	-0.02	6
7005	-819	-723	Min.	0.00	42.09	6	-0.36	2	0.09	6	8.76	2	-20.50	6	-0.02	6
7005	-819	-723	Min.	154.00	42.09	6	-0.36	2	-0.29	2	33.93	2	12.72	2	-0.02	6
7005	-724	-808	Max	0.00	64.01	6	0.27	2	0.00	2	-31.03	6	14.05	2	0.00	2
7005	-724	-808	Max	164.00	64.01	6	0.27	2	0.16	2	-4.23	6	-15.33	6	0.00	2
7005	-724	-808	Min.	0.00	41.20	6	0.07	2	-0.29	2	-31.62	6	13.55	2	0.00	2
7005	-724	-808	Min.	164.00	41.20	6	0.07	2	0.12	2	-4.82	6	-15.87	6	0.00	2
7005	-808	-725	Max	0.00	64.04	6	-0.08	2	0.16	2	4.82	6	-15.33	6	-0.00	2
7005	-808	-725	Max	164.00	64.04	6	-0.08	2	-0.01	2	31.62	6	14.05	2	-0.00	2
7005	-808	-725	Min.	0.00	41.15	6	-0.28	2	0.13	2	4.23	6	-15.87	6	-0.00	2
7005	-808	-725	Min.	164.00	41.15	6	-0.28	2	-0.30	2	31.03	6	13.55	2	-0.00	2
7005	-726	-797	Max	0.00	63.15	6	0.33	2	0.03	2	-33.93	2	14.54	2	0.03	6
7005	-726	-797	Max	154.00	63.15	6	0.33	2	0.33	6	-8.76	2	-19.80	6	0.03	6
7005	-726	-797	Min.	0.00	42.08	6	0.10	2	-0.27	2	-35.11	2	12.72	2	0.02	6
7005	-726	-797	Min.	154.00	42.08	6	0.10	2	0.09	6	-9.94	2	-20.50	6	0.02	6
7005	-797	-727	Max	0.00	8.42	2	0.51	6	0.49	6	-0.18	2	-19.80	6	0.02	6
7005	-797	-727	Max	154.00	8.42	2	0.51	6	0.74	6	24.99	2	-1.25	2	0.02	6
7005	-797	-727	Min.	0.00	-8.45	2	-1.09	6	-0.04	6	-1.31	2	-20.50	6	0.02	6
7005	-797	-727	Min.	154.00	-8.45	2	-1.09	6	-1.19	6	23.85	2	-2.60	2	0.02	6
7006	-786	-820	Max	0.00	29.60	2	2.15	6	1.19	6	-20.52	2	-1.65	2	0.00	6

7006	-786	-820	Max	154.00	29.60	2	2.15	6	2.11	6	4.64	2	-15.70	2	0.00	6
7006	-786	-820	Min.	0.00	29.34	2	-2.14	6	-1.20	6	-21.82	2	-3.47	2	-0.00	6
7006	-786	-820	Min.	154.00	29.34	2	-2.14	6	-2.12	6	3.35	2	-15.87	2	-0.00	6
7006	-820	-787	Max	0.00	34.22	2	2.79	6	2.11	6	4.64	2	-15.70	2	0.00	6
7006	-820	-787	Max	154.00	34.22	2	2.79	6	2.17	6	29.81	2	10.82	2	0.00	6
7006	-820	-787	Min.	0.00	24.73	2	-2.78	6	-2.12	6	3.35	2	-15.87	2	-0.00	6
7006	-820	-787	Min.	154.00	24.73	2	-2.78	6	-2.18	6	28.51	2	8.67	2	-0.00	6
7006	-788	-809	Max	0.00	-24.56	2	2.64	6	2.06	6	-26.77	2	9.75	2	0.00	2
7006	-788	-809	Max	164.00	-24.56	2	2.64	6	2.28	6	0.03	2	-12.28	2	0.00	2
7006	-788	-809	Min.	0.00	-29.75	2	-2.64	6	-2.05	6	-26.83	2	9.65	2	0.00	2
7006	-788	-809	Min.	164.00	-29.75	2	-2.64	6	-2.28	6	-0.03	2	-12.28	2	0.00	2
7006	-809	-789	Max	0.00	-24.58	2	2.63	6	2.28	6	0.03	2	-12.28	2	0.00	2
7006	-809	-789	Max	164.00	-24.58	2	2.63	6	2.04	6	26.83	2	9.75	2	0.00	2
7006	-809	-789	Min.	0.00	-29.73	2	-2.64	6	-2.28	6	-0.03	2	-12.28	2	0.00	2
7006	-809	-789	Min.	164.00	-29.73	2	-2.64	6	-2.05	6	26.77	2	9.64	2	0.00	2
7006	-790	-798	Max	0.00	34.19	2	2.78	6	2.18	6	-28.51	2	10.83	2	0.00	6
7006	-790	-798	Max	154.00	34.19	2	2.78	6	2.11	6	-3.35	2	-15.71	2	0.00	6
7006	-790	-798	Min.	0.00	24.84	2	-2.78	6	-2.17	6	-29.81	2	8.67	2	-0.00	6
7006	-790	-798	Min.	154.00	24.84	2	-2.78	6	-2.11	6	-4.65	2	-15.86	2	-0.00	6
7006	-798	-791	Max	0.00	29.69	2	2.15	6	2.11	6	-3.35	2	-15.71	2	0.00	6
7006	-798	-791	Max	154.00	29.69	2	2.15	6	1.20	6	21.82	2	-1.63	2	0.00	6
7006	-798	-791	Min.	0.00	29.34	2	-2.15	6	-2.11	6	-4.65	2	-15.86	2	-0.00	6
7006	-798	-791	Min.	154.00	29.34	2	-2.15	6	-1.20	6	20.52	2	-3.48	2	-0.00	6
7007	-730	-821	Max	0.00	8.42	2	0.52	6	1.20	6	-23.85	2	-1.25	2	0.02	6
7007	-730	-821	Max	154.00	8.42	2	0.52	6	0.05	6	1.31	2	-19.79	6	0.02	6
7007	-730	-821	Min.	0.00	-8.45	2	-1.10	6	-0.75	6	-24.99	2	-2.60	2	0.02	6
7007	-730	-821	Min.	154.00	-8.45	2	-1.10	6	-0.49	6	0.18	2	-20.51	6	0.02	6
7007	-821	-731	Max	0.00	63.20	6	0.32	2	-0.09	6	9.94	2	-19.80	6	0.02	6
7007	-821	-731	Max	154.00	63.20	6	0.32	2	0.26	2	35.11	2	14.54	2	0.02	6
7007	-821	-731	Min.	0.00	42.06	6	0.11	2	-0.33	6	8.77	2	-20.51	6	0.02	6
7007	-821	-731	Min.	154.00	42.06	6	0.11	2	-0.02	2	33.93	2	12.72	2	0.02	6
7007	-732	-810	Max	0.00	64.06	6	-0.09	2	0.28	2	-31.03	6	14.05	2	-0.00	2
7007	-732	-810	Max	164.00	64.06	6	-0.09	2	-0.13	2	-4.23	6	-15.33	6	-0.00	2
7007	-732	-810	Min.	0.00	41.16	6	-0.27	2	0.02	2	-31.62	6	13.54	2	-0.00	2
7007	-732	-810	Min.	164.00	41.16	6	-0.27	2	-0.16	2	-4.82	6	-15.87	6	-0.00	2
7007	-810	-733	Max	0.00	64.05	6	0.27	2	-0.13	2	4.82	6	-15.33	6	0.00	2
7007	-810	-733	Max	164.00	64.05	6	0.27	2	0.28	2	31.62	6	14.05	2	0.00	2
7007	-810	-733	Min.	0.00	41.15	6	0.08	2	-0.16	2	4.23	6	-15.87	6	0.00	2
7007	-810	-733	Min.	164.00	41.15	6	0.08	2	0.01	2	31.03	6	13.55	2	0.00	2
7007	-734	-799	Max	0.00	63.18	6	-0.11	2	0.28	2	-33.93	2	14.54	2	-0.02	6
7007	-734	-799	Max	154.00	63.18	6	-0.11	2	-0.09	6	-8.76	2	-19.80	6	-0.02	6
7007	-734	-799	Min.	0.00	42.07	6	-0.33	2	-0.02	2	-35.11	2	12.72	2	-0.03	6
7007	-734	-799	Min.	154.00	42.07	6	-0.33	2	-0.33	6	-9.94	2	-20.50	6	-0.03	6
7007	-799	-735	Max	0.00	8.42	2	1.09	6	0.04	6	-0.18	2	-19.80	6	-0.02	6
7007	-799	-735	Max	154.00	8.42	2	1.09	6	1.19	6	24.99	2	-1.25	2	-0.02	6
7007	-799	-735	Min.	0.00	-8.45	2	-0.50	6	-0.49	6	-1.31	2	-20.50	6	-0.02	6
7007	-799	-735	Min.	154.00	-8.45	2	-0.50	6	-0.73	6	23.85	2	-2.60	2	-0.02	6
7008	-666	-822	Max	0.00	108.06	6	2.15	6	1.45	6	-20.22	2	-1.95	2	0.06	6
7008	-666	-822	Max	154.00	108.06	6	2.15	6	2.11	6	4.94	2	-14.87	2	0.06	6
7008	-666	-822	Min.	0.00	14.77	6	-2.32	6	-1.20	6	-21.21	2	-3.16	2	0.06	6
7008	-666	-822	Min.	154.00	14.77	6	-2.32	6	-2.13	6	3.96	2	-15.29	2	0.06	6
7008	-822	-667	Max	0.00	108.76	6	2.73	6	2.11	6	4.94	2	-14.87	2	0.06	6
7008	-822	-667	Max	154.00	108.76	6	2.73	6	2.09	6	30.11	2	12.12	2	0.06	6
7008	-822	-667	Min.	0.00	14.07	6	-2.90	6	-2.13	6	3.96	2	-15.29	2	0.06	6
7008	-822	-667	Min.	154.00	14.07	6	-2.90	6	-2.37	6	29.12	2	10.18	2	0.06	6
7008	-668	-811	Max	0.00	102.74	6	2.70	6	2.17	6	-26.64	2	11.71	2	0.00	2
7008	-668	-811	Max	164.00	102.74	6	2.70	6	2.31	6	0.16	2	-10.44	6	0.00	2
7008	-668	-811	Min.	0.00	34.16	6	-2.70	6	-2.12	6	-26.97	2	11.09	2	-0.00	2
7008	-668	-811	Min.	164.00	34.16	6	-2.70	6	-2.26	6	-0.17	2	-10.71	6	-0.00	2

7008	-811	-669	Max	0.00	102.73	6	2.70	6	2.31	6	0.16	2	-10.44	6	0.00	2
7008	-811	-669	Max	164.00	102.73	6	2.70	6	2.16	6	26.96	2	11.71	2	0.00	2
7008	-811	-669	Min.	0.00	34.17	6	-2.70	6	-2.26	6	-0.17	2	-10.71	6	-0.00	2
7008	-811	-669	Min.	164.00	34.17	6	-2.70	6	-2.12	6	26.63	2	11.09	2	-0.00	2
7008	-670	-800	Max	0.00	108.79	6	2.90	6	2.09	6	-29.13	2	12.12	2	-0.06	6
7008	-670	-800	Max	154.00	108.79	6	2.90	6	2.11	6	-3.96	2	-14.87	2	-0.06	6
7008	-670	-800	Min.	0.00	14.06	6	-2.73	6	-2.37	6	-30.11	2	10.19	2	-0.06	6
7008	-670	-800	Min.	154.00	14.06	6	-2.73	6	-2.13	6	-4.95	2	-15.29	2	-0.06	6
7008	-800	-671	Max	0.00	108.11	6	2.32	6	2.11	6	-3.96	2	-14.87	2	-0.06	6
7008	-800	-671	Max	154.00	108.11	6	2.32	6	1.45	6	21.21	2	-1.95	2	-0.06	6
7008	-800	-671	Min.	0.00	14.74	6	-2.15	6	-2.13	6	-4.95	2	-15.29	2	-0.06	6
7008	-800	-671	Min.	154.00	14.74	6	-2.15	6	-1.20	6	20.22	2	-3.17	2	-0.06	6
7009	-602	-823	Max	0.00	7.23	2	0.55	6	0.64	6	-22.78	6	-0.59	2	0.09	2
7009	-602	-823	Max	154.00	7.23	2	0.55	6	0.12	6	2.39	6	-17.12	2	0.09	2
7009	-602	-823	Min.	0.00	-7.30	2	-0.46	6	-0.73	6	-23.53	6	-2.26	2	0.08	2
7009	-602	-823	Min.	154.00	-7.30	2	-0.46	6	-0.06	6	1.63	6	-18.29	2	0.08	2
7009	-823	-603	Max	0.00	50.28	6	0.09	2	0.11	2	10.91	2	-17.13	2	0.09	2
7009	-823	-603	Max	154.00	50.28	6	0.09	2	0.15	2	36.08	2	18.33	2	0.09	2
7009	-823	-603	Min.	0.00	13.58	6	-0.36	2	0.02	2	10.44	2	-18.29	2	0.09	2
7009	-823	-603	Min.	154.00	13.58	6	-0.36	2	-0.44	2	35.61	2	17.90	2	0.09	2
7009	-604	-812	Max	0.00	50.40	6	0.27	2	0.18	2	-30.74	2	18.82	2	0.00	2
7009	-604	-812	Max	164.00	50.40	6	0.27	2	0.21	6	-3.94	2	-11.10	6	0.00	2
7009	-604	-812	Min.	0.00	13.56	6	-0.08	2	-0.29	2	-31.96	2	17.05	2	-0.01	2
7009	-604	-812	Min.	164.00	13.56	6	-0.08	2	0.00	6	-5.16	2	-11.91	6	-0.01	2
7009	-812	-605	Max	0.00	50.39	6	0.08	2	0.21	6	5.16	2	-11.10	6	0.01	2
7009	-812	-605	Max	164.00	50.39	6	0.08	2	0.18	2	31.96	2	18.82	2	0.01	2
7009	-812	-605	Min.	0.00	13.55	6	-0.27	2	0.00	6	3.94	2	-11.91	6	0.00	2
7009	-812	-605	Min.	164.00	13.55	6	-0.27	2	-0.29	2	30.74	2	17.06	2	0.00	2
7009	-606	-801	Max	0.00	50.25	6	0.36	2	0.16	2	-35.61	2	18.33	2	-0.09	2
7009	-606	-801	Max	154.00	50.25	6	0.36	2	0.11	2	-10.44	2	-17.13	2	-0.09	2
7009	-606	-801	Min.	0.00	13.59	6	-0.10	2	-0.44	2	-36.08	2	17.90	2	-0.09	2
7009	-606	-801	Min.	154.00	13.59	6	-0.10	2	0.01	2	-10.91	2	-18.29	2	-0.09	2
7009	-801	-607	Max	0.00	7.23	2	0.45	6	0.11	6	-1.63	6	-17.12	2	-0.08	2
7009	-801	-607	Max	154.00	7.23	2	0.45	6	0.64	6	23.54	6	-0.59	2	-0.08	2
7009	-801	-607	Min.	0.00	-7.30	2	-0.54	6	-0.06	6	-2.39	6	-18.29	2	-0.09	2
7009	-801	-607	Min.	154.00	-7.30	2	-0.54	6	-0.71	6	22.78	6	-2.25	2	-0.09	2
7010	4287	-824	Max	0.00	75.28	6	2.18	6	1.62	6	-4.27	2	30.78	2	0.04	2
7010	4287	-824	Max	154.00	75.28	6	2.18	6	1.82	6	20.90	2	-7.51	2	0.04	2
7010	4287	-824	Min.	0.00	-7.73	6	-2.24	6	-1.54	6	-37.44	2	-21.95	2	0.04	2
7010	4287	-824	Min.	154.00	-7.73	6	-2.24	6	-1.84	6	-12.28	2	-9.14	2	0.04	2
7010	-824	4288	Max	0.00	73.98	6	2.59	6	1.82	6	20.90	2	-7.51	2	0.04	2
7010	-824	4288	Max	154.00	73.98	6	2.59	6	2.15	6	46.06	2	42.41	2	0.04	2
7010	-824	4288	Min.	0.00	-6.42	6	-2.65	6	-1.84	6	-12.28	2	-9.14	2	0.04	2
7010	-824	4288	Min.	154.00	-6.42	6	-2.65	6	-2.26	6	12.89	2	-7.04	2	0.04	2
7010	4290	-813	Max	0.00	73.52	6	2.57	6	2.18	6	-12.09	2	37.77	2	0.00	2
7010	4290	-813	Max	164.00	73.52	6	2.57	6	2.02	6	14.71	2	-8.29	6	0.00	2
7010	4290	-813	Min.	0.00	26.38	6	-2.57	6	-2.19	6	-41.50	2	-10.48	2	0.00	2
7010	4290	-813	Min.	164.00	26.38	6	-2.57	6	-2.03	6	-14.70	2	-8.36	6	0.00	2
7010	-813	4291	Max	0.00	73.56	6	2.57	6	2.02	6	14.71	2	-8.29	6	0.00	2
7010	-813	4291	Max	164.00	73.56	6	2.57	6	2.18	6	41.51	2	37.79	2	0.00	2
7010	-813	4291	Min.	0.00	26.34	6	-2.57	6	-2.03	6	-14.70	2	-8.36	6	0.00	2
7010	-813	4291	Min.	164.00	26.34	6	-2.57	6	-2.19	6	12.10	2	-10.46	2	0.00	2
7010	4293	-802	Max	0.00	73.97	6	2.65	6	2.15	6	-12.87	2	42.40	2	-0.04	2
7010	4293	-802	Max	154.00	73.97	6	2.65	6	1.82	6	12.29	2	-7.51	2	-0.04	2
7010	4293	-802	Min.	0.00	-6.46	6	-2.59	6	-2.26	6	-46.05	2	-7.06	2	-0.04	2
7010	4293	-802	Min.	154.00	-6.46	6	-2.59	6	-1.84	6	-20.89	2	-9.14	2	-0.04	2
7010	-802	4294	Max	0.00	75.28	6	2.24	6	1.82	6	12.29	2	-7.51	2	-0.04	2
7010	-802	4294	Max	154.00	75.28	6	2.24	6	1.62	6	37.46	2	30.80	2	-0.04	2
7010	-802	4294	Min.	0.00	-7.76	6	-2.18	6	-1.84	6	-20.89	2	-9.14	2	-0.04	2

7010	-802	4294	Min.	154.00	-7.76	6	-2.18	6	-1.54	6	4.28	2	-21.93	2	-0.04	2
7011	3314	-825	Max	0.00	10.36	6	1.84	6	1.24	6	-16.45	2	1.39	2	0.04	2
7011	3314	-825	Max	154.00	10.36	6	1.84	6	1.60	6	6.41	2	-8.78	2	0.04	2
7011	3314	-825	Min.	0.00	-4.56	6	-1.82	6	-1.24	6	-18.08	2	-2.68	2	0.02	2
7011	3314	-825	Min.	154.00	-4.56	6	-1.82	6	-1.57	6	4.78	2	-10.48	2	0.02	2
7011	-825	3315	Max	0.00	9.23	6	2.18	6	1.60	6	6.41	2	-8.78	2	0.04	2
7011	-825	3315	Max	154.00	9.23	6	2.18	6	1.79	6	29.26	2	17.06	2	0.04	2
7011	-825	3315	Min.	0.00	-3.43	6	-2.16	6	-1.57	6	4.78	2	-10.48	2	0.02	2
7011	-825	3315	Min.	154.00	-3.43	6	-2.16	6	-1.74	6	27.63	2	16.11	2	0.02	2
7011	3316	-814	Max	0.00	11.40	6	2.12	6	1.76	6	-23.39	2	17.74	2	0.01	2
7011	3316	-814	Max	164.00	11.40	6	2.12	6	1.75	6	0.95	2	-3.61	6	0.01	2
7011	3316	-814	Min.	0.00	-3.72	6	-2.12	6	-1.72	6	-25.29	2	14.48	2	-0.01	2
7011	3316	-814	Min.	164.00	-3.72	6	-2.12	6	-1.72	6	-0.95	2	-4.09	6	-0.01	2
7011	-814	3317	Max	0.00	11.43	6	2.12	6	1.75	6	0.95	2	-3.61	6	0.01	2
7011	-814	3317	Max	164.00	11.43	6	2.12	6	1.76	6	25.29	2	17.74	2	0.01	2
7011	-814	3317	Min.	0.00	-3.75	6	-2.12	6	-1.72	6	-0.95	2	-4.09	6	-0.01	2
7011	-814	3317	Min.	164.00	-3.75	6	-2.12	6	-1.72	6	23.39	2	14.48	2	-0.01	2
7011	3318	-803	Max	0.00	9.25	6	2.16	6	1.79	6	-27.63	2	17.06	2	-0.02	2
7011	3318	-803	Max	154.00	9.25	6	2.16	6	1.60	6	-4.78	2	-8.78	2	-0.02	2
7011	3318	-803	Min.	0.00	-3.40	6	-2.18	6	-1.73	6	-29.26	2	16.11	2	-0.04	2
7011	3318	-803	Min.	154.00	-3.40	6	-2.18	6	-1.57	6	-6.41	2	-10.48	2	-0.04	2
7011	-803	3319	Max	0.00	10.39	6	1.82	6	1.60	6	-4.78	2	-8.78	2	-0.02	2
7011	-803	3319	Max	154.00	10.39	6	1.82	6	1.24	6	18.08	2	1.39	2	-0.02	2
7011	-803	3319	Min.	0.00	-4.53	6	-1.84	6	-1.57	6	-6.41	2	-10.48	2	-0.04	2
7011	-803	3319	Min.	154.00	-4.53	6	-1.84	6	-1.24	6	16.45	2	-2.68	2	-0.04	2
8001	4027	-817	Max	0.00	29.38	6	1.30	6	0.00	2	0.00	6	0.00	2	0.00	2
8001	4027	-817	Max	66.38					0.43	6			0.00	6		
8001	4027	-817	Max	176.65	29.52	6	-2.16	6	-0.76	6	0.00	6	0.01	6	0.00	2
8001	4027	-817	Min.	0.00	-75.38	6	1.30	6	0.00	2	-0.02	6	0.00	2	0.00	2
8001	4027	-817	Min.	66.38					0.43	6			-0.01	6		
8001	4027	-817	Min.	176.65	-75.24	6	-2.17	6	-0.77	6	-0.02	6	-0.03	6	0.00	2
8001	-817	-659	Max	0.00	23.54	6	2.17	6	-0.76	6	0.00	6	0.06	6	0.00	6
8001	-817	-659	Max	109.52					0.43	6			0.02	6		
8001	-817	-659	Max	176.65	23.67	6	-1.30	6	0.00	6	0.00	6	0.00	6	0.00	6
8001	-817	-659	Min.	0.00	-106.48	6	2.16	6	-0.77	6	-0.04	6	0.00	6	-0.00	6
8001	-817	-659	Min.	109.52					0.43	6			0.00	6		
8001	-817	-659	Min.	176.65	-106.34	6	-1.30	6	0.00	6	-0.04	6	0.00	6	-0.00	6
8002	-658	-817	Max	0.00	84.29	6	1.30	6	0.00	2	0.08	6	0.00	2	0.00	2
8002	-658	-817	Max	66.50					0.43	6			0.05	6		
8002	-658	-817	Max	176.65	84.15	6	-2.16	6	-0.76	6	0.08	6	0.14	6	0.00	2
8002	-658	-817	Min.	0.00	-56.04	6	1.30	6	0.00	2	-0.03	6	0.00	2	0.00	2
8002	-658	-817	Min.	66.50					0.43	6			-0.02	6		
8002	-658	-817	Min.	176.65	-56.17	6	-2.16	6	-0.76	6	-0.03	6	-0.05	6	0.00	2
8002	-817	4028	Max	0.00	72.45	6	2.16	6	-0.76	6	0.01	6	0.09	6	0.01	6
8002	-817	4028	Max	109.40					0.43	6			0.03	6		
8002	-817	4028	Max	176.65	72.31	6	-1.30	6	0.00	6	0.01	6	0.00	6	0.01	6
8002	-817	4028	Min.	0.00	-80.62	6	2.16	6	-0.76	6	-0.05	6	-0.01	6	-0.00	6
8002	-817	4028	Min.	109.40					0.43	6			-0.00	6		
8002	-817	4028	Min.	176.65	-80.76	6	-1.30	6	0.00	6	-0.05	6	0.00	6	-0.00	6
8003	-658	-819	Max	0.00	-66.15	2	1.30	6	0.00	2	0.02	6	0.00	2	0.00	2
8003	-658	-819	Max	66.40					0.43	6			0.01	6		
8003	-658	-819	Max	176.65	-66.01	2	-2.16	6	-0.76	6	0.02	6	0.03	6	0.00	2
8003	-658	-819	Min.	0.00	-102.83	2	1.30	6	0.00	2	-0.02	6	0.00	2	0.00	2
8003	-658	-819	Min.	66.40					0.43	6			-0.01	6		
8003	-658	-819	Min.	176.65	-102.69	2	-2.16	6	-0.76	6	-0.02	6	-0.03	6	0.00	2
8003	-819	-787	Max	0.00	-108.44	2	2.16	6	-0.76	6	-0.04	6	0.12	6	0.00	6
8003	-819	-787	Max	109.47					0.43	6			0.05	6		
8003	-819	-787	Max	176.65	-108.30	2	-1.30	6	0.00	2	-0.04	6	0.00	6	0.00	6
8003	-819	-787	Min.	0.00	-119.77	2	2.16	6	-0.76	6	-0.07	6	0.07	6	0.00	6

8003	-819	-787	Min.	109.47					0.43	6			0.03	6		
8003	-819	-787	Min.	176.65	-119.63	2	-1.30	6	0.00	2	-0.07	6	0.00	6	0.00	6
8004	-786	-819	Max	0.00	6.49	6	1.30	6	0.00	2	0.07	6	0.00	2	0.00	2
8004	-786	-819	Max	66.44					0.43	6			0.05	6		
8004	-786	-819	Max	176.65	6.35	6	-2.16	6	-0.76	6	0.07	6	0.12	6	0.00	2
8004	-786	-819	Min.	0.00	-40.56	6	1.30	6	0.00	2	0.01	6	0.00	2	0.00	2
8004	-786	-819	Min.	66.44					0.43	6			0.01	6		
8004	-786	-819	Min.	176.65	-40.69	6	-2.16	6	-0.76	6	0.01	6	0.02	6	0.00	2
8004	-819	-659	Max	0.00	-22.62	6	2.16	2	-0.76	2	0.03	6	0.03	6	-0.00	6
8004	-819	-659	Max	109.45					0.43	6			0.01	6		
8004	-819	-659	Max	176.65	-22.76	6	-1.30	2	0.00	2	0.03	6	0.00	6	-0.00	6
8004	-819	-659	Min.	0.00	-73.01	6	2.16	2	-0.76	2	-0.02	6	-0.06	6	-0.01	6
8004	-819	-659	Min.	109.45					0.43	6			-0.02	6		
8004	-819	-659	Min.	176.65	-73.15	6	-1.30	2	0.00	2	-0.02	6	0.00	6	-0.01	6
8005	-786	-821	Max	0.00	6.39	6	1.30	6	0.00	2	-0.01	6	0.00	2	0.00	2
8005	-786	-821	Max	66.44					0.43	6			-0.01	6		
8005	-786	-821	Max	176.65	6.25	6	-2.16	6	-0.76	6	-0.01	6	-0.02	6	0.00	2
8005	-786	-821	Min.	0.00	-40.65	6	1.30	6	0.00	2	-0.07	6	0.00	2	0.00	2
8005	-786	-821	Min.	66.44					0.43	6			-0.05	6		
8005	-786	-821	Min.	176.65	-40.79	6	-2.16	6	-0.76	6	-0.07	6	-0.12	6	0.00	2
8005	-821	-667	Max	0.00	-22.69	6	2.16	2	-0.76	2	0.02	6	0.06	6	0.01	6
8005	-821	-667	Max	109.45					0.43	6			0.02	6		
8005	-821	-667	Max	176.65	-22.82	6	-1.30	2	0.00	2	0.02	6	0.00	6	0.01	6
8005	-821	-667	Min.	0.00	-73.09	6	2.16	2	-0.76	2	-0.03	6	-0.03	6	0.00	6
8005	-821	-667	Min.	109.45					0.43	6			-0.01	6		
8005	-821	-667	Min.	176.65	-73.23	6	-1.30	2	0.00	2	-0.03	6	0.00	6	0.00	6
8006	-666	-821	Max	0.00	-65.96	2	1.30	6	0.00	2	0.02	6	0.00	2	0.00	2
8006	-666	-821	Max	66.40					0.43	6			0.01	6		
8006	-666	-821	Max	176.65	-65.82	2	-2.16	6	-0.76	6	0.02	6	0.03	6	0.00	2
8006	-666	-821	Min.	0.00	-102.88	2	1.30	6	0.00	2	-0.02	6	0.00	2	0.00	2
8006	-666	-821	Min.	66.40					0.43	6			-0.01	6		
8006	-666	-821	Min.	176.65	-102.74	2	-2.16	6	-0.76	6	-0.02	6	-0.03	6	0.00	2
8006	-821	-787	Max	0.00	-108.37	2	2.16	6	-0.76	6	0.07	6	-0.07	6	0.00	6
8006	-821	-787	Max	141.32					0.34	6			-0.01	6		
8006	-821	-787	Max	176.65	-108.24	2	-1.30	6	0.00	6	0.07	6	0.00	6	0.00	6
8006	-821	-787	Min.	0.00	-119.75	2	2.16	6	-0.76	6	0.04	6	-0.12	6	-0.00	6
8006	-821	-787	Min.	109.47					0.43	6			-0.05	6		
8006	-821	-787	Min.	176.65	-119.62	2	-1.30	6	0.00	6	0.04	6	0.00	6	-0.00	6
8007	-666	-823	Max	0.00	84.16	6	1.30	6	0.00	2	0.03	6	0.00	2	0.00	2
8007	-666	-823	Max	66.50					0.43	6			0.02	6		
8007	-666	-823	Max	176.65	84.02	6	-2.16	6	-0.76	6	0.03	6	0.05	6	0.00	2
8007	-666	-823	Min.	0.00	-56.19	6	1.30	6	0.00	2	-0.08	6	0.00	2	0.00	2
8007	-666	-823	Min.	66.50					0.43	6			-0.05	6		
8007	-666	-823	Min.	176.65	-56.33	6	-2.16	6	-0.76	6	-0.08	6	-0.14	6	0.00	2
8007	-823	4288	Max	0.00	72.42	6	2.16	6	-0.76	6	0.05	6	0.01	6	0.00	6
8007	-823	4288	Max	109.40					0.43	6			0.00	6		
8007	-823	4288	Max	176.65	72.29	6	-1.30	6	0.00	6	0.05	6	0.00	6	0.00	6
8007	-823	4288	Min.	0.00	-80.77	6	2.16	6	-0.76	6	-0.01	6	-0.09	6	-0.01	6
8007	-823	4288	Min.	109.40					0.43	6			-0.03	6		
8007	-823	4288	Min.	176.65	-80.90	6	-1.30	6	0.00	6	-0.01	6	0.00	6	-0.01	6
8008	4287	-823	Max	0.00	29.06	6	1.30	6	0.00	2	0.02	6	0.00	2	0.00	2
8008	4287	-823	Max	66.38					0.43	6			0.01	6		
8008	4287	-823	Max	176.65	29.20	6	-2.16	6	-0.76	6	0.02	6	0.03	6	0.00	2
8008	4287	-823	Min.	0.00	-75.13	6	1.30	6	0.00	2	-0.00	6	0.00	2	0.00	2
8008	4287	-823	Min.	66.38					0.43	6			-0.00	6		
8008	4287	-823	Min.	176.65	-74.99	6	-2.17	6	-0.77	6	-0.00	6	-0.01	6	0.00	2
8008	-823	-667	Max	0.00	23.27	6	2.17	6	-0.76	6	0.04	6	0.00	6	0.00	6
8008	-823	-667	Max	109.52					0.43	6			0.00	6		
8008	-823	-667	Max	176.65	23.40	6	-1.30	6	0.00	6	0.04	6	0.00	6	0.00	6

8008	-823	-667	Min.	0.00	-106.30	6	2.16	6	-0.77	6	-0.00	6	-0.06	6	-0.00	6
8008	-823	-667	Min.	109.52					0.43	6			-0.02	6		
8008	-823	-667	Min.	176.65	-106.16	6	-1.30	6	0.00	6	-0.00	6	0.00	6	-0.00	6
8009	4030	-806	Max	0.00	46.33	6	1.37	6	0.00	2	0.01	6	0.00	2	0.00	2
8009	4030	-806	Max	69.67					0.48	6			0.01	6		
8009	4030	-806	Max	185.43	46.47	6	-2.27	6	-0.84	6	0.01	6	0.02	6	0.00	2
8009	4030	-806	Min.	0.00	-76.70	6	1.36	6	0.00	2	-0.01	6	0.00	2	0.00	2
8009	4030	-806	Min.	69.67					0.47	6			-0.01	6		
8009	4030	-806	Min.	185.43	-76.57	6	-2.27	6	-0.84	6	-0.01	6	-0.02	6	0.00	2
8009	-806	-661	Max	0.00	49.71	6	2.27	6	-0.84	6	0.02	6	0.09	6	0.01	6
8009	-806	-661	Max	114.95					0.48	6			0.03	6		
8009	-806	-661	Max	185.43	49.84	6	-1.36	6	0.00	6	0.02	6	0.00	2	0.01	6
8009	-806	-661	Min.	0.00	-80.44	6	2.27	6	-0.84	6	-0.05	6	-0.03	6	0.00	6
8009	-806	-661	Min.	114.95					0.47	6			-0.01	6		
8009	-806	-661	Min.	185.43	-80.30	6	-1.37	6	0.00	6	-0.05	6	0.00	2	0.00	6
8010	-660	-806	Max	0.00	49.93	6	1.37	6	0.00	2	0.05	6	0.00	2	0.00	2
8010	-660	-806	Max	69.65					0.48	6			0.03	6		
8010	-660	-806	Max	185.43	49.80	6	-2.27	6	-0.84	6	0.05	6	0.09	6	0.00	2
8010	-660	-806	Min.	0.00	-80.27	6	1.36	6	0.00	2	-0.02	6	0.00	2	0.00	2
8010	-660	-806	Min.	69.65					0.47	6			-0.01	6		
8010	-660	-806	Min.	185.43	-80.41	6	-2.27	6	-0.84	6	-0.02	6	-0.03	6	0.00	2
8010	-806	4031	Max	0.00	46.69	6	2.27	6	-0.84	6	0.01	6	0.02	6	0.01	6
8010	-806	4031	Max	114.93					0.48	6			0.01	6		
8010	-806	4031	Max	185.43	46.55	6	-1.36	6	0.00	6	0.01	6	0.00	6	0.01	6
8010	-806	4031	Min.	0.00	-76.56	6	2.27	6	-0.84	6	-0.01	6	-0.02	6	-0.00	6
8010	-806	4031	Min.	114.93					0.47	6			-0.01	6		
8010	-806	4031	Min.	185.43	-76.69	6	-1.37	6	0.00	6	-0.01	6	0.00	6	-0.00	6
8011	-660	-808	Max	0.00	-59.42	2	1.37	6	0.00	2	-0.01	6	0.00	2	0.00	2
8011	-660	-808	Max	69.68					0.48	6			-0.01	6		
8011	-660	-808	Max	185.43	-59.29	2	-2.27	6	-0.84	6	-0.01	6	-0.01	6	0.00	2
8011	-660	-808	Min.	0.00	-102.37	2	1.37	6	0.00	2	-0.02	6	0.00	2	0.00	2
8011	-660	-808	Min.	69.68					0.48	6			-0.01	6		
8011	-660	-808	Min.	185.43	-102.23	2	-2.27	6	-0.84	6	-0.02	6	-0.03	6	0.00	2
8011	-808	-789	Max	0.00	-66.03	6	2.27	6	-0.84	6	-0.04	6	0.10	6	0.00	6
8011	-808	-789	Max	114.93					0.48	6			0.04	6		
8011	-808	-789	Max	185.43	-65.89	6	-1.37	6	0.00	2	-0.04	6	0.00	2	0.00	6
8011	-808	-789	Min.	0.00	-94.93	6	2.27	6	-0.84	6	-0.05	6	0.07	6	0.00	6
8011	-808	-789	Min.	114.93					0.48	6			0.02	6		
8011	-808	-789	Min.	185.43	-94.80	6	-1.37	6	0.00	2	-0.05	6	0.00	2	0.00	6
8012	-788	-808	Max	0.00	-65.87	6	1.37	6	0.00	2	0.05	6	0.00	2	0.00	2
8012	-788	-808	Max	69.68					0.48	6			0.04	6		
8012	-788	-808	Max	185.43	-66.01	6	-2.27	6	-0.84	6	0.05	6	0.10	6	0.00	2
8012	-788	-808	Min.	0.00	-94.77	6	1.37	6	0.00	2	0.04	6	0.00	2	0.00	2
8012	-788	-808	Min.	69.68					0.48	6			0.03	6		
8012	-788	-808	Min.	185.43	-94.90	6	-2.27	6	-0.84	6	0.04	6	0.07	6	0.00	2
8012	-808	-661	Max	0.00	-59.24	2	2.27	6	-0.84	6	0.02	2	-0.01	2	-0.00	6
8012	-808	-661	Max	148.34					0.37	2			-0.00	2		
8012	-808	-661	Max	185.43	-59.38	2	-1.37	6	0.00	6	0.02	2	0.00	2	-0.00	6
8012	-808	-661	Min.	0.00	-102.19	2	2.27	6	-0.84	6	0.01	2	-0.03	2	-0.00	6
8012	-808	-661	Min.	114.93					0.48	2			-0.01	2		
8012	-808	-661	Min.	185.43	-102.33	2	-1.37	6	0.00	6	0.01	2	0.00	2	-0.00	6
8013	-788	-810	Max	0.00	-65.92	6	1.37	6	0.00	2	-0.04	6	0.00	2	0.00	2
8013	-788	-810	Max	69.68					0.48	6			-0.02	6		
8013	-788	-810	Max	185.43	-66.06	6	-2.27	6	-0.84	6	-0.04	6	-0.07	6	0.00	2
8013	-788	-810	Min.	0.00	-94.78	6	1.37	6	0.00	2	-0.05	6	0.00	2	0.00	2
8013	-788	-810	Min.	69.68					0.48	6			-0.04	6		
8013	-788	-810	Min.	185.43	-94.92	6	-2.27	6	-0.84	6	-0.05	6	-0.10	6	0.00	2
8013	-810	-669	Max	0.00	-59.35	2	2.27	6	-0.84	6	-0.01	6	0.03	6	0.00	6
8013	-810	-669	Max	114.93					0.48	6			0.01	6		

8013	-810	-669	Max	185.43	-59.49	2	-1.37	6	0.00	6	-0.01	6	0.00	2	0.00	6
8013	-810	-669	Min.	0.00	-102.16	2	2.27	6	-0.84	6	-0.02	6	0.01	6	0.00	6
8013	-810	-669	Min.	114.93					0.48	6			0.01	6		
8013	-810	-669	Min.	185.43	-102.30	2	-1.37	6	0.00	6	-0.02	6	0.00	2	0.00	6
8014	-668	-810	Max	0.00	-59.47	2	1.37	6	0.00	2	0.02	6	0.00	2	0.00	2
8014	-668	-810	Max	69.68					0.48	6			0.01	6		
8014	-668	-810	Max	185.43	-59.33	2	-2.27	6	-0.84	6	0.02	6	0.03	6	0.00	2
8014	-668	-810	Min.	0.00	-102.28	2	1.37	6	0.00	2	0.01	6	0.00	2	0.00	2
8014	-668	-810	Min.	69.68					0.48	6			0.01	6		
8014	-668	-810	Min.	185.43	-102.14	2	-2.27	6	-0.84	6	0.01	6	0.01	6	0.00	2
8014	-810	-789	Max	0.00	-66.03	6	2.27	6	-0.84	6	0.05	6	-0.07	6	-0.00	6
8014	-810	-789	Max	148.34					0.37	6			-0.01	6		
8014	-810	-789	Max	185.43	-65.89	6	-1.37	6	0.00	6	0.05	6	0.00	6	-0.00	6
8014	-810	-789	Min.	0.00	-94.89	6	2.27	6	-0.84	6	0.04	6	-0.10	6	-0.00	6
8014	-810	-789	Min.	114.93					0.48	6			-0.04	6		
8014	-810	-789	Min.	185.43	-94.75	6	-1.37	6	0.00	6	0.04	6	0.00	6	-0.00	6
8015	-668	-812	Max	0.00	49.80	6	1.37	6	0.00	2	0.02	6	0.00	2	0.00	2
8015	-668	-812	Max	69.65					0.48	6			0.01	6		
8015	-668	-812	Max	185.43	49.67	6	-2.27	6	-0.84	6	0.02	6	0.03	6	0.00	2
8015	-668	-812	Min.	0.00	-80.29	6	1.36	6	0.00	2	-0.05	6	0.00	2	0.00	2
8015	-668	-812	Min.	69.65					0.47	6			-0.03	6		
8015	-668	-812	Min.	185.43	-80.43	6	-2.27	6	-0.84	6	-0.05	6	-0.09	6	0.00	2
8015	-812	4291	Max	0.00	46.50	6	2.27	6	-0.84	6	0.01	6	0.02	6	0.00	6
8015	-812	4291	Max	114.93					0.48	6			0.01	6		
8015	-812	4291	Max	185.43	46.36	6	-1.36	6	0.00	6	0.01	6	0.00	2	0.00	6
8015	-812	4291	Min.	0.00	-76.56	6	2.27	6	-0.84	6	-0.01	6	-0.02	6	-0.01	6
8015	-812	4291	Min.	114.93					0.47	6			-0.01	6		
8015	-812	4291	Min.	185.43	-76.70	6	-1.37	6	0.00	6	-0.01	6	0.00	2	-0.01	6
8016	4290	-812	Max	0.00	46.40	6	1.37	6	0.00	2	0.01	6	0.00	2	0.00	2
8016	4290	-812	Max	69.67					0.48	6			0.01	6		
8016	4290	-812	Max	185.43	46.53	6	-2.27	6	-0.84	6	0.01	6	0.02	6	0.00	2
8016	4290	-812	Min.	0.00	-76.72	6	1.36	6	0.00	2	-0.01	6	0.00	2	0.00	2
8016	4290	-812	Min.	69.67					0.47	6			-0.01	6		
8016	4290	-812	Min.	185.43	-76.58	6	-2.27	6	-0.84	6	-0.01	6	-0.02	6	0.00	2
8016	-812	-669	Max	0.00	49.70	6	2.27	6	-0.84	6	0.05	6	0.03	6	0.00	6
8016	-812	-669	Max	114.95					0.48	6			0.01	6		
8016	-812	-669	Max	185.43	49.84	6	-1.36	6	0.00	6	0.05	6	0.00	6	0.00	6
8016	-812	-669	Min.	0.00	-80.43	6	2.27	6	-0.84	6	-0.02	6	-0.09	6	-0.01	6
8016	-812	-669	Min.	114.95					0.47	6			-0.03	6		
8016	-812	-669	Min.	185.43	-80.29	6	-1.37	6	0.00	6	-0.02	6	0.00	6	-0.01	6
8017	4033	-793	Max	0.00	72.18	6	1.30	6	0.00	2	0.05	6	0.00	2	0.00	2
8017	4033	-793	Max	66.50					0.43	6			0.03	6		
8017	4033	-793	Max	176.65	72.31	6	-2.16	6	-0.76	6	0.05	6	0.09	6	0.00	2
8017	4033	-793	Min.	0.00	-80.71	6	1.30	6	0.00	2	-0.01	6	0.00	2	0.00	2
8017	4033	-793	Min.	66.50					0.43	6			-0.00	6		
8017	4033	-793	Min.	176.65	-80.57	6	-2.16	6	-0.76	6	-0.01	6	-0.01	6	0.00	2
8017	-793	-663	Max	0.00	83.95	6	2.16	6	-0.76	6	0.03	6	0.14	6	0.00	6
8017	-793	-663	Max	109.40					0.43	6			0.05	6		
8017	-793	-663	Max	176.65	84.09	6	-1.30	6	0.00	2	0.03	6	0.00	6	0.00	6
8017	-793	-663	Min.	0.00	-56.19	6	2.16	6	-0.76	6	-0.08	6	-0.05	6	0.00	6
8017	-793	-663	Min.	109.40					0.43	6			-0.02	6		
8017	-793	-663	Min.	176.65	-56.05	6	-1.30	6	0.00	2	-0.08	6	0.00	6	0.00	6
8018	-662	-793	Max	0.00	23.47	6	1.30	6	0.00	2	0.04	6	0.00	2	0.00	2
8018	-662	-793	Max	66.32					0.43	6			0.02	6		
8018	-662	-793	Max	176.65	23.33	6	-2.16	6	-0.76	6	0.04	6	0.06	6	0.00	2
8018	-662	-793	Min.	0.00	-106.23	6	1.30	6	0.00	2	-0.00	6	0.00	2	0.00	2
8018	-662	-793	Min.	66.32					0.43	6			0.00	6		
8018	-662	-793	Min.	176.65	-106.37	6	-2.17	6	-0.77	6	-0.00	6	-0.00	6	0.00	2
8018	-793	4034	Max	0.00	29.30	6	2.17	6	-0.76	6	0.02	6	0.01	6	0.01	6

8018	-793	4034	Max	109.48					0.43	6			0.00	6		
8018	-793	4034	Max	176.65	29.16	6	-1.30	6	0.00	6	0.02	6	0.00	2	0.01	6
8018	-793	4034	Min.	0.00	-75.08	6	2.16	6	-0.77	6	-0.00	6	-0.03	6	-0.00	6
8018	-793	4034	Min.	109.48					0.43	6			-0.01	6		
8018	-793	4034	Min.	176.65	-75.22	6	-1.30	6	0.00	6	-0.00	6	0.00	2	-0.00	6
8019	-662	-797	Max	0.00	-22.85	6	1.30	2	0.00	2	0.02	6	0.00	2	0.00	2
8019	-662	-797	Max	66.43					0.43	6			0.01	6		
8019	-662	-797	Max	176.65	-22.71	6	-2.16	2	-0.76	2	0.02	6	0.03	6	0.00	2
8019	-662	-797	Min.	0.00	-73.17	6	1.30	2	0.00	2	-0.03	6	0.00	2	0.00	2
8019	-662	-797	Min.	66.43					0.43	6			-0.02	6		
8019	-662	-797	Min.	176.65	-73.04	6	-2.16	2	-0.76	2	-0.03	6	-0.06	6	0.00	2
8019	-797	-791	Max	0.00	6.22	6	2.16	6	-0.76	6	-0.01	6	0.12	6	0.00	6
8019	-797	-791	Max	109.44					0.43	6			0.05	6		
8019	-797	-791	Max	176.65	6.35	6	-1.30	6	0.00	6	-0.01	6	0.00	6	0.00	6
8019	-797	-791	Min.	0.00	-40.74	6	2.16	6	-0.76	6	-0.07	6	0.02	6	0.00	6
8019	-797	-791	Min.	109.44					0.43	6			0.01	6		
8019	-797	-791	Min.	176.65	-40.60	6	-1.30	6	0.00	6	-0.07	6	0.00	6	0.00	6
8020	-790	-797	Max	0.00	-108.28	2	1.30	6	0.00	2	0.07	6	0.00	2	0.00	2
8020	-790	-797	Max	66.40					0.43	6			0.05	6		
8020	-790	-797	Max	176.65	-108.42	2	-2.16	6	-0.76	6	0.07	6	0.12	6	0.00	2
8020	-790	-797	Min.	0.00	-119.63	2	1.30	6	0.00	2	0.04	6	0.00	2	0.00	2
8020	-790	-797	Min.	66.40					0.43	6			0.03	6		
8020	-790	-797	Min.	176.65	-119.77	2	-2.16	6	-0.76	6	0.04	6	0.07	6	0.00	2
8020	-797	-663	Max	0.00	-65.98	2	2.16	6	-0.76	6	0.02	6	0.03	6	0.00	6
8020	-797	-663	Max	109.47					0.43	6			0.01	6		
8020	-797	-663	Max	176.65	-66.12	2	-1.30	6	0.00	6	0.02	6	0.00	2	0.00	6
8020	-797	-663	Min.	0.00	-102.66	2	2.16	6	-0.76	6	-0.02	6	-0.03	6	-0.00	6
8020	-797	-663	Min.	109.47					0.43	6			-0.01	6		
8020	-797	-663	Min.	176.65	-102.80	2	-1.30	6	0.00	6	-0.02	6	0.00	2	-0.00	6
8021	-790	-799	Max	0.00	-108.37	2	1.30	6	0.00	2	-0.04	6	0.00	2	0.00	2
8021	-790	-799	Max	66.40					0.43	6			-0.03	6		
8021	-790	-799	Max	176.65	-108.51	2	-2.16	6	-0.76	6	-0.04	6	-0.07	6	0.00	2
8021	-790	-799	Min.	0.00	-119.58	2	1.30	6	0.00	2	-0.07	6	0.00	2	0.00	2
8021	-790	-799	Min.	66.40					0.43	6			-0.05	6		
8021	-790	-799	Min.	176.65	-119.72	2	-2.16	6	-0.76	6	-0.07	6	-0.12	6	0.00	2
8021	-799	-671	Max	0.00	-66.06	2	2.16	6	-0.76	6	0.02	6	0.03	6	0.00	6
8021	-799	-671	Max	109.47					0.43	6			0.01	6		
8021	-799	-671	Max	176.65	-66.20	2	-1.30	6	0.00	6	0.02	6	0.00	6	0.00	6
8021	-799	-671	Min.	0.00	-102.64	2	2.16	6	-0.76	6	-0.02	6	-0.03	6	0.00	6
8021	-799	-671	Min.	109.47					0.43	6			-0.01	6		
8021	-799	-671	Min.	176.65	-102.78	2	-1.30	6	0.00	6	-0.02	6	0.00	6	0.00	6
8022	-670	-799	Max	0.00	-22.84	6	1.30	2	0.00	2	0.03	6	0.00	2	0.00	2
8022	-670	-799	Max	66.43					0.43	6			0.02	6		
8022	-670	-799	Max	176.65	-22.70	6	-2.16	2	-0.76	2	0.03	6	0.06	6	0.00	2
8022	-670	-799	Min.	0.00	-73.15	6	1.30	2	0.00	2	-0.02	6	0.00	2	0.00	2
8022	-670	-799	Min.	66.43					0.43	6			-0.01	6		
8022	-670	-799	Min.	176.65	-73.01	6	-2.16	2	-0.76	2	-0.02	6	-0.03	6	0.00	2
8022	-799	-791	Max	0.00	6.24	6	2.16	6	-0.76	6	0.07	6	-0.02	6	0.00	6
8022	-799	-791	Max	141.32					0.34	6			-0.00	6		
8022	-799	-791	Max	176.65	6.38	6	-1.30	6	0.00	6	0.07	6	0.00	6	0.00	6
8022	-799	-791	Min.	0.00	-40.69	6	2.16	6	-0.76	6	0.01	6	-0.12	6	0.00	6
8022	-799	-791	Min.	109.44					0.43	6			-0.05	6		
8022	-799	-791	Min.	176.65	-40.55	6	-1.30	6	0.00	6	0.01	6	0.00	6	0.00	6
8023	-670	-801	Max	0.00	23.38	6	1.30	6	0.00	2	0.00	6	0.00	2	0.00	2
8023	-670	-801	Max	66.32					0.43	6			0.00	6		
8023	-670	-801	Max	176.65	23.24	6	-2.16	6	-0.76	6	0.00	6	0.00	6	0.00	2
8023	-670	-801	Min.	0.00	-106.24	6	1.30	6	0.00	2	-0.04	6	0.00	2	0.00	2
8023	-670	-801	Min.	66.32					0.43	6			-0.02	6		
8023	-670	-801	Min.	176.65	-106.38	6	-2.17	6	-0.77	6	-0.04	6	-0.06	6	0.00	2

8023	-801	4294	Max	0.00	29.17	6	2.17	6	-0.76	6	0.00	6	0.03	6	0.00	6
8023	-801	4294	Max	109.48					0.43	6			0.01	6		
8023	-801	4294	Max	176.65	29.03	6	-1.30	6	0.00	6	0.00	6	0.00	6	0.00	6
8023	-801	4294	Min.	0.00	-75.09	6	2.16	6	-0.77	6	-0.02	6	-0.01	6	-0.01	6
8023	-801	4294	Min.	109.48					0.43	6			-0.00	6		
8023	-801	4294	Min.	176.65	-75.22	6	-1.30	6	0.00	6	-0.02	6	0.00	6	-0.01	6
8024	4293	-801	Max	0.00	72.26	6	1.30	6	0.00	2	0.01	6	0.00	2	0.00	2
8024	4293	-801	Max	66.50					0.43	6			0.00	6		
8024	4293	-801	Max	176.65	72.40	6	-2.16	6	-0.76	6	0.01	6	0.01	6	0.00	2
8024	4293	-801	Min.	0.00	-80.78	6	1.30	6	0.00	2	-0.05	6	0.00	2	0.00	2
8024	4293	-801	Min.	66.50					0.43	6			-0.03	6		
8024	4293	-801	Min.	176.65	-80.64	6	-2.16	6	-0.76	6	-0.05	6	-0.09	6	0.00	2
8024	-801	-671	Max	0.00	84.00	6	2.16	6	-0.76	6	0.08	6	0.05	6	0.00	6
8024	-801	-671	Max	109.40					0.43	6			0.02	6		
8024	-801	-671	Max	176.65	84.14	6	-1.30	6	0.00	6	0.08	6	0.00	2	0.00	6
8024	-801	-671	Min.	0.00	-56.19	6	2.16	6	-0.76	6	-0.03	6	-0.14	6	-0.00	6
8024	-801	-671	Min.	109.40					0.43	6			-0.05	6		
8024	-801	-671	Min.	176.65	-56.06	6	-1.30	6	0.00	6	-0.03	6	0.00	2	-0.00	6

Tipo di combinazione di carico: SLU

Asta	N1	N2		X <cm>	N <daN>	CC	Ty <daN>	CC	Mz <daNm>	CC	Tz <daN>	CC	My <daNm>	CC	Mx <daNm>	CC
1	2001	3001	Max	0.00	11.48	17	0.94	18	-0.01	9	27.95	18	0.99	17	0.09	17
1	2001	3001	Max	7.94	11.89	17	0.94	18	0.06	9	27.95	18	1.11	18	0.09	17
1	2001	3001	Min.	0.00	-12.40	18	-0.48	17	-0.17	17	-20.51	17	-1.11	18	-0.11	18
1	2001	3001	Min.	7.94	-12.00	18	-0.48	17	-0.21	17	-20.51	17	-0.64	17	-0.11	18
2	2002	3002	Max	0.00	-10.78	10	1.43	19	-0.01	9	50.77	17	-0.91	10	0.05	17
2	2002	3002	Max	7.94	-10.37	10	1.43	19	0.06	9	50.77	17	1.82	17	0.05	17
2	2002	3002	Min.	0.00	-27.50	17	0.50	16	-0.14	17	20.97	10	-2.21	17	-0.11	18
2	2002	3002	Min.	7.94	-27.09	17	0.50	16	-0.04	17	20.97	10	0.76	10	-0.11	18
3	2003	3003	Max	0.00	-5.65	17	0.90	18	0.05	18	90.93	18	-0.55	17	0.09	17
3	2003	3003	Max	7.94	-5.25	17	0.90	18	0.12	18	90.93	18	3.54	18	0.09	17
3	2003	3003	Min.	0.00	-39.87	18	-0.58	17	-0.12	17	17.84	17	-3.69	18	-0.10	18
3	2003	3003	Min.	7.94	-39.46	18	-0.58	17	-0.17	17	17.84	17	0.86	17	-0.10	18
4	2004	3004	Max	0.00	-23.33	10	1.06	17	0.03	18	74.72	19	-1.88	10	0.06	17
4	2004	3004	Max	7.94	-22.92	10	1.06	17	0.07	18	74.72	19	2.88	19	0.06	17
4	2004	3004	Min.	0.00	-38.09	19	0.27	16	-0.11	17	47.47	10	-3.06	19	-0.07	18
4	2004	3004	Min.	7.94	-37.68	19	0.27	16	-0.02	17	47.47	10	1.89	10	-0.07	18
5	2005	3005	Max	0.00	2.18	17	-0.53	16	-0.03	10	65.91	18	0.12	17	0.19	17
5	2005	3005	Max	7.94	2.58	17	-0.53	16	-0.08	16	65.91	18	2.63	18	0.19	17
5	2005	3005	Min.	0.00	-27.24	18	-1.51	17	-0.18	17	2.18	17	-2.61	18	0.05	16
5	2005	3005	Min.	7.94	-26.83	18	-1.51	17	-0.30	17	2.18	17	0.30	17	0.05	16
6	2006	3006	Max	0.00	-32.47	10	0.14	17	-0.04	10	93.70	19	-2.58	10	0.16	19
6	2006	3006	Max	7.94	-32.07	10	0.14	17	-0.11	10	93.70	19	3.57	19	0.16	19
6	2006	3006	Min.	0.00	-48.76	19	-1.21	18	-0.16	17	63.80	10	-3.88	19	0.07	16
6	2006	3006	Min.	7.94	-48.35	19	-1.21	18	-0.17	19	63.80	10	2.49	10	0.07	16
7	2007	3007	Max	0.00	9.53	17	-0.82	16	0.02	16	29.64	18	0.73	17	0.23	17
7	2007	3007	Max	7.94	9.93	17	-0.82	16	-0.05	16	29.64	18	1.05	18	0.23	17
7	2007	3007	Min.	0.00	-12.11	18	-2.07	19	-0.14	17	-15.22	17	-1.30	18	0.08	16
7	2007	3007	Min.	7.94	-11.70	18	-2.07	19	-0.29	17	-15.22	17	-0.47	17	0.08	16
8	2008	3008	Max	0.00	-9.19	10	0.01	17	0.02	16	43.60	17	-0.74	10	0.19	19
8	2008	3008	Max	7.94	-8.78	10	0.01	17	-0.04	16	43.60	17	1.59	17	0.19	19
8	2008	3008	Min.	0.00	-23.50	17	-1.39	18	-0.10	17	18.42	10	-1.87	17	0.07	16
8	2008	3008	Min.	7.94	-23.09	17	-1.39	18	-0.13	19	18.42	10	0.72	10	0.07	16
9	9	-513	Max	0.00	0.09	16	0.03	16	0.01	9	39.33	18	1.41	17	0.16	17
9	9	-513	Max	9.29	0.56	16	0.03	16	0.01	9	39.33	18	1.80	18	0.16	17
9	9	-513	Min.	0.00	-2.20	19	-0.92	17	-0.01	17	-28.64	17	-1.86	18	-0.16	18

9	9	-513	Min.	9.29	-1.72	19	-0.92	17	-0.10	17	-28.64	17	-1.25	17	-0.16	18
10	10	-514	Max	0.00	27.66	17	2.70	17	0.02	9	40.99	17	-0.96	10	0.14	17
10	10	-514	Max	9.29	28.13	17	2.70	17	0.21	17	40.99	17	1.73	17	0.14	17
10	10	-514	Min.	0.00	10.40	10	-0.31	18	-0.04	17	19.90	10	-2.08	17	-0.15	18
10	10	-514	Min.	9.29	10.87	10	-0.31	18	-0.01	18	19.90	10	0.89	10	-0.15	18
11	11	-515	Max	0.00	-5.90	17	0.09	16	0.03	18	143.38	18	-1.33	17	0.14	17
11	11	-515	Max	9.29	-5.43	17	0.09	16	0.03	18	143.38	18	6.57	18	0.14	17
11	11	-515	Min.	0.00	-12.27	18	-0.66	17	-0.01	17	28.99	17	-6.75	18	-0.14	18
11	11	-515	Min.	9.29	-11.80	18	-0.66	17	-0.07	17	28.99	17	1.36	17	-0.14	18
12	12	-516	Max	0.00	36.80	17	3.12	17	0.04	18	60.51	19	-1.89	10	0.14	17
12	12	-516	Max	9.29	37.28	17	3.12	17	0.25	17	60.51	19	2.65	19	0.14	17
12	12	-516	Min.	0.00	21.64	10	0.15	10	-0.04	17	39.04	10	-2.98	19	-0.11	18
12	12	-516	Min.	9.29	22.11	10	0.15	10	0.04	10	39.04	10	1.74	10	-0.11	18
13	13	-517	Max	0.00	-7.10	17	0.39	18	-0.00	16	110.52	18	-0.31	17	0.26	17
13	13	-517	Max	9.29	-6.62	17	0.39	18	0.03	18	110.52	18	5.13	18	0.26	17
13	13	-517	Min.	0.00	-14.70	18	-0.47	17	-0.03	17	7.95	17	-5.15	18	0.05	16
13	13	-517	Min.	9.29	-14.22	18	-0.47	17	-0.08	17	7.95	17	0.43	17	0.05	16
14	14	-518	Max	0.00	46.42	19	3.48	17	0.01	16	74.53	19	-2.53	10	0.25	17
14	14	-518	Max	9.29	46.90	19	3.48	17	0.26	17	74.53	19	3.22	18	0.25	17
14	14	-518	Min.	0.00	30.63	10	0.70	10	-0.06	17	51.10	10	-3.72	19	0.06	16
14	14	-518	Min.	9.29	31.10	10	0.70	10	0.07	10	51.10	10	2.22	10	0.06	16
15	15	-519	Max	0.00	-6.82	17	0.66	18	0.00	16	65.06	18	0.70	17	0.31	17
15	15	-519	Max	9.29	-6.35	17	0.66	18	0.05	18	65.06	18	3.02	18	0.31	17
15	15	-519	Min.	0.00	-14.15	18	-0.23	17	-0.03	17	-13.70	17	-3.03	18	0.08	16
15	15	-519	Min.	9.29	-13.67	18	-0.23	17	-0.05	17	-13.70	17	-0.57	17	0.08	16
16	16	-520	Max	0.00	23.41	17	3.51	17	-0.01	16	34.08	17	-0.76	10	0.28	17
16	16	-520	Max	9.29	23.88	17	3.51	17	0.25	17	34.08	17	1.43	17	0.28	17
16	16	-520	Min.	0.00	8.77	10	0.65	16	-0.08	17	15.31	10	-1.74	17	0.08	16
16	16	-520	Min.	9.29	9.25	10	0.65	16	0.05	10	15.31	10	0.66	10	0.08	16
17	17	-529	Max	0.00	19.79	19	0.61	18	0.06	17	33.79	9	1.26	17	0.18	17
17	17	-529	Max	10.65	20.33	19	0.61	18	0.03	18	33.79	9	2.09	9	0.18	17
17	17	-529	Min.	0.00	1.67	16	-1.78	17	-0.04	18	-18.92	17	-1.51	9	-0.07	18
17	17	-529	Min.	10.65	2.21	16	-1.78	17	-0.13	17	-18.92	17	-0.75	17	-0.07	18
18	18	-530	Max	0.00	34.42	19	0.16	17	0.06	17	55.51	19	-1.70	10	0.19	17
18	18	-530	Max	10.65	34.96	19	0.16	17	0.07	17	55.51	19	3.07	19	0.19	17
18	18	-530	Min.	0.00	10.58	16	-0.55	16	0.02	10	32.00	16	-2.84	19	-0.09	9
18	18	-530	Min.	10.65	11.12	16	-0.55	16	-0.03	16	32.00	16	1.62	16	-0.09	9
19	19	-531	Max	0.00	27.82	19	-0.03	16	0.05	17	138.79	18	-1.51	17	0.21	17
19	19	-531	Max	10.65	28.36	19	-0.03	16	-0.02	16	138.79	18	7.74	18	0.21	17
19	19	-531	Min.	0.00	1.95	16	-2.09	17	-0.03	18	37.33	17	-7.04	18	-0.11	18
19	19	-531	Min.	10.65	2.49	16	-2.09	17	-0.17	17	37.33	17	2.46	17	-0.11	18
20	20	-532	Max	0.00	63.79	19	0.42	17	0.03	17	80.18	19	-2.61	10	0.22	17
20	20	-532	Max	10.65	64.33	19	0.42	17	0.07	17	80.18	19	4.56	19	0.22	17
20	20	-532	Min.	0.00	37.00	16	-0.05	16	-0.03	18	55.23	16	-3.97	19	-0.13	18
20	20	-532	Min.	10.65	37.54	16	-0.05	16	-0.03	16	55.23	16	3.03	16	-0.13	18
21	21	-533	Max	0.00	27.59	19	-0.66	16	0.08	17	115.42	18	-0.63	17	0.31	17
21	21	-533	Max	10.65	28.13	19	-0.66	16	-0.06	16	115.42	18	6.58	18	0.31	17
21	21	-533	Min.	0.00	1.76	16	-2.64	17	0.01	16	21.71	17	-5.71	18	0.05	16
21	21	-533	Min.	10.65	2.30	16	-2.64	17	-0.20	17	21.71	17	1.68	17	0.05	16
22	22	-534	Max	0.00	70.60	19	0.19	17	0.05	17	90.47	19	-3.18	10	0.34	17
22	22	-534	Max	10.65	71.14	19	0.19	17	0.07	17	90.47	19	5.00	19	0.34	17
22	22	-534	Min.	0.00	44.02	16	-0.37	16	0.00	9	64.53	10	-4.63	19	0.05	16
22	22	-534	Min.	10.65	44.57	16	-0.37	16	-0.02	16	64.53	10	3.44	16	0.05	16
23	23	-535	Max	0.00	9.37	19	-0.55	16	0.09	17	75.30	18	0.14	17	0.35	17
23	23	-535	Max	10.65	9.92	19	-0.55	16	-0.04	16	75.30	18	4.12	18	0.35	17
23	23	-535	Min.	0.00	-11.38	16	-2.71	17	0.02	16	3.45	17	-3.89	18	0.07	16
23	23	-535	Min.	10.65	-10.83	16	-2.71	17	-0.19	17	3.45	17	0.51	17	0.07	16
24	24	-536	Max	0.00	37.42	19	0.73	19	0.02	17	36.57	19	-0.56	16	0.38	17
24	24	-536	Max	10.65	37.96	19	0.73	19	0.09	17	36.57	19	2.08	19	0.38	17

24	24	-536	Min.	0.00	12.22	16	0.25	16	-0.04	18	10.22	16	-1.88	17	0.08	16
24	24	-536	Min.	10.65	12.76	16	0.25	16	-0.00	16	10.22	16	0.52	16	0.08	16
25	2025	4025	Max	0.00	108.22	17	0.69	18	-0.04	17	46.70	19	4.65	16	0.00	16
25	2025	4025	Max	12.00	108.83	17	0.69	18	0.03	18	46.70	19	0.95	19	0.00	16
25	2025	4025	Min.	0.00	11.82	16	0.19	17	-0.05	18	-80.55	16	-4.66	19	-0.05	19
25	2025	4025	Min.	12.00	12.43	16	0.19	17	-0.01	17	-80.55	16	-5.02	16	-0.05	19
26	1026	2026	Max	0.00	-713.57	17	125.28	18	417.78	9	31.39	9	-31.42	10	-0.95	16
26	1026	2026	Max	9.00	-710.94	17	125.28	18	428.96	9	31.39	9	-28.90	10	-0.95	16
26	1026	2026	Min.	0.00	-1332.56	18	68.97	17	44.16	16	-118.62	17	-70.60	17	-2.63	19
26	1026	2026	Min.	9.00	-1329.92	18	68.97	17	50.66	16	-118.62	17	-81.27	17	-2.63	19
26	2026	4026	Max	0.00	-241.66	17	31.70	9	-18.11	10	2168.75	9	-22.22	16	5.02	18
26	2026	4026	Max	7.00	-239.61	17	31.70	9	-16.13	10	2168.75	9	-26.98	16	5.02	18
26	2026	4026	Min.	0.00	-576.39	18	-88.29	17	-59.96	17	-68.06	16	-337.01	9	-8.91	17
26	2026	4026	Min.	7.00	-574.35	18	-88.29	17	-66.14	17	-68.06	16	-185.19	9	-8.91	17
27	2027	4027	Max	0.00	-70.16	10	-1.35	10	0.29	17	29.07	9	5.62	16	0.06	9
27	2027	4027	Max	12.00	-69.55	10	-1.35	10	-0.11	10	29.07	9	-0.13	10	0.06	9
27	2027	4027	Min.	0.00	-227.06	17	-7.74	17	0.05	10	-97.46	16	-3.66	9	0.00	16
27	2027	4027	Min.	12.00	-226.45	17	-7.74	17	-0.64	17	-97.46	16	-6.08	16	0.00	16
28	2028	4028	Max	0.00	182.45	17	5.89	18	0.07	17	75.96	19	3.23	16	-0.03	16
28	2028	4028	Max	12.00	183.06	17	5.89	18	0.45	18	75.96	19	0.94	19	-0.03	16
28	2028	4028	Min.	0.00	-140.43	18	-2.87	17	-0.26	18	-79.16	16	-8.17	19	-0.10	19
28	2028	4028	Min.	12.00	-139.82	18	-2.87	17	-0.27	17	-79.16	16	-6.27	16	-0.10	19
29	1029	2029	Max	0.00	-1299.55	17	287.65	18	799.34	19	13.19	9	4.49	9	-0.31	16
29	1029	2029	Max	9.00	-1296.92	17	287.65	18	823.51	19	13.19	9	5.68	9	-0.31	16
29	1029	2029	Min.	0.00	-2710.96	18	148.18	17	333.39	16	-178.12	17	-93.72	17	-2.03	17
29	1029	2029	Min.	9.00	-2708.33	18	148.18	17	349.58	16	-178.12	17	-109.75	17	-2.03	17
29	2029	4029	Max	0.00	-512.41	17	10.27	9	4.73	9	4170.09	19	-254.38	16	2.14	18
29	2029	4029	Max	7.00	-510.36	17	10.27	9	5.45	9	4170.09	19	-157.11	16	2.14	18
29	2029	4029	Min.	0.00	-1109.84	18	-145.11	17	-85.46	17	1389.64	16	-647.98	19	-10.63	17
29	2029	4029	Min.	7.00	-1107.79	18	-145.11	17	-95.62	17	1389.64	16	-356.07	19	-10.63	17
30	2030	4030	Max	0.00	-63.19	10	-3.44	10	0.33	17	68.79	9	3.31	16	0.10	9
30	2030	4030	Max	12.00	-62.58	10	-3.44	10	-0.26	10	68.79	9	0.50	9	0.10	9
30	2030	4030	Min.	0.00	-298.18	17	-8.85	17	0.15	10	-80.63	16	-7.76	9	0.03	16
30	2030	4030	Min.	12.00	-297.57	17	-8.85	17	-0.73	17	-80.63	16	-6.37	16	0.03	16
31	2031	4031	Max	0.00	204.34	17	5.21	18	0.09	17	77.52	19	3.08	16	-0.04	16
31	2031	4031	Max	12.00	204.96	17	5.21	18	0.39	18	77.52	19	1.05	19	-0.04	16
31	2031	4031	Min.	0.00	-112.86	18	-3.42	17	-0.23	18	-76.68	16	-8.25	19	-0.11	19
31	2031	4031	Min.	12.00	-112.24	18	-3.42	17	-0.32	17	-76.68	16	-6.13	16	-0.11	19
32	1032	2032	Max	0.00	-1290.84	17	287.60	18	797.02	9	-10.86	16	-4.59	16	1.08	18
32	1032	2032	Max	9.00	-1288.21	17	287.60	18	821.12	9	-10.86	16	-5.57	16	1.08	18
32	1032	2032	Min.	0.00	-2710.97	18	145.19	17	333.37	16	-199.94	17	-102.37	17	-1.09	17
32	1032	2032	Min.	9.00	-2708.33	18	145.19	17	349.56	16	-199.94	17	-120.37	17	-1.09	17
32	2032	4032	Max	0.00	-510.40	17	-9.04	16	-3.93	16	4157.92	9	-254.31	16	-5.93	10
32	2032	4032	Max	7.00	-508.35	17	-9.04	16	-4.56	16	4157.92	9	-157.11	16	-5.93	10
32	2032	4032	Min.	0.00	-1109.91	18	-163.29	17	-93.57	17	1388.59	16	-646.08	9	-16.39	17
32	2032	4032	Min.	7.00	-1107.86	18	-163.29	17	-105.00	17	1388.59	16	-355.03	9	-16.39	17
33	2033	4033	Max	0.00	-89.31	10	-4.08	10	0.35	17	66.21	9	3.49	16	0.08	9
33	2033	4033	Max	12.00	-88.69	10	-4.08	10	-0.31	10	66.21	9	0.35	9	0.08	9
33	2033	4033	Min.	0.00	-323.50	17	-9.46	17	0.18	10	-83.61	16	-7.59	9	0.02	16
33	2033	4033	Min.	12.00	-322.89	17	-9.46	17	-0.78	17	-83.61	16	-6.54	16	0.02	16
34	2034	4034	Max	0.00	122.95	17	2.37	18	0.22	17	37.39	19	5.48	16	-0.01	16
34	2034	4034	Max	12.00	123.56	17	2.37	18	0.19	18	37.39	19	0.60	17	-0.01	16
34	2034	4034	Min.	0.00	-125.81	18	-5.75	17	-0.09	18	-95.11	16	-4.16	19	-0.07	19
34	2034	4034	Min.	12.00	-125.20	18	-5.75	17	-0.47	17	-95.11	16	-5.93	16	-0.07	19
35	1035	2035	Max	0.00	-623.65	17	125.15	18	420.38	19	-23.07	16	48.70	18	1.77	9
35	1035	2035	Max	9.00	-621.01	17	125.15	18	431.63	19	-23.07	16	45.96	18	1.77	9
35	1035	2035	Min.	0.00	-1333.57	18	71.74	17	44.04	16	-168.27	17	-22.93	17	-0.61	17
35	1035	2035	Min.	9.00	-1330.93	18	71.74	17	50.52	16	-168.27	17	-38.07	17	-0.61	17
35	2035	4035	Max	0.00	-315.70	17	-25.25	16	29.17	18	2186.19	19	-22.20	16	-5.04	16

35	2035	4035	Max	7.00	-313.65	17	-25.25	16	26.94	18	2186.19	19	-26.88	16	-5.04	16
35	2035	4035	Min.	0.00	-576.87	18	-138.87	17	-32.66	17	-66.94	16	-339.30	19	-14.11	17
35	2035	4035	Min.	7.00	-574.82	18	-138.87	17	-42.39	17	-66.94	16	-186.27	19	-14.11	17
36	2036	4036	Max	0.00	22.08	9	-0.50	10	0.05	18	41.53	9	4.73	16	0.04	9
36	2036	4036	Max	12.00	22.69	9	-0.50	10	-0.02	16	41.53	9	0.62	9	0.04	9
36	2036	4036	Min.	0.00	-81.31	17	-0.74	19	0.02	17	-81.91	16	-4.37	9	-0.01	16
36	2036	4036	Min.	12.00	-80.70	17	-0.74	19	-0.05	17	-81.91	16	-5.10	16	-0.01	16
37	37	-545	Max	0.00	-17.61	16	-0.19	10	0.02	18	-333.21	17	45.02	18	-0.12	10
37	37	-545	Max	13.75	-16.90	16	-0.19	10	-0.02	10	-333.21	17	-22.87	17	-0.12	10
37	37	-545	Min.	0.00	-36.77	9	-0.38	18	0.01	10	-653.20	18	22.94	17	-0.20	19
37	37	-545	Min.	13.75	-36.07	9	-0.38	18	-0.04	19	-653.20	18	-44.79	18	-0.20	19
38	38	-546	Max	0.00	-34.85	17	-0.45	16	0.06	17	-453.02	17	55.18	18	-0.13	10
38	38	-546	Max	13.75	-34.15	17	-0.45	16	-0.04	10	-453.02	17	-30.98	17	-0.13	10
38	38	-546	Min.	0.00	-66.20	18	-0.95	19	0.02	16	-800.15	18	31.31	17	-0.32	17
38	38	-546	Min.	13.75	-65.49	18	-0.95	19	-0.07	19	-800.15	18	-54.84	18	-0.32	17
39	39	-547	Max	0.00	-46.04	17	0.39	9	0.00	16	-725.37	17	103.49	18	0.00	16
39	39	-547	Max	13.75	-45.34	17	0.39	9	0.05	18	-725.37	17	-49.80	17	0.00	16
39	39	-547	Min.	0.00	-105.27	18	-0.12	17	-0.02	17	-1500.56	18	49.94	17	-0.08	17
39	39	-547	Min.	13.75	-104.56	18	-0.12	17	-0.03	17	-1500.56	18	-102.84	18	-0.08	17
40	40	-548	Max	0.00	-54.75	17	-0.30	16	0.05	17	-783.16	17	104.21	18	-0.02	16
40	40	-548	Max	13.75	-54.05	17	-0.30	16	-0.04	16	-783.16	17	-53.57	17	-0.02	16
40	40	-548	Min.	0.00	-107.00	18	-0.79	19	0.00	16	-1511.14	18	54.12	17	-0.24	17
40	40	-548	Min.	13.75	-106.30	18	-0.79	19	-0.06	19	-1511.14	18	-103.58	18	-0.24	17
41	41	-549	Max	0.00	-45.63	17	0.53	18	-0.01	16	-713.95	17	104.06	18	0.04	18
41	41	-549	Max	13.75	-44.93	17	0.53	18	0.05	18	-713.95	17	-49.02	17	0.04	18
41	41	-549	Min.	0.00	-106.87	18	-0.08	17	-0.03	19	-1508.95	18	49.14	17	-0.07	17
41	41	-549	Min.	13.75	-106.17	18	-0.08	17	-0.03	17	-1508.95	18	-103.42	18	-0.07	17
42	42	-550	Max	0.00	-53.82	17	-0.22	16	0.05	17	-769.68	17	103.64	18	0.01	18
42	42	-550	Max	13.75	-53.12	17	-0.22	16	-0.03	16	-769.68	17	-52.63	17	0.01	18
42	42	-550	Min.	0.00	-105.41	18	-0.74	17	-0.00	16	-1502.75	18	53.20	17	-0.22	17
42	42	-550	Min.	13.75	-104.70	18	-0.74	17	-0.06	19	-1502.75	18	-102.99	18	-0.22	17
43	43	-551	Max	0.00	-28.59	17	0.69	18	-0.02	16	-397.18	17	55.11	18	0.19	18
43	43	-551	Max	13.75	-27.89	17	0.69	18	0.07	18	-397.18	17	-27.27	17	0.19	18
43	43	-551	Min.	0.00	-66.12	18	-0.07	17	-0.03	19	-799.12	18	27.34	17	-0.00	17
43	43	-551	Min.	13.75	-65.42	18	-0.07	17	-0.03	17	-799.12	18	-54.77	18	-0.00	17
44	44	-552	Max	0.00	-17.64	16	0.40	18	0.05	17	-392.13	16	45.23	19	0.19	18
44	44	-552	Max	13.75	-16.94	16	0.40	18	0.04	18	-392.13	16	-26.92	16	0.19	18
44	44	-552	Min.	0.00	-38.30	19	-0.18	17	-0.02	18	-655.49	19	27.00	16	-0.14	17
44	44	-552	Min.	13.75	-37.60	19	-0.18	17	0.02	10	-655.49	19	-44.90	19	-0.14	17
45	45	-561	Max	0.00	-12.21	17	0.01	17	-0.01	10	-297.02	17	44.77	18	-0.11	10
45	45	-561	Max	15.50	-11.42	17	0.01	17	-0.01	10	-297.02	17	-23.04	17	-0.11	10
45	45	-561	Min.	0.00	-23.46	18	0.00	9	-0.02	17	-577.58	18	23.00	17	-0.20	19
45	45	-561	Min.	15.50	-22.67	18	0.00	9	-0.01	19	-577.58	18	-44.75	18	-0.20	19
46	46	-562	Max	0.00	-22.14	17	0.02	18	0.06	17	-385.28	17	50.74	18	-0.11	10
46	46	-562	Max	15.50	-21.35	17	0.02	18	0.05	17	-385.28	17	-29.89	17	-0.11	10
46	46	-562	Min.	0.00	-50.36	18	-0.10	17	-0.02	18	-654.56	18	29.83	17	-0.32	17
46	46	-562	Min.	15.50	-49.57	18	-0.10	17	-0.01	18	-654.56	18	-50.72	18	-0.32	17
47	47	-563	Max	0.00	-32.59	17	0.02	17	0.01	18	-632.62	17	99.51	18	-0.01	16
47	47	-563	Max	15.50	-31.80	17	0.02	17	0.00	18	-632.62	17	-49.05	17	-0.01	16
47	47	-563	Min.	0.00	-73.77	18	-0.03	18	-0.01	17	-1284.32	18	49.00	17	-0.08	17
47	47	-563	Min.	15.50	-72.98	18	-0.03	18	-0.01	17	-1284.32	18	-99.56	18	-0.08	17
48	48	-564	Max	0.00	-33.48	17	0.02	18	0.07	17	-681.52	17	99.98	18	-0.01	16
48	48	-564	Max	15.50	-32.69	17	0.02	18	0.05	17	-681.52	17	-52.87	17	-0.01	16
48	48	-564	Min.	0.00	-75.72	18	-0.10	17	-0.00	18	-1290.36	18	52.76	17	-0.23	17
48	48	-564	Min.	15.50	-74.93	18	-0.10	17	-0.00	18	-1290.36	18	-100.02	18	-0.23	17
49	49	-565	Max	0.00	-32.77	17	0.03	17	0.00	18	-621.47	17	99.86	18	0.02	18
49	49	-565	Max	15.50	-31.98	17	0.03	17	0.00	18	-621.47	17	-48.19	17	0.02	18
49	49	-565	Min.	0.00	-75.66	18	-0.02	18	-0.02	17	-1288.75	18	48.14	17	-0.06	17
49	49	-565	Min.	15.50	-74.87	18	-0.02	18	-0.01	17	-1288.75	18	-99.90	18	-0.06	17

50	50	-566	Max	0.00	-32.45	17	0.03	18	0.07	17	-670.21	17	99.63	18	0.02	18
50	50	-566	Max	15.50	-31.66	17	0.03	18	0.05	17	-670.21	17	-51.99	17	0.02	18
50	50	-566	Min.	0.00	-73.82	18	-0.09	17	-0.01	18	-1285.88	18	51.89	17	-0.22	17
50	50	-566	Min.	15.50	-73.03	18	-0.09	17	-0.00	18	-1285.88	18	-99.68	18	-0.22	17
51	51	-567	Max	0.00	-21.41	17	0.03	17	0.02	18	-337.37	17	50.68	18	0.18	18
51	51	-567	Max	15.50	-20.62	17	0.03	17	0.01	18	-337.37	17	-26.16	17	0.18	18
51	51	-567	Min.	0.00	-50.34	18	-0.02	18	-0.01	17	-653.85	18	26.13	17	0.01	17
51	51	-567	Min.	15.50	-49.55	18	-0.02	18	-0.01	17	-653.85	18	-50.67	18	0.01	17
52	52	-568	Max	0.00	-13.58	17	-0.00	9	0.08	17	-339.14	16	45.30	19	0.18	18
52	52	-568	Max	15.50	-12.78	17	-0.00	9	0.06	17	-339.14	16	-26.22	16	0.18	18
52	52	-568	Min.	0.00	-23.48	18	-0.14	17	0.01	10	-585.01	19	26.34	16	-0.16	17
52	52	-568	Min.	15.50	-22.69	18	-0.14	17	0.01	10	-585.01	19	-45.38	19	-0.16	17
53	53	-577	Max	0.00	-9.95	17	-0.06	16	-0.01	10	-241.21	17	40.18	18	-0.11	10
53	53	-577	Max	17.25	-9.07	17	-0.06	16	-0.03	10	-241.21	17	-20.78	17	-0.11	10
53	53	-577	Min.	0.00	-20.38	18	-0.17	19	-0.03	17	-465.23	18	20.83	17	-0.19	19
53	53	-577	Min.	17.25	-19.50	18	-0.17	19	-0.05	19	-465.23	18	-40.07	18	-0.19	19
54	54	-578	Max	0.00	-21.10	17	1.31	17	0.10	17	-282.98	16	42.51	19	-0.11	10
54	54	-578	Max	17.25	-20.22	17	1.31	17	0.33	17	-282.98	16	-24.32	16	-0.11	10
54	54	-578	Min.	0.00	-45.11	18	-0.15	9	-0.02	16	-492.51	19	24.49	16	-0.39	17
54	54	-578	Min.	17.25	-44.23	18	-0.15	9	-0.04	18	-492.51	19	-42.44	19	-0.39	17
55	55	-579	Max	0.00	-28.85	17	-0.04	16	0.01	18	-500.35	17	85.98	18	-0.01	16
55	55	-579	Max	17.25	-27.97	17	-0.04	16	0.00	16	-500.35	17	-43.13	17	-0.01	16
55	55	-579	Min.	0.00	-67.28	18	-0.11	19	-0.01	17	-995.95	18	43.18	17	-0.07	17
55	55	-579	Min.	17.25	-66.40	18	-0.11	19	-0.03	17	-995.95	18	-85.82	18	-0.07	17
56	56	-580	Max	0.00	-31.79	17	1.30	17	0.12	17	-537.53	17	86.27	18	-0.01	16
56	56	-580	Max	17.25	-30.91	17	1.30	17	0.34	17	-537.53	17	-46.35	17	-0.01	16
56	56	-580	Min.	0.00	-68.62	18	-0.09	18	0.01	16	-999.24	18	46.38	17	-0.31	17
56	56	-580	Min.	17.25	-67.73	18	-0.09	18	-0.01	18	-999.24	18	-86.09	18	-0.31	17
57	57	-581	Max	0.00	-28.74	17	0.10	18	-0.01	16	-491.02	17	86.16	18	0.03	18
57	57	-581	Max	17.25	-27.86	17	0.10	18	0.01	18	-491.02	17	-42.32	17	0.03	18
57	57	-581	Min.	0.00	-68.56	18	-0.01	17	-0.02	17	-997.97	18	42.38	17	-0.06	17
57	57	-581	Min.	17.25	-67.68	18	-0.01	17	-0.03	17	-997.97	18	-85.98	18	-0.06	17
58	58	-582	Max	0.00	-31.10	17	1.40	17	0.10	17	-528.44	17	86.08	18	0.02	18
58	58	-582	Max	13.80					-0.00	10			-36.98	10		
58	58	-582	Max	17.25	-30.22	17	1.40	17	0.34	17	-528.44	17	-45.57	17	0.02	18
58	58	-582	Min.	0.00	-67.34	18	0.05	16	-0.01	18	-997.17	18	45.59	17	-0.30	17
58	58	-582	Min.	13.80					-0.00	18			-51.52	18		
58	58	-582	Min.	17.25	-66.46	18	0.05	16	-0.00	16	-997.17	18	-85.93	18	-0.30	17
59	59	-583	Max	0.00	-18.47	17	0.14	9	0.02	16	-259.99	17	41.82	18	0.17	18
59	59	-583	Max	17.25	-17.59	17	0.14	9	0.04	18	-259.99	17	-22.39	17	0.17	18
59	59	-583	Min.	0.00	-45.09	18	0.03	17	-0.01	17	-483.89	18	22.45	17	0.01	17
59	59	-583	Min.	17.25	-44.21	18	0.03	17	-0.01	17	-483.89	18	-41.65	18	0.01	17
60	60	-584	Max	0.00	-12.20	16	1.45	17	0.12	17	-268.94	16	40.87	19	0.17	18
60	60	-584	Max	17.25	-11.32	16	1.45	17	0.37	17	-268.94	16	-23.13	16	0.17	18
60	60	-584	Min.	0.00	-20.71	19	0.05	16	0.01	10	-473.69	19	23.26	16	-0.24	17
60	60	-584	Min.	17.25	-19.83	19	0.05	16	0.03	10	-473.69	19	-40.84	19	-0.24	17
61	61	-593	Max	0.00	-17.99	17	-0.38	10	-0.02	10	-177.67	16	32.47	9	-0.13	16
61	61	-593	Max	19.00	-17.02	17	-0.38	10	-0.09	10	-177.67	16	-16.85	16	-0.13	16
61	61	-593	Min.	0.00	-69.79	18	-0.84	17	-0.04	19	-341.94	9	16.90	16	-0.22	19
61	61	-593	Min.	19.00	-68.82	18	-0.84	17	-0.20	17	-341.94	9	-32.50	9	-0.22	19
62	62	-594	Max	0.00	-16.95	16	14.36	17	-0.02	10	-200.78	16	35.46	19	-0.13	16
62	62	-594	Max	19.00	-15.99	16	14.36	17	2.19	17	-200.78	16	-18.95	16	-0.13	16
62	62	-594	Min.	0.00	-29.48	19	-0.60	18	-0.54	17	-372.07	19	19.20	16	-0.35	17
62	62	-594	Min.	19.00	-28.51	19	-0.60	18	-0.15	18	-372.07	19	-35.24	19	-0.35	17
63	63	-595	Max	0.00	-46.03	17	0.17	18	0.00	18	-375.61	17	68.29	18	-0.03	16
63	63	-595	Max	19.00	-45.06	17	0.17	18	0.04	18	-375.61	17	-35.63	17	-0.03	16
63	63	-595	Min.	0.00	-112.16	18	-0.40	17	-0.02	17	-716.77	18	35.73	17	-0.09	17
63	63	-595	Min.	19.00	-111.19	18	-0.40	17	-0.09	17	-716.77	18	-67.90	18	-0.09	17
64	64	-596	Max	0.00	-60.30	17	14.72	17	0.00	16	-391.26	17	69.41	18	-0.04	16

64	64	-596	Max	19.00	-59.33	17	14.72	17	2.27	17	-391.26	17	-37.06	17	-0.04	16
64	64	-596	Min.	0.00	-101.64	18	0.09	10	-0.52	17	-728.66	18	37.28	17	-0.29	17
64	64	-596	Min.	19.00	-100.67	18	0.09	10	0.02	10	-728.66	18	-69.04	18	-0.29	17
65	65	-597	Max	0.00	-39.49	17	-0.08	10	0.00	9	-373.75	17	69.33	18	0.07	18
65	65	-597	Max	19.00	-38.53	17	-0.08	10	-0.02	10	-373.75	17	-35.46	17	0.07	18
65	65	-597	Min.	0.00	-101.36	18	-0.59	17	-0.02	17	-727.82	18	35.55	17	-0.04	17
65	65	-597	Min.	19.00	-100.39	18	-0.59	17	-0.13	17	-727.82	18	-68.96	18	-0.04	17
66	66	-598	Max	0.00	-64.78	17	14.54	17	-0.00	16	-379.32	17	68.37	18	0.06	18
66	66	-598	Max	19.00	-63.81	17	14.54	17	2.23	17	-379.32	17	-35.92	17	0.06	18
66	66	-598	Min.	0.00	-112.45	18	-0.16	18	-0.53	17	-717.55	18	36.15	17	-0.23	17
66	66	-598	Min.	19.00	-111.48	18	-0.16	18	-0.03	18	-717.55	18	-67.97	18	-0.23	17
67	67	-599	Max	0.00	-7.76	17	0.60	18	0.03	18	-200.52	16	35.15	9	0.20	18
67	67	-599	Max	19.00	-6.79	17	0.60	18	0.15	18	-200.52	16	-18.93	16	0.20	18
67	67	-599	Min.	0.00	-23.27	9	-0.23	17	-0.00	17	-369.06	9	19.17	16	0.03	17
67	67	-599	Min.	19.00	-22.30	9	-0.23	17	-0.05	17	-369.06	9	-34.97	9	0.03	17
68	68	-600	Max	0.00	-39.21	17	14.90	17	0.03	18	-177.82	16	32.85	19	0.20	18
68	68	-600	Max	19.00	-38.24	17	14.90	17	2.32	17	-177.82	16	-16.87	16	0.20	18
68	68	-600	Min.	0.00	-69.93	18	0.38	10	-0.51	17	-345.79	19	16.92	16	-0.16	17
68	68	-600	Min.	19.00	-68.96	18	0.38	10	0.09	10	-345.79	19	-32.85	19	-0.16	17
69	69	-609	Max	0.00	-7.08	16	0.30	19	-0.04	10	-106.33	16	25.98	19	-0.05	17
69	69	-609	Max	16.60					-0.01	18			-13.89	18		
69	69	-609	Max	20.75	-6.02	16	0.30	19	0.00	9	-106.33	16	-10.91	16	-0.05	17
69	69	-609	Min.	0.00	-12.88	19	0.16	16	-0.06	19	-249.49	19	11.15	16	-0.09	18
69	69	-609	Min.	16.60					-0.01	18			-13.89	18		
69	69	-609	Min.	20.75	-11.82	19	0.16	16	-0.01	17	-249.49	19	-25.79	19	-0.09	18
70	70	-610	Max	0.00	-14.34	17	1.83	17	0.11	17	-137.92	16	29.42	9	-0.06	16
70	70	-610	Max	16.60					-0.01	18			-16.74	18		
70	70	-610	Max	20.75	-13.29	17	1.83	17	0.49	17	-137.92	16	-14.22	16	-0.06	16
70	70	-610	Min.	0.00	-35.72	18	0.16	16	-0.05	18	-282.90	9	14.40	16	-0.11	19
70	70	-610	Min.	16.60					-0.01	18			-16.74	18		
70	70	-610	Min.	20.75	-34.66	18	0.16	16	-0.01	16	-282.90	9	-29.28	9	-0.11	19
71	71	-611	Max	0.00	-20.19	17	0.16	17	0.00	16	-279.10	17	52.57	18	-0.02	17
71	71	-611	Max	16.60					-0.01	17			-17.28	17		
71	71	-611	Max	20.75	-19.13	17	0.16	17	0.01	18	-279.10	17	-28.87	17	-0.02	17
71	71	-611	Min.	0.00	-46.65	18	0.02	16	-0.03	17	-504.68	18	29.05	17	-0.04	18
71	71	-611	Min.	16.60					-0.01	17			-17.28	17		
71	71	-611	Min.	20.75	-45.59	18	0.02	16	0.00	17	-504.68	18	-52.15	18	-0.04	18
72	72	-612	Max	0.00	-20.53	17	1.77	17	0.13	17	-281.55	17	54.38	18	-0.02	16
72	72	-612	Max	20.75	-19.47	17	1.77	17	0.50	17	-281.55	17	-29.12	17	-0.02	16
72	72	-612	Min.	0.00	-48.80	18	0.04	16	-0.01	9	-522.11	18	29.30	17	-0.07	17
72	72	-612	Min.	20.75	-47.74	18	0.04	16	0.01	16	-522.11	18	-53.96	18	-0.07	17
73	73	-613	Max	0.00	-20.77	17	0.10	17	0.01	18	-282.30	17	54.33	18	0.04	18
73	73	-613	Max	20.75	-19.71	17	0.10	17	-0.01	16	-282.30	17	-29.20	17	0.04	18
73	73	-613	Min.	0.00	-48.77	18	-0.09	18	-0.03	17	-521.64	18	29.38	17	0.01	17
73	73	-613	Min.	20.75	-47.71	18	-0.09	18	-0.01	19	-521.64	18	-53.91	18	0.01	17
74	74	-614	Max	0.00	-19.53	17	1.71	17	0.13	17	-267.90	17	52.62	18	0.04	18
74	74	-614	Max	20.75	-18.47	17	1.71	17	0.49	17	-267.90	17	-27.70	17	0.04	18
74	74	-614	Min.	0.00	-46.67	18	-0.06	18	0.00	16	-505.11	18	27.89	17	-0.03	17
74	74	-614	Min.	20.75	-45.61	18	-0.06	18	-0.01	18	-505.11	18	-52.20	18	-0.03	17
75	75	-615	Max	0.00	-14.94	17	-0.01	17	0.05	18	-137.79	16	29.65	19	0.09	18
75	75	-615	Max	20.75	-13.88	17	-0.01	17	0.01	16	-137.79	16	-14.21	16	0.09	18
75	75	-615	Min.	0.00	-35.71	18	-0.25	18	-0.01	17	-285.16	19	14.38	16	0.03	17
75	75	-615	Min.	20.75	-34.65	18	-0.25	18	-0.01	17	-285.16	19	-29.52	19	0.03	17
76	76	-616	Max	0.00	-7.08	16	1.59	17	0.16	17	-106.37	16	25.82	9	0.09	18
76	76	-616	Max	20.75	-6.02	16	1.59	17	0.49	17	-106.37	16	-10.91	16	0.09	18
76	76	-616	Min.	0.00	-12.74	9	-0.25	18	0.04	10	-247.88	9	11.16	16	-0.02	17
76	76	-616	Min.	20.75	-11.68	9	-0.25	18	-0.00	9	-247.88	9	-25.62	9	-0.02	17
77	77	-625	Max	0.00	-3.93	16	0.02	17	-0.01	10	-80.64	16	23.06	19	-0.05	17
77	77	-625	Max	22.50	-2.78	16	0.02	17	-0.01	10	-80.64	16	-8.98	16	-0.05	17

77	77	-625	Min.	0.00	-8.88	19	0.00	10	-0.02	19	-204.27	19	9.16	16	-0.08	18
77	77	-625	Min.	22.50	-7.73	19	0.00	10	-0.01	19	-204.27	19	-22.90	19	-0.08	18
78	78	-626	Max	0.00	-13.10	17	0.01	16	0.21	17	-80.53	16	23.49	9	-0.05	16
78	78	-626	Max	22.50	-11.96	17	0.01	16	0.20	17	-80.53	16	-8.96	16	-0.05	16
78	78	-626	Min.	0.00	-33.35	18	-0.05	17	-0.01	18	-208.00	9	9.15	16	-0.20	17
78	78	-626	Min.	22.50	-32.21	18	-0.05	17	-0.01	18	-208.00	9	-23.31	9	-0.20	17
79	79	-627	Max	0.00	-16.87	17	0.01	17	0.00	10	-206.17	16	43.31	19	-0.02	17
79	79	-627	Max	22.50	-15.73	17	0.01	17	-0.00	10	-206.17	16	-23.03	16	-0.02	17
79	79	-627	Min.	0.00	-40.09	18	-0.01	18	-0.01	17	-383.54	19	23.35	16	-0.04	18
79	79	-627	Min.	22.50	-38.94	18	-0.01	18	-0.01	17	-383.54	19	-42.99	19	-0.04	18
80	80	-628	Max	0.00	-17.43	17	-0.00	16	0.22	17	-215.34	16	44.30	9	-0.02	16
80	80	-628	Max	22.50	-16.28	17	-0.00	16	0.21	17	-215.34	16	-24.06	16	-0.02	16
80	80	-628	Min.	0.00	-42.27	18	-0.06	17	0.00	18	-392.31	9	24.39	16	-0.17	17
80	80	-628	Min.	22.50	-41.12	18	-0.06	17	-0.00	18	-392.31	9	-43.97	9	-0.17	17
81	81	-629	Max	0.00	-17.51	17	0.01	17	0.00	18	-215.03	16	44.35	19	0.03	18
81	81	-629	Max	22.50	-16.36	17	0.01	17	0.00	18	-215.03	16	-24.03	16	0.03	18
81	81	-629	Min.	0.00	-42.26	18	0.00	16	-0.01	17	-392.78	19	24.35	16	0.02	17
81	81	-629	Min.	22.50	-41.11	18	0.00	16	-0.00	17	-392.78	19	-44.03	19	0.02	17
82	82	-630	Max	0.00	-16.46	17	0.01	9	0.22	17	-206.44	16	42.96	9	0.04	18
82	82	-630	Max	22.50	-15.32	17	0.01	9	0.21	17	-206.44	16	-23.07	16	0.04	18
82	82	-630	Min.	0.00	-40.11	18	-0.05	17	0.00	10	-380.43	9	23.38	16	-0.13	17
82	82	-630	Min.	22.50	-38.96	18	-0.05	17	0.00	10	-380.43	9	-42.64	9	-0.13	17
83	83	-631	Max	0.00	-13.41	17	0.01	17	0.02	18	-80.43	16	23.77	19	0.08	18
83	83	-631	Max	9.00					-0.00	17			2.81	17		
83	83	-631	Max	22.50	-12.26	17	0.01	17	0.01	18	-80.43	16	-8.95	16	0.08	18
83	83	-631	Min.	0.00	-33.35	18	-0.01	16	-0.00	17	-210.47	19	9.14	16	0.03	17
83	83	-631	Min.	9.00					-0.00	17			2.81	17		
83	83	-631	Min.	22.50	-32.21	18	-0.01	16	0.00	17	-210.47	19	-23.59	19	0.03	17
84	84	-632	Max	0.00	-3.93	16	-0.00	10	0.22	17	-80.67	16	22.84	9	0.08	18
84	84	-632	Max	22.50	-2.78	16	-0.00	10	0.21	17	-80.67	16	-8.99	16	0.08	18
84	84	-632	Min.	0.00	-8.80	9	-0.05	17	0.01	10	-202.31	9	9.16	16	-0.12	17
84	84	-632	Min.	22.50	-7.65	9	-0.05	17	0.01	10	-202.31	9	-22.68	9	-0.12	17
85	85	-641	Max	0.00	-4.88	16	-0.09	16	0.01	9	-58.31	16	20.19	19	-0.05	17
85	85	-641	Max	24.25	-3.64	16	-0.09	16	-0.03	10	-58.31	16	-7.01	16	-0.05	17
85	85	-641	Min.	0.00	-8.94	19	-0.19	19	-0.01	16	-166.01	19	7.13	16	-0.08	18
85	85	-641	Min.	24.25	-7.70	19	-0.19	19	-0.04	18	-166.01	19	-20.07	19	-0.08	18
86	86	-642	Max	0.00	-11.60	17	1.87	17	0.18	17	-35.93	16	18.19	9	-0.05	16
86	86	-642	Max	24.25	-10.36	17	1.87	17	0.64	17	-35.93	16	-4.25	16	-0.05	16
86	86	-642	Min.	0.00	-29.58	18	-0.16	9	-0.01	16	-149.20	9	4.46	16	-0.32	17
86	86	-642	Min.	24.25	-28.35	18	-0.16	9	-0.04	18	-149.20	9	-17.99	9	-0.32	17
87	87	-643	Max	0.00	-16.17	17	-0.04	16	0.00	17	-135.69	16	35.63	19	-0.02	17
87	87	-643	Max	24.25	-14.93	17	-0.04	16	-0.01	16	-135.69	16	-16.32	16	-0.02	17
87	87	-643	Min.	0.00	-38.10	18	-0.10	19	-0.00	16	-292.77	19	16.58	16	-0.04	18
87	87	-643	Min.	24.25	-36.87	18	-0.10	19	-0.02	19	-292.77	19	-35.36	19	-0.04	18
88	88	-644	Max	0.00	-16.41	17	1.90	17	0.18	17	-141.94	16	36.40	9	-0.02	16
88	88	-644	Max	24.25	-15.17	17	1.90	17	0.64	17	-141.94	16	-17.08	16	-0.02	16
88	88	-644	Min.	0.00	-39.86	18	-0.08	18	0.00	16	-299.02	9	17.34	16	-0.29	17
88	88	-644	Min.	24.25	-38.62	18	-0.08	18	-0.02	18	-299.02	9	-36.11	9	-0.29	17
89	89	-645	Max	0.00	-16.63	17	0.08	18	0.00	17	-141.69	16	36.45	19	0.04	18
89	89	-645	Max	24.25	-15.40	17	0.08	18	0.02	18	-141.69	16	-17.05	16	0.04	18
89	89	-645	Min.	0.00	-39.85	18	-0.02	17	-0.00	9	-299.40	19	17.31	16	0.01	17
89	89	-645	Min.	24.25	-38.62	18	-0.02	17	-0.00	17	-299.40	19	-36.16	19	0.01	17
90	90	-646	Max	0.00	-15.57	17	1.97	17	0.18	17	-135.92	16	35.32	9	0.04	18
90	90	-646	Max	24.25	-14.34	17	1.97	17	0.66	17	-135.92	16	-16.35	16	0.04	18
90	90	-646	Min.	0.00	-38.10	18	0.04	16	-0.00	9	-290.19	9	16.61	16	-0.25	17
90	90	-646	Min.	24.25	-36.86	18	0.04	16	0.01	16	-290.19	9	-35.05	9	-0.25	17
91	91	-647	Max	0.00	-11.99	17	0.16	9	0.01	16	-35.86	16	18.44	19	0.08	18
91	91	-647	Max	24.25	-10.75	17	0.16	9	0.04	18	-35.86	16	-4.24	16	0.08	18
91	91	-647	Min.	0.00	-29.57	18	0.05	17	-0.01	19	-151.24	19	4.45	16	0.03	17

91	91	-647	Min.	24.25	-28.33	18	0.05	17	0.01	17	-151.24	19	-18.23	19	0.03	17
92	92	-648	Max	0.00	-4.88	16	2.04	17	0.17	17	-58.33	16	19.98	9	0.08	18
92	92	-648	Max	24.25	-3.65	16	2.04	17	0.67	17	-58.33	16	-7.01	16	0.08	18
92	92	-648	Min.	0.00	-8.87	9	0.09	16	-0.01	9	-164.29	9	7.13	16	-0.24	17
92	92	-648	Min.	24.25	-7.64	9	0.09	16	0.03	10	-164.29	9	-19.86	9	-0.24	17
93	93	-657	Max	0.00	-30.54	17	-0.15	17	-0.01	10	-8.79	16	13.83	19	-0.08	16
93	93	-657	Max	26.00	-29.21	17	-0.15	17	-0.05	17	-8.79	16	-1.07	16	-0.08	16
93	93	-657	Min.	0.00	-71.03	18	-0.31	18	-0.01	18	-105.94	19	1.21	16	-0.15	19
93	93	-657	Min.	26.00	-69.71	18	-0.31	18	-0.09	18	-105.94	19	-13.71	19	-0.15	19
94	94	-658	Max	0.00	0.21	16	13.99	17	-0.01	10	-12.60	16	14.72	9	-0.08	16
94	94	-658	Max	26.00	1.54	16	13.99	17	3.00	17	-12.60	16	-1.55	16	-0.08	16
94	94	-658	Min.	0.00	-5.82	10	-0.31	18	-0.64	17	-112.60	9	1.72	16	-0.29	17
94	94	-658	Min.	26.00	-4.49	10	-0.31	18	-0.09	18	-112.60	9	-14.55	9	-0.29	17
95	95	-659	Max	0.00	-41.94	17	-0.09	10	-0.00	16	-52.95	16	25.46	19	-0.03	16
95	95	-659	Max	26.00	-40.61	17	-0.09	10	-0.03	10	-52.95	16	-6.72	16	-0.03	16
95	95	-659	Min.	0.00	-82.28	18	-0.14	19	-0.00	19	-194.41	19	7.05	16	-0.07	19
95	95	-659	Min.	26.00	-80.95	18	-0.14	19	-0.04	19	-194.41	19	-25.09	19	-0.07	19
96	96	-660	Max	0.00	-39.11	17	14.04	17	-0.00	16	-58.17	16	26.31	9	-0.03	16
96	96	-660	Max	26.00	-37.79	17	14.04	17	3.01	17	-58.17	16	-7.40	16	-0.03	16
96	96	-660	Min.	0.00	-81.48	18	-0.13	18	-0.64	17	-200.96	9	7.72	16	-0.26	17
96	96	-660	Min.	26.00	-80.15	18	-0.13	18	-0.04	18	-200.96	9	-25.94	19	-0.26	17
97	97	-661	Max	0.00	-41.26	17	0.13	18	0.00	18	-57.97	16	26.28	9	0.06	18
97	97	-661	Max	26.00	-39.94	17	0.13	18	0.04	18	-57.97	16	-7.38	16	0.06	18
97	97	-661	Min.	0.00	-81.42	18	0.02	17	0.00	17	-200.74	9	7.70	16	0.01	17
97	97	-661	Min.	26.00	-80.09	18	0.02	17	0.01	17	-200.74	9	-25.91	9	0.01	17
98	98	-662	Max	0.00	-37.29	17	14.17	17	0.00	18	-53.14	16	25.30	9	0.06	18
98	98	-662	Max	26.00	-35.96	17	14.17	17	3.05	17	-53.14	16	-6.75	16	0.06	18
98	98	-662	Min.	0.00	-82.34	18	0.09	10	-0.63	17	-193.24	9	7.07	16	-0.20	17
98	98	-662	Min.	26.00	-81.01	18	0.09	10	0.03	10	-193.24	9	-24.94	9	-0.20	17
99	99	-663	Max	0.00	0.24	16	0.31	18	0.01	18	-12.56	16	14.83	19	0.13	18
99	99	-663	Max	26.00	1.57	16	0.31	18	0.09	18	-12.56	16	-1.55	16	0.13	18
99	99	-663	Min.	0.00	-8.36	17	0.04	17	0.00	17	-113.46	19	1.72	16	0.05	17
99	99	-663	Min.	26.00	-7.03	17	0.04	17	0.01	17	-113.46	19	-14.67	19	0.05	17
100	100	-664	Max	0.00	-29.04	17	14.17	17	0.01	18	-8.79	16	13.67	9	0.13	18
100	100	-664	Max	26.00	-27.71	17	14.17	17	3.05	17	-8.79	16	-1.07	16	0.13	18
100	100	-664	Min.	0.00	-71.06	18	0.16	10	-0.63	17	-104.67	9	1.21	16	-0.16	17
100	100	-664	Min.	26.00	-69.74	18	0.16	10	0.05	10	-104.67	9	-13.55	9	-0.16	17
101	101	-673	Max	0.00	-1.84	16	0.20	19	-0.03	17	31.09	16	8.00	19	-0.02	16
101	101	-673	Max	22.20					-0.01	16			2.70	16		
101	101	-673	Max	27.75	-0.42	16	0.20	19	0.01	19	31.09	16	4.42	16	-0.02	16
101	101	-673	Min.	0.00	-5.31	19	0.11	16	-0.04	18	-56.85	19	-4.20	16	-0.04	19
101	101	-673	Min.	22.20					-0.01	16			2.70	16		
101	101	-673	Min.	27.75	-3.90	19	0.11	16	0.00	16	-56.85	19	-7.78	19	-0.04	19
102	102	-674	Max	0.00	-10.15	17	2.21	17	0.18	17	7.95	16	11.23	9	-0.02	16
102	102	-674	Max	27.75	-8.74	17	2.21	17	0.79	17	7.95	16	1.17	16	-0.02	16
102	102	-674	Min.	0.00	-26.87	18	0.10	16	-0.04	18	-80.46	9	-1.04	16	-0.07	17
102	102	-674	Min.	27.75	-25.46	18	0.10	16	-0.00	16	-80.46	9	-11.09	19	-0.07	17
103	103	-675	Max	0.00	-11.82	17	0.10	19	-0.01	16	13.20	16	16.24	19	-0.01	17
103	103	-675	Max	22.20					-0.00	16			1.26	16		
103	103	-675	Max	27.75	-10.40	17	0.10	19	0.01	17	13.20	16	2.00	16	-0.01	17
103	103	-675	Min.	0.00	-29.57	18	0.04	16	-0.02	19	-115.72	19	-1.67	16	-0.02	18
103	103	-675	Min.	22.20					-0.00	16			1.26	16		
103	103	-675	Min.	27.75	-28.15	18	0.04	16	0.00	16	-115.72	19	-15.87	19	-0.02	18
104	104	-676	Max	0.00	-12.37	17	2.18	17	0.18	17	9.54	16	17.03	19	-0.01	16
104	104	-676	Max	22.20					-0.00	16			0.96	16		
104	104	-676	Max	27.75	-10.95	17	2.18	17	0.79	17	9.54	16	1.49	16	-0.01	16
104	104	-676	Min.	0.00	-31.33	18	0.04	16	-0.02	18	-121.45	19	-1.16	16	-0.05	17
104	104	-676	Min.	22.20					-0.00	16			0.96	16		
104	104	-676	Min.	27.75	-29.92	18	0.04	16	0.00	16	-121.45	19	-16.67	19	-0.05	17

105	105	-677	Max	0.00	-12.35	17	0.02	17	0.02	18	9.68	16	16.97	9	0.02	19
105	105	-677	Max	27.75	-10.94	17	0.02	17	0.00	17	9.68	16	1.51	16	0.02	19
105	105	-677	Min.	0.00	-31.32	18	-0.08	18	0.00	17	-120.99	9	-1.18	16	0.01	16
105	105	-677	Min.	27.75	-29.90	18	-0.08	18	-0.00	9	-120.99	9	-16.61	9	0.01	16
106	106	-678	Max	0.00	-11.70	17	2.11	17	0.20	17	13.07	16	16.19	9	0.02	18
106	106	-678	Max	27.75	-10.29	17	2.11	17	0.79	17	13.07	16	1.98	16	0.02	18
106	106	-678	Min.	0.00	-29.59	18	-0.08	18	0.01	16	-115.38	9	-1.65	16	-0.03	17
106	106	-678	Min.	27.75	-28.18	18	-0.08	18	-0.00	9	-115.38	9	-15.82	9	-0.03	17
107	107	-679	Max	0.00	-10.31	17	-0.05	17	0.04	18	7.97	16	11.24	19	0.04	9
107	107	-679	Max	27.75	-8.90	17	-0.05	17	0.00	16	7.97	16	1.17	16	0.04	9
107	107	-679	Min.	0.00	-26.88	18	-0.17	18	0.01	17	-80.51	19	-1.04	16	0.02	16
107	107	-679	Min.	27.75	-25.46	18	-0.17	18	-0.01	9	-80.51	19	-11.10	19	0.02	16
108	108	-680	Max	0.00	-1.84	16	2.03	17	0.21	17	31.10	16	7.88	9	0.04	9
108	108	-680	Max	27.75	-0.42	16	2.03	17	0.78	17	31.10	16	4.42	16	0.04	9
108	108	-680	Min.	0.00	-5.26	9	-0.18	18	0.03	10	-56.00	9	-4.21	16	-0.02	17
108	108	-680	Min.	27.75	-3.85	9	-0.18	18	-0.01	9	-56.00	9	-7.66	9	-0.02	17
109	109	-689	Max	0.00	0.87	16	0.03	18	-0.01	17	37.34	16	6.15	19	-0.01	16
109	109	-689	Max	29.50	2.37	16	0.03	18	-0.00	17	37.34	16	5.58	16	-0.01	16
109	109	-689	Min.	0.00	-2.30	19	0.01	10	-0.02	18	-41.18	19	-5.44	16	-0.03	19
109	109	-689	Min.	29.50	-0.80	19	0.01	10	-0.01	18	-41.18	19	-6.00	19	-0.03	19
110	110	-690	Max	0.00	-9.75	17	0.25	17	0.29	17	35.27	16	6.81	19	-0.01	16
110	110	-690	Max	29.50	-8.25	17	0.25	17	0.37	17	35.27	16	5.27	16	-0.01	16
110	110	-690	Min.	0.00	-26.44	18	0.01	10	-0.02	18	-45.62	19	-5.13	16	-0.20	17
110	110	-690	Min.	29.50	-24.93	18	0.01	10	-0.01	18	-45.62	19	-6.65	19	-0.20	17
111	111	-691	Max	0.00	-9.81	17	0.01	19	-0.00	16	47.12	16	10.53	19	-0.00	17
111	111	-691	Max	23.60					-0.00	17			-3.53	17		
111	111	-691	Max	29.50	-8.30	17	0.01	19	0.00	17	47.12	16	7.08	16	-0.00	17
111	111	-691	Min.	0.00	-25.63	18	0.01	16	-0.01	19	-70.30	19	-6.82	16	-0.02	18
111	111	-691	Min.	23.60					-0.00	17			-3.53	17		
111	111	-691	Min.	29.50	-24.12	18	0.01	16	-0.00	18	-70.30	19	-10.21	19	-0.02	18
112	112	-692	Max	0.00	-10.39	17	0.25	17	0.30	17	45.40	16	11.09	19	-0.01	16
112	112	-692	Max	29.50	-8.88	17	0.25	17	0.37	17	45.40	16	6.83	16	-0.01	16
112	112	-692	Min.	0.00	-27.38	18	0.01	16	-0.01	18	-74.09	19	-6.56	16	-0.18	17
112	112	-692	Min.	29.50	-25.87	18	0.01	16	-0.00	18	-74.09	19	-10.77	19	-0.18	17
113	113	-693	Max	0.00	-10.35	17	0.00	17	0.01	18	45.52	16	11.02	9	0.02	19
113	113	-693	Max	29.50	-8.84	17	0.00	17	0.00	19	45.52	16	6.85	16	0.02	19
113	113	-693	Min.	0.00	-27.37	18	-0.01	18	0.00	17	-73.66	9	-6.58	16	0.01	16
113	113	-693	Min.	29.50	-25.87	18	-0.01	18	0.00	16	-73.66	9	-10.70	9	0.01	16
114	114	-694	Max	0.00	-9.79	17	0.24	17	0.30	17	47.02	16	10.50	9	0.02	9
114	114	-694	Max	29.50	-8.29	17	0.24	17	0.38	17	47.02	16	7.07	16	0.02	9
114	114	-694	Min.	0.00	-25.63	18	-0.01	18	0.00	16	-70.11	9	-6.80	16	-0.16	17
114	114	-694	Min.	29.50	-24.12	18	-0.01	18	0.00	16	-70.11	9	-10.18	9	-0.16	17
115	115	-695	Max	0.00	-9.69	17	-0.00	17	0.02	18	35.29	16	6.79	9	0.03	9
115	115	-695	Max	29.50	-8.18	17	-0.00	17	0.01	18	35.29	16	5.28	16	0.03	9
115	115	-695	Min.	0.00	-26.43	18	-0.03	18	0.00	17	-45.50	9	-5.13	16	0.01	16
115	115	-695	Min.	29.50	-24.93	18	-0.03	18	0.00	17	-45.50	9	-6.63	9	0.01	16
116	116	-696	Max	0.00	0.87	16	0.24	17	0.31	17	37.35	16	6.05	9	0.03	9
116	116	-696	Max	29.50	2.37	16	0.24	17	0.38	17	37.35	16	5.58	16	0.03	9
116	116	-696	Min.	0.00	-2.27	9	-0.03	18	0.01	10	-40.45	9	-5.44	16	-0.15	17
116	116	-696	Min.	29.50	-0.77	9	-0.03	18	0.01	10	-40.45	9	-5.89	9	-0.15	17
117	117	-705	Max	0.00	-1.39	16	-0.07	16	0.00	19	42.90	16	4.39	19	-0.01	16
117	117	-705	Max	31.25	0.21	16	-0.07	16	-0.02	17	42.90	16	6.74	16	-0.01	16
117	117	-705	Min.	0.00	-3.88	19	-0.13	19	-0.01	16	-27.75	19	-6.67	16	-0.04	19
117	117	-705	Min.	31.25	-2.28	19	-0.13	19	-0.04	18	-27.75	19	-4.29	19	-0.04	19
118	118	-706	Max	0.00	-9.07	17	2.30	17	0.18	17	58.41	16	2.61	19	-0.01	16
118	118	-706	Max	31.25	-7.48	17	2.30	17	0.90	17	58.41	16	9.20	16	-0.01	16
118	118	-706	Min.	0.00	-24.04	18	-0.11	18	-0.01	16	-16.21	19	-9.05	16	-0.34	17
118	118	-706	Min.	31.25	-22.45	18	-0.11	18	-0.04	18	-16.21	19	-2.45	19	-0.34	17
119	119	-707	Max	0.00	-10.38	17	-0.02	16	0.00	17	76.45	16	5.05	19	-0.01	17

119	119	-707	Max	31.25	-8.78	17	-0.02	16	-0.01	16	76.45	16	12.04	16	-0.01	17
119	119	-707	Min.	0.00	-26.35	18	-0.06	19	0.00	9	-31.50	19	-11.85	16	-0.02	18
119	119	-707	Min.	31.25	-24.75	18	-0.06	19	-0.02	19	-31.50	19	-4.79	19	-0.02	18
120	120	-708	Max	0.00	-10.92	17	2.33	17	0.19	17	76.09	16	5.38	19	-0.01	16
120	120	-708	Max	31.25	-9.33	17	2.33	17	0.92	17	76.09	16	11.99	16	-0.01	16
120	120	-708	Min.	0.00	-27.90	18	-0.04	18	-0.00	16	-33.65	19	-11.79	16	-0.33	17
120	120	-708	Min.	31.25	-26.31	18	-0.04	18	-0.01	18	-33.65	19	-5.13	19	-0.33	17
121	121	-709	Max	0.00	-10.83	17	0.04	18	0.00	17	76.20	16	5.33	9	0.02	19
121	121	-709	Max	31.25	-9.23	17	0.04	18	0.01	18	76.20	16	12.00	16	0.02	19
121	121	-709	Min.	0.00	-27.90	18	-0.01	17	0.00	9	-33.30	9	-11.81	16	0.01	16
121	121	-709	Min.	31.25	-26.30	18	-0.01	17	0.00	17	-33.30	9	-5.08	9	0.01	16
122	122	-710	Max	0.00	-10.34	17	2.37	17	0.19	17	76.36	16	5.03	9	0.02	18
122	122	-710	Max	31.25	-8.74	17	2.37	17	0.93	17	76.36	16	12.03	16	0.02	18
122	122	-710	Min.	0.00	-26.36	18	0.02	16	0.00	16	-31.37	9	-11.84	16	-0.31	17
122	122	-710	Min.	31.25	-24.76	18	0.02	16	0.01	16	-31.37	9	-4.77	9	-0.31	17
123	123	-711	Max	0.00	-9.09	17	0.11	18	0.02	16	58.43	16	2.59	9	0.04	9
123	123	-711	Max	31.25	-7.49	17	0.11	18	0.04	18	58.43	16	9.20	16	0.04	9
123	123	-711	Min.	0.00	-24.05	18	0.04	17	0.00	9	-16.03	9	-9.06	16	0.01	16
123	123	-711	Min.	31.25	-22.45	18	0.04	17	0.02	17	-16.03	9	-2.42	9	0.01	16
124	124	-712	Max	0.00	-1.39	16	2.42	17	0.19	17	42.91	16	4.28	9	0.04	9
124	124	-712	Max	31.25	0.21	16	2.42	17	0.94	17	42.91	16	6.74	16	0.04	9
124	124	-712	Min.	0.00	-3.87	9	0.07	16	-0.00	9	-27.07	9	-6.67	16	-0.30	17
124	124	-712	Min.	31.25	-2.28	9	0.07	16	0.03	10	-27.07	9	-4.18	9	-0.30	17
125	125	-721	Max	0.00	-23.63	17	-0.18	17	0.00	17	68.88	16	-0.09	17	-0.01	16
125	125	-721	Max	33.00	-21.95	17	-0.18	17	-0.06	17	68.88	16	11.43	16	-0.01	16
125	125	-721	Min.	0.00	-61.30	18	-0.37	18	-0.00	18	0.73	17	-11.30	16	-0.08	19
125	125	-721	Min.	33.00	-59.62	18	-0.37	18	-0.13	18	0.73	17	0.16	17	-0.08	19
126	126	-722	Max	0.00	-2.56	16	12.68	17	-0.00	16	71.40	16	-0.14	17	-0.01	16
126	126	-722	Max	33.00	-0.88	16	12.68	17	3.43	17	71.40	16	11.84	16	-0.01	16
126	126	-722	Min.	0.00	-6.79	17	-0.37	18	-0.75	17	1.11	17	-11.72	16	-0.27	17
126	126	-722	Min.	33.00	-5.11	17	-0.37	18	-0.12	18	1.11	17	0.22	17	-0.27	17
127	127	-723	Max	0.00	-36.91	17	-0.04	16	0.00	17	121.11	16	-1.59	17	-0.02	16
127	127	-723	Max	33.00	-35.23	17	-0.04	16	-0.01	16	121.11	16	20.10	16	-0.02	16
127	127	-723	Min.	0.00	-73.73	18	-0.11	19	0.00	16	10.12	17	-19.87	16	-0.04	19
127	127	-723	Min.	33.00	-72.04	18	-0.11	19	-0.04	19	10.12	17	1.75	17	-0.04	19
128	128	-724	Max	0.00	-36.50	17	12.78	17	0.00	9	120.09	16	-1.44	17	-0.01	16
128	128	-724	Max	33.00	-34.81	17	12.78	17	3.47	17	120.09	16	19.93	16	-0.01	16
128	128	-724	Min.	0.00	-71.26	18	-0.11	18	-0.75	17	9.26	17	-19.70	16	-0.25	17
128	128	-724	Min.	33.00	-69.57	18	-0.11	18	-0.03	18	9.26	17	1.61	17	-0.25	17
129	129	-725	Max	0.00	-35.28	17	0.11	18	0.00	17	120.18	16	-1.46	17	0.03	9
129	129	-725	Max	33.00	-33.60	17	0.11	18	0.03	18	120.18	16	19.94	16	0.03	9
129	129	-725	Min.	0.00	-71.23	18	0.03	17	0.00	9	9.32	17	-19.72	16	0.00	17
129	129	-725	Min.	33.00	-69.55	18	0.03	17	0.01	17	9.32	17	1.62	17	0.00	17
130	130	-726	Max	0.00	-35.88	17	12.88	17	0.00	16	121.05	16	-1.61	17	0.03	18
130	130	-726	Max	33.00	-34.19	17	12.88	17	3.50	17	121.05	16	20.08	16	0.03	18
130	130	-726	Min.	0.00	-73.75	18	0.04	16	-0.75	17	10.23	17	-19.86	16	-0.22	17
130	130	-726	Min.	33.00	-72.07	18	0.04	16	0.01	16	10.23	17	1.77	17	-0.22	17
131	131	-727	Max	0.00	-2.56	16	0.37	18	0.00	19	71.41	16	-0.38	10	0.07	9
131	131	-727	Max	33.00	-0.88	16	0.37	18	0.12	18	71.41	16	11.84	16	0.07	9
131	131	-727	Min.	0.00	-8.68	17	0.13	17	0.00	16	2.57	17	-11.73	16	0.01	16
131	131	-727	Min.	33.00	-6.99	17	0.13	17	0.04	17	2.57	17	0.47	17	0.01	16
132	132	-728	Max	0.00	-24.69	17	12.98	17	0.00	18	68.90	16	-0.46	10	0.07	9
132	132	-728	Max	33.00	-23.00	17	12.98	17	3.53	17	68.90	16	11.43	16	0.07	9
132	132	-728	Min.	0.00	-61.31	18	0.20	10	-0.75	17	3.12	10	-11.31	16	-0.19	17
132	132	-728	Min.	33.00	-59.62	18	0.20	10	0.07	10	3.12	10	0.56	10	-0.19	17
133	133	-737	Max	0.00	0.57	16	0.12	19	-0.02	17	89.86	16	-2.51	17	0.05	16
133	133	-737	Max	34.75	2.34	16	0.12	19	0.00	19	89.86	16	15.69	16	0.05	16
133	133	-737	Min.	0.00	-1.84	19	0.06	16	-0.04	18	14.73	17	-15.53	16	-0.00	19
133	133	-737	Min.	34.75	-0.06	19	0.06	16	-0.01	16	14.73	17	2.61	17	-0.00	19

134	134	-738	Max	0.00	-8.05	17	2.57	17	0.16	17	82.59	16	-1.96	17	0.04	16
134	134	-738	Max	34.75	-6.28	17	2.57	17	1.05	17	82.59	16	14.39	16	0.04	16
134	134	-738	Min.	0.00	-22.45	18	0.06	16	-0.04	18	11.51	17	-14.30	16	-0.01	17
134	134	-738	Min.	34.75	-20.67	18	0.06	16	-0.01	16	11.51	17	2.04	17	-0.01	17
135	135	-739	Max	0.00	-7.99	17	0.04	19	-0.01	16	157.86	16	-5.97	17	-0.00	17
135	135	-739	Max	27.80					-0.00	16			16.58	16		
135	135	-739	Max	34.75	-6.21	17	0.04	19	0.00	17	157.86	16	27.56	16	-0.00	17
135	135	-739	Min.	0.00	-21.59	18	0.02	16	-0.01	19	34.92	17	-27.30	16	-0.01	18
135	135	-739	Min.	27.80					-0.00	10			5.12	10		
135	135	-739	Min.	34.75	-19.81	18	0.02	16	-0.00	9	34.92	17	6.16	17	-0.01	18
136	136	-740	Max	0.00	-8.45	17	2.54	17	0.17	17	156.21	16	-5.85	17	-0.00	16
136	136	-740	Max	27.80					-0.00	10			5.01	10		
136	136	-740	Max	34.75	-6.67	17	2.54	17	1.05	17	156.21	16	27.27	16	-0.00	16
136	136	-740	Min.	0.00	-23.04	18	0.02	16	-0.01	18	34.18	17	-27.02	16	-0.01	17
136	136	-740	Min.	27.80					-0.00	10			5.01	10		
136	136	-740	Min.	34.75	-21.26	18	0.02	16	-0.00	18	34.18	17	6.03	17	-0.01	17
137	137	-741	Max	0.00	-8.45	17	0.00	17	0.01	18	156.28	16	-5.76	17	0.01	9
137	137	-741	Max	34.75	-6.68	17	0.00	17	0.00	17	156.28	16	27.28	16	0.01	9
137	137	-741	Min.	0.00	-23.03	18	-0.03	18	0.00	17	33.68	17	-27.03	16	0.00	16
137	137	-741	Min.	34.75	-21.26	18	-0.03	18	0.00	10	33.68	17	5.94	17	0.00	16
138	138	-742	Max	0.00	-7.97	17	2.51	17	0.18	17	157.81	16	-5.90	17	0.01	18
138	138	-742	Max	34.75	-6.19	17	2.51	17	1.05	17	157.81	16	27.55	16	0.01	18
138	138	-742	Min.	0.00	-21.59	18	-0.03	18	0.01	16	34.46	17	-27.29	16	-0.00	17
138	138	-742	Min.	34.75	-19.81	18	-0.03	18	0.00	16	34.46	17	6.08	17	-0.00	17
139	139	-743	Max	0.00	-8.04	17	-0.04	17	0.04	18	82.60	16	-2.36	17	0.00	9
139	139	-743	Max	34.75	-6.26	17	-0.04	17	0.01	16	82.60	16	14.40	16	0.00	9
139	139	-743	Min.	0.00	-22.44	18	-0.10	9	0.02	17	13.85	17	-14.31	16	-0.04	16
139	139	-743	Min.	34.75	-20.67	18	-0.10	9	-0.00	9	13.85	17	2.45	17	-0.04	16
140	140	-744	Max	0.00	0.57	16	2.46	17	0.19	17	89.88	16	-3.02	17	0.00	9
140	140	-744	Max	34.75	2.34	16	2.46	17	1.05	17	89.88	16	15.70	16	0.00	9
140	140	-744	Min.	0.00	-1.80	9	-0.11	9	0.03	10	17.71	17	-15.54	16	-0.05	16
140	140	-744	Min.	34.75	-0.03	9	-0.11	9	-0.00	9	17.71	17	3.13	17	-0.05	16
141	141	-753	Max	0.00	1.87	16	0.04	18	-0.01	17	88.02	16	-3.12	17	0.06	16
141	141	-753	Max	29.20					-0.00	9			3.67	9		
141	141	-753	Max	36.50	3.73	16	0.04	18	0.00	17	88.02	16	16.10	16	0.06	16
141	141	-753	Min.	0.00	-0.82	17	0.02	17	-0.02	18	17.23	17	-16.03	16	0.01	17
141	141	-753	Min.	29.20					-0.00	17			1.92	17		
141	141	-753	Min.	36.50	1.05	17	0.02	17	-0.00	16	17.23	17	3.17	17	0.01	17
142	142	-754	Max	0.00	-8.84	17	0.67	17	0.29	17	96.63	16	-3.65	17	0.05	16
142	142	-754	Max	29.20					-0.00	9			4.08	9		
142	142	-754	Max	36.50	-6.98	17	0.67	17	0.54	17	96.63	16	17.67	16	0.05	16
142	142	-754	Min.	0.00	-24.47	18	0.03	10	-0.02	18	20.15	17	-17.60	16	-0.13	17
142	142	-754	Min.	29.20					-0.00	10			3.22	10		
142	142	-754	Min.	36.50	-22.61	18	0.03	10	-0.00	16	20.15	17	3.71	17	-0.13	17
143	143	-755	Max	0.00	-8.14	17	0.02	19	-0.00	16	169.32	16	-7.84	17	0.00	17
143	143	-755	Max	29.20					-0.00	17			4.80	17		
143	143	-755	Max	36.50	-6.28	17	0.02	19	0.00	17	169.32	16	30.97	16	0.00	17
143	143	-755	Min.	0.00	-21.81	18	0.01	16	-0.01	19	43.29	17	-30.83	16	-0.00	18
143	143	-755	Min.	29.20					-0.00	17			4.80	17		
143	143	-755	Min.	36.50	-19.95	18	0.01	16	-0.00	9	43.29	17	7.96	17	-0.00	18
144	144	-756	Max	0.00	-8.66	17	0.66	17	0.30	17	168.82	16	-7.80	17	0.00	16
144	144	-756	Max	36.50	-6.80	17	0.66	17	0.54	17	168.82	16	30.88	16	0.00	16
144	144	-756	Min.	0.00	-23.47	18	0.01	16	-0.01	18	43.05	17	-30.74	16	-0.14	17
144	144	-756	Min.	36.50	-21.60	18	0.01	16	-0.00	18	43.05	17	7.91	17	-0.14	17
145	145	-757	Max	0.00	-8.68	17	-0.00	17	0.01	18	168.88	16	-7.71	17	0.00	17
145	145	-757	Max	36.50	-6.82	17	-0.00	17	0.00	19	168.88	16	30.89	16	0.00	17
145	145	-757	Min.	0.00	-23.46	18	-0.01	18	0.00	17	42.52	17	-30.75	16	-0.00	16
145	145	-757	Min.	36.50	-21.60	18	-0.01	18	0.00	16	42.52	17	7.81	17	-0.00	16
146	146	-758	Max	0.00	-8.15	17	0.65	17	0.30	17	169.28	16	-7.75	17	0.00	18

146	146	-758	Max	36.50	-6.29	17	0.65	17	0.54	17	169.28	16	30.96	16	0.00	18
146	146	-758	Min.	0.00	-21.81	18	-0.01	18	0.00	16	42.78	17	-30.83	16	-0.14	17
146	146	-758	Min.	36.50	-19.95	18	-0.01	18	0.00	16	42.78	17	7.86	17	-0.14	17
147	147	-759	Max	0.00	-8.78	17	-0.01	17	0.02	18	96.64	16	-4.05	17	-0.01	17
147	147	-759	Max	36.50	-6.91	17	-0.01	17	0.00	16	96.64	16	17.67	16	-0.01	17
147	147	-759	Min.	0.00	-24.47	18	-0.04	18	0.01	17	22.38	17	-17.60	16	-0.05	16
147	147	-759	Min.	36.50	-22.61	18	-0.04	18	0.00	17	22.38	17	4.11	17	-0.05	16
148	148	-760	Max	0.00	1.87	16	0.63	17	0.31	17	88.04	16	-3.61	17	-0.01	10
148	148	-760	Max	36.50	3.73	16	0.63	17	0.54	17	88.04	16	16.10	16	-0.01	10
148	148	-760	Min.	0.00	-0.75	17	-0.04	18	0.01	10	19.94	17	-16.03	16	-0.15	17
148	148	-760	Min.	36.50	1.11	17	-0.04	18	0.00	10	19.94	17	3.67	17	-0.15	17
149	149	-769	Max	0.00	3.73	18	-0.02	16	0.00	10	79.83	16	-2.82	17	0.06	16
149	149	-769	Max	38.25	5.68	18	-0.02	16	-0.01	16	79.83	16	15.34	16	0.06	16
149	149	-769	Min.	0.00	1.24	17	-0.04	19	-0.00	16	15.09	17	-15.20	16	0.01	17
149	149	-769	Min.	38.25	3.19	17	-0.04	19	-0.02	19	15.09	17	2.95	17	0.01	17
150	150	-770	Max	0.00	-4.79	17	2.53	17	0.11	17	102.28	16	-4.21	17	0.05	16
150	150	-770	Max	38.25	-2.84	17	2.53	17	1.08	17	102.28	16	19.66	16	0.05	16
150	150	-770	Min.	0.00	-16.24	18	-0.04	9	-0.00	16	22.46	17	-19.46	16	-0.24	17
150	150	-770	Min.	38.25	-14.29	18	-0.04	9	-0.02	18	22.46	17	4.38	17	-0.24	17
151	151	-771	Max	0.00	-2.15	17	-0.01	16	-0.00	17	165.56	16	-7.59	17	0.00	17
151	151	-771	Max	38.25	-0.20	17	-0.01	16	-0.01	16	165.56	16	31.83	16	0.00	17
151	151	-771	Min.	0.00	-10.66	18	-0.01	19	-0.00	18	40.44	17	-31.50	16	-0.00	16
151	151	-771	Min.	38.25	-8.71	18	-0.01	19	-0.01	19	40.44	17	7.88	17	-0.00	16
152	152	-772	Max	0.00	-2.60	17	2.54	17	0.11	17	166.13	16	-7.62	17	0.00	16
152	152	-772	Max	38.25	-0.65	17	2.54	17	1.08	17	166.13	16	31.94	16	0.00	16
152	152	-772	Min.	0.00	-12.09	18	-0.01	18	-0.00	18	40.60	17	-31.61	16	-0.25	17
152	152	-772	Min.	38.25	-10.14	18	-0.01	18	-0.01	18	40.60	17	7.91	17	-0.25	17
153	153	-773	Max	0.00	-2.65	17	0.01	18	0.00	18	166.18	16	-7.54	17	0.00	17
153	153	-773	Max	38.25	-0.70	17	0.01	18	0.01	18	166.18	16	31.95	16	0.00	17
153	153	-773	Min.	0.00	-12.08	18	0.00	17	0.00	17	40.19	17	-31.62	16	-0.00	16
153	153	-773	Min.	38.25	-10.13	18	0.00	17	0.00	17	40.19	17	7.83	17	-0.00	16
154	154	-774	Max	0.00	-2.24	17	2.56	17	0.11	17	165.52	16	-7.51	17	0.00	16
154	154	-774	Max	38.25	-0.28	17	2.56	17	1.09	17	165.52	16	31.82	16	0.00	16
154	154	-774	Min.	0.00	-10.67	18	0.01	16	0.00	16	40.04	17	-31.49	16	-0.25	17
154	154	-774	Min.	38.25	-8.72	18	0.01	16	0.01	16	40.04	17	7.80	17	-0.25	17
155	155	-775	Max	0.00	-4.54	17	0.04	9	0.00	18	102.29	16	-4.54	17	-0.01	17
155	155	-775	Max	38.25	-2.59	17	0.04	9	0.02	18	102.29	16	19.66	16	-0.01	17
155	155	-775	Min.	0.00	-16.24	18	0.02	16	-0.00	17	24.18	17	-19.46	16	-0.05	16
155	155	-775	Min.	38.25	-14.29	18	0.02	16	0.01	17	24.18	17	4.71	17	-0.05	16
156	156	-776	Max	0.00	3.73	18	2.57	17	0.11	17	79.85	16	-3.21	17	-0.01	10
156	156	-776	Max	38.25	5.68	18	2.57	17	1.09	17	79.85	16	15.34	16	-0.01	10
156	156	-776	Min.	0.00	1.51	17	0.02	16	0.00	10	17.16	17	-15.20	16	-0.26	17
156	156	-776	Min.	38.25	3.46	17	0.02	16	0.01	16	17.16	17	3.35	17	-0.26	17
157	157	-785	Max	0.00	64.17	18	-0.10	17	0.02	18	56.70	16	0.00	9	0.05	16
157	157	-785	Max	40.00	66.22	18	-0.10	17	-0.03	17	56.70	16	11.38	16	0.05	16
157	157	-785	Min.	0.00	35.03	17	-0.19	18	0.01	17	-0.02	9	-11.31	16	0.00	9
157	157	-785	Min.	40.00	37.07	17	-0.19	18	-0.06	18	-0.02	9	-0.00	9	0.00	9
158	158	-786	Max	0.00	120.27	18	10.27	17	0.02	18	72.75	16	0.01	17	0.05	16
158	158	-786	Max	40.00	122.31	18	10.27	17	3.35	17	72.75	16	14.58	16	0.05	16
158	158	-786	Min.	0.00	60.42	17	-0.18	18	-0.76	17	-0.03	17	-14.52	16	0.00	9
158	158	-786	Min.	40.00	62.46	17	-0.18	18	-0.05	18	-0.03	17	-0.01	17	0.00	9
159	159	-787	Max	0.00	188.97	18	-0.05	16	0.00	19	112.78	16	0.00	17	0.00	9
159	159	-787	Max	40.00	191.01	18	-0.05	16	-0.02	16	112.78	16	22.61	16	0.00	9
159	159	-787	Min.	0.00	97.14	17	-0.09	19	0.00	16	0.00	17	-22.50	16	0.00	16
159	159	-787	Min.	40.00	99.18	17	-0.09	19	-0.03	19	0.00	17	0.00	17	0.00	16
160	160	-788	Max	0.00	192.07	18	10.31	17	0.00	18	113.40	16	0.01	9	0.00	16
160	160	-788	Max	40.00	194.11	18	10.31	17	3.36	17	113.40	16	22.74	16	0.00	16
160	160	-788	Min.	0.00	98.24	17	-0.08	18	-0.77	17	-0.03	9	-22.62	16	0.00	17
160	160	-788	Min.	40.00	100.28	17	-0.08	18	-0.03	18	-0.03	9	-0.01	9	0.00	17

161	161	-789	Max	0.00	192.09	18	0.08	18	0.00	17	113.43	16	-0.00	17	0.00	9
161	161	-789	Max	40.00	194.13	18	0.08	18	0.03	18	113.43	16	22.74	16	0.00	9
161	161	-789	Min.	0.00	97.29	17	0.03	17	-0.00	18	0.01	17	-22.63	16	-0.00	16
161	161	-789	Min.	40.00	99.33	17	0.03	17	0.01	17	0.01	17	0.00	17	-0.00	16
162	162	-790	Max	0.00	188.97	18	10.40	17	-0.00	16	112.75	16	0.01	9	0.00	16
162	162	-790	Max	40.00	191.01	18	10.40	17	3.39	17	112.75	16	22.60	16	0.00	16
162	162	-790	Min.	0.00	96.44	17	0.05	16	-0.77	17	-0.03	9	-22.50	16	0.00	17
162	162	-790	Min.	40.00	98.48	17	0.05	16	0.02	16	-0.03	9	-0.01	9	0.00	17
163	163	-791	Max	0.00	120.27	18	0.18	18	-0.01	17	72.76	16	0.00	17	0.00	9
163	163	-791	Max	40.00	122.31	18	0.18	18	0.05	18	72.76	16	14.58	16	0.00	9
163	163	-791	Min.	0.00	63.84	17	0.06	17	-0.02	18	-0.00	17	-14.52	16	-0.05	16
163	163	-791	Min.	40.00	65.88	17	0.06	17	0.02	17	-0.00	17	0.00	17	-0.05	16
164	164	-792	Max	0.00	64.17	18	10.42	17	-0.01	16	56.72	16	0.00	10	0.00	9
164	164	-792	Max	40.00	66.21	18	10.42	17	3.39	17	56.72	16	11.38	16	0.00	9
164	164	-792	Min.	0.00	39.30	17	0.10	16	-0.78	17	-0.00	10	-11.31	16	-0.05	16
164	164	-792	Min.	40.00	41.35	17	0.10	16	0.03	16	-0.00	10	0.00	10	-0.05	16
165	165	-777	Max	0.00	2.80	9	-0.02	17	0.00	16	42.97	16	5.19	9	0.04	16
165	165	-777	Max	38.25	4.75	9	-0.02	17	-0.01	17	42.97	16	8.13	16	0.04	16
165	165	-777	Min.	0.00	0.37	16	-0.05	18	0.00	9	-27.71	9	-8.30	16	-0.01	19
165	165	-777	Min.	38.25	2.32	16	-0.05	18	-0.02	18	-27.71	9	-5.41	9	-0.01	19
166	166	-778	Max	0.00	1.26	16	2.53	17	0.11	17	48.06	16	7.91	9	0.24	17
166	166	-778	Max	38.25	3.21	16	2.53	17	1.08	17	48.06	16	9.09	16	0.24	17
166	166	-778	Min.	0.00	-11.19	19	-0.04	18	0.00	9	-42.20	9	-9.29	16	-0.01	9
166	166	-778	Min.	38.25	-9.24	19	-0.04	18	-0.02	18	-42.20	9	-8.23	9	-0.01	9
167	167	-779	Max	0.00	3.03	16	-0.01	16	-0.00	17	71.58	16	13.89	19	0.00	10
167	167	-779	Max	38.25	4.98	16	-0.01	16	-0.01	16	71.58	16	13.51	16	0.00	10
167	167	-779	Min.	0.00	-6.48	9	-0.01	19	-0.00	18	-74.04	19	-13.87	16	0.00	17
167	167	-779	Min.	38.25	-4.52	9	-0.01	19	-0.01	19	-74.04	19	-14.43	19	0.00	17
168	168	-780	Max	0.00	3.18	16	2.54	17	0.11	17	71.65	16	14.03	19	0.25	17
168	168	-780	Max	38.25	5.13	16	2.54	17	1.08	17	71.65	16	13.52	16	0.25	17
168	168	-780	Min.	0.00	-7.42	9	-0.01	18	-0.00	18	-74.77	19	-13.88	16	0.00	9
168	168	-780	Min.	38.25	-5.47	9	-0.01	18	-0.01	18	-74.77	19	-14.57	19	0.00	9
169	169	-781	Max	0.00	3.17	16	0.01	18	0.00	18	71.69	16	14.00	9	0.00	9
169	169	-781	Max	38.25	5.12	16	0.01	18	0.01	18	71.69	16	13.53	16	0.00	9
169	169	-781	Min.	0.00	-7.44	19	0.00	17	0.00	17	-74.59	9	-13.89	16	-0.00	16
169	169	-781	Min.	38.25	-5.49	19	0.00	17	0.00	17	-74.59	9	-14.54	9	-0.00	16
170	170	-782	Max	0.00	3.04	16	2.55	17	0.11	17	71.54	16	13.88	9	0.25	17
170	170	-782	Max	38.25	4.99	16	2.55	17	1.09	17	71.54	16	13.50	16	0.25	17
170	170	-782	Min.	0.00	-6.50	19	0.01	16	0.00	16	-73.97	9	-13.86	16	0.00	10
170	170	-782	Min.	38.25	-4.55	19	0.01	16	0.01	16	-73.97	9	-14.42	9	0.00	10
171	171	-783	Max	0.00	1.26	16	0.05	18	0.00	9	48.06	16	8.01	19	0.01	9
171	171	-783	Max	38.25	3.21	16	0.05	18	0.02	18	48.06	16	9.09	16	0.01	9
171	171	-783	Min.	0.00	-11.12	9	0.02	17	-0.00	16	-42.71	19	-9.29	16	-0.04	16
171	171	-783	Min.	38.25	-9.17	9	0.02	17	0.01	17	-42.71	19	-8.33	19	-0.04	16
172	172	-784	Max	0.00	2.88	19	2.57	17	0.11	17	42.99	16	5.30	19	0.26	17
172	172	-784	Max	38.25	4.83	19	2.57	17	1.09	17	42.99	16	8.14	16	0.26	17
172	172	-784	Min.	0.00	0.37	16	0.03	10	-0.00	16	-28.31	19	-8.30	16	-0.04	16
172	172	-784	Min.	38.25	2.32	16	0.03	10	0.01	16	-28.31	19	-5.53	19	-0.04	16
173	173	-761	Max	0.00	-0.71	9	0.04	19	-0.00	16	45.07	16	5.99	9	0.04	16
173	173	-761	Max	29.20					-0.00	18			0.51	18		
173	173	-761	Max	36.50	1.15	9	0.04	19	0.00	16	45.07	16	8.19	16	0.04	16
173	173	-761	Min.	0.00	-3.40	16	0.02	16	-0.01	19	-33.08	9	-8.26	16	-0.01	19
173	173	-761	Min.	29.20					-0.00	9			-3.67	9		
173	173	-761	Min.	36.50	-1.54	16	0.02	16	0.00	9	-33.08	9	-6.09	9	-0.01	19
174	174	-762	Max	0.00	-3.74	16	0.67	17	0.29	17	47.86	16	6.67	9	0.13	17
174	174	-762	Max	29.20					-0.00	18			0.46	18		
174	174	-762	Max	36.50	-1.88	16	0.67	17	0.54	17	47.86	16	8.71	16	0.13	17
174	174	-762	Min.	0.00	-19.02	19	0.01	16	-0.01	9	-36.80	9	-8.76	16	-0.01	9
174	174	-762	Min.	29.20					-0.00	9			-4.08	9		

174	174	-762	Min.	36.50	-17.16	19	0.01	16	0.00	9	-36.80	9	-6.77	9	-0.01	9
175	175	-763	Max	0.00	-5.22	16	0.02	19	-0.00	16	69.38	16	14.10	19	0.00	9
175	175	-763	Max	29.20					-0.00	17			-4.79	17		
175	175	-763	Max	36.50	-3.35	16	0.02	19	0.00	17	69.38	16	12.60	16	0.00	9
175	175	-763	Min.	0.00	-17.77	9	0.01	16	-0.01	19	-77.78	19	-12.72	16	0.00	17
175	175	-763	Min.	29.20					-0.00	17			-4.79	17		
175	175	-763	Min.	36.50	-15.91	9	0.01	16	-0.00	18	-77.78	19	-14.29	19	0.00	17
176	176	-764	Max	0.00	-5.22	16	0.66	17	0.30	17	69.35	16	14.08	19	0.14	17
176	176	-764	Max	36.50	-3.36	16	0.66	17	0.54	17	69.35	16	12.60	16	0.14	17
176	176	-764	Min.	0.00	-18.95	9	0.01	16	-0.01	18	-77.70	19	-12.71	16	0.00	10
176	176	-764	Min.	36.50	-17.09	9	0.01	16	-0.00	18	-77.70	19	-14.28	19	0.00	10
177	177	-765	Max	0.00	-5.22	16	-0.00	17	0.01	18	69.39	16	14.05	9	-0.00	10
177	177	-765	Max	36.50	-3.36	16	-0.00	17	0.00	19	69.39	16	12.61	16	-0.00	10
177	177	-765	Min.	0.00	-18.96	19	-0.01	18	0.00	17	-77.49	9	-12.72	16	-0.00	16
177	177	-765	Min.	36.50	-17.10	19	-0.01	18	0.00	16	-77.49	9	-14.24	9	-0.00	16
178	178	-766	Max	0.00	-5.22	16	0.65	17	0.30	17	69.34	16	14.08	9	0.14	17
178	178	-766	Max	36.50	-3.35	16	0.65	17	0.54	17	69.34	16	12.60	16	0.14	17
178	178	-766	Min.	0.00	-17.77	19	-0.01	18	0.00	16	-77.69	9	-12.71	16	-0.00	9
178	178	-766	Min.	36.50	-15.91	19	-0.01	18	0.00	16	-77.69	9	-14.28	9	-0.00	9
179	179	-767	Max	0.00	-3.74	16	-0.01	16	0.01	9	47.86	16	6.79	19	0.01	9
179	179	-767	Max	36.50	-1.88	16	-0.01	16	0.00	19	47.86	16	8.71	16	0.01	9
179	179	-767	Min.	0.00	-19.00	9	-0.03	9	0.00	16	-37.46	19	-8.76	16	-0.04	16
179	179	-767	Min.	36.50	-17.14	9	-0.03	9	-0.00	16	-37.46	19	-6.89	19	-0.04	16
180	180	-768	Max	0.00	-0.69	19	0.63	17	0.31	17	45.09	16	6.13	19	0.15	17
180	180	-768	Max	36.50	1.17	19	0.63	17	0.54	17	45.09	16	8.20	16	0.15	17
180	180	-768	Min.	0.00	-3.40	16	-0.04	9	0.00	16	-33.86	19	-8.26	16	-0.04	16
180	180	-768	Min.	36.50	-1.54	16	-0.04	9	-0.00	16	-33.86	19	-6.23	19	-0.04	16
181	181	-745	Max	0.00	-1.32	17	0.12	18	-0.01	16	51.90	16	5.13	9	0.04	16
181	181	-745	Max	34.75	0.46	17	0.12	18	0.01	16	51.90	16	8.97	16	0.04	16
181	181	-745	Min.	0.00	-3.31	16	0.07	17	-0.04	19	-30.08	9	-9.06	16	0.00	17
181	181	-745	Min.	34.75	-1.53	16	0.07	17	0.00	10	-30.08	9	-5.32	9	0.00	17
182	182	-746	Max	0.00	-3.01	16	2.58	17	0.16	17	54.37	16	3.37	9	0.04	16
182	182	-746	Max	34.75	-1.23	16	2.58	17	1.05	17	54.37	16	9.40	16	0.04	16
182	182	-746	Min.	0.00	-17.21	19	0.08	16	-0.03	9	-19.76	9	-9.49	16	0.00	10
182	182	-746	Min.	34.75	-15.44	19	0.08	16	0.00	10	-19.76	9	-3.50	9	0.00	10
183	183	-747	Max	0.00	-4.10	16	0.04	19	-0.01	16	77.87	16	10.48	19	0.01	19
183	183	-747	Max	27.80					-0.00	20			1.92	20		
183	183	-747	Max	34.75	-2.32	16	0.04	19	0.00	17	77.87	16	13.44	16	0.01	19
183	183	-747	Min.	0.00	-17.06	19	0.02	16	-0.01	19	-61.24	19	-13.62	16	0.00	16
183	183	-747	Min.	27.80					-0.00	19			-6.55	19		
183	183	-747	Min.	34.75	-15.29	19	0.02	16	-0.00	18	-61.24	19	-10.80	19	0.00	16
184	184	-748	Max	0.00	-4.16	16	2.54	17	0.17	17	77.97	16	10.27	19	0.01	17
184	184	-748	Max	27.80					-0.00	16			8.04	16		
184	184	-748	Max	34.75	-2.38	16	2.54	17	1.05	17	77.97	16	13.46	16	0.01	17
184	184	-748	Min.	0.00	-18.11	9	0.02	16	-0.01	18	-60.06	19	-13.63	16	0.00	10
184	184	-748	Min.	27.80					-0.00	9			-6.40	9		
184	184	-748	Min.	34.75	-16.34	9	0.02	16	0.00	9	-60.06	19	-10.60	19	0.00	10
185	185	-749	Max	0.00	-4.16	16	0.00	17	0.01	18	78.01	16	10.24	9	-0.00	17
185	185	-749	Max	34.75	-2.39	16	0.00	17	0.00	17	78.01	16	13.47	16	-0.00	17
185	185	-749	Min.	0.00	-18.12	19	-0.03	18	0.00	17	-59.85	9	-13.64	16	-0.01	18
185	185	-749	Min.	34.75	-16.34	19	-0.03	18	0.00	16	-59.85	9	-10.56	9	-0.01	18
186	186	-750	Max	0.00	-4.09	16	2.51	17	0.18	17	77.83	16	10.46	9	0.00	17
186	186	-750	Max	34.75	-2.32	16	2.51	17	1.05	17	77.83	16	13.44	16	0.00	17
186	186	-750	Min.	0.00	-17.05	9	-0.03	18	0.01	16	-61.16	9	-13.61	16	-0.01	18
186	186	-750	Min.	34.75	-15.28	9	-0.03	18	0.00	10	-61.16	9	-10.79	9	-0.01	18
187	187	-751	Max	0.00	-3.00	16	-0.04	17	0.03	9	54.38	16	3.49	19	0.00	17
187	187	-751	Max	34.75	-1.23	16	-0.04	17	0.00	17	54.38	16	9.40	16	0.00	17
187	187	-751	Min.	0.00	-17.21	9	-0.12	18	0.01	16	-20.45	19	-9.49	16	-0.04	16
187	187	-751	Min.	34.75	-15.43	9	-0.12	18	-0.01	16	-20.45	19	-3.62	19	-0.04	16

188	188	-752	Max	0.00	-1.19	17	2.46	17	0.19	17	51.92	16	5.28	19	0.01	17
188	188	-752	Max	34.75	0.58	17	2.46	17	1.05	17	51.92	16	8.98	16	0.01	17
188	188	-752	Min.	0.00	-3.31	16	-0.12	18	0.01	16	-30.95	19	-9.07	16	-0.04	16
188	188	-752	Min.	34.75	-1.54	16	-0.12	18	-0.02	16	-30.95	19	-5.48	19	-0.04	16
189	189	-729	Max	0.00	-10.03	16	0.02	16	0.00	17	63.87	16	0.63	9	0.10	18
189	189	-729	Max	33.00	-8.35	16	0.02	16	0.01	16	63.87	16	10.52	16	0.10	18
189	189	-729	Min.	0.00	-47.29	9	-0.26	19	-0.00	9	-4.20	9	-10.56	16	0.05	17
189	189	-729	Min.	33.00	-45.60	9	-0.26	19	-0.09	19	-4.20	9	-0.76	9	0.05	17
190	190	-730	Max	0.00	-5.16	19	12.68	17	0.00	16	67.05	16	0.49	9	0.27	17
190	190	-730	Max	33.00	-3.48	19	12.68	17	3.43	17	67.05	16	11.02	16	0.27	17
190	190	-730	Min.	0.00	-12.07	16	-0.24	9	-0.75	17	-3.40	9	-11.11	16	0.05	10
190	190	-730	Min.	33.00	-10.39	16	-0.24	9	-0.08	9	-3.40	9	-0.64	9	0.05	10
191	191	-731	Max	0.00	-20.66	16	-0.07	17	0.00	17	97.03	16	3.05	9	0.04	19
191	191	-731	Max	33.00	-18.98	16	-0.07	17	-0.02	17	97.03	16	15.93	16	0.04	19
191	191	-731	Min.	0.00	-59.21	19	-0.11	18	0.00	10	-19.42	9	-16.09	16	0.02	16
191	191	-731	Min.	33.00	-57.53	19	-0.11	18	-0.04	18	-19.42	9	-3.35	9	0.02	16
192	192	-732	Max	0.00	-22.42	16	12.78	17	0.00	18	98.09	16	2.80	9	0.25	17
192	192	-732	Max	33.00	-20.74	16	12.78	17	3.47	17	98.09	16	16.11	16	0.25	17
192	192	-732	Min.	0.00	-58.25	19	-0.10	18	-0.75	17	-17.89	9	-16.26	16	0.02	16
192	192	-732	Min.	33.00	-56.57	19	-0.10	18	-0.03	18	-17.89	9	-3.10	9	0.02	16
193	193	-733	Max	0.00	-22.42	16	0.10	18	0.00	17	98.14	16	2.79	19	-0.00	17
193	193	-733	Max	33.00	-20.73	16	0.10	18	0.03	18	98.14	16	16.11	16	-0.00	17
193	193	-733	Min.	0.00	-57.89	9	0.03	17	0.00	18	-17.84	19	-16.27	16	-0.03	18
193	193	-733	Min.	33.00	-56.20	9	0.03	17	0.01	17	-17.84	19	-3.09	19	-0.03	18
194	194	-734	Max	0.00	-20.67	16	12.88	17	0.00	10	96.99	16	3.07	19	0.22	17
194	194	-734	Max	33.00	-18.99	16	12.88	17	3.50	17	96.99	16	15.92	16	0.22	17
194	194	-734	Min.	0.00	-58.91	9	0.07	16	-0.75	17	-19.52	19	-16.08	16	-0.03	18
194	194	-734	Min.	33.00	-57.23	9	0.07	16	0.02	16	-19.52	19	-3.37	19	-0.03	18
195	195	-735	Max	0.00	-5.73	9	0.24	9	0.00	19	67.05	16	0.56	19	-0.03	17
195	195	-735	Max	33.00	-4.04	9	0.24	9	0.08	9	67.05	16	11.02	16	-0.03	17
195	195	-735	Min.	0.00	-12.07	16	-0.02	16	0.00	16	-3.83	19	-11.11	16	-0.10	18
195	195	-735	Min.	33.00	-10.39	16	-0.02	16	-0.01	16	-3.83	19	-0.71	19	-0.10	18
196	196	-736	Max	0.00	-10.03	16	12.98	17	0.00	9	63.90	16	0.76	19	0.19	17
196	196	-736	Max	33.00	-8.35	16	12.98	17	3.53	17	63.90	16	10.52	16	0.19	17
196	196	-736	Min.	0.00	-47.60	19	-0.02	16	-0.75	17	-4.99	19	-10.57	16	-0.10	18
196	196	-736	Min.	33.00	-45.92	19	-0.02	16	-0.01	16	-4.99	19	-0.89	19	-0.10	18
197	197	-713	Max	0.00	-2.36	17	-0.08	16	0.01	16	77.54	16	-2.54	17	0.05	18
197	197	-713	Max	31.25	-0.77	17	-0.08	16	-0.01	16	77.54	16	12.08	16	0.05	18
197	197	-713	Min.	0.00	-4.81	18	-0.13	19	0.00	10	16.03	17	-12.15	16	0.02	17
197	197	-713	Min.	31.25	-3.21	18	-0.13	19	-0.04	19	16.03	17	2.47	17	0.02	17
198	198	-714	Max	0.00	-4.38	16	2.30	17	0.18	17	82.57	16	-1.80	17	0.34	17
198	198	-714	Max	31.25	-2.78	16	2.30	17	0.90	17	82.57	16	12.87	16	0.34	17
198	198	-714	Min.	0.00	-18.87	9	-0.12	18	0.00	10	11.27	17	-12.93	16	0.03	10
198	198	-714	Min.	31.25	-17.27	9	-0.12	18	-0.03	9	11.27	17	1.72	17	0.03	10
199	199	-715	Max	0.00	-6.13	16	-0.03	16	0.00	17	120.44	16	-3.20	17	0.02	18
199	199	-715	Max	31.25	-4.54	16	-0.03	16	-0.01	16	120.44	16	18.75	16	0.02	18
199	199	-715	Min.	0.00	-21.22	19	-0.06	19	0.00	16	20.06	17	-18.88	16	0.01	17
199	199	-715	Min.	31.25	-19.63	19	-0.06	19	-0.02	19	20.06	17	3.06	17	0.01	17
200	200	-716	Max	0.00	-6.26	16	2.33	17	0.19	17	122.67	16	-3.37	17	0.33	17
200	200	-716	Max	31.25	-4.66	16	2.33	17	0.92	17	122.67	16	19.10	16	0.33	17
200	200	-716	Min.	0.00	-22.40	19	-0.04	18	0.00	10	21.13	17	-19.23	16	0.01	16
200	200	-716	Min.	31.25	-20.80	19	-0.04	18	-0.01	18	21.13	17	3.24	17	0.01	16
201	201	-717	Max	0.00	-6.26	16	0.04	18	0.00	17	122.71	16	-3.25	17	-0.01	17
201	201	-717	Max	31.25	-4.66	16	0.04	18	0.01	18	122.71	16	19.11	16	-0.01	17
201	201	-717	Min.	0.00	-22.37	9	-0.01	17	0.00	16	20.34	17	-19.24	16	-0.02	18
201	201	-717	Min.	31.25	-20.77	9	-0.01	17	0.00	17	20.34	17	3.11	17	-0.02	18
202	202	-718	Max	0.00	-6.14	16	2.37	17	0.19	17	120.41	16	-3.08	17	0.31	17
202	202	-718	Max	31.25	-4.54	16	2.37	17	0.93	17	120.41	16	18.75	16	0.31	17
202	202	-718	Min.	0.00	-21.21	9	0.03	16	0.00	10	19.27	17	-18.88	16	-0.02	18

202	202	-718	Min.	31.25	-19.62	9	0.03	16	0.01	16	19.27	17	2.95	17	-0.02	18
203	203	-719	Max	0.00	-4.38	16	0.12	18	0.00	17	82.58	16	-1.75	17	-0.02	17
203	203	-719	Max	31.25	-2.79	16	0.12	18	0.03	9	82.58	16	12.87	16	-0.02	17
203	203	-719	Min.	0.00	-18.88	19	0.04	17	-0.01	16	10.88	17	-12.93	16	-0.05	18
203	203	-719	Min.	31.25	-17.28	19	0.04	17	0.01	16	10.88	17	1.65	17	-0.05	18
204	204	-720	Max	0.00	-2.34	17	2.43	17	0.19	17	77.57	16	-2.18	17	0.30	17
204	204	-720	Max	31.25	-0.74	17	2.43	17	0.94	17	77.57	16	12.08	16	0.30	17
204	204	-720	Min.	0.00	-4.81	18	0.08	16	-0.01	16	13.75	17	-12.16	16	-0.05	18
204	204	-720	Min.	31.25	-3.22	18	0.08	16	0.01	16	13.75	17	2.12	17	-0.05	18
205	205	-697	Max	0.00	-1.63	17	0.02	19	0.00	16	90.52	16	-3.64	17	0.04	18
205	205	-697	Max	29.50	-0.13	17	0.02	19	0.00	16	90.52	16	13.32	16	0.04	18
205	205	-697	Min.	0.00	-4.30	16	-0.00	16	-0.01	19	24.35	17	-13.39	16	0.02	17
205	205	-697	Min.	29.50	-2.80	16	-0.00	16	-0.01	19	24.35	17	3.55	17	0.02	17
206	206	-698	Max	0.00	-4.39	16	0.25	17	0.29	17	96.29	16	-4.00	17	0.19	17
206	206	-698	Max	29.50	-2.89	16	0.25	17	0.37	17	96.29	16	14.17	16	0.19	17
206	206	-698	Min.	0.00	-20.64	19	-0.00	16	-0.01	9	26.82	17	-14.24	16	0.03	10
206	206	-698	Min.	29.50	-19.14	19	-0.00	16	-0.01	9	26.82	17	3.91	17	0.03	10
207	207	-699	Max	0.00	-6.04	16	0.01	19	-0.00	16	139.74	16	-6.12	17	0.02	18
207	207	-699	Max	23.60					-0.00	17			3.53	17		
207	207	-699	Max	29.50	-4.54	16	0.01	19	0.00	17	139.74	16	20.54	16	0.02	18
207	207	-699	Min.	0.00	-20.76	19	0.01	16	-0.01	19	40.90	17	-20.68	16	0.00	17
207	207	-699	Min.	23.60					-0.00	17			3.53	17		
207	207	-699	Min.	29.50	-19.25	19	0.01	16	-0.00	18	40.90	17	5.94	17	0.00	17
208	208	-700	Max	0.00	-6.12	16	0.25	17	0.30	17	142.44	16	-6.39	17	0.18	17
208	208	-700	Max	29.50	-4.62	16	0.25	17	0.37	17	142.44	16	20.94	16	0.18	17
208	208	-700	Min.	0.00	-22.05	19	0.01	16	-0.01	9	42.69	17	-21.08	16	0.01	16
208	208	-700	Min.	29.50	-20.54	19	0.01	16	-0.00	9	42.69	17	6.21	17	0.01	16
209	209	-701	Max	0.00	-6.13	16	0.00	17	0.01	9	142.49	16	-6.24	17	-0.01	16
209	209	-701	Max	29.50	-4.62	16	0.00	17	0.00	19	142.49	16	20.94	16	-0.01	16
209	209	-701	Min.	0.00	-22.04	9	-0.01	9	0.00	17	41.68	17	-21.09	16	-0.02	19
209	209	-701	Min.	29.50	-20.53	9	-0.01	9	0.00	16	41.68	17	6.06	17	-0.02	19
210	210	-702	Max	0.00	-6.04	16	0.24	17	0.30	17	139.69	16	-5.96	17	0.16	17
210	210	-702	Max	29.50	-4.54	16	0.24	17	0.38	17	139.69	16	20.53	16	0.16	17
210	210	-702	Min.	0.00	-20.75	9	-0.01	18	0.00	16	39.84	17	-20.68	16	-0.02	18
210	210	-702	Min.	29.50	-19.24	9	-0.01	18	0.00	16	39.84	17	5.79	17	-0.02	18
211	211	-703	Max	0.00	-4.39	16	0.00	16	0.01	9	96.30	16	-3.98	17	-0.02	17
211	211	-703	Max	5.90					-0.00	16			-8.56	16		
211	211	-703	Max	29.50	-2.89	16	0.00	16	0.01	9	96.30	16	14.17	16	-0.02	17
211	211	-703	Min.	0.00	-20.63	9	-0.02	9	-0.00	16	26.66	17	-14.24	16	-0.04	18
211	211	-703	Min.	5.90					-0.00	16			-8.56	16		
211	211	-703	Min.	29.50	-19.12	9	-0.02	9	0.00	16	26.66	17	3.88	17	-0.04	18
212	212	-704	Max	0.00	-1.53	17	0.24	17	0.31	17	90.55	16	-3.28	17	0.15	17
212	212	-704	Max	17.70					-0.00	16			2.64	16		
212	212	-704	Max	29.50	-0.03	17	0.24	17	0.38	17	90.55	16	13.32	16	0.15	17
212	212	-704	Min.	0.00	-4.30	16	-0.02	9	-0.00	16	21.92	17	-13.39	16	-0.04	18
212	212	-704	Min.	17.70					-0.00	16			2.64	16		
212	212	-704	Min.	29.50	-2.80	16	-0.02	9	0.00	16	21.92	17	3.19	17	-0.04	18
213	213	-681	Max	0.00	-3.28	17	0.20	19	-0.02	16	106.00	16	-4.82	17	0.05	18
213	213	-681	Max	27.75	-1.86	17	0.20	19	0.02	18	106.00	16	14.67	16	0.05	18
213	213	-681	Min.	0.00	-6.56	18	0.11	16	-0.04	19	34.26	17	-14.75	16	0.03	17
213	213	-681	Min.	27.75	-5.15	18	0.11	16	0.01	10	34.26	17	4.69	17	0.03	17
214	214	-682	Max	0.00	-5.27	16	2.21	17	0.18	17	120.77	18	-6.27	17	0.07	17
214	214	-682	Max	27.75	-3.85	16	2.21	17	0.79	17	120.77	18	16.69	18	0.07	17
214	214	-682	Min.	0.00	-21.25	9	0.11	16	-0.04	9	44.93	17	-16.82	18	0.03	10
214	214	-682	Min.	27.75	-19.83	9	0.11	16	0.01	10	44.93	17	6.19	17	0.03	10
215	215	-683	Max	0.00	-7.42	16	0.10	19	-0.01	16	174.05	18	-9.15	17	0.02	18
215	215	-683	Max	27.75	-6.01	16	0.10	19	0.01	17	174.05	18	23.98	18	0.02	18
215	215	-683	Min.	0.00	-24.06	19	0.04	16	-0.02	19	65.15	17	-24.32	18	0.01	17
215	215	-683	Min.	27.75	-22.64	19	0.04	16	0.00	10	65.15	17	8.93	17	0.01	17

216	216	-684	Max	0.00	-7.58	16	2.18	17	0.18	17	180.01	18	-9.49	17	0.05	17
216	216	-684	Max	27.75	-6.17	16	2.18	17	0.79	17	180.01	18	24.81	18	0.05	17
216	216	-684	Min.	0.00	-25.34	19	0.05	16	-0.02	18	67.68	17	-25.14	18	0.01	16
216	216	-684	Min.	27.75	-23.92	19	0.05	16	0.00	10	67.68	17	9.29	17	0.01	16
217	217	-685	Max	0.00	-7.58	16	0.02	17	0.02	18	180.08	18	-9.35	17	-0.01	17
217	217	-685	Max	27.75	-6.16	16	0.02	17	0.00	17	180.08	18	24.82	18	-0.01	17
217	217	-685	Min.	0.00	-25.33	9	-0.08	18	-0.00	17	66.67	17	-25.15	18	-0.02	18
217	217	-685	Min.	27.75	-23.91	9	-0.08	18	-0.01	18	66.67	17	9.14	17	-0.02	18
218	218	-686	Max	0.00	-7.43	16	2.11	17	0.20	17	174.00	18	-8.92	17	0.03	17
218	218	-686	Max	27.75	-6.01	16	2.11	17	0.79	17	174.00	18	23.97	18	0.03	17
218	218	-686	Min.	0.00	-24.03	9	-0.07	18	0.01	16	63.53	17	-24.31	18	-0.02	18
218	218	-686	Min.	27.75	-22.62	9	-0.07	18	-0.00	18	63.53	17	8.71	17	-0.02	18
219	219	-687	Max	0.00	-5.27	16	-0.05	17	0.04	9	120.77	18	-6.32	17	-0.02	17
219	219	-687	Max	27.75	-3.86	16	-0.05	17	-0.00	17	120.77	18	16.69	18	-0.02	17
219	219	-687	Min.	0.00	-21.30	19	-0.18	18	0.01	17	45.18	17	-16.82	18	-0.05	18
219	219	-687	Min.	27.75	-19.89	19	-0.18	18	-0.02	16	45.18	17	6.22	17	-0.05	18
220	220	-688	Max	0.00	-3.10	17	2.03	17	0.21	17	106.03	16	-4.42	17	0.02	17
220	220	-688	Max	27.75	-1.69	17	2.03	17	0.78	17	106.03	16	14.67	16	0.02	17
220	220	-688	Min.	0.00	-6.57	18	-0.19	18	0.02	16	31.41	17	-14.75	16	-0.05	18
220	220	-688	Min.	27.75	-5.15	18	-0.19	18	-0.02	18	31.41	17	4.29	17	-0.05	18
221	221	-665	Max	0.00	-13.92	16	0.00	16	-0.00	16	146.18	18	-8.16	17	0.14	19
221	221	-665	Max	10.40					-0.00	16			-3.38	16		
221	221	-665	Max	26.00	-12.59	16	0.00	16	0.00	16	146.18	18	18.95	18	0.14	19
221	221	-665	Min.	0.00	-55.86	19	-0.25	19	-0.01	19	62.52	17	-19.05	18	0.09	16
221	221	-665	Min.	10.40					-0.00	16			-3.38	16		
221	221	-665	Min.	26.00	-54.53	19	-0.25	19	-0.08	19	62.52	17	8.09	17	0.09	16
222	222	-666	Max	0.00	-4.09	19	13.99	17	-0.00	16	155.26	18	-8.23	17	0.30	17
222	222	-666	Max	10.40					-0.00	16			-3.55	16		
222	222	-666	Max	26.00	-2.77	19	13.99	17	3.00	17	155.26	18	20.11	18	0.30	17
222	222	-666	Min.	0.00	-12.38	16	-0.22	9	-0.64	17	62.95	17	-20.26	18	0.09	16
222	222	-666	Min.	10.40					-0.00	16			-3.55	16		
222	222	-666	Min.	26.00	-11.05	16	-0.22	9	-0.06	9	62.95	17	8.14	17	0.09	16
223	223	-667	Max	0.00	-23.92	16	-0.05	16	-0.00	16	246.79	18	-14.54	17	0.07	19
223	223	-667	Max	26.00	-22.60	16	-0.05	16	-0.02	16	246.79	18	31.91	18	0.07	19
223	223	-667	Min.	0.00	-67.86	19	-0.14	19	-0.00	19	111.05	17	-32.25	18	0.04	16
223	223	-667	Min.	26.00	-66.53	19	-0.14	19	-0.04	19	111.05	17	14.33	17	0.04	16
224	224	-668	Max	0.00	-25.23	16	14.04	17	-0.00	16	254.83	18	-14.78	17	0.26	17
224	224	-668	Max	26.00	-23.90	16	14.04	17	3.01	17	254.83	18	32.96	18	0.26	17
224	224	-668	Min.	0.00	-66.23	9	-0.11	9	-0.64	17	112.95	17	-33.29	18	0.04	16
224	224	-668	Min.	26.00	-64.91	9	-0.11	9	-0.03	9	112.95	17	14.58	17	0.04	16
225	225	-669	Max	0.00	-25.22	16	0.11	9	0.00	9	254.88	18	-14.79	17	-0.00	17
225	225	-669	Max	26.00	-23.89	16	0.11	9	0.03	9	254.88	18	32.97	18	-0.00	17
225	225	-669	Min.	0.00	-66.88	19	0.02	17	0.00	17	112.96	17	-33.30	18	-0.06	18
225	225	-669	Min.	26.00	-65.55	19	0.02	17	0.01	17	112.96	17	14.58	17	-0.06	18
226	226	-670	Max	0.00	-23.94	16	14.17	17	0.00	9	246.76	18	-13.93	17	0.20	17
226	226	-670	Max	26.00	-22.61	16	14.17	17	3.05	17	246.76	18	31.91	18	0.20	17
226	226	-670	Min.	0.00	-66.46	9	0.05	16	-0.63	17	106.39	17	-32.25	18	-0.06	18
226	226	-670	Min.	26.00	-65.14	9	0.05	16	0.02	16	106.39	17	13.73	17	-0.06	18
227	227	-671	Max	0.00	-5.36	9	0.22	9	0.01	9	155.28	18	-8.62	17	-0.05	17
227	227	-671	Max	26.00	-4.03	9	0.22	9	0.06	9	155.28	18	20.11	18	-0.05	17
227	227	-671	Min.	0.00	-12.38	16	-0.00	16	0.00	16	65.94	17	-20.26	18	-0.14	18
227	227	-671	Min.	26.00	-11.05	16	-0.00	16	0.00	16	65.94	17	8.52	17	-0.14	18
228	228	-672	Max	0.00	-13.92	16	14.17	17	0.01	9	146.23	18	-7.61	17	0.16	17
228	228	-672	Max	26.00	-12.59	16	14.17	17	3.05	17	146.23	18	18.96	18	0.16	17
228	228	-672	Min.	0.00	-55.39	9	-0.00	16	-0.63	17	58.21	17	-19.06	18	-0.14	18
228	228	-672	Min.	26.00	-54.07	9	-0.00	16	0.00	16	58.21	17	7.53	17	-0.14	18
229	229	-649	Max	0.00	-5.32	17	-0.12	16	0.01	16	202.49	18	-11.79	17	0.08	19
229	229	-649	Max	24.25	-4.09	17	-0.12	16	-0.01	16	202.49	18	24.50	18	0.08	19
229	229	-649	Min.	0.00	-9.94	18	-0.19	19	0.00	17	96.96	17	-24.60	18	0.04	16

229	229	-649	Min.	24.25	-8.71	18	-0.19	19	-0.04	19	96.96	17	11.72	17	0.04	16
230	230	-650	Max	0.00	-7.14	16	1.87	17	0.18	17	194.67	18	-10.15	17	0.32	17
230	230	-650	Max	24.25	-5.90	16	1.87	17	0.64	17	194.67	18	23.52	18	0.32	17
230	230	-650	Min.	0.00	-23.88	9	-0.18	18	0.00	10	83.27	17	-23.69	18	0.04	16
230	230	-650	Min.	24.25	-22.64	9	-0.18	18	-0.03	9	83.27	17	10.04	17	0.04	16
231	231	-651	Max	0.00	-10.81	16	-0.04	16	0.00	19	337.25	18	-20.53	17	0.04	19
231	231	-651	Max	24.25	-9.57	16	-0.04	16	-0.01	16	337.25	18	40.77	18	0.04	19
231	231	-651	Min.	0.00	-31.52	19	-0.10	19	0.00	10	168.76	17	-41.01	18	0.02	16
231	231	-651	Min.	24.25	-30.29	19	-0.10	19	-0.02	19	168.76	17	20.39	17	0.02	16
232	232	-652	Max	0.00	-11.01	16	1.90	17	0.18	17	346.44	18	-20.47	17	0.29	17
232	232	-652	Max	24.25	-9.77	16	1.90	17	0.64	17	346.44	18	41.88	18	0.29	17
232	232	-652	Min.	0.00	-32.66	9	-0.08	18	0.00	10	168.20	17	-42.13	18	0.02	16
232	232	-652	Min.	24.25	-31.42	9	-0.08	18	-0.01	18	168.20	17	20.31	17	0.02	16
233	233	-653	Max	0.00	-11.01	16	0.08	18	0.00	17	346.50	18	-20.74	17	-0.01	17
233	233	-653	Max	24.25	-9.77	16	0.08	18	0.01	18	346.50	18	41.88	18	-0.01	17
233	233	-653	Min.	0.00	-32.73	19	-0.02	17	-0.00	18	170.47	17	-42.14	18	-0.03	18
233	233	-653	Min.	24.25	-31.50	19	-0.02	17	-0.00	17	170.47	17	20.59	17	-0.03	18
234	234	-654	Max	0.00	-10.80	16	1.97	17	0.18	17	337.21	18	-19.39	17	0.25	17
234	234	-654	Max	24.25	-9.56	16	1.97	17	0.66	17	337.21	18	40.76	18	0.25	17
234	234	-654	Min.	0.00	-31.33	9	0.04	16	-0.00	18	159.26	17	-41.01	18	-0.04	18
234	234	-654	Min.	24.25	-30.09	9	0.04	16	0.01	16	159.26	17	19.23	17	-0.04	18
235	235	-655	Max	0.00	-7.14	16	0.18	18	-0.00	10	194.68	18	-11.01	17	-0.03	17
235	235	-655	Max	24.25	-5.90	16	0.18	18	0.03	9	194.68	18	23.52	18	-0.03	17
235	235	-655	Min.	0.00	-24.00	19	0.05	17	-0.01	16	90.34	17	-23.69	18	-0.07	9
235	235	-655	Min.	24.25	-22.76	19	0.05	17	0.01	17	90.34	17	10.90	17	-0.07	9
236	236	-656	Max	0.00	-5.09	17	2.05	17	0.17	17	202.54	18	-11.08	17	0.24	17
236	236	-656	Max	24.25	-3.86	17	2.05	17	0.67	17	202.54	18	24.51	18	0.24	17
236	236	-656	Min.	0.00	-9.94	18	0.12	16	-0.01	16	91.09	17	-24.61	18	-0.08	9
236	236	-656	Min.	24.25	-8.71	18	0.12	16	0.01	16	91.09	17	11.01	17	-0.08	9
237	237	-633	Max	0.00	-5.40	17	0.02	17	0.00	16	244.38	18	-13.55	17	0.08	19
237	237	-633	Max	22.50	-4.25	17	0.02	17	-0.00	16	244.38	18	27.44	18	0.08	19
237	237	-633	Min.	0.00	-10.45	18	-0.01	16	-0.02	19	120.03	17	-27.55	18	0.03	16
237	237	-633	Min.	22.50	-9.30	18	-0.01	16	-0.01	19	120.03	17	13.46	17	0.03	16
238	238	-634	Max	0.00	-8.13	16	0.01	9	0.21	17	252.18	18	-12.88	17	0.20	17
238	238	-634	Max	22.50	-6.99	16	0.01	9	0.20	17	252.18	18	28.30	18	0.20	17
238	238	-634	Min.	0.00	-26.99	9	-0.05	17	-0.01	9	114.09	17	-28.44	18	0.03	16
238	238	-634	Min.	22.50	-25.84	9	-0.05	17	-0.01	9	114.09	17	12.79	17	0.03	16
239	239	-635	Max	0.00	-11.80	16	0.01	17	0.00	16	424.36	18	-24.67	17	0.04	19
239	239	-635	Max	22.50	-10.65	16	0.01	17	0.00	16	424.36	18	47.61	18	0.04	19
239	239	-635	Min.	0.00	-33.34	19	-0.01	18	-0.01	17	218.49	17	-47.87	18	0.02	16
239	239	-635	Min.	22.50	-32.19	19	-0.01	18	-0.01	17	218.49	17	24.49	17	0.02	16
240	240	-636	Max	0.00	-12.09	16	-0.00	10	0.22	17	436.20	18	-24.66	17	0.17	17
240	240	-636	Max	22.50	-10.94	16	-0.00	10	0.21	17	436.20	18	48.94	18	0.17	17
240	240	-636	Min.	0.00	-34.87	9	-0.06	17	0.00	9	218.34	17	-49.21	18	0.02	16
240	240	-636	Min.	22.50	-33.72	9	-0.06	17	-0.00	9	218.34	17	24.47	17	0.02	16
241	241	-637	Max	0.00	-12.09	16	0.01	17	0.00	9	436.27	18	-24.96	17	-0.02	17
241	241	-637	Max	22.50	-10.94	16	0.01	17	0.00	9	436.27	18	48.94	18	-0.02	17
241	241	-637	Min.	0.00	-34.90	19	0.00	10	-0.01	17	221.08	17	-49.22	18	-0.03	18
241	241	-637	Min.	22.50	-33.75	19	0.00	10	-0.00	17	221.08	17	24.78	17	-0.03	18
242	242	-638	Max	0.00	-11.80	16	0.01	18	0.22	17	424.31	18	-23.38	17	0.13	17
242	242	-638	Max	22.50	-10.66	16	0.01	18	0.21	17	424.31	18	47.60	18	0.13	17
242	242	-638	Min.	0.00	-33.22	9	-0.05	17	0.00	16	207.03	17	-47.87	18	-0.04	18
242	242	-638	Min.	22.50	-32.07	9	-0.05	17	0.00	16	207.03	17	23.20	17	-0.04	18
243	243	-639	Max	0.00	-8.14	16	0.01	17	0.01	9	252.20	18	-13.85	17	-0.03	17
243	243	-639	Max	13.50					-0.00	17			2.71	17		
243	243	-639	Max	22.50	-6.99	16	0.01	17	0.01	9	252.20	18	28.30	18	-0.03	17
243	243	-639	Min.	0.00	-27.09	19	-0.01	9	-0.00	17	122.65	17	-28.44	18	-0.07	9
243	243	-639	Min.	13.50					-0.00	17			2.71	17		
243	243	-639	Min.	22.50	-25.94	19	-0.01	9	0.00	17	122.65	17	13.75	17	-0.07	9

244	244	-640	Max	0.00	-5.13	17	0.01	16	0.22	17	244.44	18	-12.80	17	0.12	17
244	244	-640	Max	22.50	-3.98	17	0.01	16	0.21	17	244.44	18	27.44	18	0.12	17
244	244	-640	Min.	0.00	-10.45	18	-0.05	17	0.00	16	113.36	17	-27.56	18	-0.07	9
244	244	-640	Min.	22.50	-9.30	18	-0.05	17	0.00	16	113.36	17	12.71	17	-0.07	9
245	245	-617	Max	0.00	-7.67	17	0.30	19	-0.02	16	295.20	18	-15.26	17	0.08	19
245	245	-617	Max	20.75	-6.61	17	0.30	19	0.01	16	295.20	18	30.56	18	0.08	19
245	245	-617	Min.	0.00	-14.21	18	0.14	16	-0.06	19	146.58	17	-30.70	18	0.04	16
245	245	-617	Min.	20.75	-13.15	18	0.14	16	-0.01	17	146.58	17	15.15	17	0.04	16
246	246	-618	Max	0.00	-9.76	16	1.84	17	0.11	17	325.09	18	-16.08	17	0.11	19
246	246	-618	Max	20.75	-8.70	16	1.84	17	0.49	17	325.09	18	33.68	18	0.11	19
246	246	-618	Min.	0.00	-29.27	9	0.14	16	-0.04	9	154.60	17	-33.78	18	0.04	16
246	246	-618	Min.	20.75	-28.21	9	0.14	16	0.00	10	154.60	17	16.00	17	0.04	16
247	247	-619	Max	0.00	-14.39	16	0.16	17	0.00	16	532.93	18	-29.06	17	0.04	19
247	247	-619	Max	16.60					-0.01	17			17.29	17		
247	247	-619	Max	20.75	-13.34	16	0.16	17	0.01	18	532.93	18	55.17	18	0.04	19
247	247	-619	Min.	0.00	-39.02	19	0.03	16	-0.03	17	279.20	17	-55.42	18	0.02	16
247	247	-619	Min.	16.60					-0.01	17			17.29	17		
247	247	-619	Min.	20.75	-37.97	19	0.03	16	0.00	17	279.20	17	28.88	17	0.02	16
248	248	-620	Max	0.00	-14.67	16	1.78	17	0.13	17	547.41	18	-29.28	17	0.07	17
248	248	-620	Max	20.75	-13.61	16	1.78	17	0.50	17	547.41	18	56.67	18	0.07	17
248	248	-620	Min.	0.00	-40.44	9	0.05	16	-0.01	18	281.32	17	-56.92	18	0.02	16
248	248	-620	Min.	20.75	-39.38	9	0.05	16	0.01	16	281.32	17	29.09	17	0.02	16
249	249	-621	Max	0.00	-14.67	16	0.10	17	0.01	18	547.48	18	-29.39	17	-0.01	17
249	249	-621	Max	20.75	-13.61	16	0.10	17	-0.01	16	547.48	18	56.68	18	-0.01	17
249	249	-621	Min.	0.00	-40.52	19	-0.09	18	-0.03	17	282.43	17	-56.93	18	-0.03	18
249	249	-621	Min.	20.75	-39.46	19	-0.09	18	-0.01	19	282.43	17	29.21	17	-0.03	18
250	250	-622	Max	0.00	-14.39	16	1.71	17	0.13	17	532.87	18	-27.86	17	0.03	17
250	250	-622	Max	20.75	-13.33	16	1.71	17	0.49	17	532.87	18	55.16	18	0.03	17
250	250	-622	Min.	0.00	-38.81	9	-0.06	18	0.00	16	267.67	17	-55.41	18	-0.04	18
250	250	-622	Min.	20.75	-37.76	9	-0.06	18	-0.01	18	267.67	17	27.68	17	-0.04	18
251	251	-623	Max	0.00	-9.75	16	-0.02	17	0.04	9	325.11	18	-16.91	17	-0.03	17
251	251	-623	Max	20.75	-8.70	16	-0.02	17	-0.00	10	325.11	18	33.68	18	-0.03	17
251	251	-623	Min.	0.00	-29.45	19	-0.23	18	-0.01	17	162.57	17	-33.78	18	-0.08	9
251	251	-623	Min.	20.75	-28.39	19	-0.23	18	-0.01	16	162.57	17	16.82	17	-0.08	9
252	252	-624	Max	0.00	-7.18	17	1.59	17	0.16	17	295.27	18	-14.69	17	0.02	17
252	252	-624	Max	20.75	-6.12	17	1.59	17	0.49	17	295.27	18	30.56	18	0.02	17
252	252	-624	Min.	0.00	-14.21	18	-0.24	18	0.02	16	140.99	17	-30.71	18	-0.08	9
252	252	-624	Min.	20.75	-13.15	18	-0.24	18	-0.01	16	140.99	17	14.57	17	-0.08	9
253	253	-601	Max	0.00	-15.71	16	-0.11	16	-0.01	16	387.90	18	-17.99	17	0.22	19
253	253	-601	Max	19.00	-14.74	16	-0.11	16	-0.03	16	387.90	18	36.89	18	0.22	19
253	253	-601	Min.	0.00	-55.67	9	-0.85	17	-0.04	19	189.90	17	-36.81	18	0.09	16
253	253	-601	Min.	19.00	-54.70	9	-0.85	17	-0.20	17	189.90	17	18.09	17	0.09	16
254	254	-602	Max	0.00	-20.62	10	14.35	17	-0.01	16	413.12	18	-20.48	17	0.35	17
254	254	-602	Max	19.00	-19.65	10	14.35	17	2.19	17	413.12	18	39.19	18	0.35	17
254	254	-602	Min.	0.00	-29.37	19	-0.46	9	-0.54	17	214.69	17	-39.30	18	0.09	16
254	254	-602	Min.	19.00	-28.40	19	-0.46	9	-0.11	9	214.69	17	20.31	17	0.09	16
255	255	-603	Max	0.00	-37.41	16	0.15	9	0.00	18	704.35	18	-35.76	17	0.10	17
255	255	-603	Max	19.00	-36.44	16	0.15	9	0.03	9	704.35	18	66.81	18	0.10	17
255	255	-603	Min.	0.00	-92.57	9	-0.40	17	-0.02	17	375.83	17	-67.02	18	0.03	16
255	255	-603	Min.	19.00	-91.60	9	-0.40	17	-0.09	17	375.83	17	35.65	17	0.03	16
256	256	-604	Max	0.00	-33.80	16	14.72	17	0.00	10	714.50	18	-37.24	17	0.29	17
256	256	-604	Max	19.00	-32.83	16	14.72	17	2.27	17	714.50	18	67.78	18	0.29	17
256	256	-604	Min.	0.00	-89.90	19	0.06	16	-0.52	17	390.88	17	-67.98	18	0.04	16
256	256	-604	Min.	19.00	-88.93	19	0.06	16	0.01	16	390.88	17	37.03	17	0.04	16
257	257	-605	Max	0.00	-33.78	16	-0.06	16	0.00	18	714.56	18	-35.57	17	0.04	17
257	257	-605	Max	19.00	-32.82	16	-0.06	16	-0.01	16	714.56	18	67.78	18	0.04	17
257	257	-605	Min.	0.00	-83.72	9	-0.59	17	-0.02	17	374.03	17	-67.98	18	-0.06	18
257	257	-605	Min.	19.00	-82.75	9	-0.59	17	-0.13	17	374.03	17	35.49	17	-0.06	18
258	258	-606	Max	0.00	-37.42	16	14.54	17	-0.00	16	704.29	18	-36.11	17	0.23	17

258	258	-606	Max	19.00	-36.45	16	14.54	17	2.23	17	704.29	18	66.80	18	0.23	17
258	258	-606	Min.	0.00	-98.13	19	-0.15	9	-0.53	17	378.91	17	-67.01	18	-0.06	18
258	258	-606	Min.	19.00	-97.16	19	-0.15	9	-0.03	9	378.91	17	35.88	17	-0.06	18
259	259	-607	Max	0.00	-7.84	17	0.46	9	0.03	9	413.14	18	-19.59	17	-0.03	17
259	259	-607	Max	19.00	-6.87	17	0.46	9	0.11	9	413.14	18	39.19	18	-0.03	17
259	259	-607	Min.	0.00	-25.25	18	-0.23	17	-0.00	17	206.09	17	-39.30	18	-0.18	9
259	259	-607	Min.	19.00	-24.28	18	-0.23	17	-0.05	17	206.09	17	19.56	17	-0.18	9
260	260	-608	Max	0.00	-15.70	16	14.90	17	0.03	9	387.97	18	-19.22	17	0.16	17
260	260	-608	Max	19.00	-14.73	16	14.90	17	2.32	17	387.97	18	36.90	18	0.16	17
260	260	-608	Min.	0.00	-61.99	19	0.11	16	-0.51	17	202.04	17	-36.82	18	-0.18	9
260	260	-608	Min.	19.00	-61.02	19	0.11	16	0.03	16	202.04	17	19.17	17	-0.18	9
261	261	-585	Max	0.00	-9.96	17	-0.11	10	0.00	16	504.79	18	-20.85	17	0.19	19
261	261	-585	Max	17.25	-9.08	17	-0.11	10	-0.02	16	504.79	18	43.54	18	0.19	19
261	261	-585	Min.	0.00	-21.41	18	-0.17	18	-0.03	17	241.45	17	-43.53	18	0.05	16
261	261	-585	Min.	17.25	-20.53	18	-0.17	18	-0.05	19	241.45	17	20.80	17	0.05	16
262	262	-586	Max	0.00	-15.07	16	1.30	17	0.10	17	527.29	18	-25.53	17	0.39	17
262	262	-586	Max	17.25	-14.19	16	1.30	17	0.33	17	527.29	18	45.47	18	0.39	17
262	262	-586	Min.	0.00	-38.70	19	-0.16	18	-0.01	9	295.90	17	-45.48	18	0.06	16
262	262	-586	Min.	17.25	-37.82	19	-0.16	18	-0.04	9	295.90	17	25.51	17	0.06	16
263	263	-587	Max	0.00	-22.82	16	-0.06	16	0.01	18	929.04	18	-43.21	17	0.07	17
263	263	-587	Max	17.25	-21.94	16	-0.06	16	0.00	10	929.04	18	80.13	18	0.07	17
263	263	-587	Min.	0.00	-56.62	9	-0.12	19	-0.01	17	500.73	17	-80.13	18	0.01	16
263	263	-587	Min.	17.25	-55.74	9	-0.12	19	-0.03	17	500.73	17	43.16	17	0.01	16
264	264	-588	Max	0.00	-22.78	16	1.30	17	0.12	17	932.77	18	-46.33	17	0.31	17
264	264	-588	Max	17.25	-21.89	16	1.30	17	0.34	17	932.77	18	80.44	18	0.31	17
264	264	-588	Min.	0.00	-58.45	19	-0.10	18	0.01	16	536.96	17	-80.46	18	0.01	16
264	264	-588	Min.	17.25	-57.57	19	-0.10	18	-0.01	18	536.96	17	46.30	17	0.01	16
265	265	-589	Max	0.00	-22.78	16	0.10	18	-0.01	16	932.82	18	-42.42	17	0.06	17
265	265	-589	Max	17.25	-21.90	16	0.10	18	0.01	18	932.82	18	80.44	18	0.06	17
265	265	-589	Min.	0.00	-57.55	9	-0.01	17	-0.02	17	491.49	17	-80.47	18	-0.02	18
265	265	-589	Min.	17.25	-56.67	9	-0.01	17	-0.03	17	491.49	17	42.36	17	-0.02	18
266	266	-590	Max	0.00	-22.83	16	1.40	17	0.10	17	929.01	18	-45.53	17	0.30	17
266	266	-590	Max	13.80					-0.00	9			47.30	9		
266	266	-590	Max	17.25	-21.95	16	1.40	17	0.34	17	929.01	18	80.12	18	0.30	17
266	266	-590	Min.	0.00	-57.29	19	0.06	16	-0.01	18	527.82	17	-80.13	18	-0.02	18
266	266	-590	Min.	13.80					-0.00	16			27.89	16		
266	266	-590	Min.	17.25	-56.41	19	0.06	16	0.00	10	527.82	17	45.52	17	-0.02	18
267	267	-591	Max	0.00	-15.08	16	0.17	18	0.01	9	527.34	18	-22.48	17	-0.01	17
267	267	-591	Max	17.25	-14.20	16	0.17	18	0.04	9	527.34	18	45.48	18	-0.01	17
267	267	-591	Min.	0.00	-37.92	9	0.04	17	-0.01	17	260.24	17	-45.49	18	-0.14	9
267	267	-591	Min.	17.25	-37.04	9	0.04	17	-0.01	17	260.24	17	22.42	17	-0.14	9
268	268	-592	Max	0.00	-12.72	17	1.45	17	0.12	17	504.85	18	-24.34	17	0.24	17
268	268	-592	Max	17.25	-11.84	17	1.45	17	0.37	17	504.85	18	43.55	18	0.24	17
268	268	-592	Min.	0.00	-21.41	18	0.11	10	-0.00	16	282.17	17	-43.54	18	-0.14	9
268	268	-592	Min.	17.25	-20.53	18	0.11	10	0.02	16	282.17	17	24.33	17	-0.14	9
269	269	-569	Max	0.00	-12.21	17	0.01	17	-0.00	16	618.36	18	-23.03	17	0.20	19
269	269	-569	Max	15.50	-11.42	17	0.01	17	-0.00	16	618.36	18	48.01	18	0.20	19
269	269	-569	Min.	0.00	-23.69	18	-0.01	16	-0.02	17	297.33	17	-47.83	18	0.05	16
269	269	-569	Min.	15.50	-22.90	18	-0.01	16	-0.01	19	297.33	17	23.06	17	0.05	16
270	270	-570	Max	0.00	-15.74	16	0.01	9	0.06	17	673.92	18	-29.78	17	0.32	17
270	270	-570	Max	15.50	-14.94	16	0.01	9	0.05	17	673.92	18	52.32	18	0.32	17
270	270	-570	Min.	0.00	-42.09	19	-0.10	17	-0.01	9	384.63	17	-52.14	18	0.06	16
270	270	-570	Min.	15.50	-41.30	19	-0.10	17	-0.01	9	384.63	17	29.84	17	0.06	16
271	271	-571	Max	0.00	-23.89	16	0.02	17	0.01	9	1165.92	18	-49.04	17	0.08	17
271	271	-571	Max	15.50	-23.09	16	0.02	17	0.00	9	1165.92	18	90.49	18	0.08	17
271	271	-571	Min.	0.00	-61.65	19	-0.03	9	-0.01	17	633.11	17	-90.23	18	0.01	16
271	271	-571	Min.	15.50	-60.86	19	-0.03	9	-0.01	17	633.11	17	49.09	17	0.01	16
272	272	-572	Max	0.00	-24.04	16	0.01	9	0.07	17	1185.84	19	-50.72	16	0.24	17
272	272	-572	Max	12.40					-0.00	20			42.55	20		

272	272	-572	Max	15.50	-23.25	16	0.01	9	0.05	17	1185.84	19	91.98	19	0.24	17
272	272	-572	Min.	0.00	-63.22	19	-0.10	17	-0.00	9	656.17	16	-91.82	19	0.01	16
272	272	-572	Min.	12.40					-0.00	20			42.55	20		
272	272	-572	Min.	15.50	-62.43	19	-0.10	17	-0.00	9	656.17	16	50.99	16	0.01	16
273	273	-573	Max	0.00	-24.04	16	0.03	17	0.00	9	1171.14	18	-48.18	17	0.06	17
273	273	-573	Max	15.50	-23.25	16	0.03	17	0.00	9	1171.14	18	90.89	18	0.06	17
273	273	-573	Min.	0.00	-63.03	9	-0.01	9	-0.02	17	622.06	17	-90.64	18	-0.02	18
273	273	-573	Min.	15.50	-62.23	9	-0.01	9	-0.01	17	622.06	17	48.24	17	-0.02	18
274	274	-574	Max	0.00	-23.88	16	0.03	9	0.07	17	1174.73	19	-50.60	16	0.22	17
274	274	-574	Max	15.50	-23.09	16	0.03	9	0.05	17	1174.73	19	91.12	19	0.22	17
274	274	-574	Min.	0.00	-61.59	9	-0.09	17	-0.01	9	654.66	16	-90.96	19	-0.02	18
274	274	-574	Min.	15.50	-60.80	9	-0.09	17	-0.00	9	654.66	16	50.87	16	-0.02	18
275	275	-575	Max	0.00	-15.74	16	0.03	17	0.01	9	673.99	18	-26.16	17	-0.01	17
275	275	-575	Max	15.50	-14.94	16	0.03	17	0.01	9	673.99	18	52.32	18	-0.01	17
275	275	-575	Min.	0.00	-41.88	9	-0.01	9	-0.01	17	337.69	17	-52.14	18	-0.15	9
275	275	-575	Min.	15.50	-41.09	9	-0.01	9	-0.01	17	337.69	17	26.18	17	-0.15	9
276	276	-576	Max	0.00	-13.55	17	0.01	16	0.08	17	618.43	18	-27.13	17	0.16	17
276	276	-576	Max	15.50	-12.76	17	0.01	16	0.06	17	618.43	18	48.02	18	0.16	17
276	276	-576	Min.	0.00	-23.69	18	-0.14	17	0.00	16	350.42	17	-47.84	18	-0.15	9
276	276	-576	Min.	15.50	-22.90	18	-0.14	17	0.00	16	350.42	17	27.18	17	-0.15	9
277	277	-553	Max	0.00	-18.56	17	0.04	16	0.01	19	685.37	18	-22.97	17	0.20	19
277	277	-553	Max	13.75	-17.86	17	0.04	16	0.00	16	685.37	18	46.94	18	0.20	19
277	277	-553	Min.	0.00	-42.67	18	-0.37	19	-0.00	16	333.60	17	-47.29	18	0.05	16
277	277	-553	Min.	13.75	-41.97	18	-0.37	19	-0.04	19	333.60	17	22.90	17	0.05	16
278	278	-554	Max	0.00	-32.01	16	-0.35	16	0.06	17	779.04	18	-31.25	17	0.32	17
278	278	-554	Max	13.75	-31.31	16	-0.35	16	-0.03	16	779.04	18	53.35	18	0.32	17
278	278	-554	Min.	0.00	-61.54	19	-0.96	19	0.02	16	452.07	17	-53.76	18	0.07	16
278	278	-554	Min.	13.75	-60.83	19	-0.96	19	-0.07	19	452.07	17	30.91	17	0.07	16
279	279	-555	Max	0.00	-46.16	17	0.42	18	-0.01	10	1341.65	9	-49.65	16	0.08	17
279	279	-555	Max	13.75	-45.46	17	0.42	18	0.05	18	1341.65	9	91.92	9	0.08	17
279	279	-555	Min.	0.00	-93.28	9	-0.13	17	-0.01	17	718.93	16	-92.56	9	-0.00	16
279	279	-555	Min.	13.75	-92.57	9	-0.13	17	-0.03	17	718.93	16	49.21	16	-0.00	16
280	280	-556	Max	0.00	-46.69	16	-0.35	16	0.05	17	1369.08	19	-49.74	16	0.24	17
280	280	-556	Max	13.75	-45.98	16	-0.35	16	-0.03	16	1369.08	19	93.75	19	0.24	17
280	280	-556	Min.	0.00	-97.07	19	-0.81	19	0.01	10	720.37	16	-94.50	19	0.02	16
280	280	-556	Min.	13.75	-96.36	19	-0.81	19	-0.06	19	720.37	16	49.32	16	0.02	16
281	281	-557	Max	0.00	-45.77	17	0.54	18	-0.01	10	1348.96	9	-49.20	17	0.07	17
281	281	-557	Max	13.75	-45.06	17	0.54	18	0.05	18	1348.96	9	92.43	9	0.07	17
281	281	-557	Min.	0.00	-94.38	9	-0.10	17	-0.03	19	714.69	17	-93.05	9	-0.04	18
281	281	-557	Min.	13.75	-93.68	9	-0.10	17	-0.03	17	714.69	17	49.07	17	-0.04	18
282	282	-558	Max	0.00	-46.94	16	-0.31	16	0.05	17	1354.31	19	-49.64	16	0.23	17
282	282	-558	Max	13.75	-46.24	16	-0.31	16	-0.03	16	1354.31	19	92.73	19	0.23	17
282	282	-558	Min.	0.00	-95.57	19	-0.75	17	0.01	10	718.89	16	-93.49	19	-0.01	18
282	282	-558	Min.	13.75	-94.87	19	-0.75	17	-0.06	19	718.89	16	49.20	16	-0.01	18
283	283	-559	Max	0.00	-28.67	17	0.63	18	-0.02	16	779.11	18	-27.37	17	0.00	17
283	283	-559	Max	13.75	-27.96	17	0.63	18	0.06	9	779.11	18	53.36	18	0.00	17
283	283	-559	Min.	0.00	-59.87	18	-0.08	17	-0.03	19	397.57	17	-53.77	18	-0.16	9
283	283	-559	Min.	13.75	-59.17	18	-0.08	17	-0.03	17	397.57	17	27.30	17	-0.16	9
284	284	-560	Max	0.00	-23.51	17	0.26	9	0.05	17	685.45	18	-27.22	17	0.14	17
284	284	-560	Max	13.75	-22.81	17	0.26	9	0.03	19	685.45	18	46.95	18	0.14	17
284	284	-560	Min.	0.00	-42.68	18	-0.18	17	-0.01	9	394.30	17	-47.30	18	-0.15	9
284	284	-560	Min.	13.75	-41.98	18	-0.18	17	-0.00	16	394.30	17	26.99	17	-0.15	9
285	2285	4285	Max	0.00	107.95	17	0.61	9	-0.02	16	-29.72	17	10.44	16	0.06	18
285	2285	4285	Max	12.00	108.57	17	0.61	9	0.03	9	-29.72	17	-0.53	10	0.06	18
285	2285	4285	Min.	0.00	18.00	10	0.19	17	-0.05	19	-136.43	16	2.81	17	0.03	10
285	2285	4285	Min.	12.00	18.61	10	0.19	17	-0.01	17	-136.43	16	-5.93	16	0.03	10
286	1286	2286	Max	0.00	-563.92	16	-68.82	17	-231.18	17	34.11	18	-12.15	16	2.65	19
286	1286	2286	Max	9.00	-561.28	16	-68.82	17	-237.37	17	34.11	18	-9.52	16	2.65	19
286	1286	2286	Min.	0.00	-1180.97	19	-135.93	18	-576.26	18	-118.51	17	-70.10	17	1.25	16

286	1286	2286	Min.	9.00	-1178.34	19	-135.93	18	-588.49	18	-118.51	17	-80.76	17	1.25	16
286	2286	4286	Max	0.00	-198.15	16	33.79	18	-5.71	16	-1196.64	17	473.01	18	7.03	17
286	2286	4286	Max	7.00	-196.10	16	33.79	18	-3.74	16	-1196.64	17	250.95	18	7.03	17
286	2286	4286	Min.	0.00	-479.95	9	-88.73	17	-59.79	17	-3172.33	18	186.30	17	-6.15	9
286	2286	4286	Min.	7.00	-477.90	9	-88.73	17	-66.00	17	-3172.33	18	102.54	17	-6.15	9
287	2287	4287	Max	0.00	-2.95	16	-0.24	16	0.29	17	-8.40	17	10.45	16	-0.02	17
287	2287	4287	Max	12.00	-2.34	16	-0.24	16	-0.02	16	-8.40	17	0.56	17	-0.02	17
287	2287	4287	Min.	0.00	-227.04	17	-7.75	17	0.01	16	-136.52	16	1.57	17	-0.08	18
287	2287	4287	Min.	12.00	-226.43	17	-7.75	17	-0.64	17	-136.52	16	-5.93	16	-0.08	18
288	2288	4288	Max	0.00	182.05	17	4.90	9	0.07	17	-46.06	17	13.18	16	0.11	18
288	2288	4288	Max	12.00	182.66	17	4.90	9	0.38	9	-46.06	17	-0.42	10	0.11	18
288	2288	4288	Min.	0.00	-107.08	9	-2.88	17	-0.21	9	-167.98	16	4.75	17	0.06	17
288	2288	4288	Min.	12.00	-106.47	9	-2.88	17	-0.28	17	-167.98	16	-6.98	16	0.06	17
289	1289	2289	Max	0.00	-968.25	16	-148.15	17	-440.96	17	14.00	18	5.40	18	2.12	17
289	1289	2289	Max	9.00	-965.62	16	-148.15	17	-454.30	17	14.00	18	6.66	18	2.12	17
289	1289	2289	Min.	0.00	-2280.79	19	-276.81	18	-945.69	18	-177.98	17	-93.12	17	0.68	16
289	1289	2289	Min.	9.00	-2278.16	19	-276.81	18	-970.60	18	-177.98	17	-109.14	17	0.68	16
289	2289	4289	Max	0.00	-335.15	16	11.26	18	5.24	18	-2301.85	17	776.33	18	8.04	17
289	2289	4289	Max	7.00	-333.10	16	11.26	18	6.03	18	-2301.85	17	416.01	18	8.04	17
289	2289	4289	Min.	0.00	-909.17	19	-145.34	17	-85.28	17	-5147.36	18	357.52	17	-4.33	9
289	2289	4289	Min.	7.00	-907.12	19	-145.34	17	-95.45	17	-5147.36	18	196.39	17	-4.33	9
290	2290	4290	Max	0.00	-1.76	16	-1.63	16	0.33	17	-31.52	17	13.28	18	-0.04	17
290	2290	4290	Max	12.00	-1.14	16	-1.63	16	-0.12	16	-31.52	17	0.13	17	-0.04	17
290	2290	4290	Min.	0.00	-297.78	17	-8.86	17	0.07	16	-169.12	16	3.91	17	-0.12	18
290	2290	4290	Min.	12.00	-297.16	17	-8.86	17	-0.73	17	-169.12	16	-7.05	16	-0.12	18
291	2291	4291	Max	0.00	203.86	17	4.20	9	0.09	17	-46.93	17	13.27	18	0.12	18
291	2291	4291	Max	9.60					-0.01	19			0.85	19		
291	2291	4291	Max	12.00	204.47	17	4.20	9	0.32	9	-46.93	17	-0.52	10	0.12	18
291	2291	4291	Min.	0.00	-78.72	9	-3.43	17	-0.19	9	-169.09	16	4.77	17	0.07	17
291	2291	4291	Min.	9.60					-0.01	19			0.85	19		
291	2291	4291	Min.	12.00	-78.11	9	-3.43	17	-0.32	17	-169.09	16	-7.04	16	0.07	17
292	1292	2292	Max	0.00	-968.25	16	-145.26	17	-433.35	17	-11.92	16	-4.62	10	1.19	17
292	1292	2292	Max	9.00	-965.62	16	-145.26	17	-446.42	17	-11.92	16	-5.70	10	1.19	17
292	1292	2292	Min.	0.00	-2278.18	9	-276.87	18	-945.74	18	-199.76	17	-101.66	17	-1.01	18
292	1292	2292	Min.	9.00	-2275.54	9	-276.87	18	-970.65	18	-199.76	17	-119.63	17	-1.01	18
292	2292	4292	Max	0.00	-335.14	16	-9.87	10	-4.42	10	-2261.41	17	776.37	18	13.47	17
292	2292	4292	Max	7.00	-333.09	16	-9.87	10	-5.11	10	-2261.41	17	416.04	18	13.47	17
292	2292	4292	Min.	0.00	-908.46	9	-163.66	17	-93.33	17	-5147.67	18	351.29	17	2.17	16
292	2292	4292	Min.	7.00	-906.41	9	-163.66	17	-104.79	17	-5147.67	18	192.99	17	2.17	16
293	2293	4293	Max	0.00	-28.73	16	-2.30	16	0.35	17	-29.07	17	13.18	16	-0.03	17
293	2293	4293	Max	12.00	-28.12	16	-2.30	16	-0.18	16	-29.07	17	0.24	17	-0.03	17
293	2293	4293	Min.	0.00	-322.94	17	-9.47	17	0.10	16	-168.05	16	3.73	17	-0.11	18
293	2293	4293	Min.	12.00	-322.33	17	-9.47	17	-0.79	17	-168.05	16	-6.98	16	-0.11	18
294	2294	4294	Max	0.00	122.69	17	1.74	9	0.22	17	-24.58	10	10.45	16	0.08	18
294	2294	4294	Max	12.00	123.31	17	1.74	9	0.14	9	-24.58	10	0.04	9	0.08	18
294	2294	4294	Min.	0.00	-87.79	9	-5.77	17	-0.07	9	-136.54	16	2.73	17	0.04	17
294	2294	4294	Min.	12.00	-87.18	9	-5.77	17	-0.48	17	-136.54	16	-5.93	16	0.04	17
295	1295	2295	Max	0.00	-563.99	16	-71.85	17	-240.16	17	-28.08	10	38.45	9	0.60	17
295	1295	2295	Max	9.00	-561.36	16	-71.85	17	-246.63	17	-28.08	10	35.62	9	0.60	17
295	1295	2295	Min.	0.00	-1153.75	9	-136.07	18	-576.38	18	-168.18	17	-22.50	17	-1.95	18
295	1295	2295	Min.	9.00	-1151.11	9	-136.07	18	-588.63	18	-168.18	17	-37.64	17	-1.95	18
295	2295	4295	Max	0.00	-198.15	16	-27.98	16	22.40	9	-1254.80	17	473.13	18	12.63	17
295	2295	4295	Max	7.00	-196.10	16	-27.98	16	20.16	9	-1254.80	17	251.01	18	12.63	17
295	2295	4295	Min.	0.00	-502.20	19	-139.34	17	-32.49	17	-3173.08	18	194.17	17	2.69	16
295	2295	4295	Min.	7.00	-500.15	19	-139.34	17	-42.24	17	-3173.08	18	106.34	17	2.69	16
296	2296	4296	Max	0.00	25.92	18	-0.34	16	0.05	9	-18.17	17	10.44	16	-0.01	17
296	2296	4296	Max	12.00	26.54	18	-0.34	16	-0.02	16	-18.17	17	-0.01	17	-0.01	17
296	2296	4296	Min.	0.00	-80.74	17	-0.74	19	0.02	17	-136.46	16	2.18	17	-0.06	18
296	2296	4296	Min.	12.00	-80.13	17	-0.74	19	-0.05	17	-136.46	16	-5.93	16	-0.06	18

297	297	-537	Max	0.00	26.16	18	0.45	9	0.06	17	11.08	17	1.93	18	0.14	18
297	297	-537	Max	10.65	26.70	18	0.45	9	0.02	9	11.08	17	0.27	17	0.14	18
297	297	-537	Min.	0.00	12.81	17	-1.66	17	-0.02	9	-43.86	18	-0.91	17	-0.22	17
297	297	-537	Min.	10.65	13.35	17	-1.66	17	-0.12	17	-43.86	18	-2.74	18	-0.22	17
298	298	-538	Max	0.00	21.86	16	1.08	18	0.02	17	-40.51	16	4.80	19	0.15	18
298	298	-538	Max	10.65	22.41	16	1.08	18	0.10	19	-40.51	16	-2.50	16	0.15	18
298	298	-538	Min.	0.00	0.60	17	0.69	10	-0.04	18	-91.98	19	1.81	16	-0.25	17
298	298	-538	Min.	10.65	1.15	17	0.69	10	0.05	10	-91.98	19	-5.00	19	-0.25	17
299	299	-539	Max	0.00	34.55	18	0.05	9	0.05	17	-45.22	17	6.45	9	0.09	18
299	299	-539	Max	10.65	35.09	18	0.05	9	-0.01	10	-45.22	17	-2.88	17	0.09	18
299	299	-539	Min.	0.00	19.80	10	-1.85	17	-0.02	9	-129.12	9	1.93	17	-0.22	17
299	299	-539	Min.	10.65	20.34	10	-1.85	17	-0.14	17	-129.12	9	-7.30	9	-0.22	17
300	300	-540	Max	0.00	34.69	18	1.02	19	0.01	17	-56.58	16	6.68	19	0.11	18
300	300	-540	Max	10.65	35.24	18	1.02	19	0.10	19	-56.58	16	-3.49	16	0.11	18
300	300	-540	Min.	0.00	8.73	17	0.64	10	-0.03	18	-132.24	19	2.53	16	-0.25	17
300	300	-540	Min.	10.65	9.27	17	0.64	10	0.05	10	-132.24	19	-7.40	19	-0.25	17
301	301	-541	Max	0.00	34.71	18	-0.64	10	0.08	17	-30.47	17	5.34	9	-0.07	16
301	301	-541	Max	10.65	35.25	18	-0.64	10	-0.05	10	-30.47	17	-2.15	17	-0.07	16
301	301	-541	Min.	0.00	19.92	10	-2.33	17	0.02	10	-109.78	9	1.10	17	-0.33	17
301	301	-541	Min.	10.65	20.46	10	-2.33	17	-0.17	17	-109.78	9	-6.35	9	-0.33	17
302	302	-542	Max	0.00	34.54	18	0.29	17	0.03	17	-68.62	16	7.77	19	-0.05	16
302	302	-542	Max	10.65	35.09	18	0.29	17	0.06	17	-68.62	16	-4.08	16	-0.05	16
302	302	-542	Min.	0.00	8.08	17	-0.04	9	0.00	16	-151.11	19	3.23	16	-0.36	17
302	302	-542	Min.	10.65	8.63	17	-0.04	9	0.01	10	-151.11	19	-8.32	19	-0.36	17
303	303	-543	Max	0.00	21.87	16	-0.70	10	0.09	17	-7.67	17	3.50	9	-0.09	16
303	303	-543	Max	10.65	22.42	16	-0.70	10	-0.05	10	-7.67	17	-0.74	17	-0.09	16
303	303	-543	Min.	0.00	5.99	10	-2.43	17	0.02	16	-69.98	9	0.08	17	-0.36	17
303	303	-543	Min.	10.65	6.54	10	-2.43	17	-0.17	17	-69.98	9	-3.97	18	-0.36	17
304	304	-544	Max	0.00	26.17	18	0.04	17	0.04	19	-31.19	10	3.15	17	-0.08	16
304	304	-544	Max	10.65	26.71	18	0.04	17	0.05	17	-31.19	10	-1.89	10	-0.08	16
304	304	-544	Min.	0.00	8.48	17	-0.46	9	0.01	16	-59.54	17	1.43	10	-0.39	17
304	304	-544	Min.	10.65	9.02	17	-0.46	9	-0.02	9	-59.54	17	-3.36	19	-0.39	17
305	305	-521	Max	0.00	-2.02	10	-0.13	16	0.01	18	21.68	17	1.81	9	0.16	18
305	305	-521	Max	9.29	-1.55	10	-0.13	16	-0.00	16	21.68	17	0.94	17	0.16	18
305	305	-521	Min.	0.00	-3.30	19	-1.08	17	-0.02	17	-38.04	9	-1.08	17	-0.16	17
305	305	-521	Min.	9.29	-2.83	19	-1.08	17	-0.12	17	-38.04	9	-1.73	9	-0.16	17
306	306	-522	Max	0.00	-2.38	16	2.60	17	0.02	18	-25.67	16	4.16	17	0.16	18
306	306	-522	Max	9.29	-1.91	16	2.60	17	0.17	17	-25.67	16	-1.16	16	0.16	18
306	306	-522	Min.	0.00	-11.28	9	-0.29	9	-0.07	17	-87.61	17	1.23	16	-0.15	17
306	306	-522	Min.	9.29	-10.80	9	-0.29	9	-0.02	9	-87.61	17	-3.98	17	-0.15	17
307	307	-523	Max	0.00	-1.80	16	-0.17	16	0.01	18	-39.02	17	6.05	9	0.12	18
307	307	-523	Max	9.29	-1.33	16	-0.17	16	-0.01	16	-39.02	17	-1.83	17	0.12	18
307	307	-523	Min.	0.00	-11.96	19	-1.09	17	-0.02	17	-128.16	9	1.79	17	-0.15	17
307	307	-523	Min.	9.29	-11.49	19	-1.09	17	-0.12	17	-128.16	9	-5.87	9	-0.15	17
308	308	-524	Max	0.00	-2.53	16	2.78	17	0.02	18	-42.31	16	6.11	19	0.11	18
308	308	-524	Max	9.29	-2.05	16	2.78	17	0.20	17	-42.31	16	-1.93	16	0.11	18
308	308	-524	Min.	0.00	-12.44	9	0.10	16	-0.06	17	-130.16	19	2.00	16	-0.15	17
308	308	-524	Min.	9.29	-11.97	9	0.10	16	0.03	16	-130.16	19	-5.98	19	-0.15	17
309	309	-525	Max	0.00	-2.53	16	-0.10	16	-0.02	16	-19.18	17	4.73	9	-0.07	16
309	309	-525	Max	9.29	-2.05	16	-0.10	16	-0.03	16	-19.18	17	-0.96	17	-0.07	16
309	309	-525	Min.	0.00	-13.79	19	-1.03	17	-0.04	17	-101.31	9	0.83	17	-0.27	17
309	309	-525	Min.	9.29	-13.31	19	-1.03	17	-0.14	17	-101.31	9	-4.69	9	-0.27	17
310	310	-526	Max	0.00	-1.80	16	2.81	17	-0.01	16	-58.01	16	7.41	19	-0.07	16
310	310	-526	Max	9.29	-1.33	16	2.81	17	0.18	17	-58.01	16	-2.62	16	-0.07	16
310	310	-526	Min.	0.00	-10.62	9	0.16	16	-0.08	17	-156.46	19	2.77	16	-0.27	17
310	310	-526	Min.	9.29	-10.14	9	0.16	16	0.01	16	-156.46	19	-7.14	19	-0.27	17
311	311	-527	Max	0.00	-2.38	16	0.29	9	-0.01	10	8.22	17	2.64	9	-0.10	16
311	311	-527	Max	9.29	-1.91	16	0.29	9	0.02	9	8.22	17	0.32	17	-0.10	16
311	311	-527	Min.	0.00	-12.36	19	-0.67	17	-0.03	17	-56.49	9	-0.45	17	-0.32	17

311	311	-527	Min.	9.29	-11.89	19	-0.67	17	-0.10	17	-56.49	9	-2.61	9	-0.32	17
312	312	-528	Max	0.00	-0.23	17	2.82	17	-0.00	10	-17.27	16	3.31	17	-0.09	16
312	312	-528	Max	9.29	0.25	17	2.82	17	0.19	17	-17.27	16	-0.76	16	-0.09	16
312	312	-528	Min.	0.00	-3.22	18	0.13	16	-0.08	17	-68.99	17	0.85	16	-0.30	17
312	312	-528	Min.	9.29	-2.74	18	0.13	16	0.00	16	-68.99	17	-3.10	17	-0.30	17
313	2313	3313	Max	0.00	9.56	17	1.25	18	-0.01	18	16.64	17	1.01	9	0.13	18
313	2313	3313	Max	7.94	9.96	17	1.25	18	0.09	18	16.64	17	0.51	17	0.13	18
313	2313	3313	Min.	0.00	-10.94	9	-0.47	17	-0.17	17	-24.80	9	-0.81	17	-0.09	17
313	2313	3313	Min.	7.94	-10.53	9	-0.47	17	-0.20	17	-24.80	9	-0.96	9	-0.09	17
314	2314	3314	Max	0.00	-6.02	16	1.62	19	-0.00	18	-15.50	16	2.41	17	0.13	18
314	2314	3314	Max	7.94	-5.61	16	1.62	19	0.10	18	-15.50	16	-0.61	16	0.13	18
314	2314	3314	Min.	0.00	-25.95	17	0.68	16	-0.14	17	-55.36	17	0.62	16	-0.05	17
314	2314	3314	Min.	7.94	-25.54	17	0.68	16	-0.04	17	-55.36	17	-1.99	17	-0.05	17
315	2315	3315	Max	0.00	-8.56	17	0.97	18	0.05	9	-23.58	17	3.31	9	0.10	18
315	2315	3315	Max	7.94	-8.16	17	0.97	18	0.12	9	-23.58	17	-1.05	17	0.10	18
315	2315	3315	Min.	0.00	-35.72	9	-0.38	17	-0.12	17	-81.20	9	0.82	17	-0.08	17
315	2315	3315	Min.	7.94	-35.31	9	-0.38	17	-0.15	17	-81.20	9	-3.14	9	-0.08	17
316	2316	3316	Max	0.00	-11.52	16	1.25	17	0.04	9	-28.77	16	3.34	19	0.08	18
316	2316	3316	Max	7.94	-11.12	16	1.25	17	0.09	18	-28.77	16	-1.19	16	0.08	18
316	2316	3316	Min.	0.00	-35.59	19	0.40	16	-0.11	17	-81.42	19	1.09	16	-0.05	17
316	2316	3316	Min.	7.94	-35.18	19	0.40	16	-0.01	17	-81.42	19	-3.12	19	-0.05	17
317	2317	3317	Max	0.00	-1.18	17	-0.40	16	-0.02	16	-8.75	17	2.43	9	-0.05	16
317	2317	3317	Max	7.94	-0.77	17	-0.40	16	-0.05	16	-8.75	17	-0.51	17	-0.05	16
317	2317	3317	Min.	0.00	-25.43	9	-1.27	17	-0.18	17	-60.84	9	0.19	17	-0.17	17
317	2317	3317	Min.	7.94	-25.03	9	-1.27	17	-0.28	17	-60.84	9	-2.40	9	-0.17	17
318	2318	3318	Max	0.00	-17.32	16	0.38	17	-0.03	16	-40.09	16	4.20	19	-0.06	16
318	2318	3318	Max	7.94	-16.91	16	0.38	17	-0.07	16	-40.09	16	-1.59	16	-0.06	16
318	2318	3318	Min.	0.00	-45.68	19	-0.95	18	-0.16	17	-101.32	19	1.59	16	-0.15	19
318	2318	3318	Min.	7.94	-45.28	19	-0.95	18	-0.16	19	-101.32	19	-3.85	19	-0.15	19
319	2319	3319	Max	0.00	7.77	17	-0.69	16	0.01	10	11.86	17	1.17	9	-0.07	16
319	2319	3319	Max	7.94	8.17	17	-0.69	16	-0.05	16	11.86	17	0.37	17	-0.07	16
319	2319	3319	Min.	0.00	-10.95	9	-1.89	19	-0.14	17	-26.90	9	-0.58	17	-0.22	17
319	2319	3319	Min.	7.94	-10.55	9	-1.89	19	-0.28	17	-26.90	9	-0.97	9	-0.22	17
320	2320	3320	Max	0.00	-3.49	16	0.20	17	0.01	10	-9.30	16	2.02	17	-0.07	16
320	2320	3320	Max	7.94	-3.09	16	0.20	17	-0.05	16	-9.30	16	-0.37	16	-0.07	16
320	2320	3320	Min.	0.00	-22.31	17	-1.26	18	-0.11	17	-47.03	17	0.37	16	-0.18	19
320	2320	3320	Min.	7.94	-21.90	17	-1.26	18	-0.12	19	-47.03	17	-1.72	17	-0.18	19
901	325	326	Max	4.00	0.00	9	0.00	9	0.00	9	-71.65	10	-1.99	10	10.42	18
901	325	326	Max	11.97									-4.84	10		
901	325	326	Max	15.00	0.00	9	0.00	9	0.00	9	27.03	10	-4.43	10	10.42	18
901	325	326	Min.	4.00	0.00	9	0.00	9	0.00	9	-1674.87	17	-68.34	17	5.15	17
901	325	326	Min.	14.45									-9.16	20		
901	325	326	Min.	15.00	0.00	9	0.00	9	0.00	9	-1567.56	17	-246.65	17	5.15	17
901	326	327	Max	0.00	0.00	9	0.00	9	0.00	9	-419.65	10	17.24	10	25.06	18
901	326	327	Max	11.00	0.00	9	0.00	9	0.00	9	-322.62	10	-23.57	10	25.06	18
901	326	327	Min.	0.00	0.00	9	0.00	9	0.00	9	-1948.58	17	-337.28	17	12.25	17
901	326	327	Min.	11.00	0.00	9	0.00	9	0.00	9	-1844.15	17	-545.85	17	12.25	17
901	327	328	Max	1.00	0.00	9	0.00	9	0.00	9	-827.43	17	-46.88	10	35.61	18
901	327	328	Max	133.59									-713.94	10		
901	327	328	Max	289.00	0.00	9	0.00	9	0.00	9	1493.21	18	253.93	18	35.61	18
901	327	328	Min.	1.00	0.00	9	0.00	9	0.00	9	-1392.88	18	-630.17	17	17.51	17
901	327	328	Min.	116.20									-1116.05	19		
901	327	328	Min.	289.00	0.00	9	0.00	9	0.00	9	1034.80	10	79.50	17	17.51	17
901	328	329	Max	4.00	0.00	9	0.00	9	0.00	9	617.11	18	293.98	18	25.32	18
901	328	329	Max	15.00	0.00	9	0.00	9	0.00	9	716.03	18	367.31	18	25.32	18
901	328	329	Min.	4.00	0.00	9	0.00	9	0.00	9	-1173.03	17	41.90	17	12.25	17
901	328	329	Min.	15.00	0.00	9	0.00	9	0.00	9	-1116.22	17	-84.00	17	12.25	17
901	329	330	Max	0.00	0.00	9	0.00	9	0.00	9	-220.91	10	373.92	18	10.00	18
901	329	330	Max	11.00	0.00	9	0.00	9	0.00	9	-152.10	10	340.64	18	10.00	18

901	329	330	Min.	0.00	0.00	9	0.00	9	0.00	9	-1681.14	17	-204.07	17	4.30	17
901	329	330	Min.	11.00	0.00	9	0.00	9	0.00	9	-1625.18	17	-385.91	17	4.30	17
901	330	331	Max	1.00	0.00	9	0.00	9	0.00	9	-360.52	17	317.08	18	-0.15	10
901	330	331	Max	155.06									-543.56	10		
901	330	331	Max	309.00	0.00	9	0.00	9	0.00	9	1341.75	19	626.31	17	-0.15	10
901	330	331	Min.	1.00	0.00	9	0.00	9	0.00	9	-1326.07	18	-457.32	17	-0.86	17
901	330	331	Min.	155.04									-694.23	18		
901	330	331	Min.	309.00	0.00	9	0.00	9	0.00	9	919.58	10	156.16	10	-0.86	17
901	331	332	Max	4.00	0.00	9	0.00	9	0.00	9	254.54	18	577.75	17	-5.62	17
901	331	332	Max	15.00	0.00	9	0.00	9	0.00	9	353.02	18	463.46	19	-5.62	17
901	331	332	Min.	4.00	0.00	9	0.00	9	0.00	9	-1420.05	17	171.72	10	-10.36	18
901	331	332	Min.	15.00	0.00	9	0.00	9	0.00	9	-1370.17	17	192.31	10	-10.36	18
901	332	333	Max	0.00	0.00	9	0.00	9	0.00	9	-513.79	10	381.66	19	-12.93	17
901	332	333	Max	11.00	0.00	9	0.00	9	0.00	9	-444.54	10	293.37	18	-12.93	17
901	332	333	Min.	0.00	0.00	9	0.00	9	0.00	9	-1921.73	17	186.39	10	-25.62	18
901	332	333	Min.	11.00	0.00	9	0.00	9	0.00	9	-1871.95	17	84.84	17	-25.62	18
901	333	334	Max	1.00	0.00	9	0.00	9	0.00	9	-450.26	17	253.36	18	-17.70	17
901	333	334	Max	101.63									-223.59	17		
901	333	334	Max	289.00	0.00	9	0.00	9	0.00	9	1393.68	18	565.84	17	-17.70	17
901	333	334	Min.	1.00	0.00	9	0.00	9	0.00	9	-1493.80	18	2.45	17	-35.89	18
901	333	334	Min.	159.70									-952.33	18		
901	333	334	Min.	289.00	0.00	9	0.00	9	0.00	9	848.33	17	-78.99	18	-35.89	18
901	334	335	Max	4.00	0.00	9	0.00	9	0.00	9	475.58	18	518.01	17	-12.43	17
901	334	335	Max	15.00	0.00	9	0.00	9	0.00	9	607.30	18	371.78	17	-12.43	17
901	334	335	Min.	4.00	0.00	9	0.00	9	0.00	9	-1354.68	17	-46.14	18	-25.26	18
901	334	335	Min.	15.00	0.00	9	0.00	9	0.00	9	-1304.17	17	11.39	16	-25.26	18
901	335	336	Max	0.00	0.00	9	0.00	9	0.00	9	6.63	18	244.29	17	-5.26	17
901	335	336	Max	2.68									-5.00	10		
901	335	336	Max	11.00	0.00	9	0.00	9	0.00	9	140.40	18	66.61	17	-5.26	17
901	335	336	Min.	0.00	0.00	9	0.00	9	0.00	9	-1640.52	17	-12.74	18	-10.50	18
901	335	336	Min.	0.28									-9.40	20		
901	335	336	Min.	11.00	0.00	9	0.00	9	0.00	9	-1590.11	17	-4.68	18	-10.50	18
902	361	362	Max	4.00	0.00	9	0.00	9	0.00	9	-3.73	16	0.69	16	-5.23	17
902	361	362	Max	4.58									0.68	16		
902	361	362	Max	15.00	0.00	9	0.00	9	0.00	9	65.82	16	4.12	16	-5.23	17
902	361	362	Min.	4.00	0.00	9	0.00	9	0.00	9	-1675.29	17	-68.36	17	-10.05	18
902	361	362	Min.	13.17									-7.90	9		
902	361	362	Min.	15.00	0.00	9	0.00	9	0.00	9	-1567.97	17	-246.71	17	-10.05	18
902	362	363	Max	0.00	0.00	9	0.00	9	0.00	9	-254.60	16	22.89	16	-12.47	17
902	362	363	Max	11.00	0.00	9	0.00	9	0.00	9	-186.43	16	-1.35	16	-12.47	17
902	362	363	Min.	0.00	0.00	9	0.00	9	0.00	9	-1949.08	17	-337.38	17	-23.56	18
902	362	363	Min.	11.00	0.00	9	0.00	9	0.00	9	-1844.63	17	-546.01	17	-23.56	18
902	363	364	Max	1.00	0.00	9	0.00	9	0.00	9	-751.80	16	-16.40	16	-17.82	17
902	363	364	Max	140.09									-522.73	16		
902	363	364	Max	289.00	0.00	9	0.00	9	0.00	9	1482.99	19	192.25	19	-17.82	17
902	363	364	Min.	1.00	0.00	9	0.00	9	0.00	9	-1244.03	9	-630.34	17	-33.75	18
902	363	364	Min.	116.20									-1116.30	19		
902	363	364	Min.	289.00	0.00	9	0.00	9	0.00	9	628.06	16	-47.82	16	-33.75	18
902	364	365	Max	4.00	0.00	9	0.00	9	0.00	9	540.66	9	204.20	9	-12.57	17
902	364	365	Max	15.00	0.00	9	0.00	9	0.00	9	625.82	9	268.36	9	-12.57	17
902	364	365	Min.	4.00	0.00	9	0.00	9	0.00	9	-1173.51	17	-29.03	16	-24.27	18
902	364	365	Min.	15.00	0.00	9	0.00	9	0.00	9	-1116.71	17	-84.56	17	-24.27	18
902	365	366	Max	0.00	0.00	9	0.00	9	0.00	9	-98.76	16	274.96	9	-4.66	17
902	365	366	Max	11.00	0.00	9	0.00	9	0.00	9	-56.07	16	248.10	9	-4.66	17
902	365	366	Min.	0.00	0.00	9	0.00	9	0.00	9	-1681.29	17	-204.66	17	-9.58	18
902	365	366	Min.	11.00	0.00	9	0.00	9	0.00	9	-1625.35	17	-386.51	17	-9.58	18
902	366	367	Max	1.00	0.00	9	0.00	9	0.00	9	-359.91	17	228.47	9	0.47	17
902	366	367	Max	155.03									-429.14	16		
902	366	367	Max	309.00	0.00	9	0.00	9	0.00	9	1341.46	19	626.26	17	0.47	17

902	366	367	Min.	1.00	0.00	9	0.00	9	0.00	9	-1135.72	9	-457.93	17	-0.21	18
902	366	367	Min.	125.11									-668.25	19		
902	366	367	Min.	309.00	0.00	9	0.00	9	0.00	9	559.92	16	-4.78	16	-0.21	18
902	367	368	Max	4.00	0.00	9	0.00	9	0.00	9	202.69	9	577.67	17	9.36	19
902	367	368	Max	15.00	0.00	9	0.00	9	0.00	9	287.37	9	463.37	19	9.36	19
902	367	368	Min.	4.00	0.00	9	0.00	9	0.00	9	-1420.46	17	3.39	16	5.03	16
902	367	368	Min.	15.00	0.00	9	0.00	9	0.00	9	-1370.62	17	11.99	16	5.03	16
902	368	369	Max	0.00	0.00	9	0.00	9	0.00	9	-341.67	16	381.54	19	23.95	18
902	368	369	Max	11.00	0.00	9	0.00	9	0.00	9	-298.56	16	217.06	19	23.95	18
902	368	369	Min.	0.00	0.00	9	0.00	9	0.00	9	-1921.81	17	6.15	16	12.63	17
902	368	369	Min.	11.00	0.00	9	0.00	9	0.00	9	-1872.07	17	-29.07	16	12.63	17
902	369	370	Max	1.00	0.00	9	0.00	9	0.00	9	-449.51	17	169.31	9	33.46	18
902	369	370	Max	101.55									-223.19	17		
902	369	370	Max	289.00	0.00	9	0.00	9	0.00	9	1250.19	19	566.09	17	33.46	18
902	369	370	Min.	1.00	0.00	9	0.00	9	0.00	9	-1278.51	9	-47.83	16	17.43	17
902	369	370	Min.	157.74									-851.85	9		
902	369	370	Min.	289.00	0.00	9	0.00	9	0.00	9	751.85	16	-62.17	9	17.43	17
902	370	371	Max	4.00	0.00	9	0.00	9	0.00	9	402.22	9	518.23	17	23.36	18
902	370	371	Max	15.00	0.00	9	0.00	9	0.00	9	518.91	9	371.90	17	23.36	18
902	370	371	Min.	4.00	0.00	9	0.00	9	0.00	9	-1355.44	17	-33.71	9	12.25	17
902	370	371	Min.	15.00	0.00	9	0.00	9	0.00	9	-1304.99	17	16.93	9	12.25	17
902	371	372	Max	0.00	0.00	9	0.00	9	0.00	9	-16.21	9	244.39	17	9.97	18
902	371	372	Max	10.18									0.64	16		
902	371	372	Max	11.00	0.00	9	0.00	9	0.00	9	102.39	9	66.63	17	9.97	18
902	371	372	Min.	0.00	0.00	9	0.00	9	0.00	9	-1641.16	17	-7.89	9	5.18	17
902	371	372	Min.	1.51									-8.01	9		
902	371	372	Min.	11.00	0.00	9	0.00	9	0.00	9	-1590.81	17	-3.17	9	5.18	17
903	326	362	Max	0.00	0.00	9	0.00	9	0.00	9	0.00	9	0.00	9	0.00	9
903	326	362	Max	690.00	0.00	9	0.00	9	0.00	9	0.00	9	0.00	9	0.00	9
903	326	362	Min.	0.00	0.00	9	0.00	9	0.00	9	0.00	9	0.00	9	0.00	9
903	326	362	Min.	690.00	0.00	9	0.00	9	0.00	9	0.00	9	0.00	9	0.00	9
904	335	371	Max	0.00	0.00	9	0.00	9	0.00	9	0.00	9	0.00	9	0.00	9
904	335	371	Max	690.00	0.00	9	0.00	9	0.00	9	0.00	9	0.00	9	0.00	9
904	335	371	Min.	0.00	0.00	9	0.00	9	0.00	9	0.00	9	0.00	9	0.00	9
904	335	371	Min.	690.00	0.00	9	0.00	9	0.00	9	0.00	9	0.00	9	0.00	9
1021	1296	1297	Max	1.77	80.74	9	-0.97	10	4.31	19	2.11	17	0.29	9	-0.02	10
1021	1296	1297	Max	10.00	80.74	9	-0.21	10	2.82	9	2.11	17	0.31	9	-0.02	10
1021	1296	1297	Min.	1.77	7.90	16	-29.65	17	-0.75	16	0.08	10	-0.00	17	-0.04	19
1021	1296	1297	Min.	10.00	7.90	16	-28.89	17	-0.92	16	0.08	10	0.07	16	-0.04	19
1021	1297	1298	Max	0.00	80.74	9	-0.21	10	2.82	9	2.11	17	0.31	9	-0.02	10
1021	1297	1298	Max	8.23	80.74	9	0.56	10	2.78	9	2.11	17	0.42	19	-0.02	10
1021	1297	1298	Min.	0.00	7.90	16	-28.89	17	-0.92	16	0.08	10	0.07	16	-0.04	19
1021	1297	1298	Min.	8.23	7.90	16	-28.13	17	-1.02	16	0.08	10	0.08	16	-0.04	19
1023	1316	1317	Max	1.77	-27.63	16	1.22	17	-0.05	16	2.21	9	-1.34	17	0.05	19
1023	1316	1317	Max	10.00	-27.63	16	1.22	17	-0.07	16	2.97	9	-1.68	16	0.05	19
1023	1316	1317	Min.	1.77	-105.01	19	-0.59	9	-0.34	19	-25.04	17	-6.13	9	0.03	10
1023	1316	1317	Min.	10.00	-105.01	19	-0.59	9	-0.31	9	-24.28	17	-5.91	9	0.03	10
1023	1317	1318	Max	0.00	-27.63	16	1.22	17	-0.07	16	2.97	9	-1.68	16	0.05	19
1023	1317	1318	Max	8.23	-27.63	16	1.22	17	-0.07	17	3.73	9	-1.63	16	0.05	19
1023	1317	1318	Min.	0.00	-105.01	19	-0.59	9	-0.31	9	-24.28	17	-5.91	9	0.03	10
1023	1317	1318	Min.	8.23	-105.01	19	-0.59	9	-0.36	9	-23.52	17	-6.96	19	0.03	10
1065	1328	1329	Max	1.77	-59.15	17	3.68	16	-1.35	17	1.19	17	-0.20	10	-0.01	16
1065	1328	1329	Max	10.00	-59.15	17	4.44	16	-3.38	17	1.19	17	-0.17	17	-0.01	16
1065	1328	1329	Min.	1.77	-134.53	18	-24.98	17	-7.82	18	-0.64	18	-0.35	18	-0.05	19
1065	1328	1329	Min.	10.00	-134.53	18	-24.22	17	-7.53	18	-0.64	18	-0.40	18	-0.05	19
1065	1329	1330	Max	0.00	-59.15	17	4.44	16	-3.38	17	1.19	17	-0.17	17	-0.01	16
1065	1329	1330	Max	8.23	-59.15	17	5.20	16	-4.41	10	1.19	17	-0.07	17	-0.01	16
1065	1329	1330	Min.	0.00	-134.53	18	-24.22	17	-7.53	18	-0.64	18	-0.40	18	-0.05	19
1065	1329	1330	Min.	8.23	-134.53	18	-23.46	17	-7.18	18	-0.64	18	-0.45	18	-0.05	19

1067	1348	1349	Max	1.77	112.01	18	2.15	17	0.39	18	1.16	16	4.64	18	0.03	19
1067	1348	1349	Max	10.00	112.01	18	2.15	17	0.40	18	1.92	16	4.60	18	0.03	19
1067	1348	1349	Min.	1.77	42.96	17	-0.03	16	-0.01	17	-29.87	17	2.24	10	0.01	16
1067	1348	1349	Min.	10.00	42.96	17	-0.03	16	0.17	17	-29.11	17	1.47	17	0.01	16
1067	1349	1350	Max	0.00	112.01	18	2.15	17	0.40	18	1.92	16	4.60	18	0.03	19
1067	1349	1350	Max	8.23	112.01	18	2.15	17	0.42	19	2.68	16	4.72	16	0.03	19
1067	1349	1350	Min.	0.00	42.96	17	-0.03	16	0.17	17	-29.11	17	1.47	17	0.01	16
1067	1349	1350	Min.	8.23	42.96	17	-0.03	16	0.25	10	-28.35	17	-0.90	17	0.01	16
1105	1296	1308	Max	1.77	21.18	17	2.76	9	0.01	17	-14.94	16	4.01	19	0.28	9
1105	1296	1308	Max	10.00	21.18	17	2.76	9	0.12	17	-14.18	16	-0.37	17	0.28	9
1105	1296	1308	Min.	1.77	-9.66	18	0.81	16	-0.23	9	-61.62	9	0.40	16	0.03	16
1105	1296	1308	Min.	10.00	-9.66	18	0.81	16	-0.00	10	-60.86	9	-1.19	18	0.03	16
1105	1308	1316	Max	0.00	21.18	17	2.76	9	0.12	17	-14.18	16	-0.37	17	0.28	9
1105	1308	1316	Max	8.23	21.18	17	2.76	9	0.29	19	-13.42	16	-1.94	16	0.28	9
1105	1308	1316	Min.	0.00	-9.66	18	0.81	16	-0.00	10	-60.86	9	-1.19	18	0.03	16
1105	1308	1316	Min.	8.23	-9.66	18	0.81	16	0.07	16	-60.09	9	-6.05	9	0.03	16
1108	1298	1309	Max	1.77	-11.13	10	-16.92	16	3.33	9	3.64	19	-0.11	16	-0.02	16
1108	1298	1309	Max	10.00	-11.13	10	-16.16	16	-1.56	17	3.64	19	0.00	10	-0.02	16
1108	1298	1309	Min.	1.77	-35.68	17	-65.89	19	-0.42	16	1.19	16	-0.37	19	-0.27	9
1108	1298	1309	Min.	10.00	-35.68	17	-65.13	19	-2.37	18	1.19	16	-0.12	17	-0.27	9
1108	1309	1318	Max	0.00	-11.13	10	-16.16	16	-1.56	17	3.64	19	0.00	10	-0.02	16
1108	1309	1318	Max	8.23	-11.13	10	-15.40	16	-3.08	16	3.64	19	0.29	9	-0.02	16
1108	1309	1318	Min.	0.00	-35.68	17	-65.13	19	-2.37	18	1.19	16	-0.12	17	-0.27	9
1108	1309	1318	Min.	8.23	-35.68	17	-64.36	19	-7.57	19	1.19	16	0.06	17	-0.27	9
1143	1299	1310	Max	1.77	27.07	17	6.18	9	-0.08	17	-62.44	16	7.59	19	0.53	19
1143	1299	1310	Max	10.00	27.07	17	6.18	9	0.17	17	-61.68	16	-0.97	17	0.53	19
1143	1299	1310	Min.	1.77	-31.86	18	3.11	17	-0.52	9	-124.54	9	2.42	16	0.22	16
1143	1299	1310	Min.	10.00	-31.86	18	3.11	17	-0.01	18	-123.78	9	-3.61	18	0.22	16
1143	1310	1319	Max	0.00	27.07	17	6.18	9	0.17	17	-61.68	16	-0.97	17	0.53	19
1143	1310	1319	Max	8.23	27.07	17	6.18	9	0.59	19	-60.92	16	-6.45	17	0.53	19
1143	1310	1319	Min.	0.00	-31.86	18	3.11	17	-0.01	18	-123.78	9	-3.61	18	0.22	16
1143	1310	1319	Min.	8.23	-31.86	18	3.11	17	0.26	16	-123.02	9	-13.46	18	0.22	16
1146	1301	1311	Max	1.77	-15.48	10	-63.18	16	7.33	9	6.71	19	-0.28	16	-0.21	16
1146	1301	1311	Max	10.00	-15.48	10	-62.42	16	-2.37	10	6.71	19	0.01	9	-0.21	16
1146	1301	1311	Min.	1.77	-53.66	17	-127.63	19	2.50	16	3.49	16	-0.65	19	-0.53	9
1146	1301	1311	Min.	10.00	-53.66	17	-126.87	19	-3.59	18	3.49	16	-0.17	17	-0.53	9
1146	1311	1321	Max	0.00	-15.48	10	-62.42	16	-2.37	10	6.71	19	0.01	9	-0.21	16
1146	1311	1321	Max	8.23	-15.48	10	-61.66	16	-7.77	16	6.71	19	0.55	9	-0.21	16
1146	1311	1321	Min.	0.00	-53.66	17	-126.87	19	-3.59	18	3.49	16	-0.17	17	-0.53	9
1146	1311	1321	Min.	8.23	-53.66	17	-126.11	19	-13.91	19	3.49	16	0.15	17	-0.53	9
1181	1302	1312	Max	1.77	31.66	17	6.55	9	-0.07	17	-63.36	16	7.76	19	0.53	19
1181	1302	1312	Max	10.00	31.66	17	6.55	9	0.19	17	-62.60	16	-0.90	17	0.53	19
1181	1302	1312	Min.	1.77	-26.55	18	3.23	17	-0.53	9	-126.39	9	2.55	16	0.21	16
1181	1302	1312	Min.	10.00	-26.55	18	3.23	17	0.01	16	-125.63	9	-3.54	18	0.21	16
1181	1312	1322	Max	0.00	31.66	17	6.55	9	0.19	17	-62.60	16	-0.90	17	0.53	19
1181	1312	1322	Max	8.23	31.66	17	6.55	9	0.64	19	-61.84	16	-6.35	17	0.53	19
1181	1312	1322	Min.	0.00	-26.55	18	3.23	17	0.01	16	-125.63	9	-3.54	18	0.21	16
1181	1312	1322	Min.	8.23	-26.55	18	3.23	17	0.30	16	-124.87	9	-13.54	18	0.21	16
1184	1304	1313	Max	1.77	-20.44	10	-62.26	16	7.11	9	6.31	19	-0.28	16	-0.22	16
1184	1304	1313	Max	10.00	-20.44	10	-61.50	16	-2.44	10	6.31	19	-0.01	10	-0.22	16
1184	1304	1313	Min.	1.77	-58.08	17	-125.02	19	2.37	16	3.31	16	-0.64	19	-0.53	9
1184	1304	1313	Min.	10.00	-58.08	17	-124.26	19	-3.66	18	3.31	16	-0.19	17	-0.53	9
1184	1313	1324	Max	0.00	-20.44	10	-61.50	16	-2.44	10	6.31	19	-0.01	10	-0.22	16
1184	1313	1324	Max	8.23	-20.44	10	-60.74	16	-7.75	16	6.31	19	0.49	9	-0.22	16
1184	1313	1324	Min.	0.00	-58.08	17	-124.26	19	-3.66	18	3.31	16	-0.19	17	-0.53	9
1184	1313	1324	Min.	8.23	-58.08	17	-123.50	19	-13.76	19	3.31	16	0.11	17	-0.53	9
1219	1305	1314	Max	1.77	20.05	17	3.49	9	-0.01	17	-16.78	16	3.52	19	0.28	19
1219	1305	1314	Max	8.35					-0.06	9			-0.94	9		
1219	1305	1314	Max	10.00	20.05	17	3.49	9	0.13	17	-16.02	16	-0.84	17	0.28	19

1219	1305	1314	Min.	1.77	-19.44	18	1.18	16	-0.29	9	-65.28	9	-0.42	16	0.02	16
1219	1305	1314	Min.	8.35					-0.06	9			-0.94	9		
1219	1305	1314	Min.	10.00	-19.44	18	1.18	16	-0.01	16	-64.52	9	-2.34	18	0.02	16
1219	1314	1325	Max	0.00	20.05	17	3.49	9	0.13	17	-16.02	16	-0.84	17	0.28	19
1219	1314	1325	Max	8.23	20.05	17	3.49	9	0.35	19	-15.26	16	-3.06	16	0.28	19
1219	1314	1325	Min.	0.00	-19.44	18	1.18	16	-0.01	16	-64.52	9	-2.34	18	0.02	16
1219	1314	1325	Min.	8.23	-19.44	18	1.18	16	0.09	16	-63.76	9	-7.28	9	0.02	16
1222	1307	1315	Max	1.77	-6.14	16	-15.02	16	3.96	9	2.99	19	-0.06	16	-0.03	16
1222	1307	1315	Max	8.35					-0.09	9			-0.05	9		
1222	1307	1315	Max	10.00	-6.14	16	-14.25	16	-0.81	16	2.99	19	0.01	18	-0.03	16
1222	1307	1315	Min.	1.77	-32.71	17	-63.14	19	0.39	16	0.82	16	-0.32	19	-0.28	9
1222	1307	1315	Min.	8.35					-0.09	9			-0.05	9		
1222	1307	1315	Min.	10.00	-32.71	17	-62.37	19	-1.24	19	0.82	16	-0.13	17	-0.28	9
1222	1315	1327	Max	0.00	-6.14	16	-14.25	16	-0.81	16	2.99	19	0.01	18	-0.03	16
1222	1315	1327	Max	8.23	-6.14	16	-13.49	16	-1.96	16	2.99	19	0.23	9	-0.03	16
1222	1315	1327	Min.	0.00	-32.71	17	-62.37	19	-1.24	19	0.82	16	-0.13	17	-0.28	9
1222	1315	1327	Min.	8.23	-32.71	17	-61.61	19	-6.34	19	0.82	16	0.03	17	-0.28	9
1240	319	-5	Max	4.85	0.00	9	0.00	9	0.00	9	0.00	9	0.00	9	0.00	9
1240	319	-5	Min.	4.85	0.00	9	0.00	9	0.00	9	0.00	9	0.00	9	0.00	9
1240	-5	-37	Max	4.85	0.00	9	0.00	9	0.00	9	0.00	9	0.00	9	0.00	9
1240	-5	-37	Min.	4.85	0.00	9	0.00	9	0.00	9	0.00	9	0.00	9	0.00	9
1240	-37	-69	Max	5.01	-462.92	10	11.27	17	5.23	9	85.70	19	-2.09	16	0.01	17
1240	-37	-69	Max	16.87	-461.83	10	11.27	17	-0.13	16	85.73	19	0.77	9	0.01	17
1240	-37	-69	Min.	5.01	-1354.48	17	-51.21	9	-2.16	17	17.38	16	-9.71	19	-0.03	9
1240	-37	-69	Min.	16.87	-1353.39	17	-51.21	9	-1.06	19	19.17	16	-0.10	17	-0.03	9
1240	-69	-101	Max	2.51	-403.27	10	17.47	17	3.82	9	76.18	19	-1.19	16	-0.00	17
1240	-69	-101	Max	16.87	-401.95	10	17.47	17	-0.06	17	76.21	19	4.28	19	-0.00	17
1240	-69	-101	Min.	2.51	-1250.74	17	-49.42	9	-2.57	17	12.89	16	-6.67	19	-0.01	9
1240	-69	-101	Min.	16.87	-1249.41	17	-49.42	9	-3.28	9	15.06	16	0.81	16	-0.01	9
1240	-101	-133	Max	2.51	-326.72	10	15.82	17	3.32	9	77.63	19	-1.24	16	0.00	9
1240	-101	-133	Max	16.87	-325.39	10	15.82	17	0.08	17	77.66	19	5.27	19	0.00	9
1240	-101	-133	Min.	2.51	-1119.10	17	-50.74	9	-2.19	17	15.13	16	-5.89	19	-0.01	17
1240	-101	-133	Min.	16.87	-1117.77	17	-50.74	9	-3.97	9	17.29	16	1.09	16	-0.01	17
1240	-133	-165	Max	2.51	-243.58	10	14.73	17	3.18	9	78.54	19	-1.30	16	0.01	9
1240	-133	-165	Max	16.87	-242.26	10	14.73	17	0.05	17	78.57	19	5.67	19	0.01	9
1240	-133	-165	Min.	2.51	-978.50	17	-51.89	9	-2.07	17	16.97	16	-5.61	19	-0.01	17
1240	-133	-165	Min.	16.87	-977.17	17	-51.89	9	-4.28	9	19.13	16	1.30	16	-0.01	17
1240	-165	-197	Max	2.51	-156.06	10	13.57	17	3.11	9	79.48	19	-1.38	16	0.01	9
1240	-165	-197	Max	16.87	-154.73	10	13.57	17	-0.02	17	79.51	19	5.95	19	0.01	9
1240	-165	-197	Min.	2.51	-833.19	17	-53.12	9	-1.97	17	18.85	16	-5.46	19	-0.01	17
1240	-165	-197	Min.	16.87	-831.86	17	-53.12	9	-4.52	9	21.02	16	1.49	16	-0.01	17
1240	-197	-229	Max	2.51	-60.80	9	12.48	17	3.06	9	80.54	19	-1.46	16	0.01	9
1240	-197	-229	Max	16.87	-59.48	9	12.48	17	-0.10	17	80.57	19	6.23	19	0.01	9
1240	-197	-229	Min.	2.51	-683.91	17	-54.40	9	-1.89	17	20.82	16	-5.34	19	-0.01	17
1240	-197	-229	Min.	16.87	-682.58	17	-54.40	9	-4.75	9	22.98	16	1.69	16	-0.01	17
1240	-229	-261	Max	2.51	61.42	9	11.30	17	3.00	9	81.63	19	-1.53	16	0.01	9
1240	-229	-261	Max	16.87	62.75	9	11.30	17	-0.19	17	81.66	19	6.52	19	0.01	9
1240	-229	-261	Min.	2.51	-530.65	17	-55.74	9	-1.81	17	22.82	16	-5.21	19	-0.01	17
1240	-229	-261	Min.	16.87	-529.33	17	-55.74	9	-5.00	9	24.99	16	1.90	16	-0.01	17
1240	-261	-293	Max	2.51	189.48	9	10.13	17	2.94	9	82.82	19	-1.61	16	0.01	9
1240	-261	-293	Max	16.87	190.81	9	10.13	17	-0.28	17	82.85	19	6.83	19	0.01	9
1240	-261	-293	Min.	2.51	-373.16	17	-57.15	9	-1.73	17	24.91	16	-5.07	19	-0.01	17
1240	-261	-293	Min.	16.87	-371.84	17	-57.15	9	-5.27	9	27.07	16	2.13	16	-0.01	17
1240	-293	-325	Max	2.51	323.81	9	8.95	17	2.86	9	84.10	19	-1.67	16	0.01	9
1240	-293	-325	Max	16.87	325.13	9	8.95	17	-0.37	17	84.13	19	7.17	19	0.01	9
1240	-293	-325	Min.	2.51	-258.01	16	-58.63	9	-1.66	17	27.06	16	-4.91	19	-0.01	17
1240	-293	-325	Min.	16.87	-256.74	16	-58.63	9	-5.56	9	29.23	16	2.37	16	-0.01	17
1240	-325	-357	Max	2.51	464.88	9	7.71	17	2.79	18	85.46	19	-1.73	16	0.01	9
1240	-325	-357	Max	16.87	466.20	9	7.71	17	-0.47	17	85.49	19	7.54	19	0.01	9

1240	-325	-357	Min.	2.51	-190.44	16	-60.18	9	-1.58	17	29.29	16	-4.74	19	-0.01	17
1240	-325	-357	Min.	16.87	-189.17	16	-60.18	9	-5.87	9	31.45	16	2.63	16	-0.01	17
1240	-357	-389	Max	2.51	613.20	9	6.46	17	2.75	18	86.90	19	-1.78	16	0.01	9
1240	-357	-389	Max	16.87	614.53	9	6.46	17	-0.57	17	86.93	19	7.94	19	0.01	9
1240	-357	-389	Min.	2.51	-116.09	16	-61.88	9	-1.50	17	31.62	16	-4.55	19	-0.01	17
1240	-357	-389	Min.	16.87	-114.81	16	-61.88	9	-6.22	9	33.78	16	2.91	16	-0.01	17
1240	-389	-421	Max	2.51	769.30	9	5.35	17	2.69	18	88.55	19	-1.82	16	0.01	9
1240	-389	-421	Max	16.87	770.62	9	5.35	17	-0.66	17	88.58	19	8.40	19	0.01	9
1240	-389	-421	Min.	2.51	-34.45	16	-63.22	9	-1.43	17	33.90	16	-4.33	19	-0.01	17
1240	-389	-421	Min.	16.87	-33.17	16	-63.22	9	-6.54	9	36.06	16	3.20	16	-0.01	17
1240	-421	-453	Max	2.51	933.49	9	2.70	17	2.59	18	89.43	19	-1.83	16	0.01	9
1240	-421	-453	Max	16.87	934.82	9	2.70	17	-0.95	17	89.46	19	8.82	19	0.01	9
1240	-421	-453	Min.	2.51	54.84	16	-67.98	9	-1.34	17	37.24	16	-4.03	19	-0.01	17
1240	-421	-453	Min.	16.87	56.12	16	-68.01	18	-7.39	9	39.40	16	3.68	16	-0.01	17
1240	-453	-485	Max	2.51	1153.91	19	10.71	17	2.11	18	96.98	19	-1.63	16	0.02	9
1240	-453	-485	Max	16.87	1155.24	19	10.71	17	0.25	17	97.01	19	10.48	19	0.02	9
1240	-453	-485	Min.	2.51	150.97	16	-50.86	18	-1.29	17	34.15	16	-3.46	19	-0.01	17
1240	-453	-485	Min.	16.87	152.25	16	-52.14	18	-5.29	18	36.31	16	3.43	16	-0.01	17
1240	-485	1302	Max	2.51	1366.37	19	-43.97	17	1.89	18	69.41	18	-0.14	10	0.03	18
1240	-485	1302	Max	14.38	1367.47	19	-43.97	17	-5.40	17	70.50	18	7.59	18	0.03	18
1240	-485	1302	Min.	2.51	244.06	16	-169.72	9	-0.18	17	36.36	10	-1.06	16	-0.02	17
1240	-485	1302	Min.	14.38	245.12	16	-169.72	9	-18.36	9	36.39	10	4.18	10	-0.02	17
1241	340	-11	Max	4.85	0.00	9	0.00	9	0.00	9	0.00	9	0.00	9	0.00	9
1241	340	-11	Min.	4.85	0.00	9	0.00	9	0.00	9	0.00	9	0.00	9	0.00	9
1241	-11	-43	Max	4.85	0.00	9	0.00	9	0.00	9	0.00	9	0.00	9	0.00	9
1241	-11	-43	Min.	4.85	0.00	9	0.00	9	0.00	9	0.00	9	0.00	9	0.00	9
1241	-43	-75	Max	5.01	-502.45	16	-7.16	16	7.12	19	24.51	17	4.51	9	-0.01	16
1241	-43	-75	Max	16.87	-501.36	16	-7.16	16	-0.11	17	24.53	17	-0.05	16	-0.01	16
1241	-43	-75	Min.	5.01	-1382.11	17	-64.88	19	0.73	16	-43.97	9	-3.73	17	-0.05	19
1241	-43	-75	Min.	16.87	-1381.02	17	-64.88	19	-0.78	9	-43.95	9	-0.98	19	-0.05	19
1241	-75	-107	Max	2.51	-518.63	16	-10.58	16	6.26	17	14.11	17	4.10	9	-0.01	16
1241	-75	-107	Max	16.87	-517.30	16	-10.58	16	-0.62	16	14.14	17	-0.06	17	-0.01	16
1241	-75	-107	Min.	2.51	-1359.35	17	-70.66	19	0.90	16	-50.65	9	-2.09	17	-0.03	19
1241	-75	-107	Min.	16.87	-1358.02	17	-70.66	19	-3.96	19	-50.62	9	-3.17	9	-0.03	19
1241	-107	-139	Max	2.51	-542.65	16	-12.15	16	5.39	17	13.67	17	3.45	9	-0.00	16
1241	-107	-139	Max	16.87	-541.32	16	-12.15	16	-0.86	16	13.70	17	0.01	17	-0.00	16
1241	-107	-139	Min.	2.51	-1342.95	19	-70.96	19	0.88	16	-51.06	9	-1.95	17	-0.02	17
1241	-107	-139	Min.	16.87	-1341.62	19	-70.96	19	-4.90	19	-51.02	9	-3.88	9	-0.02	17
1241	-139	-171	Max	2.51	-571.76	16	-13.82	16	5.11	17	12.53	17	3.30	9	-0.00	16
1241	-139	-171	Max	16.87	-570.43	16	-13.82	16	-1.04	16	12.56	17	-0.04	17	-0.00	16
1241	-139	-171	Min.	2.51	-1394.24	19	-71.62	19	0.94	16	-52.24	9	-1.84	17	-0.01	17
1241	-139	-171	Min.	16.87	-1392.91	19	-71.62	19	-5.27	19	-52.21	9	-4.20	9	-0.01	17
1241	-171	-203	Max	2.51	-605.54	16	-15.55	16	4.93	17	11.31	17	3.23	9	-0.00	10
1241	-171	-203	Max	16.87	-604.22	16	-15.55	16	-1.22	16	11.34	17	-0.12	17	-0.00	10
1241	-171	-203	Min.	2.51	-1450.29	19	-72.35	19	1.02	16	-53.45	9	-1.75	17	-0.01	17
1241	-171	-203	Min.	16.87	-1448.97	19	-72.35	19	-5.53	19	-53.42	9	-4.45	9	-0.01	17
1241	-203	-235	Max	2.51	-644.15	16	-17.32	16	4.78	17	10.11	17	3.17	9	-0.00	10
1241	-203	-235	Max	16.87	-642.83	16	-17.32	16	-1.40	16	10.14	17	-0.22	17	-0.00	10
1241	-203	-235	Min.	2.51	-1511.07	19	-73.15	19	1.09	16	-54.74	9	-1.67	17	-0.01	17
1241	-203	-235	Min.	16.87	-1509.74	19	-73.15	19	-5.77	19	-54.71	9	-4.69	9	-0.01	17
1241	-235	-267	Max	2.51	-687.88	16	-19.19	16	4.63	17	8.93	17	3.10	9	-0.00	10
1241	-235	-267	Max	16.87	-686.56	16	-19.19	16	-1.59	16	8.96	17	-0.31	17	-0.00	10
1241	-235	-267	Min.	2.51	-1576.78	19	-74.08	19	1.16	16	-56.02	9	-1.60	17	-0.01	17
1241	-235	-267	Min.	16.87	-1575.45	19	-74.08	19	-6.04	19	-55.99	9	-4.95	9	-0.01	17
1241	-267	-299	Max	2.51	-737.10	16	-21.04	16	4.46	17	7.64	17	3.03	9	-0.00	16
1241	-267	-299	Max	16.87	-735.77	16	-21.04	16	-1.79	16	7.67	17	-0.42	17	-0.00	16
1241	-267	-299	Min.	2.51	-1647.79	19	-74.94	19	1.23	16	-57.47	9	-1.52	17	-0.01	17
1241	-267	-299	Min.	16.87	-1646.47	19	-74.94	19	-6.32	19	-57.44	9	-5.23	9	-0.01	17
1241	-299	-331	Max	2.51	-792.21	16	-23.03	16	4.29	17	6.41	17	2.93	9	-0.00	16

1241	-299	-331	Max	16.87	-790.88	16	-23.03	16	-2.02	16	6.44	17	-0.52	17	-0.00	16
1241	-299	-331	Min.	2.51	-1724.48	19	-76.02	19	1.29	16	-58.86	9	-1.45	17	-0.01	17
1241	-299	-331	Min.	16.87	-1723.16	19	-76.02	19	-6.64	19	-58.83	9	-5.52	9	-0.01	17
1241	-331	-363	Max	2.51	-853.66	16	-25.01	16	4.10	17	5.08	17	2.87	18	-0.00	16
1241	-331	-363	Max	16.87	-852.33	16	-25.01	16	-2.25	16	5.11	17	-0.64	17	-0.00	16
1241	-331	-363	Min.	2.51	-1807.29	19	-77.03	19	1.34	16	-60.45	9	-1.37	17	-0.01	17
1241	-331	-363	Min.	16.87	-1805.96	19	-77.03	19	-6.97	19	-60.42	9	-5.85	9	-0.01	17
1241	-363	-395	Max	2.51	-921.95	16	-27.12	16	3.90	17	3.82	17	2.82	18	-0.00	16
1241	-363	-395	Max	16.87	-920.63	16	-27.12	16	-2.51	16	3.85	17	-0.76	17	-0.00	16
1241	-363	-395	Min.	2.51	-1896.69	19	-78.26	19	1.39	16	-61.96	9	-1.31	17	-0.01	17
1241	-363	-395	Min.	16.87	-1895.36	19	-78.26	19	-7.35	19	-61.93	9	-6.18	9	-0.01	17
1241	-395	-427	Max	2.51	-997.60	16	-29.07	16	3.66	17	2.04	17	2.75	18	-0.00	16
1241	-395	-427	Max	16.87	-996.27	16	-29.07	16	-2.76	16	2.07	17	-0.94	17	-0.00	16
1241	-395	-427	Min.	2.51	-1993.19	19	-79.00	19	1.41	16	-64.45	9	-1.24	17	-0.01	17
1241	-395	-427	Min.	16.87	-1991.86	19	-79.00	19	-7.69	19	-64.42	9	-6.68	9	-0.01	17
1241	-427	-459	Max	2.51	-1081.03	16	-32.56	16	3.40	17	3.45	17	2.58	18	-0.00	16
1241	-427	-459	Max	16.87	-1079.70	16	-32.56	16	-3.25	16	3.48	17	-0.69	17	-0.00	16
1241	-427	-459	Min.	2.51	-2097.24	19	-83.59	19	1.43	16	-60.79	9	-1.19	17	-0.01	17
1241	-427	-459	Min.	16.87	-2095.91	19	-83.59	19	-8.63	19	-60.76	9	-6.38	9	-0.01	17
1241	-459	-491	Max	2.51	-1170.81	16	-26.56	16	2.75	17	-16.80	17	2.52	18	0.01	9
1241	-459	-491	Max	16.87	-1169.49	16	-26.56	16	-2.61	16	-16.77	17	-3.35	17	0.01	9
1241	-459	-491	Min.	2.51	-2256.17	9	-63.23	19	1.05	10	-100.63	18	-0.94	17	0.00	17
1241	-459	-491	Min.	16.87	-2254.84	9	-63.23	19	-6.48	19	-100.60	18	-12.00	9	0.00	17
1241	-491	1319	Max	2.51	-1180.23	17	-77.67	16	2.15	19	125.22	19	-1.01	16	0.02	19
1241	-491	1319	Max	14.38	-1179.14	17	-77.67	16	-8.22	16	125.24	19	12.02	19	0.02	19
1241	-491	1319	Min.	2.51	-2417.77	9	-191.32	19	1.00	16	67.83	16	-2.84	19	0.01	10
1241	-491	1319	Min.	14.38	-2416.67	9	-191.32	19	-20.57	19	67.85	16	7.04	16	0.01	10
1242	316	-3	Max	4.85	0.00	9	0.00	9	0.00	9	0.00	9	0.00	9	0.00	9
1242	316	-3	Min.	4.85	0.00	9	0.00	9	0.00	9	0.00	9	0.00	9	0.00	9
1242	-3	-35	Max	4.85	0.00	9	0.00	9	0.00	9	0.00	9	0.00	9	0.00	9
1242	-3	-35	Min.	4.85	0.00	9	0.00	9	0.00	9	0.00	9	0.00	9	0.00	9
1242	-35	-67	Max	5.01	-365.20	10	9.56	17	5.40	9	82.03	19	-1.65	16	0.00	17
1242	-35	-67	Max	16.87	-364.10	10	9.56	17	-0.06	16	82.06	19	0.85	9	0.00	17
1242	-35	-67	Min.	5.01	-1269.50	17	-51.87	9	-1.90	17	14.15	16	-9.20	19	-0.04	9
1242	-35	-67	Min.	16.87	-1268.40	17	-51.87	9	-0.97	19	15.93	16	-0.04	17	-0.04	9
1242	-67	-99	Max	2.51	-310.11	10	15.18	17	4.04	9	73.02	19	-0.88	16	-0.01	17
1242	-67	-99	Max	16.87	-308.78	10	15.18	17	-0.11	17	73.05	19	4.19	19	-0.01	17
1242	-67	-99	Min.	2.51	-1169.13	17	-50.73	9	-2.29	17	10.09	16	-6.32	17	-0.02	9
1242	-67	-99	Min.	16.87	-1167.80	17	-50.73	9	-3.25	9	12.25	16	0.73	16	-0.02	9
1242	-99	-131	Max	2.51	-239.46	10	13.56	17	3.52	9	74.43	19	-0.95	16	-0.01	16
1242	-99	-131	Max	16.87	-238.13	10	13.56	17	0.00	17	74.46	19	5.15	19	-0.01	16
1242	-99	-131	Min.	2.51	-1041.86	17	-52.01	9	-1.95	17	12.30	16	-5.56	17	-0.02	19
1242	-99	-131	Min.	16.87	-1040.53	17	-52.01	9	-3.95	9	14.46	16	0.97	16	-0.02	19
1242	-131	-163	Max	2.51	-162.76	10	12.39	17	3.37	9	75.24	19	-1.01	16	-0.00	16
1242	-131	-163	Max	16.87	-161.44	10	12.39	17	-0.04	17	75.27	19	5.53	19	-0.00	16
1242	-131	-163	Min.	2.51	-906.03	17	-53.22	9	-1.82	17	14.04	16	-5.28	19	-0.02	17
1242	-131	-163	Min.	16.87	-904.70	17	-53.22	9	-4.27	9	16.21	16	1.16	16	-0.02	17
1242	-163	-195	Max	2.51	-82.04	10	11.18	17	3.30	9	76.10	19	-1.09	16	-0.00	10
1242	-163	-195	Max	16.87	-80.72	10	11.18	17	-0.13	17	76.13	19	5.80	19	-0.00	10
1242	-163	-195	Min.	2.51	-765.76	17	-54.47	9	-1.73	17	15.87	16	-5.13	19	-0.02	17
1242	-163	-195	Min.	16.87	-764.43	17	-54.47	9	-4.52	9	18.03	16	1.34	16	-0.02	17
1242	-195	-227	Max	2.51	12.96	9	10.01	17	3.24	9	77.07	19	-1.17	16	-0.00	10
1242	-195	-227	Max	16.87	14.29	9	10.01	17	-0.22	17	77.10	19	6.06	19	-0.00	10
1242	-195	-227	Min.	2.51	-621.78	17	-55.78	9	-1.66	17	17.74	16	-5.01	19	-0.02	17
1242	-195	-227	Min.	16.87	-620.45	17	-55.78	9	-4.77	9	19.90	16	1.53	16	-0.02	17
1242	-227	-259	Max	2.51	126.96	9	8.81	17	3.18	9	78.09	19	-1.25	16	-0.00	10
1242	-227	-259	Max	16.87	128.29	9	8.81	17	-0.32	17	78.12	19	6.34	19	-0.00	10
1242	-227	-259	Min.	2.51	-474.06	17	-57.16	9	-1.58	17	19.70	16	-4.88	19	-0.02	17
1242	-227	-259	Min.	16.87	-472.73	17	-57.16	9	-5.03	9	21.86	16	1.73	16	-0.02	17

1242	-259	-291	Max	2.51	246.39	9	7.57	17	3.11	9	79.19	19	-1.33	16	-0.00	16
1242	-259	-291	Max	16.87	247.72	9	7.57	17	-0.42	17	79.22	19	6.64	19	-0.00	16
1242	-259	-291	Min.	2.51	-322.39	17	-58.59	9	-1.51	17	21.68	16	-4.74	19	-0.02	17
1242	-259	-291	Min.	16.87	-321.06	17	-58.59	9	-5.31	9	23.85	16	1.94	16	-0.02	17
1242	-291	-323	Max	2.51	371.64	9	6.31	17	3.02	9	80.36	19	-1.40	16	-0.00	16
1242	-291	-323	Max	16.87	372.96	9	6.31	17	-0.53	17	80.39	19	6.96	19	-0.00	16
1242	-291	-323	Min.	2.51	-218.83	16	-60.12	9	-1.43	17	23.77	16	-4.59	19	-0.02	17
1242	-291	-323	Min.	16.87	-217.55	16	-60.12	9	-5.61	9	25.93	16	2.17	16	-0.02	17
1242	-323	-355	Max	2.51	503.15	9	5.01	17	2.94	18	81.63	19	-1.46	16	-0.00	16
1242	-323	-355	Max	16.87	504.48	9	5.01	17	-0.64	17	81.66	19	7.31	19	-0.00	16
1242	-323	-355	Min.	2.51	-158.97	16	-61.70	9	-1.36	17	25.90	16	-4.42	19	-0.02	17
1242	-323	-355	Min.	16.87	-157.69	16	-61.70	9	-5.94	9	28.06	16	2.42	16	-0.02	17
1242	-355	-387	Max	2.51	641.42	9	3.68	17	2.90	18	82.97	19	-1.51	16	-0.00	16
1242	-355	-387	Max	16.87	642.75	9	3.68	17	-0.77	17	83.00	19	7.69	19	-0.00	16
1242	-355	-387	Min.	2.51	-92.75	16	-63.44	9	-1.29	17	28.14	16	-4.23	19	-0.02	17
1242	-355	-387	Min.	16.87	-91.47	16	-63.44	9	-6.30	9	30.30	16	2.69	16	-0.02	17
1242	-387	-419	Max	2.51	786.93	9	2.52	17	2.82	18	84.54	19	-1.55	16	-0.00	16
1242	-387	-419	Max	16.87	788.26	9	2.52	17	-0.87	17	84.57	19	8.13	19	-0.00	16
1242	-387	-419	Min.	2.51	-19.67	16	-64.78	9	-1.23	17	30.32	16	-4.02	19	-0.02	17
1242	-387	-419	Min.	16.87	-18.39	16	-64.78	9	-6.63	9	32.48	16	2.96	16	-0.02	17
1242	-419	-451	Max	2.51	943.19	19	-0.29	17	2.72	18	85.24	19	-1.57	16	-0.00	16
1242	-419	-451	Max	16.87	944.52	19	-0.29	17	-1.19	17	85.27	19	8.52	19	-0.00	16
1242	-419	-451	Min.	2.51	60.59	16	-69.69	9	-1.15	17	33.58	16	-3.72	19	-0.02	17
1242	-419	-451	Min.	16.87	61.87	16	-69.69	18	-7.51	9	35.74	16	3.41	16	-0.02	17
1242	-451	-483	Max	2.51	1157.12	19	7.98	17	2.21	18	92.65	19	-1.39	16	0.01	9
1242	-451	-483	Max	16.87	1158.45	19	7.98	17	0.02	17	92.68	19	10.13	19	0.01	9
1242	-451	-483	Min.	2.51	147.40	16	-52.42	18	-1.13	17	30.27	16	-3.18	19	-0.02	17
1242	-451	-483	Min.	16.87	148.68	16	-53.70	18	-5.41	18	32.43	16	3.11	16	-0.02	17
1242	-483	1299	Max	2.51	1359.97	19	-48.77	17	1.93	18	65.35	18	-0.02	9	0.02	18
1242	-483	1299	Max	14.38	1361.07	19	-48.77	17	-5.89	17	66.44	18	7.24	18	0.02	18
1242	-483	1299	Min.	2.51	231.92	16	-172.30	9	-0.09	17	32.69	10	-0.95	16	-0.02	17
1242	-483	1299	Min.	14.38	232.98	16	-172.30	9	-18.63	9	32.72	10	3.86	10	-0.02	17
1243	322	-7	Max	4.85	0.00	9	0.00	9	0.00	9	0.00	9	0.00	9	0.00	9
1243	322	-7	Min.	4.85	0.00	9	0.00	9	0.00	9	0.00	9	0.00	9	0.00	9
1243	-7	-39	Max	4.85	0.00	9	0.00	9	0.00	9	0.00	9	0.00	9	0.00	9
1243	-7	-39	Min.	4.85	0.00	9	0.00	9	0.00	9	0.00	9	0.00	9	0.00	9
1243	-39	-71	Max	5.01	-359.61	10	18.90	17	2.35	9	59.80	17	-0.08	16	0.01	17
1243	-39	-71	Max	16.87	-358.52	10	18.90	17	0.00	16	59.82	17	0.27	9	0.01	17
1243	-39	-71	Min.	5.01	-1158.59	17	-25.29	9	-2.96	17	-2.96	16	-7.43	17	-0.01	9
1243	-39	-71	Min.	16.87	-1157.50	17	-25.29	9	-0.85	19	-1.18	16	-0.33	17	-0.01	9
1243	-71	-103	Max	2.51	-326.03	10	24.60	17	1.49	9	51.25	17	0.18	16	0.01	16
1243	-71	-103	Max	16.87	-324.70	10	24.60	17	0.39	17	51.28	17	2.45	19	0.01	16
1243	-71	-103	Min.	2.51	-1081.33	17	-23.06	9	-3.14	17	-5.87	16	-5.08	17	0.00	10
1243	-71	-103	Min.	16.87	-1080.01	17	-23.06	9	-1.82	9	-3.71	16	-0.51	16	0.00	10
1243	-103	-135	Max	2.51	-283.12	10	23.23	17	1.27	9	51.24	17	-0.04	16	0.01	18
1243	-103	-135	Max	16.87	-281.80	10	23.23	17	0.63	17	51.27	17	3.05	19	0.01	18
1243	-103	-135	Min.	2.51	-983.93	17	-23.74	9	-2.70	17	-4.24	16	-4.47	17	-0.00	17
1243	-103	-135	Min.	16.87	-982.60	17	-23.74	9	-2.14	9	-2.08	16	-0.49	16	-0.00	17
1243	-135	-167	Max	2.51	-236.64	10	22.28	17	1.20	9	50.95	17	-0.15	16	0.01	9
1243	-135	-167	Max	16.87	-235.31	10	22.28	17	0.65	17	50.98	17	3.28	19	0.01	9
1243	-135	-167	Min.	2.51	-880.65	17	-24.28	9	-2.55	17	-2.85	16	-4.24	17	-0.01	17
1243	-135	-167	Min.	16.87	-879.32	17	-24.28	9	-2.29	9	-0.69	16	-0.41	16	-0.01	17
1243	-167	-199	Max	2.51	-187.79	10	21.34	17	1.16	9	50.67	17	-0.26	16	0.01	9
1243	-167	-199	Max	16.87	-186.46	10	21.34	17	0.61	17	50.70	17	3.42	19	0.01	9
1243	-167	-199	Min.	2.51	-774.70	17	-24.86	9	-2.45	17	-1.44	16	-4.10	17	-0.01	17
1243	-167	-199	Min.	16.87	-773.37	17	-24.86	9	-2.41	9	0.72	16	-0.31	16	-0.01	17
1243	-199	-231	Max	2.51	-136.73	10	20.40	17	1.14	9	50.43	17	-0.36	16	0.01	9
1243	-199	-231	Max	16.87	-135.40	10	20.40	17	0.57	17	50.46	17	3.56	19	0.01	9
1243	-199	-231	Min.	2.51	-666.72	17	-25.46	9	-2.36	17	0.02	16	-3.97	17	-0.01	17

1243	-199	-231	Min.	16.87	-665.39	17	-25.46	9	-2.52	9	2.18	16	-0.21	16	-0.01	17
1243	-231	-263	Max	2.51	-78.03	9	19.45	17	1.11	9	50.21	17	-0.47	16	0.01	9
1243	-231	-263	Max	16.05					-0.01	16			-0.12	16		
1243	-231	-263	Max	16.87	-76.70	9	19.45	17	0.52	17	50.24	17	3.70	19	0.01	9
1243	-231	-263	Min.	2.51	-556.74	17	-26.09	9	-2.27	17	1.53	16	-3.84	17	-0.01	17
1243	-231	-263	Min.	16.05					-0.01	16			-0.12	16		
1243	-231	-263	Min.	16.87	-555.41	17	-26.09	9	-2.64	9	3.69	16	-0.09	16	-0.01	17
1243	-263	-295	Max	2.51	-8.91	9	18.49	17	1.07	9	50.36	19	-0.57	16	0.01	9
1243	-263	-295	Max	5.38					-0.04	16			-0.47	16		
1243	-263	-295	Max	16.87	-7.59	9	18.49	17	0.47	17	50.39	19	3.86	19	0.01	9
1243	-263	-295	Min.	2.51	-448.05	16	-26.74	9	-2.18	17	3.05	16	-3.71	17	-0.01	17
1243	-263	-295	Min.	5.38					-0.04	16			-0.47	16		
1243	-263	-295	Min.	16.87	-446.77	16	-26.74	9	-2.77	9	5.22	16	0.03	16	-0.01	17
1243	-295	-327	Max	2.51	63.50	9	17.52	17	1.03	9	50.78	19	-0.67	16	0.01	9
1243	-295	-327	Max	16.87	64.82	9	17.52	17	0.42	17	50.81	19	4.03	19	0.01	9
1243	-295	-327	Min.	2.51	-434.56	16	-27.44	9	-2.09	17	4.65	16	-3.57	17	-0.01	17
1243	-295	-327	Min.	16.87	-433.28	16	-27.44	9	-2.91	9	6.81	16	0.15	16	-0.01	17
1243	-327	-359	Max	2.51	139.45	9	16.53	17	0.99	9	51.25	19	-0.77	16	0.01	9
1243	-327	-359	Max	16.87	140.78	9	16.53	17	0.37	17	51.28	19	4.22	19	0.01	9
1243	-327	-359	Min.	2.51	-417.23	16	-28.17	9	-2.00	17	6.28	16	-3.42	17	-0.01	17
1243	-327	-359	Min.	16.87	-415.95	16	-28.17	9	-3.06	9	8.44	16	0.29	16	-0.01	17
1243	-359	-391	Max	2.51	219.24	9	15.52	17	0.94	9	51.78	19	-0.86	16	0.01	9
1243	-359	-391	Max	16.87	220.57	9	15.52	17	0.32	17	51.81	19	4.43	19	0.01	9
1243	-359	-391	Min.	2.51	-395.78	16	-28.95	9	-1.91	17	7.96	16	-3.27	17	-0.01	17
1243	-359	-391	Min.	16.87	-394.50	16	-28.95	9	-3.22	9	10.12	16	0.44	16	-0.01	17
1243	-391	-423	Max	2.51	303.14	9	14.63	17	0.88	9	52.39	19	-0.95	16	0.01	9
1243	-391	-423	Max	16.87	304.46	9	14.63	17	0.29	17	52.42	19	4.66	19	0.01	9
1243	-391	-423	Min.	2.51	-369.89	16	-29.52	9	-1.82	17	9.55	16	-3.09	17	-0.01	17
1243	-391	-423	Min.	16.87	-368.61	16	-29.52	9	-3.36	9	11.71	16	0.58	16	-0.01	17
1243	-423	-455	Max	2.51	391.27	9	12.64	17	0.84	18	52.70	19	-1.03	16	0.01	9
1243	-423	-455	Max	16.87	392.60	9	12.64	17	0.11	17	52.73	19	4.90	19	0.01	9
1243	-423	-455	Min.	2.51	-339.31	16	-32.15	9	-1.70	17	12.41	16	-2.88	17	-0.01	17
1243	-423	-455	Min.	16.87	-338.04	16	-32.15	9	-3.81	9	14.57	16	0.91	16	-0.01	17
1243	-455	-487	Max	2.51	496.86	19	18.05	17	0.67	18	55.57	19	-0.97	16	0.02	9
1243	-455	-487	Max	16.87	498.19	19	18.05	17	1.02	17	55.60	19	5.68	19	0.02	9
1243	-455	-487	Min.	2.51	-304.22	16	-20.98	9	-1.57	17	7.10	16	-2.49	17	-0.01	17
1243	-455	-487	Min.	16.87	-302.94	16	-20.98	9	-2.47	9	9.26	16	0.21	16	-0.01	17
1243	-487	1305	Max	2.51	621.29	19	-19.67	17	0.79	9	49.06	16	-0.24	10	0.02	18
1243	-487	1305	Max	14.38	622.38	19	-19.67	17	-2.25	16	50.85	16	4.85	18	0.02	18
1243	-487	1305	Min.	2.51	-270.30	16	-91.52	9	-0.45	17	23.66	10	-1.10	16	-0.02	17
1243	-487	1305	Min.	14.38	-269.24	16	-91.52	9	-10.07	9	23.68	10	2.57	10	-0.02	17
1244	313	-1	Max	4.85	0.00	9	0.00	9	0.00	9	0.00	9	0.00	9	0.00	9
1244	313	-1	Min.	4.85	0.00	9	0.00	9	0.00	9	0.00	9	0.00	9	0.00	9
1244	-1	-33	Max	4.85	0.00	9	0.00	9	0.00	9	0.00	9	0.00	9	0.00	9
1244	-1	-33	Min.	4.85	0.00	9	0.00	9	0.00	9	0.00	9	0.00	9	0.00	9
1244	-33	-65	Max	5.01	12.26	10	17.89	17	2.70	9	52.74	17	0.96	16	0.01	17
1244	-33	-65	Max	16.87	13.36	10	17.89	17	0.34	16	52.76	17	0.67	9	0.01	17
1244	-33	-65	Min.	5.01	-867.21	17	-24.82	9	-2.55	17	-8.82	16	-6.31	17	-0.03	9
1244	-33	-65	Min.	16.87	-866.12	17	-24.82	9	-0.43	19	-7.03	16	-0.05	17	-0.03	9
1244	-65	-97	Max	2.51	41.06	9	21.87	17	2.11	9	45.60	17	0.87	16	-0.01	16
1244	-65	-97	Max	16.87	42.39	9	21.87	17	0.60	16	45.63	17	2.49	19	-0.01	16
1244	-65	-97	Min.	2.51	-798.20	17	-25.00	9	-2.57	17	-9.82	16	-4.29	17	-0.02	9
1244	-65	-97	Min.	16.87	-796.87	17	-25.00	9	-1.48	9	-7.66	16	-0.38	16	-0.02	9
1244	-97	-129	Max	2.51	82.31	9	20.51	17	1.85	9	45.40	17	0.64	16	-0.01	16
1244	-97	-129	Max	16.87	83.64	9	20.51	17	0.77	17	45.43	17	3.01	19	-0.01	16
1244	-97	-129	Min.	2.51	-711.50	17	-25.61	9	-2.18	17	-8.37	16	-3.73	17	-0.02	19
1244	-97	-129	Min.	16.87	-710.17	17	-25.61	9	-1.83	9	-6.21	16	-0.41	16	-0.02	19
1244	-129	-161	Max	2.51	126.98	9	19.50	17	1.77	9	44.98	17	0.52	16	-0.01	16
1244	-129	-161	Max	16.87	128.31	9	19.50	17	0.77	17	45.01	17	3.21	19	-0.01	16

1244	-129	-161	Min.	2.51	-619.89	17	-26.19	9	-2.03	17	-7.09	16	-3.51	17	-0.02	19
1244	-129	-161	Min.	16.87	-618.57	17	-26.19	9	-1.99	9	-4.92	16	-0.35	16	-0.02	19
1244	-161	-193	Max	2.51	173.91	9	18.51	17	1.73	9	44.57	17	0.41	16	-0.01	16
1244	-161	-193	Max	16.87	175.24	9	18.51	17	0.72	17	44.60	17	3.33	19	-0.01	16
1244	-161	-193	Min.	2.51	-526.28	17	-26.81	9	-1.93	17	-5.76	16	-3.36	17	-0.02	19
1244	-161	-193	Min.	16.87	-524.95	17	-26.81	9	-2.12	9	-3.60	16	-0.26	16	-0.02	19
1244	-193	-225	Max	2.51	222.95	9	17.50	17	1.70	9	44.18	17	0.32	16	-0.01	16
1244	-193	-225	Max	11.32					0.33	16			-0.01	16		
1244	-193	-225	Max	16.87	224.28	9	17.50	17	0.67	17	44.21	17	3.45	19	-0.01	16
1244	-193	-225	Min.	2.51	-431.24	17	-27.45	9	-1.84	17	-4.40	16	-3.24	17	-0.02	19
1244	-193	-225	Min.	11.32					0.33	16			-0.01	16		
1244	-193	-225	Min.	16.87	-429.91	17	-27.45	9	-2.24	9	-2.24	16	-0.16	16	-0.02	19
1244	-225	-257	Max	2.51	274.17	9	16.48	17	1.67	9	43.81	17	0.22	16	-0.01	16
1244	-225	-257	Max	16.87	275.49	9	16.48	17	0.61	17	43.84	17	3.57	19	-0.01	16
1244	-225	-257	Min.	2.51	-334.84	17	-28.13	9	-1.76	17	-3.02	16	-3.11	17	-0.02	19
1244	-225	-257	Min.	16.87	-333.51	17	-28.13	9	-2.37	9	-0.85	16	-0.06	16	-0.02	19
1244	-257	-289	Max	2.51	327.71	9	15.45	17	1.63	9	43.45	17	0.12	16	-0.01	16
1244	-257	-289	Max	16.87	329.04	9	15.45	17	0.55	17	43.48	17	3.71	19	-0.01	16
1244	-257	-289	Min.	2.51	-237.02	17	-28.84	9	-1.67	17	-1.59	16	-2.97	17	-0.02	19
1244	-257	-289	Min.	16.87	-235.69	17	-28.84	9	-2.51	9	0.57	16	0.05	16	-0.02	19
1244	-289	-321	Max	2.51	383.76	9	14.40	17	1.58	9	43.12	17	0.03	16	-0.01	16
1244	-289	-321	Max	16.87	385.09	9	14.40	17	0.49	17	43.15	17	3.85	19	-0.01	16
1244	-289	-321	Min.	2.51	-145.57	16	-29.58	9	-1.58	17	-0.13	16	-2.83	17	-0.02	19
1244	-289	-321	Min.	16.87	-144.29	16	-29.58	9	-2.67	9	2.03	16	0.16	16	-0.02	19
1244	-321	-353	Max	2.51	442.50	9	13.33	17	1.53	9	43.30	19	-0.07	16	-0.01	16
1244	-321	-353	Max	16.87	443.83	9	13.33	17	0.42	17	43.33	19	4.01	19	-0.01	16
1244	-321	-353	Min.	2.51	-139.50	16	-30.37	9	-1.49	17	1.37	16	-2.69	17	-0.02	19
1244	-321	-353	Min.	16.87	-138.22	16	-30.37	9	-2.83	9	3.53	16	0.28	16	-0.02	19
1244	-353	-385	Max	2.51	504.15	9	12.24	17	1.47	9	43.59	19	-0.16	16	-0.01	16
1244	-353	-385	Max	16.87	505.47	9	12.24	17	0.35	17	43.62	19	4.18	19	-0.01	16
1244	-353	-385	Min.	2.51	-129.91	16	-31.22	9	-1.40	17	2.92	16	-2.53	17	-0.02	19
1244	-353	-385	Min.	16.87	-128.63	16	-31.22	9	-3.01	9	5.09	16	0.42	16	-0.02	19
1244	-385	-417	Max	2.51	568.90	9	11.22	17	1.40	9	44.01	19	-0.25	16	-0.01	16
1244	-385	-417	Max	16.87	570.23	9	11.22	17	0.30	17	44.04	19	4.39	19	-0.01	16
1244	-385	-417	Min.	2.51	-116.50	16	-31.89	9	-1.32	17	4.42	16	-2.36	17	-0.02	19
1244	-385	-417	Min.	16.87	-115.22	16	-31.89	9	-3.18	9	6.58	16	0.55	16	-0.02	19
1244	-417	-449	Max	2.51	636.93	9	9.42	17	1.35	18	43.81	19	-0.33	16	-0.01	16
1244	-417	-449	Max	16.87	638.26	9	9.42	17	0.14	17	43.84	19	4.54	19	-0.01	16
1244	-417	-449	Min.	2.51	-99.05	16	-34.21	9	-1.22	17	6.75	16	-2.16	17	-0.02	19
1244	-417	-449	Min.	16.87	-97.77	16	-34.21	9	-3.61	9	8.92	16	0.80	16	-0.02	19
1244	-449	-481	Max	2.51	707.55	9	12.94	17	1.16	18	48.35	19	-0.33	16	-0.00	10
1244	-449	-481	Max	16.87	708.88	9	12.94	17	0.75	17	48.38	19	5.49	19	-0.00	10
1244	-449	-481	Min.	2.51	-77.44	16	-25.54	9	-1.11	17	3.81	16	-1.83	17	-0.02	17
1244	-449	-481	Min.	16.87	-76.16	16	-25.54	9	-2.65	9	5.97	16	0.37	16	-0.02	17
1244	-481	1296	Max	2.51	802.35	19	-11.61	16	0.90	9	31.19	16	0.42	9	0.00	16
1244	-481	1296	Max	14.38	803.44	19	-13.38	16	-0.99	16	32.97	16	3.31	16	0.00	16
1244	-481	1296	Min.	2.51	-54.68	16	-82.36	9	-0.30	17	6.00	10	-0.50	16	-0.03	17
1244	-481	1296	Min.	14.38	-53.62	16	-82.36	9	-8.88	9	6.02	10	1.06	10	-0.03	17
1245	337	-9	Max	4.85	0.00	9	0.00	9	0.00	9	0.00	9	0.00	9	0.00	9
1245	337	-9	Min.	4.85	0.00	9	0.00	9	0.00	9	0.00	9	0.00	9	0.00	9
1245	-9	-41	Max	4.85	0.00	9	0.00	9	0.00	9	0.00	9	0.00	9	0.00	9
1245	-9	-41	Min.	4.85	0.00	9	0.00	9	0.00	9	0.00	9	0.00	9	0.00	9
1245	-41	-73	Max	5.01	-117.41	16	11.14	16	4.63	17	27.73	17	2.61	9	0.00	16
1245	-41	-73	Max	16.87	-116.31	16	11.14	16	0.02	16	27.75	17	0.34	16	0.00	16
1245	-41	-73	Min.	5.01	-1008.96	17	-39.49	17	-1.30	16	-23.87	9	-3.78	17	-0.04	17
1245	-41	-73	Min.	16.87	-1007.86	17	-39.49	17	-0.57	9	-23.84	9	-0.49	17	-0.04	17
1245	-73	-105	Max	2.51	-107.20	16	9.84	16	4.18	17	20.14	17	2.29	9	-0.00	16
1245	-73	-105	Max	16.87	-105.87	16	9.84	16	0.49	16	20.17	17	0.56	16	-0.00	16
1245	-73	-105	Min.	2.51	-977.40	17	-43.83	17	-0.93	16	-26.72	9	-2.35	17	-0.03	19

1245	-73	-105	Min.	16.87	-976.07	17	-43.83	17	-2.25	19	-26.69	9	-1.55	9	-0.03	19
1245	-105	-137	Max	2.51	-96.99	16	8.58	16	3.56	17	19.56	17	1.95	9	-0.01	16
1245	-105	-137	Max	16.87	-95.66	16	8.58	16	0.53	16	19.59	17	0.70	17	-0.01	16
1245	-105	-137	Min.	2.51	-939.42	17	-43.10	17	-0.71	16	-27.00	9	-2.11	17	-0.02	19
1245	-105	-137	Min.	16.87	-938.09	17	-43.10	17	-2.75	19	-26.97	9	-1.93	9	-0.02	19
1245	-137	-169	Max	2.51	-88.82	16	7.34	16	3.34	17	18.53	17	1.87	9	-0.01	16
1245	-137	-169	Max	16.87	-87.49	16	7.34	16	0.47	16	18.56	17	0.69	17	-0.01	16
1245	-137	-169	Min.	2.51	-900.93	17	-42.59	17	-0.59	16	-27.63	9	-1.97	17	-0.02	19
1245	-137	-169	Min.	16.87	-899.61	17	-42.59	17	-2.92	19	-27.60	9	-2.10	9	-0.02	19
1245	-169	-201	Max	2.51	-83.27	16	6.09	16	3.19	17	17.48	17	1.83	9	-0.01	16
1245	-169	-201	Max	16.87	-81.95	16	6.09	16	0.39	16	17.51	17	0.65	17	-0.01	16
1245	-169	-201	Min.	2.51	-863.37	17	-42.10	17	-0.49	16	-28.28	9	-1.87	17	-0.02	19
1245	-169	-201	Min.	16.87	-862.05	17	-42.10	17	-3.04	19	-28.25	9	-2.23	9	-0.02	19
1245	-201	-233	Max	2.51	-80.62	16	4.81	16	3.06	17	16.42	17	1.80	9	-0.01	16
1245	-201	-233	Max	16.87	-79.29	16	4.81	16	0.30	16	16.45	17	0.59	17	-0.01	16
1245	-201	-233	Min.	2.51	-830.69	19	-41.63	17	-0.39	16	-28.96	9	-1.77	17	-0.02	19
1245	-201	-233	Min.	16.87	-829.37	19	-41.63	17	-3.15	19	-28.93	9	-2.35	9	-0.02	19
1245	-233	-265	Max	2.51	-81.09	16	3.50	16	2.92	17	15.34	17	1.77	9	-0.01	16
1245	-233	-265	Max	16.87	-79.77	16	3.50	16	0.20	16	15.37	17	0.52	17	-0.01	16
1245	-233	-265	Min.	2.51	-849.02	19	-41.16	17	-0.30	16	-29.68	9	-1.68	17	-0.02	19
1245	-233	-265	Min.	16.87	-847.69	19	-41.16	17	-3.26	19	-29.64	9	-2.49	9	-0.02	19
1245	-265	-297	Max	2.51	-84.93	16	2.16	16	2.78	17	14.24	17	1.74	9	-0.01	16
1245	-265	-297	Max	16.87	-83.60	16	2.16	16	0.10	16	14.27	17	0.46	17	-0.01	16
1245	-265	-297	Min.	2.51	-870.31	19	-40.71	17	-0.21	16	-30.42	9	-1.59	17	-0.02	19
1245	-265	-297	Min.	16.87	-868.98	19	-40.71	17	-3.38	19	-30.39	9	-2.63	9	-0.02	19
1245	-297	-329	Max	2.51	-92.37	16	0.80	16	2.63	17	13.13	17	1.70	9	-0.01	16
1245	-297	-329	Max	16.87	-91.05	16	0.80	16	-0.01	16	13.16	17	0.39	17	-0.01	16
1245	-297	-329	Min.	2.51	-894.79	19	-40.27	17	-0.12	16	-31.21	9	-1.50	17	-0.02	19
1245	-297	-329	Min.	16.87	-893.46	19	-40.27	17	-3.52	19	-31.18	9	-2.79	9	-0.02	19
1245	-329	-361	Max	2.51	-103.71	16	-0.60	16	2.48	17	11.99	17	1.65	9	-0.01	16
1245	-329	-361	Max	16.87	-102.38	16	-0.60	16	-0.12	16	12.02	17	0.32	17	-0.01	16
1245	-329	-361	Min.	2.51	-922.69	19	-39.84	17	-0.04	16	-32.04	9	-1.40	17	-0.02	19
1245	-329	-361	Min.	16.87	-921.37	19	-39.84	17	-3.66	19	-32.01	9	-2.95	9	-0.02	19
1245	-361	-393	Max	2.51	-119.23	16	-2.04	16	2.31	17	10.86	17	1.59	9	-0.01	16
1245	-361	-393	Max	16.87	-117.91	16	-2.04	16	-0.25	16	10.89	17	0.25	17	-0.01	16
1245	-361	-393	Min.	2.51	-954.29	19	-39.44	17	0.05	16	-32.86	9	-1.31	17	-0.02	19
1245	-361	-393	Min.	16.87	-952.97	19	-39.44	17	-3.83	19	-32.83	9	-3.13	9	-0.02	19
1245	-393	-425	Max	2.51	-139.27	16	-3.47	16	2.14	17	9.48	17	1.52	9	-0.01	16
1245	-393	-425	Max	16.87	-137.94	16	-3.47	16	-0.37	16	9.51	17	0.15	17	-0.01	16
1245	-393	-425	Min.	2.51	-989.86	19	-38.89	17	0.12	16	-34.13	9	-1.22	17	-0.02	19
1245	-393	-425	Min.	16.87	-988.53	19	-38.89	17	-3.98	19	-34.10	9	-3.38	9	-0.02	19
1245	-425	-457	Max	2.51	-164.09	16	-5.30	16	1.94	17	9.69	17	1.48	18	-0.01	16
1245	-425	-457	Max	16.87	-162.77	16	-5.30	16	-0.56	16	9.72	17	0.27	17	-0.01	16
1245	-425	-457	Min.	2.51	-1029.70	19	-40.70	19	0.19	10	-32.49	9	-1.13	17	-0.02	19
1245	-425	-457	Min.	16.87	-1028.38	19	-40.70	19	-4.44	19	-32.46	9	-3.26	9	-0.02	19
1245	-457	-489	Max	2.51	-193.19	16	-4.72	16	1.53	17	-1.24	17	1.46	18	-0.01	10
1245	-457	-489	Max	16.87	-191.87	16	-4.72	16	-0.47	16	-1.21	17	-1.08	17	-0.01	10
1245	-457	-489	Min.	2.51	-1073.69	9	-31.82	17	-0.02	10	-51.17	9	-0.91	17	-0.01	19
1245	-457	-489	Min.	16.87	-1072.36	9	-31.82	17	-3.11	19	-51.14	9	-6.01	9	-0.01	19
1245	-489	1316	Max	2.51	-223.08	16	-19.05	16	1.00	17	64.75	19	0.13	16	0.00	17
1245	-489	1316	Max	14.38	-221.99	16	-19.05	16	-2.02	16	64.77	19	6.23	19	0.00	17
1245	-489	1316	Min.	2.51	-1157.09	9	-100.93	19	0.24	16	15.17	16	-1.46	19	-0.01	9
1245	-489	1316	Min.	14.38	-1155.99	9	-100.93	19	-11.04	19	15.19	16	1.93	16	-0.01	9
1246	343	-13	Max	4.85	0.00	9	0.00	9	0.00	9	0.00	9	0.00	9	0.00	9
1246	343	-13	Min.	4.85	0.00	9	0.00	9	0.00	9	0.00	9	0.00	9	0.00	9
1246	-13	-45	Max	4.85	0.00	9	0.00	9	0.00	9	0.00	9	0.00	9	0.00	9
1246	-13	-45	Min.	4.85	0.00	9	0.00	9	0.00	9	0.00	9	0.00	9	0.00	9
1246	-45	-77	Max	5.01	-590.55	16	-10.61	16	7.72	19	28.37	17	3.95	9	-0.01	16
1246	-45	-77	Max	16.87	-589.46	16	-10.61	16	-0.08	17	28.39	17	-0.11	16	-0.01	16

1246	-45	-77	Min.	5.01	-1469.03	17	-69.70	19	1.17	16	-39.82	9	-4.25	17	-0.05	17
1246	-45	-77	Min.	16.87	-1467.93	17	-69.70	19	-0.75	9	-39.80	9	-1.05	19	-0.05	17
1246	-77	-109	Max	2.51	-602.64	16	-14.62	16	6.76	19	17.61	17	3.70	9	-0.00	16
1246	-77	-109	Max	16.87	-601.32	16	-14.62	16	-0.78	16	17.64	17	0.06	17	-0.00	16
1246	-77	-109	Min.	2.51	-1441.36	17	-76.21	19	1.32	16	-47.00	9	-2.47	17	-0.03	17
1246	-77	-109	Min.	16.87	-1440.03	17	-76.21	19	-4.19	19	-46.97	9	-3.05	9	-0.03	17
1246	-109	-141	Max	2.51	-621.36	16	-16.20	16	5.80	19	17.21	17	3.08	9	0.00	9
1246	-109	-141	Max	16.87	-620.04	16	-16.20	16	-1.07	16	17.24	17	0.18	17	0.00	9
1246	-109	-141	Min.	2.51	-1437.86	19	-76.52	19	1.26	16	-47.37	9	-2.29	17	-0.01	17
1246	-109	-141	Min.	16.87	-1436.53	19	-76.52	19	-5.19	19	-47.34	9	-3.72	9	-0.01	17
1246	-141	-173	Max	2.51	-644.71	16	-17.99	16	5.52	19	16.18	17	2.93	9	0.01	9
1246	-141	-173	Max	16.87	-643.38	16	-17.99	16	-1.27	16	16.21	17	0.15	17	0.01	9
1246	-141	-173	Min.	2.51	-1481.38	19	-77.35	19	1.31	16	-48.42	9	-2.17	17	-0.01	17
1246	-141	-173	Min.	16.87	-1480.05	19	-77.35	19	-5.59	19	-48.39	9	-4.02	9	-0.01	17
1246	-173	-205	Max	2.51	-672.40	16	-19.81	16	5.37	19	15.05	17	2.86	9	0.01	9
1246	-173	-205	Max	16.87	-671.07	16	-19.81	16	-1.46	16	15.08	17	0.08	17	0.01	9
1246	-173	-205	Min.	2.51	-1529.22	19	-78.21	19	1.39	16	-49.55	9	-2.08	17	-0.00	17
1246	-173	-205	Min.	16.87	-1527.89	19	-78.21	19	-5.87	19	-49.52	9	-4.25	9	-0.00	17
1246	-205	-237	Max	2.51	-704.61	16	-21.71	16	5.24	19	13.97	17	2.80	9	0.01	9
1246	-205	-237	Max	16.87	-703.29	16	-21.71	16	-1.65	16	14.00	17	0.01	17	0.01	9
1246	-205	-237	Min.	2.51	-1581.35	19	-79.19	19	1.47	16	-50.71	9	-2.00	17	-0.00	17
1246	-205	-237	Min.	16.87	-1580.03	19	-79.19	19	-6.13	19	-50.68	9	-4.48	9	-0.00	17
1246	-237	-269	Max	2.51	-741.64	16	-23.64	16	5.10	19	12.82	17	2.74	9	0.01	9
1246	-237	-269	Max	16.87	-740.32	16	-23.64	16	-1.86	16	12.85	17	-0.08	17	0.01	9
1246	-237	-269	Min.	2.51	-1638.05	19	-80.18	19	1.54	16	-51.96	9	-1.92	17	-0.00	17
1246	-237	-269	Min.	16.87	-1636.72	19	-80.18	19	-6.42	19	-51.93	9	-4.72	9	-0.00	17
1246	-269	-301	Max	2.51	-783.83	16	-25.64	16	4.95	19	11.67	17	2.66	9	0.01	9
1246	-269	-301	Max	16.87	-782.50	16	-25.64	16	-2.08	16	11.70	17	-0.17	17	0.01	9
1246	-269	-301	Min.	2.51	-1699.59	19	-81.27	19	1.60	16	-53.25	9	-1.85	17	-0.00	17
1246	-269	-301	Min.	16.87	-1698.27	19	-81.27	19	-6.72	19	-53.22	9	-4.98	9	-0.00	17
1246	-301	-333	Max	2.51	-831.56	16	-27.72	16	4.79	19	10.53	17	2.58	9	0.01	9
1246	-301	-333	Max	16.87	-830.24	16	-27.72	16	-2.32	16	10.56	17	-0.26	17	0.01	9
1246	-301	-333	Min.	2.51	-1766.34	19	-82.46	19	1.67	16	-54.58	9	-1.77	17	-0.00	17
1246	-301	-333	Min.	16.87	-1765.01	19	-82.46	19	-7.05	19	-54.55	9	-5.26	9	-0.00	17
1246	-333	-365	Max	2.51	-885.26	16	-29.84	16	4.61	19	9.32	17	2.52	18	0.01	9
1246	-333	-365	Max	16.87	-883.93	16	-29.84	16	-2.57	16	9.35	17	-0.36	17	0.01	9
1246	-333	-365	Min.	2.51	-1838.70	19	-83.66	19	1.72	16	-56.03	9	-1.70	17	-0.01	17
1246	-333	-365	Min.	16.87	-1837.38	19	-83.66	19	-7.41	19	-56.00	9	-5.57	9	-0.01	17
1246	-365	-397	Max	2.51	-945.38	16	-32.08	16	4.41	19	8.17	17	2.47	18	0.01	9
1246	-365	-397	Max	16.87	-944.05	16	-32.08	16	-2.85	16	8.20	17	-0.45	17	0.01	9
1246	-365	-397	Min.	2.51	-1917.09	19	-85.07	19	1.76	16	-57.41	9	-1.62	17	-0.01	17
1246	-365	-397	Min.	16.87	-1915.76	19	-85.07	19	-7.81	19	-57.38	9	-5.88	9	-0.01	17
1246	-397	-429	Max	2.51	-1012.39	16	-34.21	16	4.18	19	6.58	17	2.40	18	0.01	9
1246	-397	-429	Max	16.87	-1011.07	16	-34.21	16	-3.12	16	6.61	17	-0.60	17	0.01	9
1246	-397	-429	Min.	2.51	-2001.94	19	-86.10	19	1.79	16	-59.68	9	-1.55	17	-0.01	17
1246	-397	-429	Min.	16.87	-2000.61	19	-86.10	19	-8.19	19	-59.65	9	-6.34	9	-0.01	17
1246	-429	-461	Max	2.51	-1086.76	16	-37.77	16	3.89	19	7.96	17	2.25	18	0.01	9
1246	-429	-461	Max	16.87	-1085.44	16	-37.77	16	-3.64	16	7.99	17	-0.34	17	0.01	9
1246	-429	-461	Min.	2.51	-2098.39	9	-90.70	19	1.79	16	-56.09	9	-1.49	17	-0.00	17
1246	-429	-461	Min.	16.87	-2097.07	9	-90.70	19	-9.14	19	-56.06	9	-6.04	9	-0.00	17
1246	-461	-493	Max	2.51	-1148.71	17	-31.86	16	3.08	19	-11.72	17	2.21	18	0.02	9
1246	-461	-493	Max	16.87	-1147.39	17	-31.86	16	-3.03	16	-11.69	17	-2.90	17	0.02	9
1246	-461	-493	Min.	2.51	-2251.06	9	-70.62	19	1.47	10	-95.60	18	-1.22	17	0.01	17
1246	-461	-493	Min.	16.87	-2249.73	9	-70.62	19	-7.06	19	-95.57	18	-11.59	9	0.01	17
1246	-493	1322	Max	2.51	-1146.70	17	-83.78	16	2.40	19	129.07	19	-1.13	16	0.03	19
1246	-493	1322	Max	14.38	-1145.60	17	-83.78	16	-8.76	16	129.09	19	12.34	19	0.03	19
1246	-493	1322	Min.	2.51	-2402.00	9	-199.09	19	1.18	16	71.23	16	-2.98	19	0.02	16
1246	-493	1322	Min.	14.38	-2400.91	9	-199.09	19	-21.24	19	71.25	16	7.33	16	0.02	16
1247	346	-15	Max	4.85	0.00	9	0.00	9	0.00	9	0.00	9	0.00	9	0.00	9

1247	346	-15	Min.	4.85	0.00	9	0.00	9	0.00	9	0.00	9	0.00	9	0.00	9
1247	-15	-47	Max	4.85	0.00	9	0.00	9	0.00	9	0.00	9	0.00	9	0.00	9
1247	-15	-47	Min.	4.85	0.00	9	0.00	9	0.00	9	0.00	9	0.00	9	0.00	9
1247	-47	-79	Max	5.01	-477.81	16	6.70	16	5.56	17	33.92	17	1.19	9	0.01	16
1247	-47	-79	Max	16.87	-476.71	16	6.70	16	0.29	16	33.94	17	-0.00	16	0.01	16
1247	-47	-79	Min.	5.01	-1304.60	17	-45.61	17	-0.51	16	-15.25	9	-4.80	17	-0.04	17
1247	-47	-79	Min.	16.87	-1303.50	17	-45.61	17	-0.30	9	-15.22	9	-0.86	19	-0.04	17
1247	-79	-111	Max	2.51	-461.65	16	3.33	16	5.17	17	24.93	17	1.32	9	0.00	16
1247	-79	-111	Max	16.87	-460.32	16	3.33	16	0.47	16	24.96	17	0.51	17	0.00	16
1247	-79	-111	Min.	2.51	-1266.26	17	-51.75	17	-0.01	16	-20.33	9	-3.08	17	-0.02	17
1247	-79	-111	Min.	16.87	-1264.93	17	-51.75	17	-2.47	19	-20.30	9	-1.60	9	-0.02	17
1247	-111	-143	Max	2.51	-443.71	16	2.00	16	4.46	17	24.55	17	1.02	9	0.01	18
1247	-111	-143	Max	16.87	-442.38	16	2.00	16	0.43	16	24.58	17	0.73	17	0.01	18
1247	-111	-143	Min.	2.51	-1219.46	17	-51.14	17	0.14	16	-20.30	9	-2.80	17	-0.01	17
1247	-111	-143	Min.	16.87	-1218.13	17	-51.14	17	-3.11	19	-20.27	9	-1.90	9	-0.01	17
1247	-143	-175	Max	2.51	-427.10	16	0.63	16	4.23	17	23.64	17	0.95	9	0.01	9
1247	-143	-175	Max	16.87	-425.78	16	0.63	16	0.35	16	23.67	17	0.74	17	0.01	9
1247	-143	-175	Min.	2.51	-1186.86	19	-50.80	17	0.26	16	-20.78	9	-2.65	17	-0.00	17
1247	-143	-175	Min.	16.87	-1185.53	19	-50.80	17	-3.33	19	-20.75	9	-2.03	9	-0.00	17
1247	-175	-207	Max	2.51	-412.65	16	-0.78	16	4.08	17	22.70	17	0.91	9	0.01	9
1247	-175	-207	Max	16.87	-411.32	16	-0.78	16	0.25	16	22.73	17	0.71	17	0.01	9
1247	-175	-207	Min.	2.51	-1186.89	19	-50.49	17	0.36	16	-21.29	9	-2.55	17	0.00	17
1247	-175	-207	Min.	16.87	-1185.56	19	-50.49	17	-3.48	19	-21.26	9	-2.14	9	0.00	17
1247	-207	-239	Max	2.51	-400.66	16	-2.22	16	3.96	17	21.76	17	0.88	9	0.01	9
1247	-207	-239	Max	16.87	-399.34	16	-2.22	16	0.15	16	21.79	17	0.67	17	0.01	9
1247	-207	-239	Min.	2.51	-1188.90	19	-50.34	19	0.47	16	-21.80	9	-2.46	17	0.00	17
1247	-207	-239	Min.	16.87	-1187.57	19	-50.34	19	-3.61	19	-21.77	9	-2.25	9	0.00	17
1247	-239	-271	Max	2.51	-391.34	16	-3.71	16	3.83	17	20.84	17	0.84	9	0.01	9
1247	-239	-271	Max	16.87	-390.01	16	-3.71	16	0.03	16	20.87	17	0.62	17	0.01	9
1247	-239	-271	Min.	2.51	-1193.00	19	-50.70	19	0.57	16	-22.30	9	-2.38	17	0.00	17
1247	-239	-271	Min.	16.87	-1191.68	19	-50.70	19	-3.76	19	-22.27	9	-2.36	9	0.00	17
1247	-271	-303	Max	2.51	-384.89	16	-5.22	16	3.69	17	19.86	17	0.80	9	0.01	9
1247	-271	-303	Max	16.87	-383.57	16	-5.22	16	-0.08	16	19.89	17	0.57	17	0.01	9
1247	-271	-303	Min.	2.51	-1199.38	19	-51.03	19	0.67	16	-22.90	9	-2.29	17	0.00	17
1247	-271	-303	Min.	16.87	-1198.05	19	-51.03	19	-3.91	19	-22.87	9	-2.48	9	0.00	17
1247	-303	-335	Max	2.51	-381.54	16	-6.79	16	3.55	17	18.92	17	0.75	9	0.01	9
1247	-303	-335	Max	16.87	-380.21	16	-6.79	16	-0.21	16	18.95	17	0.52	17	0.01	9
1247	-303	-335	Min.	2.51	-1208.17	19	-51.48	19	0.77	16	-23.45	9	-2.20	17	-0.00	17
1247	-303	-335	Min.	16.87	-1206.85	19	-51.48	19	-4.09	19	-23.42	9	-2.61	9	-0.00	17
1247	-335	-367	Max	2.51	-381.50	16	-8.39	16	3.40	17	17.94	17	0.70	9	0.01	9
1247	-335	-367	Max	16.87	-380.17	16	-8.39	16	-0.34	16	17.97	17	0.47	17	0.01	9
1247	-335	-367	Min.	2.51	-1219.57	19	-51.93	19	0.86	16	-24.06	9	-2.11	17	-0.00	17
1247	-335	-367	Min.	16.87	-1218.24	19	-51.93	19	-4.27	19	-24.03	9	-2.75	9	-0.00	17
1247	-367	-399	Max	2.51	-385.06	16	-10.02	16	3.23	17	16.95	17	0.64	9	0.01	9
1247	-367	-399	Max	16.87	-383.73	16	-10.02	16	-0.49	16	16.98	17	0.42	17	0.01	9
1247	-367	-399	Min.	2.51	-1233.81	19	-52.40	19	0.95	16	-24.70	9	-2.01	17	-0.00	17
1247	-367	-399	Min.	16.87	-1232.48	19	-52.40	19	-4.48	19	-24.67	9	-2.90	9	-0.00	17
1247	-399	-431	Max	2.51	-392.49	16	-11.73	16	3.06	17	15.73	17	0.58	9	0.01	9
1247	-399	-431	Max	16.87	-391.16	16	-11.73	16	-0.65	16	15.76	17	0.34	17	0.01	9
1247	-399	-431	Min.	2.51	-1251.11	19	-52.74	19	1.04	16	-25.78	9	-1.92	17	-0.00	17
1247	-399	-431	Min.	16.87	-1249.78	19	-52.74	19	-4.68	19	-25.75	9	-3.13	9	-0.00	17
1247	-431	-463	Max	2.51	-404.07	16	-13.44	16	2.85	17	16.32	17	0.54	18	0.02	9
1247	-431	-463	Max	16.87	-402.74	16	-13.44	16	-0.82	16	16.35	17	0.52	17	0.02	9
1247	-431	-463	Min.	2.51	-1271.73	19	-54.86	19	1.11	16	-23.49	9	-1.82	17	0.00	17
1247	-431	-463	Min.	16.87	-1270.40	19	-54.86	19	-5.16	19	-23.46	9	-2.91	9	0.00	17
1247	-463	-495	Max	2.51	-419.50	16	-15.61	16	2.39	17	4.40	17	0.60	18	0.02	9
1247	-463	-495	Max	16.87	-418.17	16	-15.61	16	-1.15	16	4.43	17	-0.92	17	0.02	9
1247	-463	-495	Min.	2.51	-1298.22	9	-45.38	19	1.05	10	-44.37	9	-1.55	17	0.01	17
1247	-463	-495	Min.	16.87	-1296.89	9	-45.38	19	-4.28	19	-44.34	9	-5.90	9	0.01	17

1247	-495	1325	Max	2.51	-438.24	16	-15.68	16	1.51	19	83.86	19	-0.48	16	0.03	19
1247	-495	1325	Max	14.38	-437.15	16	-15.68	16	-1.26	16	83.89	19	7.82	19	0.03	19
1247	-495	1325	Min.	2.51	-1363.84	9	-104.94	19	0.60	16	33.19	16	-2.14	19	0.02	16
1247	-495	1325	Min.	14.38	-1362.74	9	-104.94	19	-10.95	19	33.21	16	3.46	16	0.02	16
1272	373	-25	Max	4.85	0.00	9	0.00	9	0.00	9	0.00	9	0.00	9	0.00	9
1272	373	-25	Min.	4.85	0.00	9	0.00	9	0.00	9	0.00	9	0.00	9	0.00	9
1272	-25	-57	Max	4.85	0.00	9	0.00	9	0.00	9	0.00	9	0.00	9	0.00	9
1272	-25	-57	Min.	4.85	0.00	9	0.00	9	0.00	9	0.00	9	0.00	9	0.00	9
1272	-57	-89	Max	5.01	129.01	16	39.91	16	2.62	17	53.30	17	-1.52	10	0.04	18
1272	-57	-89	Max	16.87	130.11	16	39.91	16	0.57	16	53.32	17	0.90	18	0.04	18
1272	-57	-89	Min.	5.01	-867.06	17	-19.34	17	-4.21	18	17.08	10	-6.34	17	-0.01	17
1272	-57	-89	Min.	16.87	-865.96	17	-19.34	17	0.15	10	17.10	10	-0.02	17	-0.01	17
1272	-89	-121	Max	2.51	181.25	16	39.09	16	2.68	17	46.28	17	-0.95	10	0.02	18
1272	-89	-121	Max	16.87	182.57	16	39.09	16	2.51	16	46.31	17	2.61	18	0.02	18
1272	-89	-121	Min.	2.51	-798.16	17	-23.51	17	-3.17	18	15.52	10	-4.34	17	0.01	17
1272	-89	-121	Min.	16.87	-796.84	17	-23.51	17	-0.69	17	15.55	10	1.28	10	0.01	17
1272	-121	-153	Max	2.51	246.22	16	38.94	18	2.32	17	46.14	17	-0.79	10	0.02	19
1272	-121	-153	Max	16.87	247.54	16	38.94	18	2.97	16	46.17	17	3.05	18	0.02	19
1272	-121	-153	Min.	2.51	-711.55	17	-22.45	17	-2.65	18	15.96	10	-3.78	17	0.01	16
1272	-121	-153	Min.	16.87	-710.23	17	-22.45	17	-0.91	17	15.99	10	1.51	10	0.01	16
1272	-153	-185	Max	2.51	314.11	16	38.94	18	2.17	17	45.74	17	-0.73	10	0.02	19
1272	-153	-185	Max	16.87	315.43	16	38.94	18	3.13	18	45.77	17	3.20	18	0.02	19
1272	-153	-185	Min.	2.51	-620.04	17	-21.44	17	-2.46	18	16.28	10	-3.56	17	0.01	16
1272	-153	-185	Min.	16.87	-618.71	17	-21.44	17	-0.91	17	16.31	10	1.61	10	0.01	16
1272	-185	-217	Max	2.51	382.68	16	38.96	18	2.08	17	45.28	17	-0.70	10	0.02	19
1272	-185	-217	Max	16.87	384.00	16	38.96	18	3.25	18	45.31	17	3.31	19	0.02	19
1272	-185	-217	Min.	2.51	-526.52	17	-20.52	17	-2.34	18	16.63	10	-3.42	17	0.01	16
1272	-185	-217	Min.	16.87	-525.19	17	-20.52	17	-0.87	17	16.66	10	1.69	10	0.01	16
1272	-217	-249	Max	2.51	451.43	16	39.00	18	1.99	17	44.88	17	-0.67	10	0.02	19
1272	-217	-249	Max	16.87	452.75	16	39.00	18	3.37	18	44.91	17	3.42	19	0.02	19
1272	-217	-249	Min.	2.51	-431.58	17	-19.52	17	-2.23	18	16.99	10	-3.29	17	0.01	16
1272	-217	-249	Min.	16.87	-430.26	17	-19.52	17	-0.82	17	17.02	10	1.77	10	0.01	16
1272	-249	-281	Max	2.51	520.25	16	39.10	18	1.90	17	44.48	17	-0.64	10	0.02	19
1272	-249	-281	Max	16.87	521.57	16	39.10	18	3.49	18	44.51	17	3.55	19	0.02	19
1272	-249	-281	Min.	2.51	-335.29	17	-18.54	17	-2.13	18	17.39	10	-3.16	17	0.01	16
1272	-249	-281	Min.	16.87	-333.97	17	-18.54	17	-0.76	17	17.42	10	1.86	10	0.01	16
1272	-281	-313	Max	2.51	589.14	16	39.20	18	1.82	17	44.10	17	-0.61	10	0.02	19
1272	-281	-313	Max	16.87	590.46	16	39.20	18	3.62	18	44.13	17	3.68	19	0.02	19
1272	-281	-313	Min.	2.51	-237.57	17	-17.53	17	-2.01	18	17.80	10	-3.02	17	0.01	16
1272	-281	-313	Min.	16.87	-236.25	17	-17.53	17	-0.70	17	17.83	10	1.95	10	0.01	16
1272	-313	-345	Max	2.51	658.07	16	39.30	18	1.73	17	43.73	17	-0.57	10	0.02	19
1272	-313	-345	Max	16.87	659.39	16	39.30	18	3.77	18	43.76	17	3.82	19	0.02	19
1272	-313	-345	Min.	2.51	-138.35	17	-16.52	17	-1.88	18	18.21	10	-2.88	17	0.01	16
1272	-313	-345	Min.	16.87	-137.02	17	-16.52	17	-0.64	17	18.24	10	2.05	10	0.01	16
1272	-345	-377	Max	2.51	727.02	16	39.46	18	1.65	17	43.40	17	-0.53	10	0.02	19
1272	-345	-377	Max	16.87	728.35	16	39.46	18	3.92	18	43.43	17	3.97	19	0.02	19
1272	-345	-377	Min.	2.51	-37.50	17	-15.48	17	-1.75	18	18.67	10	-2.73	17	0.01	16
1272	-345	-377	Min.	16.87	-36.17	17	-15.48	17	-0.58	17	18.70	10	2.16	10	0.01	16
1272	-377	-409	Max	2.51	807.10	18	39.69	18	1.56	17	43.06	17	-0.48	10	0.02	19
1272	-377	-409	Max	16.87	808.42	18	39.69	18	4.10	18	43.09	17	4.14	19	0.02	19
1272	-377	-409	Min.	2.51	65.10	17	-14.43	17	-1.60	18	19.14	10	-2.57	17	0.01	16
1272	-377	-409	Min.	16.87	66.42	17	-14.43	17	-0.51	17	19.17	10	2.27	10	0.01	16
1272	-409	-441	Max	2.51	891.99	18	39.62	18	1.48	17	43.37	19	-0.40	16	0.02	19
1272	-409	-441	Max	16.87	893.32	18	39.62	18	4.25	18	43.40	19	4.34	19	0.02	19
1272	-409	-441	Min.	2.51	169.53	17	-13.45	17	-1.44	18	19.70	10	-2.40	17	0.01	16
1272	-409	-441	Min.	16.87	170.86	17	-13.45	17	-0.46	17	19.73	10	2.41	10	0.01	16
1272	-441	-473	Max	2.51	979.10	18	41.95	18	1.38	17	43.11	19	-0.21	16	0.02	19
1272	-441	-473	Max	16.87	980.43	18	41.95	18	4.76	18	43.14	19	4.49	19	0.02	19
1272	-441	-473	Min.	2.51	275.73	17	-11.67	17	-1.26	18	19.80	10	-2.20	17	0.01	16

1272	-441	-473	Min.	16.87	277.05	17	-11.67	17	-0.30	17	19.83	10	2.49	10	0.01	16
1272	-473	-505	Max	2.51	1067.77	18	28.03	18	1.27	17	47.51	19	-0.06	16	0.02	17
1272	-473	-505	Max	16.87	1069.09	18	28.03	18	3.20	18	47.54	19	5.61	18	0.02	17
1272	-473	-505	Min.	2.51	382.32	17	-15.27	17	-0.93	9	23.45	10	-1.87	17	0.00	16
1272	-473	-505	Min.	16.87	383.64	17	-15.27	17	-0.92	17	23.48	10	3.11	10	0.00	16
1272	-505	1348	Max	2.51	1153.61	18	110.94	18	0.43	17	29.12	17	1.24	16	0.03	17
1272	-505	1348	Max	14.38	1154.71	18	110.94	18	12.24	18	29.15	17	2.98	17	0.03	17
1272	-505	1348	Min.	2.51	479.77	17	13.53	17	-0.93	18	-23.68	16	-0.48	17	-0.00	10
1272	-505	1348	Min.	14.38	480.87	17	13.53	17	2.03	17	-23.65	16	-1.57	16	-0.00	10
1273	379	-29	Max	4.85	0.00	9	0.00	9	0.00	9	0.00	9	0.00	9	0.00	9
1273	379	-29	Min.	4.85	0.00	9	0.00	9	0.00	9	0.00	9	0.00	9	0.00	9
1273	-29	-61	Max	4.85	0.00	9	0.00	9	0.00	9	0.00	9	0.00	9	0.00	9
1273	-29	-61	Min.	4.85	0.00	9	0.00	9	0.00	9	0.00	9	0.00	9	0.00	9
1273	-61	-93	Max	5.01	-201.08	16	64.02	18	2.25	17	85.06	19	-4.67	10	0.04	18
1273	-61	-93	Max	16.87	-199.99	16	64.02	18	1.02	18	85.08	19	0.95	18	0.04	18
1273	-61	-93	Min.	5.01	-1354.65	17	-13.26	17	-6.58	18	43.77	10	-9.69	19	-0.01	17
1273	-61	-93	Min.	16.87	-1353.56	17	-13.26	17	0.58	10	43.80	10	-0.08	17	-0.01	17
1273	-93	-125	Max	2.51	-123.63	16	61.54	18	2.72	17	75.48	19	-3.11	10	0.02	18
1273	-93	-125	Max	16.87	-122.30	16	61.54	18	4.10	18	75.51	19	4.22	19	0.02	18
1273	-93	-125	Min.	2.51	-1251.03	17	-19.74	17	-4.74	18	39.04	10	-6.64	17	0.00	17
1273	-93	-125	Min.	16.87	-1249.70	17	-19.74	17	-0.12	17	39.07	10	2.50	10	0.00	17
1273	-125	-157	Max	2.51	-26.04	16	61.86	18	2.39	17	76.70	19	-2.73	10	0.01	17
1273	-125	-157	Max	16.87	-24.71	16	61.86	18	4.91	18	76.73	19	5.20	19	0.01	17
1273	-125	-157	Min.	2.51	-1119.45	17	-18.56	17	-3.97	18	40.14	10	-5.86	17	0.00	16
1273	-125	-157	Min.	16.87	-1118.12	17	-18.56	17	-0.28	17	40.17	10	3.04	10	0.00	16
1273	-157	-189	Max	2.51	77.41	16	62.37	18	2.26	17	77.58	19	-2.60	10	0.01	17
1273	-157	-189	Max	16.87	78.73	16	62.37	18	5.24	18	77.61	19	5.60	19	0.01	17
1273	-157	-189	Min.	2.51	-978.90	17	-17.50	17	-3.72	18	41.01	10	-5.58	17	-0.01	18
1273	-157	-189	Min.	16.87	-977.57	17	-17.50	17	-0.25	17	41.04	10	3.29	10	-0.01	18
1273	-189	-221	Max	2.51	183.49	16	62.89	18	2.18	17	78.39	19	-2.54	10	0.01	17
1273	-189	-221	Max	16.87	184.82	16	62.89	18	5.47	18	78.42	19	5.88	19	0.01	17
1273	-189	-221	Min.	2.51	-833.65	17	-16.48	17	-3.57	18	41.91	10	-5.40	17	-0.01	18
1273	-189	-221	Min.	16.87	-832.32	17	-16.48	17	-0.19	17	41.94	10	3.48	10	-0.01	18
1273	-221	-253	Max	2.51	291.61	16	63.49	18	2.10	17	79.38	19	-2.50	10	0.01	17
1273	-221	-253	Max	16.87	292.93	16	63.49	18	5.69	18	79.41	19	6.14	19	0.01	17
1273	-221	-253	Min.	2.51	-684.43	17	-15.43	17	-3.44	18	42.88	10	-5.26	19	-0.01	18
1273	-221	-253	Min.	16.87	-683.11	17	-15.43	17	-0.11	17	42.91	10	3.67	10	-0.01	18
1273	-253	-285	Max	2.51	401.70	16	64.18	18	2.03	17	80.40	19	-2.44	10	0.01	17
1273	-253	-285	Max	16.87	403.02	16	64.18	18	5.92	18	80.43	19	6.43	19	0.01	17
1273	-253	-285	Min.	2.51	-531.24	17	-14.32	17	-3.30	18	43.91	10	-5.13	19	-0.01	18
1273	-253	-285	Min.	16.87	-529.92	17	-14.32	17	-0.03	17	43.94	10	3.87	10	-0.01	18
1273	-285	-317	Max	2.51	513.91	16	64.88	18	1.95	17	81.50	19	-2.38	10	0.01	17
1273	-285	-317	Max	16.87	515.23	16	64.88	18	6.17	18	81.53	19	6.73	19	0.01	17
1273	-285	-317	Min.	2.51	-373.81	17	-13.23	17	-3.15	18	44.98	10	-4.98	19	-0.01	18
1273	-285	-317	Min.	16.87	-372.48	17	-13.23	17	0.05	17	45.01	10	4.08	10	-0.01	18
1273	-317	-349	Max	2.51	628.35	16	65.61	18	1.88	17	82.65	19	-2.23	16	0.01	17
1273	-317	-349	Max	16.87	629.67	16	65.61	18	6.44	18	82.68	19	7.06	19	0.01	17
1273	-317	-349	Min.	2.51	-211.82	17	-12.15	17	-2.99	18	46.07	10	-4.81	19	-0.01	18
1273	-317	-349	Min.	16.87	-210.50	17	-12.15	17	0.14	17	46.10	10	4.31	10	-0.01	18
1273	-349	-381	Max	2.51	773.21	18	66.44	18	1.81	17	83.93	19	-2.05	16	0.01	17
1273	-349	-381	Max	16.87	774.54	18	66.44	18	6.73	18	83.96	19	7.42	19	0.01	17
1273	-349	-381	Min.	2.51	-44.99	17	-10.99	17	-2.81	18	47.27	10	-4.64	19	-0.01	18
1273	-349	-381	Min.	16.87	-43.66	17	-10.99	17	0.23	17	47.30	10	4.56	10	-0.01	18
1273	-381	-413	Max	2.51	942.70	18	67.38	18	1.74	17	85.24	19	-1.85	16	0.01	17
1273	-381	-413	Max	16.87	944.02	18	67.38	18	7.06	18	85.27	19	7.81	19	0.01	17
1273	-381	-413	Min.	2.51	127.09	17	-9.84	17	-2.62	18	48.48	10	-4.43	19	-0.01	18
1273	-381	-413	Min.	16.87	128.42	17	-9.84	17	0.33	17	48.51	10	4.83	10	-0.01	18
1273	-413	-445	Max	2.51	1119.01	18	67.87	18	1.68	17	86.77	19	-1.64	16	0.01	17
1273	-413	-445	Max	16.87	1120.34	18	67.87	18	7.34	18	86.80	19	8.26	19	0.01	17

1273	-413	-445	Min.	2.51	304.75	17	-8.83	17	-2.41	18	49.28	16	-4.20	19	-0.01	18
1273	-413	-445	Min.	16.87	306.08	17	-8.83	17	0.41	17	49.31	16	5.14	10	-0.01	18
1273	-445	-477	Max	2.51	1302.37	18	72.45	18	1.60	17	87.54	19	-1.39	16	0.01	17
1273	-445	-477	Max	16.87	1303.69	18	72.45	18	8.25	18	87.57	19	8.68	19	0.01	17
1273	-445	-477	Min.	2.51	488.01	17	-6.26	17	-2.15	18	47.64	16	-3.90	19	-0.01	18
1273	-445	-477	Min.	16.87	489.33	17	-6.26	17	0.70	17	47.67	16	5.42	10	-0.01	18
1273	-477	-509	Max	2.51	1491.09	18	48.94	18	1.55	17	94.85	19	-1.10	16	0.01	17
1273	-477	-509	Max	16.87	1492.42	18	48.94	18	5.56	18	94.88	19	10.28	19	0.01	17
1273	-477	-509	Min.	2.51	674.61	17	-14.46	17	-1.58	9	55.70	10	-3.37	17	-0.03	18
1273	-477	-509	Min.	16.87	675.94	17	-14.46	17	-0.52	17	55.73	10	6.42	10	-0.03	18
1273	-509	1354	Max	2.51	1671.09	18	193.75	18	0.38	17	60.50	19	0.97	16	0.02	17
1273	-509	1354	Max	14.38	1672.18	18	193.75	18	21.33	18	60.53	19	6.70	19	0.02	17
1273	-509	1354	Min.	2.51	847.13	17	42.20	17	-1.67	18	-7.45	16	-0.93	17	-0.02	18
1273	-509	1354	Min.	14.38	848.22	17	42.20	17	5.39	17	-7.43	16	0.09	16	-0.02	18
1274	349	-17	Max	4.85	0.00	9	0.00	9	0.00	9	0.00	9	0.00	9	0.00	9
1274	349	-17	Min.	4.85	0.00	9	0.00	9	0.00	9	0.00	9	0.00	9	0.00	9
1274	-17	-49	Max	4.85	0.00	9	0.00	9	0.00	9	0.00	9	0.00	9	0.00	9
1274	-17	-49	Min.	4.85	0.00	9	0.00	9	0.00	9	0.00	9	0.00	9	0.00	9
1274	-49	-81	Max	5.01	-187.88	16	38.66	17	-1.19	10	26.60	17	4.23	16	0.04	17
1274	-49	-81	Max	16.87	-186.82	16	38.66	17	0.91	18	26.63	17	-0.18	10	0.04	17
1274	-49	-81	Min.	5.01	-1009.83	17	14.20	10	-4.59	17	-41.75	16	-3.72	17	0.02	10
1274	-49	-81	Min.	16.87	-1008.73	17	14.20	10	0.00	17	-39.96	16	-0.62	16	0.02	10
1274	-81	-113	Max	2.51	-217.32	10	42.97	17	-0.86	10	18.75	17	3.47	18	0.03	19
1274	-81	-113	Max	16.87	-215.99	10	42.97	17	2.53	18	18.78	17	0.43	17	0.03	19
1274	-81	-113	Min.	2.51	-978.21	17	14.44	10	-4.12	17	-43.21	18	-2.26	17	0.01	10
1274	-81	-113	Min.	16.87	-976.88	17	14.44	10	1.21	10	-41.90	18	-2.64	16	0.01	10
1274	-113	-145	Max	2.51	-253.82	10	42.12	17	-0.70	10	17.98	17	2.91	18	0.02	19
1274	-113	-145	Max	16.87	-252.50	10	42.12	17	2.94	18	18.01	17	0.59	17	0.02	19
1274	-113	-145	Min.	2.51	-940.23	17	14.81	10	-3.49	17	-43.09	18	-2.00	17	0.01	16
1274	-113	-145	Min.	16.87	-938.90	17	14.81	10	1.43	10	-41.79	18	-3.18	18	0.01	16
1274	-145	-177	Max	2.51	-293.95	10	41.65	17	-0.65	10	16.89	17	2.73	18	0.02	19
1274	-145	-177	Max	16.87	-292.62	10	41.65	17	3.10	18	16.92	17	0.57	17	0.02	19
1274	-145	-177	Min.	2.51	-901.75	17	15.16	10	-3.27	17	-43.22	18	-1.85	17	0.01	16
1274	-145	-177	Min.	16.87	-900.42	17	15.16	10	1.53	10	-41.91	18	-3.38	18	0.01	16
1274	-177	-209	Max	2.51	-336.51	10	41.15	17	-0.62	10	15.85	17	2.62	18	0.02	19
1274	-177	-209	Max	16.87	-335.19	10	41.15	17	3.20	18	15.88	17	0.53	17	0.02	19
1274	-177	-209	Min.	2.51	-864.19	17	15.52	10	-3.12	17	-43.34	18	-1.75	17	0.01	16
1274	-177	-209	Min.	16.87	-862.87	17	15.52	10	1.61	10	-42.03	18	-3.51	18	0.01	16
1274	-209	-241	Max	2.51	-381.34	10	40.70	17	-0.59	10	14.76	17	2.52	18	0.02	19
1274	-209	-241	Max	16.87	-380.01	10	40.70	17	3.29	18	14.79	17	0.47	17	0.02	19
1274	-209	-241	Min.	2.51	-831.53	19	15.89	10	-2.99	17	-43.49	18	-1.66	17	0.01	16
1274	-209	-241	Min.	16.87	-830.21	19	15.89	10	1.69	10	-42.18	18	-3.63	18	0.01	16
1274	-241	-273	Max	2.51	-428.52	10	40.28	17	-0.56	10	13.64	17	2.42	18	0.02	19
1274	-241	-273	Max	16.87	-427.19	10	40.28	17	3.39	18	13.68	17	0.40	17	0.02	19
1274	-241	-273	Min.	2.51	-849.86	19	16.30	10	-2.86	17	-43.70	18	-1.56	17	0.01	16
1274	-241	-273	Min.	16.87	-848.53	19	16.30	10	1.78	10	-42.39	18	-3.77	18	0.01	16
1274	-273	-305	Max	2.51	-478.22	10	39.85	17	-0.53	10	12.53	17	2.31	18	0.02	19
1274	-273	-305	Max	16.87	-476.89	10	39.85	17	3.50	18	12.56	17	0.33	17	0.02	19
1274	-273	-305	Min.	2.51	-871.17	19	16.72	10	-2.72	17	-43.92	18	-1.47	17	0.01	16
1274	-273	-305	Min.	16.87	-869.84	19	16.72	10	1.87	10	-42.61	18	-3.91	18	0.01	16
1274	-305	-337	Max	2.51	-530.61	10	39.42	17	-0.49	10	11.42	17	2.19	18	0.02	19
1274	-305	-337	Max	16.87	-529.28	10	39.42	17	3.62	18	11.45	17	0.27	17	0.02	19
1274	-305	-337	Min.	2.51	-928.60	18	17.13	10	-2.57	17	-44.12	18	-1.38	17	0.01	16
1274	-305	-337	Min.	16.87	-927.30	18	17.13	10	1.97	10	-42.81	18	-4.06	18	0.01	16
1274	-337	-369	Max	2.51	-585.88	10	39.17	19	-0.45	10	10.23	17	2.07	18	0.02	19
1274	-337	-369	Max	16.87	-584.55	10	39.17	19	3.75	18	10.26	17	0.19	17	0.02	19
1274	-337	-369	Min.	2.51	-1023.16	18	17.60	10	-2.42	17	-44.44	18	-1.28	17	0.01	16
1274	-337	-369	Min.	16.87	-1021.86	18	17.60	10	2.08	10	-43.13	18	-4.22	18	0.01	16
1274	-369	-401	Max	2.51	-644.26	10	39.39	19	-0.41	10	9.10	17	1.93	18	0.02	19

1274	-369	-401	Max	16.87	-642.93	10	39.39	19	3.89	18	9.13	17	0.12	17	0.02	19
1274	-369	-401	Min.	2.51	-1120.88	18	18.10	10	-2.26	17	-44.68	18	-1.19	17	0.01	16
1274	-369	-401	Min.	16.87	-1119.58	18	18.10	10	2.20	10	-43.37	18	-4.40	18	0.01	16
1274	-401	-433	Max	2.51	-646.18	17	39.39	19	-0.35	10	7.68	17	1.78	18	0.02	19
1274	-401	-433	Max	16.87	-644.86	17	39.39	19	4.03	19	7.71	17	0.01	17	0.02	19
1274	-401	-433	Min.	2.51	-1221.93	18	18.43	10	-2.09	17	-45.50	18	-1.09	17	0.01	16
1274	-401	-433	Min.	16.87	-1220.64	18	18.43	10	2.30	10	-44.19	18	-4.66	18	0.01	16
1274	-433	-465	Max	2.51	-623.30	17	41.44	19	-0.20	16	7.90	17	1.58	18	0.02	19
1274	-433	-465	Max	16.87	-621.98	17	41.44	19	4.50	18	7.93	17	0.14	17	0.02	19
1274	-433	-465	Min.	2.51	-1326.49	18	20.34	10	-1.89	17	-42.66	18	-1.00	17	0.01	16
1274	-433	-465	Min.	16.87	-1325.19	18	20.34	10	2.63	10	-41.35	18	-4.46	18	0.01	16
1274	-465	-497	Max	2.51	-603.13	17	31.20	17	0.12	16	-3.11	17	1.42	18	0.01	19
1274	-465	-497	Max	16.87	-601.80	17	31.20	17	3.15	19	-3.08	17	-1.24	17	0.01	19
1274	-465	-497	Min.	2.51	-1432.61	18	11.43	10	-1.50	17	-64.92	18	-0.79	17	0.00	16
1274	-465	-497	Min.	16.87	-1431.31	18	11.43	10	1.53	10	-63.61	18	-7.81	18	0.00	16
1274	-497	1328	Max	2.51	-590.60	17	112.47	18	-0.43	10	63.85	19	-0.67	10	0.01	18
1274	-497	1328	Max	14.38	-589.50	17	111.41	18	12.64	18	63.88	19	6.25	19	0.01	18
1274	-497	1328	Min.	2.51	-1536.30	18	66.72	10	-0.97	19	37.85	10	-1.35	18	-0.00	17
1274	-497	1328	Min.	14.38	-1535.23	18	66.72	10	7.49	10	37.87	10	3.82	10	-0.00	17
1275	358	-23	Max	4.85	0.00	9	0.00	9	0.00	9	0.00	9	0.00	9	0.00	9
1275	358	-23	Min.	4.85	0.00	9	0.00	9	0.00	9	0.00	9	0.00	9	0.00	9
1275	-23	-55	Max	4.85	0.00	9	0.00	9	0.00	9	0.00	9	0.00	9	0.00	9
1275	-23	-55	Min.	4.85	0.00	9	0.00	9	0.00	9	0.00	9	0.00	9	0.00	9
1275	-55	-87	Max	5.01	-504.93	16	44.92	17	-2.26	10	32.56	17	2.98	16	0.04	17
1275	-55	-87	Max	16.87	-503.87	16	44.92	17	0.67	16	32.59	17	-0.53	10	0.04	17
1275	-55	-87	Min.	5.01	-1304.43	17	21.05	10	-5.54	17	-33.50	16	-4.72	17	0.01	10
1275	-55	-87	Min.	16.87	-1303.33	17	21.05	10	-0.21	17	-31.72	16	-0.96	18	0.01	10
1275	-87	-119	Max	2.51	-551.01	16	51.02	17	-2.01	10	23.25	17	2.47	16	0.02	17
1275	-87	-119	Max	16.87	-549.74	16	51.02	17	2.80	18	23.29	17	0.38	17	0.02	17
1275	-87	-119	Min.	2.51	-1266.06	17	23.47	10	-5.12	17	-36.28	18	-2.96	17	0.00	9
1275	-87	-119	Min.	16.87	-1264.73	17	23.47	10	1.37	10	-34.97	18	-2.66	18	0.00	9
1275	-119	-151	Max	2.51	-606.90	10	50.25	17	-1.74	10	22.65	17	1.95	18	0.01	17
1275	-119	-151	Max	16.87	-605.58	10	50.25	17	3.37	18	22.68	17	0.59	17	0.01	17
1275	-119	-151	Min.	2.51	-1219.30	17	23.90	10	-4.40	17	-35.89	18	-2.66	17	-0.01	18
1275	-119	-151	Min.	16.87	-1217.98	17	23.90	10	1.69	10	-34.58	18	-3.11	18	-0.01	18
1275	-151	-183	Max	2.51	-635.27	10	49.97	17	-1.68	10	21.65	17	1.79	18	0.00	17
1275	-151	-183	Max	16.87	-633.95	10	49.97	17	3.58	18	21.68	17	0.60	17	0.00	17
1275	-151	-183	Min.	2.51	-1186.75	19	24.46	10	-4.17	17	-35.88	18	-2.51	17	-0.01	18
1275	-151	-183	Min.	16.87	-1185.43	19	24.46	10	1.83	10	-34.57	18	-3.28	18	-0.01	18
1275	-183	-215	Max	2.51	-665.44	10	50.08	19	-1.65	10	20.70	17	1.67	18	0.00	17
1275	-183	-215	Max	16.87	-664.11	10	50.08	19	3.71	18	20.73	17	0.57	17	0.00	17
1275	-183	-215	Min.	2.51	-1186.85	19	24.99	10	-4.02	17	-35.86	18	-2.41	17	-0.01	18
1275	-183	-215	Min.	16.87	-1185.53	19	24.99	10	1.94	10	-34.55	18	-3.38	18	-0.01	18
1275	-215	-247	Max	2.51	-697.27	10	50.42	19	-1.63	10	19.73	17	1.57	18	0.00	17
1275	-215	-247	Max	16.87	-695.94	10	50.42	19	3.83	18	19.76	17	0.52	17	0.00	17
1275	-215	-247	Min.	2.51	-1188.92	19	25.59	10	-3.90	17	-35.84	18	-2.32	17	-0.01	18
1275	-215	-247	Min.	16.87	-1187.59	19	25.59	10	2.04	10	-34.53	18	-3.48	18	-0.01	18
1275	-247	-279	Max	2.51	-730.81	10	50.86	19	-1.62	10	18.75	17	1.46	18	0.00	17
1275	-247	-279	Max	16.87	-729.49	10	50.86	19	3.97	18	18.78	17	0.47	17	0.00	17
1275	-247	-279	Min.	2.51	-1193.09	19	26.26	10	-3.77	17	-35.84	18	-2.23	17	-0.02	18
1275	-247	-279	Min.	16.87	-1191.76	19	26.26	10	2.16	10	-34.53	18	-3.59	18	-0.02	18
1275	-279	-311	Max	2.51	-766.20	10	51.23	19	-1.59	10	17.73	17	1.36	18	0.00	17
1275	-279	-311	Max	16.87	-764.88	10	51.23	19	4.12	18	17.76	17	0.42	17	0.00	17
1275	-279	-311	Min.	2.51	-1199.55	19	26.89	10	-3.63	17	-35.91	18	-2.13	17	-0.02	18
1275	-279	-311	Min.	16.87	-1198.22	19	26.89	10	2.27	10	-34.60	18	-3.71	18	-0.02	18
1275	-311	-343	Max	2.51	-803.55	10	51.69	19	-1.56	10	16.77	17	1.23	18	0.00	17
1275	-311	-343	Max	16.87	-802.23	10	51.69	19	4.27	18	16.80	17	0.37	17	0.00	17
1275	-311	-343	Min.	2.51	-1233.55	18	27.60	10	-3.49	17	-35.87	18	-2.04	17	-0.02	18
1275	-311	-343	Min.	16.87	-1232.25	18	27.60	10	2.40	10	-34.56	18	-3.83	18	-0.02	18

1275	-343	-375	Max	2.51	-842.99	10	52.22	19	-1.53	10	15.72	17	1.11	18	0.00	17
1275	-343	-375	Max	16.87	-841.66	10	52.22	19	4.44	18	15.75	17	0.31	17	0.00	17
1275	-343	-375	Min.	2.51	-1308.28	18	28.35	10	-3.35	17	-35.98	18	-1.95	17	-0.02	18
1275	-343	-375	Min.	16.87	-1306.99	18	28.35	10	2.54	10	-34.67	18	-3.96	18	-0.02	18
1275	-375	-407	Max	2.51	-858.91	17	52.72	19	-1.48	10	14.72	17	0.98	18	0.00	17
1275	-375	-407	Max	16.87	-857.59	17	52.72	19	4.63	18	14.75	17	0.26	17	0.00	17
1275	-375	-407	Min.	2.51	-1385.16	18	29.08	10	-3.18	17	-36.03	18	-1.85	17	-0.02	18
1275	-375	-407	Min.	16.87	-1383.86	18	29.08	10	2.69	10	-34.72	18	-4.10	18	-0.02	18
1275	-407	-439	Max	2.51	-819.28	17	53.15	19	-1.43	16	13.41	17	0.84	18	0.00	17
1275	-407	-439	Max	16.87	-817.95	17	53.15	19	4.80	18	13.44	17	0.17	17	0.00	17
1275	-407	-439	Min.	2.51	-1464.28	18	29.76	10	-3.01	17	-36.68	18	-1.76	17	-0.02	18
1275	-407	-439	Min.	16.87	-1462.98	18	29.76	10	2.84	10	-35.37	18	-4.34	18	-0.02	18
1275	-439	-471	Max	2.51	-781.37	17	55.29	19	-1.24	16	14.01	17	0.64	18	0.00	17
1275	-439	-471	Max	16.87	-780.04	17	55.29	19	5.33	18	14.04	17	0.35	17	0.00	17
1275	-439	-471	Min.	2.51	-1545.74	18	31.72	10	-2.80	17	-33.21	18	-1.66	17	-0.02	18
1275	-439	-471	Min.	16.87	-1544.44	18	31.72	10	3.19	10	-31.90	18	-4.03	18	-0.02	18
1275	-471	-503	Max	2.51	-745.72	17	45.98	19	-0.85	16	1.99	17	0.59	9	-0.01	17
1275	-471	-503	Max	16.87	-744.39	17	45.98	19	4.30	19	2.02	17	-1.11	17	-0.01	17
1275	-471	-503	Min.	2.51	-1628.02	18	25.14	10	-2.37	17	-57.30	18	-1.40	17	-0.03	18
1275	-471	-503	Min.	16.87	-1626.72	18	25.14	10	2.47	10	-55.99	18	-7.57	18	-0.03	18
1275	-503	1337	Max	2.51	-719.83	17	118.97	18	-0.88	10	82.57	19	-1.25	10	-0.02	16
1275	-503	1337	Max	14.38	-718.73	17	117.91	18	12.82	18	82.59	19	7.83	19	-0.02	16
1275	-503	1337	Min.	2.51	-1710.94	18	69.43	10	-1.51	19	55.33	10	-1.99	18	-0.03	19
1275	-503	1337	Min.	14.38	-1709.86	18	69.43	10	7.37	10	55.35	10	5.32	10	-0.03	19
1276	352	-19	Max	4.85	0.00	9	0.00	9	0.00	9	0.00	9	0.00	9	0.00	9
1276	352	-19	Min.	4.85	0.00	9	0.00	9	0.00	9	0.00	9	0.00	9	0.00	9
1276	-19	-51	Max	4.85	0.00	9	0.00	9	0.00	9	0.00	9	0.00	9	0.00	9
1276	-19	-51	Min.	4.85	0.00	9	0.00	9	0.00	9	0.00	9	0.00	9	0.00	9
1276	-51	-83	Max	5.01	-377.10	16	65.30	19	-3.37	10	22.77	17	6.10	18	0.06	19
1276	-51	-83	Max	16.87	-376.04	16	65.30	19	1.15	18	22.79	17	-0.60	10	0.06	19
1276	-51	-83	Min.	5.01	-1382.44	17	34.02	10	-7.14	19	-61.07	18	-3.64	17	0.03	10
1276	-51	-83	Min.	16.87	-1381.34	17	34.02	10	0.07	17	-59.98	18	-1.10	19	0.03	10
1276	-83	-115	Max	2.51	-448.37	16	71.25	19	-2.81	10	11.99	17	5.28	18	0.03	19
1276	-83	-115	Max	16.87	-447.10	16	71.25	19	4.09	18	12.02	17	-0.23	17	0.03	19
1276	-83	-115	Min.	2.51	-1359.62	17	36.35	10	-6.23	17	-67.11	18	-1.95	17	0.02	10
1276	-83	-115	Min.	16.87	-1358.29	17	36.35	10	2.41	10	-65.80	18	-4.27	18	0.02	10
1276	-115	-147	Max	2.51	-539.57	16	71.70	19	-2.41	10	11.23	17	4.44	18	0.02	19
1276	-115	-147	Max	16.87	-538.29	16	71.70	19	4.95	19	11.26	17	-0.16	17	0.02	19
1276	-115	-147	Min.	2.51	-1343.34	19	37.16	10	-5.35	19	-67.30	18	-1.78	17	0.01	16
1276	-115	-147	Min.	16.87	-1342.01	19	37.16	10	2.93	10	-65.99	18	-5.13	18	0.01	16
1276	-147	-179	Max	2.51	-636.64	16	72.49	19	-2.30	10	9.96	17	4.19	18	0.01	19
1276	-147	-179	Max	16.87	-635.36	16	72.49	19	5.33	19	9.99	17	-0.22	17	0.01	19
1276	-147	-179	Min.	2.51	-1394.68	19	38.02	10	-5.08	19	-68.02	18	-1.66	17	0.00	16
1276	-147	-179	Min.	16.87	-1393.35	19	38.02	10	3.16	10	-66.72	18	-5.48	18	0.00	16
1276	-179	-211	Max	2.51	-736.45	16	73.25	19	-2.25	10	8.72	17	4.05	18	0.01	19
1276	-179	-211	Max	16.87	-735.17	16	73.25	19	5.59	19	8.75	17	-0.31	17	0.01	19
1276	-179	-211	Min.	2.51	-1450.79	19	38.89	10	-4.93	19	-68.73	18	-1.57	17	0.00	16
1276	-179	-211	Min.	16.87	-1449.46	19	38.89	10	3.34	10	-67.42	18	-5.73	18	0.00	16
1276	-211	-243	Max	2.51	-838.35	16	74.14	19	-2.20	10	7.45	17	3.92	18	0.01	19
1276	-211	-243	Max	16.87	-837.07	16	74.14	19	5.85	19	7.48	17	-0.41	17	0.01	19
1276	-211	-243	Min.	2.51	-1511.60	19	39.81	10	-4.80	19	-69.52	18	-1.48	17	0.00	16
1276	-211	-243	Min.	16.87	-1510.28	19	39.81	10	3.52	10	-68.21	18	-5.97	18	0.00	16
1276	-243	-275	Max	2.51	-942.28	16	75.20	19	-2.16	10	6.17	17	3.79	18	0.01	19
1276	-243	-275	Max	16.87	-941.00	16	75.20	19	6.12	19	6.20	17	-0.51	17	0.01	19
1276	-243	-275	Min.	2.51	-1577.36	19	40.86	10	-4.68	19	-70.34	18	-1.40	17	0.00	16
1276	-243	-275	Min.	16.87	-1576.04	19	40.86	10	3.71	10	-69.03	18	-6.22	18	0.00	16
1276	-275	-307	Max	2.51	-1048.39	16	76.16	19	-2.10	10	4.82	17	3.65	18	0.01	19
1276	-275	-307	Max	16.87	-1047.11	16	76.16	19	6.41	19	4.85	17	-0.62	17	0.01	19
1276	-275	-307	Min.	2.51	-1648.46	19	41.85	10	-4.53	19	-71.31	18	-1.32	17	0.00	16

1276	-275	-307	Min.	16.87	-1647.13	19	41.85	10	3.91	10	-70.00	18	-6.50	18	0.00	16
1276	-307	-339	Max	2.51	-1156.79	16	77.29	19	-2.00	16	3.55	17	3.48	18	0.01	19
1276	-307	-339	Max	16.87	-1155.52	16	77.29	19	6.73	19	3.59	17	-0.73	17	0.01	19
1276	-307	-339	Min.	2.51	-1725.23	19	42.96	10	-4.37	19	-72.13	18	-1.24	17	0.00	16
1276	-307	-339	Min.	16.87	-1723.90	19	42.96	10	4.13	10	-70.82	18	-6.79	18	0.00	16
1276	-339	-371	Max	2.51	-1192.92	17	78.46	19	-1.82	16	2.10	17	3.32	18	0.01	19
1276	-339	-371	Max	16.87	-1191.59	17	78.46	19	7.08	19	2.13	17	-0.86	17	0.01	19
1276	-339	-371	Min.	2.51	-1852.91	18	44.09	10	-4.19	19	-73.28	18	-1.16	17	0.00	16
1276	-339	-371	Min.	16.87	-1851.61	18	44.09	10	4.37	10	-71.97	18	-7.11	18	0.00	16
1276	-371	-403	Max	2.51	-1182.89	17	79.77	19	-1.62	16	0.80	17	3.12	18	0.01	17
1276	-371	-403	Max	16.87	-1181.56	17	79.77	19	7.46	19	0.83	17	-0.98	17	0.01	17
1276	-371	-403	Min.	2.51	-2016.50	18	45.32	10	-4.00	19	-74.22	18	-1.09	17	0.00	16
1276	-371	-403	Min.	16.87	-2015.20	18	45.02	16	4.63	10	-72.91	18	-7.44	18	0.00	16
1276	-403	-435	Max	2.51	-1175.99	17	80.68	19	-1.42	16	-1.11	17	2.92	18	0.01	17
1276	-403	-435	Max	16.87	-1174.66	17	80.68	19	7.81	19	-1.08	17	-1.17	17	0.01	17
1276	-403	-435	Min.	2.51	-2186.99	18	46.26	10	-3.78	19	-76.32	18	-1.01	17	0.00	16
1276	-403	-435	Min.	16.87	-2185.69	18	44.44	16	4.87	10	-75.01	18	-7.95	18	0.00	16
1276	-435	-467	Max	2.51	-1172.57	17	85.32	19	-1.20	16	0.27	17	2.61	18	0.01	17
1276	-435	-467	Max	16.87	-1171.25	17	85.32	19	8.75	19	0.30	17	-0.92	17	0.01	17
1276	-435	-467	Min.	2.51	-2364.69	18	49.06	16	-3.51	19	-71.66	18	-0.96	17	0.00	16
1276	-435	-467	Min.	16.87	-2363.39	18	46.92	16	5.52	10	-70.35	18	-7.59	18	0.00	16
1276	-467	-499	Max	2.51	-1172.46	17	65.27	19	-0.72	16	-20.16	17	2.42	9	-0.00	17
1276	-467	-499	Max	16.87	-1171.14	17	65.27	19	6.57	19	-20.13	17	-3.63	17	-0.00	17
1276	-467	-499	Min.	2.51	-2546.41	18	30.99	16	-2.80	19	-112.39	18	-0.73	17	-0.01	18
1276	-467	-499	Min.	16.87	-2545.11	18	28.86	16	3.57	16	-111.08	18	-13.65	18	-0.01	18
1276	-499	1331	Max	2.51	-1181.59	17	192.72	18	-1.03	16	123.25	19	-1.62	10	-0.01	16
1276	-499	1331	Max	14.38	-1180.49	17	192.03	19	21.09	18	123.27	19	12.05	19	-0.01	16
1276	-499	1331	Min.	2.51	-2725.70	18	128.49	10	-2.20	19	70.52	16	-2.58	19	-0.02	19
1276	-499	1331	Min.	14.38	-2724.63	18	128.49	10	14.00	17	72.31	16	6.72	16	-0.02	19
1277	376	-27	Max	4.85	0.00	9	0.00	9	0.00	9	0.00	9	0.00	9	0.00	9
1277	376	-27	Min.	4.85	0.00	9	0.00	9	0.00	9	0.00	9	0.00	9	0.00	9
1277	-27	-59	Max	4.85	0.00	9	0.00	9	0.00	9	0.00	9	0.00	9	0.00	9
1277	-27	-59	Min.	4.85	0.00	9	0.00	9	0.00	9	0.00	9	0.00	9	0.00	9
1277	-59	-91	Max	5.01	-104.77	16	64.61	18	1.98	17	81.34	19	-4.17	10	0.05	18
1277	-59	-91	Max	16.87	-103.68	16	64.61	18	0.93	18	81.37	19	1.03	18	0.05	18
1277	-59	-91	Min.	5.01	-1269.45	17	-11.49	17	-6.74	18	40.08	10	-9.22	17	-0.00	17
1277	-59	-91	Min.	16.87	-1268.36	17	-11.49	17	0.50	10	40.11	10	-0.02	17	-0.00	17
1277	-91	-123	Max	2.51	-31.86	16	62.81	18	2.43	17	72.27	19	-2.75	10	0.03	18
1277	-91	-123	Max	16.87	-30.53	16	62.81	18	4.07	18	72.30	19	4.13	19	0.03	18
1277	-91	-123	Min.	2.51	-1169.21	17	-17.38	17	-4.96	18	35.83	10	-6.35	17	0.01	17
1277	-91	-123	Min.	16.87	-1167.88	17	-17.38	17	-0.06	17	35.86	10	2.40	10	0.01	17
1277	-123	-155	Max	2.51	59.84	16	63.13	18	2.14	17	73.44	19	-2.40	10	0.02	19
1277	-123	-155	Max	16.87	61.16	16	63.13	18	4.90	18	73.47	19	5.07	19	0.02	19
1277	-123	-155	Min.	2.51	-1042.01	17	-16.22	17	-4.17	18	36.86	10	-5.60	17	0.01	16
1277	-123	-155	Min.	16.87	-1040.68	17	-16.22	17	-0.19	17	36.89	10	2.90	10	0.01	16
1277	-155	-187	Max	2.51	156.84	16	63.69	18	2.01	17	74.20	19	-2.28	10	0.02	17
1277	-155	-187	Max	16.87	158.17	16	63.69	18	5.23	18	74.23	19	5.45	19	0.02	17
1277	-155	-187	Min.	2.51	-906.24	17	-15.07	17	-3.91	18	37.64	10	-5.32	17	0.00	16
1277	-155	-187	Min.	16.87	-904.92	17	-15.07	17	-0.15	17	37.67	10	3.13	10	0.00	16
1277	-187	-219	Max	2.51	256.14	16	64.24	18	1.94	17	74.94	19	-2.22	10	0.02	17
1277	-187	-219	Max	16.87	257.47	16	64.24	18	5.47	18	74.98	19	5.72	19	0.02	17
1277	-187	-219	Min.	2.51	-766.05	17	-13.99	17	-3.76	18	38.46	10	-5.14	17	0.00	16
1277	-187	-219	Min.	16.87	-764.72	17	-13.99	17	-0.08	17	38.49	10	3.31	10	0.00	16
1277	-219	-251	Max	2.51	357.13	16	64.88	18	1.86	17	75.83	19	-2.17	10	0.02	17
1277	-219	-251	Max	16.87	358.45	16	64.88	18	5.70	18	75.86	19	5.97	19	0.02	17
1277	-219	-251	Min.	2.51	-622.15	17	-12.86	17	-3.62	18	39.34	10	-5.00	17	0.00	16
1277	-219	-251	Min.	16.87	-620.83	17	-12.86	17	0.01	17	39.37	10	3.48	10	0.00	16
1277	-251	-283	Max	2.51	459.74	16	65.61	18	1.79	17	76.78	19	-2.12	10	0.02	17
1277	-251	-283	Max	16.87	461.07	16	65.61	18	5.94	18	76.82	19	6.24	19	0.02	17

1277	-251	-283	Min.	2.51	-474.52	17	-11.73	17	-3.48	18	40.29	10	-4.85	17	0.00	16
1277	-251	-283	Min.	16.87	-473.19	17	-11.73	17	0.10	17	40.32	10	3.67	10	0.00	16
1277	-283	-315	Max	2.51	564.10	16	66.33	18	1.72	17	77.79	19	-2.06	10	0.02	17
1277	-283	-315	Max	16.87	565.43	16	66.33	18	6.20	18	77.82	19	6.53	19	0.02	17
1277	-283	-315	Min.	2.51	-322.92	17	-10.56	17	-3.32	18	41.26	10	-4.69	17	0.00	16
1277	-283	-315	Min.	16.87	-321.59	17	-10.56	17	0.20	17	41.29	10	3.87	10	0.00	16
1277	-315	-347	Max	2.51	670.28	16	67.12	18	1.65	17	78.82	19	-1.91	16	0.02	17
1277	-315	-347	Max	16.87	671.61	16	67.12	18	6.49	18	78.85	19	6.84	19	0.02	17
1277	-315	-347	Min.	2.51	-167.09	17	-9.39	17	-3.16	18	42.25	10	-4.52	17	0.00	16
1277	-315	-347	Min.	16.87	-165.76	17	-9.39	17	0.30	17	42.28	10	4.08	10	0.00	16
1277	-347	-379	Max	2.51	813.14	18	67.98	18	1.59	17	80.00	19	-1.74	16	0.02	17
1277	-347	-379	Max	16.87	814.47	18	67.98	18	6.79	18	80.03	19	7.19	19	0.02	17
1277	-347	-379	Min.	2.51	-6.72	17	-8.17	17	-2.97	18	43.35	10	-4.34	17	0.00	16
1277	-347	-379	Min.	16.87	-5.40	17	-8.17	17	0.41	17	43.38	10	4.31	10	0.00	16
1277	-379	-411	Max	2.51	972.04	18	68.98	18	1.53	17	81.20	19	-1.54	16	0.02	17
1277	-379	-411	Max	16.87	973.37	18	68.98	18	7.14	18	81.23	19	7.56	19	0.02	17
1277	-379	-411	Min.	2.51	158.55	17	-6.94	17	-2.77	18	44.45	10	-4.14	17	0.00	16
1277	-379	-411	Min.	16.87	159.88	17	-6.94	17	0.53	17	44.49	10	4.56	10	0.00	16
1277	-411	-443	Max	2.51	1137.23	18	69.45	18	1.47	17	82.66	19	-1.34	16	0.02	17
1277	-411	-443	Max	16.87	1138.56	18	69.45	18	7.44	18	82.69	19	7.99	19	0.02	17
1277	-411	-443	Min.	2.51	329.03	17	-5.88	17	-2.54	18	45.20	16	-3.92	17	0.00	16
1277	-411	-443	Min.	16.87	330.36	17	-5.88	17	0.62	17	45.23	16	4.85	10	0.00	16
1277	-443	-475	Max	2.51	1308.84	18	74.21	18	1.40	17	83.24	19	-1.09	16	0.02	17
1277	-443	-475	Max	16.87	1310.17	18	74.21	18	8.38	18	83.27	19	8.38	19	0.02	17
1277	-443	-475	Min.	2.51	504.75	17	-3.13	17	-2.28	18	43.36	16	-3.63	17	0.00	16
1277	-443	-475	Min.	16.87	506.07	17	-3.13	17	0.95	17	43.39	16	5.11	10	0.00	16
1277	-475	-507	Max	2.51	1485.40	18	50.54	18	1.39	17	90.41	19	-0.83	16	0.02	17
1277	-475	-507	Max	16.87	1486.72	18	50.54	18	5.69	18	90.44	19	9.92	19	0.02	17
1277	-475	-507	Min.	2.51	683.53	17	-11.59	17	-1.69	9	51.20	10	-3.14	17	-0.01	18
1277	-475	-507	Min.	16.87	684.86	17	-11.59	17	-0.28	17	51.23	10	6.04	10	-0.01	18
1277	-507	1351	Max	2.51	1654.22	18	196.29	18	0.29	17	56.41	19	1.09	16	0.03	17
1277	-507	1351	Max	14.38	1655.32	18	196.29	18	21.59	18	56.44	19	6.35	19	0.03	17
1277	-507	1351	Min.	2.51	848.94	17	47.04	17	-1.72	18	-11.09	16	-0.81	17	-0.01	9
1277	-507	1351	Min.	14.38	850.03	17	47.04	17	5.87	17	-11.07	16	-0.22	16	-0.01	9
1278	382	-31	Max	4.85	0.00	9	0.00	9	0.00	9	0.00	9	0.00	9	0.00	9
1278	382	-31	Min.	4.85	0.00	9	0.00	9	0.00	9	0.00	9	0.00	9	0.00	9
1278	-31	-63	Max	4.85	0.00	9	0.00	9	0.00	9	0.00	9	0.00	9	0.00	9
1278	-31	-63	Min.	4.85	0.00	9	0.00	9	0.00	9	0.00	9	0.00	9	0.00	9
1278	-63	-95	Max	5.01	-188.29	16	39.30	18	3.01	17	60.45	17	-2.77	10	0.02	16
1278	-63	-95	Max	16.87	-187.20	16	39.30	18	0.88	18	60.47	17	0.59	16	0.02	16
1278	-63	-95	Min.	5.01	-1159.04	17	-20.25	17	-3.79	18	24.73	10	-7.47	17	-0.01	17
1278	-63	-95	Min.	16.87	-1157.94	17	-20.25	17	0.48	10	24.76	10	-0.29	17	-0.01	17
1278	-95	-127	Max	2.51	-126.34	16	36.34	18	3.24	17	52.06	17	-1.80	10	0.00	16
1278	-95	-127	Max	16.87	-125.01	16	36.34	18	2.73	18	52.09	17	2.62	16	0.00	16
1278	-95	-127	Min.	2.51	-1081.86	17	-26.16	17	-2.49	18	21.25	10	-5.13	17	-0.00	17
1278	-95	-127	Min.	16.87	-1080.53	17	-26.16	17	-0.52	17	21.28	10	1.25	10	-0.00	17
1278	-127	-159	Max	2.51	-48.74	16	36.20	18	2.84	17	52.11	17	-1.60	10	0.00	17
1278	-127	-159	Max	16.87	-47.41	16	36.20	18	3.19	18	52.14	17	3.14	18	0.00	17
1278	-127	-159	Min.	2.51	-984.48	17	-25.13	17	-2.01	18	21.91	10	-4.54	17	-0.01	18
1278	-127	-159	Min.	16.87	-983.15	17	-25.13	17	-0.77	17	21.94	10	1.55	10	-0.01	18
1278	-159	-191	Max	2.51	32.93	16	36.15	18	2.69	17	51.86	17	-1.54	10	0.01	17
1278	-159	-191	Max	16.87	34.25	16	36.15	18	3.36	18	51.89	17	3.33	18	0.01	17
1278	-159	-191	Min.	2.51	-881.21	17	-24.18	17	-1.83	18	22.39	10	-4.31	17	-0.01	18
1278	-159	-191	Min.	16.87	-879.88	17	-24.18	17	-0.78	17	22.42	10	1.68	10	-0.01	18
1278	-191	-223	Max	2.51	116.05	16	36.08	18	2.59	17	51.52	17	-1.51	10	0.01	17
1278	-191	-223	Max	16.87	117.38	16	36.08	18	3.47	18	51.55	17	3.46	18	0.01	17
1278	-191	-223	Min.	2.51	-775.28	17	-23.32	17	-1.72	18	22.86	10	-4.16	17	-0.01	18
1278	-191	-223	Min.	16.87	-773.95	17	-23.32	17	-0.76	17	22.89	10	1.78	10	-0.01	18
1278	-223	-255	Max	2.51	200.08	16	36.06	18	2.50	17	51.29	17	-1.48	10	0.01	17

1278	-223	-255	Max	16.87	201.40	16	36.06	18	3.57	18	51.32	17	3.58	18	0.01	17
1278	-223	-255	Min.	2.51	-667.32	17	-22.39	17	-1.61	18	23.39	10	-4.04	17	-0.01	18
1278	-223	-255	Min.	16.87	-665.99	17	-22.39	17	-0.71	17	23.42	10	1.88	10	-0.01	18
1278	-255	-287	Max	2.51	284.92	16	36.09	18	2.42	17	51.06	17	-1.46	10	0.01	17
1278	-255	-287	Max	16.87	286.25	16	36.09	18	3.68	18	51.09	17	3.70	18	0.01	17
1278	-255	-287	Min.	2.51	-557.35	17	-21.49	17	-1.51	18	23.95	10	-3.91	17	-0.01	18
1278	-255	-287	Min.	16.87	-556.03	17	-21.49	17	-0.67	17	23.98	10	1.99	10	-0.01	18
1278	-287	-319	Max	2.51	370.63	16	36.09	18	2.33	17	50.84	17	-1.43	10	0.01	17
1278	-287	-319	Max	16.87	371.96	16	36.09	18	3.79	18	50.87	17	3.84	18	0.01	17
1278	-287	-319	Min.	2.51	-445.29	17	-20.56	17	-1.39	18	24.53	10	-3.77	17	-0.01	18
1278	-287	-319	Min.	16.87	-443.96	17	-20.56	17	-0.62	17	24.56	10	2.10	10	-0.01	18
1278	-319	-351	Max	2.51	457.24	16	36.12	18	2.24	17	50.65	17	-1.39	10	0.01	17
1278	-319	-351	Max	16.87	458.56	16	36.12	18	3.91	18	50.68	17	4.01	19	0.01	17
1278	-319	-351	Min.	2.51	-330.97	17	-19.63	17	-1.28	18	25.11	10	-3.63	17	-0.01	18
1278	-319	-351	Min.	16.87	-329.65	17	-19.63	17	-0.58	17	25.14	10	2.22	10	-0.01	18
1278	-351	-383	Max	2.51	544.77	16	36.20	18	2.16	17	50.90	19	-1.35	10	0.01	17
1278	-351	-383	Max	16.87	546.10	16	36.20	18	4.05	18	50.93	19	4.19	19	0.01	17
1278	-351	-383	Min.	2.51	-214.26	17	-18.67	17	-1.15	18	25.76	10	-3.48	17	-0.01	18
1278	-351	-383	Min.	16.87	-212.93	17	-18.67	17	-0.53	17	25.79	10	2.35	10	-0.01	18
1278	-383	-415	Max	2.51	633.37	16	36.30	18	2.07	17	51.36	19	-1.30	10	0.01	17
1278	-383	-415	Max	16.87	634.69	16	36.30	18	4.20	18	51.39	19	4.39	19	0.01	17
1278	-383	-415	Min.	2.51	-94.95	17	-17.72	17	-1.02	18	26.43	10	-3.32	17	-0.01	18
1278	-383	-415	Min.	16.87	-93.62	17	-17.72	17	-0.48	17	26.46	10	2.49	10	-0.01	18
1278	-415	-447	Max	2.51	723.07	16	36.09	18	1.98	17	51.92	19	-1.21	16	0.01	17
1278	-415	-447	Max	16.87	724.40	16	36.09	18	4.32	18	51.95	19	4.63	19	0.01	17
1278	-415	-447	Min.	2.51	27.11	17	-16.86	17	-0.87	18	27.17	10	-3.15	17	-0.02	18
1278	-415	-447	Min.	16.87	28.44	17	-16.86	17	-0.45	17	27.20	10	2.66	10	-0.02	18
1278	-447	-479	Max	2.51	813.79	16	38.65	18	1.87	17	52.16	19	-1.00	16	0.01	17
1278	-447	-479	Max	16.87	815.12	16	38.65	18	4.84	18	52.19	19	4.86	19	0.01	17
1278	-447	-479	Min.	2.51	151.83	17	-14.91	17	-0.72	18	27.75	10	-2.93	17	-0.02	18
1278	-447	-479	Min.	16.87	153.16	17	-14.91	17	-0.27	17	27.78	10	2.82	10	-0.02	18
1278	-479	-511	Max	2.51	904.59	16	22.57	18	1.74	17	54.90	19	-0.78	16	0.01	17
1278	-479	-511	Max	16.87	905.92	16	22.57	18	2.92	18	54.93	19	5.88	18	0.01	17
1278	-479	-511	Min.	2.51	277.54	17	-20.40	17	-0.42	9	29.64	10	-2.55	17	-0.02	18
1278	-479	-511	Min.	16.87	278.87	17	-20.40	17	-1.19	17	29.67	10	3.25	10	-0.02	18
1278	-511	1357	Max	2.51	990.18	16	117.29	18	0.58	17	41.38	19	0.76	16	0.02	17
1278	-511	1357	Max	14.38	991.28	16	117.29	18	13.15	18	41.41	19	4.30	19	0.02	17
1278	-511	1357	Min.	2.51	391.84	17	18.63	17	-0.78	18	-9.61	16	-0.92	17	-0.02	18
1278	-511	1357	Min.	14.38	392.94	17	18.63	17	2.79	17	-9.58	16	-0.38	16	-0.02	18
1279	355	-21	Max	4.85	0.00	9	0.00	9	0.00	9	0.00	9	0.00	9	0.00	9
1279	355	-21	Min.	4.85	0.00	9	0.00	9	0.00	9	0.00	9	0.00	9	0.00	9
1279	-21	-53	Max	4.85	0.00	9	0.00	9	0.00	9	0.00	9	0.00	9	0.00	9
1279	-21	-53	Min.	4.85	0.00	9	0.00	9	0.00	9	0.00	9	0.00	9	0.00	9
1279	-53	-85	Max	5.01	-473.44	16	70.02	19	-3.91	10	26.52	17	5.52	18	0.05	17
1279	-53	-85	Max	16.87	-472.39	16	70.02	19	1.11	18	26.54	17	-0.68	10	0.05	17
1279	-53	-85	Min.	5.01	-1469.06	17	38.27	10	-7.74	19	-56.89	18	-4.14	17	0.02	10
1279	-53	-85	Min.	16.87	-1467.96	17	38.27	10	0.02	17	-55.81	18	-1.18	19	0.02	10
1279	-85	-117	Max	2.51	-540.15	16	76.70	19	-3.31	10	15.36	17	4.87	18	0.03	17
1279	-85	-117	Max	16.87	-538.88	16	76.70	19	4.35	18	15.39	17	-0.11	17	0.03	17
1279	-85	-117	Min.	2.51	-1441.36	17	41.24	10	-6.79	19	-63.50	18	-2.32	17	0.01	10
1279	-85	-117	Min.	16.87	-1440.03	17	41.24	10	2.61	10	-62.19	18	-4.16	18	0.01	10
1279	-117	-149	Max	2.51	-625.43	16	77.12	19	-2.86	10	14.61	17	4.07	18	0.01	17
1279	-117	-149	Max	16.87	-624.15	16	77.12	19	5.24	19	14.64	17	-0.01	17	0.01	17
1279	-117	-149	Min.	2.51	-1437.97	19	42.05	10	-5.84	19	-63.67	18	-2.11	17	0.00	16
1279	-117	-149	Min.	16.87	-1436.65	19	42.05	10	3.18	10	-62.36	18	-4.98	18	0.00	16
1279	-149	-181	Max	2.51	-716.07	16	78.09	19	-2.74	10	13.45	17	3.83	18	0.01	17
1279	-149	-181	Max	16.87	-714.79	16	78.09	19	5.64	19	13.48	17	-0.05	17	0.01	17
1279	-149	-181	Min.	2.51	-1481.59	19	43.05	10	-5.57	19	-64.29	18	-1.98	17	-0.01	18
1279	-149	-181	Min.	16.87	-1480.27	19	43.05	10	3.44	10	-62.98	18	-5.31	18	-0.01	18

1279	-181	-213	Max	2.51	-809.08	16	78.96	19	-2.69	10	12.29	17	3.68	18	0.00	17
1279	-181	-213	Max	16.87	-807.80	16	78.96	19	5.92	19	12.32	17	-0.12	17	0.00	17
1279	-181	-213	Min.	2.51	-1529.55	19	44.03	10	-5.42	19	-64.91	18	-1.89	17	-0.01	18
1279	-181	-213	Min.	16.87	-1528.23	19	44.03	10	3.64	10	-63.60	18	-5.55	18	-0.01	18
1279	-213	-245	Max	2.51	-903.83	16	80.03	19	-2.65	10	11.14	17	3.56	18	0.00	17
1279	-213	-245	Max	16.87	-902.55	16	80.03	19	6.19	19	11.17	17	-0.20	17	0.00	17
1279	-213	-245	Min.	2.51	-1581.79	19	45.10	10	-5.30	19	-65.58	18	-1.80	17	-0.01	18
1279	-213	-245	Min.	16.87	-1580.46	19	45.10	10	3.83	10	-64.27	18	-5.77	18	-0.01	18
1279	-245	-277	Max	2.51	-1000.29	16	81.13	19	-2.60	10	9.88	17	3.43	18	0.00	17
1279	-245	-277	Max	16.87	-999.01	16	81.13	19	6.48	19	9.91	17	-0.29	17	0.00	17
1279	-245	-277	Min.	2.51	-1638.59	19	46.22	10	-5.17	19	-66.38	18	-1.71	17	-0.01	18
1279	-245	-277	Min.	16.87	-1637.27	19	46.22	10	4.04	10	-65.07	18	-6.01	18	-0.01	18
1279	-277	-309	Max	2.51	-1098.56	16	82.31	19	-2.55	10	8.66	17	3.29	18	0.00	17
1279	-277	-309	Max	16.87	-1097.28	16	82.31	19	6.80	19	8.69	17	-0.39	17	0.00	17
1279	-277	-309	Min.	2.51	-1700.29	19	47.39	10	-5.03	19	-67.19	18	-1.63	17	-0.01	18
1279	-277	-309	Min.	16.87	-1698.96	19	47.39	10	4.26	10	-65.88	18	-6.27	18	-0.01	18
1279	-309	-341	Max	2.51	-1198.72	16	83.55	19	-2.44	16	7.47	17	3.13	18	0.01	17
1279	-309	-341	Max	16.87	-1197.44	16	83.55	19	7.13	19	7.50	17	-0.48	17	0.01	17
1279	-309	-341	Min.	2.51	-1767.18	19	48.59	10	-4.87	19	-67.97	18	-1.56	17	-0.01	18
1279	-309	-341	Min.	16.87	-1765.86	19	48.59	10	4.50	10	-66.66	18	-6.54	18	-0.01	18
1279	-341	-373	Max	2.51	-1212.21	17	84.91	19	-2.26	16	6.12	17	2.97	18	0.01	17
1279	-341	-373	Max	16.87	-1210.89	17	84.91	19	7.50	19	6.15	17	-0.59	17	0.01	17
1279	-341	-373	Min.	2.51	-1892.89	18	49.90	10	-4.70	19	-68.99	18	-1.47	17	-0.01	18
1279	-341	-373	Min.	16.87	-1891.59	18	49.90	10	4.75	10	-67.68	18	-6.85	18	-0.01	18
1279	-373	-405	Max	2.51	-1192.44	17	86.38	19	-2.06	16	4.93	17	2.78	18	0.01	17
1279	-373	-405	Max	16.87	-1191.11	17	86.38	19	7.90	19	4.96	17	-0.69	17	0.01	17
1279	-373	-405	Min.	2.51	-2045.92	18	51.28	10	-4.51	19	-69.82	18	-1.40	17	-0.01	18
1279	-373	-405	Min.	16.87	-2044.62	18	50.88	16	5.04	10	-68.51	18	-7.16	18	-0.01	18
1279	-405	-437	Max	2.51	-1175.24	17	87.56	19	-1.86	16	3.19	17	2.58	18	0.01	17
1279	-405	-437	Max	16.87	-1173.91	17	87.56	19	8.29	19	3.22	17	-0.85	17	0.01	17
1279	-405	-437	Min.	2.51	-2205.21	18	52.45	10	-4.29	19	-71.69	18	-1.31	17	-0.01	18
1279	-405	-437	Min.	16.87	-2203.92	18	50.52	16	5.31	10	-70.38	18	-7.63	18	-0.01	18
1279	-437	-469	Max	2.51	-1161.04	17	92.21	19	-1.62	16	4.54	17	2.29	18	0.01	17
1279	-437	-469	Max	16.87	-1159.71	17	92.21	19	9.25	19	4.57	17	-0.59	17	0.01	17
1279	-437	-469	Min.	2.51	-2371.21	18	55.18	16	-4.00	19	-67.13	18	-1.24	17	-0.01	18
1279	-437	-469	Min.	16.87	-2369.91	18	53.05	16	5.98	10	-65.82	18	-7.26	18	-0.01	18
1279	-469	-501	Max	2.51	-1149.79	17	72.43	19	-1.12	16	-15.34	17	2.13	9	-0.01	17
1279	-469	-501	Max	16.87	-1148.46	17	72.43	19	7.14	19	-15.31	17	-3.19	17	-0.01	17
1279	-469	-501	Min.	2.51	-2540.88	18	37.21	16	-3.27	19	-107.47	18	-0.99	17	-0.03	18
1279	-469	-501	Min.	16.87	-2539.58	18	35.08	16	4.07	16	-106.16	18	-13.24	18	-0.03	18
1279	-501	1334	Max	2.51	-1148.54	17	202.10	18	-1.24	16	126.92	19	-1.74	10	-0.02	16
1279	-501	1334	Max	14.38	-1147.45	17	201.04	18	21.93	18	126.94	19	12.37	19	-0.02	16
1279	-501	1334	Min.	2.51	-2709.05	18	135.92	10	-2.45	19	74.05	16	-2.70	19	-0.03	19
1279	-501	1334	Min.	14.38	-2707.98	18	135.92	10	14.37	17	75.84	16	7.02	16	-0.03	19
1300	1299	1300	Max	1.77	157.97	19	1.22	9	7.22	19	2.85	17	0.61	9	0.00	9
1300	1299	1300	Max	10.00	157.97	19	1.98	9	5.27	19	2.85	17	0.61	19	0.00	9
1300	1299	1300	Min.	1.77	64.26	16	-41.11	17	0.57	16	-0.08	16	0.10	17	-0.04	17
1300	1299	1300	Min.	10.00	64.26	16	-40.35	17	0.69	16	-0.08	16	0.30	16	-0.04	17
1300	1300	1301	Max	0.00	157.97	19	1.98	9	5.27	19	2.85	17	0.61	19	0.00	9
1300	1300	1301	Max	8.23	157.97	19	2.74	9	5.44	9	2.85	17	0.75	19	0.00	9
1300	1300	1301	Min.	0.00	64.26	16	-40.35	17	0.69	16	-0.08	16	0.30	16	-0.04	17
1300	1300	1301	Min.	8.23	64.26	16	-39.59	17	-0.45	17	-0.08	16	0.29	16	-0.04	17
1302	1319	1320	Max	1.77	-105.64	16	2.03	17	-0.28	16	2.87	9	-3.30	17	0.05	17
1302	1319	1320	Max	10.00	-105.64	16	2.03	17	-0.30	16	3.63	9	-6.06	16	0.05	17
1302	1319	1320	Min.	1.77	-206.00	19	-0.34	9	-0.69	19	-36.90	17	-11.59	9	0.00	16
1302	1319	1320	Min.	10.00	-206.00	19	-0.34	9	-0.61	19	-36.14	17	-11.34	19	0.00	16
1302	1320	1321	Max	0.00	-105.64	16	2.03	17	-0.30	16	3.63	9	-6.06	16	0.05	17
1302	1320	1321	Max	8.23	-105.64	16	2.03	17	-0.17	17	4.40	9	-5.82	16	0.05	17
1302	1320	1321	Min.	0.00	-206.00	19	-0.34	9	-0.61	19	-36.14	17	-11.34	19	0.00	16

1302	1320	1321	Min.	8.23	-206.00	19	-0.34	9	-0.64	9	-35.38	17	-12.92	19	0.00	16
1344	1331	1332	Max	1.77	-113.94	17	2.70	18	-3.30	17	2.03	17	-0.45	10	0.00	16
1344	1331	1332	Max	10.00	-113.94	17	3.46	18	-6.32	17	2.03	17	-0.34	17	0.00	16
1344	1331	1332	Min.	1.77	-231.00	18	-37.10	17	-12.91	18	-0.37	18	-0.69	19	-0.05	17
1344	1331	1332	Min.	10.00	-231.00	18	-36.34	17	-12.66	18	-0.37	18	-0.69	18	-0.05	17
1344	1332	1333	Max	0.00	-113.94	17	3.46	18	-6.32	17	2.03	17	-0.34	17	0.00	16
1344	1332	1333	Max	8.23	-113.94	17	4.22	18	-8.25	16	2.03	17	-0.17	17	0.00	16
1344	1332	1333	Min.	0.00	-231.00	18	-36.34	17	-12.66	18	-0.37	18	-0.69	18	-0.05	17
1344	1332	1333	Min.	8.23	-231.00	18	-35.58	17	-12.96	19	-0.37	18	-0.72	18	-0.05	17
1346	1351	1352	Max	1.77	188.01	18	2.88	17	0.69	18	0.76	16	7.28	19	0.04	17
1346	1351	1352	Max	10.00	188.01	18	2.88	17	0.69	18	1.52	16	7.11	18	0.04	17
1346	1351	1352	Min.	1.77	85.67	17	-0.01	16	0.10	17	-41.35	17	3.94	10	-0.01	18
1346	1351	1352	Min.	10.00	85.67	17	-0.01	16	0.33	17	-40.59	17	2.86	17	-0.01	18
1346	1352	1353	Max	0.00	188.01	18	2.88	17	0.69	18	1.52	16	7.11	18	0.04	17
1346	1352	1353	Max	8.23	188.01	18	2.88	17	0.75	19	2.28	16	7.26	18	0.04	17
1346	1352	1353	Min.	0.00	85.67	17	-0.01	16	0.33	17	-40.59	17	2.86	17	-0.01	18
1346	1352	1353	Min.	8.23	85.67	17	-0.01	16	0.47	10	-39.83	17	-0.45	17	-0.01	18
1384	1328	1340	Max	1.77	21.54	17	-1.25	17	0.29	19	78.78	18	-3.01	17	-0.16	17
1384	1328	1340	Max	10.00	21.54	17	-1.25	17	0.12	17	79.54	18	-0.39	17	-0.16	17
1384	1328	1340	Min.	1.77	-10.03	18	-3.53	18	0.18	10	31.49	17	-7.60	18	-0.39	18
1384	1328	1340	Min.	10.00	-10.03	18	-3.53	18	-0.01	16	32.25	17	-1.09	9	-0.39	18
1384	1340	1348	Max	0.00	21.54	17	-1.25	17	0.12	17	79.54	18	-0.39	17	-0.16	17
1384	1340	1348	Max	8.23	21.54	17	-1.25	17	0.02	17	80.30	18	5.50	18	-0.16	17
1384	1340	1348	Min.	0.00	-10.03	18	-3.53	18	-0.01	16	32.25	17	-1.09	9	-0.39	18
1384	1340	1348	Min.	8.23	-10.03	18	-3.53	18	-0.30	18	33.01	17	2.30	17	-0.39	18
1387	1330	1341	Max	1.77	-5.23	16	82.67	18	-4.57	17	-2.21	17	0.36	18	0.38	18
1387	1330	1341	Max	10.00	-5.23	16	83.43	18	-0.92	16	-2.21	17	0.01	16	0.38	18
1387	1330	1341	Min.	1.77	-36.08	17	36.38	17	-8.67	18	-4.31	18	0.06	17	0.15	17
1387	1330	1341	Min.	10.00	-36.08	17	37.14	17	-2.21	19	-4.31	18	-0.12	17	0.15	17
1387	1341	1350	Max	0.00	-5.23	16	83.43	18	-0.92	16	-2.21	17	0.01	16	0.38	18
1387	1341	1350	Max	8.23	-5.23	16	84.20	18	5.06	18	-2.21	17	-0.22	10	0.38	18
1387	1341	1350	Min.	0.00	-36.08	17	37.14	17	-2.21	19	-4.31	18	-0.12	17	0.15	17
1387	1341	1350	Min.	8.23	-36.08	17	37.90	17	1.54	17	-4.31	18	-0.37	19	0.15	17
1422	1331	1342	Max	1.77	27.94	17	-3.07	17	0.59	19	140.10	18	-6.46	17	-0.30	17
1422	1331	1342	Max	10.00	27.94	17	-3.07	17	0.17	17	140.86	18	-1.00	17	-0.30	17
1422	1331	1342	Min.	1.77	-25.40	9	-6.84	18	0.36	16	65.98	17	-14.40	18	-0.63	18
1422	1331	1342	Min.	10.00	-25.40	9	-6.84	18	-0.01	18	66.74	17	-3.09	9	-0.63	18
1422	1342	1351	Max	0.00	27.94	17	-3.07	17	0.17	17	140.86	18	-1.00	17	-0.30	17
1422	1342	1351	Max	8.23	27.94	17	-3.07	17	-0.08	17	141.62	18	8.80	18	-0.30	17
1422	1342	1351	Min.	0.00	-25.40	9	-6.84	18	-0.01	18	66.74	17	-3.09	9	-0.63	18
1422	1342	1351	Min.	8.23	-25.40	9	-6.84	18	-0.57	18	67.50	17	4.52	17	-0.63	18
1425	1333	1343	Max	1.77	-8.81	16	142.13	18	-8.29	17	-3.92	17	0.61	18	0.63	18
1425	1333	1343	Max	10.00	-8.81	16	142.89	18	-1.24	16	-3.92	17	0.01	9	0.63	18
1425	1333	1343	Min.	1.77	-54.52	17	70.22	17	-14.44	18	-7.26	18	0.15	17	0.29	17
1425	1333	1343	Min.	10.00	-54.52	17	70.98	17	-3.45	19	-7.26	18	-0.17	17	0.29	17
1425	1343	1353	Max	0.00	-8.81	16	142.89	18	-1.24	16	-3.92	17	0.01	9	0.63	18
1425	1343	1353	Max	8.23	-8.81	16	143.65	18	9.09	18	-3.92	17	-0.39	16	0.63	18
1425	1343	1353	Min.	0.00	-54.52	17	70.98	17	-3.45	19	-7.26	18	-0.17	17	0.29	17
1425	1343	1353	Min.	8.23	-54.52	17	71.74	17	3.40	17	-7.26	18	-0.65	19	0.29	17
1460	1334	1344	Max	1.77	32.50	17	-3.19	17	0.64	19	142.20	18	-6.37	17	-0.29	17
1460	1334	1344	Max	10.00	32.50	17	-3.19	17	0.19	17	142.96	18	-0.93	17	-0.29	17
1460	1334	1344	Min.	1.77	-20.02	9	-7.25	18	0.41	16	65.67	17	-14.49	18	-0.63	18
1460	1334	1344	Min.	10.00	-20.02	9	-7.25	18	0.01	16	66.43	17	-3.02	9	-0.63	18
1460	1344	1354	Max	0.00	32.50	17	-3.19	17	0.19	17	142.96	18	-0.93	17	-0.29	17
1460	1344	1354	Max	8.23	32.50	17	-3.19	17	-0.07	17	143.72	18	9.05	18	-0.29	17
1460	1344	1354	Min.	0.00	-20.02	9	-7.25	18	0.01	16	66.43	17	-3.02	9	-0.63	18
1460	1344	1354	Min.	8.23	-20.02	9	-7.25	18	-0.58	18	67.19	17	4.57	17	-0.63	18
1463	1336	1345	Max	1.77	-13.81	16	140.04	18	-8.16	17	-3.67	17	0.55	18	0.63	18
1463	1336	1345	Max	10.00	-13.81	16	140.80	18	-1.31	16	-3.67	17	-0.01	10	0.63	18

1463	1336	1345	Min.	1.77	-58.89	17	68.03	17	-14.35	18	-6.85	18	0.11	17	0.29	17
1463	1336	1345	Min.	10.00	-58.89	17	68.79	17	-3.52	19	-6.85	18	-0.19	17	0.29	17
1463	1345	1356	Max	0.00	-13.81	16	140.80	18	-1.31	16	-3.67	17	-0.01	10	0.63	18
1463	1345	1356	Max	8.23	-13.81	16	141.56	18	8.84	18	-3.67	17	-0.39	16	0.63	18
1463	1345	1356	Min.	0.00	-58.89	17	68.79	17	-3.52	19	-6.85	18	-0.19	17	0.29	17
1463	1345	1356	Min.	8.23	-58.89	17	69.55	17	3.17	17	-6.85	18	-0.64	19	0.29	17
1498	1337	1346	Max	1.77	20.47	17	-1.68	17	0.36	18	82.76	18	-3.75	17	-0.16	17
1498	1337	1346	Max	10.00	20.47	17	-1.68	17	0.13	17	83.52	18	-0.86	17	-0.16	17
1498	1337	1346	Min.	1.77	-14.37	9	-4.31	18	0.23	10	34.74	17	-8.71	18	-0.38	18
1498	1337	1346	Min.	10.00	-14.37	9	-4.31	18	0.00	9	35.50	17	-2.02	9	-0.38	18
1498	1346	1357	Max	0.00	20.47	17	-1.68	17	0.13	17	83.52	18	-0.86	17	-0.16	17
1498	1346	1357	Max	8.23	20.47	17	-1.68	17	-0.01	17	84.28	18	5.04	18	-0.16	17
1498	1346	1357	Min.	0.00	-14.37	9	-4.31	18	0.00	9	35.50	17	-2.02	9	-0.38	18
1498	1346	1357	Min.	8.23	-14.37	9	-4.31	18	-0.35	18	36.27	17	2.10	17	-0.38	18
1501	1339	1347	Max	1.77	-7.93	10	78.74	18	-3.83	17	-1.92	17	0.28	18	0.39	18
1501	1339	1347	Max	10.00	-7.93	10	79.51	18	-0.57	16	-1.92	17	-0.00	9	0.39	18
1501	1339	1347	Min.	1.77	-33.12	17	35.93	17	-7.57	18	-3.53	18	0.03	17	0.16	17
1501	1339	1347	Min.	10.00	-33.12	17	36.69	17	-1.21	19	-3.53	18	-0.13	17	0.16	17
1501	1347	1359	Max	0.00	-7.93	10	79.51	18	-0.57	16	-1.92	17	-0.00	9	0.39	18
1501	1347	1359	Max	8.23	-7.93	10	80.27	18	5.52	18	-1.92	17	-0.18	10	0.39	18
1501	1347	1359	Min.	0.00	-33.12	17	36.69	17	-1.21	19	-3.53	18	-0.13	17	0.16	17
1501	1347	1359	Min.	8.23	-33.12	17	37.45	17	2.22	17	-3.53	18	-0.32	19	0.16	17
1519	1032	1324	Max	8.49	47.85	17	-11.02	17	1.90	9	-1322.54	16	115.32	19	24.08	9
1519	1032	1324	Max	11.31	47.85	17	-11.02	17	0.67	9	-1322.80	16	40.02	19	24.08	9
1519	1032	1324	Min.	8.49	-7.23	16	-43.47	9	0.55	17	-2662.15	19	53.58	16	8.94	17
1519	1032	1324	Min.	11.31	-7.23	16	-43.47	9	0.23	17	-2662.41	19	16.17	16	8.94	17
1519	1302	1032	Max	2.83	-84.78	10	47.65	9	0.73	9	-313.28	16	-15.92	16	-8.74	17
1519	1302	1032	Max	5.66	-84.78	10	47.65	9	2.08	9	-313.54	16	-24.79	16	-8.74	17
1519	1302	1032	Min.	2.83	-138.67	19	6.54	17	0.17	17	-1522.08	19	-39.72	19	-24.23	9
1519	1302	1032	Min.	5.66	-138.67	19	6.54	17	0.36	17	-1522.34	19	-82.78	19	-24.23	9
1520	1029	1319	Max	8.49	-3.51	10	51.53	19	-0.94	16	-1204.77	17	108.09	9	-10.46	16
1520	1029	1319	Max	11.31	-3.51	10	51.53	19	-0.31	16	-1205.03	17	36.30	9	-10.46	16
1520	1029	1319	Min.	8.49	-54.06	17	22.24	16	-2.21	19	-2538.14	9	47.99	17	-26.62	19
1520	1029	1319	Min.	11.31	-54.06	17	22.24	16	-0.75	19	-2538.40	9	13.91	17	-26.62	19
1520	1301	1029	Max	2.83	-10.93	17	-23.65	16	-0.33	16	-310.46	16	-13.75	17	26.88	19
1520	1301	1029	Max	5.66	-10.93	17	-23.65	16	-1.00	16	-310.72	16	-24.62	16	26.88	19
1520	1301	1029	Min.	2.83	-126.52	18	-58.26	19	-0.85	19	-1396.72	9	-35.98	9	10.54	16
1520	1301	1029	Min.	5.66	-126.52	18	-58.26	19	-2.50	19	-1396.98	9	-75.48	9	10.54	16
1521	1299	1029	Max	2.83	-78.14	10	46.17	9	0.70	9	-296.87	16	-15.35	16	-9.32	17
1521	1299	1029	Max	5.66	-78.14	10	46.17	9	2.01	9	-297.13	16	-23.75	16	-9.32	17
1521	1299	1029	Min.	2.83	-131.85	19	6.89	17	0.17	17	-1511.12	19	-39.21	19	-24.59	9
1521	1299	1029	Min.	5.66	-131.85	19	6.89	17	0.37	17	-1511.38	19	-81.96	19	-24.59	9
1521	1029	1321	Max	8.49	42.26	17	-15.06	17	2.13	9	-1306.13	16	114.58	19	24.71	9
1521	1029	1321	Max	11.31	42.26	17	-15.06	17	0.74	9	-1306.39	16	39.51	19	24.71	9
1521	1029	1321	Min.	8.49	-14.09	18	-49.12	9	0.71	17	-2653.82	19	52.55	16	9.66	17
1521	1029	1321	Min.	11.31	-14.09	18	-49.12	9	0.29	17	-2654.08	19	15.60	16	9.66	17
1522	1035	1327	Max	8.49	43.74	17	-3.14	17	0.87	9	-234.59	16	55.74	19	13.37	9
1522	1035	1327	Max	11.31	43.74	17	-3.14	17	0.32	9	-234.85	16	19.75	19	13.37	9
1522	1035	1327	Min.	8.49	2.48	18	-19.27	9	0.19	16	-1272.08	19	7.87	16	2.65	16
1522	1035	1327	Min.	11.31	2.48	18	-19.27	9	0.06	16	-1272.34	19	1.23	16	2.65	16
1522	1305	1035	Max	2.83	-48.06	10	26.22	9	0.42	9	250.98	16	-1.11	16	-2.81	16
1522	1305	1035	Max	5.66	-48.06	10	26.22	9	1.16	9	250.72	16	5.99	16	-2.81	16
1522	1305	1035	Min.	2.83	-83.24	19	0.56	17	0.08	17	-706.63	19	-19.60	19	-13.63	9
1522	1305	1035	Min.	5.66	-83.24	19	0.56	17	0.10	17	-706.89	19	-39.59	19	-13.63	9
1523	1026	1318	Max	8.49	25.02	17	-7.30	17	1.19	9	-450.58	16	63.74	19	11.97	9
1523	1026	1318	Max	11.31	25.02	17	-7.30	17	0.41	9	-450.84	16	21.97	19	11.97	9
1523	1026	1318	Min.	8.49	-18.51	18	-27.65	9	0.31	16	-1476.78	19	16.86	16	0.83	16
1523	1026	1318	Min.	11.31	-18.51	18	-27.65	9	0.08	16	-1477.04	19	4.11	16	0.83	16
1523	1296	1026	Max	2.83	-29.53	10	20.34	9	0.30	9	34.44	16	-3.99	16	-0.71	16

1523	1296	1026	Max	5.66	-29.53	10	20.34	9	0.88	9	34.18	16	-3.02	16	-0.71	16
1523	1296	1026	Min.	2.83	-63.30	19	-1.70	17	0.02	17	-884.54	19	-21.80	19	-11.69	9
1523	1296	1026	Min.	5.66	-63.30	19	-1.70	17	-0.03	17	-884.80	19	-46.82	19	-11.69	9
1524	1026	1316	Max	8.49	2.98	16	23.94	19	-0.18	16	-233.26	16	51.83	9	-2.66	16
1524	1026	1316	Max	11.31	2.98	16	23.94	19	-0.06	16	-233.52	16	17.44	9	-2.66	16
1524	1026	1316	Min.	8.49	-38.52	17	4.36	16	-1.04	19	-1215.56	9	7.81	16	-14.69	19
1524	1026	1316	Min.	11.31	-38.52	17	4.36	16	-0.36	19	-1215.82	9	1.21	16	-14.69	19
1524	1298	1026	Max	2.83	2.20	17	-8.28	16	-0.11	16	251.77	16	-1.08	16	15.08	19
1524	1298	1026	Max	5.66	2.20	17	-8.28	16	-0.35	16	251.51	16	6.04	16	15.08	19
1524	1298	1026	Min.	2.83	-68.72	18	-34.14	19	-0.51	19	-637.02	9	-17.26	9	2.83	16
1524	1298	1026	Min.	5.66	-68.72	18	-34.14	19	-1.47	19	-637.28	9	-35.28	9	2.83	16
1525	1032	1322	Max	8.49	-10.20	10	56.92	19	-1.08	16	-1165.59	17	106.76	9	-10.92	16
1525	1032	1322	Max	11.31	-10.20	10	56.92	19	-0.36	16	-1165.85	17	35.57	9	-10.92	16
1525	1032	1322	Min.	8.49	-60.43	17	25.71	16	-2.43	19	-2517.06	9	45.92	17	-27.11	19
1525	1032	1322	Min.	11.31	-60.43	17	25.71	16	-0.82	19	-2517.32	9	12.95	17	-27.11	19
1525	1304	1032	Max	2.83	-4.16	17	-23.57	16	-0.33	16	-293.96	16	-12.79	17	27.09	19
1525	1304	1032	Max	5.66	-4.16	17	-23.57	16	-0.99	16	-294.23	16	-23.58	16	27.09	19
1525	1304	1032	Min.	2.83	-119.25	18	-56.50	19	-0.82	19	-1375.62	9	-35.25	9	10.86	16
1525	1304	1032	Min.	5.66	-119.25	18	-56.50	19	-2.42	19	-1375.88	9	-74.16	9	10.86	16
1526	1035	1325	Max	8.49	-13.46	16	32.36	19	-0.30	16	-449.25	16	60.03	9	-0.83	16
1526	1035	1325	Max	11.31	-13.46	16	32.36	19	-0.08	16	-449.51	16	19.87	9	-0.83	16
1526	1035	1325	Min.	8.49	-51.95	17	7.94	16	-1.36	19	-1419.88	9	16.77	16	-13.44	19
1526	1035	1325	Min.	11.31	-51.95	17	7.94	16	-0.45	19	-1420.14	9	4.06	16	-13.44	19
1526	1307	1035	Max	2.83	20.00	17	-4.63	16	-0.03	16	36.31	16	-3.94	16	13.30	19
1526	1307	1035	Max	5.66	20.00	17	-4.63	16	-0.16	16	36.06	16	-2.92	16	13.30	19
1526	1307	1035	Min.	2.83	-47.62	18	-28.87	19	-0.40	19	-840.81	9	-19.69	9	0.72	16
1526	1307	1035	Min.	5.66	-47.62	18	-28.87	19	-1.22	19	-841.07	9	-43.47	9	0.72	16
1551	1330	1286	Max	2.83	24.94	17	34.55	18	0.53	18	1783.98	18	26.22	18	-4.27	17
1551	1330	1286	Max	5.66	24.94	17	34.55	18	1.51	18	1783.72	18	76.68	18	-4.27	17
1551	1330	1286	Min.	2.83	-20.13	18	7.45	17	0.15	17	904.27	17	14.64	17	-16.72	18
1551	1330	1286	Min.	5.66	-20.13	18	7.45	17	0.36	17	904.01	17	40.21	17	-16.72	18
1551	1286	1348	Max	8.49	-13.33	16	2.27	17	1.19	18	1236.61	18	-29.98	17	16.44	18
1551	1286	1348	Max	11.31	-13.33	16	2.27	17	0.42	18	1236.35	18	-14.55	17	16.44	18
1551	1286	1348	Min.	8.49	-63.20	19	-27.02	18	-0.05	17	545.60	17	-61.05	18	3.89	17
1551	1286	1348	Min.	11.31	-63.20	19	-27.02	18	0.01	17	545.34	17	-26.07	18	3.89	17
1552	1336	1292	Max	2.83	47.86	17	49.12	18	0.77	18	2863.12	18	42.56	18	-8.91	17
1552	1336	1292	Max	5.66	47.86	17	49.12	18	2.16	18	2862.86	18	123.53	18	-8.91	17
1552	1336	1292	Min.	2.83	-4.32	9	10.88	17	0.23	17	1609.09	17	26.09	17	-28.28	18
1552	1336	1292	Min.	5.66	-4.32	9	10.88	17	0.54	17	1608.83	17	71.60	17	-28.28	18
1552	1292	1354	Max	8.49	-49.32	16	-5.97	17	2.34	18	1820.04	18	-53.15	17	28.45	18
1552	1292	1354	Max	11.31	-49.32	16	-5.97	17	0.83	18	1819.78	18	-25.93	17	28.45	18
1552	1292	1354	Min.	8.49	-138.37	19	-53.16	18	0.33	17	962.43	17	-93.76	18	8.71	17
1552	1292	1354	Min.	11.31	-138.37	19	-53.16	18	0.16	17	962.17	17	-42.28	18	8.71	17
1553	1328	1286	Max	2.83	2.90	10	-15.04	10	-0.25	17	1614.25	18	24.46	18	17.70	18
1553	1328	1286	Max	5.66	2.90	10	-15.04	10	-0.68	10	1613.99	18	70.11	18	17.70	18
1553	1328	1286	Min.	2.83	-38.37	17	-25.00	18	-0.43	18	593.64	17	6.06	17	9.75	17
1553	1328	1286	Min.	5.66	-38.37	17	-25.00	18	-1.14	18	593.38	17	22.84	17	9.75	17
1553	1286	1350	Max	8.49	1.95	17	34.25	19	-0.90	10	1066.88	18	-12.61	17	-10.09	17
1553	1286	1350	Max	11.31	1.95	17	34.25	19	-0.33	10	1066.62	18	-5.97	17	-10.09	17
1553	1286	1350	Min.	8.49	-59.67	9	20.18	10	-1.48	19	234.97	17	-54.48	18	-18.00	18
1553	1286	1350	Min.	11.31	-59.67	9	20.18	10	-0.54	18	234.72	17	-24.31	18	-18.00	18
1554	1337	1295	Max	2.83	-15.44	16	-21.55	10	-0.30	17	1784.25	18	26.27	18	16.76	18
1554	1337	1295	Max	5.66	-15.44	16	-21.55	10	-0.92	10	1783.99	18	76.74	18	16.76	18
1554	1337	1295	Min.	2.83	-51.64	17	-34.75	18	-0.53	18	721.10	17	7.84	17	9.21	17
1554	1337	1295	Min.	5.66	-51.64	17	-34.75	18	-1.52	18	720.84	17	28.23	17	9.21	17
1554	1295	1359	Max	8.49	19.71	17	28.97	19	-0.71	10	1236.85	18	-19.29	17	-9.16	10
1554	1295	1359	Max	11.31	19.71	17	28.97	19	-0.24	10	1236.59	18	-7.76	17	-9.16	10
1554	1295	1359	Min.	8.49	-38.73	9	16.39	10	-1.22	19	407.82	17	-61.10	18	-16.47	18
1554	1295	1359	Min.	11.31	-38.73	9	16.39	10	-0.43	18	407.56	17	-26.12	18	-16.47	18

1555	1331	1289	Max	2.83	0.81	16	-33.21	16	-0.50	17	2863.05	18	42.62	18	28.34	18
1555	1331	1289	Max	5.66	0.81	16	-33.21	16	-1.48	10	2862.79	18	123.60	18	28.34	18
1555	1331	1289	Min.	2.83	-53.68	17	-51.42	19	-0.78	18	1206.03	17	14.01	17	17.37	17
1555	1331	1289	Min.	5.66	-53.68	17	-51.42	19	-2.21	19	1205.77	17	48.11	17	17.37	17
1555	1289	1353	Max	8.49	-11.34	17	58.82	19	-1.59	10	1819.95	18	-29.54	17	-17.66	17
1555	1289	1353	Max	11.31	-11.34	17	58.82	19	-0.56	10	1819.69	18	-13.85	17	-17.66	17
1555	1289	1353	Min.	8.49	-108.04	9	36.06	16	-2.52	19	554.90	17	-93.82	18	-28.51	18
1555	1289	1353	Min.	11.31	-108.04	9	36.06	16	-0.86	19	554.64	17	-42.35	18	-28.51	18
1556	1289	1351	Max	8.49	-42.76	16	-6.34	17	2.25	18	1797.60	18	-52.86	17	28.81	18
1556	1289	1351	Max	11.31	-42.76	16	-6.34	17	0.80	18	1797.34	18	-25.68	17	28.81	18
1556	1289	1351	Min.	8.49	-131.55	19	-51.32	18	0.34	17	961.12	17	-92.36	18	9.29	17
1556	1289	1351	Min.	11.31	-131.55	19	-51.32	18	0.16	17	960.86	17	-41.52	18	9.29	17
1556	1333	1289	Max	2.83	42.19	17	55.38	18	0.85	18	2840.70	18	41.79	18	-9.63	17
1556	1333	1289	Max	5.66	42.19	17	55.38	18	2.42	18	2840.44	18	122.13	18	-9.63	17
1556	1333	1289	Min.	2.83	-11.67	9	14.90	17	0.28	17	1612.25	17	25.83	17	-28.95	18
1556	1333	1289	Min.	5.66	-11.67	9	14.90	17	0.70	17	1611.99	17	71.43	17	-28.95	18
1557	1339	1295	Max	2.83	43.83	17	24.78	18	0.43	18	1614.54	18	24.44	18	-5.36	17
1557	1339	1295	Max	5.66	43.83	17	24.78	18	1.13	18	1614.28	18	70.10	18	-5.36	17
1557	1339	1295	Min.	2.83	1.94	18	2.90	17	0.11	17	775.52	17	13.65	10	-17.67	18
1557	1339	1295	Min.	5.66	1.94	18	2.90	17	0.19	17	775.26	17	35.59	17	-17.67	18
1557	1295	1357	Max	8.49	-31.10	16	-0.34	17	1.46	18	1067.10	18	-26.65	17	17.98	18
1557	1295	1357	Max	11.31	-31.10	16	-0.34	17	0.54	18	1066.84	18	-13.50	10	17.98	18
1557	1295	1357	Min.	8.49	-83.15	19	-32.53	18	0.09	17	462.22	17	-54.46	18	5.25	17
1557	1295	1357	Min.	11.31	-83.15	19	-32.53	18	0.08	17	461.96	17	-24.29	18	5.25	17
1558	1292	1356	Max	8.49	-4.59	17	57.03	19	-1.55	10	1797.70	18	-27.62	17	-17.76	17
1558	1292	1356	Max	11.31	-4.59	17	57.03	19	-0.54	10	1797.44	18	-12.90	17	-17.76	17
1558	1292	1356	Min.	8.49	-100.76	9	35.37	16	-2.44	19	520.70	17	-92.43	18	-28.87	18
1558	1292	1356	Min.	11.31	-100.76	9	35.37	16	-0.83	19	520.44	17	-41.59	18	-28.87	18
1558	1334	1292	Max	2.83	-5.72	16	-37.70	16	-0.54	17	2840.83	18	41.86	18	29.01	18
1558	1334	1292	Max	5.66	-5.72	16	-37.70	16	-1.66	17	2840.57	18	122.21	18	29.01	18
1558	1334	1292	Min.	2.83	-59.98	17	-56.80	19	-0.86	18	1167.38	17	13.06	17	17.61	17
1558	1334	1292	Min.	5.66	-59.98	17	-56.80	19	-2.43	18	1167.12	17	46.07	17	17.61	17
1579	1302	1303	Max	1.77	157.58	9	-2.14	18	7.46	19	2.95	17	0.61	9	-0.00	16
1579	1302	1303	Max	10.00	157.58	9	-1.38	18	5.25	9	2.95	17	0.61	9	-0.00	16
1579	1302	1303	Min.	1.77	64.30	16	-44.47	17	0.84	16	-0.05	18	0.09	17	-0.05	17
1579	1302	1303	Min.	10.00	64.30	16	-43.71	17	0.69	16	-0.05	18	0.30	16	-0.05	17
1579	1303	1304	Max	0.00	157.58	9	-1.38	18	5.25	9	2.95	17	0.61	9	-0.00	16
1579	1303	1304	Max	8.23	157.58	9	-0.62	18	5.16	9	2.95	17	0.75	19	-0.00	16
1579	1303	1304	Min.	0.00	64.30	16	-43.71	17	0.69	16	-0.05	18	0.30	16	-0.05	17
1579	1303	1304	Min.	8.23	64.30	16	-42.95	17	-0.79	17	-0.05	18	0.30	16	-0.05	17
1581	1322	1323	Max	1.77	-105.69	16	2.51	17	-0.32	16	-3.35	16	-2.77	17	0.06	17
1581	1322	1323	Max	10.00	-105.69	16	2.51	17	-0.30	16	-2.59	16	-6.06	16	0.06	17
1581	1322	1323	Min.	1.77	-204.93	19	0.25	16	-0.75	19	-42.18	17	-11.01	9	0.00	18
1581	1322	1323	Min.	10.00	-204.93	19	0.25	16	-0.61	9	-41.42	17	-11.32	9	0.00	18
1581	1323	1324	Max	0.00	-105.69	16	2.51	17	-0.30	16	-2.59	16	-6.06	16	0.06	17
1581	1323	1324	Max	8.23	-105.69	16	2.51	17	-0.13	17	-1.83	16	-6.24	16	0.06	17
1581	1323	1324	Min.	0.00	-204.93	19	0.25	16	-0.61	9	-41.42	17	-11.32	9	0.00	18
1581	1323	1324	Min.	8.23	-204.93	19	0.25	16	-0.58	9	-40.66	17	-13.45	19	0.00	18
1623	1334	1335	Max	1.77	-112.02	17	-4.03	16	-2.78	17	2.51	17	-0.50	10	0.00	18
1623	1334	1335	Max	10.00	-112.02	17	-3.27	16	-6.23	17	2.51	17	-0.33	17	0.00	18
1623	1334	1335	Min.	1.77	-230.94	18	-42.34	17	-12.29	18	0.30	16	-0.75	19	-0.05	17
1623	1334	1335	Min.	10.00	-230.94	18	-41.58	17	-12.66	18	0.30	16	-0.69	18	-0.05	17
1623	1335	1336	Max	0.00	-112.02	17	-3.27	16	-6.23	17	2.51	17	-0.33	17	0.00	18
1623	1335	1336	Max	8.23	-112.02	17	-2.51	16	-8.75	16	2.51	17	-0.12	17	0.00	18
1623	1335	1336	Min.	0.00	-230.94	18	-41.58	17	-12.66	18	0.30	16	-0.69	18	-0.05	17
1623	1335	1336	Min.	8.23	-230.94	18	-40.82	17	-13.49	19	0.30	16	-0.66	18	-0.05	17
1625	1354	1355	Max	1.77	187.97	18	2.98	17	0.69	18	-2.60	10	7.51	19	0.05	17
1625	1354	1355	Max	10.00	187.97	18	2.98	17	0.69	18	-1.84	10	7.11	18	0.05	17
1625	1354	1355	Min.	1.77	83.94	17	-0.00	18	0.08	17	-44.70	17	4.21	10	0.00	10

1625	1354	1355	Min.	10.00	83.94	17	-0.00	18	0.33	17	-43.94	17	2.80	17	0.00	10
1625	1355	1356	Max	0.00	187.97	18	2.98	17	0.69	18	-1.84	10	7.11	18	0.05	17
1625	1355	1356	Max	8.23	187.97	18	2.98	17	0.75	19	-1.08	10	6.98	18	0.05	17
1625	1355	1356	Min.	0.00	83.94	17	-0.00	18	0.33	17	-43.94	17	2.80	17	0.00	10
1625	1355	1356	Min.	8.23	83.94	17	-0.00	18	0.47	10	-43.18	17	-0.79	17	0.00	10
1798	345	-14	Max	4.85	0.00	9	0.00	9	0.00	9	0.00	9	0.00	9	0.00	9
1798	345	-14	Min.	4.85	0.00	9	0.00	9	0.00	9	0.00	9	0.00	9	0.00	9
1798	-14	-46	Max	4.85	0.00	9	0.00	9	0.00	9	0.00	9	0.00	9	0.00	9
1798	-14	-46	Min.	4.85	0.00	9	0.00	9	0.00	9	0.00	9	0.00	9	0.00	9
1798	-46	-78	Max	5.01	614.33	17	44.10	9	2.25	17	-7.42	16	8.71	17	0.03	9
1798	-46	-78	Max	16.87	615.38	17	44.10	9	1.11	19	-7.40	16	0.13	17	0.03	9
1798	-46	-78	Min.	5.01	-737.96	18	-12.22	17	-4.38	9	-74.29	19	0.81	16	-0.02	17
1798	-46	-78	Min.	16.87	-736.87	18	-10.45	17	0.13	16	-73.20	19	-0.79	9	-0.02	17
1798	-78	-110	Max	2.51	516.83	17	47.05	9	2.34	17	-14.36	16	6.80	19	0.02	9
1798	-78	-110	Max	16.87	518.11	17	47.05	9	3.11	9	-14.33	16	-0.74	16	0.02	9
1798	-78	-110	Min.	2.51	-794.68	18	-15.69	17	-3.65	9	-77.37	19	1.32	16	-0.01	17
1798	-78	-110	Min.	16.87	-793.35	18	-13.56	17	0.24	17	-76.06	19	-4.22	19	-0.01	17
1798	-110	-142	Max	2.51	391.62	17	48.12	9	2.02	17	-15.74	16	5.86	19	0.01	18
1798	-110	-142	Max	16.87	392.90	17	48.12	9	3.78	9	-15.71	16	-1.04	16	0.01	18
1798	-110	-142	Min.	2.51	-870.53	18	-14.20	17	-3.13	9	-77.84	19	1.22	16	-0.01	17
1798	-110	-142	Min.	16.87	-869.21	18	-12.07	17	0.14	17	-76.53	19	-5.23	19	-0.01	17
1798	-142	-174	Max	2.51	257.41	17	49.20	9	1.90	17	-17.63	16	5.60	19	0.01	18
1798	-142	-174	Max	16.87	258.69	17	49.20	9	4.08	9	-17.60	16	-1.24	16	0.01	18
1798	-142	-174	Min.	2.51	-955.09	18	-13.04	17	-2.99	9	-78.81	19	1.29	16	-0.00	17
1798	-142	-174	Min.	16.87	-953.76	18	-10.90	17	0.18	17	-77.50	19	-5.63	19	-0.00	17
1798	-174	-206	Max	2.51	118.43	17	50.36	9	1.80	17	-19.56	16	5.45	19	0.01	18
1798	-174	-206	Max	16.87	119.71	17	50.36	9	4.31	9	-19.53	16	-1.44	16	0.01	18
1798	-174	-206	Min.	2.51	-1046.24	18	-11.83	17	-2.92	9	-79.79	19	1.37	16	-0.00	17
1798	-174	-206	Min.	16.87	-1044.91	18	-9.69	17	0.25	17	-78.48	19	-5.92	19	-0.00	17
1798	-206	-238	Max	2.51	-24.59	17	51.58	9	1.72	17	-21.52	16	5.33	19	0.01	18
1798	-206	-238	Max	16.87	-23.31	17	51.58	9	4.54	9	-21.49	16	-1.64	16	0.01	18
1798	-206	-238	Min.	2.51	-1143.82	18	-10.66	17	-2.87	9	-80.86	19	1.45	16	-0.00	17
1798	-206	-238	Min.	16.87	-1142.49	18	-8.53	17	0.34	17	-79.55	19	-6.19	19	-0.00	17
1798	-238	-270	Max	2.51	-171.64	17	52.85	9	1.63	17	-23.57	16	5.20	19	0.01	18
1798	-238	-270	Max	16.87	-170.36	17	52.85	9	4.79	9	-23.53	16	-1.85	16	0.01	18
1798	-238	-270	Min.	2.51	-1257.97	9	-9.41	17	-2.80	9	-81.98	19	1.53	16	-0.00	17
1798	-238	-270	Min.	16.87	-1256.64	9	-7.28	17	0.43	17	-80.67	19	-6.48	19	-0.00	17
1798	-270	-302	Max	2.51	-322.99	17	54.19	9	1.55	17	-25.67	16	5.06	19	0.01	18
1798	-270	-302	Max	16.87	-321.71	17	54.19	9	5.05	9	-25.64	16	-2.08	16	0.01	18
1798	-270	-302	Min.	2.51	-1379.91	9	-8.17	17	-2.73	9	-83.20	19	1.61	16	-0.00	17
1798	-270	-302	Min.	16.87	-1378.58	9	-6.04	17	0.52	17	-81.89	19	-6.79	19	-0.00	17
1798	-302	-334	Max	2.51	-478.96	17	55.61	9	1.46	17	-27.83	16	4.91	19	0.01	18
1798	-302	-334	Max	16.87	-477.68	17	55.61	9	5.34	9	-27.80	16	-2.32	16	0.01	18
1798	-302	-334	Min.	2.51	-1508.18	9	-6.91	17	-2.65	9	-84.49	19	1.67	16	-0.00	17
1798	-302	-334	Min.	16.87	-1506.85	9	-4.78	17	0.62	17	-83.18	19	-7.13	19	-0.00	17
1798	-334	-366	Max	2.51	-639.85	17	57.06	9	1.38	17	-30.10	16	4.74	19	0.01	18
1798	-334	-366	Max	16.87	-638.57	17	57.06	9	5.64	9	-30.07	16	-2.59	16	0.01	18
1798	-334	-366	Min.	2.51	-1643.25	9	-5.60	17	-2.58	18	-85.89	19	1.74	16	-0.00	17
1798	-334	-366	Min.	16.87	-1641.92	9	-3.47	17	0.73	17	-84.58	19	-7.51	19	-0.00	17
1798	-366	-398	Max	2.51	-806.06	17	58.69	9	1.30	17	-32.36	16	4.55	19	0.01	18
1798	-366	-398	Max	16.87	-804.78	17	58.69	9	5.99	9	-32.33	16	-2.86	16	0.01	18
1798	-366	-398	Min.	2.51	-1785.64	9	-4.25	17	-2.54	18	-87.26	19	1.79	16	-0.01	17
1798	-366	-398	Min.	16.87	-1784.31	9	-2.12	17	0.84	17	-85.95	19	-7.89	19	-0.01	17
1798	-398	-430	Max	2.51	-977.91	17	59.87	9	1.22	17	-35.26	16	4.33	19	0.01	18
1798	-398	-430	Max	16.87	-976.63	17	59.87	9	6.29	9	-35.23	16	-3.23	16	0.01	18
1798	-398	-430	Min.	2.51	-1935.88	9	-3.09	17	-2.47	18	-89.65	19	1.83	16	-0.01	17
1798	-398	-430	Min.	16.87	-1934.56	9	-0.95	17	0.93	17	-88.34	19	-8.45	19	-0.01	17
1798	-430	-462	Max	2.51	-1083.47	16	64.67	9	1.12	17	-34.41	16	4.00	19	0.01	18
1798	-430	-462	Max	16.87	-1082.14	16	64.67	9	7.14	9	-34.38	16	-3.13	16	0.01	18

1798	-430	-462	Min.	2.51	-2094.37	9	-0.27	17	-2.38	18	-85.71	19	1.81	16	-0.01	17
1798	-430	-462	Min.	16.87	-2093.05	9	1.86	17	1.24	17	-84.40	19	-8.21	19	-0.01	17
1798	-462	-494	Max	2.51	-1173.19	16	47.97	18	1.07	17	-59.47	16	3.69	19	-0.00	16
1798	-462	-494	Max	16.87	-1171.87	16	47.97	18	4.96	9	-59.44	16	-6.70	16	-0.00	16
1798	-462	-494	Min.	2.51	-2306.92	19	-8.22	17	-1.93	18	-125.10	19	1.84	16	-0.01	19
1798	-462	-494	Min.	16.87	-2305.63	19	-6.09	17	0.04	17	-123.79	19	-14.19	19	-0.01	19
1798	-494	1324	Max	2.51	-1264.23	16	166.12	9	0.08	17	111.42	18	-0.32	17	0.00	17
1798	-494	1324	Max	14.38	-1263.14	16	166.12	9	18.09	9	111.44	18	11.29	18	0.00	17
1798	-494	1324	Min.	2.51	-2517.81	19	46.47	17	-1.74	18	31.87	17	-2.09	9	-0.01	18
1798	-494	1324	Min.	14.38	-2516.73	19	48.23	17	5.71	17	33.66	17	3.57	17	-0.01	18
1799	318	-4	Max	4.85	0.00	9	0.00	9	0.00	9	0.00	9	0.00	9	0.00	9
1799	318	-4	Min.	4.85	0.00	9	0.00	9	0.00	9	0.00	9	0.00	9	0.00	9
1799	-4	-36	Max	4.85	0.00	9	0.00	9	0.00	9	0.00	9	0.00	9	0.00	9
1799	-4	-36	Min.	4.85	0.00	9	0.00	9	0.00	9	0.00	9	0.00	9	0.00	9
1799	-36	-68	Max	5.01	637.94	17	74.12	19	-1.34	16	55.88	9	2.85	17	0.05	19
1799	-36	-68	Max	16.87	638.99	17	73.06	19	0.74	9	55.91	9	0.96	19	0.05	19
1799	-36	-68	Min.	5.01	-713.75	18	11.18	16	-8.16	19	-17.80	17	-5.95	9	0.01	16
1799	-36	-68	Min.	16.87	-712.68	18	12.94	16	0.09	16	-16.01	17	0.05	16	0.01	16
1799	-68	-100	Max	2.51	621.37	17	75.32	19	-0.91	16	50.04	9	2.18	17	0.02	19
1799	-68	-100	Max	16.87	622.64	17	74.04	19	4.22	19	50.07	9	3.21	9	0.02	19
1799	-68	-100	Min.	2.51	-650.74	18	10.10	16	-6.67	17	-15.39	17	-3.98	9	0.00	16
1799	-68	-100	Min.	16.87	-649.45	18	12.24	16	0.70	16	-13.23	17	0.12	17	0.00	16
1799	-100	-132	Max	2.51	601.15	17	75.91	19	-0.91	16	51.46	9	1.95	17	0.00	16
1799	-100	-132	Max	16.87	602.43	17	74.63	19	5.19	19	51.49	9	3.91	9	0.00	16
1799	-100	-132	Min.	2.51	-568.59	18	11.84	16	-5.78	17	-14.37	17	-3.49	9	-0.01	17
1799	-100	-132	Min.	16.87	-567.29	18	13.97	16	0.94	16	-12.21	17	0.04	17	-0.01	17
1799	-132	-164	Max	2.51	581.36	17	76.69	19	-0.97	16	52.56	9	1.84	17	0.00	16
1799	-132	-164	Max	16.87	582.64	17	75.41	19	5.58	19	52.59	9	4.23	9	0.00	16
1799	-132	-164	Min.	2.51	-511.30	16	13.54	16	-5.49	17	-13.29	17	-3.33	9	-0.02	17
1799	-132	-164	Min.	16.87	-510.02	16	15.67	16	1.12	16	-11.13	17	0.08	17	-0.02	17
1799	-164	-196	Max	2.51	563.13	17	77.52	19	-1.05	16	53.74	9	1.75	17	0.00	16
1799	-164	-196	Max	16.87	564.41	17	76.24	19	5.85	19	53.77	9	4.47	9	0.00	16
1799	-164	-196	Min.	2.51	-471.20	16	15.29	16	-5.32	17	-12.11	17	-3.25	9	-0.02	17
1799	-164	-196	Min.	16.87	-469.93	16	17.43	16	1.30	16	-9.95	17	0.17	17	-0.02	17
1799	-196	-228	Max	2.51	546.78	17	78.45	19	-1.12	16	54.98	9	1.68	17	0.00	16
1799	-196	-228	Max	16.87	548.06	17	77.17	19	6.11	19	55.01	9	4.71	9	0.00	16
1799	-196	-228	Min.	2.51	-426.35	16	17.08	16	-5.18	17	-10.95	17	-3.19	9	-0.02	17
1799	-196	-228	Min.	16.87	-425.07	16	19.22	16	1.48	16	-8.79	17	0.26	17	-0.02	17
1799	-228	-260	Max	2.51	532.51	17	79.42	19	-1.20	16	56.29	9	1.60	17	0.00	16
1799	-228	-260	Max	16.87	533.79	17	78.14	19	6.38	19	56.32	9	4.97	9	0.00	16
1799	-228	-260	Min.	2.51	-376.44	16	18.95	16	-5.03	17	-9.75	17	-3.12	9	-0.02	17
1799	-228	-260	Min.	16.87	-375.16	16	21.09	16	1.68	16	-7.59	17	0.36	17	-0.02	17
1799	-260	-292	Max	2.51	520.48	17	80.48	19	-1.26	16	57.65	9	1.53	17	0.00	16
1799	-260	-292	Max	16.87	521.75	17	79.20	19	6.67	19	57.68	9	5.24	9	0.00	16
1799	-260	-292	Min.	2.51	-321.10	16	20.85	16	-4.88	17	-8.54	17	-3.04	9	-0.02	17
1799	-260	-292	Min.	16.87	-319.82	16	22.98	16	1.88	16	-6.38	17	0.46	17	-0.02	17
1799	-292	-324	Max	2.51	538.90	19	81.59	19	-1.33	16	59.10	9	1.46	17	0.00	16
1799	-292	-324	Max	16.87	540.20	19	80.31	19	6.99	19	59.13	9	5.54	9	0.00	16
1799	-292	-324	Min.	2.51	-259.93	16	22.83	16	-4.71	17	-7.29	17	-2.95	9	-0.02	17
1799	-292	-324	Min.	16.87	-258.65	16	24.96	16	2.11	16	-5.13	17	0.56	17	-0.02	17
1799	-324	-356	Max	2.51	627.71	19	82.79	19	-1.38	16	60.60	9	1.39	17	0.00	16
1799	-324	-356	Max	16.87	629.00	19	81.51	19	7.34	19	60.63	9	5.86	9	0.00	16
1799	-324	-356	Min.	2.51	-192.48	16	24.86	16	-4.53	17	-6.02	17	-2.87	18	-0.02	17
1799	-324	-356	Min.	16.87	-191.20	16	26.99	16	2.34	16	-3.85	17	0.68	17	-0.02	17
1799	-356	-388	Max	2.51	723.03	19	84.14	19	-1.43	16	62.18	9	1.32	17	0.00	16
1799	-356	-388	Max	16.87	724.33	19	82.86	19	7.73	19	62.21	9	6.21	9	0.00	16
1799	-356	-388	Min.	2.51	-118.25	16	26.97	16	-4.34	17	-4.73	17	-2.81	18	-0.02	17
1799	-356	-388	Min.	16.87	-116.97	16	29.11	16	2.60	16	-2.56	17	0.80	17	-0.02	17
1799	-388	-420	Max	2.51	825.38	19	85.09	19	-1.46	16	63.93	9	1.26	17	-0.00	16

1799	-388	-420	Max	16.87	826.67	19	83.81	19	8.09	19	63.96	9	6.60	9	-0.00	16
1799	-388	-420	Min.	2.51	-36.73	16	28.98	16	-4.12	17	-3.39	17	-2.74	18	-0.02	17
1799	-388	-420	Min.	16.87	-35.45	16	31.12	16	2.86	16	-1.22	17	0.92	17	-0.02	17
1799	-420	-452	Max	2.51	935.12	19	89.70	19	-1.47	16	65.09	9	1.19	17	-0.00	16
1799	-420	-452	Max	16.87	936.41	19	88.42	19	9.02	19	65.91	18	6.97	9	-0.00	16
1799	-420	-452	Min.	2.51	52.41	16	32.45	16	-3.86	17	-2.05	17	-2.60	18	-0.02	17
1799	-420	-452	Min.	16.87	53.69	16	34.59	16	3.35	16	0.11	17	1.05	17	-0.02	17
1799	-452	-484	Max	2.51	1101.81	9	69.57	19	-1.19	10	71.62	9	1.09	17	-0.01	16
1799	-452	-484	Max	16.87	1103.14	9	68.29	19	6.89	19	71.65	9	8.27	9	-0.01	16
1799	-452	-484	Min.	2.51	148.60	16	26.50	16	-3.22	17	-0.04	17	-2.25	18	-0.04	19
1799	-452	-484	Min.	16.87	149.88	16	28.63	16	2.69	16	2.12	17	1.24	17	-0.04	19
1799	-484	1301	Max	2.51	1264.98	9	197.90	19	-0.99	16	67.91	18	0.92	17	-0.02	16
1799	-484	1301	Max	14.38	1266.07	9	196.84	19	21.09	19	68.99	18	7.63	18	-0.02	16
1799	-484	1301	Min.	2.51	241.15	16	77.57	16	-2.34	19	-2.26	17	-0.95	16	-0.05	17
1799	-484	1301	Min.	14.38	242.20	16	79.33	16	8.32	16	-0.47	17	0.76	17	-0.05	17
1800	342	-12	Max	4.85	0.00	9	0.00	9	0.00	9	0.00	9	0.00	9	0.00	9
1800	342	-12	Min.	4.85	0.00	9	0.00	9	0.00	9	0.00	9	0.00	9	0.00	9
1800	-12	-44	Max	4.85	0.00	9	0.00	9	0.00	9	0.00	9	0.00	9	0.00	9
1800	-12	-44	Min.	4.85	0.00	9	0.00	9	0.00	9	0.00	9	0.00	9	0.00	9
1800	-44	-76	Max	5.01	524.73	17	49.14	9	1.75	17	-4.19	16	8.31	17	0.03	9
1800	-44	-76	Max	16.87	525.78	17	49.14	9	1.08	19	-4.16	16	0.05	17	0.03	9
1800	-44	-76	Min.	5.01	-845.88	18	-8.21	17	-5.01	9	-70.58	19	0.36	16	-0.02	17
1800	-44	-76	Min.	16.87	-844.78	18	-6.44	17	0.09	16	-69.50	19	-0.87	9	-0.02	17
1800	-76	-108	Max	2.51	430.63	17	52.80	9	1.88	17	-11.57	16	6.43	19	0.01	9
1800	-76	-108	Max	16.87	431.91	17	52.80	9	3.35	9	-11.54	16	-0.66	16	0.01	9
1800	-76	-108	Min.	2.51	-897.58	18	-11.13	17	-4.23	9	-74.25	19	1.00	16	-0.01	17
1800	-76	-108	Min.	16.87	-896.25	18	-9.00	17	0.43	17	-72.94	19	-4.14	19	-0.01	17
1800	-108	-140	Max	2.51	309.83	17	53.87	9	1.61	17	-12.93	16	5.55	17	0.00	18
1800	-108	-140	Max	16.87	311.11	17	53.87	9	4.08	9	-12.90	16	-0.92	16	0.00	18
1800	-108	-140	Min.	2.51	-966.95	18	-9.59	17	-3.65	9	-74.70	19	0.93	16	-0.01	17
1800	-108	-140	Min.	16.87	-965.62	18	-7.46	17	0.38	17	-73.39	19	-5.11	19	-0.01	17
1800	-140	-172	Max	2.51	180.42	17	55.12	9	1.49	17	-14.73	16	5.27	17	0.00	16
1800	-140	-172	Max	16.87	181.70	17	55.12	9	4.41	9	-14.70	16	-1.11	16	0.00	16
1800	-140	-172	Min.	2.51	-1044.45	18	-8.31	17	-3.50	9	-75.57	19	1.00	16	-0.01	17
1800	-140	-172	Min.	16.87	-1043.12	18	-6.18	17	0.45	17	-74.26	19	-5.49	19	-0.01	17
1800	-172	-204	Max	2.51	46.51	17	56.41	9	1.39	17	-16.59	16	5.13	19	0.00	16
1800	-172	-204	Max	16.87	47.78	17	56.41	9	4.67	9	-16.56	16	-1.29	16	0.00	16
1800	-172	-204	Min.	2.51	-1128.14	18	-7.00	17	-3.44	9	-76.48	19	1.09	16	-0.01	17
1800	-172	-204	Min.	16.87	-1126.81	18	-4.87	17	0.54	17	-75.17	19	-5.77	19	-0.01	17
1800	-204	-236	Max	2.51	-91.18	17	57.80	9	1.31	17	-18.48	16	5.01	19	0.00	16
1800	-204	-236	Max	16.87	-89.90	17	57.80	9	4.92	9	-18.45	16	-1.48	16	0.00	16
1800	-204	-236	Min.	2.51	-1217.89	18	-5.69	17	-3.38	9	-77.44	19	1.17	16	-0.01	17
1800	-204	-236	Min.	16.87	-1216.56	18	-3.56	17	0.64	17	-76.13	19	-6.03	19	-0.01	17
1800	-236	-268	Max	2.51	-232.67	17	59.16	9	1.22	17	-20.48	16	4.88	19	0.00	16
1800	-236	-268	Max	16.87	-231.39	17	59.16	9	5.18	9	-20.45	16	-1.69	16	0.00	16
1800	-236	-268	Min.	2.51	-1323.65	9	-4.38	17	-3.32	9	-78.55	19	1.25	16	-0.01	17
1800	-236	-268	Min.	16.87	-1322.32	9	-2.24	17	0.75	17	-77.24	19	-6.31	19	-0.01	17
1800	-268	-300	Max	2.51	-378.19	17	60.72	9	1.14	17	-22.47	16	4.74	19	0.00	16
1800	-268	-300	Max	16.87	-376.91	17	60.72	9	5.47	9	-22.44	16	-1.90	16	0.00	16
1800	-268	-300	Min.	2.51	-1436.92	9	-2.98	17	-3.25	9	-79.62	19	1.33	16	-0.01	17
1800	-268	-300	Min.	16.87	-1435.59	9	-0.85	17	0.86	17	-78.31	19	-6.60	19	-0.01	17
1800	-300	-332	Max	2.51	-528.00	17	62.22	9	1.06	17	-24.60	16	4.59	19	0.00	16
1800	-300	-332	Max	16.87	-526.72	17	62.22	9	5.77	9	-24.57	16	-2.13	16	0.00	16
1800	-300	-332	Min.	2.51	-1556.09	9	-1.61	17	-3.17	9	-80.89	19	1.40	16	-0.01	17
1800	-300	-332	Min.	16.87	-1554.76	9	0.53	17	0.98	17	-79.58	19	-6.93	19	-0.01	17
1800	-332	-364	Max	2.51	-682.45	17	63.89	9	0.97	17	-26.76	16	4.42	19	0.00	16
1800	-332	-364	Max	16.87	-681.17	17	63.89	9	6.10	9	-26.73	16	-2.38	16	0.00	16
1800	-332	-364	Min.	2.51	-1681.61	9	-0.15	17	-3.10	18	-82.17	19	1.46	16	-0.01	17
1800	-332	-364	Min.	16.87	-1680.28	9	1.98	17	1.11	17	-80.86	19	-7.29	19	-0.01	17

1800	-364	-396	Max	2.51	-841.86	17	65.70	9	0.89	17	-28.93	16	4.24	19	0.00	16
1800	-364	-396	Max	16.87	-840.58	17	65.70	9	6.47	9	-28.90	16	-2.64	16	0.00	16
1800	-364	-396	Min.	2.51	-1813.92	9	1.35	17	-3.06	18	-83.44	19	1.52	16	-0.01	17
1800	-364	-396	Min.	16.87	-1812.59	9	3.49	17	1.24	17	-82.13	19	-7.66	19	-0.01	17
1800	-396	-428	Max	2.51	-1006.52	17	67.16	9	0.82	17	-31.70	16	4.02	19	-0.00	16
1800	-396	-428	Max	16.87	-1005.24	17	67.16	9	6.81	9	-31.67	16	-2.99	16	-0.00	16
1800	-396	-428	Min.	2.51	-1953.49	9	2.70	17	-3.00	18	-85.64	19	1.56	16	-0.01	17
1800	-396	-428	Min.	16.87	-1952.16	9	4.83	17	1.36	17	-84.33	19	-8.19	19	-0.01	17
1800	-428	-460	Max	2.51	-1089.21	16	71.99	9	0.74	17	-30.86	16	3.72	19	-0.00	16
1800	-428	-460	Max	16.87	-1087.88	16	71.99	9	7.68	9	-30.83	16	-2.87	16	-0.00	16
1800	-428	-460	Min.	2.51	-2105.29	19	5.62	17	-2.88	18	-81.77	19	1.56	16	-0.01	17
1800	-428	-460	Min.	16.87	-2103.99	19	7.76	17	1.70	17	-80.46	19	-7.94	19	-0.01	17
1800	-460	-492	Max	2.51	-1169.63	16	55.41	18	0.71	17	-55.65	16	3.42	19	-0.01	16
1800	-460	-492	Max	16.87	-1168.30	16	55.41	18	5.56	9	-55.62	16	-6.39	16	-0.01	16
1800	-460	-492	Min.	2.51	-2312.77	19	-2.42	17	-2.41	18	-120.96	19	1.60	16	-0.03	19
1800	-460	-492	Min.	16.87	-2311.47	19	-0.29	17	0.52	17	-119.65	19	-13.87	19	-0.03	19
1800	-492	1321	Max	2.51	-1252.10	16	174.80	9	-0.11	17	115.42	18	-0.43	17	-0.01	17
1800	-492	1321	Max	14.38	-1251.00	16	174.80	9	18.87	9	115.45	18	11.64	18	-0.01	17
1800	-492	1321	Min.	2.51	-2514.05	19	54.44	17	-1.99	18	35.66	17	-2.22	9	-0.03	18
1800	-492	1321	Min.	14.38	-2512.97	19	56.20	17	6.46	17	37.45	17	3.91	17	-0.03	18
1801	348	-16	Max	4.85	0.00	9	0.00	9	0.00	9	0.00	9	0.00	9	0.00	9
1801	348	-16	Min.	4.85	0.00	9	0.00	9	0.00	9	0.00	9	0.00	9	0.00	9
1801	-16	-48	Max	4.85	0.00	9	0.00	9	0.00	9	0.00	9	0.00	9	0.00	9
1801	-16	-48	Min.	4.85	0.00	9	0.00	9	0.00	9	0.00	9	0.00	9	0.00	9
1801	-48	-80	Max	5.01	752.24	17	18.50	9	3.02	17	8.25	16	6.92	17	0.02	9
1801	-48	-80	Max	16.87	753.29	17	18.50	9	0.85	19	8.28	16	0.37	17	0.02	9
1801	-48	-80	Min.	5.01	-252.41	9	-19.82	17	-1.58	9	-56.12	17	-0.62	16	-0.02	17
1801	-48	-80	Min.	16.87	-251.31	9	-18.06	17	-0.03	16	-54.33	17	-0.26	9	-0.02	17
1801	-80	-112	Max	2.51	681.14	17	18.88	9	3.02	17	4.85	16	5.12	17	0.02	9
1801	-80	-112	Max	16.87	682.42	17	18.88	9	1.55	9	4.88	16	0.58	16	0.02	9
1801	-80	-112	Min.	2.51	-287.50	9	-24.08	17	-1.16	9	-52.17	17	-0.12	16	-0.01	17
1801	-80	-112	Min.	16.87	-286.17	9	-21.94	17	-0.49	16	-50.01	17	-2.39	19	-0.01	17
1801	-112	-144	Max	2.51	590.18	17	19.34	9	2.62	17	3.67	16	4.46	17	0.01	9
1801	-112	-144	Max	16.87	591.46	17	19.34	9	1.83	9	3.70	16	0.55	16	0.01	9
1801	-112	-144	Min.	2.51	-334.03	9	-22.79	17	-0.95	9	-51.86	17	0.02	16	-0.00	17
1801	-112	-144	Min.	16.87	-332.70	9	-20.66	17	-0.53	16	-49.69	17	-3.00	19	-0.00	17
1801	-144	-176	Max	2.51	493.28	17	19.79	9	2.47	17	2.25	16	4.23	17	0.01	18
1801	-144	-176	Max	16.87	494.56	17	19.79	9	1.96	9	2.28	16	0.47	16	0.01	18
1801	-144	-176	Min.	2.51	-385.10	9	-21.80	17	-0.88	9	-51.61	17	0.14	16	0.00	17
1801	-144	-176	Min.	16.87	-383.77	9	-19.67	17	-0.51	17	-49.44	17	-3.23	19	0.00	17
1801	-176	-208	Max	2.51	393.64	17	20.29	9	2.37	17	0.81	16	4.09	17	0.01	18
1801	-176	-208	Max	16.87	394.92	17	20.29	9	2.07	9	0.84	16	0.37	16	0.01	18
1801	-176	-208	Min.	2.51	-439.20	9	-20.83	17	-0.85	9	-51.35	17	0.25	16	0.00	17
1801	-176	-208	Min.	16.87	-437.87	9	-18.70	17	-0.47	17	-49.18	17	-3.37	19	0.00	17
1801	-208	-240	Max	2.51	291.93	17	20.78	9	2.27	17	-0.67	16	3.97	17	0.01	18
1801	-208	-240	Max	16.87	293.21	17	20.78	9	2.17	9	-0.64	16	0.26	16	0.01	18
1801	-208	-240	Min.	2.51	-496.12	9	-19.86	17	-0.81	9	-51.12	17	0.36	16	0.00	17
1801	-208	-240	Min.	16.87	-494.79	9	-17.73	17	-0.43	17	-48.96	17	-3.51	19	0.00	17
1801	-240	-272	Max	2.51	188.16	17	21.27	9	2.18	17	-2.19	16	3.84	17	0.01	18
1801	-240	-272	Max	16.87	189.44	17	21.27	9	2.28	9	-2.16	16	0.15	16	0.01	18
1801	-240	-272	Min.	2.51	-555.98	9	-18.88	17	-0.77	9	-50.95	17	0.46	16	0.00	17
1801	-240	-272	Min.	16.87	-554.66	9	-16.74	17	-0.38	17	-48.93	19	-3.66	19	0.00	17
1801	-272	-304	Max	2.51	82.21	17	21.84	9	2.09	17	-3.74	16	3.71	17	0.01	18
1801	-272	-304	Max	16.87	83.49	17	21.84	9	2.41	9	-3.71	16	0.03	16	0.01	18
1801	-272	-304	Min.	2.51	-618.99	9	-17.86	17	-0.73	9	-50.76	17	0.56	16	0.00	17
1801	-272	-304	Min.	16.87	-617.66	9	-15.73	17	-0.32	17	-49.30	19	-3.82	19	0.00	17
1801	-304	-336	Max	2.51	-26.03	17	22.37	9	2.00	17	-5.35	16	3.57	17	0.01	18
1801	-304	-336	Max	16.87	-24.76	17	22.37	9	2.53	9	-5.32	16	-0.10	16	0.01	18
1801	-304	-336	Min.	2.51	-685.35	9	-16.86	17	-0.68	9	-51.09	19	0.66	16	0.00	17

1801	-304	-336	Min.	16.87	-684.02	9	-14.73	17	-0.27	17	-49.78	19	-3.99	19	0.00	17
1801	-336	-368	Max	2.51	-105.10	16	22.97	9	1.90	17	-7.00	16	3.43	17	0.01	18
1801	-336	-368	Max	16.87	-103.77	16	22.97	9	2.67	9	-6.97	16	-0.24	16	0.01	18
1801	-336	-368	Min.	2.51	-755.35	9	-15.83	17	-0.63	9	-51.58	19	0.76	16	-0.00	17
1801	-336	-368	Min.	16.87	-754.02	9	-13.70	17	-0.22	17	-50.28	19	-4.18	19	-0.00	17
1801	-368	-400	Max	2.51	-120.61	16	23.67	9	1.81	17	-8.67	16	3.27	17	0.02	18
1801	-368	-400	Max	16.87	-119.28	16	23.67	9	2.83	9	-8.64	16	-0.39	16	0.02	18
1801	-368	-400	Min.	2.51	-829.20	9	-14.75	17	-0.57	9	-52.04	19	0.86	16	-0.00	17
1801	-368	-400	Min.	16.87	-827.88	9	-12.62	17	-0.16	17	-50.73	19	-4.38	19	-0.00	17
1801	-400	-432	Max	2.51	-140.62	16	24.09	9	1.71	17	-10.55	16	3.10	17	0.02	18
1801	-400	-432	Max	16.87	-139.29	16	24.09	9	2.96	9	-10.52	16	-0.56	16	0.02	18
1801	-400	-432	Min.	2.51	-907.18	9	-13.81	17	-0.50	9	-52.99	19	0.95	16	-0.00	17
1801	-400	-432	Min.	16.87	-905.85	9	-11.67	17	-0.12	17	-51.68	19	-4.66	19	-0.00	17
1801	-432	-464	Max	2.51	-165.43	16	26.50	9	1.60	17	-11.41	16	2.88	17	0.02	18
1801	-432	-464	Max	16.87	-164.10	16	26.50	9	3.39	9	-11.38	16	-0.62	16	0.02	18
1801	-432	-464	Min.	2.51	-989.56	9	-11.80	17	-0.47	18	-51.03	19	1.02	16	0.00	17
1801	-432	-464	Min.	16.87	-988.23	9	-9.67	17	0.05	17	-49.72	19	-4.58	19	0.00	17
1801	-464	-496	Max	2.51	-194.47	16	15.16	9	1.46	17	-19.68	16	2.56	17	0.01	18
1801	-464	-496	Max	16.87	-193.15	16	15.16	9	1.99	9	-19.65	16	-1.76	16	0.01	18
1801	-464	-496	Min.	2.51	-1075.43	19	-17.15	17	-0.33	18	-69.69	19	1.07	16	-0.00	17
1801	-464	-496	Min.	16.87	-1074.13	19	-15.02	17	-0.85	17	-68.38	19	-7.51	19	-0.00	17
1801	-496	1327	Max	2.51	-224.46	16	85.61	9	0.40	17	49.08	9	0.29	17	0.01	19
1801	-496	1327	Max	14.38	-223.36	16	85.61	9	9.60	9	49.10	9	4.94	9	0.01	19
1801	-496	1327	Min.	2.51	-1196.21	19	19.35	16	-0.57	9	0.95	17	-0.89	9	0.00	16
1801	-496	1327	Min.	14.38	-1195.14	19	19.35	16	2.02	16	2.74	17	0.51	17	0.00	16
1802	339	-10	Max	4.85	0.00	9	0.00	9	0.00	9	0.00	9	0.00	9	0.00	9
1802	339	-10	Min.	4.85	0.00	9	0.00	9	0.00	9	0.00	9	0.00	9	0.00	9
1802	-10	-42	Max	4.85	0.00	9	0.00	9	0.00	9	0.00	9	0.00	9	0.00	9
1802	-10	-42	Min.	4.85	0.00	9	0.00	9	0.00	9	0.00	9	0.00	9	0.00	9
1802	-42	-74	Max	5.01	415.56	17	26.81	9	2.21	17	14.07	16	5.75	17	0.01	9
1802	-42	-74	Max	16.87	416.61	17	26.81	9	0.56	19	14.09	16	0.09	17	0.01	9
1802	-42	-74	Min.	5.01	-700.70	18	-14.97	17	-2.85	9	-48.64	17	-1.66	16	-0.02	17
1802	-42	-74	Min.	16.87	-699.60	18	-13.21	17	-0.31	16	-46.85	17	-0.66	9	-0.02	17
1802	-74	-106	Max	2.51	352.75	17	29.66	9	2.13	17	8.76	16	4.34	17	0.00	10
1802	-74	-106	Max	16.87	354.02	17	29.66	9	1.75	9	8.79	16	0.45	16	0.00	10
1802	-74	-106	Min.	2.51	-709.71	18	-17.35	17	-2.51	9	-46.60	17	-0.81	16	-0.02	17
1802	-74	-106	Min.	16.87	-708.39	18	-15.22	17	-0.49	16	-44.44	17	-2.44	19	-0.02	17
1802	-106	-138	Max	2.51	272.52	17	30.22	9	1.80	17	7.74	16	3.72	17	-0.00	16
1802	-106	-138	Max	16.87	273.80	17	30.22	9	2.16	9	7.77	16	0.47	16	-0.00	16
1802	-106	-138	Min.	2.51	-741.33	9	-16.02	17	-2.18	9	-46.08	17	-0.65	16	-0.01	19
1802	-106	-138	Min.	16.87	-740.01	9	-13.89	17	-0.45	16	-43.92	17	-2.97	19	-0.01	19
1802	-138	-170	Max	2.51	187.35	17	30.90	9	1.66	17	6.41	16	3.50	17	-0.00	16
1802	-138	-170	Max	16.87	188.62	17	30.90	9	2.34	9	6.44	16	0.40	16	-0.00	16
1802	-138	-170	Min.	2.51	-779.57	9	-14.89	17	-2.10	9	-45.70	17	-0.52	16	-0.02	19
1802	-138	-170	Min.	16.87	-778.25	9	-12.76	17	-0.36	16	-43.54	17	-3.17	19	-0.02	19
1802	-170	-202	Max	2.51	100.09	17	31.63	9	1.55	17	5.06	16	3.36	17	-0.00	16
1802	-170	-202	Max	16.87	101.37	17	31.63	9	2.48	9	5.09	16	0.31	16	-0.00	16
1802	-170	-202	Min.	2.51	-820.14	9	-13.77	17	-2.07	9	-45.32	17	-0.42	16	-0.02	19
1802	-170	-202	Min.	16.87	-818.81	9	-11.64	17	-0.27	17	-43.15	17	-3.29	19	-0.02	19
1802	-202	-234	Max	2.51	11.34	17	32.38	9	1.46	17	3.68	16	3.24	17	-0.00	16
1802	-202	-234	Max	16.87	12.62	17	32.38	9	2.61	9	3.71	16	0.21	16	-0.00	16
1802	-202	-234	Min.	2.51	-862.87	9	-12.63	17	-2.04	9	-44.96	17	-0.32	16	-0.02	19
1802	-202	-234	Min.	16.87	-861.55	9	-10.50	17	-0.21	17	-42.80	17	-3.41	19	-0.02	19
1802	-234	-266	Max	2.51	-78.83	17	33.18	9	1.36	17	2.26	16	3.11	17	-0.01	16
1802	-234	-266	Max	16.87	-77.55	17	33.18	9	2.75	9	2.29	16	0.11	16	-0.01	16
1802	-234	-266	Min.	2.51	-907.86	9	-11.47	17	-2.02	9	-44.62	17	-0.22	16	-0.02	19
1802	-234	-266	Min.	16.87	-906.53	9	-9.34	17	-0.14	17	-42.45	17	-3.54	19	-0.02	19
1802	-266	-298	Max	2.51	-170.49	17	34.01	9	1.26	17	0.81	16	2.98	17	-0.01	16
1802	-266	-298	Max	16.87	-169.21	17	34.01	9	2.90	9	0.84	16	-0.00	16	-0.01	16

1802	-266	-298	Min.	2.51	-955.25	9	-10.29	17	-1.99	9	-44.29	17	-0.12	16	-0.02	19
1802	-266	-298	Min.	16.87	-953.92	9	-8.16	17	-0.07	17	-42.13	17	-3.68	19	-0.02	19
1802	-298	-330	Max	2.51	-263.74	17	34.89	9	1.16	17	-0.67	16	2.84	17	-0.01	16
1802	-298	-330	Max	16.87	-262.46	17	34.89	9	3.06	9	-0.64	16	-0.12	16	-0.01	16
1802	-298	-330	Min.	2.51	-1005.20	9	-9.08	17	-1.95	9	-43.99	17	-0.02	16	-0.02	19
1802	-298	-330	Min.	16.87	-1003.87	9	-6.95	17	0.01	17	-42.21	19	-3.82	19	-0.02	19
1802	-330	-362	Max	2.51	-358.69	17	35.81	9	1.06	17	-2.20	16	2.70	17	-0.01	16
1802	-330	-362	Max	16.87	-357.41	17	35.81	9	3.23	9	-2.17	16	-0.24	16	-0.01	16
1802	-330	-362	Min.	2.51	-1057.92	9	-7.85	17	-1.91	9	-43.82	19	0.07	16	-0.02	19
1802	-330	-362	Min.	16.87	-1056.59	9	-5.72	17	0.09	17	-42.51	19	-3.99	19	-0.02	19
1802	-362	-394	Max	2.51	-385.98	16	36.80	9	0.96	17	-3.75	16	2.54	17	-0.01	16
1802	-362	-394	Max	16.87	-384.65	16	36.80	9	3.43	9	-3.72	16	-0.37	16	-0.01	16
1802	-362	-394	Min.	2.51	-1113.60	9	-6.58	17	-1.86	9	-44.10	19	0.16	16	-0.02	19
1802	-362	-394	Min.	16.87	-1112.28	9	-4.45	17	0.17	17	-42.79	19	-4.16	19	-0.02	19
1802	-394	-426	Max	2.51	-393.49	16	37.63	9	0.86	17	-5.55	16	2.38	17	-0.01	16
1802	-394	-426	Max	16.87	-392.16	16	37.63	9	3.61	9	-5.52	16	-0.54	16	-0.01	16
1802	-394	-426	Min.	2.51	-1172.46	9	-5.38	17	-1.80	9	-44.89	19	0.25	16	-0.02	19
1802	-394	-426	Min.	16.87	-1171.14	9	-3.25	17	0.24	17	-43.59	19	-4.41	19	-0.02	19
1802	-426	-458	Max	2.51	-405.16	16	40.12	9	0.75	17	-5.89	16	2.17	17	-0.01	16
1802	-426	-458	Max	16.87	-403.83	16	40.12	9	4.05	9	-5.86	16	-0.52	16	-0.01	16
1802	-426	-458	Min.	2.51	-1234.72	9	-3.38	17	-1.76	18	-42.27	19	0.33	16	-0.02	19
1802	-426	-458	Min.	16.87	-1233.40	9	-1.25	17	0.42	17	-40.96	19	-4.23	19	-0.02	19
1802	-458	-490	Max	2.51	-420.70	16	31.61	9	0.66	17	-16.51	16	1.92	17	-0.01	16
1802	-458	-490	Max	16.87	-419.38	16	31.61	9	3.12	9	-16.48	16	-1.93	16	-0.01	16
1802	-458	-490	Min.	2.51	-1302.15	19	-6.69	17	-1.58	18	-63.36	19	0.42	10	-0.03	19
1802	-458	-490	Min.	16.87	-1300.85	19	-4.56	17	-0.15	17	-62.05	19	-7.42	19	-0.03	19
1802	-490	1318	Max	2.51	-439.53	16	88.61	9	0.06	17	69.34	9	-0.22	17	-0.01	17
1802	-490	1318	Max	14.38	-438.43	16	88.61	9	9.41	9	69.37	9	6.68	9	-0.01	17
1802	-490	1318	Min.	2.51	-1404.14	19	15.94	16	-1.11	9	18.21	17	-1.56	9	-0.03	18
1802	-490	1318	Min.	14.38	-1403.06	19	15.94	16	1.28	16	20.00	17	2.05	17	-0.03	18
1803	315	-2	Max	4.85	0.00	9	0.00	9	0.00	9	0.00	9	0.00	9	0.00	9
1803	315	-2	Min.	4.85	0.00	9	0.00	9	0.00	9	0.00	9	0.00	9	0.00	9
1803	-2	-34	Max	4.85	0.00	9	0.00	9	0.00	9	0.00	9	0.00	9	0.00	9
1803	-2	-34	Min.	4.85	0.00	9	0.00	9	0.00	9	0.00	9	0.00	9	0.00	9
1803	-34	-66	Max	5.01	557.93	17	47.40	17	0.79	16	30.69	9	3.22	17	0.03	17
1803	-34	-66	Max	16.87	558.98	17	45.64	17	0.60	9	30.72	9	0.52	17	0.03	17
1803	-34	-66	Min.	5.01	-516.01	18	-7.48	16	-5.43	17	-23.66	17	-3.42	9	-0.01	16
1803	-34	-66	Min.	16.87	-514.94	18	-5.72	16	0.00	16	-21.87	17	-0.32	16	-0.01	16
1803	-66	-98	Max	2.51	532.50	17	50.23	17	0.77	16	26.54	9	2.40	17	0.00	17
1803	-66	-98	Max	16.87	533.78	17	48.09	17	2.63	19	26.57	9	1.59	9	0.00	17
1803	-66	-98	Min.	2.51	-492.69	18	-8.67	16	-4.64	17	-21.17	17	-2.23	9	-0.01	16
1803	-66	-98	Min.	16.87	-491.39	18	-6.54	16	-0.32	16	-19.01	17	-0.49	16	-0.01	16
1803	-98	-130	Max	2.51	500.93	17	49.72	17	0.56	16	27.36	9	2.10	17	-0.00	16
1803	-98	-130	Max	16.87	502.21	17	47.59	17	3.20	19	27.39	9	1.96	9	-0.00	16
1803	-98	-130	Min.	2.51	-468.04	16	-7.31	16	-3.99	17	-20.27	17	-1.98	9	-0.01	19
1803	-98	-130	Min.	16.87	-466.76	16	-5.17	16	-0.33	16	-18.11	17	-0.65	17	-0.01	19
1803	-130	-162	Max	2.51	468.80	17	49.32	17	0.44	16	27.94	9	1.97	17	-0.00	16
1803	-130	-162	Max	16.87	470.08	17	47.19	17	3.40	19	27.97	9	2.12	9	-0.00	16
1803	-130	-162	Min.	2.51	-469.83	16	-6.01	16	-3.76	17	-19.29	17	-1.89	9	-0.02	19
1803	-130	-162	Min.	16.87	-468.56	16	-3.88	16	-0.27	16	-17.12	17	-0.65	17	-0.02	19
1803	-162	-194	Max	2.51	437.54	17	48.97	17	0.34	16	28.56	9	1.87	17	-0.00	16
1803	-162	-194	Max	16.87	438.81	17	46.83	17	3.53	19	28.59	9	2.25	9	-0.00	16
1803	-162	-194	Min.	2.51	-469.08	16	-4.70	16	-3.62	17	-18.26	17	-1.86	9	-0.02	19
1803	-162	-194	Min.	16.87	-467.80	16	-2.57	16	-0.18	16	-16.10	17	-0.60	17	-0.02	19
1803	-194	-226	Max	2.51	407.52	17	48.63	17	0.24	16	29.22	9	1.78	17	-0.00	16
1803	-194	-226	Max	16.87	408.80	17	46.49	17	3.65	19	29.25	9	2.37	9	-0.00	16
1803	-194	-226	Min.	2.51	-465.49	16	-3.36	16	-3.49	17	-17.23	17	-1.82	9	-0.02	19
1803	-194	-226	Min.	16.87	-464.21	16	-1.23	16	-0.09	16	-15.06	17	-0.54	17	-0.02	19
1803	-226	-258	Max	2.51	378.93	17	48.30	17	0.15	16	29.90	9	1.69	17	-0.00	16

1803	-226	-258	Max	16.87	380.20	17	46.17	17	3.77	19	29.93	9	2.51	9	-0.00	16
1803	-226	-258	Min.	2.51	-458.84	16	-2.00	16	-3.37	17	-16.17	17	-1.79	9	-0.02	19
1803	-226	-258	Min.	16.87	-457.56	16	0.14	16	0.01	16	-14.01	17	-0.48	17	-0.02	19
1803	-258	-290	Max	2.51	351.88	17	48.00	17	0.05	16	30.63	9	1.60	17	-0.00	16
1803	-258	-290	Max	16.87	353.16	17	45.87	17	3.91	19	30.66	9	2.65	9	-0.00	16
1803	-258	-290	Min.	2.51	-448.89	16	-0.60	16	-3.24	17	-15.10	17	-1.75	9	-0.02	19
1803	-258	-290	Min.	16.87	-447.61	16	1.53	16	0.12	16	-12.94	17	-0.42	17	-0.02	19
1803	-290	-322	Max	2.51	326.50	17	47.72	17	-0.04	16	31.39	9	1.51	17	-0.01	16
1803	-290	-322	Max	16.87	327.78	17	45.58	17	4.06	19	31.42	9	2.80	9	-0.01	16
1803	-290	-322	Min.	2.51	-435.39	16	0.83	16	-3.10	17	-14.01	17	-1.71	9	-0.02	19
1803	-290	-322	Min.	16.87	-434.11	16	2.97	16	0.23	16	-11.85	17	-0.35	17	-0.02	19
1803	-322	-354	Max	2.51	302.93	17	47.45	17	-0.13	16	32.19	9	1.42	17	-0.01	16
1803	-322	-354	Max	16.87	304.21	17	45.66	19	4.22	19	32.22	9	2.97	9	-0.01	16
1803	-322	-354	Min.	2.51	-418.06	16	2.30	16	-2.96	17	-12.90	17	-1.66	9	-0.02	19
1803	-322	-354	Min.	16.87	-416.78	16	4.44	16	0.35	16	-10.74	17	-0.28	17	-0.02	19
1803	-354	-386	Max	2.51	331.23	19	47.31	19	-0.22	16	33.02	9	1.32	17	-0.01	16
1803	-354	-386	Max	16.87	332.53	19	46.03	19	4.40	19	33.05	9	3.15	9	-0.01	16
1803	-354	-386	Min.	2.51	-396.60	16	3.82	16	-2.81	17	-11.77	17	-1.60	9	-0.02	19
1803	-354	-386	Min.	16.87	-395.32	16	5.95	16	0.48	16	-9.61	17	-0.21	17	-0.02	19
1803	-386	-418	Max	2.51	372.67	19	47.44	19	-0.30	16	33.94	9	1.23	17	-0.01	16
1803	-386	-418	Max	16.87	373.97	19	46.16	19	4.57	19	33.97	9	3.35	9	-0.01	16
1803	-386	-418	Min.	2.51	-370.69	16	5.32	16	-2.64	17	-10.63	17	-1.53	9	-0.02	19
1803	-386	-418	Min.	16.87	-369.41	16	7.46	16	0.61	16	-8.46	17	-0.14	17	-0.02	19
1803	-418	-450	Max	2.51	418.26	19	49.67	19	-0.38	16	34.66	9	1.14	17	-0.01	16
1803	-418	-450	Max	16.87	419.56	19	48.39	19	5.05	19	34.69	9	3.56	9	-0.01	16
1803	-418	-450	Min.	2.51	-340.10	16	7.24	16	-2.45	17	-9.38	17	-1.48	18	-0.02	19
1803	-418	-450	Min.	16.87	-338.82	16	9.37	16	0.81	16	-7.21	17	-0.06	17	-0.02	19
1803	-450	-482	Max	2.51	482.05	9	40.20	17	-0.29	10	37.20	9	1.00	17	-0.01	16
1803	-450	-482	Max	16.87	483.37	9	38.06	17	3.77	19	37.23	9	4.12	9	-0.01	16
1803	-450	-482	Min.	2.51	-304.94	16	6.75	16	-2.03	17	-8.50	17	-1.32	18	-0.03	19
1803	-450	-482	Min.	16.87	-303.67	16	8.88	16	0.72	16	-6.34	17	-0.07	17	-0.03	19
1803	-482	1298	Max	2.51	569.04	9	110.46	19	-0.32	16	48.84	16	0.62	17	-0.01	16
1803	-482	1298	Max	14.38	570.14	9	109.40	19	11.79	19	50.63	16	4.86	18	-0.01	16
1803	-482	1298	Min.	2.51	-271.12	16	21.08	16	-1.28	17	-5.22	17	-1.07	16	-0.04	17
1803	-482	1298	Min.	14.38	-270.06	16	22.84	16	2.28	16	-3.43	17	0.10	17	-0.04	17
1804	321	-6	Max	4.85	0.00	9	0.00	9	0.00	9	0.00	9	0.00	9	0.00	9
1804	321	-6	Min.	4.85	0.00	9	0.00	9	0.00	9	0.00	9	0.00	9	0.00	9
1804	-6	-38	Max	4.85	0.00	9	0.00	9	0.00	9	0.00	9	0.00	9	0.00	9
1804	-6	-38	Min.	4.85	0.00	9	0.00	9	0.00	9	0.00	9	0.00	9	0.00	9
1804	-38	-70	Max	5.01	728.96	17	74.55	19	-1.55	16	51.83	9	3.36	17	0.05	19
1804	-38	-70	Max	16.87	730.01	17	73.50	19	0.65	9	51.85	9	1.03	19	0.05	19
1804	-38	-70	Min.	5.01	-605.99	18	12.46	16	-8.31	19	-21.69	17	-5.40	9	0.01	16
1804	-38	-70	Min.	16.87	-604.92	18	14.22	16	0.03	16	-19.90	17	0.11	16	0.01	16
1804	-70	-102	Max	2.51	707.51	17	76.41	19	-1.15	16	46.52	9	2.55	17	0.03	19
1804	-70	-102	Max	16.87	708.79	17	75.13	19	4.17	19	46.55	9	3.10	9	0.03	19
1804	-70	-102	Min.	2.51	-547.95	18	11.94	16	-6.87	17	-18.80	17	-3.58	9	0.01	16
1804	-70	-102	Min.	16.87	-546.65	18	14.08	16	0.72	16	-16.64	17	0.00	17	0.01	16
1804	-102	-134	Max	2.51	680.97	17	77.00	19	-1.13	16	47.86	9	2.29	17	0.01	18
1804	-102	-134	Max	16.87	682.25	17	75.72	19	5.17	19	47.89	9	3.75	9	0.01	18
1804	-102	-134	Min.	2.51	-472.24	18	13.66	16	-5.96	17	-17.88	17	-3.12	9	-0.00	17
1804	-102	-134	Min.	16.87	-470.94	18	15.79	16	0.99	16	-15.72	17	-0.13	17	-0.00	17
1804	-134	-166	Max	2.51	654.30	17	77.80	19	-1.19	16	48.86	9	2.17	17	0.01	18
1804	-134	-166	Max	16.87	655.58	17	76.52	19	5.56	19	48.89	9	4.05	9	0.01	18
1804	-134	-166	Min.	2.51	-438.54	16	15.42	16	-5.67	17	-16.88	17	-2.97	9	-0.01	17
1804	-134	-166	Min.	16.87	-437.27	16	17.55	16	1.18	16	-14.72	17	-0.10	17	-0.01	17
1804	-166	-198	Max	2.51	628.78	17	78.67	19	-1.26	16	49.95	9	2.08	17	0.01	18
1804	-166	-198	Max	16.87	630.06	17	77.39	19	5.84	19	49.98	9	4.28	9	0.01	18
1804	-166	-198	Min.	2.51	-404.51	16	17.22	16	-5.50	17	-15.79	17	-2.89	9	-0.01	17
1804	-166	-198	Min.	16.87	-403.23	16	19.36	16	1.37	16	-13.63	17	-0.03	17	-0.01	17

1804	-198	-230	Max	2.51	604.78	17	79.63	19	-1.33	16	51.10	9	2.00	17	0.01	18
1804	-198	-230	Max	16.87	606.06	17	78.35	19	6.11	19	51.13	9	4.51	9	0.01	18
1804	-198	-230	Min.	2.51	-366.01	16	19.07	16	-5.36	17	-14.73	17	-2.83	9	-0.01	17
1804	-198	-230	Min.	16.87	-364.74	16	21.20	16	1.56	16	-12.57	17	0.04	17	-0.01	17
1804	-230	-262	Max	2.51	582.51	17	80.63	19	-1.40	16	52.31	9	1.93	17	0.01	18
1804	-230	-262	Max	16.87	583.79	17	79.35	19	6.39	19	52.34	9	4.75	9	0.01	18
1804	-230	-262	Min.	2.51	-322.78	16	20.98	16	-5.20	17	-13.61	17	-2.77	9	-0.01	17
1804	-230	-262	Min.	16.87	-321.50	16	23.11	16	1.76	16	-11.45	17	0.13	17	-0.01	17
1804	-262	-294	Max	2.51	562.08	17	81.71	19	-1.47	16	53.57	9	1.85	17	0.01	18
1804	-262	-294	Max	16.87	563.36	17	80.43	19	6.69	19	53.60	9	5.01	9	0.01	18
1804	-262	-294	Min.	2.51	-274.44	16	22.94	16	-5.05	17	-12.49	17	-2.69	9	-0.01	17
1804	-262	-294	Min.	16.87	-273.17	16	25.07	16	1.98	16	-10.33	17	0.21	17	-0.01	17
1804	-294	-326	Max	2.51	583.27	19	82.88	19	-1.52	16	54.90	9	1.78	17	0.01	18
1804	-294	-326	Max	16.87	584.57	19	81.60	19	7.02	19	54.93	9	5.29	9	0.01	18
1804	-294	-326	Min.	2.51	-220.64	16	24.96	16	-4.88	17	-11.37	17	-2.60	9	-0.01	17
1804	-294	-326	Min.	16.87	-219.36	16	27.09	16	2.21	16	-9.20	17	0.30	17	-0.01	17
1804	-326	-358	Max	2.51	661.64	19	84.10	19	-1.57	16	56.30	9	1.70	17	0.01	18
1804	-326	-358	Max	16.87	662.94	19	82.82	19	7.38	19	56.33	9	5.59	9	0.01	18
1804	-326	-358	Min.	2.51	-160.93	16	27.05	16	-4.70	17	-10.19	17	-2.52	18	-0.01	17
1804	-326	-358	Min.	16.87	-159.65	16	29.18	16	2.46	16	-8.03	17	0.39	17	-0.01	17
1804	-358	-390	Max	2.51	745.98	19	85.49	19	-1.61	16	57.76	9	1.63	17	0.01	18
1804	-358	-390	Max	16.87	747.28	19	84.21	19	7.78	19	57.79	9	5.92	9	0.01	18
1804	-358	-390	Min.	2.51	-94.86	16	29.23	16	-4.50	17	-9.01	17	-2.47	18	-0.01	17
1804	-358	-390	Min.	16.87	-93.58	16	31.36	16	2.74	16	-6.85	17	0.49	17	-0.01	17
1804	-390	-422	Max	2.51	836.76	19	86.45	19	-1.64	16	59.42	9	1.56	17	0.01	18
1804	-390	-422	Max	16.87	838.06	19	85.17	19	8.15	19	59.45	9	6.29	9	0.01	18
1804	-390	-422	Min.	2.51	-21.94	16	31.30	16	-4.27	17	-7.79	17	-2.40	18	-0.01	17
1804	-390	-422	Min.	16.87	-20.66	16	33.44	16	3.01	16	-5.62	17	0.60	17	-0.01	17
1804	-422	-454	Max	2.51	937.56	9	91.18	19	-1.64	16	60.39	9	1.49	17	0.01	18
1804	-422	-454	Max	16.87	938.88	9	89.90	19	9.11	19	61.27	18	6.62	9	0.01	18
1804	-422	-454	Min.	2.51	58.15	16	34.86	16	-4.00	17	-6.58	17	-2.27	18	-0.01	17
1804	-422	-454	Min.	16.87	59.43	16	36.99	16	3.52	16	-4.42	17	0.70	17	-0.01	17
1804	-454	-486	Max	2.51	1096.66	9	71.01	19	-1.32	10	66.69	9	1.36	17	-0.00	16
1804	-454	-486	Max	16.87	1097.99	9	69.73	19	7.00	19	66.72	9	7.86	9	-0.00	16
1804	-454	-486	Min.	2.51	144.98	16	28.85	16	-3.34	17	-4.93	17	-1.95	18	-0.03	17
1804	-454	-486	Min.	16.87	146.26	16	30.98	16	2.87	16	-2.77	17	0.80	17	-0.03	17
1804	-486	1304	Max	2.51	1249.18	9	199.53	19	-1.07	16	63.80	18	1.03	17	-0.01	10
1804	-486	1304	Max	14.38	1250.28	9	198.48	19	21.25	19	64.88	18	7.28	18	-0.01	10
1804	-486	1304	Min.	2.51	228.93	16	80.64	16	-2.38	19	-5.63	17	-0.84	16	-0.04	17
1804	-486	1304	Min.	14.38	229.98	16	82.41	16	8.61	16	-3.84	17	0.47	17	-0.04	17
1805	324	-8	Max	4.85	0.00	9	0.00	9	0.00	9	0.00	9	0.00	9	0.00	9
1805	324	-8	Min.	4.85	0.00	9	0.00	9	0.00	9	0.00	9	0.00	9	0.00	9
1805	-8	-40	Max	4.85	0.00	9	0.00	9	0.00	9	0.00	9	0.00	9	0.00	9
1805	-8	-40	Min.	4.85	0.00	9	0.00	9	0.00	9	0.00	9	0.00	9	0.00	9
1805	-40	-72	Max	5.01	898.22	17	49.47	17	0.45	16	22.24	9	4.29	17	0.04	19
1805	-40	-72	Max	16.87	899.27	17	47.70	17	0.20	9	22.26	9	0.87	19	0.04	19
1805	-40	-72	Min.	5.01	-100.74	16	-7.47	16	-5.93	17	-30.22	17	-2.02	9	0.00	16
1805	-40	-72	Min.	16.87	-99.69	16	-5.71	16	-0.33	16	-28.44	17	0.03	16	0.00	16
1805	-72	-104	Max	2.51	866.04	17	54.19	17	0.22	16	20.32	9	3.11	17	0.02	19
1805	-72	-104	Max	16.87	867.32	17	52.05	17	2.34	19	20.35	9	1.65	9	0.02	19
1805	-72	-104	Min.	2.51	-110.69	16	-6.64	16	-5.30	17	-25.85	17	-1.28	9	0.01	16
1805	-72	-104	Min.	16.87	-109.41	16	-4.51	16	-0.58	16	-23.69	17	-0.44	17	0.01	16
1805	-104	-136	Max	2.51	825.70	17	53.70	17	0.04	16	20.89	9	2.79	17	0.01	9
1805	-104	-136	Max	16.87	826.98	17	51.57	17	2.97	17	20.92	9	1.94	9	0.01	9
1805	-104	-136	Min.	2.51	-122.16	16	-5.29	16	-4.59	17	-25.15	17	-1.06	9	0.00	17
1805	-104	-136	Min.	16.87	-120.88	16	-3.16	16	-0.57	16	-22.99	17	-0.67	17	0.00	17
1805	-136	-168	Max	2.51	783.99	17	53.39	17	-0.08	16	21.31	9	2.65	17	0.01	18
1805	-136	-168	Max	16.87	785.26	17	51.26	17	3.16	17	21.34	9	2.07	9	0.01	18
1805	-136	-168	Min.	2.51	-132.35	16	-3.95	16	-4.36	17	-24.29	17	-0.99	9	-0.01	17

1805	-136	-168	Min.	16.87	-131.07	16	-1.82	16	-0.49	16	-22.13	17	-0.69	17	-0.01	17
1805	-168	-200	Max	2.51	742.59	17	53.14	17	-0.18	16	21.77	9	2.55	17	0.01	18
1805	-168	-200	Max	16.87	743.87	17	51.01	17	3.30	19	21.80	9	2.18	9	0.01	18
1805	-168	-200	Min.	2.51	-140.46	16	-2.60	16	-4.22	17	-23.39	17	-0.95	9	-0.01	17
1805	-168	-200	Min.	16.87	-139.18	16	-0.47	16	-0.40	16	-21.23	17	-0.66	17	-0.01	17
1805	-200	-232	Max	2.51	701.95	17	52.91	17	-0.28	16	22.27	9	2.46	17	0.01	18
1805	-200	-232	Max	16.87	703.23	17	50.77	17	3.43	19	22.30	9	2.29	9	0.01	18
1805	-200	-232	Min.	2.51	-146.16	16	-1.21	16	-4.09	17	-22.47	17	-0.91	9	-0.01	17
1805	-200	-232	Min.	16.87	-144.88	16	0.92	16	-0.30	16	-20.31	17	-0.61	17	-0.01	17
1805	-232	-264	Max	2.51	662.22	17	52.68	17	-0.38	16	22.78	9	2.37	17	0.01	18
1805	-232	-264	Max	16.87	663.50	17	50.54	17	3.57	19	22.81	9	2.40	9	0.01	18
1805	-232	-264	Min.	2.51	-149.27	16	0.22	16	-3.96	17	-21.55	17	-0.88	9	-0.01	17
1805	-232	-264	Min.	16.87	-147.99	16	2.36	16	-0.19	16	-19.39	17	-0.57	17	-0.01	17
1805	-264	-296	Max	2.51	623.47	17	52.50	17	-0.47	16	23.31	9	2.29	17	0.01	18
1805	-264	-296	Max	16.87	624.74	17	50.37	17	3.72	19	23.34	9	2.52	9	0.01	18
1805	-264	-296	Min.	2.51	-149.57	16	1.67	16	-3.83	17	-20.63	17	-0.83	9	-0.01	17
1805	-264	-296	Min.	16.87	-148.29	16	3.80	16	-0.08	16	-18.47	17	-0.52	17	-0.01	17
1805	-296	-328	Max	2.51	599.88	19	52.32	17	-0.57	16	23.89	9	2.20	17	0.01	18
1805	-296	-328	Max	16.87	601.17	19	50.19	17	3.89	19	23.92	9	2.65	9	0.01	18
1805	-296	-328	Min.	2.51	-146.85	16	3.18	16	-3.69	17	-19.68	17	-0.79	9	-0.01	17
1805	-296	-328	Min.	16.87	-145.57	16	5.31	16	0.04	16	-17.52	17	-0.47	17	-0.01	17
1805	-328	-360	Max	2.51	617.32	19	52.18	17	-0.66	16	24.49	9	2.11	17	0.01	18
1805	-328	-360	Max	16.87	618.62	19	50.05	17	4.07	19	24.52	9	2.79	9	0.01	18
1805	-328	-360	Min.	2.51	-140.87	16	4.71	16	-3.54	17	-18.72	17	-0.73	9	-0.01	17
1805	-328	-360	Min.	16.87	-139.59	16	6.85	16	0.17	16	-16.56	17	-0.43	17	-0.01	17
1805	-360	-392	Max	2.51	637.50	19	52.10	17	-0.74	16	25.09	9	2.02	17	0.01	18
1805	-360	-392	Max	16.87	638.80	19	49.97	17	4.27	19	25.12	9	2.94	9	0.01	18
1805	-360	-392	Min.	2.51	-131.36	16	6.28	16	-3.39	17	-17.76	17	-0.67	9	-0.01	17
1805	-360	-392	Min.	16.87	-130.08	16	8.41	16	0.31	16	-15.60	17	-0.38	17	-0.01	17
1805	-392	-424	Max	2.51	660.65	19	51.90	17	-0.82	16	25.83	9	1.93	17	0.01	18
1805	-392	-424	Max	16.87	661.95	19	49.77	17	4.47	19	25.86	9	3.11	9	0.01	18
1805	-392	-424	Min.	2.51	-118.04	16	7.91	16	-3.21	17	-16.75	17	-0.60	9	-0.01	17
1805	-392	-424	Min.	16.87	-116.77	16	10.04	16	0.47	16	-14.58	17	-0.32	17	-0.01	17
1805	-424	-456	Max	2.51	687.04	19	52.74	19	-0.89	16	25.98	9	1.82	17	0.01	18
1805	-424	-456	Max	16.87	688.34	19	51.46	19	4.94	19	26.01	9	3.23	9	0.01	18
1805	-424	-456	Min.	2.51	-100.69	16	9.54	16	-3.00	17	-16.02	17	-0.56	18	-0.01	17
1805	-424	-456	Min.	16.87	-99.41	16	11.67	16	0.63	16	-13.85	17	-0.32	17	-0.01	17
1805	-456	-488	Max	2.51	716.91	19	46.64	17	-0.78	10	30.71	9	1.62	17	0.01	18
1805	-456	-488	Max	16.87	718.21	19	44.51	17	4.03	19	30.74	9	4.03	9	0.01	18
1805	-456	-488	Min.	2.51	-79.19	16	11.62	16	-2.55	17	-12.90	17	-0.48	18	-0.02	17
1805	-456	-488	Min.	16.87	-77.91	16	13.76	16	0.93	16	-10.74	17	-0.07	17	-0.02	17
1805	-488	1307	Max	2.51	775.25	9	102.80	19	-0.46	16	30.97	16	1.17	17	0.00	9
1805	-488	1307	Max	14.38	776.35	9	101.74	19	10.73	19	32.75	16	3.31	16	0.00	9
1805	-488	1307	Min.	2.51	-56.51	16	11.53	16	-1.48	17	-23.48	17	-0.47	16	-0.03	17
1805	-488	1307	Min.	14.38	-55.45	16	13.30	16	1.01	16	-21.70	17	-1.51	17	-0.03	17
1830	351	-18	Max	4.85	0.00	9	0.00	9	0.00	9	0.00	9	0.00	9	0.00	9
1830	351	-18	Min.	4.85	0.00	9	0.00	9	0.00	9	0.00	9	0.00	9	0.00	9
1830	-18	-50	Max	4.85	0.00	9	0.00	9	0.00	9	0.00	9	0.00	9	0.00	9
1830	-18	-50	Min.	4.85	0.00	9	0.00	9	0.00	9	0.00	9	0.00	9	0.00	9
1830	-50	-82	Max	5.01	415.36	17	15.95	17	4.38	18	-11.18	10	5.77	17	0.02	17
1830	-50	-82	Max	16.87	416.41	17	14.19	17	-0.22	10	-11.16	10	0.06	17	0.02	17
1830	-50	-82	Min.	5.01	-717.33	18	-42.35	18	-2.24	17	-49.07	17	0.84	10	-0.02	16
1830	-50	-82	Min.	16.87	-716.26	18	-41.29	18	-0.61	16	-47.28	17	-0.88	18	-0.02	16
1830	-82	-114	Max	2.51	352.65	17	18.58	17	3.59	18	-15.45	10	4.37	17	0.02	17
1830	-82	-114	Max	16.87	353.93	17	16.45	17	0.31	17	-15.42	10	-1.24	10	0.02	17
1830	-82	-114	Min.	2.51	-763.66	18	-44.56	18	-2.20	17	-47.07	17	0.98	10	-0.01	16
1830	-82	-114	Min.	16.87	-762.36	18	-43.28	18	-2.72	18	-44.91	17	-2.55	18	-0.01	16
1830	-114	-146	Max	2.51	272.52	17	17.49	17	3.01	18	-15.40	10	3.76	17	0.01	17
1830	-114	-146	Max	16.87	273.80	17	15.35	17	0.45	17	-15.37	10	-1.47	10	0.01	17

1830	-114	-146	Min.	2.51	-823.47	18	-44.39	18	-1.91	17	-46.63	17	0.74	10	0.01	16
1830	-114	-146	Min.	16.87	-822.17	18	-43.11	18	-3.28	18	-44.46	17	-2.99	18	0.01	16
1830	-146	-178	Max	2.51	187.44	17	16.40	17	2.82	18	-15.78	10	3.54	17	0.02	19
1830	-146	-178	Max	16.87	188.72	17	14.27	17	0.43	17	-15.75	10	-1.57	10	0.02	19
1830	-146	-178	Min.	2.51	-887.41	18	-44.51	18	-1.77	17	-46.21	17	0.69	10	0.01	10
1830	-146	-178	Min.	16.87	-886.12	18	-43.23	18	-3.48	18	-44.05	17	-3.15	18	0.01	10
1830	-178	-210	Max	2.51	100.28	17	15.29	17	2.71	18	-16.14	10	3.40	17	0.02	19
1830	-178	-210	Max	16.87	101.55	17	13.16	17	0.38	17	-16.11	10	-1.66	10	0.02	19
1830	-178	-210	Min.	2.51	-953.40	18	-44.62	18	-1.66	17	-45.81	17	0.66	10	0.01	10
1830	-178	-210	Min.	16.87	-952.10	18	-43.34	18	-3.61	18	-43.64	17	-3.26	19	0.01	10
1830	-210	-242	Max	2.51	11.63	17	14.18	17	2.61	18	-16.53	10	3.27	17	0.02	19
1830	-210	-242	Max	16.87	12.91	17	12.04	17	0.32	17	-16.50	10	-1.74	10	0.02	19
1830	-210	-242	Min.	2.51	-1021.00	18	-44.79	18	-1.57	17	-45.41	17	0.63	10	0.01	10
1830	-210	-242	Min.	16.87	-1019.70	18	-43.51	18	-3.74	18	-43.24	17	-3.37	19	0.01	10
1830	-242	-274	Max	2.51	-78.44	17	13.03	17	2.51	18	-16.95	10	3.14	17	0.02	19
1830	-242	-274	Max	16.87	-77.16	17	10.90	17	0.25	17	-16.92	10	-1.83	10	0.02	19
1830	-242	-274	Min.	2.51	-1090.21	18	-45.02	18	-1.47	17	-45.03	17	0.61	10	0.01	10
1830	-242	-274	Min.	16.87	-1088.92	18	-43.74	18	-3.87	18	-42.87	17	-3.49	19	0.01	10
1830	-274	-306	Max	2.51	-170.00	17	11.86	17	2.40	18	-17.38	10	3.01	17	0.02	19
1830	-274	-306	Max	16.87	-168.72	17	9.73	17	0.18	17	-17.35	10	-1.92	10	0.02	19
1830	-274	-306	Min.	2.51	-1161.15	18	-45.25	18	-1.37	17	-44.67	17	0.57	10	0.01	10
1830	-274	-306	Min.	16.87	-1159.86	18	-43.97	18	-4.01	18	-42.51	17	-3.63	19	0.01	10
1830	-306	-338	Max	2.51	-263.14	17	10.69	17	2.28	18	-17.80	10	2.87	17	0.02	19
1830	-306	-338	Max	16.87	-261.86	17	8.55	17	0.11	17	-17.77	10	-2.02	10	0.02	19
1830	-306	-338	Min.	2.51	-1233.91	18	-45.48	18	-1.28	17	-44.31	17	0.54	10	0.01	10
1830	-306	-338	Min.	16.87	-1232.61	18	-44.20	18	-4.16	18	-42.15	17	-3.77	19	0.01	10
1830	-338	-370	Max	2.51	-357.96	17	9.47	17	2.16	18	-18.31	10	2.72	17	0.02	19
1830	-338	-370	Max	16.87	-356.68	17	7.34	17	0.03	17	-18.28	10	-2.13	10	0.02	19
1830	-338	-370	Min.	2.51	-1308.59	18	-45.81	18	-1.18	17	-44.00	17	0.50	10	0.01	10
1830	-338	-370	Min.	16.87	-1307.29	18	-44.53	18	-4.33	18	-41.83	17	-3.92	19	0.01	10
1830	-370	-402	Max	2.51	-454.60	17	8.22	17	2.02	18	-18.73	10	2.56	17	0.02	19
1830	-370	-402	Max	16.87	-453.32	17	6.09	17	-0.05	17	-18.70	10	-2.24	10	0.02	19
1830	-370	-402	Min.	2.51	-1385.37	18	-46.15	18	-1.08	17	-43.65	17	0.45	10	0.01	10
1830	-370	-402	Min.	16.87	-1384.07	18	-44.87	18	-4.52	18	-41.85	19	-4.08	19	0.01	10
1830	-402	-434	Max	2.51	-553.14	17	7.05	17	1.87	18	-19.59	10	2.39	17	0.02	19
1830	-402	-434	Max	16.87	-551.86	17	4.91	17	-0.12	17	-19.56	10	-2.41	10	0.02	19
1830	-402	-434	Min.	2.51	-1464.36	18	-46.27	18	-0.98	17	-43.89	19	0.40	16	0.01	10
1830	-402	-434	Min.	16.87	-1463.06	18	-44.99	18	-4.68	18	-42.58	19	-4.33	19	0.01	10
1830	-434	-466	Max	2.51	-653.55	17	5.06	17	1.70	18	-17.79	10	2.18	17	0.02	19
1830	-434	-466	Max	16.87	-652.27	17	2.93	17	-0.30	17	-17.76	10	-2.24	10	0.02	19
1830	-434	-466	Min.	2.51	-1545.71	18	-48.74	18	-0.88	17	-41.51	17	0.20	16	0.01	10
1830	-434	-466	Min.	16.87	-1544.41	18	-47.46	18	-5.21	18	-39.85	19	-4.14	19	0.01	10
1830	-466	-498	Max	2.51	-754.15	17	8.42	17	1.28	9	-34.24	10	1.93	17	0.03	18
1830	-466	-498	Max	16.87	-752.88	17	6.29	17	0.26	17	-34.21	10	-4.59	10	0.03	18
1830	-466	-498	Min.	2.51	-1628.26	18	-35.04	18	-0.80	17	-62.12	19	0.11	16	0.02	17
1830	-466	-498	Min.	16.87	-1626.96	18	-33.76	18	-3.70	18	-60.81	19	-7.36	18	0.02	17
1830	-498	1330	Max	2.51	-847.21	17	-20.52	17	1.19	18	81.71	18	-0.23	17	0.03	18
1830	-498	1330	Max	14.38	-846.16	17	-22.28	17	-2.69	17	82.79	18	7.61	18	0.03	18
1830	-498	1330	Min.	2.51	-1710.39	18	-118.15	18	-0.14	17	18.19	17	-2.15	18	0.01	17
1830	-498	1330	Min.	14.38	-1709.32	18	-117.09	18	-12.78	18	19.98	17	2.04	17	0.01	17
1831	357	-22	Max	4.85	0.00	9	0.00	9	0.00	9	0.00	9	0.00	9	0.00	9
1831	357	-22	Min.	4.85	0.00	9	0.00	9	0.00	9	0.00	9	0.00	9	0.00	9
1831	-22	-54	Max	4.85	0.00	9	0.00	9	0.00	9	0.00	9	0.00	9	0.00	9
1831	-22	-54	Min.	4.85	0.00	9	0.00	9	0.00	9	0.00	9	0.00	9	0.00	9
1831	-54	-86	Max	5.01	615.12	17	13.90	17	5.77	18	-34.07	10	8.73	17	0.02	17
1831	-54	-86	Max	16.87	616.17	17	12.14	17	-0.60	10	-34.04	10	0.10	17	0.02	17
1831	-54	-86	Min.	5.01	-665.71	9	-57.89	18	-2.32	17	-73.65	19	3.50	10	-0.04	18
1831	-54	-86	Min.	16.87	-664.62	9	-56.83	18	-1.03	18	-72.57	19	-0.97	18	-0.04	18
1831	-86	-118	Max	2.51	517.72	17	17.75	17	4.58	18	-39.43	10	6.75	19	0.01	17

1831	-86	-118	Max	16.87	519.00	17	15.62	17	-0.08	17	-39.40	10	-2.46	10	0.01	17
1831	-86	-118	Min.	2.51	-751.63	18	-59.90	18	-2.48	17	-76.64	19	3.20	10	-0.02	18
1831	-86	-118	Min.	16.87	-750.33	18	-58.62	18	-3.93	18	-75.33	19	-4.16	19	-0.02	18
1831	-118	-150	Max	2.51	392.57	17	16.64	17	3.81	18	-39.72	10	5.84	17	0.01	17
1831	-118	-150	Max	16.87	393.85	17	14.50	17	0.04	17	-39.69	10	-3.01	10	0.01	17
1831	-118	-150	Min.	2.51	-867.70	18	-60.03	18	-2.20	17	-76.93	19	2.69	10	-0.01	18
1831	-118	-150	Min.	16.87	-866.40	18	-58.75	18	-4.72	18	-75.62	19	-5.16	19	-0.01	18
1831	-150	-182	Max	2.51	258.42	17	15.57	17	3.55	18	-40.67	10	5.56	17	0.00	17
1831	-150	-182	Max	16.87	259.69	17	13.44	17	0.01	17	-40.64	10	-3.26	10	0.00	17
1831	-150	-182	Min.	2.51	-992.93	18	-60.47	18	-2.08	17	-77.83	19	2.58	10	-0.01	9
1831	-150	-182	Min.	16.87	-991.63	18	-59.19	18	-5.04	18	-76.52	19	-5.56	19	-0.01	9
1831	-182	-214	Max	2.51	119.49	17	14.42	17	3.40	18	-41.60	10	5.39	17	0.00	17
1831	-182	-214	Max	16.87	120.77	17	12.29	17	-0.07	17	-41.56	10	-3.45	10	0.00	17
1831	-182	-214	Min.	2.51	-1123.59	18	-60.92	18	-1.99	17	-78.72	19	2.52	10	-0.01	9
1831	-182	-214	Min.	16.87	-1122.29	18	-59.64	18	-5.26	18	-77.41	19	-5.84	19	-0.01	9
1831	-214	-246	Max	2.51	-23.47	17	13.33	17	3.27	18	-42.58	10	5.25	19	0.00	17
1831	-214	-246	Max	16.87	-22.20	17	11.20	17	-0.15	17	-42.54	10	-3.64	10	0.00	17
1831	-214	-246	Min.	2.51	-1259.02	18	-61.47	18	-1.91	17	-79.69	19	2.47	10	-0.01	9
1831	-214	-246	Min.	16.87	-1257.72	18	-60.19	18	-5.47	18	-78.38	19	-6.10	19	-0.01	9
1831	-246	-278	Max	2.51	-170.47	17	12.15	17	3.12	18	-43.65	10	5.12	19	0.00	17
1831	-246	-278	Max	16.87	-169.19	17	10.01	17	-0.23	17	-43.62	10	-3.85	10	0.00	17
1831	-246	-278	Min.	2.51	-1399.36	18	-62.09	18	-1.82	17	-80.77	19	2.42	10	-0.01	9
1831	-246	-278	Min.	16.87	-1398.06	18	-60.81	18	-5.70	18	-79.46	19	-6.39	19	-0.01	9
1831	-278	-310	Max	2.51	-321.77	17	10.97	17	2.97	18	-44.74	10	4.97	19	0.00	17
1831	-278	-310	Max	16.87	-320.49	17	8.84	17	-0.32	17	-44.71	10	-4.06	10	0.00	17
1831	-278	-310	Min.	2.51	-1544.93	18	-62.73	18	-1.75	17	-81.89	19	2.36	10	-0.01	9
1831	-278	-310	Min.	16.87	-1543.63	18	-61.45	18	-5.95	18	-80.58	19	-6.70	19	-0.01	9
1831	-310	-342	Max	2.51	-477.68	17	9.81	17	2.80	18	-45.83	10	4.81	19	0.01	17
1831	-310	-342	Max	16.87	-476.40	17	7.68	17	-0.42	17	-45.80	10	-4.29	10	0.01	17
1831	-310	-342	Min.	2.51	-1696.08	18	-63.38	18	-1.67	17	-83.03	19	2.23	16	-0.01	9
1831	-310	-342	Min.	16.87	-1694.78	18	-62.10	18	-6.21	18	-81.72	19	-7.03	19	-0.01	9
1831	-342	-374	Max	2.51	-638.50	17	8.58	17	2.62	18	-47.09	10	4.63	19	0.01	17
1831	-342	-374	Max	16.87	-637.22	17	6.44	17	-0.51	17	-47.06	10	-4.55	10	0.01	17
1831	-342	-374	Min.	2.51	-1853.18	18	-64.14	18	-1.59	17	-84.37	19	2.05	16	-0.01	18
1831	-342	-374	Min.	16.87	-1851.88	18	-62.86	18	-6.50	18	-83.06	19	-7.39	19	-0.01	18
1831	-374	-406	Max	2.51	-804.64	17	7.32	17	2.43	18	-48.23	10	4.43	19	0.01	17
1831	-374	-406	Max	16.87	-803.36	17	5.19	17	-0.62	17	-47.81	16	-4.80	10	0.01	17
1831	-374	-406	Min.	2.51	-2016.75	18	-65.00	18	-1.52	17	-85.58	19	1.86	16	-0.01	18
1831	-374	-406	Min.	16.87	-2015.45	18	-63.72	18	-6.82	18	-84.27	19	-7.77	19	-0.01	18
1831	-406	-438	Max	2.51	-976.42	17	6.25	17	2.20	18	-50.21	10	4.21	19	0.01	17
1831	-406	-438	Max	16.87	-975.14	17	4.11	17	-0.70	17	-48.31	16	-5.19	10	0.01	17
1831	-406	-438	Min.	2.51	-2187.21	18	-65.35	18	-1.45	17	-87.89	19	1.65	16	-0.01	18
1831	-406	-438	Min.	16.87	-2185.91	18	-64.07	18	-7.10	18	-86.58	19	-8.32	19	-0.01	18
1831	-438	-470	Max	2.51	-1153.94	17	3.51	17	1.96	18	-46.68	16	3.87	19	0.01	17
1831	-438	-470	Max	16.87	-1152.66	17	1.38	17	-1.01	17	-44.52	16	-4.96	10	0.01	17
1831	-438	-470	Min.	2.51	-2364.87	18	-69.97	18	-1.36	17	-83.80	19	1.38	16	-0.01	18
1831	-438	-470	Min.	16.87	-2363.57	18	-68.69	18	-8.00	18	-82.49	19	-8.07	19	-0.01	18
1831	-470	-502	Max	2.51	-1334.35	17	11.61	17	1.37	9	-71.55	16	3.58	19	0.01	19
1831	-470	-502	Max	16.87	-1333.07	17	9.48	17	0.17	17	-69.39	16	-8.91	16	0.01	19
1831	-470	-502	Min.	2.51	-2547.13	18	-46.33	18	-1.34	17	-122.98	19	1.21	16	0.01	10
1831	-470	-502	Min.	16.87	-2545.83	18	-45.05	18	-5.31	18	-121.67	19	-13.99	19	0.01	10
1831	-502	1336	Max	2.51	-1503.51	17	-45.04	17	1.59	18	115.15	18	-0.34	17	0.01	9
1831	-502	1336	Max	14.38	-1502.46	17	-46.80	17	-5.69	17	116.24	18	11.05	18	0.01	9
1831	-502	1336	Min.	2.51	-2725.21	18	-191.03	18	-0.24	17	31.84	17	-2.69	18	-0.01	17
1831	-502	1336	Min.	14.38	-2724.14	18	-189.97	18	-21.03	18	33.62	17	3.55	17	-0.01	17
1832	375	-26	Max	4.85	0.00	9	0.00	9	0.00	9	0.00	9	0.00	9	0.00	9
1832	375	-26	Min.	4.85	0.00	9	0.00	9	0.00	9	0.00	9	0.00	9	0.00	9
1832	-26	-58	Max	4.85	0.00	9	0.00	9	0.00	9	0.00	9	0.00	9	0.00	9
1832	-26	-58	Min.	4.85	0.00	9	0.00	9	0.00	9	0.00	9	0.00	9	0.00	9

1832	-58	-90	Max	5.01	558.70	17	-19.43	10	5.43	17	46.94	18	3.15	17	-0.01	10
1832	-58	-90	Max	16.87	559.76	17	-19.43	10	-0.05	17	46.97	18	0.66	16	-0.01	10
1832	-58	-90	Min.	5.01	-419.72	9	-47.04	17	1.78	10	-22.35	17	-4.98	18	-0.03	17
1832	-58	-90	Min.	16.87	-418.63	9	-45.28	17	-0.96	18	-20.56	17	0.20	10	-0.03	17
1832	-90	-122	Max	2.51	533.24	17	-17.54	10	4.61	17	42.59	18	2.30	17	0.00	9
1832	-90	-122	Max	16.87	534.51	17	-17.54	10	-1.41	10	42.62	18	2.71	16	0.00	9
1832	-90	-122	Min.	2.51	-378.42	9	-49.78	17	1.11	10	-19.64	17	-3.42	18	-0.00	16
1832	-90	-122	Min.	16.87	-377.10	9	-47.65	17	-2.83	18	-17.48	17	-0.36	17	-0.00	16
1832	-122	-154	Max	2.51	501.66	17	-18.05	10	3.95	17	42.98	18	1.98	17	0.01	19
1832	-122	-154	Max	16.87	502.94	17	-18.05	10	-1.66	10	43.01	18	3.23	18	0.01	19
1832	-122	-154	Min.	2.51	-325.50	9	-49.22	17	0.94	10	-18.45	17	-2.94	18	0.01	16
1832	-122	-154	Min.	16.87	-324.17	9	-47.09	17	-3.30	18	-16.29	17	-0.52	17	0.01	16
1832	-154	-186	Max	2.51	469.53	17	-18.49	10	3.72	17	43.08	18	1.84	17	0.02	17
1832	-154	-186	Max	16.87	470.81	17	-18.49	10	-1.77	10	43.11	18	3.43	18	0.02	17
1832	-154	-186	Min.	2.51	-268.08	9	-48.82	17	0.88	10	-17.45	17	-2.76	18	0.01	10
1832	-154	-186	Min.	16.87	-266.75	9	-46.69	17	-3.48	18	-15.28	17	-0.51	17	0.01	10
1832	-186	-218	Max	2.51	438.27	17	-18.91	10	3.58	17	43.18	18	1.73	17	0.02	17
1832	-186	-218	Max	16.87	439.55	17	-18.91	10	-1.86	10	43.21	18	3.56	18	0.02	17
1832	-186	-218	Min.	2.51	-207.69	9	-48.51	17	0.85	10	-16.37	17	-2.64	18	0.01	10
1832	-186	-218	Min.	16.87	-206.36	9	-46.38	17	-3.59	18	-14.21	17	-0.46	17	0.01	10
1832	-218	-250	Max	2.51	408.26	17	-19.37	10	3.46	17	43.31	18	1.64	17	0.02	17
1832	-218	-250	Max	16.87	409.54	17	-19.37	10	-1.95	10	43.34	18	3.68	18	0.02	17
1832	-218	-250	Min.	2.51	-144.53	9	-48.19	17	0.83	10	-15.32	17	-2.54	18	0.01	10
1832	-218	-250	Min.	16.87	-143.20	9	-46.05	17	-3.69	18	-13.16	17	-0.40	17	0.01	10
1832	-250	-282	Max	2.51	379.67	17	-19.86	10	3.34	17	43.51	18	1.55	17	0.02	19
1832	-250	-282	Max	16.87	380.95	17	-19.86	10	-2.04	10	43.54	18	3.81	18	0.02	19
1832	-250	-282	Min.	2.51	-83.70	10	-47.91	17	0.81	10	-14.22	17	-2.44	18	0.01	10
1832	-250	-282	Min.	16.87	-82.37	10	-45.78	17	-3.81	19	-12.06	17	-0.34	17	0.01	10
1832	-282	-314	Max	2.51	370.46	16	-20.36	10	3.21	17	43.71	18	1.46	17	0.02	19
1832	-282	-314	Max	16.87	371.79	16	-20.36	10	-2.14	10	43.74	18	3.95	18	0.02	19
1832	-282	-314	Min.	2.51	-27.88	10	-47.65	17	0.78	10	-13.12	17	-2.33	18	0.01	10
1832	-282	-314	Min.	16.87	-26.55	10	-45.58	19	-3.95	19	-10.95	17	-0.27	17	0.01	10
1832	-314	-346	Max	2.51	457.06	16	-20.88	10	3.08	17	43.91	18	1.36	17	0.02	19
1832	-314	-346	Max	16.87	458.39	16	-20.88	10	-2.25	10	43.94	18	4.10	18	0.02	19
1832	-314	-346	Min.	2.51	30.57	10	-47.39	17	0.75	10	-12.01	17	-2.21	18	0.01	10
1832	-314	-346	Min.	16.87	31.89	10	-45.89	19	-4.10	19	-9.85	17	-0.21	17	0.01	10
1832	-346	-378	Max	2.51	544.61	16	-21.44	10	2.94	17	44.20	18	1.27	17	0.02	19
1832	-346	-378	Max	16.87	545.93	16	-21.44	10	-2.36	10	44.23	18	4.27	18	0.02	19
1832	-346	-378	Min.	2.51	91.83	10	-47.54	19	0.72	10	-10.86	17	-2.08	18	0.01	10
1832	-346	-378	Min.	16.87	93.16	10	-46.26	19	-4.26	19	-8.69	17	-0.13	17	0.01	10
1832	-378	-410	Max	2.51	633.19	16	-22.04	10	2.79	17	44.47	18	1.18	17	0.02	19
1832	-378	-410	Max	16.87	634.51	16	-22.04	10	-2.49	10	44.50	18	4.45	18	0.02	19
1832	-378	-410	Min.	2.51	156.14	10	-47.97	19	0.68	10	-9.69	17	-1.94	18	0.01	10
1832	-378	-410	Min.	16.87	157.47	10	-46.69	19	-4.45	19	-7.52	17	-0.06	17	0.01	10
1832	-410	-442	Max	2.51	722.85	16	-22.48	10	2.63	17	44.95	18	1.08	17	0.02	19
1832	-410	-442	Max	16.87	724.18	16	-22.48	10	-2.60	10	44.98	18	4.67	18	0.02	19
1832	-410	-442	Min.	2.51	223.72	10	-48.19	19	0.63	16	-8.50	17	-1.79	18	0.01	10
1832	-410	-442	Min.	16.87	225.05	10	-46.91	19	-4.62	19	-6.33	17	0.02	17	0.01	10
1832	-442	-474	Max	2.51	813.57	16	-24.50	10	2.44	17	44.39	18	0.98	17	0.02	19
1832	-442	-474	Max	16.87	814.90	16	-24.50	10	-2.94	10	44.42	18	4.77	18	0.02	19
1832	-442	-474	Min.	2.51	245.51	17	-50.48	19	0.45	16	-7.23	17	-1.60	18	0.01	10
1832	-442	-474	Min.	16.87	246.78	17	-49.20	19	-5.11	19	-5.07	17	0.10	17	0.01	10
1832	-474	-506	Max	2.51	904.06	16	-15.71	10	2.03	17	51.34	18	0.86	17	0.03	19
1832	-474	-506	Max	16.87	905.38	16	-15.71	10	-1.88	10	51.37	18	6.05	18	0.03	19
1832	-474	-506	Min.	2.51	231.31	17	-40.18	17	0.11	16	-6.27	17	-1.32	18	0.02	10
1832	-474	-506	Min.	16.87	232.59	17	-38.04	17	-3.84	19	-4.11	17	0.11	17	0.02	10
1832	-506	1350	Max	2.51	990.30	16	-71.14	10	1.32	19	28.71	9	0.66	16	0.04	17
1832	-506	1350	Max	14.38	991.40	16	-71.14	10	-7.85	10	28.74	9	3.14	9	0.04	17
1832	-506	1350	Min.	2.51	223.17	17	-118.33	18	0.57	16	-8.94	16	-0.27	9	0.01	16

1832	-506	1350	Min.	14.38	224.23	17	-118.33	18	-13.16	18	-8.91	16	-0.40	16	0.01	16
1833	384	-32	Max	4.85	0.00	9	0.00	9	0.00	9	0.00	9	0.00	9	0.00	9
1833	384	-32	Min.	4.85	0.00	9	0.00	9	0.00	9	0.00	9	0.00	9	0.00	9
1833	-32	-64	Max	4.85	0.00	9	0.00	9	0.00	9	0.00	9	0.00	9	0.00	9
1833	-32	-64	Min.	4.85	0.00	9	0.00	9	0.00	9	0.00	9	0.00	9	0.00	9
1833	-64	-96	Max	5.01	898.35	17	-19.97	10	5.91	17	37.65	18	4.21	17	-0.02	10
1833	-64	-96	Max	16.87	899.40	17	-19.97	10	0.22	17	37.67	18	0.98	18	-0.02	10
1833	-64	-96	Min.	5.01	8.06	9	-48.81	17	2.19	10	-28.78	17	-3.49	18	-0.04	19
1833	-64	-96	Min.	16.87	9.15	9	-47.04	17	-0.64	16	-27.00	17	0.54	10	-0.04	19
1833	-96	-128	Max	2.51	866.15	17	-20.16	10	5.25	17	35.52	18	3.00	17	-0.01	17
1833	-96	-128	Max	16.87	867.43	17	-20.16	10	-1.17	10	35.55	18	2.71	18	-0.01	17
1833	-96	-128	Min.	2.51	37.00	10	-53.39	17	1.72	10	-24.18	17	-2.43	16	-0.02	18
1833	-96	-128	Min.	16.87	38.32	10	-51.26	17	-2.59	16	-22.02	17	-0.32	17	-0.02	18
1833	-128	-160	Max	2.51	825.86	17	-20.65	10	4.53	17	35.68	18	2.64	17	0.00	17
1833	-128	-160	Max	16.87	827.13	17	-20.65	10	-1.46	10	35.71	18	3.15	18	0.00	17
1833	-128	-160	Min.	2.51	69.21	10	-52.83	17	1.51	10	-23.15	17	-1.97	18	-0.02	18
1833	-128	-160	Min.	16.87	70.53	10	-50.69	17	-3.06	16	-20.99	17	-0.53	17	-0.02	18
1833	-160	-192	Max	2.51	784.21	17	-21.13	10	4.29	17	35.59	18	2.50	17	0.01	17
1833	-160	-192	Max	16.87	785.49	17	-21.13	10	-1.59	10	35.62	18	3.32	18	0.01	17
1833	-160	-192	Min.	2.51	104.01	10	-52.49	17	1.45	10	-22.27	17	-1.80	18	-0.01	18
1833	-160	-192	Min.	16.87	105.34	10	-50.36	17	-3.23	18	-20.11	17	-0.54	17	-0.01	18
1833	-192	-224	Max	2.51	742.89	17	-21.62	10	4.16	17	35.52	18	2.40	17	0.01	17
1833	-192	-224	Max	16.87	744.16	17	-21.62	10	-1.69	10	35.55	18	3.42	18	0.01	17
1833	-192	-224	Min.	2.51	140.52	10	-52.29	17	1.42	10	-21.30	17	-1.68	18	-0.01	18
1833	-192	-224	Min.	16.87	141.85	10	-50.15	17	-3.35	18	-19.14	17	-0.51	17	-0.01	18
1833	-224	-256	Max	2.51	702.33	17	-22.13	10	4.03	17	35.47	18	2.31	17	0.01	17
1833	-224	-256	Max	16.87	703.61	17	-22.13	10	-1.79	10	35.50	18	3.52	18	0.01	17
1833	-224	-256	Min.	2.51	178.63	10	-52.05	17	1.39	10	-20.37	17	-1.58	18	-0.01	18
1833	-224	-256	Min.	16.87	179.96	10	-49.91	17	-3.47	18	-18.21	17	-0.46	17	-0.01	18
1833	-256	-288	Max	2.51	662.67	17	-22.69	10	3.91	17	35.48	18	2.22	17	0.01	17
1833	-256	-288	Max	16.87	663.95	17	-22.69	10	-1.89	10	35.51	18	3.63	18	0.01	17
1833	-256	-288	Min.	2.51	218.40	10	-51.85	17	1.37	10	-19.39	17	-1.47	18	-0.01	18
1833	-256	-288	Min.	16.87	219.73	10	-49.72	17	-3.59	18	-17.23	17	-0.41	17	-0.01	18
1833	-288	-320	Max	2.51	624.01	17	-23.27	10	3.77	17	35.45	18	2.13	17	0.01	17
1833	-288	-320	Max	16.87	625.28	17	-23.27	10	-2.00	10	35.49	18	3.74	18	0.01	17
1833	-288	-320	Min.	2.51	259.94	10	-51.70	17	1.34	10	-18.43	17	-1.36	18	-0.01	18
1833	-288	-320	Min.	16.87	261.27	10	-49.56	17	-3.74	19	-16.27	17	-0.36	17	-0.01	18
1833	-320	-352	Max	2.51	657.71	16	-23.84	10	3.63	17	35.46	18	2.04	17	0.01	17
1833	-320	-352	Max	16.87	659.03	16	-23.84	10	-2.12	10	35.49	18	3.86	18	0.01	17
1833	-320	-352	Min.	2.51	303.39	10	-51.53	17	1.30	10	-17.45	17	-1.24	18	-0.01	18
1833	-320	-352	Min.	16.87	304.71	10	-49.39	17	-3.91	19	-15.29	17	-0.31	17	-0.01	18
1833	-352	-384	Max	2.51	726.75	16	-24.48	10	3.49	17	35.52	18	1.95	17	0.01	17
1833	-352	-384	Max	16.87	728.08	16	-24.48	10	-2.25	10	35.55	18	3.99	18	0.01	17
1833	-352	-384	Min.	2.51	348.87	10	-51.41	17	1.26	10	-16.44	17	-1.11	18	-0.01	18
1833	-352	-384	Min.	16.87	350.19	10	-49.28	17	-4.09	19	-14.28	17	-0.26	17	-0.01	18
1833	-384	-416	Max	2.51	806.87	18	-25.18	10	3.33	17	35.55	18	1.85	17	0.01	17
1833	-384	-416	Max	16.87	808.20	18	-25.18	10	-2.40	10	35.58	18	4.13	18	0.01	17
1833	-384	-416	Min.	2.51	396.54	10	-51.37	17	1.21	10	-15.42	17	-0.97	18	-0.01	18
1833	-384	-416	Min.	16.87	397.87	10	-49.61	19	-4.30	19	-13.26	17	-0.21	17	-0.01	18
1833	-416	-448	Max	2.51	891.84	18	-25.73	10	3.16	17	35.80	18	1.76	17	0.01	17
1833	-416	-448	Max	16.87	893.16	18	-25.73	10	-2.54	10	35.83	18	4.32	18	0.01	17
1833	-416	-448	Min.	2.51	446.58	10	-51.22	19	1.14	16	-14.36	17	-0.83	18	-0.01	18
1833	-416	-448	Min.	16.87	447.91	10	-49.94	19	-4.50	19	-12.20	17	-0.15	17	-0.01	18
1833	-448	-480	Max	2.51	979.06	18	-27.54	10	2.95	17	34.71	18	1.65	17	0.01	17
1833	-448	-480	Max	16.87	980.39	18	-27.54	10	-2.87	10	34.74	18	4.33	18	0.01	17
1833	-448	-480	Min.	2.51	448.94	17	-53.24	19	0.94	16	-13.60	17	-0.65	18	-0.01	18
1833	-448	-480	Min.	16.87	450.22	17	-51.96	19	-4.98	19	-11.44	17	-0.15	17	-0.01	18
1833	-480	-512	Max	2.51	1067.52	18	-20.82	10	2.51	17	43.46	18	1.46	17	0.02	17
1833	-480	-512	Max	16.87	1068.85	18	-20.82	10	-2.13	10	43.49	18	5.79	18	0.02	17

1833	-480	-512	Min.	2.51	419.28	17	-46.06	17	0.56	16	-10.40	17	-0.48	9	-0.00	9
1833	-480	-512	Min.	16.87	420.56	17	-43.92	17	-4.07	19	-8.24	17	0.12	17	-0.00	9
1833	-512	1359	Max	2.51	1154.15	18	-65.09	10	1.45	17	8.23	9	1.13	16	0.03	17
1833	-512	1359	Max	14.38	1155.24	18	-65.09	10	-7.00	10	8.25	9	1.40	9	0.03	17
1833	-512	1359	Min.	2.51	397.93	17	-111.83	18	0.73	10	-22.88	16	0.35	10	0.00	18
1833	-512	1359	Min.	14.38	398.99	17	-111.83	18	-12.26	18	-22.85	16	-1.59	16	0.00	18
1834	378	-28	Max	4.85	0.00	9	0.00	9	0.00	9	0.00	9	0.00	9	0.00	9
1834	378	-28	Min.	4.85	0.00	9	0.00	9	0.00	9	0.00	9	0.00	9	0.00	9
1834	-28	-60	Max	4.85	0.00	9	0.00	9	0.00	9	0.00	9	0.00	9	0.00	9
1834	-28	-60	Min.	4.85	0.00	9	0.00	9	0.00	9	0.00	9	0.00	9	0.00	9
1834	-60	-92	Max	5.01	638.67	17	-39.38	10	8.21	19	71.66	18	2.75	17	-0.02	10
1834	-60	-92	Max	16.87	639.72	17	-39.38	10	-0.10	17	71.69	18	1.10	19	-0.02	10
1834	-60	-92	Min.	5.01	-568.51	9	-74.98	19	4.01	10	-15.88	17	-7.43	18	-0.05	19
1834	-60	-92	Min.	16.87	-567.41	9	-73.92	19	-1.15	18	-14.10	17	0.60	10	-0.05	19
1834	-92	-124	Max	2.51	622.07	17	-37.90	10	6.65	17	66.02	18	2.03	17	-0.01	10
1834	-92	-124	Max	16.87	623.35	17	-37.90	10	-2.53	10	66.05	18	4.32	18	-0.01	10
1834	-92	-124	Min.	2.51	-492.81	9	-76.31	19	2.92	10	-13.16	17	-5.16	18	-0.02	18
1834	-92	-124	Min.	16.87	-491.48	9	-75.03	19	-4.29	19	-11.00	17	0.29	17	-0.02	18
1834	-124	-156	Max	2.51	601.88	17	-38.90	10	5.75	17	67.15	18	1.76	17	0.01	17
1834	-124	-156	Max	16.87	603.16	17	-38.90	10	-3.05	10	67.18	18	5.18	18	0.01	17
1834	-124	-156	Min.	2.51	-395.47	9	-77.10	19	2.54	10	-11.70	17	-4.47	18	0.00	10
1834	-124	-156	Min.	16.87	-394.14	9	-75.82	19	-5.28	19	-9.54	17	0.23	17	0.00	10
1834	-156	-188	Max	2.51	582.14	17	-39.81	10	5.46	17	67.79	18	1.64	17	0.02	17
1834	-156	-188	Max	16.87	583.42	17	-39.81	10	-3.29	10	67.82	18	5.53	18	0.02	17
1834	-156	-188	Min.	2.51	-289.67	9	-77.97	19	2.43	10	-10.56	17	-4.21	18	0.00	10
1834	-156	-188	Min.	16.87	-288.35	9	-76.69	19	-5.67	19	-8.40	17	0.28	17	0.00	10
1834	-188	-220	Max	2.51	563.95	17	-40.73	10	5.30	17	68.48	18	1.55	17	0.02	17
1834	-188	-220	Max	16.87	565.23	17	-40.73	10	-3.47	10	68.51	18	5.78	18	0.02	17
1834	-188	-220	Min.	2.51	-178.24	9	-78.89	19	2.38	10	-9.28	17	-4.06	18	0.00	10
1834	-188	-220	Min.	16.87	-176.92	9	-77.61	19	-5.95	19	-7.12	17	0.37	17	0.00	10
1834	-220	-252	Max	2.51	547.65	17	-41.71	10	5.17	19	69.22	18	1.47	17	0.02	17
1834	-220	-252	Max	16.87	548.93	17	-41.71	10	-3.66	10	69.25	18	6.01	18	0.02	17
1834	-220	-252	Min.	2.51	-65.02	10	-79.90	19	2.34	10	-8.07	17	-3.93	18	0.00	10
1834	-220	-252	Min.	16.87	-63.69	10	-78.62	19	-6.21	19	-5.91	17	0.47	17	0.00	10
1834	-252	-284	Max	2.51	533.43	17	-42.75	10	5.05	19	70.08	18	1.39	17	0.02	17
1834	-252	-284	Max	16.87	534.71	17	-42.75	10	-3.85	10	70.12	18	6.27	18	0.02	17
1834	-252	-284	Min.	2.51	30.82	10	-81.00	19	2.29	10	-6.77	17	-3.80	18	0.00	10
1834	-252	-284	Min.	16.87	32.14	10	-79.72	19	-6.49	19	-4.61	17	0.57	17	0.00	10
1834	-284	-316	Max	2.51	521.47	17	-43.84	10	4.91	19	70.95	18	1.31	17	0.02	17
1834	-284	-316	Max	16.87	522.75	17	-43.84	10	-4.06	10	70.98	18	6.54	18	0.02	17
1834	-284	-316	Min.	2.51	131.21	10	-82.17	19	2.24	10	-5.48	17	-3.65	18	0.00	10
1834	-284	-316	Min.	16.87	132.54	10	-80.89	19	-6.80	19	-3.32	17	0.68	17	0.00	10
1834	-316	-348	Max	2.51	628.08	16	-44.95	10	4.76	19	71.86	18	1.23	17	0.02	17
1834	-316	-348	Max	16.87	629.41	16	-44.95	10	-4.28	10	71.89	18	6.83	18	0.02	17
1834	-316	-348	Min.	2.51	236.48	10	-83.36	19	2.11	16	-4.17	17	-3.50	18	0.00	10
1834	-316	-348	Min.	16.87	237.81	10	-82.08	19	-7.12	19	-2.01	17	0.79	17	0.00	10
1834	-348	-380	Max	2.51	772.92	18	-46.16	10	4.60	19	72.90	18	1.16	17	0.02	17
1834	-348	-380	Max	16.87	774.25	18	-46.16	10	-4.52	10	72.93	18	7.15	18	0.02	17
1834	-348	-380	Min.	2.51	346.97	10	-84.70	19	1.93	16	-2.79	17	-3.32	18	0.00	10
1834	-348	-380	Min.	16.87	348.30	10	-83.42	19	-7.48	19	-0.63	17	0.91	17	0.00	10
1834	-380	-412	Max	2.51	942.44	18	-47.45	10	4.42	19	73.95	18	1.08	17	0.02	17
1834	-380	-412	Max	16.87	943.76	18	-47.45	10	-4.79	10	73.98	18	7.49	18	0.02	17
1834	-380	-412	Min.	2.51	463.10	10	-86.18	19	1.74	16	-1.40	17	-3.13	18	0.00	10
1834	-380	-412	Min.	16.87	464.43	10	-84.90	19	-7.87	19	0.76	17	1.04	17	0.00	10
1834	-412	-444	Max	2.51	1118.77	18	-47.64	16	4.20	19	75.31	18	1.01	17	0.02	17
1834	-412	-444	Max	16.87	1120.10	18	-47.64	16	-5.03	10	75.35	18	7.90	18	0.02	17
1834	-412	-444	Min.	2.51	499.87	17	-87.28	19	1.54	16	0.04	17	-2.92	18	0.01	10
1834	-412	-444	Min.	16.87	501.14	17	-86.00	19	-8.24	19	2.21	17	1.17	17	0.01	10
1834	-444	-476	Max	2.51	1302.17	18	-50.09	16	3.94	19	75.15	18	0.94	17	0.02	17

1834	-444	-476	Max	16.87	1303.50	18	-50.09	16	-5.68	10	75.18	18	8.15	18	0.02	17
1834	-444	-476	Min.	2.51	502.20	17	-92.00	19	1.32	16	1.44	17	-2.64	18	0.01	10
1834	-444	-476	Min.	16.87	503.48	17	-90.72	19	-9.19	19	3.60	17	1.30	17	0.01	10
1834	-476	-508	Max	2.51	1490.35	18	-32.11	16	3.23	17	86.68	18	0.86	17	0.04	19
1834	-476	-508	Max	16.87	1491.68	18	-32.11	16	-3.78	16	86.71	18	10.26	18	0.04	19
1834	-476	-508	Min.	2.51	508.27	17	-72.17	19	0.83	16	3.65	17	-2.21	9	0.02	10
1834	-476	-508	Min.	16.87	509.55	17	-70.89	19	-7.08	19	5.81	17	1.54	17	0.02	10
1834	-508	1353	Max	2.51	1671.56	18	-130.91	10	2.48	19	45.59	9	0.81	16	0.05	17
1834	-508	1353	Max	14.38	1672.65	18	-130.91	10	-14.17	10	45.61	9	5.26	9	0.05	17
1834	-508	1353	Min.	2.51	520.73	17	-199.22	19	1.10	16	-6.31	16	-0.16	9	0.01	16
1834	-508	1353	Min.	14.38	521.78	17	-198.16	19	-21.36	18	-6.28	16	0.06	16	0.01	16
1835	354	-20	Max	4.85	0.00	9	0.00	9	0.00	9	0.00	9	0.00	9	0.00	9
1835	354	-20	Min.	4.85	0.00	9	0.00	9	0.00	9	0.00	9	0.00	9	0.00	9
1835	-20	-52	Max	4.85	0.00	9	0.00	9	0.00	9	0.00	9	0.00	9	0.00	9
1835	-20	-52	Min.	4.85	0.00	9	0.00	9	0.00	9	0.00	9	0.00	9	0.00	9
1835	-52	-84	Max	5.01	525.20	17	9.87	17	6.46	18	-30.29	10	8.32	17	0.02	17
1835	-52	-84	Max	16.87	526.25	17	8.10	17	-0.57	10	-30.27	10	0.04	17	0.02	17
1835	-52	-84	Min.	5.01	-775.29	18	-63.44	18	-1.82	17	-70.71	17	2.99	10	-0.04	18
1835	-52	-84	Min.	16.87	-774.22	18	-62.39	18	-1.01	18	-68.93	17	-1.04	18	-0.04	18
1835	-84	-116	Max	2.51	431.20	17	13.15	17	5.22	18	-36.14	10	6.42	17	0.01	17
1835	-84	-116	Max	16.87	432.48	17	11.01	17	-0.27	17	-36.10	10	-2.35	10	0.01	17
1835	-84	-116	Min.	2.51	-859.71	18	-66.23	18	-2.01	17	-73.32	19	2.84	10	-0.02	18
1835	-84	-116	Min.	16.87	-858.41	18	-64.95	18	-4.21	18	-72.01	19	-4.07	19	-0.02	18
1835	-116	-148	Max	2.51	310.48	17	11.98	17	4.38	18	-36.37	10	5.58	17	0.01	17
1835	-116	-148	Max	16.87	311.75	17	9.85	17	-0.21	17	-36.34	10	-2.87	10	0.01	17
1835	-116	-148	Min.	2.51	-968.90	18	-66.38	18	-1.78	17	-73.55	19	2.35	10	0.00	10
1835	-116	-148	Min.	16.87	-967.60	18	-65.10	18	-5.07	18	-72.24	19	-5.02	19	0.00	10
1835	-148	-180	Max	2.51	181.13	17	10.79	17	4.12	18	-37.21	10	5.30	17	0.01	17
1835	-148	-180	Max	16.87	182.41	17	8.66	17	-0.27	17	-37.18	10	-3.10	10	0.01	17
1835	-148	-180	Min.	2.51	-1086.64	18	-67.01	18	-1.66	17	-74.34	19	2.24	10	0.00	10
1835	-148	-180	Min.	16.87	-1085.34	18	-65.73	18	-5.42	18	-73.03	19	-5.40	19	0.00	10
1835	-180	-212	Max	2.51	47.29	17	9.54	17	3.96	18	-38.05	10	5.13	17	0.01	19
1835	-180	-212	Max	16.87	48.57	17	7.41	17	-0.36	17	-38.02	10	-3.28	10	0.01	19
1835	-180	-212	Min.	2.51	-1209.39	18	-67.61	18	-1.57	17	-75.15	19	2.19	10	0.00	10
1835	-180	-212	Min.	16.87	-1208.09	18	-66.33	18	-5.66	18	-73.84	19	-5.67	19	0.00	10
1835	-212	-244	Max	2.51	-90.32	17	8.30	17	3.83	18	-38.93	10	4.98	17	0.01	19
1835	-212	-244	Max	16.87	-89.04	17	6.17	17	-0.45	17	-38.90	10	-3.45	10	0.01	19
1835	-212	-244	Min.	2.51	-1336.51	18	-68.34	18	-1.49	17	-76.01	19	2.14	10	0.01	10
1835	-212	-244	Min.	16.87	-1335.21	18	-67.06	18	-5.89	18	-74.70	19	-5.92	19	0.01	10
1835	-244	-276	Max	2.51	-231.73	17	7.04	17	3.69	18	-39.95	10	4.84	17	0.01	19
1835	-244	-276	Max	16.87	-230.45	17	4.91	17	-0.56	17	-39.92	10	-3.64	10	0.01	19
1835	-244	-276	Min.	2.51	-1468.14	18	-69.07	18	-1.41	17	-77.05	19	2.09	10	0.01	10
1835	-244	-276	Min.	16.87	-1466.85	18	-67.79	18	-6.14	18	-75.74	19	-6.20	19	0.01	10
1835	-276	-308	Max	2.51	-377.18	17	5.71	17	3.55	18	-40.90	10	4.68	17	0.01	19
1835	-276	-308	Max	16.87	-375.90	17	3.58	17	-0.67	17	-40.87	10	-3.84	10	0.01	19
1835	-276	-308	Min.	2.51	-1604.60	18	-69.96	18	-1.33	17	-78.01	19	2.03	10	0.01	10
1835	-276	-308	Min.	16.87	-1603.30	18	-68.68	18	-6.41	18	-76.70	19	-6.49	19	0.01	10
1835	-308	-340	Max	2.51	-526.92	17	4.43	17	3.37	18	-41.95	10	4.51	17	0.01	17
1835	-308	-340	Max	16.87	-525.64	17	2.30	17	-0.78	17	-41.92	10	-4.06	10	0.01	17
1835	-308	-340	Min.	2.51	-1746.16	18	-70.71	18	-1.26	17	-79.12	19	1.91	16	0.00	10
1835	-308	-340	Min.	16.87	-1744.87	18	-69.43	18	-6.69	18	-77.81	19	-6.80	19	0.00	10
1835	-340	-372	Max	2.51	-681.27	17	3.04	17	3.20	18	-43.08	10	4.33	17	0.01	17
1835	-340	-372	Max	16.87	-679.99	17	0.91	17	-0.90	17	-43.05	10	-4.29	10	0.01	17
1835	-340	-372	Min.	2.51	-1893.22	18	-71.72	18	-1.18	17	-80.32	19	1.73	16	0.01	10
1835	-340	-372	Min.	16.87	-1891.92	18	-70.44	18	-7.01	18	-79.01	19	-7.15	19	0.01	10
1835	-372	-404	Max	2.51	-840.59	17	1.63	17	3.01	18	-44.10	10	4.13	17	0.01	17
1835	-372	-404	Max	13.25					-1.02	17			-3.39	17		
1835	-372	-404	Max	16.87	-839.31	17	-0.50	17	-1.03	17	-43.70	16	-4.53	10	0.01	17
1835	-372	-404	Min.	2.51	-2046.17	18	-72.78	18	-1.11	17	-81.41	19	1.54	16	0.01	10

1835	-372	-404	Min.	13.25					-1.02	17			-3.39	17		
1835	-372	-404	Min.	16.87	-2044.88	18	-71.50	18	-7.36	18	-80.10	19	-7.51	19	0.01	10
1835	-404	-436	Max	2.51	-1005.16	17	0.36	17	2.79	18	-45.90	10	3.91	17	0.01	17
1835	-404	-436	Max	4.63					-1.03	17			2.39	17		
1835	-404	-436	Max	16.87	-1003.88	17	-1.77	17	-1.14	17	-44.01	16	-4.89	10	0.01	17
1835	-404	-436	Min.	2.51	-2205.40	18	-73.44	18	-1.04	17	-83.52	19	1.34	16	0.01	10
1835	-404	-436	Min.	4.63					-1.03	17			2.39	17		
1835	-404	-436	Min.	16.87	-2204.11	18	-72.16	18	-7.67	18	-82.21	19	-8.03	19	0.01	10
1835	-436	-468	Max	2.51	-1175.11	17	-2.48	17	2.52	18	-42.42	16	3.62	17	0.01	19
1835	-436	-468	Max	16.87	-1173.83	17	-4.62	17	-1.47	17	-40.26	16	-4.65	10	0.01	19
1835	-436	-468	Min.	2.51	-2371.31	18	-78.09	18	-0.96	17	-79.49	19	1.08	16	0.01	10
1835	-436	-468	Min.	16.87	-2370.01	18	-76.81	18	-8.61	18	-78.18	19	-7.77	19	0.01	10
1835	-468	-500	Max	2.51	-1347.75	17	5.70	17	1.86	9	-66.93	16	3.28	19	0.03	18
1835	-468	-500	Max	16.87	-1346.47	17	3.57	17	-0.31	17	-64.77	16	-8.53	16	0.03	18
1835	-468	-500	Min.	2.51	-2541.47	18	-54.66	18	-0.98	17	-118.44	19	0.93	16	0.02	17
1835	-468	-500	Min.	16.87	-2540.18	18	-53.38	18	-5.97	18	-117.13	19	-13.64	19	0.02	17
1835	-500	1333	Max	2.51	-1509.81	17	-53.00	17	1.88	18	119.54	18	-0.47	17	0.03	18
1835	-500	1333	Max	14.38	-1508.75	17	-54.76	17	-6.44	17	120.62	18	11.42	18	0.03	18
1835	-500	1333	Min.	2.51	-2708.38	18	-200.50	18	-0.04	17	35.79	17	-2.84	18	0.00	17
1835	-500	1333	Min.	14.38	-2707.30	18	-199.45	18	-21.86	18	37.58	17	3.89	17	0.00	17
1836	360	-24	Max	4.85	0.00	9	0.00	9	0.00	9	0.00	9	0.00	9	0.00	9
1836	360	-24	Min.	4.85	0.00	9	0.00	9	0.00	9	0.00	9	0.00	9	0.00	9
1836	-24	-56	Max	4.85	0.00	9	0.00	9	0.00	9	0.00	9	0.00	9	0.00	9
1836	-24	-56	Min.	4.85	0.00	9	0.00	9	0.00	9	0.00	9	0.00	9	0.00	9
1836	-56	-88	Max	5.01	753.08	17	21.14	17	3.16	16	-18.98	10	6.96	17	0.02	17
1836	-56	-88	Max	9.91					-0.75	19			3.42	19		
1836	-56	-88	Max	16.87	754.13	17	19.38	17	-0.46	10	-18.95	10	0.33	17	0.02	17
1836	-56	-88	Min.	5.01	-287.36	18	-34.16	16	-3.07	17	-56.78	17	2.10	10	-0.03	18
1836	-56	-88	Min.	9.91					-0.75	19			3.42	19		
1836	-56	-88	Min.	16.87	-286.29	18	-32.40	16	-0.83	18	-54.99	17	-0.55	16	-0.03	18
1836	-88	-120	Max	2.51	682.05	17	25.70	17	2.23	16	-21.29	10	5.17	17	0.01	17
1836	-88	-120	Max	16.87	683.33	17	23.57	17	0.41	17	-21.26	10	-1.22	10	0.01	17
1836	-88	-120	Min.	2.51	-344.11	18	-33.21	16	-3.13	17	-52.89	17	1.84	10	-0.02	18
1836	-88	-120	Min.	16.87	-342.81	18	-31.07	16	-2.42	18	-50.73	17	-2.56	16	-0.02	18
1836	-120	-152	Max	2.51	591.11	17	24.67	17	1.73	16	-21.52	10	4.52	17	0.00	17
1836	-120	-152	Max	16.87	592.39	17	22.54	17	0.64	17	-21.49	10	-1.52	10	0.00	17
1836	-120	-152	Min.	2.51	-417.48	18	-32.35	16	-2.75	17	-52.71	17	1.57	10	-0.02	18
1836	-120	-152	Min.	16.87	-416.18	18	-30.73	18	-2.83	18	-50.55	17	-3.10	18	-0.02	18
1836	-152	-184	Max	2.51	494.22	17	23.76	17	1.52	16	-22.04	10	4.29	17	0.00	17
1836	-152	-184	Max	16.87	495.50	17	21.63	17	0.65	17	-22.01	10	-1.65	10	0.00	17
1836	-152	-184	Min.	2.51	-496.23	18	-31.84	18	-2.61	17	-52.43	17	1.51	10	-0.01	18
1836	-152	-184	Min.	16.87	-494.93	18	-30.56	18	-2.98	18	-50.26	17	-3.30	18	-0.01	18
1836	-184	-216	Max	2.51	394.60	17	22.81	17	1.38	18	-22.53	10	4.15	17	0.00	17
1836	-184	-216	Max	8.25					-0.93	19			0.82	19		
1836	-184	-216	Max	16.87	395.88	17	20.67	17	0.62	17	-22.50	10	-1.76	10	0.00	17
1836	-184	-216	Min.	2.51	-577.83	18	-31.70	18	-2.51	17	-52.17	17	1.48	10	-0.01	18
1836	-184	-216	Min.	8.25					-0.93	19			0.82	19		
1836	-184	-216	Min.	16.87	-576.53	18	-30.42	18	-3.08	18	-50.01	17	-3.42	18	-0.01	18
1836	-216	-248	Max	2.51	292.89	17	21.88	17	1.27	18	-23.08	10	4.03	17	0.00	17
1836	-216	-248	Max	16.87	294.17	17	19.75	17	0.57	17	-23.05	10	-1.85	10	0.00	17
1836	-216	-248	Min.	2.51	-661.79	18	-31.55	18	-2.42	17	-51.92	17	1.46	10	-0.01	18
1836	-216	-248	Min.	16.87	-660.49	18	-30.27	18	-3.17	18	-49.76	17	-3.54	18	-0.01	18
1836	-248	-280	Max	2.51	189.13	17	20.93	17	1.15	18	-23.69	10	3.90	17	0.00	17
1836	-248	-280	Max	16.87	190.41	17	18.80	17	0.52	17	-23.66	10	-1.96	10	0.00	17
1836	-248	-280	Min.	2.51	-748.17	18	-31.42	18	-2.33	17	-51.72	17	1.44	10	-0.01	18
1836	-248	-280	Min.	16.87	-746.87	18	-30.14	18	-3.27	18	-49.56	17	-3.67	18	-0.01	18
1836	-280	-312	Max	2.51	83.19	17	19.95	17	1.04	18	-24.26	10	3.77	17	0.00	17
1836	-280	-312	Max	16.87	84.47	17	17.82	17	0.47	17	-24.23	10	-2.08	10	0.00	17
1836	-280	-312	Min.	2.51	-837.13	18	-31.35	18	-2.24	17	-51.52	17	1.41	10	-0.01	18

1836	-280	-312	Min.	16.87	-835.83	18	-30.07	18	-3.38	18	-49.36	17	-3.81	18	-0.01	18
1836	-312	-344	Max	2.51	-25.05	17	19.00	17	0.90	18	-24.90	10	3.63	17	0.00	17
1836	-312	-344	Max	16.87	-23.77	17	16.86	17	0.43	17	-24.87	10	-2.20	10	0.00	17
1836	-312	-344	Min.	2.51	-928.81	18	-31.18	18	-2.15	17	-51.36	17	1.37	10	-0.01	18
1836	-312	-344	Min.	16.87	-927.51	18	-29.90	18	-3.48	18	-49.57	19	-3.97	19	-0.01	18
1836	-344	-376	Max	2.51	-135.77	17	18.01	17	0.77	18	-25.58	10	3.48	17	0.00	17
1836	-344	-376	Max	16.87	-134.49	17	15.88	17	0.38	17	-25.55	10	-2.34	10	0.00	17
1836	-344	-376	Min.	2.51	-1023.42	18	-31.11	18	-2.06	17	-51.34	19	1.34	10	-0.01	18
1836	-344	-376	Min.	16.87	-1022.12	18	-29.83	18	-3.61	18	-50.03	19	-4.16	19	-0.01	18
1836	-376	-408	Max	2.51	-249.14	17	16.97	17	0.63	18	-26.20	10	3.32	17	0.00	17
1836	-376	-408	Max	16.87	-247.86	17	14.84	17	0.32	17	-26.17	10	-2.47	10	0.00	17
1836	-376	-408	Min.	2.51	-1121.15	18	-31.13	18	-1.97	17	-51.73	19	1.29	10	-0.02	18
1836	-376	-408	Min.	16.87	-1119.85	18	-29.85	18	-3.75	18	-50.42	19	-4.36	19	-0.02	18
1836	-408	-440	Max	2.51	-365.30	17	16.08	17	0.47	18	-27.22	10	3.15	17	0.00	17
1836	-408	-440	Max	16.87	-364.02	17	13.94	17	0.28	17	-27.19	10	-2.67	10	0.00	17
1836	-408	-440	Min.	2.51	-1222.19	18	-30.78	18	-1.87	17	-52.64	19	1.22	16	-0.02	18
1836	-408	-440	Min.	16.87	-1220.90	18	-29.50	18	-3.86	18	-51.33	19	-4.63	19	-0.02	18
1836	-440	-472	Max	2.51	-484.23	17	14.10	17	0.30	9	-25.97	10	2.93	17	0.00	17
1836	-440	-472	Max	16.87	-482.95	17	11.97	17	0.11	17	-25.94	10	-2.58	10	0.00	17
1836	-440	-472	Min.	2.51	-1326.75	18	-33.06	18	-1.76	17	-50.62	19	1.00	16	-0.02	18
1836	-440	-472	Min.	16.87	-1325.45	18	-31.78	18	-4.36	18	-49.31	19	-4.55	19	-0.02	18
1836	-472	-504	Max	2.51	-604.01	17	19.53	17	0.04	9	-40.65	10	2.61	17	0.00	17
1836	-472	-504	Max	16.87	-602.74	17	17.39	17	1.00	17	-40.62	10	-4.75	10	0.00	17
1836	-472	-504	Min.	2.51	-1433.32	18	-16.81	18	-1.65	17	-69.16	19	0.85	16	-0.01	9
1836	-472	-504	Min.	16.87	-1432.02	18	-15.53	18	-2.41	18	-67.85	19	-7.67	18	-0.01	9
1836	-504	1339	Max	2.51	-713.77	17	-19.52	17	0.57	18	61.52	18	0.31	17	-0.01	10
1836	-504	1339	Max	14.38	-712.71	17	-21.28	17	-2.94	17	62.61	18	5.90	18	-0.01	10
1836	-504	1339	Min.	2.51	-1536.25	18	-111.49	18	-0.51	17	0.66	17	-1.47	18	-0.01	19
1836	-504	1339	Min.	14.38	-1535.17	18	-110.44	18	-12.60	18	2.45	17	0.49	17	-0.01	19
1837	381	-30	Max	4.85	0.00	9	0.00	9	0.00	9	0.00	9	0.00	9	0.00	9
1837	381	-30	Min.	4.85	0.00	9	0.00	9	0.00	9	0.00	9	0.00	9	0.00	9
1837	-30	-62	Max	4.85	0.00	9	0.00	9	0.00	9	0.00	9	0.00	9	0.00	9
1837	-30	-62	Min.	4.85	0.00	9	0.00	9	0.00	9	0.00	9	0.00	9	0.00	9
1837	-62	-94	Max	5.01	729.49	17	-40.31	10	8.35	19	67.46	18	3.26	17	-0.03	10
1837	-62	-94	Max	16.87	730.54	17	-40.31	10	-0.02	17	67.49	18	1.17	19	-0.03	10
1837	-62	-94	Min.	5.01	-460.87	9	-75.31	19	4.21	10	-19.72	17	-6.85	18	-0.05	19
1837	-62	-94	Min.	16.87	-459.78	9	-74.26	19	-1.05	18	-17.94	17	0.67	10	-0.05	19
1837	-94	-126	Max	2.51	708.05	17	-39.42	10	6.84	17	62.38	18	2.39	17	-0.02	17
1837	-94	-126	Max	16.87	709.33	17	-39.42	10	-2.52	10	62.41	18	4.21	18	-0.02	17
1837	-94	-126	Min.	2.51	-390.16	9	-77.27	19	3.15	10	-16.52	17	-4.75	18	-0.03	18
1837	-94	-126	Min.	16.87	-388.83	9	-75.99	19	-4.24	19	-14.35	17	0.18	17	-0.03	18
1837	-126	-158	Max	2.51	681.58	17	-40.39	10	5.93	17	63.43	18	2.09	17	0.00	17
1837	-126	-158	Max	16.87	682.85	17	-40.39	10	-3.06	10	63.46	18	5.02	18	0.00	17
1837	-126	-158	Min.	2.51	-299.28	9	-78.04	19	2.74	10	-15.14	17	-4.09	18	-0.01	18
1837	-126	-158	Min.	16.87	-297.95	9	-76.76	19	-5.24	19	-12.98	17	0.07	17	-0.01	18
1837	-158	-190	Max	2.51	654.99	17	-41.35	10	5.63	17	63.98	18	1.97	17	0.01	17
1837	-158	-190	Max	16.87	656.27	17	-41.35	10	-3.31	10	64.01	18	5.35	18	0.01	17
1837	-158	-190	Min.	2.51	-200.52	9	-78.93	19	2.63	10	-14.08	17	-3.84	18	-0.01	9
1837	-158	-190	Min.	16.87	-199.19	9	-77.65	19	-5.64	19	-11.92	17	0.10	17	-0.01	9
1837	-190	-222	Max	2.51	629.57	17	-42.30	10	5.47	17	64.58	18	1.87	17	0.01	17
1837	-190	-222	Max	16.87	630.85	17	-42.30	10	-3.51	10	64.61	18	5.58	18	0.01	17
1837	-190	-222	Min.	2.51	-96.53	9	-79.88	19	2.57	10	-12.88	17	-3.69	18	-0.01	9
1837	-190	-222	Min.	16.87	-95.20	9	-78.60	19	-5.93	19	-10.72	17	0.18	17	-0.01	9
1837	-222	-254	Max	2.51	605.68	17	-43.32	10	5.33	19	65.23	18	1.79	17	0.01	17
1837	-222	-254	Max	16.87	606.96	17	-43.32	10	-3.70	10	65.26	18	5.81	18	0.01	17
1837	-222	-254	Min.	2.51	1.97	10	-80.92	19	2.53	10	-11.77	17	-3.57	18	-0.01	9
1837	-222	-254	Min.	16.87	3.30	10	-79.64	19	-6.20	19	-9.61	17	0.26	17	-0.01	9
1837	-254	-286	Max	2.51	583.51	17	-44.40	10	5.20	19	65.98	18	1.71	17	0.01	17
1837	-254	-286	Max	16.87	584.78	17	-44.40	10	-3.90	10	66.01	18	6.05	18	0.01	17

1837	-254	-286	Min.	2.51	90.33	10	-82.03	19	2.48	10	-10.55	17	-3.44	18	-0.01	9
1837	-254	-286	Min.	16.87	91.66	10	-80.75	19	-6.49	19	-8.38	17	0.35	17	-0.01	9
1837	-286	-318	Max	2.51	563.71	16	-45.53	10	5.06	19	66.76	18	1.63	17	0.01	17
1837	-286	-318	Max	16.87	565.03	16	-45.53	10	-4.12	10	66.79	18	6.30	18	0.01	17
1837	-286	-318	Min.	2.51	182.88	10	-83.22	19	2.42	10	-9.34	17	-3.29	18	-0.01	9
1837	-286	-318	Min.	16.87	184.21	10	-81.94	19	-6.80	19	-7.18	17	0.44	17	-0.01	9
1837	-318	-350	Max	2.51	669.95	16	-46.68	10	4.90	19	67.54	18	1.55	17	0.01	17
1837	-318	-350	Max	16.87	671.28	16	-46.68	10	-4.35	10	67.57	18	6.57	18	0.01	17
1837	-318	-350	Min.	2.51	279.90	10	-84.46	19	2.29	16	-8.16	17	-3.13	18	-0.01	9
1837	-318	-350	Min.	16.87	281.23	10	-83.18	19	-7.14	19	-5.99	17	0.53	17	-0.01	9
1837	-350	-382	Max	2.51	812.81	18	-47.93	10	4.73	19	68.48	18	1.47	17	0.01	17
1837	-350	-382	Max	16.87	814.13	18	-47.93	10	-4.61	10	68.51	18	6.87	18	0.01	17
1837	-350	-382	Min.	2.51	381.71	10	-85.81	19	2.10	16	-6.87	17	-2.97	18	-0.01	18
1837	-350	-382	Min.	16.87	383.04	10	-84.53	19	-7.50	19	-4.71	17	0.64	17	-0.01	18
1837	-382	-414	Max	2.51	971.78	18	-49.27	10	4.54	19	69.41	18	1.39	17	0.01	17
1837	-382	-414	Max	16.87	973.11	18	-49.27	10	-4.89	10	69.44	18	7.19	18	0.01	17
1837	-382	-414	Min.	2.51	488.70	10	-87.32	19	1.91	16	-5.59	17	-2.78	18	-0.01	18
1837	-382	-414	Min.	16.87	490.03	10	-86.04	19	-7.91	19	-3.43	17	0.74	17	-0.01	18
1837	-414	-446	Max	2.51	1137.03	18	-49.55	16	4.31	19	70.69	18	1.31	17	0.01	17
1837	-414	-446	Max	16.87	1138.36	18	-49.55	16	-5.15	10	70.72	18	7.58	18	0.01	17
1837	-414	-446	Min.	2.51	503.60	17	-88.41	19	1.69	16	-4.25	17	-2.57	18	-0.01	18
1837	-414	-446	Min.	16.87	504.88	17	-87.13	19	-8.29	19	-2.09	17	0.86	17	-0.01	18
1837	-446	-478	Max	2.51	1308.74	18	-52.17	16	4.04	19	70.31	18	1.23	17	0.01	17
1837	-446	-478	Max	16.87	1310.07	18	-52.17	16	-5.83	10	70.34	18	7.80	18	0.01	17
1837	-446	-478	Min.	2.51	495.14	17	-93.24	19	1.46	16	-2.98	17	-2.30	18	-0.01	18
1837	-446	-478	Min.	16.87	496.42	17	-91.96	19	-9.26	19	-0.82	17	0.96	17	-0.01	18
1837	-478	-510	Max	2.51	1484.80	18	-34.04	16	3.35	17	81.61	18	1.12	17	0.03	17
1837	-478	-510	Max	16.87	1486.12	18	-34.04	16	-3.94	16	81.64	18	9.84	18	0.03	17
1837	-478	-510	Min.	2.51	490.04	17	-73.36	19	0.95	16	-1.13	17	-1.92	9	0.01	10
1837	-478	-510	Min.	16.87	491.32	17	-72.08	19	-7.17	19	1.03	17	1.11	17	0.01	10
1837	-510	1356	Max	2.51	1654.89	18	-133.70	10	2.50	19	41.53	9	0.93	16	0.04	17
1837	-510	1356	Max	14.38	1655.98	18	-133.70	10	-14.46	10	41.56	9	4.91	9	0.04	17
1837	-510	1356	Min.	2.51	492.14	17	-200.72	19	1.15	16	-9.88	16	-0.02	9	0.01	16
1837	-510	1356	Min.	14.38	493.20	17	-199.66	19	-21.62	18	-9.86	16	-0.24	16	0.01	16
1858	1305	1306	Max	1.77	81.53	19	1.38	18	4.30	19	2.16	17	0.32	9	0.03	18
1858	1305	1306	Max	10.00	81.53	19	2.14	18	2.88	19	2.16	17	0.31	19	0.03	18
1858	1305	1306	Min.	1.77	7.91	16	-30.83	17	-1.02	16	-0.20	18	-0.00	17	0.00	17
1858	1305	1306	Min.	10.00	7.91	16	-30.07	17	-0.92	16	-0.20	18	0.07	16	0.00	17
1858	1306	1307	Max	0.00	81.53	19	2.14	18	2.88	19	2.16	17	0.31	19	0.03	18
1858	1306	1307	Max	8.23	81.53	19	2.90	18	2.92	9	2.16	17	0.40	19	0.03	18
1858	1306	1307	Min.	0.00	7.91	16	-30.07	17	-0.92	16	-0.20	18	0.07	16	0.00	17
1858	1306	1307	Min.	8.23	7.91	16	-29.31	17	-0.78	17	-0.20	18	0.07	16	0.00	17
1860	1325	1326	Max	1.77	-27.68	16	1.92	17	-0.09	16	-0.97	16	-0.94	17	0.00	17
1860	1325	1326	Max	10.00	-27.68	16	1.92	17	-0.07	16	-0.21	16	-1.68	16	0.00	17
1860	1325	1326	Min.	1.77	-105.75	19	0.27	16	-0.43	19	-29.55	17	-5.67	9	-0.04	18
1860	1325	1326	Min.	10.00	-105.75	19	0.27	16	-0.31	19	-28.79	17	-5.91	9	-0.04	18
1860	1326	1327	Max	0.00	-27.68	16	1.92	17	-0.07	16	-0.21	16	-1.68	16	0.00	17
1860	1326	1327	Max	8.23	-27.68	16	1.92	17	-0.02	17	0.55	16	-1.67	16	0.00	17
1860	1326	1327	Min.	0.00	-105.75	19	0.27	16	-0.31	19	-28.79	17	-5.91	9	-0.04	18
1860	1326	1327	Min.	8.23	-105.75	19	0.27	16	-0.26	9	-28.03	17	-7.39	19	-0.04	18
1902	1337	1338	Max	1.77	-60.16	17	-3.40	10	-0.94	17	1.93	17	-0.28	10	0.03	9
1902	1337	1338	Max	10.00	-60.16	17	-2.64	10	-3.35	17	1.93	17	-0.18	17	0.03	9
1902	1337	1338	Min.	1.77	-134.43	18	-29.69	17	-7.16	18	0.47	10	-0.45	18	0.00	17
1902	1337	1338	Min.	10.00	-134.43	18	-28.93	17	-7.54	18	0.47	10	-0.40	18	0.00	17
1902	1338	1339	Max	0.00	-60.16	17	-2.64	10	-3.35	17	1.93	17	-0.18	17	0.03	9
1902	1338	1339	Max	8.23	-60.16	17	-1.88	10	-4.83	10	1.93	17	-0.02	17	0.03	9
1902	1338	1339	Min.	0.00	-134.43	18	-28.93	17	-7.54	18	0.47	10	-0.40	18	0.00	17
1902	1338	1339	Min.	8.23	-134.43	18	-28.17	17	-7.86	18	0.47	10	-0.34	18	0.00	17
1904	1357	1358	Max	1.77	111.94	18	2.17	17	0.41	18	-0.05	9	4.75	16	-0.00	17

1904	1357	1358	Max	10.00	111.94	18	2.17	17	0.40	18	0.71	9	4.61	18	-0.00	17
1904	1357	1358	Min.	1.77	45.86	17	-0.13	9	-0.00	17	-30.89	17	2.21	10	-0.03	9
1904	1357	1358	Min.	10.00	45.86	17	-0.13	9	0.17	17	-30.13	17	1.68	17	-0.03	9
1904	1358	1359	Max	0.00	111.94	18	2.17	17	0.40	18	0.71	9	4.61	18	-0.00	17
1904	1358	1359	Max	8.23	111.94	18	2.17	17	0.40	19	1.47	9	4.62	18	-0.00	17
1904	1358	1359	Min.	0.00	45.86	17	-0.13	9	0.17	17	-30.13	17	1.68	17	-0.03	9
1904	1358	1359	Min.	8.23	45.86	17	-0.13	9	0.24	10	-29.37	17	-0.77	17	-0.03	9
2022	2025	2026	Max	0.00	4.36	17	34.09	16	0.16	17	-11.79	17	0.39	19	47.19	19
2022	2025	2026	Max	0.63	4.36	17	34.09	16	-0.16	16	-11.85	17	0.30	17	47.19	19
2022	2025	2026	Min.	0.00	-0.88	9	-1119.04	19	-0.52	18	-248.28	18	0.21	10	13.89	16
2022	2025	2026	Min.	0.63	-0.88	9	-1119.04	19	-7.26	9	-248.34	18	-1.25	18	13.89	16
2022	2026	2027	Max	5.37	-0.98	10	1208.35	9	0.15	16	554.75	19	-2.24	10	-18.15	16
2022	2026	2027	Max	6.00	-0.98	10	1208.35	9	1.29	17	554.69	19	-0.11	10	-18.15	16
2022	2026	2027	Min.	5.37	-25.98	17	38.19	16	-6.94	9	338.80	10	-3.75	19	-51.47	9
2022	2026	2027	Min.	6.00	-25.98	17	38.19	16	0.39	16	338.75	10	-0.29	17	-51.47	9
2066	2285	2286	Max	0.00	4.40	17	1578.94	18	0.38	9	-14.68	17	0.39	19	-27.06	17
2066	2285	2286	Max	0.63	4.40	17	1578.94	18	10.28	18	-14.74	17	0.28	17	-27.06	17
2066	2285	2286	Min.	0.00	-0.98	18	660.96	17	-0.14	17	-254.48	18	0.10	16	-58.89	18
2066	2285	2286	Min.	0.63	-0.98	18	660.96	17	4.03	17	-254.53	18	-1.38	18	-58.89	18
2066	2286	2287	Max	5.37	0.40	16	-604.50	17	10.23	18	551.86	19	-1.31	16	63.39	18
2066	2286	2287	Max	6.00	0.40	16	-604.50	17	-0.42	16	551.80	19	-0.06	16	63.39	18
2066	2286	2287	Min.	5.37	-25.38	17	-1729.32	18	2.45	17	198.57	16	-3.72	19	27.46	17
2066	2286	2287	Min.	6.00	-25.38	17	-1729.32	18	-1.36	17	198.51	16	-0.27	17	27.46	17
2106	2001	9	Max	0.00	20.51	17	0.48	17	0.11	18	11.48	17	1.11	18	-0.01	9
2106	2001	9	Max	13.33					-0.03	19			-0.01	19		
2106	2001	9	Max	16.67	20.51	17	0.48	17	-0.01	17	10.63	17	0.85	17	-0.01	9
2106	2001	9	Min.	0.00	-27.95	18	-0.94	18	-0.09	17	-12.40	18	-0.99	17	-0.17	17
2106	2001	9	Min.	13.33					-0.03	19			-0.01	19		
2106	2001	9	Min.	16.67	-27.95	18	-0.94	18	-0.05	18	-13.25	18	-1.03	18	-0.17	17
2106	9	17	Max	0.00	49.15	17	1.40	17	0.12	18	8.60	17	0.83	18	0.00	9
2106	9	17	Max	16.67	49.15	17	1.40	17	0.07	17	7.75	17	0.80	17	0.00	9
2106	9	17	Min.	0.00	-67.28	18	-0.93	18	-0.17	17	-14.18	18	-0.56	17	-0.18	17
2106	9	17	Min.	16.67	-67.28	18	-0.93	18	-0.04	18	-15.03	18	-1.61	18	-0.18	17
2106	17	2025	Max	0.00	68.07	17	3.18	17	0.03	18	20.28	17	0.16	9	-0.03	10
2106	17	2025	Max	16.67	68.07	17	3.18	17	0.42	17	19.43	17	2.85	17	-0.03	10
2106	17	2025	Min.	0.00	-97.77	18	-1.54	18	-0.11	17	-9.85	16	-0.46	17	-0.12	17
2106	17	2025	Min.	16.67	-97.77	18	-1.54	18	-0.23	18	-10.70	16	-2.16	16	-0.12	17
2106	2025	37	Max	0.00	45.53	16	-0.90	10	0.35	19	267.36	18	-20.70	16	0.25	19
2106	2025	37	Max	21.56	45.53	16	-0.90	10	0.00	9	266.26	18	18.04	18	0.25	19
2106	2025	37	Min.	0.00	-1217.26	9	-1.59	19	0.20	10	139.44	17	-41.23	9	0.14	10
2106	2025	37	Min.	21.56	-1217.26	9	-1.59	19	-0.02	16	138.34	17	8.26	17	0.14	10
2106	37	45	Max	0.00	437.09	16	-0.71	10	0.21	19	231.52	18	-14.36	16	0.26	19
2106	37	45	Max	21.56	437.09	16	-0.71	10	-0.03	10	230.42	18	22.82	18	0.26	19
2106	37	45	Min.	0.00	-580.80	9	-1.22	19	0.12	10	119.86	17	-27.93	9	0.15	10
2106	37	45	Min.	21.56	-580.80	9	-1.22	19	-0.06	19	118.76	17	11.04	17	0.15	10
2106	45	53	Max	0.00	775.83	16	-0.71	10	0.14	19	206.96	18	-11.41	16	0.24	19
2106	45	53	Max	21.56	775.83	16	-0.71	10	-0.07	10	205.86	18	22.55	18	0.24	19
2106	45	53	Min.	0.00	-12.45	10	-1.23	19	0.08	10	106.55	17	-22.93	9	0.14	10
2106	45	53	Min.	21.56	-12.45	10	-1.23	19	-0.13	19	105.45	17	10.90	17	0.14	10
2106	53	61	Max	0.00	1044.45	16	-0.60	10	0.07	18	185.48	18	-8.77	16	0.22	19
2106	53	61	Max	21.56	1044.45	16	-0.60	10	-0.09	10	184.38	18	22.24	18	0.22	19
2106	53	61	Min.	0.00	231.59	17	-1.07	19	0.04	10	95.50	17	-18.76	9	0.13	10
2106	53	61	Min.	21.56	231.59	17	-1.07	19	-0.17	19	94.40	17	10.54	17	0.13	10
2106	61	69	Max	0.00	1257.04	18	-0.11	17	0.07	18	128.05	19	-2.66	16	0.18	19
2106	61	69	Max	21.56	1257.04	18	-0.11	17	0.00	9	126.95	19	15.42	9	0.18	19
2106	61	69	Min.	0.00	421.34	17	-0.33	18	0.02	17	53.98	16	-12.07	19	0.11	10
2106	61	69	Min.	21.56	421.34	17	-0.33	18	-0.01	16	52.88	16	8.86	16	0.11	10
2106	69	77	Max	0.00	1482.43	18	-0.35	17	0.08	18	114.07	19	-2.29	16	0.12	19
2106	69	77	Max	21.56	1482.43	18	-0.35	17	-0.03	10	112.97	19	13.91	19	0.12	19

2106	69	77	Min.	0.00	567.85	17	-0.59	18	0.04	17	45.80	16	-10.56	19	0.08	10
2106	69	77	Min.	21.56	567.85	17	-0.59	18	-0.04	18	44.70	16	7.47	16	0.08	10
2106	77	85	Max	0.00	1663.09	18	-0.36	17	0.04	18	104.10	19	-1.69	16	0.10	18
2106	77	85	Max	21.56	1663.09	18	-0.36	17	-0.06	16	103.00	19	13.18	19	0.10	18
2106	77	85	Min.	0.00	687.82	17	-0.60	18	0.02	17	40.77	16	-9.14	19	0.06	17
2106	77	85	Min.	21.56	687.82	17	-0.60	18	-0.09	19	39.67	16	6.98	16	0.06	17
2106	85	93	Max	0.00	1805.94	18	-0.24	17	-0.00	16	94.06	19	-0.15	16	0.11	19
2106	85	93	Max	21.56	1805.94	18	-0.24	17	-0.06	17	92.95	19	13.16	19	0.11	19
2106	85	93	Min.	0.00	784.74	17	-0.43	18	-0.01	19	34.79	16	-7.00	19	0.06	16
2106	85	93	Min.	21.56	784.74	17	-0.43	18	-0.10	18	33.69	16	7.23	16	0.06	16
2106	93	101	Max	0.00	1879.67	18	-0.05	16	0.05	19	37.12	19	6.02	16	0.10	19
2106	93	101	Max	21.56	1879.67	18	-0.05	16	0.02	19	36.02	19	7.21	19	0.10	19
2106	93	101	Min.	0.00	847.22	17	-0.15	9	0.01	16	-22.19	16	-0.67	19	0.05	16
2106	93	101	Min.	21.56	847.22	17	-0.15	9	0.00	16	-23.29	16	1.12	16	0.05	16
2106	101	109	Max	0.00	1897.33	18	-0.15	16	0.06	19	30.71	19	5.32	16	0.05	19
2106	101	109	Max	21.56	1897.33	18	-0.15	16	-0.01	17	29.61	19	5.72	19	0.05	19
2106	101	109	Min.	0.00	881.46	17	-0.34	19	0.02	16	-25.12	16	-0.79	19	0.02	16
2106	101	109	Min.	21.56	881.46	17	-0.34	19	-0.02	18	-26.22	16	-0.21	16	0.02	16
2106	109	117	Max	0.00	1901.51	18	-0.18	16	0.02	19	27.31	19	5.22	16	0.04	19
2106	109	117	Max	21.56	1901.51	18	-0.18	16	-0.04	17	26.21	19	5.33	19	0.04	19
2106	109	117	Min.	0.00	905.78	17	-0.37	19	-0.00	16	-25.36	16	-0.44	19	0.00	16
2106	109	117	Min.	21.56	905.78	17	-0.37	19	-0.06	18	-26.46	16	-0.36	16	0.00	16
2106	117	125	Max	0.00	1893.91	18	-0.11	16	-0.02	10	22.33	19	6.31	16	0.04	19
2106	117	125	Max	21.56	1893.91	18	-0.11	16	-0.05	17	21.23	19	5.64	19	0.04	19
2106	117	125	Min.	0.00	921.80	17	-0.24	19	-0.03	18	-27.85	16	0.52	17	-0.01	16
2106	117	125	Min.	21.56	921.80	17	-0.24	19	-0.08	18	-28.95	16	0.18	16	-0.01	16
2106	125	133	Max	0.00	1849.69	18	0.26	16	0.01	9	-12.22	17	11.49	16	0.04	19
2106	125	133	Max	21.56	1849.69	18	0.26	16	0.01	18	-13.32	17	0.46	19	0.04	19
2106	125	133	Min.	0.00	921.07	17	0.02	9	-0.04	16	-76.47	16	3.19	17	-0.01	16
2106	125	133	Min.	21.56	921.07	17	0.02	9	0.01	17	-77.57	16	-5.12	16	-0.01	16
2106	133	141	Max	0.00	1775.46	18	0.20	16	0.01	19	-14.64	17	10.41	16	0.01	19
2106	133	141	Max	17.25					-0.00	18			-1.57	18		
2106	133	141	Max	21.56	1775.46	18	0.20	16	0.01	16	-15.74	17	-0.34	17	0.01	19
2106	133	141	Min.	0.00	906.34	17	-0.10	19	-0.03	16	-77.00	16	2.94	17	-0.04	16
2106	133	141	Min.	17.25					-0.00	18			-1.57	18		
2106	133	141	Min.	21.56	906.34	17	-0.10	19	-0.01	19	-78.10	16	-6.31	16	-0.04	16
2106	141	149	Max	0.00	1700.77	18	0.17	16	-0.01	17	-16.55	17	9.72	16	-0.01	17
2106	141	149	Max	21.56	1700.77	18	0.17	16	-0.01	16	-17.65	17	-0.91	17	-0.01	17
2106	141	149	Min.	0.00	889.11	17	-0.13	19	-0.05	16	-76.23	16	2.78	17	-0.06	16
2106	141	149	Min.	21.56	889.11	17	-0.13	19	-0.05	19	-77.33	16	-6.84	16	-0.06	16
2106	149	157	Max	0.00	1634.87	18	0.19	16	-0.04	17	-16.42	17	8.37	16	-0.01	17
2106	149	157	Max	21.56	1634.87	18	0.19	16	-0.02	16	-17.52	17	-1.74	17	-0.01	17
2106	149	157	Min.	0.00	874.01	17	-0.09	19	-0.08	18	-74.40	16	1.92	17	-0.06	16
2106	149	157	Min.	21.56	874.01	17	-0.09	19	-0.08	19	-75.50	16	-7.80	16	-0.06	16
2106	157	165	Max	0.00	1600.86	18	0.29	16	-0.05	17	30.66	9	3.51	16	0.01	19
2106	157	165	Max	21.56	1600.86	18	0.29	16	-0.01	16	29.56	9	3.37	9	0.01	19
2106	157	165	Min.	0.00	874.01	17	0.05	17	-0.09	18	-33.51	16	-3.12	9	-0.05	16
2106	157	165	Min.	21.56	874.01	17	0.05	17	-0.06	19	-34.61	16	-3.83	16	-0.05	16
2106	165	173	Max	0.00	1593.11	18	0.32	16	-0.03	17	32.36	9	4.47	16	0.01	19
2106	165	173	Max	8.63					-0.04	18			1.50	18		
2106	165	173	Max	21.56	1593.11	18	0.32	16	0.02	16	31.26	9	5.04	9	0.01	19
2106	165	173	Min.	0.00	889.09	17	0.07	17	-0.06	18	-34.24	16	-1.82	9	-0.04	16
2106	165	173	Min.	17.25					-0.01	18			1.49	18		
2106	165	173	Min.	21.56	889.09	17	0.07	17	-0.02	19	-35.34	16	-3.03	16	-0.04	16
2106	173	181	Max	0.00	1599.38	9	0.30	16	-0.00	17	30.55	9	5.22	16	-0.00	17
2106	173	181	Max	21.56	1599.38	9	0.30	16	0.05	16	29.45	9	5.52	9	-0.00	17
2106	173	181	Min.	0.00	893.53	16	0.05	17	-0.02	16	-38.74	16	-0.94	9	-0.05	16
2106	173	181	Min.	21.56	893.53	16	0.05	17	0.01	17	-39.84	16	-3.25	16	-0.05	16
2106	181	189	Max	0.00	1629.46	9	0.22	16	0.01	19	27.66	9	5.81	16	-0.03	17

2106	181	189	Max	21.56	1629.46	9	0.22	16	0.05	16	26.56	9	6.24	9	-0.03	17
2106	181	189	Min.	0.00	841.63	16	-0.03	17	0.00	16	-43.14	16	0.36	10	-0.06	18
2106	181	189	Min.	21.56	841.63	16	-0.03	17	0.00	17	-44.24	16	-3.61	16	-0.06	18
2106	189	197	Max	0.00	1633.66	9	0.27	18	-0.04	16	-11.43	17	7.95	18	-0.03	17
2106	189	197	Max	21.56	1633.66	9	0.27	18	0.01	16	-12.53	17	1.02	9	-0.03	17
2106	189	197	Min.	0.00	777.75	16	0.15	17	-0.07	19	-54.28	16	3.10	17	-0.06	18
2106	189	197	Min.	21.56	777.75	16	0.15	17	-0.02	19	-55.38	16	-4.87	16	-0.06	18
2106	197	205	Max	0.00	1606.64	9	0.39	18	-0.03	16	-14.89	17	7.87	18	-0.02	17
2106	197	205	Max	21.56	1606.64	9	0.39	18	0.03	18	-15.99	17	-0.26	10	-0.02	17
2106	197	205	Min.	0.00	700.21	16	0.24	17	-0.06	19	-59.30	16	3.06	17	-0.05	18
2106	197	205	Min.	21.56	700.21	16	0.24	17	0.01	17	-60.40	16	-5.62	16	-0.05	18
2106	205	213	Max	0.00	1566.23	9	0.38	18	-0.01	16	-17.62	17	8.36	18	-0.03	17
2106	205	213	Max	21.56	1566.23	9	0.38	18	0.07	18	-18.72	17	-0.56	17	-0.03	17
2106	205	213	Min.	0.00	609.70	16	0.22	17	-0.02	9	-64.70	16	3.36	17	-0.06	18
2106	205	213	Min.	21.56	609.70	16	0.22	17	0.04	17	-65.80	16	-6.30	16	-0.06	18
2106	213	221	Max	0.00	1510.29	9	0.19	18	0.02	18	-21.99	17	9.72	18	-0.06	16
2106	213	221	Max	21.56	1510.29	9	0.19	18	0.06	18	-23.09	17	-0.53	10	-0.06	16
2106	213	221	Min.	0.00	503.70	16	0.09	17	0.01	10	-71.17	16	4.26	17	-0.10	19
2106	213	221	Min.	21.56	503.70	16	0.09	17	0.03	17	-72.27	16	-7.02	16	-0.10	19
2106	221	229	Max	0.00	1405.69	9	0.40	19	-0.04	16	-53.65	17	14.53	18	-0.06	16
2106	221	229	Max	21.56	1405.69	9	0.40	19	-0.00	10	-54.75	17	-4.13	17	-0.06	16
2106	221	229	Min.	0.00	374.08	16	0.16	16	-0.10	19	-112.48	18	7.56	17	-0.11	19
2106	221	229	Min.	21.56	374.08	16	0.16	16	-0.01	19	-113.58	18	-9.84	18	-0.11	19
2106	229	237	Max	0.00	1241.48	9	0.59	19	-0.04	16	-60.07	17	14.76	18	-0.05	16
2106	229	237	Max	21.56	1241.48	9	0.59	19	0.03	19	-61.17	17	-5.41	17	-0.05	16
2106	229	237	Min.	0.00	216.30	16	0.28	16	-0.09	19	-123.52	18	7.66	17	-0.10	19
2106	229	237	Min.	21.56	216.30	16	0.28	16	0.02	16	-124.62	18	-11.99	18	-0.10	19
2106	237	245	Max	0.00	1039.26	9	0.58	19	-0.02	16	-66.57	17	15.56	18	-0.05	16
2106	237	245	Max	21.56	1039.26	9	0.58	19	0.08	18	-67.67	17	-6.34	17	-0.05	16
2106	237	245	Min.	0.00	29.39	16	0.29	16	-0.04	19	-135.07	18	8.14	17	-0.12	19
2106	237	245	Min.	21.56	29.39	16	0.29	16	0.05	17	-136.17	18	-13.68	18	-0.12	19
2106	245	253	Max	0.00	791.48	9	0.30	18	0.01	16	-75.35	17	17.02	18	-0.07	16
2106	245	253	Max	21.56	791.48	9	0.30	18	0.07	18	-76.45	17	-7.44	17	-0.07	16
2106	245	253	Min.	0.00	-193.38	16	0.11	17	-0.01	17	-150.38	18	8.92	17	-0.18	19
2106	245	253	Min.	21.56	-193.38	16	0.11	17	0.02	17	-151.48	18	-15.53	18	-0.18	19
2106	253	261	Max	0.00	449.55	9	1.07	19	-0.05	16	-94.50	17	21.28	18	-0.07	16
2106	253	261	Max	21.56	449.55	9	1.07	19	0.07	19	-95.60	17	-9.94	17	-0.07	16
2106	253	261	Min.	0.00	-465.87	16	0.27	16	-0.16	19	-199.42	18	10.55	17	-0.22	19
2106	253	261	Min.	21.56	-465.87	16	0.27	16	0.01	16	-200.52	18	-21.84	18	-0.22	19
2106	261	269	Max	0.00	-10.35	17	1.23	19	-0.04	16	-105.56	17	21.69	18	-0.07	16
2106	261	269	Max	21.56	-10.35	17	1.23	19	0.14	19	-106.66	17	-11.97	17	-0.07	16
2106	261	269	Min.	0.00	-800.30	16	0.38	16	-0.13	19	-221.93	18	10.91	17	-0.24	19
2106	261	269	Min.	21.56	-800.30	16	0.38	16	0.04	16	-223.03	18	-26.28	18	-0.24	19
2106	269	277	Max	0.00	-307.68	17	1.22	19	-0.02	16	-118.87	17	21.55	18	-0.07	16
2106	269	277	Max	21.56	-307.68	17	1.22	19	0.21	19	-119.97	17	-14.70	17	-0.07	16
2106	269	277	Min.	0.00	-1206.83	16	0.39	16	-0.06	19	-246.72	18	11.05	17	-0.26	19
2106	269	277	Min.	21.56	-1206.83	16	0.39	16	0.07	16	-247.82	18	-31.76	18	-0.26	19
2106	277	2285	Max	0.00	-641.28	17	1.60	19	0.02	16	-138.51	17	15.97	9	-0.08	16
2106	277	2285	Max	21.56	-641.28	17	1.60	19	0.35	19	-139.61	17	-21.71	17	-0.08	16
2106	277	2285	Min.	0.00	-1788.23	18	0.35	16	0.00	10	-290.44	18	8.27	17	-0.25	19
2106	277	2285	Min.	21.56	-1788.23	18	0.35	16	0.09	16	-291.54	18	-47.21	18	-0.25	19
2106	2285	297	Max	0.00	49.40	17	1.37	18	0.40	17	-1.55	10	3.15	16	0.13	17
2106	2285	297	Max	16.67	49.40	17	1.37	18	0.05	18	-2.41	10	0.76	16	0.13	17
2106	2285	297	Min.	0.00	-101.03	9	-3.21	17	-0.17	18	-16.97	17	0.52	10	0.00	16
2106	2285	297	Min.	16.67	-101.03	9	-3.21	17	-0.13	17	-17.82	17	-0.37	17	0.00	16
2106	297	305	Max	0.00	38.32	17	0.95	18	0.09	17	15.16	9	0.54	17	0.19	17
2106	297	305	Max	16.67	38.32	17	0.95	18	0.08	18	14.31	9	0.92	9	0.19	17
2106	297	305	Min.	0.00	-62.84	9	-1.55	17	-0.08	18	-5.02	17	-1.53	9	-0.00	18
2106	297	305	Min.	16.67	-62.84	9	-1.55	17	-0.17	17	-5.87	17	-0.37	17	-0.00	18

2106	305	2313	Max	0.00	16.64	17	1.25	18	-0.01	17	11.79	9	0.71	17	0.17	17
2106	305	2313	Max	16.67	16.64	17	1.25	18	0.13	18	10.94	9	1.01	9	0.17	17
2106	305	2313	Min.	0.00	-24.80	9	-0.47	17	-0.08	18	-8.71	17	-0.89	9	0.01	18
2106	305	2313	Min.	16.67	-24.80	9	-0.47	17	-0.09	17	-9.56	17	-0.81	17	0.01	18
2107	-514	18	Max	0.00	-76.88	10	0.10	17	0.27	18	2.20	17	-0.19	10	-0.03	17
2107	-514	18	Max	19.08	-77.35	10	0.10	17	-0.06	10	1.35	17	0.01	9	-0.03	17
2107	-514	18	Min.	0.00	-130.89	19	-1.83	18	-0.14	17	1.37	10	-0.49	17	-0.05	18
2107	-514	18	Min.	19.08	-131.36	19	-1.83	18	-0.12	17	0.52	10	-0.15	17	-0.05	18
2144	2003	11	Max	0.00	-17.84	17	0.58	17	0.10	18	-5.65	17	3.69	18	0.05	18
2144	2003	11	Max	16.67	-17.84	17	0.58	17	0.01	17	-6.50	17	-0.46	17	0.05	18
2144	2003	11	Min.	0.00	-90.93	18	-0.90	18	-0.09	17	-39.87	18	0.55	17	-0.12	17
2144	2003	11	Min.	16.67	-90.93	18	-0.90	18	-0.05	18	-40.72	18	-3.03	18	-0.12	17
2144	11	19	Max	0.00	-46.83	17	1.23	17	0.08	18	-12.40	17	3.72	18	0.08	18
2144	11	19	Max	16.67	-46.83	17	1.23	17	0.07	17	-13.25	17	-1.27	17	0.08	18
2144	11	19	Min.	0.00	-234.31	18	-0.95	18	-0.14	17	-52.99	18	0.87	17	-0.13	17
2144	11	19	Min.	16.67	-234.31	18	-0.95	18	-0.07	18	-53.84	18	-5.18	18	-0.13	17
2144	19	2028	Max	0.00	-84.16	17	3.32	17	0.04	18	6.96	17	1.86	18	0.05	18
2144	19	2028	Max	16.67	-84.16	17	3.32	17	0.42	17	6.11	17	1.33	17	0.05	18
2144	19	2028	Min.	0.00	-373.10	18	-0.86	18	-0.14	17	-42.73	16	0.24	17	-0.08	17
2144	19	2028	Min.	16.67	-373.10	18	-0.86	18	-0.11	18	-43.58	16	-5.98	16	-0.08	17
2144	2028	39	Max	0.00	-994.50	16	0.23	9	0.15	17	631.69	18	-47.11	17	0.12	17
2144	2028	39	Max	21.56	-994.50	16	0.23	9	0.03	18	630.59	18	41.38	18	0.12	17
2144	2028	39	Min.	0.00	-2573.65	9	-0.65	17	-0.02	10	304.91	17	-94.71	18	0.01	16
2144	2028	39	Min.	21.56	-2573.65	9	-0.65	17	0.01	17	303.81	17	18.52	17	0.01	16
2144	39	47	Max	0.00	18.37	16	-0.08	16	0.09	17	525.33	18	-31.42	17	0.11	17
2144	39	47	Max	21.56	18.37	16	-0.08	16	-0.00	10	524.23	18	51.05	18	0.11	17
2144	39	47	Min.	0.00	-1232.62	9	-0.52	17	0.02	16	257.77	17	-62.11	18	0.01	16
2144	39	47	Min.	21.56	-1232.62	9	-0.52	17	-0.02	17	256.67	17	24.04	17	0.01	16
2144	47	55	Max	0.00	870.93	16	-0.06	16	0.06	17	450.46	18	-24.96	17	0.09	17
2144	47	55	Max	21.56	870.93	16	-0.06	16	-0.00	16	449.36	18	48.55	18	0.09	17
2144	47	55	Min.	0.00	-75.79	19	-0.54	17	0.01	16	224.07	17	-48.46	18	0.01	16
2144	47	55	Min.	21.56	-75.79	19	-0.54	17	-0.06	17	222.97	17	23.24	17	0.01	16
2144	55	63	Max	0.00	1521.13	16	-0.02	16	0.01	19	382.08	18	-19.95	17	0.08	17
2144	55	63	Max	21.56	1521.13	16	-0.02	16	0.00	16	380.98	18	44.83	18	0.08	17
2144	55	63	Min.	0.00	440.33	17	-0.44	17	0.01	10	194.12	17	-37.43	18	0.02	16
2144	55	63	Min.	21.56	440.33	17	-0.44	17	-0.08	17	193.02	17	21.79	17	0.02	16
2144	63	71	Max	0.00	2195.50	18	-0.04	17	0.05	18	268.81	18	-11.97	16	0.07	19
2144	63	71	Max	21.56	2195.50	18	-0.04	17	0.00	19	267.71	18	34.39	18	0.07	19
2144	63	71	Min.	0.00	815.94	17	-0.23	18	0.01	17	146.99	17	-24.64	19	0.03	16
2144	63	71	Min.	21.56	815.94	17	-0.23	18	0.00	16	145.89	17	17.64	17	0.03	16
2144	71	79	Max	0.00	2700.18	18	-0.18	16	0.04	19	221.65	19	-8.52	16	0.05	19
2144	71	79	Max	21.56	2700.18	18	-0.18	16	-0.01	16	220.55	19	29.37	18	0.05	19
2144	71	79	Min.	0.00	1095.04	17	-0.29	19	0.03	16	124.72	16	-19.92	19	0.03	16
2144	71	79	Min.	21.56	1095.04	17	-0.29	19	-0.02	19	123.62	16	15.58	17	0.03	16
2144	79	87	Max	0.00	3076.37	18	-0.17	16	0.02	18	187.22	19	-5.10	16	0.05	19
2144	79	87	Max	21.56	3076.37	18	-0.17	16	-0.02	16	186.12	19	25.51	18	0.05	19
2144	79	87	Min.	0.00	1313.46	17	-0.29	19	0.01	17	95.48	16	-15.55	19	0.03	16
2144	79	87	Min.	21.56	1313.46	17	-0.29	19	-0.05	19	94.38	16	14.02	17	0.03	16
2144	87	95	Max	0.00	3349.33	18	-0.12	17	0.00	18	154.59	19	-1.21	16	0.05	19
2144	87	95	Max	21.56	3349.33	18	-0.12	17	-0.03	16	153.49	19	22.46	18	0.05	19
2144	87	95	Min.	0.00	1482.16	17	-0.21	18	-0.01	17	67.25	16	-10.93	19	0.03	16
2144	87	95	Min.	21.56	1482.16	17	-0.21	18	-0.05	19	66.15	16	12.88	17	0.03	16
2144	95	103	Max	0.00	3508.90	18	-0.01	17	0.02	19	85.67	19	6.13	16	0.05	19
2144	95	103	Max	2.51					0.01	16			6.13	16		
2144	95	103	Max	21.56	3508.90	18	-0.01	17	0.01	17	84.57	19	15.18	19	0.05	19
2144	95	103	Min.	0.00	1593.17	17	-0.07	9	0.01	16	0.13	16	-3.19	9	0.03	16
2144	95	103	Min.	2.51					0.01	16			6.13	16		
2144	95	103	Min.	21.56	1593.17	17	-0.07	9	0.00	16	-0.97	16	6.04	16	0.03	16
2144	103	111	Max	0.00	3577.63	18	-0.07	16	0.03	19	60.50	19	7.70	16	0.03	18

2144	103	111	Max	21.56	3577.63	18	-0.07	16	0.00	17	59.40	19	11.86	19	0.03	18
2144	103	111	Min.	0.00	1658.30	17	-0.16	19	0.01	16	-21.96	16	-1.07	19	0.01	17
2144	103	111	Min.	21.56	1658.30	17	-0.16	19	-0.01	18	-23.06	16	2.85	16	0.01	17
2144	111	119	Max	0.00	3595.14	18	-0.08	16	0.01	19	38.65	19	9.66	16	0.02	18
2144	111	119	Max	21.56	3595.14	18	-0.08	16	-0.01	16	37.55	19	9.54	19	0.02	18
2144	111	119	Min.	0.00	1699.18	17	-0.17	19	0.00	16	-41.00	16	0.50	17	0.01	17
2144	111	119	Min.	21.56	1699.18	17	-0.17	19	-0.03	19	-42.10	16	0.70	16	0.01	17
2144	119	127	Max	0.00	3568.74	18	-0.05	16	-0.00	16	16.33	19	12.55	16	0.02	19
2144	119	127	Max	21.56	3568.74	18	-0.05	16	-0.02	16	15.23	19	7.90	19	0.02	19
2144	119	127	Min.	0.00	1719.22	17	-0.11	19	-0.01	17	-61.02	16	2.27	17	0.01	16
2144	119	127	Min.	21.56	1719.22	17	-0.11	19	-0.04	19	-62.12	16	-0.72	16	0.01	16
2144	127	135	Max	0.00	3482.74	18	0.00	17	0.00	16	-25.90	17	19.15	16	0.02	19
2144	127	135	Max	21.56	3482.74	18	0.00	17	0.00	17	-27.00	17	1.35	19	0.02	19
2144	127	135	Min.	0.00	1709.10	17	-0.01	16	0.00	19	-123.24	16	6.35	17	0.01	16
2144	127	135	Min.	21.56	1709.10	17	-0.01	16	-0.00	9	-124.34	16	-7.54	16	0.01	16
2144	135	143	Max	0.00	3347.71	18	-0.03	17	0.01	19	-34.99	17	19.76	16	0.01	18
2144	135	143	Max	21.56	3347.71	18	-0.03	17	-0.00	17	-36.09	17	-1.04	17	0.01	18
2144	135	143	Min.	0.00	1674.18	17	-0.04	18	0.00	10	-139.84	16	6.62	17	0.00	17
2144	135	143	Min.	21.56	1674.18	17	-0.04	18	-0.00	18	-140.94	16	-10.51	16	0.00	17
2144	143	151	Max	0.00	3194.27	18	-0.04	16	0.00	17	-44.23	17	20.52	18	0.00	18
2144	143	151	Max	21.56	3194.27	18	-0.04	16	-0.01	16	-45.33	17	-2.85	17	0.00	18
2144	143	151	Min.	0.00	1630.89	17	-0.06	19	-0.00	9	-155.85	16	6.80	17	0.00	17
2144	143	151	Min.	21.56	1630.89	17	-0.06	19	-0.01	19	-156.95	16	-13.40	16	0.00	17
2144	151	159	Max	0.00	3045.14	18	-0.03	16	-0.01	16	-47.47	17	18.10	16	0.00	16
2144	151	159	Max	21.56	3045.14	18	-0.03	16	-0.01	16	-48.57	17	-5.62	17	0.00	16
2144	151	159	Min.	0.00	1590.45	17	-0.04	19	-0.01	19	-166.09	16	4.73	17	-0.00	19
2144	151	159	Min.	21.56	1590.45	17	-0.04	19	-0.02	19	-167.19	16	-17.84	16	-0.00	19
2144	159	167	Max	0.00	2977.46	18	0.04	19	-0.01	16	89.64	19	4.67	16	0.00	19
2144	159	167	Max	21.56	2977.46	18	0.04	19	-0.01	16	88.54	19	8.72	19	0.00	19
2144	159	167	Min.	0.00	1590.45	17	0.03	16	-0.02	19	-53.93	16	-10.49	19	0.00	16
2144	159	167	Min.	21.56	1590.45	17	0.03	16	-0.02	19	-55.03	16	-7.08	16	0.00	16
2144	167	175	Max	0.00	2984.30	18	0.06	19	-0.01	16	82.09	19	6.79	16	0.00	17
2144	167	175	Max	17.25					-0.00	17			4.89	17		
2144	167	175	Max	21.56	2984.30	18	0.06	19	0.00	17	80.99	19	12.41	19	0.00	17
2144	167	175	Min.	0.00	1630.89	17	0.03	16	-0.02	19	-52.00	16	-5.17	19	-0.00	9
2144	167	175	Min.	17.25					-0.00	17			4.89	17		
2144	167	175	Min.	21.56	1630.89	17	0.03	16	-0.00	18	-53.10	16	-4.54	16	-0.00	9
2144	175	183	Max	0.00	3011.33	9	0.04	19	-0.00	17	63.22	19	8.18	16	-0.00	17
2144	175	183	Max	21.56	3011.33	9	0.04	19	0.01	19	62.12	19	11.83	19	-0.00	17
2144	175	183	Min.	0.00	1652.70	16	0.03	16	-0.00	18	-58.31	16	-1.69	19	-0.01	18
2144	175	183	Min.	21.56	1652.70	16	0.03	16	0.00	16	-59.41	16	-4.51	16	-0.01	18
2144	183	191	Max	0.00	3072.44	9	0.01	9	0.00	17	45.06	19	9.10	16	-0.01	16
2144	183	191	Max	8.62					-0.00	9			5.20	9		
2144	183	191	Max	21.56	3072.44	9	0.01	9	0.00	10	43.96	19	10.95	19	-0.01	16
2144	183	191	Min.	0.00	1574.83	16	-0.00	17	-0.00	18	-63.51	16	0.65	17	-0.02	19
2144	183	191	Min.	12.94					-0.00	16			0.84	16		
2144	183	191	Min.	21.56	1574.83	16	-0.00	17	0.00	18	-64.61	16	-4.71	16	-0.02	19
2144	191	199	Max	0.00	3091.86	9	0.12	18	-0.02	16	-11.02	17	11.87	18	-0.01	17
2144	191	199	Max	21.56	3091.86	9	0.12	18	-0.00	16	-12.12	17	4.49	19	-0.01	17
2144	191	199	Min.	0.00	1477.79	16	0.07	17	-0.04	19	-85.27	16	4.77	17	-0.02	18
2144	191	199	Min.	21.56	1477.79	16	0.07	17	-0.01	17	-86.37	16	-7.12	16	-0.02	18
2144	199	207	Max	0.00	3060.54	9	0.17	19	-0.02	16	-22.50	17	13.32	18	-0.01	17
2144	199	207	Max	21.56	3060.54	9	0.17	19	0.01	18	-23.60	17	1.33	9	-0.01	17
2144	199	207	Min.	0.00	1357.35	16	0.10	16	-0.03	19	-92.51	16	5.47	17	-0.02	18
2144	199	207	Min.	21.56	1357.35	16	0.10	16	0.00	17	-93.61	16	-8.31	16	-0.02	18
2144	207	215	Max	0.00	2990.49	9	0.16	19	0.00	17	-33.41	17	15.32	18	-0.01	17
2144	207	215	Max	21.56	2990.49	9	0.16	19	0.03	19	-34.51	17	-0.70	17	-0.01	17
2144	207	215	Min.	0.00	1217.61	16	0.10	16	-0.01	18	-99.65	16	6.63	17	-0.03	18
2144	207	215	Min.	21.56	1217.61	16	0.10	16	0.02	16	-100.75	16	-9.23	16	-0.03	18

2144	215	223	Max	0.00	2875.18	9	0.08	18	0.01	17	-46.32	17	18.13	18	-0.03	16
2144	215	223	Max	21.56	2875.18	9	0.08	18	0.02	19	-47.42	17	-1.66	17	-0.03	16
2144	215	223	Min.	0.00	1055.35	16	0.01	17	0.00	10	-121.71	18	8.45	17	-0.05	19
2144	215	223	Min.	21.56	1055.35	16	0.01	17	0.01	10	-122.81	18	-10.08	16	-0.05	19
2144	223	231	Max	0.00	2682.08	9	0.19	19	-0.02	16	-89.39	17	24.02	18	-0.03	16
2144	223	231	Max	21.56	2682.08	9	0.19	19	0.00	10	-90.49	17	-6.51	17	-0.03	16
2144	223	231	Min.	0.00	857.13	16	0.11	16	-0.05	19	-179.84	18	12.89	17	-0.05	19
2144	223	231	Min.	21.56	857.13	16	0.11	16	-0.01	17	-180.94	18	-14.88	18	-0.05	19
2144	231	239	Max	0.00	2392.04	9	0.29	19	-0.02	16	-106.66	17	26.13	18	-0.02	16
2144	231	239	Max	21.56	2392.04	9	0.29	19	0.02	18	-107.76	17	-9.09	17	-0.02	16
2144	231	239	Min.	0.00	614.40	16	0.15	16	-0.05	19	-209.25	18	14.03	17	-0.05	19
2144	231	239	Min.	21.56	614.40	16	0.15	16	0.01	17	-210.35	18	-19.11	18	-0.05	19
2144	239	247	Max	0.00	2011.79	9	0.29	19	-0.01	16	-124.64	17	28.77	18	-0.02	16
2144	239	247	Max	21.56	2011.79	9	0.29	19	0.04	19	-125.74	17	-11.41	17	-0.02	16
2144	239	247	Min.	0.00	328.08	16	0.15	16	-0.02	19	-240.65	18	15.58	17	-0.05	19
2144	239	247	Min.	21.56	328.08	16	0.15	16	0.02	16	-241.75	18	-23.24	18	-0.05	19
2144	247	255	Max	0.00	1519.20	9	0.21	18	0.00	19	-145.94	17	32.17	18	-0.02	16
2144	247	255	Max	21.56	1519.20	9	0.21	18	0.05	18	-147.03	17	-13.94	17	-0.02	16
2144	247	255	Min.	0.00	-12.63	16	0.04	17	0.00	10	-277.29	18	17.64	17	-0.07	19
2144	247	255	Min.	21.56	-12.63	16	0.04	17	0.01	17	-278.39	18	-27.73	18	-0.07	19
2144	255	263	Max	0.00	844.19	9	0.44	17	-0.00	10	-193.18	17	39.99	9	-0.02	16
2144	255	263	Max	21.56	844.19	9	0.44	17	0.01	19	-194.28	17	-19.96	17	-0.02	16
2144	255	263	Min.	0.00	-438.97	16	0.01	16	-0.08	17	-360.16	18	21.43	16	-0.09	17
2144	255	263	Min.	21.56	-438.97	16	0.01	16	0.00	16	-361.26	18	-38.49	18	-0.09	17
2144	263	271	Max	0.00	-60.07	10	0.54	17	-0.01	16	-223.15	17	42.84	9	-0.01	16
2144	263	271	Max	21.56	-60.07	10	0.54	17	0.06	17	-224.25	17	-24.98	17	-0.01	16
2144	263	271	Min.	0.00	-977.22	16	0.07	16	-0.06	17	-413.60	18	21.98	16	-0.09	17
2144	263	271	Min.	21.56	-977.22	16	0.07	16	0.01	16	-414.70	18	-47.66	18	-0.09	17
2144	271	279	Max	0.00	-694.09	17	0.53	17	0.00	16	-256.85	17	44.45	9	-0.01	16
2144	271	279	Max	21.56	-694.09	17	0.53	17	0.09	17	-257.94	17	-31.45	17	-0.01	16
2144	271	279	Min.	0.00	-1792.99	18	0.09	16	-0.02	17	-472.68	9	21.59	16	-0.11	17
2144	271	279	Min.	21.56	-1792.99	18	0.09	16	0.02	16	-473.78	9	-59.13	18	-0.11	17
2144	279	2288	Max	0.00	-1420.09	17	0.66	17	0.03	18	-304.06	17	34.97	9	-0.02	10
2144	279	2288	Max	21.56	-1420.09	17	0.66	17	0.16	17	-305.16	17	-47.14	17	-0.02	10
2144	279	2288	Min.	0.00	-3117.60	18	-0.24	18	0.01	17	-566.96	9	14.85	16	-0.12	17
2144	279	2288	Min.	21.56	-3117.60	18	-0.24	18	-0.03	16	-568.06	9	-89.36	18	-0.12	17
2144	2288	299	Max	0.00	-107.81	17	0.72	9	0.41	17	23.85	9	2.76	16	0.09	17
2144	2288	299	Max	16.67	-107.81	17	0.72	9	0.03	9	23.00	9	1.92	18	0.09	17
2144	2288	299	Min.	0.00	-338.49	9	-3.32	17	-0.09	9	-8.75	16	-2.06	9	-0.04	9
2144	2288	299	Min.	16.67	-338.49	9	-3.32	17	-0.14	17	-9.60	16	0.31	17	-0.04	9
2144	299	307	Max	0.00	-62.60	17	0.70	18	0.08	17	48.04	9	-1.62	17	0.14	17
2144	299	307	Max	16.67	-62.60	17	0.70	18	0.05	18	47.19	9	3.33	9	0.14	17
2144	299	307	Min.	0.00	-209.36	9	-1.47	17	-0.06	18	16.84	17	-4.60	9	-0.06	9
2144	299	307	Min.	16.67	-209.36	9	-1.47	17	-0.17	17	15.99	17	1.12	17	-0.06	9
2144	307	2315	Max	0.00	-23.58	17	0.97	18	-0.02	17	36.57	9	-0.68	17	0.12	17
2144	307	2315	Max	16.67	-23.58	17	0.97	18	0.10	18	35.72	9	3.31	9	0.12	17
2144	307	2315	Min.	0.00	-81.20	9	-0.38	17	-0.06	18	9.41	17	-2.71	9	-0.05	9
2144	307	2315	Min.	16.67	-81.20	9	-0.38	17	-0.08	17	8.56	17	0.82	17	-0.05	9
2145	-516	20	Max	0.00	-123.24	10	0.21	17	0.18	18	3.04	17	-0.46	10	0.04	18
2145	-516	20	Max	19.08	-123.72	10	0.21	17	0.00	16	2.19	17	-0.23	10	0.04	18
2145	-516	20	Min.	0.00	-189.08	19	-1.00	18	-0.12	17	1.64	10	-0.73	17	0.00	17
2145	-516	20	Min.	19.08	-189.55	19	-1.00	18	-0.08	17	0.79	10	-0.36	18	0.00	17
2182	2005	13	Max	0.00	-2.18	17	1.51	17	-0.05	16	2.18	17	2.61	18	-0.03	10
2182	2005	13	Max	16.67	-2.18	17	1.51	17	0.07	19	1.33	17	0.17	17	-0.03	10
2182	2005	13	Min.	0.00	-65.91	18	0.53	16	-0.19	17	-27.24	18	-0.12	17	-0.18	17
2182	2005	13	Min.	16.67	-65.91	18	0.53	16	0.04	16	-28.09	18	-2.00	18	-0.18	17
2182	13	21	Max	0.00	-10.13	17	1.99	17	-0.01	16	-5.77	17	3.15	18	-0.04	16
2182	13	21	Max	16.67	-10.13	17	1.99	17	0.13	17	-6.62	17	-0.56	17	-0.04	16
2182	13	21	Min.	0.00	-176.43	18	0.24	16	-0.20	17	-42.78	18	0.48	17	-0.21	17

2182	13	21	Min.	16.67	-176.43	18	0.24	16	0.03	16	-43.63	18	-4.05	18	-0.21	17
2182	21	2031	Max	0.00	-31.85	17	4.63	17	-0.03	16	13.43	17	1.65	18	-0.02	10
2182	21	2031	Max	16.67	-31.85	17	4.63	17	0.59	17	12.58	17	2.24	17	-0.02	10
2182	21	2031	Min.	0.00	-291.85	18	0.90	16	-0.18	17	-34.50	16	0.07	17	-0.13	17
2182	21	2031	Min.	16.67	-291.85	18	0.90	16	0.12	16	-35.35	16	-4.80	16	-0.13	17
2182	2031	41	Max	0.00	-1010.74	16	0.70	18	0.10	17	635.90	18	-46.40	17	0.11	17
2182	2031	41	Max	21.56	-1010.74	16	0.70	18	0.01	18	634.80	18	41.67	18	0.11	17
2182	2031	41	Min.	0.00	-2603.22	9	-0.48	17	-0.14	18	300.35	17	-95.33	18	-0.02	18
2182	2031	41	Min.	21.56	-2603.22	9	-0.48	17	0.00	17	299.25	17	18.24	17	-0.02	18
2182	41	49	Max	0.00	5.21	16	0.17	18	0.07	17	527.94	18	-30.90	17	0.09	17
2182	41	49	Max	21.56	5.21	16	0.17	18	0.01	18	526.84	18	51.33	18	0.09	17
2182	41	49	Min.	0.00	-1255.04	9	-0.39	17	-0.03	18	253.62	17	-62.39	18	-0.04	18
2182	41	49	Min.	21.56	-1255.04	9	-0.39	17	-0.02	17	252.52	17	23.66	17	-0.04	18
2182	49	57	Max	0.00	858.11	16	0.19	18	0.04	17	451.17	18	-24.48	17	0.07	17
2182	49	57	Max	21.56	858.11	16	0.19	18	0.02	18	450.07	18	48.64	18	0.07	17
2182	49	57	Min.	0.00	-93.12	19	-0.42	17	-0.02	18	219.75	17	-48.53	18	-0.04	18
2182	49	57	Min.	21.56	-93.12	19	-0.42	17	-0.05	17	218.65	17	22.79	17	-0.04	18
2182	57	65	Max	0.00	1507.33	16	0.09	18	0.01	17	381.51	18	-19.59	17	0.05	17
2182	57	65	Max	21.56	1507.33	16	0.09	18	0.02	18	380.41	18	44.62	18	0.05	17
2182	57	65	Min.	0.00	422.37	17	-0.41	17	-0.00	18	189.91	17	-37.52	18	-0.05	18
2182	57	65	Min.	21.56	422.37	17	-0.41	17	-0.08	17	188.81	17	21.24	17	-0.05	18
2182	65	73	Max	0.00	2188.73	18	0.22	19	-0.03	16	279.05	18	-12.88	16	0.02	17
2182	65	73	Max	21.56	2188.73	18	0.22	19	-0.00	17	277.95	18	35.34	18	0.02	17
2182	65	73	Min.	0.00	796.12	17	0.12	16	-0.05	19	149.31	17	-25.57	19	-0.05	18
2182	65	73	Min.	21.56	796.12	17	0.12	16	-0.01	18	148.21	17	17.77	17	-0.05	18
2182	73	81	Max	0.00	2710.37	18	0.28	18	-0.02	17	229.18	18	-9.08	16	-0.01	17
2182	73	81	Max	21.56	2710.37	18	0.28	18	0.02	18	228.08	18	30.31	18	-0.01	17
2182	73	81	Min.	0.00	1078.42	17	0.08	17	-0.04	18	127.44	17	-20.50	19	-0.04	18
2182	73	81	Min.	21.56	1078.42	17	0.08	17	0.00	17	126.34	17	15.75	17	-0.04	18
2182	81	89	Max	0.00	3099.58	18	0.27	18	-0.01	16	191.44	19	-5.45	16	-0.01	17
2182	81	89	Max	17.25					-0.00	17			9.50	17		
2182	81	89	Max	21.56	3099.58	18	0.27	18	0.04	18	190.34	19	26.27	18	-0.01	17
2182	81	89	Min.	0.00	1299.40	17	0.07	17	-0.02	19	99.46	16	-15.93	19	-0.04	18
2182	81	89	Min.	17.25					-0.00	17			9.50	17		
2182	81	89	Min.	21.56	1299.40	17	0.07	17	0.00	17	98.36	16	14.15	17	-0.04	18
2182	89	97	Max	0.00	3381.75	18	0.19	18	0.00	18	157.60	19	-1.43	16	-0.01	17
2182	89	97	Max	21.56	3381.75	18	0.19	18	0.04	18	156.50	19	22.99	18	-0.01	17
2182	89	97	Min.	0.00	1469.79	17	0.08	17	-0.01	17	69.87	16	-11.22	19	-0.04	18
2182	89	97	Min.	21.56	1469.79	17	0.08	17	0.00	17	68.77	16	12.94	17	-0.04	18
2182	97	105	Max	0.00	3549.52	18	0.08	19	-0.00	17	89.90	9	5.82	16	-0.01	17
2182	97	105	Max	21.56	3549.52	18	0.08	19	0.01	17	88.80	9	15.61	9	-0.01	17
2182	97	105	Min.	0.00	1582.69	17	0.02	16	-0.02	9	3.21	16	-3.65	9	-0.04	18
2182	97	105	Min.	21.56	1582.69	17	0.02	16	-0.01	9	2.11	16	6.39	16	-0.04	18
2182	105	113	Max	0.00	3624.40	18	0.14	9	-0.00	17	63.47	9	7.57	16	-0.01	16
2182	105	113	Max	21.56	3624.40	18	0.14	9	0.01	19	62.37	9	12.21	9	-0.01	16
2182	105	113	Min.	0.00	1649.32	17	0.04	17	-0.02	9	-20.21	16	-1.36	9	-0.02	19
2182	105	113	Min.	21.56	1649.32	17	0.04	17	0.00	16	-21.31	16	3.09	16	-0.02	19
2182	113	121	Max	0.00	3645.44	18	0.15	18	-0.00	16	40.34	9	9.67	16	-0.01	16
2182	113	121	Max	21.56	3645.44	18	0.15	18	0.02	18	39.24	9	9.77	9	-0.01	16
2182	113	121	Min.	0.00	1690.96	17	0.04	17	-0.01	9	-40.59	16	0.46	17	-0.02	19
2182	113	121	Min.	21.56	1690.96	17	0.04	17	0.00	17	-41.69	16	0.80	16	-0.02	19
2182	121	129	Max	0.00	3620.59	18	0.11	9	0.01	18	16.87	9	12.61	16	-0.01	17
2182	121	129	Max	21.56	3620.59	18	0.11	9	0.03	18	15.77	9	7.95	9	-0.01	17
2182	121	129	Min.	0.00	1711.28	17	0.05	17	-0.01	17	-61.78	16	2.23	17	-0.02	9
2182	121	129	Min.	21.56	1711.28	17	0.05	17	0.00	17	-62.88	16	-0.83	16	-0.02	9
2182	129	137	Max	0.00	3536.18	18	0.02	17	0.00	16	-24.47	17	18.89	16	-0.01	17
2182	129	137	Max	21.56	3536.18	18	0.02	17	0.00	19	-25.57	17	1.56	9	-0.01	17
2182	129	137	Min.	0.00	1701.96	17	-0.01	16	0.00	17	-121.03	16	6.14	17	-0.02	9
2182	129	137	Min.	21.56	1701.96	17	-0.01	16	0.00	16	-122.13	16	-7.33	16	-0.02	9

2182	137	145	Max	0.00	3402.90	18	0.04	9	0.00	17	-34.02	17	19.70	16	-0.00	16
2182	137	145	Max	21.56	3402.90	18	0.04	9	0.01	19	-35.12	17	-0.95	17	-0.00	16
2182	137	145	Min.	0.00	1668.27	17	0.01	16	-0.00	9	-138.75	16	6.50	17	-0.01	9
2182	137	145	Min.	21.56	1668.27	17	0.01	16	0.00	16	-139.85	16	-10.33	16	-0.01	9
2182	145	153	Max	0.00	3249.73	18	0.05	9	0.01	18	-43.80	17	20.68	18	0.00	16
2182	145	153	Max	21.56	3249.73	18	0.05	9	0.01	18	-44.90	17	-2.81	17	0.00	16
2182	145	153	Min.	0.00	1625.75	17	0.02	17	0.00	17	-156.06	16	6.76	17	-0.00	17
2182	145	153	Min.	21.56	1625.75	17	0.02	17	0.01	17	-157.16	16	-13.35	16	-0.00	17
2182	153	161	Max	0.00	3099.65	18	0.04	9	0.02	18	-47.55	17	18.27	16	0.00	16
2182	153	161	Max	21.56	3099.65	18	0.04	9	0.02	18	-48.65	17	-5.64	17	0.00	16
2182	153	161	Min.	0.00	1585.57	17	0.01	16	0.00	17	-167.53	16	4.73	17	0.00	17
2182	153	161	Min.	21.56	1585.57	17	0.01	16	0.01	17	-168.63	16	-18.04	18	0.00	17
2182	161	169	Max	0.00	3031.58	18	-0.01	17	0.02	18	90.97	9	4.66	16	0.00	16
2182	161	169	Max	21.56	3031.58	18	-0.01	17	0.01	9	89.87	9	8.85	9	0.00	16
2182	161	169	Min.	0.00	1585.56	17	-0.05	18	0.01	17	-54.00	16	-10.65	9	-0.00	9
2182	161	169	Min.	21.56	1585.56	17	-0.05	18	0.00	17	-55.10	16	-7.11	16	-0.00	9
2182	169	177	Max	0.00	3038.92	18	-0.02	17	0.02	18	82.45	9	6.78	16	0.00	16
2182	169	177	Max	21.56	3038.92	18	-0.02	17	0.00	19	81.35	9	12.51	9	0.00	16
2182	169	177	Min.	0.00	1625.73	17	-0.06	18	0.01	17	-51.93	16	-5.15	9	0.00	10
2182	169	177	Min.	21.56	1625.73	17	-0.06	18	0.00	16	-53.03	16	-4.53	16	0.00	10
2182	177	185	Max	0.00	3063.24	9	-0.02	17	0.01	19	62.40	9	8.19	16	0.01	18
2182	177	185	Max	21.56	3063.24	9	-0.02	17	0.00	17	61.30	9	11.80	9	0.01	18
2182	177	185	Min.	0.00	1668.24	17	-0.05	18	0.00	10	-58.25	16	-1.54	9	0.00	17
2182	177	185	Min.	21.56	1668.24	17	-0.05	18	-0.00	18	-59.35	16	-4.49	16	0.00	17
2182	185	193	Max	0.00	3123.09	9	-0.01	10	0.00	19	43.18	9	9.15	16	0.02	18
2182	185	193	Max	21.56	3123.09	9	-0.01	10	0.00	9	42.08	9	10.75	9	0.02	18
2182	185	193	Min.	0.00	1606.23	16	-0.02	17	0.00	10	-63.51	16	0.75	17	0.01	17
2182	185	193	Min.	21.56	1606.23	16	-0.02	17	-0.00	16	-64.61	16	-4.66	16	0.01	17
2182	193	201	Max	0.00	3140.92	9	-0.05	17	0.03	18	-10.83	17	12.07	18	0.02	18
2182	193	201	Max	21.56	3140.92	9	-0.05	17	0.01	9	-11.93	17	4.43	19	0.02	18
2182	193	201	Min.	0.00	1508.10	16	-0.12	18	0.00	17	-87.02	16	4.69	17	0.01	17
2182	193	201	Min.	21.56	1508.10	16	-0.12	18	-0.01	17	-88.12	16	-7.27	16	0.01	17
2182	201	209	Max	0.00	3107.57	9	-0.04	17	0.02	18	-22.75	17	13.63	18	0.02	18
2182	201	209	Max	21.56	3107.57	9	-0.04	17	-0.01	17	-23.85	17	1.19	19	0.02	18
2182	201	209	Min.	0.00	1385.39	16	-0.16	18	0.00	17	-94.38	16	5.48	17	0.01	17
2182	201	209	Min.	21.56	1385.39	16	-0.16	18	-0.01	18	-95.48	16	-8.50	16	0.01	17
2182	209	217	Max	0.00	3033.85	9	-0.04	17	0.01	19	-34.21	17	15.72	18	0.03	18
2182	209	217	Max	21.56	3033.85	9	-0.04	17	-0.00	17	-35.31	17	-0.80	17	0.03	18
2182	209	217	Min.	0.00	1242.89	16	-0.15	18	0.00	16	-102.62	18	6.69	17	0.01	17
2182	209	217	Min.	21.56	1242.89	16	-0.15	18	-0.03	18	-103.72	18	-9.44	16	0.01	17
2182	217	225	Max	0.00	2912.79	9	-0.05	10	0.01	17	-47.66	17	18.62	18	0.04	18
2182	217	225	Max	21.56	2912.79	9	-0.05	10	-0.00	17	-48.76	17	-1.84	17	0.04	18
2182	217	225	Min.	0.00	1077.33	16	-0.08	19	-0.01	18	-126.18	18	8.55	17	0.01	17
2182	217	225	Min.	21.56	1077.33	16	-0.08	19	-0.02	18	-127.28	18	-10.29	16	0.01	17
2182	225	233	Max	0.00	2711.96	9	-0.08	17	0.04	18	-90.05	17	24.60	18	0.04	18
2182	225	233	Max	21.56	2711.96	9	-0.08	17	0.00	18	-91.15	17	-6.59	17	0.04	18
2182	225	233	Min.	0.00	874.27	16	-0.17	18	0.00	17	-184.52	18	12.95	17	0.01	17
2182	225	233	Min.	21.56	874.27	16	-0.17	18	-0.01	17	-185.62	18	-15.31	18	0.01	17
2182	233	241	Max	0.00	2413.09	9	-0.07	17	0.04	18	-107.78	17	26.83	18	0.04	18
2182	233	241	Max	21.56	2413.09	9	-0.07	17	-0.01	16	-108.88	17	-9.21	17	0.04	18
2182	233	241	Min.	0.00	625.52	16	-0.25	18	0.00	17	-214.98	18	14.15	17	0.01	17
2182	233	241	Min.	21.56	625.52	16	-0.25	18	-0.02	19	-216.08	18	-19.64	18	0.01	17
2182	241	249	Max	0.00	2020.95	9	-0.08	17	0.01	18	-126.39	17	29.58	18	0.04	18
2182	241	249	Max	21.56	2020.95	9	-0.08	17	-0.02	17	-127.49	17	-11.62	17	0.04	18
2182	241	249	Min.	0.00	332.21	16	-0.26	18	0.00	17	-247.72	18	15.76	17	0.01	17
2182	241	249	Min.	21.56	332.21	16	-0.26	18	-0.04	18	-248.82	18	-23.96	18	0.01	17
2182	249	257	Max	0.00	1513.36	9	-0.10	16	-0.00	17	-148.27	17	32.97	18	0.05	18
2182	249	257	Max	21.56	1513.36	9	-0.10	16	-0.03	16	-149.37	17	-14.32	17	0.05	18
2182	249	257	Min.	0.00	-16.21	16	-0.22	19	-0.01	18	-285.68	18	17.77	17	-0.02	17

2182	249	257	Min.	21.56	-16.21	16	-0.22	19	-0.05	19	-286.78	18	-28.75	18	-0.02	17
2182	257	265	Max	0.00	828.28	9	0.41	17	0.02	18	-189.00	17	39.85	9	0.05	18
2182	257	265	Max	21.56	828.28	9	0.41	17	0.01	17	-190.10	17	-19.61	17	0.05	18
2182	257	265	Min.	0.00	-447.86	16	-0.09	18	-0.08	17	-360.82	18	21.26	17	-0.05	17
2182	257	265	Min.	21.56	-447.86	16	-0.09	18	-0.00	9	-361.92	18	-38.68	18	-0.05	17
2182	265	273	Max	0.00	-69.95	17	0.42	17	0.02	18	-218.86	17	42.94	9	0.04	18
2182	265	273	Max	21.56	-69.95	17	0.42	17	0.04	17	-219.96	17	-24.50	17	0.04	18
2182	265	273	Min.	0.00	-987.97	16	-0.19	18	-0.05	17	-414.98	18	22.01	16	-0.07	17
2182	265	273	Min.	21.56	-987.97	16	-0.19	18	-0.02	18	-416.08	18	-47.82	18	-0.07	17
2182	273	281	Max	0.00	-692.01	17	0.40	17	0.01	18	-252.73	17	44.70	9	0.04	18
2182	273	281	Max	21.56	-692.01	17	0.40	17	0.07	17	-253.83	17	-30.93	17	0.04	18
2182	273	281	Min.	0.00	-1816.99	18	-0.18	18	-0.02	17	-475.05	9	21.64	16	-0.09	17
2182	273	281	Min.	21.56	-1816.99	18	-0.18	18	-0.03	18	-476.15	9	-59.43	18	-0.09	17
2182	281	2291	Max	0.00	-1406.70	17	0.49	17	0.01	9	-299.55	17	35.19	9	0.02	9
2182	281	2291	Max	21.56	-1406.70	17	0.49	17	0.11	17	-300.65	17	-46.45	17	0.02	9
2182	281	2291	Min.	0.00	-3149.13	18	-0.72	18	0.00	17	-570.42	9	14.85	16	-0.11	17
2182	281	2291	Min.	21.56	-3149.13	18	-0.72	18	-0.15	18	-571.52	9	-89.88	18	-0.11	17
2182	2291	301	Max	0.00	-58.41	17	-1.17	16	0.59	17	15.41	9	3.54	16	0.14	17
2182	2291	301	Max	0.42					0.24	18			1.81	18		
2182	2291	301	Max	16.67	-58.41	17	-1.17	16	-0.03	16	14.56	9	1.74	18	0.14	17
2182	2291	301	Min.	0.00	-271.93	9	-4.63	17	0.16	16	-14.37	16	-0.85	10	0.02	16
2182	2291	301	Min.	0.42					0.24	18			1.81	18		
2182	2291	301	Min.	16.67	-271.93	9	-4.63	17	-0.18	17	-15.23	16	0.15	17	0.02	16
2182	301	309	Max	0.00	-27.94	17	-0.50	16	0.15	17	39.58	9	-0.94	17	0.22	17
2182	301	309	Max	16.67	-27.94	17	-0.50	16	-0.05	16	38.73	9	2.85	9	0.22	17
2182	301	309	Min.	0.00	-162.15	9	-2.30	17	0.04	16	10.56	17	-3.67	9	0.04	16
2182	301	309	Min.	16.67	-162.15	9	-2.30	17	-0.24	17	9.71	17	0.75	17	0.04	16
2182	309	2317	Max	0.00	-8.75	17	-0.40	16	0.04	19	26.28	9	-0.08	17	0.18	17
2182	309	2317	Max	16.67	-8.75	17	-0.40	16	-0.05	16	25.43	9	2.43	9	0.18	17
2182	309	2317	Min.	0.00	-60.84	9	-1.27	17	0.02	16	2.03	17	-1.88	9	0.02	16
2182	309	2317	Min.	16.67	-60.84	9	-1.27	17	-0.17	17	1.18	17	0.19	17	0.02	16
2183	-518	22	Max	0.00	-151.27	10	0.94	17	-0.03	16	3.19	17	-0.61	10	0.00	9
2183	-518	22	Max	19.08	-151.74	10	0.94	17	0.02	9	2.34	17	-0.32	17	0.00	9
2183	-518	22	Min.	0.00	-220.97	19	0.18	16	-0.25	17	1.73	10	-0.89	19	-0.03	17
2183	-518	22	Min.	19.08	-221.45	19	0.18	16	-0.07	17	0.88	10	-0.54	18	-0.03	17
2220	2007	15	Max	0.00	15.22	17	2.07	19	-0.08	16	9.53	17	1.30	18	0.02	16
2220	2007	15	Max	16.67	15.22	17	2.07	19	0.12	19	8.68	17	0.78	17	0.02	16
2220	2007	15	Min.	0.00	-29.64	18	0.82	16	-0.23	17	-12.11	18	-0.73	17	-0.14	17
2220	2007	15	Min.	16.67	-29.64	18	0.82	16	0.06	16	-12.96	18	-0.84	16	-0.14	17
2220	15	23	Max	0.00	28.92	17	2.18	17	-0.02	16	1.85	17	2.24	18	0.02	16
2220	15	23	Max	16.67	28.92	17	2.18	17	0.15	17	1.00	17	0.32	17	0.02	16
2220	15	23	Min.	0.00	-94.70	18	0.34	16	-0.21	17	-27.10	18	0.08	17	-0.17	17
2220	15	23	Min.	16.67	-94.70	18	0.34	16	0.03	16	-27.95	18	-2.35	18	-0.17	17
2220	23	2034	Max	0.00	25.47	17	4.89	17	-0.03	16	9.94	17	1.55	18	0.04	18
2220	23	2034	Max	16.67	25.47	17	4.89	17	0.62	17	9.09	17	1.76	17	0.04	18
2220	23	2034	Min.	0.00	-170.00	18	0.89	16	-0.20	17	-35.17	16	0.18	17	-0.08	17
2220	23	2034	Min.	16.67	-170.00	18	0.89	16	0.12	16	-36.02	16	-4.96	16	-0.08	17
2220	2034	43	Max	0.00	-104.74	16	1.73	18	0.01	17	341.54	18	-26.02	17	0.02	17
2220	2034	43	Max	21.56	-104.74	16	1.73	18	0.02	16	340.44	18	23.75	18	0.02	17
2220	2034	43	Min.	0.00	-1405.51	9	-0.05	17	-0.35	18	169.73	17	-49.78	18	-0.21	18
2220	2034	43	Min.	21.56	-1405.51	9	-0.05	17	-0.00	17	168.63	17	10.45	17	-0.21	18
2220	43	51	Max	0.00	401.86	16	1.04	18	0.00	17	274.32	18	-16.88	17	0.00	17
2220	43	51	Max	21.56	401.86	16	1.04	18	0.05	18	273.22	18	27.67	18	0.00	17
2220	43	51	Min.	0.00	-655.55	9	0.02	17	-0.17	18	140.03	17	-31.47	9	-0.24	18
2220	43	51	Min.	21.56	-655.55	9	0.02	17	0.00	17	138.94	17	13.19	17	-0.24	18
2220	51	59	Max	0.00	800.35	16	1.06	18	-0.00	17	222.88	18	-12.21	16	-0.01	17
2220	51	59	Max	21.56	800.35	16	1.06	18	0.10	18	221.78	18	24.93	18	-0.01	17
2220	51	59	Min.	0.00	-41.55	17	-0.01	17	-0.12	18	117.53	17	-24.02	9	-0.22	18
2220	51	59	Min.	21.56	-41.55	17	-0.01	17	-0.00	17	116.42	17	12.28	17	-0.22	18

2220	59	67	Max	0.00	1082.87	16	0.93	18	-0.01	17	179.83	9	-8.11	16	-0.02	17
2220	59	67	Max	21.56	1082.87	16	0.93	18	0.13	18	178.73	9	21.10	18	-0.02	17
2220	59	67	Min.	0.00	218.44	17	-0.04	17	-0.07	18	97.96	17	-18.49	9	-0.20	18
2220	59	67	Min.	21.56	218.44	17	-0.04	17	-0.02	17	96.86	17	10.83	17	-0.20	18
2220	67	75	Max	0.00	1315.66	18	0.33	18	-0.03	16	157.12	19	-5.81	16	-0.02	17
2220	67	75	Max	17.25					-0.01	9			11.76	9		
2220	67	75	Max	21.56	1315.66	18	0.33	18	0.01	16	156.02	19	19.33	18	-0.02	17
2220	67	75	Min.	0.00	424.38	17	0.19	17	-0.07	19	82.19	16	-15.30	19	-0.17	18
2220	67	75	Min.	17.25					-0.01	10			9.17	10		
2220	67	75	Min.	21.56	424.38	17	0.19	17	-0.01	17	81.09	16	10.34	17	-0.17	18
2220	75	83	Max	0.00	1585.98	18	0.58	18	-0.03	17	126.58	19	-2.59	16	-0.03	17
2220	75	83	Max	21.56	1585.98	18	0.58	18	0.04	18	125.47	19	16.12	18	-0.03	17
2220	75	83	Min.	0.00	586.89	17	0.20	17	-0.08	18	55.72	16	-11.19	19	-0.12	18
2220	75	83	Min.	21.56	586.89	17	0.20	17	0.01	17	54.62	16	9.07	17	-0.12	18
2220	83	91	Max	0.00	1771.15	18	0.59	18	-0.02	17	98.39	19	0.16	16	-0.03	17
2220	83	91	Max	21.56	1771.15	18	0.59	18	0.09	18	97.29	19	13.31	19	-0.03	17
2220	83	91	Min.	0.00	709.49	17	0.19	17	-0.04	18	30.76	16	-7.78	19	-0.10	18
2220	83	91	Min.	21.56	709.49	17	0.19	17	0.02	17	29.66	16	6.67	16	-0.10	18
2220	91	99	Max	0.00	1889.72	18	0.43	18	0.00	9	73.30	19	2.22	16	-0.04	17
2220	91	99	Max	21.56	1889.72	18	0.43	18	0.10	18	72.20	19	10.56	19	-0.04	17
2220	91	99	Min.	0.00	799.79	17	0.14	17	-0.00	17	8.38	16	-5.13	19	-0.10	18
2220	91	99	Min.	21.56	799.79	17	0.14	17	0.03	17	7.28	16	3.91	16	-0.10	18
2220	99	107	Max	0.00	1971.17	18	0.16	19	-0.01	16	65.59	9	2.19	16	-0.04	17
2220	99	107	Max	17.25					-0.00	17			3.93	17		
2220	99	107	Max	21.56	1971.17	18	0.16	19	0.00	16	64.49	9	9.75	19	-0.04	17
2220	99	107	Min.	0.00	865.71	17	0.05	16	-0.04	9	7.53	16	-4.31	9	-0.09	18
2220	99	107	Min.	17.25					-0.00	16			3.41	16		
2220	99	107	Min.	21.56	865.71	17	0.05	16	-0.01	9	6.43	16	3.70	16	-0.09	18
2220	107	115	Max	0.00	2019.79	18	0.32	9	-0.02	16	43.23	9	4.74	16	-0.02	16
2220	107	115	Max	21.56	2019.79	18	0.32	9	0.02	18	42.13	9	7.70	19	-0.02	16
2220	107	115	Min.	0.00	910.89	17	0.15	16	-0.05	9	-13.17	16	-1.51	9	-0.05	9
2220	107	115	Min.	21.56	910.89	17	0.15	16	0.01	17	-14.27	16	1.78	16	-0.05	9
2220	115	123	Max	0.00	2028.07	18	0.34	9	0.00	16	21.51	9	6.91	16	-0.01	16
2220	115	123	Max	21.56	2028.07	18	0.34	9	0.06	18	20.41	9	5.42	19	-0.01	16
2220	115	123	Min.	0.00	937.55	17	0.16	17	-0.02	9	-33.68	16	0.33	17	-0.04	9
2220	115	123	Min.	21.56	937.55	17	0.16	17	0.02	17	-34.78	16	-0.47	16	-0.04	9
2220	123	131	Max	0.00	2002.38	18	0.23	9	0.03	16	3.61	17	8.59	16	0.01	16
2220	123	131	Max	21.56	2002.38	18	0.23	9	0.08	18	2.51	17	3.06	19	0.01	16
2220	123	131	Min.	0.00	948.42	17	0.11	16	0.00	17	-52.48	16	1.44	17	-0.04	9
2220	123	131	Min.	21.56	948.42	17	0.11	16	0.03	17	-53.58	16	-2.85	16	-0.04	9
2220	131	139	Max	0.00	1957.24	18	-0.01	19	0.04	16	-5.22	10	8.88	16	0.01	16
2220	131	139	Max	21.56	1957.24	18	-0.01	19	-0.00	17	-6.32	10	2.27	9	0.01	16
2220	131	139	Min.	0.00	945.85	17	-0.25	16	-0.01	19	-56.14	16	2.48	17	-0.04	9
2220	131	139	Min.	21.56	945.85	17	-0.25	16	-0.01	18	-57.24	16	-3.35	16	-0.04	9
2220	139	147	Max	0.00	1895.54	18	0.09	9	0.03	16	-15.30	17	10.96	16	0.04	16
2220	139	147	Max	21.56	1895.54	18	0.09	9	0.01	9	-16.40	17	0.43	9	0.04	16
2220	139	147	Min.	0.00	932.00	17	-0.20	16	-0.01	9	-74.00	16	3.40	17	-0.01	9
2220	139	147	Min.	21.56	932.00	17	-0.20	16	-0.01	16	-75.10	16	-5.11	16	-0.01	9
2220	147	155	Max	0.00	1813.51	18	0.12	9	0.05	16	-25.18	17	12.49	16	0.05	16
2220	147	155	Max	21.56	1813.51	18	0.12	9	0.05	9	-26.28	17	-1.51	17	0.05	16
2220	147	155	Min.	0.00	909.63	17	-0.17	16	0.01	17	-93.03	16	4.03	17	0.00	17
2220	147	155	Min.	21.56	909.63	17	-0.17	16	0.01	16	-94.13	16	-7.69	16	0.00	17
2220	155	163	Max	0.00	1723.93	18	0.08	9	0.08	18	-30.82	17	11.77	16	0.06	16
2220	155	163	Max	21.56	1723.93	18	0.08	9	0.07	9	-31.92	17	-3.74	17	0.06	16
2220	155	163	Min.	0.00	885.44	17	-0.19	16	0.03	17	-107.32	16	3.02	17	0.00	17
2220	155	163	Min.	21.56	885.44	17	-0.19	16	0.02	16	-108.42	16	-11.49	16	0.00	17
2220	163	171	Max	0.00	1680.28	18	-0.03	17	0.09	18	57.53	19	3.04	16	0.05	16
2220	163	171	Max	21.56	1680.28	18	-0.03	17	0.06	9	56.43	19	5.50	19	0.05	16
2220	163	171	Min.	0.00	885.44	17	-0.28	16	0.03	17	-35.90	16	-6.78	19	-0.01	9

2220	163	171	Min.	21.56	885.44	17	-0.28	16	0.01	16	-37.00	16	-4.82	16	-0.01	9
2220	171	179	Max	0.00	1679.64	18	-0.05	17	0.06	18	45.38	19	4.47	16	0.04	16
2220	171	179	Max	21.56	1679.64	18	-0.05	17	0.02	9	44.28	19	7.16	19	0.04	16
2220	171	179	Min.	0.00	909.63	17	-0.31	16	0.02	17	-35.75	16	-2.51	19	-0.01	9
2220	171	179	Min.	21.56	909.63	17	-0.31	16	-0.02	16	-36.85	16	-3.36	16	-0.01	9
2220	179	187	Max	0.00	1697.24	9	-0.03	17	0.02	16	25.30	19	5.41	16	0.05	16
2220	179	187	Max	21.56	1697.24	9	-0.03	17	-0.00	17	24.20	19	5.71	19	0.05	16
2220	179	187	Min.	0.00	926.73	16	-0.30	16	0.00	17	-40.59	16	-0.02	17	0.00	17
2220	179	187	Min.	21.56	926.73	16	-0.30	16	-0.04	16	-41.69	16	-3.47	16	0.00	17
2220	187	195	Max	0.00	1717.00	9	0.02	10	0.00	16	7.27	17	6.03	16	0.06	18
2220	187	195	Max	21.56	1717.00	9	0.02	10	-0.00	17	6.17	17	3.61	19	0.06	18
2220	187	195	Min.	0.00	872.35	16	-0.22	16	-0.01	19	-44.69	16	1.03	17	0.02	17
2220	187	195	Min.	21.56	872.35	16	-0.22	16	-0.05	16	-45.79	16	-3.73	16	0.02	17
2220	195	203	Max	0.00	1720.41	9	-0.11	17	0.07	9	-0.40	19	7.38	16	0.06	18
2220	195	203	Max	21.56	1720.41	9	-0.11	17	0.02	9	-1.50	19	2.85	19	0.06	18
2220	195	203	Min.	0.00	805.30	16	-0.27	18	0.03	17	-57.87	16	2.10	17	0.02	17
2220	195	203	Min.	21.56	805.30	16	-0.27	18	-0.01	16	-58.97	16	-5.22	16	0.02	17
2220	203	211	Max	0.00	1704.37	9	-0.16	17	0.06	18	-12.70	17	8.14	18	0.05	18
2220	203	211	Max	21.56	1704.37	9	-0.16	17	-0.01	17	-13.80	17	0.91	19	0.05	18
2220	203	211	Min.	0.00	722.72	16	-0.38	18	0.02	17	-63.35	16	3.19	17	0.02	17
2220	203	211	Min.	21.56	722.72	16	-0.38	18	-0.03	18	-64.45	16	-6.07	16	0.02	17
2220	211	219	Max	0.00	1658.86	9	-0.15	17	0.02	19	-23.49	17	10.01	18	0.06	18
2220	211	219	Max	21.56	1658.86	9	-0.15	17	-0.02	17	-24.59	17	-0.87	17	0.06	18
2220	211	219	Min.	0.00	626.42	16	-0.37	18	0.01	16	-69.30	18	4.31	17	0.03	17
2220	211	219	Min.	21.56	626.42	16	-0.37	18	-0.07	18	-70.40	18	-6.79	16	0.03	17
2220	219	227	Max	0.00	1578.40	9	-0.10	17	0.00	17	-34.91	17	11.77	18	0.09	18
2220	219	227	Max	21.56	1578.40	9	-0.10	17	-0.02	17	-36.01	17	-2.20	17	0.09	18
2220	219	227	Min.	0.00	514.16	16	-0.19	18	-0.01	18	-88.68	18	5.44	17	0.04	17
2220	219	227	Min.	21.56	514.16	16	-0.19	18	-0.06	18	-89.78	18	-7.52	16	0.04	17
2220	227	235	Max	0.00	1465.80	9	-0.14	17	0.08	9	-44.38	17	12.79	18	0.10	18
2220	227	235	Max	21.56	1465.80	9	-0.14	17	0.01	18	-45.48	17	-3.27	17	0.10	18
2220	227	235	Min.	0.00	378.59	16	-0.37	9	0.03	17	-98.81	18	6.42	17	0.04	17
2220	227	235	Min.	21.56	378.59	16	-0.37	9	-0.00	17	-99.91	18	-9.11	16	0.04	17
2220	235	243	Max	0.00	1316.64	9	-0.19	17	0.08	18	-57.47	17	15.06	18	0.09	9
2220	235	243	Max	21.56	1316.64	9	-0.19	17	-0.02	17	-58.57	17	-4.77	17	0.09	9
2220	235	243	Min.	0.00	215.92	16	-0.53	18	0.02	17	-121.00	18	7.74	17	0.03	17
2220	235	243	Min.	21.56	215.92	16	-0.53	18	-0.03	18	-122.10	18	-11.15	18	0.03	17
2220	243	251	Max	0.00	1108.68	9	-0.20	17	0.04	9	-71.98	17	17.29	18	0.10	9
2220	243	251	Max	21.56	1108.68	9	-0.20	17	-0.03	17	-73.08	17	-6.56	17	0.10	9
2220	243	251	Min.	0.00	23.82	16	-0.53	18	0.01	17	-146.02	18	9.08	17	0.03	17
2220	243	251	Min.	21.56	23.82	16	-0.53	18	-0.08	18	-147.12	18	-14.32	18	0.03	17
2220	251	259	Max	0.00	825.85	9	-0.15	16	0.00	10	-88.02	17	19.46	18	0.15	9
2220	251	259	Max	21.56	825.85	9	-0.15	16	-0.04	16	-89.12	17	-8.75	17	0.15	9
2220	251	259	Min.	0.00	-205.20	16	-0.32	19	-0.01	16	-173.46	18	10.35	17	0.02	17
2220	251	259	Min.	21.56	-205.20	16	-0.32	19	-0.07	19	-174.56	18	-18.06	18	0.02	17
2220	259	267	Max	0.00	456.69	9	0.04	17	0.11	9	-96.96	17	21.25	18	0.17	9
2220	259	267	Max	21.56	456.69	9	0.04	17	-0.01	17	-98.06	17	-10.18	17	0.17	9
2220	259	267	Min.	0.00	-488.88	16	-0.76	9	-0.02	17	-199.81	18	10.84	17	0.02	17
2220	259	267	Min.	21.56	-488.88	16	-0.76	9	-0.05	9	-200.91	18	-21.95	18	0.02	17
2220	267	275	Max	0.00	-22.84	10	0.01	17	0.09	9	-116.54	17	23.53	18	0.18	9
2220	267	275	Max	21.56	-22.84	10	0.01	17	-0.00	17	-117.64	17	-12.96	17	0.18	9
2220	267	275	Min.	0.00	-843.64	16	-0.90	9	-0.00	17	-236.01	18	12.29	17	0.01	17
2220	267	275	Min.	21.56	-843.64	16	-0.90	9	-0.10	9	-237.11	18	-27.47	18	0.01	17
2220	275	283	Max	0.00	-379.80	17	-0.02	17	0.04	9	-139.05	17	24.88	9	0.20	9
2220	275	283	Max	21.56	-379.80	17	-0.02	17	-0.00	17	-140.15	17	-16.90	17	0.20	9
2220	275	283	Min.	0.00	-1275.46	16	-0.89	9	0.00	17	-275.38	18	13.20	17	-0.00	17
2220	275	283	Min.	21.56	-1275.46	16	-0.89	9	-0.15	9	-276.48	18	-34.82	18	-0.00	17
2220	283	2294	Max	0.00	-777.38	17	0.06	17	0.01	9	-168.79	17	20.28	9	0.17	9
2220	283	2294	Max	21.56	-777.38	17	0.06	17	0.01	17	-169.89	17	-26.05	17	0.17	9

2220	283	2294	Min.	0.00	-1971.28	18	-1.51	9	-0.00	17	-336.29	18	9.11	16	-0.02	17
2220	283	2294	Min.	21.56	-1971.28	18	-1.51	9	-0.31	9	-337.39	18	-53.69	18	-0.02	17
2220	2294	303	Max	0.00	12.41	17	-1.38	10	0.62	17	17.72	9	2.86	16	0.08	17
2220	2294	303	Max	16.67	12.41	17	-1.38	10	-0.05	10	16.87	9	1.56	18	0.08	17
2220	2294	303	Min.	0.00	-153.37	9	-4.85	17	0.18	10	-10.90	16	-1.39	9	-0.03	9
2220	2294	303	Min.	16.67	-153.37	9	-4.85	17	-0.19	17	-11.75	16	0.21	17	-0.03	9
2220	303	311	Max	0.00	20.08	17	-0.61	16	0.16	17	23.93	9	0.13	17	0.17	17
2220	303	311	Max	16.25					-0.23	17			0.20	17		
2220	303	311	Max	16.67	20.08	17	-0.61	16	-0.05	16	23.08	9	1.91	9	0.17	17
2220	303	311	Min.	0.00	-83.38	9	-2.42	17	0.05	16	0.83	17	-2.01	9	-0.00	10
2220	303	311	Min.	16.25					-0.23	17			0.20	17		
2220	303	311	Min.	16.67	-83.38	9	-2.42	17	-0.24	17	-0.02	17	0.20	17	-0.00	10
2220	311	2319	Max	0.00	11.86	17	-0.69	16	0.10	19	11.80	9	0.65	17	0.14	17
2220	311	2319	Max	16.67	11.86	17	-0.69	16	-0.07	16	10.95	9	1.17	9	0.14	17
2220	311	2319	Min.	0.00	-26.90	9	-1.89	19	0.04	16	-6.92	17	-0.73	9	-0.01	10
2220	311	2319	Min.	16.67	-26.90	9	-1.89	19	-0.22	17	-7.77	17	-0.58	17	-0.01	10
2221	-520	24	Max	0.00	-41.25	10	1.99	19	-0.10	16	0.96	17	-0.16	10	0.05	18
2221	-520	24	Max	1.37					-0.12	10			-0.16	10		
2221	-520	24	Max	19.08	-41.72	10	1.99	19	0.10	18	0.11	17	-0.23	10	0.05	18
2221	-520	24	Min.	0.00	-91.62	17	0.91	16	-0.33	17	-0.27	18	-0.40	17	0.01	17
2221	-520	24	Min.	7.63					-0.17	19			-0.35	19		
2221	-520	24	Min.	19.08	-92.09	17	0.91	16	-0.01	17	-1.12	18	-0.39	18	0.01	17
2301	2028	2029	Max	0.00	6.83	17	-767.48	16	0.33	17	-116.36	17	0.23	18	94.66	19
2301	2028	2029	Max	0.63	6.83	17	-767.48	16	-4.87	16	-116.41	17	-0.60	17	94.66	19
2301	2028	2029	Min.	0.00	-6.96	18	-2240.37	19	-0.03	16	-809.95	18	0.13	17	51.61	16
2301	2028	2029	Min.	0.63	-6.96	18	-2240.37	19	-13.91	19	-810.01	18	-4.87	18	51.61	16
2301	2029	2030	Max	5.37	-2.46	10	2239.60	9	-4.81	16	842.50	19	-3.11	10	-51.18	17
2301	2029	2030	Max	6.00	-2.46	10	2239.60	9	1.26	17	842.45	19	0.27	18	-51.18	17
2301	2029	2030	Min.	5.37	-26.18	17	802.08	16	-13.64	9	523.33	10	-5.24	19	-95.15	18
2301	2029	2030	Min.	6.00	-26.18	17	802.08	16	0.24	16	523.27	10	-0.11	17	-95.15	18
2345	2288	2289	Max	0.00	6.86	17	2666.05	18	-0.01	9	-119.75	17	0.21	19	-52.83	17
2345	2288	2289	Max	0.63	6.86	17	2666.05	18	16.75	18	-119.81	17	-0.61	17	-52.83	17
2345	2288	2289	Min.	0.00	-5.84	9	1266.21	17	-0.32	17	-698.99	9	0.09	16	-103.17	18
2345	2288	2289	Min.	0.63	-5.84	9	1266.21	17	7.66	17	-699.05	9	-4.21	9	-103.17	18
2345	2289	2290	Max	5.37	-0.89	16	-1183.78	17	16.87	18	837.88	19	-1.79	16	104.95	18
2345	2289	2290	Max	6.00	-0.89	16	-1183.78	17	-0.34	16	837.82	19	0.20	9	104.95	18
2345	2289	2290	Min.	5.37	-25.79	17	-2758.13	18	6.17	17	297.84	16	-5.22	19	51.36	17
2345	2289	2290	Min.	6.00	-25.79	17	-2758.13	18	-1.29	17	297.79	16	-0.11	17	51.36	17
2386	2002	10	Max	0.00	-20.97	10	-0.50	16	0.11	18	-10.78	10	2.21	17	-0.01	9
2386	2002	10	Max	16.67	-20.97	10	2.20	17	0.03	17	-11.63	10	-0.96	10	-0.01	9
2386	2002	10	Min.	0.00	-50.77	17	-1.43	19	-0.05	17	-27.50	17	0.91	10	-0.14	17
2386	2002	10	Min.	16.67	-50.77	17	-0.95	18	-0.05	18	-28.35	17	-2.44	17	-0.14	17
2386	10	18	Max	0.00	-40.86	10	-0.33	16	0.10	18	-0.69	17	0.07	18	0.02	9
2386	10	18	Max	16.67	-40.86	10	3.01	17	0.09	17	-1.54	17	-0.27	10	0.02	9
2386	10	18	Min.	0.00	-91.75	17	-0.74	19	-0.12	17	-2.48	18	-0.37	17	-0.18	17
2386	10	18	Min.	16.67	-91.75	17	-0.64	18	-0.01	9	-3.33	18	-0.55	17	-0.18	17
2386	18	2027	Max	0.00	-143.65	10	2.95	17	0.04	9	-15.29	10	2.29	19	-0.03	10
2386	18	2027	Max	16.67	-143.65	10	6.45	17	0.59	17	-16.14	10	-1.21	10	-0.03	10
2386	18	2027	Min.	0.00	-250.02	17	-2.04	9	-0.20	17	-37.65	16	1.28	16	-0.21	17
2386	18	2027	Min.	16.67	-250.02	17	-2.04	9	-0.30	9	-38.51	16	-5.07	16	-0.21	17
2386	2027	38	Max	0.00	-106.97	16	-1.18	10	1.86	17	341.89	18	-28.84	16	0.37	17
2386	2027	38	Max	21.56	-106.97	16	-1.18	10	-0.01	10	340.79	18	23.78	18	0.37	17
2386	2027	38	Min.	0.00	-1427.32	19	-11.79	17	0.24	16	194.31	17	-50.24	19	0.13	10
2386	2027	38	Min.	21.56	-1427.32	19	-7.26	17	-0.19	17	193.21	17	12.24	17	0.13	10
2386	38	46	Max	0.00	400.48	16	-0.70	10	0.18	19	274.59	18	-17.81	16	0.44	17
2386	38	46	Max	21.56	400.48	16	-0.70	10	-0.03	10	273.49	18	27.69	18	0.44	17
2386	38	46	Min.	0.00	-659.82	19	-6.36	17	0.12	10	158.36	17	-32.15	19	0.15	10
2386	38	46	Min.	21.56	-659.82	19	-1.83	17	-0.75	17	157.26	17	14.95	17	0.15	10
2386	46	54	Max	0.00	799.54	16	-0.71	10	0.12	18	224.31	19	-12.24	16	0.50	17

2386	46	54	Max	21.56	799.54	16	2.80	17	-0.07	10	223.21	19	24.95	18	0.50	17
2386	46	54	Min.	0.00	-24.75	9	-1.73	17	-0.44	17	133.16	16	-24.63	19	0.14	10
2386	46	54	Min.	21.56	-24.75	9	-1.07	18	-0.32	17	132.06	16	14.14	17	0.14	10
2386	54	62	Max	0.00	1082.51	16	1.49	17	0.08	19	184.49	19	-8.14	16	0.60	17
2386	54	62	Max	21.56	1082.51	16	6.02	17	0.88	17	183.39	19	21.12	18	0.60	17
2386	54	62	Min.	0.00	293.76	17	-0.92	18	0.04	10	100.31	16	-18.89	19	0.13	10
2386	54	62	Min.	21.56	293.76	17	-0.92	18	-0.13	18	99.21	16	12.80	17	0.13	10
2386	62	70	Max	0.00	1315.73	18	-0.20	16	1.23	17	155.52	9	-5.82	16	0.17	18
2386	62	70	Max	21.56	1315.73	18	-0.20	16	0.00	9	154.42	9	19.34	18	0.17	18
2386	62	70	Min.	0.00	508.83	17	-8.34	17	0.03	16	82.25	16	-14.99	9	0.06	17
2386	62	70	Min.	21.56	508.83	17	-3.81	17	-0.08	17	81.15	16	10.21	17	0.06	17
2386	70	78	Max	0.00	1586.20	18	-0.36	16	0.08	18	125.14	9	-2.60	16	0.17	19
2386	70	78	Max	21.56	1586.20	18	-0.36	16	-0.03	10	124.04	9	16.13	18	0.17	19
2386	70	78	Min.	0.00	663.70	17	-5.65	17	0.03	17	55.77	16	-11.00	9	0.08	10
2386	70	78	Min.	21.56	663.70	17	-1.12	17	-0.70	17	54.67	16	8.70	17	0.08	10
2386	78	86	Max	0.00	1771.48	18	-0.37	16	0.04	18	97.05	9	0.15	16	0.38	17
2386	78	86	Max	21.56	1771.48	18	3.46	17	-0.06	16	95.95	9	13.19	9	0.38	17
2386	78	86	Min.	0.00	778.01	17	-1.07	17	-0.51	17	30.81	16	-7.62	9	0.06	16
2386	78	86	Min.	21.56	778.01	17	-0.59	18	-0.25	17	29.71	16	6.68	16	0.06	16
2386	86	94	Max	0.00	1890.14	18	1.58	17	0.07	17	72.06	9	2.21	16	0.56	17
2386	86	94	Max	21.56	1890.14	18	6.11	17	0.90	17	70.96	9	10.42	9	0.56	17
2386	86	94	Min.	0.00	861.46	17	-0.43	18	-0.01	9	8.42	16	-5.00	9	0.06	16
2386	86	94	Min.	21.56	861.46	17	-0.43	18	-0.10	18	7.32	16	3.91	16	0.06	16
2386	94	102	Max	0.00	1971.62	18	-0.05	16	1.19	17	65.63	19	2.19	16	0.09	18
2386	94	102	Max	21.56	1971.62	18	-0.05	16	0.01	9	64.53	19	9.72	9	0.09	18
2386	94	102	Min.	0.00	924.56	17	-7.87	17	0.01	16	7.54	16	-4.34	19	-0.08	17
2386	94	102	Min.	21.56	924.56	17	-3.35	17	-0.02	17	6.44	16	3.70	16	-0.08	17
2386	102	110	Max	0.00	2020.26	18	-0.15	16	0.07	19	43.32	19	4.73	16	0.10	17
2386	102	110	Max	21.56	2020.26	18	-0.15	16	-0.01	10	42.22	19	7.69	9	0.10	17
2386	102	110	Min.	0.00	969.62	17	-5.55	17	0.02	16	-13.16	16	-1.54	19	0.02	16
2386	102	110	Min.	21.56	969.62	17	-1.03	17	-0.65	17	-14.26	16	1.78	16	0.02	16
2386	110	118	Max	0.00	2028.56	18	-0.17	16	0.02	9	21.58	19	6.91	16	0.39	17
2386	110	118	Max	21.56	2028.56	18	3.25	17	-0.04	16	20.48	19	5.41	9	0.39	17
2386	110	118	Min.	0.00	996.55	17	-1.28	17	-0.46	17	-33.67	16	0.27	17	0.01	16
2386	110	118	Min.	21.56	996.55	17	-0.34	9	-0.24	17	-34.77	16	-0.47	16	0.01	16
2386	118	126	Max	0.00	2002.89	18	0.95	17	0.10	17	3.79	17	8.58	16	0.58	17
2386	118	126	Max	21.56	2002.89	18	5.47	17	0.79	17	2.69	17	3.04	9	0.58	17
2386	118	126	Min.	0.00	1007.93	17	-0.23	9	-0.03	16	-52.47	16	1.35	17	-0.01	16
2386	118	126	Min.	21.56	1007.93	17	-0.23	9	-0.08	18	-53.57	16	-2.85	16	-0.01	16
2386	126	134	Max	0.00	1957.77	18	0.26	16	1.06	17	-4.10	17	8.88	16	0.04	9
2386	126	134	Max	21.56	1957.77	18	0.26	16	0.01	18	-5.20	17	2.31	19	0.04	9
2386	126	134	Min.	0.00	1006.82	17	-7.20	17	-0.04	16	-56.13	16	2.19	17	-0.18	17
2386	126	134	Min.	21.56	1006.82	17	-2.67	17	-0.01	17	-57.23	16	-3.34	16	-0.18	17
2386	134	142	Max	0.00	1896.07	18	0.20	16	0.01	9	-13.25	17	10.96	16	0.01	9
2386	134	142	Max	21.56	1896.07	18	0.20	16	0.01	16	-14.35	17	0.49	19	0.01	9
2386	134	142	Min.	0.00	995.31	17	-5.25	17	-0.03	16	-73.99	16	3.15	17	-0.04	16
2386	134	142	Min.	21.56	995.31	17	-0.72	17	-0.64	17	-75.09	16	-5.11	16	-0.04	16
2386	142	150	Max	0.00	1814.05	18	0.17	16	-0.02	10	-23.19	17	12.48	16	0.27	17
2386	142	150	Max	21.56	1814.05	18	3.14	17	-0.01	16	-24.29	17	-1.29	17	0.27	17
2386	142	150	Min.	0.00	975.16	17	-1.39	17	-0.51	17	-93.03	16	3.82	17	-0.05	16
2386	142	150	Min.	21.56	975.16	17	-0.12	9	-0.32	17	-94.13	16	-7.69	16	-0.05	16
2386	150	158	Max	0.00	1724.48	18	0.61	17	-0.04	10	-29.08	17	11.77	16	0.38	17
2386	150	158	Max	21.56	1724.48	18	5.14	17	0.54	17	-30.18	17	-3.47	17	0.38	17
2386	150	158	Min.	0.00	952.70	17	-0.08	9	-0.09	19	-107.32	16	2.92	17	-0.06	16
2386	150	158	Min.	21.56	952.70	17	-0.08	9	-0.08	9	-108.42	16	-11.49	16	-0.06	16
2386	158	166	Max	0.00	1680.83	18	0.28	16	0.54	17	57.01	9	3.04	16	0.01	9
2386	158	166	Max	21.56	1680.83	18	0.28	16	-0.01	16	55.91	9	5.47	9	0.01	9
2386	158	166	Min.	0.00	952.73	17	-5.14	17	-0.09	18	-35.90	16	-6.70	9	-0.38	17
2386	158	166	Min.	21.56	952.73	17	-0.61	17	-0.09	19	-37.00	16	-4.82	16	-0.38	17

2386	166	174	Max	0.00	1680.38	19	0.31	16	-0.04	10	44.79	9	4.47	16	0.01	9
2386	166	174	Max	21.56	1680.38	19	1.39	17	0.02	16	43.69	9	7.10	9	0.01	9
2386	166	174	Min.	0.00	974.94	16	-3.13	17	-0.33	17	-35.74	16	-2.44	9	-0.27	17
2386	166	174	Min.	21.56	974.94	16	0.09	10	-0.51	17	-36.84	16	-3.36	16	-0.27	17
2386	174	182	Max	0.00	1716.54	19	0.72	17	-0.01	10	24.69	9	5.40	16	0.02	17
2386	174	182	Max	17.25					-0.21	17			2.58	17		
2386	174	182	Max	21.56	1716.54	19	5.25	17	0.04	16	23.59	9	5.64	9	0.02	17
2386	174	182	Min.	0.00	927.08	16	0.06	10	-0.64	17	-40.59	16	0.17	17	-0.05	16
2386	174	182	Min.	17.25					-0.21	17			2.58	17		
2386	174	182	Min.	21.56	927.08	16	0.06	10	0.00	17	-41.69	16	-3.47	16	-0.05	16
2386	182	190	Max	0.00	1735.63	19	2.67	17	0.01	9	6.38	9	6.03	16	0.18	17
2386	182	190	Max	21.56	1735.63	19	7.20	17	1.06	17	5.28	9	3.53	9	0.18	17
2386	182	190	Min.	0.00	872.71	16	-0.02	10	-0.01	17	-44.69	16	1.18	17	-0.06	18
2386	182	190	Min.	21.56	872.71	16	-0.02	10	0.00	10	-45.79	16	-3.73	16	-0.06	18
2386	190	198	Max	0.00	1738.63	19	0.27	18	0.79	17	-0.44	9	7.38	16	-0.03	10
2386	190	198	Max	21.56	1738.63	19	0.27	18	0.10	17	-1.54	9	2.83	9	-0.03	10
2386	190	198	Min.	0.00	805.66	16	-5.47	17	-0.07	9	-57.87	16	2.04	17	-0.58	17
2386	190	198	Min.	21.56	805.66	16	-0.95	17	-0.02	9	-58.97	16	-5.22	16	-0.58	17
2386	198	206	Max	0.00	1722.48	19	0.38	18	-0.03	16	-12.79	17	8.14	18	-0.03	10
2386	198	206	Max	21.56	1722.48	19	1.28	17	0.03	18	-13.89	17	0.90	9	-0.03	10
2386	198	206	Min.	0.00	723.08	16	-3.25	17	-0.25	17	-63.34	16	3.16	17	-0.39	17
2386	198	206	Min.	21.56	723.08	16	0.26	10	-0.46	17	-64.44	16	-6.06	16	-0.39	17
2386	206	214	Max	0.00	1676.92	19	1.03	17	-0.01	16	-23.64	17	10.01	18	-0.04	10
2386	206	214	Max	21.56	1676.92	19	5.56	17	0.07	19	-24.74	17	-0.93	17	-0.04	10
2386	206	214	Min.	0.00	626.79	16	0.25	10	-0.65	17	-69.30	18	4.28	17	-0.10	17
2386	206	214	Min.	21.56	626.79	16	0.25	10	0.04	10	-70.40	18	-6.79	16	-0.10	17
2386	214	222	Max	0.00	1596.54	19	3.34	17	0.01	18	-34.89	17	11.77	18	0.08	17
2386	214	222	Max	21.56	1596.54	19	7.87	17	1.19	17	-35.99	17	-2.30	17	0.08	17
2386	214	222	Min.	0.00	514.55	16	0.12	10	-0.01	17	-88.67	18	5.34	17	-0.09	18
2386	214	222	Min.	21.56	514.55	16	0.12	10	0.03	10	-89.77	18	-7.52	16	-0.09	18
2386	222	230	Max	0.00	1484.86	19	0.37	9	0.90	17	-40.14	17	12.79	18	-0.06	16
2386	222	230	Max	21.56	1484.86	19	0.37	9	0.07	17	-41.24	17	-2.84	17	-0.06	16
2386	222	230	Min.	0.00	378.99	16	-6.11	17	-0.08	9	-98.80	18	5.93	17	-0.56	17
2386	222	230	Min.	21.56	378.99	16	-1.59	17	-0.01	18	-99.90	18	-9.11	16	-0.56	17
2386	230	238	Max	0.00	1337.82	19	0.53	18	-0.04	16	-52.83	17	15.06	18	-0.05	16
2386	230	238	Max	21.56	1337.82	19	1.07	17	0.04	18	-53.93	17	-4.20	17	-0.05	16
2386	230	238	Min.	0.00	216.34	16	-3.45	17	-0.25	17	-120.99	18	7.31	17	-0.38	17
2386	230	238	Min.	21.56	216.34	16	0.28	16	-0.51	17	-122.09	18	-11.15	18	-0.38	17
2386	238	246	Max	0.00	1132.43	19	1.12	17	-0.02	16	-67.03	17	17.29	18	-0.05	16
2386	238	246	Max	21.56	1132.43	19	5.65	17	0.08	18	-68.13	17	-5.89	17	-0.05	16
2386	238	246	Min.	0.00	24.26	16	0.29	16	-0.70	17	-146.01	18	8.68	17	-0.17	19
2386	238	246	Min.	21.56	24.26	16	0.29	16	0.03	17	-147.11	18	-14.31	18	-0.17	19
2386	246	254	Max	0.00	851.98	19	3.81	17	0.01	16	-82.46	17	19.46	18	-0.06	17
2386	246	254	Max	21.56	851.98	19	8.34	17	1.23	17	-83.56	17	-7.70	17	-0.06	17
2386	246	254	Min.	0.00	-204.74	16	0.15	16	-0.08	17	-173.45	18	10.20	17	-0.15	9
2386	246	254	Min.	21.56	-204.74	16	0.15	16	0.04	16	-174.55	18	-18.06	18	-0.15	9
2386	254	262	Max	0.00	480.23	19	0.76	9	0.88	17	-111.62	17	21.25	18	-0.08	16
2386	254	262	Max	21.56	480.23	19	0.76	9	0.08	19	-112.72	17	-11.41	17	-0.08	16
2386	254	262	Min.	0.00	-488.39	16	-6.02	17	-0.11	9	-199.79	18	12.78	17	-0.60	17
2386	254	262	Min.	21.56	-488.39	16	-1.49	17	0.01	16	-200.89	18	-21.95	18	-0.60	17
2386	262	270	Max	0.00	-0.27	17	0.90	9	-0.04	16	-133.80	17	23.60	19	-0.07	16
2386	262	270	Max	21.56	-0.27	17	1.74	17	0.10	9	-134.90	17	-14.85	17	-0.07	16
2386	262	270	Min.	0.00	-843.11	16	-2.79	17	-0.32	17	-235.98	18	14.00	16	-0.50	17
2386	262	270	Min.	21.56	-843.11	16	0.40	16	-0.43	17	-237.08	18	-27.47	18	-0.50	17
2386	270	278	Max	0.00	-384.90	17	1.84	17	-0.02	16	-157.00	17	25.40	19	-0.08	16
2386	270	278	Max	21.56	-384.90	17	6.37	17	0.18	19	-158.10	17	-19.04	17	-0.08	16
2386	270	278	Min.	0.00	-1274.88	16	0.40	16	-0.75	17	-275.35	18	13.72	16	-0.44	17
2386	270	278	Min.	21.56	-1274.88	16	0.40	16	0.07	16	-276.45	18	-34.82	18	-0.44	17
2386	278	2287	Max	0.00	-836.97	17	7.28	17	0.00	16	-192.89	17	20.80	19	-0.06	16

2386	278	2287	Max	21.56	-836.97	17	11.81	17	1.86	17	-193.99	17	-29.50	17	-0.06	16
2386	278	2287	Min.	0.00	-1970.44	18	0.75	16	-0.19	17	-336.25	18	9.11	16	-0.37	17
2386	278	2287	Min.	21.56	-1970.44	18	0.75	16	0.16	16	-337.35	18	-53.68	18	-0.37	17
2386	2287	298	Max	0.00	-81.68	16	2.08	18	0.53	17	31.17	17	2.86	16	0.19	17
2386	2287	298	Max	16.67	-81.68	16	2.08	18	0.07	18	30.32	17	1.88	19	0.19	17
2386	2287	298	Min.	0.00	-224.21	19	-5.83	17	-0.28	18	-10.91	16	-3.62	17	0.01	16
2386	2287	298	Min.	16.67	-224.21	19	-2.33	17	-0.15	17	-11.76	16	0.97	16	0.01	16
2386	298	306	Max	0.00	-41.17	16	1.00	18	0.10	17	32.95	19	-0.84	16	0.21	17
2386	298	306	Max	16.67	-41.17	16	1.00	18	0.08	18	32.09	19	2.50	19	0.21	17
2386	298	306	Min.	0.00	-142.97	17	-3.10	17	-0.08	18	10.10	16	-2.92	19	-0.01	18
2386	298	306	Min.	16.67	-142.97	17	0.40	17	-0.13	17	9.25	16	0.77	16	-0.01	18
2386	306	2314	Max	0.00	-15.50	16	1.24	18	0.02	17	26.80	17	-0.46	16	0.14	17
2386	306	2314	Max	16.67	-15.50	16	1.62	19	0.13	18	25.95	17	2.41	17	0.14	17
2386	306	2314	Min.	0.00	-55.36	17	-2.19	17	-0.08	18	6.87	16	-1.99	17	0.00	18
2386	306	2314	Min.	16.67	-55.36	17	0.68	16	-0.05	17	6.02	16	0.62	16	0.00	18
2424	2004	12	Max	0.00	-47.47	10	-0.27	16	0.07	18	-23.33	10	3.06	19	0.03	18
2424	2004	12	Max	16.67	-47.47	10	2.44	17	0.05	17	-24.18	10	-2.08	10	0.03	18
2424	2004	12	Min.	0.00	-74.72	19	-1.06	17	-0.06	17	-38.09	19	1.88	10	-0.11	17
2424	2004	12	Min.	16.67	-74.72	19	-0.55	9	-0.02	9	-38.94	19	-3.36	19	-0.11	17
2424	12	20	Max	0.00	-86.51	10	-0.55	16	0.09	18	-1.13	17	-0.18	9	0.07	18
2424	12	20	Max	16.67	-86.51	10	2.82	17	0.10	17	-1.98	17	-0.68	10	0.07	18
2424	12	20	Min.	0.00	-135.22	19	-0.86	19	-0.08	17	-4.57	18	-0.53	17	-0.15	17
2424	12	20	Min.	16.67	-135.22	19	-0.78	18	-0.04	18	-5.42	18	-1.04	18	-0.15	17
2424	20	2030	Max	0.00	-250.44	10	2.61	17	0.07	18	-15.06	10	2.73	19	0.07	18
2424	20	2030	Max	16.67	-250.44	10	6.11	17	0.53	17	-15.91	10	-0.87	9	0.07	18
2424	20	2030	Min.	0.00	-381.85	19	-1.91	18	-0.20	17	-40.69	16	1.56	16	-0.16	17
2424	20	2030	Min.	16.67	-381.85	19	-1.91	18	-0.25	18	-41.54	16	-5.29	16	-0.16	17
2424	2030	40	Max	0.00	-1018.43	16	-0.36	16	1.75	17	636.67	18	-51.01	17	0.28	17
2424	2030	40	Max	21.56	-1018.43	16	-0.36	16	-0.01	10	635.57	18	41.74	18	0.28	17
2424	2030	40	Min.	0.00	-2643.48	19	-11.22	17	0.07	16	332.20	17	-95.42	18	0.01	10
2424	2030	40	Min.	21.56	-2643.48	19	-6.69	17	-0.18	17	331.10	17	20.51	17	0.01	10
2424	40	48	Max	0.00	-0.68	16	-0.07	16	0.06	17	528.56	18	-33.61	17	0.33	17
2424	40	48	Max	21.56	-0.68	16	-0.07	16	-0.00	16	527.46	18	51.38	18	0.33	17
2424	40	48	Min.	0.00	-1273.09	19	-5.91	17	0.01	16	276.35	17	-62.47	18	0.02	16
2424	40	48	Min.	21.56	-1273.09	19	-1.38	17	-0.73	17	275.25	17	25.86	17	0.02	16
2424	48	56	Max	0.00	853.55	16	-0.08	16	0.02	18	451.74	18	-26.91	17	0.40	17
2424	48	56	Max	21.56	853.55	16	3.25	17	-0.01	16	450.64	18	48.69	18	0.40	17
2424	48	56	Min.	0.00	-92.17	9	-1.28	17	-0.49	17	241.77	17	-48.60	18	0.02	16
2424	48	56	Min.	21.56	-92.17	9	-0.17	18	-0.28	17	240.67	17	25.11	17	0.02	16
2424	56	64	Max	0.00	1503.81	16	1.94	17	0.04	17	382.03	18	-21.27	17	0.52	17
2424	56	64	Max	21.56	1503.81	16	6.47	17	0.94	17	380.93	18	44.67	18	0.52	17
2424	56	64	Min.	0.00	485.12	17	-0.08	18	0.00	10	208.88	17	-37.58	18	0.03	16
2424	56	64	Min.	21.56	485.12	17	-0.08	18	-0.01	9	207.78	17	23.65	17	0.03	16
2424	64	72	Max	0.00	2185.12	18	-0.13	16	1.23	17	279.28	18	-12.90	16	0.05	18
2424	64	72	Max	21.56	2185.12	18	-0.13	16	0.01	9	278.18	18	35.37	18	0.05	18
2424	64	72	Min.	0.00	876.38	17	-8.25	17	0.03	16	147.48	17	-25.38	9	-0.00	17
2424	64	72	Min.	21.56	876.38	17	-3.72	17	-0.06	17	146.38	17	18.05	17	-0.00	17
2424	72	80	Max	0.00	2707.23	18	-0.17	16	0.04	18	229.38	18	-9.10	16	0.13	17
2424	72	80	Max	21.56	2707.23	18	-0.17	16	-0.01	16	228.28	18	30.33	18	0.13	17
2424	72	80	Min.	0.00	1157.93	17	-5.50	17	0.01	17	125.85	17	-20.41	9	0.03	16
2424	72	80	Min.	21.56	1157.93	17	-0.97	17	-0.69	17	124.75	17	15.77	17	0.03	16
2424	80	88	Max	0.00	3096.82	18	-0.17	16	0.02	18	191.13	9	-5.47	16	0.35	17
2424	80	88	Max	21.56	3096.82	18	3.62	17	-0.02	16	190.03	9	26.29	18	0.35	17
2424	80	88	Min.	0.00	1376.45	17	-0.91	17	-0.52	17	99.61	16	-15.86	9	0.03	16
2424	80	88	Min.	21.56	1376.45	17	-0.27	18	-0.23	17	98.51	16	14.11	17	0.03	16
2424	88	96	Max	0.00	3379.31	18	1.72	17	0.06	17	157.35	9	-1.45	16	0.53	17
2424	88	96	Max	21.56	3379.31	18	6.25	17	0.92	17	156.25	9	23.01	18	0.53	17
2424	88	96	Min.	0.00	1544.80	17	-0.19	18	-0.00	18	70.01	16	-11.17	9	0.03	16
2424	88	96	Min.	21.56	1544.80	17	-0.19	18	-0.04	18	68.91	16	12.87	17	0.03	16

2424	96	104	Max	0.00	3547.33	18	-0.03	16	1.18	17	90.24	19	5.81	16	0.04	18
2424	96	104	Max	21.56	3547.33	18	-0.03	16	0.00	9	89.14	19	15.65	19	0.04	18
2424	96	104	Min.	0.00	1657.87	17	-7.79	17	0.01	16	3.31	16	-3.69	19	-0.11	17
2424	96	104	Min.	21.56	1657.87	17	-3.26	17	-0.01	17	2.21	16	6.40	16	-0.11	17
2424	104	112	Max	0.00	3622.40	18	-0.07	16	0.04	17	63.79	19	7.56	16	0.08	17
2424	104	112	Max	21.56	3622.40	18	-0.07	16	-0.00	16	62.69	19	12.25	19	0.08	17
2424	104	112	Min.	0.00	1725.63	17	-5.44	17	0.01	16	-20.13	16	-1.38	19	0.01	16
2424	104	112	Min.	21.56	1725.63	17	-0.91	17	-0.64	17	-21.23	16	3.10	16	0.01	16
2424	112	120	Max	0.00	3643.59	18	-0.08	16	0.01	9	40.64	19	9.66	16	0.38	17
2424	112	120	Max	21.56	3643.59	18	3.37	17	-0.01	16	39.54	19	9.81	19	0.38	17
2424	112	120	Min.	0.00	1768.41	17	-1.16	17	-0.46	17	-40.51	16	0.41	17	0.01	16
2424	112	120	Min.	21.56	1768.41	17	-0.15	18	-0.23	17	-41.61	16	0.81	16	0.01	16
2424	120	128	Max	0.00	3618.86	18	1.03	17	0.10	17	17.14	19	12.60	16	0.56	17
2424	120	128	Max	21.56	3618.86	18	5.56	17	0.81	17	16.04	19	8.00	19	0.56	17
2424	120	128	Min.	0.00	1789.61	17	-0.11	9	-0.01	18	-61.70	16	2.22	17	0.01	16
2424	120	128	Min.	21.56	1789.61	17	-0.11	9	-0.03	18	-62.80	16	-0.82	16	0.01	16
2424	128	136	Max	0.00	3534.58	18	0.00	16	1.06	17	-24.99	17	18.88	16	0.02	9
2424	128	136	Max	21.56	3534.58	18	0.00	16	-0.00	16	-26.09	17	1.57	19	0.02	9
2424	128	136	Min.	0.00	1780.35	17	-7.22	17	-0.00	16	-120.97	16	6.27	17	-0.19	17
2424	128	136	Min.	21.56	1780.35	17	-2.69	17	-0.01	17	-122.07	16	-7.32	16	-0.19	17
2424	136	144	Max	0.00	3401.38	18	-0.01	16	0.00	9	-34.54	17	19.70	16	0.01	9
2424	136	144	Max	21.56	3401.38	18	-0.01	16	-0.00	16	-35.64	17	-0.96	17	0.01	9
2424	136	144	Min.	0.00	1746.17	17	-5.23	17	0.00	16	-138.70	16	6.61	17	-0.02	17
2424	136	144	Min.	21.56	1746.17	17	-0.70	17	-0.64	17	-139.80	16	-10.33	16	-0.02	17
2424	144	152	Max	0.00	3248.29	18	-0.02	16	-0.00	10	-44.30	17	20.67	18	0.28	17
2424	144	152	Max	21.56	3248.29	18	3.17	17	-0.01	16	-45.40	17	-2.83	17	0.28	17
2424	144	152	Min.	0.00	1703.12	17	-1.36	17	-0.50	17	-156.01	16	6.85	17	-0.00	16
2424	144	152	Min.	21.56	1703.12	17	-0.05	9	-0.31	17	-157.11	16	-13.35	16	-0.00	16
2424	152	160	Max	0.00	3098.27	18	0.63	17	-0.01	16	-48.00	17	18.26	16	0.38	17
2424	152	160	Max	21.56	3098.27	18	5.15	17	0.57	17	-49.10	17	-5.68	17	0.38	17
2424	152	160	Min.	0.00	1662.53	17	-0.04	9	-0.06	17	-167.49	16	4.79	17	-0.00	16
2424	152	160	Min.	21.56	1662.53	17	-0.04	9	-0.02	18	-168.59	16	-18.04	18	-0.00	16
2424	160	168	Max	0.00	3030.26	18	0.05	18	0.57	17	91.15	19	4.65	16	0.00	9
2424	160	168	Max	21.56	3030.26	18	0.05	18	-0.01	16	90.05	19	8.87	19	0.00	9
2424	160	168	Min.	0.00	1662.55	17	-5.15	17	-0.02	18	-53.97	16	-10.67	19	-0.38	17
2424	160	168	Min.	21.56	1662.55	17	-0.63	17	-0.06	17	-55.07	16	-7.10	16	-0.38	17
2424	168	176	Max	0.00	3037.65	18	0.06	18	-0.01	16	82.64	19	6.78	16	0.00	10
2424	168	176	Max	17.25					-0.00	16			-2.25	16		
2424	168	176	Max	21.56	3037.65	18	1.36	17	0.00	16	81.54	19	12.54	19	0.00	10
2424	168	176	Min.	0.00	1703.19	17	-3.17	17	-0.31	17	-51.89	16	-5.16	19	-0.28	17
2424	168	176	Min.	17.25					-0.00	16			-2.25	16		
2424	168	176	Min.	21.56	1703.19	17	0.04	10	-0.50	17	-52.99	16	-4.53	16	-0.28	17
2424	176	184	Max	0.00	3085.67	19	0.70	17	-0.00	10	62.60	19	8.18	16	0.02	17
2424	176	184	Max	17.25					-0.21	17			5.12	17		
2424	176	184	Max	21.56	3085.67	19	5.23	17	0.00	18	61.49	19	11.83	19	0.02	17
2424	176	184	Min.	0.00	1683.31	16	0.03	10	-0.64	17	-58.21	16	-1.54	19	-0.01	18
2424	176	184	Min.	17.25					-0.21	17			5.12	17		
2424	176	184	Min.	21.56	1683.31	16	0.03	10	0.00	17	-59.31	16	-4.48	16	-0.01	18
2424	184	192	Max	0.00	3145.72	19	2.69	17	-0.00	10	43.38	19	9.15	16	0.19	17
2424	184	192	Max	12.94					-0.00	9			7.10	9		
2424	184	192	Max	21.56	3145.72	19	7.22	17	1.06	17	42.28	19	10.80	19	0.19	17
2424	184	192	Min.	0.00	1605.34	16	0.01	10	-0.01	17	-63.47	16	0.76	17	-0.02	18
2424	184	192	Min.	8.62					-0.00	10			4.11	10		
2424	184	192	Min.	21.56	1605.34	16	0.01	10	0.00	9	-64.57	16	-4.65	16	-0.02	18
2424	192	200	Max	0.00	3163.61	19	0.12	18	0.81	17	-11.46	17	12.07	18	-0.01	10
2424	192	200	Max	21.56	3163.61	19	0.12	18	0.10	17	-12.56	17	4.43	9	-0.01	10
2424	192	200	Min.	0.00	1507.25	16	-5.56	17	-0.03	18	-86.99	16	4.82	17	-0.56	17
2424	192	200	Min.	21.56	1507.25	16	-1.03	17	-0.01	9	-88.09	16	-7.27	16	-0.56	17
2424	200	208	Max	0.00	3130.06	19	0.16	18	-0.01	16	-23.48	17	13.62	18	-0.01	16

2424	200	208	Max	21.56	3130.06	19	1.16	17	0.01	18	-24.58	17	1.19	9	-0.01	16
2424	200	208	Min.	0.00	1384.59	16	-3.37	17	-0.23	17	-94.35	16	5.60	17	-0.38	17
2424	200	208	Min.	21.56	1384.59	16	0.10	16	-0.46	17	-95.45	16	-8.50	16	-0.38	17
2424	208	216	Max	0.00	3056.08	19	0.91	17	-0.00	16	-34.97	17	15.71	18	-0.02	16
2424	208	216	Max	21.56	3056.08	19	5.44	17	0.04	17	-36.07	17	-0.86	17	-0.02	16
2424	208	216	Min.	0.00	1242.14	16	0.10	16	-0.64	17	-102.57	18	6.80	17	-0.08	17
2424	208	216	Min.	21.56	1242.14	16	0.10	16	0.02	16	-103.67	18	-9.44	16	-0.08	17
2424	216	224	Max	0.00	2934.77	19	3.26	17	0.01	18	-48.43	17	18.62	18	0.11	17
2424	216	224	Max	21.56	2934.77	19	7.79	17	1.18	17	-49.53	17	-1.92	17	0.11	17
2424	216	224	Min.	0.00	1076.63	16	0.05	10	-0.01	17	-126.14	18	8.64	17	-0.04	18
2424	216	224	Min.	21.56	1076.63	16	0.05	10	0.01	10	-127.24	18	-10.29	16	-0.04	18
2424	224	232	Max	0.00	2733.98	19	0.17	18	0.92	17	-88.62	17	24.59	18	-0.03	16
2424	224	232	Max	21.56	2733.98	19	0.17	18	0.06	17	-89.72	17	-6.37	17	-0.03	16
2424	224	232	Min.	0.00	873.62	16	-6.25	17	-0.04	18	-184.49	18	12.86	17	-0.53	17
2424	224	232	Min.	21.56	873.62	16	-1.72	17	-0.00	18	-185.59	18	-15.31	18	-0.53	17
2424	232	240	Max	0.00	2435.85	19	0.26	18	-0.02	16	-106.13	17	26.83	18	-0.02	16
2424	232	240	Max	21.56	2435.85	19	0.91	17	0.02	18	-107.23	17	-8.90	17	-0.02	16
2424	232	240	Min.	0.00	624.91	16	-3.61	17	-0.23	17	-214.95	18	14.10	17	-0.35	17
2424	232	240	Min.	21.56	624.91	16	0.14	16	-0.52	17	-216.05	18	-19.64	18	-0.35	17
2424	240	248	Max	0.00	2044.59	19	0.97	17	-0.01	16	-124.65	17	29.57	18	-0.02	16
2424	240	248	Max	21.56	2044.59	19	5.50	17	0.04	18	-125.75	17	-11.24	17	-0.02	16
2424	240	248	Min.	0.00	331.65	16	0.15	16	-0.69	17	-247.69	18	15.76	17	-0.13	17
2424	240	248	Min.	21.56	331.65	16	0.15	16	0.01	17	-248.79	18	-23.95	18	-0.13	17
2424	248	256	Max	0.00	1537.41	19	3.72	17	0.01	18	-146.26	17	32.96	18	0.00	17
2424	248	256	Max	21.56	1537.41	19	8.25	17	1.23	17	-147.36	17	-13.61	17	0.00	17
2424	248	256	Min.	0.00	-16.71	16	0.10	16	-0.06	17	-285.64	18	18.04	17	-0.05	18
2424	248	256	Min.	21.56	-16.71	16	0.10	16	0.03	16	-286.74	18	-28.74	18	-0.05	18
2424	256	264	Max	0.00	847.34	19	0.09	18	0.94	17	-207.55	17	40.56	19	-0.02	16
2424	256	264	Max	17.25					-0.00	16			-15.32	16		
2424	256	264	Max	21.56	847.34	19	0.09	18	0.04	17	-208.65	17	-21.24	17	-0.02	16
2424	256	264	Min.	0.00	-448.31	16	-6.47	17	-0.02	18	-360.80	18	21.42	16	-0.52	17
2424	256	264	Min.	17.25					-0.00	16			-15.32	16		
2424	256	264	Min.	21.56	-448.31	16	-1.94	17	0.00	16	-361.90	18	-38.68	18	-0.52	17
2424	264	272	Max	0.00	-50.30	17	0.19	18	-0.01	16	-236.42	16	43.62	19	-0.02	16
2424	264	272	Max	21.56	-50.30	17	1.28	17	0.02	18	-237.52	16	-26.88	17	-0.02	16
2424	264	272	Min.	0.00	-988.37	16	-3.25	17	-0.28	17	-417.36	19	22.01	16	-0.40	17
2424	264	272	Min.	21.56	-988.37	16	0.10	16	-0.49	17	-418.46	19	-47.82	18	-0.40	17
2424	272	280	Max	0.00	-731.09	17	1.38	17	-0.00	16	-261.56	16	45.34	19	-0.02	16
2424	272	280	Max	21.56	-731.09	17	5.91	17	0.06	17	-262.66	16	-33.57	17	-0.02	16
2424	272	280	Min.	0.00	-1817.48	18	0.09	16	-0.73	17	-481.68	19	21.63	16	-0.33	17
2424	272	280	Min.	21.56	-1817.48	18	0.09	16	0.02	16	-482.78	19	-59.43	18	-0.33	17
2424	280	2290	Max	0.00	-1513.16	17	6.70	17	-0.00	16	-309.30	16	35.85	19	0.00	16
2424	280	2290	Max	21.56	-1513.16	17	11.23	17	1.75	17	-310.39	16	-50.97	17	0.00	16
2424	280	2290	Min.	0.00	-3149.55	18	0.44	16	-0.18	17	-579.75	19	14.85	16	-0.28	17
2424	280	2290	Min.	21.56	-3149.55	18	0.44	16	0.09	16	-580.85	19	-89.87	18	-0.28	17
2424	2290	300	Max	0.00	-127.67	16	1.79	18	0.50	17	32.05	17	3.54	16	0.16	17
2424	2290	300	Max	0.83					-0.23	18			1.81	18		
2424	2290	300	Max	16.67	-127.67	16	1.79	18	0.05	18	31.20	17	2.14	19	0.16	17
2424	2290	300	Min.	0.00	-343.82	19	-5.70	17	-0.25	18	-14.36	16	-3.52	17	-0.03	9
2424	2290	300	Min.	0.83					-0.23	18			1.81	18		
2424	2290	300	Min.	16.67	-343.82	19	-2.20	17	-0.16	17	-15.22	16	1.08	16	-0.03	9
2424	300	308	Max	0.00	-71.08	16	0.82	18	0.09	17	48.39	19	-1.45	16	0.17	17
2424	300	308	Max	16.67	-71.08	16	0.84	19	0.08	18	47.54	19	3.46	19	0.17	17
2424	300	308	Min.	0.00	-211.59	19	-2.97	17	-0.06	18	15.75	16	-4.54	19	-0.06	9
2424	300	308	Min.	16.67	-211.59	19	0.50	16	-0.11	17	14.90	16	1.10	16	-0.06	9
2424	308	2316	Max	0.00	-28.77	16	0.68	18	0.03	17	36.44	19	-0.90	16	0.11	17
2424	308	2316	Max	16.67	-28.77	16	1.25	17	0.08	18	35.59	19	3.34	19	0.11	17
2424	308	2316	Min.	0.00	-81.42	19	-2.25	17	-0.04	18	12.37	16	-2.69	17	-0.04	9
2424	308	2316	Min.	16.67	-81.42	19	0.40	16	-0.05	17	11.52	16	1.09	16	-0.04	9

2462	2006	14	Max	0.00	-63.80	10	1.21	18	-0.07	16	-32.47	10	3.88	19	-0.04	10
2462	2006	14	Max	16.67	-63.80	10	3.36	17	0.12	19	-33.32	10	-2.90	10	-0.04	10
2462	2006	14	Min.	0.00	-93.70	19	-0.14	17	-0.16	19	-48.76	19	2.58	10	-0.16	17
2462	2006	14	Min.	16.67	-93.70	19	0.83	16	0.06	16	-49.61	19	-4.32	19	-0.16	17
2462	14	22	Max	0.00	-114.90	10	0.23	9	0.00	16	-1.20	17	-0.37	10	-0.04	10
2462	14	22	Max	16.67	-114.90	10	3.38	17	0.14	17	-2.05	17	-0.89	10	-0.04	10
2462	14	22	Min.	0.00	-168.23	19	-0.12	17	-0.14	17	-4.78	18	-0.67	17	-0.22	17
2462	14	22	Min.	16.67	-168.23	19	0.12	16	0.02	16	-5.63	18	-1.33	18	-0.22	17
2462	22	2033	Max	0.00	-312.38	10	4.12	17	-0.03	10	-22.75	10	2.98	19	-0.03	16
2462	22	2033	Max	16.67	-312.38	10	7.62	17	0.73	17	-23.60	10	-1.93	10	-0.03	16
2462	22	2033	Min.	0.00	-453.03	19	0.59	10	-0.25	17	-48.82	16	1.82	16	-0.23	17
2462	22	2033	Min.	16.67	-453.03	19	0.59	10	0.07	10	-49.67	16	-6.39	16	-0.23	17
2462	2033	42	Max	0.00	-1001.98	16	-0.13	16	1.70	17	632.43	18	-50.10	17	0.26	17
2462	2033	42	Max	21.56	-1001.98	16	-0.13	16	-0.02	16	631.34	18	41.46	18	0.26	17
2462	2033	42	Min.	0.00	-2598.74	19	-11.04	17	0.01	18	326.47	17	-94.79	18	-0.03	9
2462	2033	42	Min.	21.56	-2598.74	19	-6.51	17	-0.19	17	325.37	17	20.17	17	-0.03	9
2462	42	50	Max	0.00	12.69	16	0.19	18	0.03	17	525.93	18	-33.02	17	0.31	17
2462	42	50	Max	17.25					-0.00	10			18.72	10		
2462	42	50	Max	21.56	12.69	16	0.19	18	0.00	18	524.83	18	51.10	18	0.31	17
2462	42	50	Min.	0.00	-1242.98	19	-5.77	17	-0.04	18	271.55	17	-62.18	18	-0.02	18
2462	42	50	Min.	17.25					-0.00	10			18.72	10		
2462	42	50	Min.	21.56	-1242.98	19	-1.24	17	-0.72	17	270.45	17	25.41	17	-0.02	18
2462	50	58	Max	0.00	866.53	16	0.16	18	-0.01	16	451.01	18	-26.48	17	0.38	17
2462	50	58	Max	21.56	866.53	16	3.38	17	0.01	18	449.91	18	48.60	18	0.38	17
2462	50	58	Min.	0.00	-73.84	9	-1.15	17	-0.51	17	238.00	17	-48.53	18	-0.03	18
2462	50	58	Min.	21.56	-73.84	9	0.07	16	-0.27	17	236.90	17	24.72	17	-0.03	18
2462	58	66	Max	0.00	1517.75	16	1.98	17	0.03	17	382.57	18	-20.87	17	0.48	17
2462	58	66	Max	21.56	1517.75	16	6.51	17	0.95	17	381.47	18	44.89	18	0.48	17
2462	58	66	Min.	0.00	487.44	17	0.02	16	-0.01	18	205.80	17	-37.49	18	-0.04	18
2462	58	66	Min.	21.56	487.44	17	0.02	16	-0.00	16	204.70	17	23.39	17	-0.04	18
2462	66	74	Max	0.00	2191.97	18	0.22	18	1.18	17	269.02	18	-11.99	16	-0.03	16
2462	66	74	Max	21.56	2191.97	18	0.22	18	-0.00	16	267.92	18	34.41	18	-0.03	16
2462	66	74	Min.	0.00	866.75	17	-8.03	17	-0.05	18	139.92	17	-24.30	9	-0.06	19
2462	66	74	Min.	21.56	866.75	17	-3.51	17	-0.07	17	138.82	17	17.30	17	-0.06	19
2462	74	82	Max	0.00	2697.08	18	0.28	18	-0.03	16	221.25	18	-8.54	16	0.08	17
2462	74	82	Max	21.56	2697.08	18	0.28	18	0.02	18	220.15	18	29.39	18	0.08	17
2462	74	82	Min.	0.00	1134.65	17	-5.22	17	-0.05	19	119.29	17	-19.69	9	-0.05	18
2462	74	82	Min.	21.56	1134.65	17	-0.69	17	-0.67	17	118.19	17	15.01	17	-0.05	18
2462	82	90	Max	0.00	3073.61	18	0.28	18	-0.01	16	185.55	9	-5.11	16	0.30	17
2462	82	90	Max	21.56	3073.61	18	3.89	17	0.04	18	184.45	9	25.53	18	0.30	17
2462	82	90	Min.	0.00	1341.86	17	-0.64	17	-0.54	17	95.62	16	-15.35	9	-0.05	18
2462	82	90	Min.	21.56	1341.86	17	0.18	16	-0.19	17	94.52	16	13.43	17	-0.05	18
2462	90	98	Max	0.00	3346.86	18	1.92	17	0.06	17	153.10	9	-1.22	16	0.48	17
2462	90	98	Max	21.56	3346.86	18	6.45	17	0.96	17	152.00	9	22.48	18	0.48	17
2462	90	98	Min.	0.00	1501.28	17	0.14	16	-0.00	16	67.39	16	-10.79	9	-0.05	18
2462	90	98	Min.	21.56	1501.28	17	0.14	16	0.03	16	66.29	16	12.24	17	-0.05	18
2462	98	106	Max	0.00	3506.68	18	0.07	9	1.16	17	85.52	9	6.12	16	-0.03	16
2462	98	106	Max	4.31					-0.01	16			6.12	16		
2462	98	106	Max	21.56	3506.68	18	0.07	9	0.00	16	84.42	9	15.12	9	-0.03	16
2462	98	106	Min.	0.00	1607.79	17	-7.72	17	-0.02	9	0.21	16	-3.21	19	-0.15	17
2462	98	106	Min.	17.25					-0.00	16			6.08	16		
2462	98	106	Min.	21.56	1607.79	17	-3.19	17	-0.01	17	-0.89	16	6.04	16	-0.15	17
2462	106	114	Max	0.00	3575.56	18	0.14	18	0.02	17	60.37	9	7.69	16	0.05	17
2462	106	114	Max	21.56	3575.56	18	0.14	18	0.01	18	59.27	9	11.83	9	0.05	17
2462	106	114	Min.	0.00	1671.41	17	-5.30	17	-0.02	9	-21.89	16	-1.07	9	-0.03	18
2462	106	114	Min.	21.56	1671.41	17	-0.77	17	-0.63	17	-22.99	16	2.85	16	-0.03	18
2462	114	122	Max	0.00	3593.20	18	0.15	18	-0.00	16	38.52	9	9.65	16	0.36	17
2462	114	122	Max	21.56	3593.20	18	3.52	17	0.02	18	37.42	9	9.52	9	0.36	17
2462	114	122	Min.	0.00	1711.33	17	-1.01	17	-0.47	17	-40.93	16	0.52	17	-0.02	18

2462	114	122	Min.	21.56	1711.33	17	0.08	16	-0.20	17	-42.03	16	0.71	16	-0.02	18
2462	122	130	Max	0.00	3566.91	18	1.14	17	0.11	17	16.21	9	12.55	16	0.54	17
2462	122	130	Max	21.56	3566.91	18	5.67	17	0.84	17	15.11	9	7.86	9	0.54	17
2462	122	130	Min.	0.00	1730.67	17	0.05	16	0.00	16	-60.96	16	2.27	17	-0.02	18
2462	122	130	Min.	21.56	1730.67	17	0.05	16	0.02	16	-62.06	16	-0.72	16	-0.02	18
2462	130	138	Max	0.00	3480.99	18	0.01	16	1.06	17	-25.45	17	19.15	16	-0.01	16
2462	130	138	Max	8.63					-0.00	16			8.50	16		
2462	130	138	Max	21.56	3480.99	18	0.01	16	0.00	9	-26.55	17	1.35	9	-0.01	16
2462	130	138	Min.	0.00	1720.45	17	-7.20	17	-0.00	16	-123.20	16	6.24	17	-0.21	17
2462	130	138	Min.	8.63					-0.00	16			8.50	16		
2462	130	138	Min.	21.56	1720.45	17	-2.68	17	-0.01	17	-124.30	16	-7.54	16	-0.21	17
2462	138	146	Max	0.00	3346.02	18	0.05	18	-0.00	10	-34.51	17	19.75	16	-0.00	16
2462	138	146	Max	21.56	3346.02	18	0.05	18	0.00	18	-35.61	17	-1.03	17	-0.00	16
2462	138	146	Min.	0.00	1685.99	17	-5.18	17	-0.01	19	-139.81	16	6.53	17	-0.03	17
2462	138	146	Min.	21.56	1685.99	17	-0.66	17	-0.63	17	-140.91	16	-10.51	16	-0.03	17
2462	146	154	Max	0.00	3192.64	18	0.06	18	0.00	9	-43.77	17	20.52	18	0.27	17
2462	146	154	Max	21.56	3192.64	18	3.23	17	0.01	18	-44.87	17	-2.83	17	0.27	17
2462	146	154	Min.	0.00	1643.20	17	-1.30	17	-0.50	17	-155.81	16	6.72	17	-0.00	18
2462	146	154	Min.	21.56	1643.20	17	0.04	16	-0.29	17	-156.91	16	-13.40	16	-0.00	18
2462	154	162	Max	0.00	3043.56	18	0.67	17	0.01	18	-47.10	17	18.09	16	0.38	17
2462	154	162	Max	21.56	3043.56	18	5.20	17	0.59	17	-48.20	17	-5.59	17	0.38	17
2462	154	162	Min.	0.00	1603.16	17	0.03	16	-0.04	17	-166.06	16	4.68	17	0.00	16
2462	154	162	Min.	21.56	1603.16	17	0.03	16	0.01	16	-167.17	16	-17.83	16	0.00	16
2462	162	170	Max	0.00	2975.92	18	-0.03	16	0.59	17	89.57	9	4.67	16	-0.00	16
2462	162	170	Max	21.56	2975.92	18	-0.03	16	0.01	18	88.47	9	8.71	9	-0.00	16
2462	162	170	Min.	0.00	1603.18	17	-5.20	17	0.01	16	-53.90	16	-10.48	9	-0.38	17
2462	162	170	Min.	21.56	1603.18	17	-0.67	17	-0.04	17	-55.00	16	-7.08	16	-0.38	17
2462	170	178	Max	0.00	2982.80	18	-0.03	16	0.01	18	81.99	9	6.78	16	0.00	9
2462	170	178	Max	21.56	2982.80	18	1.30	17	0.00	18	80.89	9	12.39	9	0.00	9
2462	170	178	Min.	0.00	1643.26	17	-3.23	17	-0.29	17	-51.96	16	-5.17	9	-0.27	17
2462	170	178	Min.	21.56	1643.26	17	-0.05	18	-0.50	17	-53.06	16	-4.54	16	-0.27	17
2462	178	186	Max	0.00	3013.73	19	0.66	17	0.00	18	63.12	9	8.17	16	0.03	17
2462	178	186	Max	21.56	3013.73	19	5.18	17	-0.00	16	62.02	9	11.80	9	0.03	17
2462	178	186	Min.	0.00	1651.61	16	-0.04	18	-0.63	17	-58.28	16	-1.69	9	0.01	16
2462	178	186	Min.	21.56	1651.61	16	-0.04	18	-0.01	19	-59.38	16	-4.51	16	0.01	16
2462	186	194	Max	0.00	3074.76	19	2.68	17	0.00	18	44.97	9	9.10	16	0.21	17
2462	186	194	Max	21.56	3074.76	19	7.20	17	1.06	17	43.87	9	10.92	9	0.21	17
2462	186	194	Min.	0.00	1573.79	16	-0.01	9	-0.01	17	-63.47	16	0.63	17	0.01	16
2462	186	194	Min.	21.56	1573.79	16	-0.01	9	0.00	10	-64.57	16	-4.71	16	0.01	16
2462	194	202	Max	0.00	3094.27	19	-0.08	16	0.84	17	-10.38	17	11.86	18	0.02	18
2462	194	202	Max	21.56	3094.27	19	-0.08	16	0.11	17	-11.48	17	4.49	9	0.02	18
2462	194	202	Min.	0.00	1476.80	16	-5.67	17	0.02	16	-85.24	16	4.63	17	-0.54	17
2462	194	202	Min.	21.56	1476.80	16	-1.14	17	0.00	16	-86.34	16	-7.12	16	-0.54	17
2462	202	210	Max	0.00	3063.23	19	-0.10	16	0.03	18	-21.81	17	13.32	18	0.02	18
2462	202	210	Max	21.56	3063.23	19	1.01	17	-0.01	10	-22.91	17	1.34	19	0.02	18
2462	202	210	Min.	0.00	1356.39	16	-3.52	17	-0.20	17	-92.48	16	5.35	17	-0.36	17
2462	202	210	Min.	21.56	1356.39	16	-0.17	18	-0.47	17	-93.58	16	-8.30	16	-0.36	17
2462	210	218	Max	0.00	2993.54	19	0.77	17	0.01	18	-32.71	17	15.31	18	0.03	18
2462	210	218	Max	21.56	2993.54	19	5.30	17	0.02	17	-33.81	17	-0.68	17	0.03	18
2462	210	218	Min.	0.00	1216.70	16	-0.16	18	-0.63	17	-99.62	16	6.49	17	-0.05	17
2462	210	218	Min.	21.56	1216.70	16	-0.16	18	-0.03	18	-100.72	16	-9.23	16	-0.05	17
2462	218	226	Max	0.00	2878.76	19	3.19	17	-0.00	10	-45.50	17	18.12	18	0.15	17
2462	218	226	Max	21.56	2878.76	19	7.72	17	1.16	17	-46.60	17	-1.69	17	0.15	17
2462	218	226	Min.	0.00	1054.47	16	-0.08	18	-0.01	17	-121.68	18	8.24	17	0.03	16
2462	218	226	Min.	21.56	1054.47	16	-0.08	18	-0.02	18	-122.78	18	-10.08	16	0.03	16
2462	226	234	Max	0.00	2687.08	19	-0.11	16	0.96	17	-83.87	17	24.01	18	0.05	18
2462	226	234	Max	21.56	2687.08	19	-0.11	16	0.06	17	-84.97	17	-5.97	17	0.05	18
2462	226	234	Min.	0.00	856.28	16	-6.45	17	0.02	16	-179.83	18	12.23	17	-0.48	17
2462	226	234	Min.	21.56	856.28	16	-1.92	17	-0.00	9	-180.93	18	-14.88	18	-0.48	17

2462	234	242	Max	0.00	2399.93	19	-0.15	16	0.04	18	-100.53	17	26.13	18	0.04	18
2462	234	242	Max	21.56	2399.93	19	0.64	17	-0.01	16	-101.63	17	-8.38	17	0.04	18
2462	234	242	Min.	0.00	613.58	16	-3.89	17	-0.19	17	-209.22	18	13.42	17	-0.30	17
2462	234	242	Min.	21.56	613.58	16	-0.26	18	-0.54	17	-210.32	18	-19.11	18	-0.30	17
2462	242	250	Max	0.00	2023.17	19	0.69	17	0.02	18	-118.09	17	28.76	18	0.04	18
2462	242	250	Max	21.56	2023.17	19	5.22	17	-0.02	16	-119.19	17	-10.58	17	0.04	18
2462	242	250	Min.	0.00	327.29	16	-0.27	18	-0.67	17	-240.62	18	15.00	17	-0.08	17
2462	242	250	Min.	21.56	327.29	16	-0.27	18	-0.05	19	-241.72	18	-23.24	18	-0.08	17
2462	250	258	Max	0.00	1534.10	19	3.51	17	-0.00	10	-138.70	17	32.17	18	0.06	19
2462	250	258	Max	21.56	1534.10	19	8.03	17	1.18	17	-139.80	17	-12.74	17	0.06	19
2462	250	258	Min.	0.00	-13.37	16	-0.21	18	-0.07	17	-277.25	18	17.28	17	0.02	16
2462	250	258	Min.	21.56	-13.37	16	-0.21	18	-0.05	18	-278.36	18	-27.73	18	0.02	16
2462	258	266	Max	0.00	858.24	19	-0.01	16	0.95	17	-204.45	17	40.45	19	0.04	18
2462	258	266	Max	21.56	858.24	19	-0.01	16	0.03	17	-205.55	17	-20.84	17	0.04	18
2462	258	266	Min.	0.00	-439.67	16	-6.50	17	0.00	10	-360.15	18	21.43	16	-0.48	17
2462	258	266	Min.	21.56	-439.67	16	-1.98	17	-0.01	9	-361.25	18	-38.49	18	-0.48	17
2462	266	274	Max	0.00	-38.84	17	-0.07	16	0.01	18	-235.93	16	43.27	19	0.03	18
2462	266	274	Max	21.56	-38.84	17	1.16	17	-0.01	16	-237.03	16	-26.44	17	0.03	18
2462	266	274	Min.	0.00	-977.90	16	-3.37	17	-0.27	17	-414.00	19	21.98	16	-0.38	17
2462	266	274	Min.	21.56	-977.90	16	-0.15	18	-0.51	17	-415.10	19	-47.66	18	-0.38	17
2462	274	282	Max	0.00	-708.24	17	1.25	17	0.00	9	-260.92	16	44.85	19	0.02	18
2462	274	282	Max	21.56	-708.24	17	5.78	17	0.03	17	-262.02	16	-32.98	17	0.02	18
2462	274	282	Min.	0.00	-1793.85	18	-0.18	18	-0.72	17	-476.64	19	21.59	16	-0.31	17
2462	274	282	Min.	21.56	-1793.85	18	-0.18	18	-0.04	18	-477.74	19	-59.13	18	-0.31	17
2462	282	2293	Max	0.00	-1476.72	17	6.52	17	-0.02	16	-308.91	16	35.44	19	0.03	18
2462	282	2293	Max	21.56	-1476.72	17	11.05	17	1.70	17	-310.01	16	-50.06	17	0.03	18
2462	282	2293	Min.	0.00	-3118.41	18	0.19	10	-0.19	17	-573.20	19	14.85	16	-0.26	17
2462	282	2293	Min.	21.56	-3118.41	18	0.19	10	0.02	9	-574.30	19	-89.36	18	-0.26	17
2462	2293	302	Max	0.00	-166.72	16	-0.31	16	0.68	17	38.34	17	2.76	16	0.21	17
2462	2293	302	Max	16.67	-166.72	16	-0.31	16	-0.02	16	37.49	17	2.32	19	0.21	17
2462	2293	302	Min.	0.00	-408.89	19	-7.02	17	0.03	16	-8.75	16	-4.42	17	0.03	16
2462	2293	302	Min.	16.67	-408.89	19	-3.52	17	-0.20	17	-9.60	16	1.23	16	0.03	16
2462	302	310	Max	0.00	-98.09	16	-0.42	16	0.16	17	56.66	19	-2.00	16	0.24	17
2462	302	310	Max	16.67	-98.09	16	-0.31	17	-0.03	16	55.81	19	3.92	19	0.24	17
2462	302	310	Min.	0.00	-257.78	19	-3.81	17	0.04	16	20.82	16	-5.45	19	0.03	16
2462	302	310	Min.	16.67	-257.78	19	-0.69	18	-0.18	17	19.97	16	1.40	16	0.03	16
2462	310	2318	Max	0.00	-40.09	16	-0.58	16	0.09	19	46.53	19	-1.37	16	0.16	17
2462	310	2318	Max	16.67	-40.09	16	0.38	17	-0.06	16	45.68	19	4.20	19	0.16	17
2462	310	2318	Min.	0.00	-101.32	19	-3.12	17	0.04	16	18.17	16	-3.48	19	0.03	16
2462	310	2318	Min.	16.67	-101.32	19	-0.95	18	-0.15	19	17.32	16	1.59	16	0.03	16
2500	2008	16	Max	0.00	-18.42	10	1.39	18	-0.07	16	-9.19	10	1.87	17	0.02	16
2500	2008	16	Max	16.67	-18.42	10	3.49	17	0.14	19	-10.04	10	-0.86	10	0.02	16
2500	2008	16	Min.	0.00	-43.60	17	-0.01	17	-0.19	19	-23.50	17	0.74	10	-0.10	17
2500	2008	16	Min.	16.67	-43.60	17	0.81	16	0.06	16	-24.35	17	-2.12	17	-0.10	17
2500	16	24	Max	0.00	-33.73	10	0.40	9	-0.01	16	-0.94	17	-0.11	10	0.01	16
2500	16	24	Max	16.67	-33.73	10	3.48	17	0.13	17	-1.79	17	-0.39	10	0.01	16
2500	16	24	Min.	0.00	-77.68	17	-0.02	17	-0.15	17	-2.24	18	-0.37	17	-0.18	17
2500	16	24	Min.	16.67	-77.68	17	0.16	16	0.01	16	-3.09	18	-0.67	19	-0.18	17
2500	24	2036	Max	0.00	-90.26	16	4.48	17	-0.02	16	2.77	9	0.98	17	0.05	16
2500	24	2036	Max	16.67	-90.26	16	7.98	17	0.78	17	1.92	9	0.73	9	0.05	16
2500	24	2036	Min.	0.00	-192.83	17	0.82	16	-0.26	17	-17.38	17	-0.29	16	-0.16	17
2500	24	2036	Min.	16.67	-192.83	17	0.82	16	0.11	16	-18.24	17	-2.44	16	-0.16	17
2500	2036	44	Max	0.00	44.53	16	1.47	18	1.53	17	273.80	19	-20.72	16	0.16	17
2500	2036	44	Max	17.25					-0.05	9			4.55	9		
2500	2036	44	Max	21.56	44.53	16	1.47	18	0.02	16	272.70	19	18.06	18	0.16	17
2500	2036	44	Min.	0.00	-1253.25	19	-10.12	17	-0.31	18	155.16	16	-42.41	19	-0.22	18
2500	2036	44	Min.	17.25					-0.04	10			3.58	10		
2500	2036	44	Min.	21.56	-1253.25	19	-5.59	17	-0.17	17	154.06	16	10.03	17	-0.22	18
2500	44	52	Max	0.00	436.67	16	1.07	18	-0.02	17	234.40	19	-14.39	16	0.21	17

2500	44	52	Max	21.56	436.67	16	1.07	18	0.05	18	233.30	19	22.83	18	0.21	17
2500	44	52	Min.	0.00	-597.76	19	-5.42	17	-0.18	18	136.43	16	-28.72	19	-0.24	18
2500	44	52	Min.	21.56	-597.76	19	-0.89	17	-0.70	17	135.33	16	13.04	17	-0.24	18
2500	52	60	Max	0.00	775.81	16	1.07	18	-0.08	10	210.44	19	-11.43	16	0.30	17
2500	52	60	Max	21.56	775.81	16	3.78	17	0.11	18	209.34	19	22.56	18	0.30	17
2500	52	60	Min.	0.00	-13.81	17	-0.75	17	-0.55	17	120.72	16	-23.59	19	-0.22	18
2500	52	60	Min.	21.56	-13.81	17	0.71	10	-0.22	17	119.62	16	12.98	17	-0.22	18
2500	60	68	Max	0.00	1044.75	16	2.33	17	0.02	17	188.63	19	-8.78	16	0.42	17
2500	60	68	Max	21.56	1044.75	16	6.86	17	1.01	17	187.53	19	22.26	18	0.42	17
2500	60	68	Min.	0.00	268.59	17	0.60	10	-0.07	18	107.42	16	-19.21	19	-0.20	18
2500	60	68	Min.	21.56	268.59	17	0.60	10	0.09	10	106.32	16	12.74	17	-0.20	18
2500	68	76	Max	0.00	1257.82	18	0.33	18	1.17	17	126.77	9	-2.66	16	-0.09	17
2500	68	76	Max	17.25					-0.01	9			10.00	9		
2500	68	76	Max	21.56	1257.82	18	0.33	18	0.01	16	125.67	9	15.43	19	-0.09	17
2500	68	76	Min.	0.00	470.76	17	-8.05	17	-0.07	18	53.99	16	-11.79	9	-0.17	18
2500	68	76	Min.	17.25					-0.01	10			7.88	10		
2500	68	76	Min.	21.56	470.76	17	-3.52	17	-0.08	17	52.89	16	8.87	16	-0.17	18
2500	76	84	Max	0.00	1483.25	18	0.58	18	-0.05	16	112.94	9	-2.29	16	0.06	17
2500	76	84	Max	21.56	1483.25	18	0.58	18	0.04	18	111.83	9	13.84	9	0.06	17
2500	76	84	Min.	0.00	611.79	17	-5.11	17	-0.08	19	45.81	16	-10.39	9	-0.12	18
2500	76	84	Min.	21.56	611.79	17	-0.58	17	-0.66	17	44.71	16	7.47	16	-0.12	18
2500	84	92	Max	0.00	1663.94	18	0.59	18	-0.02	16	103.04	9	-1.70	16	0.29	17
2500	84	92	Max	21.56	1663.94	18	4.00	17	0.09	18	101.94	9	13.10	9	0.29	17
2500	84	92	Min.	0.00	725.19	17	-0.53	17	-0.54	17	40.78	16	-9.00	9	-0.10	18
2500	84	92	Min.	21.56	725.19	17	0.37	16	-0.17	17	39.68	16	6.98	16	-0.10	18
2500	92	100	Max	0.00	1806.80	18	1.96	17	0.07	17	93.06	9	-0.15	16	0.46	17
2500	92	100	Max	21.56	1806.80	18	6.49	17	0.99	17	91.96	9	13.07	9	0.46	17
2500	92	100	Min.	0.00	816.32	17	0.28	10	0.00	16	34.80	16	-6.88	9	-0.10	18
2500	92	100	Min.	21.56	816.32	17	0.28	10	0.06	16	33.70	16	7.23	16	-0.10	18
2500	100	108	Max	0.00	1880.51	18	0.15	9	1.14	17	36.57	9	6.02	16	-0.05	16
2500	100	108	Max	17.25					-0.00	16			2.12	16		
2500	100	108	Max	21.56	1880.51	18	0.15	9	0.00	16	35.47	9	7.17	9	-0.05	16
2500	100	108	Min.	0.00	874.54	17	-7.68	17	-0.04	9	-22.20	16	-0.60	9	-0.17	17
2500	100	108	Min.	17.25					-0.00	16			2.12	16		
2500	100	108	Min.	21.56	874.54	17	-3.15	17	-0.03	17	-23.30	16	1.12	16	-0.17	17
2500	108	116	Max	0.00	1898.15	18	0.32	9	-0.00	17	30.20	9	5.32	16	0.04	17
2500	108	116	Max	21.56	1898.15	18	0.32	9	0.02	18	29.10	9	5.68	9	0.04	17
2500	108	116	Min.	0.00	905.95	17	-5.19	17	-0.05	9	-25.13	16	-0.71	9	-0.05	9
2500	108	116	Min.	21.56	905.95	17	-0.66	17	-0.63	17	-26.23	16	-0.21	16	-0.05	9
2500	116	124	Max	0.00	1902.31	18	0.34	9	0.00	16	26.83	9	5.23	16	0.35	17
2500	116	124	Max	21.56	1902.31	18	3.64	17	0.06	18	25.73	9	5.30	9	0.35	17
2500	116	124	Min.	0.00	927.88	17	-0.89	17	-0.48	17	-25.37	16	-0.37	9	-0.04	9
2500	116	124	Min.	21.56	927.88	17	0.17	16	-0.18	17	-26.47	16	-0.36	16	-0.04	9
2500	124	132	Max	0.00	1894.69	18	1.21	17	0.12	17	21.86	9	6.31	16	0.53	17
2500	124	132	Max	21.56	1894.69	18	5.74	17	0.87	17	20.76	9	5.62	9	0.53	17
2500	124	132	Min.	0.00	941.63	17	0.11	16	0.01	10	-27.86	16	0.77	17	-0.04	9
2500	124	132	Min.	21.56	941.63	17	0.11	16	0.05	10	-28.96	16	0.18	16	-0.04	9
2500	132	140	Max	0.00	1850.44	18	-0.02	9	1.05	17	-14.82	17	11.49	16	0.01	16
2500	132	140	Max	21.56	1850.44	18	-0.02	9	-0.01	10	-15.92	17	0.40	9	0.01	16
2500	132	140	Min.	0.00	938.17	17	-7.24	17	-0.01	9	-76.48	16	3.55	17	-0.22	17
2500	132	140	Min.	21.56	938.17	17	-2.71	17	-0.02	17	-77.58	16	-5.12	16	-0.22	17
2500	140	148	Max	0.00	1776.19	18	0.09	9	0.03	16	-17.11	17	10.42	16	0.04	16
2500	140	148	Max	21.56	1776.19	18	0.09	9	0.01	9	-18.21	17	-0.55	17	0.04	16
2500	140	148	Min.	0.00	920.46	17	-5.17	17	-0.01	19	-77.01	16	3.26	17	-0.02	17
2500	140	148	Min.	21.56	920.46	17	-0.64	17	-0.63	17	-78.11	16	-6.31	16	-0.02	17
2500	148	156	Max	0.00	1701.47	18	0.13	9	0.05	16	-18.97	17	9.72	16	0.28	17
2500	148	156	Max	21.56	1701.47	18	3.25	17	0.05	9	-20.07	17	-1.15	17	0.28	17
2500	148	156	Min.	0.00	900.51	17	-1.28	17	-0.49	17	-76.24	16	3.06	17	0.01	10
2500	148	156	Min.	21.56	900.51	17	-0.17	16	-0.28	17	-77.34	16	-6.84	16	0.01	10

2500	156	164	Max	0.00	1635.55	18	0.68	17	0.08	18	-18.55	17	8.37	16	0.39	17
2500	156	164	Max	21.56	1635.55	18	5.21	17	0.62	17	-19.65	17	-2.05	17	0.39	17
2500	156	164	Min.	0.00	883.35	17	-0.19	16	-0.02	17	-74.41	16	2.07	17	0.01	10
2500	156	164	Min.	21.56	883.35	17	-0.19	16	0.02	16	-75.51	16	-7.80	16	0.01	10
2500	164	172	Max	0.00	1601.52	18	-0.06	10	0.62	17	31.28	19	3.51	16	0.05	16
2500	164	172	Max	21.56	1601.52	18	-0.06	10	0.06	9	30.18	19	3.41	19	0.05	16
2500	164	172	Min.	0.00	883.35	17	-5.21	17	0.06	10	-33.53	16	-3.21	19	-0.39	17
2500	164	172	Min.	21.56	883.35	17	-0.68	17	-0.02	17	-34.63	16	-3.84	16	-0.39	17
2500	172	180	Max	0.00	1593.74	18	-0.09	10	0.06	18	33.06	19	4.47	16	0.04	16
2500	172	180	Max	8.63					0.04	18			1.50	18		
2500	172	180	Max	21.56	1593.74	18	1.28	17	0.02	9	31.96	19	5.12	19	0.04	16
2500	172	180	Min.	0.00	900.51	17	-3.25	17	-0.28	17	-34.26	16	-1.89	19	-0.28	17
2500	172	180	Min.	8.63					0.04	18			1.50	18		
2500	172	180	Min.	21.56	900.51	17	-0.32	16	-0.49	17	-35.36	16	-3.04	16	-0.28	17
2500	180	188	Max	0.00	1604.51	19	0.64	17	0.02	16	31.27	19	5.22	16	0.05	16
2500	180	188	Max	21.56	1604.51	19	5.17	17	-0.01	17	30.17	19	5.62	19	0.05	16
2500	180	188	Min.	0.00	893.90	16	-0.30	16	-0.63	17	-38.75	16	-1.01	19	0.00	10
2500	180	188	Min.	21.56	893.90	16	-0.30	16	-0.05	16	-39.86	16	-3.25	16	0.00	10
2500	188	196	Max	0.00	1635.46	19	2.71	17	-0.00	16	28.41	19	5.82	16	0.22	17
2500	188	196	Max	21.56	1635.46	19	7.24	17	1.05	17	27.31	19	6.35	19	0.22	17
2500	188	196	Min.	0.00	841.98	16	-0.22	16	-0.02	17	-43.16	16	0.24	17	0.03	10
2500	188	196	Min.	21.56	841.98	16	-0.22	16	-0.05	16	-44.26	16	-3.61	16	0.03	10
2500	196	204	Max	0.00	1640.45	19	-0.18	10	0.87	17	-9.87	17	7.95	18	0.06	18
2500	196	204	Max	21.56	1640.45	19	-0.18	10	0.12	17	-10.97	17	1.10	19	0.06	18
2500	196	204	Min.	0.00	778.07	16	-5.74	17	0.04	16	-54.30	16	3.02	17	-0.53	17
2500	196	204	Min.	21.56	778.07	16	-1.21	17	-0.01	16	-55.40	16	-4.87	16	-0.53	17
2500	204	212	Max	0.00	1614.07	19	-0.27	10	0.06	18	-13.31	17	7.87	18	0.05	18
2500	204	212	Max	21.56	1614.07	19	0.89	17	-0.01	10	-14.41	17	-0.04	17	0.05	18
2500	204	212	Min.	0.00	700.51	16	-3.64	17	-0.18	17	-59.32	16	2.95	17	-0.35	17
2500	204	212	Min.	21.56	700.51	16	-0.39	18	-0.48	17	-60.42	16	-5.62	16	-0.35	17
2500	212	220	Max	0.00	1574.35	19	0.66	17	0.02	9	-15.94	17	8.36	18	0.06	18
2500	212	220	Max	21.56	1574.35	19	5.18	17	-0.00	17	-17.04	17	-0.31	17	0.06	18
2500	212	220	Min.	0.00	609.96	16	-0.38	18	-0.63	17	-64.72	16	3.24	17	-0.04	17
2500	212	220	Min.	21.56	609.96	16	-0.38	18	-0.07	18	-65.82	16	-6.30	16	-0.04	17
2500	220	228	Max	0.00	1519.22	19	3.15	17	-0.01	10	-20.14	17	9.72	18	0.17	17
2500	220	228	Max	21.56	1519.22	19	7.68	17	1.14	17	-21.25	17	-0.35	17	0.17	17
2500	220	228	Min.	0.00	503.93	16	-0.19	18	-0.03	17	-71.19	16	4.11	17	0.06	16
2500	220	228	Min.	21.56	503.93	16	-0.19	18	-0.06	18	-72.29	16	-7.02	16	0.06	16
2500	228	236	Max	0.00	1415.85	19	-0.16	16	0.99	17	-50.27	17	14.53	18	0.10	18
2500	228	236	Max	21.56	1415.85	19	-0.16	16	0.08	17	-51.37	17	-3.70	17	0.10	18
2500	228	236	Min.	0.00	374.27	16	-6.49	17	0.04	16	-112.51	18	7.25	17	-0.46	17
2500	228	236	Min.	21.56	374.27	16	-1.96	17	0.00	10	-113.61	18	-9.84	18	-0.46	17
2500	236	244	Max	0.00	1253.35	19	-0.28	16	0.08	18	-56.46	17	14.76	18	0.09	9
2500	236	244	Max	21.56	1253.35	19	0.53	17	-0.02	16	-57.56	17	-4.92	17	0.09	9
2500	236	244	Min.	0.00	216.45	16	-4.00	17	-0.17	17	-123.55	18	7.38	17	-0.29	17
2500	236	244	Min.	21.56	216.45	16	-0.54	18	-0.54	17	-124.65	18	-12.00	18	-0.29	17
2500	244	252	Max	0.00	1053.06	19	0.58	17	0.04	9	-62.69	17	15.56	18	0.10	9
2500	244	252	Max	21.56	1053.06	19	5.11	17	-0.05	16	-63.79	17	-5.75	17	0.10	9
2500	244	252	Min.	0.00	29.50	16	-0.54	18	-0.66	17	-135.10	18	7.88	17	-0.06	17
2500	244	252	Min.	21.56	29.50	16	-0.54	18	-0.08	19	-136.20	18	-13.69	18	-0.06	17
2500	252	260	Max	0.00	806.89	19	3.52	17	0.00	10	-70.97	17	17.02	18	0.15	19
2500	252	260	Max	21.56	806.89	19	8.05	17	1.17	17	-72.07	17	-6.49	17	0.15	19
2500	252	260	Min.	0.00	-193.32	16	-0.30	18	-0.08	17	-150.41	18	8.93	17	0.07	16
2500	252	260	Min.	21.56	-193.32	16	-0.30	18	-0.07	18	-151.51	18	-15.53	18	0.07	16
2500	260	268	Max	0.00	461.22	19	-0.27	16	1.01	17	-111.21	17	21.34	19	0.17	9
2500	260	268	Max	21.56	461.22	19	-0.27	16	0.02	17	-112.31	17	-11.37	17	0.17	9
2500	260	268	Min.	0.00	-465.87	16	-6.85	17	0.05	16	-199.45	18	12.64	16	-0.42	17
2500	260	268	Min.	21.56	-465.87	16	-2.33	17	-0.05	9	-200.55	18	-21.84	18	-0.42	17
2500	268	276	Max	0.00	-11.56	9	-0.39	16	0.09	9	-125.03	17	21.70	18	0.18	9

2500	268	276	Max	21.56	-11.56	9	0.75	17	-0.04	16	-126.13	17	-14.10	17	0.18	9
2500	268	276	Min.	0.00	-800.35	16	-3.78	17	-0.22	17	-221.96	18	12.97	17	-0.30	17
2500	268	276	Min.	21.56	-800.35	16	-0.90	9	-0.55	17	-223.06	18	-26.28	18	-0.30	17
2500	276	284	Max	0.00	-363.74	17	0.89	17	0.04	9	-139.68	17	21.70	19	0.19	9
2500	276	284	Max	21.56	-363.74	17	5.42	17	-0.03	17	-140.78	17	-17.21	17	0.19	9
2500	276	284	Min.	0.00	-1206.95	16	-0.90	9	-0.70	17	-246.75	18	12.79	16	-0.21	17
2500	276	284	Min.	21.56	-1206.95	16	-0.90	9	-0.15	9	-247.85	18	-31.77	18	-0.21	17
2500	284	2296	Max	0.00	-758.05	17	5.60	17	0.00	10	-164.27	17	16.50	19	0.18	9
2500	284	2296	Max	21.56	-758.05	17	10.13	17	1.53	17	-165.37	17	-25.52	17	0.18	9
2500	284	2296	Min.	0.00	-1788.35	18	-1.16	9	-0.17	17	-290.47	18	8.41	16	-0.16	17
2500	284	2296	Min.	21.56	-1788.35	18	-1.16	9	-0.25	9	-291.57	18	-47.22	18	-0.16	17
2500	2296	304	Max	0.00	-60.25	16	-0.76	16	0.74	17	16.61	17	3.15	16	0.15	17
2500	2296	304	Max	16.67	-60.25	16	-0.76	16	-0.03	16	15.76	17	0.76	16	0.15	17
2500	2296	304	Min.	0.00	-175.56	17	-7.44	17	0.09	16	-13.91	16	-1.98	17	-0.03	9
2500	2296	304	Min.	16.67	-175.56	17	-3.94	17	-0.21	17	-14.76	16	0.19	10	-0.03	9
2500	304	312	Max	0.00	-26.57	16	-0.57	16	0.17	17	24.24	17	-0.68	16	0.19	17
2500	304	312	Max	16.67	-26.57	16	-0.48	17	-0.05	16	23.39	17	1.54	17	0.19	17
2500	304	312	Min.	0.00	-116.02	17	-3.98	17	0.05	16	7.89	16	-2.43	17	-0.01	10
2500	304	312	Min.	16.67	-116.02	17	-0.96	18	-0.20	17	7.04	16	0.56	16	-0.01	10
2500	312	2320	Max	0.00	-9.30	16	-0.70	16	0.11	19	23.16	17	-0.28	16	0.11	17
2500	312	2320	Max	16.67	-9.30	16	0.20	17	-0.07	16	22.31	17	2.02	17	0.11	17
2500	312	2320	Min.	0.00	-47.03	17	-3.30	17	0.04	16	4.34	16	-1.77	17	-0.01	10
2500	312	2320	Min.	16.67	-47.03	17	-1.26	18	-0.18	19	3.49	16	0.37	16	-0.01	10
2580	2031	2032	Max	0.00	8.52	17	-848.43	16	0.64	19	-83.42	17	0.24	18	96.06	19
2580	2031	2032	Max	0.63	8.52	17	-848.43	16	-5.10	16	-83.48	17	-0.37	17	96.06	19
2580	2031	2032	Min.	0.00	-4.32	18	-2325.67	19	0.24	16	-776.64	18	0.15	17	53.23	16
2580	2031	2032	Min.	0.63	-4.32	18	-2325.67	19	-14.01	19	-776.70	18	-4.65	18	53.23	16
2580	2032	2033	Max	5.37	-4.85	10	2139.85	9	-4.59	16	874.50	19	-3.34	10	-49.16	17
2580	2032	2033	Max	6.00	-4.85	10	2139.85	9	1.00	17	874.44	19	0.24	18	-49.16	17
2580	2032	2033	Min.	5.37	-28.12	17	720.05	16	-13.48	9	555.13	10	-5.46	19	-92.97	18
2580	2032	2033	Min.	6.00	-28.12	17	720.05	16	-0.06	16	555.07	10	-0.14	17	-92.97	18
2624	2291	2292	Max	0.00	8.55	17	2757.82	18	-0.34	16	-87.28	17	0.22	19	-53.02	17
2624	2291	2292	Max	0.63	8.55	17	2757.82	18	16.87	18	-87.34	17	-0.39	17	-53.02	17
2624	2291	2292	Min.	0.00	-3.25	9	1301.37	17	-0.63	19	-665.66	9	0.09	16	-104.96	18
2624	2291	2292	Min.	0.63	-3.25	9	1301.37	17	7.65	17	-665.72	9	-3.99	9	-104.96	18
2624	2292	2293	Max	5.37	-2.83	16	-1105.30	17	16.75	18	869.18	19	-1.99	16	103.17	18
2624	2292	2293	Max	6.00	-2.83	16	-1105.30	17	-0.02	10	869.12	19	0.20	9	103.17	18
2624	2292	2293	Min.	5.37	-27.54	17	-2666.71	18	5.91	17	330.05	16	-5.42	19	49.37	17
2624	2292	2293	Min.	6.00	-27.54	17	-2666.71	18	-1.06	17	330.00	16	-0.12	17	49.37	17
2859	2034	2035	Max	0.00	10.69	17	-57.99	16	0.81	19	-37.69	17	-0.11	10	52.65	19
2859	2034	2035	Max	0.63	10.69	17	-57.99	16	-0.00	16	-37.75	17	-0.35	17	52.65	19
2859	2034	2035	Min.	0.00	-2.35	16	-1280.19	19	0.36	16	-498.97	18	-0.16	18	18.37	16
2859	2034	2035	Min.	0.63	-2.35	16	-1280.19	19	-7.26	19	-499.02	18	-3.30	18	18.37	16
2859	2035	2036	Max	5.37	-0.18	16	1065.14	9	-0.02	16	317.16	19	-0.73	16	-13.56	16
2859	2035	2036	Max	6.00	-0.18	16	1065.14	9	0.76	17	317.11	19	0.32	18	-13.56	16
2859	2035	2036	Min.	5.37	-18.71	17	-52.89	16	-7.10	9	157.50	16	-2.01	19	-46.35	9
2859	2035	2036	Min.	6.00	-18.71	17	-52.89	16	-0.48	18	157.44	16	-0.30	17	-46.35	9
2903	2294	2295	Max	0.00	10.67	17	1729.91	18	-0.42	16	-39.63	17	-0.06	16	-30.32	17
2903	2294	2295	Max	0.63	10.67	17	1729.91	18	10.23	18	-39.69	17	-0.36	17	-30.32	17
2903	2294	2295	Min.	0.00	-1.44	9	762.33	17	-0.80	19	-428.15	9	-0.15	19	-63.40	18
2903	2294	2295	Min.	0.63	-1.44	9	762.33	17	4.15	17	-428.21	9	-2.83	9	-63.40	18
2903	2295	2296	Max	5.37	-0.59	10	-564.32	17	10.29	18	314.91	19	-0.92	16	58.90	18
2903	2295	2296	Max	6.00	-0.59	10	-564.32	17	0.38	9	314.86	19	0.26	9	58.90	18
2903	2295	2296	Min.	5.37	-18.17	17	-1579.24	18	2.75	17	162.08	16	-1.99	19	25.72	17
2903	2295	2296	Min.	6.00	-18.17	17	-1579.24	18	-0.80	17	162.02	16	-0.28	17	25.72	17
3001	3001	3002	Max	0.00	5.93	18	-6.37	16	0.52	18	28.37	17	0.48	17	0.73	17
3001	3001	3002	Max	12.00	5.93	18	-6.37	16	-0.44	16	31.16	17	4.05	17	0.73	17
3001	3001	3002	Min.	0.00	1.66	17	-12.81	19	0.08	17	-27.53	18	-0.03	9	-0.02	9
3001	3001	3002	Min.	12.00	1.66	17	-12.81	19	-1.16	19	-23.19	18	-3.07	18	-0.02	9

3001	3003	3004	Max	0.00	14.92	18	-4.25	16	0.94	17	36.21	17	41.63	18	0.61	17
3001	3003	3004	Max	12.00	14.92	18	-4.25	16	-0.28	16	39.00	17	41.34	18	0.61	17
3001	3003	3004	Min.	0.00	6.58	17	-16.82	17	0.23	16	-4.60	18	25.77	17	-0.11	18
3001	3003	3004	Min.	12.00	6.58	17	-16.82	17	-1.08	17	-0.72	9	30.28	17	-0.11	18
3001	3005	3006	Max	0.00	15.66	18	2.39	9	0.67	17	47.93	17	40.46	18	0.95	17
3001	3005	3006	Max	12.00	15.66	18	2.39	9	0.09	9	50.72	17	42.60	18	0.95	17
3001	3005	3006	Min.	0.00	7.39	17	-12.78	17	-0.20	9	10.97	10	21.63	17	0.33	10
3001	3005	3006	Min.	12.00	7.39	17	-12.78	17	-0.86	17	14.21	10	27.55	17	0.33	10
3001	3007	3008	Max	0.00	6.61	18	9.32	18	0.40	17	52.93	17	-2.38	10	0.73	17
3001	3007	3008	Max	12.00	6.61	18	9.32	18	0.63	19	55.72	17	-0.02	16	0.73	17
3001	3007	3008	Min.	0.00	2.11	17	0.46	17	-0.55	18	17.79	10	-6.84	17	0.06	16
3001	3007	3008	Min.	12.00	2.11	17	0.46	17	0.35	16	21.03	10	-0.32	17	0.06	16
3087	3313	3314	Max	0.00	6.36	18	11.86	19	-0.05	17	23.78	17	0.44	17	0.11	18
3087	3313	3314	Max	12.00	6.36	18	11.86	19	1.03	19	26.57	17	3.47	17	0.11	18
3087	3313	3314	Min.	0.00	1.30	17	6.00	16	-0.56	18	-24.82	9	-0.08	18	-0.63	17
3087	3313	3314	Min.	12.00	1.30	17	6.00	16	0.39	16	-21.13	9	-2.82	9	-0.63	17
3087	3315	3316	Max	0.00	15.70	18	14.74	17	-0.15	16	29.88	17	36.16	9	0.24	9
3087	3315	3316	Max	12.00	15.70	18	14.74	17	0.94	17	32.67	17	37.63	19	0.24	9
3087	3315	3316	Min.	0.00	5.90	17	3.23	16	-0.82	17	-9.92	9	20.61	16	-0.47	17
3087	3315	3316	Min.	12.00	5.90	17	3.23	16	0.23	16	-6.23	9	20.07	16	-0.47	17
3087	3317	3318	Max	0.00	15.76	18	10.39	17	0.36	18	40.47	17	35.19	9	-0.14	16
3087	3317	3318	Max	12.00	15.76	18	10.39	17	0.72	17	43.26	17	36.46	19	-0.14	16
3087	3317	3318	Min.	0.00	6.85	17	-5.15	18	-0.53	17	3.47	16	20.07	16	-0.78	17
3087	3317	3318	Min.	12.00	6.85	17	-5.15	18	-0.25	18	5.54	16	20.61	16	-0.78	17
3087	3319	3320	Max	0.00	6.42	18	-1.31	17	0.66	18	49.22	17	-0.92	16	-0.03	16
3087	3319	3320	Max	12.00	6.42	18	-1.31	17	-0.33	16	52.01	17	-0.03	16	-0.03	16
3087	3319	3320	Min.	0.00	1.93	17	-10.20	18	-0.29	17	6.40	16	-6.36	17	-0.64	17
3087	3319	3320	Min.	12.00	1.93	17	-10.20	18	-0.63	19	8.47	16	-0.29	17	-0.64	17
4022	4025	4026	Max	0.00	0.76	17	1105.98	19	0.13	17	-167.59	10	0.33	19	36.24	19
4022	4025	4026	Max	0.63	0.76	17	1105.98	19	6.73	19	-167.77	10	-0.83	17	36.24	19
4022	4025	4026	Min.	0.00	-4.63	18	-50.38	16	-0.48	9	-252.41	18	0.17	10	12.80	16
4022	4025	4026	Min.	0.63	-4.63	18	-50.38	16	-0.53	16	-252.70	18	-1.33	18	12.80	16
4022	4026	4027	Max	5.37	27.47	9	17.68	16	8.12	19	315.16	18	-13.61	10	-17.58	16
4022	4026	4027	Max	6.00	27.47	9	17.68	16	1.91	17	314.86	18	-12.32	10	-17.58	16
4022	4026	4027	Min.	5.37	-87.53	17	-1112.94	9	0.34	16	50.76	17	-78.60	17	-41.02	9
4022	4026	4027	Min.	6.00	-87.53	17	-1112.94	9	0.43	10	50.63	17	-78.28	17	-41.02	9
4022	4028	4029	Max	0.00	173.03	19	2144.51	19	-0.32	16	-341.00	10	34.92	17	74.76	18
4022	4028	4029	Max	0.63	173.03	19	2144.51	19	12.44	19	-341.18	10	32.26	17	74.76	18
4022	4028	4029	Min.	0.00	51.80	16	684.82	16	-1.07	19	-545.41	19	-51.96	18	41.55	17
4022	4028	4029	Min.	0.63	51.80	16	684.82	16	3.99	16	-545.64	19	-55.35	18	41.55	17
4022	4029	4030	Max	5.37	149.12	9	-704.82	16	13.69	19	563.30	18	-32.20	10	-40.04	17
4022	4029	4030	Max	6.00	149.12	9	-704.82	16	1.66	17	563.00	18	-29.92	10	-40.04	17
4022	4029	4030	Min.	5.37	-12.98	17	-2090.57	9	4.41	16	84.11	17	-88.78	17	-76.43	18
4022	4029	4030	Min.	6.00	-12.98	17	-2090.57	9	-0.12	9	83.98	17	-88.26	17	-76.43	18
4022	4031	4032	Max	0.00	200.03	19	2197.61	19	-0.00	16	-354.89	10	40.26	17	77.12	18
4022	4031	4032	Max	0.63	200.03	19	2197.61	19	13.43	19	-355.07	10	37.53	17	77.12	18
4022	4031	4032	Min.	0.00	60.23	16	748.51	16	-0.61	17	-560.68	19	-45.15	18	42.04	17
4022	4031	4032	Min.	0.63	60.23	16	748.51	16	4.71	16	-560.91	19	-48.63	18	42.04	17
4022	4032	4033	Max	5.37	138.09	9	-640.08	16	12.61	19	548.73	18	-38.61	10	-38.19	17
4022	4032	4033	Max	6.00	138.09	9	-640.08	16	1.42	17	548.43	18	-36.42	10	-38.19	17
4022	4032	4033	Min.	5.37	5.83	17	-2024.03	9	3.72	16	71.16	17	-95.09	17	-74.12	18
4022	4032	4033	Min.	6.00	5.83	17	-2024.03	9	-0.73	9	71.03	17	-94.64	17	-74.12	18
4022	4034	4035	Max	0.00	121.62	17	1203.43	19	0.63	18	-201.57	10	59.87	17	41.98	19
4022	4034	4035	Max	0.63	121.62	17	1203.43	19	7.83	19	-201.75	10	58.33	17	41.98	19
4022	4034	4035	Min.	0.00	21.66	16	3.20	16	-0.21	17	-315.54	19	-21.88	18	17.75	16
4022	4034	4035	Min.	0.63	21.66	16	3.20	16	0.45	16	-315.76	19	-23.84	18	17.75	16
4022	4035	4036	Max	5.37	-3.58	16	70.13	16	6.20	19	257.43	18	-0.58	17	-12.48	16
4022	4035	4036	Max	6.00	-3.58	16	70.13	16	0.54	17	257.14	18	0.25	18	-12.48	16
4022	4035	4036	Min.	5.37	-17.25	17	-1034.62	9	-0.65	16	65.70	17	-1.37	18	-35.41	9

4022	4035	4036	Min.	6.00	-17.25	17	-1034.62	9	-0.47	9	65.57	17	-0.17	17	-35.41	9
4066	4285	4286	Max	0.00	1.41	17	-671.78	17	0.55	18	-91.94	16	0.34	17	-20.92	17
4066	4285	4286	Max	0.63	1.41	17	-671.78	17	-4.38	17	-92.00	16	-0.51	16	-20.92	17
4066	4285	4286	Min.	0.00	-5.18	18	-1544.09	18	-0.14	17	-251.18	19	0.07	16	-43.74	18
4066	4285	4286	Min.	0.63	-5.18	18	-1544.09	18	-9.18	18	-251.41	19	-1.25	19	-43.74	18
4066	4286	4287	Max	5.37	28.61	18	1628.24	18	-5.24	17	258.48	9	-2.33	16	48.59	18
4066	4286	4287	Max	6.00	28.61	18	1628.24	18	-0.20	16	258.26	9	-1.69	16	48.59	18
4066	4286	4287	Min.	5.37	-87.32	17	524.86	17	-10.74	18	48.41	17	-78.74	17	21.78	17
4066	4286	4287	Min.	6.00	-87.32	17	524.86	17	-1.93	17	48.28	17	-78.44	17	21.78	17
4066	4288	4289	Max	0.00	172.81	19	-1239.44	17	1.07	19	-157.25	16	35.09	17	-41.15	17
4066	4288	4289	Max	0.63	172.81	19	-1239.44	17	-6.88	17	-157.30	16	32.40	17	-41.15	17
4066	4288	4289	Min.	0.00	106.23	10	-2546.28	18	0.55	10	-550.10	19	-43.30	9	-78.39	18
4066	4288	4289	Min.	0.63	106.23	10	-2546.28	18	-15.19	18	-550.32	19	-46.09	9	-78.39	18
4066	4289	4290	Max	5.37	178.40	18	2601.08	18	-8.35	17	458.88	9	-15.32	16	80.25	18
4066	4289	4290	Max	6.00	178.40	18	2601.08	18	0.14	16	458.65	9	-14.22	16	80.25	18
4066	4289	4290	Min.	5.37	-12.50	17	1062.41	17	-16.25	18	79.77	17	-88.94	17	40.14	17
4066	4289	4290	Min.	6.00	-12.50	17	1062.41	17	-1.66	17	79.64	17	-88.43	17	40.14	17
4066	4291	4292	Max	0.00	200.17	19	-1259.55	17	0.60	17	-173.23	16	40.45	17	-41.60	17
4066	4291	4292	Max	0.63	200.17	19	-1259.55	17	-7.34	17	-173.28	16	37.69	17	-41.60	17
4066	4291	4292	Min.	0.00	116.19	10	-2601.36	18	0.09	10	-566.05	19	-36.18	9	-80.27	18
4066	4291	4292	Min.	0.63	116.19	10	-2601.36	18	-16.24	18	-566.28	19	-39.07	9	-80.27	18
4066	4292	4293	Max	5.37	167.27	18	2546.31	18	-7.71	17	442.29	9	-22.03	16	78.38	18
4066	4292	4293	Max	6.00	167.27	18	2546.31	18	0.85	18	442.06	9	-21.04	16	78.38	18
4066	4292	4293	Min.	5.37	6.06	17	1001.85	17	-15.20	18	66.23	17	-95.24	17	38.32	17
4066	4292	4293	Min.	6.00	6.06	17	1001.85	17	-1.40	17	66.10	17	-94.82	17	38.32	17
4066	4294	4295	Max	0.00	122.05	17	-738.68	17	0.19	17	-101.60	16	60.03	17	-24.09	17
4066	4294	4295	Max	0.63	122.05	17	-738.68	17	-4.46	17	-101.65	16	58.48	17	-24.09	17
4066	4294	4295	Min.	0.00	24.69	10	-1628.57	18	-0.53	9	-317.71	19	-15.69	9	-48.61	18
4066	4294	4295	Min.	0.63	24.69	10	-1628.57	18	-10.75	18	-317.93	19	-17.32	9	-48.61	18
4066	4295	4296	Max	5.37	-3.02	16	1544.52	18	-3.79	17	214.11	9	-0.51	16	43.75	18
4066	4295	4296	Max	6.00	-3.02	16	1544.52	18	0.56	18	213.88	9	0.20	9	43.75	18
4066	4295	4296	Min.	5.37	-17.29	17	516.11	17	-9.17	18	63.25	17	-1.15	9	19.51	17
4066	4295	4296	Min.	6.00	-17.29	17	516.11	17	-0.54	17	63.11	17	-0.17	17	19.51	17
4106	3001	-513	Max	0.00	39.62	18	-2.15	17	0.42	18	15.59	17	1.12	18	0.00	9
4106	3001	-513	Max	16.72	39.78	18	-2.15	17	-0.17	17	14.38	17	1.14	17	0.00	9
4106	3001	-513	Min.	0.00	-11.65	17	-4.99	18	0.18	17	-12.37	18	-1.37	17	-0.25	17
4106	3001	-513	Min.	16.72	-11.55	17	-4.99	18	-0.42	18	-14.34	18	-1.11	18	-0.25	17
4106	-513	-529	Max	0.00	97.62	18	0.62	17	0.42	18	13.58	17	0.69	18	0.02	9
4106	-513	-529	Max	16.72	97.78	18	0.62	17	0.03	17	12.37	17	1.32	17	0.02	9
4106	-513	-529	Min.	0.00	-41.89	17	-4.19	18	-0.07	17	-10.35	18	-0.85	17	-0.19	17
4106	-513	-529	Min.	16.72	-41.79	17	-4.19	18	-0.28	18	-12.33	18	-1.20	18	-0.19	17
4106	-529	4025	Max	0.00	139.69	18	1.41	17	0.28	18	-1.01	17	1.29	9	-0.03	10
4106	-529	4025	Max	16.72	139.85	18	1.41	17	0.17	17	-2.21	17	0.16	17	-0.03	10
4106	-529	4025	Min.	0.00	-64.36	17	-4.36	18	-0.07	17	-26.14	9	-0.34	16	-0.12	17
4106	-529	4025	Min.	16.72	-64.27	17	-4.36	18	-0.45	18	-27.79	9	-3.61	18	-0.12	17
4106	4025	-545	Max	0.00	1209.29	9	0.97	19	-0.01	10	255.17	18	-20.26	17	0.25	19
4106	4025	-545	Max	21.63	1209.49	9	0.97	19	0.19	19	252.21	18	17.54	18	0.25	19
4106	4025	-545	Min.	0.00	-49.99	16	0.55	10	-0.06	16	131.67	17	-38.24	9	0.15	10
4106	4025	-545	Min.	21.63	-49.78	16	0.55	10	0.11	10	129.98	17	8.04	17	0.15	10
4106	-545	-561	Max	0.00	572.19	9	0.60	19	-0.01	10	233.30	18	-14.34	16	0.27	19
4106	-545	-561	Max	21.63	572.39	9	0.60	19	0.11	19	230.34	18	22.90	18	0.27	19
4106	-545	-561	Min.	0.00	-441.43	16	0.35	10	-0.03	16	120.75	17	-28.36	9	0.16	10
4106	-545	-561	Min.	21.63	-441.22	16	0.35	10	0.07	10	119.06	17	11.11	17	0.16	10
4106	-561	-577	Max	0.00	13.37	17	0.61	19	-0.05	10	206.21	18	-11.34	16	0.27	19
4106	-561	-577	Max	21.63	13.51	17	0.61	19	0.05	18	203.25	18	22.44	18	0.27	19
4106	-561	-577	Min.	0.00	-779.96	16	0.35	10	-0.08	19	106.42	17	-22.83	9	0.16	10
4106	-561	-577	Min.	21.63	-779.75	16	0.35	10	0.03	10	104.73	17	10.91	17	0.16	10
4106	-577	-593	Max	0.00	-227.64	17	0.44	19	-0.09	10	185.05	18	-8.76	16	0.30	19
4106	-577	-593	Max	21.63	-227.50	17	0.44	19	0.00	16	182.09	18	22.08	18	0.30	19

4106	-577	-593	Min.	0.00	-1048.41	16	0.24	10	-0.15	19	94.26	17	-18.76	9	0.17	10
4106	-577	-593	Min.	21.63	-1048.20	16	0.24	10	-0.05	19	92.57	17	10.34	17	0.17	10
4106	-593	-609	Max	0.00	-410.39	17	-0.05	16	0.13	19	125.15	19	-2.26	16	0.11	18
4106	-593	-609	Max	21.63	-410.25	17	-0.05	16	0.08	19	122.72	19	15.18	9	0.11	18
4106	-593	-609	Min.	0.00	-1254.10	18	-0.20	19	0.06	16	51.39	16	-11.63	19	0.05	17
4106	-593	-609	Min.	21.63	-1253.86	18	-0.20	19	0.05	16	48.81	16	8.58	16	0.05	17
4106	-609	-625	Max	0.00	-556.81	17	0.14	18	0.00	9	114.31	19	-2.33	16	0.10	18
4106	-609	-625	Max	21.63	-556.68	17	0.14	18	0.03	18	111.89	19	13.86	19	0.10	18
4106	-609	-625	Min.	0.00	-1479.43	18	0.06	17	-0.01	16	46.20	16	-10.61	19	0.05	17
4106	-609	-625	Min.	21.63	-1479.19	18	0.06	17	0.01	17	43.63	16	7.39	16	0.05	17
4106	-625	-641	Max	0.00	-676.60	17	0.15	18	-0.04	10	103.07	19	-1.60	16	0.11	18
4106	-625	-641	Max	21.63	-676.46	17	0.15	18	-0.01	16	100.64	19	12.99	19	0.11	18
4106	-625	-641	Min.	0.00	-1659.82	18	0.07	17	-0.06	18	39.88	16	-9.04	19	0.06	17
4106	-625	-641	Min.	21.63	-1659.58	18	0.07	17	-0.03	19	37.30	16	6.75	16	0.06	17
4106	-641	-657	Max	0.00	-773.39	17	0.04	16	-0.07	16	94.89	19	-0.26	16	0.14	18
4106	-641	-657	Max	21.63	-773.26	17	0.04	16	-0.06	16	92.46	19	13.19	19	0.14	18
4106	-641	-657	Min.	0.00	-1802.56	18	-0.07	19	-0.12	19	36.21	16	-7.08	19	0.08	17
4106	-641	-657	Min.	21.63	-1802.32	18	-0.07	19	-0.13	19	33.63	16	7.30	16	0.08	17
4106	-657	-673	Max	0.00	-821.30	17	-0.19	16	0.15	19	34.50	19	6.38	16	0.06	19
4106	-657	-673	Max	1.95					0.10	20			3.75	20		
4106	-657	-673	Max	21.63	-821.17	17	-0.19	16	0.08	19	32.07	19	6.91	19	0.06	19
4106	-657	-673	Min.	0.00	-1858.97	18	-0.32	19	0.08	16	-24.48	16	-0.39	17	0.02	16
4106	-657	-673	Min.	1.95					0.10	20			3.75	20		
4106	-657	-673	Min.	21.63	-1858.73	18	-0.32	19	0.04	16	-27.05	16	0.80	16	0.02	16
4106	-673	-689	Max	0.00	-855.44	17	-0.07	10	0.04	19	31.35	19	5.23	16	0.05	19
4106	-673	-689	Max	21.63	-855.31	17	-0.07	10	0.01	19	28.92	19	5.65	19	0.05	19
4106	-673	-689	Min.	0.00	-1876.58	18	-0.12	19	0.02	16	-24.12	16	-0.87	19	0.02	16
4106	-673	-689	Min.	21.63	-1876.34	18	-0.12	19	0.00	16	-26.70	16	-0.27	16	0.02	16
4106	-689	-705	Max	0.00	-879.56	17	-0.06	10	-0.01	17	26.39	19	5.31	16	0.05	19
4106	-689	-705	Max	10.99					-0.03	18			3.06	18		
4106	-689	-705	Max	21.63	-879.43	17	-0.06	10	-0.03	16	23.96	19	5.10	19	0.05	19
4106	-689	-705	Min.	0.00	-1880.45	18	-0.10	19	-0.02	18	-26.04	16	-0.34	19	0.03	16
4106	-689	-705	Min.	10.99					-0.03	18			3.06	18		
4106	-689	-705	Min.	21.63	-1880.21	18	-0.10	19	-0.04	19	-28.62	16	-0.61	16	0.03	16
4106	-705	-721	Max	0.00	-895.45	17	-0.13	16	-0.04	16	23.98	19	6.13	16	0.09	18
4106	-705	-721	Max	6.18					-0.09	18			4.24	18		
4106	-705	-721	Max	21.63	-895.32	17	-0.13	16	-0.06	16	21.55	19	5.74	19	0.09	18
4106	-705	-721	Min.	0.00	-1872.77	18	-0.23	19	-0.08	19	-25.36	16	0.47	17	0.06	17
4106	-705	-721	Min.	6.18					-0.09	18			4.24	18		
4106	-705	-721	Min.	21.63	-1872.53	18	-0.23	19	-0.13	19	-27.93	16	0.37	16	0.06	17
4106	-721	-737	Max	0.00	-881.30	17	-0.26	17	0.16	18	-13.42	17	11.78	16	-0.00	19
4106	-721	-737	Max	21.63	-881.17	17	-0.26	17	0.05	19	-15.11	17	0.28	17	-0.00	19
4106	-721	-737	Min.	0.00	-1810.05	18	-0.54	18	0.09	17	-78.14	16	3.37	17	-0.08	16
4106	-721	-737	Min.	21.63	-1809.81	18	-0.54	18	0.01	16	-80.72	16	-5.41	16	-0.08	16
4106	-737	-753	Max	0.00	-866.45	17	-0.19	17	0.06	18	-14.37	17	10.29	16	-0.01	17
4106	-737	-753	Max	21.63	-866.31	17	-0.19	17	-0.01	17	-16.05	17	-0.40	17	-0.01	17
4106	-737	-753	Min.	0.00	-1735.75	18	-0.43	18	0.03	17	-75.78	16	2.89	17	-0.07	16
4106	-737	-753	Min.	21.63	-1735.51	18	-0.43	18	-0.04	16	-78.35	16	-6.38	16	-0.07	16
4106	-753	-769	Max	0.00	-849.05	17	-0.16	17	0.02	16	-15.70	17	9.72	16	-0.01	17
4106	-753	-769	Max	21.63	-848.91	17	-0.16	17	-0.04	17	-17.39	17	-0.80	17	-0.01	17
4106	-753	-769	Min.	0.00	-1660.83	18	-0.39	18	-0.00	19	-74.96	16	2.78	17	-0.06	16
4106	-753	-769	Min.	21.63	-1660.59	18	-0.39	18	-0.08	18	-77.53	16	-6.78	16	-0.06	16
4106	-769	-785	Max	0.00	-833.61	17	-0.19	17	-0.01	16	-19.34	17	8.56	16	0.01	19
4106	-769	-785	Max	21.63	-833.48	17	-0.19	17	-0.07	17	-21.03	17	-2.22	17	0.01	19
4106	-769	-785	Min.	0.00	-1594.45	18	-0.43	18	-0.05	19	-75.94	16	2.15	17	-0.05	16
4106	-769	-785	Min.	21.63	-1594.21	18	-0.43	18	-0.13	18	-78.52	16	-8.15	16	-0.05	16
4107	3002	-514	Max	0.00	42.49	17	-3.09	16	0.41	18	-2.53	18	2.66	17	0.00	9
4107	3002	-514	Max	16.72	43.33	17	-0.13	17	-0.11	17	-21.53	10	-1.35	10	0.00	9
4107	3002	-514	Min.	0.00	13.20	9	-5.20	19	0.20	17	-29.68	17	0.89	10	-0.26	17

4107	3002	-514	Min.	16.72	15.00	9	-4.87	18	-0.41	18	-39.96	17	-3.16	17	-0.26	17
4107	-514	-530	Max	0.00	193.69	17	-1.22	17	0.42	18	14.02	18	-0.20	17	0.02	9
4107	-514	-530	Max	9.03					0.04	9			0.20	9		
4107	-514	-530	Max	16.72	194.53	17	2.29	17	0.08	17	-7.64	10	-0.18	10	0.02	9
4107	-514	-530	Min.	0.00	87.02	10	-4.15	18	-0.01	17	1.16	17	-0.38	18	-0.18	17
4107	-514	-530	Min.	1.89					-0.03	17			-0.19	17		
4107	-514	-530	Min.	16.72	88.34	10	-4.15	18	-0.28	18	-16.84	18	-0.89	16	-0.18	17
4107	-530	4027	Max	0.00	249.29	17	-0.13	17	0.26	18	-24.56	16	2.55	19	0.02	19
4107	-530	4027	Max	16.72	250.13	17	3.39	17	0.25	17	-45.68	10	-4.43	10	0.02	19
4107	-530	4027	Min.	0.00	117.75	10	-3.89	18	-0.03	17	-44.01	19	0.75	16	0.00	16
4107	-530	4027	Min.	16.72	119.07	10	-3.89	18	-0.39	18	-67.73	18	-6.80	18	0.00	16
4107	4027	-546	Max	0.00	1354.24	19	1.23	18	1.19	17	350.90	18	-27.60	17	0.31	17
4107	4027	-546	Max	21.63	1357.20	19	1.23	18	0.18	18	300.12	18	22.22	18	0.31	17
4107	4027	-546	Min.	0.00	76.47	16	-7.20	17	-0.09	18	187.69	17	-48.20	18	0.12	10
4107	4027	-546	Min.	21.63	79.75	16	-2.66	17	0.12	17	170.98	17	11.20	17	0.12	10
4107	-546	-562	Max	0.00	587.30	19	0.55	18	-0.01	10	300.68	18	-18.56	16	0.34	17
4107	-546	-562	Max	21.63	590.27	19	0.98	17	0.10	18	251.55	19	26.93	18	0.34	17
4107	-546	-562	Min.	0.00	-429.42	16	-3.56	17	-0.21	17	168.38	17	-33.35	19	0.16	10
4107	-546	-562	Min.	21.63	-426.13	16	0.34	10	-0.49	17	148.92	16	14.84	17	0.16	10
4107	-562	-578	Max	0.00	-15.53	17	0.88	17	-0.05	10	246.35	18	-12.83	16	0.29	19
4107	-562	-578	Max	21.63	-14.17	17	5.43	17	0.05	18	203.95	19	24.02	18	0.29	19
4107	-562	-578	Min.	0.00	-826.72	16	0.35	10	-0.80	17	141.78	17	-25.11	19	0.15	10
4107	-562	-578	Min.	21.63	-823.43	16	0.35	10	-0.12	17	111.10	16	13.82	17	0.15	10
4107	-578	-594	Max	0.00	-311.26	17	6.74	17	-0.09	10	201.82	19	-8.74	16	0.27	18
4107	-578	-594	Max	21.63	-309.90	17	11.28	17	1.46	17	165.31	19	20.22	19	0.27	18
4107	-578	-594	Min.	0.00	-1107.98	16	0.24	10	-0.48	17	118.98	16	-19.49	19	-0.09	17
4107	-578	-594	Min.	21.63	-1104.70	16	0.24	10	-0.05	9	78.50	16	12.62	16	-0.09	17
4107	-594	-610	Max	0.00	-530.47	17	-0.05	16	1.57	17	177.43	18	-6.55	16	0.71	17
4107	-594	-610	Max	21.63	-529.12	17	-0.05	16	0.08	18	136.20	9	18.42	18	0.71	17
4107	-594	-610	Min.	0.00	-1393.41	18	-10.37	17	0.06	16	91.32	17	-15.64	9	0.06	16
4107	-594	-610	Min.	21.63	-1389.28	18	-5.82	17	-0.18	17	61.07	16	9.90	17	0.06	16
4107	-610	-626	Max	0.00	-684.55	17	0.14	18	0.00	9	141.44	9	-3.18	16	0.21	17
4107	-610	-626	Max	21.63	-683.19	17	0.55	17	0.03	18	104.92	9	15.14	9	0.21	17
4107	-610	-626	Min.	0.00	-1661.68	18	-3.99	17	-0.24	17	74.14	16	-11.51	9	0.06	16
4107	-610	-626	Min.	21.63	-1657.55	18	0.08	10	-0.62	17	33.66	16	8.36	17	0.06	16
4107	-626	-642	Max	0.00	-798.10	17	0.50	17	-0.04	10	113.85	9	-0.48	16	0.11	18
4107	-626	-642	Max	21.63	-796.74	17	5.05	17	-0.01	16	77.33	9	12.50	9	0.11	18
4107	-626	-642	Min.	0.00	-1844.83	18	0.08	10	-0.80	17	49.80	16	-8.18	9	-0.01	17
4107	-626	-642	Min.	21.63	-1840.71	18	0.08	10	-0.20	17	9.32	16	5.91	16	-0.01	17
4107	-642	-658	Max	0.00	-880.75	17	6.92	17	-0.07	16	87.84	9	1.66	16	0.14	18
4107	-642	-658	Max	12.98					-0.06	16			3.51	16		
4107	-642	-658	Max	21.63	-879.40	17	11.46	17	1.53	17	51.32	9	9.57	9	0.14	18
4107	-642	-658	Min.	0.00	-1961.27	18	-0.06	9	-0.46	17	26.39	16	-5.48	9	-0.67	17
4107	-642	-658	Min.	12.98					-0.06	16			3.51	16		
4107	-642	-658	Min.	21.63	-1957.15	18	-0.06	9	-0.11	9	-14.09	16	2.99	16	-0.67	17
4107	-658	-674	Max	0.00	-788.65	17	-0.18	16	1.66	17	83.17	19	1.44	16	1.06	17
4107	-658	-674	Max	14.66					0.05	16			3.43	16		
4107	-658	-674	Max	21.63	-787.29	17	-0.18	16	0.07	9	46.65	19	9.06	9	1.06	17
4107	-658	-674	Min.	0.00	-1837.30	18	-10.99	17	0.07	16	27.29	16	-5.01	19	0.02	16
4107	-658	-674	Min.	14.66					0.05	16			3.43	16		
4107	-658	-674	Min.	21.63	-1833.18	18	-6.44	17	-0.22	17	-13.19	16	2.97	16	0.02	16
4107	-674	-690	Max	0.00	-832.91	17	-0.06	10	0.03	18	59.86	19	4.14	16	0.27	17
4107	-674	-690	Max	17.66					0.01	18			5.23	18		
4107	-674	-690	Max	21.63	-831.56	17	0.31	17	0.01	9	23.34	19	6.95	9	0.27	17
4107	-674	-690	Min.	0.00	-1883.73	18	-4.24	17	-0.23	17	5.57	16	-2.06	19	0.02	16
4107	-674	-690	Min.	15.90					0.01	20			3.97	20		
4107	-674	-690	Min.	21.63	-1879.61	18	-0.10	18	-0.66	17	-34.91	16	0.96	16	0.02	16
4107	-690	-706	Max	0.00	-859.07	17	0.56	17	-0.01	16	38.73	19	6.24	16	0.05	9
4107	-690	-706	Max	7.41					-0.03	18			4.66	18		

4107	-690	-706	Max	21.63	-857.71	17	5.10	17	-0.02	16	4.66	17	4.72	9	0.05	9
4107	-690	-706	Min.	0.00	-1889.89	18	-0.08	18	-0.82	17	-14.21	16	0.03	17	-0.12	17
4107	-690	-706	Min.	4.33					-0.02	20			4.09	20		
4107	-690	-706	Min.	21.63	-1885.77	18	-0.08	18	-0.21	17	-54.69	16	-1.22	16	-0.12	17
4107	-706	-722	Max	0.00	-869.65	17	7.41	17	-0.03	16	18.11	19	7.99	16	0.09	18
4107	-706	-722	Max	10.66					-0.09	9			3.26	9		
4107	-706	-722	Max	21.63	-868.30	17	11.95	17	1.62	17	-5.52	17	2.25	9	0.09	18
4107	-706	-722	Min.	0.00	-1862.00	18	-0.19	18	-0.48	17	-33.92	16	1.11	17	-1.05	17
4107	-706	-722	Min.	13.40					0.71	17			1.91	17		
4107	-706	-722	Min.	21.63	-1857.88	18	-0.19	18	-0.11	18	-74.40	16	-3.73	16	-1.05	17
4107	-722	-738	Max	0.00	-879.76	17	-0.31	10	1.78	17	13.14	19	8.13	16	1.33	17
4107	-722	-738	Max	7.39					0.10	9			3.32	9		
4107	-722	-738	Max	21.63	-878.41	17	-0.31	10	0.05	9	-13.18	17	1.66	19	1.33	17
4107	-722	-738	Min.	0.00	-1830.61	18	-11.89	17	0.10	16	-36.13	16	1.92	17	-0.08	16
4107	-722	-738	Min.	4.33					1.29	17			2.00	17		
4107	-722	-738	Min.	21.63	-1826.49	18	-7.35	17	-0.30	17	-76.61	16	-4.06	16	-0.08	16
4107	-738	-754	Max	0.00	-867.45	17	-0.23	10	0.06	18	-5.99	17	10.33	16	0.28	17
4107	-738	-754	Max	21.63	-866.09	17	-0.23	10	-0.01	10	-22.70	17	-0.19	17	0.28	17
4107	-738	-754	Min.	0.00	-1766.66	18	-4.78	17	-0.22	17	-54.99	16	2.91	17	-0.07	16
4107	-738	-754	Min.	21.63	-1762.54	18	-0.42	18	-0.77	17	-95.47	16	-5.94	16	-0.07	16
4107	-754	-770	Max	0.00	-846.57	17	0.44	17	0.02	16	-14.12	17	11.73	16	-0.01	10
4107	-754	-770	Max	21.63	-845.21	17	4.98	17	-0.05	10	-30.83	17	-1.35	17	-0.01	10
4107	-754	-770	Min.	0.00	-1682.62	18	-0.38	18	-0.85	17	-71.64	16	3.51	17	-0.27	17
4107	-754	-770	Min.	21.63	-1678.50	18	-0.38	18	-0.27	17	-112.12	16	-8.15	16	-0.27	17
4107	-770	-786	Max	0.00	-823.05	17	7.51	17	-0.01	16	-26.18	17	11.51	16	0.01	9
4107	-770	-786	Max	21.63	-821.70	17	12.05	17	1.69	17	-42.88	17	-4.44	17	0.01	9
4107	-770	-786	Min.	0.00	-1590.38	18	-0.42	18	-0.42	17	-92.64	16	3.03	17	-1.36	17
4107	-770	-786	Min.	21.63	-1586.26	18	-0.42	18	-0.13	18	-137.52	18	-13.62	18	-1.36	17
4144	3003	-515	Max	0.00	100.78	18	-0.56	17	0.19	18	1.68	17	3.47	18	0.09	18
4144	3003	-515	Max	2.74					0.03	17			0.16	17		
4144	3003	-515	Max	16.72	103.28	18	-0.56	17	-0.05	17	-8.60	17	-0.44	17	0.09	18
4144	3003	-515	Min.	0.00	35.29	17	-2.27	18	0.04	17	-27.32	18	0.14	17	-0.18	17
4144	3003	-515	Min.	2.74					0.03	17			0.16	17		
4144	3003	-515	Min.	16.72	36.12	17	-2.27	18	-0.19	18	-58.17	18	-3.68	18	-0.18	17
4144	-515	-531	Max	0.00	254.02	18	2.30	17	0.14	9	0.32	17	3.15	18	0.12	18
4144	-515	-531	Max	0.42					-0.17	17			0.37	17		
4144	-515	-531	Max	16.72	256.53	18	2.30	17	0.20	17	-9.96	17	-0.44	17	0.12	18
4144	-515	-531	Min.	0.00	59.32	17	-1.73	9	-0.18	17	-32.66	18	0.37	17	-0.12	17
4144	-515	-531	Min.	0.42					-0.17	17			0.37	17		
4144	-515	-531	Min.	16.72	60.16	17	-1.73	9	-0.14	9	-63.51	18	-4.89	18	-0.12	17
4144	-531	4028	Max	0.00	402.98	18	2.81	17	0.17	9	-27.46	17	3.34	9	-0.03	17
4144	-531	4028	Max	16.72	405.48	18	2.81	17	0.24	17	-37.74	17	-3.79	17	-0.03	17
4144	-531	4028	Min.	0.00	88.11	17	-2.35	9	-0.23	17	-72.47	18	1.46	16	-0.07	18
4144	-531	4028	Min.	16.72	88.94	17	-2.35	9	-0.22	9	-103.33	18	-11.64	18	-0.07	18
4144	4028	-547	Max	0.00	2436.21	9	0.27	17	0.07	9	621.57	18	-44.60	17	0.09	19
4144	4028	-547	Max	21.63	2439.17	9	0.27	17	0.10	17	570.79	18	39.07	18	0.09	19
4144	4028	-547	Min.	0.00	943.80	16	-0.32	9	0.03	16	296.91	17	-89.90	18	0.05	16
4144	4028	-547	Min.	21.63	947.09	16	-0.32	9	-0.01	16	280.20	17	17.83	17	0.05	16
4144	-547	-563	Max	0.00	1095.06	9	0.15	17	0.01	17	553.63	18	-31.97	17	0.10	17
4144	-547	-563	Max	21.63	1098.03	9	0.15	17	0.05	17	502.84	18	50.51	18	0.10	17
4144	-547	-563	Min.	0.00	-68.08	16	0.05	10	-0.01	16	266.72	17	-63.77	18	0.02	16
4144	-547	-563	Min.	21.63	-64.80	16	0.05	10	0.01	16	250.01	17	23.92	17	0.02	16
4144	-563	-579	Max	0.00	-30.30	17	0.17	17	-0.00	16	471.69	18	-25.13	17	0.10	17
4144	-563	-579	Max	21.63	-28.95	17	0.17	17	0.01	17	420.91	18	47.50	18	0.10	17
4144	-563	-579	Min.	0.00	-918.76	16	0.03	10	-0.03	17	230.53	17	-49.05	18	0.01	16
4144	-563	-579	Min.	21.63	-915.48	16	0.03	10	0.00	10	213.82	17	22.93	17	0.01	16
4144	-579	-595	Max	0.00	-529.91	17	0.07	17	-0.01	16	406.53	18	-20.20	17	0.12	17
4144	-579	-595	Max	21.63	-528.56	17	0.07	17	-0.01	16	355.75	18	44.13	18	0.12	17
4144	-579	-595	Min.	0.00	-1596.78	18	-0.04	9	-0.07	17	201.23	17	-38.32	18	0.01	16

4144	-579	-595	Min.	21.63	-1592.65	18	-0.04	9	-0.05	17	184.52	17	21.53	17	0.01	16
4144	-595	-611	Max	0.00	-890.27	17	0.05	16	0.07	17	290.04	18	-12.42	16	0.07	18
4144	-595	-611	Max	21.63	-888.92	17	0.05	16	0.04	19	239.91	19	33.21	18	0.07	18
4144	-595	-611	Min.	0.00	-2299.93	18	-0.18	17	0.01	16	152.81	17	-25.01	19	0.03	17
4144	-595	-611	Min.	21.63	-2295.81	18	-0.18	17	0.02	16	135.02	16	17.23	17	0.03	17
4144	-611	-627	Max	0.00	-1168.65	17	0.10	18	0.01	17	243.86	18	-9.14	16	0.05	18
4144	-611	-627	Max	21.63	-1167.30	17	0.10	18	0.02	18	201.11	19	28.32	18	0.05	18
4144	-611	-627	Min.	0.00	-2802.53	18	-0.02	17	-0.00	16	132.59	17	-20.45	19	0.03	17
4144	-611	-627	Min.	21.63	-2798.41	18	-0.02	17	0.00	17	102.51	16	15.24	17	0.03	17
4144	-627	-643	Max	0.00	-1386.27	17	0.09	18	-0.02	16	202.17	19	-5.62	16	0.05	18
4144	-627	-643	Max	17.31					-0.00	16			11.09	16		
4144	-627	-643	Max	21.63	-1384.91	17	0.09	18	0.00	16	165.65	19	24.29	18	0.05	18
4144	-627	-643	Min.	0.00	-3176.52	18	-0.02	17	-0.03	19	112.75	16	-15.98	19	0.03	17
4144	-627	-643	Min.	17.31					-0.00	16			11.09	16		
4144	-627	-643	Min.	21.63	-3172.40	18	-0.02	17	-0.02	17	72.27	16	13.59	17	0.03	17
4144	-643	-659	Max	0.00	-1554.27	17	0.03	16	-0.03	16	172.15	19	-1.93	16	0.07	19
4144	-643	-659	Max	21.63	-1552.92	17	0.03	16	-0.02	16	135.63	19	21.74	19	0.07	19
4144	-643	-659	Min.	0.00	-3447.44	18	-0.10	17	-0.06	19	87.09	16	-11.55	19	0.04	16
4144	-643	-659	Min.	21.63	-3443.32	18	-0.10	17	-0.07	19	46.61	16	12.54	16	0.04	16
4144	-659	-675	Max	0.00	-1701.80	17	-0.05	16	0.08	19	100.36	19	5.71	16	0.03	19
4144	-659	-675	Max	8.65					0.02	16			6.49	16		
4144	-659	-675	Max	21.63	-1700.44	17	-0.05	16	0.04	19	63.84	19	14.24	19	0.03	19
4144	-659	-675	Min.	0.00	-3625.31	18	-0.20	17	0.03	16	17.04	16	-3.54	9	0.01	16
4144	-659	-675	Min.	8.65					0.02	16			6.49	16		
4144	-659	-675	Min.	21.63	-3621.19	18	-0.20	17	0.02	16	-23.44	16	5.02	16	0.01	16
4144	-675	-691	Max	0.00	-1766.20	17	-0.01	16	0.03	17	77.04	19	7.02	16	0.02	9
4144	-675	-691	Max	21.36					0.01	18			8.53	18		
4144	-675	-691	Max	21.63	-1764.84	17	-0.01	16	0.01	19	40.52	19	11.08	19	0.02	9
4144	-675	-691	Min.	0.00	-3691.97	18	-0.10	17	0.01	16	-2.87	16	-1.63	19	0.01	17
4144	-675	-691	Min.	17.31					0.01	20			6.30	20		
4144	-675	-691	Min.	21.63	-3687.85	18	-0.10	17	0.00	16	-43.35	16	2.02	16	0.01	17
4144	-691	-707	Max	0.00	-1806.26	17	-0.01	16	0.00	17	54.03	19	9.10	16	0.02	9
4144	-691	-707	Max	8.65					-0.01	18			7.18	18		
4144	-691	-707	Max	21.63	-1804.90	17	-0.01	16	-0.01	16	17.51	19	8.61	19	0.02	9
4144	-691	-707	Min.	0.00	-3707.25	18	-0.09	17	-0.01	18	-23.15	16	0.33	17	0.01	17
4144	-691	-707	Min.	4.33					-0.01	20			6.13	20		
4144	-691	-707	Min.	21.63	-3703.13	18	-0.09	17	-0.02	19	-63.63	16	-0.28	16	0.01	17
4144	-707	-723	Max	0.00	-1825.59	17	-0.03	16	-0.02	16	34.51	19	11.76	16	0.04	19
4144	-707	-723	Max	19.91					-0.06	19			7.35	19		
4144	-707	-723	Max	21.63	-1824.24	17	-0.03	16	-0.02	16	3.70	17	7.34	19	0.04	19
4144	-707	-723	Min.	0.00	-3678.82	18	-0.14	17	-0.04	19	-40.19	16	1.95	17	0.02	16
4144	-707	-723	Min.	19.80					-0.04	9			7.31	9		
4144	-707	-723	Min.	21.63	-3674.70	18	-0.14	17	-0.06	19	-80.67	16	-1.32	16	0.02	16
4144	-723	-739	Max	0.00	-1802.85	17	-0.04	16	0.04	19	-19.96	17	18.78	16	0.01	17
4144	-723	-739	Max	21.63	-1801.49	17	-0.04	16	0.02	19	-36.66	17	0.40	19	0.01	17
4144	-723	-739	Min.	0.00	-3583.02	18	-0.10	19	0.02	16	-106.15	16	6.29	17	0.00	10
4144	-723	-739	Min.	21.63	-3578.90	18	-0.10	19	0.01	16	-146.63	16	-8.56	16	0.00	10
4144	-739	-755	Max	0.00	-1767.18	17	-0.02	16	0.01	19	-27.64	17	18.99	16	0.00	18
4144	-739	-755	Max	21.63	-1765.83	17	-0.02	16	0.00	17	-44.35	17	-1.46	17	0.00	18
4144	-739	-755	Min.	0.00	-3445.91	18	-0.06	19	0.01	16	-120.17	16	6.33	17	0.00	17
4144	-739	-755	Min.	21.63	-3441.79	18	-0.06	19	0.00	9	-160.65	16	-11.38	16	0.00	17
4144	-755	-771	Max	0.00	-1723.19	17	-0.02	16	0.00	17	-34.60	17	19.59	16	0.01	18
4144	-755	-771	Max	21.63	-1721.84	17	-0.02	16	-0.01	16	-51.31	17	-2.79	17	0.01	18
4144	-755	-771	Min.	0.00	-3290.48	18	-0.05	19	-0.00	18	-133.96	16	6.50	17	0.00	17
4144	-755	-771	Min.	21.63	-3286.35	18	-0.05	19	-0.01	19	-174.44	16	-13.77	16	0.00	17
4144	-771	-787	Max	0.00	-1681.54	17	-0.02	16	-0.01	16	-47.83	17	18.06	16	0.01	18
4144	-771	-787	Max	21.63	-1680.19	17	-0.02	16	-0.01	16	-64.54	17	-7.07	17	0.01	18
4144	-771	-787	Min.	0.00	-3138.41	18	-0.06	19	-0.01	19	-153.87	16	5.09	17	0.01	17
4144	-771	-787	Min.	21.63	-3134.29	18	-0.06	19	-0.03	19	-200.25	18	-20.78	18	0.01	17

4145	3004	-516	Max	0.00	62.41	19	-1.25	16	0.20	18	-17.49	10	3.36	17	0.02	9
4145	3004	-516	Max	16.72	64.43	18	1.11	17	-0.01	17	-34.72	10	-2.56	10	0.02	9
4145	3004	-516	Min.	0.00	43.81	10	-3.05	19	0.10	17	-38.82	17	1.81	10	-0.23	17
4145	3004	-516	Min.	16.72	45.21	10	-2.37	18	-0.20	18	-56.20	19	-4.23	19	-0.23	17
4145	-516	-532	Max	0.00	283.61	19	0.51	17	0.14	9	16.47	18	-0.37	17	0.12	18
4145	-516	-532	Max	10.03					-0.03	9			0.04	9		
4145	-516	-532	Max	16.72	285.52	19	4.02	17	0.25	17	-6.90	10	-0.26	10	0.12	18
4145	-516	-532	Min.	0.00	182.97	10	-1.70	9	-0.13	17	1.39	17	-0.79	18	-0.12	17
4145	-516	-532	Min.	2.14					-0.11	17			-0.35	17		
4145	-516	-532	Min.	16.72	184.37	10	-1.70	9	-0.14	9	-16.25	18	-1.09	16	-0.12	17
4145	-532	4030	Max	0.00	372.71	19	1.83	17	0.10	18	-48.39	16	3.92	19	0.13	18
4145	-532	4030	Max	16.72	374.62	19	5.35	17	0.38	17	-62.40	17	-6.99	17	0.13	18
4145	-532	4030	Min.	0.00	238.84	10	-1.11	18	-0.22	17	-70.85	19	1.77	16	0.08	17
4145	-532	4030	Min.	16.72	240.24	10	-1.11	18	-0.08	18	-101.69	18	-10.81	18	0.08	17
4145	4030	-548	Max	0.00	2475.64	19	0.52	18	1.22	17	628.42	18	-47.36	17	0.19	17
4145	4030	-548	Max	21.63	2478.78	19	0.52	18	0.07	19	574.53	18	39.41	18	0.19	17
4145	4030	-548	Min.	0.00	936.93	16	-7.65	17	-0.05	9	315.44	17	-90.71	18	-0.02	16
4145	4030	-548	Min.	21.63	940.42	16	-3.10	17	0.03	16	297.75	17	18.96	17	-0.02	16
4145	-548	-564	Max	0.00	1105.09	19	0.01	18	0.01	18	558.25	18	-34.60	17	0.22	17
4145	-548	-564	Max	21.63	1108.24	19	0.66	17	0.02	18	504.36	18	50.78	18	0.22	17
4145	-548	-564	Min.	0.00	-79.72	16	-3.88	17	-0.18	17	288.28	17	-64.16	18	0.01	16
4145	-548	-564	Min.	21.63	-76.24	16	-0.00	16	-0.53	17	270.59	17	25.85	17	0.01	16
4145	-564	-580	Max	0.00	-26.77	17	0.56	17	-0.00	16	474.66	18	-27.02	17	0.15	17
4145	-564	-580	Max	17.31					-0.00	16			20.65	16		
4145	-564	-580	Max	21.63	-25.34	17	5.10	17	0.00	16	420.77	18	47.61	18	0.15	17
4145	-564	-580	Min.	0.00	-931.99	16	0.01	16	-0.76	17	248.04	17	-49.25	18	0.01	16
4145	-564	-580	Min.	17.31					-0.00	16			20.65	16		
4145	-564	-580	Min.	21.63	-928.50	16	0.01	16	-0.15	17	230.36	17	24.73	17	0.01	16
4145	-580	-596	Max	0.00	-563.60	17	6.40	17	-0.01	16	407.46	18	-21.62	17	0.03	18
4145	-580	-596	Max	21.63	-562.16	17	10.95	17	1.44	17	353.57	18	43.83	18	0.03	18
4145	-580	-596	Min.	0.00	-1619.86	18	-0.06	9	-0.44	17	217.69	17	-38.48	18	-0.22	17
4145	-580	-596	Min.	21.63	-1615.49	18	-0.06	9	-0.04	18	200.00	17	23.56	17	-0.22	17
4145	-596	-612	Max	0.00	-962.84	17	0.00	16	1.56	17	302.12	18	-13.39	16	0.68	17
4145	-596	-612	Max	21.63	-961.40	17	0.00	16	0.04	18	248.23	18	34.15	18	0.68	17
4145	-596	-612	Min.	0.00	-2347.69	18	-10.41	17	0.02	16	154.21	17	-25.82	9	0.04	16
4145	-596	-612	Min.	21.63	-2343.32	18	-5.87	17	-0.20	17	136.53	17	17.63	17	0.04	16
4145	-612	-628	Max	0.00	-1243.60	17	0.05	18	0.00	9	253.57	18	-9.75	16	0.18	17
4145	-612	-628	Max	21.63	-1242.16	17	0.45	17	0.01	18	205.32	9	29.22	18	0.18	17
4145	-612	-628	Min.	0.00	-2867.58	18	-4.09	17	-0.23	17	133.16	17	-20.97	9	0.03	16
4145	-612	-628	Min.	21.63	-2863.21	18	0.04	10	-0.63	17	106.97	16	15.40	17	0.03	16
4145	-628	-644	Max	0.00	-1461.28	17	0.39	17	-0.01	16	209.18	18	-6.03	16	0.05	18
4145	-628	-644	Max	21.63	-1459.85	17	4.94	17	-0.00	16	168.47	9	25.02	18	0.05	18
4145	-628	-644	Min.	0.00	-3254.84	18	0.03	10	-0.78	17	114.02	17	-16.33	9	-0.04	17
4145	-628	-644	Min.	21.63	-3250.47	18	0.03	10	-0.20	17	75.18	16	13.67	17	-0.04	17
4145	-644	-660	Max	0.00	-1628.87	17	6.83	17	-0.03	16	175.61	9	-2.20	16	0.06	18
4145	-644	-660	Max	21.63	-1627.44	17	11.38	17	1.53	17	136.88	9	22.09	18	0.06	18
4145	-644	-660	Min.	0.00	-3535.17	18	-0.03	9	-0.44	17	90.86	16	-11.81	9	-0.71	17
4145	-644	-660	Min.	21.63	-3530.79	18	-0.03	9	-0.05	18	47.92	16	12.59	17	-0.71	17
4145	-660	-676	Max	0.00	-1630.38	17	-0.06	16	1.65	17	106.13	19	5.34	16	1.03	17
4145	-660	-676	Max	10.83					0.02	16			6.51	16		
4145	-660	-676	Max	21.63	-1628.94	17	-0.06	16	0.03	18	67.39	19	14.68	19	1.03	17
4145	-660	-676	Min.	0.00	-3588.43	18	-10.99	17	0.03	16	21.50	16	-4.09	19	0.01	16
4145	-660	-676	Min.	10.83					0.02	16			6.51	16		
4145	-660	-676	Min.	21.63	-3584.06	18	-6.44	17	-0.24	17	-21.44	16	5.35	16	0.01	16
4145	-676	-692	Max	0.00	-1697.37	17	-0.01	16	0.01	18	81.42	19	6.84	16	0.24	17
4145	-676	-692	Max	17.31					0.01	20			6.52	20		
4145	-676	-692	Max	21.63	-1695.94	17	0.28	17	0.01	9	42.68	19	11.44	19	0.24	17
4145	-676	-692	Min.	0.00	-3661.30	18	-4.27	17	-0.23	17	0.17	16	-1.99	19	0.01	16
4145	-676	-692	Min.	17.31					0.01	20			6.52	20		

4145	-676	-692	Min.	21.63	-3656.93	18	-0.03	18	-0.66	17	-42.77	16	2.23	16	0.01	16
4145	-692	-708	Max	0.00	-1739.29	17	0.53	17	-0.00	16	57.17	19	9.06	16	0.02	9
4145	-692	-708	Max	9.12					-0.01	18			7.25	18		
4145	-692	-708	Max	21.63	-1737.86	17	5.07	17	-0.01	16	18.44	19	8.85	19	0.02	9
4145	-692	-708	Min.	0.00	-3680.14	18	-0.02	18	-0.81	17	-21.37	16	0.22	17	-0.14	17
4145	-692	-708	Min.	6.25					-0.01	20			6.14	20		
4145	-692	-708	Min.	21.63	-3675.77	18	-0.02	18	-0.20	17	-64.31	16	-0.21	16	-0.14	17
4145	-708	-724	Max	0.00	-1759.74	17	7.40	17	-0.01	16	36.44	19	11.77	16	0.03	18
4145	-708	-724	Max	19.82					0.83	19			7.42	19		
4145	-708	-724	Max	21.63	-1758.31	17	11.95	17	1.64	17	3.76	17	7.41	19	0.03	18
4145	-708	-724	Min.	0.00	-3653.26	18	-0.06	18	-0.45	17	-39.73	16	1.88	17	-1.08	17
4145	-708	-724	Min.	19.69					-0.04	9			7.38	9		
4145	-708	-724	Min.	21.63	-3648.88	18	-0.06	18	-0.04	18	-82.67	16	-1.47	16	-1.08	17
4145	-724	-740	Max	0.00	-1757.22	17	-0.05	16	1.73	17	-18.45	17	18.43	16	1.34	17
4145	-724	-740	Max	21.63	-1755.78	17	-0.05	16	0.01	9	-36.13	17	0.59	19	1.34	17
4145	-724	-740	Min.	0.00	-3567.21	18	-11.73	17	0.02	16	-102.38	16	6.18	17	-0.00	16
4145	-724	-740	Min.	21.63	-3562.83	18	-7.19	17	-0.31	17	-145.32	16	-8.36	16	-0.00	16
4145	-740	-756	Max	0.00	-1722.25	17	-0.04	10	0.01	18	-26.71	17	18.90	16	0.29	17
4145	-740	-756	Max	21.63	-1720.82	17	-0.04	10	-0.00	10	-44.39	17	-1.39	17	0.29	17
4145	-740	-756	Min.	0.00	-3431.79	18	-4.65	17	-0.24	17	-117.88	16	6.30	17	-0.00	16
4145	-740	-756	Min.	21.63	-3427.42	18	-0.11	17	-0.76	17	-160.82	16	-11.24	16	-0.00	16
4145	-756	-772	Max	0.00	-1678.46	17	0.55	17	-0.00	16	-34.14	17	19.67	18	0.00	9
4145	-756	-772	Max	21.63	-1677.02	17	5.10	17	-0.01	16	-51.82	17	-2.78	17	0.00	9
4145	-756	-772	Min.	0.00	-3276.58	18	-0.05	18	-0.85	17	-132.86	16	6.52	17	-0.26	17
4145	-756	-772	Min.	21.63	-3272.21	18	-0.05	18	-0.24	17	-175.80	16	-13.75	16	-0.26	17
4145	-772	-788	Max	0.00	-1636.61	17	7.64	17	-0.01	16	-47.88	17	18.18	16	0.01	9
4145	-772	-788	Max	21.63	-1635.17	17	12.18	17	1.74	17	-65.57	17	-7.14	17	0.01	9
4145	-772	-788	Min.	0.00	-3123.50	18	-0.06	18	-0.40	17	-153.96	16	5.14	17	-1.35	17
4145	-772	-788	Min.	21.63	-3119.13	18	-0.06	18	-0.03	18	-203.86	18	-21.06	18	-1.35	17
4182	3005	-517	Max	0.00	65.19	18	1.73	19	-0.04	16	11.35	17	2.15	18	-0.07	10
4182	3005	-517	Max	1.79					-0.11	19			0.61	19		
4182	3005	-517	Max	16.72	67.84	18	1.73	19	0.14	19	0.49	17	0.31	17	-0.07	10
4182	3005	-517	Min.	0.00	14.72	17	0.48	16	-0.15	19	-11.48	16	-0.68	17	-0.29	17
4182	3005	-517	Min.	1.79					-0.11	19			0.61	19		
4182	3005	-517	Min.	16.72	15.60	17	0.48	16	0.04	16	-43.91	18	-2.45	18	-0.29	17
4182	-517	-533	Max	0.00	170.88	18	3.92	17	-0.06	16	8.49	17	2.37	18	-0.01	16
4182	-517	-533	Max	13.38					0.22	17			0.42	17		
4182	-517	-533	Max	16.72	173.53	18	3.92	17	0.35	17	-2.38	17	0.38	17	-0.01	16
4182	-517	-533	Min.	0.00	10.50	17	0.84	16	-0.31	17	-19.33	18	-0.13	17	-0.20	17
4182	-517	-533	Min.	13.38					0.22	17			0.42	17		
4182	-517	-533	Min.	16.72	11.39	17	0.84	16	0.08	16	-52.06	18	-3.60	18	-0.20	17
4182	-533	4031	Max	0.00	284.84	18	4.03	17	-0.01	16	-20.71	17	3.13	9	-0.07	17
4182	-533	4031	Max	16.72	287.49	18	4.03	17	0.36	17	-31.58	17	-2.90	17	-0.07	17
4182	-533	4031	Min.	0.00	18.06	17	0.20	16	-0.32	17	-62.34	18	1.24	16	-0.14	18
4182	-533	4031	Min.	16.72	18.95	17	0.20	16	0.02	10	-95.07	18	-10.34	18	-0.14	18
4182	4031	-549	Max	0.00	2431.28	9	0.22	17	0.05	9	627.74	18	-44.01	17	0.05	17
4182	4031	-549	Max	21.63	2434.43	9	0.22	17	0.07	17	573.85	18	39.35	18	0.05	17
4182	4031	-549	Min.	0.00	933.83	16	-0.53	18	0.03	17	293.54	17	-90.63	18	0.02	10
4182	4031	-549	Min.	21.63	937.32	16	-0.53	18	-0.06	18	275.86	17	17.58	17	0.02	10
4182	-549	-565	Max	0.00	1083.10	9	0.13	17	0.00	17	557.61	18	-31.44	17	0.08	17
4182	-549	-565	Max	21.63	1086.25	9	0.13	17	0.03	17	503.72	18	50.72	18	0.08	17
4182	-549	-565	Min.	0.00	-81.01	16	-0.00	9	-0.02	18	262.89	17	-64.08	18	-0.03	18
4182	-549	-565	Min.	21.63	-77.53	16	-0.00	9	-0.02	18	245.20	17	23.52	17	-0.03	18
4182	-565	-581	Max	0.00	-37.91	17	0.16	17	0.01	18	474.10	18	-24.67	17	0.08	17
4182	-565	-581	Max	21.63	-36.47	17	0.16	17	0.01	17	420.21	18	47.56	18	0.08	17
4182	-565	-581	Min.	0.00	-931.96	16	-0.02	18	-0.03	17	226.81	17	-49.18	18	-0.03	18
4182	-565	-581	Min.	21.63	-928.47	16	-0.02	18	0.00	16	209.12	17	22.48	17	-0.03	18
4182	-581	-597	Max	0.00	-528.14	17	0.15	17	0.03	18	406.94	18	-19.84	17	0.11	17
4182	-581	-597	Max	21.63	-526.71	17	0.15	17	0.05	18	353.06	18	43.78	18	0.11	17

4182	-581	-597	Min.	0.00	-1618.20	18	0.06	16	-0.05	17	197.17	17	-38.43	18	-0.03	18
4182	-581	-597	Min.	21.63	-1613.83	18	0.06	16	-0.02	17	179.49	17	20.90	17	-0.03	18
4182	-597	-613	Max	0.00	-894.05	17	0.05	9	0.04	17	301.90	18	-13.37	16	-0.04	17
4182	-597	-613	Max	21.63	-892.61	17	0.05	9	-0.00	17	248.02	18	34.12	18	-0.04	17
4182	-597	-613	Min.	0.00	-2346.90	18	-0.19	17	-0.05	18	155.64	17	-25.98	19	-0.06	18
4182	-597	-613	Min.	21.63	-2342.53	18	-0.19	17	-0.04	18	137.96	17	17.35	17	-0.06	18
4182	-613	-629	Max	0.00	-1175.58	17	-0.03	10	0.01	17	253.37	18	-9.73	16	-0.03	17
4182	-613	-629	Max	21.63	-1174.15	17	-0.03	10	-0.01	16	205.65	19	29.20	18	-0.03	17
4182	-613	-629	Min.	0.00	-2866.32	18	-0.10	17	-0.01	9	134.77	17	-21.06	19	-0.05	18
4182	-613	-629	Min.	21.63	-2861.95	18	-0.10	17	-0.02	19	106.80	16	15.39	17	-0.05	18
4182	-629	-645	Max	0.00	-1395.73	17	-0.03	10	0.02	18	208.98	18	-6.01	16	-0.02	17
4182	-629	-645	Max	21.63	-1394.30	17	-0.03	10	0.01	18	168.78	19	25.00	18	-0.02	17
4182	-629	-645	Min.	0.00	-3253.20	18	-0.08	17	0.00	17	115.52	17	-16.41	19	-0.05	18
4182	-629	-645	Min.	21.63	-3248.83	18	-0.08	17	-0.02	17	75.03	16	13.70	17	-0.05	18
4182	-645	-661	Max	0.00	-1565.37	17	0.05	9	0.05	18	175.95	19	-2.18	16	-0.02	17
4182	-645	-661	Max	21.63	-1563.93	17	0.05	9	0.06	18	137.22	19	22.07	18	-0.02	17
4182	-645	-661	Min.	0.00	-3533.21	18	-0.10	17	-0.00	17	90.72	16	-11.86	19	-0.06	18
4182	-645	-661	Min.	21.63	-3528.83	18	-0.10	17	-0.02	17	47.78	16	12.70	17	-0.06	18
4182	-661	-677	Max	0.00	-1656.00	17	0.12	18	0.02	17	105.78	9	5.35	16	-0.01	17
4182	-661	-677	Max	10.51					-0.03	16			6.51	16		
4182	-661	-677	Max	21.63	-1654.56	17	0.12	18	0.00	17	67.05	9	14.64	9	-0.01	17
4182	-661	-677	Min.	0.00	-3587.23	18	-0.10	17	-0.06	18	21.41	16	-4.05	9	-0.03	9
4182	-661	-677	Min.	10.51					-0.03	16			6.51	16		
4182	-661	-677	Min.	21.63	-3582.86	18	-0.10	17	-0.03	18	-21.53	16	5.34	16	-0.03	9
4182	-677	-693	Max	0.00	-1721.86	17	0.04	18	0.01	17	81.10	9	6.85	16	-0.01	16
4182	-677	-693	Max	17.31					-0.01	20			6.51	20		
4182	-677	-693	Max	21.63	-1720.42	17	0.04	18	-0.00	16	42.36	9	11.39	9	-0.01	16
4182	-677	-693	Min.	0.00	-3659.91	18	-0.08	17	-0.02	18	0.08	16	-1.96	9	-0.02	19
4182	-677	-693	Min.	17.31					-0.01	20			6.51	20		
4182	-677	-693	Min.	21.63	-3655.54	18	-0.08	17	-0.01	19	-42.86	16	2.22	16	-0.02	19
4182	-693	-709	Max	0.00	-1762.64	17	0.03	18	0.01	19	56.87	9	9.07	16	-0.01	16
4182	-693	-709	Max	9.08					0.01	18			7.25	18		
4182	-693	-709	Max	21.63	-1761.21	17	0.03	18	0.01	18	18.14	9	8.80	9	-0.01	16
4182	-693	-709	Min.	0.00	-3678.60	18	-0.08	17	0.00	16	-21.45	16	0.26	17	-0.02	19
4182	-693	-709	Min.	6.22					0.01	20			6.15	20		
4182	-693	-709	Min.	21.63	-3674.23	18	-0.08	17	-0.01	17	-64.39	16	-0.22	16	-0.02	19
4182	-709	-725	Max	0.00	-1782.21	17	0.07	18	0.03	18	36.14	9	11.78	16	-0.02	17
4182	-709	-725	Max	19.65					0.04	9			7.37	9		
4182	-709	-725	Max	21.63	-1780.77	17	0.07	18	0.04	18	2.95	17	7.36	9	-0.02	17
4182	-709	-725	Min.	0.00	-3651.58	18	-0.09	17	0.00	17	-39.81	16	1.90	17	-0.03	18
4182	-709	-725	Min.	19.47					0.02	19			7.33	19		
4182	-709	-725	Min.	21.63	-3647.21	18	-0.09	17	-0.02	17	-82.75	16	-1.47	16	-0.03	18
4182	-725	-741	Max	0.00	-1764.30	17	0.10	18	0.00	17	-17.91	17	18.44	16	0.00	16
4182	-725	-741	Max	21.63	-1762.87	17	0.10	18	0.00	17	-35.59	17	0.58	9	0.00	16
4182	-725	-741	Min.	0.00	-3566.36	18	-0.01	17	-0.04	18	-102.44	16	6.05	17	-0.00	9
4182	-725	-741	Min.	21.63	-3561.99	18	-0.01	17	-0.02	9	-145.38	16	-8.37	16	-0.00	9
4182	-741	-757	Max	0.00	-1729.83	17	0.07	18	0.00	17	-26.21	17	18.91	16	0.00	16
4182	-741	-757	Max	21.63	-1728.40	17	0.07	18	0.00	18	-43.89	17	-1.38	17	0.00	16
4182	-741	-757	Min.	0.00	-3430.86	18	-0.00	17	-0.01	18	-117.93	16	6.20	17	-0.00	9
4182	-741	-757	Min.	21.63	-3426.49	18	-0.00	17	0.00	10	-160.87	16	-11.25	16	-0.00	9
4182	-757	-773	Max	0.00	-1686.57	17	0.05	18	0.00	19	-33.66	17	19.68	18	0.00	16
4182	-757	-773	Max	21.63	-1685.13	17	0.05	18	0.01	18	-51.35	17	-2.76	17	0.00	16
4182	-757	-773	Min.	0.00	-3275.57	18	-0.00	17	0.00	16	-132.91	16	6.43	17	-0.00	19
4182	-757	-773	Min.	21.63	-3271.20	18	-0.00	17	0.00	17	-175.85	16	-13.76	16	-0.00	19
4182	-773	-789	Max	0.00	-1645.14	17	0.07	18	0.01	9	-47.40	17	18.19	16	-0.00	16
4182	-773	-789	Max	21.63	-1643.70	17	0.07	18	0.03	18	-65.08	17	-7.09	17	-0.00	16
4182	-773	-789	Min.	0.00	-3122.42	18	-0.00	17	0.00	17	-154.02	16	5.07	17	-0.01	9
4182	-773	-789	Min.	21.63	-3118.05	18	-0.00	17	0.00	17	-203.93	18	-21.07	18	-0.01	9
4183	3006	-518	Max	0.00	94.70	18	1.29	9	-0.03	16	-29.49	10	4.25	19	-0.12	10

4183	3006	-518	Max	16.72	97.20	18	2.80	17	0.16	19	-45.75	10	-3.58	10	-0.12	10
4183	3006	-518	Min.	0.00	67.92	10	-0.71	17	-0.11	9	-48.24	17	2.71	10	-0.33	17
4183	3006	-518	Min.	16.72	69.24	10	0.36	16	0.03	16	-69.00	19	-5.43	19	-0.33	17
4183	-518	-534	Max	0.00	368.71	19	2.47	19	-0.06	16	12.21	18	-0.36	17	-0.01	16
4183	-518	-534	Max	7.73					0.00	9			-0.25	9		
4183	-518	-534	Max	16.72	370.52	19	5.61	17	0.39	17	-8.90	10	-0.67	10	-0.01	16
4183	-518	-534	Min.	0.00	253.96	10	0.83	16	-0.25	17	-0.89	17	-0.78	18	-0.20	17
4183	-518	-534	Min.	5.67					-0.09	19			-0.43	19		
4183	-518	-534	Min.	16.72	255.28	10	0.83	16	0.08	16	-18.64	18	-1.50	16	-0.20	17
4183	-534	4033	Max	0.00	480.34	19	3.16	19	-0.02	16	-56.78	16	4.20	19	0.06	18
4183	-534	4033	Max	16.72	482.14	19	6.55	17	0.49	17	-67.51	17	-7.69	17	0.06	18
4183	-534	4033	Min.	0.00	327.94	10	0.43	16	-0.31	17	-79.39	19	2.07	16	0.04	17
4183	-534	4033	Min.	16.72	329.26	10	0.43	16	0.05	16	-109.97	18	-12.01	18	0.04	17
4183	4033	-550	Max	0.00	2465.68	19	0.31	9	1.21	17	622.22	18	-46.45	17	0.17	17
4183	4033	-550	Max	17.31					-0.01	10			8.15	10		
4183	4033	-550	Max	21.63	2468.65	19	0.31	9	0.04	17	571.44	18	39.14	18	0.17	17
4183	4033	-550	Min.	0.00	946.59	16	-7.71	17	-0.07	9	309.13	17	-89.97	18	-0.08	18
4183	4033	-550	Min.	17.31					-0.01	10			8.15	10		
4183	4033	-550	Min.	21.63	949.88	16	-3.17	17	-0.00	9	292.42	17	18.62	17	-0.08	18
4183	-550	-566	Max	0.00	1109.67	19	-0.04	10	0.00	16	554.24	18	-34.01	17	0.20	17
4183	-550	-566	Max	21.63	1112.63	19	0.64	17	-0.01	16	503.46	18	50.56	18	0.20	17
4183	-550	-566	Min.	0.00	-67.10	16	-3.90	17	-0.19	17	283.10	17	-63.85	18	-0.03	18
4183	-550	-566	Min.	21.63	-63.81	16	-0.07	18	-0.54	17	266.39	17	25.42	17	-0.03	18
4183	-566	-582	Max	0.00	-20.00	17	0.55	17	0.01	18	472.23	18	-26.57	17	0.13	17
4183	-566	-582	Max	21.63	-18.64	17	5.09	17	0.00	10	421.45	18	47.55	18	0.13	17
4183	-566	-582	Min.	0.00	-919.06	16	-0.04	18	-0.76	17	243.73	17	-49.12	18	-0.03	18
4183	-566	-582	Min.	21.63	-915.78	16	-0.04	18	-0.15	17	227.02	17	24.35	17	-0.03	18
4183	-582	-598	Max	0.00	-547.79	17	6.49	17	0.02	18	407.02	18	-21.22	17	-0.01	16
4183	-582	-598	Max	21.63	-546.44	17	11.03	17	1.48	17	356.24	18	44.18	18	-0.01	16
4183	-582	-598	Min.	0.00	-1598.74	18	0.02	16	-0.42	17	214.39	17	-38.38	18	-0.23	17
4183	-582	-598	Min.	21.63	-1594.62	18	0.02	16	0.01	16	197.68	17	23.35	17	-0.23	17
4183	-598	-614	Max	0.00	-927.94	17	-0.02	9	1.52	17	290.24	18	-12.44	16	0.62	17
4183	-598	-614	Max	21.63	-926.59	17	-0.02	9	-0.02	16	239.46	18	33.23	18	0.62	17
4183	-598	-614	Min.	0.00	-2300.93	18	-10.42	17	-0.03	18	146.17	17	-24.70	9	-0.07	18
4183	-598	-614	Min.	21.63	-2296.81	18	-5.88	17	-0.24	17	129.47	17	16.88	17	-0.07	18
4183	-614	-630	Max	0.00	-1195.10	17	-0.06	10	0.00	16	244.05	18	-9.15	16	0.13	17
4183	-614	-630	Max	21.63	-1193.75	17	0.38	17	-0.01	16	199.32	9	28.34	18	0.13	17
4183	-614	-630	Min.	0.00	-2803.95	18	-4.17	17	-0.23	17	126.20	17	-20.22	9	-0.05	18
4183	-614	-630	Min.	21.63	-2799.83	18	-0.08	18	-0.64	17	102.66	16	14.67	17	-0.05	18
4183	-630	-646	Max	0.00	-1401.52	17	0.33	17	0.02	18	201.65	18	-5.63	16	-0.03	16
4183	-630	-646	Max	21.63	-1400.16	17	4.87	17	0.01	9	164.00	9	24.31	18	-0.03	16
4183	-630	-646	Min.	0.00	-3178.28	18	-0.08	18	-0.75	17	108.00	17	-15.79	9	-0.09	17
4183	-630	-646	Min.	21.63	-3174.16	18	-0.08	18	-0.19	17	72.41	16	13.00	17	-0.09	17
4183	-646	-662	Max	0.00	-1560.22	17	6.84	17	0.05	18	170.53	9	-1.94	16	-0.04	16
4183	-646	-662	Max	21.63	-1558.86	17	11.38	17	1.58	17	134.01	9	21.66	18	-0.04	16
4183	-646	-662	Min.	0.00	-3449.49	18	-0.02	16	-0.39	17	87.21	16	-11.40	9	-0.77	17
4183	-646	-662	Min.	21.63	-3445.37	18	-0.02	16	0.02	16	46.73	16	11.99	17	-0.77	17
4183	-662	-678	Max	0.00	-1622.56	17	0.11	18	1.59	17	100.22	9	5.71	16	1.01	17
4183	-662	-678	Max	8.65					-0.03	16			6.49	16		
4183	-662	-678	Max	21.63	-1621.20	17	0.11	18	-0.02	16	63.70	9	14.19	9	1.01	17
4183	-662	-678	Min.	0.00	-3626.82	18	-10.89	17	-0.06	18	17.11	16	-3.56	19	-0.03	9
4183	-662	-678	Min.	8.65					-0.03	16			6.49	16		
4183	-662	-678	Min.	21.63	-3622.70	18	-6.35	17	-0.27	17	-23.37	16	5.03	16	-0.03	9
4183	-678	-694	Max	0.00	-1685.45	17	0.03	18	-0.01	16	76.92	9	7.01	16	0.22	17
4183	-678	-694	Max	21.36					-0.01	18			8.54	18		
4183	-678	-694	Max	21.63	-1684.09	17	0.30	17	-0.00	16	40.40	9	11.05	9	0.22	17
4183	-678	-694	Min.	0.00	-3693.63	18	-4.25	17	-0.24	17	-2.80	16	-1.64	9	-0.02	9
4183	-678	-694	Min.	17.31					-0.01	20			6.30	20		
4183	-678	-694	Min.	21.63	-3689.51	18	0.02	16	-0.67	17	-43.28	16	2.03	16	-0.02	9

4183	-694	-710	Max	0.00	-1724.55	17	0.54	17	0.01	18	53.92	9	9.10	16	-0.01	16
4183	-694	-710	Max	8.65					0.01	18			7.17	18		
4183	-694	-710	Max	21.63	-1723.19	17	5.08	17	0.01	18	17.40	9	8.59	9	-0.01	16
4183	-694	-710	Min.	0.00	-3709.04	18	0.01	10	-0.80	17	-23.08	16	0.34	17	-0.16	17
4183	-694	-710	Min.	4.33					0.01	20			6.12	20		
4183	-694	-710	Min.	21.63	-3704.92	18	0.01	10	-0.19	17	-63.56	16	-0.28	16	-0.16	17
4183	-710	-726	Max	0.00	-1743.18	17	7.46	17	0.03	18	34.41	9	11.75	16	-0.02	16
4183	-710	-726	Max	19.84					0.04	9			7.32	9		
4183	-710	-726	Max	21.63	-1741.82	17	12.00	17	1.68	17	3.14	17	7.31	9	-0.02	16
4183	-710	-726	Min.	0.00	-3680.72	18	0.04	16	-0.42	17	-40.13	16	1.94	17	-1.12	17
4183	-710	-726	Min.	19.73					0.90	19			7.28	19		
4183	-710	-726	Min.	21.63	-3676.60	18	0.04	16	0.03	16	-80.61	16	-1.31	16	-1.12	17
4183	-726	-742	Max	0.00	-1735.91	17	0.09	18	1.70	17	-19.41	17	18.78	16	1.33	17
4183	-726	-742	Max	21.63	-1734.55	17	0.09	18	-0.01	16	-36.12	17	0.40	9	1.33	17
4183	-726	-742	Min.	0.00	-3584.04	18	-11.65	17	-0.04	18	-106.11	16	6.17	17	-0.00	16
4183	-726	-742	Min.	21.63	-3579.92	18	-7.11	17	-0.33	17	-146.59	16	-8.56	16	-0.00	16
4183	-742	-758	Max	0.00	-1700.70	17	0.06	18	-0.01	16	-27.15	17	18.99	16	0.28	17
4183	-742	-758	Max	17.31					-0.00	9			0.82	9		
4183	-742	-758	Max	21.63	-1699.35	17	0.06	18	0.00	9	-43.86	17	-1.44	17	0.28	17
4183	-742	-758	Min.	0.00	-3447.00	18	-4.60	17	-0.25	17	-120.13	16	6.24	17	-0.00	18
4183	-742	-758	Min.	17.31					-0.00	16			-4.60	16		
4183	-742	-758	Min.	21.63	-3442.88	18	-0.06	17	-0.76	17	-160.61	16	-11.38	16	-0.00	18
4183	-758	-774	Max	0.00	-1657.21	17	0.59	17	0.00	18	-34.14	17	19.58	16	-0.00	10
4183	-758	-774	Max	21.63	-1655.86	17	5.13	17	0.01	18	-50.85	17	-2.77	17	-0.00	10
4183	-758	-774	Min.	0.00	-3291.62	18	0.02	16	-0.85	17	-133.92	16	6.42	17	-0.26	17
4183	-758	-774	Min.	21.63	-3287.50	18	0.02	16	-0.23	17	-174.40	16	-13.77	16	-0.26	17
4183	-774	-790	Max	0.00	-1615.97	17	7.68	17	0.01	18	-47.32	17	18.05	16	-0.01	16
4183	-774	-790	Max	21.63	-1614.61	17	12.23	17	1.77	17	-64.03	17	-7.01	17	-0.01	16
4183	-774	-790	Min.	0.00	-3139.60	18	0.03	16	-0.39	17	-153.83	16	5.03	17	-1.37	17
4183	-774	-790	Min.	21.63	-3135.48	18	0.03	16	0.01	16	-200.21	18	-20.78	18	-1.37	17
4220	3007	-519	Max	0.00	23.29	16	5.76	19	-0.28	16	17.41	17	1.06	16	-0.01	16
4220	3007	-519	Max	0.84					-0.40	18			1.06	18		
4220	3007	-519	Max	16.72	25.29	16	5.76	19	0.48	19	7.13	17	0.89	17	-0.01	16
4220	3007	-519	Min.	0.00	-16.46	17	3.35	16	-0.48	19	-2.47	10	-1.16	17	-0.24	17
4220	3007	-519	Min.	9.28					0.05	19			0.34	19		
4220	3007	-519	Min.	16.72	-15.63	17	3.35	16	0.28	16	-29.31	18	-1.26	18	-0.24	17
4220	-519	-535	Max	0.00	70.20	16	7.24	19	-0.29	16	12.43	17	1.73	18	0.04	16
4220	-519	-535	Max	3.34					-0.35	19			0.68	19		
4220	-519	-535	Max	16.72	72.20	16	7.24	19	0.62	19	2.15	17	0.85	17	0.04	16
4220	-519	-535	Min.	0.00	-51.59	17	3.46	16	-0.59	19	-11.53	16	-0.37	17	-0.16	17
4220	-519	-535	Min.	3.34					-0.35	19			0.68	19		
4220	-519	-535	Min.	16.72	-50.76	17	3.46	16	0.29	16	-40.84	18	-2.53	18	-0.16	17
4220	-535	4034	Max	0.00	128.97	18	6.94	17	-0.27	16	-7.51	17	2.08	9	0.01	17
4220	-535	4034	Max	16.72	131.48	18	6.94	17	0.60	17	-17.78	17	-1.21	17	0.01	17
4220	-535	4034	Min.	0.00	-71.55	17	3.25	10	-0.57	19	-34.81	18	0.51	16	-0.02	18
4220	-535	4034	Min.	16.72	-70.72	17	3.25	10	0.27	10	-65.66	18	-6.75	18	-0.02	18
4220	4034	-551	Max	0.00	1308.64	9	-0.01	17	0.09	18	350.61	18	-24.83	17	-0.05	17
4220	4034	-551	Max	21.63	1311.60	9	-0.01	17	0.02	17	299.83	18	22.19	18	-0.05	17
4220	4034	-551	Min.	0.00	72.55	16	-1.26	18	0.02	17	169.30	17	-48.16	18	-0.19	18
4220	4034	-551	Min.	21.63	75.84	16	-1.26	18	-0.18	18	152.59	17	9.99	17	-0.19	18
4220	-551	-567	Max	0.00	559.33	9	-0.09	17	0.02	16	300.39	18	-17.28	17	-0.01	17
4220	-551	-567	Max	21.63	562.30	9	-0.09	17	-0.00	17	249.61	18	26.91	18	-0.01	17
4220	-551	-567	Min.	0.00	-432.49	16	-0.56	18	0.01	10	148.26	17	-32.58	18	-0.24	18
4220	-551	-567	Min.	21.63	-429.20	16	-0.56	18	-0.10	18	131.56	17	12.98	17	-0.24	18
4220	-567	-583	Max	0.00	-52.23	10	-0.05	17	0.08	18	246.10	18	-12.81	16	-0.01	17
4220	-567	-583	Max	21.63	-50.07	10	-0.05	17	-0.01	17	198.68	9	23.99	18	-0.01	17
4220	-567	-583	Min.	0.00	-829.21	16	-0.58	18	0.00	17	124.81	17	-24.53	9	-0.24	18
4220	-567	-583	Min.	21.63	-825.93	16	-0.58	18	-0.05	18	108.11	17	12.02	17	-0.24	18
4220	-583	-599	Max	0.00	-312.89	17	-0.02	17	0.12	18	200.24	18	-8.72	16	0.00	17

4220	-583	-599	Max	21.63	-311.53	17	-0.02	17	0.04	9	160.15	9	20.17	18	0.00	17
4220	-583	-599	Min.	0.00	-1110.03	16	-0.45	18	-0.00	17	104.60	17	-19.06	9	-0.27	18
4220	-583	-599	Min.	21.63	-1106.74	16	-0.45	18	-0.01	17	78.32	16	10.45	17	-0.27	18
4220	-599	-615	Max	0.00	-516.04	17	0.12	9	-0.02	17	177.37	18	-6.54	16	-0.05	17
4220	-599	-615	Max	21.63	-514.68	17	0.12	9	-0.03	17	137.64	19	18.41	18	-0.05	17
4220	-599	-615	Min.	0.00	-1395.03	18	-0.05	17	-0.10	18	96.15	17	-15.92	19	-0.11	18
4220	-599	-615	Min.	21.63	-1390.91	18	-0.05	17	-0.08	18	61.01	16	10.04	17	-0.11	18
4220	-615	-631	Max	0.00	-677.78	17	-0.06	17	0.01	16	142.87	19	-3.17	16	-0.04	17
4220	-615	-631	Max	21.63	-676.42	17	-0.06	17	-0.01	17	106.35	19	15.25	19	-0.04	17
4220	-615	-631	Min.	0.00	-1663.15	18	-0.15	18	0.00	10	74.09	16	-11.71	19	-0.10	18
4220	-615	-631	Min.	21.63	-1659.03	18	-0.15	18	-0.03	18	33.61	16	8.48	16	-0.10	18
4220	-631	-647	Max	0.00	-799.61	17	-0.05	17	0.06	18	115.17	19	-0.48	16	-0.04	17
4220	-631	-647	Max	21.63	-798.25	17	-0.05	17	0.02	9	78.66	19	12.63	19	-0.04	17
4220	-631	-647	Min.	0.00	-1846.20	18	-0.16	18	0.01	17	49.75	16	-8.34	19	-0.11	18
4220	-631	-647	Min.	21.63	-1842.08	18	-0.16	18	0.00	17	9.27	16	5.91	16	-0.11	18
4220	-647	-663	Max	0.00	-889.13	17	0.04	9	0.11	18	89.10	19	1.67	16	-0.04	17
4220	-647	-663	Max	12.98					0.06	16			3.51	16		
4220	-647	-663	Max	21.63	-887.78	17	0.04	9	0.11	9	52.58	19	9.72	19	-0.04	17
4220	-647	-663	Min.	0.00	-1962.55	18	-0.05	16	0.03	17	26.34	16	-5.61	19	-0.14	18
4220	-647	-663	Min.	12.98					0.06	16			3.51	16		
4220	-647	-663	Min.	21.63	-1958.43	18	-0.05	16	0.03	17	-14.14	16	2.98	16	-0.14	18
4220	-663	-679	Max	0.00	-887.26	17	0.27	18	-0.03	17	83.03	9	1.45	16	-0.02	16
4220	-663	-679	Max	14.65					-0.05	16			3.43	16		
4220	-663	-679	Max	21.63	-885.90	17	0.27	18	-0.03	17	46.51	9	9.08	19	-0.02	16
4220	-663	-679	Min.	0.00	-1838.50	18	0.03	17	-0.13	18	27.27	16	-4.96	9	-0.06	9
4220	-663	-679	Min.	14.65					-0.05	16			3.43	16		
4220	-663	-679	Min.	21.63	-1834.37	18	0.03	17	-0.07	9	-13.21	16	2.97	16	-0.06	9
4220	-679	-695	Max	0.00	-931.65	17	0.10	18	-0.00	17	59.77	9	4.14	16	-0.02	16
4220	-679	-695	Max	17.65					-0.01	18			5.23	18		
4220	-679	-695	Max	21.63	-930.30	17	0.10	18	0.00	16	23.26	9	6.95	19	-0.02	16
4220	-679	-695	Min.	0.00	-1884.90	18	-0.02	17	-0.03	9	5.55	16	-2.04	9	-0.05	9
4220	-679	-695	Min.	17.31					-0.00	16			2.30	16		
4220	-679	-695	Min.	21.63	-1880.77	18	-0.02	17	-0.01	9	-34.93	16	0.96	16	-0.05	9
4220	-695	-711	Max	0.00	-957.53	17	0.07	18	0.02	18	38.64	9	6.24	16	-0.03	16
4220	-695	-711	Max	7.40					0.03	18			4.66	18		
4220	-695	-711	Max	21.63	-956.17	17	0.07	18	0.04	18	4.41	17	4.73	19	-0.03	16
4220	-695	-711	Min.	0.00	-1891.04	18	-0.03	17	0.01	17	-14.23	16	0.09	17	-0.05	9
4220	-695	-711	Min.	4.33					0.02	20			4.09	20		
4220	-695	-711	Min.	21.63	-1886.92	18	-0.03	17	0.01	17	-54.71	16	-1.22	16	-0.05	9
4220	-711	-727	Max	0.00	-967.62	17	0.18	18	0.07	9	18.04	9	7.99	16	-0.04	17
4220	-711	-727	Max	10.64					0.08	19			3.29	19		
4220	-711	-727	Max	21.63	-966.26	17	0.18	18	0.11	18	-5.71	17	2.27	19	-0.04	17
4220	-711	-727	Min.	0.00	-1863.13	18	0.02	17	0.03	17	-33.93	16	1.20	17	-0.09	18
4220	-711	-727	Min.	13.16					0.03	17			1.98	17		
4220	-711	-727	Min.	21.63	-1859.01	18	0.02	17	0.03	17	-74.41	16	-3.73	16	-0.09	18
4220	-727	-743	Max	0.00	-966.41	17	0.51	18	-0.06	17	12.47	9	8.13	16	0.09	16
4220	-727	-743	Max	6.99					-0.10	19			3.37	19		
4220	-727	-743	Max	21.63	-965.05	17	0.51	18	-0.00	16	-15.41	17	1.61	9	0.09	16
4220	-727	-743	Min.	0.00	-1831.19	18	0.19	17	-0.15	18	-36.14	16	2.23	17	0.01	9
4220	-727	-743	Min.	1.41					-0.06	17			2.25	17		
4220	-727	-743	Min.	21.63	-1827.07	18	0.19	17	-0.05	9	-76.62	16	-4.06	16	0.01	9
4220	-743	-759	Max	0.00	-951.76	17	0.41	18	-0.02	17	-7.04	10	10.33	16	0.07	16
4220	-743	-759	Max	21.63	-950.40	17	0.41	18	0.04	16	-24.75	17	-0.33	10	0.07	16
4220	-743	-759	Min.	0.00	-1767.23	18	0.14	17	-0.06	18	-55.00	16	3.16	17	0.01	17
4220	-743	-759	Min.	21.63	-1763.11	18	0.14	17	0.01	17	-95.48	16	-5.94	16	0.01	17
4220	-759	-775	Max	0.00	-928.66	17	0.37	18	0.00	19	-16.05	17	11.73	16	0.06	16
4220	-759	-775	Max	21.63	-927.30	17	0.37	18	0.07	18	-32.76	17	-1.56	17	0.06	16
4220	-759	-775	Min.	0.00	-1683.19	18	0.13	17	-0.02	16	-71.64	16	3.72	17	0.01	17
4220	-759	-775	Min.	21.63	-1679.06	18	0.13	17	0.03	17	-112.12	16	-8.15	16	0.01	17

4220	-775	-791	Max	0.00	-903.41	17	0.41	18	0.05	9	-28.22	17	11.51	16	0.05	16
4220	-775	-791	Max	21.63	-902.05	17	0.41	18	0.12	18	-44.93	17	-4.76	17	0.05	16
4220	-775	-791	Min.	0.00	-1590.94	18	0.14	17	0.01	16	-92.65	16	3.16	17	-0.01	9
4220	-775	-791	Min.	21.63	-1586.81	18	0.14	17	0.05	17	-137.53	18	-13.62	18	-0.01	9
4221	3008	-520	Max	0.00	49.32	19	5.22	18	-0.27	17	-10.17	10	2.32	17	-0.00	16
4221	3008	-520	Max	16.72	49.45	19	6.61	19	0.49	19	-11.60	10	-1.00	10	-0.00	16
4221	3008	-520	Min.	0.00	26.12	10	2.12	17	-0.44	18	-28.96	17	0.82	10	-0.24	17
4221	3008	-520	Min.	16.72	26.24	10	3.31	16	0.28	16	-30.16	17	-2.62	17	-0.24	17
4221	-520	-536	Max	0.00	181.19	17	6.10	19	-0.28	16	1.74	9	-0.11	17	0.04	16
4221	-520	-536	Max	16.72	181.29	17	8.28	17	0.64	19	0.09	9	-0.04	10	0.04	16
4221	-520	-536	Min.	0.00	90.08	10	3.43	16	-0.56	19	-3.20	17	-0.21	18	-0.16	17
4221	-520	-536	Min.	16.72	90.20	10	3.43	16	0.29	16	-4.41	17	-0.74	17	-0.16	17
4221	-536	4036	Max	0.00	245.05	19	6.87	19	-0.27	16	-15.40	16	1.87	19	0.03	16
4221	-536	4036	Max	16.72	245.18	19	9.46	17	0.73	17	-17.14	16	-2.80	10	0.03	16
4221	-536	4036	Min.	0.00	119.29	16	3.24	16	-0.59	19	-38.08	19	-0.13	16	-0.10	17
4221	-536	4036	Min.	16.72	119.43	16	3.24	16	0.27	16	-39.73	19	-4.63	19	-0.10	17
4221	4036	-552	Max	0.00	1244.64	19	-0.57	10	1.26	17	255.39	18	-20.44	16	0.17	17
4221	4036	-552	Max	21.63	1244.84	19	-0.57	10	-0.06	17	252.91	19	17.56	18	0.17	17
4221	4036	-552	Min.	0.00	-46.99	16	-8.40	17	0.02	10	153.72	17	-39.26	19	-0.22	18
4221	4036	-552	Min.	21.63	-46.78	16	-3.85	17	-0.16	18	151.23	16	9.48	17	-0.22	18
4221	-552	-568	Max	0.00	588.45	19	-0.36	10	0.03	16	237.36	19	-14.36	16	0.13	17
4221	-552	-568	Max	21.63	588.65	19	0.52	17	-0.07	10	234.93	19	22.92	18	0.13	17
4221	-552	-568	Min.	0.00	-439.00	16	-4.03	17	-0.20	17	136.39	16	-29.19	19	-0.24	18
4221	-552	-568	Min.	21.63	-438.79	16	-0.59	18	-0.58	17	133.81	16	13.17	17	-0.24	18
4221	-568	-584	Max	0.00	6.91	10	0.38	17	0.08	18	209.60	19	-11.36	16	0.05	17
4221	-568	-584	Max	21.63	7.07	10	4.92	17	-0.03	10	207.17	19	22.45	18	0.05	17
4221	-568	-584	Min.	0.00	-777.94	16	-0.60	18	-0.73	17	120.15	16	-23.48	19	-0.24	18
4221	-568	-584	Min.	21.63	-777.73	16	-0.60	18	-0.16	17	117.57	16	12.93	17	-0.24	18
4221	-584	-600	Max	0.00	-279.56	17	6.37	17	0.13	18	188.62	19	-8.77	16	-0.17	10
4221	-584	-600	Max	21.63	-279.42	17	10.91	17	1.50	17	186.19	19	22.10	18	-0.17	10
4221	-584	-600	Min.	0.00	-1046.70	16	-0.47	18	-0.37	17	107.10	16	-19.24	19	-0.35	19
4221	-584	-600	Min.	21.63	-1046.49	16	-0.47	18	-0.01	16	104.52	16	12.80	17	-0.35	19
4221	-600	-616	Max	0.00	-481.62	17	0.12	9	1.46	17	124.02	9	-2.26	16	0.61	17
4221	-600	-616	Max	21.63	-481.49	17	0.12	9	-0.05	16	121.59	9	15.18	19	0.61	17
4221	-600	-616	Min.	0.00	-1252.70	18	-10.24	17	-0.10	18	51.40	16	-11.38	9	-0.11	18
4221	-600	-616	Min.	21.63	-1252.46	18	-5.69	17	-0.26	17	48.82	16	8.58	16	-0.11	18
4221	-616	-632	Max	0.00	-622.56	17	-0.08	10	0.01	16	113.17	9	-2.33	16	0.12	17
4221	-616	-632	Max	21.63	-622.42	17	0.44	17	-0.02	16	110.74	9	13.79	9	0.12	17
4221	-616	-632	Min.	0.00	-1478.08	18	-4.10	17	-0.24	17	46.22	16	-10.43	9	-0.10	18
4221	-616	-632	Min.	21.63	-1477.84	18	-0.15	18	-0.64	17	43.64	16	7.39	16	-0.10	18
4221	-632	-648	Max	0.00	-735.77	17	0.39	17	0.06	18	102.01	9	-1.60	16	-0.07	10
4221	-632	-648	Max	21.63	-735.63	17	4.93	17	0.02	9	99.58	9	12.91	9	-0.07	10
4221	-632	-648	Min.	0.00	-1658.49	18	-0.16	18	-0.75	17	39.89	16	-8.90	9	-0.13	19
4221	-632	-648	Min.	21.63	-1658.24	18	-0.16	18	-0.17	17	37.31	16	6.75	16	-0.13	19
4221	-648	-664	Max	0.00	-826.77	17	6.97	17	0.11	18	93.90	9	-0.26	16	-0.09	10
4221	-648	-664	Max	21.63	-826.63	17	11.52	17	1.64	17	91.47	9	13.10	9	-0.09	10
4221	-648	-664	Min.	0.00	-1801.24	18	-0.05	16	-0.36	17	36.22	16	-6.95	9	-0.79	17
4221	-648	-664	Min.	21.63	-1801.00	18	-0.05	16	0.06	16	33.65	16	7.27	17	-0.79	17
4221	-664	-680	Max	0.00	-882.90	17	0.29	18	1.53	17	33.96	9	6.38	16	0.98	17
4221	-664	-680	Max	1.95					-0.10	20			3.75	20		
4221	-664	-680	Max	21.63	-882.76	17	0.29	18	-0.04	16	31.53	9	6.87	9	0.98	17
4221	-664	-680	Min.	0.00	-1857.91	18	-10.75	17	-0.13	18	-24.49	16	-0.24	10	-0.06	9
4221	-664	-680	Min.	1.95					-0.10	20			3.75	20		
4221	-664	-680	Min.	21.63	-1857.67	18	-6.21	17	-0.30	17	-27.07	16	0.80	16	-0.06	9
4221	-680	-696	Max	0.00	-914.20	17	0.11	18	-0.02	16	30.83	9	5.23	16	0.21	17
4221	-680	-696	Max	17.31					-0.00	16			0.87	16		
4221	-680	-696	Max	21.63	-914.07	17	0.37	17	0.00	16	28.40	9	5.62	9	0.21	17
4221	-680	-696	Min.	0.00	-1875.49	18	-4.18	17	-0.26	17	-24.13	16	-0.79	9	-0.05	9
4221	-680	-696	Min.	17.31					-0.00	16			0.87	16		

4221	-680	-696	Min.	21.63	-1875.25	18	0.07	10	-0.67	17	-26.71	16	-0.27	16	-0.05	9
4221	-696	-712	Max	0.00	-935.92	17	0.60	17	0.02	18	25.90	9	5.31	16	-0.03	16
4221	-696	-712	Max	10.87					0.03	18			3.06	18		
4221	-696	-712	Max	21.63	-935.78	17	5.15	17	0.04	18	23.47	9	5.07	9	-0.03	16
4221	-696	-712	Min.	0.00	-1879.34	18	0.05	10	-0.80	17	-26.05	16	-0.27	9	-0.18	17
4221	-696	-712	Min.	10.87					0.03	18			3.06	18		
4221	-696	-712	Min.	21.63	-1879.10	18	0.05	10	-0.17	17	-28.63	16	-0.61	16	-0.18	17
4221	-712	-728	Max	0.00	-949.55	17	7.57	17	0.07	9	23.54	9	6.13	16	-0.06	16
4221	-712	-728	Max	6.10					0.08	18			4.24	18		
4221	-712	-728	Max	21.63	-949.42	17	12.11	17	1.73	17	21.12	9	5.72	9	-0.06	16
4221	-712	-728	Min.	0.00	-1871.64	18	0.12	16	-0.40	17	-25.36	16	0.71	17	-1.14	17
4221	-712	-728	Min.	6.10					0.08	18			4.24	18		
4221	-712	-728	Min.	21.63	-1871.40	18	0.12	16	0.06	16	-27.94	16	0.37	16	-1.14	17
4221	-728	-744	Max	0.00	-942.18	17	0.53	18	1.64	17	-16.03	17	11.78	16	1.34	17
4221	-728	-744	Max	21.63	-942.05	17	0.53	18	-0.01	16	-17.72	17	0.14	10	1.34	17
4221	-728	-744	Min.	0.00	-1809.38	18	-11.45	17	-0.15	18	-78.15	16	3.73	17	0.01	9
4221	-728	-744	Min.	21.63	-1809.14	18	-6.91	17	-0.35	17	-80.73	16	-5.41	16	0.01	9
4221	-744	-760	Max	0.00	-924.34	17	0.43	18	-0.04	10	-16.86	17	10.29	16	0.30	17
4221	-744	-760	Max	21.63	-924.21	17	0.43	18	0.04	16	-18.54	17	-0.61	17	0.30	17
4221	-744	-760	Min.	0.00	-1735.05	18	-4.45	17	-0.28	17	-75.79	16	3.21	17	0.01	10
4221	-744	-760	Min.	21.63	-1734.81	18	0.10	17	-0.75	17	-78.37	16	-6.39	16	0.01	10
4221	-760	-776	Max	0.00	-904.24	17	0.73	17	0.00	9	-18.04	17	9.72	16	0.06	16
4221	-760	-776	Max	21.63	-904.10	17	5.27	17	0.07	18	-19.72	17	-1.03	17	0.06	16
4221	-760	-776	Min.	0.00	-1660.12	18	0.20	10	-0.85	17	-74.97	16	3.06	17	-0.25	17
4221	-760	-776	Min.	21.63	-1659.88	18	0.20	10	-0.20	17	-77.55	16	-6.78	16	-0.25	17
4221	-776	-792	Max	0.00	-886.71	17	7.84	17	0.05	9	-21.78	17	8.56	16	0.05	16
4221	-776	-792	Max	21.63	-886.58	17	12.38	17	1.82	17	-23.47	17	-2.57	17	0.05	16
4221	-776	-792	Min.	0.00	-1593.72	18	0.23	10	-0.37	17	-75.95	16	2.32	17	-1.36	17
4221	-776	-792	Min.	21.63	-1593.47	18	0.23	10	0.09	16	-78.53	16	-8.15	16	-1.36	17
4385	-785	-777	Max	0.00	-833.64	17	0.31	19	-0.06	16	36.99	9	2.73	16	-0.00	17
4385	-785	-777	Max	21.63	-833.78	17	0.31	19	-0.03	17	34.56	9	3.77	9	-0.00	17
4385	-785	-777	Min.	0.00	-1565.40	18	0.01	16	-0.12	19	-28.15	16	-3.97	9	-0.05	16
4385	-785	-777	Min.	21.63	-1565.57	18	0.01	16	-0.07	18	-29.24	16	-3.48	16	-0.05	16
4385	-777	-761	Max	0.00	-849.07	17	0.27	19	-0.02	16	32.07	9	4.66	16	0.01	9
4385	-777	-761	Max	21.63	-849.21	17	0.27	19	-0.00	17	29.64	9	5.03	9	0.01	9
4385	-777	-761	Min.	0.00	-1558.18	18	-0.02	16	-0.06	19	-35.03	16	-1.64	9	-0.05	16
4385	-777	-761	Min.	21.63	-1558.34	18	-0.02	16	-0.02	16	-36.12	16	-3.04	16	-0.05	16
4385	-761	-745	Max	0.00	-866.46	17	0.30	19	0.02	16	31.16	9	5.16	16	0.01	9
4385	-761	-745	Max	21.63	-866.60	17	0.30	19	0.05	19	28.73	9	5.43	9	0.01	9
4385	-761	-745	Min.	0.00	-1564.08	9	-0.01	16	-0.01	19	-38.24	16	-1.05	9	-0.05	16
4385	-761	-745	Min.	21.63	-1564.28	9	-0.01	16	0.01	16	-39.33	16	-3.23	16	-0.05	16
4385	-745	-729	Max	0.00	-825.62	16	0.42	19	0.07	18	31.19	9	5.74	16	0.01	10
4385	-745	-729	Max	21.63	-825.70	16	0.42	19	0.14	19	28.77	9	6.59	9	0.01	10
4385	-745	-729	Min.	0.00	-1594.26	9	0.07	16	0.03	17	-42.00	16	0.10	9	-0.07	16
4385	-745	-729	Min.	21.63	-1594.46	9	0.07	16	0.07	16	-43.09	16	-3.47	16	-0.07	16
4385	-729	-713	Max	0.00	-770.99	16	0.23	19	-0.08	16	-11.53	17	7.99	18	-0.05	16
4385	-729	-713	Max	21.63	-771.08	16	0.23	19	-0.05	17	-13.22	17	0.90	9	-0.05	16
4385	-729	-713	Min.	0.00	-1614.65	9	0.10	16	-0.13	19	-53.65	16	3.14	17	-0.09	19
4385	-729	-713	Min.	21.63	-1614.85	9	0.10	16	-0.08	18	-54.74	16	-4.83	16	-0.09	19
4385	-713	-697	Max	0.00	-693.60	16	0.10	19	-0.02	16	-13.76	17	7.68	18	-0.03	17
4385	-713	-697	Max	21.63	-693.69	16	0.10	19	-0.01	17	-15.44	17	-0.18	10	-0.03	17
4385	-713	-697	Min.	0.00	-1587.73	9	0.02	16	-0.04	19	-58.70	16	2.94	17	-0.06	18
4385	-713	-697	Min.	21.63	-1587.93	9	0.02	16	-0.02	18	-59.80	16	-5.57	16	-0.06	18
4385	-697	-681	Max	0.00	-603.25	16	0.12	19	0.02	18	-17.29	17	8.30	18	-0.03	17
4385	-697	-681	Max	21.63	-603.34	16	0.12	19	0.04	19	-18.97	17	-0.59	17	-0.03	17
4385	-697	-681	Min.	0.00	-1547.59	9	0.02	16	0.01	17	-64.33	16	3.33	17	-0.06	18
4385	-697	-681	Min.	21.63	-1547.79	9	0.02	16	0.02	16	-65.42	16	-6.29	16	-0.06	18
4385	-681	-665	Max	0.00	-497.36	16	0.32	19	0.08	18	-19.89	17	9.48	18	-0.04	17
4385	-681	-665	Max	21.63	-497.45	16	0.32	19	0.15	19	-21.57	17	-0.21	9	-0.04	17

4385	-681	-665	Min.	0.00	-1491.72	9	0.13	16	0.06	17	-70.05	16	4.10	17	-0.08	18
4385	-681	-665	Min.	21.63	-1491.92	9	0.13	16	0.09	16	-71.14	16	-6.89	16	-0.08	18
4385	-665	-649	Max	0.00	-377.82	16	0.12	16	-0.09	10	-53.39	17	14.53	18	-0.05	16
4385	-665	-649	Max	21.63	-377.91	16	0.12	16	-0.06	16	-55.08	17	-4.16	17	-0.05	16
4385	-665	-649	Min.	0.00	-1403.12	9	0.04	10	-0.13	19	-111.80	18	7.57	17	-0.13	19
4385	-665	-649	Min.	21.63	-1403.31	9	0.04	10	-0.12	19	-113.88	18	-9.88	18	-0.13	19
4385	-649	-633	Max	0.00	-220.18	16	-0.00	16	-0.02	10	-58.85	17	14.62	18	-0.04	16
4385	-649	-633	Max	21.63	-220.27	16	-0.00	16	-0.02	16	-60.53	17	-5.35	17	-0.04	16
4385	-649	-633	Min.	0.00	-1239.03	9	-0.12	19	-0.03	19	-121.58	18	7.56	17	-0.10	19
4385	-649	-633	Min.	21.63	-1239.22	9	-0.12	19	-0.06	19	-123.65	18	-11.91	18	-0.10	19
4385	-633	-617	Max	0.00	-33.42	16	-0.01	16	0.02	18	-66.01	17	15.53	18	-0.04	16
4385	-633	-617	Max	21.63	-33.51	16	-0.01	16	0.01	16	-67.69	17	-6.35	17	-0.04	16
4385	-633	-617	Min.	0.00	-1037.04	9	-0.11	9	0.01	17	-134.15	18	8.11	17	-0.09	19
4385	-633	-617	Min.	21.63	-1037.24	9	-0.11	9	0.00	9	-136.22	18	-13.71	18	-0.09	19
4385	-617	-601	Max	0.00	189.24	16	0.20	17	0.08	19	-72.96	17	16.84	18	-0.05	17
4385	-617	-601	Max	21.63	189.15	16	0.20	17	0.13	19	-74.64	17	-7.16	17	-0.05	17
4385	-617	-601	Min.	0.00	-789.34	9	0.10	10	0.04	16	-146.99	18	8.80	17	-0.10	18
4385	-617	-601	Min.	21.63	-789.53	9	0.10	10	0.07	16	-149.06	18	-15.18	18	-0.10	18
4385	-601	-585	Max	0.00	457.31	16	-0.00	16	-0.03	10	-92.67	17	21.19	18	-0.08	16
4385	-601	-585	Max	21.63	457.22	16	-0.00	16	-0.05	16	-94.36	17	-9.88	17	-0.08	16
4385	-601	-585	Min.	0.00	-455.18	9	-0.45	19	-0.06	18	-197.87	18	10.35	17	-0.30	19
4385	-601	-585	Min.	21.63	-455.37	9	-0.45	19	-0.15	19	-199.94	18	-21.84	18	-0.30	19
4385	-585	-569	Max	0.00	791.60	16	-0.12	16	0.05	19	-104.83	17	21.70	18	-0.07	16
4385	-585	-569	Max	21.63	791.51	16	-0.12	16	-0.02	16	-106.52	17	-11.94	17	-0.07	16
4385	-585	-569	Min.	0.00	5.80	9	-0.61	19	0.00	16	-220.32	18	10.92	17	-0.27	19
4385	-585	-569	Min.	21.63	5.61	9	-0.61	19	-0.08	19	-222.39	18	-26.19	18	-0.27	19
4385	-569	-553	Max	0.00	1197.86	16	-0.12	16	0.11	19	-119.19	17	21.83	18	-0.07	16
4385	-569	-553	Max	21.63	1197.77	16	-0.12	16	0.01	16	-120.88	17	-14.85	17	-0.07	16
4385	-569	-553	Min.	0.00	309.65	17	-0.61	19	0.03	16	-249.59	18	11.12	17	-0.27	19
4385	-569	-553	Min.	21.63	309.52	17	-0.61	19	-0.02	19	-251.66	18	-32.39	18	-0.27	19
4385	-553	4285	Max	0.00	1781.12	18	-0.08	16	0.19	19	-130.09	17	15.27	9	-0.08	16
4385	-553	4285	Max	21.63	1780.95	18	-0.08	16	0.04	16	-131.77	17	-20.27	17	-0.08	16
4385	-553	4285	Min.	0.00	643.47	17	-0.98	19	0.06	16	-265.32	18	7.56	16	-0.25	19
4385	-553	4285	Min.	21.63	643.33	17	-0.98	19	-0.02	19	-267.39	18	-43.07	18	-0.25	19
4385	4285	-537	Max	0.00	145.88	18	5.24	18	0.19	17	33.32	18	-0.11	17	0.13	17
4385	4285	-537	Max	16.72	145.76	18	5.24	18	0.41	18	31.88	18	2.13	16	0.13	17
4385	4285	-537	Min.	0.00	-49.49	17	-2.06	17	-0.46	18	3.46	17	-3.44	9	0.00	16
4385	4285	-537	Min.	16.72	-49.59	17	-2.06	17	-0.16	17	2.26	17	0.37	17	0.00	16
4385	-537	-521	Max	0.00	90.01	9	5.36	18	0.08	17	11.31	9	1.19	17	0.22	17
4385	-537	-521	Max	5.54					-0.08	19			0.12	19		
4385	-537	-521	Max	16.72	89.88	9	5.36	18	0.45	18	9.66	9	0.77	9	0.22	17
4385	-537	-521	Min.	0.00	-31.69	17	-0.88	17	-0.45	18	-10.70	17	-0.98	9	-0.00	16
4385	-537	-521	Min.	5.54					-0.08	19			0.12	19		
4385	-537	-521	Min.	16.72	-31.79	17	-0.88	17	-0.06	17	-11.90	17	-0.70	17	-0.00	16
4385	-521	3313	Max	0.00	35.46	9	5.11	18	-0.14	17	13.12	9	0.96	17	0.23	17
4385	-521	3313	Max	13.38					0.22	19			0.02	19		
4385	-521	3313	Max	16.72	35.32	9	5.11	18	0.43	18	11.47	9	1.06	9	0.23	17
4385	-521	3313	Min.	0.00	-8.65	17	1.77	17	-0.43	18	-11.95	17	-0.99	9	-0.02	18
4385	-521	3313	Min.	13.38					0.22	19			0.02	19		
4385	-521	3313	Min.	16.72	-8.75	17	1.77	17	0.15	17	-13.15	17	-1.14	17	-0.02	18
4386	-786	-778	Max	0.00	-821.55	17	0.28	9	1.69	17	84.00	9	2.09	16	1.36	17
4386	-786	-778	Max	21.63	-822.90	17	0.28	9	-0.04	10	47.48	9	5.58	9	1.36	17
4386	-786	-778	Min.	0.00	-1566.82	18	-12.04	17	-0.11	9	-29.26	16	-8.64	9	-0.05	16
4386	-786	-778	Min.	21.63	-1569.02	18	-7.50	17	-0.42	17	-30.12	16	-4.33	16	-0.05	16
4386	-778	-762	Max	0.00	-845.13	17	0.24	9	-0.02	16	60.04	9	4.76	16	0.27	17
4386	-778	-762	Max	14.92					-0.03	18			2.48	18		
4386	-778	-762	Max	21.63	-846.48	17	0.24	9	-0.00	10	23.52	9	6.40	9	0.27	17
4386	-778	-762	Min.	0.00	-1567.92	18	-4.97	17	-0.27	17	-37.20	16	-2.64	9	-0.05	16
4386	-778	-762	Min.	4.63					-0.03	20			1.81	20		

4386	-778	-762	Min.	21.63	-1570.12	18	-0.43	17	-0.85	17	-38.06	16	-3.38	16	-0.05	16
4386	-762	-746	Max	0.00	-866.08	17	0.32	19	0.01	16	43.57	9	5.33	16	0.01	9
4386	-762	-746	Max	4.33					0.01	18			3.11	18		
4386	-762	-746	Max	21.63	-867.43	17	4.78	17	0.04	9	7.06	9	5.11	9	0.01	9
4386	-762	-746	Min.	0.00	-1582.49	9	-0.01	16	-0.77	17	-40.06	16	-0.37	9	-0.28	17
4386	-762	-746	Min.	4.33					0.01	18			3.11	18		
4386	-762	-746	Min.	21.63	-1585.45	9	-0.01	16	-0.22	17	-40.92	16	-3.43	16	-0.28	17
4386	-746	-730	Max	0.00	-823.17	16	7.36	17	0.06	18	24.05	9	5.97	16	0.01	10
4386	-746	-730	Max	13.16					0.10	9			3.31	9		
4386	-746	-730	Max	21.63	-823.24	16	11.90	17	1.78	17	-3.46	17	2.86	9	0.01	10
4386	-746	-730	Min.	0.00	-1603.90	9	0.06	16	-0.30	17	-44.09	16	0.87	17	-1.33	17
4386	-746	-730	Min.	17.31					1.29	17			2.00	17		
4386	-746	-730	Min.	21.63	-1606.86	9	0.06	16	0.07	16	-44.95	16	-3.66	16	-1.33	17
4386	-730	-714	Max	0.00	-747.98	16	0.16	18	1.61	17	18.48	9	7.42	16	1.05	17
4386	-730	-714	Max	10.95					-0.09	9			3.26	9		
4386	-730	-714	Max	21.63	-748.05	16	0.16	18	-0.05	10	-11.12	17	2.30	9	1.05	17
4386	-730	-714	Min.	0.00	-1594.85	9	-11.94	17	-0.12	18	-57.98	16	1.71	17	-0.08	18
4386	-730	-714	Min.	7.24					0.81	17			1.91	17		
4386	-730	-714	Min.	21.63	-1597.82	9	-7.40	17	-0.48	17	-58.84	16	-5.22	16	-0.08	18
4386	-714	-698	Max	0.00	-665.52	16	0.05	9	-0.02	16	-2.12	9	7.66	16	0.12	17
4386	-714	-698	Max	21.63	-665.59	16	0.05	9	-0.01	16	-21.29	17	0.31	9	0.12	17
4386	-714	-698	Min.	0.00	-1580.44	9	-5.09	17	-0.21	17	-62.75	16	2.83	17	-0.06	18
4386	-714	-698	Min.	21.63	-1583.40	9	-0.55	17	-0.82	17	-64.09	18	-6.01	16	-0.06	18
4386	-698	-682	Max	0.00	-569.39	16	0.07	9	0.02	18	-15.24	17	9.46	18	-0.04	10
4386	-698	-682	Max	21.63	-569.46	16	4.24	17	0.03	18	-31.95	17	-1.16	17	-0.04	10
4386	-698	-682	Min.	0.00	-1536.49	9	-0.30	17	-0.66	17	-68.52	16	3.95	17	-0.27	17
4386	-698	-682	Min.	21.63	-1539.45	9	0.01	16	-0.23	17	-82.28	18	-6.76	16	-0.27	17
4386	-682	-666	Max	0.00	-457.27	16	6.46	17	0.08	18	-26.88	17	11.28	18	-0.05	10
4386	-682	-666	Max	21.63	-457.34	16	11.00	17	1.67	17	-43.59	17	-2.59	17	-0.05	10
4386	-682	-666	Min.	0.00	-1457.66	9	0.11	16	-0.22	17	-75.24	18	5.04	17	-1.06	17
4386	-682	-666	Min.	21.63	-1460.62	9	0.11	16	0.08	16	-102.25	18	-7.92	18	-1.06	17
4386	-666	-650	Max	0.00	-478.13	16	0.11	16	1.52	17	-31.35	17	12.16	18	0.67	17
4386	-666	-650	Max	21.63	-478.19	16	0.11	16	-0.06	16	-48.05	17	-3.04	17	0.67	17
4386	-666	-650	Min.	0.00	-1554.26	9	-11.45	17	-0.12	18	-88.29	16	5.54	17	-0.12	9
4386	-666	-650	Min.	21.63	-1557.23	9	-6.91	17	-0.46	17	-111.16	18	-9.08	16	-0.12	9
4386	-650	-634	Max	0.00	-315.60	16	-0.01	16	-0.02	10	-44.47	17	14.55	18	0.01	17
4386	-650	-634	Max	21.63	-315.67	16	-0.01	16	-0.02	16	-61.18	17	-4.43	17	0.01	17
4386	-650	-634	Min.	0.00	-1406.74	9	-5.04	17	-0.20	17	-107.11	18	6.99	17	-0.09	9
4386	-650	-634	Min.	21.63	-1409.70	9	-0.50	17	-0.80	17	-134.12	18	-11.54	18	-0.09	9
4386	-634	-618	Max	0.00	-123.66	16	-0.02	16	0.02	18	-58.50	17	16.76	18	-0.04	16
4386	-634	-618	Max	21.63	-123.73	16	4.00	17	0.01	16	-75.21	17	-6.11	17	-0.04	16
4386	-634	-618	Min.	0.00	-1202.74	19	-0.55	17	-0.62	17	-131.83	18	8.35	17	-0.21	17
4386	-634	-618	Min.	21.63	-1205.70	19	-0.11	9	-0.24	17	-158.84	18	-14.68	18	-0.21	17
4386	-618	-602	Max	0.00	105.23	16	5.84	17	0.08	18	-74.48	17	19.00	18	-0.06	16
4386	-618	-602	Max	21.63	105.16	16	10.38	17	1.57	17	-91.19	17	-8.03	17	-0.06	16
4386	-618	-602	Min.	0.00	-923.91	19	0.09	10	-0.18	17	-159.94	18	9.89	17	-0.71	17
4386	-618	-602	Min.	21.63	-926.87	19	0.09	10	0.07	16	-186.94	18	-18.53	18	-0.71	17
4386	-602	-586	Max	0.00	391.76	16	-0.02	16	1.46	17	-104.33	17	20.83	18	0.09	17
4386	-602	-586	Max	21.63	391.69	16	-0.02	16	-0.05	16	-121.04	17	-11.72	17	0.09	17
4386	-602	-586	Min.	0.00	-546.86	9	-11.26	17	-0.06	18	-186.23	18	12.66	17	-0.22	9
4386	-602	-586	Min.	21.63	-549.83	9	-6.72	17	-0.49	17	-213.24	18	-22.38	18	-0.22	9
4386	-586	-570	Max	0.00	746.39	16	-0.13	16	0.04	9	-124.84	17	23.09	18	-0.08	16
4386	-586	-570	Max	21.63	746.33	16	-0.13	16	-0.02	16	-141.55	17	-15.02	17	-0.08	16
4386	-586	-570	Min.	0.00	-67.13	9	-5.42	17	-0.12	17	-221.80	18	13.79	17	-0.29	19
4386	-586	-570	Min.	21.63	-70.10	9	-0.88	17	-0.80	17	-248.81	18	-27.81	18	-0.29	19
4386	-570	-554	Max	0.00	1177.89	16	-0.13	16	0.08	9	-151.42	17	25.00	19	-0.08	16
4386	-570	-554	Max	21.63	1177.82	16	3.57	17	0.01	16	-168.13	17	-19.74	17	-0.08	16
4386	-570	-554	Min.	0.00	369.01	17	-0.98	17	-0.49	17	-265.97	18	14.00	16	-0.34	17
4386	-570	-554	Min.	21.63	367.65	17	-0.45	9	-0.21	17	-292.98	18	-35.95	18	-0.34	17

4386	-554	4287	Max	0.00	1852.01	18	2.66	17	0.17	19	-170.72	17	19.16	19	-0.06	16
4386	-554	4287	Max	21.63	1849.81	18	7.20	17	1.19	17	-184.65	16	-27.57	17	-0.06	16
4386	-554	4287	Min.	0.00	821.00	17	-1.07	9	0.07	16	-297.09	18	8.23	16	-0.31	17
4386	-554	4287	Min.	21.63	819.65	17	-1.07	9	-0.08	9	-325.77	19	-49.79	18	-0.31	17
4386	4287	-538	Max	0.00	228.17	17	4.14	9	0.27	17	65.40	19	-2.15	16	-0.01	16
4386	4287	-538	Max	16.72	227.34	17	4.14	9	0.35	9	43.16	19	2.73	18	-0.01	16
4386	4287	-538	Min.	0.00	58.43	16	-4.07	17	-0.34	9	26.83	16	-6.79	19	-0.03	19
4386	4287	-538	Min.	16.72	58.37	16	-0.56	17	-0.12	17	26.12	16	1.53	17	-0.03	19
4386	-538	-522	Max	0.00	138.30	17	5.37	18	0.13	17	42.61	19	-0.20	16	0.22	17
4386	-538	-522	Max	16.72	137.47	17	5.37	18	0.45	18	27.66	17	2.24	17	0.22	17
4386	-538	-522	Min.	0.00	25.54	16	-2.63	17	-0.45	18	5.27	16	-3.24	17	-0.00	16
4386	-538	-522	Min.	16.72	25.49	16	0.88	17	-0.01	17	4.56	16	0.62	16	-0.00	16
4386	-522	3314	Max	0.00	48.87	17	5.08	18	-0.08	17	36.12	19	-0.52	16	0.23	17
4386	-522	3314	Max	16.72	48.04	17	5.22	19	0.43	18	25.83	17	2.72	17	0.23	17
4386	-522	3314	Min.	0.00	10.12	16	-0.25	17	-0.42	18	7.38	16	-2.46	17	-0.03	18
4386	-522	3314	Min.	16.72	10.06	16	3.04	16	0.17	17	1.53	9	0.65	16	-0.03	18
4423	-787	-779	Max	0.00	-1680.31	17	0.07	19	-0.01	16	122.36	19	3.05	16	-0.01	17
4423	-787	-779	Max	21.63	-1681.66	17	0.07	19	-0.01	16	85.84	19	9.27	19	-0.01	17
4423	-787	-779	Min.	0.00	-3104.14	18	0.03	16	-0.03	19	-42.60	16	-13.25	19	-0.01	18
4423	-787	-779	Min.	21.63	-3106.33	18	0.03	16	-0.01	19	-43.46	16	-6.26	16	-0.01	18
4423	-779	-763	Max	0.00	-1721.95	17	0.05	19	-0.01	16	96.32	19	7.25	16	-0.00	17
4423	-779	-763	Max	17.31					-0.00	17			4.93	17		
4423	-779	-763	Max	21.63	-1723.31	17	0.05	19	0.00	17	59.80	19	11.72	19	-0.00	17
4423	-779	-763	Min.	0.00	-3113.03	18	0.02	16	-0.01	19	-54.21	16	-5.16	19	-0.01	9
4423	-779	-763	Min.	12.98					-0.00	20			2.74	20		
4423	-779	-763	Min.	21.63	-3115.22	18	0.02	16	-0.00	18	-55.07	16	-4.57	16	-0.01	9
4423	-763	-747	Max	0.00	-1744.69	16	0.07	19	0.00	17	81.94	19	8.04	16	-0.00	16
4423	-763	-747	Max	16.76					0.01	18			4.88	18		
4423	-763	-747	Max	21.63	-1744.76	16	0.07	19	0.01	19	45.42	19	11.21	19	-0.00	16
4423	-763	-747	Min.	0.00	-3136.98	19	0.03	16	0.00	18	-57.34	16	-2.57	19	-0.00	19
4423	-763	-747	Min.	2.63									3.71	20		
4423	-763	-747	Min.	21.63	-3139.94	19	0.03	16	0.01	16	-58.20	16	-4.46	16	-0.00	19
4423	-747	-731	Max	0.00	-1666.96	16	0.11	19	0.02	19	65.62	19	8.98	16	-0.00	16
4423	-747	-731	Max	4.33					0.02	18			5.85	18		
4423	-747	-731	Max	21.63	-1667.03	16	0.11	19	0.05	19	29.11	19	10.65	19	-0.00	16
4423	-747	-731	Min.	0.00	-3199.75	19	0.05	16	0.01	16	-62.18	16	0.17	17	-0.01	17
4423	-747	-731	Min.	4.33					0.02	18			5.85	18		
4423	-747	-731	Min.	21.63	-3202.71	19	0.05	16	0.02	16	-63.04	16	-4.56	16	-0.01	17
4423	-731	-715	Max	0.00	-1574.16	16	0.14	17	-0.03	16	2.15	9	11.46	18	-0.02	17
4423	-731	-715	Max	1.17					-0.06	19			7.35	19		
4423	-731	-715	Max	21.63	-1574.23	16	0.14	17	-0.02	16	-20.41	17	3.82	19	-0.02	17
4423	-731	-715	Min.	0.00	-3232.98	19	0.03	16	-0.07	19	-85.25	16	4.56	17	-0.04	18
4423	-731	-715	Min.	1.28					-0.04	9			7.31	9		
4423	-731	-715	Min.	21.63	-3235.94	19	0.03	16	-0.04	19	-86.11	16	-7.11	16	-0.04	18
4423	-715	-699	Max	0.00	-1453.81	16	0.09	17	-0.01	16	-13.29	17	12.60	18	-0.01	17
4423	-715	-699	Max	17.31					-0.00	17			1.56	17		
4423	-715	-699	Max	21.63	-1453.88	16	0.09	17	0.00	17	-30.00	17	0.88	9	-0.01	17
4423	-715	-699	Min.	0.00	-3202.92	19	0.00	16	-0.02	19	-91.33	16	5.01	17	-0.03	18
4423	-715	-699	Min.	17.31					-0.00	17			1.56	17		
4423	-715	-699	Min.	21.63	-3205.88	19	0.00	16	-0.01	18	-92.19	16	-8.21	16	-0.03	18
4423	-699	-683	Max	0.00	-1314.24	16	0.11	17	0.01	18	-25.03	17	14.72	18	-0.01	17
4423	-699	-683	Max	21.63	-1314.31	16	0.11	17	0.03	17	-41.74	17	-0.95	17	-0.01	17
4423	-699	-683	Min.	0.00	-3134.20	19	0.01	16	0.00	17	-98.97	16	6.27	17	-0.02	18
4423	-699	-683	Min.	21.63	-3137.16	19	0.01	16	0.01	16	-111.94	18	-9.17	16	-0.02	18
4423	-683	-667	Max	0.00	-1152.09	16	0.20	17	0.04	19	-36.64	17	17.41	18	-0.02	17
4423	-683	-667	Max	21.63	-1152.16	16	0.20	17	0.08	19	-53.35	17	-1.75	17	-0.02	17
4423	-683	-667	Min.	0.00	-3019.93	19	0.05	16	0.02	16	-106.97	16	7.98	17	-0.03	18
4423	-683	-667	Min.	21.63	-3022.89	19	0.05	16	0.03	16	-133.07	18	-9.97	16	-0.03	18
4423	-667	-651	Max	0.00	-975.41	16	0.11	17	-0.03	16	-81.75	17	23.62	18	-0.03	16

4423	-667	-651	Max	21.63	-975.48	16	0.11	17	-0.03	16	-98.46	17	-6.80	17	-0.03	16
4423	-667	-651	Min.	0.00	-2797.95	9	-0.01	10	-0.07	19	-166.48	18	12.69	17	-0.07	19
4423	-667	-651	Min.	21.63	-2800.92	9	-0.01	10	-0.06	19	-193.49	18	-15.32	18	-0.07	19
4423	-651	-635	Max	0.00	-732.77	16	0.02	17	-0.00	10	-97.22	17	25.45	18	-0.03	16
4423	-651	-635	Max	21.63	-732.84	16	0.02	17	-0.01	16	-113.93	17	-9.25	17	-0.03	16
4423	-651	-635	Min.	0.00	-2509.39	9	-0.07	9	-0.02	17	-193.78	18	13.59	17	-0.05	19
4423	-651	-635	Min.	21.63	-2512.36	9	-0.07	9	-0.03	19	-220.79	18	-19.39	18	-0.05	19
4423	-635	-619	Max	0.00	-446.59	16	0.02	17	0.02	18	-115.93	17	28.22	18	-0.03	17
4423	-635	-619	Max	21.63	-446.66	16	0.02	17	0.01	17	-132.63	17	-11.64	17	-0.03	17
4423	-635	-619	Min.	0.00	-2130.76	9	-0.08	9	0.00	17	-226.07	18	15.24	17	-0.05	18
4423	-635	-619	Min.	21.63	-2133.72	9	-0.08	9	-0.00	9	-253.08	18	-23.61	18	-0.05	18
4423	-619	-603	Max	0.00	-106.00	16	0.18	17	0.04	19	-136.14	17	31.55	18	-0.03	17
4423	-619	-603	Max	21.63	-106.07	16	0.18	17	0.07	17	-152.85	17	-14.03	17	-0.03	17
4423	-619	-603	Min.	0.00	-1639.69	9	-0.02	10	0.02	16	-261.82	18	17.23	17	-0.06	18
4423	-619	-603	Min.	21.63	-1642.65	9	-0.02	10	0.02	16	-288.83	18	-28.01	18	-0.06	18
4423	-603	-587	Max	0.00	313.39	16	0.07	18	-0.02	10	-184.68	17	39.54	9	-0.01	16
4423	-603	-587	Max	21.63	313.32	16	0.07	18	-0.01	16	-201.39	17	-20.21	17	-0.01	16
4423	-603	-587	Min.	0.00	-977.83	9	-0.06	17	-0.05	17	-347.12	18	21.55	17	-0.12	17
4423	-603	-587	Min.	21.63	-980.79	9	-0.06	17	-0.07	17	-374.12	18	-38.99	18	-0.12	17
4423	-587	-571	Max	0.00	851.58	16	0.01	16	0.01	17	-214.00	17	42.11	9	-0.01	16
4423	-587	-571	Max	12.98					-0.00	16			-8.51	16		
4423	-587	-571	Max	21.63	851.51	16	0.01	16	0.00	16	-230.70	17	-25.16	17	-0.01	16
4423	-587	-571	Min.	0.00	-67.23	19	-0.17	17	-0.00	16	-397.99	18	22.01	16	-0.10	17
4423	-587	-571	Min.	12.98					-0.00	16			-8.51	16		
4423	-587	-571	Min.	21.63	-70.19	19	-0.17	17	-0.03	17	-425.81	9	-47.88	18	-0.10	17
4423	-571	-555	Max	0.00	1625.34	18	-0.01	16	0.05	17	-250.22	17	44.22	9	-0.01	16
4423	-571	-555	Max	21.63	1623.15	18	-0.01	16	0.01	17	-266.57	16	-32.00	17	-0.01	16
4423	-571	-555	Min.	0.00	603.58	17	-0.15	17	0.01	16	-463.87	18	21.98	16	-0.10	17
4423	-571	-555	Min.	21.63	602.22	17	-0.15	17	0.00	10	-495.88	9	-60.67	18	-0.10	17
4423	-555	4288	Max	0.00	2950.75	18	0.37	18	0.10	17	-278.68	16	32.82	9	-0.04	16
4423	-555	4288	Max	21.63	2948.56	18	0.37	18	0.08	18	-279.54	16	-44.62	17	-0.04	16
4423	-555	4288	Min.	0.00	1329.52	17	-0.28	17	-0.00	10	-512.23	9	13.61	16	-0.09	19
4423	-555	4288	Min.	21.63	1328.16	17	-0.28	17	0.04	17	-548.74	9	-82.69	18	-0.09	19
4423	4288	-539	Max	0.00	364.87	9	2.60	18	0.25	17	90.90	9	-4.00	16	0.05	9
4423	4288	-539	Max	16.72	363.07	9	2.60	18	0.18	18	68.66	9	4.01	18	0.05	9
4423	4288	-539	Min.	0.00	110.95	17	-2.98	17	-0.25	18	40.30	17	-9.94	9	0.02	16
4423	4288	-539	Min.	16.72	110.12	17	-2.98	17	-0.25	17	30.02	17	1.71	17	0.02	16
4423	-539	-523	Max	0.00	225.98	9	2.14	18	0.19	17	52.55	9	-0.79	17	0.16	17
4423	-539	-523	Max	16.72	224.17	9	2.14	18	0.17	18	30.31	9	2.86	9	0.16	17
4423	-539	-523	Min.	0.00	74.59	17	-2.16	17	-0.18	18	13.48	17	-4.07	9	-0.07	9
4423	-539	-523	Min.	16.72	73.75	17	-2.16	17	-0.17	17	3.20	17	0.61	17	-0.07	9
4423	-523	3315	Max	0.00	90.22	9	2.04	18	-0.04	17	49.88	9	-0.68	17	0.15	17
4423	-523	3315	Max	16.72	88.41	9	2.04	18	0.17	18	27.65	9	3.23	9	0.15	17
4423	-523	3315	Min.	0.00	40.01	17	0.41	17	-0.17	18	12.07	17	-3.25	9	-0.11	9
4423	-523	3315	Min.	16.72	39.18	17	0.41	17	0.03	17	1.79	17	0.48	17	-0.11	9
4424	-788	-780	Max	0.00	-1635.03	17	0.06	9	1.74	17	125.12	19	2.99	16	1.35	17
4424	-788	-780	Max	21.63	-1636.46	17	0.06	9	-0.01	16	86.39	19	9.39	19	1.35	17
4424	-788	-780	Min.	0.00	-3085.39	18	-12.18	17	-0.03	18	-42.41	16	-13.49	19	-0.01	18
4424	-788	-780	Min.	21.63	-3087.71	18	-7.64	17	-0.40	17	-43.25	16	-6.27	16	-0.01	18
4424	-780	-764	Max	0.00	-1676.92	17	0.04	9	-0.01	16	97.89	19	7.25	16	0.26	17
4424	-780	-764	Max	12.98					-0.01	20			2.79	20		
4424	-780	-764	Max	21.63	-1678.36	17	0.04	9	-0.00	10	59.16	19	11.81	19	0.26	17
4424	-780	-764	Min.	0.00	-3094.92	18	-5.09	17	-0.24	17	-54.16	16	-5.18	19	-0.01	16
4424	-780	-764	Min.	12.98					-0.01	20			2.79	20		
4424	-780	-764	Min.	21.63	-3097.24	18	-0.55	17	-0.85	17	-55.00	16	-4.56	16	-0.01	16
4424	-764	-748	Max	0.00	-1720.76	17	0.11	17	0.00	16	82.46	19	8.04	16	-0.00	10
4424	-764	-748	Max	16.19					0.01	18			4.93	18		
4424	-764	-748	Max	21.63	-1722.20	17	4.65	17	0.01	18	43.73	19	11.18	19	-0.00	10
4424	-764	-748	Min.	0.00	-3106.23	18	0.02	16	-0.76	17	-57.27	16	-2.47	19	-0.29	17

4424	-764	-748	Min.	2.83									3.77	20		
4424	-764	-748	Min.	21.63	-3108.55	18	0.02	16	-0.24	17	-58.12	16	-4.44	16	-0.29	17
4424	-748	-732	Max	0.00	-1654.94	16	7.19	17	0.02	18	64.88	19	9.02	16	-0.00	10
4424	-748	-732	Max	4.33					0.02	18			5.97	18		
4424	-748	-732	Max	21.63	-1655.01	16	11.73	17	1.73	17	26.15	19	10.43	19	-0.00	10
4424	-748	-732	Min.	0.00	-3163.13	9	0.04	16	-0.31	17	-62.04	16	0.27	17	-1.34	17
4424	-748	-732	Min.	4.33					0.02	18			5.97	18		
4424	-748	-732	Min.	21.63	-3166.28	9	0.04	16	0.02	16	-62.89	16	-4.49	16	-1.34	17
4424	-732	-716	Max	0.00	-1555.51	16	0.06	18	1.64	17	2.59	9	11.66	16	1.08	17
4424	-732	-716	Max	1.32					0.86	19			7.42	19		
4424	-732	-716	Max	21.63	-1555.58	16	0.06	18	-0.02	16	-21.39	17	3.73	9	1.08	17
4424	-732	-716	Min.	0.00	-3180.94	9	-11.95	17	-0.05	18	-87.03	16	4.60	17	-0.04	18
4424	-732	-716	Min.	1.44					-0.04	9			7.37	9		
4424	-732	-716	Min.	21.63	-3184.08	9	-7.40	17	-0.45	17	-87.88	16	-7.26	16	-0.04	18
4424	-716	-700	Max	0.00	-1432.93	16	0.02	18	-0.01	16	-13.81	17	12.87	18	0.14	17
4424	-716	-700	Max	21.63	-1433.00	16	0.02	18	-0.01	16	-31.49	17	0.69	9	0.14	17
4424	-716	-700	Min.	0.00	-3149.20	9	-5.07	17	-0.20	17	-93.16	16	5.12	17	-0.02	18
4424	-716	-700	Min.	21.63	-3152.35	9	-0.53	17	-0.81	17	-94.60	18	-8.40	16	-0.02	18
4424	-700	-684	Max	0.00	-1290.65	16	0.03	18	0.01	18	-26.09	17	15.09	18	-0.02	16
4424	-700	-684	Max	21.63	-1290.72	16	4.27	17	0.02	18	-43.78	17	-1.12	17	-0.02	16
4424	-700	-684	Min.	0.00	-3077.26	9	-0.27	17	-0.66	17	-100.92	16	6.43	17	-0.24	17
4424	-700	-684	Min.	21.63	-3080.40	9	0.01	16	-0.23	17	-116.13	18	-9.39	16	-0.24	17
4424	-684	-668	Max	0.00	-1125.25	16	6.45	17	0.04	18	-38.34	17	17.88	18	-0.02	10
4424	-684	-668	Max	21.63	-1125.32	16	10.99	17	1.65	17	-56.02	17	-2.04	17	-0.02	10
4424	-684	-668	Min.	0.00	-2957.86	9	0.06	16	-0.24	17	-109.70	18	8.16	17	-1.03	17
4424	-684	-668	Min.	21.63	-2961.00	9	0.06	16	0.03	16	-138.33	18	-10.17	16	-1.03	17
4424	-668	-652	Max	0.00	-1017.84	16	0.05	18	1.53	17	-80.08	17	24.13	18	0.71	17
4424	-668	-652	Max	21.63	-1017.91	16	0.05	18	-0.03	16	-97.76	17	-6.65	17	0.71	17
4424	-668	-652	Min.	0.00	-2894.72	19	-11.37	17	-0.06	18	-170.03	18	12.58	17	-0.06	18
4424	-668	-652	Min.	21.63	-2897.86	19	-6.83	17	-0.44	17	-198.66	18	-15.75	18	-0.06	18
4424	-652	-636	Max	0.00	-769.23	16	-0.01	16	-0.01	16	-96.25	17	26.12	18	0.04	17
4424	-652	-636	Max	21.63	-769.30	16	-0.01	16	-0.01	16	-113.93	17	-9.08	17	0.04	17
4424	-652	-636	Min.	0.00	-2598.17	19	-4.94	17	-0.20	17	-198.65	18	13.66	17	-0.04	18
4424	-652	-636	Min.	21.63	-2601.31	19	-0.39	17	-0.78	17	-227.28	18	-19.95	18	-0.04	18
4424	-636	-620	Max	0.00	-476.12	16	-0.02	16	0.01	18	-115.38	17	28.99	18	-0.03	16
4424	-636	-620	Max	21.63	-476.19	16	4.09	17	0.01	18	-133.06	17	-11.48	17	-0.03	16
4424	-636	-620	Min.	0.00	-2208.61	19	-0.45	17	-0.63	17	-232.18	18	15.40	17	-0.18	17
4424	-636	-620	Min.	21.63	-2211.76	19	-0.04	9	-0.23	17	-260.81	18	-24.34	18	-0.18	17
4424	-620	-604	Max	0.00	-127.86	16	5.87	17	0.04	18	-136.42	17	32.33	18	-0.03	16
4424	-620	-604	Max	21.63	-127.93	16	10.41	17	1.56	17	-154.10	17	-13.81	17	-0.03	16
4424	-620	-604	Min.	0.00	-1703.06	19	0.03	10	-0.20	17	-269.41	18	17.62	17	-0.68	17
4424	-620	-604	Min.	21.63	-1706.20	19	0.03	10	0.03	16	-298.04	18	-29.05	18	-0.68	17
4424	-604	-588	Max	0.00	306.51	16	0.08	18	1.44	17	-199.77	17	40.09	19	0.21	17
4424	-604	-588	Max	21.63	306.44	16	0.08	18	-0.02	16	-213.59	16	-21.59	17	0.21	17
4424	-604	-588	Min.	0.00	-1006.66	19	-10.95	17	-0.05	18	-346.57	18	21.55	16	-0.03	18
4424	-604	-588	Min.	21.63	-1009.81	19	-6.40	17	-0.44	17	-377.52	19	-39.18	18	-0.03	18
4424	-588	-572	Max	0.00	846.50	16	-0.00	16	-0.00	10	-230.10	17	42.85	19	-0.01	16
4424	-588	-572	Max	21.63	846.43	16	-0.00	16	-0.00	16	-236.30	16	-26.99	17	-0.01	16
4424	-588	-572	Min.	0.00	-80.22	9	-5.10	17	-0.15	17	-398.64	18	22.05	16	-0.15	17
4424	-588	-572	Min.	21.63	-83.36	9	-0.56	17	-0.76	17	-434.17	19	-48.07	18	-0.15	17
4424	-572	-556	Max	0.00	1616.10	18	0.00	16	0.02	18	-266.21	16	45.10	19	-0.02	16
4424	-572	-556	Max	21.63	1613.77	18	3.88	17	0.02	18	-267.05	16	-34.57	17	-0.02	16
4424	-572	-556	Min.	0.00	653.12	17	-0.66	17	-0.53	17	-467.87	19	22.01	16	-0.23	17
4424	-572	-556	Min.	21.63	651.68	17	-0.01	18	-0.18	17	-506.60	19	-60.97	18	-0.23	17
4424	-556	4290	Max	0.00	2948.87	18	3.09	17	0.08	19	-279.54	16	33.45	19	0.02	9
4424	-556	4290	Max	21.63	2946.55	18	7.64	17	1.22	17	-280.38	16	-46.92	16	0.02	9
4424	-556	4290	Min.	0.00	1435.57	17	-0.55	18	0.03	16	-521.40	19	13.65	16	-0.19	17
4424	-556	4290	Min.	21.63	1434.13	17	-0.55	18	-0.06	18	-560.13	19	-83.54	19	-0.19	17
4424	4290	-540	Max	0.00	340.02	19	0.76	9	0.39	17	91.59	19	-3.31	16	-0.05	16

4424	4290	-540	Max	16.72	338.10	19	0.76	9	0.08	18	68.01	19	3.84	18	-0.05	16
4424	4290	-540	Min.	0.00	118.94	16	-5.51	17	-0.05	9	37.22	16	-9.98	19	-0.12	19
4424	4290	-540	Min.	16.72	118.89	16	-2.00	17	-0.24	17	36.52	16	2.08	17	-0.12	19
4424	-540	-524	Max	0.00	202.04	19	2.16	18	0.23	17	54.41	19	-0.54	16	0.16	17
4424	-540	-524	Max	16.72	200.13	19	2.16	18	0.17	18	34.21	17	2.97	19	0.16	17
4424	-540	-524	Min.	0.00	64.08	16	-3.91	17	-0.19	18	8.66	16	-4.16	19	-0.07	9
4424	-540	-524	Min.	16.72	64.02	16	-0.39	17	-0.13	17	7.96	16	0.85	16	-0.07	9
4424	-524	3316	Max	0.00	73.23	19	2.13	18	0.01	17	50.43	19	-0.94	16	0.20	17
4424	-524	3316	Max	16.72	71.31	19	2.69	19	0.18	18	33.68	17	3.41	17	0.20	17
4424	-524	3316	Min.	0.00	26.62	16	-1.28	17	-0.18	18	12.27	16	-3.19	19	-0.05	9
4424	-524	3316	Min.	16.72	26.57	16	1.30	16	0.09	17	11.57	16	1.05	16	-0.05	9
4461	-789	-781	Max	0.00	-1643.80	17	0.00	17	0.03	18	124.94	9	3.00	16	0.01	18
4461	-789	-781	Max	21.63	-1645.24	17	0.00	17	0.01	18	86.21	9	9.36	9	0.01	18
4461	-789	-781	Min.	0.00	-3084.73	18	-0.05	9	0.00	17	-42.45	16	-13.47	9	0.01	17
4461	-789	-781	Min.	21.63	-3087.05	18	-0.05	9	0.00	17	-43.29	16	-6.28	16	0.01	17
4461	-781	-765	Max	0.00	-1685.23	17	0.01	17	0.01	18	97.71	9	7.26	16	0.01	16
4461	-781	-765	Max	12.98					0.01	20			2.79	20		
4461	-781	-765	Max	21.63	-1686.66	17	0.01	17	0.00	19	58.97	9	11.78	9	0.01	16
4461	-781	-765	Min.	0.00	-3094.21	18	-0.04	9	0.00	17	-54.19	16	-5.17	9	0.00	17
4461	-781	-765	Min.	12.98					0.01	20			2.79	20		
4461	-781	-765	Min.	21.63	-3096.53	18	-0.04	9	0.00	10	-55.04	16	-4.56	16	0.00	17
4461	-765	-749	Max	0.00	-1728.48	17	0.01	17	0.00	19	82.27	9	8.05	16	0.01	16
4461	-765	-749	Max	16.16					-0.01	18			4.92	18		
4461	-765	-749	Max	21.63	-1729.91	17	0.01	17	0.00	17	43.53	9	11.14	9	0.01	16
4461	-765	-749	Min.	0.00	-3105.46	18	-0.05	9	0.00	16	-57.31	16	-2.46	9	0.00	17
4461	-765	-749	Min.	2.78									3.77	20		
4461	-765	-749	Min.	21.63	-3107.78	18	-0.05	9	-0.01	18	-58.16	16	-4.44	16	0.00	17
4461	-749	-733	Max	0.00	-1654.33	16	0.01	17	0.00	17	64.68	9	9.02	16	0.01	16
4461	-749	-733	Max	4.33					-0.02	18			5.97	18		
4461	-749	-733	Max	21.63	-1654.40	16	0.01	17	0.00	17	25.94	9	10.39	9	0.01	16
4461	-749	-733	Min.	0.00	-3164.53	19	-0.08	18	-0.02	18	-62.08	16	0.26	17	-0.00	17
4461	-749	-733	Min.	4.33					-0.02	18			5.97	18		
4461	-749	-733	Min.	21.63	-3167.67	19	-0.08	18	-0.03	18	-62.93	16	-4.50	16	-0.00	17
4461	-733	-717	Max	0.00	-1555.21	16	0.09	17	0.04	18	2.79	19	11.66	16	0.04	18
4461	-733	-717	Max	1.43					0.04	9			7.38	9		
4461	-733	-717	Max	21.63	-1555.28	16	0.09	17	0.03	18	-20.65	17	3.73	19	0.04	18
4461	-733	-717	Min.	0.00	-3187.36	19	-0.06	18	-0.02	17	-87.06	16	4.45	17	0.02	17
4461	-733	-717	Min.	17.31					-0.00	17			2.72	17		
4461	-733	-717	Min.	21.63	-3190.50	19	-0.06	18	0.00	17	-87.91	16	-7.26	16	0.02	17
4461	-717	-701	Max	0.00	-1432.60	16	0.08	17	0.01	18	-13.10	17	12.87	18	0.03	18
4461	-717	-701	Max	21.63	-1432.66	16	0.08	17	0.01	19	-30.79	17	0.70	19	0.03	18
4461	-717	-701	Min.	0.00	-3155.83	19	-0.02	9	-0.01	17	-93.19	16	5.01	17	0.01	17
4461	-717	-701	Min.	21.63	-3158.97	19	-0.02	9	0.01	16	-94.64	18	-8.40	16	0.01	17
4461	-701	-685	Max	0.00	-1290.27	16	0.09	17	-0.00	17	-25.34	17	15.10	18	0.02	18
4461	-701	-685	Max	21.63	-1290.33	16	0.09	17	0.01	17	-43.02	17	-1.07	17	0.02	18
4461	-701	-685	Min.	0.00	-3084.15	19	-0.03	9	-0.01	18	-100.95	16	6.32	17	0.01	17
4461	-701	-685	Min.	21.63	-3087.29	19	-0.03	9	-0.02	18	-116.17	18	-9.39	16	0.01	17
4461	-685	-669	Max	0.00	-1124.82	16	0.11	17	0.00	17	-37.51	17	17.88	18	0.03	18
4461	-685	-669	Max	21.63	-1124.89	16	0.11	17	0.02	17	-55.20	17	-1.96	17	0.03	18
4461	-685	-669	Min.	0.00	-2965.01	19	-0.11	18	-0.04	18	-109.75	18	8.07	17	0.01	17
4461	-685	-669	Min.	21.63	-2968.15	19	-0.11	18	-0.06	18	-138.38	18	-10.18	16	0.01	17
4461	-669	-653	Max	0.00	-1017.54	16	0.10	17	0.06	18	-81.76	17	24.13	18	0.06	18
4461	-669	-653	Max	21.63	-1017.61	16	0.10	17	0.05	18	-99.44	17	-6.89	17	0.06	18
4461	-669	-653	Min.	0.00	-2875.63	9	-0.05	18	-0.02	17	-170.07	18	12.71	17	0.02	17
4461	-669	-653	Min.	21.63	-2878.78	9	-0.05	18	-0.00	17	-198.70	18	-15.76	18	0.02	17
4461	-653	-637	Max	0.00	-768.88	16	0.08	17	0.01	18	-97.88	17	26.13	18	0.04	18
4461	-653	-637	Max	21.63	-768.95	16	0.08	17	0.02	18	-115.57	17	-9.39	17	0.04	18
4461	-653	-637	Min.	0.00	-2578.34	9	0.02	16	-0.02	17	-198.69	18	13.70	17	0.02	17
4461	-653	-637	Min.	21.63	-2581.49	9	0.02	16	0.00	17	-227.31	18	-19.95	18	0.02	17

4461	-637	-621	Max	0.00	-475.72	16	0.10	17	-0.01	16	-117.14	17	28.99	18	0.05	19
4461	-637	-621	Max	21.63	-475.79	16	0.10	17	0.01	17	-134.83	17	-11.86	17	0.05	19
4461	-637	-621	Min.	0.00	-2187.91	9	0.02	16	-0.02	19	-232.22	18	15.40	17	0.03	16
4461	-637	-621	Min.	21.63	-2191.05	9	0.02	16	-0.01	18	-260.85	18	-24.34	18	0.03	16
4461	-621	-605	Max	0.00	-127.41	16	0.20	17	-0.00	17	-138.01	17	32.33	18	0.06	19
4461	-621	-605	Max	21.63	-127.48	16	0.20	17	0.04	17	-155.70	17	-14.41	17	0.06	19
4461	-621	-605	Min.	0.00	-1681.94	9	-0.05	18	-0.04	18	-269.45	18	17.36	17	0.03	16
4461	-621	-605	Min.	21.63	-1685.08	9	-0.05	18	-0.05	18	-298.08	18	-29.06	18	0.03	16
4461	-605	-589	Max	0.00	306.81	16	-0.06	16	0.04	18	-179.68	17	39.30	9	0.03	18
4461	-605	-589	Max	21.63	306.74	16	-0.06	16	0.03	18	-197.36	17	-19.86	17	0.03	18
4461	-605	-589	Min.	0.00	-995.58	9	-0.15	17	-0.02	17	-346.59	18	20.92	17	-0.11	17
4461	-605	-589	Min.	21.63	-998.72	9	-0.15	17	-0.05	17	-375.21	18	-39.18	18	-0.11	17
4461	-589	-573	Max	0.00	846.84	16	0.02	18	0.01	17	-209.33	17	42.19	9	0.03	18
4461	-589	-573	Max	21.63	846.78	16	0.02	18	0.01	18	-227.01	17	-24.70	17	0.03	18
4461	-589	-573	Min.	0.00	-82.69	19	-0.16	17	0.00	10	-398.67	18	22.06	16	-0.08	17
4461	-589	-573	Min.	21.63	-85.84	19	-0.16	17	-0.03	17	-427.96	9	-48.08	18	-0.08	17
4461	-573	-557	Max	0.00	1616.61	18	0.01	18	0.03	17	-245.46	17	44.42	9	0.03	18
4461	-573	-557	Max	21.63	1614.28	18	0.01	18	0.01	17	-263.14	17	-31.48	17	0.03	18
4461	-573	-557	Min.	0.00	585.13	17	-0.13	17	-0.02	18	-465.42	18	22.02	16	-0.08	17
4461	-573	-557	Min.	21.63	583.70	17	-0.13	17	-0.02	18	-499.18	9	-60.97	18	-0.08	17
4461	-557	4291	Max	0.00	2949.46	18	0.55	18	0.07	17	-276.09	17	33.05	9	-0.01	16
4461	-557	4291	Max	21.63	2947.13	18	0.55	18	0.06	18	-280.40	16	-44.04	17	-0.01	16
4461	-557	4291	Min.	0.00	1299.69	17	-0.23	17	-0.06	18	-515.02	9	13.65	16	-0.05	17
4461	-557	4291	Min.	21.63	1298.25	17	-0.23	17	0.02	17	-553.75	9	-83.29	18	-0.05	17
4461	4291	-541	Max	0.00	262.15	9	-0.24	16	0.37	17	83.91	9	-3.31	16	0.11	9
4461	4291	-541	Max	16.72	260.24	9	-0.24	16	-0.04	16	60.42	18	3.84	18	0.11	9
4461	4291	-541	Min.	0.00	43.83	17	-4.25	17	0.01	16	34.45	17	-8.86	9	0.05	16
4461	4291	-541	Min.	16.72	42.95	17	-4.25	17	-0.34	17	23.59	17	1.53	17	0.05	16
4461	-541	-525	Max	0.00	154.76	9	-1.27	16	0.34	17	42.75	9	-0.00	17	0.25	17
4461	-541	-525	Max	9.28					-0.02	17			0.29	17		
4461	-541	-525	Max	16.72	152.85	9	-1.27	16	-0.10	16	19.18	9	2.20	9	0.25	17
4461	-541	-525	Min.	0.00	28.06	17	-3.90	17	0.11	16	6.21	17	-2.98	9	0.04	16
4461	-541	-525	Min.	9.28					-0.02	17			0.29	17		
4461	-541	-525	Min.	16.72	27.18	17	-3.90	17	-0.31	17	-4.65	17	0.13	17	0.04	16
4461	-525	3317	Max	0.00	59.57	9	-1.26	16	0.17	18	38.12	9	0.03	17	0.26	17
4461	-525	3317	Max	5.41					0.04	17			0.13	17		
4461	-525	3317	Max	16.72	57.66	9	-1.26	16	-0.11	16	14.55	9	2.16	9	0.26	17
4461	-525	3317	Min.	0.00	20.03	17	-2.09	19	0.10	17	3.52	17	-2.24	9	0.03	16
4461	-525	3317	Min.	5.41					0.04	17			0.13	17		
4461	-525	3317	Min.	16.72	19.15	17	-2.09	19	-0.18	19	-7.35	17	-0.29	17	0.03	16
4462	-790	-782	Max	0.00	-1614.51	17	-0.02	16	1.76	17	122.25	9	3.04	16	1.37	17
4462	-790	-782	Max	21.63	-1615.87	17	-0.02	16	0.01	18	85.73	9	9.25	9	1.37	17
4462	-790	-782	Min.	0.00	-3104.88	18	-12.23	17	0.01	16	-42.56	16	-13.24	9	0.01	16
4462	-790	-782	Min.	21.63	-3107.07	18	-7.68	17	-0.39	17	-43.42	16	-6.26	16	0.01	16
4462	-782	-766	Max	0.00	-1655.80	17	-0.02	16	0.01	18	96.23	9	7.25	16	0.26	17
4462	-782	-766	Max	12.98					0.00	20			2.74	20		
4462	-782	-766	Max	21.63	-1657.15	17	-0.02	16	0.00	18	59.71	9	11.71	9	0.26	17
4462	-782	-766	Min.	0.00	-3113.82	18	-5.13	17	-0.23	17	-54.17	16	-5.16	9	0.00	16
4462	-782	-766	Min.	12.98					0.00	20			2.74	20		
4462	-782	-766	Min.	21.63	-3116.01	18	-0.58	17	-0.85	17	-55.03	16	-4.57	16	0.00	16
4462	-766	-750	Max	0.00	-1699.33	17	0.06	17	0.00	18	81.84	9	8.03	16	0.00	9
4462	-766	-750	Max	16.79					-0.01	18			4.88	18		
4462	-766	-750	Max	21.63	-1700.69	17	4.60	17	-0.01	16	45.32	9	11.18	9	0.00	9
4462	-766	-750	Min.	0.00	-3125.07	18	-0.05	18	-0.76	17	-57.31	16	-2.57	9	-0.28	17
4462	-766	-750	Min.	2.68									3.71	20		
4462	-766	-750	Min.	21.63	-3127.26	18	-0.05	18	-0.25	17	-58.17	16	-4.46	16	-0.28	17
4462	-750	-734	Max	0.00	-1667.61	16	7.11	17	-0.01	16	65.50	9	8.98	16	0.00	9
4462	-750	-734	Max	4.33					-0.02	18			5.84	18		
4462	-750	-734	Max	21.63	-1667.68	16	11.66	17	1.70	17	28.99	9	10.62	9	0.00	9

4462	-750	-734	Min.	0.00	-3180.43	9	-0.08	18	-0.33	17	-62.15	16	0.16	17	-1.33	17
4462	-750	-734	Min.	4.33					-0.02	18			5.84	18		
4462	-750	-734	Min.	21.63	-3183.39	9	-0.08	18	-0.04	18	-63.01	16	-4.56	16	-1.33	17
4462	-734	-718	Max	0.00	-1574.49	16	-0.03	16	1.68	17	2.36	19	11.46	18	1.12	17
4462	-734	-718	Max	1.29					0.04	9			7.31	9		
4462	-734	-718	Max	21.63	-1574.56	16	-0.03	16	0.03	18	-19.80	17	3.82	9	1.12	17
4462	-734	-718	Min.	0.00	-3208.62	9	-12.00	17	0.03	16	-85.23	16	4.42	17	0.02	16
4462	-734	-718	Min.	1.40					0.94	19			7.28	19		
4462	-734	-718	Min.	21.63	-3211.59	9	-7.45	17	-0.42	17	-86.09	16	-7.11	16	0.02	16
4462	-718	-702	Max	0.00	-1454.19	16	-0.00	16	0.01	18	-12.65	17	12.59	18	0.17	17
4462	-718	-702	Max	21.63	-1454.26	16	-0.00	16	0.01	18	-29.36	17	0.88	19	0.17	17
4462	-718	-702	Min.	0.00	-3178.83	9	-5.08	17	-0.19	17	-91.30	16	4.89	17	0.02	16
4462	-718	-702	Min.	21.63	-3181.79	9	-0.54	17	-0.80	17	-92.17	16	-8.20	16	0.02	16
4462	-702	-686	Max	0.00	-1314.65	16	-0.01	16	-0.01	10	-24.32	17	14.72	18	0.02	18
4462	-702	-686	Max	21.63	-1314.72	16	4.25	17	-0.01	16	-41.03	17	-0.93	17	0.02	18
4462	-702	-686	Min.	0.00	-3110.46	9	-0.29	17	-0.67	17	-98.94	16	6.14	17	-0.22	17
4462	-702	-686	Min.	21.63	-3113.42	9	-0.02	9	-0.24	17	-111.90	18	-9.17	16	-0.22	17
4462	-686	-670	Max	0.00	-1152.54	16	6.35	17	-0.02	16	-35.92	17	17.40	18	0.03	18
4462	-686	-670	Max	21.63	-1152.61	16	10.90	17	1.60	17	-52.63	17	-1.80	17	0.03	18
4462	-686	-670	Min.	0.00	-2996.71	9	-0.10	18	-0.27	17	-106.93	16	7.78	17	-1.01	17
4462	-686	-670	Min.	21.63	-2999.67	9	-0.10	18	-0.06	18	-133.02	18	-9.97	16	-1.01	17
4462	-670	-654	Max	0.00	-975.63	16	0.01	10	1.58	17	-75.88	17	23.61	18	0.77	17
4462	-670	-654	Max	21.63	-975.70	16	0.01	10	0.05	18	-92.59	17	-6.24	17	0.77	17
4462	-670	-654	Min.	0.00	-2799.69	19	-11.38	17	0.03	16	-166.44	18	11.98	17	0.03	16
4462	-670	-654	Min.	21.63	-2802.66	19	-6.84	17	-0.39	17	-193.46	18	-15.31	18	0.03	16
4462	-654	-638	Max	0.00	-733.02	16	0.07	9	0.01	18	-91.19	17	25.45	18	0.09	17
4462	-654	-638	Max	21.63	-733.09	16	0.07	9	0.02	18	-107.90	17	-8.54	17	0.09	17
4462	-654	-638	Min.	0.00	-2514.03	19	-4.87	17	-0.19	17	-193.76	18	12.99	17	0.03	16
4462	-654	-638	Min.	21.63	-2517.00	19	-0.33	17	-0.75	17	-220.77	18	-19.39	18	0.03	16
4462	-638	-622	Max	0.00	-446.88	16	0.08	9	-0.01	16	-109.39	17	28.22	18	0.05	18
4462	-638	-622	Max	17.31					-0.00	16			-10.06	16		
4462	-638	-622	Max	21.63	-446.95	16	4.17	17	0.00	9	-126.10	17	-10.81	17	0.05	18
4462	-638	-622	Min.	0.00	-2138.89	19	-0.38	17	-0.64	17	-226.05	18	14.66	17	-0.13	17
4462	-638	-622	Min.	17.31					-0.00	18			-12.78	18		
4462	-638	-622	Min.	21.63	-2141.85	19	0.04	16	-0.23	17	-253.06	18	-23.61	18	-0.13	17
4462	-622	-606	Max	0.00	-106.32	16	5.88	17	-0.02	16	-129.36	17	31.55	18	0.06	18
4462	-622	-606	Max	21.63	-106.39	16	10.43	17	1.53	17	-146.06	17	-12.92	17	0.06	18
4462	-622	-606	Min.	0.00	-1651.34	19	0.01	16	-0.24	17	-261.79	18	16.87	17	-0.62	17
4462	-622	-606	Min.	21.63	-1654.30	19	0.01	16	-0.03	18	-288.80	18	-28.01	18	-0.62	17
4462	-606	-590	Max	0.00	313.24	16	-0.04	10	1.48	17	-197.43	17	40.07	19	0.23	17
4462	-606	-590	Max	21.63	313.17	16	-0.04	10	0.02	18	-213.23	16	-21.19	17	0.23	17
4462	-606	-590	Min.	0.00	-983.47	19	-11.03	17	0.02	10	-347.11	18	21.59	16	0.01	16
4462	-606	-590	Min.	21.63	-986.43	19	-6.49	17	-0.42	17	-374.67	19	-38.99	18	0.01	16
4462	-590	-574	Max	0.00	851.41	16	0.03	9	0.00	16	-226.75	17	42.52	19	0.03	18
4462	-590	-574	Max	21.63	851.34	16	0.03	9	0.01	9	-235.76	16	-26.54	17	0.03	18
4462	-590	-574	Min.	0.00	-64.82	9	-5.09	17	-0.15	17	-397.98	18	22.01	16	-0.13	17
4462	-590	-574	Min.	21.63	-67.78	9	-0.55	17	-0.76	17	-429.61	19	-47.88	18	-0.13	17
4462	-574	-558	Max	0.00	1625.05	18	0.06	9	-0.01	16	-265.70	16	44.66	19	0.03	18
4462	-574	-558	Max	17.31					-0.00	10			-29.49	10		
4462	-574	-558	Max	21.63	1622.86	18	3.90	17	0.00	10	-266.56	16	-33.97	17	0.03	18
4462	-574	-558	Min.	0.00	648.48	17	-0.64	17	-0.54	17	-464.09	19	21.97	16	-0.20	17
4462	-574	-558	Min.	17.31					-0.00	9			-37.80	9		
4462	-574	-558	Min.	21.63	647.12	17	0.01	16	-0.19	17	-500.61	19	-60.67	18	-0.20	17
4462	-558	4293	Max	0.00	2950.41	18	3.16	17	0.04	17	-278.67	16	33.04	19	0.08	18
4462	-558	4293	Max	21.63	2948.22	18	7.70	17	1.21	17	-279.53	16	-46.41	17	0.08	18
4462	-558	4293	Min.	0.00	1417.38	17	-0.37	18	-0.00	18	-515.70	19	13.61	16	-0.17	17
4462	-558	4293	Min.	21.63	1416.02	17	-0.37	18	-0.08	18	-552.22	19	-82.69	18	-0.17	17
4462	4293	-542	Max	0.00	441.18	19	-1.55	10	0.50	17	98.25	19	-3.99	16	-0.02	16
4462	4293	-542	Max	16.72	439.37	19	-1.55	10	-0.11	10	76.01	19	4.01	18	-0.02	16

4462	4293	-542	Min.	0.00	182.53	16	-6.77	17	0.15	10	42.05	16	-11.02	19	-0.06	19
4462	4293	-542	Min.	16.72	182.48	16	-3.48	19	-0.33	17	41.34	16	2.21	17	-0.06	19
4462	-542	-526	Max	0.00	272.19	19	-1.26	16	0.39	17	64.07	19	-1.20	16	0.25	17
4462	-542	-526	Max	16.72	270.39	19	-1.26	16	-0.10	16	41.84	19	3.62	19	0.25	17
4462	-542	-526	Min.	0.00	107.37	16	-5.65	17	0.11	16	14.99	16	-5.24	19	0.04	16
4462	-542	-526	Min.	16.72	107.31	16	-2.61	19	-0.27	19	14.28	16	1.24	16	0.04	16
4462	-526	3318	Max	0.00	103.38	19	-1.21	16	0.20	19	62.01	19	-1.52	16	0.30	17
4462	-526	3318	Max	16.72	101.57	19	0.52	17	-0.05	17	42.22	17	4.32	19	0.30	17
4462	-526	3318	Min.	0.00	44.95	16	-3.06	19	0.10	16	19.37	16	-4.19	19	0.06	16
4462	-526	3318	Min.	16.72	44.89	16	-1.99	18	-0.16	18	18.66	16	1.66	16	0.06	16
4499	-791	-783	Max	0.00	-902.09	17	-0.01	16	0.11	9	84.61	19	2.10	16	0.05	16
4499	-791	-783	Max	21.63	-903.44	17	-0.01	16	0.07	18	48.09	19	5.62	19	0.05	16
4499	-791	-783	Min.	0.00	-1567.41	18	-0.29	9	0.06	17	-29.26	16	-8.73	19	-0.00	17
4499	-791	-783	Min.	21.63	-1569.60	18	-0.29	9	0.02	17	-30.12	16	-4.33	16	-0.00	17
4499	-783	-767	Max	0.00	-925.56	16	0.02	16	0.06	9	60.61	19	4.76	16	0.05	16
4499	-783	-767	Max	14.92					0.03	18			2.48	18		
4499	-783	-767	Max	21.63	-925.63	16	0.02	16	0.02	16	24.09	19	6.46	19	0.05	16
4499	-783	-767	Min.	0.00	-1569.57	19	-0.25	9	0.02	16	-37.21	16	-2.70	19	-0.01	19
4499	-783	-767	Min.	4.63					0.03	20			1.81	20		
4499	-783	-767	Min.	21.63	-1572.53	19	-0.25	9	0.00	17	-38.07	16	-3.38	16	-0.01	19
4499	-767	-751	Max	0.00	-877.78	16	0.01	16	0.02	9	44.18	19	5.33	16	0.05	16
4499	-767	-751	Max	4.33					-0.01	18			3.11	18		
4499	-767	-751	Max	21.63	-877.85	16	0.01	16	-0.01	16	8.05	17	5.18	19	0.05	16
4499	-767	-751	Min.	0.00	-1608.49	19	-0.28	9	-0.01	16	-40.07	16	-0.43	19	-0.01	19
4499	-767	-751	Min.	4.33					-0.01	18			3.11	18		
4499	-767	-751	Min.	21.63	-1611.45	19	-0.28	9	-0.05	9	-40.93	16	-3.43	16	-0.01	19
4499	-751	-735	Max	0.00	-823.55	16	-0.07	16	-0.02	17	24.70	19	5.97	16	0.07	16
4499	-751	-735	Max	14.70					-0.10	19			3.37	19		
4499	-751	-735	Max	21.63	-823.62	16	-0.07	16	-0.06	17	-1.30	17	2.96	19	0.07	16
4499	-751	-735	Min.	0.00	-1630.59	19	-0.38	9	-0.06	18	-44.10	16	0.71	17	-0.01	17
4499	-751	-735	Min.	19.68					-0.06	17			2.25	17		
4499	-751	-735	Min.	21.63	-1633.55	19	-0.38	9	-0.13	9	-44.96	16	-3.66	16	-0.01	17
4499	-735	-719	Max	0.00	-748.13	16	-0.02	17	0.12	18	18.51	19	7.42	16	0.08	18
4499	-735	-719	Max	10.97					0.08	19			3.29	19		
4499	-735	-719	Max	21.63	-748.20	16	-0.02	17	0.08	18	-11.00	17	2.33	19	0.08	18
4499	-735	-719	Min.	0.00	-1624.77	19	-0.16	18	0.03	17	-57.99	16	1.77	17	0.04	17
4499	-735	-719	Min.	7.39					0.03	17			1.98	17		
4499	-735	-719	Min.	21.63	-1627.73	19	-0.16	18	0.03	17	-58.85	16	-5.22	16	0.04	17
4499	-719	-703	Max	0.00	-665.66	16	0.02	17	0.03	18	-2.07	19	7.66	16	0.06	18
4499	-719	-703	Max	21.63	-665.73	16	0.02	17	0.02	18	-21.12	17	0.33	19	0.06	18
4499	-719	-703	Min.	0.00	-1610.47	19	-0.05	9	0.01	17	-62.76	16	2.85	17	0.03	17
4499	-719	-703	Min.	21.63	-1613.44	19	-0.05	9	0.01	17	-64.09	18	-6.01	16	0.03	17
4499	-703	-687	Max	0.00	-569.51	16	0.02	17	-0.01	17	-15.12	17	9.46	18	0.06	18
4499	-703	-687	Max	21.63	-569.58	16	0.02	17	-0.00	17	-31.83	17	-1.10	17	0.06	18
4499	-703	-687	Min.	0.00	-1566.58	19	-0.07	9	-0.02	18	-68.53	16	3.98	17	0.03	17
4499	-703	-687	Min.	21.63	-1569.54	19	-0.07	9	-0.03	18	-82.28	18	-6.76	16	0.03	17
4499	-687	-671	Max	0.00	-457.38	16	-0.03	17	-0.03	17	-26.61	17	11.28	18	0.08	18
4499	-687	-671	Max	21.63	-457.45	16	-0.03	17	-0.03	17	-43.32	17	-2.45	17	0.08	18
4499	-687	-671	Min.	0.00	-1487.67	19	-0.24	9	-0.08	18	-75.24	18	5.12	17	0.03	17
4499	-687	-671	Min.	21.63	-1490.63	19	-0.24	9	-0.13	18	-102.25	18	-7.92	18	0.03	17
4499	-671	-655	Max	0.00	-478.28	16	-0.01	17	0.12	18	-35.74	17	12.16	18	0.12	9
4499	-671	-655	Max	21.63	-478.35	16	-0.01	17	0.10	18	-52.44	17	-3.48	17	0.12	9
4499	-671	-655	Min.	0.00	-1557.26	19	-0.11	16	0.03	17	-88.30	16	6.06	17	0.04	17
4499	-671	-655	Min.	21.63	-1560.22	19	-0.11	16	0.03	17	-111.16	18	-9.08	16	0.04	17
4499	-655	-639	Max	0.00	-315.75	16	0.12	9	0.03	18	-49.04	17	14.55	18	0.09	9
4499	-655	-639	Max	21.63	-315.82	16	0.12	9	0.05	9	-65.75	17	-5.00	17	0.09	9
4499	-655	-639	Min.	0.00	-1407.59	19	0.01	16	0.00	17	-107.12	18	7.42	17	0.04	17
4499	-655	-639	Min.	21.63	-1410.55	19	0.01	16	0.01	17	-134.13	18	-11.54	18	0.04	17
4499	-639	-623	Max	0.00	-123.78	16	0.11	19	-0.01	16	-63.44	17	16.76	18	0.09	9

4499	-639	-623	Max	17.31					-0.00	17			-3.39	17		
4499	-639	-623	Max	21.63	-123.85	16	0.11	19	0.00	9	-80.15	17	-6.78	17	0.09	9
4499	-639	-623	Min.	0.00	-1200.55	9	0.01	16	-0.02	19	-131.84	18	8.75	17	0.04	17
4499	-639	-623	Min.	17.31					-0.01	19			-5.68	19		
4499	-639	-623	Min.	21.63	-1203.51	9	0.01	16	-0.01	16	-158.85	18	-14.68	18	0.04	17
4499	-623	-607	Max	0.00	105.13	16	0.04	17	-0.03	17	-79.47	17	19.00	18	0.10	18
4499	-623	-607	Max	21.63	105.06	16	0.04	17	-0.02	17	-96.17	17	-8.96	17	0.10	18
4499	-623	-607	Min.	0.00	-919.32	9	-0.15	18	-0.08	18	-159.95	18	10.04	17	0.05	17
4499	-623	-607	Min.	21.63	-922.29	9	-0.15	18	-0.11	18	-186.96	18	-18.53	18	0.05	17
4499	-607	-591	Max	0.00	391.84	16	0.31	9	0.06	18	-88.00	17	20.83	18	0.22	9
4499	-607	-591	Max	21.63	391.77	16	0.31	9	0.11	9	-104.71	17	-10.39	17	0.22	9
4499	-607	-591	Min.	0.00	-547.27	19	0.01	17	-0.00	17	-186.26	18	10.46	17	0.00	17
4499	-607	-591	Min.	21.63	-550.24	19	0.01	17	-0.00	17	-213.27	18	-22.38	18	0.00	17
4499	-591	-575	Max	0.00	746.52	16	0.46	9	-0.00	16	-108.22	17	23.09	18	0.20	9
4499	-591	-575	Max	21.63	746.45	16	0.46	9	0.06	9	-124.93	17	-13.19	17	0.20	9
4499	-591	-575	Min.	0.00	-78.22	19	0.05	17	-0.04	9	-221.82	18	12.03	17	0.01	17
4499	-591	-575	Min.	21.63	-81.18	19	0.05	17	0.00	17	-248.83	18	-27.82	18	0.01	17
4499	-575	-559	Max	0.00	1178.07	16	0.44	9	-0.00	17	-131.69	17	24.51	18	0.20	9
4499	-575	-559	Max	21.63	1178.00	16	0.44	9	0.02	19	-148.40	17	-17.30	17	0.20	9
4499	-575	-559	Min.	0.00	285.61	17	0.08	17	-0.08	9	-266.00	18	12.99	17	0.01	17
4499	-575	-559	Min.	21.63	284.25	17	0.08	17	-0.01	16	-293.01	18	-35.96	18	0.01	17
4499	-559	4294	Max	0.00	1852.23	18	1.07	9	0.02	17	-152.72	17	18.81	9	0.16	9
4499	-559	4294	Max	21.63	1850.04	18	1.07	9	0.08	9	-169.43	17	-24.85	17	0.16	9
4499	-559	4294	Min.	0.00	682.79	17	0.00	17	-0.15	9	-297.11	18	8.23	16	0.05	17
4499	-559	4294	Min.	21.63	681.43	17	0.00	17	0.02	17	-324.12	18	-49.79	18	0.05	17
4499	4294	-543	Max	0.00	116.32	9	-2.10	16	0.60	17	57.35	9	-1.42	17	0.02	18
4499	4294	-543	Max	16.72	114.51	9	-2.10	16	-0.19	16	37.38	18	2.74	18	0.02	18
4499	4294	-543	Min.	0.00	-57.04	17	-6.99	17	0.16	16	19.21	17	-5.63	9	-0.01	17
4499	4294	-543	Min.	16.72	-57.88	17	-6.99	17	-0.58	19	8.93	17	0.94	17	-0.01	17
4499	-543	-527	Max	0.00	59.85	9	-3.19	16	0.64	19	31.12	9	0.67	17	0.18	17
4499	-543	-527	Max	14.95					-0.49	19			0.75	19		
4499	-543	-527	Max	16.72	58.04	9	-3.19	16	-0.27	16	8.89	9	1.48	9	0.18	17
4499	-543	-527	Min.	0.00	-40.82	17	-7.60	19	0.27	16	-0.38	17	-1.87	9	-0.01	10
4499	-543	-527	Min.	14.95					-0.49	19			0.75	19		
4499	-543	-527	Min.	16.72	-41.65	17	-7.60	19	-0.63	19	-10.66	17	-0.25	17	-0.01	10
4499	-527	3319	Max	0.00	19.27	9	-3.07	16	0.48	19	23.79	9	0.74	17	0.22	17
4499	-527	3319	Max	8.61					-0.02	19			0.35	19		
4499	-527	3319	Max	16.72	17.46	9	-3.07	16	-0.26	16	6.69	16	1.02	9	0.22	17
4499	-527	3319	Min.	0.00	-13.02	17	-5.73	19	0.26	16	-5.03	17	-1.10	9	0.00	16
4499	-527	3319	Min.	8.61					-0.02	19			0.35	19		
4499	-527	3319	Min.	16.72	-13.86	17	-5.73	19	-0.48	19	-15.31	17	-0.96	17	0.00	16
4500	-792	-784	Max	0.00	-886.63	17	-0.01	16	1.82	17	37.70	19	2.73	16	1.36	17
4500	-792	-784	Max	21.63	-886.77	17	-0.01	16	0.07	18	35.27	19	3.82	19	1.36	17
4500	-792	-784	Min.	0.00	-1564.82	18	-12.38	17	0.06	16	-28.17	16	-4.07	19	0.00	10
4500	-792	-784	Min.	21.63	-1564.99	18	-7.84	17	-0.37	17	-29.26	16	-3.48	16	0.00	10
4500	-784	-768	Max	0.00	-904.15	17	0.02	16	0.06	9	32.75	19	4.66	16	0.25	17
4500	-784	-768	Max	21.63	-904.29	17	0.02	16	0.02	16	30.32	19	5.11	19	0.25	17
4500	-784	-768	Min.	0.00	-1557.57	18	-5.27	17	-0.20	17	-35.05	16	-1.71	19	-0.01	9
4500	-784	-768	Min.	21.63	-1557.73	18	-0.73	17	-0.85	17	-36.14	16	-3.04	16	-0.01	9
4500	-768	-752	Max	0.00	-876.94	16	0.00	16	0.01	9	31.89	19	5.16	16	0.05	16
4500	-768	-752	Max	21.63	-877.03	16	4.44	17	-0.01	16	29.46	19	5.52	19	0.05	16
4500	-768	-752	Min.	0.00	-1580.95	19	-0.29	9	-0.75	17	-38.26	16	-1.12	19	-0.30	17
4500	-768	-752	Min.	21.63	-1581.15	19	-0.29	9	-0.28	17	-39.35	16	-3.24	16	-0.30	17
4500	-752	-736	Max	0.00	-825.15	16	6.90	17	-0.04	10	31.95	19	5.74	16	0.07	16
4500	-752	-736	Max	21.63	-825.24	16	11.45	17	1.63	17	29.53	19	6.69	19	0.07	16
4500	-752	-736	Min.	0.00	-1611.99	19	-0.40	9	-0.35	17	-42.02	16	0.04	19	-1.34	17
4500	-752	-736	Min.	21.63	-1612.19	19	-0.40	9	-0.14	9	-43.11	16	-3.47	16	-1.34	17
4500	-736	-720	Max	0.00	-770.71	16	-0.10	16	1.73	17	-10.08	17	7.99	18	1.14	17
4500	-736	-720	Max	21.63	-770.80	16	-0.10	16	0.09	18	-11.76	17	0.97	19	1.14	17

4500	-736	-720	Min.	0.00	-1630.47	19	-12.12	17	0.08	16	-53.67	16	3.07	17	0.05	16
4500	-736	-720	Min.	21.63	-1630.66	19	-7.57	17	-0.40	17	-54.76	16	-4.84	16	0.05	16
4500	-720	-704	Max	0.00	-693.30	16	-0.02	16	0.04	18	-12.14	17	7.69	18	0.18	17
4500	-720	-704	Max	21.63	-693.39	16	-0.02	16	0.02	18	-13.82	17	0.02	17	0.18	17
4500	-720	-704	Min.	0.00	-1604.19	19	-5.15	17	-0.17	17	-58.72	16	2.83	17	0.04	10
4500	-720	-704	Min.	21.63	-1604.39	19	-0.61	17	-0.80	17	-59.82	16	-5.58	16	0.04	10
4500	-704	-688	Max	0.00	-602.91	16	-0.02	16	-0.01	10	-15.57	17	8.30	18	0.06	18
4500	-704	-688	Max	21.63	-603.00	16	4.17	17	-0.02	16	-17.25	17	-0.34	17	0.06	18
4500	-704	-688	Min.	0.00	-1564.74	19	-0.37	17	-0.67	17	-64.35	16	3.21	17	-0.21	17
4500	-704	-688	Min.	21.63	-1564.94	19	-0.09	9	-0.26	17	-65.44	16	-6.29	16	-0.21	17
4500	-688	-672	Max	0.00	-497.00	16	6.20	17	-0.06	10	-18.11	17	9.48	18	0.08	18
4500	-688	-672	Max	21.63	-497.08	16	10.75	17	1.53	17	-19.80	17	-0.15	19	0.08	18
4500	-688	-672	Min.	0.00	-1509.67	19	-0.26	18	-0.30	17	-70.07	16	3.95	17	-0.98	17
4500	-688	-672	Min.	21.63	-1509.87	19	-0.26	18	-0.14	18	-71.16	16	-6.90	16	-0.98	17
4500	-672	-656	Max	0.00	-377.50	16	-0.05	10	1.64	17	-50.01	17	14.53	18	0.79	17
4500	-672	-656	Max	21.63	-377.59	16	-0.05	10	0.11	18	-51.70	17	-3.74	17	0.79	17
4500	-672	-656	Min.	0.00	-1418.63	19	-11.52	17	0.09	10	-111.83	18	7.27	17	0.06	16
4500	-672	-656	Min.	21.63	-1418.83	19	-6.98	17	-0.36	17	-113.90	18	-9.89	18	0.06	16
4500	-656	-640	Max	0.00	-219.82	16	0.11	9	0.03	18	-55.22	17	14.62	18	0.13	19
4500	-656	-640	Max	21.63	-219.91	16	0.11	9	0.05	9	-56.91	17	-4.86	17	0.13	19
4500	-656	-640	Min.	0.00	-1256.25	19	-4.93	17	-0.17	17	-121.61	18	7.27	17	0.04	16
4500	-656	-640	Min.	21.63	-1256.44	19	-0.39	17	-0.75	17	-123.68	18	-11.91	18	0.04	16
4500	-640	-624	Max	0.00	-33.01	16	0.11	9	-0.01	16	-62.11	17	15.53	18	0.09	9
4500	-640	-624	Max	17.31					-0.00	10			-4.38	10		
4500	-640	-624	Max	21.63	-33.10	16	4.10	17	0.00	10	-63.79	17	-5.77	17	0.09	9
4500	-640	-624	Min.	0.00	-1056.20	19	-0.44	17	-0.64	17	-134.18	18	7.85	17	-0.12	17
4500	-640	-624	Min.	17.31					-0.01	9			-5.55	9		
4500	-640	-624	Min.	21.63	-1056.40	19	0.01	16	-0.25	17	-136.25	18	-13.72	18	-0.12	17
4500	-624	-608	Max	0.00	189.70	16	5.69	17	-0.05	16	-69.10	17	16.84	18	0.10	18
4500	-624	-608	Max	21.63	189.61	16	10.23	17	1.46	17	-70.78	17	-6.33	17	0.10	18
4500	-624	-608	Min.	0.00	-810.10	19	-0.16	18	-0.26	17	-147.03	18	8.80	17	-0.61	17
4500	-624	-608	Min.	21.63	-810.30	19	-0.16	18	-0.11	18	-149.10	18	-15.19	18	-0.61	17
4500	-608	-592	Max	0.00	457.67	16	0.32	9	1.51	17	-111.01	17	21.29	19	0.35	19
4500	-608	-592	Max	21.63	457.58	16	0.32	9	0.11	9	-112.69	17	-11.41	17	0.35	19
4500	-608	-592	Min.	0.00	-470.21	19	-10.92	17	0.03	10	-197.90	18	12.61	16	0.08	16
4500	-608	-592	Min.	21.63	-470.41	19	-6.38	17	-0.37	17	-199.97	18	-21.85	18	0.08	16
4500	-592	-576	Max	0.00	792.02	16	0.46	9	-0.00	16	-123.72	17	21.70	18	0.20	9
4500	-592	-576	Max	21.63	791.93	16	0.46	9	0.06	9	-125.40	17	-14.03	17	0.20	9
4500	-592	-576	Min.	0.00	1.71	17	-4.93	17	-0.16	17	-220.35	18	12.92	17	-0.05	17
4500	-592	-576	Min.	21.63	1.58	17	-0.38	17	-0.73	17	-222.42	18	-26.19	18	-0.05	17
4500	-576	-560	Max	0.00	1198.34	16	0.46	9	-0.03	16	-141.03	17	21.89	19	0.20	9
4500	-576	-560	Max	21.63	1198.25	16	4.02	17	0.02	9	-142.71	17	-17.53	17	0.20	9
4500	-576	-560	Min.	0.00	351.88	17	-0.52	17	-0.58	17	-249.62	18	13.06	16	-0.13	17
4500	-576	-560	Min.	21.63	351.74	17	0.12	16	-0.20	17	-251.70	18	-32.40	18	-0.13	17
4500	-560	4296	Max	0.00	1781.82	18	3.84	17	-0.06	16	-151.90	17	15.69	19	0.19	9
4500	-560	4296	Max	21.63	1781.65	18	8.38	17	1.26	17	-153.59	17	-23.58	17	0.19	9
4500	-560	4296	Min.	0.00	746.59	17	0.08	16	-0.14	9	-265.35	18	7.56	16	-0.17	17
4500	-560	4296	Min.	21.63	746.46	17	0.08	16	-0.04	16	-267.42	18	-43.07	18	-0.17	17
4500	4296	-544	Max	0.00	228.36	19	-3.28	16	0.74	17	37.98	19	-1.92	16	0.09	17
4500	4296	-544	Max	16.72	228.23	19	-3.28	16	-0.25	16	36.32	19	2.13	16	0.09	17
4500	4296	-544	Min.	0.00	88.44	16	-9.51	17	0.30	16	23.61	10	-4.63	19	-0.02	9
4500	4296	-544	Min.	16.72	88.37	16	-6.92	19	-0.60	19	22.19	10	1.06	10	-0.02	9
4500	-544	-528	Max	0.00	141.63	19	-3.18	16	0.67	19	25.14	17	-0.03	16	0.18	17
4500	-544	-528	Max	16.72	141.50	19	-3.18	16	-0.26	16	23.94	17	1.68	17	0.18	17
4500	-544	-528	Min.	0.00	43.29	16	-8.64	19	0.27	16	3.12	16	-2.43	17	-0.01	10
4500	-544	-528	Min.	16.72	43.22	16	-6.53	19	-0.60	19	2.27	16	0.42	16	-0.01	10
4500	-528	3320	Max	0.00	53.36	19	-3.09	16	0.50	19	27.30	17	-0.36	16	0.22	17
4500	-528	3320	Max	16.72	53.22	19	-2.13	17	-0.26	16	26.09	17	2.36	17	0.22	17
4500	-528	3320	Min.	0.00	15.84	16	-6.69	19	0.26	16	4.96	16	-2.10	17	0.00	16

4500	-528	3320	Min.	16.72	15.78	16	-5.16	18	-0.44	19	4.12	16	0.40	16	0.00 16
6002	-513	-514	Max	0.00	-0.46	16	1.66	17	1.00	18	0.09	17	0.05	19	0.73 17
6002	-513	-514	Max	12.00	-0.46	16	1.66	17	0.15	17	2.17	17	0.18	17	0.73 17
6002	-513	-514	Min.	0.00	-3.68	17	-18.65	18	-0.05	17	-1.15	18	0.02	16	-0.02 9
6002	-513	-514	Min.	12.00	-3.68	17	-18.65	18	-1.24	18	0.93	18	0.01	16	-0.02 9
6003	-529	-530	Max	0.00	0.80	9	4.66	17	0.62	18	1.57	17	0.08	19	0.14 17
6003	-529	-530	Max	12.00	0.80	9	4.66	17	0.28	17	2.18	17	0.28	17	0.14 17
6003	-529	-530	Min.	0.00	-2.57	17	-10.30	18	-0.28	17	-1.53	18	0.05	16	0.00 9
6003	-529	-530	Min.	12.00	-2.57	17	-10.30	18	-0.62	18	-0.91	18	-0.07	18	0.00 9
6004	313	314	Max	1.77	-8.21	16	0.28	9	0.42	17	6.61	17	-0.53	10	0.08 18
6004	313	314	Max	15.00	-8.21	16	0.28	9	0.03	18	5.38	17	-0.34	17	0.08 18
6004	313	314	Min.	1.77	-14.62	19	-3.05	17	-0.02	10	1.65	10	-1.13	17	-0.29 17
6004	313	314	Min.	15.00	-14.62	19	-3.05	17	0.01	17	0.43	10	-0.56	18	-0.29 17
6004	314	315	Max	0.00	-8.21	16	0.28	9	0.03	18	5.38	17	-0.34	17	0.08 18
6004	314	315	Max	4.61					0.03	10			-0.38	10	
6004	314	315	Max	13.23	-8.21	16	0.28	9	0.07	18	4.16	17	0.29	17	0.08 18
6004	314	315	Min.	0.00	-14.62	19	-3.05	17	0.01	17	0.43	10	-0.56	18	-0.29 17
6004	314	315	Min.	7.94					0.05	18			-0.53	18	
6004	314	315	Min.	13.23	-14.62	19	-3.05	17	-0.39	17	-0.80	10	-0.55	18	-0.29 17
6005	-1	-2	Max	2.83	64.61	18	0.22	18	0.07	17	38.02	17	0.29	18	0.00 9
6005	-1	-2	Max	7.49					-0.01	18			0.31	18	
6005	-1	-2	Max	26.15	64.61	18	0.22	18	0.03	9	35.64	17	4.37	17	0.00 9
6005	-1	-2	Min.	2.83	37.91	17	-0.58	17	-0.02	18	-0.01	10	-4.22	17	-0.00 17
6005	-1	-2	Min.	7.85					-0.02	16			0.28	16	
6005	-1	-2	Min.	26.15	37.91	17	-0.58	17	-0.06	17	-2.39	10	-0.01	10	-0.00 17
6006	-33	-34	Max	2.83	15.88	18	0.22	17	0.00	9	59.00	17	0.60	9	0.03 17
6006	-33	-34	Max	25.84	15.88	18	0.22	17	0.03	17	56.65	17	6.79	17	0.03 17
6006	-33	-34	Min.	2.83	8.39	17	0.03	10	-0.02	17	-1.75	10	-6.52	17	-0.01 18
6006	-33	-34	Min.	25.84	8.39	17	0.03	10	-0.00	16	-4.10	10	-0.11	10	-0.01 18
6007	-65	-66	Max	2.83	-1.26	10	0.56	17	0.02	9	49.61	17	0.30	10	0.00 19
6007	-65	-66	Max	25.22	-1.26	10	0.56	17	0.07	17	48.47	17	5.42	17	0.00 19
6007	-65	-66	Min.	2.83	-3.14	17	-0.04	9	-0.06	17	-2.30	10	-5.55	17	0.00 16
6007	-65	-66	Min.	25.22	-3.14	17	-0.04	9	-0.01	16	-3.44	10	-0.34	9	0.00 16
6008	-97	-98	Max	2.83	0.13	16	0.76	17	0.02	9	62.18	17	0.39	10	0.01 19
6008	-97	-98	Max	24.59	0.13	16	0.76	17	0.09	17	61.07	17	6.63	17	0.01 19
6008	-97	-98	Min.	2.83	-2.23	17	-0.04	10	-0.07	17	-3.20	10	-6.78	17	0.00 16
6008	-97	-98	Min.	24.59	-2.23	17	-0.04	10	-0.01	16	-4.31	10	-0.43	9	0.00 16
6009	-129	-130	Max	2.83	-0.04	16	0.84	17	0.02	9	65.11	17	0.42	10	0.01 19
6009	-129	-130	Max	23.97	-0.04	16	0.84	17	0.10	17	64.03	17	6.75	17	0.01 19
6009	-129	-130	Min.	2.83	-2.19	17	-0.05	10	-0.08	17	-3.57	10	-6.90	17	0.00 16
6009	-129	-130	Min.	23.97	-2.19	17	-0.05	10	-0.01	16	-4.65	10	-0.45	9	0.00 16
6010	-161	-162	Max	2.83	-0.03	16	0.87	17	0.02	9	65.82	17	0.43	10	0.01 19
6010	-161	-162	Max	23.34	-0.03	16	0.87	17	0.10	17	64.77	17	6.62	17	0.01 19
6010	-161	-162	Min.	2.83	-2.18	17	-0.05	10	-0.08	17	-3.82	10	-6.77	17	0.00 16
6010	-161	-162	Min.	23.34	-2.18	17	-0.05	10	-0.01	16	-4.86	10	-0.46	9	0.00 16
6011	-193	-194	Max	2.83	-0.04	16	0.88	17	0.03	9	66.03	17	0.44	10	0.01 19
6011	-193	-194	Max	22.72	-0.04	16	0.88	17	0.10	17	65.02	17	6.44	17	0.01 19
6011	-193	-194	Min.	2.83	-2.18	17	-0.05	10	-0.08	17	-4.05	10	-6.59	17	0.00 16
6011	-193	-194	Min.	22.72	-2.18	17	-0.05	10	-0.01	16	-5.06	10	-0.47	9	0.00 16
6012	-225	-226	Max	2.83	-0.05	16	0.88	17	0.03	9	66.13	17	0.45	10	0.01 19
6012	-225	-226	Max	22.09	-0.05	16	0.88	17	0.10	17	65.15	17	6.25	17	0.01 19
6012	-225	-226	Min.	2.83	-2.18	17	-0.06	10	-0.07	17	-4.29	10	-6.40	17	0.00 16
6012	-225	-226	Min.	22.09	-2.18	17	-0.06	10	-0.00	16	-5.27	10	-0.48	9	0.00 16
6013	-257	-258	Max	2.83	-0.06	16	0.88	17	0.03	9	66.21	17	0.45	10	0.01 19
6013	-257	-258	Max	21.47	-0.06	16	0.88	17	0.09	17	65.26	17	6.05	17	0.01 19
6013	-257	-258	Min.	2.83	-2.18	17	-0.06	10	-0.07	17	-4.54	10	-6.20	17	0.00 16
6013	-257	-258	Min.	21.47	-2.18	17	-0.06	10	-0.00	16	-5.49	10	-0.48	9	0.00 16
6014	-289	-290	Max	2.83	-0.07	16	0.89	17	0.03	9	66.29	17	0.46	10	0.01 19
6014	-289	-290	Max	20.84	-0.07	16	0.89	17	0.09	17	65.37	17	5.85	17	0.01 19

6014	-289	-290	Min.	2.83	-2.18	17	-0.06	10	-0.07	17	-4.82	10	-6.00	17	0.00 16
6014	-289	-290	Min.	20.84	-2.18	17	-0.06	10	-0.00	16	-5.73	10	-0.49	9	0.00 16
6015	-321	-322	Max	2.83	-0.08	16	0.89	17	0.03	9	66.38	17	0.47	10	0.01 19
6015	-321	-322	Max	20.22	-0.08	16	0.89	17	0.09	17	65.49	17	5.66	17	0.01 19
6015	-321	-322	Min.	2.83	-2.19	17	-0.07	10	-0.07	17	-5.11	10	-5.81	17	0.00 16
6015	-321	-322	Min.	20.22	-2.19	17	-0.07	10	-0.00	16	-5.99	10	-0.50	9	0.00 16
6016	-353	-354	Max	2.83	-0.07	16	0.90	17	0.03	9	66.46	17	0.48	10	0.01 19
6016	-353	-354	Max	19.59	-0.07	16	0.90	17	0.09	17	65.60	17	5.46	17	0.01 19
6016	-353	-354	Min.	2.83	-2.20	17	-0.07	10	-0.06	17	-5.42	10	-5.61	17	0.00 16
6016	-353	-354	Min.	19.59	-2.20	17	-0.07	10	0.00	16	-6.27	10	-0.51	9	0.00 16
6017	-385	-386	Max	2.83	-0.05	9	0.90	17	0.03	9	66.52	17	0.48	10	0.01 19
6017	-385	-386	Max	18.97	-0.05	9	0.90	17	0.08	17	65.69	17	5.26	17	0.01 19
6017	-385	-386	Min.	2.83	-2.10	17	-0.07	10	-0.06	17	-5.75	10	-5.41	17	0.00 16
6017	-385	-386	Min.	18.97	-2.10	17	-0.07	10	0.00	16	-6.57	10	-0.51	9	0.00 16
6018	-417	-418	Max	2.83	0.42	16	0.90	17	0.03	9	66.41	17	0.50	10	0.01 19
6018	-417	-418	Max	18.34	0.42	16	0.90	17	0.08	17	65.62	17	5.05	17	0.01 19
6018	-417	-418	Min.	2.83	-2.91	17	-0.08	10	-0.06	17	-6.08	10	-5.19	17	0.00 16
6018	-417	-418	Min.	18.34	-2.91	17	-0.08	10	0.00	16	-6.87	10	-0.51	9	0.00 16
6019	-449	-450	Max	2.83	9.35	9	0.86	17	0.03	9	65.23	17	0.43	10	0.01 19
6019	-449	-450	Max	17.72	9.35	9	0.86	17	0.08	17	64.47	17	4.71	17	0.01 19
6019	-449	-450	Min.	2.83	-3.69	16	-0.08	10	-0.05	17	-6.32	10	-4.94	17	0.00 16
6019	-449	-450	Min.	17.72	-3.69	16	-0.08	10	0.00	16	-7.08	10	-0.59	9	0.00 16
6020	-481	-482	Max	2.83	19.53	16	0.75	17	0.02	9	57.40	17	0.87	9	0.01 19
6020	-481	-482	Max	17.09	19.53	16	0.75	17	0.06	17	56.68	17	4.25	17	0.01 19
6020	-481	-482	Min.	2.83	-57.30	9	-0.02	10	-0.04	17	-5.19	10	-3.88	17	0.01 16
6020	-481	-482	Min.	17.09	-57.30	9	-0.02	10	0.01	16	-5.92	10	-0.47	16	0.01 16
6024	-489	-490	Max	3.53	121.93	9	0.13	9	0.05	17	49.20	17	0.21	16	0.00 17
6024	-489	-490	Max	17.80	121.93	9	0.13	9	0.03	9	48.48	17	2.92	17	0.00 17
6024	-489	-490	Min.	3.53	34.70	16	-0.60	17	0.00	16	-11.77	9	-4.04	17	-0.00 16
6024	-489	-490	Min.	17.80	34.70	16	-0.60	17	-0.03	17	-12.50	9	-1.93	9	-0.00 16
6025	-457	-458	Max	3.53	-5.99	16	0.20	9	0.06	17	56.19	17	1.23	9	0.01 19
6025	-457	-458	Max	18.42	-5.99	16	0.20	9	0.04	9	55.43	17	4.31	17	0.01 19
6025	-457	-458	Min.	3.53	-22.13	19	-0.71	17	-0.00	16	-13.87	9	-4.00	17	0.00 16
6025	-457	-458	Min.	18.42	-22.13	19	-0.71	17	-0.04	17	-14.63	9	-0.89	9	0.00 16
6026	-425	-426	Max	3.53	3.23	9	0.19	9	0.07	17	57.75	17	1.04	9	0.01 19
6026	-425	-426	Max	19.05	3.23	9	0.19	9	0.04	9	56.96	17	4.50	17	0.01 19
6026	-425	-426	Min.	3.53	-0.22	17	-0.76	17	-0.00	16	-13.26	9	-4.40	17	0.00 16
6026	-425	-426	Min.	19.05	-0.22	17	-0.76	17	-0.05	17	-14.06	9	-1.08	9	0.00 16
6027	-393	-394	Max	3.53	-0.14	16	0.18	9	0.07	17	58.29	17	1.06	9	0.01 19
6027	-393	-394	Max	19.67	-0.14	16	0.18	9	0.04	9	57.47	17	4.73	17	0.01 19
6027	-393	-394	Min.	3.53	-2.23	17	-0.77	17	-0.00	16	-12.58	9	-4.61	17	0.00 16
6027	-393	-394	Min.	19.67	-2.23	17	-0.77	17	-0.05	17	-13.41	9	-1.04	9	0.00 16
6028	-361	-362	Max	3.53	0.17	9	0.17	9	0.08	17	58.66	17	1.03	9	0.01 19
6028	-361	-362	Max	20.30	0.17	9	0.17	9	0.04	9	57.80	17	4.94	17	0.01 19
6028	-361	-362	Min.	3.53	-1.96	17	-0.77	17	-0.00	16	-11.90	9	-4.82	17	0.00 16
6028	-361	-362	Min.	20.30	-1.96	17	-0.77	17	-0.05	17	-12.75	9	-1.03	9	0.00 16
6029	-329	-330	Max	3.53	0.10	9	0.16	9	0.08	17	58.97	17	1.02	9	0.01 19
6029	-329	-330	Max	20.92	0.10	9	0.16	9	0.04	9	58.08	17	5.14	17	0.01 19
6029	-329	-330	Min.	3.53	-2.00	17	-0.77	17	-0.01	16	-11.26	9	-5.03	17	0.00 16
6029	-329	-330	Min.	20.92	-2.00	17	-0.77	17	-0.06	17	-12.15	9	-1.02	9	0.00 16
6030	-297	-298	Max	3.53	0.10	9	0.16	9	0.08	17	59.26	17	1.00	9	0.01 19
6030	-297	-298	Max	21.55	0.10	9	0.16	9	0.03	9	58.34	17	5.35	17	0.01 19
6030	-297	-298	Min.	3.53	-2.00	17	-0.78	17	-0.01	16	-10.66	9	-5.24	17	0.00 16
6030	-297	-298	Min.	21.55	-2.00	17	-0.78	17	-0.06	17	-11.58	9	-1.00	9	0.00 16
6031	-265	-266	Max	3.53	0.10	9	0.15	9	0.08	17	59.51	17	0.98	9	0.01 19
6031	-265	-266	Max	22.17	0.10	9	0.15	9	0.03	9	58.56	17	5.55	17	0.01 19
6031	-265	-266	Min.	3.53	-2.01	17	-0.78	17	-0.01	16	-10.11	9	-5.45	17	0.00 16
6031	-265	-266	Min.	22.17	-2.01	17	-0.78	17	-0.06	17	-11.06	9	-0.99	9	0.00 16
6032	-233	-234	Max	3.53	0.09	9	0.14	9	0.09	17	59.75	17	0.97	9	0.01 19

6032	-233	-234	Max	22.80	0.09	9	0.14	9	0.03	9	58.77	17	5.76	17	0.01	19
6032	-233	-234	Min.	3.53	-2.01	17	-0.78	17	-0.01	16	-9.60	9	-5.66	17	0.00	16
6032	-233	-234	Min.	22.80	-2.01	17	-0.78	17	-0.06	17	-10.58	9	-0.98	9	0.00	16
6033	-201	-202	Max	3.53	0.09	9	0.13	9	0.09	17	59.94	17	0.95	9	0.01	19
6033	-201	-202	Max	23.42	0.09	9	0.13	9	0.03	9	58.93	17	5.96	17	0.01	19
6033	-201	-202	Min.	3.53	-2.01	17	-0.78	17	-0.01	16	-9.11	9	-5.86	17	0.00	16
6033	-201	-202	Min.	23.42	-2.01	17	-0.78	17	-0.07	17	-10.13	9	-0.96	9	0.00	16
6034	-169	-170	Max	3.53	0.08	9	0.13	9	0.09	17	60.01	17	0.93	9	0.01	19
6034	-169	-170	Max	24.05	0.08	9	0.13	9	0.03	9	58.97	17	6.15	17	0.01	19
6034	-169	-170	Min.	3.53	-2.01	17	-0.77	17	-0.01	16	-8.64	9	-6.06	17	0.00	16
6034	-169	-170	Min.	24.05	-2.01	17	-0.77	17	-0.07	17	-9.69	9	-0.95	9	0.00	16
6035	-137	-138	Max	3.53	0.07	9	0.12	9	0.09	17	59.60	17	0.91	9	0.01	19
6035	-137	-138	Max	24.67	0.07	9	0.12	9	0.03	9	58.52	17	6.29	17	0.01	19
6035	-137	-138	Min.	3.53	-2.01	17	-0.75	17	-0.01	16	-8.15	9	-6.20	17	0.00	16
6035	-137	-138	Min.	24.67	-2.01	17	-0.75	17	-0.07	17	-9.23	9	-0.93	9	0.00	16
6036	-105	-106	Max	3.53	0.25	9	0.10	9	0.08	17	57.11	17	0.86	9	0.01	19
6036	-105	-106	Max	25.30	0.25	9	0.10	9	0.03	9	56.00	17	6.19	17	0.01	19
6036	-105	-106	Min.	3.53	-1.80	17	-0.69	17	-0.01	16	-7.41	9	-6.11	17	0.00	16
6036	-105	-106	Min.	25.30	-1.80	17	-0.69	17	-0.07	17	-8.52	9	-0.88	9	0.00	16
6037	-73	-74	Max	3.53	-1.40	10	0.07	9	0.07	17	45.70	17	0.66	9	0.00	19
6037	-73	-74	Max	25.92	-1.40	10	0.07	9	0.02	9	44.55	17	5.07	17	0.00	19
6037	-73	-74	Min.	3.53	-3.01	17	-0.53	17	-0.01	16	-5.54	9	-5.03	17	0.00	16
6037	-73	-74	Min.	25.92	-3.01	17	-0.53	17	-0.05	17	-6.69	9	-0.71	9	0.00	16
6038	-41	-42	Max	3.53	22.52	18	-0.01	10	0.03	17	54.27	17	1.21	9	0.01	18
6038	-41	-42	Max	26.55	22.52	18	-0.01	10	0.01	9	51.92	17	6.46	17	0.01	18
6038	-41	-42	Min.	3.53	11.20	17	-0.18	17	-0.00	16	-5.64	9	-5.76	17	-0.03	17
6038	-41	-42	Min.	26.55	11.20	17	-0.18	17	-0.01	17	-7.98	9	-0.36	9	-0.03	17
6039	-9	-10	Max	3.53	84.91	18	0.60	17	0.03	9	34.68	17	0.70	9	0.01	17
6039	-9	-10	Max	26.86	84.91	18	0.60	17	0.07	17	32.30	17	4.11	17	0.01	17
6039	-9	-10	Min.	3.53	51.85	17	-0.20	18	-0.07	17	-2.63	9	-3.70	17	0.00	16
6039	-9	-10	Min.	26.86	51.85	17	-0.20	18	-0.02	16	-5.01	9	-0.19	9	0.00	16
6040	337	338	Max	1.77	-14.40	17	5.79	17	-0.64	10	0.47	9	0.39	17	0.29	17
6040	337	338	Max	14.01					-0.70	9			0.02	9		
6040	337	338	Max	15.00	-14.40	17	4.57	17	-0.46	17	0.47	9	0.02	9	0.29	17
6040	337	338	Min.	1.77	-26.55	18	1.13	9	-1.16	19	-2.83	17	-0.04	18	-0.08	18
6040	337	338	Min.	14.01					-0.57	10			0.01	10		
6040	337	338	Min.	15.00	-26.55	18	-0.10	9	-0.78	18	-2.83	17	0.01	16	-0.08	18
6040	338	339	Max	0.00	-14.40	17	4.57	17	-0.46	17	0.47	9	0.02	9	0.29	17
6040	338	339	Max	0.33					-0.78	18			0.02	18		
6040	338	339	Max	13.23	-14.40	17	3.34	17	0.06	17	0.47	9	0.08	9	0.29	17
6040	338	339	Min.	0.00	-26.55	18	-0.10	9	-0.78	18	-2.83	17	0.01	16	-0.08	18
6040	338	339	Min.	1.82					-0.56	16			0.02	16		
6040	338	339	Min.	13.23	-26.55	18	-1.32	9	-0.86	18	-2.83	17	-0.36	17	-0.08	18
6041	-593	-594	Max	0.00	-0.02	10	-1.66	16	0.38	19	-20.13	17	0.42	17	-0.44	10
6041	-593	-594	Max	12.00	-0.02	10	-1.66	16	-0.02	16	-16.63	17	-1.78	17	-0.44	10
6041	-593	-594	Min.	0.00	-0.23	17	-7.09	19	0.18	16	-113.42	18	0.20	10	-0.72	19
6041	-593	-594	Min.	12.00	-0.23	17	-7.09	19	-0.47	19	-106.83	18	-12.89	18	-0.72	19
6041	-595	-596	Max	0.00	168.66	18	-2.77	16	1.12	19	14.53	17	46.80	18	-0.09	16
6041	-595	-596	Max	12.00	168.66	18	-2.77	16	0.15	18	18.03	17	46.00	18	-0.09	16
6041	-595	-596	Min.	0.00	60.48	17	-11.91	17	0.43	16	-9.91	18	30.56	17	-0.29	17
6041	-595	-596	Min.	12.00	60.48	17	-11.91	17	-0.55	17	-3.32	18	32.52	17	-0.29	17
6041	-597	-598	Max	0.00	168.47	18	7.41	18	0.44	17	20.34	17	45.97	18	0.16	18
6041	-597	-598	Max	12.00	168.47	18	7.41	18	0.95	18	23.83	17	46.84	18	0.16	18
6041	-597	-598	Min.	0.00	49.86	17	-5.30	17	0.03	16	2.07	16	26.99	17	-0.15	17
6041	-597	-598	Min.	12.00	49.86	17	-5.30	17	-0.20	17	6.80	10	29.64	17	-0.15	17
6041	-599	-600	Max	0.00	-0.02	9	4.26	9	0.12	17	107.04	18	-3.97	17	0.67	18
6041	-599	-600	Max	12.00	-0.02	9	4.26	9	0.31	18	113.63	18	3.26	17	0.67	18
6041	-599	-600	Min.	0.00	-36.05	17	-2.64	17	-0.20	9	58.23	10	-12.92	18	0.05	17
6041	-599	-600	Min.	12.00	-36.05	17	-2.64	17	-0.20	17	62.04	17	0.20	10	0.05	17

6042	-657	-658	Max	0.00	0.02	17	-5.27	16	0.42	19	-57.03	17	0.20	18	-0.14	17
6042	-657	-658	Max	12.00	0.02	17	-5.27	16	-0.42	16	-53.53	17	-6.53	17	-0.14	17
6042	-657	-658	Min.	0.00	-0.03	18	-15.34	19	0.21	16	-138.63	18	0.10	17	-0.25	18
6042	-657	-658	Min.	12.00	-0.03	18	-15.34	19	-1.42	19	-132.04	18	-16.04	18	-0.25	18
6042	-659	-660	Max	0.00	-49.18	17	-4.92	16	1.14	19	-0.87	16	29.17	16	-0.04	17
6042	-659	-660	Max	12.00	-49.18	17	-4.92	16	-0.14	16	4.79	16	29.41	16	-0.04	17
6042	-659	-660	Min.	0.00	-91.10	18	-15.99	19	0.45	16	-3.92	19	18.38	10	-0.12	18
6042	-659	-660	Min.	12.00	-91.10	18	-15.99	19	-0.99	17	0.67	17	18.50	10	-0.12	18
6042	-661	-662	Max	0.00	-52.44	10	10.20	18	0.39	17	-2.87	9	29.40	16	0.12	19
6042	-661	-662	Max	12.00	-52.44	10	10.20	18	0.89	18	2.91	18	29.18	16	0.12	19
6042	-661	-662	Min.	0.00	-91.17	18	-6.29	17	-0.33	18	-6.01	17	17.56	17	0.07	16
6042	-661	-662	Min.	12.00	-91.17	18	-6.29	17	-0.36	17	-2.51	17	17.05	17	0.07	16
6042	-663	-664	Max	0.00	-0.00	10	11.63	9	-0.16	17	132.08	18	-1.36	17	0.25	18
6042	-663	-664	Max	12.00	-0.00	10	11.63	9	0.37	18	138.67	18	4.83	17	0.25	18
6042	-663	-664	Min.	0.00	-36.44	17	-0.30	17	-1.03	9	49.80	17	-16.05	18	0.11	17
6042	-663	-664	Min.	12.00	-36.44	17	-0.30	17	-0.19	17	53.29	17	0.10	10	0.11	17
6043	-721	-722	Max	0.00	-0.03	10	-7.46	16	0.35	19	-47.94	17	0.29	18	0.02	16
6043	-721	-722	Max	12.00	-0.03	10	-7.46	16	-0.73	16	-44.45	17	-5.41	17	0.02	16
6043	-721	-722	Min.	0.00	-0.08	17	-15.08	19	0.17	16	-129.12	18	0.13	17	-0.12	19
6043	-721	-722	Min.	12.00	-0.08	17	-15.08	19	-1.46	19	-122.53	18	-14.81	18	-0.12	19
6043	-723	-724	Max	0.00	243.78	18	-1.71	16	0.14	17	0.78	17	31.10	16	-0.03	16
6043	-723	-724	Max	12.00	243.78	18	-1.71	16	-0.50	10	4.28	17	31.08	16	-0.03	16
6043	-723	-724	Min.	0.00	108.42	17	-9.49	17	-0.37	16	-4.10	18	18.54	10	-0.06	19
6043	-723	-724	Min.	12.00	108.42	17	-9.49	17	-1.02	19	2.50	18	18.60	10	-0.06	19
6043	-725	-726	Max	0.00	243.71	18	4.78	18	-0.11	17	-1.15	17	31.08	16	0.06	9
6043	-725	-726	Max	12.00	243.71	18	4.78	18	-0.13	9	4.22	18	31.11	16	0.06	9
6043	-725	-726	Min.	0.00	90.06	17	-5.65	17	-0.82	18	-2.58	10	18.60	10	0.02	17
6043	-725	-726	Min.	12.00	90.06	17	-5.65	17	-0.79	17	1.82	10	18.55	10	0.02	17
6043	-727	-728	Max	0.00	-0.02	10	12.33	18	-0.49	17	122.50	18	0.27	17	0.11	9
6043	-727	-728	Max	12.00	-0.02	10	12.33	18	0.32	9	129.09	18	6.02	17	0.11	9
6043	-727	-728	Min.	0.00	-36.54	17	1.64	17	-1.17	18	46.11	17	-14.81	18	-0.02	16
6043	-727	-728	Min.	12.00	-36.54	17	1.64	17	-0.29	17	49.61	17	0.15	10	-0.02	16
6044	-785	-786	Max	0.00	-0.48	17	0.41	16	0.01	9	-55.88	17	0.09	18	0.49	16
6044	-785	-786	Max	12.00	-0.48	17	0.41	16	0.04	16	-52.38	17	-6.45	17	0.49	16
6044	-785	-786	Min.	0.00	-0.81	18	-0.19	9	-0.01	16	-112.16	18	0.04	17	0.00	9
6044	-785	-786	Min.	12.00	-0.81	18	-0.19	9	-0.02	9	-106.65	18	-13.03	18	0.00	9
6044	-787	-788	Max	0.00	-423.20	17	0.42	16	-0.00	10	-7.25	16	17.83	17	0.03	16
6044	-787	-788	Max	12.00	-423.20	17	0.42	16	0.02	18	-3.39	16	17.12	17	0.03	16
6044	-787	-788	Min.	0.00	-831.01	18	0.10	17	-0.04	16	-13.97	19	13.45	16	0.00	17
6044	-787	-788	Min.	12.00	-831.01	18	0.10	17	0.00	17	-8.67	19	12.81	16	0.00	17
6044	-789	-790	Max	0.00	-442.27	17	0.19	9	-0.00	17	8.40	18	14.49	17	0.00	9
6044	-789	-790	Max	12.00	-442.27	17	0.19	9	0.01	9	13.92	18	15.22	19	0.00	9
6044	-789	-790	Min.	0.00	-831.00	18	-0.10	16	-0.02	18	0.71	17	12.81	16	-0.03	16
6044	-789	-790	Min.	12.00	-831.00	18	-0.10	16	-0.03	16	4.21	17	13.46	16	-0.03	16
6044	-791	-792	Max	0.00	-0.49	16	0.03	9	0.05	16	106.55	18	-0.03	17	0.00	9
6044	-791	-792	Max	7.20					-0.00	10			-3.78	10		
6044	-791	-792	Max	12.00	-0.49	16	0.03	9	0.00	9	112.07	18	6.39	17	0.00	9
6044	-791	-792	Min.	0.00	-35.19	17	-0.52	16	-0.00	9	51.81	17	-13.02	18	-0.49	16
6044	-791	-792	Min.	7.20					-0.00	9			-4.95	9		
6044	-791	-792	Min.	12.00	-35.19	17	-0.52	16	-0.01	16	55.31	17	0.04	16	-0.49	16
6045	-729	-730	Max	0.00	-0.00	16	14.91	19	-0.23	17	-14.46	16	0.20	19	0.17	18
6045	-729	-730	Max	12.00	-0.00	16	14.91	19	1.44	19	-12.40	16	-1.63	16	0.17	18
6045	-729	-730	Min.	0.00	-0.08	17	8.48	16	-0.35	18	-96.92	9	-0.02	16	0.07	17
6045	-729	-730	Min.	12.00	-0.08	17	8.48	16	0.78	16	-91.63	9	-11.12	9	0.07	17
6045	-731	-732	Max	0.00	211.00	9	9.60	17	0.13	10	0.76	17	22.27	17	0.06	18
6045	-731	-732	Max	12.00	211.00	9	9.60	17	1.05	19	4.26	17	22.57	17	0.06	18
6045	-731	-732	Min.	0.00	100.38	16	2.82	16	-0.15	17	-2.80	9	5.51	16	0.04	17
6045	-731	-732	Min.	12.00	100.38	16	2.82	16	0.27	16	2.50	9	5.72	16	0.04	17
6045	-733	-734	Max	0.00	210.97	9	5.87	17	0.65	9	-1.18	17	19.75	19	-0.02	17

6045	-733	-734	Max	12.00	210.97	9	5.87	17	0.80	17	3.73	19	19.88	19	-0.02	17
6045	-733	-734	Min.	0.00	90.09	17	-4.51	18	0.10	17	-2.76	16	5.72	16	-0.06	18
6045	-733	-734	Min.	12.00	90.09	17	-4.51	18	-0.04	16	-0.70	16	5.51	16	-0.06	18
6045	-735	-736	Max	0.00	-0.00	16	-1.84	17	1.23	18	92.13	19	0.27	17	-0.05	17
6045	-735	-736	Max	12.00	-0.00	16	-1.84	17	0.29	17	97.43	19	6.02	17	-0.05	17
6045	-735	-736	Min.	0.00	-36.54	17	-13.28	18	0.51	17	12.41	16	-11.12	9	-0.17	18
6045	-735	-736	Min.	12.00	-36.54	17	-13.28	18	-0.36	18	14.47	16	-0.02	16	-0.17	18
6046	-665	-666	Max	0.00	0.02	17	15.29	19	-0.27	16	-17.36	16	0.17	19	0.24	19
6046	-665	-666	Max	12.00	0.02	17	15.29	19	1.41	19	-15.30	16	-1.96	16	0.24	19
6046	-665	-666	Min.	0.00	-0.01	9	8.73	10	-0.42	19	-105.35	19	0.00	16	0.13	16
6046	-665	-666	Min.	12.00	-0.01	9	8.73	10	0.76	10	-100.05	19	-12.16	19	0.13	16
6046	-667	-668	Max	0.00	-10.04	16	16.40	19	-0.58	16	-0.24	16	22.71	19	0.12	18
6046	-667	-668	Max	12.00	-10.04	16	16.40	19	0.99	17	3.16	10	22.55	19	0.12	18
6046	-667	-668	Min.	0.00	-74.60	19	6.48	16	-1.16	19	-3.99	19	5.34	16	0.04	17
6046	-667	-668	Min.	12.00	-74.60	19	6.48	16	0.20	16	0.61	17	5.43	16	0.04	17
6046	-669	-670	Max	0.00	-10.05	16	6.42	17	0.31	18	-1.81	16	20.82	19	-0.07	16
6046	-669	-670	Max	12.00	-10.05	16	6.42	17	0.37	17	2.41	18	20.59	19	-0.07	16
6046	-669	-670	Min.	0.00	-82.37	19	-10.35	18	-0.40	17	-6.06	17	5.44	16	-0.12	19
6046	-669	-670	Min.	12.00	-82.37	19	-10.35	18	-0.93	18	-2.56	17	5.34	16	-0.12	19
6046	-671	-672	Max	0.00	0.02	16	0.17	17	1.21	18	98.90	9	-1.36	17	-0.11	17
6046	-671	-672	Max	12.00	0.02	16	0.17	17	0.19	17	104.20	9	4.83	17	-0.11	17
6046	-671	-672	Min.	0.00	-36.44	17	-13.49	18	0.17	17	15.31	16	-12.04	9	-0.24	18
6046	-671	-672	Min.	12.00	-36.44	17	-13.49	18	-0.41	18	17.36	16	0.00	16	-0.24	18
6047	-601	-602	Max	0.00	0.01	16	6.84	19	-0.21	16	-9.13	16	0.42	17	0.72	19
6047	-601	-602	Max	12.00	0.01	16	6.84	19	0.51	17	-7.07	16	-0.90	16	0.72	19
6047	-601	-602	Min.	0.00	-0.24	17	3.08	10	-0.38	19	-84.06	9	0.07	16	0.24	16
6047	-601	-602	Min.	12.00	-0.24	17	3.08	10	0.14	10	-78.77	9	-9.52	9	0.24	16
6047	-603	-604	Max	0.00	133.99	9	12.04	17	-0.60	16	14.31	17	39.18	19	0.29	17
6047	-603	-604	Max	12.00	133.99	9	12.04	17	0.56	17	17.81	17	39.84	19	0.29	17
6047	-603	-604	Min.	0.00	40.23	16	4.55	16	-1.16	19	-8.51	9	17.42	16	0.08	16
6047	-603	-604	Min.	12.00	40.23	16	4.55	16	-0.09	18	-3.31	18	17.14	16	0.08	16
6047	-605	-606	Max	0.00	133.96	9	5.56	17	-0.07	16	20.08	17	37.21	9	0.15	17
6047	-605	-606	Max	12.00	133.96	9	5.56	17	0.22	17	23.57	17	38.60	19	0.15	17
6047	-605	-606	Min.	0.00	40.20	16	-7.19	18	-0.45	17	1.30	16	17.14	16	-0.15	18
6047	-605	-606	Min.	12.00	40.20	16	-7.19	18	-0.97	18	3.36	16	17.42	16	-0.15	18
6047	-607	-608	Max	0.00	0.01	16	2.34	17	0.31	18	91.26	19	-0.90	16	-0.05	17
6047	-607	-608	Max	12.00	0.01	16	2.34	17	0.19	17	96.56	19	3.26	17	-0.05	17
6047	-607	-608	Min.	0.00	-36.05	17	-5.42	18	-0.09	17	7.06	16	-9.52	9	-0.57	9
6047	-607	-608	Min.	12.00	-36.05	17	-5.42	18	-0.34	18	9.12	16	0.07	16	-0.57	9
6048	349	350	Max	1.77	-7.81	16	0.50	18	0.39	17	5.74	17	-0.45	16	0.08	18
6048	349	350	Max	11.68					0.01	16			-0.41	16		
6048	349	350	Max	15.00	-7.81	16	0.50	18	0.02	18	4.51	17	-0.41	16	0.08	18
6048	349	350	Min.	1.77	-22.73	19	-2.82	17	-0.04	18	0.92	16	-1.15	19	-0.29	17
6048	349	350	Min.	14.01					0.02	9			-0.70	9		
6048	349	350	Min.	15.00	-22.73	19	-2.82	17	0.01	17	-0.31	16	-0.72	19	-0.29	17
6048	350	351	Max	0.00	-7.81	16	0.50	18	0.02	18	4.51	17	-0.41	16	0.08	18
6048	350	351	Max	13.23	-7.81	16	0.50	18	0.09	18	3.29	17	0.06	17	0.08	18
6048	350	351	Min.	0.00	-22.73	19	-2.82	17	0.01	17	-0.31	16	-0.72	19	-0.29	17
6048	350	351	Min.	13.23	-22.73	19	-2.82	17	-0.36	17	-1.53	16	-0.80	18	-0.29	17
6049	-17	-18	Max	2.83	78.97	19	0.19	9	0.07	17	34.60	17	0.79	18	0.00	10
6049	-17	-18	Max	26.15	78.97	19	0.19	9	0.02	9	32.22	17	4.03	17	0.00	10
6049	-17	-18	Min.	2.83	49.34	16	-0.60	17	-0.03	18	-3.14	18	-3.76	17	-0.01	17
6049	-17	-18	Min.	26.15	49.34	16	-0.60	17	-0.07	17	-5.52	18	-0.26	16	-0.01	17
6050	-49	-50	Max	2.83	20.40	9	0.17	17	-0.01	10	54.15	17	1.32	18	0.02	17
6050	-49	-50	Max	21.24					-0.00	19			2.41	19		
6050	-49	-50	Max	25.84	20.40	9	0.17	17	0.01	17	51.81	17	6.33	17	0.02	17
6050	-49	-50	Min.	2.83	12.18	17	-0.01	16	-0.03	17	-6.39	18	-5.87	17	-0.01	18
6050	-49	-50	Min.	21.24					-0.00	19			2.41	19		
6050	-49	-50	Min.	25.84	12.18	17	-0.01	16	-0.02	16	-8.74	18	-0.47	16	-0.01	18

6051	-81	-82	Max	2.83	-0.92	16	0.52	17	-0.00	10	45.52	17	0.76	18	-0.00	10
6051	-81	-82	Max	25.22	-0.92	16	0.52	17	0.05	17	44.38	17	4.98	17	-0.00	10
6051	-81	-82	Min.	2.83	-3.21	17	-0.08	18	-0.07	17	-6.29	18	-5.09	17	-0.01	19
6051	-81	-82	Min.	25.22	-3.21	17	-0.08	18	-0.03	18	-7.43	18	-0.77	18	-0.01	19
6052	-113	-114	Max	2.83	0.39	18	0.69	17	-0.00	10	56.90	17	0.98	18	-0.00	10
6052	-113	-114	Max	24.59	0.39	18	0.69	17	0.07	17	55.79	17	6.07	17	-0.00	10
6052	-113	-114	Min.	2.83	-2.03	17	-0.11	18	-0.08	17	-8.37	18	-6.19	17	-0.01	19
6052	-113	-114	Min.	24.59	-2.03	17	-0.11	18	-0.04	18	-9.48	18	-0.96	18	-0.01	19
6053	-145	-146	Max	2.83	0.17	18	0.75	17	-0.00	10	59.37	17	1.04	18	-0.00	10
6053	-145	-146	Max	23.97	0.17	18	0.75	17	0.07	17	58.29	17	6.16	17	-0.00	10
6053	-145	-146	Min.	2.83	-2.02	17	-0.13	18	-0.09	17	-9.19	18	-6.28	17	-0.01	19
6053	-145	-146	Min.	23.97	-2.02	17	-0.13	18	-0.04	18	-10.27	18	-1.02	18	-0.01	19
6054	-177	-178	Max	2.83	0.18	18	0.77	17	-0.00	10	59.77	17	1.07	18	-0.00	10
6054	-177	-178	Max	23.34	0.18	18	0.77	17	0.07	17	58.72	17	6.02	17	-0.00	10
6054	-177	-178	Min.	2.83	-2.01	17	-0.14	18	-0.09	17	-9.75	18	-6.13	17	-0.01	19
6054	-177	-178	Min.	23.34	-2.01	17	-0.14	18	-0.04	18	-10.79	18	-1.04	18	-0.01	19
6055	-209	-210	Max	2.83	0.17	18	0.77	17	-0.00	10	59.68	17	1.09	18	-0.00	10
6055	-209	-210	Max	22.72	0.17	18	0.77	17	0.07	17	58.66	17	5.83	17	-0.00	10
6055	-209	-210	Min.	2.83	-2.01	17	-0.15	18	-0.09	17	-10.27	18	-5.94	17	-0.01	19
6055	-209	-210	Min.	22.72	-2.01	17	-0.15	18	-0.04	18	-11.28	18	-1.05	18	-0.01	19
6056	-241	-242	Max	2.83	0.17	18	0.77	17	-0.00	10	59.47	17	1.11	18	-0.00	10
6056	-241	-242	Max	22.09	0.17	18	0.77	17	0.06	17	58.49	17	5.63	17	-0.00	10
6056	-241	-242	Min.	2.83	-2.00	17	-0.16	18	-0.09	17	-10.81	18	-5.73	17	-0.01	19
6056	-241	-242	Min.	22.09	-2.00	17	-0.16	18	-0.04	18	-11.79	18	-1.07	18	-0.01	19
6057	-273	-274	Max	2.83	0.18	18	0.77	17	-0.00	10	59.22	17	1.13	18	-0.00	10
6057	-273	-274	Max	21.47	0.18	18	0.77	17	0.06	17	58.27	17	5.42	17	-0.00	10
6057	-273	-274	Min.	2.83	-2.00	17	-0.17	18	-0.08	17	-11.39	18	-5.53	17	-0.01	19
6057	-273	-274	Min.	21.47	-2.00	17	-0.17	18	-0.04	18	-12.34	18	-1.08	18	-0.01	19
6058	-305	-306	Max	2.83	0.19	18	0.77	17	-0.00	10	58.95	17	1.15	18	-0.00	10
6058	-305	-306	Max	20.84	0.19	18	0.77	17	0.06	17	58.03	17	5.22	17	-0.00	10
6058	-305	-306	Min.	2.83	-1.99	17	-0.18	18	-0.08	17	-12.01	18	-5.32	17	-0.01	19
6058	-305	-306	Min.	20.84	-1.99	17	-0.18	18	-0.04	18	-12.93	18	-1.10	18	-0.01	19
6059	-337	-338	Max	2.83	0.18	18	0.77	17	-0.00	10	58.64	17	1.17	18	-0.00	10
6059	-337	-338	Max	20.22	0.18	18	0.77	17	0.05	17	57.76	17	5.01	17	-0.00	10
6059	-337	-338	Min.	2.83	-2.00	17	-0.19	18	-0.08	17	-12.67	18	-5.11	17	-0.01	19
6059	-337	-338	Min.	20.22	-2.00	17	-0.19	18	-0.04	18	-13.56	18	-1.11	18	-0.01	19
6060	-369	-370	Max	2.83	0.27	18	0.76	17	-0.00	10	58.31	17	1.19	18	-0.00	10
6060	-369	-370	Max	19.59	0.27	18	0.76	17	0.05	17	57.46	17	4.80	17	-0.00	10
6060	-369	-370	Min.	2.83	-1.95	17	-0.20	18	-0.08	17	-13.39	18	-4.90	17	-0.01	19
6060	-369	-370	Min.	19.59	-1.95	17	-0.20	18	-0.04	18	-14.24	18	-1.13	18	-0.01	19
6061	-401	-402	Max	2.83	-0.23	10	0.76	17	-0.00	10	57.93	17	1.21	18	-0.00	10
6061	-401	-402	Max	18.97	-0.23	10	0.76	17	0.05	17	57.10	17	4.60	17	-0.00	10
6061	-401	-402	Min.	2.83	-2.22	17	-0.21	18	-0.07	17	-14.15	18	-4.69	17	-0.01	19
6061	-401	-402	Min.	18.97	-2.22	17	-0.21	18	-0.04	18	-14.97	18	-1.14	18	-0.01	19
6062	-433	-434	Max	2.83	4.14	18	0.75	17	-0.00	10	57.36	17	1.20	18	-0.00	10
6062	-433	-434	Max	18.34	4.14	18	0.75	17	0.05	17	56.57	17	4.36	17	-0.00	10
6062	-433	-434	Min.	2.83	-0.19	17	-0.22	18	-0.07	17	-14.93	18	-4.48	17	-0.01	19
6062	-433	-434	Min.	18.34	-0.19	17	-0.22	18	-0.04	18	-15.73	18	-1.18	18	-0.01	19
6063	-465	-466	Max	2.83	-13.99	17	0.70	17	-0.00	10	55.98	17	1.41	18	-0.00	16
6063	-465	-466	Max	17.72	-13.99	17	0.70	17	0.04	17	55.22	17	4.19	17	-0.00	16
6063	-465	-466	Min.	2.83	-26.55	18	-0.23	18	-0.06	17	-15.21	18	-4.09	17	-0.01	19
6063	-465	-466	Min.	17.72	-26.55	18	-0.23	18	-0.04	18	-15.97	18	-0.91	18	-0.01	19
6064	-497	-498	Max	2.83	155.13	18	0.58	17	-0.00	16	48.42	17	-0.03	10	0.00	10
6064	-497	-498	Max	17.09	155.13	18	0.58	17	0.03	17	47.69	17	2.77	17	0.00	10
6064	-497	-498	Min.	2.83	67.90	17	-0.18	18	-0.05	17	-14.22	18	-4.08	17	-0.00	16
6064	-497	-498	Min.	17.09	67.90	17	-0.18	18	-0.03	18	-14.94	18	-2.37	18	-0.00	16
6068	-505	-506	Max	3.53	-32.04	17	0.07	16	0.04	17	57.48	17	1.35	16	-0.00	16
6068	-505	-506	Max	17.80	-32.04	17	0.07	16	-0.01	16	56.75	17	4.37	17	-0.00	16
6068	-505	-506	Min.	3.53	-94.05	18	-0.75	17	-0.02	18	-7.66	16	-3.78	17	-0.01	19

6068	-505	-506	Min.	17.80	-94.05	18	-0.75	17	-0.06	17	-8.38	16	-0.07	10	-0.01	19
6069	-473	-474	Max	3.53	15.65	16	0.11	16	0.05	17	65.56	17	0.48	16	-0.00	10
6069	-473	-474	Max	18.42	15.65	16	0.11	16	-0.01	10	64.80	17	4.86	17	-0.00	10
6069	-473	-474	Min.	3.53	2.72	17	-0.86	17	-0.03	18	-8.20	16	-4.85	17	-0.01	19
6069	-473	-474	Min.	18.42	2.72	17	-0.86	17	-0.08	17	-8.96	16	-0.80	16	-0.01	19
6070	-441	-442	Max	3.53	-1.30	10	0.11	16	0.06	17	66.65	17	0.64	16	-0.00	16
6070	-441	-442	Max	19.05	-1.30	10	0.11	16	-0.01	10	65.86	17	5.19	17	-0.00	16
6070	-441	-442	Min.	3.53	-2.92	17	-0.90	17	-0.04	18	-8.07	16	-5.09	17	-0.01	19
6070	-441	-442	Min.	19.05	-2.92	17	-0.90	17	-0.08	17	-8.86	16	-0.68	16	-0.01	19
6071	-409	-410	Max	3.53	0.05	16	0.10	16	0.06	17	66.74	17	0.61	16	-0.00	16
6071	-409	-410	Max	19.67	0.05	16	0.10	16	-0.01	10	65.92	17	5.40	17	-0.00	16
6071	-409	-410	Min.	3.53	-2.10	17	-0.90	17	-0.04	18	-7.64	16	-5.31	17	-0.01	19
6071	-409	-410	Min.	19.67	-2.10	17	-0.90	17	-0.08	17	-8.46	16	-0.69	16	-0.01	19
6072	-377	-378	Max	3.53	-0.22	10	0.10	16	0.06	17	66.67	17	0.61	16	-0.00	16
6072	-377	-378	Max	20.30	-0.22	10	0.10	16	-0.01	10	65.81	17	5.60	17	-0.00	16
6072	-377	-378	Min.	3.53	-2.20	17	-0.90	17	-0.04	18	-7.21	16	-5.51	17	-0.01	19
6072	-377	-378	Min.	20.30	-2.20	17	-0.90	17	-0.09	17	-8.07	16	-0.68	16	-0.01	19
6073	-345	-346	Max	3.53	-0.19	10	0.09	16	0.07	17	66.57	17	0.60	16	-0.00	16
6073	-345	-346	Max	20.92	-0.19	10	0.09	16	-0.01	10	65.69	17	5.79	17	-0.00	16
6073	-345	-346	Min.	3.53	-2.18	17	-0.89	17	-0.04	18	-6.81	16	-5.71	17	-0.01	19
6073	-345	-346	Min.	20.92	-2.18	17	-0.89	17	-0.09	17	-7.70	16	-0.67	16	-0.01	19
6074	-313	-314	Max	3.53	-0.19	10	0.09	16	0.07	17	66.48	17	0.59	16	-0.00	16
6074	-313	-314	Max	21.55	-0.19	10	0.09	16	-0.01	10	65.56	17	5.99	17	-0.00	16
6074	-313	-314	Min.	3.53	-2.18	17	-0.89	17	-0.04	18	-6.44	16	-5.90	17	-0.01	19
6074	-313	-314	Min.	21.55	-2.18	17	-0.89	17	-0.09	17	-7.36	16	-0.66	16	-0.01	19
6075	-281	-282	Max	3.53	-0.19	10	0.08	16	0.07	17	66.39	17	0.58	16	-0.00	16
6075	-281	-282	Max	22.17	-0.19	10	0.08	16	-0.01	10	65.44	17	6.18	17	-0.00	16
6075	-281	-282	Min.	3.53	-2.18	17	-0.89	17	-0.04	18	-6.09	16	-6.10	17	-0.01	19
6075	-281	-282	Min.	22.17	-2.18	17	-0.89	17	-0.09	17	-7.05	16	-0.65	16	-0.01	19
6076	-249	-250	Max	3.53	-0.18	10	0.08	16	0.07	17	66.30	17	0.57	16	-0.00	16
6076	-249	-250	Max	22.80	-0.18	10	0.08	16	-0.01	10	65.32	17	6.38	17	-0.00	16
6076	-249	-250	Min.	3.53	-2.18	17	-0.88	17	-0.04	18	-5.77	16	-6.30	17	-0.01	19
6076	-249	-250	Min.	22.80	-2.18	17	-0.88	17	-0.10	17	-6.75	16	-0.64	16	-0.01	19
6077	-217	-218	Max	3.53	-0.18	10	0.07	16	0.08	17	66.19	17	0.56	16	-0.00	16
6077	-217	-218	Max	23.42	-0.18	10	0.07	16	-0.01	10	65.17	17	6.57	17	-0.00	16
6077	-217	-218	Min.	3.53	-2.18	17	-0.88	17	-0.04	18	-5.46	16	-6.49	17	-0.01	19
6077	-217	-218	Min.	23.42	-2.18	17	-0.88	17	-0.10	17	-6.48	16	-0.63	16	-0.01	19
6078	-185	-186	Max	3.53	-0.18	10	0.07	16	0.08	17	65.97	17	0.55	16	-0.00	16
6078	-185	-186	Max	24.05	-0.18	10	0.07	16	-0.01	10	64.92	17	6.75	17	-0.00	16
6078	-185	-186	Min.	3.53	-2.17	17	-0.87	17	-0.04	18	-5.17	16	-6.67	17	-0.01	19
6078	-185	-186	Min.	24.05	-2.17	17	-0.87	17	-0.10	17	-6.21	16	-0.62	16	-0.01	19
6079	-153	-154	Max	3.53	-0.19	10	0.07	16	0.08	17	65.25	17	0.54	16	-0.00	16
6079	-153	-154	Max	24.67	-0.19	10	0.07	16	-0.01	10	64.17	17	6.88	17	-0.00	16
6079	-153	-154	Min.	3.53	-2.17	17	-0.84	17	-0.04	18	-4.85	16	-6.80	17	-0.01	19
6079	-153	-154	Min.	24.67	-2.17	17	-0.84	17	-0.10	17	-5.93	16	-0.60	16	-0.01	19
6080	-121	-122	Max	3.53	-0.07	10	0.06	16	0.07	17	62.30	17	0.51	16	-0.00	16
6080	-121	-122	Max	25.30	-0.07	10	0.06	16	-0.01	10	61.19	17	6.75	17	-0.00	16
6080	-121	-122	Min.	3.53	-1.98	17	-0.76	17	-0.03	18	-4.38	16	-6.68	17	-0.01	19
6080	-121	-122	Min.	25.30	-1.98	17	-0.76	17	-0.09	17	-5.49	16	-0.57	16	-0.01	19
6081	-89	-90	Max	3.53	-1.00	16	0.05	16	0.06	17	49.71	17	0.39	16	-0.00	16
6081	-89	-90	Max	25.92	-1.00	16	0.05	16	-0.01	10	48.57	17	5.52	17	-0.00	16
6081	-89	-90	Min.	3.53	-2.92	17	-0.56	17	-0.03	16	-3.20	16	-5.48	17	-0.00	19
6081	-89	-90	Min.	25.92	-2.92	17	-0.56	17	-0.07	17	-4.35	16	-0.46	16	-0.00	19
6082	-57	-58	Max	3.53	13.37	9	-0.02	16	0.02	17	59.05	17	0.64	18	0.01	18
6082	-57	-58	Max	26.55	13.37	9	-0.02	16	-0.01	10	56.70	17	6.93	17	0.01	18
6082	-57	-58	Min.	3.53	6.43	16	-0.23	17	-0.02	16	-2.92	16	-6.39	17	-0.03	17
6082	-57	-58	Min.	26.55	6.43	16	-0.23	17	-0.03	17	-5.27	16	-0.38	16	-0.03	17
6083	-25	-26	Max	3.53	55.86	19	0.58	17	0.02	9	38.06	17	0.31	18	0.00	17
6083	-25	-26	Max	26.86	55.86	19	0.58	17	0.06	17	35.68	17	4.45	17	0.00	17

6083	-25	-26	Min.	3.53	26.51	16	-0.21	9	-0.07	17	-0.89	16	-4.15	17	-0.00	18
6083	-25	-26	Min.	26.86	26.51	16	-0.21	9	-0.03	18	-3.27	16	-0.21	16	-0.00	18
6084	373	374	Max	1.77	-10.13	17	6.64	17	-0.34	16	0.31	18	0.42	17	0.29	17
6084	373	374	Max	15.00	-10.13	17	5.42	17	-0.24	16	0.31	18	0.02	9	0.29	17
6084	373	374	Min.	1.77	-14.79	18	1.39	16	-1.14	17	-3.06	17	-0.03	16	-0.08	18
6084	373	374	Min.	15.00	-14.79	18	0.17	16	-0.49	19	-3.06	17	0.01	16	-0.08	18
6084	374	375	Max	0.00	-10.13	17	5.42	17	-0.24	16	0.31	18	0.02	9	0.29	17
6084	374	375	Max	5.44					-0.46	9			0.04	9		
6084	374	375	Max	13.23	-10.13	17	4.20	17	0.30	17	0.31	18	0.06	9	0.29	17
6084	374	375	Min.	0.00	-14.79	18	0.17	16	-0.49	19	-3.06	17	0.01	16	-0.08	18
6084	374	375	Min.	1.81					-0.24	16			0.01	16		
6084	374	375	Min.	13.23	-14.79	18	-1.06	16	-0.48	9	-3.06	17	-0.39	17	-0.08	18
6085	-537	-538	Max	0.00	0.30	18	16.18	18	0.45	17	1.89	17	0.06	18	0.02	16
6085	-537	-538	Max	12.00	0.30	18	16.18	18	0.95	18	3.97	17	0.36	17	0.02	16
6085	-537	-538	Min.	0.00	-2.84	17	-7.81	17	-1.00	18	-1.29	18	0.01	17	-0.54	17
6085	-537	-538	Min.	12.00	-2.84	17	-7.81	17	-0.48	17	0.79	18	0.02	10	-0.54	17
6086	-521	-522	Max	0.00	-0.02	10	17.12	18	0.08	17	-0.54	17	0.15	19	0.06	18
6086	-521	-522	Max	12.00	-0.02	10	17.12	18	1.03	18	1.54	17	0.18	17	0.06	18
6086	-521	-522	Min.	0.00	-3.73	17	-1.39	17	-1.03	18	-2.99	9	0.05	16	-0.73	17
6086	-521	-522	Min.	12.00	-3.73	17	-1.39	17	-0.08	17	-0.91	9	-0.11	9	-0.73	17
6088	313	325	Max	1.77	-2.99	10	13.84	10	46.45	17	6.23	18	0.42	17	0.93	17
6088	313	325	Max	15.00	-2.99	10	12.61	10	1.65	10	6.23	18	0.58	18	0.93	17
6088	313	325	Min.	1.77	-561.07	17	-798.79	17	-0.10	10	-19.41	17	-0.24	18	-0.22	18
6088	313	325	Min.	15.00	-561.07	17	-800.01	17	-59.33	17	-19.41	17	-2.15	17	-0.22	18
6088	325	337	Max	0.00	-16.00	16	848.90	17	-5.77	10	18.51	17	0.70	18	0.20	18
6088	325	337	Max	13.23	-16.00	16	847.68	17	47.77	17	18.51	17	0.38	17	0.20	18
6088	325	337	Min.	0.00	-577.54	17	58.26	10	-64.48	17	-7.43	18	-2.07	17	-0.93	17
6088	325	337	Min.	13.23	-577.54	17	57.04	10	1.78	16	-7.43	18	-0.29	18	-0.93	17
6089	-1	-9	Max	3.53	441.96	17	0.09	16	0.02	19	19.95	9	1.94	16	0.00	19
6089	-1	-9	Max	6.07									0.30	20		
6089	-1	-9	Max	26.86	441.96	17	0.09	16	0.01	16	17.57	9	2.40	9	0.00	19
6089	-1	-9	Min.	3.53	56.66	10	-0.18	9	-0.01	16	-14.18	16	-2.09	19	0.00	16
6089	-1	-9	Min.	6.07									0.30	20		
6089	-1	-9	Min.	26.86	56.66	10	-0.18	9	-0.02	9	-16.56	16	-1.64	16	0.00	16
6090	-33	-41	Max	3.53	169.44	17	0.15	16	0.04	9	36.35	9	2.22	16	0.00	19
6090	-33	-41	Max	26.55	169.44	17	0.15	16	0.02	16	34.00	9	5.72	19	0.00	19
6090	-33	-41	Min.	3.53	14.48	10	-0.31	9	-0.02	16	-15.16	16	-3.62	9	0.00	16
6090	-33	-41	Min.	26.55	14.48	10	-0.31	9	-0.04	19	-17.50	16	-1.54	16	0.00	16
6091	-65	-73	Max	3.53	-1.33	10	0.12	16	0.04	9	32.64	9	1.18	16	0.00	19
6091	-65	-73	Max	25.92	-1.33	10	0.12	16	0.01	16	31.50	9	3.59	9	0.00	19
6091	-65	-73	Min.	3.53	-8.41	17	-0.38	9	-0.01	16	-10.30	16	-3.59	9	0.00	16
6091	-65	-73	Min.	25.92	-8.41	17	-0.38	9	-0.05	19	-11.44	16	-1.25	16	0.00	16
6092	-97	-105	Max	3.53	0.27	19	0.14	16	0.06	9	42.34	9	1.27	16	0.01	19
6092	-97	-105	Max	25.30	0.27	19	0.14	16	0.02	16	41.23	9	4.57	9	0.01	19
6092	-97	-105	Min.	3.53	-1.96	16	-0.52	9	-0.01	16	-11.31	16	-4.52	9	0.00	16
6092	-97	-105	Min.	25.30	-1.96	16	-0.52	9	-0.07	19	-12.42	16	-1.32	16	0.00	16
6093	-129	-137	Max	3.53	-0.02	9	0.13	16	0.06	9	46.11	9	1.06	16	0.01	19
6093	-129	-137	Max	24.67	-0.02	9	0.13	16	0.02	16	45.04	9	4.84	9	0.01	19
6093	-129	-137	Min.	3.53	-2.06	16	-0.58	9	-0.01	16	-9.75	16	-4.79	9	0.00	16
6093	-129	-137	Min.	24.67	-2.06	16	-0.58	9	-0.07	19	-10.83	16	-1.11	16	0.00	16
6094	-161	-169	Max	3.53	-0.01	9	0.11	16	0.07	9	48.62	9	0.80	16	0.01	19
6094	-161	-169	Max	24.05	-0.01	9	0.11	16	0.01	16	47.58	9	4.96	9	0.01	19
6094	-161	-169	Min.	3.53	-2.05	16	-0.63	9	-0.01	16	-7.48	16	-4.90	9	0.00	16
6094	-161	-169	Min.	24.05	-2.05	16	-0.63	9	-0.08	19	-8.52	16	-0.84	16	0.00	16
6095	-193	-201	Max	3.53	-0.01	9	0.07	16	0.07	9	50.96	9	0.52	16	0.01	19
6095	-193	-201	Max	23.42	-0.01	9	0.07	16	0.01	16	49.94	9	5.05	9	0.01	19
6095	-193	-201	Min.	3.53	-2.04	16	-0.66	9	-0.01	16	-4.91	16	-4.98	9	0.00	16
6095	-193	-201	Min.	23.42	-2.04	16	-0.66	9	-0.08	19	-5.92	16	-0.55	16	0.00	16
6096	-225	-233	Max	3.53	-0.00	9	0.04	16	0.07	9	53.38	9	0.24	16	0.01	19

6096	-225	-233	Max	22.80	-0.00	9	0.04	16	0.01	16	52.40	9	5.13	9	0.01	19
6096	-225	-233	Min.	3.53	-2.04	16	-0.70	9	-0.00	16	-2.12	16	-5.06	9	0.00	16
6096	-225	-233	Min.	22.80	-2.04	16	-0.70	9	-0.08	19	-3.10	16	-0.26	16	0.00	16
6097	-257	-265	Max	3.53	0.00	9	-0.00	16	0.07	9	55.97	9	-0.05	16	0.01	19
6097	-257	-265	Max	20.31					0.00	16			0.03	16		
6097	-257	-265	Max	22.17	0.00	9	-0.00	16	0.00	16	55.02	9	5.21	9	0.01	19
6097	-257	-265	Min.	3.53	-2.04	16	-0.73	9	0.00	16	0.88	16	-5.13	9	0.00	16
6097	-257	-265	Min.	20.31					0.00	16			0.03	16		
6097	-257	-265	Min.	22.17	-2.04	16	-0.73	9	-0.08	19	-0.07	16	0.03	16	0.00	16
6098	-289	-297	Max	3.53	0.00	9	-0.05	16	0.07	9	58.74	9	-0.33	16	0.01	19
6098	-289	-297	Max	21.55	0.00	9	-0.05	16	-0.00	16	57.82	9	5.29	9	0.01	19
6098	-289	-297	Min.	3.53	-2.03	16	-0.77	9	0.01	16	4.12	16	-5.20	9	0.00	16
6098	-289	-297	Min.	21.55	-2.03	16	-0.77	9	-0.08	19	3.20	16	0.32	16	0.00	16
6099	-321	-329	Max	3.53	0.01	9	-0.09	16	0.07	9	61.72	9	-0.62	16	0.01	19
6099	-321	-329	Max	20.92	0.01	9	-0.09	16	-0.01	16	60.84	9	5.38	9	0.01	19
6099	-321	-329	Min.	3.53	-2.03	16	-0.81	9	0.01	16	7.60	16	-5.28	9	0.00	16
6099	-321	-329	Min.	20.92	-2.03	16	-0.81	9	-0.08	19	6.71	16	0.62	16	0.00	16
6100	-353	-361	Max	3.53	0.02	9	-0.14	16	0.07	9	64.94	9	-0.91	16	0.01	19
6100	-353	-361	Max	20.30	0.02	9	-0.14	16	-0.01	16	64.08	9	5.46	9	0.01	19
6100	-353	-361	Min.	3.53	-2.01	16	-0.86	9	0.01	16	11.36	16	-5.35	9	0.00	16
6100	-353	-361	Min.	20.30	-2.01	16	-0.86	9	-0.08	19	10.51	16	0.92	16	0.00	16
6101	-385	-393	Max	3.53	-0.06	10	-0.20	16	0.08	9	68.39	9	-1.20	16	0.01	19
6101	-385	-393	Max	19.67	-0.06	10	-0.20	16	-0.01	16	67.56	9	5.54	9	0.01	19
6101	-385	-393	Min.	3.53	-2.08	16	-0.90	9	0.02	16	15.41	16	-5.43	9	0.00	16
6101	-385	-393	Min.	19.67	-2.08	16	-0.90	9	-0.08	19	14.59	16	1.22	16	0.00	16
6102	-417	-425	Max	3.53	0.60	9	-0.25	16	0.08	9	71.97	9	-1.49	16	0.01	19
6102	-417	-425	Max	19.05	0.60	9	-0.25	16	-0.02	16	71.18	9	5.61	9	0.01	19
6102	-417	-425	Min.	3.53	-1.56	16	-0.95	9	0.02	17	19.72	16	-5.49	9	0.00	16
6102	-417	-425	Min.	19.05	-1.56	16	-0.95	9	-0.08	19	18.93	16	1.51	16	0.00	16
6103	-449	-457	Max	3.53	-1.85	17	-0.29	16	0.07	9	74.90	9	-1.71	16	0.02	19
6103	-449	-457	Max	18.42	-1.85	17	-0.29	16	-0.02	16	74.14	9	5.64	9	0.02	19
6103	-449	-457	Min.	3.53	-5.60	18	-0.91	9	0.02	17	23.84	16	-5.45	9	0.00	16
6103	-449	-457	Min.	18.42	-5.60	18	-0.91	9	-0.07	19	23.08	16	1.79	16	0.00	16
6104	-481	-489	Max	3.53	23.43	18	-0.30	16	0.08	9	72.15	9	-1.88	16	0.00	16
6104	-481	-489	Max	17.80	23.43	18	-0.30	16	-0.02	16	71.42	9	4.99	9	0.00	16
6104	-481	-489	Min.	3.53	8.20	17	-1.12	9	0.02	16	24.92	16	-5.25	9	-0.04	9
6104	-481	-489	Min.	17.80	8.20	17	-1.12	9	-0.08	19	24.19	16	1.62	16	-0.04	9
6109	-482	-490	Max	2.83	48.70	18	1.26	19	-0.02	16	79.79	19	-2.35	16	0.05	19
6109	-482	-490	Max	17.09	48.70	18	1.26	19	0.09	9	79.06	19	5.18	19	0.05	19
6109	-482	-490	Min.	2.83	31.97	17	0.36	16	-0.10	19	28.28	16	-6.15	19	0.01	16
6109	-482	-490	Min.	17.09	31.97	17	0.36	16	0.03	16	27.56	16	1.63	16	0.01	16
6110	-450	-458	Max	2.83	-5.35	17	1.05	19	-0.02	16	83.48	19	-2.01	16	0.00	16
6110	-450	-458	Max	17.72	-5.35	17	1.05	19	0.08	9	82.72	19	6.17	19	0.00	16
6110	-450	-458	Min.	2.83	-10.13	18	0.35	16	-0.09	19	27.73	16	-6.20	19	-0.00	9
6110	-450	-458	Min.	17.72	-10.13	18	0.35	16	0.03	16	26.97	16	2.06	16	-0.00	9
6111	-418	-426	Max	2.83	1.18	19	1.08	19	-0.02	16	80.14	19	-1.81	16	0.01	19
6111	-418	-426	Max	18.34	1.18	19	1.08	19	0.09	9	79.35	19	6.11	19	0.01	19
6111	-418	-426	Min.	2.83	-1.19	16	0.31	16	-0.09	19	23.40	16	-6.26	19	0.00	16
6111	-418	-426	Min.	18.34	-1.19	16	0.31	16	0.03	16	22.61	16	1.75	16	0.00	16
6112	-386	-394	Max	2.83	-0.03	17	1.02	19	-0.02	16	76.14	19	-1.51	16	0.01	19
6112	-386	-394	Max	18.97	-0.03	17	1.02	19	0.08	9	75.32	19	6.04	19	0.01	19
6112	-386	-394	Min.	2.83	-2.30	16	0.25	16	-0.09	19	18.91	16	-6.18	19	0.00	16
6112	-386	-394	Min.	18.97	-2.30	16	0.25	16	0.02	16	18.08	16	1.47	16	0.00	16
6113	-354	-362	Max	2.83	0.10	17	0.97	19	-0.01	16	72.29	19	-1.21	16	0.01	19
6113	-354	-362	Max	19.59	0.10	17	0.97	19	0.08	9	71.44	19	5.96	19	0.01	19
6113	-354	-362	Min.	2.83	-2.14	16	0.19	16	-0.09	19	14.67	16	-6.09	19	0.00	16
6113	-354	-362	Min.	19.59	-2.14	16	0.19	16	0.02	16	13.82	16	1.18	16	0.00	16
6114	-322	-330	Max	2.83	0.08	17	0.92	19	-0.01	16	68.70	19	-0.91	16	0.01	19
6114	-322	-330	Max	20.22	0.08	17	0.92	19	0.08	9	67.81	19	5.87	19	0.01	19

6114	-322	-330	Min.	2.83	-2.16	16	0.14	16	-0.09	19	10.74	16	-6.00	19	0.00	16
6114	-322	-330	Min.	20.22	-2.16	16	0.14	16	0.01	16	9.85	16	0.88	16	0.00	16
6115	-290	-298	Max	2.83	0.09	17	0.87	19	-0.01	16	65.37	19	-0.61	16	0.01	19
6115	-290	-298	Max	20.84	0.09	17	0.87	19	0.08	9	64.45	19	5.78	19	0.01	19
6115	-290	-298	Min.	2.83	-2.15	16	0.09	16	-0.09	19	7.10	16	-5.91	19	0.00	16
6115	-290	-298	Min.	20.84	-2.15	16	0.09	16	0.01	16	6.18	16	0.59	16	0.00	16
6116	-258	-266	Max	2.83	0.09	17	0.83	19	-0.00	16	62.27	19	-0.31	16	0.01	19
6116	-258	-266	Max	21.47	0.09	17	0.83	19	0.08	9	61.32	19	5.70	19	0.01	19
6116	-258	-266	Min.	2.83	-2.15	16	0.05	16	-0.09	19	3.72	16	-5.82	19	0.00	16
6116	-258	-266	Min.	21.47	-2.15	16	0.05	16	0.01	16	2.77	16	0.29	16	0.00	16
6117	-226	-234	Max	2.83	0.10	17	0.79	19	0.00	16	59.38	19	-0.02	16	0.01	19
6117	-226	-234	Max	14.39					0.00	16			0.02	16		
6117	-226	-234	Max	22.09	0.10	17	0.79	19	0.08	9	58.40	19	5.61	19	0.01	19
6117	-226	-234	Min.	2.83	-2.15	16	0.00	16	-0.09	19	0.58	16	-5.73	19	0.00	16
6117	-226	-234	Min.	14.39					0.00	16			0.02	16		
6117	-226	-234	Min.	22.09	-2.15	16	0.00	16	0.00	16	-0.40	16	0.00	16	0.00	16
6118	-194	-202	Max	2.83	0.10	17	0.75	19	0.01	16	56.67	19	0.28	16	0.01	19
6118	-194	-202	Max	22.72	0.10	17	0.75	19	0.08	9	55.66	19	5.53	19	0.01	19
6118	-194	-202	Min.	2.83	-2.14	16	-0.04	16	-0.09	19	-2.33	16	-5.64	19	0.00	16
6118	-194	-202	Min.	22.72	-2.14	16	-0.04	16	-0.00	16	-3.34	16	-0.29	16	0.00	16
6119	-162	-170	Max	2.83	0.11	17	0.71	19	0.01	16	54.07	19	0.56	16	0.01	19
6119	-162	-170	Max	23.34	0.11	17	0.71	19	0.07	9	53.02	19	5.44	19	0.01	19
6119	-162	-170	Min.	2.83	-2.15	16	-0.07	16	-0.09	19	-5.02	16	-5.55	19	0.00	16
6119	-162	-170	Min.	23.34	-2.15	16	-0.07	16	-0.01	16	-6.07	16	-0.57	16	0.00	16
6120	-130	-138	Max	2.83	0.09	17	0.66	19	0.01	16	51.28	19	0.84	16	0.01	19
6120	-130	-138	Max	23.97	0.09	17	0.66	19	0.07	9	50.20	19	5.31	19	0.01	19
6120	-130	-138	Min.	2.83	-2.14	16	-0.10	16	-0.08	19	-7.42	16	-5.42	19	0.00	16
6120	-130	-138	Min.	23.97	-2.14	16	-0.10	16	-0.01	16	-8.50	16	-0.85	16	0.00	16
6121	-98	-106	Max	2.83	0.13	9	0.58	19	0.01	16	47.09	19	1.05	16	0.00	19
6121	-98	-106	Max	24.59	0.13	9	0.58	19	0.06	9	45.98	19	5.01	19	0.00	19
6121	-98	-106	Min.	2.83	-1.86	16	-0.12	16	-0.08	19	-9.17	16	-5.11	19	0.00	16
6121	-98	-106	Min.	24.59	-1.86	16	-0.12	16	-0.01	16	-10.28	16	-1.06	16	0.00	16
6122	-66	-74	Max	2.83	3.61	17	0.41	19	0.01	16	36.31	19	1.01	16	0.00	19
6122	-66	-74	Max	25.22	3.61	17	0.41	19	0.05	9	35.17	19	3.95	19	0.00	19
6122	-66	-74	Min.	2.83	-6.90	18	-0.11	16	-0.06	19	-8.66	16	-4.05	19	0.00	16
6122	-66	-74	Min.	25.22	-6.90	18	-0.11	16	-0.01	16	-9.80	16	-1.05	16	0.00	16
6123	-34	-42	Max	2.83	99.96	18	0.36	19	0.02	16	40.76	19	2.89	16	0.00	17
6123	-34	-42	Max	25.84	99.96	18	0.36	19	0.04	9	38.41	19	5.91	9	0.00	17
6123	-34	-42	Min.	2.83	-93.59	17	-0.13	16	-0.05	19	-13.00	16	-4.51	19	0.00	10
6123	-34	-42	Min.	25.84	-93.59	17	-0.13	16	-0.01	16	-15.35	16	-0.37	16	0.00	10
6124	-2	-10	Max	2.83	283.25	18	0.22	19	0.01	16	23.06	19	1.75	16	0.00	16
6124	-2	-10	Max	23.93					0.00	20			0.23	20		
6124	-2	-10	Max	26.15	283.25	18	0.22	19	0.03	19	20.68	19	2.83	19	0.00	16
6124	-2	-10	Min.	2.83	-215.99	17	-0.08	16	-0.03	9	-12.87	16	-2.40	9	0.00	10
6124	-2	-10	Min.	23.93					0.00	20			0.23	20		
6124	-2	-10	Min.	26.15	-215.99	17	-0.08	16	-0.01	16	-15.25	16	-1.53	16	0.00	10
6125	315	327	Max	1.77	380.27	17	22.16	17	-0.05	10	551.57	17	24.04	18	0.90	17
6125	315	327	Max	15.00	380.27	17	22.16	17	2.31	17	550.35	17	41.53	17	0.90	17
6125	315	327	Min.	1.77	-288.33	18	-2.16	9	-0.62	17	-395.40	18	-31.37	17	-0.29	18
6125	315	327	Min.	15.00	-288.33	18	-2.16	9	-0.36	18	-396.62	18	-28.36	18	-0.29	18
6125	327	339	Max	0.00	350.38	17	2.09	9	2.26	17	490.38	18	36.27	17	0.31	18
6125	327	339	Max	13.23	350.38	17	2.09	9	-0.06	10	489.16	18	25.90	18	0.31	18
6125	327	339	Min.	0.00	-306.91	18	-21.79	17	-0.36	9	-498.92	17	-38.91	18	-0.89	17
6125	327	339	Min.	13.23	-306.91	18	-21.79	17	-0.62	17	-500.14	17	-29.83	17	-0.89	17
6126	316	328	Max	1.77	-149.61	10	-297.82	10	64.29	17	6.22	18	0.47	17	1.24	17
6126	316	328	Max	15.00	-149.61	10	-299.05	10	-25.06	10	6.22	18	0.45	18	1.24	17
6126	316	328	Min.	1.77	-755.53	17	-1150.47	17	14.43	10	-23.93	17	-0.38	18	0.00	10
6126	316	328	Min.	15.00	-755.53	17	-1151.69	17	-88.02	17	-23.93	17	-2.70	17	0.00	10
6126	328	340	Max	0.00	-225.68	10	1120.84	17	-17.86	10	23.87	17	0.37	18	0.00	10

6126	328	340	Max	13.23	-225.68	10	1119.62	17	65.47	17	23.87	17	0.46	17	0.00	10
6126	328	340	Min.	0.00	-805.32	17	257.95	10	-82.77	17	-5.58	18	-2.70	17	-1.24	17
6126	328	340	Min.	13.23	-805.32	17	256.73	10	16.19	10	-5.58	18	-0.37	18	-1.24	17
6127	-3	-11	Max	3.53	619.73	17	-0.10	16	0.05	19	62.29	9	-1.51	16	0.00	19
6127	-3	-11	Max	26.86	619.73	17	-0.10	16	-0.01	16	59.91	9	7.51	9	0.00	19
6127	-3	-11	Min.	3.53	219.59	10	-0.45	19	0.01	16	16.69	16	-6.93	19	0.00	16
6127	-3	-11	Min.	26.86	219.59	10	-0.45	19	-0.05	9	14.31	16	2.11	16	0.00	16
6128	-35	-43	Max	3.53	235.52	17	-0.18	16	0.08	9	83.69	9	-0.75	16	0.00	17
6128	-35	-43	Max	26.55	235.52	17	-0.18	16	-0.02	16	81.34	9	12.59	19	0.00	17
6128	-35	-43	Min.	3.53	72.26	10	-0.75	9	0.02	16	20.02	16	-7.86	9	0.00	16
6128	-35	-43	Min.	26.55	72.26	10	-0.75	9	-0.10	19	17.67	16	3.59	16	0.00	16
6129	-67	-75	Max	3.53	-4.44	10	-0.21	16	0.09	9	69.95	9	-1.93	16	0.00	17
6129	-67	-75	Max	25.92	-4.44	10	-0.21	16	-0.02	16	68.81	9	7.79	9	0.00	17
6129	-67	-75	Min.	3.53	-11.76	17	-0.82	9	0.02	16	17.66	16	-7.74	9	0.00	16
6129	-67	-75	Min.	25.92	-11.76	17	-0.82	9	-0.10	19	16.52	16	1.90	16	0.00	16
6130	-99	-107	Max	3.53	0.63	19	-0.31	16	0.12	9	90.60	9	-2.63	16	0.01	17
6130	-99	-107	Max	25.30	0.63	19	-0.31	16	-0.03	16	89.49	9	9.87	9	0.01	17
6130	-99	-107	Min.	3.53	-1.64	16	-1.12	9	0.03	16	24.87	16	-9.73	9	0.00	16
6130	-99	-107	Min.	25.30	-1.64	16	-1.12	9	-0.14	19	23.75	16	2.66	16	0.00	16
6131	-131	-139	Max	3.53	0.01	9	-0.38	16	0.13	9	98.68	9	-3.06	16	0.01	17
6131	-131	-139	Max	24.67	0.01	9	-0.38	16	-0.04	16	97.60	9	10.45	9	0.01	17
6131	-131	-139	Min.	3.53	-2.04	16	-1.26	9	0.04	17	29.66	16	-10.30	9	0.00	16
6131	-131	-139	Min.	24.67	-2.04	16	-1.26	9	-0.15	19	28.58	16	3.09	16	0.00	16
6132	-163	-171	Max	3.53	0.02	9	-0.44	16	0.14	9	104.09	9	-3.42	16	0.01	17
6132	-163	-171	Max	24.05	0.02	9	-0.44	16	-0.04	16	103.04	9	10.70	9	0.01	17
6132	-163	-171	Min.	3.53	-2.03	16	-1.36	9	0.04	17	34.10	16	-10.54	9	0.00	16
6132	-163	-171	Min.	24.05	-2.03	16	-1.36	9	-0.16	19	33.06	16	3.47	16	0.00	16
6133	-195	-203	Max	3.53	0.02	9	-0.50	16	0.14	9	109.14	9	-3.77	16	0.01	17
6133	-195	-203	Max	23.42	0.02	9	-0.50	16	-0.05	16	108.12	9	10.89	9	0.01	17
6133	-195	-203	Min.	3.53	-2.02	16	-1.43	9	0.04	17	38.71	16	-10.71	9	0.00	16
6133	-195	-203	Min.	23.42	-2.02	16	-1.43	9	-0.16	19	37.69	16	3.83	16	0.00	16
6134	-227	-235	Max	3.53	0.03	9	-0.57	16	0.15	9	114.38	9	-4.12	16	0.01	17
6134	-227	-235	Max	22.80	0.03	9	-0.57	16	-0.05	16	113.40	9	11.06	9	0.01	17
6134	-227	-235	Min.	3.53	-2.01	16	-1.51	9	0.05	17	43.61	16	-10.87	9	0.00	16
6134	-227	-235	Min.	22.80	-2.01	16	-1.51	9	-0.16	19	42.63	16	4.19	16	0.00	16
6135	-259	-267	Max	3.53	0.03	9	-0.64	16	0.15	9	119.97	9	-4.47	16	0.01	17
6135	-259	-267	Max	22.17	0.03	9	-0.64	16	-0.06	16	119.02	9	11.24	9	0.01	17
6135	-259	-267	Min.	3.53	-2.01	16	-1.59	9	0.05	17	48.87	16	-11.03	9	0.00	16
6135	-259	-267	Min.	22.17	-2.01	16	-1.59	9	-0.16	19	47.91	16	4.55	16	0.00	16
6136	-291	-299	Max	3.53	0.04	9	-0.72	16	0.15	9	125.98	9	-4.82	16	0.01	17
6136	-291	-299	Max	21.55	0.04	9	-0.72	16	-0.06	16	125.06	9	11.41	9	0.01	17
6136	-291	-299	Min.	3.53	-2.00	16	-1.67	9	0.05	17	54.52	16	-11.19	9	0.00	16
6136	-291	-299	Min.	21.55	-2.00	16	-1.67	9	-0.16	19	53.60	16	4.91	16	0.00	16
6137	-323	-331	Max	3.53	0.04	9	-0.80	16	0.15	9	132.43	9	-5.18	16	0.01	17
6137	-323	-331	Max	20.92	0.04	9	-0.80	16	-0.07	16	131.54	9	11.59	9	0.01	17
6137	-323	-331	Min.	3.53	-2.00	16	-1.76	9	0.05	17	60.60	16	-11.36	9	0.00	16
6137	-323	-331	Min.	20.92	-2.00	16	-1.76	9	-0.17	19	59.71	16	5.28	16	0.00	16
6138	-355	-363	Max	3.53	0.08	9	-0.89	16	0.16	9	139.38	9	-5.53	16	0.01	17
6138	-355	-363	Max	20.30	0.08	9	-0.89	16	-0.07	16	138.52	9	11.77	9	0.01	17
6138	-355	-363	Min.	3.53	-1.96	16	-1.86	9	0.06	17	67.16	16	-11.52	9	0.00	16
6138	-355	-363	Min.	20.30	-1.96	16	-1.86	9	-0.17	19	66.31	16	5.65	16	0.00	16
6139	-387	-395	Max	3.53	-0.14	10	-0.98	16	0.16	9	146.83	9	-5.89	16	0.01	17
6139	-387	-395	Max	19.67	-0.14	10	-0.98	16	-0.08	16	146.01	9	11.95	9	0.01	17
6139	-387	-395	Min.	3.53	-2.18	16	-1.95	9	0.06	17	74.22	16	-11.68	9	0.00	16
6139	-387	-395	Min.	19.67	-2.18	16	-1.95	9	-0.17	19	73.39	16	6.02	16	0.00	16
6140	-419	-427	Max	3.53	1.72	9	-1.08	16	0.16	9	154.56	9	-6.24	16	0.01	17
6140	-419	-427	Max	19.05	1.72	9	-1.08	16	-0.08	16	153.77	9	12.09	9	0.01	17
6140	-419	-427	Min.	3.53	-0.50	16	-2.06	9	0.06	17	81.63	16	-11.83	9	0.00	16
6140	-419	-427	Min.	19.05	-0.50	16	-2.06	9	-0.17	19	80.84	16	6.37	16	0.00	16

6141	-451	-459	Max	3.53	-4.28	17	-1.04	17	0.15	18	160.76	9	-6.27	17	0.02	19
6141	-451	-459	Max	18.42	-4.28	17	-1.04	17	-0.08	16	160.00	9	12.18	18	0.02	19
6141	-451	-459	Min.	3.53	-14.48	18	-1.99	18	0.05	17	85.93	17	-11.70	9	0.01	16
6141	-451	-459	Min.	18.42	-14.48	18	-1.99	18	-0.16	19	85.17	17	6.47	17	0.01	16
6142	-483	-491	Max	3.53	73.81	18	-1.23	16	0.17	9	155.07	18	-5.98	17	-0.03	16
6142	-483	-491	Max	17.80	73.81	18	-1.23	16	-0.09	16	154.34	18	10.54	9	-0.03	16
6142	-483	-491	Min.	3.53	21.09	17	-2.36	9	0.07	17	82.40	17	-11.56	18	-0.07	9
6142	-483	-491	Min.	17.80	21.09	17	-2.36	9	-0.18	19	81.67	17	5.71	16	-0.07	9
6147	-484	-492	Max	2.83	75.15	18	2.44	19	-0.09	16	158.78	19	-6.78	16	0.08	19
6147	-484	-492	Max	17.09	75.15	18	2.44	19	0.17	9	158.05	19	10.50	19	0.08	19
6147	-484	-492	Min.	2.83	50.33	10	1.25	16	-0.19	19	87.21	16	-12.09	19	0.03	16
6147	-484	-492	Min.	17.09	50.33	10	1.25	16	0.08	17	86.48	16	5.61	16	0.03	16
6148	-452	-460	Max	2.83	-8.68	17	2.07	19	-0.08	16	166.48	19	-6.65	16	-0.00	17
6148	-452	-460	Max	17.72	-8.68	17	2.07	19	0.15	18	165.72	19	12.32	19	-0.00	17
6148	-452	-460	Min.	2.83	-14.80	18	1.12	16	-0.17	19	89.62	16	-12.41	19	-0.01	9
6148	-452	-460	Min.	17.72	-14.80	18	1.12	16	0.06	17	88.86	16	6.64	16	-0.01	9
6149	-420	-428	Max	2.83	1.86	19	2.15	19	-0.08	16	159.88	19	-6.48	16	0.00	17
6149	-420	-428	Max	18.34	1.86	19	2.15	19	0.16	9	159.09	19	12.22	19	0.00	17
6149	-420	-428	Min.	2.83	-0.72	16	1.10	16	-0.18	19	82.85	16	-12.52	19	0.00	16
6149	-420	-428	Min.	18.34	-0.72	16	1.10	16	0.07	17	82.06	16	6.31	16	0.00	16
6150	-388	-396	Max	2.83	-0.07	17	2.03	19	-0.08	16	151.89	19	-6.12	16	0.00	17
6150	-388	-396	Max	18.97	-0.07	17	2.03	19	0.16	9	151.07	19	12.09	19	0.00	17
6150	-388	-396	Min.	2.83	-2.40	16	1.00	16	-0.18	19	75.39	16	-12.35	19	0.00	10
6150	-388	-396	Min.	18.97	-2.40	16	1.00	16	0.07	17	74.56	16	5.98	16	0.00	10
6151	-356	-364	Max	2.83	0.14	17	1.93	19	-0.07	16	144.18	19	-5.75	16	0.00	17
6151	-356	-364	Max	19.59	0.14	17	1.93	19	0.16	9	143.32	19	11.92	19	0.00	17
6151	-356	-364	Min.	2.83	-2.17	16	0.91	16	-0.18	19	68.27	16	-12.17	19	0.00	16
6151	-356	-364	Min.	19.59	-2.17	16	0.91	16	0.06	17	67.41	16	5.62	16	0.00	16
6152	-324	-332	Max	2.83	0.12	17	1.83	19	-0.07	16	136.98	19	-5.38	16	0.00	17
6152	-324	-332	Max	20.22	0.12	17	1.83	19	0.16	9	136.09	19	11.75	19	0.00	17
6152	-324	-332	Min.	2.83	-2.19	16	0.82	16	-0.17	19	61.65	16	-11.99	19	0.00	16
6152	-324	-332	Min.	20.22	-2.19	16	0.82	16	0.06	17	60.77	16	5.26	16	0.00	16
6153	-292	-300	Max	2.83	0.12	17	1.73	19	-0.06	16	130.30	19	-5.01	16	0.00	17
6153	-292	-300	Max	20.84	0.12	17	1.73	19	0.15	9	129.38	19	11.58	19	0.00	17
6153	-292	-300	Min.	2.83	-2.18	16	0.73	16	-0.17	19	55.52	16	-11.81	19	0.00	16
6153	-292	-300	Min.	20.84	-2.18	16	0.73	16	0.06	17	54.60	16	4.91	16	0.00	16
6154	-260	-268	Max	2.83	0.13	17	1.65	19	-0.06	16	124.09	19	-4.65	16	0.00	17
6154	-260	-268	Max	21.47	0.13	17	1.65	19	0.15	9	123.14	19	11.41	19	0.00	17
6154	-260	-268	Min.	2.83	-2.18	16	0.66	16	-0.17	19	49.82	16	-11.63	19	0.00	16
6154	-260	-268	Min.	21.47	-2.18	16	0.66	16	0.06	17	48.87	16	4.55	16	0.00	16
6155	-228	-236	Max	2.83	0.13	17	1.57	19	-0.06	16	118.30	19	-4.28	16	0.00	17
6155	-228	-236	Max	22.09	0.13	17	1.57	19	0.15	9	117.32	19	11.24	19	0.00	17
6155	-228	-236	Min.	2.83	-2.17	16	0.58	16	-0.17	19	44.52	16	-11.45	19	0.00	16
6155	-228	-236	Min.	22.09	-2.17	16	0.58	16	0.06	17	43.53	16	4.20	16	0.00	16
6156	-196	-204	Max	2.83	0.13	17	1.49	19	-0.05	16	112.87	19	-3.93	16	0.00	17
6156	-196	-204	Max	22.72	0.13	17	1.49	19	0.15	9	111.86	19	11.07	19	0.00	17
6156	-196	-204	Min.	2.83	-2.17	16	0.52	16	-0.17	19	39.57	16	-11.27	19	0.00	16
6156	-196	-204	Min.	22.72	-2.17	16	0.52	16	0.05	16	38.56	16	3.84	16	0.00	16
6157	-164	-172	Max	2.83	0.14	17	1.41	19	-0.05	16	107.65	19	-3.57	16	0.00	17
6157	-164	-172	Max	23.34	0.14	17	1.41	19	0.14	9	106.60	19	10.89	19	0.00	17
6157	-164	-172	Min.	2.83	-2.17	16	0.45	16	-0.16	19	34.93	16	-11.09	19	0.00	16
6157	-164	-172	Min.	23.34	-2.17	16	0.45	16	0.05	16	33.88	16	3.49	16	0.00	16
6158	-132	-140	Max	2.83	0.11	17	1.31	19	-0.04	16	102.06	19	-3.19	16	0.00	17
6158	-132	-140	Max	23.97	0.11	17	1.31	19	0.14	9	100.98	19	10.63	19	0.00	17
6158	-132	-140	Min.	2.83	-2.17	16	0.39	16	-0.16	19	30.44	16	-10.82	19	0.00	16
6158	-132	-140	Min.	23.97	-2.17	16	0.39	16	0.04	16	29.36	16	3.13	16	0.00	16
6159	-100	-108	Max	2.83	0.15	9	1.16	19	-0.03	16	93.70	19	-2.75	16	0.00	17
6159	-100	-108	Max	24.59	0.15	9	1.16	19	0.13	9	92.59	19	10.05	19	0.00	17
6159	-100	-108	Min.	2.83	-1.82	16	0.32	16	-0.14	19	25.58	16	-10.22	19	0.00	16

6159	-100	-108	Min.	24.59	-1.82	16	0.32	16	0.04	16	24.47	16	2.69	16	0.00	16
6160	-68	-76	Max	2.83	4.14	17	0.84	19	-0.02	16	72.32	19	-2.02	16	0.00	17
6160	-68	-76	Max	25.22	4.14	17	0.84	19	0.09	9	71.18	19	7.95	19	0.00	17
6160	-68	-76	Min.	2.83	-8.95	18	0.21	16	-0.11	19	18.18	16	-8.11	19	0.00	16
6160	-68	-76	Min.	25.22	-8.95	18	0.21	16	0.02	16	17.04	16	1.92	16	0.00	16
6161	-36	-44	Max	2.83	128.50	18	0.79	19	-0.02	16	86.73	19	-0.68	16	0.00	17
6161	-36	-44	Max	25.84	128.50	18	0.79	19	0.09	9	84.38	19	11.44	9	0.00	17
6161	-36	-44	Min.	2.83	-111.96	17	0.19	16	-0.10	19	21.02	16	-9.69	19	0.00	9
6161	-36	-44	Min.	25.84	-111.96	17	0.19	16	0.02	16	18.67	16	3.89	16	0.00	9
6162	-4	-12	Max	2.83	374.07	18	0.47	19	-0.01	16	64.35	19	-1.61	16	0.00	17
6162	-4	-12	Max	26.15	374.07	18	0.47	19	0.06	19	61.97	19	7.81	19	0.00	17
6162	-4	-12	Min.	2.83	-254.05	17	0.11	16	-0.05	19	17.03	16	-7.01	9	0.00	9
6162	-4	-12	Min.	26.15	-254.05	17	0.11	16	0.01	16	14.64	16	2.09	16	0.00	9
6163	318	330	Max	1.77	480.38	17	29.28	17	-0.21	10	635.48	17	28.15	18	1.16	17
6163	318	330	Max	15.00	480.38	17	29.28	17	3.04	17	634.25	17	45.39	17	1.16	17
6163	318	330	Min.	1.77	-311.91	18	2.31	10	-0.84	17	-551.61	18	-38.62	17	-0.16	18
6163	318	330	Min.	15.00	-311.91	18	2.31	10	0.09	10	-552.84	18	-44.92	18	-0.16	18
6163	330	342	Max	0.00	418.44	17	-1.53	10	2.92	17	487.39	18	50.55	17	0.15	18
6163	330	342	Max	13.23	418.44	17	-1.53	10	-0.20	10	486.17	18	29.70	18	0.15	18
6163	330	342	Min.	0.00	-393.76	18	-28.19	17	0.00	10	-662.83	17	-34.72	18	-1.16	17
6163	330	342	Min.	13.23	-393.76	18	-28.19	17	-0.81	17	-664.05	17	-37.24	17	-1.16	17
6164	319	331	Max	1.77	-207.68	10	-385.77	10	68.93	17	3.87	18	0.52	17	1.36	17
6164	319	331	Max	15.00	-207.68	10	-386.99	10	-31.63	10	3.87	18	0.19	18	1.36	17
6164	319	331	Min.	1.77	-808.19	17	-1229.19	17	19.49	10	-26.03	17	-0.32	18	0.12	10
6164	319	331	Min.	15.00	-808.19	17	-1230.41	17	-93.80	17	-26.03	17	-2.93	17	0.12	10
6164	331	343	Max	0.00	-281.09	16	1203.78	17	-24.53	10	26.21	17	0.06	18	-0.12	10
6164	331	343	Max	13.23	-281.09	16	1202.56	17	70.17	17	26.21	17	0.52	17	-0.12	10
6164	331	343	Min.	0.00	-859.55	17	347.24	10	-89.03	17	-2.71	18	-2.95	17	-1.36	17
6164	331	343	Min.	13.23	-859.55	17	346.02	10	21.34	10	-2.71	18	-0.30	18	-1.36	17
6165	-5	-13	Max	3.53	657.99	17	-0.11	16	0.05	19	63.55	9	-1.60	16	0.00	17
6165	-5	-13	Max	26.86	657.99	17	-0.11	16	-0.01	16	61.17	9	7.62	9	0.00	17
6165	-5	-13	Min.	3.53	263.37	10	-0.46	9	0.01	16	17.31	16	-7.05	19	0.00	16
6165	-5	-13	Min.	26.86	263.37	10	-0.46	9	-0.05	9	14.93	16	2.15	16	0.00	16
6166	-37	-45	Max	3.53	250.75	17	-0.19	16	0.09	9	85.47	9	-0.62	16	0.00	17
6166	-37	-45	Max	26.55	250.75	17	-0.19	16	-0.02	16	83.12	9	13.01	19	0.00	17
6166	-37	-45	Min.	3.53	89.55	10	-0.77	9	0.02	16	20.89	16	-7.79	9	0.00	16
6166	-37	-45	Min.	26.55	89.55	10	-0.77	9	-0.10	19	18.54	16	3.91	16	0.00	16
6167	-69	-77	Max	3.53	-5.25	10	-0.21	16	0.09	9	71.50	9	-2.02	16	0.00	17
6167	-69	-77	Max	25.92	-5.25	10	-0.21	16	-0.03	16	70.36	9	7.96	9	0.00	17
6167	-69	-77	Min.	3.53	-12.47	17	-0.84	9	0.02	16	18.43	16	-7.92	9	-0.00	18
6167	-69	-77	Min.	25.92	-12.47	17	-0.84	9	-0.11	19	17.28	16	1.98	16	-0.00	18
6168	-101	-109	Max	3.53	0.65	19	-0.32	16	0.12	9	92.60	9	-2.74	16	0.00	17
6168	-101	-109	Max	25.30	0.65	19	-0.32	16	-0.04	16	91.49	9	10.09	9	0.00	17
6168	-101	-109	Min.	3.53	-1.63	16	-1.14	9	0.03	16	25.86	16	-9.94	9	-0.00	18
6168	-101	-109	Min.	25.30	-1.63	16	-1.14	9	-0.14	19	24.74	16	2.77	16	-0.00	18
6169	-133	-141	Max	3.53	-0.01	9	-0.39	16	0.14	9	100.86	9	-3.17	16	0.00	17
6169	-133	-141	Max	24.67	-0.01	9	-0.39	16	-0.04	16	99.78	9	10.68	9	0.00	17
6169	-133	-141	Min.	3.53	-2.05	16	-1.30	9	0.04	17	30.73	16	-10.52	9	-0.00	18
6169	-133	-141	Min.	24.67	-2.05	16	-1.30	9	-0.16	19	29.66	16	3.21	16	-0.00	18
6170	-165	-173	Max	3.53	-0.00	9	-0.46	16	0.14	9	106.39	9	-3.54	16	0.00	17
6170	-165	-173	Max	24.05	-0.00	9	-0.46	16	-0.05	16	105.35	9	10.94	9	0.00	17
6170	-165	-173	Min.	3.53	-2.04	16	-1.39	9	0.04	17	35.24	16	-10.77	9	-0.00	18
6170	-165	-173	Min.	24.05	-2.04	16	-1.39	9	-0.16	19	34.19	16	3.58	16	-0.00	18
6171	-197	-205	Max	3.53	0.00	9	-0.52	16	0.14	9	111.56	9	-3.89	16	0.00	17
6171	-197	-205	Max	23.42	0.00	9	-0.52	16	-0.05	16	110.54	9	11.13	9	0.00	17
6171	-197	-205	Min.	3.53	-2.04	16	-1.47	9	0.04	17	39.90	16	-10.95	9	-0.00	18
6171	-197	-205	Min.	23.42	-2.04	16	-1.47	9	-0.16	19	38.89	16	3.94	16	-0.00	18
6172	-229	-237	Max	3.53	0.00	9	-0.59	16	0.15	9	116.92	9	-4.24	16	0.00	17
6172	-229	-237	Max	22.80	0.00	9	-0.59	16	-0.06	16	115.94	9	11.31	9	0.00	17

6172	-229	-237	Min.	3.53	-2.03	16	-1.55	9	0.04	17	44.87	16	-11.12	9	-0.00	18
6172	-229	-237	Min.	22.80	-2.03	16	-1.55	9	-0.17	19	43.88	16	4.31	16	-0.00	18
6173	-261	-269	Max	3.53	0.01	9	-0.66	16	0.15	9	122.64	9	-4.59	16	0.00	17
6173	-261	-269	Max	22.17	0.01	9	-0.66	16	-0.06	16	121.69	9	11.49	9	0.00	17
6173	-261	-269	Min.	3.53	-2.03	16	-1.63	9	0.05	17	50.19	16	-11.28	9	-0.00	18
6173	-261	-269	Min.	22.17	-2.03	16	-1.63	9	-0.17	19	49.24	16	4.67	16	-0.00	18
6174	-293	-301	Max	3.53	0.02	9	-0.74	16	0.15	9	128.78	9	-4.95	16	0.00	17
6174	-293	-301	Max	21.55	0.02	9	-0.74	16	-0.07	16	127.86	9	11.67	9	0.00	17
6174	-293	-301	Min.	3.53	-2.02	16	-1.71	9	0.05	17	55.91	16	-11.45	9	-0.00	18
6174	-293	-301	Min.	21.55	-2.02	16	-1.71	9	-0.17	19	54.99	16	5.04	16	-0.00	18
6175	-325	-333	Max	3.53	0.02	9	-0.82	16	0.15	9	135.39	9	-5.30	16	0.00	17
6175	-325	-333	Max	20.92	0.02	9	-0.82	16	-0.07	16	134.50	9	11.85	9	0.00	17
6175	-325	-333	Min.	3.53	-2.02	16	-1.80	9	0.05	17	62.07	16	-11.61	9	-0.00	18
6175	-325	-333	Min.	20.92	-2.02	16	-1.80	9	-0.17	19	61.18	16	5.41	16	-0.00	18
6176	-357	-365	Max	3.53	0.06	9	-0.91	16	0.16	9	142.50	9	-5.66	16	0.00	17
6176	-357	-365	Max	20.30	0.06	9	-0.91	16	-0.08	16	141.64	9	12.03	9	0.00	17
6176	-357	-365	Min.	3.53	-1.98	16	-1.90	9	0.05	17	68.71	16	-11.78	9	-0.00	18
6176	-357	-365	Min.	20.30	-1.98	16	-1.90	9	-0.18	19	67.85	16	5.78	16	-0.00	18
6177	-389	-397	Max	3.53	-0.16	10	-1.01	16	0.16	9	150.12	9	-6.02	16	0.01	17
6177	-389	-397	Max	19.67	-0.16	10	-1.01	16	-0.08	16	149.30	9	12.22	9	0.01	17
6177	-389	-397	Min.	3.53	-2.20	16	-2.00	9	0.05	17	75.85	16	-11.94	9	0.00	18
6177	-389	-397	Min.	19.67	-2.20	16	-2.00	9	-0.18	19	75.02	16	6.16	16	0.00	18
6178	-421	-429	Max	3.53	1.66	9	-1.10	17	0.16	9	158.03	9	-6.33	17	0.00	17
6178	-421	-429	Max	19.05	1.66	9	-1.10	17	-0.09	16	157.24	9	12.36	9	0.00	17
6178	-421	-429	Min.	3.53	-0.55	16	-2.12	9	0.06	17	82.74	17	-12.09	9	-0.00	18
6178	-421	-429	Min.	19.05	-0.55	16	-2.12	9	-0.18	19	81.95	17	6.45	17	-0.00	18
6179	-453	-461	Max	3.53	-4.09	17	-1.05	17	0.15	18	164.36	9	-6.28	17	0.01	19
6179	-453	-461	Max	18.42	-4.09	17	-1.05	17	-0.09	16	163.60	9	12.45	18	0.01	19
6179	-453	-461	Min.	3.53	-14.32	18	-2.05	18	0.05	17	86.07	17	-11.97	9	0.00	16
6179	-453	-461	Min.	18.42	-14.32	18	-2.05	18	-0.17	19	85.31	17	6.47	17	0.00	16
6180	-485	-493	Max	3.53	72.51	18	-1.25	17	0.17	9	158.37	18	-5.98	17	-0.03	16
6180	-485	-493	Max	17.80	72.51	18	-1.25	17	-0.09	16	157.64	18	10.79	9	-0.03	16
6180	-485	-493	Min.	3.53	19.67	17	-2.42	9	0.07	17	82.48	17	-11.78	18	-0.08	9
6180	-485	-493	Min.	17.80	19.67	17	-2.42	9	-0.18	19	81.76	17	5.73	17	-0.08	9
6185	-486	-494	Max	2.83	76.40	18	2.36	19	-0.09	16	154.41	19	-6.66	17	0.08	19
6185	-486	-494	Max	17.09	76.40	18	2.36	19	0.16	9	153.68	19	10.19	19	0.08	19
6185	-486	-494	Min.	2.83	51.58	10	1.22	16	-0.18	19	85.53	16	-11.78	18	0.03	16
6185	-486	-494	Min.	17.09	51.58	10	1.22	16	0.07	17	84.80	16	5.48	16	0.03	16
6186	-454	-462	Max	2.83	-8.79	17	2.00	19	-0.08	16	161.80	19	-6.51	16	-0.01	17
6186	-454	-462	Max	17.72	-8.79	17	2.00	19	0.15	18	161.04	19	11.98	19	-0.01	17
6186	-454	-462	Min.	2.83	-14.96	18	1.09	16	-0.17	19	87.80	16	-12.06	19	-0.02	9
6186	-454	-462	Min.	17.72	-14.96	18	1.09	16	0.06	17	87.04	16	6.51	16	-0.02	9
6187	-422	-430	Max	2.83	1.92	19	2.07	19	-0.08	16	155.37	19	-6.34	16	0.00	17
6187	-422	-430	Max	18.34	1.92	19	2.07	19	0.16	9	154.58	19	11.87	19	0.00	17
6187	-422	-430	Min.	2.83	-0.68	16	1.07	16	-0.18	19	81.11	16	-12.17	19	-0.00	18
6187	-422	-430	Min.	18.34	-0.68	16	1.07	16	0.06	17	80.31	16	6.18	16	-0.00	18
6188	-390	-398	Max	2.83	-0.04	17	1.97	19	-0.08	16	147.61	19	-5.98	16	0.00	17
6188	-390	-398	Max	18.97	-0.04	17	1.97	19	0.15	9	146.78	19	11.75	19	0.00	17
6188	-390	-398	Min.	2.83	-2.38	16	0.98	16	-0.18	19	73.72	16	-12.00	19	-0.01	9
6188	-390	-398	Min.	18.97	-2.38	16	0.98	16	0.06	17	72.90	16	5.85	16	-0.01	9
6189	-358	-366	Max	2.83	0.17	17	1.87	19	-0.08	16	140.12	19	-5.61	16	0.00	17
6189	-358	-366	Max	19.59	0.17	17	1.87	19	0.15	9	139.26	19	11.59	19	0.00	17
6189	-358	-366	Min.	2.83	-2.14	16	0.88	16	-0.18	19	66.69	16	-11.83	19	-0.00	9
6189	-358	-366	Min.	19.59	-2.14	16	0.88	16	0.06	17	65.84	16	5.49	16	-0.00	9
6190	-326	-334	Max	2.83	0.14	17	1.77	19	-0.07	16	133.13	19	-5.25	16	0.00	17
6190	-326	-334	Max	20.22	0.14	17	1.77	19	0.15	9	132.24	19	11.42	19	0.00	17
6190	-326	-334	Min.	2.83	-2.17	16	0.79	16	-0.17	19	60.16	16	-11.65	19	-0.00	9
6190	-326	-334	Min.	20.22	-2.17	16	0.79	16	0.06	17	59.27	16	5.14	16	-0.00	9
6191	-294	-302	Max	2.83	0.15	17	1.68	19	-0.07	16	126.64	19	-4.88	16	0.00	17

6191	-294	-302	Max	20.84	0.15	17	1.68	19	0.15	9	125.72	19	11.25	19	0.00	17
6191	-294	-302	Min.	2.83	-2.16	16	0.71	16	-0.17	19	54.10	16	-11.47	19	-0.00	9
6191	-294	-302	Min.	20.84	-2.16	16	0.71	16	0.05	17	53.18	16	4.78	16	-0.00	9
6192	-262	-270	Max	2.83	0.15	17	1.60	19	-0.06	16	120.61	19	-4.52	16	0.00	17
6192	-262	-270	Max	21.47	0.15	17	1.60	19	0.15	9	119.66	19	11.09	19	0.00	17
6192	-262	-270	Min.	2.83	-2.16	16	0.64	16	-0.17	19	48.47	16	-11.30	19	-0.00	9
6192	-262	-270	Min.	21.47	-2.16	16	0.64	16	0.05	17	47.52	16	4.43	16	-0.00	9
6193	-230	-238	Max	2.83	0.15	17	1.52	19	-0.06	16	114.99	19	-4.16	16	0.00	17
6193	-230	-238	Max	22.09	0.15	17	1.52	19	0.14	9	114.01	19	10.92	19	0.00	17
6193	-230	-238	Min.	2.83	-2.15	16	0.56	16	-0.17	19	43.23	16	-11.13	19	-0.00	9
6193	-230	-238	Min.	22.09	-2.15	16	0.56	16	0.05	17	42.25	16	4.07	16	-0.00	9
6194	-198	-206	Max	2.83	0.15	17	1.44	19	-0.05	16	109.72	19	-3.80	16	0.00	17
6194	-198	-206	Max	22.72	0.15	17	1.44	19	0.14	9	108.70	19	10.76	19	0.00	17
6194	-198	-206	Min.	2.83	-2.15	16	0.50	16	-0.16	19	38.35	16	-10.96	19	-0.00	9
6194	-198	-206	Min.	22.72	-2.15	16	0.50	16	0.05	17	37.34	16	3.72	16	-0.00	9
6195	-166	-174	Max	2.83	0.16	17	1.37	19	-0.05	16	104.64	19	-3.45	16	0.00	17
6195	-166	-174	Max	23.34	0.16	17	1.37	19	0.14	9	103.60	19	10.58	19	0.00	17
6195	-166	-174	Min.	2.83	-2.15	16	0.44	16	-0.16	19	33.77	16	-10.77	19	-0.00	9
6195	-166	-174	Min.	23.34	-2.15	16	0.44	16	0.04	16	32.72	16	3.37	16	-0.00	9
6196	-134	-142	Max	2.83	0.13	17	1.27	19	-0.04	16	99.21	19	-3.08	16	0.00	17
6196	-134	-142	Max	23.97	0.13	17	1.27	19	0.13	9	98.13	19	10.34	19	0.00	17
6196	-134	-142	Min.	2.83	-2.15	16	0.37	16	-0.16	19	29.34	16	-10.52	19	-0.00	9
6196	-134	-142	Min.	23.97	-2.15	16	0.37	16	0.04	16	28.26	16	3.01	16	-0.00	9
6197	-102	-110	Max	2.83	0.15	9	1.12	19	-0.03	16	91.09	19	-2.64	16	0.00	17
6197	-102	-110	Max	24.59	0.15	9	1.12	19	0.12	9	89.97	19	9.76	19	0.00	17
6197	-102	-110	Min.	2.83	-1.83	16	0.30	16	-0.14	19	24.57	16	-9.94	19	-0.00	9
6197	-102	-110	Min.	24.59	-1.83	16	0.30	16	0.03	16	23.46	16	2.58	16	-0.00	9
6198	-70	-78	Max	2.83	4.89	17	0.83	19	-0.02	16	70.31	19	-1.93	16	0.00	17
6198	-70	-78	Max	25.22	4.89	17	0.83	19	0.09	9	69.17	19	7.73	19	0.00	17
6198	-70	-78	Min.	2.83	-8.06	18	0.21	16	-0.11	19	17.40	16	-7.89	19	-0.00	9
6198	-70	-78	Min.	25.22	-8.06	18	0.21	16	0.02	16	16.26	16	1.84	16	-0.00	9
6199	-38	-46	Max	2.83	109.47	18	0.76	19	-0.02	16	84.26	19	-0.79	16	0.00	17
6199	-38	-46	Max	25.84	109.47	18	0.76	19	0.09	9	81.91	19	10.95	9	0.00	17
6199	-38	-46	Min.	2.83	-127.87	17	0.18	16	-0.10	19	20.07	16	-9.69	19	-0.00	9
6199	-38	-46	Min.	25.84	-127.87	17	0.18	16	0.02	16	17.72	16	3.53	17	-0.00	9
6200	-6	-14	Max	2.83	325.99	18	0.46	19	-0.01	16	62.56	19	-1.51	16	0.00	17
6200	-6	-14	Max	26.15	325.99	18	0.46	19	0.06	19	60.18	19	7.64	19	0.00	17
6200	-6	-14	Min.	2.83	-294.48	17	0.10	16	-0.05	19	16.40	16	-6.83	9	-0.00	9
6200	-6	-14	Min.	26.15	-294.48	17	0.10	16	0.01	16	14.02	16	2.04	16	-0.00	9
6201	321	333	Max	1.77	533.12	17	31.20	17	-0.26	10	715.37	17	22.59	18	1.26	17
6201	321	333	Max	15.00	533.12	17	31.20	17	3.25	17	714.15	17	51.47	17	1.26	17
6201	321	333	Min.	1.77	-248.54	18	4.50	10	-0.88	17	-454.83	18	-43.11	17	-0.03	18
6201	321	333	Min.	15.00	-248.54	18	4.50	10	0.33	16	-456.05	18	-37.68	18	-0.03	18
6201	333	345	Max	0.00	475.22	17	-4.11	10	3.16	17	389.38	18	56.24	17	0.02	18
6201	333	345	Max	13.23	475.22	17	-4.11	10	-0.26	10	388.16	18	24.04	18	0.02	18
6201	333	345	Min.	0.00	-325.00	18	-30.40	17	0.28	10	-740.07	17	-27.41	18	-1.26	17
6201	333	345	Min.	13.23	-325.00	18	-30.40	17	-0.86	17	-741.30	17	-41.77	17	-1.26	17
6202	322	334	Max	1.77	-211.22	10	-304.55	10	61.46	17	-1.67	16	0.55	17	1.30	17
6202	322	334	Max	15.00	-211.22	10	-305.78	10	-22.15	10	-1.67	16	-0.29	16	1.30	17
6202	322	334	Min.	1.77	-729.81	17	-1058.66	17	18.23	10	-25.81	17	-0.09	18	0.23	16
6202	322	334	Min.	15.00	-729.81	17	-1059.88	17	-78.70	17	-25.81	17	-2.87	17	0.23	16
6202	334	346	Max	0.00	-220.23	16	1110.68	17	-29.36	16	25.38	17	-0.27	16	-0.24	16
6202	334	346	Max	13.23	-220.23	16	1109.46	17	62.91	17	25.38	17	0.53	17	-0.24	16
6202	334	346	Min.	0.00	-752.17	17	369.11	16	-83.97	17	1.47	16	-2.83	17	-1.30	17
6202	334	346	Min.	13.23	-752.17	17	367.89	16	19.40	16	1.47	16	-0.11	18	-1.30	17
6203	-7	-15	Max	3.53	567.33	17	0.08	16	0.03	19	22.53	9	1.72	16	0.00	17
6203	-7	-15	Max	24.53					-0.00	20			0.23	20		
6203	-7	-15	Max	26.86	567.33	17	0.08	16	0.01	16	20.15	9	2.62	9	0.00	17
6203	-7	-15	Min.	3.53	216.74	10	-0.21	19	-0.01	16	-12.88	16	-2.52	19	0.00	16

6203	-7	-15	Min.	24.53					-0.00	20			0.23	20		
6203	-7	-15	Min.	26.86	216.74	10	-0.21	19	-0.02	9	-15.26	16	-1.56	16	0.00	16
6204	-39	-47	Max	3.53	218.96	17	0.13	16	0.04	9	39.88	9	2.90	16	0.00	17
6204	-39	-47	Max	26.55	218.96	17	0.13	16	0.01	16	37.53	9	7.19	19	0.00	17
6204	-39	-47	Min.	3.53	76.42	16	-0.35	9	-0.02	16	-13.43	16	-2.97	9	0.00	16
6204	-39	-47	Min.	26.55	76.42	16	-0.35	9	-0.05	19	-15.78	16	-0.46	16	0.00	16
6205	-71	-79	Max	3.53	-4.26	10	0.11	16	0.04	9	35.76	9	1.00	16	0.00	17
6205	-71	-79	Max	25.92	-4.26	10	0.11	16	0.01	16	34.61	9	3.94	9	0.00	17
6205	-71	-79	Min.	3.53	-10.69	17	-0.41	9	-0.01	16	-8.73	16	-3.94	9	-0.00	18
6205	-71	-79	Min.	25.92	-10.69	17	-0.41	9	-0.06	19	-9.87	16	-1.08	16	-0.00	18
6206	-103	-111	Max	3.53	0.38	19	0.12	16	0.06	9	46.35	9	1.05	16	0.00	17
6206	-103	-111	Max	25.30	0.38	19	0.12	16	0.01	16	45.24	9	5.01	9	0.00	17
6206	-103	-111	Min.	3.53	-1.86	16	-0.57	9	-0.01	16	-9.29	16	-4.95	9	-0.00	18
6206	-103	-111	Min.	25.30	-1.86	16	-0.57	9	-0.08	19	-10.40	16	-1.09	16	-0.00	18
6207	-135	-143	Max	3.53	-0.05	9	0.10	16	0.07	9	50.48	9	0.84	16	0.00	17
6207	-135	-143	Max	24.67	-0.05	9	0.10	16	0.01	16	49.40	9	5.31	9	0.00	17
6207	-135	-143	Min.	3.53	-2.08	16	-0.65	9	-0.01	16	-7.56	16	-5.24	9	-0.00	18
6207	-135	-143	Min.	24.67	-2.08	16	-0.65	9	-0.09	19	-8.63	16	-0.87	16	-0.00	18
6208	-167	-175	Max	3.53	-0.05	9	0.07	16	0.07	9	53.23	9	0.57	16	0.00	17
6208	-167	-175	Max	24.05	-0.05	9	0.07	16	0.01	16	52.18	9	5.44	9	0.00	17
6208	-167	-175	Min.	3.53	-2.07	16	-0.70	9	-0.01	16	-5.16	16	-5.37	9	-0.00	18
6208	-167	-175	Min.	24.05	-2.07	16	-0.70	9	-0.09	19	-6.21	16	-0.60	16	-0.00	18
6209	-199	-207	Max	3.53	-0.04	9	0.04	16	0.07	9	55.80	9	0.29	16	0.00	17
6209	-199	-207	Max	23.42	-0.04	9	0.04	16	0.00	16	54.78	9	5.54	9	0.00	17
6209	-199	-207	Min.	3.53	-2.07	16	-0.74	9	-0.01	16	-2.48	16	-5.46	9	-0.00	18
6209	-199	-207	Min.	23.42	-2.07	16	-0.74	9	-0.09	19	-3.49	16	-0.31	16	-0.00	18
6210	-231	-239	Max	3.53	-0.04	9	-0.00	16	0.07	9	58.46	9	-0.00	16	0.00	17
6210	-231	-239	Max	11.24					-0.00	16			0.02	16		
6210	-231	-239	Max	22.80	-0.04	9	-0.00	16	-0.00	16	57.48	9	5.63	9	0.00	17
6210	-231	-239	Min.	3.53	-2.07	16	-0.77	9	-0.00	16	0.43	16	-5.54	9	-0.00	18
6210	-231	-239	Min.	11.24					-0.00	16			0.02	16		
6210	-231	-239	Min.	22.80	-2.07	16	-0.77	9	-0.09	19	-0.55	16	-0.01	16	-0.00	18
6211	-263	-271	Max	3.53	-0.04	9	-0.04	16	0.07	9	61.30	9	-0.29	16	0.00	17
6211	-263	-271	Max	22.17	-0.04	9	-0.04	16	-0.01	16	60.35	9	5.72	9	0.00	17
6211	-263	-271	Min.	3.53	-2.06	16	-0.81	9	0.00	16	3.57	16	-5.62	9	-0.00	18
6211	-263	-271	Min.	22.17	-2.06	16	-0.81	9	-0.09	19	2.62	16	0.28	16	-0.00	18
6212	-295	-303	Max	3.53	-0.04	9	-0.09	16	0.07	9	64.35	9	-0.58	16	0.00	17
6212	-295	-303	Max	21.55	-0.04	9	-0.09	16	-0.01	16	63.43	9	5.81	9	0.00	17
6212	-295	-303	Min.	3.53	-2.06	16	-0.86	9	0.01	16	6.94	16	-5.70	9	-0.00	18
6212	-295	-303	Min.	21.55	-2.06	16	-0.86	9	-0.09	19	6.02	16	0.58	16	-0.00	18
6213	-327	-335	Max	3.53	-0.04	9	-0.14	16	0.08	9	67.64	9	-0.88	16	0.00	17
6213	-327	-335	Max	20.92	-0.04	9	-0.14	16	-0.01	16	66.75	9	5.90	9	0.00	17
6213	-327	-335	Min.	3.53	-2.06	16	-0.90	9	0.01	16	10.57	16	-5.79	9	-0.00	18
6213	-327	-335	Min.	20.92	-2.06	16	-0.90	9	-0.09	19	9.68	16	0.88	16	-0.00	18
6214	-359	-367	Max	3.53	-0.01	9	-0.19	16	0.08	9	71.17	9	-1.17	16	0.00	17
6214	-359	-367	Max	20.30	-0.01	9	-0.19	16	-0.02	16	70.31	9	5.99	9	0.00	17
6214	-359	-367	Min.	3.53	-2.03	16	-0.95	9	0.01	16	14.49	16	-5.87	9	-0.00	18
6214	-359	-367	Min.	20.30	-2.03	16	-0.95	9	-0.09	19	13.64	16	1.19	16	-0.00	18
6215	-391	-399	Max	3.53	-0.16	10	-0.25	16	0.08	9	74.96	9	-1.46	16	0.00	17
6215	-391	-399	Max	19.67	-0.16	10	-0.25	16	-0.02	16	74.14	9	6.08	9	0.00	17
6215	-391	-399	Min.	3.53	-2.18	16	-1.00	9	0.02	16	18.72	16	-5.95	9	-0.00	18
6215	-391	-399	Min.	19.67	-2.18	16	-1.00	9	-0.10	19	17.90	16	1.49	16	-0.00	18
6216	-423	-431	Max	3.53	1.06	9	-0.31	16	0.08	9	78.90	9	-1.76	16	0.00	17
6216	-423	-431	Max	19.05	1.06	9	-0.31	16	-0.03	16	78.11	9	6.15	9	0.00	17
6216	-423	-431	Min.	3.53	-1.08	16	-1.06	9	0.02	17	23.21	16	-6.03	9	-0.00	18
6216	-423	-431	Min.	19.05	-1.08	16	-1.06	9	-0.10	19	22.42	16	1.78	16	-0.00	18
6217	-455	-463	Max	3.53	-3.66	17	-0.35	16	0.07	9	82.07	9	-1.94	16	0.01	17
6217	-455	-463	Max	18.42	-3.66	17	-0.35	16	-0.03	16	81.31	9	6.21	9	0.01	17
6217	-455	-463	Min.	3.53	-9.89	18	-1.03	9	0.02	17	27.43	16	-5.95	9	-0.00	16

6217	-455	-463	Min.	18.42	-9.89	18	-1.03	9	-0.09	19	26.67	16	2.09	16	-0.00	16
6218	-487	-495	Max	3.53	47.58	18	-0.36	16	0.09	9	78.88	9	-2.30	16	-0.01	16
6218	-487	-495	Max	17.80	47.58	18	-0.36	16	-0.03	16	78.15	9	5.30	9	-0.01	16
6218	-487	-495	Min.	3.53	18.11	17	-1.24	9	0.02	16	28.33	16	-5.90	9	-0.04	9
6218	-487	-495	Min.	17.80	18.11	17	-1.24	9	-0.10	19	27.60	16	1.69	16	-0.04	9
6223	-488	-496	Max	2.83	25.62	19	1.15	19	-0.02	16	74.37	19	-1.93	16	0.04	19
6223	-488	-496	Max	17.09	25.62	19	1.15	19	0.08	9	73.64	19	4.98	19	0.04	19
6223	-488	-496	Min.	2.83	15.16	16	0.30	16	-0.09	19	24.89	16	-5.57	19	0.00	16
6223	-488	-496	Min.	17.09	15.16	16	0.30	16	0.02	16	24.16	16	1.57	16	0.00	16
6224	-456	-464	Max	2.83	-2.65	17	0.94	19	-0.02	16	77.49	19	-1.76	16	-0.00	16
6224	-456	-464	Max	17.72	-2.65	17	0.94	19	0.06	9	76.73	19	5.70	19	-0.00	16
6224	-456	-464	Min.	2.83	-5.84	18	0.29	16	-0.08	19	23.97	16	-5.78	19	-0.01	9
6224	-456	-464	Min.	17.72	-5.84	18	0.29	16	0.02	16	23.21	16	1.75	16	-0.01	9
6225	-424	-432	Max	2.83	0.69	19	0.99	19	-0.02	16	74.40	19	-1.53	16	0.00	17
6225	-424	-432	Max	18.34	0.69	19	0.99	19	0.07	9	73.60	19	5.67	19	0.00	17
6225	-424	-432	Min.	2.83	-1.67	16	0.25	16	-0.09	19	19.81	16	-5.81	19	-0.01	9
6225	-424	-432	Min.	18.34	-1.67	16	0.25	16	0.02	16	19.01	16	1.48	16	-0.01	9
6226	-392	-400	Max	2.83	0.07	17	0.93	19	-0.02	16	70.70	19	-1.24	16	0.00	17
6226	-392	-400	Max	18.97	0.07	17	0.93	19	0.07	9	69.87	19	5.61	19	0.00	17
6226	-392	-400	Min.	2.83	-2.19	16	0.20	16	-0.09	19	15.50	16	-5.74	19	-0.01	9
6226	-392	-400	Min.	18.97	-2.19	16	0.20	16	0.01	16	14.67	16	1.20	16	-0.01	9
6227	-360	-368	Max	2.83	0.13	17	0.89	19	-0.01	16	67.13	19	-0.94	16	0.00	17
6227	-360	-368	Max	19.59	0.13	17	0.89	19	0.07	9	66.27	19	5.53	19	0.00	17
6227	-360	-368	Min.	2.83	-2.12	16	0.14	16	-0.09	19	11.44	16	-5.65	19	-0.01	9
6227	-360	-368	Min.	19.59	-2.12	16	0.14	16	0.01	16	10.58	16	0.91	16	-0.01	9
6228	-328	-336	Max	2.83	0.13	17	0.84	19	-0.01	16	63.81	19	-0.64	16	0.00	17
6228	-328	-336	Max	20.22	0.13	17	0.84	19	0.07	9	62.92	19	5.45	19	0.00	17
6228	-328	-336	Min.	2.83	-2.13	16	0.09	16	-0.09	19	7.68	16	-5.57	19	-0.01	9
6228	-328	-336	Min.	20.22	-2.13	16	0.09	16	0.01	16	6.79	16	0.61	16	-0.01	9
6229	-296	-304	Max	2.83	0.13	17	0.80	19	-0.01	16	60.72	19	-0.35	16	0.00	17
6229	-296	-304	Max	20.84	0.13	17	0.80	19	0.07	9	59.80	19	5.37	19	0.00	17
6229	-296	-304	Min.	2.83	-2.12	16	0.05	16	-0.09	19	4.19	16	-5.49	19	-0.01	9
6229	-296	-304	Min.	20.84	-2.12	16	0.05	16	0.00	16	3.27	16	0.32	16	-0.01	9
6230	-264	-272	Max	2.83	0.13	17	0.76	19	-0.00	16	57.85	19	-0.05	16	0.00	17
6230	-264	-272	Max	21.47	0.13	17	0.76	19	0.07	9	56.90	19	5.29	19	0.00	17
6230	-264	-272	Min.	2.83	-2.12	16	0.00	16	-0.09	19	0.96	16	-5.40	19	-0.01	9
6230	-264	-272	Min.	21.47	-2.12	16	0.00	16	-0.00	16	0.01	16	0.03	16	-0.01	9
6231	-232	-240	Max	2.83	0.13	17	0.72	19	0.00	16	55.18	19	0.24	16	0.00	17
6231	-232	-240	Max	22.09	0.13	17	0.72	19	0.06	9	54.19	19	5.21	19	0.00	17
6231	-232	-240	Min.	2.83	-2.12	16	-0.04	16	-0.09	19	-2.05	16	-5.32	19	-0.01	9
6231	-232	-240	Min.	22.09	-2.12	16	-0.04	16	-0.01	16	-3.03	16	-0.25	16	-0.01	9
6232	-200	-208	Max	2.83	0.13	17	0.69	19	0.01	16	52.67	19	0.52	16	0.00	17
6232	-200	-208	Max	22.72	0.13	17	0.69	19	0.06	9	51.66	19	5.13	19	0.00	17
6232	-200	-208	Min.	2.83	-2.12	16	-0.07	16	-0.09	19	-4.84	16	-5.24	19	-0.00	9
6232	-200	-208	Min.	22.72	-2.12	16	-0.07	16	-0.01	16	-5.85	16	-0.54	16	-0.00	9
6233	-168	-176	Max	2.83	0.15	17	0.65	19	0.01	16	50.26	19	0.81	16	0.00	17
6233	-168	-176	Max	23.34	0.15	17	0.65	19	0.06	9	49.21	19	5.05	19	0.00	17
6233	-168	-176	Min.	2.83	-2.11	16	-0.11	16	-0.09	19	-7.41	16	-5.15	19	-0.00	9
6233	-168	-176	Min.	23.34	-2.11	16	-0.11	16	-0.01	16	-8.46	16	-0.82	16	-0.00	9
6234	-136	-144	Max	2.83	0.12	17	0.61	19	0.01	16	47.67	19	1.08	16	0.00	17
6234	-136	-144	Max	23.97	0.12	17	0.61	19	0.06	9	46.59	19	4.93	19	0.00	17
6234	-136	-144	Min.	2.83	-2.12	16	-0.13	16	-0.08	19	-9.68	16	-5.03	19	-0.00	9
6234	-136	-144	Min.	23.97	-2.12	16	-0.13	16	-0.02	16	-10.76	16	-1.09	16	-0.00	9
6235	-104	-112	Max	2.83	0.03	9	0.53	19	0.01	16	43.77	19	1.28	16	0.00	17
6235	-104	-112	Max	24.59	0.03	9	0.53	19	0.05	9	42.66	19	4.65	19	0.00	17
6235	-104	-112	Min.	2.83	-1.96	16	-0.14	16	-0.08	19	-11.24	16	-4.75	19	-0.00	9
6235	-104	-112	Min.	24.59	-1.96	16	-0.14	16	-0.02	16	-12.35	16	-1.29	16	-0.00	9
6236	-72	-80	Max	2.83	6.32	17	0.39	19	0.01	16	33.75	19	1.20	16	0.00	17
6236	-72	-80	Max	25.22	6.32	17	0.39	19	0.04	9	32.61	19	3.67	19	0.00	17

6236	-72	-80	Min.	2.83	-3.55	16	-0.12	16	-0.06	19	-10.25	16	-3.75	19	-0.00	9
6236	-72	-80	Min.	25.22	-3.55	16	-0.12	16	-0.01	16	-11.40	16	-1.23	16	-0.00	9
6237	-40	-48	Max	2.83	24.42	18	0.33	19	0.02	16	37.58	19	2.24	16	0.00	17
6237	-40	-48	Max	25.84	24.42	18	0.33	19	0.04	9	35.23	19	4.41	9	0.00	17
6237	-40	-48	Min.	2.83	-150.42	17	-0.15	16	-0.05	19	-15.01	16	-5.23	19	-0.00	9
6237	-40	-48	Min.	25.84	-150.42	17	-0.15	16	-0.02	16	-17.36	16	-1.48	16	-0.00	9
6238	-8	-16	Max	2.83	89.39	18	0.20	19	0.01	16	20.99	19	1.97	16	0.00	17
6238	-8	-16	Max	5.83									0.29	20		
6238	-8	-16	Max	26.15	89.39	18	0.20	19	0.03	19	18.61	19	2.67	19	0.00	17
6238	-8	-16	Min.	2.83	-362.91	17	-0.09	16	-0.02	19	-14.15	16	-2.02	9	-0.00	9
6238	-8	-16	Min.	5.83									0.29	20		
6238	-8	-16	Min.	26.15	-362.91	17	-0.09	16	-0.01	16	-16.53	16	-1.61	16	-0.00	9
6239	324	336	Max	1.77	568.80	17	28.14	17	-0.19	10	834.83	17	1.88	18	1.24	17
6239	324	336	Max	15.00	568.80	17	28.14	17	2.99	17	833.61	17	62.76	17	1.24	17
6239	324	336	Min.	1.77	-42.47	16	4.94	16	-0.73	17	-13.93	16	-47.63	17	0.17	16
6239	324	336	Min.	15.00	-42.47	16	4.94	16	0.46	16	-15.15	16	-0.09	16	0.17	16
6239	336	348	Max	0.00	542.81	17	-5.64	16	3.00	17	103.21	18	57.50	17	-0.16	16
6239	336	348	Max	13.23	542.81	17	-5.64	16	-0.21	16	101.99	18	3.55	18	-0.16	16
6239	336	348	Min.	0.00	-46.65	9	-28.23	17	0.53	16	-782.53	17	-10.02	18	-1.24	17
6239	336	348	Min.	13.23	-46.65	9	-28.23	17	-0.74	17	-783.76	17	-46.12	17	-1.24	17
6240	332	345	Max	0.00	-141.62	16	9.74	18	2.68	17	238.81	18	26.59	17	-0.16	9
6240	332	345	Max	18.38	-141.62	16	9.74	18	0.86	18	237.12	18	20.29	19	-0.16	9
6240	332	345	Min.	0.00	-208.42	19	-15.11	17	-0.93	18	-61.63	17	-23.55	18	-6.29	17
6240	332	345	Min.	18.38	-208.42	19	-15.11	17	-0.10	17	-63.32	17	14.24	10	-6.29	17
6240	319	332	Max	2.83	-24.43	17	24.75	17	-0.43	10	-202.31	10	18.33	18	4.94	17
6240	319	332	Max	21.21	-24.43	17	24.75	17	3.66	17	-204.00	10	-25.10	10	4.94	17
6240	319	332	Min.	2.83	-162.26	18	5.60	10	-0.89	17	-360.26	19	4.70	17	-2.28	18
6240	319	332	Min.	21.21	-162.26	18	5.60	10	0.60	10	-361.95	19	-57.17	17	-2.28	18
6241	318	329	Max	2.83	-105.07	10	15.84	17	0.68	18	28.31	17	18.33	18	7.17	17
6241	318	329	Max	21.21	-105.07	10	15.84	17	2.70	17	26.62	17	18.94	17	7.17	17
6241	318	329	Min.	2.83	-163.95	19	-8.58	18	-0.21	17	-293.76	18	12.26	10	1.43	16
6241	318	329	Min.	21.21	-163.95	19	-8.58	18	-0.90	18	-295.44	18	-35.83	18	1.43	16
6241	329	340	Max	0.00	-54.70	17	-6.59	16	3.61	17	314.72	19	-15.68	10	0.57	16
6241	329	340	Max	18.38	-54.70	17	-6.59	16	-0.59	16	313.03	19	20.20	18	0.57	16
6241	329	340	Min.	0.00	-197.73	18	-25.13	17	0.62	16	163.53	10	-50.21	17	-5.79	17
6241	329	340	Min.	18.38	-197.73	18	-25.13	17	-1.11	19	161.85	10	6.45	17	-5.79	17
6242	329	342	Max	0.00	-137.52	10	11.88	18	2.41	17	258.18	18	23.15	17	0.48	9
6242	329	342	Max	18.38	-137.52	10	11.88	18	0.91	18	256.49	18	20.02	19	0.48	9
6242	329	342	Min.	0.00	-203.80	19	-13.35	17	-1.27	18	-43.36	17	-27.54	18	-5.72	17
6242	329	342	Min.	18.38	-203.80	19	-13.35	17	-0.05	17	-45.05	17	13.84	10	-5.72	17
6242	316	329	Max	2.83	-27.42	17	23.11	17	-0.38	10	-184.59	10	18.75	18	4.40	17
6242	316	329	Max	21.21	-27.42	17	23.11	17	3.41	17	-186.28	10	-21.45	10	4.40	17
6242	316	329	Min.	2.83	-164.19	18	3.83	10	-0.84	17	-343.29	19	5.32	17	-2.89	18
6242	316	329	Min.	21.21	-164.19	18	3.83	10	0.32	10	-344.98	19	-54.40	17	-2.89	18
6243	335	348	Max	0.00	-70.78	16	1.37	9	2.84	17	130.44	18	28.26	17	-2.08	10
6243	335	348	Max	18.38	-70.78	16	1.37	9	0.33	9	128.75	18	12.84	19	-2.08	10
6243	335	348	Min.	0.00	-126.23	19	-17.06	17	0.07	9	-96.14	17	-12.19	18	-6.86	17
6243	335	348	Min.	18.38	-126.23	19	-17.06	17	-0.29	17	-97.82	17	8.42	16	-6.86	17
6243	322	335	Max	2.83	3.88	17	22.47	17	-0.33	10	-115.54	10	9.04	18	6.09	17
6243	322	335	Max	21.21	3.88	17	22.47	17	3.40	17	-117.23	10	-15.18	10	6.09	17
6243	322	335	Min.	2.83	-89.06	18	6.03	10	-0.74	17	-249.42	17	0.62	17	1.04	10
6243	322	335	Min.	21.21	-89.06	18	6.03	10	0.78	10	-251.11	17	-45.39	17	1.04	10
6244	313	326	Max	2.83	-3.97	17	17.41	17	-0.15	10	-49.99	10	10.47	18	4.35	17
6244	313	326	Max	21.21	-3.97	17	17.41	17	2.60	17	-51.68	10	-1.91	10	4.35	17
6244	313	326	Min.	2.83	-87.09	18	-0.17	10	-0.60	17	-205.02	17	2.54	17	-1.04	9
6244	313	326	Min.	21.21	-87.09	18	-0.17	10	-0.18	9	-206.71	17	-35.31	17	-1.04	9
6244	326	339	Max	0.00	-68.40	16	9.06	18	1.96	17	209.76	18	15.77	17	-0.03	10
6244	326	339	Max	18.38	-68.40	16	9.06	18	0.55	18	208.07	18	11.93	19	-0.03	10
6244	326	339	Min.	0.00	-123.61	19	-11.29	17	-1.12	18	-29.45	17	-28.23	18	-5.15	17

6244	326	339	Min.	18.38	-123.61	19	-11.29	17	-0.11	17	-31.14	17	7.29	16	-5.15	17
6245	315	326	Max	2.83	-58.43	10	12.46	17	0.49	18	59.75	17	10.10	19	4.43	17
6245	315	326	Max	21.21	-58.43	10	12.46	17	2.09	17	58.06	17	20.02	17	4.43	17
6245	315	326	Min.	2.83	-100.92	19	-8.35	18	-0.20	17	-155.32	18	6.21	10	-1.41	18
6245	315	326	Min.	21.21	-100.92	19	-8.35	18	-1.05	18	-157.01	18	-19.68	18	-1.41	18
6245	326	337	Max	0.00	-23.19	17	-0.22	16	2.63	17	235.42	17	-8.03	10	2.83	18
6245	326	337	Max	18.38	-23.19	17	-0.22	16	-0.19	16	233.73	17	11.63	18	2.83	18
6245	326	337	Min.	0.00	-104.95	18	-18.06	17	-0.15	16	92.64	16	-39.58	17	-3.56	17
6245	326	337	Min.	18.38	-104.95	18	-18.06	17	-0.69	17	90.95	16	3.55	17	-3.56	17
6246	332	343	Max	0.00	-49.63	17	-8.30	16	3.88	17	332.88	19	-19.34	10	0.05	16
6246	332	343	Max	18.38	-49.63	17	-8.30	16	-0.64	16	331.19	19	19.76	18	0.05	16
6246	332	343	Min.	0.00	-192.43	18	-26.82	17	0.89	16	181.31	10	-53.34	17	-6.26	17
6246	332	343	Min.	18.38	-192.43	18	-26.82	17	-1.16	19	179.62	10	5.83	17	-6.26	17
6246	321	332	Max	2.83	-107.12	10	17.44	17	0.62	18	48.56	17	18.76	18	7.63	17
6246	321	332	Max	21.21	-107.12	10	17.44	17	2.94	17	46.87	17	22.75	17	7.63	17
6246	321	332	Min.	2.83	-165.38	19	-6.65	18	-0.26	17	-274.13	18	12.65	10	1.93	16
6246	321	332	Min.	21.21	-165.38	19	-6.65	18	-0.60	18	-275.82	18	-31.80	18	1.93	16
6247	324	335	Max	2.83	-58.88	10	18.08	17	0.26	18	126.93	17	10.98	19	6.10	17
6247	324	335	Max	21.21	-58.88	10	18.08	17	2.95	17	125.24	17	32.57	17	6.10	17
6247	324	335	Min.	2.83	-96.77	19	-1.26	16	-0.38	17	-75.49	18	7.44	10	0.79	16
6247	324	335	Min.	21.21	-96.77	19	-1.26	16	0.02	16	-77.18	18	-3.56	18	0.79	16
6247	335	346	Max	0.00	-12.81	17	-6.33	16	3.47	17	284.53	19	-21.18	16	0.37	18
6247	335	346	Max	18.38	-12.81	17	-6.33	16	-0.37	16	282.84	19	10.19	18	0.37	18
6247	335	346	Min.	0.00	-100.20	18	-23.35	17	0.79	16	155.77	16	-49.70	17	-5.32	17
6247	335	346	Min.	18.38	-100.20	18	-23.35	17	-0.82	17	154.09	16	1.66	17	-5.32	17
6272	351	362	Max	2.83	-65.96	16	11.32	17	0.57	18	30.95	17	11.93	19	5.16	17
6272	351	362	Max	21.21	-65.96	16	11.32	17	1.96	17	29.26	17	15.74	17	5.16	17
6272	351	362	Min.	2.83	-123.66	19	-9.36	18	-0.12	17	-190.01	9	5.94	16	-0.32	16
6272	351	362	Min.	21.21	-123.66	19	-9.36	18	-1.15	18	-191.70	9	-25.72	9	-0.32	16
6272	362	373	Max	0.00	-3.53	17	1.74	16	2.60	17	206.55	17	0.05	16	1.12	18
6272	362	373	Max	18.38	-3.53	17	1.74	16	-0.00	16	204.86	17	8.92	9	1.12	18
6272	362	373	Min.	0.00	-70.20	9	-17.46	17	-0.32	16	25.38	16	-35.28	17	-4.37	17
6272	362	373	Min.	18.38	-70.20	9	-17.46	17	-0.61	17	23.69	16	2.54	17	-4.37	17
6273	357	368	Max	2.83	-100.21	16	15.17	17	0.77	9	63.55	17	20.28	19	6.29	17
6273	357	368	Max	21.21	-100.21	16	15.17	17	2.69	17	61.87	17	26.62	17	6.29	17
6273	357	368	Min.	2.83	-208.23	19	-8.74	9	-0.10	17	-201.82	9	9.37	16	-0.11	16
6273	357	368	Min.	21.21	-208.23	19	-8.74	9	-0.83	9	-203.51	9	-19.57	9	-0.11	16
6273	368	379	Max	0.00	-23.99	17	-2.53	16	3.67	17	362.01	19	-16.07	16	2.12	18
6273	368	379	Max	18.38	-23.99	17	-2.53	16	-0.17	16	360.33	19	15.21	9	2.12	18
6273	368	379	Min.	0.00	-130.29	9	-24.81	17	0.29	16	123.49	16	-57.19	17	-4.95	17
6273	368	379	Min.	18.38	-130.29	9	-24.81	17	-0.89	17	121.80	16	4.70	17	-4.95	17
6274	362	375	Max	0.00	-25.29	16	7.07	9	2.10	17	138.09	9	20.07	17	1.26	9
6274	362	375	Max	18.38	-25.29	16	7.07	9	0.39	9	136.41	9	10.09	19	1.26	9
6274	362	375	Min.	0.00	-100.65	19	-12.45	17	-0.91	9	-58.34	17	-17.71	9	-4.42	17
6274	362	375	Min.	18.38	-100.65	19	-12.45	17	-0.19	17	-60.03	17	3.44	16	-4.42	17
6274	349	362	Max	2.83	-23.71	17	18.04	17	-0.25	16	-63.45	16	10.82	18	3.55	17
6274	349	362	Max	21.21	-23.71	17	18.04	17	2.63	17	-65.14	16	-4.75	16	3.55	17
6274	349	362	Min.	2.83	-106.68	18	0.92	10	-0.69	17	-234.03	17	3.56	17	-2.51	9
6274	349	362	Min.	21.21	-106.68	18	0.92	10	-0.09	10	-235.72	17	-39.62	17	-2.51	9
6275	358	371	Max	2.83	-13.14	17	23.34	17	-0.41	16	-119.69	16	9.38	18	5.33	17
6275	358	371	Max	21.21	-13.14	17	23.34	17	3.47	17	-121.38	16	-16.21	16	5.33	17
6275	358	371	Min.	2.83	-98.83	18	6.89	16	-0.82	17	-282.64	19	1.66	17	-0.16	9
6275	358	371	Min.	21.21	-98.83	18	6.89	16	0.85	16	-284.33	19	-49.67	17	-0.16	9
6275	371	384	Max	0.00	-28.33	16	-0.03	9	2.94	17	62.84	9	32.55	17	-0.96	10
6275	371	384	Max	18.38	-28.33	16	-0.03	9	0.18	9	61.16	9	10.98	19	-0.96	10
6275	371	384	Min.	0.00	-96.49	19	-18.07	17	0.18	10	-125.20	17	-2.48	9	-6.11	17
6275	371	384	Min.	18.38	-96.49	19	-18.07	17	-0.38	17	-126.89	17	4.56	16	-6.11	17
6276	352	365	Max	2.83	-55.19	17	25.12	17	-0.45	16	-95.43	16	17.69	9	5.79	17
6276	352	365	Max	21.21	-55.19	17	25.12	17	3.61	17	-97.12	16	-8.32	16	5.79	17

6276	352	365	Min.	2.83	-177.17	9	4.94	16	-1.11	19	-313.12	19	6.45	17	-0.21	10
6276	352	365	Min.	21.21	-177.17	9	4.94	16	0.46	16	-314.80	19	-50.22	17	-0.21	10
6276	365	378	Max	0.00	-47.06	16	6.77	9	2.70	17	252.72	9	18.97	17	-1.18	16
6276	365	378	Max	18.38	-47.06	16	6.77	9	0.53	9	251.03	9	17.96	19	-1.18	16
6276	365	378	Min.	0.00	-163.66	19	-15.85	17	-0.72	9	-26.84	17	-31.10	9	-7.17	17
6276	365	378	Min.	18.38	-163.66	19	-15.85	17	-0.21	17	-28.52	17	6.47	16	-7.17	17
6277	354	365	Max	2.83	-95.64	16	13.41	17	0.83	9	45.14	17	20.01	19	5.73	17
6277	354	365	Max	21.21	-95.64	16	13.41	17	2.42	17	43.45	17	23.16	17	5.73	17
6277	354	365	Min.	2.83	-203.59	19	-10.94	18	-0.05	17	-221.39	9	8.98	16	-0.72	18
6277	354	365	Min.	21.21	-203.59	19	-10.94	18	-1.18	18	-223.08	9	-23.60	9	-0.72	18
6277	365	376	Max	0.00	-27.00	17	-0.77	16	3.42	17	344.89	19	-12.46	16	2.76	18
6277	365	376	Max	18.38	-27.00	17	-0.77	16	-0.12	16	343.20	19	15.64	9	2.76	18
6277	365	376	Min.	0.00	-132.21	9	-23.18	17	0.02	16	105.95	16	-54.40	17	-4.41	17
6277	365	376	Min.	18.38	-132.21	9	-23.18	17	-0.84	17	104.26	16	5.32	17	-4.41	17
6278	360	371	Max	2.83	-73.67	16	17.11	17	0.36	18	98.12	17	12.83	19	6.85	17
6278	360	371	Max	21.21	-73.67	16	17.11	17	2.85	17	96.43	17	28.30	17	6.85	17
6278	360	371	Min.	2.83	-126.31	19	-1.72	18	-0.30	17	-114.52	9	7.06	16	1.45	16
6278	360	371	Min.	21.21	-126.31	19	-1.72	18	0.04	18	-116.20	9	-10.44	9	1.45	16
6278	371	382	Max	0.00	4.19	17	-3.74	16	3.40	17	251.27	17	-11.48	16	-0.72	16
6278	371	382	Max	18.38	4.19	17	-3.74	16	-0.16	16	249.58	17	7.53	9	-0.72	16
6278	371	382	Min.	0.00	-70.56	9	-22.51	17	0.52	16	82.02	16	-45.42	17	-6.09	17
6278	371	382	Min.	18.38	-70.56	9	-22.51	17	-0.74	17	80.33	16	0.62	17	-6.09	17
6279	355	368	Max	2.83	-50.16	17	26.81	17	-0.50	16	-112.79	16	17.26	9	6.26	17
6279	355	368	Max	21.21	-50.16	17	26.81	17	3.88	17	-114.48	16	-11.90	16	6.26	17
6279	355	368	Min.	2.83	-171.86	9	6.84	16	-1.16	19	-331.09	19	5.83	17	0.37	10
6279	355	368	Min.	21.21	-171.86	9	6.84	16	0.76	16	-332.78	19	-53.32	17	0.37	10
6279	368	381	Max	0.00	-49.15	16	4.84	9	2.95	17	233.21	9	22.76	17	-1.73	16
6279	368	381	Max	18.38	-49.15	16	4.84	9	0.47	9	231.52	9	18.23	19	-1.73	16
6279	368	381	Min.	0.00	-165.05	19	-17.44	17	-0.42	9	-46.98	17	-27.09	9	-7.64	17
6279	368	381	Min.	18.38	-165.05	19	-17.44	17	-0.26	17	-48.67	17	6.86	16	-7.64	17
6281	-515	-516	Max	0.00	-0.34	16	5.15	17	0.47	18	1.74	19	-0.00	17	0.56	17
6281	-515	-516	Max	12.00	-0.34	16	5.15	17	0.35	17	3.82	19	0.32	19	0.56	17
6281	-515	-516	Min.	0.00	-3.51	17	-8.93	18	-0.27	17	0.65	10	-0.04	16	-0.25	18
6281	-515	-516	Min.	12.00	-3.51	17	-8.93	18	-0.60	18	2.73	10	0.18	10	-0.25	18
6282	-531	-532	Max	0.00	0.50	9	10.89	17	0.40	9	1.05	17	0.25	18	0.37	17
6282	-531	-532	Max	12.00	0.50	9	10.89	17	0.68	17	3.13	17	0.30	17	0.37	17
6282	-531	-532	Min.	0.00	-2.60	17	-6.45	18	-0.63	17	-3.39	18	0.05	17	-0.22	18
6282	-531	-532	Min.	12.00	-2.60	17	-6.45	18	-0.38	18	-1.31	18	-0.03	18	-0.22	18
6283	316	317	Max	1.77	-28.63	17	0.12	18	0.51	17	7.29	17	-0.99	10	0.02	9
6283	316	317	Max	14.34					0.01	10			-0.91	10		
6283	316	317	Max	15.00	-28.63	17	0.12	18	0.03	16	6.07	17	-0.69	17	0.02	9
6283	316	317	Min.	1.77	-50.45	18	-3.75	17	-0.00	10	1.14	16	-1.72	19	-0.39	17
6283	316	317	Min.	14.34					0.03	18			-1.35	18		
6283	316	317	Min.	15.00	-50.45	18	-3.75	17	0.01	17	-0.08	16	-1.35	18	-0.39	17
6283	317	318	Max	0.00	-28.63	17	0.12	18	0.03	16	6.07	17	-0.69	17	0.02	9
6283	317	318	Max	13.23	-28.63	17	0.12	18	0.04	16	4.85	17	0.03	17	0.02	9
6283	317	318	Min.	0.00	-50.45	18	-3.75	17	0.01	17	-0.08	16	-1.35	18	-0.39	17
6283	317	318	Min.	13.23	-50.45	18	-3.75	17	-0.49	17	-1.30	16	-1.44	18	-0.39	17
6284	-3	-4	Max	2.83	142.28	18	0.05	9	0.10	17	45.33	17	0.56	18	0.00	9
6284	-3	-4	Max	4.08					0.01	18			0.56	18		
6284	-3	-4	Max	26.15	142.28	18	0.05	9	0.02	9	42.95	17	5.30	17	0.00	9
6284	-3	-4	Min.	2.83	71.86	17	-0.78	17	-0.00	16	0.13	18	-4.99	17	-0.00	17
6284	-3	-4	Min.	4.12					0.01	10			0.39	10		
6284	-3	-4	Min.	26.15	71.86	17	-0.78	17	-0.08	17	-2.25	18	0.15	10	-0.00	17
6285	-35	-36	Max	2.83	37.91	18	0.25	17	0.02	9	71.36	17	0.98	18	0.04	17
6285	-35	-36	Max	25.84	37.91	18	0.25	17	0.04	17	69.01	17	8.38	17	0.04	17
6285	-35	-36	Min.	2.83	18.25	17	-0.00	16	-0.02	17	-0.73	9	-7.77	17	-0.00	16
6285	-35	-36	Min.	25.84	18.25	17	-0.00	16	0.00	16	-3.08	9	0.28	10	-0.00	16
6286	-67	-68	Max	2.83	-2.47	10	0.69	17	0.03	9	60.64	17	0.17	18	0.00	19

6286	-67	-68	Max	25.22	-2.47	10	0.69	17	0.09	17	59.50	17	6.65	17	0.00	19
6286	-67	-68	Min.	2.83	-4.31	19	-0.02	18	-0.06	17	-1.25	18	-6.80	17	0.00	16
6286	-67	-68	Min.	25.22	-4.31	19	-0.02	18	0.00	16	-2.39	18	-0.24	9	0.00	16
6287	-99	-100	Max	2.83	0.12	16	0.94	17	0.04	9	76.55	17	0.24	18	0.00	17
6287	-99	-100	Max	24.59	0.12	16	0.94	17	0.12	17	75.44	17	8.18	17	0.00	17
6287	-99	-100	Min.	2.83	-2.33	17	-0.03	18	-0.08	17	-1.80	18	-8.36	17	0.00	16
6287	-99	-100	Min.	24.59	-2.33	17	-0.03	18	0.01	16	-2.91	18	-0.28	9	0.00	16
6288	-131	-132	Max	2.83	-0.18	16	1.04	17	0.04	9	80.80	17	0.25	18	0.01	17
6288	-131	-132	Max	23.97	-0.18	16	1.04	17	0.13	17	79.72	17	8.39	17	0.01	17
6288	-131	-132	Min.	2.83	-2.28	17	-0.03	16	-0.09	17	-2.03	9	-8.57	17	0.00	16
6288	-131	-132	Min.	23.97	-2.28	17	-0.03	16	0.01	16	-3.11	9	-0.30	9	0.00	16
6289	-163	-164	Max	2.83	-0.13	16	1.08	17	0.04	9	82.36	17	0.26	18	0.01	17
6289	-163	-164	Max	23.34	-0.13	16	1.08	17	0.13	17	81.32	17	8.30	17	0.01	17
6289	-163	-164	Min.	2.83	-2.27	17	-0.03	16	-0.09	17	-2.19	18	-8.49	17	0.00	16
6289	-163	-164	Min.	23.34	-2.27	17	-0.03	16	0.01	16	-3.24	18	-0.30	9	0.00	16
6290	-195	-196	Max	2.83	-0.17	16	1.10	17	0.04	9	83.38	17	0.26	18	0.01	17
6290	-195	-196	Max	22.72	-0.17	16	1.10	17	0.13	17	82.37	17	8.15	17	0.01	17
6290	-195	-196	Min.	2.83	-2.27	17	-0.03	16	-0.09	17	-2.34	18	-8.33	17	0.00	16
6290	-195	-196	Min.	22.72	-2.27	17	-0.03	16	0.01	16	-3.36	18	-0.31	9	0.00	16
6291	-227	-228	Max	2.83	-0.18	16	1.12	17	0.05	9	84.34	17	0.27	18	0.01	17
6291	-227	-228	Max	22.09	-0.18	16	1.12	17	0.13	17	83.35	17	7.98	17	0.01	17
6291	-227	-228	Min.	2.83	-2.31	17	-0.04	16	-0.08	17	-2.50	18	-8.17	17	0.00	16
6291	-227	-228	Min.	22.09	-2.31	17	-0.04	16	0.01	16	-3.48	18	-0.31	9	0.00	16
6292	-259	-260	Max	2.83	-0.19	16	1.14	17	0.05	9	85.32	17	0.27	18	0.01	17
6292	-259	-260	Max	21.47	-0.19	16	1.14	17	0.13	17	84.37	17	7.81	17	0.01	17
6292	-259	-260	Min.	2.83	-2.27	17	-0.04	16	-0.08	17	-2.66	18	-8.00	17	0.00	16
6292	-259	-260	Min.	21.47	-2.27	17	-0.04	16	0.01	16	-3.61	18	-0.32	9	0.00	16
6293	-291	-292	Max	2.83	-0.20	16	1.16	17	0.05	9	86.36	17	0.27	18	0.01	17
6293	-291	-292	Max	20.84	-0.20	16	1.16	17	0.13	17	85.44	17	7.64	17	0.01	17
6293	-291	-292	Min.	2.83	-2.31	17	-0.04	16	-0.08	17	-2.84	18	-7.83	17	0.00	16
6293	-291	-292	Min.	20.84	-2.31	17	-0.04	16	0.02	16	-3.76	18	-0.33	9	0.00	16
6294	-323	-324	Max	2.83	-0.21	16	1.17	17	0.05	9	87.48	17	0.28	18	0.01	17
6294	-323	-324	Max	20.22	-0.21	16	1.17	17	0.13	17	86.59	17	7.47	17	0.01	17
6294	-323	-324	Min.	2.83	-2.30	17	-0.04	16	-0.08	17	-3.03	9	-7.67	17	0.00	16
6294	-323	-324	Min.	20.22	-2.30	17	-0.04	16	0.02	16	-3.92	9	-0.33	9	0.00	16
6295	-355	-356	Max	2.83	-0.24	16	1.19	17	0.05	9	88.69	17	0.28	18	0.01	19
6295	-355	-356	Max	19.59	-0.24	16	1.19	17	0.12	17	87.84	17	7.30	17	0.01	19
6295	-355	-356	Min.	2.83	-2.32	17	-0.04	16	-0.08	17	-3.23	18	-7.50	17	0.00	16
6295	-355	-356	Min.	19.59	-2.32	17	-0.04	16	0.02	16	-4.08	18	-0.34	9	0.00	16
6296	-387	-388	Max	2.83	-0.10	10	1.21	17	0.05	9	89.95	17	0.28	16	0.01	19
6296	-387	-388	Max	18.97	-0.10	10	1.21	17	0.12	17	89.13	17	7.12	17	0.01	19
6296	-387	-388	Min.	2.83	-2.14	17	-0.05	16	-0.07	17	-3.44	18	-7.33	17	0.00	16
6296	-387	-388	Min.	18.97	-2.14	17	-0.05	16	0.02	16	-4.26	18	-0.35	9	0.00	16
6297	-419	-420	Max	2.83	-0.51	16	1.22	17	0.05	9	91.06	17	0.30	9	0.01	19
6297	-419	-420	Max	18.34	-0.51	16	1.22	17	0.12	17	90.27	17	6.93	17	0.01	19
6297	-419	-420	Min.	2.83	-4.29	19	-0.05	16	-0.07	17	-3.66	18	-7.13	17	0.00	16
6297	-419	-420	Min.	18.34	-4.29	19	-0.05	16	0.02	16	-4.45	18	-0.33	18	0.00	16
6298	-451	-452	Max	2.83	17.30	9	1.19	17	0.05	9	90.69	17	0.27	16	0.01	19
6298	-451	-452	Max	17.72	17.30	9	1.19	17	0.11	17	89.93	17	6.54	17	0.01	19
6298	-451	-452	Min.	2.83	1.44	16	-0.05	16	-0.06	17	-3.97	9	-6.90	17	0.00	16
6298	-451	-452	Min.	17.72	1.44	16	-0.05	16	0.02	16	-4.73	9	-0.50	9	0.00	16
6299	-483	-484	Max	2.83	-12.47	16	1.04	17	0.04	18	80.86	17	1.14	9	0.01	17
6299	-483	-484	Max	17.09	-12.47	16	1.04	17	0.09	17	80.14	17	6.13	17	0.01	17
6299	-483	-484	Min.	2.83	-107.43	19	-0.03	16	-0.06	17	-3.26	18	-5.35	17	0.00	16
6299	-483	-484	Min.	17.09	-107.43	19	-0.03	16	0.02	16	-3.99	18	-0.17	16	0.00	16
6303	-491	-492	Max	3.53	233.60	9	0.07	9	0.08	17	73.55	17	-0.77	16	0.00	9
6303	-491	-492	Max	17.80	233.60	9	0.07	9	0.04	18	72.82	17	4.16	17	0.00	9
6303	-491	-492	Min.	3.53	125.19	16	-0.91	17	0.02	16	-5.59	9	-6.28	17	-0.00	17
6303	-491	-492	Min.	17.80	125.19	16	-0.91	17	-0.05	17	-6.32	9	-2.45	9	-0.00	17

6304	-459	-460	Max	3.53	-21.46	16	0.10	9	0.10	17	82.46	17	0.91	9	0.01	17
6304	-459	-460	Max	18.42	-21.46	16	0.10	9	0.05	9	81.70	17	6.38	17	0.01	17
6304	-459	-460	Min.	3.53	-41.22	19	-1.05	17	0.02	16	-7.15	9	-5.84	17	0.00	16
6304	-459	-460	Min.	18.42	-41.22	19	-1.05	17	-0.05	17	-7.91	9	-0.22	10	0.00	16
6305	-427	-428	Max	3.53	6.27	9	0.09	9	0.11	17	83.22	17	0.53	9	0.01	17
6305	-427	-428	Max	19.05	6.27	9	0.09	9	0.05	9	82.42	17	6.50	17	0.01	17
6305	-427	-428	Min.	3.53	1.44	17	-1.10	17	0.02	16	-6.57	9	-6.35	17	0.00	16
6305	-427	-428	Min.	19.05	1.44	17	-1.10	17	-0.06	17	-7.37	9	-0.55	9	0.00	16
6306	-395	-396	Max	3.53	-0.28	16	0.09	9	0.11	17	82.47	17	0.58	9	0.01	17
6306	-395	-396	Max	19.67	-0.28	16	0.09	9	0.05	9	81.65	17	6.72	17	0.01	17
6306	-395	-396	Min.	3.53	-2.29	17	-1.09	17	0.02	16	-6.26	9	-6.53	17	0.00	16
6306	-395	-396	Min.	19.67	-2.29	17	-1.09	17	-0.06	17	-7.08	9	-0.50	9	0.00	16
6307	-363	-364	Max	3.53	0.33	9	0.08	9	0.11	17	81.62	17	0.56	9	0.01	17
6307	-363	-364	Max	20.30	0.33	9	0.08	9	0.05	9	80.77	17	6.89	17	0.01	17
6307	-363	-364	Min.	3.53	-1.86	17	-1.08	17	0.02	16	-5.87	9	-6.72	17	0.00	16
6307	-363	-364	Min.	20.30	-1.86	17	-1.08	17	-0.07	17	-6.72	9	-0.50	9	0.00	16
6308	-331	-332	Max	3.53	0.32	9	0.08	9	0.12	17	80.78	17	0.54	9	0.00	17
6308	-331	-332	Max	20.92	0.32	9	0.08	9	0.05	9	79.89	17	7.07	17	0.00	17
6308	-331	-332	Min.	3.53	-1.86	17	-1.07	17	0.01	16	-5.51	9	-6.90	17	0.00	16
6308	-331	-332	Min.	20.92	-1.86	17	-1.07	17	-0.07	17	-6.40	9	-0.49	9	0.00	16
6309	-299	-300	Max	3.53	0.29	9	0.08	9	0.12	17	79.99	17	0.53	9	0.00	17
6309	-299	-300	Max	21.55	0.29	9	0.08	9	0.05	9	79.07	17	7.24	17	0.00	17
6309	-299	-300	Min.	3.53	-1.91	17	-1.05	17	0.01	16	-5.22	9	-7.08	17	0.00	16
6309	-299	-300	Min.	21.55	-1.91	17	-1.05	17	-0.07	17	-6.14	9	-0.49	9	0.00	16
6310	-267	-268	Max	3.53	0.27	9	0.07	9	0.12	17	79.24	17	0.52	9	0.00	17
6310	-267	-268	Max	22.17	0.27	9	0.07	9	0.05	9	78.29	17	7.42	17	0.00	17
6310	-267	-268	Min.	3.53	-1.88	17	-1.04	17	0.01	16	-4.94	9	-7.26	17	0.00	16
6310	-267	-268	Min.	22.17	-1.88	17	-1.04	17	-0.07	17	-5.89	9	-0.49	9	0.00	16
6311	-235	-236	Max	3.53	0.26	9	0.07	9	0.12	17	78.55	17	0.51	9	0.00	17
6311	-235	-236	Max	22.80	0.26	9	0.07	9	0.05	9	77.56	17	7.59	17	0.00	17
6311	-235	-236	Min.	3.53	-1.93	17	-1.03	17	0.01	16	-4.67	9	-7.44	17	0.00	16
6311	-235	-236	Min.	22.80	-1.93	17	-1.03	17	-0.08	17	-5.65	9	-0.48	9	0.00	16
6312	-203	-204	Max	3.53	0.22	9	0.07	9	0.12	17	77.86	17	0.50	9	0.00	17
6312	-203	-204	Max	23.42	0.22	9	0.07	9	0.05	9	76.84	17	7.76	17	0.00	17
6312	-203	-204	Min.	3.53	-1.91	17	-1.02	17	0.01	16	-4.43	9	-7.62	17	0.00	16
6312	-203	-204	Min.	23.42	-1.91	17	-1.02	17	-0.08	17	-5.44	9	-0.48	9	0.00	16
6313	-171	-172	Max	3.53	0.29	9	0.06	9	0.12	17	77.10	17	0.49	9	0.00	17
6313	-171	-172	Max	24.05	0.29	9	0.06	9	0.05	9	76.05	17	7.92	17	0.00	17
6313	-171	-172	Min.	3.53	-1.88	17	-1.00	17	0.01	16	-4.17	9	-7.79	17	0.00	16
6313	-171	-172	Min.	24.05	-1.88	17	-1.00	17	-0.08	17	-5.21	9	-0.47	9	0.00	16
6314	-139	-140	Max	3.53	0.20	9	0.06	9	0.12	17	75.81	17	0.48	9	0.00	17
6314	-139	-140	Max	24.67	0.20	9	0.06	9	0.05	9	74.73	17	8.02	17	0.00	17
6314	-139	-140	Min.	3.53	-1.91	17	-0.96	17	0.01	16	-3.90	9	-7.89	17	0.00	16
6314	-139	-140	Min.	24.67	-1.91	17	-0.96	17	-0.08	17	-4.98	9	-0.46	9	0.00	16
6315	-107	-108	Max	3.53	0.54	9	0.05	9	0.12	17	71.96	17	0.45	9	0.00	17
6315	-107	-108	Max	25.30	0.54	9	0.05	9	0.04	9	70.85	17	7.83	17	0.00	17
6315	-107	-108	Min.	3.53	-1.66	17	-0.88	17	0.01	16	-3.52	9	-7.71	17	0.00	16
6315	-107	-108	Min.	25.30	-1.66	17	-0.88	17	-0.08	17	-4.63	9	-0.44	9	0.00	16
6316	-75	-76	Max	3.53	-2.02	10	0.03	9	0.09	17	57.10	17	0.34	9	0.00	17
6316	-75	-76	Max	25.92	-2.02	10	0.03	9	0.03	9	55.96	17	6.36	17	0.00	17
6316	-75	-76	Min.	3.53	-3.54	19	-0.66	17	0.00	16	-2.56	9	-6.29	17	0.00	16
6316	-75	-76	Min.	25.92	-3.54	19	-0.66	17	-0.06	17	-3.71	9	-0.37	9	0.00	16
6317	-43	-44	Max	3.53	34.83	18	0.01	9	0.04	19	67.05	17	1.19	18	0.00	18
6317	-43	-44	Max	26.55	34.83	18	0.01	9	0.03	9	64.70	17	8.08	17	0.00	18
6317	-43	-44	Min.	3.53	15.95	17	-0.21	17	0.01	16	-2.44	9	-7.08	17	-0.03	17
6317	-43	-44	Min.	26.55	15.95	17	-0.21	17	-0.01	17	-4.79	9	0.18	10	-0.03	17
6318	-11	-12	Max	3.53	137.71	18	0.80	17	0.02	9	42.30	17	0.80	18	0.01	17
6318	-11	-12	Max	26.86	137.71	18	0.80	17	0.10	17	39.92	17	5.12	17	0.01	17
6318	-11	-12	Min.	3.53	73.41	17	-0.04	18	-0.08	17	-1.04	9	-4.46	17	0.00	9

6318	-11	-12	Min.	26.86	73.41	17	-0.04	18	0.00	16	-3.42	9	0.16	10	0.00	9
6319	340	341	Max	1.77	-11.42	17	6.56	17	-0.88	10	0.19	9	0.51	17	0.39	17
6319	340	341	Max	12.35					-1.20	18			0.06	18		
6319	340	341	Max	15.00	-11.42	17	5.34	17	-0.63	17	0.19	9	0.07	18	0.39	17
6319	340	341	Min.	1.77	-23.24	18	0.95	9	-1.52	19	-3.55	17	0.03	16	-0.02	18
6319	340	341	Min.	12.61					-0.91	16			0.04	16		
6319	340	341	Min.	15.00	-23.24	18	-0.27	9	-1.21	18	-3.55	17	0.04	17	-0.02	18
6319	341	342	Max	0.00	-11.42	17	5.34	17	-0.63	17	0.19	9	0.07	18	0.39	17
6319	341	342	Max	13.23	-11.42	17	4.12	17	-0.00	17	0.19	9	0.09	18	0.39	17
6319	341	342	Min.	0.00	-23.24	18	-0.27	9	-1.21	18	-3.55	17	0.04	17	-0.02	18
6319	341	342	Min.	13.23	-23.24	18	-1.49	9	-1.32	18	-3.55	17	-0.43	17	-0.02	18
6327	352	353	Max	1.77	-2.70	16	0.22	18	0.51	17	6.52	17	-0.54	16	0.02	18
6327	352	353	Max	11.60					0.04	16			-0.49	16		
6327	352	353	Max	15.00	-2.70	16	0.22	18	0.07	18	5.29	17	-0.49	16	0.02	18
6327	352	353	Min.	1.77	-17.65	19	-3.54	17	0.02	16	0.84	18	-1.51	19	-0.39	17
6327	352	353	Min.	11.19					0.06	9			-1.03	9		
6327	352	353	Min.	15.00	-17.65	19	-3.54	17	0.04	17	-0.38	18	-1.04	19	-0.39	17
6327	353	354	Max	0.00	-2.70	16	0.22	18	0.07	18	5.29	17	-0.49	16	0.02	18
6327	353	354	Max	13.23	-2.70	16	0.22	18	0.10	18	4.07	17	-0.01	17	0.02	18
6327	353	354	Min.	0.00	-17.65	19	-3.54	17	0.04	17	-0.38	18	-1.04	19	-0.39	17
6327	353	354	Min.	13.23	-17.65	19	-3.54	17	-0.43	17	-1.60	18	-1.16	9	-0.39	17
6328	-19	-20	Max	2.83	119.75	9	0.04	18	0.08	17	42.28	17	0.78	18	0.00	10
6328	-19	-20	Max	26.15	119.75	9	0.04	18	-0.01	10	39.90	17	5.04	17	0.00	10
6328	-19	-20	Min.	2.83	61.69	16	-0.80	17	-0.03	18	-1.29	18	-4.55	17	-0.01	17
6328	-19	-20	Min.	26.15	61.69	16	-0.80	17	-0.10	17	-3.67	18	0.04	16	-0.01	17
6329	-51	-52	Max	2.83	29.95	9	0.20	17	-0.02	10	67.02	17	1.12	18	0.03	17
6329	-51	-52	Max	25.84	29.95	9	0.20	17	0.01	17	64.67	17	7.92	17	0.03	17
6329	-51	-52	Min.	2.83	14.78	16	-0.02	18	-0.04	19	-2.80	18	-7.23	17	-0.00	18
6329	-51	-52	Min.	25.84	14.78	16	-0.02	18	-0.04	18	-5.15	18	-0.01	16	-0.00	18
6330	-83	-84	Max	2.83	-1.14	16	0.66	17	-0.02	10	57.00	17	0.39	18	-0.00	10
6330	-83	-84	Max	25.22	-1.14	16	0.66	17	0.06	17	55.85	17	6.25	17	-0.00	10
6330	-83	-84	Min.	2.83	-3.69	19	-0.04	18	-0.09	17	-2.99	18	-6.38	17	-0.01	17
6330	-83	-84	Min.	25.22	-3.69	19	-0.04	18	-0.04	18	-4.13	18	-0.40	18	-0.01	17
6331	-115	-116	Max	2.83	0.64	18	0.87	17	-0.02	10	71.84	17	0.52	18	-0.00	10
6331	-115	-116	Max	24.59	0.64	18	0.87	17	0.07	17	70.73	17	7.69	17	-0.00	10
6331	-115	-116	Min.	2.83	-1.96	17	-0.06	18	-0.11	17	-4.05	18	-7.82	17	-0.01	17
6331	-115	-116	Min.	24.59	-1.96	17	-0.06	18	-0.05	18	-5.16	18	-0.49	18	-0.01	17
6332	-147	-148	Max	2.83	0.28	18	0.96	17	-0.02	10	75.67	17	0.55	18	-0.00	10
6332	-147	-148	Max	23.97	0.28	18	0.96	17	0.08	17	74.59	17	7.87	17	-0.00	10
6332	-147	-148	Min.	2.83	-1.95	17	-0.07	18	-0.12	17	-4.47	18	-8.01	17	-0.01	17
6332	-147	-148	Min.	23.97	-1.95	17	-0.07	18	-0.06	18	-5.55	18	-0.51	18	-0.01	17
6333	-179	-180	Max	2.83	0.38	18	0.99	17	-0.03	10	76.95	17	0.57	18	-0.00	10
6333	-179	-180	Max	23.34	0.38	18	0.99	17	0.08	17	75.91	17	7.77	17	-0.00	10
6333	-179	-180	Min.	2.83	-1.91	17	-0.08	18	-0.12	17	-4.78	18	-7.90	17	-0.01	17
6333	-179	-180	Min.	23.34	-1.91	17	-0.08	18	-0.06	18	-5.82	18	-0.52	18	-0.01	17
6334	-211	-212	Max	2.83	0.30	18	1.01	17	-0.03	10	77.70	17	0.58	18	-0.00	10
6334	-211	-212	Max	22.72	0.30	18	1.01	17	0.08	17	76.69	17	7.61	17	-0.00	10
6334	-211	-212	Min.	2.83	-1.93	17	-0.08	18	-0.12	17	-5.07	18	-7.74	17	-0.01	17
6334	-211	-212	Min.	22.72	-1.93	17	-0.08	18	-0.06	18	-6.08	18	-0.53	18	-0.01	17
6335	-243	-244	Max	2.83	0.33	18	1.02	17	-0.03	10	78.38	17	0.59	18	-0.00	10
6335	-243	-244	Max	22.09	0.33	18	1.02	17	0.08	17	77.40	17	7.44	17	-0.00	10
6335	-243	-244	Min.	2.83	-1.95	17	-0.08	18	-0.12	17	-5.34	18	-7.56	17	-0.01	17
6335	-243	-244	Min.	22.09	-1.95	17	-0.08	18	-0.06	18	-6.32	18	-0.53	18	-0.01	17
6336	-275	-276	Max	2.83	0.34	18	1.04	17	-0.03	10	79.07	17	0.60	18	-0.00	10
6336	-275	-276	Max	21.47	0.34	18	1.04	17	0.07	17	78.12	17	7.26	17	-0.00	10
6336	-275	-276	Min.	2.83	-1.90	17	-0.09	18	-0.12	17	-5.64	18	-7.39	17	-0.01	17
6336	-275	-276	Min.	21.47	-1.90	17	-0.09	18	-0.06	18	-6.59	18	-0.54	18	-0.01	17
6337	-307	-308	Max	2.83	0.36	18	1.05	17	-0.03	10	79.80	17	0.62	18	-0.00	10
6337	-307	-308	Max	20.84	0.36	18	1.05	17	0.07	17	78.88	17	7.09	17	-0.00	10

6337	-307	-308	Min.	2.83	-1.93	17	-0.09	18	-0.12	17	-5.96	18	-7.21	17	-0.01	17
6337	-307	-308	Min.	20.84	-1.93	17	-0.09	18	-0.06	18	-6.88	18	-0.54	18	-0.01	17
6338	-339	-340	Max	2.83	0.39	18	1.06	17	-0.03	10	80.59	17	0.63	18	-0.00	16
6338	-339	-340	Max	20.22	0.39	18	1.06	17	0.07	17	79.70	17	6.91	17	-0.00	16
6338	-339	-340	Min.	2.83	-1.88	17	-0.10	18	-0.12	17	-6.30	18	-7.03	17	-0.01	17
6338	-339	-340	Min.	20.22	-1.88	17	-0.10	18	-0.06	18	-7.18	18	-0.54	18	-0.01	17
6339	-371	-372	Max	2.83	0.40	18	1.07	17	-0.03	10	81.42	17	0.64	18	-0.00	16
6339	-371	-372	Max	19.59	0.40	18	1.07	17	0.07	17	80.56	17	6.73	17	-0.00	16
6339	-371	-372	Min.	2.83	-1.88	17	-0.10	18	-0.11	17	-6.70	18	-6.85	17	-0.01	17
6339	-371	-372	Min.	19.59	-1.88	17	-0.10	18	-0.06	18	-7.55	18	-0.55	18	-0.01	17
6340	-403	-404	Max	2.83	-0.32	16	1.09	17	-0.03	10	82.26	17	0.66	18	-0.00	16
6340	-403	-404	Max	18.97	-0.32	16	1.09	17	0.06	17	81.44	17	6.55	17	-0.00	16
6340	-403	-404	Min.	2.83	-2.31	17	-0.11	18	-0.11	17	-7.12	18	-6.66	17	-0.01	17
6340	-403	-404	Min.	18.97	-2.31	17	-0.11	18	-0.06	18	-7.95	18	-0.55	18	-0.01	17
6341	-435	-436	Max	2.83	7.03	18	1.09	17	-0.03	16	82.97	17	0.62	18	-0.00	16
6341	-435	-436	Max	18.34	7.03	18	1.09	17	0.06	17	82.18	17	6.33	17	-0.00	16
6341	-435	-436	Min.	2.83	1.45	17	-0.11	18	-0.11	17	-7.52	18	-6.48	17	-0.01	19
6341	-435	-436	Min.	18.34	1.45	17	-0.11	18	-0.06	18	-8.31	18	-0.60	18	-0.01	19
6342	-467	-468	Max	2.83	-24.36	17	1.04	17	-0.03	16	82.59	17	0.98	18	-0.00	16
6342	-467	-468	Max	17.72	-24.36	17	1.04	17	0.05	17	81.83	17	6.24	17	-0.00	16
6342	-467	-468	Min.	2.83	-44.59	18	-0.12	18	-0.10	17	-7.40	18	-6.00	17	-0.01	17
6342	-467	-468	Min.	17.72	-44.59	18	-0.12	18	-0.06	18	-8.16	18	-0.20	16	-0.01	17
6343	-499	-500	Max	2.83	261.05	18	0.88	17	-0.02	16	72.56	17	-1.04	16	0.00	17
6343	-499	-500	Max	14.24					-0.01	19			-0.38	19		
6343	-499	-500	Max	17.09	261.05	18	0.88	17	0.04	17	71.84	17	3.95	17	0.00	17
6343	-499	-500	Min.	2.83	128.84	17	-0.13	18	-0.08	17	-7.91	18	-6.35	17	-0.01	18
6343	-499	-500	Min.	14.24					-0.01	19			-0.38	19		
6343	-499	-500	Min.	17.09	128.84	17	-0.13	18	-0.05	18	-8.64	18	-2.84	18	-0.01	18
6347	-507	-508	Max	3.53	-60.32	17	0.05	18	0.05	17	80.61	17	1.50	18	0.00	9
6347	-507	-508	Max	17.80	-60.32	17	0.05	18	-0.02	16	79.88	17	6.28	17	0.00	9
6347	-507	-508	Min.	3.53	-144.61	18	-1.03	17	-0.04	18	-3.68	18	-5.17	17	-0.01	17
6347	-507	-508	Min.	17.80	-144.61	18	-1.03	17	-0.09	17	-4.41	18	0.40	10	-0.01	17
6348	-475	-476	Max	3.53	23.90	18	0.05	16	0.06	17	90.90	17	0.14	10	0.00	16
6348	-475	-476	Max	18.42	23.90	18	0.05	16	-0.03	16	90.14	17	6.72	17	0.00	16
6348	-475	-476	Min.	3.53	7.32	17	-1.19	17	-0.05	18	-3.44	18	-6.75	17	-0.00	17
6348	-475	-476	Min.	18.42	7.32	17	-1.19	17	-0.11	17	-4.20	18	-0.52	18	-0.00	17
6349	-443	-444	Max	3.53	-2.36	10	0.05	18	0.07	17	91.11	17	0.28	18	0.00	16
6349	-443	-444	Max	19.05	-2.36	10	0.05	18	-0.03	16	90.32	17	7.10	17	0.00	16
6349	-443	-444	Min.	3.53	-4.28	19	-1.22	17	-0.05	18	-3.49	18	-6.97	17	-0.00	17
6349	-443	-444	Min.	19.05	-4.28	19	-1.22	17	-0.12	17	-4.28	18	-0.33	18	-0.00	17
6350	-411	-412	Max	3.53	0.03	16	0.05	18	0.07	17	90.00	17	0.25	10	0.00	16
6350	-411	-412	Max	19.67	0.03	16	0.05	18	-0.03	16	89.17	17	7.28	17	0.00	16
6350	-411	-412	Min.	3.53	-2.11	17	-1.21	17	-0.05	18	-3.26	18	-7.17	17	-0.00	17
6350	-411	-412	Min.	19.67	-2.11	17	-1.21	17	-0.12	17	-4.08	18	-0.35	18	-0.00	17
6351	-379	-380	Max	3.53	-0.36	10	0.04	18	0.08	17	88.73	17	0.25	10	0.00	16
6351	-379	-380	Max	20.30	-0.36	10	0.04	18	-0.03	10	87.88	17	7.46	17	0.00	16
6351	-379	-380	Min.	3.53	-2.29	17	-1.19	17	-0.05	18	-3.07	18	-7.34	17	-0.00	17
6351	-379	-380	Min.	20.30	-2.29	17	-1.19	17	-0.12	17	-3.93	18	-0.34	18	-0.00	17
6352	-347	-348	Max	3.53	-0.34	10	0.04	16	0.08	17	87.52	17	0.25	10	0.00	16
6352	-347	-348	Max	20.92	-0.34	10	0.04	16	-0.03	10	86.63	17	7.63	17	0.00	16
6352	-347	-348	Min.	3.53	-2.27	17	-1.17	17	-0.05	18	-2.89	18	-7.51	17	-0.00	17
6352	-347	-348	Min.	20.92	-2.27	17	-1.17	17	-0.13	17	-3.78	18	-0.33	18	-0.00	17
6353	-315	-316	Max	3.53	-0.33	10	0.04	18	0.08	17	86.40	17	0.25	10	0.00	16
6353	-315	-316	Max	21.55	-0.33	10	0.04	18	-0.03	10	85.48	17	7.79	17	0.00	16
6353	-315	-316	Min.	3.53	-2.29	17	-1.15	17	-0.05	18	-2.71	18	-7.69	17	-0.00	17
6353	-315	-316	Min.	21.55	-2.29	17	-1.15	17	-0.13	17	-3.63	18	-0.33	18	-0.00	17
6354	-283	-284	Max	3.53	-0.32	10	0.04	16	0.08	17	85.35	17	0.24	10	0.00	16
6354	-283	-284	Max	22.17	-0.32	10	0.04	16	-0.03	10	84.40	17	7.96	17	0.00	16
6354	-283	-284	Min.	3.53	-2.24	17	-1.14	17	-0.05	18	-2.54	18	-7.86	17	-0.00	17

6354	-283	-284	Min.	22.17	-2.24	17	-1.14	17	-0.13	17	-3.49	18	-0.32	18	-0.00	17
6355	-251	-252	Max	3.53	-0.30	10	0.04	16	0.08	17	84.36	17	0.24	9	0.00	16
6355	-251	-252	Max	22.80	-0.30	10	0.04	16	-0.03	10	83.38	17	8.13	17	0.00	16
6355	-251	-252	Min.	3.53	-2.28	17	-1.12	17	-0.05	18	-2.38	18	-8.03	17	-0.00	17
6355	-251	-252	Min.	22.80	-2.28	17	-1.12	17	-0.13	17	-3.37	18	-0.32	18	-0.00	17
6356	-219	-220	Max	3.53	-0.31	10	0.03	16	0.09	17	83.41	17	0.24	9	0.00	16
6356	-219	-220	Max	23.42	-0.31	10	0.03	16	-0.03	10	82.39	17	8.29	17	0.00	16
6356	-219	-220	Min.	3.53	-2.24	17	-1.10	17	-0.05	18	-2.23	18	-8.19	17	-0.00	17
6356	-219	-220	Min.	23.42	-2.24	17	-1.10	17	-0.13	17	-3.24	18	-0.31	18	-0.00	17
6357	-187	-188	Max	3.53	-0.29	10	0.03	16	0.09	17	82.39	17	0.23	9	0.00	16
6357	-187	-188	Max	24.05	-0.29	10	0.03	16	-0.03	10	81.34	17	8.44	17	0.00	16
6357	-187	-188	Min.	3.53	-2.24	17	-1.08	17	-0.05	18	-2.09	18	-8.35	17	-0.00	17
6357	-187	-188	Min.	24.05	-2.24	17	-1.08	17	-0.13	17	-3.13	18	-0.30	18	-0.00	17
6358	-155	-156	Max	3.53	-0.33	10	0.03	16	0.09	17	80.82	17	0.23	9	0.00	16
6358	-155	-156	Max	24.67	-0.33	10	0.03	16	-0.03	10	79.74	17	8.53	17	0.00	16
6358	-155	-156	Min.	3.53	-2.24	17	-1.04	17	-0.05	18	-1.93	18	-8.44	17	-0.00	17
6358	-155	-156	Min.	24.67	-2.24	17	-1.04	17	-0.13	17	-3.01	18	-0.30	18	-0.00	17
6359	-123	-124	Max	3.53	-0.08	10	0.03	16	0.08	17	76.57	17	0.22	9	0.00	16
6359	-123	-124	Max	25.30	-0.08	10	0.03	16	-0.02	10	75.46	17	8.32	17	0.00	16
6359	-123	-124	Min.	3.53	-2.01	17	-0.94	17	-0.05	18	-1.71	18	-8.23	17	-0.00	17
6359	-123	-124	Min.	25.30	-2.01	17	-0.94	17	-0.12	17	-2.82	18	-0.28	18	-0.00	17
6360	-91	-92	Max	3.53	-1.63	16	0.02	18	0.06	17	60.67	17	0.16	16	0.00	16
6360	-91	-92	Max	25.92	-1.63	16	0.02	18	-0.02	10	59.52	17	6.75	17	0.00	16
6360	-91	-92	Min.	3.53	-4.15	19	-0.69	17	-0.04	18	-1.15	18	-6.70	17	-0.00	17
6360	-91	-92	Min.	25.92	-4.15	19	-0.69	17	-0.09	17	-2.30	18	-0.23	18	-0.00	17
6361	-59	-60	Max	3.53	31.92	9	0.00	16	0.02	17	71.28	17	0.84	9	0.00	16
6361	-59	-60	Max	26.55	31.92	9	0.00	16	-0.02	10	68.93	17	8.53	17	0.00	16
6361	-59	-60	Min.	3.53	14.22	16	-0.25	17	-0.03	18	-0.76	18	-7.60	17	-0.04	17
6361	-59	-60	Min.	26.55	14.22	16	-0.25	17	-0.04	17	-3.11	18	0.02	16	-0.04	17
6362	-27	-28	Max	3.53	119.69	19	0.78	17	-0.01	10	45.31	17	0.45	9	0.00	17
6362	-27	-28	Max	5.12					-0.01	9			0.46	9		
6362	-27	-28	Max	26.86	119.69	19	0.78	17	0.08	17	42.93	17	5.39	17	0.00	17
6362	-27	-28	Min.	3.53	52.98	16	-0.05	18	-0.10	17	0.15	16	-4.90	17	0.00	9
6362	-27	-28	Min.	4.96					-0.01	16			0.22	16		
6362	-27	-28	Min.	26.86	52.98	16	-0.05	18	-0.03	18	-2.23	16	-0.03	16	0.00	9
6363	376	377	Max	1.77	-27.11	16	7.32	17	-0.60	16	0.12	18	0.51	17	0.39	17
6363	376	377	Max	15.00	-27.11	16	6.10	17	-0.52	16	0.12	18	0.02	9	0.39	17
6363	376	377	Min.	1.77	-46.45	19	1.21	16	-1.73	19	-3.75	17	-0.02	16	-0.02	18
6363	376	377	Min.	15.00	-46.45	19	-0.01	16	-1.15	19	-3.75	17	-0.00	16	-0.02	18
6363	377	378	Max	0.00	-27.11	16	6.10	17	-0.52	16	0.12	18	0.02	9	0.39	17
6363	377	378	Max	0.33					-1.15	9			0.02	9		
6363	377	378	Max	13.23	-27.11	16	4.88	17	0.03	17	0.12	18	0.03	9	0.39	17
6363	377	378	Min.	0.00	-46.45	19	-0.01	16	-1.15	19	-3.75	17	-0.00	16	-0.02	18
6363	377	378	Min.	0.66					-1.05	18			0.01	18		
6363	377	378	Min.	13.23	-46.45	19	-1.23	16	-1.22	9	-3.75	17	-0.49	17	-0.02	18
6364	-539	-540	Max	0.00	0.43	18	6.94	18	0.64	17	2.23	17	0.15	9	0.17	9
6364	-539	-540	Max	12.00	0.43	18	6.94	18	0.38	18	4.31	17	0.37	17	0.17	9
6364	-539	-540	Min.	0.00	-2.67	17	-11.14	17	-0.45	18	-1.58	9	-0.02	17	-0.39	17
6364	-539	-540	Min.	12.00	-2.67	17	-11.14	17	-0.70	17	0.50	9	0.05	16	-0.39	17
6365	-523	-524	Max	0.00	-0.11	16	7.70	18	0.29	17	0.00	17	0.12	19	0.24	9
6365	-523	-524	Max	12.00	-0.11	16	7.70	18	0.46	18	2.08	17	0.25	17	0.24	9
6365	-523	-524	Min.	0.00	-3.67	17	-4.67	17	-0.46	18	-1.51	18	0.05	16	-0.54	17
6365	-523	-524	Min.	12.00	-3.67	17	-4.67	17	-0.27	17	0.57	18	0.02	16	-0.54	17
6367	349	361	Max	1.77	-30.91	16	-21.75	16	47.78	17	6.99	18	0.38	17	0.93	17
6367	349	361	Max	15.00	-30.91	16	-22.97	16	-2.29	16	6.99	18	0.66	18	0.93	17
6367	349	361	Min.	1.77	-577.47	17	-848.18	17	0.67	16	-18.44	17	-0.27	18	-0.20	18
6367	349	361	Min.	15.00	-577.47	17	-849.40	17	-64.53	17	-18.44	17	-2.06	17	-0.20	18
6367	361	373	Max	0.00	42.95	16	799.98	17	3.48	16	19.50	17	0.56	18	0.21	18
6367	361	373	Max	13.23	42.95	16	798.76	17	46.47	17	19.50	17	0.42	17	0.21	18

6367	361	373	Min.	0.00	-562.02	17	-45.24	16	-59.30	17	-5.86	9	-2.16	17	-0.93	17
6367	361	373	Min.	13.23	-562.02	17	-46.46	16	-2.59	16	-5.86	9	-0.22	9	-0.93	17
6368	-17	-25	Max	3.53	441.74	17	0.33	16	-0.01	17	-8.10	17	4.78	16	-0.00	10
6368	-17	-25	Max	26.86	441.74	17	0.33	16	0.04	16	-10.48	17	-1.29	17	-0.00	10
6368	-17	-25	Min.	3.53	24.35	16	0.08	17	-0.04	16	-39.14	16	0.88	17	-0.00	18
6368	-17	-25	Min.	26.86	24.35	16	0.08	17	0.01	17	-41.52	16	-4.63	16	-0.00	18
6369	-49	-57	Max	3.53	169.73	17	0.56	16	-0.03	10	-17.28	17	7.28	18	-0.00	10
6369	-49	-57	Max	26.55	169.73	17	0.56	16	0.07	16	-19.62	17	0.36	17	-0.00	10
6369	-49	-57	Min.	3.53	3.49	16	0.15	17	-0.06	16	-61.44	16	3.45	10	-0.00	18
6369	-49	-57	Min.	26.55	3.49	16	0.15	17	0.00	17	-63.79	16	-7.15	16	-0.00	18
6370	-81	-89	Max	3.53	-1.47	10	0.62	18	-0.03	10	-15.98	17	5.86	18	-0.00	10
6370	-81	-89	Max	25.92	-1.47	10	0.62	18	0.07	18	-17.12	17	-1.91	17	-0.00	10
6370	-81	-89	Min.	3.53	-8.51	17	0.20	17	-0.07	18	-52.39	18	1.80	17	-0.00	19
6370	-81	-89	Min.	25.92	-8.51	17	0.20	17	0.00	17	-53.53	18	-6.00	18	-0.00	19
6371	-113	-121	Max	3.53	0.07	17	0.84	18	-0.04	10	-21.06	17	7.29	18	-0.00	10
6371	-113	-121	Max	25.30	0.07	17	0.84	18	0.09	18	-22.17	17	-2.39	17	-0.00	10
6371	-113	-121	Min.	3.53	-2.16	16	0.27	17	-0.09	18	-67.08	18	2.32	17	-0.01	19
6371	-113	-121	Min.	25.30	-2.16	16	0.27	17	0.01	17	-68.19	18	-7.43	18	-0.01	19
6372	-145	-153	Max	3.53	-0.07	10	0.93	18	-0.05	10	-23.04	17	7.55	18	-0.00	10
6372	-145	-153	Max	24.67	-0.07	10	0.93	18	0.10	18	-24.12	17	-2.53	17	-0.00	10
6372	-145	-153	Min.	3.53	-2.08	16	0.30	17	-0.09	18	-71.64	18	2.46	17	-0.01	19
6372	-145	-153	Min.	24.67	-2.08	16	0.30	17	0.01	17	-72.71	18	-7.70	18	-0.01	19
6373	-177	-185	Max	3.53	-0.08	10	0.97	18	-0.05	10	-24.36	17	7.56	18	-0.00	10
6373	-177	-185	Max	24.05	-0.08	10	0.97	18	0.10	18	-25.41	17	-2.59	17	-0.00	10
6373	-177	-185	Min.	3.53	-2.10	16	0.32	17	-0.10	18	-73.93	18	2.52	17	-0.01	19
6373	-177	-185	Min.	24.05	-2.10	16	0.32	17	0.01	17	-74.98	18	-7.71	18	-0.01	19
6374	-209	-217	Max	3.53	-0.06	10	1.00	18	-0.05	10	-25.58	17	7.51	18	-0.00	10
6374	-209	-217	Max	23.42	-0.06	10	1.00	18	0.10	18	-26.60	17	-2.63	17	-0.00	10
6374	-209	-217	Min.	3.53	-2.07	16	0.34	17	-0.10	18	-75.79	18	2.56	17	-0.01	19
6374	-209	-217	Min.	23.42	-2.07	16	0.34	17	0.01	17	-76.81	18	-7.66	18	-0.01	19
6375	-241	-249	Max	3.53	-0.06	10	1.03	18	-0.05	10	-26.86	17	7.45	18	-0.00	10
6375	-241	-249	Max	22.80	-0.06	10	1.03	18	0.10	18	-27.85	17	-2.67	17	-0.00	10
6375	-241	-249	Min.	3.53	-2.07	16	0.36	17	-0.10	18	-77.66	18	2.60	17	-0.01	19
6375	-241	-249	Min.	22.80	-2.07	16	0.36	17	0.01	17	-78.64	18	-7.61	18	-0.01	19
6376	-273	-281	Max	3.53	-0.07	10	1.06	18	-0.05	10	-28.23	17	7.39	18	-0.00	10
6376	-273	-281	Max	22.17	-0.07	10	1.06	18	0.10	18	-29.18	17	-2.71	17	-0.00	10
6376	-273	-281	Min.	3.53	-2.07	16	0.37	17	-0.10	18	-79.65	18	2.64	17	-0.01	19
6376	-273	-281	Min.	22.17	-2.07	16	0.37	17	0.01	17	-80.60	18	-7.55	18	-0.01	19
6377	-305	-313	Max	3.53	-0.07	10	1.09	18	-0.05	10	-29.68	17	7.32	18	-0.00	10
6377	-305	-313	Max	21.55	-0.07	10	1.09	18	0.10	18	-30.60	17	-2.75	17	-0.00	10
6377	-305	-313	Min.	3.53	-2.07	16	0.39	17	-0.09	18	-81.75	18	2.68	17	-0.01	19
6377	-305	-313	Min.	21.55	-2.07	16	0.39	17	0.01	17	-82.67	18	-7.48	18	-0.01	19
6378	-337	-345	Max	3.53	-0.05	10	1.12	18	-0.05	10	-31.24	17	7.26	18	-0.00	10
6378	-337	-345	Max	20.92	-0.05	10	1.12	18	0.10	18	-32.13	17	-2.79	17	-0.00	10
6378	-337	-345	Min.	3.53	-2.05	16	0.41	17	-0.09	18	-83.99	18	2.71	17	-0.01	19
6378	-337	-345	Min.	20.92	-2.05	16	0.41	17	0.02	17	-84.88	18	-7.42	18	-0.01	19
6379	-369	-377	Max	3.53	-0.08	10	1.15	18	-0.05	10	-32.92	17	7.20	18	-0.00	10
6379	-369	-377	Max	20.30	-0.08	10	1.15	18	0.10	18	-33.78	17	-2.84	17	-0.00	10
6379	-369	-377	Min.	3.53	-2.10	16	0.44	17	-0.09	18	-86.42	18	2.75	17	-0.01	19
6379	-369	-377	Min.	20.30	-2.10	16	0.44	17	0.02	17	-87.28	18	-7.36	18	-0.01	19
6380	-401	-409	Max	3.53	-0.11	10	1.19	18	-0.05	10	-34.72	17	7.13	18	-0.00	10
6380	-401	-409	Max	19.67	-0.11	10	1.19	18	0.10	18	-35.55	17	-2.88	17	-0.00	10
6380	-401	-409	Min.	3.53	-2.07	16	0.46	17	-0.09	18	-89.01	18	2.79	17	-0.01	19
6380	-401	-409	Min.	19.67	-2.07	16	0.46	17	0.02	17	-89.84	18	-7.30	18	-0.01	19
6381	-433	-441	Max	3.53	0.49	9	1.23	18	-0.06	10	-36.59	17	7.05	18	-0.00	16
6381	-433	-441	Max	19.05	0.49	9	1.23	18	0.10	18	-37.39	17	-2.92	17	-0.00	16
6381	-433	-441	Min.	3.53	-1.78	16	0.49	17	-0.09	18	-91.64	18	2.82	17	-0.01	19
6381	-433	-441	Min.	19.05	-1.78	16	0.49	17	0.02	17	-92.43	18	-7.23	18	-0.01	19
6382	-465	-473	Max	3.53	-1.95	17	1.14	18	-0.05	17	-38.17	17	6.93	18	-0.01	10

6382	-465	-473	Max	18.42	-1.95	17	1.14	18	0.09	18	-38.93	17	-2.90	17	-0.01	10
6382	-465	-473	Min.	3.53	-5.21	18	0.46	17	-0.08	18	-93.51	18	2.84	17	-0.02	18
6382	-465	-473	Min.	18.42	-5.21	18	0.46	17	0.02	17	-94.27	18	-7.05	18	-0.02	18
6383	-497	-505	Max	3.53	23.04	9	1.43	18	-0.05	17	-36.77	17	6.06	18	0.05	18
6383	-497	-505	Max	17.80	23.04	9	1.43	18	0.11	18	-37.50	17	-2.78	17	0.05	18
6383	-497	-505	Min.	3.53	8.84	17	0.57	17	-0.10	18	-88.69	18	2.52	17	0.02	17
6383	-497	-505	Min.	17.80	8.84	17	0.57	17	0.03	17	-89.42	18	-6.64	18	0.02	17
6388	-498	-506	Max	2.83	45.32	19	-0.74	17	0.12	18	-45.82	17	6.62	18	-0.03	17
6388	-498	-506	Max	17.09	45.32	19	-0.74	17	-0.06	17	-46.55	17	-3.52	17	-0.03	17
6388	-498	-506	Min.	2.83	16.92	16	-1.57	18	0.04	17	-96.05	18	3.07	17	-0.06	18
6388	-498	-506	Min.	17.09	16.92	16	-1.57	18	-0.11	18	-96.78	18	-7.13	18	-0.06	18
6389	-466	-474	Max	2.83	-5.20	17	-0.62	17	0.10	18	-47.75	17	7.70	18	0.01	16
6389	-466	-474	Max	17.72	-5.20	17	-0.62	17	-0.06	10	-48.51	17	-3.49	17	0.01	16
6389	-466	-474	Min.	2.83	-8.02	18	-1.27	18	0.03	17	-101.16	18	3.67	17	-0.00	17
6389	-466	-474	Min.	17.72	-8.02	18	-1.27	18	-0.09	18	-101.92	18	-7.41	18	-0.00	17
6390	-434	-442	Max	2.83	1.22	19	-0.63	17	0.11	18	-45.88	17	7.80	18	-0.00	16
6390	-434	-442	Max	18.34	1.22	19	-0.63	17	-0.06	10	-46.67	17	-3.55	17	-0.00	16
6390	-434	-442	Min.	2.83	-1.65	16	-1.35	18	0.03	17	-99.09	18	3.63	17	-0.01	19
6390	-434	-442	Min.	18.34	-1.65	16	-1.35	18	-0.10	18	-99.88	18	-7.63	18	-0.01	19
6391	-402	-410	Max	2.83	0.05	17	-0.60	17	0.11	18	-43.53	17	7.87	18	-0.00	16
6391	-402	-410	Max	18.97	0.05	17	-0.60	17	-0.06	10	-44.35	17	-3.50	17	-0.00	16
6391	-402	-410	Min.	2.83	-2.14	16	-1.30	18	0.03	17	-96.07	18	3.59	17	-0.01	17
6391	-402	-410	Min.	18.97	-2.14	16	-1.30	18	-0.10	18	-96.90	18	-7.70	18	-0.01	17
6392	-370	-378	Max	2.83	0.14	17	-0.57	17	0.11	18	-41.26	17	7.92	18	-0.00	16
6392	-370	-378	Max	19.59	0.14	17	-0.57	17	-0.06	10	-42.12	17	-3.46	17	-0.00	16
6392	-370	-378	Min.	2.83	-2.14	16	-1.26	18	0.03	17	-93.12	18	3.53	17	-0.01	17
6392	-370	-378	Min.	19.59	-2.14	16	-1.26	18	-0.10	18	-93.97	18	-7.76	18	-0.01	17
6393	-338	-346	Max	2.83	0.15	17	-0.54	17	0.11	18	-39.15	17	7.97	18	-0.00	16
6393	-338	-346	Max	20.22	0.15	17	-0.54	17	-0.06	10	-40.04	17	-3.41	17	-0.00	16
6393	-338	-346	Min.	2.83	-2.08	16	-1.22	18	0.03	17	-90.34	18	3.48	17	-0.01	17
6393	-338	-346	Min.	20.22	-2.08	16	-1.22	18	-0.10	18	-91.23	18	-7.82	18	-0.01	17
6394	-306	-314	Max	2.83	0.14	17	-0.51	17	0.11	18	-37.19	17	8.02	18	-0.00	16
6394	-306	-314	Max	20.84	0.14	17	-0.51	17	-0.06	10	-38.11	17	-3.36	17	-0.00	16
6394	-306	-314	Min.	2.83	-2.12	16	-1.18	18	0.02	17	-87.77	18	3.42	17	-0.01	17
6394	-306	-314	Min.	20.84	-2.12	16	-1.18	18	-0.10	18	-88.69	18	-7.87	18	-0.01	17
6395	-274	-282	Max	2.83	0.14	17	-0.49	17	0.11	18	-35.37	17	8.07	18	-0.00	16
6395	-274	-282	Max	21.47	0.14	17	-0.49	17	-0.06	10	-36.32	17	-3.31	17	-0.00	16
6395	-274	-282	Min.	2.83	-2.11	16	-1.15	18	0.02	17	-85.38	18	3.37	17	-0.01	17
6395	-274	-282	Min.	21.47	-2.11	16	-1.15	18	-0.10	18	-86.33	18	-7.93	18	-0.01	17
6396	-242	-250	Max	2.83	0.13	17	-0.46	17	0.11	18	-33.66	17	8.12	18	-0.00	16
6396	-242	-250	Max	22.09	0.13	17	-0.46	17	-0.06	10	-34.65	17	-3.27	17	-0.00	16
6396	-242	-250	Min.	2.83	-2.09	16	-1.11	18	0.02	17	-83.11	18	3.31	17	-0.01	17
6396	-242	-250	Min.	22.09	-2.09	16	-1.11	18	-0.10	18	-84.09	18	-7.99	18	-0.01	17
6397	-210	-218	Max	2.83	0.15	17	-0.44	17	0.11	18	-32.07	17	8.17	18	-0.00	16
6397	-210	-218	Max	22.72	0.15	17	-0.44	17	-0.05	10	-33.08	17	-3.22	17	-0.00	16
6397	-210	-218	Min.	2.83	-2.10	16	-1.08	18	0.02	17	-80.98	18	3.26	17	-0.01	19
6397	-210	-218	Min.	22.72	-2.10	16	-1.08	18	-0.10	18	-81.99	18	-8.04	18	-0.01	19
6398	-178	-186	Max	2.83	0.15	17	-0.42	17	0.11	18	-30.53	17	8.20	18	-0.00	16
6398	-178	-186	Max	23.34	0.15	17	-0.42	17	-0.05	10	-31.57	17	-3.17	17	-0.00	16
6398	-178	-186	Min.	2.83	-2.13	16	-1.05	18	0.02	17	-78.87	18	3.20	17	-0.01	19
6398	-178	-186	Min.	23.34	-2.13	16	-1.05	18	-0.10	18	-79.92	18	-8.08	18	-0.01	19
6399	-146	-154	Max	2.83	0.14	17	-0.39	17	0.11	18	-28.88	17	8.18	18	-0.00	16
6399	-146	-154	Max	23.97	0.14	17	-0.39	17	-0.05	10	-29.96	17	-3.09	17	-0.00	16
6399	-146	-154	Min.	2.83	-2.08	16	-1.00	18	0.02	17	-76.31	18	3.12	17	-0.01	19
6399	-146	-154	Min.	23.97	-2.08	16	-1.00	18	-0.10	18	-77.39	18	-8.07	18	-0.01	19
6400	-114	-122	Max	2.83	0.35	9	-0.34	17	0.10	18	-26.42	17	7.88	18	-0.00	16
6400	-114	-122	Max	24.59	0.35	9	-0.34	17	-0.05	10	-27.53	17	-2.92	17	-0.00	16
6400	-114	-122	Min.	2.83	-1.81	16	-0.89	18	0.01	17	-71.37	18	2.95	17	-0.01	19
6400	-114	-122	Min.	24.59	-1.81	16	-0.89	18	-0.09	18	-72.49	18	-7.78	18	-0.01	19

6401	-82	-90	Max	2.83	3.73	17	-0.24	17	0.08	18	-20.14	17	6.32	18	-0.00	16
6401	-82	-90	Max	25.22	3.73	17	-0.24	17	-0.03	10	-21.28	17	-2.31	17	-0.00	16
6401	-82	-90	Min.	2.83	-6.02	18	-0.65	18	0.01	17	-55.73	18	2.33	17	-0.00	19
6401	-82	-90	Min.	25.22	-6.02	18	-0.65	18	-0.07	18	-56.88	18	-6.29	18	-0.00	19
6402	-50	-58	Max	2.83	91.42	9	-0.21	17	0.07	18	-22.01	17	8.92	18	0.00	16
6402	-50	-58	Max	25.84	91.42	9	-0.21	17	-0.03	10	-24.36	17	-2.23	10	0.00	16
6402	-50	-58	Min.	2.83	-93.98	17	-0.59	16	0.01	17	-63.81	16	1.42	17	-0.00	17
6402	-50	-58	Min.	25.84	-93.98	17	-0.59	16	-0.07	16	-66.15	16	-6.48	16	-0.00	17
6403	-18	-26	Max	2.83	257.87	9	-0.12	17	0.04	16	-11.54	17	4.99	16	0.00	16
6403	-18	-26	Max	26.15	257.87	9	-0.12	17	-0.01	17	-13.92	17	-1.09	17	0.00	16
6403	-18	-26	Min.	2.83	-215.62	17	-0.35	16	0.02	17	-40.90	16	1.88	17	-0.00	17
6403	-18	-26	Min.	26.15	-215.62	17	-0.35	16	-0.04	18	-43.28	16	-4.83	16	-0.00	17
6404	351	363	Max	1.77	350.81	17	21.82	17	-0.03	16	499.91	17	24.28	18	0.89	17
6404	351	363	Max	15.00	350.81	17	21.82	17	2.27	17	498.69	17	36.24	17	0.89	17
6404	351	363	Min.	1.77	-305.78	18	-2.31	18	-0.62	17	-451.34	9	-29.83	17	-0.29	18
6404	351	363	Min.	15.00	-305.78	18	-2.31	18	-0.38	18	-452.56	9	-35.63	9	-0.29	18
6404	363	375	Max	0.00	380.77	17	2.34	18	2.31	17	357.55	9	41.59	17	0.27	9
6404	363	375	Max	13.23	380.77	17	2.34	18	-0.01	16	356.33	9	21.45	9	0.27	9
6404	363	375	Min.	0.00	-248.27	9	-22.14	17	-0.36	18	-550.95	17	-25.78	9	-0.90	17
6404	363	375	Min.	13.23	-248.27	9	-22.14	17	-0.62	17	-552.17	17	-31.39	17	-0.90	17
6405	352	364	Max	1.77	-154.12	16	-138.39	16	65.46	17	4.92	9	0.46	17	1.24	17
6405	352	364	Max	15.00	-154.12	16	-139.61	16	-8.83	16	4.92	9	0.33	9	1.24	17
6405	352	364	Min.	1.77	-805.90	17	-1119.66	17	9.57	16	-23.82	17	-0.32	9	-0.03	16
6405	352	364	Min.	15.00	-805.90	17	-1120.89	17	-82.78	17	-23.82	17	-2.70	17	-0.03	16
6405	364	376	Max	0.00	-48.33	16	1151.83	17	-14.05	16	24.04	17	0.40	9	0.02	16
6405	364	376	Max	13.23	-48.33	16	1150.61	17	64.31	17	24.04	17	0.47	17	0.02	16
6405	364	376	Min.	0.00	-756.88	17	156.64	16	-88.02	17	-5.46	9	-2.71	17	-1.25	17
6405	364	376	Min.	13.23	-756.88	17	155.42	16	6.59	16	-5.46	9	-0.32	9	-1.25	17
6406	-19	-27	Max	3.53	618.86	17	0.58	18	-0.02	17	-31.14	17	9.34	18	-0.00	10
6406	-19	-27	Max	26.86	618.86	17	0.58	18	0.07	18	-33.52	17	-3.99	17	-0.00	10
6406	-19	-27	Min.	3.53	119.83	16	0.22	17	-0.07	18	-77.10	18	3.55	17	-0.00	18
6406	-19	-27	Min.	26.86	119.83	16	0.22	17	0.03	17	-79.48	18	-8.92	18	-0.00	18
6407	-51	-59	Max	3.53	236.43	17	0.97	18	-0.06	17	-43.29	17	13.65	18	0.00	10
6407	-51	-59	Max	26.55	236.43	17	0.97	18	0.11	18	-45.64	17	-1.65	17	0.00	10
6407	-51	-59	Min.	3.53	38.83	16	0.39	17	-0.11	18	-106.27	18	8.51	10	-0.00	19
6407	-51	-59	Min.	26.55	38.83	16	0.39	17	0.03	17	-108.62	18	-11.08	18	-0.00	19
6408	-83	-91	Max	3.53	-4.69	16	1.06	18	-0.07	10	-36.31	17	9.89	18	-0.00	10
6408	-83	-91	Max	25.92	-4.69	16	1.06	18	0.12	18	-37.45	17	-4.21	17	-0.00	10
6408	-83	-91	Min.	3.53	-11.94	17	0.44	17	-0.12	18	-88.74	18	4.05	17	-0.00	19
6408	-83	-91	Min.	25.92	-11.94	17	0.44	17	0.03	17	-89.88	18	-10.10	18	-0.00	19
6409	-115	-123	Max	3.53	0.17	19	1.42	18	-0.09	10	-47.38	17	12.37	18	-0.00	10
6409	-115	-123	Max	25.30	0.17	19	1.42	18	0.16	18	-48.49	17	-5.27	17	-0.00	10
6409	-115	-123	Min.	3.53	-2.13	16	0.59	17	-0.15	18	-114.12	18	5.16	17	-0.00	19
6409	-115	-123	Min.	25.30	-2.13	16	0.59	17	0.04	17	-115.23	18	-12.59	18	-0.00	19
6410	-147	-155	Max	3.53	-0.11	10	1.59	18	-0.10	17	-51.72	17	12.93	18	-0.00	10
6410	-147	-155	Max	24.67	-0.11	10	1.59	18	0.17	18	-52.80	17	-5.58	17	-0.00	10
6410	-147	-155	Min.	3.53	-2.11	16	0.67	17	-0.17	18	-122.88	18	5.46	17	-0.00	19
6410	-147	-155	Min.	24.67	-2.11	16	0.67	17	0.04	17	-123.96	18	-13.16	18	-0.00	19
6411	-179	-187	Max	3.53	-0.12	10	1.68	18	-0.10	17	-54.62	17	13.06	18	-0.00	10
6411	-179	-187	Max	24.05	-0.12	10	1.68	18	0.17	18	-55.67	17	-5.72	17	-0.00	10
6411	-179	-187	Min.	3.53	-2.13	16	0.72	17	-0.17	18	-128.00	18	5.59	17	-0.01	19
6411	-179	-187	Min.	24.05	-2.13	16	0.72	17	0.04	17	-129.05	18	-13.30	18	-0.01	19
6412	-211	-219	Max	3.53	-0.10	10	1.76	18	-0.11	17	-57.32	17	13.10	18	-0.00	10
6412	-211	-219	Max	23.42	-0.10	10	1.76	18	0.18	18	-58.33	17	-5.81	17	-0.00	10
6412	-211	-219	Min.	3.53	-2.10	16	0.76	17	-0.17	18	-132.50	18	5.69	17	-0.01	19
6412	-211	-219	Min.	23.42	-2.10	16	0.76	17	0.05	17	-133.52	18	-13.35	18	-0.01	19
6413	-243	-251	Max	3.53	-0.08	10	1.82	18	-0.11	17	-60.14	17	13.13	18	-0.00	10
6413	-243	-251	Max	22.80	-0.08	10	1.82	18	0.18	18	-61.12	17	-5.90	17	-0.00	10
6413	-243	-251	Min.	3.53	-2.09	16	0.80	17	-0.17	18	-137.12	18	5.77	17	-0.01	19

6413	-243	-251	Min.	22.80	-2.09	16	0.80	17	0.05	17	-138.11	18	-13.38	18	-0.01	19
6414	-275	-283	Max	3.53	-0.11	10	1.89	18	-0.11	17	-63.15	17	13.15	18	-0.00	10
6414	-275	-283	Max	22.17	-0.11	10	1.89	18	0.18	18	-64.10	17	-6.00	17	-0.00	10
6414	-275	-283	Min.	3.53	-2.11	16	0.84	17	-0.17	18	-142.06	18	5.86	17	-0.01	19
6414	-275	-283	Min.	22.17	-2.11	16	0.84	17	0.05	17	-143.01	18	-13.41	18	-0.01	19
6415	-307	-315	Max	3.53	-0.13	10	1.96	18	-0.11	17	-66.36	17	13.17	18	-0.00	10
6415	-307	-315	Max	21.55	-0.13	10	1.96	18	0.18	18	-67.28	17	-6.09	17	-0.00	10
6415	-307	-315	Min.	3.53	-2.12	16	0.88	17	-0.17	18	-147.29	18	5.95	17	-0.01	19
6415	-307	-315	Min.	21.55	-2.12	16	0.88	17	0.05	17	-148.21	18	-13.44	18	-0.01	19
6416	-339	-347	Max	3.53	-0.09	10	2.04	18	-0.11	17	-69.81	17	13.19	18	-0.00	10
6416	-339	-347	Max	20.92	-0.09	10	2.04	18	0.18	18	-70.70	17	-6.18	17	-0.00	10
6416	-339	-347	Min.	3.53	-2.08	16	0.93	17	-0.18	18	-152.91	18	6.03	17	-0.01	19
6416	-339	-347	Min.	20.92	-2.08	16	0.93	17	0.05	17	-153.80	18	-13.47	18	-0.01	19
6417	-371	-379	Max	3.53	-0.14	10	2.13	18	-0.11	17	-73.53	17	13.22	18	-0.00	10
6417	-371	-379	Max	20.30	-0.14	10	2.13	18	0.18	18	-74.39	17	-6.28	17	-0.00	10
6417	-371	-379	Min.	3.53	-2.15	16	0.98	17	-0.18	18	-158.99	18	6.12	17	-0.01	19
6417	-371	-379	Min.	20.30	-2.15	16	0.98	17	0.06	17	-159.84	18	-13.50	18	-0.01	19
6418	-403	-411	Max	3.53	-0.26	10	2.21	18	-0.11	17	-77.52	17	13.24	18	-0.00	10
6418	-403	-411	Max	19.67	-0.26	10	2.21	18	0.18	18	-78.34	17	-6.37	17	-0.00	10
6418	-403	-411	Min.	3.53	-2.16	16	1.03	17	-0.18	18	-165.48	18	6.21	17	-0.01	19
6418	-403	-411	Min.	19.67	-2.16	16	1.03	17	0.06	17	-166.31	18	-13.53	18	-0.01	19
6419	-435	-443	Max	3.53	1.49	9	2.31	18	-0.11	17	-81.65	17	13.22	18	-0.00	16
6419	-435	-443	Max	19.05	1.49	9	2.31	18	0.18	18	-82.44	17	-6.45	17	-0.00	16
6419	-435	-443	Min.	3.53	-1.42	16	1.09	17	-0.18	18	-172.15	18	6.27	17	-0.01	19
6419	-435	-443	Min.	19.05	-1.42	16	1.09	17	0.06	17	-172.94	18	-13.55	18	-0.01	19
6420	-467	-475	Max	3.53	-4.46	17	2.19	18	-0.10	17	-85.06	17	13.15	18	-0.01	17
6420	-467	-475	Max	18.42	-4.46	17	2.19	18	0.16	18	-85.82	17	-6.42	17	-0.01	17
6420	-467	-475	Min.	3.53	-11.74	18	1.04	17	-0.16	18	-177.31	18	6.30	17	-0.02	18
6420	-467	-475	Min.	18.42	-11.74	18	1.04	17	0.05	17	-178.07	18	-13.31	18	-0.02	18
6421	-499	-507	Max	3.53	65.36	9	2.63	18	-0.11	17	-81.35	17	11.33	18	0.09	18
6421	-499	-507	Max	17.80	65.36	9	2.63	18	0.19	18	-82.08	17	-6.12	17	0.09	18
6421	-499	-507	Min.	3.53	22.37	17	1.25	17	-0.19	18	-168.29	18	5.53	17	0.04	17
6421	-499	-507	Min.	17.80	22.37	17	1.25	17	0.07	17	-169.01	18	-12.72	18	0.04	17
6426	-500	-508	Max	2.83	70.88	19	-1.39	17	0.20	18	-89.39	17	11.98	18	-0.05	17
6426	-500	-508	Max	17.09	70.88	19	-1.39	17	-0.12	17	-90.12	17	-6.75	17	-0.05	17
6426	-500	-508	Min.	2.83	23.44	16	-2.71	18	0.08	17	-172.52	18	6.05	17	-0.09	18
6426	-500	-508	Min.	17.09	23.44	16	-2.71	18	-0.19	18	-173.24	18	-12.67	18	-0.09	18
6427	-468	-476	Max	2.83	-6.63	16	-1.19	17	0.17	18	-93.39	17	13.77	18	0.01	18
6427	-468	-476	Max	17.72	-6.63	16	-1.19	17	-0.11	16	-94.15	17	-6.82	17	0.01	18
6427	-468	-476	Min.	2.83	-12.24	19	-2.26	18	0.07	17	-181.32	18	7.14	17	0.00	17
6427	-468	-476	Min.	17.72	-12.24	19	-2.26	18	-0.17	19	-182.08	18	-13.28	18	0.00	17
6428	-436	-444	Max	2.83	1.96	19	-1.22	17	0.19	18	-89.78	17	13.85	18	-0.00	16
6428	-436	-444	Max	18.34	1.96	19	-1.22	17	-0.12	17	-90.57	17	-6.91	17	-0.00	16
6428	-436	-444	Min.	2.83	-1.45	16	-2.38	18	0.07	17	-176.17	18	7.07	17	-0.01	17
6428	-436	-444	Min.	18.34	-1.45	16	-2.38	18	-0.18	18	-176.96	18	-13.54	18	-0.01	17
6429	-404	-412	Max	2.83	0.09	17	-1.16	17	0.19	18	-85.23	17	13.85	18	0.00	16
6429	-404	-412	Max	18.97	0.09	17	-1.16	17	-0.12	17	-86.05	17	-6.83	17	0.00	16
6429	-404	-412	Min.	2.83	-2.11	16	-2.27	18	0.07	17	-169.29	18	6.99	17	-0.01	17
6429	-404	-412	Min.	18.97	-2.11	16	-2.27	18	-0.18	18	-170.12	18	-13.54	18	-0.01	17
6430	-372	-380	Max	2.83	0.22	17	-1.10	17	0.19	18	-80.84	17	13.81	18	0.00	16
6430	-372	-380	Max	19.59	0.22	17	-1.10	17	-0.12	17	-81.69	17	-6.73	17	0.00	16
6430	-372	-380	Min.	2.83	-2.11	16	-2.18	18	0.07	17	-162.60	18	6.89	17	-0.01	17
6430	-372	-380	Min.	19.59	-2.11	16	-2.18	18	-0.18	18	-163.46	18	-13.52	18	-0.01	17
6431	-340	-348	Max	2.83	0.23	17	-1.04	17	0.18	18	-76.73	17	13.77	18	0.00	16
6431	-340	-348	Max	20.22	0.23	17	-1.04	17	-0.12	17	-77.62	17	-6.64	17	0.00	16
6431	-340	-348	Min.	2.83	-2.04	16	-2.10	18	0.06	17	-156.34	18	6.78	17	-0.01	17
6431	-340	-348	Min.	20.22	-2.04	16	-2.10	18	-0.18	18	-157.22	18	-13.49	18	-0.01	17
6432	-308	-316	Max	2.83	0.22	17	-0.99	17	0.18	18	-72.94	17	13.73	18	0.00	16
6432	-308	-316	Max	20.84	0.22	17	-0.99	17	-0.12	17	-73.86	17	-6.55	17	0.00	16

6432	-308	-316	Min.	2.83	-2.09	16	-2.01	18	0.06	17	-150.54	18	6.67	17	-0.01	17
6432	-308	-316	Min.	20.84	-2.09	16	-2.01	18	-0.18	18	-151.46	18	-13.47	18	-0.01	17
6433	-276	-284	Max	2.83	0.22	17	-0.94	17	0.18	18	-69.41	17	13.69	18	0.00	16
6433	-276	-284	Max	21.47	0.22	17	-0.94	17	-0.12	10	-70.36	17	-6.45	17	0.00	16
6433	-276	-284	Min.	2.83	-2.08	16	-1.94	18	0.06	17	-145.14	18	6.57	17	-0.01	17
6433	-276	-284	Min.	21.47	-2.08	16	-1.94	18	-0.18	18	-146.09	18	-13.44	18	-0.01	17
6434	-244	-252	Max	2.83	0.20	17	-0.89	17	0.18	18	-66.09	17	13.65	18	0.00	16
6434	-244	-252	Max	22.09	0.20	17	-0.89	17	-0.11	10	-67.08	17	-6.36	17	0.00	16
6434	-244	-252	Min.	2.83	-2.06	16	-1.87	18	0.06	17	-140.06	18	6.47	17	-0.01	17
6434	-244	-252	Min.	22.09	-2.06	16	-1.87	18	-0.18	18	-141.04	18	-13.42	18	-0.01	17
6435	-212	-220	Max	2.83	0.22	17	-0.85	17	0.18	18	-63.00	17	13.62	18	0.00	16
6435	-212	-220	Max	22.72	0.22	17	-0.85	17	-0.11	10	-64.02	17	-6.27	17	0.00	16
6435	-212	-220	Min.	2.83	-2.07	16	-1.80	18	0.05	17	-135.30	18	6.36	17	-0.01	17
6435	-212	-220	Min.	22.72	-2.07	16	-1.80	18	-0.18	18	-136.31	18	-13.39	18	-0.01	17
6436	-180	-188	Max	2.83	0.21	17	-0.80	17	0.18	18	-60.02	17	13.56	18	0.00	16
6436	-180	-188	Max	23.34	0.21	17	-0.80	17	-0.11	10	-61.07	17	-6.16	17	0.00	16
6436	-180	-188	Min.	2.83	-2.10	16	-1.72	18	0.05	17	-130.66	18	6.25	17	-0.01	17
6436	-180	-188	Min.	23.34	-2.10	16	-1.72	18	-0.17	18	-131.71	18	-13.35	18	-0.01	17
6437	-148	-156	Max	2.83	0.20	17	-0.75	17	0.17	18	-56.83	17	13.41	18	0.00	16
6437	-148	-156	Max	23.97	0.20	17	-0.75	17	-0.10	10	-57.91	17	-6.02	17	0.00	16
6437	-148	-156	Min.	2.83	-2.06	16	-1.63	18	0.05	17	-125.40	18	6.10	17	-0.00	17
6437	-148	-156	Min.	23.97	-2.06	16	-1.63	18	-0.17	18	-126.47	18	-13.21	18	-0.00	17
6438	-116	-124	Max	2.83	0.61	9	-0.66	17	0.16	18	-52.08	17	12.82	18	0.00	16
6438	-116	-124	Max	24.59	0.61	9	-0.66	17	-0.09	10	-53.19	17	-5.69	17	0.00	16
6438	-116	-124	Min.	2.83	-1.71	16	-1.45	18	0.04	17	-116.43	18	5.76	17	-0.00	17
6438	-116	-124	Min.	24.59	-1.71	16	-1.45	18	-0.16	18	-117.54	18	-12.64	18	-0.00	17
6439	-84	-92	Max	2.83	4.35	17	-0.47	17	0.12	18	-39.97	17	10.24	18	0.00	16
6439	-84	-92	Max	25.22	4.35	17	-0.47	17	-0.07	10	-41.11	17	-4.51	17	0.00	16
6439	-84	-92	Min.	2.83	-7.10	18	-1.07	18	0.03	17	-90.56	18	4.56	17	-0.00	17
6439	-84	-92	Min.	25.22	-7.10	18	-1.07	18	-0.12	18	-91.70	18	-10.16	18	-0.00	17
6440	-52	-60	Max	2.83	110.31	9	-0.45	17	0.12	18	-47.34	17	14.39	18	0.00	16
6440	-52	-60	Max	25.84	110.31	9	-0.45	17	-0.07	10	-49.68	17	-5.95	10	0.00	16
6440	-52	-60	Min.	2.83	-113.04	17	-1.00	18	0.04	17	-108.03	18	4.14	17	-0.00	17
6440	-52	-60	Min.	25.84	-113.04	17	-1.00	18	-0.11	18	-110.37	18	-10.74	18	-0.00	17
6441	-20	-28	Max	2.83	324.63	9	-0.25	17	0.07	18	-34.18	17	9.66	18	0.00	18
6441	-20	-28	Max	26.15	324.63	9	-0.25	17	-0.03	17	-36.56	17	-3.55	17	0.00	18
6441	-20	-28	Min.	2.83	-253.28	17	-0.59	18	0.03	17	-78.66	18	4.70	17	0.00	17
6441	-20	-28	Min.	26.15	-253.28	17	-0.59	18	-0.07	18	-81.04	18	-8.97	18	0.00	17
6442	354	366	Max	1.77	419.75	17	28.26	17	-0.11	16	664.34	17	26.25	9	1.16	17
6442	354	366	Max	15.00	419.75	17	28.26	17	2.93	17	663.12	17	50.56	17	1.16	17
6442	354	366	Min.	1.77	-355.80	9	0.35	16	-0.81	17	-423.45	9	-37.26	17	-0.14	9
6442	354	366	Min.	15.00	-355.80	9	0.35	16	-0.07	16	-424.67	9	-29.86	9	-0.14	9
6442	366	378	Max	0.00	481.49	17	-1.05	16	3.04	17	476.66	9	45.43	17	0.15	9
6442	366	378	Max	13.23	481.49	17	-1.05	16	-0.11	16	475.44	9	23.88	9	0.15	9
6442	366	378	Min.	0.00	-252.53	9	-29.25	17	0.03	16	-634.75	17	-39.11	9	-1.16	17
6442	366	378	Min.	13.23	-252.53	9	-29.25	17	-0.83	17	-635.97	17	-38.65	17	-1.16	17
6443	355	367	Max	1.77	-215.28	16	-225.94	16	70.16	17	2.04	9	0.51	17	1.36	17
6443	355	367	Max	15.00	-215.28	16	-227.16	16	-15.36	16	2.04	9	0.02	9	1.36	17
6443	355	367	Min.	1.77	-860.09	17	-1202.32	17	14.62	16	-26.16	17	-0.25	9	0.09	16
6443	355	367	Min.	15.00	-860.09	17	-1203.54	17	-89.01	17	-26.16	17	-2.95	17	0.09	16
6443	367	379	Max	0.00	-105.54	16	1230.74	17	-20.55	16	26.14	17	0.14	9	-0.09	16
6443	367	379	Max	13.23	-105.54	16	1229.52	17	68.95	17	26.14	17	0.52	17	-0.09	16
6443	367	379	Min.	0.00	-809.50	17	243.43	16	-93.82	17	-3.10	9	-2.94	17	-1.36	17
6443	367	379	Min.	13.23	-809.50	17	242.21	16	11.58	16	-3.10	9	-0.27	9	-1.36	17
6444	-21	-29	Max	3.53	657.08	17	0.59	18	-0.02	17	-30.93	17	9.48	18	0.00	10
6444	-21	-29	Max	26.86	657.08	17	0.59	18	0.07	18	-33.31	17	-4.00	17	0.00	10
6444	-21	-29	Min.	3.53	162.86	16	0.22	17	-0.07	18	-78.54	18	3.49	17	-0.00	19
6444	-21	-29	Min.	26.86	162.86	16	0.22	17	0.03	17	-80.92	18	-9.12	18	-0.00	19
6445	-53	-61	Max	3.53	251.64	17	1.00	18	-0.07	17	-43.32	17	14.18	18	0.00	9

6445	-53	-61	Max	26.55	251.64	17	1.00	18	0.11	18	-45.67	17	-1.43	17	0.00	9
6445	-53	-61	Min.	3.53	55.86	16	0.39	17	-0.12	18	-108.41	18	8.81	17	0.00	17
6445	-53	-61	Min.	26.55	55.86	16	0.39	17	0.03	17	-110.76	18	-11.04	18	0.00	17
6446	-85	-93	Max	3.53	-5.48	16	1.07	18	-0.07	17	-36.37	17	10.08	18	0.00	18
6446	-85	-93	Max	25.92	-5.48	16	1.07	18	0.12	18	-37.51	17	-4.22	17	0.00	18
6446	-85	-93	Min.	3.53	-12.64	17	0.44	17	-0.12	18	-90.52	18	4.05	17	-0.00	17
6446	-85	-93	Min.	25.92	-12.64	17	0.44	17	0.03	17	-91.66	18	-10.31	18	-0.00	17
6447	-117	-125	Max	3.53	0.18	19	1.45	18	-0.10	17	-47.47	17	12.62	18	0.00	9
6447	-117	-125	Max	25.30	0.18	19	1.45	18	0.16	18	-48.58	17	-5.28	17	0.00	9
6447	-117	-125	Min.	3.53	-2.12	16	0.60	17	-0.16	18	-116.42	18	5.17	17	-0.00	17
6447	-117	-125	Min.	25.30	-2.12	16	0.60	17	0.03	17	-117.53	18	-12.84	18	-0.00	17
6448	-149	-157	Max	3.53	-0.13	10	1.63	18	-0.10	17	-51.81	17	13.19	18	0.00	9
6448	-149	-157	Max	24.67	-0.13	10	1.63	18	0.17	18	-52.89	17	-5.59	17	0.00	9
6448	-149	-157	Min.	3.53	-2.13	16	0.67	17	-0.17	18	-125.39	18	5.47	17	-0.00	17
6448	-149	-157	Min.	24.67	-2.13	16	0.67	17	0.04	17	-126.47	18	-13.43	18	-0.00	17
6449	-181	-189	Max	3.53	-0.14	10	1.72	18	-0.11	17	-54.72	17	13.33	18	0.00	9
6449	-181	-189	Max	24.05	-0.14	10	1.72	18	0.18	18	-55.76	17	-5.73	17	0.00	9
6449	-181	-189	Min.	3.53	-2.16	16	0.72	17	-0.18	18	-130.65	18	5.60	17	-0.00	17
6449	-181	-189	Min.	24.05	-2.16	16	0.72	17	0.04	17	-131.69	18	-13.57	18	-0.00	17
6450	-213	-221	Max	3.53	-0.13	10	1.80	18	-0.11	17	-57.42	17	13.38	18	0.00	9
6450	-213	-221	Max	23.42	-0.13	10	1.80	18	0.18	18	-58.44	17	-5.82	17	0.00	9
6450	-213	-221	Min.	3.53	-2.12	16	0.76	17	-0.18	18	-135.28	18	5.70	17	-0.00	17
6450	-213	-221	Min.	23.42	-2.12	16	0.76	17	0.04	17	-136.30	18	-13.63	18	-0.00	17
6451	-245	-253	Max	3.53	-0.10	10	1.87	18	-0.11	17	-60.25	17	13.41	18	0.00	9
6451	-245	-253	Max	22.80	-0.10	10	1.87	18	0.18	18	-61.23	17	-5.92	17	0.00	9
6451	-245	-253	Min.	3.53	-2.11	16	0.80	17	-0.18	18	-140.04	18	5.78	17	-0.00	17
6451	-245	-253	Min.	22.80	-2.11	16	0.80	17	0.05	17	-141.03	18	-13.66	18	-0.00	17
6452	-277	-285	Max	3.53	-0.13	10	1.94	18	-0.11	17	-63.27	17	13.43	18	0.00	9
6452	-277	-285	Max	22.17	-0.13	10	1.94	18	0.18	18	-64.22	17	-6.01	17	0.00	9
6452	-277	-285	Min.	3.53	-2.13	16	0.84	17	-0.18	18	-145.12	18	5.87	17	-0.00	17
6452	-277	-285	Min.	22.17	-2.13	16	0.84	17	0.05	17	-146.07	18	-13.70	18	-0.00	17
6453	-309	-317	Max	3.53	-0.16	10	2.01	18	-0.11	17	-66.49	17	13.46	18	0.00	9
6453	-309	-317	Max	21.55	-0.16	10	2.01	18	0.18	18	-67.41	17	-6.10	17	0.00	9
6453	-309	-317	Min.	3.53	-2.14	16	0.89	17	-0.18	18	-150.52	18	5.96	17	-0.00	17
6453	-309	-317	Min.	21.55	-2.14	16	0.89	17	0.05	17	-151.44	18	-13.74	18	-0.00	17
6454	-341	-349	Max	3.53	-0.11	10	2.09	18	-0.11	17	-69.95	17	13.48	18	0.00	9
6454	-341	-349	Max	20.92	-0.11	10	2.09	18	0.18	18	-70.84	17	-6.19	17	0.00	9
6454	-341	-349	Min.	3.53	-2.10	16	0.94	17	-0.18	18	-156.31	18	6.05	17	-0.00	17
6454	-341	-349	Min.	20.92	-2.10	16	0.94	17	0.05	17	-157.20	18	-13.77	18	-0.00	17
6455	-373	-381	Max	3.53	-0.16	10	2.18	18	-0.11	17	-73.68	17	13.51	18	0.00	9
6455	-373	-381	Max	20.30	-0.16	10	2.18	18	0.18	18	-74.53	17	-6.29	17	0.00	9
6455	-373	-381	Min.	3.53	-2.17	16	0.99	17	-0.18	18	-162.57	18	6.13	17	-0.00	17
6455	-373	-381	Min.	20.30	-2.17	16	0.99	17	0.05	17	-163.43	18	-13.81	18	-0.00	17
6456	-405	-413	Max	3.53	-0.28	10	2.27	18	-0.11	17	-77.67	17	13.54	18	0.00	9
6456	-405	-413	Max	19.67	-0.28	10	2.27	18	0.18	18	-78.50	17	-6.38	17	0.00	9
6456	-405	-413	Min.	3.53	-2.18	16	1.04	17	-0.18	18	-169.27	18	6.22	17	-0.00	17
6456	-405	-413	Min.	19.67	-2.18	16	1.04	17	0.06	17	-170.09	18	-13.84	18	-0.00	17
6457	-437	-445	Max	3.53	1.43	9	2.38	18	-0.11	17	-81.81	17	13.52	18	0.00	18
6457	-437	-445	Max	19.05	1.43	9	2.38	18	0.18	18	-82.60	17	-6.47	17	0.00	18
6457	-437	-445	Min.	3.53	-1.48	16	1.10	17	-0.19	18	-176.13	18	6.28	17	-0.00	17
6457	-437	-445	Min.	19.05	-1.48	16	1.10	17	0.06	17	-176.92	18	-13.86	18	-0.00	17
6458	-469	-477	Max	3.53	-4.27	17	2.26	18	-0.10	17	-85.22	17	13.45	18	-0.01	10
6458	-469	-477	Max	18.42	-4.27	17	2.26	18	0.17	18	-85.98	17	-6.43	17	-0.01	10
6458	-469	-477	Min.	3.53	-11.56	18	1.05	17	-0.17	18	-181.44	18	6.31	17	-0.01	18
6458	-469	-477	Min.	18.42	-11.56	18	1.05	17	0.05	17	-182.20	18	-13.62	18	-0.01	18
6459	-501	-509	Max	3.53	64.06	9	2.71	18	-0.11	17	-81.46	17	11.61	18	0.10	18
6459	-501	-509	Max	17.80	64.06	9	2.71	18	0.19	18	-82.19	17	-6.12	17	0.10	18
6459	-501	-509	Min.	3.53	20.97	17	1.26	17	-0.19	18	-172.12	18	5.55	17	0.04	17
6459	-501	-509	Min.	17.80	20.97	17	1.26	17	0.07	17	-172.85	18	-12.99	18	0.04	17

6464	-502	-510	Max	2.83	72.08	19	-1.34	17	0.19	18	-86.08	17	11.70	18	-0.05	17
6464	-502	-510	Max	17.09	72.08	19	-1.34	17	-0.11	17	-86.81	17	-6.52	17	-0.05	17
6464	-502	-510	Min.	2.83	24.83	16	-2.64	18	0.08	17	-168.74	18	5.80	17	-0.09	18
6464	-502	-510	Min.	17.09	24.83	16	-2.64	18	-0.19	18	-169.46	18	-12.42	18	-0.09	18
6465	-470	-478	Max	2.83	-6.81	16	-1.13	17	0.16	18	-89.86	17	13.47	18	0.02	18
6465	-470	-478	Max	17.72	-6.81	16	-1.13	17	-0.11	16	-90.62	17	-6.56	17	0.02	18
6465	-470	-478	Min.	2.83	-12.38	19	-2.19	18	0.06	17	-177.24	18	6.88	17	0.00	17
6465	-470	-478	Min.	17.72	-12.38	19	-2.19	18	-0.17	19	-178.00	18	-12.98	18	0.00	17
6466	-438	-446	Max	2.83	2.01	19	-1.17	17	0.18	18	-86.37	17	13.54	18	0.00	18
6466	-438	-446	Max	18.34	2.01	19	-1.17	17	-0.12	17	-87.17	17	-6.65	17	0.00	18
6466	-438	-446	Min.	2.83	-1.39	16	-2.31	18	0.06	17	-172.24	18	6.81	17	-0.00	17
6466	-438	-446	Min.	18.34	-1.39	16	-2.31	18	-0.18	18	-173.03	18	-13.24	18	-0.00	17
6467	-406	-414	Max	2.83	0.11	17	-1.11	17	0.18	18	-82.00	17	13.54	18	0.01	18
6467	-406	-414	Max	18.97	0.11	17	-1.11	17	-0.12	17	-82.82	17	-6.57	17	0.01	18
6467	-406	-414	Min.	2.83	-2.09	16	-2.21	18	0.06	17	-165.56	18	6.73	17	-0.00	17
6467	-406	-414	Min.	18.97	-2.09	16	-2.21	18	-0.18	18	-166.38	18	-13.24	18	-0.00	17
6468	-374	-382	Max	2.83	0.24	17	-1.05	17	0.18	18	-77.77	17	13.51	18	0.00	18
6468	-374	-382	Max	19.59	0.24	17	-1.05	17	-0.12	17	-78.63	17	-6.48	17	0.00	18
6468	-374	-382	Min.	2.83	-2.08	16	-2.13	18	0.06	17	-159.06	18	6.63	17	-0.00	17
6468	-374	-382	Min.	19.59	-2.08	16	-2.13	18	-0.18	18	-159.91	18	-13.22	18	-0.00	17
6469	-342	-350	Max	2.83	0.25	17	-1.00	17	0.18	18	-73.83	17	13.47	18	0.00	18
6469	-342	-350	Max	20.22	0.25	17	-1.00	17	-0.12	17	-74.71	17	-6.39	17	0.00	18
6469	-342	-350	Min.	2.83	-2.02	16	-2.04	18	0.06	17	-152.98	18	6.52	17	-0.00	17
6469	-342	-350	Min.	20.22	-2.02	16	-2.04	18	-0.18	18	-153.87	18	-13.20	18	-0.00	17
6470	-310	-318	Max	2.83	0.24	17	-0.95	17	0.18	18	-70.18	17	13.44	18	0.00	18
6470	-310	-318	Max	20.84	0.24	17	-0.95	17	-0.12	17	-71.10	17	-6.30	17	0.00	18
6470	-310	-318	Min.	2.83	-2.06	16	-1.97	18	0.05	17	-147.35	18	6.42	17	-0.00	17
6470	-310	-318	Min.	20.84	-2.06	16	-1.97	18	-0.18	18	-148.27	18	-13.18	18	-0.00	17
6471	-278	-286	Max	2.83	0.23	17	-0.90	17	0.18	18	-66.78	17	13.41	18	0.00	18
6471	-278	-286	Max	21.47	0.23	17	-0.90	17	-0.12	17	-67.73	17	-6.21	17	0.00	18
6471	-278	-286	Min.	2.83	-2.06	16	-1.89	18	0.05	17	-142.11	18	6.32	17	-0.00	17
6471	-278	-286	Min.	21.47	-2.06	16	-1.89	18	-0.18	18	-143.06	18	-13.16	18	-0.00	17
6472	-246	-254	Max	2.83	0.22	17	-0.86	17	0.17	18	-63.59	17	13.38	18	0.00	18
6472	-246	-254	Max	22.09	0.22	17	-0.86	17	-0.11	10	-64.58	17	-6.12	17	0.00	18
6472	-246	-254	Min.	2.83	-2.05	16	-1.82	18	0.05	17	-137.18	18	6.22	17	-0.00	17
6472	-246	-254	Min.	22.09	-2.05	16	-1.82	18	-0.18	18	-138.16	18	-13.14	18	-0.00	17
6473	-214	-222	Max	2.83	0.24	17	-0.81	17	0.17	18	-60.62	17	13.34	18	0.00	18
6473	-214	-222	Max	22.72	0.24	17	-0.81	17	-0.11	10	-61.63	17	-6.03	17	0.00	18
6473	-214	-222	Min.	2.83	-2.05	16	-1.76	18	0.05	17	-132.55	18	6.13	17	-0.00	17
6473	-214	-222	Min.	22.72	-2.05	16	-1.76	18	-0.18	18	-133.57	18	-13.12	18	-0.00	17
6474	-182	-190	Max	2.83	0.23	17	-0.77	17	0.17	18	-57.75	17	13.29	18	0.00	18
6474	-182	-190	Max	23.34	0.23	17	-0.77	17	-0.11	10	-58.79	17	-5.93	17	0.00	18
6474	-182	-190	Min.	2.83	-2.08	16	-1.68	18	0.05	17	-128.04	18	6.02	17	-0.00	17
6474	-182	-190	Min.	23.34	-2.08	16	-1.68	18	-0.17	18	-129.09	18	-13.08	18	-0.00	17
6475	-150	-158	Max	2.83	0.22	17	-0.72	17	0.17	18	-54.68	17	13.15	18	0.00	18
6475	-150	-158	Max	23.97	0.22	17	-0.72	17	-0.10	10	-55.76	17	-5.80	17	0.00	18
6475	-150	-158	Min.	2.83	-2.04	16	-1.59	18	0.04	17	-122.92	18	5.87	17	-0.00	17
6475	-150	-158	Min.	23.97	-2.04	16	-1.59	18	-0.17	18	-124.00	18	-12.95	18	-0.00	17
6476	-118	-126	Max	2.83	0.59	9	-0.63	17	0.15	18	-50.10	17	12.57	18	0.00	18
6476	-118	-126	Max	24.59	0.59	9	-0.63	17	-0.09	10	-51.22	17	-5.48	17	0.00	18
6476	-118	-126	Min.	2.83	-1.73	16	-1.42	18	0.04	17	-114.16	18	5.55	17	-0.00	17
6476	-118	-126	Min.	24.59	-1.73	16	-1.42	18	-0.16	18	-115.27	18	-12.39	18	-0.00	17
6477	-86	-94	Max	2.83	5.09	17	-0.46	17	0.12	18	-38.44	17	10.05	18	0.00	18
6477	-86	-94	Max	25.22	5.09	17	-0.46	17	-0.07	10	-39.58	17	-4.34	17	0.00	18
6477	-86	-94	Min.	2.83	-6.18	18	-1.06	18	0.03	17	-88.80	18	4.39	17	-0.00	17
6477	-86	-94	Min.	25.22	-6.18	18	-1.06	18	-0.12	18	-89.94	18	-9.96	18	-0.00	17
6478	-54	-62	Max	2.83	91.28	9	-0.43	17	0.11	18	-45.49	17	13.86	18	0.00	18
6478	-54	-62	Max	25.84	91.28	9	-0.43	17	-0.07	10	-47.84	17	-6.05	10	0.00	18
6478	-54	-62	Min.	2.83	-128.91	17	-0.97	18	0.03	17	-105.99	18	3.69	17	-0.00	17

6478	-54	-62	Min.	25.84	-128.91	17	-0.97	18	-0.11	18	-108.34	18	-10.80	18	-0.00	17
6479	-22	-30	Max	2.83	276.41	9	-0.24	17	0.07	18	-32.68	17	9.52	18	0.00	18
6479	-22	-30	Max	26.15	276.41	9	-0.24	17	-0.02	17	-35.06	17	-3.36	17	0.00	18
6479	-22	-30	Min.	2.83	-293.78	17	-0.58	18	0.03	17	-77.23	18	4.54	17	0.00	17
6479	-22	-30	Min.	26.15	-293.78	17	-0.58	18	-0.07	18	-79.61	18	-8.77	18	0.00	17
6480	357	369	Max	1.77	476.48	17	30.48	17	-0.17	16	741.83	17	20.58	9	1.26	17
6480	357	369	Max	15.00	476.48	17	30.48	17	3.17	17	740.61	17	56.29	17	1.26	17
6480	357	369	Min.	1.77	-286.88	9	2.89	16	-0.86	17	-324.99	9	-41.79	17	-0.01	9
6480	357	369	Min.	15.00	-286.88	9	2.89	16	0.21	16	-326.21	9	-22.51	9	-0.01	9
6480	369	381	Max	0.00	534.23	17	-3.21	16	3.25	17	379.94	9	51.49	17	0.02	9
6480	369	381	Max	13.23	534.23	17	-3.21	16	-0.16	16	378.72	9	18.31	9	0.02	9
6480	369	381	Min.	0.00	-189.07	9	-31.16	17	0.27	16	-714.44	17	-31.88	9	-1.26	17
6480	369	381	Min.	13.23	-189.07	9	-31.16	17	-0.87	17	-715.66	17	-43.13	17	-1.26	17
6481	358	370	Max	1.77	-220.29	16	-299.44	16	62.91	17	-1.92	10	0.53	17	1.30	17
6481	358	370	Max	15.00	-220.29	16	-300.66	16	-23.00	16	-1.92	10	-0.32	10	1.30	17
6481	358	370	Min.	1.77	-752.41	17	-1109.16	17	16.70	16	-25.34	17	-0.09	9	0.21	16
6481	358	370	Min.	15.00	-752.41	17	-1110.38	17	-83.94	17	-25.34	17	-2.83	17	0.21	16
6481	370	382	Max	0.00	-138.91	16	1060.38	17	-17.23	16	25.88	17	-0.30	16	-0.20	16
6481	370	382	Max	13.23	-138.91	16	1059.16	17	61.48	17	25.88	17	0.55	17	-0.20	16
6481	370	382	Min.	0.00	-730.38	17	231.45	16	-78.75	17	2.01	10	-2.87	17	-1.30	17
6481	370	382	Min.	13.23	-730.38	17	230.23	16	13.32	16	2.01	10	-0.07	9	-1.30	17
6482	-23	-31	Max	3.53	566.96	17	0.35	16	-0.01	17	-10.02	17	4.90	16	0.00	9
6482	-23	-31	Max	26.86	566.96	17	0.35	16	0.04	18	-12.40	17	-1.59	17	0.00	9
6482	-23	-31	Min.	3.53	162.47	16	0.10	17	-0.04	16	-40.91	16	1.02	17	0.00	17
6482	-23	-31	Min.	26.86	162.47	16	0.10	17	0.01	17	-43.29	16	-4.91	16	0.00	17
6483	-55	-63	Max	3.53	219.26	17	0.59	16	-0.03	10	-20.16	17	8.82	18	0.00	9
6483	-55	-63	Max	26.55	219.26	17	0.59	16	0.07	16	-22.51	17	0.75	17	0.00	9
6483	-55	-63	Min.	3.53	57.67	16	0.18	17	-0.07	18	-64.12	16	4.70	10	0.00	17
6483	-55	-63	Min.	26.55	57.67	16	0.18	17	0.00	17	-66.47	16	-6.66	16	0.00	17
6484	-87	-95	Max	3.53	-4.41	10	0.65	18	-0.04	10	-18.33	17	6.23	18	0.00	18
6484	-87	-95	Max	25.92	-4.41	10	0.65	18	0.07	18	-19.47	17	-2.18	17	0.00	18
6484	-87	-95	Min.	3.53	-10.80	17	0.22	17	-0.08	18	-55.76	18	2.05	17	0.00	17
6484	-87	-95	Min.	25.92	-10.80	17	0.22	17	0.00	17	-56.90	18	-6.38	18	0.00	17
6485	-119	-127	Max	3.53	0.15	19	0.89	18	-0.05	10	-24.11	17	7.76	18	0.00	18
6485	-119	-127	Max	25.30	0.15	19	0.89	18	0.09	18	-25.22	17	-2.72	17	0.00	18
6485	-119	-127	Min.	3.53	-2.10	16	0.30	17	-0.10	18	-71.45	18	2.65	17	0.00	17
6485	-119	-127	Min.	25.30	-2.10	16	0.30	17	0.01	17	-72.56	18	-7.91	18	0.00	17
6486	-151	-159	Max	3.53	-0.10	10	1.00	18	-0.06	10	-26.37	17	8.05	18	0.00	18
6486	-151	-159	Max	24.67	-0.10	10	1.00	18	0.10	18	-27.44	17	-2.88	17	0.00	18
6486	-151	-159	Min.	3.53	-2.12	16	0.35	17	-0.11	18	-76.39	18	2.81	17	-0.00	17
6486	-151	-159	Min.	24.67	-2.12	16	0.35	17	0.01	17	-77.47	18	-8.21	18	-0.00	17
6487	-183	-191	Max	3.53	-0.12	10	1.05	18	-0.06	10	-27.87	17	8.07	18	0.00	18
6487	-183	-191	Max	24.05	-0.12	10	1.05	18	0.10	18	-28.92	17	-2.95	17	0.00	18
6487	-183	-191	Min.	3.53	-2.15	16	0.37	17	-0.11	18	-78.95	18	2.87	17	-0.00	17
6487	-183	-191	Min.	24.05	-2.15	16	0.37	17	0.01	17	-80.00	18	-8.23	18	-0.00	17
6488	-215	-223	Max	3.53	-0.11	10	1.08	18	-0.06	10	-29.26	17	8.03	18	0.00	18
6488	-215	-223	Max	23.42	-0.11	10	1.08	18	0.10	18	-30.28	17	-3.00	17	0.00	18
6488	-215	-223	Min.	3.53	-2.12	16	0.39	17	-0.11	18	-81.06	18	2.92	17	-0.00	17
6488	-215	-223	Min.	23.42	-2.12	16	0.39	17	0.01	17	-82.07	18	-8.19	18	-0.00	17
6489	-247	-255	Max	3.53	-0.09	10	1.11	18	-0.06	10	-30.73	17	7.98	18	0.00	18
6489	-247	-255	Max	22.80	-0.09	10	1.11	18	0.10	18	-31.71	17	-3.05	17	0.00	18
6489	-247	-255	Min.	3.53	-2.11	16	0.41	17	-0.11	18	-83.19	18	2.97	17	-0.00	17
6489	-247	-255	Min.	22.80	-2.11	16	0.41	17	0.01	17	-84.18	18	-8.14	18	-0.00	17
6490	-279	-287	Max	3.53	-0.11	10	1.15	18	-0.06	10	-32.29	17	7.93	18	0.00	18
6490	-279	-287	Max	22.17	-0.11	10	1.15	18	0.10	18	-33.24	17	-3.09	17	0.00	18
6490	-279	-287	Min.	3.53	-2.12	16	0.43	17	-0.11	18	-85.46	18	3.01	17	-0.00	17
6490	-279	-287	Min.	22.17	-2.12	16	0.43	17	0.01	17	-86.42	18	-8.09	18	-0.00	17
6491	-311	-319	Max	3.53	-0.13	10	1.18	18	-0.06	10	-33.95	17	7.87	18	0.00	18
6491	-311	-319	Max	21.55	-0.13	10	1.18	18	0.10	18	-34.87	17	-3.14	17	0.00	18

6491	-311	-319	Min.	3.53	-2.14	16	0.46	17	-0.11	18	-87.86	18	3.06	17	-0.00	17
6491	-311	-319	Min.	21.55	-2.14	16	0.46	17	0.02	17	-88.78	18	-8.04	18	-0.00	17
6492	-343	-351	Max	3.53	-0.09	10	1.22	18	-0.06	10	-35.74	17	7.81	18	0.00	18
6492	-343	-351	Max	20.92	-0.09	10	1.22	18	0.10	18	-36.63	17	-3.19	17	0.00	18
6492	-343	-351	Min.	3.53	-2.10	16	0.48	17	-0.11	18	-90.43	18	3.10	17	-0.00	17
6492	-343	-351	Min.	20.92	-2.10	16	0.48	17	0.02	17	-91.32	18	-7.99	18	-0.00	17
6493	-375	-383	Max	3.53	-0.12	10	1.26	18	-0.06	10	-37.66	17	7.76	18	0.00	18
6493	-375	-383	Max	20.30	-0.12	10	1.26	18	0.10	18	-38.52	17	-3.24	17	0.00	18
6493	-375	-383	Min.	3.53	-2.15	16	0.51	17	-0.11	18	-93.21	18	3.15	17	-0.00	17
6493	-375	-383	Min.	20.30	-2.15	16	0.51	17	0.02	17	-94.07	18	-7.94	18	-0.00	17
6494	-407	-415	Max	3.53	-0.21	10	1.30	18	-0.07	10	-39.72	17	7.70	18	0.00	18
6494	-407	-415	Max	19.67	-0.21	10	1.30	18	0.10	18	-40.54	17	-3.28	17	0.00	18
6494	-407	-415	Min.	3.53	-2.16	16	0.54	17	-0.11	18	-96.17	18	3.19	17	-0.00	17
6494	-407	-415	Min.	19.67	-2.16	16	0.54	17	0.02	17	-97.00	18	-7.88	18	-0.00	17
6495	-439	-447	Max	3.53	0.94	9	1.35	18	-0.07	17	-41.86	17	7.62	18	0.01	18
6495	-439	-447	Max	19.05	0.94	9	1.35	18	0.10	18	-42.65	17	-3.33	17	0.01	18
6495	-439	-447	Min.	3.53	-1.64	16	0.57	17	-0.11	18	-99.19	18	3.22	17	0.00	17
6495	-439	-447	Min.	19.05	-1.64	16	0.57	17	0.02	17	-99.98	18	-7.82	18	0.00	17
6496	-471	-479	Max	3.53	-3.76	17	1.27	18	-0.06	17	-43.66	17	7.53	18	-0.00	10
6496	-471	-479	Max	18.42	-3.76	17	1.27	18	0.09	18	-44.42	17	-3.30	17	-0.00	10
6496	-471	-479	Min.	3.53	-8.22	18	0.54	17	-0.10	18	-101.38	18	3.25	17	-0.01	16
6496	-471	-479	Min.	18.42	-8.22	18	0.54	17	0.02	17	-102.13	18	-7.62	18	-0.01	16
6497	-503	-511	Max	3.53	42.57	9	1.57	18	-0.06	17	-41.86	17	6.42	18	0.06	18
6497	-503	-511	Max	17.80	42.57	9	1.57	18	0.11	18	-42.59	17	-3.24	17	0.06	18
6497	-503	-511	Min.	3.53	18.05	16	0.66	17	-0.11	18	-95.90	18	2.79	17	0.02	17
6497	-503	-511	Min.	17.80	18.05	16	0.66	17	0.03	17	-96.63	18	-7.31	18	0.02	17
6502	-504	-512	Max	2.83	24.37	19	-0.70	17	0.10	18	-44.15	17	6.25	18	-0.03	17
6502	-504	-512	Max	17.09	24.37	19	-0.70	17	-0.06	10	-44.88	17	-3.27	17	-0.03	17
6502	-504	-512	Min.	2.83	9.45	16	-1.43	18	0.03	17	-88.86	18	3.08	17	-0.05	18
6502	-504	-512	Min.	17.09	9.45	16	-1.43	18	-0.10	18	-89.58	18	-6.48	18	-0.05	18
6503	-472	-480	Max	2.83	-2.50	17	-0.58	17	0.08	18	-45.96	17	7.10	18	0.02	18
6503	-472	-480	Max	17.72	-2.50	17	-0.58	17	-0.06	10	-46.72	17	-3.38	17	0.02	18
6503	-472	-480	Min.	2.83	-5.03	18	-1.14	18	0.02	17	-93.47	18	3.51	17	0.00	17
6503	-472	-480	Min.	17.72	-5.03	18	-1.14	18	-0.09	18	-94.23	18	-6.87	18	0.00	17
6504	-440	-448	Max	2.83	0.73	19	-0.60	17	0.09	18	-44.12	17	7.22	18	0.01	18
6504	-440	-448	Max	18.34	0.73	19	-0.60	17	-0.06	10	-44.91	17	-3.41	17	0.01	18
6504	-440	-448	Min.	2.83	-1.80	16	-1.23	18	0.02	17	-91.66	18	3.49	17	-0.00	17
6504	-440	-448	Min.	18.34	-1.80	16	-1.23	18	-0.10	18	-92.45	18	-7.06	18	-0.00	17
6505	-408	-416	Max	2.83	0.15	17	-0.57	17	0.09	18	-41.87	17	7.29	18	0.01	18
6505	-408	-416	Max	18.97	0.15	17	-0.57	17	-0.06	10	-42.69	17	-3.37	17	0.01	18
6505	-408	-416	Min.	2.83	-2.06	16	-1.19	18	0.02	17	-89.03	18	3.45	17	-0.00	17
6505	-408	-416	Min.	18.97	-2.06	16	-1.19	18	-0.10	18	-89.85	18	-7.14	18	-0.00	17
6506	-376	-384	Max	2.83	0.17	17	-0.54	17	0.09	18	-39.69	17	7.35	18	0.01	18
6506	-376	-384	Max	19.59	0.17	17	-0.54	17	-0.06	10	-40.55	17	-3.33	17	0.01	18
6506	-376	-384	Min.	2.83	-2.09	16	-1.15	18	0.02	17	-86.44	18	3.40	17	-0.00	17
6506	-376	-384	Min.	19.59	-2.09	16	-1.15	18	-0.10	18	-87.29	18	-7.21	18	-0.00	17
6507	-344	-352	Max	2.83	0.18	17	-0.51	17	0.09	18	-37.66	17	7.41	18	0.01	18
6507	-344	-352	Max	20.22	0.18	17	-0.51	17	-0.06	10	-38.54	17	-3.28	17	0.01	18
6507	-344	-352	Min.	2.83	-2.04	16	-1.12	18	0.02	17	-84.00	18	3.34	17	-0.00	17
6507	-344	-352	Min.	20.22	-2.04	16	-1.12	18	-0.10	18	-84.89	18	-7.27	18	-0.00	17
6508	-312	-320	Max	2.83	0.19	17	-0.49	17	0.09	18	-35.78	17	7.47	18	0.01	18
6508	-312	-320	Max	20.84	0.19	17	-0.49	17	-0.06	10	-36.70	17	-3.24	17	0.01	18
6508	-312	-320	Min.	2.83	-2.06	16	-1.09	18	0.02	17	-81.76	18	3.29	17	-0.00	17
6508	-312	-320	Min.	20.84	-2.06	16	-1.09	18	-0.10	18	-82.68	18	-7.34	18	-0.00	17
6509	-280	-288	Max	2.83	0.18	17	-0.46	17	0.10	18	-34.03	17	7.53	18	0.01	18
6509	-280	-288	Max	21.47	0.18	17	-0.46	17	-0.06	10	-34.98	17	-3.19	17	0.01	18
6509	-280	-288	Min.	2.83	-2.06	16	-1.06	18	0.02	17	-79.66	18	3.24	17	-0.00	17
6509	-280	-288	Min.	21.47	-2.06	16	-1.06	18	-0.10	18	-80.61	18	-7.41	18	-0.00	17
6510	-248	-256	Max	2.83	0.15	17	-0.44	17	0.10	18	-32.39	17	7.59	18	0.01	18

6510	-248	-256	Max	22.09	0.15	17	-0.44	17	-0.06	10	-33.37	17	-3.15	17	0.01	18
6510	-248	-256	Min.	2.83	-2.06	16	-1.03	18	0.02	17	-77.67	18	3.19	17	-0.00	17
6510	-248	-256	Min.	22.09	-2.06	16	-1.03	18	-0.10	18	-78.65	18	-7.47	18	-0.00	17
6511	-216	-224	Max	2.83	0.19	17	-0.42	17	0.10	18	-30.86	17	7.64	18	0.01	18
6511	-216	-224	Max	22.72	0.19	17	-0.42	17	-0.05	10	-31.87	17	-3.10	17	0.01	18
6511	-216	-224	Min.	2.83	-2.06	16	-1.00	18	0.01	17	-75.80	18	3.14	17	-0.00	17
6511	-216	-224	Min.	22.72	-2.06	16	-1.00	18	-0.10	18	-76.81	18	-7.53	18	-0.00	17
6512	-184	-192	Max	2.83	0.18	17	-0.40	17	0.10	18	-29.37	17	7.69	18	0.01	18
6512	-184	-192	Max	23.34	0.18	17	-0.40	17	-0.05	10	-30.42	17	-3.05	17	0.01	18
6512	-184	-192	Min.	2.83	-2.08	16	-0.97	18	0.01	17	-73.93	18	3.08	17	-0.00	17
6512	-184	-192	Min.	23.34	-2.08	16	-0.97	18	-0.10	18	-74.98	18	-7.58	18	-0.00	17
6513	-152	-160	Max	2.83	0.17	17	-0.37	17	0.10	18	-27.79	17	7.68	18	0.01	18
6513	-152	-160	Max	23.97	0.17	17	-0.37	17	-0.05	10	-28.87	17	-2.98	17	0.01	18
6513	-152	-160	Min.	2.83	-2.05	16	-0.93	18	0.01	17	-71.64	18	3.01	17	-0.00	17
6513	-152	-160	Min.	23.97	-2.05	16	-0.93	18	-0.10	18	-72.71	18	-7.58	18	-0.00	17
6514	-120	-128	Max	2.83	0.23	9	-0.32	17	0.09	18	-25.42	17	7.40	18	0.00	18
6514	-120	-128	Max	24.59	0.23	9	-0.32	17	-0.05	10	-26.53	17	-2.82	17	0.00	18
6514	-120	-128	Min.	2.83	-1.88	16	-0.84	18	0.01	17	-67.07	18	2.83	17	-0.00	17
6514	-120	-128	Min.	24.59	-1.88	16	-0.84	18	-0.09	18	-68.19	18	-7.31	18	-0.00	17
6515	-88	-96	Max	2.83	6.45	17	-0.23	17	0.07	18	-19.35	17	5.95	18	0.00	18
6515	-88	-96	Max	25.22	6.45	17	-0.23	17	-0.03	10	-20.50	17	-2.22	17	0.00	18
6515	-88	-96	Min.	2.83	-2.63	18	-0.62	18	0.01	17	-52.40	18	2.25	17	-0.00	17
6515	-88	-96	Min.	25.22	-2.63	18	-0.62	18	-0.07	18	-53.54	18	-5.91	18	-0.00	17
6516	-56	-64	Max	2.83	19.76	9	-0.20	17	0.06	16	-21.20	17	7.41	18	0.00	18
6516	-56	-64	Max	25.84	19.76	9	-0.20	17	-0.03	10	-23.55	17	-2.87	10	0.00	18
6516	-56	-64	Min.	2.83	-150.82	17	-0.56	16	0.01	17	-61.39	16	0.48	17	0.00	17
6516	-56	-64	Min.	25.84	-150.82	17	-0.56	16	-0.06	16	-63.74	16	-7.00	16	0.00	17
6517	-24	-32	Max	2.83	74.01	9	-0.11	17	0.04	16	-10.88	17	4.86	16	0.00	18
6517	-24	-32	Max	26.15	74.01	9	-0.11	17	-0.01	17	-13.26	17	-0.96	17	0.00	18
6517	-24	-32	Min.	2.83	-362.66	17	-0.33	16	0.02	17	-39.12	16	1.86	17	0.00	17
6517	-24	-32	Min.	26.15	-362.66	17	-0.33	16	-0.04	16	-41.51	16	-4.54	16	0.00	17
6518	360	372	Max	1.77	543.57	17	28.30	17	-0.18	16	784.43	17	2.94	9	1.24	17
6518	360	372	Max	15.00	543.57	17	28.30	17	3.00	17	783.21	17	57.57	17	1.24	17
6518	360	372	Min.	1.77	-53.73	18	4.98	16	-0.74	17	-83.00	9	-46.15	17	0.16	16
6518	360	372	Min.	15.00	-53.73	18	4.98	16	0.47	16	-84.22	9	-8.12	9	0.16	16
6518	372	384	Max	0.00	569.18	17	-4.32	16	2.99	17	-7.83	9	62.74	17	-0.17	16
6518	372	384	Max	13.23	569.18	17	-4.32	16	-0.14	16	-9.06	9	0.42	9	-0.17	16
6518	372	384	Min.	0.00	-9.92	9	-28.09	17	0.43	16	-833.58	17	1.54	9	-1.24	17
6518	372	384	Min.	13.23	-9.92	9	-28.09	17	-0.73	17	-834.80	17	-47.64	17	-1.24	17
6560	-517	-518	Max	0.00	0.01	9	12.38	17	-0.14	16	2.22	19	-0.05	17	0.88	17
6560	-517	-518	Max	12.00	0.01	9	12.38	17	0.83	17	4.30	19	0.29	19	0.88	17
6560	-517	-518	Min.	0.00	-3.25	17	2.62	16	-0.65	17	0.99	10	-0.13	18	0.22	10
6560	-517	-518	Min.	12.00	-3.25	17	2.62	16	0.17	16	3.07	10	0.16	10	0.22	10
6561	-533	-534	Max	0.00	0.16	9	16.54	17	-0.15	16	1.79	17	0.21	18	0.59	17
6561	-533	-534	Max	12.00	0.16	9	16.54	17	1.02	17	3.87	17	0.36	17	0.59	17
6561	-533	-534	Min.	0.00	-2.76	17	2.48	16	-0.97	17	-2.12	18	0.02	17	0.12	10
6561	-533	-534	Min.	12.00	-2.76	17	2.48	16	0.15	16	-0.04	18	0.04	16	0.12	10
6562	319	320	Max	1.77	-26.86	17	-0.10	16	0.54	17	7.38	17	-0.99	10	-0.02	16
6562	319	320	Max	14.67					0.01	10			-0.91	10		
6562	319	320	Max	15.00	-26.86	17	-0.10	16	0.03	16	6.16	17	-0.67	17	-0.02	16
6562	319	320	Min.	1.77	-50.44	18	-3.96	17	0.03	10	1.16	18	-1.70	19	-0.42	17
6562	319	320	Min.	13.68					0.03	18			-1.35	18		
6562	319	320	Min.	15.00	-50.44	18	-3.96	17	0.01	17	-0.06	18	-1.35	18	-0.42	17
6562	320	321	Max	0.00	-26.86	17	-0.10	16	0.03	16	6.16	17	-0.67	17	-0.02	16
6562	320	321	Max	13.23	-26.86	17	-0.10	16	0.01	16	4.94	17	0.07	17	-0.02	16
6562	320	321	Min.	0.00	-50.44	18	-3.96	17	0.01	17	-0.06	18	-1.35	18	-0.42	17
6562	320	321	Min.	13.23	-50.44	18	-3.96	17	-0.51	17	-1.28	18	-1.44	18	-0.42	17
6563	-5	-6	Max	2.83	142.21	18	-0.04	16	0.11	17	47.38	17	0.33	18	0.00	10
6563	-5	-6	Max	23.43					0.01	18			0.54	18		

6563	-5	-6	Max	26.15	142.21	18	-0.04	16	0.01	9	45.00	17	5.54	17	0.00	10
6563	-5	-6	Min.	2.83	69.88	17	-0.86	17	0.01	16	2.11	18	-5.24	17	-0.00	17
6563	-5	-6	Min.	23.99					0.01	10			0.38	10		
6563	-5	-6	Min.	26.15	69.88	17	-0.86	17	-0.09	17	-0.27	18	0.38	10	-0.00	17
6564	-37	-38	Max	2.83	37.93	18	0.25	17	0.02	9	74.99	17	0.55	18	0.04	17
6564	-37	-38	Max	25.84	37.93	18	0.25	17	0.04	17	72.65	17	8.79	17	0.04	17
6564	-37	-38	Min.	2.83	17.62	17	-0.01	18	-0.02	17	2.94	16	-8.20	17	0.00	16
6564	-37	-38	Min.	25.84	17.62	17	-0.01	18	0.00	16	0.59	16	0.70	10	0.00	16
6565	-69	-70	Max	2.83	-2.48	10	0.73	17	0.02	9	63.95	17	-0.20	16	0.00	17
6565	-69	-70	Max	25.22	-2.48	10	0.73	17	0.10	17	62.80	17	7.01	17	0.00	17
6565	-69	-70	Min.	2.83	-4.32	19	0.02	16	-0.07	17	2.12	16	-7.17	17	-0.00	18
6565	-69	-70	Min.	25.22	-4.32	19	0.02	16	0.01	16	0.98	16	0.14	18	-0.00	18
6566	-101	-102	Max	2.83	0.11	16	0.99	17	0.03	9	80.85	17	-0.24	16	0.00	17
6566	-101	-102	Max	24.59	0.11	16	0.99	17	0.13	17	79.74	17	8.65	17	0.00	17
6566	-101	-102	Min.	2.83	-2.25	17	0.02	16	-0.09	17	2.58	16	-8.83	17	-0.00	18
6566	-101	-102	Min.	24.59	-2.25	17	0.02	16	0.01	16	1.47	16	0.20	9	-0.00	18
6567	-133	-134	Max	2.83	-0.18	16	1.10	17	0.04	9	85.49	17	-0.25	16	0.00	17
6567	-133	-134	Max	23.97	-0.18	16	1.10	17	0.14	17	84.41	17	8.88	17	0.00	17
6567	-133	-134	Min.	2.83	-2.32	17	0.03	18	-0.09	17	2.75	16	-9.07	17	-0.00	18
6567	-133	-134	Min.	23.97	-2.32	17	0.03	18	0.01	16	1.67	16	0.22	18	-0.00	18
6568	-165	-166	Max	2.83	-0.14	16	1.14	17	0.04	9	87.32	17	-0.26	16	0.00	17
6568	-165	-166	Max	23.34	-0.14	16	1.14	17	0.14	17	86.28	17	8.80	17	0.00	17
6568	-165	-166	Min.	2.83	-2.27	17	0.03	18	-0.10	17	2.86	16	-9.00	17	-0.00	18
6568	-165	-166	Min.	23.34	-2.27	17	0.03	18	0.02	16	1.81	16	0.22	9	-0.00	18
6569	-197	-198	Max	2.83	-0.19	16	1.17	17	0.04	9	88.60	17	-0.26	16	0.00	17
6569	-197	-198	Max	22.72	-0.19	16	1.17	17	0.14	17	87.58	17	8.66	17	0.00	17
6569	-197	-198	Min.	2.83	-2.28	17	0.03	18	-0.09	17	2.96	16	-8.86	17	-0.00	18
6569	-197	-198	Min.	22.72	-2.28	17	0.03	18	0.02	16	1.94	16	0.22	9	-0.00	18
6570	-229	-230	Max	2.83	-0.16	16	1.19	17	0.04	9	89.79	17	-0.26	16	0.00	17
6570	-229	-230	Max	22.09	-0.16	16	1.19	17	0.14	17	88.80	17	8.50	17	0.00	17
6570	-229	-230	Min.	2.83	-2.28	17	0.03	18	-0.09	17	3.06	16	-8.70	17	-0.00	18
6570	-229	-230	Min.	22.09	-2.28	17	0.03	18	0.02	16	2.08	16	0.23	18	-0.00	18
6571	-261	-262	Max	2.83	-0.19	16	1.21	17	0.04	9	91.03	17	-0.27	16	0.00	17
6571	-261	-262	Max	21.47	-0.19	16	1.21	17	0.14	17	90.08	17	8.34	17	0.00	17
6571	-261	-262	Min.	2.83	-2.29	17	0.03	18	-0.09	17	3.17	16	-8.54	17	-0.00	18
6571	-261	-262	Min.	21.47	-2.29	17	0.03	18	0.02	16	2.22	16	0.23	18	-0.00	18
6572	-293	-294	Max	2.83	-0.22	16	1.23	17	0.04	9	92.39	17	-0.27	16	0.00	17
6572	-293	-294	Max	20.84	-0.22	16	1.23	17	0.13	17	91.47	17	8.18	17	0.00	17
6572	-293	-294	Min.	2.83	-2.29	17	0.04	16	-0.09	17	3.29	16	-8.38	17	-0.00	18
6572	-293	-294	Min.	20.84	-2.29	17	0.04	16	0.02	16	2.37	16	0.23	18	-0.00	18
6573	-325	-326	Max	2.83	-0.21	16	1.25	17	0.04	9	93.81	17	-0.28	16	0.00	17
6573	-325	-326	Max	20.22	-0.21	16	1.25	17	0.13	17	92.93	17	8.01	17	0.00	17
6573	-325	-326	Min.	2.83	-2.31	17	0.04	16	-0.09	17	3.42	16	-8.22	17	-0.00	18
6573	-325	-326	Min.	20.22	-2.31	17	0.04	16	0.02	16	2.54	16	0.24	18	-0.00	18
6574	-357	-358	Max	2.83	-0.25	16	1.28	17	0.04	9	95.36	17	-0.28	16	0.00	17
6574	-357	-358	Max	19.59	-0.25	16	1.28	17	0.13	17	94.50	17	7.85	17	0.00	17
6574	-357	-358	Min.	2.83	-2.32	17	0.04	16	-0.08	17	3.56	16	-8.06	17	-0.00	18
6574	-357	-358	Min.	19.59	-2.32	17	0.04	16	0.02	16	2.71	16	0.24	18	-0.00	18
6575	-389	-390	Max	2.83	-0.10	10	1.30	17	0.04	9	96.96	17	-0.29	16	0.00	17
6575	-389	-390	Max	18.97	-0.10	10	1.30	17	0.13	17	96.14	17	7.68	17	0.00	17
6575	-389	-390	Min.	2.83	-2.15	17	0.04	16	-0.08	17	3.72	16	-7.90	17	-0.00	18
6575	-389	-390	Min.	18.97	-2.15	17	0.04	16	0.03	16	2.89	16	0.24	9	-0.00	18
6576	-421	-422	Max	2.83	-0.51	16	1.32	17	0.04	9	98.45	17	-0.29	16	0.00	17
6576	-421	-422	Max	18.34	-0.51	16	1.32	17	0.13	17	97.66	17	7.50	17	0.00	17
6576	-421	-422	Min.	2.83	-4.27	19	0.05	16	-0.08	17	3.87	16	-7.71	17	-0.00	18
6576	-421	-422	Min.	18.34	-4.27	19	0.05	16	0.03	16	3.08	16	0.25	16	-0.00	18
6577	-453	-454	Max	2.83	17.30	9	1.28	17	0.04	9	98.34	17	-0.30	16	0.00	17
6577	-453	-454	Max	17.72	17.30	9	1.28	17	0.12	17	97.58	17	7.11	17	0.00	17
6577	-453	-454	Min.	2.83	1.43	16	0.04	18	-0.07	17	3.95	16	-7.48	17	-0.00	18

6577	-453	-454	Min.	17.72	1.43	16	0.04	18	0.03	16	3.19	16	0.09	9	-0.00	18
6578	-485	-486	Max	2.83	-12.42	16	1.12	17	0.03	18	87.85	17	0.61	9	0.01	17
6578	-485	-486	Max	17.09	-12.42	16	1.12	17	0.10	17	87.12	17	6.61	17	0.01	17
6578	-485	-486	Min.	2.83	-106.54	19	0.04	16	-0.06	17	3.66	16	-5.86	17	0.00	10
6578	-485	-486	Min.	17.09	-106.54	19	0.04	16	0.02	16	2.93	16	0.31	16	0.00	10
6582	-493	-494	Max	3.53	233.49	9	-0.09	16	0.09	17	84.01	17	-1.49	16	-0.00	16
6582	-493	-494	Max	17.80	233.49	9	-0.09	16	0.02	18	83.28	17	4.93	17	-0.00	16
6582	-493	-494	Min.	3.53	125.11	16	-1.05	17	0.02	16	6.17	16	-7.00	17	-0.01	19
6582	-493	-494	Min.	17.80	125.11	16	-1.05	17	-0.06	17	5.44	16	-1.44	9	-0.01	19
6583	-461	-462	Max	3.53	-21.45	16	-0.08	16	0.11	17	93.83	17	-0.21	9	0.00	17
6583	-461	-462	Max	18.42	-21.45	16	-0.08	16	0.04	9	93.07	17	7.23	17	0.00	17
6583	-461	-462	Min.	3.53	-41.02	19	-1.21	17	0.03	16	6.10	16	-6.68	17	-0.00	18
6583	-461	-462	Min.	18.42	-41.02	19	-1.21	17	-0.07	17	5.35	16	0.62	16	-0.00	18
6584	-429	-430	Max	3.53	6.28	9	-0.08	16	0.12	17	94.22	17	-0.44	16	0.00	17
6584	-429	-430	Max	19.05	6.28	9	-0.08	16	0.04	9	93.43	17	7.36	17	0.00	17
6584	-429	-430	Min.	3.53	1.40	17	-1.25	17	0.03	16	6.12	16	-7.19	17	-0.00	18
6584	-429	-430	Min.	19.05	1.40	17	-1.25	17	-0.07	17	5.33	16	0.44	16	-0.00	18
6585	-397	-398	Max	3.53	-0.27	16	-0.08	16	0.12	17	92.96	17	-0.42	16	0.00	17
6585	-397	-398	Max	19.67	-0.27	16	-0.08	16	0.04	9	92.14	17	7.57	17	0.00	17
6585	-397	-398	Min.	3.53	-2.28	17	-1.24	17	0.03	16	5.85	16	-7.36	17	-0.00	18
6585	-397	-398	Min.	19.67	-2.28	17	-1.24	17	-0.08	17	5.03	16	0.46	16	-0.00	18
6586	-365	-366	Max	3.53	0.34	9	-0.07	16	0.13	17	91.55	17	-0.42	16	0.00	17
6586	-365	-366	Max	20.30	0.34	9	-0.07	16	0.04	9	90.70	17	7.73	17	0.00	17
6586	-365	-366	Min.	3.53	-1.86	17	-1.22	17	0.03	16	5.58	16	-7.54	17	-0.00	9
6586	-365	-366	Min.	20.30	-1.86	17	-1.22	17	-0.08	17	4.73	16	0.45	16	-0.00	9
6587	-333	-334	Max	3.53	0.37	9	-0.07	16	0.13	17	90.20	17	-0.41	16	0.00	17
6587	-333	-334	Max	20.92	0.37	9	-0.07	16	0.04	9	89.31	17	7.90	17	0.00	17
6587	-333	-334	Min.	3.53	-1.84	17	-1.20	17	0.03	16	5.33	16	-7.71	17	-0.00	9
6587	-333	-334	Min.	20.92	-1.84	17	-1.20	17	-0.08	17	4.45	16	0.44	16	-0.00	9
6588	-301	-302	Max	3.53	0.22	9	-0.07	16	0.13	17	88.95	17	-0.41	16	0.00	17
6588	-301	-302	Max	21.55	0.22	9	-0.07	16	0.03	9	88.03	17	8.06	17	0.00	17
6588	-301	-302	Min.	3.53	-1.93	17	-1.18	17	0.02	16	5.11	16	-7.88	17	-0.00	9
6588	-301	-302	Min.	21.55	-1.93	17	-1.18	17	-0.08	17	4.19	16	0.43	16	-0.00	9
6589	-269	-270	Max	3.53	0.28	9	-0.06	16	0.13	17	87.76	17	-0.40	16	0.00	17
6589	-269	-270	Max	22.17	0.28	9	-0.06	16	0.03	9	86.81	17	8.22	17	0.00	17
6589	-269	-270	Min.	3.53	-1.90	17	-1.16	17	0.02	16	4.90	16	-8.05	17	-0.00	9
6589	-269	-270	Min.	22.17	-1.90	17	-1.16	17	-0.08	17	3.95	16	0.42	16	-0.00	9
6590	-237	-238	Max	3.53	0.33	9	-0.06	16	0.13	17	86.67	17	-0.40	16	0.00	17
6590	-237	-238	Max	22.80	0.33	9	-0.06	16	0.03	9	85.69	17	8.38	17	0.00	17
6590	-237	-238	Min.	3.53	-1.87	17	-1.14	17	0.02	16	4.71	16	-8.22	17	-0.00	9
6590	-237	-238	Min.	22.80	-1.87	17	-1.14	17	-0.09	17	3.72	16	0.41	16	-0.00	9
6591	-205	-206	Max	3.53	0.20	9	-0.06	16	0.13	17	85.62	17	-0.40	16	0.00	17
6591	-205	-206	Max	23.42	0.20	9	-0.06	16	0.03	9	84.61	17	8.54	17	0.00	17
6591	-205	-206	Min.	3.53	-1.94	17	-1.12	17	0.02	16	4.53	16	-8.39	17	-0.00	9
6591	-205	-206	Min.	23.42	-1.94	17	-1.12	17	-0.09	17	3.51	16	0.40	16	-0.00	9
6592	-173	-174	Max	3.53	0.30	9	-0.05	16	0.13	17	84.49	17	-0.39	16	0.00	17
6592	-173	-174	Max	24.05	0.30	9	-0.05	16	0.03	9	83.44	17	8.69	17	0.00	17
6592	-173	-174	Min.	3.53	-1.89	17	-1.10	17	0.02	16	4.35	16	-8.54	17	-0.00	9
6592	-173	-174	Min.	24.05	-1.89	17	-1.10	17	-0.09	17	3.31	16	0.39	16	-0.00	9
6593	-141	-142	Max	3.53	0.21	9	-0.05	16	0.13	17	82.80	17	-0.38	16	0.00	17
6593	-141	-142	Max	24.67	0.21	9	-0.05	16	0.03	9	81.72	17	8.76	17	0.00	17
6593	-141	-142	Min.	3.53	-1.95	17	-1.06	17	0.02	16	4.16	16	-8.62	17	-0.00	9
6593	-141	-142	Min.	24.67	-1.95	17	-1.06	17	-0.09	17	3.09	16	0.38	16	-0.00	9
6594	-109	-110	Max	3.53	0.56	9	-0.04	16	0.12	17	78.38	17	-0.36	16	0.00	17
6594	-109	-110	Max	25.30	0.56	9	-0.04	16	0.03	9	77.27	17	8.53	17	0.00	17
6594	-109	-110	Min.	3.53	-1.57	17	-0.96	17	0.01	16	3.89	16	-8.40	17	-0.00	9
6594	-109	-110	Min.	25.30	-1.57	17	-0.96	17	-0.08	17	2.78	16	0.36	16	-0.00	9
6595	-77	-78	Max	3.53	-2.00	10	-0.03	16	0.09	17	62.05	17	-0.31	16	0.00	17
6595	-77	-78	Max	25.92	-2.00	10	-0.03	16	0.02	9	60.91	17	6.92	17	0.00	17

6595	-77	-78	Min.	3.53	-3.53	19	-0.72	17	0.01	16	3.15	16	-6.84	17	-0.00	9
6595	-77	-78	Min.	25.92	-3.53	19	-0.72	17	-0.07	17	2.00	16	0.27	16	-0.00	9
6596	-45	-46	Max	3.53	34.77	18	-0.01	16	0.05	19	72.64	17	0.34	18	-0.00	16
6596	-45	-46	Max	26.55	34.77	18	-0.01	16	0.03	9	70.29	17	8.72	17	-0.00	16
6596	-45	-46	Min.	3.53	15.45	17	-0.23	17	0.01	16	4.03	16	-7.73	17	-0.04	17
6596	-45	-46	Min.	26.55	15.45	17	-0.23	17	-0.01	17	1.68	16	0.90	16	-0.04	17
6597	-13	-14	Max	3.53	137.81	18	0.87	17	0.01	9	45.73	17	0.27	18	0.01	17
6597	-13	-14	Max	26.86	137.81	18	0.87	17	0.11	17	43.35	17	5.53	17	0.01	17
6597	-13	-14	Min.	3.53	72.07	17	0.03	16	-0.09	17	2.96	16	-4.86	17	0.00	9
6597	-13	-14	Min.	26.86	72.07	17	0.03	16	0.01	16	0.58	16	0.59	16	0.00	9
6598	343	344	Max	1.77	-10.44	17	7.00	17	-0.95	10	-0.16	16	0.55	17	0.42	17
6598	343	344	Max	15.00	-10.44	17	5.78	17	-0.61	17	-0.16	16	0.07	18	0.42	17
6598	343	344	Min.	1.77	-23.22	18	1.49	16	-1.60	19	-3.86	17	0.07	16	0.02	16
6598	343	344	Min.	15.00	-23.22	18	0.26	16	-1.21	18	-3.86	17	0.04	17	0.02	16
6598	344	345	Max	0.00	-10.44	17	5.78	17	-0.61	17	-0.16	16	0.07	18	0.42	17
6598	344	345	Max	4.22					-1.20	18			0.06	18		
6598	344	345	Max	13.23	-10.44	17	4.56	17	0.07	17	-0.16	16	0.04	18	0.42	17
6598	344	345	Min.	0.00	-23.22	18	0.26	16	-1.21	18	-3.86	17	0.04	17	0.02	16
6598	344	345	Min.	2.65					-0.91	16			0.04	16		
6598	344	345	Min.	13.23	-23.22	18	-0.96	16	-1.24	18	-3.86	17	-0.47	17	0.02	16
6606	355	356	Max	1.77	-2.72	16	-0.17	16	0.55	17	6.95	17	-0.61	16	-0.02	16
6606	355	356	Max	15.00	-2.72	16	-0.17	16	0.07	18	5.73	17	-0.49	16	-0.02	16
6606	355	356	Min.	1.77	-17.09	19	-3.85	17	0.06	16	1.48	10	-1.59	19	-0.42	17
6606	355	356	Min.	15.00	-17.09	19	-3.85	17	0.04	17	0.25	10	-1.03	9	-0.42	17
6606	356	357	Max	0.00	-2.72	16	-0.17	16	0.07	18	5.73	17	-0.49	16	-0.02	16
6606	356	357	Max	2.65					0.04	16			-0.49	16		
6606	356	357	Max	13.23	-2.72	16	-0.17	16	0.04	18	4.51	17	0.07	17	-0.02	16
6606	356	357	Min.	0.00	-17.09	19	-3.85	17	0.04	17	0.25	10	-1.03	9	-0.42	17
6606	356	357	Min.	2.65					0.06	9			-1.03	9		
6606	356	357	Min.	13.23	-17.09	19	-3.85	17	-0.47	17	-0.97	10	-1.07	9	-0.42	17
6607	-21	-22	Max	2.83	119.65	9	-0.04	16	0.09	17	45.70	17	0.22	9	0.00	9
6607	-21	-22	Max	26.15	119.65	9	-0.04	16	-0.02	10	43.32	17	5.43	17	0.00	9
6607	-21	-22	Min.	2.83	61.60	16	-0.87	17	-0.02	18	3.21	16	-4.95	17	-0.01	17
6607	-21	-22	Min.	26.15	61.60	16	-0.87	17	-0.11	17	0.83	16	0.50	16	-0.01	17
6608	-53	-54	Max	2.83	30.01	9	0.22	17	-0.02	10	72.58	17	0.25	9	0.04	17
6608	-53	-54	Max	25.84	30.01	9	0.22	17	0.01	17	70.24	17	8.55	17	0.04	17
6608	-53	-54	Min.	2.83	14.83	16	0.01	16	-0.04	19	4.42	16	-7.88	17	0.00	16
6608	-53	-54	Min.	25.84	14.83	16	0.01	16	-0.03	18	2.07	16	0.73	16	0.00	16
6609	-85	-86	Max	2.83	-1.16	16	0.71	17	-0.02	10	61.92	17	-0.33	16	0.00	18
6609	-85	-86	Max	25.22	-1.16	16	0.71	17	0.06	17	60.78	17	6.80	17	0.00	18
6609	-85	-86	Min.	2.83	-3.72	19	0.03	16	-0.09	17	3.40	16	-6.93	17	-0.00	17
6609	-85	-86	Min.	25.22	-3.72	19	0.03	16	-0.03	18	2.26	16	0.30	10	-0.00	17
6610	-117	-118	Max	2.83	0.61	18	0.95	17	-0.03	10	78.23	17	-0.40	16	0.00	18
6610	-117	-118	Max	24.59	0.61	18	0.95	17	0.08	17	77.12	17	8.38	17	0.00	18
6610	-117	-118	Min.	2.83	-1.89	17	0.04	16	-0.12	17	4.23	16	-8.52	17	-0.00	17
6610	-117	-118	Min.	24.59	-1.89	17	0.04	16	-0.04	18	3.12	16	0.40	16	-0.00	17
6611	-149	-150	Max	2.83	0.28	18	1.05	17	-0.04	10	82.63	17	-0.42	16	0.00	18
6611	-149	-150	Max	23.97	0.28	18	1.05	17	0.09	17	81.55	17	8.60	17	0.00	18
6611	-149	-150	Min.	2.83	-1.99	17	0.05	16	-0.13	17	4.54	16	-8.75	17	-0.00	17
6611	-149	-150	Min.	23.97	-1.99	17	0.05	16	-0.04	18	3.46	16	0.43	16	-0.00	17
6612	-181	-182	Max	2.83	0.37	18	1.09	17	-0.04	10	84.31	17	-0.43	16	0.00	18
6612	-181	-182	Max	23.34	0.37	18	1.09	17	0.09	17	83.27	17	8.52	17	0.00	18
6612	-181	-182	Min.	2.83	-1.92	17	0.06	16	-0.13	17	4.75	16	-8.67	17	-0.00	17
6612	-181	-182	Min.	23.34	-1.92	17	0.06	16	-0.04	18	3.70	16	0.44	16	-0.00	17
6613	-213	-214	Max	2.83	0.26	18	1.12	17	-0.04	10	85.44	17	-0.43	16	0.00	18
6613	-213	-214	Max	22.72	0.26	18	1.12	17	0.09	17	84.42	17	8.37	17	0.00	18
6613	-213	-214	Min.	2.83	-1.97	17	0.06	16	-0.13	17	4.94	16	-8.52	17	-0.00	17
6613	-213	-214	Min.	22.72	-1.97	17	0.06	16	-0.04	18	3.92	16	0.45	16	-0.00	17
6614	-245	-246	Max	2.83	0.39	18	1.14	17	-0.04	10	86.47	17	-0.44	16	0.00	18

6614	-245	-246	Max	22.09	0.39	18	1.14	17	0.09	17	85.49	17	8.21	17	0.00	18
6614	-245	-246	Min.	2.83	-1.90	17	0.06	16	-0.13	17	5.14	16	-8.35	17	-0.00	17
6614	-245	-246	Min.	22.09	-1.90	17	0.06	16	-0.04	18	4.15	16	0.46	16	-0.00	17
6615	-277	-278	Max	2.83	0.34	18	1.15	17	-0.04	10	87.55	17	-0.44	16	0.00	18
6615	-277	-278	Max	21.47	0.34	18	1.15	17	0.08	17	86.60	17	8.04	17	0.00	18
6615	-277	-278	Min.	2.83	-1.93	17	0.07	16	-0.13	17	5.35	16	-8.18	17	-0.00	17
6615	-277	-278	Min.	21.47	-1.93	17	0.07	16	-0.04	18	4.40	16	0.47	16	-0.00	17
6616	-309	-310	Max	2.83	0.27	18	1.17	17	-0.04	10	88.73	17	-0.45	16	0.00	18
6616	-309	-310	Max	20.84	0.27	18	1.17	17	0.08	17	87.81	17	7.88	17	0.00	18
6616	-309	-310	Min.	2.83	-1.96	17	0.07	16	-0.13	17	5.58	16	-8.02	17	-0.00	17
6616	-309	-310	Min.	20.84	-1.96	17	0.07	16	-0.04	18	4.66	16	0.48	16	-0.00	17
6617	-341	-342	Max	2.83	0.42	18	1.19	17	-0.04	10	89.96	17	-0.45	16	0.00	18
6617	-341	-342	Max	20.22	0.42	18	1.19	17	0.08	17	89.08	17	7.71	17	0.00	18
6617	-341	-342	Min.	2.83	-1.88	17	0.07	16	-0.13	17	5.83	16	-7.85	17	-0.00	17
6617	-341	-342	Min.	20.22	-1.88	17	0.07	16	-0.04	18	4.94	16	0.49	16	-0.00	17
6618	-373	-374	Max	2.83	0.39	18	1.21	17	-0.04	10	91.30	17	-0.46	16	0.00	18
6618	-373	-374	Max	19.59	0.39	18	1.21	17	0.08	17	90.45	17	7.55	17	0.00	18
6618	-373	-374	Min.	2.83	-1.89	17	0.08	16	-0.13	17	6.10	16	-7.68	17	-0.00	17
6618	-373	-374	Min.	19.59	-1.89	17	0.08	16	-0.04	18	5.25	16	0.49	16	-0.00	17
6619	-405	-406	Max	2.83	-0.33	16	1.23	17	-0.04	16	92.71	17	-0.46	16	0.00	18
6619	-405	-406	Max	18.97	-0.33	16	1.23	17	0.07	17	91.88	17	7.38	17	0.00	18
6619	-405	-406	Min.	2.83	-2.32	17	0.08	16	-0.12	17	6.41	16	-7.51	17	-0.00	17
6619	-405	-406	Min.	18.97	-2.32	17	0.08	16	-0.04	18	5.59	16	0.51	16	-0.00	17
6620	-437	-438	Max	2.83	7.02	18	1.24	17	-0.04	16	93.93	17	-0.49	16	0.00	18
6620	-437	-438	Max	18.34	7.02	18	1.24	17	0.07	17	93.14	17	7.17	17	0.00	18
6620	-437	-438	Min.	2.83	1.39	17	0.08	16	-0.12	17	6.68	16	-7.34	17	-0.00	17
6620	-437	-438	Min.	18.34	1.39	17	0.08	16	-0.04	18	5.88	16	0.48	16	-0.00	17
6621	-469	-470	Max	2.83	-24.05	17	1.20	17	-0.04	16	93.90	17	-0.24	18	0.00	18
6621	-469	-470	Max	17.72	-24.05	17	1.20	17	0.07	17	93.14	17	7.07	17	0.00	18
6621	-469	-470	Min.	2.83	-44.60	18	0.09	16	-0.11	17	7.11	16	-6.86	17	-0.01	17
6621	-469	-470	Min.	17.72	-44.60	18	0.09	16	-0.04	18	6.36	16	0.76	16	-0.01	17
6622	-501	-502	Max	2.83	261.17	18	1.02	17	-0.03	16	82.99	17	-1.91	16	0.00	17
6622	-501	-502	Max	17.09	261.17	18	1.02	17	0.05	17	82.26	17	4.70	17	0.00	17
6622	-501	-502	Min.	2.83	127.06	17	0.06	16	-0.09	17	5.84	16	-7.09	17	0.00	16
6622	-501	-502	Min.	17.09	127.06	17	0.06	16	-0.03	18	5.12	16	-1.79	18	0.00	16
6626	-509	-510	Max	3.53	-59.01	17	-0.01	18	0.06	17	87.61	17	0.98	18	0.01	18
6626	-509	-510	Max	17.80	-59.01	17	-0.01	18	-0.03	16	86.88	17	6.77	17	0.01	18
6626	-509	-510	Min.	3.53	-144.68	18	-1.10	17	-0.04	18	3.61	16	-5.67	17	-0.01	17
6626	-509	-510	Min.	17.80	-144.68	18	-1.10	17	-0.10	17	2.89	16	0.92	10	-0.01	17
6627	-477	-478	Max	3.53	23.91	18	-0.04	18	0.07	17	98.55	17	-0.43	10	0.00	18
6627	-477	-478	Max	18.42	23.91	18	-0.04	18	-0.04	16	97.79	17	7.30	17	0.00	18
6627	-477	-478	Min.	3.53	7.10	17	-1.28	17	-0.05	18	4.38	10	-7.31	17	0.00	17
6627	-477	-478	Min.	18.42	7.10	17	-1.28	17	-0.12	17	3.62	10	0.08	18	0.00	17
6628	-445	-446	Max	3.53	-2.36	10	-0.04	9	0.08	17	98.50	17	-0.30	10	0.00	18
6628	-445	-446	Max	19.05	-2.36	10	-0.04	9	-0.04	16	97.71	17	7.68	17	0.00	18
6628	-445	-446	Min.	3.53	-4.25	19	-1.32	17	-0.05	18	4.14	10	-7.53	17	-0.00	17
6628	-445	-446	Min.	19.05	-4.25	19	-1.32	17	-0.13	17	3.35	10	0.28	10	-0.00	17
6629	-413	-414	Max	3.53	0.03	16	-0.04	18	0.08	17	97.01	17	-0.32	10	0.00	18
6629	-413	-414	Max	19.67	0.03	16	-0.04	18	-0.04	10	96.19	17	7.86	17	0.00	18
6629	-413	-414	Min.	3.53	-2.11	17	-1.30	17	-0.05	18	3.97	10	-7.73	17	-0.00	17
6629	-413	-414	Min.	19.67	-2.11	17	-1.30	17	-0.13	17	3.14	10	0.25	18	-0.00	17
6630	-381	-382	Max	3.53	-0.35	10	-0.04	18	0.08	17	95.40	17	-0.31	10	0.00	18
6630	-381	-382	Max	20.30	-0.35	10	-0.04	18	-0.04	10	94.54	17	8.02	17	0.00	18
6630	-381	-382	Min.	3.53	-2.28	17	-1.28	17	-0.05	18	3.81	10	-7.90	17	-0.00	17
6630	-381	-382	Min.	20.30	-2.28	17	-1.28	17	-0.13	17	2.95	10	0.25	16	-0.00	17
6631	-349	-350	Max	3.53	-0.34	10	-0.04	18	0.08	17	93.85	17	-0.30	10	0.00	18
6631	-349	-350	Max	20.92	-0.34	10	-0.04	18	-0.04	10	92.96	17	8.18	17	0.00	18
6631	-349	-350	Min.	3.53	-2.27	17	-1.25	17	-0.05	18	3.65	10	-8.06	17	-0.00	17
6631	-349	-350	Min.	20.92	-2.27	17	-1.25	17	-0.13	17	2.77	10	0.25	16	-0.00	17

6632	-317	-318	Max	3.53	-0.31	10	-0.03	18	0.09	17	92.42	17	-0.30	10	0.00	18
6632	-317	-318	Max	21.55	-0.31	10	-0.03	18	-0.04	10	91.50	17	8.34	17	0.00	18
6632	-317	-318	Min.	3.53	-2.25	17	-1.23	17	-0.05	18	3.51	10	-8.22	17	-0.00	17
6632	-317	-318	Min.	21.55	-2.25	17	-1.23	17	-0.13	17	2.59	10	0.25	16	-0.00	17
6633	-285	-286	Max	3.53	-0.31	10	-0.03	18	0.09	17	91.06	17	-0.29	10	0.00	18
6633	-285	-286	Max	22.17	-0.31	10	-0.03	18	-0.04	10	90.11	17	8.50	17	0.00	18
6633	-285	-286	Min.	3.53	-2.26	17	-1.21	17	-0.05	18	3.38	10	-8.38	17	-0.00	17
6633	-285	-286	Min.	22.17	-2.26	17	-1.21	17	-0.14	17	2.43	10	0.24	16	-0.00	17
6634	-253	-254	Max	3.53	-0.30	10	-0.03	18	0.09	17	89.82	17	-0.29	10	0.00	18
6634	-253	-254	Max	22.80	-0.30	10	-0.03	18	-0.04	10	88.83	17	8.66	17	0.00	18
6634	-253	-254	Min.	3.53	-2.25	17	-1.19	17	-0.05	18	3.26	10	-8.55	17	-0.00	17
6634	-253	-254	Min.	22.80	-2.25	17	-1.19	17	-0.14	17	2.27	10	0.24	16	-0.00	17
6635	-221	-222	Max	3.53	-0.30	10	-0.03	18	0.09	17	88.62	17	-0.28	10	0.00	18
6635	-221	-222	Max	23.42	-0.30	10	-0.03	18	-0.04	10	87.61	17	8.82	17	0.00	18
6635	-221	-222	Min.	3.53	-2.25	17	-1.17	17	-0.05	18	3.14	10	-8.71	17	-0.00	17
6635	-221	-222	Min.	23.42	-2.25	17	-1.17	17	-0.14	17	2.13	10	0.24	16	-0.00	17
6636	-189	-190	Max	3.53	-0.28	10	-0.03	18	0.10	17	87.35	17	-0.28	10	0.00	18
6636	-189	-190	Max	24.05	-0.28	10	-0.03	18	-0.03	10	86.30	17	8.96	17	0.00	18
6636	-189	-190	Min.	3.53	-2.23	17	-1.14	17	-0.05	18	3.03	10	-8.85	17	-0.00	17
6636	-189	-190	Min.	24.05	-2.23	17	-1.14	17	-0.14	17	1.99	10	0.23	16	-0.00	17
6637	-157	-158	Max	3.53	-0.32	10	-0.03	18	0.09	17	85.51	17	-0.27	10	0.00	18
6637	-157	-158	Max	24.67	-0.32	10	-0.03	18	-0.03	10	84.43	17	9.03	17	0.00	18
6637	-157	-158	Min.	3.53	-2.27	17	-1.10	17	-0.05	18	2.91	10	-8.93	17	-0.00	17
6637	-157	-158	Min.	24.67	-2.27	17	-1.10	17	-0.14	17	1.83	10	0.22	16	-0.00	17
6638	-125	-126	Max	3.53	-0.07	10	-0.03	16	0.09	17	80.87	17	-0.26	10	0.00	18
6638	-125	-126	Max	25.30	-0.07	10	-0.03	16	-0.03	10	79.76	17	8.79	17	0.00	18
6638	-125	-126	Min.	3.53	-1.91	17	-0.99	17	-0.04	18	2.73	10	-8.69	17	-0.00	17
6638	-125	-126	Min.	25.30	-1.91	17	-0.99	17	-0.13	17	1.62	10	0.21	16	-0.00	17
6639	-93	-94	Max	3.53	-1.63	16	-0.02	16	0.07	17	63.97	17	-0.22	10	0.00	18
6639	-93	-94	Max	25.92	-1.63	16	-0.02	16	-0.02	10	62.83	17	7.12	17	0.00	18
6639	-93	-94	Min.	3.53	-4.14	19	-0.73	17	-0.03	18	2.25	10	-7.07	17	0.00	17
6639	-93	-94	Min.	25.92	-4.14	19	-0.73	17	-0.10	17	1.11	10	0.16	18	0.00	17
6640	-61	-62	Max	3.53	31.90	9	0.01	18	0.02	17	74.92	17	0.42	9	0.00	16
6640	-61	-62	Max	26.55	31.90	9	0.01	18	-0.02	10	72.57	17	8.95	17	0.00	16
6640	-61	-62	Min.	3.53	14.20	16	-0.25	17	-0.03	18	2.94	10	-8.02	17	-0.04	17
6640	-61	-62	Min.	26.55	14.20	16	-0.25	17	-0.04	17	0.60	10	0.45	16	-0.04	17
6641	-29	-30	Max	3.53	119.29	9	0.86	17	-0.02	10	47.36	17	0.23	9	0.00	17
6641	-29	-30	Max	24.69					-0.01	9			0.45	9		
6641	-29	-30	Max	26.86	119.29	9	0.86	17	0.09	17	44.98	17	5.63	17	0.00	17
6641	-29	-30	Min.	3.53	53.04	16	0.04	16	-0.11	17	2.16	9	-5.14	17	0.00	10
6641	-29	-30	Min.	24.53					-0.01	16			0.21	16		
6641	-29	-30	Min.	26.86	53.04	16	0.04	16	-0.01	18	-0.22	9	0.21	16	0.00	10
6642	379	380	Max	1.77	-25.81	17	7.42	17	-0.61	16	-0.11	16	0.54	17	0.42	17
6642	379	380	Max	15.00	-25.81	17	6.19	17	-0.52	16	-0.11	16	0.02	19	0.42	17
6642	379	380	Min.	1.77	-46.17	18	1.23	18	-1.71	19	-3.97	17	0.01	16	0.02	16
6642	379	380	Min.	15.00	-46.17	18	0.00	18	-1.15	9	-3.97	17	-0.00	16	0.02	16
6642	380	381	Max	0.00	-25.81	17	6.19	17	-0.52	16	-0.11	16	0.02	19	0.42	17
6642	380	381	Max	0.33					-1.15	9			0.02	9		
6642	380	381	Max	13.23	-25.81	17	4.97	17	0.07	17	-0.11	16	0.00	9	0.42	17
6642	380	381	Min.	0.00	-46.17	18	0.00	18	-1.15	9	-3.97	17	-0.00	16	0.02	16
6642	380	381	Min.	0.33					-0.52	16			-0.00	16		
6642	380	381	Min.	13.23	-46.17	18	-1.22	18	-1.23	9	-3.97	17	-0.51	17	0.02	16
6643	-541	-542	Max	0.00	0.43	18	-4.11	16	0.99	17	2.94	17	0.09	9	-0.10	16
6643	-541	-542	Max	12.00	0.43	18	-4.11	16	-0.28	16	5.02	17	0.41	17	-0.10	16
6643	-541	-542	Min.	0.00	-2.67	17	-17.03	17	0.22	16	-0.70	16	-0.07	17	-0.62	17
6643	-541	-542	Min.	12.00	-2.67	17	-17.03	17	-1.05	17	1.38	16	0.09	16	-0.62	17
6644	-525	-526	Max	0.00	-0.11	16	-4.57	16	0.70	19	0.36	17	0.09	17	-0.14	16
6644	-525	-526	Max	12.00	-0.11	16	-4.57	16	-0.27	16	2.44	17	0.26	17	-0.14	16
6644	-525	-526	Min.	0.00	-3.67	17	-11.64	19	0.28	16	-0.79	16	0.02	16	-0.86	17

6644	-525	-526	Min.	12.00	-3.67	17	-11.64	19	-0.69	19	1.30	16	0.05	16	-0.86	17
6839	-519	-520	Max	0.00	0.58	18	24.55	19	-0.64	16	2.30	19	-0.10	17	0.69	17
6839	-519	-520	Max	12.00	0.58	18	24.55	19	1.60	19	4.38	19	0.24	17	0.69	17
6839	-519	-520	Min.	0.00	-2.67	17	11.50	16	-1.35	19	0.87	10	-0.19	18	-0.04	16
6839	-519	-520	Min.	12.00	-2.67	17	11.50	16	0.74	16	2.95	10	0.11	10	-0.04	16
6840	-535	-536	Max	0.00	-0.29	10	25.21	19	-0.63	16	1.54	17	0.06	18	0.45	17
6840	-535	-536	Max	12.00	-0.29	10	25.21	19	1.55	19	3.62	17	0.25	17	0.45	17
6840	-535	-536	Min.	0.00	-3.04	17	10.57	16	-1.48	19	-1.20	16	-0.06	17	-0.09	16
6840	-535	-536	Min.	12.00	-3.04	17	10.57	16	0.63	16	0.88	16	0.03	16	-0.09	16
6841	322	323	Max	1.77	-8.19	16	-0.23	16	0.49	17	6.10	17	-0.42	10	-0.07	16
6841	322	323	Max	9.71					0.03	10			-0.38	10		
6841	322	323	Max	15.00	-8.19	16	-0.23	16	0.03	18	4.88	17	-0.28	17	-0.07	16
6841	322	323	Min.	1.77	-13.36	9	-3.57	17	0.06	10	0.52	18	-1.00	17	-0.41	17
6841	322	323	Min.	7.06					0.05	18			-0.53	18		
6841	322	323	Min.	15.00	-13.36	9	-3.57	17	0.01	17	-0.70	18	-0.56	18	-0.41	17
6841	323	324	Max	0.00	-8.19	16	-0.23	16	0.03	18	4.88	17	-0.28	17	-0.07	16
6841	323	324	Max	13.23	-8.19	16	-0.23	16	-0.00	16	3.65	17	0.29	17	-0.07	16
6841	323	324	Min.	0.00	-13.36	9	-3.57	17	0.01	17	-0.70	18	-0.56	18	-0.41	17
6841	323	324	Min.	13.23	-13.36	9	-3.57	17	-0.46	17	-1.92	18	-0.73	18	-0.41	17
6842	-7	-8	Max	2.83	64.55	18	-0.17	16	0.11	17	41.06	17	0.13	18	-0.00	16
6842	-7	-8	Max	21.49					-0.01	18			0.32	18		
6842	-7	-8	Max	26.15	64.55	18	-0.17	16	-0.02	10	38.68	17	4.70	17	-0.00	16
6842	-7	-8	Min.	2.83	31.88	17	-0.87	17	0.02	16	1.95	18	-4.60	17	-0.00	17
6842	-7	-8	Min.	21.49					-0.02	16			0.29	16		
6842	-7	-8	Min.	26.15	31.88	17	-0.87	17	-0.10	17	-0.43	18	0.28	16	-0.00	17
6843	-39	-40	Max	2.83	15.90	18	0.18	17	0.01	9	65.42	17	0.04	18	0.04	17
6843	-39	-40	Max	25.84	15.90	18	0.18	17	0.03	17	63.07	17	7.49	17	0.04	17
6843	-39	-40	Min.	2.83	6.80	17	-0.05	18	-0.01	17	3.40	16	-7.30	17	0.01	16
6843	-39	-40	Min.	25.84	6.80	17	-0.05	18	-0.01	16	1.05	16	0.54	16	0.01	16
6844	-71	-72	Max	2.83	-1.28	16	0.63	17	0.01	9	55.66	17	-0.26	16	0.00	17
6844	-71	-72	Max	25.22	-1.28	16	0.63	17	0.08	17	54.52	17	6.10	17	0.00	17
6844	-71	-72	Min.	2.83	-3.04	17	0.03	16	-0.06	17	2.74	16	-6.24	17	-0.00	18
6844	-71	-72	Min.	25.22	-3.04	17	0.03	16	-0.00	16	1.60	16	0.22	16	-0.00	18
6845	-103	-104	Max	2.83	0.10	16	0.85	17	0.01	9	70.10	17	-0.32	16	0.00	17
6845	-103	-104	Max	20.24					-0.00	16			0.19	16		
6845	-103	-104	Max	24.59	0.10	16	0.85	17	0.10	17	68.99	17	7.49	17	0.00	17
6845	-103	-104	Min.	2.83	-2.32	17	0.03	16	-0.08	17	3.41	16	-7.65	17	-0.00	18
6845	-103	-104	Min.	20.24					-0.00	16			0.19	16		
6845	-103	-104	Min.	24.59	-2.32	17	0.03	16	0.00	16	2.30	16	0.30	16	-0.00	18
6846	-135	-136	Max	2.83	-0.04	16	0.95	17	0.01	9	73.76	17	-0.34	16	0.00	17
6846	-135	-136	Max	19.74					-0.00	16			0.20	16		
6846	-135	-136	Max	23.97	-0.04	16	0.95	17	0.11	17	72.68	17	7.66	17	0.00	17
6846	-135	-136	Min.	2.83	-2.20	17	0.04	16	-0.09	17	3.67	16	-7.82	17	-0.00	18
6846	-135	-136	Min.	19.74					-0.00	16			0.20	16		
6846	-135	-136	Min.	23.97	-2.20	17	0.04	16	0.00	16	2.59	16	0.32	16	-0.00	18
6847	-167	-168	Max	2.83	-0.03	16	0.98	17	0.01	9	74.96	17	-0.35	16	0.00	17
6847	-167	-168	Max	23.34	-0.03	16	0.98	17	0.11	17	73.91	17	7.55	17	0.00	17
6847	-167	-168	Min.	2.83	-2.15	17	0.04	16	-0.09	17	3.82	16	-7.72	17	-0.00	18
6847	-167	-168	Min.	23.34	-2.15	17	0.04	16	0.00	16	2.78	16	0.33	16	-0.00	18
6848	-199	-200	Max	2.83	-0.05	16	1.00	17	0.01	9	75.62	17	-0.36	16	0.00	17
6848	-199	-200	Max	22.72	-0.05	16	1.00	17	0.11	17	74.61	17	7.39	17	0.00	17
6848	-199	-200	Min.	2.83	-2.19	17	0.04	16	-0.09	17	3.97	16	-7.55	17	-0.00	18
6848	-199	-200	Min.	22.72	-2.19	17	0.04	16	0.00	16	2.95	16	0.33	16	-0.00	18
6849	-231	-232	Max	2.83	-0.06	16	1.01	17	0.01	9	76.19	17	-0.36	16	0.00	17
6849	-231	-232	Max	22.09	-0.06	16	1.01	17	0.11	17	75.21	17	7.21	17	0.00	17
6849	-231	-232	Min.	2.83	-2.22	17	0.04	16	-0.09	17	4.13	16	-7.37	17	-0.00	18
6849	-231	-232	Min.	22.09	-2.22	17	0.04	16	0.00	16	3.14	16	0.34	16	-0.00	18
6850	-263	-264	Max	2.83	-0.06	16	1.02	17	0.01	9	76.77	17	-0.37	16	0.00	17
6850	-263	-264	Max	21.47	-0.06	16	1.02	17	0.11	17	75.82	17	7.03	17	0.00	17

6850	-263	-264	Min.	2.83	-2.17	17	0.05	16	-0.08	17	4.29	16	-7.19	17	-0.00	18
6850	-263	-264	Min.	21.47	-2.17	17	0.05	16	0.00	16	3.34	16	0.34	16	-0.00	18
6851	-295	-296	Max	2.83	-0.08	16	1.03	17	0.01	9	77.39	17	-0.37	16	0.00	17
6851	-295	-296	Max	20.84	-0.08	16	1.03	17	0.10	17	76.47	17	6.84	17	0.00	17
6851	-295	-296	Min.	2.83	-2.22	17	0.05	16	-0.08	17	4.47	16	-7.01	17	-0.00	18
6851	-295	-296	Min.	20.84	-2.22	17	0.05	16	0.01	16	3.55	16	0.35	16	-0.00	18
6852	-327	-328	Max	2.83	-0.08	16	1.04	17	0.01	9	78.05	17	-0.38	16	0.00	17
6852	-327	-328	Max	20.22	-0.08	16	1.04	17	0.10	17	77.16	17	6.66	17	0.00	17
6852	-327	-328	Min.	2.83	-2.20	17	0.05	16	-0.08	17	4.67	16	-6.83	17	-0.00	18
6852	-327	-328	Min.	20.22	-2.20	17	0.05	16	0.01	16	3.78	16	0.36	16	-0.00	18
6853	-359	-360	Max	2.83	-0.07	16	1.05	17	0.02	9	78.75	17	-0.38	16	0.00	17
6853	-359	-360	Max	19.59	-0.07	16	1.05	17	0.10	17	77.90	17	6.48	17	0.00	17
6853	-359	-360	Min.	2.83	-2.20	17	0.06	16	-0.08	17	4.87	16	-6.65	17	-0.00	18
6853	-359	-360	Min.	19.59	-2.20	17	0.06	16	0.01	16	4.02	16	0.36	16	-0.00	18
6854	-391	-392	Max	2.83	-0.06	9	1.06	17	0.02	9	79.48	17	-0.39	16	0.00	17
6854	-391	-392	Max	18.97	-0.06	9	1.06	17	0.10	17	78.65	17	6.29	17	0.00	17
6854	-391	-392	Min.	2.83	-2.10	17	0.06	16	-0.07	17	5.09	16	-6.47	17	-0.00	18
6854	-391	-392	Min.	18.97	-2.10	17	0.06	16	0.01	16	4.26	16	0.37	16	-0.00	18
6855	-423	-424	Max	2.83	0.41	16	1.07	17	0.02	9	80.03	17	-0.40	16	0.00	17
6855	-423	-424	Max	18.34	0.41	16	1.07	17	0.10	17	79.24	17	6.09	17	0.00	17
6855	-423	-424	Min.	2.83	-3.04	17	0.06	16	-0.07	17	5.31	16	-6.26	17	-0.00	18
6855	-423	-424	Min.	18.34	-3.04	17	0.06	16	0.01	16	4.52	16	0.37	16	-0.00	18
6856	-455	-456	Max	2.83	9.34	9	1.04	17	0.02	9	79.20	17	-0.36	16	0.00	17
6856	-455	-456	Max	17.72	9.34	9	1.04	17	0.09	17	78.44	17	5.73	17	0.00	17
6856	-455	-456	Min.	2.83	-3.70	16	0.06	16	-0.07	17	5.43	16	-6.00	17	-0.00	9
6856	-455	-456	Min.	17.72	-3.70	16	0.06	16	0.01	16	4.67	16	0.37	18	-0.00	9
6857	-487	-488	Max	2.83	19.66	16	0.84	17	0.01	9	69.61	17	0.04	9	0.00	17
6857	-487	-488	Max	17.09	19.66	16	0.84	17	0.07	17	68.89	17	5.15	17	0.00	17
6857	-487	-488	Min.	2.83	-59.43	19	0.00	18	-0.05	17	4.42	16	-4.73	17	-0.01	18
6857	-487	-488	Min.	17.09	-59.43	19	0.00	18	0.01	16	3.70	16	0.10	16	-0.01	18
6861	-495	-496	Max	3.53	121.75	9	-0.07	16	0.07	17	67.44	17	-0.83	16	0.00	16
6861	-495	-496	Max	17.80	121.75	9	-0.07	16	0.01	9	66.72	17	4.25	17	0.00	16
6861	-495	-496	Min.	3.53	34.59	16	-0.80	17	0.01	16	7.87	16	-5.32	17	0.00	9
6861	-495	-496	Min.	17.80	34.59	16	-0.80	17	-0.05	17	7.14	16	-0.14	9	0.00	9
6862	-463	-464	Max	3.53	-5.99	16	-0.12	16	0.09	17	76.72	17	-0.58	16	0.00	17
6862	-463	-464	Max	18.42	-5.99	16	-0.12	16	0.01	9	75.96	17	5.85	17	0.00	17
6862	-463	-464	Min.	3.53	-22.05	19	-1.00	17	0.02	16	8.89	16	-5.51	17	-0.01	18
6862	-463	-464	Min.	18.42	-22.05	19	-1.00	17	-0.06	17	8.13	16	0.69	16	-0.01	18
6863	-431	-432	Max	3.53	3.24	9	-0.12	16	0.09	17	77.66	17	-0.64	16	0.00	17
6863	-431	-432	Max	19.05	3.24	9	-0.12	16	0.01	9	76.87	17	6.06	17	0.00	17
6863	-431	-432	Min.	3.53	-0.23	17	-1.03	17	0.01	16	8.72	16	-5.93	17	-0.01	9
6863	-431	-432	Min.	19.05	-0.23	17	-1.03	17	-0.07	17	7.93	16	0.65	16	-0.01	9
6864	-399	-400	Max	3.53	-0.13	16	-0.11	16	0.10	17	77.20	17	-0.63	16	0.00	17
6864	-399	-400	Max	19.67	-0.13	16	-0.11	16	0.01	9	76.38	17	6.27	17	0.00	17
6864	-399	-400	Min.	3.53	-2.21	17	-1.03	17	0.01	16	8.32	16	-6.12	17	-0.01	9
6864	-399	-400	Min.	19.67	-2.21	17	-1.03	17	-0.07	17	7.49	16	0.64	16	-0.01	9
6865	-367	-368	Max	3.53	0.19	9	-0.11	16	0.10	17	76.61	17	-0.63	16	0.00	17
6865	-367	-368	Max	20.30	0.19	9	-0.11	16	0.01	9	75.76	17	6.46	17	0.00	17
6865	-367	-368	Min.	3.53	-1.93	17	-1.02	17	0.01	16	7.93	16	-6.31	17	-0.01	9
6865	-367	-368	Min.	20.30	-1.93	17	-1.02	17	-0.07	17	7.08	16	0.63	16	-0.01	9
6866	-335	-336	Max	3.53	0.12	9	-0.10	16	0.10	17	76.03	17	-0.62	16	0.00	17
6866	-335	-336	Max	20.92	0.12	9	-0.10	16	0.01	9	75.15	17	6.64	17	0.00	17
6866	-335	-336	Min.	3.53	-1.99	17	-1.01	17	0.01	16	7.57	16	-6.50	17	-0.01	9
6866	-335	-336	Min.	20.92	-1.99	17	-1.01	17	-0.08	17	6.69	16	0.62	16	-0.01	9
6867	-303	-304	Max	3.53	0.11	9	-0.09	16	0.10	17	75.46	17	-0.61	16	0.00	17
6867	-303	-304	Max	21.55	0.11	9	-0.09	16	0.01	9	74.54	17	6.82	17	0.00	17
6867	-303	-304	Min.	3.53	-2.01	17	-1.00	17	0.01	16	7.23	16	-6.69	17	-0.01	9
6867	-303	-304	Min.	21.55	-2.01	17	-1.00	17	-0.08	17	6.31	16	0.61	16	-0.01	9
6868	-271	-272	Max	3.53	0.12	9	-0.09	16	0.10	17	74.94	17	-0.60	16	0.00	17

6868	-271	-272	Max	22.17	0.12	9	-0.09	16	0.01	9	73.99	17	7.00	17	0.00	17
6868	-271	-272	Min.	3.53	-1.97	17	-0.99	17	0.01	16	6.92	16	-6.87	17	-0.01	9
6868	-271	-272	Min.	22.17	-1.97	17	-0.99	17	-0.08	17	5.96	16	0.60	16	-0.01	9
6869	-239	-240	Max	3.53	0.09	9	-0.09	16	0.11	17	74.44	17	-0.59	16	0.00	17
6869	-239	-240	Max	22.80	0.09	9	-0.09	16	0.01	9	73.46	17	7.18	17	0.00	17
6869	-239	-240	Min.	3.53	-2.03	17	-0.98	17	0.01	16	6.62	16	-7.06	17	-0.00	9
6869	-239	-240	Min.	22.80	-2.03	17	-0.98	17	-0.08	17	5.64	16	0.59	16	-0.00	9
6870	-207	-208	Max	3.53	0.10	9	-0.08	16	0.11	17	73.94	17	-0.59	16	0.00	17
6870	-207	-208	Max	23.42	0.10	9	-0.08	16	0.01	9	72.93	17	7.36	17	0.00	17
6870	-207	-208	Min.	3.53	-2.00	17	-0.97	17	0.01	16	6.35	16	-7.24	17	-0.00	9
6870	-207	-208	Min.	23.42	-2.00	17	-0.97	17	-0.09	17	5.33	16	0.57	16	-0.00	9
6871	-175	-176	Max	3.53	0.10	9	-0.08	16	0.11	17	73.36	17	-0.58	16	0.00	17
6871	-175	-176	Max	24.05	0.10	9	-0.08	16	0.01	9	72.32	17	7.53	17	0.00	17
6871	-175	-176	Min.	3.53	-1.96	17	-0.96	17	0.01	16	6.10	16	-7.41	17	-0.00	9
6871	-175	-176	Min.	24.05	-1.96	17	-0.96	17	-0.09	17	5.05	16	0.56	16	-0.00	9
6872	-143	-144	Max	3.53	0.08	9	-0.07	16	0.11	17	72.26	17	-0.57	16	0.00	17
6872	-143	-144	Max	24.67	0.08	9	-0.07	16	0.01	9	71.18	17	7.63	17	0.00	17
6872	-143	-144	Min.	3.53	-2.00	17	-0.92	17	0.00	16	5.82	16	-7.53	17	-0.00	9
6872	-143	-144	Min.	24.67	-2.00	17	-0.92	17	-0.09	17	4.74	16	0.55	16	-0.00	9
6873	-111	-112	Max	3.53	0.28	9	-0.06	16	0.10	17	68.71	17	-0.54	16	0.00	17
6873	-111	-112	Max	25.30	0.28	9	-0.06	16	0.01	9	67.60	17	7.47	17	0.00	17
6873	-111	-112	Min.	3.53	-1.83	17	-0.84	17	0.00	16	5.39	16	-7.37	17	-0.00	9
6873	-111	-112	Min.	25.30	-1.83	17	-0.84	17	-0.08	17	4.28	16	0.52	16	-0.00	9
6874	-79	-80	Max	3.53	-1.37	10	-0.04	16	0.08	17	54.59	17	-0.43	16	0.00	17
6874	-79	-80	Max	25.92	-1.37	10	-0.04	16	0.01	9	53.45	17	6.08	17	0.00	17
6874	-79	-80	Min.	3.53	-2.86	17	-0.63	17	0.00	16	4.28	16	-6.02	17	-0.00	9
6874	-79	-80	Min.	25.92	-2.86	17	-0.63	17	-0.06	17	3.14	16	0.40	16	-0.00	9
6875	-47	-48	Max	3.53	22.48	18	0.02	16	0.03	17	64.07	17	-0.14	16	-0.01	16
6875	-47	-48	Max	26.55	22.48	18	0.02	16	0.01	9	61.72	17	7.57	17	-0.01	16
6875	-47	-48	Min.	3.53	9.57	17	-0.17	17	-0.01	16	5.14	16	-6.91	17	-0.04	17
6875	-47	-48	Min.	26.55	9.57	17	-0.17	17	-0.01	17	2.79	16	0.78	16	-0.04	17
6876	-15	-16	Max	3.53	85.16	18	0.87	17	-0.01	10	40.11	17	-0.06	16	0.01	17
6876	-15	-16	Max	26.86	85.16	18	0.87	17	0.11	17	37.73	17	4.73	17	0.01	17
6876	-15	-16	Min.	3.53	46.25	17	0.16	16	-0.10	17	3.22	16	-4.35	17	0.00	9
6876	-15	-16	Min.	26.86	46.25	17	0.16	16	0.02	16	0.84	16	0.41	16	0.00	9
6877	346	347	Max	1.77	-11.65	17	5.88	17	-0.63	16	-0.32	16	0.48	17	0.41	17
6877	346	347	Max	14.67					-0.78	18			0.02	18		
6877	346	347	Max	15.00	-11.65	17	4.66	17	-0.40	17	-0.32	16	0.02	19	0.41	17
6877	346	347	Min.	1.77	-26.57	18	1.07	16	-1.15	19	-3.51	17	0.05	16	0.07	16
6877	346	347	Min.	12.69					-0.56	16			0.02	16		
6877	346	347	Min.	15.00	-26.57	18	-0.15	16	-0.78	18	-3.51	17	0.01	16	0.07	16
6877	347	348	Max	0.00	-11.65	17	4.66	17	-0.40	17	-0.32	16	0.02	19	0.41	17
6877	347	348	Max	0.66					-0.57	10			0.01	10		
6877	347	348	Max	13.23	-11.65	17	3.44	17	0.13	17	-0.32	16	-0.03	16	0.41	17
6877	347	348	Min.	0.00	-26.57	18	-0.15	16	-0.78	18	-3.51	17	0.01	16	0.07	16
6877	347	348	Min.	1.32					-0.70	9			0.01	9		
6877	347	348	Min.	13.23	-26.57	18	-1.37	16	-0.87	18	-3.51	17	-0.45	17	0.07	16
6885	358	359	Max	1.77	-7.84	16	-0.40	10	0.48	17	5.87	17	-0.53	16	-0.06	16
6885	358	359	Max	15.00	-7.84	16	-0.40	10	0.02	18	4.65	17	-0.40	17	-0.06	16
6885	358	359	Min.	1.77	-21.47	9	-3.51	17	0.07	10	1.29	10	-1.14	19	-0.41	17
6885	358	359	Min.	15.00	-21.47	9	-3.51	17	0.01	17	0.07	10	-0.70	9	-0.41	17
6885	359	360	Max	0.00	-7.84	16	-0.40	10	0.02	18	4.65	17	-0.40	17	-0.06	16
6885	359	360	Max	2.65					0.01	16			-0.41	16		
6885	359	360	Max	13.23	-7.84	16	-0.40	10	-0.03	16	3.42	17	0.13	17	-0.06	16
6885	359	360	Min.	0.00	-21.47	9	-3.51	17	0.01	17	0.07	10	-0.70	9	-0.41	17
6885	359	360	Min.	0.66					0.02	9			-0.70	9		
6885	359	360	Min.	13.23	-21.47	9	-3.51	17	-0.45	17	-1.16	10	-0.77	9	-0.41	17
6886	-23	-24	Max	2.83	77.95	9	-0.14	16	0.10	17	40.17	17	-0.18	10	0.00	9
6886	-23	-24	Max	26.15	77.95	9	-0.14	16	-0.02	10	37.79	17	4.66	17	0.00	9

6886	-23	-24	Min.	2.83	44.87	17	-0.87	17	0.00	16	4.46	10	-4.44	17	-0.01	17
6886	-23	-24	Min.	26.15	44.87	17	-0.87	17	-0.10	17	2.08	10	0.59	10	-0.01	17
6887	-55	-56	Max	2.83	20.49	9	0.17	17	-0.01	10	64.15	17	-0.33	10	0.04	17
6887	-55	-56	Max	25.84	20.49	9	0.17	17	0.01	17	61.80	17	7.43	17	0.04	17
6887	-55	-56	Min.	2.83	10.63	17	-0.01	9	-0.03	17	7.03	10	-7.06	17	0.01	16
6887	-55	-56	Min.	25.84	10.63	17	-0.01	9	-0.02	18	4.68	10	1.01	10	0.01	16
6888	-87	-88	Max	2.83	-0.96	16	0.63	17	-0.02	10	54.59	17	-0.61	10	0.00	18
6888	-87	-88	Max	25.22	-0.96	16	0.63	17	0.06	17	53.45	17	5.99	17	0.00	18
6888	-87	-88	Min.	2.83	-3.11	17	0.06	10	-0.08	17	5.83	10	-6.11	17	-0.00	17
6888	-87	-88	Min.	25.22	-3.11	17	0.06	10	-0.01	16	4.69	10	0.57	10	-0.00	17
6889	-119	-120	Max	2.83	0.34	18	0.84	17	-0.02	10	68.72	17	-0.76	10	0.00	18
6889	-119	-120	Max	24.59	0.34	18	0.84	17	0.08	17	67.61	17	7.35	17	0.00	18
6889	-119	-120	Min.	2.83	-2.11	17	0.09	10	-0.10	17	7.42	10	-7.49	17	-0.00	17
6889	-119	-120	Min.	24.59	-2.11	17	0.09	10	-0.02	16	6.31	10	0.73	10	-0.00	17
6890	-151	-152	Max	2.83	0.15	18	0.92	17	-0.03	10	72.27	17	-0.80	10	0.00	18
6890	-151	-152	Max	23.97	0.15	18	0.92	17	0.09	17	71.19	17	7.51	17	0.00	18
6890	-151	-152	Min.	2.83	-2.03	17	0.10	10	-0.11	17	8.03	10	-7.65	17	-0.00	17
6890	-151	-152	Min.	23.97	-2.03	17	0.10	10	-0.02	16	6.95	10	0.78	10	-0.00	17
6891	-183	-184	Max	2.83	0.17	18	0.95	17	-0.03	10	73.37	17	-0.82	10	0.00	18
6891	-183	-184	Max	23.34	0.17	18	0.95	17	0.09	17	72.33	17	7.40	17	0.00	18
6891	-183	-184	Min.	2.83	-1.98	17	0.11	10	-0.11	17	8.42	10	-7.54	17	-0.00	17
6891	-183	-184	Min.	23.34	-1.98	17	0.11	10	-0.02	16	7.37	10	0.80	10	-0.00	17
6892	-215	-216	Max	2.83	0.16	18	0.97	17	-0.03	10	73.95	17	-0.83	10	0.00	18
6892	-215	-216	Max	22.72	0.16	18	0.97	17	0.08	17	72.93	17	7.23	17	0.00	18
6892	-215	-216	Min.	2.83	-2.02	17	0.11	10	-0.11	17	8.78	10	-7.37	17	-0.00	17
6892	-215	-216	Min.	22.72	-2.02	17	0.11	10	-0.02	16	7.77	10	0.81	10	-0.00	17
6893	-247	-248	Max	2.83	0.15	18	0.98	17	-0.03	10	74.44	17	-0.84	10	0.00	18
6893	-247	-248	Max	22.09	0.15	18	0.98	17	0.08	17	73.46	17	7.05	17	0.00	18
6893	-247	-248	Min.	2.83	-2.04	17	0.12	10	-0.11	17	9.18	10	-7.19	17	-0.00	17
6893	-247	-248	Min.	22.09	-2.04	17	0.12	10	-0.01	18	8.20	10	0.83	10	-0.00	17
6894	-279	-280	Max	2.83	0.17	18	0.99	17	-0.03	10	74.94	17	-0.86	10	0.00	18
6894	-279	-280	Max	21.47	0.17	18	0.99	17	0.08	17	73.99	17	6.87	17	0.00	18
6894	-279	-280	Min.	2.83	-1.98	17	0.13	10	-0.10	17	9.59	10	-7.01	17	-0.00	17
6894	-279	-280	Min.	21.47	-1.98	17	0.13	10	-0.01	18	8.64	10	0.84	10	-0.00	17
6895	-311	-312	Max	2.83	0.16	18	1.00	17	-0.03	10	75.46	17	-0.87	10	0.00	18
6895	-311	-312	Max	20.84	0.16	18	1.00	17	0.08	17	74.54	17	6.69	17	0.00	18
6895	-311	-312	Min.	2.83	-2.03	17	0.13	10	-0.10	17	10.04	10	-6.82	17	-0.00	17
6895	-311	-312	Min.	20.84	-2.03	17	0.13	10	-0.01	18	9.13	10	0.86	10	-0.00	17
6896	-343	-344	Max	2.83	0.16	18	1.01	17	-0.03	10	76.03	17	-0.88	10	0.00	18
6896	-343	-344	Max	20.22	0.16	18	1.01	17	0.08	17	75.15	17	6.51	17	0.00	18
6896	-343	-344	Min.	2.83	-2.00	17	0.14	10	-0.10	17	10.54	10	-6.64	17	-0.00	17
6896	-343	-344	Min.	20.22	-2.00	17	0.14	10	-0.01	18	9.65	10	0.88	10	-0.00	17
6897	-375	-376	Max	2.83	0.25	18	1.02	17	-0.03	10	76.61	17	-0.89	10	0.00	18
6897	-375	-376	Max	19.59	0.25	18	1.02	17	0.07	17	75.76	17	6.32	17	0.00	18
6897	-375	-376	Min.	2.83	-1.94	17	0.15	10	-0.10	17	11.04	10	-6.45	17	-0.00	17
6897	-375	-376	Min.	19.59	-1.94	17	0.15	10	-0.01	18	10.19	10	0.89	10	-0.00	17
6898	-407	-408	Max	2.83	-0.25	10	1.03	17	-0.03	10	77.20	17	-0.90	10	0.00	18
6898	-407	-408	Max	18.97	-0.25	10	1.03	17	0.07	17	76.38	17	6.13	17	0.00	18
6898	-407	-408	Min.	2.83	-2.23	17	0.16	10	-0.10	17	11.58	10	-6.26	17	-0.00	17
6898	-407	-408	Min.	18.97	-2.23	17	0.16	10	-0.01	18	10.76	10	0.90	10	-0.00	17
6899	-439	-440	Max	2.83	4.12	18	1.03	17	-0.03	10	77.65	17	-0.93	10	0.00	18
6899	-439	-440	Max	18.34	4.12	18	1.03	17	0.07	17	76.86	17	5.92	17	0.00	18
6899	-439	-440	Min.	2.83	-0.23	17	0.16	10	-0.09	17	12.16	10	-6.07	17	-0.00	17
6899	-439	-440	Min.	18.34	-0.23	17	0.16	10	-0.01	18	11.37	10	0.90	10	-0.00	17
6900	-471	-472	Max	2.83	-13.87	17	0.99	17	-0.03	10	76.91	17	-0.79	10	0.01	18
6900	-471	-472	Max	17.72	-13.87	17	0.99	17	0.06	17	76.15	17	5.73	17	0.01	18
6900	-471	-472	Min.	2.83	-26.57	18	0.17	10	-0.09	17	12.67	10	-5.67	17	-0.00	17
6900	-471	-472	Min.	17.72	-26.57	18	0.17	10	-0.01	18	11.91	10	1.04	10	-0.00	17
6901	-503	-504	Max	2.83	155.38	18	0.78	17	-0.02	10	67.03	17	-1.59	10	0.00	16

6901	-503	-504	Max	17.09	155.38	18	0.78	17	0.05	17	66.31	17	4.09	17	0.00	16
6901	-503	-504	Min.	2.83	67.43	17	0.11	10	-0.07	17	10.86	10	-5.42	17	-0.00	17
6901	-503	-504	Min.	17.09	67.43	17	0.11	10	-0.01	18	10.13	10	-0.38	18	-0.00	17
6905	-511	-512	Max	3.53	-36.58	17	-0.01	9	0.05	17	69.32	17	0.33	18	0.01	18
6905	-511	-512	Max	17.80	-36.58	17	-0.01	9	-0.01	10	68.59	17	5.26	17	0.01	18
6905	-511	-512	Min.	3.53	-94.17	18	-0.83	17	-0.02	18	6.04	9	-4.57	17	0.00	17
6905	-511	-512	Min.	17.80	-94.17	18	-0.83	17	-0.07	17	5.31	9	0.78	10	0.00	17
6906	-479	-480	Max	3.53	15.66	16	-0.08	9	0.06	17	79.18	17	-0.58	10	0.01	18
6906	-479	-480	Max	18.42	15.66	16	-0.08	9	-0.02	10	78.42	17	5.88	17	0.01	18
6906	-479	-480	Min.	3.53	3.50	17	-1.03	17	-0.02	18	7.28	10	-5.85	17	0.00	17
6906	-479	-480	Min.	18.42	3.50	17	-1.03	17	-0.09	17	6.52	10	0.43	9	0.00	17
6907	-447	-448	Max	3.53	-1.30	10	-0.08	9	0.07	17	79.91	17	-0.52	10	0.01	18
6907	-447	-448	Max	19.05	-1.30	10	-0.08	9	-0.02	10	79.12	17	6.23	17	0.01	18
6907	-447	-448	Min.	3.53	-3.04	17	-1.06	17	-0.02	18	7.08	10	-6.11	17	0.00	17
6907	-447	-448	Min.	19.05	-3.04	17	-1.06	17	-0.10	17	6.28	10	0.51	10	0.00	17
6908	-415	-416	Max	3.53	0.07	16	-0.08	9	0.07	17	79.37	17	-0.53	10	0.01	18
6908	-415	-416	Max	19.67	0.07	16	-0.08	9	-0.02	10	78.55	17	6.42	17	0.01	18
6908	-415	-416	Min.	3.53	-2.08	17	-1.06	17	-0.02	18	6.78	10	-6.32	17	0.00	17
6908	-415	-416	Min.	19.67	-2.08	17	-1.06	17	-0.10	17	5.96	10	0.50	10	0.00	17
6909	-383	-384	Max	3.53	-0.20	10	-0.07	9	0.08	17	78.65	17	-0.52	10	0.01	18
6909	-383	-384	Max	20.30	-0.20	10	-0.07	9	-0.02	10	77.79	17	6.61	17	0.01	18
6909	-383	-384	Min.	3.53	-2.18	17	-1.05	17	-0.02	18	6.46	10	-6.50	17	0.00	17
6909	-383	-384	Min.	20.30	-2.18	17	-1.05	17	-0.10	17	5.61	10	0.49	10	0.00	17
6910	-351	-352	Max	3.53	-0.18	10	-0.07	9	0.08	17	77.94	17	-0.51	10	0.01	18
6910	-351	-352	Max	20.92	-0.18	10	-0.07	9	-0.02	10	77.05	17	6.79	17	0.01	18
6910	-351	-352	Min.	3.53	-2.18	17	-1.04	17	-0.02	18	6.17	10	-6.68	17	0.00	17
6910	-351	-352	Min.	20.92	-2.18	17	-1.04	17	-0.10	17	5.28	10	0.48	10	0.00	17
6911	-319	-320	Max	3.53	-0.19	10	-0.06	9	0.08	17	77.29	17	-0.50	10	0.01	18
6911	-319	-320	Max	21.55	-0.19	10	-0.06	9	-0.02	10	76.37	17	6.97	17	0.01	18
6911	-319	-320	Min.	3.53	-2.20	17	-1.03	17	-0.02	18	5.90	10	-6.87	17	-0.00	17
6911	-319	-320	Min.	21.55	-2.20	17	-1.03	17	-0.10	17	4.98	10	0.48	10	-0.00	17
6912	-287	-288	Max	3.53	-0.17	10	-0.06	9	0.08	17	76.68	17	-0.50	10	0.01	18
6912	-287	-288	Max	22.17	-0.17	10	-0.06	9	-0.02	10	75.73	17	7.15	17	0.01	18
6912	-287	-288	Min.	3.53	-2.15	17	-1.02	17	-0.02	18	5.66	10	-7.05	17	-0.00	17
6912	-287	-288	Min.	22.17	-2.15	17	-1.02	17	-0.11	17	4.70	10	0.47	10	-0.00	17
6913	-255	-256	Max	3.53	-0.18	10	-0.06	9	0.08	17	76.10	17	-0.49	10	0.01	18
6913	-255	-256	Max	22.80	-0.18	10	-0.06	9	-0.02	10	75.12	17	7.33	17	0.01	18
6913	-255	-256	Min.	3.53	-2.21	17	-1.01	17	-0.02	18	5.42	10	-7.23	17	-0.00	17
6913	-255	-256	Min.	22.80	-2.21	17	-1.01	17	-0.11	17	4.44	10	0.46	10	-0.00	17
6914	-223	-224	Max	3.53	-0.17	10	-0.05	9	0.09	17	75.53	17	-0.48	10	0.01	18
6914	-223	-224	Max	23.42	-0.17	10	-0.05	9	-0.02	10	74.52	17	7.51	17	0.01	18
6914	-223	-224	Min.	3.53	-2.17	17	-0.99	17	-0.02	18	5.21	10	-7.41	17	-0.00	17
6914	-223	-224	Min.	23.42	-2.17	17	-0.99	17	-0.11	17	4.19	10	0.45	10	-0.00	17
6915	-191	-192	Max	3.53	-0.16	10	-0.05	9	0.09	17	74.87	17	-0.48	10	0.01	18
6915	-191	-192	Max	24.05	-0.16	10	-0.05	9	-0.02	10	73.82	17	7.67	17	0.01	18
6915	-191	-192	Min.	3.53	-2.13	17	-0.98	17	-0.02	18	5.00	10	-7.58	17	-0.00	17
6915	-191	-192	Min.	24.05	-2.13	17	-0.98	17	-0.11	17	3.96	10	0.44	10	-0.00	17
6916	-159	-160	Max	3.53	-0.18	10	-0.05	9	0.09	17	73.68	17	-0.46	10	0.01	18
6916	-159	-160	Max	24.67	-0.18	10	-0.05	9	-0.02	10	72.60	17	7.77	17	0.01	18
6916	-159	-160	Min.	3.53	-2.17	17	-0.94	17	-0.02	18	4.78	10	-7.69	17	-0.00	17
6916	-159	-160	Min.	24.67	-2.17	17	-0.94	17	-0.11	17	3.70	10	0.43	10	-0.00	17
6917	-127	-128	Max	3.53	-0.06	10	-0.05	9	0.08	17	70.02	17	-0.44	10	0.00	18
6917	-127	-128	Max	25.30	-0.06	10	-0.05	9	-0.02	10	68.91	17	7.60	17	0.00	18
6917	-127	-128	Min.	3.53	-2.03	17	-0.85	17	-0.02	18	4.43	10	-7.52	17	-0.00	17
6917	-127	-128	Min.	25.30	-2.03	17	-0.85	17	-0.10	17	3.32	10	0.41	10	-0.00	17
6918	-95	-96	Max	3.53	-0.98	16	-0.04	10	0.06	17	55.61	17	-0.35	10	0.00	18
6918	-95	-96	Max	25.92	-0.98	16	-0.04	10	-0.01	10	54.46	17	6.18	17	0.00	18
6918	-95	-96	Min.	3.53	-2.79	17	-0.63	17	-0.02	18	3.53	10	-6.14	17	0.00	17
6918	-95	-96	Min.	25.92	-2.79	17	-0.63	17	-0.08	17	2.39	10	0.31	10	0.00	17

6919	-63	-64	Max	3.53	13.37	9	0.04	9	0.02	17	65.28	17	-0.07	9	-0.00	16
6919	-63	-64	Max	26.55	13.37	9	0.04	9	-0.00	10	62.93	17	7.62	17	-0.00	16
6919	-63	-64	Min.	3.53	5.69	17	-0.18	17	-0.02	18	4.16	9	-7.14	17	-0.04	17
6919	-63	-64	Min.	26.55	5.69	17	-0.18	17	-0.03	17	1.82	9	0.56	16	-0.04	17
6920	-31	-32	Max	3.53	54.40	9	0.87	17	-0.02	10	40.96	17	0.04	9	0.00	17
6920	-31	-32	Max	25.69					0.02	9			0.30	9		
6920	-31	-32	Max	26.86	54.40	9	0.87	17	0.10	17	38.58	17	4.78	17	0.00	17
6920	-31	-32	Min.	3.53	26.65	16	0.15	16	-0.10	17	2.32	9	-4.50	17	0.00	10
6920	-31	-32	Min.	25.69					0.02	9			0.30	9		
6920	-31	-32	Min.	26.86	26.65	16	0.15	16	0.01	16	-0.06	9	0.27	16	0.00	10
6921	382	383	Max	1.77	-7.59	17	6.10	17	-0.30	16	-0.27	10	0.49	17	0.41	17
6921	382	383	Max	9.12					-0.46	9			0.04	9		
6921	382	383	Max	15.00	-7.59	17	4.88	17	-0.24	16	-0.27	10	0.02	9	0.41	17
6921	382	383	Min.	1.77	-14.83	18	0.68	9	-1.01	17	-3.57	17	0.04	16	0.06	16
6921	382	383	Min.	12.65					-0.24	16			0.01	16		
6921	382	383	Min.	15.00	-14.83	18	-0.54	9	-0.48	9	-3.57	17	0.01	16	0.06	16
6921	383	384	Max	0.00	-7.59	17	4.88	17	-0.24	16	-0.27	10	0.02	9	0.41	17
6921	383	384	Max	13.23	-7.59	17	3.65	17	0.28	17	-0.27	10	-0.01	9	0.41	17
6921	383	384	Min.	0.00	-14.83	18	-0.54	9	-0.48	9	-3.57	17	0.01	16	0.06	16
6921	383	384	Min.	13.23	-14.83	18	-1.77	9	-0.63	9	-3.57	17	-0.46	17	0.06	16
6922	-543	-544	Max	0.00	0.30	18	-9.58	16	1.52	19	1.88	17	0.03	16	0.03	10
6922	-543	-544	Max	12.00	0.30	18	-9.58	16	-0.60	16	3.96	17	0.23	17	0.03	10
6922	-543	-544	Min.	0.00	-2.60	17	-25.84	19	0.55	16	-1.04	16	-0.12	17	-0.47	17
6922	-543	-544	Min.	12.00	-2.60	17	-25.84	19	-1.58	19	1.04	16	0.03	16	-0.47	17
6923	-527	-528	Max	0.00	-0.02	10	-10.24	16	1.39	19	1.84	19	-0.02	17	-0.01	10
6923	-527	-528	Max	12.00	-0.02	10	-10.24	16	-0.61	16	3.92	19	0.29	17	-0.01	10
6923	-527	-528	Min.	0.00	-3.41	17	-23.06	19	0.62	16	-0.33	16	-0.12	9	-0.68	17
6923	-527	-528	Min.	12.00	-3.41	17	-23.06	19	-1.37	19	1.75	16	0.05	16	-0.68	17
7001	3002	-815	Max	0.00	11.75	18	0.65	17	-0.13	16	-28.96	17	4.36	17	-0.11	17
7001	3002	-815	Max	154.00	11.75	18	0.65	17	-0.01	17	14.59	18	-12.68	17	-0.11	17
7001	3002	-815	Min.	0.00	6.60	17	0.06	16	-1.01	17	-41.08	18	-3.10	18	-0.18	18
7001	3002	-815	Min.	154.00	6.60	17	0.06	16	-0.07	9	6.84	17	-23.50	18	-0.18	18
7001	-815	3003	Max	0.00	11.75	18	0.65	17	-0.01	17	14.59	18	-12.68	17	-0.11	17
7001	-815	3003	Max	154.00	11.75	18	0.65	17	1.00	17	70.25	18	41.83	18	-0.11	17
7001	-815	3003	Min.	0.00	6.60	17	0.06	16	-0.07	9	6.84	17	-23.50	18	-0.18	18
7001	-815	3003	Min.	154.00	6.60	17	0.06	16	0.06	10	42.63	17	25.42	17	-0.18	18
7001	3004	-804	Max	0.00	17.83	18	0.62	17	-0.14	16	-41.02	17	41.27	18	-0.00	10
7001	3004	-804	Max	164.00	17.83	18	0.62	17	-0.04	16	-0.20	10	-5.46	17	-0.00	10
7001	3004	-804	Min.	0.00	10.04	17	0.05	10	-1.06	17	-59.58	18	30.54	17	-0.03	17
7001	3004	-804	Min.	164.00	10.04	17	0.05	10	-0.09	9	-2.90	17	-8.04	16	-0.03	17
7001	-804	3005	Max	0.00	17.83	18	0.62	17	-0.04	16	-0.20	10	-5.46	17	-0.00	10
7001	-804	3005	Max	164.00	17.83	18	0.62	17	0.98	17	58.97	18	40.26	18	-0.00	10
7001	-804	3005	Min.	0.00	10.04	17	0.05	10	-0.09	9	-2.90	17	-8.04	16	-0.03	17
7001	-804	3005	Min.	164.00	10.04	17	0.05	10	0.01	9	35.22	17	21.04	17	-0.03	17
7001	3006	-795	Max	0.00	13.26	18	0.68	17	-0.11	10	-47.28	17	42.91	18	0.17	18
7001	3006	-795	Max	154.00	13.26	18	0.68	17	-0.04	16	-11.17	10	-17.22	17	0.17	18
7001	3006	-795	Min.	0.00	8.24	17	0.04	10	-1.09	17	-70.86	18	28.03	17	0.04	17
7001	3006	-795	Min.	154.00	8.24	17	0.04	10	-0.07	19	-15.19	18	-23.34	18	0.04	17
7001	-795	3007	Max	0.00	13.26	18	0.68	17	-0.04	16	-11.17	10	-17.22	17	0.17	18
7001	-795	3007	Max	154.00	13.26	18	0.68	17	1.00	17	40.47	18	-2.44	10	0.17	18
7001	-795	3007	Min.	0.00	8.24	17	0.04	10	-0.07	19	-15.19	18	-23.34	18	0.04	17
7001	-795	3007	Min.	154.00	8.24	17	0.04	10	-0.00	9	24.31	17	-7.34	17	0.04	17
7002	4027	-816	Max	0.00	167.19	18	0.66	17	-0.23	16	-48.39	10	78.70	17	-0.10	17
7002	4027	-816	Max	154.00	167.19	18	0.66	17	0.04	17	10.05	18	-12.74	17	-0.10	17
7002	4027	-816	Min.	0.00	50.85	17	0.13	16	-0.97	17	-85.06	19	12.33	10	-0.20	18
7002	4027	-816	Min.	154.00	50.85	17	0.13	16	-0.03	16	-36.94	17	-28.08	18	-0.20	18
7002	-816	4028	Max	0.00	167.19	18	0.66	17	0.04	17	10.05	18	-12.74	17	-0.10	17
7002	-816	4028	Max	154.00	167.19	18	0.66	17	1.05	17	94.66	18	52.55	18	-0.10	17
7002	-816	4028	Min.	0.00	50.85	17	0.13	16	-0.03	16	-36.94	17	-28.08	18	-0.20	18

7002	-816	4028	Min.	154.00	50.85	17	0.13	16	0.17	16	7.94	17	-35.07	17	-0.20	18
7002	4030	-805	Max	0.00	235.35	18	0.52	17	0.03	9	-60.00	10	88.94	17	0.00	17
7002	4030	-805	Max	164.00	235.35	18	0.52	17	0.00	17	0.14	18	-14.93	17	0.00	17
7002	4030	-805	Min.	0.00	111.30	17	-0.03	18	-0.85	17	-95.99	19	30.28	10	0.00	18
7002	4030	-805	Min.	164.00	111.30	17	-0.03	18	-0.02	18	-39.44	17	-28.40	18	0.00	18
7002	-805	4031	Max	0.00	235.35	18	0.52	17	0.00	17	0.14	18	-14.93	17	0.00	17
7002	-805	4031	Max	164.00	235.35	18	0.52	17	0.86	17	90.25	18	45.71	18	0.00	17
7002	-805	4031	Min.	0.00	111.30	17	-0.03	18	-0.02	18	-39.44	17	-28.40	18	0.00	18
7002	-805	4031	Min.	164.00	111.30	17	-0.03	18	-0.07	18	8.36	17	-40.42	17	0.00	18
7002	4033	-794	Max	0.00	165.86	18	0.48	17	0.39	18	-64.30	10	95.36	17	0.20	18
7002	4033	-794	Max	154.00	165.86	18	0.48	17	0.03	9	-7.87	10	-17.05	17	0.20	18
7002	4033	-794	Min.	0.00	93.04	17	-0.24	18	-0.72	17	-103.28	19	36.81	10	0.09	17
7002	4033	-794	Min.	154.00	93.04	17	-0.24	18	-0.01	16	-50.55	17	-28.11	18	0.09	17
7002	-794	4034	Max	0.00	165.86	18	0.48	17	0.03	9	-7.87	10	-17.05	17	0.20	18
7002	-794	4034	Max	154.00	165.86	18	0.48	17	0.74	17	74.81	18	21.94	18	0.20	18
7002	-794	4034	Min.	0.00	93.04	17	-0.24	18	-0.01	16	-50.55	17	-28.11	18	0.09	17
7002	-794	4034	Min.	154.00	93.04	17	-0.24	18	-0.36	18	-5.67	17	-60.34	17	0.09	17
7003	-594	-817	Max	0.00	35.77	17	-0.12	16	0.17	16	-39.13	17	-4.76	17	-0.19	17
7003	-594	-817	Max	154.00	35.77	17	-0.12	16	-0.03	16	13.66	18	-30.46	17	-0.19	17
7003	-594	-817	Min.	0.00	-0.12	16	-0.22	19	0.03	10	-70.95	18	-12.57	18	-0.41	18
7003	-594	-817	Min.	154.00	-0.12	16	-0.22	19	-0.28	19	5.75	17	-56.69	18	-0.41	18
7003	-817	-595	Max	0.00	168.56	18	0.88	19	-0.13	16	24.94	18	-30.46	17	-0.21	17
7003	-817	-595	Max	154.00	168.56	18	0.88	19	0.92	19	109.56	18	46.87	18	-0.21	17
7003	-817	-595	Min.	0.00	60.64	17	0.33	16	-0.44	19	17.06	17	-56.70	18	-0.44	18
7003	-817	-595	Min.	154.00	60.64	17	0.33	16	0.38	16	61.94	17	30.37	17	-0.44	18
7003	-596	-806	Max	0.00	168.74	18	-0.11	17	0.30	18	-54.53	17	45.96	18	0.03	19
7003	-596	-806	Max	164.00	168.74	18	-0.11	17	-0.25	17	-5.92	16	-20.88	17	0.03	19
7003	-596	-806	Min.	0.00	96.57	17	-0.48	18	-0.07	17	-96.05	18	29.36	17	0.01	10
7003	-596	-806	Min.	164.00	96.57	17	-0.48	18	-0.48	18	-6.74	17	-37.67	18	0.01	10
7003	-806	-597	Max	0.00	168.53	18	0.51	19	-0.26	16	5.93	9	-20.88	17	0.00	17
7003	-806	-597	Max	164.00	168.53	18	0.51	19	0.36	19	96.03	18	45.93	18	0.00	17
7003	-806	-597	Min.	0.00	50.10	17	0.24	16	-0.47	19	5.12	17	-37.67	18	-0.02	18
7003	-806	-597	Min.	164.00	50.10	17	0.24	16	0.13	16	52.91	17	26.70	17	-0.02	18
7003	-598	-793	Max	0.00	168.39	18	-0.20	17	0.83	18	-60.46	17	46.91	18	0.44	18
7003	-598	-793	Max	154.00	168.39	18	-0.20	17	-0.16	17	-15.58	17	-31.99	17	0.44	18
7003	-598	-793	Min.	0.00	85.86	17	-0.80	9	0.15	17	-109.59	18	26.56	17	0.22	17
7003	-598	-793	Min.	154.00	85.86	17	-0.80	9	-0.43	9	-24.97	18	-56.70	18	0.22	17
7003	-793	-599	Max	0.00	-0.05	10	0.27	18	-0.05	16	-4.31	17	-31.99	17	0.41	18
7003	-793	-599	Max	154.00	-0.05	10	0.27	18	0.22	16	70.94	18	-4.07	17	0.41	18
7003	-793	-599	Min.	0.00	-35.84	17	0.15	17	-0.26	9	-13.68	18	-56.69	18	0.20	17
7003	-793	-599	Min.	154.00	-35.84	17	0.15	17	0.09	10	40.57	17	-12.60	18	0.20	17
7004	-658	-818	Max	0.00	312.30	18	0.57	19	-0.22	16	-34.58	17	-9.09	10	-0.14	17
7004	-658	-818	Max	154.00	312.30	18	0.57	19	0.08	16	14.16	18	-29.92	17	-0.14	17
7004	-658	-818	Min.	0.00	147.81	17	0.20	16	-0.83	19	-70.46	18	-15.84	18	-0.27	18
7004	-658	-818	Min.	154.00	147.81	17	0.20	16	0.01	10	8.90	10	-59.19	18	-0.27	18
7004	-818	-659	Max	0.00	312.30	18	0.57	19	0.08	16	14.16	18	-29.92	17	-0.14	17
7004	-818	-659	Max	154.00	312.30	18	0.57	19	0.93	19	98.77	18	29.10	16	-0.14	17
7004	-818	-659	Min.	0.00	147.81	17	0.20	16	0.01	10	8.90	10	-59.19	18	-0.27	18
7004	-818	-659	Min.	154.00	147.81	17	0.20	16	0.38	16	55.19	17	18.32	10	-0.27	18
7004	-660	-807	Max	0.00	347.39	18	0.25	17	-0.05	16	-47.23	17	29.46	16	0.00	17
7004	-660	-807	Max	164.00	347.39	18	0.25	17	-0.06	17	0.56	17	-22.56	17	0.00	17
7004	-660	-807	Min.	0.00	156.14	17	-0.02	18	-0.47	17	-90.11	18	15.71	17	0.00	18
7004	-660	-807	Min.	164.00	156.14	17	-0.02	18	-0.13	18	-0.01	18	-45.89	18	0.00	18
7004	-807	-661	Max	0.00	347.39	18	0.25	17	-0.06	17	0.56	17	-22.56	17	0.00	17
7004	-807	-661	Max	164.00	347.39	18	0.25	17	0.35	17	90.10	18	29.45	16	0.00	17
7004	-807	-661	Min.	0.00	156.14	17	-0.02	18	-0.13	18	-0.01	18	-45.89	18	0.00	18
7004	-807	-661	Min.	164.00	156.14	17	-0.02	18	-0.15	18	48.36	17	17.56	17	0.00	18
7004	-662	-796	Max	0.00	312.62	18	-0.01	17	0.74	18	-49.29	17	29.12	16	0.27	18
7004	-662	-796	Max	154.00	312.62	18	-0.01	17	0.09	16	-4.40	17	-29.11	17	0.27	18

7004	-662	-796	Min.	0.00	126.35	17	-0.45	9	-0.00	17	-98.78	18	12.23	17	0.13	17
7004	-662	-796	Min.	154.00	126.35	17	-0.45	9	-0.02	17	-14.17	18	-59.19	18	0.13	17
7004	-796	-663	Max	0.00	312.62	18	-0.01	17	0.09	16	-4.41	17	-29.12	17	0.27	18
7004	-796	-663	Max	154.00	312.62	18	-0.01	17	-0.04	17	70.44	18	-1.34	17	0.27	18
7004	-796	-663	Min.	0.00	126.35	17	-0.45	9	-0.02	17	-14.17	18	-59.19	18	0.13	17
7004	-796	-663	Min.	154.00	126.35	17	-0.45	9	-0.67	9	40.48	17	-15.86	18	0.13	17
7005	-722	-819	Max	0.00	36.44	17	1.15	18	-0.51	17	-39.61	17	-8.17	10	-0.01	16
7005	-722	-819	Max	154.00	36.44	17	1.15	18	0.85	18	8.24	16	-37.63	17	-0.01	16
7005	-722	-819	Min.	0.00	-0.08	18	0.59	17	-0.92	18	-76.76	18	-14.52	18	-0.09	19
7005	-722	-819	Min.	154.00	-0.08	18	0.59	17	0.40	17	3.10	10	-67.58	18	-0.09	19
7005	-819	-723	Max	0.00	243.84	18	-0.20	17	0.80	18	19.33	16	-37.64	17	-0.02	16
7005	-819	-723	Max	154.00	243.84	18	-0.20	17	0.03	17	103.50	18	31.07	16	-0.02	16
7005	-819	-723	Min.	0.00	108.54	17	-0.78	18	0.34	17	14.21	10	-67.59	18	-0.10	19
7005	-819	-723	Min.	154.00	108.54	17	-0.78	18	-0.42	16	61.32	17	18.49	10	-0.10	19
7005	-724	-808	Max	0.00	243.70	18	0.81	18	-0.42	10	-52.76	17	31.12	16	0.01	18
7005	-724	-808	Max	164.00	243.70	18	0.81	18	0.66	18	-4.96	17	-30.63	17	0.01	18
7005	-724	-808	Min.	0.00	144.87	17	0.47	17	-0.67	18	-95.92	18	16.71	17	0.01	10
7005	-724	-808	Min.	164.00	144.87	17	0.47	17	0.31	17	-5.85	10	-56.73	18	0.01	10
7005	-808	-725	Max	0.00	243.63	18	-0.25	17	0.67	18	6.77	17	-30.63	17	-0.00	17
7005	-808	-725	Max	164.00	243.63	18	-0.25	17	-0.13	17	95.92	18	31.12	16	-0.00	17
7005	-808	-725	Min.	0.00	90.12	17	-0.84	18	0.27	17	5.82	18	-56.74	18	-0.01	18
7005	-808	-725	Min.	164.00	90.12	17	-0.84	18	-0.71	18	54.57	17	18.65	10	-0.01	18
7005	-726	-797	Max	0.00	243.78	18	0.73	18	-0.21	10	-54.80	17	31.08	16	0.10	9
7005	-726	-797	Max	154.00	243.78	18	0.73	18	0.77	18	-9.92	17	-36.06	17	0.10	9
7005	-726	-797	Min.	0.00	126.59	17	0.46	10	-0.39	16	-103.50	18	13.78	17	0.02	16
7005	-726	-797	Min.	154.00	126.59	17	0.46	10	0.42	17	-19.33	16	-67.58	18	0.02	16
7005	-797	-727	Max	0.00	-0.04	10	-0.51	17	0.82	18	1.22	17	-36.07	17	0.08	9
7005	-797	-727	Max	154.00	-0.04	10	-0.51	17	-0.38	17	76.77	18	0.38	17	0.08	9
7005	-797	-727	Min.	0.00	-36.50	17	-1.11	18	0.42	17	-8.24	16	-67.59	18	0.01	16
7005	-797	-727	Min.	154.00	-36.50	17	-1.11	18	-0.88	18	46.11	17	-14.52	18	0.01	16
7006	-786	-820	Max	0.00	67.41	19	0.00	9	0.03	16	-34.96	17	-7.57	16	0.07	16
7006	-786	-820	Max	154.00	67.41	19	0.00	9	0.00	17	10.73	19	-32.06	17	0.07	16
7006	-786	-820	Min.	0.00	49.08	16	-0.02	16	-0.01	9	-61.89	18	-16.07	19	0.00	9
7006	-786	-820	Min.	154.00	49.08	16	-0.02	16	-0.01	18	6.81	16	-53.78	18	0.00	9
7006	-820	-787	Max	0.00	67.41	19	0.00	9	0.00	17	10.73	19	-32.06	17	0.07	16
7006	-820	-787	Max	154.00	67.41	19	0.00	9	-0.00	10	79.62	18	17.78	17	0.07	16
7006	-820	-787	Min.	0.00	49.08	16	-0.02	16	-0.01	18	6.81	16	-53.78	18	0.00	9
7006	-820	-787	Min.	154.00	49.08	16	-0.02	16	-0.04	16	54.81	17	13.41	16	0.00	9
7006	-788	-809	Max	0.00	-93.34	17	-0.00	17	0.01	9	-46.66	17	13.15	18	0.00	10
7006	-788	-809	Max	164.00	-93.34	17	-0.00	17	0.00	9	1.13	17	-26.54	17	0.00	10
7006	-788	-809	Min.	0.00	-217.21	18	-0.01	18	0.00	17	-75.35	18	10.79	17	0.00	16
7006	-788	-809	Min.	164.00	-217.21	18	-0.01	18	-0.00	16	-0.00	18	-48.64	18	0.00	16
7006	-809	-789	Max	0.00	-93.34	17	-0.00	17	0.00	9	1.13	17	-26.54	17	0.00	10
7006	-809	-789	Max	164.00	-93.34	17	-0.00	17	-0.00	17	75.34	18	14.51	17	0.00	10
7006	-809	-789	Min.	0.00	-217.21	18	-0.01	18	-0.00	16	-0.00	18	-48.64	18	0.00	16
7006	-809	-789	Min.	164.00	-217.21	18	-0.01	18	-0.02	18	48.93	17	12.84	16	0.00	16
7006	-790	-798	Max	0.00	62.89	18	0.02	16	0.01	9	-47.61	17	14.37	18	0.00	17
7006	-790	-798	Max	154.00	62.89	18	0.02	16	0.00	18	-2.73	17	-30.38	17	0.00	17
7006	-790	-798	Min.	0.00	35.74	17	-0.00	9	-0.03	16	-79.62	18	8.38	17	-0.07	16
7006	-790	-798	Min.	154.00	35.74	17	-0.00	9	0.00	10	-8.86	18	-53.77	18	-0.07	16
7006	-798	-791	Max	0.00	62.89	18	0.02	16	0.00	18	-2.73	17	-30.38	17	0.00	17
7006	-798	-791	Max	154.00	62.89	18	0.02	16	0.03	16	61.89	18	-0.01	17	0.00	17
7006	-798	-791	Min.	0.00	35.74	17	-0.00	9	0.00	10	-8.86	18	-53.77	18	-0.07	16
7006	-798	-791	Min.	154.00	35.74	17	-0.00	9	-0.00	9	42.16	17	-12.94	18	-0.07	16
7007	-730	-821	Max	0.00	36.44	17	-0.54	16	0.87	18	-29.69	16	-1.64	16	0.12	18
7007	-730	-821	Max	154.00	36.44	17	-0.54	16	-0.28	16	6.07	19	-27.03	16	0.12	18
7007	-730	-821	Min.	0.00	-0.05	9	-1.00	19	0.55	17	-63.84	9	-14.40	19	0.05	17
7007	-730	-821	Min.	154.00	-0.05	9	-1.00	19	-0.67	9	-3.29	16	-57.41	19	0.05	17
7007	-821	-731	Max	0.00	211.07	9	0.55	9	-0.22	16	17.15	19	-27.03	16	0.13	18

7007	-821	-731	Max	154.00	211.07	9	0.55	9	0.24	9	85.13	19	22.23	17	0.13	18
7007	-821	-731	Min.	0.00	100.43	16	0.14	16	-0.62	9	7.90	16	-57.42	19	0.05	17
7007	-821	-731	Min.	154.00	100.43	16	0.14	16	-0.03	17	34.30	16	5.46	16	0.05	17
7007	-732	-810	Max	0.00	227.32	19	-0.22	16	0.66	19	-34.00	16	18.99	9	-0.00	16
7007	-732	-810	Max	164.00	227.32	19	-0.22	16	-0.16	16	-4.96	17	-26.94	16	-0.00	16
7007	-732	-810	Min.	0.00	100.33	16	-0.73	19	0.20	16	-78.22	9	5.76	16	-0.01	19
7007	-732	-810	Min.	164.00	100.33	16	-0.73	19	-0.53	19	-5.88	16	-50.00	19	-0.01	19
7007	-810	-733	Max	0.00	210.90	9	0.66	9	-0.16	16	6.77	17	-26.95	16	0.01	9
7007	-810	-733	Max	164.00	210.90	9	0.66	9	0.55	9	78.77	19	19.81	19	0.01	9
7007	-810	-733	Min.	0.00	90.15	17	0.21	16	-0.53	9	5.84	9	-50.01	19	0.00	17
7007	-810	-733	Min.	164.00	90.15	17	0.21	16	0.12	17	34.00	16	5.76	16	0.00	17
7007	-734	-799	Max	0.00	216.44	19	-0.16	16	0.37	17	-34.30	16	18.88	9	-0.05	17
7007	-734	-799	Max	154.00	216.44	19	-0.16	16	-0.23	16	-7.90	16	-27.03	16	-0.05	17
7007	-734	-799	Min.	0.00	100.41	16	-0.66	19	0.02	16	-83.20	9	5.46	16	-0.13	18
7007	-734	-799	Min.	154.00	100.41	16	-0.66	19	-0.65	19	-15.21	9	-56.90	9	-0.13	18
7007	-799	-735	Max	0.00	0.00	16	0.99	9	-0.29	16	3.28	16	-27.03	16	-0.04	17
7007	-799	-735	Max	154.00	0.00	16	0.99	9	0.90	18	65.82	19	0.38	17	-0.04	17
7007	-799	-735	Min.	0.00	-36.50	17	0.53	17	-0.69	9	-4.14	9	-56.91	9	-0.11	18
7007	-799	-735	Min.	154.00	-36.50	17	0.53	17	0.39	17	29.69	16	-10.93	9	-0.11	18
7008	-666	-822	Max	0.00	252.14	19	-0.33	10	0.83	19	-24.05	16	-1.95	16	0.27	18
7008	-666	-822	Max	154.00	252.14	19	-0.33	10	0.05	16	12.17	19	-18.65	16	0.27	18
7008	-666	-822	Min.	0.00	69.11	16	-0.57	19	0.49	10	-57.57	9	-14.87	19	0.14	17
7008	-666	-822	Min.	154.00	69.11	16	-0.57	19	-0.06	17	2.36	16	-48.48	19	0.14	17
7008	-822	-667	Max	0.00	252.14	19	-0.33	10	0.05	16	12.17	19	-18.65	16	0.27	18
7008	-822	-667	Max	154.00	252.14	19	-0.33	10	-0.48	16	80.15	19	22.61	19	0.27	18
7008	-822	-667	Min.	0.00	69.11	16	-0.57	19	-0.06	17	2.36	16	-48.48	19	0.14	17
7008	-822	-667	Min.	154.00	69.11	16	-0.57	19	-0.94	19	28.76	16	5.30	16	0.14	17
7008	-668	-811	Max	0.00	283.88	9	-0.00	10	0.48	17	-28.12	16	20.37	9	0.00	10
7008	-668	-811	Max	164.00	283.88	9	-0.00	10	0.14	18	0.56	17	-17.59	16	0.00	10
7008	-668	-811	Min.	0.00	101.47	16	-0.26	17	0.09	16	-72.40	9	5.46	16	-0.00	17
7008	-668	-811	Min.	164.00	101.47	16	-0.26	17	0.06	17	-0.00	9	-39.06	19	-0.00	17
7008	-811	-669	Max	0.00	283.88	9	-0.00	10	0.14	18	0.56	17	-17.59	16	0.00	10
7008	-811	-669	Max	164.00	283.88	9	-0.00	10	0.13	18	72.73	19	20.86	19	0.00	10
7008	-811	-669	Min.	0.00	101.47	16	-0.26	17	0.06	17	-0.00	9	-39.06	19	-0.00	17
7008	-811	-669	Min.	164.00	101.47	16	-0.26	17	-0.36	17	28.12	16	5.46	16	-0.00	17
7008	-670	-800	Max	0.00	245.74	9	0.52	18	0.01	17	-28.76	16	20.19	9	-0.13	17
7008	-670	-800	Max	154.00	245.74	9	0.52	18	0.06	16	-2.36	16	-18.65	16	-0.13	17
7008	-670	-800	Min.	0.00	69.15	16	0.01	17	-0.77	18	-78.40	9	5.31	16	-0.27	18
7008	-670	-800	Min.	154.00	69.15	16	0.01	17	-0.02	9	-10.42	9	-48.20	9	-0.27	18
7008	-800	-671	Max	0.00	245.74	9	0.52	18	0.06	16	-2.36	16	-18.65	16	-0.13	17
7008	-800	-671	Max	154.00	245.74	9	0.52	18	0.81	18	59.35	19	-1.34	17	-0.13	17
7008	-800	-671	Min.	0.00	69.15	16	0.01	17	-0.02	9	-10.42	9	-48.20	9	-0.27	18
7008	-800	-671	Min.	154.00	69.15	16	0.01	17	0.05	17	24.04	16	-11.91	9	-0.27	18
7009	-602	-823	Max	0.00	35.76	17	0.24	9	0.05	16	-26.12	16	-0.83	16	0.37	9
7009	-602	-823	Max	154.00	35.76	17	0.24	9	0.33	18	10.11	19	-20.73	16	0.37	9
7009	-602	-823	Min.	0.00	-0.05	9	0.12	16	-0.12	9	-58.29	9	-9.49	19	0.18	16
7009	-602	-823	Min.	154.00	-0.05	9	0.12	16	0.17	17	0.28	16	-46.70	9	0.18	16
7009	-823	-603	Max	0.00	133.91	9	-0.56	16	0.51	18	21.44	19	-20.72	16	0.39	9
7009	-823	-603	Max	154.00	133.91	9	-0.56	16	-0.52	16	89.42	19	39.10	19	0.39	9
7009	-823	-603	Min.	0.00	40.19	16	-0.92	19	0.26	17	11.60	16	-46.70	9	0.19	16
7009	-823	-603	Min.	154.00	40.19	16	-0.92	19	-0.95	19	38.00	16	17.46	16	0.19	16
7009	-604	-812	Max	0.00	148.02	19	0.47	18	0.08	17	-34.06	16	37.93	19	-0.01	16
7009	-604	-812	Max	164.00	148.02	19	0.47	18	0.51	18	-5.93	10	-15.68	16	-0.01	16
7009	-604	-812	Min.	0.00	40.26	16	0.10	17	-0.25	18	-78.82	19	17.11	16	-0.03	19
7009	-604	-812	Min.	164.00	40.26	16	0.10	17	0.25	17	-6.73	17	-31.97	19	-0.03	19
7009	-812	-605	Max	0.00	134.01	9	-0.29	16	0.51	18	5.94	18	-15.67	16	0.02	9
7009	-812	-605	Max	164.00	134.01	9	-0.29	16	-0.16	16	78.33	9	37.18	9	0.02	9
7009	-812	-605	Min.	0.00	40.23	16	-0.53	19	0.27	17	5.12	17	-31.96	19	-0.00	17
7009	-812	-605	Min.	164.00	40.23	16	-0.53	19	-0.39	19	34.05	16	17.11	16	-0.00	17

7009	-606	-801	Max	0.00	141.48	19	0.87	18	-0.13	17	-38.00	16	37.99	9	-0.20	16
7009	-606	-801	Max	154.00	141.48	19	0.87	18	0.50	18	-11.60	16	-20.73	16	-0.20	16
7009	-606	-801	Min.	0.00	40.17	16	0.18	17	-0.85	18	-88.98	9	17.47	16	-0.39	19
7009	-606	-801	Min.	154.00	40.17	16	0.18	17	0.15	17	-21.00	9	-47.18	19	-0.39	19
7009	-801	-607	Max	0.00	0.02	16	-0.11	16	0.32	18	-0.28	16	-20.71	16	-0.18	16
7009	-801	-607	Max	154.00	0.02	16	-0.11	16	0.06	16	58.74	19	-0.82	16	-0.18	16
7009	-801	-607	Min.	0.00	-35.85	17	-0.23	19	0.06	17	-9.69	9	-47.17	19	-0.36	19
7009	-801	-607	Min.	154.00	-35.85	17	-0.23	19	-0.14	19	26.12	16	-9.27	9	-0.36	19
7010	4287	-824	Max	0.00	127.09	9	-0.12	16	1.01	17	-20.03	16	78.87	17	0.18	19
7010	4287	-824	Max	154.00	127.09	9	-0.12	16	-0.02	10	9.12	9	-8.85	16	0.18	19
7010	4287	-824	Min.	0.00	29.47	16	-0.68	17	0.14	16	-85.18	19	1.67	16	0.08	16
7010	4287	-824	Min.	154.00	29.47	16	-0.68	17	-0.05	16	-37.05	17	-22.61	9	0.08	16
7010	-824	4288	Max	0.00	127.09	9	-0.12	16	-0.02	10	9.12	9	-8.85	16	0.18	19
7010	-824	4288	Max	154.00	127.09	9	-0.12	16	-0.24	16	77.11	9	43.79	9	0.18	19
7010	-824	4288	Min.	0.00	29.47	16	-0.68	17	-0.05	16	-37.05	17	-22.61	9	0.08	16
7010	-824	4288	Min.	154.00	29.47	16	-0.68	17	-1.07	17	7.83	17	-35.24	17	0.08	16
7010	4290	-813	Max	0.00	201.07	9	-0.00	10	0.86	17	-28.10	16	89.13	17	0.00	10
7010	4290	-813	Max	164.00	201.07	9	-0.00	10	0.01	9	0.01	18	-8.63	16	0.00	10
7010	4290	-813	Min.	0.00	91.19	16	-0.52	17	-0.01	16	-96.12	19	14.41	16	-0.00	17
7010	4290	-813	Min.	164.00	91.19	16	-0.52	17	-0.01	16	-39.56	17	-22.75	19	-0.00	17
7010	-813	4291	Max	0.00	201.07	9	-0.00	10	0.01	9	0.01	18	-8.63	16	0.00	10
7010	-813	4291	Max	164.00	201.07	9	-0.00	10	0.01	9	72.41	9	36.63	9	0.00	10
7010	-813	4291	Min.	0.00	91.19	16	-0.52	17	-0.01	16	-39.56	17	-22.75	19	-0.00	17
7010	-813	4291	Min.	164.00	91.19	16	-0.52	17	-0.86	17	8.24	17	-40.62	17	-0.00	17
7010	4293	-802	Max	0.00	139.60	19	0.23	18	0.72	17	-32.75	16	95.54	17	-0.08	16
7010	4293	-802	Max	154.00	139.60	19	0.23	18	-0.01	17	-6.35	16	-8.85	16	-0.08	16
7010	4293	-802	Min.	0.00	29.43	16	-0.47	17	-0.40	18	-103.40	19	21.26	16	-0.17	9
7010	4293	-802	Min.	154.00	29.43	16	-0.47	17	-0.05	16	-50.67	17	-23.90	19	-0.17	9
7010	-802	4294	Max	0.00	139.60	19	0.23	18	-0.01	17	-6.35	16	-8.85	16	-0.08	16
7010	-802	4294	Max	154.00	139.60	19	0.23	18	0.31	9	58.88	9	15.73	9	-0.08	16
7010	-802	4294	Min.	0.00	29.43	16	-0.47	17	-0.05	16	-50.67	17	-23.90	19	-0.17	9
7010	-802	4294	Min.	154.00	29.43	16	-0.47	17	-0.73	17	-5.78	17	-60.51	17	-0.17	9
7011	3314	-825	Max	0.00	12.69	18	-0.01	10	0.93	17	-19.51	16	3.75	17	0.17	19
7011	3314	-825	Max	154.00	12.69	18	-0.01	10	0.06	18	12.75	9	-10.56	16	0.17	19
7011	3314	-825	Min.	0.00	5.87	17	-0.59	17	0.05	10	-35.78	19	-2.90	9	0.07	16
7011	3314	-825	Min.	154.00	5.87	17	-0.59	17	0.02	17	7.04	16	-19.72	9	0.07	16
7011	-825	3315	Max	0.00	12.69	18	-0.01	10	0.06	18	12.75	9	-10.56	16	0.17	19
7011	-825	3315	Max	154.00	12.69	18	-0.01	10	0.03	10	60.10	9	36.38	9	0.17	19
7011	-825	3315	Min.	0.00	5.87	17	-0.59	17	0.02	17	7.04	16	-19.72	9	0.07	16
7011	-825	3315	Min.	154.00	5.87	17	-0.59	17	-0.89	17	33.60	16	20.73	16	0.07	16
7011	3316	-814	Max	0.00	18.50	18	-0.00	10	0.92	17	-28.28	16	37.68	19	0.02	17
7011	3316	-814	Max	164.00	18.50	18	-0.00	10	0.11	18	0.00	16	-3.20	16	0.02	17
7011	3316	-814	Min.	0.00	9.39	17	-0.54	17	0.07	10	-52.01	19	19.99	16	0.00	18
7011	3316	-814	Min.	164.00	9.39	17	-0.54	17	0.05	17	-2.65	17	-6.28	19	0.00	18
7011	-814	3317	Max	0.00	18.50	18	-0.00	10	0.11	18	0.00	16	-3.20	16	0.02	17
7011	-814	3317	Max	164.00	18.50	18	-0.00	10	0.11	18	50.42	9	35.07	9	0.02	17
7011	-814	3317	Min.	0.00	9.39	17	-0.54	17	0.05	17	-2.65	17	-6.28	19	0.00	18
7011	-814	3317	Min.	164.00	9.39	17	-0.54	17	-0.83	17	28.28	16	19.99	16	0.00	18
7011	3318	-803	Max	0.00	12.93	19	0.03	18	0.94	17	-33.60	16	36.84	19	-0.05	17
7011	3318	-803	Max	154.00	12.93	19	0.03	18	0.06	18	-7.04	16	-10.56	16	-0.05	17
7011	3318	-803	Min.	0.00	7.55	16	-0.59	17	0.01	16	-61.28	19	20.73	16	-0.15	9
7011	3318	-803	Min.	154.00	7.55	16	-0.59	17	0.04	17	-13.93	19	-21.07	19	-0.15	9
7011	-803	3319	Max	0.00	12.93	19	0.03	18	0.06	18	-7.04	16	-10.56	16	-0.05	17
7011	-803	3319	Max	154.00	12.93	19	0.03	18	0.10	18	34.60	9	-0.96	16	-0.05	17
7011	-803	3319	Min.	0.00	7.55	16	-0.59	17	0.04	17	-13.93	19	-21.07	19	-0.15	9
7011	-803	3319	Min.	154.00	7.55	16	-0.59	17	-0.87	17	19.51	16	-6.84	17	-0.15	9
8001	4027	-817	Max	0.00	-92.26	10	1.69	16	0.00	9	-0.02	17	0.00	9	0.00	9
8001	4027	-817	Max	66.29					0.56	17			-0.01	17		
8001	4027	-817	Max	176.65	-92.08	10	-2.81	16	-0.99	16	-0.02	17	-0.03	17	0.00	9

8001	4027	-817	Min.	0.00	-178.82	19	1.69	9	0.00	9	-0.05	18	0.00	9	0.00	9
8001	4027	-817	Min.	66.35					0.56	18			-0.03	18		
8001	4027	-817	Min.	176.65	-178.64	19	-2.81	9	-0.99	9	-0.05	18	-0.09	18	0.00	9
8001	-817	-659	Max	0.00	-152.37	10	2.82	19	-0.99	16	-0.04	17	0.18	16	0.01	16
8001	-817	-659	Max	109.51					0.56	16			0.07	16		
8001	-817	-659	Max	176.65	-152.19	10	-1.69	19	0.00	19	-0.04	17	0.00	9	0.01	16
8001	-817	-659	Min.	0.00	-266.82	18	2.81	16	-1.00	19	-0.10	16	0.06	17	0.00	17
8001	-817	-659	Min.	109.59					0.56	17			0.02	17		
8001	-817	-659	Min.	176.65	-266.64	18	-1.69	16	0.00	16	-0.10	16	0.00	17	0.00	17
8002	-658	-817	Max	0.00	124.74	19	1.71	18	0.00	9	0.14	18	0.00	9	0.00	9
8002	-658	-817	Max	66.89					0.57	18			0.09	18		
8002	-658	-817	Max	176.65	124.56	19	-2.80	18	-0.97	18	0.14	18	0.24	18	0.00	9
8002	-658	-817	Min.	0.00	-29.06	16	1.70	17	0.00	9	0.05	17	0.00	9	0.00	9
8002	-658	-817	Min.	66.55					0.56	17			0.04	17		
8002	-658	-817	Min.	176.65	-29.24	16	-2.81	17	-0.98	17	0.05	17	0.09	17	0.00	9
8002	-817	4028	Max	0.00	93.73	17	2.81	17	-0.97	18	-0.05	17	0.16	18	0.02	19
8002	-817	4028	Max	109.44					0.57	18			0.06	18		
8002	-817	4028	Max	176.65	93.55	17	-1.70	17	0.00	17	-0.05	17	0.00	16	0.02	19
8002	-817	4028	Min.	0.00	-103.89	16	2.80	18	-0.98	17	-0.09	18	0.08	17	0.00	16
8002	-817	4028	Min.	109.39					0.56	17			0.03	17		
8002	-817	4028	Min.	176.65	-104.07	16	-1.71	18	0.00	18	-0.09	18	0.00	19	0.00	16
8003	-658	-819	Max	0.00	-235.00	17	1.70	18	0.00	9	0.01	16	0.00	9	0.00	9
8003	-658	-819	Max	66.61					0.57	16			0.00	16		
8003	-658	-819	Max	176.65	-234.82	17	-2.80	18	-0.97	18	0.01	16	0.01	16	0.00	9
8003	-658	-819	Min.	0.00	-401.33	18	1.69	17	0.00	9	-0.01	9	0.00	9	0.00	9
8003	-658	-819	Min.	66.59					0.57	9			-0.01	9		
8003	-658	-819	Min.	176.65	-401.16	18	-2.81	17	-0.98	17	-0.01	9	-0.02	9	0.00	9
8003	-819	-787	Max	0.00	-275.45	17	2.81	17	-0.97	18	-0.12	17	0.42	18	0.01	16
8003	-819	-787	Max	109.63					0.57	18			0.16	18		
8003	-819	-787	Max	176.65	-275.27	17	-1.69	17	0.00	16	-0.12	17	0.00	9	0.01	16
8003	-819	-787	Min.	0.00	-539.03	18	2.80	18	-0.98	17	-0.24	18	0.22	17	0.00	17
8003	-819	-787	Min.	109.43					0.56	17			0.08	17		
8003	-819	-787	Min.	176.65	-538.85	18	-1.70	18	0.00	9	-0.24	18	0.00	16	0.00	17
8004	-786	-819	Max	0.00	-13.17	17	1.70	18	0.00	9	0.16	18	0.00	9	0.00	9
8004	-786	-819	Max	66.76					0.57	18			0.11	18		
8004	-786	-819	Max	176.65	-13.35	17	-2.80	18	-0.97	18	0.16	18	0.29	18	0.00	9
8004	-786	-819	Min.	0.00	-57.00	16	1.70	17	0.00	9	0.07	17	0.00	9	0.00	9
8004	-786	-819	Min.	66.52					0.56	17			0.05	17		
8004	-786	-819	Min.	176.65	-57.18	16	-2.81	17	-0.98	17	0.07	17	0.13	17	0.00	9
8004	-819	-659	Max	0.00	-55.46	17	2.81	17	-0.97	18	0.05	18	-0.04	17	-0.01	17
8004	-819	-659	Max	141.32					0.44	17			-0.01	17		
8004	-819	-659	Max	176.65	-55.64	17	-1.70	17	0.00	16	0.05	18	0.00	16	-0.01	17
8004	-819	-659	Min.	0.00	-195.97	18	2.80	18	-0.98	17	0.02	17	-0.10	18	-0.02	18
8004	-819	-659	Min.	109.50					0.57	18			-0.04	18		
8004	-819	-659	Min.	176.65	-196.15	18	-1.70	18	0.00	17	0.02	17	0.00	19	-0.02	18
8005	-786	-821	Max	0.00	-0.37	16	1.70	19	0.00	9	-0.06	16	0.00	9	0.00	9
8005	-786	-821	Max	66.44					0.56	16			-0.04	16		
8005	-786	-821	Max	176.65	-0.55	16	-2.80	19	-0.97	19	-0.06	16	-0.11	16	0.00	9
8005	-786	-821	Min.	0.00	-35.97	9	1.69	16	0.00	9	-0.14	9	0.00	9	0.00	9
8005	-786	-821	Min.	66.68					0.57	9			-0.09	9		
8005	-786	-821	Min.	176.65	-36.15	9	-2.81	16	-0.99	16	-0.14	9	-0.24	9	0.00	9
8005	-821	-667	Max	0.00	-55.51	17	2.81	16	-0.97	9	-0.01	16	0.08	9	0.02	19
8005	-821	-667	Max	109.58					0.57	9			0.03	9		
8005	-821	-667	Max	176.65	-55.68	17	-1.70	16	0.00	16	-0.01	16	0.00	18	0.02	19
8005	-821	-667	Min.	0.00	-158.86	9	2.80	9	-0.98	16	-0.04	9	0.02	16	0.01	16
8005	-821	-667	Min.	109.38					0.56	16			0.01	16		
8005	-821	-667	Min.	176.65	-159.04	9	-1.70	9	0.00	9	-0.04	9	0.00	17	0.01	16
8006	-666	-821	Max	0.00	-208.44	16	1.70	19	0.00	9	0.02	18	0.00	9	0.00	9
8006	-666	-821	Max	66.53					0.56	18			0.01	18		

8006	-666	-821	Max	176.65	-208.26	16	-2.81	19	-0.98	19	0.02	18	0.03	18	0.00	9
8006	-666	-821	Min.	0.00	-388.70	19	1.69	16	0.00	9	0.00	17	0.00	9	0.00	9
8006	-666	-821	Min.	66.47					0.56	17			0.00	17		
8006	-666	-821	Min.	176.65	-388.52	19	-2.81	16	-0.99	16	0.00	17	0.01	17	0.00	9
8006	-821	-787	Max	0.00	-265.28	16	2.81	16	-0.98	9	0.21	19	-0.16	16	0.00	16
8006	-821	-787	Max	141.32					0.44	16			-0.03	16		
8006	-821	-787	Max	176.65	-265.10	16	-1.69	16	0.00	16	0.21	19	0.00	16	0.00	16
8006	-821	-787	Min.	0.00	-492.45	19	2.81	9	-0.99	16	0.09	16	-0.37	19	-0.00	19
8006	-821	-787	Min.	109.32					0.57	19			-0.14	19		
8006	-821	-787	Min.	176.65	-492.27	19	-1.70	9	0.00	19	0.09	16	0.00	9	-0.00	19
8007	-666	-823	Max	0.00	137.65	18	1.70	19	0.00	9	0.00	16	0.00	9	0.00	9
8007	-666	-823	Max	66.40					0.56	16			0.00	16		
8007	-666	-823	Max	176.65	137.48	18	-2.80	19	-0.97	19	0.00	16	0.00	16	0.00	9
8007	-666	-823	Min.	0.00	63.01	10	1.69	16	0.00	9	-0.09	9	0.00	9	0.00	9
8007	-666	-823	Min.	66.76					0.57	9			-0.06	9		
8007	-666	-823	Min.	176.65	62.84	10	-2.81	16	-0.99	16	-0.09	9	-0.16	9	0.00	9
8007	-823	4288	Max	0.00	106.90	16	2.81	16	-0.97	9	0.09	18	-0.09	17	-0.01	17
8007	-823	4288	Max	141.32					0.44	17			-0.02	17		
8007	-823	4288	Max	176.65	106.72	16	-1.69	16	0.00	16	0.09	18	0.00	16	-0.01	17
8007	-823	4288	Min.	0.00	4.27	10	2.80	9	-0.99	16	0.05	17	-0.16	18	-0.02	18
8007	-823	4288	Min.	109.74					0.57	18			-0.06	18		
8007	-823	4288	Min.	176.65	4.09	10	-1.70	9	0.00	9	0.05	17	0.00	9	-0.02	18
8008	4287	-823	Max	0.00	-8.30	16	1.69	17	0.00	9	0.04	9	0.00	9	0.00	9
8008	4287	-823	Max	66.28					0.56	9			0.03	9		
8008	4287	-823	Max	176.65	-8.12	16	-2.81	17	-0.99	17	0.04	9	0.08	9	0.00	9
8008	4287	-823	Min.	0.00	-178.81	19	1.69	16	0.00	9	0.02	16	0.00	9	0.00	9
8008	4287	-823	Min.	66.15					0.56	16			0.01	16		
8008	4287	-823	Min.	176.65	-178.63	19	-2.82	16	-1.00	16	0.02	16	0.03	16	0.00	9
8008	-823	-667	Max	0.00	-32.03	16	2.82	16	-1.00	17	0.06	19	0.03	16	0.00	16
8008	-823	-667	Max	109.66					0.56	16			0.01	16		
8008	-823	-667	Max	176.65	-31.85	16	-1.69	16	0.00	16	0.06	19	0.00	9	0.00	16
8008	-823	-667	Min.	0.00	-240.01	19	2.81	17	-1.00	16	-0.02	16	-0.11	19	-0.00	19
8008	-823	-667	Min.	109.61					0.56	19			-0.04	19		
8008	-823	-667	Min.	176.65	-239.84	19	-1.69	17	0.00	17	-0.02	16	0.00	16	-0.00	19
8009	4030	-806	Max	0.00	-50.64	10	1.78	18	0.00	9	0.00	9	0.00	9	0.00	9
8009	4030	-806	Max	69.72					0.62	9			0.00	9		
8009	4030	-806	Max	185.43	-50.46	10	-2.95	18	-1.08	18	0.00	9	0.01	9	0.00	9
8009	4030	-806	Min.	0.00	-135.89	17	1.78	17	0.00	9	-0.01	16	0.00	9	0.00	9
8009	4030	-806	Min.	69.78					0.62	16			-0.00	16		
8009	4030	-806	Min.	185.43	-135.72	17	-2.95	17	-1.09	17	-0.01	16	-0.01	16	0.00	9
8009	-806	-661	Max	0.00	-51.23	10	2.95	17	-1.09	18	-0.04	17	0.18	18	0.02	18
8009	-806	-661	Max	114.87					0.62	18			0.07	18		
8009	-806	-661	Max	185.43	-51.05	10	-1.78	17	0.00	18	-0.04	17	0.00	16	0.02	18
8009	-806	-661	Min.	0.00	-128.74	16	2.95	18	-1.09	17	-0.10	18	0.08	17	0.01	17
8009	-806	-661	Min.	114.96					0.62	17			0.03	17		
8009	-806	-661	Min.	185.43	-128.56	16	-1.78	18	0.00	17	-0.10	18	0.00	9	0.01	17
8010	-660	-806	Max	0.00	38.29	17	1.78	18	0.00	9	0.10	18	0.00	9	0.00	9
8010	-660	-806	Max	69.76					0.62	18			0.07	18		
8010	-660	-806	Max	185.43	38.11	17	-2.95	18	-1.09	18	0.10	18	0.19	18	0.00	9
8010	-660	-806	Min.	0.00	-128.41	16	1.77	17	0.00	9	0.03	17	0.00	9	0.00	9
8010	-660	-806	Min.	69.61					0.62	17			0.02	17		
8010	-660	-806	Min.	185.43	-128.59	16	-2.95	17	-1.09	17	0.03	17	0.06	17	0.00	9
8010	-806	4031	Max	0.00	65.05	17	2.95	17	-1.08	18	0.01	16	0.00	17	0.02	19
8010	-806	4031	Max	114.96					0.62	17			0.00	17		
8010	-806	4031	Max	185.43	64.87	17	-1.78	17	0.00	18	0.01	16	0.00	17	0.02	19
8010	-806	4031	Min.	0.00	-127.91	16	2.95	18	-1.09	17	-0.00	17	-0.02	16	0.01	16
8010	-806	4031	Min.	114.85					0.62	16			-0.01	16		
8010	-806	4031	Min.	185.43	-128.09	16	-1.78	18	0.00	17	-0.00	17	0.00	9	0.01	16
8011	-660	-808	Max	0.00	-229.31	17	1.79	18	0.00	9	-0.03	17	0.00	9	0.00	9

8011	-660	-808	Max	69.78					0.62	17			-0.02	17		
8011	-660	-808	Max	185.43	-229.13	17	-2.94	18	-1.07	18	-0.03	17	-0.06	17	0.00	9
8011	-660	-808	Min.	0.00	-374.22	18	1.78	17	0.00	9	-0.06	18	0.00	9	0.00	9
8011	-660	-808	Min.	70.02					0.62	18			-0.04	18		
8011	-660	-808	Min.	185.43	-374.04	18	-2.95	17	-1.08	17	-0.06	18	-0.11	18	0.00	9
8011	-808	-789	Max	0.00	-197.50	17	2.95	17	-1.07	18	-0.10	17	0.37	18	0.01	18
8011	-808	-789	Max	115.15					0.62	18			0.14	18		
8011	-808	-789	Max	185.43	-197.32	17	-1.78	17	0.00	17	-0.10	17	0.00	18	0.01	18
8011	-808	-789	Min.	0.00	-372.17	18	2.94	18	-1.09	17	-0.20	18	0.19	17	0.00	17
8011	-808	-789	Min.	114.88					0.62	17			0.07	17		
8011	-808	-789	Min.	185.43	-371.99	18	-1.78	18	0.00	18	-0.20	18	0.00	17	0.00	17
8012	-788	-808	Max	0.00	-166.79	17	1.78	18	0.00	9	0.20	18	0.00	9	0.00	9
8012	-788	-808	Max	70.00					0.62	18			0.14	18		
8012	-788	-808	Max	185.43	-166.97	17	-2.94	18	-1.07	18	0.20	18	0.38	18	0.00	9
8012	-788	-808	Min.	0.00	-371.97	18	1.78	17	0.00	9	0.09	17	0.00	9	0.00	9
8012	-788	-808	Min.	69.75					0.62	17			0.06	17		
8012	-788	-808	Min.	185.43	-372.15	18	-2.95	17	-1.09	17	0.09	17	0.17	17	0.00	9
8012	-808	-661	Max	0.00	-136.70	17	2.95	17	-1.07	18	0.06	18	-0.05	17	-0.01	17
8012	-808	-661	Max	148.34					0.48	17			-0.01	17		
8012	-808	-661	Max	185.43	-136.88	17	-1.78	17	0.00	19	0.06	18	0.00	16	-0.01	17
8012	-808	-661	Min.	0.00	-373.94	18	2.94	18	-1.08	17	0.02	17	-0.11	18	-0.02	18
8012	-808	-661	Min.	115.13					0.62	18			-0.04	18		
8012	-808	-661	Min.	185.43	-374.12	18	-1.79	18	0.00	16	0.02	17	0.00	9	-0.02	18
8013	-788	-810	Max	0.00	-166.93	17	1.78	19	0.00	9	-0.08	16	0.00	9	0.00	9
8013	-788	-810	Max	69.67					0.62	16			-0.05	16		
8013	-788	-810	Max	185.43	-167.10	17	-2.94	19	-1.08	19	-0.08	16	-0.14	16	0.00	9
8013	-788	-810	Min.	0.00	-329.46	9	1.78	16	0.00	9	-0.17	9	0.00	9	0.00	9
8013	-788	-810	Min.	69.92					0.62	9			-0.12	9		
8013	-788	-810	Min.	185.43	-329.64	9	-2.95	16	-1.09	16	-0.17	9	-0.32	9	0.00	9
8013	-810	-669	Max	0.00	-136.83	17	2.95	16	-1.08	9	-0.02	17	0.10	9	0.01	9
8013	-810	-669	Max	115.21					0.62	9			0.04	9		
8013	-810	-669	Max	185.43	-137.01	17	-1.78	16	0.00	18	-0.02	17	0.00	17	0.01	9
8013	-810	-669	Min.	0.00	-331.06	9	2.94	9	-1.09	16	-0.05	9	0.05	17	0.00	16
8013	-810	-669	Min.	114.86					0.62	17			0.02	17		
8013	-810	-669	Min.	185.43	-331.24	9	-1.78	9	0.00	17	-0.05	9	0.00	18	0.00	16
8014	-668	-810	Max	0.00	-170.83	16	1.78	19	0.00	9	0.05	19	0.00	9	0.00	9
8014	-668	-810	Max	69.96					0.62	19			0.04	19		
8014	-668	-810	Max	185.43	-170.65	16	-2.94	19	-1.08	19	0.05	19	0.10	19	0.00	9
8014	-668	-810	Min.	0.00	-358.87	19	1.78	16	0.00	9	0.03	16	0.00	9	0.00	9
8014	-668	-810	Min.	69.74					0.62	16			0.02	16		
8014	-668	-810	Min.	185.43	-358.69	19	-2.95	16	-1.09	16	0.03	16	0.05	16	0.00	9
8014	-810	-789	Max	0.00	-170.29	16	2.95	16	-1.08	9	0.18	19	-0.15	16	0.00	16
8014	-810	-789	Max	148.34					0.48	16			-0.03	16		
8014	-810	-789	Max	185.43	-170.11	16	-1.78	16	0.00	17	0.18	19	0.00	17	0.00	16
8014	-810	-789	Min.	0.00	-338.71	19	2.94	9	-1.09	16	0.08	16	-0.33	19	-0.01	19
8014	-810	-789	Min.	115.76					0.62	19			-0.12	19		
8014	-810	-789	Min.	185.43	-338.53	19	-1.78	9	0.00	18	0.08	16	0.00	18	-0.01	19
8015	-668	-812	Max	0.00	44.72	16	1.78	9	0.00	9	0.01	16	0.00	9	0.00	9
8015	-668	-812	Max	69.52					0.62	16			0.01	16		
8015	-668	-812	Max	185.43	44.54	16	-2.95	9	-1.09	9	0.01	16	0.02	16	0.00	9
8015	-668	-812	Min.	0.00	-66.22	9	1.77	16	0.00	9	-0.06	9	0.00	9	0.00	9
8015	-668	-812	Min.	69.69					0.62	9			-0.04	9		
8015	-668	-812	Min.	185.43	-66.40	9	-2.95	16	-1.10	16	-0.06	9	-0.12	9	0.00	9
8015	-812	4291	Max	0.00	64.92	17	2.95	16	-1.09	9	0.01	16	-0.00	17	-0.02	17
8015	-812	4291	Max	114.96					0.62	17			-0.00	17		
8015	-812	4291	Max	185.43	64.74	17	-1.77	16	0.00	9	0.01	16	0.00	16	-0.02	17
8015	-812	4291	Min.	0.00	-65.35	9	2.95	9	-1.10	16	0.00	17	-0.02	16	-0.03	18
8015	-812	4291	Min.	115.02					0.62	16			-0.01	16		
8015	-812	4291	Min.	185.43	-65.53	9	-1.78	9	0.00	16	0.00	17	0.00	19	-0.03	18

8016	4290	-812	Max	0.00	45.20	16	1.78	19	0.00	9	-0.00	9	0.00	9	0.00	9
8016	4290	-812	Max	69.72					0.62	9			0.00	9		
8016	4290	-812	Max	185.43	45.38	16	-2.95	19	-1.09	19	-0.00	9	-0.00	9	0.00	9
8016	4290	-812	Min.	0.00	-135.77	17	1.77	16	0.00	9	-0.01	16	0.00	9	0.00	9
8016	4290	-812	Min.	69.54					0.62	16			-0.01	16		
8016	4290	-812	Min.	185.43	-135.59	17	-2.95	16	-1.10	16	-0.01	16	-0.02	16	0.00	9
8016	-812	-669	Max	0.00	44.54	16	2.95	16	-1.09	19	0.07	19	0.02	16	0.00	16
8016	-812	-669	Max	115.03					0.62	16			0.01	16		
8016	-812	-669	Max	185.43	44.72	16	-1.77	16	0.00	17	0.07	19	0.00	17	0.00	16
8016	-812	-669	Min.	0.00	-110.83	19	2.95	19	-1.10	16	-0.01	16	-0.13	19	-0.01	19
8016	-812	-669	Min.	114.92					0.62	19			-0.05	19		
8016	-812	-669	Min.	185.43	-110.65	19	-1.78	19	0.00	16	-0.01	16	0.00	18	-0.01	19
8017	4033	-793	Max	0.00	8.86	9	1.71	18	0.00	9	0.09	18	0.00	9	0.00	9
8017	4033	-793	Max	66.89					0.57	18			0.06	18		
8017	4033	-793	Max	176.65	9.04	9	-2.80	18	-0.97	18	0.09	18	0.16	18	0.00	9
8017	4033	-793	Min.	0.00	-104.17	16	1.70	17	0.00	9	0.05	17	0.00	9	0.00	9
8017	4033	-793	Min.	66.54					0.56	17			0.03	17		
8017	4033	-793	Min.	176.65	-103.99	16	-2.81	17	-0.98	17	0.05	17	0.09	17	0.00	9
8017	-793	-663	Max	0.00	84.73	9	2.81	17	-0.97	18	-0.06	17	0.24	18	0.01	18
8017	-793	-663	Max	109.44					0.57	18			0.09	18		
8017	-793	-663	Max	176.65	84.91	9	-1.70	17	0.00	16	-0.06	17	0.00	19	0.01	18
8017	-793	-663	Min.	0.00	-29.52	16	2.80	18	-0.98	17	-0.13	18	0.10	17	0.00	17
8017	-793	-663	Min.	109.37					0.56	17			0.04	17		
8017	-793	-663	Min.	176.65	-29.34	16	-1.71	18	0.00	9	-0.13	18	0.00	16	0.00	17
8018	-662	-793	Max	0.00	-38.56	17	1.69	16	0.00	9	0.10	16	0.00	9	0.00	9
8018	-662	-793	Max	66.34					0.56	16			0.07	16		
8018	-662	-793	Max	176.65	-38.74	17	-2.81	16	-0.99	16	0.10	16	0.18	16	0.00	9
8018	-662	-793	Min.	0.00	-266.92	18	1.69	9	0.00	9	0.03	17	0.00	9	0.00	9
8018	-662	-793	Min.	66.24					0.56	17			0.02	17		
8018	-662	-793	Min.	176.65	-267.10	18	-2.82	9	-1.00	9	0.03	17	0.06	17	0.00	9
8018	-793	4034	Max	0.00	31.50	17	2.81	19	-0.99	16	0.05	18	-0.04	17	0.02	19
8018	-793	4034	Max	141.32					0.44	17			-0.01	17		
8018	-793	4034	Max	176.65	31.32	17	-1.69	19	0.00	16	0.05	18	0.00	9	0.02	19
8018	-793	4034	Min.	0.00	-169.45	18	2.81	16	-0.99	19	0.02	17	-0.09	18	0.01	16
8018	-793	4034	Min.	109.50					0.56	18			-0.03	18		
8018	-793	4034	Min.	176.65	-169.63	18	-1.69	16	0.00	17	0.02	17	0.00	16	0.01	16
8019	-662	-797	Max	0.00	-127.37	10	1.70	18	0.00	9	-0.02	17	0.00	9	0.00	9
8019	-662	-797	Max	66.55					0.56	17			-0.02	17		
8019	-662	-797	Max	176.65	-127.19	10	-2.80	18	-0.97	18	-0.02	17	-0.04	17	0.00	9
8019	-662	-797	Min.	0.00	-196.31	18	1.70	17	0.00	9	-0.05	18	0.00	9	0.00	9
8019	-662	-797	Min.	66.85					0.57	18			-0.04	18		
8019	-662	-797	Min.	176.65	-196.13	18	-2.81	17	-0.98	17	-0.05	18	-0.10	18	0.00	9
8019	-797	-791	Max	0.00	-31.64	10	2.81	17	-0.97	18	-0.09	17	0.28	18	0.00	18
8019	-797	-791	Max	109.60					0.57	18			0.11	18		
8019	-797	-791	Max	176.65	-31.46	10	-1.70	17	0.00	16	-0.09	17	0.00	17	0.00	18
8019	-797	-791	Min.	0.00	-57.40	16	2.80	18	-0.98	17	-0.16	18	0.16	17	0.00	17
8019	-797	-791	Min.	109.40					0.56	17			0.06	17		
8019	-797	-791	Min.	176.65	-57.22	16	-1.70	18	0.00	17	-0.16	18	0.00	18	0.00	17
8020	-790	-797	Max	0.00	-254.09	17	1.70	18	0.00	9	0.24	18	0.00	9	0.00	9
8020	-790	-797	Max	66.73					0.57	18			0.16	18		
8020	-790	-797	Max	176.65	-254.26	17	-2.80	18	-0.97	18	0.24	18	0.42	18	0.00	9
8020	-790	-797	Min.	0.00	-538.87	18	1.69	17	0.00	9	0.11	17	0.00	9	0.00	9
8020	-790	-797	Min.	66.46					0.56	17			0.07	17		
8020	-790	-797	Min.	176.65	-539.05	18	-2.81	17	-0.98	17	0.11	17	0.19	17	0.00	9
8020	-797	-663	Max	0.00	-161.69	17	2.81	17	-0.97	18	0.01	9	0.01	16	-0.00	17
8020	-797	-663	Max	109.32					0.57	16			0.00	16		
8020	-797	-663	Max	176.65	-161.87	17	-1.69	17	0.00	19	0.01	9	0.00	16	-0.00	17
8020	-797	-663	Min.	0.00	-401.12	18	2.80	18	-0.98	17	-0.01	16	-0.02	9	-0.01	18
8020	-797	-663	Min.	109.34					0.57	9			-0.01	9		

8020	-797	-663	Min.	176.65	-401.30	18	-1.70	18	0.00	16	-0.01	16	0.00	9	-0.01	18
8021	-790	-799	Max	0.00	-254.23	17	1.70	19	0.00	9	-0.09	16	0.00	9	0.00	9
8021	-790	-799	Max	66.32					0.56	16			-0.06	16		
8021	-790	-799	Max	176.65	-254.41	17	-2.81	19	-0.98	19	-0.09	16	-0.16	16	0.00	9
8021	-790	-799	Min.	0.00	-486.34	18	1.69	16	0.00	9	-0.20	9	0.00	9	0.00	9
8021	-790	-799	Min.	66.61					0.57	9			-0.13	9		
8021	-790	-799	Min.	176.65	-486.52	18	-2.81	16	-0.99	16	-0.20	9	-0.36	9	0.00	9
8021	-799	-671	Max	0.00	-161.85	17	2.81	16	-0.98	9	-0.00	17	0.03	18	0.00	19
8021	-799	-671	Max	109.38					0.56	18			0.01	18		
8021	-799	-671	Max	176.65	-162.02	17	-1.69	16	0.00	18	-0.00	17	0.00	16	0.00	19
8021	-799	-671	Min.	0.00	-372.82	18	2.81	9	-0.99	16	-0.02	18	0.01	17	0.00	16
8021	-799	-671	Min.	109.43					0.56	17			0.00	17		
8021	-799	-671	Min.	176.65	-373.00	18	-1.70	9	0.00	17	-0.02	18	0.00	17	0.00	16
8022	-670	-799	Max	0.00	-58.85	16	1.70	19	0.00	9	0.05	19	0.00	9	0.00	9
8022	-670	-799	Max	66.78					0.57	19			0.03	19		
8022	-670	-799	Max	176.65	-58.67	16	-2.80	19	-0.97	19	0.05	19	0.08	19	0.00	9
8022	-670	-799	Min.	0.00	-182.96	19	1.70	16	0.00	9	0.01	16	0.00	9	0.00	9
8022	-670	-799	Min.	66.53					0.56	16			0.01	16		
8022	-670	-799	Min.	176.65	-182.78	19	-2.81	16	-0.98	16	0.01	16	0.02	16	0.00	9
8022	-799	-791	Max	0.00	-0.46	16	2.81	16	-0.97	9	0.14	19	-0.11	16	0.00	16
8022	-799	-791	Max	141.32					0.44	16			-0.02	16		
8022	-799	-791	Max	176.65	-0.28	16	-1.69	16	0.00	18	0.14	19	0.00	16	0.00	16
8022	-799	-791	Min.	0.00	-44.36	19	2.80	9	-0.99	16	0.06	16	-0.25	19	-0.00	19
8022	-799	-791	Min.	109.72					0.57	19			-0.09	19		
8022	-799	-791	Min.	176.65	-44.18	19	-1.70	9	0.00	17	0.06	16	0.00	9	-0.00	19
8023	-670	-801	Max	0.00	-31.98	16	1.69	17	0.00	9	0.02	16	0.00	9	0.00	9
8023	-670	-801	Max	66.11					0.56	16			0.01	16		
8023	-670	-801	Max	176.65	-32.16	16	-2.81	17	-0.99	17	0.02	16	0.03	16	0.00	9
8023	-670	-801	Min.	0.00	-200.45	9	1.69	16	0.00	9	-0.06	9	0.00	9	0.00	9
8023	-670	-801	Min.	66.20					0.56	9			-0.04	9		
8023	-670	-801	Min.	176.65	-200.63	9	-2.82	16	-1.00	16	-0.06	9	-0.10	9	0.00	9
8023	-801	4294	Max	0.00	31.48	17	2.82	16	-0.99	17	-0.02	16	0.08	19	-0.01	17
8023	-801	4294	Max	109.55					0.56	19			0.03	19		
8023	-801	4294	Max	176.65	31.30	17	-1.69	16	0.00	16	-0.02	16	0.00	19	-0.01	17
8023	-801	4294	Min.	0.00	-122.79	9	2.81	17	-1.00	16	-0.04	19	0.03	16	-0.03	18
8023	-801	4294	Min.	109.64					0.56	16			0.01	16		
8023	-801	4294	Min.	176.65	-122.97	9	-1.69	17	0.00	19	-0.04	19	0.00	16	-0.03	18
8024	4293	-801	Max	0.00	106.84	16	1.70	19	0.00	9	-0.05	17	0.00	9	0.00	9
8024	4293	-801	Max	66.54					0.56	17			-0.03	17		
8024	4293	-801	Max	176.65	107.02	16	-2.80	19	-0.97	19	-0.05	17	-0.09	17	0.00	9
8024	4293	-801	Min.	0.00	-94.57	17	1.69	16	0.00	9	-0.09	18	0.00	9	0.00	9
8024	4293	-801	Min.	66.66					0.57	18			-0.06	18		
8024	4293	-801	Min.	176.65	-94.39	17	-2.81	16	-0.99	16	-0.09	18	-0.16	18	0.00	9
8024	-801	-671	Max	0.00	137.63	18	2.81	16	-0.97	9	0.09	19	0.00	16	-0.00	16
8024	-801	-671	Max	109.47					0.56	16			0.00	16		
8024	-801	-671	Max	176.65	137.81	18	-1.69	16	0.00	17	0.09	19	0.00	9	-0.00	16
8024	-801	-671	Min.	0.00	-24.94	17	2.80	9	-0.99	16	-0.00	16	-0.17	19	-0.01	19
8024	-801	-671	Min.	109.61					0.57	19			-0.06	19		
8024	-801	-671	Min.	176.65	-24.76	17	-1.70	9	0.00	16	-0.00	16	0.00	16	-0.01	19

Tipo di combinazione di carico: SLE R

Asta	N1	N2		X <cm>	N <daN>	CC	Ty <daN>	CC	Mz <daNm>	CC	Tz <daN>	CC	My <daNm>	CC	Mx <daNm>	CC
1	2001	3001	Max	0.00	7.37	23	0.63	24	-0.01	11	19.41	24	0.63	23	0.06	23
1	2001	3001	Max	7.94	7.69	23	0.63	24	0.04	11	19.41	24	0.77	24	0.06	23
1	2001	3001	Min.	0.00	-8.55	24	-0.31	23	-0.12	23	-12.90	23	-0.77	24	-0.07	24
1	2001	3001	Min.	7.94	-8.24	24	-0.31	23	-0.14	23	-12.90	23	-0.39	23	-0.07	24

2	2002	3002	Max	0.00	-8.02	12	1.19	21	-0.01	11	39.99	21	-0.67	12	0.03	23
2	2002	3002	Max	7.94	-7.71	12	1.19	21	0.04	11	39.99	21	1.43	21	0.03	23
2	2002	3002	Min.	0.00	-21.48	21	0.34	22	-0.09	23	15.66	12	-1.75	21	-0.07	24
2	2002	3002	Min.	7.94	-21.07	21	0.34	22	-0.03	23	15.66	12	0.57	12	-0.07	24
3	2003	3003	Max	0.00	-5.49	23	0.63	24	0.04	24	64.55	24	-0.52	23	0.06	23
3	2003	3003	Max	7.94	-5.18	23	0.63	24	0.09	24	64.55	24	2.51	24	0.06	23
3	2003	3003	Min.	0.00	-28.31	24	-0.36	23	-0.08	23	15.82	23	-2.61	24	-0.07	24
3	2003	3003	Min.	7.94	-27.99	24	-0.36	23	-0.11	23	15.82	23	0.73	23	-0.07	24
4	2004	3004	Max	0.00	-16.94	12	0.88	21	0.02	24	66.72	21	-1.36	12	0.04	23
4	2004	3004	Max	7.94	-16.63	12	0.88	21	0.05	24	66.72	21	2.57	21	0.04	23
4	2004	3004	Min.	0.00	-34.02	21	0.19	22	-0.07	23	34.55	12	-2.73	21	-0.05	24
4	2004	3004	Min.	7.94	-33.62	21	0.19	22	-0.01	23	34.55	12	1.38	12	-0.05	24
5	2005	3005	Max	0.00	0.25	23	-0.37	22	-0.02	12	46.81	24	-0.03	23	0.15	21
5	2005	3005	Max	7.94	0.57	23	-0.37	22	-0.05	22	46.81	24	1.87	24	0.15	21
5	2005	3005	Min.	0.00	-19.35	24	-1.26	21	-0.13	21	4.32	23	-1.85	24	0.04	22
5	2005	3005	Min.	7.94	-19.04	24	-1.26	21	-0.23	21	4.32	23	0.32	23	0.04	22
6	2006	3006	Max	0.00	-23.56	12	0.06	23	-0.03	12	82.70	21	-1.87	12	0.14	21
6	2006	3006	Max	7.94	-23.25	12	0.06	23	-0.08	12	82.70	21	3.15	21	0.14	21
6	2006	3006	Min.	0.00	-43.00	21	-0.84	24	-0.12	21	46.37	12	-3.42	21	0.05	22
6	2006	3006	Min.	7.94	-42.59	21	-0.84	24	-0.15	21	46.37	12	1.81	12	0.05	22
7	2007	3007	Max	0.00	5.59	23	-0.56	22	0.01	22	21.56	24	0.42	23	0.19	21
7	2007	3007	Max	7.94	5.90	23	-0.56	22	-0.03	22	21.56	24	0.77	24	0.19	21
7	2007	3007	Min.	0.00	-8.84	24	-1.75	21	-0.09	23	-8.35	23	-0.94	24	0.05	22
7	2007	3007	Min.	7.94	-8.52	24	-1.75	21	-0.22	21	-8.35	23	-0.25	23	0.05	22
8	2008	3008	Max	0.00	-6.47	12	-0.01	23	0.02	22	36.20	21	-0.52	12	0.16	21
8	2008	3008	Max	7.94	-6.16	12	-0.01	23	-0.03	22	36.20	21	1.35	21	0.16	21
8	2008	3008	Min.	0.00	-19.22	21	-0.95	24	-0.07	23	13.07	12	-1.53	21	0.05	22
8	2008	3008	Min.	7.94	-18.82	21	-0.95	24	-0.10	21	13.07	12	0.52	12	0.05	22
9	9	-513	Max	0.00	0.01	22	0.02	22	0.01	11	27.41	24	0.88	23	0.10	23
9	9	-513	Max	9.29	0.37	22	0.02	22	0.01	11	27.41	24	1.25	24	0.10	23
9	9	-513	Min.	0.00	-1.89	21	-0.61	23	-0.01	23	-17.91	23	-1.29	24	-0.11	24
9	9	-513	Min.	9.29	-1.42	21	-0.61	23	-0.06	23	-17.91	23	-0.78	23	-0.11	24
10	10	-514	Max	0.00	21.15	21	1.80	23	0.02	11	34.25	21	-0.71	12	0.09	23
10	10	-514	Max	9.29	21.62	21	1.80	23	0.14	23	34.25	21	1.47	21	0.09	23
10	10	-514	Min.	0.00	7.84	12	-0.20	24	-0.03	23	14.61	12	-1.71	21	-0.11	24
10	10	-514	Min.	9.29	8.20	12	-0.20	24	-0.00	24	14.61	12	0.65	12	-0.11	24
11	11	-515	Max	0.00	-3.89	23	0.06	22	0.02	24	101.04	24	-1.14	23	0.09	23
11	11	-515	Max	9.29	-3.52	23	0.06	22	0.02	24	101.04	24	4.63	24	0.09	23
11	11	-515	Min.	0.00	-8.13	24	-0.44	23	-0.01	23	24.78	23	-4.76	24	-0.09	24
11	11	-515	Min.	9.29	-7.77	24	-0.44	23	-0.05	23	24.78	23	1.16	23	-0.09	24
12	12	-516	Max	0.00	32.69	21	2.09	23	0.03	24	53.19	21	-1.37	12	0.09	23
12	12	-516	Max	9.29	33.17	21	2.09	23	0.17	21	53.19	21	2.32	21	0.09	23
12	12	-516	Min.	0.00	15.84	12	0.12	12	-0.03	23	28.23	12	-2.62	21	-0.08	24
12	12	-516	Min.	9.29	16.21	12	0.12	12	0.03	12	28.23	12	1.26	12	-0.08	24
13	13	-517	Max	0.00	-4.75	23	0.27	24	-0.00	22	77.66	24	-0.39	23	0.20	21
13	13	-517	Max	9.29	-4.38	23	0.27	24	0.02	24	77.66	24	3.60	24	0.20	21
13	13	-517	Min.	0.00	-9.81	24	-0.31	23	-0.02	21	9.28	23	-3.62	24	0.04	22
13	13	-517	Min.	9.29	-9.45	24	-0.31	23	-0.05	23	9.28	23	0.47	23	0.04	22
14	14	-518	Max	0.00	41.53	21	2.47	21	0.00	22	65.02	21	-1.83	12	0.19	21
14	14	-518	Max	9.29	42.01	21	2.47	21	0.19	21	65.02	21	2.79	21	0.19	21
14	14	-518	Min.	0.00	22.35	12	0.50	12	-0.04	23	36.97	12	-3.25	21	0.04	22
14	14	-518	Min.	9.29	22.72	12	0.50	12	0.05	12	36.97	12	1.61	12	0.04	22
15	15	-519	Max	0.00	-4.61	23	0.46	24	0.00	22	46.11	24	0.34	23	0.25	21
15	15	-519	Max	9.29	-4.25	23	0.46	24	0.04	24	46.11	24	2.14	24	0.25	21
15	15	-519	Min.	0.00	-9.50	24	-0.14	23	-0.03	21	-6.39	23	-2.15	24	0.06	22
15	15	-519	Min.	9.29	-9.13	24	-0.14	23	-0.04	23	-6.39	23	-0.26	23	0.06	22
16	16	-520	Max	0.00	18.75	21	2.51	21	-0.01	22	28.78	21	-0.54	12	0.23	21
16	16	-520	Max	9.29	19.23	21	2.51	21	0.18	21	28.78	21	1.21	21	0.23	21
16	16	-520	Min.	0.00	6.25	12	0.45	22	-0.05	21	10.87	12	-1.46	21	0.05	22

16	16	-520	Min.	9.29	6.62	12	0.45	22	0.03	12	10.87	12	0.47	12	0.05	22
17	17	-529	Max	0.00	15.76	21	0.42	24	0.04	23	23.79	11	0.78	23	0.12	23
17	17	-529	Max	10.65	16.30	21	0.42	24	0.02	24	23.79	11	1.47	11	0.12	23
17	17	-529	Min.	0.00	1.61	22	-1.18	23	-0.03	24	-11.35	23	-1.06	11	-0.04	24
17	17	-529	Min.	10.65	2.03	22	-1.18	23	-0.09	23	-11.35	23	-0.43	23	-0.04	24
18	18	-530	Max	0.00	29.77	21	0.09	23	0.05	21	47.45	21	-1.21	12	0.13	23
18	18	-530	Max	10.65	30.31	21	0.09	23	0.05	23	47.45	21	2.59	21	0.13	23
18	18	-530	Min.	0.00	8.37	22	-0.38	22	0.02	12	22.94	22	-2.47	21	-0.06	11
18	18	-530	Min.	10.65	8.79	22	-0.38	22	-0.02	22	22.94	22	1.17	22	-0.06	11
19	19	-531	Max	0.00	22.76	21	-0.03	22	0.03	23	97.22	24	-1.25	23	0.13	23
19	19	-531	Max	10.65	23.30	21	-0.03	22	-0.02	22	97.22	24	5.42	24	0.13	23
19	19	-531	Min.	0.00	2.00	22	-1.40	23	-0.02	24	29.58	23	-4.94	24	-0.08	24
19	19	-531	Min.	10.65	2.42	22	-1.40	23	-0.12	21	29.58	23	1.90	23	-0.08	24
20	20	-532	Max	0.00	52.53	21	0.36	21	0.02	23	66.77	21	-1.86	12	0.14	23
20	20	-532	Max	10.65	53.07	21	0.36	21	0.05	23	66.77	21	3.74	21	0.14	23
20	20	-532	Min.	0.00	26.80	22	-0.03	22	-0.02	24	39.21	22	-3.37	21	-0.09	24
20	20	-532	Min.	10.65	27.22	22	-0.03	22	-0.02	22	39.21	22	2.16	22	-0.09	24
21	21	-533	Max	0.00	22.65	21	-0.47	22	0.06	21	80.52	24	-0.60	23	0.23	21
21	21	-533	Max	10.65	23.19	21	-0.47	22	-0.04	22	80.52	24	4.59	24	0.23	21
21	21	-533	Min.	0.00	1.92	22	-2.09	21	0.01	22	18.05	23	-3.98	24	0.04	22
21	21	-533	Min.	10.65	2.33	22	-2.09	21	-0.16	21	18.05	23	1.32	23	0.04	22
22	22	-534	Max	0.00	58.21	21	0.11	23	0.04	23	75.54	21	-2.28	12	0.24	21
22	22	-534	Max	10.65	58.75	21	0.11	23	0.05	23	75.54	21	4.11	21	0.24	21
22	22	-534	Min.	0.00	31.83	22	-0.26	22	0.00	11	45.96	12	-3.93	21	0.04	22
22	22	-534	Min.	10.65	32.25	22	-0.26	22	-0.02	22	45.96	12	2.46	22	0.04	22
23	23	-535	Max	0.00	8.33	21	-0.40	22	0.07	21	52.82	24	-0.04	23	0.27	21
23	23	-535	Max	10.65	8.87	21	-0.40	22	-0.03	22	52.82	24	2.89	24	0.27	21
23	23	-535	Min.	0.00	-7.24	22	-2.13	21	0.01	22	4.92	23	-2.73	24	0.05	22
23	23	-535	Min.	10.65	-6.83	22	-2.13	21	-0.15	21	4.92	23	0.48	23	0.05	22
24	24	-536	Max	0.00	31.12	21	0.63	21	0.01	23	31.96	21	-0.42	22	0.29	21
24	24	-536	Max	10.65	31.66	21	0.63	21	0.06	23	31.96	21	1.79	21	0.29	21
24	24	-536	Min.	0.00	9.12	22	0.18	22	-0.03	24	7.82	22	-1.61	21	0.05	22
24	24	-536	Min.	10.65	9.54	22	0.18	22	-0.00	22	7.82	22	0.41	22	0.05	22
25	2025	4025	Max	0.00	75.01	21	0.48	24	-0.03	23	37.32	21	2.98	22	0.00	22
25	2025	4025	Max	12.00	75.62	21	0.48	24	0.02	24	37.32	21	0.79	21	0.00	22
25	2025	4025	Min.	0.00	8.65	22	0.15	23	-0.04	21	-52.55	22	-3.69	21	-0.04	21
25	2025	4025	Min.	12.00	9.12	22	0.15	23	-0.01	23	-52.55	22	-3.33	22	-0.04	21
26	1026	2026	Max	0.00	-509.32	23	96.45	21	324.10	21	22.99	11	-22.36	12	-0.66	22
26	1026	2026	Max	9.00	-507.29	23	96.45	21	332.78	21	22.99	11	-20.49	12	-0.66	22
26	1026	2026	Min.	0.00	-938.07	21	49.33	23	40.53	22	-77.02	23	-59.35	21	-2.18	21
26	1026	2026	Min.	9.00	-935.44	21	49.33	23	45.16	22	-77.02	23	-64.57	21	-2.18	21
26	2026	4026	Max	0.00	-175.15	23	23.24	11	-12.86	12	1678.22	21	-23.77	22	3.33	24
26	2026	4026	Max	7.00	-173.57	23	23.24	11	-11.38	12	1678.22	21	-22.91	22	3.33	24
26	2026	4026	Min.	0.00	-398.30	24	-56.76	23	-45.85	21	12.29	22	-261.22	21	-5.96	23
26	2026	4026	Min.	7.00	-396.73	24	-56.76	23	-48.62	21	12.29	22	-143.75	21	-5.96	23
27	2027	4027	Max	0.00	-49.59	12	-0.95	12	0.21	21	20.18	11	3.65	22	0.04	11
27	2027	4027	Max	12.00	-49.12	12	-0.95	12	-0.08	12	20.18	11	-0.09	12	0.04	11
27	2027	4027	Min.	0.00	-174.96	21	-5.41	21	0.04	12	-64.18	22	-2.54	11	0.00	22
27	2027	4027	Min.	12.00	-174.35	21	-5.41	21	-0.44	21	-64.18	22	-4.06	22	0.00	22
28	2028	4028	Max	0.00	117.03	23	4.15	24	0.04	23	59.68	21	1.98	22	-0.02	22
28	2028	4028	Max	12.00	117.50	23	4.15	24	0.32	24	59.68	21	0.78	21	-0.02	22
28	2028	4028	Min.	0.00	-98.22	24	-1.69	23	-0.18	24	-51.21	22	-6.38	21	-0.08	21
28	2028	4028	Min.	12.00	-97.75	24	-1.69	23	-0.17	23	-51.21	22	-4.17	22	-0.08	21
29	1029	2029	Max	0.00	-928.51	23	208.10	21	619.40	21	9.74	11	3.36	11	-0.22	22
29	1029	2029	Max	9.00	-926.49	23	208.10	21	638.13	21	9.74	11	4.23	11	-0.22	22
29	1029	2029	Min.	0.00	-1869.45	24	105.14	23	241.24	22	-117.80	23	-62.12	23	-1.56	21
29	1029	2029	Min.	9.00	-1867.43	24	105.14	23	252.61	22	-117.80	23	-72.72	23	-1.56	21
29	2029	4029	Max	0.00	-365.47	23	7.67	11	3.50	11	3230.22	21	-184.95	22	1.49	24
29	2029	4029	Max	7.00	-363.90	23	7.67	11	4.04	11	3230.22	21	-113.19	22	1.49	24

29	2029	4029	Min.	0.00	-763.76	24	-95.92	23	-56.62	23	1025.11	22	-502.04	21	-7.02	23
29	2029	4029	Min.	7.00	-762.18	24	-95.92	23	-63.34	23	1025.11	22	-275.93	21	-7.02	23
30	2030	4030	Max	0.00	-44.70	12	-2.46	12	0.28	21	47.60	21	2.02	22	0.07	11
30	2030	4030	Max	12.00	-44.23	12	-2.46	12	-0.19	12	47.60	21	0.34	11	0.07	11
30	2030	4030	Min.	0.00	-213.71	21	-7.13	21	0.11	12	-52.18	22	-5.69	21	0.02	22
30	2030	4030	Min.	12.00	-213.10	21	-7.13	21	-0.58	21	-52.18	22	-4.24	22	0.02	22
31	2031	4031	Max	0.00	133.70	23	3.65	24	0.05	23	61.10	21	1.86	22	-0.03	22
31	2031	4031	Max	12.00	134.17	23	3.65	24	0.28	24	61.10	21	0.88	21	-0.03	22
31	2031	4031	Min.	0.00	-77.77	24	-2.11	23	-0.16	24	-49.39	22	-6.45	21	-0.09	21
31	2031	4031	Min.	12.00	-77.30	24	-2.11	23	-0.20	23	-49.39	22	-4.07	22	-0.09	21
32	1032	2032	Max	0.00	-922.71	23	206.29	21	614.74	21	-8.19	22	-3.48	22	0.74	24
32	1032	2032	Max	9.00	-920.69	23	206.29	21	633.31	21	-8.19	22	-4.21	22	0.74	24
32	1032	2032	Min.	0.00	-1869.46	24	103.14	23	241.22	22	-134.24	23	-68.66	23	-0.70	23
32	1032	2032	Min.	9.00	-1867.43	24	103.14	23	252.59	22	-134.24	23	-80.74	23	-0.70	23
32	2032	4032	Max	0.00	-364.13	23	-6.86	22	-2.98	22	3204.61	21	-184.90	22	-4.24	12
32	2032	4032	Max	7.00	-362.56	23	-6.86	22	-3.46	22	3204.61	21	-113.20	22	-4.24	12
32	2032	4032	Min.	0.00	-763.80	24	-109.70	23	-62.74	23	1024.36	22	-498.18	21	-12.99	21
32	2032	4032	Min.	7.00	-762.23	24	-109.70	23	-70.42	23	1024.36	22	-273.86	21	-12.99	21
33	2033	4033	Max	0.00	-64.18	12	-2.94	12	0.30	21	45.53	11	2.16	22	0.06	11
33	2033	4033	Max	12.00	-63.70	12	-2.94	12	-0.23	12	45.53	11	0.23	11	0.06	11
33	2033	4033	Min.	0.00	-240.84	21	-7.79	21	0.13	12	-54.35	22	-5.49	21	0.02	22
33	2033	4033	Min.	12.00	-240.23	21	-7.79	21	-0.63	21	-54.35	22	-4.36	22	0.02	22
34	2034	4034	Max	0.00	79.15	23	1.63	24	0.14	23	30.71	21	3.55	22	-0.01	22
34	2034	4034	Max	9.60					0.06	12			-0.42	12		
34	2034	4034	Max	12.00	79.63	23	1.63	24	0.13	24	30.71	21	0.40	23	-0.01	22
34	2034	4034	Min.	0.00	-86.68	24	-3.79	23	-0.06	24	-62.51	22	-3.34	21	-0.05	21
34	2034	4034	Min.	9.60					0.06	12			-0.42	12		
34	2034	4034	Min.	12.00	-86.21	24	-3.79	23	-0.31	23	-62.51	22	-3.95	22	-0.05	21
35	1035	2035	Max	0.00	-449.50	23	98.06	21	329.33	21	-17.45	22	33.84	24	1.21	11
35	1035	2035	Max	9.00	-447.48	23	98.06	21	338.16	21	-17.45	22	31.84	24	1.21	11
35	1035	2035	Min.	0.00	-922.79	24	51.17	23	40.43	22	-114.25	23	-13.91	23	-0.37	23
35	1035	2035	Min.	9.00	-920.76	24	51.17	23	45.06	22	-114.25	23	-24.19	23	-0.37	23
35	2035	4035	Max	0.00	-224.56	23	-18.94	22	20.22	24	1713.59	21	-23.74	22	-3.45	22
35	2035	4035	Max	7.00	-222.99	23	-18.94	22	18.58	24	1713.59	21	-22.83	22	-3.45	22
35	2035	4035	Min.	0.00	-401.73	21	-96.80	21	-21.01	23	13.03	22	-265.87	21	-11.65	21
35	2035	4035	Min.	7.00	-399.68	21	-96.80	21	-27.63	23	13.03	22	-145.92	21	-11.65	21
36	2036	4036	Max	0.00	15.45	11	-0.36	12	0.04	24	28.78	11	3.04	22	0.03	11
36	2036	4036	Max	12.00	15.92	11	-0.36	12	-0.02	22	28.78	11	0.43	11	0.03	11
36	2036	4036	Min.	0.00	-53.48	23	-0.63	21	0.02	23	-53.51	22	-3.18	21	-0.00	22
36	2036	4036	Min.	12.00	-53.01	23	-0.63	21	-0.04	21	-53.51	22	-3.39	22	-0.00	22
37	37	-545	Max	0.00	-12.75	22	-0.13	12	0.01	24	-239.84	23	33.21	21	-0.08	12
37	37	-545	Max	13.75	-12.21	22	-0.13	12	-0.01	12	-239.84	23	-16.46	23	-0.08	12
37	37	-545	Min.	0.00	-27.37	21	-0.31	21	0.01	12	-481.79	21	16.52	23	-0.17	21
37	37	-545	Min.	13.75	-26.67	21	-0.31	21	-0.03	21	-481.79	21	-33.04	21	-0.17	21
38	38	-546	Max	0.00	-24.48	23	-0.32	22	0.05	21	-322.23	23	41.75	21	-0.09	12
38	38	-546	Max	13.75	-23.94	23	-0.32	22	-0.03	12	-322.23	23	-22.04	23	-0.09	12
38	38	-546	Min.	0.00	-47.57	21	-0.81	21	0.01	22	-604.70	21	22.27	23	-0.27	21
38	38	-546	Min.	13.75	-46.86	21	-0.81	21	-0.06	21	-604.70	21	-41.39	21	-0.27	21
39	39	-547	Max	0.00	-32.71	23	0.28	11	0.00	22	-517.50	23	71.33	24	0.00	22
39	39	-547	Max	11.00					-0.00	21			-42.35	21		
39	39	-547	Max	13.75	-32.17	23	0.28	11	0.03	24	-517.50	23	-35.52	23	0.00	22
39	39	-547	Min.	0.00	-72.19	24	-0.07	23	-0.01	21	-1034.30	24	35.63	23	-0.05	23
39	39	-547	Min.	11.00					-0.00	21			-42.35	21		
39	39	-547	Min.	13.75	-71.65	24	-0.07	23	-0.02	23	-1034.30	24	-70.88	24	-0.05	23
40	40	-548	Max	0.00	-38.49	23	-0.21	22	0.04	21	-555.77	23	73.86	21	-0.02	22
40	40	-548	Max	13.75	-37.95	23	-0.21	22	-0.03	22	-555.77	23	-38.02	23	-0.02	22
40	40	-548	Min.	0.00	-74.97	21	-0.69	21	0.00	22	-1069.98	21	38.40	23	-0.16	21
40	40	-548	Min.	13.75	-74.27	21	-0.69	21	-0.05	21	-1069.98	21	-73.26	21	-0.16	21
41	41	-549	Max	0.00	-32.40	23	0.37	24	-0.00	22	-509.55	23	71.69	24	0.03	24

41	41	-549	Max	13.75	-31.86	23	0.37	24	0.04	24	-509.55	23	-34.98	23	0.03	24
41	41	-549	Min.	0.00	-73.23	24	-0.04	23	-0.02	21	-1039.55	24	35.08	23	-0.04	23
41	41	-549	Min.	13.75	-72.69	24	-0.04	23	-0.02	23	-1039.55	24	-71.25	24	-0.04	23
42	42	-550	Max	0.00	-37.90	23	-0.16	22	0.03	21	-547.12	23	73.08	21	0.00	24
42	42	-550	Max	13.75	-37.36	23	-0.16	22	-0.02	22	-547.12	23	-37.42	23	0.00	24
42	42	-550	Min.	0.00	-73.89	21	-0.60	21	-0.00	22	-1058.41	21	37.81	23	-0.15	23
42	42	-550	Min.	13.75	-73.19	21	-0.60	21	-0.05	21	-1058.41	21	-72.45	21	-0.15	23
43	43	-551	Max	0.00	-20.31	23	0.48	24	-0.01	22	-284.96	23	39.34	21	0.13	24
43	43	-551	Max	13.75	-19.77	23	0.48	24	0.05	24	-284.96	23	-19.56	23	0.13	24
43	43	-551	Min.	0.00	-45.33	24	-0.03	23	-0.03	21	-570.82	21	19.62	23	0.00	23
43	43	-551	Min.	13.75	-44.79	24	-0.03	23	-0.02	23	-570.82	21	-39.15	21	0.00	23
44	44	-552	Max	0.00	-12.78	22	0.27	24	0.04	23	-279.14	22	35.81	21	0.13	24
44	44	-552	Max	13.75	-12.24	22	0.27	24	0.03	21	-279.14	22	-19.16	22	0.13	24
44	44	-552	Min.	0.00	-30.40	21	-0.11	23	-0.01	24	-519.00	21	19.22	22	-0.09	23
44	44	-552	Min.	13.75	-29.70	21	-0.11	23	0.01	12	-519.00	21	-35.55	21	-0.09	23
45	45	-561	Max	0.00	-8.77	23	0.01	23	-0.01	12	-213.61	23	33.31	21	-0.08	12
45	45	-561	Max	15.50	-8.16	23	0.01	23	-0.01	12	-213.61	23	-16.57	23	-0.08	12
45	45	-561	Min.	0.00	-17.25	21	0.00	11	-0.01	21	-430.11	21	16.54	23	-0.17	21
45	45	-561	Min.	15.50	-16.46	21	0.00	11	-0.01	21	-430.11	21	-33.36	21	-0.17	21
46	46	-562	Max	0.00	-15.54	23	0.01	24	0.04	23	-274.48	23	39.57	21	-0.08	12
46	46	-562	Max	15.50	-14.94	23	0.01	24	0.03	23	-274.48	23	-21.29	23	-0.08	12
46	46	-562	Min.	0.00	-34.36	24	-0.07	23	-0.01	24	-511.02	21	21.25	23	-0.26	21
46	46	-562	Min.	15.50	-33.75	24	-0.07	23	-0.01	24	-511.02	21	-39.64	21	-0.26	21
47	47	-563	Max	0.00	-22.97	23	0.01	23	0.01	24	-451.71	23	69.41	21	-0.01	22
47	47	-563	Max	15.50	-22.36	23	0.01	23	0.00	24	-451.71	23	-35.03	23	-0.01	22
47	47	-563	Min.	0.00	-50.42	24	-0.02	24	-0.01	23	-896.18	21	34.99	23	-0.05	21
47	47	-563	Min.	15.50	-49.81	24	-0.02	24	-0.01	23	-896.18	21	-69.50	21	-0.05	21
48	48	-564	Max	0.00	-23.57	23	0.01	24	0.05	23	-484.06	23	71.87	21	-0.01	22
48	48	-564	Max	9.30					-0.00	12			-9.91	12		
48	48	-564	Max	15.50	-22.96	23	0.01	24	0.04	23	-484.06	23	-37.55	23	-0.01	22
48	48	-564	Min.	0.00	-51.73	24	-0.07	23	-0.00	24	-928.22	21	37.48	23	-0.16	23
48	48	-564	Min.	12.40					-0.00	11			-37.67	11		
48	48	-564	Min.	15.50	-51.12	24	-0.07	23	-0.00	24	-928.22	21	-72.00	21	-0.16	23
49	49	-565	Max	0.00	-23.09	23	0.02	23	0.00	24	-443.98	23	69.05	21	0.02	24
49	49	-565	Max	15.50	-22.49	23	0.02	23	0.00	24	-443.98	23	-34.43	23	0.02	24
49	49	-565	Min.	0.00	-51.69	24	-0.01	24	-0.01	23	-891.61	21	34.39	23	-0.04	23
49	49	-565	Min.	15.50	-51.08	24	-0.01	24	-0.01	23	-891.61	21	-69.15	21	-0.04	23
50	50	-566	Max	0.00	-22.88	23	0.02	24	0.04	23	-476.81	23	71.18	21	0.01	24
50	50	-566	Max	15.50	-22.27	23	0.02	24	0.03	23	-476.81	23	-36.99	23	0.01	24
50	50	-566	Min.	0.00	-50.46	24	-0.06	23	-0.01	24	-919.29	21	36.92	23	-0.15	23
50	50	-566	Min.	15.50	-49.85	24	-0.06	23	-0.00	24	-919.29	21	-71.31	21	-0.15	23
51	51	-567	Max	0.00	-15.06	23	0.02	23	0.01	24	-242.52	23	37.33	21	0.12	24
51	51	-567	Max	15.50	-14.45	23	0.02	23	0.01	24	-242.52	23	-18.80	23	0.12	24
51	51	-567	Min.	0.00	-34.34	24	-0.01	24	-0.01	23	-482.01	21	18.79	23	0.01	23
51	51	-567	Min.	15.50	-33.73	24	-0.01	24	-0.00	23	-482.01	21	-37.38	21	0.01	23
52	52	-568	Max	0.00	-9.69	23	-0.00	11	0.06	23	-241.71	22	35.81	21	0.12	24
52	52	-568	Max	15.50	-9.08	23	-0.00	11	0.04	23	-241.71	22	-18.69	22	0.12	24
52	52	-568	Min.	0.00	-18.08	21	-0.09	23	0.01	12	-462.51	21	18.77	22	-0.10	23
52	52	-568	Min.	15.50	-17.29	21	-0.09	23	0.01	12	-462.51	21	-35.88	21	-0.10	23
53	53	-577	Max	0.00	-7.18	23	-0.04	22	-0.01	12	-173.31	23	30.13	21	-0.08	12
53	53	-577	Max	17.25	-6.51	23	-0.04	22	-0.02	12	-173.31	23	-14.93	23	-0.08	12
53	53	-577	Min.	0.00	-14.77	21	-0.13	21	-0.02	21	-349.08	21	14.96	23	-0.16	21
53	53	-577	Min.	17.25	-13.89	21	-0.13	21	-0.04	21	-349.08	21	-30.08	21	-0.16	21
54	54	-578	Max	0.00	-14.79	23	0.87	23	0.07	23	-202.58	22	33.73	21	-0.08	12
54	54	-578	Max	17.25	-14.11	23	0.87	23	0.22	23	-202.58	22	-17.42	22	-0.08	12
54	54	-578	Min.	0.00	-30.80	24	-0.10	11	-0.01	22	-390.83	21	17.53	22	-0.30	21
54	54	-578	Min.	17.25	-30.12	24	-0.10	11	-0.03	24	-390.83	21	-33.69	21	-0.30	21
55	55	-579	Max	0.00	-20.39	23	-0.03	22	0.01	24	-357.54	23	60.92	21	-0.01	22
55	55	-579	Max	17.25	-19.71	23	-0.03	22	0.00	22	-357.54	23	-30.82	23	-0.01	22

55	55	-579	Min.	0.00	-46.01	24	-0.09	21	-0.01	23	-705.95	21	30.86	23	-0.05	21
55	55	-579	Min.	17.25	-45.34	24	-0.09	21	-0.02	23	-705.95	21	-60.85	21	-0.05	21
56	56	-580	Max	0.00	-22.34	23	0.87	23	0.08	23	-382.16	23	62.99	21	-0.01	22
56	56	-580	Max	17.25	-21.66	23	0.87	23	0.23	23	-382.16	23	-32.95	23	-0.01	22
56	56	-580	Min.	0.00	-46.89	24	-0.06	24	0.01	22	-729.99	21	32.97	23	-0.21	23
56	56	-580	Min.	17.25	-46.21	24	-0.06	24	-0.00	24	-729.99	21	-62.93	21	-0.21	23
57	57	-581	Max	0.00	-20.30	23	0.07	24	-0.01	22	-351.12	23	60.56	21	0.02	24
57	57	-581	Max	17.25	-19.62	23	0.07	24	0.00	24	-351.12	23	-30.26	23	0.02	24
57	57	-581	Min.	0.00	-46.85	24	-0.00	23	-0.02	21	-701.63	21	30.31	23	-0.04	23
57	57	-581	Min.	17.25	-46.17	24	-0.00	23	-0.02	23	-701.63	21	-60.48	21	-0.04	23
58	58	-582	Max	0.00	-21.89	23	0.93	23	0.07	23	-376.31	23	62.40	21	0.02	24
58	58	-582	Max	13.80					-0.00	12			-25.89	12		
58	58	-582	Max	17.25	-21.21	23	0.93	23	0.23	23	-376.31	23	-32.45	23	0.02	24
58	58	-582	Min.	0.00	-46.05	24	0.03	22	-0.01	24	-723.24	21	32.46	23	-0.20	23
58	58	-582	Min.	13.80					-0.00	24			-35.59	24		
58	58	-582	Min.	17.25	-45.37	24	0.03	22	-0.00	22	-723.24	21	-62.36	21	-0.20	23
59	59	-583	Max	0.00	-13.04	23	0.10	11	0.01	22	-187.23	23	31.84	21	0.12	24
59	59	-583	Max	17.25	-12.36	23	0.10	11	0.03	24	-187.23	23	-16.13	23	0.12	24
59	59	-583	Min.	0.00	-30.78	24	0.02	23	-0.01	23	-368.77	21	16.17	23	0.01	23
59	59	-583	Min.	17.25	-30.11	24	0.02	23	-0.00	23	-368.77	21	-31.77	21	0.01	23
60	60	-584	Max	0.00	-8.68	22	0.97	23	0.08	23	-191.81	22	32.26	21	0.12	24
60	60	-584	Max	17.25	-8.01	22	0.97	23	0.25	23	-191.81	22	-16.50	22	0.12	24
60	60	-584	Min.	0.00	-16.44	21	0.04	22	0.01	12	-373.94	21	16.59	22	-0.16	23
60	60	-584	Min.	17.25	-15.56	21	0.04	22	0.02	12	-373.94	21	-32.24	21	-0.16	23
61	61	-593	Max	0.00	-12.97	23	-0.27	12	-0.02	12	-128.04	22	25.16	21	-0.09	22
61	61	-593	Max	19.00	-12.23	23	-0.27	12	-0.07	12	-128.04	22	-12.15	22	-0.09	22
61	61	-593	Min.	0.00	-47.51	24	-0.71	21	-0.03	21	-265.23	21	12.18	22	-0.18	21
61	61	-593	Min.	19.00	-46.76	24	-0.71	21	-0.17	21	-265.23	21	-25.23	21	-0.18	21
62	62	-594	Max	0.00	-12.76	22	9.55	23	-0.02	12	-144.03	22	27.89	21	-0.09	22
62	62	-594	Max	19.00	-12.02	22	9.55	23	1.45	23	-144.03	22	-13.60	22	-0.09	22
62	62	-594	Min.	0.00	-26.78	21	-0.42	24	-0.36	23	-292.66	21	13.77	22	-0.29	21
62	62	-594	Min.	19.00	-25.81	21	-0.42	24	-0.10	24	-292.66	21	-27.71	21	-0.29	21
63	63	-595	Max	0.00	-33.70	23	0.12	24	0.00	24	-267.73	23	49.97	21	-0.02	22
63	63	-595	Max	19.00	-32.95	23	0.12	24	0.03	24	-267.73	23	-25.40	23	-0.02	22
63	63	-595	Min.	0.00	-77.78	24	-0.26	23	-0.01	23	-525.01	21	25.47	23	-0.08	21
63	63	-595	Min.	19.00	-77.04	24	-0.26	23	-0.06	23	-525.01	21	-49.78	21	-0.08	21
64	64	-596	Max	0.00	-42.90	23	9.82	23	0.00	22	-278.35	23	51.35	21	-0.02	22
64	64	-596	Max	19.00	-42.15	23	9.82	23	1.52	23	-278.35	23	-26.37	23	-0.02	22
64	64	-596	Min.	0.00	-73.10	21	0.06	12	-0.35	23	-539.21	21	26.52	23	-0.20	21
64	64	-596	Min.	19.00	-72.13	21	0.06	12	0.01	12	-539.21	21	-51.10	21	-0.20	21
65	65	-597	Max	0.00	-29.01	23	-0.06	12	0.00	11	-266.65	23	50.28	21	0.05	24
65	65	-597	Max	19.00	-28.27	23	-0.06	12	-0.01	12	-266.65	23	-25.30	23	0.05	24
65	65	-597	Min.	0.00	-70.26	24	-0.40	23	-0.01	23	-528.40	21	25.36	23	-0.03	23
65	65	-597	Min.	19.00	-69.51	24	-0.40	23	-0.09	23	-528.40	21	-50.11	21	-0.03	23
66	66	-598	Max	0.00	-46.21	23	9.69	23	-0.00	22	-270.23	23	50.25	21	0.04	24
66	66	-598	Max	19.00	-45.46	23	9.69	23	1.49	23	-270.23	23	-25.59	23	0.04	24
66	66	-598	Min.	0.00	-79.67	21	-0.11	24	-0.35	23	-527.52	21	25.75	23	-0.15	23
66	66	-598	Min.	19.00	-78.70	21	-0.11	24	-0.02	24	-527.52	21	-49.98	21	-0.15	23
67	67	-599	Max	0.00	-6.63	23	0.42	24	0.02	24	-143.84	22	27.32	21	0.14	24
67	67	-599	Max	19.00	-5.88	23	0.42	24	0.10	24	-143.84	22	-13.58	22	0.14	24
67	67	-599	Min.	0.00	-16.97	11	-0.14	23	-0.00	23	-287.07	21	13.75	22	0.02	23
67	67	-599	Min.	19.00	-16.22	11	-0.14	23	-0.03	23	-287.07	21	-27.22	21	0.02	23
68	68	-600	Max	0.00	-27.12	23	9.95	23	0.02	24	-128.15	22	25.92	21	0.14	24
68	68	-600	Max	19.00	-26.38	23	9.95	23	1.55	23	-128.15	22	-12.16	22	0.14	24
68	68	-600	Min.	0.00	-48.51	21	0.27	12	-0.34	23	-272.75	21	12.19	22	-0.10	23
68	68	-600	Min.	19.00	-47.54	21	0.27	12	0.07	12	-272.75	21	-25.90	21	-0.10	23
69	69	-609	Max	0.00	-5.10	22	0.25	21	-0.03	12	-78.15	22	20.56	21	-0.04	23
69	69	-609	Max	16.60					-0.01	24			-9.71	24		
69	69	-609	Max	20.75	-4.29	22	0.25	21	0.00	11	-78.15	22	-8.02	22	-0.04	23

69	69	-609	Min.	0.00	-10.22	21	0.11	22	-0.05	21	-197.45	21	8.19	22	-0.07	21
69	69	-609	Min.	16.60					-0.01	24			-9.71	24		
69	69	-609	Min.	20.75	-9.17	21	0.11	22	-0.01	23	-197.45	21	-20.41	21	-0.07	21
70	70	-610	Max	0.00	-10.01	23	1.23	23	0.07	23	-99.28	22	22.73	21	-0.04	22
70	70	-610	Max	16.60					-0.01	24			-11.61	24		
70	70	-610	Max	20.75	-9.20	23	1.23	23	0.33	23	-99.28	22	-10.24	22	-0.04	22
70	70	-610	Min.	0.00	-24.26	24	0.11	22	-0.04	24	-218.51	21	10.36	22	-0.10	21
70	70	-610	Min.	16.60					-0.01	24			-11.61	24		
70	70	-610	Min.	20.75	-23.45	24	0.11	22	-0.00	22	-218.51	21	-22.61	21	-0.10	21
71	71	-611	Max	0.00	-14.13	23	0.12	21	0.00	22	-198.37	23	40.21	21	-0.02	23
71	71	-611	Max	16.60					-0.00	23			-12.28	23		
71	71	-611	Max	20.75	-13.32	23	0.12	21	0.01	24	-198.37	23	-20.52	23	-0.02	23
71	71	-611	Min.	0.00	-31.77	24	0.01	22	-0.02	23	-386.35	21	20.65	23	-0.03	21
71	71	-611	Min.	16.60					-0.00	23			-12.28	23		
71	71	-611	Min.	20.75	-30.96	24	0.01	22	0.00	23	-386.35	21	-39.96	21	-0.03	21
72	72	-612	Max	0.00	-14.38	23	1.18	23	0.09	23	-200.41	23	41.07	21	-0.02	22
72	72	-612	Max	20.75	-13.57	23	1.18	23	0.33	23	-200.41	23	-20.73	23	-0.02	22
72	72	-612	Min.	0.00	-33.23	24	0.03	22	-0.00	11	-394.62	21	20.86	23	-0.06	21
72	72	-612	Min.	20.75	-32.42	24	0.03	22	0.00	22	-394.62	21	-40.82	21	-0.06	21
73	73	-613	Max	0.00	-14.54	23	0.06	23	0.00	24	-200.90	23	41.09	21	0.02	24
73	73	-613	Max	20.75	-13.73	23	0.06	23	-0.01	22	-200.90	23	-20.78	23	0.02	24
73	73	-613	Min.	0.00	-33.21	24	-0.06	24	-0.02	23	-394.90	21	20.91	23	0.01	23
73	73	-613	Min.	20.75	-32.40	24	-0.06	24	-0.01	21	-394.90	21	-40.85	21	0.01	23
74	74	-614	Max	0.00	-13.69	23	1.14	23	0.09	23	-190.92	23	39.53	21	0.03	24
74	74	-614	Max	20.75	-12.88	23	1.14	23	0.32	23	-190.92	23	-19.74	23	0.03	24
74	74	-614	Min.	0.00	-31.79	24	-0.04	24	0.00	22	-379.79	21	19.87	23	-0.02	23
74	74	-614	Min.	20.75	-30.97	24	-0.04	24	-0.01	24	-379.79	21	-39.28	21	-0.02	23
75	75	-615	Max	0.00	-10.41	23	-0.01	23	0.04	24	-99.20	22	23.20	21	0.06	24
75	75	-615	Max	20.75	-9.59	23	-0.01	23	0.00	22	-99.20	22	-10.23	22	0.06	24
75	75	-615	Min.	0.00	-24.25	24	-0.17	24	-0.00	23	-223.04	21	10.35	22	0.02	23
75	75	-615	Min.	20.75	-23.44	24	-0.17	24	-0.01	21	-223.04	21	-23.08	21	0.02	23
76	76	-616	Max	0.00	-5.10	22	1.06	23	0.11	21	-78.18	22	20.23	21	0.06	24
76	76	-616	Max	20.75	-4.29	22	1.06	23	0.33	23	-78.18	22	-8.03	22	0.06	24
76	76	-616	Min.	0.00	-9.93	21	-0.17	24	0.02	12	-194.18	21	8.20	22	-0.01	23
76	76	-616	Min.	20.75	-8.88	21	-0.17	24	-0.00	11	-194.18	21	-20.07	21	-0.01	23
77	77	-625	Max	0.00	-2.90	22	0.01	21	-0.01	12	-59.58	22	18.22	21	-0.03	23
77	77	-625	Max	22.50	-2.02	22	0.01	21	-0.01	12	-59.58	22	-6.64	22	-0.03	23
77	77	-625	Min.	0.00	-7.11	21	0.00	12	-0.01	21	-161.46	21	6.76	22	-0.06	21
77	77	-625	Min.	22.50	-5.96	21	0.00	12	-0.01	21	-161.46	21	-18.11	21	-0.06	21
78	78	-626	Max	0.00	-9.11	23	0.01	22	0.14	23	-59.39	22	18.15	21	-0.04	22
78	78	-626	Max	22.50	-8.23	23	0.01	22	0.13	23	-59.39	22	-6.62	22	-0.04	22
78	78	-626	Min.	0.00	-22.61	24	-0.03	23	-0.01	24	-160.75	21	6.75	22	-0.15	21
78	78	-626	Min.	22.50	-21.73	24	-0.03	23	-0.01	24	-160.75	21	-18.02	21	-0.15	21
79	79	-627	Max	0.00	-11.77	23	0.01	23	0.00	12	-147.24	22	33.86	21	-0.02	23
79	79	-627	Max	22.50	-10.89	23	0.01	23	0.00	12	-147.24	22	-16.45	22	-0.02	23
79	79	-627	Min.	0.00	-27.25	24	-0.00	24	-0.00	23	-299.85	21	16.67	22	-0.03	21
79	79	-627	Min.	22.50	-26.37	24	-0.00	24	-0.00	21	-299.85	21	-33.61	21	-0.03	21
80	80	-628	Max	0.00	-12.16	23	-0.00	22	0.15	23	-153.72	22	34.47	21	-0.02	22
80	80	-628	Max	22.50	-11.28	23	-0.00	22	0.14	23	-153.72	22	-17.18	22	-0.02	22
80	80	-628	Min.	0.00	-28.72	24	-0.04	23	0.00	24	-305.28	21	17.41	22	-0.11	21
80	80	-628	Min.	22.50	-27.84	24	-0.04	23	-0.00	24	-305.28	21	-34.22	21	-0.11	21
81	81	-629	Max	0.00	-12.21	23	0.01	21	0.00	24	-153.51	22	34.62	21	0.02	24
81	81	-629	Max	18.00					-0.00	25			-18.25	25		
81	81	-629	Max	22.50	-11.33	23	0.01	21	0.00	24	-153.51	22	-17.16	22	0.02	24
81	81	-629	Min.	0.00	-28.71	24	0.00	22	-0.00	23	-306.62	21	17.38	22	0.01	23
81	81	-629	Min.	18.00					-0.00	25			-18.25	25		
81	81	-629	Min.	22.50	-27.83	24	0.00	22	-0.00	23	-306.62	21	-34.37	21	0.01	23
82	82	-630	Max	0.00	-11.50	23	0.00	11	0.15	23	-147.43	22	33.11	21	0.03	24
82	82	-630	Max	22.50	-10.61	23	0.00	11	0.14	23	-147.43	22	-16.48	22	0.03	24

82	82	-630	Min.	0.00	-27.26	24	-0.03	23	0.00	12	-293.25	21	16.70	22	-0.09	23
82	82	-630	Min.	22.50	-26.38	24	-0.03	23	0.00	12	-293.25	21	-32.87	21	-0.09	23
83	83	-631	Max	0.00	-9.31	23	0.01	23	0.01	24	-59.32	22	18.71	21	0.06	24
83	83	-631	Max	4.50					-0.00	23			5.94	23		
83	83	-631	Max	22.50	-8.43	23	0.01	23	0.01	24	-59.32	22	-6.61	22	0.06	24
83	83	-631	Min.	0.00	-22.61	24	-0.01	22	-0.00	23	-165.69	21	6.74	22	0.02	23
83	83	-631	Min.	4.50					-0.00	23			5.94	23		
83	83	-631	Min.	22.50	-21.72	24	-0.01	22	0.00	23	-165.69	21	-18.57	21	0.02	23
84	84	-632	Max	0.00	-2.90	22	-0.00	12	0.15	23	-59.60	22	17.78	21	0.06	24
84	84	-632	Max	22.50	-2.02	22	-0.00	12	0.14	23	-59.60	22	-6.64	22	0.06	24
84	84	-632	Min.	0.00	-6.95	21	-0.04	23	0.01	12	-157.52	21	6.77	22	-0.08	23
84	84	-632	Min.	22.50	-5.80	21	-0.04	23	0.01	12	-157.52	21	-17.66	21	-0.08	23
85	85	-641	Max	0.00	-3.53	22	-0.06	22	0.00	11	-43.47	22	15.91	21	-0.04	23
85	85	-641	Max	24.25	-2.57	22	-0.06	22	-0.02	12	-43.47	22	-5.23	22	-0.04	23
85	85	-641	Min.	0.00	-7.11	21	-0.15	21	-0.00	22	-130.88	21	5.31	22	-0.06	21
85	85	-641	Min.	24.25	-5.87	21	-0.15	21	-0.03	21	-130.88	21	-15.82	21	-0.06	21
86	86	-642	Max	0.00	-8.07	23	1.25	23	0.12	23	-28.38	22	14.14	21	-0.04	22
86	86	-642	Max	24.25	-7.12	23	1.25	23	0.42	23	-28.38	22	-3.37	22	-0.04	22
86	86	-642	Min.	0.00	-20.06	24	-0.11	11	-0.00	22	-115.98	21	3.51	22	-0.23	21
86	86	-642	Min.	24.25	-19.11	24	-0.11	11	-0.03	24	-115.98	21	-13.98	21	-0.23	21
87	87	-643	Max	0.00	-11.30	23	-0.02	22	0.00	21	-98.23	22	27.97	21	-0.02	23
87	87	-643	Max	24.25	-10.34	23	-0.02	22	-0.01	22	-98.23	22	-11.82	22	-0.02	23
87	87	-643	Min.	0.00	-25.92	24	-0.08	21	0.00	22	-229.79	21	12.00	22	-0.03	21
87	87	-643	Min.	24.25	-24.97	24	-0.08	21	-0.02	21	-229.79	21	-27.76	21	-0.03	21
88	88	-644	Max	0.00	-11.48	23	1.26	23	0.12	23	-102.70	22	28.43	21	-0.02	22
88	88	-644	Max	24.25	-10.52	23	1.26	23	0.43	23	-102.70	22	-12.36	22	-0.02	22
88	88	-644	Min.	0.00	-27.11	24	-0.05	24	0.00	22	-233.57	21	12.54	22	-0.20	23
88	88	-644	Min.	24.25	-26.16	24	-0.05	24	-0.01	24	-233.57	21	-28.21	21	-0.20	23
89	89	-645	Max	0.00	-11.62	23	0.06	24	0.00	23	-102.52	22	28.56	21	0.02	24
89	89	-645	Max	24.25	-10.67	23	0.06	24	0.01	24	-102.52	22	-12.34	22	0.02	24
89	89	-645	Min.	0.00	-27.10	24	-0.01	23	-0.00	11	-234.68	21	12.52	22	0.01	23
89	89	-645	Min.	24.25	-26.15	24	-0.01	23	-0.00	23	-234.68	21	-28.34	21	0.01	23
90	90	-646	Max	0.00	-10.90	23	1.31	23	0.12	23	-98.39	22	27.31	21	0.03	24
90	90	-646	Max	24.25	-9.95	23	1.31	23	0.44	23	-98.39	22	-11.84	22	0.03	24
90	90	-646	Min.	0.00	-25.92	24	0.03	22	-0.00	11	-224.33	21	12.02	22	-0.17	23
90	90	-646	Min.	24.25	-24.96	24	0.03	22	0.01	22	-224.33	21	-27.09	21	-0.17	23
91	91	-647	Max	0.00	-8.33	23	0.11	11	0.00	22	-28.33	22	14.64	21	0.06	24
91	91	-647	Max	24.25	-7.38	23	0.11	11	0.03	24	-28.33	22	-3.36	22	0.06	24
91	91	-647	Min.	0.00	-20.05	24	0.04	23	-0.01	21	-120.07	21	3.51	22	0.02	23
91	91	-647	Min.	24.25	-19.10	24	0.04	23	0.01	23	-120.07	21	-14.48	21	0.02	23
92	92	-648	Max	0.00	-3.53	22	1.37	23	0.12	23	-43.49	22	15.50	21	0.06	24
92	92	-648	Max	24.25	-2.57	22	1.37	23	0.45	23	-43.49	22	-5.23	22	0.06	24
92	92	-648	Min.	0.00	-6.97	21	0.06	22	-0.00	11	-127.41	21	5.31	22	-0.16	23
92	92	-648	Min.	24.25	-5.74	21	0.06	22	0.02	12	-127.41	21	-15.40	21	-0.16	23
93	93	-657	Max	0.00	-21.57	23	-0.10	23	-0.00	12	-8.87	22	10.94	21	-0.05	22
93	93	-657	Max	26.00	-20.55	23	-0.10	23	-0.03	23	-8.87	22	-1.11	22	-0.05	22
93	93	-657	Min.	0.00	-48.57	24	-0.21	24	-0.01	21	-83.79	21	1.20	22	-0.11	21
93	93	-657	Min.	26.00	-47.55	24	-0.21	24	-0.06	24	-83.79	21	-10.85	21	-0.11	21
94	94	-658	Max	0.00	-0.56	22	9.32	23	-0.00	12	-11.55	22	11.47	21	-0.05	22
94	94	-658	Max	26.00	0.46	22	9.32	23	2.00	23	-11.55	22	-1.44	22	-0.05	22
94	94	-658	Min.	0.00	-4.59	12	-0.21	24	-0.43	23	-87.72	21	1.56	22	-0.23	21
94	94	-658	Min.	26.00	-3.57	12	-0.21	24	-0.06	24	-87.72	21	-11.34	21	-0.23	21
95	95	-659	Max	0.00	-30.09	23	-0.06	12	-0.00	22	-40.39	22	19.94	21	-0.02	22
95	95	-659	Max	26.00	-29.07	23	-0.06	12	-0.02	12	-40.39	22	-5.14	22	-0.02	22
95	95	-659	Min.	0.00	-56.99	24	-0.12	21	-0.00	21	-152.25	21	5.36	22	-0.06	21
95	95	-659	Min.	26.00	-55.97	24	-0.12	21	-0.03	21	-152.25	21	-19.65	21	-0.06	21
96	96	-660	Max	0.00	-28.33	23	9.36	23	-0.00	22	-44.06	22	20.55	21	-0.02	22
96	96	-660	Max	26.00	-27.31	23	9.36	23	2.01	23	-44.06	22	-5.62	22	-0.02	22
96	96	-660	Min.	0.00	-56.57	24	-0.09	24	-0.42	23	-157.01	21	5.84	22	-0.18	21

96	96	-660	Min.	26.00	-55.55	24	-0.09	24	-0.03	24	-157.01	21	-20.27	21	-0.18	21
97	97	-661	Max	0.00	-29.76	23	0.09	24	0.00	24	-43.92	22	20.53	21	0.04	24
97	97	-661	Max	26.00	-28.74	23	0.09	24	0.03	24	-43.92	22	-5.60	22	0.04	24
97	97	-661	Min.	0.00	-56.53	24	0.02	23	0.00	23	-156.82	21	5.82	22	0.00	23
97	97	-661	Min.	26.00	-55.51	24	0.02	23	0.00	23	-156.82	21	-20.24	21	0.00	23
98	98	-662	Max	0.00	-27.00	23	9.45	23	0.00	24	-40.53	22	19.59	21	0.04	24
98	98	-662	Max	26.00	-25.98	23	9.45	23	2.03	23	-40.53	22	-5.16	22	0.04	24
98	98	-662	Min.	0.00	-57.03	24	0.07	12	-0.42	23	-149.64	21	5.38	22	-0.13	23
98	98	-662	Min.	26.00	-56.01	24	0.07	12	0.02	12	-149.64	21	-19.31	21	-0.13	23
99	99	-663	Max	0.00	-0.54	22	0.20	24	0.01	24	-11.53	22	11.69	21	0.09	24
99	99	-663	Max	26.00	0.48	22	0.20	24	0.06	24	-11.53	22	-1.44	22	0.09	24
99	99	-663	Min.	0.00	-7.06	21	0.02	23	0.00	23	-89.39	21	1.56	22	0.03	23
99	99	-663	Min.	26.00	-5.74	21	0.02	23	0.01	23	-89.39	21	-11.55	21	0.03	23
100	100	-664	Max	0.00	-20.57	23	9.45	23	0.01	24	-8.87	22	10.61	21	0.09	24
100	100	-664	Max	26.00	-19.55	23	9.45	23	2.03	23	-8.87	22	-1.11	22	0.09	24
100	100	-664	Min.	0.00	-48.59	24	0.10	12	-0.42	23	-81.23	21	1.20	22	-0.10	23
100	100	-664	Min.	26.00	-47.57	24	0.10	12	0.03	12	-81.23	21	-10.51	21	-0.10	23
101	101	-673	Max	0.00	-1.40	22	0.16	21	-0.02	23	19.02	22	6.37	21	-0.01	22
101	101	-673	Max	22.20					-0.00	22			1.66	22		
101	101	-673	Max	27.75	-0.32	22	0.16	21	0.01	21	19.02	22	2.71	22	-0.01	22
101	101	-673	Min.	0.00	-4.28	21	0.08	22	-0.03	21	-45.27	21	-2.56	22	-0.03	21
101	101	-673	Min.	22.20					-0.00	22			1.66	22		
101	101	-673	Min.	27.75	-2.86	21	0.08	22	0.00	22	-45.27	21	-6.19	21	-0.03	21
102	102	-674	Max	0.00	-7.03	23	1.48	23	0.12	23	3.22	22	8.76	21	-0.01	22
102	102	-674	Max	22.20					-0.00	22			0.31	22		
102	102	-674	Max	27.75	-5.94	23	1.48	23	0.53	23	3.22	22	0.49	22	-0.01	22
102	102	-674	Min.	0.00	-18.17	24	0.07	22	-0.03	24	-62.76	21	-0.40	22	-0.06	21
102	102	-674	Min.	22.20					-0.00	22			0.31	22		
102	102	-674	Min.	27.75	-17.08	24	0.07	22	0.00	22	-62.76	21	-8.65	21	-0.06	21
103	103	-675	Max	0.00	-8.20	23	0.09	21	-0.01	22	5.86	22	12.67	21	-0.01	23
103	103	-675	Max	22.20					-0.00	22			0.60	22		
103	103	-675	Max	27.75	-7.11	23	0.09	21	0.01	21	5.86	22	0.93	22	-0.01	23
103	103	-675	Min.	0.00	-20.04	24	0.03	22	-0.02	21	-90.27	21	-0.70	22	-0.01	21
103	103	-675	Min.	22.20					-0.00	26			-2.52	26		
103	103	-675	Min.	27.75	-18.95	24	0.03	22	0.00	22	-90.27	21	-12.38	21	-0.01	21
104	104	-676	Max	0.00	-8.58	23	1.45	23	0.12	23	3.33	22	13.25	21	-0.01	22
104	104	-676	Max	22.20					-0.00	22			0.39	22		
104	104	-676	Max	27.75	-7.49	23	1.45	23	0.53	23	3.33	22	0.58	22	-0.01	22
104	104	-676	Min.	0.00	-21.22	24	0.03	22	-0.01	24	-94.51	21	-0.35	22	-0.04	21
104	104	-676	Min.	22.20					-0.00	22			0.39	22		
104	104	-676	Min.	27.75	-20.13	24	0.03	22	0.00	22	-94.51	21	-12.97	21	-0.04	21
105	105	-677	Max	0.00	-8.57	23	0.01	23	0.01	24	3.43	22	13.15	21	0.02	21
105	105	-677	Max	27.75	-7.48	23	0.01	23	0.00	23	3.43	22	0.59	22	0.02	21
105	105	-677	Min.	0.00	-21.21	24	-0.06	24	0.00	23	-93.76	21	-0.36	22	0.01	22
105	105	-677	Min.	27.75	-20.12	24	-0.06	24	-0.00	11	-93.76	21	-12.87	21	0.01	22
106	106	-678	Max	0.00	-8.12	23	1.40	23	0.13	23	5.77	22	12.55	21	0.01	24
106	106	-678	Max	27.75	-7.04	23	1.40	23	0.52	23	5.77	22	0.92	22	0.01	24
106	106	-678	Min.	0.00	-20.05	24	-0.05	24	0.01	22	-89.42	21	-0.69	22	-0.02	23
106	106	-678	Min.	27.75	-18.96	24	-0.05	24	-0.00	11	-89.42	21	-12.26	21	-0.02	23
107	107	-679	Max	0.00	-7.13	23	-0.04	23	0.03	24	3.23	22	8.78	21	0.03	21
107	107	-679	Max	27.75	-6.04	23	-0.04	23	0.00	22	3.23	22	0.49	22	0.03	21
107	107	-679	Min.	0.00	-18.18	24	-0.12	24	0.01	23	-62.82	21	-0.40	22	0.01	22
107	107	-679	Min.	27.75	-17.09	24	-0.12	24	-0.01	11	-62.82	21	-8.66	21	0.01	22
108	108	-680	Max	0.00	-1.40	22	1.35	23	0.14	21	19.03	22	6.13	21	0.03	11
108	108	-680	Max	27.75	-0.32	22	1.35	23	0.52	23	19.03	22	2.72	22	0.03	11
108	108	-680	Min.	0.00	-4.18	21	-0.12	24	0.02	12	-43.56	21	-2.56	22	-0.01	23
108	108	-680	Min.	27.75	-2.76	21	-0.12	24	-0.01	11	-43.56	21	-5.95	21	-0.01	23
109	109	-689	Max	0.00	0.47	22	0.02	24	-0.01	23	23.76	22	4.86	21	-0.01	22
109	109	-689	Max	29.50	1.62	22	0.02	24	-0.00	23	23.76	22	3.55	22	-0.01	22

109	109	-689	Min.	0.00	-1.96	21	0.01	12	-0.01	24	-32.52	21	-3.46	22	-0.03	21
109	109	-689	Min.	29.50	-0.49	25	0.01	12	-0.01	24	-32.52	21	-4.73	21	-0.03	21
110	110	-690	Max	0.00	-6.71	23	0.17	23	0.20	23	22.12	22	5.41	21	-0.01	22
110	110	-690	Max	29.50	-5.56	23	0.17	23	0.25	23	22.12	22	3.31	22	-0.01	22
110	110	-690	Min.	0.00	-17.84	24	0.01	12	-0.01	24	-36.24	21	-3.21	22	-0.13	21
110	110	-690	Min.	29.50	-16.68	24	0.01	12	-0.01	24	-36.24	21	-5.28	21	-0.13	21
111	111	-691	Max	0.00	-6.76	23	0.01	21	-0.00	22	29.40	22	8.31	21	-0.00	23
111	111	-691	Max	17.70					-0.00	23			-0.80	23		
111	111	-691	Max	29.50	-5.60	23	0.01	21	0.00	23	29.40	22	4.43	22	-0.00	23
111	111	-691	Min.	0.00	-17.30	24	0.00	22	-0.00	21	-55.49	21	-4.24	22	-0.01	24
111	111	-691	Min.	17.70					-0.00	23			-0.80	23		
111	111	-691	Min.	29.50	-16.15	24	0.00	22	-0.00	24	-55.49	21	-8.06	21	-0.01	24
112	112	-692	Max	0.00	-7.15	23	0.17	23	0.20	23	28.20	22	8.73	21	-0.01	22
112	112	-692	Max	29.50	-5.99	23	0.17	23	0.25	23	28.20	22	4.25	22	-0.01	22
112	112	-692	Min.	0.00	-18.48	24	0.01	22	-0.00	24	-58.33	21	-4.07	22	-0.12	23
112	112	-692	Min.	29.50	-17.32	24	0.01	22	-0.00	24	-58.33	21	-8.48	21	-0.12	23
113	113	-693	Max	0.00	-7.12	23	0.00	23	0.00	24	28.28	22	8.62	21	0.01	21
113	113	-693	Max	29.50	-5.97	23	0.00	23	0.00	21	28.28	22	4.26	22	0.01	21
113	113	-693	Min.	0.00	-18.47	24	-0.01	24	0.00	23	-57.60	21	-4.08	22	0.01	22
113	113	-693	Min.	29.50	-17.32	24	-0.01	24	0.00	22	-57.60	21	-8.37	21	0.01	22
114	114	-694	Max	0.00	-6.75	23	0.16	23	0.20	23	29.33	22	8.23	21	0.01	11
114	114	-694	Max	29.50	-5.59	23	0.16	23	0.25	23	29.33	22	4.42	22	0.01	11
114	114	-694	Min.	0.00	-17.30	24	-0.01	24	0.00	22	-54.96	21	-4.23	22	-0.11	23
114	114	-694	Min.	29.50	-16.15	24	-0.01	24	0.00	22	-54.96	21	-7.98	21	-0.11	23
115	115	-695	Max	0.00	-6.67	23	-0.00	23	0.01	24	22.13	22	5.38	21	0.03	21
115	115	-695	Max	29.50	-5.51	23	-0.00	23	0.01	24	22.13	22	3.31	22	0.03	21
115	115	-695	Min.	0.00	-17.84	24	-0.02	24	0.00	23	-36.07	21	-3.21	22	0.01	22
115	115	-695	Min.	29.50	-16.68	24	-0.02	24	0.00	23	-36.07	21	-5.26	21	0.01	22
116	116	-696	Max	0.00	0.47	22	0.16	23	0.20	23	23.77	22	4.65	21	0.02	11
116	116	-696	Max	29.50	1.62	22	0.16	23	0.25	23	23.77	22	3.56	22	0.02	11
116	116	-696	Min.	0.00	-1.90	21	-0.02	24	0.01	12	-31.07	21	-3.46	22	-0.10	23
116	116	-696	Min.	29.50	-0.47	11	-0.02	24	0.00	12	-31.07	21	-4.52	21	-0.10	23
117	117	-705	Max	0.00	-1.06	22	-0.05	22	0.00	21	27.95	22	3.43	21	-0.01	22
117	117	-705	Max	31.25	0.17	22	-0.05	22	-0.02	23	27.95	22	4.39	22	-0.01	22
117	117	-705	Min.	0.00	-3.12	21	-0.10	21	-0.01	22	-21.66	21	-4.34	22	-0.03	21
117	117	-705	Min.	31.25	-1.52	21	-0.10	21	-0.03	24	-21.66	21	-3.34	21	-0.03	21
118	118	-706	Max	0.00	-6.28	23	1.53	23	0.12	23	38.16	22	2.21	21	-0.01	22
118	118	-706	Max	31.25	-5.05	23	1.53	23	0.60	23	38.16	22	6.01	22	-0.01	22
118	118	-706	Min.	0.00	-16.25	24	-0.08	24	-0.01	22	-13.73	21	-5.91	22	-0.23	23
118	118	-706	Min.	31.25	-15.03	24	-0.08	24	-0.03	24	-13.73	21	-2.08	21	-0.23	23
119	119	-707	Max	0.00	-7.20	23	-0.01	22	0.00	23	49.78	22	4.11	21	-0.00	23
119	119	-707	Max	31.25	-5.97	23	-0.01	22	-0.00	22	49.78	22	7.84	22	-0.00	23
119	119	-707	Min.	0.00	-17.85	24	-0.05	21	0.00	11	-25.70	21	-7.71	22	-0.01	24
119	119	-707	Min.	31.25	-16.62	24	-0.05	21	-0.01	21	-25.70	21	-3.92	21	-0.01	24
120	120	-708	Max	0.00	-7.57	23	1.56	23	0.12	23	49.50	22	4.37	21	-0.01	22
120	120	-708	Max	31.25	-6.35	23	1.56	23	0.61	23	49.50	22	7.80	22	-0.01	22
120	120	-708	Min.	0.00	-18.89	24	-0.03	24	0.00	22	-27.35	21	-7.67	22	-0.22	23
120	120	-708	Min.	31.25	-17.66	24	-0.03	24	-0.01	24	-27.35	21	-4.18	21	-0.22	23
121	121	-709	Max	0.00	-7.51	23	0.03	24	0.00	23	49.57	22	4.28	21	0.01	21
121	121	-709	Max	31.25	-6.28	23	0.03	24	0.01	24	49.57	22	7.81	22	0.01	21
121	121	-709	Min.	0.00	-18.89	24	-0.00	23	0.00	11	-26.77	21	-7.68	22	0.01	22
121	121	-709	Min.	31.25	-17.66	24	-0.00	23	0.00	23	-26.77	21	-4.08	21	0.01	22
122	122	-710	Max	0.00	-7.17	23	1.58	23	0.12	23	49.72	22	4.05	21	0.01	24
122	122	-710	Max	31.25	-5.95	23	1.58	23	0.62	23	49.72	22	7.83	22	0.01	24
122	122	-710	Min.	0.00	-17.85	24	0.02	22	0.00	22	-25.32	21	-7.70	22	-0.20	23
122	122	-710	Min.	31.25	-16.63	24	0.02	22	0.00	22	-25.32	21	-3.86	21	-0.20	23
123	123	-711	Max	0.00	-6.29	23	0.08	24	0.01	22	38.17	22	2.16	21	0.03	21
123	123	-711	Max	31.25	-5.06	23	0.08	24	0.03	24	38.17	22	6.02	22	0.03	21
123	123	-711	Min.	0.00	-16.26	24	0.03	23	0.00	11	-13.43	21	-5.91	22	0.01	22

123	123	-711	Min.	31.25	-15.03	24	0.03	23	0.01	23	-13.43	21	-2.03	21	0.01	22
124	124	-712	Max	0.00	-1.06	22	1.62	23	0.12	23	27.95	22	3.21	21	0.03	11
124	124	-712	Max	31.25	0.17	22	1.62	23	0.63	23	27.95	22	4.39	22	0.03	11
124	124	-712	Min.	0.00	-3.10	21	0.05	22	0.00	11	-20.29	21	-4.34	22	-0.20	23
124	124	-712	Min.	31.25	-1.51	21	0.05	22	0.02	12	-20.29	21	-3.13	21	-0.20	23
125	125	-721	Max	0.00	-16.57	23	-0.13	23	0.00	23	45.98	22	-0.07	23	-0.01	22
125	125	-721	Max	33.00	-15.28	23	-0.13	23	-0.04	23	45.98	22	7.63	22	-0.01	22
125	125	-721	Min.	0.00	-41.68	24	-0.26	24	-0.00	24	0.55	23	-7.55	22	-0.06	21
125	125	-721	Min.	33.00	-40.39	24	-0.26	24	-0.09	24	0.55	23	0.12	23	-0.06	21
126	126	-722	Max	0.00	-2.65	22	8.44	23	0.00	22	47.68	22	-0.11	23	-0.01	22
126	126	-722	Max	33.00	-1.35	22	8.44	23	2.28	23	47.68	22	7.91	22	-0.01	22
126	126	-722	Min.	0.00	-6.17	21	-0.26	24	-0.50	23	0.82	23	-7.83	22	-0.19	21
126	126	-722	Min.	33.00	-4.48	21	-0.26	24	-0.09	24	0.82	23	0.17	23	-0.19	21
127	127	-723	Max	0.00	-26.73	23	-0.03	22	0.00	21	81.12	22	-1.12	23	-0.01	22
127	127	-723	Max	33.00	-25.43	23	-0.03	22	-0.01	22	81.12	22	13.46	22	-0.01	22
127	127	-723	Min.	0.00	-51.27	24	-0.09	21	0.00	22	7.13	23	-13.31	22	-0.03	21
127	127	-723	Min.	33.00	-49.97	24	-0.09	21	-0.03	21	7.13	23	1.24	23	-0.03	21
128	128	-724	Max	0.00	-26.43	23	8.52	23	0.00	11	80.40	22	-1.01	23	-0.01	22
128	128	-724	Max	33.00	-25.14	23	8.52	23	2.31	23	80.40	22	13.35	22	-0.01	22
128	128	-724	Min.	0.00	-49.61	24	-0.07	24	-0.50	23	6.51	23	-13.19	22	-0.16	23
128	128	-724	Min.	33.00	-48.31	24	-0.07	24	-0.02	24	6.51	23	1.13	23	-0.16	23
129	129	-725	Max	0.00	-25.62	23	0.07	24	0.00	23	80.46	22	-1.02	23	0.02	11
129	129	-725	Max	33.00	-24.33	23	0.07	24	0.02	24	80.46	22	13.36	22	0.02	11
129	129	-725	Min.	0.00	-49.59	24	0.02	23	0.00	11	6.56	23	-13.20	22	0.00	23
129	129	-725	Min.	33.00	-48.29	24	0.02	23	0.01	23	6.56	23	1.14	23	0.00	23
130	130	-726	Max	0.00	-26.04	23	8.58	23	0.00	22	81.08	22	-1.13	23	0.02	24
130	130	-726	Max	33.00	-24.74	23	8.58	23	2.33	23	81.08	22	13.46	22	0.02	24
130	130	-726	Min.	0.00	-51.29	24	0.03	22	-0.50	23	7.20	23	-13.30	22	-0.14	23
130	130	-726	Min.	33.00	-49.99	24	0.03	22	0.01	22	7.20	23	1.25	23	-0.14	23
131	131	-727	Max	0.00	-2.64	22	0.26	24	0.00	21	47.69	22	-0.26	12	0.05	21
131	131	-727	Max	33.00	-1.35	22	0.26	24	0.09	24	47.69	22	7.91	22	0.05	21
131	131	-727	Min.	0.00	-7.29	21	0.09	23	0.00	22	1.80	23	-7.83	22	0.01	22
131	131	-727	Min.	33.00	-5.61	21	0.09	23	0.03	23	1.80	23	0.33	23	0.01	22
132	132	-728	Max	0.00	-17.27	23	8.66	23	0.00	24	46.00	22	-0.32	12	0.05	11
132	132	-728	Max	33.00	-15.98	23	8.66	23	2.36	23	46.00	22	7.63	22	0.05	11
132	132	-728	Min.	0.00	-41.69	24	0.14	12	-0.50	23	2.14	12	-7.55	22	-0.12	23
132	132	-728	Min.	33.00	-40.39	24	0.14	12	0.05	12	2.14	12	0.39	12	-0.12	23
133	133	-737	Max	0.00	0.29	22	0.09	21	-0.02	23	60.58	22	-1.78	23	0.03	22
133	133	-737	Max	34.75	1.65	22	0.09	21	0.00	21	60.58	22	10.58	22	0.03	22
133	133	-737	Min.	0.00	-1.57	21	0.04	22	-0.03	21	10.49	23	-10.47	22	0.00	25
133	133	-737	Min.	34.75	0.05	25	0.04	22	-0.01	22	10.49	23	1.86	23	0.00	25
134	134	-738	Max	0.00	-5.53	23	1.72	23	0.10	23	55.85	22	-1.44	23	0.03	22
134	134	-738	Max	34.75	-4.17	23	1.72	23	0.70	23	55.85	22	9.74	22	0.03	22
134	134	-738	Min.	0.00	-15.13	24	0.04	22	-0.03	24	8.47	23	-9.67	22	-0.01	21
134	134	-738	Min.	34.75	-13.77	24	0.04	22	-0.01	22	8.47	23	1.50	23	-0.01	21
135	135	-739	Max	0.00	-5.49	23	0.03	21	-0.00	22	106.90	22	-4.27	23	-0.00	23
135	135	-739	Max	27.80					-0.00	24			9.68	24		
135	135	-739	Max	34.75	-4.13	23	0.03	21	0.00	23	106.90	22	18.66	22	-0.00	23
135	135	-739	Min.	0.00	-14.56	24	0.01	22	-0.01	21	24.94	23	-18.48	22	-0.01	21
135	135	-739	Min.	27.80					-0.00	12			3.59	12		
135	135	-739	Min.	34.75	-13.19	24	0.01	22	0.00	11	24.94	23	4.40	23	-0.01	21
136	136	-740	Max	0.00	-5.80	23	1.69	23	0.11	23	105.76	22	-4.17	23	0.00	22
136	136	-740	Max	27.80					-0.00	22			11.11	22		
136	136	-740	Max	34.75	-4.44	23	1.69	23	0.70	23	105.76	22	18.46	22	0.00	22
136	136	-740	Min.	0.00	-15.53	24	0.01	22	-0.01	24	24.40	23	-18.29	22	-0.01	21
136	136	-740	Min.	27.80					-0.00	12			3.51	12		
136	136	-740	Min.	34.75	-14.16	24	0.01	22	-0.00	24	24.40	23	4.31	23	-0.01	21
137	137	-741	Max	0.00	-5.80	23	0.00	23	0.01	24	105.81	22	-4.12	23	0.00	21
137	137	-741	Max	34.75	-4.44	23	0.00	23	0.00	21	105.81	22	18.47	22	0.00	21

137	137	-741	Min.	0.00	-15.52	24	-0.02	24	0.00	23	24.08	23	-18.30	22	0.00	22
137	137	-741	Min.	34.75	-14.16	24	-0.02	24	0.00	12	24.08	23	4.25	23	0.00	22
138	138	-742	Max	0.00	-5.47	23	1.67	23	0.12	23	106.86	22	-4.21	23	0.00	24
138	138	-742	Max	34.75	-4.11	23	1.67	23	0.70	23	106.86	22	18.66	22	0.00	24
138	138	-742	Min.	0.00	-14.56	24	-0.02	24	0.00	22	24.63	23	-18.48	22	-0.00	23
138	138	-742	Min.	34.75	-13.19	24	-0.02	24	0.00	22	24.63	23	4.35	23	-0.00	23
139	139	-743	Max	0.00	-5.52	23	-0.03	23	0.03	24	55.86	22	-1.71	23	0.00	11
139	139	-743	Max	34.75	-4.16	23	-0.03	23	0.01	22	55.86	22	9.74	22	0.00	11
139	139	-743	Min.	0.00	-15.13	24	-0.07	21	0.01	23	10.02	23	-9.67	22	-0.03	22
139	139	-743	Min.	34.75	-13.76	24	-0.07	21	-0.00	11	10.02	23	1.77	23	-0.03	22
140	140	-744	Max	0.00	0.29	22	1.64	23	0.13	21	60.59	22	-2.13	23	0.00	11
140	140	-744	Max	34.75	1.65	22	1.64	23	0.70	23	60.59	22	10.58	22	0.00	11
140	140	-744	Min.	0.00	-1.49	21	-0.08	11	0.02	12	12.48	23	-10.47	22	-0.03	22
140	140	-744	Min.	34.75	0.07	11	-0.08	11	-0.00	11	12.48	23	2.21	23	-0.03	22
141	141	-753	Max	0.00	1.16	22	0.03	21	-0.01	23	59.55	22	-2.23	23	0.04	22
141	141	-753	Max	29.20					-0.00	24			5.59	24		
141	141	-753	Max	36.50	2.59	22	0.03	21	0.00	23	59.55	22	10.89	22	0.04	22
141	141	-753	Min.	0.00	-0.76	21	0.02	23	-0.01	24	12.35	23	-10.84	22	0.01	23
141	141	-753	Min.	29.20					-0.00	23			1.37	23		
141	141	-753	Min.	36.50	0.80	23	0.02	23	-0.00	22	12.35	23	2.27	23	0.01	23
142	142	-754	Max	0.00	-6.06	23	0.45	23	0.19	23	65.49	22	-2.63	23	0.04	22
142	142	-754	Max	29.20					-0.00	26			5.57	26		
142	142	-754	Max	36.50	-4.63	23	0.45	23	0.36	23	65.49	22	11.98	22	0.04	22
142	142	-754	Min.	0.00	-16.49	24	0.02	12	-0.01	24	14.50	23	-11.93	22	-0.09	23
142	142	-754	Min.	29.20					-0.00	12			2.26	12		
142	142	-754	Min.	36.50	-15.05	24	0.02	12	-0.00	22	14.50	23	2.67	23	-0.09	23
143	143	-755	Max	0.00	-5.57	23	0.01	21	-0.00	22	114.81	22	-5.58	23	0.00	23
143	143	-755	Max	29.20					-0.00	22			12.62	22		
143	143	-755	Max	36.50	-4.14	23	0.01	21	0.00	23	114.81	22	21.00	22	0.00	23
143	143	-755	Min.	0.00	-14.69	24	0.00	22	-0.01	21	30.79	23	-20.91	22	-0.00	24
143	143	-755	Min.	21.90					-0.00	23			1.16	23		
143	143	-755	Min.	36.50	-13.25	24	0.00	22	-0.00	11	30.79	23	5.66	23	-0.00	24
144	144	-756	Max	0.00	-5.93	23	0.44	23	0.20	23	114.44	22	-5.54	23	0.00	22
144	144	-756	Max	29.20					-0.00	22			12.58	22		
144	144	-756	Max	36.50	-4.49	23	0.44	23	0.36	23	114.44	22	20.93	22	0.00	22
144	144	-756	Min.	0.00	-15.80	24	0.00	22	-0.00	24	30.59	23	-20.84	22	-0.09	23
144	144	-756	Min.	29.20					-0.00	12			4.65	12		
144	144	-756	Min.	36.50	-14.36	24	0.00	22	-0.00	24	30.59	23	5.62	23	-0.09	23
145	145	-757	Max	0.00	-5.94	23	-0.00	23	0.00	24	114.48	22	-5.48	23	0.00	21
145	145	-757	Max	36.50	-4.51	23	-0.00	23	0.00	21	114.48	22	20.94	22	0.00	21
145	145	-757	Min.	0.00	-15.79	24	-0.01	24	0.00	23	30.24	23	-20.84	22	0.00	22
145	145	-757	Min.	36.50	-14.36	24	-0.01	24	0.00	22	30.24	23	5.56	23	0.00	22
146	146	-758	Max	0.00	-5.58	23	0.43	23	0.20	23	114.78	22	-5.52	23	0.00	24
146	146	-758	Max	36.50	-4.15	23	0.43	23	0.36	23	114.78	22	21.00	22	0.00	24
146	146	-758	Min.	0.00	-14.69	24	-0.01	24	0.00	22	30.45	23	-20.90	22	-0.09	23
146	146	-758	Min.	36.50	-13.25	24	-0.01	24	0.00	22	30.45	23	5.59	23	-0.09	23
147	147	-759	Max	0.00	-6.02	23	-0.01	23	0.01	24	65.49	22	-2.90	23	-0.01	23
147	147	-759	Max	36.50	-4.59	23	-0.01	23	0.00	22	65.49	22	11.98	22	-0.01	23
147	147	-759	Min.	0.00	-16.49	24	-0.03	24	0.00	23	15.99	23	-11.93	22	-0.04	22
147	147	-759	Min.	36.50	-15.05	24	-0.03	24	0.00	23	15.99	23	2.94	23	-0.04	22
148	148	-760	Max	0.00	1.16	22	0.42	23	0.20	23	59.56	22	-2.56	23	-0.01	12
148	148	-760	Max	36.50	2.59	22	0.42	23	0.36	23	59.56	22	10.89	22	-0.01	12
148	148	-760	Min.	0.00	-0.73	21	-0.03	24	0.01	12	14.16	23	-10.84	22	-0.10	23
148	148	-760	Min.	36.50	0.84	23	-0.03	24	0.00	12	14.16	23	2.61	23	-0.10	23
149	149	-769	Max	0.00	2.52	24	-0.01	22	0.00	12	54.04	22	-2.04	23	0.04	22
149	149	-769	Max	38.25	4.03	24	-0.01	22	-0.01	22	54.04	22	10.38	22	0.04	22
149	149	-769	Min.	0.00	0.86	23	-0.03	21	0.00	22	10.88	23	-10.29	22	0.01	23
149	149	-769	Min.	38.25	2.36	23	-0.03	21	-0.01	21	10.88	23	2.13	23	0.01	23
150	150	-770	Max	0.00	-3.21	23	1.69	23	0.07	23	69.22	22	-3.00	23	0.04	22

150	150	-770	Max	38.25	-1.71	23	1.69	23	0.72	23	69.22	22	13.31	22	0.04	22
150	150	-770	Min.	0.00	-10.84	24	-0.03	11	0.00	22	16.01	23	-13.17	22	-0.16	23
150	150	-770	Min.	38.25	-9.34	24	-0.03	11	-0.01	24	16.01	23	3.12	23	-0.16	23
151	151	-771	Max	0.00	-1.35	23	-0.01	22	-0.00	23	112.08	22	-5.38	23	0.00	23
151	151	-771	Max	38.25	0.15	23	-0.01	22	-0.00	22	112.08	22	21.55	22	0.00	23
151	151	-771	Min.	0.00	-7.02	24	-0.01	21	-0.00	21	28.67	23	-21.32	22	0.00	22
151	151	-771	Min.	38.25	-5.52	24	-0.01	21	-0.01	21	28.67	23	5.59	23	0.00	22
152	152	-772	Max	0.00	-1.66	23	1.69	23	0.07	23	112.44	22	-5.39	23	0.00	22
152	152	-772	Max	38.25	-0.16	23	1.69	23	0.72	23	112.44	22	21.62	22	0.00	22
152	152	-772	Min.	0.00	-7.98	24	-0.01	24	-0.00	24	28.75	23	-21.39	22	-0.17	23
152	152	-772	Min.	38.25	-6.48	24	-0.01	24	-0.01	24	28.75	23	5.60	23	-0.17	23
153	153	-773	Max	0.00	-1.69	23	0.01	24	0.00	21	112.47	22	-5.34	23	0.00	23
153	153	-773	Max	38.25	-0.19	23	0.01	24	0.01	24	112.47	22	21.63	22	0.00	23
153	153	-773	Min.	0.00	-7.98	24	0.00	23	0.00	23	28.48	23	-21.40	22	-0.00	22
153	153	-773	Min.	38.25	-6.48	24	0.00	23	0.00	23	28.48	23	5.55	23	-0.00	22
154	154	-774	Max	0.00	-1.41	23	1.70	23	0.07	23	112.05	22	-5.33	23	0.00	22
154	154	-774	Max	38.25	0.09	23	1.70	23	0.73	23	112.05	22	21.55	22	0.00	22
154	154	-774	Min.	0.00	-7.03	24	0.01	22	0.00	22	28.40	23	-21.32	22	-0.17	23
154	154	-774	Min.	38.25	-5.53	24	0.01	22	0.00	22	28.40	23	5.53	23	-0.17	23
155	155	-775	Max	0.00	-3.04	23	0.03	21	0.00	24	69.23	22	-3.22	23	-0.00	23
155	155	-775	Max	38.25	-1.54	23	0.03	21	0.01	24	69.23	22	13.31	22	-0.00	23
155	155	-775	Min.	0.00	-10.84	24	0.01	22	0.00	23	17.16	23	-13.17	22	-0.04	22
155	155	-775	Min.	38.25	-9.34	24	0.01	22	0.00	23	17.16	23	3.35	23	-0.04	22
156	156	-776	Max	0.00	2.52	24	1.71	23	0.07	23	54.05	22	-2.30	23	-0.01	12
156	156	-776	Max	38.25	4.12	21	1.71	23	0.73	23	54.05	22	10.39	22	-0.01	12
156	156	-776	Min.	0.00	1.05	23	0.01	22	0.00	12	12.26	23	-10.29	22	-0.17	23
156	156	-776	Min.	38.25	2.55	23	0.01	22	0.01	22	12.26	23	2.39	23	-0.17	23
157	157	-785	Max	0.00	47.94	21	-0.07	23	0.01	21	37.80	22	0.00	11	0.03	22
157	157	-785	Max	40.00	49.98	21	-0.07	23	-0.02	23	37.80	22	7.58	22	0.03	22
157	157	-785	Min.	0.00	25.43	23	-0.14	21	0.01	23	-0.02	11	-7.54	22	0.00	11
157	157	-785	Min.	40.00	27.00	23	-0.14	21	-0.04	21	-0.02	11	-0.00	11	0.00	11
158	158	-786	Max	0.00	87.06	21	6.85	23	0.01	24	48.50	22	0.00	23	0.03	22
158	158	-786	Max	40.00	89.10	21	6.85	23	2.23	23	48.50	22	9.72	22	0.03	22
158	158	-786	Min.	0.00	42.92	23	-0.12	24	-0.51	23	-0.02	23	-9.68	22	0.00	11
158	158	-786	Min.	40.00	44.49	23	-0.12	24	-0.04	24	-0.02	23	-0.00	23	0.00	11
159	159	-787	Max	0.00	138.15	21	-0.04	22	0.00	21	75.19	22	0.00	23	0.00	11
159	159	-787	Max	40.00	140.19	21	-0.04	22	-0.01	22	75.19	22	15.07	22	0.00	11
159	159	-787	Min.	0.00	68.77	23	-0.07	21	0.00	22	0.00	23	-15.00	22	0.00	22
159	159	-787	Min.	40.00	70.34	23	-0.07	21	-0.03	21	0.00	23	0.00	23	0.00	22
160	160	-788	Max	0.00	140.15	21	6.87	23	0.00	24	75.60	22	0.01	21	0.00	22
160	160	-788	Max	40.00	142.19	21	6.87	23	2.24	23	75.60	22	15.16	22	0.00	22
160	160	-788	Min.	0.00	69.47	23	-0.05	24	-0.51	23	-0.03	21	-15.08	22	0.00	23
160	160	-788	Min.	40.00	71.04	23	-0.05	24	-0.02	24	-0.03	21	-0.01	21	0.00	23
161	161	-789	Max	0.00	139.58	21	0.05	24	0.00	23	75.62	22	0.00	23	0.00	11
161	161	-789	Max	40.00	141.62	21	0.05	24	0.02	24	75.62	22	15.16	22	0.00	11
161	161	-789	Min.	0.00	68.83	23	0.02	23	-0.00	24	0.00	23	-15.09	22	-0.00	22
161	161	-789	Min.	40.00	70.40	23	0.02	23	0.01	23	0.00	23	0.00	23	-0.00	22
162	162	-790	Max	0.00	137.72	21	6.93	23	-0.00	22	75.17	22	0.00	21	0.00	22
162	162	-790	Max	40.00	139.77	21	6.93	23	2.26	23	75.17	22	15.07	22	0.00	22
162	162	-790	Min.	0.00	68.30	23	0.04	22	-0.51	23	-0.02	21	-15.00	22	0.00	23
162	162	-790	Min.	40.00	69.87	23	0.04	22	0.01	22	-0.02	21	-0.00	21	0.00	23
163	163	-791	Max	0.00	89.11	21	0.12	24	-0.01	23	48.50	22	0.00	23	0.00	11
163	163	-791	Max	40.00	91.15	21	0.12	24	0.04	24	48.50	22	9.72	22	0.00	11
163	163	-791	Min.	0.00	45.20	23	0.04	23	-0.01	24	-0.00	23	-9.68	22	-0.03	22
163	163	-791	Min.	40.00	46.77	23	0.04	23	0.01	23	-0.00	23	0.00	23	-0.03	22
164	164	-792	Max	0.00	50.50	21	6.95	23	-0.01	22	37.81	22	0.00	12	0.00	11
164	164	-792	Max	40.00	52.54	21	6.95	23	2.26	23	37.81	22	7.59	22	0.00	11
164	164	-792	Min.	0.00	28.28	23	0.07	22	-0.52	23	-0.00	12	-7.54	22	-0.03	22
164	164	-792	Min.	40.00	29.85	23	0.07	22	0.02	22	-0.00	12	0.00	12	-0.03	22

165	165	-777	Max	0.00	2.01	21	-0.02	23	0.00	22	27.82	22	3.98	21	0.03	22
165	165	-777	Max	38.25	3.96	21	-0.02	23	-0.01	23	27.82	22	5.26	22	0.03	22
165	165	-777	Min.	0.00	0.29	22	-0.03	21	0.00	11	-21.29	21	-5.38	22	-0.01	21
165	165	-777	Min.	38.25	1.79	22	-0.03	21	-0.01	21	-21.29	21	-4.16	21	-0.01	21
166	166	-778	Max	0.00	0.83	22	1.68	23	0.07	23	31.00	22	6.05	21	0.16	23
166	166	-778	Max	38.25	2.33	22	1.68	23	0.72	23	31.00	22	5.86	22	0.16	23
166	166	-778	Min.	0.00	-7.97	21	-0.03	24	0.00	11	-32.28	21	-6.00	22	-0.01	11
166	166	-778	Min.	38.25	-6.01	21	-0.03	24	-0.01	24	-32.28	21	-6.29	21	-0.01	11
167	167	-779	Max	0.00	2.10	22	-0.01	22	-0.00	23	46.01	22	10.73	21	0.00	12
167	167	-779	Max	38.25	3.60	22	-0.01	22	-0.00	22	46.01	22	8.67	22	0.00	12
167	167	-779	Min.	0.00	-4.30	21	-0.01	21	-0.00	21	-57.20	21	-8.92	22	0.00	23
167	167	-779	Min.	38.25	-2.73	11	-0.01	21	-0.01	21	-57.20	21	-11.15	21	0.00	23
168	168	-780	Max	0.00	2.20	22	1.69	23	0.07	23	46.08	22	10.82	21	0.17	23
168	168	-780	Max	38.25	3.70	22	1.69	23	0.72	23	46.08	22	8.69	22	0.17	23
168	168	-780	Min.	0.00	-5.01	21	-0.01	24	-0.00	24	-57.66	21	-8.94	22	0.00	11
168	168	-780	Min.	38.25	-3.37	11	-0.01	24	-0.01	24	-57.66	21	-11.24	21	0.00	11
169	169	-781	Max	0.00	2.19	22	0.01	24	0.00	21	46.10	22	10.76	21	0.00	11
169	169	-781	Max	38.25	3.69	22	0.01	24	0.01	24	46.10	22	8.69	22	0.00	11
169	169	-781	Min.	0.00	-5.04	21	0.00	23	0.00	23	-57.36	21	-8.94	22	-0.00	22
169	169	-781	Min.	38.25	-3.38	25	0.00	23	0.00	23	-57.36	21	-11.18	21	-0.00	22
170	170	-782	Max	0.00	2.11	22	1.70	23	0.07	23	45.98	22	10.70	21	0.17	23
170	170	-782	Max	38.25	3.61	22	1.70	23	0.73	23	45.98	22	8.67	22	0.17	23
170	170	-782	Min.	0.00	-4.36	21	0.01	22	0.00	22	-57.01	21	-8.92	22	0.00	12
170	170	-782	Min.	38.25	-2.75	25	0.01	22	0.00	22	-57.01	21	-11.11	21	0.00	12
171	171	-783	Max	0.00	0.82	22	0.03	24	0.00	11	31.00	22	6.24	21	0.01	21
171	171	-783	Max	38.25	2.32	22	0.03	24	0.01	24	31.00	22	5.86	22	0.01	21
171	171	-783	Min.	0.00	-7.82	21	0.01	23	-0.00	22	-33.28	21	-6.00	22	-0.03	22
171	171	-783	Min.	38.25	-5.93	11	0.01	23	0.00	23	-33.28	21	-6.49	21	-0.03	22
172	172	-784	Max	0.00	2.17	21	1.71	23	0.07	23	27.84	22	4.22	21	0.17	23
172	172	-784	Max	38.25	4.12	21	1.71	23	0.73	23	27.84	22	5.26	22	0.17	23
172	172	-784	Min.	0.00	0.29	22	0.02	12	-0.00	22	-22.53	21	-5.38	22	-0.03	22
172	172	-784	Min.	38.25	1.79	22	0.02	12	0.01	22	-22.53	21	-4.40	21	-0.03	22
173	173	-761	Max	0.00	-0.56	11	0.03	21	-0.00	22	29.18	22	4.53	21	0.03	22
173	173	-761	Max	29.20					-0.00	24			0.24	24		
173	173	-761	Max	36.50	1.10	21	0.03	21	0.00	22	29.18	22	5.30	22	0.03	22
173	173	-761	Min.	0.00	-2.35	22	0.01	22	-0.01	21	-25.01	21	-5.35	22	-0.01	21
173	173	-761	Min.	29.20					-0.00	21			-2.78	21		
173	173	-761	Min.	36.50	-0.92	22	0.01	22	0.00	11	-25.01	21	-4.60	21	-0.01	21
174	174	-762	Max	0.00	-2.67	22	0.45	23	0.19	23	30.84	22	5.15	21	0.09	23
174	174	-762	Max	21.90					-0.00	26			0.24	26		
174	174	-762	Max	36.50	-1.23	22	0.45	23	0.36	23	30.84	22	5.61	22	0.09	23
174	174	-762	Min.	0.00	-13.92	21	0.01	22	-0.01	11	-28.41	21	-5.65	22	-0.01	11
174	174	-762	Min.	29.20					-0.00	11			-2.84	11		
174	174	-762	Min.	36.50	-12.06	21	0.01	22	0.00	11	-28.41	21	-5.22	21	-0.01	11
175	175	-763	Max	0.00	-3.62	22	0.01	21	-0.00	22	44.33	22	10.96	21	0.00	11
175	175	-763	Max	29.20					-0.00	22			4.81	22		
175	175	-763	Max	36.50	-2.19	22	0.01	21	0.00	23	44.33	22	8.05	22	0.00	11
175	175	-763	Min.	0.00	-12.96	21	0.01	22	-0.01	21	-60.49	21	-8.13	22	0.00	23
175	175	-763	Min.	29.20					-0.00	21			-6.70	21		
175	175	-763	Min.	36.50	-11.09	21	0.01	22	-0.00	24	-60.49	21	-11.12	21	0.00	23
176	176	-764	Max	0.00	-3.63	22	0.44	23	0.20	23	44.34	22	10.94	21	0.09	23
176	176	-764	Max	29.20					-0.00	22			4.81	22		
176	176	-764	Max	36.50	-2.20	22	0.44	23	0.36	23	44.34	22	8.05	22	0.09	23
176	176	-764	Min.	0.00	-13.81	21	0.01	22	-0.00	24	-60.34	21	-8.13	22	0.00	12
176	176	-764	Min.	29.20					-0.00	12			-4.65	12		
176	176	-764	Min.	36.50	-11.95	21	0.01	22	-0.00	24	-60.34	21	-11.09	21	0.00	12
177	177	-765	Max	0.00	-3.63	22	-0.00	23	0.00	24	44.37	22	10.87	21	0.00	12
177	177	-765	Max	36.50	-2.20	22	-0.00	23	0.00	21	44.37	22	8.06	22	0.00	12
177	177	-765	Min.	0.00	-13.82	21	-0.01	24	0.00	23	-59.97	21	-8.14	22	-0.00	22

177	177	-765	Min.	36.50	-11.96	21	-0.01	24	0.00	22	-59.97	21	-11.02	21	-0.00	22
178	178	-766	Max	0.00	-3.62	22	0.43	23	0.20	23	44.30	22	10.92	21	0.09	23
178	178	-766	Max	36.50	-2.19	22	0.43	23	0.36	23	44.30	22	8.04	22	0.09	23
178	178	-766	Min.	0.00	-12.96	21	-0.01	24	0.00	22	-60.23	21	-8.13	22	-0.00	11
178	178	-766	Min.	36.50	-11.10	21	-0.01	24	0.00	22	-60.23	21	-11.07	21	-0.00	11
179	179	-767	Max	0.00	-2.67	22	-0.01	22	0.01	21	30.84	22	5.38	21	0.01	21
179	179	-767	Max	36.50	-1.23	22	-0.01	22	0.00	25	30.84	22	5.61	22	0.01	21
179	179	-767	Min.	0.00	-13.89	21	-0.02	21	0.00	22	-29.70	21	-5.65	22	-0.02	22
179	179	-767	Min.	36.50	-12.03	21	-0.02	21	-0.00	22	-29.70	21	-5.46	21	-0.02	22
180	180	-768	Max	0.00	-0.55	25	0.42	23	0.20	23	29.20	22	4.82	21	0.10	23
180	180	-768	Max	36.50	1.13	21	0.42	23	0.36	23	29.20	22	5.31	22	0.10	23
180	180	-768	Min.	0.00	-2.35	22	-0.02	11	0.00	22	-26.63	21	-5.35	22	-0.03	22
180	180	-768	Min.	36.50	-0.92	22	-0.02	11	-0.00	22	-26.63	21	-4.90	21	-0.03	22
181	181	-745	Max	0.00	-0.97	23	0.09	21	-0.01	22	33.93	22	3.79	21	0.03	22
181	181	-745	Max	34.75	0.40	23	0.09	21	0.01	22	33.93	22	5.86	22	0.03	22
181	181	-745	Min.	0.00	-2.30	22	0.05	23	-0.03	21	-22.25	21	-5.93	22	0.00	23
181	181	-745	Min.	34.75	-0.93	22	0.05	23	0.00	12	-22.25	21	-3.94	21	0.00	23
182	182	-746	Max	0.00	-2.17	22	1.72	23	0.10	23	35.45	22	2.65	21	0.03	22
182	182	-746	Max	34.75	-0.81	22	1.72	23	0.70	23	35.45	22	6.13	22	0.03	22
182	182	-746	Min.	0.00	-12.63	21	0.05	22	-0.02	11	-15.56	21	-6.19	22	0.00	12
182	182	-746	Min.	34.75	-10.86	21	0.05	22	0.00	12	-15.56	21	-2.75	21	0.00	12
183	183	-747	Max	0.00	-2.89	22	0.03	21	-0.01	22	50.25	22	8.22	21	0.01	21
183	183	-747	Max	27.80					-0.00	22			5.18	22		
183	183	-747	Max	34.75	-1.53	22	0.03	21	0.00	23	50.25	22	8.67	22	0.01	21
183	183	-747	Min.	0.00	-12.52	21	0.01	22	-0.01	21	-48.04	21	-8.79	22	0.00	22
183	183	-747	Min.	27.80					-0.00	21			-5.14	21		
183	183	-747	Min.	34.75	-10.75	21	0.01	22	0.00	24	-48.04	21	-8.48	21	0.00	22
184	184	-748	Max	0.00	-2.94	22	1.69	23	0.11	23	50.36	22	8.06	21	0.01	21
184	184	-748	Max	27.80					-0.00	22			5.19	22		
184	184	-748	Max	34.75	-1.58	22	1.69	23	0.70	23	50.36	22	8.69	22	0.01	21
184	184	-748	Min.	0.00	-13.28	21	0.01	22	-0.01	24	-47.09	21	-8.81	22	0.00	12
184	184	-748	Min.	27.80					-0.00	11			-4.44	11		
184	184	-748	Min.	34.75	-11.50	21	0.01	22	0.00	11	-47.09	21	-8.31	21	0.00	12
185	185	-749	Max	0.00	-2.94	22	0.00	23	0.01	24	50.39	22	7.99	21	-0.00	23
185	185	-749	Max	34.75	-1.58	22	0.00	23	0.00	21	50.39	22	8.69	22	-0.00	23
185	185	-749	Min.	0.00	-13.28	21	-0.02	24	0.00	23	-46.73	21	-8.82	22	-0.01	24
185	185	-749	Min.	34.75	-11.51	21	-0.02	24	0.00	22	-46.73	21	-8.25	21	-0.01	24
186	186	-750	Max	0.00	-2.89	22	1.67	23	0.12	23	50.22	22	8.18	21	0.00	23
186	186	-750	Max	34.75	-1.53	22	1.67	23	0.70	23	50.22	22	8.66	22	0.00	23
186	186	-750	Min.	0.00	-12.50	21	-0.02	24	0.01	22	-47.81	21	-8.79	22	-0.00	24
186	186	-750	Min.	34.75	-10.73	21	-0.02	24	0.00	12	-47.81	21	-8.43	21	-0.00	24
187	187	-751	Max	0.00	-2.17	22	-0.03	23	0.02	21	35.46	22	2.89	21	0.00	23
187	187	-751	Max	34.75	-0.80	22	-0.03	23	0.00	23	35.46	22	6.13	22	0.00	23
187	187	-751	Min.	0.00	-12.62	21	-0.08	24	0.01	22	-16.92	21	-6.19	22	-0.03	22
187	187	-751	Min.	34.75	-10.85	21	-0.08	24	-0.01	22	-16.92	21	-2.99	21	-0.03	22
188	188	-752	Max	0.00	-0.88	23	1.64	23	0.13	21	33.95	22	4.10	21	0.01	23
188	188	-752	Max	34.75	0.48	23	1.64	23	0.70	23	33.95	22	5.87	22	0.01	23
188	188	-752	Min.	0.00	-2.30	22	-0.08	24	0.01	22	-24.03	21	-5.93	22	-0.03	22
188	188	-752	Min.	34.75	-0.93	22	-0.08	24	-0.01	22	-24.03	21	-4.25	21	-0.03	22
189	189	-729	Max	0.00	-7.50	22	0.01	22	0.00	23	42.52	22	0.43	11	0.07	24
189	189	-729	Max	33.00	-6.21	22	0.01	22	0.00	22	42.52	22	7.00	22	0.07	24
189	189	-729	Min.	0.00	-35.41	21	-0.21	21	-0.00	11	-2.87	11	-7.03	22	0.04	23
189	189	-729	Min.	33.00	-33.73	21	-0.21	21	-0.07	21	-2.87	11	-0.52	11	0.04	23
190	190	-730	Max	0.00	-4.38	25	8.44	23	0.00	22	44.62	22	0.34	11	0.19	21
190	190	-730	Max	33.00	-3.08	25	8.44	23	2.28	23	44.62	22	7.33	22	0.19	21
190	190	-730	Min.	0.00	-8.98	22	-0.17	11	-0.50	23	-2.35	11	-7.39	22	0.04	12
190	190	-730	Min.	33.00	-7.69	22	-0.17	11	-0.06	11	-2.35	11	-0.44	11	0.04	12
191	191	-731	Max	0.00	-15.89	22	-0.05	23	0.00	21	64.31	22	2.32	21	0.03	21
191	191	-731	Max	33.00	-14.60	22	-0.05	23	-0.01	23	64.31	22	10.55	22	0.03	21

191	191	-731	Min.	0.00	-47.96	21	-0.09	21	0.00	12	-14.75	21	-10.67	22	0.01	22
191	191	-731	Min.	33.00	-46.28	21	-0.09	21	-0.03	21	-14.75	21	-2.55	21	0.01	22
192	192	-732	Max	0.00	-17.05	22	8.52	23	0.00	24	65.05	22	2.13	21	0.16	23
192	192	-732	Max	33.00	-15.76	22	8.52	23	2.31	23	65.05	22	10.68	22	0.16	23
192	192	-732	Min.	0.00	-47.25	21	-0.07	24	-0.50	23	-13.60	21	-10.79	22	0.01	22
192	192	-732	Min.	33.00	-45.57	21	-0.07	24	-0.02	24	-13.60	21	-2.36	21	0.01	22
193	193	-733	Max	0.00	-17.05	22	0.07	24	0.00	23	65.09	22	2.12	21	-0.00	23
193	193	-733	Max	33.00	-15.75	22	0.07	24	0.02	24	65.09	22	10.68	22	-0.00	23
193	193	-733	Min.	0.00	-46.53	21	0.02	23	0.00	24	-13.57	21	-10.80	22	-0.02	24
193	193	-733	Min.	33.00	-44.84	21	0.02	23	0.01	23	-13.57	21	-2.36	21	-0.02	24
194	194	-734	Max	0.00	-15.90	22	8.58	23	0.00	12	64.27	22	2.34	21	0.14	23
194	194	-734	Max	33.00	-14.61	22	8.58	23	2.33	23	64.27	22	10.55	22	0.14	23
194	194	-734	Min.	0.00	-47.34	21	0.05	22	-0.50	23	-14.89	21	-10.66	22	-0.02	24
194	194	-734	Min.	33.00	-45.65	21	0.05	22	0.02	22	-14.89	21	-2.57	21	-0.02	24
195	195	-735	Max	0.00	-4.75	11	0.18	21	0.00	21	44.62	22	0.45	21	-0.02	23
195	195	-735	Max	33.00	-3.46	11	0.18	21	0.06	21	44.62	22	7.33	22	-0.02	23
195	195	-735	Min.	0.00	-8.99	22	-0.01	22	0.00	22	-3.06	21	-7.39	22	-0.07	24
195	195	-735	Min.	33.00	-7.69	22	-0.01	22	-0.00	22	-3.06	21	-0.56	21	-0.07	24
196	196	-736	Max	0.00	-7.50	22	8.66	23	0.00	11	42.54	22	0.60	21	0.12	23
196	196	-736	Max	33.00	-6.21	22	8.66	23	2.36	23	42.54	22	7.00	22	0.12	23
196	196	-736	Min.	0.00	-36.04	21	-0.01	22	-0.50	23	-3.95	21	-7.04	22	-0.07	24
196	196	-736	Min.	33.00	-34.35	21	-0.01	22	-0.00	22	-3.95	21	-0.70	21	-0.07	24
197	197	-713	Max	0.00	-1.70	23	-0.06	22	0.01	22	52.34	22	-1.79	23	0.03	24
197	197	-713	Max	31.25	-0.48	23	-0.06	22	-0.01	22	52.34	22	8.15	22	0.03	24
197	197	-713	Min.	0.00	-3.34	24	-0.10	21	0.00	12	11.34	23	-8.20	22	0.02	23
197	197	-713	Min.	31.25	-2.11	24	-0.10	21	-0.03	21	11.34	23	1.75	23	0.02	23
198	198	-714	Max	0.00	-3.14	22	1.53	23	0.12	23	55.83	22	-1.33	23	0.23	23
198	198	-714	Max	31.25	-1.92	22	1.53	23	0.60	23	55.83	22	8.70	22	0.23	23
198	198	-714	Min.	0.00	-13.97	21	-0.08	24	0.00	12	8.30	23	-8.74	22	0.02	12
198	198	-714	Min.	31.25	-12.37	21	-0.08	24	-0.02	11	8.30	23	1.27	23	0.02	12
199	199	-715	Max	0.00	-4.37	22	-0.02	22	0.00	23	81.48	22	-2.32	23	0.01	24
199	199	-715	Max	31.25	-3.15	22	-0.02	22	-0.01	22	81.48	22	12.69	22	0.01	24
199	199	-715	Min.	0.00	-15.79	21	-0.05	21	0.00	22	14.55	23	-12.78	22	0.00	23
199	199	-715	Min.	31.25	-14.20	21	-0.05	21	-0.01	21	14.55	23	2.23	23	0.00	23
200	200	-716	Max	0.00	-4.46	22	1.56	23	0.12	23	83.00	22	-2.44	23	0.22	23
200	200	-716	Max	31.25	-3.23	22	1.56	23	0.61	23	83.00	22	12.92	22	0.22	23
200	200	-716	Min.	0.00	-16.65	21	-0.03	24	0.00	12	15.31	23	-13.01	22	0.01	22
200	200	-716	Min.	31.25	-15.05	21	-0.03	24	-0.01	24	15.31	23	2.35	23	0.01	22
201	201	-717	Max	0.00	-4.46	22	0.03	24	0.00	23	83.03	22	-2.36	23	-0.01	23
201	201	-717	Max	31.25	-3.24	22	0.03	24	0.01	24	83.03	22	12.93	22	-0.01	23
201	201	-717	Min.	0.00	-16.59	21	-0.00	23	0.00	22	14.79	23	-13.02	22	-0.01	21
201	201	-717	Min.	31.25	-15.00	21	-0.00	23	0.00	23	14.79	23	2.26	23	-0.01	21
202	202	-718	Max	0.00	-4.37	22	1.58	23	0.12	23	81.45	22	-2.24	23	0.20	23
202	202	-718	Max	31.25	-3.15	22	1.58	23	0.62	23	81.45	22	12.68	22	0.20	23
202	202	-718	Min.	0.00	-15.77	21	0.02	22	0.00	12	14.03	23	-12.77	22	-0.01	24
202	202	-718	Min.	31.25	-14.18	21	0.02	22	0.01	22	14.03	23	2.15	23	-0.01	24
203	203	-719	Max	0.00	-3.15	22	0.08	24	0.00	23	55.83	22	-1.29	23	-0.01	23
203	203	-719	Max	31.25	-1.92	22	0.08	24	0.02	21	55.83	22	8.70	22	-0.01	23
203	203	-719	Min.	0.00	-13.98	21	0.03	23	-0.01	22	8.03	23	-8.75	22	-0.03	24
203	203	-719	Min.	31.25	-12.39	21	0.03	23	0.01	22	8.03	23	1.22	23	-0.03	24
204	204	-720	Max	0.00	-1.69	23	1.62	23	0.12	23	52.36	22	-1.56	23	0.20	23
204	204	-720	Max	31.25	-0.46	23	1.62	23	0.63	23	52.36	22	8.16	22	0.20	23
204	204	-720	Min.	0.00	-3.34	24	0.06	22	-0.01	22	9.82	23	-8.21	22	-0.03	24
204	204	-720	Min.	31.25	-2.11	24	0.06	22	0.01	22	9.82	23	1.51	23	-0.03	24
205	205	-697	Max	0.00	-1.20	23	0.02	21	0.00	22	61.47	22	-2.59	23	0.03	24
205	205	-697	Max	29.50	-0.04	23	0.02	21	0.00	22	61.47	22	9.04	22	0.03	24
205	205	-697	Min.	0.00	-2.98	22	-0.00	22	-0.01	21	17.36	23	-9.09	22	0.01	23
205	205	-697	Min.	29.50	-1.82	22	-0.00	22	-0.01	21	17.36	23	2.53	23	0.01	23
206	206	-698	Max	0.00	-3.14	22	0.17	23	0.20	23	65.59	22	-2.87	23	0.13	21

206	206	-698	Max	29.50	-1.98	22	0.17	23	0.25	23	65.59	22	9.65	22	0.13	21
206	206	-698	Min.	0.00	-15.19	21	-0.00	22	-0.01	11	19.28	23	-9.70	22	0.02	12
206	206	-698	Min.	29.50	-13.68	21	-0.00	22	-0.00	11	19.28	23	2.81	23	0.02	12
207	207	-699	Max	0.00	-4.25	22	0.01	21	-0.00	22	95.17	22	-4.38	23	0.01	24
207	207	-699	Max	17.70					-0.00	23			0.80	23		
207	207	-699	Max	29.50	-3.09	22	0.01	21	0.00	23	95.17	22	13.98	22	0.01	24
207	207	-699	Min.	0.00	-15.28	21	0.00	22	-0.00	21	29.28	23	-14.09	22	0.00	23
207	207	-699	Min.	17.70					-0.00	23			0.80	23		
207	207	-699	Min.	29.50	-13.78	21	0.00	22	-0.00	24	29.28	23	4.25	23	0.00	23
208	208	-700	Max	0.00	-4.31	22	0.17	23	0.20	23	97.03	22	-4.57	23	0.12	23
208	208	-700	Max	23.60					-0.00	22			8.53	22		
208	208	-700	Max	29.50	-3.15	22	0.17	23	0.25	23	97.03	22	14.26	22	0.12	23
208	208	-700	Min.	0.00	-16.21	21	0.00	22	-0.00	11	30.53	23	-14.36	22	0.01	22
208	208	-700	Min.	23.60					-0.00	22			8.53	22		
208	208	-700	Min.	29.50	-14.71	21	0.00	22	-0.00	11	30.53	23	4.44	23	0.01	22
209	209	-701	Max	0.00	-4.31	22	0.00	23	0.00	11	97.06	22	-4.47	23	-0.01	22
209	209	-701	Max	29.50	-3.15	22	0.00	23	0.00	21	97.06	22	14.26	22	-0.01	22
209	209	-701	Min.	0.00	-16.19	21	-0.01	11	0.00	23	29.85	23	-14.37	22	-0.01	21
209	209	-701	Min.	29.50	-14.69	21	-0.01	11	0.00	22	29.85	23	4.34	23	-0.01	21
210	210	-702	Max	0.00	-4.25	22	0.16	23	0.20	23	95.14	22	-4.28	23	0.11	23
210	210	-702	Max	29.50	-3.09	22	0.16	23	0.25	23	95.14	22	13.98	22	0.11	23
210	210	-702	Min.	0.00	-15.27	21	-0.01	24	0.00	22	28.57	23	-14.09	22	-0.01	24
210	210	-702	Min.	29.50	-13.77	21	-0.01	24	0.00	22	28.57	23	4.15	23	-0.01	24
211	211	-703	Max	0.00	-3.14	22	0.00	22	0.01	11	65.59	22	-2.86	23	-0.01	23
211	211	-703	Max	29.50	-1.98	22	0.00	22	0.00	21	65.59	22	9.65	22	-0.01	23
211	211	-703	Min.	0.00	-15.16	21	-0.01	11	0.00	22	19.17	23	-9.70	22	-0.03	24
211	211	-703	Min.	29.50	-13.65	21	-0.01	11	0.00	22	19.17	23	2.79	23	-0.03	24
212	212	-704	Max	0.00	-1.13	23	0.16	23	0.20	23	61.49	22	-2.36	23	0.10	23
212	212	-704	Max	29.50	0.02	23	0.16	23	0.25	23	61.49	22	9.05	22	0.10	23
212	212	-704	Min.	0.00	-2.98	22	-0.01	11	0.00	22	15.74	23	-9.09	22	-0.03	24
212	212	-704	Min.	29.50	-1.82	22	-0.01	11	0.00	22	15.74	23	2.29	23	-0.03	24
213	213	-681	Max	0.00	-2.36	23	0.16	21	-0.01	22	72.37	22	-3.45	23	0.03	24
213	213	-681	Max	27.75	-1.27	23	0.16	21	0.01	24	72.37	22	10.01	22	0.03	24
213	213	-681	Min.	0.00	-4.55	24	0.08	22	-0.03	21	24.54	23	-10.07	22	0.02	23
213	213	-681	Min.	27.75	-3.47	24	0.08	22	0.01	12	24.54	23	3.36	23	0.02	23
214	214	-682	Max	0.00	-3.77	22	1.48	23	0.12	23	82.59	24	-4.47	23	0.06	21
214	214	-682	Max	27.75	-2.68	22	1.48	23	0.53	23	82.59	24	11.41	24	0.06	21
214	214	-682	Min.	0.00	-15.69	21	0.08	22	-0.02	11	32.03	23	-11.50	24	0.02	12
214	214	-682	Min.	27.75	-14.27	21	0.08	22	0.01	12	32.03	23	4.42	23	0.02	12
215	215	-683	Max	0.00	-5.27	22	0.09	21	-0.01	22	118.97	24	-6.51	23	0.01	24
215	215	-683	Max	27.75	-4.18	22	0.09	21	0.01	21	118.97	24	16.39	24	0.01	24
215	215	-683	Min.	0.00	-17.92	21	0.03	22	-0.02	21	46.37	23	-16.62	24	0.01	23
215	215	-683	Min.	27.75	-16.51	21	0.03	22	0.00	12	46.37	23	6.36	23	0.01	23
216	216	-684	Max	0.00	-5.39	22	1.45	23	0.12	23	123.03	24	-6.75	23	0.04	21
216	216	-684	Max	27.75	-4.30	22	1.45	23	0.53	23	123.03	24	16.96	24	0.04	21
216	216	-684	Min.	0.00	-18.85	21	0.03	22	-0.01	24	48.14	23	-17.19	24	0.01	22
216	216	-684	Min.	27.75	-17.43	21	0.03	22	0.00	12	48.14	23	6.61	23	0.01	22
217	217	-685	Max	0.00	-5.39	22	0.01	23	0.01	24	123.07	24	-6.66	23	-0.01	23
217	217	-685	Max	27.75	-4.30	22	0.01	23	0.00	23	123.07	24	16.96	24	-0.01	23
217	217	-685	Min.	0.00	-18.84	21	-0.05	24	0.00	23	47.46	23	-17.19	24	-0.02	21
217	217	-685	Min.	27.75	-17.42	21	-0.05	24	-0.00	24	47.46	23	6.51	23	-0.02	21
218	218	-686	Max	0.00	-5.28	22	1.40	23	0.13	23	118.94	24	-6.36	23	0.02	23
218	218	-686	Max	27.75	-4.19	22	1.40	23	0.52	23	118.94	24	16.39	24	0.02	23
218	218	-686	Min.	0.00	-17.85	21	-0.05	24	0.01	22	45.29	23	-16.62	24	-0.01	24
218	218	-686	Min.	27.75	-16.44	21	-0.05	24	-0.00	24	45.29	23	6.21	23	-0.01	24
219	219	-687	Max	0.00	-3.77	22	-0.04	23	0.02	11	82.59	24	-4.50	23	-0.02	23
219	219	-687	Max	27.75	-2.68	22	-0.04	23	-0.00	23	82.59	24	11.41	24	-0.02	23
219	219	-687	Min.	0.00	-15.79	21	-0.12	24	0.01	23	32.20	23	-11.51	24	-0.03	24
219	219	-687	Min.	27.75	-14.38	21	-0.12	24	-0.01	22	32.20	23	4.43	23	-0.03	24

220	220	-688	Max	0.00	-2.25	23	1.35	23	0.14	21	72.39	22	-3.19	23	0.01	23
220	220	-688	Max	27.75	-1.16	23	1.35	23	0.52	23	72.39	22	10.02	22	0.01	23
220	220	-688	Min.	0.00	-4.56	24	-0.13	24	0.01	22	22.64	23	-10.07	22	-0.03	24
220	220	-688	Min.	27.75	-3.47	24	-0.13	24	-0.01	24	22.64	23	3.10	23	-0.03	24
221	221	-665	Max	0.00	-10.49	22	0.00	22	-0.00	22	100.46	24	-5.83	23	0.11	21
221	221	-665	Max	5.20					-0.00	22			-6.99	22		
221	221	-665	Max	26.00	-9.47	22	0.00	22	0.00	22	100.46	24	13.03	24	0.11	21
221	221	-665	Min.	0.00	-43.05	21	-0.19	21	-0.01	21	44.69	23	-13.09	24	0.06	22
221	221	-665	Min.	5.20					-0.00	22			-6.99	22		
221	221	-665	Min.	26.00	-41.73	21	-0.19	21	-0.06	21	44.69	23	5.79	23	0.06	22
222	222	-666	Max	0.00	-3.44	25	9.32	23	-0.00	22	106.65	24	-5.90	23	0.23	21
222	222	-666	Max	26.00	-2.42	25	9.32	23	2.00	23	106.65	24	13.81	24	0.23	21
222	222	-666	Min.	0.00	-8.96	22	-0.15	11	-0.43	23	45.11	23	-13.92	24	0.06	22
222	222	-666	Min.	26.00	-7.94	22	-0.15	11	-0.04	11	45.11	23	5.83	23	0.06	22
223	223	-667	Max	0.00	-18.09	22	-0.04	22	-0.00	22	169.62	24	-10.36	23	0.06	21
223	223	-667	Max	26.00	-17.07	22	-0.04	22	-0.01	22	169.62	24	21.93	24	0.06	21
223	223	-667	Min.	0.00	-54.44	21	-0.12	21	-0.00	21	79.12	23	-22.17	24	0.03	22
223	223	-667	Min.	26.00	-53.12	21	-0.12	21	-0.03	21	79.12	23	10.21	23	0.03	22
224	224	-668	Max	0.00	-19.07	22	9.35	23	0.00	22	175.16	24	-10.54	23	0.18	21
224	224	-668	Max	26.00	-18.05	22	9.35	23	2.01	23	175.16	24	22.66	24	0.18	21
224	224	-668	Min.	0.00	-52.55	21	-0.08	11	-0.42	23	80.57	23	-22.88	24	0.03	22
224	224	-668	Min.	26.00	-51.23	21	-0.08	11	-0.02	11	80.57	23	10.40	23	0.03	22
225	225	-669	Max	0.00	-19.07	22	0.08	11	0.00	11	175.20	24	-10.55	23	-0.00	23
225	225	-669	Max	26.00	-18.05	22	0.08	11	0.02	11	175.20	24	22.66	24	-0.00	23
225	225	-669	Min.	0.00	-53.87	21	0.02	23	0.00	23	80.58	23	-22.89	24	-0.04	24
225	225	-669	Min.	26.00	-52.54	21	0.02	23	0.00	23	80.58	23	10.40	23	-0.04	24
226	226	-670	Max	0.00	-18.09	22	9.45	23	0.00	11	169.60	24	-9.95	23	0.13	23
226	226	-670	Max	26.00	-17.07	22	9.45	23	2.03	23	169.60	24	21.93	24	0.13	23
226	226	-670	Min.	0.00	-51.63	21	0.04	22	-0.42	23	76.01	23	-22.16	24	-0.04	24
226	226	-670	Min.	26.00	-50.30	21	0.04	22	0.01	22	76.01	23	9.81	23	-0.04	24
227	227	-671	Max	0.00	-4.28	11	0.15	11	0.01	11	106.67	24	-6.16	23	-0.04	23
227	227	-671	Max	26.00	-3.26	11	0.15	11	0.04	11	106.67	24	13.82	24	-0.04	23
227	227	-671	Min.	0.00	-8.96	22	-0.00	22	0.00	22	47.11	23	-13.92	24	-0.10	24
227	227	-671	Min.	26.00	-7.94	22	-0.00	22	0.00	22	47.11	23	6.09	23	-0.10	24
228	228	-672	Max	0.00	-10.49	22	9.45	23	0.01	11	100.49	24	-5.46	23	0.10	23
228	228	-672	Max	26.00	-9.47	22	9.45	23	2.03	23	100.49	24	13.03	24	0.10	23
228	228	-672	Min.	0.00	-42.13	21	-0.00	22	-0.42	23	41.82	23	-13.10	24	-0.10	24
228	228	-672	Min.	26.00	-40.81	21	-0.00	22	0.00	22	41.82	23	5.41	23	-0.10	24
229	229	-649	Max	0.00	-3.82	23	-0.08	22	0.01	22	139.58	24	-8.42	23	0.06	21
229	229	-649	Max	24.25	-2.87	23	-0.08	22	-0.01	22	139.58	24	16.89	24	0.06	21
229	229	-649	Min.	0.00	-7.11	21	-0.15	21	0.00	23	69.23	23	-16.96	24	0.03	22
229	229	-649	Min.	24.25	-5.95	24	-0.15	21	-0.03	21	69.23	23	8.37	23	0.03	22
230	230	-650	Max	0.00	-5.10	22	1.24	23	0.12	23	134.20	24	-7.31	23	0.23	21
230	230	-650	Max	24.25	-4.15	22	1.24	23	0.42	23	134.20	24	16.21	24	0.23	21
230	230	-650	Min.	0.00	-17.72	21	-0.12	24	0.00	12	59.93	23	-16.33	24	0.03	22
230	230	-650	Min.	24.25	-16.48	21	-0.12	24	-0.02	11	59.93	23	7.23	23	0.03	22
231	231	-651	Max	0.00	-7.72	22	-0.03	22	0.00	21	232.60	24	-14.64	23	0.03	21
231	231	-651	Max	24.25	-6.77	22	-0.03	22	-0.01	22	232.60	24	28.12	24	0.03	21
231	231	-651	Min.	0.00	-23.79	21	-0.08	21	0.00	12	120.28	23	-28.29	24	0.02	22
231	231	-651	Min.	24.25	-22.55	21	-0.08	21	-0.02	21	120.28	23	14.53	23	0.02	22
232	232	-652	Max	0.00	-7.87	22	1.26	23	0.12	23	239.03	24	-14.63	23	0.20	23
232	232	-652	Max	24.25	-6.92	22	1.26	23	0.43	23	239.03	24	28.89	24	0.20	23
232	232	-652	Min.	0.00	-24.52	21	-0.06	24	0.00	12	120.20	23	-29.07	24	0.01	22
232	232	-652	Min.	24.25	-23.28	21	-0.06	24	-0.01	24	120.20	23	14.52	23	0.01	22
233	233	-653	Max	0.00	-7.87	22	0.06	24	0.00	23	239.06	24	-14.81	23	-0.01	23
233	233	-653	Max	24.25	-6.92	22	0.06	24	0.01	24	239.06	24	28.90	24	-0.01	23
233	233	-653	Min.	0.00	-24.66	21	-0.01	23	-0.00	24	121.71	23	-29.07	24	-0.02	21
233	233	-653	Min.	24.25	-23.42	21	-0.01	23	-0.00	23	121.71	23	14.70	23	-0.02	21
234	234	-654	Max	0.00	-7.71	22	1.31	23	0.12	23	232.58	24	-13.87	23	0.17	23

234	234	-654	Max	24.25	-6.76	22	1.31	23	0.44	23	232.58	24	28.12	24	0.17	23
234	234	-654	Min.	0.00	-23.42	21	0.03	22	-0.00	24	113.95	23	-28.28	24	-0.03	24
234	234	-654	Min.	24.25	-22.18	21	0.03	22	0.01	22	113.95	23	13.76	23	-0.03	24
235	235	-655	Max	0.00	-5.10	22	0.12	24	-0.00	12	134.21	24	-7.88	23	-0.02	23
235	235	-655	Max	24.25	-4.15	22	0.12	24	0.02	11	134.21	24	16.21	24	-0.02	23
235	235	-655	Min.	0.00	-17.95	21	0.04	23	-0.01	22	64.65	23	-16.33	24	-0.05	11
235	235	-655	Min.	24.25	-16.71	21	0.04	23	0.01	23	64.65	23	7.80	23	-0.05	11
236	236	-656	Max	0.00	-3.67	23	1.37	23	0.12	23	139.62	24	-7.95	23	0.16	23
236	236	-656	Max	24.25	-2.72	23	1.37	23	0.45	23	139.62	24	16.89	24	0.16	23
236	236	-656	Min.	0.00	-6.97	21	0.09	22	-0.01	22	65.32	23	-16.96	24	-0.05	11
236	236	-656	Min.	24.25	-5.95	24	0.09	22	0.01	22	65.32	23	7.89	23	-0.05	11
237	237	-633	Max	0.00	-3.89	23	0.01	21	0.00	22	168.74	24	-9.69	23	0.06	21
237	237	-633	Max	22.50	-3.00	23	0.01	21	-0.00	22	168.74	24	18.94	24	0.06	21
237	237	-633	Min.	0.00	-7.25	24	-0.00	22	-0.01	21	85.83	23	-19.02	24	0.02	22
237	237	-633	Min.	22.50	-6.37	24	-0.00	22	-0.01	21	85.83	23	9.63	23	0.02	22
238	238	-634	Max	0.00	-5.80	22	0.00	11	0.14	23	173.82	24	-9.23	23	0.15	21
238	238	-634	Max	22.50	-4.91	22	0.00	11	0.13	23	173.82	24	19.51	24	0.15	21
238	238	-634	Min.	0.00	-20.03	21	-0.03	23	-0.01	11	81.76	23	-19.60	24	0.02	22
238	238	-634	Min.	22.50	-18.88	21	-0.03	23	-0.01	11	81.76	23	9.16	23	0.02	22
239	239	-635	Max	0.00	-8.39	22	0.01	23	0.00	22	299.94	21	-17.55	23	0.03	21
239	239	-635	Max	22.50	-7.51	22	0.01	23	0.00	22	299.94	21	33.62	21	0.03	21
239	239	-635	Min.	0.00	-25.07	21	-0.00	24	-0.00	23	155.45	23	-33.87	21	0.01	22
239	239	-635	Min.	22.50	-23.92	21	-0.00	24	-0.00	21	155.45	23	17.43	23	0.01	22
240	240	-636	Max	0.00	-8.60	22	-0.00	12	0.15	23	305.07	21	-17.58	23	0.11	21
240	240	-636	Max	22.50	-7.72	22	-0.00	12	0.14	23	305.07	21	34.19	21	0.11	21
240	240	-636	Min.	0.00	-26.14	21	-0.04	23	0.00	11	155.71	23	-34.45	21	0.01	22
240	240	-636	Min.	22.50	-24.99	21	-0.04	23	-0.00	11	155.71	23	17.45	23	0.01	22
241	241	-637	Max	0.00	-8.60	22	0.01	21	0.00	11	306.74	21	-17.79	23	-0.01	23
241	241	-637	Max	18.00					-0.00	25			18.26	25		
241	241	-637	Max	22.50	-7.72	22	0.01	21	0.00	11	306.74	21	34.38	21	-0.01	23
241	241	-637	Min.	0.00	-26.20	21	0.00	12	-0.00	23	157.54	23	-34.63	21	-0.02	21
241	241	-637	Min.	18.00					-0.00	25			18.26	25		
241	241	-637	Min.	22.50	-25.05	21	0.00	12	-0.00	23	157.54	23	17.66	23	-0.02	21
242	242	-638	Max	0.00	-8.39	22	0.00	24	0.15	23	293.04	21	-16.69	23	0.09	23
242	242	-638	Max	22.50	-7.51	22	0.00	24	0.14	23	293.04	21	32.84	21	0.09	23
242	242	-638	Min.	0.00	-24.82	21	-0.03	23	0.00	22	147.81	23	-33.09	21	-0.03	24
242	242	-638	Min.	22.50	-23.67	21	-0.03	23	0.00	22	147.81	23	16.57	23	-0.03	24
243	243	-639	Max	0.00	-5.80	22	0.01	23	0.01	11	173.84	24	-9.88	23	-0.02	23
243	243	-639	Max	4.50					-0.00	23			-5.94	23		
243	243	-639	Max	22.50	-4.91	22	0.01	23	0.01	11	173.84	24	19.51	24	-0.02	23
243	243	-639	Min.	0.00	-20.22	21	-0.00	11	-0.00	23	87.46	23	-19.60	24	-0.05	11
243	243	-639	Min.	4.50					-0.00	23			-5.94	23		
243	243	-639	Min.	22.50	-19.07	21	-0.00	11	0.00	23	87.46	23	9.80	23	-0.05	11
244	244	-640	Max	0.00	-3.71	23	0.00	22	0.15	23	168.78	24	-9.19	23	0.08	23
244	244	-640	Max	22.50	-2.82	23	0.00	22	0.14	23	168.78	24	18.95	24	0.08	23
244	244	-640	Min.	0.00	-7.25	24	-0.04	23	0.00	22	81.39	23	-19.03	24	-0.05	11
244	244	-640	Min.	22.50	-6.37	24	-0.04	23	0.00	22	81.39	23	9.12	23	-0.05	11
245	245	-617	Max	0.00	-5.50	23	0.25	21	-0.01	22	204.06	24	-10.93	23	0.07	21
245	245	-617	Max	16.60					-0.00	12			8.52	12		
245	245	-617	Max	20.75	-4.68	23	0.25	21	0.01	22	204.06	24	21.12	24	0.07	21
245	245	-617	Min.	0.00	-10.23	21	0.10	22	-0.06	21	104.98	23	-21.22	24	0.03	22
245	245	-617	Min.	16.60					-0.00	12			8.52	12		
245	245	-617	Min.	20.75	-9.17	21	0.10	22	-0.01	23	104.98	23	10.85	23	0.03	22
246	246	-618	Max	0.00	-6.95	22	1.23	23	0.07	23	224.06	24	-11.49	23	0.10	21
246	246	-618	Max	16.60					-0.00	12			9.57	12		
246	246	-618	Max	20.75	-6.14	22	1.23	23	0.33	23	224.06	24	23.21	24	0.10	21
246	246	-618	Min.	0.00	-21.77	21	0.10	22	-0.03	11	110.40	23	-23.28	24	0.03	22
246	246	-618	Min.	16.60					-0.00	12			9.57	12		
246	246	-618	Min.	20.75	-20.71	21	0.10	22	0.00	12	110.40	23	11.42	23	0.03	22

247	247	-619	Max	0.00	-10.27	22	0.12	21	0.00	22	386.47	21	-20.65	23	0.03	21
247	247	-619	Max	16.60					-0.00	23			12.29	23		
247	247	-619	Max	20.75	-9.46	22	0.12	21	0.01	24	386.47	21	39.97	21	0.03	21
247	247	-619	Min.	0.00	-29.54	21	0.02	22	-0.02	23	198.44	23	-40.22	21	0.01	22
247	247	-619	Min.	16.60					-0.00	23			12.29	23		
247	247	-619	Min.	20.75	-28.48	21	0.02	22	0.00	23	198.44	23	20.52	23	0.01	22
248	248	-620	Max	0.00	-10.47	22	1.19	23	0.09	23	394.37	21	-20.84	23	0.06	21
248	248	-620	Max	20.75	-9.66	22	1.19	23	0.33	23	394.37	21	40.79	21	0.06	21
248	248	-620	Min.	0.00	-30.46	21	0.03	22	-0.00	24	200.25	23	-41.04	21	0.01	22
248	248	-620	Min.	20.75	-29.40	21	0.03	22	0.00	22	200.25	23	20.71	23	0.01	22
249	249	-621	Max	0.00	-10.47	22	0.06	23	0.00	24	395.06	21	-20.92	23	-0.01	23
249	249	-621	Max	20.75	-9.66	22	0.06	23	-0.00	22	395.06	21	40.86	21	-0.01	23
249	249	-621	Min.	0.00	-30.62	21	-0.06	24	-0.02	23	200.99	23	-41.11	21	-0.02	24
249	249	-621	Min.	20.75	-29.56	21	-0.06	24	-0.01	21	200.99	23	20.79	23	-0.02	24
250	250	-622	Max	0.00	-10.27	22	1.14	23	0.09	23	379.53	21	-19.86	23	0.02	23
250	250	-622	Max	20.75	-9.45	22	1.14	23	0.32	23	379.53	21	39.25	21	0.02	23
250	250	-622	Min.	0.00	-29.13	21	-0.04	24	0.00	22	190.75	23	-39.50	21	-0.03	24
250	250	-622	Min.	20.75	-28.07	21	-0.04	24	-0.01	24	190.75	23	19.72	23	-0.03	24
251	251	-623	Max	0.00	-6.95	22	-0.02	23	0.03	11	224.07	24	-12.04	23	-0.02	23
251	251	-623	Max	20.75	-6.14	22	-0.02	23	0.00	12	224.07	24	23.21	24	-0.02	23
251	251	-623	Min.	0.00	-22.13	21	-0.16	24	-0.00	23	115.71	23	-23.28	24	-0.05	11
251	251	-623	Min.	20.75	-21.07	21	-0.16	24	-0.01	21	115.71	23	11.97	23	-0.05	11
252	252	-624	Max	0.00	-5.17	23	1.05	23	0.12	21	204.11	24	-10.55	23	0.01	23
252	252	-624	Max	20.75	-4.35	23	1.05	23	0.33	23	204.11	24	21.13	24	0.01	23
252	252	-624	Min.	0.00	-9.93	21	-0.16	24	0.01	22	101.25	23	-21.23	24	-0.05	11
252	252	-624	Min.	20.75	-9.04	24	-0.16	24	-0.01	22	101.25	23	10.46	23	-0.05	11
253	253	-601	Max	0.00	-11.46	22	-0.09	22	-0.01	22	268.20	24	-12.91	23	0.18	21
253	253	-601	Max	19.00	-10.71	22	-0.09	22	-0.02	22	268.20	24	25.51	24	0.18	21
253	253	-601	Min.	0.00	-38.10	11	-0.71	21	-0.03	21	136.19	23	-25.45	24	0.06	22
253	253	-601	Min.	19.00	-37.35	11	-0.71	21	-0.17	21	136.19	23	12.97	23	0.06	22
254	254	-602	Max	0.00	-15.20	12	9.55	23	-0.01	22	292.35	21	-14.62	23	0.29	21
254	254	-602	Max	19.00	-14.46	12	9.55	23	1.45	23	292.35	21	27.68	21	0.29	21
254	254	-602	Min.	0.00	-26.69	21	-0.32	11	-0.36	23	153.29	23	-27.86	21	0.07	22
254	254	-602	Min.	19.00	-25.72	21	-0.32	11	-0.08	11	153.29	23	14.50	23	0.07	22
255	255	-603	Max	0.00	-27.95	22	0.11	11	0.00	24	525.26	21	-25.49	23	0.08	21
255	255	-603	Max	19.00	-27.21	22	0.11	11	0.02	11	525.26	21	49.81	21	0.08	21
255	255	-603	Min.	0.00	-68.43	21	-0.26	23	-0.01	23	267.88	23	-49.99	21	0.02	22
255	255	-603	Min.	19.00	-67.46	21	-0.26	23	-0.06	23	267.88	23	25.41	23	0.02	22
256	256	-604	Max	0.00	-25.22	22	9.82	23	0.00	12	538.79	21	-26.49	23	0.20	21
256	256	-604	Max	19.00	-24.48	22	9.82	23	1.52	23	538.79	21	51.06	21	0.20	21
256	256	-604	Min.	0.00	-72.99	21	0.04	22	-0.35	23	278.08	23	-51.31	21	0.02	22
256	256	-604	Min.	19.00	-72.02	21	0.04	22	0.01	22	278.08	23	26.34	23	0.02	22
257	257	-605	Max	0.00	-25.21	22	-0.04	22	0.00	24	528.71	21	-25.38	23	0.03	23
257	257	-605	Max	19.00	-24.47	22	-0.04	22	-0.01	22	528.71	21	50.14	21	0.03	23
257	257	-605	Min.	0.00	-60.65	21	-0.40	23	-0.01	23	266.84	23	-50.31	21	-0.04	24
257	257	-605	Min.	19.00	-59.68	21	-0.40	23	-0.09	23	266.84	23	25.32	23	-0.04	24
258	258	-606	Max	0.00	-27.96	22	9.68	23	-0.00	22	527.08	21	-25.72	23	0.15	23
258	258	-606	Max	19.00	-27.22	22	9.68	23	1.49	23	527.08	21	49.94	21	0.15	23
258	258	-606	Min.	0.00	-79.54	21	-0.11	11	-0.35	23	269.94	23	-50.20	21	-0.04	24
258	258	-606	Min.	19.00	-78.57	21	-0.11	11	-0.02	11	269.94	23	25.57	23	-0.04	24
259	259	-607	Max	0.00	-6.68	23	0.32	11	0.02	11	287.19	21	-14.03	23	-0.02	23
259	259	-607	Max	19.00	-5.94	23	0.32	11	0.08	11	287.19	21	27.23	21	-0.02	23
259	259	-607	Min.	0.00	-18.29	24	-0.14	23	-0.00	23	147.56	23	-27.33	21	-0.12	11
259	259	-607	Min.	19.00	-17.54	24	-0.14	23	-0.03	23	147.56	23	14.00	23	-0.12	11
260	260	-608	Max	0.00	-11.45	22	9.95	23	0.02	11	272.63	21	-13.72	23	0.10	23
260	260	-608	Max	19.00	-10.71	22	9.95	23	1.55	23	272.63	21	25.89	21	0.10	23
260	260	-608	Min.	0.00	-48.45	21	0.09	22	-0.34	23	144.29	23	-25.91	21	-0.12	11
260	260	-608	Min.	19.00	-47.48	21	0.09	22	0.02	22	144.29	23	13.69	23	-0.12	11
261	261	-585	Max	0.00	-7.19	23	-0.07	12	0.00	22	349.28	21	-14.98	23	0.16	21

261	261	-585	Max	17.25	-6.51	23	-0.07	12	-0.01	22	349.28	21	30.11	24	0.16	21
261	261	-585	Min.	0.00	-14.82	24	-0.13	21	-0.02	21	173.47	23	-30.15	21	0.04	22
261	261	-585	Min.	17.25	-14.14	24	-0.13	21	-0.04	21	173.47	23	14.95	23	0.04	22
262	262	-586	Max	0.00	-10.77	22	0.87	23	0.07	23	390.38	21	-18.22	23	0.30	21
262	262	-586	Max	17.25	-10.10	22	0.87	23	0.22	23	390.38	21	33.65	21	0.30	21
262	262	-586	Min.	0.00	-29.63	21	-0.11	24	-0.01	11	211.18	23	-33.69	21	0.04	22
262	262	-586	Min.	17.25	-28.75	21	-0.11	24	-0.02	11	211.18	23	18.21	23	0.04	22
263	263	-587	Max	0.00	-16.38	22	-0.04	22	0.01	24	706.36	21	-30.88	23	0.05	21
263	263	-587	Max	17.25	-15.70	22	-0.04	22	0.00	12	706.36	21	60.89	21	0.05	21
263	263	-587	Min.	0.00	-42.64	21	-0.10	21	-0.01	23	357.81	23	-60.96	21	0.01	22
263	263	-587	Min.	17.25	-41.76	21	-0.10	21	-0.02	23	357.81	23	30.84	23	0.01	22
264	264	-588	Max	0.00	-16.33	22	0.87	23	0.08	23	729.39	21	-32.94	23	0.21	23
264	264	-588	Max	17.25	-15.65	22	0.87	23	0.23	23	729.39	21	62.88	21	0.21	23
264	264	-588	Min.	0.00	-44.81	21	-0.07	24	0.01	22	381.75	23	-62.94	21	0.01	22
264	264	-588	Min.	17.25	-43.93	21	-0.07	24	-0.00	24	381.75	23	32.92	23	0.01	22
265	265	-589	Max	0.00	-16.33	22	0.07	24	-0.00	22	702.13	21	-30.33	23	0.04	23
265	265	-589	Max	17.25	-15.65	22	0.07	24	0.00	24	702.13	21	60.52	21	0.04	23
265	265	-589	Min.	0.00	-43.01	21	-0.00	23	-0.02	21	351.45	23	-60.60	21	-0.02	24
265	265	-589	Min.	17.25	-42.13	21	-0.00	23	-0.02	23	351.45	23	30.29	23	-0.02	24
266	266	-590	Max	0.00	-16.38	22	0.93	23	0.07	23	722.60	21	-32.42	23	0.20	23
266	266	-590	Max	13.80					-0.00	24			33.29	24		
266	266	-590	Max	17.25	-15.70	22	0.93	23	0.23	23	722.60	21	62.30	21	0.20	23
266	266	-590	Min.	0.00	-43.96	21	0.04	22	-0.01	24	375.87	23	-62.35	21	-0.01	24
266	266	-590	Min.	13.80					-0.00	22			19.84	22		
266	266	-590	Min.	17.25	-43.08	21	0.04	22	0.00	12	375.87	23	32.41	23	-0.01	24
267	267	-591	Max	0.00	-10.78	22	0.11	24	0.01	11	369.00	21	-16.18	23	-0.01	23
267	267	-591	Max	17.25	-10.10	22	0.11	24	0.03	11	369.00	21	31.79	21	-0.01	23
267	267	-591	Min.	0.00	-28.07	21	0.03	23	-0.01	23	187.40	23	-31.86	21	-0.10	11
267	267	-591	Min.	17.25	-27.19	21	0.03	23	-0.00	23	187.40	23	16.14	23	-0.10	11
268	268	-592	Max	0.00	-9.03	23	0.97	23	0.08	23	373.73	21	-17.31	23	0.16	23
268	268	-592	Max	17.25	-8.35	23	0.97	23	0.25	23	373.73	21	32.22	21	0.16	23
268	268	-592	Min.	0.00	-16.44	21	0.07	12	-0.00	22	200.62	23	-32.25	21	-0.10	11
268	268	-592	Min.	17.25	-15.56	21	0.07	12	0.01	22	200.62	23	17.30	23	-0.10	11
269	269	-569	Max	0.00	-8.77	23	0.01	23	-0.00	22	430.36	21	-16.56	23	0.17	21
269	269	-569	Max	15.50	-8.16	23	0.01	23	-0.00	22	430.36	21	33.38	21	0.17	21
269	269	-569	Min.	0.00	-17.25	21	-0.00	22	-0.01	21	213.82	23	-33.33	21	0.04	22
269	269	-569	Min.	15.50	-16.46	21	-0.00	22	-0.01	21	213.82	23	16.58	23	0.04	22
270	270	-570	Max	0.00	-11.27	22	0.01	11	0.04	23	510.43	21	-21.21	23	0.26	21
270	270	-570	Max	15.50	-10.67	22	0.01	11	0.03	23	510.43	21	39.59	21	0.26	21
270	270	-570	Min.	0.00	-32.03	21	-0.07	23	-0.01	11	274.02	23	-39.52	21	0.04	22
270	270	-570	Min.	15.50	-31.24	21	-0.07	23	-0.01	11	274.02	23	21.26	23	0.04	22
271	271	-571	Max	0.00	-17.17	22	0.01	23	0.01	11	896.69	21	-35.01	23	0.05	21
271	271	-571	Max	15.50	-16.56	22	0.01	23	0.00	11	896.69	21	69.54	21	0.05	21
271	271	-571	Min.	0.00	-47.10	21	-0.02	11	-0.01	23	452.05	23	-69.45	21	0.00	22
271	271	-571	Min.	15.50	-46.31	21	-0.02	11	-0.01	23	452.05	23	35.05	23	0.00	22
272	272	-572	Max	0.00	-17.27	22	0.01	11	0.05	23	927.45	21	-36.11	22	0.16	23
272	272	-572	Max	12.40					-0.00	24			37.77	24		
272	272	-572	Max	15.50	-16.66	22	0.01	11	0.04	23	927.45	21	71.94	21	0.16	23
272	272	-572	Min.	0.00	-48.26	21	-0.07	23	-0.00	11	467.13	22	-71.81	21	0.01	22
272	272	-572	Min.	6.20					-0.00	26			-9.82	26		
272	272	-572	Min.	15.50	-47.47	21	-0.07	23	0.00	11	467.13	22	36.29	22	0.01	22
273	273	-573	Max	0.00	-17.27	22	0.02	23	0.00	11	892.24	21	-34.42	23	0.04	23
273	273	-573	Max	15.50	-16.66	22	0.02	23	0.00	11	892.24	21	69.20	21	0.04	23
273	273	-573	Min.	0.00	-47.87	21	-0.01	11	-0.01	23	444.39	23	-69.10	21	-0.02	24
273	273	-573	Min.	15.50	-47.07	21	-0.01	11	-0.01	23	444.39	23	34.46	23	-0.02	24
274	274	-574	Max	0.00	-17.17	22	0.02	11	0.04	23	918.45	21	-36.06	22	0.15	23
274	274	-574	Max	15.50	-16.56	22	0.02	11	0.03	23	918.45	21	71.24	21	0.15	23
274	274	-574	Min.	0.00	-46.99	21	-0.06	23	-0.01	11	466.41	22	-71.12	21	-0.01	24
274	274	-574	Min.	15.50	-46.20	21	-0.06	23	-0.00	11	466.41	22	36.24	22	-0.01	24

275	275	-575	Max	0.00	-11.28	22	0.02	23	0.01	11	482.29	21	-18.80	23	-0.01	23
275	275	-575	Max	15.50	-10.67	22	0.02	23	0.01	11	482.29	21	37.40	21	-0.01	23
275	275	-575	Min.	0.00	-31.61	21	-0.01	11	-0.01	23	242.73	23	-37.35	21	-0.10	11
275	275	-575	Min.	15.50	-30.82	21	-0.01	11	-0.00	23	242.73	23	18.82	23	-0.10	11
276	276	-576	Max	0.00	-9.67	23	0.00	22	0.06	23	462.24	21	-19.30	23	0.10	23
276	276	-576	Max	15.50	-9.06	23	0.00	22	0.04	23	462.24	21	35.86	21	0.10	23
276	276	-576	Min.	0.00	-18.06	21	-0.09	23	0.00	22	249.21	23	-35.79	21	-0.10	11
276	276	-576	Min.	15.50	-17.27	21	-0.09	23	0.00	22	249.21	23	19.33	23	-0.10	11
277	277	-553	Max	0.00	-13.39	23	0.02	22	0.01	21	482.12	21	-16.54	23	0.17	21
277	277	-553	Max	5.50					-0.00	22			-4.42	22		
277	277	-553	Max	13.75	-12.85	23	0.02	22	0.00	22	482.12	21	33.06	21	0.17	21
277	277	-553	Min.	0.00	-29.47	24	-0.32	21	-0.00	22	240.10	23	-33.23	21	0.04	22
277	277	-553	Min.	5.50					-0.00	22			-4.42	22		
277	277	-553	Min.	13.75	-28.93	24	-0.32	21	-0.03	21	240.10	23	16.48	23	0.04	22
278	278	-554	Max	0.00	-22.59	22	-0.25	22	0.05	21	603.84	21	-22.22	23	0.27	21
278	278	-554	Max	13.75	-22.05	22	-0.25	22	-0.02	22	603.84	21	41.33	21	0.27	21
278	278	-554	Min.	0.00	-47.56	21	-0.82	21	0.01	22	321.56	23	-41.69	21	0.05	22
278	278	-554	Min.	13.75	-46.86	21	-0.82	21	-0.06	21	321.56	23	21.99	23	0.05	22
279	279	-555	Max	0.00	-32.79	23	0.30	24	-0.00	12	1031.69	21	-35.44	22	0.05	23
279	279	-555	Max	11.00					-0.00	21			42.37	21		
279	279	-555	Max	13.75	-32.25	23	0.30	24	0.03	24	1031.69	21	70.74	21	0.05	23
279	279	-555	Min.	0.00	-69.34	21	-0.07	23	-0.01	21	513.23	22	-71.11	21	-0.00	22
279	279	-555	Min.	11.00					-0.00	21			42.37	21		
279	279	-555	Min.	13.75	-68.63	21	-0.07	23	-0.02	23	513.23	22	35.13	22	-0.00	22
280	280	-556	Max	0.00	-33.11	22	-0.24	22	0.04	21	1068.85	21	-35.47	22	0.16	21
280	280	-556	Max	13.75	-32.57	22	-0.24	22	-0.02	22	1068.85	21	73.18	21	0.16	21
280	280	-556	Min.	0.00	-75.02	21	-0.70	21	0.01	12	513.86	22	-73.78	21	0.01	22
280	280	-556	Min.	13.75	-74.31	21	-0.70	21	-0.05	21	513.86	22	35.18	22	0.01	22
281	281	-557	Max	0.00	-32.50	23	0.37	24	-0.01	12	1028.44	21	-35.12	23	0.04	23
281	281	-557	Max	13.75	-31.96	23	0.37	24	0.03	24	1028.44	21	70.53	21	0.04	23
281	281	-557	Min.	0.00	-69.62	21	-0.05	23	-0.02	21	510.07	23	-70.88	21	-0.03	24
281	281	-557	Min.	13.75	-68.92	21	-0.05	23	-0.02	23	510.07	23	35.02	23	-0.03	24
282	282	-558	Max	0.00	-33.31	22	-0.22	22	0.03	21	1057.16	21	-35.44	22	0.15	23
282	282	-558	Max	13.75	-32.77	22	-0.22	22	-0.02	22	1057.16	21	72.37	21	0.15	23
282	282	-558	Min.	0.00	-73.93	21	-0.62	21	0.00	12	513.20	22	-72.99	21	-0.00	24
282	282	-558	Min.	13.75	-73.23	21	-0.62	21	-0.05	21	513.20	22	35.13	22	-0.00	24
283	283	-559	Max	0.00	-20.36	23	0.43	24	-0.01	22	571.17	21	-19.64	23	-0.00	23
283	283	-559	Max	13.75	-19.82	23	0.43	24	0.04	11	571.17	21	39.17	21	-0.00	23
283	283	-559	Min.	0.00	-43.87	21	-0.04	23	-0.03	21	285.23	23	-39.37	21	-0.11	11
283	283	-559	Min.	13.75	-43.17	21	-0.04	23	-0.02	23	285.23	23	19.58	23	-0.11	11
284	284	-560	Max	0.00	-16.69	23	0.18	11	0.04	23	518.57	21	-19.37	23	0.09	23
284	284	-560	Max	13.75	-16.15	23	0.18	11	0.03	21	518.57	21	35.52	21	0.09	23
284	284	-560	Min.	0.00	-30.44	21	-0.11	23	-0.01	11	280.57	23	-35.78	21	-0.10	11
284	284	-560	Min.	13.75	-29.73	21	-0.11	23	0.00	22	280.57	23	19.21	23	-0.10	11
285	2285	4285	Max	0.00	74.65	21	0.43	11	-0.02	22	-20.94	23	7.08	22	0.04	24
285	2285	4285	Max	12.00	75.26	21	0.43	11	0.02	11	-20.94	23	-0.37	12	0.04	24
285	2285	4285	Min.	0.00	12.74	12	0.15	23	-0.04	21	-92.08	22	1.99	23	0.02	12
285	2285	4285	Min.	12.00	13.22	12	0.15	23	-0.01	23	-92.08	22	-3.97	22	0.02	12
286	1286	2286	Max	0.00	-409.59	22	-49.22	23	-165.19	23	24.81	24	-9.49	22	2.23	21
286	1286	2286	Max	9.00	-407.56	22	-49.22	23	-169.63	23	24.81	24	-7.55	22	2.23	21
286	1286	2286	Min.	0.00	-938.23	21	-96.31	21	-395.25	24	-76.93	23	-58.90	21	0.87	22
286	1286	2286	Min.	9.00	-935.60	21	-96.31	21	-403.70	24	-76.93	23	-64.10	21	0.87	22
286	2286	4286	Max	0.00	-146.15	22	24.64	24	-4.58	22	-855.46	23	324.29	24	4.64	23
286	2286	4286	Max	7.00	-144.58	22	24.64	24	-3.12	22	-855.46	23	172.21	24	4.64	23
286	2286	4286	Min.	0.00	-357.11	21	-57.04	23	-45.70	21	-2172.59	24	133.15	23	-4.15	11
286	2286	4286	Min.	7.00	-355.06	21	-57.04	23	-48.48	21	-2172.59	24	73.27	23	-4.15	11
287	2287	4287	Max	0.00	-4.78	22	-0.21	22	0.21	21	-6.49	23	7.07	22	-0.01	23
287	2287	4287	Max	12.00	-4.31	22	-0.21	22	-0.02	22	-6.49	23	0.37	23	-0.01	23
287	2287	4287	Min.	0.00	-174.87	21	-5.42	21	0.01	22	-91.89	22	1.15	23	-0.05	24

287	2287	4287	Min.	12.00	-174.25	21	-5.42	21	-0.44	21	-91.89	22	-3.96	22	-0.05	24
288	2288	4288	Max	0.00	116.75	23	3.49	11	0.04	23	-32.24	23	8.96	22	0.07	21
288	2288	4288	Max	12.00	117.22	23	3.49	11	0.27	11	-32.24	23	-0.29	12	0.07	21
288	2288	4288	Min.	0.00	-76.00	11	-1.70	23	-0.15	11	-113.52	22	3.34	23	0.04	23
288	2288	4288	Min.	12.00	-75.53	11	-1.70	23	-0.17	23	-113.52	22	-4.66	22	0.04	23
289	1289	2289	Max	0.00	-707.54	22	-105.12	23	-312.96	23	10.28	24	3.99	24	1.69	21
289	1289	2289	Max	9.00	-705.52	22	-105.12	23	-322.42	23	10.28	24	4.91	24	1.69	21
289	1289	2289	Min.	0.00	-1788.84	21	-208.06	21	-649.44	24	-117.71	23	-61.70	23	0.47	22
289	1289	2289	Min.	9.00	-1786.21	21	-208.06	21	-666.62	24	-117.71	23	-72.29	23	0.47	22
289	2289	4289	Max	0.00	-247.25	22	8.34	24	3.85	24	-1633.40	23	532.92	24	5.20	23
289	2289	4289	Max	7.00	-245.67	22	8.34	24	4.43	24	-1633.40	23	285.79	24	5.20	23
289	2289	4289	Min.	0.00	-710.35	21	-96.06	23	-56.50	23	-3530.41	24	253.72	23	-3.05	11
289	2289	4289	Min.	7.00	-708.30	21	-96.06	23	-63.22	23	-3530.41	24	139.38	23	-3.05	11
290	2290	4290	Max	0.00	-3.72	22	-1.26	22	0.28	21	-22.70	23	9.04	24	-0.03	23
290	2290	4290	Max	12.00	-3.25	22	-1.26	22	-0.09	22	-22.70	23	0.07	23	-0.03	23
290	2290	4290	Min.	0.00	-213.28	21	-7.14	21	0.06	22	-114.43	22	2.80	23	-0.08	24
290	2290	4290	Min.	12.00	-212.66	21	-7.14	21	-0.58	21	-114.43	22	-4.71	22	-0.08	24
291	2291	4291	Max	0.00	133.35	23	2.97	11	0.05	23	-32.97	23	9.04	24	0.08	21
291	2291	4291	Max	12.00	133.82	23	2.97	11	0.22	11	-32.97	23	-0.36	12	0.08	21
291	2291	4291	Min.	0.00	-55.04	11	-2.12	23	-0.13	11	-114.41	22	3.37	23	0.05	23
291	2291	4291	Min.	12.00	-54.57	11	-2.12	23	-0.20	23	-114.41	22	-4.71	22	0.05	23
292	1292	2292	Max	0.00	-707.54	22	-103.19	23	-307.88	23	-8.89	22	-3.46	12	0.78	23
292	1292	2292	Max	9.00	-705.52	22	-103.19	23	-317.17	23	-8.89	22	-4.27	12	0.78	23
292	1292	2292	Min.	0.00	-1783.48	21	-206.35	21	-649.47	24	-134.11	23	-68.15	23	-0.68	24
292	1292	2292	Min.	9.00	-1780.85	21	-206.35	21	-666.66	24	-134.11	23	-80.22	23	-0.68	24
292	2292	4292	Max	0.00	-247.24	22	-7.41	12	-3.30	12	-1606.46	23	532.96	24	9.97	21
292	2292	4292	Max	7.00	-245.67	22	-7.41	12	-3.82	12	-1606.46	23	285.81	24	9.97	21
292	2292	4292	Min.	0.00	-709.05	21	-109.94	23	-62.57	23	-3530.63	24	249.57	23	1.61	22
292	2292	4292	Min.	7.00	-707.01	21	-109.94	23	-70.27	23	-3530.63	24	137.11	23	1.61	22
293	2293	4293	Max	0.00	-23.76	22	-1.75	22	0.30	21	-20.91	23	8.97	22	-0.02	23
293	2293	4293	Max	12.00	-23.29	22	-1.75	22	-0.14	22	-20.91	23	0.15	23	-0.02	23
293	2293	4293	Min.	0.00	-240.20	21	-7.80	21	0.07	22	-113.56	22	2.66	23	-0.07	24
293	2293	4293	Min.	12.00	-239.59	21	-7.80	21	-0.63	21	-113.56	22	-4.66	22	-0.07	24
294	2294	4294	Max	0.00	78.98	23	1.20	11	0.14	23	-17.27	12	7.07	22	0.05	24
294	2294	4294	Max	12.00	79.45	23	1.20	11	0.10	11	-17.27	12	0.02	11	0.05	24
294	2294	4294	Min.	0.00	-61.34	11	-3.80	23	-0.05	11	-91.91	22	1.92	23	0.03	23
294	2294	4294	Min.	12.00	-60.87	11	-3.80	23	-0.31	23	-91.91	22	-3.96	22	0.03	23
295	1295	2295	Max	0.00	-409.64	22	-51.24	23	-171.19	23	-20.79	12	27.02	11	0.37	23
295	1295	2295	Max	9.00	-407.62	22	-51.24	23	-175.80	23	-20.79	12	24.95	11	0.37	23
295	1295	2295	Min.	0.00	-883.82	21	-98.17	21	-395.34	24	-114.19	23	-13.61	23	-1.33	24
295	1295	2295	Min.	9.00	-881.18	21	-98.17	21	-403.80	24	-114.19	23	-23.89	23	-1.33	24
295	2295	4295	Max	0.00	-146.15	22	-20.76	22	15.71	11	-894.27	23	324.37	24	10.38	21
295	2295	4295	Max	7.00	-144.58	22	-20.76	22	14.07	11	-894.27	23	172.25	24	10.38	21
295	2295	4295	Min.	0.00	-401.38	21	-97.09	21	-20.89	23	-2173.13	24	138.40	23	1.84	22
295	2295	4295	Min.	7.00	-399.33	21	-97.09	21	-27.54	23	-2173.13	24	75.80	23	1.84	22
296	2296	4296	Max	0.00	18.03	24	-0.25	22	0.03	21	-13.24	23	7.08	22	-0.01	23
296	2296	4296	Max	12.00	18.50	24	-0.25	22	-0.01	22	-13.24	23	-0.02	23	-0.01	23
296	2296	4296	Min.	0.00	-53.08	23	-0.63	21	0.02	23	-92.10	22	1.57	23	-0.04	24
296	2296	4296	Min.	12.00	-52.61	23	-0.63	21	-0.04	21	-92.10	22	-3.97	22	-0.04	24
297	297	-537	Max	0.00	17.93	24	0.31	11	0.04	23	5.90	23	1.36	24	0.09	24
297	297	-537	Max	10.65	18.35	24	0.31	11	0.02	11	5.90	23	0.09	23	0.09	24
297	297	-537	Min.	0.00	9.03	23	-1.10	23	-0.02	11	-30.73	24	-0.53	23	-0.15	23
297	297	-537	Min.	10.65	9.45	23	-1.10	23	-0.08	23	-30.73	24	-1.91	24	-0.15	23
298	298	-538	Max	0.00	14.93	22	0.86	21	0.01	23	-29.71	22	4.17	21	0.10	24
298	298	-538	Max	10.65	15.34	22	0.86	21	0.09	21	-29.71	22	-1.82	22	0.10	24
298	298	-538	Min.	0.00	0.75	23	0.48	12	-0.03	24	-79.19	21	1.35	22	-0.17	23
298	298	-538	Min.	10.65	1.17	23	0.48	12	0.03	12	-79.19	21	-4.26	21	-0.17	23
299	299	-539	Max	0.00	23.77	24	0.03	11	0.04	23	-35.14	23	4.56	11	0.07	24
299	299	-539	Max	10.65	24.23	21	0.03	11	-0.01	12	-35.14	23	-2.19	23	0.07	24

299	299	-539	Min.	0.00	13.94	12	-1.23	23	-0.01	11	-91.08	11	1.55	23	-0.14	23
299	299	-539	Min.	10.65	14.36	12	-1.23	23	-0.10	23	-91.08	11	-5.14	11	-0.14	23
300	300	-540	Max	0.00	23.92	24	0.83	21	0.01	23	-41.67	22	5.68	21	0.08	24
300	300	-540	Max	10.65	24.34	24	0.83	21	0.08	21	-41.67	22	-2.55	22	0.08	24
300	300	-540	Min.	0.00	6.61	23	0.45	12	-0.02	24	-111.28	21	1.89	22	-0.16	23
300	300	-540	Min.	10.65	7.02	23	0.45	12	0.03	12	-111.28	21	-6.16	21	-0.16	23
301	301	-541	Max	0.00	23.93	24	-0.44	12	0.06	21	-24.26	23	3.76	11	-0.05	22
301	301	-541	Max	10.65	24.34	24	-0.44	12	-0.03	12	-24.26	23	-1.65	23	-0.05	22
301	301	-541	Min.	0.00	14.07	12	-1.77	21	0.01	12	-77.14	11	0.93	23	-0.24	21
301	301	-541	Min.	10.65	14.49	12	-1.77	21	-0.13	21	-77.14	11	-4.46	11	-0.24	21
302	302	-542	Max	0.00	23.77	24	0.19	23	0.03	21	-50.74	22	6.62	21	-0.04	22
302	302	-542	Max	10.65	24.19	24	0.19	23	0.04	21	-50.74	22	-2.99	22	-0.04	22
302	302	-542	Min.	0.00	6.13	23	-0.03	11	0.00	22	-127.46	21	2.41	22	-0.25	21
302	302	-542	Min.	10.65	6.55	23	-0.03	11	0.01	12	-127.46	21	-6.95	21	-0.25	21
303	303	-543	Max	0.00	14.93	22	-0.49	12	0.07	21	-7.82	23	2.47	11	-0.07	22
303	303	-543	Max	10.65	15.35	22	-0.49	12	-0.03	12	-7.82	23	-0.64	23	-0.07	22
303	303	-543	Min.	0.00	4.35	12	-1.86	21	0.02	22	-49.37	11	0.19	23	-0.28	21
303	303	-543	Min.	10.65	4.76	12	-1.86	21	-0.13	21	-49.37	11	-2.79	24	-0.28	21
304	304	-544	Max	0.00	17.94	24	0.01	23	0.04	21	-22.28	12	2.64	21	-0.06	22
304	304	-544	Max	10.65	18.36	24	0.01	23	0.03	23	-22.28	12	-1.35	12	-0.06	22
304	304	-544	Min.	0.00	6.15	23	-0.32	11	0.00	22	-52.37	21	1.02	12	-0.29	21
304	304	-544	Min.	10.65	6.56	23	-0.32	11	-0.02	11	-52.37	21	-2.93	21	-0.29	21
305	305	-521	Max	0.00	-1.44	12	-0.09	22	0.01	24	13.05	23	1.27	11	0.11	24
305	305	-521	Max	9.29	-1.07	12	-0.09	22	-0.00	22	13.05	23	0.56	23	0.11	24
305	305	-521	Min.	0.00	-2.81	21	-0.79	21	-0.02	23	-26.76	11	-0.65	23	-0.11	23
305	305	-521	Min.	9.29	-2.34	21	-0.79	21	-0.08	21	-26.76	11	-1.22	11	-0.11	23
306	306	-522	Max	0.00	-1.67	22	1.73	23	0.01	24	-19.97	22	3.63	21	0.11	24
306	306	-522	Max	9.29	-1.30	22	1.73	23	0.11	23	-19.97	22	-0.90	22	0.11	24
306	306	-522	Min.	0.00	-7.60	11	-0.20	11	-0.05	23	-76.81	21	0.95	22	-0.10	23
306	306	-522	Min.	9.29	-7.23	11	-0.20	11	-0.01	11	-76.81	21	-3.51	21	-0.10	23
307	307	-523	Max	0.00	-1.20	22	-0.12	22	0.01	24	-31.84	23	4.30	11	0.08	24
307	307	-523	Max	9.29	-0.83	22	-0.12	22	-0.01	22	-31.84	23	-1.49	23	0.08	24
307	307	-523	Min.	0.00	-8.82	21	-0.77	21	-0.01	23	-91.26	11	1.47	23	-0.10	23
307	307	-523	Min.	9.29	-8.35	21	-0.77	21	-0.08	23	-91.26	11	-4.18	11	-0.10	23
308	308	-524	Max	0.00	-1.74	22	1.87	23	0.02	24	-32.65	22	5.32	21	0.08	24
308	308	-524	Max	9.29	-1.37	22	1.87	23	0.14	21	-32.65	22	-1.49	22	0.08	24
308	308	-524	Min.	0.00	-8.35	11	0.08	22	-0.04	23	-113.13	21	1.54	22	-0.09	23
308	308	-524	Min.	9.29	-7.99	11	0.08	22	0.02	22	-113.13	21	-5.20	21	-0.09	23
309	309	-525	Max	0.00	-1.74	22	-0.08	22	-0.01	22	-17.24	23	3.36	11	-0.05	22
309	309	-525	Max	9.29	-1.38	22	-0.08	22	-0.02	22	-17.24	23	-0.84	23	-0.05	22
309	309	-525	Min.	0.00	-10.29	21	-0.70	23	-0.04	21	-71.99	11	0.76	23	-0.21	21
309	309	-525	Min.	9.29	-9.81	21	-0.70	23	-0.10	21	-71.99	11	-3.33	11	-0.21	21
310	310	-526	Max	0.00	-1.20	22	1.88	23	-0.00	22	-44.49	22	6.41	21	-0.05	22
310	310	-526	Max	9.29	-0.83	22	1.88	23	0.12	23	-44.49	22	-2.02	22	-0.05	22
310	310	-526	Min.	0.00	-7.07	11	0.12	22	-0.05	23	-135.46	21	2.12	22	-0.21	21
310	310	-526	Min.	9.29	-6.71	11	0.12	22	0.01	22	-135.46	21	-6.18	21	-0.21	21
311	311	-527	Max	0.00	-1.67	22	0.20	11	-0.01	12	2.62	23	1.89	11	-0.07	22
311	311	-527	Max	9.29	-1.30	22	0.20	11	0.01	11	2.62	23	0.08	23	-0.07	22
311	311	-527	Min.	0.00	-9.27	21	-0.44	23	-0.02	21	-40.52	11	-0.16	23	-0.26	21
311	311	-527	Min.	9.29	-8.80	21	-0.44	23	-0.06	23	-40.52	11	-1.87	11	-0.26	21
312	312	-528	Max	0.00	-0.24	23	1.89	23	-0.00	12	-12.91	22	2.78	21	-0.06	22
312	312	-528	Max	9.29	0.13	23	1.89	23	0.12	23	-12.91	22	-0.57	22	-0.06	22
312	312	-528	Min.	0.00	-2.23	24	0.09	22	-0.05	23	-58.01	21	0.63	22	-0.25	21
312	312	-528	Min.	9.29	-1.87	24	0.09	22	0.00	22	-58.01	21	-2.61	21	-0.25	21
313	2313	3313	Max	0.00	6.04	23	0.85	24	-0.01	24	10.22	23	0.70	11	0.09	24
313	2313	3313	Max	7.94	6.35	23	0.85	24	0.06	24	10.22	23	0.30	23	0.09	24
313	2313	3313	Min.	0.00	-7.62	11	-0.30	23	-0.11	23	-17.41	11	-0.51	23	-0.06	23
313	2313	3313	Min.	7.94	-7.31	11	-0.30	23	-0.14	23	-17.41	11	-0.68	11	-0.06	23
314	2314	3314	Max	0.00	-4.81	22	1.32	21	-0.00	24	-12.19	22	1.94	21	0.09	24

314	2314	3314	Max	7.94	-4.50	22	1.32	21	0.06	24	-12.19	22	-0.48	22	0.09	24
314	2314	3314	Min.	0.00	-20.12	21	0.47	22	-0.09	23	-44.46	21	0.49	22	-0.03	23
314	2314	3314	Min.	7.94	-19.72	21	0.47	22	-0.02	23	-44.46	21	-1.59	21	-0.03	23
315	2315	3315	Max	0.00	-7.53	23	0.67	24	0.04	11	-19.84	23	2.37	11	0.07	24
315	2315	3315	Max	7.94	-7.22	23	0.67	24	0.09	11	-19.84	23	-0.86	23	0.07	24
315	2315	3315	Min.	0.00	-25.63	11	-0.22	23	-0.08	23	-58.26	11	0.71	23	-0.05	23
315	2315	3315	Min.	7.94	-25.32	11	-0.22	23	-0.09	23	-58.26	11	-2.26	11	-0.05	23
316	2316	3316	Max	0.00	-9.01	22	1.03	21	0.02	11	-22.31	22	2.97	21	0.05	24
316	2316	3316	Max	7.94	-8.70	22	1.03	21	0.06	24	-22.31	22	-0.92	22	0.05	24
316	2316	3316	Min.	0.00	-31.92	21	0.28	22	-0.07	23	-72.50	21	0.85	22	-0.03	23
316	2316	3316	Min.	7.94	-31.51	21	0.28	22	-0.00	23	-72.50	21	-2.78	21	-0.03	23
317	2317	3317	Max	0.00	-2.12	23	-0.28	22	-0.02	22	-8.97	23	1.74	11	-0.03	22
317	2317	3317	Max	7.94	-1.80	23	-0.28	22	-0.04	22	-8.97	23	-0.47	23	-0.03	22
317	2317	3317	Min.	0.00	-18.28	11	-1.04	21	-0.12	21	-43.69	11	0.25	23	-0.14	21
317	2317	3317	Min.	7.94	-17.97	11	-1.04	21	-0.20	21	-43.69	11	-1.73	11	-0.14	21
318	2318	3318	Max	0.00	-13.37	22	0.23	23	-0.02	22	-30.84	22	3.70	21	-0.04	22
318	2318	3318	Max	7.94	-13.05	22	0.23	23	-0.05	22	-30.84	22	-1.23	22	-0.04	22
318	2318	3318	Min.	0.00	-40.40	21	-0.67	24	-0.12	21	-89.25	21	1.22	22	-0.13	21
318	2318	3318	Min.	7.94	-40.00	21	-0.67	24	-0.13	21	-89.25	21	-3.39	21	-0.13	21
319	2319	3319	Max	0.00	4.38	23	-0.48	22	0.01	12	6.04	23	0.85	11	-0.05	22
319	2319	3319	Max	7.94	4.69	23	-0.48	22	-0.03	22	6.04	23	0.17	23	-0.05	22
319	2319	3319	Min.	0.00	-8.10	11	-1.59	21	-0.09	23	-19.79	11	-0.31	23	-0.19	21
319	2319	3319	Min.	7.94	-7.79	11	-1.59	21	-0.21	21	-19.79	11	-0.72	11	-0.19	21
320	2320	3320	Max	0.00	-2.66	22	0.12	23	0.01	12	-7.07	22	1.65	21	-0.05	22
320	2320	3320	Max	7.94	-2.35	22	0.12	23	-0.03	22	-7.07	22	-0.28	22	-0.05	22
320	2320	3320	Min.	0.00	-18.20	21	-0.86	24	-0.07	23	-39.07	21	0.28	22	-0.15	21
320	2320	3320	Min.	7.94	-17.80	21	-0.86	24	-0.10	21	-39.07	21	-1.45	21	-0.15	21
901	325	326	Max	4.00	0.00	11	0.00	11	0.00	11	-47.81	12	-1.25	12	7.40	21
901	325	326	Max	11.23									-3.01	12		
901	325	326	Max	15.00	0.00	11	0.00	11	0.00	11	23.20	12	-2.59	12	7.40	21
901	325	326	Min.	4.00	0.00	11	0.00	11	0.00	11	-1116.62	23	-45.48	23	3.64	23
901	325	326	Min.	14.72									-7.94	24		
901	325	326	Min.	15.00	0.00	11	0.00	11	0.00	11	-1039.86	23	-164.07	23	3.64	23
901	326	327	Max	0.00	0.00	11	0.00	11	0.00	11	-298.64	12	13.28	12	17.59	21
901	326	327	Max	11.00	0.00	11	0.00	11	0.00	11	-228.83	12	-15.72	12	17.59	21
901	326	327	Min.	0.00	0.00	11	0.00	11	0.00	11	-1395.88	21	-223.07	23	8.66	23
901	326	327	Min.	11.00	0.00	11	0.00	11	0.00	11	-1282.64	21	-363.91	23	8.66	23
901	327	328	Max	1.00	0.00	11	0.00	11	0.00	11	-608.28	23	-32.40	12	25.12	21
901	327	328	Max	134.24									-515.38	12		
901	327	328	Max	289.00	0.00	11	0.00	11	0.00	11	1239.41	21	164.30	24	25.12	21
901	327	328	Min.	1.00	0.00	11	0.00	11	0.00	11	-1034.65	21	-421.25	23	12.38	23
901	327	328	Min.	116.20									-978.74	21		
901	327	328	Min.	289.00	0.00	11	0.00	11	0.00	11	735.93	12	48.02	23	12.38	23
901	328	329	Max	4.00	0.00	11	0.00	11	0.00	11	433.52	24	192.41	24	17.78	21
901	328	329	Max	15.00	0.00	11	0.00	11	0.00	11	502.65	24	243.90	24	17.78	21
901	328	329	Min.	4.00	0.00	11	0.00	11	0.00	11	-759.90	23	24.35	23	8.67	23
901	328	329	Min.	15.00	0.00	11	0.00	11	0.00	11	-718.85	23	-56.97	23	8.67	23
901	329	330	Max	0.00	0.00	11	0.00	11	0.00	11	-153.75	12	248.77	24	6.86	24
901	329	330	Max	11.00	0.00	11	0.00	11	0.00	11	-104.73	12	226.05	24	6.86	24
901	329	330	Min.	0.00	0.00	11	0.00	11	0.00	11	-1136.47	21	-136.55	23	3.06	23
901	329	330	Min.	11.00	0.00	11	0.00	11	0.00	11	-1086.79	23	-258.32	23	3.06	23
901	330	331	Max	1.00	0.00	11	0.00	11	0.00	11	-281.46	23	209.76	24	-0.11	12
901	330	331	Max	155.06									-395.17	12		
901	330	331	Max	309.00	0.00	11	0.00	11	0.00	11	1125.54	21	481.44	21	-0.11	12
901	330	331	Min.	1.00	0.00	11	0.00	11	0.00	11	-925.16	24	-306.50	23	-0.59	21
901	330	331	Min.	118.56									-582.41	21		
901	330	331	Min.	309.00	0.00	11	0.00	11	0.00	11	654.12	12	102.40	12	-0.59	21
901	331	332	Max	4.00	0.00	11	0.00	11	0.00	11	173.05	24	461.00	21	-3.96	23
901	331	332	Max	15.00	0.00	11	0.00	11	0.00	11	241.84	24	380.98	21	-3.96	23

901	331	332	Min.	4.00	0.00	11	0.00	11	0.00	11	-943.35	23	113.35	12	-7.58	21
901	331	332	Min.	15.00	0.00	11	0.00	11	0.00	11	-906.95	23	127.62	12	-7.58	21
901	332	333	Max	0.00	0.00	11	0.00	11	0.00	11	-367.80	12	299.78	21	-9.14	23
901	332	333	Max	11.00	0.00	11	0.00	11	0.00	11	-318.45	12	191.92	24	-9.14	23
901	332	333	Min.	0.00	0.00	11	0.00	11	0.00	11	-1425.37	21	123.21	12	-18.30	21
901	332	333	Min.	11.00	0.00	11	0.00	11	0.00	11	-1358.24	21	52.90	23	-18.30	21
901	333	334	Max	1.00	0.00	11	0.00	11	0.00	11	-346.29	23	163.85	24	-12.52	23
901	333	334	Max	106.17									-185.62	23		
901	333	334	Max	289.00	0.00	11	0.00	11	0.00	11	1047.53	21	376.05	23	-12.52	23
901	333	334	Min.	1.00	0.00	11	0.00	11	0.00	11	-1041.98	24	-3.42	23	-25.34	21
901	333	334	Min.	159.05									-674.28	24		
901	333	334	Min.	289.00	0.00	11	0.00	11	0.00	11	622.32	23	-53.83	24	-25.34	21
901	334	335	Max	4.00	0.00	11	0.00	11	0.00	11	330.91	24	345.31	23	-8.79	23
901	334	335	Max	15.00	0.00	11	0.00	11	0.00	11	423.85	24	249.63	23	-8.79	23
901	334	335	Min.	4.00	0.00	11	0.00	11	0.00	11	-889.26	23	-30.79	24	-17.77	21
901	334	335	Min.	15.00	0.00	11	0.00	11	0.00	11	-850.46	23	9.37	22	-17.77	21
901	335	336	Max	0.00	0.00	11	0.00	11	0.00	11	-0.70	24	163.21	23	-3.72	23
901	335	336	Max	3.47									-3.12	12		
901	335	336	Max	11.00	0.00	11	0.00	11	0.00	11	93.72	24	44.48	23	-3.72	23
901	335	336	Min.	0.00	0.00	11	0.00	11	0.00	11	-1098.80	23	-8.15	24	-7.50	21
901	335	336	Min.	1.10									-5.95	26		
901	335	336	Min.	11.00	0.00	11	0.00	11	0.00	11	-1059.95	23	-3.04	24	-7.50	21
902	361	362	Max	4.00	0.00	11	0.00	11	0.00	11	-2.53	22	0.54	22	-3.70	23
902	361	362	Max	4.55									0.53	22		
902	361	362	Max	15.00	0.00	11	0.00	11	0.00	11	49.06	22	3.11	22	-3.70	23
902	361	362	Min.	4.00	0.00	11	0.00	11	0.00	11	-1116.90	23	-45.49	23	-7.48	21
902	361	362	Min.	12.80									-5.00	11		
902	361	362	Min.	15.00	0.00	11	0.00	11	0.00	11	-1040.12	23	-164.11	23	-7.48	21
902	362	363	Max	0.00	0.00	11	0.00	11	0.00	11	-188.62	22	17.05	22	-8.82	23
902	362	363	Max	11.00	0.00	11	0.00	11	0.00	11	-138.05	22	-0.91	22	-8.82	23
902	362	363	Min.	0.00	0.00	11	0.00	11	0.00	11	-1396.31	21	-223.13	23	-17.80	21
902	362	363	Min.	11.00	0.00	11	0.00	11	0.00	11	-1283.05	21	-364.01	23	-17.80	21
902	363	364	Max	1.00	0.00	11	0.00	11	0.00	11	-557.89	22	-12.08	22	-12.60	23
902	363	364	Max	140.21									-388.08	22		
902	363	364	Max	289.00	0.00	11	0.00	11	0.00	11	1239.12	21	127.99	21	-12.60	23
902	363	364	Min.	1.00	0.00	11	0.00	11	0.00	11	-1034.78	21	-421.37	23	-25.41	21
902	363	364	Min.	116.20									-978.99	21		
902	363	364	Min.	289.00	0.00	11	0.00	11	0.00	11	464.74	22	-36.93	22	-25.41	21
902	364	365	Max	4.00	0.00	11	0.00	11	0.00	11	382.55	11	132.48	11	-8.90	23
902	364	365	Max	15.00	0.00	11	0.00	11	0.00	11	442.49	11	177.86	11	-8.90	23
902	364	365	Min.	4.00	0.00	11	0.00	11	0.00	11	-760.23	23	-23.00	22	-18.08	21
902	364	365	Min.	15.00	0.00	11	0.00	11	0.00	11	-719.19	23	-57.42	23	-18.08	21
902	365	366	Max	0.00	0.00	11	0.00	11	0.00	11	-72.29	22	182.73	11	-3.32	23
902	365	366	Max	11.00	0.00	11	0.00	11	0.00	11	-40.69	22	164.28	11	-3.32	23
902	365	366	Min.	0.00	0.00	11	0.00	11	0.00	11	-1136.56	21	-137.01	23	-7.00	21
902	365	366	Min.	11.00	0.00	11	0.00	11	0.00	11	-1086.88	23	-258.79	23	-7.00	21
902	366	367	Max	1.00	0.00	11	0.00	11	0.00	11	-280.99	23	150.62	11	0.31	23
902	366	367	Max	155.03									-318.88	22		
902	366	367	Max	309.00	0.00	11	0.00	11	0.00	11	1125.24	21	481.41	21	0.31	23
902	366	367	Min.	1.00	0.00	11	0.00	11	0.00	11	-798.19	11	-306.98	23	-0.15	24
902	366	367	Min.	118.51									-582.49	21		
902	366	367	Min.	309.00	0.00	11	0.00	11	0.00	11	414.31	22	-4.90	22	-0.15	24
902	367	368	Max	4.00	0.00	11	0.00	11	0.00	11	138.48	11	460.95	21	7.24	21
902	367	368	Max	15.00	0.00	11	0.00	11	0.00	11	198.07	11	380.90	21	7.24	21
902	367	368	Min.	4.00	0.00	11	0.00	11	0.00	11	-943.62	23	1.13	22	3.54	22
902	367	368	Min.	15.00	0.00	11	0.00	11	0.00	11	-907.25	23	7.40	22	3.54	22
902	368	369	Max	0.00	0.00	11	0.00	11	0.00	11	-253.01	22	299.67	21	18.00	21
902	368	369	Max	11.00	0.00	11	0.00	11	0.00	11	-221.11	22	146.57	21	18.00	21
902	368	369	Min.	0.00	0.00	11	0.00	11	0.00	11	-1425.38	21	3.05	22	8.93	23

902	368	369	Min.	11.00	0.00	11	0.00	11	0.00	11	-1358.28	21	-23.03	22	8.93	23
902	369	370	Max	1.00	0.00	11	0.00	11	0.00	11	-345.72	23	107.83	11	25.07	21
902	369	370	Max	106.09									-185.28	23		
902	369	370	Max	289.00	0.00	11	0.00	11	0.00	11	1046.93	21	376.23	23	25.07	21
902	369	370	Min.	1.00	0.00	11	0.00	11	0.00	11	-898.39	11	-36.93	22	12.33	23
902	369	370	Min.	157.12									-607.32	11		
902	369	370	Min.	289.00	0.00	11	0.00	11	0.00	11	557.92	22	-42.60	11	12.33	23
902	370	371	Max	4.00	0.00	11	0.00	11	0.00	11	281.96	11	345.46	23	17.59	21
902	370	371	Max	15.00	0.00	11	0.00	11	0.00	11	364.87	11	249.71	23	17.59	21
902	370	371	Min.	4.00	0.00	11	0.00	11	0.00	11	-889.82	23	-22.50	11	8.66	23
902	370	371	Min.	15.00	0.00	11	0.00	11	0.00	11	-851.06	23	13.07	11	8.66	23
902	371	372	Max	0.00	0.00	11	0.00	11	0.00	11	-15.94	11	163.28	23	7.42	21
902	371	372	Max	10.45									0.50	22		
902	371	372	Max	11.00	0.00	11	0.00	11	0.00	11	68.35	11	44.49	23	7.42	21
902	371	372	Min.	0.00	0.00	11	0.00	11	0.00	11	-1099.24	23	-4.91	11	3.66	23
902	371	372	Min.	2.00									-5.08	11		
902	371	372	Min.	11.00	0.00	11	0.00	11	0.00	11	-1060.45	23	-2.04	11	3.66	23
903	326	362	Max	0.00	0.00	11	0.00	11	0.00	11	0.00	11	0.00	11	0.00	11
903	326	362	Max	690.00	0.00	11	0.00	11	0.00	11	0.00	11	0.00	11	0.00	11
903	326	362	Min.	0.00	0.00	11	0.00	11	0.00	11	0.00	11	0.00	11	0.00	11
903	326	362	Min.	690.00	0.00	11	0.00	11	0.00	11	0.00	11	0.00	11	0.00	11
904	335	371	Max	0.00	0.00	11	0.00	11	0.00	11	0.00	11	0.00	11	0.00	11
904	335	371	Max	690.00	0.00	11	0.00	11	0.00	11	0.00	11	0.00	11	0.00	11
904	335	371	Min.	0.00	0.00	11	0.00	11	0.00	11	0.00	11	0.00	11	0.00	11
904	335	371	Min.	690.00	0.00	11	0.00	11	0.00	11	0.00	11	0.00	11	0.00	11
1021	1296	1297	Max	1.77	62.02	21	-0.58	12	3.63	21	1.40	23	0.21	11	-0.02	12
1021	1296	1297	Max	10.00	62.02	21	0.01	12	2.13	21	1.40	23	0.24	21	-0.02	12
1021	1296	1297	Min.	1.77	7.37	22	-19.70	23	-0.44	22	0.04	12	0.01	23	-0.03	21
1021	1296	1297	Min.	10.00	7.37	22	-19.11	23	-0.54	22	0.04	12	0.06	22	-0.03	21
1021	1297	1298	Max	0.00	62.02	21	0.01	12	2.13	21	1.40	23	0.24	21	-0.02	12
1021	1297	1298	Max	8.23	62.02	21	0.59	12	1.94	11	1.40	23	0.35	21	-0.02	12
1021	1297	1298	Min.	0.00	7.37	22	-19.11	23	-0.54	22	0.04	12	0.06	22	-0.03	21
1021	1297	1298	Min.	8.23	7.37	22	-18.53	23	-0.60	22	0.04	12	0.06	22	-0.03	21
1023	1316	1317	Max	1.77	-21.24	22	0.79	23	-0.04	22	1.61	11	-1.07	23	0.04	21
1023	1316	1317	Max	10.00	-21.24	22	0.79	23	-0.06	22	2.20	11	-1.29	22	0.04	21
1023	1316	1317	Min.	1.77	-82.31	21	-0.42	11	-0.28	21	-16.55	23	-4.26	11	0.02	12
1023	1316	1317	Min.	10.00	-82.31	21	-0.42	11	-0.24	21	-15.97	23	-4.64	21	0.02	12
1023	1317	1318	Max	0.00	-21.24	22	0.79	23	-0.06	22	2.20	11	-1.29	22	0.04	21
1023	1317	1318	Max	8.23	-21.24	22	0.79	23	-0.06	23	2.78	11	-1.23	22	0.04	21
1023	1317	1318	Min.	0.00	-82.31	21	-0.42	11	-0.24	21	-15.97	23	-4.64	21	0.02	12
1023	1317	1318	Min.	8.23	-82.31	21	-0.42	11	-0.25	11	-15.38	23	-5.71	21	0.02	12
1065	1328	1329	Max	1.77	-42.26	23	2.58	22	-1.08	23	0.77	23	-0.14	12	-0.01	22
1065	1328	1329	Max	10.00	-42.26	23	3.17	22	-2.41	23	0.77	23	-0.12	23	-0.01	22
1065	1328	1329	Min.	1.77	-92.52	24	-16.52	23	-5.39	24	-0.45	24	-0.28	21	-0.04	21
1065	1328	1329	Min.	10.00	-92.52	24	-15.94	23	-5.18	24	-0.45	24	-0.27	24	-0.04	21
1065	1329	1330	Max	0.00	-42.26	23	3.17	22	-2.41	23	0.77	23	-0.12	23	-0.01	22
1065	1329	1330	Max	8.23	-42.26	23	3.75	22	-3.08	12	0.77	23	-0.06	23	-0.01	22
1065	1329	1330	Min.	0.00	-92.52	24	-15.94	23	-5.18	24	-0.45	24	-0.27	24	-0.04	21
1065	1329	1330	Min.	8.23	-92.52	24	-15.35	23	-5.72	21	-0.45	24	-0.31	24	-0.04	21
1067	1348	1349	Max	1.77	76.78	24	1.42	23	0.27	24	0.84	22	3.64	21	0.03	21
1067	1348	1349	Max	10.00	76.78	24	1.42	23	0.28	24	1.43	22	3.14	24	0.03	21
1067	1348	1349	Min.	1.77	30.75	23	-0.03	22	0.00	23	-19.85	23	1.55	12	0.01	22
1067	1348	1349	Min.	10.00	30.75	23	-0.03	22	0.12	23	-19.26	23	1.05	23	0.01	22
1067	1349	1350	Max	0.00	76.78	24	1.42	23	0.28	24	1.43	22	3.14	24	0.03	21
1067	1349	1350	Max	8.23	76.78	24	1.42	23	0.35	21	2.01	22	3.23	22	0.03	21
1067	1349	1350	Min.	0.00	30.75	23	-0.03	22	0.12	23	-19.26	23	1.05	23	0.01	22
1067	1349	1350	Min.	8.23	30.75	23	-0.03	22	0.17	12	-18.68	23	-0.51	23	0.01	22
1105	1296	1308	Max	1.77	13.73	23	2.00	21	0.00	23	-11.68	22	3.16	21	0.22	21
1105	1296	1308	Max	8.35					-0.02	26			-0.25	26		

1105	1296	1308	Max	10.00	13.73	23	2.00	21	0.08	23	-11.09	22	-0.28	23	0.22	21
1105	1296	1308	Min.	1.77	-6.83	24	0.62	22	-0.16	11	-47.27	21	0.38	22	0.03	22
1105	1296	1308	Min.	8.35					-0.02	26			-0.25	26		
1105	1296	1308	Min.	10.00	-6.83	24	0.62	22	-0.00	12	-46.51	21	-0.82	24	0.03	22
1105	1308	1316	Max	0.00	13.73	23	2.00	21	0.08	23	-11.09	22	-0.28	23	0.22	21
1105	1308	1316	Max	8.23	13.73	23	2.00	21	0.24	21	-10.51	22	-1.45	22	0.22	21
1105	1308	1316	Min.	0.00	-6.83	24	0.62	22	-0.00	12	-46.51	21	-0.82	24	0.03	22
1105	1308	1316	Min.	8.23	-6.83	24	0.62	22	0.05	22	-45.75	21	-4.50	21	0.03	22
1108	1298	1309	Max	1.77	-7.75	12	-13.07	22	2.40	21	2.87	21	-0.08	22	-0.02	22
1108	1298	1309	Max	10.00	-7.75	12	-12.49	22	-1.11	23	2.87	21	0.00	12	-0.02	22
1108	1298	1309	Min.	1.77	-27.85	21	-51.76	21	-0.20	22	0.89	22	-0.31	21	-0.21	21
1108	1298	1309	Min.	10.00	-27.85	21	-51.00	21	-1.83	21	0.89	22	-0.08	23	-0.21	21
1108	1309	1318	Max	0.00	-7.75	12	-12.49	22	-1.11	23	2.87	21	0.00	12	-0.02	22
1108	1309	1318	Max	8.23	-7.75	12	-11.90	22	-2.26	22	2.87	21	0.20	11	-0.02	22
1108	1309	1318	Min.	0.00	-27.85	21	-51.00	21	-1.83	21	0.89	22	-0.08	23	-0.21	21
1108	1309	1318	Min.	8.23	-27.85	21	-50.24	21	-6.00	21	0.89	22	0.05	23	-0.21	21
1143	1299	1310	Max	1.77	17.18	23	4.62	21	-0.07	23	-44.65	22	5.94	21	0.41	21
1143	1299	1310	Max	10.00	17.18	23	4.62	21	0.11	23	-44.07	22	-0.74	23	0.41	21
1143	1299	1310	Min.	1.77	-22.11	24	2.22	23	-0.36	11	-96.02	21	1.77	22	0.16	22
1143	1299	1310	Min.	10.00	-22.11	24	2.22	23	-0.01	24	-95.26	21	-2.49	24	0.16	22
1143	1310	1319	Max	0.00	17.18	23	4.62	21	0.11	23	-44.07	22	-0.74	23	0.41	21
1143	1310	1319	Max	8.23	17.18	23	4.62	21	0.48	21	-43.48	22	-4.63	23	0.41	21
1143	1310	1319	Min.	0.00	-22.11	24	2.22	23	-0.01	24	-95.26	21	-2.49	24	0.16	22
1143	1310	1319	Min.	8.23	-22.11	24	2.22	23	0.19	22	-94.50	21	-9.74	21	0.16	22
1146	1301	1311	Max	1.77	-10.76	12	-45.17	22	5.30	21	5.24	21	-0.20	22	-0.16	22
1146	1301	1311	Max	10.00	-10.76	12	-44.59	22	-1.66	12	5.24	21	0.01	11	-0.16	22
1146	1301	1311	Min.	1.77	-41.18	21	-99.28	21	1.84	22	2.48	22	-0.53	21	-0.41	21
1146	1301	1311	Min.	10.00	-41.18	21	-98.52	21	-2.85	21	2.48	22	-0.11	23	-0.41	21
1146	1311	1321	Max	0.00	-10.76	12	-44.59	22	-1.66	12	5.24	21	0.01	11	-0.16	22
1146	1311	1321	Max	8.23	-10.76	12	-44.00	22	-5.51	22	5.24	21	0.38	11	-0.16	22
1146	1311	1321	Min.	0.00	-41.18	21	-98.52	21	-2.85	21	2.48	22	-0.11	23	-0.41	21
1146	1311	1321	Min.	8.23	-41.18	21	-97.76	21	-10.93	21	2.48	22	0.12	23	-0.41	21
1181	1302	1312	Max	1.77	20.64	23	4.85	21	-0.06	23	-45.30	22	6.07	21	0.41	21
1181	1302	1312	Max	10.00	20.64	23	4.85	21	0.13	23	-44.71	22	-0.68	23	0.41	21
1181	1302	1312	Min.	1.77	-18.17	24	2.31	23	-0.36	11	-96.66	21	1.87	22	0.16	22
1181	1302	1312	Min.	10.00	-18.17	24	2.31	23	0.01	22	-95.90	21	-2.44	24	0.16	22
1181	1312	1322	Max	0.00	20.64	23	4.85	21	0.13	23	-44.71	22	-0.68	23	0.41	21
1181	1312	1322	Max	8.23	20.64	23	4.85	21	0.52	21	-44.13	22	-4.56	23	0.41	21
1181	1312	1322	Min.	0.00	-18.17	24	2.31	23	0.01	22	-95.90	21	-2.44	24	0.16	22
1181	1312	1322	Min.	8.23	-18.17	24	2.31	23	0.21	22	-95.14	21	-9.72	21	0.16	22
1184	1304	1313	Max	1.77	-14.46	12	-44.53	22	5.06	21	4.93	21	-0.20	22	-0.16	22
1184	1304	1313	Max	10.00	-14.46	12	-43.94	22	-1.71	12	4.93	21	-0.01	12	-0.16	22
1184	1304	1313	Min.	1.77	-46.10	21	-97.13	21	1.74	22	2.35	22	-0.52	21	-0.41	21
1184	1304	1313	Min.	10.00	-46.10	21	-96.36	21	-2.91	21	2.35	22	-0.13	23	-0.41	21
1184	1313	1324	Max	0.00	-14.46	12	-43.94	22	-1.71	12	4.93	21	-0.01	12	-0.16	22
1184	1313	1324	Max	8.23	-14.46	12	-43.36	22	-5.50	22	4.93	21	0.34	11	-0.16	22
1184	1313	1324	Min.	0.00	-46.10	21	-96.36	21	-2.91	21	2.35	22	-0.13	23	-0.41	21
1184	1313	1324	Min.	8.23	-46.10	21	-95.60	21	-10.81	21	2.35	22	0.09	23	-0.41	21
1219	1305	1314	Max	1.77	13.02	23	2.56	21	-0.01	23	-12.97	22	2.76	21	0.22	21
1219	1305	1314	Max	8.35					-0.04	11			-0.66	11		
1219	1305	1314	Max	10.00	13.02	23	2.56	21	0.09	23	-12.38	22	-0.63	23	0.22	21
1219	1305	1314	Min.	1.77	-13.30	24	0.88	22	-0.20	11	-50.72	21	-0.20	22	0.02	22
1219	1305	1314	Min.	8.35					-0.04	11			-0.66	11		
1219	1305	1314	Min.	10.00	-13.30	24	0.88	22	-0.00	22	-49.96	21	-1.63	24	0.02	22
1219	1314	1325	Max	0.00	13.02	23	2.56	21	0.09	23	-12.38	22	-0.63	23	0.22	21
1219	1314	1325	Max	8.23	13.02	23	2.56	21	0.29	21	-11.80	22	-2.24	22	0.22	21
1219	1314	1325	Min.	0.00	-13.30	24	0.88	22	-0.00	22	-49.96	21	-1.63	24	0.02	22
1219	1314	1325	Min.	8.23	-13.30	24	0.88	22	0.07	22	-49.20	21	-5.47	21	0.02	22
1222	1307	1315	Max	1.77	-4.47	22	-11.73	22	3.08	21	2.39	21	-0.05	22	-0.03	22

1222	1307	1315	Max	8.35					-0.06	11			-0.03	11		
1222	1307	1315	Max	10.00	-4.47	22	-11.14	22	-0.57	22	2.39	21	0.00	24	-0.03	22
1222	1307	1315	Min.	1.77	-23.47	21	-49.91	21	0.37	22	0.63	22	-0.27	21	-0.22	21
1222	1307	1315	Min.	8.35					-0.06	11			-0.03	11		
1222	1307	1315	Min.	10.00	-23.47	21	-49.15	21	-1.00	21	0.63	22	-0.08	23	-0.22	21
1222	1315	1327	Max	0.00	-4.47	22	-11.14	22	-0.57	22	2.39	21	0.00	24	-0.03	22
1222	1315	1327	Max	8.23	-4.47	22	-10.56	22	-1.46	22	2.39	21	0.16	11	-0.03	22
1222	1315	1327	Min.	0.00	-23.47	21	-49.15	21	-1.00	21	0.63	22	-0.08	23	-0.22	21
1222	1315	1327	Min.	8.23	-23.47	21	-48.39	21	-5.01	21	0.63	22	0.03	23	-0.22	21
1240	319	-5	Max	4.85	0.00	11	0.00	11	0.00	11	0.00	11	0.00	11	0.00	11
1240	319	-5	Min.	4.85	0.00	11	0.00	11	0.00	11	0.00	11	0.00	11	0.00	11
1240	-5	-37	Max	4.85	0.00	11	0.00	11	0.00	11	0.00	11	0.00	11	0.00	11
1240	-5	-37	Min.	4.85	0.00	11	0.00	11	0.00	11	0.00	11	0.00	11	0.00	11
1240	-37	-69	Max	5.01	-330.22	12	6.35	23	3.60	11	73.30	21	-1.56	22	0.00	23
1240	-37	-69	Max	16.87	-329.38	12	6.35	23	-0.11	22	73.33	21	0.53	11	0.00	23
1240	-37	-69	Min.	5.01	-1060.88	21	-35.31	11	-1.33	23	13.13	22	-8.42	21	-0.02	11
1240	-37	-69	Min.	16.87	-1059.78	21	-35.31	11	-0.87	21	14.32	22	-0.05	23	-0.02	11
1240	-69	-101	Max	2.51	-288.30	12	10.56	23	2.63	11	64.80	21	-0.90	22	-0.00	23
1240	-69	-101	Max	16.87	-287.28	12	10.56	23	-0.12	23	64.83	21	3.54	21	-0.00	23
1240	-69	-101	Min.	2.51	-965.13	21	-34.03	11	-1.63	23	9.92	22	-5.77	21	-0.01	11
1240	-69	-101	Min.	16.87	-963.80	21	-34.03	11	-2.26	11	11.36	22	0.63	22	-0.01	11
1240	-101	-133	Max	2.51	-234.54	12	9.43	23	2.29	11	65.87	21	-0.92	22	0.00	11
1240	-101	-133	Max	16.87	-233.52	12	9.43	23	-0.04	23	65.90	21	4.37	21	0.00	11
1240	-101	-133	Min.	2.51	-843.03	21	-34.94	11	-1.39	23	11.46	22	-5.10	21	-0.01	23
1240	-101	-133	Min.	16.87	-841.71	21	-34.94	11	-2.73	11	12.90	22	0.83	22	-0.01	23
1240	-133	-165	Max	2.51	-176.18	12	8.68	23	2.19	11	66.51	21	-0.96	22	0.00	11
1240	-133	-165	Max	16.87	-175.16	12	8.68	23	-0.06	23	66.54	21	4.70	21	0.00	11
1240	-133	-165	Min.	2.51	-711.80	21	-35.74	11	-1.31	23	12.71	22	-4.86	21	-0.01	23
1240	-133	-165	Min.	16.87	-710.47	21	-35.74	11	-2.95	11	14.16	22	0.97	22	-0.01	23
1240	-165	-197	Max	2.51	-114.75	12	7.88	23	2.14	11	67.17	21	-1.01	22	0.00	11
1240	-165	-197	Max	16.87	-113.73	12	7.88	23	-0.12	23	67.20	21	4.93	21	0.00	11
1240	-165	-197	Min.	2.51	-575.23	21	-36.58	11	-1.25	23	14.00	22	-4.72	21	-0.01	23
1240	-165	-197	Min.	16.87	-573.91	21	-36.58	11	-3.11	11	15.45	22	1.11	22	-0.01	23
1240	-197	-229	Max	2.51	-48.04	11	7.12	23	2.10	11	67.93	21	-1.06	22	0.00	11
1240	-197	-229	Max	16.87	-47.02	11	7.12	23	-0.17	23	67.96	21	5.15	21	0.00	11
1240	-197	-229	Min.	2.51	-463.44	23	-37.46	11	-1.20	23	15.34	22	-4.61	21	-0.01	23
1240	-197	-229	Min.	16.87	-462.42	23	-37.46	11	-3.28	11	16.79	22	1.25	22	-0.01	23
1240	-229	-261	Max	2.51	36.79	11	6.30	23	2.07	11	68.71	21	-1.11	22	0.00	11
1240	-229	-261	Max	16.87	37.81	11	6.30	23	-0.24	23	68.74	21	5.38	21	0.00	11
1240	-229	-261	Min.	2.51	-357.93	23	-38.39	11	-1.14	23	16.72	22	-4.50	21	-0.01	23
1240	-229	-261	Min.	16.87	-356.90	23	-38.39	11	-3.45	11	18.16	22	1.40	22	-0.01	23
1240	-261	-293	Max	2.51	125.66	11	5.49	23	2.02	11	69.57	21	-1.16	22	0.01	11
1240	-261	-293	Max	16.87	126.67	11	5.49	23	-0.30	23	69.60	21	5.62	21	0.01	11
1240	-261	-293	Min.	2.51	-249.44	23	-39.36	11	-1.09	23	18.14	22	-4.37	21	-0.01	23
1240	-261	-293	Min.	16.87	-248.42	23	-39.36	11	-3.63	11	19.59	22	1.55	22	-0.01	23
1240	-293	-325	Max	2.51	218.85	11	4.68	23	1.97	11	70.50	21	-1.20	22	0.01	11
1240	-293	-325	Max	16.87	219.88	11	4.68	23	-0.37	23	70.53	21	5.90	21	0.01	11
1240	-293	-325	Min.	2.51	-169.03	22	-40.38	11	-1.04	23	19.62	22	-4.23	21	-0.01	23
1240	-293	-325	Min.	16.87	-168.04	22	-40.38	11	-3.83	11	21.06	22	1.72	22	-0.01	23
1240	-325	-357	Max	2.51	316.72	11	3.82	23	1.92	24	71.49	21	-1.24	22	0.01	11
1240	-325	-357	Max	16.87	317.74	11	3.82	23	-0.44	23	71.52	21	6.19	21	0.01	11
1240	-325	-357	Min.	2.51	-120.16	22	-41.45	11	-0.99	23	21.14	22	-4.08	21	-0.01	23
1240	-325	-357	Min.	16.87	-119.17	22	-41.45	11	-4.05	11	22.58	22	1.90	22	-0.01	23
1240	-357	-389	Max	2.51	419.60	11	2.94	23	1.89	24	72.56	21	-1.27	22	0.01	11
1240	-357	-389	Max	16.87	420.62	11	2.94	23	-0.52	23	72.59	21	6.51	21	0.01	11
1240	-357	-389	Min.	2.51	-66.60	22	-42.61	11	-0.95	23	22.74	22	-3.91	21	-0.01	23
1240	-357	-389	Min.	16.87	-65.61	22	-42.61	11	-4.29	11	24.18	22	2.10	22	-0.01	23
1240	-389	-421	Max	2.51	527.86	11	2.17	23	1.85	24	73.78	21	-1.29	22	0.01	11
1240	-389	-421	Max	16.87	529.08	21	2.17	23	-0.59	23	73.81	21	6.88	21	0.01	11

1240	-389	-421	Min.	2.51	-7.97	22	-43.53	11	-0.90	23	24.30	22	-3.72	21	-0.01	23
1240	-389	-421	Min.	16.87	-6.98	22	-43.53	11	-4.51	11	25.75	22	2.31	22	-0.01	23
1240	-421	-453	Max	2.51	710.58	21	0.30	23	1.78	24	74.40	21	-1.29	22	0.01	11
1240	-421	-453	Max	16.87	711.90	21	0.30	23	-0.80	23	74.44	21	7.22	21	0.01	11
1240	-421	-453	Min.	2.51	55.95	22	-46.82	11	-0.84	23	26.57	22	-3.47	21	-0.01	23
1240	-421	-453	Min.	16.87	56.94	22	-46.84	24	-5.09	11	28.02	22	2.63	22	-0.01	23
1240	-453	-485	Max	2.51	898.01	21	6.08	23	1.45	24	80.27	21	-1.15	22	0.02	11
1240	-453	-485	Max	16.87	899.33	21	6.08	23	0.05	23	80.30	21	8.55	21	0.02	11
1240	-453	-485	Min.	2.51	124.59	22	-34.97	24	-0.82	23	24.62	22	-2.98	21	-0.01	23
1240	-453	-485	Min.	16.87	125.58	22	-35.82	24	-3.64	24	26.06	22	2.50	22	-0.01	23
1240	-485	1302	Max	2.51	1074.71	21	-33.21	23	1.30	24	52.33	21	-0.11	12	0.02	24
1240	-485	1302	Max	14.38	1075.80	21	-33.21	23	-4.02	23	52.35	21	5.59	21	0.02	24
1240	-485	1302	Min.	2.51	191.02	22	-117.04	11	-0.08	23	25.70	12	-0.72	22	-0.01	23
1240	-485	1302	Min.	14.38	191.84	22	-117.04	11	-12.66	11	25.72	12	2.95	12	-0.01	23
1241	340	-11	Max	4.85	0.00	11	0.00	11	0.00	11	0.00	11	0.00	11	0.00	11
1241	340	-11	Min.	4.85	0.00	11	0.00	11	0.00	11	0.00	11	0.00	11	0.00	11
1241	-11	-43	Max	4.85	0.00	11	0.00	11	0.00	11	0.00	11	0.00	11	0.00	11
1241	-11	-43	Min.	4.85	0.00	11	0.00	11	0.00	11	0.00	11	0.00	11	0.00	11
1241	-43	-75	Max	5.01	-354.07	22	-5.71	22	6.10	21	15.28	23	3.12	11	-0.01	22
1241	-43	-75	Max	16.87	-353.23	22	-5.71	22	-0.10	23	15.30	23	-0.05	22	-0.01	22
1241	-43	-75	Min.	5.01	-1123.48	21	-54.89	21	0.58	22	-30.37	11	-2.38	23	-0.05	21
1241	-43	-75	Min.	16.87	-1122.38	21	-54.89	21	-0.54	11	-30.35	11	-0.81	21	-0.05	21
1241	-75	-107	Max	2.51	-366.38	22	-8.07	22	5.35	21	8.13	23	2.84	11	-0.00	22
1241	-75	-107	Max	16.87	-365.36	22	-8.07	22	-0.48	22	8.16	23	-0.12	23	-0.00	22
1241	-75	-107	Min.	2.51	-1140.77	21	-60.08	21	0.68	22	-35.04	11	-1.29	23	-0.03	21
1241	-75	-107	Min.	16.87	-1139.44	21	-60.08	21	-3.28	21	-35.02	11	-2.19	11	-0.03	21
1241	-107	-139	Max	2.51	-384.46	22	-9.13	22	4.59	21	7.83	23	2.39	11	-0.00	22
1241	-107	-139	Max	16.87	-383.44	22	-9.13	22	-0.66	22	7.86	23	-0.09	23	-0.00	22
1241	-107	-139	Min.	2.51	-1165.31	21	-60.21	21	0.65	22	-35.32	11	-1.21	23	-0.01	21
1241	-107	-139	Min.	16.87	-1163.99	21	-60.21	21	-4.06	21	-35.29	11	-2.68	11	-0.01	21
1241	-139	-171	Max	2.51	-406.14	22	-10.26	22	4.35	21	7.04	23	2.29	11	-0.00	22
1241	-139	-171	Max	16.87	-405.12	22	-10.26	22	-0.79	22	7.06	23	-0.13	23	-0.00	22
1241	-139	-171	Min.	2.51	-1193.92	21	-60.64	21	0.69	22	-36.14	11	-1.14	23	-0.01	21
1241	-139	-171	Min.	16.87	-1192.59	21	-60.64	21	-4.36	21	-36.11	11	-2.90	11	-0.01	21
1241	-171	-203	Max	2.51	-431.09	22	-11.44	22	4.21	21	6.20	23	2.24	11	-0.00	12
1241	-171	-203	Max	16.87	-430.07	22	-11.44	22	-0.91	22	6.22	23	-0.19	23	-0.00	12
1241	-171	-203	Min.	2.51	-1226.03	21	-61.12	21	0.74	22	-36.98	11	-1.08	23	-0.01	21
1241	-171	-203	Min.	16.87	-1224.70	21	-61.12	21	-4.57	21	-36.96	11	-3.07	11	-0.01	21
1241	-203	-235	Max	2.51	-459.39	22	-12.65	22	4.09	21	5.36	23	2.19	11	-0.00	12
1241	-203	-235	Max	16.87	-458.37	22	-12.65	22	-1.03	22	5.39	23	-0.26	23	-0.00	12
1241	-203	-235	Min.	2.51	-1261.68	21	-61.66	21	0.78	22	-37.87	11	-1.03	23	-0.01	21
1241	-203	-235	Min.	16.87	-1260.35	21	-61.66	21	-4.77	21	-37.85	11	-3.24	11	-0.01	21
1241	-235	-267	Max	2.51	-491.25	22	-13.92	22	3.97	21	4.54	23	2.15	11	-0.00	12
1241	-235	-267	Max	16.87	-490.23	22	-13.92	22	-1.17	22	4.56	23	-0.33	23	-0.00	12
1241	-235	-267	Min.	2.51	-1301.06	21	-62.31	21	0.83	22	-38.76	11	-0.98	23	-0.01	21
1241	-235	-267	Min.	16.87	-1299.73	21	-62.31	21	-4.98	21	-38.73	11	-3.42	11	-0.01	21
1241	-267	-299	Max	2.51	-526.92	22	-15.18	22	3.83	21	3.65	23	2.10	11	-0.00	22
1241	-267	-299	Max	16.87	-525.90	22	-15.18	22	-1.31	22	3.67	23	-0.41	23	-0.00	22
1241	-267	-299	Min.	2.51	-1344.44	21	-62.90	21	0.87	22	-39.76	11	-0.93	23	-0.01	21
1241	-267	-299	Min.	16.87	-1343.12	21	-62.90	21	-5.20	21	-39.74	11	-3.61	11	-0.01	21
1241	-299	-331	Max	2.51	-566.68	22	-16.53	22	3.69	21	2.79	23	2.03	11	-0.00	22
1241	-299	-331	Max	16.87	-565.66	22	-16.53	22	-1.46	22	2.81	23	-0.49	23	-0.00	22
1241	-299	-331	Min.	2.51	-1392.12	21	-63.66	21	0.91	22	-40.73	11	-0.89	23	-0.01	21
1241	-299	-331	Min.	16.87	-1390.79	21	-63.66	21	-5.45	21	-40.70	11	-3.82	11	-0.01	21
1241	-331	-363	Max	2.51	-610.84	22	-17.88	22	3.53	21	1.86	23	1.99	24	-0.00	22
1241	-331	-363	Max	16.87	-609.82	22	-17.88	22	-1.63	22	1.88	23	-0.57	23	-0.00	22
1241	-331	-363	Min.	2.51	-1444.41	21	-64.37	21	0.94	22	-41.83	11	-0.84	23	-0.01	21
1241	-331	-363	Min.	16.87	-1443.08	21	-64.37	21	-5.72	21	-41.81	11	-4.04	11	-0.01	21
1241	-363	-395	Max	2.51	-659.76	22	-19.32	22	3.35	21	0.98	23	1.95	24	-0.00	22

1241	-363	-395	Max	16.87	-658.74	22	-19.32	22	-1.81	22	1.00	23	-0.66	23	-0.00	22
1241	-363	-395	Min.	2.51	-1501.68	21	-65.25	21	0.97	22	-42.87	11	-0.80	23	-0.01	21
1241	-363	-395	Min.	16.87	-1500.35	21	-65.25	21	-6.02	21	-42.85	11	-4.27	11	-0.01	21
1241	-395	-427	Max	2.51	-713.78	22	-20.65	22	3.15	21	-0.27	23	1.90	24	-0.00	22
1241	-395	-427	Max	16.87	-712.76	22	-20.65	22	-1.98	22	-0.25	23	-0.79	23	-0.00	22
1241	-395	-427	Min.	2.51	-1564.33	21	-65.75	21	0.99	22	-44.60	11	-0.76	23	-0.01	21
1241	-395	-427	Min.	16.87	-1563.00	21	-65.75	21	-6.29	21	-44.57	11	-4.62	11	-0.01	21
1241	-427	-459	Max	2.51	-773.19	22	-23.08	22	2.92	21	0.76	23	1.78	24	-0.00	22
1241	-427	-459	Max	16.87	-772.17	22	-23.08	22	-2.33	22	0.78	23	-0.62	23	-0.00	22
1241	-427	-459	Min.	2.51	-1632.70	21	-69.26	21	0.99	22	-42.06	11	-0.73	23	-0.01	21
1241	-427	-459	Min.	16.87	-1631.38	21	-69.26	21	-7.03	21	-42.04	11	-4.41	11	-0.01	21
1241	-459	-491	Max	2.51	-837.00	22	-18.63	22	2.27	21	-13.72	23	1.74	24	0.01	11
1241	-459	-491	Max	16.87	-835.98	22	-18.63	22	-1.84	22	-13.70	23	-2.54	23	0.01	11
1241	-459	-491	Min.	2.51	-1705.85	21	-53.19	21	0.73	12	-69.60	24	-0.57	23	0.00	23
1241	-459	-491	Min.	16.87	-1704.53	21	-53.19	21	-5.37	21	-69.58	24	-8.30	11	0.00	23
1241	-491	1319	Max	2.51	-847.15	23	-55.59	22	1.79	21	101.28	21	-0.73	22	0.02	21
1241	-491	1319	Max	14.38	-846.31	23	-55.59	22	-5.90	22	101.30	21	9.70	21	0.02	21
1241	-491	1319	Min.	2.51	-1782.83	21	-153.66	21	0.70	22	48.00	22	-2.33	21	0.01	12
1241	-491	1319	Min.	14.38	-1781.73	21	-153.66	21	-16.45	21	48.02	22	4.97	22	0.01	12
1242	316	-3	Max	4.85	0.00	11	0.00	11	0.00	11	0.00	11	0.00	11	0.00	11
1242	316	-3	Min.	4.85	0.00	11	0.00	11	0.00	11	0.00	11	0.00	11	0.00	11
1242	-3	-35	Max	4.85	0.00	11	0.00	11	0.00	11	0.00	11	0.00	11	0.00	11
1242	-3	-35	Min.	4.85	0.00	11	0.00	11	0.00	11	0.00	11	0.00	11	0.00	11
1242	-35	-67	Max	5.01	-257.49	12	5.04	23	3.74	11	69.99	21	-1.22	22	0.00	23
1242	-35	-67	Max	14.50					-0.65	23			-1.25	23		
1242	-35	-67	Max	16.87	-256.64	12	5.04	23	-0.06	22	70.02	21	0.59	11	0.00	23
1242	-35	-67	Min.	5.01	-964.87	21	-35.91	11	-1.12	23	10.69	22	-7.95	21	-0.03	11
1242	-35	-67	Min.	14.50					-0.65	23			-1.25	23		
1242	-35	-67	Min.	16.87	-963.78	21	-35.91	11	-0.80	21	11.88	22	0.00	23	-0.03	11
1242	-67	-99	Max	2.51	-218.96	12	8.82	23	2.80	11	61.95	21	-0.66	22	-0.01	23
1242	-67	-99	Max	16.87	-217.94	12	8.82	23	-0.15	23	61.98	21	3.46	21	-0.01	23
1242	-67	-99	Min.	2.51	-873.24	21	-35.12	11	-1.42	23	7.80	22	-5.44	21	-0.02	11
1242	-67	-99	Min.	16.87	-871.91	21	-35.12	11	-2.24	11	9.25	22	0.56	22	-0.02	11
1242	-99	-131	Max	2.51	-169.60	12	7.71	23	2.44	11	62.99	21	-0.70	22	-0.00	22
1242	-99	-131	Max	16.87	-168.58	12	7.71	23	-0.10	23	63.02	21	4.26	21	-0.00	22
1242	-99	-131	Min.	2.51	-756.46	21	-36.01	11	-1.20	23	9.32	22	-4.79	21	-0.01	21
1242	-99	-131	Min.	16.87	-755.14	21	-36.01	11	-2.73	11	10.76	22	0.74	22	-0.01	21
1242	-131	-163	Max	2.51	-116.04	12	6.90	23	2.34	11	63.54	21	-0.74	22	-0.00	22
1242	-131	-163	Max	16.87	-115.02	12	6.90	23	-0.14	23	63.57	21	4.57	21	-0.00	22
1242	-131	-163	Min.	2.51	-631.04	21	-36.84	11	-1.13	23	10.50	22	-4.56	21	-0.01	21
1242	-131	-163	Min.	16.87	-629.72	21	-36.84	11	-2.96	11	11.95	22	0.87	22	-0.01	21
1242	-163	-195	Max	2.51	-59.69	12	6.06	23	2.29	11	64.13	21	-0.79	22	-0.00	12
1242	-163	-195	Max	16.87	-58.67	12	6.06	23	-0.20	23	64.16	21	4.79	21	-0.00	12
1242	-163	-195	Min.	2.51	-515.50	23	-37.70	11	-1.07	23	11.74	22	-4.43	21	-0.01	21
1242	-163	-195	Min.	16.87	-514.47	23	-37.70	11	-3.13	11	13.19	22	1.00	22	-0.01	21
1242	-195	-227	Max	2.51	6.30	11	5.25	23	2.25	11	64.80	21	-0.85	22	-0.00	12
1242	-195	-227	Max	16.87	7.32	11	5.25	23	-0.26	23	64.83	21	5.00	21	-0.00	12
1242	-195	-227	Min.	2.51	-416.86	23	-38.61	11	-1.02	23	13.02	22	-4.32	21	-0.01	21
1242	-195	-227	Min.	16.87	-415.84	23	-38.61	11	-3.30	11	14.47	22	1.13	22	-0.01	21
1242	-227	-259	Max	2.51	85.05	11	4.41	23	2.20	11	65.52	21	-0.90	22	-0.00	12
1242	-227	-259	Max	16.87	86.07	11	4.41	23	-0.34	23	65.55	21	5.21	21	-0.00	12
1242	-227	-259	Min.	2.51	-315.63	23	-39.57	11	-0.97	23	14.35	22	-4.20	21	-0.01	21
1242	-227	-259	Min.	16.87	-314.61	23	-39.57	11	-3.48	11	15.80	22	1.27	22	-0.01	21
1242	-259	-291	Max	2.51	167.54	11	3.55	23	2.15	11	66.30	21	-0.94	22	-0.00	22
1242	-259	-291	Max	16.87	168.56	11	3.55	23	-0.41	23	66.33	21	5.45	21	-0.00	22
1242	-259	-291	Min.	2.51	-211.64	23	-40.56	11	-0.92	23	15.71	22	-4.08	21	-0.01	21
1242	-259	-291	Min.	16.87	-210.62	23	-40.56	11	-3.67	11	17.15	22	1.42	22	-0.01	21
1242	-291	-323	Max	2.51	254.04	11	2.67	23	2.10	11	67.14	21	-0.99	22	-0.00	22
1242	-291	-323	Max	16.87	255.06	11	2.67	23	-0.49	23	67.17	21	5.71	21	-0.00	22

1242	-291	-323	Min.	2.51	-139.60	22	-41.62	11	-0.87	23	17.13	22	-3.94	21	-0.01	21
1242	-291	-323	Min.	16.87	-138.61	22	-41.62	11	-3.88	11	18.57	22	1.57	22	-0.01	21
1242	-323	-355	Max	2.51	344.85	11	1.77	23	2.04	24	68.05	21	-1.03	22	-0.00	22
1242	-323	-355	Max	16.87	345.87	11	1.77	23	-0.58	23	68.08	21	5.99	21	-0.00	22
1242	-323	-355	Min.	2.51	-96.56	22	-42.71	11	-0.83	23	18.58	22	-3.79	21	-0.01	21
1242	-323	-355	Min.	16.87	-95.57	22	-42.71	11	-4.11	11	20.03	22	1.74	22	-0.01	21
1242	-355	-387	Max	2.51	440.31	11	0.83	23	2.01	24	69.02	21	-1.06	22	-0.00	22
1242	-355	-387	Max	16.87	441.33	11	0.83	23	-0.67	23	69.05	21	6.29	21	-0.00	22
1242	-355	-387	Min.	2.51	-49.13	22	-43.91	11	-0.79	23	20.11	22	-3.63	21	-0.01	21
1242	-355	-387	Min.	16.87	-48.15	22	-43.91	11	-4.36	11	21.55	22	1.93	22	-0.01	21
1242	-387	-419	Max	2.51	549.75	21	0.03	23	1.95	24	70.17	21	-1.09	22	-0.00	22
1242	-387	-419	Max	16.87	551.08	21	0.03	23	-0.74	23	70.20	21	6.64	21	-0.00	22
1242	-387	-419	Min.	2.51	3.02	22	-44.84	11	-0.75	23	21.60	22	-3.44	21	-0.01	21
1242	-387	-419	Min.	16.87	4.01	22	-44.84	11	-4.59	11	23.05	22	2.12	22	-0.01	21
1242	-419	-451	Max	2.51	723.40	21	-1.97	23	1.88	24	70.64	21	-1.09	22	-0.00	22
1242	-419	-451	Max	16.87	724.73	21	-1.97	23	-0.98	23	70.67	21	6.96	21	-0.00	22
1242	-419	-451	Min.	2.51	60.13	22	-48.23	11	-0.70	23	23.81	22	-3.19	21	-0.01	21
1242	-419	-451	Min.	16.87	61.12	22	-48.24	24	-5.19	11	25.25	22	2.43	22	-0.01	21
1242	-451	-483	Max	2.51	901.32	21	3.99	23	1.53	24	76.38	21	-0.97	22	0.01	11
1242	-451	-483	Max	16.87	902.64	21	3.99	23	-0.13	23	76.41	21	8.24	21	0.01	11
1242	-451	-483	Min.	2.51	121.72	22	-36.28	24	-0.70	23	21.69	22	-2.73	21	-0.01	23
1242	-451	-483	Min.	16.87	122.71	22	-37.13	24	-3.75	24	23.13	22	2.25	22	-0.01	23
1242	-483	1299	Max	2.51	1069.35	21	-36.76	23	1.33	24	48.68	21	-0.02	11	0.01	24
1242	-483	1299	Max	14.38	1070.44	21	-36.76	23	-4.38	23	48.71	21	5.28	21	0.01	24
1242	-483	1299	Min.	2.51	181.69	22	-119.12	11	-0.02	23	22.98	12	-0.64	22	-0.02	23
1242	-483	1299	Min.	14.38	182.50	22	-119.12	11	-12.88	11	22.99	12	2.71	12	-0.02	23
1243	322	-7	Max	4.85	0.00	11	0.00	11	0.00	11	0.00	11	0.00	11	0.00	11
1243	322	-7	Min.	4.85	0.00	11	0.00	11	0.00	11	0.00	11	0.00	11	0.00	11
1243	-7	-39	Max	4.85	0.00	11	0.00	11	0.00	11	0.00	11	0.00	11	0.00	11
1243	-7	-39	Min.	4.85	0.00	11	0.00	11	0.00	11	0.00	11	0.00	11	0.00	11
1243	-39	-71	Max	5.01	-261.94	12	12.03	23	1.61	11	49.60	21	-0.18	22	0.01	23
1243	-39	-71	Max	16.87	-261.10	12	12.03	23	-0.02	22	49.62	21	0.18	11	0.01	23
1243	-39	-71	Min.	5.01	-874.77	21	-17.43	11	-1.93	23	-0.89	22	-5.96	21	-0.01	11
1243	-39	-71	Min.	16.87	-873.68	21	-17.43	11	-0.72	21	0.30	22	-0.22	23	-0.01	11
1243	-71	-103	Max	2.51	-238.00	12	15.95	23	1.01	11	42.75	21	0.04	22	0.00	22
1243	-71	-103	Max	16.87	-236.98	12	15.95	23	0.22	23	42.78	21	2.10	21	0.00	22
1243	-71	-103	Min.	2.51	-810.36	21	-15.83	11	-2.07	23	-3.03	22	-4.04	21	0.00	12
1243	-71	-103	Min.	16.87	-809.04	21	-15.83	11	-1.26	11	-1.58	22	-0.29	22	0.00	12
1243	-103	-135	Max	2.51	-207.47	12	15.01	23	0.86	11	43.17	21	-0.10	22	0.01	24
1243	-103	-135	Max	16.87	-206.44	12	15.01	23	0.37	23	43.20	21	2.63	21	0.01	24
1243	-103	-135	Min.	2.51	-728.75	21	-16.29	11	-1.79	23	-1.90	22	-3.58	21	-0.00	23
1243	-103	-135	Min.	16.87	-727.42	21	-16.29	11	-1.48	11	-0.46	22	-0.27	22	-0.00	23
1243	-135	-167	Max	2.51	-174.40	12	14.37	23	0.81	11	43.27	21	-0.17	22	0.01	11
1243	-135	-167	Max	16.87	-173.38	12	14.37	23	0.38	23	43.30	21	2.82	21	0.01	11
1243	-135	-167	Min.	2.51	-641.63	21	-16.67	11	-1.69	23	-0.96	22	-3.40	21	-0.00	23
1243	-135	-167	Min.	16.87	-640.30	21	-16.67	11	-1.58	11	0.48	22	-0.21	22	-0.00	23
1243	-167	-199	Max	2.51	-139.66	12	13.73	23	0.79	11	43.39	21	-0.24	22	0.01	11
1243	-167	-199	Max	16.87	-138.64	12	13.73	23	0.35	23	43.42	21	2.94	21	0.01	11
1243	-167	-199	Min.	2.51	-551.60	21	-17.06	11	-1.62	23	-0.00	22	-3.30	21	-0.01	23
1243	-167	-199	Min.	16.87	-550.27	21	-17.06	11	-1.66	11	1.44	22	-0.14	22	-0.01	23
1243	-199	-231	Max	2.51	-103.36	12	13.09	23	0.77	11	43.56	21	-0.31	22	0.01	11
1243	-199	-231	Max	14.00					-0.01	22			-0.13	22		
1243	-199	-231	Max	16.87	-102.34	12	13.09	23	0.32	23	43.59	21	3.05	21	0.01	11
1243	-199	-231	Min.	2.51	-459.13	21	-17.48	11	-1.56	23	0.99	22	-3.21	21	-0.01	23
1243	-199	-231	Min.	14.00					-0.01	22			-0.13	22		
1243	-199	-231	Min.	16.87	-457.80	21	-17.48	11	-1.74	11	2.44	22	-0.07	22	-0.01	23
1243	-231	-263	Max	2.51	-61.89	11	12.45	23	0.75	11	43.75	21	-0.38	22	0.01	11
1243	-231	-263	Max	11.13					-0.05	22			-0.17	22		
1243	-231	-263	Max	16.87	-60.87	11	12.45	23	0.29	23	43.78	21	3.16	21	0.01	11

1243	-231	-263	Min.	2.51	-381.03	23	-17.91	11	-1.50	23	2.02	22	-3.12	21	-0.01	23
1243	-231	-263	Min.	11.13					-0.05	22			-0.17	22		
1243	-231	-263	Min.	16.87	-380.01	23	-17.91	11	-1.82	11	3.47	22	0.01	22	-0.01	23
1243	-263	-295	Max	2.51	-13.37	11	11.79	23	0.73	11	43.98	21	-0.45	22	0.01	11
1243	-263	-295	Max	16.87	-12.35	11	11.79	23	0.25	23	44.01	21	3.29	21	0.01	11
1243	-263	-295	Min.	2.51	-306.12	22	-18.36	11	-1.44	23	3.06	22	-3.03	21	-0.01	23
1243	-263	-295	Min.	16.87	-305.13	22	-18.36	11	-1.91	11	4.51	22	0.10	22	-0.01	23
1243	-295	-327	Max	2.51	37.46	11	11.14	23	0.70	11	44.24	21	-0.51	22	0.01	11
1243	-295	-327	Max	16.87	38.48	11	11.14	23	0.21	23	44.27	21	3.43	21	0.01	11
1243	-295	-327	Min.	2.51	-294.58	22	-18.84	11	-1.39	23	4.15	22	-2.93	21	-0.01	23
1243	-295	-327	Min.	16.87	-293.59	22	-18.84	11	-2.01	11	5.60	22	0.19	22	-0.01	23
1243	-327	-359	Max	2.51	90.76	11	10.46	23	0.67	11	44.53	21	-0.57	22	0.01	11
1243	-327	-359	Max	16.87	91.78	11	10.46	23	0.18	23	44.56	21	3.58	21	0.01	11
1243	-327	-359	Min.	2.51	-280.37	22	-19.34	11	-1.33	23	5.26	22	-2.82	21	-0.01	23
1243	-327	-359	Min.	16.87	-279.38	22	-19.34	11	-2.11	11	6.71	22	0.29	22	-0.01	23
1243	-359	-391	Max	2.51	146.73	11	9.77	23	0.63	11	44.87	21	-0.64	22	0.01	11
1243	-359	-391	Max	16.87	147.75	11	9.77	23	0.14	23	44.90	21	3.75	21	0.01	11
1243	-359	-391	Min.	2.51	-263.29	22	-19.88	11	-1.27	23	6.42	22	-2.70	21	-0.01	23
1243	-359	-391	Min.	16.87	-262.30	22	-19.88	11	-2.22	11	7.86	22	0.39	22	-0.01	23
1243	-391	-423	Max	2.51	205.57	11	9.17	23	0.59	11	45.28	21	-0.69	22	0.01	11
1243	-391	-423	Max	16.87	206.59	11	9.17	23	0.11	23	45.31	21	3.94	21	0.01	11
1243	-391	-423	Min.	2.51	-243.11	22	-20.27	11	-1.20	23	7.50	22	-2.57	21	-0.01	23
1243	-391	-423	Min.	16.87	-242.12	22	-20.27	11	-2.32	11	8.95	22	0.49	22	-0.01	23
1243	-423	-455	Max	2.51	267.38	11	7.78	23	0.56	24	45.45	21	-0.74	22	0.01	11
1243	-423	-455	Max	16.87	268.61	21	7.78	23	-0.01	23	45.48	21	4.14	21	0.01	11
1243	-423	-455	Min.	2.51	-219.68	22	-22.09	11	-1.13	23	9.44	22	-2.39	21	-0.01	23
1243	-423	-455	Min.	16.87	-218.69	22	-22.09	11	-2.63	11	10.89	22	0.72	22	-0.01	23
1243	-455	-487	Max	2.51	382.72	21	11.70	23	0.44	24	47.63	21	-0.70	22	0.01	11
1243	-455	-487	Max	16.87	384.04	21	11.70	23	0.63	23	47.66	21	4.78	21	0.01	11
1243	-455	-487	Min.	2.51	-193.14	22	-14.32	11	-1.05	23	5.94	22	-2.06	21	-0.01	23
1243	-455	-487	Min.	16.87	-192.15	22	-14.32	11	-1.70	11	7.38	22	0.26	22	-0.01	23
1243	-487	1305	Max	2.51	489.96	21	-15.40	23	0.54	11	36.65	21	-0.18	12	0.01	24
1243	-487	1305	Max	14.38	491.06	21	-15.40	23	-1.76	22	36.67	21	3.70	21	0.01	24
1243	-487	1305	Min.	2.51	-167.53	22	-63.30	11	-0.28	23	16.95	12	-0.75	22	-0.01	23
1243	-487	1305	Min.	14.38	-166.72	22	-63.30	11	-6.97	11	16.97	12	1.83	12	-0.01	23
1244	313	-1	Max	4.85	0.00	11	0.00	11	0.00	11	0.00	11	0.00	11	0.00	11
1244	313	-1	Min.	4.85	0.00	11	0.00	11	0.00	11	0.00	11	0.00	11	0.00	11
1244	-1	-33	Max	4.85	0.00	11	0.00	11	0.00	11	0.00	11	0.00	11	0.00	11
1244	-1	-33	Min.	4.85	0.00	11	0.00	11	0.00	11	0.00	11	0.00	11	0.00	11
1244	-33	-65	Max	5.01	10.29	12	11.11	23	1.90	11	41.85	21	0.60	22	0.00	23
1244	-33	-65	Max	16.87	11.14	12	11.11	23	0.23	22	41.88	21	0.47	11	0.00	23
1244	-33	-65	Min.	5.01	-576.02	23	-17.36	11	-1.60	23	-5.37	22	-4.71	21	-0.02	11
1244	-33	-65	Min.	16.87	-575.18	23	-17.36	11	-0.37	21	-4.17	22	-0.01	23	-0.02	11
1244	-65	-97	Max	2.51	30.38	11	13.74	23	1.49	11	36.81	21	0.56	22	-0.00	22
1244	-65	-97	Max	16.87	31.40	11	13.74	23	0.36	22	36.84	21	2.12	21	-0.00	22
1244	-65	-97	Min.	2.51	-529.13	23	-17.50	11	-1.64	23	-6.11	22	-3.17	21	-0.01	11
1244	-65	-97	Min.	16.87	-528.10	23	-17.50	11	-1.03	11	-4.66	22	-0.21	22	-0.01	11
1244	-97	-129	Max	2.51	58.96	11	12.82	23	1.30	11	37.01	21	0.41	22	-0.01	22
1244	-97	-129	Max	16.87	59.98	11	12.82	23	0.46	23	37.04	21	2.57	21	-0.01	22
1244	-97	-129	Min.	2.51	-470.24	23	-17.92	11	-1.38	23	-5.12	22	-2.75	21	-0.02	21
1244	-97	-129	Min.	16.87	-469.22	23	-17.92	11	-1.28	11	-3.68	22	-0.22	22	-0.02	21
1244	-129	-161	Max	2.51	89.89	11	12.13	23	1.24	11	36.97	21	0.33	22	-0.01	22
1244	-129	-161	Max	16.87	90.91	11	12.13	23	0.45	23	37.00	21	2.73	21	-0.01	22
1244	-129	-161	Min.	2.51	-408.03	23	-18.33	11	-1.29	23	-4.26	22	-2.58	21	-0.02	21
1244	-129	-161	Min.	16.87	-407.01	23	-18.33	11	-1.39	11	-2.81	22	-0.18	22	-0.02	21
1244	-161	-193	Max	2.51	122.36	11	11.44	23	1.22	11	36.95	21	0.26	22	-0.01	22
1244	-161	-193	Max	12.71					0.22	22			-0.03	22		
1244	-161	-193	Max	16.87	123.38	11	11.44	23	0.42	23	36.98	21	2.83	21	-0.01	22
1244	-161	-193	Min.	2.51	-344.43	23	-18.77	11	-1.22	23	-3.36	22	-2.48	21	-0.02	21

1244	-161	-193	Min.	12.71					0.22	22			-0.03	22		
1244	-161	-193	Min.	16.87	-343.41	23	-18.77	11	-1.48	11	-1.92	22	-0.12	22	-0.02	21
1244	-193	-225	Max	2.51	156.28	11	10.75	23	1.20	11	36.96	21	0.20	22	-0.01	22
1244	-193	-225	Max	2.87					0.24	22			0.19	22		
1244	-193	-225	Max	16.87	157.30	11	10.75	23	0.38	23	36.99	21	2.92	21	-0.01	22
1244	-193	-225	Min.	2.51	-279.84	23	-19.22	11	-1.16	23	-2.45	22	-2.39	21	-0.02	21
1244	-193	-225	Min.	2.87					0.24	22			0.19	22		
1244	-193	-225	Min.	16.87	-278.82	23	-19.22	11	-1.56	11	-1.00	22	-0.05	22	-0.02	21
1244	-225	-257	Max	2.51	191.69	11	10.05	23	1.17	11	36.99	21	0.13	22	-0.01	22
1244	-225	-257	Max	16.87	192.71	11	10.05	23	0.34	23	37.02	21	3.02	21	-0.01	22
1244	-225	-257	Min.	2.51	-214.31	23	-19.69	11	-1.11	23	-1.51	22	-2.30	21	-0.02	21
1244	-225	-257	Min.	16.87	-213.29	23	-19.69	11	-1.65	11	-0.07	22	0.02	22	-0.02	21
1244	-257	-289	Max	2.51	228.70	11	9.34	23	1.15	11	37.04	21	0.07	22	-0.01	22
1244	-257	-289	Max	16.87	229.72	11	9.34	23	0.29	23	37.07	21	3.12	21	-0.01	22
1244	-257	-289	Min.	2.51	-147.79	23	-20.19	11	-1.05	23	-0.55	22	-2.20	21	-0.02	21
1244	-257	-289	Min.	16.87	-146.77	23	-20.19	11	-1.75	11	0.89	22	0.10	22	-0.02	21
1244	-289	-321	Max	2.51	267.42	11	8.61	23	1.12	11	37.12	21	0.01	22	-0.01	22
1244	-289	-321	Max	16.87	268.44	11	8.61	23	0.25	23	37.15	21	3.24	21	-0.01	22
1244	-289	-321	Min.	2.51	-85.47	22	-20.71	11	-0.99	23	0.43	22	-2.10	21	-0.02	21
1244	-289	-321	Min.	16.87	-84.48	22	-20.71	11	-1.86	11	1.88	22	0.18	22	-0.02	21
1244	-321	-353	Max	2.51	307.99	11	7.88	23	1.08	11	37.23	21	-0.05	22	-0.01	22
1244	-321	-353	Max	16.87	309.01	11	7.88	23	0.20	23	37.26	21	3.36	21	-0.01	22
1244	-321	-353	Min.	2.51	-80.01	22	-21.25	11	-0.93	23	1.45	22	-1.99	21	-0.02	21
1244	-321	-353	Min.	16.87	-79.03	22	-21.25	11	-1.97	11	2.89	22	0.26	22	-0.02	21
1244	-353	-385	Max	2.51	350.54	11	7.12	23	1.04	11	37.36	21	-0.11	22	-0.01	22
1244	-353	-385	Max	16.87	351.56	11	7.12	23	0.14	23	37.39	21	3.50	21	-0.01	22
1244	-353	-385	Min.	2.51	-72.16	22	-21.85	11	-0.88	23	2.50	22	-1.87	21	-0.02	21
1244	-353	-385	Min.	16.87	-71.17	22	-21.85	11	-2.10	11	3.94	22	0.35	22	-0.02	21
1244	-385	-417	Max	2.51	395.23	11	6.42	23	0.99	11	37.59	21	-0.17	22	-0.01	22
1244	-385	-417	Max	16.87	396.25	11	6.42	23	0.10	23	37.62	21	3.66	21	-0.01	22
1244	-385	-417	Min.	2.51	-61.70	22	-22.33	11	-0.82	23	3.51	22	-1.74	21	-0.02	21
1244	-385	-417	Min.	16.87	-60.71	22	-22.33	11	-2.22	11	4.96	22	0.44	22	-0.02	21
1244	-417	-449	Max	2.51	448.32	21	5.15	23	0.95	24	37.33	21	-0.22	22	-0.01	22
1244	-417	-449	Max	16.87	449.64	21	5.15	23	-0.02	23	37.36	21	3.79	21	-0.01	22
1244	-417	-449	Min.	2.51	-48.49	22	-23.94	11	-0.76	23	5.07	22	-1.58	21	-0.02	21
1244	-417	-449	Min.	16.87	-47.50	22	-23.94	11	-2.52	11	6.51	22	0.61	22	-0.02	21
1244	-449	-481	Max	2.51	543.76	21	7.70	23	0.82	24	40.77	21	-0.22	22	-0.00	12
1244	-449	-481	Max	16.87	545.08	21	7.70	23	0.41	23	40.80	21	4.54	21	-0.00	12
1244	-449	-481	Min.	2.51	-32.45	22	-17.95	11	-0.69	23	3.22	22	-1.32	21	-0.01	21
1244	-449	-481	Min.	16.87	-31.46	22	-17.95	11	-1.85	11	4.66	22	0.35	22	-0.01	21
1244	-481	1296	Max	2.51	633.52	21	-10.09	22	0.63	11	21.05	21	0.30	11	0.00	22
1244	-481	1296	Max	14.38	634.62	21	-11.26	22	-0.91	22	22.06	22	2.40	21	0.00	22
1244	-481	1296	Min.	2.51	-15.62	22	-57.25	11	-0.17	23	4.07	12	-0.32	22	-0.02	23
1244	-481	1296	Min.	14.38	-14.80	22	-57.25	11	-6.17	11	4.09	12	0.73	12	-0.02	23
1245	337	-9	Max	4.85	0.00	11	0.00	11	0.00	11	0.00	11	0.00	11	0.00	11
1245	337	-9	Min.	4.85	0.00	11	0.00	11	0.00	11	0.00	11	0.00	11	0.00	11
1245	-9	-41	Max	4.85	0.00	11	0.00	11	0.00	11	0.00	11	0.00	11	0.00	11
1245	-9	-41	Min.	4.85	0.00	11	0.00	11	0.00	11	0.00	11	0.00	11	0.00	11
1245	-41	-73	Max	5.01	-82.56	22	7.06	22	3.47	21	17.74	23	1.83	11	0.00	22
1245	-41	-73	Max	16.87	-81.72	22	7.06	22	-0.01	22	17.76	23	0.23	22	0.00	22
1245	-41	-73	Min.	5.01	-718.04	21	-31.62	21	-0.85	22	-16.66	11	-2.43	23	-0.03	21
1245	-41	-73	Min.	16.87	-716.95	21	-31.62	21	-0.40	11	-16.64	11	-0.39	21	-0.03	21
1245	-73	-105	Max	2.51	-76.67	22	6.21	22	3.00	21	12.58	23	1.60	11	-0.00	22
1245	-73	-105	Max	16.87	-75.65	22	6.21	22	0.29	22	12.60	23	0.33	22	-0.00	22
1245	-73	-105	Min.	2.51	-714.69	21	-34.32	21	-0.61	22	-18.66	11	-1.49	23	-0.02	21
1245	-73	-105	Min.	16.87	-713.36	21	-34.32	21	-1.93	21	-18.64	11	-1.08	11	-0.02	21
1245	-105	-137	Max	2.51	-71.14	22	5.36	22	2.53	21	12.18	23	1.37	11	-0.00	22
1245	-105	-137	Max	16.87	-70.12	22	5.36	22	0.31	22	12.20	23	0.41	23	-0.00	22
1245	-105	-137	Min.	2.51	-712.52	21	-34.03	21	-0.46	22	-18.86	11	-1.34	23	-0.02	21

1245	-105	-137	Min.	16.87	-711.19	21	-34.03	21	-2.36	21	-18.83	11	-1.34	11	-0.02	21
1245	-137	-169	Max	2.51	-67.11	22	4.53	22	2.36	21	11.48	23	1.31	11	-0.01	22
1245	-137	-169	Max	16.87	-66.09	22	4.53	22	0.27	22	11.50	23	0.40	23	-0.01	22
1245	-137	-169	Min.	2.51	-712.04	21	-33.89	21	-0.38	22	-19.30	11	-1.25	23	-0.01	21
1245	-137	-169	Min.	16.87	-710.71	21	-33.89	21	-2.50	21	-19.28	11	-1.46	11	-0.01	21
1245	-169	-201	Max	2.51	-64.94	22	3.68	22	2.26	21	10.75	23	1.29	11	-0.01	22
1245	-169	-201	Max	16.87	-63.92	22	3.68	22	0.21	22	10.78	23	0.37	23	-0.01	22
1245	-169	-201	Min.	2.51	-713.45	21	-33.79	21	-0.32	22	-19.75	11	-1.18	23	-0.01	21
1245	-169	-201	Min.	16.87	-712.13	21	-33.79	21	-2.59	21	-19.73	11	-1.55	11	-0.01	21
1245	-201	-233	Max	2.51	-64.79	22	2.82	22	2.16	21	10.02	23	1.27	11	-0.01	22
1245	-201	-233	Max	16.87	-63.77	22	2.82	22	0.15	22	10.05	23	0.32	23	-0.01	22
1245	-201	-233	Min.	2.51	-716.90	21	-33.70	21	-0.26	22	-20.23	11	-1.12	23	-0.01	21
1245	-201	-233	Min.	16.87	-715.58	21	-33.70	21	-2.68	21	-20.21	11	-1.64	11	-0.01	21
1245	-233	-265	Max	2.51	-66.82	22	1.94	22	2.06	21	9.28	23	1.25	11	-0.01	22
1245	-233	-265	Max	16.87	-65.80	22	1.94	22	0.08	22	9.30	23	0.28	23	-0.01	22
1245	-233	-265	Min.	2.51	-722.54	21	-33.63	21	-0.20	22	-20.73	11	-1.06	23	-0.01	21
1245	-233	-265	Min.	16.87	-721.21	21	-33.63	21	-2.77	21	-20.71	11	-1.73	11	-0.01	21
1245	-265	-297	Max	2.51	-71.19	22	1.04	22	1.96	21	8.52	23	1.22	11	-0.01	22
1245	-265	-297	Max	16.87	-70.17	22	1.04	22	0.01	22	8.55	23	0.23	23	-0.01	22
1245	-265	-297	Min.	2.51	-730.51	21	-33.57	21	-0.14	22	-21.25	11	-1.00	23	-0.01	21
1245	-265	-297	Min.	16.87	-729.18	21	-33.57	21	-2.86	21	-21.23	11	-1.83	11	-0.01	21
1245	-297	-329	Max	2.51	-78.08	22	0.12	22	1.85	21	7.75	23	1.19	11	-0.01	22
1245	-297	-329	Max	16.87	-77.06	22	0.12	22	-0.06	22	7.78	23	0.18	23	-0.01	22
1245	-297	-329	Min.	2.51	-741.00	21	-33.53	21	-0.08	22	-21.80	11	-0.94	23	-0.01	21
1245	-297	-329	Min.	16.87	-739.67	21	-33.53	21	-2.97	21	-21.78	11	-1.94	11	-0.01	21
1245	-329	-361	Max	2.51	-87.68	22	-0.82	22	1.73	21	6.97	23	1.16	11	-0.01	22
1245	-329	-361	Max	16.87	-86.66	22	-0.82	22	-0.14	22	6.99	23	0.13	23	-0.01	22
1245	-329	-361	Min.	2.51	-754.20	21	-33.51	21	-0.03	22	-22.38	11	-0.88	23	-0.02	21
1245	-329	-361	Min.	16.87	-752.87	21	-33.51	21	-3.09	21	-22.36	11	-2.06	11	-0.02	21
1245	-361	-393	Max	2.51	-100.21	22	-1.79	22	1.60	21	6.18	23	1.12	11	-0.01	22
1245	-361	-393	Max	16.87	-99.19	22	-1.79	22	-0.23	22	6.21	23	0.07	23	-0.01	22
1245	-361	-393	Min.	2.51	-770.31	21	-33.53	21	0.03	22	-22.96	11	-0.82	23	-0.02	21
1245	-361	-393	Min.	16.87	-768.99	21	-33.53	21	-3.22	21	-22.93	11	-2.18	11	-0.02	21
1245	-393	-425	Max	2.51	-115.87	22	-2.75	22	1.46	21	5.23	23	1.07	11	-0.01	22
1245	-393	-425	Max	16.87	-114.85	22	-2.75	22	-0.32	22	5.25	23	-0.00	23	-0.01	22
1245	-393	-425	Min.	2.51	-789.57	21	-33.36	21	0.08	22	-23.84	11	-0.75	23	-0.02	21
1245	-393	-425	Min.	16.87	-788.24	21	-33.36	21	-3.33	21	-23.82	11	-2.35	11	-0.02	21
1245	-425	-457	Max	2.51	-134.88	22	-4.03	22	1.30	21	5.41	23	1.04	24	-0.01	22
1245	-425	-457	Max	16.87	-133.86	22	-4.03	22	-0.45	22	5.43	23	0.08	23	-0.01	22
1245	-425	-457	Min.	2.51	-812.22	21	-34.83	21	0.12	12	-22.71	11	-0.70	23	-0.02	21
1245	-425	-457	Min.	16.87	-810.90	21	-34.83	21	-3.70	21	-22.69	11	-2.27	11	-0.02	21
1245	-457	-489	Max	2.51	-156.83	22	-3.32	22	1.01	23	-2.39	23	1.02	24	-0.00	12
1245	-457	-489	Max	16.87	-155.81	22	-3.32	22	-0.35	22	-2.37	23	-0.90	23	-0.00	12
1245	-457	-489	Min.	2.51	-837.98	21	-25.09	21	-0.02	12	-35.68	11	-0.56	23	-0.01	21
1245	-457	-489	Min.	16.87	-836.65	21	-25.09	21	-2.67	21	-35.66	11	-4.18	11	-0.01	21
1245	-489	1316	Max	2.51	-179.21	22	-14.86	22	0.82	21	53.47	21	0.07	22	0.00	23
1245	-489	1316	Max	14.38	-178.37	22	-14.86	22	-1.59	22	53.49	21	5.13	21	0.00	23
1245	-489	1316	Min.	2.51	-867.10	21	-82.21	21	0.17	22	11.26	22	-1.22	21	-0.01	11
1245	-489	1316	Min.	14.38	-866.01	21	-82.21	21	-8.94	21	11.28	22	1.40	22	-0.01	11
1246	343	-13	Max	4.85	0.00	11	0.00	11	0.00	11	0.00	11	0.00	11	0.00	11
1246	343	-13	Min.	4.85	0.00	11	0.00	11	0.00	11	0.00	11	0.00	11	0.00	11
1246	-13	-45	Max	4.85	0.00	11	0.00	11	0.00	11	0.00	11	0.00	11	0.00	11
1246	-13	-45	Min.	4.85	0.00	11	0.00	11	0.00	11	0.00	11	0.00	11	0.00	11
1246	-45	-77	Max	5.01	-420.42	22	-8.26	22	6.61	21	18.15	23	2.70	11	-0.00	22
1246	-45	-77	Max	16.87	-419.57	22	-8.26	22	-0.07	23	18.17	23	-0.09	22	-0.00	22
1246	-45	-77	Min.	5.01	-1221.00	21	-58.91	21	0.90	22	-27.31	11	-2.76	23	-0.04	21
1246	-45	-77	Min.	16.87	-1219.90	21	-58.91	21	-0.52	11	-27.29	11	-0.87	21	-0.04	21
1246	-77	-109	Max	2.51	-429.64	22	-11.06	22	5.84	21	10.72	23	2.54	11	-0.00	22
1246	-77	-109	Max	16.87	-428.62	22	-11.06	22	-0.60	22	10.75	23	-0.03	23	-0.00	22

1246	-77	-109	Min.	2.51	-1233.22	21	-64.77	21	0.99	22	-32.35	11	-1.57	23	-0.02	21
1246	-77	-109	Min.	16.87	-1231.89	21	-64.77	21	-3.46	21	-32.33	11	-2.10	11	-0.02	21
1246	-109	-141	Max	2.51	-443.72	22	-12.13	22	5.02	21	10.45	23	2.12	11	0.00	11
1246	-109	-141	Max	16.87	-442.69	22	-12.13	22	-0.81	22	10.48	23	0.04	23	0.00	11
1246	-109	-141	Min.	2.51	-1251.22	21	-64.90	21	0.93	22	-32.60	11	-1.47	23	-0.01	23
1246	-109	-141	Min.	16.87	-1249.90	21	-64.90	21	-4.30	21	-32.57	11	-2.56	11	-0.01	23
1246	-141	-173	Max	2.51	-461.05	22	-13.35	22	4.78	21	9.75	23	2.02	11	0.00	11
1246	-141	-173	Max	16.87	-460.02	22	-13.35	22	-0.95	22	9.77	23	0.01	23	0.00	11
1246	-141	-173	Min.	2.51	-1272.69	21	-65.48	21	0.97	22	-33.32	11	-1.39	23	-0.00	23
1246	-141	-173	Min.	16.87	-1271.36	21	-65.48	21	-4.63	21	-33.30	11	-2.77	11	-0.00	23
1246	-173	-205	Max	2.51	-481.39	22	-14.60	22	4.64	21	8.96	23	1.97	11	0.00	11
1246	-173	-205	Max	16.87	-480.38	22	-14.60	22	-1.08	22	8.99	23	-0.04	23	0.00	11
1246	-173	-205	Min.	2.51	-1297.26	21	-66.06	21	1.01	22	-34.10	11	-1.33	23	-0.00	23
1246	-173	-205	Min.	16.87	-1295.94	21	-66.06	21	-4.85	21	-34.08	11	-2.93	11	-0.00	23
1246	-205	-237	Max	2.51	-504.87	22	-15.89	22	4.53	21	8.22	23	1.92	11	0.01	11
1246	-205	-237	Max	16.87	-503.85	22	-15.89	22	-1.22	22	8.25	23	-0.10	23	0.01	11
1246	-205	-237	Min.	2.51	-1324.99	21	-66.77	21	1.06	22	-34.90	11	-1.28	23	-0.00	23
1246	-205	-237	Min.	16.87	-1323.66	21	-66.77	21	-5.06	21	-34.88	11	-3.09	11	-0.00	23
1246	-237	-269	Max	2.51	-531.67	22	-17.22	22	4.40	21	7.42	23	1.88	11	0.01	11
1246	-237	-269	Max	16.87	-530.65	22	-17.22	22	-1.36	22	7.45	23	-0.16	23	0.01	11
1246	-237	-269	Min.	2.51	-1356.09	21	-67.46	21	1.11	22	-35.76	11	-1.23	23	-0.00	23
1246	-237	-269	Min.	16.87	-1354.76	21	-67.46	21	-5.29	21	-35.74	11	-3.25	11	-0.00	23
1246	-269	-301	Max	2.51	-562.03	22	-18.59	22	4.27	21	6.63	23	1.83	11	0.01	11
1246	-269	-301	Max	16.87	-561.01	22	-18.59	22	-1.52	22	6.65	23	-0.22	23	0.01	11
1246	-269	-301	Min.	2.51	-1390.79	21	-68.24	21	1.15	22	-36.65	11	-1.18	23	-0.00	23
1246	-269	-301	Min.	16.87	-1389.46	21	-68.24	21	-5.53	21	-36.62	11	-3.43	11	-0.00	23
1246	-301	-333	Max	2.51	-596.22	22	-20.01	22	4.13	21	5.84	23	1.77	11	0.01	11
1246	-301	-333	Max	16.87	-595.20	22	-20.01	22	-1.68	22	5.86	23	-0.29	23	0.01	11
1246	-301	-333	Min.	2.51	-1429.33	21	-69.10	21	1.19	22	-37.57	11	-1.13	23	-0.00	23
1246	-301	-333	Min.	16.87	-1428.00	21	-69.10	21	-5.80	21	-37.55	11	-3.63	11	-0.00	23
1246	-333	-365	Max	2.51	-634.53	22	-21.46	22	3.97	21	5.00	23	1.73	24	0.01	11
1246	-333	-365	Max	16.87	-633.51	22	-21.46	22	-1.86	22	5.02	23	-0.36	23	0.01	11
1246	-333	-365	Min.	2.51	-1472.04	21	-69.97	21	1.22	22	-38.57	11	-1.08	23	-0.00	23
1246	-333	-365	Min.	16.87	-1470.71	21	-69.97	21	-6.08	21	-38.54	11	-3.84	11	-0.00	23
1246	-365	-397	Max	2.51	-677.28	22	-23.00	22	3.80	21	4.20	23	1.69	24	0.01	11
1246	-365	-397	Max	16.87	-676.26	22	-23.00	22	-2.05	22	4.23	23	-0.43	23	0.01	11
1246	-365	-397	Min.	2.51	-1519.20	21	-71.01	21	1.25	22	-39.52	11	-1.04	23	-0.00	23
1246	-365	-397	Min.	16.87	-1517.87	21	-71.01	21	-6.40	21	-39.49	11	-4.05	11	-0.00	23
1246	-397	-429	Max	2.51	-724.78	22	-24.46	22	3.60	21	3.09	23	1.64	24	0.01	11
1246	-397	-429	Max	16.87	-723.76	22	-24.46	22	-2.25	22	3.11	23	-0.54	23	0.01	11
1246	-397	-429	Min.	2.51	-1571.15	21	-71.73	21	1.26	22	-41.08	11	-0.99	23	-0.00	23
1246	-397	-429	Min.	16.87	-1569.83	21	-71.73	21	-6.71	21	-41.06	11	-4.37	11	-0.00	23
1246	-429	-461	Max	2.51	-777.35	22	-26.94	22	3.35	21	4.10	23	1.54	24	0.01	11
1246	-429	-461	Max	16.87	-776.33	22	-26.94	22	-2.61	22	4.13	23	-0.36	23	0.01	11
1246	-429	-461	Min.	2.51	-1628.33	21	-75.27	21	1.26	22	-38.59	11	-0.95	23	-0.00	23
1246	-429	-461	Min.	16.87	-1627.00	21	-75.27	21	-7.47	21	-38.57	11	-4.16	11	-0.00	23
1246	-461	-493	Max	2.51	-821.77	23	-22.55	22	2.68	21	-9.97	23	1.51	24	0.02	11
1246	-461	-493	Max	16.87	-820.75	23	-22.55	22	-2.16	22	-9.95	23	-2.20	23	0.02	11
1246	-461	-493	Min.	2.51	-1689.93	21	-59.44	21	1.03	12	-65.89	24	-0.77	23	0.01	23
1246	-461	-493	Min.	16.87	-1688.60	21	-59.44	21	-5.86	21	-65.86	24	-7.99	11	0.01	23
1246	-493	1322	Max	2.51	-823.55	23	-60.13	22	2.01	21	104.73	21	-0.82	22	0.03	21
1246	-493	1322	Max	14.38	-822.70	23	-60.13	22	-6.30	22	104.75	21	9.98	21	0.03	21
1246	-493	1322	Min.	2.51	-1756.19	21	-160.19	21	0.84	22	50.56	22	-2.45	21	0.01	22
1246	-493	1322	Min.	14.38	-1755.10	21	-160.19	21	-17.01	21	50.58	22	5.18	22	0.01	22
1247	346	-15	Max	4.85	0.00	11	0.00	11	0.00	11	0.00	11	0.00	11	0.00	11
1247	346	-15	Min.	4.85	0.00	11	0.00	11	0.00	11	0.00	11	0.00	11	0.00	11
1247	-15	-47	Max	4.85	0.00	11	0.00	11	0.00	11	0.00	11	0.00	11	0.00	11
1247	-15	-47	Min.	4.85	0.00	11	0.00	11	0.00	11	0.00	11	0.00	11	0.00	11
1247	-47	-79	Max	5.01	-347.18	22	3.69	22	4.57	21	22.45	23	0.79	11	0.00	22

1247	-47	-79	Max	16.87	-346.34	22	3.69	22	0.19	22	22.47	23	-0.02	22	0.00	22
1247	-47	-79	Min.	5.01	-1078.45	21	-38.92	21	-0.25	22	-10.32	11	-3.20	23	-0.03	21
1247	-47	-79	Min.	16.87	-1077.35	21	-38.92	21	-0.20	11	-10.30	11	-0.73	21	-0.03	21
1247	-79	-111	Max	2.51	-336.67	22	1.31	22	4.18	21	16.24	23	0.90	11	0.00	22
1247	-79	-111	Max	16.87	-335.65	22	1.31	22	0.27	22	16.26	23	0.30	23	0.00	22
1247	-79	-111	Min.	2.51	-1067.23	21	-43.78	21	0.08	22	-13.93	11	-2.03	23	-0.01	23
1247	-79	-111	Min.	16.87	-1065.91	21	-43.78	21	-2.11	21	-13.91	11	-1.10	11	-0.01	23
1247	-111	-143	Max	2.51	-325.12	22	0.42	22	3.61	21	16.00	23	0.69	11	0.01	24
1247	-111	-143	Max	16.87	-324.10	22	0.42	22	0.23	22	16.02	23	0.44	23	0.01	24
1247	-111	-143	Min.	2.51	-1054.84	21	-43.62	21	0.17	22	-13.91	11	-1.86	23	-0.00	23
1247	-111	-143	Min.	16.87	-1053.52	21	-43.62	21	-2.66	21	-13.88	11	-1.31	11	-0.00	23
1247	-143	-175	Max	2.51	-314.54	22	-0.52	22	3.43	21	15.38	23	0.64	11	0.01	11
1247	-143	-175	Max	16.87	-313.52	22	-0.52	22	0.17	22	15.40	23	0.45	23	0.01	11
1247	-143	-175	Min.	2.51	-1043.21	21	-43.69	21	0.24	22	-14.23	11	-1.76	23	0.00	23
1247	-143	-175	Min.	16.87	-1041.88	21	-43.69	21	-2.85	21	-14.21	11	-1.40	11	0.00	23
1247	-175	-207	Max	2.51	-305.43	22	-1.48	22	3.32	21	14.74	23	0.61	11	0.01	11
1247	-175	-207	Max	16.87	-304.41	22	-1.48	22	0.10	22	14.76	23	0.42	23	0.01	11
1247	-175	-207	Min.	2.51	-1032.85	21	-43.79	21	0.31	22	-14.59	11	-1.70	23	0.00	23
1247	-175	-207	Min.	16.87	-1031.53	21	-43.79	21	-2.97	21	-14.56	11	-1.48	11	0.00	23
1247	-207	-239	Max	2.51	-298.02	22	-2.46	22	3.24	21	14.10	23	0.59	11	0.01	11
1247	-207	-239	Max	16.87	-297.00	22	-2.46	22	0.03	22	14.13	23	0.39	23	0.01	11
1247	-207	-239	Min.	2.51	-1023.97	21	-43.94	21	0.38	22	-14.94	11	-1.64	23	0.00	23
1247	-207	-239	Min.	16.87	-1022.64	21	-43.94	21	-3.08	21	-14.91	11	-1.55	11	0.00	23
1247	-239	-271	Max	2.51	-292.43	22	-3.48	22	3.15	21	13.48	23	0.56	11	0.01	11
1247	-239	-271	Max	16.87	-291.41	22	-3.48	22	-0.05	22	13.50	23	0.36	23	0.01	11
1247	-239	-271	Min.	2.51	-1016.66	21	-44.15	21	0.45	22	-15.28	11	-1.58	23	0.00	23
1247	-239	-271	Min.	16.87	-1015.33	21	-44.15	21	-3.19	21	-15.26	11	-1.63	11	0.00	23
1247	-271	-303	Max	2.51	-288.80	22	-4.51	22	3.05	21	12.81	23	0.54	11	0.01	11
1247	-271	-303	Max	16.87	-287.78	22	-4.51	22	-0.14	22	12.84	23	0.32	23	0.01	11
1247	-271	-303	Min.	2.51	-1011.05	21	-44.32	21	0.51	22	-15.69	11	-1.52	23	0.00	23
1247	-271	-303	Min.	16.87	-1009.72	21	-44.32	21	-3.32	21	-15.67	11	-1.71	11	0.00	23
1247	-303	-335	Max	2.51	-287.29	22	-5.58	22	2.95	21	12.17	23	0.50	11	0.01	11
1247	-303	-335	Max	16.87	-286.27	22	-5.58	22	-0.23	22	12.20	23	0.29	23	0.01	11
1247	-303	-335	Min.	2.51	-1007.26	21	-44.60	21	0.58	22	-16.07	11	-1.46	23	0.00	23
1247	-303	-335	Min.	16.87	-1005.94	21	-44.60	21	-3.46	21	-16.05	11	-1.80	11	0.00	23
1247	-335	-367	Max	2.51	-288.05	22	-6.68	22	2.84	21	11.51	23	0.47	11	0.01	11
1247	-335	-367	Max	16.87	-287.03	22	-6.68	22	-0.32	22	11.53	23	0.25	23	0.01	11
1247	-335	-367	Min.	2.51	-1005.43	21	-44.87	21	0.64	22	-16.49	11	-1.40	23	0.00	23
1247	-335	-367	Min.	16.87	-1004.11	21	-44.87	21	-3.61	21	-16.47	11	-1.90	11	0.00	23
1247	-367	-399	Max	2.51	-291.26	22	-7.80	22	2.71	21	10.84	23	0.43	11	0.01	11
1247	-367	-399	Max	16.87	-290.24	22	-7.80	22	-0.42	22	10.86	23	0.22	23	0.01	11
1247	-367	-399	Min.	2.51	-1005.74	21	-45.16	21	0.70	22	-16.93	11	-1.34	23	0.00	23
1247	-367	-399	Min.	16.87	-1004.42	21	-45.16	21	-3.77	21	-16.90	11	-2.00	11	0.00	23
1247	-399	-431	Max	2.51	-297.13	22	-8.96	22	2.58	21	10.00	23	0.38	11	0.01	11
1247	-399	-431	Max	16.87	-296.11	22	-8.96	22	-0.53	22	10.02	23	0.16	23	0.01	11
1247	-399	-431	Min.	2.51	-1008.36	21	-45.35	21	0.75	22	-17.68	11	-1.28	23	0.00	23
1247	-399	-431	Min.	16.87	-1007.03	21	-45.35	21	-3.94	21	-17.65	11	-2.16	11	0.00	23
1247	-431	-463	Max	2.51	-305.82	22	-10.17	22	2.41	21	10.46	23	0.35	24	0.01	11
1247	-431	-463	Max	16.87	-304.81	22	-10.17	22	-0.66	22	10.49	23	0.28	23	0.01	11
1247	-431	-463	Min.	2.51	-1013.51	21	-46.93	21	0.80	22	-16.08	11	-1.22	23	0.00	23
1247	-431	-463	Min.	16.87	-1012.18	21	-46.93	21	-4.33	21	-16.06	11	-2.00	11	0.00	23
1247	-463	-495	Max	2.51	-317.14	22	-11.41	22	2.00	21	1.93	23	0.40	24	0.02	11
1247	-463	-495	Max	16.87	-316.12	22	-11.41	22	-0.86	22	1.95	23	-0.76	23	0.02	11
1247	-463	-495	Min.	2.51	-1021.19	21	-39.40	21	0.75	12	-30.59	11	-1.04	23	0.01	23
1247	-463	-495	Min.	16.87	-1019.86	21	-39.40	21	-3.66	21	-30.57	11	-4.08	11	0.01	23
1247	-495	1325	Max	2.51	-330.75	22	-12.89	22	1.30	21	69.71	21	-0.38	22	0.02	21
1247	-495	1325	Max	14.38	-329.90	22	-12.89	22	-1.09	22	69.73	21	6.47	21	0.02	21
1247	-495	1325	Min.	2.51	-1034.89	21	-86.12	21	0.44	22	24.39	22	-1.81	21	0.01	22
1247	-495	1325	Min.	14.38	-1033.79	21	-86.12	21	-8.93	21	24.41	22	2.52	22	0.01	22

1272	373	-25	Max	4.85	0.00	11	0.00	11	0.00	11	0.00	11	0.00	11	0.00	11
1272	373	-25	Min.	4.85	0.00	11	0.00	11	0.00	11	0.00	11	0.00	11	0.00	11
1272	-25	-57	Max	4.85	0.00	11	0.00	11	0.00	11	0.00	11	0.00	11	0.00	11
1272	-25	-57	Min.	4.85	0.00	11	0.00	11	0.00	11	0.00	11	0.00	11	0.00	11
1272	-57	-89	Max	5.01	88.14	22	27.41	22	1.65	23	41.89	21	-1.05	12	0.03	24
1272	-57	-89	Max	16.87	88.98	22	27.41	22	0.38	22	41.91	21	0.62	24	0.03	24
1272	-57	-89	Min.	5.01	-575.91	23	-12.09	23	-2.90	24	11.87	12	-4.71	21	-0.00	23
1272	-57	-89	Min.	16.87	-575.07	23	-12.09	23	0.10	12	11.89	12	0.01	23	-0.00	23
1272	-89	-121	Max	2.51	123.84	22	26.88	22	1.71	23	36.85	21	-0.65	12	0.02	24
1272	-89	-121	Max	16.87	124.87	22	26.88	22	1.71	22	36.88	21	2.12	21	0.02	24
1272	-89	-121	Min.	2.51	-529.10	23	-14.85	23	-2.19	24	10.76	12	-3.18	21	0.01	23
1272	-89	-121	Min.	16.87	-528.08	23	-14.85	23	-0.42	23	10.78	12	0.90	12	0.01	23
1272	-121	-153	Max	2.51	168.24	22	26.80	24	1.48	23	37.02	21	-0.54	12	0.02	21
1272	-121	-153	Max	16.87	169.26	22	26.80	24	2.04	22	37.05	21	2.57	21	0.02	21
1272	-121	-153	Min.	2.51	-470.28	23	-14.12	23	-1.83	24	11.07	12	-2.75	21	0.01	22
1272	-121	-153	Min.	16.87	-469.26	23	-14.12	23	-0.55	23	11.09	12	1.05	12	0.01	22
1272	-153	-185	Max	2.51	214.64	22	26.82	24	1.38	23	36.97	21	-0.50	12	0.02	21
1272	-153	-185	Max	16.87	215.66	22	26.82	24	2.15	24	37.00	21	2.73	21	0.02	21
1272	-153	-185	Min.	2.51	-408.13	23	-13.43	23	-1.71	24	11.28	12	-2.58	21	0.00	22
1272	-153	-185	Min.	16.87	-407.11	23	-13.43	23	-0.55	23	11.31	12	1.13	12	0.00	22
1272	-185	-217	Max	2.51	261.53	22	26.85	24	1.32	23	36.90	21	-0.47	12	0.02	21
1272	-185	-217	Max	16.87	262.55	22	26.85	24	2.23	24	36.93	21	2.82	21	0.02	21
1272	-185	-217	Min.	2.51	-344.60	23	-12.80	23	-1.63	24	11.53	12	-2.48	21	0.00	22
1272	-185	-217	Min.	16.87	-343.58	23	-12.80	23	-0.52	23	11.55	12	1.18	12	0.00	22
1272	-217	-249	Max	2.51	308.58	22	26.90	24	1.26	23	36.88	21	-0.45	12	0.02	21
1272	-217	-249	Max	16.87	309.61	22	26.90	24	2.31	24	36.91	21	2.91	21	0.02	21
1272	-217	-249	Min.	2.51	-280.09	23	-12.12	23	-1.55	24	11.78	12	-2.39	21	0.00	22
1272	-217	-249	Min.	16.87	-279.07	23	-12.12	23	-0.48	23	11.80	12	1.24	12	0.00	22
1272	-249	-281	Max	2.51	355.72	22	26.99	24	1.21	23	36.88	21	-0.43	12	0.02	21
1272	-249	-281	Max	16.87	356.75	22	26.99	24	2.40	24	36.91	21	3.01	21	0.02	21
1272	-249	-281	Min.	2.51	-214.64	23	-11.44	23	-1.48	24	12.05	12	-2.29	21	0.00	22
1272	-249	-281	Min.	16.87	-213.62	23	-11.44	23	-0.44	23	12.08	12	1.30	12	0.00	22
1272	-281	-313	Max	2.51	402.95	22	27.08	24	1.15	23	36.89	21	-0.41	12	0.02	21
1272	-281	-313	Max	16.87	403.98	22	27.08	24	2.49	24	36.92	21	3.11	21	0.02	21
1272	-281	-313	Min.	2.51	-148.19	23	-10.74	23	-1.40	24	12.33	12	-2.19	21	0.00	22
1272	-281	-313	Min.	16.87	-147.17	23	-10.74	23	-0.39	23	12.36	12	1.36	12	0.00	22
1272	-313	-345	Max	2.51	450.26	22	27.17	24	1.09	23	36.92	21	-0.38	12	0.02	21
1272	-313	-345	Max	16.87	451.28	22	27.17	24	2.59	24	36.95	21	3.22	21	0.02	21
1272	-313	-345	Min.	2.51	-80.68	23	-10.05	23	-1.31	24	12.62	12	-2.08	21	0.01	22
1272	-313	-345	Min.	16.87	-79.66	23	-10.05	23	-0.35	23	12.64	12	1.43	12	0.01	22
1272	-345	-377	Max	2.51	497.62	22	27.30	24	1.04	23	36.99	21	-0.36	12	0.02	21
1272	-345	-377	Max	16.87	498.64	22	27.30	24	2.70	24	37.02	21	3.34	21	0.02	21
1272	-345	-377	Min.	2.51	-12.05	23	-9.33	23	-1.22	24	12.94	12	-1.97	21	0.01	22
1272	-345	-377	Min.	16.87	-11.03	23	-9.33	23	-0.30	23	12.96	12	1.50	12	0.01	22
1272	-377	-409	Max	2.51	552.46	24	27.48	24	0.98	23	37.06	21	-0.32	12	0.02	21
1272	-377	-409	Max	16.87	553.48	24	27.48	24	2.82	24	37.09	21	3.48	21	0.02	21
1272	-377	-409	Min.	2.51	57.80	23	-8.60	23	-1.12	24	13.26	12	-1.85	21	0.01	22
1272	-377	-409	Min.	16.87	58.82	23	-8.60	23	-0.25	23	13.28	12	1.58	12	0.01	22
1272	-409	-441	Max	2.51	610.57	24	27.45	24	0.93	23	37.24	21	-0.27	22	0.02	21
1272	-409	-441	Max	16.87	611.59	24	27.45	24	2.93	24	37.27	21	3.63	21	0.02	21
1272	-409	-441	Min.	2.51	128.93	23	-7.93	23	-1.01	24	13.64	12	-1.72	21	0.01	22
1272	-409	-441	Min.	16.87	129.95	23	-7.93	23	-0.21	23	13.67	12	1.68	12	0.01	22
1272	-441	-473	Max	2.51	670.22	24	29.07	24	0.87	23	36.93	21	-0.14	22	0.02	21
1272	-441	-473	Max	16.87	671.24	24	29.07	24	3.28	24	36.96	21	3.76	21	0.02	21
1272	-441	-473	Min.	2.51	201.30	23	-6.67	23	-0.89	24	13.71	12	-1.55	21	0.01	22
1272	-441	-473	Min.	16.87	202.32	23	-6.67	23	-0.09	23	13.73	12	1.74	12	0.01	22
1272	-473	-505	Max	2.51	730.96	24	19.58	24	0.81	23	40.26	21	-0.03	22	0.02	21
1272	-473	-505	Max	16.87	731.98	24	19.58	24	2.22	24	40.29	21	4.49	21	0.02	21
1272	-473	-505	Min.	2.51	273.99	23	-9.28	23	-0.67	11	16.26	12	-1.30	21	0.00	22

1272	-473	-505	Min.	16.87	275.01	23	-9.28	23	-0.53	23	16.28	12	2.17	12	0.00	22
1272	-505	1348	Max	2.51	789.82	24	76.29	24	0.25	23	20.84	21	0.85	22	0.02	23
1272	-505	1348	Max	14.38	790.66	24	76.29	24	8.41	24	20.87	21	2.42	21	0.02	23
1272	-505	1348	Min.	2.51	340.60	23	11.36	23	-0.65	24	-15.74	22	-0.30	23	-0.00	12
1272	-505	1348	Min.	14.38	341.44	23	11.36	23	1.60	23	-15.72	22	-1.02	22	-0.00	12
1273	379	-29	Max	4.85	0.00	11	0.00	11	0.00	11	0.00	11	0.00	11	0.00	11
1273	379	-29	Min.	4.85	0.00	11	0.00	11	0.00	11	0.00	11	0.00	11	0.00	11
1273	-29	-61	Max	4.85	0.00	11	0.00	11	0.00	11	0.00	11	0.00	11	0.00	11
1273	-29	-61	Min.	4.85	0.00	11	0.00	11	0.00	11	0.00	11	0.00	11	0.00	11
1273	-61	-93	Max	5.01	-155.65	22	43.81	24	1.39	23	72.96	21	-3.28	12	0.03	24
1273	-61	-93	Max	16.87	-154.81	22	43.81	24	0.73	21	72.99	21	0.65	24	0.03	24
1273	-61	-93	Min.	5.01	-1061.03	21	-7.72	23	-4.50	24	30.69	12	-8.41	21	-0.01	23
1273	-61	-93	Min.	16.87	-1059.93	21	-7.72	23	0.40	12	30.71	12	-0.04	23	-0.01	23
1273	-93	-125	Max	2.51	-101.86	22	42.06	24	1.74	23	64.46	21	-2.18	12	0.01	24
1273	-93	-125	Max	16.87	-100.84	22	42.06	24	2.81	24	64.49	21	3.51	21	0.01	24
1273	-93	-125	Min.	2.51	-965.38	21	-12.12	23	-3.23	24	27.31	12	-5.75	21	0.00	23
1273	-93	-125	Min.	16.87	-964.05	21	-12.12	23	-0.01	23	27.34	12	1.75	12	0.00	23
1273	-125	-157	Max	2.51	-34.08	22	42.30	24	1.53	23	65.38	21	-1.91	12	0.01	23
1273	-125	-157	Max	16.87	-33.06	22	42.30	24	3.36	24	65.41	21	4.33	21	0.01	23
1273	-125	-157	Min.	2.51	-843.34	21	-11.32	23	-2.71	24	28.09	12	-5.06	21	0.00	22
1273	-125	-157	Min.	16.87	-842.01	21	-11.32	23	-0.10	23	28.11	12	2.13	12	0.00	22
1273	-157	-189	Max	2.51	37.82	22	42.66	24	1.45	23	66.01	21	-1.82	12	0.01	23
1273	-157	-189	Max	16.87	38.84	22	42.66	24	3.59	24	66.04	21	4.66	21	0.01	23
1273	-157	-189	Min.	2.51	-712.15	21	-10.58	23	-2.54	24	28.70	12	-4.82	21	-0.00	24
1273	-157	-189	Min.	16.87	-710.83	21	-10.58	23	-0.07	23	28.72	12	2.30	12	-0.00	24
1273	-189	-221	Max	2.51	111.62	22	43.04	24	1.39	23	66.56	21	-1.78	12	0.01	23
1273	-189	-221	Max	16.87	112.64	22	43.04	24	3.74	24	66.59	21	4.88	21	0.01	23
1273	-189	-221	Min.	2.51	-575.65	21	-9.88	23	-2.44	24	29.32	12	-4.68	21	-0.01	24
1273	-189	-221	Min.	16.87	-574.32	21	-9.88	23	-0.03	23	29.35	12	2.43	12	-0.01	24
1273	-221	-253	Max	2.51	186.90	22	43.46	24	1.34	23	67.27	21	-1.75	12	0.01	23
1273	-221	-253	Max	16.87	187.92	22	43.46	24	3.89	24	67.30	21	5.10	21	0.01	23
1273	-221	-253	Min.	2.51	-463.79	23	-9.15	23	-2.35	24	30.00	12	-4.57	21	-0.01	24
1273	-221	-253	Min.	16.87	-462.77	23	-9.15	23	0.03	23	30.02	12	2.56	12	-0.01	24
1273	-253	-285	Max	2.51	263.64	22	43.94	24	1.29	23	68.00	21	-1.71	12	0.01	23
1273	-253	-285	Max	16.87	264.66	22	43.94	24	4.05	24	68.03	21	5.32	21	0.01	23
1273	-253	-285	Min.	2.51	-358.32	23	-8.39	23	-2.26	24	30.72	12	-4.45	21	-0.01	24
1273	-253	-285	Min.	16.87	-357.30	23	-8.39	23	0.09	23	30.75	12	2.70	12	-0.01	24
1273	-285	-317	Max	2.51	341.93	22	44.44	24	1.25	23	68.80	21	-1.67	12	0.01	23
1273	-285	-317	Max	16.87	342.95	22	44.44	24	4.23	24	68.83	21	5.57	21	0.01	23
1273	-285	-317	Min.	2.51	-249.88	23	-7.63	23	-2.16	24	31.47	12	-4.32	21	-0.01	24
1273	-285	-317	Min.	16.87	-248.86	23	-7.63	23	0.15	23	31.49	12	2.85	12	-0.01	24
1273	-317	-349	Max	2.51	421.87	22	44.95	24	1.20	23	69.63	21	-1.57	22	0.01	23
1273	-317	-349	Max	16.87	422.89	22	44.95	24	4.41	24	69.66	21	5.83	21	0.01	23
1273	-317	-349	Min.	2.51	-138.24	23	-6.88	23	-2.05	24	32.23	12	-4.17	21	-0.01	24
1273	-317	-349	Min.	16.87	-137.22	23	-6.88	23	0.21	23	32.25	12	3.01	12	-0.01	24
1273	-349	-381	Max	2.51	522.26	24	45.54	24	1.16	23	70.57	21	-1.44	22	0.01	23
1273	-349	-381	Max	16.87	523.28	24	45.54	24	4.61	24	70.60	21	6.12	21	0.01	23
1273	-349	-381	Min.	2.51	-23.21	23	-6.08	23	-1.93	24	33.07	12	-4.02	21	-0.01	24
1273	-349	-381	Min.	16.87	-22.18	23	-6.08	23	0.28	23	33.09	12	3.19	12	-0.01	24
1273	-381	-413	Max	2.51	639.25	24	46.20	24	1.11	23	71.53	21	-1.31	22	0.01	23
1273	-381	-413	Max	16.87	640.27	24	46.20	24	4.84	24	71.56	21	6.43	21	0.01	23
1273	-381	-413	Min.	2.51	95.51	23	-5.28	23	-1.80	24	33.92	12	-3.84	21	-0.01	24
1273	-381	-413	Min.	16.87	96.53	23	-5.28	23	0.36	23	33.94	12	3.38	12	-0.01	24
1273	-413	-445	Max	2.51	760.98	24	46.55	24	1.07	23	72.67	21	-1.16	22	0.01	23
1273	-413	-445	Max	16.87	762.00	24	46.55	24	5.04	24	72.70	21	6.80	21	0.01	23
1273	-413	-445	Min.	2.51	218.14	23	-4.58	23	-1.65	24	34.50	22	-3.65	21	-0.01	24
1273	-413	-445	Min.	16.87	219.16	23	-4.58	23	0.41	23	34.52	22	3.59	12	-0.01	24
1273	-445	-477	Max	2.51	887.61	24	49.71	24	1.02	23	73.21	21	-0.99	22	0.01	23
1273	-445	-477	Max	16.87	888.63	24	49.71	24	5.66	24	73.24	21	7.13	21	0.01	23

1273	-445	-477	Min.	2.51	344.71	23	-2.76	23	-1.48	24	33.44	22	-3.39	21	-0.01	24
1273	-445	-477	Min.	16.87	345.73	23	-2.76	23	0.63	23	33.46	22	3.79	12	-0.01	24
1273	-477	-509	Max	2.51	1017.99	24	33.59	24	1.01	23	78.89	21	-0.79	22	0.01	23
1273	-477	-509	Max	16.87	1019.01	24	33.59	24	3.81	24	78.92	21	8.42	21	0.01	23
1273	-477	-509	Min.	2.51	473.67	23	-8.68	23	-1.09	11	38.92	12	-2.92	21	-0.02	24
1273	-477	-509	Min.	16.87	474.69	23	-8.68	23	-0.24	23	38.94	12	4.48	12	-0.02	24
1273	-509	1354	Max	2.51	1142.33	24	133.01	24	0.22	23	51.66	21	0.64	22	0.01	23
1273	-509	1354	Max	14.38	1143.18	24	133.01	24	14.64	24	51.68	21	5.61	21	0.01	23
1273	-509	1354	Min.	2.51	593.02	23	31.98	23	-1.15	24	-3.54	22	-0.63	23	-0.02	24
1273	-509	1354	Min.	14.38	593.87	23	31.98	23	4.02	23	-3.52	22	0.22	22	-0.02	24
1274	349	-17	Max	4.85	0.00	11	0.00	11	0.00	11	0.00	11	0.00	11	0.00	11
1274	349	-17	Min.	4.85	0.00	11	0.00	11	0.00	11	0.00	11	0.00	11	0.00	11
1274	-17	-49	Max	4.85	0.00	11	0.00	11	0.00	11	0.00	11	0.00	11	0.00	11
1274	-17	-49	Min.	4.85	0.00	11	0.00	11	0.00	11	0.00	11	0.00	11	0.00	11
1274	-49	-81	Max	5.01	-129.56	22	31.48	21	-0.82	12	16.98	23	2.91	22	0.03	21
1274	-49	-81	Max	16.87	-128.74	22	31.48	21	0.63	24	17.00	23	-0.12	12	0.03	21
1274	-49	-81	Min.	5.01	-718.81	21	9.85	12	-3.46	21	-28.59	22	-2.39	23	0.01	12
1274	-49	-81	Min.	16.87	-717.72	21	9.85	12	0.02	23	-27.40	22	-0.45	21	0.01	12
1274	-81	-113	Max	2.51	-150.10	12	34.25	21	-0.59	12	11.64	23	2.40	24	0.02	21
1274	-81	-113	Max	16.87	-149.08	12	34.25	21	1.92	21	11.66	23	0.25	23	0.02	21
1274	-81	-113	Min.	2.51	-715.42	21	10.01	12	-3.00	21	-29.67	24	-1.43	23	0.01	12
1274	-81	-113	Min.	16.87	-714.09	21	10.01	12	0.85	12	-28.79	24	-1.81	22	0.01	12
1274	-113	-145	Max	2.51	-175.72	12	33.95	21	-0.48	12	11.12	23	2.01	24	0.02	21
1274	-113	-145	Max	16.87	-174.69	12	33.95	21	2.35	21	11.14	23	0.34	23	0.02	21
1274	-113	-145	Min.	2.51	-713.25	21	10.26	12	-2.53	21	-29.60	24	-1.26	23	0.01	22
1274	-113	-145	Min.	16.87	-711.92	21	10.26	12	1.00	12	-28.72	24	-2.18	24	0.01	22
1274	-145	-177	Max	2.51	-203.89	12	33.87	21	-0.44	12	10.37	23	1.89	24	0.01	21
1274	-145	-177	Max	16.87	-202.87	12	33.87	21	2.50	21	10.39	23	0.32	23	0.01	21
1274	-145	-177	Min.	2.51	-712.78	21	10.51	12	-2.36	21	-29.71	24	-1.17	23	0.01	22
1274	-145	-177	Min.	16.87	-711.45	21	10.51	12	1.07	12	-28.83	24	-2.32	24	0.01	22
1274	-177	-209	Max	2.51	-233.79	12	33.78	21	-0.42	12	9.65	23	1.81	24	0.01	21
1274	-177	-209	Max	16.87	-232.76	12	33.78	21	2.59	21	9.67	23	0.29	23	0.01	21
1274	-177	-209	Min.	2.51	-714.19	21	10.75	12	-2.26	21	-29.81	24	-1.10	23	0.00	22
1274	-177	-209	Min.	16.87	-712.87	21	10.75	12	1.12	12	-28.93	24	-2.41	24	0.00	22
1274	-209	-241	Max	2.51	-265.29	12	33.73	21	-0.40	12	8.90	23	1.75	24	0.01	21
1274	-209	-241	Max	16.87	-264.27	12	33.73	21	2.68	21	8.93	23	0.24	23	0.01	21
1274	-209	-241	Min.	2.51	-717.64	21	11.01	12	-2.16	21	-29.93	24	-1.04	23	0.00	22
1274	-209	-241	Min.	16.87	-716.31	21	11.01	12	1.18	12	-29.05	24	-2.49	24	0.00	22
1274	-241	-273	Max	2.51	-298.45	12	33.71	21	-0.38	12	8.13	23	1.68	24	0.01	21
1274	-241	-273	Max	16.87	-297.43	12	33.71	21	2.77	21	8.16	23	0.19	23	0.01	21
1274	-241	-273	Min.	2.51	-723.27	21	11.30	12	-2.07	21	-30.10	24	-0.98	23	0.01	22
1274	-241	-273	Min.	16.87	-721.95	21	11.30	12	1.24	12	-29.22	24	-2.58	24	0.01	22
1274	-273	-305	Max	2.51	-333.40	12	33.70	21	-0.36	12	7.36	23	1.60	24	0.01	21
1274	-273	-305	Max	16.87	-332.38	12	33.70	21	2.87	21	7.39	23	0.14	23	0.01	21
1274	-273	-305	Min.	2.51	-731.26	21	11.59	12	-1.97	21	-30.27	24	-0.91	23	0.01	22
1274	-273	-305	Min.	16.87	-729.93	21	11.59	12	1.31	12	-29.39	24	-2.68	24	0.01	22
1274	-305	-337	Max	2.51	-370.26	12	33.68	21	-0.33	12	6.59	23	1.52	24	0.02	21
1274	-305	-337	Max	16.87	-369.24	12	33.68	21	2.98	21	6.62	23	0.10	23	0.02	21
1274	-305	-337	Min.	2.51	-741.76	21	11.88	12	-1.86	21	-30.43	24	-0.85	23	0.01	22
1274	-305	-337	Min.	16.87	-740.43	21	11.88	12	1.37	12	-29.55	24	-2.79	24	0.01	22
1274	-337	-369	Max	2.51	-409.15	12	33.73	21	-0.30	12	5.78	23	1.44	24	0.02	21
1274	-337	-369	Max	16.87	-408.13	12	33.73	21	3.10	21	5.80	23	0.04	23	0.02	21
1274	-337	-369	Min.	2.51	-754.96	21	12.20	12	-1.74	21	-30.67	24	-0.79	23	0.01	22
1274	-337	-369	Min.	16.87	-753.63	21	12.20	12	1.45	12	-29.80	24	-2.90	24	0.01	22
1274	-369	-401	Max	2.51	-450.24	12	33.79	21	-0.27	12	4.99	23	1.35	24	0.02	21
1274	-369	-401	Max	16.87	-449.22	12	33.79	21	3.24	21	5.02	23	-0.01	23	0.02	21
1274	-369	-401	Min.	2.51	-771.08	21	12.55	12	-1.62	21	-30.86	24	-0.73	23	0.01	22
1274	-369	-401	Min.	16.87	-769.75	21	12.55	12	1.53	12	-29.98	24	-3.02	24	0.01	22
1274	-401	-433	Max	2.51	-453.84	23	33.69	21	-0.23	12	4.00	23	1.25	24	0.02	21

1274	-401	-433	Max	16.87	-452.82	23	33.69	21	3.36	21	4.03	23	-0.09	23	0.02	21
1274	-401	-433	Min.	2.51	-837.67	24	12.77	12	-1.48	21	-31.45	24	-0.67	23	0.01	22
1274	-401	-433	Min.	16.87	-836.67	24	12.77	12	1.60	12	-30.57	24	-3.21	24	0.01	22
1274	-433	-465	Max	2.51	-441.04	23	35.20	21	-0.13	22	4.19	23	1.11	24	0.02	21
1274	-433	-465	Max	16.87	-440.01	23	35.20	21	3.73	21	4.22	23	-0.01	23	0.02	21
1274	-433	-465	Min.	2.51	-909.82	24	14.11	12	-1.33	21	-29.52	24	-0.61	23	0.01	22
1274	-433	-465	Min.	16.87	-908.82	24	14.11	12	1.84	12	-28.64	24	-3.07	24	0.01	22
1274	-465	-497	Max	2.51	-430.13	23	25.59	21	0.09	22	-3.66	23	1.00	24	0.01	21
1274	-465	-497	Max	16.87	-429.11	23	25.59	21	2.68	21	-3.64	23	-1.00	23	0.01	21
1274	-465	-497	Min.	2.51	-983.12	24	7.84	12	-1.00	23	-44.87	24	-0.48	23	0.00	22
1274	-465	-497	Min.	16.87	-982.12	24	7.84	12	1.06	12	-43.99	24	-5.38	24	0.00	22
1274	-497	1328	Max	2.51	-424.25	23	82.30	21	-0.29	12	52.71	21	-0.47	12	0.01	24
1274	-497	1328	Max	14.38	-423.40	23	82.30	21	8.94	21	52.74	21	5.14	21	0.01	24
1274	-497	1328	Min.	2.51	-1054.71	24	46.66	12	-0.83	21	26.37	12	-1.12	21	-0.00	23
1274	-497	1328	Min.	14.38	-1053.88	24	46.66	12	5.25	12	26.39	12	2.67	12	-0.00	23
1275	358	-23	Max	4.85	0.00	11	0.00	11	0.00	11	0.00	11	0.00	11	0.00	11
1275	358	-23	Min.	4.85	0.00	11	0.00	11	0.00	11	0.00	11	0.00	11	0.00	11
1275	-23	-55	Max	4.85	0.00	11	0.00	11	0.00	11	0.00	11	0.00	11	0.00	11
1275	-23	-55	Min.	4.85	0.00	11	0.00	11	0.00	11	0.00	11	0.00	11	0.00	11
1275	-55	-87	Max	5.01	-365.22	22	38.72	21	-1.59	12	21.53	23	1.99	22	0.03	21
1275	-55	-87	Max	16.87	-364.41	22	38.72	21	0.45	22	21.55	23	-0.37	12	0.03	21
1275	-55	-87	Min.	5.01	-1078.22	21	14.81	12	-4.57	21	-22.52	22	-3.15	23	0.01	12
1275	-55	-87	Min.	16.87	-1077.13	21	14.81	12	-0.14	23	-21.32	22	-0.81	21	0.01	12
1275	-87	-119	Max	2.51	-396.21	22	43.62	21	-1.42	12	15.09	23	1.66	22	0.01	23
1275	-87	-119	Max	16.87	-395.22	22	43.62	21	2.10	21	15.11	23	0.21	23	0.01	23
1275	-87	-119	Min.	2.51	-1066.99	21	16.56	12	-4.17	21	-24.60	24	-1.96	23	0.00	11
1275	-87	-119	Min.	16.87	-1065.67	21	16.56	12	0.96	12	-23.73	24	-1.81	24	0.00	11
1275	-119	-151	Max	2.51	-433.88	12	43.41	21	-1.24	12	14.69	23	1.31	24	0.00	23
1275	-119	-151	Max	16.87	-432.86	12	43.41	21	2.64	21	14.72	23	0.35	23	0.00	23
1275	-119	-151	Min.	2.51	-1054.65	21	16.87	12	-3.59	21	-24.34	24	-1.76	23	-0.01	24
1275	-119	-151	Min.	16.87	-1053.32	21	16.87	12	1.19	12	-23.46	24	-2.12	24	-0.01	24
1275	-151	-183	Max	2.51	-453.28	12	43.55	21	-1.19	12	14.01	23	1.20	24	0.00	23
1275	-151	-183	Max	16.87	-452.26	12	43.55	21	2.84	21	14.03	23	0.35	23	0.00	23
1275	-151	-183	Min.	2.51	-1043.07	21	17.26	12	-3.42	21	-24.34	24	-1.66	23	-0.01	24
1275	-151	-183	Min.	16.87	-1041.74	21	17.26	12	1.29	12	-23.47	24	-2.23	24	-0.01	24
1275	-183	-215	Max	2.51	-473.93	12	43.64	21	-1.17	12	13.37	23	1.12	24	0.00	23
1275	-183	-215	Max	16.87	-472.91	12	43.64	21	2.96	21	13.39	23	0.32	23	0.00	23
1275	-183	-215	Min.	2.51	-1032.78	21	17.63	12	-3.31	21	-24.34	24	-1.60	23	-0.01	24
1275	-183	-215	Min.	16.87	-1031.45	21	17.63	12	1.36	12	-23.46	24	-2.31	24	-0.01	24
1275	-215	-247	Max	2.51	-495.73	12	43.82	21	-1.16	12	12.71	23	1.06	24	0.00	23
1275	-215	-247	Max	16.87	-494.71	12	43.82	21	3.07	21	12.73	23	0.29	23	0.00	23
1275	-215	-247	Min.	2.51	-1023.95	21	18.06	12	-3.23	21	-24.34	24	-1.54	23	-0.01	24
1275	-215	-247	Min.	16.87	-1022.62	21	18.06	12	1.44	12	-23.46	24	-2.38	24	-0.01	24
1275	-247	-279	Max	2.51	-518.72	12	44.08	21	-1.15	12	12.04	23	0.98	24	0.00	23
1275	-247	-279	Max	16.87	-517.70	12	44.08	21	3.19	21	12.06	23	0.25	23	0.00	23
1275	-247	-279	Min.	2.51	-1016.70	21	18.53	12	-3.14	21	-24.35	24	-1.48	23	-0.01	24
1275	-247	-279	Min.	16.87	-1015.38	21	18.53	12	1.52	12	-23.47	24	-2.45	24	-0.01	24
1275	-279	-311	Max	2.51	-542.99	12	44.29	21	-1.13	12	11.35	23	0.91	24	0.00	23
1275	-279	-311	Max	16.87	-541.97	12	44.29	21	3.32	21	11.37	23	0.22	23	0.00	23
1275	-279	-311	Min.	2.51	-1011.18	21	18.98	12	-3.05	21	-24.41	24	-1.42	23	-0.01	24
1275	-279	-311	Min.	16.87	-1009.85	21	18.98	12	1.60	12	-23.54	24	-2.53	24	-0.01	24
1275	-311	-343	Max	2.51	-568.62	12	44.57	21	-1.11	12	10.69	23	0.83	24	0.00	23
1275	-311	-343	Max	16.87	-567.60	12	44.57	21	3.46	21	10.72	23	0.18	23	0.00	23
1275	-311	-343	Min.	2.51	-1007.47	21	19.47	12	-2.95	21	-24.40	24	-1.36	23	-0.01	24
1275	-311	-343	Min.	16.87	-1006.15	21	19.47	12	1.69	12	-23.52	24	-2.61	24	-0.01	24
1275	-343	-375	Max	2.51	-595.70	12	44.91	21	-1.09	12	9.98	23	0.75	24	0.00	23
1275	-343	-375	Max	16.87	-594.68	12	44.91	21	3.61	21	10.00	23	0.14	23	0.00	23
1275	-343	-375	Min.	2.51	-1005.72	21	20.00	12	-2.84	21	-24.49	24	-1.29	23	-0.01	24
1275	-343	-375	Min.	16.87	-1004.39	21	20.00	12	1.79	12	-23.61	24	-2.71	24	-0.01	24

1275	-375	-407	Max	2.51	-607.16	23	45.22	21	-1.05	12	9.30	23	0.66	24	0.00	23
1275	-375	-407	Max	16.87	-606.14	23	45.22	21	3.78	21	9.32	23	0.10	23	0.00	23
1275	-375	-407	Min.	2.51	-1006.12	21	20.52	12	-2.72	21	-24.54	24	-1.23	23	-0.01	24
1275	-375	-407	Min.	16.87	-1004.79	21	20.52	12	1.89	12	-23.66	24	-2.81	24	-0.01	24
1275	-407	-439	Max	2.51	-581.65	23	45.48	21	-1.02	22	8.40	23	0.56	24	0.00	23
1275	-407	-439	Max	16.87	-580.63	23	45.48	21	3.95	21	8.42	23	0.04	23	0.00	23
1275	-407	-439	Min.	2.51	-1011.65	24	21.00	12	-2.59	21	-25.00	24	-1.17	23	-0.01	24
1275	-407	-439	Min.	16.87	-1010.65	24	21.00	12	2.00	12	-24.12	24	-2.97	24	-0.01	24
1275	-439	-471	Max	2.51	-557.37	23	47.08	21	-0.89	22	8.86	23	0.43	24	0.00	23
1275	-439	-471	Max	16.87	-556.34	23	47.08	21	4.34	21	8.89	23	0.17	23	0.00	23
1275	-439	-471	Min.	2.51	-1066.94	24	22.38	12	-2.43	21	-22.62	24	-1.11	23	-0.01	24
1275	-439	-471	Min.	16.87	-1065.94	24	22.38	12	2.24	12	-21.74	24	-2.76	24	-0.01	24
1275	-471	-503	Max	2.51	-534.63	23	39.68	21	-0.62	22	0.26	23	0.39	11	-0.01	23
1275	-471	-503	Max	16.87	-533.61	23	39.68	21	3.66	21	0.28	23	-0.89	23	-0.01	23
1275	-471	-503	Min.	2.51	-1122.83	24	17.79	12	-2.04	21	-39.27	24	-0.93	23	-0.02	24
1275	-471	-503	Min.	16.87	-1121.83	24	17.79	12	1.74	12	-38.39	24	-5.20	24	-0.02	24
1275	-503	1337	Max	2.51	-518.50	23	86.20	21	-0.62	12	68.60	21	-0.89	12	-0.01	22
1275	-503	1337	Max	14.38	-517.65	23	86.20	21	8.95	21	68.63	21	6.48	21	-0.01	22
1275	-503	1337	Min.	2.51	-1179.23	24	48.74	12	-1.29	21	39.12	12	-1.67	21	-0.02	21
1275	-503	1337	Min.	14.38	-1178.41	24	48.74	12	5.17	12	39.14	12	3.76	12	-0.02	21
1276	352	-19	Max	4.85	0.00	11	0.00	11	0.00	11	0.00	11	0.00	11	0.00	11
1276	352	-19	Min.	4.85	0.00	11	0.00	11	0.00	11	0.00	11	0.00	11	0.00	11
1276	-19	-51	Max	4.85	0.00	11	0.00	11	0.00	11	0.00	11	0.00	11	0.00	11
1276	-19	-51	Min.	4.85	0.00	11	0.00	11	0.00	11	0.00	11	0.00	11	0.00	11
1276	-51	-83	Max	5.01	-270.49	22	55.06	21	-2.34	12	14.09	23	4.18	24	0.05	21
1276	-51	-83	Max	16.87	-269.67	22	55.06	21	0.79	24	14.11	23	-0.42	12	0.05	21
1276	-51	-83	Min.	5.01	-1123.77	21	23.65	12	-6.11	21	-41.79	24	-2.31	23	0.02	12
1276	-51	-83	Min.	16.87	-1122.67	21	23.65	12	0.07	23	-41.07	24	-0.92	21	0.02	12
1276	-83	-115	Max	2.51	-319.54	22	60.36	21	-1.95	12	6.69	23	3.63	24	0.03	21
1276	-83	-115	Max	16.87	-318.55	22	60.36	21	3.30	21	6.71	23	-0.23	23	0.03	21
1276	-83	-115	Min.	2.51	-1141.02	21	25.28	12	-5.37	21	-46.05	24	-1.19	23	0.01	12
1276	-83	-115	Min.	16.87	-1139.70	21	25.28	12	1.68	12	-45.17	24	-2.92	24	0.01	12
1276	-115	-147	Max	2.51	-382.39	22	60.57	21	-1.67	12	6.17	23	3.05	24	0.02	21
1276	-115	-147	Max	16.87	-381.40	22	60.57	21	4.09	21	6.19	23	-0.21	23	0.02	21
1276	-115	-147	Min.	2.51	-1165.61	21	25.84	12	-4.61	21	-46.18	24	-1.09	23	0.01	22
1276	-115	-147	Min.	16.87	-1164.28	21	25.84	12	2.04	12	-45.31	24	-3.52	24	0.01	22
1276	-147	-179	Max	2.51	-449.39	22	61.11	21	-1.60	12	5.28	23	2.88	24	0.01	21
1276	-147	-179	Max	16.87	-448.40	22	61.11	21	4.40	21	5.31	23	-0.25	23	0.01	21
1276	-147	-179	Min.	2.51	-1194.26	21	26.44	12	-4.38	21	-46.70	24	-1.02	23	0.00	22
1276	-147	-179	Min.	16.87	-1192.93	21	26.44	12	2.20	12	-45.83	24	-3.76	24	0.00	22
1276	-179	-211	Max	2.51	-518.36	22	61.60	21	-1.56	12	4.43	23	2.79	24	0.01	21
1276	-179	-211	Max	16.87	-517.37	22	61.60	21	4.60	21	4.45	23	-0.32	23	0.01	21
1276	-179	-211	Min.	2.51	-1226.42	21	27.04	12	-4.25	21	-47.21	24	-0.96	23	0.00	22
1276	-179	-211	Min.	16.87	-1225.09	21	27.04	12	2.32	12	-46.33	24	-3.93	24	0.00	22
1276	-211	-243	Max	2.51	-588.85	22	62.22	21	-1.53	12	3.55	23	2.70	24	0.01	21
1276	-211	-243	Max	16.87	-587.87	22	62.22	21	4.80	21	3.57	23	-0.39	23	0.01	21
1276	-211	-243	Min.	2.51	-1262.11	21	27.69	12	-4.13	21	-47.77	24	-0.90	23	0.00	22
1276	-211	-243	Min.	16.87	-1260.78	21	27.69	12	2.45	12	-46.89	24	-4.10	24	0.00	22
1276	-243	-275	Max	2.51	-660.85	22	62.96	21	-1.50	12	2.66	23	2.61	24	0.01	21
1276	-243	-275	Max	16.87	-659.86	22	62.96	21	5.03	21	2.68	23	-0.47	23	0.01	21
1276	-243	-275	Min.	2.51	-1301.53	21	28.42	12	-4.02	21	-48.35	24	-0.85	23	0.00	22
1276	-243	-275	Min.	16.87	-1300.21	21	28.42	12	2.58	12	-47.48	24	-4.27	24	0.00	22
1276	-275	-307	Max	2.51	-734.45	22	63.62	21	-1.46	12	1.71	23	2.51	24	0.01	21
1276	-275	-307	Max	16.87	-733.47	22	63.62	21	5.25	21	1.74	23	-0.55	23	0.01	21
1276	-275	-307	Min.	2.51	-1344.99	21	29.10	12	-3.89	21	-49.04	24	-0.80	23	0.00	22
1276	-275	-307	Min.	16.87	-1343.66	21	29.10	12	2.72	12	-48.16	24	-4.47	24	0.00	22
1276	-307	-339	Max	2.51	-809.75	22	64.42	21	-1.39	22	0.83	23	2.40	24	0.01	21
1276	-307	-339	Max	16.87	-808.76	22	64.42	21	5.51	21	0.86	23	-0.63	23	0.01	21
1276	-307	-339	Min.	2.51	-1392.73	21	29.88	12	-3.75	21	-49.62	24	-0.75	23	0.00	22

1276	-307	-339	Min.	16.87	-1391.40	21	29.88	12	2.88	12	-48.75	24	-4.66	24	0.00	22
1276	-339	-371	Max	2.51	-837.03	23	65.25	21	-1.26	22	-0.18	23	2.29	24	0.01	21
1276	-339	-371	Max	16.87	-836.01	23	65.25	21	5.78	21	-0.16	23	-0.72	23	0.01	21
1276	-339	-371	Min.	2.51	-1445.07	21	30.66	12	-3.59	21	-50.44	24	-0.70	23	0.00	22
1276	-339	-371	Min.	16.87	-1443.75	21	30.66	12	3.04	12	-49.56	24	-4.89	24	0.00	22
1276	-371	-403	Max	2.51	-833.73	23	66.19	21	-1.13	22	-1.09	23	2.16	24	0.01	21
1276	-371	-403	Max	16.87	-832.71	23	66.19	21	6.09	21	-1.07	23	-0.81	23	0.01	21
1276	-371	-403	Min.	2.51	-1502.42	21	31.52	12	-3.42	21	-51.10	24	-0.65	23	0.00	22
1276	-371	-403	Min.	16.87	-1501.09	21	31.32	22	3.22	12	-50.23	24	-5.12	24	0.00	22
1276	-403	-435	Max	2.51	-832.72	23	66.82	21	-0.99	22	-2.43	23	2.02	24	0.01	21
1276	-403	-435	Max	16.87	-831.70	23	66.82	21	6.37	21	-2.41	23	-0.95	23	0.01	21
1276	-403	-435	Min.	2.51	-1565.12	21	32.17	12	-3.23	21	-52.57	24	-0.60	23	0.00	22
1276	-403	-435	Min.	16.87	-1563.79	21	30.96	22	3.39	12	-51.70	24	-5.47	24	0.00	22
1276	-435	-467	Max	2.51	-834.25	23	70.38	21	-0.84	22	-1.42	23	1.81	24	0.01	21
1276	-435	-467	Max	16.87	-833.23	23	70.38	21	7.11	21	-1.39	23	-0.78	23	0.01	21
1276	-435	-467	Min.	2.51	-1633.58	21	34.15	22	-3.00	21	-49.37	24	-0.57	23	0.00	22
1276	-435	-467	Min.	16.87	-1632.25	21	32.73	22	3.84	12	-48.50	24	-5.22	24	0.00	22
1276	-467	-499	Max	2.51	-838.11	23	54.55	21	-0.52	22	-16.03	23	1.68	11	-0.00	23
1276	-467	-499	Max	16.87	-837.09	23	54.55	21	5.43	21	-16.00	23	-2.73	23	-0.00	23
1276	-467	-499	Min.	2.51	-1754.08	24	21.66	22	-2.41	21	-77.51	24	-0.42	23	-0.01	24
1276	-467	-499	Min.	16.87	-1753.07	24	20.24	22	2.49	22	-76.64	24	-9.41	24	-0.01	24
1276	-499	1331	Max	2.51	-848.10	23	154.08	21	-0.72	22	99.65	21	-1.13	12	-0.00	22
1276	-499	1331	Max	14.38	-847.25	23	154.08	21	16.47	21	99.67	21	9.72	21	-0.00	22
1276	-499	1331	Min.	2.51	-1877.51	24	89.49	12	-1.82	21	49.76	22	-2.12	21	-0.02	21
1276	-499	1331	Min.	14.38	-1876.68	24	89.49	12	9.75	23	50.96	22	4.75	22	-0.02	21
1277	376	-27	Max	4.85	0.00	11	0.00	11	0.00	11	0.00	11	0.00	11	0.00	11
1277	376	-27	Min.	4.85	0.00	11	0.00	11	0.00	11	0.00	11	0.00	11	0.00	11
1277	-27	-59	Max	4.85	0.00	11	0.00	11	0.00	11	0.00	11	0.00	11	0.00	11
1277	-27	-59	Min.	4.85	0.00	11	0.00	11	0.00	11	0.00	11	0.00	11	0.00	11
1277	-59	-91	Max	5.01	-83.84	22	44.37	24	1.18	23	69.60	21	-2.90	12	0.03	24
1277	-59	-91	Max	16.87	-83.00	22	44.37	24	0.66	21	69.62	21	0.71	24	0.03	24
1277	-59	-91	Min.	5.01	-964.75	21	-6.36	23	-4.63	24	27.94	12	-7.94	21	-0.00	23
1277	-59	-91	Min.	16.87	-963.66	21	-6.36	23	0.35	12	27.96	12	0.01	23	-0.00	23
1277	-91	-123	Max	2.51	-33.43	22	43.13	24	1.52	23	61.55	21	-1.91	12	0.02	24
1277	-91	-123	Max	16.87	-32.41	22	43.13	24	2.79	24	61.58	21	3.43	21	0.02	24
1277	-91	-123	Min.	2.51	-873.21	21	-10.33	23	-3.41	24	24.92	12	-5.41	21	0.01	23
1277	-91	-123	Min.	16.87	-871.89	21	-10.33	23	0.03	23	24.94	12	1.67	12	0.01	23
1277	-123	-155	Max	2.51	29.95	22	43.37	24	1.33	23	62.43	21	-1.66	12	0.01	21
1277	-123	-155	Max	16.87	30.97	22	43.37	24	3.36	24	62.46	21	4.22	21	0.01	21
1277	-123	-155	Min.	2.51	-756.51	21	-9.53	23	-2.87	24	25.64	12	-4.75	21	0.01	22
1277	-123	-155	Min.	16.87	-755.18	21	-9.53	23	-0.03	23	25.67	12	2.02	12	0.01	22
1277	-155	-187	Max	2.51	97.05	22	43.77	24	1.26	23	62.95	21	-1.58	12	0.01	21
1277	-155	-187	Max	16.87	98.07	22	43.77	24	3.59	24	62.98	21	4.53	21	0.01	21
1277	-155	-187	Min.	2.51	-631.15	21	-8.73	23	-2.70	24	26.18	12	-4.51	21	0.00	22
1277	-155	-187	Min.	16.87	-629.82	21	-8.73	23	0.00	23	26.21	12	2.18	12	0.00	22
1277	-187	-219	Max	2.51	165.79	22	44.17	24	1.21	23	63.44	21	-1.54	12	0.01	21
1277	-187	-219	Max	16.87	166.81	22	44.17	24	3.76	24	63.47	21	4.74	21	0.01	21
1277	-187	-219	Min.	2.51	-515.67	23	-7.99	23	-2.59	24	26.75	12	-4.38	21	0.00	22
1277	-187	-219	Min.	16.87	-514.65	23	-7.99	23	0.06	23	26.78	12	2.30	12	0.00	22
1277	-219	-251	Max	2.51	235.76	22	44.62	24	1.16	23	64.06	21	-1.51	12	0.01	21
1277	-219	-251	Max	16.87	236.78	22	44.62	24	3.91	24	64.09	21	4.94	21	0.01	21
1277	-219	-251	Min.	2.51	-417.10	23	-7.20	23	-2.50	24	27.36	12	-4.26	21	0.00	22
1277	-219	-251	Min.	16.87	-416.08	23	-7.20	23	0.12	23	27.39	12	2.43	12	0.00	22
1277	-251	-283	Max	2.51	306.92	22	45.14	24	1.11	23	64.73	21	-1.47	12	0.01	21
1277	-251	-283	Max	16.87	307.94	22	45.14	24	4.08	24	64.76	21	5.16	21	0.01	21
1277	-251	-283	Min.	2.51	-315.92	23	-6.42	23	-2.40	24	28.02	12	-4.15	21	0.00	22
1277	-251	-283	Min.	16.87	-314.90	23	-6.42	23	0.19	23	28.04	12	2.55	12	0.00	22
1277	-283	-315	Max	2.51	379.36	22	45.66	24	1.07	23	65.44	21	-1.43	12	0.01	21
1277	-283	-315	Max	16.87	380.38	22	45.66	24	4.26	24	65.47	21	5.39	21	0.01	21

1277	-283	-315	Min.	2.51	-211.99	23	-5.60	23	-2.29	24	28.70	12	-4.02	21	0.00	22
1277	-283	-315	Min.	16.87	-210.97	23	-5.60	23	0.26	23	28.72	12	2.69	12	0.00	22
1277	-315	-347	Max	2.51	453.14	22	46.22	24	1.03	23	66.16	21	-1.33	22	0.01	21
1277	-315	-347	Max	16.87	454.17	22	46.22	24	4.46	24	66.19	21	5.63	21	0.01	21
1277	-315	-347	Min.	2.51	-105.10	23	-4.79	23	-2.18	24	29.38	12	-3.87	21	0.00	22
1277	-315	-347	Min.	16.87	-104.08	23	-4.79	23	0.34	23	29.40	12	2.84	12	0.00	22
1277	-347	-379	Max	2.51	551.51	24	46.83	24	0.99	23	67.01	21	-1.21	22	0.02	21
1277	-347	-379	Max	16.87	552.53	24	46.83	24	4.67	24	67.04	21	5.91	21	0.02	21
1277	-347	-379	Min.	2.51	4.94	23	-3.94	23	-2.06	24	30.15	12	-3.72	21	0.00	22
1277	-347	-379	Min.	16.87	5.96	23	-3.94	23	0.42	23	30.17	12	3.00	12	0.00	22
1277	-379	-411	Max	2.51	660.72	24	47.54	24	0.95	23	67.88	21	-1.08	22	0.02	21
1277	-379	-411	Max	16.87	661.74	24	47.54	24	4.91	24	67.91	21	6.21	21	0.02	21
1277	-379	-411	Min.	2.51	118.39	23	-3.07	23	-1.92	24	30.91	12	-3.55	21	0.00	22
1277	-379	-411	Min.	16.87	119.41	23	-3.07	23	0.51	23	30.94	12	3.18	12	0.00	22
1277	-411	-443	Max	2.51	774.28	24	47.89	24	0.91	23	68.95	21	-0.94	22	0.02	21
1277	-411	-443	Max	16.87	775.30	24	47.89	24	5.12	24	68.98	21	6.55	21	0.02	21
1277	-411	-443	Min.	2.51	235.48	23	-2.33	23	-1.76	24	31.44	22	-3.36	21	0.00	22
1277	-411	-443	Min.	16.87	236.50	23	-2.33	23	0.58	23	31.47	22	3.38	12	0.00	22
1277	-443	-475	Max	2.51	892.28	24	51.18	24	0.87	23	69.32	21	-0.77	22	0.02	21
1277	-443	-475	Max	16.87	893.30	24	51.18	24	5.77	24	69.35	21	6.86	21	0.02	21
1277	-443	-475	Min.	2.51	356.22	23	-0.39	23	-1.58	24	30.25	22	-3.10	21	0.00	22
1277	-443	-475	Min.	16.87	357.24	23	-0.39	23	0.81	23	30.27	22	3.56	12	0.00	22
1277	-475	-507	Max	2.51	1013.72	24	34.94	24	0.88	23	74.87	21	-0.59	22	0.01	23
1277	-475	-507	Max	16.87	1014.74	24	34.94	24	3.92	24	74.90	21	8.10	21	0.01	23
1277	-475	-507	Min.	2.51	479.14	23	-6.47	23	-1.18	11	35.56	12	-2.66	21	-0.01	24
1277	-475	-507	Min.	16.87	480.16	23	-6.47	23	-0.05	23	35.58	12	4.20	12	-0.01	24
1277	-507	1351	Max	2.51	1129.85	24	135.07	24	0.15	23	47.95	21	0.73	22	0.02	23
1277	-507	1351	Max	14.38	1130.70	24	135.07	24	14.85	24	47.97	21	5.30	21	0.02	23
1277	-507	1351	Min.	2.51	593.00	23	35.56	23	-1.19	24	-6.26	22	-0.54	23	-0.01	11
1277	-507	1351	Min.	14.38	593.84	23	35.56	23	4.37	23	-6.24	22	-0.01	22	-0.01	11
1278	382	-31	Max	4.85	0.00	11	0.00	11	0.00	11	0.00	11	0.00	11	0.00	11
1278	382	-31	Min.	4.85	0.00	11	0.00	11	0.00	11	0.00	11	0.00	11	0.00	11
1278	-31	-63	Max	4.85	0.00	11	0.00	11	0.00	11	0.00	11	0.00	11	0.00	11
1278	-31	-63	Min.	4.85	0.00	11	0.00	11	0.00	11	0.00	11	0.00	11	0.00	11
1278	-63	-95	Max	5.01	-147.72	22	26.75	24	1.96	23	49.73	21	-1.98	12	0.01	22
1278	-63	-95	Max	16.87	-146.87	22	26.75	24	0.63	21	49.75	21	0.40	22	0.01	22
1278	-63	-95	Min.	5.01	-875.21	21	-12.96	23	-2.57	24	17.56	12	-5.98	21	-0.01	23
1278	-63	-95	Min.	16.87	-874.12	21	-12.96	23	0.34	12	17.58	12	-0.19	23	-0.01	23
1278	-95	-127	Max	2.51	-104.87	22	24.65	24	2.14	23	42.92	21	-1.28	12	0.00	22
1278	-95	-127	Max	16.87	-103.85	22	24.65	24	1.86	24	42.95	21	2.11	21	0.00	22
1278	-95	-127	Min.	2.51	-810.86	21	-17.02	23	-1.68	24	15.04	12	-4.06	21	-0.00	21
1278	-95	-127	Min.	16.87	-809.53	21	-17.02	23	-0.30	23	15.06	12	0.88	12	-0.00	21
1278	-127	-159	Max	2.51	-51.20	22	24.57	24	1.88	23	43.30	21	-1.14	12	0.00	23
1278	-127	-159	Max	16.87	-50.18	22	24.57	24	2.18	24	43.33	21	2.64	21	0.00	23
1278	-127	-159	Min.	2.51	-729.25	21	-16.32	23	-1.35	24	15.51	12	-3.59	21	-0.01	24
1278	-127	-159	Min.	16.87	-727.92	21	-16.32	23	-0.46	23	15.53	12	1.09	12	-0.01	24
1278	-159	-191	Max	2.51	5.32	22	24.54	24	1.78	23	43.41	21	-1.09	12	0.00	23
1278	-159	-191	Max	16.87	6.34	22	24.54	24	2.29	24	43.44	21	2.83	21	0.00	23
1278	-159	-191	Min.	2.51	-642.13	21	-15.67	23	-1.23	24	15.85	12	-3.41	21	-0.01	24
1278	-159	-191	Min.	16.87	-640.80	21	-15.67	23	-0.47	23	15.87	12	1.18	12	-0.01	24
1278	-191	-223	Max	2.51	62.90	22	24.51	24	1.72	23	43.48	21	-1.07	12	0.01	23
1278	-191	-223	Max	16.87	63.92	22	24.51	24	2.37	24	43.51	21	2.94	21	0.01	23
1278	-191	-223	Min.	2.51	-552.10	21	-15.09	23	-1.15	24	16.18	12	-3.31	21	-0.01	24
1278	-191	-223	Min.	16.87	-550.77	21	-15.09	23	-0.45	23	16.20	12	1.25	12	-0.01	24
1278	-223	-255	Max	2.51	121.18	22	24.51	24	1.66	23	43.63	21	-1.06	12	0.01	23
1278	-223	-255	Max	16.87	122.20	22	24.51	24	2.44	24	43.66	21	3.05	21	0.01	23
1278	-223	-255	Min.	2.51	-459.64	21	-14.46	23	-1.08	24	16.55	12	-3.22	21	-0.01	24
1278	-223	-255	Min.	16.87	-458.31	21	-14.46	23	-0.42	23	16.58	12	1.32	12	-0.01	24
1278	-255	-287	Max	2.51	180.09	22	24.53	24	1.60	23	43.80	21	-1.04	12	0.01	23

1278	-255	-287	Max	16.87	181.11	22	24.53	24	2.51	24	43.83	21	3.17	21	0.01	23
1278	-255	-287	Min.	2.51	-381.42	23	-13.85	23	-1.01	24	16.95	12	-3.13	21	-0.01	24
1278	-255	-287	Min.	16.87	-380.40	23	-13.85	23	-0.39	23	16.97	12	1.40	12	-0.01	24
1278	-287	-319	Max	2.51	239.68	22	24.55	24	1.55	23	43.99	21	-1.02	12	0.01	23
1278	-287	-319	Max	16.87	240.70	22	24.55	24	2.59	24	44.02	21	3.29	21	0.01	23
1278	-287	-319	Min.	2.51	-304.27	23	-13.22	23	-0.94	24	17.36	12	-3.03	21	-0.01	24
1278	-287	-319	Min.	16.87	-303.25	23	-13.22	23	-0.35	23	17.38	12	1.48	12	-0.01	24
1278	-319	-351	Max	2.51	299.96	22	24.58	24	1.49	23	44.20	21	-0.99	12	0.01	23
1278	-319	-351	Max	16.87	300.98	22	24.58	24	2.67	24	44.23	21	3.43	21	0.01	23
1278	-319	-351	Min.	2.51	-225.51	23	-12.59	23	-0.86	24	17.77	12	-2.93	21	-0.01	24
1278	-319	-351	Min.	16.87	-224.49	23	-12.59	23	-0.32	23	17.80	12	1.56	12	-0.01	24
1278	-351	-383	Max	2.51	360.98	22	24.65	24	1.43	23	44.47	21	-0.96	12	0.01	23
1278	-351	-383	Max	16.87	362.00	22	24.65	24	2.77	24	44.50	21	3.58	21	0.01	23
1278	-351	-383	Min.	2.51	-145.04	23	-11.93	23	-0.77	24	18.23	12	-2.81	21	-0.01	24
1278	-351	-383	Min.	16.87	-144.02	23	-11.93	23	-0.28	23	18.25	12	1.66	12	-0.01	24
1278	-383	-415	Max	2.51	422.83	22	24.73	24	1.37	23	44.75	21	-0.93	12	0.01	23
1278	-383	-415	Max	16.87	423.85	22	24.73	24	2.87	24	44.78	21	3.74	21	0.01	23
1278	-383	-415	Min.	2.51	-62.72	23	-11.28	23	-0.68	24	18.70	12	-2.69	21	-0.01	24
1278	-383	-415	Min.	16.87	-61.70	23	-11.28	23	-0.25	23	18.73	12	1.76	12	-0.01	24
1278	-415	-447	Max	2.51	485.54	22	24.59	24	1.32	23	45.13	21	-0.86	22	0.01	23
1278	-415	-447	Max	16.87	486.56	22	24.59	24	2.95	24	45.16	21	3.93	21	0.01	23
1278	-415	-447	Min.	2.51	21.57	23	-10.71	23	-0.58	24	19.22	12	-2.56	21	-0.01	24
1278	-415	-447	Min.	16.87	22.59	23	-10.71	23	-0.22	23	19.25	12	1.87	12	-0.01	24
1278	-447	-479	Max	2.51	549.07	22	26.37	24	1.24	23	45.24	21	-0.72	22	0.01	23
1278	-447	-479	Max	16.87	550.09	22	26.37	24	3.31	24	45.27	21	4.12	21	0.01	23
1278	-447	-479	Min.	2.51	107.77	23	-9.34	23	-0.48	24	19.64	12	-2.38	21	-0.01	24
1278	-447	-479	Min.	16.87	108.79	23	-9.34	23	-0.10	23	19.66	12	1.99	12	-0.01	24
1278	-479	-511	Max	2.51	612.76	22	15.32	24	1.17	23	47.33	21	-0.57	22	0.01	23
1278	-479	-511	Max	16.87	613.78	22	15.32	24	1.99	24	47.36	21	4.74	21	0.01	23
1278	-479	-511	Min.	2.51	194.73	23	-13.33	23	-0.27	11	20.93	12	-2.06	21	-0.02	24
1278	-479	-511	Min.	16.87	195.75	23	-13.33	23	-0.75	23	20.96	12	2.29	12	-0.02	24
1278	-511	1357	Max	2.51	672.79	22	80.45	24	0.37	23	36.49	21	0.49	22	0.01	23
1278	-511	1357	Max	14.38	673.64	22	80.45	24	9.02	24	36.52	21	3.72	21	0.01	23
1278	-511	1357	Min.	2.51	273.90	23	14.68	23	-0.53	24	-5.24	22	-0.63	23	-0.01	24
1278	-511	1357	Min.	14.38	274.74	23	14.68	23	2.12	23	-5.22	22	-0.13	22	-0.01	24
1279	355	-21	Max	4.85	0.00	11	0.00	11	0.00	11	0.00	11	0.00	11	0.00	11
1279	355	-21	Min.	4.85	0.00	11	0.00	11	0.00	11	0.00	11	0.00	11	0.00	11
1279	-21	-53	Max	4.85	0.00	11	0.00	11	0.00	11	0.00	11	0.00	11	0.00	11
1279	-21	-53	Min.	4.85	0.00	11	0.00	11	0.00	11	0.00	11	0.00	11	0.00	11
1279	-53	-85	Max	5.01	-342.32	22	58.99	21	-2.73	12	16.88	23	3.76	24	0.04	21
1279	-53	-85	Max	16.87	-341.50	22	58.99	21	0.76	24	16.90	23	-0.47	12	0.04	21
1279	-53	-85	Min.	5.01	-1220.99	21	26.72	12	-6.62	21	-38.72	24	-2.69	23	0.02	12
1279	-53	-85	Min.	16.87	-1219.89	21	26.72	12	0.03	23	-38.00	24	-0.99	21	0.02	12
1279	-85	-117	Max	2.51	-387.96	22	64.95	21	-2.32	12	9.18	23	3.33	24	0.02	21
1279	-85	-117	Max	16.87	-386.98	22	64.95	21	3.48	21	9.20	23	-0.14	23	0.02	21
1279	-85	-117	Min.	2.51	-1233.21	21	28.83	12	-5.85	21	-43.39	24	-1.46	23	0.01	12
1279	-85	-117	Min.	16.87	-1231.88	21	28.83	12	1.82	12	-42.52	24	-2.84	24	0.01	12
1279	-117	-149	Max	2.51	-446.41	22	65.13	21	-2.00	12	8.67	23	2.78	24	0.01	23
1279	-117	-149	Max	16.87	-445.42	22	65.13	21	4.32	21	8.70	23	-0.09	23	0.01	23
1279	-117	-149	Min.	2.51	-1251.29	21	29.39	12	-5.04	21	-43.52	24	-1.34	23	0.00	22
1279	-117	-149	Min.	16.87	-1249.96	21	29.39	12	2.22	12	-42.64	24	-3.41	24	0.00	22
1279	-149	-181	Max	2.51	-508.61	22	65.81	21	-1.92	12	7.87	23	2.61	24	0.00	23
1279	-149	-181	Max	16.87	-507.63	22	65.81	21	4.65	21	7.89	23	-0.12	23	0.00	23
1279	-149	-181	Min.	2.51	-1272.84	21	30.09	12	-4.80	21	-43.96	24	-1.26	23	-0.00	24
1279	-149	-181	Min.	16.87	-1271.52	21	30.09	12	2.40	12	-43.08	24	-3.64	24	-0.00	24
1279	-181	-213	Max	2.51	-572.51	22	66.40	21	-1.88	12	7.07	23	2.52	24	0.00	23
1279	-181	-213	Max	16.87	-571.52	22	66.40	21	4.87	21	7.09	23	-0.18	23	0.00	23
1279	-181	-213	Min.	2.51	-1297.52	21	30.77	12	-4.67	21	-44.40	24	-1.20	23	-0.01	24
1279	-181	-213	Min.	16.87	-1296.19	21	30.77	12	2.54	12	-43.52	24	-3.80	24	-0.01	24

1279	-213	-245	Max	2.51	-637.68	22	67.17	21	-1.85	12	6.27	23	2.43	24	0.00	23
1279	-213	-245	Max	16.87	-636.69	22	67.17	21	5.09	21	6.30	23	-0.24	23	0.00	23
1279	-213	-245	Min.	2.51	-1325.34	21	31.52	12	-4.56	21	-44.87	24	-1.14	23	-0.01	24
1279	-213	-245	Min.	16.87	-1324.01	21	31.52	12	2.67	12	-44.00	24	-3.95	24	-0.01	24
1279	-245	-277	Max	2.51	-704.11	22	67.95	21	-1.82	12	5.40	23	2.35	24	0.00	23
1279	-245	-277	Max	16.87	-703.12	22	67.95	21	5.32	21	5.42	23	-0.31	23	0.00	23
1279	-245	-277	Min.	2.51	-1356.54	21	32.31	12	-4.44	21	-45.44	24	-1.08	23	-0.01	24
1279	-245	-277	Min.	16.87	-1355.21	21	32.31	12	2.82	12	-44.56	24	-4.12	24	-0.01	24
1279	-277	-309	Max	2.51	-771.86	22	68.80	21	-1.78	12	4.55	23	2.25	24	0.00	23
1279	-277	-309	Max	16.87	-770.87	22	68.80	21	5.57	21	4.58	23	-0.37	23	0.00	23
1279	-277	-309	Min.	2.51	-1391.36	21	33.13	12	-4.31	21	-46.01	24	-1.03	23	-0.01	24
1279	-277	-309	Min.	16.87	-1390.03	21	33.13	12	2.97	12	-45.13	24	-4.30	24	-0.01	24
1279	-309	-341	Max	2.51	-841.01	22	69.69	21	-1.71	22	3.73	23	2.14	24	0.00	23
1279	-309	-341	Max	16.87	-840.02	22	69.69	21	5.84	21	3.75	23	-0.44	23	0.00	23
1279	-309	-341	Min.	2.51	-1430.03	21	33.97	12	-4.17	21	-46.56	24	-0.98	23	-0.01	24
1279	-309	-341	Min.	16.87	-1428.71	21	33.97	12	3.14	12	-45.68	24	-4.48	24	-0.01	24
1279	-341	-373	Max	2.51	-852.52	23	70.67	21	-1.58	22	2.80	23	2.03	24	0.00	23
1279	-341	-373	Max	16.87	-851.50	23	70.67	21	6.13	21	2.82	23	-0.52	23	0.00	23
1279	-341	-373	Min.	2.51	-1472.86	21	34.88	12	-4.02	21	-47.28	24	-0.93	23	-0.01	24
1279	-341	-373	Min.	16.87	-1471.53	21	34.88	12	3.32	12	-46.40	24	-4.70	24	-0.01	24
1279	-373	-405	Max	2.51	-842.01	23	71.75	21	-1.45	22	1.96	23	1.90	24	0.00	23
1279	-373	-405	Max	16.87	-840.99	23	71.75	21	6.46	21	1.99	23	-0.59	23	0.00	23
1279	-373	-405	Min.	2.51	-1520.15	21	35.84	12	-3.85	21	-47.86	24	-0.88	23	-0.01	24
1279	-373	-405	Min.	16.87	-1518.83	21	35.57	22	3.52	12	-46.99	24	-4.91	24	-0.01	24
1279	-405	-437	Max	2.51	-833.38	23	72.60	21	-1.31	22	0.75	23	1.77	24	0.00	23
1279	-405	-437	Max	16.87	-832.36	23	72.60	21	6.77	21	0.78	23	-0.72	23	0.00	23
1279	-405	-437	Min.	2.51	-1572.23	21	36.66	12	-3.66	21	-49.17	24	-0.83	23	-0.01	24
1279	-405	-437	Min.	16.87	-1570.91	21	35.38	22	3.71	12	-48.30	24	-5.23	24	-0.01	24
1279	-437	-469	Max	2.51	-826.91	23	76.18	21	-1.15	22	1.74	23	1.57	24	0.00	23
1279	-437	-469	Max	16.87	-825.89	23	76.18	21	7.53	21	1.77	23	-0.53	23	0.00	23
1279	-437	-469	Min.	2.51	-1633.69	24	38.60	22	-3.41	21	-46.04	24	-0.78	23	-0.01	24
1279	-437	-469	Min.	16.87	-1632.69	24	37.18	22	4.18	12	-45.16	24	-4.98	24	-0.01	24
1279	-469	-501	Max	2.51	-822.53	23	60.57	21	-0.80	22	-12.47	23	1.47	11	-0.01	23
1279	-469	-501	Max	16.87	-821.51	23	60.57	21	5.90	21	-12.45	23	-2.41	23	-0.01	23
1279	-469	-501	Min.	2.51	-1749.92	24	26.18	22	-2.80	21	-73.89	24	-0.62	23	-0.02	24
1279	-469	-501	Min.	16.87	-1748.92	24	24.76	22	2.86	22	-73.02	24	-9.11	24	-0.02	24
1279	-501	1334	Max	2.51	-824.84	23	160.50	21	-0.87	22	102.95	21	-1.22	12	-0.01	22
1279	-501	1334	Max	14.38	-824.00	23	160.50	21	17.03	21	102.97	21	10.00	21	-0.01	22
1279	-501	1334	Min.	2.51	-1865.18	24	94.91	12	-2.03	21	52.40	22	-2.23	21	-0.03	21
1279	-501	1334	Min.	14.38	-1864.36	24	94.91	12	10.04	23	53.59	22	4.98	22	-0.03	21
1300	1299	1300	Max	1.77	122.14	21	0.91	11	6.01	21	1.89	23	0.42	11	0.00	11
1300	1299	1300	Max	10.00	122.14	21	1.50	11	4.05	21	1.89	23	0.47	21	0.00	11
1300	1299	1300	Min.	1.77	46.50	22	-27.30	23	0.48	22	-0.07	22	0.08	23	-0.03	23
1300	1299	1300	Min.	10.00	46.50	22	-26.72	23	0.57	22	-0.07	22	0.22	22	-0.03	23
1300	1300	1301	Max	0.00	122.14	21	1.50	11	4.05	21	1.89	23	0.47	21	0.00	11
1300	1300	1301	Max	8.23	122.14	21	2.08	11	3.76	11	1.89	23	0.61	21	0.00	11
1300	1300	1301	Min.	0.00	46.50	22	-26.72	23	0.57	22	-0.07	22	0.22	22	-0.03	23
1300	1300	1301	Min.	8.23	46.50	22	-26.13	23	-0.17	23	-0.07	22	0.21	22	-0.03	23
1302	1319	1320	Max	1.77	-75.39	22	1.34	23	-0.20	22	2.04	11	-2.49	23	0.04	23
1302	1319	1320	Max	10.00	-75.39	22	1.34	23	-0.21	22	2.63	11	-4.32	22	0.04	23
1302	1319	1320	Min.	1.77	-160.02	21	-0.24	11	-0.56	21	-24.47	23	-8.02	11	0.00	22
1302	1319	1320	Min.	10.00	-160.02	21	-0.24	11	-0.47	21	-23.89	23	-8.82	21	0.00	22
1302	1320	1321	Max	0.00	-75.39	22	1.34	23	-0.21	22	2.63	11	-4.32	22	0.04	23
1302	1320	1321	Max	8.23	-75.39	22	1.34	23	-0.13	23	3.21	11	-4.14	22	0.04	23
1302	1320	1321	Min.	0.00	-160.02	21	-0.24	11	-0.47	21	-23.89	23	-8.82	21	0.00	22
1302	1320	1321	Min.	8.23	-160.02	21	-0.24	11	-0.44	11	-23.30	23	-10.44	21	0.00	22
1344	1331	1332	Max	1.77	-80.93	23	1.92	24	-2.49	23	1.34	23	-0.31	12	0.00	22
1344	1331	1332	Max	10.00	-80.93	23	2.51	24	-4.50	23	1.34	23	-0.24	23	0.00	22
1344	1331	1332	Min.	1.77	-159.51	21	-24.61	23	-8.90	24	-0.26	24	-0.56	21	-0.03	23

1344	1331	1332	Min.	10.00	-159.51	21	-24.03	23	-8.82	21	-0.26	24	-0.48	24	-0.03	23
1344	1332	1333	Max	0.00	-80.93	23	2.51	24	-4.50	23	1.34	23	-0.24	23	0.00	22
1344	1332	1333	Max	8.23	-80.93	23	3.09	24	-5.76	22	1.34	23	-0.13	23	0.00	22
1344	1332	1333	Min.	0.00	-159.51	21	-24.03	23	-8.82	21	-0.26	24	-0.48	24	-0.03	23
1344	1332	1333	Min.	8.23	-159.51	21	-23.44	23	-10.48	21	-0.26	24	-0.50	24	-0.03	23
1346	1351	1352	Max	1.77	129.00	24	1.91	23	0.48	24	0.60	22	6.05	21	0.03	23
1346	1351	1352	Max	10.00	129.00	24	1.91	23	0.48	24	1.18	22	4.85	24	0.03	23
1346	1351	1352	Min.	1.77	60.78	23	-0.02	22	0.08	23	-27.48	23	2.73	12	-0.00	24
1346	1351	1352	Min.	10.00	60.78	23	-0.02	22	0.24	23	-26.89	23	2.02	23	-0.00	24
1346	1352	1353	Max	0.00	129.00	24	1.91	23	0.48	24	1.18	22	4.85	24	0.03	23
1346	1352	1353	Max	8.23	129.00	24	1.91	23	0.61	21	1.77	22	4.97	24	0.03	23
1346	1352	1353	Min.	0.00	60.78	23	-0.02	22	0.24	23	-26.89	23	2.02	23	-0.00	24
1346	1352	1353	Min.	8.23	60.78	23	-0.02	22	0.33	12	-26.31	23	-0.17	23	-0.00	24
1384	1328	1340	Max	1.77	13.99	23	-0.91	23	0.24	21	54.08	24	-2.17	23	-0.11	23
1384	1328	1340	Max	10.00	13.99	23	-0.91	23	0.08	23	54.67	24	-0.29	23	-0.11	23
1384	1328	1340	Min.	1.77	-7.06	24	-2.43	24	0.12	12	22.56	23	-5.22	24	-0.27	24
1384	1328	1340	Min.	10.00	-7.06	24	-2.43	24	-0.01	22	23.14	23	-0.76	11	-0.27	24
1384	1340	1348	Max	0.00	13.99	23	-0.91	23	0.08	23	54.67	24	-0.29	23	-0.11	23
1384	1340	1348	Max	8.23	13.99	23	-0.91	23	0.01	23	55.25	24	3.78	24	-0.11	23
1384	1340	1348	Min.	0.00	-7.06	24	-2.43	24	-0.01	22	23.14	23	-0.76	11	-0.27	24
1384	1340	1348	Min.	8.23	-7.06	24	-2.43	24	-0.20	24	23.73	23	1.64	23	-0.27	24
1387	1330	1341	Max	1.77	-3.84	22	56.74	24	-3.25	23	-1.56	23	0.25	24	0.26	24
1387	1330	1341	Max	10.00	-3.84	22	57.33	24	-0.68	22	-1.56	23	0.01	22	0.26	24
1387	1330	1341	Min.	1.77	-28.44	21	25.88	23	-5.98	24	-2.96	24	0.05	23	0.11	23
1387	1330	1341	Min.	10.00	-28.44	21	26.46	23	-1.81	21	-2.96	24	-0.08	23	0.11	23
1387	1341	1350	Max	0.00	-3.84	22	57.33	24	-0.68	22	-1.56	23	0.01	22	0.26	24
1387	1341	1350	Max	8.23	-3.84	22	57.91	24	3.45	24	-1.56	23	-0.15	12	0.26	24
1387	1341	1350	Min.	0.00	-28.44	21	26.46	23	-1.81	21	-2.96	24	-0.08	23	0.11	23
1387	1341	1350	Min.	8.23	-28.44	21	27.05	23	1.11	23	-2.96	24	-0.31	21	0.11	23
1422	1331	1342	Max	1.77	17.80	23	-2.20	23	0.48	21	96.27	24	-4.64	23	-0.21	23
1422	1331	1342	Max	10.00	17.80	23	-2.20	23	0.12	23	96.86	24	-0.75	23	-0.21	23
1422	1331	1342	Min.	1.77	-17.76	11	-4.71	24	0.25	22	46.85	23	-9.92	24	-0.44	24
1422	1331	1342	Min.	10.00	-17.76	11	-4.71	24	-0.01	24	47.44	23	-2.15	11	-0.44	24
1422	1342	1351	Max	0.00	17.80	23	-2.20	23	0.12	23	96.86	24	-0.75	23	-0.21	23
1422	1342	1351	Max	8.23	17.80	23	-2.20	23	-0.07	23	97.44	24	6.02	24	-0.21	23
1422	1342	1351	Min.	0.00	-17.76	11	-4.71	24	-0.01	24	47.44	23	-2.15	11	-0.44	24
1422	1342	1351	Min.	8.23	-17.76	11	-4.71	24	-0.40	24	48.02	23	3.17	23	-0.44	24
1425	1333	1343	Max	1.77	-6.35	22	97.70	21	-5.85	23	-2.77	23	0.42	24	0.43	24
1425	1333	1343	Max	10.00	-6.35	22	98.46	21	-0.91	22	-2.77	23	0.01	11	0.43	24
1425	1333	1343	Min.	1.77	-42.44	21	49.71	23	-10.88	21	-5.25	21	0.11	23	0.21	23
1425	1333	1343	Min.	10.00	-42.44	21	50.30	23	-2.81	21	-5.25	21	-0.11	23	0.21	23
1425	1343	1353	Max	0.00	-6.35	22	98.46	21	-0.91	22	-2.77	23	0.01	11	0.43	24
1425	1343	1353	Max	8.23	-6.35	22	99.22	21	6.22	24	-2.77	23	-0.27	22	0.43	24
1425	1343	1353	Min.	0.00	-42.44	21	50.30	23	-2.81	21	-5.25	21	-0.11	23	0.21	23
1425	1343	1353	Min.	8.23	-42.44	21	50.88	23	2.43	23	-5.25	21	-0.53	21	0.21	23
1460	1334	1344	Max	1.77	21.23	23	-2.28	23	0.52	21	97.70	24	-4.57	23	-0.21	23
1460	1334	1344	Max	10.00	21.23	23	-2.28	23	0.13	23	98.29	24	-0.70	23	-0.21	23
1460	1334	1344	Min.	1.77	-13.78	11	-4.99	24	0.28	22	46.68	23	-9.99	24	-0.43	24
1460	1334	1344	Min.	10.00	-13.78	11	-4.99	24	0.01	22	47.27	23	-2.10	11	-0.43	24
1460	1344	1354	Max	0.00	21.23	23	-2.28	23	0.13	23	98.29	24	-0.70	23	-0.21	23
1460	1344	1354	Max	8.23	21.23	23	-2.28	23	-0.06	23	98.87	24	6.20	24	-0.21	23
1460	1344	1354	Min.	0.00	-13.78	11	-4.99	24	0.01	22	47.27	23	-2.10	11	-0.43	24
1460	1344	1354	Min.	8.23	-13.78	11	-4.99	24	-0.40	24	47.85	23	3.21	23	-0.43	24
1463	1336	1345	Max	1.77	-10.07	22	96.23	24	-5.77	23	-2.59	23	0.38	24	0.44	24
1463	1336	1345	Max	10.00	-10.07	22	96.81	24	-0.96	22	-2.59	23	-0.01	12	0.44	24
1463	1336	1345	Min.	1.77	-47.30	21	48.22	23	-10.76	21	-4.94	21	0.08	23	0.20	23
1463	1336	1345	Min.	10.00	-47.30	21	48.80	23	-2.87	21	-4.94	21	-0.13	23	0.20	23
1463	1345	1356	Max	0.00	-10.07	22	96.81	24	-0.96	22	-2.59	23	-0.01	12	0.44	24
1463	1345	1356	Max	8.23	-10.07	22	97.40	24	6.05	24	-2.59	23	-0.27	22	0.44	24

1463	1345	1356	Min.	0.00	-47.30	21	48.80	23	-2.87	21	-4.94	21	-0.13	23	0.20	23
1463	1345	1356	Min.	8.23	-47.30	21	49.39	23	2.27	23	-4.94	21	-0.53	21	0.20	23
1498	1337	1346	Max	1.77	13.33	23	-1.21	23	0.29	21	56.80	24	-2.70	23	-0.12	23
1498	1337	1346	Max	10.00	13.33	23	-1.21	23	0.09	23	57.39	24	-0.64	23	-0.12	23
1498	1337	1346	Min.	1.77	-9.90	11	-2.96	24	0.16	12	24.79	23	-6.01	24	-0.26	24
1498	1337	1346	Min.	10.00	-9.90	11	-2.96	24	0.00	11	25.38	23	-1.41	11	-0.26	24
1498	1346	1357	Max	0.00	13.33	23	-1.21	23	0.09	23	57.39	24	-0.64	23	-0.12	23
1498	1346	1357	Max	8.23	13.33	23	-1.21	23	-0.01	23	57.97	24	3.44	24	-0.12	23
1498	1346	1357	Min.	0.00	-9.90	11	-2.96	24	0.00	11	25.38	23	-1.41	11	-0.26	24
1498	1346	1357	Min.	8.23	-9.90	11	-2.96	24	-0.24	24	25.96	23	1.48	23	-0.26	24
1501	1339	1347	Max	1.77	-5.68	12	54.06	24	-2.71	23	-1.36	23	0.19	24	0.27	24
1501	1339	1347	Max	10.00	-5.68	12	54.64	24	-0.41	22	-1.36	23	-0.00	11	0.27	24
1501	1339	1347	Min.	1.77	-24.06	21	25.52	23	-5.21	24	-2.43	24	0.03	23	0.11	23
1501	1339	1347	Min.	10.00	-24.06	21	26.10	23	-0.98	21	-2.43	24	-0.09	23	0.11	23
1501	1347	1359	Max	0.00	-5.68	12	54.64	24	-0.41	22	-1.36	23	-0.00	11	0.27	24
1501	1347	1359	Max	8.23	-5.68	12	55.23	24	3.79	24	-1.36	23	-0.13	12	0.27	24
1501	1347	1359	Min.	0.00	-24.06	21	26.10	23	-0.98	21	-2.43	24	-0.09	23	0.11	23
1501	1347	1359	Min.	8.23	-24.06	21	26.69	23	1.59	23	-2.43	24	-0.27	21	0.11	23
1519	1032	1324	Max	8.49	31.76	23	-8.34	23	1.31	11	-944.82	22	91.15	21	16.62	11
1519	1032	1324	Max	11.31	31.76	23	-8.34	23	0.46	11	-945.02	22	31.86	21	16.62	11
1519	1032	1324	Min.	8.49	-4.97	22	-29.97	11	0.41	23	-2096.06	21	38.40	22	6.52	23
1519	1032	1324	Min.	11.31	-4.97	22	-29.97	11	0.17	23	-2096.32	21	11.67	22	6.52	23
1519	1302	1032	Max	2.83	-59.47	12	32.84	11	0.50	11	-240.72	22	-11.49	22	-6.39	23
1519	1302	1032	Max	5.66	-59.47	12	32.84	11	1.43	11	-240.92	22	-18.30	22	-6.39	23
1519	1302	1032	Min.	2.83	-115.36	21	5.43	23	0.13	23	-1201.96	21	-31.62	21	-16.72	11
1519	1302	1032	Min.	5.66	-115.36	21	5.43	23	0.28	23	-1202.22	21	-65.62	21	-16.72	11
1520	1029	1319	Max	8.49	-2.49	12	41.54	21	-0.67	22	-866.18	23	76.86	21	-7.54	22
1520	1029	1319	Max	11.31	-2.49	12	41.54	21	-0.22	22	-866.38	23	25.08	11	-7.54	22
1520	1029	1319	Min.	8.49	-36.19	23	15.83	22	-1.78	21	-1851.24	21	34.66	23	-21.16	21
1520	1029	1319	Min.	11.31	-36.19	23	15.83	22	-0.60	21	-1851.50	21	10.16	23	-21.16	21
1520	1301	1029	Max	2.83	-10.23	23	-16.81	22	-0.24	22	-238.72	22	-10.04	23	21.38	21
1520	1301	1029	Max	5.66	-10.23	23	-16.81	22	-0.71	22	-238.92	22	-18.19	22	21.38	21
1520	1301	1029	Min.	2.83	-87.29	24	-47.52	21	-0.69	21	-962.89	11	-24.86	11	7.59	22
1520	1301	1029	Min.	5.66	-87.29	24	-47.52	21	-2.03	21	-963.10	11	-52.09	11	7.59	22
1521	1299	1029	Max	2.83	-54.53	12	31.94	11	0.48	11	-228.15	22	-11.05	22	-6.81	23
1521	1299	1029	Max	5.66	-54.53	12	31.94	11	1.39	11	-228.35	22	-17.51	22	-6.81	23
1521	1299	1029	Min.	2.83	-109.20	21	5.76	23	0.13	23	-1192.50	21	-31.17	21	-16.99	11
1521	1299	1029	Min.	5.66	-109.20	21	5.76	23	0.29	23	-1192.76	21	-64.90	21	-16.99	11
1521	1029	1321	Max	8.49	27.51	23	-11.24	23	1.47	11	-932.25	22	90.51	21	17.07	11
1521	1029	1321	Max	11.31	27.51	23	-11.24	23	0.51	11	-932.45	22	31.41	21	17.07	11
1521	1029	1321	Min.	8.49	-10.05	24	-33.95	11	0.53	23	-2089.23	21	37.60	22	7.04	23
1521	1029	1321	Min.	11.31	-10.05	24	-33.95	11	0.21	23	-2089.49	21	11.23	22	7.04	23
1522	1035	1327	Max	8.49	29.52	23	-2.57	23	0.60	11	-188.37	22	44.40	21	9.27	11
1522	1035	1327	Max	11.31	29.52	23	-2.57	23	0.22	11	-188.57	22	15.95	21	9.27	11
1522	1035	1327	Min.	8.49	2.01	24	-13.32	11	0.15	22	-1005.93	21	6.62	22	2.13	22
1522	1035	1327	Min.	11.31	2.01	24	-13.32	11	0.05	22	-1006.19	21	1.28	22	2.13	22
1522	1305	1035	Max	2.83	-34.10	12	18.08	11	0.29	11	152.41	22	-1.20	22	-2.23	22
1522	1305	1035	Max	5.66	-34.10	12	18.08	11	0.80	11	152.21	22	3.11	22	-2.23	22
1522	1305	1035	Min.	2.83	-71.62	21	0.97	23	0.06	23	-561.83	21	-15.82	21	-9.45	11
1522	1305	1035	Min.	5.66	-71.62	21	0.97	23	0.09	23	-562.09	21	-31.72	21	-9.45	11
1523	1026	1318	Max	8.49	15.75	23	-5.64	23	0.82	11	-340.08	22	50.81	21	8.30	11
1523	1026	1318	Max	11.31	15.75	23	-5.64	23	0.28	11	-340.28	22	17.64	21	8.30	11
1523	1026	1318	Min.	8.49	-13.27	24	-19.20	11	0.24	22	-1172.69	21	12.89	22	0.87	22
1523	1026	1318	Min.	11.31	-13.27	24	-19.20	11	0.06	22	-1172.95	21	3.27	22	0.87	22
1523	1296	1026	Max	2.83	-20.46	12	14.20	11	0.21	11	0.26	22	-3.18	22	-0.78	22
1523	1296	1026	Max	5.66	-20.46	12	14.20	11	0.61	11	0.06	22	-3.18	22	-0.78	22
1523	1296	1026	Min.	2.83	-54.12	21	-0.49	23	0.02	23	-701.84	21	-17.50	21	-8.10	11
1523	1296	1026	Min.	5.66	-54.12	21	-0.49	23	0.01	23	-702.10	21	-37.35	21	-8.10	11
1524	1026	1316	Max	8.49	2.34	22	19.72	21	-0.14	22	-187.41	22	36.65	21	-2.13	22

1524	1026	1316	Max	11.31	2.34	22	19.72	21	-0.05	22	-187.61	22	12.09	11	-2.13	22
1524	1026	1316	Min.	8.49	-25.32	23	3.38	22	-0.85	21	-894.91	21	6.57	22	-11.79	21
1524	1026	1316	Min.	11.31	-25.32	23	3.38	22	-0.29	21	-895.17	21	1.27	22	-11.79	21
1524	1298	1026	Max	2.83	-0.59	23	-6.12	22	-0.09	22	152.93	22	-1.18	22	12.11	21
1524	1298	1026	Max	5.66	-0.59	23	-6.12	22	-0.26	22	152.73	22	3.15	22	12.11	21
1524	1298	1026	Min.	2.83	-47.87	24	-28.16	21	-0.41	21	-439.60	11	-11.96	11	2.25	22
1524	1298	1026	Min.	5.66	-47.87	24	-28.16	21	-1.21	21	-439.80	11	-24.40	11	2.25	22
1525	1032	1322	Max	8.49	-7.47	12	45.88	21	-0.77	22	-838.43	23	75.07	21	-7.88	22
1525	1032	1322	Max	11.31	-7.47	12	45.88	21	-0.26	22	-838.63	23	24.54	11	-7.88	22
1525	1032	1322	Min.	8.49	-41.25	21	18.36	22	-1.95	21	-1819.00	21	33.18	23	-21.57	21
1525	1032	1322	Min.	11.31	-41.25	21	18.36	22	-0.66	21	-1819.26	21	9.46	23	-21.57	21
1525	1304	1032	Max	2.83	-5.20	23	-16.85	22	-0.23	22	-226.08	22	-9.34	23	21.59	21
1525	1304	1032	Max	5.66	-5.20	23	-16.85	22	-0.71	22	-226.28	22	-17.39	22	21.59	21
1525	1304	1032	Min.	2.83	-81.93	24	-46.45	21	-0.66	21	-947.19	11	-24.32	11	7.84	22
1525	1304	1032	Min.	5.66	-81.93	24	-46.45	21	-1.98	21	-947.39	11	-51.11	11	7.84	22
1526	1035	1325	Max	8.49	-9.92	22	26.53	21	-0.23	22	-339.12	22	43.48	21	-0.87	22
1526	1035	1325	Max	11.31	-9.92	22	26.53	21	-0.06	22	-339.32	22	13.77	11	-0.87	22
1526	1035	1325	Min.	8.49	-39.13	21	6.06	22	-1.11	21	-1060.72	21	12.83	22	-10.83	21
1526	1035	1325	Min.	11.31	-39.13	21	6.06	22	-0.36	21	-1060.98	21	3.24	22	-10.83	21
1526	1307	1035	Max	2.83	12.57	23	-3.73	22	-0.03	22	1.65	22	-3.15	22	10.76	21
1526	1307	1035	Max	5.66	12.57	23	-3.73	22	-0.13	22	1.45	22	-3.11	22	10.76	21
1526	1307	1035	Min.	2.83	-32.51	24	-24.72	21	-0.34	21	-616.64	21	-13.65	11	0.79	22
1526	1307	1035	Min.	5.66	-32.51	24	-24.72	21	-1.03	21	-616.90	21	-30.79	21	0.79	22
1551	1330	1286	Max	2.83	15.68	23	23.80	24	0.36	24	1228.97	24	18.01	24	-3.16	23
1551	1330	1286	Max	5.66	15.68	23	23.80	24	1.04	24	1228.77	24	52.77	24	-3.16	23
1551	1330	1286	Min.	2.83	-14.36	24	5.73	23	0.11	23	642.50	23	10.29	23	-11.46	24
1551	1330	1286	Min.	5.66	-14.36	24	5.73	23	0.27	23	642.30	23	28.46	23	-11.46	24
1551	1286	1348	Max	8.49	-9.65	22	0.87	23	0.82	24	847.05	24	-21.15	23	11.27	24
1551	1286	1348	Max	11.31	-9.65	22	0.87	23	0.29	24	846.85	24	-10.22	23	11.27	24
1551	1286	1348	Min.	8.49	-54.05	21	-18.65	24	-0.01	23	386.38	23	-41.86	24	2.90	23
1551	1286	1348	Min.	11.31	-54.05	21	-18.65	24	0.02	23	386.18	23	-17.90	24	2.90	23
1552	1336	1292	Max	2.83	31.76	23	33.75	24	0.53	24	2094.40	21	31.81	21	-6.50	23
1552	1336	1292	Max	5.66	31.76	23	33.75	24	1.49	24	2094.15	21	91.05	21	-6.50	23
1552	1336	1292	Min.	2.83	-3.03	11	8.25	23	0.17	23	1135.79	23	18.28	23	-19.41	24
1552	1336	1292	Min.	5.66	-3.03	11	8.25	23	0.40	23	1135.59	23	50.40	23	-19.41	24
1552	1292	1354	Max	8.49	-35.83	22	-5.03	23	1.60	24	1245.22	24	-37.21	23	19.53	24
1552	1292	1354	Max	11.31	-35.83	22	-5.03	23	0.57	24	1245.02	24	-18.16	23	19.53	24
1552	1292	1354	Min.	8.49	-115.16	21	-36.49	24	0.27	23	673.48	23	-65.54	21	6.37	23
1552	1292	1354	Min.	11.31	-115.16	21	-36.49	24	0.12	23	673.28	23	-31.57	21	6.37	23
1553	1328	1286	Max	2.83	2.29	12	-10.50	12	-0.18	23	1108.12	24	16.77	24	12.16	24
1553	1328	1286	Max	5.66	2.29	12	-10.50	12	-0.47	12	1107.92	24	48.11	24	12.16	24
1553	1328	1286	Min.	2.83	-25.22	23	-19.66	21	-0.30	24	427.71	23	4.50	23	6.86	23
1553	1328	1286	Min.	5.66	-25.22	23	-19.66	21	-0.85	21	427.51	23	16.60	23	6.86	23
1553	1286	1350	Max	8.49	-0.76	23	28.29	21	-0.63	12	726.20	24	-9.28	23	-7.09	23
1553	1286	1350	Max	11.31	-0.76	23	28.29	21	-0.23	12	726.00	24	-4.43	23	-7.09	23
1553	1286	1350	Min.	8.49	-41.85	11	14.06	12	-1.22	21	171.59	23	-37.20	24	-12.36	24
1553	1286	1350	Min.	11.31	-41.85	11	14.06	12	-0.42	21	171.40	23	-16.66	24	-12.36	24
1554	1337	1295	Max	2.83	-11.23	22	-15.13	12	-0.21	23	1229.16	24	18.05	24	11.49	24
1554	1337	1295	Max	5.66	-11.23	22	-15.13	12	-0.65	12	1228.96	24	52.81	24	11.49	24
1554	1337	1295	Min.	2.83	-38.81	21	-26.53	21	-0.37	24	520.39	23	5.76	23	6.46	23
1554	1337	1295	Min.	5.66	-38.81	21	-26.53	21	-1.11	21	520.19	23	20.48	23	6.46	23
1554	1295	1359	Max	8.49	12.37	23	24.76	21	-0.50	12	847.22	24	-14.03	23	-6.41	12
1554	1295	1359	Max	11.31	12.37	23	24.76	21	-0.17	12	847.02	24	-5.70	23	-6.41	12
1554	1295	1359	Min.	8.49	-26.59	11	11.57	12	-1.04	21	294.53	23	-41.89	24	-11.29	24
1554	1295	1359	Min.	11.31	-26.59	11	11.57	12	-0.34	21	294.33	23	-17.94	24	-11.29	24
1555	1331	1289	Max	2.83	0.40	22	-23.14	22	-0.35	23	1971.77	24	29.30	24	21.16	21
1555	1331	1289	Max	5.66	0.40	22	-23.14	22	-1.03	12	1971.57	24	85.07	24	21.16	21
1555	1331	1289	Min.	2.83	-35.93	23	-41.42	21	-0.60	21	867.08	23	10.22	23	12.14	23
1555	1331	1289	Min.	5.66	-35.93	23	-41.42	21	-1.77	21	866.88	23	34.75	23	12.14	23

1555	1289	1353	Max	8.49	-10.51	23	47.94	21	-1.11	12	1245.16	24	-21.47	23	-12.34	23
1555	1289	1353	Max	11.31	-10.51	23	47.94	21	-0.39	12	1244.96	24	-10.10	23	-12.34	23
1555	1289	1353	Min.	8.49	-74.98	11	25.10	22	-2.05	21	401.79	23	-64.32	24	-21.40	21
1555	1289	1353	Min.	11.31	-74.98	11	25.10	22	-0.69	21	401.59	23	-29.11	24	-21.40	21
1556	1289	1351	Max	8.49	-30.93	22	-5.37	23	1.55	24	1228.64	24	-36.91	23	19.81	24
1556	1289	1351	Max	11.31	-30.93	22	-5.37	23	0.55	24	1228.44	24	-17.94	23	19.81	24
1556	1289	1351	Min.	8.49	-108.99	21	-35.36	24	0.28	23	670.99	23	-64.82	21	6.79	23
1556	1289	1351	Min.	11.31	-108.99	21	-35.36	24	0.13	23	670.79	23	-31.12	21	6.79	23
1556	1333	1289	Max	2.83	27.46	23	38.13	24	0.59	24	2087.73	21	31.35	21	-7.02	23
1556	1333	1289	Max	5.66	27.46	23	38.13	24	1.67	24	2087.47	21	90.40	21	-7.02	23
1556	1333	1289	Min.	2.83	-8.45	11	11.14	23	0.21	23	1136.28	23	18.05	23	-19.90	24
1556	1333	1289	Min.	5.66	-8.45	11	11.14	23	0.52	23	1136.08	23	50.19	23	-19.90	24
1557	1339	1295	Max	2.83	29.57	23	16.99	24	0.29	24	1108.32	24	16.76	24	-3.93	23
1557	1339	1295	Max	5.66	29.57	23	16.99	24	0.77	24	1108.12	24	48.10	24	-3.93	23
1557	1339	1295	Min.	2.83	1.65	24	2.40	23	0.08	23	548.98	23	9.57	12	-12.13	24
1557	1339	1295	Min.	5.66	1.65	24	2.40	23	0.15	23	548.78	23	25.09	23	-12.13	24
1557	1295	1357	Max	8.49	-22.79	22	-0.82	23	1.00	24	726.36	24	-18.65	23	12.35	24
1557	1295	1357	Max	11.31	-22.79	22	-0.82	23	0.37	24	726.16	24	-9.46	12	12.35	24
1557	1295	1357	Min.	8.49	-71.57	21	-22.28	24	0.08	23	323.10	23	-37.19	24	3.86	23
1557	1295	1357	Min.	11.31	-71.57	21	-22.28	24	0.06	23	322.90	23	-16.65	24	3.86	23
1558	1292	1356	Max	8.49	-5.50	23	46.84	21	-1.08	12	1228.72	24	-20.09	23	-12.44	23
1558	1292	1356	Max	11.31	-5.50	23	46.84	21	-0.38	12	1228.52	24	-9.42	23	-12.44	23
1558	1292	1356	Min.	8.49	-69.61	11	24.74	22	-2.00	21	377.38	23	-63.30	24	-21.60	21
1558	1292	1356	Min.	11.31	-69.61	11	24.74	22	-0.67	21	377.18	23	-28.55	24	-21.60	21
1558	1334	1292	Max	2.83	-4.47	22	-26.35	22	-0.38	23	1955.34	24	28.74	24	21.57	21
1558	1334	1292	Max	5.66	-4.47	22	-26.35	22	-1.16	23	1955.14	24	84.04	24	21.57	21
1558	1334	1292	Min.	2.83	-40.76	21	-45.74	21	-0.65	21	839.71	23	9.54	23	12.34	23
1558	1334	1292	Min.	5.66	-40.76	21	-45.74	21	-1.95	21	839.51	23	33.29	23	12.34	23
1579	1302	1303	Max	1.77	121.15	21	-1.67	24	6.24	21	1.97	23	0.42	11	-0.00	22
1579	1302	1303	Max	10.00	121.15	21	-1.09	24	4.01	21	1.97	23	0.47	21	-0.00	22
1579	1302	1303	Min.	1.77	46.52	22	-29.89	23	0.69	22	-0.03	24	0.07	23	-0.03	23
1579	1302	1303	Min.	10.00	46.52	22	-29.31	23	0.57	22	-0.03	24	0.22	22	-0.03	23
1579	1303	1304	Max	0.00	121.15	21	-1.09	24	4.01	21	1.97	23	0.47	21	-0.00	22
1579	1303	1304	Max	8.23	121.15	21	-0.50	24	3.55	11	1.97	23	0.61	21	-0.00	22
1579	1303	1304	Min.	0.00	46.52	22	-29.31	23	0.57	22	-0.03	24	0.22	22	-0.03	23
1579	1303	1304	Min.	8.23	46.52	22	-28.72	23	-0.43	23	-0.03	24	0.22	22	-0.03	23
1581	1322	1323	Max	1.77	-75.43	22	1.69	23	-0.23	22	-2.52	22	-2.11	23	0.04	23
1581	1322	1323	Max	10.00	-75.43	22	1.69	23	-0.21	22	-1.93	22	-4.32	22	0.04	23
1581	1322	1323	Min.	1.77	-158.94	21	0.18	22	-0.61	21	-28.40	23	-7.60	11	0.00	24
1581	1322	1323	Min.	10.00	-158.94	21	0.18	22	-0.47	21	-27.82	23	-8.76	21	0.00	24
1581	1323	1324	Max	0.00	-75.43	22	1.69	23	-0.21	22	-1.93	22	-4.32	22	0.04	23
1581	1323	1324	Max	8.23	-75.43	22	1.69	23	-0.10	23	-1.35	22	-4.46	22	0.04	23
1581	1323	1324	Min.	0.00	-158.94	21	0.18	22	-0.47	21	-27.82	23	-8.76	21	0.00	24
1581	1323	1324	Min.	8.23	-158.94	21	0.18	22	-0.40	11	-27.23	23	-10.89	21	0.00	24
1623	1334	1335	Max	1.77	-79.64	23	-2.98	22	-2.11	23	1.69	23	-0.35	12	0.00	24
1623	1334	1335	Max	10.00	-79.64	23	-2.39	22	-4.44	23	1.69	23	-0.23	23	0.00	24
1623	1334	1335	Min.	1.77	-158.92	24	-28.52	23	-8.46	24	0.22	22	-0.61	21	-0.04	23
1623	1334	1335	Min.	10.00	-158.92	24	-27.93	23	-8.77	21	0.22	22	-0.48	24	-0.04	23
1623	1335	1336	Max	0.00	-79.64	23	-2.39	22	-4.44	23	1.69	23	-0.23	23	0.00	24
1623	1335	1336	Max	8.23	-79.64	23	-1.81	22	-6.13	22	1.69	23	-0.10	23	0.00	24
1623	1335	1336	Min.	0.00	-158.92	24	-27.93	23	-8.77	21	0.22	22	-0.48	24	-0.04	23
1623	1335	1336	Min.	8.23	-158.92	24	-27.35	23	-10.93	21	0.22	22	-0.45	24	-0.04	23
1625	1354	1355	Max	1.77	128.97	24	2.00	23	0.48	24	-1.99	12	6.29	21	0.03	23
1625	1354	1355	Max	10.00	128.97	24	2.00	23	0.48	24	-1.41	12	4.85	24	0.03	23
1625	1354	1355	Min.	1.77	59.62	23	0.01	24	0.07	23	-30.06	23	2.94	12	0.00	12
1625	1354	1355	Min.	10.00	59.62	23	0.01	24	0.23	23	-29.47	23	1.98	23	0.00	12
1625	1355	1356	Max	0.00	128.97	24	2.00	23	0.48	24	-1.41	12	4.85	24	0.03	23
1625	1355	1356	Max	8.23	128.97	24	2.00	23	0.61	21	-0.82	12	4.75	24	0.03	23
1625	1355	1356	Min.	0.00	59.62	23	0.01	24	0.23	23	-29.47	23	1.98	23	0.00	12

1625	1355	1356	Min.	8.23	59.62	23	0.01	24	0.33	12	-28.89	23	-0.42	23	0.00	12
1798	345	-14	Max	4.85	0.00	11	0.00	11	0.00	11	0.00	11	0.00	11	0.00	11
1798	345	-14	Min.	4.85	0.00	11	0.00	11	0.00	11	0.00	11	0.00	11	0.00	11
1798	-14	-46	Max	4.85	0.00	11	0.00	11	0.00	11	0.00	11	0.00	11	0.00	11
1798	-14	-46	Min.	4.85	0.00	11	0.00	11	0.00	11	0.00	11	0.00	11	0.00	11
1798	-46	-78	Max	5.01	390.39	23	30.36	11	1.41	23	-6.03	22	7.26	21	0.02	11
1798	-46	-78	Max	16.87	391.21	23	30.36	11	0.93	21	-6.01	22	0.07	23	0.02	11
1798	-46	-78	Min.	5.01	-511.13	24	-7.18	23	-3.01	11	-64.09	21	0.65	22	-0.01	23
1798	-46	-78	Min.	16.87	-510.29	24	-6.01	23	0.11	22	-63.00	21	-0.54	11	-0.01	23
1798	-78	-110	Max	2.51	323.86	23	32.41	11	1.49	23	-10.88	22	5.87	21	0.01	11
1798	-78	-110	Max	16.87	324.85	23	32.41	11	2.15	11	-10.86	22	-0.58	22	0.01	11
1798	-78	-110	Min.	2.51	-550.47	24	-9.42	23	-2.51	11	-65.79	21	0.99	22	-0.01	23
1798	-78	-110	Min.	16.87	-549.45	24	-8.00	23	0.23	23	-64.48	21	-3.48	21	-0.01	23
1798	-110	-142	Max	2.51	238.33	23	33.14	11	1.28	23	-11.81	22	5.07	21	0.01	24
1798	-110	-142	Max	16.87	239.32	23	33.14	11	2.61	11	-11.79	22	-0.79	22	0.01	24
1798	-110	-142	Min.	2.51	-603.11	24	-8.40	23	-2.16	11	-66.08	21	0.91	22	-0.00	23
1798	-110	-142	Min.	16.87	-602.09	24	-6.98	23	0.18	23	-64.77	21	-4.33	21	-0.00	23
1798	-142	-174	Max	2.51	146.58	23	33.89	11	1.20	23	-13.11	22	4.84	21	0.01	24
1798	-142	-174	Max	16.87	147.56	23	33.89	11	2.81	11	-13.09	22	-0.93	22	0.01	24
1798	-142	-174	Min.	2.51	-661.76	24	-7.60	23	-2.06	11	-66.78	21	0.95	22	-0.00	23
1798	-142	-174	Min.	16.87	-660.74	24	-6.18	23	0.21	23	-65.47	21	-4.66	21	-0.00	23
1798	-174	-206	Max	2.51	51.49	23	34.69	11	1.14	23	-14.43	22	4.71	21	0.01	24
1798	-174	-206	Max	16.87	52.48	23	34.69	11	2.97	11	-14.40	22	-1.07	22	0.01	24
1798	-174	-206	Min.	2.51	-724.95	24	-6.77	23	-2.01	11	-67.47	21	1.00	22	-0.00	23
1798	-174	-206	Min.	16.87	-723.93	24	-5.35	23	0.27	23	-66.16	21	-4.89	21	-0.00	23
1798	-206	-238	Max	2.51	-46.42	23	35.53	11	1.08	23	-15.77	22	4.60	21	0.01	24
1798	-206	-238	Max	16.87	-45.43	23	35.53	11	3.13	11	-15.75	22	-1.21	22	0.01	24
1798	-206	-238	Min.	2.51	-792.58	24	-5.97	23	-1.97	11	-68.24	21	1.05	22	-0.00	23
1798	-206	-238	Min.	16.87	-791.55	24	-4.54	23	0.33	23	-66.93	21	-5.11	21	-0.00	23
1798	-238	-270	Max	2.51	-147.17	23	36.40	11	1.03	23	-17.17	22	4.49	21	0.01	24
1798	-238	-270	Max	16.87	-146.18	23	36.40	11	3.30	11	-17.15	22	-1.36	22	0.01	24
1798	-238	-270	Min.	2.51	-871.38	11	-5.11	23	-1.93	11	-69.05	21	1.11	22	-0.00	23
1798	-238	-270	Min.	16.87	-870.36	11	-3.69	23	0.40	23	-67.74	21	-5.34	21	-0.00	23
1798	-270	-302	Max	2.51	-250.93	23	37.32	11	0.97	23	-18.61	22	4.36	21	0.01	24
1798	-270	-302	Max	16.87	-249.94	23	37.32	11	3.48	11	-18.59	22	-1.52	22	0.01	24
1798	-270	-302	Min.	2.51	-955.54	11	-4.25	23	-1.88	11	-69.93	21	1.15	22	-0.00	23
1798	-270	-302	Min.	16.87	-954.52	11	-2.83	23	0.47	23	-68.62	21	-5.59	21	-0.00	23
1798	-302	-334	Max	2.51	-357.93	23	38.30	11	0.92	23	-20.09	22	4.23	21	0.01	24
1798	-302	-334	Max	16.87	-356.94	23	38.30	11	3.68	11	-20.07	22	-1.69	22	0.01	24
1798	-302	-334	Min.	2.51	-1044.08	11	-3.38	23	-1.82	11	-70.88	21	1.20	22	-0.00	23
1798	-302	-334	Min.	16.87	-1043.06	11	-1.96	23	0.54	23	-69.57	21	-5.86	21	-0.00	23
1798	-334	-366	Max	2.51	-468.39	23	39.30	11	0.87	23	-21.65	22	4.08	21	0.01	24
1798	-334	-366	Max	16.87	-467.41	23	39.30	11	3.89	11	-21.62	22	-1.87	22	0.01	24
1798	-334	-366	Min.	2.51	-1137.33	11	-2.47	23	-1.77	24	-71.91	21	1.24	22	-0.00	23
1798	-334	-366	Min.	16.87	-1136.31	11	-1.05	23	0.61	23	-70.60	21	-6.16	21	-0.00	23
1798	-366	-398	Max	2.51	-582.59	23	40.42	11	0.82	23	-23.20	22	3.91	21	0.01	24
1798	-366	-398	Max	16.87	-581.61	23	40.42	11	4.13	11	-23.17	22	-2.06	22	0.01	24
1798	-366	-398	Min.	2.51	-1276.97	21	-1.54	23	-1.74	24	-72.92	21	1.27	22	-0.00	23
1798	-366	-398	Min.	16.87	-1275.67	21	-0.11	23	0.70	23	-71.61	21	-6.47	21	-0.00	23
1798	-398	-430	Max	2.51	-700.75	23	41.24	11	0.77	23	-25.20	22	3.73	21	0.01	24
1798	-398	-430	Max	16.87	-699.76	23	41.24	11	4.34	11	-25.18	22	-2.33	22	0.01	24
1798	-398	-430	Min.	2.51	-1446.95	21	-0.74	23	-1.70	24	-74.73	21	1.29	22	-0.00	23
1798	-398	-430	Min.	16.87	-1445.65	21	0.69	23	0.76	23	-73.42	21	-6.92	21	-0.00	23
1798	-430	-462	Max	2.51	-774.93	22	44.55	11	0.71	23	-24.54	22	3.45	21	0.01	24
1798	-430	-462	Max	16.87	-773.91	22	44.55	11	4.92	11	-24.52	22	-2.25	22	0.01	24
1798	-430	-462	Min.	2.51	-1624.04	21	1.25	23	-1.63	24	-71.58	21	1.27	22	-0.00	23
1798	-430	-462	Min.	16.87	-1622.74	21	2.67	23	0.99	23	-70.27	21	-6.74	21	-0.00	23
1798	-462	-494	Max	2.51	-838.68	22	32.97	24	0.68	23	-42.24	22	3.16	21	-0.00	22
1798	-462	-494	Max	16.87	-837.66	22	32.97	24	3.42	11	-42.21	22	-4.78	22	-0.00	22

1798	-462	-494	Min.	2.51	-1805.12	21	-4.49	23	-1.32	24	-102.43	21	1.29	22	-0.01	21
1798	-462	-494	Min.	16.87	-1803.82	21	-3.07	23	0.14	23	-101.12	21	-11.46	21	-0.01	21
1798	-494	1324	Max	2.51	-903.28	22	114.56	11	0.02	23	77.03	24	-0.26	23	0.00	23
1798	-494	1324	Max	14.38	-902.44	22	114.56	11	12.48	11	77.05	24	7.80	24	0.00	23
1798	-494	1324	Min.	2.51	-1979.36	21	34.80	23	-1.19	24	24.00	23	-1.45	11	-0.01	24
1798	-494	1324	Min.	14.38	-1978.28	21	35.97	23	4.22	23	25.19	23	2.66	23	-0.01	24
1799	318	-4	Max	4.85	0.00	11	0.00	11	0.00	11	0.00	11	0.00	11	0.00	11
1799	318	-4	Min.	4.85	0.00	11	0.00	11	0.00	11	0.00	11	0.00	11	0.00	11
1799	-4	-36	Max	4.85	0.00	11	0.00	11	0.00	11	0.00	11	0.00	11	0.00	11
1799	-4	-36	Min.	4.85	0.00	11	0.00	11	0.00	11	0.00	11	0.00	11	0.00	11
1799	-36	-68	Max	5.01	403.63	23	62.77	21	-1.01	22	38.77	11	1.73	23	0.04	21
1799	-36	-68	Max	16.87	404.45	23	61.72	21	0.51	11	38.78	11	0.81	21	0.04	21
1799	-36	-68	Min.	5.01	-497.50	24	8.58	22	-6.98	21	-10.35	23	-4.13	11	0.01	22
1799	-36	-68	Min.	16.87	-496.67	24	9.75	22	0.08	22	-9.16	23	0.05	22	0.01	22
1799	-68	-100	Max	2.51	394.74	23	64.32	21	-0.68	22	34.65	11	1.35	23	0.01	21
1799	-68	-100	Max	16.87	395.73	23	63.04	21	3.50	21	34.67	11	2.22	11	0.01	21
1799	-68	-100	Min.	2.51	-453.33	24	7.77	22	-5.65	21	-8.97	23	-2.76	11	0.00	22
1799	-68	-100	Min.	16.87	-452.33	24	9.19	22	0.54	22	-7.53	23	0.16	23	0.00	22
1799	-100	-132	Max	2.51	383.98	23	64.69	21	-0.67	22	35.63	11	1.21	23	0.00	22
1799	-100	-132	Max	16.87	384.97	23	63.41	21	4.32	21	35.66	11	2.70	11	0.00	22
1799	-100	-132	Min.	2.51	-395.84	24	8.95	22	-4.88	21	-8.25	23	-2.42	11	-0.01	23
1799	-100	-132	Min.	16.87	-394.84	24	10.37	22	0.71	22	-6.80	23	0.12	23	-0.01	23
1799	-132	-164	Max	2.51	373.72	23	65.22	21	-0.71	22	36.40	11	1.14	23	0.00	22
1799	-132	-164	Max	16.87	374.71	23	63.94	21	4.64	21	36.42	11	2.92	11	0.00	22
1799	-132	-164	Min.	2.51	-354.72	22	10.10	22	-4.64	21	-7.51	23	-2.31	11	-0.01	21
1799	-132	-164	Min.	16.87	-353.73	22	11.52	22	0.84	22	-6.06	23	0.16	23	-0.01	21
1799	-164	-196	Max	2.51	364.64	23	65.79	21	-0.76	22	37.21	11	1.08	23	0.00	22
1799	-164	-196	Max	16.87	365.63	23	64.51	21	4.85	21	37.23	11	3.09	11	0.00	22
1799	-164	-196	Min.	2.51	-324.92	22	11.30	22	-4.51	21	-6.69	23	-2.25	11	-0.01	21
1799	-164	-196	Min.	16.87	-323.93	22	12.72	22	0.97	22	-5.24	23	0.22	23	-0.01	21
1799	-196	-228	Max	2.51	356.94	23	66.45	21	-0.81	22	38.07	11	1.03	23	0.00	22
1799	-196	-228	Max	16.87	357.93	23	65.17	21	5.06	21	38.10	11	3.26	11	0.00	22
1799	-196	-228	Min.	2.51	-291.81	22	12.51	22	-4.39	21	-5.89	23	-2.21	11	-0.01	21
1799	-196	-228	Min.	16.87	-290.82	22	13.94	22	1.09	22	-4.44	23	0.29	23	-0.01	21
1799	-228	-260	Max	2.51	350.77	23	67.14	21	-0.86	22	38.97	11	0.98	23	0.00	22
1799	-228	-260	Max	16.87	351.76	23	65.86	21	5.28	21	39.00	11	3.44	11	0.00	22
1799	-228	-260	Min.	2.51	-255.19	22	13.79	22	-4.28	21	-5.05	23	-2.16	11	-0.01	21
1799	-228	-260	Min.	16.87	-254.20	22	15.21	22	1.23	22	-3.61	23	0.36	23	-0.01	21
1799	-260	-292	Max	2.51	398.83	21	67.90	21	-0.90	22	39.92	11	0.94	23	0.00	22
1799	-260	-292	Max	16.87	400.13	21	66.62	21	5.51	21	39.94	11	3.63	11	0.00	22
1799	-260	-292	Min.	2.51	-214.81	22	15.08	22	-4.15	21	-4.21	23	-2.11	11	-0.01	21
1799	-260	-292	Min.	16.87	-213.82	22	16.50	22	1.37	22	-2.77	23	0.44	23	-0.01	21
1799	-292	-324	Max	2.51	452.56	21	68.70	21	-0.94	22	40.92	11	0.89	23	0.00	22
1799	-292	-324	Max	16.87	453.86	21	67.42	21	5.76	21	40.94	11	3.83	11	0.00	22
1799	-292	-324	Min.	2.51	-170.39	22	16.43	22	-4.01	21	-3.34	23	-2.05	11	-0.01	21
1799	-292	-324	Min.	16.87	-169.40	22	17.85	22	1.52	22	-1.89	23	0.52	23	-0.01	21
1799	-324	-356	Max	2.51	510.86	21	69.56	21	-0.97	22	41.96	11	0.85	23	0.00	22
1799	-324	-356	Max	16.87	512.15	21	68.28	21	6.04	21	41.98	11	4.05	11	0.00	22
1799	-324	-356	Min.	2.51	-121.61	22	17.81	22	-3.86	21	-2.46	23	-1.99	24	-0.01	21
1799	-324	-356	Min.	16.87	-120.62	22	19.23	22	1.69	22	-1.01	23	0.60	23	-0.01	21
1799	-356	-388	Max	2.51	574.06	21	70.56	21	-1.00	22	43.05	11	0.81	23	0.00	22
1799	-356	-388	Max	16.87	575.36	21	69.28	21	6.35	21	43.07	11	4.29	11	0.00	22
1799	-356	-388	Min.	2.51	-68.13	22	19.26	22	-3.69	21	-1.55	23	-1.95	24	-0.01	21
1799	-356	-388	Min.	16.87	-67.14	22	20.68	22	1.87	22	-0.11	23	0.69	23	-0.01	21
1799	-388	-420	Max	2.51	642.55	21	71.24	21	-1.02	22	44.26	11	0.77	23	0.00	22
1799	-388	-420	Max	16.87	643.85	21	69.96	21	6.64	21	44.28	11	4.57	11	0.00	22
1799	-388	-420	Min.	2.51	-9.59	22	20.62	22	-3.50	21	-0.62	23	-1.89	24	-0.01	21
1799	-388	-420	Min.	16.87	-8.60	22	22.04	22	2.05	22	0.83	23	0.78	23	-0.01	21
1799	-420	-452	Max	2.51	716.65	21	74.78	21	-1.02	22	45.07	11	0.73	23	-0.00	22

1799	-420	-452	Max	16.87	717.95	21	73.50	21	7.39	21	45.62	24	4.82	11	-0.00	22
1799	-420	-452	Min.	2.51	54.23	22	23.04	22	-3.26	21	0.31	23	-1.80	24	-0.02	21
1799	-420	-452	Min.	16.87	55.22	22	24.46	22	2.39	22	1.75	23	0.88	23	-0.02	21
1799	-452	-484	Max	2.51	796.14	21	58.91	21	-0.82	12	49.53	11	0.67	23	-0.01	22
1799	-452	-484	Max	16.87	797.44	21	57.63	21	5.74	21	49.55	11	5.71	11	-0.01	22
1799	-452	-484	Min.	2.51	122.91	22	18.62	22	-2.63	21	1.76	23	-1.55	24	-0.03	21
1799	-452	-484	Min.	16.87	123.90	22	20.04	22	1.90	22	3.20	23	1.03	23	-0.03	21
1799	-484	1301	Max	2.51	875.56	21	159.58	21	-0.69	22	46.70	24	0.61	23	-0.01	22
1799	-484	1301	Max	14.38	876.63	21	158.53	21	16.92	21	47.43	24	5.25	24	-0.01	22
1799	-484	1301	Min.	2.51	188.95	22	55.55	22	-1.97	21	-0.08	23	-0.64	22	-0.04	21
1799	-484	1301	Min.	14.38	189.77	22	56.73	22	5.97	22	1.12	23	0.67	23	-0.04	21
1800	342	-12	Max	4.85	0.00	11	0.00	11	0.00	11	0.00	11	0.00	11	0.00	11
1800	342	-12	Min.	4.85	0.00	11	0.00	11	0.00	11	0.00	11	0.00	11	0.00	11
1800	-12	-44	Max	4.85	0.00	11	0.00	11	0.00	11	0.00	11	0.00	11	0.00	11
1800	-12	-44	Min.	4.85	0.00	11	0.00	11	0.00	11	0.00	11	0.00	11	0.00	11
1800	-44	-76	Max	5.01	323.06	23	33.96	11	1.04	23	-3.59	22	6.79	21	0.02	11
1800	-44	-76	Max	16.87	323.88	23	33.96	11	0.89	21	-3.57	22	0.01	23	0.02	11
1800	-44	-76	Min.	5.01	-590.68	24	-4.27	23	-3.46	11	-60.74	21	0.31	22	-0.01	23
1800	-44	-76	Min.	16.87	-589.83	24	-3.09	23	0.08	22	-59.66	21	-0.60	11	-0.01	23
1800	-76	-108	Max	2.51	259.16	23	36.53	11	1.14	23	-8.77	22	5.54	21	0.01	11
1800	-76	-108	Max	16.87	260.15	23	36.53	11	2.32	11	-8.75	22	-0.51	22	0.01	11
1800	-76	-108	Min.	2.51	-626.31	24	-6.09	23	-2.93	11	-62.97	21	0.75	22	-0.01	23
1800	-76	-108	Min.	16.87	-625.29	24	-4.67	23	0.37	23	-61.66	21	-3.41	21	-0.01	23
1800	-108	-140	Max	2.51	177.03	23	37.27	11	0.98	23	-9.69	22	4.77	21	0.00	24
1800	-108	-140	Max	16.87	178.02	23	37.27	11	2.82	11	-9.67	22	-0.70	22	0.00	24
1800	-108	-140	Min.	2.51	-674.15	24	-5.04	23	-2.53	11	-63.24	21	0.69	22	-0.01	23
1800	-108	-140	Min.	16.87	-673.13	24	-3.62	23	0.35	23	-61.93	21	-4.22	21	-0.01	23
1800	-140	-172	Max	2.51	88.98	23	38.13	11	0.90	23	-10.92	22	4.54	21	0.00	22
1800	-140	-172	Max	16.87	89.97	23	38.13	11	3.05	11	-10.89	22	-0.83	22	0.00	22
1800	-140	-172	Min.	2.51	-727.59	24	-4.16	23	-2.43	11	-63.85	21	0.73	22	-0.01	21
1800	-140	-172	Min.	16.87	-726.57	24	-2.73	23	0.41	23	-62.54	21	-4.53	21	-0.01	21
1800	-172	-204	Max	2.51	-2.18	23	39.02	11	0.84	23	-12.19	22	4.42	21	0.00	22
1800	-172	-204	Max	16.87	-1.20	23	39.02	11	3.23	11	-12.16	22	-0.96	22	0.00	22
1800	-172	-204	Min.	2.51	-785.28	24	-3.25	23	-2.38	11	-64.48	21	0.79	22	-0.01	21
1800	-172	-204	Min.	16.87	-784.26	24	-1.83	23	0.47	23	-63.17	21	-4.75	21	-0.01	21
1800	-204	-236	Max	2.51	-95.98	23	39.98	11	0.78	23	-13.47	22	4.31	21	0.00	22
1800	-204	-236	Max	16.87	-94.99	23	39.98	11	3.40	11	-13.45	22	-1.09	22	0.00	22
1800	-204	-236	Min.	2.51	-847.12	24	-2.34	23	-2.34	11	-65.15	21	0.84	22	-0.01	21
1800	-204	-236	Min.	16.87	-846.10	24	-0.92	23	0.55	23	-63.84	21	-4.96	21	-0.01	21
1800	-236	-268	Max	2.51	-192.42	23	40.93	11	0.73	23	-14.84	22	4.20	21	0.00	22
1800	-236	-268	Max	16.87	-191.43	23	40.93	11	3.58	11	-14.81	22	-1.23	22	0.00	22
1800	-236	-268	Min.	2.51	-919.74	11	-1.43	23	-2.30	11	-65.94	21	0.90	22	-0.01	21
1800	-236	-268	Min.	16.87	-918.72	11	-0.01	23	0.63	23	-64.64	21	-5.18	21	-0.01	21
1800	-268	-300	Max	2.51	-291.68	23	42.00	11	0.67	23	-16.20	22	4.07	21	0.00	22
1800	-268	-300	Max	16.87	-290.69	23	42.00	11	3.78	11	-16.17	22	-1.38	22	0.00	22
1800	-268	-300	Min.	2.51	-997.50	11	-0.46	23	-2.25	11	-66.71	21	0.94	22	-0.01	21
1800	-268	-300	Min.	16.87	-996.48	11	0.96	23	0.71	23	-65.40	21	-5.42	21	-0.01	21
1800	-300	-332	Max	2.51	-393.93	23	43.04	11	0.62	23	-17.65	22	3.94	21	0.00	22
1800	-300	-332	Max	16.87	-392.94	23	43.04	11	3.99	11	-17.63	22	-1.54	22	0.00	22
1800	-300	-332	Min.	2.51	-1079.32	11	0.49	23	-2.19	11	-67.62	21	0.99	22	-0.01	21
1800	-300	-332	Min.	16.87	-1078.30	11	1.91	23	0.79	23	-66.31	21	-5.68	21	-0.01	21
1800	-332	-364	Max	2.51	-499.41	23	44.20	11	0.57	23	-19.13	22	3.79	21	0.00	22
1800	-332	-364	Max	16.87	-498.42	23	44.20	11	4.22	11	-19.10	22	-1.72	22	0.00	22
1800	-332	-364	Min.	2.51	-1165.52	11	1.50	23	-2.15	24	-68.55	21	1.03	22	-0.01	21
1800	-332	-364	Min.	16.87	-1164.50	11	2.93	23	0.89	23	-67.24	21	-5.96	21	-0.01	21
1800	-364	-396	Max	2.51	-608.36	23	45.45	11	0.52	23	-20.61	22	3.63	21	0.00	22
1800	-364	-396	Max	16.87	-607.37	23	45.45	11	4.47	11	-20.59	22	-1.89	22	0.00	22
1800	-364	-396	Min.	2.51	-1310.33	21	2.55	23	-2.12	24	-69.47	21	1.06	22	-0.01	21
1800	-364	-396	Min.	16.87	-1309.03	21	3.97	23	0.99	23	-68.16	21	-6.26	21	-0.01	21

1800	-396	-428	Max	2.51	-720.96	23	46.46	11	0.47	23	-22.51	22	3.44	21	0.00	22
1800	-396	-428	Max	16.87	-719.97	23	46.46	11	4.71	11	-22.49	22	-2.14	22	0.00	22
1800	-396	-428	Min.	2.51	-1471.54	21	3.49	23	-2.07	24	-71.12	21	1.09	22	-0.01	21
1800	-396	-428	Min.	16.87	-1470.24	21	4.91	23	1.07	23	-69.81	21	-6.68	21	-0.01	21
1800	-428	-460	Max	2.51	-779.09	22	49.80	11	0.42	23	-21.86	22	3.18	21	-0.00	22
1800	-428	-460	Max	16.87	-778.07	22	49.80	11	5.31	11	-21.83	22	-2.05	22	-0.00	22
1800	-428	-460	Min.	2.51	-1639.44	21	5.56	23	-1.99	24	-68.01	21	1.09	22	-0.01	21
1800	-428	-460	Min.	16.87	-1638.14	21	6.98	23	1.32	23	-66.70	21	-6.49	21	-0.01	21
1800	-460	-492	Max	2.51	-835.82	22	38.30	24	0.42	23	-39.35	22	2.91	21	-0.01	22
1800	-460	-492	Max	16.87	-834.80	22	38.30	24	3.84	11	-39.33	22	-4.54	22	-0.01	22
1800	-460	-492	Min.	2.51	-1811.06	21	-0.25	23	-1.66	24	-98.70	21	1.11	22	-0.02	21
1800	-460	-492	Min.	16.87	-1809.76	21	1.17	23	0.48	23	-97.39	21	-11.17	21	-0.02	21
1800	-492	1321	Max	2.51	-893.95	22	120.81	11	-0.12	23	79.98	24	-0.35	23	-0.00	23
1800	-492	1321	Max	14.38	-893.10	22	120.81	11	13.04	11	80.00	24	8.06	24	-0.00	23
1800	-492	1321	Min.	2.51	-1976.63	21	40.57	23	-1.38	24	26.81	23	-1.54	11	-0.02	24
1800	-492	1321	Min.	14.38	-1975.56	21	41.75	23	4.76	23	28.00	23	2.91	23	-0.02	24
1801	348	-16	Max	4.85	0.00	11	0.00	11	0.00	11	0.00	11	0.00	11	0.00	11
1801	348	-16	Min.	4.85	0.00	11	0.00	11	0.00	11	0.00	11	0.00	11	0.00	11
1801	-16	-48	Max	4.85	0.00	11	0.00	11	0.00	11	0.00	11	0.00	11	0.00	11
1801	-16	-48	Min.	4.85	0.00	11	0.00	11	0.00	11	0.00	11	0.00	11	0.00	11
1801	-48	-80	Max	5.01	497.13	23	12.72	11	1.99	23	4.74	22	5.31	21	0.01	11
1801	-48	-80	Max	16.87	497.95	23	12.72	11	0.73	21	4.76	22	0.25	23	0.01	11
1801	-48	-80	Min.	5.01	-172.63	11	-12.83	23	-1.08	11	-44.40	21	-0.32	22	-0.01	23
1801	-48	-80	Min.	16.87	-171.79	11	-11.65	23	0.00	22	-43.31	21	-0.17	11	-0.01	23
1801	-80	-112	Max	2.51	448.81	23	12.97	11	2.00	23	2.38	22	4.09	21	0.01	11
1801	-80	-112	Max	16.87	449.80	23	12.97	11	1.08	11	2.40	22	0.34	22	0.01	11
1801	-80	-112	Min.	2.51	-196.94	11	-15.67	23	-0.79	11	-43.33	21	0.00	22	-0.01	23
1801	-80	-112	Min.	16.87	-195.92	11	-14.25	23	-0.29	22	-42.02	21	-2.04	21	-0.01	23
1801	-112	-144	Max	2.51	386.90	23	13.28	11	1.74	23	1.58	22	3.55	21	0.01	11
1801	-112	-144	Max	16.87	387.89	23	13.28	11	1.27	11	1.60	22	0.31	22	0.01	11
1801	-112	-144	Min.	2.51	-229.24	11	-14.80	23	-0.64	11	-43.33	21	0.08	22	-0.00	23
1801	-112	-144	Min.	16.87	-228.22	11	-13.38	23	-0.31	22	-42.02	21	-2.58	21	-0.00	23
1801	-144	-176	Max	2.51	320.88	23	13.59	11	1.64	23	0.60	22	3.38	21	0.01	24
1801	-144	-176	Max	16.87	321.87	23	13.59	11	1.36	11	0.63	22	0.25	22	0.01	24
1801	-144	-176	Min.	2.51	-264.71	11	-14.14	23	-0.60	11	-43.47	21	0.16	22	0.00	23
1801	-144	-176	Min.	16.87	-263.69	11	-12.71	23	-0.29	23	-42.16	21	-2.77	21	0.00	23
1801	-176	-208	Max	2.51	252.94	23	13.93	11	1.57	23	-0.37	22	3.28	21	0.01	24
1801	-176	-208	Max	16.87	253.92	23	13.93	11	1.43	11	-0.35	22	0.18	22	0.01	24
1801	-176	-208	Min.	2.51	-302.30	11	-13.48	23	-0.57	11	-43.61	21	0.23	22	0.00	23
1801	-176	-208	Min.	16.87	-301.27	11	-12.06	23	-0.26	23	-42.30	21	-2.89	21	0.00	23
1801	-208	-240	Max	2.51	183.51	23	14.27	11	1.51	23	-1.38	22	3.20	21	0.01	24
1801	-208	-240	Max	16.87	184.50	23	14.27	11	1.50	11	-1.36	22	0.11	22	0.01	24
1801	-208	-240	Min.	2.51	-341.85	11	-12.82	23	-0.55	11	-43.79	21	0.30	22	0.00	23
1801	-208	-240	Min.	16.87	-340.83	11	-11.40	23	-0.23	23	-42.48	21	-3.00	21	0.00	23
1801	-240	-272	Max	2.51	112.62	23	14.61	11	1.45	23	-2.43	22	3.11	21	0.01	24
1801	-240	-272	Max	16.87	113.61	23	14.61	11	1.58	11	-2.40	22	0.03	22	0.01	24
1801	-240	-272	Min.	2.51	-383.48	11	-12.16	23	-0.52	11	-44.02	21	0.37	22	0.00	23
1801	-240	-272	Min.	16.87	-382.46	11	-10.73	23	-0.19	23	-42.71	21	-3.12	21	0.00	23
1801	-272	-304	Max	2.51	40.17	23	15.00	11	1.39	23	-3.48	22	3.01	21	0.01	24
1801	-272	-304	Max	16.87	41.16	23	15.00	11	1.66	11	-3.46	22	-0.06	22	0.01	24
1801	-272	-304	Min.	2.51	-427.30	11	-11.47	23	-0.49	11	-44.25	21	0.44	22	0.00	23
1801	-272	-304	Min.	16.87	-426.28	11	-10.05	23	-0.16	23	-42.94	21	-3.25	21	0.00	23
1801	-304	-336	Max	2.51	-33.92	23	15.37	11	1.33	23	-4.58	22	2.92	21	0.01	24
1801	-304	-336	Max	16.87	-32.93	23	15.37	11	1.75	11	-4.56	22	-0.15	22	0.01	24
1801	-304	-336	Min.	2.51	-473.47	11	-10.79	23	-0.46	11	-44.55	21	0.51	22	0.00	23
1801	-304	-336	Min.	16.87	-472.44	11	-9.37	23	-0.12	23	-43.24	21	-3.39	21	0.00	23
1801	-336	-368	Max	2.51	-88.67	22	15.77	11	1.27	23	-5.71	22	2.81	21	0.01	24
1801	-336	-368	Max	16.87	-87.65	22	15.77	11	1.84	11	-5.69	22	-0.25	22	0.01	24
1801	-336	-368	Min.	2.51	-522.17	11	-10.09	23	-0.42	11	-44.87	21	0.57	22	0.00	23

1801	-336	-368	Min.	16.87	-521.15	11	-8.67	23	-0.08	23	-43.56	21	-3.54	21	0.00	23
1801	-368	-400	Max	2.51	-101.19	22	16.25	11	1.20	23	-6.85	22	2.69	21	0.01	24
1801	-368	-400	Max	16.87	-100.17	22	16.25	11	1.95	11	-6.83	22	-0.35	22	0.01	24
1801	-368	-400	Min.	2.51	-573.59	11	-9.36	23	-0.38	11	-45.16	21	0.63	22	0.00	23
1801	-368	-400	Min.	16.87	-572.57	11	-7.94	23	-0.04	23	-43.85	21	-3.71	21	0.00	23
1801	-400	-432	Max	2.51	-116.84	22	16.55	11	1.14	23	-8.14	22	2.56	21	0.01	24
1801	-400	-432	Max	16.87	-115.82	22	16.55	11	2.05	11	-8.12	22	-0.48	22	0.01	24
1801	-400	-432	Min.	2.51	-627.88	11	-8.72	23	-0.33	11	-45.84	21	0.69	22	0.00	23
1801	-400	-432	Min.	16.87	-626.86	11	-7.30	23	-0.01	23	-44.53	21	-3.93	21	0.00	23
1801	-432	-464	Max	2.51	-135.83	22	18.22	11	1.07	23	-8.69	22	2.38	21	0.01	24
1801	-432	-464	Max	16.87	-134.81	22	18.22	11	2.34	11	-8.66	22	-0.51	22	0.01	24
1801	-432	-464	Min.	2.51	-730.52	21	-7.32	23	-0.31	24	-44.23	21	0.73	22	0.00	23
1801	-432	-464	Min.	16.87	-729.23	21	-5.90	23	0.12	23	-42.92	21	-3.88	21	0.00	23
1801	-464	-496	Max	2.51	-157.74	22	10.33	11	0.98	23	-14.71	22	2.15	21	0.01	24
1801	-464	-496	Max	16.87	-156.72	22	10.33	11	1.37	11	-14.69	22	-1.35	22	0.01	24
1801	-464	-496	Min.	2.51	-839.96	21	-11.21	23	-0.21	24	-58.83	21	0.76	22	0.00	23
1801	-464	-496	Min.	16.87	-838.66	21	-9.79	23	-0.52	23	-57.52	21	-6.21	21	0.00	23
1801	-496	1327	Max	2.51	-180.20	22	59.25	11	0.26	23	33.86	11	0.18	23	0.01	21
1801	-496	1327	Max	14.38	-179.35	22	59.25	11	6.65	11	33.88	11	3.41	11	0.01	21
1801	-496	1327	Min.	2.51	-943.13	21	15.08	22	-0.39	11	1.78	23	-0.61	11	0.00	22
1801	-496	1327	Min.	14.38	-942.05	21	15.08	22	1.60	22	2.97	23	0.46	23	0.00	22
1802	339	-10	Max	4.85	0.00	11	0.00	11	0.00	11	0.00	11	0.00	11	0.00	11
1802	339	-10	Min.	4.85	0.00	11	0.00	11	0.00	11	0.00	11	0.00	11	0.00	11
1802	-10	-42	Max	4.85	0.00	11	0.00	11	0.00	11	0.00	11	0.00	11	0.00	11
1802	-10	-42	Min.	4.85	0.00	11	0.00	11	0.00	11	0.00	11	0.00	11	0.00	11
1802	-42	-74	Max	5.01	248.42	23	18.66	11	1.38	23	9.20	22	4.02	21	0.01	11
1802	-42	-74	Max	16.87	249.23	23	18.66	11	0.47	21	9.22	22	0.04	23	0.01	11
1802	-42	-74	Min.	5.01	-495.75	24	-9.19	23	-1.99	11	-36.43	21	-1.11	22	-0.01	23
1802	-42	-74	Min.	16.87	-494.91	24	-8.02	23	-0.20	22	-35.34	21	-0.46	11	-0.01	23
1802	-74	-106	Max	2.51	206.28	23	20.70	11	1.33	23	5.43	22	3.22	21	0.00	12
1802	-74	-106	Max	16.87	207.27	23	20.70	11	1.22	11	5.45	22	0.26	22	0.00	12
1802	-74	-106	Min.	2.51	-502.02	24	-10.64	23	-1.76	11	-37.48	21	-0.52	22	-0.01	23
1802	-74	-106	Min.	16.87	-501.00	24	-9.22	23	-0.28	22	-36.17	21	-2.07	21	-0.01	23
1802	-106	-138	Max	2.51	152.38	23	21.09	11	1.13	23	4.75	22	2.73	21	-0.00	22
1802	-106	-138	Max	16.87	153.37	23	21.09	11	1.50	11	4.78	22	0.26	22	-0.00	22
1802	-106	-138	Min.	2.51	-523.52	11	-9.75	23	-1.53	11	-37.26	21	-0.42	22	-0.01	21
1802	-106	-138	Min.	16.87	-522.50	11	-8.32	23	-0.24	22	-35.95	21	-2.53	21	-0.01	21
1802	-138	-170	Max	2.51	95.11	23	21.56	11	1.03	23	3.85	22	2.57	21	-0.00	22
1802	-138	-170	Max	16.87	96.10	23	21.56	11	1.63	11	3.88	22	0.22	22	-0.00	22
1802	-138	-170	Min.	2.51	-549.50	11	-8.97	23	-1.47	11	-37.27	21	-0.34	22	-0.01	21
1802	-138	-170	Min.	16.87	-548.48	11	-7.55	23	-0.18	22	-35.96	21	-2.69	21	-0.01	21
1802	-170	-202	Max	2.51	36.40	23	22.06	11	0.97	23	2.94	22	2.47	21	-0.00	22
1802	-170	-202	Max	16.87	37.39	23	22.06	11	1.72	11	2.96	22	0.15	22	-0.00	22
1802	-170	-202	Min.	2.51	-577.09	11	-8.20	23	-1.45	11	-37.28	21	-0.27	22	-0.01	21
1802	-170	-202	Min.	16.87	-576.06	11	-6.78	23	-0.11	23	-35.97	21	-2.79	21	-0.01	21
1802	-202	-234	Max	2.51	-23.35	23	22.59	11	0.90	23	2.00	22	2.38	21	-0.00	22
1802	-202	-234	Max	16.87	-22.36	23	22.59	11	1.81	11	2.03	22	0.09	22	-0.00	22
1802	-202	-234	Min.	2.51	-606.16	11	-7.42	23	-1.43	11	-37.32	21	-0.20	22	-0.01	21
1802	-202	-234	Min.	16.87	-605.14	11	-6.00	23	-0.06	23	-36.01	21	-2.88	21	-0.01	21
1802	-234	-266	Max	2.51	-84.09	23	23.15	11	0.84	23	1.05	22	2.29	21	-0.00	22
1802	-234	-266	Max	16.87	-83.11	23	23.15	11	1.91	11	1.07	22	0.01	22	-0.00	22
1802	-234	-266	Min.	2.51	-636.78	11	-6.62	23	-1.41	11	-37.38	21	-0.14	22	-0.01	21
1802	-234	-266	Min.	16.87	-635.76	11	-5.20	23	-0.01	23	-36.07	21	-2.98	21	-0.01	21
1802	-266	-298	Max	2.51	-145.88	23	23.73	11	0.77	23	0.07	22	2.20	21	-0.00	22
1802	-266	-298	Max	16.87	-144.89	23	23.73	11	2.01	11	0.09	22	-0.06	22	-0.00	22
1802	-266	-298	Min.	2.51	-669.05	11	-5.81	23	-1.39	11	-37.46	21	-0.07	22	-0.01	21
1802	-266	-298	Min.	16.87	-668.03	11	-4.38	23	0.04	23	-36.15	21	-3.09	21	-0.01	21
1802	-298	-330	Max	2.51	-208.78	23	24.34	11	0.71	23	-0.94	22	2.10	21	-0.00	22
1802	-298	-330	Max	16.87	-207.79	23	24.34	11	2.13	11	-0.91	22	-0.14	22	-0.00	22

1802	-298	-330	Min.	2.51	-703.09	11	-4.97	23	-1.37	11	-37.57	21	-0.01	22	-0.01	21
1802	-298	-330	Min.	16.87	-702.07	11	-3.55	23	0.09	23	-36.26	21	-3.21	21	-0.01	21
1802	-330	-362	Max	2.51	-272.87	23	24.98	11	0.64	23	-1.97	22	1.99	21	-0.00	22
1802	-330	-362	Max	16.87	-271.88	23	24.98	11	2.25	11	-1.95	22	-0.23	22	-0.00	22
1802	-330	-362	Min.	2.51	-739.02	11	-4.13	23	-1.34	11	-37.71	21	0.05	22	-0.01	21
1802	-330	-362	Min.	16.87	-738.00	11	-2.70	23	0.15	23	-36.40	21	-3.34	21	-0.01	21
1802	-362	-394	Max	2.51	-291.91	22	25.67	11	0.58	23	-3.02	22	1.87	21	-0.00	22
1802	-362	-394	Max	16.87	-290.89	22	25.67	11	2.38	11	-2.99	22	-0.32	22	-0.00	22
1802	-362	-394	Min.	2.51	-777.00	11	-3.25	23	-1.30	11	-37.84	21	0.11	22	-0.02	21
1802	-362	-394	Min.	16.87	-775.98	11	-1.82	23	0.21	23	-36.53	21	-3.47	21	-0.02	21
1802	-394	-426	Max	2.51	-297.83	22	26.26	11	0.51	23	-4.24	22	1.75	21	-0.00	22
1802	-394	-426	Max	16.87	-296.81	22	26.26	11	2.51	11	-4.22	22	-0.44	22	-0.00	22
1802	-394	-426	Min.	2.51	-850.04	21	-2.42	23	-1.26	11	-38.37	21	0.17	22	-0.02	21
1802	-394	-426	Min.	16.87	-848.75	21	-1.00	23	0.27	23	-37.06	21	-3.67	21	-0.02	21
1802	-426	-458	Max	2.51	-306.60	22	27.98	11	0.44	23	-4.40	22	1.58	21	-0.01	22
1802	-426	-458	Max	16.87	-305.58	22	27.98	11	2.82	11	-4.38	22	-0.41	22	-0.01	22
1802	-426	-458	Min.	2.51	-938.37	21	-1.02	23	-1.24	24	-36.19	21	0.22	22	-0.02	21
1802	-426	-458	Min.	16.87	-937.07	21	0.40	23	0.40	23	-34.88	21	-3.53	21	-0.02	21
1802	-458	-490	Max	2.51	-318.00	22	22.11	11	0.39	23	-12.08	22	1.42	21	-0.01	22
1802	-458	-490	Max	16.87	-316.98	22	22.11	11	2.17	11	-12.06	22	-1.44	22	-0.01	22
1802	-458	-490	Min.	2.51	-1027.75	21	-3.43	23	-1.11	24	-52.80	21	0.28	12	-0.02	21
1802	-458	-490	Min.	16.87	-1026.45	21	-2.01	23	-0.00	23	-51.49	21	-6.07	21	-0.02	21
1802	-490	1318	Max	2.51	-331.68	22	61.53	11	0.01	23	48.46	11	-0.20	23	-0.01	23
1802	-490	1318	Max	14.38	-330.83	22	61.53	11	6.53	11	48.48	11	4.66	11	-0.01	23
1802	-490	1318	Min.	2.51	-1113.53	21	13.08	22	-0.77	11	14.38	23	-1.09	11	-0.02	24
1802	-490	1318	Min.	14.38	-1112.45	21	13.08	22	1.11	22	15.57	23	1.58	23	-0.02	24
1803	315	-2	Max	4.85	0.00	11	0.00	11	0.00	11	0.00	11	0.00	11	0.00	11
1803	315	-2	Min.	4.85	0.00	11	0.00	11	0.00	11	0.00	11	0.00	11	0.00	11
1803	-2	-34	Max	4.85	0.00	11	0.00	11	0.00	11	0.00	11	0.00	11	0.00	11
1803	-2	-34	Min.	4.85	0.00	11	0.00	11	0.00	11	0.00	11	0.00	11	0.00	11
1803	-34	-66	Max	5.01	349.75	23	39.47	21	0.48	22	21.54	11	2.02	23	0.02	21
1803	-34	-66	Max	16.87	350.57	23	38.41	21	0.42	11	21.55	11	0.41	21	0.02	21
1803	-34	-66	Min.	5.01	-366.21	24	-4.44	22	-4.30	21	-14.70	23	-2.41	11	-0.00	22
1803	-34	-66	Min.	16.87	-365.38	24	-3.26	22	0.02	22	-13.50	23	-0.21	22	-0.00	22
1803	-66	-98	Max	2.51	334.35	23	40.14	21	0.50	22	18.57	11	1.52	23	0.00	23
1803	-66	-98	Max	16.87	335.33	23	38.86	21	2.24	21	18.59	11	1.10	11	0.00	23
1803	-66	-98	Min.	2.51	-349.11	24	-5.35	22	-3.44	21	-13.24	23	-1.57	11	-0.00	22
1803	-66	-98	Min.	16.87	-348.11	24	-3.93	22	-0.17	22	-11.80	23	-0.28	22	-0.00	22
1803	-98	-130	Max	2.51	315.23	23	40.07	21	0.36	22	19.15	11	1.33	23	-0.00	22
1803	-98	-130	Max	16.87	316.22	23	38.79	21	2.73	21	19.17	11	1.36	11	-0.00	22
1803	-98	-130	Min.	2.51	-330.75	22	-4.43	22	-2.94	21	-12.61	23	-1.39	11	-0.01	21
1803	-98	-130	Min.	16.87	-329.76	22	-3.01	22	-0.17	22	-11.16	23	-0.38	23	-0.01	21
1803	-130	-162	Max	2.51	295.89	23	40.05	21	0.28	22	19.55	11	1.24	23	-0.00	22
1803	-130	-162	Max	16.87	296.88	23	38.77	21	2.90	21	19.57	11	1.48	11	-0.00	22
1803	-130	-162	Min.	2.51	-329.87	22	-3.56	22	-2.77	21	-11.94	23	-1.33	11	-0.01	21
1803	-130	-162	Min.	16.87	-328.88	22	-2.13	22	-0.13	22	-10.49	23	-0.37	23	-0.01	21
1803	-162	-194	Max	2.51	277.22	23	40.07	21	0.22	22	19.98	11	1.18	23	-0.00	22
1803	-162	-194	Max	16.87	278.20	23	38.79	21	3.00	21	20.01	11	1.57	11	-0.00	22
1803	-162	-194	Min.	2.51	-327.19	22	-2.67	22	-2.67	21	-11.23	23	-1.31	11	-0.02	21
1803	-162	-194	Min.	16.87	-326.21	22	-1.25	22	-0.07	22	-9.79	23	-0.33	23	-0.02	21
1803	-194	-226	Max	2.51	259.46	23	40.11	21	0.15	22	20.44	11	1.12	23	-0.00	22
1803	-194	-226	Max	16.87	260.45	23	38.83	21	3.09	21	20.46	11	1.65	11	-0.00	22
1803	-194	-226	Min.	2.51	-322.54	22	-1.77	22	-2.58	21	-10.52	23	-1.28	11	-0.02	21
1803	-194	-226	Min.	16.87	-321.56	22	-0.35	22	0.00	22	-9.08	23	-0.29	23	-0.02	21
1803	-226	-258	Max	2.51	242.75	23	40.18	21	0.09	22	20.92	11	1.06	23	-0.00	22
1803	-226	-258	Max	16.87	243.74	23	38.90	21	3.19	21	20.94	11	1.75	11	-0.00	22
1803	-226	-258	Min.	2.51	-315.76	22	-0.85	22	-2.49	21	-9.80	23	-1.26	11	-0.02	21
1803	-226	-258	Min.	16.87	-314.77	22	0.57	22	0.07	22	-8.35	23	-0.25	23	-0.02	21
1803	-258	-290	Max	2.51	227.16	23	40.26	21	0.03	22	21.43	11	1.00	23	-0.00	22

1803	-258	-290	Max	16.87	228.15	23	38.98	21	3.30	21	21.45	11	1.84	11	-0.00	22
1803	-258	-290	Min.	2.51	-306.68	22	0.09	22	-2.39	21	-9.06	23	-1.24	11	-0.02	21
1803	-258	-290	Min.	16.87	-305.69	22	1.52	22	0.14	22	-7.62	23	-0.20	23	-0.02	21
1803	-290	-322	Max	2.51	227.44	21	40.38	21	-0.03	22	21.96	11	0.94	23	-0.00	22
1803	-290	-322	Max	16.87	228.73	21	39.10	21	3.42	21	21.98	11	1.95	11	-0.00	22
1803	-290	-322	Min.	2.51	-295.13	22	1.06	22	-2.29	21	-8.31	23	-1.20	11	-0.02	21
1803	-290	-322	Min.	16.87	-294.14	22	2.48	22	0.22	22	-6.87	23	-0.15	23	-0.02	21
1803	-322	-354	Max	2.51	246.62	21	40.52	21	-0.09	22	22.51	11	0.88	23	-0.00	22
1803	-322	-354	Max	16.87	247.92	21	39.24	21	3.55	21	22.54	11	2.07	11	-0.00	22
1803	-322	-354	Min.	2.51	-280.92	22	2.05	22	-2.18	21	-7.55	23	-1.17	11	-0.02	21
1803	-322	-354	Min.	16.87	-279.93	22	3.47	22	0.30	22	-6.10	23	-0.10	23	-0.02	21
1803	-354	-386	Max	2.51	268.66	21	40.71	21	-0.15	22	23.10	11	0.82	23	-0.00	22
1803	-354	-386	Max	16.87	269.96	21	39.43	21	3.69	21	23.12	11	2.19	11	-0.00	22
1803	-354	-386	Min.	2.51	-263.83	22	3.08	22	-2.07	21	-6.76	23	-1.13	11	-0.02	21
1803	-354	-386	Min.	16.87	-262.84	22	4.50	22	0.39	22	-5.32	23	-0.05	23	-0.02	21
1803	-386	-418	Max	2.51	293.79	21	40.72	21	-0.21	22	23.74	11	0.76	23	-0.00	22
1803	-386	-418	Max	16.87	295.09	21	39.44	21	3.82	21	23.76	11	2.33	11	-0.00	22
1803	-386	-418	Min.	2.51	-243.64	22	4.09	22	-1.94	21	-5.97	23	-1.08	11	-0.02	21
1803	-386	-418	Min.	16.87	-242.65	22	5.51	22	0.48	22	-4.53	23	0.01	23	-0.02	21
1803	-418	-450	Max	2.51	322.20	21	42.38	21	-0.25	22	24.25	11	0.70	23	-0.00	22
1803	-418	-450	Max	16.87	323.50	21	41.10	21	4.21	21	24.28	11	2.48	11	-0.00	22
1803	-418	-450	Min.	2.51	-220.20	22	5.43	22	-1.79	21	-5.11	23	-1.04	24	-0.02	21
1803	-418	-450	Min.	16.87	-219.21	22	6.85	22	0.63	22	-3.66	23	0.07	23	-0.02	21
1803	-450	-482	Max	2.51	354.01	21	32.84	21	-0.19	12	25.97	11	0.62	23	-0.01	22
1803	-450	-482	Max	16.87	355.30	21	31.56	21	3.21	21	26.00	11	2.87	11	-0.01	22
1803	-450	-482	Min.	2.51	-193.61	22	4.78	22	-1.42	21	-4.49	23	-0.93	24	-0.03	21
1803	-450	-482	Min.	16.87	-192.62	22	6.20	22	0.53	22	-3.05	23	0.07	23	-0.03	21
1803	-482	1298	Max	2.51	392.02	11	90.22	21	-0.23	22	33.72	22	0.39	23	-0.01	22
1803	-482	1298	Max	14.38	392.86	11	89.17	21	9.57	21	34.92	22	3.36	24	-0.01	22
1803	-482	1298	Min.	2.51	-168.09	22	16.32	22	-1.08	21	-2.32	23	-0.73	22	-0.03	21
1803	-482	1298	Min.	14.38	-167.27	22	17.50	22	1.78	22	-1.12	23	0.19	23	-0.03	21
1804	321	-6	Max	4.85	0.00	11	0.00	11	0.00	11	0.00	11	0.00	11	0.00	11
1804	321	-6	Min.	4.85	0.00	11	0.00	11	0.00	11	0.00	11	0.00	11	0.00	11
1804	-6	-38	Max	4.85	0.00	11	0.00	11	0.00	11	0.00	11	0.00	11	0.00	11
1804	-6	-38	Min.	4.85	0.00	11	0.00	11	0.00	11	0.00	11	0.00	11	0.00	11
1804	-38	-70	Max	5.01	471.91	23	63.48	21	-1.17	22	35.77	11	2.12	23	0.05	21
1804	-38	-70	Max	16.87	472.72	23	62.42	21	0.45	11	35.79	11	0.87	21	0.05	21
1804	-38	-70	Min.	5.01	-418.06	24	9.60	22	-7.15	21	-13.24	23	-3.72	11	0.01	22
1804	-38	-70	Min.	16.87	-417.23	24	10.77	22	0.04	22	-12.05	23	0.10	22	0.01	22
1804	-70	-102	Max	2.51	459.41	23	65.62	21	-0.87	22	32.04	11	1.62	23	0.02	21
1804	-70	-102	Max	16.87	460.40	23	64.34	21	3.48	21	32.07	11	2.14	11	0.02	21
1804	-70	-102	Min.	2.51	-377.57	24	9.21	22	-5.86	21	-11.50	23	-2.47	11	0.01	22
1804	-70	-102	Min.	16.87	-376.56	24	10.64	22	0.56	22	-10.06	23	0.07	23	0.01	22
1804	-102	-134	Max	2.51	443.97	23	66.00	21	-0.84	22	32.98	11	1.46	23	0.01	24
1804	-102	-134	Max	16.87	444.96	23	64.72	21	4.32	21	33.00	11	2.59	11	0.01	24
1804	-102	-134	Min.	2.51	-324.83	24	10.38	22	-5.07	21	-10.85	23	-2.15	11	0.00	23
1804	-102	-134	Min.	16.87	-323.83	24	11.80	22	0.75	22	-9.41	23	0.00	23	0.00	23
1804	-134	-166	Max	2.51	428.61	23	66.56	21	-0.88	22	33.66	11	1.38	23	0.01	24
1804	-134	-166	Max	16.87	429.60	23	65.28	21	4.65	21	33.69	11	2.80	11	0.01	24
1804	-134	-166	Min.	2.51	-299.95	22	11.59	22	-4.82	21	-10.17	23	-2.04	11	-0.01	23
1804	-134	-166	Min.	16.87	-298.96	22	13.01	22	0.89	22	-8.72	23	0.03	23	-0.01	23
1804	-166	-198	Max	2.51	414.14	23	67.17	21	-0.92	22	34.41	11	1.33	23	0.01	24
1804	-166	-198	Max	16.87	415.13	23	65.89	21	4.87	21	34.44	11	2.95	11	0.01	24
1804	-166	-198	Min.	2.51	-274.72	22	12.82	22	-4.69	21	-9.42	23	-1.99	11	-0.01	23
1804	-166	-198	Min.	16.87	-273.73	22	14.24	22	1.02	22	-7.97	23	0.08	23	-0.01	23
1804	-198	-230	Max	2.51	400.78	23	67.87	21	-0.97	22	35.21	11	1.28	23	0.01	24
1804	-198	-230	Max	16.87	401.77	23	66.59	21	5.08	21	35.23	11	3.11	11	0.01	24
1804	-198	-230	Min.	2.51	-246.42	22	14.08	22	-4.57	21	-8.69	23	-1.95	11	-0.01	23
1804	-198	-230	Min.	16.87	-245.43	22	15.50	22	1.15	22	-7.24	23	0.13	23	-0.01	23

1804	-230	-262	Max	2.51	406.86	21	68.59	21	-1.01	22	36.03	11	1.23	23	0.01	24
1804	-230	-262	Max	16.87	408.16	21	67.31	21	5.31	21	36.06	11	3.28	11	0.01	24
1804	-230	-262	Min.	2.51	-214.84	22	15.38	22	-4.45	21	-7.91	23	-1.90	11	-0.01	23
1804	-230	-262	Min.	16.87	-213.85	22	16.80	22	1.30	22	-6.47	23	0.19	23	-0.01	23
1804	-262	-294	Max	2.51	447.70	21	69.38	21	-1.06	22	36.90	11	1.18	23	0.01	24
1804	-262	-294	Max	16.87	449.00	21	68.10	21	5.55	21	36.93	11	3.45	11	0.01	24
1804	-262	-294	Min.	2.51	-179.75	22	16.72	22	-4.32	21	-7.14	23	-1.85	11	-0.01	23
1804	-262	-294	Min.	16.87	-178.76	22	18.15	22	1.45	22	-5.70	23	0.26	23	-0.01	23
1804	-294	-326	Max	2.51	492.31	21	70.24	21	-1.09	22	37.82	11	1.13	23	0.01	24
1804	-294	-326	Max	16.87	493.61	21	68.96	21	5.82	21	37.84	11	3.65	11	0.01	24
1804	-294	-326	Min.	2.51	-140.89	22	18.11	22	-4.18	21	-6.36	23	-1.79	11	-0.01	23
1804	-294	-326	Min.	16.87	-139.90	22	19.53	22	1.61	22	-4.92	23	0.32	23	-0.01	23
1804	-326	-358	Max	2.51	541.02	21	71.14	21	-1.12	22	38.78	11	1.08	23	0.01	24
1804	-326	-358	Max	16.87	542.32	21	69.86	21	6.11	21	38.81	11	3.85	11	0.01	24
1804	-326	-358	Min.	2.51	-97.96	22	19.54	22	-4.02	21	-5.55	23	-1.73	24	-0.01	23
1804	-326	-358	Min.	16.87	-96.97	22	20.96	22	1.79	22	-4.10	23	0.39	23	-0.01	23
1804	-358	-390	Max	2.51	594.13	21	72.18	21	-1.15	22	39.79	11	1.04	23	0.01	24
1804	-358	-390	Max	16.87	595.43	21	70.90	21	6.43	21	39.81	11	4.08	11	0.01	24
1804	-358	-390	Min.	2.51	-50.64	22	21.03	22	-3.85	21	-4.73	23	-1.70	24	-0.01	23
1804	-358	-390	Min.	16.87	-49.65	22	22.45	22	1.98	22	-3.29	23	0.46	23	-0.01	23
1804	-390	-422	Max	2.51	652.01	21	72.88	21	-1.16	22	40.92	11	0.99	23	0.01	24
1804	-390	-422	Max	16.87	653.31	21	71.60	21	6.73	21	40.95	11	4.34	11	0.01	24
1804	-390	-422	Min.	2.51	1.40	22	22.45	22	-3.65	21	-3.88	23	-1.65	24	-0.01	23
1804	-390	-422	Min.	16.87	2.39	22	23.87	22	2.17	22	-2.43	23	0.54	23	-0.01	23
1804	-422	-454	Max	2.51	714.91	21	76.54	21	-1.15	22	41.60	11	0.95	23	0.01	24
1804	-422	-454	Max	16.87	716.21	21	75.26	21	7.50	21	42.19	24	4.57	11	0.01	24
1804	-422	-454	Min.	2.51	58.39	22	24.93	22	-3.40	21	-3.05	23	-1.56	24	-0.01	23
1804	-422	-454	Min.	16.87	59.38	22	26.36	22	2.53	22	-1.60	23	0.62	23	-0.01	23
1804	-454	-486	Max	2.51	782.80	21	60.65	21	-0.93	12	45.88	11	0.87	23	-0.00	22
1804	-454	-486	Max	16.87	784.10	21	59.37	21	5.87	21	45.91	11	5.41	11	-0.00	22
1804	-454	-486	Min.	2.51	120.00	22	20.48	22	-2.75	21	-1.87	23	-1.33	24	-0.02	21
1804	-454	-486	Min.	16.87	120.99	22	21.90	22	2.05	22	-0.42	23	0.71	23	-0.02	21
1804	-486	1304	Max	2.51	859.72	11	161.48	21	-0.75	22	43.68	24	0.71	21	-0.01	12
1804	-486	1304	Max	14.38	860.57	11	160.42	21	17.09	21	44.40	24	4.99	24	-0.01	12
1804	-486	1304	Min.	2.51	179.55	22	57.97	22	-2.02	21	-2.61	23	-0.55	22	-0.03	21
1804	-486	1304	Min.	14.38	180.37	22	59.14	22	6.20	22	-1.42	23	0.45	23	-0.03	21
1805	324	-8	Max	4.85	0.00	11	0.00	11	0.00	11	0.00	11	0.00	11	0.00	11
1805	324	-8	Min.	4.85	0.00	11	0.00	11	0.00	11	0.00	11	0.00	11	0.00	11
1805	-8	-40	Max	4.85	0.00	11	0.00	11	0.00	11	0.00	11	0.00	11	0.00	11
1805	-8	-40	Min.	4.85	0.00	11	0.00	11	0.00	11	0.00	11	0.00	11	0.00	11
1805	-40	-72	Max	5.01	600.89	23	40.41	21	0.21	22	15.31	11	2.83	23	0.03	21
1805	-40	-72	Max	16.87	601.71	23	39.36	21	0.14	11	15.33	11	0.76	21	0.03	21
1805	-40	-72	Min.	5.01	-65.08	22	-4.18	22	-4.74	21	-19.66	23	-1.38	11	0.00	22
1805	-40	-72	Min.	16.87	-64.27	22	-3.01	22	-0.22	22	-18.47	23	0.04	22	0.00	22
1805	-72	-104	Max	2.51	580.32	23	43.26	21	0.07	22	13.96	11	2.06	23	0.02	21
1805	-72	-104	Max	16.87	581.31	23	41.98	21	2.03	21	13.98	11	1.14	11	0.02	21
1805	-72	-104	Min.	2.51	-70.83	22	-3.60	22	-4.09	21	-16.82	23	-0.87	11	0.00	22
1805	-72	-104	Min.	16.87	-69.84	22	-2.18	22	-0.34	22	-15.38	23	-0.25	23	0.00	22
1805	-104	-136	Max	2.51	554.50	23	43.18	21	-0.04	22	14.35	11	1.85	23	0.01	11
1805	-104	-136	Max	16.87	555.49	23	41.90	21	2.57	21	14.37	11	1.34	11	0.01	11
1805	-104	-136	Min.	2.51	-77.40	22	-2.69	22	-3.54	21	-16.34	23	-0.72	11	0.00	23
1805	-104	-136	Min.	16.87	-76.41	22	-1.27	22	-0.32	22	-14.90	23	-0.40	23	0.00	23
1805	-136	-168	Max	2.51	527.84	23	43.23	21	-0.12	22	14.64	11	1.75	23	0.01	24
1805	-136	-168	Max	16.87	528.83	23	41.95	21	2.75	21	14.66	11	1.43	11	0.01	24
1805	-136	-168	Min.	2.51	-83.05	22	-1.78	22	-3.36	21	-15.76	23	-0.67	11	-0.00	23
1805	-136	-168	Min.	16.87	-82.07	22	-0.36	22	-0.27	22	-14.32	23	-0.41	23	-0.00	23
1805	-168	-200	Max	2.51	521.25	21	43.34	21	-0.18	22	14.96	11	1.69	23	0.01	24
1805	-168	-200	Max	16.87	522.55	21	42.06	21	2.87	21	14.98	11	1.51	11	0.01	24
1805	-168	-200	Min.	2.51	-87.28	22	-0.86	22	-3.26	21	-15.15	23	-0.64	11	-0.01	23

1805	-168	-200	Min.	16.87	-86.29	22	0.56	22	-0.20	22	-13.71	23	-0.38	23	-0.01	23
1805	-200	-232	Max	2.51	518.64	21	43.46	21	-0.25	22	15.29	11	1.63	23	0.01	24
1805	-200	-232	Max	16.87	519.93	21	42.18	21	2.98	21	15.31	11	1.58	11	0.01	24
1805	-200	-232	Min.	2.51	-89.86	22	0.09	22	-3.17	21	-14.53	23	-0.62	11	-0.01	23
1805	-200	-232	Min.	16.87	-88.87	22	1.51	22	-0.13	22	-13.09	23	-0.35	23	-0.01	23
1805	-232	-264	Max	2.51	517.54	21	43.60	21	-0.31	22	15.64	11	1.57	23	0.01	24
1805	-232	-264	Max	16.87	518.84	21	42.32	21	3.09	21	15.67	11	1.66	11	0.01	24
1805	-232	-264	Min.	2.51	-90.67	22	1.07	22	-3.08	21	-13.91	23	-0.59	11	-0.01	23
1805	-232	-264	Min.	16.87	-89.68	22	2.49	22	-0.06	22	-12.47	23	-0.32	23	-0.01	23
1805	-264	-296	Max	2.51	518.07	21	43.79	21	-0.37	22	16.01	11	1.52	23	0.01	24
1805	-264	-296	Max	16.87	519.37	21	42.51	21	3.22	21	16.03	11	1.74	11	0.01	24
1805	-264	-296	Min.	2.51	-89.57	22	2.06	22	-2.98	21	-13.29	23	-0.56	11	-0.01	23
1805	-264	-296	Min.	16.87	-88.58	22	3.48	22	0.02	22	-11.84	23	-0.29	23	-0.01	23
1805	-296	-328	Max	2.51	520.37	21	43.99	21	-0.44	22	16.40	11	1.46	23	0.01	24
1805	-296	-328	Max	16.87	521.67	21	42.71	21	3.35	21	16.42	11	1.83	11	0.01	24
1805	-296	-328	Min.	2.51	-86.40	22	3.08	22	-2.88	21	-12.64	23	-0.53	11	-0.01	23
1805	-296	-328	Min.	16.87	-85.42	22	4.51	22	0.11	22	-11.20	23	-0.25	23	-0.01	23
1805	-328	-360	Max	2.51	524.57	21	44.23	21	-0.50	22	16.81	11	1.40	23	0.01	24
1805	-328	-360	Max	16.87	525.87	21	42.95	21	3.50	21	16.83	11	1.92	11	0.01	24
1805	-328	-360	Min.	2.51	-81.02	22	4.13	22	-2.76	21	-11.99	23	-0.49	11	-0.00	23
1805	-328	-360	Min.	16.87	-80.03	22	5.55	22	0.20	22	-10.55	23	-0.22	23	-0.00	23
1805	-360	-392	Max	2.51	530.83	21	44.54	21	-0.55	22	17.23	11	1.34	23	0.01	24
1805	-360	-392	Max	16.87	532.12	21	43.26	21	3.67	21	17.25	11	2.03	11	0.01	24
1805	-360	-392	Min.	2.51	-73.23	22	5.20	22	-2.64	21	-11.34	23	-0.45	11	-0.00	23
1805	-360	-392	Min.	16.87	-72.24	22	6.62	22	0.30	22	-9.90	23	-0.18	23	-0.00	23
1805	-392	-424	Max	2.51	539.30	21	44.69	21	-0.60	22	17.73	11	1.28	23	0.01	24
1805	-392	-424	Max	16.87	540.60	21	43.41	21	3.83	21	17.75	11	2.15	11	0.01	24
1805	-392	-424	Min.	2.51	-62.84	22	6.31	22	-2.50	21	-10.65	23	-0.40	11	-0.01	23
1805	-392	-424	Min.	16.87	-61.85	22	7.74	22	0.41	22	-9.21	23	-0.14	23	-0.01	23
1805	-424	-456	Max	2.51	550.23	21	46.18	21	-0.65	22	17.83	11	1.22	23	0.01	24
1805	-424	-456	Max	16.87	551.52	21	44.90	21	4.21	21	17.86	11	2.23	11	0.01	24
1805	-424	-456	Min.	2.51	-49.70	22	7.46	22	-2.33	21	-10.17	23	-0.37	24	-0.01	23
1805	-424	-456	Min.	16.87	-48.71	22	8.89	22	0.53	22	-8.72	23	-0.14	23	-0.01	23
1805	-456	-488	Max	2.51	563.97	21	38.61	21	-0.56	12	21.10	11	1.09	23	0.00	24
1805	-456	-488	Max	16.87	565.27	21	37.33	21	3.52	21	21.12	11	2.78	11	0.00	24
1805	-456	-488	Min.	2.51	-33.73	22	8.64	22	-1.93	21	-7.98	23	-0.31	24	-0.01	23
1805	-456	-488	Min.	16.87	-32.75	22	10.07	22	0.70	22	-6.54	23	0.04	23	-0.01	23
1805	-488	1307	Max	2.51	581.75	21	85.41	21	-0.34	22	20.70	22	0.93	21	0.00	11
1805	-488	1307	Max	14.38	582.83	21	84.35	21	8.83	21	21.89	22	2.24	22	0.00	11
1805	-488	1307	Min.	2.51	-16.98	22	10.02	22	-1.25	21	-15.60	23	-0.29	22	-0.02	23
1805	-488	1307	Min.	14.38	-16.16	22	11.20	22	0.92	22	-14.41	23	-0.98	23	-0.02	23
1830	351	-18	Max	4.85	0.00	11	0.00	11	0.00	11	0.00	11	0.00	11	0.00	11
1830	351	-18	Min.	4.85	0.00	11	0.00	11	0.00	11	0.00	11	0.00	11	0.00	11
1830	-18	-50	Max	4.85	0.00	11	0.00	11	0.00	11	0.00	11	0.00	11	0.00	11
1830	-18	-50	Min.	4.85	0.00	11	0.00	11	0.00	11	0.00	11	0.00	11	0.00	11
1830	-50	-82	Max	5.01	248.26	23	9.86	23	3.01	24	-7.61	12	4.01	21	0.02	23
1830	-50	-82	Max	16.87	249.07	23	8.69	23	-0.15	12	-7.59	12	0.02	23	0.02	23
1830	-50	-82	Min.	5.01	-506.87	24	-29.01	24	-1.41	23	-36.33	21	0.56	12	-0.02	22
1830	-50	-82	Min.	16.87	-506.04	24	-28.30	24	-0.41	22	-35.25	21	-0.61	24	-0.02	22
1830	-82	-114	Max	2.51	206.20	23	11.48	23	2.48	24	-10.68	12	3.22	21	0.01	23
1830	-82	-114	Max	16.87	207.19	23	10.06	23	0.16	23	-10.66	12	-0.86	12	0.01	23
1830	-82	-114	Min.	2.51	-538.01	24	-30.61	24	-1.39	23	-37.35	21	0.67	12	-0.00	22
1830	-82	-114	Min.	16.87	-537.01	24	-29.76	24	-1.86	24	-36.04	21	-2.06	21	-0.00	22
1830	-114	-146	Max	2.51	152.36	23	10.74	23	2.08	24	-10.64	12	2.72	21	0.01	21
1830	-114	-146	Max	16.87	153.35	23	9.32	23	0.24	23	-10.62	12	-1.02	12	0.01	21
1830	-114	-146	Min.	2.51	-578.30	24	-30.51	24	-1.20	23	-37.08	21	0.50	12	0.00	22
1830	-114	-146	Min.	16.87	-577.30	24	-29.66	24	-2.24	24	-35.77	21	-2.51	21	0.00	22
1830	-146	-178	Max	2.51	95.16	23	9.99	23	1.95	24	-10.91	12	2.56	21	0.01	21
1830	-146	-178	Max	16.87	96.14	23	8.57	23	0.23	23	-10.88	12	-1.10	12	0.01	21

1830	-146	-178	Min.	2.51	-621.41	24	-30.61	24	-1.11	23	-37.05	21	0.47	12	0.01	12
1830	-146	-178	Min.	16.87	-620.41	24	-29.76	24	-2.39	24	-35.74	21	-2.67	21	0.01	12
1830	-178	-210	Max	2.51	36.52	23	9.24	23	1.87	24	-11.15	12	2.45	21	0.01	21
1830	-178	-210	Max	16.87	37.50	23	7.81	23	0.18	23	-11.13	12	-1.15	12	0.01	21
1830	-178	-210	Min.	2.51	-665.93	24	-30.71	24	-1.04	23	-37.01	21	0.45	12	0.01	12
1830	-178	-210	Min.	16.87	-664.93	24	-29.86	24	-2.48	24	-35.70	21	-2.77	21	0.01	12
1830	-210	-242	Max	2.51	-23.16	23	8.47	23	1.81	24	-11.42	12	2.36	21	0.01	21
1830	-210	-242	Max	16.87	-22.17	23	7.05	23	0.14	23	-11.40	12	-1.21	12	0.01	21
1830	-210	-242	Min.	2.51	-711.58	24	-30.85	24	-0.98	23	-37.00	21	0.43	12	0.01	12
1830	-210	-242	Min.	16.87	-710.58	24	-29.99	24	-2.56	24	-35.69	21	-2.86	21	0.01	12
1830	-242	-274	Max	2.51	-83.83	23	7.68	23	1.74	24	-11.72	12	2.27	21	0.01	21
1830	-242	-274	Max	16.87	-82.84	23	6.26	23	0.09	23	-11.70	12	-1.27	12	0.01	21
1830	-242	-274	Min.	2.51	-758.35	24	-31.02	24	-0.91	23	-37.03	21	0.41	12	0.01	12
1830	-242	-274	Min.	16.87	-757.34	24	-30.17	24	-2.66	24	-35.72	21	-2.96	21	0.01	12
1830	-274	-306	Max	2.51	-145.54	23	6.88	23	1.67	24	-12.02	12	2.17	21	0.01	21
1830	-274	-306	Max	16.87	-144.55	23	5.46	23	0.04	23	-11.99	12	-1.34	12	0.01	21
1830	-274	-306	Min.	2.51	-806.31	24	-31.20	24	-0.85	23	-37.06	21	0.39	12	0.01	12
1830	-274	-306	Min.	16.87	-805.31	24	-30.35	24	-2.76	24	-35.75	21	-3.06	21	0.01	12
1830	-306	-338	Max	2.51	-208.36	23	6.07	23	1.59	24	-12.31	12	2.06	21	0.01	21
1830	-306	-338	Max	16.87	-207.37	23	4.64	23	-0.02	23	-12.28	12	-1.41	12	0.01	21
1830	-306	-338	Min.	2.51	-855.54	24	-31.38	24	-0.78	23	-37.09	21	0.36	12	0.01	12
1830	-306	-338	Min.	16.87	-854.54	24	-30.52	24	-2.86	24	-35.78	21	-3.17	21	0.01	12
1830	-338	-370	Max	2.51	-272.36	23	5.23	23	1.50	24	-12.66	12	1.95	21	0.01	21
1830	-338	-370	Max	16.87	-271.37	23	3.81	23	-0.07	23	-12.63	12	-1.48	12	0.01	21
1830	-338	-370	Min.	2.51	-906.11	24	-31.62	24	-0.72	23	-37.19	21	0.33	12	0.01	12
1830	-338	-370	Min.	16.87	-905.11	24	-30.77	24	-2.98	24	-35.88	21	-3.30	21	0.01	12
1830	-370	-402	Max	2.51	-337.63	23	4.37	23	1.41	24	-12.95	12	1.83	21	0.02	21
1830	-370	-402	Max	16.87	-336.64	23	2.95	23	-0.13	23	-12.93	12	-1.56	12	0.02	21
1830	-370	-402	Min.	2.51	-958.14	24	-31.88	24	-0.66	23	-37.23	21	0.30	12	0.01	12
1830	-370	-402	Min.	16.87	-957.14	24	-31.03	24	-3.11	24	-35.92	21	-3.42	21	0.01	12
1830	-402	-434	Max	2.51	-404.23	23	3.56	23	1.31	24	-13.55	12	1.70	21	0.02	21
1830	-402	-434	Max	16.87	-403.24	23	2.14	23	-0.18	23	-13.53	12	-1.68	12	0.02	21
1830	-402	-434	Min.	2.51	-1011.71	24	-31.99	24	-0.59	23	-37.71	21	0.26	22	0.01	12
1830	-402	-434	Min.	16.87	-1010.71	24	-31.13	24	-3.23	24	-36.40	21	-3.62	21	0.01	12
1830	-434	-466	Max	2.51	-472.15	23	2.17	23	1.19	24	-12.28	12	1.52	21	0.02	21
1830	-434	-466	Max	16.87	-471.16	23	0.74	23	-0.32	23	-12.25	12	-1.56	12	0.02	21
1830	-434	-466	Min.	2.51	-1066.92	24	-33.70	24	-0.53	23	-35.45	21	0.13	22	0.01	12
1830	-434	-466	Min.	16.87	-1065.92	24	-32.84	24	-3.59	24	-34.14	21	-3.47	21	0.01	12
1830	-466	-498	Max	2.51	-540.25	23	4.61	23	0.90	11	-23.83	12	1.38	21	0.02	21
1830	-466	-498	Max	16.87	-539.26	23	3.19	23	0.08	23	-23.81	12	-3.21	12	0.02	21
1830	-466	-498	Min.	2.51	-1122.98	24	-24.36	24	-0.48	23	-51.95	21	0.07	22	0.01	23
1830	-466	-498	Min.	16.87	-1121.98	24	-23.51	24	-2.56	24	-50.64	21	-5.99	21	0.01	23
1830	-498	1330	Max	2.51	-603.40	23	-16.12	23	0.83	24	56.74	24	-0.21	23	0.02	24
1830	-498	1330	Max	14.38	-602.58	23	-17.29	23	-2.05	23	57.46	24	5.29	24	0.02	24
1830	-498	1330	Min.	2.51	-1178.85	24	-81.21	24	-0.06	23	14.39	23	-1.49	24	0.00	23
1830	-498	1330	Min.	14.38	-1178.02	24	-80.50	24	-8.77	24	15.59	23	1.57	23	0.00	23
1831	357	-22	Max	4.85	0.00	11	0.00	11	0.00	11	0.00	11	0.00	11	0.00	11
1831	357	-22	Min.	4.85	0.00	11	0.00	11	0.00	11	0.00	11	0.00	11	0.00	11
1831	-22	-54	Max	4.85	0.00	11	0.00	11	0.00	11	0.00	11	0.00	11	0.00	11
1831	-22	-54	Min.	4.85	0.00	11	0.00	11	0.00	11	0.00	11	0.00	11	0.00	11
1831	-54	-86	Max	5.01	390.96	23	8.33	23	3.94	24	-23.77	12	7.25	21	0.01	23
1831	-54	-86	Max	16.87	391.78	23	7.15	23	-0.42	12	-23.75	12	0.05	23	0.01	23
1831	-54	-86	Min.	5.01	-462.93	11	-39.53	24	-1.46	23	-63.75	21	2.45	12	-0.03	24
1831	-54	-86	Min.	16.87	-462.08	11	-38.82	24	-0.81	21	-62.67	21	-0.66	24	-0.03	24
1831	-86	-118	Max	2.51	324.50	23	10.82	23	3.13	24	-27.56	12	5.85	21	0.01	23
1831	-86	-118	Max	16.87	325.49	23	9.40	23	-0.12	23	-27.54	12	-1.72	12	0.01	23
1831	-86	-118	Min.	2.51	-521.73	24	-40.94	24	-1.58	23	-65.39	21	2.24	12	-0.02	24
1831	-86	-118	Min.	16.87	-520.73	24	-40.09	24	-2.69	24	-64.09	21	-3.45	21	-0.02	24
1831	-118	-150	Max	2.51	239.01	23	10.07	23	2.60	24	-27.76	12	5.04	21	0.00	23

1831	-118	-150	Max	16.87	240.00	23	8.64	23	-0.06	23	-27.73	12	-2.10	12	0.00	23
1831	-118	-150	Min.	2.51	-601.17	24	-41.04	24	-1.40	23	-65.59	21	1.88	12	-0.01	24
1831	-118	-150	Min.	16.87	-600.17	24	-40.19	24	-3.23	24	-64.28	21	-4.29	21	-0.01	24
1831	-150	-182	Max	2.51	147.29	23	9.33	23	2.43	24	-28.42	12	4.80	21	0.00	23
1831	-150	-182	Max	16.87	148.28	23	7.91	23	-0.09	23	-28.40	12	-2.28	12	0.00	23
1831	-150	-182	Min.	2.51	-686.93	24	-41.36	24	-1.33	23	-66.23	21	1.80	12	-0.00	11
1831	-150	-182	Min.	16.87	-685.93	24	-40.51	24	-3.45	24	-64.92	21	-4.62	21	-0.00	11
1831	-182	-214	Max	2.51	52.25	23	8.55	23	2.33	24	-29.07	12	4.67	21	0.00	23
1831	-182	-214	Max	16.87	53.24	23	7.13	23	-0.14	23	-29.05	12	-2.41	12	0.00	23
1831	-182	-214	Min.	2.51	-776.47	24	-41.68	24	-1.27	23	-66.85	21	1.76	12	-0.00	11
1831	-182	-214	Min.	16.87	-775.47	24	-40.83	24	-3.60	24	-65.55	21	-4.84	21	-0.00	11
1831	-214	-246	Max	2.51	-45.62	23	7.79	23	2.23	24	-29.76	12	4.56	21	0.00	23
1831	-214	-246	Max	16.87	-44.64	23	6.37	23	-0.20	23	-29.74	12	-2.54	12	0.00	23
1831	-214	-246	Min.	2.51	-869.32	24	-42.07	24	-1.21	23	-67.55	21	1.73	12	-0.00	11
1831	-214	-246	Min.	16.87	-868.32	24	-41.22	24	-3.75	24	-66.24	21	-5.05	21	-0.00	11
1831	-246	-278	Max	2.51	-146.33	23	6.98	23	2.14	24	-30.51	12	4.44	21	0.00	23
1831	-246	-278	Max	16.87	-145.34	23	5.55	23	-0.26	23	-30.49	12	-2.69	12	0.00	23
1831	-246	-278	Min.	2.51	-965.59	24	-42.51	24	-1.16	23	-68.32	21	1.70	12	-0.00	11
1831	-246	-278	Min.	16.87	-964.59	24	-41.66	24	-3.91	24	-67.01	21	-5.28	21	-0.00	11
1831	-278	-310	Max	2.51	-250.05	23	6.17	23	2.03	24	-31.28	12	4.31	21	0.00	23
1831	-278	-310	Max	16.87	-249.06	23	4.75	23	-0.33	23	-31.25	12	-2.84	12	0.00	23
1831	-278	-310	Min.	2.51	-1065.50	24	-42.97	24	-1.11	23	-69.14	21	1.65	12	-0.00	11
1831	-278	-310	Min.	16.87	-1064.49	24	-42.11	24	-4.08	24	-67.83	21	-5.53	21	-0.00	11
1831	-310	-342	Max	2.51	-357.02	23	5.37	23	1.92	24	-32.04	12	4.16	21	0.00	23
1831	-310	-342	Max	16.87	-356.03	23	3.94	23	-0.39	23	-32.02	12	-3.00	12	0.00	23
1831	-310	-342	Min.	2.51	-1169.28	24	-43.43	24	-1.06	23	-69.97	21	1.57	22	-0.00	11
1831	-310	-342	Min.	16.87	-1168.28	24	-42.57	24	-4.26	24	-68.66	21	-5.79	21	-0.00	11
1831	-342	-374	Max	2.51	-467.43	23	4.51	23	1.80	24	-32.92	12	4.01	21	0.00	23
1831	-342	-374	Max	16.87	-466.44	23	3.09	23	-0.47	23	-32.90	12	-3.18	12	0.00	23
1831	-342	-374	Min.	2.51	-1277.21	24	-43.97	24	-1.01	23	-70.96	21	1.44	22	-0.01	24
1831	-342	-374	Min.	16.87	-1276.21	24	-43.11	24	-4.46	24	-69.65	21	-6.09	21	-0.01	24
1831	-374	-406	Max	2.51	-581.58	23	3.64	23	1.66	24	-33.72	12	3.84	21	0.00	23
1831	-374	-406	Max	16.87	-580.59	23	2.22	23	-0.55	23	-33.44	22	-3.36	12	0.00	23
1831	-374	-406	Min.	2.51	-1389.65	24	-44.57	24	-0.97	23	-71.85	21	1.31	22	-0.01	24
1831	-374	-406	Min.	16.87	-1388.65	24	-43.72	24	-4.68	24	-70.54	21	-6.39	21	-0.01	24
1831	-406	-438	Max	2.51	-699.68	23	2.90	23	1.51	24	-35.11	12	3.65	21	0.00	23
1831	-406	-438	Max	16.87	-698.70	23	1.48	23	-0.61	23	-33.83	22	-3.63	12	0.00	23
1831	-406	-438	Min.	2.51	-1506.88	24	-44.83	24	-0.92	23	-73.60	21	1.17	22	-0.01	24
1831	-406	-438	Min.	16.87	-1505.88	24	-43.98	24	-4.87	24	-72.29	21	-6.83	21	-0.01	24
1831	-438	-470	Max	2.51	-821.83	23	0.97	23	1.34	24	-32.66	22	3.36	21	0.00	23
1831	-438	-470	Max	11.61					-0.82	23			-1.84	23		
1831	-438	-470	Max	16.87	-820.84	23	-0.45	23	-0.83	23	-31.21	22	-3.47	12	0.00	23
1831	-438	-470	Min.	2.51	-1629.11	24	-48.01	24	-0.87	23	-70.34	21	0.98	22	-0.00	24
1831	-438	-470	Min.	11.61					-0.82	23			-1.84	23		
1831	-438	-470	Min.	16.87	-1628.11	24	-47.16	24	-5.49	24	-69.03	21	-6.65	21	-0.00	24
1831	-470	-502	Max	2.51	-946.05	23	6.82	23	0.94	11	-50.22	22	3.09	21	0.01	21
1831	-470	-502	Max	16.87	-945.07	23	5.40	23	0.01	23	-48.77	22	-6.24	22	0.01	21
1831	-470	-502	Min.	2.51	-1803.80	21	-31.80	24	-0.87	23	-101.02	21	0.87	22	0.00	12
1831	-470	-502	Min.	16.87	-1802.50	21	-30.95	24	-3.65	24	-99.71	21	-11.32	21	0.00	12
1831	-502	1336	Max	2.51	-1062.71	23	-33.82	23	1.09	24	79.55	24	-0.28	23	0.01	11
1831	-502	1336	Max	14.38	-1061.89	23	-35.00	23	-4.21	23	80.28	24	7.64	24	0.01	11
1831	-502	1336	Min.	2.51	-1977.24	21	-131.15	24	-0.13	23	24.01	23	-1.85	24	-0.00	23
1831	-502	1336	Min.	14.38	-1976.17	21	-130.44	24	-14.44	24	25.20	23	2.64	23	-0.00	23
1832	375	-26	Max	4.85	0.00	11	0.00	11	0.00	11	0.00	11	0.00	11	0.00	11
1832	375	-26	Min.	4.85	0.00	11	0.00	11	0.00	11	0.00	11	0.00	11	0.00	11
1832	-26	-58	Max	4.85	0.00	11	0.00	11	0.00	11	0.00	11	0.00	11	0.00	11
1832	-26	-58	Min.	4.85	0.00	11	0.00	11	0.00	11	0.00	11	0.00	11	0.00	11
1832	-58	-90	Max	5.01	350.27	23	-13.52	12	4.30	21	32.38	24	1.97	23	-0.01	12
1832	-58	-90	Max	16.87	351.08	23	-13.52	12	-0.06	23	32.40	24	0.48	21	-0.01	12

1832	-58	-90	Min.	5.01	-302.01	11	-39.47	21	1.23	12	-13.81	23	-3.45	24	-0.02	21
1832	-58	-90	Min.	16.87	-301.17	11	-38.41	21	-0.66	24	-12.62	23	0.13	12	-0.02	21
1832	-90	-122	Max	2.51	334.84	23	-12.15	12	3.44	21	29.28	24	1.46	23	0.00	11
1832	-90	-122	Max	16.87	335.83	23	-12.15	12	-0.99	12	29.30	24	1.86	22	0.00	11
1832	-90	-122	Min.	2.51	-272.94	11	-40.17	21	0.76	12	-12.21	23	-2.36	24	-0.00	22
1832	-90	-122	Min.	16.87	-271.91	11	-38.89	21	-2.24	21	-10.76	23	-0.19	23	-0.00	22
1832	-122	-154	Max	2.51	315.72	23	-12.50	12	2.94	21	29.58	24	1.24	23	0.01	21
1832	-122	-154	Max	16.87	316.71	23	-12.50	12	-1.16	12	29.60	24	2.22	24	0.01	21
1832	-122	-154	Min.	2.51	-235.72	11	-40.12	21	0.64	12	-11.38	23	-2.03	24	0.00	22
1832	-122	-154	Min.	16.87	-234.69	11	-38.84	21	-2.73	21	-9.93	23	-0.29	23	0.00	22
1832	-154	-186	Max	2.51	296.38	23	-12.81	12	2.77	21	29.66	24	1.16	23	0.02	21
1832	-154	-186	Max	16.87	297.37	23	-12.81	12	-1.24	12	29.68	24	2.35	24	0.02	21
1832	-154	-186	Min.	2.51	-195.36	11	-40.14	21	0.60	12	-10.69	23	-1.91	24	0.01	12
1832	-154	-186	Min.	16.87	-194.34	11	-38.86	21	-2.90	21	-9.25	23	-0.28	23	0.01	12
1832	-186	-218	Max	2.51	277.71	23	-13.10	12	2.67	21	29.74	24	1.09	23	0.02	21
1832	-186	-218	Max	16.87	278.69	23	-13.10	12	-1.30	12	29.77	24	2.44	24	0.02	21
1832	-186	-218	Min.	2.51	-152.93	11	-40.20	21	0.58	12	-9.95	23	-1.83	24	0.01	12
1832	-186	-218	Min.	16.87	-151.91	11	-38.92	21	-3.01	21	-8.51	23	-0.24	23	0.01	12
1832	-218	-250	Max	2.51	259.96	23	-13.42	12	2.59	21	29.86	24	1.03	23	0.02	21
1832	-218	-250	Max	16.87	260.95	23	-13.42	12	-1.36	12	29.88	24	2.53	24	0.02	21
1832	-218	-250	Min.	2.51	-108.57	11	-40.27	21	0.57	12	-9.23	23	-1.76	24	0.01	12
1832	-218	-250	Min.	16.87	-107.55	11	-38.99	21	-3.11	21	-7.79	23	-0.20	23	0.01	12
1832	-250	-282	Max	2.51	243.25	23	-13.75	12	2.50	21	30.01	24	0.96	23	0.02	21
1832	-250	-282	Max	16.87	244.24	23	-13.75	12	-1.42	12	30.03	24	2.62	24	0.02	21
1832	-250	-282	Min.	2.51	-65.66	12	-40.39	21	0.55	12	-8.48	23	-1.69	24	0.01	12
1832	-250	-282	Min.	16.87	-64.64	12	-39.11	21	-3.21	21	-7.03	23	-0.15	23	0.01	12
1832	-282	-314	Max	2.51	239.56	22	-14.10	12	2.41	21	30.17	24	0.90	23	0.02	21
1832	-282	-314	Max	16.87	240.58	22	-14.10	12	-1.49	12	30.19	24	2.72	24	0.02	21
1832	-282	-314	Min.	2.51	-26.01	12	-40.53	21	0.53	12	-7.72	23	-1.62	24	0.01	12
1832	-282	-314	Min.	16.87	-24.99	12	-39.25	21	-3.32	21	-6.27	23	-0.10	23	0.01	12
1832	-314	-346	Max	2.51	299.84	22	-14.46	12	2.31	21	30.32	24	0.84	23	0.02	21
1832	-314	-346	Max	16.87	300.86	22	-14.46	12	-1.57	12	30.35	24	2.82	24	0.02	21
1832	-314	-346	Min.	2.51	15.51	12	-40.68	21	0.51	12	-6.95	23	-1.54	24	0.01	12
1832	-314	-346	Min.	16.87	16.53	12	-39.40	21	-3.44	21	-5.51	23	-0.05	23	0.01	12
1832	-346	-378	Max	2.51	360.86	22	-14.85	12	2.21	21	30.54	24	0.78	23	0.02	21
1832	-346	-378	Max	16.87	361.88	22	-14.85	12	-1.65	12	30.57	24	2.94	24	0.02	21
1832	-346	-378	Min.	2.51	59.01	12	-40.88	21	0.49	12	-6.16	23	-1.45	24	0.01	12
1832	-346	-378	Min.	16.87	60.03	12	-39.60	21	-3.57	21	-4.71	23	0.00	23	0.01	12
1832	-378	-410	Max	2.51	422.70	22	-15.27	12	2.10	21	30.76	24	0.72	23	0.02	21
1832	-378	-410	Max	16.87	423.72	22	-15.27	12	-1.73	12	30.78	24	3.06	24	0.02	21
1832	-378	-410	Min.	2.51	104.67	12	-41.12	21	0.46	12	-5.35	23	-1.36	24	0.01	12
1832	-378	-410	Min.	16.87	105.69	12	-39.84	21	-3.72	21	-3.90	23	0.06	23	0.01	12
1832	-410	-442	Max	2.51	485.39	22	-15.57	12	1.97	21	31.11	24	0.66	23	0.02	21
1832	-410	-442	Max	16.87	486.41	22	-15.57	12	-1.81	12	31.13	24	3.21	24	0.02	21
1832	-410	-442	Min.	2.51	152.63	12	-41.20	21	0.42	22	-4.53	23	-1.26	24	0.01	12
1832	-410	-442	Min.	16.87	153.66	12	-39.92	21	-3.85	21	-3.08	23	0.11	23	0.01	12
1832	-442	-474	Max	2.51	548.91	22	-16.98	12	1.83	21	30.76	24	0.60	23	0.02	21
1832	-442	-474	Max	16.87	549.93	22	-16.98	12	-2.05	12	30.78	24	3.29	24	0.02	21
1832	-442	-474	Min.	2.51	170.21	23	-42.91	21	0.31	22	-3.65	23	-1.13	24	0.01	12
1832	-442	-474	Min.	16.87	171.19	23	-41.63	21	-4.25	21	-2.21	23	0.18	23	0.01	12
1832	-474	-506	Max	2.51	612.38	22	-10.80	12	1.46	21	35.43	24	0.52	23	0.03	21
1832	-474	-506	Max	16.87	613.40	22	-10.80	12	-1.30	12	35.45	24	4.16	24	0.03	21
1832	-474	-506	Min.	2.51	163.89	23	-33.51	21	0.07	22	-2.98	23	-0.93	24	0.01	12
1832	-474	-506	Min.	16.87	164.87	23	-32.23	21	-3.26	21	-1.53	23	0.20	23	0.01	12
1832	-506	1350	Max	2.51	672.87	22	-49.71	12	1.12	21	20.32	11	0.42	22	0.03	21
1832	-506	1350	Max	14.38	673.71	22	-49.71	12	-5.49	12	20.34	11	2.22	11	0.03	21
1832	-506	1350	Min.	2.51	161.45	23	-90.49	21	0.40	22	-4.78	22	-0.20	11	0.01	22
1832	-506	1350	Min.	14.38	162.27	23	-89.43	21	-9.56	21	-4.76	22	-0.14	22	0.01	22
1833	384	-32	Max	4.85	0.00	11	0.00	11	0.00	11	0.00	11	0.00	11	0.00	11

1833	384	-32	Min.	4.85	0.00	11	0.00	11	0.00	11	0.00	11	0.00	11	0.00	11
1833	-32	-64	Max	4.85	0.00	11	0.00	11	0.00	11	0.00	11	0.00	11	0.00	11
1833	-32	-64	Min.	4.85	0.00	11	0.00	11	0.00	11	0.00	11	0.00	11	0.00	11
1833	-64	-96	Max	5.01	600.98	23	-14.13	12	4.74	21	25.61	24	2.77	23	-0.01	12
1833	-64	-96	Max	16.87	601.80	23	-14.13	12	0.14	23	25.63	24	0.83	21	-0.01	12
1833	-64	-96	Min.	5.01	7.45	11	-40.28	21	1.56	12	-18.68	23	-2.36	24	-0.03	21
1833	-64	-96	Min.	16.87	8.30	11	-39.22	21	-0.43	22	-17.48	23	0.38	12	-0.03	21
1833	-96	-128	Max	2.51	580.41	23	-14.28	12	4.08	21	24.12	24	1.98	23	-0.01	23
1833	-96	-128	Max	16.87	581.39	23	-14.28	12	-0.83	12	24.14	24	1.85	24	-0.01	23
1833	-96	-128	Min.	2.51	27.64	12	-43.10	21	1.23	12	-15.68	23	-1.64	22	-0.02	24
1833	-96	-128	Min.	16.87	28.66	12	-41.82	21	-2.02	21	-14.23	23	-0.17	23	-0.02	24
1833	-128	-160	Max	2.51	554.62	23	-14.62	12	3.53	21	24.25	24	1.75	23	0.00	23
1833	-128	-160	Max	16.87	555.61	23	-14.62	12	-1.03	12	24.27	24	2.15	24	0.00	23
1833	-128	-160	Min.	2.51	50.19	12	-43.03	21	1.07	12	-14.98	23	-1.33	24	-0.01	24
1833	-128	-160	Min.	16.87	51.21	12	-41.75	21	-2.56	21	-13.53	23	-0.30	23	-0.01	24
1833	-160	-192	Max	2.51	528.00	23	-14.96	12	3.35	21	24.19	24	1.65	23	0.00	23
1833	-160	-192	Max	16.87	528.99	23	-14.96	12	-1.12	12	24.21	24	2.27	24	0.00	23
1833	-160	-192	Min.	2.51	74.53	12	-43.09	21	1.03	12	-14.38	23	-1.21	24	-0.01	24
1833	-160	-192	Min.	16.87	75.55	12	-41.81	21	-2.74	21	-12.94	23	-0.31	23	-0.01	24
1833	-192	-224	Max	2.51	521.51	21	-15.31	12	3.26	21	24.16	24	1.59	23	0.00	23
1833	-192	-224	Max	16.87	522.81	21	-15.31	12	-1.19	12	24.18	24	2.34	24	0.00	23
1833	-192	-224	Min.	2.51	100.06	12	-43.24	21	1.01	12	-13.72	23	-1.13	24	-0.01	24
1833	-192	-224	Min.	16.87	101.08	12	-41.96	21	-2.86	21	-12.28	23	-0.28	23	-0.01	24
1833	-224	-256	Max	2.51	518.96	21	-15.67	12	3.17	21	24.13	24	1.53	23	0.01	23
1833	-224	-256	Max	16.87	520.26	21	-15.67	12	-1.26	12	24.15	24	2.40	24	0.01	23
1833	-224	-256	Min.	2.51	126.69	12	-43.37	21	0.99	12	-13.09	23	-1.06	24	-0.01	24
1833	-224	-256	Min.	16.87	127.71	12	-42.09	21	-2.97	21	-11.65	23	-0.25	23	-0.01	24
1833	-256	-288	Max	2.51	517.93	21	-16.06	12	3.08	21	24.15	24	1.47	23	0.01	23
1833	-256	-288	Max	16.87	519.23	21	-16.06	12	-1.33	12	24.17	24	2.48	24	0.01	23
1833	-256	-288	Min.	2.51	154.47	12	-43.56	21	0.98	12	-12.43	23	-0.99	24	-0.01	24
1833	-256	-288	Min.	16.87	155.49	12	-42.28	21	-3.09	21	-10.99	23	-0.21	23	-0.01	24
1833	-288	-320	Max	2.51	518.55	21	-16.47	12	2.98	21	24.15	24	1.41	23	0.01	23
1833	-288	-320	Max	16.87	519.85	21	-16.47	12	-1.41	12	24.17	24	2.56	24	0.01	23
1833	-288	-320	Min.	2.51	183.47	12	-43.79	21	0.95	12	-11.78	23	-0.91	24	-0.01	24
1833	-288	-320	Min.	16.87	184.49	12	-42.51	21	-3.22	21	-10.33	23	-0.18	23	-0.01	24
1833	-320	-352	Max	2.51	520.93	21	-16.88	12	2.88	21	24.16	24	1.35	23	0.00	23
1833	-320	-352	Max	16.87	522.23	21	-16.88	12	-1.50	12	24.18	24	2.64	24	0.00	23
1833	-320	-352	Min.	2.51	213.78	12	-44.00	21	0.93	12	-11.11	23	-0.83	24	-0.01	24
1833	-320	-352	Min.	16.87	214.81	12	-42.72	21	-3.35	21	-9.67	23	-0.14	23	-0.01	24
1833	-352	-384	Max	2.51	525.21	21	-17.33	12	2.77	21	24.21	24	1.29	23	0.00	23
1833	-352	-384	Max	16.87	526.51	21	-17.33	12	-1.59	12	24.24	24	2.73	24	0.00	23
1833	-352	-384	Min.	2.51	245.51	12	-44.28	21	0.90	12	-10.43	23	-0.75	24	-0.01	24
1833	-352	-384	Min.	16.87	246.53	12	-43.01	21	-3.50	21	-8.98	23	-0.10	23	-0.01	24
1833	-384	-416	Max	2.51	552.30	24	-17.83	12	2.65	21	24.24	24	1.23	23	0.00	23
1833	-384	-416	Max	16.87	553.32	24	-17.83	12	-1.69	12	24.27	24	2.83	24	0.00	23
1833	-384	-416	Min.	2.51	278.75	12	-44.64	21	0.87	12	-9.74	23	-0.65	24	-0.01	24
1833	-384	-416	Min.	16.87	279.77	12	-43.36	21	-3.67	21	-8.29	23	-0.07	23	-0.01	24
1833	-416	-448	Max	2.51	610.46	24	-18.22	12	2.51	21	24.43	24	1.17	23	0.00	23
1833	-416	-448	Max	16.87	611.48	24	-18.22	12	-1.79	12	24.45	24	2.95	24	0.00	23
1833	-416	-448	Min.	2.51	313.63	12	-44.84	21	0.82	22	-9.01	23	-0.56	24	-0.01	24
1833	-416	-448	Min.	16.87	314.65	12	-43.56	21	-3.84	21	-7.57	23	-0.02	23	-0.01	24
1833	-448	-480	Max	2.51	670.19	24	-19.49	12	2.35	21	23.70	24	1.10	23	0.01	23
1833	-448	-480	Max	16.87	671.21	24	-19.49	12	-2.02	12	23.73	24	2.97	24	0.01	23
1833	-448	-480	Min.	2.51	316.78	23	-46.37	21	0.68	22	-8.50	23	-0.44	24	-0.01	24
1833	-448	-480	Min.	16.87	317.77	23	-45.09	21	-4.22	21	-7.06	23	-0.02	23	-0.01	24
1833	-480	-512	Max	2.51	730.80	24	-14.80	12	1.96	21	29.65	24	0.98	23	0.01	23
1833	-480	-512	Max	16.87	731.82	24	-14.80	12	-1.51	12	29.67	24	3.96	24	0.01	23
1833	-480	-512	Min.	2.51	298.63	23	-38.91	21	0.42	22	-6.25	23	-0.32	11	-0.00	11
1833	-480	-512	Min.	16.87	299.62	23	-37.63	21	-3.54	21	-4.81	23	0.18	23	-0.00	11

1833	-512	1359	Max	2.51	790.19	24	-45.74	12	1.27	21	5.56	11	0.80	21	0.02	23
1833	-512	1359	Max	14.38	791.04	24	-45.74	12	-4.91	12	5.58	11	0.96	11	0.02	23
1833	-512	1359	Min.	2.51	286.05	23	-85.54	21	0.52	12	-15.17	22	0.25	12	0.00	24
1833	-512	1359	Min.	14.38	286.87	23	-84.49	21	-8.83	21	-15.15	22	-1.03	22	0.00	24
1834	378	-28	Max	4.85	0.00	11	0.00	11	0.00	11	0.00	11	0.00	11	0.00	11
1834	378	-28	Min.	4.85	0.00	11	0.00	11	0.00	11	0.00	11	0.00	11	0.00	11
1834	-28	-60	Max	4.85	0.00	11	0.00	11	0.00	11	0.00	11	0.00	11	0.00	11
1834	-28	-60	Min.	4.85	0.00	11	0.00	11	0.00	11	0.00	11	0.00	11	0.00	11
1834	-60	-92	Max	5.01	404.15	23	-27.42	12	7.01	21	49.32	24	1.67	23	-0.02	12
1834	-60	-92	Max	16.87	404.97	23	-27.42	12	-0.09	23	49.34	24	0.93	21	-0.02	12
1834	-60	-92	Min.	5.01	-400.63	11	-63.29	21	2.79	12	-9.05	23	-5.12	24	-0.04	21
1834	-60	-92	Min.	16.87	-399.79	11	-62.24	21	-0.79	24	-7.86	23	0.42	12	-0.04	21
1834	-92	-124	Max	2.51	395.25	23	-26.34	12	5.69	21	45.34	24	1.25	23	-0.01	12
1834	-92	-124	Max	16.87	396.24	23	-26.34	12	-1.76	12	45.36	24	2.97	24	-0.01	12
1834	-92	-124	Min.	2.51	-348.00	11	-64.91	21	2.02	12	-7.45	23	-3.55	24	-0.01	21
1834	-92	-124	Min.	16.87	-346.98	11	-63.63	21	-3.54	21	-6.01	23	0.28	23	-0.01	21
1834	-124	-156	Max	2.51	384.51	23	-27.04	12	4.93	21	46.13	24	1.08	23	0.01	23
1834	-124	-156	Max	16.87	385.50	23	-27.04	12	-2.12	12	46.16	24	3.56	24	0.01	23
1834	-124	-156	Min.	2.51	-280.39	11	-65.41	21	1.76	12	-6.43	23	-3.07	24	0.00	12
1834	-124	-156	Min.	16.87	-279.37	11	-64.13	21	-4.37	21	-4.98	23	0.26	23	0.00	12
1834	-156	-188	Max	2.51	374.29	23	-27.68	12	4.69	21	46.60	24	1.00	23	0.01	21
1834	-156	-188	Max	16.87	375.27	23	-27.68	12	-2.29	12	46.62	24	3.80	24	0.01	21
1834	-156	-188	Min.	2.51	-206.92	11	-66.01	21	1.68	12	-5.64	23	-2.90	24	0.00	12
1834	-156	-188	Min.	16.87	-205.90	11	-64.73	21	-4.70	21	-4.20	23	0.30	23	0.00	12
1834	-188	-220	Max	2.51	365.24	23	-28.31	12	4.57	21	47.08	24	0.94	23	0.01	21
1834	-188	-220	Max	16.87	366.22	23	-28.31	12	-2.42	12	47.11	24	3.97	24	0.01	21
1834	-188	-220	Min.	2.51	-129.56	11	-66.65	21	1.65	12	-4.76	23	-2.80	24	0.00	12
1834	-188	-220	Min.	16.87	-128.54	11	-65.37	21	-4.92	21	-3.31	23	0.36	23	0.00	12
1834	-220	-252	Max	2.51	357.58	23	-29.00	12	4.46	21	47.61	24	0.89	23	0.01	21
1834	-220	-252	Max	16.87	358.57	23	-29.00	12	-2.55	12	47.63	24	4.13	24	0.01	21
1834	-220	-252	Min.	2.51	-50.87	12	-67.37	21	1.62	12	-3.92	23	-2.71	24	0.00	12
1834	-220	-252	Min.	16.87	-49.85	12	-66.09	21	-5.13	21	-2.47	23	0.43	23	0.00	12
1834	-252	-284	Max	2.51	351.44	23	-29.72	12	4.35	21	48.22	24	0.84	23	0.01	21
1834	-252	-284	Max	16.87	352.43	23	-29.72	12	-2.68	12	48.25	24	4.31	24	0.01	21
1834	-252	-284	Min.	2.51	16.36	12	-68.15	21	1.59	12	-3.02	23	-2.62	24	0.00	12
1834	-252	-284	Min.	16.87	17.39	12	-66.87	21	-5.35	21	-1.57	23	0.51	23	0.00	12
1834	-284	-316	Max	2.51	399.83	21	-30.48	12	4.23	21	48.83	24	0.79	23	0.01	21
1834	-284	-316	Max	16.87	401.13	21	-30.48	12	-2.82	12	48.86	24	4.49	24	0.01	21
1834	-284	-316	Min.	2.51	86.79	12	-69.00	21	1.55	12	-2.12	23	-2.52	24	0.00	12
1834	-284	-316	Min.	16.87	87.81	12	-67.72	21	-5.59	21	-0.67	23	0.59	23	0.00	12
1834	-316	-348	Max	2.51	453.64	21	-31.25	12	4.09	21	49.48	24	0.74	23	0.01	21
1834	-316	-348	Max	16.87	454.94	21	-31.25	12	-2.98	12	49.50	24	4.70	24	0.01	21
1834	-316	-348	Min.	2.51	160.61	12	-69.86	21	1.46	22	-1.21	23	-2.41	24	0.00	12
1834	-316	-348	Min.	16.87	161.63	12	-68.58	21	-5.85	21	0.24	23	0.67	23	0.00	12
1834	-348	-380	Max	2.51	522.06	24	-32.09	12	3.95	21	50.22	24	0.69	23	0.01	21
1834	-348	-380	Max	16.87	523.08	24	-32.09	12	-3.15	12	50.24	24	4.92	24	0.01	21
1834	-348	-380	Min.	2.51	238.09	12	-70.83	21	1.34	22	-0.25	23	-2.30	24	0.00	12
1834	-348	-380	Min.	16.87	239.11	12	-69.55	21	-6.13	21	1.20	23	0.76	23	0.00	12
1834	-380	-412	Max	2.51	639.06	24	-32.99	12	3.79	21	50.96	24	0.64	23	0.01	21
1834	-380	-412	Max	16.87	640.08	24	-32.99	12	-3.33	12	50.98	24	5.16	24	0.01	21
1834	-380	-412	Min.	2.51	319.51	12	-71.92	21	1.22	22	0.72	23	-2.17	24	0.00	12
1834	-380	-412	Min.	16.87	320.53	12	-70.64	21	-6.45	21	2.17	23	0.85	23	0.00	12
1834	-412	-444	Max	2.51	760.81	24	-33.15	22	3.61	21	51.91	24	0.60	23	0.01	21
1834	-412	-444	Max	16.87	761.83	24	-33.15	22	-3.50	12	51.94	24	5.44	24	0.01	21
1834	-412	-444	Min.	2.51	348.21	23	-72.71	21	1.08	22	1.73	23	-2.02	24	0.00	12
1834	-412	-444	Min.	16.87	349.20	23	-71.43	21	-6.75	21	3.18	23	0.95	23	0.00	12
1834	-444	-476	Max	2.51	887.48	24	-34.89	22	3.38	21	51.84	24	0.56	23	0.02	21
1834	-444	-476	Max	16.87	888.50	24	-34.89	22	-3.96	12	51.86	24	5.62	24	0.02	21
1834	-444	-476	Min.	2.51	354.16	23	-76.34	21	0.93	22	2.70	23	-1.83	24	0.00	12

1834	-444	-476	Min.	16.87	355.15	23	-75.06	21	-7.50	21	4.15	23	1.05	23	0.00	12
1834	-476	-508	Max	2.51	1017.48	24	-22.46	22	2.76	21	59.64	24	0.51	23	0.03	21
1834	-476	-508	Max	16.87	1018.50	24	-22.46	22	-2.64	22	59.66	24	7.05	24	0.03	21
1834	-476	-508	Min.	2.51	362.76	23	-60.70	21	0.59	22	4.29	23	-1.53	11	0.01	12
1834	-476	-508	Min.	16.87	363.75	23	-59.42	21	-5.87	21	5.73	23	1.23	23	0.01	12
1834	-508	1353	Max	2.51	1142.65	24	-91.16	12	2.07	21	31.85	11	0.53	22	0.04	21
1834	-508	1353	Max	14.38	1143.50	24	-91.16	12	-9.87	12	31.87	11	3.67	11	0.04	21
1834	-508	1353	Min.	2.51	375.44	23	-160.49	21	0.77	22	-2.74	22	-0.12	11	0.01	22
1834	-508	1353	Min.	14.38	376.25	23	-159.43	21	-16.93	21	-2.72	22	0.20	22	0.01	22
1835	354	-20	Max	4.85	0.00	11	0.00	11	0.00	11	0.00	11	0.00	11	0.00	11
1835	354	-20	Min.	4.85	0.00	11	0.00	11	0.00	11	0.00	11	0.00	11	0.00	11
1835	-20	-52	Max	4.85	0.00	11	0.00	11	0.00	11	0.00	11	0.00	11	0.00	11
1835	-20	-52	Min.	4.85	0.00	11	0.00	11	0.00	11	0.00	11	0.00	11	0.00	11
1835	-52	-84	Max	5.01	323.40	23	5.39	23	4.43	24	-20.96	12	6.76	21	0.01	23
1835	-52	-84	Max	16.87	324.22	23	4.22	23	-0.40	12	-20.94	12	0.01	23	0.01	23
1835	-52	-84	Min.	5.01	-543.59	24	-43.48	24	-1.09	23	-60.26	21	2.06	12	-0.03	24
1835	-52	-84	Min.	16.87	-542.76	24	-42.77	24	-0.78	21	-59.18	21	-0.71	24	-0.03	24
1835	-84	-116	Max	2.51	259.57	23	7.46	23	3.59	24	-25.11	12	5.51	21	0.01	23
1835	-84	-116	Max	16.87	260.56	23	6.04	23	-0.26	23	-25.09	12	-1.64	12	0.01	23
1835	-84	-116	Min.	2.51	-601.03	24	-45.46	24	-1.23	23	-62.41	21	1.97	12	-0.01	24
1835	-84	-116	Min.	16.87	-600.03	24	-44.60	24	-2.88	24	-61.10	21	-3.36	21	-0.01	24
1835	-116	-148	Max	2.51	177.49	23	6.66	23	3.01	24	-25.26	12	4.72	21	0.01	23
1835	-116	-148	Max	16.87	178.48	23	5.24	23	-0.24	23	-25.24	12	-2.00	12	0.01	23
1835	-116	-148	Min.	2.51	-675.42	24	-45.57	24	-1.09	23	-62.54	21	1.63	12	0.00	12
1835	-116	-148	Min.	16.87	-674.42	24	-44.72	24	-3.48	24	-61.23	21	-4.17	21	0.00	12
1835	-148	-180	Max	2.51	89.49	23	5.84	23	2.83	24	-25.85	12	4.49	21	0.01	21
1835	-148	-180	Max	16.87	90.48	23	4.42	23	-0.28	23	-25.82	12	-2.16	12	0.01	21
1835	-148	-180	Min.	2.51	-755.69	24	-46.03	24	-1.02	23	-63.09	21	1.56	12	0.00	12
1835	-148	-180	Min.	16.87	-754.69	24	-45.17	24	-3.72	24	-61.78	21	-4.48	21	0.00	12
1835	-180	-212	Max	2.51	-1.63	23	4.98	23	2.73	24	-26.44	12	4.36	21	0.01	21
1835	-180	-212	Max	16.87	-0.64	23	3.55	23	-0.35	23	-26.41	12	-2.28	12	0.01	21
1835	-180	-212	Min.	2.51	-839.41	24	-46.45	24	-0.96	23	-63.64	21	1.52	12	0.00	12
1835	-180	-212	Min.	16.87	-838.41	24	-45.60	24	-3.88	24	-62.33	21	-4.69	21	0.00	12
1835	-212	-244	Max	2.51	-95.37	23	4.12	23	2.64	24	-27.05	12	4.24	21	0.01	21
1835	-212	-244	Max	16.87	-94.38	23	2.70	23	-0.42	23	-27.02	12	-2.40	12	0.01	21
1835	-212	-244	Min.	2.51	-926.16	24	-46.98	24	-0.91	23	-64.23	21	1.48	12	0.00	12
1835	-212	-244	Min.	16.87	-925.16	24	-46.13	24	-4.05	24	-62.93	21	-4.89	21	0.00	12
1835	-244	-276	Max	2.51	-191.75	23	3.25	23	2.54	24	-27.76	12	4.13	21	0.01	21
1835	-244	-276	Max	16.87	-190.77	23	1.82	23	-0.50	23	-27.74	12	-2.53	12	0.01	21
1835	-244	-276	Min.	2.51	-1016.03	24	-47.50	24	-0.86	23	-64.97	21	1.45	12	0.00	12
1835	-244	-276	Min.	16.87	-1015.03	24	-46.64	24	-4.22	24	-63.66	21	-5.11	21	0.00	12
1835	-276	-308	Max	2.51	-290.96	23	2.32	23	2.45	24	-28.42	12	4.00	21	0.01	21
1835	-276	-308	Max	16.87	-289.97	23	0.90	23	-0.58	23	-28.40	12	-2.67	12	0.01	21
1835	-276	-308	Min.	2.51	-1109.24	24	-48.13	24	-0.81	23	-65.66	21	1.41	12	0.00	12
1835	-276	-308	Min.	16.87	-1108.24	24	-47.27	24	-4.41	24	-64.35	21	-5.34	21	0.00	12
1835	-308	-340	Max	2.51	-393.16	23	1.43	23	2.33	24	-29.15	12	3.86	21	0.01	21
1835	-308	-340	Max	16.87	-392.17	23	0.01	23	-0.66	23	-29.13	12	-2.82	12	0.01	21
1835	-308	-340	Min.	2.51	-1205.99	24	-48.66	24	-0.76	23	-66.45	21	1.33	22	0.00	12
1835	-308	-340	Min.	16.87	-1204.99	24	-47.81	24	-4.60	24	-65.14	21	-5.59	21	0.00	12
1835	-340	-372	Max	2.51	-498.58	23	0.47	23	2.21	24	-29.93	12	3.71	21	0.01	21
1835	-340	-372	Max	7.23					-0.70	23			0.67	23		
1835	-340	-372	Max	16.87	-497.59	23	-0.95	23	-0.75	23	-29.91	12	-2.99	12	0.01	21
1835	-340	-372	Min.	2.51	-1306.54	24	-49.37	24	-0.71	23	-67.31	21	1.20	22	0.00	12
1835	-340	-372	Min.	7.23					-0.70	23			0.67	23		
1835	-340	-372	Min.	16.87	-1305.54	24	-48.52	24	-4.82	24	-66.00	21	-5.87	21	0.00	12
1835	-372	-404	Max	2.51	-607.46	23	-0.51	23	2.08	24	-30.64	12	3.53	21	0.01	21
1835	-372	-404	Max	16.87	-606.47	23	-1.94	23	-0.84	23	-30.37	22	-3.15	12	0.01	21
1835	-372	-404	Min.	2.51	-1411.18	24	-50.12	24	-0.67	23	-68.10	21	1.07	22	0.00	12
1835	-372	-404	Min.	16.87	-1410.18	24	-49.27	24	-5.06	24	-66.79	21	-6.16	21	0.00	12

1835	-404	-436	Max	2.51	-720.00	23	-1.40	23	1.93	24	-31.90	12	3.34	21	0.01	21
1835	-404	-436	Max	16.87	-719.01	23	-2.82	23	-0.92	23	-30.63	22	-3.40	12	0.01	21
1835	-404	-436	Min.	2.51	-1520.16	24	-50.60	24	-0.62	23	-69.67	21	0.93	22	0.00	12
1835	-404	-436	Min.	16.87	-1519.16	24	-49.75	24	-5.28	24	-68.36	21	-6.57	21	0.00	12
1835	-436	-468	Max	2.51	-836.30	23	-3.41	23	1.74	24	-29.48	22	3.07	21	0.01	21
1835	-436	-468	Max	16.87	-835.31	23	-4.83	23	-1.17	23	-28.03	22	-3.23	12	0.01	21
1835	-436	-468	Min.	2.51	-1638.05	21	-53.82	24	-0.58	23	-66.44	21	0.76	22	0.00	12
1835	-436	-468	Min.	16.87	-1636.75	21	-52.96	24	-5.92	24	-65.13	21	-6.38	21	0.00	12
1835	-468	-500	Max	2.51	-954.51	23	2.50	23	1.29	11	-46.78	22	2.83	21	0.02	21
1835	-468	-500	Max	16.87	-953.52	23	1.07	23	-0.35	23	-45.34	22	-5.96	22	0.02	21
1835	-468	-500	Min.	2.51	-1809.92	21	-37.74	24	-0.60	23	-96.94	21	0.66	22	0.01	23
1835	-468	-500	Min.	16.87	-1808.62	21	-36.89	24	-4.12	24	-95.63	21	-11.01	21	0.01	23
1835	-500	1333	Max	2.51	-1065.67	23	-39.60	23	1.30	24	82.76	24	-0.38	23	0.02	24
1835	-500	1333	Max	14.38	-1064.85	23	-40.77	23	-4.75	23	83.49	24	7.91	24	0.02	24
1835	-500	1333	Min.	2.51	-1974.65	21	-137.93	24	0.02	23	26.93	23	-1.96	24	0.00	23
1835	-500	1333	Min.	14.38	-1973.58	21	-137.23	24	-15.04	24	28.13	23	2.89	23	0.00	23
1836	360	-24	Max	4.85	0.00	11	0.00	11	0.00	11	0.00	11	0.00	11	0.00	11
1836	360	-24	Min.	4.85	0.00	11	0.00	11	0.00	11	0.00	11	0.00	11	0.00	11
1836	-24	-56	Max	4.85	0.00	11	0.00	11	0.00	11	0.00	11	0.00	11	0.00	11
1836	-24	-56	Min.	4.85	0.00	11	0.00	11	0.00	11	0.00	11	0.00	11	0.00	11
1836	-56	-88	Max	5.01	497.73	23	13.73	23	2.13	22	-13.40	12	5.32	21	0.01	23
1836	-56	-88	Max	16.87	498.55	23	12.55	23	-0.33	12	-13.38	12	0.22	23	0.01	23
1836	-56	-88	Min.	5.01	-195.89	24	-23.14	22	-2.02	23	-44.58	21	1.49	12	-0.02	24
1836	-56	-88	Min.	16.87	-195.07	24	-21.96	22	-0.65	21	-43.50	21	-0.37	22	-0.02	24
1836	-88	-120	Max	2.51	449.46	23	16.78	23	1.50	22	-15.04	12	4.10	21	0.01	23
1836	-88	-120	Max	16.87	450.45	23	15.36	23	0.23	23	-15.02	12	-0.85	12	0.01	23
1836	-88	-120	Min.	2.51	-234.65	24	-22.49	22	-2.07	23	-43.51	21	1.31	12	-0.01	24
1836	-88	-120	Min.	16.87	-233.65	24	-21.07	22	-1.65	24	-42.20	21	-2.05	21	-0.01	24
1836	-120	-152	Max	2.51	387.56	23	16.09	23	1.16	22	-15.21	12	3.57	21	0.00	23
1836	-120	-152	Max	16.87	388.55	23	14.67	23	0.38	23	-15.18	12	-1.07	12	0.00	23
1836	-120	-152	Min.	2.51	-284.83	24	-21.92	22	-1.83	23	-43.53	21	1.12	12	-0.01	24
1836	-120	-152	Min.	16.87	-283.83	24	-20.85	24	-1.93	24	-42.22	21	-2.59	21	-0.01	24
1836	-152	-184	Max	2.51	321.55	23	15.47	23	1.02	22	-15.57	12	3.39	21	0.00	23
1836	-152	-184	Max	11.13					-0.62	25			-0.31	25		
1836	-152	-184	Max	16.87	322.54	23	14.05	23	0.39	23	-15.55	12	-1.16	12	0.00	23
1836	-152	-184	Min.	2.51	-338.75	24	-21.59	24	-1.73	23	-43.64	21	1.07	12	-0.01	24
1836	-152	-184	Min.	11.13					-0.62	25			-0.31	25		
1836	-152	-184	Min.	16.87	-337.75	24	-20.74	24	-2.03	24	-42.33	21	-2.78	21	-0.01	24
1836	-184	-216	Max	2.51	253.61	23	14.83	23	0.93	24	-15.92	12	3.29	21	0.00	23
1836	-184	-216	Max	16.87	254.60	23	13.41	23	0.36	23	-15.90	12	-1.23	12	0.00	23
1836	-184	-216	Min.	2.51	-394.67	24	-21.51	24	-1.67	23	-43.76	21	1.05	12	-0.01	24
1836	-184	-216	Min.	16.87	-393.67	24	-20.66	24	-2.10	24	-42.45	21	-2.90	21	-0.01	24
1836	-216	-248	Max	2.51	184.19	23	14.20	23	0.85	24	-16.31	12	3.21	21	0.00	23
1836	-216	-248	Max	16.87	185.18	23	12.78	23	0.33	23	-16.28	12	-1.30	12	0.00	23
1836	-216	-248	Min.	2.51	-452.26	24	-21.42	24	-1.61	23	-43.90	21	1.04	12	-0.01	24
1836	-216	-248	Min.	16.87	-451.26	24	-20.57	24	-2.17	24	-42.59	21	-3.01	21	-0.01	24
1836	-248	-280	Max	2.51	113.30	23	13.56	23	0.77	24	-16.74	12	3.12	21	0.00	23
1836	-248	-280	Max	16.87	114.29	23	12.14	23	0.30	23	-16.72	12	-1.38	12	0.00	23
1836	-248	-280	Min.	2.51	-511.56	24	-21.34	24	-1.55	23	-44.12	21	1.02	12	-0.01	24
1836	-248	-280	Min.	16.87	-510.56	24	-20.48	24	-2.23	24	-42.81	21	-3.13	21	-0.01	24
1836	-280	-312	Max	2.51	40.86	23	12.90	23	0.69	24	-17.15	12	3.02	21	0.00	23
1836	-280	-312	Max	16.87	41.85	23	11.48	23	0.26	23	-17.12	12	-1.46	12	0.00	23
1836	-280	-312	Min.	2.51	-572.69	24	-21.30	24	-1.49	23	-44.31	21	1.00	12	-0.01	24
1836	-280	-312	Min.	16.87	-571.69	24	-20.45	24	-2.31	24	-43.00	21	-3.25	21	-0.01	24
1836	-312	-344	Max	2.51	-33.23	23	12.25	23	0.60	24	-17.60	12	2.92	21	0.00	23
1836	-312	-344	Max	16.87	-32.24	23	10.83	23	0.22	23	-17.57	12	-1.55	12	0.00	23
1836	-312	-344	Min.	2.51	-635.74	24	-21.20	24	-1.43	23	-44.56	21	0.98	12	-0.01	24
1836	-312	-344	Min.	16.87	-634.73	24	-20.34	24	-2.38	24	-43.25	21	-3.39	21	-0.01	24
1836	-344	-376	Max	2.51	-109.09	23	11.59	23	0.51	24	-18.08	12	2.81	21	0.00	23

1836	-344	-376	Max	14.45					-0.92	21			-2.49	21		
1836	-344	-376	Max	16.87	-108.10	23	10.16	23	0.19	23	-18.06	12	-1.64	12	0.00	23
1836	-344	-376	Min.	2.51	-700.85	24	-21.16	24	-1.37	23	-44.86	21	0.95	12	-0.01	24
1836	-344	-376	Min.	14.45					-0.92	21			-2.49	21		
1836	-344	-376	Min.	16.87	-699.85	24	-20.31	24	-2.47	24	-43.55	21	-3.54	21	-0.01	24
1836	-376	-408	Max	2.51	-186.84	23	10.88	23	0.42	24	-18.52	12	2.68	21	0.00	23
1836	-376	-408	Max	5.38					-0.96	21			1.39	21		
1836	-376	-408	Max	16.87	-185.85	23	9.46	23	0.15	23	-18.49	12	-1.74	12	0.00	23
1836	-376	-408	Min.	2.51	-768.18	24	-21.18	24	-1.31	23	-45.10	21	0.92	12	-0.01	24
1836	-376	-408	Min.	5.38					-0.96	21			1.39	21		
1836	-376	-408	Min.	16.87	-767.18	24	-20.33	24	-2.57	24	-43.79	21	-3.70	21	-0.01	24
1836	-408	-440	Max	2.51	-266.59	23	10.28	23	0.31	24	-19.24	12	2.55	21	0.00	23
1836	-408	-440	Max	16.87	-265.60	23	8.86	23	0.12	23	-19.22	12	-1.88	12	0.00	23
1836	-408	-440	Min.	2.51	-837.86	24	-20.96	24	-1.25	23	-45.74	21	0.87	22	-0.01	24
1836	-408	-440	Min.	16.87	-836.86	24	-20.11	24	-2.64	24	-44.43	21	-3.92	21	-0.01	24
1836	-440	-472	Max	2.51	-348.33	23	8.90	23	0.20	11	-18.37	12	2.37	21	0.00	23
1836	-440	-472	Max	16.87	-347.34	23	7.48	23	-0.00	23	-18.35	12	-1.82	12	0.00	23
1836	-440	-472	Min.	2.51	-910.01	24	-22.54	24	-1.18	23	-44.09	21	0.72	22	-0.01	24
1836	-440	-472	Min.	16.87	-909.01	24	-21.68	24	-2.98	24	-42.78	21	-3.87	21	-0.01	24
1836	-472	-504	Max	2.51	-430.74	23	12.84	23	0.01	11	-28.67	12	2.15	21	0.00	23
1836	-472	-504	Max	16.87	-429.75	23	11.42	23	0.63	23	-28.65	12	-3.34	12	0.00	23
1836	-472	-504	Min.	2.51	-983.61	24	-11.38	24	-1.11	23	-58.59	21	0.62	22	-0.01	11
1836	-472	-504	Min.	16.87	-982.61	24	-10.53	24	-1.65	24	-57.28	21	-6.17	21	-0.01	11
1836	-504	1339	Max	2.51	-506.36	23	-15.17	23	0.39	24	42.17	24	0.19	23	-0.01	12
1836	-504	1339	Max	14.38	-505.55	23	-16.34	23	-2.21	23	42.89	24	4.05	24	-0.01	12
1836	-504	1339	Min.	2.51	-1054.68	24	-76.49	24	-0.34	23	1.59	23	-1.00	24	-0.01	21
1836	-504	1339	Min.	14.38	-1053.85	24	-75.78	24	-8.65	24	2.79	23	0.45	23	-0.01	21
1837	381	-30	Max	4.85	0.00	11	0.00	11	0.00	11	0.00	11	0.00	11	0.00	11
1837	381	-30	Min.	4.85	0.00	11	0.00	11	0.00	11	0.00	11	0.00	11	0.00	11
1837	-30	-62	Max	4.85	0.00	11	0.00	11	0.00	11	0.00	11	0.00	11	0.00	11
1837	-30	-62	Min.	4.85	0.00	11	0.00	11	0.00	11	0.00	11	0.00	11	0.00	11
1837	-62	-94	Max	5.01	472.29	23	-28.20	12	7.17	21	46.23	24	2.05	23	-0.02	12
1837	-62	-94	Max	16.87	473.11	23	-28.20	12	-0.03	23	46.25	24	0.99	21	-0.02	12
1837	-62	-94	Min.	5.01	-321.28	11	-63.92	21	2.94	12	-11.89	23	-4.69	24	-0.05	21
1837	-62	-94	Min.	16.87	-320.44	11	-62.86	21	-0.72	24	-10.70	23	0.47	12	-0.05	21
1837	-94	-126	Max	2.51	459.80	23	-27.57	12	5.89	21	42.66	24	1.52	23	-0.01	23
1837	-94	-126	Max	16.87	460.79	23	-27.57	12	-1.76	12	42.69	24	2.88	24	-0.01	23
1837	-94	-126	Min.	2.51	-272.34	11	-66.11	21	2.20	12	-9.93	23	-3.25	24	-0.02	21
1837	-94	-126	Min.	16.87	-271.31	11	-64.83	21	-3.51	21	-8.49	23	0.19	23	-0.02	21
1837	-126	-158	Max	2.51	444.41	23	-28.25	12	5.11	21	43.41	24	1.32	23	0.00	23
1837	-126	-158	Max	16.87	445.40	23	-28.25	12	-2.14	12	43.43	24	3.44	24	0.00	23
1837	-126	-158	Min.	2.51	-209.49	11	-66.59	21	1.92	12	-8.97	23	-2.80	24	-0.01	24
1837	-126	-158	Min.	16.87	-208.47	11	-65.31	21	-4.36	21	-7.53	23	0.14	23	-0.01	24
1837	-158	-190	Max	2.51	429.12	23	-28.92	12	4.87	21	43.80	24	1.25	23	0.01	23
1837	-158	-190	Max	16.87	430.11	23	-28.92	12	-2.32	12	43.82	24	3.67	24	0.01	23
1837	-158	-190	Min.	2.51	-141.22	11	-67.22	21	1.84	12	-8.25	23	-2.63	24	-0.01	11
1837	-158	-190	Min.	16.87	-140.20	11	-65.94	21	-4.69	21	-6.80	23	0.17	23	-0.01	11
1837	-190	-222	Max	2.51	414.71	23	-29.59	12	4.74	21	44.22	24	1.18	23	0.01	23
1837	-190	-222	Max	16.87	415.70	23	-29.59	12	-2.45	12	44.25	24	3.83	24	0.01	23
1837	-190	-222	Min.	2.51	-69.36	11	-67.89	21	1.80	12	-7.42	23	-2.53	24	-0.00	11
1837	-190	-222	Min.	16.87	-68.33	11	-66.61	21	-4.92	21	-5.97	23	0.22	23	-0.00	11
1837	-222	-254	Max	2.51	401.43	23	-30.30	12	4.63	21	44.68	24	1.13	23	0.01	23
1837	-222	-254	Max	16.87	402.42	23	-30.30	12	-2.58	12	44.70	24	3.98	24	0.01	23
1837	-222	-254	Min.	2.51	-1.04	12	-68.64	21	1.77	12	-6.65	23	-2.44	24	-0.00	11
1837	-222	-254	Min.	16.87	-0.02	12	-67.36	21	-5.14	21	-5.21	23	0.28	23	-0.00	11
1837	-254	-286	Max	2.51	407.83	21	-31.06	12	4.51	21	45.21	24	1.08	23	0.01	23
1837	-254	-286	Max	16.87	409.13	21	-31.06	12	-2.73	12	45.23	24	4.14	24	0.01	23
1837	-254	-286	Min.	2.51	60.62	12	-69.45	21	1.74	12	-5.81	23	-2.35	24	-0.00	11
1837	-254	-286	Min.	16.87	61.64	12	-68.17	21	-5.37	21	-4.36	23	0.34	23	-0.00	11

1837	-286	-318	Max	2.51	448.80	21	-31.84	12	4.39	21	45.76	24	1.02	23	0.01	23
1837	-286	-318	Max	16.87	450.10	21	-31.84	12	-2.88	12	45.78	24	4.32	24	0.01	23
1837	-286	-318	Min.	2.51	125.19	12	-70.31	21	1.70	12	-4.98	23	-2.26	24	-0.00	11
1837	-286	-318	Min.	16.87	126.21	12	-69.03	21	-5.62	21	-3.53	23	0.41	23	-0.00	11
1837	-318	-350	Max	2.51	493.55	21	-32.65	12	4.25	21	46.31	24	0.97	23	0.01	23
1837	-318	-350	Max	16.87	494.85	21	-32.65	12	-3.04	12	46.33	24	4.51	24	0.01	23
1837	-318	-350	Min.	2.51	192.87	12	-71.23	21	1.60	22	-4.15	23	-2.15	24	-0.00	11
1837	-318	-350	Min.	16.87	193.89	12	-69.95	21	-5.89	21	-2.71	23	0.48	23	-0.00	11
1837	-350	-382	Max	2.51	551.28	24	-33.52	12	4.10	21	46.97	24	0.92	23	0.01	23
1837	-350	-382	Max	16.87	552.30	24	-33.52	12	-3.22	12	46.99	24	4.71	24	0.01	23
1837	-350	-382	Min.	2.51	263.88	12	-72.22	21	1.48	22	-3.26	23	-2.03	24	-0.01	24
1837	-350	-382	Min.	16.87	264.90	12	-70.95	21	-6.18	21	-1.82	23	0.56	23	-0.01	24
1837	-382	-414	Max	2.51	660.54	24	-34.46	12	3.93	21	47.63	24	0.87	23	0.01	23
1837	-382	-414	Max	16.87	661.56	24	-34.46	12	-3.42	12	47.65	24	4.94	24	0.01	23
1837	-382	-414	Min.	2.51	338.48	12	-73.35	21	1.35	22	-2.38	23	-1.91	24	-0.01	24
1837	-382	-414	Min.	16.87	339.50	12	-72.07	21	-6.51	21	-0.93	23	0.63	23	-0.01	24
1837	-414	-446	Max	2.51	774.14	24	-34.68	22	3.74	21	48.52	24	0.82	23	0.01	23
1837	-414	-446	Max	16.87	775.16	24	-34.68	22	-3.60	12	48.54	24	5.20	24	0.01	23
1837	-414	-446	Min.	2.51	351.85	23	-74.15	21	1.20	22	-1.45	23	-1.77	24	-0.01	24
1837	-414	-446	Min.	16.87	352.84	23	-72.87	21	-6.82	21	-0.00	23	0.72	23	-0.01	24
1837	-446	-478	Max	2.51	892.21	24	-36.55	22	3.50	21	48.29	24	0.77	23	0.01	23
1837	-446	-478	Max	16.87	893.23	24	-36.55	22	-4.07	12	48.32	24	5.36	24	0.01	23
1837	-446	-478	Min.	2.51	349.81	23	-77.89	21	1.04	22	-0.57	23	-1.58	24	-0.00	24
1837	-446	-478	Min.	16.87	350.80	23	-76.61	21	-7.59	21	0.88	23	0.80	23	-0.00	24
1837	-478	-510	Max	2.51	1013.31	24	-24.01	22	2.86	21	55.92	24	0.71	23	0.02	21
1837	-478	-510	Max	16.87	1014.33	24	-24.01	22	-2.76	22	55.94	24	6.74	24	0.02	21
1837	-478	-510	Min.	2.51	350.13	23	-62.23	21	0.68	22	0.76	23	-1.32	11	0.01	12
1837	-478	-510	Min.	16.87	351.12	23	-60.95	21	-5.99	21	2.20	23	0.92	23	0.01	12
1837	-510	1356	Max	2.51	1130.31	24	-93.38	12	2.10	21	28.87	11	0.62	22	0.03	21
1837	-510	1356	Max	14.38	1131.16	24	-93.38	12	-10.09	12	28.89	11	3.41	11	0.03	21
1837	-510	1356	Min.	2.51	355.15	23	-162.28	21	0.82	22	-5.41	22	-0.02	11	0.01	22
1837	-510	1356	Min.	14.38	355.97	23	-161.22	21	-17.10	21	-5.39	22	-0.02	22	0.01	22
1858	1305	1306	Max	1.77	63.83	21	0.69	24	3.73	21	1.45	23	0.22	11	0.02	24
1858	1305	1306	Max	10.00	63.83	21	1.28	24	2.25	21	1.45	23	0.24	21	0.02	24
1858	1305	1306	Min.	1.77	7.38	22	-20.78	23	-0.59	22	-0.12	24	0.01	23	0.00	23
1858	1305	1306	Min.	10.00	7.38	22	-20.19	23	-0.54	22	-0.12	24	0.06	22	0.00	23
1858	1306	1307	Max	0.00	63.83	21	1.28	24	2.25	21	1.45	23	0.24	21	0.02	24
1858	1306	1307	Max	8.23	63.83	21	1.86	24	2.01	11	1.45	23	0.34	21	0.02	24
1858	1306	1307	Min.	0.00	7.38	22	-20.19	23	-0.54	22	-0.12	24	0.06	22	0.00	23
1858	1306	1307	Min.	8.23	7.38	22	-19.61	23	-0.46	23	-0.12	24	0.05	22	0.00	23
1860	1325	1326	Max	1.77	-21.29	22	1.39	21	-0.07	22	-0.93	22	-0.77	23	0.00	23
1860	1325	1326	Max	10.00	-21.29	22	1.39	21	-0.06	22	-0.35	22	-1.28	22	0.00	23
1860	1325	1326	Min.	1.77	-83.04	21	0.21	22	-0.36	21	-19.99	23	-3.92	11	-0.03	24
1860	1325	1326	Min.	10.00	-83.04	21	0.21	22	-0.24	21	-19.40	23	-4.62	21	-0.03	24
1860	1326	1327	Max	0.00	-21.29	22	1.39	21	-0.06	22	-0.35	22	-1.28	22	0.00	23
1860	1326	1327	Max	8.23	-21.29	22	1.39	21	-0.02	23	0.24	22	-1.29	22	0.00	23
1860	1326	1327	Min.	0.00	-83.04	21	0.21	22	-0.24	21	-19.40	23	-4.62	21	-0.03	24
1860	1326	1327	Min.	8.23	-83.04	21	0.21	22	-0.18	11	-18.82	23	-6.10	21	-0.03	24
1902	1337	1338	Max	1.77	-42.93	23	-2.56	12	-0.77	23	1.40	21	-0.20	12	0.02	11
1902	1337	1338	Max	10.00	-42.93	23	-1.98	12	-2.40	23	1.40	21	-0.13	23	0.02	11
1902	1337	1338	Min.	1.77	-92.44	24	-20.09	23	-4.91	24	0.34	12	-0.36	21	0.00	23
1902	1337	1338	Min.	10.00	-92.44	24	-19.50	23	-5.19	24	0.34	12	-0.27	24	0.00	23
1902	1338	1339	Max	0.00	-42.93	23	-1.98	12	-2.40	23	1.40	21	-0.13	23	0.02	11
1902	1338	1339	Max	8.23	-42.93	23	-1.39	12	-3.40	12	1.40	21	-0.02	23	0.02	11
1902	1338	1339	Min.	0.00	-92.44	24	-19.50	23	-5.19	24	0.34	12	-0.27	24	0.00	23
1902	1338	1339	Min.	8.23	-92.44	24	-18.92	23	-6.13	21	0.34	12	-0.24	24	0.00	23
1904	1357	1358	Max	1.77	76.73	24	1.46	23	0.28	24	-0.26	11	3.75	21	-0.00	23
1904	1357	1358	Max	10.00	76.73	24	1.46	23	0.28	24	0.32	11	3.14	24	-0.00	23
1904	1357	1358	Min.	1.77	32.68	23	-0.08	11	0.00	23	-20.82	23	1.56	12	-0.02	11

1904	1357	1358	Min.	10.00	32.68	23	-0.08	11	0.12	23	-20.24	23	1.19	23	-0.02	11
1904	1358	1359	Max	0.00	76.73	24	1.46	23	0.28	24	0.32	11	3.14	24	-0.00	23
1904	1358	1359	Max	8.23	76.73	24	1.46	23	0.34	21	0.91	11	3.14	24	-0.00	23
1904	1358	1359	Min.	0.00	32.68	23	-0.08	11	0.12	23	-20.24	23	1.19	23	-0.02	11
1904	1358	1359	Min.	8.23	32.68	23	-0.08	11	0.17	12	-19.65	23	-0.45	23	-0.02	11
2022	2025	2026	Max	0.00	2.89	23	-7.50	22	0.10	23	-14.66	23	0.34	21	37.12	21
2022	2025	2026	Max	0.63	2.89	23	-7.50	22	-0.31	22	-14.70	23	0.16	23	37.12	21
2022	2025	2026	Min.	0.00	-0.60	11	-886.82	21	-0.35	24	-172.32	24	0.15	12	10.54	22
2022	2025	2026	Min.	0.63	-0.60	11	-886.82	21	-5.68	21	-172.36	24	-0.87	24	10.54	22
2022	2026	2027	Max	5.37	-0.71	12	887.85	21	-0.08	22	463.35	21	-1.58	12	-13.43	22
2022	2026	2027	Max	6.00	-0.71	12	887.85	21	1.07	21	463.29	21	-0.08	12	-13.43	22
2022	2026	2027	Min.	5.37	-17.37	23	56.24	22	-4.81	11	238.11	12	-3.15	21	-39.26	21
2022	2026	2027	Min.	6.00	-17.37	23	56.24	22	0.27	22	238.06	12	-0.23	21	-39.26	21
2066	2285	2286	Max	0.00	2.92	23	1082.32	24	0.26	11	-16.70	23	0.34	21	-19.30	23
2066	2285	2286	Max	0.63	2.92	23	1082.32	24	7.05	24	-16.75	23	0.15	23	-19.30	23
2066	2285	2286	Min.	0.00	-0.67	24	470.33	23	-0.08	23	-176.57	24	0.08	22	-40.52	24
2066	2285	2286	Min.	0.63	-0.67	24	470.33	23	2.88	23	-176.61	24	-0.95	24	-40.52	24
2066	2286	2287	Max	5.37	0.22	22	-434.35	23	7.01	24	460.81	21	-0.95	22	43.59	24
2066	2286	2287	Max	6.00	0.22	22	-434.35	23	-0.29	22	460.75	21	-0.04	22	43.59	24
2066	2286	2287	Min.	5.37	-16.97	23	-1184.23	24	1.82	23	144.53	22	-3.12	21	19.64	23
2066	2286	2287	Min.	6.00	-16.97	23	-1184.23	24	-1.09	21	144.48	22	-0.22	21	19.64	23
2106	2001	9	Max	0.00	12.90	23	0.31	23	0.07	24	7.37	23	0.77	24	-0.01	11
2106	2001	9	Max	16.67	12.90	23	0.31	23	-0.00	23	6.72	23	0.54	23	-0.01	11
2106	2001	9	Min.	0.00	-19.41	24	-0.63	24	-0.06	23	-8.55	24	-0.63	23	-0.12	23
2106	2001	9	Min.	16.67	-19.41	24	-0.63	24	-0.03	24	-9.20	24	-0.71	24	-0.12	23
2106	9	17	Max	0.00	30.80	23	0.92	23	0.08	24	5.32	23	0.58	24	0.00	11
2106	9	17	Max	16.67	30.80	23	0.92	23	0.05	23	4.66	23	0.49	23	0.00	11
2106	9	17	Min.	0.00	-46.82	24	-0.64	24	-0.11	23	-9.87	24	-0.34	23	-0.12	23
2106	9	17	Min.	16.67	-46.82	24	-0.64	24	-0.03	24	-10.53	24	-1.12	24	-0.12	23
2106	17	2025	Max	0.00	42.15	23	2.10	23	0.02	24	14.69	21	0.12	11	-0.02	12
2106	17	2025	Max	16.67	42.15	23	2.10	23	0.27	23	13.84	21	2.17	21	-0.02	12
2106	17	2025	Min.	0.00	-68.42	24	-1.05	24	-0.08	23	-6.57	22	-0.29	23	-0.09	21
2106	17	2025	Min.	16.67	-68.42	24	-1.05	24	-0.16	24	-7.22	22	-1.44	22	-0.09	21
2106	2025	37	Max	0.00	-4.26	22	-0.63	12	0.29	21	201.33	21	-14.95	22	0.21	21
2106	2025	37	Max	21.56	-4.26	22	-0.63	12	0.00	11	200.23	21	12.47	24	0.21	21
2106	2025	37	Min.	0.00	-922.55	21	-1.34	21	0.14	12	100.44	23	-31.27	21	0.10	12
2106	2025	37	Min.	21.56	-922.55	21	-1.34	21	-0.01	22	99.59	23	5.95	23	0.10	12
2106	37	45	Max	0.00	274.48	22	-0.50	12	0.17	21	172.85	21	-10.35	22	0.22	21
2106	37	45	Max	21.56	274.48	22	-0.50	12	-0.02	12	171.75	21	15.97	21	0.22	21
2106	37	45	Min.	0.00	-440.76	21	-1.03	21	0.08	12	86.25	23	-21.18	21	0.11	12
2106	37	45	Min.	21.56	-440.76	21	-1.03	21	-0.05	21	85.41	23	7.94	23	0.11	12
2106	45	53	Max	0.00	515.90	22	-0.50	12	0.12	21	154.50	21	-8.23	22	0.20	21
2106	45	53	Max	21.56	515.90	22	-0.50	12	-0.05	12	153.40	21	15.86	21	0.20	21
2106	45	53	Min.	0.00	-10.64	21	-1.03	21	0.06	12	76.64	23	-17.34	21	0.10	12
2106	45	53	Min.	21.56	-10.64	21	-1.03	21	-0.11	21	75.79	23	7.83	23	0.10	12
2106	53	61	Max	0.00	707.49	22	-0.42	12	0.05	21	138.63	21	-6.35	22	0.18	21
2106	53	61	Max	21.56	707.49	22	-0.42	12	-0.06	12	137.53	21	15.50	21	0.18	21
2106	53	61	Min.	0.00	165.58	23	-0.91	21	0.03	12	68.61	23	-14.27	21	0.09	12
2106	53	61	Min.	21.56	165.58	23	-0.91	21	-0.14	21	67.76	23	7.57	23	0.09	12
2106	61	69	Max	0.00	858.81	24	-0.08	23	0.05	24	101.80	21	-2.14	22	0.15	21
2106	61	69	Max	21.56	858.81	24	-0.08	23	0.00	11	100.70	21	12.17	21	0.15	21
2106	61	69	Min.	0.00	301.67	23	-0.22	24	0.01	23	39.83	22	-9.66	21	0.08	12
2106	61	69	Min.	21.56	301.67	23	-0.22	24	-0.01	22	38.98	22	6.36	22	0.08	12
2106	69	77	Max	0.00	1016.33	24	-0.24	23	0.06	21	90.48	21	-1.83	22	0.09	21
2106	69	77	Max	21.56	1016.33	24	-0.24	23	-0.02	12	89.38	21	11.00	21	0.09	21
2106	69	77	Min.	0.00	406.61	23	-0.45	21	0.03	23	33.88	22	-8.39	21	0.05	12
2106	69	77	Min.	21.56	406.61	23	-0.45	21	-0.03	21	33.03	22	5.38	22	0.05	12
2106	77	85	Max	0.00	1142.59	24	-0.25	23	0.03	21	82.27	21	-1.38	22	0.08	21
2106	77	85	Max	21.56	1142.59	24	-0.25	23	-0.04	22	81.17	21	10.39	21	0.08	21

2106	77	85	Min.	0.00	492.41	23	-0.46	21	0.01	23	30.13	22	-7.23	21	0.04	23
2106	77	85	Min.	21.56	492.41	23	-0.46	21	-0.07	21	29.29	22	5.02	22	0.04	23
2106	85	93	Max	0.00	1242.42	24	-0.17	23	-0.00	22	74.05	21	-0.29	22	0.08	21
2106	85	93	Max	21.56	1242.42	24	-0.17	23	-0.04	23	72.95	21	10.33	21	0.08	21
2106	85	93	Min.	0.00	561.62	23	-0.31	21	-0.01	21	25.76	22	-5.52	21	0.04	22
2106	85	93	Min.	21.56	561.62	23	-0.31	21	-0.08	21	24.91	22	5.17	22	0.04	22
2106	93	101	Max	0.00	1294.58	24	-0.04	22	0.04	21	29.92	21	3.97	22	0.08	21
2106	93	101	Max	21.56	1294.58	24	-0.04	22	0.01	21	28.82	21	5.72	21	0.08	21
2106	93	101	Min.	0.00	606.28	23	-0.12	21	0.01	22	-13.55	22	-0.61	21	0.04	22
2106	93	101	Min.	21.56	606.28	23	-0.12	21	0.00	22	-14.40	22	0.96	22	0.04	22
2106	101	109	Max	0.00	1308.06	24	-0.11	22	0.05	21	24.54	21	3.52	22	0.04	21
2106	101	109	Max	21.56	1308.06	24	-0.11	22	-0.01	23	23.44	21	4.53	21	0.04	21
2106	101	109	Min.	0.00	630.81	23	-0.28	21	0.01	22	-15.80	22	-0.65	21	0.02	22
2106	101	109	Min.	21.56	630.81	23	-0.28	21	-0.01	24	-16.65	22	0.03	22	0.02	22
2106	109	117	Max	0.00	1311.97	24	-0.13	22	0.01	21	21.49	21	3.48	22	0.03	21
2106	109	117	Max	21.56	1311.97	24	-0.13	22	-0.03	23	20.39	21	4.18	21	0.03	21
2106	109	117	Min.	0.00	648.16	23	-0.29	21	0.00	22	-16.18	22	-0.33	21	0.00	22
2106	109	117	Min.	21.56	648.16	23	-0.29	21	-0.05	21	-17.03	22	-0.10	22	0.00	22
2106	117	125	Max	0.00	1307.56	24	-0.08	22	-0.01	12	17.27	21	4.24	22	0.03	21
2106	117	125	Max	21.56	1307.56	24	-0.08	22	-0.04	23	16.17	21	4.36	21	0.03	21
2106	117	125	Min.	0.00	659.49	23	-0.19	21	-0.02	24	-18.09	22	0.39	23	-0.01	22
2106	117	125	Min.	21.56	659.49	23	-0.19	21	-0.06	21	-18.93	22	0.25	22	-0.01	22
2106	125	133	Max	0.00	1278.02	24	0.18	22	0.00	11	-8.60	23	7.80	22	0.03	21
2106	125	133	Max	21.56	1278.02	24	0.18	22	0.01	24	-9.44	23	0.43	21	0.03	21
2106	125	133	Min.	0.00	658.94	23	0.01	11	-0.03	22	-51.43	22	2.26	23	-0.01	22
2106	125	133	Min.	21.56	658.94	23	0.01	11	0.00	23	-52.27	22	-3.38	22	-0.01	22
2106	133	141	Max	0.00	1252.18	21	0.13	22	0.01	21	-10.41	23	7.09	22	0.00	21
2106	133	141	Max	17.25					-0.00	24			-1.02	24		
2106	133	141	Max	21.56	1252.18	21	0.13	22	0.01	22	-11.26	23	-0.23	23	0.00	21
2106	133	141	Min.	0.00	648.45	23	-0.07	21	-0.02	22	-51.99	22	2.10	23	-0.03	22
2106	133	141	Min.	17.25					-0.00	24			-1.02	24		
2106	133	141	Min.	21.56	648.45	23	-0.07	21	-0.01	21	-52.83	22	-4.21	22	-0.03	22
2106	141	149	Max	0.00	1227.19	21	0.11	22	-0.01	23	-11.89	23	6.63	22	-0.00	23
2106	141	149	Max	21.56	1227.19	21	0.11	22	-0.01	22	-12.73	23	-0.65	23	-0.00	23
2106	141	149	Min.	0.00	636.10	23	-0.10	21	-0.03	22	-51.67	22	2.00	23	-0.04	22
2106	141	149	Min.	21.56	636.10	23	-0.10	21	-0.04	21	-52.52	22	-4.61	22	-0.04	22
2106	149	157	Max	0.00	1205.92	21	0.12	22	-0.03	23	-11.87	23	5.68	22	-0.00	23
2106	149	157	Max	21.56	1205.92	21	0.12	22	-0.02	22	-12.72	23	-1.27	23	-0.00	23
2106	149	157	Min.	0.00	625.21	23	-0.07	21	-0.05	24	-50.52	22	1.38	23	-0.04	22
2106	149	157	Min.	21.56	625.21	23	-0.07	21	-0.06	21	-51.37	22	-5.30	22	-0.04	22
2106	157	165	Max	0.00	1205.92	21	0.19	22	-0.03	23	23.98	21	2.23	22	0.01	21
2106	157	165	Max	16.27					-0.04	24			0.03	24		
2106	157	165	Max	21.56	1205.92	21	0.19	22	-0.01	22	22.88	21	2.63	21	0.01	21
2106	157	165	Min.	0.00	625.21	23	0.03	23	-0.06	24	-21.30	22	-2.42	21	-0.03	22
2106	157	165	Min.	16.27					-0.04	24			0.03	24		
2106	157	165	Min.	21.56	625.21	23	0.03	23	-0.05	21	-22.15	22	-2.45	22	-0.03	22
2106	165	173	Max	0.00	1227.21	21	0.21	22	-0.02	23	24.88	21	2.93	22	0.01	21
2106	165	173	Max	17.25					-0.01	24			1.10	24		
2106	165	173	Max	21.56	1227.21	21	0.21	22	0.01	22	23.78	21	3.90	21	0.01	21
2106	165	173	Min.	0.00	636.09	23	0.05	23	-0.04	24	-21.86	22	-1.35	21	-0.03	22
2106	165	173	Min.	17.25					-0.01	24			1.10	24		
2106	165	173	Min.	21.56	636.09	23	0.05	23	-0.02	21	-22.70	22	-1.88	22	-0.03	22
2106	173	181	Max	0.00	1252.23	21	0.20	22	-0.00	23	23.01	21	3.47	22	-0.00	23
2106	173	181	Max	21.56	1252.23	21	0.20	22	0.03	22	21.91	21	4.22	21	-0.00	23
2106	173	181	Min.	0.00	639.91	22	0.03	23	-0.01	22	-25.06	22	-0.64	11	-0.03	22
2106	173	181	Min.	21.56	639.91	22	0.03	23	0.00	23	-25.90	22	-2.02	22	-0.03	22
2106	181	189	Max	0.00	1274.47	21	0.15	22	0.01	21	20.35	21	3.91	22	-0.02	23
2106	181	189	Max	21.56	1274.47	21	0.15	22	0.03	22	19.25	21	4.69	21	-0.02	23
2106	181	189	Min.	0.00	605.99	22	-0.02	21	0.00	22	-28.20	22	0.27	12	-0.04	24

2106	181	189	Min.	21.56	605.99	22	-0.02	21	0.00	23	-29.04	22	-2.27	22	-0.04	24
2106	189	197	Max	0.00	1276.79	21	0.19	21	-0.03	22	-7.98	23	5.43	24	-0.02	23
2106	189	197	Max	21.56	1276.79	21	0.19	21	0.00	22	-8.83	23	0.76	21	-0.02	23
2106	189	197	Min.	0.00	563.47	22	0.11	23	-0.06	21	-36.55	22	2.20	23	-0.04	24
2106	189	197	Min.	21.56	563.47	22	0.11	23	-0.02	21	-37.40	22	-3.20	22	-0.04	24
2106	197	205	Max	0.00	1255.15	21	0.29	21	-0.02	22	-10.53	23	5.39	24	-0.02	23
2106	197	205	Max	21.56	1255.15	21	0.29	21	0.02	24	-11.38	23	-0.17	12	-0.02	23
2106	197	205	Min.	0.00	511.13	22	0.17	23	-0.05	21	-40.14	22	2.18	23	-0.04	24
2106	197	205	Min.	21.56	511.13	22	0.17	23	0.01	23	-40.98	22	-3.75	22	-0.04	24
2106	205	213	Max	0.00	1222.64	21	0.28	21	-0.01	22	-12.58	23	5.74	24	-0.02	23
2106	205	213	Max	21.56	1222.64	21	0.28	21	0.05	21	-13.43	23	-0.39	23	-0.02	23
2106	205	213	Min.	0.00	449.65	22	0.16	23	-0.01	21	-43.97	22	2.41	23	-0.04	21
2106	205	213	Min.	21.56	449.65	22	0.16	23	0.03	23	-44.81	22	-4.23	22	-0.04	21
2106	213	221	Max	0.00	1177.40	21	0.13	24	0.01	21	-15.79	23	6.70	24	-0.04	22
2106	213	221	Max	21.56	1177.40	21	0.13	24	0.04	24	-16.63	23	-0.40	12	-0.04	22
2106	213	221	Min.	0.00	377.29	22	0.06	23	0.01	12	-48.57	22	3.06	23	-0.08	21
2106	213	221	Min.	21.56	377.29	22	0.06	23	0.02	23	-49.42	22	-4.72	22	-0.08	21
2106	221	229	Max	0.00	1093.61	21	0.31	21	-0.03	22	-38.22	23	10.33	21	-0.04	22
2106	221	229	Max	21.56	1093.61	21	0.31	21	-0.00	12	-39.06	23	-2.94	23	-0.04	22
2106	221	229	Min.	0.00	287.87	22	0.11	22	-0.08	21	-77.44	24	5.39	23	-0.08	21
2106	221	229	Min.	21.56	287.87	22	0.11	22	-0.01	21	-78.28	24	-6.75	24	-0.08	21
2106	229	237	Max	0.00	962.73	21	0.46	21	-0.03	22	-42.89	23	10.39	21	-0.03	22
2106	229	237	Max	21.56	962.73	21	0.46	21	0.03	21	-43.73	23	-3.86	23	-0.03	22
2106	229	237	Min.	0.00	178.09	22	0.20	22	-0.07	21	-85.18	24	5.48	23	-0.08	21
2106	229	237	Min.	21.56	178.09	22	0.20	22	0.01	22	-86.03	24	-8.25	24	-0.08	21
2106	237	245	Max	0.00	801.26	21	0.45	21	-0.01	22	-47.62	23	11.00	21	-0.03	22
2106	237	245	Max	21.56	801.26	21	0.45	21	0.06	21	-48.46	23	-4.53	23	-0.03	22
2106	237	245	Min.	0.00	47.67	22	0.20	22	-0.03	21	-93.28	24	5.83	23	-0.09	21
2106	237	245	Min.	21.56	47.67	22	0.20	22	0.03	23	-94.13	24	-9.43	24	-0.09	21
2106	245	253	Max	0.00	603.80	21	0.21	24	0.01	22	-53.96	23	12.17	21	-0.05	22
2106	245	253	Max	21.56	603.80	21	0.21	24	0.05	24	-54.81	23	-5.33	23	-0.05	22
2106	245	253	Min.	0.00	-108.10	22	0.08	23	-0.00	23	-103.98	24	6.40	23	-0.15	21
2106	245	253	Min.	21.56	-108.10	22	0.08	23	0.01	23	-104.83	24	-10.72	24	-0.15	21
2106	253	261	Max	0.00	338.48	21	0.91	21	-0.03	22	-67.83	23	15.51	21	-0.05	22
2106	253	261	Max	21.56	338.48	21	0.91	21	0.05	21	-68.67	23	-7.14	23	-0.05	22
2106	253	261	Min.	0.00	-299.36	22	0.20	22	-0.14	21	-137.77	24	7.58	23	-0.18	21
2106	253	261	Min.	21.56	-299.36	22	0.20	22	0.01	22	-138.71	21	-15.07	24	-0.18	21
2106	261	269	Max	0.00	-8.18	23	1.04	21	-0.03	22	-75.86	23	15.87	21	-0.05	22
2106	261	269	Max	21.56	-8.18	23	1.04	21	0.12	21	-76.71	23	-8.61	23	-0.05	22
2106	261	269	Min.	0.00	-534.82	22	0.28	22	-0.11	21	-153.49	21	7.84	23	-0.20	21
2106	261	269	Min.	21.56	-534.82	22	0.28	22	0.03	22	-154.59	21	-18.14	24	-0.20	21
2106	269	277	Max	0.00	-222.00	23	1.03	21	-0.01	22	-85.48	23	15.98	21	-0.05	22
2106	269	277	Max	21.56	-222.00	23	1.03	21	0.17	21	-86.33	23	-10.57	23	-0.05	22
2106	269	277	Min.	0.00	-821.44	22	0.28	22	-0.05	21	-171.84	21	7.95	23	-0.22	21
2106	269	277	Min.	21.56	-821.44	22	0.28	22	0.05	22	-172.94	21	-21.95	24	-0.22	21
2106	277	2285	Max	0.00	-462.11	23	1.34	21	0.01	22	-99.70	23	12.04	21	-0.06	22
2106	277	2285	Max	21.56	-462.11	23	1.34	21	0.29	21	-100.55	23	-15.63	23	-0.06	22
2106	277	2285	Min.	0.00	-1226.74	24	0.26	22	0.00	12	-200.99	24	5.96	23	-0.21	21
2106	277	2285	Min.	21.56	-1226.74	24	0.26	22	0.07	22	-201.84	24	-32.63	24	-0.21	21
2106	2285	297	Max	0.00	29.16	23	0.94	24	0.27	23	-0.85	12	2.09	22	0.09	21
2106	2285	297	Max	16.67	29.16	23	0.94	24	0.04	24	-1.51	12	0.52	22	0.09	21
2106	2285	297	Min.	0.00	-71.12	11	-2.12	23	-0.12	24	-11.64	21	0.34	12	0.01	22
2106	2285	297	Min.	16.67	-71.12	11	-2.12	23	-0.09	23	-12.49	21	-0.23	23	0.01	22
2106	297	305	Max	0.00	23.27	23	0.65	24	0.06	23	10.69	11	0.31	23	0.13	23
2106	297	305	Max	16.67	23.27	23	0.65	24	0.05	24	10.04	11	0.65	11	0.13	23
2106	297	305	Min.	0.00	-44.17	11	-1.02	23	-0.06	24	-2.75	23	-1.08	11	0.00	24
2106	297	305	Min.	16.67	-44.17	11	-1.02	23	-0.11	23	-3.41	23	-0.21	23	0.00	24
2106	305	2313	Max	0.00	10.22	23	0.85	24	-0.01	23	8.27	11	0.45	23	0.11	23
2106	305	2313	Max	16.67	10.22	23	0.85	24	0.09	24	7.62	11	0.70	11	0.11	23

2106	305	2313	Min.	0.00	-17.41	11	-0.30	23	-0.06	24	-5.39	23	-0.62	11	0.01	24
2106	305	2313	Min.	16.67	-17.41	11	-0.30	23	-0.06	23	-6.04	23	-0.51	23	0.01	24
2107	-514	18	Max	0.00	-55.30	12	0.03	23	0.18	24	1.96	21	-0.15	12	-0.02	23
2107	-514	18	Max	15.27					-0.01	11			-0.02	11		
2107	-514	18	Max	19.08	-55.66	12	0.03	23	-0.04	12	1.11	21	0.00	11	-0.02	23
2107	-514	18	Min.	0.00	-115.31	21	-1.26	24	-0.09	23	1.01	12	-0.38	21	-0.04	24
2107	-514	18	Min.	15.27					-0.01	11			-0.02	11		
2107	-514	18	Min.	19.08	-115.78	21	-1.26	24	-0.11	21	0.36	12	-0.11	23	-0.04	24
2144	2003	11	Max	0.00	-15.82	23	0.36	23	0.07	24	-5.49	23	2.61	24	0.04	24
2144	2003	11	Max	16.67	-15.82	23	0.36	23	0.00	23	-6.15	23	-0.45	23	0.04	24
2144	2003	11	Min.	0.00	-64.55	24	-0.63	24	-0.06	23	-28.31	24	0.52	23	-0.08	23
2144	2003	11	Min.	16.67	-64.55	24	-0.63	24	-0.04	24	-28.96	24	-2.16	24	-0.08	23
2144	11	19	Max	0.00	-40.60	23	0.80	23	0.06	24	-10.03	23	2.60	24	0.05	24
2144	11	19	Max	16.67	-40.60	23	0.80	23	0.04	23	-10.69	23	-1.03	23	0.05	24
2144	11	19	Min.	0.00	-165.58	24	-0.66	24	-0.09	23	-37.09	24	0.70	23	-0.09	23
2144	11	19	Min.	16.67	-165.58	24	-0.66	24	-0.05	24	-37.75	24	-3.64	24	-0.09	23
2144	19	2028	Max	0.00	-70.18	23	2.20	23	0.02	24	3.49	23	1.30	24	0.04	24
2144	19	2028	Max	16.67	-70.18	23	2.20	23	0.27	23	2.84	23	0.75	23	0.04	24
2144	19	2028	Min.	0.00	-262.81	24	-0.59	24	-0.09	23	-29.64	22	0.22	23	-0.05	23
2144	19	2028	Min.	16.67	-262.81	24	-0.59	24	-0.07	24	-30.29	22	-4.13	22	-0.05	23
2144	2028	39	Max	0.00	-730.46	22	0.17	11	0.10	23	435.36	24	-33.60	23	0.09	21
2144	2028	39	Max	21.56	-730.46	22	0.17	11	0.02	21	434.51	24	28.45	24	0.09	21
2144	2028	39	Min.	0.00	-1992.92	21	-0.42	23	-0.02	12	217.50	23	-67.09	21	0.00	22
2144	2028	39	Min.	21.56	-1992.92	21	-0.42	23	0.01	23	216.66	23	13.20	23	0.00	22
2144	39	47	Max	0.00	-21.29	22	-0.06	22	0.07	21	365.02	21	-22.43	23	0.07	21
2144	39	47	Max	21.56	-21.29	22	-0.06	22	0.00	12	363.92	21	35.15	24	0.07	21
2144	39	47	Min.	0.00	-961.88	21	-0.39	21	0.01	22	183.95	23	-44.42	21	0.00	22
2144	39	47	Min.	21.56	-961.88	21	-0.39	21	-0.01	21	183.10	23	17.14	23	0.00	22
2144	47	55	Max	0.00	577.04	22	-0.04	22	0.04	21	316.80	21	-17.84	23	0.07	21
2144	47	55	Max	21.56	577.04	22	-0.04	22	-0.00	22	315.70	21	33.47	24	0.07	21
2144	47	55	Min.	0.00	-65.70	21	-0.39	21	0.01	22	160.13	23	-35.24	21	0.01	22
2144	47	55	Min.	21.56	-65.70	21	-0.39	21	-0.04	21	159.29	23	16.59	23	0.01	22
2144	55	63	Max	0.00	1034.49	22	-0.01	22	0.01	21	273.09	21	-14.26	23	0.07	21
2144	55	63	Max	21.56	1034.49	22	-0.01	22	0.00	22	271.99	21	30.96	24	0.07	21
2144	55	63	Min.	0.00	313.95	23	-0.29	21	0.00	12	138.89	23	-27.96	21	0.02	22
2144	55	63	Min.	21.56	313.95	23	-0.29	21	-0.05	23	138.05	23	15.60	23	0.02	22
2144	63	71	Max	0.00	1501.39	24	-0.03	23	0.04	24	203.67	21	-8.56	22	0.06	21
2144	63	71	Max	21.56	1501.39	24	-0.03	23	0.00	21	202.57	21	24.63	21	0.06	21
2144	63	71	Min.	0.00	581.68	23	-0.16	24	0.01	23	104.35	23	-19.17	21	0.02	22
2144	63	71	Min.	21.56	581.68	23	-0.16	24	0.00	22	103.51	23	12.53	23	0.02	22
2144	71	79	Max	0.00	1850.14	24	-0.12	22	0.03	21	173.03	21	-6.18	22	0.04	21
2144	71	79	Max	21.56	1850.14	24	-0.12	22	-0.01	22	171.93	21	21.61	21	0.04	21
2144	71	79	Min.	0.00	780.05	23	-0.23	21	0.02	22	88.72	22	-15.58	21	0.02	22
2144	71	79	Min.	21.56	780.05	23	-0.23	21	-0.02	21	87.87	22	11.07	23	0.02	22
2144	79	87	Max	0.00	2110.73	24	-0.12	22	0.01	24	146.87	21	-3.82	22	0.04	21
2144	79	87	Max	21.56	2110.73	24	-0.12	22	-0.02	22	145.77	21	19.30	21	0.04	21
2144	79	87	Min.	0.00	935.45	23	-0.23	21	0.01	23	68.59	22	-12.25	21	0.02	22
2144	79	87	Min.	21.56	935.45	23	-0.23	21	-0.04	21	67.74	22	9.98	23	0.02	22
2144	87	95	Max	0.00	2300.47	24	-0.08	23	0.00	24	121.98	21	-1.12	22	0.04	21
2144	87	95	Max	21.56	2300.47	24	-0.08	23	-0.02	22	120.88	21	17.52	21	0.04	21
2144	87	95	Min.	0.00	1055.69	23	-0.15	21	-0.01	23	49.14	22	-8.66	21	0.02	22
2144	87	95	Min.	21.56	1055.69	23	-0.15	21	-0.04	21	48.30	22	9.19	23	0.02	22
2144	95	103	Max	0.00	2411.95	24	-0.01	23	0.02	21	66.46	21	4.02	22	0.04	21
2144	95	103	Max	21.56	2411.95	24	-0.01	23	0.01	21	65.36	21	11.79	21	0.04	21
2144	95	103	Min.	0.00	1134.79	23	-0.05	11	0.00	22	2.15	22	-2.42	21	0.02	22
2144	95	103	Min.	21.56	1134.79	23	-0.05	11	0.00	22	1.30	22	4.39	22	0.02	22
2144	103	111	Max	0.00	2460.71	24	-0.05	22	0.02	21	47.43	21	5.09	22	0.02	21
2144	103	111	Max	21.56	2460.71	24	-0.05	22	0.00	23	46.33	21	9.23	21	0.02	21
2144	103	111	Min.	0.00	1181.15	23	-0.12	21	0.01	22	-13.02	22	-0.88	21	0.01	23

2144	103	111	Min.	21.56	1181.15	23	-0.12	21	-0.01	24	-13.86	22	2.19	22	0.01	23
2144	111	119	Max	0.00	2474.39	24	-0.05	22	0.01	21	31.05	21	6.44	22	0.01	24
2144	111	119	Max	21.56	2474.39	24	-0.05	22	-0.01	22	29.95	21	7.50	21	0.01	24
2144	111	119	Min.	0.00	1210.41	23	-0.13	21	0.00	22	-26.04	22	0.33	23	0.01	23
2144	111	119	Min.	21.56	1210.41	23	-0.13	21	-0.02	21	-26.89	22	0.73	22	0.01	23
2144	119	127	Max	0.00	2457.97	24	-0.04	22	-0.00	22	14.16	21	8.44	22	0.02	21
2144	119	127	Max	21.56	2457.97	24	-0.04	22	-0.01	22	13.06	21	6.32	21	0.02	21
2144	119	127	Min.	0.00	1224.96	23	-0.09	21	-0.01	21	-39.78	22	1.59	23	0.01	22
2144	119	127	Min.	21.56	1224.96	23	-0.09	21	-0.03	21	-40.63	22	-0.23	22	0.01	22
2144	127	135	Max	0.00	2400.26	24	0.00	23	0.00	22	-18.60	23	13.08	22	0.02	21
2144	127	135	Max	21.56	2400.26	24	0.00	23	0.00	23	-19.44	23	1.00	21	0.02	21
2144	127	135	Min.	0.00	1217.83	23	-0.01	22	0.00	25	-83.49	22	4.55	23	0.01	22
2144	127	135	Min.	21.56	1217.83	23	-0.01	22	-0.00	11	-84.34	22	-5.01	22	0.01	22
2144	135	143	Max	0.00	2342.12	21	-0.02	23	0.00	21	-24.93	23	13.47	22	0.01	21
2144	135	143	Max	21.56	2342.12	21	-0.02	23	-0.00	23	-25.78	23	-0.76	23	0.01	21
2144	135	143	Min.	0.00	1192.89	23	-0.03	21	0.00	12	-94.84	22	4.71	23	0.00	23
2144	135	143	Min.	21.56	1192.89	23	-0.03	21	-0.00	24	-95.68	22	-7.07	22	0.00	23
2144	143	151	Max	0.00	2281.62	21	-0.03	22	0.00	23	-31.35	23	13.97	24	0.00	24
2144	143	151	Max	21.56	2281.62	21	-0.03	22	-0.01	22	-32.20	23	-2.03	23	0.00	24
2144	143	151	Min.	0.00	1162.11	23	-0.05	21	-0.00	11	-105.77	22	4.82	23	0.00	23
2144	143	151	Min.	21.56	1162.11	23	-0.05	21	-0.01	21	-106.61	22	-9.06	22	0.00	23
2144	151	159	Max	0.00	2224.41	21	-0.02	22	-0.01	22	-33.54	23	12.26	22	0.00	22
2144	151	159	Max	21.56	2224.41	21	-0.02	22	-0.01	22	-34.39	23	-3.97	23	0.00	22
2144	151	159	Min.	0.00	1133.44	23	-0.04	21	-0.01	21	-112.62	22	3.35	23	-0.00	21
2144	151	159	Min.	21.56	1133.44	23	-0.04	21	-0.02	21	-113.47	22	-12.12	22	-0.00	21
2144	159	167	Max	0.00	2224.40	21	0.04	21	-0.01	22	69.07	21	2.89	22	0.00	21
2144	159	167	Max	21.56	2224.40	21	0.04	21	-0.01	22	67.97	21	6.72	21	0.00	21
2144	159	167	Min.	0.00	1133.44	23	0.02	22	-0.02	21	-33.94	22	-8.05	21	0.00	22
2144	159	167	Min.	21.56	1133.44	23	0.02	22	-0.01	21	-34.79	22	-4.52	22	0.00	22
2144	167	175	Max	0.00	2281.60	21	0.05	21	-0.01	22	63.66	21	4.40	22	0.00	23
2144	167	175	Max	17.25					-0.00	23			3.47	23		
2144	167	175	Max	21.56	2281.60	21	0.05	21	0.00	23	62.56	21	9.60	21	0.00	23
2144	167	175	Min.	0.00	1162.10	23	0.02	22	-0.01	21	-32.69	22	-4.01	21	-0.00	11
2144	167	175	Min.	17.25					-0.00	22			-1.30	22		
2144	167	175	Min.	21.56	1162.10	23	0.02	22	-0.00	24	-33.53	22	-2.74	22	-0.00	11
2144	175	183	Max	0.00	2342.09	21	0.04	21	-0.00	23	49.61	21	5.39	22	-0.00	23
2144	175	183	Max	21.56	2342.09	21	0.04	21	0.00	21	48.51	21	9.21	21	-0.00	23
2144	175	183	Min.	0.00	1178.57	22	0.02	22	-0.00	24	-37.15	22	-1.36	21	-0.01	21
2144	175	183	Min.	21.56	1178.57	22	0.02	22	0.00	22	-38.00	22	-2.71	22	-0.01	21
2144	183	191	Max	0.00	2390.13	21	0.01	11	0.00	23	35.98	21	6.08	22	-0.01	22
2144	183	191	Max	4.31					-0.00	22			4.32	22		
2144	183	191	Max	21.56	2390.13	21	0.01	11	0.00	12	34.88	21	8.64	21	-0.01	22
2144	183	191	Min.	0.00	1128.32	22	-0.00	23	-0.00	24	-40.90	22	0.45	23	-0.02	21
2144	183	191	Min.	4.31					-0.00	11			2.26	11		
2144	183	191	Min.	21.56	1128.32	22	-0.00	23	0.00	24	-41.74	22	-2.83	22	-0.02	21
2144	191	199	Max	0.00	2404.88	21	0.09	21	-0.01	22	-8.14	23	8.17	24	-0.01	23
2144	191	199	Max	21.56	2404.88	21	0.09	21	-0.00	22	-8.98	23	3.38	21	-0.01	23
2144	191	199	Min.	0.00	1064.01	22	0.05	23	-0.03	21	-57.64	22	3.43	23	-0.02	21
2144	191	199	Min.	21.56	1064.01	22	0.05	23	-0.01	21	-58.48	22	-4.68	22	-0.02	21
2144	199	207	Max	0.00	2379.16	21	0.13	21	-0.01	22	-16.18	23	9.14	24	-0.01	23
2144	199	207	Max	21.56	2379.16	21	0.13	21	0.01	24	-17.03	23	0.92	21	-0.01	23
2144	199	207	Min.	0.00	982.53	22	0.07	22	-0.02	21	-62.85	22	3.91	23	-0.01	24
2144	199	207	Min.	21.56	982.53	22	0.07	22	0.00	23	-63.70	22	-5.54	22	-0.01	24
2144	207	215	Max	0.00	2323.63	21	0.12	21	0.00	23	-23.79	23	10.51	24	-0.01	23
2144	207	215	Max	21.56	2323.63	21	0.12	21	0.02	21	-24.63	23	-0.51	23	-0.01	23
2144	207	215	Min.	0.00	887.36	22	0.07	22	-0.01	24	-67.95	22	4.71	23	-0.02	24
2144	207	215	Min.	21.56	887.36	22	0.07	22	0.01	22	-68.79	22	-6.20	22	-0.02	24
2144	215	223	Max	0.00	2233.32	21	0.06	24	0.01	21	-32.83	23	12.45	24	-0.02	22
2144	215	223	Max	21.56	2233.32	21	0.06	24	0.02	21	-33.68	23	-1.17	23	-0.02	22

2144	215	223	Min.	0.00	776.24	22	0.01	23	0.00	12	-83.09	24	6.00	23	-0.04	21
2144	215	223	Min.	21.56	776.24	22	0.01	23	0.01	12	-83.93	24	-6.78	22	-0.04	21
2144	223	231	Max	0.00	2081.02	21	0.15	21	-0.02	22	-63.79	23	17.52	21	-0.02	22
2144	223	231	Max	17.25					-0.00	22			-4.99	22		
2144	223	231	Max	21.56	2081.02	21	0.15	21	0.00	12	-64.64	23	-4.65	23	-0.02	22
2144	223	231	Min.	0.00	639.01	22	0.08	22	-0.04	21	-124.09	24	9.20	23	-0.04	21
2144	223	231	Min.	17.25					-0.00	22			-4.99	22		
2144	223	231	Min.	21.56	639.01	22	0.08	22	-0.01	23	-124.94	24	-10.23	24	-0.04	21
2144	231	239	Max	0.00	1851.14	21	0.24	21	-0.01	22	-75.93	23	19.31	21	-0.02	22
2144	231	239	Max	21.56	1851.14	21	0.24	21	0.01	24	-76.78	23	-6.48	23	-0.02	22
2144	231	239	Min.	0.00	469.42	22	0.10	22	-0.04	21	-145.81	21	9.98	23	-0.04	21
2144	231	239	Min.	21.56	469.42	22	0.10	22	0.01	23	-146.91	21	-13.16	24	-0.04	21
2144	239	247	Max	0.00	1551.21	21	0.23	21	-0.01	22	-88.55	23	21.62	21	-0.02	22
2144	239	247	Max	21.56	1551.21	21	0.23	21	0.03	21	-89.40	23	-8.11	23	-0.02	22
2144	239	247	Min.	0.00	268.75	22	0.11	22	-0.02	21	-171.98	21	11.07	23	-0.04	21
2144	239	247	Min.	21.56	268.75	22	0.11	22	0.02	22	-173.08	21	-16.00	24	-0.04	21
2144	247	255	Max	0.00	1164.74	21	0.14	24	0.00	21	-103.53	23	24.63	21	-0.02	22
2144	247	255	Max	21.56	1164.74	21	0.14	24	0.03	24	-104.38	23	-9.88	23	-0.02	22
2144	247	255	Min.	0.00	29.31	22	0.03	23	0.00	12	-202.62	21	12.54	23	-0.06	21
2144	247	255	Min.	21.56	29.31	22	0.03	23	0.01	23	-203.72	21	-19.17	21	-0.06	21
2144	255	263	Max	0.00	639.48	21	0.29	21	0.00	12	-138.16	23	30.82	21	-0.01	22
2144	255	263	Max	21.56	639.48	21	0.29	21	0.01	21	-139.00	23	-14.27	23	-0.01	22
2144	255	263	Min.	0.00	-272.25	22	0.01	22	-0.05	23	-272.15	21	15.35	22	-0.07	21
2144	255	263	Min.	21.56	-272.25	22	0.01	22	0.00	22	-273.26	21	-27.98	21	-0.07	21
2144	263	271	Max	0.00	-43.64	12	0.39	21	-0.00	22	-159.41	23	32.97	21	-0.01	22
2144	263	271	Max	21.56	-43.64	12	0.39	21	0.04	21	-160.26	23	-17.86	23	-0.01	22
2144	263	271	Min.	0.00	-655.07	22	0.05	22	-0.04	21	-315.89	21	15.76	22	-0.07	21
2144	263	271	Min.	21.56	-655.07	22	0.05	22	0.01	22	-316.99	21	-35.26	21	-0.07	21
2144	271	279	Max	0.00	-496.29	23	0.39	21	0.00	22	-183.23	23	34.19	21	-0.00	22
2144	271	279	Max	21.56	-496.29	23	0.39	21	0.07	21	-184.07	23	-22.44	23	-0.00	22
2144	271	279	Min.	0.00	-1228.89	24	0.06	22	-0.01	23	-364.10	21	15.51	22	-0.07	21
2144	271	279	Min.	21.56	-1228.89	24	0.06	22	0.01	22	-365.19	21	-44.44	21	-0.07	21
2144	279	2288	Max	0.00	-1014.23	23	0.43	23	0.02	24	-216.83	23	26.67	21	-0.01	12
2144	279	2288	Max	21.56	-1014.23	23	0.43	23	0.10	23	-217.68	23	-33.63	23	-0.01	12
2144	279	2288	Min.	0.00	-2145.90	24	-0.18	24	0.01	23	-434.46	21	10.76	22	-0.09	21
2144	279	2288	Min.	21.56	-2145.90	24	-0.18	24	-0.02	22	-435.56	21	-67.13	21	-0.09	21
2144	2288	299	Max	0.00	-86.81	23	0.50	11	0.27	23	17.24	11	1.68	22	0.06	23
2144	2288	299	Max	16.67	-86.81	23	0.50	11	0.02	11	16.58	11	1.34	24	0.06	23
2144	2288	299	Min.	0.00	-240.60	11	-2.19	23	-0.06	11	-4.50	22	-1.53	11	-0.03	11
2144	2288	299	Min.	16.67	-240.60	11	-2.19	23	-0.09	23	-5.15	22	0.27	23	-0.03	11
2144	299	307	Max	0.00	-51.67	23	0.49	24	0.05	23	34.02	11	-1.28	23	0.09	23
2144	299	307	Max	16.67	-51.67	23	0.49	24	0.04	24	33.36	11	2.35	11	0.09	23
2144	299	307	Min.	0.00	-149.52	11	-0.96	23	-0.04	24	13.22	23	-3.27	11	-0.04	11
2144	299	307	Min.	16.67	-149.52	11	-0.96	23	-0.11	23	12.57	23	0.87	23	-0.04	11
2144	307	2315	Max	0.00	-19.84	23	0.67	24	-0.01	23	26.29	11	-0.60	23	0.08	23
2144	307	2315	Max	16.67	-19.84	23	0.67	24	0.07	24	25.63	11	2.37	11	0.08	23
2144	307	2315	Min.	0.00	-58.26	11	-0.22	23	-0.04	24	8.18	23	-1.96	11	-0.04	11
2144	307	2315	Min.	16.67	-58.26	11	-0.22	23	-0.05	23	7.53	23	0.71	23	-0.04	11
2145	-516	20	Max	0.00	-88.15	12	0.12	23	0.13	24	2.56	21	-0.34	12	0.03	24
2145	-516	20	Max	19.08	-88.52	12	0.12	23	0.00	22	1.71	21	-0.17	12	0.03	24
2145	-516	20	Min.	0.00	-162.09	21	-0.69	24	-0.08	23	1.23	12	-0.66	21	0.00	23
2145	-516	20	Min.	19.08	-162.56	21	-0.69	24	-0.05	23	0.58	12	-0.25	24	0.00	23
2182	2005	13	Max	0.00	-4.32	23	1.26	21	-0.04	22	0.25	23	1.85	24	-0.02	12
2182	2005	13	Max	6.67					-0.06	23			0.04	23		
2182	2005	13	Max	16.67	-4.32	23	1.26	21	0.06	21	-0.40	23	0.02	23	-0.02	12
2182	2005	13	Min.	0.00	-46.81	24	0.37	22	-0.15	21	-19.35	24	0.03	23	-0.13	21
2182	2005	13	Min.	6.67					-0.06	23			0.04	23		
2182	2005	13	Min.	16.67	-46.81	24	0.37	22	0.03	22	-20.01	24	-1.43	24	-0.13	21
2182	13	21	Max	0.00	-13.60	23	1.39	21	-0.01	22	-5.15	23	2.18	24	-0.03	22

2182	13	21	Max	16.67	-13.60	23	1.39	21	0.10	21	-5.80	23	-0.51	23	-0.03	22
2182	13	21	Min.	0.00	-124.46	24	0.17	22	-0.13	21	-29.82	24	0.41	23	-0.15	21
2182	13	21	Min.	16.67	-124.46	24	0.17	22	0.02	22	-30.47	24	-2.84	24	-0.15	21
2182	21	2031	Max	0.00	-31.64	23	3.48	21	-0.02	22	8.32	23	1.14	24	-0.02	12
2182	21	2031	Max	13.33					0.25	25			0.80	25		
2182	21	2031	Max	16.67	-31.64	23	3.48	21	0.45	21	7.66	23	1.42	23	-0.02	12
2182	21	2031	Min.	0.00	-204.98	24	0.64	22	-0.13	21	-23.64	22	0.09	23	-0.09	21
2182	21	2031	Min.	13.33					0.25	25			0.80	25		
2182	21	2031	Min.	16.67	-204.98	24	0.64	22	0.09	22	-24.30	22	-3.27	22	-0.09	21
2182	2031	41	Max	0.00	-741.10	22	0.48	24	0.07	23	438.02	24	-33.11	23	0.07	23
2182	2031	41	Max	21.56	-741.10	22	0.48	24	0.01	24	437.18	24	28.63	24	0.07	23
2182	2031	41	Min.	0.00	-1998.24	21	-0.30	23	-0.10	24	214.32	23	-66.91	21	-0.02	24
2182	2031	41	Min.	21.56	-1998.24	21	-0.30	23	0.00	23	213.48	23	13.01	23	-0.02	24
2182	41	49	Max	0.00	-30.21	22	0.12	24	0.04	23	363.95	24	-22.07	23	0.06	23
2182	41	49	Max	21.56	-30.21	22	0.12	24	0.00	24	363.11	24	35.33	24	0.06	23
2182	41	49	Min.	0.00	-970.58	21	-0.26	23	-0.02	24	181.07	23	-44.23	21	-0.03	24
2182	41	49	Min.	21.56	-970.58	21	-0.26	23	-0.01	23	180.23	23	16.88	23	-0.03	24
2182	49	57	Max	0.00	568.05	22	0.13	24	0.03	23	314.68	21	-17.51	23	0.05	23
2182	49	57	Max	21.56	568.05	22	0.13	24	0.01	24	313.58	21	33.52	24	0.05	23
2182	49	57	Min.	0.00	-78.96	21	-0.28	23	-0.01	24	157.13	23	-34.99	21	-0.02	24
2182	49	57	Min.	21.56	-78.96	21	-0.28	23	-0.03	23	156.29	23	16.28	23	-0.02	24
2182	57	65	Max	0.00	1024.63	22	0.06	24	0.01	23	270.60	21	-14.02	23	0.03	23
2182	57	65	Max	21.56	1024.63	22	0.06	24	0.01	24	269.50	21	30.80	24	0.03	23
2182	57	65	Min.	0.00	301.33	23	-0.28	23	-0.00	24	135.99	23	-27.82	21	-0.03	24
2182	57	65	Min.	21.56	301.33	23	-0.28	23	-0.05	23	135.14	23	15.21	23	-0.03	24
2182	65	73	Max	0.00	1496.38	24	0.18	21	-0.02	22	208.98	21	-9.20	22	0.02	23
2182	65	73	Max	21.56	1496.38	24	0.18	21	-0.00	23	207.88	21	25.07	21	0.02	23
2182	65	73	Min.	0.00	567.97	23	0.09	22	-0.04	21	106.13	23	-19.87	21	-0.03	24
2182	65	73	Min.	21.56	567.97	23	0.09	22	-0.01	24	105.28	23	12.64	23	-0.03	24
2182	73	81	Max	0.00	1856.83	24	0.19	24	-0.01	23	177.27	21	-6.58	22	-0.01	23
2182	73	81	Max	21.56	1856.83	24	0.19	24	0.01	24	176.16	21	22.08	21	-0.01	23
2182	73	81	Min.	0.00	768.87	23	0.06	23	-0.03	24	90.73	23	-16.02	21	-0.03	24
2182	73	81	Min.	21.56	768.87	23	0.06	23	0.00	23	89.89	23	11.21	23	-0.03	24
2182	81	89	Max	0.00	2126.46	24	0.19	24	-0.01	22	149.98	21	-4.07	22	-0.01	23
2182	81	89	Max	17.25					-0.00	23			6.77	23		
2182	81	89	Max	21.56	2126.46	24	0.19	24	0.03	24	148.88	21	19.68	21	-0.01	23
2182	81	89	Min.	0.00	926.34	23	0.05	23	-0.02	21	71.43	22	-12.54	21	-0.03	24
2182	81	89	Min.	17.25					-0.00	23			6.77	23		
2182	81	89	Min.	21.56	926.34	23	0.05	23	0.00	23	70.58	22	10.08	23	-0.03	24
2182	89	97	Max	0.00	2322.64	24	0.13	24	0.00	24	124.22	21	-1.28	22	-0.01	23
2182	89	97	Max	21.56	2322.64	24	0.13	24	0.03	24	123.11	21	17.79	21	-0.01	23
2182	89	97	Min.	0.00	1047.99	23	0.06	23	-0.01	23	51.05	22	-8.88	21	-0.03	24
2182	89	97	Min.	21.56	1047.99	23	0.06	23	0.00	23	50.21	22	9.25	23	-0.03	24
2182	97	105	Max	0.00	2439.75	24	0.06	21	-0.00	23	69.28	21	3.81	22	-0.01	23
2182	97	105	Max	21.56	2439.75	24	0.06	21	0.01	23	68.18	21	12.08	21	-0.01	23
2182	97	105	Min.	0.00	1128.54	23	0.02	22	-0.01	11	4.25	22	-2.74	21	-0.03	24
2182	97	105	Min.	21.56	1128.54	23	0.02	22	-0.00	11	3.41	22	4.64	22	-0.03	24
2182	105	113	Max	0.00	2492.70	24	0.09	11	-0.00	23	49.34	21	5.00	22	-0.01	22
2182	105	113	Max	21.56	2492.70	24	0.09	11	0.01	21	48.24	21	9.44	21	-0.01	22
2182	105	113	Min.	0.00	1175.97	23	0.03	23	-0.02	11	-11.81	22	-1.08	21	-0.02	21
2182	105	113	Min.	21.56	1175.97	23	0.03	23	0.00	22	-12.66	22	2.36	22	-0.02	21
2182	113	121	Max	0.00	2508.79	24	0.10	24	-0.00	22	32.05	21	6.44	22	-0.01	22
2182	113	121	Max	21.56	2508.79	24	0.10	24	0.02	24	30.95	21	7.62	21	-0.01	22
2182	113	121	Min.	0.00	1205.80	23	0.03	23	-0.01	21	-25.73	22	0.30	23	-0.02	21
2182	113	121	Min.	21.56	1205.80	23	0.03	23	0.00	23	-26.58	22	0.80	22	-0.02	21
2182	121	129	Max	0.00	2493.44	24	0.08	21	0.00	24	14.36	21	8.48	22	-0.01	23
2182	121	129	Max	21.56	2493.44	24	0.08	21	0.02	24	13.26	21	6.31	21	-0.01	23
2182	121	129	Min.	0.00	1220.57	23	0.03	23	-0.00	23	-40.26	22	1.56	23	-0.01	21
2182	121	129	Min.	21.56	1220.57	23	0.03	23	0.00	23	-41.11	22	-0.29	22	-0.01	21

2182	129	137	Max	0.00	2436.83	24	0.01	21	0.00	22	-17.61	23	12.90	22	-0.00	23
2182	129	137	Max	21.56	2436.83	24	0.01	21	0.00	21	-18.45	23	1.15	21	-0.00	23
2182	129	137	Min.	0.00	1214.01	23	-0.00	22	0.00	23	-81.98	22	4.40	23	-0.01	11
2182	129	137	Min.	21.56	1214.01	23	-0.00	22	0.00	22	-82.82	22	-4.87	22	-0.01	11
2182	137	145	Max	0.00	2361.84	21	0.03	21	0.00	23	-24.25	23	13.43	22	-0.00	22
2182	137	145	Max	21.56	2361.84	21	0.03	21	0.00	21	-25.10	23	-0.69	23	-0.00	22
2182	137	145	Min.	0.00	1189.94	23	0.01	22	-0.00	11	-94.07	22	4.63	23	-0.01	21
2182	137	145	Min.	21.56	1189.94	23	0.01	22	0.00	22	-94.92	22	-6.95	22	-0.01	21
2182	145	153	Max	0.00	2301.84	21	0.03	11	0.00	24	-31.04	23	14.07	24	0.00	22
2182	145	153	Max	21.56	2301.84	21	0.03	11	0.01	24	-31.89	23	-1.99	23	0.00	22
2182	145	153	Min.	0.00	1159.70	23	0.01	23	0.00	23	-105.88	22	4.79	23	-0.00	21
2182	145	153	Min.	21.56	1159.70	23	0.01	23	0.00	23	-106.73	22	-9.02	22	-0.00	21
2182	153	161	Max	0.00	2244.46	21	0.03	11	0.01	24	-33.58	23	12.37	22	0.00	22
2182	153	161	Max	21.56	2244.46	21	0.03	11	0.02	24	-34.42	23	-3.98	23	0.00	22
2182	153	161	Min.	0.00	1131.22	23	0.01	22	0.00	23	-113.56	22	3.35	23	0.00	23
2182	153	161	Min.	21.56	1131.22	23	0.01	22	0.01	23	-114.41	22	-12.25	24	0.00	23
2182	161	169	Max	0.00	2244.45	21	-0.01	23	0.02	24	69.78	21	2.88	22	0.00	22
2182	161	169	Max	21.56	2244.45	21	-0.01	23	0.01	11	68.68	21	6.78	21	0.00	22
2182	161	169	Min.	0.00	1131.21	23	-0.03	24	0.01	23	-34.01	22	-8.14	21	-0.00	11
2182	161	169	Min.	21.56	1131.21	23	-0.03	24	0.00	23	-34.86	22	-4.54	22	-0.00	11
2182	169	177	Max	0.00	2301.81	21	-0.01	23	0.01	24	63.64	21	4.40	22	0.00	22
2182	169	177	Max	21.56	2301.81	21	-0.01	23	0.00	21	62.54	21	9.63	21	0.00	22
2182	169	177	Min.	0.00	1159.68	23	-0.04	24	0.00	23	-32.66	22	-3.98	21	0.00	12
2182	169	177	Min.	21.56	1159.68	23	-0.04	24	0.00	22	-33.51	22	-2.73	22	0.00	12
2182	177	185	Max	0.00	2361.78	21	-0.01	23	0.00	21	48.72	21	5.40	22	0.01	24
2182	177	185	Max	21.56	2361.78	21	-0.01	23	0.00	23	47.62	21	9.15	21	0.01	24
2182	177	185	Min.	0.00	1189.92	23	-0.03	24	0.00	12	-37.14	22	-1.24	21	0.00	23
2182	177	185	Min.	21.56	1189.92	23	-0.03	24	-0.00	24	-37.99	22	-2.70	22	0.00	23
2182	185	193	Max	0.00	2408.51	21	-0.01	12	0.00	21	34.34	21	6.12	22	0.01	24
2182	185	193	Max	21.56	2408.51	21	-0.01	12	0.00	11	33.24	21	8.44	21	0.01	24
2182	185	193	Min.	0.00	1150.20	22	-0.01	21	0.00	12	-40.93	22	0.52	23	0.00	23
2182	185	193	Min.	21.56	1150.20	22	-0.01	21	-0.00	22	-41.78	22	-2.80	22	0.00	23
2182	193	201	Max	0.00	2422.08	21	-0.03	23	0.02	24	-8.03	23	8.31	24	0.01	24
2182	193	201	Max	21.56	2422.08	21	-0.03	23	0.00	11	-8.88	23	3.33	21	0.01	24
2182	193	201	Min.	0.00	1085.11	22	-0.08	24	0.00	23	-58.82	22	3.38	23	0.01	23
2182	193	201	Min.	21.56	1085.11	22	-0.08	24	-0.00	23	-59.67	22	-4.78	22	0.01	23
2182	201	209	Max	0.00	2395.28	21	-0.03	23	0.02	24	-16.38	23	9.35	24	0.02	21
2182	201	209	Max	21.56	2395.28	21	-0.03	23	-0.00	23	-17.23	23	0.82	21	0.02	21
2182	201	209	Min.	0.00	1002.08	22	-0.11	24	0.00	23	-64.13	22	3.92	23	0.01	23
2182	201	209	Min.	21.56	1002.08	22	-0.11	24	-0.01	24	-64.98	22	-5.68	22	0.01	23
2182	209	217	Max	0.00	2337.63	21	-0.03	23	0.01	21	-24.36	23	10.78	24	0.02	21
2182	209	217	Max	21.56	2337.63	21	-0.03	23	-0.00	23	-25.20	23	-0.58	23	0.02	21
2182	209	217	Min.	0.00	905.02	22	-0.10	24	0.00	22	-69.96	24	4.76	23	0.01	23
2182	209	217	Min.	21.56	905.02	22	-0.10	24	-0.02	24	-70.81	24	-6.34	22	0.01	23
2182	217	225	Max	0.00	2243.82	21	-0.03	12	0.01	23	-33.77	23	12.79	24	0.03	24
2182	217	225	Max	21.56	2243.82	21	-0.03	12	-0.00	23	-34.61	23	-1.29	23	0.03	24
2182	217	225	Min.	0.00	791.63	22	-0.06	21	-0.00	24	-86.12	24	6.08	23	0.01	23
2182	217	225	Min.	21.56	791.63	22	-0.06	21	-0.01	24	-86.97	24	-6.93	22	0.01	23
2182	225	233	Max	0.00	2086.92	21	-0.06	23	0.03	24	-64.40	23	17.79	21	0.03	24
2182	225	233	Max	21.56	2086.92	21	-0.06	23	0.00	24	-65.24	23	-4.72	23	0.03	24
2182	225	233	Min.	0.00	650.98	22	-0.13	21	0.00	23	-127.38	24	9.25	23	0.01	23
2182	225	233	Min.	21.56	650.98	22	-0.13	21	-0.01	23	-128.22	24	-10.53	24	0.01	23
2182	233	241	Max	0.00	1852.14	21	-0.05	23	0.03	24	-76.86	23	19.69	21	0.03	24
2182	233	241	Max	21.56	1852.14	21	-0.05	23	-0.01	22	-77.71	23	-6.58	23	0.03	24
2182	233	241	Min.	0.00	477.08	22	-0.17	24	0.00	23	-148.94	21	10.09	23	0.01	23
2182	233	241	Min.	21.56	477.08	22	-0.17	24	-0.02	21	-150.04	21	-13.53	24	0.01	23
2182	241	249	Max	0.00	1545.40	21	-0.06	23	0.01	24	-89.93	23	22.09	21	0.03	24
2182	241	249	Max	21.56	1545.40	21	-0.06	23	-0.01	23	-90.77	23	-8.27	23	0.03	24
2182	241	249	Min.	0.00	271.39	22	-0.18	24	0.00	23	-176.23	21	11.21	23	0.01	23

2182	241	249	Min.	21.56	271.39	22	-0.18	24	-0.03	24	-177.34	21	-16.50	24	0.01	23
2182	249	257	Max	0.00	1150.34	21	-0.07	22	-0.00	23	-105.32	23	25.08	21	0.03	24
2182	249	257	Max	21.56	1150.34	21	-0.07	22	-0.02	22	-106.17	23	-10.16	23	0.03	24
2182	249	257	Min.	0.00	26.41	22	-0.18	21	-0.01	24	-207.96	21	12.64	23	-0.02	23
2182	249	257	Min.	21.56	26.41	22	-0.18	21	-0.04	21	-209.06	21	-19.88	21	-0.02	23
2182	257	265	Max	0.00	621.63	21	0.28	23	0.01	24	-135.27	23	30.44	21	0.03	24
2182	257	265	Max	21.56	621.63	21	0.28	23	0.01	23	-136.12	23	-14.04	23	0.03	24
2182	257	265	Min.	0.00	-278.85	22	-0.06	24	-0.05	23	-269.70	21	15.22	23	-0.03	23
2182	257	265	Min.	21.56	-278.85	22	-0.06	24	-0.00	11	-270.80	21	-27.84	21	-0.03	23
2182	265	273	Max	0.00	-50.69	23	0.28	23	0.01	24	-156.44	23	32.76	21	0.02	24
2182	265	273	Max	21.56	-50.69	23	0.28	23	0.03	23	-157.28	23	-17.53	23	0.02	24
2182	265	273	Min.	0.00	-662.71	22	-0.13	24	-0.03	23	-313.81	21	15.77	22	-0.05	23
2182	265	273	Min.	21.56	-662.71	22	-0.13	24	-0.01	24	-314.91	21	-35.02	21	-0.05	23
2182	273	281	Max	0.00	-495.08	23	0.26	23	0.00	24	-180.38	23	34.08	21	0.03	24
2182	273	281	Max	21.56	-495.08	23	0.26	23	0.05	23	-181.22	23	-22.09	23	0.03	24
2182	273	281	Min.	0.00	-1245.07	24	-0.12	24	-0.01	23	-362.77	21	15.53	22	-0.06	23
2182	273	281	Min.	21.56	-1245.07	24	-0.12	24	-0.02	24	-363.88	21	-44.26	21	-0.06	23
2182	281	2291	Max	0.00	-1005.16	23	0.31	23	0.01	11	-213.69	23	26.62	21	0.01	11
2182	281	2291	Max	21.56	-1005.16	23	0.31	23	0.07	23	-214.53	23	-33.14	23	0.01	11
2182	281	2291	Min.	0.00	-2166.78	24	-0.49	24	0.00	23	-433.42	21	10.75	22	-0.07	23
2182	281	2291	Min.	21.56	-2166.78	24	-0.49	24	-0.10	24	-434.52	21	-66.96	21	-0.07	23
2182	2291	301	Max	0.00	-50.47	23	-0.82	22	0.45	21	11.13	11	2.27	22	0.10	21
2182	2291	301	Max	16.67	-50.47	23	-0.82	22	-0.02	22	10.48	11	1.21	24	0.10	21
2182	2291	301	Min.	0.00	-192.82	11	-3.49	21	0.11	22	-8.73	22	-0.65	12	0.01	22
2182	2291	301	Min.	16.67	-192.82	11	-3.49	21	-0.13	21	-9.38	22	0.15	23	0.01	22
2182	301	309	Max	0.00	-26.20	23	-0.35	22	0.11	21	27.94	11	-0.78	23	0.16	21
2182	301	309	Max	16.67	-26.20	23	-0.35	22	-0.03	22	27.29	11	2.00	11	0.16	21
2182	301	309	Min.	0.00	-115.68	11	-1.73	21	0.03	22	8.60	23	-2.60	11	0.03	22
2182	301	309	Min.	16.67	-115.68	11	-1.73	21	-0.17	21	7.95	23	0.60	23	0.03	22
2182	309	2317	Max	0.00	-8.97	23	-0.28	22	0.04	21	18.94	11	-0.16	23	0.12	21
2182	309	2317	Max	16.67	-8.97	23	-0.28	22	-0.03	22	18.28	11	1.74	11	0.12	21
2182	309	2317	Min.	0.00	-43.69	11	-1.04	21	0.01	22	2.77	23	-1.36	11	0.02	22
2182	309	2317	Min.	16.67	-43.69	11	-1.04	21	-0.14	21	2.12	23	0.25	23	0.02	22
2183	-518	22	Max	0.00	-108.62	12	0.77	21	-0.02	22	2.65	21	-0.45	12	0.00	11
2183	-518	22	Max	15.27					-0.00	22			-0.37	22		
2183	-518	22	Max	19.08	-108.98	12	0.77	21	0.01	11	1.80	21	-0.23	23	0.00	11
2183	-518	22	Min.	0.00	-189.54	21	0.12	22	-0.18	21	1.31	12	-0.80	21	-0.02	23
2183	-518	22	Min.	15.27					-0.00	22			-0.37	22		
2183	-518	22	Min.	19.08	-190.01	21	0.12	22	-0.05	23	0.65	12	-0.38	24	-0.02	23
2220	2007	15	Max	0.00	8.35	23	1.75	21	-0.05	22	5.59	23	0.94	24	0.01	22
2220	2007	15	Max	16.67	8.35	23	1.75	21	0.10	21	4.93	23	0.46	23	0.01	22
2220	2007	15	Min.	0.00	-21.56	24	0.56	22	-0.19	21	-8.84	24	-0.42	23	-0.09	23
2220	2007	15	Min.	16.67	-21.56	24	0.56	22	0.04	22	-9.49	24	-0.62	22	-0.09	23
2220	15	23	Max	0.00	14.74	23	1.64	21	-0.02	22	0.32	23	1.56	24	0.01	22
2220	15	23	Max	8.28					-0.02	23			0.13	23		
2220	15	23	Max	16.67	14.74	23	1.64	21	0.12	21	-0.34	23	0.12	23	0.01	22
2220	15	23	Min.	0.00	-67.67	24	0.23	22	-0.15	21	-18.99	24	0.12	23	-0.11	23
2220	15	23	Min.	8.28					-0.02	23			0.13	23		
2220	15	23	Min.	16.67	-67.67	24	0.23	22	0.02	22	-19.64	24	-1.66	24	-0.11	23
2220	23	2034	Max	0.00	9.83	23	3.77	21	-0.02	22	5.96	23	1.07	24	0.03	24
2220	23	2034	Max	16.67	9.83	23	3.77	21	0.48	21	5.31	23	1.10	23	0.03	24
2220	23	2034	Min.	0.00	-120.49	24	0.63	22	-0.15	21	-24.11	22	0.16	23	-0.05	23
2220	23	2034	Min.	16.67	-120.49	24	0.63	22	0.08	22	-24.76	22	-3.38	22	-0.05	23
2220	2034	43	Max	0.00	-109.52	22	1.20	24	-0.00	23	244.91	21	-18.66	23	0.01	23
2220	2034	43	Max	21.56	-109.52	22	1.20	24	0.02	22	243.81	21	16.35	24	0.01	23
2220	2034	43	Min.	0.00	-1087.75	21	0.01	23	-0.24	24	121.70	23	-37.42	21	-0.14	24
2220	2034	43	Min.	21.56	-1087.75	21	0.01	23	-0.00	23	120.85	23	7.49	23	-0.14	24
2220	43	51	Max	0.00	248.40	22	0.72	24	-0.00	23	200.03	21	-12.13	23	-0.00	23
2220	43	51	Max	21.56	248.40	22	0.72	24	0.04	24	198.93	21	19.11	24	-0.00	23

2220	43	51	Min.	0.00	-516.93	21	0.04	23	-0.12	24	100.55	23	-24.07	21	-0.16	24
2220	43	51	Min.	21.56	-516.93	21	0.04	23	0.00	23	99.70	23	9.46	23	-0.16	24
2220	51	59	Max	0.00	531.65	22	0.73	24	-0.00	23	167.31	21	-8.84	22	-0.01	23
2220	51	59	Max	17.25					-0.00	23			5.22	23		
2220	51	59	Max	21.56	531.65	22	0.73	24	0.07	24	166.21	21	17.57	21	-0.01	23
2220	51	59	Min.	0.00	-34.92	21	0.02	23	-0.09	24	84.64	23	-18.39	21	-0.15	24
2220	51	59	Min.	17.25					-0.00	23			5.22	23		
2220	51	59	Min.	21.56	-34.92	21	0.02	23	0.00	23	83.79	23	8.83	23	-0.15	24
2220	59	67	Max	0.00	733.91	22	0.64	24	-0.01	23	138.16	21	-5.96	22	-0.02	23
2220	59	67	Max	21.56	733.91	22	0.64	24	0.09	24	137.06	21	15.40	21	-0.02	23
2220	59	67	Min.	0.00	157.62	23	-0.01	23	-0.05	24	70.76	23	-14.27	21	-0.14	24
2220	59	67	Min.	21.56	157.62	23	-0.01	23	-0.01	23	69.91	23	7.83	23	-0.14	24
2220	67	75	Max	0.00	899.27	24	0.25	21	-0.02	22	122.56	21	-4.23	22	-0.02	23
2220	67	75	Max	17.25					-0.01	11			8.14	11		
2220	67	75	Max	21.56	899.27	24	0.25	21	0.01	22	121.46	21	14.39	21	-0.02	23
2220	67	75	Min.	0.00	305.08	23	0.13	23	-0.06	21	58.68	22	-11.92	21	-0.12	24
2220	67	75	Min.	17.25					-0.01	12			6.42	12		
2220	67	75	Min.	21.56	305.08	23	0.13	23	-0.00	23	57.83	22	7.36	23	-0.12	24
2220	75	83	Max	0.00	1086.82	24	0.39	24	-0.02	23	99.32	21	-2.02	22	-0.02	23
2220	75	83	Max	21.56	1086.82	24	0.39	24	0.03	24	98.22	21	12.49	21	-0.02	23
2220	75	83	Min.	0.00	420.75	23	0.14	23	-0.06	24	40.47	22	-8.81	21	-0.08	24
2220	75	83	Min.	21.56	420.75	23	0.14	23	0.01	23	39.63	22	6.46	23	-0.08	24
2220	83	91	Max	0.00	1215.97	24	0.40	24	-0.01	23	78.01	21	-0.13	22	-0.02	23
2220	83	91	Max	21.56	1215.97	24	0.40	24	0.06	24	76.91	21	10.48	21	-0.02	23
2220	83	91	Min.	0.00	508.19	23	0.14	23	-0.03	24	23.34	22	-6.22	21	-0.07	24
2220	83	91	Min.	21.56	508.19	23	0.14	23	0.02	23	22.50	22	4.81	22	-0.07	24
2220	91	99	Max	0.00	1299.44	24	0.29	24	0.00	11	58.96	21	1.31	22	-0.03	23
2220	91	99	Max	21.56	1299.44	24	0.29	24	0.07	24	57.86	21	8.44	21	-0.03	23
2220	91	99	Min.	0.00	572.82	23	0.10	23	-0.00	23	7.97	22	-4.15	21	-0.07	24
2220	91	99	Min.	21.56	572.82	23	0.10	23	0.02	23	7.13	22	2.93	22	-0.07	24
2220	99	107	Max	0.00	1356.88	24	0.13	21	-0.01	22	50.79	21	1.38	22	-0.03	23
2220	99	107	Max	17.25					-0.00	23			2.80	23		
2220	99	107	Max	21.56	1356.88	24	0.13	21	0.00	22	49.69	21	7.59	21	-0.03	23
2220	99	107	Min.	0.00	619.91	23	0.04	22	-0.03	21	6.58	22	-3.25	21	-0.06	24
2220	99	107	Min.	17.25					-0.00	22			2.45	22		
2220	99	107	Min.	21.56	619.91	23	0.04	22	-0.01	11	5.74	22	2.71	22	-0.06	24
2220	107	115	Max	0.00	1391.38	24	0.23	21	-0.01	22	33.90	21	3.11	22	-0.02	22
2220	107	115	Max	21.56	1391.38	24	0.23	21	0.01	21	32.80	21	6.00	21	-0.02	22
2220	107	115	Min.	0.00	652.11	23	0.11	22	-0.04	21	-7.59	22	-1.19	21	-0.04	21
2220	107	115	Min.	21.56	652.11	23	0.11	22	0.01	23	-8.43	22	1.38	22	-0.04	21
2220	115	123	Max	0.00	1398.29	24	0.24	21	0.00	22	17.65	21	4.60	22	-0.00	22
2220	115	123	Max	21.56	1398.29	24	0.24	21	0.04	24	16.55	21	4.30	21	-0.00	22
2220	115	123	Min.	0.00	671.28	23	0.11	23	-0.01	21	-21.58	22	0.21	23	-0.03	21
2220	115	123	Min.	21.56	671.28	23	0.11	23	0.02	23	-22.43	22	-0.15	22	-0.03	21
2220	123	131	Max	0.00	1381.95	24	0.17	21	0.02	22	2.94	23	5.76	22	0.01	22
2220	123	131	Max	21.56	1381.95	24	0.17	21	0.05	24	2.09	23	2.57	21	0.01	22
2220	123	131	Min.	0.00	679.31	23	0.08	22	0.00	23	-34.46	22	1.00	23	-0.03	21
2220	123	131	Min.	21.56	679.31	23	0.08	22	0.02	23	-35.30	22	-1.76	22	-0.03	21
2220	131	139	Max	0.00	1351.78	24	-0.01	25	0.03	22	-4.00	12	6.07	22	0.01	22
2220	131	139	Max	21.56	1351.78	24	-0.01	25	-0.00	23	-4.84	12	1.64	21	0.01	22
2220	131	139	Min.	0.00	677.51	23	-0.17	22	-0.00	25	-37.94	22	1.81	23	-0.03	21
2220	131	139	Min.	21.56	677.51	23	-0.17	22	-0.01	24	-38.79	22	-2.20	22	-0.03	21
2220	139	147	Max	0.00	1311.44	21	0.06	11	0.02	22	-11.00	23	7.47	22	0.03	22
2220	139	147	Max	21.56	1311.44	21	0.06	11	0.01	21	-11.84	23	0.27	11	0.03	22
2220	139	147	Min.	0.00	667.49	23	-0.13	22	-0.01	11	-50.13	22	2.43	23	-0.00	11
2220	139	147	Min.	21.56	667.49	23	-0.13	22	-0.01	22	-50.97	22	-3.43	22	-0.00	11
2220	147	155	Max	0.00	1281.74	21	0.08	21	0.03	22	-17.87	23	8.50	22	0.04	22
2220	147	155	Max	21.56	1281.74	21	0.08	21	0.03	21	-18.71	23	-1.08	23	0.04	22
2220	147	155	Min.	0.00	651.50	23	-0.11	22	0.01	23	-63.10	22	2.86	23	0.00	23

2220	147	155	Min.	21.56	651.50	23	-0.11	22	0.01	22	-63.95	22	-5.20	22	0.00	23
2220	155	163	Max	0.00	1248.46	21	0.06	11	0.05	24	-21.75	23	7.97	22	0.04	22
2220	155	163	Max	21.56	1248.46	21	0.06	11	0.05	21	-22.60	23	-2.64	23	0.04	22
2220	155	163	Min.	0.00	634.35	23	-0.12	22	0.02	23	-72.75	22	2.14	23	0.00	23
2220	155	163	Min.	21.56	634.35	23	-0.12	22	0.02	22	-73.60	22	-7.81	22	0.00	23
2220	163	171	Max	0.00	1248.46	21	-0.02	23	0.06	24	44.55	21	1.88	22	0.03	22
2220	163	171	Max	21.56	1248.46	21	-0.02	23	0.04	21	43.45	21	4.25	21	0.03	22
2220	163	171	Min.	0.00	634.35	23	-0.19	22	0.02	23	-22.61	22	-5.24	21	-0.01	21
2220	163	171	Min.	21.56	634.35	23	-0.19	22	0.01	22	-23.46	22	-3.09	22	-0.01	21
2220	171	179	Max	0.00	1281.74	21	-0.03	23	0.04	24	35.64	21	2.91	22	0.03	22
2220	171	179	Max	3.57					0.03	26			1.00	26		
2220	171	179	Max	21.56	1281.74	21	-0.03	23	0.02	21	34.54	21	5.58	21	0.03	22
2220	171	179	Min.	0.00	651.51	23	-0.21	22	0.02	23	-22.64	22	-1.99	21	-0.01	21
2220	171	179	Min.	3.57					0.03	26			1.00	26		
2220	171	179	Min.	21.56	651.51	23	-0.21	22	-0.01	22	-23.48	22	-2.06	22	-0.01	21
2220	179	187	Max	0.00	1311.44	21	-0.02	23	0.01	22	20.65	21	3.59	22	0.03	22
2220	179	187	Max	21.56	1311.44	21	-0.02	23	-0.00	23	19.55	21	4.53	21	0.03	22
2220	179	187	Min.	0.00	663.97	22	-0.20	22	0.00	23	-26.15	22	-0.03	23	0.00	23
2220	179	187	Min.	21.56	663.97	22	-0.20	22	-0.03	22	-27.00	22	-2.14	22	0.00	23
2220	187	195	Max	0.00	1328.36	21	0.01	12	0.00	22	6.93	21	4.05	22	0.04	24
2220	187	195	Max	21.56	1328.36	21	0.01	12	-0.00	23	5.83	21	3.02	21	0.04	24
2220	187	195	Min.	0.00	628.52	22	-0.14	22	-0.01	21	-29.16	22	0.72	23	0.01	23
2220	187	195	Min.	21.56	628.52	22	-0.14	22	-0.03	22	-30.01	22	-2.33	22	0.01	23
2220	195	203	Max	0.00	1331.42	21	-0.08	23	0.05	11	-0.69	25	5.06	22	0.04	24
2220	195	203	Max	21.56	1331.42	21	-0.08	23	0.01	11	-1.53	25	2.14	21	0.04	24
2220	195	203	Min.	0.00	583.90	22	-0.18	24	0.02	23	-39.00	22	1.54	23	0.01	23
2220	195	203	Min.	21.56	583.90	22	-0.18	24	-0.00	22	-39.84	22	-3.44	22	0.01	23
2220	203	211	Max	0.00	1317.98	21	-0.11	23	0.04	24	-9.23	23	5.59	24	0.04	24
2220	203	211	Max	21.56	1317.98	21	-0.11	23	-0.01	23	-10.07	23	0.62	21	0.04	24
2220	203	211	Min.	0.00	528.07	22	-0.27	24	0.02	23	-42.99	22	2.29	23	0.01	23
2220	203	211	Min.	21.56	528.07	22	-0.27	24	-0.02	24	-43.84	22	-4.05	22	0.01	23
2220	211	219	Max	0.00	1281.90	21	-0.11	23	0.01	21	-16.75	23	6.87	24	0.04	24
2220	211	219	Max	21.56	1281.90	21	-0.11	23	-0.02	23	-17.59	23	-0.63	23	0.04	24
2220	211	219	Min.	0.00	462.47	22	-0.26	24	0.01	22	-47.28	24	3.07	23	0.02	23
2220	211	219	Min.	21.56	462.47	22	-0.26	24	-0.05	24	-48.13	24	-4.58	22	0.02	23
2220	219	227	Max	0.00	1219.07	21	-0.07	23	0.00	23	-24.72	23	8.09	24	0.07	24
2220	219	227	Max	21.56	1219.07	21	-0.07	23	-0.02	23	-25.57	23	-1.55	23	0.07	24
2220	219	227	Min.	0.00	385.56	22	-0.14	24	-0.01	24	-60.57	24	3.87	23	0.03	23
2220	219	227	Min.	21.56	385.56	22	-0.14	24	-0.04	24	-61.42	24	-5.10	22	0.03	23
2220	227	235	Max	0.00	1129.65	21	-0.10	23	0.06	11	-31.86	23	8.86	24	0.07	24
2220	227	235	Max	21.56	1129.65	21	-0.10	23	0.00	24	-32.71	23	-2.35	23	0.07	24
2220	227	235	Min.	0.00	292.02	22	-0.25	11	0.02	23	-68.15	24	4.61	23	0.03	23
2220	227	235	Min.	21.56	292.02	22	-0.25	11	-0.00	23	-68.99	24	-6.25	22	0.03	23
2220	235	243	Max	0.00	1009.54	21	-0.14	23	0.06	24	-41.04	23	10.49	21	0.06	11
2220	235	243	Max	21.56	1009.54	21	-0.14	23	-0.01	23	-41.88	23	-3.42	23	0.06	11
2220	235	243	Min.	0.00	179.16	22	-0.37	24	0.02	23	-83.39	24	5.52	23	0.02	23
2220	235	243	Min.	21.56	179.16	22	-0.37	24	-0.03	21	-84.24	24	-7.67	24	0.02	23
2220	243	251	Max	0.00	843.81	21	-0.14	23	0.03	11	-51.20	23	12.49	21	0.07	11
2220	243	251	Max	21.56	843.81	21	-0.14	23	-0.02	23	-52.04	23	-4.67	23	0.07	11
2220	243	251	Min.	0.00	45.39	22	-0.37	24	0.01	23	-100.56	24	6.46	23	0.02	23
2220	243	251	Min.	21.56	45.39	22	-0.37	24	-0.05	24	-101.40	24	-9.84	24	0.02	23
2220	251	259	Max	0.00	620.71	21	-0.10	22	0.00	12	-62.45	23	14.39	21	0.10	11
2220	251	259	Max	21.56	620.71	21	-0.10	22	-0.03	22	-63.30	23	-6.19	23	0.10	11
2220	251	259	Min.	0.00	-114.63	22	-0.25	21	-0.01	22	-121.48	21	7.36	23	0.02	23
2220	251	259	Min.	21.56	-114.63	22	-0.25	21	-0.06	21	-122.58	21	-12.40	24	0.02	23
2220	259	267	Max	0.00	333.52	21	0.01	23	0.08	11	-69.98	23	15.41	21	0.12	11
2220	259	267	Max	21.56	333.52	21	0.01	23	-0.01	23	-70.83	23	-7.34	23	0.12	11
2220	259	267	Min.	0.00	-313.91	22	-0.53	11	-0.01	23	-138.55	24	7.84	23	0.02	23
2220	259	267	Min.	21.56	-313.91	22	-0.53	11	-0.04	11	-139.39	24	-15.19	24	0.02	23

2220	267	275	Max	0.00	-17.13	12	-0.02	23	0.06	11	-83.87	23	17.58	21	0.13	11
2220	267	275	Max	21.56	-17.13	12	-0.02	23	-0.00	23	-84.72	23	-9.34	23	0.13	11
2220	267	275	Min.	0.00	-564.33	22	-0.62	11	0.00	23	-166.32	21	8.84	23	0.01	23
2220	267	275	Min.	21.56	-564.33	22	-0.62	11	-0.07	11	-167.42	21	-19.01	24	0.01	23
2220	275	283	Max	0.00	-272.71	23	-0.04	23	0.03	11	-99.78	23	18.95	21	0.14	11
2220	275	283	Max	21.56	-272.71	23	-0.04	23	-0.00	23	-100.62	23	-12.14	23	0.14	11
2220	275	283	Min.	0.00	-869.82	22	-0.61	11	0.00	23	-199.03	21	9.47	23	0.00	23
2220	275	283	Min.	21.56	-869.82	22	-0.61	11	-0.10	11	-200.13	21	-24.09	24	0.00	23
2220	283	2294	Max	0.00	-557.95	23	-0.00	23	0.01	11	-120.96	23	15.28	21	0.12	11
2220	283	2294	Max	21.56	-557.95	23	-0.00	23	-0.00	23	-121.81	23	-18.68	23	0.12	11
2220	283	2294	Min.	0.00	-1353.88	24	-1.05	11	-0.00	23	-243.96	21	6.60	22	-0.01	23
2220	283	2294	Min.	21.56	-1353.88	24	-1.05	11	-0.22	11	-245.06	21	-37.44	21	-0.01	23
2220	2294	303	Max	0.00	0.84	23	-0.95	12	0.48	21	12.60	11	1.82	22	0.05	23
2220	2294	303	Max	16.67	0.84	23	-0.95	12	-0.03	12	11.94	11	1.08	24	0.05	23
2220	2294	303	Min.	0.00	-109.68	11	-3.72	21	0.13	12	-6.48	22	-1.01	11	-0.02	11
2220	2294	303	Min.	16.67	-109.68	11	-3.72	21	-0.14	21	-7.14	22	0.19	23	-0.02	11
2220	303	311	Max	0.00	8.66	23	-0.42	22	0.13	21	17.00	11	-0.01	23	0.11	23
2220	303	311	Max	16.67	8.66	23	-0.42	22	-0.04	22	16.35	11	1.34	11	0.11	23
2220	303	311	Min.	0.00	-60.31	11	-1.86	21	0.03	22	1.60	23	-1.44	11	-0.00	12
2220	303	311	Min.	16.67	-60.31	11	-1.86	21	-0.18	21	0.95	23	0.20	23	-0.00	12
2220	311	2319	Max	0.00	6.04	23	-0.48	22	0.08	21	8.75	11	0.37	23	0.09	23
2220	311	2319	Max	14.99					-0.16	21			0.15	21		
2220	311	2319	Max	16.67	6.04	23	-0.48	22	-0.05	22	8.10	11	0.85	11	0.09	23
2220	311	2319	Min.	0.00	-19.79	11	-1.59	21	0.03	22	-3.73	23	-0.55	11	-0.01	12
2220	311	2319	Min.	14.99					-0.16	21			0.15	21		
2220	311	2319	Min.	16.67	-19.79	11	-1.59	21	-0.19	21	-4.38	23	-0.31	23	-0.01	12
2221	-520	24	Max	0.00	-29.49	12	1.66	21	-0.07	22	0.69	23	-0.12	12	0.04	24
2221	-520	24	Max	2.61					-0.07	12			-0.11	12		
2221	-520	24	Max	19.08	-29.85	12	1.66	21	0.07	24	0.03	23	-0.16	12	0.04	24
2221	-520	24	Min.	0.00	-76.93	21	0.63	22	-0.28	21	-0.13	24	-0.33	21	0.01	23
2221	-520	24	Min.	11.45					-0.09	21			-0.30	21		
2221	-520	24	Min.	19.08	-77.41	21	0.63	22	-0.00	23	-0.78	24	-0.31	21	0.01	23
2301	2028	2029	Max	0.00	4.30	23	-563.48	22	0.22	23	-97.63	23	0.17	21	73.58	21
2301	2028	2029	Max	0.63	4.30	23	-563.48	22	-3.57	22	-97.68	23	-0.52	23	73.58	21
2301	2028	2029	Min.	0.00	-4.90	24	-1745.89	21	-0.02	22	-560.03	24	0.10	23	36.64	22
2301	2028	2029	Min.	0.63	-4.90	24	-1745.89	21	-10.79	21	-560.08	24	-3.37	24	36.64	22
2301	2029	2030	Max	5.37	-1.77	12	1692.43	21	-3.53	22	696.39	21	-2.17	12	-36.39	23
2301	2029	2030	Max	6.00	-1.77	12	1692.43	21	0.96	21	696.33	21	0.19	24	-36.39	23
2301	2029	2030	Min.	5.37	-17.58	23	587.94	22	-9.70	21	366.58	12	-4.36	21	-72.92	21
2301	2029	2030	Min.	6.00	-17.58	23	587.94	22	0.17	22	366.53	12	-0.06	23	-72.92	21
2345	2288	2289	Max	0.00	4.32	23	1828.40	24	-0.01	11	-100.02	23	0.17	21	-37.44	23
2345	2288	2289	Max	0.63	4.32	23	1828.40	24	11.49	24	-100.07	23	-0.53	23	-37.44	23
2345	2288	2289	Min.	0.00	-4.15	11	895.18	23	-0.21	23	-486.18	11	0.06	22	-73.16	21
2345	2288	2289	Min.	0.63	-4.15	11	895.18	23	5.43	23	-486.23	11	-2.93	11	-73.16	21
2345	2289	2290	Max	5.37	-0.73	22	-843.34	23	11.57	24	692.38	21	-1.29	22	73.10	21
2345	2289	2290	Max	6.00	-0.73	22	-843.34	23	-0.24	22	692.32	21	0.15	11	73.10	21
2345	2289	2290	Min.	5.37	-17.33	23	-1892.91	24	4.44	23	216.07	22	-4.34	21	36.51	23
2345	2289	2290	Min.	6.00	-17.33	23	-1892.91	24	-0.98	21	216.03	22	-0.06	23	36.51	23
2386	2002	10	Max	0.00	-15.66	12	-0.34	22	0.07	24	-8.02	12	1.75	21	-0.01	11
2386	2002	10	Max	16.67	-15.66	12	1.46	23	0.02	23	-8.67	12	-0.72	12	-0.01	11
2386	2002	10	Min.	0.00	-39.99	21	-1.19	21	-0.03	23	-21.48	21	0.67	12	-0.09	23
2386	2002	10	Min.	16.67	-39.99	21	-0.64	24	-0.04	24	-22.33	21	-1.90	21	-0.09	23
2386	10	18	Max	0.00	-30.27	12	-0.23	22	0.07	24	-0.48	23	0.04	24	0.01	11
2386	10	18	Max	16.67	-30.27	12	2.00	23	0.06	23	-1.13	23	-0.20	12	0.01	11
2386	10	18	Min.	0.00	-74.24	21	-0.58	21	-0.08	23	-1.67	24	-0.25	23	-0.12	23
2386	10	18	Min.	16.67	-74.24	21	-0.44	24	-0.00	11	-2.32	24	-0.46	21	-0.12	23
2386	18	2027	Max	0.00	-103.98	12	1.93	23	0.03	11	-10.96	12	1.93	21	-0.02	12
2386	18	2027	Max	16.67	-103.98	12	4.27	23	0.39	23	-11.62	12	-0.89	12	-0.02	12
2386	18	2027	Min.	0.00	-223.36	21	-1.40	11	-0.13	23	-27.68	21	0.91	22	-0.14	23

2386	18	2027	Min.	16.67	-223.36	21	-1.40	11	-0.21	11	-28.54	21	-3.46	22	-0.14	23
2386	2027	38	Max	0.00	-111.10	22	-0.83	12	1.25	21	259.79	21	-20.54	22	0.30	21
2386	2027	38	Max	21.56	-111.10	22	-0.83	12	-0.01	12	258.69	21	16.38	24	0.30	21
2386	2027	38	Min.	0.00	-1127.55	21	-7.90	23	0.17	22	138.10	23	-39.54	21	0.09	12
2386	2027	38	Min.	21.56	-1127.55	21	-5.03	21	-0.13	23	137.25	23	8.68	23	0.09	12
2386	38	46	Max	0.00	247.41	22	-0.49	12	0.14	21	211.13	21	-12.75	22	0.35	21
2386	38	46	Max	21.56	247.41	22	-0.49	12	-0.02	12	210.03	21	20.01	21	0.35	21
2386	38	46	Min.	0.00	-522.85	21	-4.26	23	0.08	12	112.77	23	-25.40	21	0.11	12
2386	38	46	Min.	21.56	-522.85	21	-1.49	21	-0.50	23	111.93	23	10.63	23	0.11	12
2386	46	54	Max	0.00	531.08	22	-0.50	12	0.09	24	177.97	21	-8.86	22	0.38	21
2386	46	54	Max	21.56	531.08	22	1.84	23	-0.05	12	176.87	21	18.70	21	0.38	21
2386	46	54	Min.	0.00	-18.45	11	-1.44	21	-0.29	23	95.07	22	-19.56	21	0.10	12
2386	46	54	Min.	21.56	-18.45	11	-0.73	24	-0.23	21	94.22	22	10.08	23	0.10	12
2386	54	62	Max	0.00	733.66	22	0.97	23	0.07	21	147.22	21	-5.98	22	0.44	21
2386	54	62	Max	21.56	733.66	22	3.99	23	0.59	23	146.12	21	16.59	21	0.44	21
2386	54	62	Min.	0.00	207.82	23	-0.64	24	0.03	12	72.33	22	-15.04	21	0.09	12
2386	54	62	Min.	21.56	207.82	23	-0.64	24	-0.09	24	71.49	22	9.14	23	0.09	12
2386	62	70	Max	0.00	899.31	24	-0.14	22	0.82	23	119.34	21	-4.24	22	0.12	24
2386	62	70	Max	21.56	899.31	24	-0.14	22	0.00	11	118.24	21	14.31	21	0.12	24
2386	62	70	Min.	0.00	361.38	23	-5.56	23	0.02	22	58.72	22	-11.30	21	0.04	23
2386	62	70	Min.	21.56	361.38	23	-2.55	23	-0.05	23	57.88	22	7.27	23	0.04	23
2386	70	78	Max	0.00	1086.97	24	-0.25	22	0.06	24	96.46	21	-2.03	22	0.15	21
2386	70	78	Max	21.56	1086.97	24	-0.25	22	-0.02	12	95.35	21	12.26	21	0.15	21
2386	70	78	Min.	0.00	471.96	23	-3.77	23	0.02	23	40.51	22	-8.42	21	0.05	12
2386	70	78	Min.	21.56	471.96	23	-0.91	21	-0.47	23	39.66	22	6.21	23	0.05	12
2386	78	86	Max	0.00	1216.19	24	-0.26	22	0.03	24	75.32	21	-0.13	22	0.27	21
2386	78	86	Max	21.56	1216.19	24	2.30	23	-0.04	22	74.22	21	10.23	21	0.27	21
2386	78	86	Min.	0.00	553.87	23	-0.88	21	-0.34	23	23.38	22	-5.89	21	0.05	22
2386	78	86	Min.	21.56	553.87	23	-0.41	24	-0.19	21	22.53	22	4.82	22	0.05	22
2386	86	94	Max	0.00	1299.72	24	1.05	23	0.05	23	56.50	21	1.30	22	0.38	21
2386	86	94	Max	21.56	1299.72	24	4.07	23	0.60	23	55.40	21	8.15	21	0.38	21
2386	86	94	Min.	0.00	613.93	23	-0.29	24	-0.00	11	8.00	22	-3.91	21	0.04	22
2386	86	94	Min.	21.56	613.93	23	-0.29	24	-0.07	24	7.16	22	2.94	22	0.04	22
2386	94	102	Max	0.00	1357.19	24	-0.04	22	0.80	23	50.84	21	1.38	22	0.06	24
2386	94	102	Max	21.56	1357.19	24	-0.04	22	0.01	11	49.74	21	7.53	21	0.06	24
2386	94	102	Min.	0.00	659.15	23	-5.26	23	0.01	22	6.59	22	-3.31	21	-0.05	23
2386	94	102	Min.	21.56	659.15	23	-2.24	23	-0.01	23	5.75	22	2.71	22	-0.05	23
2386	102	110	Max	0.00	1391.70	24	-0.11	22	0.06	21	34.04	21	3.11	22	0.08	21
2386	102	110	Max	21.56	1391.70	24	-0.11	22	-0.01	12	32.94	21	5.99	21	0.08	21
2386	102	110	Min.	0.00	691.27	23	-3.71	23	0.01	22	-7.58	22	-1.23	21	0.02	22
2386	102	110	Min.	21.56	691.27	23	-0.76	21	-0.44	23	-8.42	22	1.38	22	0.02	22
2386	110	118	Max	0.00	1398.63	24	-0.13	22	0.01	11	17.75	21	4.60	22	0.26	23
2386	110	118	Max	21.56	1398.63	24	2.16	23	-0.03	22	16.65	21	4.29	21	0.26	23
2386	110	118	Min.	0.00	710.63	23	-0.92	21	-0.30	23	-21.57	22	0.17	23	0.00	22
2386	110	118	Min.	21.56	710.63	23	-0.24	11	-0.17	21	-22.42	22	-0.15	22	0.00	22
2386	118	126	Max	0.00	1382.30	24	0.62	23	0.06	23	3.06	23	5.76	22	0.39	23
2386	118	126	Max	21.56	1382.30	24	3.64	23	0.52	23	2.21	23	2.54	21	0.39	23
2386	118	126	Min.	0.00	718.99	23	-0.16	11	-0.02	22	-34.45	22	0.94	23	-0.01	22
2386	118	126	Min.	21.56	718.99	23	-0.16	11	-0.05	24	-35.29	22	-1.76	22	-0.01	22
2386	126	134	Max	0.00	1365.17	21	0.17	22	0.70	23	-3.25	23	6.07	22	0.03	11
2386	126	134	Max	21.56	1365.17	21	0.17	22	0.01	24	-4.09	23	1.74	21	0.03	11
2386	126	134	Min.	0.00	718.17	23	-4.80	23	-0.03	22	-37.94	22	1.61	23	-0.12	23
2386	126	134	Min.	21.56	718.17	23	-1.78	23	-0.01	23	-38.78	22	-2.20	22	-0.12	23
2386	134	142	Max	0.00	1349.65	21	0.13	22	0.01	11	-9.63	23	7.47	22	0.00	11
2386	134	142	Max	17.25					-0.00	26			-0.28	26		
2386	134	142	Max	21.56	1349.65	21	0.13	22	0.01	22	-10.47	23	0.31	21	0.00	11
2386	134	142	Min.	0.00	709.71	23	-3.50	23	-0.02	22	-50.12	22	2.26	23	-0.03	22
2386	134	142	Min.	17.25					-0.00	26			-0.28	26		
2386	134	142	Min.	21.56	709.71	23	-0.48	23	-0.43	23	-50.97	22	-3.43	22	-0.03	22

2386	142	150	Max	0.00	1321.29	21	0.11	22	-0.01	12	-16.54	23	8.50	22	0.18	23
2386	142	150	Max	21.56	1321.29	21	2.09	23	-0.01	22	-17.39	23	-0.93	23	0.18	23
2386	142	150	Min.	0.00	695.21	23	-0.93	23	-0.34	23	-63.10	22	2.72	23	-0.04	22
2386	142	150	Min.	21.56	695.21	23	-0.08	11	-0.22	23	-63.94	22	-5.20	22	-0.04	22
2386	150	158	Max	0.00	1289.04	21	0.40	23	-0.03	12	-20.59	23	7.97	22	0.25	23
2386	150	158	Max	21.56	1289.04	21	3.42	23	0.36	23	-21.44	23	-2.46	23	0.25	23
2386	150	158	Min.	0.00	679.19	23	-0.06	11	-0.07	21	-72.75	22	2.07	23	-0.04	22
2386	150	158	Min.	21.56	679.19	23	-0.06	11	-0.05	11	-73.60	22	-7.81	22	-0.04	22
2386	158	166	Max	0.00	1289.06	21	0.19	22	0.36	23	43.54	21	1.88	22	0.01	11
2386	158	166	Max	21.56	1289.06	21	0.19	22	-0.01	22	42.44	21	4.19	21	0.01	11
2386	158	166	Min.	0.00	679.22	23	-3.42	23	-0.06	24	-22.61	22	-5.08	21	-0.25	23
2386	158	166	Min.	21.56	679.22	23	-0.40	23	-0.07	21	-23.46	22	-3.09	22	-0.25	23
2386	166	174	Max	0.00	1321.34	21	0.21	22	-0.02	12	34.48	21	2.91	22	0.01	11
2386	166	174	Max	3.62					-0.03	26			1.00	26		
2386	166	174	Max	21.56	1321.34	21	0.93	23	0.01	22	33.38	21	5.46	21	0.01	11
2386	166	174	Min.	0.00	695.06	22	-2.09	23	-0.22	23	-22.63	22	-1.86	21	-0.18	23
2386	166	174	Min.	3.62					-0.03	26			1.00	26		
2386	166	174	Min.	21.56	695.06	22	0.06	12	-0.34	23	-23.48	22	-2.06	22	-0.18	23
2386	174	182	Max	0.00	1349.75	21	0.48	23	-0.00	12	19.45	21	3.59	22	0.01	23
2386	174	182	Max	17.25					-0.14	23			1.85	23		
2386	174	182	Max	21.56	1349.75	21	3.50	23	0.03	22	18.35	21	4.38	21	0.01	23
2386	174	182	Min.	0.00	664.22	22	0.04	12	-0.43	23	-26.15	22	0.09	23	-0.03	22
2386	174	182	Min.	17.25					-0.14	23			1.85	23		
2386	174	182	Min.	21.56	664.22	22	0.04	12	0.00	23	-26.99	22	-2.14	22	-0.03	22
2386	182	190	Max	0.00	1365.31	21	1.78	23	0.01	11	5.72	21	4.05	22	0.12	23
2386	182	190	Max	21.56	1365.31	21	4.80	23	0.70	23	4.62	21	2.85	21	0.12	23
2386	182	190	Min.	0.00	628.77	22	-0.01	12	-0.01	23	-29.16	22	0.82	23	-0.04	24
2386	182	190	Min.	21.56	628.77	22	-0.01	12	0.00	12	-30.01	22	-2.33	22	-0.04	24
2386	190	198	Max	0.00	1367.54	21	0.18	24	0.52	23	-0.71	11	5.06	22	-0.02	12
2386	190	198	Max	21.56	1367.54	21	0.18	24	0.06	23	-1.56	11	2.09	21	-0.02	12
2386	190	198	Min.	0.00	584.15	22	-3.64	23	-0.05	11	-38.99	22	1.50	23	-0.39	23
2386	190	198	Min.	21.56	584.15	22	-0.62	23	-0.01	11	-39.84	22	-3.44	22	-0.39	23
2386	198	206	Max	0.00	1353.87	21	0.26	24	-0.02	22	-9.29	23	5.59	24	-0.02	12
2386	198	206	Max	21.56	1353.87	21	0.92	21	0.02	24	-10.13	23	0.59	21	-0.02	12
2386	198	206	Min.	0.00	528.32	22	-2.15	23	-0.17	21	-42.98	22	2.27	23	-0.26	23
2386	198	206	Min.	21.56	528.32	22	0.19	12	-0.30	23	-43.83	22	-4.05	22	-0.26	23
2386	206	214	Max	0.00	1317.69	21	0.76	21	-0.01	22	-16.84	23	6.87	24	-0.03	12
2386	206	214	Max	21.56	1317.69	21	3.71	23	0.06	21	-17.69	23	-0.67	23	-0.03	12
2386	206	214	Min.	0.00	462.74	22	0.18	12	-0.44	23	-47.28	24	3.05	23	-0.08	21
2386	206	214	Min.	21.56	462.74	22	0.18	12	0.03	12	-48.13	24	-4.57	22	-0.08	21
2386	214	222	Max	0.00	1255.01	21	2.24	23	0.01	24	-24.71	23	8.09	24	0.05	23
2386	214	222	Max	21.56	1255.01	21	5.25	23	0.80	23	-25.56	23	-1.62	23	0.05	23
2386	214	222	Min.	0.00	385.83	22	0.09	12	-0.01	23	-60.57	24	3.80	23	-0.07	24
2386	214	222	Min.	21.56	385.83	22	0.09	12	0.02	12	-61.41	24	-5.09	22	-0.07	24
2386	222	230	Max	0.00	1167.40	21	0.25	11	0.60	23	-29.03	23	8.86	24	-0.04	22
2386	222	230	Max	21.56	1167.40	21	0.25	11	0.05	23	-29.88	23	-2.07	23	-0.04	22
2386	222	230	Min.	0.00	292.31	22	-4.07	23	-0.06	11	-68.14	24	4.28	23	-0.38	21
2386	222	230	Min.	21.56	292.31	22	-1.05	23	-0.00	24	-68.98	24	-6.25	22	-0.38	21
2386	230	238	Max	0.00	1051.54	21	0.37	24	-0.03	22	-37.94	23	10.40	24	-0.03	22
2386	230	238	Max	21.56	1051.54	21	0.88	21	0.02	24	-38.79	23	-3.04	23	-0.03	22
2386	230	238	Min.	0.00	179.45	22	-2.29	23	-0.19	21	-83.39	24	5.24	23	-0.27	21
2386	230	238	Min.	21.56	179.45	22	0.20	22	-0.34	23	-84.23	24	-7.67	24	-0.27	21
2386	238	246	Max	0.00	890.95	21	0.91	21	-0.01	22	-47.89	23	12.26	21	-0.03	22
2386	238	246	Max	21.56	890.95	21	3.78	23	0.05	24	-48.74	23	-4.22	23	-0.03	22
2386	238	246	Min.	0.00	45.70	22	0.20	22	-0.47	23	-100.55	24	6.20	23	-0.15	21
2386	238	246	Min.	21.56	45.70	22	0.20	22	0.02	23	-101.40	24	-9.84	24	-0.15	21
2386	246	254	Max	0.00	672.63	21	2.54	23	0.01	22	-58.74	23	14.30	21	-0.04	23
2386	246	254	Max	21.56	672.63	21	5.56	23	0.82	23	-59.59	23	-5.49	23	-0.04	23
2386	246	254	Min.	0.00	-114.30	22	0.11	22	-0.05	23	-119.41	24	7.26	23	-0.10	21

2386	246	254	Min.	21.56	-114.30	22	0.11	22	0.03	22	-120.25	24	-12.39	24	-0.10	21
2386	254	262	Max	0.00	380.28	21	0.53	11	0.58	23	-79.75	23	16.57	21	-0.06	22
2386	254	262	Max	21.56	380.28	21	0.53	11	0.07	21	-80.60	23	-8.16	23	-0.06	22
2386	254	262	Min.	0.00	-313.56	22	-3.99	23	-0.08	11	-145.93	21	9.13	23	-0.44	21
2386	254	262	Min.	21.56	-313.56	22	-0.97	23	0.01	22	-147.03	21	-15.19	24	-0.44	21
2386	262	270	Max	0.00	-2.06	23	0.62	11	-0.03	22	-95.38	23	18.68	21	-0.05	22
2386	262	270	Max	21.56	-2.06	23	1.44	21	0.07	11	-96.22	23	-10.60	23	-0.05	22
2386	262	270	Min.	0.00	-563.95	22	-1.84	23	-0.23	21	-176.66	21	9.98	22	-0.38	21
2386	262	270	Min.	21.56	-563.95	22	0.29	22	-0.29	23	-177.76	21	-19.53	21	-0.38	21
2386	270	278	Max	0.00	-276.08	23	1.49	21	-0.01	22	-111.74	23	19.99	21	-0.06	22
2386	270	278	Max	21.56	-276.08	23	4.27	23	0.14	21	-112.59	23	-13.57	23	-0.06	22
2386	270	278	Min.	0.00	-869.40	22	0.29	22	-0.50	23	-209.79	21	9.81	22	-0.35	21
2386	270	278	Min.	21.56	-869.40	22	0.29	22	0.05	22	-210.89	21	-25.36	21	-0.35	21
2386	278	2287	Max	0.00	-597.64	23	5.03	21	0.00	22	-137.03	23	16.33	21	-0.04	22
2386	278	2287	Max	21.56	-597.64	23	7.91	23	1.26	21	-137.87	23	-20.98	23	-0.04	22
2386	278	2287	Min.	0.00	-1353.29	24	0.54	22	-0.13	23	-258.41	21	6.60	22	-0.30	21
2386	278	2287	Min.	21.56	-1353.29	24	0.54	22	0.12	22	-259.51	21	-39.51	21	-0.30	21
2386	2287	298	Max	0.00	-61.88	22	1.42	24	0.35	23	26.38	21	1.82	22	0.13	23
2386	2287	298	Max	16.67	-61.88	22	1.42	24	0.05	24	25.53	21	1.56	21	0.13	23
2386	2287	298	Min.	0.00	-200.46	21	-3.85	23	-0.19	24	-6.49	22	-2.76	21	0.01	22
2386	2287	298	Min.	16.67	-200.46	21	-1.52	23	-0.10	23	-7.14	22	0.69	22	0.01	22
2386	298	306	Max	0.00	-32.17	22	0.68	24	0.07	23	28.92	21	-0.66	22	0.14	23
2386	298	306	Max	16.67	-32.17	22	0.68	24	0.06	24	28.07	21	2.14	21	0.14	23
2386	298	306	Min.	0.00	-121.27	21	-2.05	23	-0.06	24	7.78	22	-2.61	21	-0.01	24
2386	298	306	Min.	16.67	-121.27	21	0.28	23	-0.08	23	7.13	22	0.58	22	-0.01	24
2386	306	2314	Max	0.00	-12.19	22	0.85	24	0.01	23	20.98	21	-0.37	22	0.09	23
2386	306	2314	Max	16.67	-12.19	22	1.32	21	0.09	24	20.12	21	1.94	21	0.09	23
2386	306	2314	Min.	0.00	-44.46	21	-1.45	23	-0.05	24	5.46	22	-1.49	21	0.00	24
2386	306	2314	Min.	16.67	-44.46	21	0.47	22	-0.03	23	4.81	22	0.49	22	0.00	24
2424	2004	12	Max	0.00	-34.55	12	-0.19	22	0.05	24	-16.94	12	2.73	21	0.02	24
2424	2004	12	Max	16.67	-34.55	12	1.62	23	0.04	23	-17.60	12	-1.52	12	0.02	24
2424	2004	12	Min.	0.00	-66.72	21	-0.88	21	-0.04	23	-34.02	21	1.36	12	-0.07	23
2424	2004	12	Min.	16.67	-66.72	21	-0.37	11	-0.02	11	-34.87	21	-3.01	21	-0.07	23
2424	12	20	Max	0.00	-62.77	12	-0.39	22	0.06	24	-0.82	23	-0.14	11	0.05	24
2424	12	20	Max	16.67	-62.77	12	1.86	23	0.06	23	-1.47	23	-0.49	12	0.05	24
2424	12	20	Min.	0.00	-119.91	21	-0.72	21	-0.05	23	-3.11	24	-0.39	21	-0.10	23
2424	12	20	Min.	16.67	-119.91	21	-0.54	24	-0.03	24	-3.77	24	-0.82	21	-0.10	23
2424	20	2030	Max	0.00	-179.75	12	1.69	23	0.05	24	-10.95	12	2.29	21	0.05	24
2424	20	2030	Max	16.67	-179.75	12	4.03	23	0.35	23	-11.61	12	-0.68	11	0.05	24
2424	20	2030	Min.	0.00	-329.49	21	-1.32	24	-0.13	23	-28.18	21	1.11	22	-0.11	23
2424	20	2030	Min.	16.67	-329.49	21	-1.32	24	-0.17	24	-29.03	21	-3.62	22	-0.11	23
2424	2030	40	Max	0.00	-746.54	22	-0.25	22	1.17	23	453.58	21	-36.18	23	0.19	23
2424	2030	40	Max	21.56	-746.54	22	-0.25	22	-0.01	12	452.48	21	28.68	24	0.19	23
2424	2030	40	Min.	0.00	-2069.52	21	-7.49	23	0.05	22	235.58	23	-69.71	21	0.01	12
2424	2030	40	Min.	21.56	-2069.52	21	-4.47	23	-0.12	23	234.74	23	14.52	23	0.01	12
2424	40	48	Max	0.00	-34.38	22	-0.04	22	0.05	21	377.51	21	-23.88	23	0.22	23
2424	40	48	Max	21.56	-34.38	22	-0.04	22	-0.00	22	376.42	21	35.40	21	0.22	23
2424	40	48	Min.	0.00	-999.54	21	-3.94	23	0.01	22	196.25	23	-45.89	21	0.02	22
2424	40	48	Min.	21.56	-999.54	21	-0.92	23	-0.48	23	195.40	23	18.35	23	0.02	22
2424	48	56	Max	0.00	564.83	22	-0.05	22	0.01	24	328.10	21	-19.13	23	0.27	23
2424	48	56	Max	21.56	564.83	22	2.17	23	-0.01	22	327.00	21	34.15	21	0.27	23
2424	48	56	Min.	0.00	-71.32	21	-0.85	23	-0.33	23	171.83	23	-36.48	21	0.01	22
2424	48	56	Min.	21.56	-71.32	21	-0.12	24	-0.19	23	170.99	23	17.83	23	0.01	22
2424	56	64	Max	0.00	1022.15	22	1.30	23	0.02	23	282.17	21	-15.14	23	0.35	23
2424	56	64	Max	21.56	1022.15	22	4.32	23	0.63	23	281.07	21	31.88	21	0.35	23
2424	56	64	Min.	0.00	343.02	23	-0.05	24	0.00	12	148.65	23	-28.84	21	0.02	22
2424	56	64	Min.	21.56	343.02	23	-0.05	24	-0.01	11	147.81	23	16.82	23	0.02	22
2424	64	72	Max	0.00	1493.86	24	-0.09	22	0.82	23	207.97	21	-9.22	22	0.03	24
2424	64	72	Max	21.56	1493.86	24	-0.09	22	0.01	11	206.87	21	25.26	21	0.03	24

2424	64	72	Min.	0.00	621.37	23	-5.50	23	0.02	22	104.91	23	-19.47	21	-0.00	23
2424	64	72	Min.	21.56	621.37	23	-2.49	23	-0.04	23	104.06	23	12.83	23	-0.00	23
2424	72	80	Max	0.00	1854.64	24	-0.12	22	0.03	24	176.38	21	-6.60	22	0.09	21
2424	72	80	Max	21.56	1854.64	24	-0.12	22	-0.01	22	175.28	21	22.10	21	0.09	21
2424	72	80	Min.	0.00	821.78	23	-3.67	23	0.01	23	89.68	23	-15.81	21	0.02	22
2424	72	80	Min.	21.56	821.78	23	-0.69	21	-0.46	23	88.83	23	11.22	23	0.02	22
2424	80	88	Max	0.00	2124.53	24	-0.12	22	0.01	24	149.14	21	-4.08	22	0.23	23
2424	80	88	Max	21.56	2124.53	24	2.41	23	-0.02	22	148.04	21	19.67	21	0.23	23
2424	80	88	Min.	0.00	977.62	23	-0.66	21	-0.35	23	71.54	22	-12.37	21	0.02	22
2424	80	88	Min.	21.56	977.62	23	-0.18	24	-0.15	23	70.69	22	10.06	23	0.02	22
2424	88	96	Max	0.00	2320.94	24	1.14	23	0.04	23	123.51	21	-1.29	22	0.35	23
2424	88	96	Max	21.56	2320.94	24	4.16	23	0.61	23	122.41	21	17.75	21	0.35	23
2424	88	96	Min.	0.00	1097.92	23	-0.13	24	-0.00	24	51.16	22	-8.76	21	0.02	22
2424	88	96	Min.	21.56	1097.92	23	-0.13	24	-0.03	24	50.31	22	9.20	23	0.02	22
2424	96	104	Max	0.00	2438.23	24	-0.02	22	0.79	23	69.84	21	3.80	22	0.03	24
2424	96	104	Max	21.56	2438.23	24	-0.02	22	0.00	11	68.74	21	12.14	21	0.03	24
2424	96	104	Min.	0.00	1178.59	23	-5.19	23	0.00	22	4.32	22	-2.80	21	-0.07	23
2424	96	104	Min.	21.56	1178.59	23	-2.18	23	-0.01	23	3.47	22	4.64	22	-0.07	23
2424	104	112	Max	0.00	2491.30	24	-0.05	22	0.04	21	49.88	21	4.99	22	0.06	21
2424	104	112	Max	21.56	2491.30	24	-0.05	22	-0.00	22	48.78	21	9.52	21	0.06	21
2424	104	112	Min.	0.00	1226.79	23	-3.63	23	0.01	22	-11.75	22	-1.12	21	0.01	22
2424	104	112	Min.	21.56	1226.79	23	-0.61	23	-0.43	23	-12.60	22	2.37	22	0.01	22
2424	112	120	Max	0.00	2507.49	24	-0.05	22	0.01	11	32.56	21	6.43	22	0.25	23
2424	112	120	Max	21.56	2507.49	24	2.24	23	-0.01	22	31.46	21	7.69	21	0.25	23
2424	112	120	Min.	0.00	1257.37	23	-0.78	23	-0.31	23	-25.68	22	0.26	23	0.01	22
2424	112	120	Min.	21.56	1257.37	23	-0.10	24	-0.15	23	-26.52	22	0.81	22	0.01	22
2424	120	128	Max	0.00	2492.24	24	0.69	23	0.07	23	14.81	21	8.47	22	0.38	23
2424	120	128	Max	21.56	2492.24	24	3.70	23	0.54	23	13.71	21	6.40	21	0.38	23
2424	120	128	Min.	0.00	1272.74	23	-0.07	11	-0.00	24	-40.21	22	1.55	23	0.01	22
2424	120	128	Min.	21.56	1272.74	23	-0.07	11	-0.02	24	-41.05	22	-0.29	22	0.01	22
2424	128	136	Max	0.00	2455.03	21	0.00	22	0.70	23	-17.95	23	12.90	22	0.01	11
2424	128	136	Max	21.56	2455.03	21	0.00	22	-0.00	22	-18.80	23	1.16	21	0.01	11
2424	128	136	Min.	0.00	1266.23	23	-4.81	23	-0.00	22	-81.94	22	4.49	23	-0.13	23
2424	128	136	Min.	21.56	1266.23	23	-1.79	23	-0.01	21	-82.78	22	-4.86	22	-0.13	23
2424	136	144	Max	0.00	2408.01	21	-0.01	22	0.00	11	-24.60	23	13.43	22	0.00	11
2424	136	144	Max	21.56	2408.01	21	-0.01	22	-0.00	22	-25.44	23	-0.69	23	0.00	11
2424	136	144	Min.	0.00	1241.82	23	-3.49	23	0.00	22	-94.04	22	4.70	23	-0.01	23
2424	136	144	Min.	21.56	1241.82	23	-0.47	23	-0.43	23	-94.88	22	-6.94	22	-0.01	23
2424	144	152	Max	0.00	2347.72	21	-0.01	22	-0.00	12	-31.37	23	14.07	24	0.18	23
2424	144	152	Max	21.56	2347.72	21	2.11	23	-0.01	22	-32.22	23	-2.00	23	0.18	23
2424	144	152	Min.	0.00	1211.23	23	-0.91	23	-0.33	23	-105.85	22	4.85	23	-0.00	22
2424	144	152	Min.	21.56	1211.23	23	-0.03	11	-0.20	23	-106.69	22	-9.02	22	-0.00	22
2424	152	160	Max	0.00	2290.12	21	0.42	23	-0.01	22	-33.88	23	12.37	22	0.26	23
2424	152	160	Max	21.56	2290.12	21	3.44	23	0.38	23	-34.72	23	-4.01	23	0.26	23
2424	152	160	Min.	0.00	1182.48	23	-0.03	11	-0.04	21	-113.53	22	3.39	23	-0.00	22
2424	152	160	Min.	21.56	1182.48	23	-0.03	11	-0.02	24	-114.38	22	-12.25	24	-0.00	22
2424	160	168	Max	0.00	2290.15	21	0.03	24	0.38	23	70.10	21	2.88	22	0.00	11
2424	160	168	Max	21.56	2290.15	21	0.03	24	-0.01	22	69.00	21	6.83	21	0.00	11
2424	160	168	Min.	0.00	1182.50	23	-3.44	23	-0.02	24	-33.99	22	-8.17	21	-0.26	23
2424	160	168	Min.	21.56	1182.50	23	-0.42	23	-0.04	21	-34.84	22	-4.54	22	-0.26	23
2424	168	176	Max	0.00	2347.81	21	0.04	24	-0.01	22	63.99	21	4.40	22	0.00	12
2424	168	176	Max	17.25					-0.00	22			-1.29	22		
2424	168	176	Max	21.56	2347.81	21	0.91	23	0.00	22	62.89	21	9.69	21	0.00	12
2424	168	176	Min.	0.00	1211.28	23	-2.11	23	-0.20	23	-32.64	22	-3.99	21	-0.18	23
2424	168	176	Min.	17.25					-0.00	22			-1.29	22		
2424	168	176	Min.	21.56	1211.28	23	0.03	12	-0.33	23	-33.48	22	-2.73	22	-0.18	23
2424	176	184	Max	0.00	2408.15	21	0.47	23	-0.00	12	49.08	21	5.40	22	0.01	23
2424	176	184	Max	17.25					-0.14	23			3.64	23		
2424	176	184	Max	21.56	2408.15	21	3.49	23	0.00	24	47.98	21	9.21	21	0.01	23

2424	176	184	Min.	0.00	1199.92	22	0.02	12	-0.43	23	-37.12	22	-1.25	21	-0.01	24
2424	176	184	Min.	17.25					-0.14	23			3.64	23		
2424	176	184	Min.	21.56	1199.92	22	0.02	12	0.00	23	-37.96	22	-2.69	22	-0.01	24
2424	184	192	Max	0.00	2455.24	21	1.79	23	-0.00	12	34.71	21	6.12	22	0.13	23
2424	184	192	Max	4.31					-0.00	24			4.17	24		
2424	184	192	Max	21.56	2455.24	21	4.81	23	0.70	23	33.60	21	8.52	21	0.13	23
2424	184	192	Min.	0.00	1149.57	22	0.01	12	-0.01	23	-40.90	22	0.52	23	-0.01	24
2424	184	192	Min.	4.31					-0.00	11			2.36	11		
2424	184	192	Min.	21.56	1149.57	22	0.01	12	0.00	11	-41.75	22	-2.79	22	-0.01	24
2424	192	200	Max	0.00	2468.85	21	0.08	24	0.54	23	-8.45	23	8.30	24	-0.01	12
2424	192	200	Max	21.56	2468.85	21	0.08	24	0.07	23	-9.29	23	3.33	21	-0.01	12
2424	192	200	Min.	0.00	1084.52	22	-3.70	23	-0.02	24	-58.80	22	3.47	23	-0.38	23
2424	192	200	Min.	21.56	1084.52	22	-0.69	23	-0.00	11	-59.65	22	-4.77	22	-0.38	23
2424	200	208	Max	0.00	2441.59	21	0.11	24	-0.01	22	-16.86	23	9.35	24	-0.01	22
2424	200	208	Max	21.56	2441.59	21	0.78	23	0.01	24	-17.71	23	0.80	21	-0.01	22
2424	200	208	Min.	0.00	1001.52	22	-2.24	23	-0.15	23	-64.11	22	4.00	23	-0.25	23
2424	200	208	Min.	21.56	1001.52	22	0.07	22	-0.31	23	-64.96	22	-5.67	22	-0.25	23
2424	208	216	Max	0.00	2383.36	21	0.61	23	-0.00	22	-24.86	23	10.78	24	-0.01	22
2424	208	216	Max	21.56	2383.36	21	3.63	23	0.04	21	-25.71	23	-0.62	23	-0.01	22
2424	208	216	Min.	0.00	904.49	22	0.07	22	-0.43	23	-69.93	24	4.83	23	-0.06	21
2424	208	216	Min.	21.56	904.49	22	0.07	22	0.01	22	-70.78	24	-6.34	22	-0.06	21
2424	216	224	Max	0.00	2288.96	21	2.18	23	0.00	24	-34.28	23	12.79	24	0.07	23
2424	216	224	Max	21.56	2288.96	21	5.19	23	0.79	23	-35.13	23	-1.35	23	0.07	23
2424	216	224	Min.	0.00	791.13	22	0.03	12	-0.01	23	-86.09	24	6.14	23	-0.03	24
2424	216	224	Min.	21.56	791.13	22	0.03	12	0.01	12	-86.94	24	-6.92	22	-0.03	24
2424	224	232	Max	0.00	2132.10	21	0.12	24	0.61	23	-63.45	23	17.74	21	-0.02	22
2424	224	232	Max	17.25					-0.00	22			-5.11	22		
2424	224	232	Max	21.56	2132.10	21	0.12	24	0.04	23	-64.29	23	-4.57	23	-0.02	22
2424	224	232	Min.	0.00	650.52	22	-4.16	23	-0.03	24	-127.36	24	9.20	23	-0.35	23
2424	224	232	Min.	17.25					-0.00	22			-5.11	22		
2424	224	232	Min.	21.56	650.52	22	-1.14	23	-0.00	24	-128.20	24	-10.53	24	-0.35	23
2424	232	240	Max	0.00	1898.70	21	0.18	24	-0.01	22	-75.76	23	19.66	21	-0.02	22
2424	232	240	Max	21.56	1898.70	21	0.66	21	0.01	24	-76.61	23	-6.37	23	-0.02	22
2424	232	240	Min.	0.00	476.65	22	-2.40	23	-0.15	21	-148.31	24	10.06	23	-0.23	23
2424	232	240	Min.	21.56	476.65	22	0.10	22	-0.35	23	-149.15	24	-13.53	24	-0.23	23
2424	240	248	Max	0.00	1593.63	21	0.69	21	-0.01	22	-88.76	23	22.09	21	-0.02	22
2424	240	248	Max	21.56	1593.63	21	3.67	23	0.03	24	-89.61	23	-8.02	23	-0.02	22
2424	240	248	Min.	0.00	270.99	22	0.10	22	-0.46	23	-175.18	21	11.21	23	-0.09	21
2424	240	248	Min.	21.56	270.99	22	0.10	22	0.01	23	-176.28	21	-16.50	24	-0.09	21
2424	248	256	Max	0.00	1199.26	21	2.49	23	0.01	24	-103.98	23	25.24	21	0.00	23
2424	248	256	Max	21.56	1199.26	21	5.50	23	0.82	23	-104.83	23	-9.69	23	0.00	23
2424	248	256	Min.	0.00	26.05	22	0.07	22	-0.04	23	-206.74	21	12.82	23	-0.03	24
2424	248	256	Min.	21.56	26.05	22	0.07	22	0.02	22	-207.84	21	-19.78	24	-0.03	24
2424	256	264	Max	0.00	660.47	21	0.06	24	0.63	23	-147.64	23	31.86	21	-0.02	22
2424	256	264	Max	12.94					-0.00	12			-3.16	12		
2424	256	264	Max	21.56	660.47	21	0.06	24	0.02	23	-148.49	23	-15.12	23	-0.02	22
2424	256	264	Min.	0.00	-279.17	22	-4.32	23	-0.01	24	-280.82	21	15.33	22	-0.35	23
2424	256	264	Min.	17.25					-0.00	22			-10.77	22		
2424	256	264	Min.	21.56	-279.17	22	-1.30	23	0.00	22	-281.93	21	-28.81	21	-0.35	23
2424	264	272	Max	0.00	-37.61	23	0.13	24	-0.01	22	-168.15	22	34.13	21	-0.01	22
2424	264	272	Max	21.56	-37.61	23	0.86	23	0.01	24	-168.99	22	-19.11	23	-0.01	22
2424	264	272	Min.	0.00	-662.99	22	-2.16	23	-0.19	23	-326.74	21	15.76	22	-0.27	23
2424	264	272	Min.	21.56	-662.99	22	0.07	22	-0.33	23	-327.83	21	-36.45	21	-0.27	23
2424	272	280	Max	0.00	-521.15	23	0.92	23	-0.00	22	-186.26	22	35.37	21	-0.01	22
2424	272	280	Max	21.56	-521.15	23	3.94	23	0.05	21	-187.11	22	-23.85	23	-0.01	22
2424	272	280	Min.	0.00	-1245.41	24	0.06	22	-0.48	23	-376.10	21	15.53	22	-0.22	23
2424	272	280	Min.	21.56	-1245.41	24	0.06	22	0.01	22	-377.20	21	-45.84	21	-0.22	23
2424	280	2290	Max	0.00	-1076.15	23	4.48	23	-0.00	22	-220.18	22	27.94	21	0.00	22
2424	280	2290	Max	21.56	-1076.15	23	7.50	23	1.17	23	-221.03	22	-36.16	23	0.00	22

2424	280	2290	Min.	0.00	-2167.07	24	0.31	22	-0.12	23	-452.14	21	10.75	22	-0.19	23
2424	280	2290	Min.	21.56	-2167.07	24	0.31	22	0.06	22	-453.24	21	-69.67	21	-0.19	23
2424	2290	300	Max	0.00	-96.64	22	1.24	24	0.33	23	25.81	21	2.27	22	0.10	23
2424	2290	300	Max	16.67	-96.64	22	1.24	24	0.04	24	24.96	21	1.79	21	0.10	23
2424	2290	300	Min.	0.00	-296.90	21	-3.76	23	-0.17	24	-8.72	22	-2.45	21	-0.02	11
2424	2290	300	Min.	16.67	-296.90	21	-1.42	23	-0.10	23	-9.37	22	0.77	22	-0.02	11
2424	300	308	Max	0.00	-54.97	22	0.57	24	0.06	23	41.22	21	-1.12	22	0.11	23
2424	300	308	Max	16.67	-54.97	22	0.67	21	0.05	24	40.37	21	2.90	21	0.11	23
2424	300	308	Min.	0.00	-185.62	21	-1.96	23	-0.04	24	12.06	22	-3.90	21	-0.04	11
2424	300	308	Min.	16.67	-185.62	21	0.36	22	-0.07	23	11.40	22	0.84	22	-0.04	11
2424	308	2316	Max	0.00	-22.31	22	0.46	24	0.02	23	32.77	21	-0.71	22	0.07	23
2424	308	2316	Max	16.67	-22.31	22	1.03	21	0.05	24	31.92	21	2.97	21	0.07	23
2424	308	2316	Min.	0.00	-72.50	21	-1.49	23	-0.02	24	9.67	22	-2.42	21	-0.02	11
2424	308	2316	Min.	16.67	-72.50	21	0.28	22	-0.03	23	9.01	22	0.85	22	-0.02	11
2462	2006	14	Max	0.00	-46.37	12	0.84	24	-0.05	22	-23.56	12	3.42	21	-0.03	12
2462	2006	14	Max	16.67	-46.37	12	2.50	21	0.10	21	-24.21	12	-2.11	12	-0.03	12
2462	2006	14	Min.	0.00	-82.70	21	-0.06	23	-0.14	21	-43.00	21	1.87	12	-0.12	21
2462	2006	14	Min.	16.67	-82.70	21	0.59	22	0.05	22	-43.85	21	-3.82	21	-0.12	21
2462	14	22	Max	0.00	-83.33	12	0.16	11	0.00	22	-0.86	23	-0.28	12	-0.03	12
2462	14	22	Max	16.67	-83.33	12	2.26	23	0.09	21	-1.51	23	-0.64	12	-0.03	12
2462	14	22	Min.	0.00	-147.71	21	-0.08	23	-0.09	23	-3.25	24	-0.57	21	-0.15	21
2462	14	22	Min.	16.67	-147.71	21	0.08	22	0.02	22	-3.90	24	-1.03	21	-0.15	21
2462	22	2033	Max	0.00	-224.79	12	2.80	21	-0.02	12	-16.58	12	2.53	21	-0.02	22
2462	22	2033	Max	16.67	-224.79	12	5.11	23	0.49	23	-17.24	12	-1.45	12	-0.02	22
2462	22	2033	Min.	0.00	-390.08	21	0.42	12	-0.17	23	-35.93	21	1.30	22	-0.15	23
2462	22	2033	Min.	16.67	-390.08	21	0.42	12	0.05	12	-36.79	21	-4.42	22	-0.15	23
2462	2033	42	Max	0.00	-735.75	22	-0.10	22	1.13	23	448.49	21	-35.60	23	0.18	23
2462	2033	42	Max	21.56	-735.75	22	-0.10	22	-0.01	22	447.39	21	28.50	24	0.18	23
2462	2033	42	Min.	0.00	-2034.04	21	-7.37	23	0.01	24	231.90	23	-68.92	21	-0.02	11
2462	2033	42	Min.	21.56	-2034.04	21	-4.35	23	-0.13	23	231.06	23	14.31	23	-0.02	11
2462	42	50	Max	0.00	-25.30	22	0.13	24	0.02	23	373.50	21	-23.50	23	0.21	23
2462	42	50	Max	17.25					-0.00	11			16.65	11		
2462	42	50	Max	21.56	-25.30	22	0.13	24	0.00	24	372.40	21	35.19	24	0.21	23
2462	42	50	Min.	0.00	-975.62	21	-3.85	23	-0.03	24	193.16	23	-45.41	21	-0.01	24
2462	42	50	Min.	17.25					-0.00	12			13.08	12		
2462	42	50	Min.	21.56	-975.62	21	-0.83	23	-0.48	23	192.31	23	18.06	23	-0.01	24
2462	50	58	Max	0.00	573.94	22	0.10	24	-0.01	22	325.35	21	-18.86	23	0.25	23
2462	50	58	Max	21.56	573.94	22	2.25	23	0.01	24	324.25	21	33.87	21	0.25	23
2462	50	58	Min.	0.00	-56.33	21	-0.77	23	-0.34	23	169.43	23	-36.17	21	-0.02	24
2462	50	58	Min.	21.56	-56.33	21	0.05	22	-0.18	23	168.59	23	17.59	23	-0.02	24
2462	58	66	Max	0.00	1032.09	22	1.32	23	0.02	23	280.27	21	-14.88	23	0.32	23
2462	58	66	Max	21.56	1032.09	22	4.34	23	0.63	23	279.17	21	31.78	21	0.32	23
2462	58	66	Min.	0.00	345.22	23	0.01	22	-0.01	24	146.69	23	-28.54	21	-0.03	24
2462	58	66	Min.	21.56	345.22	23	0.01	22	-0.00	22	145.85	23	16.66	23	-0.03	24
2462	66	74	Max	0.00	1498.92	24	0.16	24	0.78	23	199.50	21	-8.58	22	-0.02	22
2462	66	74	Max	17.25					-0.01	22			10.74	22		
2462	66	74	Max	21.56	1498.92	24	0.16	24	0.00	22	198.40	21	24.43	21	-0.02	22
2462	66	74	Min.	0.00	615.45	23	-5.35	23	-0.04	24	99.64	23	-18.47	21	-0.05	21
2462	66	74	Min.	17.25					-0.01	22			10.74	22		
2462	66	74	Min.	21.56	615.45	23	-2.33	23	-0.05	23	98.80	23	12.31	23	-0.05	21
2462	74	82	Max	0.00	1847.98	24	0.20	24	-0.02	22	169.25	21	-6.20	22	0.05	23
2462	74	82	Max	21.56	1847.98	24	0.20	24	0.01	24	168.15	21	21.28	21	0.05	23
2462	74	82	Min.	0.00	806.36	23	-3.47	23	-0.04	21	85.10	23	-15.10	21	-0.03	24
2462	74	82	Min.	21.56	806.36	23	-0.45	23	-0.45	23	84.26	23	10.69	23	-0.03	24
2462	82	90	Max	0.00	2108.81	24	0.19	24	-0.01	22	143.33	21	-3.83	22	0.20	23
2462	82	90	Max	21.56	2108.81	24	2.60	23	0.03	24	142.23	21	18.95	21	0.20	23
2462	82	90	Min.	0.00	954.31	23	-0.42	23	-0.36	23	68.69	22	-11.84	21	-0.03	24
2462	82	90	Min.	21.56	954.31	23	0.12	22	-0.13	23	67.84	22	9.58	23	-0.03	24
2462	90	98	Max	0.00	2298.75	24	1.28	23	0.04	23	118.80	21	-1.13	22	0.32	23

2462	90	98	Max	21.56	2298.75	24	4.30	23	0.64	23	117.70	21	17.14	21	0.32	23
2462	90	98	Min.	0.00	1068.37	23	0.10	22	-0.00	22	49.24	22	-8.36	21	-0.03	24
2462	90	98	Min.	21.56	1068.37	23	0.10	22	0.02	22	48.39	22	8.77	23	-0.03	24
2462	98	106	Max	0.00	2410.40	24	0.05	11	0.77	23	66.05	21	4.01	22	-0.02	22
2462	98	106	Max	17.25					-0.00	22			4.34	22		
2462	98	106	Max	21.56	2410.40	24	0.05	11	0.00	22	64.95	21	11.67	21	-0.02	22
2462	98	106	Min.	0.00	1144.47	23	-5.15	23	-0.01	11	2.21	22	-2.45	21	-0.11	21
2462	98	106	Min.	17.25					-0.00	22			4.34	22		
2462	98	106	Min.	21.56	1144.47	23	-2.13	23	-0.01	21	1.36	22	4.40	22	-0.11	21
2462	106	114	Max	0.00	2459.26	24	0.10	24	0.01	23	47.08	21	5.08	22	0.03	23
2462	106	114	Max	21.56	2459.26	24	0.10	24	0.01	24	45.98	21	9.16	21	0.03	23
2462	106	114	Min.	0.00	1189.83	23	-3.53	23	-0.02	11	-12.97	22	-0.88	21	-0.02	24
2462	106	114	Min.	21.56	1189.83	23	-0.51	23	-0.42	23	-13.81	22	2.20	22	-0.02	24
2462	114	122	Max	0.00	2473.04	24	0.10	24	-0.00	22	30.71	21	6.43	22	0.24	23
2462	114	122	Max	21.56	2473.04	24	2.35	23	0.02	24	29.61	21	7.43	21	0.24	23
2462	114	122	Min.	0.00	1218.46	23	-0.67	23	-0.32	23	-25.99	22	0.34	23	-0.01	24
2462	114	122	Min.	21.56	1218.46	23	0.05	22	-0.13	23	-26.84	22	0.73	22	-0.01	24
2462	122	130	Max	0.00	2456.70	24	0.76	23	0.07	23	13.84	21	8.44	22	0.36	23
2462	122	130	Max	21.56	2456.70	24	3.78	23	0.56	23	12.74	21	6.24	21	0.36	23
2462	122	130	Min.	0.00	1232.54	23	0.04	22	0.00	22	-39.74	22	1.58	23	-0.01	24
2462	122	130	Min.	21.56	1232.54	23	0.04	22	0.01	22	-40.58	22	-0.22	22	-0.01	24
2462	130	138	Max	0.00	2399.04	24	0.01	22	0.70	23	-18.29	23	13.08	22	-0.01	22
2462	130	138	Max	4.31					-0.00	22			9.47	22		
2462	130	138	Max	21.56	2399.04	24	0.01	22	0.00	11	-19.14	23	0.99	21	-0.01	22
2462	130	138	Min.	0.00	1225.34	23	-4.80	23	-0.00	22	-83.46	22	4.47	23	-0.14	23
2462	130	138	Min.	4.31					-0.00	22			9.47	22		
2462	130	138	Min.	21.56	1225.34	23	-1.78	23	-0.01	23	-84.31	22	-5.01	22	-0.14	23
2462	138	146	Max	0.00	2348.57	21	0.03	24	-0.00	12	-24.61	23	13.47	22	-0.00	22
2462	138	146	Max	21.56	2348.57	21	0.03	24	0.00	24	-25.46	23	-0.75	23	-0.00	22
2462	138	146	Min.	0.00	1200.71	23	-3.45	23	-0.00	21	-94.81	22	4.65	23	-0.02	21
2462	138	146	Min.	21.56	1200.71	23	-0.44	23	-0.42	23	-95.66	22	-7.07	22	-0.02	21
2462	146	154	Max	0.00	2288.39	21	0.04	24	0.00	11	-31.04	23	13.97	24	0.18	23
2462	146	154	Max	21.56	2288.39	21	2.15	23	0.01	24	-31.89	23	-2.01	23	0.18	23
2462	146	154	Min.	0.00	1170.26	23	-0.87	23	-0.33	23	-105.74	22	4.77	23	-0.00	24
2462	146	154	Min.	21.56	1170.26	23	0.03	22	-0.19	23	-106.58	22	-9.06	22	-0.00	24
2462	154	162	Max	0.00	2231.43	21	0.45	23	0.01	24	-33.29	23	12.26	22	0.26	23
2462	154	162	Max	21.56	2231.43	21	3.47	23	0.39	23	-34.14	23	-3.95	23	0.26	23
2462	154	162	Min.	0.00	1141.86	23	0.02	22	-0.03	23	-112.60	22	3.32	23	0.00	22
2462	154	162	Min.	21.56	1141.86	23	0.02	22	0.01	22	-113.45	22	-12.11	22	0.00	22
2462	162	170	Max	0.00	2231.45	21	-0.02	22	0.39	23	68.88	21	2.88	22	-0.00	22
2462	162	170	Max	21.56	2231.45	21	-0.02	22	0.01	24	67.78	21	6.70	21	-0.00	22
2462	162	170	Min.	0.00	1141.88	23	-3.47	23	0.01	22	-33.93	22	-8.04	21	-0.26	23
2462	162	170	Min.	21.56	1141.88	23	-0.45	23	-0.03	23	-34.77	22	-4.52	22	-0.26	23
2462	170	178	Max	0.00	2288.46	21	-0.02	22	0.01	24	63.43	21	4.40	22	0.00	11
2462	170	178	Max	21.56	2288.46	21	0.87	23	0.00	24	62.33	21	9.56	21	0.00	11
2462	170	178	Min.	0.00	1170.31	23	-2.15	23	-0.19	23	-32.66	22	-4.00	21	-0.18	23
2462	170	178	Min.	21.56	1170.31	23	-0.04	24	-0.33	23	-33.51	22	-2.74	22	-0.18	23
2462	178	186	Max	0.00	2348.70	21	0.44	23	0.00	24	49.36	21	5.39	22	0.02	21
2462	178	186	Max	21.56	2348.70	21	3.46	23	-0.00	22	48.26	21	9.16	21	0.02	21
2462	178	186	Min.	0.00	1177.81	22	-0.03	24	-0.42	23	-37.13	22	-1.36	21	0.00	22
2462	178	186	Min.	21.56	1177.81	22	-0.03	24	-0.00	21	-37.98	22	-2.71	22	0.00	22
2462	186	194	Max	0.00	2396.51	21	1.78	23	0.00	24	35.76	21	6.08	22	0.14	23
2462	186	194	Max	21.56	2396.51	21	4.80	23	0.70	23	34.66	21	8.58	21	0.14	23
2462	186	194	Min.	0.00	1127.58	22	-0.01	11	-0.01	23	-40.87	22	0.43	23	0.01	22
2462	186	194	Min.	21.56	1127.58	22	-0.01	11	0.00	12	-41.71	22	-2.82	22	0.01	22
2462	194	202	Max	0.00	2411.40	21	-0.05	22	0.56	23	-7.71	23	8.16	24	0.01	24
2462	194	202	Max	21.56	2411.40	21	-0.05	22	0.07	23	-8.55	23	3.38	21	0.01	24
2462	194	202	Min.	0.00	1063.31	22	-3.78	23	0.01	22	-57.61	22	3.34	23	-0.36	23
2462	194	202	Min.	21.56	1063.31	22	-0.76	23	0.00	22	-58.46	22	-4.67	22	-0.36	23

2462	202	210	Max	0.00	2386.17	21	-0.07	22	0.02	24	-15.72	23	9.14	24	0.01	24
2462	202	210	Max	21.56	2386.17	21	0.67	23	-0.00	12	-16.57	23	0.93	21	0.01	24
2462	202	210	Min.	0.00	981.86	22	-2.35	23	-0.13	23	-62.84	22	3.83	23	-0.24	23
2462	202	210	Min.	21.56	981.86	22	-0.11	24	-0.32	23	-63.68	22	-5.54	22	-0.24	23
2462	210	218	Max	0.00	2331.29	21	0.51	23	0.01	24	-23.32	23	10.50	24	0.02	24
2462	210	218	Max	21.56	2331.29	21	3.53	23	0.01	23	-24.16	23	-0.50	23	0.02	24
2462	210	218	Min.	0.00	886.72	22	-0.11	24	-0.42	23	-67.93	22	4.62	23	-0.03	23
2462	210	218	Min.	21.56	886.72	22	-0.11	24	-0.02	24	-68.77	22	-6.19	22	-0.03	23
2462	218	226	Max	0.00	2241.98	21	2.13	23	-0.00	12	-32.28	23	12.45	24	0.11	21
2462	218	226	Max	21.56	2241.98	21	5.15	23	0.78	23	-33.13	23	-1.19	23	0.11	21
2462	218	226	Min.	0.00	775.63	22	-0.06	24	-0.01	21	-83.07	24	5.86	23	0.02	22
2462	218	226	Min.	21.56	775.63	22	-0.06	24	-0.01	24	-83.91	24	-6.78	22	0.02	22
2462	226	234	Max	0.00	2092.47	21	-0.08	22	0.64	23	-60.11	23	17.13	21	0.03	24
2462	226	234	Max	21.56	2092.47	21	-0.08	22	0.04	23	-60.95	23	-4.29	23	0.03	24
2462	226	234	Min.	0.00	638.41	22	-4.30	23	0.02	22	-124.08	24	8.76	23	-0.32	23
2462	226	234	Min.	21.56	638.41	22	-1.28	23	-0.00	11	-124.93	24	-10.23	24	-0.32	23
2462	234	242	Max	0.00	1868.32	21	-0.10	22	0.02	24	-71.84	23	18.94	21	0.03	24
2462	234	242	Max	21.56	1868.32	21	0.42	23	-0.01	22	-72.69	23	-6.01	23	0.03	24
2462	234	242	Min.	0.00	468.84	22	-2.60	23	-0.13	23	-144.31	24	9.58	23	-0.20	23
2462	234	242	Min.	21.56	468.84	22	-0.18	24	-0.36	23	-145.15	24	-13.16	24	-0.20	23
2462	242	250	Max	0.00	1575.27	21	0.46	23	0.01	24	-84.19	23	21.27	21	0.03	24
2462	242	250	Max	21.56	1575.27	21	3.47	23	-0.02	22	-85.03	23	-7.56	23	0.03	24
2462	242	250	Min.	0.00	268.19	22	-0.18	24	-0.45	23	-168.04	21	10.69	23	-0.05	23
2462	242	250	Min.	21.56	268.19	22	-0.18	24	-0.04	21	-169.14	21	-16.00	24	-0.05	23
2462	250	258	Max	0.00	1195.74	21	2.33	23	-0.00	12	-98.71	23	24.42	21	0.05	21
2462	250	258	Max	21.56	1195.74	21	5.35	23	0.78	23	-99.56	23	-9.08	23	0.05	21
2462	250	258	Min.	0.00	28.78	22	-0.14	24	-0.05	23	-198.27	21	12.30	23	0.02	22
2462	250	258	Min.	21.56	28.78	22	-0.14	24	-0.03	24	-199.37	21	-19.07	24	0.02	22
2462	258	266	Max	0.00	668.66	21	-0.01	22	0.63	23	-145.67	23	31.75	21	0.03	24
2462	258	266	Max	21.56	668.66	21	-0.01	22	0.02	23	-146.51	23	-14.86	23	0.03	24
2462	258	266	Min.	0.00	-272.75	22	-4.33	23	0.00	12	-278.91	21	15.35	22	-0.32	23
2462	258	266	Min.	21.56	-272.75	22	-1.31	23	-0.00	11	-280.01	21	-28.51	21	-0.32	23
2462	266	274	Max	0.00	-29.51	23	-0.05	22	0.01	24	-167.93	22	33.84	21	0.02	24
2462	266	274	Max	21.56	-29.51	23	0.77	23	-0.01	22	-168.78	22	-18.83	23	0.02	24
2462	266	274	Min.	0.00	-655.55	22	-2.25	23	-0.18	23	-323.97	21	15.75	22	-0.25	23
2462	266	274	Min.	21.56	-655.55	22	-0.10	24	-0.34	23	-325.07	21	-36.13	21	-0.25	23
2462	274	282	Max	0.00	-505.75	23	0.83	23	0.00	11	-185.94	22	34.98	21	0.01	24
2462	274	282	Max	21.56	-505.75	23	3.85	23	0.02	23	-186.79	22	-23.47	23	0.01	24
2462	274	282	Min.	0.00	-1229.49	24	-0.12	24	-0.48	23	-372.06	21	15.51	22	-0.21	23
2462	274	282	Min.	21.56	-1229.49	24	-0.12	24	-0.02	24	-373.16	21	-45.36	21	-0.21	23
2462	282	2293	Max	0.00	-1052.01	23	4.36	23	-0.02	22	-220.06	22	27.63	21	0.02	24
2462	282	2293	Max	21.56	-1052.01	23	7.38	23	1.14	23	-220.91	22	-35.57	23	0.02	24
2462	282	2293	Min.	0.00	-2146.47	24	0.14	12	-0.13	23	-447.01	21	10.76	22	-0.18	23
2462	282	2293	Min.	21.56	-2146.47	24	0.14	12	0.01	11	-448.11	21	-68.88	21	-0.18	23
2462	2293	302	Max	0.00	-126.08	22	-0.23	22	0.46	23	33.19	21	1.68	22	0.14	21
2462	2293	302	Max	16.67	-126.08	22	-0.23	22	-0.01	22	32.34	21	1.95	21	0.14	21
2462	2293	302	Min.	0.00	-352.18	21	-4.70	23	0.03	22	-4.49	22	-3.51	21	0.02	22
2462	2293	302	Min.	16.67	-352.18	21	-2.42	21	-0.13	23	-5.15	22	0.88	22	0.02	22
2462	302	310	Max	0.00	-75.34	22	-0.30	22	0.12	21	48.25	21	-1.53	22	0.17	21
2462	302	310	Max	16.67	-75.34	22	-0.22	23	-0.02	22	47.39	21	3.31	21	0.17	21
2462	302	310	Min.	0.00	-224.71	21	-2.58	21	0.03	22	15.87	22	-4.66	21	0.02	22
2462	302	310	Min.	16.67	-224.71	21	-0.48	21	-0.13	21	15.22	22	1.06	22	0.02	22
2462	310	2318	Max	0.00	-30.84	22	-0.42	22	0.08	21	41.25	21	-1.06	22	0.12	21
2462	310	2318	Max	16.67	-30.84	22	0.23	23	-0.04	22	40.40	21	3.70	21	0.12	21
2462	310	2318	Min.	0.00	-89.25	21	-2.28	21	0.03	22	14.02	22	-3.10	21	0.02	22
2462	310	2318	Min.	16.67	-89.25	21	-0.67	24	-0.13	21	13.37	22	1.22	22	0.02	22
2500	2008	16	Max	0.00	-13.07	12	0.95	24	-0.05	22	-6.47	12	1.53	21	0.02	22
2500	2008	16	Max	16.67	-13.07	12	2.68	21	0.12	21	-7.13	12	-0.61	12	0.02	22
2500	2008	16	Min.	0.00	-36.20	21	0.01	23	-0.16	21	-19.22	21	0.52	12	-0.07	23

2500	2008	16	Min.	16.67	-36.20	21	0.56	22	0.04	22	-20.07	21	-1.74	21	-0.07	23
2500	16	24	Max	0.00	-23.94	12	0.27	11	-0.01	22	-0.66	23	-0.07	12	0.01	22
2500	16	24	Max	16.67	-23.94	12	2.32	23	0.09	21	-1.31	23	-0.27	12	0.01	22
2500	16	24	Min.	0.00	-64.98	21	-0.01	23	-0.11	21	-1.52	24	-0.28	21	-0.12	23
2500	16	24	Min.	16.67	-64.98	21	0.11	22	0.01	22	-2.18	24	-0.57	21	-0.12	23
2500	24	2036	Max	0.00	-64.40	22	3.30	21	-0.02	22	1.68	11	0.73	21	0.04	22
2500	24	2036	Max	16.67	-64.40	22	5.40	21	0.55	21	1.03	11	0.48	11	0.04	22
2500	24	2036	Min.	0.00	-164.37	21	0.57	22	-0.18	21	-11.76	23	-0.17	22	-0.10	23
2500	24	2036	Min.	16.67	-164.37	21	0.57	22	0.08	22	-12.41	23	-1.64	22	-0.10	23
2500	2036	44	Max	0.00	-4.99	22	1.01	24	1.01	23	217.05	21	-14.97	22	0.10	23
2500	2036	44	Max	17.25					-0.04	11			3.16	11		
2500	2036	44	Max	21.56	-4.99	22	1.01	24	0.01	22	215.95	21	13.10	21	0.10	23
2500	2036	44	Min.	0.00	-994.55	21	-6.72	23	-0.21	24	110.93	22	-33.59	21	-0.15	24
2500	2036	44	Min.	17.25					-0.03	12			2.52	12		
2500	2036	44	Min.	21.56	-994.55	21	-3.70	23	-0.11	23	110.08	22	7.14	23	-0.15	24
2500	44	52	Max	0.00	274.16	22	0.74	24	-0.02	23	185.55	21	-10.37	22	0.14	23
2500	44	52	Max	21.56	274.16	22	0.74	24	0.04	24	184.45	21	17.17	21	0.14	23
2500	44	52	Min.	0.00	-475.55	21	-3.59	23	-0.12	24	97.31	22	-22.72	21	-0.16	24
2500	44	52	Min.	21.56	-475.55	21	-0.57	23	-0.47	23	96.46	22	9.28	23	-0.16	24
2500	52	60	Max	0.00	515.87	22	0.74	24	-0.06	12	166.37	21	-8.25	22	0.19	23
2500	52	60	Max	21.56	515.87	22	2.67	21	0.07	24	165.27	21	17.12	21	0.19	23
2500	52	60	Min.	0.00	-13.04	21	-0.48	23	-0.37	21	86.09	22	-18.64	21	-0.15	24
2500	52	60	Min.	21.56	-13.04	21	0.50	12	-0.14	23	85.24	22	9.23	23	-0.15	24
2500	60	68	Max	0.00	707.68	22	1.73	21	0.01	23	148.83	21	-6.36	22	0.27	23
2500	60	68	Max	21.56	707.68	22	4.59	23	0.67	23	147.73	21	16.82	21	0.27	23
2500	60	68	Min.	0.00	190.25	23	0.42	12	-0.05	24	76.56	22	-15.15	21	-0.14	24
2500	60	68	Min.	21.56	190.25	23	0.42	12	0.06	12	75.71	22	9.04	23	-0.14	24
2500	68	76	Max	0.00	859.34	24	0.23	24	0.78	23	99.22	21	-2.14	22	-0.07	23
2500	68	76	Max	17.25					-0.01	11			6.95	11		
2500	68	76	Max	21.56	859.34	24	0.23	24	0.01	22	98.12	21	12.18	21	-0.07	23
2500	68	76	Min.	0.00	334.63	23	-5.36	23	-0.04	24	39.84	22	-9.10	21	-0.12	21
2500	68	76	Min.	17.25					-0.01	12			5.54	12		
2500	68	76	Min.	21.56	334.63	23	-2.34	23	-0.05	23	38.99	22	6.36	22	-0.12	21
2500	76	84	Max	0.00	1016.89	24	0.40	24	-0.03	22	88.18	21	-1.83	22	0.04	23
2500	76	84	Max	21.56	1016.89	24	0.40	24	0.03	24	87.08	21	10.85	21	0.04	23
2500	76	84	Min.	0.00	435.92	23	-3.40	23	-0.06	21	33.89	22	-8.05	21	-0.08	24
2500	76	84	Min.	21.56	435.92	23	-0.38	23	-0.44	23	33.04	22	5.38	22	-0.08	24
2500	84	92	Max	0.00	1143.17	24	0.41	24	-0.02	22	80.13	21	-1.39	22	0.19	23
2500	84	92	Max	21.56	1143.17	24	2.68	23	0.06	24	79.03	21	10.23	21	0.19	23
2500	84	92	Min.	0.00	517.34	23	-0.34	23	-0.36	23	30.14	22	-6.93	21	-0.07	24
2500	84	92	Min.	21.56	517.34	23	0.26	22	-0.11	23	29.29	22	5.02	22	-0.07	24
2500	92	100	Max	0.00	1243.00	24	1.34	21	0.05	23	72.06	21	-0.29	22	0.31	23
2500	92	100	Max	21.56	1243.00	24	4.33	23	0.66	23	70.96	21	10.15	21	0.31	23
2500	92	100	Min.	0.00	582.68	23	0.19	12	0.00	22	25.77	22	-5.27	21	-0.07	24
2500	92	100	Min.	21.56	582.68	23	0.19	12	0.04	22	24.92	22	5.17	22	-0.07	24
2500	100	108	Max	0.00	1295.16	24	0.11	11	0.76	23	28.81	21	3.97	22	-0.04	22
2500	100	108	Max	17.25					-0.00	22			1.58	22		
2500	100	108	Max	21.56	1295.16	24	0.11	11	0.00	22	27.71	21	5.63	21	-0.04	22
2500	100	108	Min.	0.00	624.51	23	-5.12	23	-0.03	11	-13.56	22	-0.46	21	-0.14	21
2500	100	108	Min.	17.25					-0.00	22			1.58	22		
2500	100	108	Min.	21.56	624.51	23	-2.10	23	-0.02	21	-14.40	22	0.96	22	-0.14	21
2500	108	116	Max	0.00	1308.62	24	0.23	11	-0.00	23	23.54	21	3.53	22	0.03	23
2500	108	116	Max	21.56	1308.62	24	0.23	11	0.01	24	22.44	21	4.46	21	0.03	23
2500	108	116	Min.	0.00	647.15	23	-3.45	23	-0.04	11	-15.81	22	-0.50	21	-0.04	11
2500	108	116	Min.	21.56	647.15	23	-0.43	23	-0.42	23	-16.65	22	0.03	22	-0.04	11
2500	116	124	Max	0.00	1312.52	24	0.24	11	0.00	22	20.54	21	3.48	22	0.23	23
2500	116	124	Max	21.56	1312.52	24	2.43	23	0.04	24	19.44	21	4.12	21	0.23	23
2500	116	124	Min.	0.00	662.90	23	-0.59	23	-0.32	23	-16.19	22	-0.25	11	-0.03	11
2500	116	124	Min.	21.56	662.90	23	0.13	22	-0.12	23	-17.03	22	-0.10	22	-0.03	11

2500	124	132	Max	0.00	1308.09	24	0.83	21	0.08	21	16.34	21	4.24	22	0.36	23
2500	124	132	Max	21.56	1308.09	24	3.83	23	0.58	23	15.24	21	4.31	21	0.36	23
2500	124	132	Min.	0.00	672.72	23	0.08	22	0.01	12	-18.09	22	0.55	23	-0.03	11
2500	124	132	Min.	21.56	672.72	23	0.08	22	0.04	12	-18.94	22	0.25	22	-0.03	11
2500	132	140	Max	0.00	1284.98	21	-0.01	11	0.70	23	-10.33	23	7.80	22	0.01	22
2500	132	140	Max	21.56	1284.98	21	-0.01	11	-0.01	12	-11.17	23	0.31	21	0.01	22
2500	132	140	Min.	0.00	670.35	23	-4.83	23	-0.00	11	-51.44	22	2.51	23	-0.15	21
2500	132	140	Min.	21.56	670.35	23	-1.81	23	-0.02	21	-52.28	22	-3.38	22	-0.15	21
2500	140	148	Max	0.00	1260.95	21	0.06	11	0.02	22	-12.06	23	7.09	22	0.03	22
2500	140	148	Max	21.56	1260.95	21	0.06	11	0.01	11	-12.91	23	-0.38	23	0.03	22
2500	140	148	Min.	0.00	657.88	23	-3.45	23	-0.01	21	-51.99	22	2.32	23	-0.02	21
2500	140	148	Min.	21.56	657.88	23	-0.43	23	-0.42	23	-52.84	22	-4.22	22	-0.02	21
2500	148	156	Max	0.00	1234.32	21	0.09	11	0.03	22	-13.49	23	6.63	22	0.19	23
2500	148	156	Max	21.56	1234.32	21	2.17	23	0.03	11	-14.34	23	-0.81	23	0.19	23
2500	148	156	Min.	0.00	643.71	23	-0.85	23	-0.33	23	-51.68	22	2.19	23	0.00	12
2500	148	156	Min.	21.56	643.71	23	-0.11	22	-0.18	23	-52.53	22	-4.61	22	0.00	12
2500	156	164	Max	0.00	1211.79	21	0.46	23	0.05	24	-13.29	23	5.68	22	0.26	23
2500	156	164	Max	21.56	1211.79	21	3.48	23	0.41	23	-14.14	23	-1.48	23	0.26	23
2500	156	164	Min.	0.00	631.45	23	-0.12	22	-0.01	23	-50.53	22	1.48	23	0.00	12
2500	156	164	Min.	21.56	631.45	23	-0.12	22	0.02	22	-51.38	22	-5.30	22	0.00	12
2500	164	172	Max	0.00	1211.79	21	-0.04	12	0.41	23	25.25	21	2.24	22	0.03	22
2500	164	172	Max	15.84					0.04	24			0.03	24		
2500	164	172	Max	21.56	1211.79	21	-0.04	12	0.04	11	24.15	21	2.72	21	0.03	22
2500	164	172	Min.	0.00	631.45	23	-3.48	23	0.04	12	-21.31	22	-2.60	21	-0.26	23
2500	164	172	Min.	15.84					0.04	24			0.03	24		
2500	164	172	Min.	21.56	631.45	23	-0.46	23	-0.01	23	-22.16	22	-2.45	22	-0.26	23
2500	172	180	Max	0.00	1234.32	21	-0.06	12	0.04	24	26.32	21	2.93	22	0.03	22
2500	172	180	Max	21.56	1234.32	21	0.85	23	0.01	11	25.22	21	4.06	21	0.03	22
2500	172	180	Min.	0.00	643.71	23	-2.17	23	-0.18	23	-21.87	22	-1.49	21	-0.19	23
2500	172	180	Min.	21.56	643.71	23	-0.21	22	-0.33	23	-22.72	22	-1.88	22	-0.19	23
2500	180	188	Max	0.00	1260.95	21	0.43	23	0.01	22	24.49	21	3.47	22	0.03	22
2500	180	188	Max	21.56	1260.95	21	3.45	23	-0.01	23	23.39	21	4.41	21	0.03	22
2500	180	188	Min.	0.00	640.17	22	-0.20	22	-0.42	23	-25.07	22	-0.76	21	0.00	12
2500	180	188	Min.	21.56	640.17	22	-0.20	22	-0.03	22	-25.92	22	-2.02	22	0.00	12
2500	188	196	Max	0.00	1284.98	21	1.81	23	-0.00	22	21.90	21	3.91	22	0.15	21
2500	188	196	Max	21.56	1284.98	21	4.83	23	0.70	23	20.80	21	4.91	21	0.15	21
2500	188	196	Min.	0.00	606.23	22	-0.15	22	-0.02	21	-28.21	22	0.19	23	0.02	12
2500	188	196	Min.	21.56	606.23	22	-0.15	22	-0.03	22	-29.06	22	-2.27	22	0.02	12
2500	196	204	Max	0.00	1288.93	21	-0.13	12	0.58	23	-6.95	23	5.43	24	0.04	24
2500	196	204	Max	21.56	1288.93	21	-0.13	12	0.08	21	-7.79	23	0.91	21	0.04	24
2500	196	204	Min.	0.00	563.69	22	-3.83	23	0.03	22	-36.56	22	2.14	23	-0.36	23
2500	196	204	Min.	21.56	563.69	22	-0.83	21	-0.00	22	-37.41	22	-3.21	22	-0.36	23
2500	204	212	Max	0.00	1268.64	21	-0.19	12	0.04	24	-9.48	23	5.39	24	0.04	24
2500	204	212	Max	21.56	1268.64	21	0.58	23	-0.01	12	-10.33	23	-0.03	23	0.04	24
2500	204	212	Min.	0.00	511.33	22	-2.43	23	-0.12	23	-40.15	22	2.11	23	-0.23	23
2500	204	212	Min.	21.56	511.33	22	-0.27	24	-0.32	23	-41.00	22	-3.75	22	-0.23	23
2500	212	220	Max	0.00	1237.58	21	0.43	23	0.01	11	-11.46	23	5.74	24	0.04	24
2500	212	220	Max	21.56	1237.58	21	3.45	23	-0.00	23	-12.31	23	-0.23	23	0.04	24
2500	212	220	Min.	0.00	449.84	22	-0.26	24	-0.42	23	-43.98	22	2.33	23	-0.03	23
2500	212	220	Min.	21.56	449.84	22	-0.26	24	-0.05	24	-44.83	22	-4.23	22	-0.03	23
2500	220	228	Max	0.00	1194.02	21	2.10	23	-0.01	12	-14.56	23	6.70	24	0.14	21
2500	220	228	Max	21.56	1194.02	21	5.12	23	0.76	23	-15.40	23	-0.27	23	0.14	21
2500	220	228	Min.	0.00	377.44	22	-0.13	24	-0.02	21	-48.59	22	2.95	23	0.04	22
2500	220	228	Min.	21.56	377.44	22	-0.13	24	-0.04	24	-49.43	22	-4.72	22	0.04	22
2500	228	236	Max	0.00	1112.81	21	-0.11	22	0.66	23	-35.97	23	10.15	21	0.07	24
2500	228	236	Max	21.56	1112.81	21	-0.11	22	0.05	23	-36.81	23	-2.66	23	0.07	24
2500	228	236	Min.	0.00	288.00	22	-4.33	23	0.03	22	-77.46	24	5.19	23	-0.31	23
2500	228	236	Min.	21.56	288.00	22	-1.34	21	0.00	12	-78.30	24	-6.75	24	-0.31	23
2500	236	244	Max	0.00	985.42	21	-0.20	22	0.06	24	-40.48	23	10.22	21	0.06	11

2500	236	244	Max	21.56	985.42	21	0.34	23	-0.01	22	-41.33	23	-3.53	23	0.06	11
2500	236	244	Min.	0.00	178.19	22	-2.68	23	-0.11	23	-85.20	24	5.29	23	-0.19	23
2500	236	244	Min.	21.56	178.19	22	-0.37	24	-0.36	23	-86.05	24	-8.25	24	-0.19	23
2500	244	252	Max	0.00	827.94	21	0.38	23	0.03	11	-45.03	23	10.85	21	0.07	11
2500	244	252	Max	21.56	827.94	21	3.39	23	-0.03	22	-45.88	23	-4.14	23	0.07	11
2500	244	252	Min.	0.00	47.74	22	-0.37	24	-0.44	23	-93.30	24	5.66	23	-0.04	23
2500	244	252	Min.	21.56	47.74	22	-0.37	24	-0.07	21	-94.15	24	-9.43	24	-0.04	23
2500	252	260	Max	0.00	633.80	21	2.34	23	0.00	12	-51.04	23	12.18	21	0.12	21
2500	252	260	Max	21.56	633.80	21	5.36	23	0.78	23	-51.89	23	-4.70	23	0.12	21
2500	252	260	Min.	0.00	-108.07	22	-0.21	24	-0.05	23	-104.00	24	6.40	23	0.05	22
2500	252	260	Min.	21.56	-108.07	22	-0.21	24	-0.05	24	-104.85	24	-10.72	24	0.05	22
2500	260	268	Max	0.00	361.18	21	-0.20	22	0.68	23	-78.97	23	16.82	21	0.12	11
2500	260	268	Max	21.56	361.18	21	-0.20	22	0.01	23	-79.81	23	-8.09	23	0.12	11
2500	260	268	Min.	0.00	-299.37	22	-4.59	23	0.04	22	-147.65	21	8.97	22	-0.27	23
2500	260	268	Min.	21.56	-299.37	22	-1.73	21	-0.04	11	-148.75	21	-15.14	21	-0.27	23
2500	268	276	Max	0.00	-9.00	11	-0.28	22	0.06	11	-88.84	23	17.11	21	0.13	11
2500	268	276	Max	21.56	-9.00	11	0.48	23	-0.03	22	-89.69	23	-10.03	23	0.13	11
2500	268	276	Min.	0.00	-534.86	22	-2.67	21	-0.14	23	-165.18	21	9.22	23	-0.19	23
2500	268	276	Min.	21.56	-534.86	22	-0.63	11	-0.37	21	-166.28	21	-18.63	21	-0.19	23
2500	276	284	Max	0.00	-259.39	23	0.57	23	0.03	11	-99.36	23	17.16	21	0.13	11
2500	276	284	Max	21.56	-259.39	23	3.59	23	-0.02	23	-100.20	23	-12.25	23	0.13	11
2500	276	284	Min.	0.00	-821.53	22	-0.63	11	-0.47	23	-184.34	21	9.11	22	-0.14	23
2500	276	284	Min.	21.56	-821.53	22	-0.63	11	-0.10	11	-185.44	21	-22.70	21	-0.14	23
2500	284	2296	Max	0.00	-539.97	23	3.70	23	0.00	12	-116.88	23	13.08	21	0.13	11
2500	284	2296	Max	21.56	-539.97	23	6.72	23	1.01	23	-117.72	23	-18.17	23	0.13	11
2500	284	2296	Min.	0.00	-1226.83	24	-0.80	11	-0.11	23	-215.84	21	6.05	22	-0.10	23
2500	284	2296	Min.	21.56	-1226.83	24	-0.80	11	-0.17	11	-216.94	21	-33.58	21	-0.10	23
2500	2296	304	Max	0.00	-43.93	22	-0.53	22	0.52	21	11.26	23	2.09	22	0.10	23
2500	2296	304	Max	16.67	-43.93	22	-0.53	22	-0.02	22	10.60	23	0.52	22	0.10	23
2500	2296	304	Min.	0.00	-149.44	21	-5.07	21	0.06	22	-9.09	22	-1.33	23	-0.02	11
2500	2296	304	Min.	16.67	-149.44	21	-2.97	21	-0.15	21	-9.74	22	0.14	12	-0.02	11
2500	304	312	Max	0.00	-19.99	22	-0.39	22	0.14	21	21.15	21	-0.51	22	0.12	23
2500	304	312	Max	16.67	-19.99	22	-0.33	23	-0.03	22	20.30	21	1.32	21	0.12	23
2500	304	312	Min.	0.00	-97.08	21	-2.78	21	0.03	22	5.85	22	-2.13	21	-0.01	12
2500	304	312	Min.	16.67	-97.08	21	-0.68	21	-0.15	21	5.19	22	0.41	22	-0.01	12
2500	312	2320	Max	0.00	-7.07	22	-0.48	22	0.10	21	19.06	21	-0.22	22	0.07	23
2500	312	2320	Max	16.67	-7.07	22	0.12	23	-0.05	22	18.20	21	1.65	21	0.07	23
2500	312	2320	Min.	0.00	-39.07	21	-2.52	21	0.03	22	3.31	22	-1.45	21	-0.01	12
2500	312	2320	Min.	16.67	-39.07	21	-0.86	24	-0.15	21	2.66	22	0.28	22	-0.01	12
2580	2031	2032	Max	0.00	5.54	23	-620.75	22	0.54	21	-72.96	23	0.18	21	74.57	21
2580	2031	2032	Max	0.63	5.54	23	-620.75	22	-3.74	22	-73.01	23	-0.35	23	74.57	21
2580	2031	2032	Min.	0.00	-3.02	24	-1811.69	21	0.17	22	-535.11	24	0.11	23	37.78	22
2580	2031	2032	Min.	0.63	-3.02	24	-1811.69	21	-10.88	21	-535.15	24	-3.20	24	37.78	22
2580	2032	2033	Max	5.37	-3.49	12	1599.21	21	-3.38	22	726.17	21	-2.35	12	-34.99	23
2580	2032	2033	Max	6.00	-3.49	12	1599.21	21	0.67	23	726.12	21	0.17	24	-34.99	23
2580	2032	2033	Min.	5.37	-19.40	21	529.88	22	-9.47	21	390.49	12	-4.57	21	-70.87	21
2580	2032	2033	Min.	6.00	-19.40	21	529.88	22	-0.04	22	390.45	12	-0.09	23	-70.87	21
2624	2291	2292	Max	0.00	5.56	23	1892.69	24	-0.24	22	-75.70	23	0.18	21	-37.62	23
2624	2291	2292	Max	0.63	5.56	23	1892.69	24	11.57	24	-75.75	23	-0.36	23	-37.62	23
2624	2291	2292	Min.	0.00	-2.31	11	921.73	23	-0.53	21	-461.29	11	0.07	22	-74.10	21
2624	2291	2292	Min.	0.63	-2.31	11	921.73	23	5.43	23	-461.33	11	-2.76	11	-74.10	21
2624	2292	2293	Max	5.37	-2.14	22	-787.93	23	11.49	24	721.55	21	-1.45	22	71.09	21
2624	2292	2293	Max	6.00	-2.14	22	-787.93	23	-0.01	12	721.50	21	0.14	11	71.09	21
2624	2292	2293	Min.	5.37	-19.05	21	-1828.87	24	4.26	23	240.22	22	-4.53	21	35.14	23
2624	2292	2293	Min.	6.00	-19.05	21	-1828.87	24	-0.71	23	240.18	22	-0.07	23	35.14	23
2859	2034	2035	Max	0.00	7.08	23	-70.31	22	0.67	21	-37.24	23	-0.08	12	41.28	21
2859	2034	2035	Max	0.63	7.08	23	-70.31	22	-0.19	22	-37.28	23	-0.32	23	41.28	21
2859	2034	2035	Min.	0.00	-1.62	22	-1009.70	21	0.26	22	-344.75	24	-0.13	21	13.58	22
2859	2034	2035	Min.	0.63	-1.62	22	-1009.70	21	-5.69	21	-344.80	24	-2.28	24	13.58	22

2859	2035	2036	Max	5.37	-0.13	22	801.96	21	-0.21	22	266.10	21	-0.52	22	-10.30	22
2859	2035	2036	Max	6.00	-0.13	22	801.96	21	0.50	23	266.05	21	0.23	24	-10.30	22
2859	2035	2036	Min.	5.37	-12.48	23	-5.90	22	-4.93	11	112.01	22	-1.74	21	-35.91	21
2859	2035	2036	Min.	6.00	-12.48	23	-5.90	22	-0.33	24	111.97	22	-0.19	23	-35.91	21
2903	2294	2295	Max	0.00	7.06	23	1184.65	24	-0.29	22	-38.57	23	-0.04	22	-21.55	23
2903	2294	2295	Max	0.63	7.06	23	1184.65	24	7.01	24	-38.61	23	-0.32	23	-21.55	23
2903	2294	2295	Min.	0.00	-1.01	11	539.59	23	-0.66	21	-297.58	11	-0.12	21	-43.60	24
2903	2294	2295	Min.	0.63	-1.01	11	539.59	23	2.95	23	-297.63	11	-1.97	11	-43.60	24
2903	2295	2296	Max	5.37	-0.41	12	-405.93	23	7.05	24	264.04	21	-0.65	22	40.53	24
2903	2295	2296	Max	6.00	-0.41	12	-405.93	23	0.26	11	263.98	21	0.18	11	40.53	24
2903	2295	2296	Min.	5.37	-12.13	23	-1082.54	24	2.03	23	114.97	22	-1.72	21	18.41	23
2903	2295	2296	Min.	6.00	-12.13	23	-1082.54	24	-0.53	23	114.93	22	-0.18	23	18.41	23
3001	3001	3002	Max	0.00	4.08	24	-4.47	22	0.36	24	18.35	23	0.32	23	0.50	23
3001	3001	3002	Max	12.00	4.08	24	-4.47	22	-0.31	22	20.43	23	2.65	23	0.50	23
3001	3001	3002	Min.	0.00	1.24	23	-10.52	21	0.06	23	-18.92	24	-0.02	11	-0.00	11
3001	3001	3002	Min.	12.00	1.24	23	-10.52	21	-1.00	21	-15.80	24	-2.10	24	-0.00	11
3001	3003	3004	Max	0.00	10.26	24	-2.97	22	0.73	21	23.90	23	30.75	21	0.40	23
3001	3003	3004	Max	12.00	10.26	24	-2.97	22	-0.20	22	25.98	23	33.33	21	0.40	23
3001	3003	3004	Min.	0.00	4.70	23	-13.13	21	0.16	22	-3.31	24	19.20	23	-0.08	24
3001	3003	3004	Min.	12.00	4.70	23	-13.13	21	-0.85	21	-0.50	11	22.19	23	-0.08	24
3001	3005	3006	Max	0.00	11.01	21	1.54	11	0.45	23	34.61	21	28.94	24	0.74	21
3001	3005	3006	Max	12.00	11.01	21	1.54	11	0.06	11	37.84	21	32.17	21	0.74	21
3001	3005	3006	Min.	0.00	5.26	23	-8.57	23	-0.13	11	7.84	12	16.39	23	0.24	12
3001	3005	3006	Min.	12.00	5.26	23	-8.57	23	-0.58	23	10.22	12	20.42	23	0.24	12
3001	3007	3008	Max	0.00	4.55	24	6.39	24	0.26	23	42.05	21	-1.66	12	0.51	21
3001	3007	3008	Max	12.00	4.55	24	6.39	24	0.51	21	45.29	21	-0.01	22	0.51	21
3001	3007	3008	Min.	0.00	1.56	23	0.48	23	-0.37	24	12.39	12	-5.47	21	0.04	22
3001	3007	3008	Min.	12.00	1.56	23	0.48	23	0.25	22	14.77	12	-0.23	21	0.04	22
3087	3313	3314	Max	0.00	4.39	24	9.63	21	-0.04	23	15.17	23	0.30	23	0.07	24
3087	3313	3314	Max	12.00	4.39	24	9.63	21	0.89	21	17.25	23	2.25	23	0.07	24
3087	3313	3314	Min.	0.00	1.01	23	4.19	22	-0.38	24	-17.23	11	-0.05	24	-0.42	23
3087	3313	3314	Min.	12.00	1.01	23	4.19	22	0.27	22	-14.55	11	-1.95	11	-0.42	23
3087	3315	3316	Max	0.00	10.80	24	10.96	21	-0.10	22	19.46	23	31.15	21	0.17	11
3087	3315	3316	Max	12.00	10.80	24	10.96	21	0.72	21	21.55	23	32.98	21	0.17	11
3087	3315	3316	Min.	0.00	4.27	23	2.20	22	-0.60	21	-7.07	11	15.77	22	-0.30	23
3087	3315	3316	Min.	12.00	4.27	23	2.20	22	0.16	22	-4.39	11	15.36	22	-0.30	23
3087	3317	3318	Max	0.00	10.84	24	6.88	23	0.25	24	27.21	23	28.20	21	-0.10	22
3087	3317	3318	Max	12.00	10.84	24	6.88	23	0.48	23	30.25	21	31.64	21	-0.10	22
3087	3317	3318	Min.	0.00	4.90	23	-3.48	24	-0.35	23	2.55	22	15.36	22	-0.57	21
3087	3317	3318	Min.	12.00	4.90	23	-3.48	24	-0.17	24	4.15	22	15.77	22	-0.57	21
3087	3319	3320	Max	0.00	4.43	24	-1.07	23	0.45	24	38.94	21	-0.68	22	-0.02	22
3087	3319	3320	Max	12.00	4.43	24	-1.07	23	-0.23	22	42.18	21	-0.02	22	-0.02	22
3087	3319	3320	Min.	0.00	1.43	23	-7.00	24	-0.18	23	4.72	22	-5.07	21	-0.43	21
3087	3319	3320	Min.	12.00	1.43	23	-7.00	24	-0.51	21	6.33	22	-0.21	21	-0.43	21
4022	4025	4026	Max	0.00	0.40	23	879.29	21	0.07	23	-118.07	12	0.29	21	28.56	21
4022	4025	4026	Max	0.63	0.40	23	879.29	21	5.40	21	-118.20	12	-0.59	23	28.56	21
4022	4025	4026	Min.	0.00	-3.19	24	-4.38	22	-0.33	11	-204.44	21	0.12	12	9.52	22
4022	4025	4026	Min.	0.63	-3.19	24	-4.38	22	-0.18	22	-204.63	21	-1.00	21	9.52	22
4022	4026	4027	Max	5.37	20.31	11	-16.67	22	6.44	21	217.31	24	-9.59	12	-12.77	22
4022	4026	4027	Max	6.00	20.31	11	-16.67	22	1.40	21	217.11	24	-8.68	12	-12.77	22
4022	4026	4027	Min.	5.37	-56.36	23	-798.93	21	0.41	22	41.05	23	-54.75	21	-31.28	21
4022	4026	4027	Min.	6.00	-56.36	23	-798.93	21	0.29	12	40.95	23	-53.83	21	-31.28	21
4022	4028	4029	Max	0.00	141.18	21	1676.39	21	-0.23	22	-238.36	12	21.18	23	57.34	21
4022	4028	4029	Max	0.63	141.18	21	1676.39	21	9.68	21	-238.49	12	19.34	23	57.34	21
4022	4028	4029	Min.	0.00	37.66	22	505.39	22	-0.89	21	-448.18	21	-36.74	24	29.45	23
4022	4028	4029	Min.	0.63	37.66	22	505.39	22	2.96	22	-448.36	21	-39.07	24	29.45	23
4022	4029	4030	Max	5.37	103.36	11	-519.72	22	10.74	21	387.89	24	-23.12	12	-28.47	23
4022	4029	4030	Max	6.00	103.36	11	-519.72	22	1.10	23	387.68	24	-21.52	12	-28.47	23
4022	4029	4030	Min.	5.37	-4.71	23	-1553.83	21	3.25	22	68.43	23	-70.17	21	-57.08	21

4022	4029	4030	Min.	6.00	-4.71	23	-1553.83	21	-0.09	11	68.33	23	-68.56	21	-57.08	21
4022	4031	4032	Max	0.00	167.55	21	1718.29	21	-0.01	22	-248.56	12	25.25	23	58.54	21
4022	4031	4032	Max	0.63	167.55	21	1718.29	21	10.42	21	-248.69	12	23.35	23	58.54	21
4022	4031	4032	Min.	0.00	44.10	22	550.66	22	-0.41	23	-461.48	21	-31.69	24	29.83	23
4022	4031	4032	Min.	0.63	44.10	22	550.66	22	3.46	22	-461.66	21	-34.08	24	29.83	23
4022	4032	4033	Max	5.37	95.17	11	-473.70	22	9.89	21	377.24	24	-27.90	12	-27.18	23
4022	4032	4033	Max	6.00	95.17	11	-473.70	22	0.94	23	377.03	24	-26.36	12	-27.18	23
4022	4032	4033	Min.	5.37	7.00	23	-1486.33	21	2.77	22	58.86	23	-76.89	21	-55.09	21
4022	4032	4033	Min.	6.00	7.00	23	-1486.33	21	-0.50	11	58.76	23	-75.37	21	-55.09	21
4022	4034	4035	Max	0.00	84.19	21	953.87	21	0.43	24	-141.44	12	39.43	23	32.89	21
4022	4034	4035	Max	0.63	84.19	21	953.87	21	6.12	21	-141.56	12	38.36	23	32.89	21
4022	4034	4035	Min.	0.00	16.42	22	31.48	22	-0.13	23	-260.26	21	-15.07	24	12.89	22
4022	4034	4035	Min.	0.63	16.42	22	31.48	22	0.49	22	-260.44	21	-16.42	24	12.89	22
4022	4035	4036	Max	5.37	-2.52	22	18.45	22	4.90	21	178.18	24	-0.42	23	-9.29	22
4022	4035	4036	Max	6.00	-2.52	22	18.45	22	0.35	23	177.97	24	0.17	24	-9.29	22
4022	4035	4036	Min.	5.37	-12.61	21	-759.72	21	-0.27	22	50.35	23	-0.95	24	-27.35	21
4022	4035	4036	Min.	6.00	-12.61	21	-759.72	21	-0.33	11	50.26	23	-0.11	23	-27.35	21
4066	4285	4286	Max	0.00	0.81	23	-476.48	23	0.38	24	-67.75	22	0.29	21	-14.92	23
4066	4285	4286	Max	0.63	0.81	23	-476.48	23	-3.09	23	-67.80	22	-0.37	22	-14.92	23
4066	4285	4286	Min.	0.00	-3.58	24	-1058.02	24	-0.08	23	-206.81	21	0.05	22	-30.14	24
4066	4285	4286	Min.	0.63	-3.58	24	-1058.02	24	-6.29	24	-206.99	21	-1.01	21	-30.14	24
4066	4286	4287	Max	5.37	21.06	24	1114.57	24	-3.68	23	179.44	11	-2.07	22	33.44	24
4066	4286	4287	Max	6.00	21.06	24	1114.57	24	-0.14	22	179.28	11	-1.60	22	33.44	24
4066	4286	4287	Min.	5.37	-56.23	23	378.99	23	-7.35	24	39.39	23	-54.88	21	15.57	23
4066	4286	4287	Min.	6.00	-56.23	23	378.99	23	-1.39	21	39.29	23	-53.98	21	15.57	23
4066	4288	4289	Max	0.00	141.18	21	-874.41	23	0.89	21	-116.00	22	21.30	23	-29.16	23
4066	4288	4289	Max	0.63	141.18	21	-874.41	23	-4.88	23	-116.05	22	19.43	23	-29.16	23
4066	4288	4289	Min.	0.00	73.92	12	-1745.64	24	0.38	12	-452.17	21	-30.96	11	-56.93	21
4066	4288	4289	Min.	0.63	73.92	12	-1745.64	24	-10.42	24	-452.35	21	-32.89	11	-56.93	21
4066	4289	4290	Max	5.37	122.87	24	1784.77	24	-5.88	23	318.08	11	-11.87	22	57.19	21
4066	4289	4290	Max	6.00	122.87	24	1784.77	24	0.10	22	317.92	11	-11.06	22	57.19	21
4066	4289	4290	Min.	5.37	-4.40	23	758.99	23	-11.15	24	65.34	23	-70.32	21	28.55	23
4066	4289	4290	Min.	6.00	-4.40	23	758.99	23	-1.10	23	65.25	23	-68.74	21	28.55	23
4066	4291	4292	Max	0.00	167.76	21	-890.43	23	0.40	23	-127.64	22	25.38	23	-29.52	23
4066	4291	4292	Max	0.63	167.76	21	-890.43	23	-5.21	23	-127.68	22	23.47	23	-29.52	23
4066	4291	4292	Min.	0.00	81.39	12	-1784.97	24	0.07	12	-466.06	21	-25.70	11	-58.07	21
4066	4291	4292	Min.	0.63	81.39	12	-1784.97	24	-11.14	24	-466.24	21	-27.70	11	-58.07	21
4066	4292	4293	Max	5.37	114.62	24	1745.66	24	-5.43	23	306.04	11	-16.85	22	55.23	21
4066	4292	4293	Max	6.00	114.62	24	1745.66	24	0.58	24	305.88	11	-16.12	22	55.23	21
4066	4292	4293	Min.	5.37	7.15	23	716.02	23	-10.42	24	55.34	23	-77.04	21	27.28	23
4066	4292	4293	Min.	6.00	7.15	23	716.02	23	-0.92	23	55.24	23	-75.55	21	27.28	23
4066	4294	4295	Max	0.00	84.45	21	-521.55	23	0.12	23	-74.84	22	39.54	23	-17.11	23
4066	4294	4295	Max	0.63	84.45	21	-521.55	23	-3.17	23	-74.88	22	38.46	23	-17.11	23
4066	4294	4295	Min.	0.00	18.44	12	-1114.81	24	-0.36	11	-262.16	21	-10.94	11	-33.46	24
4066	4294	4295	Min.	0.63	18.44	12	-1114.81	24	-7.36	24	-262.34	21	-12.07	11	-33.46	24
4066	4295	4296	Max	5.37	-2.14	22	1058.32	24	-2.69	23	149.20	11	-0.37	22	30.14	24
4066	4295	4296	Max	6.00	-2.14	22	1058.32	24	0.38	24	149.05	11	0.14	11	30.14	24
4066	4295	4296	Min.	5.37	-12.65	21	372.72	23	-6.28	24	48.63	23	-0.85	21	13.98	23
4066	4295	4296	Min.	6.00	-12.65	21	372.72	23	-0.34	23	48.53	23	-0.11	23	13.98	23
4106	3001	-513	Max	0.00	27.43	24	-1.55	23	0.29	24	10.15	23	0.77	24	-0.00	11
4106	3001	-513	Max	16.72	27.55	24	-1.55	23	-0.13	23	9.25	23	0.73	23	-0.00	11
4106	3001	-513	Min.	0.00	-6.75	23	-3.45	24	0.13	23	-8.49	24	-0.89	23	-0.17	23
4106	3001	-513	Min.	16.72	-6.67	23	-3.45	24	-0.29	24	-9.90	24	-0.77	24	-0.17	23
4106	-513	-529	Max	0.00	67.72	24	0.31	23	0.29	24	8.77	23	0.49	24	0.01	11
4106	-513	-529	Max	16.72	67.83	24	0.31	23	0.02	23	7.88	23	0.85	23	0.01	11
4106	-513	-529	Min.	0.00	-25.29	23	-2.89	24	-0.04	23	-7.18	24	-0.54	23	-0.13	23
4106	-513	-529	Min.	16.72	-25.22	23	-2.89	24	-0.19	24	-8.59	24	-0.83	24	-0.13	23
4106	-529	4025	Max	0.00	97.31	24	0.83	23	0.20	24	-1.53	23	0.90	11	-0.02	12
4106	-529	4025	Max	16.72	97.43	24	0.83	23	0.10	23	-2.42	23	-0.00	23	-0.02	12

4106	-529	4025	Min.	0.00	-38.72	23	-3.01	24	-0.04	23	-18.28	11	-0.18	22	-0.09	21
4106	-529	4025	Min.	16.72	-38.65	23	-3.01	24	-0.31	24	-19.47	11	-2.51	24	-0.09	21
4106	4025	-545	Max	0.00	921.51	21	0.82	21	-0.01	12	189.02	21	-14.58	23	0.21	21
4106	4025	-545	Max	21.63	921.67	21	0.82	21	0.16	21	186.96	21	12.12	24	0.21	21
4106	4025	-545	Min.	0.00	0.68	22	0.38	12	-0.04	22	94.79	23	-29.09	21	0.10	12
4106	4025	-545	Min.	21.63	0.83	22	0.38	12	0.08	12	93.55	23	5.79	23	0.10	12
4106	-545	-561	Max	0.00	439.31	21	0.51	21	-0.01	12	174.57	21	-10.34	22	0.23	21
4106	-545	-561	Max	21.63	439.47	21	0.51	21	0.09	21	172.51	21	16.08	21	0.23	21
4106	-545	-561	Min.	0.00	-277.99	22	0.25	12	-0.02	22	86.90	23	-21.46	21	0.11	12
4106	-545	-561	Min.	21.63	-277.84	22	0.25	12	0.05	12	85.66	23	7.99	23	0.11	12
4106	-561	-577	Max	0.00	9.63	23	0.52	21	-0.03	12	154.13	21	-8.18	22	0.23	21
4106	-561	-577	Max	21.63	9.73	23	0.52	21	0.04	21	152.07	21	15.84	21	0.23	21
4106	-561	-577	Min.	0.00	-519.26	22	0.25	12	-0.07	21	76.52	23	-17.28	21	0.11	12
4106	-561	-577	Min.	21.63	-519.11	22	0.25	12	0.02	12	75.27	23	7.84	23	0.11	12
4106	-577	-593	Max	0.00	-163.53	23	0.39	21	-0.06	12	137.68	21	-6.35	22	0.26	21
4106	-577	-593	Max	21.63	-163.43	23	0.39	21	0.00	22	135.62	21	15.32	21	0.26	21
4106	-577	-593	Min.	0.00	-710.71	22	0.17	12	-0.12	21	67.74	23	-14.24	21	0.12	12
4106	-577	-593	Min.	21.63	-710.56	22	0.17	12	-0.04	21	66.49	23	7.43	23	0.12	12
4106	-593	-609	Max	0.00	-294.81	23	-0.04	22	0.10	21	99.50	21	-1.86	22	0.07	21
4106	-593	-609	Max	21.63	-294.71	23	-0.04	22	0.07	21	97.44	21	11.99	21	0.07	21
4106	-593	-609	Min.	0.00	-857.29	24	-0.17	21	0.04	22	38.03	22	-9.31	21	0.03	23
4106	-593	-609	Min.	21.63	-857.12	24	-0.17	21	0.03	22	36.19	22	6.16	22	0.03	23
4106	-609	-625	Max	0.00	-399.68	23	0.09	24	0.00	11	90.60	21	-1.86	22	0.07	21
4106	-609	-625	Max	21.63	-399.58	23	0.09	24	0.02	24	88.55	21	10.96	21	0.07	21
4106	-609	-625	Min.	0.00	-1014.76	24	0.04	23	-0.01	22	34.14	22	-8.42	21	0.04	23
4106	-609	-625	Min.	21.63	-1014.59	24	0.04	23	0.01	23	32.30	22	5.33	22	0.04	23
4106	-625	-641	Max	0.00	-485.34	23	0.10	24	-0.03	12	81.43	21	-1.31	22	0.08	21
4106	-625	-641	Max	21.63	-485.24	23	0.10	24	-0.01	22	79.37	21	10.25	21	0.08	21
4106	-625	-641	Min.	0.00	-1140.82	24	0.05	23	-0.04	21	29.50	22	-7.15	21	0.04	23
4106	-625	-641	Min.	21.63	-1140.65	24	0.05	23	-0.03	21	27.66	22	4.87	22	0.04	23
4106	-641	-657	Max	0.00	-554.45	23	0.02	22	-0.05	22	74.64	21	-0.36	22	0.10	21
4106	-641	-657	Max	21.63	-554.35	23	0.02	22	-0.04	22	72.58	21	10.35	21	0.10	21
4106	-641	-657	Min.	0.00	-1240.57	24	-0.06	21	-0.09	21	26.70	22	-5.58	21	0.06	23
4106	-641	-657	Min.	21.63	-1240.40	24	-0.06	21	-0.10	21	24.87	22	5.22	22	0.06	23
4106	-657	-673	Max	0.00	-589.06	23	-0.13	22	0.12	21	27.86	21	4.22	22	0.05	21
4106	-657	-673	Max	15.51					0.05	26			2.57	26		
4106	-657	-673	Max	21.63	-588.96	23	-0.13	22	0.07	21	25.80	21	5.49	21	0.05	21
4106	-657	-673	Min.	0.00	-1280.84	24	-0.26	21	0.05	22	-15.15	22	-0.32	21	0.02	22
4106	-657	-673	Min.	15.51					0.05	26			2.57	26		
4106	-657	-673	Min.	21.63	-1280.67	24	-0.26	21	0.03	22	-16.99	22	0.74	22	0.02	22
4106	-673	-689	Max	0.00	-613.51	23	-0.05	12	0.03	21	24.99	21	3.46	22	0.04	21
4106	-673	-689	Max	4.33					0.02	26			1.84	26		
4106	-673	-689	Max	21.63	-613.41	23	-0.05	12	0.01	21	22.93	21	4.48	21	0.04	21
4106	-673	-689	Min.	0.00	-1294.27	24	-0.10	21	0.01	22	-15.14	22	-0.70	21	0.01	22
4106	-673	-689	Min.	4.33					0.02	26			1.84	26		
4106	-673	-689	Min.	21.63	-1294.10	24	-0.10	21	0.00	22	-16.98	22	-0.01	22	0.01	22
4106	-689	-705	Max	0.00	-630.70	23	-0.04	12	-0.01	23	20.75	21	3.54	22	0.04	21
4106	-689	-705	Max	17.31					-0.02	24			2.13	24		
4106	-689	-705	Max	21.63	-630.60	23	-0.04	12	-0.02	22	18.69	21	4.01	21	0.04	21
4106	-689	-705	Min.	0.00	-1297.96	24	-0.08	21	-0.02	21	-16.67	22	-0.26	21	0.02	22
4106	-689	-705	Min.	17.31					-0.02	24			2.13	24		
4106	-689	-705	Min.	21.63	-1297.79	24	-0.08	21	-0.03	21	-18.50	22	-0.27	22	0.02	22
4106	-705	-721	Max	0.00	-641.94	23	-0.09	22	-0.03	22	18.45	21	4.13	22	0.07	21
4106	-705	-721	Max	10.84					-0.07	24			2.91	24		
4106	-705	-721	Max	21.63	-641.84	23	-0.09	22	-0.05	22	16.40	21	4.44	21	0.07	21
4106	-705	-721	Min.	0.00	-1293.48	24	-0.18	21	-0.07	21	-16.42	22	0.35	23	0.04	23
4106	-705	-721	Min.	10.84					-0.07	24			2.91	24		
4106	-705	-721	Min.	21.63	-1293.31	24	-0.18	21	-0.10	21	-18.25	22	0.38	22	0.04	23
4106	-721	-737	Max	0.00	-632.03	23	-0.18	23	0.11	21	-9.45	23	8.00	22	-0.00	25

4106	-721	-737	Max	21.63	-631.93	23	-0.18	23	0.04	21	-10.69	23	0.21	23	-0.00	25
4106	-721	-737	Min.	0.00	-1251.19	24	-0.37	24	0.06	23	-52.59	22	2.39	23	-0.06	22
4106	-721	-737	Min.	21.63	-1251.02	24	-0.37	24	0.01	22	-54.43	22	-3.58	22	-0.06	22
4106	-737	-753	Max	0.00	-621.44	23	-0.13	23	0.04	24	-10.23	23	7.00	22	-0.01	23
4106	-737	-753	Max	21.63	-621.34	23	-0.13	23	-0.01	23	-11.48	23	-0.28	23	-0.01	23
4106	-737	-753	Min.	0.00	-1212.47	21	-0.30	24	0.02	23	-51.17	22	2.07	23	-0.05	22
4106	-737	-753	Min.	21.63	-1212.31	21	-0.30	24	-0.02	22	-53.01	22	-4.27	22	-0.05	22
4106	-753	-769	Max	0.00	-608.96	23	-0.12	23	0.01	22	-11.28	23	6.62	22	-0.01	23
4106	-753	-769	Max	21.63	-608.86	23	-0.12	23	-0.03	23	-12.52	23	-0.58	23	-0.01	23
4106	-753	-769	Min.	0.00	-1187.30	21	-0.27	24	-0.00	21	-50.78	22	2.00	23	-0.04	22
4106	-753	-769	Min.	21.63	-1187.14	21	-0.27	24	-0.05	24	-52.62	22	-4.56	22	-0.04	22
4106	-769	-785	Max	0.00	-597.82	23	-0.13	23	-0.01	22	-14.00	23	5.82	22	0.01	25
4106	-769	-785	Max	21.63	-597.72	23	-0.13	23	-0.05	23	-15.24	23	-1.61	23	0.01	25
4106	-769	-785	Min.	0.00	-1165.62	21	-0.30	24	-0.04	21	-51.73	22	1.55	23	-0.03	22
4106	-769	-785	Min.	21.63	-1165.45	21	-0.30	24	-0.09	21	-53.57	22	-5.57	22	-0.03	22
4107	3002	-514	Max	0.00	30.67	21	-2.18	22	0.29	21	-2.60	24	1.99	21	0.00	11
4107	3002	-514	Max	16.72	31.99	21	-0.21	23	-0.08	23	-15.46	12	-0.99	12	0.00	11
4107	3002	-514	Min.	0.00	10.34	11	-4.20	21	0.15	23	-20.70	23	0.67	12	-0.17	23
4107	3002	-514	Min.	16.72	11.56	11	-3.36	24	-0.28	24	-35.26	21	-2.55	21	-0.17	23
4107	-514	-530	Max	0.00	158.19	21	-0.91	23	0.29	24	9.39	24	-0.14	23	0.01	11
4107	-514	-530	Max	8.97					0.03	11			0.13	11		
4107	-514	-530	Max	16.72	159.51	21	1.43	23	0.04	23	-5.24	12	-0.14	12	0.01	11
4107	-514	-530	Min.	0.00	64.00	12	-2.86	24	0.00	23	0.82	23	-0.27	21	-0.12	23
4107	-514	-530	Min.	1.95					-0.01	23			-0.13	23		
4107	-514	-530	Min.	16.72	64.90	12	-2.86	24	-0.19	24	-11.37	24	-0.61	22	-0.12	23
4107	-530	4027	Max	0.00	207.88	21	-0.17	23	0.18	24	-17.79	22	2.07	21	0.01	21
4107	-530	4027	Max	16.72	209.20	21	2.17	23	0.15	23	-32.07	12	-3.13	12	0.01	21
4107	-530	4027	Min.	0.00	85.98	12	-2.68	24	-0.01	23	-37.52	21	0.57	22	0.00	22
4107	-530	4027	Min.	16.72	86.88	12	-2.68	24	-0.27	24	-53.78	21	-5.56	21	0.00	22
4107	4027	-546	Max	0.00	1074.31	21	0.85	24	0.79	23	255.04	21	-19.63	23	0.25	21
4107	4027	-546	Max	21.63	1076.47	21	0.85	24	0.14	21	228.42	21	15.31	24	0.25	21
4107	4027	-546	Min.	0.00	88.00	22	-4.77	23	-0.06	24	133.24	23	-37.22	21	0.09	12
4107	4027	-546	Min.	21.63	90.22	22	-1.74	23	0.08	23	121.81	23	7.96	23	0.09	12
4107	-546	-562	Max	0.00	469.96	21	0.38	24	-0.01	12	226.22	21	-13.26	22	0.29	21
4107	-546	-562	Max	21.63	472.12	21	0.78	21	0.07	24	199.60	21	19.74	21	0.29	21
4107	-546	-562	Min.	0.00	-269.48	22	-2.36	23	-0.14	23	119.60	23	-26.32	21	0.11	12
4107	-546	-562	Min.	21.63	-267.26	22	0.24	12	-0.32	23	106.34	22	10.56	23	0.11	12
4107	-562	-578	Max	0.00	-11.15	23	0.73	21	-0.03	12	189.44	21	-9.25	22	0.25	21
4107	-562	-578	Max	21.63	-10.23	23	3.63	23	0.03	24	162.82	21	18.21	21	0.25	21
4107	-562	-578	Min.	0.00	-551.95	22	0.25	12	-0.54	23	100.86	23	-19.90	21	0.11	12
4107	-562	-578	Min.	21.63	-549.74	22	0.25	12	-0.08	23	80.12	22	9.85	23	0.11	12
4107	-578	-594	Max	0.00	-222.22	23	4.50	23	-0.06	12	159.88	21	-6.39	22	0.18	24
4107	-578	-594	Max	21.63	-221.29	23	7.53	23	0.98	23	133.26	21	16.23	21	0.18	24
4107	-578	-594	Min.	0.00	-753.37	22	0.17	12	-0.34	21	84.88	22	-15.48	21	-0.05	23
4107	-578	-594	Min.	21.63	-751.15	22	0.17	12	-0.03	11	57.60	22	9.02	22	-0.05	23
4107	-594	-610	Max	0.00	-378.53	23	-0.04	22	1.05	23	131.78	21	-4.72	22	0.47	23
4107	-594	-610	Max	21.63	-377.60	23	-0.04	22	0.06	24	105.17	21	13.83	21	0.47	23
4107	-594	-610	Min.	0.00	-953.82	24	-6.92	23	0.04	22	64.81	23	-11.80	21	0.04	22
4107	-594	-610	Min.	21.63	-951.05	24	-3.89	23	-0.12	23	44.35	22	7.06	23	0.04	22
4107	-610	-626	Max	0.00	-488.57	23	0.10	24	0.00	11	108.14	21	-2.42	22	0.17	21
4107	-610	-626	Max	21.63	-487.64	23	0.38	21	0.02	24	81.53	21	11.73	21	0.17	21
4107	-610	-626	Min.	0.00	-1139.98	24	-2.66	23	-0.16	23	52.82	22	-8.78	21	0.04	22
4107	-610	-626	Min.	21.63	-1137.21	24	0.05	12	-0.41	23	25.54	22	5.98	23	0.04	22
4107	-626	-642	Max	0.00	-569.95	23	0.35	21	-0.03	12	87.35	21	-0.56	22	0.07	24
4107	-626	-642	Max	21.63	-569.02	23	3.37	23	-0.01	22	60.74	21	9.73	21	0.07	24
4107	-626	-642	Min.	0.00	-1267.77	24	0.06	12	-0.53	23	36.09	22	-6.28	21	-0.00	23
4107	-626	-642	Min.	21.63	-1265.00	24	0.06	12	-0.13	23	8.82	22	4.30	22	-0.00	23
4107	-642	-658	Max	0.00	-629.46	23	4.61	23	-0.05	22	67.78	21	0.93	22	0.10	24
4107	-642	-658	Max	15.90					-0.04	22			2.52	22		

4107	-642	-658	Max	21.63	-628.53	23	7.64	23	1.01	23	41.17	21	7.54	21	0.10	24
4107	-642	-658	Min.	0.00	-1349.80	24	-0.04	11	-0.32	21	20.05	22	-4.25	21	-0.44	23
4107	-642	-658	Min.	15.90					-0.04	22			2.52	22		
4107	-642	-658	Min.	21.63	-1347.03	24	-0.04	11	-0.08	11	-7.23	22	2.32	22	-0.44	23
4107	-658	-674	Max	0.00	-566.82	23	-0.12	22	1.11	23	63.38	21	0.88	22	0.71	23
4107	-658	-674	Max	15.71					0.03	22			2.44	22		
4107	-658	-674	Max	21.63	-565.89	23	-0.12	22	0.05	11	36.77	21	7.05	21	0.71	23
4107	-658	-674	Min.	0.00	-1265.92	24	-7.33	23	0.05	22	19.81	22	-3.78	21	0.02	22
4107	-658	-674	Min.	15.71					0.03	22			2.44	22		
4107	-658	-674	Min.	21.63	-1263.15	24	-4.30	23	-0.15	23	-7.47	22	2.21	22	0.02	22
4107	-674	-690	Max	0.00	-598.38	23	-0.04	12	0.02	24	45.92	21	2.71	22	0.18	21
4107	-674	-690	Max	19.34					0.01	24			3.66	24		
4107	-674	-690	Max	21.63	-597.46	23	0.20	23	0.01	11	19.31	21	5.45	21	0.18	21
4107	-674	-690	Min.	0.00	-1298.93	24	-2.83	23	-0.15	23	4.98	22	-1.60	21	0.01	22
4107	-674	-690	Min.	16.73					0.01	26			2.78	26		
4107	-674	-690	Min.	21.63	-1296.16	24	-0.07	24	-0.44	23	-22.30	22	0.83	22	0.01	22
4107	-690	-706	Max	0.00	-617.20	23	0.37	23	-0.01	22	30.02	21	4.15	22	0.04	11
4107	-690	-706	Max	7.93					-0.02	24			3.16	24		
4107	-690	-706	Max	21.63	-616.27	23	3.40	23	-0.02	22	3.74	23	3.78	21	0.04	11
4107	-690	-706	Min.	0.00	-1304.41	24	-0.05	24	-0.55	23	-8.55	22	0.01	23	-0.08	23
4107	-690	-706	Min.	4.33					-0.01	26			2.75	26		
4107	-690	-706	Min.	21.63	-1301.64	24	-0.05	24	-0.14	21	-35.83	22	-0.65	22	-0.08	23
4107	-706	-722	Max	0.00	-625.02	23	4.93	23	-0.02	22	14.63	21	5.36	22	0.06	24
4107	-706	-722	Max	11.89					0.29	21			2.57	21		
4107	-706	-722	Max	21.63	-624.09	23	7.96	23	1.08	23	-3.34	23	1.98	21	0.06	24
4107	-706	-722	Min.	0.00	-1286.58	24	-0.13	24	-0.32	23	-21.98	22	0.77	23	-0.69	23
4107	-706	-722	Min.	15.32					0.60	23			1.39	23		
4107	-706	-722	Min.	21.63	-1283.81	24	-0.13	24	-0.08	24	-49.26	22	-2.35	22	-0.69	23
4107	-722	-738	Max	0.00	-631.95	23	-0.22	12	1.19	23	8.28	25	5.58	22	0.88	23
4107	-722	-738	Max	6.59					0.67	21			2.64	21		
4107	-722	-738	Max	21.63	-631.02	23	-0.22	12	0.03	11	-9.56	23	1.25	21	0.88	23
4107	-722	-738	Min.	0.00	-1265.85	24	-7.94	23	0.07	22	-24.57	22	1.44	23	-0.06	22
4107	-722	-738	Min.	3.54					0.92	23			1.47	23		
4107	-722	-738	Min.	21.63	-1263.07	24	-4.91	23	-0.20	23	-51.84	22	-2.69	22	-0.06	22
4107	-738	-754	Max	0.00	-622.92	23	-0.16	12	0.04	24	-4.71	23	7.05	22	0.18	23
4107	-738	-754	Max	21.63	-621.99	23	-0.16	12	-0.01	12	-16.14	23	-0.15	23	0.18	23
4107	-738	-754	Min.	0.00	-1222.40	24	-3.19	23	-0.15	23	-37.38	22	2.10	23	-0.05	22
4107	-738	-754	Min.	21.63	-1220.11	21	-0.29	24	-0.51	23	-64.66	22	-3.99	22	-0.05	22
4107	-754	-770	Max	0.00	-607.91	23	0.28	23	0.01	22	-10.35	23	7.99	22	-0.01	12
4107	-754	-770	Max	21.63	-606.99	23	3.31	23	-0.03	12	-21.78	23	-0.96	23	-0.01	12
4107	-754	-770	Min.	0.00	-1192.81	21	-0.26	24	-0.57	23	-48.70	22	2.51	23	-0.18	23
4107	-754	-770	Min.	21.63	-1190.65	21	-0.26	24	-0.19	21	-75.98	22	-5.50	22	-0.18	23
4107	-770	-786	Max	0.00	-591.16	23	5.00	23	-0.01	22	-18.78	23	7.81	22	0.00	11
4107	-770	-786	Max	21.63	-590.24	23	8.03	23	1.13	23	-30.21	23	-3.14	23	0.00	11
4107	-770	-786	Min.	0.00	-1159.00	21	-0.29	24	-0.28	23	-63.09	22	2.16	23	-0.91	23
4107	-770	-786	Min.	21.63	-1156.84	21	-0.29	24	-0.09	24	-93.30	24	-9.26	24	-0.91	23
4144	3003	-515	Max	0.00	71.40	24	-0.40	23	0.13	24	-0.62	23	2.47	24	0.06	24
4144	3003	-515	Max	16.72	73.09	24	-0.40	23	-0.04	23	-7.66	23	-0.44	23	0.06	24
4144	3003	-515	Min.	0.00	27.74	23	-1.54	24	0.03	23	-19.95	24	0.25	23	-0.12	23
4144	3003	-515	Min.	16.72	28.31	23	-1.54	24	-0.13	24	-40.71	24	-2.60	24	-0.12	23
4144	-515	-531	Max	0.00	179.16	24	1.52	23	0.10	11	-1.38	23	2.21	24	0.09	24
4144	-515	-531	Max	16.72	180.85	24	1.52	23	0.14	23	-8.43	23	-0.46	23	0.09	24
4144	-515	-531	Min.	0.00	49.36	23	-1.16	11	-0.12	23	-23.37	24	0.36	23	-0.07	23
4144	-515	-531	Min.	16.72	49.93	23	-1.16	11	-0.10	11	-44.13	24	-3.43	24	-0.07	23
4144	-531	4028	Max	0.00	283.31	24	1.85	23	0.12	11	-20.65	23	2.47	21	-0.02	23
4144	-531	4028	Max	16.72	285.00	24	1.85	23	0.16	23	-27.69	23	-2.84	23	-0.02	23
4144	-531	4028	Min.	0.00	73.40	23	-1.60	11	-0.15	23	-50.66	24	1.07	22	-0.05	24
4144	-531	4028	Min.	16.72	73.97	23	-1.60	11	-0.15	11	-71.42	24	-8.07	24	-0.05	24
4144	4028	-547	Max	0.00	1876.93	21	0.17	23	0.05	21	427.79	24	-31.78	23	0.08	21

4144	4028	-547	Max	21.63	1879.09	21	0.17	23	0.06	23	395.53	21	26.87	24	0.08	21
4144	4028	-547	Min.	0.00	693.52	22	-0.23	11	0.02	22	211.35	23	-63.17	21	0.04	22
4144	4028	-547	Min.	21.63	695.73	22	-0.23	11	-0.01	22	199.92	23	12.70	23	0.04	22
4144	-547	-563	Max	0.00	845.88	21	0.12	21	0.01	23	381.39	24	-22.82	23	0.07	21
4144	-547	-563	Max	21.63	848.04	21	0.12	21	0.03	21	353.76	21	34.80	24	0.07	21
4144	-547	-563	Min.	0.00	-15.02	22	0.03	12	-0.00	22	190.12	23	-45.42	21	0.01	22
4144	-547	-563	Min.	21.63	-12.80	22	0.03	12	0.00	22	178.69	23	17.07	23	0.01	22
4144	-563	-579	Max	0.00	-19.76	23	0.12	21	-0.00	22	327.44	21	-17.95	23	0.07	21
4144	-563	-579	Max	21.63	-18.83	23	0.12	21	0.01	21	300.82	21	32.76	24	0.07	21
4144	-563	-579	Min.	0.00	-612.07	22	0.02	12	-0.02	21	164.44	23	-35.51	21	0.01	22
4144	-563	-579	Min.	21.63	-609.86	22	0.02	12	0.00	12	153.01	23	16.38	23	0.01	22
4144	-579	-595	Max	0.00	-376.80	23	0.04	23	-0.00	22	285.31	21	-14.44	23	0.08	21
4144	-579	-595	Max	21.63	-375.87	23	0.04	23	-0.01	22	258.70	21	30.49	24	0.08	21
4144	-579	-595	Min.	0.00	-1088.04	24	-0.03	11	-0.05	21	143.74	23	-28.41	21	0.01	22
4144	-579	-595	Min.	21.63	-1085.27	24	-0.03	11	-0.04	21	132.31	23	15.42	23	0.01	22
4144	-595	-611	Max	0.00	-634.07	23	0.04	22	0.05	21	213.95	21	-8.86	22	0.05	24
4144	-595	-611	Max	21.63	-633.14	23	0.04	22	0.03	21	187.34	21	24.00	21	0.05	24
4144	-595	-611	Min.	0.00	-1573.84	24	-0.12	23	0.01	22	108.22	23	-19.41	21	0.02	23
4144	-595	-611	Min.	21.63	-1571.07	24	-0.12	23	0.01	22	96.07	22	12.25	23	0.02	23
4144	-611	-627	Max	0.00	-831.94	23	0.07	24	0.01	23	184.46	21	-6.60	22	0.04	24
4144	-611	-627	Max	21.63	-831.01	23	0.07	24	0.01	24	157.85	21	21.07	21	0.04	24
4144	-611	-627	Min.	0.00	-1921.19	24	-0.01	23	-0.00	22	94.02	23	-15.96	21	0.02	23
4144	-611	-627	Min.	21.63	-1918.42	24	-0.01	23	0.00	23	73.68	22	10.84	23	0.02	23
4144	-627	-643	Max	0.00	-986.79	23	0.06	24	-0.01	22	157.44	21	-4.16	22	0.04	21
4144	-627	-643	Max	17.31					-0.00	22			7.81	22		
4144	-627	-643	Max	21.63	-985.86	23	0.06	24	0.00	22	130.82	21	18.64	21	0.04	21
4144	-627	-643	Min.	0.00	-2180.29	24	-0.01	23	-0.02	21	80.11	22	-12.54	21	0.02	23
4144	-627	-643	Min.	17.31					-0.00	22			7.81	22		
4144	-627	-643	Min.	21.63	-2177.51	24	-0.01	23	-0.02	21	52.84	22	9.68	23	0.02	23
4144	-643	-659	Max	0.00	-1106.54	23	0.02	22	-0.02	22	134.70	21	-1.60	22	0.05	21
4144	-643	-659	Max	21.63	-1105.61	23	0.02	22	-0.01	22	108.09	21	17.14	21	0.05	21
4144	-643	-659	Min.	0.00	-2368.65	24	-0.07	23	-0.05	21	62.48	22	-9.12	21	0.03	22
4144	-643	-659	Min.	21.63	-2365.88	24	-0.07	23	-0.06	21	35.20	22	8.96	22	0.03	22
4144	-659	-675	Max	0.00	-1208.94	23	-0.03	22	0.07	21	76.78	21	3.75	22	0.02	21
4144	-659	-675	Max	10.62					0.02	22			4.47	22		
4144	-659	-675	Max	21.63	-1208.01	23	-0.03	22	0.03	21	50.17	21	11.09	21	0.02	21
4144	-659	-675	Min.	0.00	-2491.28	24	-0.16	21	0.02	22	13.41	22	-2.64	21	0.01	22
4144	-659	-675	Min.	10.62					0.02	22			4.47	22		
4144	-659	-675	Min.	21.63	-2488.51	24	-0.16	21	0.01	22	-13.87	22	3.70	22	0.01	22
4144	-675	-691	Max	0.00	-1254.79	23	-0.01	22	0.02	21	59.31	21	4.63	22	0.01	21
4144	-675	-691	Max	17.31					0.00	26			4.42	26		
4144	-675	-691	Max	21.63	-1253.87	23	-0.01	22	0.01	21	32.70	21	8.66	21	0.01	21
4144	-675	-691	Min.	0.00	-2538.64	24	-0.07	21	0.00	22	-0.22	22	-1.29	21	0.01	23
4144	-675	-691	Min.	17.31					0.00	26			4.42	26		
4144	-675	-691	Min.	21.63	-2535.87	24	-0.07	21	0.00	22	-27.49	22	1.63	22	0.01	23
4144	-691	-707	Max	0.00	-1283.49	23	-0.00	22	0.00	23	41.95	21	6.06	22	0.02	11
4144	-691	-707	Max	9.10					-0.01	24			4.90	24		
4144	-691	-707	Max	21.63	-1282.56	23	-0.00	22	-0.00	22	15.33	21	6.80	21	0.02	11
4144	-691	-707	Min.	0.00	-2550.81	24	-0.06	23	-0.01	24	-14.13	22	0.22	23	0.01	23
4144	-691	-707	Min.	6.29					-0.01	26			4.16	26		
4144	-691	-707	Min.	21.63	-2548.04	24	-0.06	23	-0.02	21	-41.40	22	0.06	22	0.01	23
4144	-707	-723	Max	0.00	-1297.54	23	-0.02	22	-0.01	22	27.40	21	7.90	22	0.03	21
4144	-707	-723	Max	21.09					-0.04	25			5.15	25		
4144	-707	-723	Max	21.63	-1296.61	23	-0.02	22	-0.02	22	3.21	23	5.93	21	0.03	21
4144	-707	-723	Min.	0.00	-2533.03	24	-0.11	21	-0.03	21	-25.75	22	1.37	23	0.01	22
4144	-707	-723	Min.	20.82					-0.03	11			5.13	11		
4144	-707	-723	Min.	21.63	-2530.26	24	-0.11	21	-0.05	21	-53.03	22	-0.62	22	0.01	22
4144	-723	-739	Max	0.00	-1281.82	23	-0.03	22	0.03	21	-14.66	23	12.85	22	0.00	21
4144	-723	-739	Max	21.63	-1280.89	23	-0.03	22	0.02	21	-26.09	23	0.28	21	0.00	21

4144	-723	-739	Min.	0.00	-2496.02	21	-0.08	21	0.01	22	-72.12	22	4.52	23	0.00	12
4144	-723	-739	Min.	21.63	-2493.86	21	-0.08	21	0.01	22	-99.40	22	-5.71	22	0.00	12
4144	-739	-755	Max	0.00	-1256.36	23	-0.01	22	0.01	21	-19.95	23	12.96	22	0.00	21
4144	-739	-755	Max	21.63	-1255.44	23	-0.01	22	0.00	23	-31.38	23	-1.04	23	0.00	21
4144	-739	-755	Min.	0.00	-2446.83	21	-0.05	21	0.00	22	-81.64	22	4.51	23	0.00	23
4144	-739	-755	Min.	21.63	-2444.67	21	-0.05	21	0.00	11	-108.92	22	-7.66	22	0.00	23
4144	-755	-771	Max	0.00	-1225.09	23	-0.01	22	0.00	23	-24.77	23	13.35	22	0.00	21
4144	-755	-771	Max	21.63	-1224.16	23	-0.01	22	-0.00	22	-36.20	23	-1.98	23	0.00	21
4144	-755	-771	Min.	0.00	-2385.27	21	-0.04	21	-0.00	24	-91.01	22	4.62	23	0.00	23
4144	-755	-771	Min.	21.63	-2383.11	21	-0.04	21	-0.01	21	-118.29	22	-9.29	22	0.00	23
4144	-771	-787	Max	0.00	-1195.57	23	-0.02	22	-0.00	22	-34.03	23	12.26	22	0.01	21
4144	-771	-787	Max	21.63	-1194.65	23	-0.02	22	-0.01	22	-45.46	23	-4.99	23	0.01	21
4144	-771	-787	Min.	0.00	-2326.27	21	-0.05	21	-0.01	21	-104.72	22	3.61	23	0.01	23
4144	-771	-787	Min.	21.63	-2324.11	21	-0.05	21	-0.02	21	-135.94	24	-14.13	24	0.01	23
4145	3004	-516	Max	0.00	55.90	21	-0.87	22	0.15	21	-13.10	12	2.91	21	0.01	11
4145	3004	-516	Max	16.72	57.30	21	0.71	23	-0.01	23	-24.78	12	-1.85	12	0.01	11
4145	3004	-516	Min.	0.00	32.10	12	-2.47	21	0.07	23	-31.16	21	1.32	12	-0.15	23
4145	3004	-516	Min.	16.72	33.05	12	-1.61	24	-0.13	24	-48.38	21	-3.74	21	-0.15	23
4145	-516	-532	Max	0.00	248.62	21	0.33	23	0.10	11	11.07	24	-0.27	23	0.09	24
4145	-516	-532	Max	10.03					-0.02	11			0.01	11		
4145	-516	-532	Max	16.72	250.02	21	2.67	23	0.17	23	-4.71	12	-0.20	12	0.09	24
4145	-516	-532	Min.	0.00	132.13	12	-1.15	11	-0.08	23	1.02	23	-0.55	24	-0.07	23
4145	-516	-532	Min.	6.69					-0.02	21			-0.26	21		
4145	-516	-532	Min.	16.72	133.08	12	-1.15	11	-0.10	11	-10.94	24	-0.75	22	-0.07	23
4145	-532	4030	Max	0.00	324.61	21	1.22	23	0.07	24	-34.40	22	3.14	21	0.09	21
4145	-532	4030	Max	16.72	326.01	21	3.56	23	0.25	23	-43.93	23	-4.93	23	0.09	21
4145	-532	4030	Min.	0.00	171.88	12	-0.74	24	-0.15	23	-58.50	21	1.29	22	0.06	23
4145	-532	4030	Min.	16.72	172.83	12	-0.74	24	-0.06	24	-75.72	21	-8.08	21	0.06	23
4145	4030	-548	Max	0.00	1942.56	21	0.36	24	0.81	23	435.83	21	-33.61	23	0.13	23
4145	4030	-548	Max	21.63	1944.85	21	0.36	24	0.06	21	407.63	21	27.09	24	0.13	23
4145	4030	-548	Min.	0.00	688.29	22	-5.09	23	-0.04	11	223.62	23	-65.14	21	-0.02	22
4145	4030	-548	Min.	21.63	690.64	22	-2.06	23	0.02	22	211.53	23	13.46	23	-0.02	22
4145	-548	-564	Max	0.00	872.37	21	0.01	24	0.01	24	395.10	21	-24.56	23	0.15	23
4145	-548	-564	Max	21.63	874.66	21	0.44	23	0.01	24	366.89	21	35.26	21	0.15	23
4145	-548	-564	Min.	0.00	-23.16	22	-2.59	23	-0.12	23	204.40	23	-47.16	21	0.01	22
4145	-548	-564	Min.	21.63	-20.81	22	-0.00	22	-0.35	23	192.31	23	18.35	23	0.01	22
4145	-564	-580	Max	0.00	-17.54	23	0.37	23	-0.00	22	339.17	21	-19.20	23	0.10	21
4145	-564	-580	Max	17.31					-0.00	24			20.08	24		
4145	-564	-580	Max	21.63	-16.56	23	3.40	23	0.00	22	310.97	21	33.58	21	0.10	21
4145	-564	-580	Min.	0.00	-621.02	22	0.01	22	-0.51	23	176.03	23	-36.74	21	0.01	22
4145	-564	-580	Min.	17.31					-0.00	22			14.40	22		
4145	-564	-580	Min.	21.63	-618.67	22	0.01	22	-0.10	23	163.94	23	17.57	23	0.01	22
4145	-580	-596	Max	0.00	-399.23	23	4.27	23	-0.01	22	295.72	21	-15.38	23	0.02	24
4145	-580	-596	Max	21.63	-398.24	23	7.30	23	0.96	23	267.51	21	31.57	21	0.02	24
4145	-580	-596	Min.	0.00	-1103.40	24	-0.04	11	-0.29	23	154.62	23	-29.35	21	-0.14	23
4145	-580	-596	Min.	21.63	-1100.46	24	-0.04	11	-0.03	24	142.53	23	16.76	23	-0.14	23
4145	-596	-612	Max	0.00	-682.77	23	0.00	22	1.04	23	219.32	21	-9.54	22	0.46	23
4145	-596	-612	Max	21.63	-681.79	23	0.00	22	0.03	24	191.12	21	24.61	21	0.46	23
4145	-596	-612	Min.	0.00	-1606.01	24	-6.94	23	0.02	22	109.39	23	-19.79	21	0.03	22
4145	-596	-612	Min.	21.63	-1603.07	24	-3.91	23	-0.13	23	97.30	23	12.54	23	0.03	22
4145	-612	-628	Max	0.00	-882.64	23	0.04	24	0.00	11	188.51	21	-7.03	22	0.13	21
4145	-612	-628	Max	21.63	-881.66	23	0.30	23	0.01	24	160.31	21	21.52	21	0.13	21
4145	-612	-628	Min.	0.00	-1965.30	24	-2.73	23	-0.15	23	94.61	23	-16.21	21	0.02	22
4145	-612	-628	Min.	21.63	-1962.36	24	0.03	12	-0.42	23	76.85	22	10.97	23	0.02	22
4145	-628	-644	Max	0.00	-1037.90	23	0.26	23	-0.01	22	160.53	21	-4.46	22	0.03	24
4145	-628	-644	Max	21.63	-1036.92	23	3.29	23	-0.00	22	132.32	21	18.98	21	0.03	24
4145	-628	-644	Min.	0.00	-2233.61	24	0.02	12	-0.52	23	81.16	23	-12.69	21	-0.03	23
4145	-628	-644	Min.	21.63	-2230.67	24	0.02	12	-0.13	23	54.96	22	9.75	23	-0.03	23
4145	-644	-660	Max	0.00	-1157.68	23	4.56	23	-0.02	22	136.64	21	-1.80	22	0.04	24

4145	-644	-660	Max	21.63	-1156.70	23	7.58	23	1.02	23	108.43	21	17.28	21	0.04	24
4145	-644	-660	Min.	0.00	-2428.55	24	-0.02	11	-0.29	23	65.17	22	-9.22	21	-0.47	23
4145	-644	-660	Min.	21.63	-2425.61	24	-0.02	11	-0.04	24	36.24	22	9.02	23	-0.47	23
4145	-660	-676	Max	0.00	-1160.83	23	-0.04	22	1.10	23	81.02	21	3.50	22	0.69	23
4145	-660	-676	Max	12.29					0.02	22			4.51	22		
4145	-660	-676	Max	21.63	-1159.85	23	-0.04	22	0.02	24	52.81	21	11.42	21	0.69	23
4145	-660	-676	Min.	0.00	-2466.21	24	-7.33	23	0.02	22	16.43	22	-3.06	21	0.01	22
4145	-660	-676	Min.	12.29					0.02	22			4.51	22		
4145	-660	-676	Min.	21.63	-2463.27	24	-4.30	23	-0.16	23	-12.49	22	3.93	22	0.01	22
4145	-676	-692	Max	0.00	-1208.51	23	-0.01	22	0.01	24	62.55	21	4.51	22	0.16	23
4145	-676	-692	Max	19.24					0.00	26			4.60	26		
4145	-676	-692	Max	21.63	-1207.52	23	0.18	23	0.01	11	34.34	21	8.93	21	0.16	23
4145	-676	-692	Min.	0.00	-2517.79	24	-2.84	23	-0.15	23	1.86	22	-1.55	21	0.01	22
4145	-676	-692	Min.	1.39					0.00	22			4.52	22		
4145	-676	-692	Min.	21.63	-2514.85	24	-0.02	24	-0.44	23	-27.07	22	1.78	22	0.01	22
4145	-692	-708	Max	0.00	-1238.49	23	0.35	23	-0.00	22	44.29	21	6.03	22	0.02	11
4145	-692	-708	Max	10.93					-0.01	24			4.97	24		
4145	-692	-708	Max	21.63	-1237.51	23	3.38	23	-0.00	22	16.08	21	6.98	21	0.02	11
4145	-692	-708	Min.	0.00	-2532.40	24	-0.01	24	-0.54	23	-12.90	22	0.14	23	-0.09	23
4145	-692	-708	Min.	7.19					-0.00	26			4.17	26		
4145	-692	-708	Min.	21.63	-2529.46	24	-0.01	24	-0.14	23	-41.83	22	0.11	22	-0.09	23
4145	-708	-724	Max	0.00	-1253.34	23	4.94	23	-0.01	22	28.87	21	7.91	22	0.02	24
4145	-708	-724	Max	0.54					-0.02	24			6.50	24		
4145	-708	-724	Max	21.63	-1252.36	23	7.96	23	1.09	23	3.28	23	5.99	21	0.02	24
4145	-708	-724	Min.	0.00	-2515.68	24	-0.04	24	-0.30	23	-25.42	22	1.32	23	-0.72	23
4145	-708	-724	Min.	20.82					-0.03	11			5.17	11		
4145	-708	-724	Min.	21.63	-2512.74	24	-0.04	24	-0.03	24	-54.34	22	-0.72	22	-0.72	23
4145	-724	-740	Max	0.00	-1251.15	23	-0.04	22	1.16	23	-13.61	23	12.61	22	0.89	23
4145	-724	-740	Max	21.63	-1250.17	23	-0.04	22	0.01	11	-25.70	23	0.43	21	0.89	23
4145	-724	-740	Min.	0.00	-2461.31	21	-7.82	23	0.01	22	-69.56	22	4.44	23	-0.00	22
4145	-724	-740	Min.	21.63	-2459.02	21	-4.79	23	-0.21	23	-98.49	22	-5.57	22	-0.00	22
4145	-740	-756	Max	0.00	-1226.20	23	-0.03	12	0.01	24	-19.29	23	12.89	22	0.19	23
4145	-740	-756	Max	21.63	-1225.22	23	-0.03	12	0.00	12	-31.38	23	-0.99	23	0.19	23
4145	-740	-756	Min.	0.00	-2413.08	21	-3.10	23	-0.16	23	-80.07	22	4.49	23	0.00	22
4145	-740	-756	Min.	21.63	-2410.79	21	-0.09	21	-0.50	23	-109.00	22	-7.56	22	0.00	22
4145	-756	-772	Max	0.00	-1195.09	23	0.37	23	0.00	22	-24.44	23	13.40	24	0.00	11
4145	-756	-772	Max	21.63	-1194.11	23	3.40	23	-0.01	22	-36.53	23	-1.96	23	0.00	11
4145	-756	-772	Min.	0.00	-2351.67	21	-0.03	24	-0.57	23	-90.25	22	4.63	23	-0.17	23
4145	-756	-772	Min.	21.63	-2349.38	21	-0.03	24	-0.16	23	-119.18	22	-9.28	22	-0.17	23
4145	-772	-788	Max	0.00	-1165.47	23	5.09	23	-0.00	22	-34.04	23	12.34	22	0.01	11
4145	-772	-788	Max	21.63	-1164.49	23	8.12	23	1.16	23	-46.13	23	-5.03	23	0.01	11
4145	-772	-788	Min.	0.00	-2292.21	21	-0.04	24	-0.27	23	-104.76	22	3.64	23	-0.90	23
4145	-772	-788	Min.	21.63	-2289.92	21	-0.04	24	-0.02	24	-138.32	24	-14.31	24	-0.90	23
4182	3005	-517	Max	0.00	46.47	24	1.33	21	-0.03	22	6.48	23	1.54	24	-0.05	12
4182	3005	-517	Max	0.42					-0.09	25			0.49	25		
4182	3005	-517	Max	16.72	48.26	24	1.33	21	0.11	21	-0.97	23	0.11	23	-0.05	12
4182	3005	-517	Min.	0.00	12.83	23	0.33	22	-0.11	21	-8.75	22	-0.35	23	-0.21	21
4182	3005	-517	Min.	14.38					0.04	23			0.12	23		
4182	3005	-517	Min.	16.72	13.43	23	0.33	22	0.03	22	-30.57	24	-1.73	24	-0.21	21
4182	-517	-533	Max	0.00	120.86	24	3.13	21	-0.04	22	4.63	23	1.66	24	-0.01	22
4182	-517	-533	Max	10.03					0.06	23			0.23	23		
4182	-517	-533	Max	16.72	122.64	24	3.13	21	0.28	21	-2.82	23	0.14	23	-0.01	22
4182	-517	-533	Min.	0.00	13.94	23	0.58	22	-0.25	21	-13.92	24	-0.01	23	-0.13	23
4182	-517	-533	Min.	10.03					0.06	23			0.23	23		
4182	-517	-533	Min.	16.72	14.54	23	0.58	22	0.06	22	-35.94	24	-2.51	24	-0.13	23
4182	-533	4031	Max	0.00	200.43	24	2.67	23	-0.00	22	-15.69	23	2.27	21	-0.05	23
4182	-533	4031	Max	16.72	202.22	24	2.67	23	0.24	23	-23.14	23	-2.19	23	-0.05	23
4182	-533	4031	Min.	0.00	22.58	23	0.12	22	-0.21	21	-43.45	24	0.91	22	-0.10	24
4182	-533	4031	Min.	16.72	23.18	23	0.12	22	0.01	12	-65.47	24	-7.14	24	-0.10	24

4182	4031	-549	Max	0.00	1856.94	21	0.13	23	0.04	21	431.80	24	-31.38	23	0.04	21
4182	4031	-549	Max	21.63	1859.23	21	0.13	23	0.05	23	395.58	24	27.04	24	0.04	21
4182	4031	-549	Min.	0.00	686.10	22	-0.37	24	0.02	23	209.00	23	-63.10	21	0.01	12
4182	4031	-549	Min.	21.63	688.44	22	-0.37	24	-0.04	24	196.91	23	12.53	23	0.01	12
4182	-549	-565	Max	0.00	829.38	21	0.09	23	0.00	23	383.93	24	-22.45	23	0.05	23
4182	-549	-565	Max	21.63	831.67	21	0.09	23	0.02	23	351.43	21	34.93	24	0.05	23
4182	-549	-565	Min.	0.00	-24.08	22	0.00	11	-0.01	24	187.45	23	-45.24	21	-0.02	24
4182	-549	-565	Min.	21.63	-21.73	22	0.00	11	-0.01	24	175.36	23	16.79	23	-0.02	24
4182	-565	-581	Max	0.00	-24.98	23	0.11	23	0.00	24	326.72	24	-17.64	23	0.06	23
4182	-565	-581	Max	21.63	-24.00	23	0.11	23	0.01	21	298.02	21	32.79	24	0.06	23
4182	-565	-581	Min.	0.00	-621.01	22	-0.01	24	-0.02	23	161.86	23	-35.31	21	-0.02	24
4182	-565	-581	Min.	21.63	-618.66	22	-0.01	24	0.00	22	149.77	23	16.07	23	-0.02	24
4182	-581	-597	Max	0.00	-375.55	23	0.13	21	0.02	24	283.23	21	-14.19	23	0.07	23
4182	-581	-597	Max	21.63	-374.57	23	0.13	21	0.03	24	255.02	21	30.24	24	0.07	23
4182	-581	-597	Min.	0.00	-1102.26	24	0.04	22	-0.03	23	140.92	23	-28.26	21	-0.02	24
4182	-581	-597	Min.	21.63	-1099.32	24	0.04	22	-0.01	23	128.84	23	14.99	23	-0.02	24
4182	-597	-613	Max	0.00	-636.90	23	0.03	11	0.02	23	220.10	21	-9.52	22	-0.03	23
4182	-597	-613	Max	21.63	-635.92	23	0.03	11	-0.00	23	191.90	21	24.43	21	-0.03	23
4182	-597	-613	Min.	0.00	-1605.47	24	-0.13	23	-0.03	24	110.34	23	-20.13	21	-0.05	21
4182	-597	-613	Min.	21.63	-1602.53	24	-0.13	23	-0.03	24	98.25	23	12.35	23	-0.05	21
4182	-613	-629	Max	0.00	-837.27	23	-0.02	12	0.01	23	189.41	21	-7.02	22	-0.02	23
4182	-613	-629	Max	21.63	-836.28	23	-0.02	12	-0.01	22	161.20	21	21.51	21	-0.02	23
4182	-613	-629	Min.	0.00	-1964.42	24	-0.07	21	-0.00	11	95.68	23	-16.42	21	-0.04	21
4182	-613	-629	Min.	21.63	-1961.48	24	-0.07	21	-0.01	21	76.73	22	10.96	23	-0.04	21
4182	-629	-645	Max	0.00	-994.16	23	-0.02	12	0.01	24	161.36	21	-4.45	22	-0.02	23
4182	-629	-645	Max	21.63	-993.17	23	-0.02	12	0.01	24	133.15	21	18.99	21	-0.02	23
4182	-629	-645	Min.	0.00	-2232.47	24	-0.06	21	0.00	23	82.15	23	-12.86	21	-0.03	24
4182	-629	-645	Min.	21.63	-2229.53	24	-0.06	21	-0.01	23	54.85	22	9.77	23	-0.03	24
4182	-645	-661	Max	0.00	-1115.29	23	0.03	11	0.03	24	137.51	21	-1.79	22	-0.01	23
4182	-645	-661	Max	21.63	-1114.31	23	0.03	11	0.04	24	109.30	21	17.35	21	-0.01	23
4182	-645	-661	Min.	0.00	-2427.19	24	-0.06	23	0.00	23	65.07	22	-9.35	21	-0.04	24
4182	-645	-661	Min.	21.63	-2424.25	24	-0.06	23	-0.01	23	36.14	22	9.09	23	-0.04	24
4182	-661	-677	Max	0.00	-1177.88	23	0.08	24	0.01	23	80.44	21	3.51	22	-0.01	23
4182	-661	-677	Max	12.24					-0.02	22			4.51	22		
4182	-661	-677	Max	21.63	-1176.90	23	0.08	24	0.00	23	52.23	21	11.35	21	-0.01	23
4182	-661	-677	Min.	0.00	-2465.37	24	-0.07	23	-0.04	24	16.37	22	-3.00	21	-0.02	11
4182	-661	-677	Min.	12.24					-0.02	22			4.51	22		
4182	-661	-677	Min.	21.63	-2462.43	24	-0.07	23	-0.02	24	-12.56	22	3.92	22	-0.02	11
4182	-677	-693	Max	0.00	-1224.79	23	0.02	24	0.01	23	62.01	21	4.51	22	-0.01	22
4182	-677	-693	Max	19.20					-0.00	26			4.59	26		
4182	-677	-693	Max	21.63	-1223.81	23	0.02	24	-0.00	22	33.80	21	8.85	21	-0.01	22
4182	-677	-693	Min.	0.00	-2516.83	24	-0.06	23	-0.01	24	1.80	22	-1.51	21	-0.02	21
4182	-677	-693	Min.	1.34					-0.01	22			4.53	22		
4182	-677	-693	Min.	21.63	-2513.89	24	-0.06	23	-0.01	21	-27.13	22	1.77	22	-0.02	21
4182	-693	-709	Max	0.00	-1254.02	23	0.02	24	0.01	21	43.78	21	6.04	22	-0.01	22
4182	-693	-709	Max	10.88					0.01	24			4.97	24		
4182	-693	-709	Max	21.63	-1253.04	23	0.02	24	0.01	24	15.58	21	6.90	21	-0.01	22
4182	-693	-709	Min.	0.00	-2531.33	24	-0.06	23	0.00	22	-12.96	22	0.17	23	-0.02	21
4182	-693	-709	Min.	7.14					0.00	26			4.18	26		
4182	-693	-709	Min.	21.63	-2528.39	24	-0.06	23	-0.01	23	-41.88	22	0.11	22	-0.02	21
4182	-709	-725	Max	0.00	-1268.27	23	0.05	24	0.02	24	28.35	21	7.92	22	-0.01	23
4182	-709	-725	Max	0.54					0.02	24			6.50	24		
4182	-709	-725	Max	21.63	-1267.29	23	0.05	24	0.03	24	2.73	23	5.90	21	-0.01	23
4182	-709	-725	Min.	0.00	-2514.52	24	-0.06	23	0.00	23	-25.47	22	1.33	23	-0.02	21
4182	-709	-725	Min.	20.82					0.01	25			5.14	25		
4182	-709	-725	Min.	21.63	-2511.58	24	-0.06	23	-0.01	23	-54.40	22	-0.72	22	-0.02	21
4182	-725	-741	Max	0.00	-1255.85	23	0.07	24	0.00	23	-13.25	23	12.61	22	0.00	22
4182	-725	-741	Max	21.63	-1254.87	23	0.07	24	0.00	23	-25.34	23	0.42	21	0.00	22
4182	-725	-741	Min.	0.00	-2465.24	21	-0.00	23	-0.02	24	-69.60	22	4.35	23	-0.00	11

4182	-725	-741	Min.	21.63	-2462.95	21	-0.00	23	-0.01	11	-98.53	22	-5.58	22	-0.00	11
4182	-741	-757	Max	0.00	-1231.23	23	0.04	24	0.00	23	-18.96	23	12.90	22	0.00	22
4182	-741	-757	Max	12.98					-0.00	12			2.12	12		
4182	-741	-757	Max	21.63	-1230.25	23	0.04	24	0.00	24	-31.05	23	-0.98	23	0.00	22
4182	-741	-757	Min.	0.00	-2417.27	21	-0.00	23	-0.01	24	-80.11	22	4.43	23	-0.00	21
4182	-741	-757	Min.	12.98					-0.00	12			2.12	12		
4182	-741	-757	Min.	21.63	-2414.98	21	-0.00	23	0.00	12	-109.04	22	-7.56	22	-0.00	21
4182	-757	-773	Max	0.00	-1200.47	23	0.04	24	0.00	21	-24.12	23	13.40	24	0.00	22
4182	-757	-773	Max	21.63	-1199.49	23	0.04	24	0.01	24	-36.21	23	-1.95	23	0.00	22
4182	-757	-773	Min.	0.00	-2356.15	21	-0.00	23	0.00	22	-90.28	22	4.57	23	-0.00	21
4182	-757	-773	Min.	21.63	-2353.86	21	-0.00	23	0.00	23	-119.21	22	-9.28	22	-0.00	21
4182	-773	-789	Max	0.00	-1171.12	23	0.05	24	0.01	11	-33.71	23	12.34	22	-0.00	22
4182	-773	-789	Max	21.63	-1170.14	23	0.05	24	0.02	24	-45.80	23	-5.00	23	-0.00	22
4182	-773	-789	Min.	0.00	-2296.92	21	0.00	23	0.00	23	-104.80	22	3.60	23	-0.01	21
4182	-773	-789	Min.	21.63	-2294.63	21	0.00	23	0.00	23	-138.37	24	-14.32	24	-0.01	21
4183	3006	-518	Max	0.00	79.46	21	0.86	11	-0.02	22	-21.76	12	3.80	21	-0.09	12
4183	3006	-518	Max	16.72	80.78	21	2.28	21	0.13	21	-32.79	12	-2.59	12	-0.09	12
4183	3006	-518	Min.	0.00	49.25	12	-0.47	23	-0.07	21	-43.00	21	1.97	12	-0.26	21
4183	3006	-518	Min.	16.72	50.14	12	0.24	22	0.02	22	-59.26	21	-4.75	21	-0.26	21
4183	-518	-534	Max	0.00	318.38	21	2.03	21	-0.04	22	8.10	24	-0.26	23	-0.01	22
4183	-518	-534	Max	7.66									-0.20	11		
4183	-518	-534	Max	16.72	319.70	21	4.13	21	0.30	21	-6.17	12	-0.49	12	-0.01	22
4183	-518	-534	Min.	0.00	182.96	12	0.57	22	-0.21	21	-0.63	23	-0.54	24	-0.13	23
4183	-518	-534	Min.	4.32					-0.11	21			-0.41	21		
4183	-518	-534	Min.	16.72	183.85	12	0.57	22	0.06	22	-12.66	24	-1.14	21	-0.13	23
4183	-534	4033	Max	0.00	412.24	21	2.65	21	-0.01	22	-40.44	22	3.39	21	0.04	21
4183	-534	4033	Max	16.72	413.56	21	4.76	21	0.38	21	-47.78	23	-5.46	23	0.04	21
4183	-534	4033	Min.	0.00	235.49	12	0.30	22	-0.24	21	-65.73	21	1.50	22	0.03	23
4183	-534	4033	Min.	16.72	236.38	12	0.30	22	0.04	22	-81.99	21	-8.96	21	0.03	23
4183	4033	-550	Max	0.00	1933.46	21	0.22	11	0.81	23	429.71	21	-33.02	23	0.11	23
4183	4033	-550	Max	17.31					-0.01	24			9.72	24		
4183	4033	-550	Max	21.63	1935.62	21	0.22	11	0.03	23	403.10	21	26.91	24	0.11	23
4183	4033	-550	Min.	0.00	695.50	22	-5.13	23	-0.05	11	219.51	23	-64.30	21	-0.06	24
4183	4033	-550	Min.	17.31					-0.01	24			9.72	24		
4183	4033	-550	Min.	21.63	697.72	22	-2.10	23	-0.00	11	208.09	23	13.23	23	-0.06	24
4183	-550	-566	Max	0.00	874.75	21	-0.03	12	0.00	22	390.43	21	-24.18	23	0.13	23
4183	-550	-566	Max	21.63	876.91	21	0.43	23	-0.01	22	363.81	21	34.91	21	0.13	23
4183	-550	-566	Min.	0.00	-14.31	22	-2.60	23	-0.13	23	201.06	23	-46.67	21	-0.02	24
4183	-550	-566	Min.	21.63	-12.10	22	-0.05	24	-0.36	23	189.63	23	18.08	23	-0.02	24
4183	-566	-582	Max	0.00	-12.89	23	0.37	23	0.00	24	335.55	21	-18.91	23	0.09	23
4183	-566	-582	Max	21.63	-11.97	23	3.40	23	0.00	12	308.94	21	33.31	21	0.09	23
4183	-566	-582	Min.	0.00	-612.27	22	-0.03	24	-0.51	23	173.26	23	-36.40	21	-0.02	24
4183	-566	-582	Min.	21.63	-610.06	22	-0.03	24	-0.10	23	161.83	23	17.33	23	-0.02	24
4183	-582	-598	Max	0.00	-388.76	23	4.33	23	0.01	24	293.39	21	-15.12	23	-0.01	22
4183	-582	-598	Max	21.63	-387.83	23	7.36	23	0.99	23	266.78	21	31.55	21	-0.01	22
4183	-582	-598	Min.	0.00	-1089.39	24	0.02	22	-0.28	23	152.53	23	-29.04	21	-0.16	23
4183	-582	-598	Min.	21.63	-1086.62	24	0.02	22	0.01	22	141.11	23	16.64	23	-0.16	23
4183	-598	-614	Max	0.00	-659.21	23	-0.01	11	1.02	23	210.04	21	-8.87	22	0.41	23
4183	-598	-614	Max	21.63	-658.28	23	-0.01	11	-0.02	22	183.43	21	23.80	21	0.41	23
4183	-598	-614	Min.	0.00	-1574.53	24	-6.95	23	-0.02	24	103.80	23	-18.76	21	-0.05	24
4183	-598	-614	Min.	21.63	-1571.76	24	-3.92	23	-0.16	23	92.38	23	12.02	23	-0.05	24
4183	-614	-630	Max	0.00	-849.61	23	-0.04	12	0.00	22	180.69	21	-6.61	22	0.08	23
4183	-614	-630	Max	21.63	-848.68	23	0.25	23	-0.01	22	154.08	21	20.73	21	0.08	23
4183	-614	-630	Min.	0.00	-1922.18	24	-2.78	23	-0.16	23	89.76	23	-15.48	21	-0.04	24
4183	-614	-630	Min.	21.63	-1919.41	24	-0.06	24	-0.43	23	73.78	22	10.46	23	-0.04	24
4183	-630	-646	Max	0.00	-997.00	23	0.22	23	0.02	24	153.96	21	-4.17	22	-0.02	22
4183	-630	-646	Max	21.63	-996.08	23	3.24	23	0.00	11	127.34	21	18.29	21	-0.02	22
4183	-630	-646	Min.	0.00	-2181.51	24	-0.06	24	-0.50	23	76.95	23	-12.13	21	-0.08	21
4183	-630	-646	Min.	21.63	-2178.74	24	-0.06	24	-0.13	23	52.94	22	9.29	23	-0.08	21

4183	-646	-662	Max	0.00	-1110.57	23	4.56	23	0.03	24	131.31	21	-1.61	22	-0.03	22
4183	-646	-662	Max	21.63	-1109.64	23	7.59	23	1.05	23	104.70	21	16.73	21	-0.03	22
4183	-646	-662	Min.	0.00	-2370.08	24	-0.01	22	-0.26	23	62.56	22	-8.80	21	-0.51	23
4183	-646	-662	Min.	21.63	-2367.31	24	-0.01	22	0.02	22	35.29	22	8.60	23	-0.51	23
4183	-662	-678	Max	0.00	-1156.15	23	0.07	24	1.06	23	76.42	21	3.75	22	0.67	23
4183	-662	-678	Max	10.65					-0.02	22			4.47	22		
4183	-662	-678	Max	21.63	-1155.22	23	0.07	24	-0.01	22	49.81	21	10.98	21	0.67	23
4183	-662	-678	Min.	0.00	-2492.32	24	-7.26	23	-0.04	24	13.46	22	-2.68	21	-0.02	11
4183	-662	-678	Min.	10.65					-0.02	22			4.47	22		
4183	-662	-678	Min.	21.63	-2489.55	24	-4.23	23	-0.18	23	-13.82	22	3.71	22	-0.02	11
4183	-678	-694	Max	0.00	-1201.00	23	0.02	24	-0.00	22	58.97	21	4.63	22	0.15	23
4183	-678	-694	Max	17.31					-0.00	26			4.43	26		
4183	-678	-694	Max	21.63	-1200.08	23	0.20	23	-0.00	22	32.35	21	8.59	21	0.15	23
4183	-678	-694	Min.	0.00	-2539.80	24	-2.83	23	-0.16	23	-0.17	22	-1.29	21	-0.01	11
4183	-678	-694	Min.	17.31					-0.00	26			4.43	26		
4183	-678	-694	Min.	21.63	-2537.02	24	0.01	22	-0.45	23	-27.44	22	1.64	22	-0.01	11
4183	-694	-710	Max	0.00	-1229.06	23	0.36	23	0.01	24	41.64	21	6.06	22	-0.01	22
4183	-694	-710	Max	9.14					0.01	24			4.90	24		
4183	-694	-710	Max	21.63	-1228.14	23	3.39	23	0.01	24	15.02	21	6.74	21	-0.01	22
4183	-694	-710	Min.	0.00	-2552.06	24	0.01	12	-0.53	23	-14.08	22	0.22	23	-0.11	23
4183	-694	-710	Min.	6.31					0.01	26			4.16	26		
4183	-694	-710	Min.	21.63	-2549.28	24	0.01	12	-0.13	23	-41.36	22	0.06	22	-0.11	23
4183	-710	-726	Max	0.00	-1242.65	23	4.97	23	0.02	24	27.10	21	7.90	22	-0.01	22
4183	-710	-726	Max	20.55					0.03	11			5.13	11		
4183	-710	-726	Max	21.63	-1241.72	23	8.00	23	1.12	23	2.85	23	5.86	21	-0.01	22
4183	-710	-726	Min.	0.00	-2534.35	24	0.02	22	-0.28	23	-25.71	22	1.36	23	-0.74	23
4183	-710	-726	Min.	20.82					0.65	25			5.11	25		
4183	-710	-726	Min.	21.63	-2531.57	24	0.02	22	0.02	22	-52.98	22	-0.61	22	-0.74	23
4183	-726	-742	Max	0.00	-1237.22	23	0.06	24	1.13	23	-14.29	23	12.84	22	0.89	23
4183	-726	-742	Max	21.63	-1236.29	23	0.06	24	-0.01	22	-25.72	23	0.28	21	0.89	23
4183	-726	-742	Min.	0.00	-2469.31	24	-7.77	23	-0.03	24	-72.09	22	4.44	23	-0.00	22
4183	-726	-742	Min.	21.63	-2466.54	24	-4.74	23	-0.22	23	-99.37	22	-5.70	22	-0.00	22
4183	-742	-758	Max	0.00	-1212.08	23	0.04	24	-0.00	22	-19.63	23	12.95	22	0.19	23
4183	-742	-758	Max	17.31					-0.00	11			0.55	11		
4183	-742	-758	Max	21.63	-1211.15	23	0.04	24	0.00	11	-31.06	23	-1.03	23	0.19	23
4183	-742	-758	Min.	0.00	-2407.36	21	-3.07	23	-0.17	23	-81.61	22	4.45	23	-0.00	24
4183	-742	-758	Min.	17.31					-0.00	22			-3.06	22		
4183	-742	-758	Min.	21.63	-2405.20	21	-0.04	23	-0.50	23	-108.89	22	-7.65	22	-0.00	24
4183	-758	-774	Max	0.00	-1181.13	23	0.39	23	0.00	24	-24.46	23	13.34	22	-0.00	12
4183	-758	-774	Max	21.63	-1180.21	23	3.42	23	0.01	24	-35.89	23	-1.96	23	-0.00	12
4183	-758	-774	Min.	0.00	-2346.11	21	0.01	22	-0.56	23	-90.99	22	4.57	23	-0.18	23
4183	-758	-774	Min.	21.63	-2343.95	21	0.01	22	-0.15	23	-118.27	22	-9.29	22	-0.18	23
4183	-774	-790	Max	0.00	-1151.89	23	5.12	23	0.01	24	-33.69	23	12.25	22	-0.01	22
4183	-774	-790	Max	21.63	-1150.96	23	8.15	23	1.18	23	-45.11	23	-4.95	23	-0.01	22
4183	-774	-790	Min.	0.00	-2287.38	21	0.02	22	-0.26	23	-104.69	22	3.57	23	-0.91	23
4183	-774	-790	Min.	21.63	-2285.22	21	0.02	22	0.01	22	-135.90	24	-14.13	24	-0.91	23
4220	3007	-519	Max	0.00	17.23	22	4.68	21	-0.20	22	10.84	23	0.78	22	-0.00	22
4220	3007	-519	Max	10.18					0.08	21			0.26	21		
4220	3007	-519	Max	16.72	18.57	22	4.68	21	0.39	21	3.79	23	0.53	23	-0.00	22
4220	3007	-519	Min.	0.00	-9.28	23	2.36	22	-0.39	21	-2.41	12	-0.70	23	-0.16	21
4220	3007	-519	Min.	8.64					0.01	25			0.23	25		
4220	3007	-519	Min.	16.72	-8.71	23	2.36	22	0.20	22	-20.50	24	-0.91	24	-0.16	21
4220	-519	-535	Max	0.00	50.83	22	6.16	21	-0.20	22	7.48	23	1.21	24	0.03	22
4220	-519	-535	Max	2.36					-0.29	25			0.50	25		
4220	-519	-535	Max	16.72	52.18	22	6.16	21	0.53	21	0.44	23	0.48	23	0.03	22
4220	-519	-535	Min.	0.00	-30.36	23	2.43	22	-0.50	21	-8.49	22	-0.18	23	-0.10	23
4220	-519	-535	Min.	4.33					-0.24	21			0.48	21		
4220	-519	-535	Min.	16.72	-29.79	23	2.43	22	0.20	22	-28.22	24	-1.77	24	-0.10	23
4220	-535	4034	Max	0.00	92.30	24	6.01	21	-0.19	22	-6.35	23	1.46	21	0.00	23

4220	-535	4034	Max	16.72	93.99	24	6.01	21	0.51	21	-13.40	23	-0.98	23	0.00	23
4220	-535	4034	Min.	0.00	-41.38	23	2.27	12	-0.49	21	-24.55	24	0.40	22	-0.01	24
4220	-535	4034	Min.	16.72	-40.81	23	2.27	12	0.19	12	-45.31	24	-4.68	24	-0.01	24
4220	4034	-551	Max	0.00	987.07	21	-0.04	23	0.07	24	243.90	21	-17.78	23	-0.03	23
4220	4034	-551	Max	21.63	989.23	21	-0.04	23	0.01	23	217.28	21	15.29	24	-0.03	23
4220	4034	-551	Min.	0.00	85.24	22	-0.87	24	0.02	23	120.97	23	-35.54	21	-0.13	24
4220	4034	-551	Min.	21.63	87.45	22	-0.87	24	-0.12	24	109.54	23	7.15	23	-0.13	24
4220	-551	-567	Max	0.00	416.79	21	-0.07	23	0.02	22	214.05	21	-12.41	23	-0.01	23
4220	-551	-567	Max	21.63	418.95	21	-0.07	23	-0.00	23	187.43	21	18.62	21	-0.01	23
4220	-551	-567	Min.	0.00	-271.64	22	-0.39	24	0.01	12	106.19	23	-24.81	21	-0.17	24
4220	-551	-567	Min.	21.63	-269.43	22	-0.39	24	-0.07	24	94.76	23	9.32	23	-0.17	24
4220	-567	-583	Max	0.00	-35.72	12	-0.05	23	0.05	24	179.17	21	-9.24	22	-0.01	23
4220	-567	-583	Max	21.63	-34.25	12	-0.05	23	-0.01	23	152.55	21	17.12	21	-0.01	23
4220	-567	-583	Min.	0.00	-553.71	22	-0.40	24	0.00	23	89.54	23	-18.76	21	-0.16	24
4220	-567	-583	Min.	21.63	-551.49	22	-0.40	24	-0.03	24	78.11	23	8.65	23	-0.16	24
4220	-583	-599	Max	0.00	-223.38	23	-0.03	23	0.09	24	149.81	21	-6.37	22	-0.01	23
4220	-583	-599	Max	21.63	-222.45	23	-0.03	23	0.03	11	123.20	21	14.88	21	-0.01	23
4220	-583	-599	Min.	0.00	-754.80	22	-0.31	24	0.00	23	75.28	23	-14.65	21	-0.18	24
4220	-583	-599	Min.	21.63	-752.59	22	-0.31	24	-0.00	23	57.47	22	7.58	23	-0.18	24
4220	-599	-615	Max	0.00	-368.94	23	0.08	11	-0.01	23	134.66	21	-4.72	22	-0.03	23
4220	-599	-615	Max	21.63	-368.02	23	0.08	11	-0.02	23	108.05	21	13.91	21	-0.03	23
4220	-599	-615	Min.	0.00	-954.94	24	-0.03	23	-0.07	24	68.03	23	-12.35	21	-0.07	21
4220	-599	-615	Min.	21.63	-952.17	24	-0.03	23	-0.06	24	44.32	22	7.15	23	-0.07	21
4220	-615	-631	Max	0.00	-484.08	23	-0.04	23	0.01	22	111.00	21	-2.41	22	-0.03	23
4220	-615	-631	Max	21.63	-483.16	23	-0.04	23	-0.01	23	84.39	21	11.96	21	-0.03	23
4220	-615	-631	Min.	0.00	-1141.00	24	-0.10	24	0.00	12	52.78	22	-9.18	21	-0.07	24
4220	-615	-631	Min.	21.63	-1138.23	24	-0.10	24	-0.02	21	25.50	22	6.05	22	-0.07	24
4220	-631	-647	Max	0.00	-570.99	23	-0.03	23	0.04	24	90.00	21	-0.55	22	-0.03	23
4220	-631	-647	Max	21.63	-570.06	23	-0.03	23	0.02	11	63.38	21	9.98	21	-0.03	23
4220	-631	-647	Min.	0.00	-1268.71	24	-0.11	24	0.01	23	36.06	22	-6.61	21	-0.07	24
4220	-631	-647	Min.	21.63	-1265.94	24	-0.11	24	0.00	23	8.78	22	4.30	22	-0.07	24
4220	-647	-663	Max	0.00	-635.07	23	0.03	11	0.07	24	70.32	21	0.93	22	-0.03	23
4220	-647	-663	Max	15.87					0.04	22			2.52	22		
4220	-647	-663	Max	21.63	-634.14	23	0.03	11	0.08	11	43.71	21	7.83	21	-0.03	23
4220	-647	-663	Min.	0.00	-1350.68	24	-0.03	22	0.02	23	20.01	22	-4.50	21	-0.09	24
4220	-647	-663	Min.	15.87					0.04	22			2.52	22		
4220	-647	-663	Min.	21.63	-1347.91	24	-0.03	22	0.02	23	-7.26	22	2.31	22	-0.09	24
4220	-663	-679	Max	0.00	-632.58	23	0.18	24	-0.02	23	63.16	21	0.88	22	-0.02	22
4220	-663	-679	Max	15.70					-0.03	22			2.44	22		
4220	-663	-679	Max	21.63	-631.66	23	0.18	24	-0.02	23	36.55	21	7.09	21	-0.02	22
4220	-663	-679	Min.	0.00	-1266.74	24	0.02	23	-0.09	24	19.79	22	-3.69	21	-0.05	21
4220	-663	-679	Min.	15.70					-0.03	22			2.44	22		
4220	-663	-679	Min.	21.63	-1263.97	24	0.02	23	-0.05	11	-7.48	22	2.21	22	-0.05	21
4220	-679	-695	Max	0.00	-664.24	23	0.06	24	-0.00	23	45.79	21	2.71	22	-0.01	22
4220	-679	-695	Max	19.34					-0.01	24			3.66	24		
4220	-679	-695	Max	21.63	-663.31	23	0.06	24	0.00	22	19.18	21	5.46	21	-0.01	22
4220	-679	-695	Min.	0.00	-1299.73	24	-0.01	23	-0.02	11	4.97	22	-1.57	21	-0.04	21
4220	-679	-695	Min.	17.31					-0.00	22			1.68	22		
4220	-679	-695	Min.	21.63	-1296.96	24	-0.01	23	-0.01	21	-22.31	22	0.83	22	-0.04	21
4220	-695	-711	Max	0.00	-682.86	23	0.05	24	0.02	21	29.87	21	4.15	22	-0.02	22
4220	-695	-711	Max	7.92					0.02	24			3.16	24		
4220	-695	-711	Max	21.63	-681.93	23	0.05	24	0.02	24	3.57	23	3.79	21	-0.02	22
4220	-695	-711	Min.	0.00	-1305.20	24	-0.02	23	0.01	23	-8.56	22	0.05	23	-0.04	21
4220	-695	-711	Min.	4.33					0.01	26			2.75	26		
4220	-695	-711	Min.	21.63	-1302.43	24	-0.02	23	0.00	23	-35.84	22	-0.66	22	-0.04	21
4220	-711	-727	Max	0.00	-690.35	23	0.12	24	0.05	11	14.51	21	5.36	22	-0.03	23
4220	-711	-727	Max	11.79					0.06	21			2.61	21		
4220	-711	-727	Max	21.63	-689.42	23	0.12	24	0.07	24	-3.46	23	2.02	21	-0.03	23
4220	-711	-727	Min.	0.00	-1287.79	21	0.01	23	0.02	23	-21.99	22	0.84	23	-0.06	24

4220	-711	-727	Min.	14.79					0.02	23			1.44	23		
4220	-711	-727	Min.	21.63	-1285.63	21	0.01	23	0.02	23	-49.26	22	-2.35	22	-0.06	24
4220	-727	-743	Max	0.00	-689.72	23	0.35	24	-0.04	23	7.83	11	5.58	22	0.06	22
4220	-727	-743	Max	4.33					-0.08	21			2.74	21		
4220	-727	-743	Max	21.63	-688.79	23	0.35	24	-0.00	22	-11.04	23	1.15	21	0.06	22
4220	-727	-743	Min.	0.00	-1291.23	21	0.13	23	-0.10	24	-24.57	22	1.65	23	0.01	11
4220	-727	-743	Min.	0.54					-0.04	23			1.65	23		
4220	-727	-743	Min.	21.63	-1289.07	21	0.13	23	-0.03	21	-51.85	22	-2.69	22	0.01	11
4220	-743	-759	Max	0.00	-679.14	23	0.28	24	-0.02	23	-5.42	12	7.05	22	0.05	22
4220	-743	-759	Max	21.63	-678.21	23	0.28	24	0.02	22	-17.51	23	-0.25	12	0.05	22
4220	-743	-759	Min.	0.00	-1273.09	21	0.10	23	-0.04	24	-37.38	22	2.27	23	0.01	23
4220	-743	-759	Min.	21.63	-1270.93	21	0.10	23	0.01	23	-64.66	22	-3.99	22	0.01	23
4220	-759	-775	Max	0.00	-662.65	23	0.26	24	0.00	21	-11.65	23	7.99	22	0.04	22
4220	-759	-775	Max	21.63	-661.72	23	0.26	24	0.05	24	-23.07	23	-1.10	23	0.04	22
4220	-759	-775	Min.	0.00	-1242.29	21	0.09	23	-0.01	22	-48.70	22	2.65	23	0.01	23
4220	-759	-775	Min.	21.63	-1240.13	21	0.09	23	0.02	23	-75.98	22	-5.50	22	0.01	23
4220	-775	-791	Max	0.00	-644.74	23	0.28	24	0.04	21	-20.15	23	7.81	22	0.03	22
4220	-775	-791	Max	21.63	-643.82	23	0.28	24	0.09	24	-31.58	23	-3.35	23	0.03	22
4220	-775	-791	Min.	0.00	-1207.44	21	0.10	23	0.00	22	-63.10	22	2.24	23	-0.00	11
4220	-775	-791	Min.	21.63	-1205.28	21	0.10	23	0.04	23	-93.31	24	-9.26	24	-0.00	11
4221	3008	-520	Max	0.00	42.48	21	3.60	24	-0.19	23	-7.14	12	1.85	21	0.00	22
4221	3008	-520	Max	16.72	42.60	21	5.54	21	0.40	21	-8.19	12	-0.71	12	0.00	22
4221	3008	-520	Min.	0.00	18.41	12	1.54	23	-0.35	21	-23.11	21	0.57	12	-0.16	21
4221	3008	-520	Min.	16.72	18.50	12	2.33	22	0.19	22	-24.54	21	-2.13	21	-0.16	21
4221	-520	-536	Max	0.00	157.98	21	5.03	21	-0.20	22	1.24	11	-0.08	23	0.03	22
4221	-520	-536	Max	0.92					-0.27	24			-0.15	24		
4221	-520	-536	Max	16.72	158.10	21	7.13	21	0.55	21	0.04	11	-0.03	12	0.03	22
4221	-520	-536	Min.	0.00	63.86	12	2.42	22	-0.47	21	-2.06	23	-0.16	21	-0.10	23
4221	-520	-536	Min.	0.92					-0.27	24			-0.15	24		
4221	-520	-536	Min.	16.72	63.94	12	2.42	22	0.20	22	-2.95	23	-0.50	23	-0.10	23
4221	-536	4036	Max	0.00	214.45	21	5.78	21	-0.19	22	-11.27	22	1.58	21	0.02	22
4221	-536	4036	Max	16.72	214.56	21	7.89	21	0.63	21	-12.52	22	-1.99	12	0.02	22
4221	-536	4036	Min.	0.00	84.82	22	2.29	22	-0.51	21	-32.42	21	-0.04	22	-0.06	23
4221	-536	4036	Min.	16.72	84.92	22	2.29	22	0.19	22	-33.85	21	-3.96	21	-0.06	23
4221	4036	-552	Max	0.00	985.93	21	-0.40	12	0.84	23	202.33	21	-14.70	22	0.11	23
4221	4036	-552	Max	21.63	986.09	21	-0.40	12	-0.04	23	200.27	21	12.45	21	0.11	23
4221	4036	-552	Min.	0.00	2.81	22	-5.62	23	0.01	12	109.50	23	-31.10	21	-0.15	24
4221	4036	-552	Min.	21.63	2.96	22	-2.63	21	-0.11	24	107.72	22	6.75	23	-0.15	24
4221	-552	-568	Max	0.00	466.39	21	-0.26	12	0.02	22	187.89	21	-10.36	22	0.08	23
4221	-552	-568	Max	21.63	466.56	21	0.33	23	-0.05	12	185.83	21	17.33	21	0.08	23
4221	-552	-568	Min.	0.00	-276.26	22	-2.70	23	-0.13	23	97.33	22	-23.10	21	-0.17	24
4221	-552	-568	Min.	21.63	-276.11	22	-0.41	24	-0.39	23	95.50	22	9.37	23	-0.17	24
4221	-568	-584	Max	0.00	5.41	12	0.24	23	0.05	24	165.65	21	-8.19	22	0.03	23
4221	-568	-584	Max	21.63	5.53	12	3.27	23	-0.02	12	163.59	21	17.06	21	0.03	23
4221	-568	-584	Min.	0.00	-517.82	22	-0.41	24	-0.49	23	85.68	22	-18.55	21	-0.17	24
4221	-568	-584	Min.	21.63	-517.67	22	-0.41	24	-0.11	21	83.84	22	9.19	23	-0.17	24
4221	-584	-600	Max	0.00	-198.07	23	4.24	23	0.09	24	148.86	21	-6.36	22	-0.12	12
4221	-584	-600	Max	21.63	-197.97	23	7.26	23	1.00	23	146.80	21	16.80	21	-0.12	12
4221	-584	-600	Min.	0.00	-709.50	22	-0.32	24	-0.24	23	76.30	22	-15.18	21	-0.30	21
4221	-584	-600	Min.	21.63	-709.35	22	-0.32	24	-0.00	22	74.47	22	9.07	23	-0.30	21
4221	-600	-616	Max	0.00	-342.26	23	0.09	11	0.97	23	97.22	21	-1.86	22	0.40	23
4221	-600	-616	Max	21.63	-342.16	23	0.09	11	-0.03	22	95.16	21	11.99	21	0.40	23
4221	-600	-616	Min.	0.00	-856.31	24	-6.82	23	-0.07	24	38.04	22	-8.82	21	-0.07	24
4221	-600	-616	Min.	21.63	-856.14	24	-3.79	23	-0.19	21	36.20	22	6.17	22	-0.07	24
4221	-616	-632	Max	0.00	-443.47	23	-0.05	12	0.01	22	88.30	21	-1.86	22	0.08	23
4221	-616	-632	Max	21.63	-443.37	23	0.29	23	-0.01	22	86.24	21	10.81	21	0.08	23
4221	-616	-632	Min.	0.00	-1013.82	24	-2.74	23	-0.16	23	34.15	22	-8.07	21	-0.07	24
4221	-616	-632	Min.	21.63	-1013.65	24	-0.10	24	-0.43	23	32.31	22	5.33	22	-0.07	24
4221	-632	-648	Max	0.00	-524.75	23	0.26	23	0.04	24	79.29	21	-1.32	22	-0.05	12

4221	-632	-648	Max	21.63	-524.64	23	3.28	23	0.02	11	77.23	21	10.08	21	-0.05	12
4221	-632	-648	Min.	0.00	-1139.89	24	-0.11	24	-0.50	23	29.51	22	-6.85	21	-0.10	21
4221	-632	-648	Min.	21.63	-1139.72	24	-0.11	24	-0.11	23	27.67	22	4.87	22	-0.10	21
4221	-648	-664	Max	0.00	-590.00	23	4.65	23	0.08	24	72.64	21	-0.36	22	-0.06	12
4221	-648	-664	Max	21.63	-589.90	23	7.68	23	1.10	23	70.58	21	10.17	21	-0.06	12
4221	-648	-664	Min.	0.00	-1239.65	24	-0.03	22	-0.24	23	26.71	22	-5.32	21	-0.53	21
4221	-648	-664	Min.	21.63	-1239.48	24	-0.03	22	0.04	22	24.88	22	5.20	23	-0.53	21
4221	-664	-680	Max	0.00	-630.09	23	0.20	24	1.02	23	26.79	21	4.22	22	0.65	23
4221	-664	-680	Max	15.39					-0.05	26			2.57	26		
4221	-664	-680	Max	21.63	-629.99	23	0.20	24	-0.03	22	24.73	21	5.40	21	0.65	23
4221	-664	-680	Min.	0.00	-1280.10	24	-7.16	23	-0.09	24	-15.16	22	-0.19	12	-0.04	11
4221	-664	-680	Min.	15.39					-0.05	26			2.57	26		
4221	-664	-680	Min.	21.63	-1279.93	24	-4.13	23	-0.21	21	-16.99	22	0.74	22	-0.04	11
4221	-680	-696	Max	0.00	-652.65	23	0.08	24	-0.01	22	23.96	21	3.46	22	0.14	23
4221	-680	-696	Max	4.33					-0.01	26			1.84	26		
4221	-680	-696	Max	21.63	-652.55	23	0.26	21	0.00	22	21.90	21	4.41	21	0.14	23
4221	-680	-696	Min.	0.00	-1293.51	24	-2.78	23	-0.17	23	-15.14	22	-0.55	21	-0.03	11
4221	-680	-696	Min.	17.31					-0.00	22			0.71	22		
4221	-680	-696	Min.	21.63	-1293.34	24	0.04	12	-0.45	23	-16.98	22	-0.02	22	-0.03	11
4221	-696	-712	Max	0.00	-668.24	23	0.40	23	0.01	24	19.78	21	3.54	22	-0.02	22
4221	-696	-712	Max	17.31					0.02	24			2.13	24		
4221	-696	-712	Max	21.63	-668.14	23	3.43	23	0.03	24	17.72	21	3.94	21	-0.02	22
4221	-696	-712	Min.	0.00	-1297.19	24	0.03	12	-0.53	23	-16.67	22	-0.18	11	-0.13	21
4221	-696	-712	Min.	17.31					0.02	24			2.13	24		
4221	-696	-712	Min.	21.63	-1297.02	24	0.03	12	-0.12	23	-18.51	22	-0.27	22	-0.13	21
4221	-712	-728	Max	0.00	-677.97	23	5.05	23	0.05	11	17.58	21	4.13	22	-0.04	22
4221	-712	-728	Max	10.45					0.06	24			2.91	24		
4221	-712	-728	Max	21.63	-677.87	23	8.08	23	1.16	23	15.52	21	4.39	21	-0.04	22
4221	-712	-728	Min.	0.00	-1292.70	24	0.08	22	-0.26	23	-16.42	22	0.51	23	-0.77	23
4221	-712	-728	Min.	10.45					0.06	24			2.91	24		
4221	-712	-728	Min.	21.63	-1292.53	24	0.08	22	0.04	22	-18.26	22	0.38	22	-0.77	23
4221	-728	-744	Max	0.00	-672.59	23	0.37	24	1.09	23	-11.19	23	8.00	22	0.90	23
4221	-728	-744	Max	21.63	-672.49	23	0.37	24	-0.00	22	-12.43	23	0.12	12	0.90	23
4221	-728	-744	Min.	0.00	-1271.07	21	-7.62	23	-0.11	24	-52.60	22	2.63	23	0.00	11
4221	-728	-744	Min.	21.63	-1270.90	21	-4.59	23	-0.23	23	-54.44	22	-3.58	22	0.00	11
4221	-744	-760	Max	0.00	-660.02	23	0.29	24	-0.03	12	-11.90	23	7.00	22	0.20	23
4221	-744	-760	Max	21.63	-659.92	23	0.29	24	0.02	22	-13.14	23	-0.42	23	0.20	23
4221	-744	-760	Min.	0.00	-1246.93	21	-2.96	23	-0.19	21	-51.18	22	2.29	23	0.01	12
4221	-744	-760	Min.	21.63	-1246.76	21	0.07	23	-0.50	23	-53.02	22	-4.27	22	0.01	12
4221	-760	-776	Max	0.00	-645.74	23	0.55	21	0.00	11	-12.84	23	6.62	22	0.04	22
4221	-760	-776	Max	21.63	-645.63	23	3.52	23	0.05	24	-14.08	23	-0.73	23	0.04	22
4221	-760	-776	Min.	0.00	-1220.13	21	0.14	12	-0.57	23	-50.79	22	2.18	23	-0.17	23
4221	-760	-776	Min.	21.63	-1219.96	21	0.14	12	-0.13	23	-52.63	22	-4.56	22	-0.17	23
4221	-776	-792	Max	0.00	-633.20	23	5.23	23	0.03	11	-15.62	23	5.82	22	0.03	22
4221	-776	-792	Max	21.63	-633.10	23	8.26	23	1.22	23	-16.87	23	-1.85	23	0.03	22
4221	-776	-792	Min.	0.00	-1197.18	21	0.16	12	-0.24	23	-51.74	22	1.67	23	-0.90	23
4221	-776	-792	Min.	21.63	-1197.01	21	0.16	12	0.06	22	-53.58	22	-5.57	22	-0.90	23
4385	-785	-777	Max	0.00	-597.83	23	0.25	21	-0.04	22	28.88	21	1.69	22	0.00	23
4385	-785	-777	Max	12.98					-0.05	26			-0.15	26		
4385	-785	-777	Max	21.63	-597.93	23	0.25	21	-0.02	23	26.82	21	2.95	21	0.00	23
4385	-785	-777	Min.	0.00	-1165.47	21	0.01	22	-0.09	21	-17.54	22	-3.08	21	-0.04	22
4385	-785	-777	Min.	12.98					-0.05	26			-0.15	26		
4385	-785	-777	Min.	21.63	-1165.64	21	0.01	22	-0.05	24	-18.39	22	-2.20	22	-0.04	22
4385	-777	-761	Max	0.00	-608.97	23	0.21	21	-0.01	22	24.61	21	3.06	22	0.01	21
4385	-777	-761	Max	17.31					-0.01	23			1.51	23		
4385	-777	-761	Max	21.63	-609.07	23	0.21	21	0.00	23	22.55	21	3.89	21	0.01	21
4385	-777	-761	Min.	0.00	-1187.18	21	-0.01	22	-0.05	21	-22.42	22	-1.21	21	-0.03	22
4385	-777	-761	Min.	12.98					-0.02	24			1.15	24		
4385	-777	-761	Min.	21.63	-1187.35	21	-0.01	22	-0.02	22	-23.27	22	-1.88	22	-0.03	22

4385	-761	-745	Max	0.00	-621.44	23	0.24	21	0.01	22	23.48	21	3.43	22	0.01	21
4385	-761	-745	Max	21.63	-621.54	23	0.24	21	0.04	21	21.42	21	4.14	21	0.01	21
4385	-761	-745	Min.	0.00	-1212.37	21	0.00	22	-0.01	21	-24.71	22	-0.72	11	-0.03	22
4385	-761	-745	Min.	21.63	-1212.53	21	0.00	22	0.01	22	-25.56	22	-2.01	22	-0.03	22
4385	-745	-729	Max	0.00	-594.90	22	0.34	21	0.05	24	23.01	21	3.85	22	0.01	21
4385	-745	-729	Max	21.63	-594.97	22	0.34	21	0.11	21	20.96	21	4.96	21	0.01	21
4385	-745	-729	Min.	0.00	-1234.73	21	0.06	22	0.02	23	-27.37	22	0.09	11	-0.05	22
4385	-745	-729	Min.	21.63	-1234.89	21	0.06	22	0.05	22	-28.22	22	-2.16	22	-0.05	22
4385	-729	-713	Max	0.00	-558.94	22	0.18	21	-0.06	22	-8.05	23	5.46	24	-0.04	22
4385	-729	-713	Max	21.63	-559.01	22	0.18	21	-0.04	23	-9.30	23	0.67	21	-0.04	22
4385	-729	-713	Min.	0.00	-1252.60	21	0.07	22	-0.10	21	-36.13	22	2.23	23	-0.07	21
4385	-729	-713	Min.	21.63	-1252.76	21	0.07	22	-0.07	21	-36.98	22	-3.18	22	-0.07	21
4385	-713	-697	Max	0.00	-506.71	22	0.08	21	-0.01	22	-9.74	23	5.26	24	-0.02	23
4385	-713	-697	Max	21.63	-506.78	22	0.08	21	-0.01	23	-10.98	23	-0.12	12	-0.02	23
4385	-713	-697	Min.	0.00	-1231.07	21	0.01	22	-0.03	21	-39.71	22	2.10	23	-0.04	21
4385	-713	-697	Min.	21.63	-1231.23	21	0.01	22	-0.02	21	-40.55	22	-3.71	22	-0.04	21
4385	-697	-681	Max	0.00	-445.37	22	0.10	21	0.01	24	-12.35	23	5.70	24	-0.02	23
4385	-697	-681	Max	21.63	-445.43	22	0.10	21	0.03	21	-13.59	23	-0.42	23	-0.02	23
4385	-697	-681	Min.	0.00	-1198.80	21	0.01	22	0.01	23	-43.71	22	2.38	23	-0.04	24
4385	-697	-681	Min.	21.63	-1198.97	21	0.01	22	0.02	22	-44.56	22	-4.22	22	-0.04	24
4385	-681	-665	Max	0.00	-373.09	22	0.26	21	0.07	21	-14.30	23	6.53	24	-0.03	23
4385	-681	-665	Max	21.63	-373.16	22	0.26	21	0.12	21	-15.55	23	-0.17	11	-0.03	23
4385	-681	-665	Min.	0.00	-1153.64	21	0.09	22	0.04	23	-47.75	22	2.94	23	-0.05	24
4385	-681	-665	Min.	21.63	-1153.80	21	0.09	22	0.06	22	-48.59	22	-4.63	22	-0.05	24
4385	-665	-649	Max	0.00	-290.72	22	0.08	22	-0.06	12	-38.04	23	10.35	21	-0.04	22
4385	-665	-649	Max	21.63	-290.79	22	0.08	22	-0.04	22	-39.28	23	-2.96	23	-0.04	22
4385	-665	-649	Min.	0.00	-1086.00	21	0.03	12	-0.10	21	-76.98	24	5.40	23	-0.10	21
4385	-665	-649	Min.	21.63	-1086.16	21	0.03	12	-0.09	21	-78.48	24	-6.78	24	-0.10	21
4385	-649	-633	Max	0.00	-181.05	22	-0.00	22	-0.01	12	-42.02	23	10.25	21	-0.03	22
4385	-649	-633	Max	21.63	-181.12	22	-0.00	22	-0.02	22	-43.26	23	-3.82	23	-0.03	22
4385	-649	-633	Min.	0.00	-955.23	21	-0.09	21	-0.03	21	-83.84	24	5.41	23	-0.08	21
4385	-649	-633	Min.	21.63	-955.40	21	-0.09	21	-0.04	21	-85.34	24	-8.19	24	-0.08	21
4385	-633	-617	Max	0.00	-50.74	22	-0.01	22	0.02	21	-47.22	23	10.96	21	-0.03	22
4385	-633	-617	Max	21.63	-50.81	22	-0.01	22	0.01	22	-48.46	23	-4.54	23	-0.03	22
4385	-633	-617	Min.	0.00	-793.98	21	-0.08	21	0.01	23	-92.65	24	5.81	23	-0.07	21
4385	-633	-617	Min.	21.63	-794.15	21	-0.08	21	0.00	11	-94.15	24	-9.45	24	-0.07	21
4385	-617	-601	Max	0.00	104.95	22	0.17	21	0.07	21	-52.29	23	11.99	21	-0.03	23
4385	-617	-601	Max	21.63	104.88	22	0.17	21	0.10	21	-53.53	23	-5.13	23	-0.03	23
4385	-617	-601	Min.	0.00	-596.59	21	0.07	12	0.03	22	-101.64	24	6.31	23	-0.07	21
4385	-617	-601	Min.	21.63	-596.75	21	0.07	12	0.05	22	-103.14	24	-10.48	24	-0.07	21
4385	-601	-585	Max	0.00	293.13	22	-0.01	22	-0.02	12	-66.56	23	15.33	21	-0.06	22
4385	-601	-585	Max	21.63	293.06	22	-0.01	22	-0.04	22	-67.80	23	-7.09	23	-0.06	22
4385	-601	-585	Min.	0.00	-339.35	21	-0.39	21	-0.04	24	-136.69	24	7.44	23	-0.26	21
4385	-601	-585	Min.	21.63	-339.51	21	-0.39	21	-0.12	21	-138.19	24	-15.07	24	-0.26	21
4385	-585	-569	Max	0.00	528.48	22	-0.09	22	0.04	21	-75.34	23	15.85	21	-0.05	22
4385	-585	-569	Max	21.63	528.41	22	-0.09	22	-0.02	22	-76.59	23	-8.58	23	-0.05	22
4385	-585	-569	Min.	0.00	4.62	11	-0.52	21	0.00	22	-152.33	24	7.85	23	-0.23	21
4385	-585	-569	Min.	21.63	4.48	11	-0.52	21	-0.07	21	-154.22	21	-18.08	24	-0.23	21
4385	-569	-553	Max	0.00	814.91	22	-0.10	22	0.09	21	-85.75	23	16.09	21	-0.06	22
4385	-569	-553	Max	21.63	814.84	22	-0.10	22	0.00	22	-86.99	23	-10.68	23	-0.06	22
4385	-569	-553	Min.	0.00	222.77	23	-0.51	21	0.02	22	-172.68	24	8.00	23	-0.23	21
4385	-569	-553	Min.	21.63	222.67	23	-0.51	21	-0.02	21	-174.69	21	-22.38	24	-0.23	21
4385	-553	4285	Max	0.00	1221.46	24	-0.08	22	0.16	21	-93.62	23	11.59	21	-0.06	22
4385	-553	4285	Max	21.63	1221.33	24	-0.08	22	0.03	22	-94.86	23	-14.59	23	-0.06	22
4385	-553	4285	Min.	0.00	463.02	23	-0.83	21	0.04	22	-187.04	21	5.47	22	-0.21	21
4385	-553	4285	Min.	21.63	462.92	23	-0.83	21	-0.02	21	-189.10	21	-29.79	24	-0.21	21
4385	4285	-537	Max	0.00	102.09	24	3.62	24	0.11	23	23.24	24	-0.19	23	0.09	23
4385	4285	-537	Max	16.72	102.01	24	3.62	24	0.28	24	22.19	24	1.47	22	0.09	23
4385	4285	-537	Min.	0.00	-28.16	23	-1.24	23	-0.32	24	3.33	23	-2.41	11	0.00	22

4385	4285	-537	Min.	16.72	-28.23	23	-1.24	23	-0.09	23	2.44	23	0.29	23	0.00	22
4385	-537	-521	Max	0.00	62.92	11	3.71	24	0.04	23	7.99	11	0.76	23	0.15	23
4385	-537	-521	Max	11.61					0.07	25			0.08	25		
4385	-537	-521	Max	16.72	62.83	11	3.71	24	0.31	24	6.80	11	0.54	11	0.15	23
4385	-537	-521	Min.	0.00	-18.21	23	-0.45	23	-0.31	24	-6.68	23	-0.69	11	0.00	22
4385	-537	-521	Min.	11.61					0.07	25			0.08	25		
4385	-537	-521	Min.	16.72	-18.29	23	-0.45	23	-0.03	23	-7.58	23	-0.44	23	0.00	22
4385	-521	3313	Max	0.00	24.74	11	3.53	24	-0.11	23	9.14	11	0.61	23	0.15	23
4385	-521	3313	Max	16.72	24.65	11	3.53	24	0.30	24	7.95	11	0.74	11	0.15	23
4385	-521	3313	Min.	0.00	-4.66	23	1.31	23	-0.29	24	-7.57	23	-0.69	11	-0.01	24
4385	-521	3313	Min.	16.72	-4.73	23	1.31	23	0.11	23	-8.46	23	-0.73	23	-0.01	24
4386	-786	-778	Max	0.00	-590.14	23	0.19	11	1.12	23	63.37	21	1.21	22	0.91	23
4386	-786	-778	Max	21.63	-591.07	23	0.19	11	-0.03	12	36.76	21	4.30	21	0.91	23
4386	-786	-778	Min.	0.00	-1156.77	21	-8.02	23	-0.08	11	-17.88	22	-6.53	21	-0.03	22
4386	-786	-778	Min.	21.63	-1158.93	21	-4.99	23	-0.28	23	-18.74	22	-2.75	22	-0.03	22
4386	-778	-762	Max	0.00	-606.93	23	0.17	11	-0.01	22	45.37	21	3.11	22	0.18	23
4386	-778	-762	Max	16.14					-0.02	24			1.76	24		
4386	-778	-762	Max	21.63	-607.86	23	0.17	11	-0.00	12	18.75	21	4.95	21	0.18	23
4386	-778	-762	Min.	0.00	-1190.62	21	-3.31	23	-0.19	21	-23.57	22	-1.99	21	-0.03	22
4386	-778	-762	Min.	7.85					-0.02	26			1.22	26		
4386	-778	-762	Min.	21.63	-1192.78	21	-0.28	23	-0.57	23	-24.43	22	-2.08	22	-0.03	22
4386	-762	-746	Max	0.00	-621.99	23	0.27	21	0.01	22	33.07	21	3.53	22	0.01	11
4386	-762	-746	Max	4.33					0.00	24			2.09	24		
4386	-762	-746	Max	21.63	-622.92	23	3.20	23	0.03	11	6.46	21	4.00	21	0.01	11
4386	-762	-746	Min.	0.00	-1220.12	21	0.00	22	-0.51	23	-25.70	22	-0.28	21	-0.18	23
4386	-762	-746	Min.	4.33					0.00	24			2.09	24		
4386	-762	-746	Min.	21.63	-1222.28	21	0.00	22	-0.15	23	-26.56	22	-2.13	22	-0.18	23
4386	-746	-730	Max	0.00	-594.20	22	4.92	23	0.04	24	18.54	21	4.00	22	0.01	12
4386	-746	-730	Max	14.78					0.66	21			2.64	21		
4386	-746	-730	Max	21.63	-594.27	22	7.95	23	1.19	23	-1.83	23	2.38	21	0.01	12
4386	-746	-730	Min.	0.00	-1236.91	21	0.05	22	-0.20	23	-28.62	22	0.60	23	-0.88	23
4386	-746	-730	Min.	17.31					0.86	23			1.47	23		
4386	-746	-730	Min.	21.63	-1239.07	21	0.05	22	0.05	22	-29.49	22	-2.28	22	-0.88	23
4386	-730	-714	Max	0.00	-543.90	22	0.11	24	1.07	23	12.03	21	5.09	22	0.69	23
4386	-730	-714	Max	8.65					0.36	21			2.56	21		
4386	-730	-714	Max	21.63	-543.97	22	0.11	24	-0.04	12	-8.04	23	1.70	21	0.69	23
4386	-730	-714	Min.	0.00	-1226.53	21	-7.96	23	-0.08	24	-39.00	22	1.28	23	-0.06	24
4386	-730	-714	Min.	6.37					0.60	23			1.39	23		
4386	-730	-714	Min.	21.63	-1228.69	21	-4.93	23	-0.32	23	-39.86	22	-3.44	22	-0.06	24
4386	-714	-698	Max	0.00	-488.17	22	0.03	11	-0.01	22	-2.05	11	5.26	22	0.08	23
4386	-714	-698	Max	21.63	-488.24	22	0.03	11	-0.01	22	-15.11	23	0.20	11	0.08	23
4386	-714	-698	Min.	0.00	-1214.06	21	-3.40	23	-0.14	23	-42.47	22	2.05	23	-0.04	24
4386	-714	-698	Min.	21.63	-1216.22	21	-0.37	23	-0.55	23	-43.65	24	-4.02	22	-0.04	24
4386	-698	-682	Max	0.00	-422.71	22	0.05	11	0.01	24	-11.14	23	6.50	24	-0.03	12
4386	-698	-682	Max	21.63	-422.78	22	2.83	23	0.02	24	-22.57	23	-0.82	23	-0.03	12
4386	-698	-682	Min.	0.00	-1179.05	21	-0.20	23	-0.44	23	-46.66	22	2.82	23	-0.18	21
4386	-698	-682	Min.	21.63	-1181.21	21	0.00	22	-0.15	23	-56.12	24	-4.56	22	-0.18	21
4386	-682	-666	Max	0.00	-345.90	22	4.31	23	0.06	24	-19.25	23	7.75	24	-0.04	12
4386	-682	-666	Max	21.63	-345.98	22	7.34	23	1.11	23	-30.67	23	-1.81	23	-0.04	12
4386	-682	-666	Min.	0.00	-1117.58	21	0.08	22	-0.15	23	-51.48	24	3.59	23	-0.71	23
4386	-682	-666	Min.	21.63	-1119.74	21	0.08	22	0.06	22	-69.78	24	-5.36	24	-0.71	23
4386	-666	-650	Max	0.00	-361.05	22	0.07	22	1.01	23	-23.06	23	8.43	24	0.44	23
4386	-666	-650	Max	21.63	-361.12	22	0.07	22	-0.04	22	-34.49	23	-2.21	23	0.44	23
4386	-666	-650	Min.	0.00	-1216.29	21	-7.63	23	-0.08	24	-61.03	22	4.02	23	-0.08	11
4386	-666	-650	Min.	21.63	-1218.45	21	-4.60	23	-0.32	21	-76.56	24	-6.23	22	-0.08	11
4386	-650	-634	Max	0.00	-248.31	22	-0.01	22	-0.01	12	-32.24	23	10.06	24	0.00	23
4386	-650	-634	Max	21.63	-248.38	22	-0.01	22	-0.02	22	-43.67	23	-3.19	23	0.00	23
4386	-650	-634	Min.	0.00	-1101.65	21	-3.36	23	-0.13	23	-74.01	24	5.02	23	-0.06	11
4386	-650	-634	Min.	21.63	-1103.81	21	-0.35	21	-0.53	23	-92.30	24	-7.93	24	-0.06	11

4386	-634	-618	Max	0.00	-114.66	22	-0.01	22	0.02	24	-42.09	23	11.72	21	-0.03	22
4386	-634	-618	Max	21.63	-114.73	22	2.66	23	0.01	22	-53.52	23	-4.37	23	-0.03	22
4386	-634	-618	Min.	0.00	-942.21	21	-0.38	21	-0.41	23	-90.98	24	5.97	23	-0.17	21
4386	-634	-618	Min.	21.63	-944.37	21	-0.08	11	-0.16	23	-109.28	24	-10.09	24	-0.17	21
4386	-618	-602	Max	0.00	45.24	22	3.90	23	0.05	24	-53.29	23	13.82	21	-0.04	22
4386	-618	-602	Max	21.63	45.17	22	6.92	23	1.05	23	-64.72	23	-5.71	23	-0.04	22
4386	-618	-602	Min.	0.00	-725.09	21	0.06	12	-0.12	23	-110.26	24	7.05	23	-0.47	23
4386	-618	-602	Min.	21.63	-727.25	21	0.06	12	0.05	22	-131.69	21	-12.71	24	-0.47	23
4386	-602	-586	Max	0.00	246.39	22	-0.03	22	0.97	23	-74.81	23	16.21	21	0.05	23
4386	-602	-586	Max	21.63	246.32	22	-0.03	22	-0.04	22	-86.24	23	-8.37	23	0.05	23
4386	-602	-586	Min.	0.00	-428.39	21	-7.52	23	-0.04	24	-133.08	21	9.05	23	-0.15	11
4386	-602	-586	Min.	21.63	-430.55	21	-4.49	23	-0.34	21	-159.69	21	-15.48	24	-0.15	11
4386	-586	-570	Max	0.00	496.70	22	-0.10	22	0.03	11	-89.27	23	18.19	21	-0.06	22
4386	-586	-570	Max	21.63	496.63	22	-0.10	22	-0.02	22	-100.70	23	-10.71	23	-0.06	22
4386	-586	-570	Min.	0.00	-45.65	11	-3.63	23	-0.08	23	-162.62	21	9.84	23	-0.25	21
4386	-586	-570	Min.	21.63	-47.65	11	-0.73	21	-0.53	23	-189.23	21	-19.87	21	-0.25	21
4386	-570	-554	Max	0.00	801.94	22	-0.10	22	0.06	11	-108.00	23	19.73	21	-0.06	22
4386	-570	-554	Max	21.63	801.87	22	2.37	23	0.00	22	-119.43	23	-14.05	23	-0.06	22
4386	-570	-554	Min.	0.00	262.69	23	-0.78	21	-0.32	23	-199.39	21	10.01	22	-0.29	21
4386	-570	-554	Min.	21.63	261.76	23	-0.31	11	-0.14	23	-226.00	21	-26.29	21	-0.29	21
4386	-554	4287	Max	0.00	1271.54	24	1.74	23	0.14	21	-121.62	23	15.05	21	-0.04	22
4386	-554	4287	Max	21.63	1270.06	24	4.77	23	0.79	23	-131.20	22	-19.61	23	-0.04	22
4386	-554	4287	Min.	0.00	584.21	23	-0.74	11	0.05	22	-228.18	21	5.98	22	-0.25	21
4386	-554	4287	Min.	21.63	583.28	23	-0.74	11	-0.05	11	-254.79	21	-37.19	21	-0.25	21
4386	4287	-538	Max	0.00	186.58	21	2.87	11	0.17	23	53.06	21	-1.61	22	-0.01	22
4386	4287	-538	Max	16.72	185.26	21	2.87	11	0.24	11	36.80	21	1.89	24	-0.01	22
4386	4287	-538	Min.	0.00	45.56	22	-2.61	23	-0.24	11	19.46	22	-5.67	21	-0.02	21
4386	4287	-538	Min.	16.72	45.50	22	-0.27	23	-0.07	23	18.80	22	1.08	23	-0.02	21
4386	-538	-522	Max	0.00	108.08	21	3.72	24	0.08	23	36.44	21	-0.23	22	0.15	23
4386	-538	-522	Max	16.72	106.76	21	3.72	24	0.31	24	20.18	21	1.98	21	0.15	23
4386	-538	-522	Min.	0.00	21.26	22	-1.62	23	-0.31	24	4.55	22	-2.75	21	0.00	22
4386	-538	-522	Min.	16.72	21.20	22	0.72	23	0.00	23	3.88	22	0.48	22	0.00	22
4386	-522	3314	Max	0.00	37.19	21	3.52	24	-0.06	23	32.00	21	-0.42	22	0.16	23
4386	-522	3314	Max	16.72	35.87	21	4.14	21	0.29	24	18.03	23	2.05	21	0.16	23
4386	-522	3314	Min.	0.00	8.50	22	-0.04	23	-0.29	24	5.92	22	-1.94	21	-0.01	24
4386	-522	3314	Min.	16.72	8.44	22	2.15	22	0.13	23	1.83	11	0.52	22	-0.01	24
4423	-787	-779	Max	0.00	-1194.73	23	0.05	21	-0.01	22	93.40	21	1.76	22	-0.01	23
4423	-787	-779	Max	21.63	-1195.66	23	0.05	21	-0.01	22	66.79	21	7.17	21	-0.01	23
4423	-787	-779	Min.	0.00	-2324.27	21	0.02	22	-0.02	21	-25.97	22	-10.15	21	-0.01	21
4423	-787	-779	Min.	21.63	-2326.43	21	0.02	22	-0.01	21	-26.83	22	-3.96	22	-0.01	21
4423	-779	-763	Max	0.00	-1224.24	23	0.04	21	-0.00	22	73.77	21	4.72	22	-0.00	23
4423	-779	-763	Max	17.31					-0.00	23			3.50	23		
4423	-779	-763	Max	21.63	-1225.17	23	0.04	21	0.00	23	47.15	21	9.10	21	-0.00	23
4423	-779	-763	Min.	0.00	-2383.25	21	0.01	22	-0.01	21	-34.14	22	-3.98	21	-0.00	21
4423	-779	-763	Min.	16.60					-0.00	26			2.00	26		
4423	-779	-763	Min.	21.63	-2385.41	21	0.01	22	-0.00	24	-35.00	22	-2.76	22	-0.00	21
4423	-763	-747	Max	0.00	-1241.35	22	0.05	21	0.00	23	63.10	21	5.29	22	-0.00	22
4423	-763	-747	Max	17.56					0.01	24			3.48	24		
4423	-763	-747	Max	21.63	-1241.42	22	0.05	21	0.01	21	36.48	21	8.76	21	-0.00	22
4423	-763	-747	Min.	0.00	-2444.80	21	0.02	22	0.00	24	-36.41	22	-2.01	21	-0.00	21
4423	-763	-747	Min.	6.01					0.00	26			2.48	26		
4423	-763	-747	Min.	21.63	-2446.96	21	0.02	22	0.00	22	-37.27	22	-2.68	22	-0.00	21
4423	-747	-731	Max	0.00	-1191.21	22	0.09	21	0.02	21	51.09	21	5.99	22	-0.00	22
4423	-747	-731	Max	6.93					0.02	24			4.00	24		
4423	-747	-731	Max	21.63	-1191.28	22	0.09	21	0.04	21	24.48	21	8.46	21	-0.00	22
4423	-747	-731	Min.	0.00	-2493.97	21	0.03	22	0.01	22	-39.81	22	0.11	23	-0.00	21
4423	-747	-731	Min.	6.93					0.02	24			4.00	24		
4423	-747	-731	Min.	21.63	-2496.13	21	0.03	22	0.01	22	-40.67	22	-2.72	22	-0.00	21
4423	-731	-715	Max	0.00	-1129.92	22	0.11	21	-0.02	22	0.69	11	7.90	24	-0.01	23

4423	-731	-715	Max	0.54					-0.04	25			5.15	25		
4423	-731	-715	Max	21.63	-1129.99	22	0.11	21	-0.01	22	-14.65	23	2.88	21	-0.01	23
4423	-731	-715	Min.	0.00	-2520.45	21	0.02	22	-0.06	21	-57.58	22	3.30	23	-0.03	21
4423	-731	-715	Min.	0.54					-0.03	11			5.13	11		
4423	-731	-715	Min.	21.63	-2522.61	21	0.02	22	-0.03	21	-58.45	22	-4.68	22	-0.03	21
4423	-715	-699	Max	0.00	-1048.53	22	0.06	21	-0.00	22	-9.88	23	8.64	24	-0.01	23
4423	-715	-699	Max	17.31					-0.00	23			1.09	23		
4423	-715	-699	Max	21.63	-1048.60	22	0.06	21	0.00	23	-21.30	23	0.60	21	-0.01	23
4423	-715	-699	Min.	0.00	-2495.83	21	0.00	22	-0.02	21	-61.91	22	3.59	23	-0.02	24
4423	-715	-699	Min.	17.31					-0.00	23			1.09	23		
4423	-715	-699	Min.	21.63	-2497.99	21	0.00	22	-0.01	24	-62.77	22	-5.48	22	-0.02	24
4423	-699	-683	Max	0.00	-953.49	22	0.07	21	0.01	24	-18.09	23	10.10	24	-0.01	23
4423	-699	-683	Max	21.63	-953.56	22	0.07	21	0.02	21	-29.52	23	-0.68	23	-0.01	23
4423	-699	-683	Min.	0.00	-2441.53	21	0.01	22	0.00	23	-67.39	22	4.47	23	-0.02	24
4423	-699	-683	Min.	21.63	-2443.69	21	0.01	22	0.01	22	-76.32	24	-6.16	22	-0.02	24
4423	-683	-667	Max	0.00	-842.47	22	0.16	21	0.03	21	-26.18	23	11.96	24	-0.01	23
4423	-683	-667	Max	21.63	-842.54	22	0.16	21	0.07	21	-37.61	23	-1.22	23	-0.01	23
4423	-683	-667	Min.	0.00	-2352.34	21	0.04	22	0.01	22	-73.07	22	5.68	23	-0.02	21
4423	-683	-667	Min.	21.63	-2354.50	21	0.04	22	0.02	22	-90.76	24	-6.70	22	-0.02	21
4423	-667	-651	Max	0.00	-720.65	22	0.07	23	-0.02	22	-58.62	23	17.15	21	-0.02	22
4423	-667	-651	Max	21.63	-720.72	22	0.07	23	-0.02	22	-70.05	23	-4.85	23	-0.02	22
4423	-667	-651	Min.	0.00	-2175.36	21	-0.01	12	-0.06	21	-115.11	24	9.07	23	-0.05	21
4423	-667	-651	Min.	21.63	-2177.52	21	-0.01	12	-0.05	21	-134.75	21	-10.53	24	-0.05	21
4423	-651	-635	Max	0.00	-551.14	22	0.01	23	-0.00	12	-69.47	23	18.64	21	-0.02	22
4423	-651	-635	Max	21.63	-551.21	22	0.01	23	-0.01	22	-80.90	23	-6.58	23	-0.02	22
4423	-651	-635	Min.	0.00	-1946.58	21	-0.05	11	-0.02	21	-133.84	24	9.68	23	-0.04	21
4423	-651	-635	Min.	21.63	-1948.74	21	-0.05	11	-0.02	21	-157.48	21	-13.35	24	-0.04	21
4423	-635	-619	Max	0.00	-350.59	22	0.01	23	0.01	24	-82.62	23	21.07	21	-0.02	23
4423	-635	-619	Max	21.63	-350.66	22	0.01	23	0.01	23	-94.05	23	-8.27	23	-0.02	23
4423	-635	-619	Min.	0.00	-1647.85	21	-0.05	11	0.00	23	-157.90	21	10.84	23	-0.04	21
4423	-635	-619	Min.	21.63	-1650.01	21	-0.05	11	-0.00	11	-184.52	21	-16.25	24	-0.04	21
4423	-619	-603	Max	0.00	-111.24	22	0.12	23	0.03	21	-96.82	23	24.01	21	-0.02	23
4423	-619	-603	Max	21.63	-111.31	22	0.12	23	0.06	21	-108.25	23	-9.93	23	-0.02	23
4423	-619	-603	Min.	0.00	-1262.50	21	-0.02	12	0.01	22	-187.38	21	12.25	23	-0.04	21
4423	-619	-603	Min.	21.63	-1264.66	21	-0.02	12	0.01	22	-214.00	21	-19.41	21	-0.04	21
4423	-603	-587	Max	0.00	185.37	22	0.05	24	-0.02	12	-132.43	23	30.45	21	-0.00	22
4423	-603	-587	Max	21.63	185.30	22	0.05	24	-0.01	22	-143.85	23	-14.45	23	-0.00	22
4423	-603	-587	Min.	0.00	-752.33	21	-0.04	23	-0.05	21	-258.87	21	15.44	23	-0.09	21
4423	-603	-587	Min.	21.63	-754.49	21	-0.04	23	-0.05	21	-285.48	21	-28.43	21	-0.09	21
4423	-587	-571	Max	0.00	568.13	22	0.01	22	0.00	21	-153.13	23	32.46	21	-0.01	22
4423	-587	-571	Max	4.33					-0.00	22			8.54	22		
4423	-587	-571	Max	21.63	568.06	22	0.01	22	0.00	22	-164.56	23	-17.97	23	-0.01	22
4423	-587	-571	Min.	0.00	-47.07	21	-0.11	21	-0.00	22	-301.00	21	15.77	22	-0.07	21
4423	-587	-571	Min.	4.33					-0.00	22			8.54	22		
4423	-587	-571	Min.	21.63	-49.23	21	-0.11	21	-0.02	21	-327.62	21	-35.54	21	-0.07	21
4423	-571	-555	Max	0.00	1113.91	24	-0.01	22	0.03	21	-178.84	23	34.01	21	-0.01	22
4423	-571	-555	Max	21.63	1112.43	24	-0.01	22	0.01	23	-190.03	22	-22.84	23	-0.01	22
4423	-571	-555	Min.	0.00	432.74	23	-0.12	21	0.00	22	-353.99	21	15.78	22	-0.07	21
4423	-571	-555	Min.	21.63	431.81	23	-0.12	21	0.00	12	-380.61	21	-45.45	21	-0.07	21
4423	-555	4288	Max	0.00	2031.48	24	0.26	24	0.06	23	-198.91	22	25.29	21	-0.03	22
4423	-555	4288	Max	21.63	2030.00	24	0.26	24	0.06	24	-199.77	22	-31.80	23	-0.03	22
4423	-555	4288	Min.	0.00	950.66	23	-0.17	23	-0.00	12	-395.72	21	9.89	22	-0.08	21
4423	-555	4288	Min.	21.63	949.73	23	-0.17	23	0.03	23	-422.34	21	-63.19	21	-0.08	21
4423	4288	-539	Max	0.00	258.67	11	1.76	24	0.17	23	64.37	21	-2.99	22	0.04	21
4423	4288	-539	Max	16.72	257.45	11	1.76	24	0.12	24	48.21	11	2.77	24	0.04	21
4423	4288	-539	Min.	0.00	89.39	23	-1.97	23	-0.17	24	29.50	23	-6.95	11	0.02	22
4423	4288	-539	Min.	16.72	88.82	23	-1.97	23	-0.16	23	22.45	23	1.24	23	0.02	22
4423	-539	-523	Max	0.00	160.93	11	1.44	24	0.12	23	36.96	11	-0.71	23	0.10	23
4423	-539	-523	Max	16.72	159.71	11	1.44	24	0.12	24	21.94	11	2.03	11	0.10	23

4423	-539	-523	Min.	0.00	60.00	23	-1.42	23	-0.12	24	10.91	23	-2.90	11	-0.05	11
4423	-539	-523	Min.	16.72	59.43	23	-1.42	23	-0.12	23	3.86	23	0.53	23	-0.05	11
4423	-523	3315	Max	0.00	64.49	11	1.38	24	-0.03	23	35.30	11	-0.61	23	0.10	23
4423	-523	3315	Max	16.72	63.27	11	1.38	24	0.11	24	20.28	11	2.32	11	0.10	23
4423	-523	3315	Min.	0.00	31.02	23	0.29	23	-0.12	24	10.09	23	-2.33	11	-0.08	11
4423	-523	3315	Min.	16.72	30.45	23	0.29	23	0.02	23	3.04	23	0.49	23	-0.08	11
4424	-788	-780	Max	0.00	-1164.38	23	0.04	11	1.16	23	95.32	21	1.72	22	0.90	23
4424	-788	-780	Max	21.63	-1165.36	23	0.04	11	-0.01	22	67.11	21	7.26	21	0.90	23
4424	-788	-780	Min.	0.00	-2289.77	21	-8.12	23	-0.02	24	-25.85	22	-10.31	21	-0.01	24
4424	-788	-780	Min.	21.63	-2292.06	21	-5.09	23	-0.27	23	-26.72	22	-3.96	22	-0.01	24
4424	-780	-764	Max	0.00	-1194.04	23	0.03	11	-0.00	22	74.83	21	4.72	22	0.17	23
4424	-780	-764	Max	16.54					-0.00	26			2.03	26		
4424	-780	-764	Max	21.63	-1195.02	23	0.03	11	-0.00	12	46.62	21	9.16	21	0.17	23
4424	-780	-764	Min.	0.00	-2349.28	21	-3.40	23	-0.16	23	-34.13	22	-3.98	21	-0.00	22
4424	-780	-764	Min.	16.54					-0.00	26			2.03	26		
4424	-780	-764	Min.	21.63	-2351.57	21	-0.37	23	-0.57	23	-34.99	22	-2.75	22	-0.00	22
4424	-764	-748	Max	0.00	-1225.19	23	0.09	21	0.00	22	63.40	21	5.30	22	-0.00	12
4424	-764	-748	Max	17.31					0.01	24			3.50	24		
4424	-764	-748	Max	21.63	-1226.17	23	3.10	23	0.01	24	35.19	21	8.73	21	-0.00	12
4424	-764	-748	Min.	0.00	-2410.75	21	0.02	22	-0.50	23	-36.39	22	-1.93	21	-0.19	23
4424	-764	-748	Min.	4.81									2.52	26		
4424	-764	-748	Min.	21.63	-2413.04	21	0.02	22	-0.16	23	-37.26	22	-2.67	22	-0.19	23
4424	-748	-732	Max	0.00	-1182.95	22	4.79	23	0.01	24	50.47	21	6.02	22	-0.00	12
4424	-748	-732	Max	6.23					0.02	24			4.07	24		
4424	-748	-732	Max	21.63	-1183.02	22	7.82	23	1.16	23	22.27	21	8.29	21	-0.00	12
4424	-748	-732	Min.	0.00	-2459.05	21	0.03	22	-0.21	23	-39.75	22	0.18	23	-0.89	23
4424	-748	-732	Min.	6.23					0.02	24			4.07	24		
4424	-748	-732	Min.	21.63	-2461.34	21	0.03	22	0.01	22	-40.62	22	-2.68	22	-0.89	23
4424	-732	-716	Max	0.00	-1117.15	22	0.04	24	1.09	23	0.96	11	8.03	22	0.72	23
4424	-732	-716	Max	0.54					0.61	25			5.20	25		
4424	-732	-716	Max	21.63	-1117.22	22	0.04	24	-0.01	22	-15.33	23	2.81	21	0.72	23
4424	-732	-716	Min.	0.00	-2468.43	21	-7.96	23	-0.03	24	-58.79	22	3.33	23	-0.03	24
4424	-732	-716	Min.	0.54					-0.03	11			5.17	11		
4424	-732	-716	Min.	21.63	-2470.72	21	-4.93	23	-0.30	23	-59.65	22	-4.78	22	-0.03	24
4424	-716	-700	Max	0.00	-1034.23	22	0.01	24	-0.00	22	-10.25	23	8.83	24	0.09	23
4424	-716	-700	Max	21.63	-1034.30	22	0.01	24	-0.00	22	-22.34	23	0.45	21	0.09	23
4424	-716	-700	Min.	0.00	-2442.33	21	-3.38	23	-0.14	23	-63.15	22	3.67	23	-0.02	24
4424	-716	-700	Min.	21.63	-2444.62	21	-0.35	23	-0.54	23	-64.41	24	-5.61	22	-0.02	24
4424	-700	-684	Max	0.00	-937.34	22	0.02	24	0.01	24	-18.83	23	10.35	24	-0.01	22
4424	-700	-684	Max	21.63	-937.41	22	2.85	23	0.01	24	-30.92	23	-0.80	23	-0.01	22
4424	-700	-684	Min.	0.00	-2385.39	21	-0.18	23	-0.44	23	-68.72	22	4.58	23	-0.16	23
4424	-700	-684	Min.	21.63	-2387.67	21	0.01	22	-0.15	23	-79.16	24	-6.31	22	-0.16	23
4424	-684	-668	Max	0.00	-824.07	22	4.30	23	0.02	24	-27.35	23	12.28	24	-0.01	12
4424	-684	-668	Max	21.63	-824.14	22	7.33	23	1.10	23	-39.44	23	-1.42	23	-0.01	12
4424	-684	-668	Min.	0.00	-2292.18	21	0.04	22	-0.16	23	-74.93	24	5.80	23	-0.69	23
4424	-684	-668	Min.	21.63	-2294.47	21	0.04	22	0.02	22	-94.32	24	-6.84	22	-0.69	23
4424	-668	-652	Max	0.00	-750.31	22	0.03	24	1.02	23	-57.67	23	17.28	21	0.47	23
4424	-668	-652	Max	21.63	-750.38	22	0.03	24	-0.02	22	-69.76	23	-4.77	23	0.47	23
4424	-668	-652	Min.	0.00	-2254.82	21	-7.58	23	-0.04	24	-117.64	24	9.01	23	-0.04	24
4424	-668	-652	Min.	21.63	-2257.11	21	-4.55	23	-0.29	23	-137.03	24	-10.84	24	-0.04	24
4424	-652	-636	Max	0.00	-576.52	22	-0.01	22	-0.00	22	-69.00	23	18.97	21	0.03	23
4424	-652	-636	Max	21.63	-576.59	22	-0.01	22	-0.01	22	-81.09	23	-6.49	23	0.03	23
4424	-652	-636	Min.	0.00	-2022.59	21	-3.29	23	-0.13	23	-137.27	24	9.75	23	-0.03	24
4424	-652	-636	Min.	21.63	-2024.88	21	-0.26	23	-0.52	23	-160.42	21	-13.74	24	-0.03	24
4424	-636	-620	Max	0.00	-370.98	22	-0.01	22	0.01	24	-82.45	23	21.51	21	-0.02	22
4424	-636	-620	Max	21.63	-371.05	22	2.73	23	0.00	24	-94.54	23	-8.18	23	-0.02	22
4424	-636	-620	Min.	0.00	-1718.79	21	-0.30	23	-0.42	23	-160.32	24	10.96	23	-0.13	21
4424	-636	-620	Min.	21.63	-1721.07	21	-0.03	11	-0.15	23	-188.40	21	-16.75	24	-0.13	21
4424	-620	-604	Max	0.00	-126.14	22	3.91	23	0.03	24	-97.22	23	24.59	21	-0.02	22

4424	-620	-604	Max	21.63	-126.21	22	6.94	23	1.04	23	-109.31	23	-9.81	23	-0.02	22
4424	-620	-604	Min.	0.00	-1325.62	21	0.02	12	-0.13	23	-190.99	21	12.53	23	-0.46	23
4424	-620	-604	Min.	21.63	-1327.91	21	0.02	12	0.02	22	-219.20	21	-19.97	24	-0.46	23
4424	-604	-588	Max	0.00	180.84	22	0.06	24	0.96	23	-142.36	23	31.55	21	0.14	23
4424	-604	-588	Max	21.63	180.78	22	0.06	24	-0.01	22	-151.87	22	-15.36	23	0.14	23
4424	-604	-588	Min.	0.00	-781.21	21	-7.29	23	-0.03	24	-267.27	21	15.42	22	-0.02	24
4424	-604	-588	Min.	21.63	-783.50	21	-4.27	23	-0.29	23	-295.48	21	-29.32	21	-0.02	24
4424	-588	-572	Max	0.00	564.61	22	0.00	22	-0.00	12	-163.76	23	33.56	21	-0.01	22
4424	-588	-572	Max	21.63	564.53	22	0.00	22	-0.00	22	-168.19	22	-19.18	23	-0.01	22
4424	-588	-572	Min.	0.00	-53.21	11	-3.40	23	-0.10	23	-310.70	21	15.79	22	-0.10	21
4424	-588	-572	Min.	21.63	-55.33	11	-0.37	23	-0.51	23	-338.90	21	-36.71	21	-0.10	21
4424	-572	-556	Max	0.00	1107.32	24	0.01	22	0.01	24	-189.37	22	35.23	21	-0.01	22
4424	-572	-556	Max	21.63	1105.75	24	2.59	23	0.01	24	-190.24	22	-24.54	23	-0.01	22
4424	-572	-556	Min.	0.00	465.34	23	-0.44	23	-0.35	23	-366.62	21	15.79	22	-0.15	23
4424	-572	-556	Min.	21.63	464.36	23	-0.00	24	-0.12	23	-394.82	21	-47.13	21	-0.15	23
4424	-556	4290	Max	0.00	2029.47	24	2.05	23	0.06	21	-199.37	22	26.06	21	0.01	11
4424	-556	4290	Max	21.63	2027.90	24	5.08	23	0.81	23	-200.24	22	-33.31	22	0.01	11
4424	-556	4290	Min.	0.00	1020.60	23	-0.38	24	0.02	22	-407.29	21	9.91	22	-0.12	23
4424	-556	4290	Min.	21.63	1019.62	23	-0.38	24	-0.04	24	-435.49	21	-65.11	21	-0.12	23
4424	4290	-540	Max	0.00	296.07	21	0.50	11	0.26	23	73.26	21	-2.48	22	-0.04	22
4424	4290	-540	Max	16.72	294.67	21	0.50	11	0.05	24	56.03	21	2.67	21	-0.04	22
4424	4290	-540	Min.	0.00	90.82	22	-3.68	23	-0.04	11	27.02	22	-8.14	21	-0.10	21
4424	4290	-540	Min.	16.72	90.77	22	-1.34	23	-0.16	23	26.35	22	1.47	23	-0.10	21
4424	-540	-524	Max	0.00	178.31	21	1.46	24	0.15	23	45.86	21	-0.49	22	0.10	23
4424	-540	-524	Max	16.72	176.91	21	1.46	24	0.12	24	28.64	21	2.57	21	0.10	23
4424	-540	-524	Min.	0.00	50.29	22	-2.59	23	-0.13	24	7.17	22	-3.65	21	-0.05	11
4424	-540	-524	Min.	16.72	50.24	22	-0.24	23	-0.08	23	6.51	22	0.65	22	-0.05	11
4424	-524	3316	Max	0.00	64.94	21	1.44	24	0.00	23	43.39	21	-0.74	22	0.13	23
4424	-524	3316	Max	16.72	63.54	21	2.20	21	0.12	21	26.17	21	2.97	21	0.13	23
4424	-524	3316	Min.	0.00	20.96	22	-0.83	23	-0.12	24	9.63	22	-2.84	21	-0.03	11
4424	-524	3316	Min.	16.72	20.91	22	0.88	22	0.06	23	8.96	22	0.82	22	-0.03	11
4461	-789	-781	Max	0.00	-1170.22	23	0.00	23	0.02	24	94.98	21	1.73	22	0.01	24
4461	-789	-781	Max	21.63	-1171.20	23	0.00	23	0.01	24	66.77	21	7.21	21	0.01	24
4461	-789	-781	Min.	0.00	-2294.78	21	-0.04	11	0.00	23	-25.88	22	-10.28	21	0.00	23
4461	-789	-781	Min.	21.63	-2297.07	21	-0.04	11	0.00	23	-26.75	22	-3.97	22	0.00	23
4461	-781	-765	Max	0.00	-1199.56	23	0.00	23	0.01	24	74.49	21	4.73	22	0.00	22
4461	-781	-765	Max	16.49					0.00	26			2.03	26		
4461	-781	-765	Max	21.63	-1200.54	23	0.00	23	0.00	21	46.28	21	9.10	21	0.00	22
4461	-781	-765	Min.	0.00	-2353.99	21	-0.03	11	0.00	23	-34.15	22	-3.96	21	0.00	23
4461	-781	-765	Min.	16.49					0.00	26			2.03	26		
4461	-781	-765	Min.	21.63	-2356.28	21	-0.03	11	0.00	12	-35.02	22	-2.76	22	0.00	23
4461	-765	-749	Max	0.00	-1230.31	23	0.00	23	0.00	21	63.05	21	5.30	22	0.00	22
4461	-765	-749	Max	17.31					-0.01	24			3.50	24		
4461	-765	-749	Max	21.63	-1231.29	23	0.00	23	0.00	23	34.84	21	8.67	21	0.00	22
4461	-765	-749	Min.	0.00	-2415.09	21	-0.04	11	0.00	22	-36.42	22	-1.92	21	0.00	23
4461	-765	-749	Min.	4.76									2.52	26		
4461	-765	-749	Min.	21.63	-2417.38	21	-0.04	11	-0.01	24	-37.28	22	-2.67	22	0.00	23
4461	-749	-733	Max	0.00	-1182.52	22	0.00	23	0.00	23	50.10	21	6.02	22	0.00	22
4461	-749	-733	Max	6.20					-0.02	24			4.07	24		
4461	-749	-733	Max	21.63	-1182.59	22	0.00	23	0.00	23	21.89	21	8.21	21	0.00	22
4461	-749	-733	Min.	0.00	-2463.02	21	-0.06	24	-0.01	24	-39.78	22	0.18	23	0.00	23
4461	-749	-733	Min.	6.20					-0.02	24			4.07	24		
4461	-749	-733	Min.	21.63	-2465.31	21	-0.06	24	-0.02	24	-40.64	22	-2.68	22	0.00	23
4461	-733	-717	Max	0.00	-1116.94	22	0.06	23	0.03	24	1.09	25	8.04	22	0.03	24
4461	-733	-717	Max	0.54					0.03	11			5.17	11		
4461	-733	-717	Max	21.63	-1117.01	22	0.06	23	0.02	24	-14.84	23	2.81	21	0.03	24
4461	-733	-717	Min.	0.00	-2481.94	21	-0.04	24	-0.01	23	-58.81	22	3.23	23	0.01	23
4461	-733	-717	Min.	17.31					-0.00	23			1.92	23		
4461	-733	-717	Min.	21.63	-2484.23	21	-0.04	24	0.00	23	-59.67	22	-4.78	22	0.01	23

4461	-717	-701	Max	0.00	-1033.99	22	0.06	23	0.01	24	-9.78	23	8.83	24	0.02	21
4461	-717	-701	Max	21.63	-1034.06	22	0.06	23	0.01	21	-21.87	23	0.48	21	0.02	21
4461	-717	-701	Min.	0.00	-2456.30	21	-0.01	11	-0.01	23	-63.17	22	3.59	23	0.01	23
4461	-717	-701	Min.	21.63	-2458.59	21	-0.01	11	0.00	22	-64.44	24	-5.61	22	0.01	23
4461	-701	-685	Max	0.00	-937.06	22	0.06	23	-0.00	23	-18.33	23	10.36	24	0.02	21
4461	-701	-685	Max	21.63	-937.13	22	0.06	23	0.01	23	-30.42	23	-0.77	23	0.02	21
4461	-701	-685	Min.	0.00	-2399.94	21	-0.02	11	-0.01	24	-68.74	22	4.51	23	0.01	23
4461	-701	-685	Min.	21.63	-2402.23	21	-0.02	11	-0.01	24	-79.19	24	-6.31	22	0.01	23
4461	-685	-669	Max	0.00	-823.76	22	0.07	23	0.00	23	-26.81	23	12.28	24	0.02	24
4461	-685	-669	Max	21.63	-823.83	22	0.07	23	0.02	23	-38.90	23	-1.36	23	0.02	24
4461	-685	-669	Min.	0.00	-2307.32	21	-0.07	24	-0.02	24	-74.96	24	5.74	23	0.01	23
4461	-685	-669	Min.	21.63	-2309.61	21	-0.07	24	-0.04	24	-94.35	24	-6.84	22	0.01	23
4461	-669	-653	Max	0.00	-750.09	22	0.07	23	0.04	24	-58.79	23	17.35	21	0.04	24
4461	-669	-653	Max	17.31					-0.00	23			-1.91	23		
4461	-669	-653	Max	21.63	-750.16	22	0.07	23	0.03	24	-70.88	23	-4.93	23	0.04	24
4461	-669	-653	Min.	0.00	-2216.80	21	-0.03	24	-0.01	23	-117.67	24	9.10	23	0.01	23
4461	-669	-653	Min.	17.31					-0.00	23			-1.91	23		
4461	-669	-653	Min.	21.63	-2219.08	21	-0.03	24	0.00	23	-137.57	21	-10.84	24	0.01	23
4461	-653	-637	Max	0.00	-576.27	22	0.07	21	0.01	24	-70.09	23	19.00	21	0.03	21
4461	-653	-637	Max	21.63	-576.34	22	0.07	21	0.01	24	-82.18	23	-6.69	23	0.03	21
4461	-653	-637	Min.	0.00	-1983.18	21	0.01	22	-0.01	23	-137.29	24	9.78	23	0.02	23
4461	-653	-637	Min.	21.63	-1985.47	21	0.01	22	0.00	23	-161.42	21	-13.74	24	0.02	23
4461	-637	-621	Max	0.00	-370.70	22	0.08	21	-0.01	22	-83.63	23	21.51	21	0.04	21
4461	-637	-621	Max	21.63	-370.77	22	0.08	21	0.01	23	-95.72	23	-8.43	23	0.04	21
4461	-637	-621	Min.	0.00	-1677.70	21	0.01	22	-0.01	21	-161.27	21	10.97	23	0.02	22
4461	-637	-621	Min.	21.63	-1679.99	21	0.01	22	-0.00	24	-189.48	21	-16.76	24	0.02	22
4461	-621	-605	Max	0.00	-125.82	22	0.13	23	-0.00	23	-98.29	23	24.44	21	0.05	21
4461	-621	-605	Max	21.63	-125.89	22	0.13	23	0.02	23	-110.38	23	-10.22	23	0.05	21
4461	-621	-605	Min.	0.00	-1283.84	21	-0.03	24	-0.03	24	-191.96	21	12.35	23	0.02	22
4461	-621	-605	Min.	21.63	-1286.13	21	-0.03	24	-0.03	24	-220.17	21	-20.14	21	0.02	22
4461	-605	-589	Max	0.00	181.06	22	-0.04	22	0.03	24	-128.97	23	29.98	21	0.02	24
4461	-605	-589	Max	21.63	180.99	22	-0.04	22	0.02	24	-141.06	23	-14.21	23	0.02	24
4461	-605	-589	Min.	0.00	-759.36	21	-0.12	21	-0.01	23	-255.22	21	15.00	23	-0.07	23
4461	-605	-589	Min.	21.63	-761.65	21	-0.12	21	-0.03	23	-283.43	21	-28.28	21	-0.07	23
4461	-589	-573	Max	0.00	564.85	22	0.01	24	0.01	21	-149.91	23	32.24	21	0.02	24
4461	-589	-573	Max	21.63	564.78	22	0.01	24	0.00	24	-162.00	23	-17.65	23	0.02	24
4461	-589	-573	Min.	0.00	-58.41	21	-0.11	23	0.00	12	-298.24	21	15.79	22	-0.06	23
4461	-589	-573	Min.	21.63	-60.70	21	-0.11	23	-0.02	23	-326.45	21	-35.34	21	-0.06	23
4461	-573	-557	Max	0.00	1107.68	24	0.00	24	0.02	23	-175.54	23	33.86	21	0.02	24
4461	-573	-557	Max	21.63	1106.11	24	0.00	24	0.00	23	-187.63	23	-22.48	23	0.02	24
4461	-573	-557	Min.	0.00	420.03	23	-0.09	23	-0.01	24	-351.70	21	15.79	22	-0.05	23
4461	-573	-557	Min.	21.63	419.05	23	-0.09	23	-0.01	24	-379.91	21	-45.28	21	-0.05	23
4461	-557	4291	Max	0.00	2029.88	24	0.38	24	0.05	23	-197.07	23	25.26	21	-0.01	22
4461	-557	4291	Max	21.63	2028.31	24	0.38	24	0.04	24	-200.25	22	-31.40	23	-0.01	22
4461	-557	4291	Min.	0.00	930.04	23	-0.14	23	-0.04	24	-394.48	21	9.91	22	-0.04	21
4461	-557	4291	Min.	21.63	929.05	23	-0.14	23	0.02	23	-422.69	21	-63.13	21	-0.04	21
4461	4291	-541	Max	0.00	186.30	11	-0.16	22	0.25	23	58.15	11	-2.48	22	0.09	21
4461	4291	-541	Max	16.72	185.01	11	-0.16	22	-0.02	22	42.29	24	2.64	24	0.09	21
4461	4291	-541	Min.	0.00	40.76	23	-2.89	21	0.00	22	25.18	23	-6.17	11	0.04	22
4461	4291	-541	Min.	16.72	40.15	23	-2.89	21	-0.24	21	17.74	23	1.10	23	0.04	22
4461	-541	-525	Max	0.00	110.76	11	-0.87	22	0.28	21	29.90	11	-0.13	23	0.18	21
4461	-541	-525	Max	12.45					-0.10	23			0.21	23		
4461	-541	-525	Max	16.72	109.46	11	-0.87	22	-0.07	22	13.98	11	1.55	11	0.18	21
4461	-541	-525	Min.	0.00	26.29	23	-3.19	21	0.07	22	5.54	23	-2.11	11	0.03	22
4461	-541	-525	Min.	12.45					-0.10	23			0.21	23		
4461	-541	-525	Min.	16.72	25.68	23	-3.19	21	-0.26	21	-1.90	23	0.17	23	0.03	22
4461	-525	3317	Max	0.00	42.93	11	-0.86	22	0.13	21	26.87	11	-0.09	23	0.18	21
4461	-525	3317	Max	8.53					-0.00	23			0.07	23		
4461	-525	3317	Max	16.72	41.63	11	-0.86	22	-0.07	22	10.95	11	1.56	11	0.18	21

4461	-525	3317	Min.	0.00	16.57	23	-1.60	21	0.07	23	3.80	23	-1.60	11	0.02	22
4461	-525	3317	Min.	8.53					-0.00	23			0.07	23		
4461	-525	3317	Min.	16.72	15.96	23	-1.60	21	-0.13	21	-3.65	23	-0.07	23	0.02	22
4462	-790	-782	Max	0.00	-1150.89	23	-0.02	22	1.18	23	93.13	21	1.75	22	0.91	23
4462	-790	-782	Max	21.63	-1151.82	23	-0.02	22	0.01	24	66.52	21	7.14	21	0.91	23
4462	-790	-782	Min.	0.00	-2285.08	21	-8.15	23	0.01	22	-25.94	22	-10.13	21	0.01	22
4462	-790	-782	Min.	21.63	-2287.24	21	-5.12	23	-0.26	23	-26.80	22	-3.95	22	0.01	22
4462	-782	-766	Max	0.00	-1180.16	23	-0.01	22	0.01	24	73.53	21	4.72	22	0.18	23
4462	-782	-766	Max	16.65					0.00	26			2.00	26		
4462	-782	-766	Max	21.63	-1181.09	23	-0.01	22	0.00	24	46.92	21	9.06	21	0.18	23
4462	-782	-766	Min.	0.00	-2343.86	21	-3.42	23	-0.15	23	-34.12	22	-3.97	21	0.00	22
4462	-782	-766	Min.	16.65					0.00	26			2.00	26		
4462	-782	-766	Min.	21.63	-2346.02	21	-0.39	23	-0.56	23	-34.98	22	-2.76	22	0.00	22
4462	-766	-750	Max	0.00	-1211.14	23	0.04	23	0.00	24	62.85	21	5.29	22	0.00	11
4462	-766	-750	Max	17.60					-0.01	24			3.48	24		
4462	-766	-750	Max	21.63	-1212.07	23	3.07	23	-0.00	22	36.24	21	8.71	21	0.00	11
4462	-766	-750	Min.	0.00	-2405.16	21	-0.03	24	-0.50	23	-36.39	22	-2.01	21	-0.19	23
4462	-766	-750	Min.	6.05					-0.00	26			2.48	26		
4462	-766	-750	Min.	21.63	-2407.32	21	-0.03	24	-0.17	23	-37.25	22	-2.68	22	-0.19	23
4462	-750	-734	Max	0.00	-1191.68	22	4.74	23	-0.01	22	50.81	21	5.98	22	0.00	11
4462	-750	-734	Max	6.96					-0.02	24			3.99	24		
4462	-750	-734	Max	21.63	-1191.75	22	7.77	23	1.13	23	24.19	21	8.39	21	0.00	11
4462	-750	-734	Min.	0.00	-2454.11	21	-0.06	24	-0.22	23	-39.79	22	0.11	23	-0.89	23
4462	-750	-734	Min.	6.96					-0.02	24			3.99	24		
4462	-750	-734	Min.	21.63	-2456.27	21	-0.06	24	-0.02	24	-40.65	22	-2.72	22	-0.89	23
4462	-734	-718	Max	0.00	-1130.16	22	-0.02	22	1.12	23	0.82	25	7.90	24	0.74	23
4462	-734	-718	Max	0.54					0.03	11			5.13	11		
4462	-734	-718	Max	21.63	-1130.23	22	-0.02	22	0.02	24	-14.24	23	2.88	21	0.74	23
4462	-734	-718	Min.	0.00	-2470.98	21	-8.00	23	0.02	22	-57.57	22	3.21	23	0.02	22
4462	-734	-718	Min.	0.54					0.67	25			5.10	25		
4462	-734	-718	Min.	21.63	-2473.14	21	-4.97	23	-0.28	23	-58.43	22	-4.67	22	0.02	22
4462	-718	-702	Max	0.00	-1048.79	22	-0.00	22	0.01	24	-9.45	23	8.64	24	0.11	23
4462	-718	-702	Max	21.63	-1048.86	22	-0.00	22	0.01	24	-20.88	23	0.62	21	0.11	23
4462	-718	-702	Min.	0.00	-2446.84	21	-3.39	23	-0.13	23	-61.89	22	3.51	23	0.01	22
4462	-718	-702	Min.	21.63	-2449.00	21	-0.36	23	-0.53	23	-62.75	22	-5.47	22	0.01	22
4462	-702	-686	Max	0.00	-953.78	22	-0.01	22	-0.00	12	-17.62	23	10.10	24	0.02	24
4462	-702	-686	Max	21.63	-953.85	22	2.83	23	-0.00	22	-29.05	23	-0.67	23	0.02	24
4462	-702	-686	Min.	0.00	-2393.20	21	-0.20	23	-0.45	23	-67.37	22	4.38	23	-0.15	23
4462	-702	-686	Min.	21.63	-2395.36	21	-0.01	11	-0.16	23	-76.30	24	-6.16	22	-0.15	23
4462	-686	-670	Max	0.00	-842.79	22	4.24	23	-0.01	22	-25.70	23	11.96	24	0.02	24
4462	-686	-670	Max	21.63	-842.86	22	7.26	23	1.06	23	-37.13	23	-1.25	23	0.02	24
4462	-686	-670	Min.	0.00	-2305.00	21	-0.07	24	-0.18	23	-73.04	22	5.54	23	-0.67	23
4462	-686	-670	Min.	21.63	-2307.16	21	-0.07	24	-0.04	24	-90.73	24	-6.70	22	-0.67	23
4462	-670	-654	Max	0.00	-720.81	22	0.01	12	1.05	23	-54.71	23	16.72	21	0.51	23
4462	-670	-654	Max	21.63	-720.88	22	0.01	12	0.03	24	-66.14	23	-4.48	23	0.51	23
4462	-670	-654	Min.	0.00	-2178.78	21	-7.58	23	0.02	22	-115.09	24	8.59	23	0.02	22
4462	-670	-654	Min.	21.63	-2180.94	21	-4.56	23	-0.26	23	-133.38	24	-10.53	24	0.02	22
4462	-654	-638	Max	0.00	-551.32	22	0.05	11	0.00	24	-65.45	23	18.28	21	0.08	21
4462	-654	-638	Max	21.63	-551.39	22	0.05	11	0.01	24	-76.88	23	-6.11	23	0.08	21
4462	-654	-638	Min.	0.00	-1955.72	21	-3.24	23	-0.13	23	-133.83	24	9.28	23	0.02	22
4462	-654	-638	Min.	21.63	-1957.88	21	-0.21	23	-0.50	23	-153.85	21	-13.34	24	0.02	22
4462	-638	-622	Max	0.00	-350.79	22	0.06	11	-0.01	22	-78.26	23	20.72	21	0.03	24
4462	-638	-622	Max	17.31					-0.00	22			-6.97	22		
4462	-638	-622	Max	21.63	-350.86	22	2.78	23	0.00	11	-89.69	23	-7.71	23	0.03	24
4462	-638	-622	Min.	0.00	-1663.88	21	-0.25	23	-0.43	23	-156.03	24	10.45	23	-0.08	23
4462	-638	-622	Min.	17.31					-0.00	24			-8.78	24		
4462	-638	-622	Min.	21.63	-1666.04	21	0.03	22	-0.15	23	-180.58	21	-16.25	24	-0.08	23
4462	-622	-606	Max	0.00	-111.47	22	3.92	23	-0.01	22	-92.30	23	23.79	21	0.04	24
4462	-622	-606	Max	21.63	-111.54	22	6.95	23	1.02	23	-103.72	23	-9.19	23	0.04	24

4462	-622	-606	Min.	0.00	-1285.49	21	0.01	22	-0.16	23	-183.30	21	12.01	23	-0.41	23
4462	-622	-606	Min.	21.63	-1287.65	21	0.01	22	-0.02	24	-209.92	21	-19.25	24	-0.41	23
4462	-606	-590	Max	0.00	185.26	22	-0.03	12	0.99	23	-140.93	23	31.52	21	0.15	23
4462	-606	-590	Max	21.63	185.19	22	-0.03	12	0.01	24	-151.75	22	-15.10	23	0.15	23
4462	-606	-590	Min.	0.00	-763.48	21	-7.36	23	0.01	12	-266.52	21	15.46	22	0.01	22
4462	-606	-590	Min.	21.63	-765.64	21	-4.33	23	-0.28	23	-293.13	21	-29.01	21	0.01	22
4462	-590	-574	Max	0.00	568.01	22	0.02	11	0.00	22	-161.63	23	33.29	21	0.02	24
4462	-590	-574	Max	21.63	567.94	22	0.02	11	0.00	11	-167.93	22	-18.89	23	0.02	24
4462	-590	-574	Min.	0.00	-42.81	11	-3.40	23	-0.10	23	-308.65	21	15.77	22	-0.09	23
4462	-590	-574	Min.	21.63	-44.81	11	-0.37	23	-0.51	23	-335.26	21	-36.36	21	-0.09	23
4462	-574	-558	Max	0.00	1113.71	24	0.04	11	-0.00	22	-189.16	22	34.88	21	0.02	24
4462	-574	-558	Max	12.98					-0.00	12			-9.22	12		
4462	-574	-558	Max	21.63	1112.23	24	2.60	23	0.00	12	-190.02	22	-24.16	23	0.02	24
4462	-574	-558	Min.	0.00	462.66	23	-0.43	23	-0.36	23	-363.51	21	15.77	22	-0.14	23
4462	-574	-558	Min.	17.31					-0.00	11			-26.18	11		
4462	-574	-558	Min.	21.63	461.73	23	0.01	22	-0.13	23	-390.12	21	-46.64	21	-0.14	23
4462	-558	4293	Max	0.00	2031.25	24	2.09	23	0.03	23	-198.90	22	25.74	21	0.05	24
4462	-558	4293	Max	21.63	2029.76	24	5.12	23	0.81	23	-199.77	22	-32.99	23	0.05	24
4462	-558	4293	Min.	0.00	1009.22	23	-0.26	24	-0.00	24	-402.72	21	9.89	22	-0.11	23
4462	-558	4293	Min.	21.63	1008.30	23	-0.26	24	-0.06	24	-429.34	21	-64.27	21	-0.11	23
4462	4293	-542	Max	0.00	378.17	21	-1.05	12	0.39	21	79.07	21	-2.99	22	-0.02	22
4462	4293	-542	Max	16.72	376.85	21	-1.05	12	-0.07	12	62.81	21	2.83	21	-0.02	22
4462	4293	-542	Min.	0.00	137.10	22	-5.02	21	0.10	12	30.66	22	-9.03	21	-0.05	21
4462	4293	-542	Min.	16.72	137.05	22	-2.91	21	-0.27	21	30.00	22	1.57	23	-0.05	21
4462	-542	-526	Max	0.00	235.25	21	-0.86	22	0.30	21	54.14	21	-0.99	22	0.18	21
4462	-542	-526	Max	16.72	233.93	21	-0.86	22	-0.07	22	37.88	21	3.13	21	0.18	21
4462	-542	-526	Min.	0.00	81.85	22	-4.23	21	0.07	22	11.92	22	-4.57	21	0.03	22
4462	-542	-526	Min.	16.72	81.79	22	-2.12	21	-0.23	21	11.25	22	0.95	22	0.03	22
4462	-526	3318	Max	0.00	89.33	21	-0.82	22	0.16	21	53.22	21	-1.17	22	0.22	21
4462	-526	3318	Max	16.72	88.01	21	0.33	23	-0.04	23	36.96	21	3.86	21	0.22	21
4462	-526	3318	Min.	0.00	34.31	22	-2.59	21	0.07	22	14.96	22	-3.68	21	0.05	22
4462	-526	3318	Min.	16.72	34.26	22	-1.34	24	-0.11	24	14.29	22	1.28	22	0.05	22
4499	-791	-783	Max	0.00	-643.84	23	-0.01	22	0.08	21	64.57	21	1.22	22	0.03	22
4499	-791	-783	Max	21.63	-644.77	23	-0.01	22	0.05	24	37.95	21	4.38	21	0.03	22
4499	-791	-783	Min.	0.00	-1205.33	21	-0.22	21	0.04	23	-17.89	22	-6.71	21	-0.00	23
4499	-791	-783	Min.	21.63	-1207.49	21	-0.22	21	0.02	23	-18.75	22	-2.75	22	-0.00	23
4499	-783	-767	Max	0.00	-660.57	22	0.01	22	0.04	21	46.50	21	3.11	22	0.03	22
4499	-783	-767	Max	16.14					0.02	24			1.76	24		
4499	-783	-767	Max	21.63	-660.64	22	0.01	22	0.02	22	19.88	21	5.07	21	0.03	22
4499	-783	-767	Min.	0.00	-1240.18	21	-0.19	21	0.01	22	-23.57	22	-2.11	21	-0.01	21
4499	-783	-767	Min.	7.85					0.02	26			1.22	26		
4499	-783	-767	Min.	21.63	-1242.34	21	-0.19	21	0.00	23	-24.43	22	-2.08	22	-0.01	21
4499	-767	-751	Max	0.00	-629.80	22	-0.00	22	0.01	21	34.27	21	3.53	22	0.03	22
4499	-767	-751	Max	4.33					-0.00	24			2.09	24		
4499	-767	-751	Max	21.63	-629.87	22	-0.00	22	-0.01	22	7.65	21	4.14	21	0.03	22
4499	-767	-751	Min.	0.00	-1270.97	21	-0.21	21	-0.01	22	-25.70	22	-0.39	21	-0.01	21
4499	-767	-751	Min.	4.33					-0.00	24			2.09	24		
4499	-767	-751	Min.	21.63	-1273.13	21	-0.21	21	-0.03	21	-26.56	22	-2.13	22	-0.01	21
4499	-751	-735	Max	0.00	-594.46	22	-0.06	22	-0.01	23	19.84	21	4.00	22	0.05	22
4499	-751	-735	Max	16.12					-0.08	21			2.75	21		
4499	-751	-735	Max	21.63	-594.53	22	-0.06	22	-0.04	23	-0.39	23	2.56	21	0.05	22
4499	-751	-735	Min.	0.00	-1289.12	21	-0.28	21	-0.04	24	-28.63	22	0.49	23	-0.01	21
4499	-751	-735	Min.	20.82					-0.04	23			1.65	23		
4499	-751	-735	Min.	21.63	-1291.28	21	-0.28	21	-0.09	21	-29.49	22	-2.28	22	-0.01	21
4499	-735	-719	Max	0.00	-544.00	22	-0.02	23	0.08	24	12.10	21	5.09	22	0.06	21
4499	-735	-719	Max	8.65					0.06	21			2.60	21		
4499	-735	-719	Max	21.63	-544.07	22	-0.02	23	0.06	24	-7.97	23	1.75	21	0.06	21
4499	-735	-719	Min.	0.00	-1285.53	21	-0.11	24	0.02	23	-39.01	22	1.32	23	0.03	23
4499	-735	-719	Min.	6.55					0.02	23			1.44	23		

4499	-735	-719	Min.	21.63	-1287.69	21	-0.11	24	0.02	23	-39.87	22	-3.44	22	0.03	23
4499	-719	-703	Max	0.00	-488.26	22	0.02	23	0.02	24	-2.01	25	5.26	22	0.04	24
4499	-719	-703	Max	21.63	-488.33	22	0.02	23	0.02	21	-15.00	23	0.21	25	0.04	24
4499	-719	-703	Min.	0.00	-1273.29	21	-0.04	11	0.01	23	-42.47	22	2.06	23	0.02	23
4499	-719	-703	Min.	21.63	-1275.45	21	-0.04	11	0.01	23	-43.65	24	-4.02	22	0.02	23
4499	-703	-687	Max	0.00	-422.79	22	0.01	23	-0.01	23	-11.06	23	6.50	24	0.04	24
4499	-703	-687	Max	21.63	-422.86	22	0.01	23	-0.00	23	-22.48	23	-0.79	23	0.04	24
4499	-703	-687	Min.	0.00	-1238.38	21	-0.05	11	-0.01	24	-46.66	22	2.84	23	0.02	23
4499	-703	-687	Min.	21.63	-1240.54	21	-0.05	11	-0.02	24	-56.12	24	-4.56	22	0.02	23
4499	-687	-671	Max	0.00	-345.98	22	-0.03	23	-0.02	23	-19.06	23	7.75	24	0.05	24
4499	-687	-671	Max	21.63	-346.05	22	-0.03	23	-0.03	23	-30.49	23	-1.71	23	0.05	24
4499	-687	-671	Min.	0.00	-1176.75	21	-0.16	11	-0.06	24	-51.48	24	3.65	23	0.02	23
4499	-687	-671	Min.	21.63	-1178.91	21	-0.16	11	-0.09	24	-69.78	24	-5.36	24	0.02	23
4499	-671	-655	Max	0.00	-361.16	22	-0.01	23	0.09	24	-25.99	23	8.43	24	0.08	11
4499	-671	-655	Max	21.63	-361.23	22	-0.01	23	0.07	24	-37.42	23	-2.50	23	0.08	11
4499	-671	-655	Min.	0.00	-1221.49	21	-0.08	22	0.03	23	-61.03	22	4.36	23	0.03	23
4499	-671	-655	Min.	21.63	-1223.65	21	-0.08	22	0.02	23	-76.56	24	-6.23	22	0.03	23
4499	-655	-639	Max	0.00	-248.40	22	0.08	21	0.02	24	-35.29	23	10.06	24	0.06	11
4499	-655	-639	Max	21.63	-248.47	22	0.08	21	0.03	11	-46.72	23	-3.57	23	0.06	11
4499	-655	-639	Min.	0.00	-1102.59	21	0.01	22	0.00	23	-74.01	24	5.30	23	0.03	23
4499	-655	-639	Min.	21.63	-1104.75	21	0.01	22	0.01	23	-92.31	24	-7.93	24	0.03	23
4499	-639	-623	Max	0.00	-114.74	22	0.08	21	-0.01	22	-45.39	23	11.96	21	0.06	21
4499	-639	-623	Max	17.31					-0.00	23			-2.41	23		
4499	-639	-623	Max	21.63	-114.81	22	0.08	21	0.00	11	-56.82	23	-4.82	23	0.06	21
4499	-639	-623	Min.	0.00	-938.02	21	0.01	22	-0.02	21	-90.99	24	6.24	23	0.03	23
4499	-639	-623	Min.	17.31					-0.00	21			-4.49	21		
4499	-639	-623	Min.	21.63	-940.18	21	0.01	22	-0.01	22	-111.03	21	-10.09	24	0.03	23
4499	-623	-607	Max	0.00	45.17	22	0.02	23	-0.02	23	-56.62	23	13.91	21	0.07	21
4499	-623	-607	Max	21.63	45.10	22	0.02	23	-0.01	23	-68.04	23	-6.33	23	0.07	21
4499	-623	-607	Min.	0.00	-716.11	21	-0.10	24	-0.05	24	-110.27	24	7.15	23	0.03	23
4499	-623	-607	Min.	21.63	-718.26	21	-0.10	24	-0.08	24	-134.68	21	-12.71	24	0.03	23
4499	-607	-591	Max	0.00	246.45	22	0.22	11	0.04	24	-63.93	23	14.89	21	0.15	11
4499	-607	-591	Max	21.63	246.38	22	0.22	11	0.08	11	-75.36	23	-7.48	23	0.15	11
4499	-607	-591	Min.	0.00	-428.86	21	0.02	23	-0.00	23	-129.43	24	7.58	23	0.01	23
4499	-607	-591	Min.	21.63	-431.02	21	0.02	23	0.00	23	-149.91	21	-15.48	24	0.01	23
4499	-591	-575	Max	0.00	496.80	22	0.32	11	-0.00	22	-78.19	23	17.13	21	0.14	11
4499	-591	-575	Max	21.63	496.73	22	0.32	11	0.04	11	-89.62	23	-9.49	23	0.14	11
4499	-591	-575	Min.	0.00	-61.03	21	0.05	23	-0.03	11	-153.92	24	8.66	23	0.01	23
4499	-591	-575	Min.	21.63	-63.19	21	0.05	23	0.00	23	-179.26	21	-19.24	24	0.01	23
4499	-575	-559	Max	0.00	802.08	22	0.31	11	-0.00	23	-94.85	23	18.63	21	0.14	11
4499	-575	-559	Max	21.63	802.01	22	0.31	11	0.01	21	-106.28	23	-12.42	23	0.14	11
4499	-575	-559	Min.	0.00	207.11	23	0.07	23	-0.06	11	-187.56	21	9.33	23	0.01	23
4499	-575	-559	Min.	21.63	206.18	23	0.07	23	-0.00	22	-214.18	21	-24.86	24	0.01	23
4499	-559	4294	Max	0.00	1271.71	24	0.74	11	0.01	23	-109.62	23	14.35	21	0.11	11
4499	-559	4294	Max	21.63	1270.23	24	0.74	11	0.05	11	-121.05	23	-17.79	23	0.11	11
4499	-559	4294	Min.	0.00	492.08	23	0.03	23	-0.11	11	-217.39	21	5.98	22	0.03	23
4499	-559	4294	Min.	21.63	491.16	23	0.03	23	0.02	23	-244.00	21	-35.56	21	0.03	23
4499	4294	-543	Max	0.00	84.15	11	-1.51	22	0.51	21	39.81	11	-1.13	23	0.01	24
4499	4294	-543	Max	16.72	82.93	11	-1.51	22	-0.13	22	26.30	24	1.89	24	0.01	24
4499	4294	-543	Min.	0.00	-31.43	23	-6.05	21	0.12	22	14.38	23	-3.93	11	-0.01	23
4499	4294	-543	Min.	16.72	-32.00	23	-6.05	21	-0.50	21	7.34	23	0.69	23	-0.01	23
4499	-543	-527	Max	0.00	44.12	11	-2.26	22	0.55	21	21.79	11	0.36	23	0.12	23
4499	-543	-527	Max	15.05					-0.34	25			0.55	25		
4499	-543	-527	Max	16.72	42.90	11	-2.26	22	-0.19	22	6.77	11	1.05	11	0.12	23
4499	-543	-527	Min.	0.00	-22.99	23	-6.43	21	0.19	22	0.78	23	-1.34	11	-0.01	12
4499	-543	-527	Min.	1.86					0.31	23			0.36	23		
4499	-543	-527	Min.	16.72	-23.56	23	-6.43	21	-0.53	21	-6.26	23	-0.10	23	-0.01	12
4499	-527	3319	Max	0.00	14.59	11	-2.18	22	0.39	21	16.86	11	0.42	23	0.15	23
4499	-527	3319	Max	6.69					0.08	21			0.25	21		

4499	-527	3319	Max	16.72	13.38	11	-2.18	22	-0.18	22	5.27	22	0.76	11	0.15	23
4499	-527	3319	Min.	0.00	-6.93	23	-4.64	21	0.18	22	-2.35	23	-0.80	11	0.00	22
4499	-527	3319	Min.	9.28					-0.04	25			0.25	25		
4499	-527	3319	Min.	16.72	-7.50	23	-4.64	21	-0.39	21	-9.40	23	-0.56	23	0.00	22
4500	-792	-784	Max	0.00	-633.14	23	-0.02	22	1.22	23	30.34	21	1.69	22	0.90	23
4500	-792	-784	Max	12.98					0.05	26			-0.15	26		
4500	-792	-784	Max	21.63	-633.24	23	-0.02	22	0.05	24	28.28	21	3.05	21	0.90	23
4500	-792	-784	Min.	0.00	-1197.03	21	-8.27	23	0.04	22	-17.56	22	-3.29	21	0.00	12
4500	-792	-784	Min.	12.98					0.05	26			-0.15	26		
4500	-792	-784	Min.	21.63	-1197.20	21	-5.24	23	-0.24	23	-18.40	22	-2.20	22	0.00	12
4500	-784	-768	Max	0.00	-645.67	23	0.00	22	0.04	11	26.00	21	3.06	22	0.17	23
4500	-784	-768	Max	12.38					0.02	24			1.15	24		
4500	-784	-768	Max	21.63	-645.77	23	0.00	22	0.02	22	23.94	21	4.06	21	0.17	23
4500	-784	-768	Min.	0.00	-1219.98	21	-3.52	23	-0.13	23	-22.43	22	-1.35	21	-0.01	11
4500	-784	-768	Min.	12.38					0.02	24			1.15	24		
4500	-784	-768	Min.	21.63	-1220.15	21	-0.55	21	-0.57	23	-23.28	22	-1.88	22	-0.01	11
4500	-768	-752	Max	0.00	-628.41	22	-0.01	22	0.01	11	24.96	21	3.43	22	0.03	22
4500	-768	-752	Max	21.63	-628.48	22	2.95	23	-0.01	22	22.91	21	4.33	21	0.03	22
4500	-768	-752	Min.	0.00	-1246.79	21	-0.20	11	-0.50	23	-24.73	22	-0.84	21	-0.20	23
4500	-768	-752	Min.	21.63	-1246.95	21	-0.20	11	-0.19	21	-25.57	22	-2.01	22	-0.20	23
4500	-752	-736	Max	0.00	-594.57	22	4.59	23	-0.03	12	24.57	21	3.85	22	0.05	22
4500	-752	-736	Max	21.63	-594.64	22	7.62	23	1.09	23	22.52	21	5.18	21	0.05	22
4500	-752	-736	Min.	0.00	-1270.93	21	-0.28	11	-0.24	23	-27.39	22	0.05	25	-0.90	23
4500	-752	-736	Min.	21.63	-1271.09	21	-0.28	11	-0.09	11	-28.24	22	-2.17	22	-0.90	23
4500	-736	-720	Max	0.00	-558.74	22	-0.07	22	1.16	23	-7.08	23	5.46	24	0.77	23
4500	-736	-720	Max	21.63	-558.81	22	-0.07	22	0.06	24	-8.33	23	0.81	21	0.77	23
4500	-736	-720	Min.	0.00	-1284.67	21	-8.08	23	0.06	22	-36.15	22	2.18	23	0.04	22
4500	-736	-720	Min.	21.63	-1284.84	21	-5.05	23	-0.26	23	-37.00	22	-3.19	22	0.04	22
4500	-720	-704	Max	0.00	-506.50	22	-0.02	22	0.02	24	-8.66	23	5.26	24	0.13	21
4500	-720	-704	Max	21.63	-506.56	22	-0.02	22	0.01	24	-9.90	23	0.02	23	0.13	21
4500	-720	-704	Min.	0.00	-1264.50	21	-3.43	23	-0.12	23	-39.72	22	2.02	23	0.03	12
4500	-720	-704	Min.	21.63	-1264.66	21	-0.40	23	-0.53	23	-40.57	22	-3.71	22	0.03	12
4500	-704	-688	Max	0.00	-445.13	22	-0.01	22	-0.01	12	-11.20	23	5.70	24	0.04	24
4500	-704	-688	Max	21.63	-445.20	22	2.78	23	-0.02	22	-12.45	23	-0.25	23	0.04	24
4500	-704	-688	Min.	0.00	-1233.67	21	-0.26	21	-0.45	23	-43.72	22	2.30	23	-0.14	23
4500	-704	-688	Min.	21.63	-1233.84	21	-0.06	11	-0.17	23	-44.57	22	-4.22	22	-0.14	23
4500	-688	-672	Max	0.00	-372.83	22	4.13	23	-0.04	12	-13.12	23	6.53	24	0.05	24
4500	-688	-672	Max	21.63	-372.89	22	7.16	23	1.02	23	-14.36	23	-0.13	25	0.05	24
4500	-688	-672	Min.	0.00	-1190.20	21	-0.18	24	-0.21	21	-47.76	22	2.84	23	-0.65	23
4500	-688	-672	Min.	21.63	-1190.37	21	-0.18	24	-0.10	24	-48.61	22	-4.63	22	-0.65	23
4500	-672	-656	Max	0.00	-290.49	22	-0.03	12	1.10	23	-35.79	23	10.17	21	0.53	21
4500	-672	-656	Max	21.63	-290.56	22	-0.03	12	0.07	24	-37.03	23	-2.68	23	0.53	21
4500	-672	-656	Min.	0.00	-1117.53	21	-7.68	23	0.06	12	-77.00	24	5.20	23	0.04	22
4500	-672	-656	Min.	21.63	-1117.69	21	-4.65	23	-0.24	23	-78.50	24	-6.78	24	0.04	22
4500	-656	-640	Max	0.00	-180.79	22	0.08	11	0.02	24	-39.61	23	10.11	24	0.10	21
4500	-656	-640	Max	21.63	-180.86	22	0.08	11	0.03	11	-40.85	23	-3.49	23	0.10	21
4500	-656	-640	Min.	0.00	-990.26	21	-3.29	23	-0.11	23	-83.86	24	5.21	23	0.03	22
4500	-656	-640	Min.	21.63	-990.43	21	-0.26	23	-0.50	23	-85.36	24	-8.19	24	0.03	22
4500	-640	-624	Max	0.00	-50.45	22	0.07	11	-0.01	22	-44.62	23	10.81	21	0.06	11
4500	-640	-624	Max	17.31					-0.00	12			-3.09	12		
4500	-640	-624	Max	21.63	-50.52	22	2.73	23	0.00	12	-45.86	23	-4.15	23	0.06	11
4500	-640	-624	Min.	0.00	-832.99	21	-0.29	23	-0.43	23	-92.67	24	5.64	23	-0.08	23
4500	-640	-624	Min.	17.31					-0.00	11			-3.86	11		
4500	-640	-624	Min.	21.63	-833.16	21	0.01	22	-0.16	23	-94.17	24	-9.45	24	-0.08	23
4500	-624	-608	Max	0.00	105.28	22	3.79	23	-0.03	22	-49.72	23	11.99	21	0.07	24
4500	-624	-608	Max	21.63	105.21	22	6.82	23	0.97	23	-50.96	23	-4.58	23	0.07	24
4500	-624	-608	Min.	0.00	-638.95	21	-0.11	24	-0.19	21	-101.67	24	6.31	23	-0.40	23
4500	-624	-608	Min.	21.63	-639.11	21	-0.11	24	-0.08	24	-103.17	24	-10.48	24	-0.40	23
4500	-608	-592	Max	0.00	293.39	22	0.22	11	1.00	23	-78.78	23	16.80	21	0.30	21

4500	-608	-592	Max	21.63	293.32	22	0.22	11	0.08	11	-80.03	23	-8.11	23	0.30	21
4500	-608	-592	Min.	0.00	-370.13	21	-7.27	23	0.02	12	-146.72	21	8.95	22	0.06	22
4500	-608	-592	Min.	21.63	-370.30	21	-4.24	23	-0.24	23	-148.77	21	-15.17	21	0.06	22
4500	-592	-576	Max	0.00	528.78	22	0.32	11	-0.00	22	-87.93	23	17.05	21	0.14	11
4500	-592	-576	Max	21.63	528.71	22	0.32	11	0.04	11	-89.18	23	-9.97	23	0.14	11
4500	-592	-576	Min.	0.00	1.91	23	-3.27	23	-0.11	21	-163.50	21	9.18	23	-0.03	23
4500	-592	-576	Min.	21.63	1.81	23	-0.24	23	-0.49	23	-165.56	21	-18.54	21	-0.03	23
4500	-576	-560	Max	0.00	815.25	22	0.32	11	-0.02	22	-100.30	23	17.32	21	0.14	11
4500	-576	-560	Max	21.63	815.18	22	2.70	23	0.01	11	-101.55	23	-12.47	23	0.14	11
4500	-576	-560	Min.	0.00	250.94	23	-0.33	23	-0.39	23	-185.74	21	9.30	22	-0.08	23
4500	-576	-560	Min.	21.63	250.84	23	0.09	22	-0.13	23	-187.80	21	-23.09	21	-0.08	23
4500	-560	4296	Max	0.00	1221.95	24	2.62	21	-0.04	22	-108.16	23	12.43	21	0.13	11
4500	-560	4296	Max	21.63	1221.83	24	5.61	23	0.84	23	-109.40	23	-16.80	23	0.13	11
4500	-560	4296	Min.	0.00	531.80	23	0.07	22	-0.10	21	-200.14	21	5.47	22	-0.11	23
4500	-560	4296	Min.	21.63	531.70	23	0.07	22	-0.03	22	-202.20	21	-31.09	21	-0.11	23
4500	4296	-544	Max	0.00	199.40	21	-2.31	22	0.64	21	32.30	21	-1.40	22	0.06	23
4500	4296	-544	Max	16.72	199.28	21	-2.31	22	-0.18	22	30.87	21	1.46	22	0.06	23
4500	4296	-544	Min.	0.00	63.80	22	-7.93	21	0.21	22	16.77	12	-3.96	21	-0.02	11
4500	4296	-544	Min.	16.72	63.75	22	-5.82	21	-0.51	21	15.72	12	0.75	12	-0.02	11
4500	-544	-528	Max	0.00	123.49	21	-2.25	22	0.57	21	20.00	21	-0.06	22	0.12	23
4500	-544	-528	Max	16.72	123.37	21	-2.25	22	-0.19	22	18.58	21	1.34	21	0.12	23
4500	-544	-528	Min.	0.00	31.78	22	-7.48	21	0.19	22	2.53	22	-1.88	21	-0.01	12
4500	-544	-528	Min.	16.72	31.73	22	-5.37	21	-0.50	21	1.87	22	0.31	22	-0.01	12
4500	-528	3320	Max	0.00	46.09	21	-2.19	22	0.41	21	22.16	21	-0.27	22	0.14	23
4500	-528	3320	Max	16.72	45.97	21	-1.55	23	-0.18	22	20.73	21	1.89	21	0.14	23
4500	-528	3320	Min.	0.00	11.67	22	-5.59	21	0.18	22	3.70	22	-1.70	21	0.00	22
4500	-528	3320	Min.	16.72	11.62	22	-3.57	24	-0.35	21	3.05	22	0.30	22	0.00	22
6002	-513	-514	Max	0.00	-0.32	22	0.69	23	0.69	24	-0.02	23	0.04	21	0.50	23
6002	-513	-514	Max	12.00	-0.32	22	0.69	23	0.07	23	1.72	21	0.12	21	0.50	23
6002	-513	-514	Min.	0.00	-2.56	21	-12.85	24	-0.01	23	-0.85	24	0.01	22	-0.01	11
6002	-513	-514	Min.	12.00	-2.56	21	-12.85	24	-0.85	24	0.75	24	0.01	22	-0.01	11
6003	-529	-530	Max	0.00	0.56	11	2.87	23	0.43	24	1.00	23	0.07	21	0.09	23
6003	-529	-530	Max	12.00	0.56	11	2.87	23	0.17	23	1.47	23	0.19	23	0.09	23
6003	-529	-530	Min.	0.00	-1.69	23	-7.10	24	-0.17	23	-1.06	24	0.03	22	0.00	11
6003	-529	-530	Min.	12.00	-1.69	23	-7.10	24	-0.43	24	-0.59	24	-0.05	24	0.00	11
6004	313	314	Max	1.77	-6.08	22	0.21	11	0.28	23	4.71	21	-0.38	12	0.06	24
6004	313	314	Max	15.00	-6.08	22	0.21	11	0.02	24	3.60	23	-0.25	23	0.06	24
6004	313	314	Min.	1.77	-12.42	21	-2.01	23	-0.01	12	1.23	12	-0.95	21	-0.19	23
6004	313	314	Min.	15.00	-12.42	21	-2.01	23	0.01	23	0.29	12	-0.41	21	-0.19	23
6004	314	315	Max	0.00	-6.08	22	0.21	11	0.02	24	3.60	23	-0.25	23	0.06	24
6004	314	315	Max	4.10					0.02	12			-0.28	12		
6004	314	315	Max	13.23	-6.08	22	0.21	11	0.05	24	2.66	23	0.17	23	0.06	24
6004	314	315	Min.	0.00	-12.42	21	-2.01	23	0.01	23	0.29	12	-0.41	21	-0.19	23
6004	314	315	Min.	6.73					0.04	24			-0.38	24		
6004	314	315	Min.	13.23	-12.42	21	-2.01	23	-0.26	23	-0.65	12	-0.39	24	-0.19	23
6005	-1	-2	Max	2.83	46.29	21	0.16	24	0.05	23	25.30	23	0.22	24	0.00	11
6005	-1	-2	Max	7.49					-0.01	24			0.23	24		
6005	-1	-2	Max	26.15	46.29	21	0.16	24	0.02	11	23.47	23	2.90	23	0.00	11
6005	-1	-2	Min.	2.83	27.73	23	-0.37	23	-0.02	24	-0.05	12	-2.79	23	-0.00	23
6005	-1	-2	Min.	6.86					-0.01	22			0.21	22		
6005	-1	-2	Min.	26.15	27.73	23	-0.37	23	-0.04	23	-1.88	12	-0.02	12	-0.00	23
6006	-33	-34	Max	2.83	11.16	24	0.15	21	0.00	11	39.13	23	0.45	11	0.02	23
6006	-33	-34	Max	21.24					-0.00	22			0.12	22		
6006	-33	-34	Max	25.84	11.16	24	0.15	21	0.03	21	37.33	23	4.50	23	0.02	23
6006	-33	-34	Min.	2.83	6.16	23	0.02	12	-0.01	23	-1.36	12	-4.30	23	-0.00	24
6006	-33	-34	Min.	21.24					-0.00	22			0.12	22		
6006	-33	-34	Min.	25.84	6.16	23	0.02	12	0.00	22	-3.17	12	-0.10	12	-0.00	24
6007	-65	-66	Max	2.83	-0.91	12	0.37	23	0.01	11	32.83	23	0.23	12	0.00	21
6007	-65	-66	Max	25.22	-0.91	12	0.37	23	0.05	23	31.95	23	3.58	23	0.00	21

6007	-65	-66	Min.	2.83	-2.54	21	-0.03	11	-0.04	23	-1.77	12	-3.67	23	0.00	22
6007	-65	-66	Min.	25.22	-2.54	21	-0.03	11	-0.00	22	-2.65	12	-0.26	11	0.00	22
6008	-97	-98	Max	2.83	0.08	22	0.50	23	0.02	11	41.12	23	0.30	12	0.00	21
6008	-97	-98	Max	24.59	0.08	22	0.50	23	0.06	23	40.27	23	4.38	23	0.00	21
6008	-97	-98	Min.	2.83	-1.49	23	-0.03	12	-0.05	23	-2.47	12	-4.48	23	0.00	22
6008	-97	-98	Min.	24.59	-1.49	23	-0.03	12	-0.01	22	-3.32	12	-0.33	11	0.00	22
6009	-129	-130	Max	2.83	-0.03	22	0.55	23	0.02	11	43.04	23	0.32	12	0.01	21
6009	-129	-130	Max	23.97	-0.03	22	0.55	23	0.07	23	42.21	23	4.45	23	0.01	21
6009	-129	-130	Min.	2.83	-1.47	23	-0.04	12	-0.05	23	-2.75	12	-4.56	23	0.00	22
6009	-129	-130	Min.	23.97	-1.47	23	-0.04	12	-0.01	22	-3.58	12	-0.35	11	0.00	22
6010	-161	-162	Max	2.83	-0.03	22	0.57	23	0.02	11	43.49	23	0.33	12	0.01	21
6010	-161	-162	Max	23.34	-0.03	22	0.57	23	0.07	21	42.68	23	4.37	23	0.01	21
6010	-161	-162	Min.	2.83	-1.46	23	-0.04	12	-0.05	23	-2.94	12	-4.47	23	0.00	22
6010	-161	-162	Min.	23.34	-1.46	23	-0.04	12	-0.00	22	-3.74	12	-0.36	11	0.00	22
6011	-193	-194	Max	2.83	-0.04	22	0.58	23	0.02	11	43.60	23	0.34	12	0.01	21
6011	-193	-194	Max	22.72	-0.04	22	0.58	23	0.07	21	42.82	23	4.25	23	0.01	21
6011	-193	-194	Min.	2.83	-1.46	23	-0.04	12	-0.05	23	-3.12	12	-4.35	23	0.00	22
6011	-193	-194	Min.	22.72	-1.46	23	-0.04	12	-0.00	22	-3.90	12	-0.36	11	0.00	22
6012	-225	-226	Max	2.83	-0.04	22	0.58	23	0.02	11	43.65	23	0.34	12	0.01	21
6012	-225	-226	Max	22.09	-0.04	22	0.58	23	0.06	21	42.89	23	4.12	23	0.01	21
6012	-225	-226	Min.	2.83	-1.46	23	-0.04	12	-0.05	23	-3.30	12	-4.22	23	0.00	22
6012	-225	-226	Min.	22.09	-1.46	23	-0.04	12	-0.00	22	-4.06	12	-0.37	11	0.00	22
6013	-257	-258	Max	2.83	-0.05	22	0.58	23	0.02	11	43.67	23	0.35	12	0.01	21
6013	-257	-258	Max	21.47	-0.05	22	0.58	23	0.06	21	42.94	23	3.98	23	0.01	21
6013	-257	-258	Min.	2.83	-1.46	23	-0.05	12	-0.05	23	-3.50	12	-4.09	23	0.00	22
6013	-257	-258	Min.	21.47	-1.46	23	-0.05	12	-0.00	22	-4.23	12	-0.37	11	0.00	22
6014	-289	-290	Max	2.83	-0.05	22	0.59	23	0.02	11	43.70	23	0.36	12	0.01	21
6014	-289	-290	Max	20.84	-0.05	22	0.59	23	0.06	21	42.99	23	3.85	23	0.01	21
6014	-289	-290	Min.	2.83	-1.47	23	-0.05	12	-0.04	23	-3.71	12	-3.95	23	0.00	22
6014	-289	-290	Min.	20.84	-1.47	23	-0.05	12	-0.00	22	-4.41	12	-0.38	11	0.00	22
6015	-321	-322	Max	2.83	-0.06	22	0.59	23	0.02	11	43.72	23	0.36	12	0.01	21
6015	-321	-322	Max	20.22	-0.06	22	0.59	23	0.06	21	43.04	23	3.72	23	0.01	21
6015	-321	-322	Min.	2.83	-1.47	23	-0.05	12	-0.04	23	-3.93	12	-3.82	23	0.00	22
6015	-321	-322	Min.	20.22	-1.47	23	-0.05	12	-0.00	22	-4.61	12	-0.38	11	0.00	22
6016	-353	-354	Max	2.83	-0.06	22	0.59	23	0.02	11	43.75	23	0.37	12	0.01	21
6016	-353	-354	Max	19.59	-0.06	22	0.59	23	0.06	21	43.09	23	3.59	23	0.01	21
6016	-353	-354	Min.	2.83	-1.48	23	-0.06	12	-0.04	23	-4.17	12	-3.69	23	0.00	22
6016	-353	-354	Min.	19.59	-1.48	23	-0.06	12	0.00	22	-4.83	12	-0.39	11	0.00	22
6017	-385	-386	Max	2.83	-0.04	11	0.59	23	0.02	11	43.75	23	0.37	12	0.01	21
6017	-385	-386	Max	18.97	-0.04	11	0.59	23	0.06	21	43.12	23	3.45	23	0.01	21
6017	-385	-386	Min.	2.83	-1.40	23	-0.06	12	-0.04	23	-4.43	12	-3.56	23	0.00	22
6017	-385	-386	Min.	18.97	-1.40	23	-0.06	12	0.00	22	-5.06	12	-0.40	11	0.00	22
6018	-417	-418	Max	2.83	0.24	22	0.59	23	0.02	11	43.65	23	0.38	12	0.01	21
6018	-417	-418	Max	18.34	0.24	22	0.59	23	0.06	21	43.04	23	3.31	23	0.01	21
6018	-417	-418	Min.	2.83	-2.47	21	-0.06	12	-0.04	23	-4.68	12	-3.41	23	0.00	22
6018	-417	-418	Min.	18.34	-2.47	21	-0.06	12	0.00	22	-5.29	12	-0.39	11	0.00	22
6019	-449	-450	Max	2.83	6.46	11	0.56	23	0.02	11	42.84	23	0.33	12	0.01	21
6019	-449	-450	Max	17.72	6.46	11	0.56	23	0.05	21	42.25	23	3.09	23	0.01	21
6019	-449	-450	Min.	2.83	-2.23	22	-0.06	12	-0.03	23	-4.86	12	-3.24	23	0.00	22
6019	-449	-450	Min.	17.72	-2.23	22	-0.06	12	0.00	22	-5.45	12	-0.45	11	0.00	22
6020	-481	-482	Max	2.83	11.59	22	0.50	23	0.01	11	37.70	23	0.63	11	0.01	21
6020	-481	-482	Max	17.09	11.59	22	0.50	23	0.04	21	37.14	23	2.80	23	0.01	21
6020	-481	-482	Min.	2.83	-44.16	21	-0.02	12	-0.03	23	-4.03	12	-2.53	23	0.01	22
6020	-481	-482	Min.	17.09	-44.16	21	-0.02	12	0.00	22	-4.59	12	-0.34	22	0.01	22
6024	-489	-490	Max	3.53	94.31	21	0.09	11	0.03	23	32.11	23	0.16	22	0.00	23
6024	-489	-490	Max	17.80	94.31	21	0.09	11	0.02	11	31.55	23	1.87	23	0.00	23
6024	-489	-490	Min.	3.53	26.46	22	-0.39	23	0.00	22	-8.54	11	-2.67	23	-0.00	22
6024	-489	-490	Min.	17.80	26.46	22	-0.39	23	-0.02	23	-9.10	11	-1.37	11	-0.00	22
6025	-457	-458	Max	3.53	-4.57	22	0.14	11	0.04	23	36.67	23	0.88	11	0.01	21

6025	-457	-458	Max	18.42	-4.57	22	0.14	11	0.03	11	36.08	23	2.81	23	0.01	21
6025	-457	-458	Min.	3.53	-17.65	21	-0.46	23	-0.00	22	-10.04	11	-2.60	23	0.00	22
6025	-457	-458	Min.	18.42	-17.65	21	-0.46	23	-0.03	23	-10.62	11	-0.65	11	0.00	22
6026	-425	-426	Max	3.53	2.24	11	0.14	11	0.05	23	37.74	23	0.76	11	0.01	21
6026	-425	-426	Max	19.05	2.24	11	0.14	11	0.03	11	37.14	23	2.93	23	0.01	21
6026	-425	-426	Min.	3.53	-0.06	23	-0.49	23	-0.00	22	-9.60	11	-2.87	23	0.00	22
6026	-425	-426	Min.	19.05	-0.06	23	-0.49	23	-0.03	23	-10.21	11	-0.78	11	0.00	22
6027	-393	-394	Max	3.53	-0.11	22	0.13	11	0.05	23	38.14	23	0.76	11	0.01	21
6027	-393	-394	Max	19.67	-0.11	22	0.13	11	0.03	11	37.51	23	3.09	23	0.01	21
6027	-393	-394	Min.	3.53	-1.50	23	-0.50	23	-0.00	22	-9.11	11	-3.01	23	0.00	22
6027	-393	-394	Min.	19.67	-1.50	23	-0.50	23	-0.03	23	-9.74	11	-0.76	11	0.00	22
6028	-361	-362	Max	3.53	0.11	11	0.12	11	0.05	23	38.43	23	0.75	11	0.01	21
6028	-361	-362	Max	20.30	0.11	11	0.12	11	0.03	11	37.77	23	3.23	23	0.01	21
6028	-361	-362	Min.	3.53	-1.31	23	-0.50	23	-0.00	22	-8.61	11	-3.16	23	0.00	22
6028	-361	-362	Min.	20.30	-1.31	23	-0.50	23	-0.03	23	-9.27	11	-0.75	11	0.00	22
6029	-329	-330	Max	3.53	0.07	11	0.12	11	0.05	23	38.67	23	0.74	11	0.01	21
6029	-329	-330	Max	20.92	0.07	11	0.12	11	0.02	11	37.99	23	3.37	23	0.01	21
6029	-329	-330	Min.	3.53	-1.34	23	-0.51	23	-0.00	22	-8.15	11	-3.30	23	0.00	22
6029	-329	-330	Min.	20.92	-1.34	23	-0.51	23	-0.04	23	-8.83	11	-0.74	11	0.00	22
6030	-297	-298	Max	3.53	0.07	11	0.11	11	0.05	23	38.90	23	0.72	11	0.01	21
6030	-297	-298	Max	21.55	0.07	11	0.11	11	0.02	11	38.19	23	3.51	23	0.01	21
6030	-297	-298	Min.	3.53	-1.34	23	-0.51	23	-0.00	22	-7.71	11	-3.44	23	0.00	22
6030	-297	-298	Min.	21.55	-1.34	23	-0.51	23	-0.04	23	-8.42	11	-0.73	11	0.00	22
6031	-265	-266	Max	3.53	0.06	11	0.11	11	0.06	23	39.11	23	0.71	11	0.01	21
6031	-265	-266	Max	22.17	0.06	11	0.11	11	0.02	11	38.37	23	3.64	23	0.01	21
6031	-265	-266	Min.	3.53	-1.34	23	-0.51	23	-0.01	22	-7.31	11	-3.58	23	0.00	22
6031	-265	-266	Min.	22.17	-1.34	23	-0.51	23	-0.04	23	-8.04	11	-0.72	11	0.00	22
6032	-233	-234	Max	3.53	0.06	11	0.10	11	0.06	23	39.29	23	0.70	11	0.01	21
6032	-233	-234	Max	22.80	0.06	11	0.10	11	0.02	11	38.54	23	3.78	23	0.01	21
6032	-233	-234	Min.	3.53	-1.34	23	-0.51	23	-0.01	22	-6.94	11	-3.72	23	0.00	22
6032	-233	-234	Min.	22.80	-1.34	23	-0.51	23	-0.04	23	-7.69	11	-0.71	11	0.00	22
6033	-201	-202	Max	3.53	0.05	11	0.10	11	0.06	23	39.45	23	0.69	11	0.01	21
6033	-201	-202	Max	23.42	0.05	11	0.10	11	0.02	11	38.67	23	3.91	23	0.01	21
6033	-201	-202	Min.	3.53	-1.34	23	-0.51	23	-0.01	22	-6.59	11	-3.85	23	0.00	22
6033	-201	-202	Min.	23.42	-1.34	23	-0.51	23	-0.04	23	-7.37	11	-0.70	11	0.00	22
6034	-169	-170	Max	3.53	0.05	11	0.09	11	0.06	23	39.53	23	0.68	11	0.00	21
6034	-169	-170	Max	24.05	0.05	11	0.09	11	0.02	11	38.72	23	4.04	23	0.00	21
6034	-169	-170	Min.	3.53	-1.34	23	-0.51	23	-0.01	22	-6.25	11	-3.98	23	0.00	22
6034	-169	-170	Min.	24.05	-1.34	23	-0.51	23	-0.04	23	-7.05	11	-0.69	11	0.00	22
6035	-137	-138	Max	3.53	0.04	11	0.08	11	0.06	23	39.28	23	0.66	11	0.00	21
6035	-137	-138	Max	24.67	0.04	11	0.08	11	0.02	11	38.45	23	4.14	23	0.00	21
6035	-137	-138	Min.	3.53	-1.34	23	-0.50	23	-0.01	22	-5.88	11	-4.08	23	0.00	22
6035	-137	-138	Min.	24.67	-1.34	23	-0.50	23	-0.04	23	-6.71	11	-0.67	11	0.00	22
6036	-105	-106	Max	3.53	0.17	11	0.07	11	0.06	23	37.67	23	0.62	11	0.00	21
6036	-105	-106	Max	25.30	0.17	11	0.07	11	0.02	11	36.81	23	4.08	23	0.00	21
6036	-105	-106	Min.	3.53	-1.20	23	-0.46	23	-0.01	22	-5.35	11	-4.03	23	0.00	22
6036	-105	-106	Min.	25.30	-1.20	23	-0.46	23	-0.04	23	-6.20	11	-0.64	11	0.00	22
6037	-73	-74	Max	3.53	-1.01	12	0.05	11	0.04	23	30.16	23	0.48	11	0.00	21
6037	-73	-74	Max	25.92	-1.01	12	0.05	11	0.01	11	29.29	23	3.34	23	0.00	21
6037	-73	-74	Min.	3.53	-2.54	21	-0.35	23	-0.01	22	-3.99	11	-3.31	23	0.00	22
6037	-73	-74	Min.	25.92	-2.54	21	-0.35	23	-0.03	23	-4.87	11	-0.51	11	0.00	22
6038	-41	-42	Max	3.53	15.75	24	-0.01	12	0.02	21	35.90	23	0.86	11	0.01	24
6038	-41	-42	Max	26.55	15.75	24	-0.01	12	0.01	11	34.10	23	4.28	23	0.01	24
6038	-41	-42	Min.	3.53	8.21	23	-0.12	23	0.00	22	-4.03	11	-3.78	23	-0.02	23
6038	-41	-42	Min.	26.55	8.21	23	-0.12	23	-0.01	23	-5.84	11	-0.27	11	-0.02	23
6039	-9	-10	Max	3.53	65.14	21	0.39	23	0.02	11	23.02	23	0.50	11	0.00	23
6039	-9	-10	Max	26.86	65.14	21	0.39	23	0.05	23	21.19	23	2.72	23	0.00	23
6039	-9	-10	Min.	3.53	37.56	23	-0.15	24	-0.04	23	-1.85	11	-2.44	23	0.00	22
6039	-9	-10	Min.	26.86	37.56	23	-0.15	24	-0.02	22	-3.68	11	-0.14	11	0.00	22

6040	337	338	Max	1.77	-10.35	23	3.98	23	-0.46	12	0.34	11	0.26	23	0.19	23
6040	337	338	Max	14.01					-0.49	11			0.01	11		
6040	337	338	Max	15.00	-10.35	23	3.04	23	-0.33	23	0.34	11	0.02	21	0.19	23
6040	337	338	Min.	1.77	-18.45	24	0.87	11	-1.02	21	-1.86	23	-0.03	24	-0.06	24
6040	337	338	Min.	13.68					-0.40	12			0.01	12		
6040	337	338	Min.	15.00	-18.45	24	-0.07	11	-0.59	21	-1.86	23	0.01	22	-0.06	24
6040	338	339	Max	0.00	-10.35	23	3.04	23	-0.33	23	0.34	11	0.02	21	0.19	23
6040	338	339	Max	0.33					-0.55	24			0.01	24		
6040	338	339	Max	13.23	-10.35	23	2.10	23	0.01	23	0.34	11	0.06	11	0.19	23
6040	338	339	Min.	0.00	-18.45	24	-0.07	11	-0.59	21	-1.86	23	0.01	22	-0.06	24
6040	338	339	Min.	1.52					-0.40	22			0.01	22		
6040	338	339	Min.	13.23	-18.45	24	-1.01	11	-0.61	24	-1.86	23	-0.24	23	-0.06	24
6041	-593	-594	Max	0.00	-0.02	12	-1.20	22	0.31	21	-14.54	23	0.36	21	-0.31	12
6041	-593	-594	Max	12.00	-0.02	12	-1.20	22	-0.02	22	-11.98	23	-1.30	23	-0.31	12
6041	-593	-594	Min.	0.00	-0.16	23	-5.87	21	0.13	22	-76.74	24	0.14	12	-0.60	21
6041	-593	-594	Min.	12.00	-0.16	23	-5.87	21	-0.40	21	-72.11	24	-8.71	24	-0.60	21
6041	-595	-596	Max	0.00	115.63	24	-1.92	22	0.91	21	9.50	23	34.44	21	-0.06	22
6041	-595	-596	Max	12.00	115.63	24	-1.92	22	0.11	24	12.06	23	35.31	21	-0.06	22
6041	-595	-596	Min.	0.00	43.51	23	-9.76	21	0.30	22	-6.79	24	22.62	23	-0.24	21
6041	-595	-596	Min.	12.00	43.51	23	-9.76	21	-0.36	23	-2.17	24	23.91	23	-0.24	21
6041	-597	-598	Max	0.00	115.49	24	5.06	24	0.29	23	13.82	21	32.88	24	0.11	24
6041	-597	-598	Max	12.00	115.49	24	5.06	24	0.65	24	18.21	21	33.90	21	0.11	24
6041	-597	-598	Min.	0.00	36.42	23	-3.42	23	0.02	22	1.36	22	20.22	23	-0.10	23
6041	-597	-598	Min.	12.00	36.42	23	-3.42	23	-0.12	23	4.74	12	22.00	23	-0.10	23
6041	-599	-600	Max	0.00	-0.01	11	2.91	11	0.08	23	72.26	24	-2.76	23	0.46	24
6041	-599	-600	Max	12.00	-0.01	11	2.91	11	0.22	24	76.88	24	2.19	23	0.46	24
6041	-599	-600	Min.	0.00	-24.04	23	-1.69	23	-0.14	11	39.72	12	-8.72	24	0.05	23
6041	-599	-600	Min.	12.00	-24.04	23	-1.69	23	-0.13	23	42.49	23	0.14	12	0.05	23
6042	-657	-658	Max	0.00	0.01	23	-3.75	22	0.34	21	-40.16	23	0.13	24	-0.10	23
6042	-657	-658	Max	12.00	0.01	23	-3.75	22	-0.30	22	-37.59	23	-4.59	23	-0.10	23
6042	-657	-658	Min.	0.00	-0.02	24	-12.53	21	0.15	22	-94.56	24	0.07	23	-0.18	21
6042	-657	-658	Min.	12.00	-0.02	24	-12.53	21	-1.17	21	-89.93	24	-10.94	24	-0.18	21
6042	-659	-660	Max	0.00	-34.45	23	-3.43	22	0.94	21	-0.43	22	20.87	22	-0.03	23
6042	-659	-660	Max	12.00	-34.45	23	-3.43	22	-0.09	22	3.57	22	21.06	22	-0.03	23
6042	-659	-660	Min.	0.00	-62.39	24	-13.72	21	0.32	22	-2.83	21	13.68	12	-0.08	24
6042	-659	-660	Min.	12.00	-62.39	24	-13.72	21	-0.71	21	0.82	23	13.79	12	-0.08	24
6042	-661	-662	Max	0.00	-36.62	12	6.98	24	0.26	23	-2.28	11	21.06	22	0.10	21
6042	-661	-662	Max	12.00	-36.62	12	6.98	24	0.61	24	1.80	24	20.88	22	0.10	21
6042	-661	-662	Min.	0.00	-67.29	21	-4.02	23	-0.23	24	-4.71	21	13.16	23	0.05	22
6042	-661	-662	Min.	12.00	-67.29	21	-4.02	23	-0.23	23	-1.81	23	12.79	23	0.05	22
6042	-663	-664	Max	0.00	-0.00	12	7.99	11	-0.12	23	89.96	24	-1.15	23	0.17	24
6042	-663	-664	Max	12.00	-0.00	12	7.99	11	0.26	24	94.58	24	3.22	23	0.17	24
6042	-663	-664	Min.	0.00	-24.29	23	0.03	23	-0.70	11	35.10	23	-10.94	24	0.08	23
6042	-663	-664	Min.	12.00	-24.29	23	0.03	23	-0.12	23	37.66	23	0.07	12	0.08	23
6043	-721	-722	Max	0.00	-0.02	12	-5.30	22	0.28	21	-33.51	23	0.20	24	0.01	22
6043	-721	-722	Max	12.00	-0.02	12	-5.30	22	-0.52	22	-30.95	23	-3.77	23	0.01	22
6043	-721	-722	Min.	0.00	-0.06	21	-12.32	21	0.12	22	-87.63	24	0.10	23	-0.09	21
6043	-721	-722	Min.	12.00	-0.06	21	-12.32	21	-1.20	21	-83.00	24	-10.04	24	-0.09	21
6043	-723	-724	Max	0.00	167.87	24	-1.15	22	0.08	23	0.59	23	22.54	22	-0.02	22
6043	-723	-724	Max	12.00	167.87	24	-1.15	22	-0.35	12	3.57	21	22.55	22	-0.02	22
6043	-723	-724	Min.	0.00	77.63	23	-7.44	21	-0.26	22	-2.66	24	14.17	12	-0.05	21
6043	-723	-724	Min.	12.00	77.63	23	-7.44	21	-0.88	21	1.96	24	14.22	12	-0.05	21
6043	-725	-726	Max	0.00	167.82	24	3.22	24	-0.09	23	-1.06	23	22.55	22	0.04	21
6043	-725	-726	Max	12.00	167.82	24	3.22	24	-0.10	11	2.75	21	22.54	22	0.04	21
6043	-725	-726	Min.	0.00	65.39	23	-3.73	23	-0.56	24	-2.01	12	14.22	12	0.02	23
6043	-725	-726	Min.	12.00	65.39	23	-3.73	23	-0.54	23	1.15	12	14.17	12	0.02	23
6043	-727	-728	Max	0.00	-0.02	12	8.54	24	-0.36	23	82.98	24	0.02	23	0.08	21
6043	-727	-728	Max	12.00	-0.02	12	8.54	24	0.22	11	87.61	24	4.02	23	0.08	21
6043	-727	-728	Min.	0.00	-24.36	23	1.41	23	-0.81	24	32.06	23	-10.04	24	-0.01	22

6043	-727	-728	Min.	12.00	-24.36	23	1.41	23	-0.19	23	34.62	23	0.11	12	-0.01	22
6044	-785	-786	Max	0.00	-0.34	23	0.27	22	0.00	11	-39.33	23	0.07	21	0.33	22
6044	-785	-786	Max	12.00	-0.34	23	0.27	22	0.03	22	-36.77	23	-4.54	23	0.33	22
6044	-785	-786	Min.	0.00	-0.63	21	-0.13	11	-0.01	22	-81.01	21	0.03	23	0.00	11
6044	-785	-786	Min.	12.00	-0.63	21	-0.13	11	-0.01	11	-76.62	21	-9.39	21	0.00	11
6044	-787	-788	Max	0.00	-298.08	23	0.28	22	-0.00	12	-4.92	22	16.52	21	0.02	22
6044	-787	-788	Max	12.00	-298.08	23	0.28	22	0.01	24	-2.12	22	15.53	21	0.02	22
6044	-787	-788	Min.	0.00	-605.61	21	0.07	23	-0.03	22	-10.44	21	10.25	22	0.00	23
6044	-787	-788	Min.	12.00	-605.61	21	0.07	23	0.00	23	-6.04	21	9.83	22	0.00	23
6044	-789	-790	Max	0.00	-310.80	23	0.14	11	-0.00	23	5.47	24	13.94	21	0.00	21
6044	-789	-790	Max	12.00	-310.80	23	0.14	11	0.01	11	9.38	24	14.70	21	0.00	21
6044	-789	-790	Min.	0.00	-617.05	21	-0.06	22	-0.01	24	0.34	23	9.82	22	-0.02	22
6044	-789	-790	Min.	12.00	-617.05	21	-0.06	22	-0.02	22	2.90	23	10.26	22	-0.02	22
6044	-791	-792	Max	0.00	-0.35	22	0.02	11	0.03	22	76.24	21	-0.26	23	0.00	11
6044	-791	-792	Max	4.80					-0.00	12			-3.92	12		
6044	-791	-792	Max	12.00	-0.35	22	0.02	11	0.00	11	80.64	21	4.26	23	0.00	11
6044	-791	-792	Min.	0.00	-23.48	23	-0.35	22	-0.00	11	36.39	23	-8.92	24	-0.33	22
6044	-791	-792	Min.	4.80					-0.00	11			-5.10	11		
6044	-791	-792	Min.	12.00	-23.48	23	-0.35	22	-0.01	22	38.95	23	0.03	22	-0.33	22
6045	-729	-730	Max	0.00	-0.00	22	12.31	21	-0.16	23	-11.18	22	0.16	21	0.12	24
6045	-729	-730	Max	12.00	-0.00	22	12.31	21	1.20	21	-9.58	22	-1.25	22	0.12	24
6045	-729	-730	Min.	0.00	-0.06	21	5.97	22	-0.28	21	-72.38	21	-0.00	22	0.05	23
6045	-729	-730	Min.	12.00	-0.06	21	5.97	22	0.55	22	-67.98	21	-8.26	21	0.05	23
6045	-731	-732	Max	0.00	158.80	21	7.81	21	0.10	12	0.58	23	21.02	21	0.05	21
6045	-731	-732	Max	12.00	158.80	21	7.81	21	0.90	21	3.53	21	21.18	21	0.05	21
6045	-731	-732	Min.	0.00	72.27	22	1.91	22	-0.08	23	-1.80	11	5.48	22	0.03	23
6045	-731	-732	Min.	12.00	72.27	22	1.91	22	0.20	22	1.96	11	5.64	22	0.03	23
6045	-733	-734	Max	0.00	147.78	21	3.90	23	0.45	11	-1.08	23	19.42	21	-0.02	23
6045	-733	-734	Max	12.00	147.78	21	3.90	23	0.55	23	2.71	21	19.48	21	-0.02	23
6045	-733	-734	Min.	0.00	65.41	23	-3.02	24	0.08	23	-2.14	22	5.64	22	-0.04	24
6045	-733	-734	Min.	12.00	65.41	23	-3.02	24	-0.01	22	-0.54	22	5.48	22	-0.04	24
6045	-735	-736	Max	0.00	-0.00	22	-1.55	23	0.85	24	68.97	21	0.02	23	-0.03	23
6045	-735	-736	Max	12.00	-0.00	22	-1.55	23	0.19	23	73.36	21	4.02	23	-0.03	23
6045	-735	-736	Min.	0.00	-24.36	23	-9.17	24	0.37	23	9.59	22	-7.58	11	-0.12	24
6045	-735	-736	Min.	12.00	-24.36	23	-9.17	24	-0.25	24	11.19	22	-0.00	22	-0.12	24
6046	-665	-666	Max	0.00	0.01	23	12.57	21	-0.19	22	-13.71	22	0.13	21	0.18	21
6046	-665	-666	Max	12.00	0.01	23	12.57	21	1.17	21	-12.11	22	-1.55	22	0.18	21
6046	-665	-666	Min.	0.00	-0.01	11	6.04	12	-0.34	21	-80.83	21	0.00	22	0.10	22
6046	-665	-666	Min.	12.00	-0.01	11	6.04	12	0.53	12	-76.44	21	-9.31	21	0.10	22
6046	-667	-668	Max	0.00	-8.36	22	14.04	21	-0.40	22	-0.01	22	20.83	21	0.08	24
6046	-667	-668	Max	12.00	-8.36	22	14.04	21	0.73	21	2.48	12	20.75	21	0.08	24
6046	-667	-668	Min.	0.00	-59.51	21	4.49	22	-0.95	21	-2.89	21	4.98	22	0.03	23
6046	-667	-668	Min.	12.00	-59.51	21	4.49	22	0.14	22	0.78	23	5.08	22	0.03	23
6046	-669	-670	Max	0.00	-8.37	22	4.12	23	0.21	24	-1.58	22	19.02	21	-0.05	22
6046	-669	-670	Max	12.00	-8.37	22	4.12	23	0.23	23	1.47	24	18.71	21	-0.05	22
6046	-669	-670	Min.	0.00	-67.28	21	-7.06	24	-0.26	23	-4.78	21	5.08	22	-0.10	21
6046	-669	-670	Min.	12.00	-67.28	21	-7.06	24	-0.64	24	-1.85	23	4.99	22	-0.10	21
6046	-671	-672	Max	0.00	0.01	22	-0.12	23	0.82	24	74.15	21	-1.15	23	-0.08	23
6046	-671	-672	Max	12.00	0.01	22	-0.12	23	0.12	23	78.55	21	3.22	23	-0.08	23
6046	-671	-672	Min.	0.00	-24.29	23	-9.22	24	0.13	23	12.11	22	-8.27	11	-0.17	21
6046	-671	-672	Min.	12.00	-24.29	23	-9.22	24	-0.28	24	13.71	22	0.00	22	-0.17	21
6047	-601	-602	Max	0.00	0.01	22	5.83	21	-0.15	22	-7.21	22	0.36	21	0.60	21
6047	-601	-602	Max	12.00	0.01	22	5.83	21	0.39	21	-5.61	22	-0.71	22	0.60	21
6047	-601	-602	Min.	0.00	-0.16	23	2.12	12	-0.31	21	-57.17	11	0.05	22	0.17	22
6047	-601	-602	Min.	12.00	-0.16	23	2.12	12	0.09	12	-53.41	11	-6.46	11	0.17	22
6047	-603	-604	Max	0.00	96.06	21	10.26	21	-0.41	22	9.35	23	34.46	21	0.24	21
6047	-603	-604	Max	12.00	96.06	21	10.26	21	0.37	23	11.91	23	35.30	21	0.24	21
6047	-603	-604	Min.	0.00	30.00	22	3.13	22	-0.94	21	-5.87	11	13.85	22	0.05	22
6047	-603	-604	Min.	12.00	30.00	22	3.13	22	-0.06	24	-2.17	24	13.66	22	0.05	22

6047	-605	-606	Max	0.00	92.48	11	3.61	23	-0.05	22	13.54	21	31.99	21	0.10	23
6047	-605	-606	Max	12.00	92.48	11	3.61	23	0.13	23	17.94	21	33.88	21	0.10	23
6047	-605	-606	Min.	0.00	29.98	22	-4.89	24	-0.32	21	0.83	22	13.66	22	-0.10	24
6047	-605	-606	Min.	12.00	29.98	22	-4.89	24	-0.66	24	2.44	22	13.86	22	-0.10	24
6047	-607	-608	Max	0.00	0.01	22	1.49	23	0.21	24	70.68	21	-0.71	22	-0.05	23
6047	-607	-608	Max	12.00	0.01	22	1.49	23	0.12	23	75.08	21	2.19	23	-0.05	23
6047	-607	-608	Min.	0.00	-24.04	23	-3.69	24	-0.06	23	5.60	22	-6.68	21	-0.39	11
6047	-607	-608	Min.	12.00	-24.04	23	-3.69	24	-0.23	24	7.21	22	0.05	22	-0.39	11
6048	349	350	Max	1.77	-5.96	22	0.36	24	0.25	23	3.94	23	-0.33	22	0.06	24
6048	349	350	Max	12.35					0.01	22			-0.30	22		
6048	349	350	Max	15.00	-5.96	22	0.36	24	0.02	24	3.00	23	-0.30	22	0.06	24
6048	349	350	Min.	1.77	-18.57	21	-1.85	23	-0.03	24	0.73	22	-1.02	21	-0.19	23
6048	349	350	Min.	14.01					0.01	11			-0.49	11		
6048	349	350	Min.	15.00	-18.57	21	-1.85	23	0.01	23	-0.21	22	-0.59	21	-0.19	23
6048	350	351	Max	0.00	-5.96	22	0.36	24	0.02	24	3.00	23	-0.30	22	0.06	24
6048	350	351	Max	13.23	-5.96	22	0.36	24	0.06	24	2.06	23	0.00	23	0.06	24
6048	350	351	Min.	0.00	-18.57	21	-1.85	23	0.01	23	-0.21	22	-0.59	21	-0.19	23
6048	350	351	Min.	13.23	-18.57	21	-1.85	23	-0.24	23	-1.15	22	-0.57	24	-0.19	23
6049	-17	-18	Max	2.83	64.63	21	0.14	11	0.04	23	22.97	23	0.56	24	0.00	12
6049	-17	-18	Max	26.15	64.63	21	0.14	11	0.01	11	21.14	23	2.67	23	0.00	12
6049	-17	-18	Min.	2.83	35.90	22	-0.39	23	-0.02	24	-2.19	24	-2.48	23	-0.00	23
6049	-17	-18	Min.	26.15	35.90	22	-0.39	23	-0.05	23	-4.02	24	-0.19	22	-0.00	23
6050	-49	-50	Max	2.83	16.25	21	0.12	23	-0.01	12	35.84	23	0.94	24	0.02	23
6050	-49	-50	Max	21.24					-0.00	25			1.60	25		
6050	-49	-50	Max	25.84	16.25	21	0.12	23	0.01	23	34.03	23	4.19	23	0.02	23
6050	-49	-50	Min.	2.83	8.85	23	-0.01	22	-0.02	21	-4.53	24	-3.85	23	-0.01	24
6050	-49	-50	Min.	21.24					-0.00	25			1.60	25		
6050	-49	-50	Min.	25.84	8.85	23	-0.01	22	-0.01	22	-6.33	24	-0.35	22	-0.01	24
6051	-81	-82	Max	2.83	-0.69	22	0.34	23	-0.00	12	30.05	23	0.55	24	-0.00	12
6051	-81	-82	Max	25.22	-0.69	22	0.34	23	0.03	23	29.17	23	3.28	23	-0.00	12
6051	-81	-82	Min.	2.83	-2.64	21	-0.06	24	-0.04	23	-4.49	24	-3.35	23	-0.00	21
6051	-81	-82	Min.	25.22	-2.64	21	-0.06	24	-0.02	24	-5.37	24	-0.56	24	-0.00	21
6052	-113	-114	Max	2.83	0.27	24	0.45	23	-0.00	12	37.53	23	0.70	24	-0.00	12
6052	-113	-114	Max	24.59	0.27	24	0.45	23	0.04	23	36.67	23	4.00	23	-0.00	12
6052	-113	-114	Min.	2.83	-1.34	23	-0.08	24	-0.06	23	-5.99	24	-4.08	23	-0.01	21
6052	-113	-114	Min.	24.59	-1.34	23	-0.08	24	-0.03	24	-6.84	24	-0.69	24	-0.01	21
6053	-145	-146	Max	2.83	0.11	24	0.49	23	-0.00	12	39.13	23	0.75	24	-0.00	12
6053	-145	-146	Max	23.97	0.11	24	0.49	23	0.04	23	38.30	23	4.05	23	-0.00	12
6053	-145	-146	Min.	2.83	-1.35	23	-0.10	24	-0.06	23	-6.58	24	-4.13	23	-0.01	21
6053	-145	-146	Min.	23.97	-1.35	23	-0.10	24	-0.03	24	-7.41	24	-0.73	24	-0.01	21
6054	-177	-178	Max	2.83	0.12	24	0.50	23	-0.00	12	39.36	23	0.77	24	-0.00	12
6054	-177	-178	Max	23.34	0.12	24	0.50	23	0.04	23	38.56	23	3.96	23	-0.00	12
6054	-177	-178	Min.	2.83	-1.34	23	-0.10	24	-0.06	23	-6.98	24	-4.03	23	-0.01	21
6054	-177	-178	Min.	23.34	-1.34	23	-0.10	24	-0.03	24	-7.78	24	-0.75	24	-0.01	21
6055	-209	-210	Max	2.83	0.11	24	0.51	23	-0.00	12	39.28	23	0.78	24	-0.00	12
6055	-209	-210	Max	22.72	0.11	24	0.51	23	0.04	23	38.50	23	3.83	23	-0.00	12
6055	-209	-210	Min.	2.83	-1.34	23	-0.11	24	-0.06	23	-7.35	24	-3.90	23	-0.01	21
6055	-209	-210	Min.	22.72	-1.34	23	-0.11	24	-0.03	24	-8.13	24	-0.76	24	-0.01	21
6056	-241	-242	Max	2.83	0.11	24	0.51	23	-0.00	12	39.11	23	0.80	24	-0.00	12
6056	-241	-242	Max	22.09	0.11	24	0.51	23	0.04	23	38.35	23	3.69	23	-0.00	12
6056	-241	-242	Min.	2.83	-1.34	23	-0.11	24	-0.06	23	-7.74	24	-3.77	23	-0.01	21
6056	-241	-242	Min.	22.09	-1.34	23	-0.11	24	-0.03	24	-8.50	24	-0.77	24	-0.01	21
6057	-273	-274	Max	2.83	0.12	24	0.51	23	-0.00	12	38.91	23	0.81	24	-0.00	12
6057	-273	-274	Max	21.47	0.12	24	0.51	23	0.04	23	38.18	23	3.56	23	-0.00	12
6057	-273	-274	Min.	2.83	-1.33	23	-0.12	24	-0.06	23	-8.16	24	-3.63	23	-0.01	21
6057	-273	-274	Min.	21.47	-1.33	23	-0.12	24	-0.03	24	-8.89	24	-0.78	24	-0.01	21
6058	-305	-306	Max	2.83	0.12	24	0.50	23	-0.00	12	38.70	23	0.82	24	-0.00	12
6058	-305	-306	Max	20.84	0.12	24	0.50	23	0.04	23	37.99	23	3.42	23	-0.00	12
6058	-305	-306	Min.	2.83	-1.33	23	-0.13	24	-0.05	23	-8.61	24	-3.49	23	-0.01	21

6058	-305	-306	Min.	20.84	-1.33	23	-0.13	24	-0.03	24	-9.31	24	-0.79	24	-0.01	21
6059	-337	-338	Max	2.83	0.12	24	0.50	23	-0.00	12	38.46	23	0.84	24	-0.00	12
6059	-337	-338	Max	20.22	0.12	24	0.50	23	0.04	23	37.78	23	3.28	23	-0.00	12
6059	-337	-338	Min.	2.83	-1.33	23	-0.13	24	-0.05	23	-9.09	24	-3.35	23	-0.01	21
6059	-337	-338	Min.	20.22	-1.33	23	-0.13	24	-0.03	24	-9.77	24	-0.80	24	-0.01	21
6060	-369	-370	Max	2.83	0.18	24	0.50	23	-0.00	12	38.20	23	0.85	24	-0.00	12
6060	-369	-370	Max	19.59	0.18	24	0.50	23	0.03	23	37.54	23	3.14	23	-0.00	12
6060	-369	-370	Min.	2.83	-1.30	23	-0.14	24	-0.05	23	-9.60	24	-3.21	23	-0.01	21
6060	-369	-370	Min.	19.59	-1.30	23	-0.14	24	-0.03	24	-10.26	24	-0.81	24	-0.01	21
6061	-401	-402	Max	2.83	-0.17	12	0.50	23	-0.00	12	37.90	23	0.87	24	-0.00	12
6061	-401	-402	Max	18.97	-0.17	12	0.50	23	0.03	23	37.27	23	3.00	23	-0.00	12
6061	-401	-402	Min.	2.83	-1.49	23	-0.15	24	-0.05	23	-10.15	24	-3.06	23	-0.01	21
6061	-401	-402	Min.	18.97	-1.49	23	-0.15	24	-0.03	24	-10.78	24	-0.82	24	-0.01	21
6062	-433	-434	Max	2.83	2.85	24	0.49	23	-0.00	12	37.48	23	0.86	24	-0.00	12
6062	-433	-434	Max	18.34	2.85	24	0.49	23	0.03	23	36.88	23	2.85	23	-0.00	12
6062	-433	-434	Min.	2.83	-0.04	23	-0.16	24	-0.05	23	-10.71	24	-2.92	23	-0.01	21
6062	-433	-434	Min.	18.34	-0.04	23	-0.16	24	-0.03	24	-11.32	24	-0.85	24	-0.01	21
6063	-465	-466	Max	2.83	-9.90	23	0.46	23	-0.00	12	36.54	23	1.00	24	-0.00	22
6063	-465	-466	Max	14.74					-0.01	25			0.85	25		
6063	-465	-466	Max	17.72	-9.90	23	0.46	23	0.03	23	35.96	23	2.74	23	-0.00	22
6063	-465	-466	Min.	2.83	-18.27	24	-0.16	24	-0.04	23	-10.91	24	-2.66	23	-0.01	21
6063	-465	-466	Min.	14.74					-0.01	25			0.85	25		
6063	-465	-466	Min.	17.72	-18.27	24	-0.16	24	-0.03	24	-11.50	24	-0.66	24	-0.01	21
6064	-497	-498	Max	2.83	106.74	24	0.38	23	-0.00	22	31.57	23	0.00	12	0.00	12
6064	-497	-498	Max	14.24					-0.00	25			-0.15	25		
6064	-497	-498	Max	17.09	106.74	24	0.38	23	0.02	23	31.01	23	1.77	23	0.00	12
6064	-497	-498	Min.	2.83	48.59	23	-0.13	24	-0.03	23	-10.18	24	-2.70	23	-0.00	21
6064	-497	-498	Min.	14.24					-0.00	25			-0.15	25		
6064	-497	-498	Min.	17.09	48.59	23	-0.13	24	-0.02	24	-10.74	24	-1.66	24	-0.00	21
6068	-505	-506	Max	3.53	-22.78	23	0.06	22	0.03	23	37.73	23	0.96	22	-0.00	22
6068	-505	-506	Max	17.80	-22.78	23	0.06	22	-0.01	22	37.17	23	2.88	23	-0.00	22
6068	-505	-506	Min.	3.53	-64.11	24	-0.49	23	-0.02	24	-5.69	22	-2.46	23	-0.01	21
6068	-505	-506	Min.	17.80	-64.11	24	-0.49	23	-0.04	21	-6.25	22	-0.08	12	-0.01	21
6069	-473	-474	Max	3.53	10.66	22	0.08	22	0.03	23	43.05	23	0.37	22	-0.00	12
6069	-473	-474	Max	18.42	10.66	22	0.08	22	-0.01	12	42.47	23	3.18	23	-0.00	12
6069	-473	-474	Min.	3.53	2.04	23	-0.57	23	-0.02	24	-6.13	22	-3.18	23	-0.00	21
6069	-473	-474	Min.	18.42	2.04	23	-0.57	23	-0.05	21	-6.71	22	-0.59	22	-0.00	21
6070	-441	-442	Max	3.53	-0.91	12	0.08	22	0.04	23	43.80	23	0.47	22	-0.00	22
6070	-441	-442	Max	19.05	-0.91	12	0.08	22	-0.01	12	43.19	23	3.40	23	-0.00	22
6070	-441	-442	Min.	3.53	-2.49	21	-0.59	23	-0.02	24	-6.02	22	-3.34	23	-0.01	21
6070	-441	-442	Min.	19.05	-2.49	21	-0.59	23	-0.06	21	-6.63	22	-0.51	22	-0.01	21
6071	-409	-410	Max	3.53	0.03	22	0.08	22	0.04	23	43.89	23	0.46	22	-0.00	22
6071	-409	-410	Max	19.67	0.03	22	0.08	22	-0.01	12	43.26	23	3.54	23	-0.00	22
6071	-409	-410	Min.	3.53	-1.40	23	-0.59	23	-0.03	24	-5.69	22	-3.49	23	-0.01	21
6071	-409	-410	Min.	19.67	-1.40	23	-0.59	23	-0.06	21	-6.33	22	-0.51	22	-0.01	21
6072	-377	-378	Max	3.53	-0.16	12	0.07	22	0.04	23	43.88	23	0.45	22	-0.00	22
6072	-377	-378	Max	20.30	-0.16	12	0.07	22	-0.01	12	43.22	23	3.68	23	-0.00	22
6072	-377	-378	Min.	3.53	-1.48	23	-0.59	23	-0.03	24	-5.38	22	-3.62	23	-0.01	21
6072	-377	-378	Min.	20.30	-1.48	23	-0.59	23	-0.06	21	-6.04	22	-0.50	22	-0.01	21
6073	-345	-346	Max	3.53	-0.14	12	0.07	22	0.04	23	43.85	23	0.45	22	-0.00	22
6073	-345	-346	Max	20.92	-0.14	12	0.07	22	-0.01	12	43.16	23	3.81	23	-0.00	22
6073	-345	-346	Min.	3.53	-1.47	23	-0.59	23	-0.03	24	-5.08	22	-3.76	23	-0.01	21
6073	-345	-346	Min.	20.92	-1.47	23	-0.59	23	-0.06	21	-5.76	22	-0.50	22	-0.01	21
6074	-313	-314	Max	3.53	-0.14	12	0.07	22	0.04	23	43.81	23	0.44	22	-0.00	22
6074	-313	-314	Max	21.55	-0.14	12	0.07	22	-0.01	12	43.11	23	3.94	23	-0.00	22
6074	-313	-314	Min.	3.53	-1.47	23	-0.59	23	-0.03	24	-4.80	22	-3.89	23	-0.01	21
6074	-313	-314	Min.	21.55	-1.47	23	-0.59	23	-0.06	21	-5.51	22	-0.49	22	-0.01	21
6075	-281	-282	Max	3.53	-0.13	12	0.06	22	0.05	23	43.78	23	0.43	22	-0.00	22
6075	-281	-282	Max	22.17	-0.13	12	0.06	22	-0.01	12	43.05	23	4.07	23	-0.00	22

6075	-281	-282	Min.	3.53	-1.46	23	-0.59	23	-0.03	24	-4.54	22	-4.02	23	-0.00	21
6075	-281	-282	Min.	22.17	-1.46	23	-0.59	23	-0.06	21	-5.27	22	-0.48	22	-0.00	21
6076	-249	-250	Max	3.53	-0.13	12	0.06	22	0.05	23	43.75	23	0.43	22	-0.00	22
6076	-249	-250	Max	22.80	-0.13	12	0.06	22	-0.01	12	42.99	23	4.20	23	-0.00	22
6076	-249	-250	Min.	3.53	-1.46	23	-0.58	23	-0.03	24	-4.30	22	-4.15	23	-0.00	21
6076	-249	-250	Min.	22.80	-1.46	23	-0.58	23	-0.06	21	-5.05	22	-0.47	22	-0.00	21
6077	-217	-218	Max	3.53	-0.13	12	0.06	22	0.05	23	43.70	23	0.42	22	-0.00	22
6077	-217	-218	Max	23.42	-0.13	12	0.06	22	-0.01	12	42.92	23	4.33	23	-0.00	22
6077	-217	-218	Min.	3.53	-1.46	23	-0.58	23	-0.03	24	-4.07	22	-4.28	23	-0.00	21
6077	-217	-218	Min.	23.42	-1.46	23	-0.58	23	-0.07	21	-4.85	22	-0.47	22	-0.00	21
6078	-185	-186	Max	3.53	-0.13	12	0.05	22	0.05	23	43.58	23	0.41	22	-0.00	22
6078	-185	-186	Max	24.05	-0.13	12	0.05	22	-0.01	12	42.77	23	4.45	23	-0.00	22
6078	-185	-186	Min.	3.53	-1.46	23	-0.57	23	-0.03	24	-3.85	22	-4.40	23	-0.00	21
6078	-185	-186	Min.	24.05	-1.46	23	-0.57	23	-0.07	23	-4.65	22	-0.46	22	-0.00	21
6079	-153	-154	Max	3.53	-0.14	12	0.05	22	0.05	23	43.12	23	0.40	22	-0.00	22
6079	-153	-154	Max	24.67	-0.14	12	0.05	22	-0.01	12	42.29	23	4.54	23	-0.00	22
6079	-153	-154	Min.	3.53	-1.46	23	-0.55	23	-0.02	24	-3.61	22	-4.49	23	-0.00	21
6079	-153	-154	Min.	24.67	-1.46	23	-0.55	23	-0.07	23	-4.44	22	-0.45	22	-0.00	21
6080	-121	-122	Max	3.53	-0.05	12	0.04	22	0.05	23	41.20	23	0.38	22	-0.00	22
6080	-121	-122	Max	25.30	-0.05	12	0.04	22	-0.01	12	40.34	23	4.46	23	-0.00	22
6080	-121	-122	Min.	3.53	-1.33	23	-0.50	23	-0.02	24	-3.26	22	-4.41	23	-0.00	21
6080	-121	-122	Min.	25.30	-1.33	23	-0.50	23	-0.06	23	-4.11	22	-0.42	22	-0.00	21
6081	-89	-90	Max	3.53	-0.74	22	0.03	22	0.04	23	32.89	23	0.29	22	-0.00	22
6081	-89	-90	Max	25.92	-0.74	22	0.03	22	-0.00	12	32.02	23	3.64	23	-0.00	22
6081	-89	-90	Min.	3.53	-2.41	21	-0.37	23	-0.02	22	-2.38	22	-3.62	23	-0.00	21
6081	-89	-90	Min.	25.92	-2.41	21	-0.37	23	-0.05	23	-3.26	22	-0.34	22	-0.00	21
6082	-57	-58	Max	3.53	10.20	21	-0.01	22	0.01	23	39.15	23	0.48	24	0.00	24
6082	-57	-58	Max	26.55	10.20	21	-0.01	22	-0.01	12	37.35	23	4.59	23	0.00	24
6082	-57	-58	Min.	3.53	4.86	22	-0.15	21	-0.01	22	-2.16	22	-4.21	23	-0.02	23
6082	-57	-58	Min.	26.55	4.86	22	-0.15	21	-0.03	21	-3.96	22	-0.28	22	-0.02	23
6083	-25	-26	Max	3.53	46.92	21	0.37	23	0.01	11	25.32	23	0.23	24	0.00	23
6083	-25	-26	Max	26.86	46.92	21	0.37	23	0.04	23	23.49	23	2.95	23	0.00	23
6083	-25	-26	Min.	3.53	20.12	22	-0.15	11	-0.05	23	-0.65	22	-2.74	23	-0.00	24
6083	-25	-26	Min.	26.86	20.12	22	-0.15	11	-0.02	24	-2.48	22	-0.16	22	-0.00	24
6084	373	374	Max	1.77	-7.36	23	4.73	21	-0.26	22	0.23	24	0.28	23	0.19	23
6084	373	374	Max	15.00	-7.36	23	3.62	23	-0.18	22	0.23	24	0.02	21	0.19	23
6084	373	374	Min.	1.77	-11.86	21	1.06	22	-0.96	21	-2.02	23	-0.02	22	-0.06	24
6084	373	374	Min.	15.00	-11.86	21	0.12	22	-0.41	21	-2.02	23	0.00	22	-0.06	24
6084	374	375	Max	0.00	-7.36	23	3.62	23	-0.18	22	0.23	24	0.02	21	0.19	23
6084	374	375	Max	5.29					-0.33	11			0.03	11		
6084	374	375	Max	13.23	-7.36	23	2.68	23	0.17	23	0.23	24	0.05	11	0.19	23
6084	374	375	Min.	0.00	-11.86	21	0.12	22	-0.41	21	-2.02	23	0.00	22	-0.06	24
6084	374	375	Min.	1.67					-0.18	22			0.01	22		
6084	374	375	Min.	13.23	-11.86	21	-0.82	22	-0.35	11	-2.02	23	-0.26	23	-0.06	24
6085	-537	-538	Max	0.00	0.21	24	11.17	24	0.28	23	1.17	23	0.04	24	0.01	22
6085	-537	-538	Max	12.00	0.21	24	11.17	24	0.65	24	2.77	23	0.24	23	0.01	22
6085	-537	-538	Min.	0.00	-1.89	23	-4.82	23	-0.69	24	-0.95	24	0.00	23	-0.37	23
6085	-537	-538	Min.	12.00	-1.89	23	-4.82	23	-0.30	23	0.65	24	0.02	12	-0.37	23
6086	-521	-522	Max	0.00	-0.02	12	11.81	24	0.03	23	-0.50	23	0.13	21	0.03	24
6086	-521	-522	Max	12.00	-0.02	12	11.81	24	0.71	24	1.10	23	0.12	23	0.03	24
6086	-521	-522	Min.	0.00	-2.49	23	-0.53	23	-0.71	24	-2.14	11	0.03	22	-0.49	23
6086	-521	-522	Min.	12.00	-2.49	23	-0.53	23	-0.03	23	-0.53	11	-0.08	11	-0.49	23
6088	313	325	Max	1.77	-0.63	12	11.69	12	30.84	23	4.48	24	0.27	23	0.61	23
6088	313	325	Max	15.00	-0.63	12	10.75	12	1.29	12	4.48	24	0.42	24	0.61	23
6088	313	325	Min.	1.77	-372.68	23	-530.06	23	-0.20	12	-12.61	23	-0.17	24	-0.16	24
6088	313	325	Min.	15.00	-372.68	23	-531.00	23	-39.36	23	-12.61	23	-1.40	23	-0.16	24
6088	325	337	Max	0.00	-10.33	22	565.65	23	-3.87	12	11.99	23	0.50	24	0.15	24
6088	325	337	Max	13.23	-10.33	22	564.72	23	31.78	23	11.99	23	0.24	23	0.15	24
6088	325	337	Min.	0.00	-384.69	23	38.56	12	-43.01	23	-5.31	24	-1.34	23	-0.61	23

6088	325	337	Min.	13.23	-384.69	23	37.62	12	1.12	22	-5.31	24	-0.20	24	-0.61	23
6089	-1	-9	Max	3.53	298.08	21	0.06	22	0.02	21	15.40	21	1.24	22	0.00	21
6089	-1	-9	Max	13.07									0.18	26		
6089	-1	-9	Max	26.86	298.08	21	0.06	22	0.01	22	13.02	21	1.67	11	0.00	21
6089	-1	-9	Min.	3.53	39.38	12	-0.14	21	-0.01	22	-8.79	22	-1.67	21	0.00	22
6089	-1	-9	Min.	13.07									0.18	26		
6089	-1	-9	Min.	26.86	39.38	12	-0.14	21	-0.02	21	-10.62	22	-1.03	22	0.00	22
6090	-33	-41	Max	3.53	113.17	23	0.09	22	0.02	11	27.58	21	1.37	22	0.00	21
6090	-33	-41	Max	26.55	113.17	23	0.09	22	0.01	22	25.23	21	4.74	21	0.00	21
6090	-33	-41	Min.	3.53	9.86	12	-0.23	21	-0.01	22	-9.01	22	-2.52	11	0.00	22
6090	-33	-41	Min.	26.55	9.86	12	-0.23	21	-0.04	21	-10.82	22	-0.91	22	0.00	22
6091	-65	-73	Max	3.53	-0.94	12	0.07	22	0.03	11	24.85	21	0.69	22	0.00	21
6091	-65	-73	Max	25.92	-0.94	12	0.07	22	0.01	22	23.71	21	2.70	21	0.00	21
6091	-65	-73	Min.	3.53	-5.78	21	-0.29	21	-0.01	22	-5.93	22	-2.73	21	0.00	22
6091	-65	-73	Min.	25.92	-5.78	21	-0.29	21	-0.04	21	-6.81	22	-0.74	22	0.00	22
6092	-97	-105	Max	3.53	0.21	21	0.08	22	0.04	11	32.17	21	0.72	22	0.01	21
6092	-97	-105	Max	25.30	0.21	21	0.08	22	0.01	22	31.06	21	3.45	21	0.01	21
6092	-97	-105	Min.	3.53	-1.30	22	-0.39	21	-0.01	22	-6.34	22	-3.43	21	0.00	22
6092	-97	-105	Min.	25.30	-1.30	22	-0.39	21	-0.06	21	-7.20	22	-0.75	22	0.00	22
6093	-129	-137	Max	3.53	-0.02	11	0.07	22	0.04	11	35.02	21	0.58	22	0.01	21
6093	-129	-137	Max	24.67	-0.02	11	0.07	22	0.01	22	33.94	21	3.66	21	0.01	21
6093	-129	-137	Min.	3.53	-1.38	22	-0.44	21	-0.01	22	-5.20	22	-3.63	21	0.00	22
6093	-129	-137	Min.	24.67	-1.38	22	-0.44	21	-0.06	21	-6.03	22	-0.61	22	0.00	22
6094	-161	-169	Max	3.53	-0.01	11	0.05	22	0.05	11	36.92	21	0.40	22	0.01	21
6094	-161	-169	Max	24.05	-0.01	11	0.05	22	0.01	22	35.87	21	3.75	21	0.01	21
6094	-161	-169	Min.	3.53	-1.37	22	-0.47	21	-0.00	22	-3.62	22	-3.71	21	0.00	22
6094	-161	-169	Min.	24.05	-1.37	22	-0.47	21	-0.06	21	-4.43	22	-0.43	22	0.00	22
6095	-193	-201	Max	3.53	-0.01	11	0.03	22	0.05	11	38.68	21	0.21	22	0.01	21
6095	-193	-201	Max	23.42	-0.01	11	0.03	22	0.00	22	37.66	21	3.82	21	0.01	21
6095	-193	-201	Min.	3.53	-1.37	22	-0.50	21	-0.00	22	-1.85	22	-3.77	21	0.00	22
6095	-193	-201	Min.	23.42	-1.37	22	-0.50	21	-0.06	21	-2.63	22	-0.23	22	0.00	22
6096	-225	-233	Max	3.53	-0.01	11	0.01	22	0.05	11	40.51	21	0.02	22	0.01	21
6096	-225	-233	Max	5.55									0.02	22		
6096	-225	-233	Max	22.80	-0.01	11	0.01	22	0.00	22	39.52	21	3.88	21	0.01	21
6096	-225	-233	Min.	3.53	-1.36	22	-0.52	21	0.00	22	0.08	22	-3.83	21	0.00	22
6096	-225	-233	Min.	5.55									0.02	22		
6096	-225	-233	Min.	22.80	-1.36	22	-0.52	21	-0.06	21	-0.68	22	-0.04	22	0.00	22
6097	-257	-265	Max	3.53	-0.00	11	-0.02	22	0.05	11	42.46	21	-0.17	22	0.01	21
6097	-257	-265	Max	22.17	-0.00	11	-0.02	22	0.00	22	41.51	21	3.94	21	0.01	21
6097	-257	-265	Min.	3.53	-1.36	22	-0.55	21	0.00	22	2.15	22	-3.89	21	0.00	22
6097	-257	-265	Min.	22.17	-1.36	22	-0.55	21	-0.06	21	1.42	22	0.16	22	0.00	22
6098	-289	-297	Max	3.53	0.00	11	-0.05	22	0.05	11	44.55	21	-0.37	22	0.01	21
6098	-289	-297	Max	21.55	0.00	11	-0.05	22	-0.00	22	43.63	21	4.00	21	0.01	21
6098	-289	-297	Min.	3.53	-1.36	22	-0.58	21	0.01	22	4.38	22	-3.94	21	0.00	22
6098	-289	-297	Min.	21.55	-1.36	22	-0.58	21	-0.06	21	3.67	22	0.36	22	0.00	22
6099	-321	-329	Max	3.53	0.00	11	-0.08	22	0.05	11	46.80	21	-0.56	22	0.01	21
6099	-321	-329	Max	20.92	0.00	11	-0.08	22	-0.01	22	45.92	21	4.06	21	0.01	21
6099	-321	-329	Min.	3.53	-1.35	22	-0.61	21	0.01	22	6.78	22	-4.00	21	0.00	22
6099	-321	-329	Min.	20.92	-1.35	22	-0.61	21	-0.06	21	6.10	22	0.56	22	0.00	22
6100	-353	-361	Max	3.53	0.01	11	-0.12	22	0.05	11	49.23	21	-0.76	22	0.01	21
6100	-353	-361	Max	20.30	0.01	11	-0.12	22	-0.01	22	48.37	21	4.12	21	0.01	21
6100	-353	-361	Min.	3.53	-1.34	22	-0.64	21	0.01	22	9.38	22	-4.06	21	0.00	22
6100	-353	-361	Min.	20.30	-1.34	22	-0.64	21	-0.06	21	8.72	22	0.76	22	0.00	22
6101	-385	-393	Max	3.53	-0.04	12	-0.16	22	0.05	11	51.83	21	-0.95	22	0.01	21
6101	-385	-393	Max	19.67	-0.04	12	-0.16	22	-0.01	22	51.01	21	4.19	21	0.01	21
6101	-385	-393	Min.	3.53	-1.39	22	-0.68	21	0.01	22	12.17	22	-4.11	21	0.00	22
6101	-385	-393	Min.	19.67	-1.39	22	-0.68	21	-0.06	21	11.54	22	0.96	22	0.00	22
6102	-417	-425	Max	3.53	0.41	11	-0.19	22	0.05	11	54.54	21	-1.14	22	0.01	21
6102	-417	-425	Max	19.05	0.41	11	-0.19	22	-0.01	22	53.75	21	4.24	21	0.01	21

6102	-417	-425	Min.	3.53	-1.03	22	-0.72	21	0.02	23	15.14	22	-4.16	21	0.00	22
6102	-417	-425	Min.	19.05	-1.03	22	-0.72	21	-0.07	21	14.53	22	1.16	22	0.00	22
6103	-449	-457	Max	3.53	-1.34	23	-0.22	22	0.05	11	56.76	21	-1.29	22	0.01	21
6103	-449	-457	Max	18.42	-1.34	23	-0.22	22	-0.01	22	56.00	21	4.26	21	0.01	21
6103	-449	-457	Min.	3.53	-3.83	24	-0.68	21	0.01	23	17.96	22	-4.13	21	0.00	22
6103	-449	-457	Min.	18.42	-3.83	24	-0.68	21	-0.06	21	17.38	22	1.34	22	0.00	22
6104	-481	-489	Max	3.53	16.17	24	-0.23	22	0.06	11	54.73	21	-1.40	22	-0.00	22
6104	-481	-489	Max	17.80	16.17	24	-0.23	22	-0.02	22	54.00	21	3.78	21	-0.00	22
6104	-481	-489	Min.	3.53	6.01	23	-0.84	21	0.02	22	18.60	22	-3.97	21	-0.03	21
6104	-481	-489	Min.	17.80	6.01	23	-0.84	21	-0.07	21	18.04	22	1.22	22	-0.03	21
6109	-482	-490	Max	2.83	37.99	21	0.99	21	-0.02	22	62.66	21	-1.73	22	0.04	21
6109	-482	-490	Max	17.09	37.99	21	0.99	21	0.06	21	61.93	21	4.05	21	0.04	21
6109	-482	-490	Min.	2.83	22.67	23	0.27	22	-0.08	21	20.97	22	-4.83	21	0.01	22
6109	-482	-490	Min.	17.09	22.67	23	0.27	22	0.02	22	20.41	22	1.22	22	0.01	22
6110	-450	-458	Max	2.83	-3.82	23	0.82	21	-0.02	22	65.57	21	-1.50	22	0.00	22
6110	-450	-458	Max	17.72	-3.82	23	0.82	21	0.06	11	64.81	21	4.84	21	0.00	22
6110	-450	-458	Min.	2.83	-7.00	24	0.26	22	-0.07	21	20.70	22	-4.86	21	-0.00	11
6110	-450	-458	Min.	17.72	-7.00	24	0.26	22	0.02	22	20.11	22	1.53	22	-0.00	11
6111	-418	-426	Max	2.83	0.96	21	0.85	21	-0.02	22	62.95	21	-1.37	22	0.01	21
6111	-418	-426	Max	18.34	0.96	21	0.85	21	0.06	11	62.16	21	4.79	21	0.01	21
6111	-418	-426	Min.	2.83	-0.77	22	0.23	22	-0.08	21	17.72	22	-4.91	21	0.00	22
6111	-418	-426	Min.	18.34	-0.77	22	0.23	22	0.02	22	17.11	22	1.33	22	0.00	22
6112	-386	-394	Max	2.83	-0.03	23	0.80	21	-0.01	22	59.82	21	-1.17	22	0.00	21
6112	-386	-394	Max	18.97	-0.03	23	0.80	21	0.06	11	59.00	21	4.74	21	0.00	21
6112	-386	-394	Min.	2.83	-1.55	22	0.19	22	-0.08	21	14.62	22	-4.85	21	0.00	22
6112	-386	-394	Min.	18.97	-1.55	22	0.19	22	0.02	22	13.99	22	1.14	22	0.00	22
6113	-354	-362	Max	2.83	0.06	23	0.76	21	-0.01	22	56.80	21	-0.97	22	0.00	21
6113	-354	-362	Max	19.59	0.06	23	0.76	21	0.06	11	55.95	21	4.67	21	0.00	21
6113	-354	-362	Min.	2.83	-1.44	22	0.15	22	-0.07	21	11.70	22	-4.78	21	0.00	22
6113	-354	-362	Min.	19.59	-1.44	22	0.15	22	0.01	22	11.04	22	0.94	22	0.00	22
6114	-322	-330	Max	2.83	0.05	23	0.72	21	-0.01	22	53.99	21	-0.76	22	0.00	21
6114	-322	-330	Max	20.22	0.05	23	0.72	21	0.06	11	53.10	21	4.60	21	0.00	21
6114	-322	-330	Min.	2.83	-1.45	22	0.12	22	-0.07	21	8.99	22	-4.71	21	0.00	22
6114	-322	-330	Min.	20.22	-1.45	22	0.12	22	0.01	22	8.31	22	0.74	22	0.00	22
6115	-290	-298	Max	2.83	0.05	23	0.68	21	-0.01	22	51.38	21	-0.56	22	0.00	21
6115	-290	-298	Max	20.84	0.05	23	0.68	21	0.06	11	50.46	21	4.54	21	0.00	21
6115	-290	-298	Min.	2.83	-1.44	22	0.08	22	-0.07	21	6.48	22	-4.63	21	0.00	22
6115	-290	-298	Min.	20.84	-1.44	22	0.08	22	0.01	22	5.77	22	0.54	22	0.00	22
6116	-258	-266	Max	2.83	0.05	23	0.65	21	-0.00	22	48.95	21	-0.36	22	0.00	21
6116	-258	-266	Max	21.47	0.05	23	0.65	21	0.05	11	48.00	21	4.47	21	0.00	21
6116	-258	-266	Min.	2.83	-1.44	22	0.05	22	-0.07	21	4.14	22	-4.57	21	0.00	22
6116	-258	-266	Min.	21.47	-1.44	22	0.05	22	0.01	22	3.41	22	0.34	22	0.00	22
6117	-226	-234	Max	2.83	0.06	23	0.62	21	0.00	22	46.69	21	-0.16	22	0.00	21
6117	-226	-234	Max	22.09	0.06	23	0.62	21	0.05	11	45.71	21	4.40	21	0.00	21
6117	-226	-234	Min.	2.83	-1.44	22	0.02	22	-0.07	21	1.98	22	-4.50	21	0.00	22
6117	-226	-234	Min.	22.09	-1.44	22	0.02	22	0.00	22	1.22	22	0.15	22	0.00	22
6118	-194	-202	Max	2.83	0.06	23	0.59	21	0.00	22	44.57	21	0.04	22	0.00	21
6118	-194	-202	Max	22.72	0.06	23	0.59	21	0.05	11	43.55	21	4.34	21	0.00	21
6118	-194	-202	Min.	2.83	-1.44	22	-0.00	22	-0.07	21	-0.03	22	-4.43	21	0.00	22
6118	-194	-202	Min.	22.72	-1.44	22	-0.00	22	0.00	22	-0.81	22	-0.05	22	0.00	22
6119	-162	-170	Max	2.83	0.07	23	0.56	21	0.00	22	42.53	21	0.23	22	0.00	21
6119	-162	-170	Max	23.34	0.07	23	0.56	21	0.05	11	41.48	21	4.26	21	0.00	21
6119	-162	-170	Min.	2.83	-1.44	22	-0.03	22	-0.07	21	-1.90	22	-4.35	21	0.00	22
6119	-162	-170	Min.	23.34	-1.44	22	-0.03	22	-0.00	22	-2.70	22	-0.24	22	0.00	22
6120	-130	-138	Max	2.83	0.05	23	0.52	21	0.01	22	40.34	21	0.42	22	0.00	21
6120	-130	-138	Max	23.97	0.05	23	0.52	21	0.05	11	39.26	21	4.16	21	0.00	21
6120	-130	-138	Min.	2.83	-1.43	22	-0.05	22	-0.07	21	-3.57	22	-4.25	21	0.00	22
6120	-130	-138	Min.	23.97	-1.43	22	-0.05	22	-0.00	22	-4.40	22	-0.43	22	0.00	22
6121	-98	-106	Max	2.83	0.09	11	0.45	21	0.01	22	37.06	21	0.57	22	0.00	21

6121	-98	-106	Max	24.59	0.09	11	0.45	21	0.04	11	35.95	21	3.93	21	0.00	21
6121	-98	-106	Min.	2.83	-1.24	22	-0.06	22	-0.06	21	-4.84	22	-4.02	21	0.00	22
6121	-98	-106	Min.	24.59	-1.24	22	-0.06	22	-0.01	22	-5.69	22	-0.58	22	0.00	22
6122	-66	-74	Max	2.83	2.15	23	0.32	21	0.01	22	28.61	21	0.57	22	0.00	21
6122	-66	-74	Max	25.22	2.15	23	0.32	21	0.03	11	27.47	21	3.10	21	0.00	21
6122	-66	-74	Min.	2.83	-4.85	24	-0.06	22	-0.05	21	-4.78	22	-3.18	21	0.00	22
6122	-66	-74	Min.	25.22	-4.85	24	-0.06	22	-0.01	22	-5.66	22	-0.60	22	0.00	22
6123	-34	-42	Max	2.83	70.99	24	0.29	21	0.01	22	32.25	21	1.87	22	0.00	21
6123	-34	-42	Max	25.84	70.99	24	0.29	21	0.03	11	29.90	21	4.13	11	0.00	21
6123	-34	-42	Min.	2.83	-58.05	23	-0.07	22	-0.04	21	-7.49	22	-3.75	21	0.00	12
6123	-34	-42	Min.	25.84	-58.05	23	-0.07	22	-0.01	22	-9.30	22	-0.06	22	0.00	12
6124	-2	-10	Max	2.83	200.95	24	0.18	21	0.00	22	18.49	21	1.10	22	0.00	21
6124	-2	-10	Max	26.15	200.95	24	0.18	21	0.02	21	16.11	21	2.28	21	0.00	21
6124	-2	-10	Min.	2.83	-131.87	23	-0.05	22	-0.02	21	-7.86	22	-1.76	21	0.00	12
6124	-2	-10	Min.	26.15	-131.87	23	-0.05	22	-0.01	22	-9.69	22	-0.95	22	0.00	12
6125	315	327	Max	1.77	240.88	23	14.60	23	-0.04	12	349.11	23	17.11	24	0.58	23
6125	315	327	Max	15.00	240.88	23	14.60	23	1.51	23	348.17	23	26.30	23	0.58	23
6125	315	327	Min.	1.77	-204.85	24	-1.61	11	-0.42	23	-282.21	24	-19.83	23	-0.21	24
6125	315	327	Min.	15.00	-204.85	24	-1.61	11	-0.27	24	-283.15	24	-20.30	24	-0.21	24
6125	327	339	Max	0.00	219.72	23	1.56	11	1.49	23	347.76	24	22.58	23	0.22	24
6125	327	339	Max	6.82					0.22	25			-1.27	25		
6125	327	339	Max	13.23	219.72	23	1.56	11	-0.04	12	346.82	24	18.41	24	0.22	24
6125	327	339	Min.	0.00	-218.47	24	-14.36	23	-0.26	11	-311.77	23	-27.54	24	-0.57	23
6125	327	339	Min.	6.82					0.22	25			-1.27	25		
6125	327	339	Min.	13.23	-218.47	24	-14.36	23	-0.41	23	-312.71	23	-18.74	23	-0.57	23
6126	316	328	Max	1.77	-105.49	12	-209.29	12	46.66	21	4.38	24	0.30	23	0.83	23
6126	316	328	Max	15.00	-105.49	12	-210.23	12	-17.61	12	4.38	24	0.32	24	0.83	23
6126	316	328	Min.	1.77	-536.54	21	-857.66	21	10.15	12	-15.72	23	-0.26	24	0.00	12
6126	316	328	Min.	15.00	-536.54	21	-858.88	21	-66.91	21	-15.72	23	-1.78	23	0.00	12
6126	328	340	Max	0.00	-158.55	12	816.38	21	-12.60	12	15.69	23	0.26	24	0.00	12
6126	328	340	Max	13.23	-158.55	12	815.15	21	48.37	21	15.69	23	0.29	23	0.00	12
6126	328	340	Min.	0.00	-610.13	21	181.73	12	-59.57	21	-3.94	24	-1.78	23	-0.82	23
6126	328	340	Min.	13.23	-610.13	21	180.78	12	11.38	12	-3.94	24	-0.26	24	-0.82	23
6127	-3	-11	Max	3.53	493.64	21	-0.08	22	0.04	21	48.15	21	-1.16	22	0.00	21
6127	-3	-11	Max	26.86	493.64	21	-0.08	22	-0.01	22	45.77	21	5.55	21	0.00	21
6127	-3	-11	Min.	3.53	154.98	12	-0.35	21	0.01	22	12.69	22	-5.40	21	0.00	22
6127	-3	-11	Min.	26.86	154.98	12	-0.35	21	-0.04	21	10.86	22	1.58	22	0.00	22
6128	-35	-43	Max	3.53	181.59	21	-0.14	22	0.06	11	64.12	21	-0.68	22	0.00	21
6128	-35	-43	Max	26.55	181.59	21	-0.14	22	-0.02	22	61.77	21	10.11	21	0.00	21
6128	-35	-43	Min.	3.53	50.92	12	-0.57	21	0.01	22	15.43	22	-5.42	11	0.00	22
6128	-35	-43	Min.	26.55	50.92	12	-0.57	21	-0.08	21	13.62	22	2.67	22	0.00	22
6129	-67	-75	Max	3.53	-3.15	12	-0.16	22	0.06	11	53.67	21	-1.47	22	0.00	21
6129	-67	-75	Max	25.92	-3.15	12	-0.16	22	-0.02	22	52.53	21	5.94	21	0.00	21
6129	-67	-75	Min.	3.53	-9.50	21	-0.63	21	0.02	22	13.48	22	-5.94	21	0.00	22
6129	-67	-75	Min.	25.92	-9.50	21	-0.63	21	-0.08	21	12.61	22	1.45	22	0.00	22
6130	-99	-107	Max	3.53	0.49	21	-0.23	22	0.08	11	69.45	21	-1.99	22	0.00	21
6130	-99	-107	Max	25.30	0.49	21	-0.23	22	-0.02	22	68.34	21	7.55	21	0.00	21
6130	-99	-107	Min.	3.53	-1.08	22	-0.85	21	0.03	22	18.78	22	-7.45	21	0.00	22
6130	-99	-107	Min.	25.30	-1.08	22	-0.85	21	-0.11	21	17.93	22	2.01	22	0.00	22
6131	-131	-139	Max	3.53	0.00	11	-0.28	22	0.09	11	75.63	21	-2.29	22	0.00	21
6131	-131	-139	Max	24.67	0.00	11	-0.28	22	-0.03	22	74.55	21	7.99	21	0.00	21
6131	-131	-139	Min.	3.53	-1.36	22	-0.96	21	0.03	23	22.17	22	-7.88	21	0.00	22
6131	-131	-139	Min.	24.67	-1.36	22	-0.96	21	-0.12	21	21.34	22	2.31	22	0.00	22
6132	-163	-171	Max	3.53	0.01	11	-0.33	22	0.10	11	79.77	21	-2.53	22	0.00	21
6132	-163	-171	Max	24.05	0.01	11	-0.33	22	-0.03	22	78.72	21	8.19	21	0.00	21
6132	-163	-171	Min.	3.53	-1.35	22	-1.03	21	0.03	23	25.26	22	-8.07	21	0.00	22
6132	-163	-171	Min.	24.05	-1.35	22	-1.03	21	-0.12	21	24.45	22	2.56	22	0.00	22
6133	-195	-203	Max	3.53	0.01	11	-0.37	22	0.10	11	83.63	21	-2.77	22	0.01	21
6133	-195	-203	Max	23.42	0.01	11	-0.37	22	-0.04	22	82.61	21	8.33	21	0.01	21

6133	-195	-203	Min.	3.53	-1.35	22	-1.09	21	0.03	23	28.45	22	-8.20	21	0.00	22
6133	-195	-203	Min.	23.42	-1.35	22	-1.09	21	-0.13	21	27.67	22	2.81	22	0.00	22
6134	-227	-235	Max	3.53	0.01	11	-0.42	22	0.10	11	87.63	21	-3.01	22	0.01	21
6134	-227	-235	Max	22.80	0.01	11	-0.42	22	-0.04	22	86.65	21	8.46	21	0.01	21
6134	-227	-235	Min.	3.53	-1.35	22	-1.15	21	0.03	23	31.84	22	-8.32	21	0.00	22
6134	-227	-235	Min.	22.80	-1.35	22	-1.15	21	-0.13	21	31.08	22	3.05	22	0.00	22
6135	-259	-267	Max	3.53	0.02	11	-0.47	22	0.10	11	91.91	21	-3.24	22	0.01	21
6135	-259	-267	Max	22.17	0.02	11	-0.47	22	-0.04	22	90.96	21	8.59	21	0.01	21
6135	-259	-267	Min.	3.53	-1.34	22	-1.21	21	0.04	23	35.48	22	-8.45	21	0.00	22
6135	-259	-267	Min.	22.17	-1.34	22	-1.21	21	-0.13	21	34.74	22	3.30	22	0.00	22
6136	-291	-299	Max	3.53	0.02	11	-0.52	22	0.10	11	96.49	21	-3.48	22	0.01	21
6136	-291	-299	Max	21.55	0.02	11	-0.52	22	-0.05	22	95.57	21	8.73	21	0.01	21
6136	-291	-299	Min.	3.53	-1.34	22	-1.27	21	0.04	23	39.38	22	-8.57	21	0.00	22
6136	-291	-299	Min.	21.55	-1.34	22	-1.27	21	-0.13	21	38.68	22	3.55	22	0.00	22
6137	-323	-331	Max	3.53	0.03	11	-0.58	22	0.11	11	101.43	21	-3.72	22	0.01	21
6137	-323	-331	Max	20.92	0.03	11	-0.58	22	-0.05	22	100.54	21	8.86	21	0.01	21
6137	-323	-331	Min.	3.53	-1.34	22	-1.34	21	0.04	23	43.59	22	-8.70	21	0.00	22
6137	-323	-331	Min.	20.92	-1.34	22	-1.34	21	-0.13	21	42.91	22	3.80	22	0.00	22
6138	-355	-363	Max	3.53	0.05	11	-0.64	22	0.11	11	106.74	21	-3.96	22	0.01	21
6138	-355	-363	Max	20.30	0.05	11	-0.64	22	-0.05	22	105.88	21	9.00	21	0.01	21
6138	-355	-363	Min.	3.53	-1.31	22	-1.41	21	0.04	23	48.13	22	-8.82	21	0.00	22
6138	-355	-363	Min.	20.30	-1.31	22	-1.41	21	-0.13	21	47.47	22	4.05	22	0.00	22
6139	-387	-395	Max	3.53	-0.10	12	-0.70	22	0.11	11	112.43	21	-4.20	22	0.01	21
6139	-387	-395	Max	19.67	-0.10	12	-0.70	22	-0.06	22	111.61	21	9.14	21	0.01	21
6139	-387	-395	Min.	3.53	-1.47	22	-1.49	21	0.04	23	53.01	22	-8.94	21	0.00	22
6139	-387	-395	Min.	19.67	-1.47	22	-1.49	21	-0.14	21	52.38	22	4.30	22	0.00	22
6140	-419	-427	Max	3.53	1.19	11	-0.77	22	0.11	11	118.34	21	-4.44	22	0.01	21
6140	-419	-427	Max	19.05	1.19	11	-0.77	22	-0.06	22	117.55	21	9.24	21	0.01	21
6140	-419	-427	Min.	3.53	-0.29	22	-1.57	21	0.04	23	58.14	22	-9.05	21	0.00	22
6140	-419	-427	Min.	19.05	-0.29	22	-1.57	21	-0.14	21	57.53	22	4.53	22	0.00	22
6141	-451	-459	Max	3.53	-3.17	23	-0.74	23	0.10	24	123.10	21	-4.46	23	0.02	21
6141	-451	-459	Max	18.42	-3.17	23	-0.74	23	-0.06	22	122.34	21	9.30	21	0.02	21
6141	-451	-459	Min.	3.53	-9.97	24	-1.51	21	0.04	23	61.15	23	-8.97	21	0.00	22
6141	-451	-459	Min.	18.42	-9.97	24	-1.51	21	-0.13	21	60.56	23	4.60	23	0.00	22
6142	-483	-491	Max	3.53	50.97	24	-0.88	22	0.12	21	118.00	21	-4.26	23	-0.02	22
6142	-483	-491	Max	17.80	50.97	24	-0.88	22	-0.06	22	117.27	21	8.12	21	-0.02	22
6142	-483	-491	Min.	3.53	15.83	23	-1.79	21	0.05	23	58.64	23	-8.65	21	-0.05	21
6142	-483	-491	Min.	17.80	15.83	23	-1.79	21	-0.14	21	58.08	23	4.06	22	-0.05	21
6147	-484	-492	Max	2.83	59.55	21	1.90	21	-0.06	22	123.47	21	-4.80	22	0.06	21
6147	-484	-492	Max	17.09	59.55	21	1.90	21	0.12	21	122.75	21	8.14	21	0.06	21
6147	-484	-492	Min.	2.83	35.28	12	0.89	22	-0.15	21	61.87	22	-9.42	21	0.02	22
6147	-484	-492	Min.	17.09	35.28	12	0.89	22	0.06	23	61.31	22	3.98	22	0.02	22
6148	-452	-460	Max	2.83	-6.10	23	1.61	21	-0.06	22	129.48	21	-4.72	22	-0.00	23
6148	-452	-460	Max	17.72	-6.10	23	1.61	21	0.11	21	128.72	21	9.58	21	-0.00	23
6148	-452	-460	Min.	2.83	-10.27	21	0.79	22	-0.13	21	63.66	22	-9.64	21	-0.01	11
6148	-452	-460	Min.	17.72	-10.27	21	0.79	22	0.05	23	63.07	22	4.71	22	-0.01	11
6149	-420	-428	Max	2.83	1.52	21	1.67	21	-0.06	22	124.35	21	-4.61	22	0.00	21
6149	-420	-428	Max	18.34	1.52	21	1.67	21	0.11	21	123.56	21	9.49	21	0.00	21
6149	-420	-428	Min.	2.83	-0.45	22	0.79	22	-0.14	21	58.99	22	-9.73	21	0.00	22
6149	-420	-428	Min.	18.34	-0.45	22	0.79	22	0.05	23	58.39	22	4.49	22	0.00	22
6150	-388	-396	Max	2.83	-0.06	23	1.58	21	-0.06	22	118.15	21	-4.37	22	0.00	23
6150	-388	-396	Max	18.97	-0.06	23	1.58	21	0.11	11	117.33	21	9.40	21	0.00	23
6150	-388	-396	Min.	2.83	-1.62	22	0.72	22	-0.14	21	53.83	22	-9.60	21	0.00	12
6150	-388	-396	Min.	18.97	-1.62	22	0.72	22	0.05	23	53.20	22	4.27	22	0.00	12
6151	-356	-364	Max	2.83	0.08	23	1.50	21	-0.05	22	112.16	21	-4.12	22	0.00	23
6151	-356	-364	Max	19.59	0.08	23	1.50	21	0.11	11	111.30	21	9.27	21	0.00	23
6151	-356	-364	Min.	2.83	-1.45	22	0.65	22	-0.14	21	48.91	22	-9.46	21	0.00	22
6151	-356	-364	Min.	19.59	-1.45	22	0.65	22	0.05	23	48.25	22	4.03	22	0.00	22
6152	-324	-332	Max	2.83	0.07	23	1.42	21	-0.05	22	106.57	21	-3.87	22	0.00	23

6152	-324	-332	Max	20.22	0.07	23	1.42	21	0.11	11	105.68	21	9.13	21	0.00	23
6152	-324	-332	Min.	2.83	-1.47	22	0.59	22	-0.14	21	44.33	22	-9.32	21	0.00	22
6152	-324	-332	Min.	20.22	-1.47	22	0.59	22	0.05	23	43.65	22	3.78	22	0.00	22
6153	-292	-300	Max	2.83	0.07	23	1.35	21	-0.05	22	101.38	21	-3.62	22	0.00	23
6153	-292	-300	Max	20.84	0.07	23	1.35	21	0.11	11	100.46	21	9.00	21	0.00	23
6153	-292	-300	Min.	2.83	-1.46	22	0.53	22	-0.14	21	40.08	22	-9.18	21	0.00	22
6153	-292	-300	Min.	20.84	-1.46	22	0.53	22	0.04	23	39.38	22	3.54	22	0.00	22
6154	-260	-268	Max	2.83	0.08	23	1.28	21	-0.04	22	96.55	21	-3.37	22	0.00	21
6154	-260	-268	Max	21.47	0.08	23	1.28	21	0.11	11	95.60	21	8.87	21	0.00	21
6154	-260	-268	Min.	2.83	-1.46	22	0.48	22	-0.14	21	36.14	22	-9.04	21	0.00	22
6154	-260	-268	Min.	21.47	-1.46	22	0.48	22	0.04	23	35.41	22	3.30	22	0.00	22
6155	-228	-236	Max	2.83	0.07	23	1.22	21	-0.04	22	92.06	21	-3.12	22	0.00	21
6155	-228	-236	Max	22.09	0.07	23	1.22	21	0.10	11	91.07	21	8.73	21	0.00	21
6155	-228	-236	Min.	2.83	-1.46	22	0.43	22	-0.13	21	32.47	22	-8.90	21	0.00	22
6155	-228	-236	Min.	22.09	-1.46	22	0.43	22	0.04	23	31.72	22	3.06	22	0.00	22
6156	-196	-204	Max	2.83	0.08	23	1.16	21	-0.04	22	87.84	21	-2.88	22	0.00	21
6156	-196	-204	Max	22.72	0.08	23	1.16	21	0.10	11	86.83	21	8.60	21	0.00	21
6156	-196	-204	Min.	2.83	-1.45	22	0.38	22	-0.13	21	29.05	22	-8.77	21	0.00	22
6156	-196	-204	Min.	22.72	-1.45	22	0.38	22	0.04	22	28.27	22	2.82	22	0.00	22
6157	-164	-172	Max	2.83	0.08	23	1.10	21	-0.03	22	83.79	21	-2.64	22	0.00	21
6157	-164	-172	Max	23.34	0.08	23	1.10	21	0.10	11	82.74	21	8.46	21	0.00	21
6157	-164	-172	Min.	2.83	-1.45	22	0.33	22	-0.13	21	25.84	22	-8.62	21	0.00	22
6157	-164	-172	Min.	23.34	-1.45	22	0.33	22	0.04	22	25.03	22	2.58	22	0.00	22
6158	-132	-140	Max	2.83	0.07	23	1.02	21	-0.03	22	79.44	21	-2.38	22	0.00	21
6158	-132	-140	Max	23.97	0.07	23	1.02	21	0.10	11	78.36	21	8.26	21	0.00	21
6158	-132	-140	Min.	2.83	-1.46	22	0.29	22	-0.13	21	22.71	22	-8.42	21	0.00	22
6158	-132	-140	Min.	23.97	-1.46	22	0.29	22	0.03	22	21.89	22	2.33	22	0.00	22
6159	-100	-108	Max	2.83	0.11	11	0.90	21	-0.02	22	72.95	21	-2.08	22	0.00	21
6159	-100	-108	Max	24.59	0.11	11	0.90	21	0.09	11	71.84	21	7.80	21	0.00	21
6159	-100	-108	Min.	2.83	-1.21	22	0.24	22	-0.11	21	19.28	22	-7.95	21	0.00	22
6159	-100	-108	Min.	24.59	-1.21	22	0.24	22	0.03	22	18.43	22	2.03	22	0.00	22
6160	-68	-76	Max	2.83	2.51	23	0.66	21	-0.02	22	56.35	21	-1.54	22	0.00	21
6160	-68	-76	Max	25.22	2.51	23	0.66	21	0.07	11	55.20	21	6.18	21	0.00	21
6160	-68	-76	Min.	2.83	-6.22	24	0.16	22	-0.09	21	13.85	22	-6.31	21	0.00	22
6160	-68	-76	Min.	25.22	-6.22	24	0.16	22	0.02	22	12.97	22	1.46	22	0.00	22
6161	-36	-44	Max	2.83	89.80	24	0.61	21	-0.01	22	67.63	21	-0.62	22	0.00	23
6161	-36	-44	Max	25.84	89.80	24	0.61	21	0.06	11	65.28	21	7.92	11	0.00	23
6161	-36	-44	Min.	2.83	-70.50	23	0.14	22	-0.08	21	16.13	22	-7.82	21	0.00	11
6161	-36	-44	Min.	25.84	-70.50	23	0.14	22	0.02	22	14.32	22	2.88	22	0.00	11
6162	-4	-12	Max	2.83	261.33	24	0.37	21	-0.01	22	50.29	21	-1.23	22	0.00	23
6162	-4	-12	Max	26.15	261.33	24	0.37	21	0.05	21	47.91	21	6.12	21	0.00	23
6162	-4	-12	Min.	2.83	-157.41	23	0.08	22	-0.04	21	12.93	22	-5.33	21	0.00	11
6162	-4	-12	Min.	26.15	-157.41	23	0.08	22	0.01	22	11.10	22	1.57	22	0.00	11
6163	318	330	Max	1.77	309.81	23	19.57	23	-0.15	12	406.01	23	19.70	24	0.77	23
6163	318	330	Max	15.00	309.81	23	19.57	23	2.02	23	405.07	23	28.84	23	0.77	23
6163	318	330	Min.	1.77	-218.39	24	1.59	12	-0.62	21	-385.39	24	-24.82	23	-0.12	24
6163	318	330	Min.	15.00	-218.39	24	1.59	12	0.06	12	-386.33	24	-31.36	24	-0.12	24
6163	330	342	Max	0.00	266.10	23	-1.05	12	1.94	23	341.61	24	32.49	23	0.11	24
6163	330	342	Max	13.23	266.10	23	-1.05	12	-0.14	12	340.67	24	20.78	24	0.11	24
6163	330	342	Min.	0.00	-275.36	24	-18.82	23	-0.00	12	-425.21	23	-24.36	24	-0.77	23
6163	330	342	Min.	13.23	-275.36	24	-18.82	23	-0.60	21	-426.15	23	-23.84	23	-0.77	23
6164	319	331	Max	1.77	-148.83	12	-274.78	12	51.77	21	2.63	24	0.34	23	0.91	23
6164	319	331	Max	15.00	-148.83	12	-275.72	12	-22.50	12	2.63	24	0.12	24	0.91	23
6164	319	331	Min.	1.77	-594.61	21	-945.34	21	13.92	12	-17.30	23	-0.22	24	0.09	12
6164	319	331	Min.	15.00	-594.61	21	-946.56	21	-73.40	21	-17.30	23	-1.95	23	0.09	12
6164	331	343	Max	0.00	-200.21	22	907.36	21	-17.56	12	17.45	23	0.04	24	-0.09	12
6164	331	343	Max	13.23	-200.21	22	906.13	21	53.57	21	17.45	23	0.34	23	-0.09	12
6164	331	343	Min.	0.00	-671.58	21	248.15	12	-66.41	21	-1.83	24	-1.97	23	-0.91	23
6164	331	343	Min.	13.23	-671.58	21	247.21	12	15.21	12	-1.83	24	-0.21	24	-0.91	23

6165	-5	-13	Max	3.53	536.76	21	-0.08	22	0.04	21	48.58	21	-1.23	22	0.00	21
6165	-5	-13	Max	26.86	536.76	21	-0.08	22	-0.01	22	46.20	21	5.57	21	0.00	21
6165	-5	-13	Min.	3.53	187.56	12	-0.35	21	0.01	22	13.12	22	-5.48	21	0.00	22
6165	-5	-13	Min.	26.86	187.56	12	-0.35	21	-0.04	21	11.29	22	1.62	22	0.00	22
6166	-37	-45	Max	3.53	198.69	21	-0.14	22	0.06	11	64.89	21	-0.58	22	0.00	23
6166	-37	-45	Max	26.55	198.69	21	-0.14	22	-0.02	22	62.55	21	10.44	21	0.00	23
6166	-37	-45	Min.	3.53	63.78	12	-0.58	21	0.01	22	16.03	22	-5.35	11	0.00	22
6166	-37	-45	Min.	26.55	63.78	12	-0.58	21	-0.08	21	14.23	22	2.91	22	0.00	22
6167	-69	-77	Max	3.53	-3.74	12	-0.16	22	0.06	11	54.40	21	-1.53	22	0.00	23
6167	-69	-77	Max	25.92	-3.74	12	-0.16	22	-0.02	22	53.26	21	6.02	21	0.00	23
6167	-69	-77	Min.	3.53	-10.29	21	-0.64	21	0.02	22	14.02	22	-6.03	21	0.00	24
6167	-69	-77	Min.	25.92	-10.29	21	-0.64	21	-0.09	21	13.14	22	1.51	22	0.00	24
6168	-101	-109	Max	3.53	0.51	21	-0.24	22	0.08	11	70.39	21	-2.06	22	0.00	23
6168	-101	-109	Max	25.30	0.51	21	-0.24	22	-0.03	22	69.28	21	7.65	21	0.00	23
6168	-101	-109	Min.	3.53	-1.07	22	-0.87	21	0.03	22	19.47	22	-7.55	21	-0.00	24
6168	-101	-109	Min.	25.30	-1.07	22	-0.87	21	-0.11	21	18.62	22	2.08	22	-0.00	24
6169	-133	-141	Max	3.53	-0.01	11	-0.29	22	0.09	11	76.66	21	-2.37	22	0.00	23
6169	-133	-141	Max	24.67	-0.01	11	-0.29	22	-0.03	22	75.58	21	8.10	21	0.00	23
6169	-133	-141	Min.	3.53	-1.37	22	-0.98	21	0.03	23	22.92	22	-7.99	21	-0.00	24
6169	-133	-141	Min.	24.67	-1.37	22	-0.98	21	-0.12	21	22.09	22	2.39	22	-0.00	24
6170	-165	-173	Max	3.53	-0.01	11	-0.34	22	0.10	11	80.85	21	-2.62	22	0.00	23
6170	-165	-173	Max	24.05	-0.01	11	-0.34	22	-0.04	22	79.80	21	8.30	21	0.00	23
6170	-165	-173	Min.	3.53	-1.37	22	-1.05	21	0.03	23	26.06	22	-8.18	21	-0.00	24
6170	-165	-173	Min.	24.05	-1.37	22	-1.05	21	-0.13	21	25.25	22	2.65	22	-0.00	24
6171	-197	-205	Max	3.53	-0.00	11	-0.38	22	0.10	11	84.76	21	-2.85	22	0.00	23
6171	-197	-205	Max	23.42	-0.00	11	-0.38	22	-0.04	22	83.75	21	8.44	21	0.00	23
6171	-197	-205	Min.	3.53	-1.36	22	-1.11	21	0.03	23	29.29	22	-8.31	21	-0.00	24
6171	-197	-205	Min.	23.42	-1.36	22	-1.11	21	-0.13	21	28.51	22	2.89	22	-0.00	24
6172	-229	-237	Max	3.53	-0.00	11	-0.43	22	0.10	11	88.83	21	-3.09	22	0.00	23
6172	-229	-237	Max	22.80	-0.00	11	-0.43	22	-0.04	22	87.85	21	8.58	21	0.00	23
6172	-229	-237	Min.	3.53	-1.36	22	-1.17	21	0.03	23	32.72	22	-8.44	21	0.00	24
6172	-229	-237	Min.	22.80	-1.36	22	-1.17	21	-0.13	21	31.96	22	3.14	22	0.00	24
6173	-261	-269	Max	3.53	0.00	11	-0.48	22	0.10	11	93.17	21	-3.33	22	0.00	23
6173	-261	-269	Max	22.17	0.00	11	-0.48	22	-0.05	22	92.22	21	8.71	21	0.00	23
6173	-261	-269	Min.	3.53	-1.36	22	-1.23	21	0.03	23	36.40	22	-8.56	21	0.00	24
6173	-261	-269	Min.	22.17	-1.36	22	-1.23	21	-0.13	21	35.67	22	3.39	22	0.00	24
6174	-293	-301	Max	3.53	0.01	11	-0.53	22	0.11	11	97.82	21	-3.57	22	0.00	23
6174	-293	-301	Max	21.55	0.01	11	-0.53	22	-0.05	22	96.90	21	8.85	21	0.00	23
6174	-293	-301	Min.	3.53	-1.35	22	-1.29	21	0.04	23	40.36	22	-8.69	21	0.00	24
6174	-293	-301	Min.	21.55	-1.35	22	-1.29	21	-0.14	21	39.65	22	3.64	22	0.00	24
6175	-325	-333	Max	3.53	0.01	11	-0.59	22	0.11	11	102.82	21	-3.81	22	0.00	23
6175	-325	-333	Max	20.92	0.01	11	-0.59	22	-0.05	22	101.94	21	8.98	21	0.00	23
6175	-325	-333	Min.	3.53	-1.35	22	-1.36	21	0.04	23	44.62	22	-8.82	21	0.00	24
6175	-325	-333	Min.	20.92	-1.35	22	-1.36	21	-0.14	21	43.94	22	3.89	22	0.00	24
6176	-357	-365	Max	3.53	0.04	11	-0.65	22	0.11	11	108.21	21	-4.06	22	0.00	23
6176	-357	-365	Max	20.30	0.04	11	-0.65	22	-0.06	22	107.36	21	9.12	21	0.00	23
6176	-357	-365	Min.	3.53	-1.33	22	-1.44	21	0.04	23	49.22	22	-8.94	21	0.00	24
6176	-357	-365	Min.	20.30	-1.33	22	-1.44	21	-0.14	21	48.56	22	4.14	22	0.00	24
6177	-389	-397	Max	3.53	-0.12	12	-0.72	22	0.11	11	113.99	21	-4.30	22	0.00	23
6177	-389	-397	Max	19.67	-0.12	12	-0.72	22	-0.06	22	113.17	21	9.26	21	0.00	23
6177	-389	-397	Min.	3.53	-1.48	22	-1.52	21	0.04	23	54.15	22	-9.07	21	0.00	24
6177	-389	-397	Min.	19.67	-1.48	22	-1.52	21	-0.14	21	53.52	22	4.39	22	0.00	24
6178	-421	-429	Max	3.53	1.15	11	-0.78	23	0.11	11	119.98	21	-4.51	23	0.00	23
6178	-421	-429	Max	19.05	1.15	11	-0.78	23	-0.06	22	119.19	21	9.37	21	0.00	23
6178	-421	-429	Min.	3.53	-0.33	22	-1.60	21	0.04	23	58.94	23	-9.18	21	-0.00	24
6178	-421	-429	Min.	19.05	-0.33	22	-1.60	21	-0.14	21	58.33	23	4.59	23	-0.00	24
6179	-453	-461	Max	3.53	-3.03	23	-0.75	23	0.10	24	124.80	21	-4.47	23	0.01	21
6179	-453	-461	Max	18.42	-3.03	23	-0.75	23	-0.06	22	124.04	21	9.43	21	0.01	21
6179	-453	-461	Min.	3.53	-9.85	24	-1.54	21	0.04	23	61.30	23	-9.10	21	0.00	22

6179	-453	-461	Min.	18.42	-9.85	24	-1.54	21	-0.13	21	60.72	23	4.61	23	0.00	22
6180	-485	-493	Max	3.53	50.00	24	-0.89	23	0.12	11	119.55	21	-4.26	23	-0.02	22
6180	-485	-493	Max	17.80	50.00	24	-0.89	23	-0.07	22	118.82	21	8.25	21	-0.02	22
6180	-485	-493	Min.	3.53	14.77	23	-1.83	21	0.05	23	58.75	23	-8.75	21	-0.06	21
6180	-485	-493	Min.	17.80	14.77	23	-1.83	21	-0.14	21	58.19	23	4.08	23	-0.06	21
6185	-486	-494	Max	2.83	60.65	21	1.83	21	-0.06	22	119.93	21	-4.72	23	0.06	21
6185	-486	-494	Max	17.09	60.65	21	1.83	21	0.12	21	119.20	21	7.88	21	0.06	21
6185	-486	-494	Min.	2.83	36.22	12	0.87	22	-0.14	21	60.69	22	-9.17	21	0.02	22
6185	-486	-494	Min.	17.09	36.22	12	0.87	22	0.05	23	60.13	22	3.89	22	0.02	22
6186	-454	-462	Max	2.83	-6.19	23	1.55	21	-0.06	22	125.69	21	-4.62	22	-0.00	23
6186	-454	-462	Max	17.72	-6.19	23	1.55	21	0.10	24	124.93	21	9.30	21	-0.00	23
6186	-454	-462	Min.	2.83	-10.40	21	0.77	22	-0.13	21	62.38	22	-9.36	21	-0.01	11
6186	-454	-462	Min.	17.72	-10.40	21	0.77	22	0.04	23	61.80	22	4.62	22	-0.01	11
6187	-422	-430	Max	2.83	1.58	21	1.61	21	-0.06	22	120.70	21	-4.52	22	0.00	23
6187	-422	-430	Max	18.34	1.58	21	1.61	21	0.11	11	119.91	21	9.22	21	0.00	23
6187	-422	-430	Min.	2.83	-0.41	22	0.77	22	-0.14	21	57.77	22	-9.45	21	-0.00	24
6187	-422	-430	Min.	18.34	-0.41	22	0.77	22	0.05	23	57.16	22	4.40	22	-0.00	24
6188	-390	-398	Max	2.83	-0.04	23	1.53	21	-0.06	22	114.68	21	-4.27	22	0.00	23
6188	-390	-398	Max	18.97	-0.04	23	1.53	21	0.11	11	113.85	21	9.12	21	0.00	23
6188	-390	-398	Min.	2.83	-1.60	22	0.70	22	-0.14	21	52.66	22	-9.32	21	-0.00	11
6188	-390	-398	Min.	18.97	-1.60	22	0.70	22	0.04	23	52.03	22	4.18	22	-0.00	11
6189	-358	-366	Max	2.83	0.10	23	1.45	21	-0.05	22	108.86	21	-4.02	22	0.00	23
6189	-358	-366	Max	19.59	0.10	23	1.45	21	0.11	11	108.01	21	8.99	21	0.00	23
6189	-358	-366	Min.	2.83	-1.44	22	0.63	22	-0.14	21	47.80	22	-9.18	21	-0.00	11
6189	-358	-366	Min.	19.59	-1.44	22	0.63	22	0.04	23	47.14	22	3.93	22	-0.00	11
6190	-326	-334	Max	2.83	0.08	23	1.37	21	-0.05	22	103.44	21	-3.77	22	0.00	23
6190	-326	-334	Max	20.22	0.08	23	1.37	21	0.10	11	102.56	21	8.86	21	0.00	23
6190	-326	-334	Min.	2.83	-1.45	22	0.57	22	-0.14	21	43.28	22	-9.05	21	-0.00	11
6190	-326	-334	Min.	20.22	-1.45	22	0.57	22	0.04	23	42.60	22	3.69	22	-0.00	11
6191	-294	-302	Max	2.83	0.09	23	1.30	21	-0.05	22	98.41	21	-3.53	22	0.00	23
6191	-294	-302	Max	20.84	0.09	23	1.30	21	0.10	11	97.49	21	8.73	21	0.00	23
6191	-294	-302	Min.	2.83	-1.45	22	0.51	22	-0.14	21	39.09	22	-8.91	21	-0.00	11
6191	-294	-302	Min.	20.84	-1.45	22	0.51	22	0.04	23	38.38	22	3.45	22	-0.00	11
6192	-262	-270	Max	2.83	0.09	23	1.24	21	-0.04	22	93.73	21	-3.28	22	0.00	23
6192	-262	-270	Max	21.47	0.09	23	1.24	21	0.10	11	92.78	21	8.61	21	0.00	23
6192	-262	-270	Min.	2.83	-1.44	22	0.46	22	-0.14	21	35.20	22	-8.77	21	-0.00	11
6192	-262	-270	Min.	21.47	-1.44	22	0.46	22	0.04	23	34.47	22	3.21	22	-0.00	11
6193	-230	-238	Max	2.83	0.09	23	1.18	21	-0.04	22	89.37	21	-3.04	22	0.00	23
6193	-230	-238	Max	22.09	0.09	23	1.18	21	0.10	11	88.39	21	8.48	21	0.00	23
6193	-230	-238	Min.	2.83	-1.44	22	0.41	22	-0.13	21	31.58	22	-8.64	21	-0.00	11
6193	-230	-238	Min.	22.09	-1.44	22	0.41	22	0.04	23	30.82	22	2.97	22	-0.00	11
6194	-198	-206	Max	2.83	0.09	23	1.12	21	-0.04	22	85.28	21	-2.79	22	0.00	23
6194	-198	-206	Max	22.72	0.09	23	1.12	21	0.10	11	84.27	21	8.35	21	0.00	23
6194	-198	-206	Min.	2.83	-1.44	22	0.37	22	-0.13	21	28.20	22	-8.51	21	-0.00	11
6194	-198	-206	Min.	22.72	-1.44	22	0.37	22	0.03	23	27.42	22	2.74	22	-0.00	11
6195	-166	-174	Max	2.83	0.10	23	1.06	21	-0.03	22	81.35	21	-2.55	22	0.00	23
6195	-166	-174	Max	23.34	0.10	23	1.06	21	0.09	11	80.30	21	8.21	21	0.00	23
6195	-166	-174	Min.	2.83	-1.44	22	0.32	22	-0.13	21	25.02	22	-8.37	21	-0.00	11
6195	-166	-174	Min.	23.34	-1.44	22	0.32	22	0.03	22	24.22	22	2.50	22	-0.00	11
6196	-134	-142	Max	2.83	0.08	23	0.99	21	-0.03	22	77.13	21	-2.30	22	0.00	23
6196	-134	-142	Max	23.97	0.08	23	0.99	21	0.09	11	76.06	21	8.02	21	0.00	23
6196	-134	-142	Min.	2.83	-1.44	22	0.28	22	-0.12	21	21.94	22	-8.17	21	-0.00	11
6196	-134	-142	Min.	23.97	-1.44	22	0.28	22	0.03	22	21.11	22	2.25	22	-0.00	11
6197	-102	-110	Max	2.83	0.10	11	0.87	21	-0.03	22	70.83	21	-2.00	22	0.00	23
6197	-102	-110	Max	24.59	0.10	11	0.87	21	0.08	11	69.72	21	7.58	21	0.00	23
6197	-102	-110	Min.	2.83	-1.21	22	0.23	22	-0.11	21	18.58	22	-7.72	21	-0.00	11
6197	-102	-110	Min.	24.59	-1.21	22	0.23	22	0.02	22	17.72	22	1.95	22	-0.00	11
6198	-70	-78	Max	2.83	3.07	23	0.64	21	-0.02	22	54.71	21	-1.47	22	0.00	23
6198	-70	-78	Max	25.22	3.07	23	0.64	21	0.06	11	53.57	21	6.00	21	0.00	23

6198	-70	-78	Min.	2.83	-5.57	24	0.16	22	-0.09	21	13.30	22	-6.12	21	-0.00	11
6198	-70	-78	Min.	25.22	-5.57	24	0.16	22	0.02	22	12.43	22	1.41	22	-0.00	11
6199	-38	-46	Max	2.83	75.77	24	0.59	21	-0.01	22	65.62	21	-0.71	22	0.00	23
6199	-38	-46	Max	25.84	75.77	24	0.59	21	0.06	11	63.27	21	7.57	11	0.00	23
6199	-38	-46	Min.	2.83	-82.45	23	0.14	22	-0.08	21	15.46	22	-7.84	21	0.00	11
6199	-38	-46	Min.	25.84	-82.45	23	0.14	22	0.02	22	13.66	22	2.62	23	0.00	11
6200	-6	-14	Max	2.83	225.88	24	0.36	21	-0.01	22	48.81	21	-1.16	22	0.00	23
6200	-6	-14	Max	26.15	225.88	24	0.36	21	0.04	21	46.43	21	5.98	21	0.00	23
6200	-6	-14	Min.	2.83	-187.76	23	0.08	22	-0.04	21	12.49	22	-5.13	21	-0.00	11
6200	-6	-14	Min.	26.15	-187.76	23	0.08	22	0.01	22	10.66	22	1.54	22	-0.00	11
6201	321	333	Max	1.77	349.58	23	21.08	21	-0.19	12	466.14	23	15.59	24	0.84	23
6201	321	333	Max	15.00	349.58	23	21.08	21	2.19	23	465.20	23	33.41	23	0.84	23
6201	321	333	Min.	1.77	-171.52	24	3.23	12	-0.67	21	-314.00	24	-28.20	23	-0.02	24
6201	321	333	Min.	15.00	-171.52	24	3.23	12	0.24	22	-314.94	24	-26.02	24	-0.02	24
6201	333	345	Max	0.00	308.68	23	-2.96	12	2.13	23	269.38	24	36.80	23	0.01	24
6201	333	345	Max	13.23	308.68	23	-2.96	12	-0.19	12	268.44	24	16.61	24	0.01	24
6201	333	345	Min.	0.00	-224.81	24	-20.49	23	0.21	12	-483.59	23	-18.97	24	-0.84	23
6201	333	345	Min.	13.23	-224.81	24	-20.49	23	-0.66	21	-484.53	23	-27.26	23	-0.84	23
6202	322	334	Max	1.77	-153.44	12	-221.63	12	46.09	21	-1.28	22	0.37	23	0.89	21
6202	322	334	Max	15.00	-153.44	12	-222.57	12	-16.15	12	-1.28	22	-0.22	22	0.89	21
6202	322	334	Min.	1.77	-544.40	21	-787.81	21	13.24	12	-17.37	23	-0.06	24	0.17	22
6202	322	334	Min.	15.00	-544.40	21	-789.03	21	-58.24	21	-17.37	23	-1.93	23	0.17	22
6202	334	346	Max	0.00	-160.67	22	861.89	21	-21.18	22	17.08	23	-0.20	22	-0.17	22
6202	334	346	Max	13.23	-160.67	22	860.67	21	48.17	21	17.08	23	0.35	23	-0.17	22
6202	334	346	Min.	0.00	-578.45	21	266.93	22	-65.80	21	1.15	22	-1.91	23	-0.91	21
6202	334	346	Min.	13.23	-578.45	21	265.99	22	14.08	22	1.15	22	-0.07	24	-0.91	21
6203	-7	-15	Max	3.53	451.65	21	0.04	22	0.02	21	17.62	21	1.08	22	0.00	23
6203	-7	-15	Max	26.86	451.65	21	0.04	22	0.01	22	15.24	21	1.82	11	0.00	23
6203	-7	-15	Min.	3.53	156.65	12	-0.17	21	-0.00	22	-7.87	22	-2.01	21	0.00	22
6203	-7	-15	Min.	26.86	156.65	12	-0.17	21	-0.02	21	-9.71	22	-0.97	22	0.00	22
6204	-39	-47	Max	3.53	170.81	21	0.08	22	0.03	11	30.61	21	1.89	22	0.00	23
6204	-39	-47	Max	26.55	170.81	21	0.08	22	0.01	22	28.27	21	5.98	21	0.00	23
6204	-39	-47	Min.	3.53	55.28	22	-0.27	21	-0.01	22	-7.81	22	-2.03	11	0.00	22
6204	-39	-47	Min.	26.55	55.28	22	-0.27	21	-0.04	21	-9.62	22	-0.12	22	0.00	22
6205	-71	-79	Max	3.53	-3.08	12	0.06	22	0.03	11	27.54	21	0.56	22	0.00	23
6205	-71	-79	Max	25.92	-3.08	12	0.06	22	0.01	22	26.39	21	3.00	21	0.00	23
6205	-71	-79	Min.	3.53	-8.58	21	-0.31	21	-0.01	22	-4.83	22	-3.04	21	-0.00	24
6205	-71	-79	Min.	25.92	-8.58	21	-0.31	21	-0.05	21	-5.71	22	-0.62	22	-0.00	24
6206	-103	-111	Max	3.53	0.30	21	0.06	22	0.04	11	35.64	21	0.57	22	0.00	23
6206	-103	-111	Max	25.30	0.30	21	0.06	22	0.01	22	34.53	21	3.84	21	0.00	23
6206	-103	-111	Min.	3.53	-1.23	22	-0.43	21	-0.01	22	-4.93	22	-3.80	21	-0.00	24
6206	-103	-111	Min.	25.30	-1.23	22	-0.43	21	-0.06	21	-5.78	22	-0.60	22	-0.00	24
6207	-135	-143	Max	3.53	-0.04	11	0.05	22	0.05	11	38.80	21	0.42	22	0.00	23
6207	-135	-143	Max	24.67	-0.04	11	0.05	22	0.00	22	37.72	21	4.06	21	0.00	23
6207	-135	-143	Min.	3.53	-1.39	22	-0.49	21	-0.01	22	-3.66	22	-4.02	21	-0.00	24
6207	-135	-143	Min.	24.67	-1.39	22	-0.49	21	-0.07	21	-4.49	22	-0.44	22	-0.00	24
6208	-167	-175	Max	3.53	-0.04	11	0.03	22	0.05	11	40.90	21	0.24	22	0.00	23
6208	-167	-175	Max	24.05	-0.04	11	0.03	22	0.00	22	39.85	21	4.16	21	0.00	23
6208	-167	-175	Min.	3.53	-1.39	22	-0.53	21	-0.00	22	-2.00	22	-4.12	21	-0.00	24
6208	-167	-175	Min.	24.05	-1.39	22	-0.53	21	-0.07	21	-2.80	22	-0.26	22	-0.00	24
6209	-199	-207	Max	3.53	-0.04	11	0.01	22	0.05	11	42.86	21	0.05	22	0.00	23
6209	-199	-207	Max	19.44					-0.00	22			-0.03	22		
6209	-199	-207	Max	23.42	-0.04	11	0.01	22	0.00	22	41.85	21	4.24	21	0.00	23
6209	-199	-207	Min.	3.53	-1.38	22	-0.56	21	-0.00	22	-0.14	22	-4.18	21	-0.00	24
6209	-199	-207	Min.	19.44					-0.00	22			-0.03	22		
6209	-199	-207	Min.	23.42	-1.38	22	-0.56	21	-0.07	21	-0.92	22	-0.06	22	-0.00	24
6210	-231	-239	Max	3.53	-0.03	11	-0.02	22	0.05	11	44.90	21	-0.15	22	0.00	23
6210	-231	-239	Max	22.80	-0.03	11	-0.02	22	-0.00	22	43.91	21	4.31	21	0.00	23
6210	-231	-239	Min.	3.53	-1.38	22	-0.59	21	0.00	22	1.87	22	-4.25	21	-0.00	24

6210	-231	-239	Min.	22.80	-1.38	22	-0.59	21	-0.07	21	1.11	22	0.14	22	-0.00	24
6211	-263	-271	Max	3.53	-0.03	11	-0.05	22	0.05	11	47.07	21	-0.34	22	0.00	23
6211	-263	-271	Max	22.17	-0.03	11	-0.05	22	-0.01	22	46.12	21	4.37	21	0.00	23
6211	-263	-271	Min.	3.53	-1.38	22	-0.62	21	0.00	22	4.03	22	-4.31	21	-0.00	24
6211	-263	-271	Min.	22.17	-1.38	22	-0.62	21	-0.07	21	3.30	22	0.34	22	-0.00	24
6212	-295	-303	Max	3.53	-0.03	11	-0.08	22	0.05	11	49.40	21	-0.54	22	0.00	23
6212	-295	-303	Max	21.55	-0.03	11	-0.08	22	-0.01	22	48.48	21	4.44	21	0.00	23
6212	-295	-303	Min.	3.53	-1.38	22	-0.65	21	0.01	22	6.36	22	-4.37	21	-0.00	24
6212	-295	-303	Min.	21.55	-1.38	22	-0.65	21	-0.08	21	5.65	22	0.54	22	-0.00	24
6213	-327	-335	Max	3.53	-0.03	11	-0.12	22	0.05	11	51.91	21	-0.74	22	0.00	23
6213	-327	-335	Max	20.92	-0.03	11	-0.12	22	-0.01	22	51.02	21	4.51	21	0.00	23
6213	-327	-335	Min.	3.53	-1.38	22	-0.69	21	0.01	22	8.87	22	-4.44	21	-0.00	24
6213	-327	-335	Min.	20.92	-1.38	22	-0.69	21	-0.08	21	8.18	22	0.74	22	-0.00	24
6214	-359	-367	Max	3.53	-0.01	11	-0.15	22	0.05	11	54.61	21	-0.94	22	0.00	23
6214	-359	-367	Max	20.30	-0.01	11	-0.15	22	-0.01	22	53.76	21	4.58	21	0.00	23
6214	-359	-367	Min.	3.53	-1.36	22	-0.73	21	0.01	22	11.57	22	-4.50	21	-0.00	24
6214	-359	-367	Min.	20.30	-1.36	22	-0.73	21	-0.08	21	10.92	22	0.95	22	-0.00	24
6215	-391	-399	Max	3.53	-0.12	12	-0.19	22	0.05	11	57.51	21	-1.13	22	0.00	23
6215	-391	-399	Max	19.67	-0.12	12	-0.19	22	-0.02	22	56.68	21	4.65	21	0.00	23
6215	-391	-399	Min.	3.53	-1.46	22	-0.76	21	0.01	22	14.49	22	-4.56	21	-0.00	24
6215	-391	-399	Min.	19.67	-1.46	22	-0.76	21	-0.08	21	13.86	22	1.15	22	-0.00	24
6216	-423	-431	Max	3.53	0.73	11	-0.23	22	0.05	11	60.52	21	-1.33	22	0.00	23
6216	-423	-431	Max	19.05	0.73	11	-0.23	22	-0.02	22	59.73	21	4.71	21	0.00	23
6216	-423	-431	Min.	3.53	-0.69	22	-0.81	21	0.02	23	17.59	22	-4.62	21	-0.00	24
6216	-423	-431	Min.	19.05	-0.69	22	-0.81	21	-0.08	21	16.98	22	1.35	22	-0.00	24
6217	-455	-463	Max	3.53	-2.68	23	-0.26	22	0.05	11	62.95	21	-1.45	22	0.01	21
6217	-455	-463	Max	18.42	-2.68	23	-0.26	22	-0.02	22	62.20	21	4.75	21	0.01	21
6217	-455	-463	Min.	3.53	-6.84	24	-0.78	21	0.01	23	20.48	22	-4.57	21	-0.00	22
6217	-455	-463	Min.	18.42	-6.84	24	-0.78	21	-0.07	21	19.89	22	1.56	22	-0.00	22
6218	-487	-495	Max	3.53	33.04	24	-0.27	22	0.06	11	60.56	21	-1.69	22	-0.00	22
6218	-487	-495	Max	17.80	33.04	24	-0.27	22	-0.02	22	59.83	21	4.08	21	-0.00	22
6218	-487	-495	Min.	3.53	13.39	23	-0.94	21	0.02	22	21.00	22	-4.51	21	-0.03	21
6218	-487	-495	Min.	17.80	13.39	23	-0.94	21	-0.08	21	20.44	22	1.26	22	-0.03	21
6223	-488	-496	Max	2.83	20.49	21	0.91	21	-0.02	22	58.85	21	-1.43	22	0.03	21
6223	-488	-496	Max	17.09	20.49	21	0.91	21	0.05	21	58.12	21	3.94	21	0.03	21
6223	-488	-496	Min.	2.83	10.69	22	0.23	22	-0.08	21	18.58	22	-4.40	21	0.00	22
6223	-488	-496	Min.	17.09	10.69	22	0.23	22	0.02	22	18.02	22	1.18	22	0.00	22
6224	-456	-464	Max	2.83	-1.88	23	0.75	21	-0.02	22	61.34	21	-1.33	22	-0.00	22
6224	-456	-464	Max	17.72	-1.88	23	0.75	21	0.04	11	60.58	21	4.51	21	-0.00	22
6224	-456	-464	Min.	2.83	-4.00	24	0.22	22	-0.07	21	18.05	22	-4.57	21	-0.01	11
6224	-456	-464	Min.	17.72	-4.00	24	0.22	22	0.01	22	17.47	22	1.32	22	-0.01	11
6225	-424	-432	Max	2.83	0.56	21	0.78	21	-0.02	22	58.90	21	-1.17	22	0.00	23
6225	-424	-432	Max	18.34	0.56	21	0.78	21	0.05	11	58.11	21	4.48	21	0.00	23
6225	-424	-432	Min.	2.83	-1.10	22	0.19	22	-0.08	21	15.19	22	-4.60	21	-0.00	11
6225	-424	-432	Min.	18.34	-1.10	22	0.19	22	0.01	22	14.59	22	1.14	22	-0.00	11
6226	-392	-400	Max	2.83	0.04	23	0.74	21	-0.01	22	55.98	21	-0.98	22	0.00	23
6226	-392	-400	Max	18.97	0.04	23	0.74	21	0.05	11	55.15	21	4.43	21	0.00	23
6226	-392	-400	Min.	2.83	-1.47	22	0.16	22	-0.08	21	12.23	22	-4.54	21	-0.00	11
6226	-392	-400	Min.	18.97	-1.47	22	0.16	22	0.01	22	11.59	22	0.95	22	-0.00	11
6227	-360	-368	Max	2.83	0.08	23	0.70	21	-0.01	22	53.16	21	-0.78	22	0.00	23
6227	-360	-368	Max	19.59	0.08	23	0.70	21	0.05	11	52.31	21	4.37	21	0.00	23
6227	-360	-368	Min.	2.83	-1.42	22	0.12	22	-0.07	21	9.43	22	-4.47	21	-0.00	11
6227	-360	-368	Min.	19.59	-1.42	22	0.12	22	0.01	22	8.77	22	0.75	22	-0.00	11
6228	-328	-336	Max	2.83	0.08	23	0.67	21	-0.01	22	50.54	21	-0.58	22	0.00	23
6228	-328	-336	Max	20.22	0.08	23	0.67	21	0.05	11	49.65	21	4.31	21	0.00	23
6228	-328	-336	Min.	2.83	-1.42	22	0.08	22	-0.07	21	6.83	22	-4.40	21	-0.00	11
6228	-328	-336	Min.	20.22	-1.42	22	0.08	22	0.01	22	6.15	22	0.55	22	-0.00	11
6229	-296	-304	Max	2.83	0.08	23	0.63	21	-0.01	22	48.10	21	-0.38	22	0.00	23
6229	-296	-304	Max	20.84	0.08	23	0.63	21	0.05	11	47.18	21	4.24	21	0.00	23

6229	-296	-304	Min.	2.83	-1.42	22	0.05	22	-0.07	21	4.43	22	-4.34	21	-0.00	11
6229	-296	-304	Min.	20.84	-1.42	22	0.05	22	0.00	22	3.72	22	0.36	22	-0.00	11
6230	-264	-272	Max	2.83	0.08	23	0.60	21	-0.00	22	45.83	21	-0.18	22	0.00	23
6230	-264	-272	Max	14.01					-0.00	22			0.04	22		
6230	-264	-272	Max	21.47	0.08	23	0.60	21	0.05	11	44.88	21	4.18	21	0.00	23
6230	-264	-272	Min.	2.83	-1.42	22	0.02	22	-0.07	21	2.20	22	-4.27	21	-0.00	11
6230	-264	-272	Min.	14.01					-0.00	22			0.04	22		
6230	-264	-272	Min.	21.47	-1.42	22	0.02	22	0.00	22	1.47	22	0.16	22	-0.00	11
6231	-232	-240	Max	2.83	0.08	23	0.57	21	0.00	22	43.72	21	0.02	22	0.00	23
6231	-232	-240	Max	6.07					-0.00	22			0.02	22		
6231	-232	-240	Max	22.09	0.08	23	0.57	21	0.04	11	42.74	21	4.12	21	0.00	23
6231	-232	-240	Min.	2.83	-1.42	22	-0.01	22	-0.07	21	0.13	22	-4.21	21	-0.00	11
6231	-232	-240	Min.	6.07					-0.00	22			0.02	22		
6231	-232	-240	Min.	22.09	-1.42	22	-0.01	22	-0.00	22	-0.63	22	-0.03	22	-0.00	11
6232	-200	-208	Max	2.83	0.08	23	0.54	21	0.00	22	41.75	21	0.21	22	0.00	23
6232	-200	-208	Max	22.72	0.08	23	0.54	21	0.04	11	40.73	21	4.05	21	0.00	23
6232	-200	-208	Min.	2.83	-1.42	22	-0.03	22	-0.07	21	-1.80	22	-4.15	21	-0.00	11
6232	-200	-208	Min.	22.72	-1.42	22	-0.03	22	-0.00	22	-2.58	22	-0.22	22	-0.00	11
6233	-168	-176	Max	2.83	0.09	23	0.51	21	0.00	22	39.84	21	0.40	22	0.00	23
6233	-168	-176	Max	23.34	0.09	23	0.51	21	0.04	11	38.80	21	3.99	21	0.00	23
6233	-168	-176	Min.	2.83	-1.42	22	-0.05	22	-0.07	21	-3.58	22	-4.08	21	-0.00	11
6233	-168	-176	Min.	23.34	-1.42	22	-0.05	22	-0.01	22	-4.38	22	-0.41	22	-0.00	11
6234	-136	-144	Max	2.83	0.07	23	0.48	21	0.01	22	37.80	21	0.58	22	0.00	23
6234	-136	-144	Max	23.97	0.07	23	0.48	21	0.04	11	36.72	21	3.89	21	0.00	23
6234	-136	-144	Min.	2.83	-1.42	22	-0.07	22	-0.07	21	-5.16	22	-3.98	21	-0.00	11
6234	-136	-144	Min.	23.97	-1.42	22	-0.07	22	-0.01	22	-5.99	22	-0.59	22	-0.00	11
6235	-104	-112	Max	2.83	0.02	11	0.42	21	0.01	22	34.72	21	0.73	22	0.00	23
6235	-104	-112	Max	24.59	0.02	11	0.42	21	0.04	11	33.61	21	3.67	21	0.00	23
6235	-104	-112	Min.	2.83	-1.31	22	-0.08	22	-0.06	21	-6.30	22	-3.76	21	-0.00	11
6235	-104	-112	Min.	24.59	-1.31	22	-0.08	22	-0.01	22	-7.15	22	-0.74	22	-0.00	11
6236	-72	-80	Max	2.83	4.16	23	0.31	21	0.01	22	26.81	21	0.70	22	0.00	23
6236	-72	-80	Max	25.22	4.16	23	0.31	21	0.03	11	25.67	21	2.90	21	0.00	23
6236	-72	-80	Min.	2.83	-2.42	22	-0.07	22	-0.05	21	-5.90	22	-2.97	21	-0.00	11
6236	-72	-80	Min.	25.22	-2.42	22	-0.07	22	-0.01	22	-6.78	22	-0.72	22	-0.00	11
6237	-40	-48	Max	2.83	16.52	24	0.26	21	0.01	22	29.98	21	1.39	22	0.00	23
6237	-40	-48	Max	25.84	16.52	24	0.26	21	0.02	11	27.63	21	3.06	11	0.00	23
6237	-40	-48	Min.	2.83	-100.05	23	-0.09	22	-0.04	21	-8.91	22	-4.44	21	-0.00	11
6237	-40	-48	Min.	25.84	-100.05	23	-0.09	22	-0.01	22	-10.72	22	-0.87	22	-0.00	11
6238	-8	-16	Max	2.83	61.20	24	0.16	21	0.01	22	17.03	21	1.26	22	0.00	23
6238	-8	-16	Max	13.99					0.00	26			0.18	26		
6238	-8	-16	Max	26.15	61.20	24	0.16	21	0.02	21	14.65	21	2.18	21	0.00	23
6238	-8	-16	Min.	2.83	-240.32	23	-0.05	22	-0.02	21	-8.76	22	-1.52	21	-0.00	11
6238	-8	-16	Min.	13.99					0.00	26			0.18	26		
6238	-8	-16	Min.	26.15	-240.32	23	-0.05	22	-0.00	22	-10.59	22	-1.00	22	-0.00	11
6239	324	336	Max	1.77	380.53	23	19.38	21	-0.14	12	559.00	23	1.12	24	0.84	23
6239	324	336	Max	15.00	380.53	23	19.38	21	2.03	21	558.06	23	42.02	23	0.84	23
6239	324	336	Min.	1.77	-26.99	22	3.62	22	-0.53	21	-6.84	22	-31.88	23	0.13	22
6239	324	336	Min.	15.00	-26.99	22	3.62	22	0.34	22	-7.78	22	0.13	22	0.13	22
6239	336	348	Max	0.00	362.16	23	-4.11	22	2.08	21	68.58	24	38.31	23	-0.12	22
6239	336	348	Max	13.23	362.16	23	-4.11	22	-0.15	22	67.64	24	2.30	24	-0.12	22
6239	336	348	Min.	0.00	-30.81	11	-19.92	21	0.39	22	-521.92	23	-6.71	24	-0.84	23
6239	336	348	Min.	13.23	-30.81	11	-19.92	21	-0.56	21	-522.86	23	-30.82	23	-0.84	23
6240	332	345	Max	0.00	-100.30	22	6.73	24	1.77	23	166.16	24	17.07	23	-0.14	11
6240	332	345	Max	18.38	-100.30	22	6.73	24	0.60	24	164.86	24	16.83	21	-0.14	11
6240	332	345	Min.	0.00	-173.14	21	-9.83	23	-0.64	24	-34.13	23	-16.35	24	-4.22	23
6240	332	345	Min.	18.38	-173.14	21	-9.83	23	-0.04	23	-35.43	23	10.10	12	-4.22	23
6240	319	332	Max	2.83	-20.86	23	17.78	21	-0.31	12	-143.63	12	12.75	24	3.25	23
6240	319	332	Max	21.21	-20.86	23	17.78	21	2.51	21	-144.93	12	-17.83	12	3.25	23
6240	319	332	Min.	2.83	-112.76	24	4.02	12	-0.76	21	-311.57	21	3.66	23	-1.56	24

6240	319	332	Min.	21.21	-112.76	24	4.02	12	0.43	12	-313.26	21	-47.94	21	-1.56	24
6241	318	329	Max	2.83	-74.62	12	10.27	23	0.47	24	10.10	23	15.02	21	5.23	21
6241	318	329	Max	21.21	-74.62	12	10.27	23	1.77	23	8.80	23	11.53	23	5.23	21
6241	318	329	Min.	2.83	-138.77	21	-6.01	24	-0.12	23	-204.61	24	8.70	12	1.00	22
6241	318	329	Min.	21.21	-138.77	21	-6.01	24	-0.63	24	-205.91	24	-24.99	24	1.00	22
6241	329	340	Max	0.00	-42.33	23	-4.63	22	2.54	21	274.80	21	-11.10	12	0.41	22
6241	329	340	Max	18.38	-42.33	23	-4.63	22	-0.42	22	273.11	21	14.07	24	0.41	22
6241	329	340	Min.	0.00	-137.69	24	-18.94	21	0.43	22	115.96	12	-38.73	21	-3.83	23
6241	329	340	Min.	18.38	-137.69	24	-18.94	21	-0.95	21	114.67	12	4.91	23	-3.83	23
6242	329	342	Max	0.00	-97.27	12	8.31	24	1.56	23	180.45	24	14.50	23	0.33	11
6242	329	342	Max	18.38	-97.27	12	8.31	24	0.64	24	179.15	24	16.60	21	0.33	11
6242	329	342	Min.	0.00	-169.24	21	-8.51	23	-0.89	24	-20.58	23	-19.30	24	-3.80	23
6242	329	342	Min.	18.38	-169.24	21	-8.51	23	-0.00	23	-21.88	23	9.81	12	-3.80	23
6242	316	329	Max	2.83	-23.09	23	15.99	21	-0.27	12	-130.44	12	13.06	24	2.84	23
6242	316	329	Max	21.21	-23.09	23	15.99	21	2.28	23	-131.74	12	-15.11	12	2.84	23
6242	316	329	Min.	2.83	-114.27	24	2.70	12	-0.71	21	-296.39	21	4.11	23	-2.02	24
6242	316	329	Min.	21.21	-114.27	24	2.70	12	0.23	12	-298.08	21	-44.60	21	-2.02	24
6243	335	348	Max	0.00	-51.21	22	0.90	11	1.91	23	90.77	24	18.60	23	-1.49	12
6243	335	348	Max	18.38	-51.21	22	0.90	11	0.23	11	89.47	24	10.95	21	-1.49	12
6243	335	348	Min.	0.00	-107.96	21	-11.39	23	0.06	11	-60.29	23	-8.37	24	-5.20	21
6243	335	348	Min.	18.38	-107.96	21	-11.39	23	-0.19	23	-61.58	23	6.06	22	-5.20	21
6243	322	335	Max	2.83	-0.39	23	16.51	21	-0.24	12	-83.75	12	6.34	24	4.20	21
6243	322	335	Max	21.21	-0.39	23	16.51	21	2.42	21	-85.05	12	-11.06	12	4.20	21
6243	322	335	Min.	2.83	-62.35	24	4.39	12	-0.61	21	-208.36	21	0.73	23	0.75	12
6243	322	335	Min.	21.21	-62.35	24	4.39	12	0.57	12	-210.05	21	-34.81	21	0.75	12
6244	313	326	Max	2.83	-5.88	23	11.56	23	-0.10	12	-35.74	12	7.38	24	2.82	23
6244	313	326	Max	21.21	-5.88	23	11.56	23	1.72	23	-37.04	12	-1.33	12	2.82	23
6244	313	326	Min.	2.83	-61.29	24	-0.17	12	-0.44	21	-149.62	21	2.09	23	-0.77	11
6244	313	326	Min.	21.21	-61.29	24	-0.17	12	-0.14	11	-151.31	21	-23.60	23	-0.77	11
6244	326	339	Max	0.00	-49.24	22	6.46	24	1.25	23	147.93	24	9.40	23	0.00	12
6244	326	339	Max	18.38	-49.24	22	6.46	24	0.39	24	146.63	24	10.21	21	0.00	12
6244	326	339	Min.	0.00	-106.07	21	-7.11	23	-0.80	24	-11.54	23	-19.93	24	-3.41	23
6244	326	339	Min.	18.38	-106.07	21	-7.11	23	-0.05	23	-12.84	23	5.22	22	-3.41	23
6245	315	326	Max	2.83	-41.93	12	7.94	23	0.35	24	33.11	23	8.79	21	2.90	23
6245	315	326	Max	21.21	-41.93	12	7.94	23	1.35	23	31.81	23	12.41	23	2.90	23
6245	315	326	Min.	2.83	-88.67	21	-5.94	24	-0.11	23	-110.27	24	4.46	12	-1.00	24
6245	315	326	Min.	21.21	-88.67	21	-5.94	24	-0.75	24	-111.57	24	-14.06	24	-1.00	24
6245	326	337	Max	0.00	-19.48	23	-0.13	22	1.74	23	192.34	21	-5.59	12	1.99	24
6245	326	337	Max	18.38	-19.48	23	-0.13	22	-0.14	22	190.65	21	8.20	24	1.99	24
6245	326	337	Min.	0.00	-73.98	24	-12.03	23	-0.11	22	65.54	22	-28.39	21	-2.27	23
6245	326	337	Min.	18.38	-73.98	24	-12.03	23	-0.56	21	64.24	22	2.81	23	-2.27	23
6246	332	343	Max	0.00	-38.66	23	-5.92	22	2.84	21	291.15	21	-13.83	12	0.02	22
6246	332	343	Max	18.38	-38.66	23	-5.92	22	-0.45	22	289.47	21	13.75	24	0.02	22
6246	332	343	Min.	0.00	-133.86	24	-20.86	21	0.64	22	129.19	12	-42.29	21	-4.18	23
6246	332	343	Min.	18.38	-133.86	24	-20.86	21	-1.00	21	127.90	12	4.46	23	-4.18	23
6246	321	332	Max	2.83	-76.22	12	11.47	23	0.43	24	24.99	23	15.24	21	5.76	21
6246	321	332	Max	21.21	-76.22	12	11.47	23	1.95	23	23.69	23	14.35	23	5.76	21
6246	321	332	Min.	2.83	-140.29	21	-4.58	24	-0.16	23	-190.15	24	8.99	12	1.37	22
6246	321	332	Min.	21.21	-140.29	21	-4.58	24	-0.41	24	-191.44	24	-22.01	24	1.37	22
6247	324	335	Max	2.83	-42.49	12	12.11	23	0.18	24	82.20	23	9.50	21	4.15	23
6247	324	335	Max	21.21	-42.49	12	12.11	23	1.98	23	80.90	23	21.65	23	4.15	23
6247	324	335	Min.	2.83	-85.41	21	-0.79	22	-0.25	23	-52.75	24	5.36	12	0.60	22
6247	324	335	Min.	21.21	-85.41	21	-0.79	22	0.03	22	-54.05	24	-2.44	24	0.60	22
6247	335	346	Max	0.00	-12.18	23	-4.64	22	2.55	21	251.41	21	-15.24	22	0.22	24
6247	335	346	Max	18.38	-12.18	23	-4.64	22	-0.27	22	249.72	21	7.16	24	0.22	24
6247	335	346	Min.	0.00	-70.44	24	-17.83	21	0.58	22	111.95	22	-40.97	21	-3.58	23
6247	335	346	Min.	18.38	-70.44	24	-17.83	21	-0.73	21	110.66	22	1.47	23	-3.58	23
6272	351	362	Max	2.83	-47.61	22	7.13	23	0.41	24	12.71	23	10.21	21	3.41	23
6272	351	362	Max	21.21	-47.61	22	7.13	23	1.26	23	11.41	23	9.38	23	3.41	23

6272	351	362	Min.	2.83	-106.11	21	-6.65	24	-0.05	23	-134.60	11	4.32	22	-0.24	22
6272	351	362	Min.	21.21	-106.11	21	-6.65	24	-0.82	24	-135.90	11	-18.26	11	-0.24	22
6272	362	373	Max	0.00	-5.59	23	1.21	22	1.72	23	151.17	21	-0.02	22	0.82	24
6272	362	373	Max	18.38	-5.59	23	1.21	22	-0.01	22	149.48	21	6.35	11	0.82	24
6272	362	373	Min.	0.00	-50.04	11	-11.59	23	-0.23	22	19.50	22	-23.58	23	-2.83	23
6272	362	373	Min.	18.38	-50.04	11	-11.59	23	-0.44	21	18.20	22	2.09	23	-2.83	23
6273	357	368	Max	2.83	-72.68	22	9.87	23	0.54	11	35.60	23	16.82	21	4.22	23
6273	357	368	Max	21.21	-72.68	22	9.87	23	1.77	23	34.31	23	17.10	23	4.22	23
6273	357	368	Min.	2.83	-173.01	21	-6.06	11	-0.04	23	-141.31	11	6.85	22	-0.04	22
6273	357	368	Min.	21.21	-173.01	21	-6.06	11	-0.58	11	-142.61	11	-13.70	11	-0.04	22
6273	368	379	Max	0.00	-20.56	23	-1.98	22	2.52	21	313.30	21	-11.81	22	1.46	24
6273	368	379	Max	18.38	-20.56	23	-1.98	22	-0.14	22	311.61	21	10.67	11	1.46	24
6273	368	379	Min.	0.00	-91.43	11	-17.85	21	0.23	22	91.25	22	-47.95	21	-3.25	23
6273	368	379	Min.	18.38	-91.43	11	-17.85	21	-0.77	21	89.95	22	3.66	23	-3.25	23
6274	362	375	Max	0.00	-19.84	22	5.08	11	1.35	23	98.95	11	12.44	23	0.89	11
6274	362	375	Max	18.38	-19.84	22	5.08	11	0.28	11	97.66	11	8.78	21	0.89	11
6274	362	375	Min.	0.00	-88.45	21	-7.93	23	-0.65	11	-32.00	23	-12.74	11	-2.89	23
6274	362	375	Min.	18.38	-88.45	21	-7.93	23	-0.11	23	-33.30	23	2.61	22	-2.89	23
6274	349	362	Max	2.83	-19.83	23	12.01	23	-0.18	22	-45.91	22	7.66	24	2.26	23
6274	349	362	Max	21.21	-19.83	23	12.01	23	1.74	23	-47.21	22	-3.40	22	2.26	23
6274	349	362	Min.	2.83	-75.14	24	0.60	12	-0.56	21	-190.93	21	2.82	23	-1.78	11
6274	349	362	Min.	21.21	-75.14	24	0.60	12	-0.07	12	-192.61	21	-28.44	21	-1.78	11
6275	358	371	Max	2.83	-12.40	23	17.83	21	-0.30	22	-87.71	22	6.61	24	3.58	23
6275	358	371	Max	21.21	-12.40	23	17.83	21	2.55	21	-89.01	22	-11.92	22	3.58	23
6275	358	371	Min.	2.83	-69.53	24	5.01	22	-0.73	21	-249.53	21	1.47	23	-0.08	11
6275	358	371	Min.	21.21	-69.53	24	5.01	22	0.62	22	-251.22	21	-40.94	21	-0.08	11
6275	371	384	Max	0.00	-22.12	22	-0.07	11	1.98	23	44.49	11	21.64	23	-0.72	12
6275	371	384	Max	18.38	-22.12	22	-0.07	11	0.13	11	43.19	11	9.49	21	-0.72	12
6275	371	384	Min.	0.00	-85.14	21	-12.10	23	0.13	12	-80.87	23	-1.71	11	-4.15	23
6275	371	384	Min.	18.38	-85.14	21	-12.10	23	-0.25	23	-82.17	23	3.44	22	-4.15	23
6276	352	365	Max	2.83	-42.67	23	18.96	21	-0.32	22	-70.38	22	12.40	11	3.82	23
6276	352	365	Max	21.21	-42.67	23	18.96	21	2.54	21	-71.68	22	-6.20	22	3.82	23
6276	352	365	Min.	2.83	-123.99	11	3.53	22	-0.95	21	-273.17	21	4.91	23	-0.17	12
6276	352	365	Min.	21.21	-123.99	11	3.53	22	0.32	22	-274.86	21	-38.74	21	-0.17	12
6276	365	378	Max	0.00	-35.94	22	4.81	11	1.77	23	177.41	11	11.55	23	-0.83	22
6276	365	378	Max	18.38	-35.94	22	4.81	11	0.37	11	176.11	11	15.00	21	-0.83	22
6276	365	378	Min.	0.00	-138.48	21	-10.27	23	-0.51	11	-8.96	23	-21.83	11	-5.23	21
6276	365	378	Min.	18.38	-138.48	21	-10.27	23	-0.12	23	-10.26	23	4.84	22	-5.23	21
6277	354	365	Max	2.83	-69.34	22	8.56	23	0.58	11	21.95	23	16.59	21	3.80	23
6277	354	365	Max	21.21	-69.34	22	8.56	23	1.57	23	20.65	23	14.50	23	3.80	23
6277	354	365	Min.	2.83	-169.10	21	-7.68	24	-0.01	23	-155.74	11	6.56	22	-0.49	24
6277	354	365	Min.	21.21	-169.10	21	-7.68	24	-0.83	24	-157.04	11	-16.67	11	-0.49	24
6277	365	376	Max	0.00	-22.81	23	-0.67	22	2.29	23	298.00	21	-9.12	22	1.93	24
6277	365	376	Max	18.38	-22.81	23	-0.67	22	-0.10	22	296.31	21	10.99	11	1.93	24
6277	365	376	Min.	0.00	-92.95	11	-16.06	21	0.02	22	78.18	22	-44.58	21	-2.85	23
6277	365	376	Min.	18.38	-92.95	11	-16.06	21	-0.71	21	76.88	22	4.10	23	-2.85	23
6278	360	371	Max	2.83	-53.13	22	11.42	23	0.25	24	61.80	23	10.94	21	5.20	21
6278	360	371	Max	21.21	-53.13	22	11.42	23	1.91	23	60.50	23	18.63	23	5.20	21
6278	360	371	Min.	2.83	-108.04	21	-1.13	24	-0.19	23	-79.96	11	5.15	22	1.07	22
6278	360	371	Min.	21.21	-108.04	21	-1.13	24	0.04	24	-81.26	11	-7.20	11	1.07	22
6278	371	382	Max	0.00	-0.18	23	-2.86	22	2.43	21	210.22	21	-8.59	22	-0.54	22
6278	371	382	Max	18.38	-0.18	23	-2.86	22	-0.13	22	208.53	21	5.33	11	-0.54	22
6278	371	382	Min.	0.00	-50.01	11	-16.54	21	0.40	22	61.58	22	-34.85	21	-4.19	21
6278	371	382	Min.	18.38	-50.01	11	-16.54	21	-0.61	21	60.28	22	0.73	23	-4.19	21
6279	355	368	Max	2.83	-39.02	23	20.88	21	-0.36	22	-83.33	22	12.08	11	4.18	23
6279	355	368	Max	21.21	-39.02	23	20.88	21	2.84	21	-84.63	22	-8.87	22	4.18	23
6279	355	368	Min.	2.83	-120.16	11	4.95	22	-1.00	21	-289.37	21	4.46	23	0.26	12
6279	355	368	Min.	21.21	-120.16	11	4.95	22	0.55	22	-291.06	21	-42.27	21	0.26	12
6279	368	381	Max	0.00	-37.57	22	3.37	11	1.95	23	163.03	11	14.36	23	-1.24	22

6279	368	381	Max	18.38	-37.57	22	3.37	11	0.33	11	161.73	11	15.23	21	-1.24	22
6279	368	381	Min.	0.00	-139.97	21	-11.48	23	-0.29	11	-23.77	23	-18.87	11	-5.77	21
6279	368	381	Min.	18.38	-139.97	21	-11.48	23	-0.16	23	-25.07	23	5.13	22	-5.77	21
6281	-515	-516	Max	0.00	-0.24	22	3.29	23	0.32	24	1.41	21	-0.00	23	0.36	23
6281	-515	-516	Max	12.00	-0.24	22	3.29	23	0.22	23	3.49	21	0.28	21	0.36	23
6281	-515	-516	Min.	0.00	-2.36	23	-6.10	24	-0.17	23	0.42	12	-0.03	22	-0.18	24
6281	-515	-516	Min.	12.00	-2.36	23	-6.10	24	-0.41	24	2.02	12	0.13	12	-0.18	24
6282	-531	-532	Max	0.00	0.34	11	7.18	23	0.27	11	0.51	23	0.18	24	0.24	23
6282	-531	-532	Max	12.00	0.34	11	7.18	23	0.45	23	2.11	23	0.20	23	0.24	23
6282	-531	-532	Min.	0.00	-1.73	23	-4.38	24	-0.42	23	-2.45	24	0.04	23	-0.15	24
6282	-531	-532	Min.	12.00	-1.73	23	-4.38	24	-0.25	24	-0.84	24	-0.02	24	-0.15	24
6283	316	317	Max	1.77	-20.47	23	0.09	24	0.34	23	4.98	23	-0.70	12	0.02	11
6283	316	317	Max	14.34					0.01	12			-0.65	12		
6283	316	317	Max	15.00	-20.47	23	0.09	24	0.02	22	4.04	23	-0.50	23	0.02	11
6283	316	317	Min.	1.77	-37.51	21	-2.49	23	-0.00	12	0.88	22	-1.48	21	-0.26	23
6283	316	317	Min.	14.34					0.02	24			-0.94	24		
6283	316	317	Min.	15.00	-37.51	21	-2.49	23	0.01	23	-0.06	22	-0.94	24	-0.26	23
6283	317	318	Max	0.00	-20.47	23	0.09	24	0.02	22	4.04	23	-0.50	23	0.02	11
6283	317	318	Max	13.23	-20.47	23	0.09	24	0.03	22	3.10	23	-0.03	23	0.02	11
6283	317	318	Min.	0.00	-37.51	21	-2.49	23	0.01	23	-0.06	22	-0.94	24	-0.26	23
6283	317	318	Min.	13.23	-37.51	21	-2.49	23	-0.32	23	-1.00	22	-1.01	24	-0.26	23
6284	-3	-4	Max	2.83	98.93	24	0.04	11	0.07	23	30.23	23	0.40	24	0.00	11
6284	-3	-4	Max	4.10					0.00	24			0.40	24		
6284	-3	-4	Max	26.15	98.93	24	0.04	11	0.01	11	28.40	23	3.53	23	0.00	11
6284	-3	-4	Min.	2.83	51.99	23	-0.52	23	-0.00	22	0.10	24	-3.30	23	-0.00	23
6284	-3	-4	Min.	4.13					0.00	12			0.28	12		
6284	-3	-4	Min.	26.15	51.99	23	-0.52	23	-0.05	23	-1.73	24	0.09	12	-0.00	23
6285	-35	-36	Max	2.83	26.31	24	0.17	23	0.02	11	47.51	23	0.69	24	0.02	23
6285	-35	-36	Max	25.84	26.31	24	0.17	23	0.04	21	45.70	23	5.59	23	0.02	23
6285	-35	-36	Min.	2.83	13.20	23	-0.00	22	-0.01	23	-0.55	11	-5.14	23	-0.00	22
6285	-35	-36	Min.	25.84	13.20	23	-0.00	22	0.00	22	-2.36	11	0.19	12	-0.00	22
6286	-67	-68	Max	2.83	-1.76	12	0.46	23	0.02	11	40.32	23	0.13	24	0.00	21
6286	-67	-68	Max	25.22	-1.76	12	0.46	23	0.07	21	39.44	23	4.41	23	0.00	21
6286	-67	-68	Min.	2.83	-3.72	21	-0.02	24	-0.04	23	-0.94	24	-4.52	23	0.00	22
6286	-67	-68	Min.	25.22	-3.72	21	-0.02	24	0.00	22	-1.82	24	-0.18	11	0.00	22
6287	-99	-100	Max	2.83	0.08	22	0.62	23	0.03	11	50.87	23	0.18	24	0.00	21
6287	-99	-100	Max	24.59	0.08	22	0.62	23	0.09	21	50.02	23	5.43	23	0.00	21
6287	-99	-100	Min.	2.83	-1.55	23	-0.02	24	-0.05	23	-1.36	24	-5.55	23	0.00	22
6287	-99	-100	Min.	24.59	-1.55	23	-0.02	24	0.00	22	-2.22	24	-0.21	11	0.00	22
6288	-131	-132	Max	2.83	-0.13	22	0.69	23	0.03	11	53.68	23	0.19	24	0.00	21
6288	-131	-132	Max	23.97	-0.13	22	0.69	23	0.10	21	52.85	23	5.57	23	0.00	21
6288	-131	-132	Min.	2.83	-1.54	21	-0.02	22	-0.06	23	-1.53	11	-5.69	23	0.00	22
6288	-131	-132	Min.	23.97	-1.54	21	-0.02	22	0.01	22	-2.36	11	-0.22	11	0.00	22
6289	-163	-164	Max	2.83	-0.10	22	0.72	23	0.03	11	54.71	23	0.20	24	0.00	21
6289	-163	-164	Max	23.34	-0.10	22	0.72	23	0.10	21	53.91	23	5.51	23	0.00	21
6289	-163	-164	Min.	2.83	-1.53	23	-0.02	22	-0.06	23	-1.66	24	-5.63	23	0.00	22
6289	-163	-164	Min.	23.34	-1.53	23	-0.02	22	0.01	22	-2.46	24	-0.23	11	0.00	22
6290	-195	-196	Max	2.83	-0.13	22	0.73	23	0.03	11	55.38	23	0.20	24	0.00	21
6290	-195	-196	Max	22.72	-0.13	22	0.73	23	0.10	21	54.60	23	5.40	23	0.00	21
6290	-195	-196	Min.	2.83	-1.52	23	-0.03	22	-0.06	23	-1.77	24	-5.53	23	0.00	22
6290	-195	-196	Min.	22.72	-1.52	23	-0.03	22	0.01	22	-2.56	24	-0.23	11	0.00	22
6291	-227	-228	Max	2.83	-0.13	22	0.74	23	0.03	11	56.00	23	0.20	24	0.00	21
6291	-227	-228	Max	22.09	-0.13	22	0.74	23	0.10	21	55.24	23	5.29	23	0.00	21
6291	-227	-228	Min.	2.83	-1.55	23	-0.03	22	-0.06	23	-1.89	24	-5.42	23	0.00	22
6291	-227	-228	Min.	22.09	-1.55	23	-0.03	22	0.01	22	-2.65	24	-0.24	11	0.00	22
6292	-259	-260	Max	2.83	-0.14	22	0.76	23	0.03	11	56.64	23	0.21	24	0.00	21
6292	-259	-260	Max	21.47	-0.14	22	0.76	23	0.10	21	55.91	23	5.18	23	0.00	21
6292	-259	-260	Min.	2.83	-1.53	21	-0.03	22	-0.05	23	-2.02	24	-5.31	23	0.00	22
6292	-259	-260	Min.	21.47	-1.53	21	-0.03	22	0.01	22	-2.75	24	-0.24	11	0.00	22

6293	-291	-292	Max	2.83	-0.15	22	0.77	23	0.03	11	57.32	23	0.21	24	0.00	21
6293	-291	-292	Max	20.84	-0.15	22	0.77	23	0.09	21	56.61	23	5.06	23	0.00	21
6293	-291	-292	Min.	2.83	-1.56	21	-0.03	22	-0.05	23	-2.15	24	-5.20	23	0.00	22
6293	-291	-292	Min.	20.84	-1.56	21	-0.03	22	0.01	22	-2.86	24	-0.25	11	0.00	22
6294	-323	-324	Max	2.83	-0.15	22	0.78	23	0.03	11	58.04	23	0.21	24	0.00	21
6294	-323	-324	Max	20.22	-0.15	22	0.78	23	0.09	21	57.36	23	4.95	23	0.00	21
6294	-323	-324	Min.	2.83	-1.56	21	-0.03	22	-0.05	23	-2.30	11	-5.08	23	0.00	22
6294	-323	-324	Min.	20.22	-1.56	21	-0.03	22	0.01	22	-2.98	11	-0.25	11	0.00	22
6295	-355	-356	Max	2.83	-0.18	22	0.79	23	0.03	11	58.83	23	0.21	24	0.01	21
6295	-355	-356	Max	19.59	-0.18	22	0.79	23	0.09	21	58.18	23	4.83	23	0.01	21
6295	-355	-356	Min.	2.83	-1.59	21	-0.03	22	-0.05	23	-2.45	24	-4.97	23	0.00	22
6295	-355	-356	Min.	19.59	-1.59	21	-0.03	22	0.01	22	-3.10	24	-0.25	11	0.00	22
6296	-387	-388	Max	2.83	-0.07	12	0.80	23	0.03	11	59.65	23	0.21	22	0.01	21
6296	-387	-388	Max	18.97	-0.07	12	0.80	23	0.09	21	59.02	23	4.72	23	0.01	21
6296	-387	-388	Min.	2.83	-1.43	23	-0.04	22	-0.05	23	-2.60	24	-4.86	23	0.00	22
6296	-387	-388	Min.	18.97	-1.43	23	-0.04	22	0.01	22	-3.24	24	-0.26	11	0.00	22
6297	-419	-420	Max	2.83	-0.41	22	0.81	23	0.03	11	60.37	23	0.23	11	0.01	21
6297	-419	-420	Max	18.34	-0.41	22	0.81	23	0.09	21	59.76	23	4.59	23	0.01	21
6297	-419	-420	Min.	2.83	-3.59	21	-0.04	22	-0.05	23	-2.77	24	-4.72	23	0.00	22
6297	-419	-420	Min.	18.34	-3.59	21	-0.04	22	0.01	22	-3.38	24	-0.25	24	0.00	22
6298	-451	-452	Max	2.83	12.10	21	0.79	23	0.03	11	60.10	23	0.20	22	0.00	21
6298	-451	-452	Max	17.72	12.10	21	0.79	23	0.09	21	59.52	23	4.33	23	0.00	21
6298	-451	-452	Min.	2.83	1.33	22	-0.04	22	-0.04	23	-3.00	11	-4.58	23	0.00	22
6298	-451	-452	Min.	17.72	1.33	22	-0.04	22	0.01	22	-3.59	11	-0.36	11	0.00	22
6299	-483	-484	Max	2.83	-10.62	22	0.69	23	0.02	24	53.60	23	0.80	11	0.01	21
6299	-483	-484	Max	17.09	-10.62	22	0.69	23	0.07	21	53.04	23	4.08	23	0.01	21
6299	-483	-484	Min.	2.83	-82.81	21	-0.03	22	-0.04	23	-2.49	24	-3.52	23	0.00	22
6299	-483	-484	Min.	17.09	-82.81	21	-0.03	22	0.01	22	-3.05	24	-0.12	22	0.00	22
6303	-491	-492	Max	3.53	180.48	21	0.05	11	0.06	21	48.69	23	-0.54	22	0.00	11
6303	-491	-492	Max	17.80	180.48	21	0.05	11	0.03	24	48.13	23	2.70	23	0.00	11
6303	-491	-492	Min.	3.53	89.26	22	-0.60	23	0.01	22	-4.07	11	-4.49	21	-0.00	23
6303	-491	-492	Min.	17.80	89.26	22	-0.60	23	-0.03	23	-4.63	11	-1.71	11	-0.00	23
6304	-459	-460	Max	3.53	-15.30	22	0.07	11	0.08	21	54.57	23	0.65	11	0.00	23
6304	-459	-460	Max	18.42	-15.30	22	0.07	11	0.04	11	53.99	23	4.23	23	0.00	23
6304	-459	-460	Min.	3.53	-32.34	21	-0.70	23	0.01	22	-5.16	11	-3.85	23	0.00	22
6304	-459	-460	Min.	18.42	-32.34	21	-0.70	23	-0.03	23	-5.75	11	-0.17	12	0.00	22
6305	-427	-428	Max	3.53	4.33	11	0.07	11	0.08	21	55.10	23	0.39	11	0.00	23
6305	-427	-428	Max	19.05	4.33	11	0.07	11	0.04	11	54.49	23	4.30	23	0.00	23
6305	-427	-428	Min.	3.53	1.11	23	-0.73	23	0.01	22	-4.76	11	-4.20	23	0.00	22
6305	-427	-428	Min.	19.05	1.11	23	-0.73	23	-0.04	23	-5.37	11	-0.40	11	0.00	22
6306	-395	-396	Max	3.53	-0.20	22	0.06	11	0.08	21	54.62	23	0.42	11	0.00	23
6306	-395	-396	Max	19.67	-0.20	22	0.06	11	0.04	11	53.99	23	4.45	23	0.00	23
6306	-395	-396	Min.	3.53	-1.56	21	-0.72	23	0.01	22	-4.53	11	-4.32	23	0.00	22
6306	-395	-396	Min.	19.67	-1.56	21	-0.72	23	-0.04	23	-5.16	11	-0.37	11	0.00	22
6307	-363	-364	Max	3.53	0.22	11	0.06	11	0.09	21	54.08	23	0.40	11	0.00	23
6307	-363	-364	Max	20.30	0.22	11	0.06	11	0.04	11	53.42	23	4.56	23	0.00	23
6307	-363	-364	Min.	3.53	-1.24	23	-0.72	23	0.01	22	-4.25	11	-4.45	23	0.00	22
6307	-363	-364	Min.	20.30	-1.24	23	-0.72	23	-0.04	23	-4.90	11	-0.37	11	0.00	22
6308	-331	-332	Max	3.53	0.22	11	0.06	11	0.09	21	53.54	23	0.39	11	0.00	23
6308	-331	-332	Max	20.92	0.22	11	0.06	11	0.04	11	52.86	23	4.68	23	0.00	23
6308	-331	-332	Min.	3.53	-1.24	23	-0.71	23	0.01	22	-3.99	11	-4.57	23	0.00	22
6308	-331	-332	Min.	20.92	-1.24	23	-0.71	23	-0.04	23	-4.67	11	-0.36	11	0.00	22
6309	-299	-300	Max	3.53	0.19	11	0.06	11	0.09	21	53.03	23	0.39	11	0.00	23
6309	-299	-300	Max	21.55	0.19	11	0.06	11	0.03	11	52.32	23	4.80	23	0.00	23
6309	-299	-300	Min.	3.53	-1.27	23	-0.70	23	0.01	22	-3.77	11	-4.69	23	0.00	22
6309	-299	-300	Min.	21.55	-1.27	23	-0.70	23	-0.05	23	-4.48	11	-0.36	11	0.00	22
6310	-267	-268	Max	3.53	0.18	11	0.05	11	0.09	21	52.55	23	0.38	11	0.00	21
6310	-267	-268	Max	22.17	0.18	11	0.05	11	0.03	11	51.82	23	4.91	23	0.00	21
6310	-267	-268	Min.	3.53	-1.25	23	-0.69	23	0.01	22	-3.57	11	-4.81	23	0.00	22

6310	-267	-268	Min.	22.17	-1.25	23	-0.69	23	-0.05	23	-4.30	11	-0.35	11	0.00	22
6311	-235	-236	Max	3.53	0.17	11	0.05	11	0.09	21	52.11	23	0.37	11	0.00	21
6311	-235	-236	Max	22.80	0.17	11	0.05	11	0.03	11	51.35	23	5.03	23	0.00	21
6311	-235	-236	Min.	3.53	-1.29	23	-0.68	23	0.01	22	-3.37	11	-4.93	23	0.00	22
6311	-235	-236	Min.	22.80	-1.29	23	-0.68	23	-0.05	23	-4.13	11	-0.35	11	0.00	22
6312	-203	-204	Max	3.53	0.15	11	0.05	11	0.09	21	51.66	23	0.36	11	0.00	21
6312	-203	-204	Max	23.42	0.15	11	0.05	11	0.03	11	50.88	23	5.14	23	0.00	21
6312	-203	-204	Min.	3.53	-1.28	23	-0.67	23	0.01	22	-3.19	11	-5.05	23	0.00	22
6312	-203	-204	Min.	23.42	-1.28	23	-0.67	23	-0.05	23	-3.97	11	-0.35	11	0.00	22
6313	-171	-172	Max	3.53	0.20	11	0.05	11	0.09	21	51.17	23	0.36	11	0.00	21
6313	-171	-172	Max	24.05	0.20	11	0.05	11	0.03	11	50.37	23	5.25	23	0.00	21
6313	-171	-172	Min.	3.53	-1.25	23	-0.66	23	0.01	22	-3.01	11	-5.16	23	0.00	22
6313	-171	-172	Min.	24.05	-1.25	23	-0.66	23	-0.05	23	-3.81	11	-0.34	11	0.00	22
6314	-139	-140	Max	3.53	0.13	11	0.04	11	0.09	21	50.33	23	0.34	11	0.00	21
6314	-139	-140	Max	24.67	0.13	11	0.04	11	0.03	11	49.50	23	5.32	23	0.00	21
6314	-139	-140	Min.	3.53	-1.27	23	-0.64	23	0.01	22	-2.81	11	-5.23	23	0.00	22
6314	-139	-140	Min.	24.67	-1.27	23	-0.64	23	-0.05	23	-3.64	11	-0.34	11	0.00	22
6315	-107	-108	Max	3.53	0.37	11	0.04	11	0.08	21	47.79	23	0.32	11	0.00	21
6315	-107	-108	Max	25.30	0.37	11	0.04	11	0.03	11	46.93	23	5.19	23	0.00	21
6315	-107	-108	Min.	3.53	-1.10	23	-0.58	23	0.00	22	-2.54	11	-5.11	23	0.00	22
6315	-107	-108	Min.	25.30	-1.10	23	-0.58	23	-0.05	23	-3.39	11	-0.32	11	0.00	22
6316	-75	-76	Max	3.53	-1.44	12	0.02	11	0.06	21	37.94	23	0.24	11	0.00	21
6316	-75	-76	Max	25.92	-1.44	12	0.02	11	0.02	11	37.06	23	4.22	23	0.00	21
6316	-75	-76	Min.	3.53	-3.09	21	-0.44	23	0.00	22	-1.84	11	-4.18	23	0.00	22
6316	-75	-76	Min.	25.92	-3.09	21	-0.44	23	-0.04	23	-2.72	11	-0.27	11	0.00	22
6317	-43	-44	Max	3.53	24.22	24	0.01	11	0.04	21	44.60	23	0.84	24	0.00	24
6317	-43	-44	Max	26.55	24.22	24	0.01	11	0.02	11	42.80	23	5.38	23	0.00	24
6317	-43	-44	Min.	3.53	11.64	23	-0.14	23	0.01	22	-1.72	11	-4.68	23	-0.02	23
6317	-43	-44	Min.	26.55	11.64	23	-0.14	23	-0.00	23	-3.53	11	0.11	12	-0.02	23
6318	-11	-12	Max	3.53	96.60	21	0.53	23	0.02	11	28.19	23	0.56	24	0.00	23
6318	-11	-12	Max	26.86	96.60	21	0.53	23	0.07	23	26.36	23	3.41	23	0.00	23
6318	-11	-12	Min.	3.53	53.06	23	-0.03	24	-0.05	23	-0.70	11	-2.95	23	0.00	11
6318	-11	-12	Min.	26.86	53.06	23	-0.03	24	0.00	22	-2.53	11	0.10	12	0.00	11
6319	340	341	Max	1.77	-8.34	23	4.49	23	-0.63	12	0.14	11	0.34	23	0.26	23
6319	340	341	Max	12.35					-0.84	24			0.04	24		
6319	340	341	Max	15.00	-8.34	23	3.55	23	-0.45	23	0.14	11	0.05	21	0.26	23
6319	340	341	Min.	1.77	-16.22	24	0.75	11	-1.32	21	-2.36	23	0.02	22	-0.02	24
6319	340	341	Min.	12.66					-0.64	22			0.03	22		
6319	340	341	Min.	15.00	-16.22	24	-0.19	11	-0.84	24	-2.36	23	0.03	23	-0.02	24
6319	341	342	Max	0.00	-8.34	23	3.55	23	-0.45	23	0.14	11	0.05	21	0.26	23
6319	341	342	Max	13.23	-8.34	23	2.61	23	-0.05	23	0.14	11	0.07	24	0.26	23
6319	341	342	Min.	0.00	-16.22	24	-0.19	11	-0.84	24	-2.36	23	0.03	23	-0.02	24
6319	341	342	Min.	13.23	-16.22	24	-1.13	11	-0.93	24	-2.36	23	-0.29	23	-0.02	24
6327	352	353	Max	1.77	-2.52	22	0.16	24	0.34	23	4.45	23	-0.40	22	0.02	24
6327	352	353	Max	12.35					0.03	22			-0.36	22		
6327	352	353	Max	15.00	-2.52	22	0.16	24	0.05	21	3.51	23	-0.36	22	0.02	24
6327	352	353	Min.	1.77	-14.76	21	-2.35	23	0.01	22	0.67	24	-1.31	21	-0.26	23
6327	352	353	Min.	11.49					0.04	11			-0.72	11		
6327	352	353	Min.	15.00	-14.76	21	-2.35	23	0.03	23	-0.27	24	-0.83	21	-0.26	23
6327	353	354	Max	0.00	-2.52	22	0.16	24	0.05	21	3.51	23	-0.36	22	0.02	24
6327	353	354	Max	13.23	-2.52	22	0.16	24	0.07	24	2.57	23	-0.05	23	0.02	24
6327	353	354	Min.	0.00	-14.76	21	-2.35	23	0.03	23	-0.27	24	-0.83	21	-0.26	23
6327	353	354	Min.	13.23	-14.76	21	-2.35	23	-0.28	23	-1.21	24	-0.82	11	-0.26	23
6328	-19	-20	Max	2.83	95.80	21	0.03	24	0.06	23	28.18	23	0.55	24	0.00	12
6328	-19	-20	Max	26.15	95.80	21	0.03	24	-0.01	12	26.35	23	3.36	23	0.00	12
6328	-19	-20	Min.	2.83	45.24	22	-0.53	23	-0.02	24	-0.87	24	-3.00	23	-0.00	23
6328	-19	-20	Min.	26.15	45.24	22	-0.53	23	-0.07	23	-2.70	24	0.03	22	-0.00	23
6329	-51	-52	Max	2.83	23.43	21	0.14	23	-0.01	12	44.59	23	0.79	24	0.02	23
6329	-51	-52	Max	25.84	23.43	21	0.14	23	0.00	23	42.78	23	5.28	23	0.02	23

6329	-51	-52	Min.	2.83	10.85	22	-0.02	24	-0.03	21	-1.96	24	-4.77	23	-0.00	24
6329	-51	-52	Min.	25.84	10.85	22	-0.02	24	-0.03	24	-3.77	24	-0.01	22	-0.00	24
6330	-83	-84	Max	2.83	-0.86	22	0.43	23	-0.01	12	37.86	23	0.28	24	-0.00	12
6330	-83	-84	Max	25.22	-0.86	22	0.43	23	0.04	23	36.98	23	4.15	23	-0.00	12
6330	-83	-84	Min.	2.83	-3.24	21	-0.03	24	-0.06	21	-2.13	24	-4.23	23	-0.00	21
6330	-83	-84	Min.	25.22	-3.24	21	-0.03	24	-0.03	24	-3.01	24	-0.29	24	-0.00	21
6331	-115	-116	Max	2.83	0.44	24	0.58	23	-0.02	12	47.70	23	0.37	24	-0.00	12
6331	-115	-116	Max	24.59	0.44	24	0.58	23	0.05	23	46.84	23	5.10	23	-0.00	12
6331	-115	-116	Min.	2.83	-1.29	23	-0.04	24	-0.08	21	-2.89	24	-5.19	23	-0.00	21
6331	-115	-116	Min.	24.59	-1.29	23	-0.04	24	-0.04	24	-3.75	24	-0.35	24	-0.00	21
6332	-147	-148	Max	2.83	0.19	24	0.64	23	-0.02	12	50.23	23	0.39	24	-0.00	12
6332	-147	-148	Max	23.97	0.19	24	0.64	23	0.05	23	49.40	23	5.22	23	-0.00	12
6332	-147	-148	Min.	2.83	-1.30	23	-0.05	24	-0.09	21	-3.20	24	-5.31	23	-0.00	21
6332	-147	-148	Min.	23.97	-1.30	23	-0.05	24	-0.04	24	-4.03	24	-0.37	24	-0.00	21
6333	-179	-180	Max	2.83	0.26	24	0.66	23	-0.02	12	51.07	23	0.41	24	-0.00	12
6333	-179	-180	Max	23.34	0.26	24	0.66	23	0.05	23	50.26	23	5.15	23	-0.00	12
6333	-179	-180	Min.	2.83	-1.27	23	-0.06	24	-0.09	21	-3.42	24	-5.24	23	-0.00	21
6333	-179	-180	Min.	23.34	-1.27	23	-0.06	24	-0.04	24	-4.22	24	-0.38	24	-0.00	21
6334	-211	-212	Max	2.83	0.20	24	0.67	23	-0.02	12	51.55	23	0.42	24	-0.00	12
6334	-211	-212	Max	22.72	0.20	24	0.67	23	0.05	23	50.77	23	5.04	23	-0.00	12
6334	-211	-212	Min.	2.83	-1.29	23	-0.06	24	-0.09	21	-3.63	24	-5.13	23	-0.00	21
6334	-211	-212	Min.	22.72	-1.29	23	-0.06	24	-0.04	24	-4.41	24	-0.38	24	-0.00	21
6335	-243	-244	Max	2.83	0.22	24	0.68	23	-0.02	12	51.99	23	0.42	24	-0.00	12
6335	-243	-244	Max	22.09	0.22	24	0.68	23	0.05	23	51.23	23	4.93	23	-0.00	12
6335	-243	-244	Min.	2.83	-1.30	23	-0.06	24	-0.09	21	-3.83	24	-5.01	23	-0.01	21
6335	-243	-244	Min.	22.09	-1.30	23	-0.06	24	-0.04	24	-4.58	24	-0.39	24	-0.01	21
6336	-275	-276	Max	2.83	0.23	24	0.69	23	-0.02	12	52.43	23	0.43	24	-0.00	12
6336	-275	-276	Max	21.47	0.23	24	0.69	23	0.05	23	51.70	23	4.81	23	-0.00	12
6336	-275	-276	Min.	2.83	-1.26	23	-0.06	24	-0.09	21	-4.05	24	-4.89	23	-0.01	21
6336	-275	-276	Min.	21.47	-1.26	23	-0.06	24	-0.04	24	-4.78	24	-0.39	24	-0.01	21
6337	-307	-308	Max	2.83	0.24	24	0.69	23	-0.02	12	52.90	23	0.44	24	-0.00	12
6337	-307	-308	Max	20.84	0.24	24	0.69	23	0.05	23	52.19	23	4.69	23	-0.00	12
6337	-307	-308	Min.	2.83	-1.28	23	-0.07	24	-0.09	21	-4.28	24	-4.77	23	-0.01	21
6337	-307	-308	Min.	20.84	-1.28	23	-0.07	24	-0.04	24	-4.99	24	-0.39	24	-0.01	21
6338	-339	-340	Max	2.83	0.26	24	0.70	23	-0.02	12	53.40	23	0.45	24	-0.00	22
6338	-339	-340	Max	20.22	0.26	24	0.70	23	0.04	23	52.72	23	4.57	23	-0.00	22
6338	-339	-340	Min.	2.83	-1.25	23	-0.07	24	-0.09	21	-4.52	24	-4.65	23	-0.01	21
6338	-339	-340	Min.	20.22	-1.25	23	-0.07	24	-0.04	24	-5.20	24	-0.39	24	-0.01	21
6339	-371	-372	Max	2.83	0.27	24	0.71	23	-0.02	12	53.93	23	0.46	24	-0.00	22
6339	-371	-372	Max	19.59	0.27	24	0.71	23	0.04	23	53.28	23	4.45	23	-0.00	22
6339	-371	-372	Min.	2.83	-1.25	23	-0.08	24	-0.09	21	-4.81	24	-4.53	23	-0.01	21
6339	-371	-372	Min.	19.59	-1.25	23	-0.08	24	-0.04	24	-5.47	24	-0.40	24	-0.01	21
6340	-403	-404	Max	2.83	-0.23	22	0.72	23	-0.02	12	54.47	23	0.48	24	-0.00	22
6340	-403	-404	Max	15.74					-0.01	25			1.45	25		
6340	-403	-404	Max	18.97	-0.23	22	0.72	23	0.04	23	53.84	23	4.33	23	-0.00	22
6340	-403	-404	Min.	2.83	-1.58	21	-0.08	24	-0.08	21	-5.12	24	-4.40	23	-0.01	21
6340	-403	-404	Min.	15.74					-0.01	25			1.45	25		
6340	-403	-404	Min.	18.97	-1.58	21	-0.08	24	-0.04	24	-5.75	24	-0.40	24	-0.01	21
6341	-435	-436	Max	2.83	4.84	24	0.72	23	-0.02	22	54.93	23	0.45	24	-0.00	22
6341	-435	-436	Max	15.24					-0.01	25			1.37	25		
6341	-435	-436	Max	18.34	4.84	24	0.72	23	0.04	23	54.32	23	4.18	23	-0.00	22
6341	-435	-436	Min.	2.83	1.12	23	-0.08	24	-0.08	21	-5.40	24	-4.29	23	-0.01	21
6341	-435	-436	Min.	15.24					-0.01	25			1.37	25		
6341	-435	-436	Min.	18.34	1.12	23	-0.08	24	-0.04	24	-6.01	24	-0.44	24	-0.01	21
6342	-467	-468	Max	2.83	-17.23	23	0.69	23	-0.02	22	54.66	23	0.70	24	-0.00	22
6342	-467	-468	Max	17.72	-17.23	23	0.69	23	0.03	23	54.08	23	4.13	23	-0.00	22
6342	-467	-468	Min.	2.83	-32.35	21	-0.09	24	-0.08	21	-5.33	24	-3.96	23	-0.01	21
6342	-467	-468	Min.	17.72	-32.35	21	-0.09	24	-0.04	24	-5.92	24	-0.16	22	-0.01	21
6343	-499	-500	Max	2.83	181.10	21	0.58	23	-0.01	22	47.99	23	-0.71	22	0.00	23

6343	-499	-500	Max	17.09	181.10	21	0.58	23	0.03	23	47.43	23	2.55	23	0.00	23
6343	-499	-500	Min.	2.83	91.68	23	-0.09	24	-0.06	21	-5.66	24	-4.47	21	-0.00	24
6343	-499	-500	Min.	17.09	91.68	23	-0.09	24	-0.03	24	-6.22	24	-1.97	24	-0.00	24
6347	-507	-508	Max	3.53	-42.51	23	0.04	24	0.04	23	53.42	23	1.04	24	0.00	11
6347	-507	-508	Max	17.80	-42.51	23	0.04	24	-0.01	22	52.86	23	4.18	23	0.00	11
6347	-507	-508	Min.	3.53	-98.71	24	-0.68	23	-0.03	24	-2.77	24	-3.40	23	-0.01	23
6347	-507	-508	Min.	17.80	-98.71	24	-0.68	23	-0.07	21	-3.33	24	0.26	12	-0.01	23
6348	-475	-476	Max	3.53	16.30	24	0.04	22	0.04	23	60.26	23	0.12	12	0.00	22
6348	-475	-476	Max	18.42	16.30	24	0.04	22	-0.02	22	59.68	23	4.45	23	0.00	22
6348	-475	-476	Min.	3.53	5.25	23	-0.79	23	-0.04	24	-2.63	24	-4.48	23	-0.00	21
6348	-475	-476	Min.	18.42	5.25	23	-0.79	23	-0.09	21	-3.22	24	-0.38	24	-0.00	21
6349	-443	-444	Max	3.53	-1.64	12	0.04	24	0.04	23	60.41	23	0.21	24	0.00	22
6349	-443	-444	Max	19.05	-1.64	12	0.04	24	-0.02	22	59.80	23	4.71	23	0.00	22
6349	-443	-444	Min.	3.53	-3.59	21	-0.81	23	-0.04	24	-2.66	24	-4.62	23	-0.00	21
6349	-443	-444	Min.	19.05	-3.59	21	-0.81	23	-0.09	21	-3.26	24	-0.25	24	-0.00	21
6350	-411	-412	Max	3.53	0.01	22	0.04	24	0.05	23	59.69	23	0.19	12	0.00	22
6350	-411	-412	Max	19.67	0.01	22	0.04	24	-0.02	22	59.05	23	4.83	23	0.00	22
6350	-411	-412	Min.	3.53	-1.41	23	-0.80	23	-0.04	24	-2.48	24	-4.75	23	-0.00	21
6350	-411	-412	Min.	19.67	-1.41	23	-0.80	23	-0.09	21	-3.12	24	-0.26	24	-0.00	21
6351	-379	-380	Max	3.53	-0.25	12	0.03	24	0.05	23	58.87	23	0.19	12	0.00	22
6351	-379	-380	Max	20.30	-0.25	12	0.03	24	-0.02	12	58.21	23	4.94	23	0.00	22
6351	-379	-380	Min.	3.53	-1.57	21	-0.79	23	-0.04	24	-2.34	24	-4.87	23	-0.00	21
6351	-379	-380	Min.	20.30	-1.57	21	-0.79	23	-0.09	21	-3.00	24	-0.26	24	-0.00	21
6352	-347	-348	Max	3.53	-0.24	12	0.03	22	0.05	23	58.07	23	0.19	12	0.00	22
6352	-347	-348	Max	20.92	-0.24	12	0.03	22	-0.02	12	57.39	23	5.05	23	0.00	22
6352	-347	-348	Min.	3.53	-1.55	21	-0.78	23	-0.04	24	-2.20	24	-4.98	23	-0.00	21
6352	-347	-348	Min.	20.92	-1.55	21	-0.78	23	-0.09	21	-2.88	24	-0.25	24	-0.00	21
6353	-315	-316	Max	3.53	-0.23	12	0.03	24	0.05	23	57.34	23	0.19	12	0.00	22
6353	-315	-316	Max	21.55	-0.23	12	0.03	24	-0.02	12	56.64	23	5.17	23	0.00	22
6353	-315	-316	Min.	3.53	-1.55	21	-0.77	23	-0.04	24	-2.06	24	-5.10	23	-0.00	21
6353	-315	-316	Min.	21.55	-1.55	21	-0.77	23	-0.09	21	-2.77	24	-0.25	24	-0.00	21
6354	-283	-284	Max	3.53	-0.23	12	0.03	22	0.05	23	56.66	23	0.19	12	0.00	22
6354	-283	-284	Max	22.17	-0.23	12	0.03	22	-0.02	12	55.93	23	5.28	23	0.00	22
6354	-283	-284	Min.	3.53	-1.52	21	-0.76	23	-0.04	24	-1.93	24	-5.21	23	-0.00	21
6354	-283	-284	Min.	22.17	-1.52	21	-0.76	23	-0.10	21	-2.66	24	-0.24	24	-0.00	21
6355	-251	-252	Max	3.53	-0.22	12	0.03	22	0.06	23	56.02	23	0.18	11	0.00	22
6355	-251	-252	Max	22.80	-0.22	12	0.03	22	-0.02	12	55.26	23	5.39	23	0.00	22
6355	-251	-252	Min.	3.53	-1.53	23	-0.74	23	-0.04	24	-1.81	24	-5.33	23	-0.00	21
6355	-251	-252	Min.	22.80	-1.53	23	-0.74	23	-0.10	21	-2.57	24	-0.24	24	-0.00	21
6356	-219	-220	Max	3.53	-0.22	12	0.03	22	0.06	23	55.40	23	0.18	11	0.00	22
6356	-219	-220	Max	23.42	-0.22	12	0.03	22	-0.02	12	54.62	23	5.50	23	0.00	22
6356	-219	-220	Min.	3.53	-1.51	21	-0.73	23	-0.04	24	-1.70	24	-5.44	23	-0.00	21
6356	-219	-220	Min.	23.42	-1.51	21	-0.73	23	-0.10	21	-2.48	24	-0.23	24	-0.00	21
6357	-187	-188	Max	3.53	-0.20	12	0.02	22	0.06	23	54.73	23	0.18	11	0.00	22
6357	-187	-188	Max	24.05	-0.20	12	0.02	22	-0.02	12	53.92	23	5.60	23	0.00	22
6357	-187	-188	Min.	3.53	-1.50	23	-0.72	23	-0.04	24	-1.59	24	-5.54	23	-0.00	21
6357	-187	-188	Min.	24.05	-1.50	23	-0.72	23	-0.10	21	-2.39	24	-0.23	24	-0.00	21
6358	-155	-156	Max	3.53	-0.23	12	0.02	22	0.06	23	53.70	23	0.17	11	0.00	22
6358	-155	-156	Max	24.67	-0.23	12	0.02	22	-0.02	12	52.87	23	5.66	23	0.00	22
6358	-155	-156	Min.	3.53	-1.52	21	-0.69	23	-0.04	24	-1.47	24	-5.60	23	-0.00	21
6358	-155	-156	Min.	24.67	-1.52	21	-0.69	23	-0.10	21	-2.30	24	-0.22	24	-0.00	21
6359	-123	-124	Max	3.53	-0.06	12	0.02	22	0.05	23	50.89	23	0.17	11	0.00	22
6359	-123	-124	Max	25.30	-0.06	12	0.02	22	-0.02	12	50.03	23	5.52	23	0.00	22
6359	-123	-124	Min.	3.53	-1.34	23	-0.62	23	-0.03	24	-1.30	24	-5.46	23	-0.00	21
6359	-123	-124	Min.	25.30	-1.34	23	-0.62	23	-0.09	21	-2.15	24	-0.21	24	-0.00	21
6360	-91	-92	Max	3.53	-1.20	22	0.02	24	0.04	23	40.34	23	0.12	22	0.00	22
6360	-91	-92	Max	25.92	-1.20	22	0.02	24	-0.01	12	39.46	23	4.48	23	0.00	22
6360	-91	-92	Min.	3.53	-3.56	21	-0.46	23	-0.03	24	-0.88	24	-4.45	23	-0.00	21
6360	-91	-92	Min.	25.92	-3.56	21	-0.46	23	-0.07	21	-1.76	24	-0.18	24	-0.00	21

6361	-59	-60	Max	3.53	24.25	21	0.00	22	0.01	23	47.45	23	0.60	11	0.00	22
6361	-59	-60	Max	26.55	24.25	21	0.00	22	-0.01	12	45.64	23	5.69	23	0.00	22
6361	-59	-60	Min.	3.53	10.51	22	-0.17	23	-0.02	24	-0.58	24	-5.03	23	-0.02	23
6361	-59	-60	Min.	26.55	10.51	22	-0.17	23	-0.04	21	-2.38	24	0.01	22	-0.02	23
6362	-27	-28	Max	3.53	96.31	21	0.52	23	-0.00	12	30.22	23	0.33	11	0.00	23
6362	-27	-28	Max	5.28					-0.01	11			0.33	11		
6362	-27	-28	Max	26.86	96.31	21	0.52	23	0.06	23	28.39	23	3.59	23	0.00	23
6362	-27	-28	Min.	3.53	39.39	22	-0.04	24	-0.07	23	0.11	22	-3.24	23	0.00	11
6362	-27	-28	Min.	4.92					-0.01	22			0.17	22		
6362	-27	-28	Min.	26.86	39.39	22	-0.04	24	-0.02	24	-1.72	22	-0.02	22	0.00	11
6363	376	377	Max	1.77	-19.46	22	5.00	23	-0.44	22	0.09	24	0.34	23	0.26	23
6363	376	377	Max	14.67					-0.38	22			-0.00	22		
6363	376	377	Max	15.00	-19.46	22	4.06	23	-0.38	22	0.09	24	0.01	21	0.26	23
6363	376	377	Min.	1.77	-36.88	21	0.92	22	-1.49	21	-2.49	23	-0.01	22	-0.02	24
6363	376	377	Min.	14.67					-0.38	22			-0.00	22		
6363	376	377	Min.	15.00	-36.88	21	-0.02	22	-0.92	21	-2.49	23	-0.00	22	-0.02	24
6363	377	378	Max	0.00	-19.46	22	4.06	23	-0.38	22	0.09	24	0.01	21	0.26	23
6363	377	378	Max	0.33					-0.80	11			0.01	11		
6363	377	378	Max	13.23	-19.46	22	3.12	23	-0.02	23	0.09	24	0.02	11	0.26	23
6363	377	378	Min.	0.00	-36.88	21	-0.02	22	-0.92	21	-2.49	23	-0.00	22	-0.02	24
6363	377	378	Min.	0.33					-0.74	24			0.01	24		
6363	377	378	Min.	13.23	-36.88	21	-0.96	22	-0.86	11	-2.49	23	-0.32	23	-0.02	24
6364	-539	-540	Max	0.00	0.29	24	4.70	24	0.42	23	1.36	23	0.11	11	0.12	11
6364	-539	-540	Max	12.00	0.29	24	4.70	24	0.26	24	2.96	23	0.26	21	0.12	11
6364	-539	-540	Min.	0.00	-1.78	23	-7.35	23	-0.31	24	-1.18	11	-0.01	23	-0.25	23
6364	-539	-540	Min.	12.00	-1.78	23	-7.35	23	-0.46	23	0.42	11	0.04	22	-0.25	23
6365	-523	-524	Max	0.00	-0.08	22	5.23	24	0.18	23	-0.11	23	0.11	21	0.17	11
6365	-523	-524	Max	12.00	-0.08	22	5.23	24	0.31	24	1.49	23	0.17	23	0.17	11
6365	-523	-524	Min.	0.00	-2.45	23	-3.02	23	-0.31	24	-1.12	24	0.04	22	-0.35	23
6365	-523	-524	Min.	12.00	-2.45	23	-3.02	23	-0.18	23	0.48	24	0.01	22	-0.35	23
6367	349	361	Max	1.77	-20.29	22	-14.10	22	31.78	23	5.01	24	0.24	23	0.61	23
6367	349	361	Max	15.00	-20.29	22	-15.04	22	-1.55	22	5.01	24	0.47	24	0.61	23
6367	349	361	Min.	1.77	-384.67	23	-565.06	23	0.38	22	-11.94	23	-0.19	24	-0.15	24
6367	349	361	Min.	15.00	-384.67	23	-566.00	23	-43.05	23	-11.94	23	-1.34	23	-0.15	24
6367	361	373	Max	0.00	29.98	22	530.96	23	2.51	22	12.67	23	0.41	24	0.16	24
6367	361	373	Max	13.23	29.98	22	530.02	23	30.85	23	12.67	23	0.27	23	0.16	24
6367	361	373	Min.	0.00	-373.33	23	-32.52	22	-39.35	23	-4.24	11	-1.41	23	-0.61	23
6367	361	373	Min.	13.23	-373.33	23	-33.46	22	-1.86	22	-4.24	11	-0.16	11	-0.61	23
6368	-17	-25	Max	3.53	297.65	21	0.23	22	-0.01	23	-5.83	23	3.26	22	0.00	12
6368	-17	-25	Max	26.86	297.65	21	0.23	22	0.03	22	-7.66	23	-0.92	23	0.00	12
6368	-17	-25	Min.	3.53	17.83	22	0.06	23	-0.03	22	-26.52	22	0.66	23	-0.00	21
6368	-17	-25	Min.	26.86	17.83	22	0.06	23	0.01	23	-28.35	22	-3.14	22	-0.00	21
6369	-49	-57	Max	3.53	113.38	23	0.38	22	-0.02	12	-12.37	23	4.97	24	-0.00	12
6369	-49	-57	Max	26.55	113.38	23	0.38	22	0.04	22	-14.18	23	0.13	23	-0.00	12
6369	-49	-57	Min.	3.53	2.55	22	0.11	23	-0.04	22	-41.81	22	2.42	12	-0.00	21
6369	-49	-57	Min.	26.55	2.55	22	0.11	23	0.00	23	-43.62	22	-4.87	22	-0.00	21
6370	-81	-89	Max	3.53	-1.04	12	0.43	24	-0.02	12	-11.47	23	4.00	24	-0.00	12
6370	-81	-89	Max	25.92	-1.04	12	0.43	24	0.05	24	-12.35	23	-1.37	23	-0.00	12
6370	-81	-89	Min.	3.53	-5.93	21	0.14	23	-0.05	24	-35.75	24	1.29	23	-0.00	21
6370	-81	-89	Min.	25.92	-5.93	21	0.14	23	0.00	23	-36.62	24	-4.10	24	-0.00	21
6371	-113	-121	Max	3.53	0.05	21	0.57	24	-0.03	12	-15.12	23	4.98	24	-0.00	12
6371	-113	-121	Max	25.30	0.05	21	0.57	24	0.06	24	-15.98	23	-1.72	23	-0.00	12
6371	-113	-121	Min.	3.53	-1.44	22	0.19	23	-0.06	24	-45.80	24	1.67	23	-0.00	21
6371	-113	-121	Min.	25.30	-1.44	22	0.19	23	0.01	23	-46.66	24	-5.08	24	-0.00	21
6372	-145	-153	Max	3.53	-0.05	12	0.63	24	-0.03	12	-16.55	23	5.16	24	-0.00	12
6372	-145	-153	Max	24.67	-0.05	12	0.63	24	0.07	24	-17.38	23	-1.82	23	-0.00	12
6372	-145	-153	Min.	3.53	-1.39	22	0.22	23	-0.06	24	-48.95	24	1.77	23	-0.01	21
6372	-145	-153	Min.	24.67	-1.39	22	0.22	23	0.01	23	-49.78	24	-5.27	24	-0.01	21
6373	-177	-185	Max	3.53	-0.06	12	0.66	24	-0.03	12	-17.50	23	5.17	24	-0.00	12

6373	-177	-185	Max	24.05	-0.06	12	0.66	24	0.07	24	-18.30	23	-1.86	23	-0.00	12
6373	-177	-185	Min.	3.53	-1.41	22	0.23	23	-0.07	24	-50.55	24	1.81	23	-0.01	21
6373	-177	-185	Min.	24.05	-1.41	22	0.23	23	0.01	23	-51.35	24	-5.28	24	-0.01	21
6374	-209	-217	Max	3.53	-0.05	12	0.69	24	-0.03	12	-18.38	23	5.14	24	-0.00	12
6374	-209	-217	Max	23.42	-0.05	12	0.69	24	0.07	24	-19.16	23	-1.89	23	-0.00	12
6374	-209	-217	Min.	3.53	-1.38	22	0.24	23	-0.07	24	-51.85	24	1.84	23	-0.01	21
6374	-209	-217	Min.	23.42	-1.38	22	0.24	23	0.01	23	-52.63	24	-5.25	24	-0.01	21
6375	-241	-249	Max	3.53	-0.05	12	0.71	24	-0.04	12	-19.30	23	5.10	24	-0.00	12
6375	-241	-249	Max	22.80	-0.05	12	0.71	24	0.07	24	-20.06	23	-1.92	23	-0.00	12
6375	-241	-249	Min.	3.53	-1.39	22	0.26	23	-0.07	24	-53.17	24	1.87	23	-0.01	21
6375	-241	-249	Min.	22.80	-1.39	22	0.26	23	0.01	23	-53.92	24	-5.21	24	-0.01	21
6376	-273	-281	Max	3.53	-0.05	12	0.72	24	-0.04	12	-20.29	23	5.06	24	-0.00	12
6376	-273	-281	Max	22.17	-0.05	12	0.72	24	0.07	24	-21.02	23	-1.95	23	-0.00	12
6376	-273	-281	Min.	3.53	-1.39	22	0.27	23	-0.07	24	-54.57	24	1.90	23	-0.01	21
6376	-273	-281	Min.	22.17	-1.39	22	0.27	23	0.01	23	-55.30	24	-5.17	24	-0.01	21
6377	-305	-313	Max	3.53	-0.05	12	0.75	24	-0.04	12	-21.33	23	5.02	24	-0.00	12
6377	-305	-313	Max	21.55	-0.05	12	0.75	24	0.07	24	-22.04	23	-1.98	23	-0.00	12
6377	-305	-313	Min.	3.53	-1.39	22	0.28	23	-0.06	24	-56.04	24	1.92	23	-0.01	21
6377	-305	-313	Min.	21.55	-1.39	22	0.28	23	0.01	23	-56.75	24	-5.14	24	-0.01	21
6378	-337	-345	Max	3.53	-0.04	12	0.77	24	-0.04	12	-22.45	23	4.98	24	-0.00	12
6378	-337	-345	Max	20.92	-0.04	12	0.77	24	0.07	24	-23.14	23	-2.01	23	-0.00	12
6378	-337	-345	Min.	3.53	-1.37	22	0.30	23	-0.06	24	-57.62	24	1.95	23	-0.01	21
6378	-337	-345	Min.	20.92	-1.37	22	0.30	23	0.01	23	-58.30	24	-5.10	24	-0.01	21
6379	-369	-377	Max	3.53	-0.06	12	0.79	24	-0.04	12	-23.67	23	4.94	24	-0.00	12
6379	-369	-377	Max	20.30	-0.06	12	0.79	24	0.07	24	-24.32	23	-2.04	23	-0.00	12
6379	-369	-377	Min.	3.53	-1.41	22	0.31	23	-0.06	21	-59.33	24	1.98	23	-0.01	21
6379	-369	-377	Min.	20.30	-1.41	22	0.31	23	0.01	23	-59.99	24	-5.06	24	-0.01	21
6380	-401	-409	Max	3.53	-0.08	12	0.82	24	-0.04	12	-24.96	23	4.90	24	-0.00	12
6380	-401	-409	Max	19.67	-0.08	12	0.82	24	0.07	24	-25.59	23	-2.07	23	-0.00	12
6380	-401	-409	Min.	3.53	-1.39	22	0.33	23	-0.06	21	-61.15	24	2.01	23	-0.01	21
6380	-401	-409	Min.	19.67	-1.39	22	0.33	23	0.01	23	-61.79	24	-5.02	24	-0.01	21
6381	-433	-441	Max	3.53	0.34	11	0.84	24	-0.04	12	-26.31	23	4.85	24	-0.00	22
6381	-433	-441	Max	19.05	0.34	11	0.84	24	0.07	24	-26.92	23	-2.10	23	-0.00	22
6381	-433	-441	Min.	3.53	-1.18	22	0.35	23	-0.06	21	-63.01	24	2.03	23	-0.01	21
6381	-433	-441	Min.	19.05	-1.18	22	0.35	23	0.02	23	-63.61	24	-4.97	24	-0.01	21
6382	-465	-473	Max	3.53	-1.40	23	0.78	24	-0.04	23	-27.44	23	4.77	24	-0.01	12
6382	-465	-473	Max	18.42	-1.40	23	0.78	24	0.06	24	-28.03	23	-2.09	23	-0.01	12
6382	-465	-473	Min.	3.53	-3.58	24	0.33	23	-0.06	21	-64.34	24	2.04	23	-0.01	21
6382	-465	-473	Min.	18.42	-3.58	24	0.33	23	0.01	23	-64.92	24	-4.85	24	-0.01	21
6383	-497	-505	Max	3.53	15.94	11	0.99	24	-0.04	23	-26.43	23	4.17	24	0.04	24
6383	-497	-505	Max	17.80	15.94	11	0.99	24	0.07	24	-26.99	23	-2.00	23	0.04	24
6383	-497	-505	Min.	3.53	6.47	23	0.41	23	-0.07	24	-61.04	24	1.81	23	0.01	23
6383	-497	-505	Min.	17.80	6.47	23	0.41	23	0.02	23	-61.60	24	-4.57	24	0.01	23
6388	-498	-506	Max	2.83	36.93	21	-0.53	23	0.08	24	-32.58	23	4.55	24	-0.02	23
6388	-498	-506	Max	17.09	36.93	21	-0.53	23	-0.05	23	-33.14	23	-2.51	23	-0.02	23
6388	-498	-506	Min.	2.83	12.60	22	-1.08	24	0.03	23	-66.07	24	2.18	23	-0.04	24
6388	-498	-506	Min.	17.09	12.60	22	-1.08	24	-0.08	21	-66.63	24	-4.91	24	-0.04	24
6389	-466	-474	Max	2.83	-3.71	23	-0.44	23	0.07	24	-33.95	23	5.30	24	0.00	22
6389	-466	-474	Max	17.72	-3.71	23	-0.44	23	-0.04	12	-34.54	23	-2.49	23	0.00	22
6389	-466	-474	Min.	2.83	-6.36	21	-0.87	24	0.02	23	-69.55	24	2.61	23	-0.00	23
6389	-466	-474	Min.	17.72	-6.36	21	-0.87	24	-0.07	21	-70.14	24	-5.10	24	-0.00	23
6390	-434	-442	Max	2.83	1.00	21	-0.45	23	0.07	24	-32.61	23	5.36	24	-0.00	22
6390	-434	-442	Max	18.34	1.00	21	-0.45	23	-0.04	12	-33.22	23	-2.53	23	-0.00	22
6390	-434	-442	Min.	2.83	-1.07	22	-0.93	24	0.02	23	-68.09	24	2.58	23	-0.01	21
6390	-434	-442	Min.	18.34	-1.07	22	-0.93	24	-0.08	21	-68.70	24	-5.25	24	-0.01	21
6391	-402	-410	Max	2.83	0.02	23	-0.43	23	0.07	24	-30.94	23	5.41	24	-0.00	22
6391	-402	-410	Max	18.97	0.02	23	-0.43	23	-0.04	12	-31.58	23	-2.49	23	-0.00	22
6391	-402	-410	Min.	2.83	-1.43	22	-0.89	24	0.02	23	-65.97	24	2.55	23	-0.01	21
6391	-402	-410	Min.	18.97	-1.43	22	-0.89	24	-0.07	21	-66.61	24	-5.29	24	-0.01	21

6392	-370	-378	Max	2.83	0.09	23	-0.40	23	0.08	24	-29.33	23	5.44	24	-0.00	22
6392	-370	-378	Max	19.59	0.09	23	-0.40	23	-0.04	12	-29.99	23	-2.46	23	-0.00	22
6392	-370	-378	Min.	2.83	-1.43	22	-0.86	24	0.02	23	-63.90	24	2.51	23	-0.01	21
6392	-370	-378	Min.	19.59	-1.43	22	-0.86	24	-0.07	21	-64.56	24	-5.33	24	-0.01	21
6393	-338	-346	Max	2.83	0.09	23	-0.38	23	0.08	24	-27.83	23	5.47	24	-0.00	22
6393	-338	-346	Max	20.22	0.09	23	-0.38	23	-0.04	12	-28.51	23	-2.43	23	-0.00	22
6393	-338	-346	Min.	2.83	-1.39	22	-0.84	24	0.02	23	-61.95	24	2.47	23	-0.01	21
6393	-338	-346	Min.	20.22	-1.39	22	-0.84	24	-0.07	21	-62.64	24	-5.36	24	-0.01	21
6394	-306	-314	Max	2.83	0.09	23	-0.36	23	0.08	24	-26.43	23	5.50	24	-0.00	22
6394	-306	-314	Max	20.84	0.09	23	-0.36	23	-0.04	12	-27.14	23	-2.39	23	-0.00	22
6394	-306	-314	Min.	2.83	-1.42	22	-0.81	24	0.02	23	-60.15	24	2.43	23	-0.01	21
6394	-306	-314	Min.	20.84	-1.42	22	-0.81	24	-0.07	21	-60.86	24	-5.40	24	-0.01	21
6395	-274	-282	Max	2.83	0.09	23	-0.35	23	0.08	24	-25.14	23	5.53	24	-0.00	22
6395	-274	-282	Max	21.47	0.09	23	-0.35	23	-0.04	12	-25.87	23	-2.36	23	-0.00	22
6395	-274	-282	Min.	2.83	-1.41	22	-0.79	24	0.02	23	-58.47	24	2.39	23	-0.01	21
6395	-274	-282	Min.	21.47	-1.41	22	-0.79	24	-0.07	21	-59.21	24	-5.44	24	-0.01	21
6396	-242	-250	Max	2.83	0.08	23	-0.33	23	0.08	24	-23.92	23	5.56	24	-0.00	22
6396	-242	-250	Max	22.09	0.08	23	-0.33	23	-0.04	12	-24.68	23	-2.32	23	-0.00	22
6396	-242	-250	Min.	2.83	-1.40	22	-0.76	24	0.02	23	-56.88	24	2.36	23	-0.01	21
6396	-242	-250	Min.	22.09	-1.40	22	-0.76	24	-0.07	21	-57.64	24	-5.47	24	-0.01	21
6397	-210	-218	Max	2.83	0.09	23	-0.31	23	0.08	24	-22.78	23	5.59	24	-0.00	22
6397	-210	-218	Max	22.72	0.09	23	-0.31	23	-0.04	12	-23.56	23	-2.29	23	-0.00	22
6397	-210	-218	Min.	2.83	-1.41	22	-0.74	24	0.02	23	-55.39	24	2.32	23	-0.01	21
6397	-210	-218	Min.	22.72	-1.41	22	-0.74	24	-0.07	21	-56.17	24	-5.50	24	-0.01	21
6398	-178	-186	Max	2.83	0.09	23	-0.30	23	0.08	24	-21.69	23	5.61	24	-0.00	22
6398	-178	-186	Max	23.34	0.09	23	-0.30	23	-0.04	12	-22.49	23	-2.25	23	-0.00	22
6398	-178	-186	Min.	2.83	-1.42	22	-0.72	24	0.01	23	-53.92	24	2.28	23	-0.01	21
6398	-178	-186	Min.	23.34	-1.42	22	-0.72	24	-0.07	24	-54.72	24	-5.53	24	-0.01	21
6399	-146	-154	Max	2.83	0.09	23	-0.27	23	0.07	24	-20.52	23	5.59	24	-0.00	22
6399	-146	-154	Max	23.97	0.09	23	-0.27	23	-0.04	12	-21.35	23	-2.20	23	-0.00	22
6399	-146	-154	Min.	2.83	-1.40	22	-0.68	24	0.01	23	-52.14	24	2.22	23	-0.00	21
6399	-146	-154	Min.	23.97	-1.40	22	-0.68	24	-0.07	24	-52.97	24	-5.52	24	-0.00	21
6400	-114	-122	Max	2.83	0.25	21	-0.24	23	0.07	24	-18.77	23	5.38	24	-0.00	22
6400	-114	-122	Max	24.59	0.25	21	-0.24	23	-0.03	12	-19.62	23	-2.08	23	-0.00	22
6400	-114	-122	Min.	2.83	-1.20	22	-0.61	24	0.01	23	-48.73	24	2.10	23	-0.00	21
6400	-114	-122	Min.	24.59	-1.20	22	-0.61	24	-0.06	24	-49.59	24	-5.32	24	-0.00	21
6401	-82	-90	Max	2.83	2.24	23	-0.17	23	0.05	24	-14.30	23	4.32	24	-0.00	22
6401	-82	-90	Max	25.22	2.24	23	-0.17	23	-0.02	12	-15.18	23	-1.65	23	-0.00	22
6401	-82	-90	Min.	2.83	-4.26	24	-0.45	24	0.01	23	-38.03	24	1.65	23	-0.00	21
6401	-82	-90	Min.	25.22	-4.26	24	-0.45	24	-0.05	24	-38.90	24	-4.30	24	-0.00	21
6402	-50	-58	Max	2.83	65.28	11	-0.15	23	0.05	24	-15.58	23	6.13	24	0.00	22
6402	-50	-58	Max	25.84	65.28	11	-0.15	23	-0.02	12	-17.39	23	-1.54	12	0.00	22
6402	-50	-58	Min.	2.83	-58.32	23	-0.40	22	0.01	23	-43.44	22	1.13	23	0.00	23
6402	-50	-58	Min.	25.84	-58.32	23	-0.40	22	-0.04	22	-45.25	22	-4.37	22	0.00	23
6403	-18	-26	Max	2.83	184.07	11	-0.08	23	0.03	22	-8.16	23	3.40	22	0.00	22
6403	-18	-26	Max	26.15	184.07	11	-0.08	23	-0.01	23	-10.00	23	-0.79	23	0.00	22
6403	-18	-26	Min.	2.83	-131.59	23	-0.24	22	0.01	23	-27.74	22	1.32	23	0.00	21
6403	-18	-26	Min.	26.15	-131.59	23	-0.24	22	-0.03	24	-29.57	22	-3.28	22	0.00	21
6404	351	363	Max	1.77	220.02	23	14.38	23	-0.02	22	312.53	23	17.34	24	0.57	23
6404	351	363	Max	5.36					-0.01	25			-1.28	25		
6404	351	363	Max	15.00	220.02	23	14.38	23	1.49	23	311.59	23	22.56	23	0.57	23
6404	351	363	Min.	1.77	-217.71	24	-1.71	24	-0.42	23	-321.63	11	-18.74	23	-0.21	24
6404	351	363	Min.	5.36					-0.01	25			-1.28	25		
6404	351	363	Min.	15.00	-217.71	24	-1.71	24	-0.28	24	-322.57	11	-25.36	11	-0.21	24
6404	363	375	Max	0.00	241.22	23	1.73	24	1.51	23	257.10	11	26.34	23	0.20	11
6404	363	375	Max	13.23	241.22	23	1.73	24	-0.01	22	256.16	11	15.39	11	0.20	11
6404	363	375	Min.	0.00	-178.14	11	-14.59	23	-0.27	24	-348.57	23	-18.57	11	-0.58	23
6404	363	375	Min.	13.23	-178.14	11	-14.59	23	-0.42	23	-349.51	23	-19.85	23	-0.58	23
6405	352	364	Max	1.77	-110.86	22	-101.88	22	48.37	21	3.50	11	0.29	23	0.82	23

6405	352	364	Max	15.00	-110.86	22	-102.82	22	-6.58	22	3.50	11	0.24	11	0.82	23
6405	352	364	Min.	1.77	-611.10	21	-815.18	21	6.96	22	-15.66	23	-0.23	11	-0.02	22
6405	352	364	Min.	15.00	-611.10	21	-816.40	21	-59.58	21	-15.66	23	-1.78	23	-0.02	22
6405	364	376	Max	0.00	-38.01	22	858.96	21	-10.27	22	15.79	23	0.29	11	0.02	22
6405	364	376	Max	13.23	-38.01	22	857.74	21	46.67	21	15.79	23	0.30	23	0.02	22
6405	364	376	Min.	0.00	-538.21	21	115.28	22	-66.91	21	-3.87	11	-1.79	23	-0.83	23
6405	364	376	Min.	13.23	-538.21	21	114.34	22	4.93	22	-3.87	11	-0.23	11	-0.83	23
6406	-19	-27	Max	3.53	492.31	21	0.40	24	-0.02	23	-22.08	23	6.40	24	0.00	12
6406	-19	-27	Max	26.86	492.31	21	0.40	24	0.05	24	-23.91	23	-2.82	23	0.00	12
6406	-19	-27	Min.	3.53	88.42	22	0.16	23	-0.05	24	-52.72	24	2.54	23	-0.00	21
6406	-19	-27	Min.	26.86	88.42	22	0.16	23	0.02	23	-54.55	24	-6.11	24	-0.00	21
6407	-51	-59	Max	3.53	182.89	21	0.67	24	-0.04	23	-30.71	23	10.02	21	0.00	12
6407	-51	-59	Max	26.55	182.89	21	0.67	24	0.08	24	-32.52	23	-1.28	23	0.00	12
6407	-51	-59	Min.	3.53	28.67	22	0.28	23	-0.08	21	-72.70	24	5.94	12	-0.00	21
6407	-51	-59	Min.	26.55	28.67	22	0.28	23	0.02	23	-74.50	24	-7.57	24	-0.00	21
6408	-83	-91	Max	3.53	-3.32	22	0.72	24	-0.05	12	-25.80	23	6.77	24	-0.00	12
6408	-83	-91	Max	25.92	-3.32	22	0.72	24	0.08	24	-26.68	23	-2.99	23	-0.00	12
6408	-83	-91	Min.	3.53	-9.75	21	0.31	23	-0.08	21	-60.75	24	2.88	23	-0.00	21
6408	-83	-91	Min.	25.92	-9.75	21	0.31	23	0.02	23	-61.63	24	-6.92	24	-0.00	21
6409	-115	-123	Max	3.53	0.14	21	0.97	24	-0.06	12	-33.67	23	8.48	24	-0.00	12
6409	-115	-123	Max	25.30	0.14	21	0.97	24	0.11	24	-34.53	23	-3.75	23	-0.00	12
6409	-115	-123	Min.	3.53	-1.41	22	0.42	23	-0.11	21	-78.17	24	3.67	23	-0.00	21
6409	-115	-123	Min.	25.30	-1.41	22	0.42	23	0.03	23	-79.02	24	-8.63	24	-0.00	21
6410	-147	-155	Max	3.53	-0.08	12	1.09	24	-0.07	23	-36.76	23	8.86	24	-0.00	12
6410	-147	-155	Max	24.67	-0.08	12	1.09	24	0.12	24	-37.59	23	-3.97	23	-0.00	12
6410	-147	-155	Min.	3.53	-1.41	22	0.48	23	-0.12	21	-84.20	24	3.89	23	-0.00	21
6410	-147	-155	Min.	24.67	-1.41	22	0.48	23	0.03	23	-85.03	24	-9.02	24	-0.00	21
6411	-179	-187	Max	3.53	-0.09	12	1.15	24	-0.07	23	-38.82	23	8.96	24	-0.00	12
6411	-179	-187	Max	24.05	-0.09	12	1.15	24	0.12	24	-39.63	23	-4.07	23	-0.00	12
6411	-179	-187	Min.	3.53	-1.43	22	0.51	23	-0.12	21	-87.74	24	3.98	23	-0.00	21
6411	-179	-187	Min.	24.05	-1.43	22	0.51	23	0.03	23	-88.55	24	-9.12	24	-0.00	21
6412	-211	-219	Max	3.53	-0.08	12	1.20	24	-0.07	23	-40.74	23	8.99	24	-0.00	12
6412	-211	-219	Max	23.42	-0.08	12	1.20	24	0.12	24	-41.52	23	-4.14	23	-0.00	12
6412	-211	-219	Min.	3.53	-1.41	22	0.54	23	-0.13	21	-90.87	24	4.04	23	-0.00	21
6412	-211	-219	Min.	23.42	-1.41	22	0.54	23	0.03	23	-91.65	24	-9.16	24	-0.00	21
6413	-243	-251	Max	3.53	-0.06	12	1.25	24	-0.07	23	-42.75	23	9.01	24	-0.00	12
6413	-243	-251	Max	22.80	-0.06	12	1.25	24	0.12	24	-43.51	23	-4.20	23	-0.00	12
6413	-243	-251	Min.	3.53	-1.40	22	0.57	23	-0.13	21	-94.07	24	4.11	23	-0.00	21
6413	-243	-251	Min.	22.80	-1.40	22	0.57	23	0.04	23	-94.83	24	-9.18	24	-0.00	21
6414	-275	-283	Max	3.53	-0.08	12	1.30	24	-0.07	23	-44.90	23	9.03	24	-0.00	12
6414	-275	-283	Max	22.17	-0.08	12	1.30	24	0.12	24	-45.63	23	-4.27	23	-0.00	12
6414	-275	-283	Min.	3.53	-1.41	22	0.60	23	-0.13	21	-97.50	24	4.17	23	-0.00	21
6414	-275	-283	Min.	22.17	-1.41	22	0.60	23	0.04	23	-98.23	24	-9.21	24	-0.00	21
6415	-307	-315	Max	3.53	-0.09	12	1.35	24	-0.08	23	-47.18	23	9.05	24	-0.00	12
6415	-307	-315	Max	21.55	-0.09	12	1.35	24	0.12	24	-47.89	23	-4.33	23	-0.00	12
6415	-307	-315	Min.	3.53	-1.42	22	0.63	23	-0.13	21	-101.14	24	4.23	23	-0.01	21
6415	-307	-315	Min.	21.55	-1.42	22	0.63	23	0.04	23	-101.84	24	-9.23	24	-0.01	21
6416	-339	-347	Max	3.53	-0.06	12	1.40	24	-0.08	23	-49.64	23	9.06	24	-0.00	12
6416	-339	-347	Max	20.92	-0.06	12	1.40	24	0.12	24	-50.32	23	-4.40	23	-0.00	12
6416	-339	-347	Min.	3.53	-1.39	22	0.66	23	-0.13	21	-105.04	24	4.29	23	-0.01	21
6416	-339	-347	Min.	20.92	-1.39	22	0.66	23	0.04	23	-105.72	24	-9.26	24	-0.01	21
6417	-371	-379	Max	3.53	-0.10	12	1.46	24	-0.08	23	-52.28	23	9.08	24	-0.00	12
6417	-371	-379	Max	20.30	-0.10	12	1.46	24	0.12	24	-52.94	23	-4.46	23	-0.00	12
6417	-371	-379	Min.	3.53	-1.44	22	0.70	23	-0.13	21	-109.25	24	4.35	23	-0.01	21
6417	-371	-379	Min.	20.30	-1.44	22	0.70	23	0.04	23	-109.91	24	-9.28	24	-0.01	21
6418	-403	-411	Max	3.53	-0.19	12	1.52	24	-0.08	23	-55.12	23	9.10	24	-0.00	12
6418	-403	-411	Max	19.67	-0.19	12	1.52	24	0.12	24	-55.75	23	-4.53	23	-0.00	12
6418	-403	-411	Min.	3.53	-1.45	22	0.74	23	-0.13	21	-113.76	24	4.42	23	-0.01	21
6418	-403	-411	Min.	19.67	-1.45	22	0.74	23	0.04	23	-114.39	24	-9.31	24	-0.01	21

6419	-435	-443	Max	3.53	1.03	11	1.59	24	-0.08	23	-58.06	23	9.09	24	-0.00	22
6419	-435	-443	Max	19.05	1.03	11	1.59	24	0.12	24	-58.67	23	-4.59	23	-0.00	22
6419	-435	-443	Min.	3.53	-0.91	22	0.78	23	-0.14	21	-118.39	24	4.46	23	-0.00	21
6419	-435	-443	Min.	19.05	-0.91	22	0.78	23	0.04	23	-119.00	24	-9.32	24	-0.00	21
6420	-467	-475	Max	3.53	-3.30	23	1.51	21	-0.07	23	-60.49	23	9.06	21	-0.01	23
6420	-467	-475	Max	18.42	-3.30	23	1.51	21	0.11	24	-61.07	23	-4.56	23	-0.01	23
6420	-467	-475	Min.	3.53	-8.15	24	0.74	23	-0.13	21	-122.20	21	4.48	23	-0.02	21
6420	-467	-475	Min.	18.42	-8.15	24	0.74	23	0.04	23	-122.96	21	-9.18	21	-0.02	21
6421	-499	-507	Max	3.53	45.39	11	1.81	24	-0.07	23	-57.84	23	7.85	21	0.06	24
6421	-499	-507	Max	17.80	45.39	11	1.81	24	0.13	24	-58.40	23	-4.36	23	0.06	24
6421	-499	-507	Min.	3.53	16.73	23	0.89	23	-0.14	21	-116.76	21	3.93	23	0.03	23
6421	-499	-507	Min.	17.80	16.73	23	0.89	23	0.05	23	-117.48	21	-8.85	21	0.03	23
6426	-500	-508	Max	2.83	57.49	21	-0.99	23	0.13	24	-63.27	23	8.43	21	-0.03	23
6426	-500	-508	Max	17.09	57.49	21	-0.99	23	-0.08	23	-63.83	23	-4.78	23	-0.03	23
6426	-500	-508	Min.	2.83	17.29	22	-1.91	21	0.06	23	-123.30	21	4.29	23	-0.06	24
6426	-500	-508	Min.	17.09	17.29	22	-1.91	21	-0.15	21	-124.03	21	-9.21	21	-0.06	24
6427	-468	-476	Max	2.83	-4.72	22	-0.84	23	0.12	24	-66.10	23	9.82	21	0.01	24
6427	-468	-476	Max	17.72	-4.72	22	-0.84	23	-0.08	22	-66.68	23	-4.83	23	0.01	24
6427	-468	-476	Min.	2.83	-9.88	21	-1.62	21	0.05	23	-128.78	21	5.05	23	0.00	23
6427	-468	-476	Min.	17.72	-9.88	21	-1.62	21	-0.13	21	-129.54	21	-9.41	21	0.00	23
6428	-436	-444	Max	2.83	1.60	21	-0.87	23	0.13	24	-63.54	23	9.74	21	0.00	22
6428	-436	-444	Max	18.34	1.60	21	-0.87	23	-0.08	23	-64.15	23	-4.90	23	0.00	22
6428	-436	-444	Min.	2.83	-0.93	22	-1.68	21	0.05	23	-123.78	21	5.01	23	-0.00	21
6428	-436	-444	Min.	18.34	-0.93	22	-1.68	21	-0.14	21	-124.57	21	-9.52	21	-0.00	21
6429	-404	-412	Max	2.83	0.05	23	-0.82	23	0.13	24	-60.31	23	9.63	21	0.00	22
6429	-404	-412	Max	18.97	0.05	23	-0.82	23	-0.08	23	-60.95	23	-4.83	23	0.00	22
6429	-404	-412	Min.	2.83	-1.41	22	-1.58	21	0.05	23	-117.52	21	4.95	23	-0.00	23
6429	-404	-412	Min.	18.97	-1.41	22	-1.58	21	-0.14	21	-118.35	21	-9.40	21	-0.00	23
6430	-372	-380	Max	2.83	0.14	23	-0.78	23	0.13	24	-57.20	23	9.49	24	0.00	22
6430	-372	-380	Max	19.59	0.14	23	-0.78	23	-0.08	23	-57.86	23	-4.77	23	0.00	22
6430	-372	-380	Min.	2.83	-1.41	22	-1.50	21	0.05	23	-111.72	24	4.87	23	-0.00	23
6430	-372	-380	Min.	19.59	-1.41	22	-1.50	21	-0.14	21	-112.37	24	-9.29	24	-0.00	23
6431	-340	-348	Max	2.83	0.17	21	-0.74	23	0.13	24	-54.30	23	9.46	24	0.00	22
6431	-340	-348	Max	20.22	0.17	21	-0.74	23	-0.08	23	-54.98	23	-4.70	23	0.00	22
6431	-340	-348	Min.	2.83	-1.37	22	-1.44	24	0.05	23	-107.37	24	4.80	23	-0.00	23
6431	-340	-348	Min.	20.22	-1.37	22	-1.44	24	-0.14	21	-108.05	24	-9.27	24	-0.00	23
6432	-308	-316	Max	2.83	0.14	23	-0.70	23	0.13	24	-51.61	23	9.43	24	0.00	22
6432	-308	-316	Max	20.84	0.14	23	-0.70	23	-0.08	23	-52.32	23	-4.64	23	0.00	22
6432	-308	-316	Min.	2.83	-1.40	22	-1.38	24	0.04	23	-103.35	24	4.72	23	-0.00	21
6432	-308	-316	Min.	20.84	-1.40	22	-1.38	24	-0.14	21	-104.06	24	-9.25	24	-0.00	21
6433	-276	-284	Max	2.83	0.14	23	-0.66	23	0.13	24	-49.11	23	9.40	24	0.00	22
6433	-276	-284	Max	21.47	0.14	23	-0.66	23	-0.08	12	-49.84	23	-4.57	23	0.00	22
6433	-276	-284	Min.	2.83	-1.39	22	-1.33	24	0.04	23	-99.60	24	4.65	23	-0.00	21
6433	-276	-284	Min.	21.47	-1.39	22	-1.33	24	-0.14	21	-100.33	24	-9.23	24	-0.00	21
6434	-244	-252	Max	2.83	0.14	21	-0.63	23	0.12	24	-46.76	23	9.37	24	0.00	22
6434	-244	-252	Max	22.09	0.14	21	-0.63	23	-0.08	12	-47.52	23	-4.50	23	0.00	22
6434	-244	-252	Min.	2.83	-1.38	22	-1.28	24	0.04	23	-96.07	24	4.58	23	-0.00	21
6434	-244	-252	Min.	22.09	-1.38	22	-1.28	24	-0.13	21	-96.83	24	-9.21	24	-0.00	21
6435	-212	-220	Max	2.83	0.14	23	-0.60	23	0.12	24	-44.57	23	9.34	24	0.00	22
6435	-212	-220	Max	22.72	0.14	23	-0.60	23	-0.08	12	-45.35	23	-4.44	23	0.00	22
6435	-212	-220	Min.	2.83	-1.39	22	-1.23	24	0.04	23	-92.77	24	4.51	23	-0.00	21
6435	-212	-220	Min.	22.72	-1.39	22	-1.23	24	-0.13	21	-93.55	24	-9.19	24	-0.00	21
6436	-180	-188	Max	2.83	0.13	23	-0.57	23	0.12	24	-42.46	23	9.30	24	0.00	22
6436	-180	-188	Max	23.34	0.13	23	-0.57	23	-0.08	12	-43.27	23	-4.36	23	0.00	22
6436	-180	-188	Min.	2.83	-1.41	22	-1.18	24	0.04	23	-89.56	24	4.43	23	-0.00	21
6436	-180	-188	Min.	23.34	-1.41	22	-1.18	24	-0.13	21	-90.36	24	-9.15	24	-0.00	21
6437	-148	-156	Max	2.83	0.13	23	-0.53	23	0.12	24	-40.20	23	9.19	24	0.00	22
6437	-148	-156	Max	23.97	0.13	23	-0.53	23	-0.07	12	-41.03	23	-4.27	23	0.00	22
6437	-148	-156	Min.	2.83	-1.38	22	-1.12	24	0.04	23	-85.91	24	4.32	23	-0.00	21

6437	-148	-156	Min.	23.97	-1.38	22	-1.12	24	-0.13	21	-86.74	24	-9.06	24	-0.00	21
6438	-116	-124	Max	2.83	0.45	21	-0.46	23	0.11	24	-36.84	23	8.79	24	0.00	22
6438	-116	-124	Max	24.59	0.45	21	-0.46	23	-0.07	12	-37.69	23	-4.03	23	0.00	22
6438	-116	-124	Min.	2.83	-1.13	22	-0.99	24	0.03	23	-79.74	24	4.08	23	-0.00	21
6438	-116	-124	Min.	24.59	-1.13	22	-0.99	24	-0.11	21	-80.59	24	-8.66	24	-0.00	21
6439	-84	-92	Max	2.83	2.65	23	-0.34	23	0.08	24	-28.26	23	7.02	24	0.00	22
6439	-84	-92	Max	25.22	2.65	23	-0.34	23	-0.05	12	-29.14	23	-3.20	23	0.00	22
6439	-84	-92	Min.	2.83	-4.98	24	-0.73	24	0.02	23	-61.99	24	3.23	23	-0.00	21
6439	-84	-92	Min.	25.22	-4.98	24	-0.73	24	-0.09	21	-62.87	24	-6.96	24	-0.00	21
6440	-52	-60	Max	2.83	77.63	11	-0.31	23	0.08	24	-33.42	23	9.89	24	0.00	22
6440	-52	-60	Max	25.84	77.63	11	-0.31	23	-0.05	12	-35.23	23	-4.13	12	0.00	22
6440	-52	-60	Min.	2.83	-71.27	23	-0.68	24	0.03	23	-73.88	24	3.06	23	-0.00	21
6440	-52	-60	Min.	25.84	-71.27	23	-0.68	24	-0.08	21	-75.69	24	-7.69	21	-0.00	21
6441	-20	-28	Max	2.83	228.40	11	-0.18	23	0.05	24	-24.13	23	6.62	24	0.00	24
6441	-20	-28	Max	26.15	228.40	11	-0.18	23	-0.02	23	-25.96	23	-2.53	23	0.00	24
6441	-20	-28	Min.	2.83	-156.87	23	-0.41	24	0.02	23	-53.78	24	3.31	23	0.00	23
6441	-20	-28	Min.	26.15	-156.87	23	-0.41	24	-0.05	24	-55.61	24	-6.14	24	0.00	23
6442	354	366	Max	1.77	267.02	23	18.87	23	-0.08	22	426.35	23	18.49	11	0.77	23
6442	354	366	Max	15.00	267.02	23	18.87	23	1.95	23	425.41	23	32.50	23	0.77	23
6442	354	366	Min.	1.77	-250.01	11	0.26	22	-0.60	21	-298.84	11	-23.86	23	-0.10	11
6442	354	366	Min.	15.00	-250.01	11	0.26	22	-0.05	22	-299.78	11	-21.12	11	-0.10	11
6442	366	378	Max	0.00	310.61	23	-0.75	22	2.02	23	335.51	11	28.87	23	0.10	11
6442	366	378	Max	13.23	310.61	23	-0.75	22	-0.08	22	334.57	11	16.85	11	0.10	11
6442	366	378	Min.	0.00	-178.74	11	-19.55	23	0.02	22	-405.42	23	-27.49	11	-0.77	23
6442	366	378	Min.	13.23	-178.74	11	-19.55	23	-0.62	21	-406.36	23	-24.84	23	-0.77	23
6443	355	367	Max	1.77	-156.35	22	-167.13	22	53.56	21	1.39	11	0.33	23	0.91	23
6443	355	367	Max	15.00	-156.35	22	-168.07	22	-11.45	22	1.39	11	0.01	11	0.91	23
6443	355	367	Min.	1.77	-672.54	21	-905.88	21	10.73	22	-17.41	23	-0.18	11	0.07	22
6443	355	367	Min.	15.00	-672.54	21	-907.11	21	-66.39	21	-17.41	23	-1.97	23	0.07	22
6443	367	379	Max	0.00	-80.77	22	946.86	21	-15.11	22	17.38	23	0.09	11	-0.07	22
6443	367	379	Max	13.23	-80.77	22	945.63	21	51.79	21	17.38	23	0.34	23	-0.07	22
6443	367	379	Min.	0.00	-596.25	21	180.01	22	-73.42	21	-2.11	11	-1.96	23	-0.91	23
6443	367	379	Min.	13.23	-596.25	21	179.07	22	8.65	22	-2.11	11	-0.19	11	-0.91	23
6444	-21	-29	Max	3.53	535.41	21	0.41	24	-0.02	23	-21.96	23	6.49	24	0.00	12
6444	-21	-29	Max	26.86	535.41	21	0.41	24	0.05	24	-23.79	23	-2.83	23	0.00	12
6444	-21	-29	Min.	3.53	120.50	22	0.16	23	-0.05	24	-53.70	24	2.50	23	0.00	21
6444	-21	-29	Min.	26.86	120.50	22	0.16	23	0.02	23	-55.53	24	-6.25	24	0.00	21
6445	-53	-61	Max	3.53	200.00	21	0.68	24	-0.05	23	-30.77	23	10.37	21	0.00	11
6445	-53	-61	Max	26.55	200.00	21	0.68	24	0.08	24	-32.57	23	-1.12	23	0.00	11
6445	-53	-61	Min.	3.53	41.36	22	0.28	23	-0.08	24	-74.16	24	6.17	23	0.00	23
6445	-53	-61	Min.	26.55	41.36	22	0.28	23	0.02	23	-75.96	24	-7.53	24	0.00	23
6446	-85	-93	Max	3.53	-3.91	22	0.73	24	-0.05	23	-25.86	23	6.91	24	0.00	24
6446	-85	-93	Max	25.92	-3.91	22	0.73	24	0.08	24	-26.74	23	-3.00	23	0.00	24
6446	-85	-93	Min.	3.53	-10.54	21	0.31	23	-0.09	21	-61.96	24	2.88	23	-0.00	23
6446	-85	-93	Min.	25.92	-10.54	21	0.31	23	0.02	23	-62.84	24	-7.06	24	-0.00	23
6447	-117	-125	Max	3.53	0.15	21	0.99	24	-0.07	23	-33.76	23	8.65	24	0.00	11
6447	-117	-125	Max	25.30	0.15	21	0.99	24	0.11	24	-34.62	23	-3.76	23	0.00	11
6447	-117	-125	Min.	3.53	-1.41	22	0.42	23	-0.11	21	-79.73	24	3.68	23	-0.00	23
6447	-117	-125	Min.	25.30	-1.41	22	0.42	23	0.03	23	-80.59	24	-8.80	24	-0.00	23
6448	-149	-157	Max	3.53	-0.09	12	1.12	24	-0.07	23	-36.86	23	9.04	24	0.00	11
6448	-149	-157	Max	24.67	-0.09	12	1.12	24	0.12	24	-37.69	23	-3.98	23	0.00	11
6448	-149	-157	Min.	3.53	-1.43	22	0.48	23	-0.12	21	-85.91	24	3.90	23	-0.00	23
6448	-149	-157	Min.	24.67	-1.43	22	0.48	23	0.03	23	-86.74	24	-9.21	24	-0.00	23
6449	-181	-189	Max	3.53	-0.10	12	1.18	24	-0.07	23	-38.93	23	9.14	24	0.00	11
6449	-181	-189	Max	24.05	-0.10	12	1.18	24	0.12	24	-39.73	23	-4.08	23	0.00	11
6449	-181	-189	Min.	3.53	-1.45	22	0.51	23	-0.13	21	-89.55	24	3.99	23	-0.00	23
6449	-181	-189	Min.	24.05	-1.45	22	0.51	23	0.03	23	-90.35	24	-9.31	24	-0.00	23
6450	-213	-221	Max	3.53	-0.09	12	1.23	24	-0.08	23	-40.85	23	9.18	24	0.00	11
6450	-213	-221	Max	23.42	-0.09	12	1.23	24	0.12	24	-41.63	23	-4.15	23	0.00	11

6450	-213	-221	Min.	3.53	-1.42	22	0.54	23	-0.13	21	-92.76	24	4.06	23	-0.00	23
6450	-213	-221	Min.	23.42	-1.42	22	0.54	23	0.03	23	-93.54	24	-9.35	24	-0.00	23
6451	-245	-253	Max	3.53	-0.07	12	1.28	24	-0.08	23	-42.87	23	9.20	24	0.00	11
6451	-245	-253	Max	22.80	-0.07	12	1.28	24	0.12	24	-43.63	23	-4.21	23	0.00	11
6451	-245	-253	Min.	3.53	-1.42	22	0.57	23	-0.13	21	-96.06	24	4.12	23	-0.00	23
6451	-245	-253	Min.	22.80	-1.42	22	0.57	23	0.03	23	-96.82	24	-9.38	24	-0.00	23
6452	-277	-285	Max	3.53	-0.10	12	1.33	24	-0.08	23	-45.02	23	9.22	24	0.00	11
6452	-277	-285	Max	22.17	-0.10	12	1.33	24	0.12	24	-45.75	23	-4.28	23	0.00	11
6452	-277	-285	Min.	3.53	-1.43	22	0.60	23	-0.13	21	-99.59	24	4.18	23	-0.00	23
6452	-277	-285	Min.	22.17	-1.43	22	0.60	23	0.04	23	-100.32	24	-9.41	24	-0.00	23
6453	-309	-317	Max	3.53	-0.11	12	1.38	24	-0.08	23	-47.31	23	9.24	24	0.00	11
6453	-309	-317	Max	21.55	-0.11	12	1.38	24	0.12	24	-48.02	23	-4.34	23	0.00	11
6453	-309	-317	Min.	3.53	-1.44	22	0.63	23	-0.14	21	-103.34	24	4.24	23	-0.00	23
6453	-309	-317	Min.	21.55	-1.44	22	0.63	23	0.04	23	-104.04	24	-9.43	24	-0.00	23
6454	-341	-349	Max	3.53	-0.08	12	1.44	24	-0.08	23	-49.78	23	9.26	24	0.00	11
6454	-341	-349	Max	20.92	-0.08	12	1.44	24	0.12	24	-50.46	23	-4.41	23	0.00	11
6454	-341	-349	Min.	3.53	-1.41	22	0.67	23	-0.14	21	-107.35	24	4.30	23	-0.00	23
6454	-341	-349	Min.	20.92	-1.41	22	0.67	23	0.04	23	-108.04	24	-9.46	24	-0.00	23
6455	-373	-381	Max	3.53	-0.12	12	1.50	24	-0.08	23	-52.43	23	9.29	24	0.00	11
6455	-373	-381	Max	20.30	-0.12	12	1.50	24	0.12	24	-53.09	23	-4.48	23	0.00	11
6455	-373	-381	Min.	3.53	-1.46	22	0.70	23	-0.14	21	-111.70	24	4.37	23	-0.00	23
6455	-373	-381	Min.	20.30	-1.46	22	0.70	23	0.04	23	-112.36	24	-9.49	24	-0.00	23
6456	-405	-413	Max	3.53	-0.20	12	1.56	24	-0.08	23	-55.28	23	9.31	24	0.00	11
6456	-405	-413	Max	19.67	-0.20	12	1.56	24	0.13	24	-55.91	23	-4.54	23	0.00	11
6456	-405	-413	Min.	3.53	-1.47	22	0.74	23	-0.14	21	-116.34	24	4.43	23	-0.00	23
6456	-405	-413	Min.	19.67	-1.47	22	0.74	23	0.04	23	-116.97	24	-9.52	24	-0.00	23
6457	-437	-445	Max	3.53	0.99	11	1.63	24	-0.08	23	-58.23	23	9.30	24	0.00	24
6457	-437	-445	Max	19.05	0.99	11	1.63	24	0.13	24	-58.84	23	-4.60	23	0.00	24
6457	-437	-445	Min.	3.53	-0.95	22	0.78	23	-0.14	21	-121.11	24	4.47	23	-0.00	23
6457	-437	-445	Min.	19.05	-0.95	22	0.78	23	0.04	23	-121.71	24	-9.54	24	-0.00	23
6458	-469	-477	Max	3.53	-3.16	23	1.55	24	-0.07	23	-60.66	23	9.25	24	-0.01	12
6458	-469	-477	Max	18.42	-3.16	23	1.55	24	0.11	24	-61.24	23	-4.58	23	-0.01	12
6458	-469	-477	Min.	3.53	-8.01	24	0.75	23	-0.13	21	-124.81	24	4.49	23	-0.01	21
6458	-469	-477	Min.	18.42	-8.01	24	0.75	23	0.04	23	-125.39	24	-9.37	24	-0.01	21
6459	-501	-509	Max	3.53	44.42	11	1.86	24	-0.08	23	-57.98	23	7.99	24	0.07	24
6459	-501	-509	Max	17.80	44.42	11	1.86	24	0.13	24	-58.54	23	-4.36	23	0.07	24
6459	-501	-509	Min.	3.53	15.69	23	0.89	23	-0.14	21	-118.41	24	3.94	23	0.03	23
6459	-501	-509	Min.	17.80	15.69	23	0.89	23	0.05	23	-119.08	21	-8.96	21	0.03	23
6464	-502	-510	Max	2.83	58.60	21	-0.95	23	0.13	24	-61.01	23	8.17	21	-0.03	23
6464	-502	-510	Max	17.09	58.60	21	-0.95	23	-0.08	23	-61.57	23	-4.62	23	-0.03	23
6464	-502	-510	Min.	2.83	18.32	22	-1.85	21	0.05	23	-119.80	21	4.12	23	-0.06	24
6464	-502	-510	Min.	17.09	18.32	22	-1.85	21	-0.14	21	-120.53	21	-8.97	21	-0.06	24
6465	-470	-478	Max	2.83	-4.85	22	-0.80	23	0.11	24	-63.68	23	9.54	21	0.01	24
6465	-470	-478	Max	17.72	-4.85	22	-0.80	23	-0.08	22	-64.27	23	-4.65	23	0.01	24
6465	-470	-478	Min.	2.83	-10.02	21	-1.56	21	0.04	23	-125.03	21	4.87	23	0.00	23
6465	-470	-478	Min.	17.72	-10.02	21	-1.56	21	-0.13	21	-125.79	21	-9.13	21	0.00	23
6466	-438	-446	Max	2.83	1.65	21	-0.83	23	0.12	24	-61.21	23	9.46	21	0.00	24
6466	-438	-446	Max	18.34	1.65	21	-0.83	23	-0.08	23	-61.82	23	-4.72	23	0.00	24
6466	-438	-446	Min.	2.83	-0.89	22	-1.62	21	0.05	23	-120.17	21	4.83	23	-0.00	23
6466	-438	-446	Min.	18.34	-0.89	22	-1.62	21	-0.14	21	-120.96	21	-9.25	21	-0.00	23
6467	-406	-414	Max	2.83	0.06	23	-0.79	23	0.12	24	-58.11	23	9.35	21	0.00	24
6467	-406	-414	Max	18.97	0.06	23	-0.79	23	-0.08	23	-58.74	23	-4.66	23	0.00	24
6467	-406	-414	Min.	2.83	-1.40	22	-1.53	21	0.04	23	-114.10	21	4.77	23	-0.00	23
6467	-406	-414	Min.	18.97	-1.40	22	-1.53	21	-0.14	21	-114.92	21	-9.13	21	-0.00	23
6468	-374	-382	Max	2.83	0.16	21	-0.75	23	0.12	24	-55.11	23	9.29	24	0.00	24
6468	-374	-382	Max	19.59	0.16	21	-0.75	23	-0.08	23	-55.77	23	-4.59	23	0.00	24
6468	-374	-382	Min.	2.83	-1.39	22	-1.46	24	0.04	23	-109.30	24	4.70	23	-0.00	23
6468	-374	-382	Min.	19.59	-1.39	22	-1.46	24	-0.14	21	-109.96	24	-9.09	24	-0.00	23
6469	-342	-350	Max	2.83	0.19	21	-0.71	23	0.12	24	-52.31	23	9.26	24	0.00	24

6469	-342	-350	Max	20.22	0.19	21	-0.71	23	-0.08	23	-53.00	23	-4.53	23	0.00	24
6469	-342	-350	Min.	2.83	-1.35	22	-1.40	24	0.04	23	-105.08	24	4.62	23	-0.00	23
6469	-342	-350	Min.	20.22	-1.35	22	-1.40	24	-0.14	21	-105.76	24	-9.07	24	-0.00	23
6470	-310	-318	Max	2.83	0.16	23	-0.67	23	0.12	24	-49.73	23	9.23	24	0.00	24
6470	-310	-318	Max	20.84	0.16	23	-0.67	23	-0.08	23	-50.43	23	-4.47	23	0.00	24
6470	-310	-318	Min.	2.83	-1.38	22	-1.35	24	0.04	23	-101.18	24	4.55	23	-0.00	23
6470	-310	-318	Min.	20.84	-1.38	22	-1.35	24	-0.14	21	-101.88	24	-9.06	24	-0.00	23
6471	-278	-286	Max	2.83	0.16	21	-0.64	23	0.12	24	-47.31	23	9.21	24	0.00	24
6471	-278	-286	Max	21.47	0.16	21	-0.64	23	-0.08	23	-48.05	23	-4.40	23	0.00	24
6471	-278	-286	Min.	2.83	-1.37	22	-1.30	24	0.04	23	-97.53	24	4.48	23	-0.00	23
6471	-278	-286	Min.	21.47	-1.37	22	-1.30	24	-0.14	21	-98.27	24	-9.04	24	-0.00	23
6472	-246	-254	Max	2.83	0.16	21	-0.61	23	0.12	24	-45.05	23	9.18	24	0.00	24
6472	-246	-254	Max	22.09	0.16	21	-0.61	23	-0.08	12	-45.81	23	-4.34	23	0.00	24
6472	-246	-254	Min.	2.83	-1.37	22	-1.25	24	0.04	23	-94.11	24	4.41	23	-0.00	23
6472	-246	-254	Min.	22.09	-1.37	22	-1.25	24	-0.13	21	-94.87	24	-9.02	24	-0.00	23
6473	-214	-222	Max	2.83	0.16	23	-0.58	23	0.12	24	-42.94	23	9.15	24	0.00	24
6473	-214	-222	Max	22.72	0.16	23	-0.58	23	-0.08	12	-43.72	23	-4.28	23	0.00	24
6473	-214	-222	Min.	2.83	-1.37	22	-1.20	24	0.04	23	-90.90	24	4.34	23	-0.00	23
6473	-214	-222	Min.	22.72	-1.37	22	-1.20	24	-0.13	21	-91.68	24	-9.00	24	-0.00	23
6474	-182	-190	Max	2.83	0.15	23	-0.55	23	0.12	24	-40.91	23	9.11	24	0.00	24
6474	-182	-190	Max	23.34	0.15	23	-0.55	23	-0.08	12	-41.71	23	-4.21	23	0.00	24
6474	-182	-190	Min.	2.83	-1.39	22	-1.16	24	0.03	23	-87.77	24	4.27	23	-0.00	23
6474	-182	-190	Min.	23.34	-1.39	22	-1.16	24	-0.13	21	-88.58	24	-8.97	24	-0.00	23
6475	-150	-158	Max	2.83	0.14	21	-0.51	23	0.11	24	-38.73	23	9.01	24	0.00	24
6475	-150	-158	Max	23.97	0.14	21	-0.51	23	-0.07	12	-39.56	23	-4.11	23	0.00	24
6475	-150	-158	Min.	2.83	-1.36	22	-1.09	24	0.03	23	-84.23	24	4.16	23	-0.00	23
6475	-150	-158	Min.	23.97	-1.36	22	-1.09	24	-0.13	21	-85.06	24	-8.88	24	-0.00	23
6476	-118	-126	Max	2.83	0.43	21	-0.45	23	0.11	24	-35.49	23	8.61	24	0.00	24
6476	-118	-126	Max	24.59	0.43	21	-0.45	23	-0.07	12	-36.34	23	-3.89	23	0.00	24
6476	-118	-126	Min.	2.83	-1.14	22	-0.97	24	0.03	23	-78.19	24	3.93	23	-0.00	23
6476	-118	-126	Min.	24.59	-1.14	22	-0.97	24	-0.11	21	-79.04	24	-8.49	24	-0.00	23
6477	-86	-94	Max	2.83	3.21	23	-0.33	23	0.08	24	-27.22	23	6.88	24	0.00	24
6477	-86	-94	Max	25.22	3.21	23	-0.33	23	-0.05	12	-28.10	23	-3.08	23	0.00	24
6477	-86	-94	Min.	2.83	-4.30	24	-0.72	24	0.02	23	-60.79	24	3.11	23	-0.00	23
6477	-86	-94	Min.	25.22	-4.30	24	-0.72	24	-0.09	21	-61.67	24	-6.83	24	-0.00	23
6478	-54	-62	Max	2.83	63.60	11	-0.30	23	0.08	24	-32.16	23	9.51	24	0.00	24
6478	-54	-62	Max	25.84	63.60	11	-0.30	23	-0.05	12	-33.97	23	-4.21	12	0.00	24
6478	-54	-62	Min.	2.83	-83.20	23	-0.67	24	0.02	23	-72.50	24	2.74	23	0.00	23
6478	-54	-62	Min.	25.84	-83.20	23	-0.67	24	-0.08	21	-74.30	24	-7.72	21	0.00	23
6479	-22	-30	Max	2.83	192.86	11	-0.17	23	0.05	24	-23.11	23	6.53	24	0.00	24
6479	-22	-30	Max	26.15	192.86	11	-0.17	23	-0.02	23	-24.94	23	-2.39	23	0.00	24
6479	-22	-30	Min.	2.83	-187.26	23	-0.39	24	0.02	23	-52.80	24	3.21	23	0.00	23
6479	-22	-30	Min.	26.15	-187.26	23	-0.39	24	-0.05	24	-54.63	24	-6.00	24	0.00	23
6480	357	369	Max	1.77	309.56	23	20.54	23	-0.13	22	484.91	23	14.31	11	0.84	23
6480	357	369	Max	15.00	309.56	23	20.54	23	2.13	23	483.97	23	36.83	23	0.84	23
6480	357	369	Min.	1.77	-199.35	11	2.15	22	-0.66	21	-226.30	11	-27.27	23	-0.00	11
6480	357	369	Min.	15.00	-199.35	11	2.15	22	0.16	22	-227.24	11	-15.70	11	-0.00	11
6480	369	381	Max	0.00	350.39	23	-2.37	22	2.19	23	264.18	11	33.42	23	0.01	11
6480	369	381	Max	13.23	350.39	23	-2.37	22	-0.12	22	263.23	11	12.74	11	0.01	11
6480	369	381	Min.	0.00	-131.81	11	-21.09	21	0.20	22	-465.41	23	-22.16	11	-0.84	23
6480	369	381	Min.	13.23	-131.81	11	-21.09	21	-0.66	21	-466.35	23	-28.22	23	-0.84	23
6481	358	370	Max	1.77	-160.71	22	-220.32	22	48.16	21	-1.45	12	0.35	23	0.91	21
6481	358	370	Max	15.00	-160.71	22	-221.26	22	-16.93	22	-1.45	12	-0.24	12	0.91	21
6481	358	370	Min.	1.77	-578.86	21	-860.36	21	12.28	22	-17.06	23	-0.06	11	0.16	22
6481	358	370	Min.	15.00	-578.86	21	-861.58	21	-65.76	21	-17.06	23	-1.91	23	0.16	22
6481	370	382	Max	0.00	-105.24	22	789.52	21	-12.87	22	17.42	23	-0.22	22	-0.15	22
6481	370	382	Max	13.23	-105.24	22	788.30	21	46.11	21	17.42	23	0.37	23	-0.15	22
6481	370	382	Min.	0.00	-545.04	21	173.02	22	-58.29	21	1.51	12	-1.94	23	-0.90	21
6481	370	382	Min.	13.23	-545.04	21	172.08	22	9.96	22	1.51	12	-0.05	11	-0.90	21

6482	-23	-31	Max	3.53	451.08	21	0.24	22	-0.01	23	-7.15	23	3.34	22	0.00	11
6482	-23	-31	Max	26.86	451.08	21	0.24	22	0.03	24	-8.98	23	-1.13	23	0.00	11
6482	-23	-31	Min.	3.53	120.43	22	0.07	23	-0.03	22	-27.74	22	0.75	23	0.00	23
6482	-23	-31	Min.	26.86	120.43	22	0.07	23	0.01	23	-29.57	22	-3.34	22	0.00	23
6483	-55	-63	Max	3.53	171.24	21	0.40	22	-0.02	12	-14.37	23	6.06	24	0.00	11
6483	-55	-63	Max	26.55	171.24	21	0.40	22	0.04	22	-16.17	23	0.44	23	0.00	11
6483	-55	-63	Min.	3.53	42.79	22	0.13	23	-0.05	24	-43.68	22	3.32	12	0.00	23
6483	-55	-63	Min.	26.55	42.79	22	0.13	23	0.00	23	-45.48	22	-4.50	22	0.00	23
6484	-87	-95	Max	3.53	-3.19	12	0.45	24	-0.03	12	-13.09	23	4.25	24	0.00	24
6484	-87	-95	Max	25.92	-3.19	12	0.45	24	0.05	24	-13.97	23	-1.56	23	0.00	24
6484	-87	-95	Min.	3.53	-8.74	21	0.16	23	-0.05	24	-38.04	24	1.47	23	0.00	23
6484	-87	-95	Min.	25.92	-8.74	21	0.16	23	0.00	23	-38.92	24	-4.36	24	0.00	23
6485	-119	-127	Max	3.53	0.12	21	0.61	24	-0.04	12	-17.23	23	5.30	24	0.00	24
6485	-119	-127	Max	25.30	0.12	21	0.61	24	0.06	24	-18.08	23	-1.95	23	0.00	24
6485	-119	-127	Min.	3.53	-1.40	22	0.22	23	-0.07	24	-48.79	24	1.90	23	0.00	23
6485	-119	-127	Min.	25.30	-1.40	22	0.22	23	0.01	23	-49.64	24	-5.41	24	0.00	23
6486	-151	-159	Max	3.53	-0.08	12	0.68	24	-0.04	12	-18.84	23	5.51	24	0.00	24
6486	-151	-159	Max	24.67	-0.08	12	0.68	24	0.07	24	-19.67	23	-2.06	23	0.00	24
6486	-151	-159	Min.	3.53	-1.42	22	0.25	23	-0.07	24	-52.19	24	2.01	23	0.00	23
6486	-151	-159	Min.	24.67	-1.42	22	0.25	23	0.01	23	-53.02	24	-5.61	24	0.00	23
6487	-183	-191	Max	3.53	-0.09	12	0.72	24	-0.04	12	-19.92	23	5.52	24	0.00	24
6487	-183	-191	Max	24.05	-0.09	12	0.72	24	0.07	24	-20.73	23	-2.11	23	0.00	24
6487	-183	-191	Min.	3.53	-1.44	22	0.27	23	-0.08	24	-53.97	24	2.06	23	0.00	23
6487	-183	-191	Min.	24.05	-1.44	22	0.27	23	0.01	23	-54.78	24	-5.63	24	0.00	23
6488	-215	-223	Max	3.53	-0.08	12	0.74	24	-0.04	12	-20.92	23	5.50	24	0.00	24
6488	-215	-223	Max	23.42	-0.08	12	0.74	24	0.07	24	-21.70	23	-2.15	23	0.00	24
6488	-215	-223	Min.	3.53	-1.42	22	0.28	23	-0.08	24	-55.45	24	2.09	23	0.00	23
6488	-215	-223	Min.	23.42	-1.42	22	0.28	23	0.01	23	-56.23	24	-5.61	24	0.00	23
6489	-247	-255	Max	3.53	-0.06	12	0.76	24	-0.04	12	-21.97	23	5.46	24	0.00	24
6489	-247	-255	Max	22.80	-0.06	12	0.76	24	0.07	24	-22.73	23	-2.18	23	0.00	24
6489	-247	-255	Min.	3.53	-1.41	22	0.30	23	-0.08	24	-56.95	24	2.12	23	0.00	23
6489	-247	-255	Min.	22.80	-1.41	22	0.30	23	0.01	23	-57.70	24	-5.58	24	0.00	23
6490	-279	-287	Max	3.53	-0.08	12	0.79	24	-0.04	12	-23.09	23	5.43	24	0.00	24
6490	-279	-287	Max	22.17	-0.08	12	0.79	24	0.07	24	-23.82	23	-2.21	23	0.00	24
6490	-279	-287	Min.	3.53	-1.42	22	0.31	23	-0.08	24	-58.54	24	2.16	23	0.00	23
6490	-279	-287	Min.	22.17	-1.42	22	0.31	23	0.01	23	-59.27	24	-5.55	24	0.00	23
6491	-311	-319	Max	3.53	-0.10	12	0.81	24	-0.04	12	-24.28	23	5.40	24	0.00	24
6491	-311	-319	Max	21.55	-0.10	12	0.81	24	0.07	24	-24.98	23	-2.25	23	0.00	24
6491	-311	-319	Min.	3.53	-1.43	22	0.33	23	-0.08	21	-60.22	24	2.19	23	0.00	23
6491	-311	-319	Min.	21.55	-1.43	22	0.33	23	0.01	23	-60.93	24	-5.51	24	0.00	23
6492	-343	-351	Max	3.53	-0.07	12	0.84	24	-0.04	12	-25.56	23	5.36	24	0.00	24
6492	-343	-351	Max	20.92	-0.07	12	0.84	24	0.07	24	-26.24	23	-2.28	23	0.00	24
6492	-343	-351	Min.	3.53	-1.41	22	0.35	23	-0.08	21	-62.02	24	2.22	23	0.00	23
6492	-343	-351	Min.	20.92	-1.41	22	0.35	23	0.01	23	-62.70	24	-5.48	24	0.00	23
6493	-375	-383	Max	3.53	-0.09	12	0.87	24	-0.05	12	-26.93	23	5.33	24	0.00	24
6493	-375	-383	Max	20.30	-0.09	12	0.87	24	0.07	24	-27.59	23	-2.32	23	0.00	24
6493	-375	-383	Min.	3.53	-1.44	22	0.36	23	-0.08	21	-63.97	24	2.25	23	0.00	23
6493	-375	-383	Min.	20.30	-1.44	22	0.36	23	0.01	23	-64.63	24	-5.45	24	0.00	23
6494	-407	-415	Max	3.53	-0.16	12	0.89	24	-0.05	12	-28.41	23	5.29	24	0.00	24
6494	-407	-415	Max	19.67	-0.16	12	0.89	24	0.07	24	-29.04	23	-2.35	23	0.00	24
6494	-407	-415	Min.	3.53	-1.45	22	0.38	23	-0.08	21	-66.05	24	2.28	23	0.00	23
6494	-407	-415	Min.	19.67	-1.45	22	0.38	23	0.02	23	-66.68	24	-5.42	24	0.00	23
6495	-439	-447	Max	3.53	0.65	11	0.93	24	-0.05	23	-29.94	23	5.24	24	0.00	24
6495	-439	-447	Max	19.05	0.65	11	0.93	24	0.07	24	-30.55	23	-2.38	23	0.00	24
6495	-439	-447	Min.	3.53	-1.07	22	0.40	23	-0.08	21	-68.16	24	2.31	23	0.00	23
6495	-439	-447	Min.	19.05	-1.07	22	0.40	23	0.02	23	-68.77	24	-5.38	24	0.00	23
6496	-471	-479	Max	3.53	-2.75	23	0.87	24	-0.04	23	-31.23	23	5.18	24	-0.00	12
6496	-471	-479	Max	18.42	-2.75	23	0.87	24	0.06	24	-31.81	23	-2.36	23	-0.00	12
6496	-471	-479	Min.	3.53	-5.72	24	0.39	23	-0.07	21	-69.71	24	2.33	23	-0.00	21

6496	-471	-479	Min.	18.42	-5.72	24	0.39	23	0.01	23	-70.29	24	-5.24	24	-0.00	21
6497	-503	-511	Max	3.53	30.03	21	1.08	24	-0.04	23	-29.94	23	4.41	24	0.04	24
6497	-503	-511	Max	17.80	30.03	21	1.08	24	0.08	24	-30.50	23	-2.32	23	0.04	24
6497	-503	-511	Min.	3.53	13.39	22	0.47	23	-0.08	24	-65.97	24	1.99	23	0.02	23
6497	-503	-511	Min.	17.80	13.39	22	0.47	23	0.02	23	-66.53	24	-5.04	24	0.02	23
6502	-504	-512	Max	2.83	19.48	21	-0.50	23	0.07	24	-31.35	23	4.30	24	-0.02	23
6502	-504	-512	Max	17.09	19.48	21	-0.50	23	-0.05	12	-31.91	23	-2.32	23	-0.02	23
6502	-504	-512	Min.	2.83	6.85	22	-0.99	24	0.02	23	-61.16	24	2.19	23	-0.04	24
6502	-504	-512	Min.	17.09	6.85	22	-0.99	24	-0.08	21	-61.72	24	-4.46	24	-0.04	24
6503	-472	-480	Max	2.83	-1.77	23	-0.41	23	0.06	24	-32.63	23	4.89	24	0.01	24
6503	-472	-480	Max	17.72	-1.77	23	-0.41	23	-0.04	12	-33.22	23	-2.41	23	0.01	24
6503	-472	-480	Min.	2.83	-3.45	24	-0.79	24	0.02	23	-64.31	24	2.50	23	0.00	23
6503	-472	-480	Min.	17.72	-3.45	24	-0.79	24	-0.07	21	-64.89	24	-4.73	24	0.00	23
6504	-440	-448	Max	2.83	0.59	21	-0.43	23	0.06	24	-31.33	23	4.96	24	0.00	24
6504	-440	-448	Max	18.34	0.59	21	-0.43	23	-0.04	12	-31.94	23	-2.43	23	0.00	24
6504	-440	-448	Min.	2.83	-1.19	22	-0.85	24	0.02	23	-63.02	24	2.48	23	-0.00	23
6504	-440	-448	Min.	18.34	-1.19	22	-0.85	24	-0.08	21	-63.63	24	-4.86	24	-0.00	23
6505	-408	-416	Max	2.83	0.09	23	-0.40	23	0.06	24	-29.73	23	5.01	24	0.00	24
6505	-408	-416	Max	18.97	0.09	23	-0.40	23	-0.04	12	-30.36	23	-2.40	23	0.00	24
6505	-408	-416	Min.	2.83	-1.37	22	-0.82	24	0.02	23	-61.17	24	2.45	23	-0.00	23
6505	-408	-416	Min.	18.97	-1.37	22	-0.82	24	-0.08	21	-61.80	24	-4.91	24	-0.00	23
6506	-376	-384	Max	2.83	0.11	23	-0.38	23	0.06	24	-28.18	23	5.05	24	0.00	24
6506	-376	-384	Max	19.59	0.11	23	-0.38	23	-0.04	12	-28.84	23	-2.37	23	0.00	24
6506	-376	-384	Min.	2.83	-1.40	22	-0.79	24	0.02	23	-59.34	24	2.41	23	-0.00	23
6506	-376	-384	Min.	19.59	-1.40	22	-0.79	24	-0.07	21	-60.00	24	-4.95	24	-0.00	23
6507	-344	-352	Max	2.83	0.12	21	-0.36	23	0.06	24	-26.73	23	5.09	24	0.00	24
6507	-344	-352	Max	20.22	0.12	21	-0.36	23	-0.04	12	-27.41	23	-2.33	23	0.00	24
6507	-344	-352	Min.	2.83	-1.36	22	-0.77	24	0.01	23	-57.63	24	2.37	23	-0.00	23
6507	-344	-352	Min.	20.22	-1.36	22	-0.77	24	-0.07	21	-58.31	24	-4.99	24	-0.00	23
6508	-312	-320	Max	2.83	0.12	23	-0.35	23	0.07	24	-25.40	23	5.12	24	0.00	24
6508	-312	-320	Max	20.84	0.12	23	-0.35	23	-0.04	12	-26.11	23	-2.30	23	0.00	24
6508	-312	-320	Min.	2.83	-1.38	22	-0.75	24	0.01	23	-56.05	24	2.34	23	-0.00	23
6508	-312	-320	Min.	20.84	-1.38	22	-0.75	24	-0.07	21	-56.75	24	-5.04	24	-0.00	23
6509	-280	-288	Max	2.83	0.11	23	-0.33	23	0.07	24	-24.15	23	5.16	24	0.00	24
6509	-280	-288	Max	21.47	0.11	23	-0.33	23	-0.04	12	-24.89	23	-2.27	23	0.00	24
6509	-280	-288	Min.	2.83	-1.38	22	-0.73	24	0.01	23	-54.57	24	2.30	23	-0.00	23
6509	-280	-288	Min.	21.47	-1.38	22	-0.73	24	-0.07	21	-55.30	24	-5.08	24	-0.00	23
6510	-248	-256	Max	2.83	0.10	23	-0.31	23	0.07	24	-22.99	23	5.20	24	0.00	24
6510	-248	-256	Max	22.09	0.10	23	-0.31	23	-0.04	12	-23.74	23	-2.24	23	0.00	24
6510	-248	-256	Min.	2.83	-1.38	22	-0.71	24	0.01	23	-53.17	24	2.26	23	-0.00	23
6510	-248	-256	Min.	22.09	-1.38	22	-0.71	24	-0.07	21	-53.93	24	-5.12	24	-0.00	23
6511	-216	-224	Max	2.83	0.12	23	-0.30	23	0.07	24	-21.90	23	5.23	24	0.00	24
6511	-216	-224	Max	22.72	0.12	23	-0.30	23	-0.04	12	-22.68	23	-2.20	23	0.00	24
6511	-216	-224	Min.	2.83	-1.38	22	-0.69	24	0.01	23	-51.86	24	2.23	23	-0.00	23
6511	-216	-224	Min.	22.72	-1.38	22	-0.69	24	-0.07	21	-52.64	24	-5.16	24	-0.00	23
6512	-184	-192	Max	2.83	0.12	23	-0.28	23	0.07	24	-20.84	23	5.26	24	0.00	24
6512	-184	-192	Max	23.34	0.12	23	-0.28	23	-0.04	12	-21.65	23	-2.17	23	0.00	24
6512	-184	-192	Min.	2.83	-1.39	22	-0.66	24	0.01	23	-50.55	24	2.19	23	-0.00	23
6512	-184	-192	Min.	23.34	-1.39	22	-0.66	24	-0.07	21	-51.35	24	-5.19	24	-0.00	23
6513	-152	-160	Max	2.83	0.11	23	-0.26	23	0.06	24	-19.71	23	5.25	24	0.00	24
6513	-152	-160	Max	23.97	0.11	23	-0.26	23	-0.04	12	-20.54	23	-2.12	23	0.00	24
6513	-152	-160	Min.	2.83	-1.37	22	-0.63	24	0.01	23	-48.95	24	2.13	23	-0.00	23
6513	-152	-160	Min.	23.97	-1.37	22	-0.63	24	-0.07	24	-49.77	24	-5.18	24	-0.00	23
6514	-120	-128	Max	2.83	0.16	11	-0.23	23	0.06	24	-18.03	23	5.06	24	0.00	24
6514	-120	-128	Max	24.59	0.16	11	-0.23	23	-0.03	12	-18.88	23	-2.00	23	0.00	24
6514	-120	-128	Min.	2.83	-1.25	22	-0.57	24	0.01	23	-45.80	24	2.01	23	0.00	23
6514	-120	-128	Min.	24.59	-1.25	22	-0.57	24	-0.06	24	-46.65	24	-5.00	24	0.00	23
6515	-88	-96	Max	2.83	4.25	23	-0.16	23	0.05	24	-13.72	23	4.06	24	0.00	24
6515	-88	-96	Max	25.22	4.25	23	-0.16	23	-0.02	12	-14.60	23	-1.58	23	0.00	24

6515	-88	-96	Min.	2.83	-1.80	24	-0.42	24	0.01	23	-35.75	24	1.59	23	0.00	23
6515	-88	-96	Min.	25.22	-1.80	24	-0.42	24	-0.05	24	-36.63	24	-4.04	24	0.00	23
6516	-56	-64	Max	2.83	13.39	11	-0.14	23	0.04	22	-14.98	23	5.06	24	0.00	24
6516	-56	-64	Max	25.84	13.39	11	-0.14	23	-0.02	12	-16.79	23	-2.02	12	0.00	24
6516	-56	-64	Min.	2.83	-100.33	23	-0.38	22	0.01	23	-41.78	22	0.44	23	0.00	23
6516	-56	-64	Min.	25.84	-100.33	23	-0.38	22	-0.04	22	-43.59	22	-4.77	22	0.00	23
6517	-24	-32	Max	2.83	50.96	11	-0.08	23	0.03	22	-7.68	23	3.31	22	0.00	24
6517	-24	-32	Max	26.15	50.96	11	-0.08	23	-0.01	23	-9.51	23	-0.70	23	0.00	24
6517	-24	-32	Min.	2.83	-240.15	23	-0.23	22	0.01	23	-26.51	22	1.31	23	0.00	23
6517	-24	-32	Min.	26.15	-240.15	23	-0.23	22	-0.03	22	-28.34	22	-3.09	22	0.00	23
6518	360	372	Max	1.77	362.69	23	19.97	21	-0.13	22	523.34	23	1.89	11	0.84	23
6518	360	372	Max	15.00	362.69	23	19.97	21	2.08	21	522.40	23	38.35	23	0.84	23
6518	360	372	Min.	1.77	-35.51	24	3.67	22	-0.56	21	-54.95	11	-30.83	23	0.12	22
6518	360	372	Min.	15.00	-35.51	24	3.67	22	0.35	22	-55.89	11	-5.44	11	0.12	22
6518	372	384	Max	0.00	380.80	23	-3.21	22	2.03	21	-7.54	11	42.01	23	-0.12	22
6518	372	384	Max	13.23	380.80	23	-3.21	22	-0.11	22	-8.48	11	0.15	11	-0.12	22
6518	372	384	Min.	0.00	-5.26	11	-19.36	21	0.32	22	-558.04	23	1.21	11	-0.84	23
6518	372	384	Min.	13.23	-5.26	11	-19.36	21	-0.53	21	-558.98	23	-31.89	23	-0.84	23
6560	-517	-518	Max	0.00	-0.00	11	10.12	21	-0.10	22	1.74	21	-0.04	23	0.64	21
6560	-517	-518	Max	12.00	-0.00	11	10.12	21	0.67	21	3.82	21	0.25	21	0.64	21
6560	-517	-518	Min.	0.00	-2.18	23	1.80	22	-0.54	21	0.64	12	-0.09	24	0.16	12
6560	-517	-518	Min.	12.00	-2.18	23	1.80	22	0.12	22	2.24	12	0.11	12	0.16	12
6561	-533	-534	Max	0.00	0.11	11	12.34	21	-0.10	22	1.05	23	0.15	24	0.42	21
6561	-533	-534	Max	12.00	0.11	11	12.34	21	0.77	21	2.65	23	0.25	21	0.42	21
6561	-533	-534	Min.	0.00	-1.83	23	1.71	22	-0.71	21	-1.56	24	0.02	23	0.09	12
6561	-533	-534	Min.	12.00	-1.83	23	1.71	22	0.10	22	0.04	24	0.03	22	0.09	12
6562	319	320	Max	1.77	-19.29	23	-0.08	22	0.36	23	5.05	23	-0.71	12	-0.01	22
6562	319	320	Max	14.34					0.01	11			-0.80	11		
6562	319	320	Max	15.00	-19.29	23	-0.08	22	0.02	22	4.11	23	-0.48	23	-0.01	22
6562	319	320	Min.	1.77	-36.45	21	-2.65	23	0.02	12	0.91	24	-1.47	21	-0.28	23
6562	319	320	Min.	14.34					0.02	24			-0.94	24		
6562	319	320	Min.	15.00	-36.45	21	-2.65	23	0.01	23	-0.03	24	-0.94	24	-0.28	23
6562	320	321	Max	0.00	-19.29	23	-0.08	22	0.02	22	4.11	23	-0.48	23	-0.01	22
6562	320	321	Max	0.33					0.02	22			-0.72	22		
6562	320	321	Max	13.23	-19.29	23	-0.08	22	0.01	22	3.17	23	0.00	23	-0.01	22
6562	320	321	Min.	0.00	-36.45	21	-2.65	23	0.01	23	-0.03	24	-0.94	24	-0.28	23
6562	320	321	Min.	0.33					0.02	22			-0.72	22		
6562	320	321	Min.	13.23	-36.45	21	-2.65	23	-0.34	23	-0.97	24	-1.01	24	-0.28	23
6563	-5	-6	Max	2.83	98.88	24	-0.03	22	0.07	21	31.82	23	0.21	24	0.00	12
6563	-5	-6	Max	23.57					0.00	24			0.39	24		
6563	-5	-6	Max	26.15	98.88	24	-0.03	22	0.01	11	29.99	23	3.72	23	0.00	12
6563	-5	-6	Min.	2.83	50.66	23	-0.58	23	0.01	22	1.63	24	-3.49	23	-0.00	23
6563	-5	-6	Min.	23.99					0.00	12			0.28	12		
6563	-5	-6	Min.	26.15	50.66	23	-0.58	23	-0.06	23	-0.20	24	0.28	12	-0.00	23
6564	-37	-38	Max	2.83	26.32	24	0.17	23	0.02	11	50.30	23	0.37	24	0.03	23
6564	-37	-38	Max	25.84	26.32	24	0.17	23	0.04	21	48.50	23	5.90	23	0.03	23
6564	-37	-38	Min.	2.83	12.78	23	-0.00	24	-0.01	23	2.27	22	-5.47	23	0.00	22
6564	-37	-38	Min.	25.84	12.78	23	-0.00	24	0.00	22	0.46	22	0.51	12	0.00	22
6565	-69	-70	Max	2.83	-1.77	12	0.49	23	0.02	11	42.85	23	-0.15	22	0.00	23
6565	-69	-70	Max	25.22	-1.77	12	0.49	23	0.07	21	41.97	23	4.69	23	0.00	23
6565	-69	-70	Min.	2.83	-3.73	21	0.01	22	-0.04	23	1.64	22	-4.80	23	-0.00	24
6565	-69	-70	Min.	25.22	-3.73	21	0.01	22	0.01	22	0.76	22	0.11	24	-0.00	24
6566	-101	-102	Max	2.83	0.07	22	0.66	23	0.02	11	54.17	23	-0.18	22	0.00	23
6566	-101	-102	Max	24.59	0.07	22	0.66	23	0.09	21	53.32	23	5.79	23	0.00	23
6566	-101	-102	Min.	2.83	-1.51	23	0.02	22	-0.06	23	1.99	22	-5.91	23	-0.00	24
6566	-101	-102	Min.	24.59	-1.51	23	0.02	22	0.01	22	1.14	22	0.16	11	-0.00	24
6567	-133	-134	Max	2.83	-0.14	22	0.73	23	0.02	11	57.28	23	-0.19	22	0.00	23
6567	-133	-134	Max	23.97	-0.14	22	0.73	23	0.10	21	56.45	23	5.94	23	0.00	23
6567	-133	-134	Min.	2.83	-1.57	21	0.02	24	-0.06	23	2.12	22	-6.08	23	-0.00	24

6567	-133	-134	Min.	23.97	-1.57	21	0.02	24	0.01	22	1.29	22	0.17	24	-0.00	24
6568	-165	-166	Max	2.83	-0.10	22	0.77	23	0.03	11	58.51	23	-0.20	22	0.00	23
6568	-165	-166	Max	23.34	-0.10	22	0.77	23	0.10	21	57.71	23	5.89	23	0.00	23
6568	-165	-166	Min.	2.83	-1.53	23	0.02	24	-0.06	23	2.20	22	-6.03	23	-0.00	24
6568	-165	-166	Min.	23.34	-1.53	23	0.02	24	0.01	22	1.40	22	0.17	11	-0.00	24
6569	-197	-198	Max	2.83	-0.14	22	0.78	23	0.03	11	59.37	23	-0.20	22	0.00	23
6569	-197	-198	Max	22.72	-0.14	22	0.78	23	0.10	21	58.59	23	5.80	23	0.00	23
6569	-197	-198	Min.	2.83	-1.53	23	0.02	24	-0.06	23	2.28	22	-5.93	23	-0.00	24
6569	-197	-198	Min.	22.72	-1.53	23	0.02	24	0.01	22	1.50	22	0.17	11	-0.00	24
6570	-229	-230	Max	2.83	-0.12	22	0.80	23	0.03	11	60.18	23	-0.20	22	0.00	23
6570	-229	-230	Max	22.09	-0.12	22	0.80	23	0.10	21	59.42	23	5.69	23	0.00	23
6570	-229	-230	Min.	2.83	-1.54	21	0.02	24	-0.06	23	2.36	22	-5.83	23	-0.00	24
6570	-229	-230	Min.	22.09	-1.54	21	0.02	24	0.01	22	1.60	22	0.18	24	-0.00	24
6571	-261	-262	Max	2.83	-0.14	22	0.81	23	0.03	11	61.02	23	-0.21	22	0.00	23
6571	-261	-262	Max	21.47	-0.14	22	0.81	23	0.10	21	60.29	23	5.58	23	0.00	23
6571	-261	-262	Min.	2.83	-1.55	21	0.03	24	-0.06	23	2.45	22	-5.72	23	-0.00	24
6571	-261	-262	Min.	21.47	-1.55	21	0.03	24	0.01	22	1.71	22	0.18	24	-0.00	24
6572	-293	-294	Max	2.83	-0.16	22	0.82	23	0.03	11	61.93	23	-0.21	22	0.00	23
6572	-293	-294	Max	20.84	-0.16	22	0.82	23	0.10	21	61.23	23	5.48	23	0.00	23
6572	-293	-294	Min.	2.83	-1.55	21	0.03	22	-0.06	23	2.54	22	-5.62	23	-0.00	24
6572	-293	-294	Min.	20.84	-1.55	21	0.03	22	0.02	22	1.83	22	0.18	24	-0.00	24
6573	-325	-326	Max	2.83	-0.15	22	0.84	23	0.03	11	62.90	23	-0.21	22	0.00	23
6573	-325	-326	Max	20.22	-0.15	22	0.84	23	0.10	21	62.22	23	5.37	23	0.00	23
6573	-325	-326	Min.	2.83	-1.58	21	0.03	22	-0.06	23	2.64	22	-5.51	23	-0.00	24
6573	-325	-326	Min.	20.22	-1.58	21	0.03	22	0.02	22	1.96	22	0.18	24	-0.00	24
6574	-357	-358	Max	2.83	-0.18	22	0.86	23	0.03	11	63.94	23	-0.22	22	0.00	23
6574	-357	-358	Max	19.59	-0.18	22	0.86	23	0.10	21	63.29	23	5.26	23	0.00	23
6574	-357	-358	Min.	2.83	-1.59	21	0.03	22	-0.05	23	2.75	22	-5.40	23	-0.00	24
6574	-357	-358	Min.	19.59	-1.59	21	0.03	22	0.02	22	2.09	22	0.18	24	-0.00	24
6575	-389	-390	Max	2.83	-0.08	12	0.87	23	0.03	11	65.03	23	-0.22	22	0.00	23
6575	-389	-390	Max	18.97	-0.08	12	0.87	23	0.10	21	64.39	23	5.14	23	0.00	23
6575	-389	-390	Min.	2.83	-1.44	23	0.03	22	-0.05	23	2.86	22	-5.30	23	0.00	24
6575	-389	-390	Min.	18.97	-1.44	23	0.03	22	0.02	22	2.23	22	0.18	11	0.00	24
6576	-421	-422	Max	2.83	-0.41	22	0.88	23	0.03	11	66.04	23	-0.22	22	0.00	23
6576	-421	-422	Max	18.34	-0.41	22	0.88	23	0.10	21	65.43	23	5.03	23	0.00	23
6576	-421	-422	Min.	2.83	-3.57	21	0.04	22	-0.05	23	2.98	22	-5.17	23	0.00	24
6576	-421	-422	Min.	18.34	-3.57	21	0.04	22	0.02	22	2.38	22	0.19	22	0.00	24
6577	-453	-454	Max	2.83	11.95	21	0.86	23	0.03	11	65.97	23	-0.23	22	0.00	23
6577	-453	-454	Max	17.72	11.95	21	0.86	23	0.09	21	65.39	23	4.76	23	0.00	23
6577	-453	-454	Min.	2.83	1.32	22	0.03	24	-0.05	23	3.05	22	-5.02	23	0.00	24
6577	-453	-454	Min.	17.72	1.32	22	0.03	24	0.02	22	2.46	22	0.08	11	0.00	24
6578	-485	-486	Max	2.83	-10.57	22	0.75	23	0.02	24	58.95	23	0.40	11	0.01	23
6578	-485	-486	Max	17.09	-10.57	22	0.75	23	0.07	21	58.39	23	4.47	21	0.01	23
6578	-485	-486	Min.	2.83	-81.92	21	0.03	22	-0.04	23	2.83	22	-3.92	23	0.00	12
6578	-485	-486	Min.	17.09	-81.92	21	0.03	22	0.02	22	2.27	22	0.25	22	0.00	12
6582	-493	-494	Max	3.53	179.26	21	-0.06	22	0.07	21	56.48	23	-1.08	22	-0.00	22
6582	-493	-494	Max	17.80	179.26	21	-0.06	22	0.02	24	55.92	23	3.27	23	-0.00	22
6582	-493	-494	Min.	3.53	89.20	22	-0.70	23	0.02	22	4.59	22	-5.34	21	-0.00	21
6582	-493	-494	Min.	17.80	89.20	22	-0.70	23	-0.04	23	4.03	22	-0.98	11	-0.00	21
6583	-461	-462	Max	3.53	-15.29	22	-0.06	22	0.09	21	63.04	23	-0.16	11	0.00	23
6583	-461	-462	Max	18.42	-15.29	22	-0.06	22	0.02	11	62.45	23	4.86	23	0.00	23
6583	-461	-462	Min.	3.53	-32.14	21	-0.81	23	0.02	22	4.56	22	-4.48	23	-0.00	24
6583	-461	-462	Min.	18.42	-32.14	21	-0.81	23	-0.04	23	3.97	22	0.45	22	-0.00	24
6584	-429	-430	Max	3.53	4.34	11	-0.06	22	0.10	21	63.30	23	-0.33	22	0.00	23
6584	-429	-430	Max	19.05	4.34	11	-0.06	22	0.02	11	62.69	23	4.94	23	0.00	23
6584	-429	-430	Min.	3.53	1.09	23	-0.84	23	0.02	22	4.56	22	-4.83	23	-0.00	24
6584	-429	-430	Min.	19.05	1.09	23	-0.84	23	-0.05	23	3.95	22	0.33	22	-0.00	24
6585	-397	-398	Max	3.53	-0.20	22	-0.06	22	0.10	21	62.44	23	-0.31	22	0.00	23
6585	-397	-398	Max	19.67	-0.20	22	-0.06	22	0.02	11	61.81	23	5.08	23	0.00	23

6585	-397	-398	Min.	3.53	-1.56	21	-0.83	23	0.02	22	4.37	22	-4.94	23	-0.00	24
6585	-397	-398	Min.	19.67	-1.56	21	-0.83	23	-0.05	23	3.73	22	0.34	22	-0.00	24
6586	-365	-366	Max	3.53	0.23	11	-0.05	22	0.10	21	61.48	23	-0.31	22	0.00	23
6586	-365	-366	Max	20.30	0.23	11	-0.05	22	0.02	11	60.82	23	5.19	23	0.00	23
6586	-365	-366	Min.	3.53	-1.23	23	-0.82	23	0.02	22	4.16	22	-5.06	23	-0.00	11
6586	-365	-366	Min.	20.30	-1.23	23	-0.82	23	-0.05	23	3.51	22	0.33	22	-0.00	11
6587	-333	-334	Max	3.53	0.25	11	-0.05	22	0.10	21	60.56	23	-0.31	22	0.00	23
6587	-333	-334	Max	20.92	0.25	11	-0.05	22	0.02	11	59.87	23	5.30	23	0.00	23
6587	-333	-334	Min.	3.53	-1.23	23	-0.80	23	0.02	22	3.98	22	-5.17	23	-0.00	11
6587	-333	-334	Min.	20.92	-1.23	23	-0.80	23	-0.05	23	3.30	22	0.33	22	-0.00	11
6588	-301	-302	Max	3.53	0.15	11	-0.05	22	0.10	21	59.71	23	-0.30	22	0.00	23
6588	-301	-302	Max	21.55	0.15	11	-0.05	22	0.02	11	59.00	23	5.40	23	0.00	23
6588	-301	-302	Min.	3.53	-1.28	23	-0.79	23	0.02	22	3.81	22	-5.29	23	-0.00	11
6588	-301	-302	Min.	21.55	-1.28	23	-0.79	23	-0.05	23	3.11	22	0.32	22	-0.00	11
6589	-269	-270	Max	3.53	0.19	11	-0.05	22	0.10	21	58.90	23	-0.30	22	0.00	23
6589	-269	-270	Max	22.17	0.19	11	-0.05	22	0.02	11	58.17	23	5.51	23	0.00	23
6589	-269	-270	Min.	3.53	-1.26	23	-0.78	23	0.02	22	3.66	22	-5.40	23	-0.00	11
6589	-269	-270	Min.	22.17	-1.26	23	-0.78	23	-0.06	23	2.93	22	0.31	22	-0.00	11
6590	-237	-238	Max	3.53	0.22	11	-0.04	22	0.10	21	58.16	23	-0.30	22	0.00	23
6590	-237	-238	Max	22.80	0.22	11	-0.04	22	0.02	11	57.40	23	5.62	23	0.00	23
6590	-237	-238	Min.	3.53	-1.24	23	-0.77	23	0.02	22	3.51	22	-5.51	23	-0.00	11
6590	-237	-238	Min.	22.80	-1.24	23	-0.77	23	-0.06	23	2.76	22	0.31	22	-0.00	11
6591	-205	-206	Max	3.53	0.14	11	-0.04	22	0.10	21	57.45	23	-0.30	22	0.00	23
6591	-205	-206	Max	23.42	0.14	11	-0.04	22	0.02	11	56.67	23	5.72	23	0.00	23
6591	-205	-206	Min.	3.53	-1.29	23	-0.75	23	0.01	22	3.38	22	-5.62	23	-0.00	11
6591	-205	-206	Min.	23.42	-1.29	23	-0.75	23	-0.06	23	2.60	22	0.30	22	-0.00	11
6592	-173	-174	Max	3.53	0.20	11	-0.04	22	0.10	21	56.68	23	-0.29	22	0.00	23
6592	-173	-174	Max	24.05	0.20	11	-0.04	22	0.02	11	55.87	23	5.82	23	0.00	23
6592	-173	-174	Min.	3.53	-1.25	23	-0.74	23	0.01	22	3.25	22	-5.72	23	-0.00	11
6592	-173	-174	Min.	24.05	-1.25	23	-0.74	23	-0.06	23	2.45	22	0.29	22	-0.00	11
6593	-141	-142	Max	3.53	0.14	11	-0.04	22	0.10	21	55.54	23	-0.29	22	0.00	23
6593	-141	-142	Max	24.67	0.14	11	-0.04	22	0.02	11	54.71	23	5.87	23	0.00	23
6593	-141	-142	Min.	3.53	-1.30	23	-0.71	23	0.01	22	3.11	22	-5.78	23	-0.00	11
6593	-141	-142	Min.	24.67	-1.30	23	-0.71	23	-0.06	23	2.28	22	0.28	22	-0.00	11
6594	-109	-110	Max	3.53	0.38	11	-0.03	22	0.09	21	52.57	23	-0.27	22	0.00	23
6594	-109	-110	Max	25.30	0.38	11	-0.03	22	0.02	11	51.72	23	5.72	23	0.00	23
6594	-109	-110	Min.	3.53	-1.03	23	-0.64	23	0.01	22	2.91	22	-5.63	23	-0.00	11
6594	-109	-110	Min.	25.30	-1.03	23	-0.64	23	-0.06	23	2.05	22	0.27	22	-0.00	11
6595	-77	-78	Max	3.53	-1.43	12	-0.02	22	0.07	21	41.62	23	-0.23	22	0.00	23
6595	-77	-78	Max	25.92	-1.43	12	-0.02	22	0.02	11	40.74	23	4.63	23	0.00	23
6595	-77	-78	Min.	3.53	-3.08	21	-0.48	23	0.01	22	2.35	22	-4.59	23	-0.00	11
6595	-77	-78	Min.	25.92	-3.08	21	-0.48	23	-0.04	23	1.48	22	0.20	22	-0.00	11
6596	-45	-46	Max	3.53	24.18	24	-0.01	22	0.04	21	48.76	23	0.22	24	-0.00	22
6596	-45	-46	Max	26.55	24.18	24	-0.01	22	0.02	11	46.96	23	5.86	23	-0.00	22
6596	-45	-46	Min.	3.53	11.30	23	-0.16	23	0.01	22	3.02	22	-5.16	23	-0.03	23
6596	-45	-46	Min.	26.55	11.30	23	-0.16	23	-0.01	23	1.22	22	0.65	22	-0.03	23
6597	-13	-14	Max	3.53	96.00	24	0.58	23	0.01	11	30.74	23	0.18	24	0.00	23
6597	-13	-14	Max	26.86	96.00	24	0.58	23	0.08	21	28.91	23	3.71	23	0.00	23
6597	-13	-14	Min.	3.53	52.17	23	0.03	22	-0.06	23	2.23	22	-3.24	23	0.00	11
6597	-13	-14	Min.	26.86	52.17	23	0.03	22	0.01	22	0.40	22	0.42	22	0.00	11
6598	343	344	Max	1.77	-7.68	23	4.86	21	-0.68	12	-0.12	22	0.37	23	0.28	23
6598	343	344	Max	15.00	-7.68	23	3.87	23	-0.44	23	-0.12	22	0.05	21	0.28	23
6598	343	344	Min.	1.77	-16.20	24	1.13	22	-1.38	21	-2.58	23	0.05	22	0.01	22
6598	343	344	Min.	15.00	-16.20	24	0.19	22	-0.84	24	-2.58	23	0.03	23	0.01	22
6598	344	345	Max	0.00	-7.68	23	3.87	23	-0.44	23	-0.12	22	0.05	21	0.28	23
6598	344	345	Max	3.60					-0.83	24			0.04	24		
6598	344	345	Max	13.23	-7.68	23	2.93	23	0.01	23	-0.12	22	0.03	24	0.28	23
6598	344	345	Min.	0.00	-16.20	24	0.19	22	-0.84	24	-2.58	23	0.03	23	0.01	22
6598	344	345	Min.	2.65					-0.64	22			0.03	22		

6598	344	345	Min.	13.23	-16.20	24	-0.75	22	-0.86	24	-2.58	23	-0.32	23	0.01	22
6606	355	356	Max	1.77	-2.54	22	-0.13	22	0.37	23	4.79	21	-0.45	22	-0.01	22
6606	355	356	Max	15.00	-2.54	22	-0.13	22	0.05	21	3.83	23	-0.36	22	-0.01	22
6606	355	356	Min.	1.77	-14.19	21	-2.58	23	0.05	22	1.12	12	-1.37	21	-0.28	23
6606	355	356	Min.	15.00	-14.19	21	-2.58	23	0.03	23	0.18	12	-0.82	21	-0.28	23
6606	356	357	Max	0.00	-2.54	22	-0.13	22	0.05	21	3.83	23	-0.36	22	-0.01	22
6606	356	357	Max	2.65					0.03	22			-0.36	22		
6606	356	357	Max	13.23	-2.54	22	-0.13	22	0.03	24	2.89	23	0.00	23	-0.01	22
6606	356	357	Min.	0.00	-14.19	21	-2.58	23	0.03	23	0.18	12	-0.82	21	-0.28	23
6606	356	357	Min.	2.65					0.04	11			-0.72	11		
6606	356	357	Min.	13.23	-14.19	21	-2.58	23	-0.31	23	-0.76	12	-0.76	11	-0.28	23
6607	-21	-22	Max	2.83	94.85	21	-0.03	22	0.06	23	30.72	23	0.14	11	0.00	11
6607	-21	-22	Max	26.15	94.85	21	-0.03	22	-0.01	12	28.89	23	3.65	23	0.00	11
6607	-21	-22	Min.	2.83	45.18	22	-0.58	23	-0.01	24	2.39	22	-3.30	23	-0.00	23
6607	-21	-22	Min.	26.15	45.18	22	-0.58	23	-0.07	21	0.56	22	0.36	22	-0.00	23
6608	-53	-54	Max	2.83	23.20	21	0.15	23	-0.02	12	48.73	23	0.16	11	0.03	23
6608	-53	-54	Max	25.84	23.20	21	0.15	23	0.01	23	46.92	23	5.75	23	0.03	23
6608	-53	-54	Min.	2.83	10.89	22	0.01	22	-0.04	21	3.29	22	-5.26	23	0.00	22
6608	-53	-54	Min.	25.84	10.89	22	0.01	22	-0.02	24	1.48	22	0.53	22	0.00	22
6609	-85	-86	Max	2.83	-0.87	22	0.48	23	-0.02	12	41.53	23	-0.24	22	0.00	24
6609	-85	-86	Max	25.22	-0.87	22	0.48	23	0.04	23	40.65	23	4.55	23	0.00	24
6609	-85	-86	Min.	2.83	-3.27	21	0.02	22	-0.07	21	2.52	22	-4.65	23	-0.00	23
6609	-85	-86	Min.	25.22	-3.27	21	0.02	22	-0.02	24	1.64	22	0.22	12	-0.00	23
6610	-117	-118	Max	2.83	0.42	24	0.64	23	-0.02	12	52.46	23	-0.29	22	0.00	24
6610	-117	-118	Max	24.59	0.42	24	0.64	23	0.06	23	51.61	23	5.61	23	0.00	24
6610	-117	-118	Min.	2.83	-1.25	23	0.03	22	-0.09	21	3.13	22	-5.71	23	-0.00	23
6610	-117	-118	Min.	24.59	-1.25	23	0.03	22	-0.03	24	2.27	22	0.29	22	-0.00	23
6611	-149	-150	Max	2.83	0.18	24	0.71	23	-0.03	12	55.42	23	-0.31	22	0.00	24
6611	-149	-150	Max	23.97	0.18	24	0.71	23	0.06	23	54.59	23	5.76	23	0.00	24
6611	-149	-150	Min.	2.83	-1.33	23	0.04	22	-0.10	21	3.35	22	-5.86	23	-0.00	23
6611	-149	-150	Min.	23.97	-1.33	23	0.04	22	-0.03	24	2.52	22	0.31	22	-0.00	23
6612	-181	-182	Max	2.83	0.25	24	0.73	23	-0.03	12	56.55	23	-0.32	22	0.00	24
6612	-181	-182	Max	23.34	0.25	24	0.73	23	0.06	23	55.74	23	5.71	23	0.00	24
6612	-181	-182	Min.	2.83	-1.28	23	0.04	22	-0.10	21	3.51	22	-5.81	23	-0.00	23
6612	-181	-182	Min.	23.34	-1.28	23	0.04	22	-0.03	24	2.70	22	0.32	22	-0.00	23
6613	-213	-214	Max	2.83	0.17	24	0.75	23	-0.03	12	57.31	23	-0.32	22	0.00	24
6613	-213	-214	Max	22.72	0.17	24	0.75	23	0.06	23	56.53	23	5.61	23	0.00	24
6613	-213	-214	Min.	2.83	-1.31	23	0.04	22	-0.10	21	3.65	22	-5.71	23	-0.00	23
6613	-213	-214	Min.	22.72	-1.31	23	0.04	22	-0.03	24	2.87	22	0.33	22	-0.00	23
6614	-245	-246	Max	2.83	0.26	24	0.76	23	-0.03	12	58.01	23	-0.32	22	0.00	24
6614	-245	-246	Max	22.09	0.26	24	0.76	23	0.06	23	57.26	23	5.50	23	0.00	24
6614	-245	-246	Min.	2.83	-1.26	23	0.05	22	-0.10	21	3.79	22	-5.60	23	-0.00	23
6614	-245	-246	Min.	22.09	-1.26	23	0.05	22	-0.03	24	3.04	22	0.33	22	-0.00	23
6615	-277	-278	Max	2.83	0.23	24	0.77	23	-0.03	12	58.75	23	-0.33	22	0.00	24
6615	-277	-278	Max	21.47	0.23	24	0.77	23	0.06	23	58.02	23	5.39	23	0.00	24
6615	-277	-278	Min.	2.83	-1.28	23	0.05	22	-0.10	21	3.95	22	-5.49	23	-0.00	23
6615	-277	-278	Min.	21.47	-1.28	23	0.05	22	-0.03	24	3.22	22	0.34	22	-0.00	23
6616	-309	-310	Max	2.83	0.18	24	0.79	23	-0.03	12	59.55	23	-0.33	22	0.00	24
6616	-309	-310	Max	20.84	0.18	24	0.79	23	0.05	23	58.84	23	5.28	23	0.00	24
6616	-309	-310	Min.	2.83	-1.31	23	0.05	22	-0.10	21	4.12	22	-5.38	23	-0.00	23
6616	-309	-310	Min.	20.84	-1.31	23	0.05	22	-0.03	24	3.41	22	0.35	22	-0.00	23
6617	-341	-342	Max	2.83	0.29	24	0.80	23	-0.03	12	60.39	23	-0.33	22	0.00	24
6617	-341	-342	Max	20.22	0.29	24	0.80	23	0.05	23	59.71	23	5.17	23	0.00	24
6617	-341	-342	Min.	2.83	-1.25	23	0.05	22	-0.10	21	4.30	22	-5.27	23	-0.00	23
6617	-341	-342	Min.	20.22	-1.25	23	0.05	22	-0.03	24	3.62	22	0.35	22	-0.00	23
6618	-373	-374	Max	2.83	0.27	24	0.81	23	-0.03	12	61.30	23	-0.34	22	0.00	24
6618	-373	-374	Max	19.59	0.27	24	0.81	23	0.05	23	60.64	23	5.06	23	0.00	24
6618	-373	-374	Min.	2.83	-1.26	23	0.06	22	-0.10	21	4.50	22	-5.15	23	-0.00	23
6618	-373	-374	Min.	19.59	-1.26	23	0.06	22	-0.03	24	3.84	22	0.36	22	-0.00	23

6619	-405	-406	Max	2.83	-0.24	22	0.82	23	-0.03	22	62.25	23	-0.34	22	0.00	24
6619	-405	-406	Max	18.97	-0.24	22	0.82	23	0.05	23	61.62	23	4.96	23	0.00	24
6619	-405	-406	Min.	2.83	-1.59	21	0.06	22	-0.10	21	4.72	22	-5.04	23	-0.00	23
6619	-405	-406	Min.	18.97	-1.59	21	0.06	22	-0.03	24	4.09	22	0.37	22	-0.00	23
6620	-437	-438	Max	2.83	4.83	24	0.83	23	-0.03	22	63.09	23	-0.36	22	0.00	24
6620	-437	-438	Max	18.34	4.83	24	0.83	23	0.05	23	62.48	23	4.81	23	0.00	24
6620	-437	-438	Min.	2.83	1.08	23	0.06	22	-0.10	21	4.92	22	-4.93	23	-0.00	23
6620	-437	-438	Min.	18.34	1.08	23	0.06	22	-0.03	24	4.31	22	0.35	22	-0.00	23
6621	-469	-470	Max	2.83	-17.03	23	0.81	23	-0.03	22	63.09	23	-0.18	24	0.00	24
6621	-469	-470	Max	17.72	-17.03	23	0.81	23	0.04	23	62.50	23	4.75	23	0.00	24
6621	-469	-470	Min.	2.83	-32.17	21	0.06	22	-0.09	21	5.23	22	-4.60	23	-0.00	23
6621	-469	-470	Min.	17.72	-32.17	21	0.06	22	-0.03	24	4.65	22	0.55	22	-0.00	23
6622	-501	-502	Max	2.83	180.08	21	0.68	23	-0.02	22	55.75	23	-1.35	22	0.00	21
6622	-501	-502	Max	17.09	180.08	21	0.68	23	0.04	23	55.19	23	3.11	23	0.00	21
6622	-501	-502	Min.	2.83	90.50	23	0.05	22	-0.07	21	4.32	22	-5.34	21	0.00	22
6622	-501	-502	Min.	17.09	90.50	23	0.05	22	-0.02	24	3.76	22	-1.21	24	0.00	22
6626	-509	-510	Max	3.53	-41.64	23	-0.01	24	0.04	23	58.78	23	0.65	24	0.00	24
6626	-509	-510	Max	17.80	-41.64	23	-0.01	24	-0.02	22	58.23	23	4.56	23	0.00	24
6626	-509	-510	Min.	3.53	-98.76	24	-0.74	23	-0.02	24	2.79	22	-3.79	23	-0.01	23
6626	-509	-510	Min.	17.80	-98.76	24	-0.74	23	-0.07	21	2.23	22	0.65	12	-0.01	23
6627	-477	-478	Max	3.53	16.31	24	-0.03	24	0.05	23	66.13	23	-0.32	12	0.00	24
6627	-477	-478	Max	18.42	16.31	24	-0.03	24	-0.03	22	65.54	23	4.89	23	0.00	24
6627	-477	-478	Min.	3.53	5.10	23	-0.86	23	-0.03	24	3.34	12	-4.91	23	0.00	23
6627	-477	-478	Min.	18.42	5.10	23	-0.86	23	-0.09	21	2.76	12	0.08	24	0.00	23
6628	-445	-446	Max	3.53	-1.64	12	-0.03	11	0.05	23	66.07	23	-0.23	12	0.00	24
6628	-445	-446	Max	19.05	-1.64	12	-0.03	11	-0.03	22	65.47	23	5.15	23	0.00	24
6628	-445	-446	Min.	3.53	-3.56	21	-0.88	23	-0.03	24	3.17	12	-5.05	23	-0.00	23
6628	-445	-446	Min.	19.05	-3.56	21	-0.88	23	-0.10	21	2.56	12	0.21	12	-0.00	23
6629	-413	-414	Max	3.53	0.01	22	-0.03	24	0.05	23	65.06	23	-0.24	12	0.00	24
6629	-413	-414	Max	19.67	0.01	22	-0.03	24	-0.03	12	64.43	23	5.26	23	0.00	24
6629	-413	-414	Min.	3.53	-1.41	23	-0.87	23	-0.03	24	3.04	12	-5.18	23	-0.00	23
6629	-413	-414	Min.	19.67	-1.41	23	-0.87	23	-0.10	21	2.40	12	0.20	24	-0.00	23
6630	-381	-382	Max	3.53	-0.25	12	-0.03	24	0.05	23	63.98	23	-0.23	12	0.00	24
6630	-381	-382	Max	20.30	-0.25	12	-0.03	24	-0.03	12	63.32	23	5.38	23	0.00	24
6630	-381	-382	Min.	3.53	-1.56	21	-0.85	23	-0.03	24	2.91	12	-5.29	23	-0.00	23
6630	-381	-382	Min.	20.30	-1.56	21	-0.85	23	-0.10	21	2.26	12	0.20	22	-0.00	23
6631	-349	-350	Max	3.53	-0.24	12	-0.03	24	0.06	23	62.93	23	-0.23	12	0.00	24
6631	-349	-350	Max	20.92	-0.24	12	-0.03	24	-0.03	12	62.25	23	5.48	23	0.00	24
6631	-349	-350	Min.	3.53	-1.55	21	-0.84	23	-0.03	24	2.80	12	-5.40	23	-0.00	23
6631	-349	-350	Min.	20.92	-1.55	21	-0.84	23	-0.10	21	2.11	12	0.19	22	-0.00	23
6632	-317	-318	Max	3.53	-0.22	12	-0.03	24	0.06	23	61.96	23	-0.23	12	0.00	24
6632	-317	-318	Max	21.55	-0.22	12	-0.03	24	-0.03	12	61.25	23	5.59	23	0.00	24
6632	-317	-318	Min.	3.53	-1.52	21	-0.82	23	-0.03	24	2.69	12	-5.51	23	-0.00	23
6632	-317	-318	Min.	21.55	-1.52	21	-0.82	23	-0.10	21	1.98	12	0.19	22	-0.00	23
6633	-285	-286	Max	3.53	-0.22	12	-0.03	24	0.06	23	61.04	23	-0.22	12	0.00	24
6633	-285	-286	Max	22.17	-0.22	12	-0.03	24	-0.03	12	60.31	23	5.69	23	0.00	24
6633	-285	-286	Min.	3.53	-1.52	21	-0.81	23	-0.03	24	2.58	12	-5.62	23	-0.00	23
6633	-285	-286	Min.	22.17	-1.52	21	-0.81	23	-0.10	21	1.85	12	0.19	22	-0.00	23
6634	-253	-254	Max	3.53	-0.22	12	-0.02	24	0.06	23	60.20	23	-0.22	12	0.00	24
6634	-253	-254	Max	22.80	-0.22	12	-0.02	24	-0.03	12	59.44	23	5.80	23	0.00	24
6634	-253	-254	Min.	3.53	-1.51	21	-0.80	23	-0.03	24	2.49	12	-5.72	23	-0.00	23
6634	-253	-254	Min.	22.80	-1.51	21	-0.80	23	-0.10	21	1.74	12	0.18	22	-0.00	23
6635	-221	-222	Max	3.53	-0.22	12	-0.02	24	0.06	23	59.39	23	-0.22	12	0.00	24
6635	-221	-222	Max	23.42	-0.22	12	-0.02	24	-0.02	12	58.61	23	5.90	23	0.00	24
6635	-221	-222	Min.	3.53	-1.51	21	-0.78	23	-0.03	24	2.41	12	-5.83	23	-0.00	23
6635	-221	-222	Min.	23.42	-1.51	21	-0.78	23	-0.10	21	1.62	12	0.18	22	-0.00	23
6636	-189	-190	Max	3.53	-0.20	12	-0.02	24	0.06	23	58.53	23	-0.21	12	0.00	24
6636	-189	-190	Max	24.05	-0.20	12	-0.02	24	-0.02	12	57.73	23	6.00	23	0.00	24
6636	-189	-190	Min.	3.53	-1.50	23	-0.76	23	-0.03	24	2.32	12	-5.93	23	-0.00	23

6636	-189	-190	Min.	24.05	-1.50	23	-0.76	23	-0.10	21	1.52	12	0.18	22	-0.00	23
6637	-157	-158	Max	3.53	-0.23	12	-0.02	24	0.06	23	57.29	23	-0.21	12	0.00	24
6637	-157	-158	Max	24.67	-0.23	12	-0.02	24	-0.02	12	56.47	23	6.04	23	0.00	24
6637	-157	-158	Min.	3.53	-1.54	21	-0.73	23	-0.03	24	2.23	12	-5.98	23	-0.00	23
6637	-157	-158	Min.	24.67	-1.54	21	-0.73	23	-0.10	21	1.40	12	0.17	22	-0.00	23
6638	-125	-126	Max	3.53	-0.05	12	-0.02	22	0.06	23	54.19	23	-0.20	12	0.00	24
6638	-125	-126	Max	25.30	-0.05	12	-0.02	22	-0.02	12	53.33	23	5.88	23	0.00	24
6638	-125	-126	Min.	3.53	-1.28	23	-0.66	23	-0.03	24	2.09	12	-5.82	23	-0.00	23
6638	-125	-126	Min.	25.30	-1.28	23	-0.66	23	-0.09	21	1.24	12	0.16	22	-0.00	23
6639	-93	-94	Max	3.53	-1.19	22	-0.02	22	0.04	23	42.87	23	-0.17	12	0.00	24
6639	-93	-94	Max	25.92	-1.19	22	-0.02	22	-0.02	12	41.99	23	4.76	23	0.00	24
6639	-93	-94	Min.	3.53	-3.55	21	-0.49	23	-0.02	24	1.72	12	-4.73	23	0.00	23
6639	-93	-94	Min.	25.92	-3.55	21	-0.49	23	-0.07	21	0.84	12	0.12	24	0.00	23
6640	-61	-62	Max	3.53	23.83	21	0.00	24	0.01	23	50.25	23	0.28	11	0.00	22
6640	-61	-62	Max	26.55	23.83	21	0.00	24	-0.01	12	48.44	23	6.00	23	0.00	22
6640	-61	-62	Min.	3.53	10.50	22	-0.17	23	-0.02	24	2.26	12	-5.35	23	-0.03	23
6640	-61	-62	Min.	26.55	10.50	22	-0.17	23	-0.03	21	0.46	12	0.34	22	-0.03	23
6641	-29	-30	Max	3.53	95.20	21	0.58	23	-0.01	12	31.80	23	0.15	11	0.00	21
6641	-29	-30	Max	24.69					-0.01	11			0.33	11		
6641	-29	-30	Max	26.86	95.20	21	0.58	23	0.06	23	29.97	23	3.78	23	0.00	21
6641	-29	-30	Min.	3.53	39.44	22	0.03	22	-0.07	21	1.67	11	-3.43	23	0.00	12
6641	-29	-30	Min.	24.53					-0.01	22			0.17	22		
6641	-29	-30	Min.	26.86	39.44	22	0.03	22	-0.01	24	-0.16	11	0.16	22	0.00	12
6642	379	380	Max	1.77	-18.59	23	5.08	23	-0.45	22	-0.08	22	0.36	23	0.28	23
6642	379	380	Max	15.00	-18.59	23	4.14	23	-0.38	22	-0.08	22	0.01	21	0.28	23
6642	379	380	Min.	1.77	-35.82	21	0.95	24	-1.48	21	-2.65	23	0.01	22	0.01	22
6642	379	380	Min.	15.00	-35.82	21	0.01	24	-0.91	21	-2.65	23	-0.00	22	0.01	22
6642	380	381	Max	0.00	-18.59	23	4.14	23	-0.38	22	-0.08	22	0.01	21	0.28	23
6642	380	381	Max	0.33					-0.80	11			0.01	11		
6642	380	381	Max	13.23	-18.59	23	3.20	23	0.00	23	-0.08	22	0.00	11	0.28	23
6642	380	381	Min.	0.00	-35.82	21	0.01	24	-0.91	21	-2.65	23	-0.00	22	0.01	22
6642	380	381	Min.	0.66					-0.38	22			-0.00	22		
6642	380	381	Min.	13.23	-35.82	21	-0.93	24	-0.86	11	-2.65	23	-0.34	23	0.01	22
6643	-541	-542	Max	0.00	0.29	24	-2.81	22	0.75	21	1.87	23	0.06	11	-0.07	22
6643	-541	-542	Max	12.00	0.29	24	-2.81	22	-0.19	22	3.66	21	0.31	21	-0.07	22
6643	-541	-542	Min.	0.00	-1.78	23	-12.97	21	0.15	22	-0.55	22	-0.04	23	-0.44	21
6643	-541	-542	Min.	12.00	-1.78	23	-12.97	21	-0.81	21	1.05	22	0.07	22	-0.44	21
6644	-525	-526	Max	0.00	-0.08	22	-3.14	22	0.60	21	0.13	23	0.07	21	-0.10	22
6644	-525	-526	Max	12.00	-0.08	22	-3.14	22	-0.19	22	2.07	21	0.19	21	-0.10	22
6644	-525	-526	Min.	0.00	-2.45	23	-9.90	21	0.19	22	-0.63	22	0.02	22	-0.62	21
6644	-525	-526	Min.	12.00	-2.45	23	-9.90	21	-0.59	21	0.97	22	0.04	22	-0.62	21
6839	-519	-520	Max	0.00	0.40	24	20.68	21	-0.45	22	1.77	21	-0.07	23	0.45	23
6839	-519	-520	Max	12.00	0.40	24	20.68	21	1.35	21	3.85	21	0.21	21	0.45	23
6839	-519	-520	Min.	0.00	-1.77	23	8.08	22	-1.14	21	0.54	12	-0.13	21	-0.03	22
6839	-519	-520	Min.	12.00	-1.77	23	8.08	22	0.52	22	2.14	12	0.07	12	-0.03	22
6840	-535	-536	Max	0.00	-0.20	12	21.80	21	-0.45	22	0.89	23	0.05	24	0.30	23
6840	-535	-536	Max	12.00	-0.20	12	21.80	21	1.34	21	2.63	21	0.18	21	0.30	23
6840	-535	-536	Min.	0.00	-2.03	23	7.43	22	-1.28	21	-0.94	22	-0.04	23	-0.06	22
6840	-535	-536	Min.	12.00	-2.03	23	7.43	22	0.45	22	0.66	22	0.02	22	-0.06	22
6841	322	323	Max	1.77	-6.07	22	-0.18	22	0.33	23	4.18	23	-0.31	12	-0.05	22
6841	322	323	Max	10.65					0.02	12			-0.28	12		
6841	322	323	Max	15.00	-6.07	22	-0.18	22	0.02	24	3.24	23	-0.21	23	-0.05	22
6841	322	323	Min.	1.77	-10.85	21	-2.40	23	0.04	12	0.47	24	-0.81	21	-0.28	21
6841	322	323	Min.	8.02					0.04	24			-0.38	24		
6841	322	323	Min.	15.00	-10.85	21	-2.40	23	0.01	23	-0.48	24	-0.39	24	-0.28	21
6841	323	324	Max	0.00	-6.07	22	-0.18	22	0.02	24	3.24	23	-0.21	23	-0.05	22
6841	323	324	Max	13.23	-6.07	22	-0.18	22	-0.00	22	2.30	23	0.16	23	-0.05	22
6841	323	324	Min.	0.00	-10.85	21	-2.40	23	0.01	23	-0.48	24	-0.39	24	-0.28	21
6841	323	324	Min.	13.23	-10.85	21	-2.40	23	-0.31	23	-1.42	24	-0.52	24	-0.28	21

6842	-7	-8	Max	2.83	45.48	24	-0.13	22	0.08	21	27.67	23	0.07	24	0.00	22
6842	-7	-8	Max	21.97					-0.01	24			0.23	24		
6842	-7	-8	Max	26.15	45.48	24	-0.13	22	-0.01	12	25.84	23	3.16	23	0.00	22
6842	-7	-8	Min.	2.83	23.70	23	-0.61	21	0.01	22	1.59	24	-3.08	23	-0.00	21
6842	-7	-8	Min.	23.36					-0.01	22			0.22	22		
6842	-7	-8	Min.	26.15	23.70	23	-0.61	21	-0.07	21	-0.24	24	0.22	22	-0.00	21
6843	-39	-40	Max	2.83	11.18	24	0.12	23	0.01	11	44.06	23	0.00	24	0.03	23
6843	-39	-40	Max	25.84	11.18	24	0.12	23	0.02	21	42.26	23	5.04	23	0.03	23
6843	-39	-40	Min.	2.83	5.11	23	-0.04	24	-0.01	23	2.72	22	-4.89	23	0.00	22
6843	-39	-40	Min.	25.84	5.11	23	-0.04	24	-0.01	22	0.91	22	0.41	22	0.00	22
6844	-71	-72	Max	2.83	-0.93	22	0.43	23	0.01	11	37.47	23	-0.21	22	0.00	23
6844	-71	-72	Max	16.26					-0.00	22			0.05	22		
6844	-71	-72	Max	25.22	-0.93	22	0.43	23	0.05	21	36.59	23	4.10	23	0.00	23
6844	-71	-72	Min.	2.83	-2.48	21	0.02	22	-0.04	23	2.19	22	-4.19	23	-0.00	24
6844	-71	-72	Min.	16.26					-0.00	22			0.05	22		
6844	-71	-72	Min.	25.22	-2.48	21	0.02	22	0.00	22	1.31	22	0.18	22	-0.00	24
6845	-103	-104	Max	2.83	0.06	22	0.57	23	0.01	11	47.18	23	-0.26	22	0.00	23
6845	-103	-104	Max	15.89					-0.00	22			0.06	22		
6845	-103	-104	Max	24.59	0.06	22	0.57	23	0.07	21	46.33	23	5.03	23	0.00	23
6845	-103	-104	Min.	2.83	-1.55	23	0.03	22	-0.06	23	2.73	22	-5.14	23	-0.00	24
6845	-103	-104	Min.	15.89					-0.00	22			0.06	22		
6845	-103	-104	Min.	24.59	-1.55	23	0.03	22	0.00	22	1.87	22	0.24	22	-0.00	24
6846	-135	-136	Max	2.83	-0.04	22	0.64	23	0.01	11	49.66	23	-0.28	22	0.00	23
6846	-135	-136	Max	23.97	-0.04	22	0.64	23	0.08	21	48.83	23	5.15	23	0.00	23
6846	-135	-136	Min.	2.83	-1.48	23	0.03	22	-0.06	23	2.93	22	-5.26	23	-0.00	24
6846	-135	-136	Min.	23.97	-1.48	23	0.03	22	0.00	22	2.10	22	0.26	22	-0.00	24
6847	-167	-168	Max	2.83	-0.03	22	0.66	23	0.01	11	50.48	23	-0.28	22	0.00	23
6847	-167	-168	Max	23.34	-0.03	22	0.66	23	0.08	21	49.68	23	5.08	23	0.00	23
6847	-167	-168	Min.	2.83	-1.44	23	0.03	22	-0.06	23	3.06	22	-5.19	23	-0.00	24
6847	-167	-168	Min.	23.34	-1.44	23	0.03	22	0.00	22	2.25	22	0.26	22	-0.00	24
6848	-199	-200	Max	2.83	-0.04	22	0.67	23	0.01	11	50.94	23	-0.29	22	0.00	23
6848	-199	-200	Max	22.72	-0.04	22	0.67	23	0.08	21	50.16	23	4.97	23	0.00	23
6848	-199	-200	Min.	2.83	-1.47	23	0.03	22	-0.06	23	3.17	22	-5.08	23	-0.00	24
6848	-199	-200	Min.	22.72	-1.47	23	0.03	22	0.00	22	2.39	22	0.27	22	-0.00	24
6849	-231	-232	Max	2.83	-0.05	22	0.68	23	0.01	11	51.34	23	-0.29	22	0.00	23
6849	-231	-232	Max	22.09	-0.05	22	0.68	23	0.08	21	50.59	23	4.85	23	0.00	23
6849	-231	-232	Min.	2.83	-1.49	23	0.04	22	-0.06	23	3.30	22	-4.97	23	-0.00	24
6849	-231	-232	Min.	22.09	-1.49	23	0.04	22	0.00	22	2.54	22	0.27	22	-0.00	24
6850	-263	-264	Max	2.83	-0.05	22	0.69	23	0.01	11	51.76	23	-0.30	22	0.00	23
6850	-263	-264	Max	21.47	-0.05	22	0.69	23	0.08	21	51.02	23	4.73	23	0.00	23
6850	-263	-264	Min.	2.83	-1.45	23	0.04	22	-0.06	23	3.43	22	-4.85	23	-0.00	24
6850	-263	-264	Min.	21.47	-1.45	23	0.04	22	0.00	22	2.70	22	0.28	22	-0.00	24
6851	-295	-296	Max	2.83	-0.06	22	0.69	23	0.01	11	52.19	23	-0.30	22	0.00	23
6851	-295	-296	Max	20.84	-0.06	22	0.69	23	0.07	21	51.48	23	4.61	23	0.00	23
6851	-295	-296	Min.	2.83	-1.49	23	0.04	22	-0.05	23	3.58	22	-4.73	23	-0.00	24
6851	-295	-296	Min.	20.84	-1.49	23	0.04	22	0.01	22	2.87	22	0.28	22	-0.00	24
6852	-327	-328	Max	2.83	-0.07	22	0.70	23	0.01	11	52.66	23	-0.30	22	0.00	23
6852	-327	-328	Max	20.22	-0.07	22	0.70	23	0.07	21	51.97	23	4.49	23	0.00	23
6852	-327	-328	Min.	2.83	-1.47	23	0.04	22	-0.05	23	3.74	22	-4.61	23	-0.00	24
6852	-327	-328	Min.	20.22	-1.47	23	0.04	22	0.01	22	3.06	22	0.29	22	-0.00	24
6853	-359	-360	Max	2.83	-0.06	22	0.71	23	0.01	11	53.16	23	-0.31	22	0.00	23
6853	-359	-360	Max	19.59	-0.06	22	0.71	23	0.07	21	52.50	23	4.37	23	0.00	23
6853	-359	-360	Min.	2.83	-1.48	23	0.05	22	-0.05	23	3.90	22	-4.49	23	-0.00	24
6853	-359	-360	Min.	19.59	-1.48	23	0.05	22	0.01	22	3.24	22	0.29	22	-0.00	24
6854	-391	-392	Max	2.83	-0.04	11	0.72	23	0.01	11	53.67	23	-0.31	22	0.00	23
6854	-391	-392	Max	18.97	-0.04	11	0.72	23	0.07	21	53.04	23	4.24	23	0.00	23
6854	-391	-392	Min.	2.83	-1.40	23	0.05	22	-0.05	23	4.08	22	-4.37	23	-0.00	24
6854	-391	-392	Min.	18.97	-1.40	23	0.05	22	0.01	22	3.44	22	0.29	22	-0.00	24
6855	-423	-424	Max	2.83	0.23	22	0.72	23	0.01	11	54.07	23	-0.32	22	0.00	23

6855	-423	-424	Max	18.34	0.23	22	0.72	23	0.07	21	53.46	23	4.11	23	0.00	23
6855	-423	-424	Min.	2.83	-2.56	21	0.05	22	-0.05	23	4.26	22	-4.23	23	-0.00	24
6855	-423	-424	Min.	18.34	-2.56	21	0.05	22	0.01	22	3.65	22	0.30	22	-0.00	24
6856	-455	-456	Max	2.83	6.45	11	0.70	23	0.01	11	53.53	23	-0.29	22	0.00	23
6856	-455	-456	Max	17.72	6.45	11	0.70	23	0.07	21	52.95	23	3.87	23	0.00	23
6856	-455	-456	Min.	2.83	-2.24	22	0.05	22	-0.04	23	4.35	22	-4.06	23	-0.00	11
6856	-455	-456	Min.	17.72	-2.24	22	0.05	22	0.01	22	3.77	22	0.30	24	-0.00	11
6857	-487	-488	Max	2.83	11.69	22	0.57	23	0.01	11	47.07	23	-0.01	11	0.00	23
6857	-487	-488	Max	17.09	11.69	22	0.57	23	0.05	21	46.51	23	3.49	23	0.00	23
6857	-487	-488	Min.	2.83	-46.67	21	0.01	24	-0.03	23	3.61	22	-3.19	23	-0.01	24
6857	-487	-488	Min.	17.09	-46.67	21	0.01	24	0.01	22	3.05	22	0.12	22	-0.01	24
6861	-495	-496	Max	3.53	93.77	21	-0.06	22	0.05	21	46.01	21	-0.64	22	0.00	22
6861	-495	-496	Max	17.80	93.77	21	-0.06	22	0.00	11	45.28	21	2.86	23	0.00	22
6861	-495	-496	Min.	3.53	26.38	22	-0.54	21	0.01	22	6.03	22	-4.04	21	0.00	11
6861	-495	-496	Min.	17.80	26.38	22	-0.54	21	-0.03	23	5.47	22	-0.07	11	0.00	11
6862	-463	-464	Max	3.53	-4.57	22	-0.09	22	0.07	21	52.03	21	-0.44	22	0.00	23
6862	-463	-464	Max	18.42	-4.57	22	-0.09	22	0.00	11	51.42	23	4.03	21	0.00	23
6862	-463	-464	Min.	3.53	-17.56	21	-0.68	21	0.01	22	6.78	22	-3.73	23	-0.00	24
6862	-463	-464	Min.	18.42	-17.56	21	-0.68	21	-0.04	23	6.20	22	0.52	22	-0.00	24
6863	-431	-432	Max	3.53	2.24	11	-0.09	22	0.07	21	52.61	23	-0.49	22	0.00	23
6863	-431	-432	Max	19.05	2.24	11	-0.09	22	0.00	11	52.00	23	4.10	23	0.00	23
6863	-431	-432	Min.	3.53	-0.07	23	-0.70	21	0.01	22	6.65	22	-4.01	23	-0.00	11
6863	-431	-432	Min.	19.05	-0.07	23	-0.70	21	-0.05	23	6.04	22	0.49	22	-0.00	11
6864	-399	-400	Max	3.53	-0.10	22	-0.08	22	0.07	21	52.27	23	-0.48	22	0.00	23
6864	-399	-400	Max	19.67	-0.10	22	-0.08	22	0.00	11	51.63	23	4.24	23	0.00	23
6864	-399	-400	Min.	3.53	-1.49	23	-0.70	23	0.01	22	6.34	22	-4.14	23	-0.00	11
6864	-399	-400	Min.	19.67	-1.49	23	-0.70	23	-0.05	23	5.71	22	0.49	22	-0.00	11
6865	-367	-368	Max	3.53	0.13	11	-0.08	22	0.07	21	51.84	23	-0.48	22	0.00	23
6865	-367	-368	Max	20.30	0.13	11	-0.08	22	0.00	11	51.18	23	4.37	23	0.00	23
6865	-367	-368	Min.	3.53	-1.28	23	-0.69	23	0.01	22	6.05	22	-4.27	23	-0.00	11
6865	-367	-368	Min.	20.30	-1.28	23	-0.69	23	-0.05	23	5.39	22	0.48	22	-0.00	11
6866	-335	-336	Max	3.53	0.08	11	-0.08	22	0.08	21	51.42	23	-0.47	22	0.00	23
6866	-335	-336	Max	20.92	0.08	11	-0.08	22	0.00	11	50.73	23	4.49	23	0.00	23
6866	-335	-336	Min.	3.53	-1.32	23	-0.68	23	0.01	22	5.78	22	-4.39	23	-0.00	11
6866	-335	-336	Min.	20.92	-1.32	23	-0.68	23	-0.05	23	5.10	22	0.47	22	-0.00	11
6867	-303	-304	Max	3.53	0.07	11	-0.07	22	0.08	21	51.00	23	-0.47	22	0.00	23
6867	-303	-304	Max	21.55	0.07	11	-0.07	22	0.00	11	50.30	23	4.61	23	0.00	23
6867	-303	-304	Min.	3.53	-1.34	23	-0.68	23	0.01	22	5.52	22	-4.52	23	-0.00	11
6867	-303	-304	Min.	21.55	-1.34	23	-0.68	23	-0.05	23	4.81	22	0.46	22	-0.00	11
6868	-271	-272	Max	3.53	0.08	11	-0.07	22	0.08	21	50.62	23	-0.46	22	0.00	23
6868	-271	-272	Max	22.17	0.08	11	-0.07	22	0.00	11	49.89	23	4.73	23	0.00	23
6868	-271	-272	Min.	3.53	-1.31	23	-0.67	23	0.01	22	5.28	22	-4.64	23	-0.00	11
6868	-271	-272	Min.	22.17	-1.31	23	-0.67	23	-0.05	23	4.55	22	0.46	22	-0.00	11
6869	-239	-240	Max	3.53	0.06	11	-0.07	22	0.08	21	50.27	23	-0.45	22	0.00	23
6869	-239	-240	Max	22.80	0.06	11	-0.07	22	0.00	11	49.51	23	4.85	23	0.00	23
6869	-239	-240	Min.	3.53	-1.35	23	-0.66	23	0.01	22	5.05	22	-4.76	23	-0.00	11
6869	-239	-240	Min.	22.80	-1.35	23	-0.66	23	-0.06	23	4.30	22	0.45	22	-0.00	11
6870	-207	-208	Max	3.53	0.06	11	-0.06	22	0.08	21	49.91	23	-0.45	22	0.00	23
6870	-207	-208	Max	23.42	0.06	11	-0.06	22	0.00	11	49.13	23	4.96	23	0.00	23
6870	-207	-208	Min.	3.53	-1.34	23	-0.65	23	0.01	22	4.85	22	-4.88	23	-0.00	11
6870	-207	-208	Min.	23.42	-1.34	23	-0.65	23	-0.06	23	4.06	22	0.44	22	-0.00	11
6871	-175	-176	Max	3.53	0.07	11	-0.06	22	0.08	21	49.50	23	-0.44	22	0.00	23
6871	-175	-176	Max	24.05	0.07	11	-0.06	22	0.00	11	48.69	23	5.07	23	0.00	23
6871	-175	-176	Min.	3.53	-1.31	23	-0.64	23	0.00	22	4.65	22	-5.00	23	-0.00	11
6871	-175	-176	Min.	24.05	-1.31	23	-0.64	23	-0.06	23	3.85	22	0.43	22	-0.00	11
6872	-143	-144	Max	3.53	0.05	11	-0.05	22	0.08	21	48.73	23	-0.43	22	0.00	23
6872	-143	-144	Max	24.67	0.05	11	-0.05	22	0.00	11	47.90	23	5.14	23	0.00	23
6872	-143	-144	Min.	3.53	-1.33	23	-0.62	23	0.00	22	4.44	22	-5.07	23	-0.00	11
6872	-143	-144	Min.	24.67	-1.33	23	-0.62	23	-0.06	23	3.61	22	0.42	22	-0.00	11

6873	-111	-112	Max	3.53	0.19	11	-0.05	22	0.07	21	46.33	23	-0.41	22	0.00	23
6873	-111	-112	Max	25.30	0.19	11	-0.05	22	0.00	11	45.48	23	5.03	23	0.00	23
6873	-111	-112	Min.	3.53	-1.21	23	-0.56	23	0.00	22	4.12	22	-4.96	23	-0.00	11
6873	-111	-112	Min.	25.30	-1.21	23	-0.56	23	-0.05	23	3.26	22	0.39	22	-0.00	11
6874	-79	-80	Max	3.53	-0.99	12	-0.03	22	0.06	21	36.81	23	-0.33	22	0.00	23
6874	-79	-80	Max	25.92	-0.99	12	-0.03	22	0.00	11	35.93	23	4.09	23	0.00	23
6874	-79	-80	Min.	3.53	-2.43	21	-0.42	23	0.00	22	3.27	22	-4.05	23	-0.00	11
6874	-79	-80	Min.	25.92	-2.43	21	-0.42	23	-0.04	23	2.39	22	0.30	22	-0.00	11
6875	-47	-48	Max	3.53	15.72	24	0.01	22	0.02	21	43.22	23	-0.12	22	-0.01	22
6875	-47	-48	Max	21.94					-0.00	22			0.47	22		
6875	-47	-48	Max	26.55	15.72	24	0.01	22	0.01	11	41.42	23	5.10	23	-0.01	22
6875	-47	-48	Min.	3.53	7.11	23	-0.11	23	-0.00	22	3.93	22	-4.63	23	-0.03	21
6875	-47	-48	Min.	21.94					-0.00	22			0.47	22		
6875	-47	-48	Min.	26.55	7.11	23	-0.11	23	-0.01	23	2.13	22	0.58	22	-0.03	21
6876	-15	-16	Max	3.53	61.89	21	0.60	21	-0.01	12	27.08	23	-0.06	22	0.00	23
6876	-15	-16	Max	26.86	61.89	21	0.60	21	0.08	21	25.25	23	3.19	23	0.00	23
6876	-15	-16	Min.	3.53	33.85	23	0.12	22	-0.07	23	2.48	22	-2.91	23	0.00	11
6876	-15	-16	Min.	26.86	33.85	23	0.12	22	0.01	22	0.65	22	0.31	22	0.00	11
6877	346	347	Max	1.77	-8.51	23	4.07	21	-0.45	22	-0.24	22	0.32	23	0.28	21
6877	346	347	Max	14.67					-0.55	24			0.01	24		
6877	346	347	Max	15.00	-8.51	23	3.11	23	-0.29	23	-0.24	22	0.02	21	0.28	21
6877	346	347	Min.	1.77	-18.46	24	0.84	22	-1.01	21	-2.37	23	0.04	22	0.05	22
6877	346	347	Min.	13.33					-0.40	22			0.01	22		
6877	346	347	Min.	15.00	-18.46	24	-0.10	22	-0.55	21	-2.37	23	0.01	22	0.05	22
6877	347	348	Max	0.00	-8.51	23	3.11	23	-0.29	23	-0.24	22	0.02	21	0.28	21
6877	347	348	Max	0.99					-0.49	11			0.01	11		
6877	347	348	Max	13.23	-8.51	23	2.17	23	0.06	23	-0.24	22	-0.02	22	0.28	21
6877	347	348	Min.	0.00	-18.46	24	-0.10	22	-0.55	21	-2.37	23	0.01	22	0.05	22
6877	347	348	Min.	0.66					-0.40	12			0.01	12		
6877	347	348	Min.	13.23	-18.46	24	-1.04	22	-0.61	24	-2.37	23	-0.30	23	0.05	22
6885	358	359	Max	1.77	-5.98	22	-0.29	12	0.32	23	4.04	21	-0.39	22	-0.04	22
6885	358	359	Max	15.00	-5.98	22	-0.29	12	0.02	24	3.10	23	-0.29	23	-0.04	22
6885	358	359	Min.	1.77	-16.90	21	-2.37	23	0.05	12	0.99	12	-1.00	21	-0.28	21
6885	358	359	Min.	15.00	-16.90	21	-2.37	23	0.01	23	0.05	12	-0.55	21	-0.28	21
6885	359	360	Max	0.00	-5.98	22	-0.29	12	0.02	24	3.10	23	-0.29	23	-0.04	22
6885	359	360	Max	2.65					0.01	22			-0.30	22		
6885	359	360	Max	13.23	-5.98	22	-0.29	12	-0.02	22	2.16	23	0.06	23	-0.04	22
6885	359	360	Min.	0.00	-16.90	21	-2.37	23	0.01	23	0.05	12	-0.55	21	-0.28	21
6885	359	360	Min.	0.79					0.01	11			-0.49	11		
6885	359	360	Min.	13.23	-16.90	21	-2.37	23	-0.30	23	-0.89	12	-0.55	11	-0.28	21
6886	-23	-24	Max	2.83	60.97	21	-0.10	22	0.07	23	27.12	23	-0.13	12	0.00	11
6886	-23	-24	Max	26.15	60.97	21	-0.10	22	-0.02	12	25.29	23	3.14	23	0.00	11
6886	-23	-24	Min.	2.83	32.91	23	-0.60	21	0.00	22	3.32	12	-2.98	23	-0.00	23
6886	-23	-24	Min.	26.15	32.91	23	-0.60	21	-0.08	21	1.48	12	0.42	12	-0.00	23
6887	-55	-56	Max	2.83	15.36	21	0.11	23	-0.01	12	43.28	23	-0.25	12	0.03	21
6887	-55	-56	Max	25.84	15.36	21	0.11	23	0.01	23	41.48	23	5.01	23	0.03	21
6887	-55	-56	Min.	2.83	7.83	23	-0.01	11	-0.02	21	5.20	12	-4.74	23	0.00	22
6887	-55	-56	Min.	25.84	7.83	23	-0.01	11	-0.01	24	3.39	12	0.74	12	0.00	22
6888	-87	-88	Max	2.83	-0.71	22	0.42	23	-0.01	12	36.81	23	-0.45	12	0.00	24
6888	-87	-88	Max	25.22	-0.71	22	0.42	23	0.04	23	35.93	23	4.03	23	0.00	24
6888	-87	-88	Min.	2.83	-2.60	21	0.04	12	-0.06	21	4.30	12	-4.11	23	-0.00	23
6888	-87	-88	Min.	25.22	-2.60	21	0.04	12	-0.01	22	3.42	12	0.42	12	-0.00	23
6889	-119	-120	Max	2.83	0.23	24	0.56	23	-0.02	12	46.33	23	-0.56	12	0.00	24
6889	-119	-120	Max	24.59	0.23	24	0.56	23	0.05	23	45.48	23	4.95	23	0.00	24
6889	-119	-120	Min.	2.83	-1.40	23	0.06	12	-0.07	21	5.47	12	-5.04	23	0.00	23
6889	-119	-120	Min.	24.59	-1.40	23	0.06	12	-0.01	22	4.61	12	0.54	12	0.00	23
6890	-151	-152	Max	2.83	0.10	24	0.62	23	-0.02	12	48.74	23	-0.59	12	0.00	24
6890	-151	-152	Max	23.97	0.10	24	0.62	23	0.06	23	47.91	23	5.06	23	0.00	24
6890	-151	-152	Min.	2.83	-1.35	23	0.07	12	-0.08	21	5.92	12	-5.16	23	0.00	23

6890	-151	-152	Min.	23.97	-1.35	23	0.07	12	-0.01	22	5.09	12	0.57	12	0.00	23
6891	-183	-184	Max	2.83	0.11	24	0.64	23	-0.02	12	49.50	23	-0.60	12	0.00	24
6891	-183	-184	Max	23.34	0.11	24	0.64	23	0.06	23	48.70	23	4.99	23	0.00	24
6891	-183	-184	Min.	2.83	-1.32	23	0.08	12	-0.08	21	6.20	12	-5.08	23	-0.00	23
6891	-183	-184	Min.	23.34	-1.32	23	0.08	12	-0.01	22	5.40	12	0.59	12	-0.00	23
6892	-215	-216	Max	2.83	0.10	24	0.65	23	-0.02	12	49.91	23	-0.61	12	0.00	24
6892	-215	-216	Max	22.72	0.10	24	0.65	23	0.06	23	49.13	23	4.88	23	0.00	24
6892	-215	-216	Min.	2.83	-1.35	23	0.08	12	-0.08	21	6.47	12	-4.97	23	-0.00	23
6892	-215	-216	Min.	22.72	-1.35	23	0.08	12	-0.01	22	5.69	12	0.60	12	-0.00	23
6893	-247	-248	Max	2.83	0.10	24	0.66	23	-0.02	12	50.27	23	-0.62	12	0.00	24
6893	-247	-248	Max	22.09	0.10	24	0.66	23	0.06	23	49.51	23	4.76	23	0.00	24
6893	-247	-248	Min.	2.83	-1.36	23	0.09	12	-0.08	21	6.76	12	-4.85	23	-0.00	23
6893	-247	-248	Min.	22.09	-1.36	23	0.09	12	-0.01	24	6.00	12	0.61	12	-0.00	23
6894	-279	-280	Max	2.83	0.11	24	0.67	23	-0.02	12	50.62	23	-0.63	12	0.00	24
6894	-279	-280	Max	21.47	0.11	24	0.67	23	0.05	23	49.89	23	4.64	23	0.00	24
6894	-279	-280	Min.	2.83	-1.32	23	0.09	12	-0.08	21	7.06	12	-4.73	23	-0.00	23
6894	-279	-280	Min.	21.47	-1.32	23	0.09	12	-0.01	24	6.33	12	0.62	12	-0.00	23
6895	-311	-312	Max	2.83	0.11	24	0.67	23	-0.02	12	51.00	23	-0.64	12	0.00	24
6895	-311	-312	Max	20.84	0.11	24	0.67	23	0.05	23	50.30	23	4.52	23	0.00	24
6895	-311	-312	Min.	2.83	-1.35	23	0.10	12	-0.08	21	7.39	12	-4.61	23	-0.00	23
6895	-311	-312	Min.	20.84	-1.35	23	0.10	12	-0.01	24	6.69	12	0.63	12	-0.00	23
6896	-343	-344	Max	2.83	0.10	24	0.68	23	-0.02	12	51.42	23	-0.65	12	0.00	24
6896	-343	-344	Max	20.22	0.10	24	0.68	23	0.05	23	50.73	23	4.40	23	0.00	24
6896	-343	-344	Min.	2.83	-1.34	23	0.10	12	-0.08	21	7.76	12	-4.49	23	-0.00	23
6896	-343	-344	Min.	20.22	-1.34	23	0.10	12	-0.01	24	7.07	12	0.64	12	-0.00	23
6897	-375	-376	Max	2.83	0.17	24	0.69	23	-0.02	12	51.84	23	-0.66	12	0.00	24
6897	-375	-376	Max	19.59	0.17	24	0.69	23	0.05	23	51.18	23	4.27	23	0.00	24
6897	-375	-376	Min.	2.83	-1.30	23	0.11	12	-0.07	21	8.12	12	-4.36	23	-0.00	23
6897	-375	-376	Min.	19.59	-1.30	23	0.11	12	-0.01	24	7.47	12	0.65	12	-0.00	23
6898	-407	-408	Max	2.83	-0.18	12	0.69	23	-0.02	12	52.27	23	-0.66	12	0.00	24
6898	-407	-408	Max	18.97	-0.18	12	0.69	23	0.05	23	51.63	23	4.15	23	0.00	24
6898	-407	-408	Min.	2.83	-1.50	23	0.11	12	-0.07	21	8.52	12	-4.23	23	-0.00	23
6898	-407	-408	Min.	18.97	-1.50	23	0.11	12	-0.01	24	7.89	12	0.66	12	-0.00	23
6899	-439	-440	Max	2.83	2.83	24	0.70	21	-0.02	12	52.60	23	-0.68	12	0.00	24
6899	-439	-440	Max	18.34	2.83	24	0.70	21	0.04	23	51.99	23	4.00	23	0.00	24
6899	-439	-440	Min.	2.83	-0.07	23	0.12	12	-0.07	21	8.94	12	-4.11	23	-0.00	23
6899	-439	-440	Min.	18.34	-0.07	23	0.12	12	-0.01	24	8.33	12	0.66	12	-0.00	23
6900	-471	-472	Max	2.83	-9.82	23	0.68	21	-0.02	12	52.27	21	-0.58	12	0.00	24
6900	-471	-472	Max	17.72	-9.82	23	0.68	21	0.04	23	51.55	23	3.95	21	0.00	24
6900	-471	-472	Min.	2.83	-18.29	24	0.12	12	-0.07	21	9.31	12	-3.84	23	-0.00	23
6900	-471	-472	Min.	17.72	-18.29	24	0.12	12	-0.01	24	8.73	12	0.76	12	-0.00	23
6901	-503	-504	Max	2.83	106.92	24	0.53	23	-0.01	12	45.45	23	-1.14	12	0.00	22
6901	-503	-504	Max	17.09	106.92	24	0.53	23	0.03	23	44.89	23	2.75	23	0.00	22
6901	-503	-504	Min.	2.83	48.29	23	0.08	12	-0.05	21	8.00	12	-4.09	21	-0.00	21
6901	-503	-504	Min.	17.09	48.29	23	0.08	12	-0.01	24	7.44	12	-0.23	24	-0.00	21
6905	-511	-512	Max	3.53	-25.81	23	-0.01	11	0.03	23	46.86	23	0.19	24	0.01	24
6905	-511	-512	Max	17.80	-25.81	23	-0.01	11	-0.01	12	46.30	23	3.56	23	0.01	24
6905	-511	-512	Min.	3.53	-64.21	24	-0.56	23	-0.01	24	4.67	11	-3.08	23	0.00	23
6905	-511	-512	Min.	17.80	-64.21	24	-0.56	23	-0.05	21	4.12	11	0.58	12	0.00	23
6906	-479	-480	Max	3.53	10.67	22	-0.06	11	0.04	23	53.52	23	-0.44	12	0.00	24
6906	-479	-480	Max	18.42	10.67	22	-0.06	11	-0.02	12	52.94	23	3.97	23	0.00	24
6906	-479	-480	Min.	3.53	2.56	23	-0.70	23	-0.01	24	5.59	12	-3.96	23	0.00	23
6906	-479	-480	Min.	18.42	2.56	23	-0.70	23	-0.07	21	5.00	12	0.33	11	0.00	23
6907	-447	-448	Max	3.53	-0.91	12	-0.06	11	0.05	23	53.99	23	-0.40	12	0.00	24
6907	-447	-448	Max	19.05	-0.91	12	-0.06	11	-0.02	12	53.38	23	4.20	23	0.00	24
6907	-447	-448	Min.	3.53	-2.56	21	-0.72	23	-0.01	24	5.43	12	-4.12	23	0.00	23
6907	-447	-448	Min.	19.05	-2.56	21	-0.72	23	-0.07	21	4.82	12	0.39	12	0.00	23
6908	-415	-416	Max	3.53	0.04	22	-0.06	11	0.05	23	53.60	23	-0.40	12	0.00	24
6908	-415	-416	Max	19.67	0.04	22	-0.06	11	-0.02	12	52.96	23	4.33	23	0.00	24

6908	-415	-416	Min.	3.53	-1.39	23	-0.72	23	-0.01	24	5.20	12	-4.26	23	0.00	23
6908	-415	-416	Min.	19.67	-1.39	23	-0.72	23	-0.07	21	4.57	12	0.38	12	0.00	23
6909	-383	-384	Max	3.53	-0.15	12	-0.06	11	0.05	23	53.08	23	-0.40	12	0.00	24
6909	-383	-384	Max	20.30	-0.15	12	-0.06	11	-0.02	12	52.42	23	4.46	23	0.00	24
6909	-383	-384	Min.	3.53	-1.46	23	-0.71	23	-0.01	24	4.96	12	-4.39	23	0.00	23
6909	-383	-384	Min.	20.30	-1.46	23	-0.71	23	-0.07	21	4.30	12	0.38	12	0.00	23
6910	-351	-352	Max	3.53	-0.13	12	-0.05	11	0.05	23	52.58	23	-0.39	12	0.00	24
6910	-351	-352	Max	20.92	-0.13	12	-0.05	11	-0.02	12	51.90	23	4.58	23	0.00	24
6910	-351	-352	Min.	3.53	-1.46	23	-0.70	23	-0.01	24	4.73	12	-4.51	23	0.00	23
6910	-351	-352	Min.	20.92	-1.46	23	-0.70	23	-0.07	21	4.05	12	0.37	12	0.00	23
6911	-319	-320	Max	3.53	-0.14	12	-0.05	11	0.05	23	52.12	23	-0.39	12	0.00	24
6911	-319	-320	Max	21.55	-0.14	12	-0.05	11	-0.02	12	51.41	23	4.70	23	0.00	24
6911	-319	-320	Min.	3.53	-1.48	23	-0.69	23	-0.01	24	4.53	12	-4.63	23	0.00	23
6911	-319	-320	Min.	21.55	-1.48	23	-0.69	23	-0.07	21	3.82	12	0.37	12	0.00	23
6912	-287	-288	Max	3.53	-0.12	12	-0.05	11	0.06	23	51.69	23	-0.38	12	0.00	24
6912	-287	-288	Max	22.17	-0.12	12	-0.05	11	-0.02	12	50.96	23	4.81	23	0.00	24
6912	-287	-288	Min.	3.53	-1.44	23	-0.68	23	-0.02	24	4.34	12	-4.75	23	0.00	23
6912	-287	-288	Min.	22.17	-1.44	23	-0.68	23	-0.08	21	3.61	12	0.36	12	0.00	23
6913	-255	-256	Max	3.53	-0.13	12	-0.04	11	0.06	23	51.28	23	-0.38	12	0.00	24
6913	-255	-256	Max	22.80	-0.13	12	-0.04	11	-0.02	12	50.52	23	4.93	23	0.00	24
6913	-255	-256	Min.	3.53	-1.48	23	-0.68	23	-0.02	24	4.16	12	-4.87	23	0.00	23
6913	-255	-256	Min.	22.80	-1.48	23	-0.68	23	-0.08	21	3.41	12	0.35	12	0.00	23
6914	-223	-224	Max	3.53	-0.13	12	-0.04	11	0.06	23	50.88	23	-0.37	12	0.00	24
6914	-223	-224	Max	23.42	-0.13	12	-0.04	11	-0.02	12	50.10	23	5.05	23	0.00	24
6914	-223	-224	Min.	3.53	-1.46	23	-0.67	23	-0.02	24	4.00	12	-4.99	23	0.00	23
6914	-223	-224	Min.	23.42	-1.46	23	-0.67	23	-0.08	21	3.22	12	0.35	12	0.00	23
6915	-191	-192	Max	3.53	-0.12	12	-0.04	11	0.06	23	50.42	23	-0.36	12	0.00	24
6915	-191	-192	Max	24.05	-0.12	12	-0.04	11	-0.02	12	49.61	23	5.16	23	0.00	24
6915	-191	-192	Min.	3.53	-1.43	23	-0.66	23	-0.02	24	3.84	12	-5.10	23	0.00	23
6915	-191	-192	Min.	24.05	-1.43	23	-0.66	23	-0.08	21	3.04	12	0.34	12	0.00	23
6916	-159	-160	Max	3.53	-0.13	12	-0.04	11	0.06	23	49.60	23	-0.36	12	0.00	24
6916	-159	-160	Max	24.67	-0.13	12	-0.04	11	-0.01	12	48.77	23	5.23	23	0.00	24
6916	-159	-160	Min.	3.53	-1.45	23	-0.63	23	-0.02	24	3.67	12	-5.17	23	0.00	23
6916	-159	-160	Min.	24.67	-1.45	23	-0.63	23	-0.08	21	2.84	12	0.33	12	0.00	23
6917	-127	-128	Max	3.53	-0.04	12	-0.04	11	0.06	23	47.13	23	-0.34	12	0.00	24
6917	-127	-128	Max	25.30	-0.04	12	-0.04	11	-0.01	12	46.27	23	5.11	23	0.00	24
6917	-127	-128	Min.	3.53	-1.35	23	-0.57	23	-0.01	24	3.40	12	-5.06	23	0.00	23
6917	-127	-128	Min.	25.30	-1.35	23	-0.57	23	-0.07	21	2.55	12	0.31	12	0.00	23
6918	-95	-96	Max	3.53	-0.72	22	-0.03	12	0.04	23	37.43	23	-0.27	12	0.00	24
6918	-95	-96	Max	25.92	-0.72	22	-0.03	12	-0.01	12	36.55	23	4.15	23	0.00	24
6918	-95	-96	Min.	3.53	-2.32	21	-0.43	23	-0.01	24	2.71	12	-4.13	23	0.00	23
6918	-95	-96	Min.	25.92	-2.32	21	-0.43	23	-0.05	21	1.83	12	0.24	12	0.00	23
6919	-63	-64	Max	3.53	9.49	11	0.03	11	0.01	23	43.96	23	-0.08	11	-0.00	22
6919	-63	-64	Max	26.55	9.49	11	0.03	11	-0.00	12	42.16	23	5.13	23	-0.00	22
6919	-63	-64	Min.	3.53	4.36	23	-0.12	23	-0.02	24	3.22	11	-4.78	23	-0.03	23
6919	-63	-64	Min.	26.55	4.36	23	-0.12	23	-0.02	21	1.41	11	0.42	22	-0.03	23
6920	-31	-32	Max	3.53	43.48	21	0.61	21	-0.02	12	27.60	23	0.01	11	0.00	21
6920	-31	-32	Max	26.86	43.48	21	0.61	21	0.07	21	25.77	23	3.21	23	0.00	21
6920	-31	-32	Min.	3.53	20.22	22	0.11	22	-0.07	21	1.84	11	-3.01	23	0.00	12
6920	-31	-32	Min.	26.86	20.22	22	0.11	22	0.01	22	0.01	11	0.21	22	0.00	12
6921	382	383	Max	1.77	-5.67	23	4.18	23	-0.23	22	-0.21	12	0.33	23	0.28	21
6921	382	383	Max	9.71					-0.33	11			0.03	11		
6921	382	383	Max	15.00	-5.67	23	3.24	23	-0.18	22	-0.21	12	0.02	21	0.28	21
6921	382	383	Min.	1.77	-10.49	24	0.57	11	-0.81	21	-2.40	23	0.03	22	0.05	22
6921	382	383	Min.	12.77					-0.18	22			0.01	22		
6921	382	383	Min.	15.00	-10.49	24	-0.37	11	-0.38	21	-2.40	23	0.00	22	0.05	22
6921	383	384	Max	0.00	-5.67	23	3.24	23	-0.18	22	-0.21	12	0.02	21	0.28	21
6921	383	384	Max	13.23	-5.67	23	2.30	23	0.16	23	-0.21	12	-0.01	11	0.28	21
6921	383	384	Min.	0.00	-10.49	24	-0.37	11	-0.38	21	-2.40	23	0.00	22	0.05	22

6921	383	384	Min.	13.23	-10.49	24	-1.31	11	-0.45	11	-2.40	23	-0.31	23	0.05	22
6922	-543	-544	Max	0.00	0.21	24	-6.77	22	1.31	21	1.13	23	0.02	22	0.03	12
6922	-543	-544	Max	12.00	0.21	24	-6.77	22	-0.42	22	2.92	21	0.16	21	0.03	12
6922	-543	-544	Min.	0.00	-1.73	23	-22.30	21	0.39	22	-0.82	22	-0.08	23	-0.31	23
6922	-543	-544	Min.	12.00	-1.73	23	-22.30	21	-1.37	21	0.78	22	0.02	22	-0.31	23
6923	-527	-528	Max	0.00	-0.02	12	-7.23	22	1.17	21	1.36	21	-0.01	23	0.00	12
6923	-527	-528	Max	12.00	-0.02	12	-7.23	22	-0.43	22	3.45	21	0.23	21	0.00	12
6923	-527	-528	Min.	0.00	-2.27	23	-19.32	21	0.43	22	-0.29	22	-0.08	11	-0.44	23
6923	-527	-528	Min.	12.00	-2.27	23	-19.32	21	-1.15	21	1.31	22	0.03	22	-0.44	23
7001	3002	-815	Max	0.00	8.86	21	0.44	23	-0.09	22	-21.48	23	2.86	23	-0.08	23
7001	3002	-815	Max	154.00	8.86	21	0.44	23	-0.01	23	10.40	24	-9.65	23	-0.08	23
7001	3002	-815	Min.	0.00	4.66	23	0.04	22	-0.70	21	-32.11	21	-2.11	24	-0.14	21
7001	3002	-815	Min.	154.00	4.66	23	0.04	22	-0.05	11	5.23	23	-16.86	24	-0.14	21
7001	-815	3003	Max	0.00	8.86	21	0.44	23	-0.01	23	10.40	24	-9.65	23	-0.08	23
7001	-815	3003	Max	154.00	8.86	21	0.44	23	0.67	23	51.03	21	30.62	21	-0.08	23
7001	-815	3003	Min.	0.00	4.66	23	0.04	22	-0.05	11	5.23	23	-16.86	24	-0.14	21
7001	-815	3003	Min.	154.00	4.66	23	0.04	22	0.04	12	31.94	23	18.97	23	-0.14	21
7001	3004	-804	Max	0.00	13.59	21	0.42	23	-0.10	22	-30.38	23	33.45	21	-0.00	12
7001	3004	-804	Max	164.00	13.59	21	0.42	23	-0.02	22	-0.15	12	-4.14	23	-0.00	12
7001	3004	-804	Min.	0.00	7.05	23	0.04	12	-0.72	21	-46.12	21	22.36	23	-0.02	21
7001	3004	-804	Min.	164.00	7.05	23	0.04	12	-0.07	21	-1.94	23	-5.88	21	-0.02	21
7001	-804	3005	Max	0.00	13.59	21	0.42	23	-0.02	22	-0.15	12	-4.14	23	-0.00	12
7001	-804	3005	Max	164.00	13.59	21	0.42	23	0.66	23	42.42	21	28.80	24	-0.00	12
7001	-804	3005	Min.	0.00	7.05	23	0.04	12	-0.07	21	-1.94	23	-5.88	21	-0.02	21
7001	-804	3005	Min.	164.00	7.05	23	0.04	12	0.01	11	26.50	23	16.00	23	-0.02	21
7001	3006	-795	Max	0.00	10.44	21	0.46	23	-0.08	12	-35.05	23	32.57	21	0.11	24
7001	3006	-795	Max	154.00	10.44	21	0.46	23	-0.03	22	-8.14	12	-12.67	23	0.11	24
7001	3006	-795	Min.	0.00	5.79	23	0.03	12	-0.73	23	-54.04	21	20.75	23	0.03	23
7001	3006	-795	Min.	154.00	5.79	23	0.03	12	-0.05	21	-12.46	21	-18.63	21	0.03	23
7001	-795	3007	Max	0.00	10.44	21	0.46	23	-0.03	22	-8.14	12	-12.67	23	0.11	24
7001	-795	3007	Max	154.00	10.44	21	0.46	23	0.67	23	29.13	24	-1.70	12	0.11	24
7001	-795	3007	Min.	0.00	5.79	23	0.03	12	-0.05	21	-12.46	21	-18.63	21	0.03	23
7001	-795	3007	Min.	154.00	5.79	23	0.03	12	0.00	11	18.36	23	-5.82	21	0.03	23
7002	4027	-816	Max	0.00	115.02	24	0.50	21	-0.16	22	-34.67	12	54.10	21	-0.07	23
7002	4027	-816	Max	154.00	115.02	24	0.50	21	0.03	23	7.24	24	-9.47	23	-0.07	23
7002	4027	-816	Min.	0.00	37.46	23	0.09	22	-0.74	21	-74.68	21	8.69	12	-0.14	24
7002	4027	-816	Min.	154.00	37.46	23	0.09	22	-0.02	22	-24.09	23	-19.69	24	-0.14	24
7002	-816	4028	Max	0.00	115.02	24	0.50	21	0.03	23	7.24	24	-9.47	23	-0.07	23
7002	-816	4028	Max	154.00	115.02	24	0.50	21	0.79	21	66.59	24	37.15	24	-0.07	23
7002	-816	4028	Min.	0.00	37.46	23	0.09	22	-0.02	22	-24.09	23	-19.69	24	-0.14	24
7002	-816	4028	Min.	154.00	37.46	23	0.09	22	0.12	22	8.78	23	-21.26	23	-0.14	24
7002	4030	-805	Max	0.00	161.98	24	0.35	23	0.02	11	-43.13	12	69.17	21	0.00	23
7002	4030	-805	Max	164.00	161.98	24	0.35	23	0.00	23	0.10	24	-10.93	23	0.00	23
7002	4030	-805	Min.	0.00	79.28	23	-0.02	24	-0.57	23	-83.71	21	21.78	12	0.00	24
7002	4030	-805	Min.	164.00	79.28	23	-0.02	24	-0.01	24	-26.29	23	-19.91	24	0.00	24
7002	-805	4031	Max	0.00	161.98	24	0.35	23	0.00	23	0.10	24	-10.93	23	0.00	23
7002	-805	4031	Max	164.00	161.98	24	0.35	23	0.57	23	63.31	24	32.09	24	0.00	23
7002	-805	4031	Min.	0.00	79.28	23	-0.02	24	-0.01	24	-26.29	23	-19.91	24	0.00	24
7002	-805	4031	Min.	164.00	79.28	23	-0.02	24	-0.04	24	8.71	23	-25.34	23	0.00	24
7002	4033	-794	Max	0.00	114.09	24	0.31	23	0.27	24	-46.34	12	76.00	21	0.14	24
7002	4033	-794	Max	154.00	114.09	24	0.31	23	0.02	11	-5.78	12	-12.34	23	0.14	24
7002	4033	-794	Min.	0.00	65.55	23	-0.16	24	-0.47	23	-90.59	21	26.65	12	0.06	23
7002	4033	-794	Min.	154.00	65.55	23	-0.16	24	-0.00	22	-34.23	23	-20.05	21	0.06	23
7002	-794	4034	Max	0.00	114.09	24	0.31	23	0.02	11	-5.78	12	-12.34	23	0.14	24
7002	-794	4034	Max	154.00	114.09	24	0.31	23	0.49	23	52.29	24	15.11	24	0.14	24
7002	-794	4034	Min.	0.00	65.55	23	-0.16	24	-0.00	22	-34.23	23	-20.05	21	0.06	23
7002	-794	4034	Min.	154.00	65.55	23	-0.16	24	-0.24	24	-1.36	23	-39.75	23	0.06	23
7003	-594	-817	Max	0.00	23.84	23	-0.08	22	0.11	22	-28.85	23	-3.27	23	-0.14	23
7003	-594	-817	Max	154.00	23.84	23	-0.08	22	-0.02	22	9.29	24	-22.39	23	-0.14	23

7003	-594	-817	Min.	0.00	-0.08	22	-0.18	21	0.03	12	-50.06	24	-8.49	24	-0.28	24
7003	-594	-817	Min.	154.00	-0.08	22	-0.18	21	-0.21	21	4.02	23	-39.88	24	-0.28	24
7003	-817	-595	Max	0.00	115.56	24	0.69	21	-0.09	22	19.09	21	-22.39	23	-0.15	23
7003	-817	-595	Max	154.00	115.56	24	0.69	21	0.73	21	77.32	24	34.35	21	-0.15	23
7003	-817	-595	Min.	0.00	43.61	23	0.23	22	-0.34	21	12.71	23	-39.88	24	-0.30	24
7003	-817	-595	Min.	154.00	43.61	23	0.23	22	0.26	22	45.58	23	22.49	23	-0.30	24
7003	-596	-806	Max	0.00	117.71	21	-0.08	23	0.21	24	-40.10	23	33.40	21	0.02	21
7003	-596	-806	Max	164.00	117.71	21	-0.08	23	-0.18	23	-4.55	22	-15.26	23	0.02	21
7003	-596	-806	Min.	0.00	67.56	23	-0.33	24	-0.04	23	-67.77	24	21.80	23	0.01	12
7003	-596	-806	Min.	164.00	67.56	23	-0.33	24	-0.36	21	-6.42	21	-26.45	24	0.01	12
7003	-806	-597	Max	0.00	115.53	24	0.41	21	-0.18	22	5.44	21	-15.25	23	0.00	23
7003	-806	-597	Max	164.00	115.53	24	0.41	21	0.31	21	67.76	24	32.85	24	0.00	23
7003	-806	-597	Min.	0.00	36.58	23	0.17	22	-0.37	21	4.02	23	-26.45	24	-0.01	24
7003	-806	-597	Min.	164.00	36.58	23	0.17	22	0.09	22	39.02	23	20.03	23	-0.01	24
7003	-598	-793	Max	0.00	115.43	24	-0.14	23	0.57	24	-44.59	23	33.52	24	0.31	24
7003	-598	-793	Max	154.00	115.43	24	-0.14	23	-0.11	23	-11.73	23	-23.41	23	0.31	24
7003	-598	-793	Min.	0.00	60.41	23	-0.55	11	0.11	23	-77.34	24	19.95	23	0.15	23
7003	-598	-793	Min.	154.00	60.41	23	-0.55	11	-0.29	11	-18.22	21	-39.89	24	0.15	23
7003	-793	-599	Max	0.00	-0.04	12	0.19	21	-0.04	22	-3.06	23	-23.41	23	0.28	24
7003	-793	-599	Max	154.00	-0.04	12	0.19	21	0.15	22	50.05	24	-2.81	23	0.28	24
7003	-793	-599	Min.	0.00	-23.90	23	0.10	23	-0.17	11	-9.30	24	-39.88	24	0.14	23
7003	-793	-599	Min.	154.00	-23.90	23	0.10	23	0.06	12	29.81	23	-8.50	24	0.14	23
7004	-658	-818	Max	0.00	214.44	24	0.46	21	-0.16	22	-25.46	23	-6.30	12	-0.10	23
7004	-658	-818	Max	154.00	214.44	24	0.46	21	0.05	22	10.65	21	-21.63	23	-0.10	23
7004	-658	-818	Min.	0.00	104.78	23	0.14	22	-0.66	21	-49.38	24	-12.06	21	-0.20	21
7004	-658	-818	Min.	154.00	104.78	23	0.14	22	0.01	12	6.47	12	-41.14	24	-0.20	21
7004	-818	-659	Max	0.00	214.44	24	0.46	21	0.05	22	10.65	21	-21.63	23	-0.10	23
7004	-818	-659	Max	154.00	214.44	24	0.46	21	0.76	21	69.33	24	20.82	22	-0.10	23
7004	-818	-659	Min.	0.00	104.78	23	0.14	22	0.01	12	6.47	12	-41.14	24	-0.20	21
7004	-818	-659	Min.	154.00	104.78	23	0.14	22	0.26	22	40.28	23	13.63	12	-0.20	21
7004	-660	-807	Max	0.00	238.44	24	0.17	23	-0.03	22	-34.62	23	21.10	22	0.00	23
7004	-660	-807	Max	164.00	238.44	24	0.17	23	-0.04	23	0.38	23	-16.15	23	0.00	23
7004	-660	-807	Min.	0.00	110.94	23	-0.01	24	-0.33	21	-63.21	24	11.93	23	0.00	24
7004	-660	-807	Min.	164.00	110.94	23	-0.01	24	-0.09	21	-0.00	24	-31.71	24	0.00	24
7004	-807	-661	Max	0.00	238.44	24	0.17	23	-0.04	23	0.38	23	-16.15	23	0.00	23
7004	-807	-661	Max	164.00	238.44	24	0.17	23	0.23	23	63.20	24	21.09	22	0.00	23
7004	-807	-661	Min.	0.00	110.94	23	-0.01	24	-0.09	21	-0.00	24	-31.71	24	0.00	24
7004	-807	-661	Min.	164.00	110.94	23	-0.01	24	-0.10	24	35.38	23	13.16	23	0.00	24
7004	-662	-796	Max	0.00	214.66	24	-0.02	23	0.50	24	-36.34	23	20.83	22	0.19	21
7004	-662	-796	Max	154.00	214.66	24	-0.02	23	0.06	22	-3.48	23	-21.09	23	0.19	21
7004	-662	-796	Min.	0.00	90.48	23	-0.31	11	0.01	23	-69.34	24	9.57	23	0.09	23
7004	-662	-796	Min.	154.00	90.48	23	-0.31	11	-0.01	23	-9.99	24	-41.14	24	0.09	23
7004	-796	-663	Max	0.00	214.66	24	-0.02	23	0.06	22	-3.48	23	-21.09	23	0.19	21
7004	-796	-663	Max	154.00	214.66	24	-0.02	23	-0.04	23	49.37	24	-1.13	23	0.19	21
7004	-796	-663	Min.	0.00	90.48	23	-0.31	11	-0.01	23	-9.99	24	-41.14	24	0.09	23
7004	-796	-663	Min.	154.00	90.48	23	-0.31	11	-0.46	11	29.39	23	-10.81	24	0.09	23
7005	-722	-819	Max	0.00	24.29	23	0.80	21	-0.36	23	-29.29	23	-5.61	12	-0.01	22
7005	-722	-819	Max	154.00	24.29	23	0.80	21	0.59	24	5.56	22	-27.42	23	-0.01	22
7005	-722	-819	Min.	0.00	-0.05	24	0.42	23	-0.69	21	-54.06	24	-11.64	21	-0.07	21
7005	-722	-819	Min.	154.00	-0.05	24	0.42	23	0.29	23	2.13	12	-47.38	24	-0.07	21
7005	-819	-723	Max	0.00	167.91	24	-0.16	23	0.56	24	16.15	21	-27.42	23	-0.02	22
7005	-819	-723	Max	154.00	167.91	24	-0.16	23	0.00	23	73.15	24	22.52	22	-0.02	22
7005	-819	-723	Min.	0.00	77.71	23	-0.55	24	0.25	23	10.69	12	-47.39	24	-0.08	21
7005	-819	-723	Min.	154.00	77.71	23	-0.55	24	-0.30	22	45.03	23	14.13	12	-0.08	21
7005	-724	-808	Max	0.00	180.64	21	0.57	21	-0.30	12	-38.91	23	22.58	22	0.01	21
7005	-724	-808	Max	164.00	180.64	21	0.57	21	0.46	24	-3.91	23	-22.15	23	0.01	21
7005	-724	-808	Min.	0.00	101.93	23	0.33	23	-0.52	21	-67.68	24	12.97	23	0.01	12
7005	-724	-808	Min.	164.00	101.93	23	0.33	23	0.22	23	-5.31	21	-40.29	21	0.01	12
7005	-808	-725	Max	0.00	167.77	24	-0.18	23	0.46	24	6.39	21	-22.16	23	-0.00	23

7005	-808	-725	Max	164.00	167.77	24	-0.18	23	-0.10	23	67.69	24	22.58	22	-0.00	23
7005	-808	-725	Min.	0.00	65.43	23	-0.58	24	0.20	23	4.48	24	-40.30	21	-0.01	24
7005	-808	-725	Min.	164.00	65.43	23	-0.58	24	-0.49	24	40.12	23	14.26	12	-0.01	24
7005	-726	-797	Max	0.00	169.71	21	0.54	21	-0.15	12	-40.69	23	22.52	22	0.08	21
7005	-726	-797	Max	154.00	169.71	21	0.54	21	0.54	24	-7.83	23	-26.37	23	0.08	21
7005	-726	-797	Min.	0.00	89.74	23	0.33	12	-0.31	21	-73.16	24	10.99	23	0.02	22
7005	-726	-797	Min.	154.00	89.74	23	0.33	12	0.30	23	-14.10	22	-47.38	24	0.02	22
7005	-797	-727	Max	0.00	-0.03	12	-0.37	23	0.57	24	0.75	23	-26.37	23	0.06	21
7005	-797	-727	Max	154.00	-0.03	12	-0.37	23	-0.27	23	55.30	21	0.09	23	0.06	21
7005	-797	-727	Min.	0.00	-24.33	23	-0.77	24	0.30	23	-5.56	22	-47.39	24	0.01	22
7005	-797	-727	Min.	154.00	-24.33	23	-0.77	24	-0.61	24	33.62	23	-9.84	24	0.01	22
7006	-786	-820	Max	0.00	59.99	21	0.00	11	0.02	22	-25.76	23	-5.29	22	0.05	22
7006	-786	-820	Max	154.00	59.99	21	0.00	11	0.00	23	9.62	21	-23.12	23	0.05	22
7006	-786	-820	Min.	0.00	36.39	22	-0.01	22	-0.01	11	-46.82	21	-13.15	21	0.00	11
7006	-786	-820	Min.	154.00	36.39	22	-0.01	22	-0.01	24	5.03	22	-41.80	21	0.00	11
7006	-820	-787	Max	0.00	59.99	21	0.00	11	0.00	23	9.62	21	-23.12	23	0.05	22
7006	-820	-787	Max	123.20					-0.00	12			-2.51	12		
7006	-820	-787	Max	154.00	59.99	21	0.00	11	0.00	12	66.05	21	16.46	21	0.05	22
7006	-820	-787	Min.	0.00	36.39	22	-0.01	22	-0.01	24	5.03	22	-41.80	21	0.00	11
7006	-820	-787	Min.	123.20					-0.00	12			-2.51	12		
7006	-820	-787	Min.	154.00	36.39	22	-0.01	22	-0.03	22	39.98	23	10.22	22	0.00	11
7006	-788	-809	Max	0.00	-63.88	23	-0.00	23	0.01	11	-34.24	23	11.75	21	0.00	12
7006	-788	-809	Max	164.00	-63.88	23	-0.00	23	0.00	11	0.76	23	-18.98	23	0.00	12
7006	-788	-809	Min.	0.00	-148.63	21	-0.01	24	0.00	23	-59.42	21	8.48	23	0.00	22
7006	-788	-809	Min.	164.00	-148.63	21	-0.01	24	-0.00	22	-0.00	24	-36.41	21	0.00	22
7006	-809	-789	Max	0.00	-63.88	23	-0.00	23	0.00	11	0.76	23	-18.98	23	0.00	12
7006	-809	-789	Max	164.00	-63.88	23	-0.00	23	-0.00	23	60.78	21	13.98	21	0.00	12
7006	-809	-789	Min.	0.00	-148.63	21	-0.01	24	-0.00	22	-0.00	24	-36.41	21	0.00	22
7006	-809	-789	Min.	164.00	-148.63	21	-0.01	24	-0.01	24	35.76	23	9.85	22	0.00	22
7006	-790	-798	Max	0.00	47.37	21	0.01	22	0.01	11	-35.18	23	10.86	24	0.00	21
7006	-790	-798	Max	154.00	47.37	21	0.01	22	0.00	21	-2.31	23	-22.00	23	0.00	21
7006	-790	-798	Min.	0.00	27.50	23	-0.00	11	-0.02	22	-61.73	21	6.87	23	-0.05	22
7006	-790	-798	Min.	154.00	27.50	23	-0.00	11	0.00	12	-6.40	24	-40.78	21	-0.05	22
7006	-798	-791	Max	0.00	47.37	21	0.01	22	0.00	21	-2.31	23	-22.00	23	0.00	21
7006	-798	-791	Max	154.00	47.37	21	0.01	22	0.02	22	51.13	21	-0.25	23	0.00	21
7006	-798	-791	Min.	0.00	27.50	23	-0.00	11	0.00	12	-6.40	24	-40.78	21	-0.05	22
7006	-798	-791	Min.	154.00	27.50	23	-0.00	11	-0.00	11	30.56	23	-8.86	24	-0.05	22
7007	-730	-821	Max	0.00	24.29	23	-0.39	22	0.69	21	-22.67	22	-1.25	22	0.08	24
7007	-730	-821	Max	154.00	24.29	23	-0.39	22	-0.21	22	5.03	21	-20.35	22	0.08	24
7007	-730	-821	Min.	0.00	-0.04	11	-0.80	21	0.39	23	-51.40	21	-11.64	21	0.03	23
7007	-730	-821	Min.	154.00	-0.04	11	-0.80	21	-0.54	21	-2.13	22	-47.35	21	0.03	23
7007	-821	-731	Max	0.00	158.91	21	0.40	11	-0.17	22	16.15	21	-20.35	22	0.09	24
7007	-821	-731	Max	154.00	158.91	21	0.40	11	0.17	11	72.58	21	20.96	21	0.09	24
7007	-821	-731	Min.	0.00	72.30	22	0.12	22	-0.48	21	6.48	22	-47.36	21	0.04	23
7007	-821	-731	Min.	154.00	72.30	22	0.12	22	-0.00	23	27.02	22	5.44	22	0.04	23
7007	-732	-810	Max	0.00	180.65	21	-0.17	22	0.53	21	-26.41	22	17.69	21	-0.00	22
7007	-732	-810	Max	164.00	180.65	21	-0.17	22	-0.12	22	-3.91	23	-19.70	22	-0.00	22
7007	-732	-810	Min.	0.00	72.23	22	-0.58	21	0.15	22	-65.40	21	5.67	22	-0.01	21
7007	-732	-810	Min.	164.00	72.23	22	-0.58	21	-0.42	21	-5.30	21	-40.29	21	-0.01	21
7007	-810	-733	Max	0.00	147.78	21	0.46	11	-0.12	22	6.39	21	-19.70	22	0.01	11
7007	-810	-733	Max	164.00	147.78	21	0.46	11	0.38	11	66.49	21	19.47	21	0.01	11
7007	-810	-733	Min.	0.00	65.45	23	0.16	22	-0.40	21	4.49	11	-40.30	21	0.00	23
7007	-810	-733	Min.	164.00	65.45	23	0.16	22	0.09	23	26.41	22	5.67	22	0.00	23
7007	-734	-799	Max	0.00	169.73	21	-0.13	22	0.33	21	-27.02	22	15.89	21	-0.04	23
7007	-734	-799	Max	154.00	169.73	21	-0.13	22	-0.18	22	-6.48	22	-20.35	22	-0.04	23
7007	-734	-799	Min.	0.00	72.29	22	-0.56	21	0.03	22	-68.67	21	5.45	22	-0.09	24
7007	-734	-799	Min.	154.00	72.29	22	-0.56	21	-0.53	21	-12.24	21	-46.41	21	-0.09	24
7007	-799	-735	Max	0.00	0.00	22	0.76	21	-0.22	22	2.13	22	-20.35	22	-0.03	23
7007	-799	-735	Max	154.00	0.00	22	0.76	21	0.62	24	55.30	21	0.09	23	-0.03	23

7007	-799	-735	Min.	0.00	-24.33	23	0.39	23	-0.56	21	-2.82	11	-46.42	21	-0.08	24
7007	-799	-735	Min.	154.00	-24.33	23	0.39	23	0.29	23	22.67	22	-7.45	11	-0.08	24
7008	-666	-822	Max	0.00	197.82	21	-0.23	12	0.67	21	-18.44	22	-1.54	22	0.20	21
7008	-666	-822	Max	154.00	197.82	21	-0.23	12	0.03	22	10.65	21	-14.11	22	0.20	21
7008	-666	-822	Min.	0.00	52.32	22	-0.47	21	0.34	12	-45.78	21	-12.06	21	0.10	23
7008	-666	-822	Min.	154.00	52.32	22	-0.47	21	-0.05	21	2.11	22	-39.11	21	0.10	23
7008	-822	-667	Max	0.00	197.82	21	-0.23	12	0.03	22	10.65	21	-14.11	22	0.20	21
7008	-822	-667	Max	154.00	197.82	21	-0.23	12	-0.34	22	67.09	21	20.75	21	0.20	21
7008	-822	-667	Min.	0.00	52.32	22	-0.47	21	-0.05	21	2.11	22	-39.11	21	0.10	23
7008	-822	-667	Min.	154.00	52.32	22	-0.47	21	-0.77	21	22.66	22	4.96	22	0.10	23
7008	-668	-811	Max	0.00	220.04	21	-0.00	12	0.35	21	-21.88	22	17.94	21	0.00	12
7008	-668	-811	Max	164.00	220.04	21	-0.00	12	0.10	24	0.38	23	-12.84	22	0.00	12
7008	-668	-811	Min.	0.00	74.50	22	-0.17	23	0.06	22	-59.76	21	5.10	22	-0.00	23
7008	-668	-811	Min.	164.00	74.50	22	-0.17	23	0.04	23	-0.00	11	-30.79	21	-0.00	23
7008	-811	-669	Max	0.00	220.04	21	-0.00	12	0.10	24	0.38	23	-12.84	22	0.00	12
7008	-811	-669	Max	164.00	220.04	21	-0.00	12	0.09	24	60.43	21	19.04	21	0.00	12
7008	-811	-669	Min.	0.00	74.50	22	-0.17	23	0.04	23	-0.00	11	-30.79	21	-0.00	23
7008	-811	-669	Min.	164.00	74.50	22	-0.17	23	-0.24	23	21.88	22	5.10	22	-0.00	23
7008	-670	-800	Max	0.00	184.98	21	0.35	24	-0.01	23	-22.66	22	15.78	21	-0.09	23
7008	-670	-800	Max	154.00	184.98	21	0.35	24	0.04	22	-2.11	22	-14.11	22	-0.09	23
7008	-670	-800	Min.	0.00	52.35	22	0.02	23	-0.53	24	-63.55	21	4.96	22	-0.19	21
7008	-670	-800	Min.	154.00	52.35	22	0.02	23	-0.01	11	-7.49	11	-38.62	21	-0.19	21
7008	-800	-671	Max	0.00	184.98	21	0.35	24	0.04	22	-2.11	22	-14.11	22	-0.09	23
7008	-800	-671	Max	154.00	184.98	21	0.35	24	0.55	24	49.32	21	-1.13	23	-0.09	23
7008	-800	-671	Min.	0.00	52.35	22	0.02	23	-0.01	11	-7.49	11	-38.62	21	-0.19	21
7008	-800	-671	Min.	154.00	52.35	22	0.02	23	0.05	23	18.43	22	-8.18	11	-0.19	21
7009	-602	-823	Max	0.00	23.84	23	0.18	21	0.03	22	-20.18	22	-0.65	22	0.28	21
7009	-602	-823	Max	154.00	23.84	23	0.18	21	0.22	24	7.80	21	-15.90	22	0.28	21
7009	-602	-823	Min.	0.00	-0.04	11	0.08	22	-0.08	11	-48.63	21	-7.06	21	0.13	22
7009	-602	-823	Min.	154.00	-0.04	11	0.08	22	0.11	23	0.37	22	-38.51	21	0.13	22
7009	-823	-603	Max	0.00	96.12	21	-0.38	22	0.35	21	19.11	21	-15.90	22	0.30	21
7009	-823	-603	Max	154.00	96.12	21	-0.38	22	-0.36	22	75.54	21	34.37	21	0.30	21
7009	-823	-603	Min.	0.00	29.97	22	-0.72	21	0.18	23	9.07	22	-38.51	21	0.14	22
7009	-823	-603	Min.	154.00	29.97	22	-0.72	21	-0.76	21	29.62	22	13.89	22	0.14	22
7009	-604	-812	Max	0.00	117.73	21	0.32	24	0.05	23	-26.45	22	33.39	21	-0.01	22
7009	-604	-812	Max	164.00	117.73	21	0.32	24	0.36	21	-4.56	12	-11.79	22	-0.01	22
7009	-604	-812	Min.	0.00	30.02	22	0.08	23	-0.17	24	-66.51	21	13.64	22	-0.02	21
7009	-604	-812	Min.	164.00	30.02	22	0.08	23	0.18	23	-6.41	21	-26.41	21	-0.02	21
7009	-812	-605	Max	0.00	92.53	11	-0.21	22	0.37	21	5.45	21	-11.79	22	0.01	11
7009	-812	-605	Max	164.00	92.53	11	-0.21	22	-0.11	22	65.54	21	31.81	21	0.01	11
7009	-812	-605	Min.	0.00	30.01	22	-0.43	21	0.19	23	4.02	23	-26.40	21	-0.00	23
7009	-812	-605	Min.	164.00	30.01	22	-0.43	21	-0.33	21	26.44	22	13.64	22	-0.00	23
7009	-606	-801	Max	0.00	111.23	21	0.59	24	-0.10	23	-29.62	22	32.07	21	-0.14	22
7009	-606	-801	Max	154.00	111.23	21	0.59	24	0.34	24	-9.08	22	-15.90	22	-0.14	22
7009	-606	-801	Min.	0.00	29.96	22	0.13	23	-0.58	24	-74.64	21	13.89	22	-0.30	21
7009	-606	-801	Min.	154.00	29.96	22	0.13	23	0.10	23	-18.21	21	-39.43	21	-0.30	21
7009	-801	-607	Max	0.00	0.01	22	-0.08	22	0.22	24	-0.38	22	-15.89	22	-0.13	22
7009	-801	-607	Max	154.00	0.01	22	-0.08	22	0.04	22	49.51	21	-0.65	22	-0.13	22
7009	-801	-607	Min.	0.00	-23.90	23	-0.18	21	0.04	23	-6.92	21	-39.42	21	-0.28	21
7009	-801	-607	Min.	154.00	-23.90	23	-0.18	21	-0.12	21	20.17	22	-6.63	21	-0.28	21
7010	4287	-824	Max	0.00	88.26	11	-0.08	22	0.74	21	-15.76	22	54.25	21	0.13	21
7010	4287	-824	Max	154.00	88.26	11	-0.08	22	-0.02	12	6.62	11	-6.87	22	0.13	21
7010	4287	-824	Min.	0.00	23.18	22	-0.50	21	0.09	22	-74.78	21	1.58	22	0.06	22
7010	4287	-824	Min.	154.00	23.18	22	-0.50	21	-0.04	22	-24.16	23	-17.46	21	0.06	22
7010	-824	4288	Max	0.00	88.26	11	-0.08	22	-0.02	12	6.62	11	-6.87	22	0.13	21
7010	-824	4288	Max	154.00	88.26	11	-0.08	22	-0.16	22	54.88	11	31.31	11	0.13	21
7010	-824	4288	Min.	0.00	23.18	22	-0.50	21	-0.04	22	-24.16	23	-17.46	21	0.06	22
7010	-824	4288	Min.	154.00	23.18	22	-0.50	21	-0.81	21	8.70	23	-21.38	23	0.06	22
7010	4290	-813	Max	0.00	156.44	21	-0.00	12	0.57	23	-21.87	22	69.35	21	0.00	12

7010	4290	-813	Max	164.00	156.44	21	-0.00	12	0.01	11	0.01	24	-6.72	22	0.00	12
7010	4290	-813	Min.	0.00	65.86	22	-0.35	23	-0.01	22	-83.83	21	11.20	22	-0.00	23
7010	4290	-813	Min.	164.00	65.86	22	-0.35	23	-0.01	22	-26.37	23	-18.85	21	-0.00	23
7010	-813	4291	Max	0.00	156.44	21	-0.00	12	0.01	11	0.01	24	-6.72	22	0.00	12
7010	-813	4291	Max	164.00	156.44	21	-0.00	12	0.01	11	51.41	11	26.02	11	0.00	12
7010	-813	4291	Min.	0.00	65.86	22	-0.35	23	-0.01	22	-26.37	23	-18.85	21	-0.00	23
7010	-813	4291	Min.	164.00	65.86	22	-0.35	23	-0.58	23	8.63	23	-25.48	23	-0.00	23
7010	4293	-802	Max	0.00	112.36	21	0.15	24	0.47	23	-25.31	22	76.19	21	-0.06	22
7010	4293	-802	Max	154.00	112.36	21	0.15	24	-0.00	23	-4.76	22	-6.87	22	-0.06	22
7010	4293	-802	Min.	0.00	23.15	22	-0.31	23	-0.27	24	-90.70	21	16.29	22	-0.13	21
7010	4293	-802	Min.	154.00	23.15	22	-0.31	23	-0.03	22	-34.31	23	-20.04	21	-0.13	21
7010	-802	4294	Max	0.00	112.36	21	0.15	24	-0.00	23	-4.76	22	-6.87	22	-0.06	22
7010	-802	4294	Max	154.00	112.36	21	0.15	24	0.21	11	41.67	11	10.96	11	-0.06	22
7010	-802	4294	Min.	0.00	23.15	22	-0.31	23	-0.03	22	-34.31	23	-20.04	21	-0.13	21
7010	-802	4294	Min.	154.00	23.15	22	-0.31	23	-0.48	23	-1.44	23	-39.86	23	-0.13	21
7011	3314	-825	Max	0.00	8.96	21	-0.00	12	0.62	23	-15.17	22	2.44	23	0.13	21
7011	3314	-825	Max	154.00	8.96	21	-0.00	12	0.04	24	9.77	21	-8.24	22	0.13	21
7011	3314	-825	Min.	0.00	4.20	23	-0.39	23	0.03	12	-31.80	21	-1.99	11	0.05	22
7011	3314	-825	Min.	154.00	4.20	23	-0.39	23	0.01	23	5.38	22	-16.00	21	0.05	22
7011	-825	3315	Max	0.00	8.96	21	-0.00	12	0.04	24	9.77	21	-8.24	22	0.13	21
7011	-825	3315	Max	154.00	8.96	21	-0.00	12	0.02	12	51.35	21	31.06	21	0.13	21
7011	-825	3315	Min.	0.00	4.20	23	-0.39	23	0.01	23	5.38	22	-16.00	21	0.05	22
7011	-825	3315	Min.	154.00	4.20	23	-0.39	23	-0.59	23	25.92	22	15.86	22	0.05	22
7011	3316	-814	Max	0.00	13.44	21	-0.00	12	0.62	23	-21.88	22	33.05	21	0.01	23
7011	3316	-814	Max	164.00	13.44	21	-0.00	12	0.08	24	0.00	22	-2.63	22	0.01	23
7011	3316	-814	Min.	0.00	6.62	23	-0.36	23	0.05	12	-45.86	21	15.31	22	0.00	24
7011	3316	-814	Min.	164.00	6.62	23	-0.36	23	0.03	23	-1.77	23	-5.86	21	0.00	24
7011	-814	3317	Max	0.00	13.44	21	-0.00	12	0.08	24	0.00	22	-2.63	22	0.01	23
7011	-814	3317	Max	164.00	13.44	21	-0.00	12	0.08	24	42.68	21	27.83	21	0.01	23
7011	-814	3317	Min.	0.00	6.62	23	-0.36	23	0.03	23	-1.77	23	-5.86	21	0.00	24
7011	-814	3317	Min.	164.00	6.62	23	-0.36	23	-0.55	23	21.88	22	15.31	22	0.00	24
7011	3318	-803	Max	0.00	10.14	21	0.02	24	0.63	23	-25.92	22	31.99	21	-0.04	23
7011	3318	-803	Max	154.00	10.14	21	0.02	24	0.04	21	-5.38	22	-8.24	22	-0.04	23
7011	3318	-803	Min.	0.00	5.33	22	-0.39	23	0.01	22	-53.71	21	15.86	22	-0.10	11
7011	3318	-803	Min.	154.00	5.33	22	-0.39	23	0.02	23	-12.14	21	-18.71	21	-0.10	11
7011	-803	3319	Max	0.00	10.14	21	0.02	24	0.04	21	-5.38	22	-8.24	22	-0.04	23
7011	-803	3319	Max	154.00	10.14	21	0.02	24	0.07	24	29.43	21	-0.70	22	-0.04	23
7011	-803	3319	Min.	0.00	5.33	22	-0.39	23	0.02	23	-12.14	21	-18.71	21	-0.10	11
7011	-803	3319	Min.	154.00	5.33	22	-0.39	23	-0.58	23	15.17	22	-5.39	21	-0.10	11
8001	4027	-817	Max	0.00	-63.49	12	1.69	21	0.00	11	-0.01	23	0.00	11	0.00	11
8001	4027	-817	Max	66.29					0.43	23			-0.01	23		
8001	4027	-817	Max	176.65	-63.35	12	-2.16	22	-0.76	22	-0.01	23	-0.02	23	0.00	11
8001	4027	-817	Min.	0.00	-148.45	21	1.30	11	0.00	11	-0.03	24	0.00	11	0.00	11
8001	4027	-817	Min.	66.35					0.43	24			-0.02	24		
8001	4027	-817	Min.	176.65	-148.27	21	-2.81	21	-0.99	21	-0.03	24	-0.06	24	0.00	11
8001	-817	-659	Max	0.00	-105.40	12	2.82	21	-0.76	22	-0.03	23	0.12	22	0.01	22
8001	-817	-659	Max	109.52					0.43	22			0.05	22		
8001	-817	-659	Max	176.65	-105.26	12	-1.30	25	0.00	21	-0.03	23	0.00	11	0.01	22
8001	-817	-659	Min.	0.00	-192.02	21	2.16	22	-1.00	21	-0.07	22	0.05	23	0.00	23
8001	-817	-659	Min.	109.59					0.43	23			0.02	23		
8001	-817	-659	Min.	176.65	-191.84	21	-1.69	21	0.00	22	-0.07	22	0.00	21	0.00	23
8002	-658	-817	Max	0.00	102.83	21	1.70	21	0.00	11	0.09	24	0.00	11	0.00	11
8002	-658	-817	Max	66.82					0.44	24			0.06	24		
8002	-658	-817	Max	176.65	102.65	21	-2.15	24	-0.74	24	0.09	24	0.16	24	0.00	11
8002	-658	-817	Min.	0.00	-18.27	22	1.30	23	0.00	11	0.04	23	0.00	11	0.00	11
8002	-658	-817	Min.	66.53					0.43	23			0.03	23		
8002	-658	-817	Min.	176.65	-18.41	22	-2.80	21	-0.98	21	0.04	23	0.07	23	0.00	11
8002	-817	4028	Max	0.00	61.78	23	2.80	21	-0.74	24	-0.03	23	0.12	21	0.01	21
8002	-817	4028	Max	109.31					0.57	21			0.04	21		

8002	-817	4028	Max	176.65	61.64	23	-1.30	23	0.00	23	-0.03	23	0.00	21	0.01	21
8002	-817	4028	Min.	0.00	-69.97	22	2.15	24	-0.98	21	-0.07	21	0.06	23	0.00	22
8002	-817	4028	Min.	109.40					0.43	23			0.02	23		
8002	-817	4028	Min.	176.65	-70.11	22	-1.70	21	0.00	21	-0.07	21	0.00	25	0.00	22
8003	-658	-819	Max	0.00	-164.93	23	1.70	21	0.00	11	0.00	22	0.00	11	0.00	11
8003	-658	-819	Max	66.58					0.43	22			0.00	22		
8003	-658	-819	Max	176.65	-164.79	23	-2.16	24	-0.75	24	0.00	22	0.01	22	0.00	11
8003	-658	-819	Min.	0.00	-304.62	21	1.30	23	0.00	11	-0.01	11	0.00	11	0.00	11
8003	-658	-819	Min.	66.56					0.43	11			-0.00	11		
8003	-658	-819	Min.	176.65	-304.44	21	-2.81	21	-0.98	21	-0.01	11	-0.01	11	0.00	11
8003	-819	-787	Max	0.00	-194.90	23	2.81	21	-0.75	24	-0.09	23	0.29	24	0.01	22
8003	-819	-787	Max	109.38					0.56	21			0.11	21		
8003	-819	-787	Max	176.65	-194.76	23	-1.30	23	0.00	21	-0.09	23	0.00	21	0.01	22
8003	-819	-787	Min.	0.00	-381.88	21	2.16	24	-0.98	21	-0.17	24	0.16	23	0.00	23
8003	-819	-787	Min.	109.44					0.43	23			0.06	23		
8003	-819	-787	Min.	176.65	-381.70	21	-1.70	21	0.00	11	-0.17	24	0.00	22	0.00	23
8004	-786	-819	Max	0.00	-10.89	23	1.70	21	0.00	11	0.11	24	0.00	11	0.00	11
8004	-786	-819	Max	66.71					0.44	24			0.07	24		
8004	-786	-819	Max	176.65	-11.03	23	-2.16	24	-0.75	24	0.11	24	0.20	24	0.00	11
8004	-786	-819	Min.	0.00	-40.11	22	1.30	23	0.00	11	0.05	23	0.00	11	0.00	11
8004	-786	-819	Min.	66.51					0.43	23			0.04	23		
8004	-786	-819	Min.	176.65	-40.25	22	-2.81	21	-0.98	21	0.05	23	0.09	23	0.00	11
8004	-819	-659	Max	0.00	-42.22	23	2.80	21	-0.75	24	0.04	24	-0.02	23	-0.01	23
8004	-819	-659	Max	141.32					0.34	23			-0.00	23		
8004	-819	-659	Max	176.65	-42.36	23	-1.30	23	0.00	21	0.04	24	0.00	21	-0.01	23
8004	-819	-659	Min.	0.00	-135.89	24	2.15	24	-0.98	21	0.01	23	-0.07	24	-0.01	24
8004	-819	-659	Min.	109.58					0.44	24			-0.02	24		
8004	-819	-659	Min.	176.65	-136.03	24	-1.70	21	0.00	23	0.01	23	0.00	25	-0.01	24
8005	-786	-821	Max	0.00	-2.37	22	1.70	21	0.00	11	-0.04	22	0.00	11	0.00	11
8005	-786	-821	Max	66.44					0.43	22			-0.03	22		
8005	-786	-821	Max	176.65	-2.51	22	-2.16	25	-0.75	25	-0.04	22	-0.08	22	0.00	11
8005	-786	-821	Min.	0.00	-26.11	11	1.30	22	0.00	11	-0.10	21	0.00	11	0.00	11
8005	-786	-821	Min.	66.60					0.57	21			-0.07	21		
8005	-786	-821	Min.	176.65	-26.24	11	-2.81	21	-0.98	21	-0.10	21	-0.18	21	0.00	11
8005	-821	-667	Max	0.00	-42.26	23	2.80	21	-0.75	11	-0.01	22	0.06	21	0.01	21
8005	-821	-667	Max	109.73					0.57	21			0.02	21		
8005	-821	-667	Max	176.65	-42.40	23	-1.30	22	0.00	22	-0.01	22	0.00	24	0.01	21
8005	-821	-667	Min.	0.00	-111.16	11	2.16	11	-0.98	21	-0.03	21	0.02	22	0.00	22
8005	-821	-667	Min.	109.39					0.43	22			0.01	22		
8005	-821	-667	Min.	176.65	-111.30	11	-1.70	21	0.00	21	-0.03	21	0.00	21	0.00	22
8006	-666	-821	Max	0.00	-147.21	22	1.70	21	0.00	11	0.01	24	0.00	11	0.00	11
8006	-666	-821	Max	66.50					0.43	24			0.01	24		
8006	-666	-821	Max	176.65	-147.08	22	-2.16	25	-0.75	25	0.01	24	0.02	24	0.00	11
8006	-666	-821	Min.	0.00	-304.53	21	1.30	22	0.00	11	0.00	23	0.00	11	0.00	11
8006	-666	-821	Min.	66.46					0.43	23			0.00	23		
8006	-666	-821	Min.	176.65	-304.36	21	-2.81	21	-0.98	21	0.00	23	0.00	23	0.00	11
8006	-821	-787	Max	0.00	-188.12	22	2.81	21	-0.75	11	0.17	21	-0.12	22	0.00	22
8006	-821	-787	Max	141.32					0.34	22			-0.02	22		
8006	-821	-787	Max	176.65	-187.98	22	-1.30	22	0.00	21	0.17	21	0.00	22	0.00	22
8006	-821	-787	Min.	0.00	-381.82	21	2.16	11	-0.98	21	0.07	22	-0.29	21	-0.00	21
8006	-821	-787	Min.	109.38					0.56	21			-0.11	21		
8006	-821	-787	Min.	176.65	-381.64	21	-1.70	21	0.00	25	0.07	22	0.00	21	-0.00	21
8007	-666	-823	Max	0.00	102.64	21	1.70	21	0.00	11	-0.00	22	0.00	11	0.00	11
8007	-666	-823	Max	66.40					0.43	22			0.00	22		
8007	-666	-823	Max	176.65	102.47	21	-2.16	25	-0.75	25	-0.00	22	-0.00	22	0.00	11
8007	-666	-823	Min.	0.00	43.10	12	1.30	22	0.00	11	-0.07	21	0.00	11	0.00	11
8007	-666	-823	Min.	66.65					0.57	21			-0.05	21		
8007	-666	-823	Min.	176.65	42.96	12	-2.80	21	-0.98	21	-0.07	21	-0.13	21	0.00	11
8007	-823	4288	Max	0.00	70.54	22	2.80	21	-0.75	11	0.07	21	-0.06	23	-0.01	23

8007	-823	4288	Max	141.32					0.34	23			-0.01	23		
8007	-823	4288	Max	176.65	70.41	22	-1.30	22	0.00	22	0.07	21	0.00	22	-0.01	23
8007	-823	4288	Min.	0.00	2.12	12	2.16	11	-0.98	21	0.03	23	-0.12	21	-0.01	24
8007	-823	4288	Min.	109.31					0.57	21			-0.04	21		
8007	-823	4288	Min.	176.65	1.98	12	-1.70	21	0.00	21	0.03	23	0.00	21	-0.01	24
8008	4287	-823	Max	0.00	-7.52	22	1.69	21	0.00	11	0.03	21	0.00	11	0.00	11
8008	4287	-823	Max	66.28					0.56	21			0.02	21		
8008	4287	-823	Max	176.65	-7.38	22	-2.16	23	-0.76	23	0.03	21	0.05	21	0.00	11
8008	4287	-823	Min.	0.00	-148.41	21	1.30	22	0.00	11	0.01	22	0.00	11	0.00	11
8008	4287	-823	Min.	66.17					0.43	22			0.01	22		
8008	4287	-823	Min.	176.65	-148.23	21	-2.81	21	-0.99	21	0.01	22	0.02	22	0.00	11
8008	-823	-667	Max	0.00	-25.18	22	2.82	21	-0.77	23	0.05	21	0.02	22	0.00	22
8008	-823	-667	Max	109.65					0.43	22			0.01	22		
8008	-823	-667	Max	176.65	-25.04	22	-1.30	22	0.00	21	0.05	21	0.00	21	0.00	22
8008	-823	-667	Min.	0.00	-192.03	21	2.17	23	-1.00	21	-0.01	22	-0.09	21	-0.00	21
8008	-823	-667	Min.	109.60					0.56	21			-0.03	21		
8008	-823	-667	Min.	176.65	-191.86	21	-1.69	21	0.00	23	-0.01	22	0.00	22	-0.00	21
8009	4030	-806	Max	0.00	-35.25	12	1.78	21	0.00	11	0.00	21	0.00	11	0.00	11
8009	4030	-806	Max	69.69					0.62	21			0.00	21		
8009	4030	-806	Max	185.43	-35.11	12	-2.27	24	-0.83	24	0.00	21	0.01	21	0.00	11
8009	4030	-806	Min.	0.00	-110.82	21	1.37	23	0.00	11	-0.00	22	0.00	11	0.00	11
8009	4030	-806	Min.	69.76					0.48	22			-0.00	22		
8009	4030	-806	Min.	185.43	-110.64	21	-2.95	21	-1.09	21	-0.00	22	-0.01	22	0.00	11
8009	-806	-661	Max	0.00	-35.66	12	2.95	21	-0.84	24	-0.03	23	0.13	24	0.01	24
8009	-806	-661	Max	114.89					0.48	24			0.05	24		
8009	-806	-661	Max	185.43	-35.52	12	-1.37	23	0.00	21	-0.03	23	0.00	21	0.01	24
8009	-806	-661	Min.	0.00	-95.70	21	2.27	24	-1.09	21	-0.07	24	0.05	23	0.00	23
8009	-806	-661	Min.	114.97					0.48	23			0.02	23		
8009	-806	-661	Min.	185.43	-95.52	21	-1.78	21	0.00	23	-0.07	24	0.00	11	0.00	23
8010	-660	-806	Max	0.00	24.05	23	1.78	21	0.00	11	0.07	24	0.00	11	0.00	11
8010	-660	-806	Max	69.73					0.48	24			0.05	24		
8010	-660	-806	Max	185.43	23.91	23	-2.27	24	-0.84	24	0.07	24	0.13	24	0.00	11
8010	-660	-806	Min.	0.00	-87.09	22	1.37	23	0.00	11	0.02	23	0.00	11	0.00	11
8010	-660	-806	Min.	69.61					0.48	23			0.02	23		
8010	-660	-806	Min.	185.43	-87.23	22	-2.95	21	-1.09	21	0.02	23	0.04	23	0.00	11
8010	-806	4031	Max	0.00	41.91	23	2.95	21	-0.83	24	0.01	22	0.00	23	0.02	21
8010	-806	4031	Max	114.96					0.48	23			0.00	23		
8010	-806	4031	Max	185.43	41.77	23	-1.37	23	0.00	24	0.01	22	0.00	21	0.02	21
8010	-806	4031	Min.	0.00	-86.73	22	2.27	24	-1.09	21	-0.00	23	-0.01	22	0.01	22
8010	-806	4031	Min.	114.87					0.48	22			-0.00	22		
8010	-806	4031	Min.	185.43	-86.87	22	-1.78	21	0.00	21	-0.00	23	0.00	11	0.01	22
8011	-660	-808	Max	0.00	-161.02	23	1.78	21	0.00	11	-0.02	23	0.00	11	0.00	11
8011	-660	-808	Max	69.76					0.48	23			-0.02	23		
8011	-660	-808	Max	185.43	-160.88	23	-2.26	24	-0.83	24	-0.02	23	-0.04	23	0.00	11
8011	-660	-808	Min.	0.00	-284.91	21	1.37	23	0.00	11	-0.04	21	0.00	11	0.00	11
8011	-660	-808	Min.	69.87					0.62	21			-0.03	21		
8011	-660	-808	Min.	185.43	-284.73	21	-2.95	21	-1.08	21	-0.04	21	-0.08	21	0.00	11
8011	-808	-789	Max	0.00	-139.77	23	2.95	21	-0.83	24	-0.07	23	0.26	21	0.01	24
8011	-808	-789	Max	114.82					0.62	21			0.10	21		
8011	-808	-789	Max	185.43	-139.63	23	-1.37	23	0.00	21	-0.07	23	0.00	21	0.01	24
8011	-808	-789	Min.	0.00	-265.09	21	2.26	24	-1.08	21	-0.14	21	0.14	23	0.00	23
8011	-808	-789	Min.	114.89					0.48	23			0.05	23		
8011	-808	-789	Min.	185.43	-264.91	21	-1.78	21	0.00	24	-0.14	21	0.00	23	0.00	23
8012	-788	-808	Max	0.00	-119.28	23	1.78	21	0.00	11	0.14	24	0.00	11	0.00	11
8012	-788	-808	Max	69.95					0.48	24			0.10	24		
8012	-788	-808	Max	185.43	-119.41	23	-2.26	24	-0.83	24	0.14	24	0.26	24	0.00	11
8012	-788	-808	Min.	0.00	-256.06	24	1.37	23	0.00	11	0.06	23	0.00	11	0.00	11
8012	-788	-808	Min.	69.74					0.48	23			0.04	23		
8012	-788	-808	Min.	185.43	-256.20	24	-2.95	21	-1.08	21	0.06	23	0.12	23	0.00	11

8012	-808	-661	Max	0.00	-99.25	23	2.95	21	-0.83	24	0.04	24	-0.03	23	-0.01	23
8012	-808	-661	Max	148.34					0.37	23			-0.01	23		
8012	-808	-661	Max	185.43	-99.39	23	-1.37	23	0.00	21	0.04	24	0.00	21	-0.01	23
8012	-808	-661	Min.	0.00	-257.41	24	2.26	24	-1.08	21	0.02	23	-0.08	24	-0.01	24
8012	-808	-661	Min.	115.20					0.48	24			-0.03	24		
8012	-808	-661	Min.	185.43	-257.55	24	-1.78	21	0.00	22	0.02	23	0.00	11	-0.01	24
8013	-788	-810	Max	0.00	-119.37	23	1.78	21	0.00	11	-0.06	22	0.00	11	0.00	11
8013	-788	-810	Max	69.67					0.48	22			-0.04	22		
8013	-788	-810	Max	185.43	-119.51	23	-2.27	25	-0.83	25	-0.06	22	-0.10	22	0.00	11
8013	-788	-810	Min.	0.00	-246.68	21	1.37	22	0.00	11	-0.13	21	0.00	11	0.00	11
8013	-788	-810	Min.	69.83					0.62	21			-0.09	21		
8013	-788	-810	Min.	185.43	-246.86	21	-2.95	21	-1.08	21	-0.13	21	-0.24	21	0.00	11
8013	-810	-669	Max	0.00	-99.35	23	2.95	21	-0.83	11	-0.02	23	0.07	21	0.01	21
8013	-810	-669	Max	114.80					0.62	21			0.03	21		
8013	-810	-669	Max	185.43	-99.49	23	-1.37	22	0.00	24	-0.02	23	0.00	23	0.01	21
8013	-810	-669	Min.	0.00	-229.33	21	2.27	11	-1.08	21	-0.04	21	0.03	23	0.00	22
8013	-810	-669	Min.	114.88					0.48	23			0.01	23		
8013	-810	-669	Min.	185.43	-229.51	21	-1.78	21	0.00	21	-0.04	21	0.00	21	0.00	22
8014	-668	-810	Max	0.00	-122.03	22	1.78	21	0.00	11	0.04	21	0.00	11	0.00	11
8014	-668	-810	Max	69.87					0.62	21			0.03	21		
8014	-668	-810	Max	185.43	-121.89	22	-2.27	25	-0.83	25	0.04	21	0.08	21	0.00	11
8014	-668	-810	Min.	0.00	-284.82	21	1.37	22	0.00	11	0.02	22	0.00	11	0.00	11
8014	-668	-810	Min.	69.73					0.48	22			0.01	22		
8014	-668	-810	Min.	185.43	-284.64	21	-2.95	21	-1.08	21	0.02	22	0.03	22	0.00	11
8014	-810	-789	Max	0.00	-121.62	22	2.95	21	-0.83	11	0.14	21	-0.11	22	0.00	22
8014	-810	-789	Max	148.34					0.37	22			-0.02	22		
8014	-810	-789	Max	185.43	-121.49	22	-1.37	22	0.00	21	0.14	21	0.00	23	0.00	22
8014	-810	-789	Min.	0.00	-265.01	21	2.27	11	-1.08	21	0.06	22	-0.26	21	-0.01	21
8014	-810	-789	Min.	114.82					0.62	21			-0.10	21		
8014	-810	-789	Min.	185.43	-264.83	21	-1.78	21	0.00	24	0.06	22	0.00	21	-0.01	21
8015	-668	-812	Max	0.00	28.32	22	1.78	21	0.00	11	0.01	22	0.00	11	0.00	11
8015	-668	-812	Max	69.53					0.47	22			0.00	22		
8015	-668	-812	Max	185.43	28.19	22	-2.27	11	-0.84	11	0.01	22	0.01	22	0.00	11
8015	-668	-812	Min.	0.00	-45.64	11	1.36	22	0.00	11	-0.05	21	0.00	11	0.00	11
8015	-668	-812	Min.	69.65					0.62	21			-0.03	21		
8015	-668	-812	Min.	185.43	-45.78	11	-2.95	21	-1.09	21	-0.05	21	-0.09	21	0.00	11
8015	-812	4291	Max	0.00	41.81	23	2.95	21	-0.84	11	0.01	22	-0.00	23	-0.01	23
8015	-812	4291	Max	114.96					0.48	23			0.00	23		
8015	-812	4291	Max	185.43	41.67	23	-1.36	22	0.00	21	0.01	22	0.00	22	-0.01	23
8015	-812	4291	Min.	0.00	-45.04	11	2.27	11	-1.09	21	0.00	23	-0.01	22	-0.02	21
8015	-812	4291	Min.	115.02					0.47	22			-0.01	22		
8015	-812	4291	Min.	185.43	-45.18	11	-1.78	21	0.00	22	0.00	23	0.00	21	-0.02	21
8016	4290	-812	Max	0.00	28.65	22	1.78	21	0.00	11	-0.00	11	0.00	11	0.00	11
8016	4290	-812	Max	69.71					0.48	11			0.00	11		
8016	4290	-812	Max	185.43	28.79	22	-2.27	25	-0.84	25	-0.00	11	-0.00	11	0.00	11
8016	4290	-812	Min.	0.00	-110.71	21	1.36	22	0.00	11	-0.01	22	0.00	11	0.00	11
8016	4290	-812	Min.	69.54					0.47	22			-0.01	22		
8016	4290	-812	Min.	185.43	-110.53	21	-2.95	21	-1.09	21	-0.01	22	-0.01	22	0.00	11
8016	-812	-669	Max	0.00	28.19	22	2.95	21	-0.84	25	0.05	21	0.01	22	0.00	22
8016	-812	-669	Max	115.03					0.47	22			0.00	22		
8016	-812	-669	Max	185.43	28.33	22	-1.36	22	0.00	21	0.05	21	0.00	23	0.00	22
8016	-812	-669	Min.	0.00	-95.62	21	2.27	25	-1.09	21	-0.01	22	-0.10	21	-0.01	21
8016	-812	-669	Min.	114.94					0.62	21			-0.04	21		
8016	-812	-669	Min.	185.43	-95.44	21	-1.78	21	0.00	22	-0.01	22	0.00	21	-0.01	21
8017	4033	-793	Max	0.00	5.17	11	1.70	21	0.00	11	0.07	21	0.00	11	0.00	11
8017	4033	-793	Max	66.64					0.57	21			0.05	21		
8017	4033	-793	Max	176.65	5.31	11	-2.15	24	-0.74	24	0.07	21	0.12	21	0.00	11
8017	4033	-793	Min.	0.00	-70.18	22	1.30	23	0.00	11	0.04	23	0.00	11	0.00	11
8017	4033	-793	Min.	66.52					0.43	23			0.02	23		

8017	4033	-793	Min.	176.65	-70.05	22	-2.80	21	-0.98	21	0.04	23	0.06	23	0.00	11
8017	-793	-663	Max	0.00	57.56	11	2.80	21	-0.74	24	-0.04	23	0.16	24	0.01	24
8017	-793	-663	Max	109.52					0.44	24			0.06	24		
8017	-793	-663	Max	176.65	57.70	11	-1.30	23	0.00	21	-0.04	23	0.00	25	0.01	24
8017	-793	-663	Min.	0.00	-18.61	22	2.15	24	-0.98	21	-0.09	24	0.07	23	0.00	23
8017	-793	-663	Min.	109.38					0.43	23			0.03	23		
8017	-793	-663	Min.	176.65	-18.47	22	-1.70	21	0.00	11	-0.09	24	0.00	21	0.00	23
8018	-662	-793	Max	0.00	-29.51	23	1.69	21	0.00	11	0.07	22	0.00	11	0.00	11
8018	-662	-793	Max	66.33					0.43	22			0.05	22		
8018	-662	-793	Max	176.65	-29.65	23	-2.16	22	-0.76	22	0.07	22	0.12	22	0.00	11
8018	-662	-793	Min.	0.00	-181.75	24	1.30	11	0.00	11	0.02	23	0.00	11	0.00	11
8018	-662	-793	Min.	66.24					0.43	23			0.02	23		
8018	-662	-793	Min.	176.65	-181.89	24	-2.82	21	-1.00	21	0.02	23	0.04	23	0.00	11
8018	-793	4034	Max	0.00	19.03	23	2.81	21	-0.76	22	0.03	24	-0.03	23	0.02	21
8018	-793	4034	Max	141.32					0.34	23			-0.01	23		
8018	-793	4034	Max	176.65	18.89	23	-1.30	25	0.00	21	0.03	24	0.00	11	0.02	21
8018	-793	4034	Min.	0.00	-114.93	24	2.16	22	-0.99	21	0.02	23	-0.06	24	0.00	22
8018	-793	4034	Min.	109.50					0.43	24			-0.02	24		
8018	-793	4034	Min.	176.65	-115.07	24	-1.69	21	0.00	23	0.02	23	0.00	21	0.00	22
8019	-662	-797	Max	0.00	-90.19	12	1.70	21	0.00	11	-0.02	23	0.00	11	0.00	11
8019	-662	-797	Max	66.53					0.43	23			-0.01	23		
8019	-662	-797	Max	176.65	-90.05	12	-2.15	24	-0.75	24	-0.02	23	-0.03	23	0.00	11
8019	-662	-797	Min.	0.00	-151.43	21	1.30	23	0.00	11	-0.04	24	0.00	11	0.00	11
8019	-662	-797	Min.	66.78					0.44	24			-0.02	24		
8019	-662	-797	Min.	176.65	-151.25	21	-2.80	21	-0.98	21	-0.04	24	-0.06	24	0.00	11
8019	-797	-791	Max	0.00	-23.24	12	2.81	21	-0.75	24	-0.06	23	0.20	21	0.00	24
8019	-797	-791	Max	109.34					0.57	21			0.08	21		
8019	-797	-791	Max	176.65	-23.10	12	-1.30	23	0.00	21	-0.06	23	0.00	23	0.00	24
8019	-797	-791	Min.	0.00	-40.41	22	2.16	24	-0.98	21	-0.11	21	0.11	23	0.00	23
8019	-797	-791	Min.	109.41					0.43	23			0.04	23		
8019	-797	-791	Min.	176.65	-40.27	22	-1.70	21	0.00	23	-0.11	21	0.00	21	0.00	23
8020	-790	-797	Max	0.00	-180.64	23	1.70	21	0.00	11	0.17	24	0.00	11	0.00	11
8020	-790	-797	Max	66.68					0.44	24			0.11	24		
8020	-790	-797	Max	176.65	-180.78	23	-2.16	24	-0.75	24	0.17	24	0.29	24	0.00	11
8020	-790	-797	Min.	0.00	-370.50	24	1.30	23	0.00	11	0.08	23	0.00	11	0.00	11
8020	-790	-797	Min.	66.45					0.43	23			0.05	23		
8020	-790	-797	Min.	176.65	-370.63	24	-2.81	21	-0.98	21	0.08	23	0.14	23	0.00	11
8020	-797	-663	Max	0.00	-116.03	23	2.81	21	-0.75	24	0.01	11	0.01	22	-0.00	23
8020	-797	-663	Max	109.34					0.43	22			0.00	22		
8020	-797	-663	Max	176.65	-116.17	23	-1.30	23	0.00	21	0.01	11	0.00	22	-0.00	23
8020	-797	-663	Min.	0.00	-275.65	24	2.16	24	-0.98	21	-0.00	22	-0.01	11	-0.00	24
8020	-797	-663	Min.	109.36					0.43	11			-0.00	11		
8020	-797	-663	Min.	176.65	-275.79	24	-1.70	21	0.00	22	-0.00	22	0.00	21	-0.00	24
8021	-790	-799	Max	0.00	-180.74	23	1.70	21	0.00	11	-0.07	22	0.00	11	0.00	11
8021	-790	-799	Max	66.32					0.43	22			-0.04	22		
8021	-790	-799	Max	176.65	-180.87	23	-2.16	25	-0.75	25	-0.07	22	-0.12	22	0.00	11
8021	-790	-799	Min.	0.00	-369.09	21	1.30	22	0.00	11	-0.15	21	0.00	11	0.00	11
8021	-790	-799	Min.	66.54					0.56	21			-0.10	21		
8021	-790	-799	Min.	176.65	-369.27	21	-2.81	21	-0.98	21	-0.15	21	-0.27	21	0.00	11
8021	-799	-671	Max	0.00	-116.14	23	2.81	21	-0.75	11	-0.00	23	0.02	24	0.00	21
8021	-799	-671	Max	109.39					0.43	24			0.01	24		
8021	-799	-671	Max	176.65	-116.28	23	-1.30	22	0.00	24	-0.00	23	0.00	22	0.00	21
8021	-799	-671	Min.	0.00	-260.66	21	2.16	11	-0.98	21	-0.01	24	0.00	23	0.00	22
8021	-799	-671	Min.	109.44					0.43	23			0.00	23		
8021	-799	-671	Min.	176.65	-260.84	21	-1.70	21	0.00	21	-0.01	24	0.00	21	0.00	22
8022	-670	-799	Max	0.00	-44.51	22	1.70	21	0.00	11	0.03	21	0.00	11	0.00	11
8022	-670	-799	Max	66.67					0.57	21			0.02	21		
8022	-670	-799	Max	176.65	-44.37	22	-2.16	25	-0.75	25	0.03	21	0.06	21	0.00	11
8022	-670	-799	Min.	0.00	-151.33	21	1.30	22	0.00	11	0.01	22	0.00	11	0.00	11

8022	-670	-799	Min.	66.52					0.43	22			0.01	22		
8022	-670	-799	Min.	176.65	-151.15	21	-2.80	21	-0.98	21	0.01	22	0.02	22	0.00	11
8022	-799	-791	Max	0.00	-2.44	22	2.81	21	-0.75	11	0.11	21	-0.08	22	0.00	22
8022	-799	-791	Max	141.32					0.34	22			-0.02	22		
8022	-799	-791	Max	176.65	-2.31	22	-1.30	22	0.00	21	0.11	21	0.00	22	0.00	22
8022	-799	-791	Min.	0.00	-39.89	21	2.16	11	-0.98	21	0.04	22	-0.20	21	-0.00	21
8022	-799	-791	Min.	109.34					0.57	21			-0.08	21		
8022	-799	-791	Min.	176.65	-39.71	21	-1.70	21	0.00	23	0.04	22	0.00	21	-0.00	21
8023	-670	-801	Max	0.00	-25.13	22	1.69	21	0.00	11	0.01	22	0.00	11	0.00	11
8023	-670	-801	Max	66.13					0.43	22			0.01	22		
8023	-670	-801	Max	176.65	-25.27	22	-2.16	23	-0.76	23	0.01	22	0.02	22	0.00	11
8023	-670	-801	Min.	0.00	-137.44	11	1.30	22	0.00	11	-0.05	21	0.00	11	0.00	11
8023	-670	-801	Min.	66.22					0.56	21			-0.03	21		
8023	-670	-801	Min.	176.65	-137.58	11	-2.82	21	-1.00	21	-0.05	21	-0.08	21	0.00	11
8023	-801	4294	Max	0.00	19.01	23	2.81	21	-0.76	23	-0.01	22	0.06	21	-0.01	23
8023	-801	4294	Max	109.55					0.56	21			0.02	21		
8023	-801	4294	Max	176.65	18.87	23	-1.30	22	0.00	21	-0.01	22	0.00	25	-0.01	23
8023	-801	4294	Min.	0.00	-83.83	11	2.16	23	-0.99	21	-0.03	21	0.02	22	-0.02	21
8023	-801	4294	Min.	109.62					0.43	22			0.01	22		
8023	-801	4294	Min.	176.65	-83.97	11	-1.69	21	0.00	25	-0.03	21	0.00	21	-0.02	21
8024	4293	-801	Max	0.00	70.49	22	1.70	21	0.00	11	-0.04	23	0.00	11	0.00	11
8024	4293	-801	Max	66.52					0.43	23			-0.02	23		
8024	4293	-801	Max	176.65	70.63	22	-2.16	25	-0.75	25	-0.04	23	-0.06	23	0.00	11
8024	4293	-801	Min.	0.00	-63.78	23	1.30	22	0.00	11	-0.07	21	0.00	11	0.00	11
8024	4293	-801	Min.	66.64					0.57	21			-0.05	21		
8024	4293	-801	Min.	176.65	-63.65	23	-2.80	21	-0.98	21	-0.07	21	-0.12	21	0.00	11
8024	-801	-671	Max	0.00	92.83	24	2.80	21	-0.75	11	0.07	21	-0.00	22	0.00	22
8024	-801	-671	Max	109.47					0.43	22			0.00	22		
8024	-801	-671	Max	176.65	92.97	24	-1.30	22	0.00	23	0.07	21	0.00	11	0.00	22
8024	-801	-671	Min.	0.00	-15.55	23	2.16	11	-0.98	21	0.00	22	-0.13	21	-0.01	21
8024	-801	-671	Min.	109.75					0.57	21			-0.05	21		
8024	-801	-671	Min.	176.65	-15.42	23	-1.70	21	0.00	21	0.00	22	0.00	22	-0.01	21

Tipo di combinazione di carico: SLE F

Asta	N1	N2		X <cm>	N <daN>	C C	Ty <daN>	C C	Mz <daNm>	C C	Tz <daN>	C C	My <daNm>	C C	Mx <daNm>	C C
1	2001	3001	Max	0.00	1.40	27	0.19	14	-0.01	14	8.20	14	0.10	27	0.00	27
1	2001	3001	Max	7.94	1.72	27	0.19	14	0.00	14	8.20	14	0.34	28	0.00	27
1	2001	3001	Min.	0.00	-3.22	28	0.00	29	-0.07	27	-0.79	27	-0.31	14	-0.02	14
1	2001	3001	Min.	7.94	-2.91	28	0.00	29	-0.07	27	-0.79	27	0.04	27	-0.02	14
2	2002	3002	Max	0.00	-6.54	13	0.80	27	-0.01	14	28.34	27	-0.54	13	-0.00	29
2	2002	3002	Max	7.94	-6.23	13	0.80	27	0.00	14	28.34	27	1.02	27	-0.00	29
2	2002	3002	Min.	0.00	-15.15	27	0.13	13	-0.06	27	13.12	13	-1.23	27	-0.02	14
2	2002	3002	Min.	7.94	-14.84	27	0.13	13	-0.01	29	13.12	13	0.50	13	-0.02	14
3	2003	3003	Max	0.00	-11.84	29	0.28	14	0.02	14	35.71	28	-1.07	29	0.01	27
3	2003	3003	Max	7.94	-11.53	29	0.28	14	0.04	14	35.71	28	1.41	28	0.01	27
3	2003	3003	Min.	0.00	-15.71	28	0.05	27	-0.03	27	27.61	29	-1.43	28	-0.03	14
3	2003	3003	Min.	7.94	-15.40	28	0.05	27	-0.03	27	27.61	29	1.12	29	-0.03	14
4	2004	3004	Max	0.00	-11.52	13	0.60	27	0.01	14	47.38	27	-0.92	13	0.00	27
4	2004	3004	Max	7.94	-11.21	13	0.60	27	0.02	14	47.38	27	1.83	27	0.00	27
4	2004	3004	Min.	0.00	-24.07	27	0.09	28	-0.04	27	23.89	13	-1.93	27	-0.02	14
4	2004	3004	Min.	7.94	-23.76	27	0.09	28	0.01	29	23.89	13	0.97	13	-0.02	14
5	2005	3005	Max	0.00	-6.66	27	-0.19	13	-0.01	13	26.14	28	-0.67	27	0.10	27
5	2005	3005	Max	7.94	-6.35	27	-0.19	13	-0.03	13	26.14	28	1.07	28	0.10	27
5	2005	3005	Min.	0.00	-10.92	28	-0.86	27	-0.09	27	18.69	29	-1.01	28	0.02	13
5	2005	3005	Min.	7.94	-10.61	28	-0.86	27	-0.15	27	18.69	29	0.80	29	0.02	13
6	2006	3006	Max	0.00	-15.88	13	-0.22	29	-0.02	13	58.96	27	-1.26	13	0.10	27

6	2006	3006	Max	7.94	-15.57	13	-0.22	29	-0.05	13	58.96	27	2.25	27	0.10	27
6	2006	3006	Min.	0.00	-30.58	27	-0.39	14	-0.08	27	31.69	13	-2.43	27	0.03	13
6	2006	3006	Min.	7.94	-30.27	27	-0.39	14	-0.11	27	31.69	13	1.25	13	0.03	13
7	2007	3007	Max	0.00	0.29	27	-0.24	13	0.01	28	15.09	28	-0.08	27	0.13	27
7	2007	3007	Max	7.94	0.60	27	-0.24	13	-0.01	13	15.09	28	0.57	28	0.13	27
7	2007	3007	Min.	0.00	-6.41	28	-1.18	27	-0.05	27	2.66	27	-0.63	28	0.02	13
7	2007	3007	Min.	7.94	-6.10	28	-1.18	27	-0.15	27	2.66	27	0.13	27	0.02	13
8	2008	3008	Max	0.00	-3.25	13	-0.15	29	0.01	28	24.92	27	-0.27	13	0.11	27
8	2008	3008	Max	7.94	-2.94	13	-0.15	29	-0.01	13	24.92	27	0.93	27	0.11	27
8	2008	3008	Min.	0.00	-13.16	27	-0.41	27	-0.04	27	7.13	13	-1.05	27	0.02	13
8	2008	3008	Min.	7.94	-12.85	27	-0.41	27	-0.07	27	7.13	13	0.29	13	0.02	13
9	9	-513	Max	0.00	-0.33	28	0.04	13	0.00	14	12.31	14	0.05	27	0.01	27
9	9	-513	Max	9.29	0.04	28	0.04	13	0.01	14	12.31	14	0.57	14	0.01	27
9	9	-513	Min.	0.00	-1.31	27	-0.37	27	0.00	27	-0.59	27	-0.58	14	-0.04	14
9	9	-513	Min.	9.29	-0.95	27	-0.37	27	-0.03	27	-0.59	27	-0.01	27	-0.04	14
10	10	-514	Max	0.00	15.00	27	1.00	27	0.01	14	24.18	27	-0.53	13	0.01	27
10	10	-514	Max	9.29	15.37	27	1.00	27	0.08	27	24.18	27	1.04	27	0.01	27
10	10	-514	Min.	0.00	6.96	13	-0.04	14	-0.01	27	10.82	13	-1.21	27	-0.04	14
10	10	-514	Min.	9.29	7.32	13	-0.04	14	0.00	28	10.82	13	0.47	13	-0.04	14
11	11	-515	Max	0.00	-0.42	13	0.02	28	0.01	14	51.54	28	-1.84	29	0.02	27
11	11	-515	Max	9.29	-0.05	13	0.02	28	0.01	28	51.54	28	2.37	28	0.02	27
11	11	-515	Min.	0.00	-5.22	27	-0.26	27	0.00	27	39.21	29	-2.42	28	-0.04	14
11	11	-515	Min.	9.29	-4.86	27	-0.26	27	-0.02	27	39.21	29	1.81	29	-0.04	14
12	12	-516	Max	0.00	23.21	27	1.30	27	0.01	14	37.66	27	-0.90	13	0.02	27
12	12	-516	Max	9.29	23.58	27	1.30	27	0.12	27	37.66	27	1.64	27	0.02	27
12	12	-516	Min.	0.00	11.49	13	0.12	13	-0.01	27	18.48	13	-1.86	27	-0.03	14
12	12	-516	Min.	9.29	11.86	13	0.12	13	0.02	13	18.48	13	0.82	13	-0.03	14
13	13	-517	Max	0.00	-1.00	13	0.10	14	-0.00	28	38.42	28	-1.24	29	0.13	27
13	13	-517	Max	9.29	-0.63	13	0.10	14	0.01	28	38.42	28	1.79	28	0.13	27
13	13	-517	Min.	0.00	-6.36	27	-0.08	27	-0.02	27	26.90	29	-1.79	28	0.02	13
13	13	-517	Min.	9.29	-5.99	27	-0.08	27	-0.02	27	26.90	29	1.26	29	0.02	13
14	14	-518	Max	0.00	29.63	27	1.68	27	0.00	28	46.24	27	-1.20	13	0.13	27
14	14	-518	Max	9.29	29.99	27	1.68	27	0.13	27	46.24	27	1.99	27	0.13	27
14	14	-518	Min.	0.00	15.83	13	0.27	13	-0.02	27	24.29	13	-2.31	27	0.02	13
14	14	-518	Min.	9.29	16.20	13	0.27	13	0.03	13	24.29	13	1.06	13	0.02	13
15	15	-519	Max	0.00	-1.31	13	0.17	14	-0.00	28	25.29	28	-0.56	27	0.17	27
15	15	-519	Max	7.44					-0.00	29			0.44	29		
15	15	-519	Max	9.29	-0.94	13	0.17	14	0.01	28	25.29	28	1.17	28	0.17	27
15	15	-519	Min.	0.00	-6.16	27	0.06	29	-0.02	27	12.48	27	-1.18	28	0.03	13
15	15	-519	Min.	7.44					-0.00	29			0.44	29		
15	15	-519	Min.	9.29	-5.80	27	0.06	29	-0.01	27	12.48	27	0.60	27	0.03	13
16	16	-520	Max	0.00	12.91	27	1.69	27	-0.00	28	19.85	27	-0.29	13	0.15	27
16	16	-520	Max	9.29	13.27	27	1.69	27	0.12	27	19.85	27	0.84	27	0.15	27
16	16	-520	Min.	0.00	3.59	13	0.20	13	-0.04	27	5.96	13	-1.01	27	0.02	13
16	16	-520	Min.	9.29	3.95	13	0.20	13	0.01	13	5.96	13	0.26	13	0.02	13
17	17	-529	Max	0.00	11.01	27	0.14	14	0.01	27	12.87	14	0.01	27	0.05	27
17	17	-529	Max	10.65	11.43	27	0.14	14	0.01	14	12.87	14	0.78	14	0.05	27
17	17	-529	Min.	0.00	3.65	28	-0.54	27	-0.01	14	3.55	27	-0.59	14	-0.01	14
17	17	-529	Min.	10.65	4.07	28	-0.54	27	-0.04	27	3.55	27	0.38	27	-0.01	14
18	18	-530	Max	0.00	21.16	27	-0.04	27	0.03	27	33.24	27	-0.71	13	0.05	27
18	18	-530	Max	10.65	21.58	27	-0.04	27	0.03	27	33.24	27	1.81	27	0.05	27
18	18	-530	Min.	0.00	9.95	28	-0.15	28	0.01	13	14.19	13	-1.73	27	-0.02	14
18	18	-530	Min.	10.65	10.37	28	-0.15	28	-0.00	28	14.19	13	0.80	13	-0.02	14
19	19	-531	Max	0.00	15.88	27	-0.05	28	0.01	27	54.92	27	-1.79	29	0.05	27
19	19	-531	Max	10.65	16.30	27	-0.05	28	-0.01	13	54.92	27	3.25	27	0.05	27
19	19	-531	Min.	0.00	5.03	28	-0.88	27	-0.01	28	35.88	29	-2.60	27	-0.03	14
19	19	-531	Min.	10.65	5.45	28	-0.88	27	-0.08	27	35.88	29	2.03	29	-0.03	14
20	20	-532	Max	0.00	37.16	27	0.24	27	0.00	27	46.90	27	-1.05	13	0.05	27
20	20	-532	Max	10.65	37.58	27	0.24	27	0.03	27	46.90	27	2.63	27	0.05	27

20	20	-532	Min.	0.00	19.05	13	0.03	28	-0.01	14	21.51	13	-2.36	27	-0.04	14
20	20	-532	Min.	10.65	19.47	13	0.03	28	-0.01	28	21.51	13	1.24	13	-0.04	14
21	21	-533	Max	0.00	15.84	27	-0.30	13	0.04	27	41.64	27	-1.27	29	0.15	27
21	21	-533	Max	10.65	16.26	27	-0.30	13	-0.03	13	41.64	27	2.59	27	0.15	27
21	21	-533	Min.	0.00	5.25	28	-1.42	27	0.00	28	26.60	29	-1.84	27	0.02	13
21	21	-533	Min.	10.65	5.67	28	-1.42	27	-0.11	27	26.60	29	1.57	29	0.02	13
22	22	-534	Max	0.00	41.29	27	0.05	27	0.02	27	53.30	27	-1.33	13	0.16	27
22	22	-534	Max	10.65	41.71	27	0.05	27	0.03	27	53.30	27	2.90	27	0.16	27
22	22	-534	Min.	0.00	21.93	13	-0.14	28	0.01	14	26.04	13	-2.77	27	0.02	13
22	22	-534	Min.	10.65	22.34	13	-0.14	28	-0.01	28	26.04	13	1.44	13	0.02	13
23	23	-535	Max	0.00	5.89	27	-0.28	28	0.05	27	26.17	14	-0.86	29	0.18	27
23	23	-535	Max	10.65	6.31	27	-0.28	28	-0.02	28	26.17	14	1.46	27	0.18	27
23	23	-535	Min.	0.00	0.68	28	-1.45	27	0.01	13	17.66	29	-1.33	14	0.02	13
23	23	-535	Min.	10.65	1.10	28	-1.45	27	-0.10	27	17.66	29	1.02	29	0.02	13
24	24	-536	Max	0.00	21.72	27	0.43	27	-0.01	27	22.32	27	-0.38	28	0.19	27
24	24	-536	Max	10.65	22.14	27	0.43	27	0.04	27	22.32	27	1.25	27	0.19	27
24	24	-536	Min.	0.00	8.18	28	0.11	28	-0.02	14	8.01	28	-1.12	27	0.03	13
24	24	-536	Min.	10.65	8.59	28	0.11	28	-0.00	28	8.01	28	0.47	28	0.03	13
25	2025	4025	Max	0.00	50.77	27	0.28	27	-0.02	13	26.03	27	-0.19	28	-0.01	28
25	2025	4025	Max	12.00	51.24	27	0.28	27	0.01	14	26.03	27	0.55	27	-0.01	28
25	2025	4025	Min.	0.00	6.70	28	0.18	29	-0.03	27	-2.86	28	-2.58	27	-0.03	27
25	2025	4025	Min.	12.00	7.17	28	0.18	29	0.00	27	-2.86	28	-0.54	28	-0.03	27
26	1026	2026	Max	0.00	-317.01	13	67.65	27	227.16	27	17.26	14	-12.53	13	-0.37	28
26	1026	2026	Max	9.00	-314.99	13	67.65	27	233.25	27	17.26	14	-11.06	13	-0.37	28
26	1026	2026	Min.	0.00	-658.99	27	32.14	29	82.00	28	-36.57	27	-40.98	27	-1.49	27
26	1026	2026	Min.	9.00	-656.96	27	32.14	29	84.93	28	-36.57	27	-44.27	27	-1.49	27
26	2026	4026	Max	0.00	-127.42	29	17.52	14	-7.01	13	1176.48	27	-64.40	28	0.56	14
26	2026	4026	Max	7.00	-125.84	29	17.52	14	-5.85	13	1176.48	27	-37.34	28	0.56	14
26	2026	4026	Min.	0.00	-252.11	27	-24.32	27	-31.35	27	386.56	28	-183.10	27	-2.21	27
26	2026	4026	Min.	7.00	-250.53	27	-24.32	27	-33.05	27	386.56	28	-100.75	27	-2.21	27
27	2027	4027	Max	0.00	-25.90	13	-0.44	13	0.14	27	11.69	27	0.07	28	0.02	27
27	2027	4027	Max	12.00	-25.43	13	-0.44	13	-0.04	13	11.69	27	-0.03	13	0.02	27
27	2027	4027	Min.	0.00	-119.46	27	-3.65	27	0.02	13	-7.55	28	-1.75	27	0.01	28
27	2027	4027	Min.	12.00	-118.99	27	-3.65	27	-0.30	27	-7.55	28	-0.83	28	0.01	28
28	2028	4028	Max	0.00	37.50	27	2.09	28	-0.04	27	41.35	27	-0.83	28	-0.02	28
28	2028	4028	Max	12.00	37.97	27	2.09	28	0.16	28	41.35	27	0.53	27	-0.02	28
28	2028	4028	Min.	0.00	-46.84	28	0.49	27	-0.09	14	0.46	28	-4.43	27	-0.05	27
28	2028	4028	Min.	12.00	-46.36	28	0.49	27	0.02	27	0.46	28	-0.77	28	-0.05	27
29	1029	2029	Max	0.00	-597.70	13	145.09	27	431.91	27	7.70	14	2.87	14	-0.12	28
29	1029	2029	Max	9.00	-595.68	13	145.09	27	444.97	27	7.70	14	3.57	14	-0.12	28
29	1029	2029	Min.	0.00	-1255.35	27	63.83	13	176.64	28	-66.63	27	-35.89	27	-1.05	27
29	1029	2029	Min.	9.00	-1253.33	27	63.83	13	182.78	28	-66.63	27	-41.89	27	-1.05	27
29	2029	4029	Max	0.00	-232.19	13	6.49	14	2.82	14	2252.17	27	-140.95	28	0.69	14
29	2029	4029	Max	7.00	-230.61	13	6.49	14	3.28	14	2252.17	27	-79.84	28	0.69	14
29	2029	4029	Min.	0.00	-497.73	27	-54.40	27	-32.52	27	873.01	28	-350.06	27	-3.62	27
29	2029	4029	Min.	7.00	-496.16	27	-54.40	27	-36.33	27	873.01	28	-192.41	27	-3.62	27
30	2030	4030	Max	0.00	-23.53	13	-1.46	13	0.19	27	33.30	27	-0.82	28	0.05	27
30	2030	4030	Max	12.00	-23.06	13	-1.46	13	-0.11	13	33.30	27	0.13	14	0.05	27
30	2030	4030	Min.	0.00	-145.05	27	-4.92	27	0.06	13	0.27	28	-3.97	27	0.02	28
30	2030	4030	Min.	12.00	-144.58	27	-4.92	27	-0.40	27	0.27	28	-0.79	28	0.02	28
31	2031	4031	Max	0.00	56.24	27	1.70	28	-0.03	27	42.46	27	-0.91	28	-0.02	28
31	2031	4031	Max	12.00	56.72	27	1.70	28	0.13	28	42.46	27	0.61	27	-0.02	28
31	2031	4031	Min.	0.00	-30.90	28	0.03	27	-0.07	28	1.80	28	-4.49	27	-0.06	27
31	2031	4031	Min.	12.00	-30.43	28	0.03	27	-0.02	27	1.80	28	-0.69	28	-0.06	27
32	1032	2032	Max	0.00	-597.13	29	143.88	27	428.81	27	-7.44	28	-3.22	28	0.30	14
32	1032	2032	Max	9.00	-595.10	29	143.88	27	441.75	27	-7.44	28	-3.89	28	0.30	14
32	1032	2032	Min.	0.00	-1251.87	27	63.62	29	176.62	28	-84.66	27	-42.94	27	-0.10	27
32	1032	2032	Min.	9.00	-1249.85	27	63.62	29	182.76	28	-84.66	27	-50.56	27	-0.10	27
32	2032	4032	Max	0.00	-232.07	29	-6.45	28	-2.81	28	2235.04	27	-140.91	28	-2.49	13

32	2032	4032	Max	7.00	-230.50	29	-6.45	28	-3.26	28	2235.04	27	-79.84	28	-2.49	13
32	2032	4032	Min.	0.00	-496.95	27	-69.16	27	-39.19	27	872.47	28	-347.48	27	-8.95	27
32	2032	4032	Min.	7.00	-495.37	27	-69.16	27	-44.03	27	872.47	28	-191.03	27	-8.95	27
33	2033	4033	Max	0.00	-39.70	13	-1.87	13	0.21	27	31.21	27	-0.72	28	0.04	27
33	2033	4033	Max	12.00	-39.23	13	-1.87	13	-0.15	13	31.21	27	0.04	14	0.04	27
33	2033	4033	Min.	0.00	-165.20	27	-5.42	27	0.08	13	-1.33	28	-3.83	27	0.02	28
33	2033	4033	Min.	12.00	-164.73	27	-5.42	27	-0.44	27	-1.33	28	-0.88	28	0.02	28
34	2034	4034	Max	0.00	20.61	27	0.59	28	0.06	27	21.37	27	0.02	28	-0.01	28
34	2034	4034	Max	12.00	21.08	27	0.59	28	0.05	28	21.37	27	0.23	27	-0.01	28
34	2034	4034	Min.	0.00	-34.28	28	-1.74	27	-0.02	28	-6.59	28	-2.33	27	-0.04	27
34	2034	4034	Min.	12.00	-33.81	28	-1.74	27	-0.14	27	-6.59	28	-0.77	28	-0.04	27
35	1035	2035	Max	0.00	-311.94	29	68.72	27	230.63	27	-16.19	28	14.63	28	0.47	14
35	1035	2035	Max	9.00	-309.92	29	68.72	27	236.81	27	-16.19	28	13.17	28	0.47	14
35	1035	2035	Min.	0.00	-623.44	27	32.25	13	81.88	28	-78.20	27	3.37	27	0.16	29
35	1035	2035	Min.	9.00	-621.41	27	32.25	13	84.81	28	-78.20	27	-3.67	27	0.16	29
35	2035	4035	Max	0.00	-132.69	13	-16.72	28	8.46	28	1200.05	27	-64.34	28	-1.11	13
35	2035	4035	Max	7.00	-131.12	13	-16.72	28	7.29	28	1200.05	27	-37.27	28	-1.11	13
35	2035	4035	Min.	0.00	-281.91	27	-66.64	27	-5.76	27	386.71	28	-186.19	27	-7.85	27
35	2035	4035	Min.	7.00	-280.34	27	-66.64	27	-10.43	27	386.71	28	-102.19	27	-7.85	27
36	2036	4036	Max	0.00	7.84	14	-0.20	13	0.02	27	19.91	27	-0.16	28	0.02	27
36	2036	4036	Max	12.00	8.31	14	-0.20	13	-0.01	13	19.91	27	0.19	14	0.02	27
36	2036	4036	Min.	0.00	-25.32	27	-0.44	27	0.01	29	-3.40	28	-2.23	27	0.01	28
36	2036	4036	Min.	12.00	-24.85	27	-0.44	27	-0.03	27	-3.40	28	-0.57	28	0.01	28
37	37	-545	Max	0.00	-9.29	28	-0.06	13	0.01	27	-165.16	29	23.36	27	-0.04	13
37	37	-545	Max	13.75	-8.75	28	-0.06	13	-0.01	13	-165.16	29	-11.33	29	-0.04	13
37	37	-545	Min.	0.00	-19.27	27	-0.21	27	0.00	13	-338.89	27	11.38	29	-0.12	27
37	37	-545	Min.	13.75	-18.73	27	-0.21	27	-0.02	27	-338.89	27	-23.24	27	-0.12	27
38	38	-546	Max	0.00	-13.09	13	-0.16	13	0.03	27	-195.18	13	29.23	27	-0.04	13
38	38	-546	Max	13.75	-12.55	13	-0.16	13	-0.01	13	-195.18	13	-13.37	13	-0.04	13
38	38	-546	Min.	0.00	-32.96	27	-0.56	27	0.01	28	-423.35	27	13.47	13	-0.18	27
38	38	-546	Min.	13.75	-32.42	27	-0.56	27	-0.04	27	-423.35	27	-28.98	27	-0.18	27
39	39	-547	Max	0.00	-20.36	29	0.15	14	0.00	28	-331.01	29	49.72	27	0.01	13
39	39	-547	Max	13.75	-19.82	29	0.15	14	0.02	14	-331.01	29	-22.69	29	0.01	13
39	39	-547	Min.	0.00	-48.13	27	0.08	27	-0.01	27	-721.28	27	22.82	29	-0.03	27
39	39	-547	Min.	13.75	-47.59	27	0.08	27	0.00	27	-721.28	27	-49.46	27	-0.03	27
40	40	-548	Max	0.00	-20.79	13	-0.12	13	0.03	27	-332.83	13	51.56	27	-0.01	13
40	40	-548	Max	13.75	-20.25	13	-0.12	13	-0.01	13	-332.83	13	-22.81	13	-0.01	13
40	40	-548	Min.	0.00	-51.97	27	-0.47	27	0.00	28	-746.98	27	22.95	13	-0.11	27
40	40	-548	Min.	13.75	-51.43	27	-0.47	27	-0.04	27	-746.98	27	-51.15	27	-0.11	27
41	41	-549	Max	0.00	-20.14	29	0.16	14	-0.00	28	-327.65	29	49.53	27	0.01	14
41	41	-549	Max	13.75	-19.60	29	0.16	14	0.02	14	-327.65	29	-22.47	29	0.01	14
41	41	-549	Min.	0.00	-48.28	27	0.08	29	-0.02	27	-718.69	27	22.58	29	-0.01	27
41	41	-549	Min.	13.75	-47.74	27	0.08	29	0.00	27	-718.69	27	-49.29	27	-0.01	27
42	42	-550	Max	0.00	-20.92	13	-0.12	28	0.02	27	-334.54	13	51.06	27	-0.00	14
42	42	-550	Max	13.75	-20.38	13	-0.12	28	-0.02	13	-334.54	13	-22.92	13	-0.00	14
42	42	-550	Min.	0.00	-51.28	27	-0.42	27	0.00	28	-739.61	27	23.08	13	-0.09	27
42	42	-550	Min.	13.75	-50.74	27	-0.42	27	-0.04	27	-739.61	27	-50.63	27	-0.09	27
43	43	-551	Max	0.00	-12.65	29	0.20	14	-0.01	28	-191.20	29	27.62	27	0.05	14
43	43	-551	Max	13.75	-12.11	29	0.20	14	0.02	14	-191.20	29	-13.11	29	0.05	14
43	43	-551	Min.	0.00	-30.43	27	0.11	29	-0.02	27	-400.73	27	13.18	29	0.03	29
43	43	-551	Min.	13.75	-29.89	27	0.11	29	0.01	27	-400.73	27	-27.48	27	0.03	29
44	44	-552	Max	0.00	-9.30	28	0.10	28	0.02	27	-169.44	13	25.10	27	0.05	14
44	44	-552	Max	13.75	-8.76	28	0.10	28	0.02	27	-169.44	13	-11.61	13	0.05	14
44	44	-552	Min.	0.00	-21.28	27	0.01	27	-0.00	28	-363.72	27	11.68	13	-0.01	27
44	44	-552	Min.	13.75	-20.74	27	0.01	27	0.01	13	-363.72	27	-24.91	27	-0.01	27
45	45	-561	Max	0.00	-5.95	29	0.01	27	-0.00	13	-146.19	29	23.41	27	-0.04	13
45	45	-561	Max	15.50	-5.34	29	0.01	27	-0.00	13	-146.19	29	-11.34	29	-0.04	13
45	45	-561	Min.	0.00	-12.14	27	0.00	14	-0.01	27	-302.34	27	11.32	29	-0.11	27
45	45	-561	Min.	15.50	-11.53	27	0.00	14	-0.01	27	-302.34	27	-23.45	27	-0.11	27

46	46	-562	Max	0.00	-8.59	13	0.01	28	0.02	27	-168.40	13	27.74	27	-0.04	13
46	46	-562	Max	15.50	-7.98	13	0.01	28	0.02	27	-168.40	13	-13.06	13	-0.04	13
46	46	-562	Min.	0.00	-22.16	27	-0.04	27	-0.00	28	-358.31	27	13.04	13	-0.17	27
46	46	-562	Min.	15.50	-21.55	27	-0.04	27	-0.00	28	-358.31	27	-27.79	27	-0.17	27
47	47	-563	Max	0.00	-13.22	13	-0.00	27	0.00	14	-290.76	29	48.59	27	0.00	13
47	47	-563	Max	15.50	-12.61	13	-0.00	27	0.00	14	-290.76	29	-22.55	29	0.00	13
47	47	-563	Min.	0.00	-32.65	27	-0.01	14	-0.00	27	-627.41	27	22.52	29	-0.04	27
47	47	-563	Min.	15.50	-32.04	27	-0.01	14	-0.00	27	-627.41	27	-48.66	27	-0.04	27
48	48	-564	Max	0.00	-13.36	13	0.01	28	0.03	27	-292.04	13	50.22	27	-0.00	13
48	48	-564	Max	3.10					-0.00	14			16.76	14		
48	48	-564	Max	15.50	-12.75	13	0.01	28	0.02	27	-292.04	13	-22.65	13	-0.00	13
48	48	-564	Min.	0.00	-33.46	27	-0.04	27	-0.00	28	-648.53	27	22.62	13	-0.10	27
48	48	-564	Min.	3.10					-0.00	28			14.83	28		
48	48	-564	Min.	15.50	-32.85	27	-0.04	27	0.00	14	-648.53	27	-50.30	27	-0.10	27
49	49	-565	Max	0.00	-13.30	29	0.01	27	0.00	28	-287.61	29	48.33	27	0.00	14
49	49	-565	Max	15.50	-12.69	29	0.01	27	0.00	28	-287.61	29	-22.31	29	0.00	14
49	49	-565	Min.	0.00	-33.16	27	-0.01	28	-0.01	27	-624.07	27	22.27	29	-0.02	27
49	49	-565	Min.	15.50	-32.55	27	-0.01	28	-0.00	27	-624.07	27	-48.40	27	-0.02	27
50	50	-566	Max	0.00	-13.22	29	0.01	14	0.02	27	-293.68	13	49.78	27	0.00	14
50	50	-566	Max	15.50	-12.61	29	0.01	14	0.02	27	-293.68	13	-22.78	13	0.00	14
50	50	-566	Min.	0.00	-32.61	27	-0.03	27	-0.00	14	-642.87	27	22.74	13	-0.08	27
50	50	-566	Min.	15.50	-32.00	27	-0.03	27	-0.00	14	-642.87	27	-49.87	27	-0.08	27
51	51	-567	Max	0.00	-8.54	29	0.01	27	0.00	28	-165.03	29	26.25	27	0.05	27
51	51	-567	Max	15.50	-7.93	29	0.01	27	0.00	28	-165.03	29	-12.80	29	0.05	27
51	51	-567	Min.	0.00	-21.86	27	-0.01	28	0.00	27	-338.94	27	12.78	29	0.03	29
51	51	-567	Min.	15.50	-21.25	27	-0.01	28	0.00	27	-338.94	27	-26.29	27	0.03	29
52	52	-568	Max	0.00	-6.05	13	-0.00	14	0.04	27	-149.91	13	25.08	27	0.05	14
52	52	-568	Max	15.50	-5.44	13	-0.00	14	0.03	27	-149.91	13	-11.63	13	0.05	14
52	52	-568	Min.	0.00	-12.69	27	-0.06	27	0.00	13	-323.96	27	11.61	13	-0.02	27
52	52	-568	Min.	15.50	-12.08	27	-0.06	27	0.00	13	-323.96	27	-25.13	27	-0.02	27
53	53	-577	Max	0.00	-5.07	29	-0.03	28	-0.01	13	-117.74	29	21.17	27	-0.04	13
53	53	-577	Max	17.25	-4.40	29	-0.03	28	-0.01	13	-117.74	29	-10.15	29	-0.04	13
53	53	-577	Min.	0.00	-10.40	27	-0.09	27	-0.02	27	-245.23	27	10.16	29	-0.11	27
53	53	-577	Min.	17.25	-9.72	27	-0.09	27	-0.03	27	-245.23	27	-21.13	27	-0.11	27
54	54	-578	Max	0.00	-7.87	13	0.48	27	0.04	27	-131.67	13	23.69	27	-0.04	13
54	54	-578	Max	17.25	-7.19	13	0.48	27	0.12	27	-131.67	13	-11.35	13	-0.04	13
54	54	-578	Min.	0.00	-20.49	27	-0.04	14	-0.01	28	-274.49	27	11.36	13	-0.20	27
54	54	-578	Min.	17.25	-19.81	27	-0.04	14	-0.01	14	-274.49	27	-23.66	27	-0.20	27
55	55	-579	Max	0.00	-12.10	29	-0.02	13	0.01	14	-231.50	29	42.68	27	0.00	13
55	55	-579	Max	17.25	-11.43	29	-0.02	13	0.00	28	-231.50	29	-19.96	29	0.00	13
55	55	-579	Min.	0.00	-29.57	27	-0.06	27	0.00	27	-494.61	27	19.97	29	-0.04	27
55	55	-579	Min.	17.25	-28.89	27	-0.06	27	-0.01	27	-494.61	27	-42.64	27	-0.04	27
56	56	-580	Max	0.00	-12.23	13	0.49	27	0.05	27	-232.52	13	44.05	27	-0.00	13
56	56	-580	Max	17.25	-11.56	13	0.49	27	0.14	27	-232.52	13	-20.05	13	-0.00	13
56	56	-580	Min.	0.00	-31.03	27	-0.02	14	0.00	13	-510.47	27	20.06	13	-0.13	27
56	56	-580	Min.	17.25	-30.35	27	-0.02	14	0.00	14	-510.47	27	-44.01	27	-0.13	27
57	57	-581	Max	0.00	-12.02	29	0.03	14	-0.00	13	-229.09	29	42.42	27	0.00	14
57	57	-581	Max	10.35					-0.00	13			-4.00	13		
57	57	-581	Max	17.25	-11.34	29	0.03	14	0.00	14	-229.09	29	-19.75	29	0.00	14
57	57	-581	Min.	0.00	-29.80	27	0.01	29	-0.01	27	-491.52	27	19.77	29	-0.02	27
57	57	-581	Min.	10.35					-0.00	14			-4.92	14		
57	57	-581	Min.	17.25	-29.12	27	0.01	29	-0.01	27	-491.52	27	-42.37	27	-0.02	27
58	58	-582	Max	0.00	-12.27	13	0.59	27	0.04	27	-233.70	13	43.67	27	0.00	14
58	58	-582	Max	17.25	-11.59	13	0.59	27	0.14	27	-233.70	13	-20.15	13	0.00	14
58	58	-582	Min.	0.00	-30.48	27	0.02	13	-0.01	14	-506.18	27	20.16	13	-0.11	27
58	58	-582	Min.	17.25	-29.80	27	0.02	13	-0.00	28	-506.18	27	-43.64	27	-0.11	27
59	59	-583	Max	0.00	-7.69	29	0.06	27	0.01	28	-129.10	29	22.43	27	0.05	27
59	59	-583	Max	17.25	-7.01	29	0.06	27	0.01	14	-129.10	29	-11.13	29	0.05	27
59	59	-583	Min.	0.00	-19.43	27	0.02	29	0.00	27	-259.76	27	11.14	29	0.03	29

59	59	-583	Min.	17.25	-18.75	27	0.02	29	0.01	29	-259.76	27	-22.38	27	0.03	29
60	60	-584	Max	0.00	-5.26	13	0.62	27	0.05	27	-120.59	13	22.59	27	0.05	14
60	60	-584	Max	17.25	-4.59	13	0.62	27	0.16	27	-120.59	13	-10.39	13	0.05	14
60	60	-584	Min.	0.00	-11.51	27	0.02	28	0.01	13	-261.81	27	10.41	13	-0.05	27
60	60	-584	Min.	17.25	-10.83	27	0.02	28	0.01	13	-261.81	27	-22.57	27	-0.05	27
61	61	-593	Max	0.00	-9.58	29	-0.16	13	-0.01	13	-89.08	28	17.69	27	-0.04	13
61	61	-593	Max	19.00	-8.83	29	-0.16	13	-0.04	13	-89.08	28	-8.46	28	-0.04	13
61	61	-593	Min.	0.00	-24.80	27	-0.49	27	-0.02	27	-186.42	27	8.46	28	-0.12	27
61	61	-593	Min.	19.00	-24.06	27	-0.49	27	-0.12	27	-186.42	27	-17.73	27	-0.12	27
62	62	-594	Max	0.00	-11.53	28	5.59	27	-0.01	13	-96.28	28	19.56	27	-0.04	13
62	62	-594	Max	19.00	-10.78	28	5.59	27	0.84	27	-96.28	28	-9.11	28	-0.04	13
62	62	-594	Min.	0.00	-19.32	27	-0.19	28	-0.23	27	-205.28	27	9.18	28	-0.20	27
62	62	-594	Min.	19.00	-18.57	27	-0.19	28	-0.05	28	-205.28	27	-19.44	27	-0.20	27
63	63	-595	Max	0.00	-26.28	29	0.08	14	0.00	14	-169.48	29	34.96	27	-0.01	13
63	63	-595	Max	19.00	-25.53	29	0.08	14	0.02	14	-169.48	29	-16.07	29	-0.01	13
63	63	-595	Min.	0.00	-48.55	27	-0.11	27	-0.01	27	-367.33	27	16.13	29	-0.05	27
63	63	-595	Min.	19.00	-47.81	27	-0.11	27	-0.03	27	-367.33	27	-34.83	27	-0.05	27
64	64	-596	Max	0.00	-24.73	13	5.92	27	0.00	28	-171.80	13	35.90	27	-0.01	13
64	64	-596	Max	19.00	-23.98	13	5.92	27	0.92	27	-171.80	13	-16.29	13	-0.01	13
64	64	-596	Min.	0.00	-51.43	27	0.05	13	-0.21	27	-376.98	27	16.35	13	-0.13	27
64	64	-596	Min.	19.00	-50.68	27	0.05	13	0.01	13	-376.98	27	-35.73	27	-0.13	27
65	65	-597	Max	0.00	-23.27	29	-0.05	13	-0.00	14	-170.42	29	35.19	27	0.02	14
65	65	-597	Max	19.00	-22.52	29	-0.05	13	-0.01	13	-170.42	29	-16.16	29	0.02	14
65	65	-597	Min.	0.00	-43.03	27	-0.27	27	-0.01	27	-369.75	27	16.22	29	0.00	29
65	65	-597	Min.	19.00	-42.28	27	-0.27	27	-0.06	27	-369.75	27	-35.07	27	0.00	29
66	66	-598	Max	0.00	-27.61	13	5.77	27	-0.00	13	-169.94	13	35.15	27	0.01	14
66	66	-598	Max	19.00	-26.86	13	5.77	27	0.88	27	-169.94	13	-16.11	13	0.01	14
66	66	-598	Min.	0.00	-56.13	27	-0.07	14	-0.21	27	-369.03	27	16.18	13	-0.07	27
66	66	-598	Min.	19.00	-55.39	27	-0.07	14	-0.02	14	-369.03	27	-34.97	27	-0.07	27
67	67	-599	Max	0.00	-10.27	29	0.19	28	0.01	28	-96.17	28	19.18	27	0.07	27
67	67	-599	Max	19.00	-9.52	29	0.19	28	0.05	28	-96.17	28	-9.10	28	0.07	27
67	67	-599	Min.	0.00	-12.33	14	0.06	27	0.01	29	-201.54	27	9.17	28	0.03	29
67	67	-599	Min.	19.00	-11.59	14	0.06	27	0.02	27	-201.54	27	-19.11	27	0.03	29
68	68	-600	Max	0.00	-11.03	13	6.11	27	0.01	28	-89.15	28	18.19	27	0.05	14
68	68	-600	Max	19.00	-10.28	13	6.11	27	0.97	27	-89.15	28	-8.47	28	0.05	14
68	68	-600	Min.	0.00	-33.33	27	0.16	13	-0.20	27	-191.44	27	8.47	28	-0.01	27
68	68	-600	Min.	19.00	-32.58	27	0.16	13	0.04	13	-191.44	27	-18.18	27	-0.01	27
69	69	-609	Max	0.00	-3.52	28	0.17	27	-0.01	13	-63.43	28	14.46	27	-0.02	13
69	69	-609	Max	16.60					-0.00	13			-4.23	13		
69	69	-609	Max	20.75	-2.70	28	0.17	27	0.00	14	-63.43	28	-6.55	28	-0.02	13
69	69	-609	Min.	0.00	-7.20	27	0.06	13	-0.04	27	-138.90	27	6.61	28	-0.05	27
69	69	-609	Min.	16.60					-0.00	14			-5.09	14		
69	69	-609	Min.	20.75	-6.38	27	0.06	13	-0.00	27	-138.90	27	-14.36	27	-0.05	27
70	70	-610	Max	0.00	-5.29	29	0.81	27	0.03	27	-68.91	28	15.92	27	-0.02	13
70	70	-610	Max	16.60					-0.00	13			-4.44	13		
70	70	-610	Max	20.75	-4.48	29	0.81	27	0.20	27	-68.91	28	-7.12	28	-0.02	13
70	70	-610	Min.	0.00	-14.97	27	0.06	13	-0.01	14	-153.01	27	7.18	28	-0.06	27
70	70	-610	Min.	16.60					-0.00	14			-5.47	14		
70	70	-610	Min.	20.75	-14.16	27	0.06	13	-0.00	28	-153.01	27	-15.83	27	-0.06	27
71	71	-611	Max	0.00	-7.59	13	0.08	27	0.00	28	-121.57	13	28.09	27	-0.01	13
71	71	-611	Max	20.75	-6.78	13	0.08	27	0.00	27	-121.57	13	-12.57	13	-0.01	13
71	71	-611	Min.	0.00	-20.37	27	0.00	13	-0.01	27	-269.87	27	12.66	13	-0.02	27
71	71	-611	Min.	20.75	-19.55	27	0.00	13	0.00	29	-269.87	27	-27.91	27	-0.02	27
72	72	-612	Max	0.00	-7.85	29	0.73	27	0.05	27	-125.46	29	28.70	27	-0.01	13
72	72	-612	Max	20.75	-7.04	29	0.73	27	0.20	27	-125.46	29	-12.97	29	-0.01	13
72	72	-612	Min.	0.00	-21.02	27	0.01	13	0.00	14	-275.79	27	13.06	29	-0.04	27
72	72	-612	Min.	20.75	-20.20	27	0.01	13	0.00	13	-275.79	27	-28.52	27	-0.04	27
73	73	-613	Max	0.00	-7.86	13	0.01	27	0.00	14	-125.39	13	28.72	27	0.02	27
73	73	-613	Max	20.75	-7.05	13	0.01	27	-0.00	13	-125.39	13	-12.97	13	0.02	27

73	73	-613	Min.	0.00	-21.11	27	-0.02	14	-0.01	27	-275.96	27	13.05	13	0.01	29
73	73	-613	Min.	20.75	-20.29	27	-0.02	14	-0.01	27	-275.96	27	-28.54	27	0.01	29
74	74	-614	Max	0.00	-7.55	29	0.67	27	0.05	27	-120.93	29	27.63	27	0.01	14
74	74	-614	Max	20.75	-6.74	29	0.67	27	0.19	27	-120.93	29	-12.50	29	0.01	14
74	74	-614	Min.	0.00	-20.11	27	-0.01	14	-0.00	28	-265.51	27	12.59	29	-0.00	27
74	74	-614	Min.	20.75	-19.29	27	-0.01	14	-0.00	14	-265.51	27	-27.46	27	-0.00	27
75	75	-615	Max	0.00	-5.33	13	-0.04	29	0.01	14	-68.86	28	16.23	27	0.03	27
75	75	-615	Max	20.75	-4.51	13	-0.04	29	0.00	28	-68.86	28	-7.12	28	0.03	27
75	75	-615	Min.	0.00	-15.20	27	-0.08	27	0.01	29	-156.03	27	7.17	28	0.01	29
75	75	-615	Min.	20.75	-14.39	27	-0.08	27	-0.00	27	-156.03	27	-16.15	27	0.01	29
76	76	-616	Max	0.00	-3.52	28	0.56	27	0.08	27	-63.45	28	14.24	27	0.02	14
76	76	-616	Max	20.75	-2.70	28	0.56	27	0.19	27	-63.45	28	-6.55	28	0.02	14
76	76	-616	Min.	0.00	-7.00	27	-0.07	14	0.01	13	-136.72	27	6.62	28	0.01	29
76	76	-616	Min.	20.75	-6.19	27	-0.07	14	0.00	14	-136.72	27	-14.13	27	0.01	29
77	77	-625	Max	0.00	-2.44	28	0.01	27	-0.00	13	-50.27	28	12.81	27	-0.01	13
77	77	-625	Max	22.50	-1.56	28	0.01	27	-0.00	13	-50.27	28	-5.63	28	-0.01	13
77	77	-625	Min.	0.00	-5.03	27	0.00	13	-0.01	27	-113.46	27	5.68	28	-0.04	27
77	77	-625	Min.	22.50	-4.14	27	0.00	13	-0.01	27	-113.46	27	-12.72	27	-0.04	27
78	78	-626	Max	0.00	-4.61	29	0.00	28	0.08	27	-49.73	28	12.75	27	-0.01	13
78	78	-626	Max	22.50	-3.73	29	0.00	28	0.08	27	-49.73	28	-5.57	28	-0.01	13
78	78	-626	Min.	0.00	-13.73	27	-0.02	27	-0.00	28	-112.87	27	5.62	28	-0.10	27
78	78	-626	Min.	22.50	-12.84	27	-0.02	27	-0.00	28	-112.87	27	-12.65	27	-0.10	27
79	79	-627	Max	0.00	-6.12	13	0.00	27	0.00	13	-94.95	28	23.68	27	-0.01	13
79	79	-627	Max	22.50	-5.24	13	0.00	27	0.00	13	-94.95	28	-10.63	28	-0.01	13
79	79	-627	Min.	0.00	-17.23	27	-0.00	14	-0.00	27	-209.69	27	10.73	28	-0.02	27
79	79	-627	Min.	22.50	-16.34	27	-0.00	14	-0.00	27	-209.69	27	-23.50	27	-0.02	27
80	80	-628	Max	0.00	-6.38	29	-0.00	28	0.09	27	-98.67	28	24.13	27	-0.01	13
80	80	-628	Max	22.50	-5.50	29	-0.00	28	0.08	27	-98.67	28	-11.05	28	-0.01	13
80	80	-628	Min.	0.00	-17.97	27	-0.02	27	0.00	14	-213.68	27	11.15	28	-0.08	27
80	80	-628	Min.	22.50	-17.09	27	-0.02	27	0.00	14	-213.68	27	-23.95	27	-0.08	27
81	81	-629	Max	0.00	-6.39	13	0.01	27	0.00	14	-98.55	28	24.23	27	0.02	27
81	81	-629	Max	22.50	-5.50	13	0.01	27	0.00	14	-98.55	28	-11.04	28	0.02	27
81	81	-629	Min.	0.00	-18.00	27	0.00	28	-0.00	27	-214.56	27	11.14	28	0.01	29
81	81	-629	Min.	22.50	-17.12	27	0.00	28	-0.00	27	-214.56	27	-24.05	27	0.01	29
82	82	-630	Max	0.00	-6.09	29	0.00	14	0.09	27	-95.06	28	23.18	27	0.01	14
82	82	-630	Max	22.50	-5.21	29	0.00	14	0.08	27	-95.06	28	-10.65	28	0.01	14
82	82	-630	Min.	0.00	-17.07	27	-0.02	27	0.00	13	-205.30	27	10.74	28	-0.04	27
82	82	-630	Min.	22.50	-16.18	27	-0.02	27	0.00	13	-205.30	27	-23.01	27	-0.04	27
83	83	-631	Max	0.00	-4.63	13	0.00	27	0.00	28	-49.69	28	13.12	27	0.03	27
83	83	-631	Max	22.50	-3.75	13	0.00	27	0.00	27	-49.69	28	-5.56	28	0.03	27
83	83	-631	Min.	0.00	-13.85	27	-0.00	28	0.00	29	-116.16	27	5.62	28	0.01	29
83	83	-631	Min.	22.50	-12.96	27	-0.00	28	0.00	29	-116.16	27	-13.02	27	0.01	29
84	84	-632	Max	0.00	-2.44	28	-0.00	13	0.09	27	-50.28	28	12.51	27	0.02	14
84	84	-632	Max	22.50	-1.56	28	-0.00	13	0.09	27	-50.28	28	-5.63	28	0.02	14
84	84	-632	Min.	0.00	-4.92	27	-0.02	27	0.00	13	-110.83	27	5.68	28	-0.03	27
84	84	-632	Min.	22.50	-4.04	27	-0.02	27	0.00	13	-110.83	27	-12.43	27	-0.03	27
85	85	-641	Max	0.00	-2.48	28	-0.04	28	0.00	27	-39.10	28	11.17	27	-0.02	13
85	85	-641	Max	24.25	-1.53	28	-0.04	28	-0.01	13	-39.10	28	-4.72	28	-0.02	13
85	85	-641	Min.	0.00	-5.01	27	-0.10	27	0.00	28	-91.85	27	4.76	28	-0.04	27
85	85	-641	Min.	24.25	-4.06	27	-0.10	27	-0.02	27	-91.85	27	-11.11	27	-0.04	27
86	86	-642	Max	0.00	-4.14	29	0.70	27	0.07	27	-34.74	28	9.97	27	-0.02	13
86	86	-642	Max	24.25	-3.19	29	0.70	27	0.24	27	-34.74	28	-4.18	28	-0.02	13
86	86	-642	Min.	0.00	-12.16	27	-0.05	14	0.00	28	-81.75	27	4.24	28	-0.15	27
86	86	-642	Min.	24.25	-11.20	27	-0.05	14	-0.01	14	-81.75	27	-9.86	27	-0.15	27
87	87	-643	Max	0.00	-5.94	13	-0.01	13	0.00	27	-71.35	28	19.59	27	-0.01	13
87	87	-643	Max	24.25	-4.99	13	-0.01	13	-0.00	13	-71.35	28	-8.61	28	-0.01	13
87	87	-643	Min.	0.00	-16.38	27	-0.06	27	0.00	28	-160.97	27	8.69	28	-0.02	27
87	87	-643	Min.	24.25	-15.42	27	-0.06	27	-0.01	27	-160.97	27	-19.44	27	-0.02	27
88	88	-644	Max	0.00	-6.15	29	0.74	27	0.07	27	-74.21	28	19.94	27	-0.01	13

88	88	-644	Max	24.25	-5.20	29	0.74	27	0.25	27	-74.21	28	-8.96	28	-0.01	13
88	88	-644	Min.	0.00	-16.89	27	-0.02	14	0.00	28	-163.79	27	9.04	28	-0.13	27
88	88	-644	Min.	24.25	-15.94	27	-0.02	14	-0.00	14	-163.79	27	-19.78	27	-0.13	27
89	89	-645	Max	0.00	-6.17	13	0.02	14	0.00	29	-74.11	28	20.02	27	0.02	27
89	89	-645	Max	24.25	-5.21	13	0.02	14	0.00	14	-74.11	28	-8.95	28	0.02	27
89	89	-645	Min.	0.00	-16.98	27	0.01	29	0.00	14	-164.51	27	9.03	28	0.01	29
89	89	-645	Min.	24.25	-16.02	27	0.01	29	0.00	29	-164.51	27	-19.87	27	0.01	29
90	90	-646	Max	0.00	-5.90	29	0.81	27	0.07	27	-71.45	28	19.15	27	0.01	14
90	90	-646	Max	24.25	-4.95	29	0.81	27	0.27	27	-71.45	28	-8.62	28	0.01	14
90	90	-646	Min.	0.00	-16.14	27	0.01	13	0.00	14	-157.33	27	8.70	28	-0.09	27
90	90	-646	Min.	24.25	-15.18	27	0.01	13	0.00	13	-157.33	27	-19.00	27	-0.09	27
91	91	-647	Max	0.00	-4.17	13	0.07	27	-0.00	28	-34.71	28	10.30	27	0.04	27
91	91	-647	Max	24.25	-3.22	13	0.07	27	0.01	27	-34.71	28	-4.18	28	0.04	27
91	91	-647	Min.	0.00	-12.31	27	0.03	29	-0.00	27	-84.47	27	4.24	28	0.01	29
91	91	-647	Min.	24.25	-11.36	27	0.03	29	0.01	29	-84.47	27	-10.19	27	0.01	29
92	92	-648	Max	0.00	-2.48	28	0.87	27	0.07	27	-39.11	28	10.89	27	0.02	14
92	92	-648	Max	24.25	-1.53	28	0.87	27	0.28	27	-39.11	28	-4.72	28	0.02	14
92	92	-648	Min.	0.00	-4.92	27	0.04	28	-0.00	14	-89.54	27	4.76	28	-0.07	27
92	92	-648	Min.	24.25	-3.97	27	0.04	28	0.01	13	-89.54	27	-10.82	27	-0.07	27
93	93	-657	Max	0.00	-12.53	13	-0.02	13	-0.00	13	-21.61	28	7.69	27	-0.03	13
93	93	-657	Max	26.00	-11.51	13	-0.02	13	-0.01	13	-21.61	28	-2.79	28	-0.03	13
93	93	-657	Min.	0.00	-29.90	27	-0.13	27	-0.01	27	-58.87	27	2.83	28	-0.08	27
93	93	-657	Min.	26.00	-28.88	27	-0.13	27	-0.04	27	-58.87	27	-7.62	27	-0.08	27
94	94	-658	Max	0.00	-3.75	27	5.53	27	-0.00	13	-23.17	28	8.06	27	-0.03	13
94	94	-658	Max	26.00	-2.73	27	5.53	27	1.18	27	-23.17	28	-2.98	28	-0.03	13
94	94	-658	Min.	0.00	-5.18	13	-0.04	28	-0.26	27	-61.63	27	3.04	28	-0.16	27
94	94	-658	Min.	26.00	-4.16	13	-0.04	28	-0.01	28	-61.63	27	-7.97	27	-0.16	27
95	95	-659	Max	0.00	-19.60	13	-0.03	13	0.00	13	-42.02	28	13.96	27	-0.01	13
95	95	-659	Max	26.00	-18.58	13	-0.03	13	-0.01	13	-42.02	28	-5.41	28	-0.01	13
95	95	-659	Min.	0.00	-38.41	27	-0.08	27	-0.00	27	-106.59	27	5.52	28	-0.04	27
95	95	-659	Min.	26.00	-37.39	27	-0.08	27	-0.02	27	-106.59	27	-13.75	27	-0.04	27
96	96	-660	Max	0.00	-20.24	29	5.58	27	0.00	13	-44.05	28	14.39	27	-0.01	13
96	96	-660	Max	26.00	-19.22	29	5.58	27	1.20	27	-44.05	28	-5.67	28	-0.01	13
96	96	-660	Min.	0.00	-37.30	27	-0.03	14	-0.26	27	-109.96	27	5.78	28	-0.12	27
96	96	-660	Min.	26.00	-36.28	27	-0.03	14	-0.01	14	-109.96	27	-14.20	27	-0.12	27
97	97	-661	Max	0.00	-20.37	13	0.04	27	0.00	27	-43.97	28	14.38	27	0.02	27
97	97	-661	Max	26.00	-19.35	13	0.04	27	0.01	27	-43.97	28	-5.66	28	0.02	27
97	97	-661	Min.	0.00	-38.14	27	0.02	29	0.00	29	-109.82	27	5.77	28	0.01	29
97	97	-661	Min.	26.00	-37.12	27	0.02	29	0.01	29	-109.82	27	-14.18	27	0.01	29
98	98	-662	Max	0.00	-19.30	29	5.70	27	0.00	14	-42.10	28	13.73	27	0.02	14
98	98	-662	Max	26.00	-18.28	29	5.70	27	1.23	27	-42.10	28	-5.42	28	0.02	14
98	98	-662	Min.	0.00	-36.57	27	0.03	13	-0.25	27	-104.86	27	5.53	28	-0.06	27
98	98	-662	Min.	26.00	-35.55	27	0.03	13	0.01	13	-104.86	27	-13.53	27	-0.06	27
99	99	-663	Max	0.00	-4.31	28	0.08	27	0.00	27	-23.15	28	8.20	27	0.06	27
99	99	-663	Max	26.00	-3.29	28	0.08	27	0.02	27	-23.15	28	-2.98	28	0.06	27
99	99	-663	Min.	0.00	-5.45	29	0.01	29	0.00	29	-62.75	27	3.04	28	0.03	29
99	99	-663	Min.	26.00	-4.43	29	0.01	29	0.00	29	-62.75	27	-8.11	27	0.03	29
100	100	-664	Max	0.00	-12.44	29	5.73	27	0.00	28	-21.62	28	7.47	27	0.04	14
100	100	-664	Max	26.00	-11.42	29	5.73	27	1.24	27	-21.62	28	-2.79	28	0.04	14
100	100	-664	Min.	0.00	-29.31	27	0.02	13	-0.25	27	-57.16	27	2.83	28	-0.02	27
100	100	-664	Min.	26.00	-28.29	27	0.02	13	0.01	13	-57.16	27	-7.40	27	-0.02	27
101	101	-673	Max	0.00	-1.44	28	0.11	27	-0.01	13	-7.36	28	4.49	27	-0.01	28
101	101	-673	Max	27.75	-0.35	28	0.11	27	0.01	27	-7.36	28	-0.99	28	-0.01	28
101	101	-673	Min.	0.00	-3.03	27	0.04	13	-0.02	27	-31.88	27	1.06	28	-0.02	27
101	101	-673	Min.	27.75	-1.94	27	0.04	13	0.00	28	-31.88	27	-4.36	27	-0.02	27
102	102	-674	Max	0.00	-3.39	29	0.94	27	0.06	27	-13.27	28	6.13	27	-0.01	28
102	102	-674	Max	27.75	-2.30	29	0.94	27	0.32	27	-13.27	28	-1.82	28	-0.01	28
102	102	-674	Min.	0.00	-10.72	27	0.04	13	-0.01	14	-43.92	27	1.87	28	-0.04	27
102	102	-674	Min.	27.75	-9.63	27	0.04	13	0.00	28	-43.92	27	-6.05	27	-0.04	27

103	103	-675	Max	0.00	-4.07	13	0.06	27	-0.00	13	-18.53	28	8.86	27	-0.00	29
103	103	-675	Max	16.65					-0.00	28			-0.46	28		
103	103	-675	Max	27.75	-2.98	13	0.06	27	0.00	27	-18.53	28	-2.51	28	-0.00	29
103	103	-675	Min.	0.00	-12.28	27	0.01	13	-0.01	27	-63.12	27	2.63	28	-0.01	27
103	103	-675	Min.	16.65					-0.00	14			-0.93	14		
103	103	-675	Min.	27.75	-11.19	27	0.01	13	0.00	28	-63.12	27	-8.66	27	-0.01	27
104	104	-676	Max	0.00	-4.25	13	0.89	27	0.07	27	-19.66	28	9.26	27	-0.00	13
104	104	-676	Max	16.65					-0.00	28			-0.49	28		
104	104	-676	Max	27.75	-3.16	13	0.89	27	0.32	27	-19.66	28	-2.67	28	-0.00	13
104	104	-676	Min.	0.00	-12.91	27	0.01	13	-0.00	14	-66.03	27	2.78	28	-0.03	27
104	104	-676	Min.	16.65					-0.00	14			-0.97	14		
104	104	-676	Min.	27.75	-11.82	27	0.01	13	0.00	28	-66.03	27	-9.06	27	-0.03	27
105	105	-677	Max	0.00	-4.25	29	-0.01	29	0.00	27	-19.61	28	9.19	27	0.01	27
105	105	-677	Max	27.75	-3.16	29	-0.01	29	0.00	27	-19.61	28	-2.66	28	0.01	27
105	105	-677	Min.	0.00	-12.90	27	-0.02	14	0.00	29	-65.52	27	2.78	28	0.00	13
105	105	-677	Min.	27.75	-11.81	27	-0.02	14	0.00	14	-65.52	27	-8.99	27	0.00	13
106	106	-678	Max	0.00	-4.06	29	0.82	27	0.09	27	-18.58	28	8.78	27	0.01	14
106	106	-678	Max	27.75	-2.98	29	0.82	27	0.31	27	-18.58	28	-2.52	28	0.01	14
106	106	-678	Min.	0.00	-12.24	27	-0.02	14	0.00	13	-62.56	27	2.63	28	-0.01	27
106	106	-678	Min.	27.75	-11.15	27	-0.02	14	0.00	14	-62.56	27	-8.58	27	-0.01	27
107	107	-679	Max	0.00	-3.40	13	-0.03	29	0.02	27	-13.26	28	6.14	27	0.02	27
107	107	-679	Max	27.75	-2.31	13	-0.03	29	-0.00	28	-13.26	28	-1.81	28	0.02	27
107	107	-679	Min.	0.00	-10.79	27	-0.07	27	0.01	29	-43.96	27	1.87	28	0.01	28
107	107	-679	Min.	27.75	-9.70	27	-0.07	27	-0.00	27	-43.96	27	-6.06	27	0.01	28
108	108	-680	Max	0.00	-1.44	28	0.76	27	0.10	27	-7.35	28	4.33	27	0.01	14
108	108	-680	Max	27.75	-0.35	28	0.76	27	0.31	27	-7.35	28	-0.99	28	0.01	14
108	108	-680	Min.	0.00	-2.96	27	-0.05	14	0.01	13	-30.75	27	1.06	28	0.00	27
108	108	-680	Min.	27.75	-1.87	27	-0.05	14	-0.00	14	-30.75	27	-4.20	27	0.00	27
109	109	-689	Max	0.00	-0.61	28	0.01	27	-0.00	13	-2.72	28	3.41	27	-0.01	28
109	109	-689	Max	29.50	0.55	28	0.01	27	-0.00	13	-2.72	28	-0.38	28	-0.01	28
109	109	-689	Min.	0.00	-1.42	27	0.00	13	-0.01	27	-22.81	27	0.43	28	-0.02	27
109	109	-689	Min.	29.50	-0.26	27	0.00	13	-0.00	27	-22.81	27	-3.32	27	-0.02	27
110	110	-690	Max	0.00	-3.06	13	0.11	27	0.11	27	-4.72	28	3.81	27	-0.01	28
110	110	-690	Max	29.50	-1.90	13	0.11	27	0.15	27	-4.72	28	-0.67	28	-0.01	28
110	110	-690	Min.	0.00	-10.34	27	0.00	13	-0.00	28	-25.56	27	0.72	28	-0.09	27
110	110	-690	Min.	29.50	-9.18	27	0.00	13	-0.00	28	-25.56	27	-3.73	27	-0.09	27
111	111	-691	Max	0.00	-3.10	13	0.01	27	-0.00	13	-7.39	28	5.84	27	-0.00	29
111	111	-691	Max	5.90					-0.00	29			1.73	29		
111	111	-691	Max	29.50	-1.94	13	0.01	27	0.00	29	-7.39	28	-1.04	28	-0.00	29
111	111	-691	Min.	0.00	-10.40	27	0.00	13	-0.00	27	-39.01	27	1.14	28	-0.01	27
111	111	-691	Min.	17.70					-0.00	14			-0.63	14		
111	111	-691	Min.	29.50	-9.24	27	0.00	13	-0.00	27	-39.01	27	-5.66	27	-0.01	27
112	112	-692	Max	0.00	-3.25	13	0.10	27	0.12	27	-8.04	28	6.13	27	-0.00	28
112	112	-692	Max	5.90					-0.00	13			1.79	13		
112	112	-692	Max	29.50	-2.09	13	0.10	27	0.15	27	-8.04	28	-1.14	28	-0.00	28
112	112	-692	Min.	0.00	-11.03	27	0.00	13	-0.00	14	-40.96	27	1.23	28	-0.08	27
112	112	-692	Min.	17.70					-0.00	14			-0.66	14		
112	112	-692	Min.	29.50	-9.88	27	0.00	13	0.00	14	-40.96	27	-5.95	27	-0.08	27
113	113	-693	Max	0.00	-3.25	29	-0.00	29	0.00	27	-8.00	28	6.06	27	0.01	27
113	113	-693	Max	29.50	-2.09	29	-0.00	29	0.00	27	-8.00	28	-1.13	28	0.01	27
113	113	-693	Min.	0.00	-11.02	27	-0.00	27	0.00	29	-40.46	27	1.23	28	0.00	28
113	113	-693	Min.	29.50	-9.86	27	-0.00	27	0.00	13	-40.46	27	-5.88	27	0.00	28
114	114	-694	Max	0.00	-3.10	29	0.09	27	0.12	27	-7.42	28	5.79	27	0.00	14
114	114	-694	Max	29.50	-1.94	29	0.09	27	0.15	27	-7.42	28	-1.05	28	0.00	14
114	114	-694	Min.	0.00	-10.40	27	-0.00	14	0.00	13	-38.66	27	1.14	28	-0.06	27
114	114	-694	Min.	29.50	-9.24	27	-0.00	14	0.00	13	-38.66	27	-5.61	27	-0.06	27
115	115	-695	Max	0.00	-3.05	29	-0.00	29	0.01	27	-4.71	28	3.80	27	0.02	27
115	115	-695	Max	29.50	-1.90	29	-0.00	29	0.00	27	-4.71	28	-0.67	28	0.02	27
115	115	-695	Min.	0.00	-10.31	27	-0.01	27	0.00	29	-25.44	27	0.72	28	0.01	28

115	115	-695	Min.	29.50	-9.16	27	-0.01	27	0.00	29	-25.44	27	-3.71	27	0.01	28
116	116	-696	Max	0.00	-0.61	28	0.09	27	0.13	27	-2.72	28	3.27	27	0.01	14
116	116	-696	Max	29.50	0.55	28	0.09	27	0.15	27	-2.72	28	-0.38	28	0.01	14
116	116	-696	Min.	0.00	-1.38	27	-0.01	28	0.00	13	-21.84	27	0.43	28	-0.05	27
116	116	-696	Min.	29.50	-0.22	27	-0.01	28	0.00	13	-21.84	27	-3.18	27	-0.05	27
117	117	-705	Max	0.00	-1.06	28	-0.03	13	0.00	27	1.17	28	2.39	27	-0.01	28
117	117	-705	Max	31.25	0.16	28	-0.03	13	-0.01	13	1.17	28	0.20	28	-0.01	28
117	117	-705	Min.	0.00	-2.21	27	-0.07	27	-0.00	28	-15.10	27	-0.17	28	-0.02	27
117	117	-705	Min.	31.25	-0.98	27	-0.07	27	-0.02	27	-15.10	27	-2.33	27	-0.02	27
118	118	-706	Max	0.00	-3.02	29	0.89	27	0.07	27	2.74	28	1.60	27	-0.01	28
118	118	-706	Max	31.25	-1.79	29	0.89	27	0.35	27	2.74	28	0.45	28	-0.01	28
118	118	-706	Min.	0.00	-9.54	27	-0.03	14	-0.00	28	-9.94	27	-0.41	28	-0.15	27
118	118	-706	Min.	31.25	-8.31	27	-0.03	14	-0.01	28	-9.94	27	-1.51	27	-0.15	27
119	119	-707	Max	0.00	-3.57	13	-0.01	13	0.00	27	2.39	28	2.93	27	-0.00	29
119	119	-707	Max	31.25	-2.34	13	-0.01	13	-0.00	13	2.39	28	0.40	28	-0.00	29
119	119	-707	Min.	0.00	-10.81	27	-0.03	27	0.00	14	-18.31	27	-0.34	28	-0.01	27
119	119	-707	Min.	31.25	-9.59	27	-0.03	27	-0.01	27	-18.31	27	-2.79	27	-0.01	27
120	120	-708	Max	0.00	-3.71	13	0.92	27	0.07	27	2.03	28	3.11	27	-0.00	28
120	120	-708	Max	31.25	-2.48	13	0.92	27	0.36	27	2.03	28	0.35	28	-0.00	28
120	120	-708	Min.	0.00	-11.39	27	-0.01	14	0.00	28	-19.46	27	-0.29	28	-0.14	27
120	120	-708	Min.	31.25	-10.16	27	-0.01	14	-0.00	14	-19.46	27	-2.97	27	-0.14	27
121	121	-709	Max	0.00	-3.70	29	0.01	27	0.00	27	2.07	28	3.05	27	0.01	27
121	121	-709	Max	31.25	-2.47	29	0.01	27	0.00	27	2.07	28	0.35	28	0.01	27
121	121	-709	Min.	0.00	-11.35	27	0.00	29	0.00	14	-19.07	27	-0.29	28	0.00	28
121	121	-709	Min.	31.25	-10.12	27	0.00	29	0.00	29	-19.07	27	-2.91	27	0.00	28
122	122	-710	Max	0.00	-3.57	29	0.96	27	0.07	27	2.35	28	2.89	27	0.00	14
122	122	-710	Max	31.25	-2.34	29	0.96	27	0.38	27	2.35	28	0.40	28	0.00	14
122	122	-710	Min.	0.00	-10.80	27	0.01	13	0.00	28	-18.06	27	-0.34	28	-0.12	27
122	122	-710	Min.	31.25	-9.57	27	0.01	13	0.00	13	-18.06	27	-2.76	27	-0.12	27
123	123	-711	Max	0.00	-3.02	13	0.05	27	0.00	28	2.74	28	1.57	27	0.02	27
123	123	-711	Max	31.25	-1.79	13	0.05	27	0.02	27	2.74	28	0.45	28	0.02	27
123	123	-711	Min.	0.00	-9.55	27	0.02	29	0.00	14	-9.74	27	-0.41	28	0.01	28
123	123	-711	Min.	31.25	-8.32	27	0.02	29	0.01	29	-9.74	27	-1.48	27	0.01	28
124	124	-712	Max	0.00	-1.06	28	1.01	27	0.07	27	1.18	28	2.25	27	0.01	14
124	124	-712	Max	31.25	0.16	28	1.01	27	0.39	27	1.18	28	0.20	28	0.01	14
124	124	-712	Min.	0.00	-2.20	27	0.03	13	0.00	14	-14.18	27	-0.17	28	-0.11	27
124	124	-712	Min.	31.25	-0.97	27	0.03	13	0.01	13	-14.18	27	-2.19	27	-0.11	27
125	125	-721	Max	0.00	-9.14	29	-0.08	13	0.00	29	9.66	28	-0.08	29	-0.01	28
125	125	-721	Max	33.00	-7.84	29	-0.08	13	-0.03	13	9.66	28	1.61	28	-0.01	28
125	125	-721	Min.	0.00	-24.42	27	-0.15	27	0.00	27	0.57	29	-1.57	28	-0.04	27
125	125	-721	Min.	33.00	-23.12	27	-0.15	27	-0.05	27	0.57	29	0.11	29	-0.04	27
126	126	-722	Max	0.00	-5.05	27	4.99	27	0.00	13	10.08	28	-0.10	29	-0.01	28
126	126	-722	Max	33.00	-3.75	27	4.99	27	1.34	27	10.08	28	1.69	28	-0.01	28
126	126	-722	Min.	0.00	-6.75	13	-0.11	28	-0.30	27	0.71	29	-1.64	28	-0.13	27
126	126	-722	Min.	33.00	-5.45	13	-0.11	28	-0.04	28	0.71	29	0.14	29	-0.13	27
127	127	-723	Max	0.00	-18.88	13	-0.01	28	0.00	27	18.88	28	-0.64	29	-0.01	13
127	127	-723	Max	33.00	-17.59	13	-0.01	28	-0.00	28	18.88	28	3.16	28	-0.01	13
127	127	-723	Min.	0.00	-34.09	27	-0.06	27	0.00	28	4.08	29	-3.07	28	-0.02	27
127	127	-723	Min.	33.00	-32.79	27	-0.06	27	-0.02	27	4.08	29	0.71	29	-0.02	27
128	128	-724	Max	0.00	-18.71	13	5.08	27	0.00	14	18.44	28	-0.57	29	-0.01	28
128	128	-724	Max	33.00	-17.41	13	5.08	27	1.38	27	18.44	28	3.08	28	-0.01	28
128	128	-724	Min.	0.00	-33.61	27	-0.03	14	-0.30	27	3.67	29	-3.00	28	-0.11	27
128	128	-724	Min.	33.00	-32.31	27	-0.03	14	-0.01	14	3.67	29	0.64	13	-0.11	27
129	129	-725	Max	0.00	-18.62	29	0.04	27	0.00	27	18.48	28	-0.57	13	0.01	27
129	129	-725	Max	33.00	-17.32	29	0.04	27	0.01	27	18.48	28	3.09	28	0.01	27
129	129	-725	Min.	0.00	-33.11	27	0.02	29	0.00	14	3.70	13	-3.01	28	0.00	29
129	129	-725	Min.	33.00	-31.82	27	0.02	29	0.01	29	3.70	13	0.65	13	0.00	29
130	130	-726	Max	0.00	-18.82	29	5.18	27	0.00	28	18.85	28	-0.63	13	0.01	14
130	130	-726	Max	33.00	-17.52	29	5.18	27	1.41	27	18.85	28	3.15	28	0.01	14

130	130	-726	Min.	0.00	-33.68	27	0.01	28	-0.30	27	4.07	13	-3.07	28	-0.08	27
130	130	-726	Min.	33.00	-32.38	27	0.01	28	0.00	28	4.07	13	0.71	13	-0.08	27
131	131	-727	Max	0.00	-5.80	27	0.13	27	0.00	27	10.09	28	-0.11	13	0.03	27
131	131	-727	Max	33.00	-4.50	27	0.13	27	0.04	27	10.09	28	1.69	28	0.03	27
131	131	-727	Min.	0.00	-6.87	29	0.08	29	0.00	13	0.81	13	-1.64	28	0.01	28
131	131	-727	Min.	33.00	-5.58	29	0.08	29	0.03	29	0.81	13	0.15	13	0.01	28
132	132	-728	Max	0.00	-9.21	13	5.27	27	0.00	14	9.66	28	-0.11	13	0.02	14
132	132	-728	Max	33.00	-7.92	13	5.27	27	1.44	27	9.66	28	1.62	28	0.02	14
132	132	-728	Min.	0.00	-24.84	27	0.08	13	-0.30	27	0.76	13	-1.57	28	-0.05	27
132	132	-728	Min.	33.00	-23.55	27	0.08	13	0.03	13	0.76	13	0.14	13	-0.05	27
133	133	-737	Max	0.00	-0.50	28	0.06	27	-0.01	13	16.68	28	-1.13	29	0.01	28
133	133	-737	Max	27.80					-0.00	14			0.94	14		
133	133	-737	Max	34.75	0.86	28	0.06	27	0.00	27	16.68	28	2.92	28	0.01	28
133	133	-737	Min.	0.00	-1.13	27	0.03	28	-0.02	27	6.66	29	-2.87	28	0.00	27
133	133	-737	Min.	27.80					-0.00	29			0.72	29		
133	133	-737	Min.	34.75	0.23	27	0.03	28	-0.00	28	6.66	29	1.18	29	0.00	27
134	134	-738	Max	0.00	-2.47	13	1.06	27	0.05	27	16.22	28	-1.15	29	0.01	28
134	134	-738	Max	27.80					-0.00	14			0.84	14		
134	134	-738	Max	34.75	-1.11	13	1.06	27	0.42	27	16.22	28	2.84	28	0.01	28
134	134	-738	Min.	0.00	-8.59	27	0.02	28	-0.01	14	6.74	29	-2.80	28	-0.00	27
134	134	-738	Min.	27.80					-0.00	13			0.74	13		
134	134	-738	Min.	34.75	-7.23	27	0.02	28	-0.00	28	6.74	29	1.19	29	-0.00	27
135	135	-739	Max	0.00	-2.45	13	0.02	27	-0.00	13	33.70	27	-2.73	13	-0.00	13
135	135	-739	Max	27.80					-0.00	27			3.60	27		
135	135	-739	Max	34.75	-1.09	13	0.02	27	0.00	27	33.70	27	5.95	27	-0.00	13
135	135	-739	Min.	0.00	-8.52	27	0.01	13	-0.01	27	15.99	13	-5.76	27	-0.00	27
135	135	-739	Min.	13.90					-0.00	28			-1.08	28		
135	135	-739	Min.	34.75	-7.15	27	0.01	13	0.00	14	15.99	13	2.82	13	-0.00	27
136	136	-740	Max	0.00	-2.58	29	1.02	27	0.06	27	32.97	27	-2.67	13	-0.00	28
136	136	-740	Max	20.85					-0.00	28			1.16	28		
136	136	-740	Max	34.75	-1.21	29	1.02	27	0.42	27	32.97	27	5.82	27	-0.00	28
136	136	-740	Min.	0.00	-9.03	27	0.01	13	-0.00	14	15.59	13	-5.64	27	-0.01	27
136	136	-740	Min.	20.85					-0.00	13			0.59	13		
136	136	-740	Min.	34.75	-7.67	27	0.01	13	0.00	28	15.59	13	2.75	13	-0.01	27
137	137	-741	Max	0.00	-2.58	13	-0.00	29	0.00	27	32.79	27	-2.66	29	0.00	27
137	137	-741	Max	34.75	-1.21	13	-0.00	29	0.00	27	32.79	27	5.79	27	0.00	27
137	137	-741	Min.	0.00	-9.03	27	-0.01	27	0.00	29	15.58	29	-5.61	27	0.00	28
137	137	-741	Min.	34.75	-7.66	27	-0.01	27	0.00	13	15.58	29	2.75	29	0.00	28
138	138	-742	Max	0.00	-2.45	29	0.99	27	0.08	27	33.49	27	-2.73	29	0.00	14
138	138	-742	Max	34.75	-1.09	29	0.99	27	0.42	27	33.49	27	5.91	27	0.00	14
138	138	-742	Min.	0.00	-8.51	27	-0.01	14	0.00	13	15.95	29	-5.73	27	0.00	27
138	138	-742	Min.	34.75	-7.14	27	-0.01	14	0.00	28	15.95	29	2.81	29	0.00	27
139	139	-743	Max	0.00	-2.47	29	-0.02	29	0.02	27	16.22	28	-1.18	13	0.00	27
139	139	-743	Max	34.75	-1.11	29	-0.02	29	0.00	28	16.22	28	2.84	28	0.00	27
139	139	-743	Min.	0.00	-8.58	27	-0.05	27	0.01	29	6.90	13	-2.80	28	-0.01	28
139	139	-743	Min.	34.75	-7.22	27	-0.05	27	0.00	27	6.90	13	1.22	13	-0.01	28
140	140	-744	Max	0.00	-0.50	28	0.95	27	0.09	27	16.69	27	-1.17	13	-0.00	14
140	140	-744	Max	34.75	0.86	28	0.95	27	0.42	27	16.69	27	2.95	27	-0.00	14
140	140	-744	Min.	0.00	-1.09	27	-0.03	14	0.01	13	6.86	13	-2.87	28	-0.01	28
140	140	-744	Min.	34.75	0.28	27	-0.03	14	0.00	14	6.86	13	1.22	13	-0.01	28
141	141	-753	Max	0.00	-0.28	28	0.02	27	-0.00	13	17.68	28	-1.49	29	0.01	28
141	141	-753	Max	29.20					-0.00	27			1.95	27		
141	141	-753	Max	36.50	1.15	28	0.02	27	0.00	29	17.68	28	3.24	28	0.01	28
141	141	-753	Min.	0.00	-0.64	29	0.01	13	-0.01	27	8.24	29	-3.21	28	0.00	29
141	141	-753	Min.	21.90					-0.00	29			0.31	29		
141	141	-753	Min.	36.50	0.79	29	0.01	13	0.00	28	8.24	29	1.52	29	0.00	29
142	142	-754	Max	0.00	-2.65	13	0.28	27	0.11	27	20.12	28	-1.80	29	0.01	28
142	142	-754	Max	21.90					-0.00	28			0.75	28		
142	142	-754	Max	36.50	-1.22	13	0.28	27	0.21	27	20.12	28	3.69	28	0.01	28

142	142	-754	Min.	0.00	-9.45	27	0.01	13	-0.00	14	9.93	29	-3.66	28	-0.05	27
142	142	-754	Min.	21.90					-0.00	13			0.38	13		
142	142	-754	Min.	36.50	-8.02	27	0.01	13	0.00	28	9.93	29	1.82	29	-0.05	27
143	143	-755	Max	0.00	-2.37	29	0.01	27	-0.00	13	42.26	27	-3.46	13	-0.00	27
143	143	-755	Max	29.20					-0.00	27			4.68	27		
143	143	-755	Max	36.50	-0.94	29	0.01	27	0.00	29	42.26	27	7.77	27	-0.00	27
143	143	-755	Min.	0.00	-8.78	27	0.00	13	-0.00	27	19.09	13	-7.66	27	-0.00	14
143	143	-755	Min.	14.60					-0.00	28			-1.29	28		
143	143	-755	Min.	36.50	-7.34	27	0.00	13	0.00	27	19.09	13	3.51	13	-0.00	14
144	144	-756	Max	0.00	-2.51	29	0.27	27	0.12	27	42.08	27	-3.41	13	0.00	28
144	144	-756	Max	14.60					-0.00	14			-0.83	14		
144	144	-756	Max	36.50	-1.08	29	0.27	27	0.21	27	42.08	27	7.73	27	0.00	28
144	144	-756	Min.	0.00	-9.35	27	0.00	13	-0.00	14	18.84	13	-7.63	27	-0.06	27
144	144	-756	Min.	7.30					-0.00	13			-2.04	13		
144	144	-756	Min.	36.50	-7.92	27	0.00	13	0.00	14	18.84	13	3.46	13	-0.06	27
145	145	-757	Max	0.00	-2.51	13	-0.00	29	0.00	27	41.89	27	-3.41	29	0.00	27
145	145	-757	Max	36.50	-1.08	13	-0.00	29	0.00	27	41.89	27	7.70	27	0.00	27
145	145	-757	Min.	0.00	-9.36	27	-0.00	27	0.00	29	18.82	29	-7.59	27	0.00	28
145	145	-757	Min.	36.50	-7.93	27	-0.00	27	0.00	13	18.82	29	3.46	29	0.00	28
146	146	-758	Max	0.00	-2.37	13	0.25	27	0.12	27	42.05	27	-3.45	29	0.00	28
146	146	-758	Max	36.50	-0.94	13	0.25	27	0.22	27	42.05	27	7.73	27	0.00	28
146	146	-758	Min.	0.00	-8.78	27	-0.00	14	0.00	13	19.05	29	-7.62	27	-0.05	27
146	146	-758	Min.	36.50	-7.35	27	-0.00	14	0.00	28	19.05	29	3.50	29	-0.05	27
147	147	-759	Max	0.00	-2.64	29	-0.01	29	0.01	27	20.87	27	-1.83	13	-0.00	29
147	147	-759	Max	36.50	-1.21	29	-0.01	29	0.00	27	20.87	27	3.84	27	-0.00	29
147	147	-759	Min.	0.00	-9.43	27	-0.02	27	0.00	29	10.08	13	-3.78	27	-0.01	28
147	147	-759	Min.	36.50	-7.99	27	-0.02	27	0.00	13	10.08	13	1.85	13	-0.01	28
148	148	-760	Max	0.00	-0.28	28	0.24	27	0.13	27	18.62	27	-1.52	13	-0.00	13
148	148	-760	Max	36.50	1.15	28	0.24	27	0.21	27	18.62	27	3.43	27	-0.00	13
148	148	-760	Min.	0.00	-0.64	13	-0.01	14	0.00	13	8.43	13	-3.37	27	-0.06	27
148	148	-760	Min.	36.50	0.80	13	-0.01	14	0.00	13	8.43	13	1.55	13	-0.06	27
149	149	-769	Max	0.00	1.37	27	-0.01	28	0.00	13	16.20	28	-1.42	29	0.01	28
149	149	-769	Max	38.25	2.87	27	-0.01	28	-0.00	13	16.20	28	3.13	28	0.01	28
149	149	-769	Min.	0.00	0.46	29	-0.02	27	0.00	27	7.57	29	-3.07	28	0.00	13
149	149	-769	Min.	38.25	1.96	29	-0.02	27	-0.01	27	7.57	29	1.48	29	0.00	13
150	150	-770	Max	0.00	-0.97	13	1.00	27	0.04	27	22.53	27	-1.91	29	0.01	28
150	150	-770	Max	38.25	0.53	13	1.00	27	0.43	27	22.53	27	4.39	27	0.01	28
150	150	-770	Min.	0.00	-5.33	27	-0.01	14	0.00	28	10.19	29	-4.23	27	-0.09	27
150	150	-770	Min.	38.25	-3.83	27	-0.01	14	-0.00	14	10.19	29	1.99	29	-0.09	27
151	151	-771	Max	0.00	0.06	29	-0.00	13	-0.00	29	39.85	27	-3.25	13	0.00	27
151	151	-771	Max	38.25	1.56	29	-0.00	13	-0.00	13	39.85	27	7.77	27	0.00	27
151	151	-771	Min.	0.00	-2.79	27	-0.01	27	-0.00	27	17.31	13	-7.48	27	0.00	28
151	151	-771	Min.	38.25	-1.29	27	-0.01	27	-0.00	27	17.31	13	3.37	13	0.00	28
152	152	-772	Max	0.00	-0.07	29	1.01	27	0.04	27	40.09	27	-3.23	13	0.00	28
152	152	-772	Max	38.25	1.43	29	1.01	27	0.43	27	40.09	27	7.81	27	0.00	28
152	152	-772	Min.	0.00	-3.27	27	-0.00	14	-0.00	14	17.21	13	-7.52	27	-0.10	27
152	152	-772	Min.	38.25	-1.77	27	-0.00	14	-0.00	14	17.21	13	3.35	13	-0.10	27
153	153	-773	Max	0.00	-0.07	13	0.01	27	0.00	27	39.94	27	-3.23	29	0.00	27
153	153	-773	Max	38.25	1.43	13	0.01	27	0.00	27	39.94	27	7.78	27	0.00	27
153	153	-773	Min.	0.00	-3.29	27	0.00	29	0.00	13	17.20	29	-7.49	27	0.00	28
153	153	-773	Min.	38.25	-1.79	27	0.00	29	0.00	29	17.20	29	3.35	29	0.00	28
154	154	-774	Max	0.00	0.06	13	1.03	27	0.05	27	39.68	27	-3.24	29	0.00	28
154	154	-774	Max	38.25	1.56	13	1.03	27	0.44	27	39.68	27	7.73	27	0.00	28
154	154	-774	Min.	0.00	-2.83	27	0.00	13	0.00	13	17.27	29	-7.44	27	-0.10	27
154	154	-774	Min.	38.25	-1.33	27	0.00	13	0.00	13	17.27	29	3.37	29	-0.10	27
155	155	-775	Max	0.00	-0.96	29	0.02	27	0.00	27	23.22	27	-1.93	13	-0.00	29
155	155	-775	Max	38.25	0.54	29	0.02	27	0.01	27	23.22	27	4.53	27	-0.00	29
155	155	-775	Min.	0.00	-5.23	27	0.01	28	0.00	29	10.30	13	-4.36	27	-0.01	28
155	155	-775	Min.	38.25	-3.73	27	0.01	28	0.00	29	10.30	13	2.01	13	-0.01	28

156	156	-776	Max	0.00	1.48	27	1.04	27	0.04	27	16.21	28	-1.44	13	-0.00	13
156	156	-776	Max	38.25	2.98	27	1.04	27	0.44	27	16.21	28	3.13	28	-0.00	13
156	156	-776	Min.	0.00	0.48	13	0.01	28	0.00	13	7.71	13	-3.07	28	-0.11	27
156	156	-776	Min.	38.25	1.98	13	0.01	28	0.00	13	7.71	13	1.51	13	-0.11	27
157	157	-785	Max	0.00	34.04	27	-0.02	13	0.01	27	7.55	28	0.00	14	0.01	28
157	157	-785	Max	40.00	35.61	27	-0.02	13	-0.01	13	7.55	28	1.52	28	0.01	28
157	157	-785	Min.	0.00	18.53	29	-0.09	27	0.00	13	-0.01	14	-1.51	28	0.00	14
157	157	-785	Min.	40.00	20.10	29	-0.09	27	-0.03	27	-0.01	14	-0.00	14	0.00	14
158	158	-786	Max	0.00	60.68	27	4.06	27	0.00	14	9.70	28	0.00	27	0.01	28
158	158	-786	Max	40.00	62.25	27	4.06	27	1.32	27	9.70	28	1.94	28	0.01	28
158	158	-786	Min.	0.00	26.53	29	-0.03	14	-0.30	27	-0.01	27	-1.94	28	0.00	14
158	158	-786	Min.	40.00	28.10	29	-0.03	14	-0.01	14	-0.01	27	-0.00	27	0.00	14
159	159	-787	Max	0.00	96.11	27	-0.02	13	0.00	27	15.04	28	0.00	29	0.00	27
159	159	-787	Max	40.00	97.68	27	-0.02	13	-0.01	13	15.04	28	3.01	28	0.00	27
159	159	-787	Min.	0.00	41.11	13	-0.05	27	0.00	13	-0.00	29	-3.00	28	0.00	28
159	159	-787	Min.	40.00	42.68	13	-0.05	27	-0.02	27	-0.00	29	0.00	29	0.00	28
160	160	-788	Max	0.00	97.41	27	4.10	27	0.00	14	15.11	28	0.00	27	0.00	28
160	160	-788	Max	40.00	98.98	27	4.10	27	1.33	27	15.11	28	3.03	28	0.00	28
160	160	-788	Min.	0.00	41.09	13	-0.02	14	-0.31	27	-0.02	27	-3.01	28	0.00	29
160	160	-788	Min.	40.00	42.66	13	-0.02	14	-0.01	14	-0.02	27	-0.00	27	0.00	29
161	161	-789	Max	0.00	97.03	27	0.04	27	0.00	29	15.12	28	0.00	29	0.00	27
161	161	-789	Max	40.00	98.60	27	0.04	27	0.01	27	15.12	28	3.03	28	0.00	27
161	161	-789	Min.	0.00	41.03	29	0.02	29	-0.00	27	0.00	29	-3.02	28	0.00	28
161	161	-789	Min.	40.00	42.60	29	0.02	29	0.01	29	0.00	29	0.00	29	0.00	28
162	162	-790	Max	0.00	95.83	27	4.19	27	0.00	13	15.02	28	0.00	27	0.00	28
162	162	-790	Max	40.00	97.40	27	4.19	27	1.37	27	15.02	28	3.01	28	0.00	28
162	162	-790	Min.	0.00	41.07	29	0.02	13	-0.31	27	-0.02	27	-3.00	28	0.00	29
162	162	-790	Min.	40.00	42.64	29	0.02	13	0.01	13	-0.02	27	-0.00	27	0.00	29
163	163	-791	Max	0.00	62.05	27	0.08	27	-0.00	29	9.70	28	0.00	13	0.00	14
163	163	-791	Max	40.00	63.62	27	0.08	27	0.02	27	9.70	28	1.94	28	0.00	14
163	163	-791	Min.	0.00	26.76	13	0.02	29	-0.01	27	-0.00	13	-1.94	28	-0.01	28
163	163	-791	Min.	40.00	28.33	13	0.02	29	0.00	29	-0.00	13	0.00	13	-0.01	28
164	164	-792	Max	0.00	35.75	27	4.22	27	-0.00	13	7.56	28	0.00	13	0.00	14
164	164	-792	Max	40.00	37.32	27	4.22	27	1.37	27	7.56	28	1.52	28	0.00	14
164	164	-792	Min.	0.00	18.81	13	0.02	13	-0.32	27	-0.00	13	-1.51	28	-0.01	28
164	164	-792	Min.	40.00	20.38	13	0.02	13	0.01	13	-0.00	13	0.00	13	-0.01	28
165	165	-777	Max	0.00	1.38	27	-0.01	13	0.00	28	0.15	28	2.81	27	0.00	28
165	165	-777	Max	38.25	2.88	27	-0.01	13	-0.00	13	0.15	28	-0.00	28	0.00	28
165	165	-777	Min.	0.00	0.35	28	-0.02	27	0.00	27	-15.02	27	-0.06	28	-0.01	27
165	165	-777	Min.	38.25	1.85	28	-0.02	27	-0.01	27	-15.02	27	-2.93	27	-0.01	27
166	166	-778	Max	0.00	-0.18	28	1.00	27	0.04	27	-0.79	28	4.23	27	0.09	27
166	166	-778	Max	38.25	1.32	28	1.00	27	0.43	27	-0.79	28	-0.19	28	0.09	27
166	166	-778	Min.	0.00	-5.32	27	-0.01	14	0.00	14	-22.56	27	0.11	28	-0.00	14
166	166	-778	Min.	38.25	-3.82	27	-0.01	14	-0.00	14	-22.56	27	-4.40	27	-0.00	14
167	167	-779	Max	0.00	0.75	28	-0.00	13	-0.00	29	-2.40	28	7.47	27	0.00	13
167	167	-779	Max	38.25	2.26	28	-0.00	13	-0.00	13	-2.40	28	-0.53	28	0.00	13
167	167	-779	Min.	0.00	-2.78	27	-0.01	27	-0.00	27	-39.84	27	0.39	28	0.00	27
167	167	-779	Min.	38.25	-1.28	27	-0.01	27	-0.00	27	-39.84	27	-7.77	27	0.00	27
168	168	-780	Max	0.00	0.71	28	1.01	27	0.04	27	-2.29	28	7.53	27	0.10	27
168	168	-780	Max	38.25	2.21	28	1.01	27	0.43	27	-2.29	28	-0.51	28	0.10	27
168	168	-780	Min.	0.00	-3.26	27	-0.00	14	0.00	14	-40.13	27	0.37	28	0.00	14
168	168	-780	Min.	38.25	-1.76	27	-0.00	14	-0.00	14	-40.13	27	-7.82	27	0.00	14
169	169	-781	Max	0.00	0.71	28	0.01	27	0.00	27	-2.28	28	7.49	27	0.00	14
169	169	-781	Max	38.25	2.21	28	0.01	27	0.00	27	-2.28	28	-0.50	28	0.00	14
169	169	-781	Min.	0.00	-3.28	27	0.00	29	0.00	13	-39.93	27	0.37	28	0.00	28
169	169	-781	Min.	38.25	-1.78	27	0.00	29	0.00	29	-39.93	27	-7.78	27	0.00	28
170	170	-782	Max	0.00	0.76	28	1.03	27	0.05	27	-2.42	28	7.45	27	0.10	27
170	170	-782	Max	38.25	2.26	28	1.03	27	0.44	27	-2.42	28	-0.53	28	0.10	27
170	170	-782	Min.	0.00	-2.82	27	0.00	13	0.00	13	-39.71	27	0.40	28	0.00	13

170	170	-782	Min.	38.25	-1.32	27	0.00	13	0.00	13	-39.71	27	-7.74	27	0.00	13
171	171	-783	Max	0.00	-0.18	28	0.02	27	0.00	27	-0.79	28	4.36	27	0.01	27
171	171	-783	Max	38.25	1.32	28	0.02	27	0.01	27	-0.79	28	-0.19	28	0.01	27
171	171	-783	Min.	0.00	-5.23	27	0.01	29	-0.00	28	-23.22	27	0.11	28	-0.00	28
171	171	-783	Min.	38.25	-3.72	27	0.01	29	0.00	29	-23.22	27	-4.53	27	-0.00	28
172	172	-784	Max	0.00	1.49	27	1.04	27	0.04	27	0.16	28	2.97	27	0.11	27
172	172	-784	Max	38.25	2.99	27	1.04	27	0.44	27	0.16	28	-0.00	28	0.11	27
172	172	-784	Min.	0.00	0.35	28	0.01	13	-0.00	28	-15.84	27	-0.07	28	-0.00	28
172	172	-784	Min.	38.25	1.85	28	0.01	13	0.00	13	-15.84	27	-3.09	27	-0.00	28
173	173	-761	Max	0.00	-0.60	27	0.02	27	-0.00	28	0.05	28	3.17	27	0.00	28
173	173	-761	Max	14.60					-0.00	28			-0.02	28		
173	173	-761	Max	36.50	0.84	27	0.02	27	0.00	28	0.05	28	-0.01	28	0.00	28
173	173	-761	Min.	0.00	-0.99	28	0.01	28	-0.01	27	-17.54	27	-0.02	28	-0.01	27
173	173	-761	Min.	29.20					-0.00	27			-1.95	27		
173	173	-761	Min.	36.50	0.45	28	0.01	28	0.00	27	-17.54	27	-3.23	27	-0.01	27
174	174	-762	Max	0.00	-1.97	28	0.28	27	0.11	27	-0.87	28	3.62	27	0.05	27
174	174	-762	Max	14.60					-0.00	28			0.02	28		
174	174	-762	Max	36.50	-0.54	28	0.28	27	0.21	27	-0.87	28	-0.17	28	0.05	27
174	174	-762	Min.	0.00	-9.45	27	0.01	28	-0.00	14	-20.01	27	0.15	28	-0.00	14
174	174	-762	Min.	21.90					-0.00	14			-0.46	14		
174	174	-762	Min.	36.50	-8.02	27	0.01	28	0.00	14	-20.01	27	-3.68	27	-0.00	14
175	175	-763	Max	0.00	-1.98	28	0.01	27	-0.00	13	-4.10	28	7.66	27	0.00	14
175	175	-763	Max	14.60					-0.00	29			0.67	29		
175	175	-763	Max	36.50	-0.55	28	0.01	27	0.00	29	-4.10	28	-0.77	28	0.00	14
175	175	-763	Min.	0.00	-8.78	27	0.00	13	-0.00	27	-42.25	27	0.72	28	0.00	27
175	175	-763	Min.	29.20					-0.00	27			-4.68	27		
175	175	-763	Min.	36.50	-7.35	27	0.00	13	0.00	27	-42.25	27	-7.76	27	0.00	27
176	176	-764	Max	0.00	-2.05	28	0.27	27	0.12	27	-3.92	28	7.64	27	0.06	27
176	176	-764	Max	7.30					-0.00	13			2.04	13		
176	176	-764	Max	36.50	-0.62	28	0.27	27	0.21	27	-3.92	28	-0.74	28	0.06	27
176	176	-764	Min.	0.00	-9.36	27	0.00	13	-0.00	14	-42.13	27	0.69	28	0.00	13
176	176	-764	Min.	14.60					-0.00	28			0.12	28		
176	176	-764	Min.	36.50	-7.92	27	0.00	13	0.00	14	-42.13	27	-7.74	27	0.00	13
177	177	-765	Max	0.00	-2.05	28	-0.00	29	0.00	27	-3.90	28	7.59	27	0.00	13
177	177	-765	Max	36.50	-0.62	28	-0.00	29	0.00	27	-3.90	28	-0.74	28	0.00	13
177	177	-765	Min.	0.00	-9.37	27	-0.00	27	0.00	29	-41.88	27	0.69	28	-0.00	27
177	177	-765	Min.	36.50	-7.93	27	-0.00	27	0.00	13	-41.88	27	-7.70	27	-0.00	27
178	178	-766	Max	0.00	-1.98	28	0.25	27	0.12	27	-4.12	28	7.63	27	0.05	27
178	178	-766	Max	36.50	-0.55	28	0.25	27	0.22	27	-4.12	28	-0.78	28	0.05	27
178	178	-766	Min.	0.00	-8.79	27	-0.00	14	0.00	13	-42.09	27	0.73	28	-0.00	14
178	178	-766	Min.	36.50	-7.36	27	-0.00	14	0.00	13	-42.09	27	-7.73	27	-0.00	14
179	179	-767	Max	0.00	-1.97	28	-0.01	28	0.01	27	-0.86	28	3.78	27	0.01	27
179	179	-767	Max	36.50	-0.54	28	-0.01	28	0.00	27	-0.86	28	-0.17	28	0.01	27
179	179	-767	Min.	0.00	-9.43	27	-0.02	27	0.00	28	-20.87	27	0.14	28	-0.00	28
179	179	-767	Min.	36.50	-8.00	27	-0.02	27	0.00	28	-20.87	27	-3.84	27	-0.00	28
180	180	-768	Max	0.00	-0.57	27	0.24	27	0.13	27	0.06	28	3.37	27	0.06	27
180	180	-768	Max	36.50	0.86	27	0.24	27	0.21	27	0.06	28	-0.00	28	0.06	27
180	180	-768	Min.	0.00	-0.99	28	-0.01	14	0.00	28	-18.62	27	-0.02	28	-0.00	28
180	180	-768	Min.	36.50	0.45	28	-0.01	14	0.00	28	-18.62	27	-3.43	27	-0.00	28
181	181	-745	Max	0.00	-0.74	13	0.06	27	-0.01	28	2.21	28	2.64	27	0.00	28
181	181	-745	Max	27.80					-0.00	29			-0.72	29		
181	181	-745	Max	34.75	0.62	13	0.06	27	0.00	27	2.21	28	0.36	28	0.00	28
181	181	-745	Min.	0.00	-1.13	27	0.03	13	-0.02	27	-15.50	27	-0.41	28	-0.00	13
181	181	-745	Min.	27.80					-0.00	14			-0.94	14		
181	181	-745	Min.	34.75	0.23	27	0.03	13	0.00	13	-15.50	27	-2.75	27	-0.00	13
182	182	-746	Max	0.00	-1.80	28	1.06	27	0.05	27	2.03	28	1.90	27	0.00	28
182	182	-746	Max	27.80					-0.00	13			-0.74	13		
182	182	-746	Max	34.75	-0.43	28	1.06	27	0.42	27	2.03	28	0.33	28	0.00	28
182	182	-746	Min.	0.00	-8.59	27	0.02	13	-0.01	14	-11.17	27	-0.38	28	-0.00	13

182	182	-746	Min.	27.80					-0.00	14			-0.84	14		
182	182	-746	Min.	34.75	-7.22	27	0.02	13	0.00	13	-11.17	27	-1.98	27	-0.00	13
183	183	-747	Max	0.00	-1.93	28	0.02	27	-0.00	13	-0.98	28	5.76	27	0.00	27
183	183	-747	Max	13.90					-0.00	29			0.51	29		
183	183	-747	Max	34.75	-0.57	28	0.02	27	0.00	27	-0.98	28	-0.21	28	0.00	27
183	183	-747	Min.	0.00	-8.51	27	0.01	13	-0.01	27	-33.69	27	0.13	28	0.00	13
183	183	-747	Min.	20.85					-0.00	27			-1.26	27		
183	183	-747	Min.	34.75	-7.15	27	0.01	13	0.00	28	-33.69	27	-5.94	27	0.00	13
184	184	-748	Max	0.00	-2.00	28	1.03	27	0.06	27	-0.70	28	5.65	27	0.01	27
184	184	-748	Max	20.85					-0.00	28			-0.07	28		
184	184	-748	Max	34.75	-0.64	28	1.03	27	0.42	27	-0.70	28	-0.16	28	0.01	27
184	184	-748	Min.	0.00	-9.02	27	0.01	13	-0.00	14	-33.02	27	0.08	28	0.00	13
184	184	-748	Min.	20.85					-0.00	14			-0.72	14		
184	184	-748	Min.	34.75	-7.66	27	0.01	13	0.00	14	-33.02	27	-5.83	27	0.00	13
185	185	-749	Max	0.00	-2.00	28	-0.00	29	0.00	27	-0.68	28	5.61	27	-0.00	29
185	185	-749	Max	34.75	-0.64	28	-0.00	29	0.00	27	-0.68	28	-0.16	28	-0.00	29
185	185	-749	Min.	0.00	-9.02	27	-0.01	27	0.00	29	-32.77	27	0.08	28	-0.00	27
185	185	-749	Min.	34.75	-7.66	27	-0.01	27	0.00	28	-32.77	27	-5.78	27	-0.00	27
186	186	-750	Max	0.00	-1.93	28	0.99	27	0.08	27	-1.00	28	5.74	27	0.00	27
186	186	-750	Max	34.75	-0.57	28	0.99	27	0.42	27	-1.00	28	-0.22	28	0.00	27
186	186	-750	Min.	0.00	-8.50	27	-0.01	14	0.00	13	-33.54	27	0.13	28	-0.00	14
186	186	-750	Min.	34.75	-7.13	27	-0.01	14	0.00	13	-33.54	27	-5.92	27	-0.00	14
187	187	-751	Max	0.00	-1.80	28	-0.02	29	0.02	27	2.04	28	2.06	27	0.00	29
187	187	-751	Max	34.75	-0.43	28	-0.02	29	0.00	29	2.04	28	0.33	28	0.00	29
187	187	-751	Min.	0.00	-8.58	27	-0.05	27	0.01	28	-12.07	27	-0.38	28	-0.00	28
187	187	-751	Min.	34.75	-7.21	27	-0.05	27	-0.00	28	-12.07	27	-2.14	27	-0.00	28
188	188	-752	Max	0.00	-0.74	29	0.95	27	0.09	27	2.22	28	2.85	27	0.00	27
188	188	-752	Max	34.75	0.63	29	0.95	27	0.42	27	2.22	28	0.36	28	0.00	27
188	188	-752	Min.	0.00	-1.08	27	-0.03	14	0.01	28	-16.69	27	-0.41	28	-0.00	28
188	188	-752	Min.	34.75	0.28	27	-0.03	14	-0.00	28	-16.69	27	-2.95	27	-0.00	28
189	189	-729	Max	0.00	-7.33	28	-0.06	28	0.00	29	8.02	28	0.23	27	0.04	27
189	189	-729	Max	33.00	-6.03	28	-0.06	28	-0.02	28	8.02	28	1.31	28	0.04	27
189	189	-729	Min.	0.00	-24.42	27	-0.15	27	0.00	14	-1.61	27	-1.34	28	0.02	13
189	189	-729	Min.	33.00	-23.13	27	-0.15	27	-0.05	27	-1.61	27	-0.30	27	0.02	13
190	190	-730	Max	0.00	-5.04	27	4.99	27	0.00	28	8.37	28	0.22	27	0.13	27
190	190	-730	Max	33.00	-3.75	27	4.99	27	1.34	27	8.37	28	1.36	28	0.13	27
190	190	-730	Min.	0.00	-7.33	28	-0.09	14	-0.30	27	-1.57	27	-1.40	28	0.02	13
190	190	-730	Min.	33.00	-6.03	28	-0.09	14	-0.03	14	-1.57	27	-0.30	27	0.02	13
191	191	-731	Max	0.00	-16.79	28	-0.01	13	0.00	27	10.20	28	1.60	27	0.02	27
191	191	-731	Max	33.00	-15.49	28	-0.01	13	-0.00	13	10.20	28	1.65	28	0.02	27
191	191	-731	Min.	0.00	-34.09	27	-0.06	27	0.00	13	-10.22	27	-1.72	28	0.01	13
191	191	-731	Min.	33.00	-32.80	27	-0.06	27	-0.02	27	-10.22	27	-1.77	27	0.01	13
192	192	-732	Max	0.00	-16.91	28	5.08	27	0.00	14	10.62	28	1.47	27	0.11	27
192	192	-732	Max	33.00	-15.61	28	5.08	27	1.38	27	10.62	28	1.71	28	0.11	27
192	192	-732	Min.	0.00	-33.60	27	-0.03	14	-0.30	27	-9.41	27	-1.79	28	0.01	13
192	192	-732	Min.	33.00	-32.31	27	-0.03	14	-0.01	14	-9.41	27	-1.63	27	0.01	13
193	193	-733	Max	0.00	-16.91	28	0.04	27	0.00	27	10.63	28	1.47	27	-0.00	29
193	193	-733	Max	33.00	-15.61	28	0.04	27	0.01	27	10.63	28	1.72	28	-0.00	29
193	193	-733	Min.	0.00	-33.12	27	0.02	29	0.00	14	-9.39	27	-1.79	28	-0.01	27
193	193	-733	Min.	33.00	-31.82	27	0.02	29	0.01	29	-9.39	27	-1.63	27	-0.01	27
194	194	-734	Max	0.00	-16.79	28	5.18	27	0.00	13	10.19	28	1.62	27	0.08	27
194	194	-734	Max	33.00	-15.50	28	5.18	27	1.41	27	10.19	28	1.64	28	0.08	27
194	194	-734	Min.	0.00	-33.68	27	0.01	13	-0.30	27	-10.31	27	-1.72	28	-0.01	14
194	194	-734	Min.	33.00	-32.38	27	0.01	13	0.00	13	-10.31	27	-1.78	27	-0.01	14
195	195	-735	Max	0.00	-5.80	27	0.13	27	0.00	27	8.37	28	0.31	27	-0.02	29
195	195	-735	Max	33.00	-4.51	27	0.13	27	0.04	27	8.37	28	1.36	28	-0.02	29
195	195	-735	Min.	0.00	-7.33	28	0.06	28	0.00	28	-2.12	27	-1.40	28	-0.03	27
195	195	-735	Min.	33.00	-6.03	28	0.06	28	0.02	28	-2.12	27	-0.39	27	-0.03	27
196	196	-736	Max	0.00	-7.33	28	5.27	27	0.00	14	8.03	28	0.41	27	0.05	27

196	196	-736	Max	33.00	-6.03	28	5.27	27	1.44	27	8.03	28	1.31	28	0.05	27
196	196	-736	Min.	0.00	-24.84	27	0.06	28	-0.30	27	-2.70	27	-1.34	28	-0.02	28
196	196	-736	Min.	33.00	-23.55	27	0.06	28	0.02	28	-2.70	27	-0.48	27	-0.02	28
197	197	-713	Max	0.00	-1.19	13	-0.03	13	0.00	28	15.08	27	-1.03	13	0.02	27
197	197	-713	Max	31.25	0.04	13	-0.03	13	-0.01	28	15.08	27	2.33	27	0.02	27
197	197	-713	Min.	0.00	-2.21	27	-0.07	27	0.00	13	6.51	13	-2.39	27	0.01	13
197	197	-713	Min.	31.25	-0.98	27	-0.07	27	-0.02	27	6.51	13	1.00	13	0.01	13
198	198	-714	Max	0.00	-2.39	28	0.89	27	0.07	27	16.05	28	-1.04	13	0.15	27
198	198	-714	Max	31.25	-1.16	28	0.89	27	0.35	27	16.05	28	2.49	28	0.15	27
198	198	-714	Min.	0.00	-9.54	27	-0.03	14	-0.00	13	6.52	13	-2.52	28	0.01	13
198	198	-714	Min.	31.25	-8.31	27	-0.03	14	-0.01	14	6.52	13	1.00	13	0.01	13
199	199	-715	Max	0.00	-3.00	28	-0.01	13	0.00	27	23.86	28	-1.66	13	0.01	27
199	199	-715	Max	31.25	-1.78	28	-0.01	13	-0.00	13	23.86	28	3.70	28	0.01	27
199	199	-715	Min.	0.00	-10.81	27	-0.03	27	0.00	28	10.43	13	-3.76	28	0.00	29
199	199	-715	Min.	31.25	-9.59	27	-0.03	27	-0.01	27	10.43	13	1.60	13	0.00	29
200	200	-716	Max	0.00	-3.09	28	0.92	27	0.07	27	24.44	28	-1.72	13	0.14	27
200	200	-716	Max	31.25	-1.86	28	0.92	27	0.36	27	24.44	28	3.79	28	0.14	27
200	200	-716	Min.	0.00	-11.39	27	-0.01	14	0.00	13	10.85	13	-3.85	28	0.00	13
200	200	-716	Min.	31.25	-10.16	27	-0.01	14	-0.00	14	10.85	13	1.67	13	0.00	13
201	201	-717	Max	0.00	-3.09	28	0.01	14	0.00	27	24.46	28	-1.72	29	-0.00	13
201	201	-717	Max	31.25	-1.87	28	0.01	14	0.00	27	24.46	28	3.79	28	-0.00	13
201	201	-717	Min.	0.00	-11.35	27	0.00	29	0.00	28	10.81	29	-3.85	28	-0.01	27
201	201	-717	Min.	31.25	-10.12	27	0.00	29	0.00	29	10.81	29	1.66	29	-0.01	27
202	202	-718	Max	0.00	-3.01	28	0.96	27	0.08	27	23.85	28	-1.65	29	0.12	27
202	202	-718	Max	31.25	-1.78	28	0.96	27	0.38	27	23.85	28	3.70	28	0.12	27
202	202	-718	Min.	0.00	-10.80	27	0.01	13	0.00	13	10.36	29	-3.75	28	-0.00	14
202	202	-718	Min.	31.25	-9.57	27	0.01	13	0.00	13	10.36	29	1.59	29	-0.00	14
203	203	-719	Max	0.00	-2.39	28	0.05	27	0.00	29	16.05	28	-1.03	29	-0.01	29
203	203	-719	Max	31.25	-1.16	28	0.05	27	0.02	27	16.05	28	2.49	28	-0.01	29
203	203	-719	Min.	0.00	-9.55	27	0.02	29	0.00	28	6.49	29	-2.52	28	-0.02	27
203	203	-719	Min.	31.25	-8.32	27	0.02	29	0.01	28	6.49	29	1.00	29	-0.02	27
204	204	-720	Max	0.00	-1.19	29	1.01	27	0.07	27	14.88	28	-1.01	29	0.11	27
204	204	-720	Max	31.25	0.04	29	1.01	27	0.39	27	14.88	28	2.31	28	0.11	27
204	204	-720	Min.	0.00	-2.20	27	0.03	13	-0.00	28	6.37	29	-2.34	28	-0.01	28
204	204	-720	Min.	31.25	-0.97	27	0.03	13	0.01	28	6.37	29	0.98	29	-0.01	28
205	205	-697	Max	0.00	-0.93	13	0.01	27	-0.00	28	22.79	27	-1.61	13	0.02	27
205	205	-697	Max	29.50	0.22	13	0.01	27	-0.00	28	22.79	27	3.32	27	0.02	27
205	205	-697	Min.	0.00	-1.42	27	0.00	28	-0.01	27	10.76	13	-3.41	27	0.01	29
205	205	-697	Min.	29.50	-0.26	27	0.00	28	-0.00	27	10.76	13	1.57	13	0.01	29
206	206	-698	Max	0.00	-2.35	28	0.11	27	0.11	27	25.51	27	-1.93	13	0.09	27
206	206	-698	Max	29.50	-1.19	28	0.11	27	0.15	27	25.51	27	3.72	27	0.09	27
206	206	-698	Min.	0.00	-10.34	27	0.00	28	-0.00	14	12.97	13	-3.81	27	0.01	13
206	206	-698	Min.	29.50	-9.18	27	0.00	28	-0.00	14	12.97	13	1.89	13	0.01	13
207	207	-699	Max	0.00	-2.60	28	0.01	27	-0.00	13	39.03	27	-2.85	13	0.01	27
207	207	-699	Max	17.70					-0.00	14			0.63	14		
207	207	-699	Max	29.50	-1.44	28	0.01	27	0.00	29	39.03	27	5.67	27	0.01	27
207	207	-699	Min.	0.00	-10.41	27	0.00	13	-0.00	27	19.05	13	-5.85	27	0.00	29
207	207	-699	Min.	5.90					-0.00	28			-2.90	28		
207	207	-699	Min.	29.50	-9.25	27	0.00	13	-0.00	27	19.05	13	2.77	13	0.00	29
208	208	-700	Max	0.00	-2.68	28	0.10	27	0.12	27	40.88	27	-2.94	13	0.08	27
208	208	-700	Max	11.80					-0.00	14			-0.75	14		
208	208	-700	Max	29.50	-1.53	28	0.10	27	0.15	27	40.88	27	5.94	27	0.08	27
208	208	-700	Min.	0.00	-11.03	27	0.00	28	-0.00	14	19.68	13	-6.12	27	0.00	13
208	208	-700	Min.	5.90					-0.00	28			-2.96	28		
208	208	-700	Min.	29.50	-9.88	27	0.00	28	0.00	14	19.68	13	2.86	13	0.00	13
209	209	-701	Max	0.00	-2.69	28	-0.00	29	0.00	27	40.49	27	-2.94	29	-0.00	13
209	209	-701	Max	29.50	-1.53	28	-0.00	29	0.00	27	40.49	27	5.89	27	-0.00	13
209	209	-701	Min.	0.00	-11.02	27	-0.00	27	0.00	29	19.63	29	-6.06	27	-0.01	27
209	209	-701	Min.	29.50	-9.86	27	-0.00	27	0.00	28	19.63	29	2.86	29	-0.01	27

210	210	-702	Max	0.00	-2.60	28	0.09	27	0.12	27	38.59	27	-2.84	29	0.06	27
210	210	-702	Max	29.50	-1.44	28	0.09	27	0.15	27	38.59	27	5.61	27	0.06	27
210	210	-702	Min.	0.00	-10.40	27	-0.00	14	0.00	13	18.97	29	-5.78	27	-0.00	14
210	210	-702	Min.	29.50	-9.24	27	-0.00	14	0.00	13	18.97	29	2.76	29	-0.00	14
211	211	-703	Max	0.00	-2.35	28	-0.00	28	0.01	27	25.45	27	-1.93	29	-0.01	29
211	211	-703	Max	29.50	-1.19	28	-0.00	28	0.00	27	25.45	27	3.71	27	-0.01	29
211	211	-703	Min.	0.00	-10.32	27	-0.01	27	0.00	28	12.96	29	-3.80	27	-0.02	27
211	211	-703	Min.	29.50	-9.16	27	-0.01	27	0.00	28	12.96	29	1.89	29	-0.02	27
212	212	-704	Max	0.00	-0.93	29	0.09	27	0.13	27	21.84	27	-1.59	29	0.05	27
212	212	-704	Max	29.50	0.23	29	0.09	27	0.15	27	21.84	27	3.18	27	0.05	27
212	212	-704	Min.	0.00	-1.38	27	-0.00	14	0.00	28	10.61	29	-3.27	27	-0.01	28
212	212	-704	Min.	29.50	-0.22	27	-0.00	14	0.00	28	10.61	29	1.54	29	-0.01	28
213	213	-681	Max	0.00	-1.62	13	0.11	27	-0.01	28	31.87	27	-2.23	13	0.02	27
213	213	-681	Max	27.75	-0.53	13	0.11	27	0.01	27	31.87	27	4.36	27	0.02	27
213	213	-681	Min.	0.00	-3.03	27	0.04	13	-0.02	27	15.85	13	-4.48	27	0.01	13
213	213	-681	Min.	27.75	-1.94	27	0.04	13	0.00	13	15.85	13	2.17	13	0.01	13
214	214	-682	Max	0.00	-2.74	28	0.94	27	0.06	27	43.86	27	-2.84	29	0.04	27
214	214	-682	Max	27.75	-1.65	28	0.94	27	0.32	27	43.86	27	6.05	27	0.04	27
214	214	-682	Min.	0.00	-10.72	27	0.04	13	-0.01	14	20.30	29	-6.13	27	0.01	13
214	214	-682	Min.	27.75	-9.63	27	0.04	13	0.00	13	20.30	29	2.80	29	0.01	13
215	215	-683	Max	0.00	-3.49	28	0.06	27	-0.00	13	63.15	27	-4.05	13	0.01	27
215	215	-683	Max	16.65					-0.00	28			1.12	28		
215	215	-683	Max	27.75	-2.40	28	0.06	27	0.00	27	63.15	27	8.66	27	0.01	27
215	215	-683	Min.	0.00	-12.27	27	0.01	13	-0.01	27	28.87	13	-8.86	27	0.00	29
215	215	-683	Min.	16.65					-0.00	13			0.75	13		
215	215	-683	Min.	27.75	-11.18	27	0.01	13	0.00	13	28.87	13	3.96	13	0.00	29
216	216	-684	Max	0.00	-3.61	28	0.90	27	0.07	27	65.95	27	-4.19	13	0.03	27
216	216	-684	Max	16.65					-0.00	14			0.97	14		
216	216	-684	Max	27.75	-2.52	28	0.90	27	0.32	27	65.95	27	9.05	27	0.03	27
216	216	-684	Min.	0.00	-12.90	27	0.01	13	-0.00	14	29.84	13	-9.25	27	0.00	13
216	216	-684	Min.	11.10					-0.00	28			-1.24	28		
216	216	-684	Min.	27.75	-11.81	27	0.01	13	0.00	13	29.84	13	4.09	13	0.00	13
217	217	-685	Max	0.00	-3.61	28	-0.01	29	0.00	27	65.56	27	-4.18	29	-0.00	13
217	217	-685	Max	27.75	-2.52	28	-0.01	29	0.00	27	65.56	27	9.00	27	-0.00	13
217	217	-685	Min.	0.00	-12.89	27	-0.02	14	0.00	29	29.79	29	-9.20	27	-0.01	27
217	217	-685	Min.	27.75	-11.80	27	-0.02	14	0.00	14	29.79	29	4.09	29	-0.01	27
218	218	-686	Max	0.00	-3.49	28	0.82	27	0.09	27	62.48	27	-4.04	29	0.01	27
218	218	-686	Max	27.75	-2.40	28	0.82	27	0.31	27	62.48	27	8.57	27	0.01	27
218	218	-686	Min.	0.00	-12.23	27	-0.02	14	0.00	13	28.75	29	-8.77	27	-0.01	14
218	218	-686	Min.	27.75	-11.14	27	-0.02	14	0.00	14	28.75	29	3.94	29	-0.01	14
219	219	-687	Max	0.00	-2.74	28	-0.03	29	0.02	27	43.97	27	-2.84	13	-0.01	29
219	219	-687	Max	27.75	-1.65	28	-0.03	29	-0.00	29	43.97	27	6.06	27	-0.01	29
219	219	-687	Min.	0.00	-10.78	27	-0.07	27	0.01	29	20.32	13	-6.14	27	-0.02	27
219	219	-687	Min.	27.75	-9.70	27	-0.07	27	-0.00	27	20.32	13	2.80	13	-0.02	27
220	220	-688	Max	0.00	-1.60	29	0.76	27	0.10	27	30.74	27	-2.20	29	-0.00	27
220	220	-688	Max	27.75	-0.52	29	0.76	27	0.31	27	30.74	27	4.20	27	-0.00	27
220	220	-688	Min.	0.00	-2.96	27	-0.05	14	0.01	28	15.68	29	-4.33	27	-0.01	14
220	220	-688	Min.	27.75	-1.87	27	-0.05	14	-0.00	28	15.68	29	2.15	29	-0.01	14
221	221	-665	Max	0.00	-10.42	28	-0.01	28	-0.00	28	58.86	27	-3.72	13	0.08	27
221	221	-665	Max	26.00	-9.40	28	-0.01	28	-0.00	28	58.86	27	7.62	27	0.08	27
221	221	-665	Min.	0.00	-29.92	27	-0.13	27	-0.01	27	28.46	13	-7.68	27	0.03	13
221	221	-665	Min.	26.00	-28.90	27	-0.13	27	-0.04	27	28.46	13	3.68	13	0.03	13
222	222	-666	Max	0.00	-3.74	27	5.53	27	-0.00	28	61.56	27	-3.90	29	0.16	27
222	222	-666	Max	26.00	-2.71	27	5.53	27	1.18	27	61.56	27	7.96	27	0.16	27
222	222	-666	Min.	0.00	-5.99	28	-0.04	14	-0.26	27	29.86	29	-8.05	27	0.03	13
222	222	-666	Min.	26.00	-4.97	28	-0.04	14	-0.01	14	29.86	29	3.86	29	0.03	13
223	223	-667	Max	0.00	-17.51	28	-0.03	28	0.00	28	106.63	27	-6.48	13	0.04	27
223	223	-667	Max	26.00	-16.49	28	-0.03	28	-0.01	28	106.63	27	13.76	27	0.04	27
223	223	-667	Min.	0.00	-38.43	27	-0.08	27	-0.00	27	49.46	13	-13.96	27	0.01	13

223	223	-667	Min.	26.00	-37.41	27	-0.08	27	-0.02	27	49.46	13	6.38	13	0.01	13
224	224	-668	Max	0.00	-18.39	28	5.58	27	0.00	28	109.85	27	-6.71	29	0.12	27
224	224	-668	Max	26.00	-17.36	28	5.58	27	1.20	27	109.85	27	14.18	27	0.12	27
224	224	-668	Min.	0.00	-37.29	27	-0.03	14	-0.26	27	51.30	29	-14.38	27	0.01	13
224	224	-668	Min.	26.00	-36.27	27	-0.03	14	-0.01	14	51.30	29	6.62	13	0.01	13
225	225	-669	Max	0.00	-18.38	28	0.04	27	0.00	27	109.87	27	-6.72	29	-0.01	29
225	225	-669	Max	26.00	-17.36	28	0.04	27	0.01	27	109.87	27	14.18	27	-0.01	29
225	225	-669	Min.	0.00	-38.16	27	0.02	29	0.00	29	51.31	29	-14.38	27	-0.02	27
225	225	-669	Min.	26.00	-37.14	27	0.02	29	0.01	29	51.31	29	6.63	29	-0.02	27
226	226	-670	Max	0.00	-17.52	28	5.70	27	0.00	14	104.76	27	-6.43	29	0.06	27
226	226	-670	Max	26.00	-16.50	28	5.70	27	1.23	27	104.76	27	13.52	27	0.06	27
226	226	-670	Min.	0.00	-36.56	27	0.03	28	-0.25	27	49.15	29	-13.72	27	-0.02	14
226	226	-670	Min.	26.00	-35.54	27	0.03	28	0.01	28	49.15	29	6.34	29	-0.02	14
227	227	-671	Max	0.00	-5.05	14	0.08	27	0.00	27	62.76	27	-3.93	13	-0.03	29
227	227	-671	Max	26.00	-4.03	14	0.08	27	0.02	27	62.76	27	8.11	27	-0.03	29
227	227	-671	Min.	0.00	-5.99	28	0.01	28	0.00	28	30.06	13	-8.21	27	-0.06	27
227	227	-671	Min.	26.00	-4.97	28	0.01	28	0.00	28	30.06	13	3.89	13	-0.06	27
228	228	-672	Max	0.00	-10.42	28	5.73	27	0.00	14	57.15	27	-3.68	29	0.02	27
228	228	-672	Max	26.00	-9.40	28	5.73	27	1.24	27	57.15	27	7.39	27	0.02	27
228	228	-672	Min.	0.00	-29.30	27	0.01	28	-0.25	27	28.19	29	-7.46	27	-0.04	14
228	228	-672	Min.	26.00	-28.28	27	0.01	28	0.00	28	28.19	29	3.65	29	-0.04	14
229	229	-649	Max	0.00	-2.52	13	-0.04	13	0.00	28	91.85	27	-5.33	13	0.04	27
229	229	-649	Max	24.25	-1.57	13	-0.04	13	-0.01	28	91.85	27	11.10	27	0.04	27
229	229	-649	Min.	0.00	-5.01	27	-0.10	27	0.00	29	43.83	13	-11.17	27	0.02	28
229	229	-649	Min.	24.25	-4.06	27	-0.10	27	-0.02	27	43.83	13	5.30	13	0.02	28
230	230	-650	Max	0.00	-3.55	28	0.70	27	0.07	27	81.66	27	-5.00	29	0.15	27
230	230	-650	Max	24.25	-2.60	28	0.70	27	0.24	27	81.66	27	9.84	27	0.15	27
230	230	-650	Min.	0.00	-12.15	27	-0.05	14	0.00	13	41.02	29	-9.96	27	0.02	28
230	230	-650	Min.	24.25	-11.20	27	-0.05	14	-0.01	14	41.02	29	4.95	29	0.02	28
231	231	-651	Max	0.00	-5.26	28	-0.01	13	0.00	27	161.02	27	-9.14	13	0.02	27
231	231	-651	Max	24.25	-4.31	28	-0.01	13	-0.00	13	161.02	27	19.45	27	0.02	27
231	231	-651	Min.	0.00	-16.37	27	-0.06	27	0.00	13	75.14	13	-19.60	27	0.01	13
231	231	-651	Min.	24.25	-15.42	27	-0.06	27	-0.01	27	75.14	13	9.08	13	0.01	13
232	232	-652	Max	0.00	-5.43	28	0.73	27	0.08	27	163.66	27	-9.45	29	0.13	27
232	232	-652	Max	24.25	-4.48	28	0.73	27	0.25	27	163.66	27	19.77	27	0.13	27
232	232	-652	Min.	0.00	-16.88	27	-0.02	14	0.00	13	77.65	29	-19.92	27	0.01	13
232	232	-652	Min.	24.25	-15.93	27	-0.02	14	-0.00	14	77.65	29	9.38	29	0.01	13
233	233	-653	Max	0.00	-5.43	28	0.02	14	0.00	29	164.59	27	-9.47	13	-0.01	29
233	233	-653	Max	24.25	-4.48	28	0.02	14	0.00	14	164.59	27	19.88	27	-0.01	29
233	233	-653	Min.	0.00	-16.97	27	0.01	29	0.00	14	77.81	13	-20.03	27	-0.02	27
233	233	-653	Min.	24.25	-16.02	27	0.01	29	0.00	29	77.81	13	9.40	13	-0.02	27
234	234	-654	Max	0.00	-5.26	28	0.81	27	0.07	27	157.21	27	-9.06	29	0.09	27
234	234	-654	Max	24.25	-4.31	28	0.81	27	0.27	27	157.21	27	18.99	27	0.09	27
234	234	-654	Min.	0.00	-16.13	27	0.01	13	0.00	28	74.49	29	-19.14	27	-0.01	14
234	234	-654	Min.	24.25	-15.17	27	0.01	13	0.00	13	74.49	29	9.00	29	-0.01	14
235	235	-655	Max	0.00	-3.55	28	0.07	27	-0.00	13	84.49	27	-5.05	13	-0.01	29
235	235	-655	Max	24.25	-2.59	28	0.07	27	0.01	27	84.49	27	10.19	27	-0.01	29
235	235	-655	Min.	0.00	-12.31	27	0.03	29	-0.00	28	41.49	13	-10.30	27	-0.04	27
235	235	-655	Min.	24.25	-11.35	27	0.03	29	0.01	29	41.49	13	5.01	13	-0.04	27
236	236	-656	Max	0.00	-2.51	29	0.87	27	0.07	27	89.52	27	-5.29	29	0.07	27
236	236	-656	Max	24.25	-1.56	29	0.87	27	0.28	27	89.52	27	10.82	27	0.07	27
236	236	-656	Min.	0.00	-4.92	27	0.04	13	-0.00	28	43.46	29	-10.89	27	-0.02	14
236	236	-656	Min.	24.25	-3.97	27	0.04	13	0.01	28	43.46	29	5.25	29	-0.02	14
237	237	-633	Max	0.00	-2.62	13	0.01	27	-0.00	28	113.46	27	-6.21	13	0.04	27
237	237	-633	Max	22.50	-1.73	13	0.01	27	-0.00	28	113.46	27	12.72	27	0.04	27
237	237	-633	Min.	0.00	-5.03	27	-0.00	28	-0.01	27	55.04	13	-12.81	27	0.01	28
237	237	-633	Min.	22.50	-4.14	27	-0.00	28	-0.01	27	55.04	13	6.17	13	0.01	28
238	238	-634	Max	0.00	-3.95	28	0.00	14	0.08	27	112.76	27	-6.12	29	0.10	27
238	238	-634	Max	22.50	-3.06	28	0.00	14	0.08	27	112.76	27	12.64	27	0.10	27

238	238	-634	Min.	0.00	-13.72	27	-0.02	27	-0.00	14	54.16	29	-12.73	27	0.01	28
238	238	-634	Min.	22.50	-12.84	27	-0.02	27	-0.00	14	54.16	29	6.07	29	0.01	28
239	239	-635	Max	0.00	-5.47	28	0.00	27	0.00	28	209.75	27	-10.82	13	0.02	27
239	239	-635	Max	22.50	-4.59	28	0.00	27	0.00	28	209.75	27	23.51	27	0.02	27
239	239	-635	Min.	0.00	-17.23	27	-0.00	14	-0.00	27	95.84	13	-23.68	27	0.01	13
239	239	-635	Min.	22.50	-16.35	27	-0.00	14	-0.00	27	95.84	13	10.74	13	0.01	13
240	240	-636	Max	0.00	-5.67	28	-0.00	13	0.09	27	213.53	27	-11.18	29	0.08	27
240	240	-636	Max	22.50	-4.79	28	-0.00	13	0.08	27	213.53	27	23.93	27	0.08	27
240	240	-636	Min.	0.00	-17.97	27	-0.02	27	0.00	14	98.99	29	-24.11	27	0.01	13
240	240	-636	Min.	22.50	-17.09	27	-0.02	27	0.00	14	98.99	29	11.10	29	0.01	13
241	241	-637	Max	0.00	-5.67	28	0.01	27	0.00	14	214.65	27	-11.20	13	-0.01	29
241	241	-637	Max	22.50	-4.79	28	0.01	27	0.00	14	214.65	27	24.06	27	-0.01	29
241	241	-637	Min.	0.00	-18.01	27	0.00	13	-0.00	27	99.19	13	-24.24	27	-0.02	27
241	241	-637	Min.	22.50	-17.12	27	0.00	13	-0.00	27	99.19	13	11.12	13	-0.02	27
242	242	-638	Max	0.00	-5.47	28	0.00	14	0.09	27	205.15	27	-10.73	29	0.04	27
242	242	-638	Max	22.50	-4.59	28	0.00	14	0.08	27	205.15	27	22.99	27	0.04	27
242	242	-638	Min.	0.00	-17.07	27	-0.02	27	0.00	28	95.06	29	-23.17	27	-0.01	14
242	242	-638	Min.	22.50	-16.18	27	-0.02	27	0.00	28	95.06	29	10.66	29	-0.01	14
243	243	-639	Max	0.00	-3.95	28	0.00	27	0.00	14	116.19	27	-6.18	13	-0.01	29
243	243	-639	Max	22.50	-3.07	28	0.00	27	0.00	27	116.19	27	13.02	27	-0.01	29
243	243	-639	Min.	0.00	-13.85	27	-0.00	14	0.00	29	54.74	13	-13.12	27	-0.03	27
243	243	-639	Min.	22.50	-12.97	27	-0.00	14	0.00	29	54.74	13	6.14	13	-0.03	27
244	244	-640	Max	0.00	-2.60	29	0.00	28	0.09	27	110.81	27	-6.17	29	0.03	27
244	244	-640	Max	22.50	-1.72	29	0.00	28	0.09	27	110.81	27	12.42	27	0.03	27
244	244	-640	Min.	0.00	-4.92	27	-0.02	27	0.00	28	54.62	29	-12.51	27	-0.02	14
244	244	-640	Min.	22.50	-4.04	27	-0.02	27	0.00	28	54.62	29	6.12	29	-0.02	14
245	245	-617	Max	0.00	-3.56	13	0.17	27	-0.01	28	138.91	27	-7.12	13	0.05	27
245	245	-617	Max	16.60					-0.00	14			5.09	14		
245	245	-617	Max	20.75	-2.75	13	0.17	27	0.00	28	138.91	27	14.36	27	0.05	27
245	245	-617	Min.	0.00	-7.20	27	0.06	13	-0.04	27	68.39	13	-14.47	27	0.02	28
245	245	-617	Min.	16.60					-0.00	13			4.23	13		
245	245	-617	Min.	20.75	-6.38	27	0.06	13	-0.00	27	68.39	13	7.07	13	0.02	28
246	246	-618	Max	0.00	-4.68	28	0.81	27	0.03	27	152.88	27	-7.40	29	0.06	27
246	246	-618	Max	16.60					-0.00	14			5.46	14		
246	246	-618	Max	20.75	-3.86	28	0.81	27	0.20	27	152.88	27	15.82	27	0.06	27
246	246	-618	Min.	0.00	-14.96	27	0.06	13	-0.01	14	71.09	29	-15.90	27	0.02	28
246	246	-618	Min.	16.60					-0.00	13			4.44	13		
246	246	-618	Min.	20.75	-14.15	27	0.06	13	0.00	13	71.09	29	7.35	29	0.02	28
247	247	-619	Max	0.00	-6.86	28	0.08	27	0.00	13	269.95	27	-12.66	13	0.02	27
247	247	-619	Max	20.75	-6.05	28	0.08	27	0.00	27	269.95	27	27.92	27	0.02	27
247	247	-619	Min.	0.00	-20.37	27	0.00	13	-0.01	27	121.59	13	-28.09	27	0.01	13
247	247	-619	Min.	20.75	-19.55	27	0.00	13	0.00	29	121.59	13	12.57	13	0.01	13
248	248	-620	Max	0.00	-7.07	28	0.74	27	0.05	27	275.61	27	-13.05	29	0.04	27
248	248	-620	Max	20.75	-6.25	28	0.74	27	0.20	27	275.61	27	28.51	27	0.04	27
248	248	-620	Min.	0.00	-21.00	27	0.01	13	0.00	14	125.34	29	-28.68	27	0.01	13
248	248	-620	Min.	20.75	-20.19	27	0.01	13	0.00	13	125.34	29	12.96	29	0.01	13
249	249	-621	Max	0.00	-7.07	28	0.01	27	0.00	14	276.07	27	-13.06	13	-0.01	29
249	249	-621	Max	20.75	-6.25	28	0.01	27	-0.00	13	276.07	27	28.56	27	-0.01	29
249	249	-621	Min.	0.00	-21.11	27	-0.02	14	-0.01	27	125.43	13	-28.73	27	-0.02	27
249	249	-621	Min.	20.75	-20.30	27	-0.02	14	-0.01	27	125.43	13	12.97	13	-0.02	27
250	250	-622	Max	0.00	-6.86	28	0.67	27	0.05	27	265.32	27	-12.58	29	0.00	27
250	250	-622	Max	20.75	-6.05	28	0.67	27	0.19	27	265.32	27	27.44	27	0.00	27
250	250	-622	Min.	0.00	-20.09	27	-0.01	14	-0.00	13	120.80	29	-27.62	27	-0.01	14
250	250	-622	Min.	20.75	-19.28	27	-0.01	14	-0.00	14	120.80	29	12.49	29	-0.01	14
251	251	-623	Max	0.00	-4.68	28	-0.04	29	0.01	14	156.07	27	-7.45	13	-0.01	29
251	251	-623	Max	20.75	-3.86	28	-0.04	29	0.00	13	156.07	27	16.15	27	-0.01	29
251	251	-623	Min.	0.00	-15.20	27	-0.08	27	0.01	29	71.62	13	-16.23	27	-0.03	27
251	251	-623	Min.	20.75	-14.39	27	-0.08	27	-0.00	27	71.62	13	7.41	13	-0.03	27
252	252	-624	Max	0.00	-3.53	29	0.56	27	0.08	27	136.69	27	-7.08	29	-0.01	29

252	252	-624	Max	20.75	-2.71	29	0.56	27	0.19	27	136.69	27	14.13	27	-0.01	29
252	252	-624	Min.	0.00	-7.00	27	-0.07	14	0.01	28	68.04	29	-14.24	27	-0.02	14
252	252	-624	Min.	20.75	-6.19	27	-0.07	14	0.00	28	68.04	29	7.03	29	-0.02	14
253	253	-601	Max	0.00	-9.30	28	-0.13	28	-0.01	28	186.47	27	-8.61	29	0.12	27
253	253	-601	Max	19.00	-8.55	28	-0.13	28	-0.03	28	186.47	27	17.74	27	0.12	27
253	253	-601	Min.	0.00	-24.86	27	-0.49	27	-0.02	27	90.70	29	-17.69	27	0.04	28
253	253	-601	Min.	19.00	-24.11	27	-0.49	27	-0.12	27	90.70	29	8.63	29	0.04	28
254	254	-602	Max	0.00	-11.63	13	5.59	27	-0.01	28	205.06	27	-9.28	13	0.20	27
254	254	-602	Max	19.00	-10.89	13	5.59	27	0.84	27	205.06	27	19.42	27	0.20	27
254	254	-602	Min.	0.00	-19.25	27	-0.18	14	-0.23	27	97.47	13	-19.54	27	0.04	28
254	254	-602	Min.	19.00	-18.51	27	-0.18	14	-0.04	14	97.47	13	9.24	13	0.04	28
255	255	-603	Max	0.00	-25.16	28	0.08	14	0.00	14	367.50	27	-16.14	29	0.05	27
255	255	-603	Max	19.00	-24.41	28	0.08	14	0.02	14	367.50	27	34.85	27	0.05	27
255	255	-603	Min.	0.00	-48.63	27	-0.11	27	-0.01	27	169.55	29	-34.98	27	0.01	13
255	255	-603	Min.	19.00	-47.89	27	-0.11	27	-0.03	27	169.55	29	16.07	29	0.01	13
256	256	-604	Max	0.00	-22.54	28	5.92	27	0.00	13	376.68	27	-16.34	13	0.13	27
256	256	-604	Max	19.00	-21.80	28	5.92	27	0.92	27	376.68	27	35.70	27	0.13	27
256	256	-604	Min.	0.00	-51.35	27	0.05	28	-0.21	27	171.63	13	-35.87	27	0.01	13
256	256	-604	Min.	19.00	-50.60	27	0.05	28	0.01	28	171.63	13	16.27	13	0.01	13
257	257	-605	Max	0.00	-22.54	28	-0.05	28	-0.00	14	369.96	27	-16.23	29	-0.00	29
257	257	-605	Max	19.00	-21.79	28	-0.05	28	-0.01	28	369.96	27	35.09	27	-0.00	29
257	257	-605	Min.	0.00	-43.12	27	-0.27	27	-0.01	27	170.52	29	-35.21	27	-0.01	14
257	257	-605	Min.	19.00	-42.37	27	-0.27	27	-0.06	27	170.52	29	16.17	29	-0.01	14
258	258	-606	Max	0.00	-25.16	28	5.76	27	-0.00	13	368.72	27	-16.16	13	0.08	27
258	258	-606	Max	19.00	-24.42	28	5.76	27	0.88	27	368.72	27	34.94	27	0.08	27
258	258	-606	Min.	0.00	-56.04	27	-0.08	14	-0.21	27	169.75	13	-35.12	27	-0.01	14
258	258	-606	Min.	19.00	-55.29	27	-0.08	14	-0.02	14	169.75	13	16.09	13	-0.01	14
259	259	-607	Max	0.00	-10.29	29	0.18	14	0.01	14	201.63	27	-9.23	29	-0.03	29
259	259	-607	Max	19.00	-9.54	29	0.18	14	0.04	14	201.63	27	19.12	27	-0.03	29
259	259	-607	Min.	0.00	-12.35	14	0.06	27	0.01	29	96.91	29	-19.19	27	-0.07	27
259	259	-607	Min.	19.00	-11.61	14	0.06	27	0.02	27	96.91	29	9.19	29	-0.07	27
260	260	-608	Max	0.00	-9.29	28	6.11	27	0.01	14	191.35	27	-8.69	13	0.01	27
260	260	-608	Max	19.00	-8.55	28	6.11	27	0.97	27	191.35	27	18.17	27	0.01	27
260	260	-608	Min.	0.00	-33.29	27	0.13	28	-0.20	27	91.52	13	-18.18	27	-0.05	14
260	260	-608	Min.	19.00	-32.54	27	0.13	28	0.03	28	91.52	13	8.70	13	-0.05	14
261	261	-585	Max	0.00	-5.08	29	-0.03	13	-0.00	28	245.36	27	-10.17	29	0.11	27
261	261	-585	Max	17.25	-4.40	29	-0.03	13	-0.01	28	245.36	27	21.14	27	0.11	27
261	261	-585	Min.	0.00	-10.40	27	-0.09	27	-0.02	27	117.79	29	-21.18	27	0.03	28
261	261	-585	Min.	17.25	-9.73	27	-0.09	27	-0.03	27	117.79	29	10.15	29	0.03	28
262	262	-586	Max	0.00	-7.23	28	0.48	27	0.04	27	274.16	27	-11.35	13	0.20	27
262	262	-586	Max	17.25	-6.56	28	0.48	27	0.12	27	274.16	27	23.63	27	0.20	27
262	262	-586	Min.	0.00	-20.48	27	-0.04	14	-0.01	14	131.51	13	-23.66	27	0.03	28
262	262	-586	Min.	17.25	-19.80	27	-0.04	14	-0.01	14	131.51	13	11.34	13	0.03	28
263	263	-587	Max	0.00	-11.30	28	-0.02	13	0.01	14	494.89	27	-19.98	29	0.04	27
263	263	-587	Max	17.25	-10.63	28	-0.02	13	0.00	13	494.89	27	42.66	27	0.04	27
263	263	-587	Min.	0.00	-29.58	27	-0.07	27	0.00	27	231.62	29	-42.71	27	0.00	13
263	263	-587	Min.	17.25	-28.91	27	-0.07	27	-0.01	27	231.62	29	19.97	29	0.00	13
264	264	-588	Max	0.00	-11.23	28	0.49	27	0.05	27	510.05	27	-20.04	13	0.13	27
264	264	-588	Max	17.25	-10.55	28	0.49	27	0.14	27	510.05	27	43.97	27	0.13	27
264	264	-588	Min.	0.00	-31.02	27	-0.03	14	0.00	13	232.28	13	-44.01	27	0.00	13
264	264	-588	Min.	17.25	-30.34	27	-0.03	14	0.00	14	232.28	13	20.03	13	0.00	13
265	265	-589	Max	0.00	-11.23	28	0.03	14	-0.00	13	491.88	27	-19.78	29	0.02	27
265	265	-589	Max	10.35					-0.00	14			4.92	14		
265	265	-589	Max	17.25	-10.55	28	0.03	14	0.00	14	491.88	27	42.40	27	0.02	27
265	265	-589	Min.	0.00	-29.81	27	0.01	29	-0.01	27	229.26	29	-42.45	27	-0.00	14
265	265	-589	Min.	10.35					-0.00	13			4.00	13		
265	265	-589	Min.	17.25	-29.14	27	0.01	29	-0.01	27	229.26	29	19.76	29	-0.00	14
266	266	-590	Max	0.00	-11.31	28	0.58	27	0.04	27	505.71	27	-20.14	13	0.11	27
266	266	-590	Max	17.25	-10.63	28	0.58	27	0.14	27	505.71	27	43.60	27	0.11	27

266	266	-590	Min.	0.00	-30.47	27	0.02	13	-0.01	14	233.43	13	-43.63	27	-0.00	14
266	266	-590	Min.	17.25	-29.79	27	0.02	13	-0.00	13	233.43	13	20.13	13	-0.00	14
267	267	-591	Max	0.00	-7.24	28	0.06	27	0.01	14	259.91	27	-11.15	29	-0.03	29
267	267	-591	Max	17.25	-6.56	28	0.06	27	0.01	14	259.91	27	22.39	27	-0.03	29
267	267	-591	Min.	0.00	-19.44	27	0.02	29	0.00	27	129.15	29	-22.44	27	-0.05	27
267	267	-591	Min.	17.25	-18.76	27	0.02	29	0.01	29	129.15	29	11.13	29	-0.05	27
268	268	-592	Max	0.00	-5.26	13	0.63	27	0.05	27	261.67	27	-10.40	13	0.05	27
268	268	-592	Max	17.25	-4.58	13	0.63	27	0.16	27	261.67	27	22.56	27	0.05	27
268	268	-592	Min.	0.00	-11.51	27	0.03	13	0.00	28	120.51	13	-22.58	27	-0.05	14
268	268	-592	Min.	17.25	-10.83	27	0.03	13	0.01	28	120.51	13	10.39	13	-0.05	14
269	269	-569	Max	0.00	-5.95	29	0.01	27	-0.00	28	302.51	27	-11.33	29	0.11	27
269	269	-569	Max	15.50	-5.34	29	0.01	27	-0.00	28	302.51	27	23.46	27	0.11	27
269	269	-569	Min.	0.00	-12.13	27	0.00	28	-0.01	27	146.26	29	-23.43	27	0.03	28
269	269	-569	Min.	15.50	-11.52	27	0.00	28	-0.01	27	146.26	29	11.34	29	0.03	28
270	270	-570	Max	0.00	-7.78	28	0.01	14	0.02	27	357.89	27	-13.02	13	0.17	27
270	270	-570	Max	15.50	-7.17	28	0.01	14	0.02	27	357.89	27	27.76	27	0.17	27
270	270	-570	Min.	0.00	-22.14	27	-0.04	27	-0.00	14	168.19	13	-27.71	27	0.04	28
270	270	-570	Min.	15.50	-21.53	27	-0.04	27	-0.00	14	168.19	13	13.05	13	0.04	28
271	271	-571	Max	0.00	-12.06	28	-0.00	27	0.00	14	627.76	27	-22.53	29	0.04	27
271	271	-571	Max	15.50	-11.45	28	-0.00	27	0.00	14	627.76	27	48.69	27	0.04	27
271	271	-571	Min.	0.00	-32.64	27	-0.01	14	-0.00	27	290.91	29	-48.62	27	0.00	13
271	271	-571	Min.	15.50	-32.04	27	-0.01	14	-0.00	27	290.91	29	22.56	29	0.00	13
272	272	-572	Max	0.00	-12.13	28	0.01	14	0.03	27	647.98	27	-22.59	13	0.10	27
272	272	-572	Max	3.10					-0.00	14			-16.75	14		
272	272	-572	Max	15.50	-11.52	28	0.01	14	0.02	27	647.98	27	50.26	27	0.10	27
272	272	-572	Min.	0.00	-33.42	27	-0.04	27	-0.00	14	291.74	13	-50.17	27	0.00	13
272	272	-572	Min.	3.10					-0.00	14			-16.75	14		
272	272	-572	Min.	15.50	-32.81	27	-0.04	27	0.00	14	291.74	13	22.63	13	0.00	13
273	273	-573	Max	0.00	-12.13	28	0.01	27	0.00	14	624.51	27	-22.29	29	0.02	27
273	273	-573	Max	15.50	-11.52	28	0.01	27	0.00	14	624.51	27	48.43	27	0.02	27
273	273	-573	Min.	0.00	-33.16	27	-0.01	14	-0.01	27	287.83	29	-48.37	27	-0.00	14
273	273	-573	Min.	15.50	-32.55	27	-0.01	14	-0.00	27	287.83	29	22.32	29	-0.00	14
274	274	-574	Max	0.00	-12.06	28	0.01	14	0.02	27	642.27	27	-22.71	13	0.08	27
274	274	-574	Max	15.50	-11.45	28	0.01	14	0.02	27	642.27	27	49.82	27	0.08	27
274	274	-574	Min.	0.00	-32.57	27	-0.03	27	-0.00	14	293.34	13	-49.73	27	-0.00	14
274	274	-574	Min.	15.50	-31.96	27	-0.03	27	-0.00	14	293.34	13	22.75	13	-0.00	14
275	275	-575	Max	0.00	-7.78	28	0.01	27	0.00	14	339.13	27	-12.79	29	-0.03	29
275	275	-575	Max	15.50	-7.17	28	0.01	27	0.00	14	339.13	27	26.30	27	-0.03	29
275	275	-575	Min.	0.00	-21.86	27	-0.01	14	0.00	27	165.09	29	-26.27	27	-0.05	27
275	275	-575	Min.	15.50	-21.25	27	-0.01	14	0.00	27	165.09	29	12.80	29	-0.05	27
276	276	-576	Max	0.00	-6.04	13	-0.00	28	0.04	27	323.76	27	-11.60	13	0.02	27
276	276	-576	Max	15.50	-5.43	13	-0.00	28	0.03	27	323.76	27	25.11	27	0.02	27
276	276	-576	Min.	0.00	-12.67	27	-0.05	27	0.00	28	149.80	13	-25.07	27	-0.05	14
276	276	-576	Min.	15.50	-12.06	27	-0.05	27	0.00	28	149.80	13	11.62	13	-0.05	14
277	277	-553	Max	0.00	-9.43	29	-0.04	28	0.01	27	339.12	27	-11.39	29	0.12	27
277	277	-553	Max	13.75	-8.89	29	-0.04	28	-0.00	28	339.12	27	23.26	27	0.12	27
277	277	-553	Min.	0.00	-19.33	27	-0.22	27	0.00	28	165.25	29	-23.37	27	0.04	28
277	277	-553	Min.	13.75	-18.79	27	-0.22	27	-0.02	27	165.25	29	11.33	29	0.04	28
278	278	-554	Max	0.00	-13.09	13	-0.16	13	0.04	27	422.74	27	-13.45	13	0.18	27
278	278	-554	Max	13.75	-12.55	13	-0.16	13	-0.01	28	422.74	27	28.94	27	0.18	27
278	278	-554	Min.	0.00	-32.95	27	-0.57	27	0.01	13	194.89	13	-29.19	27	0.04	28
278	278	-554	Min.	13.75	-32.41	27	-0.57	27	-0.04	27	194.89	13	13.35	13	0.04	28
279	279	-555	Max	0.00	-20.42	29	0.15	14	-0.00	13	721.73	27	-22.79	28	0.03	27
279	279	-555	Max	13.75	-19.88	29	0.15	14	0.02	14	721.73	27	49.49	27	0.03	27
279	279	-555	Min.	0.00	-48.24	27	0.07	27	-0.01	27	330.27	28	-49.75	27	-0.01	13
279	279	-555	Min.	13.75	-47.70	27	0.07	27	0.00	27	330.27	28	22.62	28	-0.01	13
280	280	-556	Max	0.00	-20.32	28	-0.13	13	0.03	27	746.18	27	-22.67	28	0.11	27
280	280	-556	Max	13.75	-19.78	28	-0.13	13	-0.01	13	746.18	27	51.09	27	0.11	27
280	280	-556	Min.	0.00	-52.00	27	-0.48	27	0.00	13	328.67	28	-51.51	27	0.01	13

280	280	-556	Min.	13.75	-51.46	27	-0.48	27	-0.04	27	328.67	28	22.52	28	0.01	13
281	281	-557	Max	0.00	-20.20	29	0.16	14	-0.00	13	719.24	27	-22.60	29	0.01	27
281	281	-557	Max	13.75	-19.66	29	0.16	14	0.02	14	719.24	27	49.33	27	0.01	27
281	281	-557	Min.	0.00	-48.40	27	0.08	29	-0.01	27	327.93	29	-49.57	27	-0.01	14
281	281	-557	Min.	13.75	-47.86	27	0.08	29	0.00	27	327.93	29	22.49	29	-0.01	14
282	282	-558	Max	0.00	-20.52	28	-0.13	13	0.02	27	738.71	27	-22.79	28	0.09	27
282	282	-558	Max	13.75	-19.98	28	-0.13	13	-0.02	13	738.71	27	50.57	27	0.09	27
282	282	-558	Min.	0.00	-51.31	27	-0.43	27	0.00	13	330.26	28	-51.00	27	0.00	14
282	282	-558	Min.	13.75	-50.77	27	-0.43	27	-0.04	27	330.26	28	22.62	28	0.00	14
283	283	-559	Max	0.00	-12.68	29	0.20	14	-0.01	13	400.96	27	-13.19	29	-0.03	29
283	283	-559	Max	13.75	-12.14	29	0.20	14	0.02	14	400.96	27	27.50	27	-0.03	29
283	283	-559	Min.	0.00	-30.50	27	0.10	29	-0.02	27	191.29	29	-27.64	27	-0.05	14
283	283	-559	Min.	13.75	-29.96	27	0.10	29	0.01	27	191.29	29	13.11	29	-0.05	14
284	284	-560	Max	0.00	-9.76	13	0.08	14	0.02	27	363.42	27	-11.67	13	0.01	27
284	284	-560	Max	13.75	-9.22	13	0.08	14	0.02	27	363.42	27	24.89	27	0.01	27
284	284	-560	Min.	0.00	-21.31	27	0.01	27	-0.00	14	169.30	13	-25.08	27	-0.05	14
284	284	-560	Min.	13.75	-20.77	27	0.01	27	0.00	28	169.30	13	11.61	13	-0.05	14
285	2285	4285	Max	0.00	50.51	27	0.28	27	-0.01	28	-10.92	13	2.55	27	0.03	27
285	2285	4285	Max	12.00	50.98	27	0.28	27	0.01	14	-10.92	13	-0.17	13	0.03	27
285	2285	4285	Min.	0.00	6.79	13	0.18	29	-0.03	27	-25.92	28	1.14	13	0.01	13
285	2285	4285	Min.	12.00	7.26	13	0.18	29	0.00	27	-25.92	28	-0.91	28	0.01	13
286	1286	2286	Max	0.00	-303.37	28	-32.06	29	-106.85	29	17.32	14	-10.83	28	1.52	27
286	1286	2286	Max	9.00	-301.35	28	-32.06	29	-109.73	29	17.32	14	-9.29	28	1.52	27
286	1286	2286	Min.	0.00	-659.13	27	-67.55	27	-227.06	27	-36.49	27	-40.65	27	0.35	13
286	1286	2286	Min.	9.00	-657.11	27	-67.55	27	-233.14	27	-36.49	27	-43.94	27	0.35	13
286	2286	4286	Max	0.00	-121.70	28	17.66	14	-5.90	28	-555.48	29	183.13	27	0.90	27
286	2286	4286	Max	7.00	-120.12	28	17.66	14	-4.70	28	-555.48	29	100.66	27	0.90	27
286	2286	4286	Min.	0.00	-252.13	27	-24.35	27	-31.24	27	-1178.25	27	86.25	29	-1.25	14
286	2286	4286	Min.	7.00	-250.56	27	-24.35	27	-32.94	27	-1178.25	27	47.36	29	-1.25	14
287	2287	4287	Max	0.00	-19.23	28	-0.35	28	0.14	27	-7.13	29	2.10	28	-0.01	29
287	2287	4287	Max	12.00	-18.76	28	-0.35	28	-0.03	28	-7.13	29	0.24	27	-0.01	29
287	2287	4287	Min.	0.00	-119.39	27	-3.66	27	0.01	28	-24.21	28	0.92	29	-0.03	27
287	2287	4287	Min.	12.00	-118.92	27	-3.66	27	-0.30	27	-24.21	28	-0.81	28	-0.03	27
288	2288	4288	Max	0.00	37.22	27	2.09	14	-0.04	27	-15.80	13	4.40	27	0.05	27
288	2288	4288	Max	12.00	37.69	27	2.09	14	0.16	14	-15.80	13	-0.08	13	0.05	27
288	2288	4288	Min.	0.00	-44.35	14	0.48	27	-0.09	14	-40.74	27	1.81	13	0.02	13
288	2288	4288	Min.	12.00	-43.88	14	0.48	27	0.02	27	-40.74	27	-0.98	28	0.02	13
289	1289	2289	Max	0.00	-553.45	28	-63.82	13	-190.48	13	7.76	14	3.09	14	1.15	27
289	1289	2289	Max	9.00	-551.43	28	-63.82	13	-196.23	13	7.76	14	3.79	14	1.15	27
289	1289	2289	Min.	0.00	-1254.60	27	-145.06	27	-431.90	27	-66.53	27	-35.48	27	0.19	13
289	1289	2289	Min.	9.00	-1252.58	27	-145.06	27	-444.96	27	-66.53	27	-41.46	27	0.19	13
289	2289	4289	Max	0.00	-208.39	28	6.65	14	2.88	14	-992.93	13	350.20	27	1.79	27
289	2289	4289	Max	7.00	-206.81	28	6.65	14	3.35	14	-992.93	13	192.35	27	1.79	27
289	2289	4289	Min.	0.00	-497.38	27	-54.34	27	-32.40	27	-2255.12	27	154.34	13	-1.64	14
289	2289	4289	Min.	7.00	-495.80	27	-54.34	27	-36.21	27	-2255.12	27	84.84	13	-1.64	14
290	2290	4290	Max	0.00	-17.30	28	-1.33	28	0.19	27	-15.97	29	4.11	27	-0.02	29
290	2290	4290	Max	12.00	-16.83	28	-1.33	28	-0.10	28	-15.97	29	-0.09	29	-0.02	29
290	2290	4290	Min.	0.00	-144.73	27	-4.93	27	0.06	28	-35.61	27	1.83	29	-0.05	27
290	2290	4290	Min.	12.00	-144.26	27	-4.93	27	-0.40	27	-35.61	27	-1.05	28	-0.05	27
291	2291	4291	Max	0.00	55.88	27	1.67	14	-0.03	27	-16.99	13	4.45	27	0.06	27
291	2291	4291	Max	12.00	56.36	27	1.67	14	0.13	14	-16.99	13	-0.15	13	0.06	27
291	2291	4291	Min.	0.00	-27.61	14	0.02	27	-0.07	14	-41.76	27	1.88	13	0.02	13
291	2291	4291	Min.	12.00	-27.14	14	0.02	27	-0.02	27	-41.76	27	-1.04	28	0.02	13
292	1292	2292	Max	0.00	-553.45	28	-63.65	29	-189.99	29	-7.38	13	-2.97	13	0.20	27
292	1292	2292	Max	9.00	-551.43	28	-63.65	29	-195.71	29	-7.38	13	-3.64	13	0.20	27
292	1292	2292	Min.	0.00	-1251.03	27	-143.92	27	-428.87	27	-84.52	27	-42.42	27	-0.23	14
292	1292	2292	Min.	9.00	-1249.01	27	-143.92	27	-441.82	27	-84.52	27	-50.03	27	-0.23	14
292	2292	4292	Max	0.00	-208.39	28	-6.40	13	-2.75	13	-990.31	29	347.73	27	6.81	27
292	2292	4292	Max	7.00	-206.81	28	-6.40	13	-3.20	13	-990.31	29	190.99	27	6.81	27

292	2292	4292	Min.	0.00	-496.52	27	-69.23	27	-39.03	27	-2239.03	27	153.94	29	1.36	28
292	2292	4292	Min.	7.00	-494.94	27	-69.23	27	-43.87	27	-2239.03	27	84.62	29	1.36	28
293	2293	4293	Max	0.00	-33.85	28	-1.74	28	0.21	27	-14.69	29	3.99	27	-0.02	29
293	2293	4293	Max	12.00	-33.38	28	-1.74	28	-0.14	28	-14.69	29	-0.02	29	-0.02	29
293	2293	4293	Min.	0.00	-164.74	27	-5.42	27	0.07	28	-33.96	27	1.75	29	-0.04	27
293	2293	4293	Min.	12.00	-164.27	27	-5.42	27	-0.44	27	-33.96	27	-0.98	28	-0.04	27
294	2294	4294	Max	0.00	20.49	27	0.55	14	0.06	27	-8.41	13	2.31	27	0.04	27
294	2294	4294	Max	12.00	20.96	27	0.55	14	0.05	14	-8.41	13	-0.01	14	0.04	27
294	2294	4294	Min.	0.00	-30.57	14	-1.75	27	-0.02	14	-24.23	28	0.99	13	0.01	13
294	2294	4294	Min.	12.00	-30.10	14	-1.75	27	-0.14	27	-24.23	28	-0.81	28	0.01	13
295	1295	2295	Max	0.00	-303.40	28	-32.30	13	-107.48	13	-16.39	13	14.34	14	-0.15	29
295	1295	2295	Max	9.00	-301.38	28	-32.30	13	-110.39	13	-16.39	13	12.78	14	-0.15	29
295	1295	2295	Min.	0.00	-622.86	27	-68.80	27	-230.69	27	-78.15	27	3.62	27	-0.46	14
295	1295	2295	Min.	9.00	-620.83	27	-68.80	27	-236.88	27	-78.15	27	-3.42	27	-0.46	14
295	2295	4295	Max	0.00	-121.69	28	-16.70	13	8.13	14	-559.58	13	186.32	27	6.97	27
295	2295	4295	Max	7.00	-120.12	28	-16.70	13	6.90	14	-559.58	13	102.19	27	6.97	27
295	2295	4295	Min.	0.00	-281.64	27	-66.84	27	-5.67	27	-1201.74	27	86.80	13	0.79	28
295	2295	4295	Min.	7.00	-280.07	27	-66.84	27	-10.34	27	-1201.74	27	47.63	13	0.79	28
296	2296	4296	Max	0.00	8.00	14	-0.20	28	0.02	27	-10.16	29	2.30	27	-0.01	29
296	2296	4296	Max	12.00	8.48	14	-0.20	28	-0.01	28	-10.16	29	-0.12	29	-0.01	29
296	2296	4296	Min.	0.00	-24.95	27	-0.44	27	0.01	29	-25.93	28	1.10	29	-0.02	27
296	2296	4296	Min.	12.00	-24.48	27	-0.44	27	-0.03	27	-25.93	28	-0.91	28	-0.02	27
297	297	-537	Max	0.00	11.23	27	0.13	14	0.02	27	-8.17	27	0.70	14	0.03	14
297	297	-537	Max	10.65	11.64	27	0.13	14	0.01	14	-8.17	27	-0.54	29	0.03	14
297	297	-537	Min.	0.00	4.81	13	-0.52	27	-0.00	14	-14.89	14	0.21	27	-0.05	27
297	297	-537	Min.	10.65	5.23	13	-0.52	27	-0.04	27	-14.89	14	-0.89	14	-0.05	27
298	298	-538	Max	0.00	5.18	28	0.59	27	-0.00	29	-23.23	28	2.92	27	0.03	14
298	298	-538	Max	10.65	5.59	28	0.59	27	0.06	27	-23.23	28	-1.31	13	0.03	14
298	298	-538	Min.	0.00	2.34	29	0.22	13	-0.01	14	-55.50	27	1.16	28	-0.06	27
298	298	-538	Min.	10.65	2.76	29	0.22	13	0.02	13	-55.50	27	-2.99	27	-0.06	27
299	299	-539	Max	0.00	16.54	27	0.02	14	0.02	27	-38.91	29	2.90	27	0.03	14
299	299	-539	Max	10.65	16.95	27	0.02	14	-0.00	13	-38.91	29	-2.19	29	0.03	14
299	299	-539	Min.	0.00	6.97	13	-0.72	27	-0.01	14	-60.67	27	1.95	29	-0.06	27
299	299	-539	Min.	10.65	7.38	13	-0.72	27	-0.06	27	-60.67	27	-3.55	27	-0.06	27
300	300	-540	Max	0.00	11.63	27	0.57	27	-0.00	29	-33.72	28	3.99	27	0.03	14
300	300	-540	Max	10.65	12.04	27	0.57	27	0.06	27	-33.72	28	-1.94	28	0.03	14
300	300	-540	Min.	0.00	6.46	29	0.19	13	-0.01	14	-78.13	27	1.65	28	-0.06	27
300	300	-540	Min.	10.65	6.88	29	0.19	13	0.01	13	-78.13	27	-4.33	27	-0.06	27
301	301	-541	Max	0.00	16.51	27	-0.19	13	0.04	27	-30.24	29	2.19	27	-0.03	13
301	301	-541	Max	10.65	16.92	27	-0.19	13	-0.01	13	-30.24	29	-1.76	29	-0.03	13
301	301	-541	Min.	0.00	7.27	13	-1.20	27	0.01	13	-48.21	27	1.46	29	-0.17	27
301	301	-541	Min.	10.65	7.69	13	-1.20	27	-0.09	27	-48.21	27	-2.94	27	-0.17	27
302	302	-542	Max	0.00	11.35	27	0.10	27	0.02	27	-42.03	28	4.67	27	-0.02	13
302	302	-542	Max	10.65	11.77	27	0.10	27	0.03	27	-42.03	28	-2.35	28	-0.02	13
302	302	-542	Min.	0.00	6.10	29	-0.02	14	0.00	28	-89.97	27	2.13	28	-0.17	27
302	302	-542	Min.	10.65	6.52	29	-0.02	14	0.00	13	-89.97	27	-4.91	27	-0.17	27
303	303	-543	Max	0.00	6.07	27	-0.22	13	0.05	27	-18.87	29	1.39	14	-0.03	13
303	303	-543	Max	10.65	6.49	27	-0.22	13	-0.02	13	-18.87	29	-1.08	29	-0.03	13
303	303	-543	Min.	0.00	2.92	13	-1.26	27	0.01	13	-27.18	14	0.93	29	-0.19	27
303	303	-543	Min.	10.65	3.34	13	-1.26	27	-0.09	27	-27.18	14	-1.59	27	-0.19	27
304	304	-544	Max	0.00	9.50	27	-0.07	29	0.02	27	-13.02	13	1.83	27	-0.02	13
304	304	-544	Max	10.65	9.92	27	-0.07	29	0.01	27	-13.02	13	-0.77	13	-0.02	13
304	304	-544	Min.	0.00	4.52	29	-0.13	27	0.00	28	-36.40	27	0.61	13	-0.19	27
304	304	-544	Min.	10.65	4.94	29	-0.13	27	-0.01	14	-36.40	27	-2.04	27	-0.19	27
305	305	-521	Max	0.00	-0.78	13	-0.06	28	0.00	28	-3.83	27	0.67	14	0.04	14
305	305	-521	Max	9.29	-0.41	13	-0.06	28	-0.00	28	-3.83	27	-0.19	27	0.04	14
305	305	-521	Min.	0.00	-1.96	27	-0.53	27	-0.01	27	-14.34	14	0.16	27	-0.02	27
305	305	-521	Min.	9.29	-1.59	27	-0.53	27	-0.06	27	-14.34	14	-0.66	14	-0.02	27
306	306	-522	Max	0.00	-1.05	28	0.95	27	0.00	28	-21.83	28	2.55	27	0.04	14

306	306	-522	Max	9.29	-0.68	28	0.95	27	0.06	27	-21.83	28	-1.00	28	0.04	14
306	306	-522	Min.	0.00	-4.81	27	-0.08	14	-0.02	27	-54.06	27	1.03	28	-0.01	27
306	306	-522	Min.	9.29	-4.44	27	-0.08	14	-0.00	14	-54.06	27	-2.47	27	-0.01	27
307	307	-523	Max	0.00	-0.46	28	-0.09	28	0.00	14	-42.99	29	2.74	27	0.04	14
307	307	-523	Max	9.29	-0.10	28	-0.09	28	-0.01	28	-42.99	29	-1.98	29	0.04	14
307	307	-523	Min.	0.00	-5.88	27	-0.53	27	-0.01	27	-58.41	27	2.01	29	-0.02	27
307	307	-523	Min.	9.29	-5.51	27	-0.53	27	-0.06	27	-58.41	27	-2.69	27	-0.02	27
308	308	-524	Max	0.00	-0.96	28	1.17	27	0.01	14	-34.60	28	3.75	27	0.03	14
308	308	-524	Max	9.29	-0.60	28	1.17	27	0.09	27	-34.60	28	-1.60	28	0.03	14
308	308	-524	Min.	0.00	-5.12	27	0.08	28	-0.02	27	-79.87	27	1.61	28	-0.02	27
308	308	-524	Min.	9.29	-4.76	27	0.08	28	0.02	28	-79.87	27	-3.67	27	-0.02	27
309	309	-525	Max	0.00	-0.96	28	-0.08	28	-0.01	13	-31.52	29	1.98	14	-0.03	13
309	309	-525	Max	9.29	-0.60	28	-0.08	28	-0.02	28	-31.52	29	-1.47	29	-0.03	13
309	309	-525	Min.	0.00	-6.91	27	-0.47	27	-0.02	27	-42.47	14	1.46	29	-0.14	27
309	309	-525	Min.	9.29	-6.55	27	-0.47	27	-0.07	27	-42.47	14	-1.97	14	-0.14	27
310	310	-526	Max	0.00	-0.46	28	1.21	27	-0.00	13	-45.52	28	4.55	27	-0.03	13
310	310	-526	Max	9.29	-0.10	28	1.21	27	0.08	27	-45.52	28	-2.09	28	-0.03	13
310	310	-526	Min.	0.00	-4.09	27	0.09	28	-0.03	27	-96.13	27	2.14	28	-0.14	27
310	310	-526	Min.	9.29	-3.72	27	0.09	28	0.01	28	-96.13	27	-4.39	27	-0.14	27
311	311	-527	Max	0.00	-1.05	28	0.08	14	-0.00	13	-15.76	27	1.22	14	-0.03	13
311	311	-527	Max	9.29	-0.68	28	0.08	14	0.00	14	-15.76	27	-0.75	27	-0.03	13
311	311	-527	Min.	0.00	-6.26	27	-0.18	27	-0.02	27	-25.96	14	0.71	27	-0.17	27
311	311	-527	Min.	9.29	-5.89	27	-0.18	27	-0.03	27	-25.96	14	-1.20	14	-0.17	27
312	312	-528	Max	0.00	-0.61	29	1.23	27	0.00	13	-11.55	28	1.92	27	-0.03	13
312	312	-528	Max	9.29	-0.24	29	1.23	27	0.08	27	-11.55	28	-0.53	28	-0.03	13
312	312	-528	Min.	0.00	-0.93	28	0.06	28	-0.03	27	-40.07	27	0.54	28	-0.17	27
312	312	-528	Min.	9.29	-0.57	28	0.06	28	0.00	28	-40.07	27	-1.81	27	-0.17	27
313	2313	3313	Max	0.00	0.27	27	0.29	14	-0.01	28	-1.47	27	0.36	14	0.03	14
313	2313	3313	Max	7.94	0.59	27	0.29	14	0.01	14	-1.47	27	-0.11	27	0.03	14
313	2313	3313	Min.	0.00	-3.68	14	0.07	29	-0.07	27	-9.12	14	0.00	27	0.00	29
313	2313	3313	Min.	7.94	-3.37	14	0.07	29	-0.06	27	-9.12	14	-0.37	14	0.00	29
314	2314	3314	Max	0.00	-5.82	28	0.90	27	-0.01	28	-13.79	28	1.37	27	0.03	14
314	2314	3314	Max	7.94	-5.51	28	0.90	27	0.01	27	-13.79	28	-0.53	28	0.03	14
314	2314	3314	Min.	0.00	-14.21	27	0.21	13	-0.06	27	-31.50	27	0.56	28	0.01	29
314	2314	3314	Min.	7.94	-13.90	27	0.21	13	-0.00	29	-31.50	27	-1.13	27	0.01	29
315	2315	3315	Max	0.00	-12.87	29	0.32	14	0.02	14	-29.66	29	1.50	14	0.03	14
315	2315	3315	Max	7.94	-12.56	29	0.32	14	0.05	14	-29.66	29	-1.18	29	0.03	14
315	2315	3315	Min.	0.00	-16.49	14	0.15	29	-0.03	27	-37.35	14	1.17	29	0.00	27
315	2315	3315	Min.	7.94	-16.18	14	0.15	29	-0.02	27	-37.35	14	-1.48	27	0.00	27
316	2316	3316	Max	0.00	-10.07	28	0.70	27	0.01	14	-23.96	28	2.10	27	0.02	14
316	2316	3316	Max	7.94	-9.76	28	0.70	27	0.03	14	-23.96	28	-0.97	28	0.02	14
316	2316	3316	Min.	0.00	-22.61	27	0.13	13	-0.03	27	-51.46	27	0.93	28	0.00	27
316	2316	3316	Min.	7.94	-22.30	27	0.13	13	0.02	29	-51.46	27	-1.98	27	0.00	27
317	2317	3317	Max	0.00	-8.69	29	-0.13	13	-0.01	28	-21.29	29	1.11	14	-0.02	13
317	2317	3317	Max	7.94	-8.38	29	-0.13	13	-0.02	13	-21.29	29	-0.88	29	-0.02	13
317	2317	3317	Min.	0.00	-11.93	14	-0.70	27	-0.08	27	-28.24	14	0.81	29	-0.09	27
317	2317	3317	Min.	7.94	-11.62	14	-0.70	27	-0.14	27	-28.24	14	-1.14	14	-0.09	27
318	2318	3318	Max	0.00	-14.03	28	-0.14	29	-0.02	28	-31.86	28	2.63	27	-0.03	13
318	2318	3318	Max	7.94	-13.72	28	-0.14	29	-0.04	28	-31.86	28	-1.26	28	-0.03	13
318	2318	3318	Min.	0.00	-28.76	27	-0.32	14	-0.08	27	-63.62	27	1.27	28	-0.09	27
318	2318	3318	Min.	7.94	-28.45	27	-0.32	14	-0.09	27	-63.62	27	-2.42	27	-0.09	27
319	2319	3319	Max	0.00	-0.74	27	-0.21	13	0.01	13	-4.63	27	0.64	14	-0.02	13
319	2319	3319	Max	7.94	-0.42	27	-0.21	13	-0.00	13	-4.63	27	-0.19	27	-0.02	13
319	2319	3319	Min.	0.00	-6.48	14	-1.08	27	-0.05	27	-15.32	14	0.17	27	-0.13	27
319	2319	3319	Min.	7.94	-6.17	14	-1.08	27	-0.14	27	-15.32	14	-0.58	14	-0.13	27
320	2320	3320	Max	0.00	-2.68	28	-0.10	29	0.01	13	-7.04	28	1.13	27	-0.02	13
320	2320	3320	Max	7.94	-2.37	28	-0.10	29	-0.00	13	-7.04	28	-0.29	28	-0.02	13
320	2320	3320	Min.	0.00	-12.46	27	-0.30	27	-0.04	27	-26.92	27	0.27	28	-0.10	27
320	2320	3320	Min.	7.94	-12.15	27	-0.30	27	-0.06	27	-26.92	27	-1.00	27	-0.10	27

901	325	326	Max	4.00	0.00	13	0.00	13	0.00	13	-8.25	13	0.27	13	5.14	27
901	325	326	Max	6.00									0.18	13		
901	325	326	Max	15.00	0.00	13	0.00	13	0.00	13	36.25	13	1.82	13	5.14	27
901	325	326	Min.	4.00	0.00	13	0.00	13	0.00	13	-700.97	27	-28.24	27	2.17	29
901	325	326	Min.	7.77									-0.37	28		
901	325	326	Min.	15.00	0.00	13	0.00	13	0.00	13	-618.55	27	-100.80	27	2.17	29
901	326	327	Max	0.00	0.00	13	0.00	13	0.00	13	-167.81	13	13.39	13	12.22	27
901	326	327	Max	11.00	0.00	13	0.00	13	0.00	13	-124.16	13	-2.66	13	12.22	27
901	326	327	Min.	0.00	0.00	13	0.00	13	0.00	13	-949.46	27	-128.56	27	5.13	29
901	326	327	Min.	11.00	0.00	13	0.00	13	0.00	13	-868.85	27	-228.55	27	5.13	29
901	327	328	Max	1.00	0.00	13	0.00	13	0.00	13	-478.01	29	-12.54	13	17.45	27
901	327	328	Max	138.96									-333.05	13		
901	327	328	Max	289.00	0.00	13	0.00	13	0.00	13	872.35	27	80.70	27	17.45	27
901	327	328	Min.	1.00	0.00	13	0.00	13	0.00	13	-746.43	27	-271.67	27	7.33	29
901	327	328	Min.	116.31									-690.79	27		
901	327	328	Min.	289.00	0.00	13	0.00	13	0.00	13	410.78	13	-20.18	13	7.33	29
901	328	329	Max	4.00	0.00	13	0.00	13	0.00	13	216.97	14	77.20	27	12.36	27
901	328	329	Max	8.40									-11.19	29		
901	328	329	Max	15.00	0.00	13	0.00	13	0.00	13	249.29	14	48.08	27	12.36	27
901	328	329	Min.	4.00	0.00	13	0.00	13	0.00	13	-290.09	27	-10.93	29	5.20	29
901	328	329	Min.	8.40									-11.19	29		
901	328	329	Min.	15.00	0.00	13	0.00	13	0.00	13	-239.35	27	-10.63	29	5.20	29
901	329	330	Max	0.00	0.00	13	0.00	13	0.00	13	-66.13	13	40.26	14	4.63	27
901	329	330	Max	11.00	0.00	13	0.00	13	0.00	13	-38.31	13	32.93	28	4.63	27
901	329	330	Min.	0.00	0.00	13	0.00	13	0.00	13	-764.12	27	-23.70	29	1.94	29
901	329	330	Min.	11.00	0.00	13	0.00	13	0.00	13	-713.89	27	-78.92	27	1.94	29
901	330	331	Max	1.00	0.00	13	0.00	13	0.00	13	-320.41	29	26.61	28	-0.07	13
901	330	331	Max	155.10									-270.88	13		
901	330	331	Max	309.00	0.00	13	0.00	13	0.00	13	791.42	27	319.25	27	-0.07	13
901	330	331	Min.	1.00	0.00	13	0.00	13	0.00	13	-517.18	27	-113.85	27	-0.40	27
901	330	331	Min.	121.03									-419.45	27		
901	330	331	Min.	309.00	0.00	13	0.00	13	0.00	13	365.83	13	6.42	13	-0.40	27
901	331	332	Max	4.00	0.00	13	0.00	13	0.00	13	51.88	14	306.20	27	-2.15	13
901	331	332	Max	15.00	0.00	13	0.00	13	0.00	13	83.95	14	253.40	27	-2.15	13
901	331	332	Min.	4.00	0.00	13	0.00	13	0.00	13	-503.90	27	11.88	13	-5.26	27
901	331	332	Min.	15.00	0.00	13	0.00	13	0.00	13	-456.09	27	17.65	13	-5.26	27
901	332	333	Max	0.00	0.00	13	0.00	13	0.00	13	-219.32	13	198.80	27	-5.34	13
901	332	333	Max	11.00	0.00	13	0.00	13	0.00	13	-191.23	13	94.13	27	-5.34	13
901	332	333	Min.	0.00	0.00	13	0.00	13	0.00	13	-975.52	27	14.03	13	-12.72	27
901	332	333	Min.	11.00	0.00	13	0.00	13	0.00	13	-927.59	27	-8.55	13	-12.72	27
901	333	334	Max	1.00	0.00	13	0.00	13	0.00	13	-365.64	29	49.65	27	-7.44	29
901	333	334	Max	136.48									-281.69	29		
901	333	334	Max	289.00	0.00	13	0.00	13	0.00	13	755.12	27	206.53	27	-7.44	29
901	333	334	Min.	1.00	0.00	13	0.00	13	0.00	13	-599.87	27	-25.83	29	-17.61	27
901	333	334	Min.	150.79									-370.21	14		
901	333	334	Min.	289.00	0.00	13	0.00	13	0.00	13	480.15	13	-16.79	14	-17.61	27
901	334	335	Max	4.00	0.00	13	0.00	13	0.00	13	146.00	14	196.82	27	-5.21	13
901	334	335	Max	15.00	0.00	13	0.00	13	0.00	13	194.96	14	154.96	27	-5.21	13
901	334	335	Min.	4.00	0.00	13	0.00	13	0.00	13	-410.04	27	-5.59	28	-12.35	27
901	334	335	Min.	15.00	0.00	13	0.00	13	0.00	13	-350.95	27	12.51	28	-12.35	27
901	335	336	Max	0.00	0.00	13	0.00	13	0.00	13	-30.75	28	95.49	27	-2.20	13
901	335	336	Max	8.80									0.15	13		
901	335	336	Max	11.00	0.00	13	0.00	13	0.00	13	17.20	28	25.71	27	-2.20	13
901	335	336	Min.	0.00	0.00	13	0.00	13	0.00	13	-664.17	27	0.67	28	-5.21	27
901	335	336	Min.	6.80									-0.42	28		
901	335	336	Min.	11.00	0.00	13	0.00	13	0.00	13	-604.48	27	-0.09	28	-5.21	27
902	361	362	Max	4.00	0.00	13	0.00	13	0.00	13	-3.15	28	0.47	28	-2.20	13
902	361	362	Max	4.69									0.46	28		
902	361	362	Max	15.00	0.00	13	0.00	13	0.00	13	40.14	28	2.52	28	-2.20	13

902	361	362	Min.	4.00	0.00	13	0.00	13	0.00	13	-701.21	27	-28.25	27	-5.20	27
902	361	362	Min.	7.55									-0.32	14		
902	361	362	Min.	15.00	0.00	13	0.00	13	0.00	13	-618.78	27	-100.84	27	-5.20	27
902	362	363	Max	0.00	0.00	13	0.00	13	0.00	13	-158.94	28	14.14	28	-5.21	13
902	362	363	Max	11.00	0.00	13	0.00	13	0.00	13	-116.52	28	-1.01	28	-5.21	13
902	362	363	Min.	0.00	0.00	13	0.00	13	0.00	13	-949.76	27	-128.61	27	-12.37	27
902	362	363	Min.	11.00	0.00	13	0.00	13	0.00	13	-869.13	27	-228.63	27	-12.37	27
902	363	364	Max	1.00	0.00	13	0.00	13	0.00	13	-468.12	28	-10.47	28	-7.44	13
902	363	364	Max	140.31									-326.14	28		
902	363	364	Max	289.00	0.00	13	0.00	13	0.00	13	872.11	27	80.28	27	-7.44	13
902	363	364	Min.	1.00	0.00	13	0.00	13	0.00	13	-746.54	27	-271.76	27	-17.66	27
902	363	364	Min.	116.33									-690.99	27		
902	363	364	Min.	289.00	0.00	13	0.00	13	0.00	13	388.84	28	-32.50	28	-17.66	27
902	364	365	Max	4.00	0.00	13	0.00	13	0.00	13	216.89	14	76.76	27	-5.33	29
902	364	365	Max	8.40									-11.69	29		
902	364	365	Max	15.00	0.00	13	0.00	13	0.00	13	249.20	14	47.61	27	-5.33	29
902	364	365	Min.	4.00	0.00	13	0.00	13	0.00	13	-290.37	27	-20.82	28	-12.57	27
902	364	365	Min.	8.40									-11.69	29		
902	364	365	Min.	15.00	0.00	13	0.00	13	0.00	13	-239.65	27	-11.14	29	-12.57	27
902	365	366	Max	0.00	0.00	13	0.00	13	0.00	13	-58.44	28	39.73	14	-2.09	29
902	365	366	Max	11.00	0.00	13	0.00	13	0.00	13	-32.00	28	32.31	14	-2.09	29
902	365	366	Min.	0.00	0.00	13	0.00	13	0.00	13	-764.15	27	-24.22	29	-4.88	27
902	365	366	Min.	11.00	0.00	13	0.00	13	0.00	13	-713.94	27	-79.41	27	-4.88	27
902	366	367	Max	1.00	0.00	13	0.00	13	0.00	13	-319.93	29	25.77	14	0.13	27
902	366	367	Max	155.02									-268.04	28		
902	366	367	Max	309.00	0.00	13	0.00	13	0.00	13	791.20	27	319.23	27	0.13	27
902	366	367	Min.	1.00	0.00	13	0.00	13	0.00	13	-516.70	27	-114.34	27	-0.08	14
902	366	367	Min.	120.97									-419.50	27		
902	366	367	Min.	309.00	0.00	13	0.00	13	0.00	13	346.53	28	-5.44	28	-0.08	14
902	367	368	Max	4.00	0.00	13	0.00	13	0.00	13	51.85	14	306.17	27	5.02	27
902	367	368	Max	15.00	0.00	13	0.00	13	0.00	13	83.89	14	253.34	27	5.02	27
902	367	368	Min.	4.00	0.00	13	0.00	13	0.00	13	-504.12	27	-0.42	28	2.02	13
902	367	368	Min.	15.00	0.00	13	0.00	13	0.00	13	-456.34	27	4.60	28	2.02	13
902	368	369	Max	0.00	0.00	13	0.00	13	0.00	13	-211.02	28	198.73	27	12.51	27
902	368	369	Max	11.00	0.00	13	0.00	13	0.00	13	-184.32	28	94.06	27	12.51	27
902	368	369	Min.	0.00	0.00	13	0.00	13	0.00	13	-975.49	27	0.91	28	5.23	13
902	368	369	Min.	11.00	0.00	13	0.00	13	0.00	13	-927.59	27	-20.83	28	5.23	13
902	369	370	Max	1.00	0.00	13	0.00	13	0.00	13	-365.11	29	49.59	27	17.42	27
902	369	370	Max	136.45									-281.25	29		
902	369	370	Max	289.00	0.00	13	0.00	13	0.00	13	754.65	27	206.70	27	17.42	27
902	369	370	Min.	1.00	0.00	13	0.00	13	0.00	13	-599.31	27	-32.50	28	7.33	29
902	369	370	Min.	150.78									-369.75	14		
902	369	370	Min.	289.00	0.00	13	0.00	13	0.00	13	468.13	28	-16.69	14	7.33	29
902	370	371	Max	4.00	0.00	13	0.00	13	0.00	13	145.59	14	196.97	27	12.22	27
902	370	371	Max	15.00	0.00	13	0.00	13	0.00	13	194.50	14	155.04	27	12.22	27
902	370	371	Min.	4.00	0.00	13	0.00	13	0.00	13	-410.62	27	-5.43	14	5.14	29
902	370	371	Min.	15.00	0.00	13	0.00	13	0.00	13	-351.58	27	13.27	14	5.14	29
902	371	372	Max	0.00	0.00	13	0.00	13	0.00	13	-33.22	14	95.56	27	5.15	27
902	371	372	Max	10.18									0.44	28		
902	371	372	Max	11.00	0.00	13	0.00	13	0.00	13	16.62	14	25.73	27	5.15	27
902	371	372	Min.	0.00	0.00	13	0.00	13	0.00	13	-664.59	27	0.87	14	2.17	29
902	371	372	Min.	7.40									-0.36	14		
902	371	372	Min.	11.00	0.00	13	0.00	13	0.00	13	-604.95	27	-0.05	14	2.17	29
903	326	362	Max	0.00	0.00	13	0.00	13	0.00	13	0.00	13	0.00	13	0.00	13
903	326	362	Max	690.00	0.00	13	0.00	13	0.00	13	0.00	13	0.00	13	0.00	13
903	326	362	Min.	0.00	0.00	13	0.00	13	0.00	13	0.00	13	0.00	13	0.00	13
903	326	362	Min.	690.00	0.00	13	0.00	13	0.00	13	0.00	13	0.00	13	0.00	13
904	335	371	Max	0.00	0.00	13	0.00	13	0.00	13	0.00	13	0.00	13	0.00	13
904	335	371	Max	690.00	0.00	13	0.00	13	0.00	13	0.00	13	0.00	13	0.00	13

904	335	371	Min.	0.00	0.00	13	0.00	13	0.00	13	0.00	13	0.00	13	0.00	13
904	335	371	Min.	690.00	0.00	13	0.00	13	0.00	13	0.00	13	0.00	13	0.00	13
1021	1296	1297	Max	1.77	43.45	27	0.33	13	2.48	27	0.89	27	0.10	14	-0.01	13
1021	1296	1297	Max	10.00	43.45	27	0.92	13	1.49	27	0.89	27	0.17	27	-0.01	13
1021	1296	1297	Min.	1.77	15.55	28	-12.32	27	0.33	28	-0.07	13	0.06	29	-0.02	27
1021	1296	1297	Min.	10.00	15.55	28	-11.74	27	0.36	28	-0.07	13	0.07	28	-0.02	27
1021	1297	1298	Max	0.00	43.45	27	0.92	13	1.49	27	0.89	27	0.17	27	-0.01	13
1021	1297	1298	Max	8.23	43.45	27	1.50	13	0.94	14	0.89	27	0.24	27	-0.01	13
1021	1297	1298	Min.	0.00	15.55	28	-11.74	27	0.36	28	-0.07	13	0.07	28	-0.02	27
1021	1297	1298	Min.	8.23	15.55	28	-11.15	27	0.43	28	-0.07	13	0.06	28	-0.02	27
1023	1316	1317	Max	1.77	-23.03	28	0.29	27	-0.05	28	1.18	14	-1.38	29	0.03	27
1023	1316	1317	Max	10.00	-23.03	28	0.29	27	-0.07	28	1.76	14	-1.34	28	0.03	27
1023	1316	1317	Min.	1.77	-57.70	27	-0.24	14	-0.19	27	-9.25	27	-2.52	27	0.01	13
1023	1316	1317	Min.	10.00	-57.70	27	-0.24	14	-0.17	27	-8.67	27	-3.26	27	0.01	13
1023	1317	1318	Max	0.00	-23.03	28	0.29	27	-0.07	28	1.76	14	-1.34	28	0.03	27
1023	1317	1318	Max	8.23	-23.03	28	0.29	27	-0.08	29	2.35	14	-1.20	28	0.03	27
1023	1317	1318	Min.	0.00	-57.70	27	-0.24	14	-0.17	27	-8.67	27	-3.26	27	0.01	13
1023	1317	1318	Min.	8.23	-57.70	27	-0.24	14	-0.14	27	-8.08	27	-3.95	27	0.01	13
1065	1328	1329	Max	1.77	-27.27	29	1.31	28	-1.38	29	0.29	27	-0.06	13	-0.01	28
1065	1328	1329	Max	10.00	-27.27	29	1.90	28	-1.56	13	0.29	27	-0.08	29	-0.01	28
1065	1328	1329	Min.	1.77	-57.48	27	-9.36	27	-2.51	27	-0.23	14	-0.19	27	-0.03	27
1065	1328	1329	Min.	10.00	-57.48	27	-8.78	27	-3.26	27	-0.23	14	-0.17	27	-0.03	27
1065	1329	1330	Max	0.00	-27.27	29	1.90	28	-1.56	13	0.29	27	-0.08	29	-0.01	28
1065	1329	1330	Max	8.23	-27.27	29	2.48	28	-1.40	13	0.29	27	-0.08	29	-0.01	28
1065	1329	1330	Min.	0.00	-57.48	27	-8.78	27	-3.26	27	-0.23	14	-0.17	27	-0.03	27
1065	1329	1330	Min.	8.23	-57.48	27	-8.19	27	-3.96	27	-0.23	14	-0.14	27	-0.03	27
1067	1348	1349	Max	1.77	43.20	27	0.90	27	0.11	28	0.52	28	2.49	27	0.02	27
1067	1348	1349	Max	10.00	43.20	27	0.90	27	0.17	27	1.11	28	1.49	27	0.02	27
1067	1348	1349	Min.	1.77	20.25	29	-0.07	28	0.06	29	-12.42	27	0.63	13	0.01	28
1067	1348	1349	Min.	10.00	20.25	29	-0.07	28	0.08	29	-11.83	27	0.67	29	0.01	28
1067	1349	1350	Max	0.00	43.20	27	0.90	27	0.17	27	1.11	28	1.49	27	0.02	27
1067	1349	1350	Max	8.23	43.20	27	0.90	27	0.24	27	1.69	28	1.20	28	0.02	27
1067	1349	1350	Min.	0.00	20.25	29	-0.07	28	0.08	29	-11.83	27	0.67	29	0.01	28
1067	1349	1350	Min.	8.23	20.25	29	-0.07	28	0.07	13	-11.25	27	0.45	29	0.01	28
1105	1296	1308	Max	1.77	5.30	27	1.41	27	-0.05	29	-13.71	28	2.22	27	0.15	27
1105	1296	1308	Max	10.00	5.30	27	1.41	27	0.05	27	-13.12	28	-0.24	29	0.15	27
1105	1296	1308	Min.	1.77	-3.84	14	0.63	28	-0.08	14	-33.23	27	0.80	28	0.05	28
1105	1296	1308	Min.	10.00	-3.84	14	0.63	28	-0.00	13	-32.65	27	-0.49	27	0.05	28
1105	1308	1316	Max	0.00	5.30	27	1.41	27	0.05	27	-13.12	28	-0.24	29	0.15	27
1105	1308	1316	Max	8.23	5.30	27	1.41	27	0.16	27	-12.54	28	-1.36	28	0.15	27
1105	1308	1316	Min.	0.00	-3.84	14	0.63	28	-0.00	13	-32.65	27	-0.49	27	0.05	28
1105	1308	1316	Min.	8.23	-3.84	14	0.63	28	0.05	28	-32.06	27	-3.16	27	0.05	28
1108	1298	1309	Max	1.77	-3.34	13	-14.48	28	1.68	27	2.00	27	-0.06	28	-0.05	28
1108	1298	1309	Max	10.00	-3.34	13	-13.90	28	-0.60	13	2.00	27	0.00	13	-0.05	28
1108	1298	1309	Min.	1.77	-18.89	27	-36.30	27	0.49	28	0.78	28	-0.21	27	-0.15	27
1108	1298	1309	Min.	10.00	-18.89	27	-35.71	27	-1.28	27	0.78	28	-0.05	27	-0.15	27
1108	1309	1318	Max	0.00	-3.34	13	-13.90	28	-0.60	13	2.00	27	0.00	13	-0.05	28
1108	1309	1318	Max	8.23	-3.34	13	-13.31	28	-1.79	28	2.00	27	0.12	27	-0.05	28
1108	1309	1318	Min.	0.00	-18.89	27	-35.71	27	-1.28	27	0.78	28	-0.05	27	-0.15	27
1108	1309	1318	Min.	8.23	-18.89	27	-35.13	27	-4.20	27	0.78	28	0.06	29	-0.15	27
1143	1299	1310	Max	1.77	2.00	27	3.23	27	-0.10	29	-29.36	28	4.12	27	0.29	27
1143	1299	1310	Max	10.00	2.00	27	3.23	27	0.06	27	-28.78	28	-0.72	29	0.29	27
1143	1299	1310	Min.	1.77	-9.43	14	1.45	29	-0.20	27	-67.04	27	1.45	28	0.12	28
1143	1299	1310	Min.	10.00	-9.43	14	1.45	29	-0.01	14	-66.46	27	-1.38	27	0.12	28
1143	1310	1319	Max	0.00	2.00	27	3.23	27	0.06	27	-28.78	28	-0.72	29	0.29	27
1143	1310	1319	Max	8.23	2.00	27	3.23	27	0.33	27	-28.19	28	-3.12	29	0.29	27
1143	1310	1319	Min.	0.00	-9.43	14	1.45	29	-0.01	14	-66.46	27	-1.38	27	0.12	28
1143	1310	1319	Min.	8.23	-9.43	14	1.45	29	0.11	28	-65.87	27	-6.82	27	0.12	28
1146	1301	1311	Max	1.77	-4.54	13	-29.64	28	3.70	27	3.65	27	-0.12	28	-0.12	28

1146	1301	1311	Max	10.00	-4.54	13	-29.06	28	-0.79	13	3.65	27	0.01	14	-0.12	28
1146	1301	1311	Min.	1.77	-27.90	27	-69.24	27	1.50	28	1.53	28	-0.36	27	-0.28	27
1146	1301	1311	Min.	10.00	-27.90	27	-68.66	27	-1.98	27	1.53	28	-0.06	27	-0.28	27
1146	1311	1321	Max	0.00	-4.54	13	-29.06	28	-0.79	13	3.65	27	0.01	14	-0.12	28
1146	1311	1321	Max	8.23	-4.54	13	-28.47	28	-3.23	13	3.65	27	0.24	27	-0.12	28
1146	1311	1321	Min.	0.00	-27.90	27	-68.66	27	-1.98	27	1.53	28	-0.06	27	-0.28	27
1146	1311	1321	Min.	8.23	-27.90	27	-68.07	27	-7.61	27	1.53	28	0.11	29	-0.28	27
1181	1302	1312	Max	1.77	5.73	27	3.39	27	-0.09	29	-29.72	28	4.21	27	0.28	27
1181	1302	1312	Max	10.00	5.73	27	3.39	27	0.08	27	-29.14	28	-0.67	29	0.28	27
1181	1302	1312	Min.	1.77	-6.23	14	1.51	29	-0.20	27	-67.50	27	1.52	28	0.12	28
1181	1302	1312	Min.	10.00	-6.23	14	1.51	29	0.01	28	-66.92	27	-1.32	27	0.12	28
1181	1312	1322	Max	0.00	5.73	27	3.39	27	0.08	27	-29.14	28	-0.67	29	0.28	27
1181	1312	1322	Max	8.23	5.73	27	3.39	27	0.36	27	-28.55	28	-3.09	29	0.28	27
1181	1312	1322	Min.	0.00	-6.23	14	1.51	29	0.01	28	-66.92	27	-1.32	27	0.12	28
1181	1312	1322	Min.	8.23	-6.23	14	1.51	29	0.13	28	-66.33	27	-6.80	27	0.12	28
1184	1304	1313	Max	1.77	-7.63	13	-29.29	28	3.53	27	3.43	27	-0.13	28	-0.12	28
1184	1304	1313	Max	10.00	-7.63	13	-28.70	28	-0.84	13	3.43	27	-0.01	13	-0.12	28
1184	1304	1313	Min.	1.77	-31.57	27	-67.77	27	1.43	28	1.46	28	-0.36	27	-0.28	27
1184	1304	1313	Min.	10.00	-31.57	27	-67.19	27	-2.03	27	1.46	28	-0.08	27	-0.28	27
1184	1313	1324	Max	0.00	-7.63	13	-28.70	28	-0.84	13	3.43	27	-0.01	13	-0.12	28
1184	1313	1324	Max	8.23	-7.63	13	-28.12	28	-3.24	13	3.43	27	0.20	27	-0.12	28
1184	1313	1324	Min.	0.00	-31.57	27	-67.19	27	-2.03	27	1.46	28	-0.08	27	-0.28	27
1184	1313	1324	Min.	8.23	-31.57	27	-66.60	27	-7.53	27	1.46	28	0.09	29	-0.28	27
1219	1305	1314	Max	1.77	3.15	27	1.80	27	-0.05	29	-14.42	28	1.92	27	0.15	27
1219	1305	1314	Max	10.00	3.15	27	1.80	27	0.05	27	-13.84	28	-0.54	29	0.15	27
1219	1305	1314	Min.	1.77	-4.46	28	0.78	28	-0.10	27	-35.60	27	0.49	28	0.05	28
1219	1305	1314	Min.	10.00	-4.46	28	0.78	28	0.00	28	-35.01	27	-0.99	27	0.05	28
1219	1314	1325	Max	0.00	3.15	27	1.80	27	0.05	27	-13.84	28	-0.54	29	0.15	27
1219	1314	1325	Max	8.23	3.15	27	1.80	27	0.20	27	-13.25	28	-1.78	28	0.15	27
1219	1314	1325	Min.	0.00	-4.46	28	0.78	28	0.00	28	-35.01	27	-0.99	27	0.05	28
1219	1314	1325	Min.	8.23	-4.46	28	0.78	28	0.07	28	-34.43	27	-3.85	27	0.05	28
1222	1307	1315	Max	1.77	-3.22	13	-13.72	28	2.16	27	1.67	27	-0.06	28	-0.05	28
1222	1307	1315	Max	10.00	-3.22	13	-13.14	28	-0.28	13	1.67	27	-0.00	28	-0.05	28
1222	1307	1315	Min.	1.77	-16.02	27	-34.99	27	0.80	28	0.64	28	-0.19	27	-0.15	27
1222	1307	1315	Min.	10.00	-16.02	27	-34.40	27	-0.69	27	0.64	28	-0.05	27	-0.15	27
1222	1315	1327	Max	0.00	-3.22	13	-13.14	28	-0.28	13	1.67	27	-0.00	28	-0.05	28
1222	1315	1327	Max	8.23	-3.22	13	-12.55	28	-1.37	28	1.67	27	0.09	27	-0.05	28
1222	1315	1327	Min.	0.00	-16.02	27	-34.40	27	-0.69	27	0.64	28	-0.05	27	-0.15	27
1222	1315	1327	Min.	8.23	-16.02	27	-33.82	27	-3.50	27	0.64	28	0.04	29	-0.15	27
1240	319	-5	Max	4.85	0.00	13	0.00	13	0.00	13	0.00	13	0.00	13	0.00	13
1240	319	-5	Min.	4.85	0.00	13	0.00	13	0.00	13	0.00	13	0.00	13	0.00	13
1240	-5	-37	Max	4.85	0.00	13	0.00	13	0.00	13	0.00	13	0.00	13	0.00	13
1240	-5	-37	Min.	4.85	0.00	13	0.00	13	0.00	13	0.00	13	0.00	13	0.00	13
1240	-37	-69	Max	5.01	-190.17	13	-6.68	29	1.52	14	50.41	27	-1.41	28	-0.00	29
1240	-37	-69	Max	16.87	-189.33	13	-6.68	29	-0.17	28	50.43	27	0.23	14	-0.00	29
1240	-37	-69	Min.	5.01	-728.86	27	-15.01	14	0.53	29	12.87	28	-5.78	27	-0.01	14
1240	-37	-69	Min.	16.87	-728.02	27	-15.01	14	-0.60	27	13.13	28	0.11	29	-0.01	14
1240	-69	-101	Max	2.51	-169.68	13	-5.31	29	1.08	14	44.52	27	-0.89	28	-0.00	29
1240	-69	-101	Max	16.87	-168.66	13	-5.31	29	-0.54	29	44.55	27	2.44	27	-0.00	29
1240	-69	-101	Min.	2.51	-662.87	27	-14.23	14	0.19	27	10.84	28	-3.96	27	-0.00	27
1240	-69	-101	Min.	16.87	-661.85	27	-14.23	14	-1.07	27	11.14	28	0.68	28	-0.00	27
1240	-101	-133	Max	2.51	-143.68	13	-5.75	29	0.94	14	45.29	27	-0.82	28	0.00	14
1240	-101	-133	Max	16.87	-142.66	13	-5.75	29	-0.62	29	45.31	27	3.01	27	0.00	14
1240	-101	-133	Min.	2.51	-578.75	27	-14.63	14	0.18	27	11.47	28	-3.49	27	-0.00	27
1240	-101	-133	Min.	16.87	-577.73	27	-14.63	14	-1.24	27	11.77	28	0.85	28	-0.00	27
1240	-133	-165	Max	2.51	-115.58	13	-6.08	29	0.90	14	45.74	27	-0.80	28	0.00	14
1240	-133	-165	Max	16.87	-114.56	13	-6.08	29	-0.68	29	45.77	27	3.24	27	0.00	14
1240	-133	-165	Min.	2.51	-488.32	27	-14.96	14	0.19	27	11.92	28	-3.33	27	-0.00	27
1240	-133	-165	Min.	16.87	-487.30	27	-14.96	14	-1.35	27	12.22	28	0.93	28	-0.00	27

1240	-165	-197	Max	2.51	-86.10	13	-6.42	29	0.88	14	46.21	27	-0.80	28	0.00	14
1240	-165	-197	Max	16.87	-85.07	13	-6.42	29	-0.72	29	46.23	27	3.40	27	0.00	14
1240	-165	-197	Min.	2.51	-394.20	27	-15.32	14	0.20	29	12.38	28	-3.24	27	-0.00	27
1240	-165	-197	Min.	16.87	-393.18	27	-15.32	14	-1.45	27	12.69	28	1.00	28	-0.00	27
1240	-197	-229	Max	2.51	-54.34	14	-6.77	29	0.86	14	46.75	27	-0.80	28	0.00	14
1240	-197	-229	Max	16.87	-53.32	14	-6.77	29	-0.77	29	46.77	27	3.55	27	0.00	14
1240	-197	-229	Min.	2.51	-296.80	27	-15.68	14	0.20	29	12.88	28	-3.16	27	-0.00	27
1240	-197	-229	Min.	16.87	-295.78	27	-15.68	14	-1.56	27	13.19	28	1.07	28	-0.00	27
1240	-229	-261	Max	2.51	-15.17	14	-7.14	29	0.85	14	47.30	27	-0.80	28	0.00	14
1240	-229	-261	Max	16.87	-14.15	14	-7.14	29	-0.82	29	47.33	27	3.71	27	0.00	14
1240	-229	-261	Min.	2.51	-196.04	27	-16.07	14	0.20	29	13.38	28	-3.08	27	-0.00	27
1240	-229	-261	Min.	16.87	-195.02	27	-16.07	14	-1.68	27	13.69	28	1.14	28	-0.00	27
1240	-261	-293	Max	2.51	25.78	14	-7.51	29	0.83	14	47.91	27	-0.80	28	0.00	14
1240	-261	-293	Max	16.87	26.80	14	-7.51	29	-0.88	29	47.94	27	3.89	27	0.00	14
1240	-261	-293	Min.	2.51	-91.72	27	-16.48	14	0.20	29	13.92	28	-3.00	27	-0.00	27
1240	-261	-293	Min.	16.87	-90.70	27	-16.48	14	-1.80	27	14.22	28	1.22	28	-0.00	27
1240	-293	-325	Max	2.51	68.66	14	-7.90	29	0.80	14	48.58	27	-0.80	28	0.00	14
1240	-293	-325	Max	16.87	69.68	14	-7.90	29	-0.93	29	48.60	27	4.07	27	0.00	14
1240	-293	-325	Min.	2.51	-8.92	28	-16.91	14	0.20	29	14.47	28	-2.91	27	-0.00	27
1240	-293	-325	Min.	16.87	-7.91	28	-16.91	14	-1.93	27	14.78	28	1.31	28	-0.00	27
1240	-325	-357	Max	2.51	128.70	27	-8.30	29	0.78	14	49.28	27	-0.78	13	0.00	14
1240	-325	-357	Max	16.87	129.72	27	-8.30	29	-1.00	29	49.30	27	4.28	27	0.00	14
1240	-325	-357	Min.	2.51	26.22	28	-17.36	14	0.20	29	15.05	28	-2.80	27	-0.00	27
1240	-325	-357	Min.	16.87	27.23	28	-17.36	14	-2.07	27	15.36	28	1.40	28	-0.00	27
1240	-357	-389	Max	2.51	245.41	27	-8.73	29	0.75	14	50.03	27	-0.76	13	0.00	14
1240	-357	-389	Max	16.87	246.43	27	-8.73	29	-1.06	29	50.05	27	4.50	27	0.00	14
1240	-357	-389	Min.	2.51	63.52	28	-17.84	14	0.19	29	15.65	28	-2.69	27	-0.00	27
1240	-357	-389	Min.	16.87	64.54	28	-17.84	14	-2.22	27	15.96	28	1.50	28	-0.00	27
1240	-389	-421	Max	2.51	366.83	27	-9.09	29	0.71	14	50.89	27	-0.72	13	0.00	14
1240	-389	-421	Max	16.87	367.85	27	-9.09	29	-1.12	29	50.92	27	4.76	27	0.00	14
1240	-389	-421	Min.	2.51	103.15	28	-18.23	14	0.18	29	16.28	28	-2.56	27	-0.00	27
1240	-389	-421	Min.	16.87	104.16	28	-18.23	14	-2.36	27	16.58	28	1.61	28	-0.00	27
1240	-421	-453	Max	2.51	493.11	27	-10.21	29	0.66	14	51.35	27	-0.68	13	0.00	14
1240	-421	-453	Max	16.87	494.13	27	-10.21	29	-1.30	29	51.37	27	4.99	27	0.00	14
1240	-421	-453	Min.	2.51	145.20	28	-20.64	27	0.17	29	16.99	28	-2.38	27	-0.00	27
1240	-421	-453	Min.	16.87	146.21	28	-20.64	27	-2.74	27	17.12	13	1.74	28	-0.00	27
1240	-453	-485	Max	2.51	622.62	27	-6.07	29	0.51	14	55.37	27	-0.57	13	0.01	14
1240	-453	-485	Max	16.87	623.63	27	-6.07	29	-0.78	29	55.39	27	5.91	27	0.01	14
1240	-453	-485	Min.	2.51	189.23	28	-14.09	14	0.07	27	17.40	28	-2.05	27	0.00	29
1240	-453	-485	Min.	16.87	190.24	28	-14.09	14	-1.58	27	17.71	28	1.90	28	0.00	29
1240	-485	1302	Max	2.51	744.79	27	-33.12	29	0.51	14	36.35	27	-0.09	13	0.01	14
1240	-485	1302	Max	14.38	745.63	27	-33.12	29	-3.68	29	36.37	27	3.89	27	0.01	14
1240	-485	1302	Min.	2.51	231.65	28	-71.91	27	0.25	29	13.43	13	-0.43	27	0.00	27
1240	-485	1302	Min.	14.38	232.49	28	-71.91	27	-8.04	27	13.45	13	1.51	13	0.00	27
1241	340	-11	Max	4.85	0.00	13	0.00	13	0.00	13	0.00	13	0.00	13	0.00	13
1241	340	-11	Min.	4.85	0.00	13	0.00	13	0.00	13	0.00	13	0.00	13	0.00	13
1241	-11	-43	Max	4.85	0.00	13	0.00	13	0.00	13	0.00	13	0.00	13	0.00	13
1241	-11	-43	Min.	4.85	0.00	13	0.00	13	0.00	13	0.00	13	0.00	13	0.00	13
1241	-43	-75	Max	5.01	-180.94	13	-7.60	28	4.16	27	-4.07	29	1.37	14	-0.01	28
1241	-43	-75	Max	16.87	-180.09	13	-7.60	28	-0.15	29	-4.05	29	-0.11	28	-0.01	28
1241	-43	-75	Min.	5.01	-768.09	27	-37.53	27	0.75	28	-13.20	14	-0.05	27	-0.03	27
1241	-43	-75	Min.	16.87	-767.25	27	-37.53	27	-0.30	27	-13.18	14	-0.55	27	-0.03	27
1241	-75	-107	Max	2.51	-196.67	13	-8.56	28	3.65	27	-6.92	29	1.28	14	-0.00	28
1241	-75	-107	Max	16.87	-195.65	13	-8.56	28	-0.57	28	-6.90	29	-0.54	29	-0.00	28
1241	-75	-107	Min.	2.51	-781.14	27	-41.07	27	0.66	28	-15.56	14	0.45	29	-0.02	27
1241	-75	-107	Min.	16.87	-780.12	27	-41.07	27	-2.25	27	-15.53	14	-1.04	27	-0.02	27
1241	-107	-139	Max	2.51	-217.69	13	-8.88	28	3.12	27	-7.03	29	1.07	14	-0.00	28
1241	-107	-139	Max	16.87	-216.67	13	-8.88	28	-0.71	28	-7.01	29	-0.66	29	-0.00	28
1241	-107	-139	Min.	2.51	-799.57	27	-41.17	27	0.57	28	-15.66	14	0.33	27	-0.01	27

1241	-107	-139	Min.	16.87	-798.54	27	-41.17	27	-2.79	27	-15.63	14	-1.24	27	-0.01	27
1241	-139	-171	Max	2.51	-240.84	13	-9.25	28	2.96	27	-7.40	29	1.03	14	-0.00	13
1241	-139	-171	Max	16.87	-239.82	13	-9.25	28	-0.78	28	-7.37	29	-0.72	29	-0.00	13
1241	-139	-171	Min.	2.51	-820.91	27	-41.48	27	0.55	28	-16.03	14	0.33	27	-0.01	27
1241	-139	-171	Min.	16.87	-819.89	27	-41.48	27	-3.00	27	-16.01	14	-1.36	27	-0.01	27
1241	-171	-203	Max	2.51	-265.44	13	-9.65	28	2.87	27	-7.78	29	1.01	14	0.00	13
1241	-171	-203	Max	16.87	-264.42	13	-9.65	28	-0.83	28	-7.75	29	-0.77	29	0.00	13
1241	-171	-203	Min.	2.51	-844.74	27	-41.82	27	0.55	28	-16.41	14	0.34	27	-0.01	27
1241	-171	-203	Min.	16.87	-843.72	27	-41.82	27	-3.14	27	-16.39	14	-1.48	27	-0.01	27
1241	-203	-235	Max	2.51	-291.39	13	-10.05	28	2.79	27	-8.17	29	0.99	14	0.00	13
1241	-203	-235	Max	16.87	-290.37	13	-10.05	28	-0.89	28	-8.15	29	-0.83	29	0.00	13
1241	-203	-235	Min.	2.51	-871.08	27	-42.21	27	0.55	28	-16.82	14	0.34	29	-0.01	27
1241	-203	-235	Min.	16.87	-870.05	27	-42.21	27	-3.28	27	-16.79	14	-1.59	27	-0.01	27
1241	-235	-267	Max	2.51	-316.47	28	-10.50	28	2.70	27	-8.56	29	0.97	14	0.00	13
1241	-235	-267	Max	16.87	-315.45	28	-10.50	28	-0.96	28	-8.53	29	-0.89	29	0.00	13
1241	-235	-267	Min.	2.51	-900.03	27	-42.66	27	0.55	28	-17.22	14	0.34	29	-0.01	27
1241	-235	-267	Min.	16.87	-899.01	27	-42.66	27	-3.43	27	-17.19	14	-1.71	27	-0.01	27
1241	-267	-299	Max	2.51	-342.99	28	-10.92	28	2.61	27	-8.99	29	0.95	14	-0.00	13
1241	-267	-299	Max	16.87	-341.96	28	-10.92	28	-1.02	28	-8.97	29	-0.95	29	-0.00	13
1241	-267	-299	Min.	2.51	-931.82	27	-43.09	27	0.55	28	-17.67	14	0.34	29	-0.01	27
1241	-267	-299	Min.	16.87	-930.80	27	-43.09	27	-3.58	27	-17.65	14	-1.85	27	-0.01	27
1241	-299	-331	Max	2.51	-371.41	28	-11.40	28	2.51	27	-9.40	29	0.92	14	-0.00	13
1241	-299	-331	Max	16.87	-370.39	28	-11.40	28	-1.10	28	-9.38	29	-1.01	29	-0.00	13
1241	-299	-331	Min.	2.51	-966.62	27	-43.62	27	0.54	28	-18.11	14	0.34	29	-0.01	27
1241	-299	-331	Min.	16.87	-965.60	27	-43.62	27	-3.75	27	-18.08	14	-1.98	27	-0.01	27
1241	-331	-363	Max	2.51	-401.88	28	-11.87	28	2.40	27	-9.87	29	0.89	14	-0.00	13
1241	-331	-363	Max	16.87	-400.86	28	-11.87	28	-1.18	28	-9.84	29	-1.09	29	-0.00	13
1241	-331	-363	Min.	2.51	-1004.68	27	-44.12	27	0.52	13	-18.60	14	0.33	29	-0.01	27
1241	-331	-363	Min.	16.87	-1003.65	27	-44.12	27	-3.94	27	-18.58	14	-2.13	27	-0.01	27
1241	-363	-395	Max	2.51	-434.57	28	-12.38	28	2.28	27	-10.30	29	0.85	14	-0.00	13
1241	-363	-395	Max	16.87	-433.55	28	-12.38	28	-1.26	28	-10.28	29	-1.16	29	-0.00	13
1241	-363	-395	Min.	2.51	-1046.24	27	-44.75	27	0.49	13	-19.07	14	0.32	29	-0.01	27
1241	-363	-395	Min.	16.87	-1045.22	27	-44.75	27	-4.14	27	-19.05	14	-2.29	27	-0.01	27
1241	-395	-427	Max	2.51	-469.63	28	-12.80	28	2.14	27	-10.98	29	0.81	14	-0.00	13
1241	-395	-427	Max	16.87	-468.60	28	-12.80	28	-1.34	28	-10.96	29	-1.27	29	-0.00	13
1241	-395	-427	Min.	2.51	-1091.60	27	-45.10	27	0.46	13	-19.90	27	0.30	29	-0.01	27
1241	-395	-427	Min.	16.87	-1090.58	27	-45.10	27	-4.33	27	-19.88	27	-2.52	27	-0.01	27
1241	-427	-459	Max	2.51	-507.18	28	-14.03	28	1.98	27	-10.15	29	0.74	14	0.00	13
1241	-427	-459	Max	16.87	-506.15	28	-14.03	28	-1.54	28	-10.13	29	-1.19	29	0.00	13
1241	-427	-459	Min.	2.51	-1140.98	27	-47.55	27	0.42	13	-18.72	14	0.27	29	-0.01	27
1241	-427	-459	Min.	16.87	-1139.96	27	-47.55	27	-4.85	27	-18.70	14	-2.33	27	-0.01	27
1241	-459	-491	Max	2.51	-546.60	28	-9.62	13	1.54	27	-19.62	29	0.71	14	0.00	27
1241	-459	-491	Max	16.87	-545.58	28	-9.62	13	-1.10	13	-19.59	29	-2.53	29	0.00	27
1241	-459	-491	Min.	2.51	-1193.69	27	-36.39	27	0.29	13	-38.61	27	0.29	29	0.00	29
1241	-459	-491	Min.	16.87	-1192.67	27	-36.39	27	-3.69	27	-38.59	27	-5.20	27	0.00	29
1241	-491	1319	Max	2.51	-574.83	29	-36.99	28	1.23	27	70.30	27	-0.53	28	0.01	27
1241	-491	1319	Max	14.38	-573.98	29	-36.99	28	-4.03	28	70.32	27	6.74	27	0.01	27
1241	-491	1319	Min.	2.51	-1248.88	27	-106.25	27	0.34	13	27.28	13	-1.61	27	0.00	13
1241	-491	1319	Min.	14.38	-1248.04	27	-106.25	27	-11.39	27	27.30	13	2.68	13	0.00	13
1242	316	-3	Max	4.85	0.00	13	0.00	13	0.00	13	0.00	13	0.00	13	0.00	13
1242	316	-3	Min.	4.85	0.00	13	0.00	13	0.00	13	0.00	13	0.00	13	0.00	13
1242	-3	-35	Max	4.85	0.00	13	0.00	13	0.00	13	0.00	13	0.00	13	0.00	13
1242	-3	-35	Min.	4.85	0.00	13	0.00	13	0.00	13	0.00	13	0.00	13	0.00	13
1242	-35	-67	Max	5.01	-130.60	13	-7.91	29	1.69	14	47.92	27	-1.10	28	-0.01	29
1242	-35	-67	Max	16.87	-129.76	13	-7.91	29	-0.12	28	47.94	27	0.27	14	-0.01	29
1242	-35	-67	Min.	5.01	-657.27	27	-16.11	14	0.72	29	10.64	28	-5.43	27	-0.01	14
1242	-35	-67	Min.	16.87	-656.43	27	-16.11	14	-0.55	27	10.89	28	0.16	29	-0.01	14
1242	-67	-99	Max	2.51	-112.92	13	-6.92	29	1.27	14	42.38	27	-0.68	28	-0.00	29
1242	-67	-99	Max	16.87	-111.90	13	-6.92	29	-0.57	29	42.40	27	2.38	27	-0.00	29

1242	-67	-99	Min.	2.51	-594.38	27	-15.71	14	0.39	27	8.91	28	-3.71	27	-0.01	27
1242	-67	-99	Min.	16.87	-593.36	27	-15.71	14	-1.09	27	9.22	28	0.63	28	-0.01	27
1242	-99	-131	Max	2.51	-90.56	13	-7.36	29	1.11	14	43.11	27	-0.62	28	-0.00	13
1242	-99	-131	Max	16.87	-89.54	13	-7.36	29	-0.68	29	43.14	27	2.93	27	-0.00	13
1242	-99	-131	Min.	2.51	-514.27	27	-16.10	14	0.36	27	9.50	28	-3.27	27	-0.01	27
1242	-99	-131	Min.	16.87	-513.25	27	-16.10	14	-1.27	27	9.81	28	0.76	28	-0.01	27
1242	-131	-163	Max	2.51	-66.44	13	-7.73	29	1.06	14	43.50	27	-0.61	28	-0.00	13
1242	-131	-163	Max	16.87	-65.42	13	-7.73	29	-0.74	29	43.53	27	3.15	27	-0.00	13
1242	-131	-163	Min.	2.51	-428.23	27	-16.48	14	0.36	27	9.90	28	-3.10	27	-0.01	27
1242	-131	-163	Min.	16.87	-427.21	27	-16.48	14	-1.39	27	10.21	28	0.84	28	-0.01	27
1242	-163	-195	Max	2.51	-41.14	13	-8.11	29	1.04	14	43.92	27	-0.61	28	0.00	13
1242	-163	-195	Max	16.87	-40.12	13	-8.11	29	-0.80	29	43.94	27	3.29	27	0.00	13
1242	-163	-195	Min.	2.51	-338.74	27	-16.86	14	0.37	29	10.32	28	-3.02	27	-0.01	27
1242	-163	-195	Min.	16.87	-337.71	27	-16.86	14	-1.50	27	10.63	28	0.90	28	-0.01	27
1242	-195	-227	Max	2.51	-11.95	14	-8.50	29	1.02	14	44.40	27	-0.61	28	0.00	13
1242	-195	-227	Max	16.87	-10.93	14	-8.50	29	-0.85	29	44.42	27	3.44	27	0.00	13
1242	-195	-227	Min.	2.51	-246.20	27	-17.27	14	0.37	29	10.76	28	-2.94	27	-0.01	27
1242	-195	-227	Min.	16.87	-245.18	27	-17.27	14	-1.62	27	11.07	28	0.96	28	-0.01	27
1242	-227	-259	Max	2.51	22.41	14	-8.90	29	1.00	14	44.91	27	-0.61	28	0.00	13
1242	-227	-259	Max	16.87	23.43	14	-8.90	29	-0.91	29	44.93	27	3.59	27	0.00	13
1242	-227	-259	Min.	2.51	-150.53	27	-17.69	14	0.37	29	11.22	28	-2.86	27	-0.01	27
1242	-227	-259	Min.	16.87	-149.51	27	-17.69	14	-1.74	27	11.53	28	1.02	28	-0.01	27
1242	-259	-291	Max	2.51	58.31	14	-9.32	29	0.98	14	45.46	27	-0.61	28	0.00	13
1242	-259	-291	Max	16.87	59.33	14	-9.32	29	-0.97	29	45.48	27	3.75	27	0.00	13
1242	-259	-291	Min.	2.51	-51.56	27	-18.14	14	0.37	29	11.70	28	-2.78	27	-0.01	27
1242	-259	-291	Min.	16.87	-50.54	27	-18.14	14	-1.87	27	12.00	28	1.09	28	-0.01	27
1242	-291	-323	Max	2.51	95.88	14	-9.75	29	0.96	14	46.04	27	-0.60	28	0.00	13
1242	-291	-323	Max	16.87	96.90	14	-9.75	29	-1.04	29	46.06	27	3.93	27	0.00	13
1242	-291	-323	Min.	2.51	17.15	28	-18.61	14	0.36	29	12.19	28	-2.69	27	-0.01	27
1242	-291	-323	Min.	16.87	18.16	28	-18.61	14	-2.01	27	12.50	28	1.17	28	-0.01	27
1242	-323	-355	Max	2.51	157.31	27	-10.20	29	0.93	14	46.68	27	-0.59	13	-0.00	13
1242	-323	-355	Max	16.87	158.33	27	-10.20	29	-1.11	29	46.70	27	4.12	27	-0.00	13
1242	-323	-355	Min.	2.51	46.95	28	-19.10	14	0.35	29	12.71	28	-2.58	27	-0.01	27
1242	-323	-355	Min.	16.87	47.97	28	-19.10	14	-2.16	27	13.02	28	1.25	28	-0.01	27
1242	-355	-387	Max	2.51	267.77	27	-10.69	29	0.89	14	47.36	27	-0.57	13	-0.00	13
1242	-355	-387	Max	16.87	268.79	27	-10.69	29	-1.19	29	47.39	27	4.33	27	-0.00	13
1242	-355	-387	Min.	2.51	78.63	28	-19.64	14	0.34	29	13.26	28	-2.47	27	-0.01	27
1242	-355	-387	Min.	16.87	79.65	28	-19.64	14	-2.33	27	13.56	28	1.34	28	-0.01	27
1242	-387	-419	Max	2.51	382.63	27	-11.08	29	0.85	14	48.17	27	-0.54	13	-0.00	13
1242	-387	-419	Max	16.87	383.65	27	-11.08	29	-1.26	29	48.19	27	4.58	27	-0.00	13
1242	-387	-419	Min.	2.51	112.34	28	-20.05	14	0.33	29	13.82	28	-2.34	27	-0.01	27
1242	-387	-419	Min.	16.87	113.35	28	-20.05	14	-2.48	27	14.12	28	1.43	28	-0.01	27
1242	-419	-451	Max	2.51	502.00	27	-12.29	29	0.80	14	48.51	27	-0.50	13	0.00	13
1242	-419	-451	Max	16.87	503.02	27	-12.29	29	-1.46	29	48.54	27	4.80	27	0.00	13
1242	-419	-451	Min.	2.51	148.15	28	-22.53	27	0.31	29	14.46	28	-2.17	27	-0.01	27
1242	-419	-451	Min.	16.87	149.16	28	-22.53	27	-2.89	27	14.58	13	1.55	28	-0.01	27
1242	-451	-483	Max	2.51	624.34	27	-8.08	29	0.62	14	52.43	27	-0.41	13	0.00	14
1242	-451	-483	Max	16.87	625.36	27	-8.08	29	-0.95	29	52.45	27	5.68	27	0.00	14
1242	-451	-483	Min.	2.51	185.73	28	-15.95	14	0.17	27	14.72	28	-1.86	27	-0.00	27
1242	-451	-483	Min.	16.87	186.74	28	-15.95	14	-1.73	27	15.03	28	1.67	28	-0.00	27
1242	-483	1299	Max	2.51	739.97	27	-35.95	29	0.57	14	33.64	27	-0.02	14	0.01	14
1242	-483	1299	Max	14.38	740.81	27	-35.95	29	-3.95	29	33.66	27	3.66	27	0.01	14
1242	-483	1299	Min.	2.51	222.22	28	-74.84	27	0.31	29	11.21	13	-0.34	27	-0.00	27
1242	-483	1299	Min.	14.38	223.06	28	-74.84	27	-8.33	27	11.23	13	1.32	13	-0.00	27
1243	322	-7	Max	4.85	0.00	13	0.00	13	0.00	13	0.00	13	0.00	13	0.00	13
1243	322	-7	Min.	4.85	0.00	13	0.00	13	0.00	13	0.00	13	0.00	13	0.00	13
1243	-7	-39	Max	4.85	0.00	13	0.00	13	0.00	13	0.00	13	0.00	13	0.00	13
1243	-7	-39	Min.	4.85	0.00	13	0.00	13	0.00	13	0.00	13	0.00	13	0.00	13
1243	-39	-71	Max	5.01	-182.44	13	-0.53	27	0.64	14	34.15	27	-0.85	28	0.00	27

1243	-39	-71	Max	16.87	-181.60	13	-0.53	27	-0.14	28	34.17	27	0.06	14	0.00	27
1243	-39	-71	Min.	5.01	-605.38	27	-7.37	14	-0.44	27	6.83	28	-4.10	27	-0.00	14
1243	-39	-71	Min.	16.87	-604.54	27	-7.37	14	-0.50	27	7.08	28	-0.05	27	-0.00	14
1243	-71	-103	Max	2.51	-168.78	13	2.51	27	0.35	14	29.38	27	-0.51	28	0.00	27
1243	-71	-103	Max	16.87	-167.76	13	2.51	27	-0.26	29	29.41	27	1.45	27	0.00	27
1243	-71	-103	Min.	2.51	-560.89	27	-6.32	14	-0.79	27	5.15	28	-2.78	27	0.00	13
1243	-71	-103	Min.	16.87	-559.87	27	-6.32	14	-0.56	14	5.46	28	0.25	28	0.00	13
1243	-103	-135	Max	2.51	-151.60	13	1.74	27	0.29	14	29.70	27	-0.49	28	0.00	14
1243	-103	-135	Max	16.87	-150.57	13	1.74	27	-0.28	29	29.72	27	1.81	27	0.00	14
1243	-103	-135	Min.	2.51	-504.55	27	-6.53	14	-0.68	27	5.60	28	-2.46	27	0.00	29
1243	-103	-135	Min.	16.87	-503.53	27	-6.53	14	-0.65	14	5.91	28	0.34	28	0.00	29
1243	-135	-167	Max	2.51	-133.10	13	1.19	27	0.27	14	29.78	27	-0.49	28	0.00	14
1243	-135	-167	Max	16.87	-132.08	13	1.19	27	-0.30	29	29.81	27	1.94	27	0.00	14
1243	-135	-167	Min.	2.51	-444.39	27	-6.68	14	-0.65	27	5.92	28	-2.34	27	0.00	29
1243	-135	-167	Min.	16.87	-443.37	27	-6.68	14	-0.69	14	6.22	28	0.38	28	0.00	29
1243	-167	-199	Max	2.51	-113.74	13	0.63	27	0.26	14	29.89	27	-0.50	28	0.00	14
1243	-167	-199	Max	16.87	-112.72	13	0.63	27	-0.32	29	29.91	27	2.03	27	0.00	14
1243	-167	-199	Min.	2.51	-382.20	27	-6.85	14	-0.62	27	6.24	28	-2.27	27	0.00	29
1243	-167	-199	Min.	16.87	-381.18	27	-6.85	14	-0.72	14	6.55	28	0.42	28	0.00	29
1243	-199	-231	Max	2.51	-93.58	13	0.06	27	0.25	14	30.02	27	-0.51	28	0.00	14
1243	-199	-231	Max	16.87	-92.56	13	0.06	27	-0.34	29	30.04	27	2.10	27	0.00	14
1243	-199	-231	Min.	2.51	-318.30	27	-7.01	14	-0.59	27	6.58	28	-2.21	27	0.00	29
1243	-199	-231	Min.	16.87	-317.28	27	-7.01	14	-0.75	14	6.89	28	0.46	28	0.00	29
1243	-231	-263	Max	2.51	-71.15	14	-0.52	27	0.24	14	30.17	27	-0.51	28	0.00	14
1243	-231	-263	Max	16.87	-70.13	14	-0.52	27	-0.37	29	30.20	27	2.19	27	0.00	14
1243	-231	-263	Min.	2.51	-252.66	27	-7.18	14	-0.56	27	6.94	28	-2.15	27	0.00	29
1243	-231	-263	Min.	16.87	-251.64	27	-7.18	14	-0.79	14	7.24	28	0.51	28	0.00	29
1243	-263	-295	Max	2.51	-45.70	14	-1.11	27	0.23	14	30.35	27	-0.52	28	0.00	14
1243	-263	-295	Max	16.87	-44.68	14	-1.11	27	-0.39	29	30.37	27	2.27	27	0.00	14
1243	-263	-295	Min.	2.51	-185.18	27	-7.37	14	-0.54	27	7.30	28	-2.09	27	0.00	29
1243	-263	-295	Min.	16.87	-184.16	27	-7.37	14	-0.82	14	7.61	28	0.55	28	0.00	29
1243	-295	-327	Max	2.51	-19.11	14	-1.56	29	0.22	14	30.54	27	-0.53	28	0.00	14
1243	-295	-327	Max	16.87	-18.09	14	-1.56	29	-0.42	29	30.57	27	2.37	27	0.00	14
1243	-295	-327	Min.	2.51	-115.73	27	-7.56	14	-0.52	27	7.68	28	-2.02	27	0.00	29
1243	-295	-327	Min.	16.87	-114.71	27	-7.56	14	-0.86	14	7.99	28	0.60	28	0.00	29
1243	-327	-359	Max	2.51	8.70	14	-1.80	29	0.21	14	30.77	27	-0.53	28	0.00	14
1243	-327	-359	Max	16.87	9.72	14	-1.80	29	-0.45	29	30.79	27	2.48	27	0.00	14
1243	-327	-359	Min.	2.51	-65.52	28	-7.76	14	-0.49	27	8.08	28	-1.94	27	0.00	29
1243	-327	-359	Min.	16.87	-64.51	28	-7.76	14	-0.91	14	8.38	28	0.65	28	0.00	29
1243	-359	-391	Max	2.51	37.84	14	-2.05	29	0.19	14	31.02	27	-0.53	28	0.00	14
1243	-359	-391	Max	16.87	38.86	14	-2.05	29	-0.48	29	31.05	27	2.60	27	0.00	14
1243	-359	-391	Min.	2.51	-44.16	28	-7.98	14	-0.47	27	8.49	28	-1.86	27	0.00	29
1243	-359	-391	Min.	16.87	-43.15	28	-7.98	14	-0.95	14	8.80	28	0.71	28	0.00	29
1243	-391	-423	Max	2.51	105.98	27	-2.24	29	0.17	14	31.33	27	-0.53	28	0.00	14
1243	-391	-423	Max	16.87	107.00	27	-2.24	29	-0.51	29	31.35	27	2.73	27	0.00	14
1243	-391	-423	Min.	2.51	-21.33	28	-8.13	14	-0.45	27	8.90	28	-1.77	27	0.00	29
1243	-391	-423	Min.	16.87	-20.32	28	-8.13	14	-0.99	14	9.21	28	0.77	28	0.00	29
1243	-423	-455	Max	2.51	184.72	27	-2.96	29	0.15	14	31.47	27	-0.51	13	0.00	14
1243	-423	-455	Max	16.87	185.74	27	-2.96	29	-0.61	29	31.49	27	2.87	27	0.00	14
1243	-423	-455	Min.	2.51	3.02	28	-8.94	14	-0.43	27	9.49	28	-1.65	27	0.00	29
1243	-423	-455	Min.	16.87	4.04	28	-8.94	14	-1.18	27	9.80	28	0.87	28	0.00	29
1243	-455	-487	Max	2.51	264.82	27	0.60	27	0.08	14	32.96	27	-0.44	13	0.01	14
1243	-455	-487	Max	16.87	265.84	27	0.60	27	-0.22	29	32.98	27	3.31	27	0.01	14
1243	-455	-487	Min.	2.51	28.64	28	-5.28	14	-0.46	27	9.05	28	-1.43	27	0.00	29
1243	-455	-487	Min.	16.87	29.65	28	-5.28	14	-0.68	14	9.35	28	0.86	28	0.00	29
1243	-487	1305	Max	2.51	339.31	27	-18.43	29	0.21	14	25.61	27	-0.15	13	0.00	14
1243	-487	1305	Max	14.38	340.15	27	-18.43	29	-2.08	28	25.63	27	2.59	27	0.00	14
1243	-487	1305	Min.	2.51	53.08	28	-37.27	27	0.04	29	10.20	13	-0.46	27	-0.00	27
1243	-487	1305	Min.	14.38	53.92	28	-37.27	27	-4.35	27	10.22	13	1.06	13	-0.00	27

1244	313	-1	Max	4.85	0.00	13	0.00	13	0.00	13	0.00	13	0.00	13	0.00	13
1244	313	-1	Min.	4.85	0.00	13	0.00	13	0.00	13	0.00	13	0.00	13	0.00	13
1244	-1	-33	Max	4.85	0.00	13	0.00	13	0.00	13	0.00	13	0.00	13	0.00	13
1244	-1	-33	Min.	4.85	0.00	13	0.00	13	0.00	13	0.00	13	0.00	13	0.00	13
1244	-33	-65	Max	5.01	14.95	13	-0.94	27	0.99	14	28.41	27	-0.14	28	-0.00	29
1244	-33	-65	Max	16.87	15.79	13	-0.94	27	0.03	28	28.43	27	0.25	14	-0.00	29
1244	-33	-65	Min.	5.01	-342.89	27	-8.74	14	-0.13	27	2.42	28	-3.17	27	-0.01	14
1244	-33	-65	Min.	16.87	-342.05	27	-8.74	14	-0.25	27	2.67	28	0.15	29	-0.01	14
1244	-65	-97	Max	2.51	24.40	14	0.58	27	0.79	14	24.98	27	-0.03	28	-0.00	28
1244	-65	-97	Max	16.87	25.42	14	0.58	27	-0.21	28	25.00	27	1.46	27	-0.00	28
1244	-65	-97	Min.	2.51	-304.86	27	-8.91	14	-0.34	27	1.82	28	-2.13	27	-0.01	27
1244	-65	-97	Min.	16.87	-303.84	27	-8.91	14	-0.49	14	2.13	28	0.26	28	-0.01	27
1244	-97	-129	Max	2.51	37.33	14	-0.16	27	0.70	14	25.13	27	-0.03	28	-0.00	28
1244	-97	-129	Max	16.87	38.35	14	-0.16	27	-0.27	29	25.16	27	1.76	27	-0.00	28
1244	-97	-129	Min.	2.51	-256.90	27	-9.12	14	-0.26	27	2.15	28	-1.85	27	-0.01	27
1244	-97	-129	Min.	16.87	-255.88	27	-9.12	14	-0.61	14	2.45	28	0.30	28	-0.01	27
1244	-129	-161	Max	2.51	51.18	14	-0.75	27	0.67	14	25.11	27	-0.04	28	-0.00	13
1244	-129	-161	Max	16.87	52.20	14	-0.75	27	-0.30	29	25.14	27	1.87	27	-0.00	13
1244	-129	-161	Min.	2.51	-205.88	27	-9.32	14	-0.23	27	2.38	28	-1.74	27	-0.01	27
1244	-129	-161	Min.	16.87	-204.86	27	-9.32	14	-0.67	14	2.69	28	0.33	28	-0.01	27
1244	-161	-193	Max	2.51	65.64	14	-1.35	27	0.66	14	25.11	27	-0.04	28	-0.00	13
1244	-161	-193	Max	16.87	66.66	14	-1.35	27	-0.33	29	25.13	27	1.94	27	-0.00	13
1244	-161	-193	Min.	2.51	-153.35	27	-9.54	14	-0.20	27	2.62	28	-1.67	27	-0.01	27
1244	-161	-193	Min.	16.87	-152.33	27	-9.54	14	-0.71	14	2.93	28	0.36	28	-0.01	27
1244	-193	-225	Max	2.51	80.66	14	-1.96	27	0.65	14	25.13	27	-0.05	28	-0.00	13
1244	-193	-225	Max	16.87	81.68	14	-1.96	27	-0.37	29	25.15	27	2.01	27	-0.00	13
1244	-193	-225	Min.	2.51	-99.58	27	-9.77	14	-0.18	27	2.88	28	-1.61	27	-0.01	27
1244	-193	-225	Min.	16.87	-98.56	27	-9.77	14	-0.75	14	3.19	28	0.39	28	-0.01	27
1244	-225	-257	Max	2.51	96.26	14	-2.59	27	0.64	14	25.16	27	-0.06	28	-0.00	13
1244	-225	-257	Max	16.87	97.28	14	-2.59	27	-0.40	29	25.18	27	2.07	27	-0.00	13
1244	-225	-257	Min.	2.51	-44.57	27	-10.01	14	-0.15	27	3.14	28	-1.54	27	-0.01	27
1244	-225	-257	Min.	16.87	-43.55	27	-10.01	14	-0.80	14	3.45	28	0.42	28	-0.01	27
1244	-257	-289	Max	2.51	112.49	14	-3.23	27	0.63	14	25.20	27	-0.06	28	-0.00	13
1244	-257	-289	Max	16.87	113.51	14	-3.23	27	-0.44	29	25.23	27	2.15	27	-0.00	13
1244	-257	-289	Min.	2.51	11.75	27	-10.26	14	-0.13	27	3.41	28	-1.48	27	-0.01	27
1244	-257	-289	Min.	16.87	12.77	27	-10.26	14	-0.85	14	3.72	28	0.45	28	-0.01	27
1244	-289	-321	Max	2.51	129.38	14	-3.90	27	0.61	14	25.27	27	-0.07	28	-0.00	13
1244	-289	-321	Max	16.87	130.40	14	-3.90	27	-0.48	29	25.29	27	2.22	27	-0.00	13
1244	-289	-321	Min.	2.51	58.80	28	-10.53	14	-0.11	27	3.69	28	-1.41	27	-0.01	27
1244	-289	-321	Min.	16.87	59.82	28	-10.53	14	-0.90	14	4.00	28	0.49	28	-0.01	27
1244	-321	-353	Max	2.51	147.00	14	-4.58	27	0.60	14	25.35	27	-0.07	28	-0.00	13
1244	-321	-353	Max	16.87	148.02	14	-4.58	27	-0.52	29	25.38	27	2.31	27	-0.00	13
1244	-321	-353	Min.	2.51	69.40	28	-10.80	14	-0.09	27	3.98	28	-1.33	27	-0.01	27
1244	-321	-353	Min.	16.87	70.42	28	-10.80	14	-0.96	14	4.29	28	0.52	28	-0.01	27
1244	-353	-385	Max	2.51	189.53	27	-5.30	27	0.58	14	25.45	27	-0.07	28	-0.00	13
1244	-353	-385	Max	16.87	190.55	27	-5.30	27	-0.57	29	25.48	27	2.41	27	-0.00	13
1244	-353	-385	Min.	2.51	80.86	28	-11.10	14	-0.08	27	4.29	28	-1.25	27	-0.01	27
1244	-353	-385	Min.	16.87	81.87	28	-11.10	14	-1.02	14	4.59	28	0.56	28	-0.01	27
1244	-385	-417	Max	2.51	252.10	27	-5.60	29	0.55	14	25.62	27	-0.07	28	-0.00	13
1244	-385	-417	Max	16.87	253.13	27	-5.60	29	-0.61	29	25.65	27	2.52	27	-0.00	13
1244	-385	-417	Min.	2.51	93.25	28	-11.35	14	-0.06	27	4.60	28	-1.16	27	-0.01	27
1244	-385	-417	Min.	16.87	94.27	28	-11.35	14	-1.08	14	4.91	28	0.61	28	-0.01	27
1244	-417	-449	Max	2.51	316.43	27	-6.29	29	0.52	14	25.45	27	-0.06	13	-0.00	13
1244	-417	-449	Max	16.87	317.44	27	-6.29	29	-0.72	29	25.48	27	2.60	27	-0.00	13
1244	-417	-449	Min.	2.51	106.63	28	-12.11	14	-0.05	27	4.92	28	-1.05	27	-0.01	27
1244	-417	-449	Min.	16.87	107.65	28	-12.11	14	-1.22	14	5.23	28	0.66	28	-0.01	27
1244	-449	-481	Max	2.51	381.69	27	-3.21	27	0.42	14	27.86	27	-0.03	13	0.00	13
1244	-449	-481	Max	16.87	382.71	27	-3.21	27	-0.49	29	27.89	27	3.13	27	0.00	13
1244	-449	-481	Min.	2.51	120.94	28	-9.51	14	-0.10	27	5.33	28	-0.88	27	-0.01	27

1244	-449	-481	Min.	16.87	121.96	28	-9.51	14	-0.94	14	5.64	28	0.74	28	-0.01	27
1244	-481	1296	Max	2.51	443.18	27	-17.49	28	0.33	14	14.11	27	0.17	14	0.00	28
1244	-481	1296	Max	14.38	444.03	27	-17.73	28	-1.81	28	14.13	27	1.63	27	0.00	28
1244	-481	1296	Min.	2.51	135.50	28	-32.54	27	0.17	29	1.15	13	-0.05	27	-0.01	27
1244	-481	1296	Min.	14.38	136.34	28	-32.54	27	-3.69	27	1.17	13	0.29	13	-0.01	27
1245	337	-9	Max	4.85	0.00	13	0.00	13	0.00	13	0.00	13	0.00	13	0.00	13
1245	337	-9	Min.	4.85	0.00	13	0.00	13	0.00	13	0.00	13	0.00	13	0.00	13
1245	-9	-41	Max	4.85	0.00	13	0.00	13	0.00	13	0.00	13	0.00	13	0.00	13
1245	-9	-41	Min.	4.85	0.00	13	0.00	13	0.00	13	0.00	13	0.00	13	0.00	13
1245	-41	-73	Max	5.01	-47.19	28	-1.11	28	2.34	27	3.33	27	0.94	14	-0.00	28
1245	-41	-73	Max	16.87	-46.35	28	-1.11	28	-0.13	28	3.35	27	0.05	28	-0.00	28
1245	-41	-73	Min.	5.01	-482.98	27	-21.45	27	0.00	28	-8.21	14	-0.66	27	-0.02	27
1245	-41	-73	Min.	16.87	-482.14	27	-21.45	27	-0.21	27	-8.19	14	-0.26	27	-0.02	27
1245	-73	-105	Max	2.51	-52.15	28	-1.22	28	2.02	27	-0.64	27	0.83	14	-0.00	28
1245	-73	-105	Max	16.87	-51.13	28	-1.22	28	-0.20	28	-0.62	27	-0.21	28	-0.00	28
1245	-73	-105	Min.	2.51	-481.66	27	-23.24	27	-0.02	28	-9.26	14	-0.19	27	-0.02	27
1245	-73	-105	Min.	16.87	-480.64	27	-23.24	27	-1.32	27	-9.24	14	-0.50	14	-0.02	27
1245	-105	-137	Max	2.51	-59.49	28	-1.43	28	1.70	27	-0.97	27	0.71	14	-0.00	28
1245	-105	-137	Max	16.87	-58.47	28	-1.43	28	-0.23	28	-0.94	27	-0.28	29	-0.00	28
1245	-105	-137	Min.	2.51	-481.49	27	-23.04	27	-0.03	28	-9.35	14	-0.21	27	-0.01	27
1245	-105	-137	Min.	16.87	-480.47	27	-23.04	27	-1.61	27	-9.33	14	-0.63	14	-0.01	27
1245	-137	-169	Max	2.51	-68.10	28	-1.64	28	1.58	27	-1.58	27	0.69	14	-0.00	13
1245	-137	-169	Max	16.87	-67.08	28	-1.64	28	-0.26	28	-1.56	27	-0.31	29	-0.00	13
1245	-137	-169	Min.	2.51	-482.59	27	-22.96	27	-0.02	28	-9.58	14	-0.18	27	-0.01	27
1245	-137	-169	Min.	16.87	-481.57	27	-22.96	27	-1.72	27	-9.56	14	-0.69	14	-0.01	27
1245	-169	-201	Max	2.51	-77.74	28	-1.87	28	1.51	27	-2.21	27	0.68	14	-0.00	13
1245	-169	-201	Max	16.87	-76.72	28	-1.87	28	-0.29	28	-2.19	27	-0.35	29	-0.00	13
1245	-169	-201	Min.	2.51	-485.06	27	-22.90	27	-0.02	28	-9.81	14	-0.15	27	-0.01	27
1245	-169	-201	Min.	16.87	-484.04	27	-22.90	27	-1.78	27	-9.79	14	-0.73	14	-0.01	27
1245	-201	-233	Max	2.51	-88.38	28	-2.10	28	1.45	27	-2.86	27	0.67	14	-0.00	13
1245	-201	-233	Max	16.87	-87.36	28	-2.10	28	-0.31	28	-2.84	27	-0.38	29	-0.00	13
1245	-201	-233	Min.	2.51	-488.98	27	-22.85	27	-0.01	28	-10.06	14	-0.12	27	-0.01	27
1245	-201	-233	Min.	16.87	-487.95	27	-22.85	27	-1.84	27	-10.03	14	-0.77	14	-0.01	27
1245	-233	-265	Max	2.51	-100.09	28	-2.34	28	1.38	27	-3.53	27	0.66	14	-0.00	13
1245	-233	-265	Max	16.87	-99.07	28	-2.34	28	-0.34	28	-3.50	27	-0.42	29	-0.00	13
1245	-233	-265	Min.	2.51	-494.44	27	-22.81	27	-0.01	28	-10.31	14	-0.09	27	-0.01	27
1245	-233	-265	Min.	16.87	-493.42	27	-22.81	27	-1.90	27	-10.29	14	-0.82	14	-0.01	27
1245	-265	-297	Max	2.51	-112.94	28	-2.58	28	1.31	27	-4.21	27	0.65	14	-0.00	13
1245	-265	-297	Max	16.87	-111.92	28	-2.58	28	-0.37	28	-4.19	27	-0.46	29	-0.00	13
1245	-265	-297	Min.	2.51	-501.58	27	-22.78	27	-0.00	28	-10.58	14	-0.07	27	-0.01	27
1245	-265	-297	Min.	16.87	-500.56	27	-22.78	27	-1.97	27	-10.56	14	-0.87	14	-0.01	27
1245	-297	-329	Max	2.51	-127.02	28	-2.83	28	1.23	27	-4.91	27	0.64	14	-0.00	13
1245	-297	-329	Max	16.87	-126.00	28	-2.83	28	-0.41	28	-4.89	27	-0.50	29	-0.00	13
1245	-297	-329	Min.	2.51	-510.50	27	-22.76	27	0.00	28	-10.86	14	-0.04	27	-0.01	27
1245	-297	-329	Min.	16.87	-509.48	27	-22.76	27	-2.04	27	-10.84	14	-0.92	14	-0.01	27
1245	-329	-361	Max	2.51	-142.40	28	-3.09	28	1.15	27	-5.28	29	0.62	14	-0.00	13
1245	-329	-361	Max	16.87	-141.38	28	-3.09	28	-0.44	28	-5.26	29	-0.54	29	-0.00	13
1245	-329	-361	Min.	2.51	-521.34	27	-22.76	27	0.00	28	-11.15	14	-0.02	27	-0.01	27
1245	-329	-361	Min.	16.87	-520.32	27	-22.76	27	-2.12	27	-11.13	14	-0.98	14	-0.01	27
1245	-361	-393	Max	2.51	-159.20	28	-3.37	28	1.06	27	-5.62	29	0.60	14	-0.00	13
1245	-361	-393	Max	16.87	-158.18	28	-3.37	28	-0.48	28	-5.60	29	-0.59	29	-0.00	13
1245	-361	-393	Min.	2.51	-534.26	27	-22.78	27	0.00	28	-11.45	14	-0.00	27	-0.01	27
1245	-361	-393	Min.	16.87	-533.24	27	-22.78	27	-2.21	27	-11.43	14	-1.04	14	-0.01	27
1245	-393	-425	Max	2.51	-177.52	28	-3.59	28	0.97	27	-6.07	29	0.58	14	-0.00	13
1245	-393	-425	Max	16.87	-176.50	28	-3.59	28	-0.52	28	-6.05	29	-0.66	29	-0.00	13
1245	-393	-425	Min.	2.51	-549.41	27	-22.67	27	-0.00	28	-11.89	14	0.01	27	-0.01	27
1245	-393	-425	Min.	16.87	-548.39	27	-22.67	27	-2.29	27	-11.86	14	-1.13	14	-0.01	27
1245	-425	-457	Max	2.51	-197.43	28	-4.26	28	0.86	27	-5.78	29	0.54	14	-0.00	13
1245	-425	-457	Max	16.87	-196.40	28	-4.26	28	-0.62	28	-5.75	29	-0.63	29	-0.00	13

1245	-425	-457	Min.	2.51	-566.96	27	-23.72	27	-0.02	13	-11.40	14	0.01	27	-0.01	27
1245	-425	-457	Min.	16.87	-565.94	27	-23.72	27	-2.55	27	-11.38	14	-1.10	14	-0.01	27
1245	-457	-489	Max	2.51	-218.58	28	-1.96	28	0.61	27	-10.72	29	0.51	14	-0.00	13
1245	-457	-489	Max	16.87	-217.56	28	-1.96	28	-0.33	28	-10.70	29	-1.33	29	-0.00	13
1245	-457	-489	Min.	2.51	-586.69	27	-16.90	27	-0.08	13	-17.38	14	0.08	27	-0.01	27
1245	-457	-489	Min.	16.87	-585.67	27	-16.90	27	-1.82	27	-17.36	14	-2.38	27	-0.01	27
1245	-489	1316	Max	2.51	-239.17	28	-17.42	28	0.55	27	36.80	27	-0.12	28	-0.00	29
1245	-489	1316	Max	14.38	-238.33	28	-17.42	28	-1.98	28	36.81	27	3.54	27	-0.00	29
1245	-489	1316	Min.	2.51	-608.56	27	-56.96	27	0.09	13	10.06	28	-0.83	27	-0.00	14
1245	-489	1316	Min.	14.38	-607.71	27	-56.96	27	-6.21	27	10.08	28	1.08	28	-0.00	14
1246	343	-13	Max	4.85	0.00	13	0.00	13	0.00	13	0.00	13	0.00	13	0.00	13
1246	343	-13	Min.	4.85	0.00	13	0.00	13	0.00	13	0.00	13	0.00	13	0.00	13
1246	-13	-45	Max	4.85	0.00	13	0.00	13	0.00	13	0.00	13	0.00	13	0.00	13
1246	-13	-45	Min.	4.85	0.00	13	0.00	13	0.00	13	0.00	13	0.00	13	0.00	13
1246	-45	-77	Max	5.01	-240.71	13	-9.66	28	4.53	27	-1.30	27	1.05	14	-0.01	28
1246	-45	-77	Max	16.87	-239.87	13	-9.66	28	-0.13	29	-1.28	27	-0.15	28	-0.01	28
1246	-45	-77	Min.	5.01	-840.71	27	-40.46	27	1.02	28	-10.80	14	-0.45	27	-0.03	27
1246	-45	-77	Min.	16.87	-839.87	27	-40.46	27	-0.27	27	-10.78	14	-0.60	27	-0.03	27
1246	-77	-109	Max	2.51	-253.62	13	-11.01	28	4.00	27	-4.84	29	1.04	14	-0.00	28
1246	-77	-109	Max	16.87	-252.60	13	-11.01	28	-0.66	28	-4.81	29	-0.47	29	-0.00	28
1246	-77	-109	Min.	2.51	-850.03	27	-44.49	27	0.92	28	-13.45	14	0.19	27	-0.01	27
1246	-77	-109	Min.	16.87	-849.01	27	-44.49	27	-2.39	27	-13.43	14	-0.95	27	-0.01	27
1246	-109	-141	Max	2.51	-270.98	13	-11.35	28	3.44	27	-4.90	29	0.86	14	0.00	14
1246	-109	-141	Max	16.87	-269.96	13	-11.35	28	-0.82	28	-4.88	29	-0.56	29	0.00	14
1246	-109	-141	Min.	2.51	-863.62	27	-44.60	27	0.81	28	-13.51	14	0.06	27	-0.00	27
1246	-109	-141	Min.	16.87	-862.60	27	-44.60	27	-2.97	27	-13.49	14	-1.12	27	-0.00	27
1246	-141	-173	Max	2.51	-290.14	13	-11.79	28	3.27	27	-5.21	29	0.82	14	0.00	14
1246	-141	-173	Max	16.87	-289.12	13	-11.79	28	-0.91	28	-5.19	29	-0.61	29	0.00	14
1246	-141	-173	Min.	2.51	-879.70	27	-45.01	27	0.79	28	-13.82	14	0.06	27	0.00	27
1246	-141	-173	Min.	16.87	-878.68	27	-45.01	27	-3.19	27	-13.80	14	-1.22	27	0.00	27
1246	-173	-205	Max	2.51	-310.52	13	-12.24	28	3.18	27	-5.54	29	0.80	14	0.00	14
1246	-173	-205	Max	16.87	-309.50	13	-12.24	28	-0.98	28	-5.52	29	-0.66	29	0.00	14
1246	-173	-205	Min.	2.51	-897.97	27	-45.43	27	0.78	28	-14.15	14	0.08	27	0.00	29
1246	-173	-205	Min.	16.87	-896.95	27	-45.43	27	-3.34	27	-14.13	14	-1.33	27	0.00	29
1246	-205	-237	Max	2.51	-332.05	13	-12.72	28	3.10	27	-5.87	29	0.78	14	0.00	14
1246	-205	-237	Max	16.87	-331.03	13	-12.72	28	-1.04	28	-5.84	29	-0.70	29	0.00	14
1246	-205	-237	Min.	2.51	-918.46	27	-45.93	27	0.78	28	-14.49	14	0.09	27	0.00	29
1246	-205	-237	Min.	16.87	-917.43	27	-45.93	27	-3.49	27	-14.47	14	-1.43	27	0.00	29
1246	-237	-269	Max	2.51	-352.54	28	-13.21	28	3.02	27	-6.22	29	0.76	14	0.00	14
1246	-237	-269	Max	16.87	-351.52	28	-13.21	28	-1.12	28	-6.20	29	-0.75	29	0.00	14
1246	-237	-269	Min.	2.51	-941.30	27	-46.43	27	0.78	28	-14.86	14	0.10	27	0.00	29
1246	-237	-269	Min.	16.87	-940.28	27	-46.43	27	-3.65	27	-14.83	14	-1.54	27	0.00	29
1246	-269	-301	Max	2.51	-374.21	28	-13.72	28	2.93	27	-6.57	29	0.74	14	0.00	14
1246	-269	-301	Max	16.87	-373.19	28	-13.72	28	-1.19	28	-6.55	29	-0.81	29	0.00	14
1246	-269	-301	Min.	2.51	-966.67	27	-46.98	27	0.78	28	-15.23	14	0.11	27	0.00	29
1246	-269	-301	Min.	16.87	-965.65	27	-46.98	27	-3.82	27	-15.21	14	-1.66	27	0.00	29
1246	-301	-333	Max	2.51	-397.54	28	-14.26	28	2.83	27	-6.94	29	0.71	14	0.00	14
1246	-301	-333	Max	16.87	-396.52	28	-14.26	28	-1.28	28	-6.91	29	-0.86	29	0.00	14
1246	-301	-333	Min.	2.51	-994.74	27	-47.60	27	0.77	28	-15.62	14	0.11	27	0.00	29
1246	-301	-333	Min.	16.87	-993.72	27	-47.60	27	-4.00	27	-15.60	14	-1.79	27	0.00	29
1246	-333	-365	Max	2.51	-422.66	28	-14.81	28	2.72	27	-7.33	29	0.68	14	0.00	14
1246	-333	-365	Max	16.87	-421.64	28	-14.81	28	-1.37	28	-7.30	29	-0.92	29	0.00	14
1246	-333	-365	Min.	2.51	-1025.72	27	-48.22	27	0.75	13	-16.04	14	0.11	27	0.00	27
1246	-333	-365	Min.	16.87	-1024.70	27	-48.22	27	-4.20	27	-16.02	14	-1.92	27	0.00	27
1246	-365	-397	Max	2.51	-449.70	28	-15.41	28	2.61	27	-7.69	29	0.65	14	0.00	14
1246	-365	-397	Max	16.87	-448.68	28	-15.41	28	-1.47	28	-7.67	29	-0.99	29	0.00	14
1246	-365	-397	Min.	2.51	-1059.82	27	-48.95	27	0.72	13	-16.44	14	0.10	27	0.00	27
1246	-365	-397	Min.	16.87	-1058.80	27	-48.95	27	-4.43	27	-16.42	14	-2.06	27	0.00	27
1246	-397	-429	Max	2.51	-478.80	28	-15.93	28	2.47	27	-8.27	29	0.61	14	0.00	14

1246	-397	-429	Max	16.87	-477.78	28	-15.93	28	-1.56	28	-8.25	29	-1.08	29	0.00	14
1246	-397	-429	Min.	2.51	-1097.28	27	-49.47	27	0.69	13	-17.11	14	0.09	27	0.00	27
1246	-397	-429	Min.	16.87	-1096.26	27	-49.47	27	-4.64	27	-17.09	14	-2.27	27	0.00	27
1246	-429	-461	Max	2.51	-510.10	28	-17.21	28	2.30	27	-7.43	29	0.55	14	0.00	14
1246	-429	-461	Max	16.87	-509.08	28	-17.21	28	-1.78	28	-7.41	29	-0.98	29	0.00	14
1246	-429	-461	Min.	2.51	-1138.40	27	-51.95	27	0.64	13	-15.97	14	0.05	27	0.00	29
1246	-429	-461	Min.	16.87	-1137.38	27	-51.95	27	-5.16	27	-15.95	14	-2.07	27	0.00	29
1246	-461	-493	Max	2.51	-540.61	29	-12.84	13	1.84	27	-16.67	29	0.53	14	0.01	27
1246	-461	-493	Max	16.87	-539.59	29	-12.84	13	-1.35	13	-16.64	29	-2.28	29	0.01	27
1246	-461	-493	Min.	2.51	-1182.59	27	-40.94	27	0.49	13	-34.81	27	0.11	29	0.01	29
1246	-461	-493	Min.	16.87	-1181.57	27	-40.94	27	-4.04	27	-34.78	27	-4.87	27	0.01	29
1246	-493	1322	Max	2.51	-562.50	29	-40.82	28	1.38	27	72.89	27	-0.61	28	0.02	27
1246	-493	1322	Max	14.38	-561.66	29	-40.82	28	-4.37	28	72.91	27	6.95	27	0.02	27
1246	-493	1322	Min.	2.51	-1229.87	27	-111.07	27	0.45	13	29.56	13	-1.70	27	0.01	13
1246	-493	1322	Min.	14.38	-1229.03	27	-111.07	27	-11.80	27	29.58	13	2.87	13	0.01	13
1247	346	-15	Max	4.85	0.00	13	0.00	13	0.00	13	0.00	13	0.00	13	0.00	13
1247	346	-15	Min.	4.85	0.00	13	0.00	13	0.00	13	0.00	13	0.00	13	0.00	13
1247	-15	-47	Max	4.85	0.00	13	0.00	13	0.00	13	0.00	13	0.00	13	0.00	13
1247	-15	-47	Min.	4.85	0.00	13	0.00	13	0.00	13	0.00	13	0.00	13	0.00	13
1247	-47	-79	Max	5.01	-246.39	13	-4.35	28	3.14	27	8.81	27	0.18	14	-0.00	28
1247	-47	-79	Max	16.87	-245.54	13	-4.35	28	0.01	28	8.83	27	-0.13	28	-0.00	28
1247	-47	-79	Min.	5.01	-747.61	27	-26.72	27	0.53	28	-3.33	14	-1.56	27	-0.02	27
1247	-47	-79	Min.	16.87	-746.77	27	-26.72	27	-0.07	14	-3.31	14	-0.51	27	-0.02	27
1247	-79	-111	Max	2.51	-250.17	13	-5.66	28	2.87	27	3.52	27	0.30	14	0.00	28
1247	-79	-111	Max	16.87	-249.15	13	-5.66	28	-0.25	28	3.54	27	-0.20	29	0.00	28
1247	-79	-111	Min.	2.51	-740.39	27	-30.09	27	0.56	28	-5.48	14	-0.82	27	-0.01	27
1247	-79	-111	Min.	16.87	-739.37	27	-30.09	27	-1.45	27	-5.46	14	-0.48	14	-0.01	27
1247	-111	-143	Max	2.51	-251.73	28	-5.92	28	2.48	27	3.38	27	0.21	14	0.00	14
1247	-111	-143	Max	16.87	-250.71	28	-5.92	28	-0.34	28	3.40	27	-0.21	29	0.00	14
1247	-111	-143	Min.	2.51	-732.55	27	-30.00	27	0.51	28	-5.41	14	-0.80	27	0.00	27
1247	-111	-143	Min.	16.87	-731.52	27	-30.00	27	-1.83	27	-5.39	14	-0.56	14	0.00	27
1247	-143	-175	Max	2.51	-253.31	28	-6.24	28	2.36	27	2.87	27	0.19	14	0.00	14
1247	-143	-175	Max	16.87	-252.29	28	-6.24	28	-0.39	28	2.89	27	-0.23	29	0.00	14
1247	-143	-175	Min.	2.51	-725.27	27	-30.07	27	0.50	28	-5.55	14	-0.77	27	0.00	29
1247	-143	-175	Min.	16.87	-724.25	27	-30.07	27	-1.96	27	-5.53	14	-0.60	14	0.00	29
1247	-175	-207	Max	2.51	-255.52	28	-6.56	28	2.29	27	2.32	27	0.18	14	0.00	27
1247	-175	-207	Max	16.87	-254.50	28	-6.56	28	-0.43	28	2.35	27	-0.25	29	0.00	27
1247	-175	-207	Min.	2.51	-718.90	27	-30.16	27	0.51	28	-5.70	14	-0.74	27	0.00	29
1247	-175	-207	Min.	16.87	-717.88	27	-30.16	27	-2.05	27	-5.67	14	-0.64	14	0.00	29
1247	-207	-239	Max	2.51	-258.38	28	-6.91	28	2.23	27	1.79	27	0.17	14	0.00	27
1247	-207	-239	Max	16.87	-257.36	28	-6.91	28	-0.47	28	1.81	27	-0.28	29	0.00	27
1247	-207	-239	Min.	2.51	-713.56	27	-30.28	27	0.52	28	-5.84	14	-0.71	27	0.00	29
1247	-207	-239	Min.	16.87	-712.54	27	-30.28	27	-2.12	27	-5.82	14	-0.67	14	0.00	29
1247	-239	-271	Max	2.51	-261.93	28	-7.27	28	2.17	27	1.26	27	0.16	14	0.00	27
1247	-239	-271	Max	16.87	-260.91	28	-7.27	28	-0.52	28	1.28	27	-0.30	29	0.00	27
1247	-239	-271	Min.	2.51	-709.31	27	-30.44	27	0.53	28	-5.98	14	-0.69	27	0.00	29
1247	-239	-271	Min.	16.87	-708.28	27	-30.44	27	-2.21	27	-5.95	14	-0.70	14	0.00	29
1247	-271	-303	Max	2.51	-266.21	28	-7.63	28	2.10	27	0.68	27	0.15	14	0.00	27
1247	-271	-303	Max	16.87	-265.19	28	-7.63	28	-0.56	28	0.70	27	-0.33	29	0.00	27
1247	-271	-303	Min.	2.51	-706.24	27	-30.58	27	0.53	28	-6.15	14	-0.67	27	0.00	29
1247	-271	-303	Min.	16.87	-705.22	27	-30.58	27	-2.29	27	-6.12	14	-0.73	14	0.00	29
1247	-303	-335	Max	2.51	-271.28	28	-8.03	28	2.03	27	0.12	27	0.13	14	0.00	27
1247	-303	-335	Max	16.87	-270.26	28	-8.03	28	-0.61	28	0.15	27	-0.35	29	0.00	27
1247	-303	-335	Min.	2.51	-704.44	27	-30.79	27	0.54	28	-6.30	14	-0.65	27	0.00	29
1247	-303	-335	Min.	16.87	-703.42	27	-30.79	27	-2.39	27	-6.27	14	-0.77	14	0.00	29
1247	-335	-367	Max	2.51	-277.19	28	-8.42	28	1.96	27	-0.46	27	0.12	14	0.00	27
1247	-335	-367	Max	16.87	-276.17	28	-8.42	28	-0.67	28	-0.44	27	-0.38	29	0.00	27
1247	-335	-367	Min.	2.51	-704.00	27	-31.00	27	0.54	28	-6.47	14	-0.63	27	0.00	29
1247	-335	-367	Min.	16.87	-702.98	27	-31.00	27	-2.50	27	-6.44	14	-0.81	14	0.00	29

1247	-367	-399	Max	2.51	-284.01	28	-8.83	28	1.87	27	-1.06	27	0.10	14	0.00	14
1247	-367	-399	Max	16.87	-282.99	28	-8.83	28	-0.72	28	-1.04	27	-0.41	29	0.00	14
1247	-367	-399	Min.	2.51	-705.05	27	-31.22	27	0.55	28	-6.64	14	-0.61	27	0.00	29
1247	-367	-399	Min.	16.87	-704.03	27	-31.22	27	-2.61	27	-6.62	14	-0.85	14	0.00	29
1247	-399	-431	Max	2.51	-291.82	28	-9.23	28	1.78	27	-1.43	29	0.08	14	0.00	14
1247	-399	-431	Max	16.87	-290.80	28	-9.23	28	-0.78	28	-1.41	29	-0.46	29	0.00	14
1247	-399	-431	Min.	2.51	-707.71	27	-31.37	27	0.54	28	-6.96	14	-0.59	27	0.00	29
1247	-399	-431	Min.	16.87	-706.69	27	-31.37	27	-2.73	27	-6.94	14	-0.92	14	0.00	29
1247	-431	-463	Max	2.51	-300.68	28	-9.92	28	1.67	27	-0.87	29	0.05	14	0.00	27
1247	-431	-463	Max	16.87	-299.66	28	-9.92	28	-0.89	28	-0.85	29	-0.38	29	0.00	27
1247	-431	-463	Min.	2.51	-712.12	27	-32.50	27	0.52	13	-6.18	14	-0.59	27	0.00	29
1247	-431	-463	Min.	16.87	-711.10	27	-32.50	27	-3.00	27	-6.15	14	-0.84	14	0.00	29
1247	-463	-495	Max	2.51	-310.41	28	-8.77	28	1.38	27	-6.48	29	0.06	14	0.01	27
1247	-463	-495	Max	16.87	-309.39	28	-8.77	28	-0.79	28	-6.45	29	-1.14	29	0.01	27
1247	-463	-495	Min.	2.51	-718.27	27	-27.27	27	0.43	13	-12.98	14	-0.48	27	0.00	29
1247	-463	-495	Min.	16.87	-717.25	27	-27.27	27	-2.54	27	-12.96	14	-2.26	27	0.00	29
1247	-495	1325	Max	2.51	-321.10	28	-18.75	28	0.90	27	48.74	27	-0.44	28	0.02	27
1247	-495	1325	Max	14.38	-320.26	28	-18.75	28	-1.91	28	48.76	27	4.53	27	0.02	27
1247	-495	1325	Min.	2.51	-728.51	27	-59.86	27	0.31	28	19.62	28	-1.26	27	0.01	13
1247	-495	1325	Min.	14.38	-727.67	27	-59.86	27	-6.21	27	19.64	28	1.89	28	0.01	13
1272	373	-25	Max	4.85	0.00	13	0.00	13	0.00	13	0.00	13	0.00	13	0.00	13
1272	373	-25	Min.	4.85	0.00	13	0.00	13	0.00	13	0.00	13	0.00	13	0.00	13
1272	-25	-57	Max	4.85	0.00	13	0.00	13	0.00	13	0.00	13	0.00	13	0.00	13
1272	-25	-57	Min.	4.85	0.00	13	0.00	13	0.00	13	0.00	13	0.00	13	0.00	13
1272	-57	-89	Max	5.01	30.12	28	10.69	28	0.16	27	28.41	27	-0.39	13	0.01	28
1272	-57	-89	Max	16.87	30.96	28	10.69	28	0.19	27	28.43	27	0.27	28	0.01	28
1272	-57	-89	Min.	5.01	-342.78	27	0.24	27	-1.18	28	5.03	13	-3.18	27	0.00	29
1272	-57	-89	Min.	16.87	-341.94	27	0.24	27	0.02	13	5.04	13	0.15	29	0.00	29
1272	-89	-121	Max	2.51	43.14	28	10.71	28	0.39	27	24.98	27	-0.21	13	0.01	27
1272	-89	-121	Max	16.87	44.16	28	10.71	28	0.62	28	25.00	27	1.46	27	0.01	27
1272	-89	-121	Min.	2.51	-304.82	27	-1.40	27	-0.92	28	4.37	13	-2.13	27	0.00	29
1272	-89	-121	Min.	16.87	-303.80	27	-1.40	27	0.19	27	4.39	13	0.42	13	0.00	29
1272	-121	-153	Max	2.51	59.20	28	10.72	28	0.33	27	25.11	27	-0.17	13	0.01	27
1272	-121	-153	Max	16.87	60.22	28	10.72	28	0.76	28	25.13	27	1.76	27	0.01	27
1272	-121	-153	Min.	2.51	-256.91	27	-0.82	27	-0.78	28	4.51	13	-1.85	27	0.00	13
1272	-121	-153	Min.	16.87	-255.89	27	-0.82	27	0.22	27	4.53	13	0.48	13	0.00	13
1272	-153	-185	Max	2.51	76.12	28	10.77	28	0.30	27	25.08	27	-0.15	13	0.01	27
1272	-153	-185	Max	16.87	77.14	28	10.77	28	0.81	28	25.10	27	1.87	27	0.01	27
1272	-153	-185	Min.	2.51	-205.96	27	-0.24	27	-0.74	28	4.58	13	-1.73	27	0.00	13
1272	-153	-185	Min.	16.87	-204.94	27	-0.24	27	0.27	27	4.61	13	0.51	13	0.00	13
1272	-185	-217	Max	2.51	93.42	28	10.82	28	0.28	27	25.04	27	-0.14	13	0.01	27
1272	-185	-217	Max	16.87	94.44	28	10.82	28	0.85	28	25.06	27	1.94	27	0.01	27
1272	-185	-217	Min.	2.51	-153.49	27	0.32	27	-0.71	28	4.67	13	-1.66	27	0.00	13
1272	-185	-217	Min.	16.87	-152.47	27	0.32	27	0.31	29	4.70	13	0.53	13	0.00	13
1272	-217	-249	Max	2.51	111.03	28	10.88	28	0.25	27	25.03	27	-0.13	13	0.01	27
1272	-217	-249	Max	16.87	112.06	28	10.88	28	0.88	28	25.06	27	2.00	27	0.01	27
1272	-217	-249	Min.	2.51	-99.79	27	0.92	27	-0.68	28	4.77	13	-1.60	27	0.00	13
1272	-217	-249	Min.	16.87	-98.77	27	0.92	27	0.34	29	4.79	13	0.56	13	0.00	13
1272	-249	-281	Max	2.51	128.94	28	10.96	28	0.23	27	25.04	27	-0.12	13	0.01	27
1272	-249	-281	Max	16.87	129.96	28	10.96	28	0.92	28	25.07	27	2.06	27	0.01	27
1272	-249	-281	Min.	2.51	-44.86	27	1.53	27	-0.66	28	4.87	13	-1.54	27	0.00	13
1272	-249	-281	Min.	16.87	-43.84	27	1.53	27	0.37	29	4.89	13	0.58	13	0.00	13
1272	-281	-313	Max	2.51	147.18	28	11.04	28	0.21	27	25.06	27	-0.11	13	0.01	27
1272	-281	-313	Max	16.87	148.20	28	11.04	28	0.95	28	25.09	27	2.13	27	0.01	27
1272	-281	-313	Min.	2.51	11.39	27	2.15	27	-0.63	28	4.98	13	-1.47	27	0.00	13
1272	-281	-313	Min.	16.87	12.41	27	2.15	27	0.41	29	5.00	13	0.61	13	0.00	13
1272	-313	-345	Max	2.51	165.75	28	11.12	28	0.19	27	25.09	27	-0.10	13	0.01	27
1272	-313	-345	Max	16.87	166.77	28	11.12	28	1.00	28	25.11	27	2.21	27	0.01	27
1272	-313	-345	Min.	2.51	59.56	29	2.77	27	-0.60	28	5.08	13	-1.40	27	0.00	13

1272	-313	-345	Min.	16.87	60.58	29	2.77	27	0.45	29	5.10	13	0.64	13	0.00	13
1272	-345	-377	Max	2.51	184.68	28	11.22	28	0.17	27	25.15	27	-0.08	13	0.01	27
1272	-345	-377	Max	16.87	185.70	28	11.22	28	1.04	28	25.17	27	2.30	27	0.01	27
1272	-345	-377	Min.	2.51	82.75	29	3.43	27	-0.58	14	5.20	13	-1.32	27	0.00	13
1272	-345	-377	Min.	16.87	83.77	29	3.43	27	0.49	29	5.23	13	0.67	13	0.00	13
1272	-377	-409	Max	2.51	204.01	28	11.34	28	0.16	27	25.21	27	-0.07	13	0.01	27
1272	-377	-409	Max	16.87	205.03	28	11.34	28	1.09	28	25.23	27	2.39	27	0.01	27
1272	-377	-409	Min.	2.51	106.56	29	4.12	27	-0.56	14	5.32	13	-1.24	27	0.00	13
1272	-377	-409	Min.	16.87	107.58	29	4.12	27	0.54	29	5.35	13	0.70	13	0.00	13
1272	-409	-441	Max	2.51	251.41	27	11.38	28	0.15	27	25.34	27	-0.05	13	0.01	27
1272	-409	-441	Max	16.87	252.43	27	11.38	28	1.14	28	25.36	27	2.50	27	0.01	27
1272	-409	-441	Min.	2.51	131.04	29	4.71	27	-0.53	14	5.47	13	-1.15	27	0.00	13
1272	-409	-441	Min.	16.87	132.06	29	4.71	27	0.58	29	5.50	13	0.74	13	0.00	13
1272	-441	-473	Max	2.51	315.63	27	12.01	28	0.14	27	25.13	27	-0.03	13	0.01	27
1272	-441	-473	Max	16.87	316.65	27	12.01	28	1.27	28	25.16	27	2.58	27	0.01	27
1272	-441	-473	Min.	2.51	156.20	29	5.83	29	-0.50	14	5.48	13	-1.03	27	0.00	13
1272	-441	-473	Min.	16.87	157.22	29	5.83	29	0.69	29	5.50	13	0.76	13	0.00	13
1272	-473	-505	Max	2.51	380.91	27	9.17	14	0.20	27	27.46	27	0.01	28	0.01	27
1272	-473	-505	Max	16.87	381.93	27	9.17	14	0.92	28	27.48	27	3.08	27	0.01	27
1272	-473	-505	Min.	2.51	181.82	29	1.90	27	-0.40	14	6.60	13	-0.86	27	0.00	28
1272	-473	-505	Min.	16.87	182.84	29	1.90	27	0.45	29	6.62	13	0.95	13	0.00	28
1272	-505	1348	Max	2.51	442.07	27	31.91	27	-0.10	27	13.94	27	0.30	28	0.01	27
1272	-505	1348	Max	14.38	442.91	27	31.91	27	3.69	27	13.96	27	1.64	27	0.01	27
1272	-505	1348	Min.	2.51	200.72	13	17.68	29	-0.31	14	-2.68	28	-0.02	27	-0.00	13
1272	-505	1348	Min.	14.38	201.57	13	17.68	29	1.95	29	-2.66	28	-0.02	28	-0.00	13
1273	379	-29	Max	4.85	0.00	13	0.00	13	0.00	13	0.00	13	0.00	13	0.00	13
1273	379	-29	Min.	4.85	0.00	13	0.00	13	0.00	13	0.00	13	0.00	13	0.00	13
1273	-29	-61	Max	4.85	0.00	13	0.00	13	0.00	13	0.00	13	0.00	13	0.00	13
1273	-29	-61	Min.	4.85	0.00	13	0.00	13	0.00	13	0.00	13	0.00	13	0.00	13
1273	-61	-93	Max	5.01	-169.19	28	14.68	28	-0.51	29	50.15	27	-1.57	13	0.01	28
1273	-61	-93	Max	16.87	-168.34	28	14.68	28	0.51	27	50.17	27	0.22	28	0.01	28
1273	-61	-93	Min.	5.01	-728.95	27	6.13	29	-1.50	28	14.57	13	-5.77	27	0.00	29
1273	-61	-93	Min.	16.87	-728.11	27	6.13	29	0.18	13	14.58	13	0.10	29	0.00	29
1273	-93	-125	Max	2.51	-144.19	28	13.82	28	-0.09	27	44.26	27	-1.02	13	0.00	27
1273	-93	-125	Max	16.87	-143.17	28	13.82	28	0.96	27	44.28	27	2.42	27	0.00	27
1273	-93	-125	Min.	2.51	-663.02	27	4.69	29	-1.04	14	12.61	13	-3.94	27	0.00	29
1273	-93	-125	Min.	16.87	-662.00	27	4.69	29	0.49	29	12.64	13	0.80	13	0.00	29
1273	-125	-157	Max	2.51	-112.63	28	13.96	14	-0.05	27	44.92	27	-0.90	13	0.00	27
1273	-125	-157	Max	16.87	-111.61	28	13.96	14	1.13	28	44.94	27	2.99	27	0.00	27
1273	-125	-157	Min.	2.51	-578.94	27	5.00	29	-0.89	14	13.00	13	-3.47	27	0.00	28
1273	-125	-157	Min.	16.87	-577.92	27	5.00	29	0.57	29	13.02	13	0.97	13	0.00	28
1273	-157	-189	Max	2.51	-78.81	28	14.27	14	-0.06	27	45.36	27	-0.86	13	0.00	27
1273	-157	-189	Max	16.87	-77.79	28	14.27	14	1.22	27	45.39	27	3.22	27	0.00	27
1273	-157	-189	Min.	2.51	-488.55	27	5.31	29	-0.85	14	13.27	13	-3.30	27	-0.00	28
1273	-157	-189	Min.	16.87	-487.53	27	5.31	29	0.62	29	13.30	13	1.05	13	-0.00	28
1273	-189	-221	Max	2.51	-43.67	28	14.58	14	-0.07	27	45.76	27	-0.84	13	0.00	27
1273	-189	-221	Max	16.87	-42.65	28	14.58	14	1.32	27	45.78	27	3.37	27	0.00	27
1273	-189	-221	Min.	2.51	-394.48	27	5.61	29	-0.83	14	13.55	13	-3.21	27	-0.00	28
1273	-189	-221	Min.	16.87	-393.45	27	5.61	29	0.66	29	13.58	13	1.11	13	-0.00	28
1273	-221	-253	Max	2.51	-7.36	28	14.92	14	-0.08	27	46.27	27	-0.83	13	0.00	27
1273	-221	-253	Max	16.87	-6.33	28	14.92	14	1.42	27	46.29	27	3.52	27	0.00	27
1273	-221	-253	Min.	2.51	-297.12	27	5.93	29	-0.81	14	13.86	13	-3.13	27	-0.00	28
1273	-221	-253	Min.	16.87	-296.10	27	5.93	29	0.71	29	13.89	13	1.17	13	-0.00	28
1273	-253	-285	Max	2.51	30.17	28	15.28	14	-0.09	27	46.78	27	-0.81	13	0.00	27
1273	-253	-285	Max	16.87	31.19	28	15.28	14	1.53	27	46.81	27	3.67	27	0.00	27
1273	-253	-285	Min.	2.51	-196.42	27	6.27	29	-0.79	14	14.19	13	-3.05	27	-0.00	28
1273	-253	-285	Min.	16.87	-195.40	27	6.27	29	0.76	29	14.21	13	1.23	13	-0.00	28
1273	-285	-317	Max	2.51	68.99	28	15.65	14	-0.09	27	47.35	27	-0.79	13	0.00	27
1273	-285	-317	Max	16.87	70.01	28	15.65	14	1.65	27	47.37	27	3.84	27	0.00	27

1273	-285	-317	Min.	2.51	-92.14	27	6.62	29	-0.77	14	14.53	13	-2.96	27	-0.00	14
1273	-285	-317	Min.	16.87	-91.12	27	6.62	29	0.81	29	14.55	13	1.30	13	-0.00	14
1273	-317	-349	Max	2.51	109.20	28	16.03	14	-0.09	27	47.94	27	-0.77	13	0.00	27
1273	-317	-349	Max	16.87	110.22	28	16.03	14	1.77	27	47.96	27	4.03	27	0.00	27
1273	-317	-349	Min.	2.51	-2.83	29	6.96	29	-0.74	14	14.88	13	-2.86	27	-0.00	14
1273	-317	-349	Min.	16.87	-1.81	29	6.96	29	0.87	29	14.90	13	1.37	13	-0.00	14
1273	-349	-381	Max	2.51	150.88	28	16.44	14	-0.09	27	48.60	27	-0.74	13	0.00	27
1273	-349	-381	Max	16.87	151.90	28	16.44	14	1.90	27	48.63	27	4.23	27	0.00	27
1273	-349	-381	Min.	2.51	45.53	29	7.34	29	-0.71	14	15.26	13	-2.76	27	-0.00	14
1273	-349	-381	Min.	16.87	46.55	29	7.34	29	0.93	29	15.28	13	1.45	13	-0.00	14
1273	-381	-413	Max	2.51	244.83	27	16.88	14	-0.08	27	49.28	27	-0.71	13	0.00	27
1273	-381	-413	Max	16.87	245.85	27	16.88	14	2.05	27	49.31	27	4.45	27	0.00	27
1273	-381	-413	Min.	2.51	95.84	29	7.73	29	-0.68	14	15.64	13	-2.64	27	-0.00	14
1273	-381	-413	Min.	16.87	96.86	29	7.73	29	0.99	29	15.67	13	1.54	13	-0.00	14
1273	-413	-445	Max	2.51	366.20	27	17.22	14	-0.06	27	50.09	27	-0.68	13	0.00	27
1273	-413	-445	Max	16.87	367.22	27	17.22	14	2.18	27	50.11	27	4.70	27	0.00	27
1273	-413	-445	Min.	2.51	148.24	29	8.04	29	-0.64	14	16.07	13	-2.50	27	-0.00	14
1273	-413	-445	Min.	16.87	149.26	29	8.04	29	1.05	29	16.10	13	1.63	13	-0.00	14
1273	-445	-477	Max	2.51	492.41	27	18.58	14	-0.04	27	50.48	27	-0.63	13	0.00	27
1273	-445	-477	Max	16.87	493.43	27	18.58	14	2.57	27	50.51	27	4.93	27	0.00	27
1273	-445	-477	Min.	2.51	202.79	29	9.13	29	-0.59	14	16.41	13	-2.32	27	-0.00	14
1273	-445	-477	Min.	16.87	203.81	29	9.13	29	1.22	29	16.44	13	1.73	13	-0.00	14
1273	-477	-509	Max	2.51	622.09	27	12.95	14	0.12	27	54.38	27	-0.53	28	-0.00	29
1273	-477	-509	Max	16.87	623.11	27	12.95	14	1.43	14	54.40	27	5.81	27	-0.00	29
1273	-477	-509	Min.	2.51	247.88	13	4.92	29	-0.43	14	17.64	13	-2.00	27	-0.01	14
1273	-477	-509	Min.	16.87	248.90	13	4.92	29	0.70	29	17.66	13	2.00	13	-0.01	14
1273	-509	1354	Max	2.51	743.70	27	70.61	27	-0.19	29	35.86	27	0.09	28	0.00	27
1273	-509	1354	Max	14.38	744.54	27	70.61	27	8.03	27	35.88	27	3.90	27	0.00	27
1273	-509	1354	Min.	2.51	289.99	13	32.56	29	-0.45	14	8.56	28	-0.36	27	-0.01	14
1273	-509	1354	Min.	14.38	290.84	13	32.56	29	3.68	29	8.57	28	1.11	28	-0.01	14
1274	349	-17	Max	4.85	0.00	13	0.00	13	0.00	13	0.00	13	0.00	13	0.00	13
1274	349	-17	Min.	4.85	0.00	13	0.00	13	0.00	13	0.00	13	0.00	13	0.00	13
1274	-17	-49	Max	4.85	0.00	13	0.00	13	0.00	13	0.00	13	0.00	13	0.00	13
1274	-17	-49	Min.	4.85	0.00	13	0.00	13	0.00	13	0.00	13	0.00	13	0.00	13
1274	-49	-81	Max	5.01	-48.78	13	21.38	27	-0.29	13	2.73	27	1.16	28	0.02	27
1274	-49	-81	Max	16.87	-47.94	13	21.38	27	0.26	28	2.75	27	-0.02	13	0.02	27
1274	-49	-81	Min.	5.01	-483.51	27	4.06	13	-2.33	27	-10.66	28	-0.63	27	0.00	13
1274	-49	-81	Min.	16.87	-482.67	27	4.06	13	0.14	29	-10.41	28	-0.30	27	0.00	13
1274	-81	-113	Max	2.51	-57.73	13	23.21	27	-0.19	13	-1.38	27	0.98	28	0.02	27
1274	-81	-113	Max	16.87	-56.71	13	23.21	27	1.32	27	-1.36	27	-0.24	29	0.02	27
1274	-81	-113	Min.	2.51	-482.17	27	4.04	13	-2.01	27	-11.47	28	-0.14	27	0.00	13
1274	-81	-113	Min.	16.87	-481.15	27	4.04	13	0.39	13	-11.16	28	-0.65	28	0.00	13
1274	-113	-145	Max	2.51	-69.97	13	23.02	27	-0.14	13	-1.82	27	0.83	28	0.01	27
1274	-113	-145	Max	16.87	-68.95	13	23.02	27	1.61	27	-1.79	27	-0.30	29	0.01	27
1274	-113	-145	Min.	2.51	-482.00	27	4.16	13	-1.69	27	-11.46	28	-0.15	27	0.00	13
1274	-113	-145	Min.	16.87	-480.98	27	4.16	13	0.45	13	-11.15	28	-0.80	28	0.00	13
1274	-145	-177	Max	2.51	-83.56	13	22.98	27	-0.13	13	-2.48	27	0.78	28	0.01	27
1274	-145	-177	Max	16.87	-82.54	13	22.98	27	1.72	27	-2.45	27	-0.34	29	0.01	27
1274	-145	-177	Min.	2.51	-483.11	27	4.26	13	-1.58	27	-11.54	28	-0.11	27	0.00	13
1274	-145	-177	Min.	16.87	-482.08	27	4.26	13	0.48	13	-11.23	28	-0.85	28	0.00	13
1274	-177	-209	Max	2.51	-98.07	13	22.93	27	-0.12	13	-3.11	27	0.76	28	0.01	27
1274	-177	-209	Max	16.87	-97.05	13	22.93	27	1.78	27	-3.09	27	-0.37	29	0.01	27
1274	-177	-209	Min.	2.51	-485.57	27	4.36	13	-1.51	27	-11.62	28	-0.08	27	0.00	13
1274	-177	-209	Min.	16.87	-484.55	27	4.36	13	0.51	13	-11.31	28	-0.89	28	0.00	13
1274	-209	-241	Max	2.51	-113.43	13	22.90	27	-0.11	13	-3.78	27	0.74	28	0.01	27
1274	-209	-241	Max	16.87	-112.41	13	22.90	27	1.84	27	-3.76	27	-0.41	29	0.01	27
1274	-209	-241	Min.	2.51	-489.49	27	4.46	13	-1.45	27	-11.71	28	-0.05	27	0.00	13
1274	-209	-241	Min.	16.87	-488.47	27	4.46	13	0.53	13	-11.40	28	-0.93	28	0.00	13
1274	-241	-273	Max	2.51	-129.67	13	22.90	27	-0.10	13	-4.48	27	0.71	28	0.01	27

1274	-241	-273	Max	16.87	-128.65	13	22.90	27	1.91	27	-4.45	27	-0.44	29	0.01	27
1274	-241	-273	Min.	2.51	-494.95	27	4.58	13	-1.38	27	-11.82	28	-0.02	27	0.00	13
1274	-241	-273	Min.	16.87	-493.94	27	4.58	13	0.56	13	-11.51	28	-0.96	28	0.00	13
1274	-273	-305	Max	2.51	-146.86	13	22.91	27	-0.09	13	-4.98	29	0.69	28	0.01	27
1274	-273	-305	Max	16.87	-145.84	13	22.91	27	1.98	27	-4.96	29	-0.48	29	0.01	27
1274	-273	-305	Min.	2.51	-502.10	27	4.69	13	-1.32	27	-11.93	28	0.00	27	0.00	13
1274	-273	-305	Min.	16.87	-501.08	27	4.69	13	0.59	13	-11.62	28	-1.00	28	0.00	13
1274	-305	-337	Max	2.51	-165.06	13	22.91	27	-0.08	13	-5.31	29	0.66	28	0.01	27
1274	-305	-337	Max	16.87	-164.04	13	22.91	27	2.05	27	-5.28	29	-0.53	29	0.01	27
1274	-305	-337	Min.	2.51	-511.02	27	4.81	13	-1.24	27	-12.04	28	0.03	27	0.00	13
1274	-305	-337	Min.	16.87	-510.00	27	4.81	13	0.61	13	-11.73	28	-1.05	28	0.00	13
1274	-337	-369	Max	2.51	-184.34	13	22.95	27	-0.06	13	-5.66	29	0.64	14	0.01	27
1274	-337	-369	Max	16.87	-183.32	13	22.95	27	2.13	27	-5.64	29	-0.57	29	0.01	27
1274	-337	-369	Min.	2.51	-521.87	27	4.95	13	-1.16	27	-12.17	28	0.05	27	0.00	13
1274	-337	-369	Min.	16.87	-520.85	27	4.95	13	0.65	13	-11.87	28	-1.10	28	0.00	13
1274	-369	-401	Max	2.51	-204.79	13	23.01	27	-0.05	13	-6.00	29	0.62	14	0.01	27
1274	-369	-401	Max	16.87	-203.77	13	23.01	27	2.23	27	-5.97	29	-0.62	29	0.01	27
1274	-369	-401	Min.	2.51	-534.79	27	5.09	13	-1.08	27	-12.29	28	0.07	27	0.00	13
1274	-369	-401	Min.	16.87	-533.77	27	5.09	13	0.68	13	-11.99	28	-1.15	28	0.00	13
1274	-401	-433	Max	2.51	-226.48	13	22.95	27	-0.03	13	-6.47	29	0.60	14	0.01	27
1274	-401	-433	Max	16.87	-225.46	13	22.95	27	2.31	27	-6.44	29	-0.69	29	0.01	27
1274	-401	-433	Min.	2.51	-549.94	27	5.17	13	-0.99	27	-12.56	28	0.09	27	0.00	13
1274	-401	-433	Min.	16.87	-548.92	27	5.17	13	0.71	13	-12.26	28	-1.22	28	0.00	13
1274	-433	-465	Max	2.51	-249.48	13	24.02	27	-0.02	13	-6.17	29	0.56	14	0.01	27
1274	-433	-465	Max	16.87	-248.46	13	24.02	27	2.57	27	-6.15	29	-0.65	29	0.01	27
1274	-433	-465	Min.	2.51	-567.50	27	5.79	13	-0.88	27	-11.91	28	0.09	27	0.00	13
1274	-433	-465	Min.	16.87	-566.48	27	5.79	13	0.82	13	-11.68	14	-1.18	28	0.00	13
1274	-465	-497	Max	2.51	-273.30	29	17.29	27	0.06	28	-11.15	29	0.53	14	0.01	27
1274	-465	-497	Max	16.87	-272.28	29	17.29	27	1.83	27	-11.13	29	-1.36	29	0.01	27
1274	-465	-497	Min.	2.51	-587.07	27	2.74	13	-0.66	27	-18.26	27	0.14	27	0.00	28
1274	-465	-497	Min.	16.87	-586.04	27	2.74	13	0.43	13	-18.24	27	-2.48	27	0.00	28
1274	-497	1328	Max	2.51	-288.35	29	57.05	27	-0.11	13	36.28	27	-0.18	13	0.00	14
1274	-497	1328	Max	14.38	-287.51	29	57.05	27	6.21	27	36.30	27	3.55	27	0.00	14
1274	-497	1328	Min.	2.51	-609.27	27	21.41	13	-0.56	27	11.52	13	-0.76	27	0.00	29
1274	-497	1328	Min.	14.38	-608.42	27	21.41	13	2.43	13	11.54	13	1.19	13	0.00	29
1275	358	-23	Max	4.85	0.00	13	0.00	13	0.00	13	0.00	13	0.00	13	0.00	13
1275	358	-23	Min.	4.85	0.00	13	0.00	13	0.00	13	0.00	13	0.00	13	0.00	13
1275	-23	-55	Max	4.85	0.00	13	0.00	13	0.00	13	0.00	13	0.00	13	0.00	13
1275	-23	-55	Min.	4.85	0.00	13	0.00	13	0.00	13	0.00	13	0.00	13	0.00	13
1275	-55	-87	Max	5.01	-246.09	13	26.60	27	-0.82	13	8.02	27	0.43	28	0.02	27
1275	-55	-87	Max	16.87	-245.25	13	26.60	27	0.12	28	8.04	27	-0.20	13	0.02	27
1275	-55	-87	Min.	5.01	-747.42	27	7.37	13	-3.14	27	-5.93	28	-1.51	27	0.00	13
1275	-55	-87	Min.	16.87	-746.58	27	7.37	13	0.00	29	-5.68	28	-0.56	27	0.00	13
1275	-87	-119	Max	2.51	-249.88	13	30.00	27	-0.77	13	2.53	27	0.47	28	0.01	27
1275	-87	-119	Max	16.87	-248.86	13	30.00	27	1.44	27	2.56	27	-0.23	29	0.01	27
1275	-87	-119	Min.	2.51	-740.19	27	8.51	13	-2.87	27	-7.79	28	-0.75	27	0.00	14
1275	-87	-119	Min.	16.87	-739.17	27	8.51	13	0.46	13	-7.49	28	-0.63	28	0.00	14
1275	-119	-151	Max	2.51	-255.42	13	29.87	27	-0.67	13	2.26	27	0.35	28	0.00	27
1275	-119	-151	Max	16.87	-254.40	13	29.87	27	1.82	27	2.28	27	-0.25	29	0.00	27
1275	-119	-151	Min.	2.51	-732.38	27	8.65	13	-2.47	27	-7.65	28	-0.72	27	-0.00	14
1275	-119	-151	Min.	16.87	-731.36	27	8.65	13	0.57	13	-7.34	28	-0.73	28	-0.00	14
1275	-151	-183	Max	2.51	-261.71	13	29.99	27	-0.65	13	1.67	27	0.32	28	-0.00	29
1275	-151	-183	Max	16.87	-260.69	13	29.99	27	1.96	27	1.70	27	-0.27	29	-0.00	29
1275	-151	-183	Min.	2.51	-725.15	27	8.85	13	-2.35	27	-7.66	28	-0.68	27	-0.00	14
1275	-151	-183	Min.	16.87	-724.13	27	8.85	13	0.62	13	-7.35	28	-0.76	28	-0.00	14
1275	-183	-215	Max	2.51	-268.50	13	30.07	27	-0.64	13	1.12	27	0.29	28	-0.00	29
1275	-183	-215	Max	16.87	-267.48	13	30.07	27	2.04	27	1.15	27	-0.29	29	-0.00	29
1275	-183	-215	Min.	2.51	-718.83	27	9.04	13	-2.28	27	-7.65	28	-0.65	27	-0.00	27
1275	-183	-215	Min.	16.87	-717.80	27	9.04	13	0.66	13	-7.35	28	-0.79	28	-0.00	27

1275	-215	-247	Max	2.51	-275.77	13	30.21	27	-0.63	13	0.55	27	0.27	28	-0.00	29
1275	-215	-247	Max	16.87	-274.75	13	30.21	27	2.12	27	0.57	27	-0.32	29	-0.00	29
1275	-215	-247	Min.	2.51	-713.52	27	9.26	13	-2.22	27	-7.65	28	-0.62	27	-0.00	27
1275	-215	-247	Min.	16.87	-712.50	27	9.26	13	0.70	13	-7.34	28	-0.81	28	-0.00	27
1275	-247	-279	Max	2.51	-283.54	13	30.41	27	-0.62	13	-0.03	27	0.24	28	-0.00	29
1275	-247	-279	Max	16.87	-282.51	13	30.41	27	2.20	27	-0.00	27	-0.34	29	-0.00	29
1275	-247	-279	Min.	2.51	-709.31	27	9.50	13	-2.17	27	-7.65	28	-0.60	27	-0.00	27
1275	-247	-279	Min.	16.87	-708.29	27	9.50	13	0.74	13	-7.34	28	-0.84	28	-0.00	27
1275	-279	-311	Max	2.51	-291.82	13	30.58	27	-0.62	13	-0.65	27	0.22	28	-0.00	29
1275	-279	-311	Max	16.87	-290.80	13	30.58	27	2.29	27	-0.62	27	-0.37	29	-0.00	29
1275	-279	-311	Min.	2.51	-706.31	27	9.73	13	-2.10	27	-7.67	28	-0.57	27	-0.00	27
1275	-279	-311	Min.	16.87	-705.29	27	9.73	13	0.78	13	-7.36	28	-0.86	28	-0.00	27
1275	-311	-343	Max	2.51	-300.67	13	30.79	27	-0.61	13	-1.22	27	0.19	28	-0.00	29
1275	-311	-343	Max	16.87	-299.65	13	30.79	27	2.39	27	-1.20	27	-0.40	29	-0.00	29
1275	-311	-343	Min.	2.51	-704.57	27	9.98	13	-2.03	27	-7.66	28	-0.55	27	-0.00	27
1275	-311	-343	Min.	16.87	-703.55	27	9.98	13	0.83	13	-7.35	28	-0.89	28	-0.00	27
1275	-343	-375	Max	2.51	-310.11	13	31.05	27	-0.59	13	-1.50	29	0.16	28	-0.00	29
1275	-343	-375	Max	16.87	-309.09	13	31.05	27	2.50	27	-1.48	29	-0.43	29	-0.00	29
1275	-343	-375	Min.	2.51	-704.18	27	10.25	13	-1.96	27	-7.69	28	-0.53	27	-0.00	27
1275	-343	-375	Min.	16.87	-703.16	27	10.25	13	0.88	13	-7.38	28	-0.92	28	-0.00	27
1275	-375	-407	Max	2.51	-320.19	13	31.28	27	-0.58	13	-1.74	29	0.14	14	-0.00	29
1275	-375	-407	Max	16.87	-319.17	13	31.28	27	2.62	27	-1.72	29	-0.46	29	-0.00	29
1275	-375	-407	Min.	2.51	-705.30	27	10.51	13	-1.88	27	-7.70	28	-0.51	27	-0.00	14
1275	-375	-407	Min.	16.87	-704.28	27	10.51	13	0.93	13	-7.39	28	-0.95	28	-0.00	14
1275	-407	-439	Max	2.51	-330.97	13	31.48	27	-0.56	13	-2.12	29	0.12	14	-0.00	29
1275	-407	-439	Max	16.87	-329.95	13	31.48	27	2.73	27	-2.09	29	-0.51	29	-0.00	29
1275	-407	-439	Min.	2.51	-708.01	27	10.77	13	-1.79	27	-7.86	28	-0.49	27	-0.00	14
1275	-407	-439	Min.	16.87	-706.99	27	10.77	13	0.98	13	-7.56	28	-1.01	28	-0.00	14
1275	-439	-471	Max	2.51	-342.49	13	32.61	27	-0.54	13	-1.56	29	0.09	14	-0.00	29
1275	-439	-471	Max	16.87	-341.47	13	32.61	27	3.01	27	-1.54	29	-0.43	29	-0.00	29
1275	-439	-471	Min.	2.51	-712.50	27	11.43	13	-1.68	27	-6.94	28	-0.48	27	-0.00	27
1275	-439	-471	Min.	16.87	-711.47	27	11.43	13	1.10	13	-6.78	14	-0.92	28	-0.00	27
1275	-471	-503	Max	2.51	-353.94	29	27.48	27	-0.45	28	-7.21	29	0.10	14	-0.00	29
1275	-471	-503	Max	16.87	-352.92	29	27.48	27	2.54	27	-7.19	29	-1.20	29	-0.00	29
1275	-471	-503	Min.	2.51	-718.58	27	9.39	13	-1.41	27	-14.04	27	-0.38	27	-0.01	27
1275	-471	-503	Min.	16.87	-717.56	27	9.39	13	0.89	13	-14.01	27	-2.39	27	-0.01	27
1275	-503	1337	Max	2.51	-358.79	29	59.92	27	-0.32	13	47.97	27	-0.48	13	-0.01	13
1275	-503	1337	Max	14.38	-357.95	29	59.92	27	6.22	27	47.99	27	4.53	27	-0.01	13
1275	-503	1337	Min.	2.51	-729.15	27	23.46	13	-0.89	27	20.49	13	-1.17	27	-0.02	27
1275	-503	1337	Min.	14.38	-728.31	27	23.46	13	2.46	13	20.51	13	1.96	13	-0.02	27
1276	352	-19	Max	4.85	0.00	13	0.00	13	0.00	13	0.00	13	0.00	13	0.00	13
1276	352	-19	Min.	4.85	0.00	13	0.00	13	0.00	13	0.00	13	0.00	13	0.00	13
1276	-19	-51	Max	4.85	0.00	13	0.00	13	0.00	13	0.00	13	0.00	13	0.00	13
1276	-19	-51	Min.	4.85	0.00	13	0.00	13	0.00	13	0.00	13	0.00	13	0.00	13
1276	-51	-83	Max	5.01	-180.01	28	37.67	27	-0.97	13	-4.50	29	1.46	28	0.03	27
1276	-51	-83	Max	16.87	-179.17	28	37.67	27	0.30	27	-4.49	29	-0.17	13	0.03	27
1276	-51	-83	Min.	5.01	-768.27	27	9.99	13	-4.17	27	-14.37	28	0.01	27	0.01	13
1276	-51	-83	Min.	16.87	-767.43	27	9.99	13	0.16	29	-14.12	28	-0.63	27	0.01	13
1276	-83	-115	Max	2.51	-196.61	13	41.29	27	-0.81	13	-7.44	29	1.31	14	0.02	27
1276	-83	-115	Max	16.87	-195.59	13	41.29	27	2.27	27	-7.42	29	-0.58	29	0.02	27
1276	-83	-115	Min.	2.51	-781.30	27	10.76	13	-3.66	27	-16.23	28	0.49	29	0.00	13
1276	-83	-115	Min.	16.87	-780.28	27	10.76	13	0.73	13	-15.97	14	-1.14	27	0.00	13
1276	-115	-147	Max	2.51	-217.65	13	41.45	27	-0.70	13	-7.64	29	1.11	14	0.01	27
1276	-115	-147	Max	16.87	-216.63	13	41.45	27	2.81	27	-7.61	29	-0.70	29	0.01	27
1276	-115	-147	Min.	2.51	-799.75	27	11.00	13	-3.14	27	-16.26	28	0.40	29	0.00	13
1276	-115	-147	Min.	16.87	-798.73	27	11.00	13	0.88	13	-16.15	14	-1.35	27	0.00	13
1276	-147	-179	Max	2.51	-240.83	13	41.83	27	-0.66	13	-8.04	29	1.07	14	0.01	27
1276	-147	-179	Max	16.87	-239.81	13	41.83	27	3.03	27	-8.02	29	-0.76	29	0.01	27
1276	-147	-179	Min.	2.51	-821.13	27	11.26	13	-2.98	27	-16.59	14	0.39	29	0.00	28

1276	-147	-179	Min.	16.87	-820.11	27	11.26	13	0.95	13	-16.56	14	-1.48	27	0.00	28
1276	-179	-211	Max	2.51	-265.45	13	42.19	27	-0.65	13	-8.43	29	1.05	14	0.01	27
1276	-179	-211	Max	16.87	-264.43	13	42.19	27	3.17	27	-8.41	29	-0.82	29	0.01	27
1276	-179	-211	Min.	2.51	-845.00	27	11.51	13	-2.89	27	-16.99	14	0.39	29	0.00	28
1276	-179	-211	Min.	16.87	-843.98	27	11.51	13	1.01	13	-16.96	14	-1.60	27	0.00	28
1276	-211	-243	Max	2.51	-291.41	13	42.62	27	-0.63	13	-8.85	29	1.03	14	0.01	27
1276	-211	-243	Max	16.87	-290.39	13	42.62	27	3.31	27	-8.83	29	-0.88	29	0.01	27
1276	-211	-243	Min.	2.51	-871.36	27	11.79	13	-2.82	27	-17.42	14	0.39	29	0.00	28
1276	-211	-243	Min.	16.87	-870.34	27	11.79	13	1.06	13	-17.39	14	-1.72	27	0.00	28
1276	-243	-275	Max	2.51	-318.77	13	43.15	27	-0.62	13	-9.27	29	1.01	14	0.01	27
1276	-243	-275	Max	16.87	-317.75	13	43.15	27	3.46	27	-9.25	29	-0.94	29	0.01	27
1276	-243	-275	Min.	2.51	-900.35	27	12.10	13	-2.74	27	-17.85	14	0.39	29	0.00	28
1276	-243	-275	Min.	16.87	-899.33	27	12.10	13	1.12	13	-17.83	14	-1.84	27	0.00	28
1276	-275	-307	Max	2.51	-347.63	13	43.62	27	-0.60	13	-9.73	29	0.99	14	0.01	27
1276	-275	-307	Max	16.87	-346.61	13	43.62	27	3.62	27	-9.71	29	-1.00	29	0.01	27
1276	-275	-307	Min.	2.51	-932.18	27	12.39	13	-2.65	27	-18.34	14	0.39	29	0.00	28
1276	-275	-307	Min.	16.87	-931.16	27	12.39	13	1.18	13	-18.32	14	-1.98	27	0.00	28
1276	-307	-339	Max	2.51	-378.09	13	44.19	27	-0.58	13	-10.15	29	0.97	14	0.01	27
1276	-307	-339	Max	16.87	-377.06	13	44.19	27	3.79	27	-10.13	29	-1.07	29	0.01	27
1276	-307	-339	Min.	2.51	-967.04	27	12.72	13	-2.55	27	-18.79	14	0.39	29	0.00	28
1276	-307	-339	Min.	16.87	-966.02	27	12.72	13	1.24	13	-18.77	14	-2.12	27	0.00	28
1276	-339	-371	Max	2.51	-410.24	13	44.77	27	-0.56	13	-10.66	29	0.94	14	0.01	27
1276	-339	-371	Max	16.87	-409.22	13	44.77	27	3.98	27	-10.64	29	-1.14	29	0.01	27
1276	-339	-371	Min.	2.51	-1005.13	27	13.06	13	-2.45	27	-19.40	27	0.38	29	0.00	13
1276	-339	-371	Min.	16.87	-1004.11	27	13.06	13	1.31	13	-19.38	27	-2.28	27	0.00	13
1276	-371	-403	Max	2.51	-444.26	13	45.43	27	-0.54	13	-11.11	29	0.91	14	0.01	27
1276	-371	-403	Max	16.87	-443.24	13	45.43	27	4.19	27	-11.09	29	-1.22	29	0.01	27
1276	-371	-403	Min.	2.51	-1046.75	27	13.42	13	-2.33	27	-20.43	27	0.37	29	0.00	13
1276	-371	-403	Min.	16.87	-1045.73	27	13.42	13	1.39	13	-20.41	27	-2.44	27	0.00	13
1276	-403	-435	Max	2.51	-480.24	13	45.88	27	-0.51	13	-11.84	29	0.87	14	0.01	27
1276	-403	-435	Max	16.87	-479.22	13	45.88	27	4.39	27	-11.82	29	-1.33	29	0.01	27
1276	-403	-435	Min.	2.51	-1092.14	27	13.70	13	-2.20	27	-22.05	27	0.36	29	0.00	13
1276	-403	-435	Min.	16.87	-1091.12	27	13.70	13	1.46	13	-22.03	27	-2.68	27	0.00	13
1276	-435	-467	Max	2.51	-518.31	13	48.36	27	-0.47	13	-11.03	29	0.80	14	0.01	27
1276	-435	-467	Max	16.87	-517.28	13	48.36	27	4.90	27	-11.00	29	-1.25	29	0.01	27
1276	-435	-467	Min.	2.51	-1141.59	27	14.81	13	-2.04	27	-20.34	27	0.33	29	0.00	13
1276	-435	-467	Min.	16.87	-1140.56	27	14.81	13	1.66	13	-20.32	27	-2.48	27	0.00	13
1276	-467	-499	Max	2.51	-546.92	29	37.36	27	-0.33	28	-20.56	29	0.76	14	-0.00	29
1276	-467	-499	Max	16.87	-545.90	29	37.36	27	3.73	27	-20.54	29	-2.61	29	-0.00	29
1276	-467	-499	Min.	2.51	-1194.07	27	10.36	13	-1.64	27	-40.96	27	0.34	29	-0.00	27
1276	-467	-499	Min.	16.87	-1193.05	27	10.36	13	1.13	13	-40.94	27	-5.40	27	-0.00	27
1276	-499	1331	Max	2.51	-575.29	29	106.55	27	-0.37	13	69.18	27	-0.51	13	-0.00	28
1276	-499	1331	Max	14.38	-574.45	29	106.55	27	11.40	27	69.20	27	6.75	27	-0.00	28
1276	-499	1331	Min.	2.51	-1249.88	27	38.89	13	-1.25	27	26.92	13	-1.46	27	-0.01	27
1276	-499	1331	Min.	14.38	-1249.04	27	38.89	13	4.25	13	26.94	13	2.69	13	-0.01	27
1277	376	-27	Max	4.85	0.00	13	0.00	13	0.00	13	0.00	13	0.00	13	0.00	13
1277	376	-27	Min.	4.85	0.00	13	0.00	13	0.00	13	0.00	13	0.00	13	0.00	13
1277	-27	-59	Max	4.85	0.00	13	0.00	13	0.00	13	0.00	13	0.00	13	0.00	13
1277	-27	-59	Min.	4.85	0.00	13	0.00	13	0.00	13	0.00	13	0.00	13	0.00	13
1277	-59	-91	Max	5.01	-108.40	28	15.87	28	-0.70	29	47.62	27	-1.26	13	0.01	14
1277	-59	-91	Max	16.87	-107.56	28	15.87	28	0.46	27	47.64	27	0.26	28	0.01	14
1277	-59	-91	Min.	5.01	-657.16	27	7.41	29	-1.68	28	12.29	13	-5.42	27	0.01	29
1277	-59	-91	Min.	16.87	-656.32	27	7.41	29	0.15	13	12.30	13	0.14	29	0.01	29
1277	-91	-123	Max	2.51	-86.27	28	15.38	28	-0.29	27	42.07	27	-0.79	13	0.01	27
1277	-91	-123	Max	16.87	-85.25	28	15.38	28	0.98	28	42.09	27	2.36	27	0.01	27
1277	-91	-123	Min.	2.51	-594.34	27	6.35	29	-1.23	14	10.63	13	-3.69	27	0.00	29
1277	-91	-123	Min.	16.87	-593.32	27	6.35	29	0.53	29	10.65	13	0.73	13	0.00	29
1277	-123	-155	Max	2.51	-58.42	28	15.50	14	-0.23	27	42.69	27	-0.70	13	0.01	27
1277	-123	-155	Max	16.87	-57.40	28	15.50	14	1.18	28	42.71	27	2.90	27	0.01	27

1277	-123	-155	Min.	2.51	-514.28	27	6.68	29	-1.06	14	10.96	13	-3.24	27	0.00	13
1277	-123	-155	Min.	16.87	-513.25	27	6.68	29	0.63	29	10.99	13	0.88	13	0.00	13
1277	-155	-187	Max	2.51	-28.66	28	15.85	14	-0.23	27	43.06	27	-0.66	13	0.01	27
1277	-155	-187	Max	16.87	-27.64	28	15.85	14	1.26	27	43.08	27	3.11	27	0.01	27
1277	-155	-187	Min.	2.51	-428.28	27	7.03	29	-1.02	14	11.18	13	-3.07	27	0.00	28
1277	-155	-187	Min.	16.87	-427.26	27	7.03	29	0.69	29	11.21	13	0.95	13	0.00	28
1277	-187	-219	Max	2.51	2.20	28	16.20	14	-0.24	27	43.41	27	-0.64	13	0.01	27
1277	-187	-219	Max	16.87	3.22	28	16.20	14	1.37	27	43.43	27	3.26	27	0.01	27
1277	-187	-219	Min.	2.51	-338.84	27	7.37	29	-0.99	14	11.42	13	-2.98	27	0.00	28
1277	-187	-219	Min.	16.87	-337.82	27	7.37	29	0.74	29	11.44	13	1.00	13	0.00	28
1277	-219	-251	Max	2.51	34.02	28	16.58	14	-0.25	27	43.84	27	-0.63	13	0.01	27
1277	-219	-251	Max	16.87	35.05	28	16.58	14	1.48	27	43.87	27	3.40	27	0.01	27
1277	-219	-251	Min.	2.51	-246.36	27	7.74	29	-0.97	14	11.67	13	-2.90	27	0.00	28
1277	-219	-251	Min.	16.87	-245.34	27	7.74	29	0.80	29	11.69	13	1.05	13	0.00	28
1277	-251	-283	Max	2.51	66.84	28	16.98	14	-0.25	27	44.31	27	-0.61	13	0.01	27
1277	-251	-283	Max	16.87	67.86	28	16.98	14	1.60	27	44.34	27	3.55	27	0.01	27
1277	-251	-283	Min.	2.51	-150.76	27	8.12	29	-0.95	14	11.94	13	-2.82	27	0.00	28
1277	-251	-283	Min.	16.87	-149.74	27	8.12	29	0.85	29	11.97	13	1.11	13	0.00	28
1277	-283	-315	Max	2.51	100.71	28	17.40	14	-0.26	27	44.81	27	-0.59	13	0.01	27
1277	-283	-315	Max	16.87	101.73	28	17.40	14	1.73	27	44.84	27	3.71	27	0.01	27
1277	-283	-315	Min.	2.51	-51.84	27	8.51	29	-0.93	14	12.23	13	-2.73	27	0.00	28
1277	-283	-315	Min.	16.87	-50.82	27	8.51	29	0.91	29	12.25	13	1.17	13	0.00	28
1277	-315	-347	Max	2.51	135.72	28	17.83	14	-0.25	27	45.33	27	-0.57	13	0.01	27
1277	-315	-347	Max	16.87	136.74	28	17.83	14	1.86	27	45.35	27	3.88	27	0.01	27
1277	-315	-347	Min.	2.51	24.07	29	8.91	29	-0.90	14	12.51	13	-2.64	27	0.00	28
1277	-315	-347	Min.	16.87	25.09	29	8.91	29	0.98	29	12.53	13	1.23	13	0.00	28
1277	-347	-379	Max	2.51	171.93	28	18.29	14	-0.24	27	45.92	27	-0.55	13	0.01	27
1277	-347	-379	Max	16.87	172.95	28	18.29	14	2.01	27	45.95	27	4.07	27	0.01	27
1277	-347	-379	Min.	2.51	67.25	29	9.34	29	-0.87	14	12.83	13	-2.53	27	0.00	13
1277	-347	-379	Min.	16.87	68.27	29	9.34	29	1.05	29	12.85	13	1.30	13	0.00	13
1277	-379	-411	Max	2.51	267.31	27	18.78	14	-0.23	27	46.53	27	-0.52	13	0.01	27
1277	-379	-411	Max	16.87	268.33	27	18.78	14	2.17	27	46.55	27	4.27	27	0.01	27
1277	-379	-411	Min.	2.51	112.11	29	9.78	29	-0.83	14	13.15	13	-2.41	27	0.00	13
1277	-379	-411	Min.	16.87	113.13	29	9.78	29	1.13	29	13.17	13	1.37	13	0.00	13
1277	-411	-443	Max	2.51	382.10	27	19.16	14	-0.20	27	47.28	27	-0.49	13	0.01	27
1277	-411	-443	Max	16.87	383.12	27	19.16	14	2.31	27	47.30	27	4.51	27	0.01	27
1277	-411	-443	Min.	2.51	158.78	29	10.14	29	-0.78	14	13.51	13	-2.28	27	0.00	13
1277	-411	-443	Min.	16.87	159.80	29	10.14	29	1.20	29	13.54	13	1.46	13	0.00	13
1277	-443	-475	Max	2.51	501.38	27	20.61	14	-0.17	27	47.56	27	-0.44	13	0.01	27
1277	-443	-475	Max	16.87	502.40	27	20.61	14	2.72	27	47.58	27	4.73	27	0.01	27
1277	-443	-475	Min.	2.51	206.65	13	11.32	29	-0.73	14	13.78	13	-2.11	27	0.00	13
1277	-443	-475	Min.	16.87	207.67	13	11.32	29	1.39	29	13.80	13	1.54	13	0.00	13
1277	-475	-507	Max	2.51	623.89	27	14.93	14	0.01	27	51.34	27	-0.35	28	0.00	27
1277	-475	-507	Max	16.87	624.91	27	14.93	14	1.59	14	51.36	27	5.57	27	0.00	27
1277	-475	-507	Min.	2.51	244.31	13	7.05	29	-0.55	14	14.85	13	-1.81	27	-0.00	14
1277	-475	-507	Min.	16.87	245.33	13	7.05	29	0.87	29	14.87	13	1.77	13	-0.00	14
1277	-507	1351	Max	2.51	738.94	27	73.57	27	-0.26	29	33.10	27	0.17	28	0.01	27
1277	-507	1351	Max	14.38	739.78	27	73.57	27	8.32	27	33.12	27	3.67	27	0.01	27
1277	-507	1351	Min.	2.51	280.46	13	35.43	29	-0.52	14	6.25	28	-0.26	27	-0.00	14
1277	-507	1351	Min.	14.38	281.30	13	35.43	29	3.95	29	6.27	28	0.91	28	-0.00	14
1278	382	-31	Max	4.85	0.00	13	0.00	13	0.00	13	0.00	13	0.00	13	0.00	13
1278	382	-31	Min.	4.85	0.00	13	0.00	13	0.00	13	0.00	13	0.00	13	0.00	13
1278	-31	-63	Max	4.85	0.00	13	0.00	13	0.00	13	0.00	13	0.00	13	0.00	13
1278	-31	-63	Min.	4.85	0.00	13	0.00	13	0.00	13	0.00	13	0.00	13	0.00	13
1278	-63	-95	Max	5.01	-167.50	28	8.88	28	0.47	27	34.22	27	-1.11	13	0.00	28
1278	-63	-95	Max	16.87	-166.66	28	8.88	28	0.44	27	34.24	27	0.10	28	0.00	28
1278	-63	-95	Min.	5.01	-605.66	27	-0.25	27	-0.81	28	9.64	13	-4.11	27	-0.00	27
1278	-63	-95	Min.	16.87	-604.82	27	-0.25	27	0.18	13	9.66	13	-0.05	27	-0.00	27
1278	-95	-127	Max	2.51	-149.03	28	7.75	28	0.85	27	29.48	27	-0.71	13	0.00	28

1278	-95	-127	Max	16.87	-148.01	28	7.75	28	0.65	28	29.51	27	1.45	27	0.00	28
1278	-95	-127	Min.	2.51	-561.21	27	-3.41	27	-0.47	28	7.97	13	-2.78	27	-0.00	27
1278	-95	-127	Min.	16.87	-560.19	27	-3.41	27	0.23	29	7.99	13	0.44	13	-0.00	27
1278	-127	-159	Max	2.51	-125.89	28	7.72	28	0.76	27	29.77	27	-0.64	13	0.00	29
1278	-127	-159	Max	16.87	-124.86	28	7.72	28	0.74	28	29.80	27	1.81	27	0.00	29
1278	-127	-159	Min.	2.51	-504.87	27	-2.85	27	-0.37	28	8.24	13	-2.46	27	-0.00	14
1278	-127	-159	Min.	16.87	-503.85	27	-2.85	27	0.24	29	8.26	13	0.54	13	-0.00	14
1278	-159	-191	Max	2.51	-101.24	28	7.71	28	0.73	27	29.87	27	-0.62	13	0.00	29
1278	-159	-191	Max	16.87	-100.22	28	7.71	28	0.78	28	29.89	27	1.95	27	0.00	29
1278	-159	-191	Min.	2.51	-444.72	27	-2.30	27	-0.33	28	8.42	13	-2.34	27	-0.00	14
1278	-159	-191	Min.	16.87	-443.69	27	-2.30	27	0.26	29	8.44	13	0.59	13	-0.00	14
1278	-191	-223	Max	2.51	-75.77	28	7.68	28	0.70	27	29.93	27	-0.61	13	0.00	29
1278	-191	-223	Max	16.87	-74.75	28	7.68	28	0.81	28	29.95	27	2.03	27	0.00	29
1278	-191	-223	Min.	2.51	-382.53	27	-1.80	27	-0.30	28	8.59	13	-2.27	27	-0.00	14
1278	-191	-223	Min.	16.87	-381.51	27	-1.80	27	0.28	29	8.61	13	0.63	13	-0.00	14
1278	-223	-255	Max	2.51	-49.59	28	7.67	28	0.67	27	30.05	27	-0.60	13	0.00	29
1278	-223	-255	Max	16.87	-48.57	28	7.67	28	0.83	28	30.07	27	2.10	27	0.00	29
1278	-223	-255	Min.	2.51	-318.63	27	-1.25	27	-0.27	28	8.78	13	-2.21	27	-0.00	14
1278	-223	-255	Min.	16.87	-317.61	27	-1.25	27	0.30	29	8.80	13	0.66	13	-0.00	14
1278	-255	-287	Max	2.51	-22.70	28	7.67	28	0.65	27	30.18	27	-0.59	13	0.00	29
1278	-255	-287	Max	16.87	-21.67	28	7.67	28	0.85	28	30.21	27	2.19	27	0.00	29
1278	-255	-287	Min.	2.51	-252.99	27	-0.71	27	-0.25	28	8.98	13	-2.15	27	-0.00	14
1278	-255	-287	Min.	16.87	-251.97	27	-0.71	27	0.33	29	9.01	13	0.70	13	-0.00	14
1278	-287	-319	Max	2.51	4.97	28	7.66	28	0.63	27	30.33	27	-0.58	13	0.00	29
1278	-287	-319	Max	16.87	5.99	28	7.66	28	0.88	28	30.36	27	2.27	27	0.00	29
1278	-287	-319	Min.	2.51	-185.51	27	-0.14	27	-0.22	28	9.20	13	-2.09	27	-0.00	14
1278	-287	-319	Min.	16.87	-184.49	27	-0.14	27	0.35	29	9.22	13	0.74	13	-0.00	14
1278	-319	-351	Max	2.51	33.46	28	7.65	28	0.61	27	30.50	27	-0.57	13	0.00	29
1278	-319	-351	Max	16.87	34.48	28	7.65	28	0.90	28	30.52	27	2.37	27	0.00	29
1278	-319	-351	Min.	2.51	-116.05	27	0.42	27	-0.19	28	9.41	13	-2.01	27	-0.00	14
1278	-319	-351	Min.	16.87	-115.03	27	0.42	27	0.38	29	9.44	13	0.79	13	-0.00	14
1278	-351	-383	Max	2.51	62.82	28	7.66	28	0.59	27	30.70	27	-0.55	13	0.00	29
1278	-351	-383	Max	16.87	63.84	28	7.66	28	0.94	28	30.73	27	2.47	27	0.00	29
1278	-351	-383	Min.	2.51	-44.48	27	1.02	27	-0.17	14	9.65	13	-1.94	27	-0.00	14
1278	-351	-383	Min.	16.87	-43.46	27	1.02	27	0.41	29	9.67	13	0.83	13	-0.00	14
1278	-383	-415	Max	2.51	93.14	28	7.67	28	0.57	27	30.92	27	-0.54	13	0.00	29
1278	-383	-415	Max	16.87	94.16	28	7.67	28	0.97	28	30.94	27	2.59	27	0.00	29
1278	-383	-415	Min.	2.51	-3.97	29	1.43	29	-0.15	14	9.90	13	-1.86	27	-0.00	14
1278	-383	-415	Min.	16.87	-2.95	29	1.43	29	0.44	29	9.92	13	0.89	13	-0.00	14
1278	-415	-447	Max	2.51	124.48	28	7.60	28	0.56	27	31.20	27	-0.52	13	0.00	29
1278	-415	-447	Max	16.87	125.50	28	7.60	28	0.99	28	31.22	27	2.72	27	0.00	29
1278	-415	-447	Min.	2.51	31.69	29	1.60	29	-0.13	14	10.16	13	-1.76	27	-0.00	14
1278	-415	-447	Min.	16.87	32.71	29	1.60	29	0.46	29	10.19	13	0.94	13	-0.00	14
1278	-447	-479	Max	2.51	184.40	27	8.35	14	0.54	27	31.30	27	-0.49	13	0.00	29
1278	-447	-479	Max	16.87	185.42	27	8.35	14	1.12	28	31.33	27	2.86	27	0.00	29
1278	-447	-479	Min.	2.51	68.60	29	2.30	29	-0.11	14	10.42	13	-1.64	27	-0.00	14
1278	-447	-479	Min.	16.87	69.62	29	2.30	29	0.56	29	10.44	13	1.01	13	-0.00	14
1278	-479	-511	Max	2.51	264.65	27	4.65	14	0.57	27	32.72	27	-0.43	28	-0.00	29
1278	-479	-511	Max	16.87	265.67	27	4.65	14	0.64	14	32.75	27	3.28	27	-0.00	29
1278	-479	-511	Min.	2.51	103.28	13	-2.13	27	-0.03	14	10.83	13	-1.42	27	-0.01	14
1278	-479	-511	Min.	16.87	104.31	13	-2.13	27	0.16	29	10.86	13	1.13	13	-0.01	14
1278	-511	1357	Max	2.51	338.82	27	36.57	27	0.01	27	25.49	27	-0.00	28	0.00	27
1278	-511	1357	Max	14.38	339.67	27	36.57	27	4.35	27	25.51	27	2.60	27	0.00	27
1278	-511	1357	Min.	2.51	130.15	13	18.11	29	-0.17	14	6.32	28	-0.43	27	-0.00	14
1278	-511	1357	Min.	14.38	130.99	13	18.11	29	2.15	29	6.34	28	0.75	28	-0.00	14
1279	355	-21	Max	4.85	0.00	13	0.00	13	0.00	13	0.00	13	0.00	13	0.00	13
1279	355	-21	Min.	4.85	0.00	13	0.00	13	0.00	13	0.00	13	0.00	13	0.00	13
1279	-21	-53	Max	4.85	0.00	13	0.00	13	0.00	13	0.00	13	0.00	13	0.00	13
1279	-21	-53	Min.	4.85	0.00	13	0.00	13	0.00	13	0.00	13	0.00	13	0.00	13

1279	-53	-85	Max	5.01	-240.56	13	40.53	27	-1.24	13	-2.21	29	1.14	28	0.03	27
1279	-53	-85	Max	16.87	-239.72	13	40.53	27	0.27	27	-2.19	29	-0.21	13	0.03	27
1279	-53	-85	Min.	5.01	-840.68	27	12.01	13	-4.54	27	-12.09	28	-0.38	27	0.01	13
1279	-53	-85	Min.	16.87	-839.84	27	12.01	13	0.13	29	-11.84	28	-0.68	27	0.01	13
1279	-85	-117	Max	2.51	-253.49	13	44.63	27	-1.07	13	-5.44	29	1.08	14	0.02	27
1279	-85	-117	Max	16.87	-252.47	13	44.63	27	2.40	27	-5.42	29	-0.52	29	0.02	27
1279	-85	-117	Min.	2.51	-850.00	27	13.16	13	-4.01	27	-14.26	28	0.26	29	0.00	13
1279	-85	-117	Min.	16.87	-848.98	27	13.16	13	0.82	13	-13.96	14	-1.06	27	0.00	13
1279	-117	-149	Max	2.51	-270.88	13	44.78	27	-0.93	13	-5.61	29	0.90	14	0.00	27
1279	-117	-149	Max	16.87	-269.86	13	44.78	27	2.98	27	-5.58	29	-0.61	29	0.00	27
1279	-117	-149	Min.	2.51	-863.65	27	13.40	13	-3.45	27	-14.26	28	0.18	27	0.00	28
1279	-117	-149	Min.	16.87	-862.63	27	13.40	13	1.00	13	-14.12	14	-1.24	27	0.00	28
1279	-149	-181	Max	2.51	-290.08	13	45.26	27	-0.89	13	-5.96	29	0.86	14	0.00	27
1279	-149	-181	Max	16.87	-289.06	13	45.26	27	3.21	27	-5.94	29	-0.67	29	0.00	27
1279	-149	-181	Min.	2.51	-879.79	27	13.72	13	-3.29	27	-14.50	14	0.19	29	-0.00	28
1279	-149	-181	Min.	16.87	-878.77	27	13.72	13	1.08	13	-14.47	14	-1.35	27	-0.00	28
1279	-181	-213	Max	2.51	-310.50	13	45.69	27	-0.87	13	-6.30	29	0.85	14	0.00	27
1279	-181	-213	Max	16.87	-309.48	13	45.69	27	3.36	27	-6.28	29	-0.71	29	0.00	27
1279	-181	-213	Min.	2.51	-898.13	27	14.03	13	-3.20	27	-14.85	14	0.19	29	-0.00	28
1279	-181	-213	Min.	16.87	-897.12	27	14.03	13	1.14	13	-14.82	14	-1.46	27	-0.00	28
1279	-213	-245	Max	2.51	-332.06	13	46.24	27	-0.86	13	-6.66	29	0.83	14	0.00	29
1279	-213	-245	Max	16.87	-331.04	13	46.24	27	3.52	27	-6.64	29	-0.76	29	0.00	29
1279	-213	-245	Min.	2.51	-918.68	27	14.37	13	-3.13	27	-15.22	14	0.19	29	-0.00	28
1279	-213	-245	Min.	16.87	-917.66	27	14.37	13	1.20	13	-15.19	14	-1.57	27	-0.00	28
1279	-245	-277	Max	2.51	-354.81	13	46.80	27	-0.85	13	-7.05	29	0.81	14	0.00	27
1279	-245	-277	Max	16.87	-353.79	13	46.80	27	3.68	27	-7.03	29	-0.81	29	0.00	27
1279	-245	-277	Min.	2.51	-941.60	27	14.73	13	-3.05	27	-15.63	14	0.20	29	-0.00	28
1279	-245	-277	Min.	16.87	-940.58	27	14.73	13	1.27	13	-15.60	14	-1.69	27	-0.00	28
1279	-277	-309	Max	2.51	-378.82	13	47.40	27	-0.83	13	-7.44	29	0.79	14	0.00	27
1279	-277	-309	Max	16.87	-377.80	13	47.40	27	3.85	27	-7.41	29	-0.87	29	0.00	27
1279	-277	-309	Min.	2.51	-967.06	27	15.10	13	-2.96	27	-16.04	14	0.20	29	-0.00	28
1279	-277	-309	Min.	16.87	-966.04	27	15.10	13	1.34	13	-16.01	14	-1.81	27	-0.00	28
1279	-309	-341	Max	2.51	-404.19	13	48.03	27	-0.81	13	-7.82	29	0.77	14	0.00	27
1279	-309	-341	Max	16.87	-403.17	13	48.03	27	4.03	27	-7.80	29	-0.93	29	0.00	27
1279	-309	-341	Min.	2.51	-995.22	27	15.49	13	-2.87	27	-16.45	14	0.19	29	-0.00	14
1279	-309	-341	Min.	16.87	-994.20	27	15.49	13	1.42	13	-16.42	14	-1.94	27	-0.00	14
1279	-341	-373	Max	2.51	-431.00	13	48.73	27	-0.79	13	-8.26	29	0.75	14	0.00	27
1279	-341	-373	Max	16.87	-429.98	13	48.73	27	4.24	27	-8.24	29	-0.99	29	0.00	27
1279	-341	-373	Min.	2.51	-1026.29	27	15.90	13	-2.76	27	-16.93	14	0.19	29	-0.00	14
1279	-341	-373	Min.	16.87	-1025.27	27	15.90	13	1.50	13	-16.90	14	-2.08	27	-0.00	14
1279	-373	-405	Max	2.51	-459.38	13	49.49	27	-0.76	13	-8.65	29	0.71	14	0.00	27
1279	-373	-405	Max	16.87	-458.36	13	49.49	27	4.46	27	-8.63	29	-1.06	29	0.00	27
1279	-373	-405	Min.	2.51	-1060.49	27	16.34	13	-2.65	27	-17.35	14	0.19	29	-0.00	14
1279	-373	-405	Min.	16.87	-1059.47	27	16.34	13	1.59	13	-17.33	14	-2.22	27	-0.00	14
1279	-405	-437	Max	2.51	-489.42	13	50.10	27	-0.73	13	-9.29	29	0.68	14	0.00	27
1279	-405	-437	Max	16.87	-488.40	13	50.10	27	4.68	27	-9.26	29	-1.15	29	0.00	27
1279	-405	-437	Min.	2.51	-1098.04	27	16.72	13	-2.52	27	-18.79	27	0.18	29	-0.00	14
1279	-405	-437	Min.	16.87	-1097.02	27	16.72	13	1.67	13	-18.77	27	-2.44	27	-0.00	14
1279	-437	-469	Max	2.51	-520.28	29	52.60	27	-0.68	13	-8.46	29	0.62	14	0.00	29
1279	-437	-469	Max	16.87	-519.26	29	52.60	27	5.21	27	-8.44	29	-1.06	29	0.00	29
1279	-437	-469	Min.	2.51	-1139.27	27	17.89	13	-2.35	27	-17.12	27	0.15	29	-0.00	14
1279	-437	-469	Min.	16.87	-1138.25	27	17.89	13	1.89	13	-17.10	27	-2.24	27	-0.00	14
1279	-469	-501	Max	2.51	-540.99	29	41.75	27	-0.54	28	-17.78	29	0.59	14	-0.01	29
1279	-469	-501	Max	16.87	-539.97	29	41.75	27	4.07	27	-17.75	29	-2.37	29	-0.01	29
1279	-469	-501	Min.	2.51	-1183.28	27	13.45	13	-1.92	27	-37.39	27	0.18	29	-0.01	27
1279	-469	-501	Min.	16.87	-1182.26	27	13.45	13	1.38	13	-37.37	27	-5.09	27	-0.01	27
1279	-501	1334	Max	2.51	-563.21	29	111.29	27	-0.47	13	71.66	27	-0.58	13	-0.01	13
1279	-501	1334	Max	14.38	-562.36	29	111.29	27	11.81	27	71.68	27	6.97	27	-0.01	13
1279	-501	1334	Min.	2.51	-1231.24	27	42.67	13	-1.40	27	29.13	13	-1.54	27	-0.02	27

1279	-501	1334	Min.	14.38	-1230.40	27	42.67	13	4.59	13	29.14	13	2.88	13	-0.02	27
1300	1299	1300	Max	1.77	85.08	27	0.80	14	4.11	27	1.12	27	0.24	27	0.00	14
1300	1299	1300	Max	10.00	85.08	27	1.38	14	2.81	27	1.12	27	0.33	27	0.00	14
1300	1299	1300	Min.	1.77	34.13	28	-16.01	27	0.80	28	-0.08	28	0.12	29	-0.02	27
1300	1299	1300	Min.	10.00	34.13	28	-15.42	27	0.89	28	-0.08	28	0.14	28	-0.02	27
1300	1300	1301	Max	0.00	85.08	27	1.38	14	2.81	27	1.12	27	0.33	27	0.00	14
1300	1300	1301	Max	8.23	85.08	27	1.97	14	1.64	14	1.12	27	0.42	27	0.00	14
1300	1300	1301	Min.	0.00	34.13	28	-15.42	27	0.89	28	-0.08	28	0.14	28	-0.02	27
1300	1300	1301	Min.	8.23	34.13	28	-14.84	27	0.85	29	-0.08	28	0.13	28	-0.02	27
1302	1319	1320	Max	1.77	-48.57	28	0.70	27	-0.13	28	1.20	14	-2.48	29	0.02	27
1302	1319	1320	Max	10.00	-48.57	28	0.70	27	-0.14	28	1.79	14	-2.76	28	0.02	27
1302	1319	1320	Min.	1.77	-111.64	27	-0.14	14	-0.39	27	-13.80	27	-5.05	27	0.00	13
1302	1319	1320	Min.	10.00	-111.64	27	-0.14	14	-0.33	27	-13.22	27	-6.16	27	0.00	13
1302	1320	1321	Max	0.00	-48.57	28	0.70	27	-0.14	28	1.79	14	-2.76	28	0.02	27
1302	1320	1321	Max	8.23	-48.57	28	0.70	27	-0.13	29	2.37	14	-2.60	28	0.02	27
1302	1320	1321	Min.	0.00	-111.64	27	-0.14	14	-0.33	27	-13.22	27	-6.16	27	0.00	13
1302	1320	1321	Min.	8.23	-111.64	27	-0.14	14	-0.27	27	-12.63	27	-7.22	27	0.00	13
1344	1331	1332	Max	1.77	-49.56	13	1.10	14	-2.47	29	0.70	27	-0.13	13	0.00	28
1344	1331	1332	Max	10.00	-49.56	13	1.69	14	-2.79	13	0.70	27	-0.15	13	0.00	28
1344	1331	1332	Min.	1.77	-111.31	27	-14.01	27	-5.04	27	-0.15	14	-0.39	27	-0.02	27
1344	1331	1332	Min.	10.00	-111.31	27	-13.42	27	-6.16	27	-0.15	14	-0.33	27	-0.02	27
1344	1332	1333	Max	0.00	-49.56	13	1.69	14	-2.79	13	0.70	27	-0.15	13	0.00	28
1344	1332	1333	Max	8.23	-49.56	13	2.27	14	-2.63	13	0.70	27	-0.13	29	0.00	28
1344	1332	1333	Min.	0.00	-111.31	27	-13.42	27	-6.16	27	-0.15	14	-0.33	27	-0.02	27
1344	1332	1333	Min.	8.23	-111.31	27	-12.84	27	-7.25	27	-0.15	14	-0.27	27	-0.02	27
1346	1351	1352	Max	1.77	84.73	27	1.15	27	0.23	27	0.66	13	4.14	27	0.02	27
1346	1351	1352	Max	10.00	84.73	27	1.15	27	0.33	27	1.24	13	2.82	27	0.02	27
1346	1351	1352	Min.	1.77	37.01	29	-0.06	13	0.12	29	-16.27	27	1.10	13	-0.00	14
1346	1351	1352	Min.	10.00	37.01	29	-0.06	13	0.15	13	-15.69	27	1.17	13	-0.00	14
1346	1352	1353	Max	0.00	84.73	27	1.15	27	0.33	27	1.24	13	2.82	27	0.02	27
1346	1352	1353	Max	8.23	84.73	27	1.15	27	0.42	27	1.83	13	1.71	28	0.02	27
1346	1352	1353	Min.	0.00	37.01	29	-0.06	13	0.15	13	-15.69	27	1.17	13	-0.00	14
1346	1352	1353	Min.	8.23	37.01	29	-0.06	13	0.14	13	-15.10	27	0.84	29	-0.00	14
1384	1328	1340	Max	1.77	5.70	27	-0.69	29	0.16	27	31.99	27	-1.51	29	-0.07	13
1384	1328	1340	Max	10.00	5.70	27	-0.69	29	0.05	27	32.58	27	-0.25	29	-0.07	13
1384	1328	1340	Min.	1.77	-3.60	14	-1.40	27	0.06	13	14.96	29	-3.16	27	-0.16	27
1384	1328	1340	Min.	10.00	-3.60	14	-1.40	27	-0.01	28	15.54	29	-0.51	27	-0.16	27
1384	1340	1348	Max	0.00	5.70	27	-0.69	29	0.05	27	32.58	27	-0.25	29	-0.07	13
1384	1340	1348	Max	8.23	5.70	27	-0.69	29	-0.04	29	33.16	27	2.20	27	-0.07	13
1384	1340	1348	Min.	0.00	-3.60	14	-1.40	27	-0.01	28	15.54	29	-0.51	27	-0.16	27
1384	1340	1348	Min.	8.23	-3.60	14	-1.40	27	-0.08	28	16.13	29	1.05	13	-0.16	27
1387	1330	1341	Max	1.77	-3.13	28	35.05	27	-1.93	13	-0.88	13	0.12	27	0.15	27
1387	1330	1341	Max	10.00	-3.13	28	35.63	27	-0.56	28	-0.88	13	0.01	28	0.15	27
1387	1330	1341	Min.	1.77	-19.31	27	15.96	13	-4.18	27	-2.00	27	0.06	29	0.07	29
1387	1330	1341	Min.	10.00	-19.31	27	16.54	13	-1.27	27	-2.00	27	-0.05	27	0.07	29
1387	1341	1350	Max	0.00	-3.13	28	35.63	27	-0.56	28	-0.88	13	0.01	28	0.15	27
1387	1341	1350	Max	8.23	-3.13	28	36.22	27	1.69	27	-0.88	13	-0.07	13	0.15	27
1387	1341	1350	Min.	0.00	-19.31	27	16.54	13	-1.27	27	-2.00	27	-0.05	27	0.07	29
1387	1341	1350	Min.	8.23	-19.31	27	17.13	13	0.76	29	-2.00	27	-0.21	27	0.07	29
1422	1331	1342	Max	1.77	2.89	27	-1.44	29	0.33	27	65.77	27	-3.13	29	-0.13	13
1422	1331	1342	Max	10.00	2.89	27	-1.44	29	0.07	27	66.36	27	-0.73	29	-0.13	13
1422	1331	1342	Min.	1.77	-8.93	14	-3.20	27	0.12	13	28.85	29	-6.84	27	-0.29	27
1422	1331	1342	Min.	10.00	-8.93	14	-3.20	27	-0.01	28	29.43	29	-1.40	27	-0.29	27
1422	1342	1351	Max	0.00	2.89	27	-1.44	29	0.07	27	66.36	27	-0.73	29	-0.13	13
1422	1342	1351	Max	8.23	2.89	27	-1.44	29	-0.10	29	66.94	27	4.09	27	-0.13	13
1422	1342	1351	Min.	0.00	-8.93	14	-3.20	27	-0.01	28	29.43	29	-1.40	27	-0.29	27
1422	1342	1351	Min.	8.23	-8.93	14	-3.20	27	-0.20	27	30.02	29	1.63	13	-0.29	27
1425	1333	1343	Max	1.77	-4.53	28	68.03	27	-3.22	13	-1.55	13	0.24	27	0.28	27
1425	1333	1343	Max	10.00	-4.53	28	68.62	27	-0.72	28	-1.55	13	0.01	14	0.28	27

1425	1333	1343	Min.	1.77	-28.77	27	29.34	13	-7.58	27	-3.66	27	0.11	29	0.13	29
1425	1333	1343	Min.	10.00	-28.77	27	29.93	13	-1.95	27	-3.66	27	-0.07	27	0.13	29
1425	1343	1353	Max	0.00	-4.53	28	68.62	27	-0.72	28	-1.55	13	0.01	14	0.28	27
1425	1343	1353	Max	8.23	-4.53	28	69.20	27	3.72	27	-1.55	13	-0.12	13	0.28	27
1425	1343	1353	Min.	0.00	-28.77	27	29.93	13	-1.95	27	-3.66	27	-0.07	27	0.13	29
1425	1343	1353	Min.	8.23	-28.77	27	30.51	13	1.63	29	-3.66	27	-0.37	27	0.13	29
1460	1334	1344	Max	1.77	6.61	27	-1.50	29	0.36	27	66.24	27	-3.10	29	-0.13	13
1460	1334	1344	Max	10.00	6.61	27	-1.50	29	0.08	27	66.82	27	-0.68	29	-0.13	13
1460	1334	1344	Min.	1.77	-5.74	14	-3.36	27	0.13	13	29.04	29	-6.82	27	-0.29	27
1460	1334	1344	Min.	10.00	-5.74	14	-3.36	27	0.01	13	29.62	29	-1.35	27	-0.29	27
1460	1344	1354	Max	0.00	6.61	27	-1.50	29	0.08	27	66.82	27	-0.68	29	-0.13	13
1460	1344	1354	Max	8.23	6.61	27	-1.50	29	-0.09	29	67.41	27	4.18	27	-0.13	13
1460	1344	1354	Min.	0.00	-5.74	14	-3.36	27	0.01	13	29.62	29	-1.35	27	-0.29	27
1460	1344	1354	Min.	8.23	-5.74	14	-3.36	27	-0.19	27	30.21	29	1.70	13	-0.29	27
1463	1336	1345	Max	1.77	-7.67	28	66.57	27	-3.23	13	-1.48	13	0.20	27	0.28	27
1463	1336	1345	Max	10.00	-7.67	28	67.15	27	-0.76	28	-1.48	13	-0.01	13	0.28	27
1463	1336	1345	Min.	1.77	-32.40	27	28.98	13	-7.50	27	-3.44	27	0.09	29	0.13	29
1463	1336	1345	Min.	10.00	-32.40	27	29.57	13	-2.00	27	-3.44	27	-0.08	27	0.13	29
1463	1345	1356	Max	0.00	-7.67	28	67.15	27	-0.76	28	-1.48	13	-0.01	13	0.28	27
1463	1345	1356	Max	8.23	-7.67	28	67.74	27	3.55	27	-1.48	13	-0.13	13	0.28	27
1463	1345	1356	Min.	0.00	-32.40	27	29.57	13	-2.00	27	-3.44	27	-0.08	27	0.13	29
1463	1345	1356	Min.	8.23	-32.40	27	30.15	13	1.54	29	-3.44	27	-0.36	27	0.13	29
1498	1337	1346	Max	1.77	3.59	27	-0.84	29	0.20	27	34.42	27	-1.88	29	-0.07	13
1498	1337	1346	Max	10.00	3.59	27	-0.84	29	0.05	27	35.00	27	-0.55	29	-0.07	13
1498	1337	1346	Min.	1.77	-4.19	14	-1.79	27	0.08	13	15.86	29	-3.86	27	-0.15	27
1498	1337	1346	Min.	10.00	-4.19	14	-1.79	27	0.00	14	16.45	29	-1.00	27	-0.15	27
1498	1346	1357	Max	0.00	3.59	27	-0.84	29	0.05	27	35.00	27	-0.55	29	-0.07	13
1498	1346	1357	Max	8.23	3.59	27	-0.84	29	-0.05	29	35.59	27	1.90	27	-0.07	13
1498	1346	1357	Min.	0.00	-4.19	14	-1.79	27	0.00	14	16.45	29	-1.00	27	-0.15	27
1498	1346	1357	Min.	8.23	-4.19	14	-1.79	27	-0.09	27	17.03	29	0.79	13	-0.15	27
1501	1339	1347	Max	1.77	-3.41	13	33.76	27	-1.56	13	-0.74	13	0.09	27	0.15	27
1501	1339	1347	Max	10.00	-3.41	13	34.34	27	-0.27	28	-0.74	13	-0.00	14	0.15	27
1501	1339	1347	Min.	1.77	-16.43	27	15.26	13	-3.48	27	-1.67	27	0.04	29	0.07	13
1501	1339	1347	Min.	10.00	-16.43	27	15.85	13	-0.68	27	-1.67	27	-0.05	27	0.07	13
1501	1347	1359	Max	0.00	-3.41	13	34.34	27	-0.27	28	-0.74	13	-0.00	14	0.15	27
1501	1347	1359	Max	8.23	-3.41	13	34.93	27	2.17	27	-0.74	13	-0.07	13	0.15	27
1501	1347	1359	Min.	0.00	-16.43	27	15.85	13	-0.68	27	-1.67	27	-0.05	27	0.07	13
1501	1347	1359	Min.	8.23	-16.43	27	16.43	13	1.05	29	-1.67	27	-0.19	27	0.07	13
1519	1032	1324	Max	8.49	17.82	27	-8.41	29	0.83	27	-613.42	28	63.44	27	11.29	27
1519	1032	1324	Max	11.31	17.82	27	-8.41	29	0.31	27	-613.62	28	22.13	27	11.29	27
1519	1032	1324	Min.	8.49	-1.93	28	-18.32	27	0.38	29	-1460.51	27	25.67	28	5.11	29
1519	1032	1324	Min.	11.31	-1.93	28	-18.32	27	0.14	29	-1460.71	27	8.32	28	5.11	29
1519	1302	1032	Max	2.83	-28.39	13	17.85	27	0.30	27	-265.19	28	-8.21	28	-5.11	29
1519	1302	1032	Max	5.66	-28.39	13	17.85	27	0.81	27	-265.39	28	-15.71	28	-5.11	29
1519	1302	1032	Min.	2.83	-79.86	27	8.42	29	0.14	29	-833.18	27	-21.96	27	-11.26	27
1519	1302	1032	Min.	5.66	-79.86	27	8.42	29	0.38	29	-833.38	27	-45.53	27	-11.26	27
1520	1029	1319	Max	8.49	-1.37	13	28.70	27	-0.43	28	-596.91	29	53.91	27	-5.32	28
1520	1029	1319	Max	11.31	-1.37	13	28.70	27	-0.15	28	-597.11	29	17.21	27	-5.32	28
1520	1029	1319	Min.	8.49	-23.05	27	10.01	28	-1.23	27	-1297.17	27	24.88	29	-14.67	27
1520	1029	1319	Min.	11.31	-23.05	27	10.01	28	-0.42	27	-1297.37	27	7.99	29	-14.67	27
1520	1301	1029	Max	2.83	-21.60	29	-10.50	28	-0.16	28	-264.01	28	-7.89	29	14.82	27
1520	1301	1029	Max	5.66	-21.60	29	-10.50	28	-0.46	28	-264.21	28	-15.64	28	14.82	27
1520	1301	1029	Min.	2.83	-39.14	27	-32.73	27	-0.47	27	-668.10	27	-17.04	27	5.34	28
1520	1301	1029	Min.	5.66	-39.14	27	-32.73	27	-1.40	27	-668.30	27	-35.94	27	5.34	28
1521	1299	1029	Max	2.83	-24.34	13	17.60	27	0.29	27	-252.78	28	-7.79	28	-5.39	29
1521	1299	1029	Max	5.66	-24.34	13	17.60	27	0.79	27	-252.97	28	-14.94	28	-5.39	29
1521	1299	1029	Min.	2.83	-75.24	27	8.96	29	0.14	29	-825.24	27	-21.60	27	-11.62	27
1521	1299	1029	Min.	5.66	-75.24	27	8.96	29	0.40	29	-825.44	27	-44.95	27	-11.62	27
1521	1029	1321	Max	8.49	13.04	27	-10.35	29	0.97	27	-601.00	28	62.91	27	11.79	27

1521	1029	1321	Max	11.31	13.04	27	-10.35	29	0.35	27	-601.20	28	21.77	27	11.79	27
1521	1029	1321	Min.	8.49	-5.97	28	-21.79	27	0.46	29	-1454.32	27	24.90	28	5.45	29
1521	1029	1321	Min.	11.31	-5.97	28	-21.79	27	0.16	29	-1454.52	27	7.90	28	5.45	29
1522	1035	1327	Max	8.49	18.51	27	-3.72	29	0.36	27	-250.99	28	30.97	27	6.46	27
1522	1035	1327	Max	11.31	18.51	27	-3.72	29	0.15	27	-251.19	28	11.10	27	6.46	27
1522	1035	1327	Min.	8.49	2.53	14	-7.44	27	0.18	28	-702.59	27	10.46	28	2.80	28
1522	1035	1327	Min.	11.31	2.53	14	-7.44	27	0.07	28	-702.79	27	3.35	28	2.80	28
1522	1305	1035	Max	2.83	-18.60	13	8.62	27	0.17	27	-70.69	28	-3.28	28	-2.86	28
1522	1305	1035	Max	5.66	-18.60	13	8.62	27	0.41	27	-70.89	28	-5.29	28	-2.86	28
1522	1305	1035	Min.	2.83	-49.81	27	4.30	29	0.08	29	-389.47	27	-11.01	27	-6.50	27
1522	1305	1035	Min.	5.66	-49.81	27	4.30	29	0.20	29	-389.67	27	-22.02	27	-6.50	27
1523	1026	1318	Max	8.49	3.85	27	-6.24	29	0.53	27	-330.69	28	35.53	27	5.57	27
1523	1026	1318	Max	11.31	3.85	27	-6.24	29	0.19	27	-330.89	28	12.29	27	5.57	27
1523	1026	1318	Min.	8.49	-8.44	14	-11.85	27	0.26	28	-821.49	27	13.56	28	2.28	28
1523	1026	1318	Min.	11.31	-8.44	14	-11.85	27	0.08	28	-821.68	27	4.20	28	2.28	28
1523	1296	1026	Max	2.83	-8.22	13	7.02	14	0.11	27	-150.88	28	-4.13	28	-2.23	28
1523	1296	1026	Max	5.66	-8.22	13	7.02	14	0.30	14	-151.09	28	-8.40	28	-2.23	28
1523	1296	1026	Min.	2.83	-36.85	27	4.08	29	0.06	29	-490.59	27	-12.19	27	-5.33	27
1523	1296	1026	Min.	5.66	-36.85	27	4.08	29	0.18	29	-490.79	27	-26.07	27	-5.33	27
1524	1026	1316	Max	8.49	2.61	13	13.62	27	-0.17	28	-250.39	28	25.80	27	-2.80	28
1524	1026	1316	Max	11.31	2.61	13	13.62	27	-0.07	28	-250.59	28	8.02	27	-2.80	28
1524	1026	1316	Min.	8.49	-14.41	27	3.84	28	-0.59	27	-628.51	27	10.43	28	-8.22	27
1524	1026	1316	Min.	11.31	-14.41	27	3.84	28	-0.21	27	-628.71	27	3.35	28	-8.22	27
1524	1298	1026	Max	2.83	-13.41	29	-5.32	28	-0.09	28	-70.59	28	-3.28	28	8.43	27
1524	1298	1026	Max	5.66	-13.41	29	-5.32	28	-0.24	28	-70.79	28	-5.27	28	8.43	27
1524	1298	1026	Min.	2.83	-21.64	14	-19.37	27	-0.29	27	-297.62	27	-7.92	27	2.86	28
1524	1298	1026	Min.	5.66	-21.64	14	-19.37	27	-0.83	27	-297.82	27	-16.34	27	2.86	28
1525	1032	1322	Max	8.49	-5.45	13	31.81	27	-0.51	28	-581.42	29	52.61	27	-5.63	28
1525	1032	1322	Max	11.31	-5.45	13	31.81	27	-0.17	28	-581.62	29	16.57	27	-5.63	28
1525	1032	1322	Min.	8.49	-28.17	27	11.88	28	-1.35	27	-1274.04	27	23.97	29	-14.98	27
1525	1032	1322	Min.	11.31	-28.17	27	11.88	28	-0.46	27	-1274.24	27	7.52	29	-14.98	27
1525	1304	1032	Max	2.83	-17.42	29	-10.99	28	-0.16	28	-251.53	28	-7.42	29	14.99	27
1525	1304	1032	Max	5.66	-17.42	29	-10.99	28	-0.47	28	-251.73	28	-14.87	28	14.99	27
1525	1304	1032	Min.	2.83	-33.88	27	-32.10	27	-0.46	27	-646.70	27	-16.40	27	5.60	28
1525	1304	1032	Min.	5.66	-33.88	27	-32.10	27	-1.37	27	-646.90	27	-34.70	27	5.60	28
1526	1035	1325	Max	8.49	-7.83	13	18.45	27	-0.26	28	-330.05	28	30.64	27	-2.28	28
1526	1035	1325	Max	11.31	-7.83	13	18.45	27	-0.08	28	-330.25	28	9.51	27	-2.28	28
1526	1035	1325	Min.	8.49	-27.03	27	6.28	28	-0.77	27	-746.76	27	13.51	28	-7.54	27
1526	1035	1325	Min.	11.31	-27.03	27	6.28	28	-0.25	27	-746.96	27	4.18	28	-7.54	27
1526	1307	1035	Max	2.83	-2.81	29	-4.91	28	-0.06	28	-149.75	28	-4.11	28	7.48	27
1526	1307	1035	Max	5.66	-2.81	29	-4.91	28	-0.20	28	-149.95	28	-8.34	28	7.48	27
1526	1307	1035	Min.	2.83	-10.62	14	-17.12	27	-0.23	27	-433.65	27	-9.42	27	2.23	28
1526	1307	1035	Min.	5.66	-10.62	14	-17.12	27	-0.72	27	-433.85	27	-21.69	27	2.23	28
1551	1330	1286	Max	2.83	3.73	27	11.79	27	0.19	27	820.67	27	12.26	27	-2.73	29
1551	1330	1286	Max	5.66	3.73	27	11.79	27	0.52	27	820.47	27	35.47	27	-2.73	29
1551	1330	1286	Min.	2.83	-8.55	14	6.21	29	0.09	29	378.68	13	5.13	13	-5.56	27
1551	1330	1286	Min.	5.66	-8.55	14	6.21	29	0.27	29	378.48	13	15.84	13	-5.56	27
1551	1286	1348	Max	8.49	-7.23	28	-4.01	29	0.32	28	489.70	27	-11.25	13	5.32	27
1551	1286	1348	Max	11.31	-7.23	28	-4.01	29	0.11	28	489.50	27	-5.06	13	5.32	27
1551	1286	1348	Min.	8.49	-36.79	27	-7.38	28	0.18	29	218.65	13	-26.01	27	2.65	29
1551	1286	1348	Min.	11.31	-36.79	27	-7.38	28	0.06	29	218.45	13	-12.17	27	2.65	29
1552	1336	1292	Max	2.83	17.73	27	18.27	27	0.31	27	1459.34	27	22.09	27	-5.11	29
1552	1336	1292	Max	5.66	17.73	27	18.27	27	0.82	27	1459.14	27	63.37	27	-5.11	29
1552	1336	1292	Min.	2.83	-1.58	14	8.43	29	0.14	29	624.38	13	8.81	13	-11.27	27
1552	1336	1292	Min.	5.66	-1.58	14	8.43	29	0.38	29	624.18	13	26.47	13	-11.27	27
1552	1292	1354	Max	8.49	-26.69	28	-8.19	29	0.79	27	832.43	27	-17.89	13	11.24	27
1552	1292	1354	Max	11.31	-26.69	28	-8.19	29	0.30	27	832.23	27	-8.71	13	11.24	27
1552	1292	1354	Min.	8.49	-79.71	27	-17.40	27	0.37	29	324.52	13	-45.46	27	5.10	29
1552	1292	1354	Min.	11.31	-79.71	27	-17.40	27	0.14	29	324.32	13	-21.92	27	5.10	29

1553	1328	1286	Max	2.83	2.63	13	-4.74	13	-0.08	13	629.26	27	8.05	27	8.21	27
1553	1328	1286	Max	5.66	2.63	13	-4.74	13	-0.22	13	629.06	27	25.85	27	8.21	27
1553	1328	1286	Min.	2.83	-14.32	27	-13.59	27	-0.20	27	298.74	29	4.00	29	3.46	13
1553	1328	1286	Min.	5.66	-14.32	27	-13.59	27	-0.59	27	298.54	29	12.44	29	3.46	13
1553	1286	1350	Max	8.49	-13.47	29	19.46	27	-0.28	13	298.30	27	-7.77	29	-3.51	13
1553	1286	1350	Max	11.31	-13.47	29	19.46	27	-0.10	13	298.10	27	-3.93	29	-3.51	13
1553	1286	1350	Min.	8.49	-21.69	14	6.11	13	-0.84	27	135.67	29	-16.39	27	-8.43	27
1553	1286	1350	Min.	11.31	-21.69	14	6.11	13	-0.29	27	135.47	29	-7.96	27	-8.43	27
1554	1337	1295	Max	2.83	-7.72	13	-7.32	13	-0.10	13	747.47	27	9.56	27	7.54	27
1554	1337	1295	Max	5.66	-7.72	13	-7.32	13	-0.31	13	747.27	27	30.70	27	7.54	27
1554	1337	1295	Min.	2.83	-26.81	27	-18.46	27	-0.25	27	366.57	29	4.69	29	3.07	13
1554	1337	1295	Min.	5.66	-26.81	27	-18.46	27	-0.77	27	366.38	29	15.06	29	3.07	13
1554	1295	1359	Max	8.49	-2.88	29	17.15	27	-0.25	13	434.65	27	-10.55	29	-3.02	13
1554	1295	1359	Max	11.31	-2.88	29	17.15	27	-0.08	13	434.45	27	-4.63	29	-3.02	13
1554	1295	1359	Min.	8.49	-10.67	14	5.97	13	-0.72	27	209.55	29	-21.75	27	-7.48	27
1554	1295	1359	Min.	11.31	-10.67	14	5.97	13	-0.23	27	209.35	29	-9.46	27	-7.48	27
1555	1331	1289	Max	2.83	-0.83	28	-10.18	13	-0.16	13	1298.08	27	17.28	27	14.67	27
1555	1331	1289	Max	5.66	-0.83	28	-10.18	13	-0.45	13	1297.88	27	53.99	27	14.67	27
1555	1331	1289	Min.	2.83	-22.77	27	-28.62	27	-0.42	27	597.47	29	8.02	29	5.68	13
1555	1331	1289	Min.	5.66	-22.77	27	-28.62	27	-1.23	27	597.27	29	24.92	29	5.68	13
1555	1289	1353	Max	8.49	-21.69	29	33.02	27	-0.48	13	669.39	27	-16.33	29	-5.71	13
1555	1289	1353	Max	11.31	-21.69	29	33.02	27	-0.17	13	669.19	27	-7.92	29	-5.71	13
1555	1289	1353	Min.	8.49	-39.41	27	10.91	13	-1.41	27	297.32	29	-36.04	27	-14.83	27
1555	1289	1353	Min.	11.31	-39.41	27	10.91	13	-0.48	27	297.12	29	-17.11	27	-14.83	27
1556	1289	1351	Max	8.49	-22.55	28	-8.75	29	0.77	27	824.57	27	-17.11	13	11.59	27
1556	1289	1351	Max	11.31	-22.55	28	-8.75	29	0.29	27	824.37	27	-8.29	13	11.59	27
1556	1289	1351	Min.	8.49	-75.08	27	-17.15	27	0.39	29	312.00	13	-44.89	27	5.38	29
1556	1289	1351	Min.	11.31	-75.08	27	-17.15	27	0.14	29	311.80	13	-21.57	27	5.38	29
1556	1333	1289	Max	2.83	12.89	27	21.75	27	0.35	27	1453.27	27	21.73	27	-5.45	29
1556	1333	1289	Max	5.66	12.89	27	21.75	27	0.97	27	1453.07	27	62.84	27	-5.45	29
1556	1333	1289	Min.	2.83	-5.83	14	10.37	29	0.16	29	611.86	13	8.40	13	-11.77	27
1556	1333	1289	Min.	5.66	-5.83	14	10.37	29	0.46	29	611.66	13	25.70	13	-11.77	27
1557	1339	1295	Max	2.83	18.52	27	7.32	27	0.15	27	702.10	27	11.09	27	-3.16	29
1557	1339	1295	Max	5.66	18.52	27	7.32	27	0.36	27	701.90	27	30.94	27	-3.16	29
1557	1339	1295	Min.	2.83	2.47	28	3.67	29	0.07	29	310.94	13	4.50	13	-6.45	27
1557	1339	1295	Min.	5.66	2.47	28	3.67	29	0.18	29	310.74	13	13.29	13	-6.45	27
1557	1295	1357	Max	8.49	-17.85	28	-4.21	29	0.40	27	389.27	27	-8.70	13	6.49	27
1557	1295	1357	Max	11.31	-17.85	28	-4.21	29	0.17	27	389.07	27	-4.43	13	6.49	27
1557	1295	1357	Min.	8.49	-49.77	27	-8.44	27	0.20	29	150.89	13	-22.00	27	3.18	29
1557	1295	1357	Min.	11.31	-49.77	27	-8.44	27	0.08	29	150.69	13	-11.00	27	3.18	29
1558	1292	1356	Max	8.49	-17.54	29	32.38	27	-0.49	13	648.43	27	-15.45	29	-5.96	13
1558	1292	1356	Max	11.31	-17.54	29	32.38	27	-0.17	13	648.23	27	-7.46	29	-5.96	13
1558	1292	1356	Min.	8.49	-34.16	27	11.39	13	-1.38	27	282.66	29	-34.81	27	-15.00	27
1558	1292	1356	Min.	11.31	-34.16	27	11.39	13	-0.46	27	282.46	29	-16.48	27	-15.00	27
1558	1334	1292	Max	2.83	-4.95	28	-12.05	13	-0.18	13	1275.35	27	16.65	27	14.98	27
1558	1334	1292	Max	5.66	-4.95	28	-12.05	13	-0.52	13	1275.15	27	52.72	27	14.98	27
1558	1334	1292	Min.	2.83	-27.83	27	-31.71	27	-0.45	27	582.22	29	7.56	29	5.99	13
1558	1334	1292	Min.	5.66	-27.83	27	-31.71	27	-1.35	27	582.02	29	24.02	29	5.99	13
1579	1302	1303	Max	1.77	84.42	27	-1.79	14	4.29	27	1.17	27	0.23	27	-0.00	28
1579	1302	1303	Max	10.00	84.42	27	-1.21	14	2.78	27	1.17	27	0.33	27	-0.00	28
1579	1302	1303	Min.	1.77	34.15	28	-18.60	27	1.01	28	0.04	14	0.11	29	-0.02	27
1579	1302	1303	Min.	10.00	34.15	28	-18.01	27	0.89	28	0.04	14	0.14	28	-0.02	27
1579	1303	1304	Max	0.00	84.42	27	-1.21	14	2.78	27	1.17	27	0.33	27	-0.00	28
1579	1303	1304	Max	8.23	84.42	27	-0.62	14	1.42	14	1.17	27	0.42	27	-0.00	28
1579	1303	1304	Min.	0.00	34.15	28	-18.01	27	0.89	28	0.04	14	0.14	28	-0.02	27
1579	1303	1304	Min.	8.23	34.15	28	-17.43	27	0.63	29	0.04	14	0.14	28	-0.02	27
1581	1322	1323	Max	1.77	-48.60	28	1.13	27	-0.15	28	-2.24	28	-2.19	29	0.02	27
1581	1322	1323	Max	10.00	-48.60	28	1.13	27	-0.14	28	-1.66	28	-2.76	28	0.02	27
1581	1322	1323	Min.	1.77	-110.92	27	0.14	13	-0.42	27	-18.33	27	-4.64	27	0.00	28

1581	1322	1323	Min.	10.00	-110.92	27	0.14	13	-0.33	27	-17.75	27	-6.12	27	0.00	28
1581	1323	1324	Max	0.00	-48.60	28	1.13	27	-0.14	28	-1.66	28	-2.76	28	0.02	27
1581	1323	1324	Max	8.23	-48.60	28	1.13	27	-0.11	29	-1.07	28	-2.87	28	0.02	27
1581	1323	1324	Min.	0.00	-110.92	27	0.14	13	-0.33	27	-17.75	27	-6.12	27	0.00	28
1581	1323	1324	Min.	8.23	-110.92	27	0.14	13	-0.24	27	-17.16	27	-7.56	27	0.00	28
1623	1334	1335	Max	1.77	-49.42	29	-2.30	13	-2.19	29	1.13	27	-0.16	13	0.00	14
1623	1334	1335	Max	10.00	-49.42	29	-1.72	13	-2.78	29	1.13	27	-0.14	29	0.00	14
1623	1334	1335	Min.	1.77	-110.52	27	-18.52	27	-4.63	27	0.14	13	-0.42	27	-0.02	27
1623	1334	1335	Min.	10.00	-110.52	27	-17.93	27	-6.13	27	0.14	13	-0.33	27	-0.02	27
1623	1335	1336	Max	0.00	-49.42	29	-1.72	13	-2.78	29	1.13	27	-0.14	29	0.00	14
1623	1335	1336	Max	8.23	-49.42	29	-1.13	13	-2.90	13	1.13	27	-0.11	29	0.00	14
1623	1335	1336	Min.	0.00	-110.52	27	-17.93	27	-6.13	27	0.14	13	-0.33	27	-0.02	27
1623	1335	1336	Min.	8.23	-110.52	27	-17.35	27	-7.58	27	0.14	13	-0.23	27	-0.02	27
1625	1354	1355	Max	1.77	84.02	27	1.20	27	0.23	27	-1.93	13	4.32	27	0.02	27
1625	1354	1355	Max	10.00	84.02	27	1.20	27	0.33	27	-1.34	13	2.80	27	0.02	27
1625	1354	1355	Min.	1.77	36.76	29	0.06	14	0.11	29	-18.85	27	1.31	13	0.00	13
1625	1354	1355	Min.	10.00	36.76	29	0.06	14	0.14	29	-18.26	27	1.17	29	0.00	13
1625	1355	1356	Max	0.00	84.02	27	1.20	27	0.33	27	-1.34	13	2.80	27	0.02	27
1625	1355	1356	Max	8.23	84.02	27	1.20	27	0.42	27	-0.76	13	1.50	28	0.02	27
1625	1355	1356	Min.	0.00	36.76	29	0.06	14	0.14	29	-18.26	27	1.17	29	0.00	13
1625	1355	1356	Min.	8.23	36.76	29	0.06	14	0.15	13	-17.68	27	0.62	29	0.00	13
1798	345	-14	Max	4.85	0.00	13	0.00	13	0.00	13	0.00	13	0.00	13	0.00	13
1798	345	-14	Min.	4.85	0.00	13	0.00	13	0.00	13	0.00	13	0.00	13	0.00	13
1798	-14	-46	Max	4.85	0.00	13	0.00	13	0.00	13	0.00	13	0.00	13	0.00	13
1798	-14	-46	Min.	4.85	0.00	13	0.00	13	0.00	13	0.00	13	0.00	13	0.00	13
1798	-46	-78	Max	5.01	30.07	27	12.65	14	-0.35	29	-8.53	28	4.95	27	0.01	14
1798	-46	-78	Max	16.87	30.90	27	12.65	14	0.64	27	-8.52	28	-0.10	29	0.01	14
1798	-46	-78	Min.	5.01	-219.01	14	5.14	29	-1.23	14	-43.81	27	0.89	28	0.00	29
1798	-46	-78	Min.	16.87	-218.17	14	5.38	29	0.17	28	-43.08	27	-0.22	14	0.00	29
1798	-78	-110	Max	2.51	-31.10	27	13.59	14	-0.23	27	-10.96	28	4.02	27	0.01	14
1798	-78	-110	Max	16.87	-30.10	27	13.59	14	1.09	27	-10.93	28	-0.65	28	0.01	14
1798	-78	-110	Min.	2.51	-239.03	14	5.23	29	-1.03	14	-45.17	27	0.92	28	0.00	29
1798	-78	-110	Min.	16.87	-238.01	14	5.51	29	0.53	29	-44.29	27	-2.40	27	0.00	29
1798	-110	-142	Max	2.51	-103.19	29	13.90	14	-0.19	27	-11.24	28	3.47	27	0.00	14
1798	-110	-142	Max	16.87	-102.17	29	13.90	14	1.26	27	-11.21	28	-0.82	28	0.00	14
1798	-110	-142	Min.	2.51	-265.64	14	5.59	29	-0.89	14	-45.38	27	0.80	28	0.00	29
1798	-110	-142	Min.	16.87	-264.62	14	5.88	29	0.62	29	-44.50	27	-2.98	27	0.00	29
1798	-142	-174	Max	2.51	-137.06	29	14.21	14	-0.19	29	-11.72	28	3.32	27	0.00	14
1798	-142	-174	Max	16.87	-136.05	29	14.21	14	1.38	27	-11.70	28	-0.90	28	0.00	14
1798	-142	-174	Min.	2.51	-294.88	14	5.91	29	-0.84	14	-45.87	27	0.78	28	0.00	29
1798	-142	-174	Min.	16.87	-293.86	14	6.20	29	0.68	29	-45.00	27	-3.21	27	0.00	29
1798	-174	-206	Max	2.51	-172.59	29	14.55	14	-0.20	29	-12.21	28	3.23	27	0.00	14
1798	-174	-206	Max	16.87	-171.57	29	14.55	14	1.48	27	-12.19	28	-0.97	28	0.00	14
1798	-174	-206	Min.	2.51	-325.90	14	6.26	29	-0.82	14	-46.37	27	0.78	28	0.00	29
1798	-174	-206	Min.	16.87	-324.88	14	6.54	29	0.72	29	-45.49	27	-3.37	27	0.00	29
1798	-206	-238	Max	2.51	-209.60	29	14.90	14	-0.20	29	-12.71	28	3.15	27	0.00	14
1798	-206	-238	Max	16.87	-208.59	29	14.90	14	1.59	27	-12.69	28	-1.04	28	0.00	14
1798	-206	-238	Min.	2.51	-377.66	27	6.60	29	-0.81	14	-46.92	27	0.78	28	0.00	29
1798	-206	-238	Min.	16.87	-376.66	27	6.89	29	0.77	29	-46.04	27	-3.52	27	0.00	29
1798	-238	-270	Max	2.51	-248.14	29	15.27	14	-0.20	29	-13.24	28	3.08	27	0.00	14
1798	-238	-270	Max	16.87	-247.12	29	15.27	14	1.70	27	-13.22	28	-1.12	28	0.00	14
1798	-238	-270	Min.	2.51	-473.65	27	6.97	29	-0.79	14	-47.49	27	0.78	28	0.00	29
1798	-238	-270	Min.	16.87	-472.65	27	7.25	29	0.82	29	-46.62	27	-3.68	27	0.00	29
1798	-270	-302	Max	2.51	-288.30	29	15.65	14	-0.20	29	-13.79	28	2.99	27	0.00	14
1798	-270	-302	Max	16.87	-287.28	29	15.65	14	1.83	27	-13.76	28	-1.20	28	0.00	14
1798	-270	-302	Min.	2.51	-573.26	27	7.34	29	-0.77	14	-48.12	27	0.78	28	0.00	29
1798	-270	-302	Min.	16.87	-572.26	27	7.62	29	0.88	29	-47.24	27	-3.86	27	0.00	29
1798	-302	-334	Max	2.51	-330.20	29	16.06	14	-0.20	29	-14.35	28	2.90	27	0.00	14
1798	-302	-334	Max	16.87	-329.18	29	16.06	14	1.96	27	-14.33	28	-1.28	28	0.00	14

1798	-302	-334	Min.	2.51	-676.75	27	7.73	29	-0.74	14	-48.79	27	0.78	28	0.00	29
1798	-302	-334	Min.	16.87	-675.75	27	8.01	29	0.93	29	-47.92	27	-4.05	27	0.00	29
1798	-334	-366	Max	2.51	-373.96	29	16.49	14	-0.19	29	-14.95	28	2.80	27	0.00	14
1798	-334	-366	Max	16.87	-372.95	29	16.84	27	2.10	27	-14.93	28	-1.38	28	0.00	14
1798	-334	-366	Min.	2.51	-784.40	27	8.13	29	-0.72	14	-49.52	27	0.76	13	0.00	29
1798	-334	-366	Min.	16.87	-783.39	27	8.42	29	1.00	29	-48.65	27	-4.25	27	0.00	29
1798	-366	-398	Max	2.51	-419.74	29	17.05	27	-0.19	29	-15.54	28	2.68	27	0.00	14
1798	-366	-398	Max	16.87	-418.72	29	17.91	27	2.25	27	-15.52	28	-1.47	28	0.00	14
1798	-366	-398	Min.	2.51	-896.53	27	8.57	29	-0.68	14	-50.24	27	0.74	13	0.00	29
1798	-366	-398	Min.	16.87	-895.53	27	8.85	29	1.07	29	-49.36	27	-4.47	27	0.00	29
1798	-398	-430	Max	2.51	-467.66	29	17.89	27	-0.17	29	-16.40	28	2.56	27	0.00	14
1798	-398	-430	Max	16.87	-466.64	29	18.75	27	2.38	27	-16.37	28	-1.61	28	0.00	14
1798	-398	-430	Min.	2.51	-1013.44	27	8.90	29	-0.65	14	-51.51	27	0.71	13	0.00	29
1798	-398	-430	Min.	16.87	-1012.44	27	9.19	29	1.12	29	-50.64	27	-4.78	27	0.00	29
1798	-430	-462	Max	2.51	-508.20	28	20.56	27	-0.16	29	-15.66	28	2.36	27	0.00	14
1798	-430	-462	Max	16.87	-507.18	28	21.41	27	2.78	27	-15.63	28	-1.55	28	0.00	14
1798	-430	-462	Min.	2.51	-1135.31	27	10.05	29	-0.60	14	-49.32	27	0.65	13	0.00	27
1798	-430	-462	Min.	16.87	-1134.31	27	10.34	29	1.30	29	-48.45	27	-4.66	27	0.00	27
1798	-462	-494	Max	2.51	-547.57	28	13.12	14	-0.09	29	-25.48	13	2.17	27	-0.00	28
1798	-462	-494	Max	16.87	-546.55	28	13.12	14	1.60	27	-25.46	13	-3.02	28	-0.00	28
1798	-462	-494	Min.	2.51	-1259.97	27	5.90	29	-0.45	14	-70.88	27	0.62	13	-0.01	27
1798	-462	-494	Min.	16.87	-1258.97	27	6.18	29	0.78	29	-70.00	27	-7.95	27	-0.01	27
1798	-494	1324	Max	2.51	-586.88	28	71.76	27	-0.24	29	47.22	27	-0.40	29	-0.00	29
1798	-494	1324	Max	14.38	-586.04	28	72.46	27	8.07	27	47.94	27	4.85	27	-0.00	29
1798	-494	1324	Min.	2.51	-1380.03	27	32.93	29	-0.49	27	23.23	29	-0.80	27	-0.00	14
1798	-494	1324	Min.	14.38	-1379.21	27	33.16	29	3.68	29	23.48	29	2.37	29	-0.00	14
1799	318	-4	Max	4.85	0.00	13	0.00	13	0.00	13	0.00	13	0.00	13	0.00	13
1799	318	-4	Min.	4.85	0.00	13	0.00	13	0.00	13	0.00	13	0.00	13	0.00	13
1799	-4	-36	Max	4.85	0.00	13	0.00	13	0.00	13	0.00	13	0.00	13	0.00	13
1799	-4	-36	Min.	4.85	0.00	13	0.00	13	0.00	13	0.00	13	0.00	13	0.00	13
1799	-36	-68	Max	5.01	67.71	27	42.97	27	-0.98	28	17.80	14	-0.74	29	0.03	27
1799	-36	-68	Max	16.87	68.54	27	42.27	27	0.29	27	17.82	14	0.55	27	0.03	27
1799	-36	-68	Min.	5.01	-222.76	28	9.36	28	-4.77	27	7.97	29	-1.91	14	0.01	28
1799	-36	-68	Min.	16.87	-221.92	28	9.59	28	0.14	28	8.23	29	0.12	28	0.01	28
1799	-68	-100	Max	2.51	85.55	27	43.91	27	-0.67	28	15.54	14	-0.41	27	0.01	27
1799	-68	-100	Max	16.87	86.55	27	43.05	27	2.40	27	15.57	14	1.08	27	0.01	27
1799	-68	-100	Min.	2.51	-205.10	28	8.63	28	-3.84	27	6.82	29	-1.25	14	0.00	28
1799	-68	-100	Min.	16.87	-204.08	28	8.91	28	0.59	28	7.13	29	0.57	29	0.00	28
1799	-100	-132	Max	2.51	108.91	27	44.18	27	-0.59	28	16.01	14	-0.35	27	0.00	28
1799	-100	-132	Max	16.87	109.91	27	43.33	27	2.97	27	16.04	14	1.27	27	0.00	28
1799	-100	-132	Min.	2.51	-182.49	28	9.02	28	-3.32	27	7.24	29	-1.10	14	-0.00	27
1799	-100	-132	Min.	16.87	-181.48	28	9.31	28	0.73	28	7.55	29	0.68	29	-0.00	27
1799	-132	-164	Max	2.51	135.15	27	44.56	27	-0.57	28	16.35	14	-0.34	27	0.00	28
1799	-132	-164	Max	16.87	136.15	27	43.70	27	3.19	27	16.37	14	1.39	27	0.00	28
1799	-132	-164	Min.	2.51	-157.75	28	9.41	28	-3.15	27	7.57	29	-1.05	14	-0.01	27
1799	-132	-164	Min.	16.87	-156.73	28	9.69	28	0.80	28	7.88	29	0.75	29	-0.01	27
1799	-164	-196	Max	2.51	163.83	27	44.96	27	-0.57	28	16.71	14	-0.35	27	0.00	28
1799	-164	-196	Max	16.87	164.83	27	44.11	27	3.33	27	16.73	14	1.50	27	0.00	28
1799	-164	-196	Min.	2.51	-131.41	28	9.81	28	-3.06	27	7.93	29	-1.03	14	-0.01	27
1799	-164	-196	Min.	16.87	-130.40	28	10.10	28	0.86	28	8.24	29	0.80	29	-0.01	27
1799	-196	-228	Max	2.51	194.95	27	45.42	27	-0.57	28	17.09	14	-0.36	27	0.00	28
1799	-196	-228	Max	16.87	195.95	27	44.57	27	3.48	27	17.11	14	1.62	27	0.00	28
1799	-196	-228	Min.	2.51	-103.53	28	10.23	28	-2.99	27	8.30	29	-1.01	14	-0.01	27
1799	-196	-228	Min.	16.87	-102.52	28	10.51	28	0.92	28	8.61	29	0.85	29	-0.01	27
1799	-228	-260	Max	2.51	228.66	27	45.91	27	-0.57	28	17.49	14	-0.36	29	0.00	28
1799	-228	-260	Max	16.87	229.66	27	45.06	27	3.63	27	17.51	14	1.74	27	0.00	28
1799	-228	-260	Min.	2.51	-74.04	28	10.67	28	-2.91	27	8.68	29	-0.99	14	-0.01	27
1799	-228	-260	Min.	16.87	-73.02	28	10.95	28	0.98	28	8.99	29	0.91	29	-0.01	27
1799	-260	-292	Max	2.51	265.14	27	46.45	27	-0.57	28	17.91	14	-0.36	29	0.00	28

1799	-260	-292	Max	16.87	266.14	27	45.59	27	3.79	27	17.93	14	1.87	27	0.00	28
1799	-260	-292	Min.	2.51	-42.81	28	11.12	28	-2.82	27	9.08	29	-0.97	14	-0.01	27
1799	-260	-292	Min.	16.87	-41.79	28	11.40	28	1.05	28	9.39	29	0.97	29	-0.01	27
1799	-292	-324	Max	2.51	304.61	27	47.01	27	-0.56	28	18.35	14	-0.35	29	0.00	28
1799	-292	-324	Max	16.87	305.61	27	46.15	27	3.96	27	18.37	14	2.01	27	0.00	28
1799	-292	-324	Min.	2.51	-9.72	28	11.59	28	-2.73	27	9.50	29	-0.94	14	-0.01	27
1799	-292	-324	Min.	16.87	-8.71	28	11.87	28	1.13	28	9.80	29	1.04	29	-0.01	27
1799	-324	-356	Max	2.51	347.28	27	47.62	27	-0.55	13	18.81	14	-0.34	29	0.00	28
1799	-324	-356	Max	16.87	348.28	27	46.76	27	4.15	27	18.83	14	2.15	27	0.00	28
1799	-324	-356	Min.	2.51	25.37	28	12.08	28	-2.62	27	9.93	29	-0.91	14	-0.01	27
1799	-324	-356	Min.	16.87	26.39	28	12.36	28	1.20	28	10.23	29	1.11	29	-0.01	27
1799	-356	-388	Max	2.51	393.41	27	48.31	27	-0.52	13	19.30	14	-0.33	29	0.00	28
1799	-356	-388	Max	16.87	394.41	27	47.46	27	4.37	27	19.32	14	2.31	27	0.00	28
1799	-356	-388	Min.	2.51	62.63	28	12.60	28	-2.51	27	10.37	29	-0.87	14	-0.01	27
1799	-356	-388	Min.	16.87	63.64	28	12.88	28	1.29	28	10.68	29	1.18	29	-0.01	27
1799	-388	-420	Max	2.51	443.26	27	48.79	27	-0.49	13	19.82	14	-0.31	29	0.00	28
1799	-388	-420	Max	16.87	444.26	27	47.94	27	4.57	27	20.09	27	2.49	27	0.00	28
1799	-388	-420	Min.	2.51	102.20	28	13.04	28	-2.38	27	10.85	29	-0.83	14	-0.01	27
1799	-388	-420	Min.	16.87	103.22	28	13.32	28	1.37	28	11.16	29	1.27	29	-0.01	27
1799	-420	-452	Max	2.51	497.05	27	51.26	27	-0.45	13	20.23	14	-0.29	29	0.00	28
1799	-420	-452	Max	16.87	498.06	27	50.41	27	5.08	27	21.00	27	2.66	27	0.00	28
1799	-420	-452	Min.	2.51	144.19	28	14.25	28	-2.22	27	11.28	29	-0.76	14	-0.01	27
1799	-420	-452	Min.	16.87	145.21	28	14.53	28	1.57	28	11.59	29	1.35	29	-0.01	27
1799	-452	-484	Max	2.51	554.61	27	40.23	27	-0.32	13	22.99	27	-0.22	27	-0.00	28
1799	-452	-484	Max	16.87	555.61	27	39.38	27	3.93	27	23.87	27	3.15	27	-0.00	28
1799	-452	-484	Min.	2.51	188.27	28	10.03	13	-1.78	27	12.32	29	-0.65	14	-0.02	27
1799	-452	-484	Min.	16.87	189.28	28	10.03	13	1.12	13	12.63	29	1.56	29	-0.02	27
1799	-484	1301	Max	2.51	611.90	27	110.23	27	-0.35	13	18.40	28	0.38	27	-0.00	13
1799	-484	1301	Max	14.38	612.72	27	109.52	27	11.70	27	18.66	28	2.04	28	-0.00	13
1799	-484	1301	Min.	2.51	230.42	28	37.24	28	-1.35	27	9.29	29	-0.16	28	-0.03	27
1799	-484	1301	Min.	14.38	231.26	28	37.48	28	4.07	28	9.54	29	1.20	29	-0.03	27
1800	342	-12	Max	4.85	0.00	13	0.00	13	0.00	13	0.00	13	0.00	13	0.00	13
1800	342	-12	Min.	4.85	0.00	13	0.00	13	0.00	13	0.00	13	0.00	13	0.00	13
1800	-12	-44	Max	4.85	0.00	13	0.00	13	0.00	13	0.00	13	0.00	13	0.00	13
1800	-12	-44	Min.	4.85	0.00	13	0.00	13	0.00	13	0.00	13	0.00	13	0.00	13
1800	-44	-76	Max	5.01	-43.52	27	14.89	14	-0.63	29	-6.30	28	4.60	27	0.01	14
1800	-44	-76	Max	16.87	-42.69	27	14.89	14	0.61	27	-6.28	28	-0.14	29	0.01	14
1800	-44	-76	Min.	5.01	-281.34	14	7.24	29	-1.53	14	-41.29	27	0.58	28	0.00	27
1800	-44	-76	Min.	16.87	-280.49	14	7.48	29	0.14	28	-40.57	27	-0.26	14	0.00	27
1800	-76	-108	Max	2.51	-101.56	27	16.22	14	-0.50	29	-9.03	28	3.78	27	0.00	14
1800	-76	-108	Max	16.87	-100.56	27	16.22	14	1.25	27	-9.01	28	-0.59	28	0.00	14
1800	-76	-108	Min.	2.51	-298.41	14	7.70	29	-1.32	14	-43.04	27	0.70	28	0.00	27
1800	-76	-108	Min.	16.87	-297.39	14	7.99	29	0.62	29	-42.16	27	-2.34	27	0.00	27
1800	-108	-140	Max	2.51	-156.80	29	16.54	14	-0.44	29	-9.28	28	3.25	27	0.00	28
1800	-108	-140	Max	16.87	-155.78	29	16.54	14	1.46	27	-9.26	28	-0.73	28	0.00	28
1800	-108	-140	Min.	2.51	-321.21	14	8.08	29	-1.14	14	-43.23	27	0.60	28	-0.00	27
1800	-108	-140	Min.	16.87	-320.19	14	8.36	29	0.74	29	-42.36	27	-2.90	27	-0.00	27
1800	-140	-172	Max	2.51	-186.83	29	16.93	14	-0.43	29	-9.71	28	3.09	27	0.00	28
1800	-140	-172	Max	16.87	-185.82	29	16.93	14	1.60	27	-9.69	28	-0.81	28	0.00	28
1800	-140	-172	Min.	2.51	-346.30	14	8.47	29	-1.09	14	-43.66	27	0.59	28	-0.01	27
1800	-140	-172	Min.	16.87	-345.28	14	8.75	29	0.81	29	-42.79	27	-3.12	27	-0.01	27
1800	-172	-204	Max	2.51	-218.30	29	17.32	14	-0.43	29	-10.16	28	3.01	27	0.00	28
1800	-172	-204	Max	16.87	-217.28	29	17.32	14	1.71	27	-10.13	28	-0.87	28	0.00	28
1800	-172	-204	Min.	2.51	-372.93	14	8.86	29	-1.07	14	-44.11	27	0.59	28	-0.01	27
1800	-172	-204	Min.	16.87	-371.91	14	9.15	29	0.87	29	-43.23	27	-3.27	27	-0.01	27
1800	-204	-236	Max	2.51	-251.05	29	17.75	14	-0.43	29	-10.61	28	2.93	27	0.00	28
1800	-204	-236	Max	16.87	-250.04	29	17.75	14	1.84	27	-10.58	28	-0.93	28	0.00	28
1800	-204	-236	Min.	2.51	-430.11	27	9.28	29	-1.05	14	-44.59	27	0.59	28	-0.01	27
1800	-204	-236	Min.	16.87	-429.11	27	9.57	29	0.92	29	-43.71	27	-3.41	27	-0.01	27

1800	-236	-268	Max	2.51	-285.13	29	18.16	14	-0.43	29	-11.10	28	2.86	27	0.00	28
1800	-236	-268	Max	16.87	-284.11	29	18.16	14	1.96	27	-11.07	28	-1.00	28	0.00	28
1800	-236	-268	Min.	2.51	-520.98	27	9.69	29	-1.04	14	-45.15	27	0.59	28	-0.01	27
1800	-236	-268	Min.	16.87	-519.98	27	9.98	29	0.98	29	-44.27	27	-3.57	27	-0.01	27
1800	-268	-300	Max	2.51	-320.61	29	18.64	14	-0.43	29	-11.58	28	2.77	27	0.00	28
1800	-268	-300	Max	16.87	-319.59	29	19.17	27	2.10	27	-11.55	28	-1.07	28	0.00	28
1800	-268	-300	Min.	2.51	-615.22	27	10.15	29	-1.02	14	-45.69	27	0.59	28	-0.01	27
1800	-268	-300	Min.	16.87	-614.22	27	10.43	29	1.05	29	-44.81	27	-3.73	27	-0.01	27
1800	-300	-332	Max	2.51	-357.58	29	19.35	27	-0.43	29	-12.11	28	2.68	27	0.00	28
1800	-300	-332	Max	16.87	-356.57	29	20.21	27	2.24	27	-12.08	28	-1.15	28	0.00	28
1800	-300	-332	Min.	2.51	-713.06	27	10.59	29	-0.99	14	-46.33	27	0.59	28	-0.01	27
1800	-300	-332	Min.	16.87	-712.06	27	10.88	29	1.12	29	-45.46	27	-3.91	27	-0.01	27
1800	-332	-364	Max	2.51	-396.18	29	20.47	27	-0.42	29	-12.64	28	2.58	27	0.00	28
1800	-332	-364	Max	16.87	-395.17	29	21.33	27	2.40	27	-12.61	28	-1.23	28	0.00	28
1800	-332	-364	Min.	2.51	-814.79	27	11.08	29	-0.96	14	-46.98	27	0.58	13	-0.01	27
1800	-332	-364	Min.	16.87	-813.79	27	11.36	29	1.19	29	-46.11	27	-4.10	27	-0.01	27
1800	-364	-396	Max	2.51	-436.51	29	21.66	27	-0.41	29	-13.17	28	2.47	27	0.00	28
1800	-364	-396	Max	16.87	-435.50	29	22.51	27	2.57	27	-13.14	28	-1.32	28	0.00	28
1800	-364	-396	Min.	2.51	-920.67	27	11.59	29	-0.93	14	-47.63	27	0.55	13	-0.01	27
1800	-364	-396	Min.	16.87	-919.67	27	11.87	29	1.27	29	-46.76	27	-4.31	27	-0.01	27
1800	-396	-428	Max	2.51	-478.67	29	22.66	27	-0.40	29	-13.93	28	2.35	27	0.00	28
1800	-396	-428	Max	16.87	-477.66	29	23.52	27	2.73	27	-13.91	28	-1.44	28	0.00	28
1800	-396	-428	Min.	2.51	-1030.97	27	12.02	29	-0.89	14	-48.79	27	0.52	13	-0.01	27
1800	-396	-428	Min.	16.87	-1029.97	27	12.31	29	1.35	29	-47.91	27	-4.60	27	-0.01	27
1800	-428	-460	Max	2.51	-511.13	28	25.39	27	-0.38	29	-13.18	28	2.17	27	-0.00	28
1800	-428	-460	Max	16.87	-510.11	28	26.24	27	3.15	27	-13.16	28	-1.36	28	-0.00	28
1800	-428	-460	Min.	2.51	-1145.91	27	13.23	29	-0.83	14	-46.62	27	0.48	13	-0.01	27
1800	-428	-460	Min.	16.87	-1144.91	27	13.52	29	1.54	29	-45.75	27	-4.47	27	-0.01	27
1800	-460	-492	Max	2.51	-544.07	28	16.53	14	-0.29	29	-22.81	13	1.99	27	-0.01	28
1800	-460	-492	Max	16.87	-543.05	28	17.08	27	1.99	27	-22.79	13	-2.80	28	-0.01	28
1800	-460	-492	Min.	2.51	-1263.44	27	9.08	29	-0.67	14	-68.04	27	0.46	13	-0.01	27
1800	-460	-492	Min.	16.87	-1262.44	27	9.36	29	1.03	29	-67.17	27	-7.73	27	-0.01	27
1800	-492	1321	Max	2.51	-577.44	28	77.88	27	-0.35	29	50.13	27	-0.47	29	-0.01	29
1800	-492	1321	Max	14.38	-576.60	28	78.59	27	8.64	27	50.85	27	5.11	27	-0.01	29
1800	-492	1321	Min.	2.51	-1376.97	27	36.96	29	-0.65	27	25.50	29	-0.89	27	-0.01	27
1800	-492	1321	Min.	14.38	-1376.14	27	37.19	29	4.06	29	25.75	29	2.57	29	-0.01	27
1801	348	-16	Max	4.85	0.00	13	0.00	13	0.00	13	0.00	13	0.00	13	0.00	13
1801	348	-16	Min.	4.85	0.00	13	0.00	13	0.00	13	0.00	13	0.00	13	0.00	13
1801	-16	-48	Max	4.85	0.00	13	0.00	13	0.00	13	0.00	13	0.00	13	0.00	13
1801	-16	-48	Min.	4.85	0.00	13	0.00	13	0.00	13	0.00	13	0.00	13	0.00	13
1801	-48	-80	Max	5.01	221.00	27	5.21	14	0.71	27	-3.99	28	3.63	27	0.01	14
1801	-48	-80	Max	16.87	221.82	27	5.21	14	0.51	27	-3.97	28	0.07	27	0.01	14
1801	-48	-80	Min.	5.01	-65.66	14	-2.03	27	-0.39	14	-30.35	27	0.52	28	-0.00	27
1801	-48	-80	Min.	16.87	-64.82	14	-1.33	27	0.14	28	-29.63	27	-0.04	14	-0.00	27
1801	-80	-112	Max	2.51	181.26	27	5.23	14	0.85	27	-5.13	28	2.81	27	0.00	14
1801	-80	-112	Max	16.87	182.26	27	5.23	14	0.48	14	-5.10	28	-0.22	28	0.00	14
1801	-80	-112	Min.	2.51	-76.66	14	-3.62	27	-0.27	14	-29.75	27	0.52	28	0.00	29
1801	-80	-112	Min.	16.87	-75.64	14	-2.77	27	0.21	28	-28.87	27	-1.40	27	0.00	29
1801	-112	-144	Max	2.51	129.86	27	5.36	14	0.75	27	-5.36	28	2.44	27	0.00	14
1801	-112	-144	Max	16.87	130.86	27	5.36	14	0.56	14	-5.34	28	-0.30	28	0.00	14
1801	-112	-144	Min.	2.51	-91.56	14	-2.96	27	-0.21	14	-29.76	27	0.46	28	0.00	29
1801	-112	-144	Min.	16.87	-90.54	14	-2.11	27	0.25	28	-28.88	27	-1.77	27	0.00	29
1801	-144	-176	Max	2.51	74.59	27	5.49	14	0.71	27	-5.70	28	2.32	27	0.00	27
1801	-144	-176	Max	16.87	75.60	27	5.49	14	0.60	14	-5.68	28	-0.35	28	0.00	27
1801	-144	-176	Min.	2.51	-108.07	14	-2.42	27	-0.19	14	-29.87	27	0.47	28	0.00	29
1801	-144	-176	Min.	16.87	-107.05	14	-1.57	27	0.27	29	-29.00	27	-1.91	27	0.00	29
1801	-176	-208	Max	2.51	17.26	27	5.63	14	0.68	27	-6.04	28	2.25	27	0.00	27
1801	-176	-208	Max	16.87	18.26	27	5.63	14	0.63	14	-6.02	28	-0.39	28	0.00	27
1801	-176	-208	Min.	2.51	-125.65	14	-1.87	27	-0.18	14	-29.99	27	0.47	28	0.00	29

1801	-176	-208	Min.	16.87	-124.63	14	-1.02	27	0.29	29	-29.11	27	-1.99	27	0.00	29
1801	-208	-240	Max	2.51	-39.16	29	5.76	14	0.66	27	-6.39	28	2.20	27	0.00	27
1801	-208	-240	Max	16.87	-38.15	29	5.76	14	0.66	14	-6.37	28	-0.43	28	0.00	27
1801	-208	-240	Min.	2.51	-144.23	14	-1.33	27	-0.17	14	-30.13	27	0.48	28	0.00	29
1801	-208	-240	Min.	16.87	-143.21	14	-0.48	27	0.31	29	-29.25	27	-2.07	27	0.00	29
1801	-240	-272	Max	2.51	-64.64	29	5.90	14	0.63	27	-6.77	28	2.14	27	0.00	27
1801	-240	-272	Max	16.87	-63.62	29	5.90	14	0.69	14	-6.75	28	-0.48	28	0.00	27
1801	-240	-272	Min.	2.51	-163.86	14	-0.78	27	-0.15	14	-30.31	27	0.49	28	0.00	29
1801	-240	-272	Min.	16.87	-162.84	14	0.07	27	0.34	29	-29.44	27	-2.15	27	0.00	29
1801	-272	-304	Max	2.51	-91.10	29	6.06	14	0.61	27	-7.14	28	2.07	27	0.00	27
1801	-272	-304	Max	16.87	-90.09	29	6.06	14	0.73	14	-7.12	28	-0.52	28	0.00	27
1801	-272	-304	Min.	2.51	-184.59	14	-0.19	27	-0.14	14	-30.49	27	0.50	28	0.00	29
1801	-272	-304	Min.	16.87	-183.57	14	0.66	27	0.36	29	-29.61	27	-2.24	27	0.00	29
1801	-304	-336	Max	2.51	-118.61	29	6.21	14	0.59	27	-7.54	28	2.01	27	0.00	27
1801	-304	-336	Max	16.87	-117.59	29	6.21	14	0.76	14	-7.52	28	-0.58	28	0.00	27
1801	-304	-336	Min.	2.51	-230.27	27	0.38	27	-0.13	14	-30.72	27	0.51	28	0.00	29
1801	-304	-336	Min.	16.87	-229.27	27	1.23	27	0.39	29	-29.84	27	-2.34	27	0.00	29
1801	-336	-368	Max	2.51	-143.02	28	6.37	14	0.57	27	-7.96	28	1.93	27	0.00	27
1801	-336	-368	Max	16.87	-142.00	28	6.37	14	0.80	14	-7.93	28	-0.63	28	0.00	27
1801	-336	-368	Min.	2.51	-297.24	27	0.98	27	-0.11	14	-30.96	27	0.51	28	0.00	29
1801	-336	-368	Min.	16.87	-296.24	27	1.48	29	0.42	29	-30.08	27	-2.45	27	0.00	29
1801	-368	-400	Max	2.51	-159.82	28	6.57	14	0.55	27	-8.36	28	1.85	27	0.00	27
1801	-368	-400	Max	16.87	-158.80	28	6.57	14	0.85	14	-8.34	28	-0.69	28	0.00	27
1801	-368	-400	Min.	2.51	-366.53	27	1.45	29	-0.09	14	-31.18	27	0.51	28	0.00	29
1801	-368	-400	Min.	16.87	-365.52	27	1.73	29	0.45	29	-30.30	27	-2.56	27	0.00	29
1801	-400	-432	Max	2.51	-178.12	28	6.68	14	0.53	27	-8.89	28	1.76	27	0.00	27
1801	-400	-432	Max	16.87	-177.09	28	6.68	14	0.90	27	-8.87	28	-0.76	28	0.00	27
1801	-400	-432	Min.	2.51	-438.27	27	1.63	29	-0.07	14	-31.67	27	0.51	28	0.00	29
1801	-400	-432	Min.	16.87	-437.27	27	1.91	29	0.48	29	-30.80	27	-2.72	27	0.00	29
1801	-432	-464	Max	2.51	-198.01	28	7.43	14	0.51	27	-8.75	28	1.64	27	0.00	27
1801	-432	-464	Max	16.87	-196.99	28	7.43	14	1.11	27	-8.73	28	-0.75	28	0.00	27
1801	-432	-464	Min.	2.51	-512.56	27	2.32	29	-0.05	14	-30.57	27	0.49	13	0.00	29
1801	-432	-464	Min.	16.87	-511.56	27	2.60	29	0.57	29	-29.69	27	-2.69	27	0.00	29
1801	-464	-496	Max	2.51	-219.10	28	3.73	14	0.53	27	-13.37	28	1.48	27	0.00	14
1801	-464	-496	Max	16.87	-218.08	28	3.73	14	0.55	14	-13.35	28	-1.44	28	0.00	14
1801	-464	-496	Min.	2.51	-588.07	27	-2.08	27	0.01	28	-40.81	27	0.46	13	0.00	29
1801	-464	-496	Min.	16.87	-587.06	27	-1.23	27	0.17	29	-39.94	27	-4.32	27	0.00	29
1801	-496	1327	Max	2.51	-239.82	28	35.77	27	-0.02	29	16.10	27	-0.08	29	0.01	27
1801	-496	1327	Max	14.38	-238.97	28	36.47	27	4.27	27	16.82	27	1.79	27	0.01	27
1801	-496	1327	Min.	2.51	-659.31	27	17.60	28	-0.15	14	8.12	29	-0.24	14	0.00	28
1801	-496	1327	Min.	14.38	-658.48	27	17.60	28	1.98	28	8.37	29	0.90	29	0.00	28
1802	339	-10	Max	4.85	0.00	13	0.00	13	0.00	13	0.00	13	0.00	13	0.00	13
1802	339	-10	Min.	4.85	0.00	13	0.00	13	0.00	13	0.00	13	0.00	13	0.00	13
1802	-10	-42	Max	4.85	0.00	13	0.00	13	0.00	13	0.00	13	0.00	13	0.00	13
1802	-10	-42	Min.	4.85	0.00	13	0.00	13	0.00	13	0.00	13	0.00	13	0.00	13
1802	-42	-74	Max	5.01	-59.61	27	8.91	14	-0.04	27	0.40	28	2.68	27	0.00	14
1802	-42	-74	Max	16.87	-58.78	27	8.91	14	0.32	27	0.42	28	-0.13	29	0.00	14
1802	-42	-74	Min.	5.01	-277.71	14	2.70	27	-0.98	14	-24.47	27	-0.19	28	-0.00	27
1802	-42	-74	Min.	16.87	-276.87	14	3.40	27	-0.01	28	-23.74	27	-0.23	14	-0.00	27
1802	-74	-106	Max	2.51	-92.86	27	10.16	14	0.03	27	-1.81	28	2.17	27	0.00	13
1802	-74	-106	Max	16.87	-91.86	27	10.16	14	0.56	14	-1.78	28	-0.22	28	0.00	13
1802	-74	-106	Min.	2.51	-283.35	14	2.70	27	-0.90	14	-25.40	27	0.03	28	-0.01	27
1802	-74	-106	Min.	16.87	-282.33	14	3.56	27	0.26	28	-24.53	27	-1.42	27	-0.01	27
1802	-106	-138	Max	2.51	-135.84	27	10.34	14	0.01	27	-1.93	28	1.83	27	-0.00	13
1802	-106	-138	Max	16.87	-134.84	27	10.34	14	0.70	14	-1.90	28	-0.27	28	-0.00	13
1802	-106	-138	Min.	2.51	-291.31	14	3.41	27	-0.79	14	-25.25	27	0.01	28	-0.01	27
1802	-106	-138	Min.	16.87	-290.29	14	4.27	27	0.35	28	-24.37	27	-1.73	27	-0.01	27
1802	-138	-170	Max	2.51	-171.32	29	10.57	14	-0.02	27	-2.19	28	1.72	27	-0.00	28
1802	-138	-170	Max	16.87	-170.30	29	10.57	14	0.76	14	-2.17	28	-0.30	28	-0.00	28

1802	-138	-170	Min.	2.51	-300.24	14	4.09	27	-0.76	14	-25.27	27	0.01	28	-0.01	27
1802	-138	-170	Min.	16.87	-299.22	14	4.75	29	0.40	28	-24.39	27	-1.84	27	-0.01	27
1802	-170	-202	Max	2.51	-187.12	29	10.82	14	-0.05	27	-2.45	28	1.66	27	-0.00	28
1802	-170	-202	Max	16.87	-186.11	29	10.82	14	0.81	14	-2.43	28	-0.33	28	-0.00	28
1802	-170	-202	Min.	2.51	-309.82	14	4.76	29	-0.75	14	-25.29	27	0.02	28	-0.01	27
1802	-170	-202	Min.	16.87	-308.80	14	5.05	29	0.44	29	-24.41	27	-1.91	27	-0.01	27
1802	-202	-234	Max	2.51	-203.45	29	11.07	14	-0.09	27	-2.73	28	1.60	27	-0.00	28
1802	-202	-234	Max	16.87	-202.44	29	11.07	14	0.85	14	-2.70	28	-0.36	28	-0.00	28
1802	-202	-234	Min.	2.51	-320.01	14	5.07	29	-0.74	14	-25.33	27	0.03	28	-0.01	27
1802	-202	-234	Min.	16.87	-318.99	14	5.36	29	0.47	29	-24.45	27	-1.98	27	-0.01	27
1802	-234	-266	Max	2.51	-220.30	29	11.35	14	-0.12	27	-3.01	28	1.54	27	-0.00	28
1802	-234	-266	Max	16.87	-219.29	29	11.35	14	0.90	14	-2.98	28	-0.39	28	-0.00	28
1802	-234	-266	Min.	2.51	-330.84	14	5.39	29	-0.73	14	-25.38	27	0.04	28	-0.01	27
1802	-234	-266	Min.	16.87	-329.82	14	5.68	29	0.51	29	-24.50	27	-2.05	27	-0.01	27
1802	-266	-298	Max	2.51	-237.71	29	11.63	14	-0.15	27	-3.30	28	1.47	27	-0.00	28
1802	-266	-298	Max	16.87	-236.69	29	11.63	14	0.95	14	-3.27	28	-0.43	28	-0.00	28
1802	-266	-298	Min.	2.51	-380.28	27	5.72	29	-0.72	14	-25.45	27	0.05	28	-0.01	27
1802	-266	-298	Min.	16.87	-379.28	27	6.01	29	0.55	29	-24.57	27	-2.12	27	-0.01	27
1802	-298	-330	Max	2.51	-255.70	29	11.93	14	-0.17	27	-3.59	28	1.40	27	-0.00	28
1802	-298	-330	Max	16.87	-254.68	29	11.93	14	1.00	14	-3.57	28	-0.46	28	-0.00	28
1802	-298	-330	Min.	2.51	-433.31	27	6.07	29	-0.71	14	-25.54	27	0.05	28	-0.01	27
1802	-298	-330	Min.	16.87	-432.31	27	6.35	29	0.60	29	-24.66	27	-2.20	27	-0.01	27
1802	-330	-362	Max	2.51	-274.32	29	12.24	14	-0.20	27	-3.90	28	1.33	27	-0.00	28
1802	-330	-362	Max	16.87	-273.31	29	12.24	14	1.08	27	-3.88	28	-0.50	28	-0.00	28
1802	-330	-362	Min.	2.51	-487.90	27	6.42	29	-0.70	14	-25.65	27	0.06	28	-0.01	27
1802	-330	-362	Min.	16.87	-486.90	27	6.71	29	0.64	29	-24.77	27	-2.29	27	-0.01	27
1802	-362	-394	Max	2.51	-284.36	28	12.58	14	-0.22	27	-4.21	28	1.25	27	-0.00	28
1802	-362	-394	Max	16.87	-283.34	28	12.58	14	1.18	27	-4.19	28	-0.54	28	-0.00	28
1802	-362	-394	Min.	2.51	-544.17	27	6.80	29	-0.68	14	-25.74	27	0.06	28	-0.01	27
1802	-362	-394	Min.	16.87	-543.16	27	7.08	29	0.69	29	-24.87	27	-2.38	27	-0.01	27
1802	-394	-426	Max	2.51	-292.22	28	12.87	14	-0.24	27	-4.64	28	1.17	27	-0.00	28
1802	-394	-426	Max	16.87	-291.20	28	12.87	14	1.27	27	-4.62	28	-0.60	28	-0.00	28
1802	-394	-426	Min.	2.51	-602.20	27	7.14	29	-0.66	14	-26.12	27	0.06	28	-0.01	27
1802	-394	-426	Min.	16.87	-601.20	27	7.42	29	0.74	29	-25.25	27	-2.52	27	-0.01	27
1802	-426	-458	Max	2.51	-301.15	28	13.67	14	-0.26	27	-4.23	28	1.05	27	-0.00	28
1802	-426	-458	Max	16.87	-300.13	28	13.67	14	1.48	27	-4.21	28	-0.55	28	-0.00	28
1802	-426	-458	Min.	2.51	-662.08	27	7.87	29	-0.63	14	-24.60	27	0.04	13	-0.01	27
1802	-426	-458	Min.	16.87	-661.08	27	8.15	29	0.85	29	-23.73	27	-2.42	27	-0.01	27
1802	-458	-490	Max	2.51	-310.92	28	11.11	14	-0.21	27	-9.69	28	0.95	27	-0.01	28
1802	-458	-490	Max	16.87	-309.90	28	11.11	14	1.06	14	-9.67	28	-1.31	28	-0.01	28
1802	-458	-490	Min.	2.51	-722.70	27	6.01	29	-0.53	14	-36.27	27	0.05	13	-0.01	27
1802	-458	-490	Min.	16.87	-721.70	27	6.29	29	0.63	29	-35.39	27	-4.20	27	-0.01	27
1802	-490	1318	Max	2.51	-321.75	28	37.08	27	-0.23	29	29.88	27	-0.38	29	-0.01	29
1802	-490	1318	Max	14.38	-320.91	28	37.78	27	4.11	27	30.60	27	2.99	27	-0.01	29
1802	-490	1318	Min.	2.51	-781.01	27	18.89	28	-0.38	14	17.42	29	-0.60	27	-0.01	27
1802	-490	1318	Min.	14.38	-780.18	27	18.89	28	1.92	28	17.67	29	1.70	29	-0.01	27
1803	315	-2	Max	4.85	0.00	13	0.00	13	0.00	13	0.00	13	0.00	13	0.00	13
1803	315	-2	Min.	4.85	0.00	13	0.00	13	0.00	13	0.00	13	0.00	13	0.00	13
1803	-2	-34	Max	4.85	0.00	13	0.00	13	0.00	13	0.00	13	0.00	13	0.00	13
1803	-2	-34	Min.	4.85	0.00	13	0.00	13	0.00	13	0.00	13	0.00	13	0.00	13
1803	-34	-66	Max	5.01	80.96	27	26.86	27	-0.22	28	11.24	14	0.16	27	0.01	27
1803	-34	-66	Max	16.87	81.78	27	26.16	27	0.23	27	11.25	14	0.28	27	0.01	27
1803	-34	-66	Min.	5.01	-203.84	28	2.87	28	-2.91	27	0.59	27	-1.29	14	0.00	28
1803	-34	-66	Min.	16.87	-203.00	28	3.11	28	0.13	28	1.31	27	-0.03	28	0.00	28
1803	-66	-98	Max	2.51	84.36	27	27.19	27	-0.04	28	9.38	14	0.23	27	0.00	27
1803	-66	-98	Max	16.87	85.37	27	26.34	27	1.54	27	9.40	14	0.53	14	0.00	27
1803	-66	-98	Min.	2.51	-194.18	28	1.93	28	-2.31	27	0.19	27	-0.82	14	0.00	28
1803	-66	-98	Min.	16.87	-193.16	28	2.22	28	0.26	28	1.07	27	0.25	28	0.00	28
1803	-98	-130	Max	2.51	89.12	27	27.15	27	-0.04	28	9.70	14	0.19	27	-0.00	13

1803	-98	-130	Max	16.87	90.12	27	26.30	27	1.87	27	9.72	14	0.65	14	-0.00	13
1803	-98	-130	Min.	2.51	-181.88	28	2.20	28	-1.97	27	0.82	27	-0.74	14	-0.01	27
1803	-98	-130	Min.	16.87	-180.87	28	2.48	28	0.30	28	1.70	27	0.31	29	-0.01	27
1803	-130	-162	Max	2.51	95.11	27	27.15	27	-0.04	28	9.89	14	0.17	27	-0.00	28
1803	-130	-162	Max	16.87	96.12	27	26.30	27	1.98	27	9.92	14	0.71	14	-0.00	28
1803	-130	-162	Min.	2.51	-168.36	28	2.44	28	-1.86	27	1.40	27	-0.71	14	-0.01	27
1803	-130	-162	Min.	16.87	-167.35	28	2.73	28	0.33	28	2.28	27	0.34	29	-0.01	27
1803	-162	-194	Max	2.51	102.42	27	27.17	27	-0.05	28	10.11	14	0.14	27	-0.00	28
1803	-162	-194	Max	16.87	103.42	27	26.32	27	2.05	27	10.13	14	0.75	14	-0.00	28
1803	-162	-194	Min.	2.51	-153.87	28	2.69	28	-1.79	27	2.01	27	-0.70	14	-0.01	27
1803	-162	-194	Min.	16.87	-152.86	28	2.97	28	0.36	28	2.89	27	0.37	29	-0.01	27
1803	-194	-226	Max	2.51	111.13	27	27.21	27	-0.05	28	10.34	14	0.11	27	-0.00	28
1803	-194	-226	Max	16.87	112.13	27	26.36	27	2.12	27	10.36	14	0.80	14	-0.00	28
1803	-194	-226	Min.	2.51	-138.42	28	2.94	28	-1.73	27	2.64	27	-0.69	14	-0.01	27
1803	-194	-226	Min.	16.87	-137.41	28	3.22	28	0.39	28	3.52	27	0.41	29	-0.01	27
1803	-226	-258	Max	2.51	121.34	27	27.27	27	-0.06	28	10.57	14	0.09	27	-0.00	28
1803	-226	-258	Max	16.87	122.34	27	26.41	27	2.19	27	10.60	14	0.84	14	-0.00	28
1803	-226	-258	Min.	2.51	-121.95	28	3.20	28	-1.67	27	3.29	27	-0.68	14	-0.01	27
1803	-226	-258	Min.	16.87	-120.93	28	3.49	28	0.42	28	4.16	27	0.44	29	-0.01	27
1803	-258	-290	Max	2.51	133.18	27	27.34	27	-0.07	28	10.82	14	0.06	27	-0.00	28
1803	-258	-290	Max	16.87	134.18	27	26.48	27	2.26	27	10.85	14	0.89	14	-0.00	28
1803	-258	-290	Min.	2.51	-104.38	28	3.47	28	-1.60	27	3.95	27	-0.67	14	-0.01	27
1803	-258	-290	Min.	16.87	-103.37	28	3.75	28	0.45	28	4.83	27	0.48	29	-0.01	27
1803	-290	-322	Max	2.51	146.75	27	27.42	27	-0.07	28	11.09	14	0.04	27	-0.00	28
1803	-290	-322	Max	16.87	147.75	27	26.57	27	2.34	27	11.11	14	0.94	14	-0.00	28
1803	-290	-322	Min.	2.51	-85.65	28	3.75	28	-1.53	27	4.63	27	-0.65	14	-0.01	27
1803	-290	-322	Min.	16.87	-84.63	28	4.03	28	0.49	28	5.34	29	0.52	29	-0.01	27
1803	-322	-354	Max	2.51	162.20	27	27.53	27	-0.07	28	11.36	14	0.02	27	-0.00	28
1803	-322	-354	Max	16.87	163.20	27	26.67	27	2.43	27	11.39	14	1.00	14	-0.00	28
1803	-322	-354	Min.	2.51	-65.64	28	4.03	28	-1.46	27	5.34	27	-0.64	14	-0.01	27
1803	-322	-354	Min.	16.87	-64.63	28	4.32	28	0.53	28	5.66	29	0.56	29	-0.01	27
1803	-354	-386	Max	2.51	179.68	27	27.67	27	-0.07	28	11.66	14	0.00	27	-0.00	28
1803	-354	-386	Max	16.87	180.68	27	26.82	27	2.53	27	11.68	14	1.06	14	-0.00	28
1803	-354	-386	Min.	2.51	-44.28	28	4.34	28	-1.38	27	5.68	29	-0.62	14	-0.01	27
1803	-354	-386	Min.	16.87	-43.26	28	4.62	28	0.57	28	5.99	29	0.61	29	-0.01	27
1803	-386	-418	Max	2.51	199.35	27	27.68	27	-0.07	28	11.97	14	-0.01	27	-0.00	28
1803	-386	-418	Max	16.87	200.35	27	26.83	27	2.62	27	11.99	14	1.13	14	-0.00	28
1803	-386	-418	Min.	2.51	-21.44	28	4.59	28	-1.29	27	6.03	29	-0.59	14	-0.01	27
1803	-386	-418	Min.	16.87	-20.43	28	4.88	28	0.61	28	6.33	29	0.66	29	-0.01	27
1803	-418	-450	Max	2.51	221.34	27	28.86	27	-0.06	13	12.26	14	-0.02	27	-0.00	28
1803	-418	-450	Max	16.87	222.34	27	28.00	27	2.89	27	12.29	14	1.21	14	-0.00	28
1803	-418	-450	Min.	2.51	2.92	28	5.29	28	-1.19	27	6.39	29	-0.56	14	-0.01	27
1803	-418	-450	Min.	16.87	3.93	28	5.58	28	0.71	28	6.70	29	0.72	29	-0.01	27
1803	-450	-482	Max	2.51	245.69	27	22.17	27	0.00	13	12.85	14	-0.01	27	-0.00	28
1803	-450	-482	Max	16.87	246.69	27	21.32	27	2.18	27	12.87	14	1.36	14	-0.00	28
1803	-450	-482	Min.	2.51	28.61	28	3.03	28	-0.94	27	6.76	29	-0.49	14	-0.02	27
1803	-450	-482	Min.	16.87	29.62	28	3.31	28	0.42	28	7.07	29	0.80	29	-0.02	27
1803	-482	1298	Max	2.51	270.74	27	62.42	27	-0.12	28	14.11	28	0.19	27	-0.00	13
1803	-482	1298	Max	14.38	271.56	27	61.71	27	6.64	27	14.36	28	1.44	28	-0.00	13
1803	-482	1298	Min.	2.51	52.93	28	18.51	28	-0.73	27	6.90	29	-0.25	28	-0.02	27
1803	-482	1298	Min.	14.38	53.77	28	18.74	28	2.09	28	7.16	29	0.81	29	-0.02	27
1804	321	-6	Max	4.85	0.00	13	0.00	13	0.00	13	0.00	13	0.00	13	0.00	13
1804	321	-6	Min.	4.85	0.00	13	0.00	13	0.00	13	0.00	13	0.00	13	0.00	13
1804	-6	-38	Max	4.85	0.00	13	0.00	13	0.00	13	0.00	13	0.00	13	0.00	13
1804	-6	-38	Min.	4.85	0.00	13	0.00	13	0.00	13	0.00	13	0.00	13	0.00	13
1804	-38	-70	Max	5.01	141.81	27	43.61	27	-1.17	28	15.42	14	-0.38	27	0.03	27
1804	-38	-70	Max	16.87	142.64	27	42.91	27	0.23	27	15.44	14	0.60	27	0.03	27
1804	-38	-70	Min.	5.01	-163.12	28	10.57	28	-4.90	27	5.62	29	-1.59	14	0.01	28
1804	-38	-70	Min.	16.87	-162.29	28	10.81	28	0.10	28	5.87	29	0.16	28	0.01	28

1804	-70	-102	Max	2.51	155.95	27	45.00	27	-0.86	28	13.47	14	-0.12	27	0.01	27
1804	-70	-102	Max	16.87	156.95	27	44.15	27	2.40	27	13.50	14	0.99	27	0.01	27
1804	-70	-102	Min.	2.51	-148.27	28	10.22	28	-4.01	27	4.76	29	-1.02	14	0.01	28
1804	-70	-102	Min.	16.87	-147.25	28	10.51	28	0.63	28	5.07	29	0.51	29	0.01	28
1804	-102	-134	Max	2.51	174.51	27	45.27	27	-0.76	28	13.89	14	-0.08	27	0.00	14
1804	-102	-134	Max	16.87	175.51	27	44.42	27	2.97	27	13.92	14	1.15	27	0.00	14
1804	-102	-134	Min.	2.51	-129.30	28	10.63	28	-3.47	27	5.13	29	-0.89	14	0.00	29
1804	-102	-134	Min.	16.87	-128.29	28	10.91	28	0.79	28	5.44	29	0.59	29	0.00	29
1804	-134	-166	Max	2.51	195.51	27	45.68	27	-0.74	28	14.17	14	-0.08	27	0.00	14
1804	-134	-166	Max	16.87	196.51	27	44.83	27	3.20	27	14.20	14	1.26	27	0.00	14
1804	-134	-166	Min.	2.51	-108.52	28	11.05	28	-3.30	27	5.41	29	-0.84	14	0.00	27
1804	-134	-166	Min.	16.87	-107.51	28	11.34	28	0.87	28	5.71	29	0.64	29	0.00	27
1804	-166	-198	Max	2.51	218.66	27	46.12	27	-0.74	28	14.48	14	-0.09	27	0.00	14
1804	-166	-198	Max	16.87	219.66	27	45.26	27	3.35	27	14.50	14	1.36	27	0.00	14
1804	-166	-198	Min.	2.51	-86.38	28	11.50	28	-3.21	27	5.71	29	-0.82	14	-0.00	27
1804	-166	-198	Min.	16.87	-85.36	28	11.78	28	0.93	28	6.02	29	0.69	29	-0.00	27
1804	-198	-230	Max	2.51	243.97	27	46.61	27	-0.74	28	14.81	14	-0.10	27	0.00	14
1804	-198	-230	Max	16.87	244.97	27	45.76	27	3.50	27	14.83	14	1.46	27	0.00	14
1804	-198	-230	Min.	2.51	-62.90	28	11.96	28	-3.13	27	6.03	29	-0.80	14	-0.00	27
1804	-198	-230	Min.	16.87	-61.88	28	12.24	28	1.00	28	6.33	29	0.73	29	-0.00	27
1804	-230	-262	Max	2.51	271.59	27	47.12	27	-0.73	28	15.15	14	-0.11	27	0.00	14
1804	-230	-262	Max	16.87	272.59	27	46.27	27	3.66	27	15.17	14	1.57	27	0.00	14
1804	-230	-262	Min.	2.51	-38.01	28	12.44	28	-3.05	27	6.36	29	-0.78	14	-0.00	27
1804	-230	-262	Min.	16.87	-37.00	28	12.72	28	1.07	28	6.66	29	0.78	29	-0.00	27
1804	-262	-294	Max	2.51	301.68	27	47.68	27	-0.73	28	15.51	14	-0.12	27	0.00	14
1804	-262	-294	Max	16.87	302.68	27	46.83	27	3.83	27	15.53	14	1.69	27	0.00	14
1804	-262	-294	Min.	2.51	-11.62	28	12.94	28	-2.96	27	6.70	29	-0.76	14	-0.00	27
1804	-262	-294	Min.	16.87	-10.61	28	13.22	28	1.15	28	7.00	29	0.83	29	-0.00	27
1804	-294	-326	Max	2.51	334.41	27	48.30	27	-0.72	28	15.88	14	-0.12	27	0.00	14
1804	-294	-326	Max	16.87	335.41	27	47.44	27	4.01	27	15.91	14	1.81	27	0.00	14
1804	-294	-326	Min.	2.51	16.38	28	13.45	28	-2.86	27	7.05	29	-0.73	14	-0.00	27
1804	-294	-326	Min.	16.87	17.39	28	13.74	28	1.23	28	7.35	29	0.89	29	-0.00	27
1804	-326	-358	Max	2.51	370.01	27	48.93	27	-0.71	13	16.28	14	-0.12	27	0.00	14
1804	-326	-358	Max	16.87	371.01	27	48.08	27	4.21	27	16.30	14	1.95	27	0.00	14
1804	-326	-358	Min.	2.51	46.12	28	13.99	28	-2.75	27	7.41	29	-0.70	14	-0.00	27
1804	-326	-358	Min.	16.87	47.13	28	14.27	28	1.32	28	7.72	29	0.94	29	-0.00	27
1804	-358	-390	Max	2.51	408.69	27	49.66	27	-0.68	13	16.69	14	-0.11	27	0.00	14
1804	-358	-390	Max	16.87	409.69	27	48.81	27	4.44	27	16.72	14	2.09	27	0.00	14
1804	-358	-390	Min.	2.51	77.74	28	14.56	28	-2.64	27	7.79	29	-0.67	14	-0.00	27
1804	-358	-390	Min.	16.87	78.75	28	14.85	28	1.42	28	8.10	29	1.01	29	-0.00	27
1804	-390	-422	Max	2.51	450.70	27	50.16	27	-0.64	13	17.16	14	-0.09	27	0.00	14
1804	-390	-422	Max	16.87	451.70	27	49.31	27	4.65	27	17.18	14	2.25	27	0.00	14
1804	-390	-422	Min.	2.51	111.38	28	15.05	28	-2.50	27	8.20	29	-0.63	14	-0.00	27
1804	-390	-422	Min.	16.87	112.39	28	15.34	28	1.51	28	8.51	29	1.08	29	-0.00	27
1804	-422	-454	Max	2.51	496.23	27	52.72	27	-0.59	13	17.48	14	-0.06	27	0.00	14
1804	-422	-454	Max	16.87	497.23	27	51.87	27	5.18	27	17.54	27	2.40	27	0.00	14
1804	-422	-454	Min.	2.51	147.11	28	16.34	28	-2.33	27	8.55	29	-0.57	14	-0.00	27
1804	-422	-454	Min.	16.87	148.13	28	16.63	28	1.73	28	8.86	29	1.15	29	-0.00	27
1804	-454	-486	Max	2.51	545.22	27	41.68	27	-0.45	13	19.30	27	-0.01	27	-0.00	28
1804	-454	-486	Max	16.87	546.22	27	40.82	27	4.05	27	20.18	27	2.83	27	-0.00	28
1804	-454	-486	Min.	2.51	184.72	28	12.09	13	-1.88	27	9.42	29	-0.47	14	-0.01	27
1804	-454	-486	Min.	16.87	185.74	28	12.09	13	1.29	13	9.73	29	1.31	29	-0.01	27
1804	-486	1304	Max	2.51	594.62	27	111.86	27	-0.42	13	16.14	28	0.47	27	-0.00	13
1804	-486	1304	Max	14.38	595.45	27	111.15	27	11.85	27	16.39	28	1.84	28	-0.00	13
1804	-486	1304	Min.	2.51	220.93	28	39.88	28	-1.39	27	7.02	29	-0.09	28	-0.02	27
1804	-486	1304	Min.	14.38	221.76	28	40.12	28	4.31	28	7.27	29	1.01	29	-0.02	27
1805	324	-8	Max	4.85	0.00	13	0.00	13	0.00	13	0.00	13	0.00	13	0.00	13
1805	324	-8	Min.	4.85	0.00	13	0.00	13	0.00	13	0.00	13	0.00	13	0.00	13
1805	-8	-40	Max	4.85	0.00	13	0.00	13	0.00	13	0.00	13	0.00	13	0.00	13

1805	-8	-40	Min.	4.85	0.00	13	0.00	13	0.00	13	0.00	13	0.00	13	0.00	13
1805	-40	-72	Max	5.01	363.02	27	27.74	27	-0.57	28	6.40	14	1.08	27	0.02	27
1805	-40	-72	Max	16.87	363.85	27	27.04	27	0.04	14	6.42	14	0.53	27	0.02	27
1805	-40	-72	Min.	5.01	-0.84	28	4.37	28	-3.26	27	-4.99	27	-0.53	14	0.01	28
1805	-40	-72	Min.	16.87	-0.00	28	4.60	28	-0.03	28	-4.26	27	0.16	28	0.01	28
1805	-72	-104	Max	2.51	360.56	27	29.66	27	-0.48	28	5.65	14	0.84	27	0.01	27
1805	-72	-104	Max	16.87	361.56	27	28.81	27	1.40	27	5.67	14	0.51	14	0.01	27
1805	-72	-104	Min.	2.51	3.89	28	4.61	28	-2.80	27	-3.87	27	-0.30	14	0.00	28
1805	-72	-104	Min.	16.87	4.90	28	4.89	28	0.21	28	-2.99	27	0.24	29	0.00	28
1805	-104	-136	Max	2.51	357.70	27	29.62	27	-0.44	28	5.82	14	0.78	27	0.00	27
1805	-104	-136	Max	16.87	358.70	27	28.77	27	1.77	27	5.84	14	0.59	14	0.00	27
1805	-104	-136	Min.	2.51	9.76	28	4.89	28	-2.43	27	-3.41	27	-0.24	14	0.00	29
1805	-104	-136	Min.	16.87	10.77	28	5.18	28	0.28	28	-2.53	27	0.25	29	0.00	29
1805	-136	-168	Max	2.51	355.36	27	29.68	27	-0.44	28	5.92	14	0.75	27	0.00	14
1805	-136	-168	Max	16.87	356.36	27	28.83	27	1.89	27	5.95	14	0.63	14	0.00	14
1805	-136	-168	Min.	2.51	16.26	28	5.20	28	-2.31	27	-2.93	27	-0.22	14	0.00	29
1805	-136	-168	Min.	16.87	17.28	28	5.48	28	0.33	28	-2.06	27	0.26	29	0.00	29
1805	-168	-200	Max	2.51	353.87	27	29.77	27	-0.44	28	6.04	14	0.72	27	0.00	14
1805	-168	-200	Max	16.87	354.87	27	28.92	27	1.98	27	6.07	14	0.66	14	0.00	14
1805	-168	-200	Min.	2.51	23.35	28	5.51	28	-2.24	27	-2.42	27	-0.21	14	0.00	29
1805	-168	-200	Min.	16.87	24.36	28	5.79	28	0.37	28	-1.55	27	0.28	29	0.00	29
1805	-200	-232	Max	2.51	353.34	27	29.87	27	-0.45	28	6.17	14	0.70	27	0.00	14
1805	-200	-232	Max	16.87	354.34	27	29.02	27	2.05	27	6.20	14	0.69	14	0.00	14
1805	-200	-232	Min.	2.51	31.03	28	5.83	28	-2.18	27	-1.90	27	-0.20	14	0.00	29
1805	-200	-232	Min.	16.87	32.04	28	6.11	28	0.41	28	-1.03	27	0.31	29	0.00	29
1805	-232	-264	Max	2.51	353.87	27	29.99	27	-0.46	28	6.31	14	0.68	27	0.00	14
1805	-232	-264	Max	16.87	354.87	27	29.13	27	2.13	27	6.33	14	0.72	14	0.00	14
1805	-232	-264	Min.	2.51	39.35	28	6.16	28	-2.12	27	-1.37	27	-0.18	14	0.00	29
1805	-232	-264	Min.	16.87	40.36	28	6.45	28	0.45	28	-0.50	27	0.33	29	0.00	29
1805	-264	-296	Max	2.51	355.52	27	30.14	27	-0.46	28	6.44	14	0.66	27	0.00	14
1805	-264	-296	Max	16.87	356.53	27	29.28	27	2.22	27	6.47	14	0.76	14	0.00	14
1805	-264	-296	Min.	2.51	48.35	28	6.51	28	-2.05	27	-0.83	27	-0.17	14	0.00	29
1805	-264	-296	Min.	16.87	49.37	28	6.79	28	0.49	28	0.04	27	0.35	29	0.00	29
1805	-296	-328	Max	2.51	358.41	27	30.29	27	-0.47	28	6.59	14	0.63	27	0.00	14
1805	-296	-328	Max	16.87	359.41	27	29.44	27	2.31	27	6.62	14	0.79	14	0.00	14
1805	-296	-328	Min.	2.51	58.09	28	6.87	28	-1.98	27	-0.27	27	-0.15	14	0.00	29
1805	-296	-328	Min.	16.87	59.11	28	7.15	28	0.54	28	0.61	27	0.38	29	0.00	29
1805	-328	-360	Max	2.51	362.61	27	30.48	27	-0.47	28	6.75	14	0.62	27	0.00	14
1805	-328	-360	Max	16.87	363.61	27	29.62	27	2.42	27	6.77	14	0.83	14	0.00	14
1805	-328	-360	Min.	2.51	68.63	28	7.24	28	-1.90	27	0.30	27	-0.14	14	0.00	29
1805	-328	-360	Min.	16.87	69.65	28	7.52	28	0.59	28	1.18	27	0.41	29	0.00	29
1805	-360	-392	Max	2.51	368.23	27	30.71	27	-0.47	28	6.91	14	0.60	27	0.00	14
1805	-360	-392	Max	16.87	369.23	27	29.86	27	2.53	27	6.93	14	0.88	14	0.00	14
1805	-360	-392	Min.	2.51	80.03	28	7.63	28	-1.82	27	0.88	27	-0.12	14	0.00	29
1805	-360	-392	Min.	16.87	81.05	28	7.91	28	0.65	28	1.50	29	0.43	29	0.00	29
1805	-392	-424	Max	2.51	375.39	27	30.84	27	-0.46	28	7.10	14	0.59	27	0.00	14
1805	-392	-424	Max	16.87	376.39	27	29.98	27	2.65	27	7.13	14	0.93	14	0.00	14
1805	-392	-424	Min.	2.51	92.36	28	8.00	28	-1.72	27	1.43	29	-0.10	14	0.00	29
1805	-392	-424	Min.	16.87	93.37	28	8.28	28	0.70	28	1.74	29	0.47	29	0.00	29
1805	-424	-456	Max	2.51	384.25	27	31.89	27	-0.44	13	7.13	14	0.57	27	0.00	14
1805	-424	-456	Max	16.87	385.25	27	31.04	27	2.91	27	7.15	14	0.96	14	0.00	14
1805	-424	-456	Min.	2.51	105.67	28	8.65	28	-1.61	27	1.53	29	-0.07	14	0.00	29
1805	-424	-456	Min.	16.87	106.69	28	8.93	28	0.81	28	1.83	29	0.48	29	0.00	29
1805	-456	-488	Max	2.51	395.04	27	26.63	27	-0.36	13	8.53	14	0.53	27	0.00	14
1805	-456	-488	Max	16.87	396.04	27	25.78	27	2.43	27	8.55	14	1.26	27	0.00	14
1805	-456	-488	Min.	2.51	119.95	28	7.46	28	-1.33	27	2.71	29	-0.04	14	-0.01	27
1805	-456	-488	Min.	16.87	120.97	28	7.74	28	0.70	28	3.02	29	0.64	29	-0.01	27
1805	-488	1307	Max	2.51	408.53	27	59.27	27	-0.26	28	4.63	28	0.64	27	-0.00	14
1805	-488	1307	Max	14.38	409.36	27	58.57	27	6.13	27	4.88	28	0.64	28	-0.00	14

1805	-488	1307	Min.	2.51	134.37	28	17.41	28	-0.87	27	-7.08	27	0.07	28	-0.01	27
1805	-488	1307	Min.	14.38	135.21	28	17.64	28	1.82	28	-6.36	27	-0.15	27	-0.01	27
1830	351	-18	Max	4.85	0.00	13	0.00	13	0.00	13	0.00	13	0.00	13	0.00	13
1830	351	-18	Min.	4.85	0.00	13	0.00	13	0.00	13	0.00	13	0.00	13	0.00	13
1830	-18	-50	Max	4.85	0.00	13	0.00	13	0.00	13	0.00	13	0.00	13	0.00	13
1830	-18	-50	Min.	4.85	0.00	13	0.00	13	0.00	13	0.00	13	0.00	13	0.00	13
1830	-50	-82	Max	5.01	-59.77	27	-2.08	27	1.17	28	-2.25	13	2.67	27	0.01	27
1830	-50	-82	Max	16.87	-58.94	27	-2.79	27	-0.05	13	-2.23	13	-0.13	29	0.01	27
1830	-50	-82	Min.	5.01	-277.91	14	-10.88	28	0.02	27	-24.38	27	0.08	13	-0.01	28
1830	-50	-82	Min.	16.87	-277.06	14	-10.64	28	-0.27	27	-23.65	27	-0.24	28	-0.01	28
1830	-82	-114	Max	2.51	-92.96	27	-1.96	27	1.01	28	-4.18	13	2.16	27	0.01	27
1830	-82	-114	Max	16.87	-91.96	27	-2.81	27	-0.28	29	-4.16	13	-0.39	13	0.01	27
1830	-82	-114	Min.	2.51	-283.53	14	-11.87	28	-0.08	27	-25.28	27	0.21	13	-0.00	28
1830	-82	-114	Min.	16.87	-282.51	14	-11.58	28	-0.67	28	-24.41	27	-1.41	27	-0.00	28
1830	-114	-146	Max	2.51	-135.89	27	-2.52	27	0.86	28	-4.11	13	1.82	27	0.01	27
1830	-114	-146	Max	16.87	-134.89	27	-3.38	27	-0.34	29	-4.08	13	-0.45	13	0.01	27
1830	-114	-146	Min.	2.51	-291.45	14	-11.85	28	-0.07	27	-25.09	27	0.14	13	0.00	13
1830	-114	-146	Min.	16.87	-290.43	14	-11.56	28	-0.82	28	-24.21	27	-1.72	27	0.00	13
1830	-146	-178	Max	2.51	-171.39	29	-3.17	27	0.81	28	-4.22	13	1.71	27	0.01	27
1830	-146	-178	Max	16.87	-170.38	29	-4.03	27	-0.38	29	-4.20	13	-0.48	13	0.01	27
1830	-146	-178	Min.	2.51	-300.33	14	-11.92	28	-0.04	27	-25.08	27	0.12	13	0.00	13
1830	-146	-178	Min.	16.87	-299.31	14	-11.64	28	-0.88	28	-24.21	27	-1.83	27	0.00	13
1830	-178	-210	Max	2.51	-187.15	29	-3.83	27	0.78	28	-4.32	13	1.64	27	0.01	27
1830	-178	-210	Max	16.87	-186.14	29	-4.68	27	-0.41	29	-4.30	13	-0.51	13	0.01	27
1830	-178	-210	Min.	2.51	-309.87	14	-11.99	28	-0.01	27	-25.07	27	0.11	13	0.00	13
1830	-178	-210	Min.	16.87	-308.85	14	-11.70	28	-0.92	28	-24.19	27	-1.90	27	0.00	13
1830	-210	-242	Max	2.51	-203.43	29	-4.51	27	0.76	28	-4.43	13	1.58	27	0.01	27
1830	-210	-242	Max	16.87	-202.41	29	-5.00	29	-0.45	29	-4.41	13	-0.53	13	0.01	27
1830	-210	-242	Min.	2.51	-320.01	14	-12.08	28	0.02	27	-25.07	27	0.11	13	0.00	13
1830	-210	-242	Min.	16.87	-318.99	14	-11.79	28	-0.95	28	-24.19	27	-1.96	27	0.00	13
1830	-242	-274	Max	2.51	-220.22	29	-5.03	29	0.74	28	-4.55	13	1.52	27	0.01	27
1830	-242	-274	Max	16.87	-219.21	29	-5.32	29	-0.49	29	-4.53	13	-0.56	13	0.01	27
1830	-242	-274	Min.	2.51	-330.79	14	-12.18	28	0.05	27	-25.10	27	0.10	13	0.00	13
1830	-242	-274	Min.	16.87	-329.77	14	-11.90	28	-0.99	28	-24.22	27	-2.03	27	0.00	13
1830	-274	-306	Max	2.51	-237.58	29	-5.36	29	0.71	28	-4.68	13	1.45	27	0.01	27
1830	-274	-306	Max	16.87	-236.56	29	-5.64	29	-0.53	29	-4.65	13	-0.58	13	0.01	27
1830	-274	-306	Min.	2.51	-379.99	27	-12.29	28	0.07	27	-25.13	27	0.09	13	0.00	13
1830	-274	-306	Min.	16.87	-378.99	27	-12.00	28	-1.03	28	-24.26	27	-2.10	27	0.00	13
1830	-306	-338	Max	2.51	-255.51	29	-5.68	29	0.69	14	-4.79	13	1.38	27	0.01	27
1830	-306	-338	Max	16.87	-254.50	29	-5.97	29	-0.57	29	-4.77	13	-0.61	13	0.01	27
1830	-306	-338	Min.	2.51	-432.95	27	-12.39	28	0.10	27	-25.17	27	0.07	13	0.00	13
1830	-306	-338	Min.	16.87	-431.95	27	-12.11	28	-1.08	28	-24.29	27	-2.17	27	0.00	13
1830	-338	-370	Max	2.51	-274.08	29	-6.03	29	0.67	14	-4.94	13	1.30	27	0.01	27
1830	-338	-370	Max	16.87	-273.06	29	-6.32	29	-0.61	29	-4.91	13	-0.65	13	0.01	27
1830	-338	-370	Min.	2.51	-487.45	27	-12.53	28	0.13	27	-25.25	27	0.06	13	0.00	13
1830	-338	-370	Min.	16.87	-486.45	27	-12.24	28	-1.13	28	-24.37	27	-2.26	27	0.00	13
1830	-370	-402	Max	2.51	-293.31	29	-6.39	29	0.65	14	-5.05	13	1.22	27	0.01	27
1830	-370	-402	Max	16.87	-292.30	29	-6.68	29	-0.66	29	-5.03	13	-0.68	13	0.01	27
1830	-370	-402	Min.	2.51	-543.63	27	-12.66	28	0.15	27	-25.28	27	0.05	13	0.00	13
1830	-370	-402	Min.	16.87	-542.63	27	-12.38	28	-1.18	28	-24.41	27	-2.35	27	0.00	13
1830	-402	-434	Max	2.51	-313.27	29	-6.72	29	0.63	14	-5.32	13	1.13	27	0.01	27
1830	-402	-434	Max	16.87	-312.25	29	-7.01	29	-0.71	29	-5.29	13	-0.73	13	0.01	27
1830	-402	-434	Min.	2.51	-601.58	27	-12.76	28	0.16	27	-25.63	27	0.03	13	0.00	13
1830	-402	-434	Min.	16.87	-600.58	27	-12.50	14	-1.23	28	-24.75	27	-2.49	27	0.00	13
1830	-434	-466	Max	2.51	-333.97	29	-7.44	29	0.60	14	-4.66	13	1.01	27	0.01	27
1830	-434	-466	Max	16.87	-332.95	29	-7.73	29	-0.82	29	-4.64	13	-0.66	13	0.01	27
1830	-434	-466	Min.	2.51	-661.36	27	-13.40	28	0.18	27	-24.05	27	0.01	13	0.00	13
1830	-434	-466	Min.	16.87	-660.35	27	-13.27	14	-1.40	27	-23.17	27	-2.38	27	0.00	13
1830	-466	-498	Max	2.51	-354.49	13	-5.56	29	0.49	14	-10.28	13	0.92	27	0.01	27

1830	-466	-498	Max	16.87	-353.47	13	-5.84	29	-0.60	29	-10.26	13	-1.46	13	0.01	27
1830	-466	-498	Min.	2.51	-721.99	27	-10.68	14	0.10	27	-35.64	27	0.01	28	0.01	13
1830	-466	-498	Min.	16.87	-720.99	27	-10.68	14	-1.04	14	-34.77	27	-4.14	27	0.01	13
1830	-498	1330	Max	2.51	-367.14	13	-19.38	29	0.37	14	30.18	27	-0.41	29	0.01	27
1830	-498	1330	Max	14.38	-366.29	13	-19.62	29	-2.10	29	30.91	27	2.99	27	0.01	27
1830	-498	1330	Min.	2.51	-779.97	27	-36.55	27	0.21	29	17.62	29	-0.64	27	0.01	29
1830	-498	1330	Min.	14.38	-779.14	27	-37.25	27	-4.10	27	17.87	29	1.70	29	0.01	29
1831	357	-22	Max	4.85	0.00	13	0.00	13	0.00	13	0.00	13	0.00	13	0.00	13
1831	357	-22	Min.	4.85	0.00	13	0.00	13	0.00	13	0.00	13	0.00	13	0.00	13
1831	-22	-54	Max	4.85	0.00	13	0.00	13	0.00	13	0.00	13	0.00	13	0.00	13
1831	-22	-54	Min.	4.85	0.00	13	0.00	13	0.00	13	0.00	13	0.00	13	0.00	13
1831	-54	-86	Max	5.01	30.62	27	-4.75	29	1.27	28	-10.56	13	4.94	27	-0.00	29
1831	-54	-86	Max	16.87	31.44	27	-4.99	29	-0.20	13	-10.54	13	-0.09	29	-0.00	29
1831	-54	-86	Min.	5.01	-218.66	14	-12.99	28	0.34	29	-43.56	27	1.10	13	-0.01	28
1831	-54	-86	Min.	16.87	-217.81	14	-12.76	28	-0.56	27	-42.83	27	-0.21	28	-0.01	28
1831	-86	-118	Max	2.51	-30.50	27	-4.74	29	1.02	28	-12.57	13	4.01	27	-0.00	29
1831	-86	-118	Max	16.87	-29.50	27	-5.03	29	-0.50	29	-12.54	13	-0.76	13	-0.00	29
1831	-86	-118	Min.	2.51	-238.66	14	-13.55	28	0.15	27	-44.87	27	1.04	13	-0.01	14
1831	-86	-118	Min.	16.87	-237.64	14	-13.26	28	-0.99	27	-43.99	27	-2.38	27	-0.01	14
1831	-118	-150	Max	2.51	-102.77	29	-5.00	29	0.85	14	-12.64	13	3.45	27	0.00	29
1831	-118	-150	Max	16.87	-101.76	29	-5.28	29	-0.58	29	-12.61	13	-0.94	13	0.00	29
1831	-118	-150	Min.	2.51	-265.25	14	-13.57	28	0.08	27	-45.00	27	0.87	13	-0.00	14
1831	-118	-150	Min.	16.87	-264.23	14	-13.40	14	-1.15	27	-44.13	27	-2.95	27	-0.00	14
1831	-150	-182	Max	2.51	-136.62	29	-5.30	29	0.81	14	-12.95	13	3.29	27	0.00	29
1831	-150	-182	Max	16.87	-135.60	29	-5.58	29	-0.63	29	-12.93	13	-1.02	13	0.00	29
1831	-150	-182	Min.	2.51	-294.46	14	-13.70	14	0.08	27	-45.46	27	0.84	13	-0.00	14
1831	-150	-182	Min.	16.87	-293.44	14	-13.70	14	-1.26	27	-44.59	27	-3.18	27	-0.00	14
1831	-182	-214	Max	2.51	-172.12	29	-5.61	29	0.79	14	-13.25	13	3.20	27	0.00	29
1831	-182	-214	Max	16.87	-171.10	29	-5.89	29	-0.68	29	-13.23	13	-1.08	13	0.00	29
1831	-182	-214	Min.	2.51	-325.45	14	-13.99	14	0.09	27	-45.91	27	0.82	13	-0.00	14
1831	-182	-214	Min.	16.87	-324.44	14	-13.99	14	-1.36	27	-45.04	27	-3.34	27	-0.00	14
1831	-214	-246	Max	2.51	-209.10	29	-5.93	29	0.77	14	-13.57	13	3.12	27	0.00	29
1831	-214	-246	Max	16.87	-208.09	29	-6.21	29	-0.72	29	-13.55	13	-1.14	13	0.00	29
1831	-214	-246	Min.	2.51	-376.89	27	-14.32	14	0.11	27	-46.41	27	0.80	13	-0.00	14
1831	-214	-246	Min.	16.87	-375.89	27	-14.32	14	-1.47	27	-45.54	27	-3.49	27	-0.00	14
1831	-246	-278	Max	2.51	-247.61	29	-6.27	29	0.75	14	-13.92	13	3.04	27	0.00	29
1831	-246	-278	Max	16.87	-246.60	29	-6.56	29	-0.77	29	-13.90	13	-1.21	13	0.00	29
1831	-246	-278	Min.	2.51	-472.84	27	-14.67	14	0.12	27	-46.96	27	0.79	13	-0.00	14
1831	-246	-278	Min.	16.87	-471.83	27	-14.67	14	-1.58	27	-46.09	27	-3.64	27	-0.00	14
1831	-278	-310	Max	2.51	-287.75	29	-6.62	29	0.72	14	-14.28	13	2.95	27	0.00	27
1831	-278	-310	Max	16.87	-286.74	29	-6.90	29	-0.82	29	-14.26	13	-1.28	13	0.00	27
1831	-278	-310	Min.	2.51	-572.41	27	-15.02	14	0.12	27	-47.54	27	0.77	13	-0.00	14
1831	-278	-310	Min.	16.87	-571.40	27	-15.02	14	-1.70	27	-46.67	27	-3.82	27	-0.00	14
1831	-310	-342	Max	2.51	-329.62	29	-6.97	29	0.70	14	-14.63	13	2.85	27	0.00	27
1831	-310	-342	Max	16.87	-328.61	29	-7.26	29	-0.88	29	-14.61	13	-1.35	13	0.00	27
1831	-310	-342	Min.	2.51	-675.85	27	-15.39	14	0.12	27	-48.13	27	0.75	13	-0.00	14
1831	-310	-342	Min.	16.87	-674.85	27	-15.39	14	-1.82	27	-47.26	27	-4.00	27	-0.00	14
1831	-342	-374	Max	2.51	-373.36	29	-7.35	29	0.67	14	-15.04	13	2.75	27	0.00	27
1831	-342	-374	Max	16.87	-372.34	29	-7.63	29	-0.94	29	-15.02	13	-1.43	13	0.00	27
1831	-342	-374	Min.	2.51	-783.44	27	-15.78	14	0.12	27	-48.83	27	0.72	13	-0.00	14
1831	-342	-374	Min.	16.87	-782.44	27	-15.78	14	-1.96	27	-47.96	27	-4.20	27	-0.00	14
1831	-374	-406	Max	2.51	-419.10	29	-7.74	29	0.63	14	-15.41	13	2.63	27	0.00	27
1831	-374	-406	Max	16.87	-418.09	29	-8.03	29	-1.01	29	-15.39	13	-1.52	13	0.00	27
1831	-374	-406	Min.	2.51	-895.52	27	-16.20	14	0.11	27	-49.47	27	0.70	13	-0.00	14
1831	-374	-406	Min.	16.87	-894.52	27	-16.20	14	-2.10	27	-48.59	27	-4.41	27	-0.00	14
1831	-406	-438	Max	2.51	-466.99	29	-8.05	29	0.59	14	-16.06	13	2.50	27	0.00	27
1831	-406	-438	Max	16.87	-465.97	29	-8.33	29	-1.06	29	-16.03	13	-1.64	13	0.00	27
1831	-406	-438	Min.	2.51	-1012.38	27	-16.51	14	0.10	27	-50.70	27	0.66	13	-0.00	14
1831	-406	-438	Min.	16.87	-1011.38	27	-16.63	27	-2.23	27	-49.82	27	-4.72	27	-0.00	14

1831	-438	-470	Max	2.51	-517.09	29	-9.17	29	0.54	14	-15.13	13	2.30	27	0.00	27
1831	-438	-470	Max	16.87	-516.08	29	-9.45	29	-1.24	29	-15.11	13	-1.57	13	0.00	27
1831	-438	-470	Min.	2.51	-1134.18	27	-18.37	27	0.08	27	-48.43	27	0.61	13	-0.00	14
1831	-438	-470	Min.	16.87	-1133.18	27	-19.22	27	-2.62	27	-47.55	27	-4.59	27	-0.00	14
1831	-470	-502	Max	2.51	-557.87	13	-4.95	29	0.37	14	-24.77	13	2.12	27	0.01	27
1831	-470	-502	Max	16.87	-556.85	13	-5.24	29	-0.72	29	-24.74	13	-2.98	13	0.01	27
1831	-470	-502	Min.	2.51	-1259.02	27	-12.22	14	-0.10	27	-69.86	27	0.57	28	0.00	13
1831	-470	-502	Min.	16.87	-1258.02	27	-12.22	14	-1.46	27	-68.99	27	-7.85	27	0.00	13
1831	-502	1336	Max	2.51	-596.69	13	-32.57	29	0.43	14	47.67	27	-0.44	29	0.00	14
1831	-502	1336	Max	14.38	-595.85	13	-32.81	29	-3.68	29	48.40	27	4.83	27	0.00	14
1831	-502	1336	Min.	2.51	-1378.52	27	-70.80	27	0.20	29	23.43	29	-0.87	27	0.00	27
1831	-502	1336	Min.	14.38	-1377.69	27	-71.50	27	-8.06	27	23.68	29	2.36	29	0.00	27
1832	375	-26	Max	4.85	0.00	13	0.00	13	0.00	13	0.00	13	0.00	13	0.00	13
1832	375	-26	Min.	4.85	0.00	13	0.00	13	0.00	13	0.00	13	0.00	13	0.00	13
1832	-26	-58	Max	4.85	0.00	13	0.00	13	0.00	13	0.00	13	0.00	13	0.00	13
1832	-26	-58	Min.	4.85	0.00	13	0.00	13	0.00	13	0.00	13	0.00	13	0.00	13
1832	-58	-90	Max	5.01	81.39	27	-5.80	13	2.91	27	13.25	28	0.13	27	-0.00	13
1832	-58	-90	Max	16.87	82.21	27	-5.80	13	-0.15	29	13.27	28	0.33	27	-0.00	13
1832	-58	-90	Min.	5.01	-198.43	14	-26.88	27	0.49	13	1.29	27	-1.46	28	-0.01	27
1832	-58	-90	Min.	16.87	-197.59	14	-26.18	27	-0.27	28	2.02	27	0.04	13	-0.01	27
1832	-90	-122	Max	2.51	84.79	27	-4.85	13	2.31	27	11.52	28	0.18	27	0.00	14
1832	-90	-122	Max	16.87	85.79	27	-4.85	13	-0.45	13	11.55	28	0.68	28	0.00	14
1832	-90	-122	Min.	2.51	-182.71	14	-27.23	27	0.25	13	1.03	27	-0.97	28	0.00	27
1832	-90	-122	Min.	16.87	-181.69	14	-26.38	27	-1.54	27	1.91	27	0.27	29	0.00	27
1832	-122	-154	Max	2.51	89.54	27	-5.02	13	1.98	27	11.70	28	0.12	27	0.01	27
1832	-122	-154	Max	16.87	90.54	27	-5.02	13	-0.52	13	11.73	28	0.83	28	0.01	27
1832	-122	-154	Min.	2.51	-162.85	14	-27.22	27	0.20	13	1.82	27	-0.86	28	0.00	13
1832	-122	-154	Min.	16.87	-161.83	14	-26.36	27	-1.87	27	2.70	27	0.33	29	0.00	13
1832	-154	-186	Max	2.51	95.54	27	-5.14	13	1.86	27	11.76	28	0.09	27	0.01	27
1832	-154	-186	Max	16.87	96.54	27	-5.14	13	-0.55	13	11.79	28	0.88	28	0.01	27
1832	-154	-186	Min.	2.51	-141.44	14	-27.24	27	0.19	13	2.43	27	-0.81	28	0.00	13
1832	-154	-186	Min.	16.87	-140.42	14	-26.39	27	-1.99	27	3.31	27	0.37	29	0.00	13
1832	-186	-218	Max	2.51	102.84	27	-5.26	13	1.80	27	11.82	28	0.06	27	0.01	27
1832	-186	-218	Max	16.87	103.84	27	-5.26	13	-0.58	13	11.85	28	0.92	28	0.01	27
1832	-186	-218	Min.	2.51	-119.00	14	-27.29	27	0.18	13	3.07	27	-0.78	28	0.00	13
1832	-186	-218	Min.	16.87	-117.98	14	-26.44	27	-2.06	27	3.95	27	0.40	29	0.00	13
1832	-218	-250	Max	2.51	111.55	27	-5.39	13	1.74	27	11.90	28	0.03	27	0.01	27
1832	-218	-250	Max	16.87	112.55	27	-5.39	13	-0.60	13	11.92	28	0.95	28	0.01	27
1832	-218	-250	Min.	2.51	-95.61	14	-27.35	27	0.17	13	3.72	27	-0.76	28	0.00	13
1832	-218	-250	Min.	16.87	-94.59	14	-26.50	27	-2.13	27	4.60	27	0.44	29	0.00	13
1832	-250	-282	Max	2.51	121.77	27	-5.52	13	1.68	27	11.99	28	0.01	27	0.01	27
1832	-250	-282	Max	16.87	122.77	27	-5.52	13	-0.63	13	12.01	28	0.99	28	0.01	27
1832	-250	-282	Min.	2.51	-72.61	13	-27.45	27	0.17	13	4.40	27	-0.73	28	0.00	13
1832	-250	-282	Min.	16.87	-71.59	13	-26.59	27	-2.20	27	5.15	29	0.47	29	0.00	13
1832	-282	-314	Max	2.51	133.61	27	-5.66	13	1.62	27	12.08	28	-0.02	27	0.01	27
1832	-282	-314	Max	16.87	134.61	27	-5.66	13	-0.66	13	12.11	28	1.03	28	0.01	27
1832	-282	-314	Min.	2.51	-50.70	13	-27.55	27	0.16	13	5.10	27	-0.71	28	0.00	13
1832	-282	-314	Min.	16.87	-49.68	13	-26.70	27	-2.28	27	5.45	29	0.51	29	0.00	13
1832	-314	-346	Max	2.51	147.19	27	-5.81	13	1.55	27	12.18	28	-0.04	27	0.01	27
1832	-314	-346	Max	16.87	148.19	27	-5.81	13	-0.69	13	12.20	28	1.07	28	0.01	27
1832	-314	-346	Min.	2.51	-27.84	13	-27.66	27	0.15	13	5.46	29	-0.68	28	0.00	13
1832	-314	-346	Min.	16.87	-26.82	13	-26.81	27	-2.36	27	5.77	29	0.55	29	0.00	13
1832	-346	-378	Max	2.51	162.65	27	-5.97	13	1.48	27	12.30	28	-0.07	27	0.01	27
1832	-346	-378	Max	16.87	163.65	27	-5.97	13	-0.72	13	12.33	28	1.12	28	0.01	27
1832	-346	-378	Min.	2.51	-3.94	13	-27.81	27	0.14	13	5.80	29	-0.66	14	0.00	13
1832	-346	-378	Min.	16.87	-2.92	13	-26.96	27	-2.45	27	6.10	29	0.60	29	0.00	13
1832	-378	-410	Max	2.51	180.13	27	-6.14	13	1.41	27	12.42	28	-0.08	27	0.01	27
1832	-378	-410	Max	16.87	181.13	27	-6.14	13	-0.76	13	12.45	28	1.17	28	0.01	27
1832	-378	-410	Min.	2.51	21.08	13	-27.99	27	0.12	13	6.14	29	-0.64	14	0.00	13

1832	-378	-410	Min.	16.87	22.10	13	-27.14	27	-2.55	27	6.44	29	0.64	29	0.00	13
1832	-410	-442	Max	2.51	199.80	27	-6.25	13	1.32	27	12.59	28	-0.10	27	0.01	27
1832	-410	-442	Max	16.87	200.80	27	-6.25	13	-0.79	13	12.61	28	1.23	28	0.01	27
1832	-410	-442	Min.	2.51	47.29	13	-28.05	27	0.11	13	6.50	29	-0.62	14	0.00	13
1832	-410	-442	Min.	16.87	48.31	13	-27.20	27	-2.65	27	6.81	29	0.70	29	0.00	13
1832	-442	-474	Max	2.51	221.79	27	-6.89	13	1.22	27	12.64	14	-0.11	27	0.01	27
1832	-442	-474	Max	16.87	222.79	27	-6.89	13	-0.90	13	12.67	14	1.28	28	0.01	27
1832	-442	-474	Min.	2.51	74.75	13	-29.26	27	0.09	13	6.87	29	-0.59	14	0.00	13
1832	-442	-474	Min.	16.87	75.77	13	-28.40	27	-2.92	27	7.18	29	0.76	29	0.00	13
1832	-474	-506	Max	2.51	245.99	27	-3.88	13	0.97	27	13.96	28	-0.09	27	0.02	27
1832	-474	-506	Max	16.87	246.99	27	-3.88	13	-0.52	13	13.98	28	1.56	28	0.02	27
1832	-474	-506	Min.	2.51	100.07	29	-22.67	27	0.02	28	7.27	29	-0.51	14	0.00	13
1832	-474	-506	Min.	16.87	101.08	29	-21.82	27	-2.22	27	7.58	29	0.85	29	0.00	13
1832	-506	1350	Max	2.51	271.37	27	-22.58	13	0.76	27	11.54	14	0.10	27	0.02	27
1832	-506	1350	Max	14.38	272.20	27	-22.58	13	-2.53	13	11.56	14	1.22	14	0.02	27
1832	-506	1350	Min.	2.51	118.90	29	-62.61	27	0.16	13	6.52	28	-0.16	14	0.00	13
1832	-506	1350	Min.	14.38	119.74	29	-61.91	27	-6.63	27	6.54	28	0.74	28	0.00	13
1833	384	-32	Max	4.85	0.00	13	0.00	13	0.00	13	0.00	13	0.00	13	0.00	13
1833	384	-32	Min.	4.85	0.00	13	0.00	13	0.00	13	0.00	13	0.00	13	0.00	13
1833	-32	-64	Max	4.85	0.00	13	0.00	13	0.00	13	0.00	13	0.00	13	0.00	13
1833	-32	-64	Min.	4.85	0.00	13	0.00	13	0.00	13	0.00	13	0.00	13	0.00	13
1833	-64	-96	Max	5.01	363.09	27	-7.45	13	3.25	27	8.52	28	1.04	27	-0.01	13
1833	-64	-96	Max	16.87	363.92	27	-7.45	13	0.01	29	8.53	28	0.58	27	-0.01	13
1833	-64	-96	Min.	5.01	13.70	14	-27.66	27	0.85	13	-4.20	27	-0.73	28	-0.02	27
1833	-64	-96	Min.	16.87	14.54	14	-26.96	27	-0.10	28	-3.47	27	0.22	13	-0.02	27
1833	-96	-128	Max	2.51	360.63	27	-7.62	13	2.80	27	7.82	28	0.78	27	-0.00	13
1833	-96	-128	Max	16.87	361.64	27	-7.62	13	-0.41	13	7.84	28	0.66	28	-0.00	13
1833	-96	-128	Min.	2.51	23.18	13	-29.57	27	0.69	13	-2.94	27	-0.47	28	-0.01	27
1833	-96	-128	Min.	16.87	24.20	13	-28.72	27	-1.39	27	-2.06	27	0.27	29	-0.01	27
1833	-128	-160	Max	2.51	357.80	27	-7.80	13	2.42	27	7.88	28	0.70	27	-0.00	29
1833	-128	-160	Max	16.87	358.80	27	-7.80	13	-0.51	13	7.90	28	0.76	28	-0.00	29
1833	-128	-160	Min.	2.51	33.69	13	-29.54	27	0.61	13	-2.29	27	-0.38	28	-0.00	27
1833	-128	-160	Min.	16.87	34.71	13	-28.69	27	-1.76	27	-1.42	27	0.28	29	-0.00	27
1833	-160	-192	Max	2.51	355.50	27	-7.97	13	2.30	27	7.85	28	0.67	27	0.00	29
1833	-160	-192	Max	16.87	356.50	27	-7.97	13	-0.56	13	7.87	28	0.79	28	0.00	29
1833	-160	-192	Min.	2.51	44.90	13	-29.60	27	0.59	13	-1.79	27	-0.34	28	-0.00	14
1833	-160	-192	Min.	16.87	45.92	13	-28.75	27	-1.89	27	-0.92	27	0.30	29	-0.00	14
1833	-192	-224	Max	2.51	354.05	27	-8.16	13	2.24	27	7.82	28	0.64	27	0.00	29
1833	-192	-224	Max	16.87	355.06	27	-8.16	13	-0.60	13	7.85	28	0.81	28	0.00	29
1833	-192	-224	Min.	2.51	56.57	13	-29.72	27	0.58	13	-1.24	27	-0.31	28	-0.00	14
1833	-192	-224	Min.	16.87	57.59	13	-28.87	27	-1.97	27	-0.36	27	0.32	29	-0.00	14
1833	-224	-256	Max	2.51	353.58	27	-8.35	13	2.18	27	7.80	28	0.61	27	0.00	29
1833	-224	-256	Max	16.87	354.58	27	-8.35	13	-0.63	13	7.82	28	0.84	28	0.00	29
1833	-224	-256	Min.	2.51	68.66	13	-29.83	27	0.57	13	-0.70	27	-0.29	28	-0.00	14
1833	-224	-256	Min.	16.87	69.68	13	-28.98	27	-2.05	27	0.18	27	0.34	29	-0.00	14
1833	-256	-288	Max	2.51	354.15	27	-8.56	13	2.12	27	7.79	28	0.59	27	0.00	29
1833	-256	-288	Max	16.87	355.16	27	-8.56	13	-0.67	13	7.82	28	0.86	28	0.00	29
1833	-256	-288	Min.	2.51	81.20	13	-29.98	27	0.56	13	-0.12	27	-0.26	28	-0.00	14
1833	-256	-288	Min.	16.87	82.22	13	-29.13	27	-2.13	27	0.76	27	0.37	29	-0.00	14
1833	-288	-320	Max	2.51	355.87	27	-8.78	13	2.05	27	7.78	28	0.56	27	0.00	29
1833	-288	-320	Max	16.87	356.87	27	-8.78	13	-0.71	13	7.80	28	0.89	28	0.00	29
1833	-288	-320	Min.	2.51	94.21	13	-30.16	27	0.55	13	0.45	27	-0.23	28	-0.00	14
1833	-288	-320	Min.	16.87	95.23	13	-29.30	27	-2.22	27	1.33	27	0.39	29	-0.00	14
1833	-320	-352	Max	2.51	358.82	27	-9.00	13	1.98	27	7.77	28	0.54	27	0.00	29
1833	-320	-352	Max	16.87	359.82	27	-9.00	13	-0.75	13	7.79	28	0.91	28	0.00	29
1833	-320	-352	Min.	2.51	107.73	13	-30.32	27	0.54	13	1.04	27	-0.21	28	-0.00	14
1833	-320	-352	Min.	16.87	108.75	13	-29.47	27	-2.32	27	1.68	29	0.42	29	-0.00	14
1833	-352	-384	Max	2.51	363.07	27	-9.23	13	1.90	27	7.77	28	0.52	27	0.00	29
1833	-352	-384	Max	16.87	364.07	27	-9.23	13	-0.80	13	7.80	28	0.94	28	0.00	29

1833	-352	-384	Min.	2.51	121.80	13	-30.54	27	0.52	13	1.60	29	-0.18	28	-0.00	14
1833	-352	-384	Min.	16.87	122.82	13	-29.68	27	-2.42	27	1.91	29	0.45	29	-0.00	14
1833	-384	-416	Max	2.51	368.75	27	-9.49	13	1.82	27	7.77	28	0.50	27	0.00	29
1833	-384	-416	Max	16.87	369.75	27	-9.49	13	-0.86	13	7.79	28	0.97	28	0.00	29
1833	-384	-416	Min.	2.51	136.46	13	-30.81	27	0.51	13	1.83	29	-0.15	14	-0.00	14
1833	-384	-416	Min.	16.87	137.48	13	-29.95	27	-2.54	27	2.14	29	0.48	29	-0.00	14
1833	-416	-448	Max	2.51	375.98	27	-9.71	13	1.73	27	7.82	28	0.48	27	0.00	29
1833	-416	-448	Max	16.87	376.98	27	-9.71	13	-0.91	13	7.84	28	1.01	28	0.00	29
1833	-416	-448	Min.	2.51	151.75	13	-30.96	27	0.49	13	2.09	29	-0.14	14	-0.00	14
1833	-416	-448	Min.	16.87	152.78	13	-30.11	27	-2.66	27	2.39	29	0.52	29	-0.00	14
1833	-448	-480	Max	2.51	384.91	27	-10.33	13	1.62	27	7.69	14	0.47	27	0.00	29
1833	-448	-480	Max	16.87	385.91	27	-10.33	13	-1.02	13	7.71	14	1.02	28	0.00	29
1833	-448	-480	Min.	2.51	167.73	13	-32.05	27	0.46	13	2.20	29	-0.11	14	-0.00	14
1833	-448	-480	Min.	16.87	168.75	13	-31.19	27	-2.92	27	2.51	29	0.53	29	-0.00	14
1833	-480	-512	Max	2.51	395.65	27	-8.25	13	1.35	27	9.57	28	0.44	27	0.01	27
1833	-480	-512	Max	16.87	396.65	27	-8.25	13	-0.80	13	9.59	28	1.39	27	0.01	27
1833	-480	-512	Min.	2.51	184.27	13	-26.87	27	0.36	28	3.43	29	-0.07	14	0.00	14
1833	-480	-512	Min.	16.87	185.29	13	-26.01	27	-2.45	27	3.74	29	0.70	29	0.00	14
1833	-512	1359	Max	2.51	409.46	27	-22.33	13	0.88	27	1.76	14	0.55	27	0.01	27
1833	-512	1359	Max	14.38	410.29	27	-22.33	13	-2.36	13	1.78	14	0.38	14	0.01	27
1833	-512	1359	Min.	2.51	195.40	29	-59.38	27	0.29	13	-6.37	27	0.15	13	0.00	28
1833	-512	1359	Min.	14.38	196.24	29	-58.67	27	-6.13	27	-5.64	27	-0.16	27	0.00	28
1834	378	-28	Max	4.85	0.00	13	0.00	13	0.00	13	0.00	13	0.00	13	0.00	13
1834	378	-28	Min.	4.85	0.00	13	0.00	13	0.00	13	0.00	13	0.00	13	0.00	13
1834	-28	-60	Max	4.85	0.00	13	0.00	13	0.00	13	0.00	13	0.00	13	0.00	13
1834	-28	-60	Min.	4.85	0.00	13	0.00	13	0.00	13	0.00	13	0.00	13	0.00	13
1834	-60	-92	Max	5.01	68.22	27	-11.84	13	4.79	27	18.17	14	-0.76	29	-0.01	13
1834	-60	-92	Max	16.87	69.05	27	-11.84	13	-0.16	29	18.19	14	0.63	27	-0.01	13
1834	-60	-92	Min.	5.01	-218.35	14	-43.36	27	1.19	13	8.43	29	-1.93	14	-0.03	27
1834	-60	-92	Min.	16.87	-217.51	14	-42.65	27	-0.31	27	8.68	29	0.18	13	-0.03	27
1834	-92	-124	Max	2.51	86.07	27	-11.14	13	3.87	27	16.17	28	-0.46	29	-0.00	13
1834	-92	-124	Max	16.87	87.07	27	-11.14	13	-0.76	13	16.19	28	1.19	27	-0.00	13
1834	-92	-124	Min.	2.51	-193.58	14	-44.35	27	0.84	13	7.36	29	-1.28	28	-0.01	27
1834	-92	-124	Min.	16.87	-192.56	14	-43.50	27	-2.44	27	7.67	29	0.62	29	-0.01	27
1834	-124	-156	Max	2.51	109.45	27	-11.45	13	3.36	27	16.55	14	-0.42	29	0.00	27
1834	-124	-156	Max	16.87	110.45	27	-11.45	13	-0.92	13	16.57	14	1.39	27	0.00	27
1834	-124	-156	Min.	2.51	-162.04	14	-44.72	27	0.73	13	7.88	29	-1.14	14	0.00	13
1834	-124	-156	Min.	16.87	-161.02	14	-43.86	27	-3.01	27	8.19	29	0.73	29	0.00	13
1834	-156	-188	Max	2.51	135.72	27	-11.72	13	3.20	27	16.92	14	-0.41	29	0.01	27
1834	-156	-188	Max	16.87	136.72	27	-11.72	13	-0.99	13	16.95	14	1.52	27	0.01	27
1834	-156	-188	Min.	2.51	-127.91	14	-45.14	27	0.70	13	8.24	29	-1.09	14	0.00	13
1834	-156	-188	Min.	16.87	-126.89	14	-44.29	27	-3.23	27	8.55	29	0.79	29	0.00	13
1834	-188	-220	Max	2.51	164.43	27	-11.99	13	3.11	27	17.30	14	-0.41	29	0.01	27
1834	-188	-220	Max	16.87	165.43	27	-11.99	13	-1.04	13	17.33	14	1.63	27	0.01	27
1834	-188	-220	Min.	2.51	-92.05	14	-45.60	27	0.68	13	8.63	29	-1.07	14	0.00	13
1834	-188	-220	Min.	16.87	-91.03	14	-44.74	27	-3.38	27	8.93	29	0.85	29	0.00	13
1834	-220	-252	Max	2.51	195.59	27	-12.28	13	3.04	27	17.71	14	-0.41	29	0.01	27
1834	-220	-252	Max	16.87	196.59	27	-12.28	13	-1.10	13	17.74	14	1.75	27	0.01	27
1834	-220	-252	Min.	2.51	-55.50	13	-46.10	27	0.67	13	9.02	29	-1.05	14	0.00	13
1834	-220	-252	Min.	16.87	-54.48	13	-45.25	27	-3.52	27	9.33	29	0.90	29	0.00	13
1834	-252	-284	Max	2.51	229.33	27	-12.59	13	2.96	27	18.15	14	-0.41	29	0.01	27
1834	-252	-284	Max	16.87	230.34	27	-12.59	13	-1.15	13	18.17	14	1.88	27	0.01	27
1834	-252	-284	Min.	2.51	-23.37	13	-46.66	27	0.65	13	9.44	29	-1.04	14	0.00	13
1834	-252	-284	Min.	16.87	-22.35	13	-45.80	27	-3.68	27	9.74	29	0.96	29	0.00	13
1834	-284	-316	Max	2.51	265.87	27	-12.91	13	2.88	27	18.60	14	-0.41	29	0.01	27
1834	-284	-316	Max	16.87	266.87	27	-12.91	13	-1.22	13	18.62	14	2.01	27	0.01	27
1834	-284	-316	Min.	2.51	10.20	13	-47.25	27	0.64	13	9.86	29	-1.01	14	0.00	13
1834	-284	-316	Min.	16.87	11.22	13	-46.40	27	-3.85	27	10.17	29	1.03	29	0.00	13
1834	-316	-348	Max	2.51	305.38	27	-13.24	13	2.79	27	19.06	14	-0.41	29	0.01	27

1834	-316	-348	Max	16.87	306.38	27	-13.24	13	-1.28	13	19.08	14	2.15	27	0.01	27
1834	-316	-348	Min.	2.51	45.32	13	-47.85	27	0.62	13	10.30	29	-0.99	14	0.00	13
1834	-316	-348	Min.	16.87	46.34	13	-47.00	27	-4.02	27	10.61	29	1.09	29	0.00	13
1834	-348	-380	Max	2.51	348.10	27	-13.60	13	2.69	27	19.57	14	-0.40	29	0.01	27
1834	-348	-380	Max	16.87	349.10	27	-13.60	13	-1.35	13	20.09	27	2.31	27	0.01	27
1834	-348	-380	Min.	2.51	82.10	13	-48.54	27	0.60	13	10.77	29	-0.96	14	0.00	13
1834	-348	-380	Min.	16.87	83.12	13	-47.69	27	-4.22	27	11.07	29	1.17	29	0.00	13
1834	-380	-412	Max	2.51	394.27	27	-13.98	13	2.58	27	20.32	27	-0.39	29	0.01	27
1834	-380	-412	Max	16.87	395.27	27	-13.98	13	-1.43	13	21.19	27	2.47	27	0.01	27
1834	-380	-412	Min.	2.51	120.68	13	-49.30	27	0.57	13	11.24	29	-0.93	14	0.00	13
1834	-380	-412	Min.	16.87	121.70	13	-48.45	27	-4.44	27	11.55	29	1.25	29	0.00	13
1834	-412	-444	Max	2.51	444.18	27	-14.28	13	2.46	27	21.51	27	-0.38	29	0.01	27
1834	-412	-444	Max	16.87	445.18	27	-14.28	13	-1.51	13	22.38	27	2.66	27	0.01	27
1834	-412	-444	Min.	2.51	161.19	13	-49.86	27	0.55	13	11.76	29	-0.88	14	0.00	13
1834	-412	-444	Min.	16.87	162.21	13	-49.01	27	-4.65	27	12.07	29	1.33	29	0.00	13
1834	-444	-476	Max	2.51	498.02	27	-15.39	13	2.30	27	22.47	27	-0.35	29	0.01	27
1834	-444	-476	Max	16.87	499.03	27	-15.39	13	-1.70	13	23.35	27	2.83	27	0.01	27
1834	-444	-476	Min.	2.51	203.69	13	-52.39	27	0.51	13	12.21	29	-0.83	14	0.00	13
1834	-444	-476	Min.	16.87	204.71	13	-51.54	27	-5.16	27	12.52	29	1.42	29	0.00	13
1834	-476	-508	Max	2.51	555.35	27	-10.96	13	1.87	27	25.51	27	-0.29	29	0.02	27
1834	-476	-508	Max	16.87	556.36	27	-10.96	13	-1.19	13	26.39	27	3.36	27	0.02	27
1834	-476	-508	Min.	2.51	236.65	29	-41.52	27	0.37	28	13.33	29	-0.70	14	0.01	13
1834	-476	-508	Min.	16.87	237.66	29	-40.67	27	-4.03	27	13.64	29	1.64	29	0.01	13
1834	-508	1353	Max	2.51	613.26	27	-39.53	13	1.42	27	15.88	14	0.23	27	0.03	27
1834	-508	1353	Max	14.38	614.09	27	-39.53	13	-4.29	13	15.90	14	2.01	27	0.03	27
1834	-508	1353	Min.	2.51	268.30	29	-110.88	27	0.40	13	8.96	28	-0.09	14	0.01	13
1834	-508	1353	Min.	14.38	269.14	29	-110.18	27	-11.71	27	8.98	28	1.10	28	0.01	13
1835	354	-20	Max	4.85	0.00	13	0.00	13	0.00	13	0.00	13	0.00	13	0.00	13
1835	354	-20	Min.	4.85	0.00	13	0.00	13	0.00	13	0.00	13	0.00	13	0.00	13
1835	-20	-52	Max	4.85	0.00	13	0.00	13	0.00	13	0.00	13	0.00	13	0.00	13
1835	-20	-52	Min.	4.85	0.00	13	0.00	13	0.00	13	0.00	13	0.00	13	0.00	13
1835	-52	-84	Max	5.01	-43.22	27	-6.88	29	1.55	28	-8.26	13	4.58	27	-0.00	27
1835	-52	-84	Max	16.87	-42.39	27	-7.12	29	-0.17	13	-8.24	13	-0.13	29	-0.00	27
1835	-52	-84	Min.	5.01	-281.13	14	-15.16	28	0.61	29	-40.93	27	0.79	13	-0.01	28
1835	-52	-84	Min.	16.87	-280.28	14	-14.92	28	-0.54	27	-40.21	27	-0.25	28	-0.01	28
1835	-84	-116	Max	2.51	-101.21	27	-7.27	29	1.30	14	-10.56	13	3.75	27	0.00	27
1835	-84	-116	Max	16.87	-100.20	27	-7.55	29	-0.59	29	-10.54	13	-0.70	13	0.00	27
1835	-84	-116	Min.	2.51	-298.20	14	-16.11	28	0.48	29	-42.62	27	0.81	13	-0.00	28
1835	-84	-116	Min.	16.87	-297.18	14	-15.89	14	-1.15	27	-41.75	27	-2.31	27	-0.00	28
1835	-116	-148	Max	2.51	-156.53	29	-7.54	29	1.11	14	-10.58	13	3.21	27	0.00	27
1835	-116	-148	Max	16.87	-155.51	29	-7.82	29	-0.71	29	-10.56	13	-0.85	13	0.00	27
1835	-116	-148	Min.	2.51	-320.97	14	-16.15	28	0.40	29	-42.71	27	0.66	13	0.00	13
1835	-116	-148	Min.	16.87	-319.95	14	-16.11	14	-1.36	27	-41.84	27	-2.86	27	0.00	13
1835	-148	-180	Max	2.51	-186.53	29	-7.91	29	1.06	14	-10.84	13	3.05	27	0.01	27
1835	-148	-180	Max	16.87	-185.51	29	-8.19	29	-0.77	29	-10.81	13	-0.92	13	0.01	27
1835	-148	-180	Min.	2.51	-346.03	14	-16.48	14	0.39	29	-43.10	27	0.63	13	0.00	13
1835	-148	-180	Min.	16.87	-345.01	14	-16.48	14	-1.49	27	-42.22	27	-3.08	27	0.00	13
1835	-180	-212	Max	2.51	-217.97	29	-8.28	29	1.04	14	-11.09	13	2.96	27	0.01	27
1835	-180	-212	Max	16.87	-216.95	29	-8.56	29	-0.82	29	-11.07	13	-0.98	13	0.01	27
1835	-180	-212	Min.	2.51	-372.64	14	-16.84	14	0.39	29	-43.49	27	0.62	13	0.00	13
1835	-180	-212	Min.	16.87	-371.62	14	-16.84	14	-1.60	27	-42.62	27	-3.22	27	0.00	13
1835	-212	-244	Max	2.51	-250.69	29	-8.67	29	1.02	14	-11.35	13	2.89	27	0.01	27
1835	-212	-244	Max	16.87	-249.67	29	-8.96	29	-0.88	29	-11.33	13	-1.03	13	0.01	27
1835	-212	-244	Min.	2.51	-429.55	27	-17.24	14	0.39	29	-43.92	27	0.60	13	0.00	13
1835	-212	-244	Min.	16.87	-428.55	27	-17.24	14	-1.72	27	-43.04	27	-3.36	27	0.00	13
1835	-244	-276	Max	2.51	-284.73	29	-9.07	29	1.00	14	-11.66	13	2.81	27	0.01	27
1835	-244	-276	Max	16.87	-283.72	29	-9.35	29	-0.94	29	-11.64	13	-1.09	13	0.01	27
1835	-244	-276	Min.	2.51	-520.36	27	-17.64	14	0.39	29	-44.44	27	0.59	13	0.00	13
1835	-244	-276	Min.	16.87	-519.36	27	-17.64	14	-1.84	27	-43.56	27	-3.51	27	0.00	13

1835	-276	-308	Max	2.51	-320.18	29	-9.50	29	0.98	14	-11.94	13	2.72	27	0.01	27
1835	-276	-308	Max	16.87	-319.17	29	-9.79	29	-1.00	29	-11.92	13	-1.14	13	0.01	27
1835	-276	-308	Min.	2.51	-614.55	27	-18.10	14	0.38	29	-44.92	27	0.57	13	0.00	13
1835	-276	-308	Min.	16.87	-613.55	27	-18.10	14	-1.98	27	-44.05	27	-3.67	27	0.00	13
1835	-308	-340	Max	2.51	-357.13	29	-9.91	29	0.95	14	-12.26	13	2.62	27	0.01	27
1835	-308	-340	Max	16.87	-356.12	29	-10.20	29	-1.07	29	-12.23	13	-1.21	13	0.01	27
1835	-308	-340	Min.	2.51	-712.35	27	-18.51	14	0.38	29	-45.48	27	0.55	13	0.00	13
1835	-308	-340	Min.	16.87	-711.35	27	-18.51	14	-2.11	27	-44.60	27	-3.85	27	0.00	13
1835	-340	-372	Max	2.51	-395.69	29	-10.38	29	0.92	14	-12.59	13	2.52	27	0.01	27
1835	-340	-372	Max	16.87	-394.68	29	-10.66	29	-1.14	29	-12.57	13	-1.28	13	0.01	27
1835	-340	-372	Min.	2.51	-814.00	27	-19.01	14	0.37	29	-46.09	27	0.53	13	0.00	13
1835	-340	-372	Min.	16.87	-813.00	27	-19.47	27	-2.27	27	-45.21	27	-4.04	27	0.00	13
1835	-372	-404	Max	2.51	-435.98	29	-10.85	29	0.88	14	-12.89	13	2.40	27	0.01	27
1835	-372	-404	Max	16.87	-434.97	29	-11.14	29	-1.22	29	-12.87	13	-1.35	13	0.01	27
1835	-372	-404	Min.	2.51	-919.83	27	-19.71	27	0.36	29	-46.64	27	0.50	13	0.00	13
1835	-372	-404	Min.	16.87	-918.82	27	-20.56	27	-2.43	27	-45.77	27	-4.24	27	0.00	13
1835	-404	-436	Max	2.51	-478.11	29	-11.27	29	0.84	14	-13.44	13	2.27	27	0.01	27
1835	-404	-436	Max	16.87	-477.10	29	-11.55	29	-1.29	29	-13.42	13	-1.46	13	0.01	27
1835	-404	-436	Min.	2.51	-1030.06	27	-20.66	27	0.35	29	-47.75	27	0.47	13	0.00	13
1835	-404	-436	Min.	16.87	-1029.06	27	-21.51	27	-2.59	27	-46.87	27	-4.52	27	0.00	13
1835	-436	-468	Max	2.51	-521.25	13	-12.44	29	0.78	14	-12.50	13	2.09	27	0.01	27
1835	-436	-468	Max	16.87	-520.24	13	-12.73	29	-1.48	29	-12.48	13	-1.37	13	0.01	27
1835	-436	-468	Min.	2.51	-1144.92	27	-23.30	27	0.32	29	-45.49	27	0.42	13	0.00	13
1835	-436	-468	Min.	16.87	-1143.92	27	-24.16	27	-3.00	27	-44.62	27	-4.38	27	0.00	13
1835	-468	-500	Max	2.51	-554.30	13	-8.23	29	0.60	14	-21.94	13	1.92	27	0.01	27
1835	-468	-500	Max	16.87	-553.28	13	-8.52	29	-0.99	29	-21.92	13	-2.74	13	0.01	27
1835	-468	-500	Min.	2.51	-1262.62	27	-15.75	14	0.21	27	-66.79	27	0.40	28	0.01	13
1835	-468	-500	Min.	16.87	-1261.62	27	-15.75	14	-1.86	27	-65.91	27	-7.61	27	0.01	13
1835	-500	1333	Max	2.51	-587.16	13	-36.63	29	0.56	27	50.72	27	-0.52	29	0.01	27
1835	-500	1333	Max	14.38	-586.32	13	-36.86	29	-4.05	29	51.44	27	5.09	27	0.01	27
1835	-500	1333	Min.	2.51	-1375.57	27	-76.95	27	0.31	29	25.79	29	-0.98	27	0.00	29
1835	-500	1333	Min.	14.38	-1374.74	27	-77.65	27	-8.62	27	26.05	29	2.56	29	0.00	29
1836	360	-24	Max	4.85	0.00	13	0.00	13	0.00	13	0.00	13	0.00	13	0.00	13
1836	360	-24	Min.	4.85	0.00	13	0.00	13	0.00	13	0.00	13	0.00	13	0.00	13
1836	-24	-56	Max	4.85	0.00	13	0.00	13	0.00	13	0.00	13	0.00	13	0.00	13
1836	-24	-56	Min.	4.85	0.00	13	0.00	13	0.00	13	0.00	13	0.00	13	0.00	13
1836	-56	-88	Max	5.01	221.60	27	2.76	27	0.60	28	-6.91	13	3.64	27	0.00	27
1836	-56	-88	Max	14.76					-0.22	29			0.30	29		
1836	-56	-88	Max	16.87	222.43	27	2.06	27	-0.18	13	-6.89	13	0.06	27	0.00	27
1836	-56	-88	Min.	5.01	-65.30	14	-7.17	28	-0.74	27	-30.47	27	0.81	13	-0.01	28
1836	-56	-88	Min.	14.76					-0.22	29			0.30	29		
1836	-56	-88	Min.	16.87	-64.45	14	-6.93	28	-0.45	27	-29.74	27	-0.07	28	-0.01	28
1836	-88	-120	Max	2.51	181.89	27	4.53	27	0.40	28	-7.81	13	2.81	27	0.00	29
1836	-88	-120	Max	16.87	182.89	27	3.67	27	-0.21	29	-7.79	13	-0.41	13	0.00	29
1836	-88	-120	Min.	2.51	-76.29	14	-6.98	28	-0.91	27	-29.85	27	0.71	13	-0.00	28
1836	-88	-120	Min.	16.87	-75.27	14	-6.69	28	-0.58	28	-28.98	27	-1.41	27	-0.00	28
1836	-120	-152	Max	2.51	130.49	27	4.02	27	0.30	28	-7.89	13	2.45	27	-0.00	29
1836	-120	-152	Max	16.87	131.49	27	3.17	27	-0.22	29	-7.87	13	-0.52	13	-0.00	29
1836	-120	-152	Min.	2.51	-91.21	14	-6.90	28	-0.83	27	-29.87	27	0.61	13	-0.00	14
1836	-120	-152	Min.	16.87	-90.18	14	-6.61	28	-0.67	28	-29.00	27	-1.78	27	-0.00	14
1836	-152	-184	Max	2.51	75.23	27	3.53	27	0.26	28	-8.09	13	2.33	27	-0.00	29
1836	-152	-184	Max	16.87	76.23	27	2.68	27	-0.24	29	-8.07	13	-0.57	13	-0.00	29
1836	-152	-184	Min.	2.51	-108.52	28	-6.85	28	-0.79	27	-29.97	27	0.59	13	-0.00	27
1836	-152	-184	Min.	16.87	-107.50	28	-6.57	28	-0.70	28	-29.09	27	-1.91	27	-0.00	27
1836	-184	-216	Max	2.51	17.89	27	3.01	27	0.23	28	-8.28	13	2.26	27	-0.00	29
1836	-184	-216	Max	16.87	18.89	27	2.16	27	-0.26	29	-8.26	13	-0.60	13	-0.00	29
1836	-184	-216	Min.	2.51	-129.13	28	-6.82	28	-0.76	27	-30.07	27	0.58	13	-0.00	27
1836	-184	-216	Min.	16.87	-128.12	28	-6.53	28	-0.73	28	-29.19	27	-2.00	27	-0.00	27
1836	-216	-248	Max	2.51	-38.79	29	2.50	27	0.21	28	-8.49	13	2.20	27	-0.00	29

1836	-216	-248	Max	10.45					-0.27	29			-0.07	29		
1836	-216	-248	Max	16.87	-37.77	29	1.65	27	-0.28	29	-8.46	13	-0.64	13	-0.00	29
1836	-216	-248	Min.	2.51	-150.50	28	-6.78	28	-0.74	27	-30.19	27	0.58	13	-0.00	27
1836	-216	-248	Min.	10.45					-0.27	29			-0.07	29		
1836	-216	-248	Min.	16.87	-149.48	28	-6.49	28	-0.75	28	-29.31	27	-2.07	27	-0.00	27
1836	-248	-280	Max	2.51	-64.27	29	1.98	27	0.18	28	-8.72	13	2.14	27	-0.00	29
1836	-248	-280	Max	16.87	-63.25	29	1.12	27	-0.30	29	-8.69	13	-0.68	13	-0.00	29
1836	-248	-280	Min.	2.51	-172.63	28	-6.74	28	-0.72	27	-30.36	27	0.57	13	-0.00	27
1836	-248	-280	Min.	16.87	-171.62	28	-6.45	28	-0.77	28	-29.48	27	-2.16	27	-0.00	27
1836	-280	-312	Max	2.51	-90.74	29	1.42	27	0.15	28	-8.94	13	2.08	27	-0.00	29
1836	-280	-312	Max	16.87	-89.72	29	0.57	27	-0.33	29	-8.91	13	-0.72	13	-0.00	29
1836	-280	-312	Min.	2.51	-195.58	28	-6.72	28	-0.70	27	-30.51	27	0.56	13	-0.00	27
1836	-280	-312	Min.	16.87	-194.57	28	-6.43	28	-0.79	28	-29.64	27	-2.24	27	-0.00	27
1836	-312	-344	Max	2.51	-118.25	29	0.90	27	0.12	28	-9.18	13	2.01	27	-0.00	29
1836	-312	-344	Max	16.87	-117.24	29	0.04	27	-0.35	29	-9.15	13	-0.77	13	-0.00	29
1836	-312	-344	Min.	2.51	-229.66	27	-6.67	28	-0.68	27	-30.71	27	0.55	13	-0.00	27
1836	-312	-344	Min.	16.87	-228.65	27	-6.39	28	-0.82	28	-29.83	27	-2.34	27	-0.00	27
1836	-344	-376	Max	2.51	-146.89	29	0.33	27	0.09	28	-9.43	13	1.93	27	-0.00	29
1836	-344	-376	Max	8.25					-0.65	27			0.17	27		
1836	-344	-376	Max	16.87	-145.88	29	-0.52	27	-0.38	29	-9.41	13	-0.82	13	-0.00	29
1836	-344	-376	Min.	2.51	-296.62	27	-6.65	28	-0.66	27	-30.93	27	0.54	13	-0.00	27
1836	-344	-376	Min.	8.25					-0.65	27			0.17	27		
1836	-344	-376	Min.	16.87	-295.62	27	-6.36	28	-0.85	28	-30.06	27	-2.45	27	-0.00	27
1836	-376	-408	Max	2.51	-176.74	29	-0.28	27	0.06	14	-9.67	13	1.85	27	-0.00	29
1836	-376	-408	Max	16.87	-175.72	29	-1.14	27	-0.41	29	-9.65	13	-0.87	13	-0.00	29
1836	-376	-408	Min.	2.51	-365.91	27	-6.64	28	-0.64	27	-31.12	27	0.52	13	-0.00	27
1836	-376	-408	Min.	16.87	-364.91	27	-6.36	28	-0.88	28	-30.24	27	-2.56	27	-0.00	27
1836	-408	-440	Max	2.51	-207.86	29	-0.76	27	0.04	14	-10.04	13	1.76	27	-0.00	29
1836	-408	-440	Max	16.87	-206.85	29	-1.30	29	-0.43	29	-10.02	13	-0.94	13	-0.00	29
1836	-408	-440	Min.	2.51	-437.66	27	-6.55	28	-0.63	27	-31.59	27	0.50	13	-0.00	27
1836	-408	-440	Min.	16.87	-436.66	27	-6.26	28	-0.90	28	-30.71	27	-2.72	27	-0.00	27
1836	-440	-472	Max	2.51	-240.31	29	-1.69	29	0.01	14	-9.66	13	1.63	27	-0.00	29
1836	-440	-472	Max	16.87	-239.30	29	-1.97	29	-0.53	29	-9.64	13	-0.91	13	-0.00	29
1836	-440	-472	Min.	2.51	-511.95	27	-7.12	28	-0.62	27	-30.45	27	0.47	13	-0.00	27
1836	-440	-472	Min.	16.87	-510.95	27	-6.89	14	-1.02	28	-29.57	27	-2.68	27	-0.00	27
1836	-472	-504	Max	2.51	-273.51	13	3.58	27	-0.07	14	-14.58	13	1.48	27	0.00	29
1836	-472	-504	Max	16.87	-272.49	13	2.73	27	-0.13	29	-14.55	13	-1.65	13	0.00	29
1836	-472	-504	Min.	2.51	-587.61	27	-3.15	14	-0.65	27	-40.63	27	0.45	13	-0.00	27
1836	-472	-504	Min.	16.87	-586.61	27	-3.15	14	-0.52	14	-39.75	27	-4.29	27	-0.00	27
1836	-504	1339	Max	2.51	-296.58	13	-17.48	29	0.12	14	16.16	27	-0.09	29	-0.00	13
1836	-504	1339	Max	14.38	-295.74	13	-17.72	29	-2.10	29	16.89	27	1.77	27	-0.00	13
1836	-504	1339	Min.	2.51	-658.54	27	-35.10	27	-0.05	27	8.15	29	-0.31	28	-0.01	27
1836	-504	1339	Min.	14.38	-657.71	27	-35.80	27	-4.26	27	8.40	29	0.89	29	-0.01	27
1837	381	-30	Max	4.85	0.00	13	0.00	13	0.00	13	0.00	13	0.00	13	0.00	13
1837	381	-30	Min.	4.85	0.00	13	0.00	13	0.00	13	0.00	13	0.00	13	0.00	13
1837	-30	-62	Max	4.85	0.00	13	0.00	13	0.00	13	0.00	13	0.00	13	0.00	13
1837	-30	-62	Min.	4.85	0.00	13	0.00	13	0.00	13	0.00	13	0.00	13	0.00	13
1837	-62	-94	Max	5.01	142.16	27	-13.01	13	4.92	27	15.84	14	-0.44	29	-0.01	13
1837	-62	-94	Max	16.87	142.99	27	-13.01	13	-0.12	29	15.86	14	0.68	27	-0.01	13
1837	-62	-94	Min.	5.01	-156.14	14	-43.94	27	1.37	13	6.12	29	-1.61	14	-0.03	27
1837	-62	-94	Min.	16.87	-155.29	14	-43.24	27	-0.25	27	6.37	29	0.22	13	-0.03	27
1837	-94	-126	Max	2.51	156.33	27	-12.68	13	4.03	27	14.20	28	-0.22	27	-0.01	13
1837	-94	-126	Max	16.87	157.33	27	-12.68	13	-0.79	13	14.22	28	1.10	27	-0.01	13
1837	-94	-126	Min.	2.51	-134.28	14	-45.36	27	1.03	13	5.36	29	-1.06	28	-0.01	27
1837	-94	-126	Min.	16.87	-133.26	14	-44.51	27	-2.42	27	5.67	29	0.55	29	-0.01	27
1837	-126	-158	Max	2.51	174.93	27	-12.99	13	3.50	27	14.50	14	-0.21	27	-0.00	29
1837	-126	-158	Max	16.87	175.93	27	-12.99	13	-0.97	13	14.52	14	1.27	27	-0.00	29
1837	-126	-158	Min.	2.51	-106.53	14	-45.72	27	0.90	13	5.84	29	-0.93	14	-0.00	14
1837	-126	-158	Min.	16.87	-105.51	14	-44.87	27	-3.01	27	6.15	29	0.64	29	-0.00	14

1837	-158	-190	Max	2.51	196.00	27	-13.30	13	3.34	27	14.82	14	-0.21	27	0.00	27
1837	-158	-190	Max	16.87	197.00	27	-13.30	13	-1.05	13	14.84	14	1.39	27	0.00	27
1837	-158	-190	Min.	2.51	-76.52	14	-46.17	27	0.86	13	6.15	29	-0.89	14	-0.00	14
1837	-158	-190	Min.	16.87	-75.50	14	-45.31	27	-3.24	27	6.46	29	0.69	29	-0.00	14
1837	-190	-222	Max	2.51	219.21	27	-13.60	13	3.25	27	15.15	14	-0.21	29	0.00	27
1837	-190	-222	Max	16.87	220.21	27	-13.60	13	-1.11	13	15.17	14	1.49	27	0.00	27
1837	-190	-222	Min.	2.51	-45.02	14	-46.65	27	0.84	13	6.49	29	-0.87	14	-0.00	14
1837	-190	-222	Min.	16.87	-44.00	14	-45.79	27	-3.39	27	6.79	29	0.74	29	-0.00	14
1837	-222	-254	Max	2.51	244.59	27	-13.93	13	3.17	27	15.50	14	-0.21	29	0.00	27
1837	-222	-254	Max	16.87	245.60	27	-13.93	13	-1.17	13	15.53	14	1.60	27	0.00	27
1837	-222	-254	Min.	2.51	-14.89	13	-47.18	27	0.83	13	6.82	29	-0.85	14	-0.00	14
1837	-222	-254	Min.	16.87	-13.87	13	-46.33	27	-3.54	27	7.13	29	0.79	29	-0.00	14
1837	-254	-286	Max	2.51	272.29	27	-14.28	13	3.09	27	15.89	14	-0.22	29	0.00	27
1837	-254	-286	Max	16.87	273.29	27	-14.28	13	-1.24	13	15.91	14	1.71	27	0.00	27
1837	-254	-286	Min.	2.51	12.63	13	-47.75	27	0.81	13	7.19	29	-0.83	14	-0.00	14
1837	-254	-286	Min.	16.87	13.65	13	-46.90	27	-3.71	27	7.50	29	0.84	29	-0.00	14
1837	-286	-318	Max	2.51	302.47	27	-14.64	13	3.01	27	16.28	14	-0.21	29	0.00	27
1837	-286	-318	Max	16.87	303.47	27	-14.64	13	-1.31	13	16.30	14	1.84	27	0.00	27
1837	-286	-318	Min.	2.51	41.37	13	-48.37	27	0.80	13	7.56	29	-0.81	14	-0.00	14
1837	-286	-318	Min.	16.87	42.39	13	-47.51	27	-3.88	27	7.87	29	0.89	29	-0.00	14
1837	-318	-350	Max	2.51	335.30	27	-15.01	13	2.91	27	16.68	14	-0.21	29	0.00	27
1837	-318	-350	Max	16.87	336.31	27	-15.01	13	-1.38	13	16.71	14	1.97	27	0.00	27
1837	-318	-350	Min.	2.51	71.41	13	-49.02	27	0.78	13	7.93	29	-0.79	14	-0.00	14
1837	-318	-350	Min.	16.87	72.43	13	-48.16	27	-4.07	27	8.24	29	0.95	29	-0.00	14
1837	-350	-382	Max	2.51	370.99	27	-15.41	13	2.81	27	17.13	14	-0.21	29	0.00	27
1837	-350	-382	Max	16.87	371.99	27	-15.41	13	-1.46	13	17.15	14	2.11	27	0.00	27
1837	-350	-382	Min.	2.51	102.84	13	-49.72	27	0.75	13	8.34	29	-0.76	14	-0.00	14
1837	-350	-382	Min.	16.87	103.86	13	-48.87	27	-4.27	27	8.65	29	1.01	29	-0.00	14
1837	-382	-414	Max	2.51	409.76	27	-15.84	13	2.70	27	17.58	14	-0.20	29	0.00	27
1837	-382	-414	Max	16.87	410.76	27	-15.84	13	-1.55	13	18.01	27	2.26	27	0.00	27
1837	-382	-414	Min.	2.51	135.79	13	-50.52	27	0.72	13	8.76	29	-0.73	14	-0.00	14
1837	-382	-414	Min.	16.87	136.81	13	-49.66	27	-4.50	27	9.06	29	1.08	29	-0.00	14
1837	-414	-446	Max	2.51	451.87	27	-16.18	13	2.56	27	18.25	27	-0.19	29	0.00	27
1837	-414	-446	Max	16.87	452.88	27	-16.18	13	-1.64	13	19.12	27	2.43	27	0.00	27
1837	-414	-446	Min.	2.51	170.37	13	-51.09	27	0.69	13	9.21	29	-0.69	14	-0.00	14
1837	-414	-446	Min.	16.87	171.39	13	-50.23	27	-4.71	27	9.51	29	1.15	29	-0.00	14
1837	-446	-478	Max	2.51	497.51	27	-17.38	13	2.40	27	19.11	27	-0.17	29	0.00	27
1837	-446	-478	Max	16.87	498.51	27	-17.38	13	-1.85	13	19.98	27	2.58	27	0.00	27
1837	-446	-478	Min.	2.51	205.99	29	-53.70	27	0.65	13	9.59	29	-0.64	14	-0.00	14
1837	-446	-478	Min.	16.87	207.00	29	-52.84	27	-5.25	27	9.89	29	1.23	29	-0.00	14
1837	-478	-510	Max	2.51	546.33	27	-12.90	13	1.96	27	21.92	27	-0.13	29	0.01	27
1837	-478	-510	Max	16.87	547.33	27	-12.90	13	-1.35	13	22.79	27	3.05	27	0.01	27
1837	-478	-510	Min.	2.51	231.31	29	-42.81	27	0.49	28	10.54	29	-0.53	14	0.00	13
1837	-478	-510	Min.	16.87	232.32	29	-41.95	27	-4.13	27	10.84	29	1.41	29	0.00	13
1837	-510	1356	Max	2.51	596.40	27	-42.12	13	1.45	27	13.56	14	0.31	27	0.02	27
1837	-510	1356	Max	14.38	597.23	27	-42.12	13	-4.54	13	13.58	14	1.77	27	0.02	27
1837	-510	1356	Min.	2.51	256.81	29	-112.43	27	0.46	13	6.71	28	-0.02	14	0.00	28
1837	-510	1356	Min.	14.38	257.64	29	-111.72	27	-11.86	27	6.73	28	0.91	28	0.00	28
1858	1305	1306	Max	1.77	44.66	27	-1.23	28	2.57	27	0.83	27	0.10	27	0.01	28
1858	1305	1306	Max	10.00	44.66	27	-0.64	28	1.57	27	0.83	27	0.17	27	0.01	28
1858	1305	1306	Min.	1.77	15.56	28	-12.42	27	0.43	28	0.05	14	0.05	29	0.01	29
1858	1305	1306	Min.	10.00	15.56	28	-11.83	27	0.35	28	0.05	14	0.07	28	0.01	29
1858	1306	1307	Max	0.00	44.66	27	-0.64	28	1.57	27	0.83	27	0.17	27	0.01	28
1858	1306	1307	Max	8.23	44.66	27	-0.06	28	0.82	14	0.83	27	0.24	27	0.01	28
1858	1306	1307	Min.	0.00	15.56	28	-11.83	27	0.35	28	0.05	14	0.07	28	0.01	29
1858	1306	1307	Min.	8.23	15.56	28	-11.25	27	0.32	29	0.05	14	0.07	28	0.01	29
1860	1325	1326	Max	1.77	-23.08	28	0.95	27	-0.08	28	-1.93	28	-1.11	29	-0.01	29
1860	1325	1326	Max	10.00	-23.08	28	0.95	27	-0.07	28	-1.34	28	-1.33	28	-0.01	29
1860	1325	1326	Min.	1.77	-58.19	27	0.20	28	-0.25	27	-13.02	27	-2.20	27	-0.01	14

1860	1325	1326	Min.	10.00	-58.19	27	0.20	28	-0.17	27	-12.44	27	-3.24	27	-0.01	14
1860	1326	1327	Max	0.00	-23.08	28	0.95	27	-0.07	28	-1.34	28	-1.33	28	-0.01	29
1860	1326	1327	Max	8.23	-23.08	28	0.95	27	-0.05	29	-0.76	28	-1.42	28	-0.01	29
1860	1326	1327	Min.	0.00	-58.19	27	0.20	28	-0.17	27	-12.44	27	-3.24	27	-0.01	14
1860	1326	1327	Min.	8.23	-58.19	27	0.20	28	-0.09	27	-11.85	27	-4.24	27	-0.01	14
1902	1337	1338	Max	1.77	-27.25	13	-2.27	13	-1.10	29	0.96	27	-0.10	13	0.01	14
1902	1337	1338	Max	10.00	-27.25	13	-1.68	13	-1.56	29	0.96	27	-0.08	13	0.01	14
1902	1337	1338	Min.	1.77	-57.85	27	-13.17	27	-2.19	27	0.21	13	-0.25	27	0.01	29
1902	1337	1338	Min.	10.00	-57.85	27	-12.58	27	-3.25	27	0.21	13	-0.17	27	0.01	29
1902	1338	1339	Max	0.00	-27.25	13	-1.68	13	-1.56	29	0.96	27	-0.08	13	0.01	14
1902	1338	1339	Max	8.23	-27.25	13	-1.10	13	-1.67	13	0.96	27	-0.05	29	0.01	14
1902	1338	1339	Min.	0.00	-57.85	27	-12.58	27	-3.25	27	0.21	13	-0.17	27	0.01	29
1902	1338	1339	Min.	8.23	-57.85	27	-12.00	27	-4.26	27	0.21	13	-0.09	27	0.01	29
1904	1357	1358	Max	1.77	44.33	27	0.83	27	0.10	27	-1.38	14	2.58	27	-0.01	29
1904	1357	1358	Max	10.00	44.33	27	0.83	27	0.17	27	-0.79	14	1.58	27	-0.01	29
1904	1357	1358	Min.	1.77	20.52	13	0.05	14	0.05	29	-12.51	27	0.79	13	-0.01	14
1904	1357	1358	Min.	10.00	20.52	13	0.05	14	0.08	13	-11.93	27	0.69	13	-0.01	14
1904	1358	1359	Max	0.00	44.33	27	0.83	27	0.17	27	-0.79	14	1.58	27	-0.01	29
1904	1358	1359	Max	8.23	44.33	27	0.83	27	0.24	27	-0.21	14	1.01	28	-0.01	29
1904	1358	1359	Min.	0.00	20.52	13	0.05	14	0.08	13	-11.93	27	0.69	13	-0.01	14
1904	1358	1359	Min.	8.23	20.52	13	0.05	14	0.09	13	-11.34	27	0.32	29	-0.01	14
2022	2025	2026	Max	0.00	1.47	27	-201.63	28	-0.04	29	-47.81	29	0.23	27	26.03	27
2022	2025	2026	Max	0.63	1.47	27	-201.63	28	-1.38	28	-47.86	29	-0.19	29	26.03	27
2022	2025	2026	Min.	0.00	-0.23	14	-621.45	27	-0.12	14	-81.79	27	0.08	13	10.58	28
2022	2025	2026	Min.	0.63	-0.23	14	-621.45	27	-3.99	27	-81.83	27	-0.40	14	10.58	28
2022	2026	2027	Max	5.37	-0.43	13	622.68	27	-1.22	28	321.14	27	-0.78	13	-11.58	28
2022	2026	2027	Max	6.00	-0.43	13	622.68	27	0.73	27	321.09	27	-0.05	13	-11.58	28
2022	2026	2027	Min.	5.37	-10.79	27	217.50	28	-3.19	27	116.24	13	-2.18	27	-27.50	27
2022	2026	2027	Min.	6.00	-10.79	27	217.50	28	0.15	13	116.20	13	-0.16	27	-27.50	27
2066	2285	2286	Max	0.00	1.52	27	611.07	27	0.10	14	-48.95	29	0.23	27	-12.16	13
2066	2285	2286	Max	0.63	1.52	27	611.07	27	3.92	27	-48.99	29	-0.20	29	-12.16	13
2066	2285	2286	Min.	0.00	-0.20	14	284.37	13	0.04	29	-83.70	27	0.07	28	-25.80	27
2066	2285	2286	Min.	0.63	-0.20	14	284.37	13	1.87	29	-83.74	27	-0.41	14	-25.80	27
2066	2286	2287	Max	5.37	-0.29	28	-296.71	29	3.26	27	319.35	27	-0.73	28	27.58	27
2066	2286	2287	Max	6.00	-0.29	28	-296.71	29	-0.14	13	319.31	27	-0.04	28	27.58	27
2066	2286	2287	Min.	5.37	-10.63	27	-634.73	27	1.59	29	109.12	28	-2.16	27	12.84	29
2066	2286	2287	Min.	6.00	-10.63	27	-634.73	27	-0.74	27	109.08	28	-0.15	27	12.84	29
2106	2001	9	Max	0.00	0.79	27	-0.00	29	0.02	14	1.40	27	0.31	14	-0.01	14
2106	2001	9	Max	16.67	0.79	27	-0.00	29	-0.00	29	0.75	27	0.07	27	-0.01	14
2106	2001	9	Min.	0.00	-8.20	14	-0.19	14	-0.00	27	-3.22	28	-0.10	27	-0.07	27
2106	2001	9	Min.	16.67	-8.20	14	-0.19	14	-0.02	27	-3.88	28	-0.28	28	-0.07	27
2106	9	17	Max	0.00	1.38	27	0.28	27	0.03	14	-0.56	27	0.30	14	-0.01	14
2106	9	17	Max	16.67	1.38	27	0.28	27	0.02	27	-1.22	27	-0.12	27	-0.01	14
2106	9	17	Min.	0.00	-20.51	14	-0.22	14	-0.03	27	-4.42	14	0.03	27	-0.07	27
2106	9	17	Min.	16.67	-20.51	14	-0.22	14	-0.01	14	-5.07	14	-0.49	14	-0.07	27
2106	17	2025	Max	0.00	-2.17	27	0.82	27	0.01	14	9.79	27	0.10	14	-0.01	13
2106	17	2025	Max	10.00					-0.02	13			0.12	13		
2106	17	2025	Max	16.67	-2.17	27	0.82	27	0.10	27	9.14	27	1.45	27	-0.01	13
2106	17	2025	Min.	0.00	-33.38	14	-0.36	14	-0.04	27	-1.20	28	-0.13	27	-0.06	27
2106	17	2025	Min.	10.00					-0.02	13			0.12	13		
2106	17	2025	Min.	16.67	-33.38	14	-0.36	14	-0.05	14	-1.86	28	-0.24	28	-0.06	27
2106	2025	37	Max	0.00	-229.42	28	-0.30	13	0.20	27	141.70	27	-10.62	28	0.14	27
2106	2025	37	Max	21.56	-229.42	28	-0.30	13	0.00	27	140.85	27	8.46	27	0.14	27
2106	2025	37	Min.	0.00	-649.64	27	-0.92	27	0.06	13	69.53	29	-22.00	27	0.05	13
2106	2025	37	Min.	21.56	-649.64	27	-0.92	27	-0.00	28	68.68	29	4.14	29	0.05	13
2106	37	45	Max	0.00	-56.49	28	-0.23	13	0.12	27	121.58	27	-7.20	28	0.15	27
2106	37	45	Max	21.56	-56.49	28	-0.23	13	-0.01	13	120.74	27	11.23	27	0.15	27
2106	37	45	Min.	0.00	-310.75	27	-0.71	27	0.04	13	59.28	29	-14.90	27	0.05	13
2106	37	45	Min.	21.56	-310.75	27	-0.71	27	-0.03	27	58.43	29	5.45	29	0.05	13

2106	45	53	Max	0.00	95.27	28	-0.24	13	0.08	27	108.60	27	-5.80	28	0.14	27
2106	45	53	Max	21.56	95.27	28	-0.24	13	-0.02	13	107.75	27	11.14	27	0.14	27
2106	45	53	Min.	0.00	-9.86	13	-0.71	27	0.03	13	52.48	29	-12.18	27	0.05	13
2106	45	53	Min.	21.56	-9.86	13	-0.71	27	-0.07	27	51.63	29	5.36	29	0.05	13
2106	53	61	Max	0.00	236.81	27	-0.21	13	0.04	27	97.36	27	-4.65	28	0.13	27
2106	53	61	Max	21.56	236.81	27	-0.21	13	-0.03	13	96.51	27	10.88	27	0.13	27
2106	53	61	Min.	0.00	108.28	29	-0.63	27	0.01	13	46.56	29	-10.03	27	0.04	13
2106	53	61	Min.	21.56	108.28	29	-0.63	27	-0.10	27	45.71	29	5.14	29	0.04	13
2106	61	69	Max	0.00	423.23	27	-0.05	29	0.03	27	71.71	27	-2.83	28	0.10	27
2106	61	69	Max	21.56	423.23	27	-0.05	29	0.00	14	70.86	27	8.56	27	0.10	27
2106	61	69	Min.	0.00	198.98	29	-0.14	27	0.01	29	33.14	28	-6.81	27	0.03	13
2106	61	69	Min.	21.56	198.98	29	-0.14	27	-0.00	27	32.30	28	4.23	28	0.03	13
2106	69	77	Max	0.00	562.13	27	-0.11	13	0.04	27	63.67	27	-2.39	28	0.06	27
2106	69	77	Max	21.56	562.13	27	-0.11	13	-0.01	13	62.82	27	7.74	27	0.06	27
2106	69	77	Min.	0.00	267.76	29	-0.31	27	0.02	13	28.78	28	-5.90	27	0.02	13
2106	69	77	Min.	21.56	267.76	29	-0.31	27	-0.02	27	27.93	28	3.73	28	0.02	13
2106	77	85	Max	0.00	675.59	27	-0.11	13	0.02	27	57.80	27	-1.96	28	0.05	27
2106	77	85	Max	21.56	675.59	27	-0.11	13	-0.02	13	56.95	27	7.30	27	0.05	27
2106	77	85	Min.	0.00	323.27	29	-0.32	27	0.01	13	25.50	28	-5.07	27	0.02	13
2106	77	85	Min.	21.56	323.27	29	-0.32	27	-0.05	27	24.65	28	3.45	28	0.02	13
2106	85	93	Max	0.00	767.44	27	-0.07	13	-0.00	28	51.94	27	-1.31	28	0.06	27
2106	85	93	Max	21.56	767.44	27	-0.07	13	-0.02	13	51.09	27	7.24	27	0.06	27
2106	85	93	Min.	0.00	367.52	29	-0.21	27	-0.01	27	22.17	28	-3.87	27	0.02	13
2106	85	93	Min.	21.56	367.52	29	-0.21	27	-0.05	27	21.32	28	3.38	28	0.02	13
2106	93	101	Max	0.00	826.31	27	-0.04	28	0.03	27	21.19	27	0.55	28	0.05	27
2106	93	101	Max	21.56	826.31	27	-0.04	28	0.01	27	20.34	27	4.03	27	0.05	27
2106	93	101	Min.	0.00	396.30	29	-0.08	27	0.01	28	5.31	28	-0.45	27	0.02	13
2106	93	101	Min.	21.56	396.30	29	-0.08	27	0.00	28	4.47	28	1.60	28	0.02	13
2106	101	109	Max	0.00	858.19	27	-0.09	28	0.03	27	17.31	27	0.55	28	0.03	27
2106	101	109	Max	21.56	858.19	27	-0.09	28	-0.00	29	16.46	27	3.19	27	0.03	27
2106	101	109	Min.	0.00	412.37	29	-0.19	27	0.01	28	3.03	28	-0.46	27	0.01	28
2106	101	109	Min.	21.56	412.37	29	-0.19	27	-0.01	27	2.18	28	1.11	28	0.01	28
2106	109	117	Max	0.00	881.00	27	-0.09	28	0.01	27	15.05	27	0.68	28	0.02	27
2106	109	117	Max	21.56	881.00	27	-0.09	28	-0.01	13	14.20	27	2.93	27	0.02	27
2106	109	117	Min.	0.00	423.31	29	-0.21	27	0.00	28	1.58	28	-0.22	27	0.01	28
2106	109	117	Min.	21.56	423.31	29	-0.21	27	-0.03	27	0.73	28	0.93	28	0.01	28
2106	117	125	Max	0.00	896.10	27	-0.06	28	-0.00	13	11.99	27	1.10	28	0.02	27
2106	117	125	Max	21.56	896.10	27	-0.06	28	-0.02	13	11.15	27	3.04	27	0.02	27
2106	117	125	Min.	0.00	429.99	29	-0.14	27	-0.01	27	-0.33	28	0.33	29	0.01	28
2106	117	125	Min.	21.56	429.99	29	-0.14	27	-0.04	27	-1.18	28	0.93	28	0.01	28
2106	125	133	Max	0.00	894.50	27	0.05	28	0.00	27	-4.94	29	3.27	27	0.02	27
2106	125	133	Max	21.56	894.50	27	0.05	28	0.01	27	-5.78	29	0.31	27	0.02	27
2106	125	133	Min.	0.00	429.42	29	0.02	14	-0.01	28	-13.50	28	1.40	29	0.00	28
2106	125	133	Min.	21.56	429.42	29	0.02	14	0.00	29	-14.35	28	-0.49	28	0.00	28
2106	133	141	Max	0.00	879.01	27	0.02	28	0.01	27	-6.54	29	2.95	27	0.00	27
2106	133	141	Max	12.94					-0.00	28			0.42	28		
2106	133	141	Max	21.56	879.01	27	0.02	28	0.00	28	-7.39	29	-0.12	29	0.00	27
2106	133	141	Min.	0.00	422.76	29	-0.05	27	-0.00	28	-15.25	27	1.38	29	-0.01	28
2106	133	141	Min.	12.94					-0.00	28			0.42	28		
2106	133	141	Min.	21.56	422.76	29	-0.05	27	-0.00	27	-16.10	27	-0.92	28	-0.01	28
2106	141	149	Max	0.00	861.49	27	0.01	28	-0.01	13	-8.03	29	2.74	27	-0.00	13
2106	141	149	Max	21.56	861.49	27	0.01	28	-0.01	28	-8.87	29	-0.45	29	-0.00	13
2106	141	149	Min.	0.00	414.52	29	-0.07	27	-0.01	27	-16.69	27	1.37	29	-0.01	28
2106	141	149	Min.	21.56	414.52	29	-0.07	27	-0.03	27	-17.54	27	-1.24	28	-0.01	28
2106	149	157	Max	0.00	846.48	27	0.02	28	-0.01	13	-8.41	29	1.86	27	-0.00	13
2106	149	157	Max	21.56	846.48	27	0.02	28	-0.01	28	-9.26	29	-0.94	29	-0.00	13
2106	149	157	Min.	0.00	406.94	29	-0.05	27	-0.03	27	-16.17	27	0.96	29	-0.01	28
2106	149	157	Min.	21.56	406.94	29	-0.05	27	-0.04	27	-17.01	27	-1.75	28	-0.01	28
2106	157	165	Max	0.00	846.49	27	0.05	27	-0.02	13	17.02	27	-0.24	28	0.00	27

2106	157	165	Max	21.56	846.49	27	0.05	27	-0.01	28	16.18	27	1.86	27	0.00	27
2106	157	165	Min.	0.00	406.95	29	0.01	13	-0.04	27	2.47	28	-1.72	27	-0.00	28
2106	157	165	Min.	21.56	406.95	29	0.01	13	-0.03	27	1.62	28	0.20	28	-0.00	28
2106	165	173	Max	0.00	861.50	27	0.07	27	-0.01	13	17.55	27	0.26	28	0.01	27
2106	165	173	Max	21.56	861.50	27	0.07	27	-0.00	28	16.71	27	2.75	27	0.01	27
2106	165	173	Min.	0.00	414.54	29	0.02	13	-0.03	27	1.97	28	-0.95	27	-0.00	28
2106	165	173	Min.	21.56	414.54	29	0.02	13	-0.01	27	1.12	28	0.59	28	-0.00	28
2106	173	181	Max	0.00	879.05	27	0.05	27	-0.00	13	16.11	27	0.62	28	0.00	13
2106	173	181	Max	3.47					-0.00	28			0.62	28		
2106	173	181	Max	21.56	879.05	27	0.05	27	0.01	28	15.26	27	2.95	27	0.00	13
2106	173	181	Min.	0.00	421.09	28	0.01	13	-0.00	27	0.14	28	-0.43	27	-0.01	28
2106	173	181	Min.	3.47					-0.00	28			0.62	28		
2106	173	181	Min.	21.56	421.09	28	0.01	13	0.00	13	-0.71	28	0.55	28	-0.01	28
2106	181	189	Max	0.00	894.55	27	0.02	28	0.01	27	14.13	27	0.96	28	-0.01	13
2106	181	189	Max	21.56	894.55	27	0.02	28	0.01	28	13.29	27	3.27	27	-0.01	13
2106	181	189	Min.	0.00	418.88	28	-0.02	27	0.00	28	-1.73	28	0.23	13	-0.02	27
2106	181	189	Min.	21.56	418.88	28	-0.02	27	-0.00	29	-2.58	28	0.50	28	-0.02	27
2106	189	197	Max	0.00	896.16	27	0.14	27	-0.02	28	-4.08	13	3.04	27	-0.01	13
2106	189	197	Max	21.56	896.16	27	0.14	27	-0.00	28	-4.93	13	0.55	27	-0.01	13
2106	189	197	Min.	0.00	410.86	28	0.07	13	-0.04	27	-11.14	27	1.32	13	-0.02	27
2106	189	197	Min.	21.56	410.86	28	0.07	13	-0.01	27	-11.98	27	-0.39	28	-0.02	27
2106	197	205	Max	0.00	881.08	27	0.21	27	-0.01	13	-6.12	13	2.93	27	-0.01	13
2106	197	205	Max	21.56	881.08	27	0.21	27	0.01	27	-6.97	13	-0.03	13	-0.01	13
2106	197	205	Min.	0.00	396.00	28	0.09	13	-0.03	27	-14.19	27	1.38	13	-0.02	27
2106	197	205	Min.	21.56	396.00	28	0.09	13	0.01	13	-15.04	27	-0.76	28	-0.02	27
2106	205	213	Max	0.00	858.29	27	0.19	27	-0.00	28	-7.90	13	3.18	27	-0.01	13
2106	205	213	Max	21.56	858.29	27	0.19	27	0.03	27	-8.75	13	-0.22	13	-0.01	13
2106	205	213	Min.	0.00	376.25	28	0.09	13	-0.01	27	-16.45	27	1.58	13	-0.03	27
2106	205	213	Min.	21.56	376.25	28	0.09	13	0.01	13	-17.30	27	-1.00	28	-0.03	27
2106	213	221	Max	0.00	826.42	27	0.08	27	0.01	27	-10.36	13	4.03	27	-0.02	13
2106	213	221	Max	21.56	826.42	27	0.08	27	0.03	27	-11.21	13	-0.32	13	-0.02	13
2106	213	221	Min.	0.00	350.64	28	0.05	29	0.00	13	-20.33	27	2.01	13	-0.05	27
2106	213	221	Min.	21.56	350.64	28	0.05	29	0.01	13	-21.17	27	-1.19	28	-0.05	27
2106	221	229	Max	0.00	767.56	27	0.21	27	-0.02	28	-23.74	13	7.24	27	-0.02	13
2106	221	229	Max	21.56	767.56	27	0.21	27	-0.00	13	-24.59	13	-1.81	13	-0.02	13
2106	221	229	Min.	0.00	312.94	28	0.07	28	-0.05	27	-51.09	27	3.40	13	-0.06	27
2106	221	229	Min.	21.56	312.94	28	0.07	28	-0.01	27	-51.94	27	-3.87	27	-0.06	27
2106	229	237	Max	0.00	675.71	27	0.32	27	-0.02	13	-27.11	13	7.30	27	-0.02	28
2106	229	237	Max	21.56	675.71	27	0.32	27	0.02	27	-27.96	13	-2.42	13	-0.02	28
2106	229	237	Min.	0.00	260.60	28	0.11	13	-0.05	27	-56.95	27	3.52	13	-0.05	27
2106	229	237	Min.	21.56	260.60	28	0.11	13	0.01	13	-57.79	27	-5.07	27	-0.05	27
2106	237	245	Max	0.00	562.26	27	0.31	27	-0.01	28	-30.57	13	7.74	27	-0.02	28
2106	237	245	Max	21.56	562.26	27	0.31	27	0.04	27	-31.42	13	-2.89	13	-0.02	28
2106	237	245	Min.	0.00	196.19	28	0.11	13	-0.02	27	-62.82	27	3.80	13	-0.06	27
2106	237	245	Min.	21.56	196.19	28	0.11	13	0.02	13	-63.67	27	-5.90	27	-0.06	27
2106	245	253	Max	0.00	423.35	27	0.14	27	0.00	28	-34.98	13	8.56	27	-0.03	28
2106	245	253	Max	21.56	423.35	27	0.14	27	0.03	27	-35.83	13	-3.40	13	-0.03	28
2106	245	253	Min.	0.00	117.26	28	0.05	29	-0.00	27	-70.86	27	4.23	13	-0.10	27
2106	245	253	Min.	21.56	117.26	28	0.05	29	0.01	29	-71.71	27	-6.81	27	-0.10	27
2106	253	261	Max	0.00	236.88	27	0.63	27	-0.03	28	-45.73	29	10.88	27	-0.04	28
2106	253	261	Max	21.56	236.88	27	0.63	27	0.04	27	-46.58	29	-4.81	29	-0.04	28
2106	253	261	Min.	0.00	15.54	28	0.18	28	-0.10	27	-96.57	27	5.14	29	-0.13	27
2106	253	261	Min.	21.56	15.54	28	0.18	28	0.01	28	-97.41	27	-10.03	27	-0.13	27
2106	261	269	Max	0.00	-8.48	27	0.71	27	-0.02	28	-51.66	29	11.15	27	-0.04	28
2106	261	269	Max	21.56	-8.48	27	0.71	27	0.08	27	-52.50	29	-5.87	29	-0.04	28
2106	261	269	Min.	0.00	-114.64	28	0.22	28	-0.07	27	-107.82	27	5.36	29	-0.14	27
2106	261	269	Min.	21.56	-114.64	28	0.22	28	0.02	28	-108.66	27	-12.19	27	-0.14	27
2106	269	277	Max	0.00	-155.57	29	0.71	27	-0.01	28	-58.45	29	11.24	27	-0.05	28
2106	269	277	Max	21.56	-155.57	29	0.71	27	0.12	27	-59.30	29	-7.24	29	-0.05	28

2106	269	277	Min.	0.00	-310.99	27	0.22	28	-0.03	27	-120.80	27	5.45	29	-0.15	27
2106	269	277	Min.	21.56	-310.99	27	0.22	28	0.04	28	-121.64	27	-14.90	27	-0.15	27
2106	277	2285	Max	0.00	-320.82	29	0.93	27	0.00	28	-68.72	29	8.47	27	-0.04	28
2106	277	2285	Max	21.56	-320.82	29	0.93	27	0.20	27	-69.56	29	-10.76	29	-0.04	28
2106	277	2285	Min.	0.00	-650.11	27	0.26	28	-0.00	13	-140.94	27	4.15	29	-0.14	27
2106	277	2285	Min.	21.56	-650.11	27	0.26	28	0.06	28	-141.79	27	-22.01	27	-0.14	27
2106	2285	297	Max	0.00	-13.47	27	0.33	14	0.11	27	1.01	13	1.24	27	0.06	27
2106	2285	297	Max	15.83					0.01	14			0.13	14		
2106	2285	297	Max	16.67	-13.47	27	0.33	14	0.01	14	0.35	13	0.20	28	0.06	27
2106	2285	297	Min.	0.00	-38.36	14	-0.87	27	-0.04	14	-7.58	27	0.01	13	0.01	28
2106	2285	297	Min.	15.83					0.01	14			0.13	14		
2106	2285	297	Min.	16.67	-38.36	14	-0.87	27	-0.04	27	-8.23	27	-0.07	27	0.01	28
2106	297	305	Max	0.00	-5.30	27	0.20	14	0.01	27	5.90	14	-0.29	27	0.08	27
2106	297	305	Max	16.67	-5.30	27	0.20	14	0.02	14	5.25	14	0.36	14	0.08	27
2106	297	305	Min.	0.00	-23.47	14	-0.35	27	-0.02	14	2.99	27	-0.57	14	0.01	28
2106	297	305	Min.	16.67	-23.47	14	-0.35	27	-0.05	27	2.34	27	0.16	27	0.01	28
2106	305	2313	Max	0.00	-1.47	27	0.29	14	-0.01	29	4.34	14	-0.00	27	0.07	27
2106	305	2313	Max	10.00					-0.01	27			0.01	27		
2106	305	2313	Max	16.67	-1.47	27	0.29	14	0.03	14	3.68	14	0.36	14	0.07	27
2106	305	2313	Min.	0.00	-9.12	14	0.07	29	-0.03	27	0.38	27	-0.31	14	0.01	28
2106	305	2313	Min.	10.00					-0.01	27			0.01	27		
2106	305	2313	Min.	16.67	-9.12	14	0.07	29	0.00	29	-0.27	27	0.00	27	0.01	28
2107	-514	18	Max	0.00	-34.52	13	-0.26	29	0.07	14	1.41	27	-0.14	13	-0.01	29
2107	-514	18	Max	19.08	-34.89	13	-0.26	29	-0.02	13	0.76	27	-0.04	14	-0.01	29
2107	-514	18	Min.	0.00	-80.92	27	-0.51	27	0.02	29	0.80	13	-0.27	27	-0.03	27
2107	-514	18	Min.	19.08	-81.28	27	-0.51	27	-0.07	27	0.15	13	-0.06	27	-0.03	27
2144	2003	11	Max	0.00	-27.61	29	-0.05	27	0.03	14	-11.84	29	1.43	28	0.02	14
2144	2003	11	Max	16.67	-27.61	29	-0.05	27	-0.01	29	-12.50	29	-0.95	29	0.02	14
2144	2003	11	Min.	0.00	-35.71	28	-0.28	14	-0.01	27	-15.71	28	1.07	29	-0.03	27
2144	2003	11	Min.	16.67	-35.71	28	-0.28	14	-0.02	14	-16.37	28	-1.25	28	-0.03	27
2144	11	19	Max	0.00	-66.82	29	0.22	27	0.03	14	-13.22	29	1.36	27	0.03	14
2144	11	19	Max	16.67	-66.82	29	0.22	27	0.01	27	-13.87	29	-1.37	29	0.03	14
2144	11	19	Min.	0.00	-87.25	28	-0.29	14	-0.03	27	-19.36	27	0.89	29	-0.03	27
2144	11	19	Min.	16.67	-87.25	28	-0.29	14	-0.02	14	-20.01	27	-1.92	27	-0.03	27
2144	19	2028	Max	0.00	-102.70	29	1.09	27	0.01	14	-4.14	27	0.68	27	0.02	14
2144	19	2028	Max	16.67	-102.70	29	1.09	27	0.14	27	-4.79	27	-0.07	27	0.02	14
2144	19	2028	Min.	0.00	-138.97	27	-0.23	14	-0.04	27	-13.03	28	0.42	29	-0.02	27
2144	19	2028	Min.	16.67	-138.97	27	-0.23	14	-0.03	14	-13.69	28	-1.68	28	-0.02	27
2144	2028	39	Max	0.00	-596.29	28	0.13	14	0.05	27	304.43	27	-21.47	29	0.06	27
2144	2028	39	Max	21.56	-596.29	28	0.13	14	0.01	27	303.58	27	18.63	27	0.06	27
2144	2028	39	Min.	0.00	-1396.08	27	-0.18	27	-0.02	13	139.07	29	-46.92	27	-0.00	28
2144	2028	39	Min.	21.56	-1396.08	27	-0.18	27	0.01	29	138.22	29	8.43	29	-0.00	28
2144	39	47	Max	0.00	-226.95	28	-0.01	13	0.05	27	255.45	27	-14.39	29	0.05	27
2144	39	47	Max	21.56	-226.95	28	-0.01	13	0.00	13	254.60	27	23.90	27	0.05	27
2144	39	47	Min.	0.00	-674.79	27	-0.26	27	0.00	13	117.86	29	-31.09	27	-0.00	13
2144	39	47	Min.	21.56	-674.79	27	-0.26	27	-0.01	27	117.01	29	10.93	29	-0.00	13
2144	47	55	Max	0.00	93.13	28	0.00	13	0.03	27	221.95	27	-11.59	29	0.05	27
2144	47	55	Max	21.56	93.13	28	0.00	13	0.00	13	221.10	27	23.07	27	0.05	27
2144	47	55	Min.	0.00	-47.38	27	-0.26	27	0.00	13	103.79	29	-24.69	27	0.00	13
2144	47	55	Min.	21.56	-47.38	27	-0.26	27	-0.03	27	102.94	29	10.70	29	0.00	13
2144	55	63	Max	0.00	447.23	27	0.02	13	0.01	27	191.54	27	-9.27	29	0.05	27
2144	55	63	Max	21.56	447.23	27	0.02	13	0.00	28	190.69	27	21.60	27	0.05	27
2144	55	63	Min.	0.00	200.51	29	-0.19	27	0.00	13	90.84	29	-19.61	27	0.01	13
2144	55	63	Min.	21.56	200.51	29	-0.19	27	-0.03	27	89.99	29	10.22	29	0.01	13
2144	63	71	Max	0.00	814.56	27	-0.05	29	0.02	27	142.14	27	-5.65	28	0.04	27
2144	63	71	Max	21.56	814.56	27	-0.05	29	0.00	27	141.29	27	17.19	27	0.04	27
2144	63	71	Min.	0.00	369.99	29	-0.08	27	0.01	29	63.23	13	-13.36	27	0.01	13
2144	63	71	Min.	21.56	369.99	29	-0.08	27	0.00	28	62.39	13	7.71	13	0.01	13
2144	71	79	Max	0.00	1084.43	27	-0.06	13	0.02	27	120.92	27	-4.61	28	0.03	27

2144	71	79	Max	21.56	1084.43	27	-0.06	13	-0.00	13	120.08	27	15.09	27	0.03	27
2144	71	79	Min.	0.00	492.32	29	-0.16	27	0.01	13	54.80	13	-10.89	27	0.01	13
2144	71	79	Min.	21.56	492.32	29	-0.16	27	-0.01	27	53.95	13	6.78	13	0.01	13
2144	79	87	Max	0.00	1294.12	27	-0.06	13	0.01	27	102.85	27	-3.56	28	0.03	27
2144	79	87	Max	21.56	1294.12	27	-0.06	13	-0.01	13	102.00	27	13.50	27	0.03	27
2144	79	87	Min.	0.00	588.90	29	-0.16	27	0.00	29	46.60	28	-8.59	27	0.01	13
2144	79	87	Min.	21.56	588.90	29	-0.16	27	-0.03	27	45.75	28	6.18	13	0.01	13
2144	87	95	Max	0.00	1455.09	27	-0.05	13	0.00	28	85.63	27	-2.29	28	0.03	27
2144	87	95	Max	21.56	1455.09	27	-0.05	13	-0.01	13	84.78	27	12.28	27	0.03	27
2144	87	95	Min.	0.00	664.65	29	-0.11	27	-0.00	27	38.32	28	-6.09	27	0.01	13
2144	87	95	Min.	21.56	664.65	29	-0.11	27	-0.03	27	37.47	28	5.80	13	0.01	13
2144	95	103	Max	0.00	1561.68	27	-0.01	29	0.01	27	46.37	27	0.36	28	0.02	27
2144	95	103	Max	21.56	1561.68	27	-0.01	29	0.01	27	45.52	27	8.23	27	0.02	27
2144	95	103	Min.	0.00	714.42	29	-0.03	27	0.00	28	14.35	28	-1.68	27	0.01	13
2144	95	103	Min.	21.56	714.42	29	-0.03	27	0.00	28	13.50	28	3.37	28	0.01	13
2144	103	111	Max	0.00	1624.80	27	-0.03	13	0.02	27	33.25	27	0.74	28	0.01	27
2144	103	111	Max	21.56	1624.80	27	-0.03	13	-0.00	29	32.40	27	6.45	27	0.01	27
2144	103	111	Min.	0.00	743.39	29	-0.08	27	0.00	28	8.20	28	-0.63	27	0.01	29
2144	103	111	Min.	21.56	743.39	29	-0.08	27	-0.00	14	7.36	28	2.42	28	0.01	29
2144	111	119	Max	0.00	1663.80	27	-0.03	13	0.00	27	22.00	27	1.28	28	0.01	27
2144	111	119	Max	21.56	1663.80	27	-0.03	13	-0.00	13	21.15	27	5.26	27	0.01	27
2144	111	119	Min.	0.00	762.51	29	-0.09	27	0.00	28	3.17	28	0.06	29	0.00	29
2144	111	119	Min.	21.56	762.51	29	-0.09	27	-0.02	27	2.32	28	1.88	28	0.00	29
2144	119	127	Max	0.00	1682.12	27	-0.02	28	0.00	13	10.34	27	2.33	27	0.01	27
2144	119	127	Max	21.56	1682.12	27	-0.02	28	-0.01	13	9.49	27	4.47	27	0.01	27
2144	119	127	Min.	0.00	772.99	29	-0.06	27	-0.01	27	-2.39	28	0.85	13	0.00	13
2144	119	127	Min.	21.56	772.99	29	-0.06	27	-0.02	27	-3.23	28	1.61	28	0.00	13
2144	127	135	Max	0.00	1671.88	27	-0.00	27	0.00	28	-12.41	13	6.07	27	0.01	27
2144	127	135	Max	21.56	1671.88	27	-0.00	27	0.00	29	-13.25	13	0.68	27	0.01	27
2144	127	135	Min.	0.00	768.91	29	-0.01	28	0.00	27	-25.41	28	2.97	13	0.00	13
2144	127	135	Min.	21.56	768.91	29	-0.01	28	0.00	14	-26.26	28	-0.89	28	0.00	13
2144	135	143	Max	0.00	1638.19	27	-0.01	13	0.00	27	-15.70	13	6.44	27	0.00	27
2144	135	143	Max	21.56	1638.19	27	-0.01	13	-0.00	29	-16.55	13	-0.54	13	0.00	27
2144	135	143	Min.	0.00	752.89	29	-0.02	27	0.00	13	-33.96	27	2.94	13	0.00	13
2144	135	143	Min.	21.56	752.89	29	-0.02	27	-0.00	27	-34.80	27	-1.80	28	0.00	13
2144	143	151	Max	0.00	1595.92	27	-0.01	13	0.00	29	-18.92	13	6.69	27	0.00	14
2144	143	151	Max	21.56	1595.92	27	-0.01	13	-0.00	13	-19.77	13	-1.25	13	0.00	14
2144	143	151	Min.	0.00	733.76	29	-0.03	27	0.00	27	-43.58	27	2.92	13	0.00	27
2144	143	151	Min.	21.56	733.76	29	-0.03	27	-0.01	27	-44.42	27	-2.80	27	0.00	27
2144	151	159	Max	0.00	1556.07	27	-0.01	13	-0.00	13	-19.71	13	4.68	27	0.00	28
2144	151	159	Max	21.56	1556.07	27	-0.01	13	-0.00	13	-20.56	13	-2.34	13	0.00	28
2144	151	159	Min.	0.00	716.43	29	-0.03	27	-0.01	27	-47.22	27	2.00	13	-0.00	27
2144	151	159	Min.	21.56	716.43	29	-0.03	27	-0.01	27	-48.06	27	-5.59	27	-0.00	27
2144	159	167	Max	0.00	1556.07	27	0.03	27	-0.00	13	48.05	27	-0.97	28	0.00	27
2144	159	167	Max	21.56	1556.07	27	0.03	27	-0.00	13	47.21	27	4.68	27	0.00	27
2144	159	167	Min.	0.00	716.43	29	0.01	13	-0.01	27	6.91	28	-5.59	27	0.00	13
2144	159	167	Min.	21.56	716.43	29	0.01	13	-0.01	27	6.07	28	0.43	28	0.00	13
2144	167	175	Max	0.00	1595.91	27	0.03	27	-0.00	13	44.42	27	0.04	28	0.00	27
2144	167	175	Max	17.25					-0.00	27			4.81	27		
2144	167	175	Max	21.56	1595.91	27	0.03	27	0.00	29	43.57	27	6.69	27	0.00	27
2144	167	175	Min.	0.00	733.77	29	0.01	13	-0.01	27	6.82	28	-2.80	27	0.00	14
2144	167	175	Min.	12.94					-0.00	28			0.89	28		
2144	167	175	Min.	21.56	733.77	29	0.01	13	0.00	27	5.98	28	1.42	28	0.00	14
2144	175	183	Max	0.00	1638.16	27	0.03	27	-0.00	29	34.79	27	0.69	28	-0.00	13
2144	175	183	Max	21.56	1638.16	27	0.03	27	0.00	27	33.95	27	6.44	27	-0.00	13
2144	175	183	Min.	0.00	750.03	28	0.01	13	-0.00	27	3.99	28	-0.97	27	-0.00	27
2144	175	183	Min.	21.56	750.03	28	0.01	13	0.00	28	3.15	28	1.46	28	-0.00	27
2144	183	191	Max	0.00	1671.85	27	0.01	14	0.00	29	25.43	27	1.33	28	-0.00	13
2144	183	191	Max	21.56	1671.85	27	0.01	14	0.00	13	24.59	27	6.07	27	-0.00	13

2144	183	191	Min.	0.00	751.01	28	0.00	27	0.00	28	1.21	28	0.21	13	-0.01	27
2144	183	191	Min.	21.56	751.01	28	0.00	27	0.00	27	0.37	28	1.50	28	-0.01	27
2144	191	199	Max	0.00	1682.07	27	0.06	27	-0.01	13	-6.48	13	4.47	27	-0.00	13
2144	191	199	Max	17.25					-0.00	13			1.16	13		
2144	191	199	Max	21.56	1682.07	27	0.06	27	0.00	13	-7.32	13	2.33	27	-0.00	13
2144	191	199	Min.	0.00	740.81	28	0.02	13	-0.02	27	-16.42	28	2.33	13	-0.01	27
2144	191	199	Min.	17.25					-0.00	28			0.33	28		
2144	191	199	Min.	21.56	740.81	28	0.02	13	-0.01	27	-17.27	28	-0.41	28	-0.01	27
2144	199	207	Max	0.00	1663.74	27	0.09	27	-0.00	13	-10.89	13	5.26	27	-0.00	29
2144	199	207	Max	21.56	1663.74	27	0.09	27	0.00	27	-11.74	13	0.61	27	-0.00	29
2144	199	207	Min.	0.00	716.95	28	0.03	13	-0.02	27	-21.16	27	2.50	13	-0.01	27
2144	199	207	Min.	21.56	716.95	28	0.03	13	0.00	13	-22.01	27	-1.11	28	-0.01	27
2144	207	215	Max	0.00	1624.71	27	0.08	27	-0.00	29	-14.84	13	6.45	27	-0.01	29
2144	207	215	Max	21.56	1624.71	27	0.08	27	0.02	27	-15.69	13	-0.38	13	-0.01	29
2144	207	215	Min.	0.00	684.65	28	0.03	13	-0.00	14	-32.42	27	2.91	13	-0.01	27
2144	207	215	Min.	21.56	684.65	28	0.03	13	0.00	13	-33.26	27	-1.52	28	-0.01	27
2144	215	223	Max	0.00	1561.56	27	0.03	27	0.01	27	-19.75	13	8.23	27	-0.01	13
2144	215	223	Max	21.56	1561.56	27	0.03	27	0.01	27	-20.60	13	-0.67	29	-0.01	13
2144	215	223	Min.	0.00	642.73	28	0.01	29	0.00	13	-45.54	27	3.68	13	-0.02	27
2144	215	223	Min.	21.56	642.73	28	0.01	29	0.00	13	-46.38	27	-1.80	28	-0.02	27
2144	223	231	Max	0.00	1454.93	27	0.11	27	-0.01	13	-40.21	13	12.29	27	-0.01	13
2144	223	231	Max	17.25					-0.00	29			-1.21	29		
2144	223	231	Max	21.56	1454.93	27	0.11	27	0.00	13	-41.05	13	-2.96	13	-0.01	13
2144	223	231	Min.	0.00	581.33	28	0.05	13	-0.03	27	-84.81	27	5.80	13	-0.03	27
2144	223	231	Min.	17.25					-0.00	29			-1.21	29		
2144	223	231	Min.	21.56	581.33	28	0.05	13	-0.00	27	-85.66	27	-6.09	27	-0.03	27
2144	231	239	Max	0.00	1293.91	27	0.16	27	-0.01	13	-46.99	13	13.50	27	-0.01	13
2144	231	239	Max	21.56	1293.91	27	0.16	27	0.01	27	-47.83	13	-4.04	13	-0.01	13
2144	231	239	Min.	0.00	495.70	28	0.06	13	-0.03	27	-102.03	27	6.18	13	-0.03	27
2144	231	239	Min.	21.56	495.70	28	0.06	13	0.00	29	-102.88	27	-8.59	27	-0.03	27
2144	239	247	Max	0.00	1084.16	27	0.16	27	-0.00	13	-53.96	13	15.10	27	-0.01	13
2144	239	247	Max	21.56	1084.16	27	0.16	27	0.02	27	-54.80	13	-4.95	13	-0.01	13
2144	239	247	Min.	0.00	390.06	28	0.06	13	-0.01	27	-120.11	27	6.78	13	-0.03	27
2144	239	247	Min.	21.56	390.06	28	0.06	13	0.01	13	-120.96	27	-10.89	27	-0.03	27
2144	247	255	Max	0.00	814.22	27	0.08	27	0.00	27	-62.39	13	17.20	27	-0.01	13
2144	247	255	Max	21.56	814.22	27	0.08	27	0.02	27	-63.24	13	-5.83	13	-0.01	13
2144	247	255	Min.	0.00	259.51	28	0.05	29	0.00	13	-141.33	27	7.71	13	-0.04	27
2144	247	255	Min.	21.56	259.51	28	0.05	29	0.01	29	-142.17	27	-13.37	27	-0.04	27
2144	255	263	Max	0.00	446.71	27	0.19	27	0.00	13	-90.04	29	21.61	27	-0.01	13
2144	255	263	Max	21.56	446.71	27	0.19	27	0.01	27	-90.89	29	-9.28	29	-0.01	13
2144	255	263	Min.	0.00	83.23	28	-0.02	13	-0.03	27	-190.81	27	10.18	28	-0.05	27
2144	255	263	Min.	21.56	83.23	28	-0.02	13	0.00	28	-191.65	27	-19.62	27	-0.05	27
2144	263	271	Max	0.00	-29.72	13	0.26	27	0.00	13	-103.00	29	23.09	27	0.00	13
2144	263	271	Max	21.56	-29.72	13	0.26	27	0.03	27	-103.84	29	-11.60	29	0.00	13
2144	263	271	Min.	0.00	-153.40	28	0.00	13	-0.03	27	-221.24	27	10.53	28	-0.05	27
2144	263	271	Min.	21.56	-153.40	28	0.00	13	0.00	13	-222.08	27	-24.71	27	-0.05	27
2144	271	279	Max	0.00	-322.14	29	0.26	27	0.00	28	-117.07	29	23.91	27	0.00	13
2144	271	279	Max	21.56	-322.14	29	0.26	27	0.05	27	-117.91	29	-14.40	29	0.00	13
2144	271	279	Min.	0.00	-675.94	27	0.01	13	-0.01	27	-254.73	27	10.61	28	-0.05	27
2144	271	279	Min.	21.56	-675.94	27	0.01	13	0.00	13	-255.57	27	-31.11	27	-0.05	27
2144	279	2288	Max	0.00	-653.36	29	0.19	27	0.02	27	-138.31	29	18.64	27	0.00	13
2144	279	2288	Max	21.56	-653.36	29	0.19	27	0.06	27	-139.15	29	-21.48	29	0.00	13
2144	279	2288	Min.	0.00	-1397.68	27	-0.12	28	0.01	29	-303.76	27	7.94	28	-0.06	27
2144	279	2288	Min.	21.56	-1397.68	27	-0.12	28	-0.02	28	-304.61	27	-46.95	27	-0.06	27
2144	2288	299	Max	0.00	-111.56	29	0.24	14	0.14	27	11.73	14	-0.35	27	0.02	27
2144	2288	299	Max	16.67	-111.56	29	0.24	14	0.01	14	11.08	14	0.73	27	0.02	27
2144	2288	299	Min.	0.00	-155.89	27	-1.09	27	-0.03	14	6.78	27	-1.25	14	-0.02	14
2144	2288	299	Min.	16.67	-155.89	27	-1.09	27	-0.05	27	6.13	27	0.45	29	-0.02	14
2144	299	307	Max	0.00	-72.65	29	0.22	14	0.01	27	22.66	27	-1.51	29	0.04	27

2144	299	307	Max	16.67	-72.65	29	0.22	14	0.02	14	22.01	27	1.55	27	0.04	27
2144	299	307	Min.	0.00	-95.22	27	-0.37	27	-0.02	14	15.28	29	-2.18	27	-0.03	14
2144	299	307	Min.	16.67	-95.22	27	-0.37	27	-0.05	27	14.62	29	0.99	29	-0.03	14
2144	307	2315	Max	0.00	-29.66	29	0.32	14	-0.02	29	17.14	14	-1.03	29	0.03	27
2144	307	2315	Max	13.33					-0.01	27			0.92	27		
2144	307	2315	Max	16.67	-29.66	29	0.32	14	0.03	14	16.49	14	1.50	14	0.03	27
2144	307	2315	Min.	0.00	-37.35	14	0.15	29	-0.03	27	13.52	29	-1.30	14	-0.02	14
2144	307	2315	Min.	13.33					-0.01	27			0.92	27		
2144	307	2315	Min.	16.67	-37.35	14	0.15	29	0.00	27	12.87	29	1.17	29	-0.02	14
2145	-516	20	Max	0.00	-52.17	13	-0.12	29	0.05	14	1.84	27	-0.26	13	0.02	28
2145	-516	20	Max	19.08	-52.53	13	-0.12	29	0.00	28	1.19	27	-0.12	13	0.02	28
2145	-516	20	Min.	0.00	-114.05	27	-0.27	14	0.01	27	1.05	13	-0.47	27	0.01	29
2145	-516	20	Min.	19.08	-114.42	27	-0.27	14	-0.03	27	0.40	13	-0.18	27	0.01	29
2182	2005	13	Max	0.00	-18.69	29	0.86	27	-0.02	13	-6.66	27	1.01	28	-0.01	13
2182	2005	13	Max	16.67	-18.69	29	0.86	27	0.04	27	-7.32	27	-0.49	27	-0.01	13
2182	2005	13	Min.	0.00	-26.14	28	0.19	13	-0.10	27	-10.92	28	0.67	27	-0.09	27
2182	2005	13	Min.	16.67	-26.14	28	0.19	13	0.01	13	-11.57	28	-0.87	28	-0.09	27
2182	13	21	Max	0.00	-45.60	29	0.94	27	-0.01	28	-9.34	29	1.03	27	-0.02	13
2182	13	21	Max	16.67	-45.60	29	0.94	27	0.07	27	-9.99	29	-0.97	29	-0.02	13
2182	13	21	Min.	0.00	-64.55	28	0.11	28	-0.09	27	-13.68	27	0.64	29	-0.10	27
2182	13	21	Min.	16.67	-64.55	28	0.11	28	0.01	13	-14.33	27	-1.35	28	-0.10	27
2182	21	2031	Max	0.00	-72.20	29	2.36	27	-0.01	13	1.51	27	0.54	27	-0.01	13
2182	21	2031	Max	16.67	-72.20	29	2.36	27	0.31	27	0.86	27	0.74	27	-0.01	13
2182	21	2031	Min.	0.00	-100.59	14	0.40	13	-0.09	27	-8.69	28	0.30	29	-0.06	27
2182	21	2031	Min.	16.67	-100.59	14	0.40	13	0.06	13	-9.34	28	-1.08	28	-0.06	27
2182	2031	41	Max	0.00	-598.05	28	0.19	14	-0.00	27	303.55	27	-21.27	29	0.04	27
2182	2031	41	Max	21.56	-598.05	28	0.19	14	0.00	27	302.71	27	18.58	27	0.04	27
2182	2031	41	Min.	0.00	-1399.43	27	0.03	27	-0.04	14	137.69	29	-46.79	27	-0.00	14
2182	2031	41	Min.	21.56	-1399.43	27	0.03	27	0.00	29	136.84	29	8.33	29	-0.00	14
2182	41	49	Max	0.00	-230.13	28	0.03	14	0.02	27	254.43	27	-14.25	29	0.02	27
2182	41	49	Max	12.94					-0.00	28			1.31	28		
2182	41	49	Max	21.56	-230.13	28	0.03	14	0.00	14	253.58	27	23.81	27	0.02	27
2182	41	49	Min.	0.00	-680.74	27	-0.11	27	-0.01	14	116.70	29	-30.96	27	-0.01	14
2182	41	49	Min.	12.94					-0.00	13			0.83	13		
2182	41	49	Min.	21.56	-680.74	27	-0.11	27	-0.01	27	115.85	29	10.82	29	-0.01	14
2182	49	57	Max	0.00	88.34	28	0.03	14	0.01	27	220.42	27	-11.46	29	0.02	27
2182	49	57	Max	21.56	88.34	28	0.03	14	0.00	14	219.57	27	22.92	27	0.02	27
2182	49	57	Min.	0.00	-56.66	27	-0.11	27	-0.00	14	102.55	29	-24.52	27	-0.01	14
2182	49	57	Min.	21.56	-56.66	27	-0.11	27	-0.01	27	101.70	29	10.57	29	-0.01	14
2182	57	65	Max	0.00	434.86	27	0.00	14	0.00	27	189.78	27	-9.20	29	0.00	27
2182	57	65	Max	21.56	434.86	27	0.00	14	0.00	14	188.93	27	21.33	27	0.00	27
2182	57	65	Min.	0.00	193.86	29	-0.14	27	0.00	14	89.69	29	-19.50	27	-0.01	14
2182	57	65	Min.	21.56	193.86	29	-0.14	27	-0.03	27	88.84	29	10.05	29	-0.01	14
2182	65	73	Max	0.00	804.60	27	0.13	27	-0.01	13	145.91	27	-5.98	28	-0.00	29
2182	65	73	Max	21.56	804.60	27	0.13	27	-0.00	29	145.06	27	17.51	27	-0.00	29
2182	65	73	Min.	0.00	364.27	29	0.04	13	-0.03	27	65.45	13	-13.86	27	-0.01	14
2182	65	73	Min.	21.56	364.27	29	0.04	13	-0.00	27	64.60	13	7.88	29	-0.01	14
2182	73	81	Max	0.00	1080.57	27	0.11	27	-0.01	29	123.95	27	-4.84	28	-0.01	29
2182	73	81	Max	21.56	1080.57	27	0.11	27	0.01	27	123.11	27	15.43	27	-0.01	29
2182	73	81	Min.	0.00	489.73	29	0.05	29	-0.02	27	56.74	13	-11.21	27	-0.02	27
2182	73	81	Min.	21.56	489.73	29	0.05	29	0.00	29	55.89	13	6.99	29	-0.02	27
2182	81	89	Max	0.00	1295.13	27	0.11	27	-0.00	13	105.11	27	-3.73	28	-0.01	29
2182	81	89	Max	21.56	1295.13	27	0.11	27	0.01	27	104.26	27	13.77	27	-0.01	29
2182	81	89	Min.	0.00	589.07	29	0.05	29	-0.01	27	48.36	28	-8.80	27	-0.02	27
2182	81	89	Min.	21.56	589.07	29	0.05	29	0.01	29	47.52	28	6.38	13	-0.02	27
2182	89	97	Max	0.00	1459.64	27	0.09	27	0.00	14	87.29	27	-2.42	28	-0.01	29
2182	89	97	Max	21.56	1459.64	27	0.09	27	0.01	27	86.44	27	12.48	27	-0.01	29
2182	89	97	Min.	0.00	667.00	29	0.04	29	-0.00	27	39.76	28	-6.25	27	-0.02	27
2182	89	97	Min.	21.56	667.00	29	0.04	29	0.01	29	38.91	28	5.98	13	-0.02	27

2182	97	105	Max	0.00	1569.46	27	0.04	27	-0.00	29	48.30	27	0.30	28	-0.01	29
2182	97	105	Max	17.25					-0.00	14			3.58	14		
2182	97	105	Max	21.56	1569.46	27	0.04	27	0.00	27	47.45	27	8.43	27	-0.01	29
2182	97	105	Min.	0.00	718.29	29	0.01	28	-0.01	27	15.16	28	-1.89	27	-0.02	27
2182	97	105	Min.	12.94					-0.00	28			2.22	28		
2182	97	105	Min.	21.56	718.29	29	0.01	28	0.00	14	14.31	28	3.47	28	-0.02	27
2182	105	113	Max	0.00	1634.99	27	0.06	27	-0.00	29	34.55	27	0.70	28	-0.01	13
2182	105	113	Max	21.56	1634.99	27	0.06	27	0.00	27	33.71	27	6.60	27	-0.01	13
2182	105	113	Min.	0.00	748.07	29	0.02	29	-0.01	27	8.74	28	-0.76	27	-0.01	27
2182	105	113	Min.	21.56	748.07	29	0.02	29	0.00	13	7.89	28	2.49	28	-0.01	27
2182	113	121	Max	0.00	1675.45	27	0.06	27	-0.00	28	22.69	27	1.26	28	-0.00	28
2182	113	121	Max	21.56	1675.45	27	0.06	27	0.01	27	21.84	27	5.34	27	-0.00	28
2182	113	121	Min.	0.00	767.69	29	0.03	29	-0.01	27	3.45	28	0.03	13	-0.01	27
2182	113	121	Min.	21.56	767.69	29	0.03	29	0.00	29	2.61	28	1.92	28	-0.01	27
2182	121	129	Max	0.00	1694.52	27	0.05	27	0.00	14	10.49	27	2.29	27	-0.00	29
2182	121	129	Max	21.56	1694.52	27	0.05	27	0.01	27	9.65	27	4.47	27	-0.00	29
2182	121	129	Min.	0.00	778.49	29	0.02	29	-0.00	27	-2.33	28	0.82	13	-0.01	27
2182	121	129	Min.	21.56	778.49	29	0.02	29	0.00	29	-3.18	28	1.61	28	-0.01	27
2182	129	137	Max	0.00	1685.11	27	0.01	27	0.00	28	-11.97	29	5.94	27	-0.00	29
2182	129	137	Max	21.56	1685.11	27	0.01	27	0.00	27	-12.82	29	0.79	27	-0.00	29
2182	129	137	Min.	0.00	774.79	29	0.00	28	0.00	29	-24.85	28	2.92	29	-0.01	27
2182	129	137	Min.	21.56	774.79	29	0.00	28	0.00	28	-25.69	28	-0.83	28	-0.01	27
2182	137	145	Max	0.00	1652.31	27	0.02	27	0.00	29	-15.39	29	6.39	27	-0.00	28
2182	137	145	Max	21.56	1652.31	27	0.02	27	0.00	27	-16.24	29	-0.50	29	-0.00	28
2182	137	145	Min.	0.00	759.21	29	0.01	28	-0.00	14	-33.34	27	2.91	29	-0.00	27
2182	137	145	Min.	21.56	759.21	29	0.01	28	0.00	28	-34.19	27	-1.75	28	-0.00	27
2182	145	153	Max	0.00	1610.42	27	0.02	27	0.00	27	-18.75	29	6.71	27	0.00	28
2182	145	153	Max	21.56	1610.42	27	0.02	27	0.01	27	-19.60	29	-1.22	29	0.00	28
2182	145	153	Min.	0.00	740.39	29	0.01	29	0.00	13	-43.55	27	2.91	29	0.00	27
2182	145	153	Min.	21.56	740.39	29	0.01	29	0.00	29	-44.39	27	-2.77	27	0.00	27
2182	153	161	Max	0.00	1570.48	27	0.02	27	0.01	27	-19.67	29	4.72	27	0.00	28
2182	153	161	Max	21.56	1570.48	27	0.02	27	0.01	27	-20.52	29	-2.33	29	0.00	28
2182	153	161	Min.	0.00	723.20	29	0.01	28	0.00	29	-47.68	27	2.00	29	0.00	29
2182	153	161	Min.	21.56	723.20	29	0.01	28	0.00	29	-48.52	27	-5.65	27	0.00	29
2182	161	169	Max	0.00	1570.47	27	-0.01	29	0.01	27	48.51	27	-0.96	28	0.00	28
2182	161	169	Max	21.56	1570.47	27	-0.01	29	0.01	27	47.66	27	4.72	27	0.00	28
2182	161	169	Min.	0.00	723.19	29	-0.02	27	0.00	29	6.83	28	-5.65	27	0.00	27
2182	161	169	Min.	21.56	723.19	29	-0.02	27	0.00	29	5.98	28	0.43	28	0.00	27
2182	169	177	Max	0.00	1610.40	27	-0.01	29	0.01	27	44.38	27	0.06	28	0.00	27
2182	169	177	Max	21.56	1610.40	27	-0.01	29	0.00	27	43.54	27	6.71	27	0.00	27
2182	169	177	Min.	0.00	740.39	29	-0.02	27	0.00	29	6.69	28	-2.77	27	0.00	13
2182	169	177	Min.	21.56	740.39	29	-0.02	27	0.00	28	5.84	28	1.41	28	0.00	13
2182	177	185	Max	0.00	1652.28	27	-0.01	29	0.00	27	34.17	27	0.72	28	0.00	27
2182	177	185	Max	21.56	1652.28	27	-0.01	29	0.00	29	33.32	27	6.39	27	0.00	27
2182	177	185	Min.	0.00	759.21	29	-0.02	27	0.00	13	3.79	28	-0.88	27	0.00	29
2182	177	185	Min.	21.56	759.21	29	-0.02	27	-0.00	28	2.94	28	1.45	28	0.00	29
2182	185	193	Max	0.00	1685.05	27	-0.00	13	0.00	27	24.30	27	1.37	28	0.01	27
2182	185	193	Max	21.56	1685.05	27	-0.00	13	0.00	14	23.45	27	5.94	27	0.01	27
2182	185	193	Min.	0.00	762.02	28	-0.01	27	0.00	13	0.94	28	0.25	29	0.00	29
2182	185	193	Min.	21.56	762.02	28	-0.01	27	0.00	28	0.09	28	1.48	28	0.00	29
2182	193	201	Max	0.00	1694.44	27	-0.02	29	0.01	27	-6.65	29	4.47	27	0.01	27
2182	193	201	Max	21.56	1694.44	27	-0.02	29	0.00	14	-7.50	29	2.29	27	0.01	27
2182	193	201	Min.	0.00	751.39	28	-0.05	27	0.00	29	-16.81	28	2.35	29	0.00	29
2182	193	201	Min.	21.56	751.39	28	-0.05	27	-0.00	27	-17.66	28	-0.44	28	0.00	29
2182	201	209	Max	0.00	1675.34	27	-0.02	29	0.01	27	-11.20	29	5.34	27	0.01	27
2182	201	209	Max	21.56	1675.34	27	-0.02	29	-0.00	29	-12.05	29	0.54	27	0.01	27
2182	201	209	Min.	0.00	726.93	28	-0.06	27	0.00	29	-21.86	27	2.54	29	0.00	13
2182	201	209	Min.	21.56	726.93	28	-0.06	27	-0.01	27	-22.71	27	-1.16	28	0.00	13
2182	209	217	Max	0.00	1634.85	27	-0.02	29	0.00	27	-15.30	29	6.60	27	0.01	27

2182	209	217	Max	21.56	1634.85	27	-0.02	29	-0.00	29	-16.14	29	-0.42	29	0.01	27
2182	209	217	Min.	0.00	693.86	28	-0.06	27	0.00	13	-33.73	27	2.97	29	0.01	13
2182	209	217	Min.	21.56	693.86	28	-0.06	27	-0.01	27	-34.58	27	-1.57	28	0.01	13
2182	217	225	Max	0.00	1569.29	27	-0.01	13	0.00	27	-20.39	29	8.43	27	0.02	27
2182	217	225	Max	21.56	1569.29	27	-0.01	13	-0.00	29	-21.23	29	-0.73	29	0.02	27
2182	217	225	Min.	0.00	650.88	28	-0.04	27	0.00	14	-47.47	27	3.76	29	0.01	29
2182	217	225	Min.	21.56	650.88	28	-0.04	27	-0.01	27	-48.32	27	-1.90	27	0.01	29
2182	225	233	Max	0.00	1459.41	27	-0.04	29	0.01	27	-41.66	13	12.49	27	0.02	27
2182	225	233	Max	21.56	1459.41	27	-0.04	29	0.00	14	-42.51	13	-3.09	13	0.02	27
2182	225	233	Min.	0.00	587.56	28	-0.09	27	0.01	29	-86.48	27	5.99	13	0.01	29
2182	225	233	Min.	21.56	587.56	28	-0.09	27	-0.01	27	-87.33	27	-6.25	27	0.01	29
2182	233	241	Max	0.00	1294.83	27	-0.05	29	0.01	27	-48.67	13	13.78	27	0.02	27
2182	233	241	Max	21.56	1294.83	27	-0.05	29	-0.00	13	-49.52	13	-4.21	13	0.02	27
2182	233	241	Min.	0.00	499.16	28	-0.11	27	0.00	29	-104.30	27	6.38	13	0.01	29
2182	233	241	Min.	21.56	499.16	28	-0.11	27	-0.01	27	-105.15	27	-8.80	27	0.01	29
2182	241	249	Max	0.00	1080.18	27	-0.05	29	0.01	27	-55.91	13	15.43	27	0.02	27
2182	241	249	Max	21.56	1080.18	27	-0.05	29	-0.01	29	-56.76	13	-5.16	13	0.02	27
2182	241	249	Min.	0.00	390.16	28	-0.11	27	0.00	29	-123.15	27	6.99	29	0.01	29
2182	241	249	Min.	21.56	390.16	28	-0.11	27	-0.02	27	-124.00	27	-11.21	27	0.01	29
2182	249	257	Max	0.00	804.11	27	-0.04	13	-0.00	29	-64.62	13	17.52	27	0.01	14
2182	249	257	Max	21.56	804.11	27	-0.04	13	-0.01	13	-65.47	13	-6.13	13	0.01	14
2182	249	257	Min.	0.00	255.86	28	-0.13	27	-0.00	27	-145.11	27	7.88	29	0.00	29
2182	249	257	Min.	21.56	255.86	28	-0.13	27	-0.03	27	-145.96	27	-13.86	27	0.00	29
2182	257	265	Max	0.00	434.15	27	0.14	27	0.00	14	-88.91	29	21.34	27	0.01	14
2182	257	265	Max	21.56	434.15	27	0.14	27	0.00	27	-89.76	29	-9.21	29	0.01	14
2182	257	265	Min.	0.00	77.66	28	-0.00	14	-0.03	27	-189.08	27	10.05	29	-0.00	27
2182	257	265	Min.	21.56	77.66	28	-0.00	14	0.00	14	-189.92	27	-19.52	27	-0.00	27
2182	265	273	Max	0.00	-34.35	13	0.12	27	0.00	14	-101.79	29	22.93	27	0.01	14
2182	265	273	Max	21.56	-34.35	13	0.12	27	0.01	27	-102.63	29	-11.47	29	0.01	14
2182	265	273	Min.	0.00	-158.08	28	-0.03	14	-0.01	27	-219.74	27	10.47	28	-0.02	27
2182	265	273	Min.	21.56	-158.08	28	-0.03	14	-0.00	14	-220.58	27	-24.54	27	-0.02	27
2182	273	281	Max	0.00	-323.51	29	0.11	27	0.00	14	-115.93	29	23.83	27	0.01	14
2182	273	281	Max	21.56	-323.51	29	0.11	27	0.02	27	-116.78	29	-14.26	29	0.01	14
2182	273	281	Min.	0.00	-682.24	27	-0.02	14	-0.01	27	-253.74	27	10.55	28	-0.02	27
2182	273	281	Min.	21.56	-682.24	27	-0.02	14	-0.00	14	-254.59	27	-30.98	27	-0.02	27
2182	281	2291	Max	0.00	-651.44	29	-0.01	27	0.00	27	-136.95	29	18.59	27	0.00	14
2182	281	2291	Max	21.56	-651.44	29	-0.01	27	0.00	27	-137.80	29	-21.28	29	0.00	14
2182	281	2291	Min.	0.00	-1401.49	27	-0.18	14	0.00	29	-302.93	27	7.89	28	-0.04	27
2182	281	2291	Min.	21.56	-1401.49	27	-0.18	14	-0.03	14	-303.78	27	-46.82	27	-0.04	27
2182	2291	301	Max	0.00	-83.05	29	-0.40	13	0.31	27	7.54	14	0.41	27	0.07	27
2182	2291	301	Max	16.67	-83.05	29	-0.40	13	-0.01	13	6.89	14	0.60	27	0.07	27
2182	2291	301	Min.	0.00	-113.66	27	-2.37	27	0.06	13	1.44	27	-0.67	13	0.01	28
2182	2291	301	Min.	16.67	-113.66	27	-2.37	27	-0.09	27	0.79	27	0.33	29	0.01	28
2182	301	309	Max	0.00	-52.81	29	-0.21	13	0.08	27	17.29	27	-1.13	29	0.11	27
2182	301	309	Max	16.67	-52.81	29	-0.21	13	-0.02	13	16.64	27	1.23	27	0.11	27
2182	301	309	Min.	0.00	-70.71	14	-1.17	27	0.02	13	11.65	29	-1.59	27	0.02	28
2182	301	309	Min.	16.67	-70.71	14	-1.17	27	-0.12	27	11.00	29	0.76	29	0.02	28
2182	309	2317	Max	0.00	-21.29	29	-0.13	13	0.02	27	12.58	14	-0.67	27	0.08	27
2182	309	2317	Max	16.67	-21.29	29	-0.13	13	-0.02	13	11.93	14	1.11	14	0.08	27
2182	309	2317	Min.	0.00	-28.24	14	-0.70	27	0.00	13	9.35	29	-0.93	14	0.01	28
2182	309	2317	Min.	16.67	-28.24	14	-0.70	27	-0.09	27	8.69	29	0.81	29	0.01	28
2183	-518	22	Max	0.00	-66.71	13	0.52	27	-0.01	28	1.93	27	-0.33	13	-0.00	14
2183	-518	22	Max	15.27					-0.00	13			-0.19	13		
2183	-518	22	Max	19.08	-67.07	13	0.52	27	0.00	14	1.27	27	-0.17	13	-0.00	14
2183	-518	22	Min.	0.00	-134.13	27	0.06	28	-0.12	27	1.20	13	-0.58	27	-0.01	27
2183	-518	22	Min.	15.27					-0.00	14			-0.21	14		
2183	-518	22	Min.	19.08	-134.50	27	0.06	28	-0.02	27	0.54	13	-0.27	27	-0.01	27
2220	2007	15	Max	0.00	-2.66	27	1.18	27	-0.02	13	0.29	27	0.63	28	0.01	28
2220	2007	15	Max	6.67					-0.05	27			0.09	27		

2220	2007	15	Max	16.67	-2.66	27	1.18	27	0.07	27	-0.37	27	0.07	27	0.01	28
2220	2007	15	Min.	0.00	-15.09	28	0.24	13	-0.13	27	-6.41	28	0.08	27	-0.05	27
2220	2007	15	Min.	6.67					-0.05	27			0.09	27		
2220	2007	15	Min.	16.67	-15.09	28	0.24	13	0.02	13	-7.07	28	-0.50	28	-0.05	27
2220	15	23	Max	0.00	-15.14	27	1.10	27	-0.01	28	-5.75	29	0.69	14	0.01	28
2220	15	23	Max	16.67	-15.14	27	1.10	27	0.08	27	-6.40	29	-0.51	27	0.01	28
2220	15	23	Min.	0.00	-40.39	28	0.10	28	-0.10	27	-9.06	28	0.45	29	-0.07	27
2220	15	23	Min.	16.67	-40.39	28	0.10	28	0.01	13	-9.71	28	-0.88	28	-0.07	27
2220	23	2034	Max	0.00	-38.72	27	2.55	27	-0.02	28	-1.29	27	0.54	27	0.02	28
2220	23	2034	Max	16.67	-38.72	27	2.55	27	0.32	27	-1.94	27	0.27	27	0.02	28
2220	23	2034	Min.	0.00	-65.54	14	0.38	28	-0.10	27	-9.03	28	0.31	29	-0.02	27
2220	23	2034	Min.	16.67	-65.54	14	0.38	28	0.05	28	-9.68	28	-1.15	28	-0.02	27
2220	2034	43	Max	0.00	-284.24	28	0.48	14	-0.05	29	171.82	27	-12.46	29	-0.03	29
2220	2034	43	Max	21.56	-284.24	28	0.48	14	0.01	28	170.97	27	10.70	27	-0.03	29
2220	2034	43	Min.	0.00	-764.86	27	0.27	29	-0.10	27	81.29	29	-26.26	27	-0.05	14
2220	2034	43	Min.	21.56	-764.86	27	0.27	29	0.00	27	80.44	29	4.98	29	-0.05	14
2220	43	51	Max	0.00	-78.44	28	0.29	27	-0.03	29	140.54	27	-8.20	29	-0.04	29
2220	43	51	Max	21.56	-78.44	28	0.29	27	0.02	27	139.70	27	13.30	27	-0.04	29
2220	43	51	Min.	0.00	-364.14	27	0.17	29	-0.05	27	67.79	29	-16.92	27	-0.06	14
2220	43	51	Min.	21.56	-364.14	27	0.17	29	0.01	29	66.94	29	6.32	29	-0.06	14
2220	51	59	Max	0.00	94.73	28	0.29	14	-0.02	29	117.83	27	-6.36	28	-0.04	29
2220	51	59	Max	21.56	94.73	28	0.29	14	0.03	14	116.99	27	12.36	27	-0.04	29
2220	51	59	Min.	0.00	-25.19	27	0.16	29	-0.03	27	58.41	29	-12.96	27	-0.06	27
2220	51	59	Min.	21.56	-25.19	27	0.16	29	0.02	29	57.56	29	6.04	29	-0.06	27
2220	59	67	Max	0.00	234.56	27	0.25	14	-0.01	29	97.56	27	-4.82	28	-0.03	29
2220	59	67	Max	21.56	234.56	27	0.25	14	0.04	14	96.71	27	10.88	27	-0.03	29
2220	59	67	Min.	0.00	111.58	29	0.14	29	-0.02	27	49.87	29	-10.07	27	-0.06	27
2220	59	67	Min.	21.56	111.58	29	0.14	29	0.02	29	49.03	29	5.56	29	-0.06	27
2220	67	75	Max	0.00	436.11	27	0.17	27	-0.01	13	85.59	27	-3.27	28	-0.03	29
2220	67	75	Max	17.25					-0.00	14			3.66	14		
2220	67	75	Max	21.56	436.11	27	0.17	27	0.00	28	84.74	27	10.06	27	-0.03	29
2220	67	75	Min.	0.00	208.47	29	0.05	13	-0.04	27	37.84	28	-8.30	27	-0.06	27
2220	67	75	Min.	17.25					-0.00	29			2.97	29		
2220	67	75	Min.	21.56	208.47	29	0.05	13	-0.00	27	36.99	28	4.60	13	-0.06	27
2220	75	83	Max	0.00	592.14	27	0.25	27	-0.01	29	69.54	27	-2.37	28	-0.02	29
2220	75	83	Max	21.56	592.14	27	0.25	27	0.02	27	68.69	27	8.73	27	-0.02	29
2220	75	83	Min.	0.00	280.62	29	0.10	29	-0.04	27	30.23	28	-6.17	27	-0.04	27
2220	75	83	Min.	21.56	280.62	29	0.10	29	0.01	29	29.39	28	4.00	13	-0.04	27
2220	83	91	Max	0.00	708.29	27	0.24	27	-0.01	29	54.84	27	-1.56	28	-0.02	29
2220	83	91	Max	21.56	708.29	27	0.24	27	0.04	27	54.00	27	7.35	27	-0.02	29
2220	83	91	Min.	0.00	335.94	29	0.10	29	-0.02	27	23.34	28	-4.38	27	-0.04	27
2220	83	91	Min.	21.56	335.94	29	0.10	29	0.01	29	22.50	28	3.38	28	-0.04	27
2220	91	99	Max	0.00	792.76	27	0.17	27	0.00	14	41.69	27	-0.86	28	-0.02	29
2220	91	99	Max	21.56	792.76	27	0.17	27	0.04	27	40.84	27	5.95	27	-0.02	29
2220	91	99	Min.	0.00	377.90	29	0.06	29	0.00	27	17.06	28	-2.94	27	-0.05	27
2220	91	99	Min.	21.56	377.90	29	0.06	29	0.01	29	16.22	28	2.73	28	-0.05	27
2220	99	107	Max	0.00	855.51	27	0.09	27	-0.01	28	35.43	27	-0.31	28	-0.02	29
2220	99	107	Max	21.56	855.51	27	0.09	27	-0.00	28	34.58	27	5.30	27	-0.02	29
2220	99	107	Min.	0.00	408.17	29	0.04	28	-0.02	27	11.91	28	-2.25	27	-0.04	27
2220	99	107	Min.	21.56	408.17	29	0.04	28	-0.00	27	11.07	28	2.17	28	-0.04	27
2220	107	115	Max	0.00	899.47	27	0.16	27	-0.01	28	23.80	27	0.30	28	-0.01	28
2220	107	115	Max	21.56	899.47	27	0.16	27	0.01	27	22.95	27	4.20	27	-0.01	28
2220	107	115	Min.	0.00	428.52	29	0.08	28	-0.03	27	6.41	28	-0.84	27	-0.03	27
2220	107	115	Min.	21.56	428.52	29	0.08	28	0.00	13	5.57	28	1.60	28	-0.03	27
2220	115	123	Max	0.00	924.91	27	0.17	27	-0.00	28	12.64	27	0.88	28	-0.01	28
2220	115	123	Max	21.56	924.91	27	0.17	27	0.03	27	11.79	27	3.03	27	-0.01	28
2220	115	123	Min.	0.00	441.49	29	0.09	29	-0.01	27	1.22	28	-0.01	13	-0.02	27
2220	115	123	Min.	21.56	441.49	29	0.09	29	0.01	29	0.37	28	1.05	28	-0.02	27
2220	123	131	Max	0.00	934.65	27	0.12	27	0.01	28	3.69	13	1.47	27	-0.01	28

2220	123	131	Max	21.56	934.65	27	0.12	27	0.03	27	2.85	13	1.86	27	-0.01	28
2220	123	131	Min.	0.00	447.99	29	0.06	28	0.00	29	-3.79	28	0.50	13	-0.02	27
2220	123	131	Min.	21.56	447.99	29	0.06	28	0.02	29	-4.64	28	0.54	28	-0.02	27
2220	131	139	Max	0.00	932.52	27	-0.01	27	0.01	28	-3.90	13	2.19	28	-0.00	28
2220	131	139	Max	21.56	932.52	27	-0.01	27	-0.00	13	-4.75	13	1.13	27	-0.00	28
2220	131	139	Min.	0.00	447.08	29	-0.05	28	-0.00	27	-10.70	28	1.31	13	-0.02	27
2220	131	139	Min.	21.56	447.08	29	-0.05	28	-0.00	27	-11.55	28	-0.21	28	-0.02	27
2220	139	147	Max	0.00	920.45	27	0.04	27	0.00	28	-7.22	13	3.19	27	0.01	28
2220	139	147	Max	21.56	920.45	27	0.04	27	0.00	27	-8.06	13	0.11	27	0.01	28
2220	139	147	Min.	0.00	440.02	29	-0.02	28	-0.00	27	-15.18	28	1.56	13	-0.00	27
2220	139	147	Min.	21.56	440.02	29	-0.02	28	0.00	28	-16.02	28	-0.78	28	-0.00	27
2220	147	155	Max	0.00	899.58	27	0.06	27	0.01	27	-10.71	13	3.89	27	0.01	28
2220	147	155	Max	21.56	899.58	27	0.06	27	0.02	27	-11.56	13	-0.66	13	0.01	28
2220	147	155	Min.	0.00	429.80	29	-0.01	28	0.01	29	-24.10	27	1.74	13	0.00	29
2220	147	155	Min.	21.56	429.80	29	-0.01	28	0.01	28	-24.95	27	-1.50	28	0.00	29
2220	155	163	Max	0.00	876.36	27	0.04	27	0.03	27	-12.53	13	2.96	27	0.01	28
2220	155	163	Max	21.56	876.36	27	0.04	27	0.04	27	-13.38	13	-1.52	13	0.01	28
2220	155	163	Min.	0.00	419.38	29	-0.02	28	0.01	29	-30.18	27	1.27	13	0.00	29
2220	155	163	Min.	21.56	419.38	29	-0.02	28	0.01	28	-31.02	27	-3.64	27	0.00	29
2220	163	171	Max	0.00	876.36	27	-0.01	29	0.04	27	31.02	27	-0.64	28	0.00	28
2220	163	171	Max	21.56	876.36	27	-0.01	29	0.03	27	30.18	27	2.96	27	0.00	28
2220	163	171	Min.	0.00	419.38	29	-0.04	28	0.02	29	4.45	28	-3.64	27	-0.00	27
2220	163	171	Min.	21.56	419.38	29	-0.04	28	0.01	28	3.60	28	0.23	28	-0.00	27
2220	171	179	Max	0.00	899.58	27	-0.02	29	0.02	27	24.95	27	0.12	28	0.00	28
2220	171	179	Max	21.56	899.58	27	-0.02	29	0.01	27	24.11	27	3.89	27	0.00	28
2220	171	179	Min.	0.00	429.81	29	-0.06	27	0.01	29	3.42	28	-1.40	27	-0.00	27
2220	171	179	Min.	21.56	429.81	29	-0.06	27	0.00	28	2.58	28	0.77	28	-0.00	27
2220	179	187	Max	0.00	920.45	27	-0.01	29	0.00	27	14.68	27	0.62	28	0.01	28
2220	179	187	Max	15.36					-0.00	28			0.67	28		
2220	179	187	Max	21.56	920.45	27	-0.01	29	0.00	29	13.83	27	3.19	27	0.01	28
2220	179	187	Min.	0.00	439.33	28	-0.04	28	0.00	29	0.60	28	-0.10	29	0.00	29
2220	179	187	Min.	15.36					-0.00	28			0.67	28		
2220	179	187	Min.	21.56	439.33	28	-0.04	28	-0.01	28	-0.24	28	0.66	28	0.00	29
2220	187	195	Max	0.00	932.52	27	0.02	13	-0.00	28	5.25	27	1.13	27	0.02	27
2220	187	195	Max	8.62					-0.00	14			0.93	14		
2220	187	195	Max	21.56	932.52	27	0.02	13	0.00	13	4.40	27	2.17	27	0.02	27
2220	187	195	Min.	0.00	437.30	28	-0.02	28	-0.00	27	-2.04	28	0.37	29	0.01	29
2220	187	195	Min.	8.62					-0.00	14			0.93	14		
2220	187	195	Min.	21.56	437.30	28	-0.02	28	-0.00	28	-2.89	28	0.51	28	0.01	29
2220	195	203	Max	0.00	934.65	27	-0.06	29	0.03	27	-1.40	27	1.91	28	0.02	27
2220	195	203	Max	21.56	934.65	27	-0.06	29	0.01	27	-2.24	27	1.47	27	0.02	27
2220	195	203	Min.	0.00	428.93	28	-0.12	27	0.02	29	-10.21	28	1.20	13	0.01	29
2220	195	203	Min.	21.56	428.93	28	-0.12	27	0.00	28	-11.06	28	-0.39	28	0.01	29
2220	203	211	Max	0.00	924.91	27	-0.09	29	0.03	27	-6.70	29	3.03	27	0.02	27
2220	203	211	Max	21.56	924.91	27	-0.09	29	-0.01	29	-7.55	29	0.40	27	0.02	27
2220	203	211	Min.	0.00	412.87	28	-0.17	27	0.01	29	-13.45	28	1.53	13	0.01	29
2220	203	211	Min.	21.56	412.87	28	-0.17	27	-0.01	27	-14.30	28	-0.85	28	0.01	29
2220	211	219	Max	0.00	899.46	27	-0.08	29	0.01	27	-10.60	29	4.20	27	0.03	27
2220	211	219	Max	21.56	899.46	27	-0.08	29	-0.01	29	-11.45	29	-0.44	29	0.03	27
2220	211	219	Min.	0.00	390.63	28	-0.16	27	0.00	28	-22.96	27	1.93	13	0.01	29
2220	211	219	Min.	21.56	390.63	28	-0.16	27	-0.03	27	-23.80	27	-1.23	28	0.01	29
2220	219	227	Max	0.00	855.49	27	-0.05	13	-0.00	29	-14.86	13	5.30	27	0.04	27
2220	219	227	Max	21.56	855.49	27	-0.05	13	-0.01	29	-15.70	13	-0.89	29	0.04	27
2220	219	227	Min.	0.00	361.34	28	-0.09	27	-0.00	28	-34.59	27	2.39	13	0.02	29
2220	219	227	Min.	21.56	361.34	28	-0.09	27	-0.02	27	-35.43	27	-2.25	27	0.02	29
2220	227	235	Max	0.00	792.73	27	-0.06	29	0.04	27	-20.88	13	5.96	27	0.05	27
2220	227	235	Max	21.56	792.73	27	-0.06	29	0.00	14	-21.73	13	-1.56	13	0.05	27
2220	227	235	Min.	0.00	321.80	28	-0.17	27	0.01	29	-40.86	27	3.03	13	0.02	29
2220	227	235	Min.	21.56	321.80	28	-0.17	27	0.00	27	-41.71	27	-2.94	27	0.02	29

2220	235	243	Max	0.00	708.24	27	-0.10	29	0.04	27	-25.89	13	7.35	27	0.04	27
2220	235	243	Max	21.56	708.24	27	-0.10	29	-0.01	29	-26.74	13	-2.18	13	0.04	27
2220	235	243	Min.	0.00	270.18	28	-0.25	27	0.01	29	-54.01	27	3.49	13	0.02	29
2220	235	243	Min.	21.56	270.18	28	-0.25	27	-0.02	27	-54.86	27	-4.38	27	0.02	29
2220	243	251	Max	0.00	592.05	27	-0.10	29	0.02	27	-31.37	13	8.74	27	0.04	27
2220	243	251	Max	21.56	592.05	27	-0.10	29	-0.01	29	-32.21	13	-2.86	13	0.04	27
2220	243	251	Min.	0.00	205.61	28	-0.25	27	0.01	29	-68.71	27	4.00	13	0.02	29
2220	243	251	Min.	21.56	205.61	28	-0.25	27	-0.04	27	-69.56	27	-6.17	27	0.02	29
2220	251	259	Max	0.00	435.98	27	-0.05	13	0.00	13	-37.54	13	10.06	27	0.06	27
2220	251	259	Max	21.56	435.98	27	-0.05	13	-0.01	13	-38.39	13	-3.59	13	0.06	27
2220	251	259	Min.	0.00	124.59	28	-0.17	27	-0.00	27	-84.76	27	4.60	13	0.03	29
2220	251	259	Min.	21.56	124.59	28	-0.17	27	-0.04	27	-85.61	27	-8.31	27	0.03	29
2220	259	267	Max	0.00	234.35	27	-0.14	29	0.04	14	-49.05	29	10.88	27	0.06	27
2220	259	267	Max	21.56	234.35	27	-0.14	29	-0.01	29	-49.90	29	-5.10	29	0.06	27
2220	259	267	Min.	0.00	17.34	28	-0.25	14	0.02	29	-96.77	27	5.57	29	0.03	29
2220	259	267	Min.	21.56	17.34	28	-0.25	14	-0.02	27	-97.62	27	-10.07	27	0.03	29
2220	267	275	Max	0.00	-14.74	13	-0.16	29	0.03	14	-57.59	29	12.37	27	0.06	27
2220	267	275	Max	21.56	-14.74	13	-0.16	29	-0.02	29	-58.43	29	-6.46	29	0.06	27
2220	267	275	Min.	0.00	-124.42	28	-0.29	27	0.02	29	-117.06	27	6.05	29	0.04	29
2220	267	275	Min.	21.56	-124.42	28	-0.29	27	-0.03	27	-117.91	27	-12.96	27	0.04	29
2220	275	283	Max	0.00	-182.65	29	-0.17	29	0.02	27	-66.97	29	13.30	27	0.06	14
2220	275	283	Max	21.56	-182.65	29	-0.17	29	-0.03	29	-67.81	29	-8.21	29	0.06	14
2220	275	283	Min.	0.00	-364.69	27	-0.29	27	0.01	29	-139.76	27	6.32	29	0.04	29
2220	275	283	Min.	21.56	-364.69	27	-0.29	27	-0.05	27	-140.61	27	-16.93	27	0.04	29
2220	283	2294	Max	0.00	-373.94	29	-0.27	29	0.01	14	-80.48	29	10.71	27	0.05	14
2220	283	2294	Max	21.56	-373.94	29	-0.27	29	-0.05	29	-81.33	29	-12.46	29	0.05	14
2220	283	2294	Min.	0.00	-765.65	27	-0.48	14	0.00	27	-171.08	27	4.80	28	0.03	29
2220	283	2294	Min.	21.56	-765.65	27	-0.48	14	-0.10	27	-171.92	27	-26.27	27	0.03	29
2220	2294	303	Max	0.00	-46.36	29	-0.37	13	0.32	27	7.47	14	0.14	27	0.02	27
2220	2294	303	Max	16.67	-46.36	29	-0.37	13	-0.01	13	6.82	14	0.57	27	0.02	27
2220	2294	303	Min.	0.00	-68.46	14	-2.52	27	0.05	13	2.88	27	-0.70	14	-0.02	14
2220	2294	303	Min.	16.67	-68.46	14	-2.52	27	-0.10	27	2.23	27	0.32	29	-0.02	14
2220	303	311	Max	0.00	-20.39	27	-0.15	13	0.09	27	10.02	14	-0.61	29	0.07	27
2220	303	311	Max	16.67	-20.39	27	-0.15	13	-0.01	13	9.37	14	0.72	14	0.07	27
2220	303	311	Min.	0.00	-41.28	14	-1.25	27	0.01	13	6.94	29	-0.90	14	-0.01	13
2220	303	311	Min.	16.67	-41.28	14	-1.25	27	-0.12	27	6.29	29	0.49	29	-0.01	13
2220	311	2319	Max	0.00	-4.63	27	-0.21	13	0.05	27	7.14	14	-0.00	27	0.05	27
2220	311	2319	Max	16.67	-4.63	27	-0.21	13	-0.02	13	6.48	14	0.64	14	0.05	27
2220	311	2319	Min.	0.00	-15.32	14	-1.08	27	0.01	13	1.39	27	-0.50	14	-0.01	13
2220	311	2319	Min.	16.67	-15.32	14	-1.08	27	-0.13	27	0.74	27	0.17	27	-0.01	13
2221	-520	24	Max	0.00	-17.34	13	1.13	27	-0.03	13	0.42	29	-0.07	13	0.02	27
2221	-520	24	Max	9.40					-0.00	13			-0.06	13		
2221	-520	24	Max	19.08	-17.71	13	1.13	27	0.03	14	-0.24	29	-0.07	13	0.02	27
2221	-520	24	Min.	0.00	-53.28	27	0.31	13	-0.19	27	0.27	14	-0.23	27	0.01	29
2221	-520	24	Min.	10.70					-0.07	27			-0.20	27		
2221	-520	24	Min.	19.08	-53.64	27	0.31	13	0.02	29	-0.38	14	-0.22	27	0.01	29
2301	2028	2029	Max	0.00	0.78	27	-463.54	28	0.14	27	-151.77	29	0.12	27	51.29	27
2301	2028	2029	Max	0.63	0.78	27	-463.54	28	-2.91	28	-151.81	29	-0.90	29	51.29	27
2301	2028	2029	Min.	0.00	-2.45	14	-1215.75	27	0.01	28	-271.72	27	0.06	13	22.41	13
2301	2028	2029	Min.	0.63	-2.45	14	-1215.75	27	-7.52	27	-271.76	27	-1.60	27	22.41	13
2301	2029	2030	Max	5.37	-1.11	13	1181.51	27	-2.90	28	481.95	27	-1.00	13	-22.61	29
2301	2029	2030	Max	6.00	-1.11	13	1181.51	27	0.65	27	481.90	27	0.10	28	-22.61	29
2301	2029	2030	Min.	5.37	-11.45	27	477.73	28	-6.79	27	171.76	13	-3.00	27	-50.88	27
2301	2029	2030	Min.	6.00	-11.45	27	477.73	28	0.11	28	171.71	13	0.03	27	-50.88	27
2345	2288	2289	Max	0.00	0.80	27	1201.06	27	-0.01	14	-153.05	29	0.12	27	-22.28	13
2345	2288	2289	Max	0.63	0.80	27	1201.06	27	7.43	27	-153.09	29	-0.90	29	-22.28	13
2345	2288	2289	Min.	0.00	-2.45	14	514.13	13	-0.13	27	-274.17	27	0.06	28	-50.99	27
2345	2288	2289	Min.	0.63	-2.45	14	514.13	13	3.23	13	-274.22	27	-1.61	27	-50.99	27
2345	2289	2290	Max	5.37	-1.03	28	-534.76	29	6.89	27	479.10	27	-0.94	28	51.01	27

2345	2289	2290	Max	6.00	-1.03	28	-534.76	29	-0.11	13	479.05	27	0.09	14	51.01	27
2345	2289	2290	Min.	5.37	-11.39	27	-1199.12	27	3.12	29	160.01	28	-2.99	27	22.69	29
2345	2289	2290	Min.	6.00	-11.39	27	-1199.12	27	-0.66	27	159.97	28	0.03	27	22.69	29
2386	2002	10	Max	0.00	-13.12	13	-0.13	13	0.02	14	-6.54	13	1.23	27	-0.01	14
2386	2002	10	Max	16.67	-13.12	13	0.60	27	0.00	29	-7.19	13	-0.60	13	-0.01	14
2386	2002	10	Min.	0.00	-28.34	27	-0.80	27	0.00	29	-15.15	27	0.54	13	-0.06	27
2386	2002	10	Min.	16.67	-28.34	27	-0.19	14	-0.01	14	-15.80	27	-1.34	27	-0.06	27
2386	10	18	Max	0.00	-23.94	13	-0.11	13	0.03	14	-0.22	29	-0.06	14	-0.00	14
2386	10	18	Max	16.67	-23.94	13	1.00	27	0.04	27	-0.88	29	-0.17	13	-0.00	14
2386	10	18	Min.	0.00	-52.52	27	-0.40	27	-0.02	27	-0.80	27	-0.14	27	-0.07	27
2386	10	18	Min.	16.67	-52.52	27	-0.15	14	0.00	14	-1.45	27	-0.33	27	-0.07	27
2386	18	2027	Max	0.00	-68.67	13	0.53	27	0.01	14	-6.63	13	1.34	27	-0.02	13
2386	18	2027	Max	16.67	-68.67	13	1.93	27	0.14	27	-7.28	13	-0.66	13	-0.02	13
2386	18	2027	Min.	0.00	-157.12	27	-0.53	14	-0.07	27	-19.22	27	0.50	13	-0.09	27
2386	18	2027	Min.	16.67	-157.12	27	-0.53	14	-0.08	14	-19.88	27	-1.92	27	-0.09	27
2386	2027	38	Max	0.00	-285.16	28	-0.39	13	0.84	27	181.75	27	-12.70	13	0.20	27
2386	2027	38	Max	21.56	-285.16	28	-0.39	13	-0.00	13	180.91	27	11.43	27	0.20	27
2386	2027	38	Min.	0.00	-791.49	27	-5.20	27	0.08	13	83.02	13	-27.67	27	0.04	13
2386	2027	38	Min.	21.56	-791.49	27	-3.39	27	-0.08	27	82.17	13	5.10	13	0.04	13
2386	38	46	Max	0.00	-79.02	28	-0.23	13	0.10	27	147.95	27	-8.34	28	0.24	27
2386	38	46	Max	21.56	-79.02	28	-0.23	13	-0.01	13	147.10	27	14.01	27	0.24	27
2386	38	46	Min.	0.00	-368.14	27	-2.83	27	0.04	13	69.08	13	-17.80	27	0.05	13
2386	38	46	Min.	21.56	-368.14	27	-1.02	27	-0.32	27	68.24	13	6.44	13	0.05	13
2386	46	54	Max	0.00	94.40	28	-0.24	13	0.03	14	124.94	27	-6.37	28	0.26	27
2386	46	54	Max	21.56	94.40	28	0.83	27	-0.02	13	124.10	27	13.11	27	0.26	27
2386	46	54	Min.	0.00	-15.50	14	-0.98	27	-0.14	27	59.64	13	-13.74	27	0.05	13
2386	46	54	Min.	21.56	-15.50	14	-0.29	14	-0.16	27	58.80	13	6.17	13	0.05	13
2386	54	62	Max	0.00	264.65	27	0.35	27	0.05	27	103.61	27	-4.83	28	0.30	27
2386	54	62	Max	21.56	264.65	27	2.16	27	0.32	27	102.76	27	11.67	27	0.30	27
2386	54	62	Min.	0.00	116.62	13	-0.25	14	0.01	13	50.24	28	-10.58	27	0.04	13
2386	54	62	Min.	21.56	116.62	13	-0.25	14	-0.04	14	49.39	28	5.70	13	0.04	13
2386	62	70	Max	0.00	469.93	27	-0.05	13	0.51	27	83.45	27	-3.27	28	0.07	27
2386	62	70	Max	21.56	469.93	27	-0.05	13	0.00	14	82.60	27	10.01	27	0.07	27
2386	62	70	Min.	0.00	214.19	13	-3.43	27	0.01	13	37.86	28	-7.89	27	0.03	29
2386	62	70	Min.	21.56	214.19	13	-1.62	27	-0.03	27	37.02	28	4.59	29	0.03	29
2386	70	78	Max	0.00	622.94	27	-0.11	13	0.03	27	67.63	27	-2.37	28	0.10	27
2386	70	78	Max	21.56	622.94	27	-0.11	13	-0.01	13	66.78	27	8.58	27	0.10	27
2386	70	78	Min.	0.00	285.86	13	-2.43	27	0.01	29	30.25	28	-5.91	27	0.02	13
2386	70	78	Min.	21.56	285.86	13	-0.62	27	-0.29	27	29.41	28	3.98	29	0.02	13
2386	78	86	Max	0.00	735.81	27	-0.11	13	0.01	14	53.06	27	-1.57	28	0.18	27
2386	78	86	Max	21.56	735.81	27	1.21	27	-0.02	13	52.21	27	7.19	27	0.18	27
2386	78	86	Min.	0.00	340.64	13	-0.60	27	-0.19	27	23.36	28	-4.16	27	0.02	13
2386	78	86	Min.	21.56	340.64	13	-0.14	14	-0.13	27	22.52	28	3.38	28	0.02	13
2386	86	94	Max	0.00	817.56	27	0.52	27	0.03	27	40.05	27	-0.86	28	0.26	27
2386	86	94	Max	21.56	817.56	27	2.33	27	0.33	27	39.21	27	5.77	27	0.26	27
2386	86	94	Min.	0.00	382.17	13	-0.10	14	-0.00	14	17.08	28	-2.78	27	0.02	13
2386	86	94	Min.	21.56	382.17	13	-0.10	14	-0.02	14	16.23	28	2.73	28	0.02	13
2386	94	102	Max	0.00	879.19	27	-0.04	28	0.49	27	35.46	27	-0.31	28	0.03	14
2386	94	102	Max	21.56	879.19	27	-0.04	28	0.00	14	34.61	27	5.26	27	0.03	14
2386	94	102	Min.	0.00	412.25	13	-3.20	27	0.01	28	11.92	28	-2.29	27	-0.00	27
2386	94	102	Min.	21.56	412.25	13	-1.39	27	-0.00	27	11.07	28	2.17	28	-0.00	27
2386	102	110	Max	0.00	923.11	27	-0.08	28	0.04	27	23.89	27	0.30	28	0.06	27
2386	102	110	Max	21.56	923.11	27	-0.08	28	-0.00	13	23.05	27	4.19	27	0.06	27
2386	102	110	Min.	0.00	432.59	13	-2.33	27	0.01	28	6.42	28	-0.87	27	0.01	28
2386	102	110	Min.	21.56	432.59	13	-0.51	27	-0.27	27	5.57	28	1.60	28	0.01	28
2386	110	118	Max	0.00	948.67	27	-0.09	28	0.01	14	12.71	27	0.88	28	0.17	27
2386	110	118	Max	21.56	948.67	27	1.19	27	-0.01	13	11.86	27	3.02	27	0.17	27
2386	110	118	Min.	0.00	445.57	13	-0.62	27	-0.18	27	1.22	28	-0.01	29	0.01	28
2386	110	118	Min.	21.56	445.57	13	-0.11	14	-0.12	27	0.38	28	1.05	28	0.01	28

2386	118	126	Max	0.00	958.61	27	0.30	27	0.03	27	3.71	29	1.45	28	0.24	27
2386	118	126	Max	21.56	958.61	27	2.12	27	0.29	27	2.87	29	1.84	27	0.24	27
2386	118	126	Min.	0.00	452.11	13	-0.08	14	-0.01	28	-3.79	28	0.49	29	0.01	28
2386	118	126	Min.	21.56	452.11	13	-0.08	14	-0.02	14	-4.64	28	0.55	28	0.01	28
2386	126	134	Max	0.00	957.08	27	0.05	28	0.42	27	-3.57	27	2.19	28	0.01	14
2386	126	134	Max	21.56	957.08	27	0.05	28	0.00	28	-4.42	27	1.19	27	0.01	14
2386	126	134	Min.	0.00	451.30	13	-2.88	27	-0.01	28	-10.70	28	1.29	29	-0.06	27
2386	126	134	Min.	21.56	451.30	13	-1.06	27	0.00	27	-11.54	28	-0.21	28	-0.06	27
2386	134	142	Max	0.00	945.94	27	0.02	28	0.00	27	-7.08	29	3.09	27	0.00	14
2386	134	142	Max	12.94					-0.00	28			0.59	28		
2386	134	142	Max	21.56	945.94	27	0.02	28	0.00	28	-7.92	29	0.19	27	0.00	14
2386	134	142	Min.	0.00	444.40	13	-2.13	27	-0.00	28	-15.18	28	1.54	29	-0.01	27
2386	134	142	Min.	12.94					-0.00	28			0.59	28		
2386	134	142	Min.	21.56	444.40	13	-0.32	27	-0.26	27	-16.02	28	-0.78	28	-0.01	27
2386	142	150	Max	0.00	925.96	27	0.01	28	-0.01	13	-10.58	29	3.81	27	0.11	27
2386	142	150	Max	21.56	925.96	27	1.22	27	-0.01	28	-11.42	29	-0.65	29	0.11	27
2386	142	150	Min.	0.00	434.32	13	-0.60	27	-0.21	27	-23.31	27	1.72	29	-0.01	28
2386	142	150	Min.	21.56	434.32	13	-0.03	14	-0.14	27	-24.15	27	-1.50	28	-0.01	28
2386	150	158	Max	0.00	903.42	27	0.22	27	-0.01	13	-12.41	29	2.92	27	0.15	27
2386	150	158	Max	21.56	903.42	27	2.03	27	0.19	27	-13.26	29	-1.50	29	0.15	27
2386	150	158	Min.	0.00	424.02	13	-0.02	14	-0.05	27	-29.48	27	1.26	29	-0.01	28
2386	150	158	Min.	21.56	424.02	13	-0.02	14	-0.02	14	-30.33	27	-3.53	27	-0.01	28
2386	158	166	Max	0.00	903.44	27	0.04	28	0.19	27	30.35	27	-0.64	28	0.00	14
2386	158	166	Max	21.56	903.44	27	0.04	28	-0.01	28	29.50	27	2.92	27	0.00	14
2386	158	166	Min.	0.00	424.02	13	-2.03	27	-0.02	14	4.45	28	-3.53	27	-0.15	27
2386	158	166	Min.	21.56	424.02	13	-0.22	27	-0.05	27	3.61	28	0.23	28	-0.15	27
2386	166	174	Max	0.00	926.00	27	0.05	28	-0.01	13	24.18	27	0.12	28	0.00	14
2386	166	174	Max	21.56	926.00	27	0.60	27	-0.00	28	23.33	27	3.81	27	0.00	14
2386	166	174	Min.	0.00	434.33	13	-1.22	27	-0.14	27	3.43	28	-1.31	27	-0.11	27
2386	166	174	Min.	21.56	434.33	13	0.02	13	-0.21	27	2.58	28	0.77	28	-0.11	27
2386	174	182	Max	0.00	946.00	27	0.32	27	-0.00	13	13.88	27	0.62	28	0.01	27
2386	174	182	Max	17.25					-0.03	29			1.24	29		
2386	174	182	Max	21.56	946.00	27	2.13	27	0.01	28	13.03	27	3.09	27	0.01	27
2386	174	182	Min.	0.00	439.47	28	0.01	13	-0.26	27	0.61	28	-0.09	13	-0.01	28
2386	174	182	Min.	4.31					-0.00	13			0.26	13		
2386	174	182	Min.	21.56	439.47	28	0.01	13	0.00	29	-0.24	28	0.66	28	-0.01	28
2386	182	190	Max	0.00	957.17	27	1.06	27	0.00	14	4.77	14	1.18	27	0.06	27
2386	182	190	Max	21.56	957.17	27	2.88	27	0.42	27	3.92	14	2.05	27	0.06	27
2386	182	190	Min.	0.00	437.44	28	-0.02	13	0.00	27	-2.04	28	0.38	13	-0.01	28
2386	182	190	Min.	21.56	437.44	28	-0.02	13	-0.00	13	-2.89	28	0.51	28	-0.01	28
2386	190	198	Max	0.00	958.74	27	0.08	14	0.29	27	-1.44	27	1.91	28	-0.01	13
2386	190	198	Max	21.56	958.74	27	0.08	14	0.03	27	-2.29	27	1.43	27	-0.01	13
2386	190	198	Min.	0.00	429.07	28	-2.12	27	-0.02	14	-10.21	28	1.20	29	-0.24	27
2386	190	198	Min.	21.56	429.07	28	-0.30	27	-0.00	14	-11.06	28	-0.39	28	-0.24	27
2386	198	206	Max	0.00	948.85	27	0.11	14	-0.01	13	-6.70	13	3.02	27	-0.01	13
2386	198	206	Max	21.56	948.85	27	0.62	27	0.01	28	-7.55	13	0.38	27	-0.01	13
2386	198	206	Min.	0.00	413.02	28	-1.19	27	-0.12	27	-13.45	28	1.53	29	-0.17	27
2386	198	206	Min.	21.56	413.02	28	0.09	13	-0.18	27	-14.30	28	-0.85	28	-0.17	27
2386	206	214	Max	0.00	923.33	27	0.51	27	-0.00	28	-10.61	13	4.19	27	-0.01	13
2386	206	214	Max	21.56	923.33	27	2.33	27	0.04	27	-11.45	13	-0.45	13	-0.01	13
2386	206	214	Min.	0.00	390.78	28	0.09	13	-0.27	27	-23.01	27	1.93	29	-0.06	27
2386	206	214	Min.	21.56	390.78	28	0.09	13	0.01	13	-23.86	27	-1.23	28	-0.06	27
2386	214	222	Max	0.00	879.47	27	1.39	27	0.00	28	-14.85	29	5.26	27	0.00	27
2386	214	222	Max	21.56	879.47	27	3.20	27	0.49	27	-15.70	29	-0.90	13	0.00	27
2386	214	222	Min.	0.00	361.50	28	0.05	13	-0.00	27	-34.58	27	2.39	29	-0.03	14
2386	214	222	Min.	21.56	361.50	28	0.05	13	0.01	13	-35.42	27	-2.29	27	-0.03	14
2386	222	230	Max	0.00	817.91	27	0.10	14	0.33	27	-20.59	29	5.76	27	-0.02	13
2386	222	230	Max	17.25					-0.00	13			-0.63	13		
2386	222	230	Max	21.56	817.91	27	0.10	14	0.03	27	-21.44	29	-1.53	29	-0.02	13

2386	222	230	Min.	0.00	321.96	28	-2.33	27	-0.02	14	-39.16	27	3.00	29	-0.26	27
2386	222	230	Min.	17.25					-0.00	13			-0.63	13		
2386	222	230	Min.	21.56	321.96	28	-0.52	27	-0.00	14	-40.00	27	-2.77	27	-0.26	27
2386	230	238	Max	0.00	736.26	27	0.14	14	-0.02	13	-25.58	29	7.18	27	-0.02	28
2386	230	238	Max	21.56	736.26	27	0.60	27	0.01	14	-26.43	29	-2.14	29	-0.02	28
2386	230	238	Min.	0.00	270.36	28	-1.21	27	-0.13	27	-52.15	27	3.46	29	-0.18	27
2386	230	238	Min.	21.56	270.36	28	0.11	13	-0.19	27	-53.00	27	-4.15	27	-0.18	27
2386	238	246	Max	0.00	623.49	27	0.62	27	-0.01	28	-31.04	29	8.58	27	-0.02	28
2386	238	246	Max	21.56	623.49	27	2.43	27	0.03	27	-31.88	29	-2.81	29	-0.02	28
2386	238	246	Min.	0.00	205.80	28	0.11	13	-0.29	27	-66.72	27	3.97	29	-0.10	27
2386	238	246	Min.	21.56	205.80	28	0.11	13	0.01	29	-67.57	27	-5.90	27	-0.10	27
2386	246	254	Max	0.00	470.62	27	1.62	27	0.00	28	-37.17	29	10.00	27	-0.03	29
2386	246	254	Max	21.56	470.62	27	3.43	27	0.51	27	-38.02	29	-3.52	29	-0.03	29
2386	246	254	Min.	0.00	124.79	28	0.05	13	-0.03	27	-82.53	27	4.59	29	-0.07	27
2386	246	254	Min.	21.56	124.79	28	0.05	13	0.01	13	-83.38	27	-7.89	27	-0.07	27
2386	254	262	Max	0.00	265.55	27	0.25	14	0.32	27	-50.02	13	11.66	27	-0.04	28
2386	254	262	Max	21.56	265.55	27	0.25	14	0.05	27	-50.86	13	-5.18	13	-0.04	28
2386	254	262	Min.	0.00	17.54	28	-2.16	27	-0.04	14	-102.63	27	5.70	13	-0.30	27
2386	254	262	Min.	21.56	17.54	28	-0.35	27	0.01	28	-103.48	27	-10.56	27	-0.30	27
2386	262	270	Max	0.00	-8.61	27	0.28	14	-0.02	28	-58.73	13	13.10	27	-0.04	28
2386	262	270	Max	21.56	-8.61	27	0.98	27	0.03	14	-59.57	13	-6.59	13	-0.04	28
2386	262	270	Min.	0.00	-124.19	28	-0.83	27	-0.16	27	-123.95	27	6.17	13	-0.26	27
2386	262	270	Min.	21.56	-124.19	28	0.22	28	-0.14	27	-124.80	27	-13.72	27	-0.26	27
2386	270	278	Max	0.00	-182.72	13	1.02	27	-0.01	28	-68.15	13	13.99	27	-0.05	28
2386	270	278	Max	21.56	-182.72	13	2.83	27	0.10	27	-69.00	13	-8.35	13	-0.05	28
2386	270	278	Min.	0.00	-366.50	27	0.21	28	-0.32	27	-146.94	27	6.39	28	-0.24	27
2386	270	278	Min.	21.56	-366.50	27	0.21	28	0.04	28	-147.78	27	-17.78	27	-0.24	27
2386	278	2287	Max	0.00	-377.62	13	3.40	27	-0.00	28	-82.07	13	11.41	27	-0.04	28
2386	278	2287	Max	21.56	-377.62	13	5.21	27	0.85	27	-82.92	13	-12.69	13	-0.04	28
2386	278	2287	Min.	0.00	-789.24	27	0.38	28	-0.08	27	-180.71	27	4.80	28	-0.20	27
2386	278	2287	Min.	21.56	-789.24	27	0.38	28	0.08	28	-181.55	27	-27.65	27	-0.20	27
2386	2287	298	Max	0.00	-58.85	28	0.48	14	0.13	27	18.37	27	-0.14	28	0.09	27
2386	2287	298	Max	16.67	-58.85	28	0.48	14	0.02	14	17.72	27	1.08	27	0.09	27
2386	2287	298	Min.	0.00	-141.07	27	-1.76	27	-0.06	14	3.65	28	-1.92	27	0.01	28
2386	2287	298	Min.	16.67	-141.07	27	-0.36	27	-0.04	27	3.00	28	0.40	13	0.01	28
2386	298	306	Max	0.00	-35.62	28	0.21	14	0.02	27	20.33	27	-0.74	28	0.08	27
2386	298	306	Max	16.67	-35.62	28	0.44	27	0.02	14	19.68	27	1.50	27	0.08	27
2386	298	306	Min.	0.00	-85.56	27	-0.96	27	-0.02	14	8.17	28	-1.84	27	0.01	28
2386	298	306	Min.	16.67	-85.56	27	0.14	29	-0.03	27	7.52	28	0.57	28	0.01	28
2386	306	2314	Max	0.00	-13.79	28	0.29	14	-0.01	29	14.87	27	-0.46	28	0.06	27
2386	306	2314	Max	16.67	-13.79	28	0.90	27	0.03	14	14.21	27	1.37	27	0.06	27
2386	306	2314	Min.	0.00	-31.50	27	-0.50	27	-0.02	14	6.47	28	-1.06	27	0.01	28
2386	306	2314	Min.	16.67	-31.50	27	0.21	13	0.01	29	5.82	28	0.56	28	0.01	28
2424	2004	12	Max	0.00	-23.89	13	-0.09	28	0.02	14	-11.52	13	1.93	27	0.01	14
2424	2004	12	Max	16.67	-23.89	13	0.80	27	0.01	27	-12.17	13	-1.05	13	0.01	14
2424	2004	12	Min.	0.00	-47.38	27	-0.60	27	-0.00	27	-24.07	27	0.92	13	-0.04	27
2424	2004	12	Min.	16.67	-47.38	27	-0.13	14	-0.00	14	-24.73	27	-2.14	27	-0.04	27
2424	12	20	Max	0.00	-42.36	13	-0.21	13	0.03	14	-0.60	29	-0.15	14	0.02	14
2424	12	20	Max	16.67	-42.36	13	0.90	27	0.03	27	-1.25	29	-0.32	13	0.02	14
2424	12	20	Min.	0.00	-85.05	27	-0.50	27	-0.01	27	-1.52	27	-0.28	27	-0.04	27
2424	12	20	Min.	16.67	-85.05	27	-0.25	14	-0.01	14	-2.17	27	-0.59	27	-0.04	27
2424	20	2030	Max	0.00	-109.94	13	0.44	27	0.02	14	-7.52	13	1.59	27	0.03	28
2424	20	2030	Max	16.67	-109.94	13	1.84	27	0.13	27	-8.18	13	-0.70	14	0.03	28
2424	20	2030	Min.	0.00	-232.45	27	-0.59	14	-0.06	27	-19.70	27	0.61	13	-0.05	27
2424	20	2030	Min.	16.67	-232.45	27	-0.59	14	-0.08	14	-20.35	27	-1.74	27	-0.05	27
2424	2030	40	Max	0.00	-601.13	28	-0.13	13	0.74	27	316.50	27	-21.60	13	0.12	27
2424	2030	40	Max	21.56	-601.13	28	-0.13	13	-0.00	13	315.66	27	19.50	27	0.12	27
2424	2030	40	Min.	0.00	-1447.26	27	-4.69	27	0.02	13	140.01	13	-48.65	27	0.00	13
2424	2030	40	Min.	21.56	-1447.26	27	-2.88	27	-0.08	27	139.16	13	8.50	13	0.00	13

2424	40	48	Max	0.00	-232.49	28	-0.01	13	0.03	27	263.69	27	-14.46	13	0.14	27
2424	40	48	Max	21.56	-232.49	28	-0.01	13	0.00	13	262.85	27	24.71	27	0.14	27
2424	40	48	Min.	0.00	-700.28	27	-2.41	27	0.00	13	118.38	13	-32.06	27	0.00	13
2424	40	48	Min.	21.56	-700.28	27	-0.60	27	-0.29	27	117.53	13	10.98	13	0.00	13
2424	48	56	Max	0.00	86.51	28	-0.01	13	0.00	14	229.39	27	-11.64	13	0.17	27
2424	48	56	Max	21.56	86.51	28	1.25	27	-0.00	13	228.54	27	23.86	27	0.17	27
2424	48	56	Min.	0.00	-51.75	27	-0.56	27	-0.19	27	104.17	13	-25.51	27	0.00	13
2424	48	56	Min.	21.56	-51.75	27	-0.03	14	-0.12	27	103.32	13	10.73	13	0.00	13
2424	56	64	Max	0.00	458.72	27	0.75	27	0.02	27	197.51	27	-9.33	13	0.22	27
2424	56	64	Max	21.56	458.72	27	2.57	27	0.37	27	196.66	27	22.31	27	0.22	27
2424	56	64	Min.	0.00	196.95	13	-0.00	14	0.00	13	91.09	13	-20.19	27	0.01	13
2424	56	64	Min.	21.56	196.95	13	-0.00	14	0.00	14	90.24	13	10.22	13	0.01	13
2424	64	72	Max	0.00	835.70	27	-0.04	13	0.51	27	145.24	27	-5.99	28	0.01	27
2424	64	72	Max	21.56	835.70	27	-0.04	13	0.00	14	144.39	27	17.63	27	0.01	27
2424	64	72	Min.	0.00	368.75	13	-3.36	27	0.01	13	65.38	29	-13.59	27	0.00	29
2424	64	72	Min.	21.56	368.75	13	-1.55	27	-0.02	27	64.54	29	7.90	13	0.00	29
2424	72	80	Max	0.00	1111.49	27	-0.06	13	0.02	27	123.37	27	-4.85	28	0.06	27
2424	72	80	Max	21.56	1111.49	27	-0.06	13	-0.00	13	122.53	27	15.44	27	0.06	27
2424	72	80	Min.	0.00	494.28	13	-2.28	27	0.01	29	56.68	29	-11.07	27	0.01	13
2424	72	80	Min.	21.56	494.28	13	-0.47	27	-0.28	27	55.84	29	6.99	13	0.01	13
2424	80	88	Max	0.00	1325.18	27	-0.05	13	0.01	14	104.56	27	-3.74	28	0.15	27
2424	80	88	Max	21.56	1325.18	27	1.37	27	-0.01	13	103.71	27	13.77	27	0.15	27
2424	80	88	Min.	0.00	593.55	13	-0.44	27	-0.20	27	48.42	28	-8.69	27	0.01	13
2424	80	88	Min.	21.56	593.55	13	-0.07	14	-0.10	27	47.58	28	6.38	29	0.01	13
2424	88	96	Max	0.00	1488.96	27	0.63	27	0.02	27	86.82	27	-2.42	28	0.23	27
2424	88	96	Max	21.56	1488.96	27	2.44	27	0.36	27	85.97	27	12.46	27	0.23	27
2424	88	96	Min.	0.00	671.43	13	-0.05	14	0.00	14	39.81	28	-6.17	27	0.01	13
2424	88	96	Min.	21.56	671.43	13	-0.05	14	-0.01	14	38.97	28	5.98	29	0.01	13
2424	96	104	Max	0.00	1598.92	27	-0.01	28	0.48	27	48.67	27	0.29	28	0.01	14
2424	96	104	Max	21.56	1598.92	27	-0.01	28	0.00	14	47.83	27	8.47	27	0.01	14
2424	96	104	Min.	0.00	722.80	13	-3.14	27	0.00	28	15.20	28	-1.93	27	-0.03	27
2424	96	104	Min.	21.56	722.80	13	-1.32	27	-0.00	27	14.35	28	3.48	28	-0.03	27
2424	104	112	Max	0.00	1664.95	27	-0.03	28	0.02	27	34.92	27	0.69	28	0.04	27
2424	104	112	Max	21.56	1664.95	27	-0.03	28	-0.00	13	34.07	27	6.65	27	0.04	27
2424	104	112	Min.	0.00	752.70	13	-2.22	27	0.00	28	8.77	28	-0.79	27	0.01	13
2424	104	112	Min.	21.56	752.70	13	-0.41	27	-0.26	27	7.92	28	2.49	28	0.01	13
2424	112	120	Max	0.00	1705.91	27	-0.03	13	0.00	14	23.04	27	1.26	28	0.16	27
2424	112	120	Max	21.56	1705.91	27	1.30	27	-0.00	13	22.19	27	5.39	27	0.16	27
2424	112	120	Min.	0.00	772.43	13	-0.51	27	-0.18	27	3.48	28	0.03	29	0.00	28
2424	112	120	Min.	21.56	772.43	13	-0.04	14	-0.10	27	2.64	28	1.92	28	0.00	28
2424	120	128	Max	0.00	1725.37	27	0.38	27	0.04	27	10.80	27	2.29	27	0.23	27
2424	120	128	Max	21.56	1725.37	27	2.19	27	0.32	27	9.95	27	4.52	27	0.23	27
2424	120	128	Min.	0.00	783.33	13	-0.03	14	0.00	14	-2.30	28	0.82	29	0.00	28
2424	120	128	Min.	21.56	783.33	13	-0.03	14	-0.01	14	-3.15	28	1.62	28	0.00	28
2424	128	136	Max	0.00	1716.01	27	-0.00	28	0.42	27	-11.99	13	5.99	27	0.01	14
2424	128	136	Max	21.56	1716.01	27	-0.00	28	0.00	28	-12.84	13	0.79	27	0.01	14
2424	128	136	Min.	0.00	779.66	13	-2.89	27	0.00	28	-24.82	28	2.93	13	-0.07	27
2424	128	136	Min.	21.56	779.66	13	-1.08	27	-0.01	27	-25.67	28	-0.82	28	-0.07	27
2424	136	144	Max	0.00	1683.05	27	-0.01	28	0.00	14	-15.41	13	6.43	27	0.00	14
2424	136	144	Max	21.56	1683.05	27	-0.01	28	-0.00	28	-16.26	13	-0.50	13	0.00	14
2424	136	144	Min.	0.00	764.07	13	-2.10	27	0.00	28	-33.53	27	2.92	13	-0.01	27
2424	136	144	Min.	21.56	764.07	13	-0.29	27	-0.26	27	-34.37	27	-1.75	28	-0.01	27
2424	144	152	Max	0.00	1640.96	27	-0.01	28	0.00	13	-18.77	13	6.74	27	0.11	27
2424	144	152	Max	21.56	1640.96	27	1.25	27	-0.00	13	-19.62	13	-1.22	13	0.11	27
2424	144	152	Min.	0.00	745.23	13	-0.56	27	-0.20	27	-43.73	27	2.92	13	0.00	28
2424	144	152	Min.	21.56	745.23	13	-0.01	14	-0.13	27	-44.57	27	-2.78	27	0.00	28
2424	152	160	Max	0.00	1600.88	27	0.24	27	-0.00	13	-19.69	13	4.74	27	0.15	27
2424	152	160	Max	21.56	1600.88	27	2.05	27	0.22	27	-20.53	13	-2.33	13	0.15	27
2424	152	160	Min.	0.00	728.02	13	-0.01	14	-0.03	27	-47.84	27	2.01	13	0.00	28

2424	152	160	Min.	21.56	728.02	13	-0.01	14	-0.01	14	-48.69	27	-5.67	27	0.00	28
2424	160	168	Max	0.00	1600.90	27	0.01	14	0.22	27	48.72	27	-0.96	28	0.00	14
2424	160	168	Max	21.56	1600.90	27	0.01	14	-0.00	13	47.88	27	4.75	27	0.00	14
2424	160	168	Min.	0.00	728.03	13	-2.05	27	-0.01	14	6.84	28	-5.67	27	-0.15	27
2424	160	168	Min.	21.56	728.03	13	-0.24	27	-0.03	27	5.99	28	0.43	28	-0.15	27
2424	168	176	Max	0.00	1641.03	27	0.01	14	-0.00	13	44.61	27	0.06	28	0.00	13
2424	168	176	Max	17.25					-0.00	14			2.65	14		
2424	168	176	Max	21.56	1641.03	27	0.56	27	0.00	28	43.77	27	6.75	27	0.00	13
2424	168	176	Min.	0.00	745.27	13	-1.25	27	-0.13	27	6.70	28	-2.78	27	-0.11	27
2424	168	176	Min.	17.25					-0.00	28			1.15	28		
2424	168	176	Min.	21.56	745.27	13	0.01	13	-0.20	27	5.86	28	1.41	28	-0.11	27
2424	176	184	Max	0.00	1683.15	27	0.29	27	-0.00	13	34.41	27	0.72	28	0.01	27
2424	176	184	Max	17.25					-0.08	27			4.99	27		
2424	176	184	Max	21.56	1683.15	27	2.10	27	0.00	28	33.56	27	6.44	27	0.01	27
2424	176	184	Min.	0.00	760.97	28	0.01	13	-0.26	27	3.80	28	-0.89	27	-0.00	28
2424	176	184	Min.	4.31					-0.00	14			0.28	14		
2424	176	184	Min.	21.56	760.97	28	0.01	13	0.00	29	2.96	28	1.45	28	-0.00	28
2424	184	192	Max	0.00	1716.17	27	1.08	27	0.00	13	24.54	27	1.37	28	0.07	27
2424	184	192	Max	21.56	1716.17	27	2.89	27	0.42	27	23.70	27	5.99	27	0.07	27
2424	184	192	Min.	0.00	761.67	28	0.00	13	-0.01	27	0.96	28	0.25	13	-0.01	14
2424	184	192	Min.	21.56	761.67	28	0.00	13	0.00	14	0.11	28	1.48	28	-0.01	14
2424	192	200	Max	0.00	1725.58	27	0.03	14	0.32	27	-6.69	13	4.52	27	-0.00	13
2424	192	200	Max	17.25					-0.00	13			1.15	13		
2424	192	200	Max	21.56	1725.58	27	0.03	14	0.04	27	-7.53	13	2.29	27	-0.00	13
2424	192	200	Min.	0.00	751.05	28	-2.19	27	-0.01	14	-16.80	28	2.36	13	-0.23	27
2424	192	200	Min.	17.25					-0.00	28			0.32	28		
2424	192	200	Min.	21.56	751.05	28	-0.38	27	-0.00	14	-17.65	28	-0.44	28	-0.23	27
2424	200	208	Max	0.00	1706.19	27	0.04	14	-0.00	13	-11.24	13	5.39	27	-0.00	13
2424	200	208	Max	21.56	1706.19	27	0.51	27	0.00	14	-12.09	13	0.52	27	-0.00	13
2424	200	208	Min.	0.00	726.61	28	-1.30	27	-0.10	27	-22.14	27	2.55	13	-0.16	27
2424	200	208	Min.	21.56	726.61	28	0.03	13	-0.18	27	-22.99	27	-1.16	28	-0.16	27
2424	208	216	Max	0.00	1665.30	27	0.41	27	-0.00	13	-15.34	13	6.64	27	-0.01	13
2424	208	216	Max	21.56	1665.30	27	2.22	27	0.02	27	-16.18	13	-0.42	13	-0.01	13
2424	208	216	Min.	0.00	693.56	28	0.03	13	-0.26	27	-34.02	27	2.98	13	-0.04	27
2424	208	216	Min.	21.56	693.56	28	0.03	13	0.00	13	-34.87	27	-1.57	28	-0.04	27
2424	216	224	Max	0.00	1599.35	27	1.32	27	0.00	14	-20.43	13	8.46	27	0.03	27
2424	216	224	Max	21.56	1599.35	27	3.14	27	0.48	27	-21.27	13	-0.73	13	0.03	27
2424	216	224	Min.	0.00	650.60	28	0.01	13	-0.00	27	-47.77	27	3.77	13	-0.01	14
2424	216	224	Min.	21.56	650.60	28	0.01	13	0.00	13	-48.61	27	-1.93	27	-0.01	14
2424	224	232	Max	0.00	1489.50	27	0.05	14	0.36	27	-41.56	29	12.45	27	-0.01	13
2424	224	232	Max	17.25					-0.00	13			-1.26	13		
2424	224	232	Max	21.56	1489.50	27	0.05	14	0.02	27	-42.41	29	-3.07	29	-0.01	13
2424	224	232	Min.	0.00	587.30	28	-2.44	27	-0.01	14	-85.91	27	5.98	29	-0.23	27
2424	224	232	Min.	17.25					-0.00	28			-1.91	28		
2424	224	232	Min.	21.56	587.30	28	-0.63	27	0.00	14	-86.75	27	-6.16	27	-0.23	27
2424	232	240	Max	0.00	1325.84	27	0.07	14	-0.01	13	-48.55	29	13.76	27	-0.01	13
2424	232	240	Max	21.56	1325.84	27	0.44	27	0.01	14	-49.40	29	-4.19	29	-0.01	13
2424	232	240	Min.	0.00	498.92	28	-1.37	27	-0.10	27	-103.63	27	6.37	29	-0.15	27
2424	232	240	Min.	21.56	498.92	28	0.06	13	-0.20	27	-104.48	27	-8.68	27	-0.15	27
2424	240	248	Max	0.00	1112.31	27	0.47	27	-0.00	13	-55.78	29	15.43	27	-0.01	13
2424	240	248	Max	21.56	1112.31	27	2.28	27	0.02	27	-56.63	29	-5.13	29	-0.01	13
2424	240	248	Min.	0.00	389.94	28	0.06	13	-0.28	27	-122.45	27	6.99	13	-0.06	27
2424	240	248	Min.	21.56	389.94	28	0.06	13	0.01	29	-123.29	27	-11.06	27	-0.06	27
2424	248	256	Max	0.00	836.70	27	1.54	27	0.00	14	-64.47	29	17.62	27	-0.00	29
2424	248	256	Max	21.56	836.70	27	3.36	27	0.51	27	-65.32	29	-6.08	29	-0.00	29
2424	248	256	Min.	0.00	255.66	28	0.04	13	-0.02	27	-144.30	27	7.90	13	-0.01	27
2424	248	256	Min.	21.56	255.66	28	0.04	13	0.01	13	-145.14	27	-13.58	27	-0.01	27
2424	256	264	Max	0.00	460.02	27	0.00	14	0.37	27	-90.15	13	22.29	27	-0.01	13
2424	256	264	Max	21.56	460.02	27	0.00	14	0.01	27	-90.99	13	-9.32	13	-0.01	13

2424	256	264	Min.	0.00	77.48	28	-2.56	27	0.00	14	-196.49	27	10.07	28	-0.22	27
2424	256	264	Min.	21.56	77.48	28	-0.75	27	0.00	28	-197.34	27	-20.17	27	-0.22	27
2424	264	272	Max	0.00	-33.17	29	0.03	14	-0.00	13	-103.22	13	23.84	27	-0.00	13
2424	264	272	Max	21.56	-33.17	29	0.57	27	0.00	14	-104.06	13	-11.62	13	-0.00	13
2424	264	272	Min.	0.00	-158.24	28	-1.24	27	-0.12	27	-228.35	27	10.47	28	-0.17	27
2424	264	272	Min.	21.56	-158.24	28	0.02	13	-0.19	27	-229.20	27	-25.49	27	-0.17	27
2424	272	280	Max	0.00	-326.23	13	0.60	27	0.00	13	-117.10	28	24.69	27	-0.00	13
2424	272	280	Max	21.56	-326.23	13	2.41	27	0.03	27	-117.95	28	-14.44	13	-0.00	13
2424	272	280	Min.	0.00	-698.01	27	0.01	13	-0.29	27	-262.62	27	10.55	28	-0.14	27
2424	272	280	Min.	21.56	-698.01	27	0.01	13	0.00	13	-263.46	27	-32.03	27	-0.14	27
2424	280	2290	Max	0.00	-658.64	13	2.89	27	-0.00	28	-138.24	28	19.48	27	0.00	28
2424	280	2290	Max	21.56	-658.64	13	4.70	27	0.74	27	-139.09	28	-21.58	13	0.00	28
2424	280	2290	Min.	0.00	-1444.19	27	0.14	13	-0.08	27	-315.41	27	7.88	28	-0.12	27
2424	280	2290	Min.	21.56	-1444.19	27	0.14	13	0.03	13	-316.25	27	-48.63	27	-0.12	27
2424	2290	300	Max	0.00	-92.28	28	0.50	14	0.13	27	18.07	27	-0.08	28	0.05	27
2424	2290	300	Max	16.67	-92.28	28	0.50	14	0.01	14	17.41	27	1.24	27	0.05	27
2424	2290	300	Min.	0.00	-209.46	27	-1.76	27	-0.07	14	3.57	28	-1.72	27	-0.02	14
2424	2290	300	Min.	16.67	-209.46	27	-0.36	27	-0.05	27	2.92	28	0.44	13	-0.02	14
2424	300	308	Max	0.00	-58.56	28	0.26	14	0.02	27	29.04	27	-1.19	28	0.05	27
2424	300	308	Max	16.67	-58.56	28	0.47	27	0.02	14	28.38	27	2.03	27	0.05	27
2424	300	308	Min.	0.00	-131.33	27	-0.93	27	-0.02	14	12.34	28	-2.75	27	-0.02	14
2424	300	308	Min.	16.67	-131.33	27	0.22	13	-0.02	27	11.69	28	0.81	28	-0.02	14
2424	308	2316	Max	0.00	-23.96	28	0.17	14	0.00	27	23.26	27	-0.80	28	0.03	27
2424	308	2316	Max	16.67	-23.96	28	0.70	27	0.02	14	22.61	27	2.10	27	0.03	27
2424	308	2316	Min.	0.00	-51.46	27	-0.70	27	-0.01	14	10.73	28	-1.72	27	-0.01	14
2424	308	2316	Min.	16.67	-51.46	27	0.13	13	0.00	27	10.07	28	0.93	28	-0.01	14
2462	2006	14	Max	0.00	-31.69	13	0.39	14	-0.03	13	-15.88	13	2.43	27	-0.02	13
2462	2006	14	Max	16.67	-31.69	13	1.70	27	0.07	27	-16.53	13	-1.44	13	-0.02	13
2462	2006	14	Min.	0.00	-58.96	27	0.22	29	-0.10	27	-30.58	27	1.26	13	-0.08	27
2462	2006	14	Min.	16.67	-58.96	27	0.33	13	0.02	13	-31.23	27	-2.72	27	-0.08	27
2462	14	22	Max	0.00	-55.98	13	0.07	14	0.00	28	-0.62	29	-0.24	13	-0.02	13
2462	14	22	Max	16.67	-55.98	13	1.42	27	0.06	27	-1.27	29	-0.41	13	-0.02	13
2462	14	22	Min.	0.00	-105.21	27	0.02	29	-0.06	27	-1.61	27	-0.41	27	-0.11	27
2462	14	22	Min.	16.67	-105.21	27	0.05	28	0.01	13	-2.26	27	-0.73	27	-0.11	27
2462	22	2033	Max	0.00	-140.86	13	1.89	27	-0.01	13	-11.62	13	1.77	27	-0.02	13
2462	22	2033	Max	16.67	-140.86	13	3.29	27	0.32	27	-12.28	13	-1.23	13	-0.02	13
2462	22	2033	Min.	0.00	-276.59	27	0.22	13	-0.11	27	-25.37	27	0.76	13	-0.10	27
2462	22	2033	Min.	16.67	-276.59	27	0.22	13	0.03	13	-26.03	27	-2.51	27	-0.10	27
2462	2033	42	Max	0.00	-599.29	28	-0.10	28	0.68	27	313.25	27	-21.69	13	0.10	27
2462	2033	42	Max	21.56	-599.29	28	-0.10	28	-0.01	13	312.40	27	19.31	27	0.10	27
2462	2033	42	Min.	0.00	-1423.79	27	-4.48	27	0.01	28	140.70	13	-48.14	27	0.00	14
2462	2033	42	Min.	21.56	-1423.79	27	-2.67	27	-0.09	27	139.86	13	8.56	13	0.00	14
2462	42	50	Max	0.00	-229.22	28	0.03	14	0.00	29	261.13	27	-14.52	13	0.12	27
2462	42	50	Max	17.25					-0.00	14			7.37	14		
2462	42	50	Max	21.56	-229.22	28	0.03	14	0.00	14	260.28	27	24.46	27	0.12	27
2462	42	50	Min.	0.00	-684.18	27	-2.26	27	-0.01	14	118.94	13	-31.75	27	0.00	14
2462	42	50	Min.	17.25					-0.00	28			6.91	28		
2462	42	50	Min.	21.56	-684.18	27	-0.44	27	-0.29	27	118.09	13	11.03	13	0.00	14
2462	50	58	Max	0.00	91.38	28	0.02	14	-0.00	13	227.67	27	-11.71	13	0.14	27
2462	50	58	Max	4.31					-0.00	28			-7.44	28		
2462	50	58	Max	21.56	91.38	28	1.39	27	0.00	14	226.82	27	23.68	27	0.14	27
2462	50	58	Min.	0.00	-41.31	27	-0.42	27	-0.21	27	104.86	13	-25.32	27	-0.00	14
2462	50	58	Min.	4.31					-0.00	28			-7.44	28		
2462	50	58	Min.	21.56	-41.31	27	0.00	13	-0.10	27	104.01	13	10.81	13	-0.00	14
2462	58	66	Max	0.00	464.87	27	0.81	27	0.01	27	196.34	27	-9.35	13	0.18	27
2462	58	66	Max	21.56	464.87	27	2.62	27	0.38	27	195.50	27	22.25	27	0.18	27
2462	58	66	Min.	0.00	202.62	13	-0.01	13	-0.00	14	91.75	13	-19.99	27	-0.01	14
2462	58	66	Min.	21.56	202.62	13	-0.01	13	-0.00	28	90.90	13	10.34	13	-0.01	14
2462	66	74	Max	0.00	833.90	27	0.07	14	0.45	27	139.36	27	-5.66	28	-0.01	13

2462	66	74	Max	17.25					-0.00	28			5.56	28		
2462	66	74	Max	21.56	833.90	27	0.07	14	0.00	28	138.52	27	17.06	27	-0.01	13
2462	66	74	Min.	0.00	372.56	13	-3.15	27	-0.02	14	62.81	29	-12.89	27	-0.03	27
2462	66	74	Min.	17.25					-0.00	13			5.02	13		
2462	66	74	Min.	21.56	372.56	13	-1.34	27	-0.03	27	61.96	29	7.69	29	-0.03	27
2462	74	82	Max	0.00	1099.41	27	0.08	14	-0.01	13	118.41	27	-4.62	28	0.02	27
2462	74	82	Max	21.56	1099.41	27	0.08	14	0.00	14	117.56	27	14.87	27	0.02	27
2462	74	82	Min.	0.00	494.25	13	-2.00	27	-0.03	27	54.41	29	-10.57	27	-0.01	14
2462	74	82	Min.	21.56	494.25	13	-0.19	27	-0.26	27	53.57	29	6.75	29	-0.01	14
2462	82	90	Max	0.00	1304.71	27	0.08	14	-0.01	13	100.50	27	-3.56	28	0.11	27
2462	82	90	Max	21.56	1304.71	27	1.64	27	0.01	14	99.65	27	13.27	27	0.11	27
2462	82	90	Min.	0.00	590.18	13	-0.17	27	-0.22	27	46.66	28	-8.31	27	-0.01	14
2462	82	90	Min.	21.56	590.18	13	0.06	13	-0.07	27	45.81	28	6.15	29	-0.01	14
2462	90	98	Max	0.00	1462.04	27	0.83	27	0.02	27	83.52	27	-2.29	28	0.18	27
2462	90	98	Max	21.56	1462.04	27	2.64	27	0.40	27	82.67	27	12.03	27	0.18	27
2462	90	98	Min.	0.00	665.39	13	0.05	13	-0.00	28	38.37	28	-5.88	27	-0.01	14
2462	90	98	Min.	21.56	665.39	13	0.05	13	0.01	13	37.52	28	5.76	29	-0.01	14
2462	98	106	Max	0.00	1566.90	27	0.02	14	0.46	27	46.10	27	0.36	28	-0.01	13
2462	98	106	Max	12.94					-0.00	14			2.42	14		
2462	98	106	Max	21.56	1566.90	27	0.02	14	0.00	28	45.25	27	8.15	27	-0.01	13
2462	98	106	Min.	0.00	714.91	13	-3.07	27	-0.00	14	14.38	28	-1.70	27	-0.07	27
2462	98	106	Min.	8.63					-0.00	13			1.09	13		
2462	98	106	Min.	21.56	714.91	13	-1.26	27	-0.01	27	13.54	28	3.37	28	-0.07	27
2462	106	114	Max	0.00	1629.46	27	0.04	14	0.00	27	33.02	27	0.74	28	0.01	27
2462	106	114	Max	21.56	1629.46	27	0.04	14	0.00	14	32.17	27	6.40	27	0.01	27
2462	106	114	Min.	0.00	743.82	13	-2.07	27	-0.01	14	8.23	28	-0.63	27	-0.01	14
2462	106	114	Min.	21.56	743.82	13	-0.26	27	-0.25	27	7.38	28	2.42	28	-0.01	14
2462	114	122	Max	0.00	1668.12	27	0.04	14	-0.00	28	21.77	27	1.28	28	0.14	27
2462	114	122	Max	21.56	1668.12	27	1.45	27	0.01	14	20.92	27	5.21	27	0.14	27
2462	114	122	Min.	0.00	762.91	13	-0.36	27	-0.19	27	3.20	28	0.06	13	-0.01	14
2462	114	122	Min.	21.56	762.91	13	0.03	13	-0.07	27	2.35	28	1.88	28	-0.01	14
2462	122	130	Max	0.00	1686.18	27	0.49	27	0.04	27	10.13	27	2.32	27	0.21	27
2462	122	130	Max	21.56	1686.18	27	2.30	27	0.35	27	9.28	27	4.42	27	0.21	27
2462	122	130	Min.	0.00	773.37	13	0.02	28	0.00	13	-2.36	28	0.84	29	-0.01	14
2462	122	130	Min.	21.56	773.37	13	0.02	28	0.01	13	-3.21	28	1.61	28	-0.01	14
2462	130	138	Max	0.00	1675.93	27	0.01	28	0.42	27	-12.36	29	6.03	27	-0.00	13
2462	130	138	Max	21.56	1675.93	27	0.01	28	0.00	14	-13.21	29	0.67	27	-0.00	13
2462	130	138	Min.	0.00	769.30	13	-2.88	27	-0.00	28	-25.40	28	2.96	29	-0.09	27
2462	130	138	Min.	21.56	769.30	13	-1.07	27	-0.00	27	-26.24	28	-0.88	28	-0.09	27
2462	138	146	Max	0.00	1642.43	27	0.01	14	-0.00	13	-15.66	29	6.40	27	-0.00	13
2462	138	146	Max	21.56	1642.43	27	0.01	14	0.00	14	-16.51	29	-0.54	29	-0.00	13
2462	138	146	Min.	0.00	753.32	13	-2.06	27	-0.00	27	-33.75	27	2.93	29	-0.01	27
2462	138	146	Min.	21.56	753.32	13	-0.25	27	-0.25	27	-34.60	27	-1.80	28	-0.01	27
2462	146	154	Max	0.00	1600.39	27	0.02	14	0.00	14	-18.88	29	6.66	27	0.11	27
2462	146	154	Max	21.56	1600.39	27	1.31	27	0.00	14	-19.73	29	-1.25	29	0.11	27
2462	146	154	Min.	0.00	734.24	13	-0.50	27	-0.20	27	-43.38	27	2.92	29	0.00	14
2462	146	154	Min.	21.56	734.24	13	0.01	13	-0.11	27	-44.23	27	-2.79	27	0.00	14
2462	154	162	Max	0.00	1560.71	27	0.28	27	0.00	14	-19.68	29	4.66	27	0.15	27
2462	154	162	Max	21.56	1560.71	27	2.09	27	0.24	27	-20.52	29	-2.34	29	0.15	27
2462	154	162	Min.	0.00	716.94	13	0.01	13	-0.01	27	-47.05	27	2.00	29	0.00	28
2462	154	162	Min.	21.56	716.94	13	0.01	13	0.00	13	-47.90	27	-5.58	27	0.00	28
2462	162	170	Max	0.00	1560.73	27	-0.01	13	0.24	27	47.93	27	-0.97	28	0.00	13
2462	162	170	Max	21.56	1560.73	27	-0.01	13	0.00	14	47.08	27	4.66	27	0.00	13
2462	162	170	Min.	0.00	716.96	13	-2.09	27	0.00	13	6.93	28	-5.58	27	-0.15	27
2462	162	170	Min.	21.56	716.96	13	-0.28	27	-0.01	27	6.08	28	0.43	28	-0.15	27
2462	170	178	Max	0.00	1600.44	27	-0.01	13	0.00	14	44.26	27	0.03	28	0.00	14
2462	170	178	Max	21.56	1600.44	27	0.50	27	0.00	14	43.42	27	6.66	27	0.00	14
2462	170	178	Min.	0.00	734.28	13	-1.31	27	-0.11	27	6.84	28	-2.79	27	-0.11	27
2462	170	178	Min.	21.56	734.28	13	-0.02	14	-0.20	27	5.99	28	1.42	28	-0.11	27

2462	178	186	Max	0.00	1642.53	27	0.25	27	0.00	14	34.63	27	0.69	28	0.01	27
2462	178	186	Max	21.56	1642.53	27	2.06	27	-0.00	28	33.78	27	6.41	27	0.01	27
2462	178	186	Min.	0.00	749.60	28	-0.01	14	-0.25	27	4.01	28	-0.97	27	0.00	13
2462	178	186	Min.	21.56	749.60	28	-0.01	14	-0.00	27	3.16	28	1.46	28	0.00	13
2462	186	194	Max	0.00	1676.07	27	1.07	27	0.00	28	25.29	27	1.33	28	0.09	27
2462	186	194	Max	21.56	1676.07	27	2.88	27	0.42	27	24.44	27	6.03	27	0.09	27
2462	186	194	Min.	0.00	750.60	28	-0.01	14	-0.00	27	1.23	28	0.20	29	0.00	13
2462	186	194	Min.	21.56	750.60	28	-0.01	14	0.00	13	0.38	28	1.51	28	0.00	13
2462	194	202	Max	0.00	1686.38	27	-0.02	13	0.35	27	-6.43	29	4.41	27	0.01	14
2462	194	202	Max	21.56	1686.38	27	-0.02	13	0.04	27	-7.27	29	2.33	27	0.01	14
2462	194	202	Min.	0.00	740.42	28	-2.30	27	0.01	13	-16.41	28	2.32	29	-0.21	27
2462	194	202	Min.	21.56	740.42	28	-0.49	27	0.00	13	-17.25	28	-0.41	28	-0.21	27
2462	202	210	Max	0.00	1668.37	27	-0.03	13	0.01	14	-10.84	29	5.21	27	0.01	14
2462	202	210	Max	21.56	1668.37	27	0.36	27	-0.00	13	-11.68	29	0.61	27	0.01	14
2462	202	210	Min.	0.00	716.57	28	-1.45	27	-0.07	27	-20.88	27	2.49	29	-0.14	27
2462	202	210	Min.	21.56	716.57	28	-0.04	14	-0.19	27	-21.73	27	-1.11	28	-0.14	27
2462	210	218	Max	0.00	1629.78	27	0.26	27	0.00	14	-14.79	29	6.39	27	0.01	14
2462	210	218	Max	17.25					-0.08	27			0.79	27		
2462	210	218	Max	21.56	1629.78	27	2.08	27	0.00	27	-15.63	29	-0.38	29	0.01	14
2462	210	218	Min.	0.00	684.28	28	-0.03	14	-0.25	27	-32.13	27	2.90	29	-0.01	27
2462	210	218	Min.	17.25					-0.03	29			0.29	29		
2462	210	218	Min.	21.56	684.28	28	-0.03	14	-0.01	14	-32.97	27	-1.52	28	-0.01	27
2462	218	226	Max	0.00	1567.30	27	1.25	27	0.00	13	-19.69	29	8.15	27	0.07	27
2462	218	226	Max	21.56	1567.30	27	3.07	27	0.46	27	-20.54	29	-0.67	13	0.07	27
2462	218	226	Min.	0.00	642.38	28	-0.02	14	-0.01	27	-45.20	27	3.66	29	0.01	13
2462	218	226	Min.	21.56	642.38	28	-0.02	14	-0.00	14	-46.04	27	-1.79	28	0.01	13
2462	226	234	Max	0.00	1462.54	27	-0.05	13	0.40	27	-39.83	29	12.03	27	0.01	14
2462	226	234	Max	21.56	1462.54	27	-0.05	13	0.02	27	-40.68	29	-2.92	29	0.01	14
2462	226	234	Min.	0.00	580.99	28	-2.64	27	0.01	13	-82.60	27	5.76	29	-0.18	27
2462	226	234	Min.	21.56	580.99	28	-0.83	27	-0.00	14	-83.45	27	-5.88	27	-0.18	27
2462	234	242	Max	0.00	1305.33	27	-0.06	13	0.01	14	-46.57	29	13.26	27	0.01	14
2462	234	242	Max	21.56	1305.33	27	0.18	27	-0.01	13	-47.42	29	-3.99	29	0.01	14
2462	234	242	Min.	0.00	495.37	28	-1.64	27	-0.07	27	-99.57	27	6.14	29	-0.11	27
2462	234	242	Min.	21.56	495.37	28	-0.07	14	-0.22	27	-100.42	27	-8.30	27	-0.11	27
2462	242	250	Max	0.00	1100.18	27	0.19	27	0.00	14	-53.51	29	14.86	27	0.01	14
2462	242	250	Max	21.56	1100.18	27	2.00	27	-0.01	13	-54.36	29	-4.89	29	0.01	14
2462	242	250	Min.	0.00	389.74	28	-0.08	14	-0.26	27	-117.49	27	6.74	29	-0.02	27
2462	242	250	Min.	21.56	389.74	28	-0.08	14	-0.03	27	-118.33	27	-10.56	27	-0.02	27
2462	250	258	Max	0.00	834.85	27	1.34	27	0.00	13	-61.90	29	17.05	27	0.03	27
2462	250	258	Max	21.56	834.85	27	3.15	27	0.45	27	-62.75	29	-5.75	29	0.03	27
2462	250	258	Min.	0.00	259.21	28	-0.07	14	-0.03	27	-138.42	27	7.69	29	0.01	13
2462	250	258	Min.	21.56	259.21	28	-0.07	14	-0.02	14	-139.27	27	-12.88	27	0.01	13
2462	258	266	Max	0.00	466.14	27	0.02	13	0.38	27	-90.79	13	22.24	27	0.01	14
2462	258	266	Max	17.25					-0.00	13			-5.39	13		
2462	258	266	Max	21.56	466.14	27	0.02	13	0.01	27	-91.64	13	-9.34	13	0.01	14
2462	258	266	Min.	0.00	82.94	28	-2.62	27	-0.00	13	-195.31	27	10.18	28	-0.18	27
2462	258	266	Min.	17.25					-0.00	28			-5.85	28		
2462	258	266	Min.	21.56	82.94	28	-0.81	27	-0.00	14	-196.16	27	-19.97	27	-0.18	27
2462	266	274	Max	0.00	-28.47	29	-0.00	13	0.00	14	-103.90	13	23.66	27	0.00	14
2462	266	274	Max	21.56	-28.47	29	0.42	27	0.00	13	-104.74	13	-11.69	13	0.00	14
2462	266	274	Min.	0.00	-153.68	28	-1.39	27	-0.10	27	-226.62	27	10.53	28	-0.14	27
2462	266	274	Min.	21.56	-153.68	28	-0.01	14	-0.21	27	-227.47	27	-25.29	27	-0.14	27
2462	274	282	Max	0.00	-323.31	13	0.45	27	0.00	14	-117.61	28	24.44	27	0.00	14
2462	274	282	Max	21.56	-323.31	13	2.26	27	0.00	27	-118.46	28	-14.50	13	0.00	14
2462	274	282	Min.	0.00	-681.85	27	-0.03	14	-0.29	27	-260.04	27	10.60	28	-0.12	27
2462	274	282	Min.	21.56	-681.85	27	-0.03	14	-0.01	14	-260.88	27	-31.72	27	-0.12	27
2462	282	2293	Max	0.00	-657.37	13	2.68	27	-0.01	13	-138.95	28	19.28	27	0.00	14
2462	282	2293	Max	21.56	-657.37	13	4.50	27	0.69	27	-139.80	28	-21.67	13	0.00	14
2462	282	2293	Min.	0.00	-1420.57	27	0.12	13	-0.09	27	-312.13	27	7.94	28	-0.10	27

2462	282	2293	Min.	21.56	-1420.57	27	0.12	13	0.02	14	-312.98	27	-48.12	27	-0.10	27
2462	2293	302	Max	0.00	-119.41	28	-0.18	28	0.30	27	23.46	27	-0.61	28	0.10	27
2462	2293	302	Max	16.67	-119.41	28	-0.18	28	-0.01	28	22.81	27	1.36	27	0.10	27
2462	2293	302	Min.	0.00	-249.72	27	-3.04	27	0.02	28	7.38	28	-2.49	27	0.02	28
2462	2293	302	Min.	16.67	-249.72	27	-1.64	27	-0.09	27	6.73	28	0.55	13	0.02	28
2462	302	310	Max	0.00	-77.38	28	-0.18	13	0.08	27	34.16	27	-1.56	28	0.12	27
2462	302	310	Max	16.67	-77.38	28	-0.17	29	-0.01	13	33.50	27	2.33	27	0.12	27
2462	302	310	Min.	0.00	-159.75	27	-1.74	27	0.02	13	15.81	28	-3.31	27	0.02	28
2462	302	310	Min.	16.67	-159.75	27	-0.34	27	-0.09	27	15.15	28	1.02	28	0.02	28
2462	310	2318	Max	0.00	-31.86	28	-0.27	13	0.05	27	29.41	27	-1.12	28	0.08	27
2462	310	2318	Max	16.67	-31.86	28	-0.14	29	-0.03	13	28.76	27	2.63	27	0.08	27
2462	310	2318	Min.	0.00	-63.62	27	-1.55	27	0.02	13	14.69	28	-2.22	27	0.02	28
2462	310	2318	Min.	16.67	-63.62	27	-0.32	14	-0.09	27	14.03	28	1.27	28	0.02	28
2500	2008	16	Max	0.00	-7.13	13	0.41	27	-0.02	13	-3.25	13	1.05	27	0.01	28
2500	2008	16	Max	16.67	-7.13	13	1.81	27	0.08	27	-3.91	13	-0.32	13	0.01	28
2500	2008	16	Min.	0.00	-24.92	27	0.15	29	-0.11	27	-13.16	27	0.27	13	-0.04	27
2500	2008	16	Min.	16.67	-24.92	27	0.24	13	0.02	13	-13.82	27	-1.20	27	-0.04	27
2500	16	24	Max	0.00	-13.09	13	0.11	27	-0.00	28	-0.32	13	-0.03	13	0.01	28
2500	16	24	Max	16.67	-13.09	13	1.51	27	0.06	27	-0.97	13	-0.14	13	0.01	28
2500	16	24	Min.	0.00	-44.78	27	0.01	29	-0.07	27	-0.91	27	-0.19	27	-0.07	27
2500	16	24	Min.	16.67	-44.78	27	0.04	28	0.00	13	-1.56	27	-0.40	27	-0.07	27
2500	24	2036	Max	0.00	-37.22	13	2.22	27	-0.01	28	-0.56	14	0.51	27	0.02	28
2500	24	2036	Max	16.67	-37.22	13	3.62	27	0.37	27	-1.21	14	0.05	14	0.02	28
2500	24	2036	Min.	0.00	-113.81	27	0.23	13	-0.12	27	-6.21	27	0.11	28	-0.05	27
2500	24	2036	Min.	16.67	-113.81	27	0.23	13	0.03	13	-6.86	27	-0.58	27	-0.05	27
2500	2036	44	Max	0.00	-229.94	28	0.37	14	0.53	27	152.19	27	-10.64	28	0.00	27
2500	2036	44	Max	21.56	-229.94	28	0.37	14	0.00	28	151.34	27	9.18	27	0.00	27
2500	2036	44	Min.	0.00	-697.71	27	-3.67	27	-0.08	14	71.33	13	-23.55	27	-0.06	14
2500	2036	44	Min.	21.56	-697.71	27	-1.86	27	-0.07	27	70.48	13	4.27	13	-0.06	14
2500	44	52	Max	0.00	-56.75	28	0.29	14	-0.03	29	130.06	27	-7.21	28	0.02	27
2500	44	52	Max	21.56	-56.75	28	0.29	14	0.01	14	129.21	27	12.03	27	0.02	27
2500	44	52	Min.	0.00	-333.99	27	-1.88	27	-0.06	27	60.73	13	-15.92	27	-0.06	14
2500	44	52	Min.	21.56	-333.99	27	-0.06	27	-0.27	27	59.89	13	5.59	13	-0.06	14
2500	52	60	Max	0.00	95.18	28	0.29	14	-0.03	13	116.52	27	-5.80	28	0.06	27
2500	52	60	Max	21.56	95.18	28	1.80	27	0.03	14	115.67	27	11.98	27	0.06	27
2500	52	60	Min.	0.00	-10.10	29	-0.01	27	-0.25	27	53.84	13	-13.05	27	-0.06	14
2500	52	60	Min.	21.56	-10.10	29	0.23	13	-0.06	27	52.99	13	5.50	13	-0.06	14
2500	60	68	Max	0.00	251.78	27	1.18	27	-0.01	29	104.16	27	-4.66	28	0.11	27
2500	60	68	Max	21.56	251.78	27	2.99	27	0.44	27	103.32	27	11.76	27	0.11	27
2500	60	68	Min.	0.00	110.65	13	0.21	13	-0.02	28	47.73	13	-10.61	27	-0.05	14
2500	60	68	Min.	21.56	110.65	13	0.21	13	0.03	13	46.88	13	5.29	13	-0.05	14
2500	68	76	Max	0.00	443.22	27	0.07	14	0.45	27	69.99	27	-2.83	28	-0.03	13
2500	68	76	Max	17.25					-0.00	14			3.29	14		
2500	68	76	Max	21.56	443.22	27	0.07	14	0.00	28	69.14	27	8.57	27	-0.03	13
2500	68	76	Min.	0.00	202.23	13	-3.12	27	-0.02	14	33.15	28	-6.43	27	-0.08	27
2500	68	76	Min.	17.25					-0.00	13			2.72	13		
2500	68	76	Min.	21.56	202.23	13	-1.31	27	-0.03	27	32.31	28	4.23	28	-0.08	27
2500	76	84	Max	0.00	579.94	27	0.14	14	-0.02	13	62.14	27	-2.39	28	-0.01	29
2500	76	84	Max	21.56	579.94	27	0.14	14	0.01	14	61.29	27	7.64	27	-0.01	29
2500	76	84	Min.	0.00	270.67	13	-1.88	27	-0.04	27	28.79	28	-5.67	27	-0.03	14
2500	76	84	Min.	21.56	270.67	13	-0.06	27	-0.25	27	27.94	28	3.73	28	-0.03	14
2500	84	92	Max	0.00	690.78	27	0.14	14	-0.01	13	56.37	27	-1.96	28	0.09	27
2500	84	92	Max	21.56	690.78	27	1.77	27	0.02	14	55.53	27	7.19	27	0.09	27
2500	84	92	Min.	0.00	325.76	13	-0.04	27	-0.23	27	25.50	28	-4.88	27	-0.03	14
2500	84	92	Min.	21.56	325.76	13	0.11	13	-0.04	27	24.66	28	3.45	28	-0.03	14
2500	92	100	Max	0.00	780.32	27	0.90	27	0.03	27	50.61	27	-1.31	28	0.15	27
2500	92	100	Max	21.56	780.32	27	2.71	27	0.42	27	49.76	27	7.12	27	0.15	27
2500	92	100	Min.	0.00	369.63	13	0.07	13	0.00	28	22.18	28	-3.70	27	-0.03	14
2500	92	100	Min.	21.56	369.63	13	0.07	13	0.02	13	21.33	28	3.38	28	-0.03	14

2500	100	108	Max	0.00	837.48	27	0.06	14	0.44	27	20.45	27	0.55	28	-0.02	13
2500	100	108	Max	21.56	837.48	27	0.06	14	-0.00	28	19.60	27	3.97	27	-0.02	13
2500	100	108	Min.	0.00	398.13	13	-3.02	27	-0.02	14	5.31	28	-0.35	27	-0.10	27
2500	100	108	Min.	21.56	398.13	13	-1.21	27	-0.01	27	4.47	28	1.60	28	-0.10	27
2500	108	116	Max	0.00	868.23	27	0.11	14	-0.01	29	16.64	27	0.55	28	0.00	27
2500	108	116	Max	21.56	868.23	27	0.11	14	0.01	14	15.79	27	3.14	27	0.00	27
2500	108	116	Min.	0.00	414.01	13	-1.97	27	-0.02	27	3.03	28	-0.36	27	-0.02	14
2500	108	116	Min.	21.56	414.01	13	-0.16	27	-0.25	27	2.18	28	1.11	28	-0.02	14
2500	116	124	Max	0.00	890.07	27	0.11	14	-0.00	28	14.42	27	0.68	28	0.13	27
2500	116	124	Max	21.56	890.07	27	1.56	27	0.02	14	13.57	27	2.89	27	0.13	27
2500	116	124	Min.	0.00	424.79	13	-0.25	27	-0.20	27	1.57	28	-0.13	27	-0.01	14
2500	116	124	Min.	21.56	424.79	13	0.09	28	-0.06	27	0.73	28	0.93	28	-0.01	14
2500	124	132	Max	0.00	904.25	27	0.56	27	0.05	27	11.37	27	1.10	28	0.20	27
2500	124	132	Max	21.56	904.25	27	2.37	27	0.37	27	10.53	27	3.01	27	0.20	27
2500	124	132	Min.	0.00	431.32	13	0.06	28	0.00	13	-0.34	28	0.34	13	-0.01	14
2500	124	132	Min.	21.56	431.32	13	0.06	28	0.02	13	-1.18	28	0.93	28	-0.01	14
2500	132	140	Max	0.00	901.56	27	-0.02	14	0.42	27	-5.11	13	3.41	27	-0.00	28
2500	132	140	Max	21.56	901.56	27	-0.02	14	-0.00	13	-5.96	13	0.24	14	-0.00	28
2500	132	140	Min.	0.00	430.57	13	-2.90	27	0.00	14	-14.32	27	1.43	13	-0.10	27
2500	132	140	Min.	21.56	430.57	13	-1.09	27	-0.01	27	-15.16	27	-0.50	28	-0.10	27
2500	140	148	Max	0.00	884.87	27	0.02	14	0.00	28	-6.70	13	3.08	27	0.01	28
2500	140	148	Max	21.56	884.87	27	0.02	14	0.00	14	-7.55	13	-0.14	13	0.01	28
2500	140	148	Min.	0.00	423.71	13	-2.04	27	-0.01	27	-16.25	27	1.40	13	-0.01	27
2500	140	148	Min.	21.56	423.71	13	-0.23	27	-0.25	27	-17.09	27	-0.92	28	-0.01	27
2500	148	156	Max	0.00	866.25	27	0.03	14	0.01	28	-8.19	13	2.86	27	0.12	27
2500	148	156	Max	21.56	866.25	27	1.34	27	0.01	14	-9.03	13	-0.47	13	0.12	27
2500	148	156	Min.	0.00	415.29	13	-0.47	27	-0.19	27	-17.66	27	1.39	13	0.00	13
2500	148	156	Min.	21.56	415.29	13	-0.01	28	-0.10	27	-18.51	27	-1.24	28	0.00	13
2500	156	164	Max	0.00	850.41	27	0.30	27	0.02	28	-8.55	13	1.92	27	0.16	27
2500	156	164	Max	21.56	850.41	27	2.11	27	0.27	27	-9.40	13	-0.96	13	0.16	27
2500	156	164	Min.	0.00	407.57	13	-0.02	28	0.01	29	-17.03	27	0.97	13	0.00	13
2500	156	164	Min.	21.56	407.57	13	-0.02	28	0.01	28	-17.87	27	-1.84	27	0.00	13
2500	164	172	Max	0.00	850.41	27	-0.01	13	0.27	27	17.87	27	-0.24	28	0.00	28
2500	164	172	Max	21.56	850.41	27	-0.01	13	0.02	14	17.03	27	1.92	27	0.00	28
2500	164	172	Min.	0.00	407.58	13	-2.11	27	0.02	13	2.46	28	-1.84	27	-0.16	27
2500	164	172	Min.	21.56	407.58	13	-0.30	27	0.01	29	1.61	28	0.20	28	-0.16	27
2500	172	180	Max	0.00	866.25	27	-0.02	13	0.01	28	18.51	27	0.26	28	0.00	28
2500	172	180	Max	21.56	866.25	27	0.47	27	0.01	14	17.67	27	2.86	27	0.00	28
2500	172	180	Min.	0.00	415.30	13	-1.34	27	-0.10	27	1.96	28	-1.04	27	-0.12	27
2500	172	180	Min.	21.56	415.30	13	-0.05	28	-0.19	27	1.11	28	0.59	28	-0.12	27
2500	180	188	Max	0.00	884.87	27	0.23	27	0.00	28	17.09	27	0.62	28	0.01	27
2500	180	188	Max	3.26					0.00	28			0.62	28		
2500	180	188	Max	21.56	884.87	27	2.04	27	0.00	13	16.25	27	3.08	27	0.01	27
2500	180	188	Min.	0.00	421.21	28	-0.04	28	-0.25	27	0.13	28	-0.51	27	0.00	13
2500	180	188	Min.	3.26					0.00	28			0.62	28		
2500	180	188	Min.	21.56	421.21	28	-0.04	28	-0.01	27	-0.72	28	0.55	28	0.00	13
2500	188	196	Max	0.00	901.56	27	1.09	27	-0.00	28	15.17	27	0.96	28	0.10	27
2500	188	196	Max	8.62					-0.00	14			0.89	14		
2500	188	196	Max	21.56	901.56	27	2.90	27	0.42	27	14.32	27	3.41	27	0.10	27
2500	188	196	Min.	0.00	418.99	28	-0.02	28	-0.01	27	-1.74	28	0.22	29	0.01	13
2500	188	196	Min.	8.62					-0.00	14			0.89	14		
2500	188	196	Min.	21.56	418.99	28	-0.02	28	-0.01	28	-2.58	28	0.50	28	0.01	13
2500	196	204	Max	0.00	904.26	27	-0.06	13	0.37	27	-3.99	29	3.01	27	0.01	28
2500	196	204	Max	21.56	904.26	27	-0.06	13	0.05	27	-4.83	29	0.64	27	0.01	28
2500	196	204	Min.	0.00	410.96	28	-2.37	27	0.02	28	-10.52	27	1.31	29	-0.20	27
2500	196	204	Min.	21.56	410.96	28	-0.56	27	0.00	28	-11.37	27	-0.39	28	-0.20	27
2500	204	212	Max	0.00	890.08	27	-0.09	13	0.02	14	-6.02	29	2.89	27	0.01	28
2500	204	212	Max	21.56	890.08	27	0.25	27	-0.01	13	-6.87	29	-0.02	29	0.01	28
2500	204	212	Min.	0.00	396.08	28	-1.57	27	-0.06	27	-13.57	27	1.37	29	-0.13	27

2500	204	212	Min.	21.56	396.08	28	-0.11	14	-0.20	27	-14.41	27	-0.76	28	-0.13	27
2500	212	220	Max	0.00	868.25	27	0.16	27	0.01	14	-7.80	29	3.14	27	0.02	14
2500	212	220	Max	21.56	868.25	27	1.97	27	-0.01	29	-8.64	29	-0.20	29	0.02	14
2500	212	220	Min.	0.00	376.32	28	-0.11	14	-0.25	27	-15.79	27	1.57	29	0.00	27
2500	212	220	Min.	21.56	376.32	28	-0.11	14	-0.02	27	-16.64	27	-1.00	28	0.00	27
2500	220	228	Max	0.00	837.51	27	1.21	27	-0.00	13	-10.25	29	3.97	27	0.10	27
2500	220	228	Max	21.56	837.51	27	3.02	27	0.44	27	-11.10	29	-0.30	29	0.10	27
2500	220	228	Min.	0.00	350.69	28	-0.06	28	-0.01	27	-19.60	27	2.00	29	0.02	13
2500	220	228	Min.	21.56	350.69	28	-0.06	28	-0.02	28	-20.44	27	-1.19	28	0.02	13
2500	228	236	Max	0.00	780.36	27	-0.07	28	0.42	27	-23.53	29	7.12	27	0.03	14
2500	228	236	Max	21.56	780.36	27	-0.07	28	0.03	27	-24.37	29	-1.78	29	0.03	14
2500	228	236	Min.	0.00	312.98	28	-2.71	27	0.02	28	-49.75	27	3.38	29	-0.15	27
2500	228	236	Min.	21.56	312.98	28	-0.90	27	0.00	13	-50.59	27	-3.70	27	-0.15	27
2500	236	244	Max	0.00	690.84	27	-0.11	13	0.02	14	-26.88	29	7.19	27	0.03	14
2500	236	244	Max	21.56	690.84	27	0.04	27	-0.01	13	-27.73	29	-2.38	29	0.03	14
2500	236	244	Min.	0.00	260.62	28	-1.77	27	-0.04	27	-55.51	27	3.50	29	-0.09	27
2500	236	244	Min.	21.56	260.62	28	-0.14	14	-0.23	27	-56.36	27	-4.87	27	-0.09	27
2500	244	252	Max	0.00	580.03	27	0.06	27	0.01	14	-30.33	29	7.63	27	0.03	14
2500	244	252	Max	21.56	580.03	27	1.87	27	-0.02	13	-31.17	29	-2.85	29	0.03	14
2500	244	252	Min.	0.00	196.19	28	-0.14	14	-0.25	27	-61.28	27	3.78	29	0.01	29
2500	244	252	Min.	21.56	196.19	28	-0.14	14	-0.04	27	-62.12	27	-5.67	27	0.01	29
2500	252	260	Max	0.00	443.35	27	1.31	27	0.00	13	-34.70	29	8.57	27	0.08	27
2500	252	260	Max	21.56	443.35	27	3.12	27	0.45	27	-35.55	29	-3.34	29	0.08	27
2500	252	260	Min.	0.00	117.24	28	-0.07	14	-0.03	27	-69.12	27	4.23	13	0.03	28
2500	252	260	Min.	21.56	117.24	28	-0.07	14	-0.02	14	-69.97	27	-6.43	27	0.03	28
2500	260	268	Max	0.00	252.00	27	-0.18	28	0.44	27	-46.85	13	11.75	27	0.05	14
2500	260	268	Max	21.56	252.00	27	-0.18	28	-0.01	29	-47.70	13	-4.91	13	0.05	14
2500	260	268	Min.	0.00	15.50	28	-2.99	27	0.03	28	-103.26	27	5.29	13	-0.11	27
2500	260	268	Min.	21.56	15.50	28	-1.18	27	-0.02	14	-104.10	27	-10.60	27	-0.11	27
2500	268	276	Max	0.00	-9.54	14	-0.22	28	0.03	14	-52.96	13	11.98	27	0.06	14
2500	268	276	Max	21.56	-9.54	14	0.01	27	-0.02	28	-53.80	13	-6.01	13	0.06	14
2500	268	276	Min.	0.00	-114.71	28	-1.80	27	-0.06	27	-115.61	27	5.50	13	-0.06	27
2500	268	276	Min.	21.56	-114.71	28	-0.29	14	-0.25	27	-116.46	27	-13.04	27	-0.06	27
2500	276	284	Max	0.00	-159.42	13	0.06	27	0.01	14	-59.84	13	12.03	27	0.06	14
2500	276	284	Max	21.56	-159.42	13	1.88	27	-0.03	29	-60.69	13	-7.41	13	0.06	14
2500	276	284	Min.	0.00	-333.43	27	-0.29	14	-0.27	27	-129.13	27	5.59	13	-0.02	27
2500	276	284	Min.	21.56	-333.43	27	-0.29	14	-0.06	27	-129.98	27	-15.91	27	-0.02	27
2500	284	2296	Max	0.00	-328.72	13	1.87	27	0.00	13	-70.44	13	9.17	27	0.06	14
2500	284	2296	Max	21.56	-328.72	13	3.68	27	0.53	27	-71.29	13	-11.02	13	0.06	14
2500	284	2296	Min.	0.00	-696.85	27	-0.36	14	-0.07	27	-151.26	27	4.17	28	-0.00	27
2500	284	2296	Min.	21.56	-696.85	27	-0.36	14	-0.08	14	-152.10	27	-23.54	27	-0.00	27
2500	2296	304	Max	0.00	-32.87	28	-0.25	13	0.35	27	5.85	27	0.40	28	0.05	27
2500	2296	304	Max	15.83					-0.01	14			0.13	14		
2500	2296	304	Max	16.67	-32.87	28	-0.25	13	-0.01	13	5.19	27	0.36	27	0.05	27
2500	2296	304	Min.	0.00	-103.39	27	-3.40	27	0.03	13	-0.83	28	-0.56	27	-0.02	14
2500	2296	304	Min.	15.83					-0.01	14			0.13	14		
2500	2296	304	Min.	16.67	-103.39	27	-2.00	27	-0.10	27	-1.49	28	0.13	13	-0.02	14
2500	304	312	Max	0.00	-18.59	28	-0.14	13	0.09	27	14.69	27	-0.45	28	0.07	27
2500	304	312	Max	16.67	-18.59	28	-0.14	13	-0.01	13	14.03	27	0.92	27	0.07	27
2500	304	312	Min.	0.00	-66.99	27	-1.87	27	0.01	13	4.92	28	-1.47	27	-0.01	13
2500	304	312	Min.	16.67	-66.99	27	-0.47	27	-0.10	27	4.27	28	0.31	28	-0.01	13
2500	312	2320	Max	0.00	-7.04	28	-0.21	13	0.06	27	13.12	27	-0.23	28	0.04	27
2500	312	2320	Max	16.67	-7.04	28	-0.10	29	-0.02	13	12.46	27	1.13	27	0.04	27
2500	312	2320	Min.	0.00	-26.92	27	-1.70	27	0.01	13	3.34	28	-1.00	27	-0.01	13
2500	312	2320	Min.	16.67	-26.92	27	-0.30	27	-0.10	27	2.68	28	0.27	28	-0.01	13
2580	2031	2032	Max	0.00	2.31	27	-496.43	28	0.37	27	-130.37	29	0.13	27	52.01	27
2580	2031	2032	Max	0.63	2.31	27	-496.43	28	-3.02	28	-130.41	29	-0.74	29	52.01	27
2580	2031	2032	Min.	0.00	-1.44	28	-1262.93	27	0.11	28	-246.45	27	0.08	13	22.97	13
2580	2031	2032	Min.	0.63	-1.44	28	-1262.93	27	-7.59	27	-246.49	27	-1.43	27	22.97	13

2580	2032	2033	Max	5.37	-2.19	13	1115.98	27	-2.80	28	504.52	27	-1.15	13	-21.96	29
2580	2032	2033	Max	6.00	-2.19	13	1115.98	27	0.40	27	504.48	27	0.07	14	-21.96	29
2580	2032	2033	Min.	5.37	-13.19	27	444.28	28	-6.63	27	192.72	13	-3.17	27	-49.46	27
2580	2032	2033	Min.	6.00	-13.19	27	444.28	28	-0.00	28	192.68	13	0.01	27	-49.46	27
2624	2291	2292	Max	0.00	2.34	27	1246.06	27	-0.11	13	-131.95	29	0.13	27	-22.80	13
2624	2291	2292	Max	0.63	2.34	27	1246.06	27	7.49	27	-132.00	29	-0.75	29	-22.80	13
2624	2291	2292	Min.	0.00	-1.35	14	542.54	13	-0.36	27	-249.34	27	0.07	28	-51.68	27
2624	2291	2292	Min.	0.63	-1.35	14	542.54	13	3.31	13	-249.38	27	-1.44	27	-51.68	27
2624	2292	2293	Max	5.37	-2.04	28	-503.58	29	6.73	27	501.22	27	-1.09	28	49.61	27
2624	2292	2293	Max	6.00	-2.04	28	-503.58	29	-0.01	13	501.18	27	0.07	14	49.61	27
2624	2292	2293	Min.	5.37	-12.96	27	-1136.89	27	3.02	29	181.07	28	-3.14	27	22.05	29
2624	2292	2293	Min.	6.00	-12.96	27	-1136.89	27	-0.43	27	181.03	28	0.02	27	22.05	29
2859	2034	2035	Max	0.00	3.82	27	-225.76	28	0.46	27	-87.41	29	-0.04	13	28.86	27
2859	2034	2035	Max	0.63	3.82	27	-225.76	28	-1.28	28	-87.46	29	-0.60	29	28.86	27
2859	2034	2035	Min.	0.00	-0.64	28	-704.78	27	0.14	13	-153.16	27	-0.09	27	11.66	28
2859	2034	2035	Min.	0.63	-0.64	28	-704.78	27	-3.98	27	-153.20	27	-1.05	27	11.66	28
2859	2035	2036	Max	5.37	-0.11	28	563.99	27	-1.32	28	184.41	27	-0.33	13	-10.42	28
2859	2035	2036	Max	6.00	-0.11	28	563.99	27	0.18	27	184.37	27	0.10	14	-10.42	28
2859	2035	2036	Min.	5.37	-7.73	27	193.43	28	-3.38	27	66.26	13	-1.19	27	-25.20	27
2859	2035	2036	Min.	6.00	-7.73	27	193.43	28	-0.11	14	66.22	13	-0.03	27	-25.20	27
2903	2294	2295	Max	0.00	3.80	27	698.03	27	-0.14	13	-87.94	29	-0.04	28	-13.03	13
2903	2294	2295	Max	0.63	3.80	27	698.03	27	3.94	27	-87.98	29	-0.60	29	-13.03	13
2903	2294	2295	Min.	0.00	-0.54	14	307.35	13	-0.46	27	-154.32	27	-0.09	27	-28.73	27
2903	2294	2295	Min.	0.63	-0.54	14	307.35	13	1.80	13	-154.36	27	-1.06	27	-28.73	27
2903	2295	2296	Max	5.37	-0.15	13	-278.08	29	3.41	27	182.95	27	-0.33	13	25.27	27
2903	2295	2296	Max	6.00	-0.15	13	-278.08	29	0.11	14	182.90	27	0.09	14	25.27	27
2903	2295	2296	Min.	5.37	-7.52	27	-572.50	27	1.70	29	65.51	13	-1.18	27	12.08	29
2903	2295	2296	Min.	6.00	-7.52	27	-572.50	27	-0.20	27	65.47	13	-0.03	27	12.08	29
3001	3001	3002	Max	0.00	2.44	27	-2.26	13	0.19	27	4.20	27	0.18	27	0.29	27
3001	3001	3002	Max	12.00	2.44	27	-2.26	13	-0.16	13	6.58	27	0.83	27	0.29	27
3001	3001	3002	Min.	0.00	1.13	29	-7.24	27	0.09	29	-6.86	14	0.02	14	0.05	14
3001	3001	3002	Min.	12.00	1.13	29	-7.24	27	-0.68	27	-4.96	14	-0.69	14	0.05	14
3001	3003	3004	Max	0.00	7.13	27	-1.42	13	0.49	27	12.99	27	22.52	27	0.21	27
3001	3003	3004	Max	12.00	7.13	27	-1.42	13	-0.10	13	15.37	27	24.22	27	0.21	27
3001	3003	3004	Min.	0.00	3.06	29	-8.88	27	0.07	13	-2.15	14	16.31	29	-0.04	14
3001	3003	3004	Min.	12.00	3.06	29	-8.88	27	-0.58	27	-0.24	14	16.25	13	-0.04	14
3001	3005	3006	Max	0.00	7.67	27	0.10	14	0.21	27	23.60	27	20.52	27	0.51	27
3001	3005	3006	Max	12.00	7.67	27	0.10	14	-0.01	14	25.98	27	23.49	27	0.51	27
3001	3005	3006	Min.	0.00	3.30	29	-4.41	27	-0.03	14	4.61	13	15.48	29	0.14	13
3001	3005	3006	Min.	12.00	3.30	29	-4.41	27	-0.32	27	6.39	13	16.68	13	0.14	13
3001	3007	3008	Max	0.00	2.82	27	3.02	27	-0.01	29	28.55	27	-0.74	13	0.33	27
3001	3007	3008	Max	12.00	2.82	27	3.02	27	0.35	27	30.94	27	0.01	13	0.33	27
3001	3007	3008	Min.	0.00	1.30	29	1.30	29	-0.13	14	5.34	13	-3.72	27	-0.01	13
3001	3007	3008	Min.	12.00	1.30	29	1.30	29	0.12	13	7.12	13	-0.15	27	-0.01	13
3087	3313	3314	Max	0.00	2.48	27	6.61	27	-0.09	29	1.50	27	0.16	27	-0.02	14
3087	3313	3314	Max	12.00	2.48	27	6.61	27	0.60	27	3.88	27	0.48	27	-0.02	14
3087	3313	3314	Min.	0.00	1.18	29	2.05	13	-0.19	27	-7.97	14	0.01	14	-0.22	27
3087	3313	3314	Min.	12.00	1.18	29	2.05	13	0.12	13	-6.07	14	-0.83	14	-0.22	27
3087	3315	3316	Max	0.00	7.14	27	7.35	27	-0.02	13	8.64	27	22.79	27	0.10	14
3087	3315	3316	Max	12.00	7.14	27	7.35	27	0.48	27	11.02	27	23.97	27	0.10	14
3087	3315	3316	Min.	0.00	3.13	29	0.69	13	-0.40	27	-4.27	14	15.71	28	-0.11	27
3087	3315	3316	Min.	12.00	3.13	29	0.69	13	0.06	13	-2.37	14	15.37	28	-0.11	27
3087	3317	3318	Max	0.00	7.54	27	2.73	27	0.08	14	18.24	27	20.79	27	-0.08	28
3087	3317	3318	Max	12.00	7.54	27	2.73	27	0.22	27	20.62	27	23.12	27	-0.08	28
3087	3317	3318	Min.	0.00	3.26	29	-0.99	14	-0.11	27	2.00	28	15.37	28	-0.39	27
3087	3317	3318	Min.	12.00	3.26	29	-0.99	14	-0.04	14	3.68	28	15.71	28	-0.39	27
3087	3319	3320	Max	0.00	2.75	27	-1.58	29	0.17	14	26.42	27	-0.58	28	0.03	13
3087	3319	3320	Max	12.00	2.75	27	-1.58	29	-0.12	13	28.80	27	0.02	13	0.03	13
3087	3319	3320	Min.	0.00	1.27	29	-3.58	27	0.04	29	4.09	28	-3.45	27	-0.28	27

3087	3319	3320	Min.	12.00	1.27	29	-3.58	27	-0.35	27	5.78	28	-0.13	27	-0.28	27
4022	4025	4026	Max	0.00	-0.63	29	615.40	27	-0.07	29	-59.39	13	0.20	27	20.03	27
4022	4025	4026	Max	0.63	-0.63	29	615.40	27	3.77	27	-59.45	13	-0.31	13	20.03	27
4022	4025	4026	Min.	0.00	-1.30	14	192.66	28	-0.15	14	-142.65	27	0.06	13	8.44	28
4022	4025	4026	Min.	0.63	-1.30	14	192.66	28	1.10	28	-142.77	27	-0.70	27	8.44	28
4022	4026	4027	Max	5.37	16.22	14	-193.91	28	4.48	27	104.48	27	-4.81	13	-9.57	28
4022	4026	4027	Max	6.00	16.22	14	-193.91	28	0.95	27	104.36	27	-4.38	13	-9.57	28
4022	4026	4027	Min.	5.37	-25.38	27	-561.08	27	1.35	28	55.99	29	-37.02	27	-21.90	27
4022	4026	4027	Min.	6.00	-25.38	27	-561.08	27	0.11	13	55.93	29	-36.36	27	-21.90	27
4022	4028	4029	Max	0.00	97.25	27	1166.44	27	-0.13	28	-108.72	13	-0.61	27	39.97	27
4022	4028	4029	Max	0.63	97.25	27	1166.44	27	6.75	27	-108.78	13	-2.57	27	39.97	27
4022	4028	4029	Min.	0.00	28.89	28	431.93	28	-0.60	27	-309.81	27	-19.44	28	17.47	13
4022	4028	4029	Min.	0.63	28.89	28	431.93	28	2.59	28	-309.94	27	-20.27	28	17.47	13
4022	4029	4030	Max	5.37	46.99	14	-441.08	28	7.46	27	182.94	27	-14.18	13	-17.71	29
4022	4029	4030	Max	6.00	46.99	14	-441.08	28	0.62	27	182.81	27	-13.42	13	-17.71	29
4022	4029	4030	Min.	5.37	25.38	29	-1085.73	27	2.73	28	95.95	29	-48.43	27	-39.83	27
4022	4029	4030	Min.	6.00	25.38	29	-1085.73	27	-0.06	14	95.89	29	-47.28	27	-39.83	27
4022	4031	4032	Max	0.00	115.64	27	1197.17	27	-0.03	28	-116.30	13	4.00	27	40.83	27
4022	4031	4032	Max	0.63	115.64	27	1197.17	27	7.27	27	-116.36	13	1.99	27	40.83	27
4022	4031	4032	Min.	0.00	35.11	28	458.71	28	-0.27	27	-319.62	27	-15.51	28	18.03	13
4022	4031	4032	Min.	0.63	35.11	28	458.71	28	2.85	28	-319.75	27	-16.38	28	18.03	13
4022	4032	4033	Max	5.37	46.49	27	-413.76	28	6.88	27	172.34	27	-18.14	13	-17.08	29
4022	4032	4033	Max	6.00	46.49	27	-413.76	28	0.34	27	172.22	27	-17.43	13	-17.08	29
4022	4032	4033	Min.	5.37	22.61	29	-1037.86	27	2.48	28	88.25	29	-53.42	27	-38.45	27
4022	4032	4033	Min.	6.00	22.61	29	-1037.86	27	-0.18	14	88.18	29	-52.33	27	-38.45	27
4022	4034	4035	Max	0.00	58.11	27	665.26	27	0.13	14	-67.73	13	18.82	27	22.98	27
4022	4034	4035	Max	0.63	58.11	27	665.26	27	4.27	27	-67.79	13	17.68	27	22.98	27
4022	4034	4035	Min.	0.00	15.36	28	202.56	28	0.03	29	-180.56	27	-5.82	28	9.64	28
4022	4034	4035	Min.	0.63	15.36	28	202.56	28	1.40	28	-180.69	27	-6.32	28	9.64	28
4022	4035	4036	Max	5.37	-1.26	13	-184.16	28	3.43	27	96.37	27	-0.31	29	-8.30	28
4022	4035	4036	Max	6.00	-1.26	13	-184.16	28	0.07	27	96.24	27	0.07	28	-8.30	28
4022	4035	4036	Min.	5.37	-8.54	27	-534.79	27	1.05	28	53.01	29	-0.61	27	-19.20	27
4022	4035	4036	Min.	6.00	-8.54	27	-534.79	27	-0.15	14	52.94	29	-0.00	27	-19.20	27
4066	4285	4286	Max	0.00	-0.68	29	-274.72	13	0.14	14	-55.87	28	0.20	27	-9.35	13
4066	4285	4286	Max	0.63	-0.68	29	-274.72	13	-1.61	13	-55.92	28	-0.30	28	-9.35	13
4066	4285	4286	Min.	0.00	-1.54	14	-605.20	27	0.06	29	-144.33	27	0.05	28	-19.82	27
4066	4285	4286	Min.	0.63	-1.54	14	-605.20	27	-3.72	27	-144.46	27	-0.71	27	-19.82	27
4066	4286	4287	Max	5.37	16.12	14	573.05	27	-1.89	13	102.82	27	-3.81	28	21.92	27
4066	4286	4287	Max	6.00	16.12	14	573.05	27	-0.09	28	102.69	27	-3.42	28	21.92	27
4066	4286	4287	Min.	5.37	-25.42	27	270.32	29	-4.55	27	55.07	29	-37.11	27	10.14	29
4066	4286	4287	Min.	6.00	-25.42	27	270.32	29	-0.94	27	55.00	29	-36.46	27	10.14	29
4066	4288	4289	Max	0.00	97.22	27	-485.29	13	0.60	27	-98.13	28	-0.50	27	-17.33	13
4066	4288	4289	Max	0.63	97.22	27	-485.29	13	-2.93	13	-98.18	28	-2.47	27	-17.33	13
4066	4288	4289	Min.	0.00	31.74	13	-1152.75	27	0.13	13	-312.62	27	-19.30	14	-39.68	27
4066	4288	4289	Min.	0.63	31.74	13	-1152.75	27	-6.66	27	-312.75	27	-20.16	14	-39.68	27
4066	4289	4290	Max	5.37	46.83	14	1102.37	27	-3.15	13	179.78	27	-12.85	28	39.91	27
4066	4289	4290	Max	6.00	46.83	14	1102.37	27	0.05	28	179.65	27	-12.18	28	39.91	27
4066	4289	4290	Min.	5.37	25.35	29	494.50	29	-7.58	27	94.12	29	-48.54	27	17.76	29
4066	4289	4290	Min.	6.00	25.35	29	494.50	29	-0.63	27	94.06	29	-47.41	27	17.76	29
4066	4291	4292	Max	0.00	115.77	27	-507.73	13	0.27	27	-106.50	28	4.14	27	-17.86	13
4066	4291	4292	Max	0.63	115.77	27	-507.73	13	-3.15	13	-106.55	28	2.10	27	-17.86	13
4066	4291	4292	Min.	0.00	38.18	13	-1181.30	27	0.05	13	-322.86	27	-15.12	14	-40.50	27
4066	4291	4292	Min.	0.63	38.18	13	-1181.30	27	-7.17	27	-322.98	27	-16.03	14	-40.50	27
4066	4292	4293	Max	5.37	46.55	27	1057.72	27	-2.93	13	168.68	27	-16.94	28	38.54	27
4066	4292	4293	Max	6.00	46.55	27	1057.72	27	0.18	14	168.55	27	-16.32	28	38.54	27
4066	4292	4293	Min.	5.37	22.63	29	469.46	29	-6.99	27	86.07	29	-53.52	27	17.14	29
4066	4292	4293	Min.	6.00	22.63	29	469.46	29	-0.33	27	86.01	29	-52.46	27	17.14	29
4066	4294	4295	Max	0.00	58.28	27	-284.70	13	-0.04	29	-62.10	28	18.92	27	-10.30	13
4066	4294	4295	Max	0.63	58.28	27	-284.70	13	-1.89	13	-62.15	28	17.77	27	-10.30	13

4066	4294	4295	Min.	0.00	15.45	13	-658.68	27	-0.13	14	-181.88	27	-5.30	14	-22.85	27
4066	4294	4295	Min.	0.63	15.45	13	-658.68	27	-4.24	27	-182.01	27	-5.82	14	-22.85	27
4066	4295	4296	Max	5.37	-1.25	13	543.06	27	-1.61	13	94.78	27	-0.30	28	19.26	27
4066	4295	4296	Max	6.00	-1.25	13	543.06	27	0.15	14	94.65	27	0.07	14	19.26	27
4066	4295	4296	Min.	5.37	-8.56	27	264.52	29	-3.48	27	52.10	29	-0.60	27	9.26	29
4066	4295	4296	Min.	6.00	-8.56	27	264.52	29	-0.06	27	52.03	29	-0.00	27	9.26	29
4106	3001	-513	Max	0.00	11.35	14	-1.12	29	0.20	27	2.99	27	0.29	14	-0.02	14
4106	3001	-513	Max	13.38					-0.06	29			-0.00	29		
4106	3001	-513	Max	16.72	11.42	14	-1.12	29	-0.09	29	1.95	27	0.16	27	-0.02	14
4106	3001	-513	Min.	0.00	5.33	29	-2.36	27	0.10	29	-3.05	14	-0.25	27	-0.10	27
4106	3001	-513	Min.	13.38					-0.06	29			-0.00	29		
4106	3001	-513	Min.	16.72	5.39	29	-2.36	27	-0.19	27	-3.85	14	-0.29	14	-0.10	27
4106	-513	-529	Max	0.00	28.94	14	-0.59	29	0.12	14	2.93	27	0.24	14	-0.00	14
4106	-513	-529	Max	16.72	29.01	14	-0.59	29	-0.04	29	1.89	27	0.26	27	-0.00	14
4106	-513	-529	Min.	0.00	10.59	27	-1.19	14	0.06	29	-3.12	28	-0.14	27	-0.07	27
4106	-513	-529	Min.	16.72	10.67	27	-1.19	14	-0.08	14	-3.93	28	-0.36	28	-0.07	27
4106	-529	4025	Max	0.00	45.27	14	-0.56	29	0.09	14	-5.85	29	0.59	27	-0.01	13
4106	-529	4025	Max	16.72	45.34	14	-0.56	29	-0.05	29	-6.60	29	-0.70	29	-0.01	13
4106	-529	4025	Min.	0.00	16.32	27	-1.30	14	0.04	29	-9.20	14	0.24	28	-0.06	27
4106	-529	4025	Min.	16.72	16.41	27	-1.30	14	-0.13	14	-10.01	14	-1.15	14	-0.06	27
4106	4025	-545	Max	0.00	648.34	27	0.56	27	-0.01	13	133.02	27	-10.02	29	0.14	27
4106	4025	-545	Max	21.63	648.46	27	0.56	27	0.11	27	131.53	27	8.15	27	0.14	27
4106	4025	-545	Min.	0.00	225.00	28	0.19	13	-0.01	27	65.30	29	-20.47	27	0.05	13
4106	4025	-545	Min.	21.63	225.09	28	0.19	13	0.03	13	64.30	29	3.99	29	0.05	13
4106	-545	-561	Max	0.00	309.17	27	0.35	27	-0.01	13	122.78	27	-7.27	28	0.16	27
4106	-545	-561	Max	21.63	309.29	27	0.35	27	0.07	27	121.29	27	11.31	27	0.16	27
4106	-545	-561	Min.	0.00	52.01	28	0.12	13	-0.01	27	59.78	29	-15.09	27	0.05	13
4106	-545	-561	Min.	21.63	52.10	28	0.12	13	0.02	13	58.78	29	5.49	29	0.05	13
4106	-561	-577	Max	0.00	7.01	27	0.36	27	-0.02	13	108.33	27	-5.77	28	0.16	27
4106	-561	-577	Max	21.63	7.13	27	0.36	27	0.03	27	106.83	27	11.13	27	0.16	27
4106	-561	-577	Min.	0.00	-99.62	28	0.13	13	-0.05	27	52.28	29	-12.14	27	0.05	13
4106	-561	-577	Min.	21.63	-99.53	28	0.13	13	0.01	13	51.28	29	5.36	29	0.05	13
4106	-577	-593	Max	0.00	-111.47	29	0.27	27	-0.03	13	96.68	27	-4.64	28	0.18	27
4106	-577	-593	Max	21.63	-111.39	29	0.27	27	-0.00	28	95.19	27	10.75	27	0.18	27
4106	-577	-593	Min.	0.00	-238.08	27	0.10	13	-0.09	27	46.14	29	-10.00	27	0.06	13
4106	-577	-593	Min.	21.63	-237.96	27	0.10	13	-0.03	27	45.15	29	5.08	29	0.06	13
4106	-593	-609	Max	0.00	-200.12	29	-0.04	28	0.07	27	70.10	27	-2.71	28	0.05	27
4106	-593	-609	Max	21.63	-200.04	29	-0.04	28	0.05	27	68.61	27	8.44	27	0.05	27
4106	-593	-609	Min.	0.00	-418.94	27	-0.12	27	0.03	13	32.30	28	-6.57	27	0.02	29
4106	-593	-609	Min.	21.63	-418.81	27	-0.12	27	0.02	13	31.19	28	4.16	28	0.02	29
4106	-609	-625	Max	0.00	-268.83	29	0.05	27	0.00	14	63.74	27	-2.39	28	0.05	27
4106	-609	-625	Max	21.63	-268.75	29	0.05	27	0.01	27	62.25	27	7.71	27	0.05	27
4106	-609	-625	Min.	0.00	-557.78	27	0.02	13	0.00	28	28.75	28	-5.92	27	0.02	13
4106	-609	-625	Min.	21.63	-557.66	27	0.02	13	0.00	29	27.63	28	3.71	28	0.02	13
4106	-625	-641	Max	0.00	-324.22	29	0.06	27	-0.01	13	57.20	27	-1.92	28	0.05	27
4106	-625	-641	Max	21.63	-324.14	29	0.06	27	-0.01	28	55.71	27	7.20	27	0.05	27
4106	-625	-641	Min.	0.00	-671.08	27	0.02	13	-0.03	27	25.12	28	-5.02	27	0.02	13
4106	-625	-641	Min.	21.63	-670.96	27	0.02	13	-0.02	27	24.00	28	3.39	28	0.02	13
4106	-641	-657	Max	0.00	-368.37	29	-0.01	28	-0.02	13	52.32	27	-1.33	28	0.07	27
4106	-641	-657	Max	21.63	-368.29	29	-0.01	28	-0.03	28	50.83	27	7.25	27	0.07	27
4106	-641	-657	Min.	0.00	-762.84	27	-0.04	27	-0.06	27	22.36	28	-3.91	27	0.02	13
4106	-641	-657	Min.	21.63	-762.72	27	-0.04	27	-0.07	27	21.25	28	3.39	28	0.02	13
4106	-657	-673	Max	0.00	-392.77	29	-0.05	13	0.08	27	19.74	27	0.66	28	0.04	27
4106	-657	-673	Max	21.63	-392.69	29	-0.05	13	0.05	27	18.25	27	3.87	27	0.04	27
4106	-657	-673	Min.	0.00	-810.63	27	-0.18	27	0.03	13	4.52	28	-0.24	29	0.02	28
4106	-657	-673	Min.	21.63	-810.51	27	-0.18	27	0.02	28	3.40	28	1.51	28	0.02	28
4106	-673	-689	Max	0.00	-408.75	29	-0.01	13	0.02	27	17.60	27	0.53	28	0.03	27
4106	-673	-689	Max	21.63	-408.67	29	-0.01	13	0.01	27	16.11	27	3.15	27	0.03	27
4106	-673	-689	Min.	0.00	-842.45	27	-0.07	27	0.01	28	3.15	28	-0.49	27	0.01	28

4106	-673	-689	Min.	21.63	-842.33	27	-0.07	27	0.00	28	2.04	28	1.09	28	0.01	28
4106	-689	-705	Max	0.00	-419.56	29	-0.01	13	-0.01	13	14.53	27	0.71	28	0.03	27
4106	-689	-705	Max	21.63	-419.48	29	-0.01	13	-0.01	13	13.04	27	2.81	27	0.03	27
4106	-689	-705	Min.	0.00	-865.08	27	-0.05	27	-0.01	27	1.27	28	-0.17	27	0.02	28
4106	-689	-705	Min.	21.63	-864.96	27	-0.05	27	-0.02	27	0.16	28	0.87	28	0.02	28
4106	-705	-721	Max	0.00	-426.13	29	-0.04	13	-0.02	28	12.79	27	1.07	28	0.05	27
4106	-705	-721	Max	1.95					-0.02	28			1.07	28		
4106	-705	-721	Max	21.63	-426.05	29	-0.04	13	-0.03	13	11.30	27	3.09	27	0.05	27
4106	-705	-721	Min.	0.00	-880.09	27	-0.12	27	-0.05	27	0.09	28	0.31	29	0.02	13
4106	-705	-721	Min.	1.95					-0.02	28			1.07	28		
4106	-705	-721	Min.	21.63	-879.97	27	-0.12	27	-0.07	27	-1.03	28	0.97	28	0.02	13
4106	-721	-737	Max	0.00	-420.91	29	-0.11	13	0.08	27	-5.46	29	3.45	27	-0.00	27
4106	-721	-737	Max	21.63	-420.83	29	-0.11	13	0.03	27	-6.45	29	0.19	29	-0.00	27
4106	-721	-737	Min.	0.00	-867.70	27	-0.24	27	0.04	13	-14.46	27	1.47	29	-0.02	28
4106	-721	-737	Min.	21.63	-867.58	27	-0.24	27	0.01	28	-15.95	27	-0.57	28	-0.02	28
4106	-737	-753	Max	0.00	-414.14	29	-0.08	13	0.03	27	-6.52	29	2.90	27	-0.01	29
4106	-737	-753	Max	21.63	-414.06	29	-0.08	13	-0.00	13	-7.52	29	-0.15	29	-0.01	29
4106	-737	-753	Min.	0.00	-852.13	27	-0.17	27	0.01	13	-14.93	27	1.37	29	-0.01	28
4106	-737	-753	Min.	21.63	-852.00	27	-0.17	27	-0.01	27	-16.42	27	-0.95	28	-0.01	28
4106	-753	-769	Max	0.00	-405.78	29	-0.07	13	0.00	28	-7.64	29	2.74	27	-0.01	29
4106	-753	-769	Max	21.63	-405.70	29	-0.07	13	-0.02	13	-8.64	29	-0.39	29	-0.01	29
4106	-753	-769	Min.	0.00	-834.47	27	-0.15	27	-0.00	27	-15.84	27	1.37	29	-0.01	28
4106	-753	-769	Min.	21.63	-834.35	27	-0.15	27	-0.03	27	-17.33	27	-1.19	28	-0.01	28
4106	-769	-785	Max	0.00	-397.99	29	-0.08	13	-0.01	28	-9.98	29	2.08	27	0.00	27
4106	-769	-785	Max	21.63	-397.91	29	-0.08	13	-0.03	13	-10.97	29	-1.18	29	0.00	27
4106	-769	-785	Min.	0.00	-819.16	27	-0.17	27	-0.03	27	-18.98	27	1.09	29	-0.01	28
4106	-769	-785	Min.	21.63	-819.04	27	-0.17	27	-0.07	27	-20.47	27	-2.18	27	-0.01	28
4107	3002	-514	Max	0.00	21.99	27	-1.16	13	0.20	27	-6.05	14	1.40	27	-0.02	14
4107	3002	-514	Max	16.72	22.88	27	-0.84	29	-0.08	29	-9.51	13	-0.74	13	-0.02	14
4107	3002	-514	Min.	0.00	11.26	14	-2.92	27	0.10	29	-13.58	27	0.59	13	-0.10	27
4107	3002	-514	Min.	16.72	11.64	14	-1.52	27	-0.17	27	-24.62	27	-1.79	27	-0.10	27
4107	-514	-530	Max	0.00	111.45	27	-0.84	29	0.12	14	4.17	27	-0.09	13	-0.00	14
4107	-514	-530	Max	7.67					0.03	14			-0.02	14		
4107	-514	-530	Max	16.72	112.34	27	-0.33	27	-0.03	29	-1.79	13	-0.13	13	-0.00	14
4107	-514	-530	Min.	0.00	48.07	13	-1.74	27	0.07	29	0.73	29	-0.19	27	-0.07	27
4107	-514	-530	Min.	3.34					0.04	29			-0.07	29		
4107	-514	-530	Min.	16.72	48.32	13	-1.19	14	-0.08	14	-6.86	27	-0.41	27	-0.07	27
4107	-530	4027	Max	0.00	146.06	27	-0.63	29	0.07	14	-12.38	13	1.46	27	0.01	27
4107	-530	4027	Max	16.72	146.96	27	0.26	27	-0.01	27	-15.44	13	-1.65	13	0.01	27
4107	-530	4027	Min.	0.00	61.09	13	-1.14	27	0.04	29	-26.44	27	0.59	28	-0.00	13
4107	-530	4027	Min.	16.72	61.34	13	-1.07	14	-0.10	14	-37.47	27	-3.89	27	-0.00	13
4107	4027	-546	Max	0.00	753.23	27	0.34	14	0.45	27	178.13	27	-11.93	13	0.17	27
4107	4027	-546	Max	21.63	754.69	27	0.34	14	0.10	27	160.10	27	10.55	27	0.17	27
4107	4027	-546	Min.	0.00	262.33	28	-2.54	27	-0.02	14	79.81	13	-26.04	27	0.04	13
4107	4027	-546	Min.	21.63	262.98	28	-0.72	27	0.04	13	74.98	13	4.81	13	0.04	13
4107	-546	-562	Max	0.00	330.11	27	0.15	28	-0.00	13	158.16	27	-8.56	13	0.20	27
4107	-546	-562	Max	21.63	331.57	27	0.53	27	0.03	14	140.13	27	13.83	27	0.20	27
4107	-546	-562	Min.	0.00	56.38	28	-1.28	27	-0.09	27	71.70	13	-18.43	27	0.05	13
4107	-546	-562	Min.	21.63	57.03	28	0.12	13	-0.17	27	66.87	13	6.43	13	0.05	13
4107	-562	-578	Max	0.00	-8.46	29	0.50	27	-0.02	13	132.63	27	-6.46	28	0.17	27
4107	-562	-578	Max	21.63	-8.07	29	2.32	27	0.01	28	114.60	27	12.78	27	0.17	27
4107	-562	-578	Min.	0.00	-116.62	28	0.12	13	-0.34	27	61.21	13	-13.96	27	0.05	13
4107	-562	-578	Min.	21.63	-115.97	28	0.12	13	-0.04	27	55.64	28	6.09	13	0.05	13
4107	-578	-594	Max	0.00	-142.13	13	2.79	27	-0.03	13	112.14	27	-4.95	28	0.07	14
4107	-578	-594	Max	21.63	-141.74	13	4.61	27	0.57	27	94.11	27	11.43	27	0.07	14
4107	-578	-594	Min.	0.00	-301.03	27	0.10	13	-0.23	27	52.90	13	-10.88	27	0.03	29
4107	-578	-594	Min.	21.63	-299.57	27	0.10	13	-0.01	14	45.71	28	5.66	13	0.03	29
4107	-594	-610	Max	0.00	-239.97	13	-0.04	28	0.66	27	91.79	27	-3.38	28	0.31	27
4107	-594	-610	Max	21.63	-239.57	13	-0.04	28	0.02	14	73.75	27	9.68	27	0.31	27

4107	-594	-610	Min.	0.00	-509.23	27	-4.19	27	0.03	13	39.74	29	-8.23	27	0.02	13
4107	-594	-610	Min.	21.63	-507.77	27	-2.37	27	-0.05	27	33.11	28	4.49	29	0.02	13
4107	-610	-626	Max	0.00	-311.38	13	0.03	28	0.00	14	75.48	27	-2.47	28	0.11	27
4107	-610	-626	Max	21.63	-310.99	13	0.25	27	0.01	14	57.45	27	8.23	27	0.11	27
4107	-610	-626	Min.	0.00	-661.43	27	-1.56	27	-0.10	27	33.47	28	-6.15	27	0.02	13
4107	-610	-626	Min.	21.63	-659.96	27	0.02	13	-0.24	27	25.47	28	3.88	29	0.02	13
4107	-626	-642	Max	0.00	-365.89	13	0.24	27	-0.01	13	61.12	27	-1.67	28	0.03	27
4107	-626	-642	Max	21.63	-365.50	13	2.05	27	-0.01	28	43.09	27	6.85	27	0.03	27
4107	-626	-642	Min.	0.00	-773.50	27	0.02	13	-0.33	27	26.60	28	-4.43	27	0.01	29
4107	-626	-642	Min.	21.63	-772.04	27	0.02	13	-0.09	27	18.60	28	3.22	28	0.01	29
4107	-642	-658	Max	0.00	-406.77	29	2.75	27	-0.02	13	47.64	27	-0.96	28	0.03	14
4107	-642	-658	Max	21.63	-406.37	29	4.57	27	0.57	27	29.61	27	5.35	27	0.03	14
4107	-642	-658	Min.	0.00	-854.42	27	-0.02	14	-0.22	27	20.26	28	-3.01	27	-0.23	27
4107	-642	-658	Min.	21.63	-852.96	27	-0.02	14	-0.03	14	12.26	28	2.56	28	-0.23	27
4107	-658	-674	Max	0.00	-384.82	29	-0.05	13	0.71	27	43.87	27	-0.42	28	0.44	27
4107	-658	-674	Max	21.63	-384.43	29	-0.05	13	0.02	14	25.84	27	4.93	27	0.44	27
4107	-658	-674	Min.	0.00	-787.33	27	-4.47	27	0.03	13	15.25	28	-2.61	27	0.02	28
4107	-658	-674	Min.	21.63	-785.86	27	-2.66	27	-0.07	27	7.25	28	2.01	28	0.02	28
4107	-674	-690	Max	0.00	-404.88	29	-0.01	13	0.01	14	31.88	27	0.20	28	0.12	27
4107	-674	-690	Max	21.63	-404.49	29	0.10	27	0.01	14	13.85	27	3.83	27	0.12	27
4107	-674	-690	Min.	0.00	-830.42	27	-1.72	27	-0.08	27	9.73	28	-1.12	27	0.01	28
4107	-674	-690	Min.	21.63	-828.95	27	-0.01	14	-0.26	27	1.73	28	1.44	28	0.01	28
4107	-690	-706	Max	0.00	-417.61	29	0.21	27	-0.01	13	20.94	27	0.77	28	0.02	14
4107	-690	-706	Max	12.27					-0.01	28			1.05	28		
4107	-690	-706	Max	21.63	-417.22	29	2.02	27	-0.01	13	4.45	29	2.68	27	0.02	14
4107	-690	-706	Min.	0.00	-855.17	27	-0.01	14	-0.33	27	4.54	28	-0.06	29	-0.03	27
4107	-690	-706	Min.	12.27					-0.01	28			1.05	28		
4107	-690	-706	Min.	21.63	-853.71	27	-0.01	14	-0.09	27	-3.46	28	0.89	28	-0.03	27
4107	-706	-722	Max	0.00	-423.91	29	2.91	27	-0.02	28	10.38	27	1.33	28	0.03	14
4107	-706	-722	Max	12.46					0.21	27			1.82	27		
4107	-706	-722	Max	21.63	-423.52	29	4.73	27	0.61	27	0.88	29	1.46	27	0.03	14
4107	-706	-722	Min.	0.00	-864.29	27	-0.04	14	-0.21	27	-0.31	28	0.42	29	-0.39	27
4107	-706	-722	Min.	19.19					-0.03	14			1.21	14		
4107	-706	-722	Min.	21.63	-862.82	27	-0.04	14	-0.03	14	-8.30	28	0.40	28	-0.39	27
4107	-722	-738	Max	0.00	-426.65	29	-0.11	13	0.76	27	4.93	27	2.09	28	0.53	27
4107	-722	-738	Max	5.99					0.48	27			1.89	27		
4107	-722	-738	Max	21.63	-426.26	29	-0.11	13	0.01	14	-6.91	29	0.86	27	0.53	27
4107	-722	-738	Min.	0.00	-871.45	27	-4.88	27	0.03	13	-7.37	28	1.26	29	-0.02	28
4107	-722	-738	Min.	5.99					0.48	27			1.89	27		
4107	-722	-738	Min.	21.63	-869.99	27	-3.07	27	-0.10	27	-15.37	28	-0.37	28	-0.02	28
4107	-738	-754	Max	0.00	-419.63	29	-0.08	13	0.02	28	-5.00	27	2.83	27	0.11	27
4107	-738	-754	Max	21.63	-419.24	29	-0.08	13	-0.00	13	-10.08	29	-0.18	29	0.11	27
4107	-738	-754	Min.	0.00	-859.47	27	-2.00	27	-0.07	27	-11.79	28	1.48	29	-0.01	28
4107	-738	-754	Min.	21.63	-858.01	27	-0.19	27	-0.31	27	-23.03	27	-0.95	28	-0.01	28
4107	-754	-770	Max	0.00	-409.44	29	0.09	27	0.00	28	-8.07	29	3.47	27	-0.01	13
4107	-754	-770	Max	21.63	-409.05	29	1.91	27	-0.02	13	-12.89	29	-0.62	29	-0.01	13
4107	-754	-770	Min.	0.00	-838.74	27	-0.10	28	-0.34	27	-15.74	28	1.64	29	-0.11	27
4107	-754	-770	Min.	21.63	-837.28	27	-0.10	28	-0.13	27	-31.46	27	-1.53	28	-0.11	27
4107	-770	-786	Max	0.00	-398.86	29	2.91	27	-0.01	28	-12.58	29	3.01	27	-0.00	14
4107	-770	-786	Max	21.63	-398.47	29	4.73	27	0.64	27	-17.40	29	-1.88	29	-0.00	14
4107	-770	-786	Min.	0.00	-815.13	27	-0.11	28	-0.18	27	-25.82	27	1.36	29	-0.54	27
4107	-770	-786	Min.	21.63	-813.66	27	-0.11	28	-0.04	14	-43.85	27	-4.53	27	-0.54	27
4144	3003	-515	Max	0.00	42.80	27	-0.29	29	0.07	27	-7.94	27	1.41	28	0.04	14
4144	3003	-515	Max	16.72	43.69	27	-0.29	29	-0.03	29	-13.79	29	-1.02	29	0.04	14
4144	3003	-515	Min.	0.00	31.87	29	-0.92	27	0.02	29	-14.24	14	1.03	29	-0.05	27
4144	3003	-515	Min.	16.72	32.12	29	-0.92	27	-0.08	27	-19.20	28	-1.38	28	-0.05	27
4144	-515	-531	Max	0.00	94.95	27	0.38	27	0.03	14	-9.02	27	1.08	28	0.04	14
4144	-515	-531	Max	16.72	95.84	27	0.38	27	0.04	27	-13.15	29	-1.16	29	0.04	14
4144	-515	-531	Min.	0.00	71.53	29	-0.34	14	-0.03	27	-14.14	28	0.78	29	-0.01	27

4144	-515	-531	Min.	16.72	71.78	29	-0.34	14	-0.03	14	-20.05	27	-1.70	28	-0.01	27
4144	-531	4028	Max	0.00	149.60	27	0.39	27	0.04	14	-19.21	29	1.74	27	-0.02	29
4144	-531	4028	Max	16.72	150.50	27	0.39	27	0.03	27	-22.27	29	-2.60	29	-0.02	29
4144	-531	4028	Min.	0.00	107.43	29	-0.52	14	-0.04	27	-32.66	27	0.84	28	-0.03	27
4144	-531	4028	Min.	16.72	107.68	29	-0.52	14	-0.05	14	-43.69	27	-4.64	27	-0.03	27
4144	4028	-547	Max	0.00	1315.60	27	0.00	27	0.04	27	294.84	27	-20.14	29	0.05	27
4144	4028	-547	Max	21.63	1317.06	27	0.00	27	0.04	27	276.81	27	17.67	27	0.05	27
4144	4028	-547	Min.	0.00	567.52	28	-0.14	14	0.02	28	132.64	29	-44.16	27	0.02	13
4144	4028	-547	Min.	21.63	568.16	28	-0.14	14	-0.01	28	127.81	29	8.04	29	0.02	13
4144	-547	-563	Max	0.00	594.29	27	0.08	27	0.00	27	265.89	27	-14.66	29	0.05	27
4144	-547	-563	Max	4.33					-0.00	28			-10.04	28		
4144	-547	-563	Max	21.63	595.76	27	0.08	27	0.02	27	247.86	27	23.78	27	0.05	27
4144	-547	-563	Min.	0.00	198.16	28	0.01	13	-0.00	28	120.79	29	-31.79	27	0.00	13
4144	-547	-563	Min.	4.33					-0.00	28			-10.04	28		
4144	-547	-563	Min.	21.63	198.81	28	0.01	13	0.00	13	115.97	29	10.95	29	0.00	13
4144	-563	-579	Max	0.00	-2.27	13	0.08	27	0.00	13	229.04	27	-11.60	29	0.05	27
4144	-563	-579	Max	8.65					-0.00	29			-2.59	29		
4144	-563	-579	Max	21.63	-1.88	13	0.08	27	0.00	27	211.01	27	22.73	27	0.05	27
4144	-563	-579	Min.	0.00	-121.46	28	-0.00	13	-0.01	27	105.03	29	-24.87	27	0.00	13
4144	-563	-579	Min.	8.65					-0.00	29			-2.59	29		
4144	-563	-579	Min.	21.63	-120.81	28	-0.00	13	0.00	13	100.20	29	10.60	29	0.00	13
4144	-579	-595	Max	0.00	-234.27	29	0.01	27	0.00	13	199.80	27	-9.36	29	0.06	27
4144	-579	-595	Max	21.63	-233.88	29	0.01	27	-0.00	28	181.77	27	21.36	27	0.06	27
4144	-579	-595	Min.	0.00	-526.05	27	-0.02	14	-0.03	27	92.86	29	-19.91	27	-0.00	13
4144	-579	-595	Min.	21.63	-524.59	27	-0.02	14	-0.03	27	88.04	29	10.21	29	-0.00	13
4144	-595	-611	Max	0.00	-399.71	29	0.03	28	0.04	27	148.98	27	-5.68	28	0.03	27
4144	-595	-611	Max	21.63	-399.32	29	0.03	28	0.02	27	130.95	27	16.76	27	0.03	27
4144	-595	-611	Min.	0.00	-883.39	27	-0.06	27	0.00	28	64.33	13	-13.51	27	0.02	29
4144	-595	-611	Min.	21.63	-881.93	27	-0.06	27	0.01	13	59.51	13	7.57	13	0.02	29
4144	-611	-627	Max	0.00	-521.80	29	0.03	14	0.00	27	128.60	27	-4.72	28	0.03	27
4144	-611	-627	Max	21.63	-521.41	29	0.03	14	0.01	27	110.57	27	14.72	27	0.03	27
4144	-611	-627	Min.	0.00	-1152.49	27	0.02	29	-0.00	28	56.43	13	-11.15	27	0.01	29
4144	-611	-627	Min.	21.63	-1151.03	27	0.02	29	0.00	29	50.25	28	6.68	13	0.01	29
4144	-627	-643	Max	0.00	-618.10	29	0.03	14	-0.00	13	109.90	27	-3.62	28	0.03	27
4144	-627	-643	Max	17.31					-0.00	14			5.07	14		
4144	-627	-643	Max	21.63	-617.71	29	0.03	14	0.00	28	91.87	27	13.04	27	0.03	27
4144	-627	-643	Min.	0.00	-1361.35	27	0.02	29	-0.01	27	49.07	13	-8.78	27	0.01	13
4144	-627	-643	Min.	12.98					-0.00	13			2.12	13		
4144	-627	-643	Min.	21.63	-1359.89	27	0.02	29	-0.01	27	41.32	28	6.04	13	0.01	13
4144	-643	-659	Max	0.00	-693.63	29	0.02	28	-0.01	13	94.22	27	-2.43	28	0.04	27
4144	-643	-659	Max	21.63	-693.23	29	0.02	28	-0.01	13	76.19	27	12.03	27	0.04	27
4144	-643	-659	Min.	0.00	-1521.58	27	-0.04	27	-0.03	27	42.01	28	-6.40	27	0.01	13
4144	-643	-659	Min.	21.63	-1520.12	27	-0.04	27	-0.04	27	34.02	28	5.77	13	0.01	13
4144	-659	-675	Max	0.00	-736.82	13	-0.01	13	0.05	27	53.23	27	0.35	28	0.01	27
4144	-659	-675	Max	21.63	-736.43	13	-0.01	13	0.02	27	35.20	27	7.75	27	0.01	27
4144	-659	-675	Min.	0.00	-1643.82	27	-0.11	27	0.01	13	16.87	28	-1.82	27	0.00	28
4144	-659	-675	Min.	21.63	-1642.36	27	-0.11	27	0.01	13	8.87	28	3.13	28	0.00	28
4144	-675	-691	Max	0.00	-765.44	13	0.00	13	0.01	27	41.24	27	0.62	28	0.01	27
4144	-675	-691	Max	21.63	-765.05	13	0.00	13	0.00	27	23.21	27	6.06	27	0.01	27
4144	-675	-691	Min.	0.00	-1706.18	27	-0.05	27	0.00	13	11.57	28	-0.91	27	0.00	29
4144	-675	-691	Min.	21.63	-1704.72	27	-0.05	27	0.00	28	3.57	28	2.25	28	0.00	29
4144	-691	-707	Max	0.00	-784.19	13	0.00	13	-0.00	29	29.27	27	1.21	28	0.01	27
4144	-691	-707	Max	16.23					-0.00	28			1.70	28		
4144	-691	-707	Max	21.63	-783.80	13	0.00	13	-0.00	13	11.24	27	4.78	27	0.01	27
4144	-691	-707	Min.	0.00	-1744.34	27	-0.04	27	-0.00	27	6.00	28	0.04	29	0.00	29
4144	-691	-707	Min.	16.23					-0.00	28			1.70	28		
4144	-691	-707	Min.	21.63	-1742.88	27	-0.04	27	-0.01	27	-2.00	28	1.64	28	0.00	29
4144	-707	-723	Max	0.00	-794.39	13	-0.00	13	-0.01	13	19.31	27	2.05	28	0.02	27
4144	-707	-723	Max	4.33					-0.01	28			2.09	28		

4144	-707	-723	Max	21.63	-793.99	13	-0.00	13	-0.01	13	4.92	29	4.21	27	0.02	27
4144	-707	-723	Min.	0.00	-1761.91	27	-0.07	27	-0.02	27	1.66	28	0.74	13	0.01	13
4144	-707	-723	Min.	4.33					-0.01	28			2.09	28		
4144	-707	-723	Min.	21.63	-1760.44	27	-0.07	27	-0.04	27	-6.33	28	1.54	28	0.01	13
4144	-723	-739	Max	0.00	-788.44	13	-0.01	13	0.02	27	-11.40	13	5.96	27	0.00	27
4144	-723	-739	Max	21.63	-788.05	13	-0.01	13	0.01	27	-16.22	13	0.19	27	0.00	27
4144	-723	-739	Min.	0.00	-1743.94	27	-0.06	27	0.00	13	-22.92	28	3.02	13	0.00	13
4144	-723	-739	Min.	21.63	-1742.47	27	-0.06	27	0.00	13	-35.72	27	-1.13	28	0.00	13
4144	-739	-755	Max	0.00	-772.20	13	-0.00	13	0.01	27	-13.84	13	6.13	27	0.00	27
4144	-739	-755	Max	21.63	-771.81	13	-0.00	13	0.00	29	-18.67	13	-0.66	13	0.00	27
4144	-739	-755	Min.	0.00	-1709.46	27	-0.03	27	0.00	13	-26.21	28	2.85	13	0.00	13
4144	-739	-755	Min.	21.63	-1708.00	27	-0.03	27	0.00	27	-43.89	27	-1.99	28	0.00	13
4144	-755	-771	Max	0.00	-752.85	13	-0.00	13	0.00	29	-16.19	13	6.36	27	0.00	27
4144	-755	-771	Max	21.63	-752.46	13	-0.00	13	-0.00	13	-21.02	13	-1.18	13	0.00	27
4144	-755	-771	Min.	0.00	-1666.47	27	-0.02	27	-0.00	14	-33.16	27	2.85	13	0.00	29
4144	-755	-771	Min.	21.63	-1665.01	27	-0.02	27	-0.01	27	-51.19	27	-2.77	27	0.00	29
4144	-771	-787	Max	0.00	-735.08	13	-0.00	13	-0.00	13	-21.16	13	5.00	27	0.01	27
4144	-771	-787	Max	21.63	-734.69	13	-0.00	13	-0.00	13	-25.99	13	-2.90	13	0.01	27
4144	-771	-787	Min.	0.00	-1625.39	27	-0.03	27	-0.01	27	-46.67	27	2.20	13	0.00	13
4144	-771	-787	Min.	21.63	-1623.93	27	-0.03	27	-0.01	27	-64.70	27	-7.05	27	0.00	13
4145	3004	-516	Max	0.00	40.16	27	-0.41	13	0.10	27	-11.15	13	2.05	27	0.01	14
4145	3004	-516	Max	16.72	41.10	27	-0.11	29	-0.02	29	-14.36	13	-1.20	13	0.01	14
4145	3004	-516	Min.	0.00	23.42	13	-1.68	27	0.03	13	-22.21	27	0.93	13	-0.08	27
4145	3004	-516	Min.	16.72	23.68	13	-0.56	14	-0.06	27	-33.89	27	-2.64	27	-0.08	27
4145	-516	-532	Max	0.00	175.90	27	-0.04	29	0.03	14	4.97	27	-0.20	29	0.04	14
4145	-516	-532	Max	9.51					-0.00	14			-0.11	14		
4145	-516	-532	Max	16.72	176.85	27	1.08	27	0.06	27	-1.47	13	-0.18	13	0.04	14
4145	-516	-532	Min.	0.00	85.48	13	-0.34	14	-0.01	29	1.07	29	-0.37	27	-0.01	27
4145	-516	-532	Min.	6.69					-0.01	27			-0.19	27		
4145	-516	-532	Min.	16.72	85.74	13	-0.34	14	-0.03	14	-6.71	27	-0.51	27	-0.01	27
4145	-532	4030	Max	0.00	229.06	27	0.44	27	0.02	14	-19.31	13	2.20	27	0.07	27
4145	-532	4030	Max	16.72	230.00	27	1.84	27	0.13	27	-22.52	13	-2.51	13	0.07	27
4145	-532	4030	Min.	0.00	107.74	13	-0.15	14	-0.06	27	-41.14	27	0.94	28	0.04	13
4145	-532	4030	Min.	16.72	108.00	13	-0.15	14	-0.01	14	-52.82	27	-5.66	27	0.04	13
4145	4030	-548	Max	0.00	1358.71	27	0.14	14	0.47	27	303.89	27	-20.23	13	0.07	27
4145	4030	-548	Max	21.63	1360.26	27	0.14	14	0.04	27	284.78	27	18.21	27	0.07	27
4145	4030	-548	Min.	0.00	562.72	28	-2.90	27	-0.02	14	133.34	13	-45.47	27	-0.01	28
4145	4030	-548	Min.	21.63	563.40	28	-1.08	27	0.01	13	128.27	13	8.07	13	-0.01	28
4145	-548	-564	Max	0.00	611.58	27	-0.01	14	0.00	14	275.61	27	-14.74	13	0.10	27
4145	-548	-564	Max	21.63	613.13	27	0.27	27	0.00	14	256.51	27	24.62	27	0.10	27
4145	-548	-564	Min.	0.00	194.10	28	-1.55	27	-0.07	27	121.52	13	-32.94	27	0.00	13
4145	-548	-564	Min.	21.63	194.79	28	-0.01	13	-0.21	27	116.45	13	11.00	13	0.00	13
4145	-564	-580	Max	0.00	-3.73	29	0.23	27	0.00	13	236.79	27	-11.65	13	0.07	27
4145	-564	-580	Max	21.63	-3.32	29	2.05	27	-0.00	28	217.68	27	23.47	27	0.07	27
4145	-564	-580	Min.	0.00	-124.43	28	-0.01	13	-0.31	27	105.54	13	-25.68	27	0.00	13
4145	-564	-580	Min.	21.63	-123.74	28	-0.01	13	-0.06	27	100.46	13	10.63	13	0.00	13
4145	-580	-596	Max	0.00	-236.78	13	2.54	27	-0.00	13	206.64	27	-9.41	13	0.00	14
4145	-580	-596	Max	21.63	-236.37	13	4.36	27	0.56	27	187.53	27	22.10	27	0.00	14
4145	-580	-596	Min.	0.00	-545.64	27	-0.03	14	-0.18	27	93.17	13	-20.53	27	-0.08	27
4145	-580	-596	Min.	21.63	-544.09	27	-0.03	14	-0.01	14	88.10	13	10.19	13	-0.08	27
4145	-596	-612	Max	0.00	-407.84	13	0.00	28	0.64	27	152.80	27	-6.03	28	0.29	27
4145	-596	-612	Max	21.63	-407.43	13	0.00	28	0.01	14	133.69	27	17.19	27	0.29	27
4145	-596	-612	Min.	0.00	-925.90	27	-4.17	27	0.01	13	66.62	29	-13.80	27	0.01	13
4145	-596	-612	Min.	21.63	-924.35	27	-2.36	27	-0.07	27	61.54	29	7.76	13	0.01	13
4145	-612	-628	Max	0.00	-533.11	13	0.02	14	0.00	14	131.52	27	-4.96	28	0.09	27
4145	-612	-628	Max	21.63	-532.70	13	0.19	27	0.00	14	112.41	27	15.05	27	0.09	27
4145	-612	-628	Min.	0.00	-1200.88	27	-1.62	27	-0.09	27	58.41	29	-11.34	27	0.01	13
4145	-612	-628	Min.	21.63	-1199.33	27	0.01	13	-0.25	27	52.20	28	6.89	29	0.01	13
4145	-628	-644	Max	0.00	-632.09	13	0.17	27	-0.00	13	112.16	27	-3.81	28	0.01	14

4145	-628	-644	Max	21.63	-631.68	13	1.99	27	-0.00	13	93.06	27	13.30	27	0.01	14
4145	-628	-644	Min.	0.00	-1413.69	27	0.01	13	-0.32	27	50.80	29	-8.90	27	-0.00	27
4145	-628	-644	Min.	21.63	-1412.14	27	0.01	13	-0.08	27	42.91	28	6.23	29	-0.00	27
4145	-644	-660	Max	0.00	-709.73	13	2.72	27	-0.01	13	95.69	27	-2.57	28	0.02	14
4145	-644	-660	Max	21.63	-709.32	13	4.54	27	0.60	27	76.58	27	12.15	27	0.02	14
4145	-644	-660	Min.	0.00	-1576.68	27	-0.00	14	-0.19	27	43.69	28	-6.48	27	-0.27	27
4145	-644	-660	Min.	21.63	-1575.13	27	-0.00	14	-0.01	14	35.25	28	5.94	29	-0.27	27
4145	-660	-676	Max	0.00	-728.82	29	-0.01	13	0.68	27	56.11	27	0.27	28	0.42	27
4145	-660	-676	Max	21.63	-728.41	29	-0.01	13	0.01	14	37.01	27	7.97	27	0.42	27
4145	-660	-676	Min.	0.00	-1603.54	27	-4.43	27	0.01	13	17.92	28	-2.10	27	0.01	28
4145	-660	-676	Min.	21.63	-1601.99	27	-2.61	27	-0.09	27	9.48	28	3.23	28	0.01	28
4145	-676	-692	Max	0.00	-758.53	29	-0.00	13	0.00	14	43.44	27	0.56	28	0.10	27
4145	-676	-692	Max	21.63	-758.12	29	0.10	27	0.00	14	24.34	27	6.24	27	0.10	27
4145	-676	-692	Min.	0.00	-1668.76	27	-1.71	27	-0.09	27	12.36	28	-1.09	27	0.00	28
4145	-676	-692	Min.	21.63	-1667.21	27	-0.00	14	-0.26	27	3.92	28	2.32	28	0.00	28
4145	-692	-708	Max	0.00	-778.03	29	0.21	27	-0.00	13	30.87	27	1.18	28	0.01	14
4145	-692	-708	Max	16.77					-0.00	28			1.73	28		
4145	-692	-708	Max	21.63	-777.62	29	2.02	27	-0.00	13	11.77	27	4.90	27	0.01	14
4145	-692	-708	Min.	0.00	-1708.83	27	0.00	14	-0.33	27	6.54	28	0.00	29	-0.05	27
4145	-692	-708	Min.	16.77					-0.00	28			1.73	28		
4145	-692	-708	Min.	21.63	-1707.28	27	0.00	14	-0.08	27	-1.90	28	1.68	28	-0.05	27
4145	-708	-724	Max	0.00	-788.73	29	2.95	27	-0.01	13	20.32	27	2.03	28	0.01	14
4145	-708	-724	Max	4.33					-0.01	28			2.08	28		
4145	-708	-724	Max	21.63	-788.32	29	4.76	27	0.64	27	5.04	29	4.26	27	0.01	14
4145	-708	-724	Min.	0.00	-1727.50	27	-0.01	14	-0.19	27	1.96	28	0.71	29	-0.42	27
4145	-708	-724	Min.	4.33					-0.01	28			2.08	28		
4145	-708	-724	Min.	21.63	-1725.95	27	-0.01	14	-0.01	14	-6.48	28	1.54	28	-0.42	27
4145	-724	-740	Max	0.00	-784.94	29	-0.01	13	0.70	27	-10.83	13	5.84	27	0.54	27
4145	-724	-740	Max	21.63	-784.53	29	-0.01	13	0.00	14	-15.91	13	0.29	27	0.54	27
4145	-724	-740	Min.	0.00	-1720.54	27	-4.72	27	0.01	13	-22.06	28	2.97	13	0.00	28
4145	-724	-740	Min.	21.63	-1718.99	27	-2.90	27	-0.12	27	-35.22	27	-1.07	28	0.00	28
4145	-740	-756	Max	0.00	-769.05	29	-0.01	13	0.00	14	-13.43	13	6.11	27	0.12	27
4145	-740	-756	Max	21.63	-768.64	29	-0.01	13	0.00	13	-18.51	13	-0.63	13	0.12	27
4145	-740	-756	Min.	0.00	-1686.75	27	-1.88	27	-0.09	27	-25.62	28	2.83	13	0.00	28
4145	-740	-756	Min.	21.63	-1685.20	27	-0.06	27	-0.30	27	-44.01	27	-1.94	28	0.00	28
4145	-756	-772	Max	0.00	-749.91	29	0.21	27	0.00	28	-15.91	13	6.39	27	0.00	14
4145	-756	-772	Max	21.63	-749.50	29	2.03	27	-0.00	13	-20.99	13	-1.15	13	0.00	14
4145	-756	-772	Min.	0.00	-1643.90	27	-0.01	14	-0.34	27	-32.72	27	2.84	13	-0.10	27
4145	-756	-772	Min.	21.63	-1642.35	27	-0.01	14	-0.10	27	-51.83	27	-2.76	27	-0.10	27
4145	-772	-788	Max	0.00	-732.20	29	3.04	27	-0.00	28	-21.02	13	5.05	27	0.00	14
4145	-772	-788	Max	21.63	-731.79	29	4.86	27	0.69	27	-26.09	13	-2.90	13	0.00	14
4145	-772	-788	Min.	0.00	-1602.54	27	-0.01	14	-0.16	27	-46.82	27	2.20	13	-0.54	27
4145	-772	-788	Min.	21.63	-1600.98	27	-0.01	14	-0.01	14	-65.92	27	-7.14	27	-0.54	27
4182	3005	-517	Max	0.00	27.15	28	0.89	27	-0.01	28	0.59	27	0.91	28	-0.03	13
4182	3005	-517	Max	0.85					-0.07	27			0.34	27		
4182	3005	-517	Max	16.72	27.58	28	0.89	27	0.07	27	-8.48	29	-0.54	27	-0.03	13
4182	3005	-517	Min.	0.00	21.22	29	0.12	28	-0.08	27	-8.31	28	0.34	27	-0.15	27
4182	3005	-517	Min.	0.85					-0.07	27			0.34	27		
4182	3005	-517	Min.	16.72	21.48	29	0.12	28	0.01	28	-13.56	28	-0.92	28	-0.15	27
4182	-517	-533	Max	0.00	64.92	28	2.11	27	-0.02	28	-1.85	27	0.76	28	-0.01	28
4182	-517	-533	Max	16.72	65.35	28	2.11	27	0.19	27	-8.58	29	-0.69	29	-0.01	28
4182	-517	-533	Min.	0.00	46.07	29	0.26	13	-0.16	27	-9.07	28	0.48	29	-0.08	27
4182	-517	-533	Min.	16.72	46.33	29	0.26	13	0.03	13	-14.31	28	-1.19	28	-0.08	27
4182	-533	4031	Max	0.00	100.27	28	1.73	27	0.01	13	-15.39	29	1.60	27	-0.04	29
4182	-533	4031	Max	16.72	100.69	28	1.73	27	0.15	27	-18.60	29	-2.09	29	-0.04	29
4182	-533	4031	Min.	0.00	70.91	29	-0.08	13	-0.14	27	-26.98	27	0.73	28	-0.07	27
4182	-533	4031	Min.	16.72	71.17	29	-0.08	13	-0.01	13	-38.66	27	-3.89	27	-0.07	27
4182	4031	-549	Max	0.00	1301.50	27	-0.05	29	0.03	27	294.94	27	-19.98	29	0.03	27
4182	4031	-549	Max	21.63	1303.05	27	-0.05	29	0.01	27	275.84	27	17.64	27	0.03	27

4182	4031	-549	Min.	0.00	561.43	28	-0.15	14	0.01	29	131.70	29	-44.10	27	0.01	13
4182	4031	-549	Min.	21.63	562.12	28	-0.15	14	-0.02	14	126.63	29	7.96	29	0.01	13
4182	-549	-565	Max	0.00	582.85	27	0.05	27	-0.00	29	265.28	27	-14.51	29	0.02	27
4182	-549	-565	Max	21.63	584.40	27	0.05	27	0.01	27	246.18	27	23.67	27	0.02	27
4182	-549	-565	Min.	0.00	193.54	28	0.01	14	-0.01	14	119.66	29	-31.65	27	-0.00	14
4182	-549	-565	Min.	21.63	194.23	28	0.01	14	-0.00	14	114.59	29	10.83	29	-0.00	14
4182	-565	-581	Max	0.00	-4.51	13	0.06	27	0.00	14	228.14	27	-11.47	29	0.03	27
4182	-565	-581	Max	21.63	-4.10	13	0.06	27	0.00	27	209.03	27	22.56	27	0.03	27
4182	-565	-581	Min.	0.00	-124.46	28	0.01	14	-0.01	27	103.97	29	-24.73	27	-0.00	14
4182	-565	-581	Min.	21.63	-123.77	28	0.01	14	0.00	28	98.90	29	10.47	29	-0.00	14
4182	-581	-597	Max	0.00	-234.09	29	0.09	27	0.01	14	198.29	27	-9.28	29	0.03	27
4182	-581	-597	Max	21.63	-233.68	29	0.09	27	0.01	14	179.19	27	21.03	27	0.03	27
4182	-581	-597	Min.	0.00	-530.98	27	0.03	13	-0.01	27	91.67	29	-19.81	27	-0.00	14
4182	-581	-597	Min.	21.63	-529.42	27	0.03	13	0.00	29	86.59	29	10.00	29	-0.00	14
4182	-597	-613	Max	0.00	-403.09	29	0.01	14	0.00	27	153.31	27	-6.02	28	-0.01	13
4182	-597	-613	Max	21.63	-402.68	29	0.01	14	-0.01	29	134.21	27	17.07	27	-0.01	13
4182	-597	-613	Min.	0.00	-898.16	27	-0.06	27	-0.01	14	66.66	13	-14.03	27	-0.03	27
4182	-597	-613	Min.	21.63	-896.61	27	-0.06	27	-0.01	27	61.59	13	7.74	29	-0.03	27
4182	-613	-629	Max	0.00	-528.30	29	-0.01	13	0.00	27	132.10	27	-4.95	28	-0.01	13
4182	-613	-629	Max	21.63	-527.89	29	-0.01	13	-0.00	13	113.00	27	15.04	27	-0.01	13
4182	-613	-629	Min.	0.00	-1173.31	27	-0.05	27	-0.00	14	58.47	13	-11.47	27	-0.02	27
4182	-613	-629	Min.	21.63	-1171.76	27	-0.05	27	-0.01	27	52.13	28	6.89	29	-0.02	27
4182	-629	-645	Max	0.00	-627.35	29	-0.01	13	0.01	27	112.71	27	-3.80	28	-0.01	29
4182	-629	-645	Max	21.63	-626.93	29	-0.01	13	0.00	14	93.60	27	13.30	27	-0.01	29
4182	-629	-645	Min.	0.00	-1387.00	27	-0.04	27	0.00	29	50.86	13	-9.01	27	-0.02	27
4182	-629	-645	Min.	21.63	-1385.45	27	-0.04	27	-0.00	27	42.85	28	6.22	13	-0.02	27
4182	-645	-661	Max	0.00	-705.03	29	0.01	14	0.01	27	96.26	27	-2.56	28	-0.01	29
4182	-645	-661	Max	21.63	-704.62	29	0.01	14	0.01	14	77.15	27	12.19	27	-0.01	29
4182	-645	-661	Min.	0.00	-1550.72	27	-0.02	27	0.01	29	43.64	28	-6.57	27	-0.02	27
4182	-645	-661	Min.	21.63	-1549.17	27	-0.02	27	0.00	29	35.19	28	5.94	13	-0.02	27
4182	-661	-677	Max	0.00	-730.30	13	0.02	14	-0.00	29	55.72	27	0.27	28	-0.01	29
4182	-661	-677	Max	21.63	-729.89	13	0.02	14	-0.00	29	36.62	27	7.93	27	-0.01	29
4182	-661	-677	Min.	0.00	-1613.45	27	-0.01	27	-0.01	14	17.89	28	-2.06	27	-0.01	27
4182	-661	-677	Min.	21.63	-1611.90	27	-0.01	27	-0.01	27	9.44	28	3.23	28	-0.01	27
4182	-677	-693	Max	0.00	-759.90	13	0.01	14	0.00	27	43.08	27	0.56	28	-0.00	28
4182	-677	-693	Max	21.63	-759.48	13	0.01	14	-0.00	28	23.97	27	6.19	27	-0.00	28
4182	-677	-693	Min.	0.00	-1678.16	27	-0.02	27	-0.00	14	12.33	28	-1.06	27	-0.01	27
4182	-677	-693	Min.	21.63	-1676.61	27	-0.02	27	-0.00	27	3.88	28	2.32	28	-0.01	27
4182	-693	-709	Max	0.00	-779.28	13	0.00	14	0.01	27	30.53	27	1.18	28	-0.00	28
4182	-693	-709	Max	16.69					0.00	28			1.73	28		
4182	-693	-709	Max	21.63	-778.87	13	0.00	14	0.00	14	11.43	27	4.85	27	-0.00	28
4182	-693	-709	Min.	0.00	-1717.74	27	-0.03	27	0.00	13	6.51	28	0.01	13	-0.01	27
4182	-693	-709	Min.	16.69					0.00	28			1.73	28		
4182	-693	-709	Min.	21.63	-1716.18	27	-0.03	27	0.00	27	-1.93	28	1.68	28	-0.01	27
4182	-709	-725	Max	0.00	-789.89	13	0.01	14	0.01	27	19.97	27	2.03	28	-0.01	29
4182	-709	-725	Max	4.33					0.01	28			2.08	28		
4182	-709	-725	Max	21.63	-789.48	13	0.01	14	0.01	14	4.97	13	4.19	27	-0.01	29
4182	-709	-725	Min.	0.00	-1736.01	27	-0.02	27	0.00	29	1.93	28	0.72	13	-0.02	27
4182	-709	-725	Min.	4.33					0.01	28			2.08	28		
4182	-709	-725	Min.	21.63	-1734.46	27	-0.02	27	0.00	29	-6.51	28	1.54	28	-0.02	27
4182	-725	-741	Max	0.00	-785.25	13	0.03	27	-0.00	29	-10.81	29	5.79	27	0.00	27
4182	-725	-741	Max	21.63	-784.84	13	0.03	27	-0.00	29	-15.89	29	0.28	27	0.00	27
4182	-725	-741	Min.	0.00	-1723.14	27	0.01	29	-0.01	27	-22.08	28	2.96	29	0.00	14
4182	-725	-741	Min.	21.63	-1721.59	27	0.01	29	-0.01	27	-35.02	27	-1.08	28	0.00	14
4182	-741	-757	Max	0.00	-769.37	13	0.02	27	0.00	29	-13.42	29	6.07	27	0.00	28
4182	-741	-757	Max	4.33					-0.00	28			3.37	28		
4182	-741	-757	Max	21.63	-768.96	13	0.02	27	0.00	27	-18.49	29	-0.63	29	0.00	28
4182	-741	-757	Min.	0.00	-1689.52	27	0.00	29	-0.00	27	-25.65	28	2.82	29	-0.00	27
4182	-741	-757	Min.	8.65					-0.00	14			1.99	14		

4182	-741	-757	Min.	21.63	-1687.97	27	0.00	29	0.00	13	-43.83	27	-1.94	28	-0.00	27
4182	-757	-773	Max	0.00	-750.25	13	0.01	27	0.00	27	-15.89	29	6.35	27	-0.00	28
4182	-757	-773	Max	21.63	-749.83	13	0.01	27	0.01	27	-20.97	29	-1.16	29	-0.00	28
4182	-757	-773	Min.	0.00	-1646.86	27	0.00	29	0.00	28	-32.55	27	2.83	29	-0.00	27
4182	-757	-773	Min.	21.63	-1645.31	27	0.00	29	0.00	29	-51.66	27	-2.76	27	-0.00	27
4182	-773	-789	Max	0.00	-732.55	13	0.02	27	0.01	27	-21.00	29	5.03	27	-0.00	28
4182	-773	-789	Max	21.63	-732.14	13	0.02	27	0.01	27	-26.07	29	-2.90	29	-0.00	28
4182	-773	-789	Min.	0.00	-1605.64	27	0.01	29	0.00	29	-46.64	27	2.20	29	-0.01	27
4182	-773	-789	Min.	21.63	-1604.09	27	0.01	29	0.00	29	-65.75	27	-7.13	27	-0.01	27
4183	3006	-518	Max	0.00	56.94	27	0.19	14	-0.00	28	-16.74	13	2.70	27	-0.05	13
4183	3006	-518	Max	16.72	57.84	27	1.51	27	0.09	27	-19.80	13	-1.69	13	-0.05	13
4183	3006	-518	Min.	0.00	33.00	13	-0.08	29	-0.05	27	-30.76	27	1.37	13	-0.18	27
4183	3006	-518	Min.	16.72	33.24	13	0.07	28	0.01	28	-41.80	27	-3.37	27	-0.18	27
4183	-518	-534	Max	0.00	225.91	27	1.37	27	-0.02	28	2.85	27	-0.20	29	-0.01	28
4183	-518	-534	Max	3.34					-0.01	13			-0.19	13		
4183	-518	-534	Max	16.72	226.80	27	2.77	27	0.20	27	-2.47	13	-0.36	13	-0.01	28
4183	-518	-534	Min.	0.00	115.85	13	0.26	13	-0.14	27	-0.09	29	-0.36	27	-0.08	27
4183	-518	-534	Min.	3.49					-0.09	27			-0.30	27		
4183	-518	-534	Min.	16.72	116.10	13	0.26	13	0.03	13	-8.18	27	-0.81	27	-0.08	27
4183	-534	4033	Max	0.00	291.69	27	1.78	27	-0.01	28	-23.04	13	2.38	27	0.03	27
4183	-534	4033	Max	16.72	292.58	27	3.18	27	0.25	27	-26.10	13	-2.98	13	0.03	27
4183	-534	4033	Min.	0.00	144.69	13	0.15	28	-0.16	27	-46.41	27	1.10	28	0.02	13
4183	-534	4033	Min.	16.72	144.93	13	0.15	28	0.02	28	-57.44	27	-6.30	27	0.02	13
4183	4033	-550	Max	0.00	1353.41	27	0.13	14	0.46	27	299.90	27	-20.28	13	0.04	27
4183	4033	-550	Max	21.63	1354.87	27	0.13	14	0.01	27	281.87	27	18.01	27	0.04	27
4183	4033	-550	Min.	0.00	568.69	28	-2.98	27	-0.02	14	133.63	13	-44.92	27	-0.02	14
4183	4033	-550	Min.	21.63	569.34	28	-1.16	27	0.01	14	128.80	13	8.11	13	-0.02	14
4183	-550	-566	Max	0.00	613.59	27	-0.00	13	0.00	28	272.61	27	-14.81	13	0.07	27
4183	-550	-566	Max	21.63	615.05	27	0.24	27	0.00	13	254.58	27	24.40	27	0.07	27
4183	-550	-566	Min.	0.00	198.61	28	-1.58	27	-0.08	27	122.05	13	-32.63	27	-0.00	14
4183	-550	-566	Min.	21.63	199.25	28	-0.01	14	-0.22	27	117.22	13	11.07	13	-0.00	14
4183	-566	-582	Max	0.00	-1.66	29	0.21	27	0.00	14	234.47	27	-11.71	13	0.05	27
4183	-566	-582	Max	21.63	-1.27	29	2.03	27	0.00	13	216.44	27	23.31	27	0.05	27
4183	-566	-582	Min.	0.00	-121.54	28	0.00	14	-0.30	27	106.05	13	-25.47	27	-0.00	14
4183	-566	-582	Min.	21.63	-120.89	28	0.00	14	-0.06	27	101.22	13	10.71	13	-0.00	14
4183	-582	-598	Max	0.00	-235.84	13	2.62	27	0.00	14	205.20	27	-9.44	13	0.00	13
4183	-582	-598	Max	21.63	-235.44	13	4.43	27	0.60	27	187.17	27	22.11	27	0.00	13
4183	-582	-598	Min.	0.00	-533.77	27	0.02	28	-0.16	27	93.87	13	-20.34	27	-0.10	27
4183	-582	-598	Min.	21.63	-532.31	27	0.02	28	0.01	28	89.05	13	10.34	13	-0.10	27
4183	-598	-614	Max	0.00	-402.44	13	-0.02	14	0.60	27	146.38	27	-5.69	28	0.23	27
4183	-598	-614	Max	21.63	-402.05	13	-0.02	14	-0.01	13	128.35	27	16.63	27	0.23	27
4183	-598	-614	Min.	0.00	-898.75	27	-4.18	27	-0.01	14	63.94	29	-13.09	27	-0.02	14
4183	-598	-614	Min.	21.63	-897.29	27	-2.36	27	-0.11	27	59.11	29	7.55	29	-0.02	14
4183	-614	-630	Max	0.00	-523.89	13	-0.02	13	0.00	28	126.09	27	-4.73	28	0.03	27
4183	-614	-630	Max	21.63	-523.50	13	0.13	27	-0.00	13	108.06	27	14.50	27	0.03	27
4183	-614	-630	Min.	0.00	-1163.48	27	-1.69	27	-0.09	27	56.04	29	-10.83	27	-0.02	14
4183	-614	-630	Min.	21.63	-1162.02	27	-0.03	14	-0.26	27	50.31	28	6.65	29	-0.02	14
4183	-630	-646	Max	0.00	-619.54	13	0.11	27	0.01	14	107.59	27	-3.63	28	-0.01	13
4183	-630	-646	Max	21.63	-619.15	13	1.93	27	0.00	14	89.56	27	12.82	27	-0.01	13
4183	-630	-646	Min.	0.00	-1367.96	27	-0.03	14	-0.30	27	48.72	29	-8.51	27	-0.05	27
4183	-630	-646	Min.	21.63	-1366.49	27	-0.03	14	-0.08	27	41.37	28	6.00	29	-0.05	27
4183	-646	-662	Max	0.00	-694.52	13	2.74	27	0.01	14	91.96	27	-2.44	28	-0.01	13
4183	-646	-662	Max	21.63	-694.12	13	4.55	27	0.65	27	73.93	27	11.76	27	-0.01	13
4183	-646	-662	Min.	0.00	-1524.54	27	-0.01	28	-0.14	27	42.06	28	-6.18	27	-0.33	27
4183	-646	-662	Min.	21.63	-1523.08	27	-0.01	28	0.01	13	34.06	28	5.72	29	-0.33	27
4183	-662	-678	Max	0.00	-731.85	29	0.02	14	0.62	27	53.00	27	0.34	28	0.39	27
4183	-662	-678	Max	21.63	-731.46	29	0.02	14	-0.01	13	34.97	27	7.67	27	0.39	27
4183	-662	-678	Min.	0.00	-1612.56	27	-4.33	27	-0.01	14	16.89	28	-1.84	27	-0.01	14
4183	-662	-678	Min.	21.63	-1611.09	27	-2.51	27	-0.12	27	8.90	28	3.13	28	-0.01	14

4183	-678	-694	Max	0.00	-760.41	29	0.00	14	-0.00	13	41.01	27	0.61	28	0.08	27
4183	-678	-694	Max	21.63	-760.02	29	0.13	27	-0.00	28	22.98	27	6.02	27	0.08	27
4183	-678	-694	Min.	0.00	-1674.35	27	-1.69	27	-0.10	27	11.60	28	-0.91	27	-0.01	14
4183	-678	-694	Min.	21.63	-1672.89	27	0.00	13	-0.27	27	3.60	28	2.26	28	-0.01	14
4183	-694	-710	Max	0.00	-779.13	29	0.22	27	0.00	14	29.07	27	1.21	28	-0.00	28
4183	-694	-710	Max	16.30					0.00	28			1.70	28		
4183	-694	-710	Max	21.63	-778.74	29	2.04	27	0.00	14	11.04	27	4.74	27	-0.00	28
4183	-694	-710	Min.	0.00	-1712.16	27	0.00	13	-0.32	27	6.02	28	0.04	13	-0.07	27
4183	-694	-710	Min.	16.30					0.00	28			1.70	28		
4183	-694	-710	Min.	21.63	-1710.70	27	0.00	13	-0.07	27	-1.97	28	1.65	28	-0.07	27
4183	-710	-726	Max	0.00	-789.30	29	3.00	27	0.01	14	19.11	27	2.05	28	-0.01	13
4183	-710	-726	Max	4.33					0.01	28			2.08	28		
4183	-710	-726	Max	21.63	-788.90	29	4.82	27	0.69	27	4.90	13	4.17	27	-0.01	13
4183	-710	-726	Min.	0.00	-1729.48	27	0.01	13	-0.16	27	1.69	28	0.74	29	-0.46	27
4183	-710	-726	Min.	4.33					0.01	28			2.08	28		
4183	-710	-726	Min.	21.63	-1728.02	27	0.01	13	0.01	13	-6.31	28	1.55	28	-0.46	27
4183	-726	-742	Max	0.00	-784.18	29	0.02	14	0.67	27	-11.35	29	5.91	27	0.53	27
4183	-726	-742	Max	21.63	-783.79	29	0.02	14	-0.00	13	-16.17	29	0.19	27	0.53	27
4183	-726	-742	Min.	0.00	-1717.45	27	-4.64	27	-0.01	14	-22.91	28	3.01	29	-0.00	28
4183	-726	-742	Min.	21.63	-1715.99	27	-2.82	27	-0.14	27	-35.48	27	-1.13	28	-0.00	28
4183	-742	-758	Max	0.00	-767.98	29	0.01	14	-0.00	13	-13.80	29	6.10	27	0.11	27
4183	-742	-758	Max	8.65					-0.00	28			2.14	28		
4183	-742	-758	Max	21.63	-767.59	29	0.01	14	0.00	14	-18.62	29	-0.66	29	0.11	27
4183	-742	-758	Min.	0.00	-1683.18	27	-1.83	27	-0.10	27	-26.19	28	2.85	29	-0.00	28
4183	-742	-758	Min.	12.98					-0.00	14			1.11	14		
4183	-742	-758	Min.	21.63	-1681.71	27	-0.01	27	-0.30	27	-43.68	27	-1.98	28	-0.00	28
4183	-758	-774	Max	0.00	-748.69	29	0.25	27	0.00	14	-16.15	29	6.32	27	-0.00	13
4183	-758	-774	Max	21.63	-748.29	29	2.06	27	0.00	14	-20.97	29	-1.18	29	-0.00	13
4183	-758	-774	Min.	0.00	-1640.40	27	0.00	13	-0.34	27	-32.96	27	2.84	29	-0.11	27
4183	-758	-774	Min.	21.63	-1638.94	27	0.00	13	-0.09	27	-50.99	27	-2.76	27	-0.11	27
4183	-774	-790	Max	0.00	-730.95	29	3.09	27	0.00	14	-21.12	29	4.97	27	-0.00	13
4183	-774	-790	Max	21.63	-730.56	29	4.91	27	0.71	27	-25.95	29	-2.90	29	-0.00	13
4183	-774	-790	Min.	0.00	-1599.50	27	0.01	13	-0.15	27	-46.45	27	2.19	29	-0.55	27
4183	-774	-790	Min.	21.63	-1598.03	27	0.01	13	0.00	13	-64.49	27	-7.02	27	-0.55	27
4220	3007	-519	Max	0.00	13.61	28	3.25	27	-0.11	13	6.37	27	0.62	28	0.01	13
4220	3007	-519	Max	10.03					0.05	27			0.17	27		
4220	3007	-519	Max	16.72	14.02	28	3.25	27	0.27	27	-4.66	27	0.00	27	0.01	13
4220	3007	-519	Min.	0.00	-0.59	27	1.25	13	-0.27	27	-5.19	13	-0.14	27	-0.11	27
4220	3007	-519	Min.	10.03					0.05	27			0.17	27		
4220	3007	-519	Min.	16.72	0.30	27	1.25	13	0.10	13	-9.74	28	-0.60	28	-0.11	27
4220	-519	-535	Max	0.00	34.70	28	4.23	27	-0.10	13	2.11	27	0.61	28	0.02	28
4220	-519	-535	Max	3.34					-0.21	27			0.35	27		
4220	-519	-535	Max	16.72	35.10	28	4.23	27	0.36	27	-6.36	29	-0.25	27	0.02	28
4220	-519	-535	Min.	0.00	-1.97	27	1.26	13	-0.35	27	-6.49	28	0.32	27	-0.05	27
4220	-519	-535	Min.	3.34					-0.21	27			0.35	27		
4220	-519	-535	Min.	16.72	-1.08	27	1.26	13	0.11	13	-11.46	28	-0.89	28	-0.05	27
4220	-535	4034	Max	0.00	55.83	28	4.12	27	-0.09	13	-9.85	29	1.04	27	0.00	29
4220	-535	4034	Max	16.72	56.23	28	4.12	27	0.35	27	-12.91	29	-1.36	29	0.00	29
4220	-535	4034	Min.	0.00	8.05	27	1.06	13	-0.34	27	-14.28	27	0.49	28	-0.00	27
4220	-535	4034	Min.	16.72	8.95	27	1.06	13	0.09	13	-25.32	27	-2.27	27	-0.00	27
4220	4034	-551	Max	0.00	694.91	27	-0.21	29	0.04	27	170.69	27	-11.74	29	-0.04	29
4220	4034	-551	Max	21.63	696.37	27	-0.21	29	-0.02	29	152.66	27	10.05	27	-0.04	29
4220	4034	-551	Min.	0.00	260.77	28	-0.35	27	0.02	29	78.51	29	-24.92	27	-0.07	27
4220	4034	-551	Min.	21.63	261.42	28	-0.35	27	-0.05	14	73.68	29	4.73	29	-0.07	27
4220	-551	-567	Max	0.00	294.54	27	-0.10	29	0.01	27	150.04	27	-8.38	29	-0.04	29
4220	-551	-567	Max	21.63	296.01	27	-0.10	29	-0.02	29	132.01	27	13.08	27	-0.04	29
4220	-551	-567	Min.	0.00	55.18	28	-0.18	27	0.00	13	70.28	29	-17.43	27	-0.07	27
4220	-551	-567	Min.	21.63	55.82	28	-0.18	27	-0.03	27	65.46	29	6.30	29	-0.07	27
4220	-567	-583	Max	0.00	-11.57	13	-0.10	29	0.02	27	125.78	27	-6.45	28	-0.04	29

4220	-567	-583	Max	21.63	-11.18	13	-0.10	29	-0.01	29	107.74	27	12.06	27	-0.04	29
4220	-567	-583	Min.	0.00	-117.58	28	-0.17	27	0.01	29	60.01	29	-13.20	27	-0.07	27
4220	-567	-583	Min.	21.63	-116.93	28	-0.17	27	-0.02	27	55.19	29	5.96	29	-0.07	27
4220	-583	-599	Max	0.00	-142.82	13	-0.08	29	0.03	27	105.42	27	-4.94	28	-0.04	29
4220	-583	-599	Max	21.63	-142.43	13	-0.08	29	0.01	27	87.39	27	10.53	27	-0.04	29
4220	-583	-599	Min.	0.00	-302.50	27	-0.13	28	0.02	29	51.73	29	-10.32	27	-0.07	14
4220	-583	-599	Min.	21.63	-301.04	27	-0.13	28	0.00	29	45.63	28	5.51	29	-0.07	14
4220	-599	-615	Max	0.00	-239.42	29	0.04	14	-0.02	29	93.70	27	-3.38	28	-0.02	29
4220	-599	-615	Max	21.63	-239.03	29	0.04	14	-0.01	29	75.67	27	9.73	27	-0.02	29
4220	-599	-615	Min.	0.00	-503.92	27	0.02	27	-0.04	27	40.04	13	-8.59	27	-0.05	27
4220	-599	-615	Min.	21.63	-502.45	27	0.02	27	-0.03	27	33.09	28	4.50	13	-0.05	27
4220	-615	-631	Max	0.00	-311.32	29	-0.02	13	0.00	28	77.39	27	-2.47	28	-0.02	29
4220	-615	-631	Max	21.63	-310.93	29	-0.02	13	-0.00	13	59.36	27	8.38	27	-0.02	29
4220	-615	-631	Min.	0.00	-659.13	27	-0.06	27	0.00	13	33.45	28	-6.41	27	-0.04	27
4220	-615	-631	Min.	21.63	-657.67	27	-0.06	27	-0.01	27	25.45	28	3.90	28	-0.04	27
4220	-631	-647	Max	0.00	-366.18	13	-0.02	29	0.02	27	62.89	27	-1.66	28	-0.02	29
4220	-631	-647	Max	21.63	-365.79	13	-0.02	29	0.01	27	44.85	27	7.01	27	-0.02	29
4220	-631	-647	Min.	0.00	-774.50	27	-0.06	27	0.01	29	26.58	28	-4.64	27	-0.04	27
4220	-631	-647	Min.	21.63	-773.03	27	-0.06	27	0.00	29	18.58	28	3.22	28	-0.04	27
4220	-647	-663	Max	0.00	-407.41	13	0.02	14	0.04	27	49.34	27	-0.96	28	-0.02	29
4220	-647	-663	Max	21.63	-407.02	13	0.02	14	0.05	27	31.30	27	5.55	27	-0.02	29
4220	-647	-663	Min.	0.00	-858.14	27	0.01	28	0.02	29	20.24	28	-3.18	27	-0.05	27
4220	-647	-663	Min.	21.63	-856.68	27	0.01	28	0.02	29	12.25	28	2.56	28	-0.05	27
4220	-663	-679	Max	0.00	-391.49	13	0.09	27	-0.02	29	43.72	27	-0.42	28	-0.02	28
4220	-663	-679	Max	21.63	-391.10	13	0.09	27	-0.02	29	25.69	27	4.96	27	-0.02	28
4220	-663	-679	Min.	0.00	-827.11	27	0.03	29	-0.05	27	15.24	28	-2.55	27	-0.03	27
4220	-663	-679	Min.	21.63	-825.64	27	0.03	29	-0.03	27	7.25	28	2.01	28	-0.03	27
4220	-679	-695	Max	0.00	-411.55	13	0.01	27	-0.00	29	31.79	27	0.20	28	-0.01	28
4220	-679	-695	Max	21.63	-411.16	13	0.01	27	-0.00	28	13.76	27	3.83	27	-0.01	28
4220	-679	-695	Min.	0.00	-870.25	27	-0.00	29	-0.01	27	9.72	28	-1.09	27	-0.03	27
4220	-679	-695	Min.	21.63	-868.78	27	-0.00	29	-0.01	27	1.73	28	1.44	28	-0.03	27
4220	-695	-711	Max	0.00	-424.25	13	0.01	14	0.01	27	20.84	27	0.77	28	-0.02	28
4220	-695	-711	Max	12.26					0.01	28			1.05	28		
4220	-695	-711	Max	21.63	-423.86	13	0.01	14	0.01	27	4.43	13	2.68	27	-0.02	28
4220	-695	-711	Min.	0.00	-894.88	27	-0.00	29	0.01	29	4.53	28	-0.05	13	-0.03	27
4220	-695	-711	Min.	12.26					0.01	28			1.05	28		
4220	-695	-711	Min.	21.63	-893.42	27	-0.00	29	0.01	29	-3.46	28	0.88	28	-0.03	27
4220	-711	-727	Max	0.00	-430.51	13	0.06	27	0.03	27	10.31	27	1.34	28	-0.02	29
4220	-711	-727	Max	12.37					0.04	27			1.84	27		
4220	-711	-727	Max	21.63	-430.12	13	0.06	27	0.05	27	0.86	13	1.49	27	-0.02	29
4220	-711	-727	Min.	0.00	-903.80	27	0.02	29	0.02	29	-0.31	28	0.42	13	-0.04	27
4220	-711	-727	Min.	19.18					0.03	14			1.21	14		
4220	-711	-727	Min.	21.63	-902.34	27	0.02	29	0.02	29	-8.31	28	0.40	28	-0.04	27
4220	-727	-743	Max	0.00	-432.46	13	0.20	27	-0.03	29	4.04	27	2.09	28	0.02	28
4220	-727	-743	Max	4.56					-0.06	27			1.96	27		
4220	-727	-743	Max	21.63	-432.06	13	0.20	27	-0.01	28	-7.06	13	0.79	27	0.02	28
4220	-727	-743	Min.	0.00	-906.27	27	0.10	29	-0.07	27	-7.37	28	1.28	13	0.01	27
4220	-727	-743	Min.	4.56					-0.06	27			1.96	27		
4220	-727	-743	Min.	21.63	-904.81	27	0.10	29	-0.02	27	-15.37	28	-0.37	28	0.01	27
4220	-743	-759	Max	0.00	-425.27	13	0.15	27	-0.01	29	-5.40	13	2.92	27	0.01	28
4220	-743	-759	Max	21.63	-424.88	13	0.15	27	0.01	27	-10.22	13	-0.19	13	0.01	28
4220	-743	-759	Min.	0.00	-893.36	27	0.08	29	-0.02	27	-11.79	28	1.49	13	0.01	13
4220	-743	-759	Min.	21.63	-891.89	27	0.08	29	0.00	29	-23.85	27	-0.95	28	0.01	13
4220	-759	-775	Max	0.00	-414.94	13	0.13	27	0.00	27	-8.20	13	3.55	27	0.01	28
4220	-759	-775	Max	21.63	-414.55	13	0.13	27	0.03	27	-13.02	13	-0.64	13	0.01	28
4220	-759	-775	Min.	0.00	-871.74	27	0.07	29	-0.00	28	-15.74	28	1.66	13	0.01	13
4220	-759	-775	Min.	21.63	-870.28	27	0.07	29	0.02	29	-32.23	27	-1.53	28	0.01	13
4220	-775	-791	Max	0.00	-404.23	13	0.15	27	0.03	27	-12.71	13	3.06	27	0.01	28
4220	-775	-791	Max	21.63	-403.84	13	0.15	27	0.06	27	-17.54	13	-1.90	13	0.01	28

4220	-775	-791	Min.	0.00	-847.43	27	0.08	29	0.01	28	-26.64	27	1.37	13	-0.00	27
4220	-775	-791	Min.	21.63	-845.97	27	0.08	29	0.03	29	-44.67	27	-4.66	27	-0.00	27
4221	3008	-520	Max	0.00	29.32	27	2.42	27	-0.10	13	-3.44	13	1.26	27	0.01	13
4221	3008	-520	Max	16.72	29.40	27	3.82	27	0.28	27	-4.19	13	-0.36	13	0.01	13
4221	3008	-520	Min.	0.00	9.30	13	1.15	29	-0.24	27	-15.76	27	0.28	13	-0.10	27
4221	3008	-520	Min.	16.72	9.36	13	1.23	13	0.10	13	-16.81	27	-1.46	27	-0.10	27
4221	-520	-536	Max	0.00	109.13	27	3.48	27	-0.10	13	0.72	14	-0.06	29	0.02	28
4221	-520	-536	Max	14.34					0.07	13			-0.02	13		
4221	-520	-536	Max	16.72	109.21	27	4.88	27	0.38	27	-0.08	14	-0.02	13	0.02	28
4221	-520	-536	Min.	0.00	34.45	13	1.25	13	-0.32	27	-0.70	27	-0.11	27	-0.05	27
4221	-520	-536	Min.	1.67					-0.11	29			-0.06	29		
4221	-520	-536	Min.	16.72	34.51	13	1.25	13	0.10	13	-1.75	27	-0.32	27	-0.05	27
4221	-536	4036	Max	0.00	148.26	27	3.98	27	-0.10	13	-8.73	28	1.11	27	0.01	28
4221	-536	4036	Max	16.72	148.34	27	5.39	27	0.43	27	-9.54	28	-1.09	13	0.01	28
4221	-536	4036	Min.	0.00	47.89	13	1.27	13	-0.35	27	-22.62	27	0.34	28	-0.03	27
4221	-536	4036	Min.	16.72	47.95	13	1.27	13	0.11	13	-23.66	27	-2.76	27	-0.03	27
4221	4036	-552	Max	0.00	691.42	27	-0.19	13	0.51	27	141.90	27	-10.05	28	0.01	27
4221	4036	-552	Max	21.63	691.54	27	-0.19	13	-0.03	29	140.41	27	8.73	27	0.01	27
4221	4036	-552	Min.	0.00	226.28	28	-3.59	27	0.01	13	66.83	13	-21.81	27	-0.06	14
4221	4036	-552	Min.	21.63	226.38	28	-1.77	27	-0.07	27	65.83	13	4.10	13	-0.06	14
4221	-552	-568	Max	0.00	327.34	27	-0.13	13	0.01	28	131.67	27	-7.27	28	-0.01	27
4221	-552	-568	Max	21.63	327.46	27	0.06	27	-0.02	13	130.18	27	12.14	27	-0.01	27
4221	-552	-568	Min.	0.00	53.05	28	-1.76	27	-0.07	27	61.30	13	-16.18	27	-0.06	14
4221	-552	-568	Min.	21.63	53.14	28	-0.16	28	-0.26	27	60.31	13	5.63	13	-0.06	14
4221	-568	-584	Max	0.00	5.95	13	0.00	27	0.02	14	116.01	27	-5.78	28	-0.03	29
4221	-568	-584	Max	21.63	6.03	13	1.82	27	-0.01	13	114.52	27	11.95	27	-0.03	29
4221	-568	-584	Min.	0.00	-98.75	28	-0.16	28	-0.27	27	53.60	13	-12.99	27	-0.06	14
4221	-568	-584	Min.	21.63	-98.66	28	-0.16	28	-0.08	27	52.61	13	5.50	13	-0.06	14
4221	-584	-600	Max	0.00	-114.54	13	2.44	27	0.03	14	104.14	27	-4.65	28	-0.06	13
4221	-584	-600	Max	21.63	-114.46	13	4.26	27	0.61	27	102.65	27	11.74	27	-0.06	13
4221	-584	-600	Min.	0.00	-258.12	27	-0.14	28	-0.11	27	47.42	13	-10.63	27	-0.21	27
4221	-584	-600	Min.	21.63	-258.00	27	-0.14	28	0.00	28	46.43	13	5.25	13	-0.21	27
4221	-600	-616	Max	0.00	-204.63	13	0.04	14	0.55	27	68.59	27	-2.71	28	0.21	27
4221	-600	-616	Max	21.63	-204.55	13	0.04	14	-0.02	13	67.09	27	8.44	27	0.21	27
4221	-600	-616	Min.	0.00	-447.01	27	-4.05	27	-0.03	14	32.31	28	-6.24	27	-0.02	14
4221	-600	-616	Min.	21.63	-446.89	27	-2.24	27	-0.13	27	31.20	28	4.16	28	-0.02	14
4221	-616	-632	Max	0.00	-272.99	13	-0.02	13	0.00	28	62.20	27	-2.39	28	0.02	27
4221	-616	-632	Max	21.63	-272.91	13	0.14	27	-0.00	13	60.71	27	7.61	27	0.02	27
4221	-616	-632	Min.	0.00	-583.67	27	-1.67	27	-0.10	27	28.76	28	-5.69	27	-0.02	14
4221	-616	-632	Min.	21.63	-583.55	27	-0.03	28	-0.26	27	27.64	28	3.71	28	-0.02	14
4221	-632	-648	Max	0.00	-327.95	13	0.12	27	0.01	14	55.77	27	-1.92	28	-0.02	13
4221	-632	-648	Max	21.63	-327.87	13	1.94	27	0.01	14	54.28	27	7.08	27	-0.02	13
4221	-632	-648	Min.	0.00	-694.34	27	-0.03	28	-0.28	27	25.13	28	-4.82	27	-0.07	27
4221	-632	-648	Min.	21.63	-694.22	27	-0.03	28	-0.06	27	24.01	28	3.39	28	-0.07	27
4221	-648	-664	Max	0.00	-371.73	13	2.81	27	0.03	14	50.99	27	-1.33	28	-0.02	13
4221	-648	-664	Max	21.63	-371.65	13	4.62	27	0.69	27	49.50	27	7.13	27	-0.02	13
4221	-648	-664	Min.	0.00	-783.79	27	0.01	28	-0.11	27	22.37	28	-3.74	27	-0.35	27
4221	-648	-664	Min.	21.63	-783.67	27	0.01	28	0.03	28	21.26	28	3.38	29	-0.35	27
4221	-664	-680	Max	0.00	-396.69	13	0.07	14	0.57	27	19.03	27	0.66	28	0.37	27
4221	-664	-680	Max	21.63	-396.61	13	0.07	14	-0.02	28	17.54	27	3.81	27	0.37	27
4221	-664	-680	Min.	0.00	-834.95	27	-4.22	27	-0.04	14	4.51	28	-0.23	13	-0.02	14
4221	-664	-680	Min.	21.63	-834.83	27	-2.40	27	-0.14	27	3.40	28	1.51	28	-0.02	14
4221	-680	-696	Max	0.00	-412.48	13	0.02	14	-0.01	28	16.92	27	0.53	28	0.07	27
4221	-680	-696	Max	21.63	-412.40	13	0.17	27	-0.00	28	15.42	27	3.10	27	0.07	27
4221	-680	-696	Min.	0.00	-865.63	27	-1.64	27	-0.11	27	3.15	28	-0.39	27	-0.02	14
4221	-680	-696	Min.	21.63	-865.51	27	0.01	13	-0.27	27	2.04	28	1.09	28	-0.02	14
4221	-696	-712	Max	0.00	-423.13	13	0.26	27	0.01	14	13.88	27	0.71	28	-0.02	28
4221	-696	-712	Max	21.63	-423.05	13	2.08	27	0.01	14	12.39	27	2.77	27	-0.02	28
4221	-696	-712	Min.	0.00	-887.29	27	0.01	13	-0.31	27	1.27	28	-0.07	27	-0.09	27

4221	-696	-712	Min.	21.63	-887.17	27	0.01	13	-0.06	27	0.16	28	0.87	28	-0.09	27
4221	-712	-728	Max	0.00	-429.56	13	3.09	27	0.02	14	12.21	27	1.07	28	-0.02	13
4221	-712	-728	Max	1.41					0.02	28			1.07	28		
4221	-712	-728	Max	21.63	-429.48	13	4.90	27	0.73	27	10.72	27	3.06	27	-0.02	13
4221	-712	-728	Min.	0.00	-901.39	27	0.04	13	-0.13	27	0.09	28	0.33	13	-0.48	27
4221	-712	-728	Min.	1.41					0.02	28			1.07	28		
4221	-712	-728	Min.	21.63	-901.27	27	0.04	13	0.03	13	-1.03	28	0.96	28	-0.48	27
4221	-728	-744	Max	0.00	-424.82	13	0.14	28	0.61	27	-5.63	13	3.60	27	0.54	27
4221	-728	-744	Max	21.63	-424.74	13	0.14	28	-0.01	28	-6.63	13	0.17	13	0.54	27
4221	-728	-744	Min.	0.00	-891.85	27	-4.45	27	-0.04	14	-15.51	27	1.50	13	0.01	14
4221	-728	-744	Min.	21.63	-891.73	27	-2.63	27	-0.16	27	-17.00	27	-0.57	28	0.01	14
4221	-744	-760	Max	0.00	-417.85	13	0.11	28	-0.01	13	-6.69	13	3.03	27	0.12	27
4221	-744	-760	Max	21.63	-417.77	13	0.13	27	0.01	28	-7.68	13	-0.17	13	0.12	27
4221	-744	-760	Min.	0.00	-875.08	27	-1.68	27	-0.13	27	-15.93	27	1.39	13	0.01	13
4221	-744	-760	Min.	21.63	-874.96	27	0.07	29	-0.29	27	-17.42	27	-0.95	28	0.01	13
4221	-760	-776	Max	0.00	-409.31	13	0.37	27	0.00	14	-7.80	13	2.85	27	0.01	28
4221	-760	-776	Max	21.63	-409.23	13	2.19	27	0.02	14	-8.79	13	-0.41	13	0.01	28
4221	-760	-776	Min.	0.00	-856.33	27	0.07	13	-0.34	27	-16.78	27	1.38	13	-0.10	27
4221	-760	-776	Min.	21.63	-856.21	27	0.07	13	-0.06	27	-18.27	27	-1.19	28	-0.10	27
4221	-776	-792	Max	0.00	-401.38	13	3.23	27	0.01	14	-10.14	13	2.15	27	0.01	28
4221	-776	-792	Max	21.63	-401.30	13	5.05	27	0.76	27	-11.14	13	-1.20	13	0.01	28
4221	-776	-792	Min.	0.00	-840.18	27	0.08	13	-0.13	27	-19.96	27	1.10	13	-0.55	27
4221	-776	-792	Min.	21.63	-840.06	27	0.08	13	0.03	13	-21.45	27	-2.32	27	-0.55	27
4385	-785	-777	Max	0.00	-397.90	29	0.17	27	-0.03	28	20.48	27	-0.52	28	0.00	13
4385	-785	-777	Max	21.63	-397.99	29	0.17	27	-0.01	13	18.99	27	2.09	27	0.00	13
4385	-785	-777	Min.	0.00	-819.05	27	0.06	28	-0.07	27	4.43	28	-2.18	27	-0.00	28
4385	-785	-777	Min.	21.63	-819.17	27	0.06	28	-0.03	27	3.51	28	0.34	28	-0.00	28
4385	-777	-761	Max	0.00	-405.70	29	0.15	27	-0.01	28	17.34	27	0.33	28	0.01	27
4385	-777	-761	Max	17.31					-0.00	14			1.25	14		
4385	-777	-761	Max	21.63	-405.79	29	0.15	27	0.00	29	15.85	27	2.74	27	0.01	27
4385	-777	-761	Min.	0.00	-834.37	27	0.05	28	-0.03	27	1.66	28	-0.85	27	-0.00	28
4385	-777	-761	Min.	17.31					-0.00	29			1.03	29		
4385	-777	-761	Min.	21.63	-834.49	27	0.05	28	-0.00	28	0.74	28	0.59	28	-0.00	28
4385	-761	-745	Max	0.00	-414.08	29	0.17	27	-0.00	28	16.43	27	0.59	28	0.01	27
4385	-761	-745	Max	6.91					0.00	28			0.60	28		
4385	-761	-745	Max	21.63	-414.16	29	0.17	27	0.03	27	14.94	27	2.91	27	0.01	27
4385	-761	-745	Min.	0.00	-852.04	27	0.06	28	-0.01	27	0.29	28	-0.49	27	-0.00	28
4385	-761	-745	Min.	6.91					0.00	28			0.60	28		
4385	-761	-745	Min.	21.63	-852.17	27	0.06	28	0.01	28	-0.62	28	0.55	28	-0.00	28
4385	-745	-729	Max	0.00	-413.44	28	0.24	27	0.03	27	15.96	27	0.91	28	0.01	13
4385	-745	-729	Max	21.63	-413.51	28	0.24	27	0.08	27	14.47	27	3.45	27	0.01	13
4385	-745	-729	Min.	0.00	-867.64	27	0.09	28	0.01	13	-1.14	28	0.16	27	-0.00	28
4385	-745	-729	Min.	21.63	-867.76	27	0.09	28	0.03	28	-2.06	28	0.57	28	-0.00	28
4385	-729	-713	Max	0.00	-409.39	28	0.12	27	-0.03	13	-4.12	13	3.09	27	-0.02	13
4385	-729	-713	Max	21.63	-409.47	28	0.12	27	-0.02	13	-5.12	13	0.48	27	-0.02	13
4385	-729	-713	Min.	0.00	-880.01	27	0.03	13	-0.07	27	-11.29	27	1.33	13	-0.05	27
4385	-729	-713	Min.	21.63	-880.13	27	0.03	13	-0.05	27	-12.78	27	-0.39	28	-0.05	27
4385	-713	-697	Max	0.00	-394.63	28	0.05	27	-0.01	13	-5.68	13	2.81	27	-0.02	13
4385	-713	-697	Max	21.63	-394.71	28	0.05	27	-0.01	29	-6.68	13	-0.01	13	-0.02	13
4385	-713	-697	Min.	0.00	-865.02	27	0.01	28	-0.02	27	-13.02	27	1.33	13	-0.03	27
4385	-713	-697	Min.	21.63	-865.14	27	0.01	28	-0.01	27	-14.51	27	-0.74	28	-0.03	27
4385	-697	-681	Max	0.00	-375.01	28	0.07	27	0.01	27	-7.77	13	3.15	27	-0.01	13
4385	-697	-681	Max	21.63	-375.09	28	0.07	27	0.02	27	-8.77	13	-0.23	13	-0.01	13
4385	-697	-681	Min.	0.00	-842.40	27	0.01	28	0.00	13	-16.10	27	1.56	13	-0.03	27
4385	-697	-681	Min.	21.63	-842.52	27	0.01	28	0.01	13	-17.59	27	-1.01	28	-0.03	27
4385	-681	-665	Max	0.00	-349.50	28	0.17	27	0.05	27	-9.52	13	3.87	27	-0.02	13
4385	-681	-665	Max	21.63	-349.57	28	0.17	27	0.08	27	-10.52	13	-0.22	14	-0.02	13
4385	-681	-665	Min.	0.00	-810.61	27	0.05	13	0.02	13	-18.23	27	1.94	13	-0.04	27
4385	-681	-665	Min.	21.63	-810.73	27	0.05	13	0.03	13	-19.72	27	-1.11	28	-0.04	27

4385	-665	-649	Max	0.00	-315.49	28	0.04	27	-0.03	13	-23.64	13	7.25	27	-0.02	28
4385	-665	-649	Max	21.63	-315.57	28	0.04	27	-0.02	13	-24.64	13	-1.82	13	-0.02	28
4385	-665	-649	Min.	0.00	-762.84	27	0.02	13	-0.07	27	-50.83	27	3.40	13	-0.07	27
4385	-665	-649	Min.	21.63	-762.96	27	0.02	13	-0.06	27	-52.32	27	-3.91	27	-0.07	27
4385	-649	-633	Max	0.00	-263.25	28	-0.01	28	-0.01	13	-26.62	13	7.20	27	-0.02	28
4385	-649	-633	Max	21.63	-263.33	28	-0.01	28	-0.01	28	-27.61	13	-2.39	13	-0.02	28
4385	-649	-633	Min.	0.00	-671.08	27	-0.06	27	-0.02	27	-55.71	27	3.48	13	-0.05	27
4385	-649	-633	Min.	21.63	-671.20	27	-0.06	27	-0.03	27	-57.20	27	-5.01	27	-0.05	27
4385	-633	-617	Max	0.00	-198.96	28	-0.01	28	0.01	27	-30.34	13	7.71	27	-0.02	28
4385	-633	-617	Max	21.63	-199.03	28	-0.01	28	0.00	28	-31.33	13	-2.89	13	-0.02	28
4385	-633	-617	Min.	0.00	-557.78	27	-0.05	27	0.00	29	-62.25	27	3.78	13	-0.05	27
4385	-633	-617	Min.	21.63	-557.90	27	-0.05	27	0.00	14	-63.74	27	-5.92	27	-0.05	27
4385	-617	-601	Max	0.00	-120.11	28	0.12	27	0.05	27	-34.13	13	8.44	27	-0.02	13
4385	-617	-601	Max	21.63	-120.19	28	0.12	27	0.07	27	-35.12	13	-3.31	13	-0.02	13
4385	-617	-601	Min.	0.00	-418.94	27	0.04	13	0.02	13	-68.61	27	4.18	13	-0.05	27
4385	-617	-601	Min.	21.63	-419.06	27	0.04	13	0.02	13	-70.10	27	-6.57	27	-0.05	27
4385	-601	-585	Max	0.00	-19.93	28	-0.08	28	-0.01	13	-45.17	29	10.76	27	-0.05	28
4385	-601	-585	Max	21.63	-20.01	28	-0.08	28	-0.03	28	-46.16	29	-4.79	29	-0.05	28
4385	-601	-585	Min.	0.00	-237.98	27	-0.27	27	-0.03	27	-95.25	27	5.09	29	-0.18	27
4385	-601	-585	Min.	21.63	-238.10	27	-0.27	27	-0.09	27	-96.74	27	-10.01	27	-0.18	27
4385	-585	-569	Max	0.00	110.15	28	-0.11	28	0.03	27	-51.31	29	11.14	27	-0.05	28
4385	-585	-569	Max	21.63	110.08	28	-0.11	28	-0.02	28	-52.30	29	-5.85	29	-0.05	28
4385	-585	-569	Min.	0.00	5.38	14	-0.36	27	0.01	28	-106.89	27	5.36	29	-0.16	27
4385	-585	-569	Min.	21.63	5.29	14	-0.36	27	-0.05	27	-108.38	27	-12.15	27	-0.16	27
4385	-569	-553	Max	0.00	309.57	27	-0.11	28	0.07	27	-58.81	29	11.32	27	-0.05	28
4385	-569	-553	Max	21.63	309.45	27	-0.11	28	-0.00	28	-59.81	29	-7.33	29	-0.05	28
4385	-569	-553	Min.	0.00	152.40	29	-0.35	27	0.02	28	-121.37	27	5.50	29	-0.16	27
4385	-569	-553	Min.	21.63	152.32	29	-0.35	27	-0.01	27	-122.86	27	-15.10	27	-0.16	27
4385	-553	4285	Max	0.00	648.98	27	-0.15	28	0.11	27	-64.32	29	8.16	27	-0.05	28
4385	-553	4285	Max	21.63	648.85	27	-0.15	28	0.00	28	-65.32	29	-10.03	29	-0.05	28
4385	-553	4285	Min.	0.00	317.75	29	-0.57	27	0.03	28	-131.59	27	3.93	28	-0.14	27
4385	-553	4285	Min.	21.63	317.66	29	-0.57	27	-0.01	27	-133.08	27	-20.47	27	-0.14	27
4385	4285	-537	Max	0.00	51.74	14	1.54	14	-0.05	29	10.98	27	-0.80	29	0.06	27
4385	4285	-537	Max	16.72	51.67	14	1.54	14	0.12	14	9.94	27	0.59	28	0.06	27
4385	4285	-537	Min.	0.00	25.73	29	0.61	29	-0.13	14	7.27	29	-1.25	14	0.01	28
4385	4285	-537	Min.	16.72	25.67	29	0.61	29	0.05	29	6.52	29	0.35	29	0.01	28
4385	-537	-521	Max	0.00	31.53	14	1.61	14	-0.06	29	4.46	14	0.15	27	0.09	27
4385	-537	-521	Max	16.72	31.47	14	1.61	14	0.13	14	3.65	14	0.30	14	0.09	27
4385	-537	-521	Min.	0.00	15.30	29	0.80	29	-0.13	14	-0.54	27	-0.38	14	0.01	28
4385	-537	-521	Min.	16.72	15.24	29	0.80	29	0.07	29	-1.59	27	-0.03	27	0.01	28
4385	-521	3313	Max	0.00	12.17	14	2.30	27	-0.09	29	4.44	14	0.06	27	0.09	27
4385	-521	3313	Max	16.72	12.10	14	2.30	27	0.19	27	3.63	14	0.35	14	0.09	27
4385	-521	3313	Min.	0.00	6.29	29	1.11	29	-0.19	27	-0.52	27	-0.32	14	0.01	14
4385	-521	3313	Min.	16.72	6.23	29	1.11	29	0.09	29	-1.56	27	-0.11	27	0.01	14
4386	-786	-778	Max	0.00	-398.45	29	0.09	14	0.64	27	43.87	27	-1.01	28	0.54	27
4386	-786	-778	Max	21.63	-398.84	29	0.09	14	-0.01	13	25.84	27	3.01	27	0.54	27
4386	-786	-778	Min.	0.00	-813.62	27	-4.73	27	-0.03	14	7.79	28	-4.53	27	-0.00	28
4386	-786	-778	Min.	21.63	-815.09	27	-2.91	27	-0.18	27	5.08	28	0.38	28	-0.00	28
4386	-778	-762	Max	0.00	-409.05	29	0.08	14	-0.01	28	31.48	27	0.19	28	0.11	27
4386	-778	-762	Max	17.31					-0.00	14			1.59	14		
4386	-778	-762	Max	21.63	-409.44	29	0.08	14	0.00	13	13.45	27	3.47	27	0.11	27
4386	-778	-762	Min.	0.00	-837.26	27	-1.91	27	-0.13	27	3.83	28	-1.39	27	-0.00	28
4386	-778	-762	Min.	17.31					-0.00	13			1.28	13		
4386	-778	-762	Min.	21.63	-838.73	27	-0.09	27	-0.34	27	1.11	28	0.73	28	-0.00	28
4386	-762	-746	Max	0.00	-419.26	29	0.19	27	-0.00	28	23.06	27	0.55	28	0.01	14
4386	-762	-746	Max	12.98					0.01	28			0.67	28		
4386	-762	-746	Max	21.63	-419.65	29	2.00	27	0.01	14	5.41	14	2.83	27	0.01	14
4386	-762	-746	Min.	0.00	-858.02	27	0.06	28	-0.31	27	1.72	28	-0.21	27	-0.11	27
4386	-762	-746	Min.	12.98					0.01	28			0.67	28		

4386	-762	-746	Min.	21.63	-859.48	27	0.06	28	-0.07	27	-0.99	28	0.63	28	-0.11	27
4386	-746	-730	Max	0.00	-418.92	28	3.07	27	0.01	28	13.13	27	0.96	28	0.01	13
4386	-746	-730	Max	15.75					0.48	27			1.89	27		
4386	-746	-730	Max	21.63	-419.14	28	4.88	27	0.76	27	2.24	13	1.74	27	0.01	13
4386	-746	-730	Min.	0.00	-870.03	27	0.08	28	-0.10	27	-0.72	28	0.27	13	-0.53	27
4386	-746	-730	Min.	15.75					0.48	27			1.89	27		
4386	-746	-730	Min.	21.63	-871.49	27	0.08	28	0.03	28	-4.90	27	0.52	28	-0.53	27
4386	-730	-714	Max	0.00	-407.65	28	0.04	14	0.61	27	7.68	27	1.89	28	0.39	27
4386	-730	-714	Max	8.95					0.22	27			1.81	27		
4386	-730	-714	Max	21.63	-407.87	28	0.04	14	-0.02	13	-5.68	13	1.17	27	0.39	27
4386	-730	-714	Min.	0.00	-862.93	27	-4.73	27	-0.03	14	-9.34	28	1.13	29	-0.03	14
4386	-730	-714	Min.	2.48					-0.03	14			1.21	14		
4386	-730	-714	Min.	21.63	-864.40	27	-2.91	27	-0.21	27	-12.05	28	-0.42	28	-0.03	14
4386	-714	-698	Max	0.00	-391.78	28	0.01	14	-0.01	28	-2.87	27	2.67	27	0.03	27
4386	-714	-698	Max	21.63	-392.00	28	0.01	14	-0.01	13	-9.25	13	0.10	27	0.03	27
4386	-714	-698	Min.	0.00	-853.86	27	-2.02	27	-0.09	27	-12.19	28	1.42	29	-0.02	14
4386	-714	-698	Min.	21.63	-855.32	27	-0.21	27	-0.33	27	-20.90	27	-0.86	28	-0.02	14
4386	-698	-682	Max	0.00	-369.74	28	0.01	14	0.01	28	-8.40	13	3.82	27	-0.01	13
4386	-698	-682	Max	21.63	-369.95	28	1.72	27	0.01	14	-13.23	13	-0.50	13	-0.01	13
4386	-698	-682	Min.	0.00	-829.15	27	-0.10	27	-0.26	27	-15.52	28	1.84	29	-0.12	27
4386	-698	-682	Min.	21.63	-830.62	27	0.00	28	-0.08	27	-31.85	27	-1.25	28	-0.12	27
4386	-682	-666	Max	0.00	-340.64	28	2.66	27	0.02	14	-12.57	13	4.93	27	-0.02	13
4386	-682	-666	Max	21.63	-340.86	28	4.47	27	0.71	27	-17.39	13	-0.95	13	-0.02	13
4386	-682	-666	Min.	0.00	-786.12	27	0.04	28	-0.07	27	-25.80	27	2.29	29	-0.44	27
4386	-682	-666	Min.	21.63	-787.58	27	0.04	28	0.03	13	-43.83	27	-2.60	27	-0.44	27
4386	-666	-650	Max	0.00	-353.11	28	0.03	28	0.57	27	-18.31	29	5.34	27	0.23	27
4386	-666	-650	Max	21.63	-353.33	28	0.03	28	-0.02	13	-23.13	29	-1.58	29	0.23	27
4386	-666	-650	Min.	0.00	-853.16	27	-4.57	27	-0.03	14	-29.56	27	2.90	29	-0.03	14
4386	-666	-650	Min.	21.63	-854.63	27	-2.75	27	-0.22	27	-47.60	27	-3.00	27	-0.03	14
4386	-650	-634	Max	0.00	-301.69	28	-0.01	28	-0.01	13	-23.27	29	6.84	27	-0.01	29
4386	-650	-634	Max	21.63	-301.91	28	-0.01	28	-0.01	28	-28.09	29	-2.19	29	-0.01	29
4386	-650	-634	Min.	0.00	-772.33	27	-2.05	27	-0.09	27	-43.04	27	3.37	29	-0.03	27
4386	-650	-634	Min.	21.63	-773.80	27	-0.24	27	-0.33	27	-61.07	27	-4.42	27	-0.03	27
4386	-634	-618	Max	0.00	-237.31	28	-0.01	28	0.01	14	-28.76	29	8.22	27	-0.02	28
4386	-634	-618	Max	21.63	-237.53	28	1.56	27	0.00	28	-33.59	29	-2.86	29	-0.02	28
4386	-634	-618	Min.	0.00	-660.37	27	-0.25	27	-0.24	27	-57.39	27	3.88	29	-0.11	27
4386	-634	-618	Min.	21.63	-661.83	27	-0.03	14	-0.10	27	-75.42	27	-6.15	27	-0.11	27
4386	-618	-602	Max	0.00	-156.48	28	2.37	27	0.02	14	-34.88	29	9.67	27	-0.02	13
4386	-618	-602	Max	21.63	-156.70	28	4.19	27	0.66	27	-39.70	29	-3.58	29	-0.02	13
4386	-618	-602	Min.	0.00	-508.31	27	0.04	13	-0.05	27	-73.69	27	4.49	29	-0.31	27
4386	-618	-602	Min.	21.63	-509.77	27	0.04	13	0.02	13	-91.72	27	-8.22	27	-0.31	27
4386	-602	-586	Max	0.00	-48.99	28	-0.08	28	0.57	27	-48.01	13	11.42	27	-0.03	29
4386	-602	-586	Max	21.63	-49.21	28	-0.08	28	-0.03	28	-52.83	13	-5.25	13	-0.03	29
4386	-602	-586	Min.	0.00	-300.38	27	-4.61	27	-0.01	28	-93.98	27	5.65	13	-0.07	14
4386	-602	-586	Min.	21.63	-301.84	27	-2.79	27	-0.23	27	-112.01	27	-10.86	27	-0.07	14
4386	-586	-570	Max	0.00	92.59	28	-0.11	28	0.01	14	-56.31	13	12.77	27	-0.05	28
4386	-586	-570	Max	21.63	92.37	28	-0.11	28	-0.02	28	-61.13	13	-6.62	13	-0.05	28
4386	-586	-570	Min.	0.00	-26.98	27	-2.32	27	-0.04	27	-114.45	27	6.08	13	-0.17	27
4386	-586	-570	Min.	21.63	-28.44	27	-0.50	27	-0.34	27	-132.48	27	-13.94	27	-0.17	27
4386	-570	-554	Max	0.00	330.02	27	-0.11	28	0.03	14	-66.79	13	13.82	27	-0.05	28
4386	-570	-554	Max	21.63	328.55	27	1.28	27	-0.00	28	-71.62	13	-8.55	13	-0.05	28
4386	-570	-554	Min.	0.00	156.60	13	-0.53	27	-0.17	27	-139.98	27	6.43	13	-0.20	27
4386	-570	-554	Min.	21.63	156.21	13	-0.15	14	-0.09	27	-158.01	27	-18.41	27	-0.20	27
4386	-554	4287	Max	0.00	752.53	27	0.72	27	0.10	27	-74.89	13	10.53	27	-0.04	28
4386	-554	4287	Max	21.63	751.07	27	2.53	27	0.45	27	-79.72	13	-11.92	13	-0.04	28
4386	-554	4287	Min.	0.00	351.48	13	-0.35	14	0.04	28	-159.93	27	4.49	28	-0.17	27
4386	-554	4287	Min.	21.63	351.08	13	-0.35	14	-0.03	14	-177.96	27	-26.02	27	-0.17	27
4386	4287	-538	Max	0.00	130.99	27	1.28	14	-0.00	27	36.95	27	-1.51	28	0.00	13
4386	4287	-538	Max	16.72	130.09	27	1.28	14	0.11	14	25.91	27	1.29	27	0.00	13

4386	4287	-538	Min.	0.00	49.97	28	-0.30	27	-0.10	14	14.33	28	-3.96	27	-0.01	27
4386	4287	-538	Min.	16.72	49.83	28	0.66	29	0.05	29	12.04	13	0.59	13	-0.01	27
4386	-538	-522	Max	0.00	76.28	27	1.61	14	-0.06	29	25.33	27	-0.61	28	0.09	27
4386	-538	-522	Max	16.72	75.38	27	2.04	27	0.14	14	14.30	27	1.39	27	0.09	27
4386	-538	-522	Min.	0.00	30.05	28	0.57	29	-0.13	14	7.63	28	-1.92	27	0.01	28
4386	-538	-522	Min.	16.72	29.91	28	1.03	29	0.08	29	5.85	28	0.52	28	0.01	28
4386	-522	3314	Max	0.00	26.54	27	1.53	14	-0.08	29	22.33	27	-0.52	28	0.09	27
4386	-522	3314	Max	16.72	25.65	27	2.89	27	0.20	27	11.30	27	1.45	27	0.09	27
4386	-522	3314	Min.	0.00	12.26	28	0.84	29	-0.16	27	7.52	28	-1.36	27	0.01	14
4386	-522	3314	Min.	16.72	12.12	28	1.24	13	0.10	29	5.05	14	0.59	28	0.01	14
4423	-787	-779	Max	0.00	-734.75	13	0.04	27	-0.00	13	64.70	27	-1.56	28	-0.00	13
4423	-787	-779	Max	21.63	-735.14	13	0.04	27	-0.00	13	46.67	27	5.00	27	-0.00	13
4423	-787	-779	Min.	0.00	-1624.04	27	0.01	13	-0.01	27	11.74	28	-7.05	27	-0.01	27
4423	-787	-779	Min.	21.63	-1625.50	27	0.01	13	-0.01	27	9.03	28	0.69	28	-0.01	27
4423	-779	-763	Max	0.00	-752.53	13	0.03	27	-0.00	13	51.18	27	0.16	28	-0.00	29
4423	-779	-763	Max	17.31					-0.00	27			4.84	27		
4423	-779	-763	Max	21.63	-752.92	13	0.03	27	0.00	29	33.14	27	6.36	27	-0.00	29
4423	-779	-763	Min.	0.00	-1665.11	27	0.00	13	-0.01	27	6.98	28	-2.77	27	-0.00	27
4423	-779	-763	Min.	17.31					-0.00	28			1.18	28		
4423	-779	-763	Min.	21.63	-1666.57	27	0.00	13	-0.00	14	4.26	28	1.38	28	-0.00	27
4423	-763	-747	Max	0.00	-771.87	13	0.04	27	0.00	29	43.88	27	0.60	28	-0.00	28
4423	-763	-747	Max	21.63	-772.27	13	0.04	27	0.01	27	25.85	27	6.13	27	-0.00	28
4423	-763	-747	Min.	0.00	-1708.09	27	0.00	13	0.00	27	5.14	28	-1.41	27	-0.00	27
4423	-763	-747	Min.	21.63	-1709.56	27	0.00	13	0.00	13	2.43	28	1.42	28	-0.00	27
4423	-747	-731	Max	0.00	-774.63	28	0.06	27	0.01	27	35.70	27	1.21	28	-0.00	28
4423	-747	-731	Max	21.63	-774.85	28	0.06	27	0.02	27	17.67	27	5.96	27	-0.00	28
4423	-747	-731	Min.	0.00	-1742.56	27	0.01	13	0.00	13	3.08	28	0.03	13	-0.00	27
4423	-747	-731	Min.	21.63	-1744.02	27	0.01	13	0.01	13	0.37	28	1.58	28	-0.00	27
4423	-731	-715	Max	0.00	-766.38	28	0.07	27	-0.01	13	-1.29	27	4.22	27	-0.01	13
4423	-731	-715	Max	21.63	-766.60	28	0.07	27	-0.01	13	-9.70	13	1.99	27	-0.01	13
4423	-731	-715	Min.	0.00	-1760.79	27	0.01	13	-0.04	27	-15.79	28	2.32	13	-0.02	27
4423	-731	-715	Min.	21.63	-1762.25	27	0.01	13	-0.02	27	-19.32	27	-0.47	28	-0.02	27
4423	-715	-699	Max	0.00	-742.68	28	0.04	27	-0.00	13	-8.22	13	4.78	27	-0.00	29
4423	-715	-699	Max	21.63	-742.90	28	0.04	27	-0.00	29	-13.04	13	0.40	27	-0.00	29
4423	-715	-699	Min.	0.00	-1743.20	27	-0.00	28	-0.01	27	-18.66	28	2.34	13	-0.01	27
4423	-715	-699	Min.	21.63	-1744.67	27	-0.00	28	-0.00	27	-29.29	27	-1.10	28	-0.01	27
4423	-699	-683	Max	0.00	-710.59	28	0.05	27	0.00	27	-12.64	13	6.07	27	-0.00	29
4423	-699	-683	Max	21.63	-710.81	28	0.05	27	0.01	27	-17.47	13	-0.44	13	-0.00	29
4423	-699	-683	Min.	0.00	-1705.02	27	0.00	13	0.00	13	-23.22	27	2.81	13	-0.01	27
4423	-699	-683	Min.	21.63	-1706.48	27	0.00	13	0.00	13	-41.26	27	-1.54	28	-0.01	27
4423	-683	-667	Max	0.00	-668.83	28	0.11	27	0.02	27	-16.83	13	7.75	27	-0.00	13
4423	-683	-667	Max	21.63	-669.05	28	0.11	27	0.05	27	-21.66	13	-0.65	29	-0.00	13
4423	-683	-667	Min.	0.00	-1642.64	27	0.01	13	0.01	13	-35.21	27	3.51	13	-0.02	27
4423	-683	-667	Min.	21.63	-1644.10	27	0.01	13	0.01	13	-53.24	27	-1.82	27	-0.02	27
4423	-667	-651	Max	0.00	-616.52	28	0.04	27	-0.01	13	-38.31	13	12.04	27	-0.01	13
4423	-667	-651	Max	21.63	-616.74	28	0.04	27	-0.01	13	-43.14	13	-3.04	13	-0.01	13
4423	-667	-651	Min.	0.00	-1520.62	27	-0.01	13	-0.04	27	-76.22	27	5.77	13	-0.04	27
4423	-667	-651	Min.	21.63	-1522.08	27	-0.01	13	-0.03	27	-94.25	27	-6.40	27	-0.04	27
4423	-651	-635	Max	0.00	-531.05	28	-0.01	29	0.00	13	-44.25	13	13.05	27	-0.01	13
4423	-651	-635	Max	21.63	-531.27	28	-0.01	29	-0.00	13	-49.07	13	-4.06	13	-0.01	13
4423	-651	-635	Min.	0.00	-1360.35	27	-0.03	14	-0.01	27	-91.90	27	6.04	13	-0.03	27
4423	-651	-635	Min.	21.63	-1361.81	27	-0.03	14	-0.01	27	-109.93	27	-8.78	27	-0.03	27
4423	-635	-619	Max	0.00	-425.60	28	-0.01	29	0.01	27	-51.61	13	14.73	27	-0.01	29
4423	-635	-619	Max	21.63	-425.82	28	-0.01	29	0.00	27	-56.43	13	-5.00	13	-0.01	29
4423	-635	-619	Min.	0.00	-1151.42	27	-0.03	14	0.00	29	-110.61	27	6.69	13	-0.03	27
4423	-635	-619	Min.	21.63	-1152.89	27	-0.03	14	-0.00	14	-128.64	27	-11.15	27	-0.03	27
4423	-619	-603	Max	0.00	-295.21	28	0.06	27	0.02	27	-59.51	13	16.77	27	-0.02	29
4423	-619	-603	Max	21.63	-295.43	28	0.06	27	0.04	27	-64.34	13	-5.82	13	-0.02	29
4423	-619	-603	Min.	0.00	-882.24	27	-0.02	13	0.01	13	-130.98	27	7.57	13	-0.03	27

4423	-619	-603	Min.	21.63	-883.71	27	-0.02	13	0.00	13	-149.01	27	-13.52	27	-0.03	27
4423	-603	-587	Max	0.00	-122.04	28	0.03	28	-0.01	13	-88.09	29	21.37	27	0.00	13
4423	-603	-587	Max	17.31					-0.00	13			-5.39	13		
4423	-603	-587	Max	21.63	-122.26	28	0.03	28	0.00	13	-92.91	29	-9.36	29	0.00	13
4423	-603	-587	Min.	0.00	-525.11	27	-0.01	27	-0.03	27	-181.88	27	10.21	29	-0.06	27
4423	-603	-587	Min.	17.31					-0.00	28			-5.85	28		
4423	-603	-587	Min.	21.63	-526.57	27	-0.01	27	-0.03	27	-199.92	27	-19.92	27	-0.06	27
4423	-587	-571	Max	0.00	114.45	28	0.01	28	0.00	27	-100.25	29	22.74	27	0.00	13
4423	-587	-571	Max	21.63	114.23	28	0.01	28	0.00	28	-105.08	29	-11.60	29	0.00	13
4423	-587	-571	Min.	0.00	-30.97	27	-0.08	27	0.00	28	-211.14	27	10.48	28	-0.05	27
4423	-587	-571	Min.	21.63	-32.43	27	-0.08	27	-0.01	27	-229.17	27	-24.89	27	-0.05	27
4423	-571	-555	Max	0.00	595.87	27	-0.00	28	0.02	27	-116.04	29	23.80	27	-0.00	13
4423	-571	-555	Max	21.63	594.40	27	-0.00	28	0.01	27	-120.81	28	-14.67	29	-0.00	13
4423	-571	-555	Min.	0.00	287.67	29	-0.08	27	0.00	13	-248.02	27	10.70	28	-0.05	27
4423	-571	-555	Min.	21.63	287.28	29	-0.08	27	0.00	13	-266.05	27	-31.81	27	-0.05	27
4423	-555	4288	Max	0.00	1317.63	27	0.14	14	0.04	27	-127.64	28	17.68	27	-0.02	13
4423	-555	4288	Max	21.63	1316.17	27	0.14	14	0.04	27	-130.35	28	-20.14	29	-0.02	13
4423	-555	4288	Min.	0.00	619.02	29	-0.01	27	-0.01	13	-276.94	27	7.48	28	-0.05	27
4423	-555	4288	Min.	21.63	618.63	29	-0.01	27	0.02	29	-294.97	27	-44.18	27	-0.05	27
4423	4288	-539	Max	0.00	165.51	27	0.46	14	0.04	27	45.55	27	-2.72	28	0.03	27
4423	4288	-539	Max	16.72	164.62	27	0.46	14	0.03	14	34.51	27	1.78	27	0.03	27
4423	4288	-539	Min.	0.00	115.49	29	-0.52	27	-0.05	14	23.24	29	-4.91	27	0.02	28
4423	4288	-539	Min.	16.72	115.24	29	-0.52	27	-0.05	27	20.19	29	0.89	29	0.02	28
4423	-539	-523	Max	0.00	105.30	27	0.41	14	0.02	27	22.65	27	-1.30	29	0.04	27
4423	-539	-523	Max	16.72	104.41	27	0.41	14	0.03	14	15.09	14	1.19	27	0.04	27
4423	-539	-523	Min.	0.00	76.63	29	-0.28	27	-0.04	14	14.53	29	-1.74	14	-0.03	14
4423	-539	-523	Min.	16.72	76.38	29	-0.28	27	-0.02	27	11.47	29	0.88	29	-0.03	14
4423	-523	3315	Max	0.00	46.29	27	0.72	27	-0.02	29	21.35	27	-1.10	29	0.02	27
4423	-523	3315	Max	16.72	45.39	27	0.72	27	0.06	27	15.40	14	1.52	14	0.02	27
4423	-523	3315	Min.	0.00	33.42	29	0.19	29	-0.06	27	15.01	29	-1.44	14	-0.05	14
4423	-523	3315	Min.	16.72	33.17	29	0.19	29	0.01	29	10.32	27	1.15	29	-0.05	14
4424	-788	-780	Max	0.00	-731.73	29	0.01	14	0.69	27	65.96	27	-1.55	28	0.54	27
4424	-788	-780	Max	21.63	-732.15	29	0.01	14	-0.00	13	46.86	27	5.06	27	0.54	27
4424	-788	-780	Min.	0.00	-1600.88	27	-4.85	27	-0.01	14	11.75	28	-7.15	27	-0.00	14
4424	-788	-780	Min.	21.63	-1602.43	27	-3.04	27	-0.16	27	8.92	28	0.68	28	-0.00	14
4424	-780	-764	Max	0.00	-749.47	29	0.01	14	-0.00	13	51.86	27	0.18	28	0.10	27
4424	-780	-764	Max	17.31					-0.00	13			2.13	13		
4424	-780	-764	Max	21.63	-749.88	29	0.01	14	0.00	13	32.76	27	6.39	27	0.10	27
4424	-780	-764	Min.	0.00	-1642.28	27	-2.02	27	-0.10	27	6.91	28	-2.76	27	-0.00	28
4424	-780	-764	Min.	17.31					-0.00	13			2.13	13		
4424	-780	-764	Min.	21.63	-1643.83	27	-0.21	27	-0.34	27	4.08	28	1.37	28	-0.00	28
4424	-764	-748	Max	0.00	-768.64	29	0.06	27	0.00	28	44.06	27	0.63	28	-0.00	13
4424	-764	-748	Max	21.63	-769.06	29	1.88	27	0.00	14	24.95	27	6.11	27	-0.00	13
4424	-764	-748	Min.	0.00	-1685.18	27	0.01	28	-0.30	27	5.01	28	-1.35	27	-0.12	27
4424	-764	-748	Min.	21.63	-1686.73	27	0.01	28	-0.09	27	2.18	28	1.41	28	-0.12	27
4424	-748	-732	Max	0.00	-771.12	28	2.90	27	0.00	14	35.26	27	1.24	28	0.00	13
4424	-748	-732	Max	21.63	-771.35	28	4.72	27	0.70	27	16.15	27	5.85	27	0.00	13
4424	-748	-732	Min.	0.00	-1719.02	27	0.01	13	-0.12	27	2.88	28	0.07	13	-0.54	27
4424	-748	-732	Min.	21.63	-1720.57	27	0.01	13	0.01	13	0.05	28	1.56	28	-0.54	27
4424	-732	-716	Max	0.00	-761.22	28	0.01	14	0.64	27	-1.17	27	4.25	27	0.42	27
4424	-732	-716	Max	21.63	-761.44	28	0.01	14	-0.01	13	-10.03	13	1.93	27	0.42	27
4424	-732	-716	Min.	0.00	-1725.76	27	-4.76	27	-0.01	14	-16.12	28	2.34	13	-0.01	14
4424	-732	-716	Min.	21.63	-1727.31	27	-2.94	27	-0.19	27	-20.27	27	-0.50	28	-0.01	14
4424	-716	-700	Max	0.00	-736.93	28	0.00	14	-0.00	13	-8.44	13	4.90	27	0.05	27
4424	-716	-700	Max	21.63	-737.16	28	0.00	14	-0.00	13	-13.52	13	0.30	27	0.05	27
4424	-716	-700	Min.	0.00	-1707.16	27	-2.02	27	-0.08	27	-19.07	28	2.38	13	-0.01	14
4424	-716	-700	Min.	21.63	-1708.71	27	-0.20	27	-0.33	27	-30.82	27	-1.14	28	-0.01	14
4424	-700	-684	Max	0.00	-704.10	28	0.00	14	0.00	14	-13.02	13	6.24	27	-0.00	13
4424	-700	-684	Max	21.63	-704.33	28	1.72	27	0.00	14	-18.10	13	-0.49	13	-0.00	13

4424	-700	-684	Min.	0.00	-1667.16	27	-0.10	27	-0.26	27	-24.29	27	2.87	13	-0.10	27
4424	-700	-684	Min.	21.63	-1668.71	27	0.00	13	-0.09	27	-43.39	27	-1.60	28	-0.10	27
4424	-684	-668	Max	0.00	-661.31	28	2.61	27	0.01	14	-17.36	13	7.97	27	-0.01	13
4424	-684	-668	Max	21.63	-661.54	28	4.43	27	0.68	27	-22.44	13	-0.71	13	-0.01	13
4424	-684	-668	Min.	0.00	-1602.02	27	0.02	13	-0.08	27	-36.95	27	3.60	13	-0.42	27
4424	-684	-668	Min.	21.63	-1603.57	27	0.02	13	0.01	13	-56.06	27	-2.09	27	-0.42	27
4424	-668	-652	Max	0.00	-632.16	28	0.01	14	0.60	27	-39.50	29	12.14	27	0.27	27
4424	-668	-652	Max	21.63	-632.39	28	0.01	14	-0.01	13	-44.58	29	-3.16	29	0.27	27
4424	-668	-652	Min.	0.00	-1574.96	27	-4.54	27	-0.01	14	-76.51	27	5.94	29	-0.02	14
4424	-668	-652	Min.	21.63	-1576.51	27	-2.72	27	-0.19	27	-95.62	27	-6.48	27	-0.02	14
4424	-652	-636	Max	0.00	-543.94	28	-0.01	28	-0.00	13	-45.68	29	13.29	27	0.00	27
4424	-652	-636	Max	21.63	-544.17	28	-0.01	28	-0.00	13	-50.75	29	-4.21	29	0.00	27
4424	-652	-636	Min.	0.00	-1412.09	27	-1.99	27	-0.08	27	-92.98	27	6.22	29	-0.01	14
4424	-652	-636	Min.	21.63	-1413.64	27	-0.17	27	-0.32	27	-112.08	27	-8.89	27	-0.01	14
4424	-636	-620	Max	0.00	-435.16	28	-0.01	28	0.00	14	-53.28	29	15.04	27	-0.01	13
4424	-636	-620	Max	21.63	-435.39	28	1.62	27	0.00	14	-58.36	29	-5.19	29	-0.01	13
4424	-636	-620	Min.	0.00	-1199.43	27	-0.19	27	-0.25	27	-112.33	27	6.89	29	-0.09	27
4424	-636	-620	Min.	21.63	-1200.98	27	-0.01	14	-0.09	27	-131.44	27	-11.33	27	-0.09	27
4424	-620	-604	Max	0.00	-301.05	28	2.36	27	0.01	14	-61.48	29	17.18	27	-0.01	13
4424	-620	-604	Max	21.63	-301.28	28	4.18	27	0.64	27	-66.56	29	-6.08	29	-0.01	13
4424	-620	-604	Min.	0.00	-924.64	27	0.00	13	-0.07	27	-133.61	27	7.76	13	-0.29	27
4424	-620	-604	Min.	21.63	-926.19	27	0.00	13	0.01	13	-152.71	27	-13.79	27	-0.29	27
4424	-604	-588	Max	0.00	-123.00	28	0.03	14	0.56	27	-88.00	13	22.09	27	0.08	27
4424	-604	-588	Max	21.63	-123.23	28	0.03	14	-0.00	13	-93.07	13	-9.40	13	0.08	27
4424	-604	-588	Min.	0.00	-544.30	27	-4.35	27	-0.01	14	-187.36	27	10.09	28	-0.00	14
4424	-604	-588	Min.	21.63	-545.85	27	-2.54	27	-0.18	27	-206.47	27	-20.51	27	-0.00	14
4424	-588	-572	Max	0.00	112.57	28	0.01	13	-0.00	13	-100.36	13	23.46	27	0.00	13
4424	-588	-572	Max	4.33					-0.00	13			6.26	13		
4424	-588	-572	Max	21.63	112.34	28	0.01	13	0.00	13	-105.28	28	-11.63	13	0.00	13
4424	-588	-572	Min.	0.00	-35.02	27	-2.04	27	-0.06	27	-217.49	27	10.42	28	-0.07	27
4424	-588	-572	Min.	8.65					-0.00	28			1.50	28		
4424	-588	-572	Min.	21.63	-36.57	27	-0.23	27	-0.31	27	-236.59	27	-25.66	27	-0.07	27
4424	-572	-556	Max	0.00	611.94	27	0.01	13	0.00	14	-116.34	13	24.60	27	0.00	13
4424	-572	-556	Max	21.63	610.39	27	1.55	27	0.01	14	-120.27	28	-14.72	13	0.00	13
4424	-572	-556	Min.	0.00	286.90	13	-0.26	27	-0.21	27	-256.31	27	10.64	28	-0.10	27
4424	-572	-556	Min.	21.63	286.49	13	0.01	14	-0.07	27	-275.42	27	-32.91	27	-0.10	27
4424	-556	4290	Max	0.00	1358.28	27	1.08	27	0.04	27	-127.16	28	18.18	27	0.01	14
4424	-556	4290	Max	21.63	1356.73	27	2.89	27	0.47	27	-129.99	28	-20.21	13	0.01	14
4424	-556	4290	Min.	0.00	619.45	13	-0.15	14	0.01	13	-284.54	27	7.44	28	-0.07	27
4424	-556	4290	Min.	21.63	619.04	13	-0.15	14	-0.02	14	-303.64	27	-45.44	27	-0.07	27
4424	4290	-540	Max	0.00	208.91	27	0.09	14	0.14	27	51.05	27	-2.26	28	-0.04	28
4424	4290	-540	Max	16.72	207.96	27	0.09	14	0.01	14	39.37	27	1.86	27	-0.04	28
4424	4290	-540	Min.	0.00	90.85	28	-1.98	27	-0.01	14	20.15	28	-5.70	27	-0.07	27
4424	4290	-540	Min.	16.72	90.70	28	-0.57	27	-0.07	27	18.28	13	0.82	13	-0.07	27
4424	-540	-524	Max	0.00	126.45	27	0.41	14	0.04	27	31.97	27	-0.92	28	0.04	27
4424	-540	-524	Max	16.72	125.50	27	0.44	27	0.03	14	20.29	27	1.80	27	0.04	27
4424	-540	-524	Min.	0.00	57.40	28	-0.97	27	-0.04	14	10.53	28	-2.57	27	-0.03	14
4424	-540	-524	Min.	16.72	57.25	28	0.10	29	-0.01	29	8.67	28	0.69	28	-0.03	14
4424	-524	3316	Max	0.00	46.50	27	0.43	14	-0.01	29	30.38	27	-0.83	28	0.06	27
4424	-524	3316	Max	16.72	45.56	27	1.49	27	0.08	27	18.70	27	2.10	27	0.06	27
4424	-524	3316	Min.	0.00	24.12	28	0.00	29	-0.05	27	11.21	28	-2.01	27	-0.02	14
4424	-524	3316	Min.	16.72	23.97	28	0.29	13	0.02	13	9.35	28	0.89	28	-0.02	14
4461	-789	-781	Max	0.00	-732.21	13	-0.00	29	0.01	27	65.74	27	-1.55	28	0.01	27
4461	-789	-781	Max	21.63	-732.62	13	-0.00	29	0.01	27	46.63	27	5.03	27	0.01	27
4461	-789	-781	Min.	0.00	-1604.20	27	-0.02	27	0.00	29	11.74	28	-7.13	27	0.00	29
4461	-789	-781	Min.	21.63	-1605.75	27	-0.02	27	0.00	29	8.91	28	0.68	28	0.00	29
4461	-781	-765	Max	0.00	-749.90	13	-0.00	29	0.00	27	51.64	27	0.18	28	0.00	27
4461	-781	-765	Max	21.63	-750.31	13	-0.00	29	0.00	27	32.53	27	6.35	27	0.00	27
4461	-781	-765	Min.	0.00	-1645.40	27	-0.01	27	0.00	29	6.89	28	-2.75	27	0.00	13

4461	-781	-765	Min.	21.63	-1646.95	27	-0.01	27	0.00	13	4.07	28	1.37	28	0.00	13
4461	-765	-749	Max	0.00	-769.02	13	-0.00	29	0.00	27	43.82	27	0.63	28	0.00	28
4461	-765	-749	Max	21.63	-769.43	13	-0.00	29	0.00	29	24.72	27	6.07	27	0.00	28
4461	-765	-749	Min.	0.00	-1688.05	27	-0.01	27	0.00	28	5.00	28	-1.34	27	0.00	29
4461	-765	-749	Min.	21.63	-1689.60	27	-0.01	27	-0.00	14	2.17	28	1.40	28	0.00	29
4461	-749	-733	Max	0.00	-770.88	28	-0.01	29	-0.00	29	35.01	27	1.24	28	0.00	28
4461	-749	-733	Max	21.63	-771.11	28	-0.01	29	-0.00	29	15.90	27	5.79	27	0.00	28
4461	-749	-733	Min.	0.00	-1721.64	27	-0.02	27	-0.00	27	2.86	28	0.07	29	0.00	27
4461	-749	-733	Min.	21.63	-1723.20	27	-0.02	27	-0.01	27	0.03	28	1.56	28	0.00	27
4461	-733	-717	Max	0.00	-761.09	28	0.02	27	0.01	14	-0.88	27	4.19	27	0.02	27
4461	-733	-717	Max	21.63	-761.32	28	0.02	27	0.01	27	-9.99	29	1.94	27	0.02	27
4461	-733	-717	Min.	0.00	-1734.76	27	-0.01	14	0.00	29	-16.13	28	2.33	29	0.01	29
4461	-733	-717	Min.	21.63	-1736.31	27	-0.01	14	0.00	29	-19.99	27	-0.51	28	0.01	29
4461	-717	-701	Max	0.00	-736.79	28	0.03	27	0.00	14	-8.40	29	4.85	27	0.01	27
4461	-717	-701	Max	21.63	-737.02	28	0.03	27	0.01	27	-13.48	29	0.31	27	0.01	27
4461	-717	-701	Min.	0.00	-1716.46	27	-0.00	14	0.00	27	-19.08	28	2.38	29	0.00	13
4461	-717	-701	Min.	21.63	-1718.01	27	-0.00	14	0.00	13	-30.55	27	-1.15	28	0.00	13
4461	-701	-685	Max	0.00	-703.94	28	0.03	27	-0.00	13	-12.98	29	6.20	27	0.01	27
4461	-701	-685	Max	4.33					-0.00	29			2.28	29		
4461	-701	-685	Max	21.63	-704.17	28	0.03	27	0.00	27	-18.06	29	-0.49	29	0.01	27
4461	-701	-685	Min.	0.00	-1676.85	27	-0.00	14	-0.00	27	-24.00	27	2.86	29	0.00	13
4461	-701	-685	Min.	4.33					-0.00	29			2.28	29		
4461	-701	-685	Min.	21.63	-1678.40	27	-0.00	14	-0.00	14	-43.10	27	-1.60	28	0.00	13
4461	-685	-669	Max	0.00	-661.13	28	0.01	27	-0.00	29	-17.32	29	7.93	27	0.01	27
4461	-685	-669	Max	21.63	-661.36	28	0.01	27	-0.00	29	-22.39	29	-0.70	29	0.01	27
4461	-685	-669	Min.	0.00	-1612.10	27	-0.02	14	-0.01	27	-36.64	27	3.59	29	0.01	29
4461	-685	-669	Min.	21.63	-1613.65	27	-0.02	14	-0.01	14	-55.74	27	-2.06	27	0.01	29
4461	-669	-653	Max	0.00	-632.04	28	0.03	27	0.01	14	-39.63	13	12.19	27	0.02	27
4461	-669	-653	Max	21.63	-632.27	28	0.03	27	0.01	27	-44.70	13	-3.18	13	0.02	27
4461	-669	-653	Min.	0.00	-1549.60	27	-0.01	14	0.00	29	-77.20	27	5.94	13	0.01	29
4461	-669	-653	Min.	21.63	-1551.15	27	-0.01	14	0.01	29	-96.30	27	-6.57	27	0.01	29
4461	-653	-637	Max	0.00	-543.80	28	0.05	27	0.00	14	-45.80	13	13.31	27	0.02	27
4461	-653	-637	Max	21.63	-544.03	28	0.05	27	0.01	27	-50.87	13	-4.23	13	0.02	27
4461	-653	-637	Min.	0.00	-1385.80	27	0.01	28	-0.00	27	-93.64	27	6.23	13	0.01	29
4461	-653	-637	Min.	21.63	-1387.36	27	0.01	28	0.00	29	-112.75	27	-9.02	27	0.01	29
4461	-637	-621	Max	0.00	-435.00	28	0.05	27	-0.00	13	-53.41	13	15.04	27	0.02	27
4461	-637	-621	Max	12.98					-0.00	29			-0.26	29		
4461	-637	-621	Max	21.63	-435.23	28	0.05	27	0.00	27	-58.48	13	-5.21	13	0.02	27
4461	-637	-621	Min.	0.00	-1172.03	27	0.01	28	-0.01	27	-113.05	27	6.89	29	0.01	13
4461	-637	-621	Min.	17.31					-0.00	14			-3.32	14		
4461	-637	-621	Min.	21.63	-1173.58	27	0.01	28	0.00	14	-132.15	27	-11.48	27	0.01	13
4461	-621	-605	Max	0.00	-300.86	28	0.07	27	-0.01	29	-61.60	13	17.08	27	0.03	27
4461	-621	-605	Max	12.98					-0.00	29			-0.47	29		
4461	-621	-605	Max	21.63	-301.09	28	0.07	27	0.00	27	-66.68	13	-6.12	13	0.03	27
4461	-621	-605	Min.	0.00	-896.77	27	-0.00	14	-0.01	27	-134.25	27	7.74	29	0.01	13
4461	-621	-605	Min.	12.98					-0.00	29			-0.47	29		
4461	-621	-605	Min.	21.63	-898.32	27	-0.00	14	-0.01	14	-153.36	27	-14.03	27	0.01	13
4461	-605	-589	Max	0.00	-122.87	28	-0.03	13	0.01	14	-86.66	29	21.04	27	0.00	14
4461	-605	-589	Max	21.63	-123.10	28	-0.03	13	0.01	14	-91.74	29	-9.29	29	0.00	14
4461	-605	-589	Min.	0.00	-529.72	27	-0.08	27	0.00	29	-179.33	27	10.01	29	-0.03	27
4461	-605	-589	Min.	21.63	-531.27	27	-0.08	27	-0.01	27	-198.44	27	-19.82	27	-0.03	27
4461	-589	-573	Max	0.00	112.73	28	-0.01	14	0.00	27	-98.97	29	22.58	27	0.00	14
4461	-589	-573	Max	21.63	112.50	28	-0.01	14	0.00	14	-104.05	29	-11.48	29	0.00	14
4461	-589	-573	Min.	0.00	-38.65	27	-0.06	27	0.00	13	-209.19	27	10.42	28	-0.03	27
4461	-589	-573	Min.	21.63	-40.20	27	-0.06	27	-0.01	27	-228.29	27	-24.75	27	-0.03	27
4461	-573	-557	Max	0.00	584.89	27	-0.01	14	0.01	27	-114.69	29	23.69	27	0.00	14
4461	-573	-557	Max	21.63	583.34	27	-0.01	14	-0.00	29	-119.76	29	-14.52	29	0.00	14
4461	-573	-557	Min.	0.00	282.51	29	-0.05	27	-0.00	14	-246.37	27	10.64	28	-0.02	27
4461	-573	-557	Min.	21.63	282.10	29	-0.05	27	-0.01	14	-265.48	27	-31.68	27	-0.02	27

4461	-557	4291	Max	0.00	1304.10	27	0.15	14	0.01	27	-126.71	29	17.65	27	-0.01	28
4461	-557	4291	Max	21.63	1302.55	27	0.15	14	0.03	27	-130.00	28	-19.99	29	-0.01	28
4461	-557	4291	Min.	0.00	610.55	29	0.05	29	-0.02	14	-276.00	27	7.44	28	-0.03	27
4461	-557	4291	Min.	21.63	610.14	29	0.05	29	0.01	29	-295.11	27	-44.13	27	-0.03	27
4461	4291	-541	Max	0.00	110.02	14	-0.01	28	0.16	27	40.81	27	-2.26	28	0.06	27
4461	4291	-541	Max	16.72	109.62	14	-0.01	28	-0.00	13	29.13	27	1.64	27	0.06	27
4461	4291	-541	Min.	0.00	80.91	29	-1.92	27	-0.00	28	19.79	29	-4.20	27	0.04	28
4461	4291	-541	Min.	16.72	80.65	29	-1.92	27	-0.16	27	16.58	29	0.78	29	0.04	28
4461	-541	-525	Max	0.00	69.54	14	-0.26	13	0.19	27	16.43	27	-0.85	29	0.12	27
4461	-541	-525	Max	16.72	69.14	14	-0.26	13	-0.02	13	10.17	14	0.87	14	0.12	27
4461	-541	-525	Min.	0.00	52.65	29	-2.14	27	0.02	13	10.20	29	-1.24	14	0.02	28
4461	-541	-525	Min.	16.72	52.39	29	-2.14	27	-0.17	27	4.75	27	0.59	29	0.02	28
4461	-525	3317	Max	0.00	28.53	14	-0.28	13	0.09	27	14.66	14	-0.70	29	0.12	27
4461	-525	3317	Max	16.72	28.13	14	-0.28	13	-0.02	13	9.75	14	1.04	14	0.12	27
4461	-525	3317	Min.	0.00	23.26	29	-1.09	27	0.02	13	10.04	29	-1.00	14	0.02	28
4461	-525	3317	Min.	16.72	23.00	29	-1.09	27	-0.09	27	2.28	27	0.62	27	0.02	28
4462	-790	-782	Max	0.00	-730.50	29	-0.00	13	0.71	27	64.52	27	-1.56	28	0.55	27
4462	-790	-782	Max	21.63	-730.89	29	-0.00	13	0.00	14	46.49	27	4.98	27	0.55	27
4462	-790	-782	Min.	0.00	-1597.93	27	-4.90	27	0.00	13	11.75	28	-7.03	27	0.00	13
4462	-790	-782	Min.	21.63	-1599.40	27	-3.09	27	-0.15	27	9.04	28	0.69	28	0.00	13
4462	-782	-766	Max	0.00	-748.26	29	-0.00	13	0.00	14	51.02	27	0.16	28	0.11	27
4462	-782	-766	Max	21.63	-748.65	29	-0.00	13	0.00	14	32.99	27	6.33	27	0.11	27
4462	-782	-766	Min.	0.00	-1638.87	27	-2.06	27	-0.09	27	6.99	28	-2.76	27	0.00	28
4462	-782	-766	Min.	21.63	-1640.34	27	-0.24	27	-0.34	27	4.28	28	1.38	28	0.00	28
4462	-766	-750	Max	0.00	-767.59	29	0.01	27	0.00	14	43.72	27	0.60	28	0.00	14
4462	-766	-750	Max	21.63	-767.98	29	1.83	27	-0.00	13	25.69	27	6.10	27	0.00	14
4462	-766	-750	Min.	0.00	-1681.69	27	-0.01	14	-0.30	27	5.16	28	-1.41	27	-0.11	27
4462	-766	-750	Min.	21.63	-1683.15	27	-0.01	14	-0.10	27	2.44	28	1.42	28	-0.11	27
4462	-750	-734	Max	0.00	-774.89	28	2.82	27	-0.00	13	35.52	27	1.21	28	0.00	14
4462	-750	-734	Max	21.63	-775.11	28	4.64	27	0.67	27	17.48	27	5.92	27	0.00	14
4462	-750	-734	Min.	0.00	-1716.01	27	-0.01	14	-0.14	27	3.09	28	0.03	29	-0.53	27
4462	-750	-734	Min.	21.63	-1717.47	27	-0.01	14	-0.01	14	0.38	28	1.58	28	-0.53	27
4462	-734	-718	Max	0.00	-766.52	28	-0.01	13	0.69	27	-1.03	27	4.16	27	0.46	27
4462	-734	-718	Max	21.63	-766.74	28	-0.01	13	0.01	14	-9.66	29	1.99	27	0.46	27
4462	-734	-718	Min.	0.00	-1727.82	27	-4.82	27	0.01	13	-15.78	28	2.31	29	0.01	13
4462	-734	-718	Min.	21.63	-1729.28	27	-3.00	27	-0.16	27	-19.07	27	-0.47	28	0.01	13
4462	-718	-702	Max	0.00	-742.83	28	0.00	28	0.00	14	-8.17	29	4.73	27	0.07	27
4462	-718	-702	Max	21.63	-743.05	28	0.00	28	0.00	14	-12.99	29	0.41	27	0.07	27
4462	-718	-702	Min.	0.00	-1710.56	27	-2.04	27	-0.07	27	-18.65	28	2.33	29	0.00	13
4462	-718	-702	Min.	21.63	-1712.03	27	-0.22	27	-0.32	27	-29.02	27	-1.10	28	0.00	13
4462	-702	-686	Max	0.00	-710.75	28	-0.00	28	-0.00	13	-12.59	29	6.01	27	0.01	14
4462	-702	-686	Max	21.63	-710.97	28	1.69	27	-0.00	13	-17.41	29	-0.44	29	0.01	14
4462	-702	-686	Min.	0.00	-1672.81	27	-0.12	27	-0.27	27	-22.93	27	2.80	29	-0.08	27
4462	-702	-686	Min.	21.63	-1674.28	27	-0.00	14	-0.10	27	-40.97	27	-1.54	28	-0.08	27
4462	-686	-670	Max	0.00	-669.01	28	2.51	27	-0.01	13	-16.78	29	7.67	27	0.01	14
4462	-686	-670	Max	21.63	-669.23	28	4.33	27	0.62	27	-21.60	29	-0.65	13	0.01	14
4462	-686	-670	Min.	0.00	-1611.10	27	-0.02	14	-0.12	27	-34.91	27	3.50	29	-0.39	27
4462	-686	-670	Min.	21.63	-1612.56	27	-0.02	14	-0.01	14	-52.94	27	-1.83	27	-0.39	27
4462	-670	-654	Max	0.00	-616.61	28	0.01	13	0.64	27	-37.92	29	11.75	27	0.33	27
4462	-670	-654	Max	21.63	-616.83	28	0.01	13	0.01	14	-42.74	29	-3.00	29	0.33	27
4462	-670	-654	Min.	0.00	-1522.91	27	-4.55	27	0.01	13	-73.86	27	5.72	29	0.01	13
4462	-670	-654	Min.	21.63	-1524.37	27	-2.73	27	-0.14	27	-91.89	27	-6.18	27	0.01	13
4462	-654	-638	Max	0.00	-531.14	28	0.03	14	0.00	14	-43.84	29	12.81	27	0.05	27
4462	-654	-638	Max	21.63	-531.36	28	0.03	14	0.01	14	-48.66	29	-4.01	29	0.05	27
4462	-654	-638	Min.	0.00	-1366.45	27	-1.92	27	-0.08	27	-89.48	27	6.00	29	0.01	13
4462	-654	-638	Min.	21.63	-1367.92	27	-0.11	27	-0.30	27	-107.51	27	-8.50	27	0.01	13
4462	-638	-622	Max	0.00	-425.71	28	0.03	14	-0.00	13	-51.16	29	14.49	27	0.02	14
4462	-638	-622	Max	12.98					-0.00	28			-0.59	28		
4462	-638	-622	Max	21.63	-425.93	28	1.69	27	0.00	14	-55.99	29	-4.94	29	0.02	14

4462	-638	-622	Min.	0.00	-1162.13	27	-0.12	27	-0.26	27	-107.98	27	6.65	29	-0.03	27
4462	-638	-622	Min.	12.98					-0.00	28			-0.59	28		
4462	-638	-622	Min.	21.63	-1163.59	27	0.02	28	-0.09	27	-126.02	27	-10.82	27	-0.03	27
4462	-622	-606	Max	0.00	-295.33	28	2.36	27	-0.01	13	-59.05	29	16.62	27	0.02	14
4462	-622	-606	Max	21.63	-295.55	28	4.18	27	0.60	27	-63.88	29	-5.75	29	0.02	14
4462	-622	-606	Min.	0.00	-897.58	27	0.02	28	-0.11	27	-128.26	27	7.55	29	-0.23	27
4462	-622	-606	Min.	21.63	-899.04	27	0.02	28	-0.00	14	-146.29	27	-13.08	27	-0.23	27
4462	-606	-590	Max	0.00	-122.10	28	-0.02	13	0.60	27	-88.94	13	22.09	27	0.10	27
4462	-606	-590	Max	21.63	-122.32	28	-0.02	13	0.00	14	-93.77	13	-9.43	13	0.10	27
4462	-606	-590	Min.	0.00	-532.55	27	-4.43	27	0.01	13	-186.98	27	10.22	28	-0.00	13
4462	-606	-590	Min.	21.63	-534.02	27	-2.61	27	-0.16	27	-205.02	27	-20.31	27	-0.00	13
4462	-590	-574	Max	0.00	114.38	28	-0.00	14	0.00	28	-101.11	13	23.29	27	0.00	14
4462	-590	-574	Max	21.63	114.16	28	-0.00	14	0.00	14	-105.75	28	-11.70	13	0.00	14
4462	-590	-574	Min.	0.00	-27.55	27	-2.03	27	-0.06	27	-216.23	27	10.48	28	-0.05	27
4462	-590	-574	Min.	21.63	-29.01	27	-0.21	27	-0.30	27	-234.26	27	-25.44	27	-0.05	27
4462	-574	-558	Max	0.00	613.74	27	0.01	14	0.00	13	-117.10	13	24.38	27	0.00	14
4462	-574	-558	Max	4.33					-0.00	14			7.40	14		
4462	-574	-558	Max	21.63	612.27	27	1.58	27	0.00	13	-120.81	28	-14.80	13	0.00	14
4462	-574	-558	Min.	0.00	290.61	13	-0.24	27	-0.22	27	-254.37	27	10.70	28	-0.07	27
4462	-574	-558	Min.	4.33					-0.00	14			7.40	14		
4462	-574	-558	Min.	21.63	290.22	13	0.00	28	-0.08	27	-272.40	27	-32.60	27	-0.07	27
4462	-558	4293	Max	0.00	1352.67	27	1.15	27	0.02	27	-127.64	28	17.98	27	0.02	14
4462	-558	4293	Max	21.63	1351.21	27	2.97	27	0.46	27	-130.35	28	-20.26	13	0.02	14
4462	-558	4293	Min.	0.00	624.82	13	-0.14	14	0.01	14	-281.61	27	7.48	28	-0.04	27
4462	-558	4293	Min.	21.63	624.43	13	-0.14	14	-0.02	14	-299.64	27	-44.90	27	-0.04	27
4462	4293	-542	Max	0.00	267.52	27	-0.30	13	0.27	27	55.34	27	-2.72	28	-0.02	28
4462	4293	-542	Max	16.72	266.63	27	-0.30	13	-0.02	13	44.31	27	1.98	27	-0.02	28
4462	4293	-542	Min.	0.00	124.96	28	-3.37	27	0.03	13	23.48	28	-6.35	27	-0.03	27
4462	4293	-542	Min.	16.72	124.81	28	-1.96	27	-0.18	27	21.69	28	0.92	13	-0.03	27
4462	-542	-526	Max	0.00	167.10	27	-0.26	13	0.20	27	38.02	27	-1.35	28	0.12	27
4462	-542	-526	Max	16.72	166.21	27	-0.26	13	-0.02	13	26.98	27	2.21	27	0.12	27
4462	-542	-526	Min.	0.00	80.95	28	-2.83	27	0.02	13	14.73	28	-3.23	27	0.02	28
4462	-542	-526	Min.	16.72	80.81	28	-1.43	27	-0.15	27	12.95	28	0.96	28	0.02	28
4462	-526	3318	Max	0.00	63.90	27	-0.23	13	0.11	27	37.52	27	-1.21	28	0.15	27
4462	-526	3318	Max	16.72	63.01	27	-0.06	29	-0.02	29	26.49	27	2.74	27	0.15	27
4462	-526	3318	Min.	0.00	34.06	28	-1.74	27	0.02	13	15.98	28	-2.61	27	0.04	28
4462	-526	3318	Min.	16.72	33.92	28	-0.36	14	-0.07	27	14.20	28	1.31	28	0.04	28
4499	-791	-783	Max	0.00	-403.86	13	-0.06	28	0.06	27	44.67	27	-1.01	28	0.00	28
4499	-791	-783	Max	21.63	-404.25	13	-0.06	28	0.03	27	26.64	27	3.06	27	0.00	28
4499	-791	-783	Min.	0.00	-846.00	27	-0.15	27	0.03	29	7.79	28	-4.66	27	-0.00	29
4499	-791	-783	Min.	21.63	-847.47	27	-0.15	27	0.01	29	5.07	28	0.38	28	-0.00	29
4499	-783	-767	Max	0.00	-414.57	13	-0.05	28	0.03	27	32.23	27	0.19	28	0.00	28
4499	-783	-767	Max	21.63	-414.96	13	-0.05	28	0.00	28	14.20	27	3.55	27	0.00	28
4499	-783	-767	Min.	0.00	-870.31	27	-0.13	27	0.01	28	3.82	28	-1.47	27	-0.01	27
4499	-783	-767	Min.	21.63	-871.77	27	-0.13	27	0.00	29	1.11	28	0.73	28	-0.01	27
4499	-767	-751	Max	0.00	-420.89	28	-0.06	28	0.01	27	23.85	27	0.55	28	0.00	28
4499	-767	-751	Max	12.98					-0.01	28			0.67	28		
4499	-767	-751	Max	21.63	-421.11	28	-0.06	28	-0.01	28	5.82	27	2.93	27	0.00	28
4499	-767	-751	Min.	0.00	-891.93	27	-0.15	27	0.00	28	1.72	28	-0.29	27	-0.01	27
4499	-767	-751	Min.	12.98					-0.01	28			0.67	28		
4499	-767	-751	Min.	21.63	-893.39	27	-0.15	27	-0.02	27	-0.99	28	0.63	28	-0.01	27
4499	-751	-735	Max	0.00	-419.05	28	-0.08	28	-0.01	29	13.99	27	0.96	28	0.00	28
4499	-751	-735	Max	16.79					-0.06	27			1.96	27		
4499	-751	-735	Max	21.63	-419.27	28	-0.08	28	-0.03	29	2.39	29	1.87	27	0.00	28
4499	-751	-735	Min.	0.00	-904.84	27	-0.20	27	-0.02	27	-0.72	28	0.26	29	-0.01	29
4499	-751	-735	Min.	16.79					-0.06	27			1.96	27		
4499	-751	-735	Min.	21.63	-906.31	27	-0.20	27	-0.07	27	-4.04	27	0.52	28	-0.01	29
4499	-735	-719	Max	0.00	-407.68	28	-0.02	29	0.05	27	7.72	27	1.89	28	0.04	27
4499	-735	-719	Max	8.65					0.04	27			1.84	27		

4499	-735	-719	Max	21.63	-407.90	28	-0.02	29	0.03	27	-5.67	29	1.21	27	0.04	27
4499	-735	-719	Min.	0.00	-902.27	27	-0.06	27	0.02	29	-9.34	28	1.13	13	0.02	29
4499	-735	-719	Min.	2.47					0.03	14			1.21	14		
4499	-735	-719	Min.	21.63	-903.73	27	-0.06	27	0.02	29	-12.05	28	-0.42	28	0.02	29
4499	-719	-703	Max	0.00	-391.81	28	0.00	29	0.01	27	-2.81	27	2.68	27	0.03	27
4499	-719	-703	Max	21.63	-392.03	28	0.00	29	0.01	27	-9.24	29	0.13	27	0.03	27
4499	-719	-703	Min.	0.00	-893.35	27	-0.01	14	0.01	29	-12.19	28	1.43	13	0.02	29
4499	-719	-703	Min.	21.63	-894.81	27	-0.01	14	0.01	29	-20.84	27	-0.86	28	0.02	29
4499	-703	-687	Max	0.00	-369.75	28	-0.00	29	-0.00	29	-8.40	29	3.83	27	0.03	27
4499	-703	-687	Max	21.63	-369.98	28	-0.00	29	-0.00	29	-13.22	29	-0.50	29	0.03	27
4499	-703	-687	Min.	0.00	-868.71	27	-0.01	27	-0.01	27	-15.52	28	1.84	13	0.01	29
4499	-703	-687	Min.	21.63	-870.17	27	-0.01	27	-0.01	27	-31.80	27	-1.25	28	0.01	29
4499	-687	-671	Max	0.00	-340.65	28	-0.03	29	-0.02	29	-12.55	29	4.96	27	0.03	27
4499	-687	-671	Max	21.63	-340.87	28	-0.03	29	-0.02	29	-17.38	29	-0.94	29	0.03	27
4499	-687	-671	Min.	0.00	-825.56	27	-0.09	27	-0.03	27	-25.69	27	2.30	13	0.02	29
4499	-687	-671	Min.	21.63	-827.02	27	-0.09	27	-0.05	27	-43.72	27	-2.55	27	0.02	29
4499	-671	-655	Max	0.00	-353.15	28	-0.01	29	0.05	27	-18.60	13	5.55	27	0.05	27
4499	-671	-655	Max	21.63	-353.37	28	-0.01	29	0.05	27	-23.42	13	-1.61	13	0.05	27
4499	-671	-655	Min.	0.00	-856.63	27	-0.03	28	0.02	29	-31.32	27	2.93	13	0.02	29
4499	-671	-655	Min.	21.63	-858.10	27	-0.03	28	0.02	29	-49.35	27	-3.18	27	0.02	29
4499	-655	-639	Max	0.00	-301.72	28	0.05	27	0.01	27	-23.58	13	7.01	27	0.04	27
4499	-655	-639	Max	21.63	-301.94	28	0.05	27	0.02	27	-28.40	13	-2.23	13	0.04	27
4499	-655	-639	Min.	0.00	-772.96	27	0.01	28	0.00	29	-44.87	27	3.39	13	0.02	29
4499	-655	-639	Min.	21.63	-774.43	27	0.01	28	0.01	29	-62.90	27	-4.65	27	0.02	29
4499	-639	-623	Max	0.00	-237.33	28	0.06	27	-0.00	13	-29.10	13	8.38	27	0.04	27
4499	-639	-623	Max	17.31					-0.00	13			-1.46	13		
4499	-639	-623	Max	21.63	-237.55	28	0.06	27	0.00	14	-33.92	13	-2.91	13	0.04	27
4499	-639	-623	Min.	0.00	-657.57	27	0.01	28	-0.01	27	-59.37	27	3.91	13	0.02	29
4499	-639	-623	Min.	17.31					-0.00	27			-3.15	27		
4499	-639	-623	Min.	21.63	-659.03	27	0.01	28	-0.00	28	-77.41	27	-6.42	27	0.02	29
4499	-623	-607	Max	0.00	-156.48	28	-0.02	29	-0.01	29	-35.21	13	9.73	27	0.05	27
4499	-623	-607	Max	21.63	-156.70	28	-0.02	29	-0.02	29	-40.04	13	-3.64	13	0.05	27
4499	-623	-607	Min.	0.00	-502.31	27	-0.04	28	-0.03	27	-75.69	27	4.50	13	0.02	29
4499	-623	-607	Min.	21.63	-503.78	27	-0.04	28	-0.04	27	-93.72	27	-8.59	27	0.02	29
4499	-607	-591	Max	0.00	-48.91	28	0.12	14	0.01	27	-46.93	29	10.54	27	0.07	14
4499	-607	-591	Max	21.63	-49.13	28	0.12	14	0.03	27	-51.75	29	-5.17	29	0.07	14
4499	-607	-591	Min.	0.00	-300.68	27	0.08	29	0.00	29	-87.45	27	5.51	29	0.04	29
4499	-607	-591	Min.	21.63	-302.14	27	0.08	29	0.02	29	-105.49	27	-10.33	27	0.04	29
4499	-591	-575	Max	0.00	92.69	28	0.17	27	-0.01	28	-55.21	29	12.06	27	0.07	27
4499	-591	-575	Max	21.63	92.47	28	0.17	27	0.02	27	-60.04	29	-6.50	29	0.07	27
4499	-591	-575	Min.	0.00	-41.57	27	0.10	29	-0.01	27	-107.81	27	5.97	29	0.04	29
4499	-591	-575	Min.	21.63	-43.03	27	0.10	29	0.01	29	-125.84	27	-13.21	27	0.04	29
4499	-575	-559	Max	0.00	296.71	27	0.18	27	-0.02	29	-65.49	29	13.09	27	0.07	27
4499	-575	-559	Max	21.63	295.25	27	0.18	27	0.01	27	-70.32	29	-8.39	29	0.07	27
4499	-575	-559	Min.	0.00	151.12	29	0.10	29	-0.03	27	-132.10	27	6.30	29	0.04	29
4499	-575	-559	Min.	21.63	150.73	29	0.10	29	0.00	28	-150.13	27	-17.44	27	0.04	29
4499	-559	4294	Max	0.00	697.32	27	0.35	27	-0.02	29	-73.70	29	10.06	27	0.07	27
4499	-559	4294	Max	21.63	695.85	27	0.35	27	0.03	27	-78.53	29	-11.74	29	0.07	27
4499	-559	4294	Min.	0.00	342.37	29	0.20	29	-0.05	14	-152.73	27	4.49	28	0.04	29
4499	-559	4294	Min.	21.63	341.98	29	0.20	29	0.02	29	-170.76	27	-24.93	27	0.04	29
4499	4294	-543	Max	0.00	57.66	14	-1.02	28	0.35	27	26.20	27	-1.42	29	0.00	14
4499	4294	-543	Max	16.72	57.29	14	-1.02	28	-0.09	28	15.17	27	1.06	27	0.00	14
4499	4294	-543	Min.	0.00	16.84	27	-4.14	27	0.08	28	13.32	29	-2.40	27	-0.00	29
4499	4294	-543	Min.	16.72	15.94	27	-4.14	27	-0.34	27	10.26	29	0.56	29	-0.00	29
4499	-543	-527	Max	0.00	34.61	14	-1.32	13	0.38	27	11.09	14	-0.36	27	0.07	27
4499	-543	-527	Max	15.05					-0.29	27			0.40	27		
4499	-543	-527	Max	16.72	34.23	14	-1.32	13	-0.11	13	6.43	14	0.63	14	0.07	27
4499	-543	-527	Min.	0.00	4.59	27	-4.42	27	0.11	13	6.88	29	-0.83	14	-0.02	13
4499	-543	-527	Min.	15.05					-0.29	27			0.40	27		

4499	-543	-527	Min.	16.72	3.69	27	-4.42	27	-0.36	27	-1.02	27	0.39	27	-0.02	13
4499	-527	3319	Max	0.00	13.47	14	-1.25	13	0.27	27	9.71	14	-0.08	27	0.09	27
4499	-527	3319	Max	8.92					-0.02	27			0.18	27		
4499	-527	3319	Max	16.72	13.09	14	-1.25	13	-0.11	13	5.74	28	0.64	14	0.09	27
4499	-527	3319	Min.	0.00	1.76	27	-3.22	27	0.10	13	5.87	29	-0.60	14	-0.01	13
4499	-527	3319	Min.	8.92					-0.02	27			0.18	27		
4499	-527	3319	Min.	16.72	0.87	27	-3.22	27	-0.27	27	-5.15	27	-0.02	27	-0.01	13
4500	-792	-784	Max	0.00	-401.30	13	-0.06	28	0.76	27	21.45	27	-0.52	28	0.55	27
4500	-792	-784	Max	21.63	-401.38	13	-0.06	28	0.02	28	19.96	27	2.15	27	0.55	27
4500	-792	-784	Min.	0.00	-840.07	27	-5.05	27	0.03	28	4.42	28	-2.32	27	-0.00	13
4500	-792	-784	Min.	21.63	-840.19	27	-3.23	27	-0.13	27	3.51	28	0.34	28	-0.00	13
4500	-784	-768	Max	0.00	-409.23	13	-0.05	28	0.02	14	18.27	27	0.33	28	0.10	27
4500	-784	-768	Max	21.63	-409.31	13	-0.05	28	0.00	28	16.78	27	2.85	27	0.10	27
4500	-784	-768	Min.	0.00	-856.22	27	-2.19	27	-0.06	27	1.65	28	-0.94	27	-0.01	14
4500	-784	-768	Min.	21.63	-856.34	27	-0.38	27	-0.34	27	0.74	28	0.59	28	-0.01	14
4500	-768	-752	Max	0.00	-415.35	28	-0.06	28	0.01	14	17.42	27	0.59	28	0.00	28
4500	-768	-752	Max	6.72					-0.00	28			0.60	28		
4500	-768	-752	Max	21.63	-415.43	28	1.68	27	-0.01	28	15.93	27	3.03	27	0.00	28
4500	-768	-752	Min.	0.00	-874.97	27	-0.13	27	-0.29	27	0.28	28	-0.58	27	-0.12	27
4500	-768	-752	Min.	6.72					-0.00	28			0.60	28		
4500	-768	-752	Min.	21.63	-875.09	27	-0.10	14	-0.13	27	-0.63	28	0.55	28	-0.12	27
4500	-752	-736	Max	0.00	-413.25	28	2.63	27	-0.01	13	17.00	27	0.91	28	0.00	28
4500	-752	-736	Max	21.63	-413.32	28	4.45	27	0.61	27	15.51	27	3.60	27	0.00	28
4500	-752	-736	Min.	0.00	-891.75	27	-0.13	14	-0.16	27	-1.15	28	0.08	27	-0.54	27
4500	-752	-736	Min.	21.63	-891.87	27	-0.13	14	-0.04	14	-2.07	28	0.56	28	-0.54	27
4500	-736	-720	Max	0.00	-409.27	28	-0.04	13	0.73	27	-4.03	29	3.06	27	0.48	27
4500	-736	-720	Max	21.63	-409.35	28	-0.04	13	0.02	14	-5.03	29	0.58	27	0.48	27
4500	-736	-720	Min.	0.00	-901.38	27	-4.91	27	0.03	13	-10.71	27	1.32	29	0.02	13
4500	-736	-720	Min.	21.63	-901.50	27	-3.09	27	-0.13	27	-12.20	27	-0.39	28	0.02	13
4500	-720	-704	Max	0.00	-394.50	28	-0.01	28	0.01	14	-5.58	29	2.77	27	0.09	27
4500	-720	-704	Max	21.63	-394.58	28	-0.01	28	0.01	14	-6.58	29	0.01	29	0.09	27
4500	-720	-704	Min.	0.00	-887.29	27	-2.08	27	-0.06	27	-12.38	27	1.32	29	0.02	13
4500	-720	-704	Min.	21.63	-887.41	27	-0.26	27	-0.31	27	-13.87	27	-0.74	28	0.02	13
4500	-704	-688	Max	0.00	-374.87	28	-0.01	28	-0.00	13	-7.67	29	3.10	27	0.02	14
4500	-704	-688	Max	21.63	-374.94	28	1.64	27	-0.01	13	-8.66	29	-0.21	29	0.02	14
4500	-704	-688	Min.	0.00	-865.63	27	-0.18	27	-0.27	27	-15.42	27	1.55	29	-0.07	27
4500	-704	-688	Min.	21.63	-865.75	27	-0.02	14	-0.12	27	-16.91	27	-1.01	28	-0.07	27
4500	-688	-672	Max	0.00	-349.34	28	2.40	27	-0.02	13	-9.41	29	3.81	27	0.02	28
4500	-688	-672	Max	21.63	-349.41	28	4.22	27	0.57	27	-10.41	29	-0.15	27	0.02	28
4500	-688	-672	Min.	0.00	-834.96	27	-0.07	14	-0.14	27	-17.53	27	1.93	29	-0.37	27
4500	-688	-672	Min.	21.63	-835.09	27	-0.07	14	-0.04	14	-19.02	27	-1.11	28	-0.37	27
4500	-672	-656	Max	0.00	-315.36	28	-0.02	13	0.69	27	-23.43	29	7.13	27	0.35	27
4500	-672	-656	Max	21.63	-315.43	28	-0.02	13	0.03	14	-24.42	29	-1.79	29	0.35	27
4500	-672	-656	Min.	0.00	-783.84	27	-4.63	27	0.03	13	-49.49	27	3.38	29	0.02	28
4500	-672	-656	Min.	21.63	-783.96	27	-2.81	27	-0.11	27	-50.98	27	-3.74	27	0.02	28
4500	-656	-640	Max	0.00	-263.10	28	0.03	14	0.01	14	-26.39	29	7.08	27	0.07	27
4500	-656	-640	Max	21.63	-263.17	28	0.03	14	0.01	14	-27.38	29	-2.36	29	0.07	27
4500	-656	-640	Min.	0.00	-694.42	27	-1.94	27	-0.06	27	-54.26	27	3.46	29	0.02	28
4500	-656	-640	Min.	21.63	-694.54	27	-0.12	27	-0.28	27	-55.76	27	-4.82	27	0.02	28
4500	-640	-624	Max	0.00	-198.78	28	0.03	14	-0.00	13	-30.09	29	7.61	27	0.02	14
4500	-640	-624	Max	17.31					-0.00	13			-1.54	13		
4500	-640	-624	Max	21.63	-198.85	28	1.67	27	0.00	13	-31.09	29	-2.85	29	0.02	14
4500	-640	-624	Min.	0.00	-583.77	27	-0.14	27	-0.26	27	-60.70	27	3.77	29	-0.02	27
4500	-640	-624	Min.	17.31					-0.00	14			-1.85	14		
4500	-640	-624	Min.	21.63	-583.89	27	0.01	28	-0.10	27	-62.19	27	-5.69	27	-0.02	27
4500	-624	-608	Max	0.00	-119.92	28	2.23	27	-0.02	13	-33.89	29	8.44	27	0.02	14
4500	-624	-608	Max	21.63	-119.99	28	4.05	27	0.55	27	-34.88	29	-3.25	29	0.02	14
4500	-624	-608	Min.	0.00	-447.16	27	-0.05	28	-0.13	27	-67.08	27	4.18	13	-0.21	27
4500	-624	-608	Min.	21.63	-447.28	27	-0.05	28	-0.03	14	-68.57	27	-6.23	27	-0.21	27

4500	-608	-592	Max	0.00	-19.77	28	0.12	14	0.61	27	-46.39	13	11.74	27	0.21	27
4500	-608	-592	Max	21.63	-19.84	28	0.12	14	0.03	14	-47.39	13	-4.89	13	0.21	27
4500	-608	-592	Min.	0.00	-258.48	27	-4.26	27	0.01	13	-102.59	27	5.25	13	0.05	28
4500	-608	-592	Min.	21.63	-258.60	27	-2.45	27	-0.11	27	-104.08	27	-10.62	27	0.05	28
4500	-592	-576	Max	0.00	110.34	28	0.15	14	-0.01	28	-52.57	13	11.94	27	0.06	14
4500	-592	-576	Max	21.63	110.26	28	0.15	14	0.02	14	-53.56	13	-5.99	13	0.06	14
4500	-592	-576	Min.	0.00	3.08	27	-1.82	27	-0.07	27	-114.45	27	5.49	13	0.03	29
4500	-592	-576	Min.	21.63	2.96	27	-0.00	27	-0.27	27	-115.94	27	-12.98	27	0.03	29
4500	-576	-560	Max	0.00	326.64	27	0.15	14	-0.02	28	-60.27	13	12.13	27	0.06	14
4500	-576	-560	Max	21.63	326.52	27	1.76	27	0.01	14	-61.27	13	-7.51	13	0.06	14
4500	-576	-560	Min.	0.00	155.34	13	-0.06	27	-0.26	27	-130.11	27	5.63	13	0.01	27
4500	-576	-560	Min.	21.63	155.26	13	0.11	28	-0.08	27	-131.60	27	-16.18	27	0.01	27
4500	-560	4296	Max	0.00	690.43	27	1.77	27	-0.03	28	-65.78	13	8.72	27	0.06	14
4500	-560	4296	Max	17.31					-0.01	28			-8.25	28		
4500	-560	4296	Max	21.63	690.31	27	3.59	27	0.51	27	-66.77	13	-10.25	13	0.06	14
4500	-560	4296	Min.	0.00	324.75	13	0.15	28	-0.07	27	-140.32	27	3.93	28	-0.01	27
4500	-560	4296	Min.	17.31					-0.01	28			-8.25	28		
4500	-560	4296	Min.	21.63	324.67	13	0.15	28	0.00	28	-141.81	27	-21.80	27	-0.01	27
4500	4296	-544	Max	0.00	137.77	27	-1.26	13	0.43	27	22.55	27	-1.04	28	0.03	27
4500	4296	-544	Max	16.72	137.69	27	-1.26	13	-0.10	13	21.51	27	0.93	27	0.03	27
4500	4296	-544	Min.	0.00	44.08	13	-5.41	27	0.11	13	9.19	13	-2.76	27	-0.01	14
4500	4296	-544	Min.	16.72	44.02	13	-4.01	27	-0.35	27	8.45	13	0.41	13	-0.01	14
4500	-544	-528	Max	0.00	85.24	27	-1.32	13	0.39	27	13.78	27	-0.25	28	0.07	27
4500	-544	-528	Max	16.72	85.16	27	-1.32	13	-0.11	13	12.74	27	0.92	27	0.07	27
4500	-544	-528	Min.	0.00	25.32	28	-5.12	27	0.11	13	3.36	28	-1.29	27	-0.02	13
4500	-544	-528	Min.	16.72	25.27	28	-3.71	27	-0.34	27	2.66	28	0.25	28	-0.02	13
4500	-528	3320	Max	0.00	31.83	27	-1.26	13	0.28	27	15.17	27	-0.24	28	0.09	27
4500	-528	3320	Max	16.72	31.75	27	-1.17	29	-0.11	13	14.13	27	1.29	27	0.09	27
4500	-528	3320	Min.	0.00	9.57	28	-3.86	27	0.10	13	3.34	28	-1.16	27	-0.01	13
4500	-528	3320	Min.	16.72	9.51	28	-2.45	27	-0.24	27	2.65	28	0.26	28	-0.01	13
6002	-513	-514	Max	0.00	-0.19	13	-2.69	29	0.28	14	-0.32	27	0.03	27	0.29	27
6002	-513	-514	Max	12.00	-0.19	13	-2.69	29	-0.17	29	1.28	27	0.08	27	0.29	27
6002	-513	-514	Min.	0.00	-1.73	27	-5.24	14	0.15	29	-0.65	28	-0.01	13	0.04	14
6002	-513	-514	Min.	12.00	-1.73	27	-5.24	14	-0.35	14	0.95	28	0.01	28	0.04	14
6003	-529	-530	Max	0.00	0.25	14	-0.99	29	0.17	14	0.19	27	0.04	27	0.06	27
6003	-529	-530	Max	12.00	0.25	14	-0.99	29	-0.06	29	0.66	27	0.10	27	0.06	27
6003	-529	-530	Min.	0.00	-0.77	27	-2.89	14	0.06	29	-0.48	14	0.01	13	0.01	14
6003	-529	-530	Min.	12.00	-0.77	27	-2.89	14	-0.17	14	-0.01	14	-0.01	14	0.01	14
6004	313	314	Max	1.77	-5.02	28	0.18	14	0.16	27	3.27	27	-0.25	13	0.04	14
6004	313	314	Max	15.00	-5.02	28	0.18	14	0.01	27	2.33	27	-0.17	13	0.04	14
6004	313	314	Min.	1.77	-8.88	27	-1.12	27	-0.02	13	1.04	13	-0.66	27	-0.09	27
6004	313	314	Min.	15.00	-8.88	27	-1.12	27	0.01	29	0.10	13	-0.29	27	-0.09	27
6004	314	315	Max	0.00	-5.02	28	0.18	14	0.01	27	2.33	27	-0.17	13	0.04	14
6004	314	315	Max	10.59					-0.02	29			-0.13	29		
6004	314	315	Max	13.23	-5.02	28	0.18	14	0.03	14	1.39	27	-0.05	27	0.04	14
6004	314	315	Min.	0.00	-8.88	27	-1.12	27	0.01	29	0.10	13	-0.29	27	-0.09	27
6004	314	315	Min.	1.91					0.01	14			-0.19	14		
6004	314	315	Min.	13.23	-8.88	27	-1.12	27	-0.13	27	-0.84	13	-0.24	14	-0.09	27
6005	-1	-2	Max	2.83	33.31	27	0.10	14	0.02	27	15.23	27	0.19	14	0.00	14
6005	-1	-2	Max	26.15	33.31	27	0.10	14	0.01	14	13.40	27	1.75	27	0.00	14
6005	-1	-2	Min.	2.83	20.79	13	-0.16	27	-0.01	28	-0.28	13	-1.59	27	0.00	27
6005	-1	-2	Min.	26.15	20.79	13	-0.16	27	-0.02	27	-2.11	13	-0.09	13	0.00	27
6006	-33	-34	Max	2.83	7.79	27	0.10	27	0.00	14	22.97	27	0.38	14	0.01	27
6006	-33	-34	Max	25.84	7.79	27	0.10	27	0.02	27	21.16	27	2.68	27	0.01	27
6006	-33	-34	Min.	2.83	4.84	29	0.01	13	-0.01	27	-1.47	13	-2.39	27	-0.00	14
6006	-33	-34	Min.	25.84	4.84	29	0.01	13	0.00	28	-3.27	13	-0.18	13	-0.00	14
6007	-65	-66	Max	2.83	-0.59	13	0.21	27	0.01	14	19.00	27	0.23	13	0.00	27
6007	-65	-66	Max	25.22	-0.59	13	0.21	27	0.03	27	18.12	27	2.04	27	0.00	27
6007	-65	-66	Min.	2.83	-1.76	27	-0.03	14	-0.02	27	-1.79	13	-2.11	27	0.00	28

6007	-65	-66	Min.	25.22	-1.76	27	-0.03	14	-0.00	28	-2.66	13	-0.26	14	0.00	28
6008	-97	-98	Max	2.83	0.00	28	0.29	27	0.01	14	23.69	27	0.31	13	0.00	27
6008	-97	-98	Max	24.59	0.00	28	0.29	27	0.04	27	22.84	27	2.50	27	0.00	27
6008	-97	-98	Min.	2.83	-0.91	27	-0.04	13	-0.02	27	-2.48	13	-2.57	27	0.00	28
6008	-97	-98	Min.	24.59	-0.91	27	-0.04	13	-0.00	28	-3.33	13	-0.33	14	0.00	28
6009	-129	-130	Max	2.83	-0.07	28	0.32	27	0.01	14	24.73	27	0.32	13	0.00	27
6009	-129	-130	Max	23.97	-0.07	28	0.32	27	0.04	27	23.90	27	2.53	27	0.00	27
6009	-129	-130	Min.	2.83	-0.95	27	-0.04	13	-0.02	27	-2.76	13	-2.61	27	0.00	28
6009	-129	-130	Min.	23.97	-0.95	27	-0.04	13	-0.00	28	-3.59	13	-0.35	14	0.00	28
6010	-161	-162	Max	2.83	-0.07	28	0.33	27	0.01	14	24.92	27	0.33	13	0.00	27
6010	-161	-162	Max	23.34	-0.07	28	0.33	27	0.04	27	24.12	27	2.48	27	0.00	27
6010	-161	-162	Min.	2.83	-0.94	27	-0.04	13	-0.02	27	-2.95	13	-2.55	27	0.00	28
6010	-161	-162	Min.	23.34	-0.94	27	-0.04	13	0.00	28	-3.75	13	-0.35	14	0.00	28
6011	-193	-194	Max	2.83	-0.07	28	0.33	27	0.01	14	24.92	27	0.34	13	0.00	27
6011	-193	-194	Max	22.72	-0.07	28	0.33	27	0.04	27	24.14	27	2.40	27	0.00	27
6011	-193	-194	Min.	2.83	-0.94	27	-0.04	13	-0.02	27	-3.13	13	-2.48	27	0.00	28
6011	-193	-194	Min.	22.72	-0.94	27	-0.04	13	0.00	28	-3.91	13	-0.36	14	0.00	28
6012	-225	-226	Max	2.83	-0.07	28	0.33	27	0.01	14	24.87	27	0.35	13	0.00	27
6012	-225	-226	Max	22.09	-0.07	28	0.33	27	0.04	27	24.12	27	2.32	27	0.00	27
6012	-225	-226	Min.	2.83	-0.94	27	-0.05	13	-0.02	27	-3.31	13	-2.39	27	0.00	28
6012	-225	-226	Min.	22.09	-0.94	27	-0.05	13	0.00	28	-4.07	13	-0.36	14	0.00	28
6013	-257	-258	Max	2.83	-0.07	28	0.33	27	0.01	14	24.81	27	0.35	13	0.00	27
6013	-257	-258	Max	21.47	-0.07	28	0.33	27	0.04	27	24.08	27	2.24	27	0.00	27
6013	-257	-258	Min.	2.83	-0.94	27	-0.05	13	-0.02	27	-3.51	13	-2.31	27	0.00	28
6013	-257	-258	Min.	21.47	-0.94	27	-0.05	13	0.00	28	-4.24	13	-0.37	14	0.00	28
6014	-289	-290	Max	2.83	-0.07	28	0.33	27	0.01	14	24.74	27	0.36	13	0.00	27
6014	-289	-290	Max	20.84	-0.07	28	0.33	27	0.04	27	24.03	27	2.16	27	0.00	27
6014	-289	-290	Min.	2.83	-0.95	27	-0.05	13	-0.02	27	-3.72	13	-2.23	27	0.00	28
6014	-289	-290	Min.	20.84	-0.95	27	-0.05	13	0.00	28	-4.42	13	-0.37	14	0.00	28
6015	-321	-322	Max	2.83	-0.07	28	0.33	27	0.01	14	24.67	27	0.37	13	0.00	27
6015	-321	-322	Max	20.22	-0.07	28	0.33	27	0.04	27	23.98	27	2.08	27	0.00	27
6015	-321	-322	Min.	2.83	-0.95	27	-0.06	13	-0.02	27	-3.94	13	-2.15	27	0.00	28
6015	-321	-322	Min.	20.22	-0.95	27	-0.06	13	0.00	28	-4.62	13	-0.38	14	0.00	28
6016	-353	-354	Max	2.83	-0.08	28	0.33	27	0.01	14	24.58	27	0.37	13	0.00	27
6016	-353	-354	Max	19.59	-0.08	28	0.33	27	0.04	27	23.93	27	2.00	27	0.00	27
6016	-353	-354	Min.	2.83	-0.97	27	-0.06	13	-0.02	27	-4.18	13	-2.07	27	0.00	28
6016	-353	-354	Min.	19.59	-0.97	27	-0.06	13	0.00	28	-4.84	13	-0.38	14	0.00	28
6017	-385	-386	Max	2.83	-0.04	14	0.33	27	0.01	14	24.48	27	0.38	13	0.00	27
6017	-385	-386	Max	18.97	-0.04	14	0.33	27	0.04	27	23.85	27	1.91	27	0.00	27
6017	-385	-386	Min.	2.83	-0.86	27	-0.06	13	-0.02	27	-4.44	13	-1.99	27	0.00	28
6017	-385	-386	Min.	18.97	-0.86	27	-0.06	13	0.00	28	-5.07	13	-0.39	14	0.00	28
6018	-417	-418	Max	2.83	-0.25	28	0.33	27	0.01	14	24.32	27	0.38	13	0.00	27
6018	-417	-418	Max	18.34	-0.25	28	0.33	27	0.04	27	23.72	27	1.83	27	0.00	27
6018	-417	-418	Min.	2.83	-1.69	27	-0.06	13	-0.01	27	-4.69	13	-1.89	27	0.00	28
6018	-417	-418	Min.	18.34	-1.69	27	-0.06	13	0.00	28	-5.30	13	-0.39	14	0.00	28
6019	-449	-450	Max	2.83	4.09	27	0.31	27	0.01	14	23.76	27	0.36	13	0.00	27
6019	-449	-450	Max	17.72	4.09	27	0.31	27	0.03	27	23.18	27	1.67	27	0.00	27
6019	-449	-450	Min.	2.83	1.08	28	-0.07	13	-0.01	27	-4.87	13	-1.82	27	0.00	28
6019	-449	-450	Min.	17.72	1.08	28	-0.07	13	0.00	28	-5.46	13	-0.41	14	0.00	28
6020	-481	-482	Max	2.83	-7.29	28	0.30	27	0.01	14	21.07	27	0.46	14	0.01	27
6020	-481	-482	Max	17.09	-7.29	28	0.30	27	0.03	27	20.51	27	1.71	27	0.01	27
6020	-481	-482	Min.	2.83	-30.87	27	-0.04	13	-0.01	27	-4.22	13	-1.25	27	0.00	13
6020	-481	-482	Min.	17.09	-30.87	27	-0.04	13	0.00	28	-4.78	13	-0.25	28	0.00	13
6024	-489	-490	Max	3.53	66.21	27	0.07	14	0.02	27	15.65	27	0.15	28	0.00	27
6024	-489	-490	Max	17.80	66.21	27	0.07	14	0.01	14	15.09	27	0.53	27	0.00	27
6024	-489	-490	Min.	3.53	27.40	28	-0.20	27	0.00	28	-5.97	14	-1.67	27	-0.00	28
6024	-489	-490	Min.	17.80	27.40	28	-0.20	27	-0.01	27	-6.53	14	-0.79	14	-0.00	28
6025	-457	-458	Max	3.53	-4.73	28	0.10	14	0.03	27	17.74	27	0.58	14	0.00	27
6025	-457	-458	Max	18.42	-4.73	28	0.10	14	0.01	14	17.16	27	1.41	27	0.00	27

6025	-457	-458	Min.	3.53	-12.34	27	-0.22	27	-0.00	28	-6.90	14	-1.18	27	0.00	13
6025	-457	-458	Min.	18.42	-12.34	27	-0.22	27	-0.00	27	-7.48	14	-0.49	14	0.00	13
6026	-425	-426	Max	3.53	1.01	14	0.09	14	0.03	27	18.58	27	0.53	14	0.00	27
6026	-425	-426	Max	19.05	1.01	14	0.09	14	0.01	14	17.97	27	1.43	27	0.00	27
6026	-425	-426	Min.	3.53	0.55	29	-0.24	27	-0.00	28	-6.61	14	-1.40	27	0.00	13
6026	-425	-426	Min.	19.05	0.55	29	-0.24	27	-0.01	27	-7.22	14	-0.55	14	0.00	13
6027	-393	-394	Max	3.53	-0.10	28	0.09	14	0.03	27	19.02	27	0.53	14	0.00	27
6027	-393	-394	Max	19.67	-0.10	28	0.09	14	0.01	14	18.39	27	1.53	27	0.00	27
6027	-393	-394	Min.	3.53	-0.99	27	-0.24	27	-0.00	28	-6.26	14	-1.48	27	0.00	13
6027	-393	-394	Min.	19.67	-0.99	27	-0.24	27	-0.01	27	-6.90	14	-0.53	14	0.00	13
6028	-361	-362	Max	3.53	0.03	14	0.09	14	0.03	27	19.41	27	0.52	14	0.00	27
6028	-361	-362	Max	20.30	0.03	14	0.09	14	0.01	14	18.75	27	1.62	27	0.00	27
6028	-361	-362	Min.	3.53	-0.73	27	-0.25	27	-0.00	28	-5.91	14	-1.58	27	0.00	13
6028	-361	-362	Min.	20.30	-0.73	27	-0.25	27	-0.01	27	-6.57	14	-0.53	14	0.00	13
6029	-329	-330	Max	3.53	0.01	14	0.08	14	0.03	27	19.75	27	0.51	14	0.00	27
6029	-329	-330	Max	20.92	0.01	14	0.08	14	0.01	14	19.07	27	1.71	27	0.00	27
6029	-329	-330	Min.	3.53	-0.77	27	-0.25	27	-0.00	28	-5.59	14	-1.67	27	0.00	13
6029	-329	-330	Min.	20.92	-0.77	27	-0.25	27	-0.01	27	-6.27	14	-0.52	14	0.00	13
6030	-297	-298	Max	3.53	0.01	14	0.08	14	0.03	27	20.07	27	0.50	14	0.00	27
6030	-297	-298	Max	21.55	0.01	14	0.08	14	0.01	14	19.36	27	1.80	27	0.00	27
6030	-297	-298	Min.	3.53	-0.77	27	-0.26	27	-0.00	28	-5.28	14	-1.76	27	0.00	13
6030	-297	-298	Min.	21.55	-0.77	27	-0.26	27	-0.01	27	-5.99	14	-0.51	14	0.00	13
6031	-265	-266	Max	3.53	0.00	14	0.07	14	0.04	27	20.36	27	0.49	14	0.00	27
6031	-265	-266	Max	22.17	0.00	14	0.07	14	0.01	14	19.63	27	1.88	27	0.00	27
6031	-265	-266	Min.	3.53	-0.77	27	-0.26	27	-0.00	28	-5.00	14	-1.84	27	0.00	13
6031	-265	-266	Min.	22.17	-0.77	27	-0.26	27	-0.01	27	-5.73	14	-0.51	14	0.00	13
6032	-233	-234	Max	3.53	0.00	14	0.07	14	0.04	27	20.63	27	0.48	14	0.00	27
6032	-233	-234	Max	22.80	0.00	14	0.07	14	0.01	14	19.87	27	1.97	27	0.00	27
6032	-233	-234	Min.	3.53	-0.78	27	-0.26	27	-0.00	28	-4.73	14	-1.93	27	0.00	13
6032	-233	-234	Min.	22.80	-0.78	27	-0.26	27	-0.01	27	-5.49	14	-0.50	14	0.00	13
6033	-201	-202	Max	3.53	-0.00	14	0.07	14	0.04	27	20.87	27	0.48	14	0.00	27
6033	-201	-202	Max	23.42	-0.00	14	0.07	14	0.01	14	20.09	27	2.05	27	0.00	27
6033	-201	-202	Min.	3.53	-0.78	27	-0.27	27	-0.00	28	-4.48	14	-2.02	27	0.00	13
6033	-201	-202	Min.	23.42	-0.78	27	-0.27	27	-0.02	27	-5.26	14	-0.49	14	0.00	13
6034	-169	-170	Max	3.53	-0.00	14	0.06	14	0.04	27	21.06	27	0.47	14	0.00	27
6034	-169	-170	Max	24.05	-0.00	14	0.06	14	0.01	14	20.26	27	2.13	27	0.00	27
6034	-169	-170	Min.	3.53	-0.78	27	-0.27	27	-0.00	28	-4.24	14	-2.10	27	0.00	13
6034	-169	-170	Min.	24.05	-0.78	27	-0.27	27	-0.02	27	-5.05	14	-0.49	14	0.00	13
6035	-137	-138	Max	3.53	-0.01	14	0.06	14	0.04	27	21.07	27	0.45	14	0.00	27
6035	-137	-138	Max	24.67	-0.01	14	0.06	14	0.01	14	20.24	27	2.20	27	0.00	27
6035	-137	-138	Min.	3.53	-0.78	27	-0.26	27	-0.00	28	-3.99	14	-2.17	27	0.00	13
6035	-137	-138	Min.	24.67	-0.78	27	-0.26	27	-0.02	27	-4.82	14	-0.48	14	0.00	13
6036	-105	-106	Max	3.53	0.07	14	0.05	14	0.04	27	20.33	27	0.43	14	0.00	27
6036	-105	-106	Max	25.30	0.07	14	0.05	14	0.01	14	19.47	27	2.18	27	0.00	27
6036	-105	-106	Min.	3.53	-0.64	27	-0.24	27	-0.00	28	-3.61	14	-2.15	27	0.00	13
6036	-105	-106	Min.	25.30	-0.64	27	-0.24	27	-0.02	27	-4.46	14	-0.45	14	0.00	13
6037	-73	-74	Max	3.53	-0.64	13	0.03	14	0.03	27	16.40	27	0.33	14	0.00	27
6037	-73	-74	Max	25.92	-0.64	13	0.03	14	0.01	14	15.52	27	1.79	27	0.00	27
6037	-73	-74	Min.	3.53	-1.77	27	-0.19	27	-0.00	28	-2.66	14	-1.79	27	0.00	13
6037	-73	-74	Min.	25.92	-1.77	27	-0.19	27	-0.01	27	-3.54	14	-0.36	14	0.00	13
6038	-41	-42	Max	3.53	11.20	27	-0.00	13	0.02	27	19.81	27	0.55	14	0.00	14
6038	-41	-42	Max	26.55	11.20	27	-0.00	13	0.00	14	18.01	27	2.45	27	0.00	14
6038	-41	-42	Min.	3.53	6.38	29	-0.07	27	0.00	28	-2.54	14	-1.90	27	-0.01	27
6038	-41	-42	Min.	26.55	6.38	29	-0.07	27	-0.00	27	-4.34	14	-0.25	14	-0.01	27
6039	-9	-10	Max	3.53	46.43	27	0.18	27	0.01	14	13.01	27	0.31	14	0.00	27
6039	-9	-10	Max	26.86	46.43	27	0.18	27	0.02	27	11.18	27	1.58	27	0.00	27
6039	-9	-10	Min.	3.53	26.31	13	-0.09	14	-0.02	27	-1.01	14	-1.25	27	0.00	13
6039	-9	-10	Min.	26.86	26.31	13	-0.09	14	-0.01	28	-2.84	14	-0.14	14	0.00	13
6040	337	338	Max	1.77	-6.72	13	2.73	27	-0.28	13	0.23	14	0.14	27	0.09	27

6040	337	338	Max	14.34					-0.26	14			0.01	14		
6040	337	338	Max	15.00	-6.72	13	1.79	27	-0.22	13	0.23	14	0.01	27	0.09	27
6040	337	338	Min.	1.77	-12.79	27	0.90	14	-0.72	27	-0.97	27	-0.02	14	-0.04	14
6040	337	338	Min.	14.34					-0.22	13			0.01	13		
6040	337	338	Min.	15.00	-12.79	27	-0.04	14	-0.42	27	-0.97	27	0.01	28	-0.04	14
6040	338	339	Max	0.00	-6.72	13	1.79	27	-0.22	13	0.23	14	0.01	27	0.09	27
6040	338	339	Max	7.94					-0.20	29			-0.01	29		
6040	338	339	Max	13.23	-6.72	13	0.85	27	-0.21	29	0.23	14	0.04	14	0.09	27
6040	338	339	Min.	0.00	-12.79	27	-0.04	14	-0.42	27	-0.97	27	0.01	28	-0.04	14
6040	338	339	Min.	7.94					-0.20	29			-0.01	29		
6040	338	339	Min.	13.23	-12.79	27	-0.98	14	-0.33	14	-0.97	27	-0.12	27	-0.04	14
6041	-593	-594	Max	0.00	-0.02	13	-0.88	28	0.21	27	-11.37	29	0.25	27	-0.14	13
6041	-593	-594	Max	12.00	-0.02	13	-0.88	28	-0.03	28	-9.41	29	-1.13	29	-0.14	13
6041	-593	-594	Min.	0.00	-0.10	27	-4.00	27	0.07	13	-34.42	27	0.08	13	-0.41	27
6041	-593	-594	Min.	12.00	-0.10	27	-4.00	27	-0.27	27	-31.26	27	-3.69	27	-0.41	27
6041	-595	-596	Max	0.00	67.20	27	-0.93	28	0.62	27	3.17	27	25.20	27	-0.02	13
6041	-595	-596	Max	12.00	67.20	27	-0.93	28	0.04	14	6.33	27	25.77	27	-0.02	13
6041	-595	-596	Min.	0.00	30.25	29	-6.58	27	0.15	13	-2.40	14	18.07	13	-0.16	27
6041	-595	-596	Min.	12.00	30.25	29	-6.58	27	-0.17	27	-0.20	14	17.96	13	-0.16	27
6041	-597	-598	Max	0.00	62.90	27	1.83	14	0.19	27	9.19	27	23.55	27	0.03	14
6041	-597	-598	Max	12.00	62.90	27	1.83	14	0.23	14	12.35	27	24.85	27	0.03	14
6041	-597	-598	Min.	0.00	28.81	29	0.16	29	0.01	13	0.12	13	17.80	29	-0.01	27
6041	-597	-598	Min.	12.00	28.81	29	0.16	29	0.08	29	2.08	13	18.09	13	-0.01	27
6041	-599	-600	Max	0.00	-0.02	14	1.07	14	0.00	29	48.09	27	-1.43	29	0.20	27
6041	-599	-600	Max	12.00	-0.02	14	1.07	14	0.09	14	51.25	27	1.39	27	0.20	27
6041	-599	-600	Min.	0.00	-14.43	27	0.16	29	-0.04	14	12.26	13	-4.57	27	0.11	29
6041	-599	-600	Min.	12.00	-14.43	27	0.16	29	0.02	27	14.22	13	0.08	13	0.11	29
6042	-657	-658	Max	0.00	0.01	29	-2.40	28	0.23	27	-22.56	13	0.09	27	-0.05	13
6042	-657	-658	Max	12.00	0.01	29	-2.40	28	-0.20	28	-20.60	13	-2.57	13	-0.05	13
6042	-657	-658	Min.	0.00	0.00	27	-8.59	27	0.09	13	-56.00	27	0.02	13	-0.13	27
6042	-657	-658	Min.	12.00	0.00	27	-8.59	27	-0.80	27	-52.84	27	-6.44	27	-0.13	27
6042	-659	-660	Max	0.00	-16.50	13	-1.76	13	0.64	27	0.80	13	15.31	27	-0.02	29
6042	-659	-660	Max	12.00	-16.50	13	-1.76	13	-0.05	13	2.95	28	15.29	27	-0.02	29
6042	-659	-660	Min.	0.00	-41.33	27	-9.30	27	0.16	13	-1.74	27	11.17	13	-0.05	27
6042	-659	-660	Min.	12.00	-41.33	27	-9.30	27	-0.48	27	1.42	27	11.39	13	-0.05	27
6042	-661	-662	Max	0.00	-16.51	13	2.62	14	0.06	27	-2.66	14	14.13	27	0.07	27
6042	-661	-662	Max	12.00	-16.51	13	2.62	14	0.23	14	-0.35	27	13.90	27	0.07	27
6042	-661	-662	Min.	0.00	-46.52	27	0.45	29	-0.08	14	-3.51	27	11.39	13	0.03	13
6042	-661	-662	Min.	12.00	-46.52	27	0.45	29	0.07	29	-1.12	29	11.18	13	0.03	13
6042	-663	-664	Max	0.00	0.01	13	3.58	27	-0.16	29	51.35	27	-1.91	29	0.12	27
6042	-663	-664	Max	12.00	0.01	13	3.58	27	0.11	14	54.51	27	1.97	27	0.12	27
6042	-663	-664	Min.	0.00	-14.58	27	1.62	29	-0.39	27	20.36	29	-4.38	27	0.05	29
6042	-663	-664	Min.	12.00	-14.58	27	1.62	29	0.03	29	22.32	29	0.02	13	0.05	29
6043	-721	-722	Max	0.00	-0.01	13	-3.22	13	0.19	27	-17.92	29	0.12	27	-0.02	28
6043	-721	-722	Max	12.00	-0.01	13	-3.22	13	-0.31	13	-15.96	29	-1.97	29	-0.02	28
6043	-721	-722	Min.	0.00	-0.04	27	-8.55	27	0.08	28	-49.79	27	0.06	13	-0.06	27
6043	-721	-722	Min.	12.00	-0.04	27	-8.55	27	-0.83	27	-46.63	27	-5.67	27	-0.06	27
6043	-723	-724	Max	0.00	111.22	27	-0.35	13	-0.01	27	0.46	29	15.82	27	-0.01	28
6043	-723	-724	Max	12.00	111.22	27	-0.35	13	-0.16	13	2.68	27	15.95	27	-0.01	28
6043	-723	-724	Min.	0.00	51.39	29	-4.97	27	-0.14	28	-0.48	27	13.64	13	-0.03	27
6043	-723	-724	Min.	12.00	51.39	29	-4.97	27	-0.60	27	2.19	14	13.79	13	-0.03	27
6043	-725	-726	Max	0.00	103.86	27	0.92	14	-0.14	29	-1.39	27	15.49	28	0.03	27
6043	-725	-726	Max	12.00	103.86	27	0.92	14	-0.10	14	1.77	27	15.37	28	0.03	27
6043	-725	-726	Min.	0.00	48.94	29	-0.83	27	-0.26	27	-2.19	13	13.79	13	0.01	29
6043	-725	-726	Min.	12.00	48.94	29	-0.83	27	-0.36	27	-0.22	13	13.64	13	0.01	29
6043	-727	-728	Max	0.00	-0.01	13	4.57	27	-0.28	29	47.29	27	-1.21	29	0.05	27
6043	-727	-728	Max	12.00	-0.01	13	4.57	27	0.09	14	50.45	27	2.47	27	0.05	27
6043	-727	-728	Min.	0.00	-14.63	27	2.41	29	-0.56	27	16.07	13	-3.40	27	0.02	28
6043	-727	-728	Min.	12.00	-14.63	27	2.41	29	-0.02	27	18.03	13	0.06	13	0.02	28

6044	-785	-786	Max	0.00	-0.18	13	0.02	28	0.00	14	-22.36	13	0.04	27	0.07	28
6044	-785	-786	Max	12.00	-0.18	13	0.02	28	0.00	28	-20.40	13	-2.56	13	0.07	28
6044	-785	-786	Min.	0.00	-0.44	27	-0.06	14	0.00	28	-56.09	27	0.00	13	0.00	14
6044	-785	-786	Min.	12.00	-0.44	27	-0.06	14	-0.01	14	-52.93	27	-6.50	27	0.00	14
6044	-787	-788	Max	0.00	-169.27	13	0.09	27	-0.00	13	-1.64	13	12.30	27	0.00	28
6044	-787	-788	Max	12.00	-169.27	13	0.09	27	0.01	27	0.32	13	11.64	27	0.00	28
6044	-787	-788	Min.	0.00	-419.70	27	0.04	13	-0.01	28	-7.05	27	9.76	13	0.00	29
6044	-787	-788	Min.	12.00	-419.70	27	0.04	13	0.00	29	-3.89	27	9.68	13	0.00	29
6044	-789	-790	Max	0.00	-169.26	13	0.08	27	-0.00	29	2.58	27	10.58	27	0.00	27
6044	-789	-790	Max	12.00	-169.26	13	0.08	27	0.00	27	5.74	27	11.08	27	0.00	27
6044	-789	-790	Min.	0.00	-427.32	27	0.03	28	-0.01	27	-0.51	29	9.68	13	-0.00	28
6044	-789	-790	Min.	12.00	-427.32	27	0.03	28	-0.00	28	1.45	29	9.77	13	-0.00	28
6044	-791	-792	Max	0.00	-0.18	13	0.01	14	0.01	28	52.67	27	-1.71	29	0.00	27
6044	-791	-792	Max	12.00	-0.18	13	0.01	14	0.00	14	55.84	27	2.58	27	0.00	27
6044	-791	-792	Min.	0.00	-14.32	27	-0.07	28	0.00	14	20.34	29	-3.93	27	-0.07	28
6044	-791	-792	Min.	12.00	-14.32	27	-0.07	28	-0.00	28	22.30	29	0.00	13	-0.07	28
6045	-729	-730	Max	0.00	-0.01	28	8.52	27	-0.07	13	-13.45	28	0.12	27	0.06	27
6045	-729	-730	Max	12.00	-0.01	28	8.52	27	0.83	27	-11.68	28	-1.46	28	0.06	27
6045	-729	-730	Min.	0.00	-0.04	27	3.05	13	-0.19	27	-49.80	27	0.04	28	0.03	13
6045	-729	-730	Min.	12.00	-0.04	27	3.05	13	0.29	13	-46.63	27	-5.67	27	0.03	13
6045	-731	-732	Max	0.00	111.22	27	5.23	27	0.11	13	0.44	29	15.82	27	0.03	27
6045	-731	-732	Max	12.00	111.22	27	5.23	27	0.62	27	2.65	27	15.95	27	0.03	27
6045	-731	-732	Min.	0.00	50.32	28	0.53	13	-0.01	27	-0.51	27	11.95	28	0.01	13
6045	-731	-732	Min.	12.00	50.32	28	0.53	13	0.16	28	2.17	14	12.11	28	0.01	13
6045	-733	-734	Max	0.00	103.87	27	1.09	27	0.25	27	-1.42	27	14.77	27	-0.01	29
6045	-733	-734	Max	12.00	103.87	27	1.09	27	0.38	27	1.74	27	14.79	27	-0.01	29
6045	-733	-734	Min.	0.00	48.95	29	-0.72	14	0.13	29	-2.21	28	12.11	28	-0.03	27
6045	-733	-734	Min.	12.00	48.95	29	-0.72	14	0.09	28	-0.44	28	11.96	28	-0.03	27
6045	-735	-736	Max	0.00	-0.01	28	-2.46	29	0.57	27	47.29	27	-1.21	29	-0.02	29
6045	-735	-736	Max	12.00	-0.01	28	-2.46	29	0.01	27	50.45	27	2.47	27	-0.02	29
6045	-735	-736	Min.	0.00	-14.63	27	-4.66	27	0.28	29	11.69	28	-3.40	27	-0.05	27
6045	-735	-736	Min.	12.00	-14.63	27	-4.66	27	-0.10	14	13.46	28	0.04	28	-0.05	27
6046	-665	-666	Max	0.00	0.01	29	8.61	27	-0.08	13	-17.53	28	0.09	27	0.13	27
6046	-665	-666	Max	12.00	0.01	29	8.61	27	0.80	27	-15.76	28	-1.99	28	0.13	27
6046	-665	-666	Min.	0.00	0.00	27	2.42	13	-0.23	27	-56.02	27	0.01	28	0.05	13
6046	-665	-666	Min.	12.00	0.00	27	2.42	13	0.21	13	-52.86	27	-6.45	27	0.05	13
6046	-667	-668	Max	0.00	-12.88	28	9.53	27	-0.17	13	0.78	13	15.31	27	0.05	27
6046	-667	-668	Max	12.00	-12.88	28	9.53	27	0.49	27	2.75	13	15.29	27	0.05	27
6046	-667	-668	Min.	0.00	-41.34	27	1.87	13	-0.65	27	-1.78	27	9.69	28	0.02	29
6046	-667	-668	Min.	12.00	-41.34	27	1.87	13	0.06	13	1.38	27	9.88	28	0.02	29
6046	-669	-670	Max	0.00	-12.89	28	-0.33	29	0.07	14	-2.54	28	14.13	27	-0.03	13
6046	-669	-670	Max	12.00	-12.89	28	-0.33	29	-0.06	29	-0.40	27	13.90	27	-0.03	13
6046	-669	-670	Min.	0.00	-46.52	27	-2.45	14	-0.07	27	-3.56	27	9.89	28	-0.07	27
6046	-669	-670	Min.	12.00	-46.52	27	-2.45	14	-0.22	14	-1.14	29	9.69	28	-0.07	27
6046	-671	-672	Max	0.00	0.01	28	-1.63	29	0.39	27	51.34	27	-1.91	29	-0.05	29
6046	-671	-672	Max	12.00	0.01	28	-1.63	29	-0.03	29	54.50	27	1.97	27	-0.05	29
6046	-671	-672	Min.	0.00	-14.58	27	-3.61	27	0.16	29	15.76	28	-4.38	27	-0.12	27
6046	-671	-672	Min.	12.00	-14.58	27	-3.61	27	-0.11	14	17.53	28	0.01	28	-0.12	27
6047	-601	-602	Max	0.00	-0.01	28	3.95	27	-0.07	13	-9.94	28	0.25	27	0.41	27
6047	-601	-602	Max	12.00	-0.01	28	3.95	27	0.26	27	-8.17	28	-1.02	28	0.41	27
6047	-601	-602	Min.	0.00	-0.10	27	0.77	13	-0.21	27	-34.53	27	0.07	28	0.13	28
6047	-601	-602	Min.	12.00	-0.10	27	0.77	13	0.03	13	-31.37	27	-3.70	27	0.13	28
6047	-603	-604	Max	0.00	67.22	27	6.94	27	-0.16	13	3.00	27	25.22	27	0.16	27
6047	-603	-604	Max	12.00	67.22	27	6.94	27	0.19	27	6.16	27	25.77	27	0.16	27
6047	-603	-604	Min.	0.00	27.53	28	1.18	13	-0.64	27	-2.50	14	16.61	28	0.02	13
6047	-603	-604	Min.	12.00	27.53	28	1.18	13	-0.03	14	-0.30	14	16.49	28	0.02	13
6047	-605	-606	Max	0.00	62.96	27	0.18	27	-0.02	13	9.00	27	23.56	27	0.01	27
6047	-605	-606	Max	12.00	62.96	27	0.18	27	-0.07	29	12.16	27	24.83	27	0.01	27
6047	-605	-606	Min.	0.00	27.52	28	-1.56	14	-0.21	27	0.02	13	16.49	28	-0.03	14

6047	-605	-606	Min.	12.00	27.52	28	-1.56	14	-0.22	14	1.82	28	16.61	28	-0.03	14
6047	-607	-608	Max	0.00	-0.01	28	-0.22	29	0.05	28	48.02	27	-1.02	28	-0.11	29
6047	-607	-608	Max	12.00	-0.01	28	-0.22	29	-0.02	29	51.18	27	1.39	27	-0.11	29
6047	-607	-608	Min.	0.00	-14.43	27	-1.11	14	0.01	29	8.17	28	-4.56	27	-0.20	27
6047	-607	-608	Min.	12.00	-14.43	27	-1.11	14	-0.09	14	9.94	28	0.07	28	-0.20	27
6048	349	350	Max	1.77	-6.00	28	0.23	14	0.14	27	2.71	27	-0.27	28	0.04	14
6048	349	350	Max	14.01					0.01	28			-0.22	28		
6048	349	350	Max	15.00	-6.00	28	0.23	14	0.01	27	1.77	27	-0.22	28	0.04	14
6048	349	350	Min.	1.77	-13.12	27	-0.97	27	-0.02	14	0.87	28	-0.71	27	-0.09	27
6048	349	350	Min.	14.34					0.01	14			-0.26	14		
6048	349	350	Min.	15.00	-13.12	27	-0.97	27	0.01	29	-0.07	28	-0.42	27	-0.09	27
6048	350	351	Max	0.00	-6.00	28	0.23	14	0.01	27	1.77	27	-0.22	28	0.04	14
6048	350	351	Max	7.94					-0.01	29			-0.20	29		
6048	350	351	Max	13.23	-6.00	28	0.23	14	0.04	14	0.83	27	-0.21	29	0.04	14
6048	350	351	Min.	0.00	-13.12	27	-0.97	27	0.01	29	-0.07	28	-0.42	27	-0.09	27
6048	350	351	Min.	7.94					-0.01	29			-0.20	29		
6048	350	351	Min.	13.23	-13.12	27	-0.97	27	-0.12	27	-1.01	28	-0.33	14	-0.09	27
6049	-17	-18	Max	2.83	46.09	27	0.09	14	0.02	27	13.02	27	0.31	14	0.00	13
6049	-17	-18	Max	26.15	46.09	27	0.09	14	0.01	14	11.19	27	1.55	27	0.00	13
6049	-17	-18	Min.	2.83	26.40	28	-0.18	27	-0.01	14	-0.96	28	-1.27	27	-0.00	27
6049	-17	-18	Min.	26.15	26.40	28	-0.18	27	-0.02	27	-2.80	28	-0.14	28	-0.00	27
6050	-49	-50	Max	2.83	11.56	27	0.07	27	-0.00	13	19.84	27	0.54	14	0.01	27
6050	-49	-50	Max	21.24					-0.00	29			0.48	29		
6050	-49	-50	Max	25.84	11.56	27	0.07	27	0.00	27	18.04	27	2.42	27	0.01	27
6050	-49	-50	Min.	2.83	6.48	29	0.00	28	-0.01	27	-2.45	28	-1.94	27	-0.00	14
6050	-49	-50	Min.	21.24					-0.00	29			0.48	29		
6050	-49	-50	Min.	25.84	6.48	29	0.00	28	-0.00	28	-4.25	28	-0.25	28	-0.00	14
6051	-81	-82	Max	2.83	-0.60	28	0.19	27	0.00	13	16.36	27	0.33	14	0.00	13
6051	-81	-82	Max	25.22	-0.60	28	0.19	27	0.01	27	15.48	27	1.76	27	0.00	13
6051	-81	-82	Min.	2.83	-1.83	27	-0.04	14	-0.03	27	-2.63	14	-1.81	27	-0.00	27
6051	-81	-82	Min.	25.22	-1.83	27	-0.04	14	-0.01	28	-3.51	14	-0.35	14	-0.00	27
6052	-113	-114	Max	2.83	0.09	28	0.24	27	0.00	13	20.29	27	0.43	14	0.00	13
6052	-113	-114	Max	24.59	0.09	28	0.24	27	0.02	27	19.43	27	2.14	27	0.00	13
6052	-113	-114	Min.	2.83	-0.72	27	-0.05	14	-0.04	27	-3.57	14	-2.18	27	-0.00	27
6052	-113	-114	Min.	24.59	-0.72	27	-0.05	14	-0.01	28	-4.42	14	-0.44	14	-0.00	27
6053	-145	-146	Max	2.83	0.01	28	0.26	27	0.00	13	21.02	27	0.46	14	0.00	13
6053	-145	-146	Max	23.97	0.01	28	0.26	27	0.02	27	20.20	27	2.16	27	0.00	13
6053	-145	-146	Min.	2.83	-0.79	27	-0.06	14	-0.04	27	-3.94	14	-2.20	27	-0.00	27
6053	-145	-146	Min.	23.97	-0.79	27	-0.06	14	-0.01	28	-4.77	14	-0.46	14	-0.00	27
6054	-177	-178	Max	2.83	0.01	28	0.26	27	0.00	13	21.02	27	0.47	14	0.00	13
6054	-177	-178	Max	19.24					-0.00	29			0.28	29		
6054	-177	-178	Max	23.34	0.01	28	0.26	27	0.02	27	20.21	27	2.09	27	0.00	13
6054	-177	-178	Min.	2.83	-0.78	27	-0.06	14	-0.04	27	-4.20	14	-2.13	27	-0.00	27
6054	-177	-178	Min.	19.24					-0.00	29			0.28	29		
6054	-177	-178	Min.	23.34	-0.78	27	-0.06	14	-0.01	28	-5.00	14	-0.47	14	-0.00	27
6055	-209	-210	Max	2.83	0.01	28	0.26	27	0.00	13	20.82	27	0.48	14	0.00	13
6055	-209	-210	Max	18.74					-0.00	29			0.26	29		
6055	-209	-210	Max	22.72	0.01	28	0.26	27	0.02	27	20.04	27	2.01	27	0.00	13
6055	-209	-210	Min.	2.83	-0.77	27	-0.07	14	-0.04	27	-4.44	14	-2.05	27	-0.00	27
6055	-209	-210	Min.	18.74					-0.00	29			0.26	29		
6055	-209	-210	Min.	22.72	-0.77	27	-0.07	14	-0.01	28	-5.22	14	-0.48	14	-0.00	27
6056	-241	-242	Max	2.83	0.01	28	0.26	27	0.00	13	20.58	27	0.49	14	0.00	13
6056	-241	-242	Max	18.24					-0.00	29			0.24	29		
6056	-241	-242	Max	22.09	0.01	28	0.26	27	0.01	27	19.82	27	1.93	27	0.00	13
6056	-241	-242	Min.	2.83	-0.77	27	-0.07	14	-0.04	27	-4.68	14	-1.96	27	-0.00	27
6056	-241	-242	Min.	18.24					-0.00	29			0.24	29		
6056	-241	-242	Min.	22.09	-0.77	27	-0.07	14	-0.01	28	-5.44	14	-0.49	14	-0.00	27
6057	-273	-274	Max	2.83	0.02	28	0.26	27	0.00	13	20.30	27	0.50	14	-0.00	13
6057	-273	-274	Max	17.74					-0.00	29			0.22	29		

6057	-273	-274	Max	21.47	0.02	28	0.26	27	0.01	27	19.57	27	1.84	27	-0.00	13
6057	-273	-274	Min.	2.83	-0.77	27	-0.07	14	-0.04	27	-4.95	14	-1.87	27	-0.00	27
6057	-273	-274	Min.	17.74					-0.00	29			0.22	29		
6057	-273	-274	Min.	21.47	-0.77	27	-0.07	14	-0.01	28	-5.68	14	-0.49	14	-0.00	27
6058	-305	-306	Max	2.83	0.02	28	0.25	27	0.00	13	20.00	27	0.51	14	-0.00	13
6058	-305	-306	Max	20.84	0.02	28	0.25	27	0.01	27	19.30	27	1.75	27	-0.00	13
6058	-305	-306	Min.	2.83	-0.76	27	-0.08	14	-0.03	27	-5.23	14	-1.78	27	-0.00	27
6058	-305	-306	Min.	20.84	-0.76	27	-0.08	14	-0.01	28	-5.94	14	-0.50	14	-0.00	27
6059	-337	-338	Max	2.83	0.02	28	0.25	27	0.00	13	19.68	27	0.52	14	-0.00	13
6059	-337	-338	Max	20.22	0.02	28	0.25	27	0.01	27	19.00	27	1.67	27	-0.00	13
6059	-337	-338	Min.	2.83	-0.76	27	-0.08	14	-0.03	27	-5.54	14	-1.69	27	-0.00	27
6059	-337	-338	Min.	20.22	-0.76	27	-0.08	14	-0.01	28	-6.22	14	-0.51	14	-0.00	27
6060	-369	-370	Max	2.83	0.04	28	0.25	27	0.00	13	19.33	27	0.52	14	-0.00	13
6060	-369	-370	Max	19.59	0.04	28	0.25	27	0.01	27	18.68	27	1.58	27	-0.00	13
6060	-369	-370	Min.	2.83	-0.72	27	-0.09	14	-0.03	27	-5.86	14	-1.60	27	-0.00	27
6060	-369	-370	Min.	19.59	-0.72	27	-0.09	14	-0.01	28	-6.52	14	-0.51	14	-0.00	27
6061	-401	-402	Max	2.83	-0.10	13	0.24	27	0.00	13	18.95	27	0.53	14	-0.00	13
6061	-401	-402	Max	18.97	-0.10	13	0.24	27	0.01	27	18.32	27	1.49	27	-0.00	13
6061	-401	-402	Min.	2.83	-0.98	27	-0.09	14	-0.03	27	-6.21	14	-1.51	27	-0.00	27
6061	-401	-402	Min.	18.97	-0.98	27	-0.09	14	-0.01	28	-6.84	14	-0.52	14	-0.00	27
6062	-433	-434	Max	2.83	1.03	28	0.23	27	0.00	13	18.49	27	0.53	14	-0.00	13
6062	-433	-434	Max	18.34	1.03	28	0.23	27	0.01	27	17.88	27	1.39	27	-0.00	13
6062	-433	-434	Min.	2.83	0.56	29	-0.09	14	-0.03	27	-6.56	14	-1.43	27	-0.00	27
6062	-433	-434	Min.	18.34	0.56	29	-0.09	14	-0.01	28	-7.17	14	-0.53	14	-0.00	27
6063	-465	-466	Max	2.83	-5.50	13	0.21	27	0.00	13	17.85	27	0.58	14	-0.00	13
6063	-465	-466	Max	17.72	-5.50	13	0.21	27	0.00	27	17.26	27	1.39	27	-0.00	13
6063	-465	-466	Min.	2.83	-12.33	27	-0.10	14	-0.03	27	-6.73	14	-1.22	27	-0.01	27
6063	-465	-466	Min.	17.72	-12.33	27	-0.10	14	-0.01	14	-7.31	14	-0.46	14	-0.01	27
6064	-497	-498	Max	2.83	66.44	27	0.18	27	0.00	13	15.18	27	0.15	13	0.00	13
6064	-497	-498	Max	17.09	66.44	27	0.18	27	0.00	27	14.62	27	0.46	27	0.00	13
6064	-497	-498	Min.	2.83	31.75	29	-0.07	28	-0.02	27	-6.16	28	-1.66	27	0.00	27
6064	-497	-498	Min.	17.09	31.75	29	-0.07	28	-0.01	14	-6.72	28	-0.80	28	0.00	27
6068	-505	-506	Max	3.53	-14.03	13	0.05	28	0.01	27	20.89	27	0.53	28	-0.00	28
6068	-505	-506	Max	17.80	-14.03	13	0.05	28	-0.00	13	20.33	27	1.74	27	-0.00	28
6068	-505	-506	Min.	3.53	-31.18	27	-0.29	27	-0.01	28	-4.66	28	-1.20	27	-0.01	27
6068	-505	-506	Min.	17.80	-31.18	27	-0.29	27	-0.03	27	-5.22	28	-0.23	13	-0.01	27
6069	-473	-474	Max	3.53	4.09	27	0.07	28	0.01	27	23.83	27	0.36	28	0.00	13
6069	-473	-474	Max	15.44					-0.00	13			-0.26	13		
6069	-473	-474	Max	18.42	4.09	27	0.07	28	0.00	13	23.24	27	1.72	27	0.00	13
6069	-473	-474	Min.	3.53	1.93	29	-0.31	27	-0.01	28	-5.17	28	-1.78	27	-0.00	27
6069	-473	-474	Min.	15.44					-0.00	13			-0.26	13		
6069	-473	-474	Min.	18.42	1.93	29	-0.31	27	-0.04	27	-5.76	28	-0.45	28	-0.00	27
6070	-441	-442	Max	3.53	-0.44	13	0.07	28	0.01	27	24.30	27	0.40	28	0.00	13
6070	-441	-442	Max	15.94					-0.00	13			-0.24	13		
6070	-441	-442	Max	19.05	-0.44	13	0.07	28	0.00	13	23.70	27	1.87	27	0.00	13
6070	-441	-442	Min.	3.53	-1.70	27	-0.33	27	-0.01	28	-5.03	28	-1.85	27	-0.00	27
6070	-441	-442	Min.	15.94					-0.00	13			-0.24	13		
6070	-441	-442	Min.	19.05	-1.70	27	-0.33	27	-0.04	27	-5.64	28	-0.43	28	-0.00	27
6071	-409	-410	Max	3.53	-0.03	28	0.07	28	0.01	27	24.47	27	0.39	28	0.00	13
6071	-409	-410	Max	16.44					-0.00	13			-0.24	13		
6071	-409	-410	Max	19.67	-0.03	28	0.07	28	0.00	13	23.83	27	1.96	27	0.00	13
6071	-409	-410	Min.	3.53	-0.86	27	-0.33	27	-0.01	28	-4.76	28	-1.94	27	-0.00	27
6071	-409	-410	Min.	16.44					-0.00	13			-0.24	13		
6071	-409	-410	Min.	19.67	-0.86	27	-0.33	27	-0.04	27	-5.39	28	-0.43	28	-0.00	27
6072	-377	-378	Max	3.53	-0.10	13	0.06	28	0.02	27	24.56	27	0.39	28	0.00	13
6072	-377	-378	Max	16.94					-0.00	13			-0.24	13		
6072	-377	-378	Max	20.30	-0.10	13	0.06	28	0.00	13	23.91	27	2.04	27	0.00	13
6072	-377	-378	Min.	3.53	-0.97	27	-0.33	27	-0.01	28	-4.49	28	-2.02	27	-0.00	27
6072	-377	-378	Min.	16.94					-0.00	13			-0.24	13		

6072	-377	-378	Min.	20.30	-0.97	27	-0.33	27	-0.04	27	-5.15	28	-0.42	28	-0.00	27
6073	-345	-346	Max	3.53	-0.09	13	0.06	28	0.02	27	24.65	27	0.38	28	0.00	13
6073	-345	-346	Max	17.44					-0.00	13			-0.23	13		
6073	-345	-346	Max	20.92	-0.09	13	0.06	28	0.00	13	23.96	27	2.12	27	0.00	13
6073	-345	-346	Min.	3.53	-0.95	27	-0.33	27	-0.01	28	-4.24	28	-2.11	27	-0.00	27
6073	-345	-346	Min.	17.44					-0.00	13			-0.23	13		
6073	-345	-346	Min.	20.92	-0.95	27	-0.33	27	-0.04	27	-4.92	28	-0.41	28	-0.00	27
6074	-313	-314	Max	3.53	-0.09	13	0.06	28	0.02	27	24.72	27	0.38	28	0.00	13
6074	-313	-314	Max	17.94					-0.00	13			-0.23	13		
6074	-313	-314	Max	21.55	-0.09	13	0.06	28	0.00	13	24.01	27	2.20	27	0.00	13
6074	-313	-314	Min.	3.53	-0.95	27	-0.33	27	-0.01	28	-4.00	28	-2.19	27	-0.00	27
6074	-313	-314	Min.	17.94					-0.00	13			-0.23	13		
6074	-313	-314	Min.	21.55	-0.95	27	-0.33	27	-0.04	27	-4.70	28	-0.41	28	-0.00	27
6075	-281	-282	Max	3.53	-0.09	13	0.05	28	0.02	27	24.79	27	0.37	28	0.00	13
6075	-281	-282	Max	18.44					-0.00	13			-0.23	13		
6075	-281	-282	Max	22.17	-0.09	13	0.05	28	0.00	13	24.06	27	2.28	27	0.00	13
6075	-281	-282	Min.	3.53	-0.95	27	-0.33	27	-0.01	28	-3.78	28	-2.27	27	-0.00	27
6075	-281	-282	Min.	18.44					-0.00	13			-0.23	13		
6075	-281	-282	Min.	22.17	-0.95	27	-0.33	27	-0.04	27	-4.51	28	-0.40	28	-0.00	27
6076	-249	-250	Max	3.53	-0.09	13	0.05	28	0.02	27	24.85	27	0.36	28	0.00	13
6076	-249	-250	Max	18.94					-0.00	13			-0.22	13		
6076	-249	-250	Max	22.80	-0.09	13	0.05	28	0.00	13	24.09	27	2.36	27	0.00	13
6076	-249	-250	Min.	3.53	-0.94	27	-0.33	27	-0.01	28	-3.57	28	-2.35	27	-0.00	27
6076	-249	-250	Min.	18.94					-0.00	13			-0.22	13		
6076	-249	-250	Min.	22.80	-0.94	27	-0.33	27	-0.04	27	-4.32	28	-0.40	28	-0.00	27
6077	-217	-218	Max	3.53	-0.09	13	0.05	28	0.02	27	24.90	27	0.36	28	0.00	13
6077	-217	-218	Max	19.44					-0.00	13			-0.22	13		
6077	-217	-218	Max	23.42	-0.09	13	0.05	28	0.00	13	24.12	27	2.44	27	0.00	13
6077	-217	-218	Min.	3.53	-0.94	27	-0.33	27	-0.01	28	-3.37	28	-2.43	27	-0.00	27
6077	-217	-218	Min.	19.44					-0.00	13			-0.22	13		
6077	-217	-218	Min.	23.42	-0.94	27	-0.33	27	-0.04	27	-4.15	28	-0.39	28	-0.00	27
6078	-185	-186	Max	3.53	-0.09	13	0.05	28	0.02	27	24.90	27	0.35	28	0.00	13
6078	-185	-186	Max	19.94					-0.00	13			-0.21	13		
6078	-185	-186	Max	24.05	-0.09	13	0.05	28	0.00	13	24.09	27	2.52	27	0.00	13
6078	-185	-186	Min.	3.53	-0.94	27	-0.33	27	-0.01	28	-3.18	28	-2.51	27	-0.00	27
6078	-185	-186	Min.	19.94					-0.00	13			-0.21	13		
6078	-185	-186	Min.	24.05	-0.94	27	-0.33	27	-0.04	27	-3.99	28	-0.39	28	-0.00	27
6079	-153	-154	Max	3.53	-0.09	13	0.04	28	0.02	27	24.71	27	0.34	28	0.00	13
6079	-153	-154	Max	20.44					-0.00	13			-0.21	13		
6079	-153	-154	Max	24.67	-0.09	13	0.04	28	0.00	13	23.88	27	2.57	27	0.00	13
6079	-153	-154	Min.	3.53	-0.94	27	-0.32	27	-0.01	28	-2.98	28	-2.56	27	-0.00	27
6079	-153	-154	Min.	20.44					-0.00	13			-0.21	13		
6079	-153	-154	Min.	24.67	-0.94	27	-0.32	27	-0.04	27	-3.81	28	-0.38	28	-0.00	27
6080	-121	-122	Max	3.53	-0.04	13	0.04	28	0.02	27	23.67	27	0.32	28	0.00	13
6080	-121	-122	Max	20.94					-0.00	13			-0.20	13		
6080	-121	-122	Max	25.30	-0.04	13	0.04	28	0.00	13	22.82	27	2.53	27	0.00	13
6080	-121	-122	Min.	3.53	-0.82	27	-0.29	27	-0.01	28	-2.69	28	-2.52	27	-0.00	27
6080	-121	-122	Min.	20.94					-0.00	13			-0.20	13		
6080	-121	-122	Min.	25.30	-0.82	27	-0.29	27	-0.04	27	-3.54	28	-0.36	28	-0.00	27
6081	-89	-90	Max	3.53	-0.60	28	0.03	28	0.02	27	18.98	27	0.25	28	0.00	13
6081	-89	-90	Max	21.44					-0.00	13			-0.16	13		
6081	-89	-90	Max	25.92	-0.60	28	0.03	28	0.00	13	18.11	27	2.07	27	0.00	13
6081	-89	-90	Min.	3.53	-1.68	27	-0.21	27	-0.01	28	-1.94	28	-2.08	27	-0.00	27
6081	-89	-90	Min.	21.44					-0.00	14			-0.16	14		
6081	-89	-90	Min.	25.92	-1.68	27	-0.21	27	-0.03	27	-2.82	28	-0.29	28	-0.00	27
6082	-57	-58	Max	3.53	7.37	27	-0.01	28	0.01	27	22.89	27	0.39	14	0.00	14
6082	-57	-58	Max	26.55	7.37	27	-0.01	28	-0.00	13	21.09	27	2.72	27	0.00	14
6082	-57	-58	Min.	3.53	4.60	28	-0.10	27	-0.00	28	-1.70	28	-2.34	27	-0.01	27
6082	-57	-58	Min.	26.55	4.60	28	-0.10	27	-0.02	27	-3.50	28	-0.22	28	-0.01	27

6083	-25	-26	Max	3.53	33.72	27	0.16	27	0.01	14	15.19	27	0.20	14	0.00	27
6083	-25	-26	Max	22.19					-0.00	29			0.36	29		
6083	-25	-26	Max	26.86	33.72	27	0.16	27	0.02	27	13.36	27	1.78	27	0.00	27
6083	-25	-26	Min.	3.53	19.42	28	-0.10	14	-0.02	27	-0.43	28	-1.55	27	0.00	14
6083	-25	-26	Min.	22.19					-0.00	29			0.36	29		
6083	-25	-26	Min.	26.86	19.42	28	-0.10	14	-0.01	14	-2.27	28	-0.12	28	0.00	14
6084	373	374	Max	1.77	-5.13	13	3.29	27	-0.23	28	0.18	14	0.16	27	0.09	27
6084	373	374	Max	15.00	-5.13	13	2.35	27	-0.16	28	0.18	14	0.01	27	0.09	27
6084	373	374	Min.	1.77	-8.51	27	1.02	28	-0.67	27	-1.12	27	-0.02	28	-0.04	14
6084	373	374	Min.	15.00	-8.51	27	0.08	28	-0.29	27	-1.12	27	0.01	28	-0.04	14
6084	374	375	Max	0.00	-5.13	13	2.35	27	-0.16	28	0.18	14	0.01	27	0.09	27
6084	374	375	Max	1.88					-0.19	14			0.01	14		
6084	374	375	Max	13.23	-5.13	13	1.41	27	-0.05	27	0.18	14	0.03	14	0.09	27
6084	374	375	Min.	0.00	-8.51	27	0.08	28	-0.29	27	-1.12	27	0.01	28	-0.04	14
6084	374	375	Min.	10.59					-0.13	29			-0.02	29		
6084	374	375	Min.	13.23	-8.51	27	-0.86	28	-0.24	14	-1.12	27	-0.13	27	-0.04	14
6085	-537	-538	Max	0.00	0.07	28	4.74	14	-0.10	29	0.31	27	0.02	27	-0.03	28
6085	-537	-538	Max	12.00	0.07	28	4.74	14	0.28	14	1.91	27	0.15	27	-0.03	28
6085	-537	-538	Min.	0.00	-1.07	27	1.61	29	-0.29	14	-0.73	14	0.00	29	-0.23	27
6085	-537	-538	Min.	12.00	-1.07	27	1.61	29	0.09	29	0.87	14	0.02	13	-0.23	27
6086	-521	-522	Max	0.00	-0.01	13	4.95	14	-0.15	29	-1.00	29	0.09	27	-0.04	14
6086	-521	-522	Max	12.00	-0.01	13	4.95	14	0.30	14	0.61	29	0.04	27	-0.04	14
6086	-521	-522	Min.	0.00	-1.50	27	2.57	29	-0.30	14	-1.32	14	0.02	28	-0.28	27
6086	-521	-522	Min.	12.00	-1.50	27	2.57	29	0.15	29	0.28	14	-0.03	14	-0.28	27
6088	313	325	Max	1.77	8.41	13	17.37	13	18.62	27	2.89	14	0.09	27	0.30	27
6088	313	325	Max	15.00	8.41	13	16.43	13	1.38	13	2.89	14	0.28	14	0.30	27
6088	313	325	Min.	1.77	-226.57	27	-315.06	27	-0.85	13	-5.77	27	-0.10	14	-0.11	14
6088	313	325	Min.	15.00	-226.57	27	-316.00	27	-23.13	27	-5.77	27	-0.67	27	-0.11	14
6088	325	337	Max	0.00	-1.22	28	364.98	27	-0.79	13	5.05	27	0.31	14	0.10	14
6088	325	337	Max	13.23	-1.22	28	364.04	27	19.96	27	5.05	27	0.06	27	0.10	14
6088	325	337	Min.	0.00	-244.71	27	4.68	13	-28.28	27	-3.20	14	-0.60	27	-0.31	27
6088	325	337	Min.	13.23	-244.71	27	3.74	13	-0.23	13	-3.20	14	-0.12	14	-0.31	27
6089	-1	-9	Max	3.53	200.33	27	-0.02	28	0.01	27	10.94	27	-0.12	28	0.00	27
6089	-1	-9	Max	26.86	200.33	27	-0.02	28	-0.00	28	9.11	27	1.17	27	0.00	27
6089	-1	-9	Min.	3.53	16.63	13	-0.10	27	0.00	28	2.57	28	-1.17	27	0.00	28
6089	-1	-9	Min.	26.86	16.63	13	-0.10	27	-0.01	27	0.73	28	0.26	28	0.00	28
6090	-33	-41	Max	3.53	73.92	27	-0.04	28	0.01	27	19.47	27	-0.41	28	0.00	27
6090	-33	-41	Max	26.55	73.92	27	-0.04	28	-0.00	28	17.67	27	3.28	27	0.00	27
6090	-33	-41	Min.	3.53	2.95	13	-0.16	27	0.00	28	5.35	28	-1.19	14	0.00	28
6090	-33	-41	Min.	26.55	2.95	13	-0.16	27	-0.02	27	3.54	28	0.61	28	0.00	28
6091	-65	-73	Max	3.53	-0.48	13	-0.05	28	0.02	27	17.50	27	-0.52	28	0.00	27
6091	-65	-73	Max	25.92	-0.48	13	-0.05	28	-0.01	28	16.62	27	1.90	27	0.00	27
6091	-65	-73	Min.	3.53	-3.91	27	-0.20	27	0.01	28	4.97	28	-1.92	27	0.00	28
6091	-65	-73	Min.	25.92	-3.91	27	-0.20	27	-0.03	27	4.09	28	0.49	28	0.00	28
6092	-97	-105	Max	3.53	0.15	27	-0.08	28	0.02	27	22.64	27	-0.68	28	0.00	27
6092	-97	-105	Max	25.30	0.15	27	-0.08	28	-0.01	28	21.79	27	2.43	27	0.00	27
6092	-97	-105	Min.	3.53	-0.23	28	-0.27	27	0.01	28	6.63	28	-2.41	27	0.00	28
6092	-97	-105	Min.	25.30	-0.23	28	-0.27	27	-0.04	27	5.77	28	0.67	28	0.00	28
6093	-129	-137	Max	3.53	-0.03	14	-0.09	28	0.02	27	24.64	27	-0.76	28	0.00	27
6093	-129	-137	Max	24.67	-0.03	14	-0.09	28	-0.01	28	23.81	27	2.57	27	0.00	27
6093	-129	-137	Min.	3.53	-0.30	28	-0.31	27	0.01	28	7.53	28	-2.55	27	0.00	28
6093	-129	-137	Min.	24.67	-0.30	28	-0.31	27	-0.04	27	6.70	28	0.75	28	0.00	28
6094	-161	-169	Max	3.53	-0.02	14	-0.10	28	0.03	27	25.97	27	-0.81	28	0.00	27
6094	-161	-169	Max	24.05	-0.02	14	-0.10	28	-0.01	28	25.17	27	2.63	27	0.00	27
6094	-161	-169	Min.	3.53	-0.30	28	-0.33	27	0.01	28	8.30	28	-2.61	27	0.00	28
6094	-161	-169	Min.	24.05	-0.30	28	-0.33	27	-0.04	27	7.49	28	0.81	28	0.00	28
6095	-193	-201	Max	3.53	-0.02	14	-0.11	28	0.03	27	27.21	27	-0.86	28	0.00	27
6095	-193	-201	Max	23.42	-0.02	14	-0.11	28	-0.01	28	26.43	27	2.68	27	0.00	27
6095	-193	-201	Min.	3.53	-0.29	28	-0.35	27	0.01	28	9.07	28	-2.65	27	0.00	28

6095	-193	-201	Min.	23.42	-0.29	28	-0.35	27	-0.04	27	8.29	28	0.86	28	0.00	28
6096	-225	-233	Max	3.53	-0.02	14	-0.12	28	0.03	27	28.50	27	-0.92	28	0.00	27
6096	-225	-233	Max	22.80	-0.02	14	-0.12	28	-0.01	28	27.74	27	2.72	27	0.00	27
6096	-225	-233	Min.	3.53	-0.29	28	-0.37	27	0.01	28	9.88	28	-2.69	27	0.00	28
6096	-225	-233	Min.	22.80	-0.29	28	-0.37	27	-0.04	27	9.13	28	0.91	28	0.00	28
6097	-257	-265	Max	3.53	-0.02	14	-0.14	28	0.03	27	29.87	27	-0.97	28	0.00	27
6097	-257	-265	Max	22.17	-0.02	14	-0.14	28	-0.01	28	29.13	27	2.77	27	0.00	27
6097	-257	-265	Min.	3.53	-0.29	28	-0.39	27	0.01	28	10.76	28	-2.73	27	0.00	28
6097	-257	-265	Min.	22.17	-0.29	28	-0.39	27	-0.04	27	10.03	28	0.97	28	0.00	28
6098	-289	-297	Max	3.53	-0.02	14	-0.15	28	0.03	27	31.34	27	-1.02	28	0.00	27
6098	-289	-297	Max	21.55	-0.02	14	-0.15	28	-0.01	28	30.63	27	2.81	27	0.00	27
6098	-289	-297	Min.	3.53	-0.29	28	-0.41	27	0.02	28	11.70	28	-2.77	27	0.00	28
6098	-289	-297	Min.	21.55	-0.29	28	-0.41	27	-0.04	27	10.99	28	1.02	28	0.00	28
6099	-321	-329	Max	3.53	-0.02	14	-0.16	28	0.03	27	32.92	27	-1.07	28	0.00	27
6099	-321	-329	Max	20.92	-0.02	14	-0.16	28	-0.01	28	32.24	27	2.85	27	0.00	27
6099	-321	-329	Min.	3.53	-0.29	28	-0.43	27	0.02	28	12.71	28	-2.81	27	0.00	28
6099	-321	-329	Min.	20.92	-0.29	28	-0.43	27	-0.04	27	12.03	28	1.08	28	0.00	28
6100	-353	-361	Max	3.53	-0.01	14	-0.18	28	0.03	27	34.62	27	-1.12	28	0.00	27
6100	-353	-361	Max	20.30	-0.01	14	-0.18	28	-0.01	28	33.96	27	2.90	27	0.00	27
6100	-353	-361	Min.	3.53	-0.28	28	-0.45	27	0.02	28	13.81	28	-2.85	27	0.00	28
6100	-353	-361	Min.	20.30	-0.28	28	-0.45	27	-0.04	27	13.15	28	1.14	28	0.00	28
6101	-385	-393	Max	3.53	-0.03	13	-0.19	28	0.03	27	36.45	27	-1.18	28	0.00	27
6101	-385	-393	Max	19.67	-0.03	13	-0.19	28	-0.01	28	35.82	27	2.94	27	0.00	27
6101	-385	-393	Min.	3.53	-0.30	28	-0.48	27	0.02	28	14.98	28	-2.89	27	0.00	28
6101	-385	-393	Min.	19.67	-0.30	28	-0.48	27	-0.05	27	14.35	28	1.19	28	0.00	28
6102	-417	-425	Max	3.53	0.21	27	-0.21	28	0.03	27	38.35	27	-1.23	28	0.00	27
6102	-417	-425	Max	19.05	0.21	27	-0.21	28	-0.01	28	37.74	27	2.98	27	0.00	27
6102	-417	-425	Min.	3.53	-0.12	28	-0.50	27	0.02	29	16.22	28	-2.92	27	0.00	28
6102	-417	-425	Min.	19.05	-0.12	28	-0.50	27	-0.05	27	15.61	28	1.24	28	0.00	28
6103	-449	-457	Max	3.53	-0.94	29	-0.21	28	0.03	27	39.91	27	-1.25	28	0.01	27
6103	-449	-457	Max	18.42	-0.94	29	-0.21	28	-0.01	28	39.33	27	2.99	27	0.01	27
6103	-449	-457	Min.	3.53	-2.00	27	-0.48	27	0.02	29	17.31	28	-2.90	27	0.00	28
6103	-449	-457	Min.	18.42	-2.00	27	-0.48	27	-0.04	27	16.72	28	1.29	28	0.00	28
6104	-481	-489	Max	3.53	10.33	27	-0.25	28	0.04	27	38.47	27	-1.23	28	-0.01	28
6104	-481	-489	Max	17.80	10.33	27	-0.25	28	-0.02	28	37.91	27	2.66	27	-0.01	28
6104	-481	-489	Min.	3.53	4.88	29	-0.59	27	0.02	28	16.92	28	-2.79	27	-0.02	27
6104	-481	-489	Min.	17.80	4.88	29	-0.59	27	-0.05	27	16.36	28	1.14	28	-0.02	27
6109	-482	-490	Max	2.83	26.68	27	0.69	27	-0.02	28	43.88	27	-1.43	28	0.03	27
6109	-482	-490	Max	17.09	26.68	27	0.69	27	0.04	27	43.32	27	2.83	27	0.03	27
6109	-482	-490	Min.	2.83	12.48	13	0.27	28	-0.05	27	18.25	28	-3.39	27	0.01	28
6109	-482	-490	Min.	17.09	12.48	13	0.27	28	0.02	28	17.69	28	1.13	28	0.01	28
6110	-450	-458	Max	2.83	-2.27	13	0.58	27	-0.02	28	45.92	27	-1.38	28	0.00	27
6110	-450	-458	Max	17.72	-2.27	13	0.58	27	0.04	27	45.34	27	3.39	27	0.00	27
6110	-450	-458	Min.	2.83	-4.62	27	0.23	28	-0.05	27	18.84	28	-3.40	27	0.00	14
6110	-450	-458	Min.	17.72	-4.62	27	0.23	28	0.02	28	18.26	28	1.38	28	0.00	14
6111	-418	-426	Max	2.83	0.67	27	0.59	27	-0.02	28	44.09	27	-1.37	28	0.00	27
6111	-418	-426	Max	18.34	0.67	27	0.59	27	0.04	27	43.48	27	3.35	27	0.00	27
6111	-418	-426	Min.	2.83	0.02	28	0.23	28	-0.05	27	17.67	28	-3.44	27	0.00	13
6111	-418	-426	Min.	18.34	0.02	28	0.23	28	0.02	28	17.06	28	1.32	28	0.00	13
6112	-386	-394	Max	2.83	-0.09	29	0.56	27	-0.02	28	41.90	27	-1.31	28	0.00	27
6112	-386	-394	Max	18.97	-0.09	29	0.56	27	0.04	27	41.27	27	3.32	27	0.00	27
6112	-386	-394	Min.	2.83	-0.40	28	0.22	28	-0.05	27	16.36	28	-3.39	27	0.00	13
6112	-386	-394	Min.	18.97	-0.40	28	0.22	28	0.02	28	15.73	28	1.28	28	0.00	13
6113	-354	-362	Max	2.83	0.00	27	0.53	27	-0.02	28	39.79	27	-1.26	28	0.00	27
6113	-354	-362	Max	19.59	0.00	27	0.53	27	0.04	27	39.13	27	3.27	27	0.00	27
6113	-354	-362	Min.	2.83	-0.34	28	0.20	28	-0.05	27	15.12	28	-3.34	27	0.00	13
6113	-354	-362	Min.	19.59	-0.34	28	0.20	28	0.02	28	14.46	28	1.22	28	0.00	13
6114	-322	-330	Max	2.83	-0.01	27	0.50	27	-0.01	28	37.82	27	-1.20	28	0.00	27
6114	-322	-330	Max	20.22	-0.01	27	0.50	27	0.04	27	37.14	27	3.22	27	0.00	27

6114	-322	-330	Min.	2.83	-0.34	28	0.18	28	-0.05	27	13.96	28	-3.29	27	0.00	13
6114	-322	-330	Min.	20.22	-0.34	28	0.18	28	0.02	28	13.27	28	1.17	28	0.00	13
6115	-290	-298	Max	2.83	-0.01	27	0.48	27	-0.01	28	35.99	27	-1.15	28	0.00	27
6115	-290	-298	Max	20.84	-0.01	27	0.48	27	0.04	27	35.29	27	3.17	27	0.00	27
6115	-290	-298	Min.	2.83	-0.34	28	0.17	28	-0.05	27	12.88	28	-3.24	27	0.00	13
6115	-290	-298	Min.	20.84	-0.34	28	0.17	28	0.02	28	12.17	28	1.11	28	0.00	13
6116	-258	-266	Max	2.83	-0.00	27	0.46	27	-0.01	28	34.30	27	-1.09	28	0.00	27
6116	-258	-266	Max	21.47	-0.00	27	0.46	27	0.03	27	33.56	27	3.13	27	0.00	27
6116	-258	-266	Min.	2.83	-0.34	28	0.15	28	-0.05	27	11.88	28	-3.20	27	0.00	13
6116	-258	-266	Min.	21.47	-0.34	28	0.15	28	0.02	28	11.15	28	1.06	28	0.00	13
6117	-226	-234	Max	2.83	-0.00	27	0.43	27	-0.01	28	32.71	27	-1.04	28	0.00	27
6117	-226	-234	Max	22.09	-0.00	27	0.43	27	0.03	27	31.96	27	3.08	27	0.00	27
6117	-226	-234	Min.	2.83	-0.34	28	0.14	28	-0.05	27	10.95	28	-3.15	27	0.00	13
6117	-226	-234	Min.	22.09	-0.34	28	0.14	28	0.02	28	10.20	28	1.00	28	0.00	13
6118	-194	-202	Max	2.83	0.00	27	0.41	27	-0.01	28	31.23	27	-0.98	28	0.00	27
6118	-194	-202	Max	22.72	0.00	27	0.41	27	0.03	27	30.45	27	3.03	27	0.00	27
6118	-194	-202	Min.	2.83	-0.34	28	0.13	28	-0.05	27	10.09	28	-3.10	27	0.00	13
6118	-194	-202	Min.	22.72	-0.34	28	0.13	28	0.01	28	9.31	28	0.95	28	0.00	13
6119	-162	-170	Max	2.83	0.00	27	0.39	27	-0.01	28	29.81	27	-0.93	28	0.00	27
6119	-162	-170	Max	23.34	0.00	27	0.39	27	0.03	27	29.00	27	2.98	27	0.00	27
6119	-162	-170	Min.	2.83	-0.34	28	0.12	28	-0.05	27	9.27	28	-3.05	27	0.00	13
6119	-162	-170	Min.	23.34	-0.34	28	0.12	28	0.01	28	8.46	28	0.89	28	0.00	13
6120	-130	-138	Max	2.83	-0.01	27	0.36	27	-0.01	28	28.28	27	-0.87	28	0.00	27
6120	-130	-138	Max	23.97	-0.01	27	0.36	27	0.03	27	27.45	27	2.91	27	0.00	27
6120	-130	-138	Min.	2.83	-0.34	28	0.10	28	-0.05	27	8.46	28	-2.98	27	0.00	13
6120	-130	-138	Min.	23.97	-0.34	28	0.10	28	0.01	28	7.63	28	0.83	28	0.00	13
6121	-98	-106	Max	2.83	0.06	27	0.32	27	-0.01	28	25.98	27	-0.78	28	0.00	27
6121	-98	-106	Max	24.59	0.06	27	0.32	27	0.03	27	25.12	27	2.75	27	0.00	27
6121	-98	-106	Min.	2.83	-0.22	28	0.09	28	-0.04	27	7.48	28	-2.81	27	0.00	13
6121	-98	-106	Min.	24.59	-0.22	28	0.09	28	0.01	28	6.63	28	0.75	28	0.00	13
6122	-66	-74	Max	2.83	-0.32	27	0.23	27	-0.01	28	20.07	27	-0.60	28	0.00	27
6122	-66	-74	Max	25.22	-0.32	27	0.23	27	0.02	27	19.19	27	2.17	27	0.00	27
6122	-66	-74	Min.	2.83	-2.46	28	0.06	28	-0.03	27	5.62	28	-2.23	27	0.00	13
6122	-66	-74	Min.	25.22	-2.46	28	0.06	28	0.01	28	4.74	28	0.56	28	0.00	13
6123	-34	-42	Max	2.83	40.40	14	0.20	27	-0.00	28	22.67	27	-0.02	28	0.00	27
6123	-34	-42	Max	25.84	40.40	14	0.20	27	0.02	27	20.87	27	2.45	27	0.00	27
6123	-34	-42	Min.	2.83	-6.61	27	0.05	28	-0.03	27	6.23	28	-2.56	27	0.00	13
6123	-34	-42	Min.	25.84	-6.61	27	0.05	28	0.01	28	4.42	28	1.20	28	0.00	13
6124	-2	-10	Max	2.83	112.72	14	0.12	27	-0.00	28	13.04	27	-0.23	28	0.00	27
6124	-2	-10	Max	26.15	112.72	14	0.12	27	0.01	27	11.21	27	1.59	27	0.00	27
6124	-2	-10	Min.	2.83	-0.28	27	0.03	28	-0.01	27	3.10	28	-1.24	27	0.00	13
6124	-2	-10	Min.	26.15	-0.28	27	0.03	28	0.00	28	1.27	28	0.28	28	0.00	13
6125	315	327	Max	1.77	68.24	27	8.10	27	-0.01	13	100.04	27	9.83	14	0.26	27
6125	315	327	Max	15.00	68.24	27	8.10	27	0.80	27	99.10	27	7.86	27	0.26	27
6125	315	327	Min.	1.77	-114.45	14	-1.35	14	-0.27	27	-167.08	14	-5.32	27	-0.14	14
6125	315	327	Min.	15.00	-114.45	14	-1.35	14	-0.20	14	-168.02	14	-12.34	14	-0.14	14
6125	327	339	Max	0.00	41.21	27	1.32	14	0.78	27	195.41	14	2.63	27	0.14	14
6125	327	339	Max	13.23	41.21	27	1.32	14	-0.02	13	194.47	14	10.65	14	0.14	14
6125	327	339	Min.	0.00	-129.16	14	-7.97	27	-0.20	14	-48.35	27	-15.14	14	-0.26	27
6125	327	339	Min.	13.23	-129.16	14	-7.97	27	-0.27	27	-49.29	27	-3.83	27	-0.26	27
6126	316	328	Max	1.77	-53.54	13	-102.07	13	31.64	27	2.26	14	0.08	27	0.50	27
6126	316	328	Max	15.00	-53.54	13	-103.01	13	-8.55	13	2.26	14	0.18	14	0.50	27
6126	316	328	Min.	1.77	-363.44	27	-582.51	27	5.02	13	-7.74	27	-0.12	14	-0.01	13
6126	316	328	Min.	15.00	-363.44	27	-583.46	27	-45.51	27	-7.74	27	-0.94	27	-0.01	13
6126	328	340	Max	0.00	-77.07	13	554.01	27	-6.44	13	7.90	27	0.15	14	0.01	13
6126	328	340	Max	13.23	-77.07	13	553.07	27	32.84	27	7.90	27	0.08	27	0.01	13
6126	328	340	Min.	0.00	-414.85	27	91.31	13	-40.41	27	-2.08	14	-0.97	27	-0.50	27
6126	328	340	Min.	13.23	-414.85	27	90.37	13	5.58	13	-2.08	14	-0.12	14	-0.50	27
6127	-3	-11	Max	3.53	337.67	27	-0.09	28	0.03	27	33.67	27	-1.30	28	0.00	27

6127	-3	-11	Max	26.86	337.67	27	-0.09	28	-0.01	28	31.83	27	3.88	27	0.00	27
6127	-3	-11	Min.	3.53	79.51	13	-0.24	27	0.01	28	13.04	28	-3.76	27	0.00	28
6127	-3	-11	Min.	26.86	79.51	13	-0.24	27	-0.03	27	11.21	28	1.53	28	0.00	28
6128	-35	-43	Max	3.53	123.80	27	-0.15	28	0.04	27	44.83	27	-1.35	28	0.00	27
6128	-35	-43	Max	26.55	123.80	27	-0.15	28	-0.02	28	43.02	27	7.01	27	0.00	27
6128	-35	-43	Min.	3.53	25.65	13	-0.40	27	0.02	28	17.07	28	-3.10	27	0.00	28
6128	-35	-43	Min.	26.55	25.65	13	-0.40	27	-0.05	27	15.27	28	2.37	28	0.00	28
6129	-67	-75	Max	3.53	-1.67	13	-0.16	28	0.04	27	37.49	27	-1.55	28	0.00	27
6129	-67	-75	Max	25.92	-1.67	13	-0.16	28	-0.02	28	36.61	27	4.15	27	0.00	27
6129	-67	-75	Min.	3.53	-6.51	27	-0.44	27	0.02	28	14.23	28	-4.15	27	0.00	28
6129	-67	-75	Min.	25.92	-6.51	27	-0.44	27	-0.06	27	13.36	28	1.54	28	0.00	28
6130	-99	-107	Max	3.53	0.34	27	-0.23	28	0.05	27	48.50	27	-1.97	28	0.00	27
6130	-99	-107	Max	25.30	0.34	27	-0.23	28	-0.02	28	47.65	27	5.26	27	0.00	27
6130	-99	-107	Min.	3.53	-0.12	28	-0.60	27	0.03	28	18.62	28	-5.20	27	0.00	28
6130	-99	-107	Min.	25.30	-0.12	28	-0.60	27	-0.08	27	17.76	28	1.98	28	0.00	28
6131	-131	-139	Max	3.53	-0.02	14	-0.26	28	0.06	27	52.82	27	-2.12	28	0.00	27
6131	-131	-139	Max	24.67	-0.02	14	-0.26	28	-0.03	28	51.99	27	5.57	27	0.00	27
6131	-131	-139	Min.	3.53	-0.30	28	-0.67	27	0.03	29	20.59	28	-5.50	27	0.00	28
6131	-131	-139	Min.	24.67	-0.30	28	-0.67	27	-0.08	27	19.76	28	2.14	28	0.00	28
6132	-163	-171	Max	3.53	-0.02	14	-0.28	28	0.06	27	55.70	27	-2.21	28	0.00	27
6132	-163	-171	Max	24.05	-0.02	14	-0.28	28	-0.03	28	54.90	27	5.71	27	0.00	27
6132	-163	-171	Min.	3.53	-0.29	28	-0.72	27	0.03	29	22.07	28	-5.63	27	0.00	28
6132	-163	-171	Min.	24.05	-0.29	28	-0.72	27	-0.09	27	21.27	28	2.23	28	0.00	28
6133	-195	-203	Max	3.53	-0.02	14	-0.31	28	0.06	27	58.39	27	-2.29	28	0.00	27
6133	-195	-203	Max	23.42	-0.02	14	-0.31	28	-0.03	28	57.61	27	5.81	27	0.00	27
6133	-195	-203	Min.	3.53	-0.29	28	-0.76	27	0.03	29	23.52	28	-5.72	27	0.00	28
6133	-195	-203	Min.	23.42	-0.29	28	-0.76	27	-0.09	27	22.74	28	2.31	28	0.00	28
6134	-227	-235	Max	3.53	-0.02	14	-0.33	28	0.07	27	61.19	27	-2.36	28	0.00	27
6134	-227	-235	Max	22.80	-0.02	14	-0.33	28	-0.03	28	60.43	27	5.90	27	0.00	27
6134	-227	-235	Min.	3.53	-0.29	28	-0.80	27	0.03	29	25.04	28	-5.81	27	0.00	28
6134	-227	-235	Min.	22.80	-0.29	28	-0.80	27	-0.09	27	24.28	28	2.39	28	0.00	28
6135	-259	-267	Max	3.53	-0.01	14	-0.35	28	0.07	27	64.17	27	-2.43	28	0.00	27
6135	-259	-267	Max	22.17	-0.01	14	-0.35	28	-0.03	28	63.44	27	6.00	27	0.00	27
6135	-259	-267	Min.	3.53	-0.29	28	-0.84	27	0.03	29	26.66	28	-5.90	27	0.00	28
6135	-259	-267	Min.	22.17	-0.29	28	-0.84	27	-0.09	27	25.93	28	2.47	28	0.00	28
6136	-291	-299	Max	3.53	-0.01	14	-0.37	28	0.07	27	67.37	27	-2.51	28	0.00	27
6136	-291	-299	Max	21.55	-0.01	14	-0.37	28	-0.03	28	66.66	27	6.09	27	0.00	27
6136	-291	-299	Min.	3.53	-0.28	28	-0.89	27	0.03	29	28.40	28	-5.98	27	0.00	28
6136	-291	-299	Min.	21.55	-0.28	28	-0.89	27	-0.09	27	27.69	28	2.55	28	0.00	28
6137	-323	-331	Max	3.53	-0.01	14	-0.40	28	0.07	27	70.81	27	-2.58	28	0.00	27
6137	-323	-331	Max	20.92	-0.01	14	-0.40	28	-0.03	28	70.13	27	6.18	27	0.00	27
6137	-323	-331	Min.	3.53	-0.28	28	-0.94	27	0.03	29	30.28	28	-6.07	27	0.00	28
6137	-323	-331	Min.	20.92	-0.28	28	-0.94	27	-0.09	27	29.59	28	2.62	28	0.00	28
6138	-355	-363	Max	3.53	0.00	14	-0.43	28	0.07	27	74.52	27	-2.65	28	0.00	27
6138	-355	-363	Max	20.30	0.00	14	-0.43	28	-0.04	28	73.86	27	6.28	27	0.00	27
6138	-355	-363	Min.	3.53	-0.27	28	-0.99	27	0.03	29	32.30	28	-6.16	27	0.00	28
6138	-355	-363	Min.	20.30	-0.27	28	-0.99	27	-0.09	27	31.64	28	2.70	28	0.00	28
6139	-387	-395	Max	3.53	-0.07	13	-0.46	28	0.07	27	78.49	27	-2.73	28	0.00	27
6139	-387	-395	Max	19.67	-0.07	13	-0.46	28	-0.04	28	77.86	27	6.37	27	0.00	27
6139	-387	-395	Min.	3.53	-0.35	28	-1.04	27	0.03	29	34.47	28	-6.24	27	0.00	28
6139	-387	-395	Min.	19.67	-0.35	28	-1.04	27	-0.09	27	33.84	28	2.78	28	0.00	28
6140	-419	-427	Max	3.53	0.70	27	-0.49	28	0.08	27	82.61	27	-2.80	28	0.00	27
6140	-419	-427	Max	19.05	0.70	27	-0.49	28	-0.04	28	82.00	27	6.45	27	0.00	27
6140	-419	-427	Min.	3.53	0.24	28	-1.10	27	0.04	29	36.73	28	-6.32	27	0.00	28
6140	-419	-427	Min.	19.05	0.24	28	-1.10	27	-0.09	27	36.13	28	2.85	28	0.00	28
6141	-451	-459	Max	3.53	-2.72	29	-0.47	29	0.07	27	85.93	27	-2.78	29	0.01	27
6141	-451	-459	Max	18.42	-2.72	29	-0.47	29	-0.03	13	85.34	27	6.49	27	0.01	27
6141	-451	-459	Min.	3.53	-5.32	27	-1.05	27	0.03	29	38.33	29	-6.26	27	0.00	28
6141	-451	-459	Min.	18.42	-5.32	27	-1.05	27	-0.09	27	37.74	29	2.88	29	0.00	28

6142	-483	-491	Max	3.53	28.82	27	-0.56	28	0.08	27	82.37	27	-2.70	29	-0.02	28
6142	-483	-491	Max	17.80	28.82	27	-0.56	28	-0.04	28	81.81	27	5.66	27	-0.02	28
6142	-483	-491	Min.	3.53	14.86	29	-1.25	27	0.04	29	36.74	29	-6.04	27	-0.04	27
6142	-483	-491	Min.	17.80	14.86	29	-1.25	27	-0.10	27	36.18	29	2.50	28	-0.04	27
6147	-484	-492	Max	2.83	41.43	27	1.32	27	-0.04	28	86.05	27	-2.84	13	0.04	27
6147	-484	-492	Max	17.09	41.43	27	1.32	27	0.09	27	85.49	27	5.67	27	0.04	27
6147	-484	-492	Min.	2.83	16.67	13	0.56	28	-0.10	27	37.43	13	-6.56	27	0.02	28
6147	-484	-492	Min.	17.09	16.67	13	0.56	28	0.04	29	36.87	13	2.45	28	0.02	28
6148	-452	-460	Max	2.83	-3.00	13	1.12	27	-0.04	13	90.23	27	-2.91	28	-0.00	29
6148	-452	-460	Max	17.72	-3.00	13	1.12	27	0.07	27	89.65	27	6.67	27	-0.00	29
6148	-452	-460	Min.	2.83	-7.16	27	0.48	13	-0.09	27	39.18	28	-6.72	27	-0.01	27
6148	-452	-460	Min.	17.72	-7.16	27	0.48	13	0.03	29	38.60	28	2.88	13	-0.01	27
6149	-420	-428	Max	2.83	1.05	27	1.16	27	-0.04	28	86.66	27	-2.90	28	0.00	27
6149	-420	-428	Max	18.34	1.05	27	1.16	27	0.08	27	86.05	27	6.61	27	0.00	27
6149	-420	-428	Min.	2.83	0.16	28	0.50	28	-0.10	27	37.21	28	-6.78	27	0.00	28
6149	-420	-428	Min.	18.34	0.16	28	0.50	28	0.04	29	36.60	28	2.82	28	0.00	28
6150	-388	-396	Max	2.83	-0.11	29	1.10	27	-0.04	28	82.34	27	-2.83	28	0.00	27
6150	-388	-396	Max	18.97	-0.11	29	1.10	27	0.08	27	81.71	27	6.55	27	0.00	27
6150	-388	-396	Min.	2.83	-0.42	28	0.46	28	-0.10	27	34.93	28	-6.69	27	0.00	13
6150	-388	-396	Min.	18.97	-0.42	28	0.46	28	0.04	29	34.30	28	2.76	28	0.00	13
6151	-356	-364	Max	2.83	0.01	27	1.04	27	-0.04	28	78.17	27	-2.75	28	0.00	27
6151	-356	-364	Max	19.59	0.01	27	1.04	27	0.08	27	77.51	27	6.45	27	0.00	27
6151	-356	-364	Min.	2.83	-0.34	28	0.43	28	-0.10	27	32.73	28	-6.59	27	0.00	13
6151	-356	-364	Min.	19.59	-0.34	28	0.43	28	0.04	29	32.08	28	2.68	28	0.00	13
6152	-324	-332	Max	2.83	-0.01	27	0.99	27	-0.03	28	74.27	27	-2.67	28	0.00	27
6152	-324	-332	Max	20.22	-0.01	27	0.99	27	0.08	27	73.59	27	6.36	27	0.00	27
6152	-324	-332	Min.	2.83	-0.35	28	0.41	28	-0.10	27	30.69	28	-6.49	27	0.00	13
6152	-324	-332	Min.	20.22	-0.35	28	0.41	28	0.03	29	30.01	28	2.61	28	0.00	13
6153	-292	-300	Max	2.83	-0.00	27	0.94	27	-0.03	28	70.66	27	-2.59	28	0.00	27
6153	-292	-300	Max	20.84	-0.00	27	0.94	27	0.07	27	69.95	27	6.27	27	0.00	27
6153	-292	-300	Min.	2.83	-0.35	28	0.38	28	-0.10	27	28.80	28	-6.40	27	0.00	13
6153	-292	-300	Min.	20.84	-0.35	28	0.38	28	0.03	29	28.09	28	2.53	28	0.00	13
6154	-260	-268	Max	2.83	-0.00	27	0.89	27	-0.03	28	67.30	27	-2.52	28	0.00	27
6154	-260	-268	Max	21.47	-0.00	27	0.89	27	0.07	27	66.57	27	6.18	27	0.00	27
6154	-260	-268	Min.	2.83	-0.35	28	0.35	28	-0.09	27	27.03	28	-6.30	27	0.00	13
6154	-260	-268	Min.	21.47	-0.35	28	0.35	28	0.03	29	26.30	28	2.46	28	0.00	13
6155	-228	-236	Max	2.83	0.00	27	0.85	27	-0.03	28	64.17	27	-2.44	28	0.00	27
6155	-228	-236	Max	22.09	0.00	27	0.85	27	0.07	27	63.41	27	6.08	27	0.00	27
6155	-228	-236	Min.	2.83	-0.34	28	0.33	28	-0.09	27	25.40	28	-6.20	27	0.00	13
6155	-228	-236	Min.	22.09	-0.34	28	0.33	28	0.03	29	24.64	28	2.38	28	0.00	13
6156	-196	-204	Max	2.83	0.00	27	0.81	27	-0.03	28	61.23	27	-2.36	28	0.00	27
6156	-196	-204	Max	22.72	0.00	27	0.81	27	0.07	27	60.45	27	5.99	27	0.00	27
6156	-196	-204	Min.	2.83	-0.34	28	0.31	28	-0.09	27	23.86	28	-6.11	27	0.00	13
6156	-196	-204	Min.	22.72	-0.34	28	0.31	28	0.03	28	23.08	28	2.31	28	0.00	13
6157	-164	-172	Max	2.83	0.01	27	0.76	27	-0.03	28	58.41	27	-2.28	28	0.00	27
6157	-164	-172	Max	23.34	0.01	27	0.76	27	0.07	27	57.60	27	5.89	27	0.00	27
6157	-164	-172	Min.	2.83	-0.34	28	0.29	28	-0.09	27	22.40	28	-6.01	27	0.00	13
6157	-164	-172	Min.	23.34	-0.34	28	0.29	28	0.03	28	21.60	28	2.23	28	0.00	13
6158	-132	-140	Max	2.83	-0.01	27	0.71	27	-0.03	28	55.38	27	-2.19	28	0.00	27
6158	-132	-140	Max	23.97	-0.01	27	0.71	27	0.06	27	54.55	27	5.75	27	0.00	27
6158	-132	-140	Min.	2.83	-0.35	28	0.26	28	-0.09	27	20.90	28	-5.86	27	0.00	13
6158	-132	-140	Min.	23.97	-0.35	28	0.26	28	0.03	28	20.07	28	2.14	28	0.00	13
6159	-100	-108	Max	2.83	0.06	27	0.63	27	-0.02	28	50.86	27	-2.04	28	0.00	27
6159	-100	-108	Max	24.59	0.06	27	0.63	27	0.06	27	50.01	27	5.44	27	0.00	27
6159	-100	-108	Min.	2.83	-0.21	28	0.23	28	-0.08	27	18.90	28	-5.54	27	0.00	13
6159	-100	-108	Min.	24.59	-0.21	28	0.23	28	0.03	28	18.05	28	1.98	28	0.00	13
6160	-68	-76	Max	2.83	-0.57	27	0.46	27	-0.02	28	39.29	27	-1.60	28	0.00	27
6160	-68	-76	Max	25.22	-0.57	27	0.46	27	0.04	27	38.42	27	4.30	27	0.00	27
6160	-68	-76	Min.	2.83	-2.73	28	0.17	28	-0.06	27	14.44	28	-4.40	27	0.00	13

6160	-68	-76	Min.	25.22	-2.73	28	0.17	28	0.02	28	13.56	28	1.54	28	0.00	13
6161	-36	-44	Max	2.83	42.29	14	0.43	27	-0.02	28	47.21	27	-1.28	28	0.00	27
6161	-36	-44	Max	25.84	42.29	14	0.43	27	0.04	27	45.40	27	5.27	27	0.00	27
6161	-36	-44	Min.	2.83	-7.93	27	0.15	28	-0.05	27	17.48	28	-5.38	27	0.00	14
6161	-36	-44	Min.	25.84	-7.93	27	0.15	28	0.02	28	15.68	28	2.54	28	0.00	14
6162	-4	-12	Max	2.83	122.08	14	0.26	27	-0.01	28	35.10	27	-1.36	28	0.00	29
6162	-4	-12	Max	26.15	122.08	14	0.26	27	0.03	27	33.27	27	4.26	27	0.00	29
6162	-4	-12	Min.	2.83	4.56	27	0.09	28	-0.03	27	13.19	28	-3.72	27	0.00	14
6162	-4	-12	Min.	26.15	4.56	27	0.09	28	0.01	28	11.36	28	1.50	28	0.00	14
6163	318	330	Max	1.77	107.80	27	12.68	27	-0.07	13	97.69	27	9.30	14	0.41	27
6163	318	330	Max	15.00	107.80	27	12.68	27	1.26	27	96.75	27	5.30	27	0.41	27
6163	318	330	Min.	1.77	-103.11	28	0.57	13	-0.42	27	-180.08	14	-7.56	27	-0.07	14
6163	318	330	Min.	15.00	-103.11	28	0.57	13	0.00	13	-181.02	14	-14.59	14	-0.07	14
6163	330	342	Max	0.00	50.12	27	-0.35	13	1.17	27	166.24	14	10.34	27	0.06	14
6163	330	342	Max	13.23	50.12	27	-0.35	13	-0.07	13	165.30	14	10.01	14	0.06	14
6163	330	342	Min.	0.00	-132.87	14	-11.92	27	-0.02	13	-124.93	27	-11.92	14	-0.42	27
6163	330	342	Min.	13.23	-132.87	14	-11.92	27	-0.41	27	-125.87	27	-6.26	27	-0.42	27
6164	319	331	Max	1.77	-89.66	13	-155.85	13	35.44	27	0.81	14	0.12	27	0.59	27
6164	319	331	Max	15.00	-89.66	13	-156.79	13	-12.57	13	0.81	14	0.02	14	0.59	27
6164	319	331	Min.	1.77	-406.78	27	-647.82	27	8.12	13	-9.41	27	-0.09	14	0.06	13
6164	319	331	Min.	15.00	-406.78	27	-648.76	27	-50.34	27	-9.41	27	-1.13	27	0.06	13
6164	331	343	Max	0.00	-114.25	13	621.56	27	-10.49	13	9.84	27	-0.02	28	-0.06	13
6164	331	343	Max	13.23	-114.25	13	620.62	27	36.70	27	9.84	27	0.12	27	-0.06	13
6164	331	343	Min.	0.00	-460.54	27	145.50	13	-45.48	27	-0.49	28	-1.18	27	-0.59	27
6164	331	343	Min.	13.23	-460.54	27	144.56	13	8.70	13	-0.49	28	-0.09	14	-0.59	27
6165	-5	-13	Max	3.53	369.82	27	-0.09	28	0.03	27	33.98	27	-1.35	28	0.00	27
6165	-5	-13	Max	26.86	369.82	27	-0.09	28	-0.01	28	32.14	27	3.90	27	0.00	27
6165	-5	-13	Min.	3.53	106.17	13	-0.25	27	0.01	28	13.28	28	-3.82	27	0.00	28
6165	-5	-13	Min.	26.86	106.17	13	-0.25	27	-0.03	27	11.45	28	1.54	28	0.00	28
6166	-37	-45	Max	3.53	136.55	27	-0.15	28	0.04	27	45.37	27	-1.23	28	0.00	27
6166	-37	-45	Max	26.55	136.55	27	-0.15	28	-0.02	28	43.57	27	7.26	27	0.00	27
6166	-37	-45	Min.	3.53	36.19	13	-0.41	27	0.02	28	17.40	28	-2.97	27	0.00	28
6166	-37	-45	Min.	26.55	36.19	13	-0.41	27	-0.06	27	15.60	28	2.57	28	0.00	28
6167	-69	-77	Max	3.53	-2.16	13	-0.17	28	0.04	27	38.01	27	-1.59	28	0.00	27
6167	-69	-77	Max	25.92	-2.16	13	-0.17	28	-0.02	28	37.13	27	4.20	27	0.00	27
6167	-69	-77	Min.	3.53	-7.11	27	-0.44	27	0.02	28	14.53	28	-4.21	27	0.00	14
6167	-69	-77	Min.	25.92	-7.11	27	-0.44	27	-0.06	27	13.65	28	1.57	28	0.00	14
6168	-101	-109	Max	3.53	0.35	27	-0.23	28	0.05	27	49.17	27	-2.01	28	0.00	27
6168	-101	-109	Max	25.30	0.35	27	-0.23	28	-0.03	28	48.31	27	5.34	27	0.00	27
6168	-101	-109	Min.	3.53	-0.11	28	-0.60	27	0.02	28	19.00	28	-5.27	27	0.00	14
6168	-101	-109	Min.	25.30	-0.11	28	-0.60	27	-0.08	27	18.15	28	2.03	28	0.00	14
6169	-133	-141	Max	3.53	-0.04	14	-0.27	28	0.06	27	53.54	27	-2.17	28	0.00	27
6169	-133	-141	Max	24.67	-0.04	14	-0.27	28	-0.03	28	52.71	27	5.65	27	0.00	27
6169	-133	-141	Min.	3.53	-0.31	28	-0.68	27	0.03	29	21.01	28	-5.58	27	0.00	14
6169	-133	-141	Min.	24.67	-0.31	28	-0.68	27	-0.09	27	20.18	28	2.18	28	0.00	14
6170	-165	-173	Max	3.53	-0.03	14	-0.29	28	0.06	27	56.46	27	-2.26	28	0.00	27
6170	-165	-173	Max	24.05	-0.03	14	-0.29	28	-0.03	28	55.66	27	5.79	27	0.00	27
6170	-165	-173	Min.	3.53	-0.30	28	-0.73	27	0.03	29	22.52	28	-5.71	27	0.00	14
6170	-165	-173	Min.	24.05	-0.30	28	-0.73	27	-0.09	27	21.71	28	2.28	28	0.00	14
6171	-197	-205	Max	3.53	-0.03	14	-0.31	28	0.06	27	59.19	27	-2.33	28	0.00	27
6171	-197	-205	Max	23.42	-0.03	14	-0.31	28	-0.03	28	58.41	27	5.89	27	0.00	27
6171	-197	-205	Min.	3.53	-0.30	28	-0.78	27	0.03	29	23.98	28	-5.80	27	0.00	14
6171	-197	-205	Min.	23.42	-0.30	28	-0.78	27	-0.09	27	23.20	28	2.36	28	0.00	14
6172	-229	-237	Max	3.53	-0.03	14	-0.33	28	0.07	27	62.03	27	-2.41	28	0.00	27
6172	-229	-237	Max	22.80	-0.03	14	-0.33	28	-0.03	28	61.27	27	5.98	27	0.00	27
6172	-229	-237	Min.	3.53	-0.30	28	-0.82	27	0.03	29	25.52	28	-5.89	27	0.00	14
6172	-229	-237	Min.	22.80	-0.30	28	-0.82	27	-0.09	27	24.77	28	2.44	28	0.00	14
6173	-261	-269	Max	3.53	-0.03	14	-0.36	28	0.07	27	65.05	27	-2.48	28	0.00	27
6173	-261	-269	Max	22.17	-0.03	14	-0.36	28	-0.03	28	64.32	27	6.08	27	0.00	27

6173	-261	-269	Min.	3.53	-0.30	28	-0.86	27	0.03	29	27.17	28	-5.98	27	0.00	14
6173	-261	-269	Min.	22.17	-0.30	28	-0.86	27	-0.09	27	26.44	28	2.52	28	0.00	14
6174	-293	-301	Max	3.53	-0.03	14	-0.38	28	0.07	27	68.30	27	-2.55	28	0.00	27
6174	-293	-301	Max	21.55	-0.03	14	-0.38	28	-0.04	28	67.59	27	6.17	27	0.00	27
6174	-293	-301	Min.	3.53	-0.30	28	-0.90	27	0.03	29	28.94	28	-6.06	27	0.00	14
6174	-293	-301	Min.	21.55	-0.30	28	-0.90	27	-0.09	27	28.23	28	2.59	28	0.00	14
6175	-325	-333	Max	3.53	-0.02	14	-0.41	28	0.07	27	71.79	27	-2.63	28	0.00	27
6175	-325	-333	Max	20.92	-0.02	14	-0.41	28	-0.04	28	71.11	27	6.27	27	0.00	27
6175	-325	-333	Min.	3.53	-0.30	28	-0.95	27	0.03	29	30.85	28	-6.15	27	0.00	14
6175	-325	-333	Min.	20.92	-0.30	28	-0.95	27	-0.10	27	30.16	28	2.67	28	0.00	14
6176	-357	-365	Max	3.53	-0.01	14	-0.44	28	0.07	27	75.55	27	-2.70	28	0.00	27
6176	-357	-365	Max	20.30	-0.01	14	-0.44	28	-0.04	28	74.89	27	6.37	27	0.00	27
6176	-357	-365	Min.	3.53	-0.28	28	-1.00	27	0.03	29	32.90	28	-6.24	27	0.00	14
6176	-357	-365	Min.	20.30	-0.28	28	-1.00	27	-0.10	27	32.24	28	2.75	28	0.00	14
6177	-389	-397	Max	3.53	-0.08	13	-0.47	28	0.07	27	79.58	27	-2.78	28	0.00	27
6177	-389	-397	Max	19.67	-0.08	13	-0.47	28	-0.04	28	78.95	27	6.46	27	0.00	27
6177	-389	-397	Min.	3.53	-0.36	28	-1.06	27	0.03	29	35.10	28	-6.33	27	0.00	14
6177	-389	-397	Min.	19.67	-0.36	28	-1.06	27	-0.10	27	34.47	28	2.83	28	0.00	14
6178	-421	-429	Max	3.53	0.66	27	-0.50	29	0.07	27	83.76	27	-2.84	29	0.00	27
6178	-421	-429	Max	19.05	0.66	27	-0.50	29	-0.04	28	83.15	27	6.54	27	0.00	27
6178	-421	-429	Min.	3.53	0.20	28	-1.12	27	0.03	29	37.32	29	-6.41	27	0.00	14
6178	-421	-429	Min.	19.05	0.20	28	-1.12	27	-0.10	27	36.71	29	2.90	29	0.00	14
6179	-453	-461	Max	3.53	-2.61	29	-0.48	29	0.07	27	87.12	27	-2.82	29	0.01	27
6179	-453	-461	Max	18.42	-2.61	29	-0.48	29	-0.04	13	86.54	27	6.58	27	0.01	27
6179	-453	-461	Min.	3.53	-5.18	27	-1.08	27	0.03	29	38.80	29	-6.35	27	0.00	28
6179	-453	-461	Min.	18.42	-5.18	27	-1.08	27	-0.09	27	38.22	29	2.92	29	0.00	28
6180	-485	-493	Max	3.53	27.76	27	-0.57	29	0.08	27	83.46	27	-2.73	29	-0.02	28
6180	-485	-493	Max	17.80	27.76	27	-0.57	29	-0.04	28	82.90	27	5.75	27	-0.02	28
6180	-485	-493	Min.	3.53	13.98	29	-1.27	27	0.04	29	37.18	29	-6.11	27	-0.04	27
6180	-485	-493	Min.	17.80	13.98	29	-1.27	27	-0.10	27	36.62	29	2.53	29	-0.04	27
6185	-486	-494	Max	2.83	42.26	27	1.28	27	-0.04	28	83.62	27	-2.79	13	0.04	27
6185	-486	-494	Max	17.09	42.26	27	1.28	27	0.08	27	83.06	27	5.50	27	0.04	27
6185	-486	-494	Min.	2.83	17.50	13	0.55	28	-0.10	27	36.77	13	-6.39	27	0.02	28
6185	-486	-494	Min.	17.09	17.50	13	0.55	28	0.04	29	36.21	13	2.40	28	0.02	28
6186	-454	-462	Max	2.83	-3.11	13	1.08	27	-0.04	13	87.64	27	-2.85	28	-0.00	29
6186	-454	-462	Max	17.72	-3.11	13	1.08	27	0.07	27	87.06	27	6.48	27	-0.00	29
6186	-454	-462	Min.	2.83	-7.26	27	0.47	13	-0.09	27	38.47	28	-6.52	27	-0.01	27
6186	-454	-462	Min.	17.72	-7.26	27	0.47	13	0.03	29	37.89	28	2.83	13	-0.01	27
6187	-422	-430	Max	2.83	1.09	27	1.12	27	-0.04	28	84.16	27	-2.85	28	0.00	29
6187	-422	-430	Max	18.34	1.09	27	1.12	27	0.08	27	83.55	27	6.42	27	0.00	29
6187	-422	-430	Min.	2.83	0.19	28	0.48	28	-0.10	27	36.53	28	-6.58	27	-0.00	14
6187	-422	-430	Min.	18.34	0.19	28	0.48	28	0.03	29	35.92	28	2.77	28	-0.00	14
6188	-390	-398	Max	2.83	-0.10	29	1.06	27	-0.04	28	79.97	27	-2.77	28	0.00	29
6188	-390	-398	Max	18.97	-0.10	29	1.06	27	0.07	27	79.33	27	6.36	27	0.00	29
6188	-390	-398	Min.	2.83	-0.41	28	0.45	28	-0.10	27	34.28	28	-6.50	27	-0.00	14
6188	-390	-398	Min.	18.97	-0.41	28	0.45	28	0.03	29	33.65	28	2.71	28	-0.00	14
6189	-358	-366	Max	2.83	0.03	27	1.01	27	-0.04	28	75.92	27	-2.70	28	0.00	29
6189	-358	-366	Max	19.59	0.03	27	1.01	27	0.07	27	75.26	27	6.27	27	0.00	29
6189	-358	-366	Min.	2.83	-0.32	28	0.42	28	-0.10	27	32.12	28	-6.40	27	-0.00	14
6189	-358	-366	Min.	19.59	-0.32	28	0.42	28	0.03	29	31.46	28	2.63	28	-0.00	14
6190	-326	-334	Max	2.83	0.01	27	0.96	27	-0.04	28	72.14	27	-2.62	28	0.00	29
6190	-326	-334	Max	20.22	0.01	27	0.96	27	0.07	27	71.46	27	6.18	27	0.00	29
6190	-326	-334	Min.	2.83	-0.33	28	0.40	28	-0.10	27	30.11	28	-6.31	27	-0.00	14
6190	-326	-334	Min.	20.22	-0.33	28	0.40	28	0.03	29	29.43	28	2.56	28	-0.00	14
6191	-294	-302	Max	2.83	0.01	27	0.91	27	-0.03	28	68.63	27	-2.54	28	0.00	29
6191	-294	-302	Max	20.84	0.01	27	0.91	27	0.07	27	67.92	27	6.09	27	0.00	29
6191	-294	-302	Min.	2.83	-0.33	28	0.37	28	-0.09	27	28.24	28	-6.21	27	-0.00	14
6191	-294	-302	Min.	20.84	-0.33	28	0.37	28	0.03	29	27.53	28	2.48	28	-0.00	14
6192	-262	-270	Max	2.83	0.02	27	0.86	27	-0.03	28	65.37	27	-2.47	28	0.00	29

6192	-262	-270	Max	21.47	0.02	27	0.86	27	0.07	27	64.64	27	6.00	27	0.00	29
6192	-262	-270	Min.	2.83	-0.33	28	0.35	28	-0.09	27	26.51	28	-6.12	27	-0.00	14
6192	-262	-270	Min.	21.47	-0.33	28	0.35	28	0.03	29	25.78	28	2.41	28	-0.00	14
6193	-230	-238	Max	2.83	0.02	27	0.82	27	-0.03	28	62.33	27	-2.39	28	0.00	29
6193	-230	-238	Max	22.09	0.02	27	0.82	27	0.07	27	61.58	27	5.91	27	0.00	29
6193	-230	-238	Min.	2.83	-0.33	28	0.32	28	-0.09	27	24.89	28	-6.02	27	-0.00	14
6193	-230	-238	Min.	22.09	-0.33	28	0.32	28	0.03	29	24.14	28	2.33	28	-0.00	14
6194	-198	-206	Max	2.83	0.02	27	0.78	27	-0.03	28	59.48	27	-2.31	28	0.00	29
6194	-198	-206	Max	22.72	0.02	27	0.78	27	0.06	27	58.70	27	5.82	27	0.00	29
6194	-198	-206	Min.	2.83	-0.33	28	0.30	28	-0.09	27	23.39	28	-5.93	27	-0.00	14
6194	-198	-206	Min.	22.72	-0.33	28	0.30	28	0.03	29	22.60	28	2.26	28	-0.00	14
6195	-166	-174	Max	2.83	0.02	27	0.74	27	-0.03	28	56.74	27	-2.24	28	0.00	29
6195	-166	-174	Max	23.34	0.02	27	0.74	27	0.06	27	55.94	27	5.72	27	0.00	29
6195	-166	-174	Min.	2.83	-0.33	28	0.28	28	-0.09	27	21.95	28	-5.83	27	-0.00	14
6195	-166	-174	Min.	23.34	-0.33	28	0.28	28	0.03	28	21.14	28	2.18	28	-0.00	14
6196	-134	-142	Max	2.83	0.00	27	0.69	27	-0.03	28	53.81	27	-2.15	28	0.00	29
6196	-134	-142	Max	23.97	0.00	27	0.69	27	0.06	27	52.98	27	5.59	27	0.00	29
6196	-134	-142	Min.	2.83	-0.34	28	0.26	28	-0.09	27	20.47	28	-5.70	27	0.00	14
6196	-134	-142	Min.	23.97	-0.34	28	0.26	28	0.03	28	19.64	28	2.09	28	0.00	14
6197	-102	-110	Max	2.83	0.06	27	0.61	27	-0.03	28	49.41	27	-1.99	28	0.00	29
6197	-102	-110	Max	24.59	0.06	27	0.61	27	0.05	27	48.56	27	5.28	27	0.00	29
6197	-102	-110	Min.	2.83	-0.22	28	0.23	28	-0.08	27	18.51	28	-5.38	27	0.00	14
6197	-102	-110	Min.	24.59	-0.22	28	0.23	28	0.02	28	17.65	28	1.94	28	0.00	14
6198	-70	-78	Max	2.83	0.04	27	0.45	27	-0.02	28	38.18	27	-1.56	28	0.00	29
6198	-70	-78	Max	25.22	0.04	27	0.45	27	0.04	27	37.30	27	4.18	27	0.00	29
6198	-70	-78	Min.	2.83	-2.24	28	0.16	28	-0.06	27	14.14	28	-4.27	27	0.00	14
6198	-70	-78	Min.	25.22	-2.24	28	0.16	28	0.02	28	13.26	28	1.50	28	0.00	14
6199	-38	-46	Max	2.83	31.28	14	0.41	27	-0.02	28	45.83	27	-1.39	28	0.00	29
6199	-38	-46	Max	25.84	31.28	14	0.41	27	0.04	27	44.02	27	4.93	27	0.00	29
6199	-38	-46	Min.	2.83	-20.95	27	0.15	28	-0.05	27	17.10	28	-5.41	27	0.00	27
6199	-38	-46	Min.	25.84	-20.95	27	0.15	28	0.02	28	15.30	28	2.34	29	0.00	27
6200	-6	-14	Max	2.83	94.25	14	0.25	27	-0.01	28	34.10	27	-1.32	28	0.00	29
6200	-6	-14	Max	26.15	94.25	14	0.25	27	0.03	27	32.27	27	4.16	27	0.00	29
6200	-6	-14	Min.	2.83	-28.44	27	0.09	28	-0.03	27	12.95	28	-3.58	27	0.00	27
6200	-6	-14	Min.	26.15	-28.44	27	0.09	28	0.01	28	11.12	28	1.49	28	0.00	27
6201	321	333	Max	1.77	151.17	27	14.28	27	-0.11	13	163.56	27	6.07	14	0.50	27
6201	321	333	Max	15.00	151.17	27	14.28	27	1.43	27	162.62	27	10.28	27	0.50	27
6201	321	333	Min.	1.77	-67.02	28	1.98	13	-0.46	27	-123.84	14	-11.30	27	0.01	28
6201	321	333	Min.	15.00	-67.02	28	1.98	13	0.16	13	-124.78	14	-10.38	14	0.01	28
6201	333	345	Max	0.00	96.83	27	-1.86	13	1.38	27	109.71	14	15.17	27	-0.01	28
6201	333	345	Max	13.23	96.83	27	-1.86	13	-0.11	13	108.77	14	6.75	14	-0.01	28
6201	333	345	Min.	0.00	-93.89	14	-13.80	27	0.14	13	-190.12	27	-7.70	14	-0.50	27
6201	333	345	Min.	13.23	-93.89	14	-13.80	27	-0.45	27	-191.06	27	-10.05	27	-0.50	27
6202	322	334	Max	1.77	-104.50	13	-153.21	13	31.81	27	-1.28	28	0.20	27	0.61	27
6202	322	334	Max	15.00	-104.50	13	-154.15	13	-11.36	13	-1.28	28	-0.19	13	0.61	27
6202	322	334	Min.	1.77	-375.56	27	-543.80	27	8.97	13	-11.08	27	-0.02	28	0.13	13
6202	322	334	Min.	15.00	-375.56	27	-544.74	27	-40.21	27	-11.08	27	-1.27	27	0.13	13
6202	334	346	Max	0.00	-116.41	13	595.46	27	-13.59	13	10.88	27	-0.18	28	-0.13	13
6202	334	346	Max	13.23	-116.41	13	594.52	27	33.26	27	10.88	27	0.18	27	-0.13	13
6202	334	346	Min.	0.00	-399.48	27	176.02	13	-45.47	27	1.23	28	-1.25	27	-0.62	27
6202	334	346	Min.	13.23	-399.48	27	175.08	13	9.64	13	1.23	28	-0.02	14	-0.62	27
6203	-7	-15	Max	3.53	313.25	27	-0.03	28	0.02	27	12.46	27	-0.23	28	0.00	27
6203	-7	-15	Max	26.86	313.25	27	-0.03	28	-0.00	28	10.63	27	1.28	27	0.00	27
6203	-7	-15	Min.	3.53	102.09	13	-0.12	27	0.00	28	3.08	28	-1.41	27	0.00	28
6203	-7	-15	Min.	26.86	102.09	13	-0.12	27	-0.01	27	1.25	28	0.28	28	0.00	28
6204	-39	-47	Max	3.53	118.21	27	-0.05	28	0.01	27	21.56	27	0.02	28	0.00	27
6204	-39	-47	Max	26.55	118.21	27	-0.05	28	-0.01	28	19.75	27	4.17	27	0.00	27
6204	-39	-47	Min.	3.53	36.36	13	-0.19	27	0.00	28	6.00	28	-0.77	14	0.00	28
6204	-39	-47	Min.	26.55	36.36	13	-0.19	27	-0.03	27	4.19	28	1.19	28	0.00	28

6205	-71	-79	Max	3.53	-2.04	13	-0.06	28	0.02	27	19.35	27	-0.59	28	0.00	29
6205	-71	-79	Max	25.92	-2.04	13	-0.06	28	-0.01	28	18.47	27	2.10	27	0.00	29
6205	-71	-79	Min.	3.53	-5.97	27	-0.22	27	0.01	28	5.58	28	-2.13	27	0.00	14
6205	-71	-79	Min.	25.92	-5.97	27	-0.22	27	-0.03	27	4.70	28	0.56	28	0.00	14
6206	-103	-111	Max	3.53	0.21	27	-0.09	28	0.02	27	25.02	27	-0.76	28	0.00	29
6206	-103	-111	Max	25.30	0.21	27	-0.09	28	-0.01	28	24.17	27	2.69	27	0.00	29
6206	-103	-111	Min.	3.53	-0.18	28	-0.30	27	0.01	28	7.42	28	-2.66	27	0.00	14
6206	-103	-111	Min.	25.30	-0.18	28	-0.30	27	-0.04	27	6.56	28	0.76	28	0.00	14
6207	-135	-143	Max	3.53	-0.05	14	-0.10	28	0.02	27	27.24	27	-0.85	28	0.00	29
6207	-135	-143	Max	24.67	-0.05	14	-0.10	28	-0.01	28	26.41	27	2.85	27	0.00	29
6207	-135	-143	Min.	3.53	-0.32	28	-0.35	27	0.01	28	8.39	28	-2.82	27	0.00	14
6207	-135	-143	Min.	24.67	-0.32	28	-0.35	27	-0.05	27	7.56	28	0.84	28	0.00	14
6208	-167	-175	Max	3.53	-0.05	14	-0.12	28	0.03	27	28.71	27	-0.90	28	0.00	29
6208	-167	-175	Max	24.05	-0.05	14	-0.12	28	-0.01	28	27.91	27	2.92	27	0.00	29
6208	-167	-175	Min.	3.53	-0.32	28	-0.37	27	0.01	28	9.20	28	-2.89	27	0.00	14
6208	-167	-175	Min.	24.05	-0.32	28	-0.37	27	-0.05	27	8.39	28	0.90	28	0.00	14
6209	-199	-207	Max	3.53	-0.05	14	-0.13	28	0.03	27	30.08	27	-0.96	28	0.00	29
6209	-199	-207	Max	23.42	-0.05	14	-0.13	28	-0.01	28	29.30	27	2.97	27	0.00	29
6209	-199	-207	Min.	3.53	-0.32	28	-0.39	27	0.01	28	10.01	28	-2.93	27	0.00	14
6209	-199	-207	Min.	23.42	-0.32	28	-0.39	27	-0.05	27	9.23	28	0.96	28	0.00	14
6210	-231	-239	Max	3.53	-0.05	14	-0.14	28	0.03	27	31.51	27	-1.01	28	0.00	29
6210	-231	-239	Max	22.80	-0.05	14	-0.14	28	-0.02	28	30.76	27	3.02	27	0.00	29
6210	-231	-239	Min.	3.53	-0.31	28	-0.41	27	0.01	28	10.88	28	-2.98	27	0.00	14
6210	-231	-239	Min.	22.80	-0.31	28	-0.41	27	-0.05	27	10.12	28	1.01	28	0.00	14
6211	-263	-271	Max	3.53	-0.04	14	-0.15	28	0.03	27	33.03	27	-1.06	28	0.00	29
6211	-263	-271	Max	22.17	-0.04	14	-0.15	28	-0.02	28	32.30	27	3.07	27	0.00	29
6211	-263	-271	Min.	3.53	-0.31	28	-0.43	27	0.01	28	11.80	28	-3.02	27	0.00	14
6211	-263	-271	Min.	22.17	-0.31	28	-0.43	27	-0.05	27	11.07	28	1.07	28	0.00	14
6212	-295	-303	Max	3.53	-0.04	14	-0.17	28	0.03	27	34.67	27	-1.12	28	0.00	27
6212	-295	-303	Max	21.55	-0.04	14	-0.17	28	-0.02	28	33.96	27	3.11	27	0.00	27
6212	-295	-303	Min.	3.53	-0.31	28	-0.46	27	0.01	28	12.80	28	-3.07	27	0.00	14
6212	-295	-303	Min.	21.55	-0.31	28	-0.46	27	-0.05	27	12.09	28	1.13	28	0.00	14
6213	-327	-335	Max	3.53	-0.04	14	-0.18	28	0.03	27	36.42	27	-1.17	28	0.00	27
6213	-327	-335	Max	20.92	-0.04	14	-0.18	28	-0.02	28	35.74	27	3.16	27	0.00	27
6213	-327	-335	Min.	3.53	-0.31	28	-0.48	27	0.01	28	13.87	28	-3.11	27	0.00	14
6213	-327	-335	Min.	20.92	-0.31	28	-0.48	27	-0.05	27	13.19	28	1.18	28	0.00	14
6214	-359	-367	Max	3.53	-0.03	14	-0.20	28	0.03	27	38.32	27	-1.22	28	0.00	27
6214	-359	-367	Max	20.30	-0.03	14	-0.20	28	-0.02	28	37.66	27	3.21	27	0.00	27
6214	-359	-367	Min.	3.53	-0.30	28	-0.51	27	0.01	28	15.03	28	-3.16	27	0.00	14
6214	-359	-367	Min.	20.30	-0.30	28	-0.51	27	-0.05	27	14.37	28	1.24	28	0.00	14
6215	-391	-399	Max	3.53	-0.09	13	-0.21	28	0.03	27	40.35	27	-1.28	28	0.00	27
6215	-391	-399	Max	19.67	-0.09	13	-0.21	28	-0.02	28	39.72	27	3.26	27	0.00	27
6215	-391	-399	Min.	3.53	-0.36	28	-0.54	27	0.02	28	16.27	28	-3.20	27	0.00	14
6215	-391	-399	Min.	19.67	-0.36	28	-0.54	27	-0.05	27	15.64	28	1.30	28	0.00	14
6216	-423	-431	Max	3.53	0.45	27	-0.23	28	0.03	27	42.46	27	-1.33	28	0.00	29
6216	-423	-431	Max	19.05	0.45	27	-0.23	28	-0.02	28	41.85	27	3.30	27	0.00	29
6216	-423	-431	Min.	3.53	0.05	28	-0.57	27	0.02	29	17.58	28	-3.24	27	-0.00	14
6216	-423	-431	Min.	19.05	0.05	28	-0.57	27	-0.05	27	16.97	28	1.35	28	-0.00	14
6217	-455	-463	Max	3.53	-2.11	29	-0.23	28	0.03	27	44.16	27	-1.34	28	0.00	27
6217	-455	-463	Max	18.42	-2.11	29	-0.23	28	-0.02	28	43.58	27	3.33	27	0.00	27
6217	-455	-463	Min.	3.53	-3.88	27	-0.54	27	0.01	29	18.71	28	-3.20	27	0.00	28
6217	-455	-463	Min.	18.42	-3.88	27	-0.54	27	-0.05	27	18.12	28	1.40	28	0.00	28
6218	-487	-495	Max	3.53	20.73	27	-0.27	28	0.04	27	42.48	27	-1.39	28	-0.01	28
6218	-487	-495	Max	17.80	20.73	27	-0.27	28	-0.02	28	41.92	27	2.86	27	-0.01	28
6218	-487	-495	Min.	3.53	11.28	29	-0.66	27	0.02	28	18.25	28	-3.16	27	-0.02	27
6218	-487	-495	Min.	17.80	11.28	29	-0.66	27	-0.05	27	17.69	28	1.17	28	-0.02	27
6223	-488	-496	Max	2.83	14.24	27	0.64	27	-0.02	28	41.22	27	-1.26	28	0.02	27
6223	-488	-496	Max	17.09	14.24	27	0.64	27	0.04	27	40.66	27	2.76	27	0.02	27
6223	-488	-496	Min.	2.83	5.77	13	0.25	28	-0.05	27	16.89	28	-3.08	27	0.01	28

6223	-488	-496	Min.	17.09	5.77	13	0.25	28	0.02	28	16.33	28	1.11	28	0.01	28
6224	-456	-464	Max	2.83	-1.04	13	0.52	27	-0.02	28	42.97	27	-1.28	28	-0.00	28
6224	-456	-464	Max	17.72	-1.04	13	0.52	27	0.03	27	42.38	27	3.16	27	-0.00	28
6224	-456	-464	Min.	2.83	-2.39	27	0.21	28	-0.05	27	17.34	28	-3.20	27	-0.01	27
6224	-456	-464	Min.	17.72	-2.39	27	0.21	28	0.01	28	16.76	28	1.26	28	-0.01	27
6225	-424	-432	Max	2.83	0.39	27	0.55	27	-0.02	28	41.26	27	-1.26	28	0.00	29
6225	-424	-432	Max	18.34	0.39	27	0.55	27	0.03	27	40.65	27	3.14	27	0.00	29
6225	-424	-432	Min.	2.83	-0.15	28	0.21	28	-0.05	27	16.24	28	-3.22	27	-0.00	14
6225	-424	-432	Min.	18.34	-0.15	28	0.21	28	0.01	28	15.63	28	1.22	28	-0.00	14
6226	-392	-400	Max	2.83	-0.03	27	0.52	27	-0.02	28	39.21	27	-1.20	28	0.00	29
6226	-392	-400	Max	18.97	-0.03	27	0.52	27	0.03	27	38.58	27	3.10	27	0.00	29
6226	-392	-400	Min.	2.83	-0.34	28	0.19	28	-0.05	27	15.00	28	-3.18	27	-0.00	27
6226	-392	-400	Min.	18.97	-0.34	28	0.19	28	0.01	28	14.37	28	1.17	28	-0.00	27
6227	-360	-368	Max	2.83	0.03	27	0.49	27	-0.02	28	37.24	27	-1.15	28	0.00	29
6227	-360	-368	Max	19.59	0.03	27	0.49	27	0.03	27	36.59	27	3.06	27	0.00	29
6227	-360	-368	Min.	2.83	-0.31	28	0.18	28	-0.05	27	13.83	28	-3.13	27	-0.00	27
6227	-360	-368	Min.	19.59	-0.31	28	0.18	28	0.01	28	13.17	28	1.11	28	-0.00	27
6228	-328	-336	Max	2.83	0.02	27	0.47	27	-0.02	28	35.41	27	-1.09	28	0.00	29
6228	-328	-336	Max	20.22	0.02	27	0.47	27	0.03	27	34.72	27	3.01	27	0.00	29
6228	-328	-336	Min.	2.83	-0.32	28	0.16	28	-0.05	27	12.73	28	-3.08	27	-0.00	27
6228	-328	-336	Min.	20.22	-0.32	28	0.16	28	0.01	28	12.05	28	1.06	28	-0.00	27
6229	-296	-304	Max	2.83	0.03	27	0.44	27	-0.02	28	33.70	27	-1.04	28	0.00	29
6229	-296	-304	Max	20.84	0.03	27	0.44	27	0.03	27	32.99	27	2.97	27	0.00	29
6229	-296	-304	Min.	2.83	-0.32	28	0.15	28	-0.05	27	11.72	28	-3.04	27	-0.00	27
6229	-296	-304	Min.	20.84	-0.32	28	0.15	28	0.01	28	11.01	28	1.01	28	-0.00	27
6230	-264	-272	Max	2.83	0.03	27	0.42	27	-0.01	28	32.12	27	-0.99	28	0.00	29
6230	-264	-272	Max	21.47	0.03	27	0.42	27	0.03	27	31.39	27	2.92	27	0.00	29
6230	-264	-272	Min.	2.83	-0.32	28	0.14	28	-0.05	27	10.78	28	-2.99	27	-0.00	27
6230	-264	-272	Min.	21.47	-0.32	28	0.14	28	0.01	28	10.05	28	0.95	28	-0.00	27
6231	-232	-240	Max	2.83	0.03	27	0.40	27	-0.01	28	30.64	27	-0.93	28	0.00	29
6231	-232	-240	Max	22.09	0.03	27	0.40	27	0.03	27	29.89	27	2.88	27	0.00	29
6231	-232	-240	Min.	2.83	-0.32	28	0.12	28	-0.05	27	9.90	28	-2.95	27	-0.00	27
6231	-232	-240	Min.	22.09	-0.32	28	0.12	28	0.01	28	9.15	28	0.90	28	-0.00	27
6232	-200	-208	Max	2.83	0.03	27	0.38	27	-0.01	28	29.26	27	-0.88	28	0.00	29
6232	-200	-208	Max	22.72	0.03	27	0.38	27	0.03	27	28.48	27	2.84	27	0.00	29
6232	-200	-208	Min.	2.83	-0.32	28	0.11	28	-0.05	27	9.09	28	-2.90	27	-0.00	27
6232	-200	-208	Min.	22.72	-0.32	28	0.11	28	0.01	28	8.31	28	0.85	28	-0.00	27
6233	-168	-176	Max	2.83	0.03	27	0.36	27	-0.01	28	27.93	27	-0.83	28	0.00	29
6233	-168	-176	Max	23.34	0.03	27	0.36	27	0.02	27	27.12	27	2.79	27	0.00	29
6233	-168	-176	Min.	2.83	-0.32	28	0.10	28	-0.05	27	8.32	28	-2.86	27	-0.00	27
6233	-168	-176	Min.	23.34	-0.32	28	0.10	28	0.01	28	7.51	28	0.79	28	-0.00	27
6234	-136	-144	Max	2.83	0.02	27	0.34	27	-0.01	28	26.50	27	-0.77	28	0.00	29
6234	-136	-144	Max	23.97	0.02	27	0.34	27	0.02	27	25.67	27	2.72	27	0.00	29
6234	-136	-144	Min.	2.83	-0.32	28	0.09	28	-0.05	27	7.55	28	-2.79	27	-0.00	27
6234	-136	-144	Min.	23.97	-0.32	28	0.09	28	0.01	28	6.72	28	0.74	28	-0.00	27
6235	-104	-112	Max	2.83	0.00	14	0.30	27	-0.01	28	24.34	27	-0.69	28	0.00	29
6235	-104	-112	Max	24.59	0.00	14	0.30	27	0.02	27	23.49	27	2.57	27	0.00	29
6235	-104	-112	Min.	2.83	-0.26	28	0.08	28	-0.04	27	6.65	28	-2.63	27	-0.00	27
6235	-104	-112	Min.	24.59	-0.26	28	0.08	28	0.01	28	5.80	28	0.66	28	-0.00	27
6236	-72	-80	Max	2.83	1.92	27	0.22	27	-0.01	28	18.81	27	-0.53	28	0.00	29
6236	-72	-80	Max	25.22	1.92	27	0.22	27	0.02	27	17.93	27	2.03	27	0.00	29
6236	-72	-80	Min.	2.83	-0.86	28	0.05	28	-0.03	27	4.98	28	-2.08	27	0.00	14
6236	-72	-80	Min.	25.22	-0.86	28	0.05	28	0.01	28	4.10	28	0.49	28	0.00	14
6237	-40	-48	Max	2.83	4.58	14	0.18	27	-0.00	28	21.08	27	-0.43	28	0.00	29
6237	-40	-48	Max	25.84	4.58	14	0.18	27	0.01	27	19.27	27	1.57	27	0.00	29
6237	-40	-48	Min.	2.83	-53.80	27	0.04	28	-0.03	27	5.40	28	-3.07	27	-0.00	27
6237	-40	-48	Min.	25.84	-53.80	27	0.04	28	0.00	28	3.60	28	0.61	28	-0.00	27
6238	-8	-16	Max	2.83	21.16	14	0.11	27	-0.00	28	12.03	27	-0.13	28	0.00	29
6238	-8	-16	Max	26.15	21.16	14	0.11	27	0.02	27	10.19	27	1.52	27	0.00	29

6238	-8	-16	Min.	2.83	-121.70	27	0.02	28	-0.01	27	2.60	28	-1.07	27	0.00	27
6238	-8	-16	Min.	26.15	-121.70	27	0.02	28	0.00	28	0.77	28	0.26	28	0.00	27
6239	324	336	Max	1.77	225.05	27	13.25	27	-0.09	13	338.21	27	-0.52	28	0.57	27
6239	324	336	Max	15.00	225.05	27	13.25	27	1.39	27	337.27	27	25.69	27	0.57	27
6239	324	336	Min.	1.77	1.99	28	2.68	13	-0.37	27	12.96	28	-19.00	27	0.10	13
6239	324	336	Min.	15.00	1.99	28	2.68	13	0.26	13	12.02	28	1.13	28	0.10	13
6239	336	348	Max	0.00	203.03	27	-2.91	13	1.42	27	11.94	14	20.48	27	-0.10	13
6239	336	348	Max	13.23	203.03	27	-2.91	13	-0.10	13	11.00	14	0.07	14	-0.10	13
6239	336	348	Min.	0.00	-5.58	14	-13.63	27	0.28	13	-287.22	27	-1.45	14	-0.56	27
6239	336	348	Min.	13.23	-5.58	14	-13.63	27	-0.39	27	-288.16	27	-17.59	27	-0.56	27
6240	332	345	Max	0.00	-53.58	13	2.83	14	0.80	27	73.50	14	4.24	27	-0.22	14
6240	332	345	Max	18.38	-53.58	13	2.83	14	0.26	14	72.20	14	11.83	27	-0.22	14
6240	332	345	Min.	0.00	-121.31	27	-3.21	27	-0.26	14	38.12	29	-6.98	14	-2.58	27
6240	332	345	Min.	18.38	-121.31	27	-3.21	27	0.15	29	36.82	29	5.49	13	-2.58	27
6240	319	332	Max	2.83	-33.69	29	12.14	27	-0.18	13	-78.71	13	6.86	27	1.31	27
6240	319	332	Max	21.21	-33.69	29	12.14	27	1.70	27	-80.01	13	-9.84	13	1.31	27
6240	319	332	Min.	2.83	-52.47	27	2.49	13	-0.53	27	-216.47	27	4.14	29	-0.60	14
6240	319	332	Min.	21.21	-52.47	27	2.49	13	0.28	13	-217.77	27	-33.06	27	-0.60	14
6241	318	329	Max	2.83	-41.05	13	4.06	27	0.21	28	-54.52	29	10.54	27	3.53	27
6241	318	329	Max	21.21	-41.05	13	4.06	27	0.84	27	-55.82	29	-2.62	27	3.53	27
6241	318	329	Min.	2.83	-97.09	27	-2.90	28	0.09	27	-91.80	14	4.75	13	0.46	13
6241	318	329	Min.	21.21	-97.09	27	-2.90	28	-0.32	28	-93.10	14	-11.46	14	0.46	13
6241	329	340	Max	0.00	-46.51	29	-2.31	13	1.71	27	190.14	27	-5.93	13	0.27	28
6241	329	340	Max	18.38	-46.51	29	-2.31	13	-0.22	13	188.84	27	8.37	27	0.27	28
6241	329	340	Min.	0.00	-79.61	27	-12.87	27	0.20	13	62.74	13	-26.47	27	-2.25	27
6241	329	340	Min.	18.38	-79.61	27	-12.87	27	-0.66	27	61.44	13	4.91	29	-2.25	27
6242	329	342	Max	0.00	-51.20	13	4.04	14	0.58	27	84.74	14	1.46	27	0.15	14
6242	329	342	Max	18.38	-51.20	13	4.04	14	0.30	14	83.44	14	11.65	27	0.15	14
6242	329	342	Min.	0.00	-118.42	27	-1.76	27	-0.44	14	49.20	29	-9.30	14	-2.13	27
6242	329	342	Min.	18.38	-118.42	27	-1.76	27	0.18	29	47.91	29	5.25	13	-2.13	27
6242	316	329	Max	2.83	-35.52	29	10.81	27	-0.15	13	-67.92	13	7.26	27	0.88	27
6242	316	329	Max	21.21	-35.52	29	10.81	27	1.50	27	-69.21	13	-7.62	13	0.88	27
6242	316	329	Min.	2.83	-54.41	27	1.38	13	-0.49	27	-204.98	27	4.41	29	-0.95	14
6242	316	329	Min.	21.21	-54.41	27	1.38	13	0.10	13	-206.28	27	-30.55	27	-0.95	14
6243	335	348	Max	0.00	-35.08	13	0.14	14	1.17	27	41.00	14	7.95	27	-0.92	13
6243	335	348	Max	18.38	-35.08	13	0.14	14	0.12	14	39.70	14	7.74	27	-0.92	13
6243	335	348	Min.	0.00	-76.00	27	-6.41	27	0.09	14	-0.47	27	-3.07	14	-3.58	27
6243	335	348	Min.	18.38	-76.00	27	-6.41	27	-0.01	27	-1.77	27	3.84	13	-3.58	27
6243	322	335	Max	2.83	-18.95	29	11.37	27	-0.16	13	-55.99	13	3.06	14	2.85	27
6243	322	335	Max	21.21	-18.95	29	11.37	27	1.66	27	-57.29	13	-7.70	13	2.85	27
6243	322	335	Min.	2.83	-29.73	28	3.03	13	-0.43	27	-145.63	27	2.14	29	0.47	13
6243	322	335	Min.	21.21	-29.73	28	3.03	13	0.40	13	-146.93	27	-24.15	27	0.47	13
6244	313	326	Max	2.83	-21.46	29	6.92	27	-0.06	13	-21.04	13	3.99	27	1.37	27
6244	313	326	Max	21.21	-21.46	29	6.92	27	0.97	27	-22.34	13	-0.61	13	1.37	27
6244	313	326	Min.	2.83	-31.04	28	-0.36	13	-0.30	27	-102.16	27	2.92	29	-0.63	14
6244	313	326	Min.	21.21	-31.04	28	-0.36	13	-0.13	14	-103.46	27	-14.91	27	-0.63	14
6244	326	339	Max	0.00	-31.99	13	3.88	14	0.42	27	78.36	14	-2.24	27	0.17	13
6244	326	339	Max	18.38	-31.99	13	3.88	14	0.22	14	77.06	14	7.17	27	0.17	13
6244	326	339	Min.	0.00	-74.35	27	-1.54	27	-0.49	14	48.89	29	-10.66	14	-2.09	27
6244	326	339	Min.	18.38	-74.35	27	-1.54	27	0.13	27	47.59	29	3.16	13	-2.09	27
6245	315	326	Max	2.83	-25.60	13	2.59	27	0.18	28	-22.03	27	6.17	27	1.35	27
6245	315	326	Max	21.21	-25.60	13	2.59	27	0.53	27	-23.33	27	2.00	27	1.35	27
6245	315	326	Min.	2.83	-62.09	27	-3.32	28	0.05	27	-61.58	14	2.71	13	-0.53	14
6245	315	326	Min.	21.21	-62.09	27	-3.32	28	-0.43	14	-62.88	14	-8.38	14	-0.53	14
6245	326	337	Max	0.00	-29.47	29	0.02	28	1.02	27	132.01	27	-2.40	13	1.03	14
6245	326	337	Max	18.38	-29.47	29	0.02	28	-0.10	28	130.71	27	4.99	27	1.03	14
6245	326	337	Min.	0.00	-42.76	27	-7.62	27	-0.10	28	34.58	13	-19.16	27	-0.59	27
6245	326	337	Min.	18.38	-42.76	27	-7.62	27	-0.38	27	33.28	13	3.38	29	-0.59	27
6246	332	343	Max	0.00	-43.96	29	-3.47	13	1.94	27	202.42	27	-8.16	13	-0.08	28

6246	332	343	Max	18.38	-43.96	29	-3.47	13	-0.25	13	201.13	27	7.97	27	-0.08	28
6246	332	343	Min.	0.00	-75.77	27	-14.30	27	0.38	13	73.57	13	-29.13	27	-2.66	27
6246	332	343	Min.	18.38	-75.77	27	-14.30	27	-0.69	27	72.27	13	4.64	29	-2.66	27
6246	321	332	Max	2.83	-42.78	13	5.38	27	0.18	28	-43.12	29	10.72	27	3.93	27
6246	321	332	Max	21.21	-42.78	13	5.38	27	1.04	27	-44.42	29	0.31	27	3.93	27
6246	321	332	Min.	2.83	-98.34	27	-1.79	28	0.05	27	-80.48	14	4.99	13	0.81	13
6246	321	332	Min.	21.21	-98.34	27	-1.79	28	-0.15	28	-81.78	14	-9.12	14	0.81	13
6247	324	335	Max	2.83	-27.36	13	7.27	27	0.08	28	30.59	27	6.73	27	2.80	27
6247	324	335	Max	17.54					0.40	29			3.92	29		
6247	324	335	Max	21.21	-27.36	13	7.27	27	1.24	27	29.29	27	12.24	27	2.80	27
6247	324	335	Min.	2.83	-60.19	27	0.15	28	-0.09	27	-24.30	28	3.38	13	0.59	28
6247	324	335	Min.	17.54					0.40	29			3.92	29		
6247	324	335	Min.	21.21	-60.19	27	0.15	28	0.11	28	-25.60	28	-0.86	28	0.59	28
6247	335	346	Max	0.00	-25.71	29	-3.49	13	1.75	27	175.71	27	-9.51	13	-0.12	28
6247	335	346	Max	18.38	-25.71	29	-3.49	13	-0.20	13	174.41	27	3.76	27	-0.12	28
6247	335	346	Min.	0.00	-36.69	14	-12.30	27	0.44	13	69.65	13	-28.43	27	-2.09	27
6247	335	346	Min.	18.38	-36.69	14	-12.30	27	-0.51	27	68.35	13	2.60	29	-2.09	27
6272	351	362	Max	2.83	-31.98	13	1.56	27	0.22	14	-47.70	29	7.17	27	2.10	27
6272	351	362	Max	21.21	-31.98	13	1.56	27	0.42	27	-49.00	29	-2.26	27	2.10	27
6272	351	362	Min.	2.83	-74.38	27	-3.87	14	0.13	27	-77.16	14	3.17	13	-0.20	28
6272	351	362	Min.	21.21	-74.38	27	-3.87	14	-0.49	14	-78.46	14	-10.68	14	-0.20	28
6272	362	373	Max	0.00	-21.46	29	0.55	28	0.98	27	103.36	27	-0.41	28	0.62	14
6272	362	373	Max	18.38	-21.46	29	0.55	28	-0.04	28	102.06	27	3.99	27	0.62	14
6272	362	373	Min.	0.00	-30.35	14	-6.95	27	-0.15	28	20.26	28	-14.89	27	-1.38	27
6272	362	373	Min.	18.38	-30.35	14	-6.95	27	-0.30	27	18.97	28	2.92	29	-1.38	27
6273	357	368	Max	2.83	-52.58	28	3.25	27	0.26	14	-36.70	29	11.82	27	2.58	27
6273	357	368	Max	21.21	-52.58	28	3.25	27	0.81	27	-37.99	29	4.26	27	2.58	27
6273	357	368	Min.	2.83	-121.21	27	-2.81	14	0.15	29	-72.08	14	5.29	28	0.18	28
6273	357	368	Min.	21.21	-121.21	27	-2.81	14	-0.25	14	-73.38	14	-6.97	14	0.18	28
6273	368	379	Max	0.00	-33.58	29	-2.24	28	1.71	27	217.79	27	-9.43	28	0.59	14
6273	368	379	Max	18.38	-33.58	29	-2.24	28	-0.16	28	216.50	27	6.86	27	0.59	14
6273	368	379	Min.	0.00	-52.27	27	-12.19	27	0.25	28	75.74	28	-33.06	27	-1.31	27
6273	368	379	Min.	18.38	-52.27	27	-12.19	27	-0.53	27	74.44	28	4.14	29	-1.31	27
6274	362	375	Max	0.00	-22.80	28	3.31	14	0.53	27	62.82	14	2.03	27	0.53	14
6274	362	375	Max	18.38	-22.80	28	3.31	14	0.18	14	61.52	14	6.17	27	0.53	14
6274	362	375	Min.	0.00	-61.94	27	-2.59	27	-0.43	14	23.16	27	-8.37	14	-1.35	27
6274	362	375	Min.	18.38	-61.94	27	-2.59	27	0.05	27	21.86	27	2.51	28	-1.35	27
6274	349	362	Max	2.83	-29.55	29	7.62	27	-0.10	13	-32.77	28	4.99	27	0.59	27
6274	349	362	Max	21.21	-29.55	29	7.62	27	1.02	27	-34.07	28	-2.29	28	0.59	27
6274	349	362	Min.	2.83	-42.96	27	0.02	13	-0.38	27	-130.90	27	3.38	29	-1.04	14
6274	349	362	Min.	21.21	-42.96	27	0.02	13	-0.09	13	-132.20	27	-19.19	27	-1.04	14
6275	358	371	Max	2.83	-25.75	29	12.30	27	-0.20	13	-67.70	28	3.75	27	2.10	27
6275	358	371	Max	21.21	-25.75	29	12.30	27	1.75	27	-69.00	28	-9.40	28	2.10	27
6275	358	371	Min.	2.83	-36.70	14	3.49	13	-0.51	27	-174.27	27	2.60	29	0.13	14
6275	358	371	Min.	21.21	-36.70	14	3.49	13	0.44	13	-175.57	27	-28.41	27	0.13	14
6275	371	384	Max	0.00	-24.76	28	-0.32	14	1.24	27	25.34	14	12.22	27	-0.60	13
6275	371	384	Max	3.68					0.40	29			3.91	29		
6275	371	384	Max	18.38	-24.76	28	-0.32	14	0.07	14	24.05	14	6.73	27	-0.60	13
6275	371	384	Min.	0.00	-59.99	27	-7.27	27	0.13	13	-29.25	27	-0.76	14	-2.81	27
6275	371	384	Min.	3.68					0.40	29			3.91	29		
6275	371	384	Min.	18.38	-59.99	27	-7.27	27	-0.09	27	-30.55	27	3.19	28	-2.81	27
6276	352	365	Max	2.83	-46.61	29	12.88	27	-0.22	28	-57.88	28	8.37	27	2.24	27
6276	352	365	Max	21.21	-46.61	29	12.88	27	1.71	27	-59.18	28	-5.46	28	2.24	27
6276	352	365	Min.	2.83	-79.90	27	2.31	28	-0.66	27	-188.88	27	4.91	29	-0.23	13
6276	352	365	Min.	21.21	-79.90	27	2.31	28	0.20	28	-190.17	27	-26.48	27	-0.23	13
6276	365	378	Max	0.00	-36.65	28	2.80	14	0.84	27	92.98	14	-2.60	27	-0.46	13
6276	365	378	Max	18.38	-36.65	28	2.80	14	0.21	14	91.68	14	10.53	27	-0.46	13
6276	365	378	Min.	0.00	-96.89	27	-4.09	27	-0.31	14	55.71	29	-11.44	14	-3.53	27
6276	365	378	Min.	18.38	-96.89	27	-4.09	27	0.09	27	54.41	29	4.37	28	-3.53	27

6277	354	365	Max	2.83	-50.10	28	1.80	27	0.30	14	-47.85	29	11.64	27	2.14	27
6277	354	365	Max	21.21	-50.10	28	1.80	27	0.58	27	-49.15	29	1.46	27	2.14	27
6277	354	365	Min.	2.83	-118.31	27	-4.02	14	0.18	29	-83.39	14	5.05	28	-0.18	28
6277	354	365	Min.	21.21	-118.31	27	-4.02	14	-0.44	14	-84.69	14	-9.30	14	-0.18	28
6277	365	376	Max	0.00	-35.42	29	-1.11	28	1.50	27	206.21	27	-7.16	28	0.95	14
6277	365	376	Max	18.38	-35.42	29	-1.11	28	-0.13	28	204.91	27	7.26	27	0.95	14
6277	365	376	Min.	0.00	-54.21	27	-10.86	27	0.08	28	64.69	28	-30.54	27	-0.89	27
6277	365	376	Min.	18.38	-54.21	27	-10.86	27	-0.49	27	63.39	28	4.41	29	-0.89	27
6278	360	371	Max	2.83	-35.02	13	6.44	27	0.11	14	1.99	27	7.74	27	3.57	27
6278	360	371	Max	21.21	-35.02	13	6.44	27	1.17	27	0.69	27	7.98	27	3.57	27
6278	360	371	Min.	2.83	-76.05	27	-0.13	14	-0.01	27	-39.56	14	3.84	13	0.89	28
6278	360	371	Min.	21.21	-76.05	27	-0.13	14	0.09	28	-40.86	14	-3.05	14	0.89	28
6278	371	382	Max	0.00	-18.87	29	-2.86	28	1.67	27	147.04	27	-7.55	28	-0.46	28
6278	371	382	Max	18.38	-18.87	29	-2.86	28	-0.15	28	145.74	27	3.06	14	-0.46	28
6278	371	382	Min.	0.00	-28.84	14	-11.40	27	0.38	28	55.37	28	-24.17	27	-2.85	27
6278	371	382	Min.	18.38	-28.84	14	-11.40	27	-0.43	27	54.08	28	2.14	29	-2.85	27
6279	355	368	Max	2.83	-44.08	29	14.31	27	-0.25	28	-68.85	28	7.97	27	2.66	27
6279	355	368	Max	21.21	-44.08	29	14.31	27	1.94	27	-70.15	28	-7.73	28	2.66	27
6279	355	368	Min.	2.83	-76.08	27	3.47	13	-0.69	27	-201.05	27	4.63	29	0.12	13
6279	355	368	Min.	21.21	-76.08	27	3.47	13	0.39	13	-202.35	27	-29.12	27	0.12	13
6279	368	381	Max	0.00	-38.36	28	1.65	14	1.04	27	81.71	14	0.31	27	-0.81	13
6279	368	381	Max	18.38	-38.36	28	1.65	14	0.17	14	80.41	14	10.71	27	-0.81	13
6279	368	381	Min.	0.00	-98.12	27	-5.41	27	-0.13	14	44.35	29	-9.12	14	-3.93	27
6279	368	381	Min.	18.38	-98.12	27	-5.41	27	0.05	27	43.05	29	4.61	28	-3.93	27
6281	-515	-516	Max	0.00	-0.14	13	-0.37	29	0.12	14	0.92	27	-0.01	29	0.15	27
6281	-515	-516	Max	12.00	-0.14	13	-0.37	29	-0.03	29	2.52	27	0.20	27	0.15	27
6281	-515	-516	Min.	0.00	-1.57	27	-2.21	14	0.02	29	-0.02	13	-0.01	28	-0.10	14
6281	-515	-516	Min.	12.00	-1.57	27	-2.21	14	-0.15	14	1.58	13	0.08	13	-0.10	14
6282	-531	-532	Max	0.00	0.12	14	2.35	27	0.09	14	-0.63	27	0.09	27	0.08	27
6282	-531	-532	Max	12.00	0.12	14	2.35	27	0.16	27	0.97	27	0.11	27	0.08	27
6282	-531	-532	Min.	0.00	-0.88	27	-1.47	14	-0.13	27	-1.60	14	0.07	29	-0.08	14
6282	-531	-532	Min.	12.00	-0.88	27	-1.47	14	-0.08	14	0.00	14	-0.01	28	-0.08	14
6283	316	317	Max	1.77	-12.94	13	0.08	14	0.20	27	3.35	27	-0.39	13	0.01	14
6283	316	317	Max	14.01					0.01	13			-0.34	13		
6283	316	317	Max	15.00	-12.94	13	0.08	14	0.01	27	2.41	27	-0.34	13	0.01	14
6283	316	317	Min.	1.77	-26.39	27	-1.46	27	-0.00	13	0.87	28	-1.03	27	-0.15	27
6283	316	317	Min.	14.01					0.01	14			-0.40	14		
6283	316	317	Min.	15.00	-26.39	27	-1.46	27	0.01	29	-0.07	28	-0.65	27	-0.15	27
6283	317	318	Max	0.00	-12.94	13	0.08	14	0.01	27	2.41	27	-0.34	13	0.01	14
6283	317	318	Max	10.59					-0.04	29			-0.30	29		
6283	317	318	Max	13.23	-12.94	13	0.08	14	0.02	28	1.47	27	-0.30	29	0.01	14
6283	317	318	Min.	0.00	-26.39	27	-1.46	27	0.01	29	-0.07	28	-0.65	27	-0.15	27
6283	317	318	Min.	10.59					-0.04	29			-0.30	29		
6283	317	318	Min.	13.23	-26.39	27	-1.46	27	-0.18	27	-1.01	28	-0.47	14	-0.15	27
6284	-3	-4	Max	2.83	67.77	27	0.03	14	0.04	27	18.18	27	0.21	28	0.00	14
6284	-3	-4	Max	4.19									0.21	28		
6284	-3	-4	Max	26.15	67.77	27	0.03	14	0.01	14	16.35	27	2.19	27	0.00	14
6284	-3	-4	Min.	2.83	36.77	29	-0.29	27	0.00	28	0.11	14	-1.84	27	-0.00	27
6284	-3	-4	Min.	4.19									0.19	13		
6284	-3	-4	Min.	26.15	36.77	29	-0.29	27	-0.03	27	-1.72	14	0.00	13	-0.00	27
6285	-35	-36	Max	2.83	17.70	27	0.10	27	0.01	14	28.28	27	0.38	14	0.01	27
6285	-35	-36	Max	25.84	17.70	27	0.10	27	0.02	27	26.47	27	3.48	27	0.01	27
6285	-35	-36	Min.	2.83	9.36	29	-0.00	28	0.00	27	-0.49	14	-2.82	27	-0.00	28
6285	-35	-36	Min.	25.84	9.36	29	-0.00	28	0.00	28	-2.30	14	0.02	13	-0.00	28
6286	-67	-68	Max	2.83	-0.98	13	0.27	27	0.01	14	23.81	27	0.13	14	0.00	27
6286	-67	-68	Max	25.22	-0.98	13	0.27	27	0.04	27	22.93	27	2.57	27	0.00	27
6286	-67	-68	Min.	2.83	-2.59	27	-0.02	14	-0.02	27	-0.85	14	-2.66	27	0.00	28
6286	-67	-68	Min.	25.22	-2.59	27	-0.02	14	0.00	28	-1.73	14	-0.16	14	0.00	28
6287	-99	-100	Max	2.83	-0.00	28	0.36	27	0.01	14	29.97	27	0.17	14	0.00	27

6287	-99	-100	Max	24.59	-0.00	28	0.36	27	0.06	27	29.12	27	3.17	27	0.00	27
6287	-99	-100	Min.	2.83	-0.96	27	-0.02	14	-0.02	27	-1.25	14	-3.26	27	0.00	28
6287	-99	-100	Min.	24.59	-0.96	27	-0.02	14	0.00	28	-2.10	14	-0.20	14	0.00	28
6288	-131	-132	Max	2.83	-0.12	28	0.41	27	0.01	14	31.59	27	0.18	14	0.00	27
6288	-131	-132	Max	23.97	-0.12	28	0.41	27	0.06	27	30.76	27	3.25	27	0.00	27
6288	-131	-132	Min.	2.83	-1.04	27	-0.02	28	-0.02	27	-1.41	14	-3.34	27	0.00	28
6288	-131	-132	Min.	23.97	-1.04	27	-0.02	28	0.01	28	-2.24	14	-0.21	14	0.00	28
6289	-163	-164	Max	2.83	-0.10	28	0.42	27	0.01	14	32.15	27	0.18	14	0.00	27
6289	-163	-164	Max	23.34	-0.10	28	0.42	27	0.07	27	31.35	27	3.21	27	0.00	27
6289	-163	-164	Min.	2.83	-1.02	27	-0.02	28	-0.02	27	-1.52	14	-3.30	27	0.00	28
6289	-163	-164	Min.	23.34	-1.02	27	-0.02	28	0.01	28	-2.33	14	-0.21	14	0.00	28
6290	-195	-196	Max	2.83	-0.11	28	0.43	27	0.01	14	32.51	27	0.19	14	0.00	27
6290	-195	-196	Max	22.72	-0.11	28	0.43	27	0.07	27	31.73	27	3.15	27	0.00	27
6290	-195	-196	Min.	2.83	-1.03	27	-0.03	28	-0.02	27	-1.63	14	-3.24	27	0.00	28
6290	-195	-196	Min.	22.72	-1.03	27	-0.03	28	0.01	28	-2.41	14	-0.21	14	0.00	28
6291	-227	-228	Max	2.83	-0.11	28	0.44	27	0.02	14	32.83	27	0.19	14	0.00	27
6291	-227	-228	Max	22.09	-0.11	28	0.44	27	0.06	27	32.07	27	3.08	27	0.00	27
6291	-227	-228	Min.	2.83	-1.05	27	-0.03	28	-0.02	27	-1.74	14	-3.17	27	0.00	28
6291	-227	-228	Min.	22.09	-1.05	27	-0.03	28	0.01	28	-2.50	14	-0.22	14	0.00	28
6292	-259	-260	Max	2.83	-0.12	28	0.44	27	0.02	14	33.16	27	0.20	14	0.00	27
6292	-259	-260	Max	21.47	-0.12	28	0.44	27	0.06	27	32.43	27	3.01	27	0.00	27
6292	-259	-260	Min.	2.83	-1.03	27	-0.03	28	-0.02	27	-1.86	14	-3.10	27	0.00	28
6292	-259	-260	Min.	21.47	-1.03	27	-0.03	28	0.01	28	-2.59	14	-0.22	14	0.00	28
6293	-291	-292	Max	2.83	-0.12	28	0.45	27	0.02	14	33.52	27	0.20	28	0.00	27
6293	-291	-292	Max	20.84	-0.12	28	0.45	27	0.06	27	32.81	27	2.94	27	0.00	27
6293	-291	-292	Min.	2.83	-1.06	27	-0.03	28	-0.02	27	-1.99	14	-3.04	27	0.00	28
6293	-291	-292	Min.	20.84	-1.06	27	-0.03	28	0.01	28	-2.70	14	-0.22	14	0.00	28
6294	-323	-324	Max	2.83	-0.12	28	0.46	27	0.02	14	33.89	27	0.20	28	0.00	27
6294	-323	-324	Max	20.22	-0.12	28	0.46	27	0.06	27	33.21	27	2.87	27	0.00	27
6294	-323	-324	Min.	2.83	-1.06	27	-0.03	28	-0.02	27	-2.12	14	-2.97	27	0.00	28
6294	-323	-324	Min.	20.22	-1.06	27	-0.03	28	0.01	28	-2.81	14	-0.23	14	0.00	28
6295	-355	-356	Max	2.83	-0.13	28	0.46	27	0.02	14	34.31	27	0.21	28	0.00	27
6295	-355	-356	Max	19.59	-0.13	28	0.46	27	0.06	27	33.65	27	2.80	27	0.00	27
6295	-355	-356	Min.	2.83	-1.07	27	-0.03	28	-0.01	27	-2.27	14	-2.90	27	0.00	28
6295	-355	-356	Min.	19.59	-1.07	27	-0.03	28	0.01	28	-2.92	14	-0.23	14	0.00	28
6296	-387	-388	Max	2.83	-0.06	13	0.47	27	0.02	14	34.74	27	0.21	28	0.00	27
6296	-387	-388	Max	18.97	-0.06	13	0.47	27	0.06	27	34.10	27	2.72	27	0.00	27
6296	-387	-388	Min.	2.83	-0.89	27	-0.04	28	-0.01	27	-2.42	14	-2.83	27	0.00	28
6296	-387	-388	Min.	18.97	-0.89	27	-0.04	28	0.01	28	-3.05	14	-0.23	14	0.00	28
6297	-419	-420	Max	2.83	-0.56	28	0.47	27	0.02	14	35.10	27	0.22	14	0.00	27
6297	-419	-420	Max	18.34	-0.56	28	0.47	27	0.06	27	34.49	27	2.65	27	0.00	27
6297	-419	-420	Min.	2.83	-2.47	27	-0.04	28	-0.01	27	-2.57	14	-2.74	27	0.00	28
6297	-419	-420	Min.	18.34	-2.47	27	-0.04	28	0.01	28	-3.18	14	-0.23	14	0.00	28
6298	-451	-452	Max	2.83	8.43	27	0.46	27	0.02	14	34.84	27	0.19	28	0.00	27
6298	-451	-452	Max	17.72	8.43	27	0.46	27	0.06	27	34.26	27	2.44	27	0.00	27
6298	-451	-452	Min.	2.83	2.79	28	-0.04	28	-0.01	27	-2.73	14	-2.70	27	0.00	28
6298	-451	-452	Min.	17.72	2.79	28	-0.04	28	0.01	28	-3.32	14	-0.28	14	0.00	28
6299	-483	-484	Max	2.83	-17.92	28	0.41	27	0.01	14	31.18	27	0.44	14	0.01	27
6299	-483	-484	Max	17.09	-17.92	28	0.41	27	0.05	27	30.62	27	2.64	27	0.01	27
6299	-483	-484	Min.	2.83	-57.51	27	-0.03	28	-0.01	27	-2.38	28	-1.76	27	0.00	13
6299	-483	-484	Min.	17.09	-57.51	27	-0.03	28	0.01	13	-2.94	28	-0.05	28	0.00	13
6303	-491	-492	Max	3.53	126.11	27	0.04	14	0.04	27	27.50	27	-0.28	28	0.00	14
6303	-491	-492	Max	17.80	126.11	27	0.04	14	0.01	14	26.94	27	0.87	27	0.00	14
6303	-491	-492	Min.	3.53	56.82	28	-0.34	27	0.01	13	-2.92	14	-3.01	27	0.00	27
6303	-491	-492	Min.	17.80	56.82	28	-0.34	27	-0.01	27	-3.48	14	-0.85	14	0.00	27
6304	-459	-460	Max	3.53	-9.75	28	0.05	14	0.05	27	30.55	27	0.38	14	0.00	27
6304	-459	-460	Max	18.42	-9.75	28	0.05	14	0.02	14	29.97	27	2.47	27	0.00	27
6304	-459	-460	Min.	3.53	-22.56	27	-0.39	27	0.01	13	-3.51	14	-2.03	27	0.00	28
6304	-459	-460	Min.	18.42	-22.56	27	-0.39	27	-0.01	27	-4.10	14	-0.18	13	0.00	28

6305	-427	-428	Max	3.53	2.59	27	0.05	14	0.06	27	31.04	27	0.27	14	0.00	27
6305	-427	-428	Max	19.05	2.59	27	0.05	14	0.02	14	30.43	27	2.41	27	0.00	27
6305	-427	-428	Min.	3.53	1.24	29	-0.41	27	0.01	28	-3.28	14	-2.36	27	0.00	28
6305	-427	-428	Min.	19.05	1.24	29	-0.41	27	-0.01	27	-3.89	14	-0.28	14	0.00	28
6306	-395	-396	Max	3.53	-0.14	13	0.05	14	0.06	27	30.86	27	0.28	14	0.00	27
6306	-395	-396	Max	19.67	-0.14	13	0.05	14	0.02	14	30.22	27	2.51	27	0.00	27
6306	-395	-396	Min.	3.53	-1.06	27	-0.41	27	0.01	28	-3.11	14	-2.41	27	0.00	28
6306	-395	-396	Min.	19.67	-1.06	27	-0.41	27	-0.01	27	-3.74	14	-0.27	14	0.00	28
6307	-363	-364	Max	3.53	0.07	14	0.04	14	0.06	27	30.65	27	0.27	14	0.00	27
6307	-363	-364	Max	20.30	0.07	14	0.04	14	0.02	14	29.99	27	2.58	27	0.00	27
6307	-363	-364	Min.	3.53	-0.64	27	-0.40	27	0.01	28	-2.91	14	-2.50	27	0.00	28
6307	-363	-364	Min.	20.30	-0.64	27	-0.40	27	-0.01	27	-3.57	14	-0.27	14	0.00	28
6308	-331	-332	Max	3.53	0.07	14	0.04	14	0.06	27	30.43	27	0.27	14	0.00	27
6308	-331	-332	Max	20.92	0.07	14	0.04	14	0.02	14	29.75	27	2.66	27	0.00	27
6308	-331	-332	Min.	3.53	-0.64	27	-0.40	27	0.01	28	-2.73	14	-2.57	27	0.00	28
6308	-331	-332	Min.	20.92	-0.64	27	-0.40	27	-0.01	27	-3.41	14	-0.26	14	0.00	28
6309	-299	-300	Max	3.53	0.06	14	0.04	14	0.06	27	30.22	27	0.26	14	0.00	27
6309	-299	-300	Max	21.55	0.06	14	0.04	14	0.02	14	29.51	27	2.73	27	0.00	27
6309	-299	-300	Min.	3.53	-0.67	27	-0.40	27	0.01	28	-2.57	14	-2.65	27	0.00	13
6309	-299	-300	Min.	21.55	-0.67	27	-0.40	27	-0.01	27	-3.28	14	-0.26	14	0.00	13
6310	-267	-268	Max	3.53	0.05	14	0.04	14	0.06	27	30.02	27	0.26	14	0.00	27
6310	-267	-268	Max	22.17	0.05	14	0.04	14	0.02	14	29.29	27	2.80	27	0.00	27
6310	-267	-268	Min.	3.53	-0.67	27	-0.39	27	0.01	28	-2.42	14	-2.73	27	0.00	13
6310	-267	-268	Min.	22.17	-0.67	27	-0.39	27	-0.01	27	-3.15	14	-0.26	14	0.00	13
6311	-235	-236	Max	3.53	0.05	14	0.04	14	0.06	27	29.83	27	0.25	14	0.00	27
6311	-235	-236	Max	22.80	0.05	14	0.04	14	0.02	14	29.08	27	2.87	27	0.00	27
6311	-235	-236	Min.	3.53	-0.69	27	-0.39	27	0.01	28	-2.28	14	-2.80	27	0.00	13
6311	-235	-236	Min.	22.80	-0.69	27	-0.39	27	-0.01	27	-3.03	14	-0.26	14	0.00	13
6312	-203	-204	Max	3.53	0.04	14	0.03	14	0.06	27	29.64	27	0.25	14	0.00	27
6312	-203	-204	Max	23.42	0.04	14	0.03	14	0.02	14	28.86	27	2.94	27	0.00	27
6312	-203	-204	Min.	3.53	-0.70	27	-0.38	27	0.01	28	-2.15	14	-2.88	27	0.00	13
6312	-203	-204	Min.	23.42	-0.70	27	-0.38	27	-0.02	27	-2.93	14	-0.26	14	0.00	13
6313	-171	-172	Max	3.53	0.06	14	0.03	14	0.06	27	29.42	27	0.24	14	0.00	27
6313	-171	-172	Max	24.05	0.06	14	0.03	14	0.02	14	28.62	27	3.01	27	0.00	27
6313	-171	-172	Min.	3.53	-0.66	27	-0.38	27	0.01	28	-2.01	14	-2.95	27	0.00	13
6313	-171	-172	Min.	24.05	-0.66	27	-0.38	27	-0.02	27	-2.82	14	-0.25	14	0.00	13
6314	-139	-140	Max	3.53	0.03	14	0.03	14	0.06	27	29.00	27	0.24	14	0.00	27
6314	-139	-140	Max	24.67	0.03	14	0.03	14	0.01	14	28.17	27	3.05	27	0.00	27
6314	-139	-140	Min.	3.53	-0.70	27	-0.37	27	0.01	28	-1.87	14	-2.99	27	0.00	13
6314	-139	-140	Min.	24.67	-0.70	27	-0.37	27	-0.02	27	-2.70	14	-0.25	14	0.00	13
6315	-107	-108	Max	3.53	0.15	14	0.03	14	0.06	27	27.59	27	0.22	14	0.00	27
6315	-107	-108	Max	25.30	0.15	14	0.03	14	0.01	14	26.74	27	2.98	27	0.00	27
6315	-107	-108	Min.	3.53	-0.49	27	-0.33	27	0.00	28	-1.67	14	-2.93	27	0.00	13
6315	-107	-108	Min.	25.30	-0.49	27	-0.33	27	-0.02	27	-2.52	14	-0.24	14	0.00	13
6316	-75	-76	Max	3.53	-0.84	13	0.02	14	0.04	27	21.98	27	0.17	14	0.00	27
6316	-75	-76	Max	25.92	-0.84	13	0.02	14	0.01	14	21.10	27	2.42	27	0.00	27
6316	-75	-76	Min.	3.53	-2.16	27	-0.25	27	0.00	28	-1.17	14	-2.40	27	0.00	13
6316	-75	-76	Min.	25.92	-2.16	27	-0.25	27	-0.01	27	-2.05	14	-0.19	14	0.00	13
6317	-43	-44	Max	3.53	16.18	27	0.00	14	0.02	27	26.01	27	0.45	14	0.00	14
6317	-43	-44	Max	26.55	16.18	27	0.00	14	0.01	14	24.21	27	3.31	27	0.00	14
6317	-43	-44	Min.	3.53	8.81	29	-0.08	27	0.01	28	-0.94	14	-2.47	27	-0.01	27
6317	-43	-44	Min.	26.55	8.81	29	-0.08	27	0.00	29	-2.75	14	-0.00	13	-0.01	27
6318	-11	-12	Max	3.53	68.52	27	0.30	27	0.01	14	16.59	27	0.29	14	0.00	27
6318	-11	-12	Max	26.86	68.52	27	0.30	27	0.04	27	14.76	27	2.12	27	0.00	27
6318	-11	-12	Min.	3.53	37.14	13	-0.03	14	-0.03	27	-0.21	14	-1.54	27	0.00	14
6318	-11	-12	Min.	26.86	37.14	13	-0.03	14	0.00	28	-2.04	14	0.01	13	0.00	14
6319	340	341	Max	1.77	-6.20	13	2.99	27	-0.36	13	0.10	14	0.21	27	0.15	27
6319	340	341	Max	12.66					-0.36	14			0.02	14		
6319	340	341	Max	15.00	-6.20	13	2.04	27	-0.31	13	0.10	14	0.04	27	0.15	27

6319	340	341	Min.	1.77	-10.19	27	0.82	14	-0.92	27	-1.36	27	0.01	13	-0.01	14
6319	340	341	Min.	12.83					-0.31	13			0.02	13		
6319	340	341	Min.	15.00	-10.19	27	-0.12	14	-0.59	27	-1.36	27	0.02	29	-0.01	14
6319	341	342	Max	0.00	-6.20	13	2.04	27	-0.31	13	0.10	14	0.04	27	0.15	27
6319	341	342	Max	8.19					-0.28	29			-0.01	29		
6319	341	342	Max	13.23	-6.20	13	1.10	27	-0.29	29	0.10	14	0.03	14	0.15	27
6319	341	342	Min.	0.00	-10.19	27	-0.12	14	-0.59	27	-1.36	27	0.02	29	-0.01	14
6319	341	342	Min.	8.19					-0.28	29			-0.01	29		
6319	341	342	Min.	13.23	-10.19	27	-1.06	14	-0.44	14	-1.36	27	-0.14	27	-0.01	14
6327	352	353	Max	1.77	-5.06	28	0.10	14	0.21	27	2.94	27	-0.34	28	0.01	14
6327	352	353	Max	12.35					0.02	28			-0.29	28		
6327	352	353	Max	15.00	-5.06	28	0.10	14	0.04	27	2.00	27	-0.29	28	0.01	14
6327	352	353	Min.	1.77	-10.56	27	-1.35	27	0.00	13	0.79	14	-0.91	27	-0.15	27
6327	352	353	Min.	12.35					0.02	14			-0.36	14		
6327	352	353	Min.	15.00	-10.56	27	-1.35	27	0.02	29	-0.15	14	-0.59	27	-0.15	27
6327	353	354	Max	0.00	-5.06	28	0.10	14	0.04	27	2.00	27	-0.29	28	0.01	14
6327	353	354	Max	7.94					-0.01	29			-0.29	29		
6327	353	354	Max	13.23	-5.06	28	0.10	14	0.04	14	1.06	27	-0.29	29	0.01	14
6327	353	354	Min.	0.00	-10.56	27	-1.35	27	0.02	29	-0.15	14	-0.59	27	-0.15	27
6327	353	354	Min.	7.94					-0.01	29			-0.29	29		
6327	353	354	Min.	13.23	-10.56	27	-1.35	27	-0.14	27	-1.09	14	-0.45	14	-0.15	27
6328	-19	-20	Max	2.83	67.98	27	0.03	14	0.03	27	16.57	27	0.29	14	0.00	13
6328	-19	-20	Max	26.15	67.98	27	0.03	14	-0.00	13	14.74	27	2.08	27	0.00	13
6328	-19	-20	Min.	2.83	35.65	28	-0.31	27	-0.01	14	-0.21	14	-1.57	27	-0.00	27
6328	-19	-20	Min.	26.15	35.65	28	-0.31	27	-0.04	27	-2.04	14	0.00	28	-0.00	27
6329	-51	-52	Max	2.83	16.62	27	0.07	27	-0.01	13	25.98	27	0.45	14	0.01	27
6329	-51	-52	Max	25.84	16.62	27	0.07	27	-0.00	29	24.17	27	3.25	27	0.01	27
6329	-51	-52	Min.	2.83	8.63	28	-0.01	14	-0.02	27	-0.95	14	-2.52	27	-0.00	14
6329	-51	-52	Min.	25.84	8.63	28	-0.01	14	-0.01	14	-2.76	14	-0.01	28	-0.00	14
6330	-83	-84	Max	2.83	-0.78	28	0.25	27	-0.00	13	21.87	27	0.18	14	0.00	13
6330	-83	-84	Max	25.22	-0.78	28	0.25	27	0.01	27	20.99	27	2.37	27	0.00	13
6330	-83	-84	Min.	2.83	-2.26	27	-0.02	14	-0.04	27	-1.24	14	-2.43	27	-0.00	27
6330	-83	-84	Min.	25.22	-2.26	27	-0.02	14	-0.01	14	-2.11	14	-0.20	14	-0.00	27
6331	-115	-116	Max	2.83	0.16	14	0.33	27	-0.01	13	27.47	27	0.23	14	0.00	13
6331	-115	-116	Max	24.59	0.16	14	0.33	27	0.02	27	26.61	27	2.92	27	0.00	13
6331	-115	-116	Min.	2.83	-0.60	27	-0.03	14	-0.06	27	-1.75	14	-2.97	27	-0.00	27
6331	-115	-116	Min.	24.59	-0.60	27	-0.03	14	-0.01	14	-2.60	14	-0.24	14	-0.00	27
6332	-147	-148	Max	2.83	0.03	28	0.36	27	-0.01	13	28.87	27	0.25	14	0.00	13
6332	-147	-148	Max	23.97	0.03	28	0.36	27	0.02	27	28.04	27	2.98	27	0.00	13
6332	-147	-148	Min.	2.83	-0.72	27	-0.03	14	-0.06	27	-1.95	14	-3.03	27	-0.00	27
6332	-147	-148	Min.	23.97	-0.72	27	-0.03	14	-0.02	14	-2.78	14	-0.25	14	-0.00	27
6333	-179	-180	Max	2.83	0.06	14	0.37	27	-0.01	13	29.28	27	0.26	14	0.00	13
6333	-179	-180	Max	23.34	0.06	14	0.37	27	0.02	27	28.48	27	2.94	27	0.00	13
6333	-179	-180	Min.	2.83	-0.67	27	-0.03	14	-0.06	27	-2.10	14	-2.98	27	-0.00	27
6333	-179	-180	Min.	23.34	-0.67	27	-0.03	14	-0.02	14	-2.90	14	-0.26	14	-0.00	27
6334	-211	-212	Max	2.83	0.04	14	0.38	27	-0.01	13	29.49	27	0.26	14	0.00	13
6334	-211	-212	Max	18.74					-0.00	29			0.50	29		
6334	-211	-212	Max	22.72	0.04	14	0.38	27	0.02	27	28.71	27	2.87	27	0.00	13
6334	-211	-212	Min.	2.83	-0.70	27	-0.04	14	-0.06	27	-2.24	14	-2.91	27	-0.00	27
6334	-211	-212	Min.	18.74					-0.00	29			0.50	29		
6334	-211	-212	Min.	22.72	-0.70	27	-0.04	14	-0.02	14	-3.02	14	-0.26	14	-0.00	27
6335	-243	-244	Max	2.83	0.05	14	0.38	27	-0.01	13	29.67	27	0.27	14	0.00	13
6335	-243	-244	Max	18.24					-0.00	29			0.49	29		
6335	-243	-244	Max	22.09	0.05	14	0.38	27	0.01	27	28.92	27	2.80	27	0.00	13
6335	-243	-244	Min.	2.83	-0.70	27	-0.04	14	-0.06	27	-2.37	14	-2.84	27	-0.00	27
6335	-243	-244	Min.	18.24					-0.00	29			0.49	29		
6335	-243	-244	Min.	22.09	-0.70	27	-0.04	14	-0.02	14	-3.13	14	-0.26	14	-0.00	27
6336	-275	-276	Max	2.83	0.06	14	0.39	27	-0.01	13	29.85	27	0.27	14	0.00	13
6336	-275	-276	Max	17.74					-0.00	29			0.47	29		

6336	-275	-276	Max	21.47	0.06	14	0.39	27	0.01	27	29.12	27	2.73	27	0.00	13
6336	-275	-276	Min.	2.83	-0.67	27	-0.04	14	-0.06	27	-2.52	14	-2.76	27	-0.00	27
6336	-275	-276	Min.	17.74					-0.00	29			0.47	29		
6336	-275	-276	Min.	21.47	-0.67	27	-0.04	14	-0.02	14	-3.25	14	-0.26	14	-0.00	27
6337	-307	-308	Max	2.83	0.06	14	0.39	27	-0.01	13	30.04	27	0.28	14	0.00	13
6337	-307	-308	Max	17.24					-0.00	29			0.45	29		
6337	-307	-308	Max	20.84	0.06	14	0.39	27	0.01	27	29.33	27	2.66	27	0.00	13
6337	-307	-308	Min.	2.83	-0.68	27	-0.04	14	-0.06	27	-2.68	14	-2.69	27	-0.00	27
6337	-307	-308	Min.	17.24					-0.00	29			0.45	29		
6337	-307	-308	Min.	20.84	-0.68	27	-0.04	14	-0.02	14	-3.39	14	-0.27	14	-0.00	27
6338	-339	-340	Max	2.83	0.07	14	0.39	27	-0.01	13	30.25	27	0.28	14	0.00	13
6338	-339	-340	Max	20.22	0.07	14	0.39	27	0.01	27	29.56	27	2.59	27	0.00	13
6338	-339	-340	Min.	2.83	-0.65	27	-0.05	14	-0.06	27	-2.85	14	-2.61	27	-0.00	27
6338	-339	-340	Min.	20.22	-0.65	27	-0.05	14	-0.02	14	-3.53	14	-0.27	14	-0.00	27
6339	-371	-372	Max	2.83	0.08	14	0.40	27	-0.01	13	30.45	27	0.29	14	0.00	13
6339	-371	-372	Max	19.59	0.08	14	0.40	27	0.01	27	29.79	27	2.51	27	0.00	13
6339	-371	-372	Min.	2.83	-0.65	27	-0.05	14	-0.06	27	-3.03	14	-2.54	27	-0.00	27
6339	-371	-372	Min.	19.59	-0.65	27	-0.05	14	-0.02	14	-3.69	14	-0.27	14	-0.00	27
6340	-403	-404	Max	2.83	-0.14	13	0.40	27	-0.01	13	30.65	27	0.30	14	0.00	13
6340	-403	-404	Max	18.97	-0.14	13	0.40	27	0.01	27	30.02	27	2.44	27	0.00	13
6340	-403	-404	Min.	2.83	-1.07	27	-0.05	14	-0.06	27	-3.24	14	-2.45	27	-0.00	27
6340	-403	-404	Min.	18.97	-1.07	27	-0.05	14	-0.02	14	-3.87	14	-0.27	14	-0.00	27
6341	-435	-436	Max	2.83	2.59	27	0.40	27	-0.01	13	30.81	27	0.29	14	0.00	13
6341	-435	-436	Max	18.34	2.59	27	0.40	27	0.01	27	30.20	27	2.34	27	0.00	13
6341	-435	-436	Min.	2.83	1.25	29	-0.05	14	-0.06	27	-3.43	14	-2.40	27	-0.00	27
6341	-435	-436	Min.	18.34	1.25	29	-0.05	14	-0.02	14	-4.04	14	-0.29	14	-0.00	27
6342	-467	-468	Max	2.83	-9.84	13	0.38	27	-0.01	13	30.68	27	0.39	14	0.00	13
6342	-467	-468	Max	17.72	-9.84	13	0.38	27	0.00	27	30.09	27	2.42	27	0.00	13
6342	-467	-468	Min.	2.83	-22.56	27	-0.05	14	-0.05	27	-3.46	14	-2.10	27	-0.00	27
6342	-467	-468	Min.	17.72	-22.56	27	-0.05	14	-0.02	14	-4.04	14	-0.18	13	-0.00	27
6343	-499	-500	Max	2.83	126.52	27	0.31	27	-0.00	13	26.54	27	-0.25	13	0.00	29
6343	-499	-500	Max	17.09	126.52	27	0.31	27	0.00	27	25.98	27	0.75	27	0.00	29
6343	-499	-500	Min.	2.83	57.25	29	-0.05	14	-0.04	27	-3.47	14	-3.00	27	-0.00	27
6343	-499	-500	Min.	17.09	57.25	29	-0.05	14	-0.01	14	-4.03	14	-0.88	14	-0.00	27
6347	-507	-508	Max	3.53	-23.83	13	0.03	28	0.01	27	30.97	27	0.46	28	0.00	14
6347	-507	-508	Max	17.80	-23.83	13	0.03	28	-0.01	13	30.41	27	2.69	27	0.00	14
6347	-507	-508	Min.	3.53	-58.01	27	-0.39	27	-0.01	14	-2.47	28	-1.69	27	-0.00	27
6347	-507	-508	Min.	17.80	-58.01	27	-0.39	27	-0.05	27	-3.03	28	-0.00	13	-0.00	27
6348	-475	-476	Max	3.53	8.45	27	0.04	28	0.01	27	35.10	27	0.17	13	0.00	13
6348	-475	-476	Max	18.42	8.45	27	0.04	28	-0.01	13	34.52	27	2.53	27	0.00	13
6348	-475	-476	Min.	3.53	3.58	29	-0.46	27	-0.02	14	-2.57	14	-2.65	27	-0.00	27
6348	-475	-476	Min.	18.42	3.58	29	-0.46	27	-0.06	27	-3.16	14	-0.27	28	-0.00	27
6349	-443	-444	Max	3.53	-0.72	13	0.04	28	0.01	27	35.19	27	0.21	28	0.00	13
6349	-443	-444	Max	19.05	-0.72	13	0.04	28	-0.01	13	34.58	27	2.73	27	0.00	13
6349	-443	-444	Min.	3.53	-2.46	27	-0.47	27	-0.02	14	-2.51	14	-2.69	27	-0.00	27
6349	-443	-444	Min.	19.05	-2.46	27	-0.47	27	-0.06	27	-3.12	14	-0.23	14	-0.00	27
6350	-411	-412	Max	3.53	-0.05	28	0.04	28	0.01	27	34.83	27	0.20	13	0.00	13
6350	-411	-412	Max	19.67	-0.05	28	0.04	28	-0.01	13	34.19	27	2.79	27	0.00	13
6350	-411	-412	Min.	3.53	-0.88	27	-0.47	27	-0.02	14	-2.35	14	-2.78	27	-0.00	27
6350	-411	-412	Min.	19.67	-0.88	27	-0.47	27	-0.06	27	-2.99	14	-0.23	14	-0.00	27
6351	-379	-380	Max	3.53	-0.14	13	0.03	28	0.01	27	34.39	27	0.20	13	0.00	13
6351	-379	-380	Max	20.30	-0.14	13	0.03	28	-0.01	13	33.73	27	2.87	27	0.00	13
6351	-379	-380	Min.	3.53	-1.06	27	-0.46	27	-0.02	14	-2.21	14	-2.84	27	-0.00	27
6351	-379	-380	Min.	20.30	-1.06	27	-0.46	27	-0.06	27	-2.87	14	-0.23	14	-0.00	27
6352	-347	-348	Max	3.53	-0.13	13	0.03	28	0.02	27	33.97	27	0.19	13	0.00	13
6352	-347	-348	Max	20.92	-0.13	13	0.03	28	-0.01	13	33.29	27	2.93	27	0.00	13
6352	-347	-348	Min.	3.53	-1.05	27	-0.45	27	-0.02	14	-2.07	14	-2.91	27	-0.00	27
6352	-347	-348	Min.	20.92	-1.05	27	-0.45	27	-0.06	27	-2.75	14	-0.23	28	-0.00	27
6353	-315	-316	Max	3.53	-0.13	13	0.03	28	0.02	27	33.59	27	0.19	13	0.00	13

6353	-315	-316	Max	21.55	-0.13	13	0.03	28	-0.01	13	32.88	27	3.00	27	0.00	13
6353	-315	-316	Min.	3.53	-1.05	27	-0.45	27	-0.02	14	-1.94	14	-2.98	27	-0.00	27
6353	-315	-316	Min.	21.55	-1.05	27	-0.45	27	-0.06	27	-2.65	14	-0.22	28	-0.00	27
6354	-283	-284	Max	3.53	-0.13	13	0.03	28	0.02	27	33.23	27	0.19	13	0.00	13
6354	-283	-284	Max	22.17	-0.13	13	0.03	28	-0.01	13	32.50	27	3.07	27	0.00	13
6354	-283	-284	Min.	3.53	-1.03	27	-0.44	27	-0.02	14	-1.82	14	-3.05	27	-0.00	27
6354	-283	-284	Min.	22.17	-1.03	27	-0.44	27	-0.06	27	-2.55	14	-0.22	28	-0.00	27
6355	-251	-252	Max	3.53	-0.12	13	0.03	28	0.02	27	32.89	27	0.18	14	0.00	13
6355	-251	-252	Max	22.80	-0.12	13	0.03	28	-0.01	13	32.14	27	3.14	27	0.00	13
6355	-251	-252	Min.	3.53	-1.04	27	-0.44	27	-0.02	14	-1.70	14	-3.12	27	-0.00	27
6355	-251	-252	Min.	22.80	-1.04	27	-0.44	27	-0.06	27	-2.46	14	-0.22	28	-0.00	27
6356	-219	-220	Max	3.53	-0.12	13	0.03	28	0.02	27	32.57	27	0.18	14	0.00	13
6356	-219	-220	Max	23.42	-0.12	13	0.03	28	-0.01	13	31.78	27	3.21	27	0.00	13
6356	-219	-220	Min.	3.53	-1.02	27	-0.43	27	-0.01	14	-1.59	14	-3.19	27	-0.00	27
6356	-219	-220	Min.	23.42	-1.02	27	-0.43	27	-0.07	27	-2.38	14	-0.21	28	-0.00	27
6357	-187	-188	Max	3.53	-0.11	13	0.02	28	0.02	27	32.21	27	0.18	14	0.00	13
6357	-187	-188	Max	24.05	-0.11	13	0.02	28	-0.01	13	31.40	27	3.27	27	0.00	13
6357	-187	-188	Min.	3.53	-1.01	27	-0.42	27	-0.01	14	-1.49	14	-3.25	27	-0.00	27
6357	-187	-188	Min.	24.05	-1.01	27	-0.42	27	-0.07	27	-2.29	14	-0.21	28	-0.00	27
6358	-155	-156	Max	3.53	-0.13	13	0.02	28	0.02	27	31.64	27	0.17	14	0.00	13
6358	-155	-156	Max	24.67	-0.13	13	0.02	28	-0.01	13	30.81	27	3.31	27	0.00	13
6358	-155	-156	Min.	3.53	-1.03	27	-0.41	27	-0.01	14	-1.38	14	-3.29	27	-0.00	27
6358	-155	-156	Min.	24.67	-1.03	27	-0.41	27	-0.06	27	-2.21	14	-0.21	28	-0.00	27
6359	-123	-124	Max	3.53	-0.03	13	0.02	28	0.02	27	30.02	27	0.16	14	0.00	13
6359	-123	-124	Max	25.30	-0.03	13	0.02	28	-0.01	13	29.16	27	3.23	27	0.00	13
6359	-123	-124	Min.	3.53	-0.84	27	-0.37	27	-0.01	28	-1.22	14	-3.21	27	-0.00	27
6359	-123	-124	Min.	25.30	-0.84	27	-0.37	27	-0.06	27	-2.07	14	-0.20	28	-0.00	27
6360	-91	-92	Max	3.53	-0.95	28	0.01	28	0.02	27	23.86	27	0.12	28	0.00	13
6360	-91	-92	Max	25.92	-0.95	28	0.01	28	-0.00	13	22.98	27	2.62	27	0.00	13
6360	-91	-92	Min.	3.53	-2.48	27	-0.27	27	-0.01	28	-0.82	28	-2.62	27	-0.00	27
6360	-91	-92	Min.	25.92	-2.48	27	-0.27	27	-0.04	27	-1.70	28	-0.16	14	-0.00	27
6361	-59	-60	Max	3.53	17.20	27	0.00	28	0.00	27	28.24	27	0.38	14	0.00	28
6361	-59	-60	Max	26.55	17.20	27	0.00	28	-0.01	13	26.44	27	3.53	27	0.00	28
6361	-59	-60	Min.	3.53	8.83	28	-0.10	27	-0.01	28	-0.53	14	-2.76	27	-0.01	27
6361	-59	-60	Min.	26.55	8.83	28	-0.10	27	-0.02	27	-2.33	14	-0.00	28	-0.01	27
6362	-27	-28	Max	3.53	68.28	27	0.29	27	0.00	13	18.19	27	0.21	14	0.00	27
6362	-27	-28	Max	4.78					-0.00	14			0.21	14		
6362	-27	-28	Max	26.86	68.28	27	0.29	27	0.03	27	16.36	27	2.22	27	0.00	27
6362	-27	-28	Min.	3.53	34.19	28	-0.03	14	-0.04	27	0.09	13	-1.81	27	0.00	14
6362	-27	-28	Min.	4.71					-0.00	28			0.18	28		
6362	-27	-28	Min.	26.86	34.19	28	-0.03	14	-0.01	28	-1.74	13	-0.02	28	0.00	14
6363	376	377	Max	1.77	-12.94	13	3.39	27	-0.37	28	0.08	14	0.20	27	0.15	27
6363	376	377	Max	14.34					-0.40	14			0.01	14		
6363	376	377	Max	15.00	-12.94	13	2.45	27	-0.31	28	0.08	14	0.01	27	0.15	27
6363	376	377	Min.	1.77	-25.97	27	0.89	13	-1.04	27	-1.46	27	-0.01	28	-0.01	14
6363	376	377	Min.	13.68					-0.31	28			0.00	28		
6363	376	377	Min.	15.00	-25.97	27	-0.05	13	-0.65	27	-1.46	27	0.00	28	-0.01	14
6363	377	378	Max	0.00	-12.94	13	2.45	27	-0.31	28	0.08	14	0.01	27	0.15	27
6363	377	378	Max	10.59					-0.30	29			-0.04	29		
6363	377	378	Max	13.23	-12.94	13	1.51	27	-0.30	29	0.08	14	0.02	14	0.15	27
6363	377	378	Min.	0.00	-25.97	27	-0.05	13	-0.65	27	-1.46	27	0.00	28	-0.01	14
6363	377	378	Min.	10.59					-0.30	29			-0.04	29		
6363	377	378	Min.	13.23	-25.97	27	-0.99	13	-0.47	14	-1.46	27	-0.18	27	-0.01	14
6364	-539	-540	Max	0.00	0.08	28	1.43	14	0.13	27	0.33	27	0.06	14	0.07	14
6364	-539	-540	Max	12.00	0.08	28	1.43	14	0.08	14	1.93	27	0.18	27	0.07	14
6364	-539	-540	Min.	0.00	-0.97	27	-2.51	27	-0.09	14	-1.03	14	0.04	29	-0.10	27
6364	-539	-540	Min.	12.00	-0.97	27	-2.51	27	-0.17	27	0.58	14	0.03	28	-0.10	27
6365	-523	-524	Max	0.00	-0.07	28	1.67	14	-0.01	29	-0.51	27	0.07	27	0.10	14
6365	-523	-524	Max	12.00	-0.07	28	1.67	14	0.10	14	1.09	27	0.11	27	0.10	14

6365	-523	-524	Min.	0.00	-1.52	27	0.12	29	-0.10	14	-0.88	14	0.03	28	-0.14	27
6365	-523	-524	Min.	12.00	-1.52	27	0.12	29	0.01	29	0.73	14	0.02	28	-0.14	27
6367	349	361	Max	1.77	-1.51	13	-2.52	28	19.96	27	3.19	14	0.06	27	0.31	27
6367	349	361	Max	15.00	-1.51	13	-3.46	28	-0.64	28	3.19	14	0.31	14	0.31	27
6367	349	361	Min.	1.77	-244.94	27	-364.37	27	-0.25	28	-5.03	27	-0.11	14	-0.10	14
6367	349	361	Min.	15.00	-244.94	27	-365.31	27	-28.31	27	-5.03	27	-0.60	27	-0.10	14
6367	361	373	Max	0.00	13.55	28	315.93	27	1.63	28	5.80	27	0.28	14	0.11	14
6367	361	373	Max	13.23	13.55	28	314.99	27	18.63	27	5.80	27	0.09	27	0.11	14
6367	361	373	Min.	0.00	-227.10	27	-20.31	28	-23.11	27	-2.89	14	-0.67	27	-0.30	27
6367	361	373	Min.	13.23	-227.10	27	-21.25	28	-1.12	28	-2.89	14	-0.10	14	-0.30	27
6368	-17	-25	Max	3.53	200.02	27	0.09	27	-0.01	29	-4.06	29	1.12	27	0.00	13
6368	-17	-25	Max	26.86	200.02	27	0.09	27	0.01	27	-5.89	29	-0.55	13	0.00	13
6368	-17	-25	Min.	3.53	14.47	28	0.05	29	-0.01	27	-8.91	27	0.60	29	-0.00	27
6368	-17	-25	Min.	26.86	14.47	28	0.05	29	0.00	29	-10.74	27	-1.17	27	-0.00	27
6369	-49	-57	Max	3.53	74.20	27	0.16	27	-0.01	13	-8.22	29	3.27	27	0.00	13
6369	-49	-57	Max	26.55	74.20	27	0.16	27	0.02	28	-10.03	29	-0.68	29	0.00	13
6369	-49	-57	Min.	3.53	2.28	28	0.08	29	-0.02	27	-17.91	27	1.14	13	-0.00	27
6369	-49	-57	Min.	26.55	2.28	28	0.08	29	0.01	29	-19.72	27	-1.68	28	-0.00	27
6370	-81	-89	Max	3.53	-0.52	13	0.20	27	-0.01	13	-7.76	29	1.86	27	0.00	13
6370	-81	-89	Max	25.92	-0.52	13	0.20	27	0.02	28	-8.64	29	-0.94	29	0.00	13
6370	-81	-89	Min.	3.53	-4.01	27	0.10	29	-0.03	27	-16.56	27	0.89	29	-0.00	27
6370	-81	-89	Min.	25.92	-4.01	27	0.10	29	0.01	29	-17.44	27	-1.94	27	-0.00	27
6371	-113	-121	Max	3.53	0.03	27	0.27	27	-0.01	13	-10.26	29	2.38	27	0.00	13
6371	-113	-121	Max	25.30	0.03	27	0.27	27	0.02	28	-11.11	29	-1.18	29	0.00	13
6371	-113	-121	Min.	3.53	-0.29	28	0.13	29	-0.04	27	-21.75	27	1.14	29	-0.00	27
6371	-113	-121	Min.	25.30	-0.29	28	0.13	29	0.01	29	-22.60	27	-2.44	27	-0.00	27
6372	-145	-153	Max	3.53	-0.05	13	0.31	27	-0.01	13	-11.24	29	2.52	27	0.00	13
6372	-145	-153	Max	24.67	-0.05	13	0.31	27	0.03	28	-12.07	29	-1.25	29	0.00	13
6372	-145	-153	Min.	3.53	-0.31	28	0.15	29	-0.04	27	-23.77	27	1.21	29	-0.00	27
6372	-145	-153	Min.	24.67	-0.31	28	0.15	29	0.01	29	-24.60	27	-2.59	27	-0.00	27
6373	-177	-185	Max	3.53	-0.05	13	0.33	27	-0.02	13	-11.90	29	2.59	27	0.00	13
6373	-177	-185	Max	24.05	-0.05	13	0.33	27	0.03	28	-12.70	29	-1.28	29	0.00	13
6373	-177	-185	Min.	3.53	-0.32	28	0.16	29	-0.04	27	-25.12	27	1.24	29	-0.00	27
6373	-177	-185	Min.	24.05	-0.32	28	0.16	29	0.01	29	-25.93	27	-2.65	27	-0.00	27
6374	-209	-217	Max	3.53	-0.04	13	0.35	27	-0.02	13	-12.51	29	2.63	27	-0.00	13
6374	-209	-217	Max	23.42	-0.04	13	0.35	27	0.03	28	-13.29	29	-1.30	29	-0.00	13
6374	-209	-217	Min.	3.53	-0.31	28	0.17	29	-0.04	27	-26.38	27	1.26	29	-0.00	27
6374	-209	-217	Min.	23.42	-0.31	28	0.17	29	0.01	29	-27.16	27	-2.69	27	-0.00	27
6375	-241	-249	Max	3.53	-0.04	13	0.37	27	-0.02	13	-13.14	29	2.67	27	-0.00	13
6375	-241	-249	Max	22.80	-0.04	13	0.37	27	0.03	27	-13.90	29	-1.32	29	-0.00	13
6375	-241	-249	Min.	3.53	-0.31	28	0.18	29	-0.04	27	-27.69	27	1.28	29	-0.00	27
6375	-241	-249	Min.	22.80	-0.31	28	0.18	29	0.02	29	-28.44	27	-2.74	27	-0.00	27
6376	-273	-281	Max	3.53	-0.04	13	0.39	27	-0.02	13	-13.82	29	2.71	27	-0.00	13
6376	-273	-281	Max	22.17	-0.04	13	0.39	27	0.03	27	-14.56	29	-1.34	29	-0.00	13
6376	-273	-281	Min.	3.53	-0.31	28	0.19	29	-0.04	27	-29.08	27	1.30	29	-0.00	27
6376	-273	-281	Min.	22.17	-0.31	28	0.19	29	0.02	29	-29.82	27	-2.78	27	-0.00	27
6377	-305	-313	Max	3.53	-0.04	13	0.41	27	-0.02	13	-14.55	29	2.75	27	-0.00	13
6377	-305	-313	Max	21.55	-0.04	13	0.41	27	0.03	27	-15.25	29	-1.36	29	-0.00	13
6377	-305	-313	Min.	3.53	-0.31	28	0.20	29	-0.04	27	-30.57	27	1.32	29	-0.00	27
6377	-305	-313	Min.	21.55	-0.31	28	0.20	29	0.02	29	-31.28	27	-2.82	27	-0.00	27
6378	-337	-345	Max	3.53	-0.04	13	0.43	27	-0.02	13	-15.32	29	2.79	27	-0.00	13
6378	-337	-345	Max	20.92	-0.04	13	0.43	27	0.03	27	-16.01	29	-1.38	29	-0.00	13
6378	-337	-345	Min.	3.53	-0.30	28	0.21	29	-0.04	27	-32.17	27	1.34	29	-0.00	27
6378	-337	-345	Min.	20.92	-0.30	28	0.21	29	0.02	29	-32.85	27	-2.86	27	-0.00	27
6379	-369	-377	Max	3.53	-0.04	13	0.45	27	-0.02	13	-16.16	29	2.83	27	-0.00	13
6379	-369	-377	Max	20.30	-0.04	13	0.45	27	0.03	27	-16.82	29	-1.40	29	-0.00	13
6379	-369	-377	Min.	3.53	-0.32	28	0.22	29	-0.04	27	-33.89	27	1.36	29	-0.00	27
6379	-369	-377	Min.	20.30	-0.32	28	0.22	29	0.02	29	-34.55	27	-2.91	27	-0.00	27
6380	-401	-409	Max	3.53	-0.05	13	0.48	27	-0.02	13	-17.06	29	2.87	27	-0.00	13

6380	-401	-409	Max	19.67	-0.05	13	0.48	27	0.03	27	-17.69	29	-1.42	29	-0.00	13
6380	-401	-409	Min.	3.53	-0.32	28	0.23	29	-0.04	27	-35.74	27	1.38	29	-0.00	27
6380	-401	-409	Min.	19.67	-0.32	28	0.23	29	0.02	29	-36.38	27	-2.95	27	-0.00	27
6381	-433	-441	Max	3.53	0.16	27	0.50	27	-0.02	13	-17.99	29	2.90	27	-0.00	13
6381	-433	-441	Max	19.05	0.16	27	0.50	27	0.03	27	-18.60	29	-1.44	29	-0.00	13
6381	-433	-441	Min.	3.53	-0.17	28	0.24	29	-0.05	27	-37.66	27	1.40	29	-0.00	27
6381	-433	-441	Min.	19.05	-0.17	28	0.24	29	0.02	29	-38.27	27	-2.99	27	-0.00	27
6382	-465	-473	Max	3.53	-0.98	29	0.48	27	-0.02	13	-18.77	29	2.92	27	-0.00	13
6382	-465	-473	Max	18.42	-0.98	29	0.48	27	0.03	27	-19.35	29	-1.43	29	-0.00	13
6382	-465	-473	Min.	3.53	-2.09	27	0.23	29	-0.04	27	-39.27	27	1.40	29	-0.01	27
6382	-465	-473	Min.	18.42	-2.09	27	0.23	29	0.02	29	-39.86	27	-2.97	27	-0.01	27
6383	-497	-505	Max	3.53	10.94	27	0.59	27	-0.02	13	-18.03	29	2.57	27	0.02	27
6383	-497	-505	Max	17.80	10.94	27	0.59	27	0.04	27	-18.59	29	-1.37	29	0.02	27
6383	-497	-505	Min.	3.53	5.19	29	0.28	29	-0.05	27	-37.76	27	1.24	29	0.01	29
6383	-497	-505	Min.	17.80	5.19	29	0.28	29	0.02	29	-38.32	27	-2.85	27	0.01	29
6388	-498	-506	Max	2.83	25.94	27	-0.32	13	0.05	27	-19.84	13	2.93	27	-0.01	13
6388	-498	-506	Max	17.09	25.94	27	-0.32	13	-0.02	13	-20.40	13	-1.53	13	-0.01	13
6388	-498	-506	Min.	2.83	11.12	28	-0.69	27	0.02	29	-43.47	27	1.34	13	-0.03	27
6388	-498	-506	Min.	17.09	11.12	28	-0.69	27	-0.05	27	-44.03	27	-3.31	27	-0.03	27
6389	-466	-474	Max	2.83	-2.20	13	-0.26	13	0.04	27	-20.64	13	3.47	27	0.00	28
6389	-466	-474	Max	17.72	-2.20	13	-0.26	13	-0.02	13	-21.22	13	-1.53	13	0.00	28
6389	-466	-474	Min.	2.83	-4.48	27	-0.58	27	0.02	29	-45.25	27	1.59	13	0.00	27
6389	-466	-474	Min.	17.72	-4.48	27	-0.58	27	-0.05	27	-45.84	27	-3.31	27	0.00	27
6390	-434	-442	Max	2.83	0.69	27	-0.27	13	0.04	27	-19.81	13	3.43	27	0.00	13
6390	-434	-442	Max	18.34	0.69	27	-0.27	13	-0.02	13	-20.42	13	-1.55	13	0.00	13
6390	-434	-442	Min.	2.83	-0.03	28	-0.60	27	0.02	29	-43.47	27	1.57	13	-0.00	27
6390	-434	-442	Min.	18.34	-0.03	28	-0.60	27	-0.05	27	-44.08	27	-3.36	27	-0.00	27
6391	-402	-410	Max	2.83	-0.03	27	-0.26	13	0.04	27	-18.78	13	3.39	27	0.00	13
6391	-402	-410	Max	18.97	-0.03	27	-0.26	13	-0.02	13	-19.42	13	-1.53	13	0.00	13
6391	-402	-410	Min.	2.83	-0.35	28	-0.56	27	0.02	29	-41.25	27	1.55	13	-0.00	27
6391	-402	-410	Min.	18.97	-0.35	28	-0.56	27	-0.05	27	-41.89	27	-3.32	27	-0.00	27
6392	-370	-378	Max	2.83	0.04	27	-0.24	13	0.04	27	-17.80	13	3.34	27	0.00	13
6392	-370	-378	Max	19.59	0.04	27	-0.24	13	-0.02	13	-18.45	13	-1.51	13	0.00	13
6392	-370	-378	Min.	2.83	-0.32	28	-0.53	27	0.02	29	-39.12	27	1.53	13	-0.00	27
6392	-370	-378	Min.	19.59	-0.32	28	-0.53	27	-0.05	27	-39.77	27	-3.27	27	-0.00	27
6393	-338	-346	Max	2.83	0.05	27	-0.23	13	0.04	27	-16.87	13	3.29	27	0.00	13
6393	-338	-346	Max	20.22	0.05	27	-0.23	13	-0.02	13	-17.56	13	-1.49	13	0.00	13
6393	-338	-346	Min.	2.83	-0.31	28	-0.51	27	0.02	29	-37.12	27	1.51	13	-0.00	27
6393	-338	-346	Min.	20.22	-0.31	28	-0.51	27	-0.05	27	-37.80	27	-3.23	27	-0.00	27
6394	-306	-314	Max	2.83	0.03	27	-0.22	13	0.04	27	-16.02	13	3.24	27	0.00	13
6394	-306	-314	Max	20.84	0.03	27	-0.22	13	-0.02	13	-16.73	13	-1.47	13	0.00	13
6394	-306	-314	Min.	2.83	-0.33	28	-0.48	27	0.02	29	-35.27	27	1.48	13	-0.00	27
6394	-306	-314	Min.	20.84	-0.33	28	-0.48	27	-0.05	27	-35.98	27	-3.18	27	-0.00	27
6395	-274	-282	Max	2.83	0.04	27	-0.21	13	0.03	27	-15.22	13	3.19	27	0.00	13
6395	-274	-282	Max	21.47	0.04	27	-0.21	13	-0.02	13	-15.95	13	-1.45	13	0.00	13
6395	-274	-282	Min.	2.83	-0.32	28	-0.46	27	0.02	29	-33.55	27	1.46	13	-0.00	27
6395	-274	-282	Min.	21.47	-0.32	28	-0.46	27	-0.05	27	-34.29	27	-3.14	27	-0.00	27
6396	-242	-250	Max	2.83	0.04	27	-0.20	13	0.03	27	-14.47	13	3.14	27	0.00	13
6396	-242	-250	Max	22.09	0.04	27	-0.20	13	-0.02	13	-15.23	13	-1.43	13	0.00	13
6396	-242	-250	Min.	2.83	-0.31	28	-0.43	27	0.02	29	-31.94	27	1.44	13	-0.00	27
6396	-242	-250	Min.	22.09	-0.31	28	-0.43	27	-0.05	27	-32.70	27	-3.09	27	-0.00	27
6397	-210	-218	Max	2.83	0.04	27	-0.19	13	0.03	27	-13.77	13	3.09	27	0.00	13
6397	-210	-218	Max	22.72	0.04	27	-0.19	13	-0.02	13	-14.55	13	-1.40	13	0.00	13
6397	-210	-218	Min.	2.83	-0.32	28	-0.41	27	0.02	29	-30.43	27	1.41	13	-0.00	27
6397	-210	-218	Min.	22.72	-0.32	28	-0.41	27	-0.05	27	-31.21	27	-3.04	27	-0.00	27
6398	-178	-186	Max	2.83	0.04	27	-0.18	13	0.03	27	-13.10	13	3.03	27	0.00	13
6398	-178	-186	Max	23.34	0.04	27	-0.18	13	-0.02	13	-13.90	13	-1.38	13	0.00	13
6398	-178	-186	Min.	2.83	-0.33	28	-0.39	27	0.02	29	-28.98	27	1.39	13	-0.00	27
6398	-178	-186	Min.	23.34	-0.33	28	-0.39	27	-0.05	27	-29.79	27	-3.00	27	-0.00	27

6399	-146	-154	Max	2.83	0.04	27	-0.17	13	0.03	27	-12.38	13	2.96	27	0.00	13
6399	-146	-154	Max	23.97	0.04	27	-0.17	13	-0.02	13	-13.21	13	-1.35	13	0.00	13
6399	-146	-154	Min.	2.83	-0.32	28	-0.36	27	0.02	29	-27.43	27	1.35	13	-0.00	27
6399	-146	-154	Min.	23.97	-0.32	28	-0.36	27	-0.05	27	-28.26	27	-2.93	27	-0.00	27
6400	-114	-122	Max	2.83	0.18	27	-0.15	13	0.03	27	-11.31	13	2.79	27	0.00	13
6400	-114	-122	Max	24.59	0.18	27	-0.15	13	-0.01	13	-12.16	13	-1.28	13	0.00	13
6400	-114	-122	Min.	2.83	-0.17	28	-0.32	27	0.01	29	-25.10	27	1.28	13	-0.00	27
6400	-114	-122	Min.	24.59	-0.17	28	-0.32	27	-0.04	27	-25.96	27	-2.76	27	-0.00	27
6401	-82	-90	Max	2.83	-0.20	27	-0.10	13	0.02	27	-8.58	13	2.20	27	0.00	13
6401	-82	-90	Max	25.22	-0.20	27	-0.10	13	-0.01	13	-9.46	13	-1.02	13	0.00	13
6401	-82	-90	Min.	2.83	-2.26	28	-0.23	27	0.01	29	-19.17	27	1.00	13	-0.00	27
6401	-82	-90	Min.	25.22	-2.26	28	-0.23	27	-0.03	27	-20.05	27	-2.19	27	-0.00	27
6402	-50	-58	Max	2.83	40.22	14	-0.09	13	0.02	27	-9.04	13	2.50	27	0.00	28
6402	-50	-58	Max	25.84	40.22	14	-0.09	13	-0.01	13	-10.85	13	-0.57	13	0.00	28
6402	-50	-58	Min.	2.83	-6.95	27	-0.20	27	0.01	29	-20.83	27	1.44	29	0.00	27
6402	-50	-58	Min.	25.84	-6.95	27	-0.20	27	-0.03	27	-22.64	27	-2.50	27	0.00	27
6403	-18	-26	Max	2.83	113.03	14	-0.05	29	0.01	27	-4.75	13	1.60	27	0.00	28
6403	-18	-26	Max	26.15	113.03	14	-0.05	29	-0.01	29	-6.58	13	-0.60	29	0.00	28
6403	-18	-26	Min.	2.83	0.13	27	-0.12	27	0.01	13	-11.06	27	0.69	13	0.00	27
6403	-18	-26	Min.	26.15	0.13	27	-0.12	27	-0.01	27	-12.90	27	-1.20	27	0.00	27
6404	351	363	Max	1.77	41.64	27	8.00	27	-0.02	28	49.10	27	10.66	14	0.26	27
6404	351	363	Max	15.00	41.64	27	8.00	27	0.78	27	48.16	27	2.61	27	0.26	27
6404	351	363	Min.	1.77	-128.96	14	-1.34	28	-0.28	27	-194.68	14	-3.83	27	-0.14	14
6404	351	363	Min.	15.00	-128.96	14	-1.34	28	-0.20	14	-195.62	14	-15.17	14	-0.14	14
6404	363	375	Max	0.00	68.57	27	1.35	14	0.80	27	167.94	14	7.90	27	0.14	14
6404	363	375	Max	13.23	68.57	27	1.35	14	-0.01	28	167.00	14	9.83	14	0.14	14
6404	363	375	Min.	0.00	-114.37	14	-8.09	27	-0.20	14	-99.45	27	-12.33	14	-0.27	27
6404	363	375	Min.	13.23	-114.37	14	-8.09	27	-0.27	27	-100.39	27	-5.33	27	-0.27	27
6405	352	364	Max	1.77	-75.82	28	-83.55	28	32.83	27	2.07	14	0.08	27	0.50	27
6405	352	364	Max	15.00	-75.82	28	-84.49	28	-5.85	28	2.07	14	0.15	14	0.50	27
6405	352	364	Min.	1.77	-415.51	27	-553.07	27	5.27	28	-7.89	27	-0.12	14	-0.02	28
6405	352	364	Min.	15.00	-415.51	27	-554.01	27	-40.41	27	-7.89	27	-0.97	27	-0.02	28
6405	364	376	Max	0.00	-45.51	28	583.49	27	-7.98	28	7.80	27	0.17	14	0.02	28
6405	364	376	Max	13.23	-45.51	28	582.55	27	31.65	27	7.80	27	0.08	27	0.02	28
6405	364	376	Min.	0.00	-364.60	27	94.65	28	-45.50	27	-2.24	14	-0.95	27	-0.50	27
6405	364	376	Min.	13.23	-364.60	27	93.70	28	4.48	28	-2.24	14	-0.12	14	-0.50	27
6406	-19	-27	Max	3.53	336.74	27	0.23	27	-0.01	29	-13.43	29	3.78	27	0.00	13
6406	-19	-27	Max	26.86	336.74	27	0.23	27	0.03	27	-15.26	29	-1.62	13	0.00	13
6406	-19	-27	Min.	3.53	73.40	28	0.10	29	-0.03	27	-31.53	27	1.70	29	-0.00	27
6406	-19	-27	Min.	26.86	73.40	28	0.10	29	0.01	29	-33.36	27	-3.79	27	-0.00	27
6407	-51	-59	Max	3.53	124.71	27	0.40	27	-0.02	13	-18.74	29	6.95	27	0.00	13
6407	-51	-59	Max	26.55	124.71	27	0.40	27	0.04	27	-20.55	29	-1.50	29	0.00	13
6407	-51	-59	Min.	3.53	23.98	28	0.18	29	-0.05	27	-43.39	27	2.68	13	0.00	27
6407	-51	-59	Min.	26.55	23.98	28	0.18	29	0.02	29	-45.20	27	-3.24	27	0.00	27
6408	-83	-91	Max	3.53	-1.75	13	0.44	27	-0.02	13	-15.97	29	4.07	27	0.00	13
6408	-83	-91	Max	25.92	-1.75	13	0.44	27	0.04	27	-16.84	29	-1.87	29	0.00	13
6408	-83	-91	Min.	3.53	-6.69	27	0.20	29	-0.06	27	-36.50	27	1.80	29	-0.00	27
6408	-83	-91	Min.	25.92	-6.69	27	0.20	29	0.02	29	-37.38	27	-4.20	27	-0.00	27
6409	-115	-123	Max	3.53	0.09	27	0.60	27	-0.03	13	-20.88	29	5.17	27	0.00	13
6409	-115	-123	Max	25.30	0.09	27	0.60	27	0.05	27	-21.74	29	-2.35	29	0.00	13
6409	-115	-123	Min.	3.53	-0.26	28	0.26	29	-0.08	27	-47.56	27	2.29	29	-0.00	27
6409	-115	-123	Min.	25.30	-0.26	28	0.26	29	0.03	29	-48.41	27	-5.27	27	-0.00	27
6410	-147	-155	Max	3.53	-0.06	13	0.67	27	-0.03	13	-22.81	29	5.47	27	0.00	13
6410	-147	-155	Max	24.67	-0.06	13	0.67	27	0.06	27	-23.64	29	-2.49	29	0.00	13
6410	-147	-155	Min.	3.53	-0.33	28	0.30	29	-0.08	27	-51.89	27	2.42	29	-0.00	27
6410	-147	-155	Min.	24.67	-0.33	28	0.30	29	0.03	29	-52.72	27	-5.58	27	-0.00	27
6411	-179	-187	Max	3.53	-0.06	13	0.72	27	-0.03	13	-24.11	29	5.60	27	0.00	13
6411	-179	-187	Max	24.05	-0.06	13	0.72	27	0.06	27	-24.91	29	-2.54	29	0.00	13
6411	-179	-187	Min.	3.53	-0.33	28	0.32	29	-0.09	27	-54.79	27	2.48	29	-0.00	27

6411	-179	-187	Min.	24.05	-0.33	28	0.32	29	0.03	29	-55.59	27	-5.72	27	-0.00	27
6412	-211	-219	Max	3.53	-0.06	13	0.76	27	-0.03	13	-25.31	29	5.70	27	0.00	13
6412	-211	-219	Max	23.42	-0.06	13	0.76	27	0.06	27	-26.09	29	-2.59	29	0.00	13
6412	-211	-219	Min.	3.53	-0.32	28	0.34	29	-0.09	27	-57.49	27	2.52	29	-0.00	27
6412	-211	-219	Min.	23.42	-0.32	28	0.34	29	0.03	29	-58.27	27	-5.81	27	-0.00	27
6413	-243	-251	Max	3.53	-0.05	13	0.80	27	-0.03	13	-26.57	29	5.78	27	0.00	13
6413	-243	-251	Max	22.80	-0.05	13	0.80	27	0.07	27	-27.33	29	-2.63	29	0.00	13
6413	-243	-251	Min.	3.53	-0.32	28	0.36	29	-0.09	27	-60.31	27	2.56	29	-0.00	27
6413	-243	-251	Min.	22.80	-0.32	28	0.36	29	0.03	29	-61.06	27	-5.90	27	-0.00	27
6414	-275	-283	Max	3.53	-0.06	13	0.84	27	-0.03	13	-27.92	29	5.87	27	0.00	13
6414	-275	-283	Max	22.17	-0.06	13	0.84	27	0.07	27	-28.65	29	-2.67	29	0.00	13
6414	-275	-283	Min.	3.53	-0.33	28	0.37	29	-0.09	27	-63.32	27	2.60	29	-0.00	27
6414	-275	-283	Min.	22.17	-0.33	28	0.37	29	0.03	29	-64.05	27	-6.00	27	-0.00	27
6415	-307	-315	Max	3.53	-0.06	13	0.89	27	-0.03	13	-29.35	29	5.96	27	0.00	13
6415	-307	-315	Max	21.55	-0.06	13	0.89	27	0.07	27	-30.06	29	-2.71	29	0.00	13
6415	-307	-315	Min.	3.53	-0.33	28	0.39	29	-0.09	27	-66.53	27	2.64	29	-0.00	27
6415	-307	-315	Min.	21.55	-0.33	28	0.39	29	0.03	29	-67.24	27	-6.09	27	-0.00	27
6416	-339	-347	Max	3.53	-0.05	13	0.93	27	-0.04	13	-30.89	29	6.05	27	0.00	13
6416	-339	-347	Max	20.92	-0.05	13	0.93	27	0.07	27	-31.57	29	-2.75	29	0.00	13
6416	-339	-347	Min.	3.53	-0.32	28	0.42	29	-0.09	27	-69.98	27	2.68	29	-0.00	27
6416	-339	-347	Min.	20.92	-0.32	28	0.42	29	0.03	29	-70.67	27	-6.18	27	-0.00	27
6417	-371	-379	Max	3.53	-0.06	13	0.99	27	-0.04	13	-32.55	29	6.13	27	0.00	13
6417	-371	-379	Max	20.30	-0.06	13	0.99	27	0.07	27	-33.21	29	-2.79	29	0.00	13
6417	-371	-379	Min.	3.53	-0.33	28	0.44	29	-0.09	27	-73.71	27	2.72	29	-0.00	27
6417	-371	-379	Min.	20.30	-0.33	28	0.44	29	0.03	29	-74.36	27	-6.28	27	-0.00	27
6418	-403	-411	Max	3.53	-0.11	13	1.04	27	-0.04	13	-34.33	29	6.22	27	-0.00	13
6418	-403	-411	Max	19.67	-0.11	13	1.04	27	0.07	27	-34.96	29	-2.83	29	-0.00	13
6418	-403	-411	Min.	3.53	-0.37	28	0.46	29	-0.09	27	-77.69	27	2.76	29	-0.00	27
6418	-403	-411	Min.	19.67	-0.37	28	0.46	29	0.03	29	-78.33	27	-6.37	27	-0.00	27
6419	-435	-443	Max	3.53	0.58	27	1.10	27	-0.04	13	-36.17	29	6.29	27	0.00	13
6419	-435	-443	Max	19.05	0.58	27	1.10	27	0.08	27	-36.78	29	-2.87	29	0.00	13
6419	-435	-443	Min.	3.53	0.08	28	0.49	29	-0.09	27	-81.83	27	2.79	29	-0.00	27
6419	-435	-443	Min.	19.05	0.08	28	0.49	29	0.04	29	-82.44	27	-6.45	27	-0.00	27
6420	-467	-475	Max	3.53	-2.80	29	1.05	27	-0.03	13	-37.70	29	6.33	27	-0.00	13
6420	-467	-475	Max	18.42	-2.80	29	1.05	27	0.07	27	-38.28	29	-2.85	29	-0.00	13
6420	-467	-475	Min.	3.53	-5.50	27	0.47	29	-0.09	27	-85.25	27	2.81	29	-0.01	27
6420	-467	-475	Min.	18.42	-5.50	27	0.47	29	0.03	29	-85.83	27	-6.41	27	-0.01	27
6421	-499	-507	Max	3.53	30.06	27	1.25	27	-0.04	13	-36.00	29	5.48	27	0.04	27
6421	-499	-507	Max	17.80	30.06	27	1.25	27	0.08	27	-36.56	29	-2.76	29	0.04	27
6421	-499	-507	Min.	3.53	15.41	29	0.56	29	-0.10	27	-81.45	27	2.41	29	0.02	29
6421	-499	-507	Min.	17.80	15.41	29	0.56	29	0.04	29	-82.01	27	-6.18	27	0.02	29
6426	-500	-508	Max	2.83	39.98	27	-0.57	13	0.09	27	-37.06	13	5.87	27	-0.02	13
6426	-500	-508	Max	17.09	39.98	27	-0.57	13	-0.04	13	-37.62	13	-2.78	13	-0.02	13
6426	-500	-508	Min.	2.83	14.50	28	-1.33	27	0.04	29	-85.88	27	2.55	13	-0.04	27
6426	-500	-508	Min.	17.09	14.50	28	-1.33	27	-0.10	27	-86.44	27	-6.42	27	-0.04	27
6427	-468	-476	Max	2.83	-2.88	13	-0.49	13	0.08	27	-38.69	13	6.84	27	0.00	27
6427	-468	-476	Max	17.72	-2.88	13	-0.49	13	-0.04	13	-39.27	13	-2.85	13	0.00	27
6427	-468	-476	Min.	2.83	-6.89	27	-1.13	27	0.03	29	-89.69	27	2.96	13	0.00	29
6427	-468	-476	Min.	17.72	-6.89	27	-1.13	27	-0.09	27	-90.27	27	-6.56	27	0.00	29
6428	-436	-444	Max	2.83	1.10	27	-0.50	13	0.08	27	-37.17	13	6.78	27	0.00	13
6428	-436	-444	Max	18.34	1.10	27	-0.50	13	-0.04	13	-37.78	13	-2.88	13	0.00	13
6428	-436	-444	Min.	2.83	0.07	28	-1.17	27	0.04	29	-86.21	27	2.93	13	-0.00	27
6428	-436	-444	Min.	18.34	0.07	28	-1.17	27	-0.10	27	-86.82	27	-6.64	27	-0.00	27
6429	-404	-412	Max	2.83	-0.01	27	-0.48	13	0.08	27	-35.27	13	6.71	27	0.00	28
6429	-404	-412	Max	18.97	-0.01	27	-0.48	13	-0.04	13	-35.90	13	-2.84	13	0.00	28
6429	-404	-412	Min.	2.83	-0.34	28	-1.10	27	0.04	29	-81.85	27	2.90	13	-0.00	27
6429	-404	-412	Min.	18.97	-0.34	28	-1.10	27	-0.10	27	-82.48	27	-6.55	27	-0.00	27
6430	-372	-380	Max	2.83	0.09	27	-0.45	13	0.08	27	-33.44	13	6.61	27	0.00	28
6430	-372	-380	Max	19.59	0.09	27	-0.45	13	-0.04	13	-34.10	13	-2.80	13	0.00	28

6430	-372	-380	Min.	2.83	-0.31	28	-1.05	27	0.04	29	-77.64	27	2.86	13	-0.00	27
6430	-372	-380	Min.	19.59	-0.31	28	-1.05	27	-0.10	27	-78.30	27	-6.46	27	-0.00	27
6431	-340	-348	Max	2.83	0.11	27	-0.43	13	0.08	27	-31.73	13	6.50	27	0.00	28
6431	-340	-348	Max	20.22	0.11	27	-0.43	13	-0.04	13	-32.42	13	-2.77	13	0.00	28
6431	-340	-348	Min.	2.83	-0.29	28	-0.99	27	0.04	29	-73.71	27	2.81	13	-0.00	27
6431	-340	-348	Min.	20.22	-0.29	28	-0.99	27	-0.10	27	-74.39	27	-6.37	27	-0.00	27
6432	-308	-316	Max	2.83	0.08	27	-0.41	13	0.07	27	-30.15	13	6.40	27	0.00	28
6432	-308	-316	Max	20.84	0.08	27	-0.41	13	-0.04	13	-30.86	13	-2.73	13	0.00	28
6432	-308	-316	Min.	2.83	-0.31	28	-0.94	27	0.03	29	-70.07	27	2.77	13	-0.00	27
6432	-308	-316	Min.	20.84	-0.31	28	-0.94	27	-0.10	27	-70.78	27	-6.28	27	-0.00	27
6433	-276	-284	Max	2.83	0.09	27	-0.39	13	0.07	27	-28.68	13	6.30	27	0.00	28
6433	-276	-284	Max	21.47	0.09	27	-0.39	13	-0.04	13	-29.41	13	-2.69	13	0.00	28
6433	-276	-284	Min.	2.83	-0.31	28	-0.90	27	0.03	29	-66.69	27	2.73	13	-0.00	27
6433	-276	-284	Min.	21.47	-0.31	28	-0.90	27	-0.09	27	-67.42	27	-6.19	27	-0.00	27
6434	-244	-252	Max	2.83	0.09	27	-0.37	13	0.07	27	-27.30	13	6.21	27	0.00	28
6434	-244	-252	Max	22.09	0.09	27	-0.37	13	-0.03	13	-28.05	13	-2.65	13	0.00	28
6434	-244	-252	Min.	2.83	-0.30	28	-0.85	27	0.03	29	-63.51	27	2.68	13	-0.00	27
6434	-244	-252	Min.	22.09	-0.30	28	-0.85	27	-0.09	27	-64.27	27	-6.10	27	-0.00	27
6435	-212	-220	Max	2.83	0.09	27	-0.35	13	0.07	27	-26.00	13	6.11	27	0.00	28
6435	-212	-220	Max	22.72	0.09	27	-0.35	13	-0.03	13	-26.78	13	-2.61	13	0.00	28
6435	-212	-220	Min.	2.83	-0.31	28	-0.81	27	0.03	29	-60.55	27	2.64	13	-0.00	27
6435	-212	-220	Min.	22.72	-0.31	28	-0.81	27	-0.09	27	-61.33	27	-6.01	27	-0.00	27
6436	-180	-188	Max	2.83	0.07	27	-0.33	13	0.07	27	-24.76	13	6.00	27	0.00	28
6436	-180	-188	Max	23.34	0.07	27	-0.33	13	-0.03	13	-25.57	13	-2.57	13	0.00	28
6436	-180	-188	Min.	2.83	-0.31	28	-0.77	27	0.03	29	-57.69	27	2.59	13	-0.00	27
6436	-180	-188	Min.	23.34	-0.31	28	-0.77	27	-0.09	27	-58.50	27	-5.91	27	-0.00	27
6437	-148	-156	Max	2.83	0.08	27	-0.31	13	0.06	27	-23.43	13	5.86	27	0.00	28
6437	-148	-156	Max	23.97	0.08	27	-0.31	13	-0.03	13	-24.26	13	-2.51	13	0.00	28
6437	-148	-156	Min.	2.83	-0.31	28	-0.71	27	0.03	29	-54.64	27	2.53	13	-0.00	27
6437	-148	-156	Min.	23.97	-0.31	28	-0.71	27	-0.09	27	-55.47	27	-5.78	27	-0.00	27
6438	-116	-124	Max	2.83	0.31	27	-0.27	13	0.06	27	-21.45	13	5.53	27	0.00	28
6438	-116	-124	Max	24.59	0.31	27	-0.27	13	-0.03	13	-22.30	13	-2.37	13	0.00	28
6438	-116	-124	Min.	2.83	-0.12	28	-0.63	27	0.03	29	-50.08	27	2.39	13	-0.00	27
6438	-116	-124	Min.	24.59	-0.12	28	-0.63	27	-0.08	27	-50.94	27	-5.46	27	-0.00	27
6439	-84	-92	Max	2.83	-0.38	27	-0.20	13	0.04	27	-16.42	13	4.37	27	0.00	13
6439	-84	-92	Max	25.22	-0.38	27	-0.20	13	-0.02	13	-17.30	13	-1.89	13	0.00	13
6439	-84	-92	Min.	2.83	-2.48	14	-0.46	27	0.02	29	-38.47	27	1.88	13	-0.00	27
6439	-84	-92	Min.	25.22	-2.48	14	-0.46	27	-0.06	27	-39.35	27	-4.34	27	-0.00	27
6440	-52	-60	Max	2.83	41.73	14	-0.18	13	0.04	27	-19.08	13	5.39	27	0.00	28
6440	-52	-60	Max	25.84	41.73	14	-0.18	13	-0.02	13	-20.88	13	-1.69	13	0.00	28
6440	-52	-60	Min.	2.83	-8.95	27	-0.43	27	0.02	29	-45.47	27	2.59	29	0.00	27
6440	-52	-60	Min.	25.84	-8.95	27	-0.43	27	-0.05	27	-47.28	27	-5.29	27	0.00	27
6441	-20	-28	Max	2.83	122.51	14	-0.11	13	0.03	27	-13.82	13	4.32	27	0.00	28
6441	-20	-28	Max	26.15	122.51	14	-0.11	13	-0.01	29	-15.65	13	-1.60	29	0.00	28
6441	-20	-28	Min.	2.83	5.38	27	-0.25	27	0.01	13	-33.18	27	1.80	13	0.00	27
6441	-20	-28	Min.	26.15	5.38	27	-0.25	27	-0.03	27	-35.01	27	-3.64	27	0.00	27
6442	354	366	Max	1.77	51.16	27	11.95	27	-0.07	28	126.00	27	10.01	14	0.42	27
6442	354	366	Max	15.00	51.16	27	11.95	27	1.17	27	125.06	27	10.34	27	0.42	27
6442	354	366	Min.	1.77	-132.37	14	0.26	28	-0.41	27	-165.24	14	-6.27	27	-0.06	14
6442	354	366	Min.	15.00	-132.37	14	0.26	28	-0.03	28	-166.18	14	-11.92	14	-0.06	14
6442	366	378	Max	0.00	108.94	27	-0.52	28	1.26	27	180.75	14	5.33	27	0.07	14
6442	366	378	Max	13.23	108.94	27	-0.52	28	-0.07	28	179.81	14	9.29	14	0.07	14
6442	366	378	Min.	0.00	-101.67	14	-12.69	27	0.00	28	-97.14	27	-14.57	14	-0.42	27
6442	366	378	Min.	13.23	-101.67	14	-12.69	27	-0.42	27	-98.09	27	-7.58	27	-0.42	27
6443	355	367	Max	1.77	-113.77	28	-138.67	28	36.69	27	0.49	14	0.12	27	0.59	27
6443	355	367	Max	15.00	-113.77	28	-139.61	28	-9.97	28	0.49	14	-0.02	14	0.59	27
6443	355	367	Min.	1.77	-461.19	27	-620.43	27	8.44	28	-9.82	27	-0.09	14	0.06	28
6443	355	367	Min.	15.00	-461.19	27	-621.37	27	-45.47	27	-9.82	27	-1.18	27	0.06	28
6443	367	379	Max	0.00	-82.24	28	648.96	27	-12.08	28	9.48	27	0.01	14	-0.06	28

6443	367	379	Max	13.23	-82.24	28	648.02	27	35.45	27	9.48	27	0.12	27	-0.06	28
6443	367	379	Min.	0.00	-407.91	27	149.53	28	-50.36	27	-0.78	14	-1.13	27	-0.59	27
6443	367	379	Min.	13.23	-407.91	27	148.59	28	7.64	28	-0.78	14	-0.09	14	-0.59	27
6444	-21	-29	Max	3.53	368.87	27	0.24	27	-0.01	29	-13.55	29	3.79	27	0.00	13
6444	-21	-29	Max	26.86	368.87	27	0.24	27	0.03	27	-15.39	29	-1.66	13	0.00	13
6444	-21	-29	Min.	3.53	100.56	28	0.10	29	-0.03	27	-31.84	27	1.69	29	0.00	27
6444	-21	-29	Min.	26.86	100.56	28	0.10	29	0.01	29	-33.67	27	-3.85	27	0.00	27
6445	-53	-61	Max	3.53	137.45	27	0.41	27	-0.02	13	-19.00	29	7.21	27	0.00	14
6445	-53	-61	Max	26.55	137.45	27	0.41	27	0.04	27	-20.80	29	-1.38	29	0.00	14
6445	-53	-61	Min.	3.53	34.72	28	0.18	29	-0.06	27	-44.01	27	2.88	13	0.00	27
6445	-53	-61	Min.	26.55	34.72	28	0.18	29	0.02	29	-45.81	27	-3.13	27	0.00	27
6446	-85	-93	Max	3.53	-2.24	13	0.44	27	-0.02	13	-16.17	29	4.13	27	0.00	14
6446	-85	-93	Max	25.92	-2.24	13	0.44	27	0.04	27	-17.05	29	-1.90	29	0.00	14
6446	-85	-93	Min.	3.53	-7.28	27	0.20	29	-0.06	27	-37.02	27	1.82	29	0.00	27
6446	-85	-93	Min.	25.92	-7.28	27	0.20	29	0.02	29	-37.90	27	-4.26	27	0.00	27
6447	-117	-125	Max	3.53	0.10	27	0.60	27	-0.03	13	-21.15	29	5.24	27	0.00	14
6447	-117	-125	Max	25.30	0.10	27	0.60	27	0.05	27	-22.00	29	-2.38	29	0.00	14
6447	-117	-125	Min.	3.53	-0.25	28	0.27	29	-0.08	27	-48.24	27	2.32	29	0.00	27
6447	-117	-125	Min.	25.30	-0.25	28	0.27	29	0.02	29	-49.09	27	-5.35	27	0.00	27
6448	-149	-157	Max	3.53	-0.07	13	0.68	27	-0.03	13	-23.10	29	5.55	27	0.00	14
6448	-149	-157	Max	24.67	-0.07	13	0.68	27	0.06	27	-23.93	29	-2.52	29	0.00	14
6448	-149	-157	Min.	3.53	-0.34	28	0.30	29	-0.09	27	-52.63	27	2.46	29	0.00	27
6448	-149	-157	Min.	24.67	-0.34	28	0.30	29	0.03	29	-53.46	27	-5.66	27	0.00	27
6449	-181	-189	Max	3.53	-0.07	13	0.73	27	-0.03	13	-24.42	29	5.68	27	0.00	14
6449	-181	-189	Max	24.05	-0.07	13	0.73	27	0.06	27	-25.22	29	-2.58	29	0.00	14
6449	-181	-189	Min.	3.53	-0.35	28	0.33	29	-0.09	27	-55.57	27	2.51	29	0.00	27
6449	-181	-189	Min.	24.05	-0.35	28	0.33	29	0.03	29	-56.38	27	-5.80	27	0.00	27
6450	-213	-221	Max	3.53	-0.07	13	0.77	27	-0.04	13	-25.64	29	5.78	27	0.00	14
6450	-213	-221	Max	23.42	-0.07	13	0.77	27	0.06	27	-26.42	29	-2.62	29	0.00	14
6450	-213	-221	Min.	3.53	-0.34	28	0.34	29	-0.09	27	-58.31	27	2.56	29	0.00	27
6450	-213	-221	Min.	23.42	-0.34	28	0.34	29	0.03	29	-59.09	27	-5.90	27	0.00	27
6451	-245	-253	Max	3.53	-0.06	13	0.82	27	-0.04	13	-26.91	29	5.87	27	0.00	14
6451	-245	-253	Max	22.80	-0.06	13	0.82	27	0.07	27	-27.67	29	-2.66	29	0.00	14
6451	-245	-253	Min.	3.53	-0.33	28	0.36	29	-0.09	27	-61.17	27	2.60	29	0.00	27
6451	-245	-253	Min.	22.80	-0.33	28	0.36	29	0.03	29	-61.93	27	-5.99	27	0.00	27
6452	-277	-285	Max	3.53	-0.07	13	0.86	27	-0.04	13	-28.27	29	5.96	27	0.00	14
6452	-277	-285	Max	22.17	-0.07	13	0.86	27	0.07	27	-29.01	29	-2.70	29	0.00	14
6452	-277	-285	Min.	3.53	-0.34	28	0.38	29	-0.09	27	-64.23	27	2.64	29	0.00	27
6452	-277	-285	Min.	22.17	-0.34	28	0.38	29	0.03	29	-64.96	27	-6.08	27	0.00	27
6453	-309	-317	Max	3.53	-0.08	13	0.90	27	-0.04	13	-29.73	29	6.04	27	0.00	14
6453	-309	-317	Max	21.55	-0.08	13	0.90	27	0.07	27	-30.43	29	-2.74	29	0.00	14
6453	-309	-317	Min.	3.53	-0.35	28	0.40	29	-0.09	27	-67.49	27	2.68	29	0.00	27
6453	-309	-317	Min.	21.55	-0.35	28	0.40	29	0.03	29	-68.20	27	-6.18	27	0.00	27
6454	-341	-349	Max	3.53	-0.06	13	0.95	27	-0.04	13	-31.29	29	6.13	27	0.00	14
6454	-341	-349	Max	20.92	-0.06	13	0.95	27	0.07	27	-31.97	29	-2.78	29	0.00	14
6454	-341	-349	Min.	3.53	-0.33	28	0.42	29	-0.10	27	-70.99	27	2.71	29	-0.00	27
6454	-341	-349	Min.	20.92	-0.33	28	0.42	29	0.03	29	-71.67	27	-6.27	27	-0.00	27
6455	-373	-381	Max	3.53	-0.08	13	1.00	27	-0.04	13	-32.97	29	6.22	27	0.00	14
6455	-373	-381	Max	20.30	-0.08	13	1.00	27	0.07	27	-33.63	29	-2.83	29	0.00	14
6455	-373	-381	Min.	3.53	-0.35	28	0.45	29	-0.10	27	-74.77	27	2.75	29	-0.00	27
6455	-373	-381	Min.	20.30	-0.35	28	0.45	29	0.03	29	-75.43	27	-6.37	27	-0.00	27
6456	-405	-413	Max	3.53	-0.12	13	1.06	27	-0.04	13	-34.77	29	6.31	27	0.00	14
6456	-405	-413	Max	19.67	-0.12	13	1.06	27	0.07	27	-35.40	29	-2.87	29	0.00	14
6456	-405	-413	Min.	3.53	-0.38	28	0.47	29	-0.10	27	-78.82	27	2.79	29	-0.00	27
6456	-405	-413	Min.	19.67	-0.38	28	0.47	29	0.03	29	-79.45	27	-6.46	27	-0.00	27
6457	-437	-445	Max	3.53	0.54	27	1.12	27	-0.04	13	-36.63	29	6.38	27	0.00	14
6457	-437	-445	Max	19.05	0.54	27	1.12	27	0.08	27	-37.24	29	-2.91	29	0.00	14
6457	-437	-445	Min.	3.53	0.04	28	0.50	29	-0.10	27	-83.01	27	2.82	29	0.00	27
6457	-437	-445	Min.	19.05	0.04	28	0.50	29	0.03	29	-83.62	27	-6.55	27	0.00	27

6458	-469	-477	Max	3.53	-2.69	29	1.08	27	-0.04	13	-38.18	29	6.41	27	-0.00	13
6458	-469	-477	Max	18.42	-2.69	29	1.08	27	0.07	27	-38.76	29	-2.88	29	-0.00	13
6458	-469	-477	Min.	3.53	-5.36	27	0.48	29	-0.09	27	-86.47	27	2.84	29	-0.01	27
6458	-469	-477	Min.	18.42	-5.36	27	0.48	29	0.03	29	-87.05	27	-6.50	27	-0.01	27
6459	-501	-509	Max	3.53	29.04	27	1.27	27	-0.04	13	-36.45	29	5.56	27	0.04	27
6459	-501	-509	Max	17.80	29.04	27	1.27	27	0.08	27	-37.01	29	-2.79	29	0.04	27
6459	-501	-509	Min.	3.53	14.55	29	0.56	29	-0.10	27	-82.57	27	2.45	29	0.02	29
6459	-501	-509	Min.	17.80	14.55	29	0.56	29	0.04	29	-83.13	27	-6.25	27	0.02	29
6464	-502	-510	Max	2.83	40.83	27	-0.56	13	0.08	27	-36.42	13	5.69	27	-0.02	13
6464	-502	-510	Max	17.09	40.83	27	-0.56	13	-0.04	13	-36.98	13	-2.74	13	-0.02	13
6464	-502	-510	Min.	2.83	15.35	28	-1.29	27	0.04	29	-83.49	27	2.50	13	-0.04	27
6464	-502	-510	Min.	17.09	15.35	28	-1.29	27	-0.10	27	-84.05	27	-6.25	27	-0.04	27
6465	-470	-478	Max	2.83	-2.99	13	-0.47	13	0.07	27	-37.99	13	6.65	27	0.01	27
6465	-470	-478	Max	17.72	-2.99	13	-0.47	13	-0.04	13	-38.58	13	-2.79	13	0.01	27
6465	-470	-478	Min.	2.83	-6.99	27	-1.09	27	0.03	29	-87.13	27	2.91	13	0.00	29
6465	-470	-478	Min.	17.72	-6.99	27	-1.09	27	-0.09	27	-87.72	27	-6.37	27	0.00	29
6466	-438	-446	Max	2.83	1.14	27	-0.49	13	0.08	27	-36.50	13	6.59	27	0.00	14
6466	-438	-446	Max	18.34	1.14	27	-0.49	13	-0.04	13	-37.11	13	-2.83	13	0.00	14
6466	-438	-446	Min.	2.83	0.11	28	-1.13	27	0.03	29	-83.74	27	2.88	13	0.00	27
6466	-438	-446	Min.	18.34	0.11	28	-1.13	27	-0.10	27	-84.35	27	-6.45	27	0.00	27
6467	-406	-414	Max	2.83	0.00	27	-0.47	13	0.07	27	-34.64	13	6.52	27	0.00	14
6467	-406	-414	Max	18.97	0.00	27	-0.47	13	-0.04	13	-35.27	13	-2.79	13	0.00	14
6467	-406	-414	Min.	2.83	-0.32	28	-1.07	27	0.03	29	-79.51	27	2.85	13	0.00	29
6467	-406	-414	Min.	18.97	-0.32	28	-1.07	27	-0.10	27	-80.14	27	-6.36	27	0.00	29
6468	-374	-382	Max	2.83	0.11	27	-0.44	13	0.07	27	-32.84	13	6.42	27	0.00	14
6468	-374	-382	Max	19.59	0.11	27	-0.44	13	-0.04	13	-33.50	13	-2.75	13	0.00	14
6468	-374	-382	Min.	2.83	-0.29	28	-1.02	27	0.03	29	-75.42	27	2.81	13	0.00	27
6468	-374	-382	Min.	19.59	-0.29	28	-1.02	27	-0.10	27	-76.08	27	-6.28	27	0.00	27
6469	-342	-350	Max	2.83	0.12	27	-0.42	13	0.07	27	-31.16	13	6.32	27	0.00	14
6469	-342	-350	Max	20.22	0.12	27	-0.42	13	-0.04	13	-31.85	13	-2.72	13	0.00	14
6469	-342	-350	Min.	2.83	-0.28	28	-0.96	27	0.03	29	-71.61	27	2.76	13	0.00	27
6469	-342	-350	Min.	20.22	-0.28	28	-0.96	27	-0.10	27	-72.29	27	-6.19	27	0.00	27
6470	-310	-318	Max	2.83	0.10	27	-0.40	13	0.07	27	-29.61	13	6.22	27	0.00	14
6470	-310	-318	Max	20.84	0.10	27	-0.40	13	-0.04	13	-30.32	13	-2.68	13	0.00	14
6470	-310	-318	Min.	2.83	-0.30	28	-0.91	27	0.03	29	-68.08	27	2.72	13	0.00	27
6470	-310	-318	Min.	20.84	-0.30	28	-0.91	27	-0.09	27	-68.78	27	-6.10	27	0.00	27
6471	-278	-286	Max	2.83	0.10	27	-0.38	13	0.07	27	-28.16	13	6.13	27	0.00	14
6471	-278	-286	Max	21.47	0.10	27	-0.38	13	-0.04	13	-28.89	13	-2.64	13	0.00	14
6471	-278	-286	Min.	2.83	-0.29	28	-0.87	27	0.03	29	-64.79	27	2.68	13	0.00	27
6471	-278	-286	Min.	21.47	-0.29	28	-0.87	27	-0.09	27	-65.52	27	-6.02	27	0.00	27
6472	-246	-254	Max	2.83	0.10	27	-0.36	13	0.07	27	-26.81	13	6.03	27	0.00	14
6472	-246	-254	Max	22.09	0.10	27	-0.36	13	-0.04	13	-27.56	13	-2.60	13	0.00	14
6472	-246	-254	Min.	2.83	-0.29	28	-0.82	27	0.03	29	-61.70	27	2.63	13	0.00	27
6472	-246	-254	Min.	22.09	-0.29	28	-0.82	27	-0.09	27	-62.46	27	-5.93	27	0.00	27
6473	-214	-222	Max	2.83	0.10	27	-0.34	13	0.06	27	-25.54	13	5.93	27	0.00	14
6473	-214	-222	Max	22.72	0.10	27	-0.34	13	-0.03	13	-26.32	13	-2.56	13	0.00	14
6473	-214	-222	Min.	2.83	-0.30	28	-0.78	27	0.03	29	-58.82	27	2.59	13	0.00	27
6473	-214	-222	Min.	22.72	-0.30	28	-0.78	27	-0.09	27	-59.60	27	-5.84	27	0.00	27
6474	-182	-190	Max	2.83	0.09	27	-0.32	13	0.06	27	-24.32	13	5.83	27	0.00	14
6474	-182	-190	Max	23.34	0.09	27	-0.32	13	-0.03	13	-25.12	13	-2.52	13	0.00	14
6474	-182	-190	Min.	2.83	-0.30	28	-0.74	27	0.03	29	-56.05	27	2.55	13	0.00	27
6474	-182	-190	Min.	23.34	-0.30	28	-0.74	27	-0.09	27	-56.86	27	-5.75	27	0.00	27
6475	-150	-158	Max	2.83	0.09	27	-0.30	13	0.06	27	-23.01	13	5.69	27	0.00	14
6475	-150	-158	Max	23.97	0.09	27	-0.30	13	-0.03	13	-23.84	13	-2.47	13	0.00	14
6475	-150	-158	Min.	2.83	-0.29	28	-0.69	27	0.03	29	-53.08	27	2.49	13	0.00	27
6475	-150	-158	Min.	23.97	-0.29	28	-0.69	27	-0.09	27	-53.91	27	-5.61	27	0.00	27
6476	-118	-126	Max	2.83	0.30	27	-0.27	13	0.05	27	-21.06	13	5.38	27	0.00	14
6476	-118	-126	Max	24.59	0.30	27	-0.27	13	-0.03	13	-21.92	13	-2.33	13	0.00	14
6476	-118	-126	Min.	2.83	-0.13	28	-0.61	27	0.02	29	-48.65	27	2.35	13	0.00	27

6476	-118	-126	Min.	24.59	-0.13	28	-0.61	27	-0.08	27	-49.51	27	-5.31	27	0.00	27
6477	-86	-94	Max	2.83	0.23	27	-0.20	13	0.04	27	-16.12	13	4.25	27	0.00	14
6477	-86	-94	Max	25.22	0.23	27	-0.20	13	-0.02	13	-17.00	13	-1.86	13	0.00	14
6477	-86	-94	Min.	2.83	-1.97	14	-0.45	27	0.02	29	-37.37	27	1.85	13	0.00	27
6477	-86	-94	Min.	25.22	-1.97	14	-0.45	27	-0.06	27	-38.25	27	-4.21	27	0.00	27
6478	-54	-62	Max	2.83	30.72	14	-0.18	13	0.04	27	-18.75	13	5.05	27	0.00	28
6478	-54	-62	Max	25.84	30.72	14	-0.18	13	-0.02	13	-20.55	13	-1.81	13	0.00	28
6478	-54	-62	Min.	2.83	-21.95	27	-0.41	27	0.02	29	-44.17	27	2.39	29	0.00	27
6478	-54	-62	Min.	25.84	-21.95	27	-0.41	27	-0.05	27	-45.98	27	-5.33	27	0.00	27
6479	-22	-30	Max	2.83	94.66	14	-0.11	29	0.03	27	-13.57	13	4.22	27	0.00	28
6479	-22	-30	Max	26.15	94.66	14	-0.11	29	-0.01	29	-15.40	13	-1.54	29	0.00	28
6479	-22	-30	Min.	2.83	-27.66	27	-0.24	27	0.01	13	-32.18	27	1.79	13	0.00	29
6479	-22	-30	Min.	26.15	-27.66	27	-0.24	27	-0.03	27	-34.01	27	-3.50	27	0.00	29
6480	357	369	Max	1.77	97.84	27	13.84	27	-0.10	28	191.37	27	6.75	14	0.50	27
6480	357	369	Max	15.00	97.84	27	13.84	27	1.38	27	190.43	27	15.20	27	0.50	27
6480	357	369	Min.	1.77	-93.39	14	1.80	28	-0.45	27	-108.60	14	-10.06	27	0.01	14
6480	357	369	Min.	15.00	-93.39	14	1.80	28	0.14	28	-109.54	14	-7.69	14	0.01	14
6480	369	381	Max	0.00	152.30	27	-1.94	28	1.44	27	124.62	14	10.29	27	-0.01	14
6480	369	381	Max	13.23	152.30	27	-1.94	28	-0.10	28	123.68	14	6.05	14	-0.01	14
6480	369	381	Min.	0.00	-64.10	14	-14.29	27	0.16	28	-162.84	27	-10.37	14	-0.50	27
6480	369	381	Min.	13.23	-64.10	14	-14.29	27	-0.45	27	-163.78	27	-11.32	27	-0.50	27
6481	358	370	Max	1.77	-116.48	13	-174.17	28	33.26	27	-1.27	13	0.18	27	0.62	27
6481	358	370	Max	15.00	-116.48	13	-175.11	28	-13.46	28	-1.27	13	-0.19	13	0.62	27
6481	358	370	Min.	1.77	-399.76	27	-594.27	27	9.63	13	-10.87	27	-0.02	14	0.13	13
6481	358	370	Min.	15.00	-399.76	27	-595.21	27	-45.44	27	-10.87	27	-1.25	27	0.13	13
6481	370	382	Max	0.00	-99.81	28	545.07	27	-11.19	28	11.12	27	-0.19	13	-0.13	28
6481	370	382	Max	13.23	-99.81	28	544.13	27	31.82	27	11.12	27	0.20	27	-0.13	28
6481	370	382	Min.	0.00	-375.99	27	151.09	28	-40.24	27	1.31	13	-1.27	27	-0.61	27
6481	370	382	Min.	13.23	-375.99	27	150.14	28	8.74	28	1.31	13	-0.02	14	-0.61	27
6482	-23	-31	Max	3.53	312.84	27	0.11	27	-0.01	29	-4.62	29	1.24	27	0.00	14
6482	-23	-31	Max	26.86	312.84	27	0.11	27	0.01	27	-6.46	29	-0.65	13	0.00	14
6482	-23	-31	Min.	3.53	100.09	28	0.05	29	-0.01	27	-10.44	27	0.62	29	0.00	27
6482	-23	-31	Min.	26.86	100.09	28	0.05	29	0.01	13	-12.27	27	-1.41	27	0.00	27
6483	-55	-63	Max	3.53	118.51	27	0.19	27	-0.01	13	-9.13	29	4.18	27	0.00	14
6483	-55	-63	Max	26.55	118.51	27	0.19	27	0.02	28	-10.94	29	-0.30	29	0.00	14
6483	-55	-63	Min.	3.53	35.80	28	0.09	29	-0.03	27	-20.24	27	1.72	13	0.00	27
6483	-55	-63	Min.	26.55	35.80	28	0.09	29	0.01	29	-22.04	27	-1.29	28	0.00	27
6484	-87	-95	Max	3.53	-2.09	13	0.22	27	-0.01	13	-8.47	29	2.07	27	0.00	14
6484	-87	-95	Max	25.92	-2.09	13	0.22	27	0.02	28	-9.35	29	-1.03	29	0.00	14
6484	-87	-95	Min.	3.53	-6.07	27	0.10	29	-0.03	27	-18.45	27	0.97	29	0.00	29
6484	-87	-95	Min.	25.92	-6.07	27	0.10	29	0.01	29	-19.33	27	-2.16	27	0.00	29
6485	-119	-127	Max	3.53	0.09	27	0.31	27	-0.02	13	-11.18	29	2.65	27	0.00	14
6485	-119	-127	Max	25.30	0.09	27	0.31	27	0.02	28	-12.04	29	-1.28	29	0.00	14
6485	-119	-127	Min.	3.53	-0.25	28	0.14	29	-0.04	27	-24.20	27	1.24	29	0.00	29
6485	-119	-127	Min.	25.30	-0.25	28	0.14	29	0.01	29	-25.06	27	-2.71	27	0.00	29
6486	-151	-159	Max	3.53	-0.07	13	0.35	27	-0.02	13	-12.25	29	2.81	27	0.00	14
6486	-151	-159	Max	24.67	-0.07	13	0.35	27	0.02	27	-13.08	29	-1.36	29	0.00	14
6486	-151	-159	Min.	3.53	-0.34	28	0.16	29	-0.05	27	-26.45	27	1.32	29	0.00	29
6486	-151	-159	Min.	24.67	-0.34	28	0.16	29	0.01	29	-27.27	27	-2.87	27	0.00	29
6487	-183	-191	Max	3.53	-0.07	13	0.37	27	-0.02	13	-12.96	29	2.87	27	0.00	14
6487	-183	-191	Max	24.05	-0.07	13	0.37	27	0.03	27	-13.76	29	-1.39	29	0.00	14
6487	-183	-191	Min.	3.53	-0.34	28	0.18	29	-0.05	27	-27.94	27	1.35	29	0.00	29
6487	-183	-191	Min.	24.05	-0.34	28	0.18	29	0.01	29	-28.75	27	-2.94	27	0.00	29
6488	-215	-223	Max	3.53	-0.07	13	0.39	27	-0.02	13	-13.62	29	2.92	27	0.00	14
6488	-215	-223	Max	23.42	-0.07	13	0.39	27	0.03	27	-14.40	29	-1.41	29	0.00	14
6488	-215	-223	Min.	3.53	-0.34	28	0.19	29	-0.05	27	-29.34	27	1.37	29	0.00	29
6488	-215	-223	Min.	23.42	-0.34	28	0.19	29	0.01	29	-30.12	27	-2.99	27	0.00	29
6489	-247	-255	Max	3.53	-0.06	13	0.41	27	-0.02	13	-14.31	29	2.97	27	0.00	14
6489	-247	-255	Max	22.80	-0.06	13	0.41	27	0.03	27	-15.07	29	-1.44	29	0.00	14

6489	-247	-255	Min.	3.53	-0.33	28	0.20	29	-0.05	27	-30.79	27	1.39	29	0.00	29
6489	-247	-255	Min.	22.80	-0.33	28	0.20	29	0.01	29	-31.55	27	-3.04	27	0.00	29
6490	-279	-287	Max	3.53	-0.07	13	0.44	27	-0.02	13	-15.05	29	3.01	27	0.00	14
6490	-279	-287	Max	22.17	-0.07	13	0.44	27	0.03	27	-15.78	29	-1.46	29	0.00	14
6490	-279	-287	Min.	3.53	-0.34	28	0.21	29	-0.05	27	-32.35	27	1.42	29	0.00	29
6490	-279	-287	Min.	22.17	-0.34	28	0.21	29	0.01	29	-33.08	27	-3.08	27	0.00	29
6491	-311	-319	Max	3.53	-0.08	13	0.46	27	-0.02	13	-15.84	29	3.06	27	0.00	14
6491	-311	-319	Max	21.55	-0.08	13	0.46	27	0.03	27	-16.55	29	-1.48	29	0.00	14
6491	-311	-319	Min.	3.53	-0.34	28	0.22	29	-0.05	27	-34.01	27	1.44	29	0.00	29
6491	-311	-319	Min.	21.55	-0.34	28	0.22	29	0.01	29	-34.71	27	-3.13	27	0.00	29
6492	-343	-351	Max	3.53	-0.06	13	0.48	27	-0.02	13	-16.69	29	3.10	27	0.00	14
6492	-343	-351	Max	20.92	-0.06	13	0.48	27	0.03	27	-17.37	29	-1.50	29	0.00	14
6492	-343	-351	Min.	3.53	-0.33	28	0.23	29	-0.05	27	-35.79	27	1.46	29	0.00	29
6492	-343	-351	Min.	20.92	-0.33	28	0.23	29	0.02	29	-36.47	27	-3.18	27	0.00	29
6493	-375	-383	Max	3.53	-0.07	13	0.51	27	-0.02	13	-17.60	29	3.15	27	0.00	14
6493	-375	-383	Max	20.30	-0.07	13	0.51	27	0.03	27	-18.25	29	-1.52	29	0.00	14
6493	-375	-383	Min.	3.53	-0.34	28	0.24	29	-0.05	27	-37.70	27	1.48	29	0.00	29
6493	-375	-383	Min.	20.30	-0.34	28	0.24	29	0.02	29	-38.36	27	-3.23	27	0.00	29
6494	-407	-415	Max	3.53	-0.11	13	0.54	27	-0.02	13	-18.57	29	3.19	27	0.00	14
6494	-407	-415	Max	19.67	-0.11	13	0.54	27	0.03	27	-19.20	29	-1.55	29	0.00	14
6494	-407	-415	Min.	3.53	-0.37	28	0.25	29	-0.05	27	-39.76	27	1.50	29	0.00	29
6494	-407	-415	Min.	19.67	-0.37	28	0.25	29	0.02	29	-40.39	27	-3.27	27	0.00	29
6495	-439	-447	Max	3.53	0.38	27	0.57	27	-0.02	13	-19.58	29	3.23	27	0.00	14
6495	-439	-447	Max	19.05	0.38	27	0.57	27	0.03	27	-20.19	29	-1.57	29	0.00	14
6495	-439	-447	Min.	3.53	-0.04	28	0.27	29	-0.05	27	-41.89	27	1.52	29	0.00	29
6495	-439	-447	Min.	19.05	-0.04	28	0.27	29	0.02	29	-42.50	27	-3.32	27	0.00	29
6496	-471	-479	Max	3.53	-2.15	29	0.55	27	-0.02	13	-20.43	29	3.26	27	0.00	13
6496	-471	-479	Max	18.42	-2.15	29	0.55	27	0.03	27	-21.02	29	-1.55	29	0.00	13
6496	-471	-479	Min.	3.53	-3.97	27	0.26	29	-0.05	27	-43.69	27	1.53	29	-0.00	27
6496	-471	-479	Min.	18.42	-3.97	27	0.26	29	0.02	29	-44.27	27	-3.29	27	-0.00	27
6497	-503	-511	Max	3.53	21.37	27	0.66	27	-0.02	13	-19.55	29	2.76	27	0.02	27
6497	-503	-511	Max	17.80	21.37	27	0.66	27	0.04	27	-20.11	29	-1.54	29	0.02	27
6497	-503	-511	Min.	3.53	11.48	28	0.31	29	-0.05	27	-41.82	27	1.29	29	0.01	29
6497	-503	-511	Min.	17.80	11.48	28	0.31	29	0.02	29	-42.38	27	-3.24	27	0.01	29
6502	-504	-512	Max	2.83	13.54	27	-0.29	13	0.04	27	-18.56	13	2.85	27	-0.01	13
6502	-504	-512	Max	17.09	13.54	27	-0.29	13	-0.02	13	-19.12	13	-1.38	13	-0.01	13
6502	-504	-512	Min.	2.83	5.07	28	-0.64	27	0.02	29	-40.76	27	1.31	13	-0.02	27
6502	-504	-512	Min.	17.09	5.07	28	-0.64	27	-0.05	27	-41.32	27	-3.01	27	-0.02	27
6503	-472	-480	Max	2.83	-0.98	13	-0.24	13	0.03	27	-19.28	13	3.23	27	0.00	27
6503	-472	-480	Max	17.72	-0.98	13	-0.24	13	-0.02	13	-19.87	13	-1.44	13	0.00	27
6503	-472	-480	Min.	2.83	-2.25	27	-0.53	27	0.01	29	-42.37	27	1.48	13	0.00	29
6503	-472	-480	Min.	17.72	-2.25	27	-0.53	27	-0.05	27	-42.96	27	-3.12	27	0.00	29
6504	-440	-448	Max	2.83	0.41	27	-0.25	13	0.03	27	-18.50	13	3.21	27	0.00	14
6504	-440	-448	Max	18.34	0.41	27	-0.25	13	-0.02	13	-19.11	13	-1.45	13	0.00	14
6504	-440	-448	Min.	2.83	-0.16	28	-0.55	27	0.02	29	-40.68	27	1.47	13	0.00	29
6504	-440	-448	Min.	18.34	-0.16	28	-0.55	27	-0.05	27	-41.28	27	-3.14	27	0.00	29
6505	-408	-416	Max	2.83	0.05	27	-0.24	13	0.03	27	-17.54	13	3.17	27	0.00	14
6505	-408	-416	Max	18.97	0.05	27	-0.24	13	-0.02	13	-18.17	13	-1.43	13	0.00	14
6505	-408	-416	Min.	2.83	-0.30	28	-0.52	27	0.02	29	-38.60	27	1.45	13	0.00	29
6505	-408	-416	Min.	18.97	-0.30	28	-0.52	27	-0.05	27	-39.24	27	-3.11	27	0.00	29
6506	-376	-384	Max	2.83	0.06	27	-0.23	13	0.03	27	-16.62	13	3.13	27	0.00	14
6506	-376	-384	Max	19.59	0.06	27	-0.23	13	-0.02	13	-17.27	13	-1.41	13	0.00	14
6506	-376	-384	Min.	2.83	-0.30	28	-0.49	27	0.01	29	-36.61	27	1.43	13	0.00	29
6506	-376	-384	Min.	19.59	-0.30	28	-0.49	27	-0.05	27	-37.26	27	-3.07	27	0.00	29
6507	-344	-352	Max	2.83	0.08	27	-0.21	13	0.03	27	-15.75	13	3.08	27	0.00	14
6507	-344	-352	Max	20.22	0.08	27	-0.21	13	-0.02	13	-16.44	13	-1.39	13	0.00	14
6507	-344	-352	Min.	2.83	-0.29	28	-0.47	27	0.01	29	-34.74	27	1.41	13	0.00	29
6507	-344	-352	Min.	20.22	-0.29	28	-0.47	27	-0.05	27	-35.42	27	-3.02	27	0.00	29
6508	-312	-320	Max	2.83	0.07	27	-0.20	13	0.03	27	-14.96	13	3.03	27	0.00	14

6508	-312	-320	Max	20.84	0.07	27	-0.20	13	-0.02	13	-15.66	13	-1.37	13	0.00	14
6508	-312	-320	Min.	2.83	-0.29	28	-0.44	27	0.01	29	-33.01	27	1.38	13	0.00	29
6508	-312	-320	Min.	20.84	-0.29	28	-0.44	27	-0.05	27	-33.72	27	-2.98	27	0.00	29
6509	-280	-288	Max	2.83	0.07	27	-0.19	13	0.03	27	-14.21	13	2.98	27	0.00	14
6509	-280	-288	Max	21.47	0.07	27	-0.19	13	-0.02	13	-14.94	13	-1.35	13	0.00	14
6509	-280	-288	Min.	2.83	-0.29	28	-0.42	27	0.01	29	-31.41	27	1.36	13	0.00	29
6509	-280	-288	Min.	21.47	-0.29	28	-0.42	27	-0.05	27	-32.14	27	-2.94	27	0.00	29
6510	-248	-256	Max	2.83	0.06	27	-0.18	13	0.03	27	-13.51	13	2.94	27	0.00	14
6510	-248	-256	Max	22.09	0.06	27	-0.18	13	-0.02	13	-14.27	13	-1.33	13	0.00	14
6510	-248	-256	Min.	2.83	-0.29	28	-0.40	27	0.01	29	-29.90	27	1.34	13	0.00	29
6510	-248	-256	Min.	22.09	-0.29	28	-0.40	27	-0.05	27	-30.65	27	-2.90	27	0.00	29
6511	-216	-224	Max	2.83	0.07	27	-0.17	13	0.03	27	-12.86	13	2.89	27	0.00	14
6511	-216	-224	Max	22.72	0.07	27	-0.17	13	-0.02	13	-13.64	13	-1.32	13	0.00	14
6511	-216	-224	Min.	2.83	-0.30	28	-0.38	27	0.01	29	-28.49	27	1.32	13	0.00	29
6511	-216	-224	Min.	22.72	-0.30	28	-0.38	27	-0.05	27	-29.27	27	-2.85	27	0.00	29
6512	-184	-192	Max	2.83	0.06	27	-0.16	13	0.02	27	-12.23	13	2.84	27	0.00	14
6512	-184	-192	Max	23.34	0.06	27	-0.16	13	-0.02	13	-13.03	13	-1.29	13	0.00	14
6512	-184	-192	Min.	2.83	-0.30	28	-0.36	27	0.01	29	-27.13	27	1.30	13	0.00	29
6512	-184	-192	Min.	23.34	-0.30	28	-0.36	27	-0.05	27	-27.93	27	-2.81	27	0.00	29
6513	-152	-160	Max	2.83	0.06	27	-0.15	13	0.02	27	-11.55	13	2.77	27	0.00	14
6513	-152	-160	Max	23.97	0.06	27	-0.15	13	-0.02	13	-12.38	13	-1.27	13	0.00	14
6513	-152	-160	Min.	2.83	-0.30	28	-0.34	27	0.01	29	-25.67	27	1.26	13	0.00	29
6513	-152	-160	Min.	23.97	-0.30	28	-0.34	27	-0.05	27	-26.50	27	-2.74	27	0.00	29
6514	-120	-128	Max	2.83	0.10	27	-0.14	13	0.02	28	-10.55	13	2.61	27	0.00	14
6514	-120	-128	Max	24.59	0.10	27	-0.14	13	-0.02	13	-11.40	13	-1.20	13	0.00	14
6514	-120	-128	Min.	2.83	-0.22	28	-0.30	27	0.01	29	-23.49	27	1.19	13	0.00	29
6514	-120	-128	Min.	24.59	-0.22	28	-0.30	27	-0.04	27	-24.34	27	-2.59	27	0.00	29
6515	-88	-96	Max	2.83	2.04	27	-0.10	13	0.02	28	-7.99	13	2.06	27	0.00	14
6515	-88	-96	Max	25.22	2.04	27	-0.10	13	-0.01	13	-8.86	13	-0.95	13	0.00	14
6515	-88	-96	Min.	2.83	-0.69	28	-0.22	27	0.01	29	-17.91	27	0.93	13	0.00	29
6515	-88	-96	Min.	25.22	-0.69	28	-0.22	27	-0.03	27	-18.79	27	-2.05	27	0.00	29
6516	-56	-64	Max	2.83	4.38	14	-0.08	13	0.02	28	-8.41	13	1.80	28	0.00	14
6516	-56	-64	Max	25.84	4.38	14	-0.08	13	-0.01	13	-10.22	13	-0.99	13	0.00	14
6516	-56	-64	Min.	2.83	-54.15	27	-0.18	27	0.01	29	-19.45	27	0.88	29	0.00	29
6516	-56	-64	Min.	25.84	-54.15	27	-0.18	27	-0.03	27	-21.25	27	-3.05	27	0.00	29
6517	-24	-32	Max	2.83	21.31	14	-0.05	13	0.01	27	-4.25	13	1.53	27	0.00	28
6517	-24	-32	Max	26.15	21.31	14	-0.05	13	-0.00	29	-6.08	13	-0.51	29	0.00	28
6517	-24	-32	Min.	2.83	-121.42	27	-0.10	27	0.01	13	-10.02	27	0.67	13	0.00	29
6517	-24	-32	Min.	26.15	-121.42	27	-0.10	27	-0.01	27	-11.85	27	-1.02	27	0.00	29
6518	360	372	Max	1.77	203.56	27	13.67	27	-0.10	13	288.62	27	0.06	14	0.56	27
6518	360	372	Max	15.00	203.56	27	13.67	27	1.42	27	287.68	27	20.53	27	0.56	27
6518	360	372	Min.	1.77	-5.35	14	2.92	13	-0.39	27	-10.76	14	-17.60	27	0.10	13
6518	360	372	Min.	15.00	-5.35	14	2.92	13	0.28	13	-11.70	14	-1.42	14	0.10	13
6518	372	384	Max	0.00	225.47	27	-2.69	13	1.39	27	-15.08	14	25.68	27	-0.10	13
6518	372	384	Max	13.23	225.47	27	-2.69	13	-0.09	28	-16.02	14	-0.71	14	-0.10	13
6518	372	384	Min.	0.00	6.51	14	-13.24	27	0.26	13	-337.26	27	1.35	14	-0.57	27
6518	372	384	Min.	13.23	6.51	14	-13.24	27	-0.36	27	-338.20	27	-19.01	27	-0.57	27
6560	-517	-518	Max	0.00	-0.04	14	6.80	27	-0.05	28	1.14	27	-0.03	29	0.44	27
6560	-517	-518	Max	12.00	-0.04	14	6.80	27	0.45	27	2.75	27	0.18	27	0.44	27
6560	-517	-518	Min.	0.00	-1.30	27	0.83	28	-0.36	27	0.00	13	-0.06	27	0.09	13
6560	-517	-518	Min.	12.00	-1.30	27	0.83	28	0.05	28	1.60	13	0.07	13	0.09	13
6561	-533	-534	Max	0.00	0.06	14	8.28	27	-0.04	13	0.06	27	0.07	14	0.28	27
6561	-533	-534	Max	12.00	0.06	14	8.28	27	0.52	27	1.66	27	0.17	27	0.28	27
6561	-533	-534	Min.	0.00	-1.05	27	0.78	28	-0.48	27	-1.18	28	0.05	29	0.06	13
6561	-533	-534	Min.	12.00	-1.05	27	0.78	28	0.05	28	0.42	28	0.02	28	0.06	13
6562	319	320	Max	1.77	-12.95	29	-0.08	28	0.22	27	3.39	27	-0.40	13	-0.01	28
6562	319	320	Max	15.00	-12.95	29	-0.08	28	0.01	27	2.45	27	-0.33	29	-0.01	28
6562	319	320	Min.	1.77	-25.69	27	-1.62	27	0.02	13	0.98	14	-1.03	27	-0.18	27
6562	319	320	Min.	15.00	-25.69	27	-1.62	27	0.01	13	0.04	14	-0.64	27	-0.18	27

6562	320	321	Max	0.00	-12.95	29	-0.08	28	0.01	27	2.45	27	-0.33	29	-0.01	28
6562	320	321	Max	12.24					-0.07	29			-0.28	29		
6562	320	321	Max	13.23	-12.95	29	-0.08	28	-0.00	28	1.51	27	-0.28	29	-0.01	28
6562	320	321	Min.	0.00	-25.69	27	-1.62	27	0.01	13	0.04	14	-0.64	27	-0.18	27
6562	320	321	Min.	0.66					0.01	14			-0.40	14		
6562	320	321	Min.	13.23	-25.69	27	-1.62	27	-0.20	27	-0.90	14	-0.46	14	-0.18	27
6563	-5	-6	Max	2.83	66.95	27	-0.03	13	0.05	27	19.75	27	0.02	28	0.00	13
6563	-5	-6	Max	24.05									0.21	28		
6563	-5	-6	Max	26.15	66.95	27	-0.03	13	0.00	14	17.91	27	2.37	27	0.00	13
6563	-5	-6	Min.	2.83	36.48	29	-0.36	27	0.01	28	1.71	14	-2.03	27	-0.00	27
6563	-5	-6	Min.	24.11									0.19	13		
6563	-5	-6	Min.	26.15	36.48	29	-0.36	27	-0.03	27	-0.12	14	0.19	13	-0.00	27
6564	-37	-38	Max	2.83	17.45	27	0.10	27	0.01	14	31.10	27	0.05	14	0.02	27
6564	-37	-38	Max	25.84	17.45	27	0.10	27	0.02	27	29.30	27	3.79	27	0.02	27
6564	-37	-38	Min.	2.83	9.29	29	0.00	14	0.00	27	2.29	28	-3.16	27	0.00	28
6564	-37	-38	Min.	25.84	9.29	29	0.00	14	0.00	28	0.48	28	0.34	13	0.00	28
6565	-69	-70	Max	2.83	-0.98	13	0.30	27	0.01	14	26.39	27	-0.16	28	0.00	29
6565	-69	-70	Max	25.22	-0.98	13	0.30	27	0.05	27	25.51	27	2.86	27	0.00	29
6565	-69	-70	Min.	2.83	-2.60	27	0.01	28	-0.02	27	1.66	28	-2.95	27	0.00	14
6565	-69	-70	Min.	25.22	-2.60	27	0.01	28	0.01	28	0.78	28	0.12	14	0.00	14
6566	-101	-102	Max	2.83	-0.01	28	0.40	27	0.01	14	33.33	27	-0.19	28	0.00	27
6566	-101	-102	Max	24.59	-0.01	28	0.40	27	0.06	27	32.47	27	3.53	27	0.00	27
6566	-101	-102	Min.	2.83	-0.94	27	0.02	28	-0.02	27	2.02	28	-3.63	27	0.00	14
6566	-101	-102	Min.	24.59	-0.94	27	0.02	28	0.01	28	1.16	28	0.16	14	0.00	14
6567	-133	-134	Max	2.83	-0.12	28	0.45	27	0.01	14	35.25	27	-0.20	28	0.00	27
6567	-133	-134	Max	23.97	-0.12	28	0.45	27	0.07	27	34.42	27	3.63	27	0.00	27
6567	-133	-134	Min.	2.83	-1.06	27	0.02	28	-0.03	27	2.15	28	-3.73	27	0.00	14
6567	-133	-134	Min.	23.97	-1.06	27	0.02	28	0.01	28	1.32	28	0.17	14	0.00	14
6568	-165	-166	Max	2.83	-0.10	28	0.47	27	0.01	14	36.02	27	-0.20	28	0.00	27
6568	-165	-166	Max	23.34	-0.10	28	0.47	27	0.07	27	35.22	27	3.60	27	0.00	27
6568	-165	-166	Min.	2.83	-1.03	27	0.02	28	-0.03	27	2.23	28	-3.70	27	0.00	14
6568	-165	-166	Min.	23.34	-1.03	27	0.02	28	0.01	28	1.43	28	0.17	14	0.00	14
6569	-197	-198	Max	2.83	-0.12	28	0.48	27	0.01	14	36.57	27	-0.21	28	0.00	27
6569	-197	-198	Max	22.72	-0.12	28	0.48	27	0.07	27	35.79	27	3.55	27	0.00	27
6569	-197	-198	Min.	2.83	-1.04	27	0.02	28	-0.03	27	2.31	28	-3.65	27	0.00	14
6569	-197	-198	Min.	22.72	-1.04	27	0.02	28	0.01	28	1.53	28	0.18	14	0.00	14
6570	-229	-230	Max	2.83	-0.11	28	0.49	27	0.01	14	37.09	27	-0.21	28	0.00	27
6570	-229	-230	Max	22.09	-0.11	28	0.49	27	0.07	27	36.33	27	3.48	27	0.00	27
6570	-229	-230	Min.	2.83	-1.04	27	0.03	28	-0.02	27	2.39	28	-3.59	27	0.00	14
6570	-229	-230	Min.	22.09	-1.04	27	0.03	28	0.01	28	1.63	28	0.18	14	0.00	14
6571	-261	-262	Max	2.83	-0.12	28	0.50	27	0.01	14	37.63	27	-0.21	28	0.00	27
6571	-261	-262	Max	21.47	-0.12	28	0.50	27	0.07	27	36.90	27	3.42	27	0.00	27
6571	-261	-262	Min.	2.83	-1.04	27	0.03	28	-0.02	27	2.48	28	-3.52	27	0.00	14
6571	-261	-262	Min.	21.47	-1.04	27	0.03	28	0.01	28	1.74	28	0.18	14	0.00	14
6572	-293	-294	Max	2.83	-0.12	28	0.51	27	0.01	14	38.22	27	-0.21	28	0.00	27
6572	-293	-294	Max	20.84	-0.12	28	0.51	27	0.07	27	37.51	27	3.36	27	0.00	27
6572	-293	-294	Min.	2.83	-1.04	27	0.03	28	-0.02	27	2.57	28	-3.46	27	0.00	14
6572	-293	-294	Min.	20.84	-1.04	27	0.03	28	0.01	28	1.86	28	0.19	14	0.00	14
6573	-325	-326	Max	2.83	-0.13	28	0.52	27	0.01	14	38.84	27	-0.22	28	0.00	27
6573	-325	-326	Max	20.22	-0.13	28	0.52	27	0.07	27	38.15	27	3.29	27	0.00	27
6573	-325	-326	Min.	2.83	-1.07	27	0.03	28	-0.02	27	2.67	28	-3.40	27	0.00	14
6573	-325	-326	Min.	20.22	-1.07	27	0.03	28	0.01	28	1.99	28	0.19	14	0.00	14
6574	-357	-358	Max	2.83	-0.13	28	0.53	27	0.01	14	39.51	27	-0.22	28	0.00	27
6574	-357	-358	Max	19.59	-0.13	28	0.53	27	0.07	27	38.85	27	3.23	27	0.00	27
6574	-357	-358	Min.	2.83	-1.08	27	0.03	28	-0.02	27	2.78	28	-3.34	27	0.00	14
6574	-357	-358	Min.	19.59	-1.08	27	0.03	28	0.01	28	2.12	28	0.19	14	0.00	14
6575	-389	-390	Max	2.83	-0.06	13	0.54	27	0.01	14	40.20	27	-0.22	28	0.00	27
6575	-389	-390	Max	18.97	-0.06	13	0.54	27	0.07	27	39.57	27	3.16	27	0.00	27
6575	-389	-390	Min.	2.83	-0.90	27	0.03	28	-0.02	27	2.90	28	-3.28	27	0.00	14

6575	-389	-390	Min.	18.97	-0.90	27	0.03	28	0.01	28	2.27	28	0.19	14	0.00	14
6576	-421	-422	Max	2.83	-0.56	28	0.55	27	0.01	14	40.87	27	-0.22	28	0.00	27
6576	-421	-422	Max	18.34	-0.56	28	0.55	27	0.07	27	40.26	27	3.10	27	0.00	27
6576	-421	-422	Min.	2.83	-2.45	27	0.04	28	-0.02	27	3.02	28	-3.20	27	0.00	14
6576	-421	-422	Min.	18.34	-2.45	27	0.04	28	0.01	28	2.41	28	0.20	28	0.00	14
6577	-453	-454	Max	2.83	8.33	27	0.53	27	0.01	14	40.81	27	-0.24	28	0.00	27
6577	-453	-454	Max	17.72	8.33	27	0.53	27	0.06	27	40.23	27	2.88	27	0.00	27
6577	-453	-454	Min.	2.83	2.79	28	0.03	14	-0.02	27	3.08	28	-3.15	27	0.00	14
6577	-453	-454	Min.	17.72	2.79	28	0.03	14	0.01	28	2.50	28	0.15	14	0.00	14
6578	-485	-486	Max	2.83	-17.87	28	0.46	27	0.01	14	36.62	27	0.05	14	0.00	27
6578	-485	-486	Max	17.09	-17.87	28	0.46	27	0.05	27	36.06	27	3.02	27	0.00	27
6578	-485	-486	Min.	2.83	-56.91	27	0.03	28	-0.02	27	2.90	28	-2.16	27	0.00	13
6578	-485	-486	Min.	17.09	-56.91	27	0.03	28	0.01	13	2.34	28	0.33	28	0.00	13
6582	-493	-494	Max	3.53	125.29	27	-0.05	28	0.05	27	36.46	27	-0.75	28	-0.00	28
6582	-493	-494	Max	17.80	125.29	27	-0.05	28	0.01	14	35.90	27	1.52	27	-0.00	28
6582	-493	-494	Min.	3.53	56.77	28	-0.46	27	0.01	13	3.86	28	-3.64	27	-0.00	27
6582	-493	-494	Min.	17.80	56.77	28	-0.46	27	-0.02	27	3.30	28	-0.34	14	-0.00	27
6583	-461	-462	Max	3.53	-9.75	28	-0.05	13	0.06	27	40.27	27	-0.18	14	0.00	27
6583	-461	-462	Max	18.42	-9.75	28	-0.05	13	0.01	14	39.69	27	3.20	27	0.00	27
6583	-461	-462	Min.	3.53	-22.42	27	-0.52	27	0.01	28	3.92	13	-2.75	27	-0.00	14
6583	-461	-462	Min.	18.42	-22.42	27	-0.52	27	-0.02	27	3.33	13	0.36	28	-0.00	14
6584	-429	-430	Max	3.53	2.58	27	-0.05	13	0.07	27	40.47	27	-0.28	13	0.00	29
6584	-429	-430	Max	19.05	2.58	27	-0.05	13	0.01	14	39.86	27	3.15	27	0.00	29
6584	-429	-430	Min.	3.53	1.24	29	-0.54	27	0.01	28	3.89	13	-3.08	27	-0.00	14
6584	-429	-430	Min.	19.05	1.24	29	-0.54	27	-0.02	27	3.29	13	0.28	28	-0.00	14
6585	-397	-398	Max	3.53	-0.14	13	-0.05	13	0.07	27	39.84	27	-0.27	13	0.00	29
6585	-397	-398	Max	19.67	-0.14	13	-0.05	13	0.01	14	39.21	27	3.25	27	0.00	29
6585	-397	-398	Min.	3.53	-1.05	27	-0.53	27	0.01	28	3.73	13	-3.13	27	-0.00	14
6585	-397	-398	Min.	19.67	-1.05	27	-0.53	27	-0.02	27	3.10	13	0.28	28	-0.00	14
6586	-365	-366	Max	3.53	0.08	14	-0.05	28	0.07	27	39.15	27	-0.26	13	0.00	29
6586	-365	-366	Max	20.30	0.08	14	-0.05	28	0.01	14	38.49	27	3.30	27	0.00	29
6586	-365	-366	Min.	3.53	-0.64	27	-0.52	27	0.01	28	3.56	13	-3.20	27	-0.00	14
6586	-365	-366	Min.	20.30	-0.64	27	-0.52	27	-0.02	27	2.91	13	0.28	28	-0.00	14
6587	-333	-334	Max	3.53	0.09	14	-0.04	28	0.07	27	38.49	27	-0.26	13	0.00	29
6587	-333	-334	Max	20.92	0.09	14	-0.04	28	0.01	14	37.81	27	3.36	27	0.00	29
6587	-333	-334	Min.	3.53	-0.62	27	-0.51	27	0.01	28	3.41	13	-3.27	27	-0.00	14
6587	-333	-334	Min.	20.92	-0.62	27	-0.51	27	-0.02	27	2.73	13	0.27	28	-0.00	14
6588	-301	-302	Max	3.53	0.04	14	-0.04	28	0.07	27	37.89	27	-0.26	13	0.00	29
6588	-301	-302	Max	21.55	0.04	14	-0.04	28	0.01	14	37.18	27	3.43	27	0.00	29
6588	-301	-302	Min.	3.53	-0.70	27	-0.50	27	0.01	28	3.27	13	-3.33	27	-0.00	14
6588	-301	-302	Min.	21.55	-0.70	27	-0.50	27	-0.02	27	2.56	13	0.27	28	-0.00	14
6589	-269	-270	Max	3.53	0.06	14	-0.04	28	0.07	27	37.31	27	-0.26	13	0.00	29
6589	-269	-270	Max	22.17	0.06	14	-0.04	28	0.01	14	36.58	27	3.49	27	0.00	29
6589	-269	-270	Min.	3.53	-0.67	27	-0.49	27	0.01	28	3.14	13	-3.40	27	-0.00	14
6589	-269	-270	Min.	22.17	-0.67	27	-0.49	27	-0.02	27	2.41	13	0.26	28	-0.00	14
6590	-237	-238	Max	3.53	0.07	14	-0.04	28	0.07	27	36.79	27	-0.25	13	0.00	27
6590	-237	-238	Max	22.80	0.07	14	-0.04	28	0.01	14	36.03	27	3.55	27	0.00	27
6590	-237	-238	Min.	3.53	-0.65	27	-0.48	27	0.01	28	3.02	13	-3.47	27	-0.00	14
6590	-237	-238	Min.	22.80	-0.65	27	-0.48	27	-0.02	27	2.27	13	0.26	28	-0.00	14
6591	-205	-206	Max	3.53	0.03	14	-0.04	28	0.07	27	36.28	27	-0.25	13	0.00	27
6591	-205	-206	Max	23.42	0.03	14	-0.04	28	0.01	14	35.50	27	3.61	27	0.00	27
6591	-205	-206	Min.	3.53	-0.71	27	-0.48	27	0.01	28	2.91	13	-3.53	27	0.00	14
6591	-205	-206	Min.	23.42	-0.71	27	-0.48	27	-0.03	27	2.13	13	0.25	28	0.00	14
6592	-173	-174	Max	3.53	0.06	14	-0.03	28	0.07	27	35.75	27	-0.25	13	0.00	27
6592	-173	-174	Max	24.05	0.06	14	-0.03	28	0.01	14	34.94	27	3.66	27	0.00	27
6592	-173	-174	Min.	3.53	-0.66	27	-0.47	27	0.01	28	2.81	13	-3.59	27	0.00	14
6592	-173	-174	Min.	24.05	-0.66	27	-0.47	27	-0.03	27	2.00	13	0.24	28	0.00	14
6593	-141	-142	Max	3.53	0.03	14	-0.03	28	0.07	27	34.99	27	-0.24	13	0.00	27
6593	-141	-142	Max	24.67	0.03	14	-0.03	28	0.01	14	34.16	27	3.69	27	0.00	27

6593	-141	-142	Min.	3.53	-0.71	27	-0.45	27	0.01	28	2.69	13	-3.62	27	0.00	14
6593	-141	-142	Min.	24.67	-0.71	27	-0.45	27	-0.03	27	1.86	13	0.24	28	0.00	14
6594	-109	-110	Max	3.53	0.16	14	-0.03	13	0.06	27	33.09	27	-0.23	13	0.00	29
6594	-109	-110	Max	25.30	0.16	14	-0.03	13	0.01	14	32.24	27	3.58	27	0.00	29
6594	-109	-110	Min.	3.53	-0.45	27	-0.40	27	0.01	28	2.52	13	-3.52	27	0.00	14
6594	-109	-110	Min.	25.30	-0.45	27	-0.40	27	-0.02	27	1.66	13	0.22	28	0.00	14
6595	-77	-78	Max	3.53	-0.83	13	-0.02	13	0.05	27	26.21	27	-0.19	13	0.00	27
6595	-77	-78	Max	25.92	-0.83	13	-0.02	13	0.01	14	25.34	27	2.90	27	0.00	27
6595	-77	-78	Min.	3.53	-2.15	27	-0.30	27	0.01	28	2.05	13	-2.87	27	0.00	14
6595	-77	-78	Min.	25.92	-2.15	27	-0.30	27	-0.02	27	1.17	13	0.17	28	0.00	14
6596	-45	-46	Max	3.53	15.96	27	-0.01	28	0.03	27	30.81	27	0.02	14	-0.00	28
6596	-45	-46	Max	26.55	15.96	27	-0.01	28	0.01	14	29.00	27	3.86	27	-0.00	28
6596	-45	-46	Min.	3.53	8.73	29	-0.10	27	0.01	28	2.69	28	-3.02	27	-0.02	27
6596	-45	-46	Min.	26.55	8.73	29	-0.10	27	0.00	29	0.88	28	0.40	13	-0.02	27
6597	-13	-14	Max	3.53	68.02	27	0.36	27	0.00	14	19.56	27	0.02	14	0.00	27
6597	-13	-14	Max	26.86	68.02	27	0.36	27	0.05	27	17.73	27	2.47	27	0.00	27
6597	-13	-14	Min.	3.53	37.07	29	0.02	28	-0.03	27	2.00	13	-1.88	27	0.00	14
6597	-13	-14	Min.	26.86	37.07	29	0.02	28	0.01	28	0.17	13	0.26	13	0.00	14
6598	343	344	Max	1.77	-6.10	29	3.38	27	-0.39	13	-0.10	13	0.25	27	0.18	27
6598	343	344	Max	15.00	-6.10	29	2.44	27	-0.31	29	-0.10	13	0.04	27	0.18	27
6598	343	344	Min.	1.77	-9.79	27	1.08	13	-0.97	27	-1.62	27	0.03	13	0.01	28
6598	343	344	Min.	15.00	-9.79	27	0.14	13	-0.58	27	-1.62	27	0.02	13	0.01	28
6598	344	345	Max	0.00	-6.10	29	2.44	27	-0.31	29	-0.10	13	0.04	27	0.18	27
6598	344	345	Max	1.90					-0.36	14			0.02	14		
6598	344	345	Max	13.23	-6.10	29	1.50	27	-0.26	29	-0.10	13	0.01	14	0.18	27
6598	344	345	Min.	0.00	-9.79	27	0.14	13	-0.58	27	-1.62	27	0.02	13	0.01	28
6598	344	345	Min.	12.24					-0.26	29			-0.05	29		
6598	344	345	Min.	13.23	-9.79	27	-0.80	13	-0.41	14	-1.62	27	-0.18	27	0.01	28
6606	355	356	Max	1.77	-5.08	28	-0.10	13	0.25	27	3.33	27	-0.37	28	-0.01	13
6606	355	356	Max	15.00	-5.08	28	-0.10	13	0.04	27	2.39	27	-0.29	28	-0.01	13
6606	355	356	Min.	1.77	-10.18	27	-1.61	27	0.03	13	1.06	13	-0.96	27	-0.18	27
6606	355	356	Min.	15.00	-10.18	27	-1.61	27	0.02	29	0.12	13	-0.58	27	-0.18	27
6606	356	357	Max	0.00	-5.08	28	-0.10	13	0.04	27	2.39	27	-0.29	28	-0.01	13
6606	356	357	Max	11.91					-0.05	29			-0.26	29		
6606	356	357	Max	13.23	-5.08	28	-0.10	13	0.01	14	1.45	27	-0.26	29	-0.01	13
6606	356	357	Min.	0.00	-10.18	27	-1.61	27	0.02	29	0.12	13	-0.58	27	-0.18	27
6606	356	357	Min.	1.84					0.02	14			-0.36	14		
6606	356	357	Min.	13.23	-10.18	27	-1.61	27	-0.18	27	-0.82	13	-0.41	14	-0.18	27
6607	-21	-22	Max	2.83	67.35	27	-0.02	13	0.03	27	19.52	27	0.02	14	0.00	14
6607	-21	-22	Max	26.15	67.35	27	-0.02	13	-0.01	13	17.69	27	2.42	27	0.00	14
6607	-21	-22	Min.	2.83	35.60	28	-0.36	27	-0.00	28	2.00	13	-1.92	27	-0.00	27
6607	-21	-22	Min.	26.15	35.60	28	-0.36	27	-0.05	27	0.17	13	0.26	13	-0.00	27
6608	-53	-54	Max	2.83	16.47	27	0.09	27	-0.01	13	30.76	27	0.01	14	0.02	27
6608	-53	-54	Max	25.84	16.47	27	0.09	27	-0.00	29	28.95	27	3.79	27	0.02	27
6608	-53	-54	Min.	2.83	8.66	28	0.00	13	-0.03	27	2.68	13	-3.08	27	0.00	13
6608	-53	-54	Min.	25.84	8.66	28	0.00	13	-0.01	14	0.87	13	0.40	28	0.00	13
6609	-85	-86	Max	2.83	-0.79	28	0.30	27	-0.01	13	26.10	27	-0.19	13	0.00	14
6609	-85	-86	Max	25.22	-0.79	28	0.30	27	0.02	27	25.22	27	2.84	27	0.00	14
6609	-85	-86	Min.	2.83	-2.28	27	0.02	13	-0.05	27	1.99	13	-2.90	27	-0.00	27
6609	-85	-86	Min.	25.22	-2.28	27	0.02	13	-0.01	28	1.11	13	0.16	13	-0.00	27
6610	-117	-118	Max	2.83	0.15	14	0.40	27	-0.01	13	32.95	27	-0.23	13	0.00	14
6610	-117	-118	Max	24.59	0.15	14	0.40	27	0.02	27	32.10	27	3.51	27	0.00	14
6610	-117	-118	Min.	2.83	-0.59	27	0.02	13	-0.06	27	2.44	13	-3.57	27	0.00	27
6610	-117	-118	Min.	24.59	-0.59	27	0.02	13	-0.01	28	1.59	13	0.21	13	0.00	27
6611	-149	-150	Max	2.83	0.03	28	0.44	27	-0.01	13	34.84	27	-0.24	13	0.00	14
6611	-149	-150	Max	23.97	0.03	28	0.44	27	0.03	27	34.01	27	3.61	27	0.00	14
6611	-149	-150	Min.	2.83	-0.74	27	0.03	13	-0.07	27	2.61	13	-3.67	27	0.00	27
6611	-149	-150	Min.	23.97	-0.74	27	0.03	13	-0.01	28	1.78	13	0.22	13	0.00	27
6612	-181	-182	Max	2.83	0.06	14	0.46	27	-0.01	13	35.59	27	-0.24	13	0.00	14

6612	-181	-182	Max	23.34	0.06	14	0.46	27	0.03	27	34.79	27	3.58	27	0.00	14
6612	-181	-182	Min.	2.83	-0.68	27	0.03	13	-0.07	27	2.72	13	-3.64	27	0.00	27
6612	-181	-182	Min.	23.34	-0.68	27	0.03	13	-0.01	14	1.92	13	0.23	13	0.00	27
6613	-213	-214	Max	2.83	0.03	14	0.47	27	-0.01	13	36.12	27	-0.25	13	0.00	14
6613	-213	-214	Max	22.72	0.03	14	0.47	27	0.02	27	35.34	27	3.53	27	0.00	14
6613	-213	-214	Min.	2.83	-0.73	27	0.03	13	-0.07	27	2.82	13	-3.58	27	-0.00	27
6613	-213	-214	Min.	22.72	-0.73	27	0.03	13	-0.01	14	2.04	13	0.24	13	-0.00	27
6614	-245	-246	Max	2.83	0.07	14	0.48	27	-0.01	13	36.61	27	-0.25	13	0.00	14
6614	-245	-246	Max	22.09	0.07	14	0.48	27	0.02	27	35.86	27	3.47	27	0.00	14
6614	-245	-246	Min.	2.83	-0.66	27	0.03	13	-0.07	27	2.93	13	-3.51	27	-0.00	27
6614	-245	-246	Min.	22.09	-0.66	27	0.03	13	-0.01	14	2.17	13	0.24	13	-0.00	27
6615	-277	-278	Max	2.83	0.05	14	0.49	27	-0.01	13	37.13	27	-0.25	13	0.00	14
6615	-277	-278	Max	21.47	0.05	14	0.49	27	0.02	27	36.40	27	3.40	27	0.00	14
6615	-277	-278	Min.	2.83	-0.69	27	0.04	13	-0.07	27	3.04	13	-3.45	27	-0.00	27
6615	-277	-278	Min.	21.47	-0.69	27	0.04	13	-0.01	14	2.31	13	0.25	13	-0.00	27
6616	-309	-310	Max	2.83	0.04	14	0.50	27	-0.01	13	37.69	27	-0.25	13	0.00	14
6616	-309	-310	Max	20.84	0.04	14	0.50	27	0.02	27	36.98	27	3.34	27	0.00	14
6616	-309	-310	Min.	2.83	-0.72	27	0.04	13	-0.07	27	3.16	13	-3.38	27	-0.00	27
6616	-309	-310	Min.	20.84	-0.72	27	0.04	13	-0.01	14	2.46	13	0.25	13	-0.00	27
6617	-341	-342	Max	2.83	0.08	14	0.50	27	-0.01	13	38.28	27	-0.26	13	0.00	14
6617	-341	-342	Max	20.22	0.08	14	0.50	27	0.02	27	37.60	27	3.28	27	0.00	14
6617	-341	-342	Min.	2.83	-0.64	27	0.04	13	-0.07	27	3.30	13	-3.32	27	-0.00	27
6617	-341	-342	Min.	20.22	-0.64	27	0.04	13	-0.01	14	2.61	13	0.26	13	-0.00	27
6618	-373	-374	Max	2.83	0.07	14	0.51	27	-0.01	13	38.93	27	-0.26	13	0.00	14
6618	-373	-374	Max	19.59	0.07	14	0.51	27	0.02	27	38.27	27	3.22	27	0.00	14
6618	-373	-374	Min.	2.83	-0.65	27	0.04	13	-0.07	27	3.44	13	-3.25	27	-0.00	27
6618	-373	-374	Min.	19.59	-0.65	27	0.04	13	-0.01	14	2.78	13	0.26	13	-0.00	27
6619	-405	-406	Max	2.83	-0.14	13	0.52	27	-0.01	13	39.61	27	-0.26	13	0.00	14
6619	-405	-406	Max	18.97	-0.14	13	0.52	27	0.02	27	38.98	27	3.16	27	0.00	14
6619	-405	-406	Min.	2.83	-1.07	27	0.04	13	-0.07	27	3.60	13	-3.18	27	-0.00	27
6619	-405	-406	Min.	18.97	-1.07	27	0.04	13	-0.01	14	2.97	13	0.27	13	-0.00	27
6620	-437	-438	Max	2.83	2.57	27	0.53	27	-0.01	13	40.21	27	-0.27	13	0.00	14
6620	-437	-438	Max	18.34	2.57	27	0.53	27	0.02	27	39.60	27	3.06	27	0.00	14
6620	-437	-438	Min.	2.83	1.24	29	0.05	13	-0.07	27	3.75	13	-3.13	27	-0.00	27
6620	-437	-438	Min.	18.34	1.24	29	0.05	13	-0.01	14	3.14	13	0.26	13	-0.00	27
6621	-469	-470	Max	2.83	-9.84	13	0.51	27	-0.01	13	40.38	27	-0.19	14	0.00	14
6621	-469	-470	Max	17.72	-9.84	13	0.51	27	0.01	27	39.79	27	3.14	27	0.00	14
6621	-469	-470	Min.	2.83	-22.44	27	0.05	13	-0.06	27	3.93	13	-2.83	27	-0.00	27
6621	-469	-470	Min.	17.72	-22.44	27	0.05	13	-0.01	14	3.35	13	0.35	13	-0.00	27
6622	-501	-502	Max	2.83	125.85	27	0.43	27	-0.01	13	35.48	27	-0.72	13	0.00	27
6622	-501	-502	Max	17.09	125.85	27	0.43	27	0.01	27	34.92	27	1.38	27	0.00	27
6622	-501	-502	Min.	2.83	57.06	29	0.04	13	-0.05	27	3.39	13	-3.64	27	0.00	13
6622	-501	-502	Min.	17.09	57.06	29	0.04	13	-0.01	14	2.83	13	-0.39	14	0.00	13
6626	-509	-510	Max	3.53	-23.87	13	-0.03	14	0.01	27	36.41	27	0.09	28	0.00	14
6626	-509	-510	Max	17.80	-23.87	13	-0.03	14	-0.01	13	35.85	27	3.08	27	0.00	14
6626	-509	-510	Min.	3.53	-57.51	27	-0.45	27	-0.01	14	2.84	28	-2.07	27	-0.00	27
6626	-509	-510	Min.	17.80	-57.51	27	-0.45	27	-0.05	27	2.28	28	0.38	13	-0.00	27
6627	-477	-478	Max	3.53	8.36	27	-0.04	14	0.02	27	41.06	27	-0.26	13	0.00	14
6627	-477	-478	Max	18.42	8.36	27	-0.04	14	-0.01	13	40.47	27	2.98	27	0.00	14
6627	-477	-478	Min.	3.53	3.55	29	-0.53	27	-0.01	14	3.20	13	-3.09	27	0.00	29
6627	-477	-478	Min.	18.42	3.55	29	-0.53	27	-0.06	27	2.62	13	0.17	28	0.00	29
6628	-445	-446	Max	3.53	-0.72	13	-0.04	14	0.02	27	40.94	27	-0.22	13	0.00	14
6628	-445	-446	Max	19.05	-0.72	13	-0.04	14	-0.01	13	40.33	27	3.18	27	0.00	14
6628	-445	-446	Min.	3.53	-2.44	27	-0.54	27	-0.01	14	3.08	13	-3.13	27	0.00	29
6628	-445	-446	Min.	19.05	-2.44	27	-0.54	27	-0.07	27	2.47	13	0.21	13	0.00	29
6629	-413	-414	Max	3.53	-0.04	28	-0.03	14	0.02	27	40.28	27	-0.22	13	0.00	14
6629	-413	-414	Max	19.67	-0.04	28	-0.03	14	-0.01	13	39.65	27	3.24	27	0.00	14
6629	-413	-414	Min.	3.53	-0.88	27	-0.54	27	-0.01	14	2.95	13	-3.21	27	0.00	29
6629	-413	-414	Min.	19.67	-0.88	27	-0.54	27	-0.07	27	2.32	13	0.20	28	0.00	29

6630	-381	-382	Max	3.53	-0.13	13	-0.03	14	0.02	27	39.57	27	-0.22	13	0.00	14
6630	-381	-382	Max	20.30	-0.13	13	-0.03	14	-0.01	13	38.92	27	3.30	27	0.00	14
6630	-381	-382	Min.	3.53	-1.06	27	-0.52	27	-0.01	14	2.83	13	-3.27	27	0.00	29
6630	-381	-382	Min.	20.30	-1.06	27	-0.52	27	-0.07	27	2.18	13	0.20	28	0.00	29
6631	-349	-350	Max	3.53	-0.13	13	-0.03	14	0.02	27	38.90	27	-0.22	13	0.00	14
6631	-349	-350	Max	20.92	-0.13	13	-0.03	14	-0.01	13	38.22	27	3.37	27	0.00	14
6631	-349	-350	Min.	3.53	-1.05	27	-0.51	27	-0.01	14	2.72	13	-3.34	27	0.00	29
6631	-349	-350	Min.	20.92	-1.05	27	-0.51	27	-0.07	27	2.04	13	0.20	28	0.00	29
6632	-317	-318	Max	3.53	-0.12	13	-0.03	14	0.02	27	38.27	27	-0.21	13	0.00	14
6632	-317	-318	Max	21.55	-0.12	13	-0.03	14	-0.01	13	37.57	27	3.43	27	0.00	14
6632	-317	-318	Min.	3.53	-1.03	27	-0.51	27	-0.01	14	2.61	13	-3.40	27	0.00	29
6632	-317	-318	Min.	21.55	-1.03	27	-0.51	27	-0.07	27	1.91	13	0.19	28	0.00	29
6633	-285	-286	Max	3.53	-0.12	13	-0.03	14	0.02	27	37.68	27	-0.21	13	0.00	14
6633	-285	-286	Max	22.17	-0.12	13	-0.03	14	-0.01	13	36.95	27	3.49	27	0.00	14
6633	-285	-286	Min.	3.53	-1.03	27	-0.50	27	-0.01	14	2.52	13	-3.46	27	0.00	29
6633	-285	-286	Min.	22.17	-1.03	27	-0.50	27	-0.07	27	1.78	13	0.19	28	0.00	29
6634	-253	-254	Max	3.53	-0.12	13	-0.03	14	0.02	27	37.14	27	-0.21	13	0.00	14
6634	-253	-254	Max	22.80	-0.12	13	-0.03	14	-0.01	13	36.38	27	3.55	27	0.00	14
6634	-253	-254	Min.	3.53	-1.02	27	-0.49	27	-0.01	14	2.43	13	-3.53	27	0.00	29
6634	-253	-254	Min.	22.80	-1.02	27	-0.49	27	-0.07	27	1.67	13	0.19	28	0.00	29
6635	-221	-222	Max	3.53	-0.12	13	-0.02	14	0.03	27	36.62	27	-0.21	13	0.00	14
6635	-221	-222	Max	23.42	-0.12	13	-0.02	14	-0.01	13	35.84	27	3.62	27	0.00	14
6635	-221	-222	Min.	3.53	-1.02	27	-0.48	27	-0.01	14	2.34	13	-3.59	27	0.00	27
6635	-221	-222	Min.	23.42	-1.02	27	-0.48	27	-0.07	27	1.56	13	0.18	28	0.00	27
6636	-189	-190	Max	3.53	-0.11	13	-0.02	14	0.03	27	36.06	27	-0.20	13	0.00	14
6636	-189	-190	Max	24.05	-0.11	13	-0.02	14	-0.01	13	35.26	27	3.67	27	0.00	14
6636	-189	-190	Min.	3.53	-1.01	27	-0.47	27	-0.01	14	2.26	13	-3.64	27	0.00	27
6636	-189	-190	Min.	24.05	-1.01	27	-0.47	27	-0.07	27	1.46	13	0.18	28	0.00	27
6637	-157	-158	Max	3.53	-0.13	13	-0.02	14	0.03	27	35.29	27	-0.20	13	0.00	14
6637	-157	-158	Max	24.67	-0.13	13	-0.02	14	-0.01	13	34.46	27	3.70	27	0.00	14
6637	-157	-158	Min.	3.53	-1.04	27	-0.45	27	-0.01	14	2.18	13	-3.67	27	0.00	27
6637	-157	-158	Min.	24.67	-1.04	27	-0.45	27	-0.07	27	1.35	13	0.17	28	0.00	27
6638	-125	-126	Max	3.53	-0.03	13	-0.02	28	0.02	27	33.36	27	-0.19	13	0.00	14
6638	-125	-126	Max	25.30	-0.03	13	-0.02	28	-0.01	13	32.51	27	3.60	27	0.00	14
6638	-125	-126	Min.	3.53	-0.79	27	-0.40	27	-0.01	28	2.04	13	-3.57	27	0.00	27
6638	-125	-126	Min.	25.30	-0.79	27	-0.40	27	-0.06	27	1.19	13	0.16	28	0.00	27
6639	-93	-94	Max	3.53	-0.94	28	-0.02	13	0.02	27	26.42	27	-0.16	13	0.00	14
6639	-93	-94	Max	25.92	-0.94	28	-0.02	13	-0.01	13	25.54	27	2.91	27	0.00	14
6639	-93	-94	Min.	3.53	-2.48	27	-0.30	27	-0.01	28	1.68	13	-2.91	27	0.00	29
6639	-93	-94	Min.	25.92	-2.48	27	-0.30	27	-0.05	27	0.80	13	0.12	14	0.00	29
6640	-61	-62	Max	3.53	16.92	27	-0.00	14	-0.00	27	31.06	27	0.06	14	0.00	28
6640	-61	-62	Max	26.55	16.92	27	-0.00	14	-0.01	13	29.25	27	3.86	27	0.00	28
6640	-61	-62	Min.	3.53	8.81	28	-0.10	27	-0.01	28	2.25	13	-3.08	27	-0.02	27
6640	-61	-62	Min.	26.55	8.81	28	-0.10	27	-0.02	27	0.44	13	0.32	28	-0.02	27
6641	-29	-30	Max	3.53	67.55	27	0.36	27	-0.01	13	19.75	27	0.02	14	0.00	27
6641	-29	-30	Max	24.53					-0.00	14			0.21	14		
6641	-29	-30	Max	26.86	67.55	27	0.36	27	0.03	27	17.92	27	2.41	27	0.00	27
6641	-29	-30	Min.	3.53	34.23	28	0.03	13	-0.05	27	1.69	14	-1.99	27	0.00	13
6641	-29	-30	Min.	24.53					-0.00	28			0.17	28		
6641	-29	-30	Min.	26.86	34.23	28	0.03	13	-0.00	28	-0.14	14	0.17	28	0.00	13
6642	379	380	Max	1.77	-12.79	29	3.43	27	-0.38	28	-0.08	13	0.23	27	0.18	27
6642	379	380	Max	15.00	-12.79	29	2.49	27	-0.31	28	-0.08	13	0.01	27	0.18	27
6642	379	380	Min.	1.77	-25.26	27	1.00	14	-1.03	27	-1.63	27	0.02	28	0.01	13
6642	379	380	Min.	15.00	-25.26	27	0.06	14	-0.64	27	-1.63	27	0.00	28	0.01	13
6642	380	381	Max	0.00	-12.79	29	2.49	27	-0.31	28	-0.08	13	0.01	27	0.18	27
6642	380	381	Max	0.66					-0.40	14			0.01	14		
6642	380	381	Max	13.23	-12.79	29	1.55	27	-0.28	29	-0.08	13	-0.00	14	0.18	27
6642	380	381	Min.	0.00	-25.26	27	0.06	14	-0.64	27	-1.63	27	0.00	28	0.01	13
6642	380	381	Min.	11.91					-0.28	29			-0.06	29		

6642	380	381	Min.	13.23	-25.26	27	-0.88	14	-0.45	14	-1.63	27	-0.21	27	0.01	13
6643	-541	-542	Max	0.00	0.08	28	-0.97	13	0.50	27	0.97	27	0.03	14	-0.06	28
6643	-541	-542	Max	12.00	0.08	28	-0.97	13	-0.06	13	2.57	27	0.22	27	-0.06	28
6643	-541	-542	Min.	0.00	-0.97	27	-8.72	27	0.05	13	-0.60	28	0.00	27	-0.30	27
6643	-541	-542	Min.	12.00	-0.97	27	-8.72	27	-0.54	27	1.00	28	0.05	28	-0.30	27
6644	-525	-526	Max	0.00	-0.07	28	-1.16	13	0.40	27	-0.11	27	0.05	27	-0.09	28
6644	-525	-526	Max	12.00	-0.07	28	-1.16	13	-0.07	13	1.49	27	0.13	27	-0.09	28
6644	-525	-526	Min.	0.00	-1.52	27	-6.70	27	0.07	13	-0.76	13	0.02	28	-0.43	27
6644	-525	-526	Min.	12.00	-1.52	27	-6.70	27	-0.40	27	0.84	13	0.03	28	-0.43	27
6839	-519	-520	Max	0.00	0.16	14	14.20	27	-0.23	13	1.14	27	-0.04	13	0.28	27
6839	-519	-520	Max	12.00	0.16	14	14.20	27	0.92	27	2.74	27	0.14	27	0.28	27
6839	-519	-520	Min.	0.00	-0.90	27	4.14	13	-0.78	27	-0.17	13	-0.09	27	-0.04	28
6839	-519	-520	Min.	12.00	-0.90	27	4.14	13	0.26	13	1.43	13	0.04	13	-0.04	28
6840	-535	-536	Max	0.00	-0.09	13	14.91	27	-0.22	13	0.23	27	0.03	14	0.17	27
6840	-535	-536	Max	12.00	-0.09	13	14.91	27	0.92	27	1.83	27	0.12	27	0.17	27
6840	-535	-536	Min.	0.00	-1.33	27	3.78	13	-0.87	27	-1.02	13	-0.00	27	-0.04	28
6840	-535	-536	Min.	12.00	-1.33	27	3.78	13	0.23	13	0.58	13	0.00	13	-0.04	28
6841	322	323	Max	1.77	-5.04	28	-0.18	28	0.22	27	2.71	27	-0.22	13	-0.04	13
6841	322	323	Max	13.34					0.01	13			-0.17	13		
6841	322	323	Max	15.00	-5.04	28	-0.18	28	0.01	27	1.77	27	-0.17	29	-0.04	13
6841	322	323	Min.	1.77	-7.84	27	-1.53	27	0.03	13	0.81	14	-0.57	27	-0.19	27
6841	322	323	Min.	12.35					0.01	14			-0.19	14		
6841	322	323	Min.	15.00	-7.84	27	-1.53	27	0.01	29	-0.13	14	-0.27	27	-0.19	27
6841	323	324	Max	0.00	-5.04	28	-0.18	28	0.01	27	1.77	27	-0.17	29	-0.04	13
6841	323	324	Max	7.94					-0.04	29			-0.14	29		
6841	323	324	Max	13.23	-5.04	28	-0.18	28	-0.01	28	0.83	27	-0.10	27	-0.04	13
6841	323	324	Min.	0.00	-7.84	27	-1.53	27	0.01	29	-0.13	14	-0.27	27	-0.19	27
6841	323	324	Min.	7.94					-0.04	29			-0.14	29		
6841	323	324	Min.	13.23	-7.84	27	-1.53	27	-0.19	27	-1.07	14	-0.27	14	-0.19	27
6842	-7	-8	Max	2.83	30.88	27	-0.09	13	0.05	27	17.33	27	-0.07	28	0.00	13
6842	-7	-8	Max	26.15	30.88	27	-0.09	13	-0.01	13	15.50	27	1.99	27	0.00	13
6842	-7	-8	Min.	2.83	20.16	29	-0.42	27	0.01	28	2.09	28	-1.84	27	-0.00	27
6842	-7	-8	Min.	26.15	20.16	29	-0.42	27	-0.05	27	0.26	28	0.20	13	-0.00	27
6843	-39	-40	Max	2.83	7.17	27	0.06	27	0.00	14	27.74	27	-0.16	28	0.02	27
6843	-39	-40	Max	25.84	7.17	27	0.06	27	0.01	27	25.94	27	3.21	27	0.02	27
6843	-39	-40	Min.	2.83	4.66	29	-0.01	14	-0.00	27	3.25	28	-2.96	27	0.00	13
6843	-39	-40	Min.	25.84	4.66	29	-0.01	14	0.00	28	1.44	28	0.37	13	0.00	13
6844	-71	-72	Max	2.83	-0.61	13	0.27	27	0.00	14	23.57	27	-0.26	28	0.00	29
6844	-71	-72	Max	25.22	-0.61	13	0.27	27	0.04	27	22.69	27	2.55	27	0.00	29
6844	-71	-72	Min.	2.83	-1.73	27	0.03	28	-0.02	27	2.60	28	-2.63	27	0.00	27
6844	-71	-72	Min.	25.22	-1.73	27	0.03	28	0.00	28	1.72	28	0.22	28	0.00	27
6845	-103	-104	Max	2.83	-0.02	28	0.36	27	0.00	14	29.68	27	-0.32	28	0.00	29
6845	-103	-104	Max	24.59	-0.02	28	0.36	27	0.05	27	28.83	27	3.14	27	0.00	29
6845	-103	-104	Min.	2.83	-0.96	27	0.03	28	-0.03	27	3.26	28	-3.22	27	0.00	14
6845	-103	-104	Min.	24.59	-0.96	27	0.03	28	0.01	28	2.40	28	0.29	28	0.00	14
6846	-135	-136	Max	2.83	-0.08	28	0.40	27	0.00	14	31.28	27	-0.34	28	0.00	29
6846	-135	-136	Max	23.97	-0.08	28	0.40	27	0.05	27	30.45	27	3.22	27	0.00	29
6846	-135	-136	Min.	2.83	-0.95	27	0.04	28	-0.03	27	3.50	28	-3.30	27	0.00	14
6846	-135	-136	Min.	23.97	-0.95	27	0.04	28	0.01	28	2.67	28	0.31	28	0.00	14
6847	-167	-168	Max	2.83	-0.07	28	0.41	27	0.00	14	31.84	27	-0.35	28	0.00	29
6847	-167	-168	Max	23.34	-0.07	28	0.41	27	0.05	27	31.03	27	3.18	27	0.00	29
6847	-167	-168	Min.	2.83	-0.93	27	0.04	28	-0.03	27	3.66	28	-3.27	27	0.00	14
6847	-167	-168	Min.	23.34	-0.93	27	0.04	28	0.01	28	2.86	28	0.32	28	0.00	14
6848	-199	-200	Max	2.83	-0.07	28	0.42	27	0.00	14	32.18	27	-0.35	28	0.00	29
6848	-199	-200	Max	22.72	-0.07	28	0.42	27	0.05	27	31.40	27	3.12	27	0.00	29
6848	-199	-200	Min.	2.83	-0.95	27	0.04	28	-0.03	27	3.81	28	-3.20	27	0.00	14
6848	-199	-200	Min.	22.72	-0.95	27	0.04	28	0.01	28	3.03	28	0.33	28	0.00	14
6849	-231	-232	Max	2.83	-0.08	28	0.42	27	0.00	14	32.49	27	-0.36	28	0.00	29
6849	-231	-232	Max	22.09	-0.08	28	0.42	27	0.05	27	31.73	27	3.05	27	0.00	29

6849	-231	-232	Min.	2.83	-0.96	27	0.05	28	-0.03	27	3.96	28	-3.14	27	0.00	14
6849	-231	-232	Min.	22.09	-0.96	27	0.05	28	0.01	28	3.21	28	0.33	28	0.00	14
6850	-263	-264	Max	2.83	-0.07	28	0.43	27	0.00	14	32.81	27	-0.36	28	0.00	29
6850	-263	-264	Max	21.47	-0.07	28	0.43	27	0.05	27	32.07	27	2.98	27	0.00	29
6850	-263	-264	Min.	2.83	-0.94	27	0.05	28	-0.03	27	4.13	28	-3.07	27	0.00	14
6850	-263	-264	Min.	21.47	-0.94	27	0.05	28	0.01	28	3.40	28	0.34	28	0.00	14
6851	-295	-296	Max	2.83	-0.08	28	0.44	27	0.00	14	33.14	27	-0.37	28	0.00	29
6851	-295	-296	Max	20.84	-0.08	28	0.44	27	0.05	27	32.44	27	2.91	27	0.00	29
6851	-295	-296	Min.	2.83	-0.97	27	0.05	28	-0.03	27	4.31	28	-3.00	27	0.00	14
6851	-295	-296	Min.	20.84	-0.97	27	0.05	28	0.01	28	3.60	28	0.34	28	0.00	14
6852	-327	-328	Max	2.83	-0.08	28	0.44	27	0.00	14	33.50	27	-0.37	28	0.00	29
6852	-327	-328	Max	20.22	-0.08	28	0.44	27	0.05	27	32.82	27	2.84	27	0.00	29
6852	-327	-328	Min.	2.83	-0.95	27	0.05	28	-0.03	27	4.50	28	-2.93	27	0.00	14
6852	-327	-328	Min.	20.22	-0.95	27	0.05	28	0.01	28	3.82	28	0.35	28	0.00	14
6853	-359	-360	Max	2.83	-0.08	28	0.45	27	0.00	14	33.89	27	-0.38	28	0.00	29
6853	-359	-360	Max	19.59	-0.08	28	0.45	27	0.05	27	33.24	27	2.77	27	0.00	29
6853	-359	-360	Min.	2.83	-0.96	27	0.06	28	-0.03	27	4.71	28	-2.86	27	-0.00	14
6853	-359	-360	Min.	19.59	-0.96	27	0.06	28	0.01	28	4.05	28	0.35	28	-0.00	14
6854	-391	-392	Max	2.83	-0.05	14	0.45	27	0.00	14	34.30	27	-0.39	28	0.00	29
6854	-391	-392	Max	18.97	-0.05	14	0.45	27	0.05	27	33.67	27	2.70	27	0.00	29
6854	-391	-392	Min.	2.83	-0.86	27	0.06	28	-0.02	27	4.93	28	-2.79	27	-0.00	14
6854	-391	-392	Min.	18.97	-0.86	27	0.06	28	0.01	28	4.30	28	0.36	28	-0.00	14
6855	-423	-424	Max	2.83	-0.26	28	0.46	27	0.00	14	34.63	27	-0.39	28	0.00	29
6855	-423	-424	Max	18.34	-0.26	28	0.46	27	0.05	27	34.02	27	2.62	27	0.00	29
6855	-423	-424	Min.	2.83	-1.75	27	0.06	28	-0.02	27	5.16	28	-2.70	27	-0.00	14
6855	-423	-424	Min.	18.34	-1.75	27	0.06	28	0.01	28	4.55	28	0.36	28	-0.00	14
6856	-455	-456	Max	2.83	4.39	27	0.45	27	0.00	14	34.32	27	-0.39	28	0.00	29
6856	-455	-456	Max	17.72	4.39	27	0.45	27	0.04	27	33.74	27	2.45	27	0.00	29
6856	-455	-456	Min.	2.83	1.07	28	0.06	28	-0.02	27	5.27	28	-2.62	27	0.00	14
6856	-455	-456	Min.	17.72	1.07	28	0.06	28	0.01	28	4.68	28	0.35	28	0.00	14
6857	-487	-488	Max	2.83	-7.17	28	0.35	27	0.00	14	30.19	27	-0.19	14	-0.00	29
6857	-487	-488	Max	17.09	-7.17	28	0.35	27	0.03	27	29.63	27	2.37	27	-0.00	29
6857	-487	-488	Min.	2.83	-32.53	27	0.04	28	-0.02	27	4.68	28	-1.90	27	-0.00	14
6857	-487	-488	Min.	17.09	-32.53	27	0.04	28	0.01	28	4.12	28	0.36	28	-0.00	14
6861	-495	-496	Max	3.53	65.84	27	-0.06	28	0.04	27	31.45	27	-0.65	28	0.00	28
6861	-495	-496	Max	17.80	65.84	27	-0.06	28	0.00	14	30.89	27	1.67	27	0.00	28
6861	-495	-496	Min.	3.53	27.32	28	-0.37	27	0.01	28	6.03	28	-2.77	27	0.00	14
6861	-495	-496	Min.	17.80	27.32	28	-0.37	27	-0.02	27	5.47	28	0.12	14	0.00	14
6862	-463	-464	Max	3.53	-4.72	28	-0.09	28	0.05	27	35.55	27	-0.43	28	0.00	29
6862	-463	-464	Max	18.42	-4.72	28	-0.09	28	0.00	14	34.96	27	2.75	27	0.00	29
6862	-463	-464	Min.	3.53	-12.28	27	-0.47	27	0.01	28	6.64	28	-2.49	27	-0.00	14
6862	-463	-464	Min.	18.42	-12.28	27	-0.47	27	-0.02	27	6.06	28	0.52	28	-0.00	14
6863	-431	-432	Max	3.53	1.01	14	-0.09	28	0.05	27	35.83	27	-0.48	28	0.00	29
6863	-431	-432	Max	19.05	1.01	14	-0.09	28	0.00	14	35.23	27	2.78	27	0.00	29
6863	-431	-432	Min.	3.53	0.55	29	-0.48	27	0.01	28	6.50	28	-2.73	27	-0.00	14
6863	-431	-432	Min.	19.05	0.55	29	-0.48	27	-0.03	27	5.89	28	0.48	28	-0.00	14
6864	-399	-400	Max	3.53	-0.09	28	-0.08	28	0.05	27	35.42	27	-0.47	28	0.00	29
6864	-399	-400	Max	19.67	-0.09	28	-0.08	28	0.00	14	34.78	27	2.87	27	0.00	29
6864	-399	-400	Min.	3.53	-0.98	27	-0.47	27	0.01	28	6.20	28	-2.79	27	-0.00	14
6864	-399	-400	Min.	19.67	-0.98	27	-0.47	27	-0.03	27	5.56	28	0.48	28	-0.00	14
6865	-367	-368	Max	3.53	0.04	14	-0.08	28	0.05	27	34.97	27	-0.47	28	0.00	29
6865	-367	-368	Max	20.30	0.04	14	-0.08	28	0.00	14	34.31	27	2.94	27	0.00	29
6865	-367	-368	Min.	3.53	-0.71	27	-0.47	27	0.01	28	5.91	28	-2.87	27	-0.00	14
6865	-367	-368	Min.	20.30	-0.71	27	-0.47	27	-0.03	27	5.26	28	0.47	28	-0.00	14
6866	-335	-336	Max	3.53	0.01	14	-0.07	28	0.05	27	34.54	27	-0.46	28	0.00	29
6866	-335	-336	Max	20.92	0.01	14	-0.07	28	0.00	14	33.86	27	3.01	27	0.00	29
6866	-335	-336	Min.	3.53	-0.76	27	-0.46	27	0.01	28	5.65	28	-2.94	27	-0.00	14
6866	-335	-336	Min.	20.92	-0.76	27	-0.46	27	-0.03	27	4.97	28	0.46	28	-0.00	14
6867	-303	-304	Max	3.53	0.01	14	-0.07	28	0.05	27	34.12	27	-0.45	28	0.00	29

6867	-303	-304	Max	21.55	0.01	14	-0.07	28	0.00	14	33.41	27	3.07	27	0.00	29
6867	-303	-304	Min.	3.53	-0.77	27	-0.45	27	0.01	28	5.39	28	-3.01	27	-0.00	14
6867	-303	-304	Min.	21.55	-0.77	27	-0.45	27	-0.03	27	4.69	28	0.45	28	-0.00	14
6868	-271	-272	Max	3.53	0.01	14	-0.07	28	0.05	27	33.73	27	-0.45	28	0.00	29
6868	-271	-272	Max	22.17	0.01	14	-0.07	28	0.00	14	33.00	27	3.14	27	0.00	29
6868	-271	-272	Min.	3.53	-0.75	27	-0.45	27	0.01	28	5.16	28	-3.08	27	-0.00	14
6868	-271	-272	Min.	22.17	-0.75	27	-0.45	27	-0.03	27	4.43	28	0.45	28	-0.00	14
6869	-239	-240	Max	3.53	0.00	14	-0.06	28	0.05	27	33.37	27	-0.44	28	0.00	29
6869	-239	-240	Max	22.80	0.00	14	-0.06	28	0.00	14	32.61	27	3.21	27	0.00	29
6869	-239	-240	Min.	3.53	-0.78	27	-0.44	27	0.01	28	4.94	28	-3.15	27	-0.00	14
6869	-239	-240	Min.	22.80	-0.78	27	-0.44	27	-0.03	27	4.19	28	0.44	28	-0.00	14
6870	-207	-208	Max	3.53	0.01	14	-0.06	28	0.05	27	33.01	27	-0.44	28	0.00	29
6870	-207	-208	Max	23.42	0.01	14	-0.06	28	0.00	14	32.23	27	3.27	27	0.00	29
6870	-207	-208	Min.	3.53	-0.77	27	-0.43	27	0.01	28	4.74	28	-3.22	27	-0.00	14
6870	-207	-208	Min.	23.42	-0.77	27	-0.43	27	-0.03	27	3.96	28	0.43	28	-0.00	14
6871	-175	-176	Max	3.53	0.01	14	-0.06	28	0.05	27	32.64	27	-0.43	28	0.00	29
6871	-175	-176	Max	24.05	0.01	14	-0.06	28	0.00	14	31.83	27	3.33	27	0.00	29
6871	-175	-176	Min.	3.53	-0.75	27	-0.43	27	0.01	28	4.55	28	-3.28	27	-0.00	14
6871	-175	-176	Min.	24.05	-0.75	27	-0.43	27	-0.03	27	3.75	28	0.42	28	-0.00	14
6872	-143	-144	Max	3.53	-0.00	14	-0.05	28	0.05	27	32.04	27	-0.42	28	0.00	29
6872	-143	-144	Max	24.67	-0.00	14	-0.05	28	0.00	14	31.21	27	3.37	27	0.00	29
6872	-143	-144	Min.	3.53	-0.77	27	-0.41	27	0.01	28	4.35	28	-3.32	27	-0.00	14
6872	-143	-144	Min.	24.67	-0.77	27	-0.41	27	-0.03	27	3.52	28	0.41	28	-0.00	14
6873	-111	-112	Max	3.53	0.08	14	-0.05	28	0.05	27	30.38	27	-0.40	28	0.00	29
6873	-111	-112	Max	25.30	0.08	14	-0.05	28	0.00	14	29.53	27	3.28	27	0.00	29
6873	-111	-112	Min.	3.53	-0.64	27	-0.37	27	0.01	28	4.03	28	-3.24	27	-0.00	14
6873	-111	-112	Min.	25.30	-0.64	27	-0.37	27	-0.03	27	3.18	28	0.39	28	-0.00	14
6874	-79	-80	Max	3.53	-0.62	13	-0.03	28	0.04	27	24.11	27	-0.32	28	0.00	29
6874	-79	-80	Max	25.92	-0.62	13	-0.03	28	0.00	14	23.23	27	2.66	27	0.00	29
6874	-79	-80	Min.	3.53	-1.69	27	-0.27	27	0.01	28	3.20	28	-2.64	27	0.00	14
6874	-79	-80	Min.	25.92	-1.69	27	-0.27	27	-0.02	27	2.32	28	0.30	28	0.00	14
6875	-47	-48	Max	3.53	10.53	27	0.00	28	0.01	27	28.32	27	-0.20	28	-0.00	13
6875	-47	-48	Max	26.55	10.53	27	0.00	28	0.00	14	26.52	27	3.43	27	-0.00	13
6875	-47	-48	Min.	3.53	6.14	29	-0.07	27	0.00	28	3.91	28	-2.88	27	-0.02	27
6875	-47	-48	Min.	26.55	6.14	29	-0.07	27	0.00	27	2.10	28	0.49	28	-0.02	27
6876	-15	-16	Max	3.53	44.28	27	0.41	27	-0.01	13	17.75	27	-0.11	28	0.00	27
6876	-15	-16	Max	26.86	44.28	27	0.41	27	0.05	27	15.92	27	2.13	27	0.00	27
6876	-15	-16	Min.	3.53	26.02	29	0.09	13	-0.04	27	2.56	28	-1.80	27	0.00	14
6876	-15	-16	Min.	26.86	26.02	29	0.09	13	0.01	28	0.73	28	0.27	28	0.00	14
6877	346	347	Max	1.77	-6.52	29	2.84	27	-0.29	13	-0.21	28	0.22	27	0.19	27
6877	346	347	Max	15.00	-6.52	29	1.90	27	-0.22	29	-0.21	28	0.01	27	0.19	27
6877	346	347	Min.	1.77	-11.69	27	0.95	28	-0.71	27	-1.56	27	0.04	28	0.04	13
6877	346	347	Min.	15.00	-11.69	27	0.01	28	-0.39	27	-1.56	27	0.01	28	0.04	13
6877	347	348	Max	0.00	-6.52	29	1.90	27	-0.22	29	-0.21	28	0.01	27	0.19	27
6877	347	348	Max	0.66					-0.26	14			0.01	14		
6877	347	348	Max	13.23	-6.52	29	0.96	27	-0.20	29	-0.21	28	-0.02	13	0.19	27
6877	347	348	Min.	0.00	-11.69	27	0.01	28	-0.39	27	-1.56	27	0.01	28	0.04	13
6877	347	348	Min.	8.90					-0.19	29			-0.05	29		
6877	347	348	Min.	13.23	-11.69	27	-0.93	28	-0.32	14	-1.56	27	-0.19	27	0.04	13
6885	358	359	Max	1.77	-6.02	28	-0.21	13	0.22	27	2.83	27	-0.29	13	-0.04	13
6885	358	359	Max	15.00	-6.02	28	-0.21	13	0.01	27	1.89	27	-0.22	29	-0.04	13
6885	358	359	Min.	1.77	-12.02	27	-1.56	27	0.04	13	0.97	13	-0.70	27	-0.19	27
6885	358	359	Min.	15.00	-12.02	27	-1.56	27	0.01	29	0.03	13	-0.39	27	-0.19	27
6885	359	360	Max	0.00	-6.02	28	-0.21	13	0.01	27	1.89	27	-0.22	29	-0.04	13
6885	359	360	Max	8.42					-0.05	29			-0.19	29		
6885	359	360	Max	13.23	-6.02	28	-0.21	13	-0.02	13	0.95	27	-0.20	29	-0.04	13
6885	359	360	Min.	0.00	-12.02	27	-1.56	27	0.01	29	0.03	13	-0.39	27	-0.19	27
6885	359	360	Min.	0.66					0.01	14			-0.26	14		
6885	359	360	Min.	13.23	-12.02	27	-1.56	27	-0.19	27	-0.91	13	-0.32	14	-0.19	27

6886	-23	-24	Max	2.83	43.64	27	-0.09	28	0.04	27	17.79	27	-0.13	13	0.00	14
6886	-23	-24	Max	26.15	43.64	27	-0.09	28	-0.01	13	15.96	27	2.10	27	0.00	14
6886	-23	-24	Min.	2.83	25.74	29	-0.41	27	0.01	28	2.69	13	-1.84	27	-0.00	27
6886	-23	-24	Min.	26.15	25.74	29	-0.41	27	-0.05	27	0.86	13	0.28	13	-0.00	27
6887	-55	-56	Max	2.83	10.98	27	0.06	27	-0.00	13	28.38	27	-0.24	13	0.02	27
6887	-55	-56	Max	21.24					-0.00	27			2.14	27		
6887	-55	-56	Max	25.84	10.98	27	0.06	27	0.00	27	26.58	27	3.37	27	0.02	27
6887	-55	-56	Min.	2.83	6.31	29	-0.00	14	-0.01	27	4.09	13	-2.95	27	0.00	13
6887	-55	-56	Min.	21.24					-0.00	27			2.14	27		
6887	-55	-56	Min.	25.84	6.31	29	-0.00	14	-0.01	28	2.29	13	0.50	13	0.00	13
6888	-87	-88	Max	2.83	-0.62	28	0.27	27	-0.01	13	24.10	27	-0.34	13	0.00	14
6888	-87	-88	Max	20.74					-0.00	14			0.21	14		
6888	-87	-88	Max	25.22	-0.62	28	0.27	27	0.02	27	23.23	27	2.62	27	0.00	14
6888	-87	-88	Min.	2.83	-1.81	27	0.03	13	-0.04	27	3.31	13	-2.68	27	0.00	27
6888	-87	-88	Min.	20.74					-0.00	13			0.19	13		
6888	-87	-88	Min.	25.22	-1.81	27	0.03	13	-0.00	28	2.43	13	0.31	13	0.00	27
6889	-119	-120	Max	2.83	0.07	28	0.37	27	-0.01	13	30.38	27	-0.42	13	0.00	14
6889	-119	-120	Max	20.24					-0.00	14			0.26	14		
6889	-119	-120	Max	24.59	0.07	28	0.37	27	0.03	27	29.52	27	3.23	27	0.00	14
6889	-119	-120	Min.	2.83	-0.77	27	0.05	13	-0.05	27	4.17	13	-3.29	27	0.00	29
6889	-119	-120	Min.	20.24					-0.00	13			0.25	13		
6889	-119	-120	Min.	24.59	-0.77	27	0.05	13	-0.00	28	3.32	13	0.40	13	0.00	29
6890	-151	-152	Max	2.83	0.00	28	0.41	27	-0.01	13	32.03	27	-0.44	13	0.00	14
6890	-151	-152	Max	19.74					-0.00	14			0.28	14		
6890	-151	-152	Max	23.97	0.00	28	0.41	27	0.03	27	31.20	27	3.31	27	0.00	14
6890	-151	-152	Min.	2.83	-0.79	27	0.05	13	-0.05	27	4.50	13	-3.37	27	0.00	29
6890	-151	-152	Min.	19.74					-0.00	13			0.26	13		
6890	-151	-152	Min.	23.97	-0.79	27	0.05	13	-0.00	28	3.67	13	0.42	13	0.00	29
6891	-183	-184	Max	2.83	0.01	28	0.42	27	-0.01	13	32.63	27	-0.45	13	0.00	14
6891	-183	-184	Max	19.24					-0.00	14			0.29	14		
6891	-183	-184	Max	23.34	0.01	28	0.42	27	0.03	27	31.82	27	3.27	27	0.00	14
6891	-183	-184	Min.	2.83	-0.76	27	0.06	13	-0.05	27	4.71	13	-3.34	27	0.00	29
6891	-183	-184	Min.	19.24					-0.00	13			0.27	13		
6891	-183	-184	Min.	23.34	-0.76	27	0.06	13	-0.00	28	3.91	13	0.43	13	0.00	29
6892	-215	-216	Max	2.83	0.01	28	0.43	27	-0.01	13	33.00	27	-0.46	13	0.00	14
6892	-215	-216	Max	18.74					-0.00	14			0.29	14		
6892	-215	-216	Max	22.72	0.01	28	0.43	27	0.03	27	32.22	27	3.21	27	0.00	14
6892	-215	-216	Min.	2.83	-0.78	27	0.06	13	-0.05	27	4.91	13	-3.27	27	0.00	29
6892	-215	-216	Min.	18.74					-0.00	13			0.27	13		
6892	-215	-216	Min.	22.72	-0.78	27	0.06	13	0.00	28	4.13	13	0.44	13	0.00	29
6893	-247	-248	Max	2.83	0.00	28	0.44	27	-0.01	13	33.35	27	-0.47	13	0.00	14
6893	-247	-248	Max	18.24					-0.00	14			0.30	14		
6893	-247	-248	Max	22.09	0.00	28	0.44	27	0.03	27	32.60	27	3.15	27	0.00	14
6893	-247	-248	Min.	2.83	-0.79	27	0.06	13	-0.05	27	5.12	13	-3.21	27	0.00	29
6893	-247	-248	Min.	18.24					-0.00	13			0.28	13		
6893	-247	-248	Min.	22.09	-0.79	27	0.06	13	0.00	28	4.36	13	0.45	13	0.00	29
6894	-279	-280	Max	2.83	0.01	28	0.45	27	-0.01	13	33.72	27	-0.47	13	0.00	14
6894	-279	-280	Max	17.74					-0.00	14			0.30	14		
6894	-279	-280	Max	21.47	0.01	28	0.45	27	0.03	27	32.98	27	3.08	27	0.00	14
6894	-279	-280	Min.	2.83	-0.76	27	0.07	13	-0.05	27	5.34	13	-3.14	27	0.00	29
6894	-279	-280	Min.	17.74					-0.00	13			0.28	13		
6894	-279	-280	Min.	21.47	-0.76	27	0.07	13	0.00	28	4.61	13	0.46	13	0.00	29
6895	-311	-312	Max	2.83	0.01	28	0.45	27	-0.01	13	34.10	27	-0.48	13	0.00	14
6895	-311	-312	Max	17.24					-0.00	14			0.31	14		
6895	-311	-312	Max	20.84	0.01	28	0.45	27	0.03	27	33.40	27	3.01	27	0.00	14
6895	-311	-312	Min.	2.83	-0.78	27	0.07	13	-0.05	27	5.58	13	-3.07	27	0.00	29
6895	-311	-312	Min.	17.24					-0.00	13			0.28	13		
6895	-311	-312	Min.	20.84	-0.78	27	0.07	13	0.00	28	4.88	13	0.46	13	0.00	29
6896	-343	-344	Max	2.83	0.01	28	0.46	27	-0.01	13	34.53	27	-0.49	13	0.00	14

6896	-343	-344	Max	16.74					-0.00	14			0.31	14		
6896	-343	-344	Max	20.22	0.01	28	0.46	27	0.03	27	33.84	27	2.95	27	0.00	14
6896	-343	-344	Min.	2.83	-0.77	27	0.07	13	-0.05	27	5.85	13	-3.00	27	0.00	29
6896	-343	-344	Min.	16.74					-0.00	13			0.29	13		
6896	-343	-344	Min.	20.22	-0.77	27	0.07	13	0.00	28	5.16	13	0.47	13	0.00	29
6897	-375	-376	Max	2.83	0.03	28	0.46	27	-0.01	13	34.95	27	-0.49	13	0.00	14
6897	-375	-376	Max	16.24					-0.00	14			0.31	14		
6897	-375	-376	Max	19.59	0.03	28	0.46	27	0.03	27	34.29	27	2.88	27	0.00	14
6897	-375	-376	Min.	2.83	-0.72	27	0.08	13	-0.05	27	6.12	13	-2.93	27	0.00	29
6897	-375	-376	Min.	16.24					-0.00	28			0.31	28		
6897	-375	-376	Min.	19.59	-0.72	27	0.08	13	0.00	28	5.46	13	0.48	13	0.00	29
6898	-407	-408	Max	2.83	-0.11	13	0.47	27	-0.01	13	35.40	27	-0.50	13	0.00	14
6898	-407	-408	Max	15.74					-0.00	14			0.32	14		
6898	-407	-408	Max	18.97	-0.11	13	0.47	27	0.03	27	34.77	27	2.81	27	0.00	14
6898	-407	-408	Min.	2.83	-0.99	27	0.08	13	-0.05	27	6.41	13	-2.85	27	0.00	29
6898	-407	-408	Min.	15.74					-0.00	28			0.32	28		
6898	-407	-408	Min.	18.97	-0.99	27	0.08	13	0.00	28	5.78	13	0.49	13	0.00	29
6899	-439	-440	Max	2.83	1.02	28	0.48	27	-0.01	13	35.81	27	-0.51	13	0.00	14
6899	-439	-440	Max	15.24					-0.00	14			0.32	14		
6899	-439	-440	Max	18.34	1.02	28	0.48	27	0.02	27	35.20	27	2.72	27	0.00	14
6899	-439	-440	Min.	2.83	0.55	29	0.09	13	-0.05	27	6.72	13	-2.79	27	0.00	29
6899	-439	-440	Min.	15.24					-0.00	28			0.31	28		
6899	-439	-440	Min.	18.34	0.55	29	0.09	13	0.00	28	6.11	13	0.49	13	0.00	29
6900	-471	-472	Max	2.83	-5.51	13	0.46	27	-0.01	13	35.71	27	-0.46	13	0.00	14
6900	-471	-472	Max	14.74					-0.00	14			0.37	14		
6900	-471	-472	Max	17.72	-5.51	13	0.46	27	0.02	27	35.13	27	2.70	27	0.00	14
6900	-471	-472	Min.	2.83	-12.29	27	0.09	13	-0.05	27	6.96	13	-2.57	27	0.00	29
6900	-471	-472	Min.	14.74					-0.00	28			0.37	28		
6900	-471	-472	Min.	17.72	-12.29	27	0.09	13	0.00	28	6.38	13	0.53	13	0.00	29
6901	-503	-504	Max	2.83	66.33	27	0.36	27	-0.01	13	31.04	27	-0.70	13	0.00	28
6901	-503	-504	Max	14.24					-0.00	13			-0.03	13		
6901	-503	-504	Max	17.09	66.33	27	0.36	27	0.02	27	30.48	27	1.58	27	0.00	28
6901	-503	-504	Min.	2.83	31.77	29	0.06	13	-0.03	27	6.09	13	-2.81	27	-0.00	27
6901	-503	-504	Min.	14.24					-0.00	28			-0.08	28		
6901	-503	-504	Min.	17.09	31.77	29	0.06	13	0.00	14	5.53	13	0.09	28	-0.00	27
6905	-511	-512	Max	3.53	-14.11	13	-0.03	14	0.02	27	29.98	27	-0.15	28	0.00	27
6905	-511	-512	Max	17.80	-14.11	13	-0.03	14	-0.01	13	29.42	27	2.41	27	0.00	27
6905	-511	-512	Min.	3.53	-33.03	27	-0.34	27	-0.00	14	4.83	14	-1.83	27	0.00	29
6905	-511	-512	Min.	17.80	-33.03	27	-0.34	27	-0.03	27	4.27	14	0.44	13	0.00	29
6906	-479	-480	Max	3.53	4.40	27	-0.07	14	0.02	27	34.37	27	-0.41	13	0.00	14
6906	-479	-480	Max	18.42	4.40	27	-0.07	14	-0.01	13	33.78	27	2.51	27	0.00	14
6906	-479	-480	Min.	3.53	2.04	29	-0.44	27	-0.00	14	5.52	13	-2.56	27	0.00	29
6906	-479	-480	Min.	18.42	2.04	29	-0.44	27	-0.04	27	4.94	13	0.36	14	0.00	29
6907	-447	-448	Max	3.53	-0.43	13	-0.06	14	0.02	27	34.59	27	-0.40	13	0.00	14
6907	-447	-448	Max	19.05	-0.43	13	-0.06	14	-0.01	13	33.98	27	2.68	27	0.00	14
6907	-447	-448	Min.	3.53	-1.75	27	-0.45	27	-0.00	14	5.37	13	-2.64	27	0.00	29
6907	-447	-448	Min.	19.05	-1.75	27	-0.45	27	-0.05	27	4.76	13	0.39	13	0.00	29
6908	-415	-416	Max	3.53	-0.03	28	-0.06	14	0.02	27	34.26	27	-0.39	13	0.00	14
6908	-415	-416	Max	19.67	-0.03	28	-0.06	14	-0.01	13	33.63	27	2.75	27	0.00	14
6908	-415	-416	Min.	3.53	-0.85	27	-0.45	27	-0.00	14	5.14	13	-2.72	27	0.00	29
6908	-415	-416	Min.	19.67	-0.85	27	-0.45	27	-0.05	27	4.50	13	0.38	13	0.00	29
6909	-383	-384	Max	3.53	-0.09	13	-0.06	14	0.03	27	33.85	27	-0.39	13	0.00	14
6909	-383	-384	Max	20.30	-0.09	13	-0.06	14	-0.01	13	33.19	27	2.83	27	0.00	14
6909	-383	-384	Min.	3.53	-0.95	27	-0.45	27	-0.00	28	4.90	13	-2.79	27	0.00	29
6909	-383	-384	Min.	20.30	-0.95	27	-0.45	27	-0.05	27	4.24	13	0.38	13	0.00	29
6910	-351	-352	Max	3.53	-0.08	13	-0.06	14	0.03	27	33.46	27	-0.38	13	0.00	14
6910	-351	-352	Max	20.92	-0.08	13	-0.06	14	-0.01	13	32.78	27	2.89	27	0.00	14
6910	-351	-352	Min.	3.53	-0.95	27	-0.44	27	-0.00	28	4.68	13	-2.86	27	0.00	29
6910	-351	-352	Min.	20.92	-0.95	27	-0.44	27	-0.05	27	4.00	13	0.37	13	0.00	29

6911	-319	-320	Max	3.53	-0.09	13	-0.05	14	0.03	27	33.10	27	-0.38	13	0.00	14
6911	-319	-320	Max	21.55	-0.09	13	-0.05	14	-0.01	13	32.39	27	2.96	27	0.00	14
6911	-319	-320	Min.	3.53	-0.96	27	-0.43	27	-0.00	28	4.48	13	-2.93	27	0.00	29
6911	-319	-320	Min.	21.55	-0.96	27	-0.43	27	-0.05	27	3.77	13	0.36	13	0.00	29
6912	-287	-288	Max	3.53	-0.08	13	-0.05	14	0.03	27	32.77	27	-0.37	13	0.00	14
6912	-287	-288	Max	22.17	-0.08	13	-0.05	14	-0.01	13	32.03	27	3.03	27	0.00	14
6912	-287	-288	Min.	3.53	-0.93	27	-0.43	27	-0.00	28	4.29	13	-3.00	27	0.00	29
6912	-287	-288	Min.	22.17	-0.93	27	-0.43	27	-0.05	27	3.56	13	0.36	13	0.00	29
6913	-255	-256	Max	3.53	-0.09	13	-0.05	14	0.03	27	32.45	27	-0.37	13	0.00	14
6913	-255	-256	Max	22.80	-0.09	13	-0.05	14	-0.01	13	31.69	27	3.10	27	0.00	14
6913	-255	-256	Min.	3.53	-0.95	27	-0.42	27	-0.00	28	4.11	13	-3.07	27	0.00	29
6913	-255	-256	Min.	22.80	-0.95	27	-0.42	27	-0.05	27	3.36	13	0.35	13	0.00	29
6914	-223	-224	Max	3.53	-0.08	13	-0.05	14	0.03	27	32.14	27	-0.36	13	0.00	14
6914	-223	-224	Max	23.42	-0.08	13	-0.05	14	-0.01	13	31.36	27	3.17	27	0.00	14
6914	-223	-224	Min.	3.53	-0.94	27	-0.42	27	-0.00	28	3.95	13	-3.14	27	0.00	29
6914	-223	-224	Min.	23.42	-0.94	27	-0.42	27	-0.05	27	3.17	13	0.35	13	0.00	29
6915	-191	-192	Max	3.53	-0.08	13	-0.04	14	0.03	27	31.80	27	-0.36	13	0.00	14
6915	-191	-192	Max	24.05	-0.08	13	-0.04	14	-0.01	13	31.00	27	3.23	27	0.00	14
6915	-191	-192	Min.	3.53	-0.91	27	-0.41	27	-0.00	28	3.80	13	-3.21	27	0.00	29
6915	-191	-192	Min.	24.05	-0.91	27	-0.41	27	-0.05	27	2.99	13	0.34	13	0.00	29
6916	-159	-160	Max	3.53	-0.09	13	-0.04	14	0.03	27	31.24	27	-0.35	13	0.00	14
6916	-159	-160	Max	24.67	-0.09	13	-0.04	14	-0.01	13	30.41	27	3.27	27	0.00	14
6916	-159	-160	Min.	3.53	-0.94	27	-0.40	27	-0.00	28	3.63	13	-3.25	27	0.00	29
6916	-159	-160	Min.	24.67	-0.94	27	-0.40	27	-0.05	27	2.80	13	0.33	13	0.00	29
6917	-127	-128	Max	3.53	-0.03	13	-0.04	14	0.03	27	29.65	27	-0.33	13	0.00	14
6917	-127	-128	Max	25.30	-0.03	13	-0.04	14	-0.01	13	28.79	27	3.19	27	0.00	14
6917	-127	-128	Min.	3.53	-0.83	27	-0.36	27	-0.00	28	3.37	13	-3.17	27	0.00	29
6917	-127	-128	Min.	25.30	-0.83	27	-0.36	27	-0.05	27	2.52	13	0.31	13	0.00	29
6918	-95	-96	Max	3.53	-0.59	28	-0.03	13	0.02	27	23.55	27	-0.27	13	0.00	27
6918	-95	-96	Max	25.92	-0.59	28	-0.03	13	-0.01	13	22.67	27	2.59	27	0.00	27
6918	-95	-96	Min.	3.53	-1.62	27	-0.27	27	-0.00	28	2.69	13	-2.59	27	0.00	29
6918	-95	-96	Min.	25.92	-1.62	27	-0.27	27	-0.04	27	1.81	13	0.24	13	0.00	29
6919	-63	-64	Max	3.53	6.72	27	0.01	14	0.00	27	27.66	27	-0.17	14	-0.00	28
6919	-63	-64	Max	26.55	6.72	27	0.01	14	-0.00	13	25.85	27	3.26	27	-0.00	28
6919	-63	-64	Min.	3.53	4.49	29	-0.06	27	-0.01	28	3.30	14	-2.89	27	-0.02	27
6919	-63	-64	Min.	26.55	4.49	29	-0.06	27	-0.01	27	1.49	14	0.37	13	-0.02	27
6920	-31	-32	Max	3.53	31.44	27	0.42	27	-0.01	13	17.27	27	-0.08	14	0.00	27
6920	-31	-32	Max	26.86	31.44	27	0.42	27	0.05	27	15.44	27	2.02	27	0.00	27
6920	-31	-32	Min.	3.53	19.50	28	0.09	28	-0.05	27	2.10	14	-1.80	27	0.00	13
6920	-31	-32	Min.	26.86	19.50	28	0.09	28	0.01	28	0.27	14	0.19	13	0.00	13
6921	382	383	Max	1.77	-4.94	29	2.72	27	-0.21	28	-0.18	13	0.22	27	0.19	27
6921	382	383	Max	12.55					-0.19	14			0.01	14		
6921	382	383	Max	15.00	-4.94	29	1.78	27	-0.16	28	-0.18	13	0.01	27	0.19	27
6921	382	383	Min.	1.77	-7.51	27	0.81	14	-0.57	27	-1.53	27	0.03	28	0.04	13
6921	382	383	Min.	14.01					-0.16	28			0.01	28		
6921	382	383	Min.	15.00	-7.51	27	-0.13	14	-0.27	27	-1.53	27	0.01	28	0.04	13
6921	383	384	Max	0.00	-4.94	29	1.78	27	-0.16	28	-0.18	13	0.01	27	0.19	27
6921	383	384	Max	7.94					-0.14	29			-0.04	29		
6921	383	384	Max	13.23	-4.94	29	0.84	27	-0.10	27	-0.18	13	-0.01	14	0.19	27
6921	383	384	Min.	0.00	-7.51	27	-0.13	14	-0.27	27	-1.53	27	0.01	28	0.04	13
6921	383	384	Min.	7.94					-0.14	29			-0.04	29		
6921	383	384	Min.	13.23	-7.51	27	-1.07	14	-0.27	14	-1.53	27	-0.19	27	0.04	13
6922	-543	-544	Max	0.00	0.07	28	-3.84	13	0.89	27	0.43	27	0.02	28	0.04	13
6922	-543	-544	Max	12.00	0.07	28	-3.84	13	-0.23	13	2.03	27	0.11	27	0.04	13
6922	-543	-544	Min.	0.00	-0.98	27	-15.25	27	0.23	13	-0.91	13	-0.04	27	-0.18	27
6922	-543	-544	Min.	12.00	-0.98	27	-15.25	27	-0.94	27	0.69	13	0.00	13	-0.18	27
6923	-527	-528	Max	0.00	-0.01	13	-4.01	13	0.80	27	0.84	27	-0.02	29	0.04	13
6923	-527	-528	Max	12.00	-0.01	13	-4.01	13	-0.24	13	2.44	27	0.15	27	0.04	13
6923	-527	-528	Min.	0.00	-1.37	27	-13.28	27	0.24	13	-0.44	28	-0.04	27	-0.28	27

6923	-527	-528	Min.	12.00	-1.37	27	-13.28	27	-0.79	27	1.16	28	0.02	28	-0.28	27
7001	3002	-815	Max	0.00	6.16	27	0.29	27	-0.05	13	-17.35	13	0.94	27	-0.03	13
7001	3002	-815	Max	154.00	6.16	27	0.29	27	-0.01	29	6.98	27	-9.31	29	-0.03	13
7001	3002	-815	Min.	0.00	2.60	13	0.02	13	-0.47	27	-23.58	27	-0.66	14	-0.09	27
7001	3002	-815	Min.	154.00	2.60	13	0.02	13	-0.02	27	5.22	29	-11.84	27	-0.09	27
7001	-815	3003	Max	0.00	6.16	27	0.29	27	-0.01	29	6.98	27	-9.31	29	-0.03	13
7001	-815	3003	Max	154.00	6.16	27	0.29	27	0.43	27	37.53	27	22.43	27	-0.03	13
7001	-815	3003	Min.	0.00	2.60	13	0.02	13	-0.02	27	5.22	29	-11.84	27	-0.09	27
7001	-815	3003	Min.	154.00	2.60	13	0.02	13	0.01	13	28.07	29	16.32	29	-0.09	27
7001	3004	-804	Max	0.00	9.41	27	0.27	27	-0.05	13	-24.42	13	24.30	27	-0.00	13
7001	3004	-804	Max	164.00	9.41	27	0.27	27	-0.01	28	-0.08	13	-3.86	13	-0.00	13
7001	3004	-804	Min.	0.00	3.70	13	0.02	13	-0.49	27	-33.78	27	16.23	13	-0.01	27
7001	3004	-804	Min.	164.00	3.70	13	0.02	13	-0.05	27	-1.24	27	-4.42	27	-0.01	27
7001	-804	3005	Max	0.00	9.41	27	0.27	27	-0.01	28	-0.08	13	-3.86	13	-0.00	13
7001	-804	3005	Max	164.00	9.41	27	0.27	27	0.40	27	31.30	27	20.23	27	-0.00	13
7001	-804	3005	Min.	0.00	3.70	13	0.02	13	-0.05	27	-1.24	27	-4.42	27	-0.01	27
7001	-804	3005	Min.	164.00	3.70	13	0.02	13	0.02	14	23.89	29	15.36	29	-0.01	27
7001	3006	-795	Max	0.00	7.26	27	0.29	27	-0.06	13	-28.54	13	23.78	27	0.06	27
7001	3006	-795	Max	154.00	7.26	27	0.29	27	-0.02	13	-5.68	13	-9.57	13	0.06	27
7001	3006	-795	Min.	0.00	2.96	13	0.03	13	-0.48	27	-39.56	27	16.78	13	0.02	29
7001	3006	-795	Min.	154.00	2.96	13	0.03	13	-0.04	27	-9.00	27	-13.61	27	0.02	29
7001	-795	3007	Max	0.00	7.26	27	0.29	27	-0.02	13	-5.68	13	-9.57	13	0.06	27
7001	-795	3007	Max	154.00	7.26	27	0.29	27	0.40	27	21.55	27	-0.72	13	0.06	27
7001	-795	3007	Min.	0.00	2.96	13	0.03	13	-0.04	27	-9.00	27	-13.61	27	0.02	29
7001	-795	3007	Min.	154.00	2.96	13	0.03	13	0.02	14	16.89	29	-3.95	27	0.02	29
7002	4027	-816	Max	0.00	61.73	27	0.33	27	-0.05	13	-20.83	13	36.53	27	-0.04	13
7002	4027	-816	Max	154.00	61.73	27	0.33	27	0.02	27	4.65	14	-8.04	29	-0.04	13
7002	4027	-816	Min.	0.00	31.03	29	0.04	13	-0.50	27	-52.19	27	4.37	13	-0.09	27
7002	4027	-816	Min.	154.00	31.03	29	0.04	13	-0.00	28	-11.63	27	-12.61	27	-0.09	27
7002	-816	4028	Max	0.00	61.73	27	0.33	27	0.02	27	4.65	14	-8.04	29	-0.04	13
7002	-816	4028	Max	154.00	61.73	27	0.33	27	0.53	27	33.39	28	19.65	28	-0.04	13
7002	-816	4028	Min.	0.00	31.03	29	0.04	13	-0.00	28	-11.63	27	-12.61	27	-0.09	27
7002	-816	4028	Min.	154.00	31.03	29	0.04	13	0.06	13	23.66	29	0.72	27	-0.09	27
7002	4030	-805	Max	0.00	109.29	27	0.20	27	0.02	14	-26.76	13	47.70	27	0.00	27
7002	4030	-805	Max	164.00	109.29	27	0.20	27	0.00	29	0.05	14	-8.32	13	0.00	27
7002	4030	-805	Min.	0.00	49.94	29	-0.01	14	-0.33	27	-58.94	27	13.58	13	0.00	14
7002	4030	-805	Min.	164.00	49.94	29	-0.01	14	-0.00	27	-15.74	27	-13.53	27	0.00	14
7002	-805	4031	Max	0.00	109.29	27	0.20	27	0.00	29	0.05	14	-8.32	13	0.00	27
7002	-805	4031	Max	164.00	109.29	27	0.20	27	0.33	27	30.79	28	15.71	28	0.00	27
7002	-805	4031	Min.	0.00	49.94	29	-0.01	14	-0.00	27	-15.74	27	-13.53	27	0.00	14
7002	-805	4031	Min.	164.00	49.94	29	-0.01	14	-0.01	28	21.58	29	-3.92	27	0.00	14
7002	4033	-794	Max	0.00	78.22	27	0.12	27	0.09	14	-29.43	13	52.78	27	0.09	27
7002	4033	-794	Max	154.00	78.22	27	0.12	27	0.02	27	-4.26	13	-8.33	13	0.09	27
7002	4033	-794	Min.	0.00	33.70	13	-0.05	14	-0.17	27	-63.87	27	17.61	13	0.04	29
7002	4033	-794	Min.	154.00	33.70	13	-0.05	14	0.01	28	-23.30	27	-14.34	27	0.04	29
7002	-794	4034	Max	0.00	78.22	27	0.12	27	0.02	27	-4.26	13	-8.33	13	0.09	27
7002	-794	4034	Max	154.00	78.22	27	0.12	27	0.20	27	24.42	28	5.83	28	0.09	27
7002	-794	4034	Min.	0.00	33.70	13	-0.05	14	0.01	28	-23.30	27	-14.34	27	0.04	29
7002	-794	4034	Min.	154.00	33.70	13	-0.05	14	-0.07	14	15.06	29	-18.99	27	0.04	29
7003	-594	-817	Max	0.00	14.29	27	-0.03	13	0.04	27	-23.07	29	-1.42	13	-0.08	29
7003	-594	-817	Max	154.00	14.29	27	-0.03	13	-0.01	28	5.38	27	-17.61	29	-0.08	29
7003	-594	-817	Min.	0.00	-0.05	28	-0.12	27	0.02	13	-35.19	27	-4.80	27	-0.19	27
7003	-594	-817	Min.	154.00	-0.05	28	-0.12	27	-0.14	27	2.01	13	-27.75	27	-0.19	27
7003	-817	-595	Max	0.00	67.24	27	0.47	27	-0.05	28	14.07	27	-17.61	29	-0.09	29
7003	-817	-595	Max	154.00	67.24	27	0.47	27	0.50	27	54.64	27	25.15	27	-0.09	29
7003	-817	-595	Min.	0.00	30.25	29	0.12	28	-0.23	27	10.67	13	-27.75	27	-0.21	27
7003	-817	-595	Min.	154.00	30.25	29	0.12	28	0.13	13	35.84	13	18.11	13	-0.21	27
7003	-596	-806	Max	0.00	81.66	27	-0.08	29	0.08	14	-31.36	13	24.50	27	0.02	27
7003	-596	-806	Max	164.00	81.66	27	-0.08	29	-0.11	29	-4.55	28	-11.51	13	0.02	27

7003	-596	-806	Min.	0.00	32.02	13	-0.19	27	0.03	29	-48.09	27	17.94	13	0.00	13
7003	-596	-806	Min.	164.00	32.02	13	-0.19	27	-0.25	27	-4.89	27	-18.94	27	0.00	13
7003	-806	-597	Max	0.00	63.01	27	0.28	27	-0.10	13	4.55	14	-11.51	13	-0.00	29
7003	-806	-597	Max	164.00	63.01	27	0.28	27	0.21	27	47.43	27	23.43	27	-0.00	29
7003	-806	-597	Min.	0.00	28.85	29	0.09	13	-0.26	27	4.23	27	-18.94	27	-0.01	14
7003	-806	-597	Min.	164.00	28.85	29	0.09	13	0.04	13	31.24	29	17.75	29	-0.01	14
7003	-598	-793	Max	0.00	77.27	27	-0.12	29	0.31	27	-35.75	29	23.64	27	0.21	27
7003	-598	-793	Max	154.00	77.27	27	-0.12	29	-0.06	29	-10.58	29	-17.71	13	0.21	27
7003	-598	-793	Min.	0.00	31.93	13	-0.33	27	0.12	29	-54.05	27	17.86	29	0.09	13
7003	-598	-793	Min.	154.00	31.93	13	-0.33	27	-0.20	27	-13.49	27	-28.37	27	0.09	13
7003	-793	-599	Max	0.00	-0.03	13	0.13	27	-0.02	28	-1.91	29	-17.70	13	0.19	27
7003	-793	-599	Max	154.00	-0.03	13	0.13	27	0.10	27	35.76	27	-1.38	29	0.19	27
7003	-793	-599	Min.	0.00	-14.35	27	0.05	13	-0.11	27	-4.81	27	-28.36	27	0.08	13
7003	-793	-599	Min.	154.00	-14.35	27	0.05	13	0.04	13	23.15	13	-4.53	27	0.08	13
7004	-658	-818	Max	0.00	138.07	27	0.31	27	-0.12	28	-20.33	29	-2.56	13	-0.06	13
7004	-658	-818	Max	154.00	138.07	27	0.31	27	0.03	27	7.64	27	-15.08	13	-0.06	13
7004	-658	-818	Min.	0.00	61.34	13	0.08	28	-0.45	27	-32.93	27	-8.28	27	-0.14	27
7004	-658	-818	Min.	154.00	61.34	13	0.08	28	0.00	13	4.45	13	-27.75	27	-0.14	27
7004	-818	-659	Max	0.00	138.07	27	0.31	27	0.03	27	7.64	27	-15.08	13	-0.06	13
7004	-818	-659	Max	154.00	138.07	27	0.31	27	0.52	27	48.21	27	15.25	27	-0.06	13
7004	-818	-659	Min.	0.00	61.34	13	0.08	28	0.00	13	4.45	13	-27.75	27	-0.14	27
7004	-818	-659	Min.	154.00	61.34	13	0.08	28	0.14	13	29.62	13	11.15	13	-0.14	27
7004	-660	-807	Max	0.00	153.52	27	0.10	27	-0.02	28	-26.73	29	13.42	27	0.00	27
7004	-660	-807	Max	164.00	153.52	27	0.10	27	-0.02	29	0.22	27	-10.58	13	0.00	27
7004	-660	-807	Min.	0.00	68.43	29	-0.00	14	-0.22	27	-42.98	27	11.27	29	0.00	28
7004	-660	-807	Min.	164.00	68.43	29	-0.00	14	-0.06	27	-0.00	28	-21.64	27	0.00	28
7004	-807	-661	Max	0.00	153.52	27	0.10	27	-0.02	29	0.22	27	-10.58	13	0.00	27
7004	-807	-661	Max	164.00	153.52	27	0.10	27	0.09	27	43.42	27	14.15	27	0.00	27
7004	-807	-661	Min.	0.00	68.43	29	-0.00	14	-0.06	27	-0.00	28	-21.64	27	0.00	28
7004	-807	-661	Min.	164.00	68.43	29	-0.00	14	-0.04	14	26.80	13	11.40	13	0.00	28
7004	-662	-796	Max	0.00	129.57	27	-0.06	29	0.23	27	-29.22	29	12.84	28	0.13	27
7004	-662	-796	Max	154.00	129.57	27	-0.06	29	0.02	28	-4.06	29	-15.03	29	0.13	27
7004	-662	-796	Min.	0.00	59.99	29	-0.15	27	0.10	29	-45.85	27	10.59	29	0.06	29
7004	-662	-796	Min.	154.00	59.99	29	-0.15	27	0.00	27	-5.29	28	-27.43	27	0.06	29
7004	-796	-663	Max	0.00	129.57	27	-0.06	29	0.02	28	-4.06	29	-15.03	29	0.13	27
7004	-796	-663	Max	154.00	129.57	27	-0.06	29	-0.09	29	35.28	27	-1.90	29	0.13	27
7004	-796	-663	Min.	0.00	59.99	29	-0.15	27	0.00	27	-5.29	28	-27.43	27	0.06	29
7004	-796	-663	Min.	154.00	59.99	29	-0.15	27	-0.23	27	20.71	13	-4.33	27	0.06	29
7005	-722	-819	Max	0.00	14.56	27	0.57	27	-0.24	29	-23.99	29	-1.92	13	-0.01	28
7005	-722	-819	Max	154.00	14.56	27	0.57	27	0.39	27	3.41	27	-20.15	13	-0.01	28
7005	-722	-819	Min.	0.00	-0.02	28	0.30	29	-0.49	27	-37.15	27	-7.92	27	-0.05	27
7005	-722	-819	Min.	154.00	-0.02	28	0.30	29	0.22	29	0.75	13	-33.90	27	-0.05	27
7005	-819	-723	Max	0.00	111.29	27	-0.20	29	0.35	27	11.98	27	-20.15	13	-0.02	28
7005	-819	-723	Max	154.00	111.29	27	-0.20	29	-0.08	27	52.54	27	15.78	27	-0.02	28
7005	-819	-723	Min.	0.00	51.42	29	-0.28	27	0.21	29	9.35	13	-33.90	27	-0.05	27
7005	-819	-723	Min.	154.00	51.42	29	-0.28	27	-0.16	28	34.52	13	13.63	13	-0.05	27
7005	-724	-808	Max	0.00	125.78	27	0.40	27	-0.14	13	-31.21	29	15.51	28	0.01	27
7005	-724	-808	Max	164.00	125.78	27	0.40	27	0.29	27	-4.14	27	-15.60	13	0.01	27
7005	-724	-808	Min.	0.00	52.61	13	0.17	13	-0.36	27	-47.34	27	13.59	29	0.00	13
7005	-724	-808	Min.	164.00	52.61	13	0.17	13	0.14	13	-4.53	13	-28.59	27	0.00	13
7005	-808	-725	Max	0.00	103.86	27	-0.16	29	0.28	27	4.87	27	-15.60	13	-0.00	29
7005	-808	-725	Max	164.00	103.86	27	-0.16	29	-0.13	29	48.07	27	15.51	28	-0.00	29
7005	-808	-725	Min.	0.00	48.94	29	-0.32	27	0.14	29	4.52	14	-28.60	27	-0.00	27
7005	-808	-725	Min.	164.00	48.94	29	-0.32	27	-0.24	27	31.33	13	13.80	13	-0.00	27
7005	-726	-797	Max	0.00	118.49	27	0.39	27	-0.12	13	-34.08	29	15.36	28	0.05	27
7005	-726	-797	Max	154.00	118.49	27	0.39	27	0.37	27	-8.91	29	-20.05	29	0.05	27
7005	-726	-797	Min.	0.00	52.62	13	0.21	13	-0.22	27	-49.94	27	12.40	27	0.02	28
7005	-726	-797	Min.	154.00	52.62	13	0.21	13	0.21	13	-10.17	28	-33.27	27	0.02	28
7005	-797	-727	Max	0.00	-0.02	13	-0.28	29	0.39	27	-0.31	29	-20.05	29	0.04	27

7005	-797	-727	Max	154.00	-0.02	13	-0.28	29	-0.21	29	39.75	27	-1.15	29	0.04	27
7005	-797	-727	Min.	0.00	-14.62	27	-0.53	27	0.22	29	-1.57	28	-33.27	27	0.01	28
7005	-797	-727	Min.	154.00	-14.62	27	-0.53	27	-0.42	27	24.42	13	-3.29	27	0.01	28
7006	-786	-820	Max	0.00	43.66	27	0.00	14	0.00	28	-20.70	29	-2.56	13	0.01	28
7006	-786	-820	Max	154.00	43.66	27	0.00	14	0.00	29	6.90	27	-15.79	13	0.01	28
7006	-786	-820	Min.	0.00	29.47	13	-0.00	28	-0.00	14	-33.66	27	-9.01	27	0.00	14
7006	-786	-820	Min.	154.00	29.47	13	-0.00	28	-0.00	14	3.99	13	-29.61	27	0.00	14
7006	-820	-787	Max	0.00	43.66	27	0.00	14	0.00	29	6.90	27	-15.79	13	0.01	28
7006	-820	-787	Max	92.40					-0.00	14			-6.68	14		
7006	-820	-787	Max	154.00	43.66	27	0.00	14	0.00	13	47.47	27	12.26	27	0.01	28
7006	-820	-787	Min.	0.00	29.47	13	-0.00	28	-0.00	14	3.99	13	-29.61	27	0.00	14
7006	-820	-787	Min.	61.60					-0.00	13			-10.23	13		
7006	-820	-787	Min.	154.00	29.47	13	-0.00	28	-0.01	28	29.16	13	9.74	13	0.00	14
7006	-788	-809	Max	0.00	-27.14	29	-0.00	29	0.01	27	-26.65	29	9.74	14	0.00	13
7006	-788	-809	Max	164.00	-27.14	29	-0.00	29	0.00	27	0.45	27	-12.28	13	0.00	13
7006	-788	-809	Min.	0.00	-100.74	27	-0.00	27	0.00	29	-42.75	27	9.12	27	0.00	28
7006	-788	-809	Min.	164.00	-100.74	27	-0.00	27	0.00	28	-0.00	14	-25.56	27	0.00	28
7006	-809	-789	Max	0.00	-27.14	29	-0.00	29	0.00	27	0.45	27	-12.28	13	0.00	13
7006	-809	-789	Max	164.00	-27.14	29	-0.00	29	-0.00	29	43.65	27	10.61	27	0.00	13
7006	-809	-789	Min.	0.00	-100.74	27	-0.00	27	0.00	28	-0.00	14	-25.56	27	0.00	28
7006	-809	-789	Min.	164.00	-100.74	27	-0.00	27	-0.01	27	26.80	13	9.69	13	0.00	28
7006	-790	-798	Max	0.00	35.25	27	0.00	28	0.00	27	-28.68	29	9.88	14	0.00	27
7006	-790	-798	Max	61.60					-0.00	28			-5.43	28		
7006	-790	-798	Max	154.00	35.25	27	0.00	28	0.00	27	-3.51	29	-15.68	29	0.00	27
7006	-790	-798	Min.	0.00	28.12	29	-0.00	14	-0.00	28	-44.59	27	8.50	27	-0.01	28
7006	-790	-798	Min.	61.60					-0.00	28			-5.43	28		
7006	-790	-798	Min.	154.00	28.12	29	-0.00	14	0.00	13	-4.29	14	-28.93	27	-0.01	28
7006	-798	-791	Max	0.00	35.25	27	0.00	28	0.00	27	-3.51	29	-15.68	29	0.00	27
7006	-798	-791	Max	154.00	35.25	27	0.00	28	0.00	28	36.54	27	-1.71	29	0.00	27
7006	-798	-791	Min.	0.00	28.12	29	-0.00	14	0.00	13	-4.29	14	-28.93	27	-0.01	28
7006	-798	-791	Min.	154.00	28.12	29	-0.00	14	0.00	14	21.17	13	-3.89	27	-0.01	28
7007	-730	-821	Max	0.00	14.56	27	-0.28	28	0.48	27	-22.67	28	-1.42	28	0.05	27
7007	-730	-821	Max	154.00	14.56	27	-0.28	28	-0.20	28	3.41	27	-18.85	28	0.05	27
7007	-730	-821	Min.	0.00	-0.02	14	-0.57	27	0.22	13	-37.15	27	-7.92	27	0.02	13
7007	-730	-821	Min.	154.00	-0.02	14	-0.57	27	-0.39	27	0.03	28	-33.90	27	0.02	13
7007	-821	-731	Max	0.00	111.29	27	0.27	27	-0.19	28	11.98	27	-18.85	28	0.05	27
7007	-821	-731	Max	154.00	111.29	27	0.27	27	0.13	14	52.54	27	15.78	27	0.05	27
7007	-821	-731	Min.	0.00	50.34	28	0.18	28	-0.34	27	8.64	28	-33.90	27	0.02	13
7007	-821	-731	Min.	154.00	50.34	28	0.18	28	0.07	27	31.35	28	11.94	28	0.02	13
7007	-732	-810	Max	0.00	125.78	27	-0.16	28	0.37	27	-28.70	28	13.89	14	-0.00	28
7007	-732	-810	Max	164.00	125.78	27	-0.16	28	-0.13	28	-4.14	27	-15.12	28	-0.00	28
7007	-732	-810	Min.	0.00	50.31	28	-0.41	27	0.13	28	-47.34	27	12.13	28	-0.01	27
7007	-732	-810	Min.	164.00	50.31	28	-0.41	27	-0.30	27	-4.53	28	-28.59	27	-0.01	27
7007	-810	-733	Max	0.00	103.87	27	0.31	27	-0.12	28	4.87	27	-15.13	28	0.00	27
7007	-810	-733	Max	164.00	103.87	27	0.31	27	0.23	27	48.07	27	14.81	27	0.00	27
7007	-810	-733	Min.	0.00	48.95	29	0.15	28	-0.28	27	4.52	14	-28.60	27	0.00	29
7007	-810	-733	Min.	164.00	48.95	29	0.15	28	0.12	29	28.71	28	12.13	28	0.00	29
7007	-734	-799	Max	0.00	118.50	27	-0.19	28	0.24	27	-31.35	28	13.73	14	-0.02	29
7007	-734	-799	Max	154.00	118.50	27	-0.19	28	-0.19	28	-8.64	28	-18.85	28	-0.02	29
7007	-734	-799	Min.	0.00	50.33	28	-0.40	27	0.11	28	-49.94	27	11.94	28	-0.05	27
7007	-734	-799	Min.	154.00	50.33	28	-0.40	27	-0.38	27	-9.62	14	-33.27	27	-0.05	27
7007	-799	-735	Max	0.00	-0.01	28	0.54	27	-0.21	28	-0.03	28	-18.85	28	-0.02	29
7007	-799	-735	Max	154.00	-0.01	28	0.54	27	0.43	27	39.75	27	-1.15	29	-0.02	29
7007	-799	-735	Min.	0.00	-14.62	27	0.29	29	-0.40	27	-1.02	14	-33.27	27	-0.04	27
7007	-799	-735	Min.	154.00	-14.62	27	0.29	29	0.22	29	22.67	28	-3.29	27	-0.04	27
7008	-666	-822	Max	0.00	138.13	27	-0.09	13	0.46	27	-18.92	28	-1.98	28	0.14	27
7008	-666	-822	Max	154.00	138.13	27	-0.09	13	0.00	28	7.64	27	-13.64	28	0.14	27
7008	-666	-822	Min.	0.00	52.35	28	-0.32	27	0.12	13	-32.92	27	-8.28	27	0.06	13
7008	-666	-822	Min.	154.00	52.35	28	-0.32	27	-0.03	27	3.78	28	-27.75	27	0.06	13

7008	-822	-667	Max	0.00	138.13	27	-0.09	13	0.00	28	7.64	27	-13.64	28	0.14	27
7008	-822	-667	Max	154.00	138.13	27	-0.09	13	-0.14	13	48.21	27	15.26	27	0.14	27
7008	-822	-667	Min.	0.00	52.35	28	-0.32	27	-0.03	27	3.78	28	-27.75	27	0.06	13
7008	-822	-667	Min.	154.00	52.35	28	-0.32	27	-0.53	27	26.48	28	9.66	28	0.06	13
7008	-668	-811	Max	0.00	153.54	27	-0.00	13	0.23	27	-24.18	28	13.41	27	0.00	13
7008	-668	-811	Max	164.00	153.54	27	-0.00	13	0.06	27	0.22	27	-9.93	28	0.00	13
7008	-668	-811	Min.	0.00	61.15	28	-0.10	27	0.03	13	-42.98	27	9.90	28	-0.00	27
7008	-668	-811	Min.	164.00	61.15	28	-0.10	27	0.02	29	-0.00	14	-21.64	27	-0.00	27
7008	-811	-669	Max	0.00	153.54	27	-0.00	13	0.06	27	0.22	27	-9.93	28	0.00	13
7008	-811	-669	Max	164.00	153.54	27	-0.00	13	0.03	14	43.43	27	14.15	27	0.00	13
7008	-811	-669	Min.	0.00	61.15	28	-0.10	27	0.02	29	-0.00	14	-21.64	27	-0.00	27
7008	-811	-669	Min.	164.00	61.15	28	-0.10	27	-0.11	27	24.18	28	9.90	28	-0.00	27
7008	-670	-800	Max	0.00	129.57	27	0.15	27	-0.09	29	-26.48	28	11.94	27	-0.06	29
7008	-670	-800	Max	154.00	129.57	27	0.15	27	0.00	27	-3.78	28	-13.64	28	-0.06	29
7008	-670	-800	Min.	0.00	52.37	28	0.06	29	-0.22	27	-45.85	27	9.67	28	-0.13	27
7008	-670	-800	Min.	154.00	52.37	28	0.06	29	-0.01	14	-5.28	27	-27.43	27	-0.13	27
7008	-800	-671	Max	0.00	129.57	27	0.15	27	0.00	27	-3.78	28	-13.64	28	-0.06	29
7008	-800	-671	Max	154.00	129.57	27	0.15	27	0.23	27	35.28	27	-1.90	29	-0.06	29
7008	-800	-671	Min.	0.00	52.37	28	0.06	29	-0.01	14	-5.28	27	-27.43	27	-0.13	27
7008	-800	-671	Min.	154.00	52.37	28	0.06	29	0.09	29	18.92	28	-4.33	27	-0.13	27
7009	-602	-823	Max	0.00	14.29	27	0.13	27	-0.03	28	-21.33	28	-0.95	28	0.19	27
7009	-602	-823	Max	154.00	14.29	27	0.13	27	0.15	27	5.38	27	-16.31	28	0.19	27
7009	-602	-823	Min.	0.00	-0.03	14	0.05	28	-0.05	14	-35.18	27	-4.81	27	0.08	28
7009	-602	-823	Min.	154.00	-0.03	14	0.05	28	0.03	13	1.37	28	-27.76	27	0.08	28
7009	-823	-603	Max	0.00	67.26	27	-0.14	13	0.24	27	14.08	27	-16.31	28	0.21	27
7009	-823	-603	Max	154.00	67.26	27	-0.14	13	-0.14	13	54.64	27	25.16	27	0.21	27
7009	-823	-603	Min.	0.00	27.50	28	-0.49	27	0.06	13	10.05	28	-27.76	27	0.09	28
7009	-823	-603	Min.	154.00	27.50	28	-0.49	27	-0.52	27	32.75	28	16.64	28	0.09	28
7009	-604	-812	Max	0.00	81.67	27	0.18	27	-0.02	29	-28.73	28	24.49	27	-0.00	28
7009	-604	-812	Max	164.00	81.67	27	0.18	27	0.25	27	-4.55	13	-10.82	28	-0.00	28
7009	-604	-812	Min.	0.00	27.55	28	0.08	29	-0.07	14	-48.08	27	16.47	28	-0.02	27
7009	-604	-812	Min.	164.00	27.55	28	0.08	29	0.11	29	-4.88	27	-18.94	27	-0.02	27
7009	-812	-605	Max	0.00	63.07	27	-0.10	13	0.26	27	4.55	28	-10.82	28	0.01	14
7009	-812	-605	Max	164.00	63.07	27	-0.10	13	-0.05	13	47.44	27	23.44	27	0.01	14
7009	-812	-605	Min.	0.00	27.54	28	-0.29	27	0.11	13	4.24	27	-18.94	27	0.00	29
7009	-812	-605	Min.	164.00	27.54	28	-0.29	27	-0.23	27	28.73	28	16.47	28	0.00	29
7009	-606	-801	Max	0.00	77.33	27	0.31	27	-0.11	29	-32.75	28	23.62	27	-0.09	28
7009	-606	-801	Max	154.00	77.33	27	0.31	27	0.19	27	-10.05	28	-16.31	28	-0.09	28
7009	-606	-801	Min.	0.00	27.49	28	0.11	29	-0.30	27	-54.05	27	16.64	28	-0.21	27
7009	-606	-801	Min.	154.00	27.49	28	0.11	29	0.06	29	-13.48	27	-28.37	27	-0.21	27
7009	-801	-607	Max	0.00	-0.02	28	-0.04	28	0.10	27	-1.37	28	-16.31	28	-0.08	28
7009	-801	-607	Max	154.00	-0.02	28	-0.04	28	-0.02	28	35.77	27	-0.94	28	-0.08	28
7009	-801	-607	Min.	0.00	-14.36	27	-0.12	27	0.02	29	-4.80	27	-28.36	27	-0.19	27
7009	-801	-607	Min.	154.00	-14.36	27	-0.12	27	-0.09	27	21.33	28	-4.52	27	-0.19	27
7010	4287	-824	Max	0.00	61.69	27	-0.03	13	0.50	27	-18.45	28	36.64	27	0.09	27
7010	4287	-824	Max	154.00	61.69	27	-0.03	13	-0.01	13	4.62	14	-7.52	28	0.09	27
7010	4287	-824	Min.	0.00	28.02	28	-0.34	27	0.04	28	-52.26	27	3.41	28	0.04	28
7010	4287	-824	Min.	154.00	28.02	28	-0.34	27	-0.02	27	-11.70	27	-12.61	27	0.04	28
7010	-824	4288	Max	0.00	61.69	27	-0.03	13	-0.01	13	4.62	14	-7.52	28	0.09	27
7010	-824	4288	Max	154.00	61.69	27	-0.03	13	-0.06	13	32.86	14	19.50	14	0.09	27
7010	-824	4288	Min.	0.00	28.02	28	-0.34	27	-0.02	27	-11.70	27	-12.61	27	0.04	28
7010	-824	4288	Min.	154.00	28.02	28	-0.34	27	-0.54	27	23.63	29	0.61	27	0.04	28
7010	4290	-813	Max	0.00	109.36	27	-0.00	13	0.35	27	-24.17	28	47.83	27	0.00	13
7010	4290	-813	Max	164.00	109.36	27	-0.00	13	0.00	27	0.01	28	-7.48	28	0.00	13
7010	4290	-813	Min.	0.00	47.19	28	-0.21	27	-0.01	28	-59.02	27	12.33	28	0.00	27
7010	4290	-813	Min.	164.00	47.19	28	-0.21	27	-0.01	28	-15.82	27	-13.53	27	0.00	27
7010	-813	4291	Max	0.00	109.36	27	-0.00	13	0.00	27	0.01	28	-7.48	28	0.00	13
7010	-813	4291	Max	164.00	109.36	27	-0.00	13	-0.00	14	30.09	14	15.31	14	0.00	13
7010	-813	4291	Min.	0.00	47.19	28	-0.21	27	-0.01	28	-15.82	27	-13.53	27	0.00	27

7010	-813	4291	Min.	164.00	47.19	28	-0.21	27	-0.34	27	21.53	29	-4.05	27	0.00	27
7010	4293	-802	Max	0.00	78.43	27	0.05	14	0.17	27	-26.94	28	52.91	27	-0.04	28
7010	4293	-802	Max	154.00	78.43	27	0.05	14	-0.01	29	-4.24	28	-7.52	28	-0.04	28
7010	4293	-802	Min.	0.00	28.01	28	-0.12	27	-0.08	14	-63.94	27	16.48	28	-0.09	27
7010	4293	-802	Min.	154.00	28.01	28	-0.12	27	-0.01	28	-23.38	27	-14.33	27	-0.09	27
7010	-802	4294	Max	0.00	78.43	27	0.05	14	-0.01	29	-4.24	28	-7.52	28	-0.04	28
7010	-802	4294	Max	154.00	78.43	27	0.05	14	0.07	14	23.64	14	5.30	14	-0.04	28
7010	-802	4294	Min.	0.00	28.01	28	-0.12	27	-0.01	28	-23.38	27	-14.33	27	-0.09	27
7010	-802	4294	Min.	154.00	28.01	28	-0.12	27	-0.20	27	15.02	29	-19.10	27	-0.09	27
7011	3314	-825	Max	0.00	6.26	27	0.01	13	0.39	27	-16.31	28	0.57	27	0.09	27
7011	3314	-825	Max	154.00	6.26	27	0.01	13	0.02	27	7.20	27	-9.04	28	0.09	27
7011	3314	-825	Min.	0.00	2.79	29	-0.24	27	-0.00	13	-23.36	27	-0.82	14	0.03	28
7011	3314	-825	Min.	154.00	2.79	29	-0.24	27	0.01	29	5.31	28	-11.87	27	0.03	28
7011	-825	3315	Max	0.00	6.26	27	0.01	13	0.02	27	7.20	27	-9.04	28	0.09	27
7011	-825	3315	Max	154.00	6.26	27	0.01	13	0.03	13	37.75	27	22.74	27	0.09	27
7011	-825	3315	Min.	0.00	2.79	29	-0.24	27	0.01	29	5.31	28	-11.87	27	0.03	28
7011	-825	3315	Min.	154.00	2.79	29	-0.24	27	-0.34	27	26.93	28	15.79	28	0.03	28
7011	3316	-814	Max	0.00	9.33	27	-0.00	13	0.40	27	-23.03	28	24.02	27	0.01	27
7011	3316	-814	Max	164.00	9.33	27	-0.00	13	0.05	27	0.00	28	-3.55	28	0.01	27
7011	3316	-814	Min.	0.00	3.84	13	-0.21	27	0.02	13	-33.60	27	15.33	28	0.00	14
7011	3316	-814	Min.	164.00	3.84	13	-0.21	27	0.02	29	-1.06	27	-4.41	27	0.00	14
7011	-814	3317	Max	0.00	9.33	27	-0.00	13	0.05	27	0.00	28	-3.55	28	0.01	27
7011	-814	3317	Max	164.00	9.33	27	-0.00	13	0.02	14	31.48	27	20.54	27	0.01	27
7011	-814	3317	Min.	0.00	3.84	13	-0.21	27	0.02	29	-1.06	27	-4.41	27	0.00	14
7011	-814	3317	Min.	164.00	3.84	13	-0.21	27	-0.30	27	23.03	28	15.33	28	0.00	14
7011	3318	-803	Max	0.00	7.05	27	-0.01	28	0.39	27	-26.93	28	23.36	27	-0.03	29
7011	3318	-803	Max	154.00	7.05	27	-0.01	28	0.03	27	-5.31	28	-9.04	28	-0.03	29
7011	3318	-803	Min.	0.00	2.93	13	-0.23	27	0.02	28	-39.33	27	15.79	28	-0.07	27
7011	3318	-803	Min.	154.00	2.93	13	-0.23	27	0.01	13	-8.77	27	-13.68	27	-0.07	27
7011	-803	3319	Max	0.00	7.05	27	-0.01	28	0.03	27	-5.31	28	-9.04	28	-0.03	29
7011	-803	3319	Max	154.00	7.05	27	-0.01	28	0.01	14	21.78	27	-0.56	28	-0.03	29
7011	-803	3319	Min.	0.00	2.93	13	-0.23	27	0.01	13	-8.77	27	-13.68	27	-0.07	27
7011	-803	3319	Min.	154.00	2.93	13	-0.23	27	-0.32	27	16.31	28	-3.66	27	-0.07	27
8001	4027	-817	Max	0.00	-23.00	13	1.30	28	0.00	13	-0.01	29	0.00	13	0.00	13
8001	4027	-817	Max	66.29					0.43	29			-0.00	29		
8001	4027	-817	Max	176.65	-22.86	13	-2.16	28	-0.76	28	-0.01	29	-0.01	29	0.00	13
8001	4027	-817	Min.	0.00	-100.95	27	1.30	27	0.00	13	-0.02	27	0.00	13	0.00	13
8001	4027	-817	Min.	66.29					0.43	27			-0.01	27		
8001	4027	-817	Min.	176.65	-100.81	27	-2.16	27	-0.76	27	-0.02	27	-0.04	27	0.00	13
8001	-817	-659	Max	0.00	-41.47	13	2.17	27	-0.76	28	-0.02	13	0.06	27	0.00	27
8001	-817	-659	Max	109.59					0.43	27			0.02	27		
8001	-817	-659	Max	176.65	-41.34	13	-1.30	27	0.00	27	-0.02	13	0.00	27	0.00	27
8001	-817	-659	Min.	0.00	-131.84	27	2.16	28	-0.77	27	-0.03	27	0.03	13	0.00	13
8001	-817	-659	Min.	109.57					0.43	13			0.01	13		
8001	-817	-659	Min.	176.65	-131.70	27	-1.30	28	0.00	28	-0.03	27	0.00	29	0.00	13
8002	-658	-817	Max	0.00	69.66	27	1.31	27	0.00	13	0.05	27	0.00	13	0.00	13
8002	-658	-817	Max	66.62					0.44	27			0.03	27		
8002	-658	-817	Max	176.65	69.52	27	-2.16	27	-0.75	27	0.05	27	0.09	27	0.00	13
8002	-658	-817	Min.	0.00	4.73	28	1.30	13	0.00	13	0.03	29	0.00	13	0.00	13
8002	-658	-817	Min.	66.44					0.43	29			0.02	29		
8002	-658	-817	Min.	176.65	4.59	28	-2.16	13	-0.76	13	0.03	29	0.05	29	0.00	13
8002	-817	4028	Max	0.00	39.85	27	2.16	29	-0.75	27	-0.02	29	0.08	27	0.01	27
8002	-817	4028	Max	109.33					0.43	27			0.03	27		
8002	-817	4028	Max	176.65	39.71	27	-1.30	29	0.00	13	-0.02	29	0.00	28	0.01	27
8002	-817	4028	Min.	0.00	-17.89	28	2.16	27	-0.76	29	-0.05	27	0.04	29	0.00	28
8002	-817	4028	Min.	109.46					0.43	29			0.02	29		
8002	-817	4028	Min.	176.65	-18.03	28	-1.31	27	0.00	27	-0.05	27	0.00	27	0.00	28
8003	-658	-819	Max	0.00	-84.49	13	1.30	27	0.00	13	0.00	28	0.00	13	0.00	13
8003	-658	-819	Max	66.42					0.43	28			0.00	28		

8003	-658	-819	Max	176.65	-84.35	13	-2.16	27	-0.76	27	0.00	28	0.00	28	0.00	13
8003	-658	-819	Min.	0.00	-211.34	27	1.30	13	0.00	13	-0.00	27	0.00	13	0.00	13
8003	-658	-819	Min.	66.51					0.43	27			-0.00	27		
8003	-658	-819	Min.	176.65	-211.20	27	-2.16	13	-0.76	13	-0.00	27	-0.01	27	0.00	13
8003	-819	-787	Max	0.00	-114.11	13	2.16	29	-0.76	27	-0.05	13	0.20	27	0.00	27
8003	-819	-787	Max	109.39					0.43	27			0.08	27		
8003	-819	-787	Max	176.65	-113.97	13	-1.30	29	0.00	28	-0.05	13	0.00	27	0.00	27
8003	-819	-787	Min.	0.00	-265.85	27	2.16	27	-0.76	29	-0.12	27	0.10	13	0.00	13
8003	-819	-787	Min.	109.48					0.43	13			0.04	13		
8003	-819	-787	Min.	176.65	-265.72	27	-1.30	27	0.00	13	-0.12	27	0.00	28	0.00	13
8004	-786	-819	Max	0.00	-15.21	29	1.31	27	0.00	13	0.07	27	0.00	13	0.00	13
8004	-786	-819	Max	66.58					0.43	27			0.05	27		
8004	-786	-819	Max	176.65	-15.35	29	-2.16	27	-0.75	27	0.07	27	0.13	27	0.00	13
8004	-786	-819	Min.	0.00	-21.06	28	1.30	13	0.00	13	0.04	29	0.00	13	0.00	13
8004	-786	-819	Min.	66.42					0.43	29			0.03	29		
8004	-786	-819	Min.	176.65	-21.20	28	-2.16	13	-0.76	13	0.04	29	0.07	29	0.00	13
8004	-819	-659	Max	0.00	-42.49	29	2.16	29	-0.75	27	0.02	27	-0.01	29	-0.00	13
8004	-819	-659	Max	141.32					0.34	29			-0.00	29		
8004	-819	-659	Max	176.65	-42.62	29	-1.30	29	0.00	28	0.02	27	0.00	28	-0.00	13
8004	-819	-659	Min.	0.00	-73.96	27	2.16	27	-0.76	29	0.01	29	-0.04	27	-0.01	27
8004	-819	-659	Min.	109.31					0.44	27			-0.01	27		
8004	-819	-659	Min.	176.65	-74.10	27	-1.31	27	0.00	27	0.01	29	0.00	27	-0.01	27
8005	-786	-821	Max	0.00	-13.58	28	1.31	27	0.00	13	-0.04	28	0.00	13	0.00	13
8005	-786	-821	Max	66.41					0.43	28			-0.02	28		
8005	-786	-821	Max	176.65	-13.72	28	-2.16	27	-0.75	27	-0.04	28	-0.07	28	0.00	13
8005	-786	-821	Min.	0.00	-18.33	14	1.30	28	0.00	13	-0.07	27	0.00	13	0.00	13
8005	-786	-821	Min.	66.58					0.43	27			-0.05	27		
8005	-786	-821	Min.	176.65	-18.47	14	-2.16	28	-0.76	28	-0.07	27	-0.13	27	0.00	13
8005	-821	-667	Max	0.00	-42.55	29	2.16	28	-0.75	27	-0.01	28	0.04	27	0.01	27
8005	-821	-667	Max	109.31					0.44	27			0.01	27		
8005	-821	-667	Max	176.65	-42.68	29	-1.30	28	0.00	28	-0.01	28	0.00	27	0.01	27
8005	-821	-667	Min.	0.00	-74.04	27	2.16	27	-0.76	28	-0.02	27	0.01	28	0.00	28
8005	-821	-667	Min.	109.45					0.43	28			0.00	28		
8005	-821	-667	Min.	176.65	-74.18	27	-1.31	27	0.00	27	-0.02	27	0.00	29	0.00	28
8006	-666	-821	Max	0.00	-84.42	13	1.30	27	0.00	13	0.00	27	0.00	13	0.00	13
8006	-666	-821	Max	66.51					0.43	27			0.00	27		
8006	-666	-821	Max	176.65	-84.28	13	-2.16	27	-0.76	27	0.00	27	0.01	27	0.00	13
8006	-666	-821	Min.	0.00	-211.28	27	1.30	28	0.00	13	-0.00	13	0.00	13	0.00	13
8006	-666	-821	Min.	66.39					0.43	13			0.00	13		
8006	-666	-821	Min.	176.65	-211.14	27	-2.16	28	-0.76	28	-0.00	13	0.00	13	0.00	13
8006	-821	-787	Max	0.00	-114.06	13	2.16	28	-0.76	27	0.12	27	-0.09	28	0.00	28
8006	-821	-787	Max	141.32					0.34	28			-0.02	28		
8006	-821	-787	Max	176.65	-113.93	13	-1.30	28	0.00	28	0.12	27	0.00	28	0.00	28
8006	-821	-787	Min.	0.00	-265.81	27	2.16	27	-0.76	28	0.05	28	-0.20	27	-0.00	27
8006	-821	-787	Min.	109.39					0.43	27			-0.08	27		
8006	-821	-787	Min.	176.65	-265.67	27	-1.30	27	0.00	27	0.05	28	0.00	27	-0.00	27
8007	-666	-823	Max	0.00	69.52	27	1.31	27	0.00	13	-0.02	28	0.00	13	0.00	13
8007	-666	-823	Max	66.41					0.43	28			-0.01	28		
8007	-666	-823	Max	176.65	69.38	27	-2.16	27	-0.75	27	-0.02	28	-0.03	28	0.00	13
8007	-666	-823	Min.	0.00	13.98	13	1.30	28	0.00	13	-0.05	27	0.00	13	0.00	13
8007	-666	-823	Min.	66.62					0.44	27			-0.03	27		
8007	-666	-823	Min.	176.65	13.85	13	-2.16	28	-0.76	28	-0.05	27	-0.09	27	0.00	13
8007	-823	4288	Max	0.00	39.72	27	2.16	28	-0.75	27	0.05	27	-0.04	29	-0.00	13
8007	-823	4288	Max	141.32					0.34	29			-0.01	29		
8007	-823	4288	Max	176.65	39.58	27	-1.30	28	0.00	28	0.05	27	0.00	28	-0.00	13
8007	-823	4288	Min.	0.00	-4.17	13	2.16	27	-0.76	28	0.02	29	-0.08	27	-0.01	27
8007	-823	4288	Min.	109.33					0.43	27			-0.03	27		
8007	-823	4288	Min.	176.65	-4.31	13	-1.31	27	0.00	27	0.02	29	0.00	27	-0.01	27
8008	4287	-823	Max	0.00	-15.87	28	1.30	29	0.00	13	0.02	27	0.00	13	0.00	13

8008	4287	-823	Max	66.29					0.43	27			0.01	27		
8008	4287	-823	Max	176.65	-15.74	28	-2.16	29	-0.76	29	0.02	27	0.04	27	0.00	13
8008	4287	-823	Min.	0.00	-100.93	27	1.30	28	0.00	13	0.01	28	0.00	13	0.00	13
8008	4287	-823	Min.	66.27					0.43	28			0.00	28		
8008	4287	-823	Min.	176.65	-100.79	27	-2.16	28	-0.76	28	0.01	28	0.01	28	0.00	13
8008	-823	-667	Max	0.00	-31.85	28	2.17	27	-0.76	13	0.03	27	-0.02	28	0.00	28
8008	-823	-667	Max	141.32					0.34	28			-0.00	28		
8008	-823	-667	Max	176.65	-31.71	28	-1.30	27	0.00	28	0.03	27	0.00	13	0.00	28
8008	-823	-667	Min.	0.00	-131.85	27	2.16	13	-0.77	27	0.01	28	-0.06	27	-0.00	27
8008	-823	-667	Min.	109.59					0.43	27			-0.02	27		
8008	-823	-667	Min.	176.65	-131.71	27	-1.30	13	0.00	27	0.01	28	0.00	28	-0.00	27
8009	4030	-806	Max	0.00	-15.19	13	1.37	27	0.00	13	0.00	27	0.00	13	0.00	13
8009	4030	-806	Max	69.68					0.48	27			0.00	27		
8009	4030	-806	Max	185.43	-15.05	13	-2.27	27	-0.84	27	0.00	27	0.00	27	0.00	13
8009	4030	-806	Min.	0.00	-75.37	27	1.36	13	0.00	13	0.00	28	0.00	13	0.00	13
8009	4030	-806	Min.	69.62					0.48	28			0.00	28		
8009	4030	-806	Min.	185.43	-75.23	27	-2.27	13	-0.84	13	0.00	28	0.00	28	0.00	13
8009	-806	-661	Max	0.00	-15.37	13	2.27	13	-0.84	27	-0.02	13	0.07	27	0.01	27
8009	-806	-661	Max	114.95					0.48	27			0.03	27		
8009	-806	-661	Max	185.43	-15.23	13	-1.36	13	0.00	27	-0.02	13	0.00	28	0.01	27
8009	-806	-661	Min.	0.00	-65.30	27	2.27	27	-0.84	13	-0.04	27	0.03	13	0.00	13
8009	-806	-661	Min.	114.99					0.47	13			0.01	13		
8009	-806	-661	Min.	185.43	-65.17	27	-1.37	27	0.00	13	-0.04	27	0.00	13	0.00	13
8010	-660	-806	Max	0.00	-5.30	29	1.37	27	0.00	13	0.03	27	0.00	13	0.00	13
8010	-660	-806	Max	69.64					0.48	27			0.02	27		
8010	-660	-806	Max	185.43	-5.44	29	-2.27	27	-0.84	27	0.03	27	0.06	27	0.00	13
8010	-660	-806	Min.	0.00	-27.53	28	1.36	29	0.00	13	0.02	29	0.00	13	0.00	13
8010	-660	-806	Min.	69.59					0.47	29			0.01	29		
8010	-660	-806	Min.	185.43	-27.67	28	-2.27	29	-0.84	29	0.02	29	0.03	29	0.00	13
8010	-806	4031	Max	0.00	5.20	27	2.27	29	-0.84	27	0.00	28	0.00	29	0.01	27
8010	-806	4031	Max	114.98					0.47	29			0.00	29		
8010	-806	4031	Max	185.43	5.06	27	-1.36	29	0.00	27	0.00	28	0.00	29	0.01	27
8010	-806	4031	Min.	0.00	-27.30	28	2.27	27	-0.84	29	-0.00	29	0.00	28	0.01	28
8010	-806	4031	Min.	114.96					0.48	28			0.00	28		
8010	-806	4031	Min.	185.43	-27.43	28	-1.37	27	0.00	29	-0.00	29	0.00	27	0.01	28
8011	-660	-808	Max	0.00	-80.90	13	1.37	27	0.00	13	-0.01	13	0.00	13	0.00	13
8011	-660	-808	Max	69.67					0.48	13			-0.01	13		
8011	-660	-808	Max	185.43	-80.76	13	-2.27	27	-0.83	27	-0.01	13	-0.02	13	0.00	13
8011	-660	-808	Min.	0.00	-198.08	27	1.37	13	0.00	13	-0.03	27	0.00	13	0.00	13
8011	-660	-808	Min.	69.84					0.48	27			-0.02	27		
8011	-660	-808	Min.	185.43	-197.95	27	-2.27	13	-0.84	13	-0.03	27	-0.05	27	0.00	13
8011	-808	-789	Max	0.00	-80.48	13	2.27	29	-0.83	27	-0.04	13	0.18	27	0.00	27
8011	-808	-789	Max	114.84					0.48	27			0.07	27		
8011	-808	-789	Max	185.43	-80.34	13	-1.37	29	0.00	13	-0.04	13	0.00	27	0.00	27
8011	-808	-789	Min.	0.00	-184.83	27	2.27	27	-0.84	29	-0.10	27	0.08	13	0.00	13
8011	-808	-789	Min.	114.94					0.48	13			0.03	13		
8011	-808	-789	Min.	185.43	-184.69	27	-1.37	27	0.00	27	-0.10	27	0.00	13	0.00	13
8012	-788	-808	Max	0.00	-78.28	29	1.37	27	0.00	13	0.09	27	0.00	13	0.00	13
8012	-788	-808	Max	69.81					0.48	27			0.06	27		
8012	-788	-808	Max	185.43	-78.42	29	-2.27	27	-0.83	27	0.09	27	0.17	27	0.00	13
8012	-788	-808	Min.	0.00	-172.47	27	1.37	13	0.00	13	0.04	29	0.00	13	0.00	13
8012	-788	-808	Min.	69.66					0.48	29			0.03	29		
8012	-788	-808	Min.	185.43	-172.61	27	-2.27	13	-0.84	13	0.04	29	0.08	29	0.00	13
8012	-808	-661	Max	0.00	-74.55	29	2.27	29	-0.83	27	0.03	27	-0.02	29	-0.00	29
8012	-808	-661	Max	148.34					0.37	29			-0.00	29		
8012	-808	-661	Max	185.43	-74.69	29	-1.37	29	0.00	27	0.03	27	0.00	28	-0.00	29
8012	-808	-661	Min.	0.00	-160.94	27	2.27	27	-0.84	29	0.01	29	-0.05	27	-0.01	27
8012	-808	-661	Min.	114.82					0.48	27			-0.02	27		
8012	-808	-661	Min.	185.43	-161.08	27	-1.37	27	0.00	28	0.01	29	0.00	13	-0.01	27

8013	-788	-810	Max	0.00	-78.33	29	1.37	27	0.00	13	-0.04	28	0.00	13	0.00	13
8013	-788	-810	Max	69.65					0.48	28			-0.03	28		
8013	-788	-810	Max	185.43	-78.47	29	-2.27	27	-0.83	27	-0.04	28	-0.08	28	0.00	13
8013	-788	-810	Min.	0.00	-172.54	27	1.37	28	0.00	13	-0.09	27	0.00	13	0.00	13
8013	-788	-810	Min.	69.81					0.48	27			-0.06	27		
8013	-788	-810	Min.	185.43	-172.68	27	-2.27	28	-0.84	28	-0.09	27	-0.17	27	0.00	13
8013	-810	-669	Max	0.00	-74.60	29	2.27	28	-0.83	27	-0.01	29	0.05	27	0.01	27
8013	-810	-669	Max	114.82					0.48	27			0.02	27		
8013	-810	-669	Max	185.43	-74.74	29	-1.37	28	0.00	27	-0.01	29	0.00	13	0.01	27
8013	-810	-669	Min.	0.00	-161.01	27	2.27	27	-0.84	28	-0.03	27	0.02	29	0.00	28
8013	-810	-669	Min.	114.93					0.48	29			0.01	29		
8013	-810	-669	Min.	185.43	-161.15	27	-1.37	27	0.00	13	-0.03	27	0.00	27	0.00	28
8014	-668	-810	Max	0.00	-79.23	28	1.37	27	0.00	13	0.03	27	0.00	13	0.00	13
8014	-668	-810	Max	69.84					0.48	27			0.02	27		
8014	-668	-810	Max	185.43	-79.09	28	-2.27	27	-0.83	27	0.03	27	0.05	27	0.00	13
8014	-668	-810	Min.	0.00	-198.02	27	1.37	28	0.00	13	0.01	28	0.00	13	0.00	13
8014	-668	-810	Min.	69.67					0.48	28			0.01	28		
8014	-668	-810	Min.	185.43	-197.88	27	-2.27	28	-0.84	28	0.01	28	0.02	28	0.00	13
8014	-810	-789	Max	0.00	-78.87	28	2.27	28	-0.83	27	0.10	27	-0.08	28	-0.00	28
8014	-810	-789	Max	148.34					0.37	28			-0.02	28		
8014	-810	-789	Max	185.43	-78.73	28	-1.37	28	0.00	13	0.10	27	0.00	13	-0.00	28
8014	-810	-789	Min.	0.00	-184.77	27	2.27	27	-0.84	28	0.04	28	-0.18	27	-0.00	27
8014	-810	-789	Min.	114.84					0.48	27			-0.07	27		
8014	-810	-789	Min.	185.43	-184.64	27	-1.37	27	0.00	27	0.04	28	0.00	27	-0.00	27
8015	-668	-812	Max	0.00	-4.50	28	1.37	27	0.00	13	-0.01	28	0.00	13	0.00	13
8015	-668	-812	Max	69.57					0.47	28			-0.01	28		
8015	-668	-812	Max	185.43	-4.64	28	-2.27	27	-0.84	27	-0.01	28	-0.02	28	0.00	13
8015	-668	-812	Min.	0.00	-19.30	14	1.36	28	0.00	13	-0.03	27	0.00	13	0.00	13
8015	-668	-812	Min.	69.64					0.48	27			-0.02	27		
8015	-668	-812	Min.	185.43	-19.43	14	-2.27	28	-0.84	28	-0.03	27	-0.06	27	0.00	13
8015	-812	4291	Max	0.00	5.07	27	2.27	28	-0.84	27	0.00	28	-0.00	13	-0.01	13
8015	-812	4291	Max	114.98					0.47	13			0.00	13		
8015	-812	4291	Max	185.43	4.93	27	-1.36	28	0.00	13	0.00	28	0.00	28	-0.01	13
8015	-812	4291	Min.	0.00	-19.03	14	2.27	27	-0.84	28	0.00	13	-0.00	28	-0.01	27
8015	-812	4291	Min.	111.26					0.47	28			-0.00	28		
8015	-812	4291	Min.	185.43	-19.17	14	-1.37	27	0.00	28	0.00	13	0.00	27	-0.01	27
8016	4290	-812	Max	0.00	-4.40	28	1.37	27	0.00	13	-0.00	14	0.00	13	0.00	13
8016	4290	-812	Max	69.61					0.48	14			0.00	14		
8016	4290	-812	Max	185.43	-4.26	28	-2.27	27	-0.84	27	-0.00	14	-0.00	14	0.00	13
8016	4290	-812	Min.	0.00	-75.29	27	1.36	28	0.00	13	-0.00	28	0.00	13	0.00	13
8016	4290	-812	Min.	69.58					0.47	28			-0.00	28		
8016	4290	-812	Min.	185.43	-75.15	27	-2.27	28	-0.84	28	-0.00	28	-0.00	28	0.00	13
8016	-812	-669	Max	0.00	-4.63	28	2.27	28	-0.84	27	0.04	27	-0.02	28	-0.00	28
8016	-812	-669	Max	148.34					0.37	28			-0.00	28		
8016	-812	-669	Max	185.43	-4.49	28	-1.36	28	0.00	13	0.04	27	0.00	13	-0.00	28
8016	-812	-669	Min.	0.00	-65.25	27	2.27	27	-0.84	28	0.01	28	-0.07	27	-0.01	27
8016	-812	-669	Min.	114.95					0.48	27			-0.03	27		
8016	-812	-669	Min.	185.43	-65.11	27	-1.37	27	0.00	27	0.01	28	0.00	27	-0.01	27
8017	4033	-793	Max	0.00	-3.01	14	1.31	27	0.00	13	0.05	27	0.00	13	0.00	13
8017	4033	-793	Max	66.61					0.44	27			0.03	27		
8017	4033	-793	Max	176.65	-2.87	14	-2.16	27	-0.75	27	0.05	27	0.09	27	0.00	13
8017	4033	-793	Min.	0.00	-35.57	27	1.30	13	0.00	13	0.02	13	0.00	13	0.00	13
8017	4033	-793	Min.	66.41					0.43	13			0.02	13		
8017	4033	-793	Min.	176.65	-35.43	27	-2.16	13	-0.76	13	0.02	13	0.04	13	0.00	13
8017	-793	-663	Max	0.00	19.70	14	2.16	29	-0.75	27	-0.03	13	0.09	27	0.00	27
8017	-793	-663	Max	109.32					0.44	27			0.04	27		
8017	-793	-663	Max	176.65	19.84	14	-1.30	29	0.00	28	-0.03	13	0.00	27	0.00	27
8017	-793	-663	Min.	0.00	4.47	28	2.16	27	-0.76	29	-0.05	27	0.05	13	0.00	13
8017	-793	-663	Min.	109.44					0.43	13			0.02	13		

8017	-793	-663	Min.	176.65	4.61	28	-1.31	27	0.00	27	-0.05	27	0.00	13	0.00	13
8018	-662	-793	Max	0.00	-32.61	29	1.30	28	0.00	13	0.03	27	0.00	13	0.00	13
8018	-662	-793	Max	66.23					0.43	27			0.02	27		
8018	-662	-793	Max	176.65	-32.74	29	-2.16	28	-0.76	28	0.03	27	0.06	27	0.00	13
8018	-662	-793	Min.	0.00	-79.07	27	1.30	27	0.00	13	0.02	29	0.00	13	0.00	13
8018	-662	-793	Min.	66.25					0.43	29			0.01	29		
8018	-662	-793	Min.	176.65	-79.21	27	-2.17	27	-0.77	27	0.02	29	0.03	29	0.00	13
8018	-793	4034	Max	0.00	-10.45	29	2.16	27	-0.76	28	0.02	27	-0.01	13	0.01	27
8018	-793	4034	Max	141.32					0.34	13			-0.00	13		
8018	-793	4034	Max	176.65	-10.59	29	-1.30	27	0.00	28	0.02	27	0.00	27	0.01	27
8018	-793	4034	Min.	0.00	-33.29	28	2.16	28	-0.76	27	0.01	13	-0.04	27	0.00	28
8018	-793	4034	Min.	109.55					0.43	27			-0.02	27		
8018	-793	4034	Min.	176.65	-33.43	28	-1.30	28	0.00	13	0.01	13	0.00	28	0.00	28
8019	-662	-797	Max	0.00	-48.01	13	1.31	27	0.00	13	-0.01	13	0.00	13	0.00	13
8019	-662	-797	Max	66.43					0.43	13			-0.00	13		
8019	-662	-797	Max	176.65	-47.88	13	-2.16	27	-0.75	27	-0.01	13	-0.01	13	0.00	13
8019	-662	-797	Min.	0.00	-106.23	27	1.30	13	0.00	13	-0.02	27	0.00	13	0.00	13
8019	-662	-797	Min.	66.63					0.44	27			-0.02	27		
8019	-662	-797	Min.	176.65	-106.09	27	-2.16	13	-0.76	13	-0.02	27	-0.04	27	0.00	13
8019	-797	-791	Max	0.00	-17.26	13	2.16	29	-0.75	27	-0.04	13	0.14	27	0.00	27
8019	-797	-791	Max	109.36					0.43	27			0.05	27		
8019	-797	-791	Max	176.65	-17.12	13	-1.30	29	0.00	28	-0.04	13	0.00	29	0.00	27
8019	-797	-791	Min.	0.00	-28.83	27	2.16	27	-0.76	29	-0.08	27	0.07	13	0.00	13
8019	-797	-791	Min.	109.45					0.43	13			0.03	13		
8019	-797	-791	Min.	176.65	-28.69	27	-1.31	27	0.00	27	-0.08	27	0.00	27	0.00	13
8020	-790	-797	Max	0.00	-112.54	29	1.30	27	0.00	13	0.11	27	0.00	13	0.00	13
8020	-790	-797	Max	66.51					0.43	27			0.07	27		
8020	-790	-797	Max	176.65	-112.67	29	-2.16	27	-0.76	27	0.11	27	0.19	27	0.00	13
8020	-790	-797	Min.	0.00	-257.25	27	1.30	13	0.00	13	0.05	29	0.00	13	0.00	13
8020	-790	-797	Min.	66.38					0.43	29			0.03	29		
8020	-790	-797	Min.	176.65	-257.38	27	-2.16	13	-0.76	13	0.05	29	0.09	29	0.00	13
8020	-797	-663	Max	0.00	-79.44	29	2.16	29	-0.76	27	0.00	27	0.00	28	0.00	13
8020	-797	-663	Max	109.45					0.43	28			0.00	28		
8020	-797	-663	Max	176.65	-79.58	29	-1.30	29	0.00	27	0.00	27	0.00	28	0.00	13
8020	-797	-663	Min.	0.00	-181.94	27	2.16	27	-0.76	29	-0.00	28	-0.01	27	-0.00	27
8020	-797	-663	Min.	109.40					0.43	27			-0.00	27		
8020	-797	-663	Min.	176.65	-182.08	27	-1.30	27	0.00	13	-0.00	28	0.00	27	-0.00	27
8021	-790	-799	Max	0.00	-112.58	29	1.30	27	0.00	13	-0.05	28	0.00	13	0.00	13
8021	-790	-799	Max	66.35					0.43	28			-0.03	28		
8021	-790	-799	Max	176.65	-112.71	29	-2.16	27	-0.76	27	-0.05	28	-0.09	28	0.00	13
8021	-790	-799	Min.	0.00	-257.31	27	1.30	28	0.00	13	-0.11	27	0.00	13	0.00	13
8021	-790	-799	Min.	66.51					0.43	27			-0.07	27		
8021	-790	-799	Min.	176.65	-257.45	27	-2.16	28	-0.76	28	-0.11	27	-0.19	27	0.00	13
8021	-799	-671	Max	0.00	-79.48	29	2.16	28	-0.76	27	0.00	29	0.01	27	0.00	27
8021	-799	-671	Max	109.40					0.43	27			0.00	27		
8021	-799	-671	Max	176.65	-79.62	29	-1.30	28	0.00	27	0.00	29	0.00	28	0.00	27
8021	-799	-671	Min.	0.00	-182.02	27	2.16	27	-0.76	28	-0.00	27	0.00	29	0.00	28
8021	-799	-671	Min.	109.47					0.43	29			0.00	29		
8021	-799	-671	Min.	176.65	-182.16	27	-1.30	27	0.00	29	-0.00	27	0.00	27	0.00	28
8022	-670	-799	Max	0.00	-43.08	28	1.31	27	0.00	13	0.02	27	0.00	13	0.00	13
8022	-670	-799	Max	66.63					0.44	27			0.02	27		
8022	-670	-799	Max	176.65	-42.94	28	-2.16	27	-0.75	27	0.02	27	0.04	27	0.00	13
8022	-670	-799	Min.	0.00	-106.16	27	1.30	28	0.00	13	0.01	28	0.00	13	0.00	13
8022	-670	-799	Min.	66.43					0.43	28			0.00	28		
8022	-670	-799	Min.	176.65	-106.02	27	-2.16	28	-0.76	28	0.01	28	0.01	28	0.00	13
8022	-799	-791	Max	0.00	-13.67	28	2.16	28	-0.75	27	0.08	27	-0.06	28	0.00	28
8022	-799	-791	Max	141.32					0.34	28			-0.01	28		
8022	-799	-791	Max	176.65	-13.54	28	-1.30	28	0.00	27	0.08	27	0.00	27	0.00	28
8022	-799	-791	Min.	0.00	-28.73	27	2.16	27	-0.76	28	0.04	28	-0.14	27	-0.00	27

8022	-799	-791	Min.	109.36					0.43	27			-0.05	27		
8022	-799	-791	Min.	176.65	-28.59	27	-1.31	27	0.00	13	0.04	28	0.00	13	-0.00	27
8023	-670	-801	Max	0.00	-31.77	28	1.30	29	0.00	13	-0.01	28	0.00	13	0.00	13
8023	-670	-801	Max	66.23					0.43	28			-0.01	28		
8023	-670	-801	Max	176.65	-31.91	28	-2.16	29	-0.76	29	-0.01	28	-0.02	28	0.00	13
8023	-670	-801	Min.	0.00	-79.13	27	1.30	27	0.00	13	-0.03	27	0.00	13	0.00	13
8023	-670	-801	Min.	66.23					0.43	27			-0.02	27		
8023	-670	-801	Min.	176.65	-79.26	27	-2.17	27	-0.77	27	-0.03	27	-0.06	27	0.00	13
8023	-801	4294	Max	0.00	-10.51	29	2.16	28	-0.76	13	-0.01	28	0.04	27	-0.01	13
8023	-801	4294	Max	109.55					0.43	27			0.01	27		
8023	-801	4294	Max	176.65	-10.64	29	-1.30	28	0.00	28	-0.01	28	0.00	27	-0.01	13
8023	-801	4294	Min.	0.00	-31.08	14	2.16	13	-0.76	28	-0.02	27	0.01	28	-0.01	27
8023	-801	4294	Min.	109.56					0.43	28			0.00	28		
8023	-801	4294	Min.	176.65	-31.21	14	-1.30	13	0.00	27	-0.02	27	0.00	28	-0.01	27
8024	4293	-801	Max	0.00	10.06	28	1.31	27	0.00	13	-0.02	13	0.00	13	0.00	13
8024	4293	-801	Max	66.41					0.43	13			-0.02	13		
8024	4293	-801	Max	176.65	10.20	28	-2.16	27	-0.75	27	-0.02	13	-0.04	13	0.00	13
8024	4293	-801	Min.	0.00	-35.55	27	1.30	28	0.00	13	-0.05	27	0.00	13	0.00	13
8024	4293	-801	Min.	66.61					0.44	27			-0.03	27		
8024	4293	-801	Min.	176.65	-35.41	27	-2.16	28	-0.76	28	-0.05	27	-0.09	27	0.00	13
8024	-801	-671	Max	0.00	25.64	28	2.16	28	-0.75	27	0.05	27	-0.03	28	-0.00	28
8024	-801	-671	Max	141.32					0.34	28			-0.01	28		
8024	-801	-671	Max	176.65	25.78	28	-1.30	28	0.00	27	0.05	27	0.00	13	-0.00	28
8024	-801	-671	Min.	0.00	5.10	29	2.16	27	-0.76	28	0.02	28	-0.09	27	-0.00	27
8024	-801	-671	Min.	109.32					0.44	27			-0.04	27		
8024	-801	-671	Min.	176.65	5.23	29	-1.31	27	0.00	28	0.02	28	0.00	28	-0.00	27

Tipo di combinazione di carico: SLE Q

Asta	N1	N2		X <cm>	N <daN>	C C	Ty <daN>	C C	Mz <daNm>	C C	Tz <daN>	C C	My <daNm>	C C	Mx <daNm>	C C
1	2001	3001	Max	0.00	-2.66	15	0.12	15	-0.01	15	7.02	15	-0.26	15	-0.02	15
1	2001	3001	Max	7.94	-2.35	15	0.12	15	-0.00	15	7.02	15	0.30	15	-0.02	15
1	2001	3001	Min.	0.00	-2.66	15	0.12	15	-0.01	15	7.02	15	-0.26	15	-0.02	15
1	2001	3001	Min.	7.94	-2.35	15	0.12	15	-0.00	15	7.02	15	0.30	15	-0.02	15
2	2002	3002	Max	0.00	-6.54	15	0.13	15	-0.01	15	13.12	15	-0.54	15	-0.02	15
2	2002	3002	Max	7.94	-6.23	15	0.13	15	-0.00	15	13.12	15	0.50	15	-0.02	15
2	2002	3002	Min.	0.00	-6.54	15	0.13	15	-0.01	15	13.12	15	-0.54	15	-0.02	15
2	2002	3002	Min.	7.94	-6.23	15	0.13	15	-0.00	15	13.12	15	0.50	15	-0.02	15
3	2003	3003	Max	0.00	-14.23	15	0.23	15	0.02	15	32.41	15	-1.29	15	-0.03	15
3	2003	3003	Max	7.94	-13.92	15	0.23	15	0.04	15	32.41	15	1.29	15	-0.03	15
3	2003	3003	Min.	0.00	-14.23	15	0.23	15	0.02	15	32.41	15	-1.29	15	-0.03	15
3	2003	3003	Min.	7.94	-13.92	15	0.23	15	0.04	15	32.41	15	1.29	15	-0.03	15
4	2004	3004	Max	0.00	-11.52	15	0.09	15	0.01	15	23.89	15	-0.92	15	-0.01	15
4	2004	3004	Max	7.94	-11.21	15	0.09	15	0.02	15	23.89	15	0.97	15	-0.01	15
4	2004	3004	Min.	0.00	-11.52	15	0.09	15	0.01	15	23.89	15	-0.92	15	-0.01	15
4	2004	3004	Min.	7.94	-11.21	15	0.09	15	0.02	15	23.89	15	0.97	15	-0.01	15
5	2005	3005	Max	0.00	-9.80	15	-0.19	15	-0.01	15	23.59	15	-0.90	15	0.02	15
5	2005	3005	Max	7.94	-9.49	15	-0.19	15	-0.03	15	23.59	15	0.97	15	0.02	15
5	2005	3005	Min.	0.00	-9.80	15	-0.19	15	-0.01	15	23.59	15	-0.90	15	0.02	15
5	2005	3005	Min.	7.94	-9.49	15	-0.19	15	-0.03	15	23.59	15	0.97	15	0.02	15
6	2006	3006	Max	0.00	-15.88	15	-0.33	15	-0.02	15	31.69	15	-1.26	15	0.03	15
6	2006	3006	Max	7.94	-15.57	15	-0.33	15	-0.05	15	31.69	15	1.25	15	0.03	15
6	2006	3006	Min.	0.00	-15.88	15	-0.33	15	-0.02	15	31.69	15	-1.26	15	0.03	15
6	2006	3006	Min.	7.94	-15.57	15	-0.33	15	-0.05	15	31.69	15	1.25	15	0.03	15
7	2007	3007	Max	0.00	-5.94	15	-0.24	15	0.01	15	14.06	15	-0.58	15	0.02	15
7	2007	3007	Max	7.94	-5.63	15	-0.24	15	-0.01	15	14.06	15	0.54	15	0.02	15
7	2007	3007	Min.	0.00	-5.94	15	-0.24	15	0.01	15	14.06	15	-0.58	15	0.02	15

7	2007	3007	Min.	7.94	-5.63	15	-0.24	15	-0.01	15	14.06	15	0.54	15	0.02	15
8	2008	3008	Max	0.00	-3.25	15	-0.24	15	0.01	15	7.13	15	-0.27	15	0.02	15
8	2008	3008	Max	7.94	-2.94	15	-0.24	15	-0.01	15	7.13	15	0.29	15	0.02	15
8	2008	3008	Min.	0.00	-3.25	15	-0.24	15	0.01	15	7.13	15	-0.27	15	0.02	15
8	2008	3008	Min.	7.94	-2.94	15	-0.24	15	-0.01	15	7.13	15	0.29	15	0.02	15
9	9	-513	Max	0.00	-0.46	15	0.04	15	0.00	15	10.62	15	-0.50	15	-0.03	15
9	9	-513	Max	9.29	-0.10	15	0.04	15	0.01	15	10.62	15	0.49	15	-0.03	15
9	9	-513	Min.	0.00	-0.46	15	0.04	15	0.00	15	10.62	15	-0.50	15	-0.03	15
9	9	-513	Min.	9.29	-0.10	15	0.04	15	0.01	15	10.62	15	0.49	15	-0.03	15
10	10	-514	Max	0.00	6.96	15	-0.01	15	0.01	15	10.82	15	-0.53	15	-0.03	15
10	10	-514	Max	9.29	7.32	15	-0.01	15	0.00	15	10.82	15	0.47	15	-0.03	15
10	10	-514	Min.	0.00	6.96	15	-0.01	15	0.01	15	10.82	15	-0.53	15	-0.03	15
10	10	-514	Min.	9.29	7.32	15	-0.01	15	0.00	15	10.82	15	0.47	15	-0.03	15
11	11	-515	Max	0.00	-0.42	15	0.01	15	0.01	15	46.02	15	-2.17	15	-0.03	15
11	11	-515	Max	9.29	-0.05	15	0.01	15	0.01	15	46.02	15	2.11	15	-0.03	15
11	11	-515	Min.	0.00	-0.42	15	0.01	15	0.01	15	46.02	15	-2.17	15	-0.03	15
11	11	-515	Min.	9.29	-0.05	15	0.01	15	0.01	15	46.02	15	2.11	15	-0.03	15
12	12	-516	Max	0.00	11.49	15	0.12	15	0.01	15	18.48	15	-0.90	15	-0.03	15
12	12	-516	Max	9.29	11.86	15	0.12	15	0.02	15	18.48	15	0.82	15	-0.03	15
12	12	-516	Min.	0.00	11.49	15	0.12	15	0.01	15	18.48	15	-0.90	15	-0.03	15
12	12	-516	Min.	9.29	11.86	15	0.12	15	0.02	15	18.48	15	0.82	15	-0.03	15
13	13	-517	Max	0.00	-1.00	15	0.08	15	-0.00	15	33.81	15	-1.57	15	0.02	15
13	13	-517	Max	9.29	-0.63	15	0.08	15	0.00	15	33.81	15	1.57	15	0.02	15
13	13	-517	Min.	0.00	-1.00	15	0.08	15	-0.00	15	33.81	15	-1.57	15	0.02	15
13	13	-517	Min.	9.29	-0.63	15	0.08	15	0.00	15	33.81	15	1.57	15	0.02	15
14	14	-518	Max	0.00	15.83	15	0.27	15	0.00	15	24.29	15	-1.20	15	0.02	15
14	14	-518	Max	9.29	16.20	15	0.27	15	0.03	15	24.29	15	1.06	15	0.02	15
14	14	-518	Min.	0.00	15.83	15	0.27	15	0.00	15	24.29	15	-1.20	15	0.02	15
14	14	-518	Min.	9.29	16.20	15	0.27	15	0.03	15	24.29	15	1.06	15	0.02	15
15	15	-519	Max	0.00	-1.31	15	0.13	15	-0.00	15	22.65	15	-1.06	15	0.03	15
15	15	-519	Max	9.29	-0.94	15	0.13	15	0.01	15	22.65	15	1.04	15	0.03	15
15	15	-519	Min.	0.00	-1.31	15	0.13	15	-0.00	15	22.65	15	-1.06	15	0.03	15
15	15	-519	Min.	9.29	-0.94	15	0.13	15	0.01	15	22.65	15	1.04	15	0.03	15
16	16	-520	Max	0.00	3.59	15	0.20	15	-0.00	15	5.96	15	-0.29	15	0.02	15
16	16	-520	Max	9.29	3.95	15	0.20	15	0.01	15	5.96	15	0.26	15	0.02	15
16	16	-520	Min.	0.00	3.59	15	0.20	15	-0.00	15	5.96	15	-0.29	15	0.02	15
16	16	-520	Min.	9.29	3.95	15	0.20	15	0.01	15	5.96	15	0.26	15	0.02	15
17	17	-529	Max	0.00	4.84	15	0.10	15	-0.00	15	11.19	15	-0.52	15	-0.01	15
17	17	-529	Max	10.65	5.25	15	0.10	15	0.01	15	11.19	15	0.67	15	-0.01	15
17	17	-529	Min.	0.00	4.84	15	0.10	15	-0.00	15	11.19	15	-0.52	15	-0.01	15
17	17	-529	Min.	10.65	5.25	15	0.10	15	0.01	15	11.19	15	0.67	15	-0.01	15
18	18	-530	Max	0.00	11.12	15	-0.11	15	0.01	15	14.19	15	-0.71	15	-0.01	15
18	18	-530	Max	10.65	11.54	15	-0.11	15	0.00	15	14.19	15	0.80	15	-0.01	15
18	18	-530	Min.	0.00	11.12	15	-0.11	15	0.01	15	14.19	15	-0.71	15	-0.01	15
18	18	-530	Min.	10.65	11.54	15	-0.11	15	0.00	15	14.19	15	0.80	15	-0.01	15
19	19	-531	Max	0.00	6.63	15	-0.06	15	-0.01	15	41.15	15	-2.11	15	-0.03	15
19	19	-531	Max	10.65	7.05	15	-0.06	15	-0.01	15	41.15	15	2.27	15	-0.03	15
19	19	-531	Min.	0.00	6.63	15	-0.06	15	-0.01	15	41.15	15	-2.11	15	-0.03	15
19	19	-531	Min.	10.65	7.05	15	-0.06	15	-0.01	15	41.15	15	2.27	15	-0.03	15
20	20	-532	Max	0.00	19.05	15	0.06	15	-0.01	15	21.51	15	-1.05	15	-0.03	15
20	20	-532	Max	10.65	19.47	15	0.06	15	-0.01	15	21.51	15	1.24	15	-0.03	15
20	20	-532	Min.	0.00	19.05	15	0.06	15	-0.01	15	21.51	15	-1.05	15	-0.03	15
20	20	-532	Min.	10.65	19.47	15	0.06	15	-0.01	15	21.51	15	1.24	15	-0.03	15
21	21	-533	Max	0.00	6.91	15	-0.30	15	0.01	15	31.96	15	-1.59	15	0.02	15
21	21	-533	Max	10.65	7.33	15	-0.30	15	-0.03	15	31.96	15	1.82	15	0.02	15
21	21	-533	Min.	0.00	6.91	15	-0.30	15	0.01	15	31.96	15	-1.59	15	0.02	15
21	21	-533	Min.	10.65	7.33	15	-0.30	15	-0.03	15	31.96	15	1.82	15	0.02	15
22	22	-534	Max	0.00	21.93	15	-0.10	15	0.01	15	26.04	15	-1.33	15	0.02	15
22	22	-534	Max	10.65	22.34	15	-0.10	15	-0.01	15	26.04	15	1.44	15	0.02	15

22	22	-534	Min.	0.00	21.93	15	-0.10	15	0.01	15	26.04	15	-1.33	15	0.02	15
22	22	-534	Min.	10.65	22.34	15	-0.10	15	-0.01	15	26.04	15	1.44	15	0.02	15
23	23	-535	Max	0.00	2.84	15	-0.29	15	0.01	15	22.89	15	-1.17	15	0.02	15
23	23	-535	Max	10.65	3.25	15	-0.29	15	-0.02	15	22.89	15	1.27	15	0.02	15
23	23	-535	Min.	0.00	2.84	15	-0.29	15	0.01	15	22.89	15	-1.17	15	0.02	15
23	23	-535	Min.	10.65	3.25	15	-0.29	15	-0.02	15	22.89	15	1.27	15	0.02	15
24	24	-536	Max	0.00	8.99	15	0.12	15	-0.02	15	8.83	15	-0.40	15	0.03	15
24	24	-536	Max	10.65	9.41	15	0.12	15	-0.00	15	8.83	15	0.54	15	0.03	15
24	24	-536	Min.	0.00	8.99	15	0.12	15	-0.02	15	8.83	15	-0.40	15	0.03	15
24	24	-536	Min.	10.65	9.41	15	0.12	15	-0.00	15	8.83	15	0.54	15	0.03	15
25	2025	4025	Max	0.00	6.97	15	0.20	15	-0.02	15	11.12	15	-1.15	15	-0.01	15
25	2025	4025	Max	12.00	7.44	15	0.20	15	0.01	15	11.12	15	0.18	15	-0.01	15
25	2025	4025	Min.	0.00	6.97	15	0.20	15	-0.02	15	11.12	15	-1.15	15	-0.01	15
25	2025	4025	Min.	12.00	7.44	15	0.20	15	0.01	15	11.12	15	0.18	15	-0.01	15
26	1026	2026	Max	0.00	-317.01	15	32.32	15	107.54	15	16.38	15	-12.53	15	-0.37	15
26	1026	2026	Max	9.00	-314.99	15	32.32	15	110.45	15	16.38	15	-11.06	15	-0.37	15
26	1026	2026	Min.	0.00	-317.01	15	32.32	15	107.54	15	16.38	15	-12.53	15	-0.37	15
26	1026	2026	Min.	9.00	-314.99	15	32.32	15	110.45	15	16.38	15	-11.06	15	-0.37	15
26	2026	4026	Max	0.00	-132.29	15	16.64	15	-7.01	15	558.85	15	-86.80	15	0.19	15
26	2026	4026	Max	7.00	-130.72	15	16.64	15	-5.85	15	558.85	15	-47.68	15	0.19	15
26	2026	4026	Min.	0.00	-132.29	15	16.64	15	-7.01	15	558.85	15	-86.80	15	0.19	15
26	2026	4026	Min.	7.00	-130.72	15	16.64	15	-5.85	15	558.85	15	-47.68	15	0.19	15
27	2027	4027	Max	0.00	-25.90	15	-0.44	15	0.02	15	7.65	15	-0.95	15	0.01	15
27	2027	4027	Max	12.00	-25.43	15	-0.44	15	-0.04	15	7.65	15	-0.03	15	0.01	15
27	2027	4027	Min.	0.00	-25.90	15	-0.44	15	0.02	15	7.65	15	-0.95	15	0.01	15
27	2027	4027	Min.	12.00	-25.43	15	-0.44	15	-0.04	15	7.65	15	-0.03	15	0.01	15
28	2028	4028	Max	0.00	-39.34	15	1.87	15	-0.08	15	16.09	15	-1.83	15	-0.02	15
28	2028	4028	Max	12.00	-38.87	15	1.87	15	0.15	15	16.09	15	0.10	15	-0.02	15
28	2028	4028	Min.	0.00	-39.34	15	1.87	15	-0.08	15	16.09	15	-1.83	15	-0.02	15
28	2028	4028	Min.	12.00	-38.87	15	1.87	15	0.15	15	16.09	15	0.10	15	-0.02	15
29	1029	2029	Max	0.00	-597.70	15	63.83	15	190.47	15	7.38	15	2.80	15	-0.13	15
29	1029	2029	Max	9.00	-595.68	15	63.83	15	196.22	15	7.38	15	3.46	15	-0.13	15
29	1029	2029	Min.	0.00	-597.70	15	63.83	15	190.47	15	7.38	15	2.80	15	-0.13	15
29	1029	2029	Min.	9.00	-595.68	15	63.83	15	196.22	15	7.38	15	3.46	15	-0.13	15
29	2029	4029	Max	0.00	-232.19	15	6.31	15	2.72	15	991.63	15	-154.27	15	0.59	15
29	2029	4029	Max	7.00	-230.61	15	6.31	15	3.16	15	991.63	15	-84.86	15	0.59	15
29	2029	4029	Min.	0.00	-232.19	15	6.31	15	2.72	15	991.63	15	-154.27	15	0.59	15
29	2029	4029	Min.	7.00	-230.61	15	6.31	15	3.16	15	991.63	15	-84.86	15	0.59	15
30	2030	4030	Max	0.00	-23.53	15	-1.46	15	0.06	15	16.00	15	-1.83	15	0.02	15
30	2030	4030	Max	12.00	-23.06	15	-1.46	15	-0.11	15	16.00	15	0.09	15	0.02	15
30	2030	4030	Min.	0.00	-23.53	15	-1.46	15	0.06	15	16.00	15	-1.83	15	0.02	15
30	2030	4030	Min.	12.00	-23.06	15	-1.46	15	-0.11	15	16.00	15	0.09	15	0.02	15
31	2031	4031	Max	0.00	-23.21	15	1.47	15	-0.06	15	17.34	15	-1.90	15	-0.03	15
31	2031	4031	Max	12.00	-22.74	15	1.47	15	0.11	15	17.34	15	0.18	15	-0.03	15
31	2031	4031	Min.	0.00	-23.21	15	1.47	15	-0.06	15	17.34	15	-1.90	15	-0.03	15
31	2031	4031	Min.	12.00	-22.74	15	1.47	15	0.11	15	17.34	15	0.18	15	-0.03	15
32	1032	2032	Max	0.00	-597.73	15	63.82	15	190.46	15	-7.45	15	-3.24	15	0.23	15
32	1032	2032	Max	9.00	-595.70	15	63.82	15	196.21	15	-7.45	15	-3.91	15	0.23	15
32	1032	2032	Min.	0.00	-597.73	15	63.82	15	190.46	15	-7.45	15	-3.24	15	0.23	15
32	1032	2032	Min.	9.00	-595.70	15	63.82	15	196.21	15	-7.45	15	-3.91	15	0.23	15
32	2032	4032	Max	0.00	-232.20	15	-6.48	15	-2.84	15	991.12	15	-154.24	15	-2.49	15
32	2032	4032	Max	7.00	-230.63	15	-6.48	15	-3.29	15	991.12	15	-84.86	15	-2.49	15
32	2032	4032	Min.	0.00	-232.20	15	-6.48	15	-2.84	15	991.12	15	-154.24	15	-2.49	15
32	2032	4032	Min.	7.00	-230.63	15	-6.48	15	-3.29	15	991.12	15	-84.86	15	-2.49	15
33	2033	4033	Max	0.00	-39.70	15	-1.87	15	0.08	15	14.52	15	-1.74	15	0.02	15
33	2033	4033	Max	12.00	-39.23	15	-1.87	15	-0.15	15	14.52	15	0.01	15	0.02	15
33	2033	4033	Min.	0.00	-39.70	15	-1.87	15	0.08	15	14.52	15	-1.74	15	0.02	15
33	2033	4033	Min.	12.00	-39.23	15	-1.87	15	-0.15	15	14.52	15	0.01	15	0.02	15
34	2034	4034	Max	0.00	-25.82	15	0.45	15	-0.02	15	8.51	15	-1.00	15	-0.01	15

34	2034	4034	Max	12.00	-25.34	15	0.45	15	0.04	15	8.51	15	0.02	15	-0.01	15
34	2034	4034	Min.	0.00	-25.82	15	0.45	15	-0.02	15	8.51	15	-1.00	15	-0.01	15
34	2034	4034	Min.	12.00	-25.34	15	0.45	15	0.04	15	8.51	15	0.02	15	-0.01	15
35	1035	2035	Max	0.00	-318.01	15	32.25	15	107.42	15	-16.42	15	12.30	15	0.36	15
35	1035	2035	Max	9.00	-315.98	15	32.25	15	110.33	15	-16.42	15	10.82	15	0.36	15
35	1035	2035	Min.	0.00	-318.01	15	32.25	15	107.42	15	-16.42	15	12.30	15	0.36	15
35	1035	2035	Min.	9.00	-315.98	15	32.25	15	110.33	15	-16.42	15	10.82	15	0.36	15
35	2035	4035	Max	0.00	-132.69	15	-16.72	15	6.94	15	558.90	15	-86.73	15	-1.11	15
35	2035	4035	Max	7.00	-131.12	15	-16.72	15	5.77	15	558.90	15	-47.61	15	-1.11	15
35	2035	4035	Min.	0.00	-132.69	15	-16.72	15	6.94	15	558.90	15	-86.73	15	-1.11	15
35	2035	4035	Min.	7.00	-131.12	15	-16.72	15	5.77	15	558.90	15	-47.61	15	-1.11	15
36	2036	4036	Max	0.00	6.66	15	-0.20	15	0.02	15	10.64	15	-1.12	15	0.01	15
36	2036	4036	Max	12.00	7.14	15	-0.20	15	-0.01	15	10.64	15	0.16	15	0.01	15
36	2036	4036	Min.	0.00	6.66	15	-0.20	15	0.02	15	10.64	15	-1.12	15	0.01	15
36	2036	4036	Min.	12.00	7.14	15	-0.20	15	-0.01	15	10.64	15	0.16	15	0.01	15
37	37	-545	Max	0.00	-9.74	15	-0.06	15	0.00	15	-169.22	15	11.67	15	-0.04	15
37	37	-545	Max	13.75	-9.20	15	-0.06	15	-0.01	15	-169.22	15	-11.60	15	-0.04	15
37	37	-545	Min.	0.00	-9.74	15	-0.06	15	0.00	15	-169.22	15	11.67	15	-0.04	15
37	37	-545	Min.	13.75	-9.20	15	-0.06	15	-0.01	15	-169.22	15	-11.60	15	-0.04	15
38	38	-546	Max	0.00	-13.09	15	-0.16	15	0.01	15	-195.18	15	13.47	15	-0.04	15
38	38	-546	Max	13.75	-12.55	15	-0.16	15	-0.01	15	-195.18	15	-13.37	15	-0.04	15
38	38	-546	Min.	0.00	-13.09	15	-0.16	15	0.01	15	-195.18	15	13.47	15	-0.04	15
38	38	-546	Min.	13.75	-12.55	15	-0.16	15	-0.01	15	-195.18	15	-13.37	15	-0.04	15
39	39	-547	Max	0.00	-20.88	15	0.13	15	-0.00	15	-333.89	15	23.03	15	0.01	15
39	39	-547	Max	13.75	-20.34	15	0.13	15	0.02	15	-333.89	15	-22.88	15	0.01	15
39	39	-547	Min.	0.00	-20.88	15	0.13	15	-0.00	15	-333.89	15	23.03	15	0.01	15
39	39	-547	Min.	13.75	-20.34	15	0.13	15	0.02	15	-333.89	15	-22.88	15	0.01	15
40	40	-548	Max	0.00	-20.79	15	-0.12	15	0.00	15	-332.83	15	22.95	15	-0.01	15
40	40	-548	Max	13.75	-20.25	15	-0.12	15	-0.01	15	-332.83	15	-22.81	15	-0.01	15
40	40	-548	Min.	0.00	-20.79	15	-0.12	15	0.00	15	-332.83	15	22.95	15	-0.01	15
40	40	-548	Min.	13.75	-20.25	15	-0.12	15	-0.01	15	-332.83	15	-22.81	15	-0.01	15
41	41	-549	Max	0.00	-20.75	15	0.13	15	-0.00	15	-332.19	15	22.91	15	0.01	15
41	41	-549	Max	13.75	-20.21	15	0.13	15	0.01	15	-332.19	15	-22.77	15	0.01	15
41	41	-549	Min.	0.00	-20.75	15	0.13	15	-0.00	15	-332.19	15	22.91	15	0.01	15
41	41	-549	Min.	13.75	-20.21	15	0.13	15	0.01	15	-332.19	15	-22.77	15	0.01	15
42	42	-550	Max	0.00	-20.92	15	-0.12	15	0.00	15	-334.54	15	23.08	15	-0.01	15
42	42	-550	Max	13.75	-20.38	15	-0.12	15	-0.02	15	-334.54	15	-22.92	15	-0.01	15
42	42	-550	Min.	0.00	-20.92	15	-0.12	15	0.00	15	-334.54	15	23.08	15	-0.01	15
42	42	-550	Min.	13.75	-20.38	15	-0.12	15	-0.02	15	-334.54	15	-22.92	15	-0.01	15
43	43	-551	Max	0.00	-13.06	15	0.16	15	-0.01	15	-194.87	15	13.44	15	0.04	15
43	43	-551	Max	13.75	-12.52	15	0.16	15	0.02	15	-194.87	15	-13.35	15	0.04	15
43	43	-551	Min.	0.00	-13.06	15	0.16	15	-0.01	15	-194.87	15	13.44	15	0.04	15
43	43	-551	Min.	13.75	-12.52	15	0.16	15	0.02	15	-194.87	15	-13.35	15	0.04	15
44	44	-552	Max	0.00	-9.75	15	0.07	15	-0.00	15	-169.44	15	11.68	15	0.04	15
44	44	-552	Max	13.75	-9.21	15	0.07	15	0.01	15	-169.44	15	-11.61	15	0.04	15
44	44	-552	Min.	0.00	-9.75	15	0.07	15	-0.00	15	-169.44	15	11.68	15	0.04	15
44	44	-552	Min.	13.75	-9.21	15	0.07	15	0.01	15	-169.44	15	-11.61	15	0.04	15
45	45	-561	Max	0.00	-6.04	15	0.00	15	-0.00	15	-149.74	15	11.60	15	-0.04	15
45	45	-561	Max	15.50	-5.43	15	0.00	15	-0.00	15	-149.74	15	-11.62	15	-0.04	15
45	45	-561	Min.	0.00	-6.04	15	0.00	15	-0.00	15	-149.74	15	11.60	15	-0.04	15
45	45	-561	Min.	15.50	-5.43	15	0.00	15	-0.00	15	-149.74	15	-11.62	15	-0.04	15
46	46	-562	Max	0.00	-8.59	15	0.00	15	-0.00	15	-168.40	15	13.04	15	-0.04	15
46	46	-562	Max	15.50	-7.98	15	0.00	15	-0.00	15	-168.40	15	-13.06	15	-0.04	15
46	46	-562	Min.	0.00	-8.59	15	0.00	15	-0.00	15	-168.40	15	13.04	15	-0.04	15
46	46	-562	Min.	15.50	-7.98	15	0.00	15	-0.00	15	-168.40	15	-13.06	15	-0.04	15
47	47	-563	Max	0.00	-13.22	15	-0.01	15	0.00	15	-293.22	15	22.71	15	0.00	15
47	47	-563	Max	15.50	-12.61	15	-0.01	15	0.00	15	-293.22	15	-22.74	15	0.00	15
47	47	-563	Min.	0.00	-13.22	15	-0.01	15	0.00	15	-293.22	15	22.71	15	0.00	15
47	47	-563	Min.	15.50	-12.61	15	-0.01	15	0.00	15	-293.22	15	-22.74	15	0.00	15

48	48	-564	Max	0.00	-13.36	15	0.00	15	0.00	15	-292.04	15	22.62	15	-0.00	15
48	48	-564	Max	15.50	-12.75	15	0.00	15	0.00	15	-292.04	15	-22.65	15	-0.00	15
48	48	-564	Min.	0.00	-13.36	15	0.00	15	0.00	15	-292.04	15	22.62	15	-0.00	15
48	48	-564	Min.	15.50	-12.75	15	0.00	15	0.00	15	-292.04	15	-22.65	15	-0.00	15
49	49	-565	Max	0.00	-13.34	15	-0.00	15	0.00	15	-291.57	15	22.58	15	0.00	15
49	49	-565	Max	15.50	-12.74	15	-0.00	15	0.00	15	-291.57	15	-22.61	15	0.00	15
49	49	-565	Min.	0.00	-13.34	15	-0.00	15	0.00	15	-291.57	15	22.58	15	0.00	15
49	49	-565	Min.	15.50	-12.74	15	-0.00	15	0.00	15	-291.57	15	-22.61	15	0.00	15
50	50	-566	Max	0.00	-13.23	15	0.01	15	-0.00	15	-293.68	15	22.74	15	0.00	15
50	50	-566	Max	15.50	-12.62	15	0.01	15	-0.00	15	-293.68	15	-22.78	15	0.00	15
50	50	-566	Min.	0.00	-13.23	15	0.01	15	-0.00	15	-293.68	15	22.74	15	0.00	15
50	50	-566	Min.	15.50	-12.62	15	0.01	15	-0.00	15	-293.68	15	-22.78	15	0.00	15
51	51	-567	Max	0.00	-8.58	15	-0.00	15	0.00	15	-168.18	15	13.02	15	0.04	15
51	51	-567	Max	15.50	-7.98	15	-0.00	15	0.00	15	-168.18	15	-13.04	15	0.04	15
51	51	-567	Min.	0.00	-8.58	15	-0.00	15	0.00	15	-168.18	15	13.02	15	0.04	15
51	51	-567	Min.	15.50	-7.98	15	-0.00	15	0.00	15	-168.18	15	-13.04	15	0.04	15
52	52	-568	Max	0.00	-6.05	15	-0.00	15	0.00	15	-149.91	15	11.61	15	0.04	15
52	52	-568	Max	15.50	-5.44	15	-0.00	15	0.00	15	-149.91	15	-11.63	15	0.04	15
52	52	-568	Min.	0.00	-6.05	15	-0.00	15	0.00	15	-149.91	15	11.61	15	0.04	15
52	52	-568	Min.	15.50	-5.44	15	-0.00	15	0.00	15	-149.91	15	-11.63	15	0.04	15
53	53	-577	Max	0.00	-5.26	15	-0.03	15	-0.01	15	-120.47	15	10.40	15	-0.04	15
53	53	-577	Max	17.25	-4.58	15	-0.03	15	-0.01	15	-120.47	15	-10.38	15	-0.04	15
53	53	-577	Min.	0.00	-5.26	15	-0.03	15	-0.01	15	-120.47	15	10.40	15	-0.04	15
53	53	-577	Min.	17.25	-4.58	15	-0.03	15	-0.01	15	-120.47	15	-10.38	15	-0.04	15
54	54	-578	Max	0.00	-7.87	15	-0.03	15	-0.01	15	-131.67	15	11.36	15	-0.04	15
54	54	-578	Max	17.25	-7.19	15	-0.03	15	-0.01	15	-131.67	15	-11.35	15	-0.04	15
54	54	-578	Min.	0.00	-7.87	15	-0.03	15	-0.01	15	-131.67	15	11.36	15	-0.04	15
54	54	-578	Min.	17.25	-7.19	15	-0.03	15	-0.01	15	-131.67	15	-11.35	15	-0.04	15
55	55	-579	Max	0.00	-12.25	15	-0.02	15	0.00	15	-233.34	15	20.13	15	0.00	15
55	55	-579	Max	17.25	-11.57	15	-0.02	15	0.00	15	-233.34	15	-20.12	15	0.00	15
55	55	-579	Min.	0.00	-12.25	15	-0.02	15	0.00	15	-233.34	15	20.13	15	0.00	15
55	55	-579	Min.	17.25	-11.57	15	-0.02	15	0.00	15	-233.34	15	-20.12	15	0.00	15
56	56	-580	Max	0.00	-12.23	15	-0.02	15	0.00	15	-232.52	15	20.06	15	-0.00	15
56	56	-580	Max	17.25	-11.56	15	-0.02	15	0.00	15	-232.52	15	-20.05	15	-0.00	15
56	56	-580	Min.	0.00	-12.23	15	-0.02	15	0.00	15	-232.52	15	20.06	15	-0.00	15
56	56	-580	Min.	17.25	-11.56	15	-0.02	15	0.00	15	-232.52	15	-20.05	15	-0.00	15
57	57	-581	Max	0.00	-12.22	15	0.02	15	-0.00	15	-232.15	15	20.03	15	0.00	15
57	57	-581	Max	10.35					-0.00	15			-4.00	15		
57	57	-581	Max	17.25	-11.54	15	0.02	15	0.00	15	-232.15	15	-20.02	15	0.00	15
57	57	-581	Min.	0.00	-12.22	15	0.02	15	-0.00	15	-232.15	15	20.03	15	0.00	15
57	57	-581	Min.	10.35					-0.00	15			-4.00	15		
57	57	-581	Min.	17.25	-11.54	15	0.02	15	0.00	15	-232.15	15	-20.02	15	0.00	15
58	58	-582	Max	0.00	-12.27	15	0.02	15	-0.00	15	-233.70	15	20.16	15	0.00	15
58	58	-582	Max	17.25	-11.59	15	0.02	15	-0.00	15	-233.70	15	-20.15	15	0.00	15
58	58	-582	Min.	0.00	-12.27	15	0.02	15	-0.00	15	-233.70	15	20.16	15	0.00	15
58	58	-582	Min.	17.25	-11.59	15	0.02	15	-0.00	15	-233.70	15	-20.15	15	0.00	15
59	59	-583	Max	0.00	-7.86	15	0.03	15	0.01	15	-131.50	15	11.35	15	0.04	15
59	59	-583	Max	17.25	-7.18	15	0.03	15	0.01	15	-131.50	15	-11.34	15	0.04	15
59	59	-583	Min.	0.00	-7.86	15	0.03	15	0.01	15	-131.50	15	11.35	15	0.04	15
59	59	-583	Min.	17.25	-7.18	15	0.03	15	0.01	15	-131.50	15	-11.34	15	0.04	15
60	60	-584	Max	0.00	-5.26	15	0.03	15	0.01	15	-120.59	15	10.41	15	0.04	15
60	60	-584	Max	17.25	-4.59	15	0.03	15	0.01	15	-120.59	15	-10.39	15	0.04	15
60	60	-584	Min.	0.00	-5.26	15	0.03	15	0.01	15	-120.59	15	10.41	15	0.04	15
60	60	-584	Min.	17.25	-4.59	15	0.03	15	0.01	15	-120.59	15	-10.39	15	0.04	15
61	61	-593	Max	0.00	-10.98	15	-0.16	15	-0.01	15	-91.51	15	8.69	15	-0.04	15
61	61	-593	Max	19.00	-10.24	15	-0.16	15	-0.04	15	-91.51	15	-8.70	15	-0.04	15
61	61	-593	Min.	0.00	-10.98	15	-0.16	15	-0.01	15	-91.51	15	8.69	15	-0.04	15
61	61	-593	Min.	19.00	-10.24	15	-0.16	15	-0.04	15	-91.51	15	-8.70	15	-0.04	15
62	62	-594	Max	0.00	-11.67	15	-0.16	15	-0.01	15	-97.57	15	9.29	15	-0.04	15

62	62	-594	Max	19.00	-10.92	15	-0.16	15	-0.04	15	-97.57	15	-9.25	15	-0.04	15
62	62	-594	Min.	0.00	-11.67	15	-0.16	15	-0.01	15	-97.57	15	9.29	15	-0.04	15
62	62	-594	Min.	19.00	-10.92	15	-0.16	15	-0.04	15	-97.57	15	-9.25	15	-0.04	15
63	63	-595	Max	0.00	-27.52	15	0.07	15	0.00	15	-169.71	15	16.16	15	-0.01	15
63	63	-595	Max	19.00	-26.78	15	0.07	15	0.02	15	-169.71	15	-16.09	15	-0.01	15
63	63	-595	Min.	0.00	-27.52	15	0.07	15	0.00	15	-169.71	15	16.16	15	-0.01	15
63	63	-595	Min.	19.00	-26.78	15	0.07	15	0.02	15	-169.71	15	-16.09	15	-0.01	15
64	64	-596	Max	0.00	-24.73	15	0.05	15	0.00	15	-171.80	15	16.35	15	-0.01	15
64	64	-596	Max	19.00	-23.98	15	0.05	15	0.01	15	-171.80	15	-16.29	15	-0.01	15
64	64	-596	Min.	0.00	-24.73	15	0.05	15	0.00	15	-171.80	15	16.35	15	-0.01	15
64	64	-596	Min.	19.00	-23.98	15	0.05	15	0.01	15	-171.80	15	-16.29	15	-0.01	15
65	65	-597	Max	0.00	-24.64	15	-0.05	15	-0.00	15	-171.56	15	16.33	15	0.01	15
65	65	-597	Max	19.00	-23.90	15	-0.05	15	-0.01	15	-171.56	15	-16.27	15	0.01	15
65	65	-597	Min.	0.00	-24.64	15	-0.05	15	-0.00	15	-171.56	15	16.33	15	0.01	15
65	65	-597	Min.	19.00	-23.90	15	-0.05	15	-0.01	15	-171.56	15	-16.27	15	0.01	15
66	66	-598	Max	0.00	-27.61	15	-0.07	15	-0.00	15	-169.94	15	16.18	15	0.01	15
66	66	-598	Max	19.00	-26.86	15	-0.07	15	-0.02	15	-169.94	15	-16.11	15	0.01	15
66	66	-598	Min.	0.00	-27.61	15	-0.07	15	-0.00	15	-169.94	15	16.18	15	0.01	15
66	66	-598	Min.	19.00	-26.86	15	-0.07	15	-0.02	15	-169.94	15	-16.11	15	0.01	15
67	67	-599	Max	0.00	-11.62	15	0.16	15	0.01	15	-97.47	15	9.28	15	0.04	15
67	67	-599	Max	19.00	-10.88	15	0.16	15	0.04	15	-97.47	15	-9.24	15	0.04	15
67	67	-599	Min.	0.00	-11.62	15	0.16	15	0.01	15	-97.47	15	9.28	15	0.04	15
67	67	-599	Min.	19.00	-10.88	15	0.16	15	0.04	15	-97.47	15	-9.24	15	0.04	15
68	68	-600	Max	0.00	-11.03	15	0.16	15	0.01	15	-91.58	15	8.70	15	0.04	15
68	68	-600	Max	19.00	-10.28	15	0.16	15	0.04	15	-91.58	15	-8.70	15	0.04	15
68	68	-600	Min.	0.00	-11.03	15	0.16	15	0.01	15	-91.58	15	8.70	15	0.04	15
68	68	-600	Min.	19.00	-10.28	15	0.16	15	0.04	15	-91.58	15	-8.70	15	0.04	15
69	69	-609	Max	0.00	-3.56	15	0.06	15	-0.01	15	-68.42	15	7.12	15	-0.02	15
69	69	-609	Max	16.60					-0.00	15			-4.23	15		
69	69	-609	Max	20.75	-2.75	15	0.06	15	0.00	15	-68.42	15	-7.07	15	-0.02	15
69	69	-609	Min.	0.00	-3.56	15	0.06	15	-0.01	15	-68.42	15	7.12	15	-0.02	15
69	69	-609	Min.	16.60					-0.00	15			-4.23	15		
69	69	-609	Min.	20.75	-2.75	15	0.06	15	0.00	15	-68.42	15	-7.07	15	-0.02	15
70	70	-610	Max	0.00	-5.33	15	0.06	15	-0.01	15	-71.67	15	7.46	15	-0.02	15
70	70	-610	Max	16.60					-0.00	15			-4.44	15		
70	70	-610	Max	20.75	-4.52	15	0.06	15	0.00	15	-71.67	15	-7.41	15	-0.02	15
70	70	-610	Min.	0.00	-5.33	15	0.06	15	-0.01	15	-71.67	15	7.46	15	-0.02	15
70	70	-610	Min.	16.60					-0.00	15			-4.44	15		
70	70	-610	Min.	20.75	-4.52	15	0.06	15	0.00	15	-71.67	15	-7.41	15	-0.02	15
71	71	-611	Max	0.00	-7.59	15	0.00	15	0.00	15	-121.57	15	12.66	15	-0.01	15
71	71	-611	Max	20.75	-6.78	15	0.00	15	0.00	15	-121.57	15	-12.57	15	-0.01	15
71	71	-611	Min.	0.00	-7.59	15	0.00	15	0.00	15	-121.57	15	12.66	15	-0.01	15
71	71	-611	Min.	20.75	-6.78	15	0.00	15	0.00	15	-121.57	15	-12.57	15	-0.01	15
72	72	-612	Max	0.00	-7.87	15	0.01	15	0.00	15	-125.53	15	13.07	15	-0.01	15
72	72	-612	Max	20.75	-7.06	15	0.01	15	0.00	15	-125.53	15	-12.98	15	-0.01	15
72	72	-612	Min.	0.00	-7.87	15	0.01	15	0.00	15	-125.53	15	13.07	15	-0.01	15
72	72	-612	Min.	20.75	-7.06	15	0.01	15	0.00	15	-125.53	15	-12.98	15	-0.01	15
73	73	-613	Max	0.00	-7.86	15	-0.01	15	0.00	15	-125.39	15	13.05	15	0.01	15
73	73	-613	Max	20.75	-7.05	15	-0.01	15	-0.00	15	-125.39	15	-12.97	15	0.01	15
73	73	-613	Min.	0.00	-7.86	15	-0.01	15	0.00	15	-125.39	15	13.05	15	0.01	15
73	73	-613	Min.	20.75	-7.05	15	-0.01	15	-0.00	15	-125.39	15	-12.97	15	0.01	15
74	74	-614	Max	0.00	-7.60	15	-0.01	15	-0.00	15	-121.69	15	12.67	15	0.01	15
74	74	-614	Max	20.75	-6.78	15	-0.01	15	-0.00	15	-121.69	15	-12.58	15	0.01	15
74	74	-614	Min.	0.00	-7.60	15	-0.01	15	-0.00	15	-121.69	15	12.67	15	0.01	15
74	74	-614	Min.	20.75	-6.78	15	-0.01	15	-0.00	15	-121.69	15	-12.58	15	0.01	15
75	75	-615	Max	0.00	-5.33	15	-0.06	15	0.01	15	-71.63	15	7.45	15	0.02	15
75	75	-615	Max	20.75	-4.51	15	-0.06	15	0.00	15	-71.63	15	-7.41	15	0.02	15
75	75	-615	Min.	0.00	-5.33	15	-0.06	15	0.01	15	-71.63	15	7.45	15	0.02	15
75	75	-615	Min.	20.75	-4.51	15	-0.06	15	0.00	15	-71.63	15	-7.41	15	0.02	15

76	76	-616	Max	0.00	-3.56	15	-0.06	15	0.01	15	-68.44	15	7.13	15	0.02	15
76	76	-616	Max	20.75	-2.75	15	-0.06	15	0.00	15	-68.44	15	-7.08	15	0.02	15
76	76	-616	Min.	0.00	-3.56	15	-0.06	15	0.01	15	-68.44	15	7.13	15	0.02	15
76	76	-616	Min.	20.75	-2.75	15	-0.06	15	0.00	15	-68.44	15	-7.08	15	0.02	15
77	77	-625	Max	0.00	-2.62	15	0.00	15	-0.00	15	-55.08	15	6.22	15	-0.01	15
77	77	-625	Max	22.50	-1.73	15	0.00	15	-0.00	15	-55.08	15	-6.18	15	-0.01	15
77	77	-625	Min.	0.00	-2.62	15	0.00	15	-0.00	15	-55.08	15	6.22	15	-0.01	15
77	77	-625	Min.	22.50	-1.73	15	0.00	15	-0.00	15	-55.08	15	-6.18	15	-0.01	15
78	78	-626	Max	0.00	-4.63	15	0.00	15	-0.00	15	-54.78	15	6.19	15	-0.01	15
78	78	-626	Max	22.50	-3.75	15	0.00	15	-0.00	15	-54.78	15	-6.14	15	-0.01	15
78	78	-626	Min.	0.00	-4.63	15	0.00	15	-0.00	15	-54.78	15	6.19	15	-0.01	15
78	78	-626	Min.	22.50	-3.75	15	0.00	15	-0.00	15	-54.78	15	-6.14	15	-0.01	15
79	79	-627	Max	0.00	-6.12	15	-0.00	15	0.00	15	-95.83	15	10.82	15	-0.01	15
79	79	-627	Max	22.50	-5.24	15	-0.00	15	0.00	15	-95.83	15	-10.74	15	-0.01	15
79	79	-627	Min.	0.00	-6.12	15	-0.00	15	0.00	15	-95.83	15	10.82	15	-0.01	15
79	79	-627	Min.	22.50	-5.24	15	-0.00	15	0.00	15	-95.83	15	-10.74	15	-0.01	15
80	80	-628	Max	0.00	-6.39	15	-0.00	15	0.00	15	-99.27	15	11.21	15	-0.01	15
80	80	-628	Max	22.50	-5.51	15	-0.00	15	0.00	15	-99.27	15	-11.13	15	-0.01	15
80	80	-628	Min.	0.00	-6.39	15	-0.00	15	0.00	15	-99.27	15	11.21	15	-0.01	15
80	80	-628	Min.	22.50	-5.51	15	-0.00	15	0.00	15	-99.27	15	-11.13	15	-0.01	15
81	81	-629	Max	0.00	-6.39	15	0.00	15	0.00	15	-99.17	15	11.20	15	0.01	15
81	81	-629	Max	22.50	-5.50	15	0.00	15	0.00	15	-99.17	15	-11.12	15	0.01	15
81	81	-629	Min.	0.00	-6.39	15	0.00	15	0.00	15	-99.17	15	11.20	15	0.01	15
81	81	-629	Min.	22.50	-5.50	15	0.00	15	0.00	15	-99.17	15	-11.12	15	0.01	15
82	82	-630	Max	0.00	-6.12	15	0.00	15	0.00	15	-95.93	15	10.83	15	0.01	15
82	82	-630	Max	22.50	-5.24	15	0.00	15	0.00	15	-95.93	15	-10.75	15	0.01	15
82	82	-630	Min.	0.00	-6.12	15	0.00	15	0.00	15	-95.93	15	10.83	15	0.01	15
82	82	-630	Min.	22.50	-5.24	15	0.00	15	0.00	15	-95.93	15	-10.75	15	0.01	15
83	83	-631	Max	0.00	-4.63	15	-0.00	15	0.00	15	-54.75	15	6.18	15	0.01	15
83	83	-631	Max	22.50	-3.75	15	-0.00	15	0.00	15	-54.75	15	-6.14	15	0.01	15
83	83	-631	Min.	0.00	-4.63	15	-0.00	15	0.00	15	-54.75	15	6.18	15	0.01	15
83	83	-631	Min.	22.50	-3.75	15	-0.00	15	0.00	15	-54.75	15	-6.14	15	0.01	15
84	84	-632	Max	0.00	-2.62	15	-0.00	15	0.00	15	-55.09	15	6.22	15	0.01	15
84	84	-632	Max	22.50	-1.73	15	-0.00	15	0.00	15	-55.09	15	-6.18	15	0.01	15
84	84	-632	Min.	0.00	-2.62	15	-0.00	15	0.00	15	-55.09	15	6.22	15	0.01	15
84	84	-632	Min.	22.50	-1.73	15	-0.00	15	0.00	15	-55.09	15	-6.18	15	0.01	15
85	85	-641	Max	0.00	-2.52	15	-0.04	15	0.00	15	-43.86	15	5.34	15	-0.02	15
85	85	-641	Max	24.25	-1.57	15	-0.04	15	-0.01	15	-43.86	15	-5.30	15	-0.02	15
85	85	-641	Min.	0.00	-2.52	15	-0.04	15	0.00	15	-43.86	15	5.34	15	-0.02	15
85	85	-641	Min.	24.25	-1.57	15	-0.04	15	-0.01	15	-43.86	15	-5.30	15	-0.02	15
86	86	-642	Max	0.00	-4.17	15	-0.04	15	0.00	15	-41.53	15	5.06	15	-0.02	15
86	86	-642	Max	24.25	-3.22	15	-0.04	15	-0.01	15	-41.53	15	-5.01	15	-0.02	15
86	86	-642	Min.	0.00	-4.17	15	-0.04	15	0.00	15	-41.53	15	5.06	15	-0.02	15
86	86	-642	Min.	24.25	-3.22	15	-0.04	15	-0.01	15	-41.53	15	-5.01	15	-0.02	15
87	87	-643	Max	0.00	-5.94	15	-0.01	15	0.00	15	-75.13	15	9.14	15	-0.01	15
87	87	-643	Max	24.25	-4.99	15	-0.01	15	-0.00	15	-75.13	15	-9.08	15	-0.01	15
87	87	-643	Min.	0.00	-5.94	15	-0.01	15	0.00	15	-75.13	15	9.14	15	-0.01	15
87	87	-643	Min.	24.25	-4.99	15	-0.01	15	-0.00	15	-75.13	15	-9.08	15	-0.01	15
88	88	-644	Max	0.00	-6.17	15	-0.01	15	0.00	15	-77.88	15	9.48	15	-0.01	15
88	88	-644	Max	24.25	-5.22	15	-0.01	15	-0.00	15	-77.88	15	-9.41	15	-0.01	15
88	88	-644	Min.	0.00	-6.17	15	-0.01	15	0.00	15	-77.88	15	9.48	15	-0.01	15
88	88	-644	Min.	24.25	-5.22	15	-0.01	15	-0.00	15	-77.88	15	-9.41	15	-0.01	15
89	89	-645	Max	0.00	-6.17	15	0.02	15	0.00	15	-77.79	15	9.46	15	0.01	15
89	89	-645	Max	24.25	-5.21	15	0.02	15	0.00	15	-77.79	15	-9.40	15	0.01	15
89	89	-645	Min.	0.00	-6.17	15	0.02	15	0.00	15	-77.79	15	9.46	15	0.01	15
89	89	-645	Min.	24.25	-5.21	15	0.02	15	0.00	15	-77.79	15	-9.40	15	0.01	15
90	90	-646	Max	0.00	-5.94	15	0.01	15	0.00	15	-75.21	15	9.15	15	0.01	15
90	90	-646	Max	24.25	-4.99	15	0.01	15	0.00	15	-75.21	15	-9.09	15	0.01	15
90	90	-646	Min.	0.00	-5.94	15	0.01	15	0.00	15	-75.21	15	9.15	15	0.01	15

90	90	-646	Min.	24.25	-4.99	15	0.01	15	0.00	15	-75.21	15	-9.09	15	0.01	15
91	91	-647	Max	0.00	-4.17	15	0.04	15	-0.00	15	-41.50	15	5.06	15	0.02	15
91	91	-647	Max	24.25	-3.22	15	0.04	15	0.01	15	-41.50	15	-5.01	15	0.02	15
91	91	-647	Min.	0.00	-4.17	15	0.04	15	-0.00	15	-41.50	15	5.06	15	0.02	15
91	91	-647	Min.	24.25	-3.22	15	0.04	15	0.01	15	-41.50	15	-5.01	15	0.02	15
92	92	-648	Max	0.00	-2.53	15	0.04	15	-0.00	15	-43.87	15	5.34	15	0.02	15
92	92	-648	Max	24.25	-1.57	15	0.04	15	0.01	15	-43.87	15	-5.30	15	0.02	15
92	92	-648	Min.	0.00	-2.53	15	0.04	15	-0.00	15	-43.87	15	5.34	15	0.02	15
92	92	-648	Min.	24.25	-1.57	15	0.04	15	0.01	15	-43.87	15	-5.30	15	0.02	15
93	93	-657	Max	0.00	-12.53	15	-0.02	15	-0.00	15	-28.49	15	3.72	15	-0.03	15
93	93	-657	Max	26.00	-11.51	15	-0.02	15	-0.01	15	-28.49	15	-3.69	15	-0.03	15
93	93	-657	Min.	0.00	-12.53	15	-0.02	15	-0.00	15	-28.49	15	3.72	15	-0.03	15
93	93	-657	Min.	26.00	-11.51	15	-0.02	15	-0.01	15	-28.49	15	-3.69	15	-0.03	15
94	94	-658	Max	0.00	-5.18	15	-0.02	15	-0.00	15	-30.08	15	3.93	15	-0.03	15
94	94	-658	Max	26.00	-4.16	15	-0.02	15	-0.01	15	-30.08	15	-3.89	15	-0.03	15
94	94	-658	Min.	0.00	-5.18	15	-0.02	15	-0.00	15	-30.08	15	3.93	15	-0.03	15
94	94	-658	Min.	26.00	-4.16	15	-0.02	15	-0.01	15	-30.08	15	-3.89	15	-0.03	15
95	95	-659	Max	0.00	-19.60	15	-0.03	15	0.00	15	-49.46	15	6.47	15	-0.01	15
95	95	-659	Max	26.00	-18.58	15	-0.03	15	-0.01	15	-49.46	15	-6.38	15	-0.01	15
95	95	-659	Min.	0.00	-19.60	15	-0.03	15	0.00	15	-49.46	15	6.47	15	-0.01	15
95	95	-659	Min.	26.00	-18.58	15	-0.03	15	-0.01	15	-49.46	15	-6.38	15	-0.01	15
96	96	-660	Max	0.00	-20.39	15	-0.03	15	0.00	15	-51.37	15	6.72	15	-0.01	15
96	96	-660	Max	26.00	-19.37	15	-0.03	15	-0.01	15	-51.37	15	-6.63	15	-0.01	15
96	96	-660	Min.	0.00	-20.39	15	-0.03	15	0.00	15	-51.37	15	6.72	15	-0.01	15
96	96	-660	Min.	26.00	-19.37	15	-0.03	15	-0.01	15	-51.37	15	-6.63	15	-0.01	15
97	97	-661	Max	0.00	-20.37	15	0.03	15	0.00	15	-51.30	15	6.71	15	0.01	15
97	97	-661	Max	26.00	-19.35	15	0.03	15	0.01	15	-51.30	15	-6.62	15	0.01	15
97	97	-661	Min.	0.00	-20.37	15	0.03	15	0.00	15	-51.30	15	6.71	15	0.01	15
97	97	-661	Min.	26.00	-19.35	15	0.03	15	0.01	15	-51.30	15	-6.62	15	0.01	15
98	98	-662	Max	0.00	-19.62	15	0.03	15	0.00	15	-49.53	15	6.48	15	0.01	15
98	98	-662	Max	26.00	-18.60	15	0.03	15	0.01	15	-49.53	15	-6.39	15	0.01	15
98	98	-662	Min.	0.00	-19.62	15	0.03	15	0.00	15	-49.53	15	6.48	15	0.01	15
98	98	-662	Min.	26.00	-18.60	15	0.03	15	0.01	15	-49.53	15	-6.39	15	0.01	15
99	99	-663	Max	0.00	-5.17	15	0.02	15	0.00	15	-30.07	15	3.93	15	0.03	15
99	99	-663	Max	26.00	-4.15	15	0.02	15	0.01	15	-30.07	15	-3.89	15	0.03	15
99	99	-663	Min.	0.00	-5.17	15	0.02	15	0.00	15	-30.07	15	3.93	15	0.03	15
99	99	-663	Min.	26.00	-4.15	15	0.02	15	0.01	15	-30.07	15	-3.89	15	0.03	15
100	100	-664	Max	0.00	-12.54	15	0.02	15	0.00	15	-28.50	15	3.72	15	0.03	15
100	100	-664	Max	26.00	-11.52	15	0.02	15	0.01	15	-28.50	15	-3.69	15	0.03	15
100	100	-664	Min.	0.00	-12.54	15	0.02	15	0.00	15	-28.50	15	3.72	15	0.03	15
100	100	-664	Min.	26.00	-11.52	15	0.02	15	0.01	15	-28.50	15	-3.69	15	0.03	15
101	101	-673	Max	0.00	-1.62	15	0.04	15	-0.01	15	-15.88	15	2.23	15	-0.01	15
101	101	-673	Max	27.75	-0.53	15	0.04	15	0.00	15	-15.88	15	-2.17	15	-0.01	15
101	101	-673	Min.	0.00	-1.62	15	0.04	15	-0.01	15	-15.88	15	2.23	15	-0.01	15
101	101	-673	Min.	27.75	-0.53	15	0.04	15	0.00	15	-15.88	15	-2.17	15	-0.01	15
102	102	-674	Max	0.00	-3.40	15	0.04	15	-0.01	15	-20.34	15	2.84	15	-0.01	15
102	102	-674	Max	27.75	-2.31	15	0.04	15	0.00	15	-20.34	15	-2.80	15	-0.01	15
102	102	-674	Min.	0.00	-3.40	15	0.04	15	-0.01	15	-20.34	15	2.84	15	-0.01	15
102	102	-674	Min.	27.75	-2.31	15	0.04	15	0.00	15	-20.34	15	-2.80	15	-0.01	15
103	103	-675	Max	0.00	-4.07	15	0.01	15	-0.00	15	-28.87	15	4.05	15	-0.00	15
103	103	-675	Max	16.65					-0.00	15			-0.75	15		
103	103	-675	Max	27.75	-2.98	15	0.01	15	0.00	15	-28.87	15	-3.96	15	-0.00	15
103	103	-675	Min.	0.00	-4.07	15	0.01	15	-0.00	15	-28.87	15	4.05	15	-0.00	15
103	103	-675	Min.	16.65					-0.00	15			-0.75	15		
103	103	-675	Min.	27.75	-2.98	15	0.01	15	0.00	15	-28.87	15	-3.96	15	-0.00	15
104	104	-676	Max	0.00	-4.25	15	0.01	15	-0.00	15	-29.90	15	4.20	15	-0.00	15
104	104	-676	Max	16.65					-0.00	15			-0.78	15		
104	104	-676	Max	27.75	-3.16	15	0.01	15	0.00	15	-29.90	15	-4.10	15	-0.00	15
104	104	-676	Min.	0.00	-4.25	15	0.01	15	-0.00	15	-29.90	15	4.20	15	-0.00	15

104	104	-676	Min.	16.65					-0.00	15			-0.78	15		
104	104	-676	Min.	27.75	-3.16	15	0.01	15	0.00	15	-29.90	15	-4.10	15	-0.00	15
105	105	-677	Max	0.00	-4.25	15	-0.01	15	0.00	15	-29.85	15	4.19	15	0.00	15
105	105	-677	Max	27.75	-3.16	15	-0.01	15	0.00	15	-29.85	15	-4.09	15	0.00	15
105	105	-677	Min.	0.00	-4.25	15	-0.01	15	0.00	15	-29.85	15	4.19	15	0.00	15
105	105	-677	Min.	27.75	-3.16	15	-0.01	15	0.00	15	-29.85	15	-4.09	15	0.00	15
106	106	-678	Max	0.00	-4.07	15	-0.01	15	0.00	15	-28.91	15	4.06	15	0.00	15
106	106	-678	Max	27.75	-2.98	15	-0.01	15	0.00	15	-28.91	15	-3.96	15	0.00	15
106	106	-678	Min.	0.00	-4.07	15	-0.01	15	0.00	15	-28.91	15	4.06	15	0.00	15
106	106	-678	Min.	27.75	-2.98	15	-0.01	15	0.00	15	-28.91	15	-3.96	15	0.00	15
107	107	-679	Max	0.00	-3.40	15	-0.04	15	0.01	15	-20.33	15	2.84	15	0.01	15
107	107	-679	Max	27.75	-2.31	15	-0.04	15	-0.00	15	-20.33	15	-2.80	15	0.01	15
107	107	-679	Min.	0.00	-3.40	15	-0.04	15	0.01	15	-20.33	15	2.84	15	0.01	15
107	107	-679	Min.	27.75	-2.31	15	-0.04	15	-0.00	15	-20.33	15	-2.80	15	0.01	15
108	108	-680	Max	0.00	-1.62	15	-0.04	15	0.01	15	-15.88	15	2.23	15	0.01	15
108	108	-680	Max	27.75	-0.53	15	-0.04	15	-0.00	15	-15.88	15	-2.17	15	0.01	15
108	108	-680	Min.	0.00	-1.62	15	-0.04	15	0.01	15	-15.88	15	2.23	15	0.01	15
108	108	-680	Min.	27.75	-0.53	15	-0.04	15	-0.00	15	-15.88	15	-2.17	15	0.01	15
109	109	-689	Max	0.00	-0.94	15	0.00	15	-0.00	15	-10.79	15	1.61	15	-0.01	15
109	109	-689	Max	29.50	0.22	15	0.00	15	-0.00	15	-10.79	15	-1.57	15	-0.01	15
109	109	-689	Min.	0.00	-0.94	15	0.00	15	-0.00	15	-10.79	15	1.61	15	-0.01	15
109	109	-689	Min.	29.50	0.22	15	0.00	15	-0.00	15	-10.79	15	-1.57	15	-0.01	15
110	110	-690	Max	0.00	-3.06	15	0.00	15	-0.00	15	-12.99	15	1.94	15	-0.01	15
110	110	-690	Max	29.50	-1.90	15	0.00	15	-0.00	15	-12.99	15	-1.89	15	-0.01	15
110	110	-690	Min.	0.00	-3.06	15	0.00	15	-0.00	15	-12.99	15	1.94	15	-0.01	15
110	110	-690	Min.	29.50	-1.90	15	0.00	15	-0.00	15	-12.99	15	-1.89	15	-0.01	15
111	111	-691	Max	0.00	-3.10	15	0.00	15	-0.00	15	-19.05	15	2.85	15	-0.00	15
111	111	-691	Max	5.90					-0.00	15			1.73	15		
111	111	-691	Max	29.50	-1.94	15	0.00	15	0.00	15	-19.05	15	-2.77	15	-0.00	15
111	111	-691	Min.	0.00	-3.10	15	0.00	15	-0.00	15	-19.05	15	2.85	15	-0.00	15
111	111	-691	Min.	5.90					-0.00	15			1.73	15		
111	111	-691	Min.	29.50	-1.94	15	0.00	15	0.00	15	-19.05	15	-2.77	15	-0.00	15
112	112	-692	Max	0.00	-3.25	15	0.00	15	-0.00	15	-19.73	15	2.95	15	-0.00	15
112	112	-692	Max	5.90					-0.00	15			1.79	15		
112	112	-692	Max	29.50	-2.09	15	0.00	15	0.00	15	-19.73	15	-2.87	15	-0.00	15
112	112	-692	Min.	0.00	-3.25	15	0.00	15	-0.00	15	-19.73	15	2.95	15	-0.00	15
112	112	-692	Min.	5.90					-0.00	15			1.79	15		
112	112	-692	Min.	29.50	-2.09	15	0.00	15	0.00	15	-19.73	15	-2.87	15	-0.00	15
113	113	-693	Max	0.00	-3.25	15	-0.00	15	0.00	15	-19.69	15	2.94	15	0.00	15
113	113	-693	Max	29.50	-2.09	15	-0.00	15	0.00	15	-19.69	15	-2.86	15	0.00	15
113	113	-693	Min.	0.00	-3.25	15	-0.00	15	0.00	15	-19.69	15	2.94	15	0.00	15
113	113	-693	Min.	29.50	-2.09	15	-0.00	15	0.00	15	-19.69	15	-2.86	15	0.00	15
114	114	-694	Max	0.00	-3.10	15	-0.00	15	0.00	15	-19.09	15	2.86	15	0.00	15
114	114	-694	Max	29.50	-1.94	15	-0.00	15	0.00	15	-19.09	15	-2.78	15	0.00	15
114	114	-694	Min.	0.00	-3.10	15	-0.00	15	0.00	15	-19.09	15	2.86	15	0.00	15
114	114	-694	Min.	29.50	-1.94	15	-0.00	15	0.00	15	-19.09	15	-2.78	15	0.00	15
115	115	-695	Max	0.00	-3.06	15	-0.00	15	0.00	15	-12.98	15	1.94	15	0.01	15
115	115	-695	Max	29.50	-1.90	15	-0.00	15	0.00	15	-12.98	15	-1.89	15	0.01	15
115	115	-695	Min.	0.00	-3.06	15	-0.00	15	0.00	15	-12.98	15	1.94	15	0.01	15
115	115	-695	Min.	29.50	-1.90	15	-0.00	15	0.00	15	-12.98	15	-1.89	15	0.01	15
116	116	-696	Max	0.00	-0.93	15	-0.00	15	0.00	15	-10.78	15	1.61	15	0.01	15
116	116	-696	Max	29.50	0.22	15	-0.00	15	0.00	15	-10.78	15	-1.57	15	0.01	15
116	116	-696	Min.	0.00	-0.93	15	-0.00	15	0.00	15	-10.78	15	1.61	15	0.01	15
116	116	-696	Min.	29.50	0.22	15	-0.00	15	0.00	15	-10.78	15	-1.57	15	0.01	15
117	117	-705	Max	0.00	-1.19	15	-0.03	15	0.00	15	-6.54	15	1.04	15	-0.01	15
117	117	-705	Max	31.25	0.04	15	-0.03	15	-0.01	15	-6.54	15	-1.01	15	-0.01	15
117	117	-705	Min.	0.00	-1.19	15	-0.03	15	0.00	15	-6.54	15	1.04	15	-0.01	15
117	117	-705	Min.	31.25	0.04	15	-0.03	15	-0.01	15	-6.54	15	-1.01	15	-0.01	15
118	118	-706	Max	0.00	-3.02	15	-0.03	15	-0.00	15	-6.53	15	1.04	15	-0.01	15

118	118	-706	Max	31.25	-1.79	15	-0.03	15	-0.01	15	-6.53	15	-1.00	15	-0.01	15
118	118	-706	Min.	0.00	-3.02	15	-0.03	15	-0.00	15	-6.53	15	1.04	15	-0.01	15
118	118	-706	Min.	31.25	-1.79	15	-0.03	15	-0.01	15	-6.53	15	-1.00	15	-0.01	15
119	119	-707	Max	0.00	-3.57	15	-0.01	15	0.00	15	-10.43	15	1.66	15	-0.00	15
119	119	-707	Max	31.25	-2.34	15	-0.01	15	-0.00	15	-10.43	15	-1.60	15	-0.00	15
119	119	-707	Min.	0.00	-3.57	15	-0.01	15	0.00	15	-10.43	15	1.66	15	-0.00	15
119	119	-707	Min.	31.25	-2.34	15	-0.01	15	-0.00	15	-10.43	15	-1.60	15	-0.00	15
120	120	-708	Max	0.00	-3.71	15	-0.01	15	0.00	15	-10.89	15	1.73	15	-0.00	15
120	120	-708	Max	31.25	-2.48	15	-0.01	15	-0.00	15	-10.89	15	-1.67	15	-0.00	15
120	120	-708	Min.	0.00	-3.71	15	-0.01	15	0.00	15	-10.89	15	1.73	15	-0.00	15
120	120	-708	Min.	31.25	-2.48	15	-0.01	15	-0.00	15	-10.89	15	-1.67	15	-0.00	15
121	121	-709	Max	0.00	-3.71	15	0.01	15	0.00	15	-10.86	15	1.72	15	0.00	15
121	121	-709	Max	31.25	-2.48	15	0.01	15	0.00	15	-10.86	15	-1.67	15	0.00	15
121	121	-709	Min.	0.00	-3.71	15	0.01	15	0.00	15	-10.86	15	1.72	15	0.00	15
121	121	-709	Min.	31.25	-2.48	15	0.01	15	0.00	15	-10.86	15	-1.67	15	0.00	15
122	122	-710	Max	0.00	-3.57	15	0.01	15	0.00	15	-10.46	15	1.66	15	0.00	15
122	122	-710	Max	31.25	-2.34	15	0.01	15	0.00	15	-10.46	15	-1.61	15	0.00	15
122	122	-710	Min.	0.00	-3.57	15	0.01	15	0.00	15	-10.46	15	1.66	15	0.00	15
122	122	-710	Min.	31.25	-2.34	15	0.01	15	0.00	15	-10.46	15	-1.61	15	0.00	15
123	123	-711	Max	0.00	-3.02	15	0.03	15	0.00	15	-6.53	15	1.04	15	0.01	15
123	123	-711	Max	31.25	-1.79	15	0.03	15	0.01	15	-6.53	15	-1.00	15	0.01	15
123	123	-711	Min.	0.00	-3.02	15	0.03	15	0.00	15	-6.53	15	1.04	15	0.01	15
123	123	-711	Min.	31.25	-1.79	15	0.03	15	0.01	15	-6.53	15	-1.00	15	0.01	15
124	124	-712	Max	0.00	-1.19	15	0.03	15	0.00	15	-6.53	15	1.04	15	0.01	15
124	124	-712	Max	31.25	0.04	15	0.03	15	0.01	15	-6.53	15	-1.00	15	0.01	15
124	124	-712	Min.	0.00	-1.19	15	0.03	15	0.00	15	-6.53	15	1.04	15	0.01	15
124	124	-712	Min.	31.25	0.04	15	0.03	15	0.01	15	-6.53	15	-1.00	15	0.01	15
125	125	-721	Max	0.00	-9.21	15	-0.08	15	0.00	15	0.75	15	-0.11	15	-0.02	15
125	125	-721	Max	33.00	-7.91	15	-0.08	15	-0.03	15	0.75	15	0.14	15	-0.02	15
125	125	-721	Min.	0.00	-9.21	15	-0.08	15	0.00	15	0.75	15	-0.11	15	-0.02	15
125	125	-721	Min.	33.00	-7.91	15	-0.08	15	-0.03	15	0.75	15	0.14	15	-0.02	15
126	126	-722	Max	0.00	-6.75	15	-0.08	15	0.00	15	0.81	15	-0.11	15	-0.02	15
126	126	-722	Max	33.00	-5.45	15	-0.08	15	-0.03	15	0.81	15	0.15	15	-0.02	15
126	126	-722	Min.	0.00	-6.75	15	-0.08	15	0.00	15	0.81	15	-0.11	15	-0.02	15
126	126	-722	Min.	33.00	-5.45	15	-0.08	15	-0.03	15	0.81	15	0.15	15	-0.02	15
127	127	-723	Max	0.00	-18.88	15	-0.01	15	0.00	15	4.09	15	-0.64	15	-0.01	15
127	127	-723	Max	33.00	-17.59	15	-0.01	15	-0.00	15	4.09	15	0.71	15	-0.01	15
127	127	-723	Min.	0.00	-18.88	15	-0.01	15	0.00	15	4.09	15	-0.64	15	-0.01	15
127	127	-723	Min.	33.00	-17.59	15	-0.01	15	-0.00	15	4.09	15	0.71	15	-0.01	15
128	128	-724	Max	0.00	-18.71	15	-0.02	15	0.00	15	3.67	15	-0.57	15	-0.01	15
128	128	-724	Max	33.00	-17.41	15	-0.02	15	-0.01	15	3.67	15	0.64	15	-0.01	15
128	128	-724	Min.	0.00	-18.71	15	-0.02	15	0.00	15	3.67	15	-0.57	15	-0.01	15
128	128	-724	Min.	33.00	-17.41	15	-0.02	15	-0.01	15	3.67	15	0.64	15	-0.01	15
129	129	-725	Max	0.00	-18.70	15	0.02	15	0.00	15	3.70	15	-0.57	15	0.01	15
129	129	-725	Max	33.00	-17.41	15	0.02	15	0.01	15	3.70	15	0.65	15	0.01	15
129	129	-725	Min.	0.00	-18.70	15	0.02	15	0.00	15	3.70	15	-0.57	15	0.01	15
129	129	-725	Min.	33.00	-17.41	15	0.02	15	0.01	15	3.70	15	0.65	15	0.01	15
130	130	-726	Max	0.00	-18.89	15	0.01	15	0.00	15	4.07	15	-0.63	15	0.01	15
130	130	-726	Max	33.00	-17.60	15	0.01	15	0.00	15	4.07	15	0.71	15	0.01	15
130	130	-726	Min.	0.00	-18.89	15	0.01	15	0.00	15	4.07	15	-0.63	15	0.01	15
130	130	-726	Min.	33.00	-17.60	15	0.01	15	0.00	15	4.07	15	0.71	15	0.01	15
131	131	-727	Max	0.00	-6.75	15	0.08	15	0.00	15	0.81	15	-0.11	15	0.02	15
131	131	-727	Max	33.00	-5.45	15	0.08	15	0.03	15	0.81	15	0.15	15	0.02	15
131	131	-727	Min.	0.00	-6.75	15	0.08	15	0.00	15	0.81	15	-0.11	15	0.02	15
131	131	-727	Min.	33.00	-5.45	15	0.08	15	0.03	15	0.81	15	0.15	15	0.02	15
132	132	-728	Max	0.00	-9.21	15	0.08	15	0.00	15	0.76	15	-0.11	15	0.02	15
132	132	-728	Max	33.00	-7.92	15	0.08	15	0.03	15	0.76	15	0.14	15	0.02	15
132	132	-728	Min.	0.00	-9.21	15	0.08	15	0.00	15	0.76	15	-0.11	15	0.02	15
132	132	-728	Min.	33.00	-7.92	15	0.08	15	0.03	15	0.76	15	0.14	15	0.02	15

133	133	-737	Max	0.00	-0.75	15	0.03	15	-0.01	15	6.85	15	-1.17	15	0.00	15
133	133	-737	Max	27.80					-0.00	15			0.74	15		
133	133	-737	Max	34.75	0.62	15	0.03	15	0.00	15	6.85	15	1.21	15	0.00	15
133	133	-737	Min.	0.00	-0.75	15	0.03	15	-0.01	15	6.85	15	-1.17	15	0.00	15
133	133	-737	Min.	27.80					-0.00	15			0.74	15		
133	133	-737	Min.	34.75	0.62	15	0.03	15	0.00	15	6.85	15	1.21	15	0.00	15
134	134	-738	Max	0.00	-2.47	15	0.02	15	-0.01	15	6.90	15	-1.18	15	0.00	15
134	134	-738	Max	27.80					-0.00	15			0.74	15		
134	134	-738	Max	34.75	-1.11	15	0.02	15	0.00	15	6.90	15	1.22	15	0.00	15
134	134	-738	Min.	0.00	-2.47	15	0.02	15	-0.01	15	6.90	15	-1.18	15	0.00	15
134	134	-738	Min.	27.80					-0.00	15			0.74	15		
134	134	-738	Min.	34.75	-1.11	15	0.02	15	0.00	15	6.90	15	1.22	15	0.00	15
135	135	-739	Max	0.00	-2.45	15	0.01	15	-0.00	15	15.99	15	-2.73	15	-0.00	15
135	135	-739	Max	13.90					-0.00	15			-0.51	15		
135	135	-739	Max	34.75	-1.09	15	0.01	15	0.00	15	15.99	15	2.82	15	-0.00	15
135	135	-739	Min.	0.00	-2.45	15	0.01	15	-0.00	15	15.99	15	-2.73	15	-0.00	15
135	135	-739	Min.	13.90					-0.00	15			-0.51	15		
135	135	-739	Min.	34.75	-1.09	15	0.01	15	0.00	15	15.99	15	2.82	15	-0.00	15
136	136	-740	Max	0.00	-2.58	15	0.01	15	-0.00	15	15.59	15	-2.67	15	-0.00	15
136	136	-740	Max	20.85					-0.00	15			0.59	15		
136	136	-740	Max	34.75	-1.21	15	0.01	15	0.00	15	15.59	15	2.75	15	-0.00	15
136	136	-740	Min.	0.00	-2.58	15	0.01	15	-0.00	15	15.59	15	-2.67	15	-0.00	15
136	136	-740	Min.	20.85					-0.00	15			0.59	15		
136	136	-740	Min.	34.75	-1.21	15	0.01	15	0.00	15	15.59	15	2.75	15	-0.00	15
137	137	-741	Max	0.00	-2.58	15	-0.01	15	0.00	15	15.62	15	-2.67	15	0.00	15
137	137	-741	Max	34.75	-1.21	15	-0.01	15	0.00	15	15.62	15	2.76	15	0.00	15
137	137	-741	Min.	0.00	-2.58	15	-0.01	15	0.00	15	15.62	15	-2.67	15	0.00	15
137	137	-741	Min.	34.75	-1.21	15	-0.01	15	0.00	15	15.62	15	2.76	15	0.00	15
138	138	-742	Max	0.00	-2.45	15	-0.01	15	0.00	15	15.98	15	-2.73	15	0.00	15
138	138	-742	Max	34.75	-1.09	15	-0.01	15	0.00	15	15.98	15	2.82	15	0.00	15
138	138	-742	Min.	0.00	-2.45	15	-0.01	15	0.00	15	15.98	15	-2.73	15	0.00	15
138	138	-742	Min.	34.75	-1.09	15	-0.01	15	0.00	15	15.98	15	2.82	15	0.00	15
139	139	-743	Max	0.00	-2.47	15	-0.02	15	0.01	15	6.90	15	-1.18	15	-0.00	15
139	139	-743	Max	34.75	-1.11	15	-0.02	15	0.00	15	6.90	15	1.22	15	-0.00	15
139	139	-743	Min.	0.00	-2.47	15	-0.02	15	0.01	15	6.90	15	-1.18	15	-0.00	15
139	139	-743	Min.	34.75	-1.11	15	-0.02	15	0.00	15	6.90	15	1.22	15	-0.00	15
140	140	-744	Max	0.00	-0.75	15	-0.03	15	0.01	15	6.86	15	-1.17	15	-0.00	15
140	140	-744	Max	34.75	0.62	15	-0.03	15	0.00	15	6.86	15	1.22	15	-0.00	15
140	140	-744	Min.	0.00	-0.75	15	-0.03	15	0.01	15	6.86	15	-1.17	15	-0.00	15
140	140	-744	Min.	34.75	0.62	15	-0.03	15	0.00	15	6.86	15	1.22	15	-0.00	15
141	141	-753	Max	0.00	-0.64	15	0.01	15	-0.00	15	8.42	15	-1.52	15	0.00	15
141	141	-753	Max	21.90					-0.00	15			0.32	15		
141	141	-753	Max	36.50	0.80	15	0.01	15	0.00	15	8.42	15	1.55	15	0.00	15
141	141	-753	Min.	0.00	-0.64	15	0.01	15	-0.00	15	8.42	15	-1.52	15	0.00	15
141	141	-753	Min.	21.90					-0.00	15			0.32	15		
141	141	-753	Min.	36.50	0.80	15	0.01	15	0.00	15	8.42	15	1.55	15	0.00	15
142	142	-754	Max	0.00	-2.65	15	0.01	15	-0.00	15	10.08	15	-1.83	15	0.00	15
142	142	-754	Max	21.90					-0.00	15			0.38	15		
142	142	-754	Max	36.50	-1.22	15	0.01	15	0.00	15	10.08	15	1.85	15	0.00	15
142	142	-754	Min.	0.00	-2.65	15	0.01	15	-0.00	15	10.08	15	-1.83	15	0.00	15
142	142	-754	Min.	21.90					-0.00	15			0.38	15		
142	142	-754	Min.	36.50	-1.22	15	0.01	15	0.00	15	10.08	15	1.85	15	0.00	15
143	143	-755	Max	0.00	-2.37	15	0.00	15	-0.00	15	19.09	15	-3.46	15	-0.00	15
143	143	-755	Max	14.60					-0.00	15			-0.67	15		
143	143	-755	Max	36.50	-0.94	15	0.00	15	0.00	15	19.09	15	3.51	15	-0.00	15
143	143	-755	Min.	0.00	-2.37	15	0.00	15	-0.00	15	19.09	15	-3.46	15	-0.00	15
143	143	-755	Min.	14.60					-0.00	15			-0.67	15		
143	143	-755	Min.	36.50	-0.94	15	0.00	15	0.00	15	19.09	15	3.51	15	-0.00	15
144	144	-756	Max	0.00	-2.51	15	0.00	15	-0.00	15	18.84	15	-3.41	15	0.00	15

144	144	-756	Max	7.30					-0.00	15			-2.04	15		
144	144	-756	Max	36.50	-1.08	15	0.00	15	0.00	15	18.84	15	3.46	15	0.00	15
144	144	-756	Min.	0.00	-2.51	15	0.00	15	-0.00	15	18.84	15	-3.41	15	0.00	15
144	144	-756	Min.	7.30					-0.00	15			-2.04	15		
144	144	-756	Min.	36.50	-1.08	15	0.00	15	0.00	15	18.84	15	3.46	15	0.00	15
145	145	-757	Max	0.00	-2.51	15	-0.00	15	0.00	15	18.86	15	-3.42	15	0.00	15
145	145	-757	Max	36.50	-1.08	15	-0.00	15	0.00	15	18.86	15	3.47	15	0.00	15
145	145	-757	Min.	0.00	-2.51	15	-0.00	15	0.00	15	18.86	15	-3.42	15	0.00	15
145	145	-757	Min.	36.50	-1.08	15	-0.00	15	0.00	15	18.86	15	3.47	15	0.00	15
146	146	-758	Max	0.00	-2.37	15	-0.00	15	0.00	15	19.08	15	-3.46	15	0.00	15
146	146	-758	Max	36.50	-0.94	15	-0.00	15	0.00	15	19.08	15	3.51	15	0.00	15
146	146	-758	Min.	0.00	-2.37	15	-0.00	15	0.00	15	19.08	15	-3.46	15	0.00	15
146	146	-758	Min.	36.50	-0.94	15	-0.00	15	0.00	15	19.08	15	3.51	15	0.00	15
147	147	-759	Max	0.00	-2.65	15	-0.01	15	0.00	15	10.08	15	-1.83	15	-0.00	15
147	147	-759	Max	36.50	-1.22	15	-0.01	15	0.00	15	10.08	15	1.85	15	-0.00	15
147	147	-759	Min.	0.00	-2.65	15	-0.01	15	0.00	15	10.08	15	-1.83	15	-0.00	15
147	147	-759	Min.	36.50	-1.22	15	-0.01	15	0.00	15	10.08	15	1.85	15	-0.00	15
148	148	-760	Max	0.00	-0.64	15	-0.01	15	0.00	15	8.43	15	-1.52	15	-0.00	15
148	148	-760	Max	36.50	0.80	15	-0.01	15	0.00	15	8.43	15	1.55	15	-0.00	15
148	148	-760	Min.	0.00	-0.64	15	-0.01	15	0.00	15	8.43	15	-1.52	15	-0.00	15
148	148	-760	Min.	36.50	0.80	15	-0.01	15	0.00	15	8.43	15	1.55	15	-0.00	15
149	149	-769	Max	0.00	0.48	15	-0.01	15	0.00	15	7.71	15	-1.44	15	0.00	15
149	149	-769	Max	38.25	1.98	15	-0.01	15	-0.00	15	7.71	15	1.51	15	0.00	15
149	149	-769	Min.	0.00	0.48	15	-0.01	15	0.00	15	7.71	15	-1.44	15	0.00	15
149	149	-769	Min.	38.25	1.98	15	-0.01	15	-0.00	15	7.71	15	1.51	15	0.00	15
150	150	-770	Max	0.00	-0.97	15	-0.01	15	0.00	15	10.30	15	-1.93	15	0.00	15
150	150	-770	Max	38.25	0.53	15	-0.01	15	-0.00	15	10.30	15	2.01	15	0.00	15
150	150	-770	Min.	0.00	-0.97	15	-0.01	15	0.00	15	10.30	15	-1.93	15	0.00	15
150	150	-770	Min.	38.25	0.53	15	-0.01	15	-0.00	15	10.30	15	2.01	15	0.00	15
151	151	-771	Max	0.00	0.06	15	-0.00	15	-0.00	15	17.31	15	-3.25	15	0.00	15
151	151	-771	Max	38.25	1.56	15	-0.00	15	-0.00	15	17.31	15	3.37	15	0.00	15
151	151	-771	Min.	0.00	0.06	15	-0.00	15	-0.00	15	17.31	15	-3.25	15	0.00	15
151	151	-771	Min.	38.25	1.56	15	-0.00	15	-0.00	15	17.31	15	3.37	15	0.00	15
152	152	-772	Max	0.00	-0.07	15	-0.00	15	0.00	15	17.21	15	-3.23	15	0.00	15
152	152	-772	Max	38.25	1.43	15	-0.00	15	-0.00	15	17.21	15	3.35	15	0.00	15
152	152	-772	Min.	0.00	-0.07	15	-0.00	15	0.00	15	17.21	15	-3.23	15	0.00	15
152	152	-772	Min.	38.25	1.43	15	-0.00	15	-0.00	15	17.21	15	3.35	15	0.00	15
153	153	-773	Max	0.00	-0.07	15	0.00	15	0.00	15	17.23	15	-3.23	15	0.00	15
153	153	-773	Max	38.25	1.43	15	0.00	15	0.00	15	17.23	15	3.36	15	0.00	15
153	153	-773	Min.	0.00	-0.07	15	0.00	15	0.00	15	17.23	15	-3.23	15	0.00	15
153	153	-773	Min.	38.25	1.43	15	0.00	15	0.00	15	17.23	15	3.36	15	0.00	15
154	154	-774	Max	0.00	0.06	15	0.00	15	0.00	15	17.30	15	-3.25	15	0.00	15
154	154	-774	Max	38.25	1.56	15	0.00	15	0.00	15	17.30	15	3.37	15	0.00	15
154	154	-774	Min.	0.00	0.06	15	0.00	15	0.00	15	17.30	15	-3.25	15	0.00	15
154	154	-774	Min.	38.25	1.56	15	0.00	15	0.00	15	17.30	15	3.37	15	0.00	15
155	155	-775	Max	0.00	-0.97	15	0.01	15	0.00	15	10.30	15	-1.93	15	-0.00	15
155	155	-775	Max	38.25	0.53	15	0.01	15	0.00	15	10.30	15	2.01	15	-0.00	15
155	155	-775	Min.	0.00	-0.97	15	0.01	15	0.00	15	10.30	15	-1.93	15	-0.00	15
155	155	-775	Min.	38.25	0.53	15	0.01	15	0.00	15	10.30	15	2.01	15	-0.00	15
156	156	-776	Max	0.00	0.48	15	0.01	15	0.00	15	7.71	15	-1.44	15	-0.00	15
156	156	-776	Max	38.25	1.98	15	0.01	15	0.00	15	7.71	15	1.51	15	-0.00	15
156	156	-776	Min.	0.00	0.48	15	0.01	15	0.00	15	7.71	15	-1.44	15	-0.00	15
156	156	-776	Min.	38.25	1.98	15	0.01	15	0.00	15	7.71	15	1.51	15	-0.00	15
157	157	-785	Max	0.00	18.81	15	-0.02	15	0.00	15	-0.01	15	0.00	15	0.00	15
157	157	-785	Max	40.00	20.38	15	-0.02	15	-0.01	15	-0.01	15	-0.00	15	0.00	15
157	157	-785	Min.	0.00	18.81	15	-0.02	15	0.00	15	-0.01	15	0.00	15	0.00	15
157	157	-785	Min.	40.00	20.38	15	-0.02	15	-0.01	15	-0.01	15	-0.00	15	0.00	15
158	158	-786	Max	0.00	26.76	15	-0.02	15	0.00	15	-0.00	15	0.00	15	0.00	15
158	158	-786	Max	40.00	28.33	15	-0.02	15	-0.00	15	-0.00	15	0.00	15	0.00	15

158	158	-786	Min.	0.00	26.76	15	-0.02	15	0.00	15	-0.00	15	0.00	15	0.00	15
158	158	-786	Min.	40.00	28.33	15	-0.02	15	-0.00	15	-0.00	15	0.00	15	0.00	15
159	159	-787	Max	0.00	41.11	15	-0.02	15	0.00	15	-0.00	15	0.00	15	0.00	15
159	159	-787	Max	40.00	42.68	15	-0.02	15	-0.01	15	-0.00	15	0.00	15	0.00	15
159	159	-787	Min.	0.00	41.11	15	-0.02	15	0.00	15	-0.00	15	0.00	15	0.00	15
159	159	-787	Min.	40.00	42.68	15	-0.02	15	-0.01	15	-0.00	15	0.00	15	0.00	15
160	160	-788	Max	0.00	41.09	15	-0.02	15	0.00	15	-0.01	15	0.00	15	0.00	15
160	160	-788	Max	40.00	42.66	15	-0.02	15	-0.01	15	-0.01	15	-0.00	15	0.00	15
160	160	-788	Min.	0.00	41.09	15	-0.02	15	0.00	15	-0.01	15	0.00	15	0.00	15
160	160	-788	Min.	40.00	42.66	15	-0.02	15	-0.01	15	-0.01	15	-0.00	15	0.00	15
161	161	-789	Max	0.00	41.09	15	0.02	15	0.00	15	0.00	15	0.00	15	0.00	15
161	161	-789	Max	40.00	42.66	15	0.02	15	0.01	15	0.00	15	0.00	15	0.00	15
161	161	-789	Min.	0.00	41.09	15	0.02	15	0.00	15	0.00	15	0.00	15	0.00	15
161	161	-789	Min.	40.00	42.66	15	0.02	15	0.01	15	0.00	15	0.00	15	0.00	15
162	162	-790	Max	0.00	41.11	15	0.02	15	0.00	15	-0.01	15	0.00	15	0.00	15
162	162	-790	Max	40.00	42.68	15	0.02	15	0.01	15	-0.01	15	-0.00	15	0.00	15
162	162	-790	Min.	0.00	41.11	15	0.02	15	0.00	15	-0.01	15	0.00	15	0.00	15
162	162	-790	Min.	40.00	42.68	15	0.02	15	0.01	15	-0.01	15	-0.00	15	0.00	15
163	163	-791	Max	0.00	26.76	15	0.02	15	-0.00	15	-0.00	15	0.00	15	0.00	15
163	163	-791	Max	40.00	28.33	15	0.02	15	0.00	15	-0.00	15	0.00	15	0.00	15
163	163	-791	Min.	0.00	26.76	15	0.02	15	-0.00	15	-0.00	15	0.00	15	0.00	15
163	163	-791	Min.	40.00	28.33	15	0.02	15	0.00	15	-0.00	15	0.00	15	0.00	15
164	164	-792	Max	0.00	18.81	15	0.02	15	-0.00	15	-0.00	15	0.00	15	0.00	15
164	164	-792	Max	40.00	20.38	15	0.02	15	0.01	15	-0.00	15	0.00	15	0.00	15
164	164	-792	Min.	0.00	18.81	15	0.02	15	-0.00	15	-0.00	15	0.00	15	0.00	15
164	164	-792	Min.	40.00	20.38	15	0.02	15	0.01	15	-0.00	15	0.00	15	0.00	15
165	165	-777	Max	0.00	0.48	15	-0.01	15	0.00	15	-7.73	15	1.45	15	-0.00	15
165	165	-777	Max	38.25	1.98	15	-0.01	15	-0.00	15	-7.73	15	-1.51	15	-0.00	15
165	165	-777	Min.	0.00	0.48	15	-0.01	15	0.00	15	-7.73	15	1.45	15	-0.00	15
165	165	-777	Min.	38.25	1.98	15	-0.01	15	-0.00	15	-7.73	15	-1.51	15	-0.00	15
166	166	-778	Max	0.00	-0.97	15	-0.01	15	0.00	15	-10.31	15	1.93	15	-0.00	15
166	166	-778	Max	38.25	0.53	15	-0.01	15	-0.00	15	-10.31	15	-2.01	15	-0.00	15
166	166	-778	Min.	0.00	-0.97	15	-0.01	15	0.00	15	-10.31	15	1.93	15	-0.00	15
166	166	-778	Min.	38.25	0.53	15	-0.01	15	-0.00	15	-10.31	15	-2.01	15	-0.00	15
167	167	-779	Max	0.00	0.06	15	-0.00	15	-0.00	15	-17.32	15	3.25	15	0.00	15
167	167	-779	Max	38.25	1.56	15	-0.00	15	-0.00	15	-17.32	15	-3.37	15	0.00	15
167	167	-779	Min.	0.00	0.06	15	-0.00	15	-0.00	15	-17.32	15	3.25	15	0.00	15
167	167	-779	Min.	38.25	1.56	15	-0.00	15	-0.00	15	-17.32	15	-3.37	15	0.00	15
168	168	-780	Max	0.00	-0.07	15	-0.00	15	0.00	15	-17.24	15	3.23	15	0.00	15
168	168	-780	Max	38.25	1.44	15	-0.00	15	-0.00	15	-17.24	15	-3.36	15	0.00	15
168	168	-780	Min.	0.00	-0.07	15	-0.00	15	0.00	15	-17.24	15	3.23	15	0.00	15
168	168	-780	Min.	38.25	1.44	15	-0.00	15	-0.00	15	-17.24	15	-3.36	15	0.00	15
169	169	-781	Max	0.00	-0.07	15	0.00	15	0.00	15	-17.22	15	3.23	15	0.00	15
169	169	-781	Max	38.25	1.43	15	0.00	15	0.00	15	-17.22	15	-3.36	15	0.00	15
169	169	-781	Min.	0.00	-0.07	15	0.00	15	0.00	15	-17.22	15	3.23	15	0.00	15
169	169	-781	Min.	38.25	1.43	15	0.00	15	0.00	15	-17.22	15	-3.36	15	0.00	15
170	170	-782	Max	0.00	0.06	15	0.00	15	0.00	15	-17.33	15	3.25	15	0.00	15
170	170	-782	Max	38.25	1.56	15	0.00	15	0.00	15	-17.33	15	-3.38	15	0.00	15
170	170	-782	Min.	0.00	0.06	15	0.00	15	0.00	15	-17.33	15	3.25	15	0.00	15
170	170	-782	Min.	38.25	1.56	15	0.00	15	0.00	15	-17.33	15	-3.38	15	0.00	15
171	171	-783	Max	0.00	-0.97	15	0.01	15	0.00	15	-10.31	15	1.93	15	0.00	15
171	171	-783	Max	38.25	0.53	15	0.01	15	0.00	15	-10.31	15	-2.01	15	0.00	15
171	171	-783	Min.	0.00	-0.97	15	0.01	15	0.00	15	-10.31	15	1.93	15	0.00	15
171	171	-783	Min.	38.25	0.53	15	0.01	15	0.00	15	-10.31	15	-2.01	15	0.00	15
172	172	-784	Max	0.00	0.48	15	0.01	15	0.00	15	-7.72	15	1.44	15	0.00	15
172	172	-784	Max	38.25	1.98	15	0.01	15	0.00	15	-7.72	15	-1.51	15	0.00	15
172	172	-784	Min.	0.00	0.48	15	0.01	15	0.00	15	-7.72	15	1.44	15	0.00	15
172	172	-784	Min.	38.25	1.98	15	0.01	15	0.00	15	-7.72	15	-1.51	15	0.00	15
173	173	-761	Max	0.00	-0.64	15	0.01	15	-0.00	15	-8.44	15	1.53	15	-0.00	15

173	173	-761	Max	21.90					-0.00	15			-0.32	15		
173	173	-761	Max	36.50	0.80	15	0.01	15	0.00	15	-8.44	15	-1.55	15	-0.00	15
173	173	-761	Min.	0.00	-0.64	15	0.01	15	-0.00	15	-8.44	15	1.53	15	-0.00	15
173	173	-761	Min.	21.90					-0.00	15			-0.32	15		
173	173	-761	Min.	36.50	0.80	15	0.01	15	0.00	15	-8.44	15	-1.55	15	-0.00	15
174	174	-762	Max	0.00	-2.65	15	0.01	15	-0.00	15	-10.09	15	1.83	15	-0.00	15
174	174	-762	Max	21.90					-0.00	15			-0.38	15		
174	174	-762	Max	36.50	-1.22	15	0.01	15	0.00	15	-10.09	15	-1.85	15	-0.00	15
174	174	-762	Min.	0.00	-2.65	15	0.01	15	-0.00	15	-10.09	15	1.83	15	-0.00	15
174	174	-762	Min.	21.90					-0.00	15			-0.38	15		
174	174	-762	Min.	36.50	-1.22	15	0.01	15	0.00	15	-10.09	15	-1.85	15	-0.00	15
175	175	-763	Max	0.00	-2.37	15	0.00	15	-0.00	15	-19.09	15	3.46	15	0.00	15
175	175	-763	Max	14.60					-0.00	15			0.67	15		
175	175	-763	Max	36.50	-0.94	15	0.00	15	0.00	15	-19.09	15	-3.51	15	0.00	15
175	175	-763	Min.	0.00	-2.37	15	0.00	15	-0.00	15	-19.09	15	3.46	15	0.00	15
175	175	-763	Min.	14.60					-0.00	15			0.67	15		
175	175	-763	Min.	36.50	-0.94	15	0.00	15	0.00	15	-19.09	15	-3.51	15	0.00	15
176	176	-764	Max	0.00	-2.51	15	0.00	15	-0.00	15	-18.87	15	3.42	15	0.00	15
176	176	-764	Max	7.30					-0.00	15			2.04	15		
176	176	-764	Max	36.50	-1.08	15	0.00	15	0.00	15	-18.87	15	-3.47	15	0.00	15
176	176	-764	Min.	0.00	-2.51	15	0.00	15	-0.00	15	-18.87	15	3.42	15	0.00	15
176	176	-764	Min.	7.30					-0.00	15			2.04	15		
176	176	-764	Min.	36.50	-1.08	15	0.00	15	0.00	15	-18.87	15	-3.47	15	0.00	15
177	177	-765	Max	0.00	-2.51	15	-0.00	15	0.00	15	-18.86	15	3.42	15	0.00	15
177	177	-765	Max	36.50	-1.08	15	-0.00	15	0.00	15	-18.86	15	-3.47	15	0.00	15
177	177	-765	Min.	0.00	-2.51	15	-0.00	15	0.00	15	-18.86	15	3.42	15	0.00	15
177	177	-765	Min.	36.50	-1.08	15	-0.00	15	0.00	15	-18.86	15	-3.47	15	0.00	15
178	178	-766	Max	0.00	-2.37	15	-0.00	15	0.00	15	-19.11	15	3.46	15	-0.00	15
178	178	-766	Max	36.50	-0.94	15	-0.00	15	0.00	15	-19.11	15	-3.51	15	-0.00	15
178	178	-766	Min.	0.00	-2.37	15	-0.00	15	0.00	15	-19.11	15	3.46	15	-0.00	15
178	178	-766	Min.	36.50	-0.94	15	-0.00	15	0.00	15	-19.11	15	-3.51	15	-0.00	15
179	179	-767	Max	0.00	-2.65	15	-0.01	15	0.00	15	-10.08	15	1.83	15	0.00	15
179	179	-767	Max	36.50	-1.22	15	-0.01	15	0.00	15	-10.08	15	-1.85	15	0.00	15
179	179	-767	Min.	0.00	-2.65	15	-0.01	15	0.00	15	-10.08	15	1.83	15	0.00	15
179	179	-767	Min.	36.50	-1.22	15	-0.01	15	0.00	15	-10.08	15	-1.85	15	0.00	15
180	180	-768	Max	0.00	-0.64	15	-0.01	15	0.00	15	-8.43	15	1.53	15	0.00	15
180	180	-768	Max	36.50	0.80	15	-0.01	15	0.00	15	-8.43	15	-1.55	15	0.00	15
180	180	-768	Min.	0.00	-0.64	15	-0.01	15	0.00	15	-8.43	15	1.53	15	0.00	15
180	180	-768	Min.	36.50	0.80	15	-0.01	15	0.00	15	-8.43	15	-1.55	15	0.00	15
181	181	-745	Max	0.00	-0.74	15	0.03	15	-0.01	15	-6.88	15	1.17	15	-0.00	15
181	181	-745	Max	27.80					-0.00	15			-0.74	15		
181	181	-745	Max	34.75	0.62	15	0.03	15	0.00	15	-6.88	15	-1.22	15	-0.00	15
181	181	-745	Min.	0.00	-0.74	15	0.03	15	-0.01	15	-6.88	15	1.17	15	-0.00	15
181	181	-745	Min.	27.80					-0.00	15			-0.74	15		
181	181	-745	Min.	34.75	0.62	15	0.03	15	0.00	15	-6.88	15	-1.22	15	-0.00	15
182	182	-746	Max	0.00	-2.47	15	0.02	15	-0.01	15	-6.91	15	1.18	15	-0.00	15
182	182	-746	Max	27.80					-0.00	15			-0.74	15		
182	182	-746	Max	34.75	-1.11	15	0.02	15	0.00	15	-6.91	15	-1.22	15	-0.00	15
182	182	-746	Min.	0.00	-2.47	15	0.02	15	-0.01	15	-6.91	15	1.18	15	-0.00	15
182	182	-746	Min.	27.80					-0.00	15			-0.74	15		
182	182	-746	Min.	34.75	-1.11	15	0.02	15	0.00	15	-6.91	15	-1.22	15	-0.00	15
183	183	-747	Max	0.00	-2.45	15	0.01	15	-0.00	15	-15.99	15	2.73	15	0.00	15
183	183	-747	Max	13.90					-0.00	15			0.51	15		
183	183	-747	Max	34.75	-1.09	15	0.01	15	0.00	15	-15.99	15	-2.82	15	0.00	15
183	183	-747	Min.	0.00	-2.45	15	0.01	15	-0.00	15	-15.99	15	2.73	15	0.00	15
183	183	-747	Min.	13.90					-0.00	15			0.51	15		
183	183	-747	Min.	34.75	-1.09	15	0.01	15	0.00	15	-15.99	15	-2.82	15	0.00	15
184	184	-748	Max	0.00	-2.57	15	0.01	15	-0.00	15	-15.63	15	2.67	15	0.00	15
184	184	-748	Max	20.85					-0.00	15			-0.59	15		

184	184	-748	Max	34.75	-1.21	15	0.01	15	0.00	15	-15.63	15	-2.76	15	0.00	15
184	184	-748	Min.	0.00	-2.57	15	0.01	15	-0.00	15	-15.63	15	2.67	15	0.00	15
184	184	-748	Min.	20.85					-0.00	15			-0.59	15		
184	184	-748	Min.	34.75	-1.21	15	0.01	15	0.00	15	-15.63	15	-2.76	15	0.00	15
185	185	-749	Max	0.00	-2.57	15	-0.01	15	0.00	15	-15.61	15	2.67	15	-0.00	15
185	185	-749	Max	34.75	-1.21	15	-0.01	15	0.00	15	-15.61	15	-2.76	15	-0.00	15
185	185	-749	Min.	0.00	-2.57	15	-0.01	15	0.00	15	-15.61	15	2.67	15	-0.00	15
185	185	-749	Min.	34.75	-1.21	15	-0.01	15	0.00	15	-15.61	15	-2.76	15	-0.00	15
186	186	-750	Max	0.00	-2.45	15	-0.01	15	0.00	15	-16.01	15	2.74	15	-0.00	15
186	186	-750	Max	34.75	-1.08	15	-0.01	15	0.00	15	-16.01	15	-2.83	15	-0.00	15
186	186	-750	Min.	0.00	-2.45	15	-0.01	15	0.00	15	-16.01	15	2.74	15	-0.00	15
186	186	-750	Min.	34.75	-1.08	15	-0.01	15	0.00	15	-16.01	15	-2.83	15	-0.00	15
187	187	-751	Max	0.00	-2.47	15	-0.02	15	0.01	15	-6.91	15	1.18	15	0.00	15
187	187	-751	Max	34.75	-1.10	15	-0.02	15	0.00	15	-6.91	15	-1.22	15	0.00	15
187	187	-751	Min.	0.00	-2.47	15	-0.02	15	0.01	15	-6.91	15	1.18	15	0.00	15
187	187	-751	Min.	34.75	-1.10	15	-0.02	15	0.00	15	-6.91	15	-1.22	15	0.00	15
188	188	-752	Max	0.00	-0.75	15	-0.03	15	0.01	15	-6.87	15	1.17	15	0.00	15
188	188	-752	Max	34.75	0.62	15	-0.03	15	0.00	15	-6.87	15	-1.22	15	0.00	15
188	188	-752	Min.	0.00	-0.75	15	-0.03	15	0.01	15	-6.87	15	1.17	15	0.00	15
188	188	-752	Min.	34.75	0.62	15	-0.03	15	0.00	15	-6.87	15	-1.22	15	0.00	15
189	189	-729	Max	0.00	-9.21	15	-0.08	15	0.00	15	-0.78	15	0.11	15	0.02	15
189	189	-729	Max	33.00	-7.91	15	-0.08	15	-0.03	15	-0.78	15	-0.15	15	0.02	15
189	189	-729	Min.	0.00	-9.21	15	-0.08	15	0.00	15	-0.78	15	0.11	15	0.02	15
189	189	-729	Min.	33.00	-7.91	15	-0.08	15	-0.03	15	-0.78	15	-0.15	15	0.02	15
190	190	-730	Max	0.00	-6.75	15	-0.08	15	0.00	15	-0.82	15	0.12	15	0.02	15
190	190	-730	Max	33.00	-5.45	15	-0.08	15	-0.03	15	-0.82	15	-0.16	15	0.02	15
190	190	-730	Min.	0.00	-6.75	15	-0.08	15	0.00	15	-0.82	15	0.12	15	0.02	15
190	190	-730	Min.	33.00	-5.45	15	-0.08	15	-0.03	15	-0.82	15	-0.16	15	0.02	15
191	191	-731	Max	0.00	-18.89	15	-0.01	15	0.00	15	-4.09	15	0.64	15	0.01	15
191	191	-731	Max	33.00	-17.59	15	-0.01	15	-0.00	15	-4.09	15	-0.71	15	0.01	15
191	191	-731	Min.	0.00	-18.89	15	-0.01	15	0.00	15	-4.09	15	0.64	15	0.01	15
191	191	-731	Min.	33.00	-17.59	15	-0.01	15	-0.00	15	-4.09	15	-0.71	15	0.01	15
192	192	-732	Max	0.00	-18.71	15	-0.02	15	0.00	15	-3.71	15	0.57	15	0.01	15
192	192	-732	Max	33.00	-17.41	15	-0.02	15	-0.01	15	-3.71	15	-0.65	15	0.01	15
192	192	-732	Min.	0.00	-18.71	15	-0.02	15	0.00	15	-3.71	15	0.57	15	0.01	15
192	192	-732	Min.	33.00	-17.41	15	-0.02	15	-0.01	15	-3.71	15	-0.65	15	0.01	15
193	193	-733	Max	0.00	-18.70	15	0.02	15	0.00	15	-3.69	15	0.57	15	-0.01	15
193	193	-733	Max	33.00	-17.41	15	0.02	15	0.01	15	-3.69	15	-0.65	15	-0.01	15
193	193	-733	Min.	0.00	-18.70	15	0.02	15	0.00	15	-3.69	15	0.57	15	-0.01	15
193	193	-733	Min.	33.00	-17.41	15	0.02	15	0.01	15	-3.69	15	-0.65	15	-0.01	15
194	194	-734	Max	0.00	-18.89	15	0.01	15	0.00	15	-4.11	15	0.64	15	-0.01	15
194	194	-734	Max	33.00	-17.59	15	0.01	15	0.00	15	-4.11	15	-0.71	15	-0.01	15
194	194	-734	Min.	0.00	-18.89	15	0.01	15	0.00	15	-4.11	15	0.64	15	-0.01	15
194	194	-734	Min.	33.00	-17.59	15	0.01	15	0.00	15	-4.11	15	-0.71	15	-0.01	15
195	195	-735	Max	0.00	-6.75	15	0.08	15	0.00	15	-0.82	15	0.12	15	-0.02	15
195	195	-735	Max	33.00	-5.45	15	0.08	15	0.03	15	-0.82	15	-0.16	15	-0.02	15
195	195	-735	Min.	0.00	-6.75	15	0.08	15	0.00	15	-0.82	15	0.12	15	-0.02	15
195	195	-735	Min.	33.00	-5.45	15	0.08	15	0.03	15	-0.82	15	-0.16	15	-0.02	15
196	196	-736	Max	0.00	-9.21	15	0.08	15	0.00	15	-0.77	15	0.11	15	-0.02	15
196	196	-736	Max	33.00	-7.91	15	0.08	15	0.03	15	-0.77	15	-0.14	15	-0.02	15
196	196	-736	Min.	0.00	-9.21	15	0.08	15	0.00	15	-0.77	15	0.11	15	-0.02	15
196	196	-736	Min.	33.00	-7.91	15	0.08	15	0.03	15	-0.77	15	-0.14	15	-0.02	15
197	197	-713	Max	0.00	-1.19	15	-0.03	15	0.00	15	6.51	15	-1.03	15	0.01	15
197	197	-713	Max	31.25	0.04	15	-0.03	15	-0.01	15	6.51	15	1.00	15	0.01	15
197	197	-713	Min.	0.00	-1.19	15	-0.03	15	0.00	15	6.51	15	-1.03	15	0.01	15
197	197	-713	Min.	31.25	0.04	15	-0.03	15	-0.01	15	6.51	15	1.00	15	0.01	15
198	198	-714	Max	0.00	-3.02	15	-0.03	15	-0.00	15	6.52	15	-1.04	15	0.01	15
198	198	-714	Max	31.25	-1.79	15	-0.03	15	-0.01	15	6.52	15	1.00	15	0.01	15
198	198	-714	Min.	0.00	-3.02	15	-0.03	15	-0.00	15	6.52	15	-1.04	15	0.01	15

198	198	-714	Min.	31.25	-1.79	15	-0.03	15	-0.01	15	6.52	15	1.00	15	0.01	15
199	199	-715	Max	0.00	-3.57	15	-0.01	15	0.00	15	10.43	15	-1.66	15	0.00	15
199	199	-715	Max	31.25	-2.34	15	-0.01	15	-0.00	15	10.43	15	1.60	15	0.00	15
199	199	-715	Min.	0.00	-3.57	15	-0.01	15	0.00	15	10.43	15	-1.66	15	0.00	15
199	199	-715	Min.	31.25	-2.34	15	-0.01	15	-0.00	15	10.43	15	1.60	15	0.00	15
200	200	-716	Max	0.00	-3.71	15	-0.01	15	0.00	15	10.85	15	-1.72	15	0.00	15
200	200	-716	Max	31.25	-2.48	15	-0.01	15	-0.00	15	10.85	15	1.67	15	0.00	15
200	200	-716	Min.	0.00	-3.71	15	-0.01	15	0.00	15	10.85	15	-1.72	15	0.00	15
200	200	-716	Min.	31.25	-2.48	15	-0.01	15	-0.00	15	10.85	15	1.67	15	0.00	15
201	201	-717	Max	0.00	-3.71	15	0.01	15	0.00	15	10.86	15	-1.73	15	-0.00	15
201	201	-717	Max	31.25	-2.48	15	0.01	15	0.00	15	10.86	15	1.67	15	-0.00	15
201	201	-717	Min.	0.00	-3.71	15	0.01	15	0.00	15	10.86	15	-1.73	15	-0.00	15
201	201	-717	Min.	31.25	-2.48	15	0.01	15	0.00	15	10.86	15	1.67	15	-0.00	15
202	202	-718	Max	0.00	-3.57	15	0.01	15	0.00	15	10.41	15	-1.66	15	-0.00	15
202	202	-718	Max	31.25	-2.34	15	0.01	15	0.00	15	10.41	15	1.60	15	-0.00	15
202	202	-718	Min.	0.00	-3.57	15	0.01	15	0.00	15	10.41	15	-1.66	15	-0.00	15
202	202	-718	Min.	31.25	-2.34	15	0.01	15	0.00	15	10.41	15	1.60	15	-0.00	15
203	203	-719	Max	0.00	-3.02	15	0.03	15	0.00	15	6.52	15	-1.04	15	-0.01	15
203	203	-719	Max	31.25	-1.79	15	0.03	15	0.01	15	6.52	15	1.00	15	-0.01	15
203	203	-719	Min.	0.00	-3.02	15	0.03	15	0.00	15	6.52	15	-1.04	15	-0.01	15
203	203	-719	Min.	31.25	-1.79	15	0.03	15	0.01	15	6.52	15	1.00	15	-0.01	15
204	204	-720	Max	0.00	-1.19	15	0.03	15	0.00	15	6.52	15	-1.03	15	-0.01	15
204	204	-720	Max	31.25	0.04	15	0.03	15	0.01	15	6.52	15	1.00	15	-0.01	15
204	204	-720	Min.	0.00	-1.19	15	0.03	15	0.00	15	6.52	15	-1.03	15	-0.01	15
204	204	-720	Min.	31.25	0.04	15	0.03	15	0.01	15	6.52	15	1.00	15	-0.01	15
205	205	-697	Max	0.00	-0.93	15	0.00	15	-0.00	15	10.76	15	-1.61	15	0.01	15
205	205	-697	Max	29.50	0.22	15	0.00	15	-0.00	15	10.76	15	1.57	15	0.01	15
205	205	-697	Min.	0.00	-0.93	15	0.00	15	-0.00	15	10.76	15	-1.61	15	0.01	15
205	205	-697	Min.	29.50	0.22	15	0.00	15	-0.00	15	10.76	15	1.57	15	0.01	15
206	206	-698	Max	0.00	-3.06	15	0.00	15	-0.00	15	12.97	15	-1.93	15	0.01	15
206	206	-698	Max	29.50	-1.90	15	0.00	15	-0.00	15	12.97	15	1.89	15	0.01	15
206	206	-698	Min.	0.00	-3.06	15	0.00	15	-0.00	15	12.97	15	-1.93	15	0.01	15
206	206	-698	Min.	29.50	-1.90	15	0.00	15	-0.00	15	12.97	15	1.89	15	0.01	15
207	207	-699	Max	0.00	-3.10	15	0.00	15	-0.00	15	19.05	15	-2.85	15	0.00	15
207	207	-699	Max	5.90					-0.00	15			-1.73	15		
207	207	-699	Max	29.50	-1.95	15	0.00	15	0.00	15	19.05	15	2.77	15	0.00	15
207	207	-699	Min.	0.00	-3.10	15	0.00	15	-0.00	15	19.05	15	-2.85	15	0.00	15
207	207	-699	Min.	5.90					-0.00	15			-1.73	15		
207	207	-699	Min.	29.50	-1.95	15	0.00	15	0.00	15	19.05	15	2.77	15	0.00	15
208	208	-700	Max	0.00	-3.25	15	0.00	15	-0.00	15	19.68	15	-2.94	15	0.00	15
208	208	-700	Max	5.90					-0.00	15			-1.78	15		
208	208	-700	Max	29.50	-2.09	15	0.00	15	0.00	15	19.68	15	2.86	15	0.00	15
208	208	-700	Min.	0.00	-3.25	15	0.00	15	-0.00	15	19.68	15	-2.94	15	0.00	15
208	208	-700	Min.	5.90					-0.00	15			-1.78	15		
208	208	-700	Min.	29.50	-2.09	15	0.00	15	0.00	15	19.68	15	2.86	15	0.00	15
209	209	-701	Max	0.00	-3.25	15	-0.00	15	0.00	15	19.70	15	-2.95	15	-0.00	15
209	209	-701	Max	29.50	-2.09	15	-0.00	15	0.00	15	19.70	15	2.87	15	-0.00	15
209	209	-701	Min.	0.00	-3.25	15	-0.00	15	0.00	15	19.70	15	-2.95	15	-0.00	15
209	209	-701	Min.	29.50	-2.09	15	-0.00	15	0.00	15	19.70	15	2.87	15	-0.00	15
210	210	-702	Max	0.00	-3.10	15	-0.00	15	0.00	15	19.04	15	-2.85	15	-0.00	15
210	210	-702	Max	29.50	-1.94	15	-0.00	15	0.00	15	19.04	15	2.77	15	-0.00	15
210	210	-702	Min.	0.00	-3.10	15	-0.00	15	0.00	15	19.04	15	-2.85	15	-0.00	15
210	210	-702	Min.	29.50	-1.94	15	-0.00	15	0.00	15	19.04	15	2.77	15	-0.00	15
211	211	-703	Max	0.00	-3.06	15	-0.00	15	0.00	15	12.97	15	-1.94	15	-0.01	15
211	211	-703	Max	29.50	-1.90	15	-0.00	15	0.00	15	12.97	15	1.89	15	-0.01	15
211	211	-703	Min.	0.00	-3.06	15	-0.00	15	0.00	15	12.97	15	-1.94	15	-0.01	15
211	211	-703	Min.	29.50	-1.90	15	-0.00	15	0.00	15	12.97	15	1.89	15	-0.01	15
212	212	-704	Max	0.00	-0.94	15	-0.00	15	0.00	15	10.77	15	-1.61	15	-0.01	15
212	212	-704	Max	29.50	0.22	15	-0.00	15	0.00	15	10.77	15	1.57	15	-0.01	15

212	212	-704	Min.	0.00	-0.94	15	-0.00	15	0.00	15	10.77	15	-1.61	15	-0.01	15
212	212	-704	Min.	29.50	0.22	15	-0.00	15	0.00	15	10.77	15	1.57	15	-0.01	15
213	213	-681	Max	0.00	-1.62	15	0.04	15	-0.01	15	15.85	15	-2.23	15	0.01	15
213	213	-681	Max	27.75	-0.53	15	0.04	15	0.00	15	15.85	15	2.17	15	0.01	15
213	213	-681	Min.	0.00	-1.62	15	0.04	15	-0.01	15	15.85	15	-2.23	15	0.01	15
213	213	-681	Min.	27.75	-0.53	15	0.04	15	0.00	15	15.85	15	2.17	15	0.01	15
214	214	-682	Max	0.00	-3.40	15	0.04	15	-0.01	15	20.32	15	-2.84	15	0.01	15
214	214	-682	Max	27.75	-2.31	15	0.04	15	0.00	15	20.32	15	2.80	15	0.01	15
214	214	-682	Min.	0.00	-3.40	15	0.04	15	-0.01	15	20.32	15	-2.84	15	0.01	15
214	214	-682	Min.	27.75	-2.31	15	0.04	15	0.00	15	20.32	15	2.80	15	0.01	15
215	215	-683	Max	0.00	-4.07	15	0.01	15	-0.00	15	28.87	15	-4.05	15	0.00	15
215	215	-683	Max	16.65					-0.00	15			0.75	15		
215	215	-683	Max	27.75	-2.98	15	0.01	15	0.00	15	28.87	15	3.96	15	0.00	15
215	215	-683	Min.	0.00	-4.07	15	0.01	15	-0.00	15	28.87	15	-4.05	15	0.00	15
215	215	-683	Min.	16.65					-0.00	15			0.75	15		
215	215	-683	Min.	27.75	-2.98	15	0.01	15	0.00	15	28.87	15	3.96	15	0.00	15
216	216	-684	Max	0.00	-4.25	15	0.01	15	-0.00	15	29.84	15	-4.19	15	0.00	15
216	216	-684	Max	11.10					-0.00	15			-0.88	15		
216	216	-684	Max	27.75	-3.16	15	0.01	15	0.00	15	29.84	15	4.09	15	0.00	15
216	216	-684	Min.	0.00	-4.25	15	0.01	15	-0.00	15	29.84	15	-4.19	15	0.00	15
216	216	-684	Min.	11.10					-0.00	15			-0.88	15		
216	216	-684	Min.	27.75	-3.16	15	0.01	15	0.00	15	29.84	15	4.09	15	0.00	15
217	217	-685	Max	0.00	-4.25	15	-0.01	15	0.00	15	29.86	15	-4.19	15	-0.00	15
217	217	-685	Max	27.75	-3.16	15	-0.01	15	0.00	15	29.86	15	4.10	15	-0.00	15
217	217	-685	Min.	0.00	-4.25	15	-0.01	15	0.00	15	29.86	15	-4.19	15	-0.00	15
217	217	-685	Min.	27.75	-3.16	15	-0.01	15	0.00	15	29.86	15	4.10	15	-0.00	15
218	218	-686	Max	0.00	-4.07	15	-0.01	15	0.00	15	28.86	15	-4.05	15	-0.00	15
218	218	-686	Max	27.75	-2.98	15	-0.01	15	0.00	15	28.86	15	3.96	15	-0.00	15
218	218	-686	Min.	0.00	-4.07	15	-0.01	15	0.00	15	28.86	15	-4.05	15	-0.00	15
218	218	-686	Min.	27.75	-2.98	15	-0.01	15	0.00	15	28.86	15	3.96	15	-0.00	15
219	219	-687	Max	0.00	-3.40	15	-0.04	15	0.01	15	20.32	15	-2.84	15	-0.01	15
219	219	-687	Max	27.75	-2.31	15	-0.04	15	-0.00	15	20.32	15	2.80	15	-0.01	15
219	219	-687	Min.	0.00	-3.40	15	-0.04	15	0.01	15	20.32	15	-2.84	15	-0.01	15
219	219	-687	Min.	27.75	-2.31	15	-0.04	15	-0.00	15	20.32	15	2.80	15	-0.01	15
220	220	-688	Max	0.00	-1.62	15	-0.04	15	0.01	15	15.86	15	-2.23	15	-0.01	15
220	220	-688	Max	27.75	-0.53	15	-0.04	15	-0.00	15	15.86	15	2.17	15	-0.01	15
220	220	-688	Min.	0.00	-1.62	15	-0.04	15	0.01	15	15.86	15	-2.23	15	-0.01	15
220	220	-688	Min.	27.75	-0.53	15	-0.04	15	-0.00	15	15.86	15	2.17	15	-0.01	15
221	221	-665	Max	0.00	-12.53	15	-0.02	15	-0.00	15	28.46	15	-3.72	15	0.03	15
221	221	-665	Max	26.00	-11.51	15	-0.02	15	-0.01	15	28.46	15	3.68	15	0.03	15
221	221	-665	Min.	0.00	-12.53	15	-0.02	15	-0.00	15	28.46	15	-3.72	15	0.03	15
221	221	-665	Min.	26.00	-11.51	15	-0.02	15	-0.01	15	28.46	15	3.68	15	0.03	15
222	222	-666	Max	0.00	-5.17	15	-0.02	15	-0.00	15	30.05	15	-3.93	15	0.03	15
222	222	-666	Max	26.00	-4.15	15	-0.02	15	-0.01	15	30.05	15	3.88	15	0.03	15
222	222	-666	Min.	0.00	-5.17	15	-0.02	15	-0.00	15	30.05	15	-3.93	15	0.03	15
222	222	-666	Min.	26.00	-4.15	15	-0.02	15	-0.01	15	30.05	15	3.88	15	0.03	15
223	223	-667	Max	0.00	-19.61	15	-0.03	15	0.00	15	49.46	15	-6.48	15	0.01	15
223	223	-667	Max	26.00	-18.59	15	-0.03	15	-0.01	15	49.46	15	6.38	15	0.01	15
223	223	-667	Min.	0.00	-19.61	15	-0.03	15	0.00	15	49.46	15	-6.48	15	0.01	15
223	223	-667	Min.	26.00	-18.59	15	-0.03	15	-0.01	15	49.46	15	6.38	15	0.01	15
224	224	-668	Max	0.00	-20.38	15	-0.03	15	0.00	15	51.30	15	-6.71	15	0.01	15
224	224	-668	Max	26.00	-19.36	15	-0.03	15	-0.01	15	51.30	15	6.62	15	0.01	15
224	224	-668	Min.	0.00	-20.38	15	-0.03	15	0.00	15	51.30	15	-6.71	15	0.01	15
224	224	-668	Min.	26.00	-19.36	15	-0.03	15	-0.01	15	51.30	15	6.62	15	0.01	15
225	225	-669	Max	0.00	-20.38	15	0.03	15	0.00	15	51.31	15	-6.72	15	-0.01	15
225	225	-669	Max	26.00	-19.36	15	0.03	15	0.01	15	51.31	15	6.63	15	-0.01	15
225	225	-669	Min.	0.00	-20.38	15	0.03	15	0.00	15	51.31	15	-6.72	15	-0.01	15
225	225	-669	Min.	26.00	-19.36	15	0.03	15	0.01	15	51.31	15	6.63	15	-0.01	15
226	226	-670	Max	0.00	-19.61	15	0.03	15	0.00	15	49.46	15	-6.47	15	-0.01	15

226	226	-670	Max	26.00	-18.59	15	0.03	15	0.01	15	49.46	15	6.38	15	-0.01	15
226	226	-670	Min.	0.00	-19.61	15	0.03	15	0.00	15	49.46	15	-6.47	15	-0.01	15
226	226	-670	Min.	26.00	-18.59	15	0.03	15	0.01	15	49.46	15	6.38	15	-0.01	15
227	227	-671	Max	0.00	-5.17	15	0.02	15	0.00	15	30.06	15	-3.93	15	-0.03	15
227	227	-671	Max	26.00	-4.15	15	0.02	15	0.01	15	30.06	15	3.89	15	-0.03	15
227	227	-671	Min.	0.00	-5.17	15	0.02	15	0.00	15	30.06	15	-3.93	15	-0.03	15
227	227	-671	Min.	26.00	-4.15	15	0.02	15	0.01	15	30.06	15	3.89	15	-0.03	15
228	228	-672	Max	0.00	-12.53	15	0.02	15	0.00	15	28.48	15	-3.72	15	-0.03	15
228	228	-672	Max	26.00	-11.51	15	0.02	15	0.01	15	28.48	15	3.68	15	-0.03	15
228	228	-672	Min.	0.00	-12.53	15	0.02	15	0.00	15	28.48	15	-3.72	15	-0.03	15
228	228	-672	Min.	26.00	-11.51	15	0.02	15	0.01	15	28.48	15	3.68	15	-0.03	15
229	229	-649	Max	0.00	-2.52	15	-0.04	15	0.00	15	43.83	15	-5.33	15	0.02	15
229	229	-649	Max	24.25	-1.57	15	-0.04	15	-0.01	15	43.83	15	5.30	15	0.02	15
229	229	-649	Min.	0.00	-2.52	15	-0.04	15	0.00	15	43.83	15	-5.33	15	0.02	15
229	229	-649	Min.	24.25	-1.57	15	-0.04	15	-0.01	15	43.83	15	5.30	15	0.02	15
230	230	-650	Max	0.00	-4.17	15	-0.04	15	0.00	15	41.49	15	-5.05	15	0.02	15
230	230	-650	Max	24.25	-3.22	15	-0.04	15	-0.01	15	41.49	15	5.01	15	0.02	15
230	230	-650	Min.	0.00	-4.17	15	-0.04	15	0.00	15	41.49	15	-5.05	15	0.02	15
230	230	-650	Min.	24.25	-3.22	15	-0.04	15	-0.01	15	41.49	15	5.01	15	0.02	15
231	231	-651	Max	0.00	-5.94	15	-0.01	15	0.00	15	75.14	15	-9.14	15	0.01	15
231	231	-651	Max	24.25	-4.98	15	-0.01	15	-0.00	15	75.14	15	9.08	15	0.01	15
231	231	-651	Min.	0.00	-5.94	15	-0.01	15	0.00	15	75.14	15	-9.14	15	0.01	15
231	231	-651	Min.	24.25	-4.98	15	-0.01	15	-0.00	15	75.14	15	9.08	15	0.01	15
232	232	-652	Max	0.00	-6.16	15	-0.01	15	0.00	15	77.80	15	-9.47	15	0.01	15
232	232	-652	Max	24.25	-5.21	15	-0.01	15	-0.00	15	77.80	15	9.40	15	0.01	15
232	232	-652	Min.	0.00	-6.16	15	-0.01	15	0.00	15	77.80	15	-9.47	15	0.01	15
232	232	-652	Min.	24.25	-5.21	15	-0.01	15	-0.00	15	77.80	15	9.40	15	0.01	15
233	233	-653	Max	0.00	-6.16	15	0.01	15	0.00	15	77.81	15	-9.47	15	-0.01	15
233	233	-653	Max	24.25	-5.21	15	0.01	15	0.00	15	77.81	15	9.40	15	-0.01	15
233	233	-653	Min.	0.00	-6.16	15	0.01	15	0.00	15	77.81	15	-9.47	15	-0.01	15
233	233	-653	Min.	24.25	-5.21	15	0.01	15	0.00	15	77.81	15	9.40	15	-0.01	15
234	234	-654	Max	0.00	-5.93	15	0.01	15	0.00	15	75.13	15	-9.14	15	-0.01	15
234	234	-654	Max	24.25	-4.98	15	0.01	15	0.00	15	75.13	15	9.08	15	-0.01	15
234	234	-654	Min.	0.00	-5.93	15	0.01	15	0.00	15	75.13	15	-9.14	15	-0.01	15
234	234	-654	Min.	24.25	-4.98	15	0.01	15	0.00	15	75.13	15	9.08	15	-0.01	15
235	235	-655	Max	0.00	-4.17	15	0.04	15	-0.00	15	41.49	15	-5.05	15	-0.02	15
235	235	-655	Max	24.25	-3.21	15	0.04	15	0.01	15	41.49	15	5.01	15	-0.02	15
235	235	-655	Min.	0.00	-4.17	15	0.04	15	-0.00	15	41.49	15	-5.05	15	-0.02	15
235	235	-655	Min.	24.25	-3.21	15	0.04	15	0.01	15	41.49	15	5.01	15	-0.02	15
236	236	-656	Max	0.00	-2.52	15	0.04	15	-0.00	15	43.85	15	-5.33	15	-0.02	15
236	236	-656	Max	24.25	-1.57	15	0.04	15	0.01	15	43.85	15	5.30	15	-0.02	15
236	236	-656	Min.	0.00	-2.52	15	0.04	15	-0.00	15	43.85	15	-5.33	15	-0.02	15
236	236	-656	Min.	24.25	-1.57	15	0.04	15	0.01	15	43.85	15	5.30	15	-0.02	15
237	237	-633	Max	0.00	-2.62	15	0.00	15	-0.00	15	55.04	15	-6.21	15	0.01	15
237	237	-633	Max	22.50	-1.73	15	0.00	15	-0.00	15	55.04	15	6.17	15	0.01	15
237	237	-633	Min.	0.00	-2.62	15	0.00	15	-0.00	15	55.04	15	-6.21	15	0.01	15
237	237	-633	Min.	22.50	-1.73	15	0.00	15	-0.00	15	55.04	15	6.17	15	0.01	15
238	238	-634	Max	0.00	-4.63	15	0.00	15	-0.00	15	54.73	15	-6.18	15	0.01	15
238	238	-634	Max	22.50	-3.75	15	0.00	15	-0.00	15	54.73	15	6.13	15	0.01	15
238	238	-634	Min.	0.00	-4.63	15	0.00	15	-0.00	15	54.73	15	-6.18	15	0.01	15
238	238	-634	Min.	22.50	-3.75	15	0.00	15	-0.00	15	54.73	15	6.13	15	0.01	15
239	239	-635	Max	0.00	-6.12	15	-0.00	15	0.00	15	95.84	15	-10.82	15	0.01	15
239	239	-635	Max	22.50	-5.24	15	-0.00	15	0.00	15	95.84	15	10.74	15	0.01	15
239	239	-635	Min.	0.00	-6.12	15	-0.00	15	0.00	15	95.84	15	-10.82	15	0.01	15
239	239	-635	Min.	22.50	-5.24	15	-0.00	15	0.00	15	95.84	15	10.74	15	0.01	15
240	240	-636	Max	0.00	-6.39	15	-0.00	15	0.00	15	99.18	15	-11.20	15	0.01	15
240	240	-636	Max	22.50	-5.50	15	-0.00	15	0.00	15	99.18	15	11.12	15	0.01	15
240	240	-636	Min.	0.00	-6.39	15	-0.00	15	0.00	15	99.18	15	-11.20	15	0.01	15
240	240	-636	Min.	22.50	-5.50	15	-0.00	15	0.00	15	99.18	15	11.12	15	0.01	15

241	241	-637	Max	0.00	-6.39	15	0.00	15	0.00	15	99.19	15	-11.20	15	-0.01	15
241	241	-637	Max	22.50	-5.50	15	0.00	15	0.00	15	99.19	15	11.12	15	-0.01	15
241	241	-637	Min.	0.00	-6.39	15	0.00	15	0.00	15	99.19	15	-11.20	15	-0.01	15
241	241	-637	Min.	22.50	-5.50	15	0.00	15	0.00	15	99.19	15	11.12	15	-0.01	15
242	242	-638	Max	0.00	-6.12	15	0.00	15	0.00	15	95.83	15	-10.82	15	-0.01	15
242	242	-638	Max	22.50	-5.24	15	0.00	15	0.00	15	95.83	15	10.74	15	-0.01	15
242	242	-638	Min.	0.00	-6.12	15	0.00	15	0.00	15	95.83	15	-10.82	15	-0.01	15
242	242	-638	Min.	22.50	-5.24	15	0.00	15	0.00	15	95.83	15	10.74	15	-0.01	15
243	243	-639	Max	0.00	-4.63	15	-0.00	15	0.00	15	54.74	15	-6.18	15	-0.01	15
243	243	-639	Max	22.50	-3.75	15	-0.00	15	0.00	15	54.74	15	6.14	15	-0.01	15
243	243	-639	Min.	0.00	-4.63	15	-0.00	15	0.00	15	54.74	15	-6.18	15	-0.01	15
243	243	-639	Min.	22.50	-3.75	15	-0.00	15	0.00	15	54.74	15	6.14	15	-0.01	15
244	244	-640	Max	0.00	-2.62	15	-0.00	15	0.00	15	55.06	15	-6.21	15	-0.01	15
244	244	-640	Max	22.50	-1.73	15	-0.00	15	0.00	15	55.06	15	6.17	15	-0.01	15
244	244	-640	Min.	0.00	-2.62	15	-0.00	15	0.00	15	55.06	15	-6.21	15	-0.01	15
244	244	-640	Min.	22.50	-1.73	15	-0.00	15	0.00	15	55.06	15	6.17	15	-0.01	15
245	245	-617	Max	0.00	-3.56	15	0.06	15	-0.01	15	68.39	15	-7.12	15	0.02	15
245	245	-617	Max	16.60					-0.00	15			4.23	15		
245	245	-617	Max	20.75	-2.75	15	0.06	15	0.00	15	68.39	15	7.07	15	0.02	15
245	245	-617	Min.	0.00	-3.56	15	0.06	15	-0.01	15	68.39	15	-7.12	15	0.02	15
245	245	-617	Min.	16.60					-0.00	15			4.23	15		
245	245	-617	Min.	20.75	-2.75	15	0.06	15	0.00	15	68.39	15	7.07	15	0.02	15
246	246	-618	Max	0.00	-5.33	15	0.06	15	-0.01	15	71.62	15	-7.45	15	0.02	15
246	246	-618	Max	16.60					-0.00	15			4.44	15		
246	246	-618	Max	20.75	-4.51	15	0.06	15	0.00	15	71.62	15	7.41	15	0.02	15
246	246	-618	Min.	0.00	-5.33	15	0.06	15	-0.01	15	71.62	15	-7.45	15	0.02	15
246	246	-618	Min.	16.60					-0.00	15			4.44	15		
246	246	-618	Min.	20.75	-4.51	15	0.06	15	0.00	15	71.62	15	7.41	15	0.02	15
247	247	-619	Max	0.00	-7.59	15	0.00	15	0.00	15	121.59	15	-12.66	15	0.01	15
247	247	-619	Max	20.75	-6.78	15	0.00	15	0.00	15	121.59	15	12.57	15	0.01	15
247	247	-619	Min.	0.00	-7.59	15	0.00	15	0.00	15	121.59	15	-12.66	15	0.01	15
247	247	-619	Min.	20.75	-6.78	15	0.00	15	0.00	15	121.59	15	12.57	15	0.01	15
248	248	-620	Max	0.00	-7.86	15	0.01	15	0.00	15	125.41	15	-13.05	15	0.01	15
248	248	-620	Max	20.75	-7.05	15	0.01	15	0.00	15	125.41	15	12.97	15	0.01	15
248	248	-620	Min.	0.00	-7.86	15	0.01	15	0.00	15	125.41	15	-13.05	15	0.01	15
248	248	-620	Min.	20.75	-7.05	15	0.01	15	0.00	15	125.41	15	12.97	15	0.01	15
249	249	-621	Max	0.00	-7.86	15	-0.01	15	0.00	15	125.43	15	-13.06	15	-0.01	15
249	249	-621	Max	20.75	-7.05	15	-0.01	15	-0.00	15	125.43	15	12.97	15	-0.01	15
249	249	-621	Min.	0.00	-7.86	15	-0.01	15	0.00	15	125.43	15	-13.06	15	-0.01	15
249	249	-621	Min.	20.75	-7.05	15	-0.01	15	-0.00	15	125.43	15	12.97	15	-0.01	15
250	250	-622	Max	0.00	-7.59	15	-0.00	15	-0.00	15	121.57	15	-12.66	15	-0.01	15
250	250	-622	Max	20.75	-6.78	15	-0.00	15	-0.00	15	121.57	15	12.57	15	-0.01	15
250	250	-622	Min.	0.00	-7.59	15	-0.00	15	-0.00	15	121.57	15	-12.66	15	-0.01	15
250	250	-622	Min.	20.75	-6.78	15	-0.00	15	-0.00	15	121.57	15	12.57	15	-0.01	15
251	251	-623	Max	0.00	-5.33	15	-0.06	15	0.01	15	71.62	15	-7.45	15	-0.02	15
251	251	-623	Max	20.75	-4.51	15	-0.06	15	0.00	15	71.62	15	7.41	15	-0.02	15
251	251	-623	Min.	0.00	-5.33	15	-0.06	15	0.01	15	71.62	15	-7.45	15	-0.02	15
251	251	-623	Min.	20.75	-4.51	15	-0.06	15	0.00	15	71.62	15	7.41	15	-0.02	15
252	252	-624	Max	0.00	-3.56	15	-0.06	15	0.01	15	68.41	15	-7.12	15	-0.02	15
252	252	-624	Max	20.75	-2.75	15	-0.06	15	0.00	15	68.41	15	7.07	15	-0.02	15
252	252	-624	Min.	0.00	-3.56	15	-0.06	15	0.01	15	68.41	15	-7.12	15	-0.02	15
252	252	-624	Min.	20.75	-2.75	15	-0.06	15	0.00	15	68.41	15	7.07	15	-0.02	15
253	253	-601	Max	0.00	-11.01	15	-0.15	15	-0.01	15	91.50	15	-8.69	15	0.04	15
253	253	-601	Max	19.00	-10.27	15	-0.15	15	-0.04	15	91.50	15	8.70	15	0.04	15
253	253	-601	Min.	0.00	-11.01	15	-0.15	15	-0.01	15	91.50	15	-8.69	15	0.04	15
253	253	-601	Min.	19.00	-10.27	15	-0.15	15	-0.04	15	91.50	15	8.70	15	0.04	15
254	254	-602	Max	0.00	-11.63	15	-0.16	15	-0.01	15	97.47	15	-9.28	15	0.04	15
254	254	-602	Max	19.00	-10.89	15	-0.16	15	-0.04	15	97.47	15	9.24	15	0.04	15
254	254	-602	Min.	0.00	-11.63	15	-0.16	15	-0.01	15	97.47	15	-9.28	15	0.04	15

254	254	-602	Min.	19.00	-10.89	15	-0.16	15	-0.04	15	97.47	15	9.24	15	0.04	15
255	255	-603	Max	0.00	-27.56	15	0.07	15	0.00	15	169.76	15	-16.16	15	0.01	15
255	255	-603	Max	19.00	-26.81	15	0.07	15	0.02	15	169.76	15	16.09	15	0.01	15
255	255	-603	Min.	0.00	-27.56	15	0.07	15	0.00	15	169.76	15	-16.16	15	0.01	15
255	255	-603	Min.	19.00	-26.81	15	0.07	15	0.02	15	169.76	15	16.09	15	0.01	15
256	256	-604	Max	0.00	-24.69	15	0.05	15	0.00	15	171.63	15	-16.34	15	0.01	15
256	256	-604	Max	19.00	-23.95	15	0.05	15	0.01	15	171.63	15	16.27	15	0.01	15
256	256	-604	Min.	0.00	-24.69	15	0.05	15	0.00	15	171.63	15	-16.34	15	0.01	15
256	256	-604	Min.	19.00	-23.95	15	0.05	15	0.01	15	171.63	15	16.27	15	0.01	15
257	257	-605	Max	0.00	-24.69	15	-0.05	15	-0.00	15	171.65	15	-16.34	15	-0.01	15
257	257	-605	Max	19.00	-23.94	15	-0.05	15	-0.01	15	171.65	15	16.28	15	-0.01	15
257	257	-605	Min.	0.00	-24.69	15	-0.05	15	-0.00	15	171.65	15	-16.34	15	-0.01	15
257	257	-605	Min.	19.00	-23.94	15	-0.05	15	-0.01	15	171.65	15	16.28	15	-0.01	15
258	258	-606	Max	0.00	-27.56	15	-0.07	15	-0.00	15	169.75	15	-16.16	15	-0.01	15
258	258	-606	Max	19.00	-26.82	15	-0.07	15	-0.02	15	169.75	15	16.09	15	-0.01	15
258	258	-606	Min.	0.00	-27.56	15	-0.07	15	-0.00	15	169.75	15	-16.16	15	-0.01	15
258	258	-606	Min.	19.00	-26.82	15	-0.07	15	-0.02	15	169.75	15	16.09	15	-0.01	15
259	259	-607	Max	0.00	-11.64	15	0.16	15	0.01	15	97.48	15	-9.28	15	-0.04	15
259	259	-607	Max	19.00	-10.89	15	0.16	15	0.04	15	97.48	15	9.24	15	-0.04	15
259	259	-607	Min.	0.00	-11.64	15	0.16	15	0.01	15	97.48	15	-9.28	15	-0.04	15
259	259	-607	Min.	19.00	-10.89	15	0.16	15	0.04	15	97.48	15	9.24	15	-0.04	15
260	260	-608	Max	0.00	-11.01	15	0.15	15	0.01	15	91.52	15	-8.69	15	-0.04	15
260	260	-608	Max	19.00	-10.27	15	0.15	15	0.04	15	91.52	15	8.70	15	-0.04	15
260	260	-608	Min.	0.00	-11.01	15	0.15	15	0.01	15	91.52	15	-8.69	15	-0.04	15
260	260	-608	Min.	19.00	-10.27	15	0.15	15	0.04	15	91.52	15	8.70	15	-0.04	15
261	261	-585	Max	0.00	-5.26	15	-0.03	15	-0.01	15	120.49	15	-10.40	15	0.04	15
261	261	-585	Max	17.25	-4.58	15	-0.03	15	-0.01	15	120.49	15	10.38	15	0.04	15
261	261	-585	Min.	0.00	-5.26	15	-0.03	15	-0.01	15	120.49	15	-10.40	15	0.04	15
261	261	-585	Min.	17.25	-4.58	15	-0.03	15	-0.01	15	120.49	15	10.38	15	0.04	15
262	262	-586	Max	0.00	-7.86	15	-0.03	15	-0.01	15	131.51	15	-11.35	15	0.04	15
262	262	-586	Max	17.25	-7.18	15	-0.03	15	-0.01	15	131.51	15	11.34	15	0.04	15
262	262	-586	Min.	0.00	-7.86	15	-0.03	15	-0.01	15	131.51	15	-11.35	15	0.04	15
262	262	-586	Min.	17.25	-7.18	15	-0.03	15	-0.01	15	131.51	15	11.34	15	0.04	15
263	263	-587	Max	0.00	-12.26	15	-0.02	15	0.00	15	233.44	15	-20.14	15	0.00	15
263	263	-587	Max	17.25	-11.58	15	-0.02	15	0.00	15	233.44	15	20.13	15	0.00	15
263	263	-587	Min.	0.00	-12.26	15	-0.02	15	0.00	15	233.44	15	-20.14	15	0.00	15
263	263	-587	Min.	17.25	-11.58	15	-0.02	15	0.00	15	233.44	15	20.13	15	0.00	15
264	264	-588	Max	0.00	-12.22	15	-0.02	15	0.00	15	232.28	15	-20.04	15	0.00	15
264	264	-588	Max	17.25	-11.55	15	-0.02	15	0.00	15	232.28	15	20.03	15	0.00	15
264	264	-588	Min.	0.00	-12.22	15	-0.02	15	0.00	15	232.28	15	-20.04	15	0.00	15
264	264	-588	Min.	17.25	-11.55	15	-0.02	15	0.00	15	232.28	15	20.03	15	0.00	15
265	265	-589	Max	0.00	-12.23	15	0.02	15	-0.00	15	232.30	15	-20.04	15	-0.00	15
265	265	-589	Max	10.35					-0.00	15			4.00	15		
265	265	-589	Max	17.25	-11.55	15	0.02	15	0.00	15	232.30	15	20.03	15	-0.00	15
265	265	-589	Min.	0.00	-12.23	15	0.02	15	-0.00	15	232.30	15	-20.04	15	-0.00	15
265	265	-589	Min.	10.35					-0.00	15			4.00	15		
265	265	-589	Min.	17.25	-11.55	15	0.02	15	0.00	15	232.30	15	20.03	15	-0.00	15
266	266	-590	Max	0.00	-12.26	15	0.02	15	-0.00	15	233.43	15	-20.14	15	0.00	15
266	266	-590	Max	17.25	-11.58	15	0.02	15	-0.00	15	233.43	15	20.13	15	0.00	15
266	266	-590	Min.	0.00	-12.26	15	0.02	15	-0.00	15	233.43	15	-20.14	15	0.00	15
266	266	-590	Min.	17.25	-11.58	15	0.02	15	-0.00	15	233.43	15	20.13	15	0.00	15
267	267	-591	Max	0.00	-7.86	15	0.03	15	0.01	15	131.53	15	-11.35	15	-0.04	15
267	267	-591	Max	17.25	-7.19	15	0.03	15	0.01	15	131.53	15	11.34	15	-0.04	15
267	267	-591	Min.	0.00	-7.86	15	0.03	15	0.01	15	131.53	15	-11.35	15	-0.04	15
267	267	-591	Min.	17.25	-7.19	15	0.03	15	0.01	15	131.53	15	11.34	15	-0.04	15
268	268	-592	Max	0.00	-5.26	15	0.03	15	0.01	15	120.51	15	-10.40	15	-0.04	15
268	268	-592	Max	17.25	-4.58	15	0.03	15	0.01	15	120.51	15	10.39	15	-0.04	15
268	268	-592	Min.	0.00	-5.26	15	0.03	15	0.01	15	120.51	15	-10.40	15	-0.04	15
268	268	-592	Min.	17.25	-4.58	15	0.03	15	0.01	15	120.51	15	10.39	15	-0.04	15

269	269	-569	Max	0.00	-6.04	15	0.00	15	-0.00	15	149.78	15	-11.60	15	0.04	15
269	269	-569	Max	15.50	-5.43	15	0.00	15	-0.00	15	149.78	15	11.62	15	0.04	15
269	269	-569	Min.	0.00	-6.04	15	0.00	15	-0.00	15	149.78	15	-11.60	15	0.04	15
269	269	-569	Min.	15.50	-5.43	15	0.00	15	-0.00	15	149.78	15	11.62	15	0.04	15
270	270	-570	Max	0.00	-8.58	15	0.00	15	-0.00	15	168.19	15	-13.02	15	0.04	15
270	270	-570	Max	15.50	-7.97	15	0.00	15	-0.00	15	168.19	15	13.05	15	0.04	15
270	270	-570	Min.	0.00	-8.58	15	0.00	15	-0.00	15	168.19	15	-13.02	15	0.04	15
270	270	-570	Min.	15.50	-7.97	15	0.00	15	-0.00	15	168.19	15	13.05	15	0.04	15
271	271	-571	Max	0.00	-13.21	15	-0.01	15	0.00	15	293.34	15	-22.72	15	0.00	15
271	271	-571	Max	15.50	-12.60	15	-0.01	15	0.00	15	293.34	15	22.75	15	0.00	15
271	271	-571	Min.	0.00	-13.21	15	-0.01	15	0.00	15	293.34	15	-22.72	15	0.00	15
271	271	-571	Min.	15.50	-12.60	15	-0.01	15	0.00	15	293.34	15	22.75	15	0.00	15
272	272	-572	Max	0.00	-13.34	15	0.00	15	0.00	15	291.74	15	-22.59	15	0.00	15
272	272	-572	Max	15.50	-12.73	15	0.00	15	0.00	15	291.74	15	22.63	15	0.00	15
272	272	-572	Min.	0.00	-13.34	15	0.00	15	0.00	15	291.74	15	-22.59	15	0.00	15
272	272	-572	Min.	15.50	-12.73	15	0.00	15	0.00	15	291.74	15	22.63	15	0.00	15
273	273	-573	Max	0.00	-13.34	15	-0.00	15	0.00	15	291.76	15	-22.59	15	-0.00	15
273	273	-573	Max	15.50	-12.73	15	-0.00	15	0.00	15	291.76	15	22.63	15	-0.00	15
273	273	-573	Min.	0.00	-13.34	15	-0.00	15	0.00	15	291.76	15	-22.59	15	-0.00	15
273	273	-573	Min.	15.50	-12.73	15	-0.00	15	0.00	15	291.76	15	22.63	15	-0.00	15
274	274	-574	Max	0.00	-13.21	15	0.01	15	-0.00	15	293.34	15	-22.71	15	0.00	15
274	274	-574	Max	15.50	-12.60	15	0.01	15	-0.00	15	293.34	15	22.75	15	0.00	15
274	274	-574	Min.	0.00	-13.21	15	0.01	15	-0.00	15	293.34	15	-22.71	15	0.00	15
274	274	-574	Min.	15.50	-12.60	15	0.01	15	-0.00	15	293.34	15	22.75	15	0.00	15
275	275	-575	Max	0.00	-8.58	15	-0.00	15	0.00	15	168.22	15	-13.03	15	-0.04	15
275	275	-575	Max	15.50	-7.97	15	-0.00	15	0.00	15	168.22	15	13.05	15	-0.04	15
275	275	-575	Min.	0.00	-8.58	15	-0.00	15	0.00	15	168.22	15	-13.03	15	-0.04	15
275	275	-575	Min.	15.50	-7.97	15	-0.00	15	0.00	15	168.22	15	13.05	15	-0.04	15
276	276	-576	Max	0.00	-6.04	15	-0.00	15	0.00	15	149.80	15	-11.60	15	-0.04	15
276	276	-576	Max	15.50	-5.43	15	-0.00	15	0.00	15	149.80	15	11.62	15	-0.04	15
276	276	-576	Min.	0.00	-6.04	15	-0.00	15	0.00	15	149.80	15	-11.60	15	-0.04	15
276	276	-576	Min.	15.50	-5.43	15	-0.00	15	0.00	15	149.80	15	11.62	15	-0.04	15
277	277	-553	Max	0.00	-9.76	15	-0.06	15	0.00	15	169.27	15	-11.67	15	0.04	15
277	277	-553	Max	13.75	-9.22	15	-0.06	15	-0.01	15	169.27	15	11.60	15	0.04	15
277	277	-553	Min.	0.00	-9.76	15	-0.06	15	0.00	15	169.27	15	-11.67	15	0.04	15
277	277	-553	Min.	13.75	-9.22	15	-0.06	15	-0.01	15	169.27	15	11.60	15	0.04	15
278	278	-554	Max	0.00	-13.09	15	-0.16	15	0.01	15	194.89	15	-13.45	15	0.04	15
278	278	-554	Max	13.75	-12.55	15	-0.16	15	-0.01	15	194.89	15	13.35	15	0.04	15
278	278	-554	Min.	0.00	-13.09	15	-0.16	15	0.01	15	194.89	15	-13.45	15	0.04	15
278	278	-554	Min.	13.75	-12.55	15	-0.16	15	-0.01	15	194.89	15	13.35	15	0.04	15
279	279	-555	Max	0.00	-20.93	15	0.13	15	-0.00	15	334.06	15	-23.05	15	-0.01	15
279	279	-555	Max	13.75	-20.39	15	0.13	15	0.02	15	334.06	15	22.89	15	-0.01	15
279	279	-555	Min.	0.00	-20.93	15	0.13	15	-0.00	15	334.06	15	-23.05	15	-0.01	15
279	279	-555	Min.	13.75	-20.39	15	0.13	15	0.02	15	334.06	15	22.89	15	-0.01	15
280	280	-556	Max	0.00	-20.80	15	-0.13	15	0.00	15	332.41	15	-22.93	15	0.01	15
280	280	-556	Max	13.75	-20.26	15	-0.13	15	-0.01	15	332.41	15	22.78	15	0.01	15
280	280	-556	Min.	0.00	-20.80	15	-0.13	15	0.00	15	332.41	15	-22.93	15	0.01	15
280	280	-556	Min.	13.75	-20.26	15	-0.13	15	-0.01	15	332.41	15	22.78	15	0.01	15
281	281	-557	Max	0.00	-20.80	15	0.13	15	-0.00	15	332.44	15	-22.93	15	-0.01	15
281	281	-557	Max	13.75	-20.26	15	0.13	15	0.01	15	332.44	15	22.78	15	-0.01	15
281	281	-557	Min.	0.00	-20.80	15	0.13	15	-0.00	15	332.44	15	-22.93	15	-0.01	15
281	281	-557	Min.	13.75	-20.26	15	0.13	15	0.01	15	332.44	15	22.78	15	-0.01	15
282	282	-558	Max	0.00	-20.93	15	-0.13	15	0.00	15	334.05	15	-23.05	15	0.01	15
282	282	-558	Max	13.75	-20.39	15	-0.13	15	-0.02	15	334.05	15	22.89	15	0.01	15
282	282	-558	Min.	0.00	-20.93	15	-0.13	15	0.00	15	334.05	15	-23.05	15	0.01	15
282	282	-558	Min.	13.75	-20.39	15	-0.13	15	-0.02	15	334.05	15	22.89	15	0.01	15
283	283	-559	Max	0.00	-13.09	15	0.16	15	-0.01	15	194.92	15	-13.45	15	-0.04	15
283	283	-559	Max	13.75	-12.55	15	0.16	15	0.01	15	194.92	15	13.35	15	-0.04	15
283	283	-559	Min.	0.00	-13.09	15	0.16	15	-0.01	15	194.92	15	-13.45	15	-0.04	15

283	283	-559	Min.	13.75	-12.55	15	0.16	15	0.01	15	194.92	15	13.35	15	-0.04	15
284	284	-560	Max	0.00	-9.76	15	0.06	15	-0.00	15	169.30	15	-11.67	15	-0.04	15
284	284	-560	Max	13.75	-9.22	15	0.06	15	0.01	15	169.30	15	11.61	15	-0.04	15
284	284	-560	Min.	0.00	-9.76	15	0.06	15	-0.00	15	169.30	15	-11.67	15	-0.04	15
284	284	-560	Min.	13.75	-9.22	15	0.06	15	0.01	15	169.30	15	11.61	15	-0.04	15
285	2285	4285	Max	0.00	6.79	15	0.20	15	-0.02	15	-10.92	15	1.14	15	0.01	15
285	2285	4285	Max	12.00	7.26	15	0.20	15	0.01	15	-10.92	15	-0.17	15	0.01	15
285	2285	4285	Min.	0.00	6.79	15	0.20	15	-0.02	15	-10.92	15	1.14	15	0.01	15
285	2285	4285	Min.	12.00	7.26	15	0.20	15	0.01	15	-10.92	15	-0.17	15	0.01	15
286	1286	2286	Max	0.00	-317.27	15	-32.26	15	-107.44	15	16.44	15	-12.38	15	0.35	15
286	1286	2286	Max	9.00	-315.25	15	-32.26	15	-110.34	15	16.44	15	-10.90	15	0.35	15
286	1286	2286	Min.	0.00	-317.27	15	-32.26	15	-107.44	15	16.44	15	-12.38	15	0.35	15
286	1286	2286	Min.	9.00	-315.25	15	-32.26	15	-110.34	15	16.44	15	-10.90	15	0.35	15
286	2286	4286	Max	0.00	-132.39	15	16.76	15	-6.96	15	-559.28	15	86.76	15	-0.80	15
286	2286	4286	Max	7.00	-130.81	15	16.76	15	-5.79	15	-559.28	15	47.61	15	-0.80	15
286	2286	4286	Min.	0.00	-132.39	15	16.76	15	-6.96	15	-559.28	15	86.76	15	-0.80	15
286	2286	4286	Min.	7.00	-130.81	15	16.76	15	-5.79	15	-559.28	15	47.61	15	-0.80	15
287	2287	4287	Max	0.00	-25.80	15	-0.44	15	0.02	15	-8.40	15	0.99	15	-0.01	15
287	2287	4287	Max	12.00	-25.33	15	-0.44	15	-0.04	15	-8.40	15	-0.01	15	-0.01	15
287	2287	4287	Min.	0.00	-25.80	15	-0.44	15	0.02	15	-8.40	15	0.99	15	-0.01	15
287	2287	4287	Min.	12.00	-25.33	15	-0.44	15	-0.04	15	-8.40	15	-0.01	15	-0.01	15
288	2288	4288	Max	0.00	-39.48	15	1.87	15	-0.08	15	-15.80	15	1.81	15	0.02	15
288	2288	4288	Max	12.00	-39.01	15	1.87	15	0.15	15	-15.80	15	-0.08	15	0.02	15
288	2288	4288	Min.	0.00	-39.48	15	1.87	15	-0.08	15	-15.80	15	1.81	15	0.02	15
288	2288	4288	Min.	12.00	-39.01	15	1.87	15	0.15	15	-15.80	15	-0.08	15	0.02	15
289	1289	2289	Max	0.00	-596.92	15	-63.82	15	-190.48	15	7.44	15	2.99	15	0.19	15
289	1289	2289	Max	9.00	-594.90	15	-63.82	15	-196.23	15	7.44	15	3.66	15	0.19	15
289	1289	2289	Min.	0.00	-596.92	15	-63.82	15	-190.48	15	7.44	15	2.99	15	0.19	15
289	1289	2289	Min.	9.00	-594.90	15	-63.82	15	-196.23	15	7.44	15	3.66	15	0.19	15
289	2289	4289	Max	0.00	-231.81	15	6.45	15	2.77	15	-992.93	15	154.34	15	-1.43	15
289	2289	4289	Max	7.00	-230.24	15	6.45	15	3.23	15	-992.93	15	84.84	15	-1.43	15
289	2289	4289	Min.	0.00	-231.81	15	6.45	15	2.77	15	-992.93	15	154.34	15	-1.43	15
289	2289	4289	Min.	7.00	-230.24	15	6.45	15	3.23	15	-992.93	15	84.84	15	-1.43	15
290	2290	4290	Max	0.00	-23.34	15	-1.47	15	0.06	15	-17.00	15	1.88	15	-0.02	15
290	2290	4290	Max	12.00	-22.86	15	-1.47	15	-0.11	15	-17.00	15	-0.16	15	-0.02	15
290	2290	4290	Min.	0.00	-23.34	15	-1.47	15	0.06	15	-17.00	15	1.88	15	-0.02	15
290	2290	4290	Min.	12.00	-22.86	15	-1.47	15	-0.11	15	-17.00	15	-0.16	15	-0.02	15
291	2291	4291	Max	0.00	-23.39	15	1.47	15	-0.06	15	-16.99	15	1.88	15	0.02	15
291	2291	4291	Max	12.00	-22.92	15	1.47	15	0.11	15	-16.99	15	-0.15	15	0.02	15
291	2291	4291	Min.	0.00	-23.39	15	1.47	15	-0.06	15	-16.99	15	1.88	15	0.02	15
291	2291	4291	Min.	12.00	-22.92	15	1.47	15	0.11	15	-16.99	15	-0.15	15	0.02	15
292	1292	2292	Max	0.00	-596.92	15	-63.84	15	-190.50	15	-7.38	15	-2.97	15	-0.17	15
292	1292	2292	Max	9.00	-594.90	15	-63.84	15	-196.25	15	-7.38	15	-3.64	15	-0.17	15
292	1292	2292	Min.	0.00	-596.92	15	-63.84	15	-190.50	15	-7.38	15	-2.97	15	-0.17	15
292	1292	2292	Min.	9.00	-594.90	15	-63.84	15	-196.25	15	-7.38	15	-3.64	15	-0.17	15
292	2292	4292	Max	0.00	-231.81	15	-6.40	15	-2.75	15	-993.05	15	154.36	15	1.43	15
292	2292	4292	Max	7.00	-230.24	15	-6.40	15	-3.20	15	-993.05	15	84.85	15	1.43	15
292	2292	4292	Min.	0.00	-231.81	15	-6.40	15	-2.75	15	-993.05	15	154.36	15	1.43	15
292	2292	4292	Min.	7.00	-230.24	15	-6.40	15	-3.20	15	-993.05	15	84.85	15	1.43	15
293	2293	4293	Max	0.00	-39.42	15	-1.87	15	0.08	15	-15.82	15	1.81	15	-0.02	15
293	2293	4293	Max	12.00	-38.95	15	-1.87	15	-0.15	15	-15.82	15	-0.09	15	-0.02	15
293	2293	4293	Min.	0.00	-39.42	15	-1.87	15	0.08	15	-15.82	15	1.81	15	-0.02	15
293	2293	4293	Min.	12.00	-38.95	15	-1.87	15	-0.15	15	-15.82	15	-0.09	15	-0.02	15
294	2294	4294	Max	0.00	-25.84	15	0.45	15	-0.02	15	-8.41	15	0.99	15	0.01	15
294	2294	4294	Max	12.00	-25.37	15	0.45	15	0.04	15	-8.41	15	-0.02	15	0.01	15
294	2294	4294	Min.	0.00	-25.84	15	0.45	15	-0.02	15	-8.41	15	0.99	15	0.01	15
294	2294	4294	Min.	12.00	-25.37	15	0.45	15	0.04	15	-8.41	15	-0.02	15	0.01	15
295	1295	2295	Max	0.00	-317.30	15	-32.30	15	-107.48	15	-16.39	15	12.39	15	-0.34	15
295	1295	2295	Max	9.00	-315.28	15	-32.30	15	-110.39	15	-16.39	15	10.91	15	-0.34	15

295	1295	2295	Min.	0.00	-317.30	15	-32.30	15	-107.48	15	-16.39	15	12.39	15	-0.34	15
295	1295	2295	Min.	9.00	-315.28	15	-32.30	15	-110.39	15	-16.39	15	10.91	15	-0.34	15
295	2295	4295	Max	0.00	-132.38	15	-16.70	15	6.97	15	-559.58	15	86.80	15	0.80	15
295	2295	4295	Max	7.00	-130.81	15	-16.70	15	5.80	15	-559.58	15	47.63	15	0.80	15
295	2295	4295	Min.	0.00	-132.38	15	-16.70	15	6.97	15	-559.58	15	86.80	15	0.80	15
295	2295	4295	Min.	7.00	-130.81	15	-16.70	15	5.80	15	-559.58	15	47.63	15	0.80	15
296	2296	4296	Max	0.00	6.81	15	-0.20	15	0.02	15	-10.94	15	1.14	15	-0.01	15
296	2296	4296	Max	12.00	7.28	15	-0.20	15	-0.01	15	-10.94	15	-0.17	15	-0.01	15
296	2296	4296	Min.	0.00	6.81	15	-0.20	15	0.02	15	-10.94	15	1.14	15	-0.01	15
296	2296	4296	Min.	12.00	7.28	15	-0.20	15	-0.01	15	-10.94	15	-0.17	15	-0.01	15
297	297	-537	Max	0.00	4.81	15	0.10	15	-0.00	15	-13.03	15	0.61	15	0.02	15
297	297	-537	Max	10.65	5.23	15	0.10	15	0.01	15	-13.03	15	-0.77	15	0.02	15
297	297	-537	Min.	0.00	4.81	15	0.10	15	-0.00	15	-13.03	15	0.61	15	0.02	15
297	297	-537	Min.	10.65	5.23	15	0.10	15	0.01	15	-13.03	15	-0.77	15	0.02	15
298	298	-538	Max	0.00	2.92	15	0.22	15	-0.01	15	-23.74	15	1.22	15	0.03	15
298	298	-538	Max	10.65	3.33	15	0.22	15	0.02	15	-23.74	15	-1.31	15	0.03	15
298	298	-538	Min.	0.00	2.92	15	0.22	15	-0.01	15	-23.74	15	1.22	15	0.03	15
298	298	-538	Min.	10.65	3.33	15	0.22	15	0.02	15	-23.74	15	-1.31	15	0.03	15
299	299	-539	Max	0.00	6.97	15	0.02	15	-0.01	15	-43.79	15	2.25	15	0.02	15
299	299	-539	Max	10.65	7.38	15	0.02	15	-0.00	15	-43.79	15	-2.41	15	0.02	15
299	299	-539	Min.	0.00	6.97	15	0.02	15	-0.01	15	-43.79	15	2.25	15	0.02	15
299	299	-539	Min.	10.65	7.38	15	0.02	15	-0.00	15	-43.79	15	-2.41	15	0.02	15
300	300	-540	Max	0.00	7.27	15	0.19	15	-0.01	15	-35.23	15	1.76	15	0.03	15
300	300	-540	Max	10.65	7.69	15	0.19	15	0.01	15	-35.23	15	-1.99	15	0.03	15
300	300	-540	Min.	0.00	7.27	15	0.19	15	-0.01	15	-35.23	15	1.76	15	0.03	15
300	300	-540	Min.	10.65	7.69	15	0.19	15	0.01	15	-35.23	15	-1.99	15	0.03	15
301	301	-541	Max	0.00	7.27	15	-0.19	15	0.01	15	-35.23	15	1.76	15	-0.03	15
301	301	-541	Max	10.65	7.69	15	-0.19	15	-0.01	15	-35.23	15	-1.99	15	-0.03	15
301	301	-541	Min.	0.00	7.27	15	-0.19	15	0.01	15	-35.23	15	1.76	15	-0.03	15
301	301	-541	Min.	10.65	7.69	15	-0.19	15	-0.01	15	-35.23	15	-1.99	15	-0.03	15
302	302	-542	Max	0.00	6.97	15	-0.02	15	0.01	15	-43.79	15	2.25	15	-0.02	15
302	302	-542	Max	10.65	7.38	15	-0.02	15	0.00	15	-43.79	15	-2.41	15	-0.02	15
302	302	-542	Min.	0.00	6.97	15	-0.02	15	0.01	15	-43.79	15	2.25	15	-0.02	15
302	302	-542	Min.	10.65	7.38	15	-0.02	15	0.00	15	-43.79	15	-2.41	15	-0.02	15
303	303	-543	Max	0.00	2.92	15	-0.22	15	0.01	15	-23.76	15	1.22	15	-0.03	15
303	303	-543	Max	10.65	3.34	15	-0.22	15	-0.02	15	-23.76	15	-1.31	15	-0.03	15
303	303	-543	Min.	0.00	2.92	15	-0.22	15	0.01	15	-23.76	15	1.22	15	-0.03	15
303	303	-543	Min.	10.65	3.34	15	-0.22	15	-0.02	15	-23.76	15	-1.31	15	-0.03	15
304	304	-544	Max	0.00	4.81	15	-0.10	15	0.00	15	-13.02	15	0.61	15	-0.02	15
304	304	-544	Max	10.65	5.23	15	-0.10	15	-0.01	15	-13.02	15	-0.77	15	-0.02	15
304	304	-544	Min.	0.00	4.81	15	-0.10	15	0.00	15	-13.02	15	0.61	15	-0.02	15
304	304	-544	Min.	10.65	5.23	15	-0.10	15	-0.01	15	-13.02	15	-0.77	15	-0.02	15
305	305	-521	Max	0.00	-0.78	15	-0.07	15	0.00	15	-12.43	15	0.58	15	0.03	15
305	305	-521	Max	9.29	-0.41	15	-0.07	15	-0.01	15	-12.43	15	-0.57	15	0.03	15
305	305	-521	Min.	0.00	-0.78	15	-0.07	15	0.00	15	-12.43	15	0.58	15	0.03	15
305	305	-521	Min.	9.29	-0.41	15	-0.07	15	-0.01	15	-12.43	15	-0.57	15	0.03	15
306	306	-522	Max	0.00	-1.41	15	-0.06	15	0.00	15	-23.69	15	1.11	15	0.03	15
306	306	-522	Max	9.29	-1.04	15	-0.06	15	-0.00	15	-23.69	15	-1.09	15	0.03	15
306	306	-522	Min.	0.00	-1.41	15	-0.06	15	0.00	15	-23.69	15	1.11	15	0.03	15
306	306	-522	Min.	9.29	-1.04	15	-0.06	15	-0.00	15	-23.69	15	-1.09	15	0.03	15
307	307	-523	Max	0.00	-0.80	15	-0.09	15	0.00	15	-49.27	15	2.32	15	0.03	15
307	307	-523	Max	9.29	-0.44	15	-0.09	15	-0.01	15	-49.27	15	-2.26	15	0.03	15
307	307	-523	Min.	0.00	-0.80	15	-0.09	15	0.00	15	-49.27	15	2.32	15	0.03	15
307	307	-523	Min.	9.29	-0.44	15	-0.09	15	-0.01	15	-49.27	15	-2.26	15	0.03	15
308	308	-524	Max	0.00	-1.35	15	0.09	15	0.01	15	-37.92	15	1.76	15	0.03	15
308	308	-524	Max	9.29	-0.99	15	0.09	15	0.02	15	-37.92	15	-1.76	15	0.03	15
308	308	-524	Min.	0.00	-1.35	15	0.09	15	0.01	15	-37.92	15	1.76	15	0.03	15
308	308	-524	Min.	9.29	-0.99	15	0.09	15	0.02	15	-37.92	15	-1.76	15	0.03	15
309	309	-525	Max	0.00	-1.35	15	-0.09	15	-0.01	15	-37.92	15	1.76	15	-0.03	15

309	309	-525	Max	9.29	-0.99	15	-0.09	15	-0.02	15	-37.92	15	-1.76	15	-0.03	15
309	309	-525	Min.	0.00	-1.35	15	-0.09	15	-0.01	15	-37.92	15	1.76	15	-0.03	15
309	309	-525	Min.	9.29	-0.99	15	-0.09	15	-0.02	15	-37.92	15	-1.76	15	-0.03	15
310	310	-526	Max	0.00	-0.80	15	0.09	15	-0.00	15	-49.27	15	2.32	15	-0.03	15
310	310	-526	Max	9.29	-0.44	15	0.09	15	0.01	15	-49.27	15	-2.26	15	-0.03	15
310	310	-526	Min.	0.00	-0.80	15	0.09	15	-0.00	15	-49.27	15	2.32	15	-0.03	15
310	310	-526	Min.	9.29	-0.44	15	0.09	15	0.01	15	-49.27	15	-2.26	15	-0.03	15
311	311	-527	Max	0.00	-1.41	15	0.06	15	-0.00	15	-23.72	15	1.11	15	-0.03	15
311	311	-527	Max	9.29	-1.04	15	0.06	15	0.00	15	-23.72	15	-1.09	15	-0.03	15
311	311	-527	Min.	0.00	-1.41	15	0.06	15	-0.00	15	-23.72	15	1.11	15	-0.03	15
311	311	-527	Min.	9.29	-1.04	15	0.06	15	0.00	15	-23.72	15	-1.09	15	-0.03	15
312	312	-528	Max	0.00	-0.78	15	0.07	15	0.00	15	-12.40	15	0.58	15	-0.03	15
312	312	-528	Max	9.29	-0.41	15	0.07	15	0.01	15	-12.40	15	-0.57	15	-0.03	15
312	312	-528	Min.	0.00	-0.78	15	0.07	15	0.00	15	-12.40	15	0.58	15	-0.03	15
312	312	-528	Min.	9.29	-0.41	15	0.07	15	0.01	15	-12.40	15	-0.57	15	-0.03	15
313	2313	3313	Max	0.00	-3.08	15	0.21	15	-0.01	15	-7.85	15	0.30	15	0.02	15
313	2313	3313	Max	7.94	-2.76	15	0.21	15	0.00	15	-7.85	15	-0.32	15	0.02	15
313	2313	3313	Min.	0.00	-3.08	15	0.21	15	-0.01	15	-7.85	15	0.30	15	0.02	15
313	2313	3313	Min.	7.94	-2.76	15	0.21	15	0.00	15	-7.85	15	-0.32	15	0.02	15
314	2314	3314	Max	0.00	-6.23	15	0.21	15	-0.01	15	-14.62	15	0.60	15	0.02	15
314	2314	3314	Max	7.94	-5.92	15	0.21	15	0.00	15	-14.62	15	-0.56	15	0.02	15
314	2314	3314	Min.	0.00	-6.23	15	0.21	15	-0.01	15	-14.62	15	0.60	15	0.02	15
314	2314	3314	Min.	7.94	-5.92	15	0.21	15	0.00	15	-14.62	15	-0.56	15	0.02	15
315	2315	3315	Max	0.00	-15.08	15	0.27	15	0.02	15	-34.13	15	1.37	15	0.03	15
315	2315	3315	Max	7.94	-14.77	15	0.27	15	0.04	15	-34.13	15	-1.34	15	0.03	15
315	2315	3315	Min.	0.00	-15.08	15	0.27	15	0.02	15	-34.13	15	1.37	15	0.03	15
315	2315	3315	Min.	7.94	-14.77	15	0.27	15	0.04	15	-34.13	15	-1.34	15	0.03	15
316	2316	3316	Max	0.00	-10.95	15	0.13	15	0.01	15	-25.86	15	1.01	15	0.02	15
316	2316	3316	Max	7.94	-10.64	15	0.13	15	0.02	15	-25.86	15	-1.04	15	0.02	15
316	2316	3316	Min.	0.00	-10.95	15	0.13	15	0.01	15	-25.86	15	1.01	15	0.02	15
316	2316	3316	Min.	7.94	-10.64	15	0.13	15	0.02	15	-25.86	15	-1.04	15	0.02	15
317	2317	3317	Max	0.00	-10.95	15	-0.13	15	-0.01	15	-25.86	15	1.01	15	-0.02	15
317	2317	3317	Max	7.94	-10.64	15	-0.13	15	-0.02	15	-25.86	15	-1.04	15	-0.02	15
317	2317	3317	Min.	0.00	-10.95	15	-0.13	15	-0.01	15	-25.86	15	1.01	15	-0.02	15
317	2317	3317	Min.	7.94	-10.64	15	-0.13	15	-0.02	15	-25.86	15	-1.04	15	-0.02	15
318	2318	3318	Max	0.00	-15.08	15	-0.27	15	-0.02	15	-34.13	15	1.37	15	-0.03	15
318	2318	3318	Max	7.94	-14.77	15	-0.27	15	-0.04	15	-34.13	15	-1.34	15	-0.03	15
318	2318	3318	Min.	0.00	-15.08	15	-0.27	15	-0.02	15	-34.13	15	1.37	15	-0.03	15
318	2318	3318	Min.	7.94	-14.77	15	-0.27	15	-0.04	15	-34.13	15	-1.34	15	-0.03	15
319	2319	3319	Max	0.00	-6.24	15	-0.21	15	0.01	15	-14.64	15	0.60	15	-0.02	15
319	2319	3319	Max	7.94	-5.92	15	-0.21	15	-0.00	15	-14.64	15	-0.56	15	-0.02	15
319	2319	3319	Min.	0.00	-6.24	15	-0.21	15	0.01	15	-14.64	15	0.60	15	-0.02	15
319	2319	3319	Min.	7.94	-5.92	15	-0.21	15	-0.00	15	-14.64	15	-0.56	15	-0.02	15
320	2320	3320	Max	0.00	-3.07	15	-0.21	15	0.01	15	-7.83	15	0.30	15	-0.02	15
320	2320	3320	Max	7.94	-2.75	15	-0.21	15	-0.00	15	-7.83	15	-0.32	15	-0.02	15
320	2320	3320	Min.	0.00	-3.07	15	-0.21	15	0.01	15	-7.83	15	0.30	15	-0.02	15
320	2320	3320	Min.	7.94	-2.75	15	-0.21	15	-0.00	15	-7.83	15	-0.32	15	-0.02	15
901	325	326	Max	4.00	0.00	15	0.00	15	0.00	15	-8.25	15	0.27	15	2.17	15
901	325	326	Max	6.00									0.18	15		
901	325	326	Max	15.00	0.00	15	0.00	15	0.00	15	36.25	15	1.82	15	2.17	15
901	325	326	Min.	4.00	0.00	15	0.00	15	0.00	15	-8.25	15	0.27	15	2.17	15
901	325	326	Min.	6.00									0.18	15		
901	325	326	Min.	15.00	0.00	15	0.00	15	0.00	15	36.25	15	1.82	15	2.17	15
901	326	327	Max	0.00	0.00	15	0.00	15	0.00	15	-167.81	15	13.39	15	5.14	15
901	326	327	Max	11.00	0.00	15	0.00	15	0.00	15	-124.16	15	-2.66	15	5.14	15
901	326	327	Min.	0.00	0.00	15	0.00	15	0.00	15	-167.81	15	13.39	15	5.14	15
901	326	327	Min.	11.00	0.00	15	0.00	15	0.00	15	-124.16	15	-2.66	15	5.14	15
901	327	328	Max	1.00	0.00	15	0.00	15	0.00	15	-479.32	15	-12.54	15	7.34	15
901	327	328	Max	138.96									-333.05	15		

901	327	328	Max	289.00	0.00	15	0.00	15	0.00	15	410.78	15	-20.18	15	7.34	15
901	327	328	Min.	1.00	0.00	15	0.00	15	0.00	15	-479.32	15	-12.54	15	7.34	15
901	327	328	Min.	138.96									-333.05	15		
901	327	328	Min.	289.00	0.00	15	0.00	15	0.00	15	410.78	15	-20.18	15	7.34	15
901	328	329	Max	4.00	0.00	15	0.00	15	0.00	15	191.47	15	-8.01	15	5.23	15
901	328	329	Max	15.00	0.00	15	0.00	15	0.00	15	219.53	15	14.60	15	5.23	15
901	328	329	Min.	4.00	0.00	15	0.00	15	0.00	15	191.47	15	-8.01	15	5.23	15
901	328	329	Min.	15.00	0.00	15	0.00	15	0.00	15	219.53	15	14.60	15	5.23	15
901	329	330	Max	0.00	0.00	15	0.00	15	0.00	15	-66.13	15	18.26	15	2.02	15
901	329	330	Max	11.00	0.00	15	0.00	15	0.00	15	-38.31	15	12.52	15	2.02	15
901	329	330	Min.	0.00	0.00	15	0.00	15	0.00	15	-66.13	15	18.26	15	2.02	15
901	329	330	Min.	11.00	0.00	15	0.00	15	0.00	15	-38.31	15	12.52	15	2.02	15
901	330	331	Max	1.00	0.00	15	0.00	15	0.00	15	-366.19	15	7.06	15	-0.07	15
901	330	331	Max	155.10									-270.88	15		
901	330	331	Max	309.00	0.00	15	0.00	15	0.00	15	365.83	15	6.42	15	-0.07	15
901	330	331	Min.	1.00	0.00	15	0.00	15	0.00	15	-366.19	15	7.06	15	-0.07	15
901	330	331	Min.	155.10									-270.88	15		
901	330	331	Min.	309.00	0.00	15	0.00	15	0.00	15	365.83	15	6.42	15	-0.07	15
901	331	332	Max	4.00	0.00	15	0.00	15	0.00	15	38.54	15	11.88	15	-2.15	15
901	331	332	Max	15.00	0.00	15	0.00	15	0.00	15	66.37	15	17.65	15	-2.15	15
901	331	332	Min.	4.00	0.00	15	0.00	15	0.00	15	38.54	15	11.88	15	-2.15	15
901	331	332	Min.	15.00	0.00	15	0.00	15	0.00	15	66.37	15	17.65	15	-2.15	15
901	332	333	Max	0.00	0.00	15	0.00	15	0.00	15	-219.32	15	14.03	15	-5.34	15
901	332	333	Max	11.00	0.00	15	0.00	15	0.00	15	-191.23	15	-8.55	15	-5.34	15
901	332	333	Min.	0.00	0.00	15	0.00	15	0.00	15	-219.32	15	14.03	15	-5.34	15
901	332	333	Min.	11.00	0.00	15	0.00	15	0.00	15	-191.23	15	-8.55	15	-5.34	15
901	333	334	Max	1.00	0.00	15	0.00	15	0.00	15	-411.13	15	-20.72	15	-7.44	15
901	333	334	Max	149.06									-333.89	15		
901	333	334	Max	289.00	0.00	15	0.00	15	0.00	15	480.15	15	-12.79	15	-7.44	15
901	333	334	Min.	1.00	0.00	15	0.00	15	0.00	15	-411.13	15	-20.72	15	-7.44	15
901	333	334	Min.	149.06									-333.89	15		
901	333	334	Min.	289.00	0.00	15	0.00	15	0.00	15	480.15	15	-12.79	15	-7.44	15
901	334	335	Max	4.00	0.00	15	0.00	15	0.00	15	124.99	15	-2.87	15	-5.21	15
901	334	335	Max	15.00	0.00	15	0.00	15	0.00	15	168.72	15	13.28	15	-5.21	15
901	334	335	Min.	4.00	0.00	15	0.00	15	0.00	15	124.99	15	-2.87	15	-5.21	15
901	334	335	Min.	15.00	0.00	15	0.00	15	0.00	15	168.72	15	13.28	15	-5.21	15
901	335	336	Max	0.00	0.00	15	0.00	15	0.00	15	-35.72	15	1.73	15	-2.20	15
901	335	336	Max	8.80									0.15	15		
901	335	336	Max	11.00	0.00	15	0.00	15	0.00	15	8.88	15	0.24	15	-2.20	15
901	335	336	Min.	0.00	0.00	15	0.00	15	0.00	15	-35.72	15	1.73	15	-2.20	15
901	335	336	Min.	8.80									0.15	15		
901	335	336	Min.	11.00	0.00	15	0.00	15	0.00	15	8.88	15	0.24	15	-2.20	15
902	361	362	Max	4.00	0.00	15	0.00	15	0.00	15	-8.27	15	0.27	15	-2.20	15
902	361	362	Max	6.00									0.18	15		
902	361	362	Max	15.00	0.00	15	0.00	15	0.00	15	36.26	15	1.82	15	-2.20	15
902	361	362	Min.	4.00	0.00	15	0.00	15	0.00	15	-8.27	15	0.27	15	-2.20	15
902	361	362	Min.	6.00									0.18	15		
902	361	362	Min.	15.00	0.00	15	0.00	15	0.00	15	36.26	15	1.82	15	-2.20	15
902	362	363	Max	0.00	0.00	15	0.00	15	0.00	15	-167.89	15	13.39	15	-5.21	15
902	362	363	Max	11.00	0.00	15	0.00	15	0.00	15	-124.23	15	-2.67	15	-5.21	15
902	362	363	Min.	0.00	0.00	15	0.00	15	0.00	15	-167.89	15	13.39	15	-5.21	15
902	362	363	Min.	11.00	0.00	15	0.00	15	0.00	15	-124.23	15	-2.67	15	-5.21	15
902	363	364	Max	1.00	0.00	15	0.00	15	0.00	15	-479.55	15	-12.55	15	-7.44	15
902	363	364	Max	139.00									-333.28	15		
902	363	364	Max	289.00	0.00	15	0.00	15	0.00	15	410.51	15	-20.68	15	-7.44	15
902	363	364	Min.	1.00	0.00	15	0.00	15	0.00	15	-479.55	15	-12.55	15	-7.44	15
902	363	364	Min.	139.00									-333.28	15		
902	363	364	Min.	289.00	0.00	15	0.00	15	0.00	15	410.51	15	-20.68	15	-7.44	15
902	364	365	Max	4.00	0.00	15	0.00	15	0.00	15	191.41	15	-8.52	15	-5.34	15

902	364	365	Max	15.00	0.00	15	0.00	15	0.00	15	219.46	15	14.08	15	-5.34	15
902	364	365	Min.	4.00	0.00	15	0.00	15	0.00	15	191.41	15	-8.52	15	-5.34	15
902	364	365	Min.	15.00	0.00	15	0.00	15	0.00	15	219.46	15	14.08	15	-5.34	15
902	365	366	Max	0.00	0.00	15	0.00	15	0.00	15	-65.94	15	17.73	15	-2.14	15
902	365	366	Max	11.00	0.00	15	0.00	15	0.00	15	-38.14	15	12.01	15	-2.14	15
902	365	366	Min.	0.00	0.00	15	0.00	15	0.00	15	-65.94	15	17.73	15	-2.14	15
902	365	366	Min.	11.00	0.00	15	0.00	15	0.00	15	-38.14	15	12.01	15	-2.14	15
902	366	367	Max	1.00	0.00	15	0.00	15	0.00	15	-365.71	15	6.57	15	-0.07	15
902	366	367	Max	155.02									-270.86	15		
902	366	367	Max	309.00	0.00	15	0.00	15	0.00	15	365.62	15	6.42	15	-0.07	15
902	366	367	Min.	1.00	0.00	15	0.00	15	0.00	15	-365.71	15	6.57	15	-0.07	15
902	366	367	Min.	155.02									-270.86	15		
902	366	367	Min.	309.00	0.00	15	0.00	15	0.00	15	365.62	15	6.42	15	-0.07	15
902	367	368	Max	4.00	0.00	15	0.00	15	0.00	15	38.52	15	11.88	15	2.02	15
902	367	368	Max	15.00	0.00	15	0.00	15	0.00	15	66.32	15	17.64	15	2.02	15
902	367	368	Min.	4.00	0.00	15	0.00	15	0.00	15	38.52	15	11.88	15	2.02	15
902	367	368	Min.	15.00	0.00	15	0.00	15	0.00	15	66.32	15	17.64	15	2.02	15
902	368	369	Max	0.00	0.00	15	0.00	15	0.00	15	-219.09	15	14.02	15	5.23	15
902	368	369	Max	11.00	0.00	15	0.00	15	0.00	15	-191.03	15	-8.54	15	5.23	15
902	368	369	Min.	0.00	0.00	15	0.00	15	0.00	15	-219.09	15	14.02	15	5.23	15
902	368	369	Min.	11.00	0.00	15	0.00	15	0.00	15	-191.03	15	-8.54	15	5.23	15
902	369	370	Max	1.00	0.00	15	0.00	15	0.00	15	-410.60	15	-20.68	15	7.34	15
902	369	370	Max	149.05									-333.44	15		
902	369	370	Max	289.00	0.00	15	0.00	15	0.00	15	479.56	15	-12.70	15	7.34	15
902	369	370	Min.	1.00	0.00	15	0.00	15	0.00	15	-410.60	15	-20.68	15	7.34	15
902	369	370	Min.	149.05									-333.44	15		
902	369	370	Min.	289.00	0.00	15	0.00	15	0.00	15	479.56	15	-12.70	15	7.34	15
902	370	371	Max	4.00	0.00	15	0.00	15	0.00	15	124.62	15	-2.80	15	5.14	15
902	370	371	Max	15.00	0.00	15	0.00	15	0.00	15	168.29	15	13.30	15	5.14	15
902	370	371	Min.	4.00	0.00	15	0.00	15	0.00	15	124.62	15	-2.80	15	5.14	15
902	370	371	Min.	15.00	0.00	15	0.00	15	0.00	15	168.29	15	13.30	15	5.14	15
902	371	372	Max	0.00	0.00	15	0.00	15	0.00	15	-35.87	15	1.76	15	2.17	15
902	371	372	Max	8.80									0.16	15		
902	371	372	Max	11.00	0.00	15	0.00	15	0.00	15	8.66	15	0.25	15	2.17	15
902	371	372	Min.	0.00	0.00	15	0.00	15	0.00	15	-35.87	15	1.76	15	2.17	15
902	371	372	Min.	8.80									0.16	15		
902	371	372	Min.	11.00	0.00	15	0.00	15	0.00	15	8.66	15	0.25	15	2.17	15
903	326	362	Max	0.00	0.00	15	0.00	15	0.00	15	0.00	15	0.00	15	0.00	15
903	326	362	Max	690.00	0.00	15	0.00	15	0.00	15	0.00	15	0.00	15	0.00	15
903	326	362	Min.	0.00	0.00	15	0.00	15	0.00	15	0.00	15	0.00	15	0.00	15
903	326	362	Min.	690.00	0.00	15	0.00	15	0.00	15	0.00	15	0.00	15	0.00	15
904	335	371	Max	0.00	0.00	15	0.00	15	0.00	15	0.00	15	0.00	15	0.00	15
904	335	371	Max	690.00	0.00	15	0.00	15	0.00	15	0.00	15	0.00	15	0.00	15
904	335	371	Min.	0.00	0.00	15	0.00	15	0.00	15	0.00	15	0.00	15	0.00	15
904	335	371	Min.	690.00	0.00	15	0.00	15	0.00	15	0.00	15	0.00	15	0.00	15
1021	1296	1297	Max	1.77	20.54	15	0.33	15	0.64	15	-0.07	15	0.08	15	-0.01	15
1021	1296	1297	Max	10.00	20.54	15	0.92	15	0.69	15	-0.07	15	0.08	15	-0.01	15
1021	1296	1297	Min.	1.77	20.54	15	0.33	15	0.64	15	-0.07	15	0.08	15	-0.01	15
1021	1296	1297	Min.	10.00	20.54	15	0.92	15	0.69	15	-0.07	15	0.08	15	-0.01	15
1021	1297	1298	Max	0.00	20.54	15	0.92	15	0.69	15	-0.07	15	0.08	15	-0.01	15
1021	1297	1298	Max	8.23	20.54	15	1.50	15	0.79	15	-0.07	15	0.07	15	-0.01	15
1021	1297	1298	Min.	0.00	20.54	15	0.92	15	0.69	15	-0.07	15	0.08	15	-0.01	15
1021	1297	1298	Min.	8.23	20.54	15	1.50	15	0.79	15	-0.07	15	0.07	15	-0.01	15
1023	1316	1317	Max	1.77	-27.26	15	-0.22	15	-0.06	15	1.11	15	-1.68	15	0.01	15
1023	1316	1317	Max	10.00	-27.26	15	-0.22	15	-0.08	15	1.70	15	-1.56	15	0.01	15
1023	1316	1317	Min.	1.77	-27.26	15	-0.22	15	-0.06	15	1.11	15	-1.68	15	0.01	15
1023	1316	1317	Min.	10.00	-27.26	15	-0.22	15	-0.08	15	1.70	15	-1.56	15	0.01	15
1023	1317	1318	Max	0.00	-27.26	15	-0.22	15	-0.08	15	1.70	15	-1.56	15	0.01	15
1023	1317	1318	Max	8.23	-27.26	15	-0.22	15	-0.10	15	2.28	15	-1.40	15	0.01	15

1023	1317	1318	Min.	0.00	-27.26	15	-0.22	15	-0.08	15	1.70	15	-1.56	15	0.01	15
1023	1317	1318	Min.	8.23	-27.26	15	-0.22	15	-0.10	15	2.28	15	-1.40	15	0.01	15
1065	1328	1329	Max	1.77	-27.31	15	1.02	15	-1.67	15	-0.21	15	-0.06	15	-0.01	15
1065	1328	1329	Max	10.00	-27.31	15	1.61	15	-1.56	15	-0.21	15	-0.08	15	-0.01	15
1065	1328	1329	Min.	1.77	-27.31	15	1.02	15	-1.67	15	-0.21	15	-0.06	15	-0.01	15
1065	1328	1329	Min.	10.00	-27.31	15	1.61	15	-1.56	15	-0.21	15	-0.08	15	-0.01	15
1065	1329	1330	Max	0.00	-27.31	15	1.61	15	-1.56	15	-0.21	15	-0.08	15	-0.01	15
1065	1329	1330	Max	8.23	-27.31	15	2.19	15	-1.40	15	-0.21	15	-0.10	15	-0.01	15
1065	1329	1330	Min.	0.00	-27.31	15	1.61	15	-1.56	15	-0.21	15	-0.08	15	-0.01	15
1065	1329	1330	Min.	8.23	-27.31	15	2.19	15	-1.40	15	-0.21	15	-0.10	15	-0.01	15
1067	1348	1349	Max	1.77	20.57	15	-0.07	15	0.08	15	0.33	15	0.63	15	0.01	15
1067	1348	1349	Max	10.00	20.57	15	-0.07	15	0.08	15	0.92	15	0.69	15	0.01	15
1067	1348	1349	Min.	1.77	20.57	15	-0.07	15	0.08	15	0.33	15	0.63	15	0.01	15
1067	1348	1349	Min.	10.00	20.57	15	-0.07	15	0.08	15	0.92	15	0.69	15	0.01	15
1067	1349	1350	Max	0.00	20.57	15	-0.07	15	0.08	15	0.92	15	0.69	15	0.01	15
1067	1349	1350	Max	8.23	20.57	15	-0.07	15	0.07	15	1.50	15	0.79	15	0.01	15
1067	1349	1350	Min.	0.00	20.57	15	-0.07	15	0.08	15	0.92	15	0.69	15	0.01	15
1067	1349	1350	Min.	8.23	20.57	15	-0.07	15	0.07	15	1.50	15	0.79	15	0.01	15
1105	1296	1308	Max	1.77	-3.38	15	0.74	15	-0.07	15	-16.41	15	1.05	15	0.07	15
1105	1296	1308	Max	10.00	-3.38	15	0.74	15	-0.00	15	-15.83	15	-0.27	15	0.07	15
1105	1296	1308	Min.	1.77	-3.38	15	0.74	15	-0.07	15	-16.41	15	1.05	15	0.07	15
1105	1296	1308	Min.	10.00	-3.38	15	0.74	15	-0.00	15	-15.83	15	-0.27	15	0.07	15
1105	1308	1316	Max	0.00	-3.38	15	0.74	15	-0.00	15	-15.83	15	-0.27	15	0.07	15
1105	1308	1316	Max	8.23	-3.38	15	0.74	15	0.06	15	-15.24	15	-1.55	15	0.07	15
1105	1308	1316	Min.	0.00	-3.38	15	0.74	15	-0.00	15	-15.83	15	-0.27	15	0.07	15
1105	1308	1316	Min.	8.23	-3.38	15	0.74	15	0.06	15	-15.24	15	-1.55	15	0.07	15
1108	1298	1309	Max	1.77	-3.34	15	-17.19	15	0.79	15	0.88	15	-0.07	15	-0.07	15
1108	1298	1309	Max	10.00	-3.34	15	-16.60	15	-0.60	15	0.88	15	0.00	15	-0.07	15
1108	1298	1309	Min.	1.77	-3.34	15	-17.19	15	0.79	15	0.88	15	-0.07	15	-0.07	15
1108	1298	1309	Min.	10.00	-3.34	15	-16.60	15	-0.60	15	0.88	15	0.00	15	-0.07	15
1108	1309	1318	Max	0.00	-3.34	15	-16.60	15	-0.60	15	0.88	15	0.00	15	-0.07	15
1108	1309	1318	Max	8.23	-3.34	15	-16.02	15	-1.94	15	0.88	15	0.08	15	-0.07	15
1108	1309	1318	Min.	0.00	-3.34	15	-16.60	15	-0.60	15	0.88	15	0.00	15	-0.07	15
1108	1309	1318	Min.	8.23	-3.34	15	-16.02	15	-1.94	15	0.88	15	0.08	15	-0.07	15
1143	1299	1310	Max	1.77	-7.97	15	1.49	15	-0.13	15	-30.19	15	1.64	15	0.13	15
1143	1299	1310	Max	10.00	-7.97	15	1.49	15	-0.01	15	-29.61	15	-0.82	15	0.13	15
1143	1299	1310	Min.	1.77	-7.97	15	1.49	15	-0.13	15	-30.19	15	1.64	15	0.13	15
1143	1299	1310	Min.	10.00	-7.97	15	1.49	15	-0.01	15	-29.61	15	-0.82	15	0.13	15
1143	1310	1319	Max	0.00	-7.97	15	1.49	15	-0.01	15	-29.61	15	-0.82	15	0.13	15
1143	1310	1319	Max	8.23	-7.97	15	1.49	15	0.12	15	-29.02	15	-3.24	15	0.13	15
1143	1310	1319	Min.	0.00	-7.97	15	1.49	15	-0.01	15	-29.61	15	-0.82	15	0.13	15
1143	1310	1319	Min.	8.23	-7.97	15	1.49	15	0.12	15	-29.02	15	-3.24	15	0.13	15
1146	1301	1311	Max	1.77	-4.54	15	-30.48	15	1.69	15	1.54	15	-0.12	15	-0.13	15
1146	1301	1311	Max	10.00	-4.54	15	-29.90	15	-0.79	15	1.54	15	0.01	15	-0.13	15
1146	1301	1311	Min.	1.77	-4.54	15	-30.48	15	1.69	15	1.54	15	-0.12	15	-0.13	15
1146	1301	1311	Min.	10.00	-4.54	15	-29.90	15	-0.79	15	1.54	15	0.01	15	-0.13	15
1146	1311	1321	Max	0.00	-4.54	15	-29.90	15	-0.79	15	1.54	15	0.01	15	-0.13	15
1146	1311	1321	Max	8.23	-4.54	15	-29.31	15	-3.23	15	1.54	15	0.13	15	-0.13	15
1146	1311	1321	Min.	0.00	-4.54	15	-29.90	15	-0.79	15	1.54	15	0.01	15	-0.13	15
1146	1311	1321	Min.	8.23	-4.54	15	-29.31	15	-3.23	15	1.54	15	0.13	15	-0.13	15
1181	1302	1312	Max	1.77	-4.88	15	1.56	15	-0.12	15	-30.56	15	1.71	15	0.13	15
1181	1302	1312	Max	10.00	-4.88	15	1.56	15	0.01	15	-29.97	15	-0.78	15	0.13	15
1181	1302	1312	Min.	1.77	-4.88	15	1.56	15	-0.12	15	-30.56	15	1.71	15	0.13	15
1181	1302	1312	Min.	10.00	-4.88	15	1.56	15	0.01	15	-29.97	15	-0.78	15	0.13	15
1181	1312	1322	Max	0.00	-4.88	15	1.56	15	0.01	15	-29.97	15	-0.78	15	0.13	15
1181	1312	1322	Max	8.23	-4.88	15	1.56	15	0.13	15	-29.39	15	-3.22	15	0.13	15
1181	1312	1322	Min.	0.00	-4.88	15	1.56	15	0.01	15	-29.97	15	-0.78	15	0.13	15
1181	1312	1322	Min.	8.23	-4.88	15	1.56	15	0.13	15	-29.39	15	-3.22	15	0.13	15
1184	1304	1313	Max	1.77	-7.63	15	-30.12	15	1.62	15	1.47	15	-0.13	15	-0.13	15

1184	1304	1313	Max	10.00	-7.63	15	-29.54	15	-0.84	15	1.47	15	-0.01	15	-0.13	15
1184	1304	1313	Min.	1.77	-7.63	15	-30.12	15	1.62	15	1.47	15	-0.13	15	-0.13	15
1184	1304	1313	Min.	10.00	-7.63	15	-29.54	15	-0.84	15	1.47	15	-0.01	15	-0.13	15
1184	1313	1324	Max	0.00	-7.63	15	-29.54	15	-0.84	15	1.47	15	-0.01	15	-0.13	15
1184	1313	1324	Max	8.23	-7.63	15	-28.95	15	-3.24	15	1.47	15	0.11	15	-0.13	15
1184	1313	1324	Min.	0.00	-7.63	15	-29.54	15	-0.84	15	1.47	15	-0.01	15	-0.13	15
1184	1313	1324	Min.	8.23	-7.63	15	-28.95	15	-3.24	15	1.47	15	0.11	15	-0.13	15
1219	1305	1314	Max	1.77	-3.53	15	0.88	15	-0.07	15	-17.13	15	0.79	15	0.07	15
1219	1305	1314	Max	10.00	-3.53	15	0.88	15	0.00	15	-16.55	15	-0.59	15	0.07	15
1219	1305	1314	Min.	1.77	-3.53	15	0.88	15	-0.07	15	-17.13	15	0.79	15	0.07	15
1219	1305	1314	Min.	10.00	-3.53	15	0.88	15	0.00	15	-16.55	15	-0.59	15	0.07	15
1219	1314	1325	Max	0.00	-3.53	15	0.88	15	0.00	15	-16.55	15	-0.59	15	0.07	15
1219	1314	1325	Max	8.23	-3.53	15	0.88	15	0.08	15	-15.96	15	-1.93	15	0.07	15
1219	1314	1325	Min.	0.00	-3.53	15	0.88	15	0.00	15	-16.55	15	-0.59	15	0.07	15
1219	1314	1325	Min.	8.23	-3.53	15	0.88	15	0.08	15	-15.96	15	-1.93	15	0.07	15
1222	1307	1315	Max	1.77	-3.22	15	-16.43	15	1.05	15	0.74	15	-0.07	15	-0.07	15
1222	1307	1315	Max	10.00	-3.22	15	-15.84	15	-0.28	15	0.74	15	-0.00	15	-0.07	15
1222	1307	1315	Min.	1.77	-3.22	15	-16.43	15	1.05	15	0.74	15	-0.07	15	-0.07	15
1222	1307	1315	Min.	10.00	-3.22	15	-15.84	15	-0.28	15	0.74	15	-0.00	15	-0.07	15
1222	1315	1327	Max	0.00	-3.22	15	-15.84	15	-0.28	15	0.74	15	-0.00	15	-0.07	15
1222	1315	1327	Max	8.23	-3.22	15	-15.26	15	-1.56	15	0.74	15	0.06	15	-0.07	15
1222	1315	1327	Min.	0.00	-3.22	15	-15.84	15	-0.28	15	0.74	15	-0.00	15	-0.07	15
1222	1315	1327	Min.	8.23	-3.22	15	-15.26	15	-1.56	15	0.74	15	0.06	15	-0.07	15
1240	319	-5	Max	4.85	0.00	15	0.00	15	0.00	15	0.00	15	0.00	15	0.00	15
1240	319	-5	Min.	4.85	0.00	15	0.00	15	0.00	15	0.00	15	0.00	15	0.00	15
1240	-5	-37	Max	4.85	0.00	15	0.00	15	0.00	15	0.00	15	0.00	15	0.00	15
1240	-5	-37	Min.	4.85	0.00	15	0.00	15	0.00	15	0.00	15	0.00	15	0.00	15
1240	-37	-69	Max	5.01	-190.17	15	-11.89	15	1.20	15	14.88	15	-1.58	15	-0.01	15
1240	-37	-69	Max	16.87	-189.33	15	-11.89	15	-0.21	15	14.89	15	0.18	15	-0.01	15
1240	-37	-69	Min.	5.01	-190.17	15	-11.89	15	1.20	15	14.88	15	-1.58	15	-0.01	15
1240	-37	-69	Min.	16.87	-189.33	15	-11.89	15	-0.21	15	14.89	15	0.18	15	-0.01	15
1240	-69	-101	Max	2.51	-169.68	15	-11.19	15	0.84	15	12.96	15	-1.04	15	-0.00	15
1240	-69	-101	Max	16.87	-168.66	15	-11.19	15	-0.76	15	12.99	15	0.82	15	-0.00	15
1240	-69	-101	Min.	2.51	-169.68	15	-11.19	15	0.84	15	12.96	15	-1.04	15	-0.00	15
1240	-69	-101	Min.	16.87	-168.66	15	-11.19	15	-0.76	15	12.99	15	0.82	15	-0.00	15
1240	-101	-133	Max	2.51	-143.68	15	-11.50	15	0.73	15	13.43	15	-0.93	15	0.00	15
1240	-101	-133	Max	16.87	-142.66	15	-11.50	15	-0.92	15	13.45	15	1.00	15	0.00	15
1240	-101	-133	Min.	2.51	-143.68	15	-11.50	15	0.73	15	13.43	15	-0.93	15	0.00	15
1240	-101	-133	Min.	16.87	-142.66	15	-11.50	15	-0.92	15	13.45	15	1.00	15	0.00	15
1240	-133	-165	Max	2.51	-115.58	15	-11.77	15	0.70	15	13.72	15	-0.89	15	0.00	15
1240	-133	-165	Max	16.87	-114.56	15	-11.77	15	-0.99	15	13.75	15	1.08	15	0.00	15
1240	-133	-165	Min.	2.51	-115.58	15	-11.77	15	0.70	15	13.72	15	-0.89	15	0.00	15
1240	-133	-165	Min.	16.87	-114.56	15	-11.77	15	-0.99	15	13.75	15	1.08	15	0.00	15
1240	-165	-197	Max	2.51	-86.10	15	-12.05	15	0.68	15	14.03	15	-0.87	15	0.00	15
1240	-165	-197	Max	16.87	-85.07	15	-12.05	15	-1.05	15	14.06	15	1.14	15	0.00	15
1240	-165	-197	Min.	2.51	-86.10	15	-12.05	15	0.68	15	14.03	15	-0.87	15	0.00	15
1240	-165	-197	Min.	16.87	-85.07	15	-12.05	15	-1.05	15	14.06	15	1.14	15	0.00	15
1240	-197	-229	Max	2.51	-55.31	15	-12.33	15	0.67	15	14.36	15	-0.86	15	0.00	15
1240	-197	-229	Max	16.87	-54.29	15	-12.33	15	-1.10	15	14.39	15	1.20	15	0.00	15
1240	-197	-229	Min.	2.51	-55.31	15	-12.33	15	0.67	15	14.36	15	-0.86	15	0.00	15
1240	-197	-229	Min.	16.87	-54.29	15	-12.33	15	-1.10	15	14.39	15	1.20	15	0.00	15
1240	-229	-261	Max	2.51	-23.17	15	-12.64	15	0.66	15	14.70	15	-0.85	15	0.00	15
1240	-229	-261	Max	16.87	-22.14	15	-12.64	15	-1.16	15	14.73	15	1.27	15	0.00	15
1240	-229	-261	Min.	2.51	-23.17	15	-12.64	15	0.66	15	14.70	15	-0.85	15	0.00	15
1240	-229	-261	Min.	16.87	-22.14	15	-12.64	15	-1.16	15	14.73	15	1.27	15	0.00	15
1240	-261	-293	Max	2.51	10.42	15	-12.96	15	0.64	15	15.07	15	-0.83	15	0.00	15
1240	-261	-293	Max	16.87	11.44	15	-12.96	15	-1.22	15	15.09	15	1.34	15	0.00	15
1240	-261	-293	Min.	2.51	10.42	15	-12.96	15	0.64	15	15.07	15	-0.83	15	0.00	15
1240	-261	-293	Min.	16.87	11.44	15	-12.96	15	-1.22	15	15.09	15	1.34	15	0.00	15

1240	-293	-325	Max	2.51	45.55	15	-13.30	15	0.62	15	15.45	15	-0.81	15	0.00	15
1240	-293	-325	Max	16.87	46.57	15	-13.30	15	-1.29	15	15.47	15	1.41	15	0.00	15
1240	-293	-325	Min.	2.51	45.55	15	-13.30	15	0.62	15	15.45	15	-0.81	15	0.00	15
1240	-293	-325	Min.	16.87	46.57	15	-13.30	15	-1.29	15	15.47	15	1.41	15	0.00	15
1240	-325	-357	Max	2.51	82.35	15	-13.65	15	0.60	15	15.85	15	-0.78	15	0.00	15
1240	-325	-357	Max	16.87	83.37	15	-13.65	15	-1.36	15	15.87	15	1.50	15	0.00	15
1240	-325	-357	Min.	2.51	82.35	15	-13.65	15	0.60	15	15.85	15	-0.78	15	0.00	15
1240	-325	-357	Min.	16.87	83.37	15	-13.65	15	-1.36	15	15.87	15	1.50	15	0.00	15
1240	-357	-389	Max	2.51	120.94	15	-14.03	15	0.58	15	16.27	15	-0.76	15	0.00	15
1240	-357	-389	Max	16.87	121.96	15	-14.03	15	-1.44	15	16.30	15	1.58	15	0.00	15
1240	-357	-389	Min.	2.51	120.94	15	-14.03	15	0.58	15	16.27	15	-0.76	15	0.00	15
1240	-357	-389	Min.	16.87	121.96	15	-14.03	15	-1.44	15	16.30	15	1.58	15	0.00	15
1240	-389	-421	Max	2.51	161.46	15	-14.33	15	0.55	15	16.73	15	-0.72	15	0.00	15
1240	-389	-421	Max	16.87	162.48	15	-14.33	15	-1.51	15	16.75	15	1.68	15	0.00	15
1240	-389	-421	Min.	2.51	161.46	15	-14.33	15	0.55	15	16.73	15	-0.72	15	0.00	15
1240	-389	-421	Min.	16.87	162.48	15	-14.33	15	-1.51	15	16.75	15	1.68	15	0.00	15
1240	-421	-453	Max	2.51	203.99	15	-15.45	15	0.51	15	17.10	15	-0.68	15	0.00	15
1240	-421	-453	Max	16.87	205.01	15	-15.45	15	-1.71	15	17.12	15	1.78	15	0.00	15
1240	-421	-453	Min.	2.51	203.99	15	-15.45	15	0.51	15	17.10	15	-0.68	15	0.00	15
1240	-421	-453	Min.	16.87	205.01	15	-15.45	15	-1.71	15	17.12	15	1.78	15	0.00	15
1240	-453	-485	Max	2.51	248.04	15	-11.02	15	0.39	15	18.39	15	-0.57	15	0.01	15
1240	-453	-485	Max	16.87	249.06	15	-11.02	15	-1.19	15	18.41	15	2.07	15	0.01	15
1240	-453	-485	Min.	2.51	248.04	15	-11.02	15	0.39	15	18.39	15	-0.57	15	0.01	15
1240	-453	-485	Min.	16.87	249.06	15	-11.02	15	-1.19	15	18.41	15	2.07	15	0.01	15
1240	-485	1302	Max	2.51	290.42	15	-39.55	15	0.40	15	13.43	15	-0.09	15	0.01	15
1240	-485	1302	Max	14.38	291.26	15	-39.55	15	-4.29	15	13.45	15	1.51	15	0.01	15
1240	-485	1302	Min.	2.51	290.42	15	-39.55	15	0.40	15	13.43	15	-0.09	15	0.01	15
1240	-485	1302	Min.	14.38	291.26	15	-39.55	15	-4.29	15	13.45	15	1.51	15	0.01	15
1241	340	-11	Max	4.85	0.00	15	0.00	15	0.00	15	0.00	15	0.00	15	0.00	15
1241	340	-11	Min.	4.85	0.00	15	0.00	15	0.00	15	0.00	15	0.00	15	0.00	15
1241	-11	-43	Max	4.85	0.00	15	0.00	15	0.00	15	0.00	15	0.00	15	0.00	15
1241	-11	-43	Min.	4.85	0.00	15	0.00	15	0.00	15	0.00	15	0.00	15	0.00	15
1241	-43	-75	Max	5.01	-180.94	15	-9.74	15	0.96	15	-10.56	15	1.10	15	-0.01	15
1241	-43	-75	Max	16.87	-180.09	15	-9.74	15	-0.20	15	-10.54	15	-0.15	15	-0.01	15
1241	-43	-75	Min.	5.01	-180.94	15	-9.74	15	0.96	15	-10.56	15	1.10	15	-0.01	15
1241	-43	-75	Min.	16.87	-180.09	15	-9.74	15	-0.20	15	-10.54	15	-0.15	15	-0.01	15
1241	-75	-107	Max	2.51	-196.67	15	-10.44	15	0.79	15	-12.56	15	1.04	15	-0.00	15
1241	-75	-107	Max	16.87	-195.65	15	-10.44	15	-0.71	15	-12.53	15	-0.76	15	-0.00	15
1241	-75	-107	Min.	2.51	-196.67	15	-10.44	15	0.79	15	-12.56	15	1.04	15	-0.00	15
1241	-75	-107	Min.	16.87	-195.65	15	-10.44	15	-0.71	15	-12.53	15	-0.76	15	-0.00	15
1241	-107	-139	Max	2.51	-217.69	15	-10.60	15	0.67	15	-12.63	15	0.87	15	-0.00	15
1241	-107	-139	Max	16.87	-216.67	15	-10.60	15	-0.86	15	-12.61	15	-0.94	15	-0.00	15
1241	-107	-139	Min.	2.51	-217.69	15	-10.60	15	0.67	15	-12.63	15	0.87	15	-0.00	15
1241	-107	-139	Min.	16.87	-216.67	15	-10.60	15	-0.86	15	-12.61	15	-0.94	15	-0.00	15
1241	-139	-171	Max	2.51	-240.84	15	-10.83	15	0.63	15	-12.94	15	0.84	15	-0.00	15
1241	-139	-171	Max	16.87	-239.82	15	-10.83	15	-0.92	15	-12.92	15	-1.02	15	-0.00	15
1241	-139	-171	Min.	2.51	-240.84	15	-10.83	15	0.63	15	-12.94	15	0.84	15	-0.00	15
1241	-139	-171	Min.	16.87	-239.82	15	-10.83	15	-0.92	15	-12.92	15	-1.02	15	-0.00	15
1241	-171	-203	Max	2.51	-265.44	15	-11.07	15	0.61	15	-13.25	15	0.82	15	0.00	15
1241	-171	-203	Max	16.87	-264.42	15	-11.07	15	-0.98	15	-13.23	15	-1.08	15	0.00	15
1241	-171	-203	Min.	2.51	-265.44	15	-11.07	15	0.61	15	-13.25	15	0.82	15	0.00	15
1241	-171	-203	Min.	16.87	-264.42	15	-11.07	15	-0.98	15	-13.23	15	-1.08	15	0.00	15
1241	-203	-235	Max	2.51	-291.39	15	-11.32	15	0.60	15	-13.58	15	0.80	15	0.00	15
1241	-203	-235	Max	16.87	-290.37	15	-11.32	15	-1.03	15	-13.56	15	-1.15	15	0.00	15
1241	-203	-235	Min.	2.51	-291.39	15	-11.32	15	0.60	15	-13.58	15	0.80	15	0.00	15
1241	-203	-235	Min.	16.87	-290.37	15	-11.32	15	-1.03	15	-13.56	15	-1.15	15	0.00	15
1241	-235	-267	Max	2.51	-318.73	15	-11.60	15	0.58	15	-13.90	15	0.79	15	0.00	15
1241	-235	-267	Max	16.87	-317.71	15	-11.60	15	-1.08	15	-13.88	15	-1.21	15	0.00	15
1241	-235	-267	Min.	2.51	-318.73	15	-11.60	15	0.58	15	-13.90	15	0.79	15	0.00	15

1241	-235	-267	Min.	16.87	-317.71	15	-11.60	15	-1.08	15	-13.88	15	-1.21	15	0.00	15
1241	-267	-299	Max	2.51	-347.56	15	-11.87	15	0.56	15	-14.27	15	0.77	15	-0.00	15
1241	-267	-299	Max	16.87	-346.54	15	-11.87	15	-1.14	15	-14.25	15	-1.28	15	-0.00	15
1241	-267	-299	Min.	2.51	-347.56	15	-11.87	15	0.56	15	-14.27	15	0.77	15	-0.00	15
1241	-267	-299	Min.	16.87	-346.54	15	-11.87	15	-1.14	15	-14.25	15	-1.28	15	-0.00	15
1241	-299	-331	Max	2.51	-377.99	15	-12.18	15	0.55	15	-14.63	15	0.75	15	-0.00	15
1241	-299	-331	Max	16.87	-376.96	15	-12.18	15	-1.20	15	-14.60	15	-1.35	15	-0.00	15
1241	-299	-331	Min.	2.51	-377.99	15	-12.18	15	0.55	15	-14.63	15	0.75	15	-0.00	15
1241	-299	-331	Min.	16.87	-376.96	15	-12.18	15	-1.20	15	-14.60	15	-1.35	15	-0.00	15
1241	-331	-363	Max	2.51	-410.12	15	-12.48	15	0.52	15	-15.03	15	0.72	15	-0.00	15
1241	-331	-363	Max	16.87	-409.10	15	-12.48	15	-1.27	15	-15.01	15	-1.43	15	-0.00	15
1241	-331	-363	Min.	2.51	-410.12	15	-12.48	15	0.52	15	-15.03	15	0.72	15	-0.00	15
1241	-331	-363	Min.	16.87	-409.10	15	-12.48	15	-1.27	15	-15.01	15	-1.43	15	-0.00	15
1241	-363	-395	Max	2.51	-444.10	15	-12.82	15	0.49	15	-15.41	15	0.70	15	-0.00	15
1241	-363	-395	Max	16.87	-443.08	15	-12.82	15	-1.35	15	-15.39	15	-1.52	15	-0.00	15
1241	-363	-395	Min.	2.51	-444.10	15	-12.82	15	0.49	15	-15.41	15	0.70	15	-0.00	15
1241	-363	-395	Min.	16.87	-443.08	15	-12.82	15	-1.35	15	-15.39	15	-1.52	15	-0.00	15
1241	-395	-427	Max	2.51	-480.06	15	-13.05	15	0.46	15	-16.04	15	0.66	15	-0.00	15
1241	-395	-427	Max	16.87	-479.04	15	-13.05	15	-1.42	15	-16.02	15	-1.64	15	-0.00	15
1241	-395	-427	Min.	2.51	-480.06	15	-13.05	15	0.46	15	-16.04	15	0.66	15	-0.00	15
1241	-395	-427	Min.	16.87	-479.04	15	-13.05	15	-1.42	15	-16.02	15	-1.64	15	-0.00	15
1241	-427	-459	Max	2.51	-518.09	15	-14.15	15	0.42	15	-15.13	15	0.61	15	0.00	15
1241	-427	-459	Max	16.87	-517.07	15	-14.15	15	-1.61	15	-15.11	15	-1.57	15	0.00	15
1241	-427	-459	Min.	2.51	-518.09	15	-14.15	15	0.42	15	-15.13	15	0.61	15	0.00	15
1241	-427	-459	Min.	16.87	-517.07	15	-14.15	15	-1.61	15	-15.11	15	-1.57	15	0.00	15
1241	-459	-491	Max	2.51	-557.59	15	-9.62	15	0.29	15	-24.75	15	0.58	15	0.00	15
1241	-459	-491	Max	16.87	-556.57	15	-9.62	15	-1.10	15	-24.73	15	-2.97	15	0.00	15
1241	-459	-491	Min.	2.51	-557.59	15	-9.62	15	0.29	15	-24.75	15	0.58	15	0.00	15
1241	-459	-491	Min.	16.87	-556.57	15	-9.62	15	-1.10	15	-24.73	15	-2.97	15	0.00	15
1241	-491	1319	Max	2.51	-596.39	15	-38.62	15	0.34	15	27.28	15	-0.56	15	0.00	15
1241	-491	1319	Max	14.38	-595.55	15	-38.62	15	-4.24	15	27.30	15	2.68	15	0.00	15
1241	-491	1319	Min.	2.51	-596.39	15	-38.62	15	0.34	15	27.28	15	-0.56	15	0.00	15
1241	-491	1319	Min.	14.38	-595.55	15	-38.62	15	-4.24	15	27.30	15	2.68	15	0.00	15
1242	316	-3	Max	4.85	0.00	15	0.00	15	0.00	15	0.00	15	0.00	15	0.00	15
1242	316	-3	Min.	4.85	0.00	15	0.00	15	0.00	15	0.00	15	0.00	15	0.00	15
1242	-3	-35	Max	4.85	0.00	15	0.00	15	0.00	15	0.00	15	0.00	15	0.00	15
1242	-3	-35	Min.	4.85	0.00	15	0.00	15	0.00	15	0.00	15	0.00	15	0.00	15
1242	-35	-67	Max	5.01	-130.60	15	-13.06	15	1.38	15	12.64	15	-1.28	15	-0.01	15
1242	-35	-67	Max	16.87	-129.76	15	-13.06	15	-0.17	15	12.65	15	0.23	15	-0.01	15
1242	-35	-67	Min.	5.01	-130.60	15	-13.06	15	1.38	15	12.64	15	-1.28	15	-0.01	15
1242	-35	-67	Min.	16.87	-129.76	15	-13.06	15	-0.17	15	12.65	15	0.23	15	-0.01	15
1242	-67	-99	Max	2.51	-112.92	15	-12.72	15	1.03	15	11.03	15	-0.82	15	-0.01	15
1242	-67	-99	Max	16.87	-111.90	15	-12.72	15	-0.80	15	11.05	15	0.77	15	-0.01	15
1242	-67	-99	Min.	2.51	-112.92	15	-12.72	15	1.03	15	11.03	15	-0.82	15	-0.01	15
1242	-67	-99	Min.	16.87	-111.90	15	-12.72	15	-0.80	15	11.05	15	0.77	15	-0.01	15
1242	-99	-131	Max	2.51	-90.56	15	-13.04	15	0.90	15	11.46	15	-0.73	15	-0.00	15
1242	-99	-131	Max	16.87	-89.54	15	-13.04	15	-0.97	15	11.48	15	0.92	15	-0.00	15
1242	-99	-131	Min.	2.51	-90.56	15	-13.04	15	0.90	15	11.46	15	-0.73	15	-0.00	15
1242	-99	-131	Min.	16.87	-89.54	15	-13.04	15	-0.97	15	11.48	15	0.92	15	-0.00	15
1242	-131	-163	Max	2.51	-66.44	15	-13.34	15	0.86	15	11.70	15	-0.70	15	-0.00	15
1242	-131	-163	Max	16.87	-65.42	15	-13.34	15	-1.05	15	11.72	15	0.99	15	-0.00	15
1242	-131	-163	Min.	2.51	-66.44	15	-13.34	15	0.86	15	11.70	15	-0.70	15	-0.00	15
1242	-131	-163	Min.	16.87	-65.42	15	-13.34	15	-1.05	15	11.72	15	0.99	15	-0.00	15
1242	-163	-195	Max	2.51	-41.14	15	-13.66	15	0.85	15	11.96	15	-0.68	15	0.00	15
1242	-163	-195	Max	16.87	-40.12	15	-13.66	15	-1.11	15	11.98	15	1.04	15	0.00	15
1242	-163	-195	Min.	2.51	-41.14	15	-13.66	15	0.85	15	11.96	15	-0.68	15	0.00	15
1242	-163	-195	Min.	16.87	-40.12	15	-13.66	15	-1.11	15	11.98	15	1.04	15	0.00	15
1242	-195	-227	Max	2.51	-14.75	15	-13.98	15	0.83	15	12.24	15	-0.67	15	0.00	15
1242	-195	-227	Max	16.87	-13.73	15	-13.98	15	-1.18	15	12.26	15	1.09	15	0.00	15

1242	-195	-227	Min.	2.51	-14.75	15	-13.98	15	0.83	15	12.24	15	-0.67	15	0.00	15
1242	-195	-227	Min.	16.87	-13.73	15	-13.98	15	-1.18	15	12.26	15	1.09	15	0.00	15
1242	-227	-259	Max	2.51	12.77	15	-14.33	15	0.82	15	12.53	15	-0.65	15	0.00	15
1242	-227	-259	Max	16.87	13.79	15	-14.33	15	-1.24	15	12.56	15	1.15	15	0.00	15
1242	-227	-259	Min.	2.51	12.77	15	-14.33	15	0.82	15	12.53	15	-0.65	15	0.00	15
1242	-227	-259	Min.	16.87	13.79	15	-14.33	15	-1.24	15	12.56	15	1.15	15	0.00	15
1242	-259	-291	Max	2.51	41.51	15	-14.69	15	0.80	15	12.84	15	-0.64	15	0.00	15
1242	-259	-291	Max	16.87	42.53	15	-14.69	15	-1.31	15	12.87	15	1.21	15	0.00	15
1242	-259	-291	Min.	2.51	41.51	15	-14.69	15	0.80	15	12.84	15	-0.64	15	0.00	15
1242	-259	-291	Min.	16.87	42.53	15	-14.69	15	-1.31	15	12.87	15	1.21	15	0.00	15
1242	-291	-323	Max	2.51	71.55	15	-15.07	15	0.78	15	13.16	15	-0.62	15	0.00	15
1242	-291	-323	Max	16.87	72.57	15	-15.07	15	-1.38	15	13.19	15	1.28	15	0.00	15
1242	-291	-323	Min.	2.51	71.55	15	-15.07	15	0.78	15	13.16	15	-0.62	15	0.00	15
1242	-291	-323	Min.	16.87	72.57	15	-15.07	15	-1.38	15	13.19	15	1.28	15	0.00	15
1242	-323	-355	Max	2.51	102.99	15	-15.47	15	0.76	15	13.51	15	-0.59	15	-0.00	15
1242	-323	-355	Max	16.87	104.01	15	-15.47	15	-1.47	15	13.53	15	1.35	15	-0.00	15
1242	-323	-355	Min.	2.51	102.99	15	-15.47	15	0.76	15	13.51	15	-0.59	15	-0.00	15
1242	-323	-355	Min.	16.87	104.01	15	-15.47	15	-1.47	15	13.53	15	1.35	15	-0.00	15
1242	-355	-387	Max	2.51	135.94	15	-15.90	15	0.73	15	13.87	15	-0.57	15	-0.00	15
1242	-355	-387	Max	16.87	136.96	15	-15.90	15	-1.56	15	13.89	15	1.42	15	-0.00	15
1242	-355	-387	Min.	2.51	135.94	15	-15.90	15	0.73	15	13.87	15	-0.57	15	-0.00	15
1242	-355	-387	Min.	16.87	136.96	15	-15.90	15	-1.56	15	13.89	15	1.42	15	-0.00	15
1242	-387	-419	Max	2.51	170.52	15	-16.24	15	0.69	15	14.26	15	-0.54	15	-0.00	15
1242	-387	-419	Max	16.87	171.54	15	-16.24	15	-1.64	15	14.29	15	1.51	15	-0.00	15
1242	-387	-419	Min.	2.51	170.52	15	-16.24	15	0.69	15	14.26	15	-0.54	15	-0.00	15
1242	-387	-419	Min.	16.87	171.54	15	-16.24	15	-1.64	15	14.29	15	1.51	15	-0.00	15
1242	-419	-451	Max	2.51	206.79	15	-17.44	15	0.65	15	14.56	15	-0.50	15	0.00	15
1242	-419	-451	Max	16.87	207.81	15	-17.44	15	-1.85	15	14.58	15	1.60	15	0.00	15
1242	-419	-451	Min.	2.51	206.79	15	-17.44	15	0.65	15	14.56	15	-0.50	15	0.00	15
1242	-419	-451	Min.	16.87	207.81	15	-17.44	15	-1.85	15	14.58	15	1.60	15	0.00	15
1242	-451	-483	Max	2.51	244.36	15	-12.97	15	0.51	15	15.69	15	-0.41	15	0.00	15
1242	-451	-483	Max	16.87	245.38	15	-12.97	15	-1.35	15	15.71	15	1.84	15	0.00	15
1242	-451	-483	Min.	2.51	244.36	15	-12.97	15	0.51	15	15.69	15	-0.41	15	0.00	15
1242	-451	-483	Min.	16.87	245.38	15	-12.97	15	-1.35	15	15.71	15	1.84	15	0.00	15
1242	-483	1299	Max	2.51	280.79	15	-42.15	15	0.46	15	11.21	15	-0.02	15	0.00	15
1242	-483	1299	Max	14.38	281.63	15	-42.15	15	-4.54	15	11.23	15	1.32	15	0.00	15
1242	-483	1299	Min.	2.51	280.79	15	-42.15	15	0.46	15	11.21	15	-0.02	15	0.00	15
1242	-483	1299	Min.	14.38	281.63	15	-42.15	15	-4.54	15	11.23	15	1.32	15	0.00	15
1243	322	-7	Max	4.85	0.00	15	0.00	15	0.00	15	0.00	15	0.00	15	0.00	15
1243	322	-7	Min.	4.85	0.00	15	0.00	15	0.00	15	0.00	15	0.00	15	0.00	15
1243	-7	-39	Max	4.85	0.00	15	0.00	15	0.00	15	0.00	15	0.00	15	0.00	15
1243	-7	-39	Min.	4.85	0.00	15	0.00	15	0.00	15	0.00	15	0.00	15	0.00	15
1243	-39	-71	Max	5.01	-182.44	15	-5.82	15	0.49	15	9.77	15	-1.12	15	-0.00	15
1243	-39	-71	Max	16.87	-181.60	15	-5.82	15	-0.20	15	9.79	15	0.04	15	-0.00	15
1243	-39	-71	Min.	5.01	-182.44	15	-5.82	15	0.49	15	9.77	15	-1.12	15	-0.00	15
1243	-39	-71	Min.	16.87	-181.60	15	-5.82	15	-0.20	15	9.79	15	0.04	15	-0.00	15
1243	-71	-103	Max	2.51	-168.78	15	-4.86	15	0.25	15	8.11	15	-0.72	15	0.00	15
1243	-71	-103	Max	16.87	-167.76	15	-4.86	15	-0.45	15	8.14	15	0.45	15	0.00	15
1243	-71	-103	Min.	2.51	-168.78	15	-4.86	15	0.25	15	8.11	15	-0.72	15	0.00	15
1243	-71	-103	Min.	16.87	-167.76	15	-4.86	15	-0.45	15	8.14	15	0.45	15	0.00	15
1243	-103	-135	Max	2.51	-151.60	15	-5.03	15	0.21	15	8.42	15	-0.65	15	0.00	15
1243	-103	-135	Max	16.87	-150.57	15	-5.03	15	-0.52	15	8.45	15	0.56	15	0.00	15
1243	-103	-135	Min.	2.51	-151.60	15	-5.03	15	0.21	15	8.42	15	-0.65	15	0.00	15
1243	-103	-135	Min.	16.87	-150.57	15	-5.03	15	-0.52	15	8.45	15	0.56	15	0.00	15
1243	-135	-167	Max	2.51	-133.10	15	-5.15	15	0.19	15	8.60	15	-0.63	15	0.00	15
1243	-135	-167	Max	16.87	-132.08	15	-5.15	15	-0.55	15	8.62	15	0.61	15	0.00	15
1243	-135	-167	Min.	2.51	-133.10	15	-5.15	15	0.19	15	8.60	15	-0.63	15	0.00	15
1243	-135	-167	Min.	16.87	-132.08	15	-5.15	15	-0.55	15	8.62	15	0.61	15	0.00	15
1243	-167	-199	Max	2.51	-113.74	15	-5.27	15	0.18	15	8.79	15	-0.62	15	0.00	15

1243	-167	-199	Max	16.87	-112.72	15	-5.27	15	-0.58	15	8.81	15	0.64	15	0.00	15
1243	-167	-199	Min.	2.51	-113.74	15	-5.27	15	0.18	15	8.79	15	-0.62	15	0.00	15
1243	-167	-199	Min.	16.87	-112.72	15	-5.27	15	-0.58	15	8.81	15	0.64	15	0.00	15
1243	-199	-231	Max	2.51	-93.58	15	-5.40	15	0.17	15	8.99	15	-0.61	15	0.00	15
1243	-199	-231	Max	16.87	-92.56	15	-5.40	15	-0.60	15	9.01	15	0.68	15	0.00	15
1243	-199	-231	Min.	2.51	-93.58	15	-5.40	15	0.17	15	8.99	15	-0.61	15	0.00	15
1243	-199	-231	Min.	16.87	-92.56	15	-5.40	15	-0.60	15	9.01	15	0.68	15	0.00	15
1243	-231	-263	Max	2.51	-72.57	15	-5.53	15	0.17	15	9.20	15	-0.61	15	0.00	15
1243	-231	-263	Max	16.87	-71.55	15	-5.53	15	-0.63	15	9.22	15	0.72	15	0.00	15
1243	-231	-263	Min.	2.51	-72.57	15	-5.53	15	0.17	15	9.20	15	-0.61	15	0.00	15
1243	-231	-263	Min.	16.87	-71.55	15	-5.53	15	-0.63	15	9.22	15	0.72	15	0.00	15
1243	-263	-295	Max	2.51	-50.67	15	-5.68	15	0.16	15	9.42	15	-0.60	15	0.00	15
1243	-263	-295	Max	16.87	-49.65	15	-5.68	15	-0.66	15	9.44	15	0.76	15	0.00	15
1243	-263	-295	Min.	2.51	-50.67	15	-5.68	15	0.16	15	9.42	15	-0.60	15	0.00	15
1243	-263	-295	Min.	16.87	-49.65	15	-5.68	15	-0.66	15	9.44	15	0.76	15	0.00	15
1243	-295	-327	Max	2.51	-27.82	15	-5.82	15	0.15	15	9.65	15	-0.58	15	0.00	15
1243	-295	-327	Max	16.87	-26.80	15	-5.82	15	-0.69	15	9.68	15	0.80	15	0.00	15
1243	-295	-327	Min.	2.51	-27.82	15	-5.82	15	0.15	15	9.65	15	-0.58	15	0.00	15
1243	-295	-327	Min.	16.87	-26.80	15	-5.82	15	-0.69	15	9.68	15	0.80	15	0.00	15
1243	-327	-359	Max	2.51	-3.92	15	-5.98	15	0.14	15	9.90	15	-0.57	15	0.00	15
1243	-327	-359	Max	16.87	-2.90	15	-5.98	15	-0.72	15	9.92	15	0.85	15	0.00	15
1243	-327	-359	Min.	2.51	-3.92	15	-5.98	15	0.14	15	9.90	15	-0.57	15	0.00	15
1243	-327	-359	Min.	16.87	-2.90	15	-5.98	15	-0.72	15	9.92	15	0.85	15	0.00	15
1243	-359	-391	Max	2.51	21.09	15	-6.15	15	0.12	15	10.16	15	-0.56	15	0.00	15
1243	-359	-391	Max	16.87	22.11	15	-6.15	15	-0.76	15	10.18	15	0.90	15	0.00	15
1243	-359	-391	Min.	2.51	21.09	15	-6.15	15	0.12	15	10.16	15	-0.56	15	0.00	15
1243	-359	-391	Min.	16.87	22.11	15	-6.15	15	-0.76	15	10.18	15	0.90	15	0.00	15
1243	-391	-423	Max	2.51	47.30	15	-6.26	15	0.11	15	10.44	15	-0.54	15	0.00	15
1243	-391	-423	Max	16.87	48.32	15	-6.26	15	-0.79	15	10.46	15	0.96	15	0.00	15
1243	-391	-423	Min.	2.51	47.30	15	-6.26	15	0.11	15	10.44	15	-0.54	15	0.00	15
1243	-391	-423	Min.	16.87	48.32	15	-6.26	15	-0.79	15	10.46	15	0.96	15	0.00	15
1243	-423	-455	Max	2.51	74.75	15	-6.91	15	0.09	15	10.71	15	-0.51	15	0.00	15
1243	-423	-455	Max	16.87	75.77	15	-6.91	15	-0.90	15	10.73	15	1.03	15	0.00	15
1243	-423	-455	Min.	2.51	74.75	15	-6.91	15	0.09	15	10.71	15	-0.51	15	0.00	15
1243	-423	-455	Min.	16.87	75.77	15	-6.91	15	-0.90	15	10.73	15	1.03	15	0.00	15
1243	-455	-487	Max	2.51	103.11	15	-3.89	15	0.03	15	11.15	15	-0.44	15	0.00	15
1243	-455	-487	Max	16.87	104.13	15	-3.89	15	-0.53	15	11.17	15	1.16	15	0.00	15
1243	-455	-487	Min.	2.51	103.11	15	-3.89	15	0.03	15	11.15	15	-0.44	15	0.00	15
1243	-455	-487	Min.	16.87	104.13	15	-3.89	15	-0.53	15	11.17	15	1.16	15	0.00	15
1243	-487	1305	Max	2.51	130.12	15	-22.58	15	0.16	15	10.20	15	-0.15	15	0.00	15
1243	-487	1305	Max	14.38	130.96	15	-22.58	15	-2.53	15	10.22	15	1.06	15	0.00	15
1243	-487	1305	Min.	2.51	130.12	15	-22.58	15	0.16	15	10.20	15	-0.15	15	0.00	15
1243	-487	1305	Min.	14.38	130.96	15	-22.58	15	-2.53	15	10.22	15	1.06	15	0.00	15
1244	313	-1	Max	4.85	0.00	15	0.00	15	0.00	15	0.00	15	0.00	15	0.00	15
1244	313	-1	Min.	4.85	0.00	15	0.00	15	0.00	15	0.00	15	0.00	15	0.00	15
1244	-1	-33	Max	4.85	0.00	15	0.00	15	0.00	15	0.00	15	0.00	15	0.00	15
1244	-1	-33	Min.	4.85	0.00	15	0.00	15	0.00	15	0.00	15	0.00	15	0.00	15
1244	-33	-65	Max	5.01	14.95	15	-7.42	15	0.85	15	5.24	15	-0.41	15	-0.01	15
1244	-33	-65	Max	16.87	15.79	15	-7.42	15	-0.03	15	5.26	15	0.22	15	-0.01	15
1244	-33	-65	Min.	5.01	14.95	15	-7.42	15	0.85	15	5.24	15	-0.41	15	-0.01	15
1244	-33	-65	Min.	16.87	15.79	15	-7.42	15	-0.03	15	5.26	15	0.22	15	-0.01	15
1244	-65	-97	Max	2.51	23.48	15	-7.59	15	0.69	15	4.62	15	-0.23	15	-0.00	15
1244	-65	-97	Max	16.87	24.50	15	-7.59	15	-0.40	15	4.65	15	0.44	15	-0.00	15
1244	-65	-97	Min.	2.51	23.48	15	-7.59	15	0.69	15	4.62	15	-0.23	15	-0.00	15
1244	-65	-97	Min.	16.87	24.50	15	-7.59	15	-0.40	15	4.65	15	0.44	15	-0.00	15
1244	-97	-129	Max	2.51	34.00	15	-7.76	15	0.61	15	4.82	15	-0.19	15	-0.00	15
1244	-97	-129	Max	16.87	35.02	15	-7.76	15	-0.51	15	4.84	15	0.50	15	-0.00	15
1244	-97	-129	Min.	2.51	34.00	15	-7.76	15	0.61	15	4.82	15	-0.19	15	-0.00	15
1244	-97	-129	Min.	16.87	35.02	15	-7.76	15	-0.51	15	4.84	15	0.50	15	-0.00	15

1244	-129	-161	Max	2.51	45.23	15	-7.94	15	0.58	15	4.91	15	-0.17	15	-0.00	15
1244	-129	-161	Max	16.87	46.25	15	-7.94	15	-0.56	15	4.93	15	0.53	15	-0.00	15
1244	-129	-161	Min.	2.51	45.23	15	-7.94	15	0.58	15	4.91	15	-0.17	15	-0.00	15
1244	-129	-161	Min.	16.87	46.25	15	-7.94	15	-0.56	15	4.93	15	0.53	15	-0.00	15
1244	-161	-193	Max	2.51	56.91	15	-8.12	15	0.57	15	5.01	15	-0.16	15	-0.00	15
1244	-161	-193	Max	16.87	57.93	15	-8.12	15	-0.59	15	5.04	15	0.56	15	-0.00	15
1244	-161	-193	Min.	2.51	56.91	15	-8.12	15	0.57	15	5.01	15	-0.16	15	-0.00	15
1244	-161	-193	Min.	16.87	57.93	15	-8.12	15	-0.59	15	5.04	15	0.56	15	-0.00	15
1244	-193	-225	Max	2.51	69.02	15	-8.32	15	0.57	15	5.12	15	-0.16	15	-0.00	15
1244	-193	-225	Max	16.87	70.04	15	-8.32	15	-0.63	15	5.15	15	0.58	15	-0.00	15
1244	-193	-225	Min.	2.51	69.02	15	-8.32	15	0.57	15	5.12	15	-0.16	15	-0.00	15
1244	-193	-225	Min.	16.87	70.04	15	-8.32	15	-0.63	15	5.15	15	0.58	15	-0.00	15
1244	-225	-257	Max	2.51	81.58	15	-8.52	15	0.56	15	5.24	15	-0.15	15	-0.00	15
1244	-225	-257	Max	16.87	82.60	15	-8.52	15	-0.67	15	5.26	15	0.61	15	-0.00	15
1244	-225	-257	Min.	2.51	81.58	15	-8.52	15	0.56	15	5.24	15	-0.15	15	-0.00	15
1244	-225	-257	Min.	16.87	82.60	15	-8.52	15	-0.67	15	5.26	15	0.61	15	-0.00	15
1244	-257	-289	Max	2.51	94.61	15	-8.73	15	0.55	15	5.36	15	-0.14	15	-0.00	15
1244	-257	-289	Max	16.87	95.63	15	-8.73	15	-0.71	15	5.39	15	0.64	15	-0.00	15
1244	-257	-289	Min.	2.51	94.61	15	-8.73	15	0.55	15	5.36	15	-0.14	15	-0.00	15
1244	-257	-289	Min.	16.87	95.63	15	-8.73	15	-0.71	15	5.39	15	0.64	15	-0.00	15
1244	-289	-321	Max	2.51	108.14	15	-8.96	15	0.54	15	5.49	15	-0.13	15	-0.00	15
1244	-289	-321	Max	16.87	109.17	15	-8.96	15	-0.75	15	5.51	15	0.66	15	-0.00	15
1244	-289	-321	Min.	2.51	108.14	15	-8.96	15	0.54	15	5.49	15	-0.13	15	-0.00	15
1244	-289	-321	Min.	16.87	109.17	15	-8.96	15	-0.75	15	5.51	15	0.66	15	-0.00	15
1244	-321	-353	Max	2.51	122.23	15	-9.20	15	0.52	15	5.63	15	-0.11	15	-0.00	15
1244	-321	-353	Max	16.87	123.25	15	-9.20	15	-0.80	15	5.65	15	0.70	15	-0.00	15
1244	-321	-353	Min.	2.51	122.23	15	-9.20	15	0.52	15	5.63	15	-0.11	15	-0.00	15
1244	-321	-353	Min.	16.87	123.25	15	-9.20	15	-0.80	15	5.65	15	0.70	15	-0.00	15
1244	-353	-385	Max	2.51	136.92	15	-9.45	15	0.51	15	5.77	15	-0.10	15	-0.00	15
1244	-353	-385	Max	16.87	137.94	15	-9.45	15	-0.85	15	5.79	15	0.73	15	-0.00	15
1244	-353	-385	Min.	2.51	136.92	15	-9.45	15	0.51	15	5.77	15	-0.10	15	-0.00	15
1244	-353	-385	Min.	16.87	137.94	15	-9.45	15	-0.85	15	5.79	15	0.73	15	-0.00	15
1244	-385	-417	Max	2.51	152.24	15	-9.67	15	0.49	15	5.94	15	-0.08	15	-0.00	15
1244	-385	-417	Max	16.87	153.26	15	-9.67	15	-0.90	15	5.97	15	0.77	15	-0.00	15
1244	-385	-417	Min.	2.51	152.24	15	-9.67	15	0.49	15	5.94	15	-0.08	15	-0.00	15
1244	-385	-417	Min.	16.87	153.26	15	-9.67	15	-0.90	15	5.97	15	0.77	15	-0.00	15
1244	-417	-449	Max	2.51	168.24	15	-10.29	15	0.46	15	5.96	15	-0.06	15	-0.00	15
1244	-417	-449	Max	16.87	169.26	15	-10.29	15	-1.02	15	5.99	15	0.80	15	-0.00	15
1244	-417	-449	Min.	2.51	168.24	15	-10.29	15	0.46	15	5.96	15	-0.06	15	-0.00	15
1244	-417	-449	Min.	16.87	169.26	15	-10.29	15	-1.02	15	5.99	15	0.80	15	-0.00	15
1244	-449	-481	Max	2.51	184.80	15	-8.21	15	0.38	15	7.13	15	-0.03	15	0.00	15
1244	-449	-481	Max	16.87	185.82	15	-8.21	15	-0.80	15	7.15	15	0.99	15	0.00	15
1244	-449	-481	Min.	2.51	184.80	15	-8.21	15	0.38	15	7.13	15	-0.03	15	0.00	15
1244	-449	-481	Min.	16.87	185.82	15	-8.21	15	-0.80	15	7.15	15	0.99	15	0.00	15
1244	-481	1296	Max	2.51	201.42	15	-22.26	15	0.28	15	1.15	15	0.15	15	0.00	15
1244	-481	1296	Max	14.38	202.26	15	-22.26	15	-2.36	15	1.17	15	0.29	15	0.00	15
1244	-481	1296	Min.	2.51	201.42	15	-22.26	15	0.28	15	1.15	15	0.15	15	0.00	15
1244	-481	1296	Min.	14.38	202.26	15	-22.26	15	-2.36	15	1.17	15	0.29	15	0.00	15
1245	337	-9	Max	4.85	0.00	15	0.00	15	0.00	15	0.00	15	0.00	15	0.00	15
1245	337	-9	Min.	4.85	0.00	15	0.00	15	0.00	15	0.00	15	0.00	15	0.00	15
1245	-9	-41	Max	4.85	0.00	15	0.00	15	0.00	15	0.00	15	0.00	15	0.00	15
1245	-9	-41	Min.	4.85	0.00	15	0.00	15	0.00	15	0.00	15	0.00	15	0.00	15
1245	-41	-73	Max	5.01	-48.59	15	-3.85	15	0.28	15	-6.91	15	0.81	15	-0.00	15
1245	-41	-73	Max	16.87	-47.75	15	-3.85	15	-0.18	15	-6.89	15	-0.01	15	-0.00	15
1245	-41	-73	Min.	5.01	-48.59	15	-3.85	15	0.28	15	-6.91	15	0.81	15	-0.00	15
1245	-41	-73	Min.	16.87	-47.75	15	-3.85	15	-0.18	15	-6.89	15	-0.01	15	-0.00	15
1245	-73	-105	Max	2.51	-57.55	15	-3.78	15	0.17	15	-7.81	15	0.71	15	-0.00	15
1245	-73	-105	Max	16.87	-56.52	15	-3.78	15	-0.37	15	-7.79	15	-0.41	15	-0.00	15
1245	-73	-105	Min.	2.51	-57.55	15	-3.78	15	0.17	15	-7.81	15	0.71	15	-0.00	15

1245	-73	-105	Min.	16.87	-56.52	15	-3.78	15	-0.37	15	-7.79	15	-0.41	15	-0.00	15
1245	-105	-137	Max	2.51	-69.78	15	-3.85	15	0.12	15	-7.89	15	0.61	15	-0.00	15
1245	-105	-137	Max	16.87	-68.76	15	-3.85	15	-0.43	15	-7.87	15	-0.52	15	-0.00	15
1245	-105	-137	Min.	2.51	-69.78	15	-3.85	15	0.12	15	-7.89	15	0.61	15	-0.00	15
1245	-105	-137	Min.	16.87	-68.76	15	-3.85	15	-0.43	15	-7.87	15	-0.52	15	-0.00	15
1245	-137	-169	Max	2.51	-83.38	15	-3.93	15	0.10	15	-8.09	15	0.59	15	-0.00	15
1245	-137	-169	Max	16.87	-82.35	15	-3.93	15	-0.46	15	-8.06	15	-0.57	15	-0.00	15
1245	-137	-169	Min.	2.51	-83.38	15	-3.93	15	0.10	15	-8.09	15	0.59	15	-0.00	15
1245	-137	-169	Min.	16.87	-82.35	15	-3.93	15	-0.46	15	-8.06	15	-0.57	15	-0.00	15
1245	-169	-201	Max	2.51	-97.88	15	-4.01	15	0.09	15	-8.28	15	0.58	15	-0.00	15
1245	-169	-201	Max	16.87	-96.86	15	-4.01	15	-0.48	15	-8.26	15	-0.60	15	-0.00	15
1245	-169	-201	Min.	2.51	-97.88	15	-4.01	15	0.09	15	-8.28	15	0.58	15	-0.00	15
1245	-169	-201	Min.	16.87	-96.86	15	-4.01	15	-0.48	15	-8.26	15	-0.60	15	-0.00	15
1245	-201	-233	Max	2.51	-113.24	15	-4.10	15	0.08	15	-8.49	15	0.58	15	-0.00	15
1245	-201	-233	Max	16.87	-112.22	15	-4.10	15	-0.51	15	-8.47	15	-0.64	15	-0.00	15
1245	-201	-233	Min.	2.51	-113.24	15	-4.10	15	0.08	15	-8.49	15	0.58	15	-0.00	15
1245	-201	-233	Min.	16.87	-112.22	15	-4.10	15	-0.51	15	-8.47	15	-0.64	15	-0.00	15
1245	-233	-265	Max	2.51	-129.49	15	-4.20	15	0.07	15	-8.71	15	0.57	15	-0.00	15
1245	-233	-265	Max	16.87	-128.47	15	-4.20	15	-0.53	15	-8.69	15	-0.68	15	-0.00	15
1245	-233	-265	Min.	2.51	-129.49	15	-4.20	15	0.07	15	-8.71	15	0.57	15	-0.00	15
1245	-233	-265	Min.	16.87	-128.47	15	-4.20	15	-0.53	15	-8.69	15	-0.68	15	-0.00	15
1245	-265	-297	Max	2.51	-146.68	15	-4.30	15	0.06	15	-8.94	15	0.56	15	-0.00	15
1245	-265	-297	Max	16.87	-145.66	15	-4.30	15	-0.56	15	-8.91	15	-0.72	15	-0.00	15
1245	-265	-297	Min.	2.51	-146.68	15	-4.30	15	0.06	15	-8.94	15	0.56	15	-0.00	15
1245	-265	-297	Min.	16.87	-145.66	15	-4.30	15	-0.56	15	-8.91	15	-0.72	15	-0.00	15
1245	-297	-329	Max	2.51	-164.88	15	-4.40	15	0.05	15	-9.18	15	0.55	15	-0.00	15
1245	-297	-329	Max	16.87	-163.86	15	-4.40	15	-0.58	15	-9.15	15	-0.77	15	-0.00	15
1245	-297	-329	Min.	2.51	-164.88	15	-4.40	15	0.05	15	-9.18	15	0.55	15	-0.00	15
1245	-297	-329	Min.	16.87	-163.86	15	-4.40	15	-0.58	15	-9.15	15	-0.77	15	-0.00	15
1245	-329	-361	Max	2.51	-184.17	15	-4.51	15	0.03	15	-9.43	15	0.54	15	-0.00	15
1245	-329	-361	Max	16.87	-183.15	15	-4.51	15	-0.61	15	-9.40	15	-0.82	15	-0.00	15
1245	-329	-361	Min.	2.51	-184.17	15	-4.51	15	0.03	15	-9.43	15	0.54	15	-0.00	15
1245	-329	-361	Min.	16.87	-183.15	15	-4.51	15	-0.61	15	-9.40	15	-0.82	15	-0.00	15
1245	-361	-393	Max	2.51	-204.62	15	-4.63	15	0.02	15	-9.68	15	0.52	15	-0.00	15
1245	-361	-393	Max	16.87	-203.60	15	-4.63	15	-0.65	15	-9.65	15	-0.87	15	-0.00	15
1245	-361	-393	Min.	2.51	-204.62	15	-4.63	15	0.02	15	-9.68	15	0.52	15	-0.00	15
1245	-361	-393	Min.	16.87	-203.60	15	-4.63	15	-0.65	15	-9.65	15	-0.87	15	-0.00	15
1245	-393	-425	Max	2.51	-226.31	15	-4.69	15	-0.00	15	-10.05	15	0.50	15	-0.00	15
1245	-393	-425	Max	16.87	-225.29	15	-4.69	15	-0.68	15	-10.02	15	-0.94	15	-0.00	15
1245	-393	-425	Min.	2.51	-226.31	15	-4.69	15	-0.00	15	-10.05	15	0.50	15	-0.00	15
1245	-393	-425	Min.	16.87	-225.29	15	-4.69	15	-0.68	15	-10.02	15	-0.94	15	-0.00	15
1245	-425	-457	Max	2.51	-249.31	15	-5.29	15	-0.02	15	-9.66	15	0.47	15	-0.00	15
1245	-425	-457	Max	16.87	-248.29	15	-5.29	15	-0.78	15	-9.64	15	-0.91	15	-0.00	15
1245	-425	-457	Min.	2.51	-249.31	15	-5.29	15	-0.02	15	-9.66	15	0.47	15	-0.00	15
1245	-425	-457	Min.	16.87	-248.29	15	-5.29	15	-0.78	15	-9.64	15	-0.91	15	-0.00	15
1245	-457	-489	Max	2.51	-273.23	15	-2.19	15	-0.08	15	-14.57	15	0.45	15	-0.00	15
1245	-457	-489	Max	16.87	-272.21	15	-2.19	15	-0.40	15	-14.54	15	-1.65	15	-0.00	15
1245	-457	-489	Min.	2.51	-273.23	15	-2.19	15	-0.08	15	-14.57	15	0.45	15	-0.00	15
1245	-457	-489	Min.	16.87	-272.21	15	-2.19	15	-0.40	15	-14.54	15	-1.65	15	-0.00	15
1245	-489	1316	Max	2.51	-296.30	15	-21.18	15	0.09	15	11.63	15	-0.20	15	-0.00	15
1245	-489	1316	Max	14.38	-295.45	15	-21.18	15	-2.43	15	11.65	15	1.18	15	-0.00	15
1245	-489	1316	Min.	2.51	-296.30	15	-21.18	15	0.09	15	11.63	15	-0.20	15	-0.00	15
1245	-489	1316	Min.	14.38	-295.45	15	-21.18	15	-2.43	15	11.65	15	1.18	15	-0.00	15
1246	343	-13	Max	4.85	0.00	15	0.00	15	0.00	15	0.00	15	0.00	15	0.00	15
1246	343	-13	Min.	4.85	0.00	15	0.00	15	0.00	15	0.00	15	0.00	15	0.00	15
1246	-13	-45	Max	4.85	0.00	15	0.00	15	0.00	15	0.00	15	0.00	15	0.00	15
1246	-13	-45	Min.	4.85	0.00	15	0.00	15	0.00	15	0.00	15	0.00	15	0.00	15
1246	-45	-77	Max	5.01	-240.71	15	-11.81	15	1.23	15	-8.26	15	0.79	15	-0.01	15
1246	-45	-77	Max	16.87	-239.87	15	-11.81	15	-0.17	15	-8.24	15	-0.19	15	-0.01	15

1246	-45	-77	Min.	5.01	-240.71	15	-11.81	15	1.23	15	-8.26	15	0.79	15	-0.01	15
1246	-45	-77	Min.	16.87	-239.87	15	-11.81	15	-0.17	15	-8.24	15	-0.19	15	-0.01	15
1246	-77	-109	Max	2.51	-253.62	15	-12.90	15	1.06	15	-10.54	15	0.81	15	-0.00	15
1246	-77	-109	Max	16.87	-252.60	15	-12.90	15	-0.80	15	-10.52	15	-0.70	15	-0.00	15
1246	-77	-109	Min.	2.51	-253.62	15	-12.90	15	1.06	15	-10.54	15	0.81	15	-0.00	15
1246	-77	-109	Min.	16.87	-252.60	15	-12.90	15	-0.80	15	-10.52	15	-0.70	15	-0.00	15
1246	-109	-141	Max	2.51	-270.98	15	-13.09	15	0.90	15	-10.58	15	0.66	15	0.00	15
1246	-109	-141	Max	16.87	-269.96	15	-13.09	15	-0.98	15	-10.55	15	-0.85	15	0.00	15
1246	-109	-141	Min.	2.51	-270.98	15	-13.09	15	0.90	15	-10.58	15	0.66	15	0.00	15
1246	-109	-141	Min.	16.87	-269.96	15	-13.09	15	-0.98	15	-10.55	15	-0.85	15	0.00	15
1246	-141	-173	Max	2.51	-290.14	15	-13.38	15	0.87	15	-10.82	15	0.63	15	0.00	15
1246	-141	-173	Max	16.87	-289.12	15	-13.38	15	-1.06	15	-10.80	15	-0.92	15	0.00	15
1246	-141	-173	Min.	2.51	-290.14	15	-13.38	15	0.87	15	-10.82	15	0.63	15	0.00	15
1246	-141	-173	Min.	16.87	-289.12	15	-13.38	15	-1.06	15	-10.80	15	-0.92	15	0.00	15
1246	-173	-205	Max	2.51	-310.52	15	-13.68	15	0.85	15	-11.09	15	0.62	15	0.00	15
1246	-173	-205	Max	16.87	-309.50	15	-13.68	15	-1.12	15	-11.06	15	-0.97	15	0.00	15
1246	-173	-205	Min.	2.51	-310.52	15	-13.68	15	0.85	15	-11.09	15	0.62	15	0.00	15
1246	-173	-205	Min.	16.87	-309.50	15	-13.68	15	-1.12	15	-11.06	15	-0.97	15	0.00	15
1246	-205	-237	Max	2.51	-332.05	15	-14.00	15	0.83	15	-11.35	15	0.60	15	0.00	15
1246	-205	-237	Max	16.87	-331.03	15	-14.00	15	-1.18	15	-11.33	15	-1.03	15	0.00	15
1246	-205	-237	Min.	2.51	-332.05	15	-14.00	15	0.83	15	-11.35	15	0.60	15	0.00	15
1246	-205	-237	Min.	16.87	-331.03	15	-14.00	15	-1.18	15	-11.33	15	-1.03	15	0.00	15
1246	-237	-269	Max	2.51	-354.75	15	-14.33	15	0.82	15	-11.64	15	0.59	15	0.00	15
1246	-237	-269	Max	16.87	-353.73	15	-14.33	15	-1.24	15	-11.62	15	-1.08	15	0.00	15
1246	-237	-269	Min.	2.51	-354.75	15	-14.33	15	0.82	15	-11.64	15	0.59	15	0.00	15
1246	-237	-269	Min.	16.87	-353.73	15	-14.33	15	-1.24	15	-11.62	15	-1.08	15	0.00	15
1246	-269	-301	Max	2.51	-378.72	15	-14.68	15	0.80	15	-11.94	15	0.57	15	0.00	15
1246	-269	-301	Max	16.87	-377.70	15	-14.68	15	-1.31	15	-11.91	15	-1.14	15	0.00	15
1246	-269	-301	Min.	2.51	-378.72	15	-14.68	15	0.80	15	-11.94	15	0.57	15	0.00	15
1246	-269	-301	Min.	16.87	-377.70	15	-14.68	15	-1.31	15	-11.91	15	-1.14	15	0.00	15
1246	-301	-333	Max	2.51	-404.03	15	-15.05	15	0.78	15	-12.24	15	0.55	15	0.00	15
1246	-301	-333	Max	16.87	-403.01	15	-15.05	15	-1.39	15	-12.22	15	-1.21	15	0.00	15
1246	-301	-333	Min.	2.51	-404.03	15	-15.05	15	0.78	15	-12.24	15	0.55	15	0.00	15
1246	-301	-333	Min.	16.87	-403.01	15	-15.05	15	-1.39	15	-12.22	15	-1.21	15	0.00	15
1246	-333	-365	Max	2.51	-430.80	15	-15.43	15	0.75	15	-12.57	15	0.53	15	0.00	15
1246	-333	-365	Max	16.87	-429.78	15	-15.43	15	-1.46	15	-12.55	15	-1.28	15	0.00	15
1246	-333	-365	Min.	2.51	-430.80	15	-15.43	15	0.75	15	-12.57	15	0.53	15	0.00	15
1246	-333	-365	Min.	16.87	-429.78	15	-15.43	15	-1.46	15	-12.55	15	-1.28	15	0.00	15
1246	-365	-397	Max	2.51	-459.12	15	-15.85	15	0.72	15	-12.89	15	0.50	15	0.00	15
1246	-365	-397	Max	16.87	-458.10	15	-15.85	15	-1.55	15	-12.86	15	-1.35	15	0.00	15
1246	-365	-397	Min.	2.51	-459.12	15	-15.85	15	0.72	15	-12.89	15	0.50	15	0.00	15
1246	-365	-397	Min.	16.87	-458.10	15	-15.85	15	-1.55	15	-12.86	15	-1.35	15	0.00	15
1246	-397	-429	Max	2.51	-489.11	15	-16.19	15	0.69	15	-13.42	15	0.47	15	0.00	15
1246	-397	-429	Max	16.87	-488.09	15	-16.19	15	-1.64	15	-13.40	15	-1.46	15	0.00	15
1246	-397	-429	Min.	2.51	-489.11	15	-16.19	15	0.69	15	-13.42	15	0.47	15	0.00	15
1246	-397	-429	Min.	16.87	-488.09	15	-16.19	15	-1.64	15	-13.40	15	-1.46	15	0.00	15
1246	-429	-461	Max	2.51	-520.86	15	-17.35	15	0.64	15	-12.49	15	0.42	15	0.00	15
1246	-429	-461	Max	16.87	-519.84	15	-17.35	15	-1.85	15	-12.47	15	-1.37	15	0.00	15
1246	-429	-461	Min.	2.51	-520.86	15	-17.35	15	0.64	15	-12.49	15	0.42	15	0.00	15
1246	-429	-461	Min.	16.87	-519.84	15	-17.35	15	-1.85	15	-12.47	15	-1.37	15	0.00	15
1246	-461	-493	Max	2.51	-553.88	15	-12.84	15	0.49	15	-21.92	15	0.41	15	0.01	15
1246	-461	-493	Max	16.87	-552.86	15	-12.84	15	-1.35	15	-21.90	15	-2.74	15	0.01	15
1246	-461	-493	Min.	2.51	-553.88	15	-12.84	15	0.49	15	-21.92	15	0.41	15	0.01	15
1246	-461	-493	Min.	16.87	-552.86	15	-12.84	15	-1.35	15	-21.90	15	-2.74	15	0.01	15
1246	-493	1322	Max	2.51	-586.72	15	-42.47	15	0.45	15	29.56	15	-0.64	15	0.01	15
1246	-493	1322	Max	14.38	-585.88	15	-42.47	15	-4.59	15	29.58	15	2.87	15	0.01	15
1246	-493	1322	Min.	2.51	-586.72	15	-42.47	15	0.45	15	29.56	15	-0.64	15	0.01	15
1246	-493	1322	Min.	14.38	-585.88	15	-42.47	15	-4.59	15	29.58	15	2.87	15	0.01	15
1247	346	-15	Max	4.85	0.00	15	0.00	15	0.00	15	0.00	15	0.00	15	0.00	15

1247	346	-15	Min.	4.85	0.00	15	0.00	15	0.00	15	0.00	15	0.00	15	0.00	15
1247	-15	-47	Max	4.85	0.00	15	0.00	15	0.00	15	0.00	15	0.00	15	0.00	15
1247	-15	-47	Min.	4.85	0.00	15	0.00	15	0.00	15	0.00	15	0.00	15	0.00	15
1247	-47	-79	Max	5.01	-246.39	15	-7.28	15	0.82	15	-2.26	15	0.08	15	-0.00	15
1247	-47	-79	Max	16.87	-245.54	15	-7.28	15	-0.05	15	-2.24	15	-0.18	15	-0.00	15
1247	-47	-79	Min.	5.01	-246.39	15	-7.28	15	0.82	15	-2.26	15	0.08	15	-0.00	15
1247	-47	-79	Min.	16.87	-245.54	15	-7.28	15	-0.05	15	-2.24	15	-0.18	15	-0.00	15
1247	-79	-111	Max	2.51	-250.17	15	-8.38	15	0.76	15	-4.18	15	0.21	15	0.00	15
1247	-79	-111	Max	16.87	-249.15	15	-8.38	15	-0.45	15	-4.15	15	-0.39	15	0.00	15
1247	-79	-111	Min.	2.51	-250.17	15	-8.38	15	0.76	15	-4.18	15	0.21	15	0.00	15
1247	-79	-111	Min.	16.87	-249.15	15	-8.38	15	-0.45	15	-4.15	15	-0.39	15	0.00	15
1247	-111	-143	Max	2.51	-255.69	15	-8.50	15	0.66	15	-4.11	15	0.14	15	0.00	15
1247	-111	-143	Max	16.87	-254.67	15	-8.50	15	-0.56	15	-4.08	15	-0.45	15	0.00	15
1247	-111	-143	Min.	2.51	-255.69	15	-8.50	15	0.66	15	-4.11	15	0.14	15	0.00	15
1247	-111	-143	Min.	16.87	-254.67	15	-8.50	15	-0.56	15	-4.08	15	-0.45	15	0.00	15
1247	-143	-175	Max	2.51	-261.94	15	-8.69	15	0.63	15	-4.21	15	0.12	15	0.00	15
1247	-143	-175	Max	16.87	-260.92	15	-8.69	15	-0.61	15	-4.19	15	-0.48	15	0.00	15
1247	-143	-175	Min.	2.51	-261.94	15	-8.69	15	0.63	15	-4.21	15	0.12	15	0.00	15
1247	-143	-175	Min.	16.87	-260.92	15	-8.69	15	-0.61	15	-4.19	15	-0.48	15	0.00	15
1247	-175	-207	Max	2.51	-268.71	15	-8.88	15	0.63	15	-4.33	15	0.11	15	0.00	15
1247	-175	-207	Max	16.87	-267.69	15	-8.88	15	-0.65	15	-4.30	15	-0.51	15	0.00	15
1247	-175	-207	Min.	2.51	-268.71	15	-8.88	15	0.63	15	-4.33	15	0.11	15	0.00	15
1247	-175	-207	Min.	16.87	-267.69	15	-8.88	15	-0.65	15	-4.30	15	-0.51	15	0.00	15
1247	-207	-239	Max	2.51	-275.96	15	-9.09	15	0.62	15	-4.44	15	0.11	15	0.00	15
1247	-207	-239	Max	16.87	-274.94	15	-9.09	15	-0.69	15	-4.42	15	-0.53	15	0.00	15
1247	-207	-239	Min.	2.51	-275.96	15	-9.09	15	0.62	15	-4.44	15	0.11	15	0.00	15
1247	-207	-239	Min.	16.87	-274.94	15	-9.09	15	-0.69	15	-4.42	15	-0.53	15	0.00	15
1247	-239	-271	Max	2.51	-283.69	15	-9.31	15	0.61	15	-4.55	15	0.10	15	0.00	15
1247	-239	-271	Max	16.87	-282.67	15	-9.31	15	-0.73	15	-4.52	15	-0.56	15	0.00	15
1247	-239	-271	Min.	2.51	-283.69	15	-9.31	15	0.61	15	-4.55	15	0.10	15	0.00	15
1247	-239	-271	Min.	16.87	-282.67	15	-9.31	15	-0.73	15	-4.52	15	-0.56	15	0.00	15
1247	-271	-303	Max	2.51	-291.95	15	-9.53	15	0.60	15	-4.68	15	0.09	15	0.00	15
1247	-271	-303	Max	16.87	-290.93	15	-9.53	15	-0.77	15	-4.65	15	-0.58	15	0.00	15
1247	-271	-303	Min.	2.51	-291.95	15	-9.53	15	0.60	15	-4.68	15	0.09	15	0.00	15
1247	-271	-303	Min.	16.87	-290.93	15	-9.53	15	-0.77	15	-4.65	15	-0.58	15	0.00	15
1247	-303	-335	Max	2.51	-300.76	15	-9.78	15	0.59	15	-4.79	15	0.07	15	0.00	15
1247	-303	-335	Max	16.87	-299.74	15	-9.78	15	-0.81	15	-4.77	15	-0.61	15	0.00	15
1247	-303	-335	Min.	2.51	-300.76	15	-9.78	15	0.59	15	-4.79	15	0.07	15	0.00	15
1247	-303	-335	Min.	16.87	-299.74	15	-9.78	15	-0.81	15	-4.77	15	-0.61	15	0.00	15
1247	-335	-367	Max	2.51	-310.16	15	-10.04	15	0.58	15	-4.93	15	0.06	15	0.00	15
1247	-335	-367	Max	16.87	-309.14	15	-10.04	15	-0.86	15	-4.90	15	-0.64	15	0.00	15
1247	-335	-367	Min.	2.51	-310.16	15	-10.04	15	0.58	15	-4.93	15	0.06	15	0.00	15
1247	-335	-367	Min.	16.87	-309.14	15	-10.04	15	-0.86	15	-4.90	15	-0.64	15	0.00	15
1247	-367	-399	Max	2.51	-320.21	15	-10.29	15	0.56	15	-5.06	15	0.05	15	0.00	15
1247	-367	-399	Max	16.87	-319.19	15	-10.29	15	-0.92	15	-5.04	15	-0.68	15	0.00	15
1247	-367	-399	Min.	2.51	-320.21	15	-10.29	15	0.56	15	-5.06	15	0.05	15	0.00	15
1247	-367	-399	Min.	16.87	-319.19	15	-10.29	15	-0.92	15	-5.04	15	-0.68	15	0.00	15
1247	-399	-431	Max	2.51	-330.95	15	-10.53	15	0.54	15	-5.32	15	0.03	15	0.00	15
1247	-399	-431	Max	16.87	-329.93	15	-10.53	15	-0.97	15	-5.29	15	-0.73	15	0.00	15
1247	-399	-431	Min.	2.51	-330.95	15	-10.53	15	0.54	15	-5.32	15	0.03	15	0.00	15
1247	-399	-431	Min.	16.87	-329.93	15	-10.53	15	-0.97	15	-5.29	15	-0.73	15	0.00	15
1247	-431	-463	Max	2.51	-342.43	15	-11.18	15	0.52	15	-4.65	15	0.01	15	0.00	15
1247	-431	-463	Max	16.87	-341.41	15	-11.18	15	-1.09	15	-4.63	15	-0.66	15	0.00	15
1247	-431	-463	Min.	2.51	-342.43	15	-11.18	15	0.52	15	-4.65	15	0.01	15	0.00	15
1247	-431	-463	Min.	16.87	-341.41	15	-11.18	15	-1.09	15	-4.63	15	-0.66	15	0.00	15
1247	-463	-495	Max	2.51	-354.44	15	-9.11	15	0.43	15	-10.27	15	0.02	15	0.01	15
1247	-463	-495	Max	16.87	-353.42	15	-9.11	15	-0.88	15	-10.25	15	-1.46	15	0.01	15
1247	-463	-495	Min.	2.51	-354.44	15	-9.11	15	0.43	15	-10.27	15	0.02	15	0.01	15
1247	-463	-495	Min.	16.87	-353.42	15	-9.11	15	-0.88	15	-10.25	15	-1.46	15	0.01	15

1247	-495	1325	Max	2.51	-367.08	15	-23.35	15	0.32	15	20.79	15	-0.51	15	0.01	15
1247	-495	1325	Max	14.38	-366.24	15	-23.35	15	-2.46	15	20.81	15	1.96	15	0.01	15
1247	-495	1325	Min.	2.51	-367.08	15	-23.35	15	0.32	15	20.79	15	-0.51	15	0.01	15
1247	-495	1325	Min.	14.38	-366.24	15	-23.35	15	-2.46	15	20.81	15	1.96	15	0.01	15
1272	373	-25	Max	4.85	0.00	15	0.00	15	0.00	15	0.00	15	0.00	15	0.00	15
1272	373	-25	Min.	4.85	0.00	15	0.00	15	0.00	15	0.00	15	0.00	15	0.00	15
1272	-25	-57	Max	4.85	0.00	15	0.00	15	0.00	15	0.00	15	0.00	15	0.00	15
1272	-25	-57	Min.	4.85	0.00	15	0.00	15	0.00	15	0.00	15	0.00	15	0.00	15
1272	-57	-89	Max	5.01	15.04	15	7.33	15	-0.85	15	5.03	15	-0.39	15	0.01	15
1272	-57	-89	Max	16.87	15.88	15	7.33	15	0.02	15	5.04	15	0.20	15	0.01	15
1272	-57	-89	Min.	5.01	15.04	15	7.33	15	-0.85	15	5.03	15	-0.39	15	0.01	15
1272	-57	-89	Min.	16.87	15.88	15	7.33	15	0.02	15	5.04	15	0.20	15	0.01	15
1272	-89	-121	Max	2.51	23.54	15	7.48	15	-0.68	15	4.37	15	-0.21	15	0.00	15
1272	-89	-121	Max	16.87	24.56	15	7.48	15	0.39	15	4.39	15	0.42	15	0.00	15
1272	-89	-121	Min.	2.51	23.54	15	7.48	15	-0.68	15	4.37	15	-0.21	15	0.00	15
1272	-89	-121	Min.	16.87	24.56	15	7.48	15	0.39	15	4.39	15	0.42	15	0.00	15
1272	-121	-153	Max	2.51	34.02	15	7.62	15	-0.60	15	4.51	15	-0.17	15	0.00	15
1272	-121	-153	Max	16.87	35.04	15	7.62	15	0.50	15	4.53	15	0.48	15	0.00	15
1272	-121	-153	Min.	2.51	34.02	15	7.62	15	-0.60	15	4.51	15	-0.17	15	0.00	15
1272	-121	-153	Min.	16.87	35.04	15	7.62	15	0.50	15	4.53	15	0.48	15	0.00	15
1272	-153	-185	Max	2.51	45.21	15	7.79	15	-0.57	15	4.58	15	-0.15	15	0.00	15
1272	-153	-185	Max	16.87	46.23	15	7.79	15	0.55	15	4.61	15	0.51	15	0.00	15
1272	-153	-185	Min.	2.51	45.21	15	7.79	15	-0.57	15	4.58	15	-0.15	15	0.00	15
1272	-153	-185	Min.	16.87	46.23	15	7.79	15	0.55	15	4.61	15	0.51	15	0.00	15
1272	-185	-217	Max	2.51	56.85	15	7.97	15	-0.56	15	4.67	15	-0.14	15	0.00	15
1272	-185	-217	Max	16.87	57.87	15	7.97	15	0.58	15	4.70	15	0.53	15	0.00	15
1272	-185	-217	Min.	2.51	56.85	15	7.97	15	-0.56	15	4.67	15	-0.14	15	0.00	15
1272	-185	-217	Min.	16.87	57.87	15	7.97	15	0.58	15	4.70	15	0.53	15	0.00	15
1272	-217	-249	Max	2.51	68.91	15	8.15	15	-0.55	15	4.77	15	-0.13	15	0.00	15
1272	-217	-249	Max	16.87	69.93	15	8.15	15	0.62	15	4.79	15	0.56	15	0.00	15
1272	-217	-249	Min.	2.51	68.91	15	8.15	15	-0.55	15	4.77	15	-0.13	15	0.00	15
1272	-217	-249	Min.	16.87	69.93	15	8.15	15	0.62	15	4.79	15	0.56	15	0.00	15
1272	-249	-281	Max	2.51	81.42	15	8.35	15	-0.55	15	4.87	15	-0.12	15	0.00	15
1272	-249	-281	Max	16.87	82.44	15	8.35	15	0.65	15	4.89	15	0.58	15	0.00	15
1272	-249	-281	Min.	2.51	81.42	15	8.35	15	-0.55	15	4.87	15	-0.12	15	0.00	15
1272	-249	-281	Min.	16.87	82.44	15	8.35	15	0.65	15	4.89	15	0.58	15	0.00	15
1272	-281	-313	Max	2.51	94.40	15	8.56	15	-0.53	15	4.98	15	-0.11	15	0.00	15
1272	-281	-313	Max	16.87	95.42	15	8.56	15	0.70	15	5.00	15	0.61	15	0.00	15
1272	-281	-313	Min.	2.51	94.40	15	8.56	15	-0.53	15	4.98	15	-0.11	15	0.00	15
1272	-281	-313	Min.	16.87	95.42	15	8.56	15	0.70	15	5.00	15	0.61	15	0.00	15
1272	-313	-345	Max	2.51	107.89	15	8.77	15	-0.52	15	5.08	15	-0.10	15	0.00	15
1272	-313	-345	Max	16.87	108.91	15	8.77	15	0.74	15	5.10	15	0.64	15	0.00	15
1272	-313	-345	Min.	2.51	107.89	15	8.77	15	-0.52	15	5.08	15	-0.10	15	0.00	15
1272	-313	-345	Min.	16.87	108.91	15	8.77	15	0.74	15	5.10	15	0.64	15	0.00	15
1272	-345	-377	Max	2.51	121.92	15	9.00	15	-0.51	15	5.20	15	-0.08	15	0.00	15
1272	-345	-377	Max	16.87	122.94	15	9.00	15	0.78	15	5.23	15	0.67	15	0.00	15
1272	-345	-377	Min.	2.51	121.92	15	9.00	15	-0.51	15	5.20	15	-0.08	15	0.00	15
1272	-345	-377	Min.	16.87	122.94	15	9.00	15	0.78	15	5.23	15	0.67	15	0.00	15
1272	-377	-409	Max	2.51	136.54	15	9.24	15	-0.49	15	5.32	15	-0.07	15	0.00	15
1272	-377	-409	Max	16.87	137.56	15	9.24	15	0.84	15	5.35	15	0.70	15	0.00	15
1272	-377	-409	Min.	2.51	136.54	15	9.24	15	-0.49	15	5.32	15	-0.07	15	0.00	15
1272	-377	-409	Min.	16.87	137.56	15	9.24	15	0.84	15	5.35	15	0.70	15	0.00	15
1272	-409	-441	Max	2.51	151.80	15	9.44	15	-0.47	15	5.47	15	-0.05	15	0.00	15
1272	-409	-441	Max	16.87	152.82	15	9.44	15	0.89	15	5.50	15	0.74	15	0.00	15
1272	-409	-441	Min.	2.51	151.80	15	9.44	15	-0.47	15	5.47	15	-0.05	15	0.00	15
1272	-409	-441	Min.	16.87	152.82	15	9.44	15	0.89	15	5.50	15	0.74	15	0.00	15
1272	-441	-473	Max	2.51	167.74	15	10.06	15	-0.44	15	5.48	15	-0.03	15	0.00	15
1272	-441	-473	Max	16.87	168.76	15	10.06	15	1.00	15	5.50	15	0.76	15	0.00	15
1272	-441	-473	Min.	2.51	167.74	15	10.06	15	-0.44	15	5.48	15	-0.03	15	0.00	15

1272	-441	-473	Min.	16.87	168.76	15	10.06	15	1.00	15	5.50	15	0.76	15	0.00	15
1272	-473	-505	Max	2.51	184.28	15	7.95	15	-0.36	15	6.60	15	-0.00	15	0.00	15
1272	-473	-505	Max	16.87	185.30	15	7.95	15	0.78	15	6.62	15	0.95	15	0.00	15
1272	-473	-505	Min.	2.51	184.28	15	7.95	15	-0.36	15	6.60	15	-0.00	15	0.00	15
1272	-473	-505	Min.	16.87	185.30	15	7.95	15	0.78	15	6.62	15	0.95	15	0.00	15
1272	-505	1348	Max	2.51	200.72	15	22.16	15	-0.27	15	0.92	15	0.18	15	-0.00	15
1272	-505	1348	Max	14.38	201.57	15	22.16	15	2.36	15	0.94	15	0.29	15	-0.00	15
1272	-505	1348	Min.	2.51	200.72	15	22.16	15	-0.27	15	0.92	15	0.18	15	-0.00	15
1272	-505	1348	Min.	14.38	201.57	15	22.16	15	2.36	15	0.94	15	0.29	15	-0.00	15
1273	379	-29	Max	4.85	0.00	15	0.00	15	0.00	15	0.00	15	0.00	15	0.00	15
1273	379	-29	Min.	4.85	0.00	15	0.00	15	0.00	15	0.00	15	0.00	15	0.00	15
1273	-29	-61	Max	4.85	0.00	15	0.00	15	0.00	15	0.00	15	0.00	15	0.00	15
1273	-29	-61	Min.	4.85	0.00	15	0.00	15	0.00	15	0.00	15	0.00	15	0.00	15
1273	-61	-93	Max	5.01	-190.09	15	11.49	15	-1.18	15	14.57	15	-1.57	15	0.01	15
1273	-61	-93	Max	16.87	-189.25	15	11.49	15	0.18	15	14.58	15	0.16	15	0.01	15
1273	-61	-93	Min.	5.01	-190.09	15	11.49	15	-1.18	15	14.57	15	-1.57	15	0.01	15
1273	-61	-93	Min.	16.87	-189.25	15	11.49	15	0.18	15	14.58	15	0.16	15	0.01	15
1273	-93	-125	Max	2.51	-169.61	15	10.73	15	-0.81	15	12.61	15	-1.02	15	0.00	15
1273	-93	-125	Max	16.87	-168.59	15	10.73	15	0.73	15	12.64	15	0.80	15	0.00	15
1273	-93	-125	Min.	2.51	-169.61	15	10.73	15	-0.81	15	12.61	15	-1.02	15	0.00	15
1273	-93	-125	Min.	16.87	-168.59	15	10.73	15	0.73	15	12.64	15	0.80	15	0.00	15
1273	-125	-157	Max	2.51	-143.63	15	10.96	15	-0.69	15	13.00	15	-0.90	15	0.00	15
1273	-125	-157	Max	16.87	-142.62	15	10.96	15	0.88	15	13.02	15	0.97	15	0.00	15
1273	-125	-157	Min.	2.51	-143.63	15	10.96	15	-0.69	15	13.00	15	-0.90	15	0.00	15
1273	-125	-157	Min.	16.87	-142.62	15	10.96	15	0.88	15	13.02	15	0.97	15	0.00	15
1273	-157	-189	Max	2.51	-115.56	15	11.20	15	-0.66	15	13.27	15	-0.86	15	0.00	15
1273	-157	-189	Max	16.87	-114.54	15	11.20	15	0.95	15	13.30	15	1.05	15	0.00	15
1273	-157	-189	Min.	2.51	-115.56	15	11.20	15	-0.66	15	13.27	15	-0.86	15	0.00	15
1273	-157	-189	Min.	16.87	-114.54	15	11.20	15	0.95	15	13.30	15	1.05	15	0.00	15
1273	-189	-221	Max	2.51	-86.10	15	11.44	15	-0.64	15	13.55	15	-0.84	15	-0.00	15
1273	-189	-221	Max	16.87	-85.08	15	11.44	15	1.00	15	13.58	15	1.11	15	-0.00	15
1273	-189	-221	Min.	2.51	-86.10	15	11.44	15	-0.64	15	13.55	15	-0.84	15	-0.00	15
1273	-189	-221	Min.	16.87	-85.08	15	11.44	15	1.00	15	13.58	15	1.11	15	-0.00	15
1273	-221	-253	Max	2.51	-55.33	15	11.71	15	-0.63	15	13.86	15	-0.83	15	-0.00	15
1273	-221	-253	Max	16.87	-54.31	15	11.71	15	1.06	15	13.89	15	1.17	15	-0.00	15
1273	-221	-253	Min.	2.51	-55.33	15	11.71	15	-0.63	15	13.86	15	-0.83	15	-0.00	15
1273	-221	-253	Min.	16.87	-54.31	15	11.71	15	1.06	15	13.89	15	1.17	15	-0.00	15
1273	-253	-285	Max	2.51	-23.22	15	11.99	15	-0.61	15	14.19	15	-0.81	15	-0.00	15
1273	-253	-285	Max	16.87	-22.20	15	11.99	15	1.11	15	14.21	15	1.23	15	-0.00	15
1273	-253	-285	Min.	2.51	-23.22	15	11.99	15	-0.61	15	14.19	15	-0.81	15	-0.00	15
1273	-253	-285	Min.	16.87	-22.20	15	11.99	15	1.11	15	14.21	15	1.23	15	-0.00	15
1273	-285	-317	Max	2.51	10.34	15	12.28	15	-0.59	15	14.53	15	-0.79	15	-0.00	15
1273	-285	-317	Max	16.87	11.36	15	12.28	15	1.17	15	14.55	15	1.30	15	-0.00	15
1273	-285	-317	Min.	2.51	10.34	15	12.28	15	-0.59	15	14.53	15	-0.79	15	-0.00	15
1273	-285	-317	Min.	16.87	11.36	15	12.28	15	1.17	15	14.55	15	1.30	15	-0.00	15
1273	-317	-349	Max	2.51	45.45	15	12.58	15	-0.57	15	14.88	15	-0.77	15	-0.00	15
1273	-317	-349	Max	16.87	46.47	15	12.58	15	1.23	15	14.90	15	1.37	15	-0.00	15
1273	-317	-349	Min.	2.51	45.45	15	12.58	15	-0.57	15	14.88	15	-0.77	15	-0.00	15
1273	-317	-349	Min.	16.87	46.47	15	12.58	15	1.23	15	14.90	15	1.37	15	-0.00	15
1273	-349	-381	Max	2.51	82.21	15	12.91	15	-0.55	15	15.26	15	-0.74	15	-0.00	15
1273	-349	-381	Max	16.87	83.23	15	12.91	15	1.30	15	15.28	15	1.45	15	-0.00	15
1273	-349	-381	Min.	2.51	82.21	15	12.91	15	-0.55	15	15.26	15	-0.74	15	-0.00	15
1273	-349	-381	Min.	16.87	83.23	15	12.91	15	1.30	15	15.28	15	1.45	15	-0.00	15
1273	-381	-413	Max	2.51	120.78	15	13.25	15	-0.52	15	15.64	15	-0.71	15	-0.00	15
1273	-381	-413	Max	16.87	121.80	15	13.25	15	1.38	15	15.67	15	1.54	15	-0.00	15
1273	-381	-413	Min.	2.51	120.78	15	13.25	15	-0.52	15	15.64	15	-0.71	15	-0.00	15
1273	-381	-413	Min.	16.87	121.80	15	13.25	15	1.38	15	15.67	15	1.54	15	-0.00	15
1273	-413	-445	Max	2.51	161.27	15	13.51	15	-0.49	15	16.07	15	-0.68	15	-0.00	15
1273	-413	-445	Max	16.87	162.29	15	13.51	15	1.45	15	16.10	15	1.63	15	-0.00	15

1273	-413	-445	Min.	2.51	161.27	15	13.51	15	-0.49	15	16.07	15	-0.68	15	-0.00	15
1273	-413	-445	Min.	16.87	162.29	15	13.51	15	1.45	15	16.10	15	1.63	15	-0.00	15
1273	-445	-477	Max	2.51	203.75	15	14.59	15	-0.45	15	16.41	15	-0.63	15	-0.00	15
1273	-445	-477	Max	16.87	204.77	15	14.59	15	1.65	15	16.44	15	1.73	15	-0.00	15
1273	-445	-477	Min.	2.51	203.75	15	14.59	15	-0.45	15	16.41	15	-0.63	15	-0.00	15
1273	-445	-477	Min.	16.87	204.77	15	14.59	15	1.65	15	16.44	15	1.73	15	-0.00	15
1273	-477	-509	Max	2.51	247.88	15	10.10	15	-0.32	15	17.64	15	-0.53	15	-0.00	15
1273	-477	-509	Max	16.87	248.90	15	10.10	15	1.13	15	17.66	15	2.00	15	-0.00	15
1273	-477	-509	Min.	2.51	247.88	15	10.10	15	-0.32	15	17.64	15	-0.53	15	-0.00	15
1273	-477	-509	Min.	16.87	248.90	15	10.10	15	1.13	15	17.66	15	2.00	15	-0.00	15
1273	-509	1354	Max	2.51	289.99	15	39.09	15	-0.35	15	13.05	15	-0.04	15	-0.00	15
1273	-509	1354	Max	14.38	290.84	15	39.09	15	4.29	15	13.07	15	1.51	15	-0.00	15
1273	-509	1354	Min.	2.51	289.99	15	39.09	15	-0.35	15	13.05	15	-0.04	15	-0.00	15
1273	-509	1354	Min.	14.38	290.84	15	39.09	15	4.29	15	13.07	15	1.51	15	-0.00	15
1274	349	-17	Max	4.85	0.00	15	0.00	15	0.00	15	0.00	15	0.00	15	0.00	15
1274	349	-17	Min.	4.85	0.00	15	0.00	15	0.00	15	0.00	15	0.00	15	0.00	15
1274	-17	-49	Max	4.85	0.00	15	0.00	15	0.00	15	0.00	15	0.00	15	0.00	15
1274	-17	-49	Min.	4.85	0.00	15	0.00	15	0.00	15	0.00	15	0.00	15	0.00	15
1274	-49	-81	Max	5.01	-48.78	15	4.06	15	-0.29	15	-7.01	15	0.81	15	0.00	15
1274	-49	-81	Max	16.87	-47.94	15	4.06	15	0.19	15	-6.99	15	-0.02	15	0.00	15
1274	-49	-81	Min.	5.01	-48.78	15	4.06	15	-0.29	15	-7.01	15	0.81	15	0.00	15
1274	-49	-81	Min.	16.87	-47.94	15	4.06	15	0.19	15	-6.99	15	-0.02	15	0.00	15
1274	-81	-113	Max	2.51	-57.73	15	4.04	15	-0.19	15	-7.94	15	0.72	15	0.00	15
1274	-81	-113	Max	16.87	-56.71	15	4.04	15	0.39	15	-7.91	15	-0.42	15	0.00	15
1274	-81	-113	Min.	2.51	-57.73	15	4.04	15	-0.19	15	-7.94	15	0.72	15	0.00	15
1274	-81	-113	Min.	16.87	-56.71	15	4.04	15	0.39	15	-7.91	15	-0.42	15	0.00	15
1274	-113	-145	Max	2.51	-69.97	15	4.16	15	-0.14	15	-8.04	15	0.62	15	0.00	15
1274	-113	-145	Max	16.87	-68.95	15	4.16	15	0.45	15	-8.01	15	-0.53	15	0.00	15
1274	-113	-145	Min.	2.51	-69.97	15	4.16	15	-0.14	15	-8.04	15	0.62	15	0.00	15
1274	-113	-145	Min.	16.87	-68.95	15	4.16	15	0.45	15	-8.01	15	-0.53	15	0.00	15
1274	-145	-177	Max	2.51	-83.56	15	4.26	15	-0.13	15	-8.24	15	0.60	15	0.00	15
1274	-145	-177	Max	16.87	-82.54	15	4.26	15	0.48	15	-8.22	15	-0.58	15	0.00	15
1274	-145	-177	Min.	2.51	-83.56	15	4.26	15	-0.13	15	-8.24	15	0.60	15	0.00	15
1274	-145	-177	Min.	16.87	-82.54	15	4.26	15	0.48	15	-8.22	15	-0.58	15	0.00	15
1274	-177	-209	Max	2.51	-98.07	15	4.36	15	-0.12	15	-8.45	15	0.60	15	0.00	15
1274	-177	-209	Max	16.87	-97.05	15	4.36	15	0.51	15	-8.42	15	-0.62	15	0.00	15
1274	-177	-209	Min.	2.51	-98.07	15	4.36	15	-0.12	15	-8.45	15	0.60	15	0.00	15
1274	-177	-209	Min.	16.87	-97.05	15	4.36	15	0.51	15	-8.42	15	-0.62	15	0.00	15
1274	-209	-241	Max	2.51	-113.43	15	4.46	15	-0.11	15	-8.66	15	0.59	15	0.00	15
1274	-209	-241	Max	16.87	-112.41	15	4.46	15	0.53	15	-8.64	15	-0.65	15	0.00	15
1274	-209	-241	Min.	2.51	-113.43	15	4.46	15	-0.11	15	-8.66	15	0.59	15	0.00	15
1274	-209	-241	Min.	16.87	-112.41	15	4.46	15	0.53	15	-8.64	15	-0.65	15	0.00	15
1274	-241	-273	Max	2.51	-129.67	15	4.58	15	-0.10	15	-8.89	15	0.58	15	0.00	15
1274	-241	-273	Max	16.87	-128.65	15	4.58	15	0.56	15	-8.87	15	-0.69	15	0.00	15
1274	-241	-273	Min.	2.51	-129.67	15	4.58	15	-0.10	15	-8.89	15	0.58	15	0.00	15
1274	-241	-273	Min.	16.87	-128.65	15	4.58	15	0.56	15	-8.87	15	-0.69	15	0.00	15
1274	-273	-305	Max	2.51	-146.86	15	4.69	15	-0.09	15	-9.13	15	0.57	15	0.00	15
1274	-273	-305	Max	16.87	-145.84	15	4.69	15	0.59	15	-9.10	15	-0.74	15	0.00	15
1274	-273	-305	Min.	2.51	-146.86	15	4.69	15	-0.09	15	-9.13	15	0.57	15	0.00	15
1274	-273	-305	Min.	16.87	-145.84	15	4.69	15	0.59	15	-9.10	15	-0.74	15	0.00	15
1274	-305	-337	Max	2.51	-165.06	15	4.81	15	-0.08	15	-9.37	15	0.56	15	0.00	15
1274	-305	-337	Max	16.87	-164.04	15	4.81	15	0.61	15	-9.35	15	-0.78	15	0.00	15
1274	-305	-337	Min.	2.51	-165.06	15	4.81	15	-0.08	15	-9.37	15	0.56	15	0.00	15
1274	-305	-337	Min.	16.87	-164.04	15	4.81	15	0.61	15	-9.35	15	-0.78	15	0.00	15
1274	-337	-369	Max	2.51	-184.34	15	4.95	15	-0.06	15	-9.64	15	0.55	15	0.00	15
1274	-337	-369	Max	16.87	-183.32	15	4.95	15	0.65	15	-9.61	15	-0.83	15	0.00	15
1274	-337	-369	Min.	2.51	-184.34	15	4.95	15	-0.06	15	-9.64	15	0.55	15	0.00	15
1274	-337	-369	Min.	16.87	-183.32	15	4.95	15	0.65	15	-9.61	15	-0.83	15	0.00	15
1274	-369	-401	Max	2.51	-204.79	15	5.09	15	-0.05	15	-9.89	15	0.54	15	0.00	15

1274	-369	-401	Max	16.87	-203.77	15	5.09	15	0.68	15	-9.87	15	-0.88	15	0.00	15
1274	-369	-401	Min.	2.51	-204.79	15	5.09	15	-0.05	15	-9.89	15	0.54	15	0.00	15
1274	-369	-401	Min.	16.87	-203.77	15	5.09	15	0.68	15	-9.87	15	-0.88	15	0.00	15
1274	-401	-433	Max	2.51	-226.48	15	5.17	15	-0.03	15	-10.28	15	0.52	15	0.00	15
1274	-401	-433	Max	16.87	-225.46	15	5.17	15	0.71	15	-10.26	15	-0.96	15	0.00	15
1274	-401	-433	Min.	2.51	-226.48	15	5.17	15	-0.03	15	-10.28	15	0.52	15	0.00	15
1274	-401	-433	Min.	16.87	-225.46	15	5.17	15	0.71	15	-10.26	15	-0.96	15	0.00	15
1274	-433	-465	Max	2.51	-249.48	15	5.79	15	-0.02	15	-9.90	15	0.49	15	0.00	15
1274	-433	-465	Max	16.87	-248.46	15	5.79	15	0.82	15	-9.87	15	-0.93	15	0.00	15
1274	-433	-465	Min.	2.51	-249.48	15	5.79	15	-0.02	15	-9.90	15	0.49	15	0.00	15
1274	-433	-465	Min.	16.87	-248.46	15	5.79	15	0.82	15	-9.87	15	-0.93	15	0.00	15
1274	-465	-497	Max	2.51	-273.32	15	2.74	15	0.04	15	-14.84	15	0.46	15	0.00	15
1274	-465	-497	Max	16.87	-272.30	15	2.74	15	0.43	15	-14.81	15	-1.67	15	0.00	15
1274	-465	-497	Min.	2.51	-273.32	15	2.74	15	0.04	15	-14.84	15	0.46	15	0.00	15
1274	-465	-497	Min.	16.87	-272.30	15	2.74	15	0.43	15	-14.81	15	-1.67	15	0.00	15
1274	-497	1328	Max	2.51	-296.54	15	21.41	15	-0.11	15	11.52	15	-0.18	15	0.00	15
1274	-497	1328	Max	14.38	-295.70	15	21.41	15	2.43	15	11.54	15	1.19	15	0.00	15
1274	-497	1328	Min.	2.51	-296.54	15	21.41	15	-0.11	15	11.52	15	-0.18	15	0.00	15
1274	-497	1328	Min.	14.38	-295.70	15	21.41	15	2.43	15	11.54	15	1.19	15	0.00	15
1275	358	-23	Max	4.85	0.00	15	0.00	15	0.00	15	0.00	15	0.00	15	0.00	15
1275	358	-23	Min.	4.85	0.00	15	0.00	15	0.00	15	0.00	15	0.00	15	0.00	15
1275	-23	-55	Max	4.85	0.00	15	0.00	15	0.00	15	0.00	15	0.00	15	0.00	15
1275	-23	-55	Min.	4.85	0.00	15	0.00	15	0.00	15	0.00	15	0.00	15	0.00	15
1275	-55	-87	Max	5.01	-246.09	15	7.37	15	-0.82	15	-2.48	15	0.10	15	0.00	15
1275	-55	-87	Max	16.87	-245.25	15	7.37	15	0.05	15	-2.46	15	-0.20	15	0.00	15
1275	-55	-87	Min.	5.01	-246.09	15	7.37	15	-0.82	15	-2.48	15	0.10	15	0.00	15
1275	-55	-87	Min.	16.87	-245.25	15	7.37	15	0.05	15	-2.46	15	-0.20	15	0.00	15
1275	-87	-119	Max	2.51	-249.88	15	8.51	15	-0.77	15	-4.46	15	0.23	15	0.00	15
1275	-87	-119	Max	16.87	-248.86	15	8.51	15	0.46	15	-4.44	15	-0.41	15	0.00	15
1275	-87	-119	Min.	2.51	-249.88	15	8.51	15	-0.77	15	-4.46	15	0.23	15	0.00	15
1275	-87	-119	Min.	16.87	-248.86	15	8.51	15	0.46	15	-4.44	15	-0.41	15	0.00	15
1275	-119	-151	Max	2.51	-255.42	15	8.65	15	-0.67	15	-4.44	15	0.16	15	-0.00	15
1275	-119	-151	Max	16.87	-254.40	15	8.65	15	0.57	15	-4.41	15	-0.47	15	-0.00	15
1275	-119	-151	Min.	2.51	-255.42	15	8.65	15	-0.67	15	-4.44	15	0.16	15	-0.00	15
1275	-119	-151	Min.	16.87	-254.40	15	8.65	15	0.57	15	-4.41	15	-0.47	15	-0.00	15
1275	-151	-183	Max	2.51	-261.71	15	8.85	15	-0.65	15	-4.57	15	0.15	15	-0.00	15
1275	-151	-183	Max	16.87	-260.69	15	8.85	15	0.62	15	-4.55	15	-0.51	15	-0.00	15
1275	-151	-183	Min.	2.51	-261.71	15	8.85	15	-0.65	15	-4.57	15	0.15	15	-0.00	15
1275	-151	-183	Min.	16.87	-260.69	15	8.85	15	0.62	15	-4.55	15	-0.51	15	-0.00	15
1275	-183	-215	Max	2.51	-268.50	15	9.04	15	-0.64	15	-4.69	15	0.14	15	-0.00	15
1275	-183	-215	Max	16.87	-267.48	15	9.04	15	0.66	15	-4.67	15	-0.53	15	-0.00	15
1275	-183	-215	Min.	2.51	-268.50	15	9.04	15	-0.64	15	-4.69	15	0.14	15	-0.00	15
1275	-183	-215	Min.	16.87	-267.48	15	9.04	15	0.66	15	-4.67	15	-0.53	15	-0.00	15
1275	-215	-247	Max	2.51	-275.77	15	9.26	15	-0.63	15	-4.82	15	0.13	15	-0.00	15
1275	-215	-247	Max	16.87	-274.75	15	9.26	15	0.70	15	-4.80	15	-0.56	15	-0.00	15
1275	-215	-247	Min.	2.51	-275.77	15	9.26	15	-0.63	15	-4.82	15	0.13	15	-0.00	15
1275	-215	-247	Min.	16.87	-274.75	15	9.26	15	0.70	15	-4.80	15	-0.56	15	-0.00	15
1275	-247	-279	Max	2.51	-283.54	15	9.50	15	-0.62	15	-4.95	15	0.12	15	-0.00	15
1275	-247	-279	Max	16.87	-282.51	15	9.50	15	0.74	15	-4.93	15	-0.58	15	-0.00	15
1275	-247	-279	Min.	2.51	-283.54	15	9.50	15	-0.62	15	-4.95	15	0.12	15	-0.00	15
1275	-247	-279	Min.	16.87	-282.51	15	9.50	15	0.74	15	-4.93	15	-0.58	15	-0.00	15
1275	-279	-311	Max	2.51	-291.82	15	9.73	15	-0.62	15	-5.10	15	0.12	15	-0.00	15
1275	-279	-311	Max	16.87	-290.80	15	9.73	15	0.78	15	-5.08	15	-0.61	15	-0.00	15
1275	-279	-311	Min.	2.51	-291.82	15	9.73	15	-0.62	15	-5.10	15	0.12	15	-0.00	15
1275	-279	-311	Min.	16.87	-290.80	15	9.73	15	0.78	15	-5.08	15	-0.61	15	-0.00	15
1275	-311	-343	Max	2.51	-300.67	15	9.98	15	-0.61	15	-5.23	15	0.11	15	-0.00	15
1275	-311	-343	Max	16.87	-299.65	15	9.98	15	0.83	15	-5.21	15	-0.64	15	-0.00	15
1275	-311	-343	Min.	2.51	-300.67	15	9.98	15	-0.61	15	-5.23	15	0.11	15	-0.00	15
1275	-311	-343	Min.	16.87	-299.65	15	9.98	15	0.83	15	-5.21	15	-0.64	15	-0.00	15

1275	-343	-375	Max	2.51	-310.11	15	10.25	15	-0.59	15	-5.39	15	0.10	15	-0.00	15
1275	-343	-375	Max	16.87	-309.09	15	10.25	15	0.88	15	-5.37	15	-0.68	15	-0.00	15
1275	-343	-375	Min.	2.51	-310.11	15	10.25	15	-0.59	15	-5.39	15	0.10	15	-0.00	15
1275	-343	-375	Min.	16.87	-309.09	15	10.25	15	0.88	15	-5.37	15	-0.68	15	-0.00	15
1275	-375	-407	Max	2.51	-320.19	15	10.51	15	-0.58	15	-5.54	15	0.08	15	-0.00	15
1275	-375	-407	Max	16.87	-319.17	15	10.51	15	0.93	15	-5.52	15	-0.71	15	-0.00	15
1275	-375	-407	Min.	2.51	-320.19	15	10.51	15	-0.58	15	-5.54	15	0.08	15	-0.00	15
1275	-375	-407	Min.	16.87	-319.17	15	10.51	15	0.93	15	-5.52	15	-0.71	15	-0.00	15
1275	-407	-439	Max	2.51	-330.97	15	10.77	15	-0.56	15	-5.83	15	0.07	15	-0.00	15
1275	-407	-439	Max	16.87	-329.95	15	10.77	15	0.98	15	-5.81	15	-0.77	15	-0.00	15
1275	-407	-439	Min.	2.51	-330.97	15	10.77	15	-0.56	15	-5.83	15	0.07	15	-0.00	15
1275	-407	-439	Min.	16.87	-329.95	15	10.77	15	0.98	15	-5.81	15	-0.77	15	-0.00	15
1275	-439	-471	Max	2.51	-342.49	15	11.43	15	-0.54	15	-5.18	15	0.04	15	-0.00	15
1275	-439	-471	Max	16.87	-341.47	15	11.43	15	1.10	15	-5.16	15	-0.70	15	-0.00	15
1275	-439	-471	Min.	2.51	-342.49	15	11.43	15	-0.54	15	-5.18	15	0.04	15	-0.00	15
1275	-439	-471	Min.	16.87	-341.47	15	11.43	15	1.10	15	-5.16	15	-0.70	15	-0.00	15
1275	-471	-503	Max	2.51	-354.49	15	9.39	15	-0.46	15	-10.84	15	0.05	15	-0.01	15
1275	-471	-503	Max	16.87	-353.46	15	9.39	15	0.89	15	-10.82	15	-1.50	15	-0.01	15
1275	-471	-503	Min.	2.51	-354.49	15	9.39	15	-0.46	15	-10.84	15	0.05	15	-0.01	15
1275	-471	-503	Min.	16.87	-353.46	15	9.39	15	0.89	15	-10.82	15	-1.50	15	-0.01	15
1275	-503	1337	Max	2.51	-367.29	15	23.46	15	-0.32	15	20.49	15	-0.48	15	-0.01	15
1275	-503	1337	Max	14.38	-366.44	15	23.46	15	2.46	15	20.51	15	1.96	15	-0.01	15
1275	-503	1337	Min.	2.51	-367.29	15	23.46	15	-0.32	15	20.49	15	-0.48	15	-0.01	15
1275	-503	1337	Min.	14.38	-366.44	15	23.46	15	2.46	15	20.51	15	1.96	15	-0.01	15
1276	352	-19	Max	4.85	0.00	15	0.00	15	0.00	15	0.00	15	0.00	15	0.00	15
1276	352	-19	Min.	4.85	0.00	15	0.00	15	0.00	15	0.00	15	0.00	15	0.00	15
1276	-19	-51	Max	4.85	0.00	15	0.00	15	0.00	15	0.00	15	0.00	15	0.00	15
1276	-19	-51	Min.	4.85	0.00	15	0.00	15	0.00	15	0.00	15	0.00	15	0.00	15
1276	-51	-83	Max	5.01	-180.87	15	9.99	15	-0.97	15	-10.85	15	1.12	15	0.01	15
1276	-51	-83	Max	16.87	-180.03	15	9.99	15	0.22	15	-10.83	15	-0.17	15	0.01	15
1276	-51	-83	Min.	5.01	-180.87	15	9.99	15	-0.97	15	-10.85	15	1.12	15	0.01	15
1276	-51	-83	Min.	16.87	-180.03	15	9.99	15	0.22	15	-10.83	15	-0.17	15	0.01	15
1276	-83	-115	Max	2.51	-196.61	15	10.76	15	-0.81	15	-12.91	15	1.06	15	0.00	15
1276	-83	-115	Max	16.87	-195.59	15	10.76	15	0.73	15	-12.88	15	-0.79	15	0.00	15
1276	-83	-115	Min.	2.51	-196.61	15	10.76	15	-0.81	15	-12.91	15	1.06	15	0.00	15
1276	-83	-115	Min.	16.87	-195.59	15	10.76	15	0.73	15	-12.88	15	-0.79	15	0.00	15
1276	-115	-147	Max	2.51	-217.65	15	11.00	15	-0.70	15	-13.04	15	0.90	15	0.00	15
1276	-115	-147	Max	16.87	-216.63	15	11.00	15	0.88	15	-13.02	15	-0.97	15	0.00	15
1276	-115	-147	Min.	2.51	-217.65	15	11.00	15	-0.70	15	-13.04	15	0.90	15	0.00	15
1276	-115	-147	Min.	16.87	-216.63	15	11.00	15	0.88	15	-13.02	15	-0.97	15	0.00	15
1276	-147	-179	Max	2.51	-240.83	15	11.26	15	-0.66	15	-13.38	15	0.87	15	0.00	15
1276	-147	-179	Max	16.87	-239.81	15	11.26	15	0.95	15	-13.35	15	-1.05	15	0.00	15
1276	-147	-179	Min.	2.51	-240.83	15	11.26	15	-0.66	15	-13.38	15	0.87	15	0.00	15
1276	-147	-179	Min.	16.87	-239.81	15	11.26	15	0.95	15	-13.35	15	-1.05	15	0.00	15
1276	-179	-211	Max	2.51	-265.45	15	11.51	15	-0.65	15	-13.70	15	0.85	15	0.00	15
1276	-179	-211	Max	16.87	-264.43	15	11.51	15	1.01	15	-13.68	15	-1.12	15	0.00	15
1276	-179	-211	Min.	2.51	-265.45	15	11.51	15	-0.65	15	-13.70	15	0.85	15	0.00	15
1276	-179	-211	Min.	16.87	-264.43	15	11.51	15	1.01	15	-13.68	15	-1.12	15	0.00	15
1276	-211	-243	Max	2.51	-291.41	15	11.79	15	-0.63	15	-14.05	15	0.84	15	0.00	15
1276	-211	-243	Max	16.87	-290.39	15	11.79	15	1.06	15	-14.03	15	-1.18	15	0.00	15
1276	-211	-243	Min.	2.51	-291.41	15	11.79	15	-0.63	15	-14.05	15	0.84	15	0.00	15
1276	-211	-243	Min.	16.87	-290.39	15	11.79	15	1.06	15	-14.03	15	-1.18	15	0.00	15
1276	-243	-275	Max	2.51	-318.77	15	12.10	15	-0.62	15	-14.41	15	0.82	15	0.00	15
1276	-243	-275	Max	16.87	-317.75	15	12.10	15	1.12	15	-14.38	15	-1.24	15	0.00	15
1276	-243	-275	Min.	2.51	-318.77	15	12.10	15	-0.62	15	-14.41	15	0.82	15	0.00	15
1276	-243	-275	Min.	16.87	-317.75	15	12.10	15	1.12	15	-14.38	15	-1.24	15	0.00	15
1276	-275	-307	Max	2.51	-347.63	15	12.39	15	-0.60	15	-14.80	15	0.81	15	0.00	15
1276	-275	-307	Max	16.87	-346.61	15	12.39	15	1.18	15	-14.78	15	-1.32	15	0.00	15
1276	-275	-307	Min.	2.51	-347.63	15	12.39	15	-0.60	15	-14.80	15	0.81	15	0.00	15

1276	-275	-307	Min.	16.87	-346.61	15	12.39	15	1.18	15	-14.78	15	-1.32	15	0.00	15
1276	-307	-339	Max	2.51	-378.09	15	12.72	15	-0.58	15	-15.17	15	0.79	15	0.00	15
1276	-307	-339	Max	16.87	-377.06	15	12.72	15	1.24	15	-15.14	15	-1.39	15	0.00	15
1276	-307	-339	Min.	2.51	-378.09	15	12.72	15	-0.58	15	-15.17	15	0.79	15	0.00	15
1276	-307	-339	Min.	16.87	-377.06	15	12.72	15	1.24	15	-15.14	15	-1.39	15	0.00	15
1276	-339	-371	Max	2.51	-410.24	15	13.06	15	-0.56	15	-15.61	15	0.77	15	0.00	15
1276	-339	-371	Max	16.87	-409.22	15	13.06	15	1.31	15	-15.59	15	-1.48	15	0.00	15
1276	-339	-371	Min.	2.51	-410.24	15	13.06	15	-0.56	15	-15.61	15	0.77	15	0.00	15
1276	-339	-371	Min.	16.87	-409.22	15	13.06	15	1.31	15	-15.59	15	-1.48	15	0.00	15
1276	-371	-403	Max	2.51	-444.26	15	13.42	15	-0.54	15	-16.01	15	0.74	15	0.00	15
1276	-371	-403	Max	16.87	-443.24	15	13.42	15	1.39	15	-15.98	15	-1.56	15	0.00	15
1276	-371	-403	Min.	2.51	-444.26	15	13.42	15	-0.54	15	-16.01	15	0.74	15	0.00	15
1276	-371	-403	Min.	16.87	-443.24	15	13.42	15	1.39	15	-15.98	15	-1.56	15	0.00	15
1276	-403	-435	Max	2.51	-480.24	15	13.70	15	-0.51	15	-16.68	15	0.71	15	0.00	15
1276	-403	-435	Max	16.87	-479.22	15	13.70	15	1.46	15	-16.66	15	-1.69	15	0.00	15
1276	-403	-435	Min.	2.51	-480.24	15	13.70	15	-0.51	15	-16.68	15	0.71	15	0.00	15
1276	-403	-435	Min.	16.87	-479.22	15	13.70	15	1.46	15	-16.66	15	-1.69	15	0.00	15
1276	-435	-467	Max	2.51	-518.31	15	14.81	15	-0.47	15	-15.78	15	0.65	15	0.00	15
1276	-435	-467	Max	16.87	-517.28	15	14.81	15	1.66	15	-15.76	15	-1.61	15	0.00	15
1276	-435	-467	Min.	2.51	-518.31	15	14.81	15	-0.47	15	-15.78	15	0.65	15	0.00	15
1276	-435	-467	Min.	16.87	-517.28	15	14.81	15	1.66	15	-15.76	15	-1.61	15	0.00	15
1276	-467	-499	Max	2.51	-557.71	15	10.36	15	-0.35	15	-25.47	15	0.62	15	-0.00	15
1276	-467	-499	Max	16.87	-556.69	15	10.36	15	1.13	15	-25.45	15	-3.04	15	-0.00	15
1276	-467	-499	Min.	2.51	-557.71	15	10.36	15	-0.35	15	-25.47	15	0.62	15	-0.00	15
1276	-467	-499	Min.	16.87	-556.69	15	10.36	15	1.13	15	-25.45	15	-3.04	15	-0.00	15
1276	-499	1331	Max	2.51	-596.79	15	38.89	15	-0.37	15	26.92	15	-0.51	15	-0.00	15
1276	-499	1331	Max	14.38	-595.94	15	38.89	15	4.25	15	26.94	15	2.69	15	-0.00	15
1276	-499	1331	Min.	2.51	-596.79	15	38.89	15	-0.37	15	26.92	15	-0.51	15	-0.00	15
1276	-499	1331	Min.	14.38	-595.94	15	38.89	15	4.25	15	26.94	15	2.69	15	-0.00	15
1277	376	-27	Max	4.85	0.00	15	0.00	15	0.00	15	0.00	15	0.00	15	0.00	15
1277	376	-27	Min.	4.85	0.00	15	0.00	15	0.00	15	0.00	15	0.00	15	0.00	15
1277	-27	-59	Max	4.85	0.00	15	0.00	15	0.00	15	0.00	15	0.00	15	0.00	15
1277	-27	-59	Min.	4.85	0.00	15	0.00	15	0.00	15	0.00	15	0.00	15	0.00	15
1277	-59	-91	Max	5.01	-130.40	15	12.70	15	-1.36	15	12.29	15	-1.26	15	0.01	15
1277	-59	-91	Max	16.87	-129.56	15	12.70	15	0.15	15	12.30	15	0.20	15	0.01	15
1277	-59	-91	Min.	5.01	-130.40	15	12.70	15	-1.36	15	12.29	15	-1.26	15	0.01	15
1277	-59	-91	Min.	16.87	-129.56	15	12.70	15	0.15	15	12.30	15	0.20	15	0.01	15
1277	-91	-123	Max	2.51	-112.73	15	12.32	15	-1.00	15	10.63	15	-0.79	15	0.01	15
1277	-91	-123	Max	16.87	-111.71	15	12.32	15	0.77	15	10.65	15	0.73	15	0.01	15
1277	-91	-123	Min.	2.51	-112.73	15	12.32	15	-1.00	15	10.63	15	-0.79	15	0.01	15
1277	-91	-123	Min.	16.87	-111.71	15	12.32	15	0.77	15	10.65	15	0.73	15	0.01	15
1277	-123	-155	Max	2.51	-90.40	15	12.56	15	-0.87	15	10.96	15	-0.70	15	0.00	15
1277	-123	-155	Max	16.87	-89.38	15	12.56	15	0.94	15	10.99	15	0.88	15	0.00	15
1277	-123	-155	Min.	2.51	-90.40	15	12.56	15	-0.87	15	10.96	15	-0.70	15	0.00	15
1277	-123	-155	Min.	16.87	-89.38	15	12.56	15	0.94	15	10.99	15	0.88	15	0.00	15
1277	-155	-187	Max	2.51	-66.29	15	12.85	15	-0.83	15	11.18	15	-0.66	15	0.00	15
1277	-155	-187	Max	16.87	-65.27	15	12.85	15	1.02	15	11.21	15	0.95	15	0.00	15
1277	-155	-187	Min.	2.51	-66.29	15	12.85	15	-0.83	15	11.18	15	-0.66	15	0.00	15
1277	-155	-187	Min.	16.87	-65.27	15	12.85	15	1.02	15	11.21	15	0.95	15	0.00	15
1277	-187	-219	Max	2.51	-41.02	15	13.13	15	-0.81	15	11.42	15	-0.64	15	0.00	15
1277	-187	-219	Max	16.87	-40.00	15	13.13	15	1.08	15	11.44	15	1.00	15	0.00	15
1277	-187	-219	Min.	2.51	-41.02	15	13.13	15	-0.81	15	11.42	15	-0.64	15	0.00	15
1277	-187	-219	Min.	16.87	-40.00	15	13.13	15	1.08	15	11.44	15	1.00	15	0.00	15
1277	-219	-251	Max	2.51	-14.66	15	13.44	15	-0.79	15	11.67	15	-0.63	15	0.00	15
1277	-219	-251	Max	16.87	-13.64	15	13.44	15	1.14	15	11.69	15	1.05	15	0.00	15
1277	-219	-251	Min.	2.51	-14.66	15	13.44	15	-0.79	15	11.67	15	-0.63	15	0.00	15
1277	-219	-251	Min.	16.87	-13.64	15	13.44	15	1.14	15	11.69	15	1.05	15	0.00	15
1277	-251	-283	Max	2.51	12.83	15	13.76	15	-0.78	15	11.94	15	-0.61	15	0.00	15
1277	-251	-283	Max	16.87	13.85	15	13.76	15	1.20	15	11.97	15	1.11	15	0.00	15

1277	-251	-283	Min.	2.51	12.83	15	13.76	15	-0.78	15	11.94	15	-0.61	15	0.00	15
1277	-251	-283	Min.	16.87	13.85	15	13.76	15	1.20	15	11.97	15	1.11	15	0.00	15
1277	-283	-315	Max	2.51	41.54	15	14.10	15	-0.76	15	12.23	15	-0.59	15	0.00	15
1277	-283	-315	Max	16.87	42.56	15	14.10	15	1.27	15	12.25	15	1.17	15	0.00	15
1277	-283	-315	Min.	2.51	41.54	15	14.10	15	-0.76	15	12.23	15	-0.59	15	0.00	15
1277	-283	-315	Min.	16.87	42.56	15	14.10	15	1.27	15	12.25	15	1.17	15	0.00	15
1277	-315	-347	Max	2.51	71.55	15	14.45	15	-0.74	15	12.51	15	-0.57	15	0.00	15
1277	-315	-347	Max	16.87	72.57	15	14.45	15	1.34	15	12.53	15	1.23	15	0.00	15
1277	-315	-347	Min.	2.51	71.55	15	14.45	15	-0.74	15	12.51	15	-0.57	15	0.00	15
1277	-315	-347	Min.	16.87	72.57	15	14.45	15	1.34	15	12.53	15	1.23	15	0.00	15
1277	-347	-379	Max	2.51	102.96	15	14.82	15	-0.71	15	12.83	15	-0.55	15	0.00	15
1277	-347	-379	Max	16.87	103.98	15	14.82	15	1.42	15	12.85	15	1.30	15	0.00	15
1277	-347	-379	Min.	2.51	102.96	15	14.82	15	-0.71	15	12.83	15	-0.55	15	0.00	15
1277	-347	-379	Min.	16.87	103.98	15	14.82	15	1.42	15	12.85	15	1.30	15	0.00	15
1277	-379	-411	Max	2.51	135.88	15	15.22	15	-0.68	15	13.15	15	-0.52	15	0.00	15
1277	-379	-411	Max	16.87	136.90	15	15.22	15	1.51	15	13.17	15	1.37	15	0.00	15
1277	-379	-411	Min.	2.51	135.88	15	15.22	15	-0.68	15	13.15	15	-0.52	15	0.00	15
1277	-379	-411	Min.	16.87	136.90	15	15.22	15	1.51	15	13.17	15	1.37	15	0.00	15
1277	-411	-443	Max	2.51	170.43	15	15.53	15	-0.64	15	13.51	15	-0.49	15	0.00	15
1277	-411	-443	Max	16.87	171.45	15	15.53	15	1.59	15	13.54	15	1.46	15	0.00	15
1277	-411	-443	Min.	2.51	170.43	15	15.53	15	-0.64	15	13.51	15	-0.49	15	0.00	15
1277	-411	-443	Min.	16.87	171.45	15	15.53	15	1.59	15	13.54	15	1.46	15	0.00	15
1277	-443	-475	Max	2.51	206.65	15	16.70	15	-0.60	15	13.78	15	-0.44	15	0.00	15
1277	-443	-475	Max	16.87	207.67	15	16.70	15	1.80	15	13.80	15	1.54	15	0.00	15
1277	-443	-475	Min.	2.51	206.65	15	16.70	15	-0.60	15	13.78	15	-0.44	15	0.00	15
1277	-443	-475	Min.	16.87	207.67	15	16.70	15	1.80	15	13.80	15	1.54	15	0.00	15
1277	-475	-507	Max	2.51	244.31	15	12.16	15	-0.46	15	14.85	15	-0.36	15	-0.00	15
1277	-475	-507	Max	16.87	245.33	15	12.16	15	1.29	15	14.87	15	1.77	15	-0.00	15
1277	-475	-507	Min.	2.51	244.31	15	12.16	15	-0.46	15	14.85	15	-0.36	15	-0.00	15
1277	-475	-507	Min.	16.87	245.33	15	12.16	15	1.29	15	14.87	15	1.77	15	-0.00	15
1277	-507	1351	Max	2.51	280.46	15	41.74	15	-0.42	15	10.79	15	0.04	15	-0.00	15
1277	-507	1351	Max	14.38	281.30	15	41.74	15	4.54	15	10.80	15	1.32	15	-0.00	15
1277	-507	1351	Min.	2.51	280.46	15	41.74	15	-0.42	15	10.79	15	0.04	15	-0.00	15
1277	-507	1351	Min.	14.38	281.30	15	41.74	15	4.54	15	10.80	15	1.32	15	-0.00	15
1278	382	-31	Max	4.85	0.00	15	0.00	15	0.00	15	0.00	15	0.00	15	0.00	15
1278	382	-31	Min.	4.85	0.00	15	0.00	15	0.00	15	0.00	15	0.00	15	0.00	15
1278	-31	-63	Max	4.85	0.00	15	0.00	15	0.00	15	0.00	15	0.00	15	0.00	15
1278	-31	-63	Min.	4.85	0.00	15	0.00	15	0.00	15	0.00	15	0.00	15	0.00	15
1278	-63	-95	Max	5.01	-182.40	15	5.61	15	-0.49	15	9.64	15	-1.11	15	0.00	15
1278	-63	-95	Max	16.87	-181.56	15	5.61	15	0.18	15	9.66	15	0.03	15	0.00	15
1278	-63	-95	Min.	5.01	-182.40	15	5.61	15	-0.49	15	9.64	15	-1.11	15	0.00	15
1278	-63	-95	Min.	16.87	-181.56	15	5.61	15	0.18	15	9.66	15	0.03	15	0.00	15
1278	-95	-127	Max	2.51	-168.75	15	4.61	15	-0.23	15	7.97	15	-0.71	15	0.00	15
1278	-95	-127	Max	16.87	-167.73	15	4.61	15	0.43	15	7.99	15	0.44	15	0.00	15
1278	-95	-127	Min.	2.51	-168.75	15	4.61	15	-0.23	15	7.97	15	-0.71	15	0.00	15
1278	-95	-127	Min.	16.87	-167.73	15	4.61	15	0.43	15	7.99	15	0.44	15	0.00	15
1278	-127	-159	Max	2.51	-151.56	15	4.72	15	-0.18	15	8.24	15	-0.64	15	-0.00	15
1278	-127	-159	Max	16.87	-150.54	15	4.72	15	0.49	15	8.26	15	0.54	15	-0.00	15
1278	-127	-159	Min.	2.51	-151.56	15	4.72	15	-0.18	15	8.24	15	-0.64	15	-0.00	15
1278	-127	-159	Min.	16.87	-150.54	15	4.72	15	0.49	15	8.26	15	0.54	15	-0.00	15
1278	-159	-191	Max	2.51	-133.06	15	4.83	15	-0.17	15	8.42	15	-0.62	15	-0.00	15
1278	-159	-191	Max	16.87	-132.04	15	4.83	15	0.53	15	8.44	15	0.59	15	-0.00	15
1278	-159	-191	Min.	2.51	-133.06	15	4.83	15	-0.17	15	8.42	15	-0.62	15	-0.00	15
1278	-159	-191	Min.	16.87	-132.04	15	4.83	15	0.53	15	8.44	15	0.59	15	-0.00	15
1278	-191	-223	Max	2.51	-113.70	15	4.93	15	-0.16	15	8.59	15	-0.61	15	-0.00	15
1278	-191	-223	Max	16.87	-112.67	15	4.93	15	0.55	15	8.61	15	0.63	15	-0.00	15
1278	-191	-223	Min.	2.51	-113.70	15	4.93	15	-0.16	15	8.59	15	-0.61	15	-0.00	15
1278	-191	-223	Min.	16.87	-112.67	15	4.93	15	0.55	15	8.61	15	0.63	15	-0.00	15
1278	-223	-255	Max	2.51	-93.53	15	5.04	15	-0.15	15	8.78	15	-0.60	15	-0.00	15

1278	-223	-255	Max	16.87	-92.51	15	5.04	15	0.58	15	8.80	15	0.66	15	-0.00	15
1278	-223	-255	Min.	2.51	-93.53	15	5.04	15	-0.15	15	8.78	15	-0.60	15	-0.00	15
1278	-223	-255	Min.	16.87	-92.51	15	5.04	15	0.58	15	8.80	15	0.66	15	-0.00	15
1278	-255	-287	Max	2.51	-72.52	15	5.16	15	-0.14	15	8.98	15	-0.59	15	-0.00	15
1278	-255	-287	Max	16.87	-71.50	15	5.16	15	0.60	15	9.01	15	0.70	15	-0.00	15
1278	-255	-287	Min.	2.51	-72.52	15	5.16	15	-0.14	15	8.98	15	-0.59	15	-0.00	15
1278	-255	-287	Min.	16.87	-71.50	15	5.16	15	0.60	15	9.01	15	0.70	15	-0.00	15
1278	-287	-319	Max	2.51	-50.62	15	5.29	15	-0.13	15	9.20	15	-0.58	15	-0.00	15
1278	-287	-319	Max	16.87	-49.60	15	5.29	15	0.63	15	9.22	15	0.74	15	-0.00	15
1278	-287	-319	Min.	2.51	-50.62	15	5.29	15	-0.13	15	9.20	15	-0.58	15	-0.00	15
1278	-287	-319	Min.	16.87	-49.60	15	5.29	15	0.63	15	9.22	15	0.74	15	-0.00	15
1278	-319	-351	Max	2.51	-27.75	15	5.41	15	-0.12	15	9.41	15	-0.57	15	-0.00	15
1278	-319	-351	Max	16.87	-26.73	15	5.41	15	0.66	15	9.44	15	0.79	15	-0.00	15
1278	-319	-351	Min.	2.51	-27.75	15	5.41	15	-0.12	15	9.41	15	-0.57	15	-0.00	15
1278	-319	-351	Min.	16.87	-26.73	15	5.41	15	0.66	15	9.44	15	0.79	15	-0.00	15
1278	-351	-383	Max	2.51	-3.85	15	5.55	15	-0.11	15	9.65	15	-0.55	15	-0.00	15
1278	-351	-383	Max	16.87	-2.83	15	5.55	15	0.69	15	9.67	15	0.83	15	-0.00	15
1278	-351	-383	Min.	2.51	-3.85	15	5.55	15	-0.11	15	9.65	15	-0.55	15	-0.00	15
1278	-351	-383	Min.	16.87	-2.83	15	5.55	15	0.69	15	9.67	15	0.83	15	-0.00	15
1278	-383	-415	Max	2.51	21.17	15	5.70	15	-0.09	15	9.90	15	-0.54	15	-0.00	15
1278	-383	-415	Max	16.87	22.19	15	5.70	15	0.73	15	9.92	15	0.89	15	-0.00	15
1278	-383	-415	Min.	2.51	21.17	15	5.70	15	-0.09	15	9.90	15	-0.54	15	-0.00	15
1278	-383	-415	Min.	16.87	22.19	15	5.70	15	0.73	15	9.92	15	0.89	15	-0.00	15
1278	-415	-447	Max	2.51	47.39	15	5.79	15	-0.08	15	10.16	15	-0.52	15	-0.00	15
1278	-415	-447	Max	16.87	48.41	15	5.79	15	0.76	15	10.19	15	0.94	15	-0.00	15
1278	-415	-447	Min.	2.51	47.39	15	5.79	15	-0.08	15	10.16	15	-0.52	15	-0.00	15
1278	-415	-447	Min.	16.87	48.41	15	5.79	15	0.76	15	10.19	15	0.94	15	-0.00	15
1278	-447	-479	Max	2.51	74.84	15	6.42	15	-0.06	15	10.42	15	-0.49	15	-0.00	15
1278	-447	-479	Max	16.87	75.86	15	6.42	15	0.86	15	10.44	15	1.01	15	-0.00	15
1278	-447	-479	Min.	2.51	74.84	15	6.42	15	-0.06	15	10.42	15	-0.49	15	-0.00	15
1278	-447	-479	Min.	16.87	75.86	15	6.42	15	0.86	15	10.44	15	1.01	15	-0.00	15
1278	-479	-511	Max	2.51	103.28	15	3.36	15	0.00	15	10.83	15	-0.43	15	-0.00	15
1278	-479	-511	Max	16.87	104.31	15	3.36	15	0.49	15	10.86	15	1.13	15	-0.00	15
1278	-479	-511	Min.	2.51	103.28	15	3.36	15	0.00	15	10.83	15	-0.43	15	-0.00	15
1278	-479	-511	Min.	16.87	104.31	15	3.36	15	0.49	15	10.86	15	1.13	15	-0.00	15
1278	-511	1357	Max	2.51	130.15	15	22.33	15	-0.13	15	10.02	15	-0.13	15	-0.00	15
1278	-511	1357	Max	14.38	130.99	15	22.33	15	2.53	15	10.04	15	1.07	15	-0.00	15
1278	-511	1357	Min.	2.51	130.15	15	22.33	15	-0.13	15	10.02	15	-0.13	15	-0.00	15
1278	-511	1357	Min.	14.38	130.99	15	22.33	15	2.53	15	10.04	15	1.07	15	-0.00	15
1279	355	-21	Max	4.85	0.00	15	0.00	15	0.00	15	0.00	15	0.00	15	0.00	15
1279	355	-21	Min.	4.85	0.00	15	0.00	15	0.00	15	0.00	15	0.00	15	0.00	15
1279	-21	-53	Max	4.85	0.00	15	0.00	15	0.00	15	0.00	15	0.00	15	0.00	15
1279	-21	-53	Min.	4.85	0.00	15	0.00	15	0.00	15	0.00	15	0.00	15	0.00	15
1279	-53	-85	Max	5.01	-240.56	15	12.01	15	-1.24	15	-8.62	15	0.81	15	0.01	15
1279	-53	-85	Max	16.87	-239.72	15	12.01	15	0.19	15	-8.60	15	-0.21	15	0.01	15
1279	-53	-85	Min.	5.01	-240.56	15	12.01	15	-1.24	15	-8.62	15	0.81	15	0.01	15
1279	-53	-85	Min.	16.87	-239.72	15	12.01	15	0.19	15	-8.60	15	-0.21	15	0.01	15
1279	-85	-117	Max	2.51	-253.49	15	13.16	15	-1.07	15	-10.98	15	0.84	15	0.00	15
1279	-85	-117	Max	16.87	-252.47	15	13.16	15	0.82	15	-10.96	15	-0.73	15	0.00	15
1279	-85	-117	Min.	2.51	-253.49	15	13.16	15	-1.07	15	-10.98	15	0.84	15	0.00	15
1279	-85	-117	Min.	16.87	-252.47	15	13.16	15	0.82	15	-10.96	15	-0.73	15	0.00	15
1279	-117	-149	Max	2.51	-270.88	15	13.40	15	-0.93	15	-11.09	15	0.70	15	0.00	15
1279	-117	-149	Max	16.87	-269.86	15	13.40	15	1.00	15	-11.06	15	-0.89	15	0.00	15
1279	-117	-149	Min.	2.51	-270.88	15	13.40	15	-0.93	15	-11.09	15	0.70	15	0.00	15
1279	-117	-149	Min.	16.87	-269.86	15	13.40	15	1.00	15	-11.06	15	-0.89	15	0.00	15
1279	-149	-181	Max	2.51	-290.08	15	13.72	15	-0.89	15	-11.37	15	0.67	15	0.00	15
1279	-149	-181	Max	16.87	-289.06	15	13.72	15	1.08	15	-11.35	15	-0.96	15	0.00	15
1279	-149	-181	Min.	2.51	-290.08	15	13.72	15	-0.89	15	-11.37	15	0.67	15	0.00	15
1279	-149	-181	Min.	16.87	-289.06	15	13.72	15	1.08	15	-11.35	15	-0.96	15	0.00	15

1279	-181	-213	Max	2.51	-310.50	15	14.03	15	-0.87	15	-11.65	15	0.66	15	-0.00	15
1279	-181	-213	Max	16.87	-309.48	15	14.03	15	1.14	15	-11.62	15	-1.02	15	-0.00	15
1279	-181	-213	Min.	2.51	-310.50	15	14.03	15	-0.87	15	-11.65	15	0.66	15	-0.00	15
1279	-181	-213	Min.	16.87	-309.48	15	14.03	15	1.14	15	-11.62	15	-1.02	15	-0.00	15
1279	-213	-245	Max	2.51	-332.06	15	14.37	15	-0.86	15	-11.94	15	0.64	15	-0.00	15
1279	-213	-245	Max	16.87	-331.04	15	14.37	15	1.20	15	-11.92	15	-1.07	15	-0.00	15
1279	-213	-245	Min.	2.51	-332.06	15	14.37	15	-0.86	15	-11.94	15	0.64	15	-0.00	15
1279	-213	-245	Min.	16.87	-331.04	15	14.37	15	1.20	15	-11.92	15	-1.07	15	-0.00	15
1279	-245	-277	Max	2.51	-354.81	15	14.73	15	-0.85	15	-12.26	15	0.63	15	-0.00	15
1279	-245	-277	Max	16.87	-353.79	15	14.73	15	1.27	15	-12.24	15	-1.13	15	-0.00	15
1279	-245	-277	Min.	2.51	-354.81	15	14.73	15	-0.85	15	-12.26	15	0.63	15	-0.00	15
1279	-245	-277	Min.	16.87	-353.79	15	14.73	15	1.27	15	-12.24	15	-1.13	15	-0.00	15
1279	-277	-309	Max	2.51	-378.82	15	15.10	15	-0.83	15	-12.59	15	0.62	15	-0.00	15
1279	-277	-309	Max	16.87	-377.80	15	15.10	15	1.34	15	-12.57	15	-1.19	15	-0.00	15
1279	-277	-309	Min.	2.51	-378.82	15	15.10	15	-0.83	15	-12.59	15	0.62	15	-0.00	15
1279	-277	-309	Min.	16.87	-377.80	15	15.10	15	1.34	15	-12.57	15	-1.19	15	-0.00	15
1279	-309	-341	Max	2.51	-404.19	15	15.49	15	-0.81	15	-12.91	15	0.60	15	-0.00	15
1279	-309	-341	Max	16.87	-403.17	15	15.49	15	1.42	15	-12.89	15	-1.26	15	-0.00	15
1279	-309	-341	Min.	2.51	-404.19	15	15.49	15	-0.81	15	-12.91	15	0.60	15	-0.00	15
1279	-309	-341	Min.	16.87	-403.17	15	15.49	15	1.42	15	-12.89	15	-1.26	15	-0.00	15
1279	-341	-373	Max	2.51	-431.00	15	15.90	15	-0.79	15	-13.29	15	0.58	15	-0.00	15
1279	-341	-373	Max	16.87	-429.98	15	15.90	15	1.50	15	-13.27	15	-1.33	15	-0.00	15
1279	-341	-373	Min.	2.51	-431.00	15	15.90	15	-0.79	15	-13.29	15	0.58	15	-0.00	15
1279	-341	-373	Min.	16.87	-429.98	15	15.90	15	1.50	15	-13.27	15	-1.33	15	-0.00	15
1279	-373	-405	Max	2.51	-459.38	15	16.34	15	-0.76	15	-13.63	15	0.55	15	-0.00	15
1279	-373	-405	Max	16.87	-458.36	15	16.34	15	1.59	15	-13.61	15	-1.40	15	-0.00	15
1279	-373	-405	Min.	2.51	-459.38	15	16.34	15	-0.76	15	-13.63	15	0.55	15	-0.00	15
1279	-373	-405	Min.	16.87	-458.36	15	16.34	15	1.59	15	-13.61	15	-1.40	15	-0.00	15
1279	-405	-437	Max	2.51	-489.42	15	16.72	15	-0.73	15	-14.22	15	0.52	15	-0.00	15
1279	-405	-437	Max	16.87	-488.40	15	16.72	15	1.67	15	-14.19	15	-1.52	15	-0.00	15
1279	-405	-437	Min.	2.51	-489.42	15	16.72	15	-0.73	15	-14.22	15	0.52	15	-0.00	15
1279	-405	-437	Min.	16.87	-488.40	15	16.72	15	1.67	15	-14.19	15	-1.52	15	-0.00	15
1279	-437	-469	Max	2.51	-521.24	15	17.89	15	-0.68	15	-13.30	15	0.48	15	-0.00	15
1279	-437	-469	Max	16.87	-520.22	15	17.89	15	1.89	15	-13.28	15	-1.43	15	-0.00	15
1279	-437	-469	Min.	2.51	-521.24	15	17.89	15	-0.68	15	-13.30	15	0.48	15	-0.00	15
1279	-437	-469	Min.	16.87	-520.22	15	17.89	15	1.89	15	-13.28	15	-1.43	15	-0.00	15
1279	-469	-501	Max	2.51	-554.20	15	13.45	15	-0.55	15	-22.81	15	0.46	15	-0.01	15
1279	-469	-501	Max	16.87	-553.18	15	13.45	15	1.38	15	-22.79	15	-2.82	15	-0.01	15
1279	-469	-501	Min.	2.51	-554.20	15	13.45	15	-0.55	15	-22.81	15	0.46	15	-0.01	15
1279	-469	-501	Min.	16.87	-553.18	15	13.45	15	1.38	15	-22.79	15	-2.82	15	-0.01	15
1279	-501	1334	Max	2.51	-587.33	15	42.67	15	-0.47	15	29.13	15	-0.58	15	-0.01	15
1279	-501	1334	Max	14.38	-586.49	15	42.67	15	4.59	15	29.14	15	2.88	15	-0.01	15
1279	-501	1334	Min.	2.51	-587.33	15	42.67	15	-0.47	15	29.13	15	-0.58	15	-0.01	15
1279	-501	1334	Min.	14.38	-586.49	15	42.67	15	4.59	15	29.14	15	2.88	15	-0.01	15
1300	1299	1300	Max	1.77	37.01	15	0.78	15	1.08	15	-0.08	15	0.15	15	0.00	15
1300	1299	1300	Max	10.00	37.01	15	1.37	15	1.17	15	-0.08	15	0.15	15	0.00	15
1300	1299	1300	Min.	1.77	37.01	15	0.78	15	1.08	15	-0.08	15	0.15	15	0.00	15
1300	1299	1300	Min.	10.00	37.01	15	1.37	15	1.17	15	-0.08	15	0.15	15	0.00	15
1300	1300	1301	Max	0.00	37.01	15	1.37	15	1.17	15	-0.08	15	0.15	15	0.00	15
1300	1300	1301	Max	8.23	37.01	15	1.95	15	1.31	15	-0.08	15	0.14	15	0.00	15
1300	1300	1301	Min.	0.00	37.01	15	1.37	15	1.17	15	-0.08	15	0.15	15	0.00	15
1300	1300	1301	Min.	8.23	37.01	15	1.95	15	1.31	15	-0.08	15	0.14	15	0.00	15
1302	1319	1320	Max	1.77	-49.53	15	-0.13	15	-0.13	15	1.07	15	-2.90	15	0.00	15
1302	1319	1320	Max	10.00	-49.53	15	-0.13	15	-0.15	15	1.66	15	-2.79	15	0.00	15
1302	1319	1320	Min.	1.77	-49.53	15	-0.13	15	-0.13	15	1.07	15	-2.90	15	0.00	15
1302	1319	1320	Min.	10.00	-49.53	15	-0.13	15	-0.15	15	1.66	15	-2.79	15	0.00	15
1302	1320	1321	Max	0.00	-49.53	15	-0.13	15	-0.15	15	1.66	15	-2.79	15	0.00	15
1302	1320	1321	Max	8.23	-49.53	15	-0.13	15	-0.16	15	2.24	15	-2.63	15	0.00	15
1302	1320	1321	Min.	0.00	-49.53	15	-0.13	15	-0.15	15	1.66	15	-2.79	15	0.00	15

1302	1320	1321	Min.	8.23	-49.53	15	-0.13	15	-0.16	15	2.24	15	-2.63	15	0.00	15
1344	1331	1332	Max	1.77	-49.56	15	1.00	15	-2.89	15	-0.13	15	-0.13	15	0.00	15
1344	1331	1332	Max	10.00	-49.56	15	1.58	15	-2.79	15	-0.13	15	-0.15	15	0.00	15
1344	1331	1332	Min.	1.77	-49.56	15	1.00	15	-2.89	15	-0.13	15	-0.13	15	0.00	15
1344	1331	1332	Min.	10.00	-49.56	15	1.58	15	-2.79	15	-0.13	15	-0.15	15	0.00	15
1344	1332	1333	Max	0.00	-49.56	15	1.58	15	-2.79	15	-0.13	15	-0.15	15	0.00	15
1344	1332	1333	Max	8.23	-49.56	15	2.17	15	-2.63	15	-0.13	15	-0.16	15	0.00	15
1344	1332	1333	Min.	0.00	-49.56	15	1.58	15	-2.79	15	-0.13	15	-0.15	15	0.00	15
1344	1332	1333	Min.	8.23	-49.56	15	2.17	15	-2.63	15	-0.13	15	-0.16	15	0.00	15
1346	1351	1352	Max	1.77	37.05	15	-0.06	15	0.15	15	0.66	15	1.10	15	-0.00	15
1346	1351	1352	Max	10.00	37.05	15	-0.06	15	0.15	15	1.24	15	1.17	15	-0.00	15
1346	1351	1352	Min.	1.77	37.05	15	-0.06	15	0.15	15	0.66	15	1.10	15	-0.00	15
1346	1351	1352	Min.	10.00	37.05	15	-0.06	15	0.15	15	1.24	15	1.17	15	-0.00	15
1346	1352	1353	Max	0.00	37.05	15	-0.06	15	0.15	15	1.24	15	1.17	15	-0.00	15
1346	1352	1353	Max	8.23	37.05	15	-0.06	15	0.14	15	1.83	15	1.30	15	-0.00	15
1346	1352	1353	Min.	0.00	37.05	15	-0.06	15	0.15	15	1.24	15	1.17	15	-0.00	15
1346	1352	1353	Min.	8.23	37.05	15	-0.06	15	0.14	15	1.83	15	1.30	15	-0.00	15
1384	1328	1340	Max	1.77	-3.20	15	-0.74	15	0.06	15	15.27	15	-1.56	15	-0.07	15
1384	1328	1340	Max	10.00	-3.20	15	-0.74	15	-0.00	15	15.85	15	-0.28	15	-0.07	15
1384	1328	1340	Min.	1.77	-3.20	15	-0.74	15	0.06	15	15.27	15	-1.56	15	-0.07	15
1384	1328	1340	Min.	10.00	-3.20	15	-0.74	15	-0.00	15	15.85	15	-0.28	15	-0.07	15
1384	1340	1348	Max	0.00	-3.20	15	-0.74	15	-0.00	15	15.85	15	-0.28	15	-0.07	15
1384	1340	1348	Max	8.23	-3.20	15	-0.74	15	-0.07	15	16.44	15	1.05	15	-0.07	15
1384	1340	1348	Min.	0.00	-3.20	15	-0.74	15	-0.00	15	15.85	15	-0.28	15	-0.07	15
1384	1340	1348	Min.	8.23	-3.20	15	-0.74	15	-0.07	15	16.44	15	1.05	15	-0.07	15
1387	1330	1341	Max	1.77	-3.53	15	15.96	15	-1.93	15	-0.88	15	0.08	15	0.07	15
1387	1330	1341	Max	10.00	-3.53	15	16.54	15	-0.59	15	-0.88	15	0.00	15	0.07	15
1387	1330	1341	Min.	1.77	-3.53	15	15.96	15	-1.93	15	-0.88	15	0.08	15	0.07	15
1387	1330	1341	Min.	10.00	-3.53	15	16.54	15	-0.59	15	-0.88	15	0.00	15	0.07	15
1387	1341	1350	Max	0.00	-3.53	15	16.54	15	-0.59	15	-0.88	15	0.00	15	0.07	15
1387	1341	1350	Max	8.23	-3.53	15	17.13	15	0.79	15	-0.88	15	-0.07	15	0.07	15
1387	1341	1350	Min.	0.00	-3.53	15	16.54	15	-0.59	15	-0.88	15	0.00	15	0.07	15
1387	1341	1350	Min.	8.23	-3.53	15	17.13	15	0.79	15	-0.88	15	-0.07	15	0.07	15
1422	1331	1342	Max	1.77	-7.57	15	-1.48	15	0.12	15	29.00	15	-3.24	15	-0.13	15
1422	1331	1342	Max	10.00	-7.57	15	-1.48	15	-0.01	15	29.59	15	-0.83	15	-0.13	15
1422	1331	1342	Min.	1.77	-7.57	15	-1.48	15	0.12	15	29.00	15	-3.24	15	-0.13	15
1422	1331	1342	Min.	10.00	-7.57	15	-1.48	15	-0.01	15	29.59	15	-0.83	15	-0.13	15
1422	1342	1351	Max	0.00	-7.57	15	-1.48	15	-0.01	15	29.59	15	-0.83	15	-0.13	15
1422	1342	1351	Max	8.23	-7.57	15	-1.48	15	-0.13	15	30.17	15	1.63	15	-0.13	15
1422	1342	1351	Min.	0.00	-7.57	15	-1.48	15	-0.01	15	29.59	15	-0.83	15	-0.13	15
1422	1342	1351	Min.	8.23	-7.57	15	-1.48	15	-0.13	15	30.17	15	1.63	15	-0.13	15
1425	1333	1343	Max	1.77	-4.92	15	29.34	15	-3.22	15	-1.55	15	0.13	15	0.13	15
1425	1333	1343	Max	10.00	-4.92	15	29.93	15	-0.78	15	-1.55	15	0.01	15	0.13	15
1425	1333	1343	Min.	1.77	-4.92	15	29.34	15	-3.22	15	-1.55	15	0.13	15	0.13	15
1425	1333	1343	Min.	10.00	-4.92	15	29.93	15	-0.78	15	-1.55	15	0.01	15	0.13	15
1425	1343	1353	Max	0.00	-4.92	15	29.93	15	-0.78	15	-1.55	15	0.01	15	0.13	15
1425	1343	1353	Max	8.23	-4.92	15	30.51	15	1.71	15	-1.55	15	-0.12	15	0.13	15
1425	1343	1353	Min.	0.00	-4.92	15	29.93	15	-0.78	15	-1.55	15	0.01	15	0.13	15
1425	1343	1353	Min.	8.23	-4.92	15	30.51	15	1.71	15	-1.55	15	-0.12	15	0.13	15
1460	1334	1344	Max	1.77	-4.50	15	-1.55	15	0.13	15	29.36	15	-3.23	15	-0.13	15
1460	1334	1344	Max	10.00	-4.50	15	-1.55	15	0.01	15	29.94	15	-0.79	15	-0.13	15
1460	1334	1344	Min.	1.77	-4.50	15	-1.55	15	0.13	15	29.36	15	-3.23	15	-0.13	15
1460	1334	1344	Min.	10.00	-4.50	15	-1.55	15	0.01	15	29.94	15	-0.79	15	-0.13	15
1460	1344	1354	Max	0.00	-4.50	15	-1.55	15	0.01	15	29.94	15	-0.79	15	-0.13	15
1460	1344	1354	Max	8.23	-4.50	15	-1.55	15	-0.12	15	30.53	15	1.70	15	-0.13	15
1460	1344	1354	Min.	0.00	-4.50	15	-1.55	15	0.01	15	29.94	15	-0.79	15	-0.13	15
1460	1344	1354	Min.	8.23	-4.50	15	-1.55	15	-0.12	15	30.53	15	1.70	15	-0.13	15
1463	1336	1345	Max	1.77	-7.99	15	28.98	15	-3.23	15	-1.48	15	0.11	15	0.13	15
1463	1336	1345	Max	10.00	-7.99	15	29.57	15	-0.82	15	-1.48	15	-0.01	15	0.13	15

1463	1336	1345	Min.	1.77	-7.99	15	28.98	15	-3.23	15	-1.48	15	0.11	15	0.13	15
1463	1336	1345	Min.	10.00	-7.99	15	29.57	15	-0.82	15	-1.48	15	-0.01	15	0.13	15
1463	1345	1356	Max	0.00	-7.99	15	29.57	15	-0.82	15	-1.48	15	-0.01	15	0.13	15
1463	1345	1356	Max	8.23	-7.99	15	30.15	15	1.64	15	-1.48	15	-0.13	15	0.13	15
1463	1345	1356	Min.	0.00	-7.99	15	29.57	15	-0.82	15	-1.48	15	-0.01	15	0.13	15
1463	1345	1356	Min.	8.23	-7.99	15	30.15	15	1.64	15	-1.48	15	-0.13	15	0.13	15
1498	1337	1346	Max	1.77	-3.31	15	-0.88	15	0.08	15	15.98	15	-1.94	15	-0.07	15
1498	1337	1346	Max	10.00	-3.31	15	-0.88	15	0.01	15	16.56	15	-0.60	15	-0.07	15
1498	1337	1346	Min.	1.77	-3.31	15	-0.88	15	0.08	15	15.98	15	-1.94	15	-0.07	15
1498	1337	1346	Min.	10.00	-3.31	15	-0.88	15	0.01	15	16.56	15	-0.60	15	-0.07	15
1498	1346	1357	Max	0.00	-3.31	15	-0.88	15	0.01	15	16.56	15	-0.60	15	-0.07	15
1498	1346	1357	Max	8.23	-3.31	15	-0.88	15	-0.07	15	17.15	15	0.79	15	-0.07	15
1498	1346	1357	Min.	0.00	-3.31	15	-0.88	15	0.01	15	16.56	15	-0.60	15	-0.07	15
1498	1346	1357	Min.	8.23	-3.31	15	-0.88	15	-0.07	15	17.15	15	0.79	15	-0.07	15
1501	1339	1347	Max	1.77	-3.41	15	15.26	15	-1.56	15	-0.74	15	0.06	15	0.07	15
1501	1339	1347	Max	10.00	-3.41	15	15.85	15	-0.28	15	-0.74	15	-0.01	15	0.07	15
1501	1339	1347	Min.	1.77	-3.41	15	15.26	15	-1.56	15	-0.74	15	0.06	15	0.07	15
1501	1339	1347	Min.	10.00	-3.41	15	15.85	15	-0.28	15	-0.74	15	-0.01	15	0.07	15
1501	1347	1359	Max	0.00	-3.41	15	15.85	15	-0.28	15	-0.74	15	-0.01	15	0.07	15
1501	1347	1359	Max	8.23	-3.41	15	16.43	15	1.05	15	-0.74	15	-0.07	15	0.07	15
1501	1347	1359	Min.	0.00	-3.41	15	15.85	15	-0.28	15	-0.74	15	-0.01	15	0.07	15
1501	1347	1359	Min.	8.23	-3.41	15	16.43	15	1.05	15	-0.74	15	-0.07	15	0.07	15
1519	1032	1324	Max	8.49	-1.30	15	-10.08	15	0.44	15	-624.92	15	26.52	15	5.67	15
1519	1032	1324	Max	11.31	-1.30	15	-10.08	15	0.16	15	-625.12	15	8.84	15	5.67	15
1519	1032	1324	Min.	8.49	-1.30	15	-10.08	15	0.44	15	-624.92	15	26.52	15	5.67	15
1519	1032	1324	Min.	11.31	-1.30	15	-10.08	15	0.16	15	-625.12	15	8.84	15	5.67	15
1519	1302	1032	Max	2.83	-28.39	15	10.98	15	0.17	15	-324.66	15	-8.73	15	-5.70	15
1519	1302	1032	Max	5.66	-28.39	15	10.98	15	0.48	15	-324.86	15	-17.92	15	-5.70	15
1519	1302	1032	Min.	2.83	-28.39	15	10.98	15	0.17	15	-324.66	15	-8.73	15	-5.70	15
1519	1302	1032	Min.	5.66	-28.39	15	10.98	15	0.48	15	-324.86	15	-17.92	15	-5.70	15
1520	1029	1319	Max	8.49	-1.37	15	10.22	15	-0.45	15	-623.86	15	26.45	15	-5.68	15
1520	1029	1319	Max	11.31	-1.37	15	10.22	15	-0.16	15	-624.06	15	8.81	15	-5.68	15
1520	1029	1319	Min.	8.49	-1.37	15	10.22	15	-0.45	15	-623.86	15	26.45	15	-5.68	15
1520	1029	1319	Min.	11.31	-1.37	15	10.22	15	-0.16	15	-624.06	15	8.81	15	-5.68	15
1520	1301	1029	Max	2.83	-28.31	15	-10.71	15	-0.17	15	-323.61	15	-8.70	15	5.70	15
1520	1301	1029	Max	5.66	-28.31	15	-10.71	15	-0.47	15	-323.81	15	-17.86	15	5.70	15
1520	1301	1029	Min.	2.83	-28.31	15	-10.71	15	-0.17	15	-323.61	15	-8.70	15	5.70	15
1520	1301	1029	Min.	5.66	-28.31	15	-10.71	15	-0.47	15	-323.81	15	-17.86	15	5.70	15
1521	1299	1029	Max	2.83	-24.34	15	11.46	15	0.17	15	-312.03	15	-8.32	15	-5.96	15
1521	1299	1029	Max	5.66	-24.34	15	11.46	15	0.50	15	-312.23	15	-17.14	15	-5.96	15
1521	1299	1029	Min.	2.83	-24.34	15	11.46	15	0.17	15	-312.03	15	-8.32	15	-5.96	15
1521	1299	1029	Min.	5.66	-24.34	15	11.46	15	0.50	15	-312.23	15	-17.14	15	-5.96	15
1521	1029	1321	Max	8.49	-5.34	15	-11.96	15	0.52	15	-612.28	15	25.74	15	5.98	15
1521	1029	1321	Max	11.31	-5.34	15	-11.96	15	0.18	15	-612.48	15	8.42	15	5.98	15
1521	1029	1321	Min.	8.49	-5.34	15	-11.96	15	0.52	15	-612.28	15	25.74	15	5.98	15
1521	1029	1321	Min.	11.31	-5.34	15	-11.96	15	0.18	15	-612.48	15	8.42	15	5.98	15
1522	1035	1327	Max	8.49	2.60	15	-4.72	15	0.22	15	-311.00	15	13.30	15	3.45	15
1522	1035	1327	Max	11.31	2.60	15	-4.72	15	0.08	15	-311.20	15	4.51	15	3.45	15
1522	1035	1327	Min.	8.49	2.60	15	-4.72	15	0.22	15	-311.00	15	13.30	15	3.45	15
1522	1035	1327	Min.	11.31	2.60	15	-4.72	15	0.08	15	-311.20	15	4.51	15	3.45	15
1522	1305	1035	Max	2.83	-18.60	15	6.13	15	0.10	15	-150.60	15	-4.44	15	-3.51	15
1522	1305	1035	Max	5.66	-18.60	15	6.13	15	0.28	15	-150.80	15	-8.70	15	-3.51	15
1522	1305	1035	Min.	2.83	-18.60	15	6.13	15	0.10	15	-150.60	15	-4.44	15	-3.51	15
1522	1305	1035	Min.	5.66	-18.60	15	6.13	15	0.28	15	-150.80	15	-8.70	15	-3.51	15
1523	1026	1318	Max	8.49	-7.72	15	-7.37	15	0.31	15	-379.03	15	15.88	15	3.07	15
1523	1026	1318	Max	11.31	-7.72	15	-7.37	15	0.10	15	-379.23	15	5.16	15	3.07	15
1523	1026	1318	Min.	8.49	-7.72	15	-7.37	15	0.31	15	-379.03	15	15.88	15	3.07	15
1523	1026	1318	Min.	11.31	-7.72	15	-7.37	15	0.10	15	-379.23	15	5.16	15	3.07	15
1523	1296	1026	Max	2.83	-8.22	15	5.91	15	0.08	15	-219.12	15	-5.09	15	-3.01	15

1523	1296	1026	Max	5.66	-8.22	15	5.91	15	0.25	15	-219.32	15	-11.29	15	-3.01	15
1523	1296	1026	Min.	2.83	-8.22	15	5.91	15	0.08	15	-219.12	15	-5.09	15	-3.01	15
1523	1296	1026	Min.	5.66	-8.22	15	5.91	15	0.25	15	-219.32	15	-11.29	15	-3.01	15
1524	1026	1316	Max	8.49	2.61	15	4.66	15	-0.21	15	-310.46	15	13.28	15	-3.45	15
1524	1026	1316	Max	11.31	2.61	15	4.66	15	-0.08	15	-310.66	15	4.50	15	-3.45	15
1524	1026	1316	Min.	8.49	2.61	15	4.66	15	-0.21	15	-310.46	15	13.28	15	-3.45	15
1524	1026	1316	Min.	11.31	2.61	15	4.66	15	-0.08	15	-310.66	15	4.50	15	-3.45	15
1524	1298	1026	Max	2.83	-18.55	15	-6.12	15	-0.10	15	-150.55	15	-4.43	15	3.51	15
1524	1298	1026	Max	5.66	-18.55	15	-6.12	15	-0.28	15	-150.75	15	-8.69	15	3.51	15
1524	1298	1026	Min.	2.83	-18.55	15	-6.12	15	-0.10	15	-150.55	15	-4.43	15	3.51	15
1524	1298	1026	Min.	5.66	-18.55	15	-6.12	15	-0.28	15	-150.75	15	-8.69	15	3.51	15
1525	1032	1322	Max	8.49	-5.45	15	12.10	15	-0.52	15	-611.18	15	25.67	15	-5.99	15
1525	1032	1322	Max	11.31	-5.45	15	12.10	15	-0.18	15	-611.38	15	8.38	15	-5.99	15
1525	1032	1322	Min.	8.49	-5.45	15	12.10	15	-0.52	15	-611.18	15	25.67	15	-5.99	15
1525	1032	1322	Min.	11.31	-5.45	15	12.10	15	-0.18	15	-611.38	15	8.38	15	-5.99	15
1525	1304	1032	Max	2.83	-24.24	15	-11.20	15	-0.17	15	-310.92	15	-8.28	15	5.95	15
1525	1304	1032	Max	5.66	-24.24	15	-11.20	15	-0.49	15	-311.12	15	-17.08	15	5.95	15
1525	1304	1032	Min.	2.83	-24.24	15	-11.20	15	-0.17	15	-310.92	15	-8.28	15	5.95	15
1525	1304	1032	Min.	5.66	-24.24	15	-11.20	15	-0.49	15	-311.12	15	-17.08	15	5.95	15
1526	1035	1325	Max	8.49	-7.83	15	7.31	15	-0.31	15	-378.43	15	15.84	15	-3.06	15
1526	1035	1325	Max	11.31	-7.83	15	7.31	15	-0.10	15	-378.62	15	5.13	15	-3.06	15
1526	1035	1325	Min.	8.49	-7.83	15	7.31	15	-0.31	15	-378.43	15	15.84	15	-3.06	15
1526	1035	1325	Min.	11.31	-7.83	15	7.31	15	-0.10	15	-378.62	15	5.13	15	-3.06	15
1526	1307	1035	Max	2.83	-8.18	15	-5.90	15	-0.08	15	-218.03	15	-5.06	15	3.01	15
1526	1307	1035	Max	5.66	-8.18	15	-5.90	15	-0.25	15	-218.22	15	-11.23	15	3.01	15
1526	1307	1035	Min.	2.83	-8.18	15	-5.90	15	-0.08	15	-218.03	15	-5.06	15	3.01	15
1526	1307	1035	Min.	5.66	-8.18	15	-5.90	15	-0.25	15	-218.22	15	-11.23	15	3.01	15
1551	1330	1286	Max	2.83	-7.82	15	7.30	15	0.10	15	378.68	15	5.13	15	-3.06	15
1551	1330	1286	Max	5.66	-7.82	15	7.30	15	0.31	15	378.48	15	15.84	15	-3.06	15
1551	1330	1286	Min.	2.83	-7.82	15	7.30	15	0.10	15	378.68	15	5.13	15	-3.06	15
1551	1330	1286	Min.	5.66	-7.82	15	7.30	15	0.31	15	378.48	15	15.84	15	-3.06	15
1551	1286	1348	Max	8.49	-8.15	15	-5.92	15	0.25	15	218.65	15	-11.25	15	3.01	15
1551	1286	1348	Max	11.31	-8.15	15	-5.92	15	0.08	15	218.45	15	-5.06	15	3.01	15
1551	1286	1348	Min.	8.49	-8.15	15	-5.92	15	0.25	15	218.65	15	-11.25	15	3.01	15
1551	1286	1348	Min.	11.31	-8.15	15	-5.92	15	0.08	15	218.45	15	-5.06	15	3.01	15
1552	1336	1292	Max	2.83	-1.35	15	10.13	15	0.16	15	624.38	15	8.81	15	-5.67	15
1552	1336	1292	Max	5.66	-1.35	15	10.13	15	0.44	15	624.18	15	26.47	15	-5.67	15
1552	1336	1292	Min.	2.83	-1.35	15	10.13	15	0.16	15	624.38	15	8.81	15	-5.67	15
1552	1336	1292	Min.	5.66	-1.35	15	10.13	15	0.44	15	624.18	15	26.47	15	-5.67	15
1552	1292	1354	Max	8.49	-28.28	15	-10.78	15	0.47	15	324.52	15	-17.89	15	5.70	15
1552	1292	1354	Max	11.31	-28.28	15	-10.78	15	0.17	15	324.32	15	-8.71	15	5.70	15
1552	1292	1354	Min.	8.49	-28.28	15	-10.78	15	0.47	15	324.52	15	-17.89	15	5.70	15
1552	1292	1354	Min.	11.31	-28.28	15	-10.78	15	0.17	15	324.32	15	-8.71	15	5.70	15
1553	1328	1286	Max	2.83	2.63	15	-4.74	15	-0.08	15	310.84	15	4.50	15	3.46	15
1553	1328	1286	Max	5.66	2.63	15	-4.74	15	-0.22	15	310.64	15	13.29	15	3.46	15
1553	1328	1286	Min.	2.83	2.63	15	-4.74	15	-0.08	15	310.84	15	4.50	15	3.46	15
1553	1328	1286	Min.	5.66	2.63	15	-4.74	15	-0.22	15	310.64	15	13.29	15	3.46	15
1553	1286	1350	Max	8.49	-18.59	15	6.11	15	-0.28	15	150.81	15	-8.70	15	-3.51	15
1553	1286	1350	Max	11.31	-18.59	15	6.11	15	-0.10	15	150.60	15	-4.43	15	-3.51	15
1553	1286	1350	Min.	8.49	-18.59	15	6.11	15	-0.28	15	150.81	15	-8.70	15	-3.51	15
1553	1286	1350	Min.	11.31	-18.59	15	6.11	15	-0.10	15	150.60	15	-4.43	15	-3.51	15
1554	1337	1295	Max	2.83	-7.72	15	-7.32	15	-0.10	15	378.79	15	5.15	15	3.07	15
1554	1337	1295	Max	5.66	-7.72	15	-7.32	15	-0.31	15	378.58	15	15.86	15	3.07	15
1554	1337	1295	Min.	2.83	-7.72	15	-7.32	15	-0.10	15	378.79	15	5.15	15	3.07	15
1554	1337	1295	Min.	5.66	-7.72	15	-7.32	15	-0.31	15	378.58	15	15.86	15	3.07	15
1554	1295	1359	Max	8.49	-8.22	15	5.97	15	-0.25	15	218.74	15	-11.26	15	-3.02	15
1554	1295	1359	Max	11.31	-8.22	15	5.97	15	-0.08	15	218.54	15	-5.08	15	-3.02	15
1554	1295	1359	Min.	8.49	-8.22	15	5.97	15	-0.25	15	218.74	15	-11.26	15	-3.02	15
1554	1295	1359	Min.	11.31	-8.22	15	5.97	15	-0.08	15	218.54	15	-5.08	15	-3.02	15

1555	1331	1289	Max	2.83	-1.26	15	-10.18	15	-0.16	15	624.37	15	8.83	15	5.68	15
1555	1331	1289	Max	5.66	-1.26	15	-10.18	15	-0.45	15	624.16	15	26.48	15	5.68	15
1555	1331	1289	Min.	2.83	-1.26	15	-10.18	15	-0.16	15	624.37	15	8.83	15	5.68	15
1555	1331	1289	Min.	5.66	-1.26	15	-10.18	15	-0.45	15	624.16	15	26.48	15	5.68	15
1555	1289	1353	Max	8.49	-28.37	15	10.91	15	-0.48	15	324.50	15	-17.90	15	-5.71	15
1555	1289	1353	Max	11.31	-28.37	15	10.91	15	-0.17	15	324.31	15	-8.72	15	-5.71	15
1555	1289	1353	Min.	8.49	-28.37	15	10.91	15	-0.48	15	324.50	15	-17.90	15	-5.71	15
1555	1289	1353	Min.	11.31	-28.37	15	10.91	15	-0.17	15	324.31	15	-8.72	15	-5.71	15
1556	1289	1351	Max	8.49	-24.21	15	-11.27	15	0.49	15	312.00	15	-17.11	15	5.95	15
1556	1289	1351	Max	11.31	-24.21	15	-11.27	15	0.17	15	311.80	15	-8.29	15	5.95	15
1556	1289	1351	Min.	8.49	-24.21	15	-11.27	15	0.49	15	312.00	15	-17.11	15	5.95	15
1556	1289	1351	Min.	11.31	-24.21	15	-11.27	15	0.17	15	311.80	15	-8.29	15	5.95	15
1556	1333	1289	Max	2.83	-5.43	15	12.01	15	0.18	15	611.86	15	8.40	15	-5.98	15
1556	1333	1289	Max	5.66	-5.43	15	12.01	15	0.52	15	611.66	15	25.70	15	-5.98	15
1556	1333	1289	Min.	2.83	-5.43	15	12.01	15	0.18	15	611.86	15	8.40	15	-5.98	15
1556	1333	1289	Min.	5.66	-5.43	15	12.01	15	0.52	15	611.66	15	25.70	15	-5.98	15
1557	1339	1295	Max	2.83	2.60	15	4.70	15	0.08	15	310.94	15	4.50	15	-3.45	15
1557	1339	1295	Max	5.66	2.60	15	4.70	15	0.22	15	310.74	15	13.29	15	-3.45	15
1557	1339	1295	Min.	2.83	2.60	15	4.70	15	0.08	15	310.94	15	4.50	15	-3.45	15
1557	1339	1295	Min.	5.66	2.60	15	4.70	15	0.22	15	310.74	15	13.29	15	-3.45	15
1557	1295	1357	Max	8.49	-18.55	15	-6.05	15	0.27	15	150.89	15	-8.70	15	3.50	15
1557	1295	1357	Max	11.31	-18.55	15	-6.05	15	0.10	15	150.69	15	-4.43	15	3.50	15
1557	1295	1357	Min.	8.49	-18.55	15	-6.05	15	0.27	15	150.89	15	-8.70	15	3.50	15
1557	1295	1357	Min.	11.31	-18.55	15	-6.05	15	0.10	15	150.69	15	-4.43	15	3.50	15
1558	1292	1356	Max	8.49	-24.32	15	11.39	15	-0.49	15	312.05	15	-17.13	15	-5.96	15
1558	1292	1356	Max	11.31	-24.32	15	11.39	15	-0.17	15	311.85	15	-8.31	15	-5.96	15
1558	1292	1356	Min.	8.49	-24.32	15	11.39	15	-0.49	15	312.05	15	-17.13	15	-5.96	15
1558	1292	1356	Min.	11.31	-24.32	15	11.39	15	-0.17	15	311.85	15	-8.31	15	-5.96	15
1558	1334	1292	Max	2.83	-5.31	15	-12.05	15	-0.18	15	611.92	15	8.41	15	5.99	15
1558	1334	1292	Max	5.66	-5.31	15	-12.05	15	-0.52	15	611.72	15	25.72	15	5.99	15
1558	1334	1292	Min.	2.83	-5.31	15	-12.05	15	-0.18	15	611.92	15	8.41	15	5.99	15
1558	1334	1292	Min.	5.66	-5.31	15	-12.05	15	-0.52	15	611.72	15	25.72	15	5.99	15
1579	1302	1303	Max	1.77	37.03	15	-1.81	15	1.30	15	0.05	15	0.14	15	-0.00	15
1579	1302	1303	Max	10.00	37.03	15	-1.22	15	1.17	15	0.05	15	0.15	15	-0.00	15
1579	1302	1303	Min.	1.77	37.03	15	-1.81	15	1.30	15	0.05	15	0.14	15	-0.00	15
1579	1302	1303	Min.	10.00	37.03	15	-1.22	15	1.17	15	0.05	15	0.15	15	-0.00	15
1579	1303	1304	Max	0.00	37.03	15	-1.22	15	1.17	15	0.05	15	0.15	15	-0.00	15
1579	1303	1304	Max	8.23	37.03	15	-0.64	15	1.10	15	0.05	15	0.15	15	-0.00	15
1579	1303	1304	Min.	0.00	37.03	15	-1.22	15	1.17	15	0.05	15	0.15	15	-0.00	15
1579	1303	1304	Min.	8.23	37.03	15	-0.64	15	1.10	15	0.05	15	0.15	15	-0.00	15
1581	1322	1323	Max	1.77	-49.56	15	0.14	15	-0.16	15	-2.24	15	-2.63	15	0.00	15
1581	1322	1323	Max	10.00	-49.56	15	0.14	15	-0.15	15	-1.66	15	-2.79	15	0.00	15
1581	1322	1323	Min.	1.77	-49.56	15	0.14	15	-0.16	15	-2.24	15	-2.63	15	0.00	15
1581	1322	1323	Min.	10.00	-49.56	15	0.14	15	-0.15	15	-1.66	15	-2.79	15	0.00	15
1581	1323	1324	Max	0.00	-49.56	15	0.14	15	-0.15	15	-1.66	15	-2.79	15	0.00	15
1581	1323	1324	Max	8.23	-49.56	15	0.14	15	-0.13	15	-1.07	15	-2.90	15	0.00	15
1581	1323	1324	Min.	0.00	-49.56	15	0.14	15	-0.15	15	-1.66	15	-2.79	15	0.00	15
1581	1323	1324	Min.	8.23	-49.56	15	0.14	15	-0.13	15	-1.07	15	-2.90	15	0.00	15
1623	1334	1335	Max	1.77	-49.53	15	-2.30	15	-2.62	15	0.14	15	-0.16	15	0.00	15
1623	1334	1335	Max	10.00	-49.53	15	-1.72	15	-2.79	15	0.14	15	-0.15	15	0.00	15
1623	1334	1335	Min.	1.77	-49.53	15	-2.30	15	-2.62	15	0.14	15	-0.16	15	0.00	15
1623	1334	1335	Min.	10.00	-49.53	15	-1.72	15	-2.79	15	0.14	15	-0.15	15	0.00	15
1623	1335	1336	Max	0.00	-49.53	15	-1.72	15	-2.79	15	0.14	15	-0.15	15	0.00	15
1623	1335	1336	Max	8.23	-49.53	15	-1.13	15	-2.90	15	0.14	15	-0.13	15	0.00	15
1623	1335	1336	Min.	0.00	-49.53	15	-1.72	15	-2.79	15	0.14	15	-0.15	15	0.00	15
1623	1335	1336	Min.	8.23	-49.53	15	-1.13	15	-2.90	15	0.14	15	-0.13	15	0.00	15
1625	1354	1355	Max	1.77	37.02	15	0.07	15	0.14	15	-1.93	15	1.31	15	0.00	15
1625	1354	1355	Max	10.00	37.02	15	0.07	15	0.15	15	-1.34	15	1.17	15	0.00	15
1625	1354	1355	Min.	1.77	37.02	15	0.07	15	0.14	15	-1.93	15	1.31	15	0.00	15

1625	1354	1355	Min.	10.00	37.02	15	0.07	15	0.15	15	-1.34	15	1.17	15	0.00	15
1625	1355	1356	Max	0.00	37.02	15	0.07	15	0.15	15	-1.34	15	1.17	15	0.00	15
1625	1355	1356	Max	8.23	37.02	15	0.07	15	0.15	15	-0.76	15	1.09	15	0.00	15
1625	1355	1356	Min.	0.00	37.02	15	0.07	15	0.15	15	-1.34	15	1.17	15	0.00	15
1625	1355	1356	Min.	8.23	37.02	15	0.07	15	0.15	15	-0.76	15	1.09	15	0.00	15
1798	345	-14	Max	4.85	0.00	15	0.00	15	0.00	15	0.00	15	0.00	15	0.00	15
1798	345	-14	Min.	4.85	0.00	15	0.00	15	0.00	15	0.00	15	0.00	15	0.00	15
1798	-14	-46	Max	4.85	0.00	15	0.00	15	0.00	15	0.00	15	0.00	15	0.00	15
1798	-14	-46	Min.	4.85	0.00	15	0.00	15	0.00	15	0.00	15	0.00	15	0.00	15
1798	-46	-78	Max	5.01	-181.41	15	9.93	15	-0.96	15	-10.86	15	1.12	15	0.01	15
1798	-46	-78	Max	16.87	-180.57	15	9.93	15	0.22	15	-10.84	15	-0.17	15	0.01	15
1798	-46	-78	Min.	5.01	-181.41	15	9.93	15	-0.96	15	-10.86	15	1.12	15	0.01	15
1798	-46	-78	Min.	16.87	-180.57	15	9.93	15	0.22	15	-10.84	15	-0.17	15	0.01	15
1798	-78	-110	Max	2.51	-197.16	15	10.70	15	-0.81	15	-12.91	15	1.06	15	0.00	15
1798	-78	-110	Max	16.87	-196.14	15	10.70	15	0.73	15	-12.88	15	-0.79	15	0.00	15
1798	-78	-110	Min.	2.51	-197.16	15	10.70	15	-0.81	15	-12.91	15	1.06	15	0.00	15
1798	-78	-110	Min.	16.87	-196.14	15	10.70	15	0.73	15	-12.88	15	-0.79	15	0.00	15
1798	-110	-142	Max	2.51	-218.21	15	10.94	15	-0.69	15	-13.05	15	0.90	15	0.00	15
1798	-110	-142	Max	16.87	-217.19	15	10.94	15	0.88	15	-13.03	15	-0.97	15	0.00	15
1798	-110	-142	Min.	2.51	-218.21	15	10.94	15	-0.69	15	-13.05	15	0.90	15	0.00	15
1798	-110	-142	Min.	16.87	-217.19	15	10.94	15	0.88	15	-13.03	15	-0.97	15	0.00	15
1798	-142	-174	Max	2.51	-241.40	15	11.19	15	-0.66	15	-13.38	15	0.87	15	0.00	15
1798	-142	-174	Max	16.87	-240.38	15	11.19	15	0.95	15	-13.36	15	-1.05	15	0.00	15
1798	-142	-174	Min.	2.51	-241.40	15	11.19	15	-0.66	15	-13.38	15	0.87	15	0.00	15
1798	-142	-174	Min.	16.87	-240.38	15	11.19	15	0.95	15	-13.36	15	-1.05	15	0.00	15
1798	-174	-206	Max	2.51	-266.02	15	11.45	15	-0.64	15	-13.71	15	0.85	15	0.00	15
1798	-174	-206	Max	16.87	-265.00	15	11.45	15	1.00	15	-13.69	15	-1.12	15	0.00	15
1798	-174	-206	Min.	2.51	-266.02	15	11.45	15	-0.64	15	-13.71	15	0.85	15	0.00	15
1798	-174	-206	Min.	16.87	-265.00	15	11.45	15	1.00	15	-13.69	15	-1.12	15	0.00	15
1798	-206	-238	Max	2.51	-292.00	15	11.73	15	-0.63	15	-14.05	15	0.84	15	0.00	15
1798	-206	-238	Max	16.87	-290.98	15	11.73	15	1.06	15	-14.03	15	-1.18	15	0.00	15
1798	-206	-238	Min.	2.51	-292.00	15	11.73	15	-0.63	15	-14.05	15	0.84	15	0.00	15
1798	-206	-238	Min.	16.87	-290.98	15	11.73	15	1.06	15	-14.03	15	-1.18	15	0.00	15
1798	-238	-270	Max	2.51	-319.38	15	12.02	15	-0.61	15	-14.41	15	0.82	15	0.00	15
1798	-238	-270	Max	16.87	-318.36	15	12.02	15	1.11	15	-14.39	15	-1.25	15	0.00	15
1798	-238	-270	Min.	2.51	-319.38	15	12.02	15	-0.61	15	-14.41	15	0.82	15	0.00	15
1798	-238	-270	Min.	16.87	-318.36	15	12.02	15	1.11	15	-14.39	15	-1.25	15	0.00	15
1798	-270	-302	Max	2.51	-348.25	15	12.32	15	-0.60	15	-14.79	15	0.81	15	0.00	15
1798	-270	-302	Max	16.87	-347.23	15	12.32	15	1.17	15	-14.77	15	-1.32	15	0.00	15
1798	-270	-302	Min.	2.51	-348.25	15	12.32	15	-0.60	15	-14.79	15	0.81	15	0.00	15
1798	-270	-302	Min.	16.87	-347.23	15	12.32	15	1.17	15	-14.77	15	-1.32	15	0.00	15
1798	-302	-334	Max	2.51	-378.71	15	12.64	15	-0.58	15	-15.19	15	0.79	15	0.00	15
1798	-302	-334	Max	16.87	-377.69	15	12.64	15	1.24	15	-15.16	15	-1.39	15	0.00	15
1798	-302	-334	Min.	2.51	-378.71	15	12.64	15	-0.58	15	-15.19	15	0.79	15	0.00	15
1798	-302	-334	Min.	16.87	-377.69	15	12.64	15	1.24	15	-15.16	15	-1.39	15	0.00	15
1798	-334	-366	Max	2.51	-410.89	15	12.98	15	-0.56	15	-15.61	15	0.76	15	0.00	15
1798	-334	-366	Max	16.87	-409.87	15	12.98	15	1.31	15	-15.59	15	-1.48	15	0.00	15
1798	-334	-366	Min.	2.51	-410.89	15	12.98	15	-0.56	15	-15.61	15	0.76	15	0.00	15
1798	-334	-366	Min.	16.87	-409.87	15	12.98	15	1.31	15	-15.59	15	-1.48	15	0.00	15
1798	-366	-398	Max	2.51	-444.92	15	13.35	15	-0.53	15	-16.02	15	0.74	15	0.00	15
1798	-366	-398	Max	16.87	-443.90	15	13.35	15	1.39	15	-16.00	15	-1.56	15	0.00	15
1798	-366	-398	Min.	2.51	-444.92	15	13.35	15	-0.53	15	-16.02	15	0.74	15	0.00	15
1798	-366	-398	Min.	16.87	-443.90	15	13.35	15	1.39	15	-16.00	15	-1.56	15	0.00	15
1798	-398	-430	Max	2.51	-480.92	15	13.61	15	-0.50	15	-16.68	15	0.71	15	0.00	15
1798	-398	-430	Max	16.87	-479.90	15	13.61	15	1.46	15	-16.66	15	-1.69	15	0.00	15
1798	-398	-430	Min.	2.51	-480.92	15	13.61	15	-0.50	15	-16.68	15	0.71	15	0.00	15
1798	-398	-430	Min.	16.87	-479.90	15	13.61	15	1.46	15	-16.66	15	-1.69	15	0.00	15
1798	-430	-462	Max	2.51	-519.00	15	14.74	15	-0.46	15	-15.79	15	0.65	15	0.00	15
1798	-430	-462	Max	16.87	-517.98	15	14.74	15	1.65	15	-15.77	15	-1.61	15	0.00	15

1798	-430	-462	Min.	2.51	-519.00	15	14.74	15	-0.46	15	-15.79	15	0.65	15	0.00	15
1798	-430	-462	Min.	16.87	-517.98	15	14.74	15	1.65	15	-15.77	15	-1.61	15	0.00	15
1798	-462	-494	Max	2.51	-558.43	15	10.28	15	-0.35	15	-25.48	15	0.62	15	-0.00	15
1798	-462	-494	Max	16.87	-557.41	15	10.28	15	1.13	15	-25.46	15	-3.04	15	-0.00	15
1798	-462	-494	Min.	2.51	-558.43	15	10.28	15	-0.35	15	-25.48	15	0.62	15	-0.00	15
1798	-462	-494	Min.	16.87	-557.41	15	10.28	15	1.13	15	-25.46	15	-3.04	15	-0.00	15
1798	-494	1324	Max	2.51	-597.52	15	38.77	15	-0.37	15	26.97	15	-0.51	15	-0.00	15
1798	-494	1324	Max	14.38	-596.68	15	38.77	15	4.24	15	26.99	15	2.69	15	-0.00	15
1798	-494	1324	Min.	2.51	-597.52	15	38.77	15	-0.37	15	26.97	15	-0.51	15	-0.00	15
1798	-494	1324	Min.	14.38	-596.68	15	38.77	15	4.24	15	26.99	15	2.69	15	-0.00	15
1799	318	-4	Max	4.85	0.00	15	0.00	15	0.00	15	0.00	15	0.00	15	0.00	15
1799	318	-4	Min.	4.85	0.00	15	0.00	15	0.00	15	0.00	15	0.00	15	0.00	15
1799	-4	-36	Max	4.85	0.00	15	0.00	15	0.00	15	0.00	15	0.00	15	0.00	15
1799	-4	-36	Min.	4.85	0.00	15	0.00	15	0.00	15	0.00	15	0.00	15	0.00	15
1799	-36	-68	Max	5.01	-190.62	15	11.45	15	-1.18	15	14.57	15	-1.57	15	0.01	15
1799	-36	-68	Max	16.87	-189.78	15	11.45	15	0.18	15	14.59	15	0.16	15	0.01	15
1799	-36	-68	Min.	5.01	-190.62	15	11.45	15	-1.18	15	14.57	15	-1.57	15	0.01	15
1799	-36	-68	Min.	16.87	-189.78	15	11.45	15	0.18	15	14.59	15	0.16	15	0.01	15
1799	-68	-100	Max	2.51	-170.16	15	10.68	15	-0.81	15	12.60	15	-1.02	15	0.00	15
1799	-68	-100	Max	16.87	-169.13	15	10.68	15	0.73	15	12.63	15	0.79	15	0.00	15
1799	-68	-100	Min.	2.51	-170.16	15	10.68	15	-0.81	15	12.60	15	-1.02	15	0.00	15
1799	-68	-100	Min.	16.87	-169.13	15	10.68	15	0.73	15	12.63	15	0.79	15	0.00	15
1799	-100	-132	Max	2.51	-144.18	15	10.91	15	-0.69	15	13.00	15	-0.90	15	0.00	15
1799	-100	-132	Max	16.87	-143.16	15	10.91	15	0.88	15	13.02	15	0.97	15	0.00	15
1799	-100	-132	Min.	2.51	-144.18	15	10.91	15	-0.69	15	13.00	15	-0.90	15	0.00	15
1799	-100	-132	Min.	16.87	-143.16	15	10.91	15	0.88	15	13.02	15	0.97	15	0.00	15
1799	-132	-164	Max	2.51	-116.12	15	11.15	15	-0.65	15	13.27	15	-0.86	15	0.00	15
1799	-132	-164	Max	16.87	-115.10	15	11.15	15	0.95	15	13.29	15	1.05	15	0.00	15
1799	-132	-164	Min.	2.51	-116.12	15	11.15	15	-0.65	15	13.27	15	-0.86	15	0.00	15
1799	-132	-164	Min.	16.87	-115.10	15	11.15	15	0.95	15	13.29	15	1.05	15	0.00	15
1799	-164	-196	Max	2.51	-86.66	15	11.40	15	-0.64	15	13.55	15	-0.84	15	0.00	15
1799	-164	-196	Max	16.87	-85.64	15	11.40	15	1.00	15	13.58	15	1.11	15	0.00	15
1799	-164	-196	Min.	2.51	-86.66	15	11.40	15	-0.64	15	13.55	15	-0.84	15	0.00	15
1799	-164	-196	Min.	16.87	-85.64	15	11.40	15	1.00	15	13.58	15	1.11	15	0.00	15
1799	-196	-228	Max	2.51	-55.90	15	11.66	15	-0.62	15	13.86	15	-0.83	15	0.00	15
1799	-196	-228	Max	16.87	-54.88	15	11.66	15	1.05	15	13.89	15	1.17	15	0.00	15
1799	-196	-228	Min.	2.51	-55.90	15	11.66	15	-0.62	15	13.86	15	-0.83	15	0.00	15
1799	-196	-228	Min.	16.87	-54.88	15	11.66	15	1.05	15	13.89	15	1.17	15	0.00	15
1799	-228	-260	Max	2.51	-23.80	15	11.94	15	-0.61	15	14.18	15	-0.81	15	0.00	15
1799	-228	-260	Max	16.87	-22.78	15	11.94	15	1.11	15	14.21	15	1.23	15	0.00	15
1799	-228	-260	Min.	2.51	-23.80	15	11.94	15	-0.61	15	14.18	15	-0.81	15	0.00	15
1799	-228	-260	Min.	16.87	-22.78	15	11.94	15	1.11	15	14.21	15	1.23	15	0.00	15
1799	-260	-292	Max	2.51	9.75	15	12.22	15	-0.59	15	14.52	15	-0.79	15	0.00	15
1799	-260	-292	Max	16.87	10.77	15	12.22	15	1.17	15	14.54	15	1.30	15	0.00	15
1799	-260	-292	Min.	2.51	9.75	15	12.22	15	-0.59	15	14.52	15	-0.79	15	0.00	15
1799	-260	-292	Min.	16.87	10.77	15	12.22	15	1.17	15	14.54	15	1.30	15	0.00	15
1799	-292	-324	Max	2.51	44.84	15	12.53	15	-0.57	15	14.88	15	-0.77	15	0.00	15
1799	-292	-324	Max	16.87	45.86	15	12.53	15	1.23	15	14.90	15	1.37	15	0.00	15
1799	-292	-324	Min.	2.51	44.84	15	12.53	15	-0.57	15	14.88	15	-0.77	15	0.00	15
1799	-292	-324	Min.	16.87	45.86	15	12.53	15	1.23	15	14.90	15	1.37	15	0.00	15
1799	-324	-356	Max	2.51	81.59	15	12.85	15	-0.55	15	15.25	15	-0.74	15	0.00	15
1799	-324	-356	Max	16.87	82.61	15	12.85	15	1.30	15	15.27	15	1.45	15	0.00	15
1799	-324	-356	Min.	2.51	81.59	15	12.85	15	-0.55	15	15.25	15	-0.74	15	0.00	15
1799	-324	-356	Min.	16.87	82.61	15	12.85	15	1.30	15	15.27	15	1.45	15	0.00	15
1799	-356	-388	Max	2.51	120.15	15	13.19	15	-0.52	15	15.64	15	-0.71	15	0.00	15
1799	-356	-388	Max	16.87	121.17	15	13.19	15	1.38	15	15.66	15	1.54	15	0.00	15
1799	-356	-388	Min.	2.51	120.15	15	13.19	15	-0.52	15	15.64	15	-0.71	15	0.00	15
1799	-356	-388	Min.	16.87	121.17	15	13.19	15	1.38	15	15.66	15	1.54	15	0.00	15
1799	-388	-420	Max	2.51	160.62	15	13.45	15	-0.49	15	16.07	15	-0.68	15	0.00	15

1799	-388	-420	Max	16.87	161.64	15	13.45	15	1.45	15	16.09	15	1.63	15	0.00	15
1799	-388	-420	Min.	2.51	160.62	15	13.45	15	-0.49	15	16.07	15	-0.68	15	0.00	15
1799	-388	-420	Min.	16.87	161.64	15	13.45	15	1.45	15	16.09	15	1.63	15	0.00	15
1799	-420	-452	Max	2.51	203.09	15	14.53	15	-0.45	15	16.41	15	-0.63	15	-0.00	15
1799	-420	-452	Max	16.87	204.11	15	14.53	15	1.64	15	16.43	15	1.73	15	-0.00	15
1799	-420	-452	Min.	2.51	203.09	15	14.53	15	-0.45	15	16.41	15	-0.63	15	-0.00	15
1799	-420	-452	Min.	16.87	204.11	15	14.53	15	1.64	15	16.43	15	1.73	15	-0.00	15
1799	-452	-484	Max	2.51	247.21	15	10.03	15	-0.32	15	17.63	15	-0.53	15	-0.00	15
1799	-452	-484	Max	16.87	248.23	15	10.03	15	1.12	15	17.65	15	2.00	15	-0.00	15
1799	-452	-484	Min.	2.51	247.21	15	10.03	15	-0.32	15	17.63	15	-0.53	15	-0.00	15
1799	-452	-484	Min.	16.87	248.23	15	10.03	15	1.12	15	17.65	15	2.00	15	-0.00	15
1799	-484	1301	Max	2.51	289.30	15	39.05	15	-0.35	15	13.10	15	-0.04	15	-0.00	15
1799	-484	1301	Max	14.38	290.15	15	39.05	15	4.29	15	13.12	15	1.52	15	-0.00	15
1799	-484	1301	Min.	2.51	289.30	15	39.05	15	-0.35	15	13.10	15	-0.04	15	-0.00	15
1799	-484	1301	Min.	14.38	290.15	15	39.05	15	4.29	15	13.12	15	1.52	15	-0.00	15
1800	342	-12	Max	4.85	0.00	15	0.00	15	0.00	15	0.00	15	0.00	15	0.00	15
1800	342	-12	Min.	4.85	0.00	15	0.00	15	0.00	15	0.00	15	0.00	15	0.00	15
1800	-12	-44	Max	4.85	0.00	15	0.00	15	0.00	15	0.00	15	0.00	15	0.00	15
1800	-12	-44	Min.	4.85	0.00	15	0.00	15	0.00	15	0.00	15	0.00	15	0.00	15
1800	-44	-76	Max	5.01	-241.07	15	11.96	15	-1.23	15	-8.62	15	0.81	15	0.01	15
1800	-44	-76	Max	16.87	-240.23	15	11.96	15	0.19	15	-8.60	15	-0.21	15	0.01	15
1800	-44	-76	Min.	5.01	-241.07	15	11.96	15	-1.23	15	-8.62	15	0.81	15	0.01	15
1800	-44	-76	Min.	16.87	-240.23	15	11.96	15	0.19	15	-8.60	15	-0.21	15	0.01	15
1800	-76	-108	Max	2.51	-254.00	15	13.10	15	-1.07	15	-10.97	15	0.84	15	0.00	15
1800	-76	-108	Max	16.87	-252.98	15	13.10	15	0.81	15	-10.95	15	-0.73	15	0.00	15
1800	-76	-108	Min.	2.51	-254.00	15	13.10	15	-1.07	15	-10.97	15	0.84	15	0.00	15
1800	-76	-108	Min.	16.87	-252.98	15	13.10	15	0.81	15	-10.95	15	-0.73	15	0.00	15
1800	-108	-140	Max	2.51	-271.39	15	13.35	15	-0.92	15	-11.09	15	0.70	15	0.00	15
1800	-108	-140	Max	16.87	-270.37	15	13.35	15	0.99	15	-11.07	15	-0.89	15	0.00	15
1800	-108	-140	Min.	2.51	-271.39	15	13.35	15	-0.92	15	-11.09	15	0.70	15	0.00	15
1800	-108	-140	Min.	16.87	-270.37	15	13.35	15	0.99	15	-11.07	15	-0.89	15	0.00	15
1800	-140	-172	Max	2.51	-290.60	15	13.66	15	-0.89	15	-11.36	15	0.67	15	0.00	15
1800	-140	-172	Max	16.87	-289.58	15	13.66	15	1.08	15	-11.34	15	-0.96	15	0.00	15
1800	-140	-172	Min.	2.51	-290.60	15	13.66	15	-0.89	15	-11.36	15	0.67	15	0.00	15
1800	-140	-172	Min.	16.87	-289.58	15	13.66	15	1.08	15	-11.34	15	-0.96	15	0.00	15
1800	-172	-204	Max	2.51	-311.02	15	13.98	15	-0.87	15	-11.65	15	0.66	15	0.00	15
1800	-172	-204	Max	16.87	-310.00	15	13.98	15	1.14	15	-11.63	15	-1.02	15	0.00	15
1800	-172	-204	Min.	2.51	-311.02	15	13.98	15	-0.87	15	-11.65	15	0.66	15	0.00	15
1800	-172	-204	Min.	16.87	-310.00	15	13.98	15	1.14	15	-11.63	15	-1.02	15	0.00	15
1800	-204	-236	Max	2.51	-332.58	15	14.32	15	-0.86	15	-11.94	15	0.64	15	0.00	15
1800	-204	-236	Max	16.87	-331.56	15	14.32	15	1.20	15	-11.92	15	-1.07	15	0.00	15
1800	-204	-236	Min.	2.51	-332.58	15	14.32	15	-0.86	15	-11.94	15	0.64	15	0.00	15
1800	-204	-236	Min.	16.87	-331.56	15	14.32	15	1.20	15	-11.92	15	-1.07	15	0.00	15
1800	-236	-268	Max	2.51	-355.34	15	14.66	15	-0.84	15	-12.26	15	0.63	15	0.00	15
1800	-236	-268	Max	16.87	-354.31	15	14.66	15	1.27	15	-12.24	15	-1.13	15	0.00	15
1800	-236	-268	Min.	2.51	-355.34	15	14.66	15	-0.84	15	-12.26	15	0.63	15	0.00	15
1800	-236	-268	Min.	16.87	-354.31	15	14.66	15	1.27	15	-12.24	15	-1.13	15	0.00	15
1800	-268	-300	Max	2.51	-379.35	15	15.05	15	-0.83	15	-12.57	15	0.61	15	0.00	15
1800	-268	-300	Max	16.87	-378.33	15	15.05	15	1.34	15	-12.55	15	-1.19	15	0.00	15
1800	-268	-300	Min.	2.51	-379.35	15	15.05	15	-0.83	15	-12.57	15	0.61	15	0.00	15
1800	-268	-300	Min.	16.87	-378.33	15	15.05	15	1.34	15	-12.55	15	-1.19	15	0.00	15
1800	-300	-332	Max	2.51	-404.72	15	15.42	15	-0.80	15	-12.93	15	0.60	15	0.00	15
1800	-300	-332	Max	16.87	-403.69	15	15.42	15	1.41	15	-12.91	15	-1.26	15	0.00	15
1800	-300	-332	Min.	2.51	-404.72	15	15.42	15	-0.80	15	-12.93	15	0.60	15	0.00	15
1800	-300	-332	Min.	16.87	-403.69	15	15.42	15	1.41	15	-12.91	15	-1.26	15	0.00	15
1800	-332	-364	Max	2.51	-431.54	15	15.83	15	-0.78	15	-13.29	15	0.58	15	0.00	15
1800	-332	-364	Max	16.87	-430.52	15	15.83	15	1.49	15	-13.26	15	-1.33	15	0.00	15
1800	-332	-364	Min.	2.51	-431.54	15	15.83	15	-0.78	15	-13.29	15	0.58	15	0.00	15
1800	-332	-364	Min.	16.87	-430.52	15	15.83	15	1.49	15	-13.26	15	-1.33	15	0.00	15

1800	-364	-396	Max	2.51	-459.92	15	16.28	15	-0.75	15	-13.63	15	0.55	15	0.00	15
1800	-364	-396	Max	16.87	-458.90	15	16.28	15	1.58	15	-13.61	15	-1.40	15	0.00	15
1800	-364	-396	Min.	2.51	-459.92	15	16.28	15	-0.75	15	-13.63	15	0.55	15	0.00	15
1800	-364	-396	Min.	16.87	-458.90	15	16.28	15	1.58	15	-13.61	15	-1.40	15	0.00	15
1800	-396	-428	Max	2.51	-489.96	15	16.64	15	-0.72	15	-14.21	15	0.52	15	0.00	15
1800	-396	-428	Max	16.87	-488.94	15	16.64	15	1.67	15	-14.18	15	-1.52	15	0.00	15
1800	-396	-428	Min.	2.51	-489.96	15	16.64	15	-0.72	15	-14.21	15	0.52	15	0.00	15
1800	-396	-428	Min.	16.87	-488.94	15	16.64	15	1.67	15	-14.18	15	-1.52	15	0.00	15
1800	-428	-460	Max	2.51	-521.78	15	17.82	15	-0.68	15	-13.31	15	0.48	15	-0.00	15
1800	-428	-460	Max	16.87	-520.76	15	17.82	15	1.88	15	-13.28	15	-1.43	15	-0.00	15
1800	-428	-460	Min.	2.51	-521.78	15	17.82	15	-0.68	15	-13.31	15	0.48	15	-0.00	15
1800	-428	-460	Min.	16.87	-520.76	15	17.82	15	1.88	15	-13.28	15	-1.43	15	-0.00	15
1800	-460	-492	Max	2.51	-554.75	15	13.38	15	-0.55	15	-22.81	15	0.46	15	-0.01	15
1800	-460	-492	Max	16.87	-553.73	15	13.38	15	1.38	15	-22.79	15	-2.82	15	-0.01	15
1800	-460	-492	Min.	2.51	-554.75	15	13.38	15	-0.55	15	-22.81	15	0.46	15	-0.01	15
1800	-460	-492	Min.	16.87	-553.73	15	13.38	15	1.38	15	-22.79	15	-2.82	15	-0.01	15
1800	-492	1321	Max	2.51	-587.89	15	42.57	15	-0.47	15	29.17	15	-0.58	15	-0.01	15
1800	-492	1321	Max	14.38	-587.04	15	42.57	15	4.58	15	29.19	15	2.88	15	-0.01	15
1800	-492	1321	Min.	2.51	-587.89	15	42.57	15	-0.47	15	29.17	15	-0.58	15	-0.01	15
1800	-492	1321	Min.	14.38	-587.04	15	42.57	15	4.58	15	29.19	15	2.88	15	-0.01	15
1801	348	-16	Max	4.85	0.00	15	0.00	15	0.00	15	0.00	15	0.00	15	0.00	15
1801	348	-16	Min.	4.85	0.00	15	0.00	15	0.00	15	0.00	15	0.00	15	0.00	15
1801	-16	-48	Max	4.85	0.00	15	0.00	15	0.00	15	0.00	15	0.00	15	0.00	15
1801	-16	-48	Min.	4.85	0.00	15	0.00	15	0.00	15	0.00	15	0.00	15	0.00	15
1801	-48	-80	Max	5.01	-49.20	15	4.05	15	-0.29	15	-7.01	15	0.81	15	0.00	15
1801	-48	-80	Max	16.87	-48.36	15	4.05	15	0.19	15	-6.99	15	-0.02	15	0.00	15
1801	-48	-80	Min.	5.01	-49.20	15	4.05	15	-0.29	15	-7.01	15	0.81	15	0.00	15
1801	-48	-80	Min.	16.87	-48.36	15	4.05	15	0.19	15	-6.99	15	-0.02	15	0.00	15
1801	-80	-112	Max	2.51	-58.15	15	4.03	15	-0.19	15	-7.93	15	0.72	15	0.00	15
1801	-80	-112	Max	16.87	-57.13	15	4.03	15	0.39	15	-7.91	15	-0.42	15	0.00	15
1801	-80	-112	Min.	2.51	-58.15	15	4.03	15	-0.19	15	-7.93	15	0.72	15	0.00	15
1801	-80	-112	Min.	16.87	-57.13	15	4.03	15	0.39	15	-7.91	15	-0.42	15	0.00	15
1801	-112	-144	Max	2.51	-70.38	15	4.14	15	-0.14	15	-8.04	15	0.62	15	0.00	15
1801	-112	-144	Max	16.87	-69.36	15	4.14	15	0.45	15	-8.02	15	-0.53	15	0.00	15
1801	-112	-144	Min.	2.51	-70.38	15	4.14	15	-0.14	15	-8.04	15	0.62	15	0.00	15
1801	-112	-144	Min.	16.87	-69.36	15	4.14	15	0.45	15	-8.02	15	-0.53	15	0.00	15
1801	-144	-176	Max	2.51	-83.98	15	4.24	15	-0.13	15	-8.24	15	0.60	15	0.00	15
1801	-144	-176	Max	16.87	-82.95	15	4.24	15	0.48	15	-8.22	15	-0.58	15	0.00	15
1801	-144	-176	Min.	2.51	-83.98	15	4.24	15	-0.13	15	-8.24	15	0.60	15	0.00	15
1801	-144	-176	Min.	16.87	-82.95	15	4.24	15	0.48	15	-8.22	15	-0.58	15	0.00	15
1801	-176	-208	Max	2.51	-98.48	15	4.35	15	-0.12	15	-8.44	15	0.59	15	0.00	15
1801	-176	-208	Max	16.87	-97.46	15	4.35	15	0.51	15	-8.42	15	-0.62	15	0.00	15
1801	-176	-208	Min.	2.51	-98.48	15	4.35	15	-0.12	15	-8.44	15	0.59	15	0.00	15
1801	-176	-208	Min.	16.87	-97.46	15	4.35	15	0.51	15	-8.42	15	-0.62	15	0.00	15
1801	-208	-240	Max	2.51	-113.83	15	4.45	15	-0.11	15	-8.66	15	0.59	15	0.00	15
1801	-208	-240	Max	16.87	-112.81	15	4.45	15	0.53	15	-8.63	15	-0.65	15	0.00	15
1801	-208	-240	Min.	2.51	-113.83	15	4.45	15	-0.11	15	-8.66	15	0.59	15	0.00	15
1801	-208	-240	Min.	16.87	-112.81	15	4.45	15	0.53	15	-8.63	15	-0.65	15	0.00	15
1801	-240	-272	Max	2.51	-130.07	15	4.56	15	-0.10	15	-8.89	15	0.58	15	0.00	15
1801	-240	-272	Max	16.87	-129.05	15	4.56	15	0.56	15	-8.87	15	-0.69	15	0.00	15
1801	-240	-272	Min.	2.51	-130.07	15	4.56	15	-0.10	15	-8.89	15	0.58	15	0.00	15
1801	-240	-272	Min.	16.87	-129.05	15	4.56	15	0.56	15	-8.87	15	-0.69	15	0.00	15
1801	-272	-304	Max	2.51	-147.25	15	4.68	15	-0.09	15	-9.12	15	0.57	15	0.00	15
1801	-272	-304	Max	16.87	-146.23	15	4.68	15	0.58	15	-9.09	15	-0.74	15	0.00	15
1801	-272	-304	Min.	2.51	-147.25	15	4.68	15	-0.09	15	-9.12	15	0.57	15	0.00	15
1801	-272	-304	Min.	16.87	-146.23	15	4.68	15	0.58	15	-9.09	15	-0.74	15	0.00	15
1801	-304	-336	Max	2.51	-165.45	15	4.80	15	-0.08	15	-9.37	15	0.56	15	0.00	15
1801	-304	-336	Max	16.87	-164.43	15	4.80	15	0.61	15	-9.35	15	-0.78	15	0.00	15
1801	-304	-336	Min.	2.51	-165.45	15	4.80	15	-0.08	15	-9.37	15	0.56	15	0.00	15

1801	-304	-336	Min.	16.87	-164.43	15	4.80	15	0.61	15	-9.35	15	-0.78	15	0.00	15
1801	-336	-368	Max	2.51	-184.73	15	4.93	15	-0.06	15	-9.64	15	0.55	15	0.00	15
1801	-336	-368	Max	16.87	-183.71	15	4.93	15	0.64	15	-9.61	15	-0.83	15	0.00	15
1801	-336	-368	Min.	2.51	-184.73	15	4.93	15	-0.06	15	-9.64	15	0.55	15	0.00	15
1801	-336	-368	Min.	16.87	-183.71	15	4.93	15	0.64	15	-9.61	15	-0.83	15	0.00	15
1801	-368	-400	Max	2.51	-205.17	15	5.08	15	-0.05	15	-9.89	15	0.54	15	0.00	15
1801	-368	-400	Max	16.87	-204.15	15	5.08	15	0.68	15	-9.86	15	-0.88	15	0.00	15
1801	-368	-400	Min.	2.51	-205.17	15	5.08	15	-0.05	15	-9.89	15	0.54	15	0.00	15
1801	-368	-400	Min.	16.87	-204.15	15	5.08	15	0.68	15	-9.86	15	-0.88	15	0.00	15
1801	-400	-432	Max	2.51	-226.85	15	5.16	15	-0.03	15	-10.27	15	0.52	15	0.00	15
1801	-400	-432	Max	16.87	-225.83	15	5.16	15	0.71	15	-10.24	15	-0.95	15	0.00	15
1801	-400	-432	Min.	2.51	-226.85	15	5.16	15	-0.03	15	-10.27	15	0.52	15	0.00	15
1801	-400	-432	Min.	16.87	-225.83	15	5.16	15	0.71	15	-10.24	15	-0.95	15	0.00	15
1801	-432	-464	Max	2.51	-249.84	15	5.77	15	-0.01	15	-9.90	15	0.49	15	0.00	15
1801	-432	-464	Max	16.87	-248.82	15	5.77	15	0.81	15	-9.88	15	-0.93	15	0.00	15
1801	-432	-464	Min.	2.51	-249.84	15	5.77	15	-0.01	15	-9.90	15	0.49	15	0.00	15
1801	-432	-464	Min.	16.87	-248.82	15	5.77	15	0.81	15	-9.88	15	-0.93	15	0.00	15
1801	-464	-496	Max	2.51	-273.69	15	2.71	15	0.04	15	-14.84	15	0.46	15	0.00	15
1801	-464	-496	Max	16.87	-272.67	15	2.71	15	0.43	15	-14.82	15	-1.67	15	0.00	15
1801	-464	-496	Min.	2.51	-273.69	15	2.71	15	0.04	15	-14.84	15	0.46	15	0.00	15
1801	-464	-496	Min.	16.87	-272.67	15	2.71	15	0.43	15	-14.82	15	-1.67	15	0.00	15
1801	-496	1327	Max	2.51	-296.90	15	21.39	15	-0.11	15	11.56	15	-0.18	15	0.00	15
1801	-496	1327	Max	14.38	-296.06	15	21.39	15	2.43	15	11.58	15	1.19	15	0.00	15
1801	-496	1327	Min.	2.51	-296.90	15	21.39	15	-0.11	15	11.56	15	-0.18	15	0.00	15
1801	-496	1327	Min.	14.38	-296.06	15	21.39	15	2.43	15	11.58	15	1.19	15	0.00	15
1802	339	-10	Max	4.85	0.00	15	0.00	15	0.00	15	0.00	15	0.00	15	0.00	15
1802	339	-10	Min.	4.85	0.00	15	0.00	15	0.00	15	0.00	15	0.00	15	0.00	15
1802	-10	-42	Max	4.85	0.00	15	0.00	15	0.00	15	0.00	15	0.00	15	0.00	15
1802	-10	-42	Min.	4.85	0.00	15	0.00	15	0.00	15	0.00	15	0.00	15	0.00	15
1802	-42	-74	Max	5.01	-246.24	15	7.41	15	-0.83	15	-2.49	15	0.10	15	0.00	15
1802	-42	-74	Max	16.87	-245.39	15	7.41	15	0.05	15	-2.47	15	-0.20	15	0.00	15
1802	-42	-74	Min.	5.01	-246.24	15	7.41	15	-0.83	15	-2.49	15	0.10	15	0.00	15
1802	-42	-74	Min.	16.87	-245.39	15	7.41	15	0.05	15	-2.47	15	-0.20	15	0.00	15
1802	-74	-106	Max	2.51	-250.03	15	8.54	15	-0.77	15	-4.46	15	0.23	15	0.00	15
1802	-74	-106	Max	16.87	-249.01	15	8.54	15	0.46	15	-4.44	15	-0.41	15	0.00	15
1802	-74	-106	Min.	2.51	-250.03	15	8.54	15	-0.77	15	-4.46	15	0.23	15	0.00	15
1802	-74	-106	Min.	16.87	-249.01	15	8.54	15	0.46	15	-4.44	15	-0.41	15	0.00	15
1802	-106	-138	Max	2.51	-255.59	15	8.68	15	-0.67	15	-4.45	15	0.16	15	-0.00	15
1802	-106	-138	Max	16.87	-254.57	15	8.68	15	0.58	15	-4.43	15	-0.48	15	-0.00	15
1802	-106	-138	Min.	2.51	-255.59	15	8.68	15	-0.67	15	-4.45	15	0.16	15	-0.00	15
1802	-106	-138	Min.	16.87	-254.57	15	8.68	15	0.58	15	-4.43	15	-0.48	15	-0.00	15
1802	-138	-170	Max	2.51	-261.89	15	8.88	15	-0.65	15	-4.58	15	0.15	15	-0.00	15
1802	-138	-170	Max	16.87	-260.87	15	8.88	15	0.63	15	-4.55	15	-0.51	15	-0.00	15
1802	-138	-170	Min.	2.51	-261.89	15	8.88	15	-0.65	15	-4.58	15	0.15	15	-0.00	15
1802	-138	-170	Min.	16.87	-260.87	15	8.88	15	0.63	15	-4.55	15	-0.51	15	-0.00	15
1802	-170	-202	Max	2.51	-268.70	15	9.09	15	-0.64	15	-4.70	15	0.14	15	-0.00	15
1802	-170	-202	Max	16.87	-267.68	15	9.09	15	0.66	15	-4.68	15	-0.53	15	-0.00	15
1802	-170	-202	Min.	2.51	-268.70	15	9.09	15	-0.64	15	-4.70	15	0.14	15	-0.00	15
1802	-170	-202	Min.	16.87	-267.68	15	9.09	15	0.66	15	-4.68	15	-0.53	15	-0.00	15
1802	-202	-234	Max	2.51	-275.99	15	9.30	15	-0.63	15	-4.83	15	0.13	15	-0.00	15
1802	-202	-234	Max	16.87	-274.97	15	9.30	15	0.70	15	-4.80	15	-0.56	15	-0.00	15
1802	-202	-234	Min.	2.51	-275.99	15	9.30	15	-0.63	15	-4.83	15	0.13	15	-0.00	15
1802	-202	-234	Min.	16.87	-274.97	15	9.30	15	0.70	15	-4.80	15	-0.56	15	-0.00	15
1802	-234	-266	Max	2.51	-283.77	15	9.53	15	-0.63	15	-4.96	15	0.13	15	-0.00	15
1802	-234	-266	Max	16.87	-282.75	15	9.53	15	0.74	15	-4.94	15	-0.59	15	-0.00	15
1802	-234	-266	Min.	2.51	-283.77	15	9.53	15	-0.63	15	-4.96	15	0.13	15	-0.00	15
1802	-234	-266	Min.	16.87	-282.75	15	9.53	15	0.74	15	-4.94	15	-0.59	15	-0.00	15
1802	-266	-298	Max	2.51	-292.07	15	9.77	15	-0.62	15	-5.10	15	0.12	15	-0.00	15
1802	-266	-298	Max	16.87	-291.06	15	9.77	15	0.78	15	-5.08	15	-0.61	15	-0.00	15

1802	-266	-298	Min.	2.51	-292.07	15	9.77	15	-0.62	15	-5.10	15	0.12	15	-0.00	15
1802	-266	-298	Min.	16.87	-291.06	15	9.77	15	0.78	15	-5.08	15	-0.61	15	-0.00	15
1802	-298	-330	Max	2.51	-300.94	15	10.02	15	-0.61	15	-5.25	15	0.11	15	-0.00	15
1802	-298	-330	Max	16.87	-299.92	15	10.02	15	0.83	15	-5.22	15	-0.65	15	-0.00	15
1802	-298	-330	Min.	2.51	-300.94	15	10.02	15	-0.61	15	-5.25	15	0.11	15	-0.00	15
1802	-298	-330	Min.	16.87	-299.92	15	10.02	15	0.83	15	-5.22	15	-0.65	15	-0.00	15
1802	-330	-362	Max	2.51	-310.40	15	10.28	15	-0.60	15	-5.40	15	0.10	15	-0.00	15
1802	-330	-362	Max	16.87	-309.38	15	10.28	15	0.88	15	-5.38	15	-0.68	15	-0.00	15
1802	-330	-362	Min.	2.51	-310.40	15	10.28	15	-0.60	15	-5.40	15	0.10	15	-0.00	15
1802	-330	-362	Min.	16.87	-309.38	15	10.28	15	0.88	15	-5.38	15	-0.68	15	-0.00	15
1802	-362	-394	Max	2.51	-320.51	15	10.57	15	-0.58	15	-5.55	15	0.08	15	-0.00	15
1802	-362	-394	Max	16.87	-319.49	15	10.57	15	0.93	15	-5.53	15	-0.71	15	-0.00	15
1802	-362	-394	Min.	2.51	-320.51	15	10.57	15	-0.58	15	-5.55	15	0.08	15	-0.00	15
1802	-362	-394	Min.	16.87	-319.49	15	10.57	15	0.93	15	-5.53	15	-0.71	15	-0.00	15
1802	-394	-426	Max	2.51	-331.31	15	10.81	15	-0.57	15	-5.83	15	0.07	15	-0.00	15
1802	-394	-426	Max	16.87	-330.29	15	10.81	15	0.99	15	-5.81	15	-0.77	15	-0.00	15
1802	-394	-426	Min.	2.51	-331.31	15	10.81	15	-0.57	15	-5.83	15	0.07	15	-0.00	15
1802	-394	-426	Min.	16.87	-330.29	15	10.81	15	0.99	15	-5.81	15	-0.77	15	-0.00	15
1802	-426	-458	Max	2.51	-342.85	15	11.47	15	-0.54	15	-5.20	15	0.04	15	-0.00	15
1802	-426	-458	Max	16.87	-341.83	15	11.47	15	1.11	15	-5.18	15	-0.70	15	-0.00	15
1802	-426	-458	Min.	2.51	-342.85	15	11.47	15	-0.54	15	-5.20	15	0.04	15	-0.00	15
1802	-426	-458	Min.	16.87	-341.83	15	11.47	15	1.11	15	-5.18	15	-0.70	15	-0.00	15
1802	-458	-490	Max	2.51	-354.88	15	9.42	15	-0.46	15	-10.86	15	0.05	15	-0.01	15
1802	-458	-490	Max	16.87	-353.86	15	9.42	15	0.89	15	-10.84	15	-1.50	15	-0.01	15
1802	-458	-490	Min.	2.51	-354.88	15	9.42	15	-0.46	15	-10.86	15	0.05	15	-0.01	15
1802	-458	-490	Min.	16.87	-353.86	15	9.42	15	0.89	15	-10.84	15	-1.50	15	-0.01	15
1802	-490	1318	Max	2.51	-367.70	15	23.51	15	-0.32	15	20.51	15	-0.48	15	-0.01	15
1802	-490	1318	Max	14.38	-366.86	15	23.51	15	2.47	15	20.52	15	1.96	15	-0.01	15
1802	-490	1318	Min.	2.51	-367.70	15	23.51	15	-0.32	15	20.51	15	-0.48	15	-0.01	15
1802	-490	1318	Min.	14.38	-366.86	15	23.51	15	2.47	15	20.52	15	1.96	15	-0.01	15
1803	315	-2	Max	4.85	0.00	15	0.00	15	0.00	15	0.00	15	0.00	15	0.00	15
1803	315	-2	Min.	4.85	0.00	15	0.00	15	0.00	15	0.00	15	0.00	15	0.00	15
1803	-2	-34	Max	4.85	0.00	15	0.00	15	0.00	15	0.00	15	0.00	15	0.00	15
1803	-2	-34	Min.	4.85	0.00	15	0.00	15	0.00	15	0.00	15	0.00	15	0.00	15
1803	-34	-66	Max	5.01	-182.53	15	5.65	15	-0.49	15	9.65	15	-1.12	15	0.00	15
1803	-34	-66	Max	16.87	-181.69	15	5.65	15	0.18	15	9.67	15	0.03	15	0.00	15
1803	-34	-66	Min.	5.01	-182.53	15	5.65	15	-0.49	15	9.65	15	-1.12	15	0.00	15
1803	-34	-66	Min.	16.87	-181.69	15	5.65	15	0.18	15	9.67	15	0.03	15	0.00	15
1803	-66	-98	Max	2.51	-168.88	15	4.64	15	-0.24	15	7.97	15	-0.71	15	0.00	15
1803	-66	-98	Max	16.87	-167.85	15	4.64	15	0.43	15	7.99	15	0.44	15	0.00	15
1803	-66	-98	Min.	2.51	-168.88	15	4.64	15	-0.24	15	7.97	15	-0.71	15	0.00	15
1803	-66	-98	Min.	16.87	-167.85	15	4.64	15	0.43	15	7.99	15	0.44	15	0.00	15
1803	-98	-130	Max	2.51	-151.69	15	4.77	15	-0.19	15	8.24	15	-0.64	15	-0.00	15
1803	-98	-130	Max	16.87	-150.67	15	4.77	15	0.50	15	8.27	15	0.54	15	-0.00	15
1803	-98	-130	Min.	2.51	-151.69	15	4.77	15	-0.19	15	8.24	15	-0.64	15	-0.00	15
1803	-98	-130	Min.	16.87	-150.67	15	4.77	15	0.50	15	8.27	15	0.54	15	-0.00	15
1803	-130	-162	Max	2.51	-133.19	15	4.87	15	-0.17	15	8.41	15	-0.62	15	-0.00	15
1803	-130	-162	Max	16.87	-132.17	15	4.87	15	0.53	15	8.43	15	0.59	15	-0.00	15
1803	-130	-162	Min.	2.51	-133.19	15	4.87	15	-0.17	15	8.41	15	-0.62	15	-0.00	15
1803	-130	-162	Min.	16.87	-132.17	15	4.87	15	0.53	15	8.43	15	0.59	15	-0.00	15
1803	-162	-194	Max	2.51	-113.82	15	4.98	15	-0.16	15	8.59	15	-0.61	15	-0.00	15
1803	-162	-194	Max	16.87	-112.80	15	4.98	15	0.55	15	8.61	15	0.63	15	-0.00	15
1803	-162	-194	Min.	2.51	-113.82	15	4.98	15	-0.16	15	8.59	15	-0.61	15	-0.00	15
1803	-162	-194	Min.	16.87	-112.80	15	4.98	15	0.55	15	8.61	15	0.63	15	-0.00	15
1803	-194	-226	Max	2.51	-93.65	15	5.09	15	-0.15	15	8.78	15	-0.60	15	-0.00	15
1803	-194	-226	Max	16.87	-92.63	15	5.09	15	0.58	15	8.80	15	0.66	15	-0.00	15
1803	-194	-226	Min.	2.51	-93.65	15	5.09	15	-0.15	15	8.78	15	-0.60	15	-0.00	15
1803	-194	-226	Min.	16.87	-92.63	15	5.09	15	0.58	15	8.80	15	0.66	15	-0.00	15
1803	-226	-258	Max	2.51	-72.65	15	5.21	15	-0.14	15	8.98	15	-0.59	15	-0.00	15

1803	-226	-258	Max	16.87	-71.63	15	5.21	15	0.61	15	9.00	15	0.70	15	-0.00	15
1803	-226	-258	Min.	2.51	-72.65	15	5.21	15	-0.14	15	8.98	15	-0.59	15	-0.00	15
1803	-226	-258	Min.	16.87	-71.63	15	5.21	15	0.61	15	9.00	15	0.70	15	-0.00	15
1803	-258	-290	Max	2.51	-50.74	15	5.33	15	-0.13	15	9.19	15	-0.58	15	-0.00	15
1803	-258	-290	Max	16.87	-49.72	15	5.33	15	0.63	15	9.22	15	0.74	15	-0.00	15
1803	-258	-290	Min.	2.51	-50.74	15	5.33	15	-0.13	15	9.19	15	-0.58	15	-0.00	15
1803	-258	-290	Min.	16.87	-49.72	15	5.33	15	0.63	15	9.22	15	0.74	15	-0.00	15
1803	-290	-322	Max	2.51	-27.88	15	5.46	15	-0.12	15	9.41	15	-0.57	15	-0.00	15
1803	-290	-322	Max	16.87	-26.86	15	5.46	15	0.66	15	9.44	15	0.79	15	-0.00	15
1803	-290	-322	Min.	2.51	-27.88	15	5.46	15	-0.12	15	9.41	15	-0.57	15	-0.00	15
1803	-290	-322	Min.	16.87	-26.86	15	5.46	15	0.66	15	9.44	15	0.79	15	-0.00	15
1803	-322	-354	Max	2.51	-3.98	15	5.60	15	-0.11	15	9.65	15	-0.55	15	-0.00	15
1803	-322	-354	Max	16.87	-2.96	15	5.60	15	0.70	15	9.67	15	0.83	15	-0.00	15
1803	-322	-354	Min.	2.51	-3.98	15	5.60	15	-0.11	15	9.65	15	-0.55	15	-0.00	15
1803	-322	-354	Min.	16.87	-2.96	15	5.60	15	0.70	15	9.67	15	0.83	15	-0.00	15
1803	-354	-386	Max	2.51	21.04	15	5.75	15	-0.09	15	9.90	15	-0.54	15	-0.00	15
1803	-354	-386	Max	16.87	22.06	15	5.75	15	0.73	15	9.92	15	0.89	15	-0.00	15
1803	-354	-386	Min.	2.51	21.04	15	5.75	15	-0.09	15	9.90	15	-0.54	15	-0.00	15
1803	-354	-386	Min.	16.87	22.06	15	5.75	15	0.73	15	9.92	15	0.89	15	-0.00	15
1803	-386	-418	Max	2.51	47.26	15	5.84	15	-0.08	15	10.16	15	-0.52	15	-0.00	15
1803	-386	-418	Max	16.87	48.28	15	5.84	15	0.76	15	10.18	15	0.94	15	-0.00	15
1803	-386	-418	Min.	2.51	47.26	15	5.84	15	-0.08	15	10.16	15	-0.52	15	-0.00	15
1803	-386	-418	Min.	16.87	48.28	15	5.84	15	0.76	15	10.18	15	0.94	15	-0.00	15
1803	-418	-450	Max	2.51	74.71	15	6.47	15	-0.06	15	10.42	15	-0.49	15	-0.00	15
1803	-418	-450	Max	16.87	75.73	15	6.47	15	0.87	15	10.44	15	1.01	15	-0.00	15
1803	-418	-450	Min.	2.51	74.71	15	6.47	15	-0.06	15	10.42	15	-0.49	15	-0.00	15
1803	-418	-450	Min.	16.87	75.73	15	6.47	15	0.87	15	10.44	15	1.01	15	-0.00	15
1803	-450	-482	Max	2.51	103.15	15	3.41	15	0.00	15	10.83	15	-0.43	15	-0.00	15
1803	-450	-482	Max	16.87	104.17	15	3.41	15	0.49	15	10.86	15	1.13	15	-0.00	15
1803	-450	-482	Min.	2.51	103.15	15	3.41	15	0.00	15	10.83	15	-0.43	15	-0.00	15
1803	-450	-482	Min.	16.87	104.17	15	3.41	15	0.49	15	10.86	15	1.13	15	-0.00	15
1803	-482	1298	Max	2.51	130.02	15	22.42	15	-0.13	15	10.02	15	-0.13	15	-0.00	15
1803	-482	1298	Max	14.38	130.86	15	22.42	15	2.54	15	10.04	15	1.07	15	-0.00	15
1803	-482	1298	Min.	2.51	130.02	15	22.42	15	-0.13	15	10.02	15	-0.13	15	-0.00	15
1803	-482	1298	Min.	14.38	130.86	15	22.42	15	2.54	15	10.04	15	1.07	15	-0.00	15
1804	321	-6	Max	4.85	0.00	15	0.00	15	0.00	15	0.00	15	0.00	15	0.00	15
1804	321	-6	Min.	4.85	0.00	15	0.00	15	0.00	15	0.00	15	0.00	15	0.00	15
1804	-6	-38	Max	4.85	0.00	15	0.00	15	0.00	15	0.00	15	0.00	15	0.00	15
1804	-6	-38	Min.	4.85	0.00	15	0.00	15	0.00	15	0.00	15	0.00	15	0.00	15
1804	-38	-70	Max	5.01	-130.96	15	12.66	15	-1.36	15	12.29	15	-1.26	15	0.01	15
1804	-38	-70	Max	16.87	-130.12	15	12.66	15	0.15	15	12.31	15	0.20	15	0.01	15
1804	-38	-70	Min.	5.01	-130.96	15	12.66	15	-1.36	15	12.29	15	-1.26	15	0.01	15
1804	-38	-70	Min.	16.87	-130.12	15	12.66	15	0.15	15	12.31	15	0.20	15	0.01	15
1804	-70	-102	Max	2.51	-113.30	15	12.27	15	-1.00	15	10.62	15	-0.79	15	0.01	15
1804	-70	-102	Max	16.87	-112.28	15	12.27	15	0.76	15	10.64	15	0.73	15	0.01	15
1804	-70	-102	Min.	2.51	-113.30	15	12.27	15	-1.00	15	10.62	15	-0.79	15	0.01	15
1804	-70	-102	Min.	16.87	-112.28	15	12.27	15	0.76	15	10.64	15	0.73	15	0.01	15
1804	-102	-134	Max	2.51	-90.98	15	12.52	15	-0.86	15	10.96	15	-0.70	15	0.00	15
1804	-102	-134	Max	16.87	-89.96	15	12.52	15	0.94	15	10.98	15	0.88	15	0.00	15
1804	-102	-134	Min.	2.51	-90.98	15	12.52	15	-0.86	15	10.96	15	-0.70	15	0.00	15
1804	-102	-134	Min.	16.87	-89.96	15	12.52	15	0.94	15	10.98	15	0.88	15	0.00	15
1804	-134	-166	Max	2.51	-66.90	15	12.80	15	-0.82	15	11.17	15	-0.66	15	0.00	15
1804	-134	-166	Max	16.87	-65.88	15	12.80	15	1.01	15	11.20	15	0.95	15	0.00	15
1804	-134	-166	Min.	2.51	-66.90	15	12.80	15	-0.82	15	11.17	15	-0.66	15	0.00	15
1804	-134	-166	Min.	16.87	-65.88	15	12.80	15	1.01	15	11.20	15	0.95	15	0.00	15
1804	-166	-198	Max	2.51	-41.64	15	13.09	15	-0.81	15	11.41	15	-0.64	15	0.00	15
1804	-166	-198	Max	16.87	-40.62	15	13.09	15	1.07	15	11.44	15	1.00	15	0.00	15
1804	-166	-198	Min.	2.51	-41.64	15	13.09	15	-0.81	15	11.41	15	-0.64	15	0.00	15
1804	-166	-198	Min.	16.87	-40.62	15	13.09	15	1.07	15	11.44	15	1.00	15	0.00	15

1804	-198	-230	Max	2.51	-15.30	15	13.39	15	-0.79	15	11.67	15	-0.63	15	0.00	15
1804	-198	-230	Max	16.87	-14.28	15	13.39	15	1.13	15	11.69	15	1.05	15	0.00	15
1804	-198	-230	Min.	2.51	-15.30	15	13.39	15	-0.79	15	11.67	15	-0.63	15	0.00	15
1804	-198	-230	Min.	16.87	-14.28	15	13.39	15	1.13	15	11.69	15	1.05	15	0.00	15
1804	-230	-262	Max	2.51	12.18	15	13.71	15	-0.77	15	11.93	15	-0.61	15	0.00	15
1804	-230	-262	Max	16.87	13.20	15	13.71	15	1.20	15	11.96	15	1.11	15	0.00	15
1804	-230	-262	Min.	2.51	12.18	15	13.71	15	-0.77	15	11.93	15	-0.61	15	0.00	15
1804	-230	-262	Min.	16.87	13.20	15	13.71	15	1.20	15	11.96	15	1.11	15	0.00	15
1804	-262	-294	Max	2.51	40.87	15	14.04	15	-0.75	15	12.21	15	-0.59	15	0.00	15
1804	-262	-294	Max	16.87	41.89	15	14.04	15	1.26	15	12.24	15	1.16	15	0.00	15
1804	-262	-294	Min.	2.51	40.87	15	14.04	15	-0.75	15	12.21	15	-0.59	15	0.00	15
1804	-262	-294	Min.	16.87	41.89	15	14.04	15	1.26	15	12.24	15	1.16	15	0.00	15
1804	-294	-326	Max	2.51	70.86	15	14.39	15	-0.73	15	12.51	15	-0.57	15	0.00	15
1804	-294	-326	Max	16.87	71.88	15	14.39	15	1.34	15	12.53	15	1.23	15	0.00	15
1804	-294	-326	Min.	2.51	70.86	15	14.39	15	-0.73	15	12.51	15	-0.57	15	0.00	15
1804	-294	-326	Min.	16.87	71.88	15	14.39	15	1.34	15	12.53	15	1.23	15	0.00	15
1804	-326	-358	Max	2.51	102.24	15	14.76	15	-0.71	15	12.82	15	-0.55	15	0.00	15
1804	-326	-358	Max	16.87	103.26	15	14.76	15	1.42	15	12.84	15	1.30	15	0.00	15
1804	-326	-358	Min.	2.51	102.24	15	14.76	15	-0.71	15	12.82	15	-0.55	15	0.00	15
1804	-326	-358	Min.	16.87	103.26	15	14.76	15	1.42	15	12.84	15	1.30	15	0.00	15
1804	-358	-390	Max	2.51	135.14	15	15.16	15	-0.68	15	13.14	15	-0.52	15	0.00	15
1804	-358	-390	Max	16.87	136.16	15	15.16	15	1.50	15	13.17	15	1.37	15	0.00	15
1804	-358	-390	Min.	2.51	135.14	15	15.16	15	-0.68	15	13.14	15	-0.52	15	0.00	15
1804	-358	-390	Min.	16.87	136.16	15	15.16	15	1.50	15	13.17	15	1.37	15	0.00	15
1804	-390	-422	Max	2.51	169.66	15	15.47	15	-0.64	15	13.50	15	-0.49	15	0.00	15
1804	-390	-422	Max	16.87	170.68	15	15.47	15	1.58	15	13.53	15	1.45	15	0.00	15
1804	-390	-422	Min.	2.51	169.66	15	15.47	15	-0.64	15	13.50	15	-0.49	15	0.00	15
1804	-390	-422	Min.	16.87	170.68	15	15.47	15	1.58	15	13.53	15	1.45	15	0.00	15
1804	-422	-454	Max	2.51	205.86	15	16.64	15	-0.59	15	13.77	15	-0.44	15	0.00	15
1804	-422	-454	Max	16.87	206.88	15	16.64	15	1.80	15	13.79	15	1.54	15	0.00	15
1804	-422	-454	Min.	2.51	205.86	15	16.64	15	-0.59	15	13.77	15	-0.44	15	0.00	15
1804	-422	-454	Min.	16.87	206.88	15	16.64	15	1.80	15	13.79	15	1.54	15	0.00	15
1804	-454	-486	Max	2.51	243.49	15	12.09	15	-0.45	15	14.83	15	-0.36	15	-0.00	15
1804	-454	-486	Max	16.87	244.51	15	12.09	15	1.29	15	14.85	15	1.77	15	-0.00	15
1804	-454	-486	Min.	2.51	243.49	15	12.09	15	-0.45	15	14.83	15	-0.36	15	-0.00	15
1804	-454	-486	Min.	16.87	244.51	15	12.09	15	1.29	15	14.85	15	1.77	15	-0.00	15
1804	-486	1304	Max	2.51	279.61	15	41.70	15	-0.42	15	10.84	15	0.04	15	-0.00	15
1804	-486	1304	Max	14.38	280.45	15	41.70	15	4.53	15	10.86	15	1.32	15	-0.00	15
1804	-486	1304	Min.	2.51	279.61	15	41.70	15	-0.42	15	10.84	15	0.04	15	-0.00	15
1804	-486	1304	Min.	14.38	280.45	15	41.70	15	4.53	15	10.86	15	1.32	15	-0.00	15
1805	324	-8	Max	4.85	0.00	15	0.00	15	0.00	15	0.00	15	0.00	15	0.00	15
1805	324	-8	Min.	4.85	0.00	15	0.00	15	0.00	15	0.00	15	0.00	15	0.00	15
1805	-8	-40	Max	4.85	0.00	15	0.00	15	0.00	15	0.00	15	0.00	15	0.00	15
1805	-8	-40	Min.	4.85	0.00	15	0.00	15	0.00	15	0.00	15	0.00	15	0.00	15
1805	-40	-72	Max	5.01	14.62	15	7.32	15	-0.85	15	5.03	15	-0.40	15	0.01	15
1805	-40	-72	Max	16.87	15.47	15	7.32	15	0.02	15	5.05	15	0.20	15	0.01	15
1805	-40	-72	Min.	5.01	14.62	15	7.32	15	-0.85	15	5.03	15	-0.40	15	0.01	15
1805	-40	-72	Min.	16.87	15.47	15	7.32	15	0.02	15	5.05	15	0.20	15	0.01	15
1805	-72	-104	Max	2.51	23.12	15	7.46	15	-0.68	15	4.37	15	-0.21	15	0.00	15
1805	-72	-104	Max	16.87	24.14	15	7.46	15	0.39	15	4.39	15	0.42	15	0.00	15
1805	-72	-104	Min.	2.51	23.12	15	7.46	15	-0.68	15	4.37	15	-0.21	15	0.00	15
1805	-72	-104	Min.	16.87	24.14	15	7.46	15	0.39	15	4.39	15	0.42	15	0.00	15
1805	-104	-136	Max	2.51	33.61	15	7.61	15	-0.59	15	4.51	15	-0.17	15	0.00	15
1805	-104	-136	Max	16.87	34.63	15	7.61	15	0.50	15	4.53	15	0.48	15	0.00	15
1805	-104	-136	Min.	2.51	33.61	15	7.61	15	-0.59	15	4.51	15	-0.17	15	0.00	15
1805	-104	-136	Min.	16.87	34.63	15	7.61	15	0.50	15	4.53	15	0.48	15	0.00	15
1805	-136	-168	Max	2.51	44.79	15	7.78	15	-0.57	15	4.58	15	-0.15	15	0.00	15
1805	-136	-168	Max	16.87	45.81	15	7.78	15	0.55	15	4.61	15	0.51	15	0.00	15
1805	-136	-168	Min.	2.51	44.79	15	7.78	15	-0.57	15	4.58	15	-0.15	15	0.00	15

1805	-136	-168	Min.	16.87	45.81	15	7.78	15	0.55	15	4.61	15	0.51	15	0.00	15
1805	-168	-200	Max	2.51	56.44	15	7.95	15	-0.56	15	4.67	15	-0.14	15	0.00	15
1805	-168	-200	Max	16.87	57.46	15	7.95	15	0.58	15	4.70	15	0.53	15	0.00	15
1805	-168	-200	Min.	2.51	56.44	15	7.95	15	-0.56	15	4.67	15	-0.14	15	0.00	15
1805	-168	-200	Min.	16.87	57.46	15	7.95	15	0.58	15	4.70	15	0.53	15	0.00	15
1805	-200	-232	Max	2.51	68.50	15	8.14	15	-0.55	15	4.77	15	-0.13	15	0.00	15
1805	-200	-232	Max	16.87	69.52	15	8.14	15	0.62	15	4.79	15	0.56	15	0.00	15
1805	-200	-232	Min.	2.51	68.50	15	8.14	15	-0.55	15	4.77	15	-0.13	15	0.00	15
1805	-200	-232	Min.	16.87	69.52	15	8.14	15	0.62	15	4.79	15	0.56	15	0.00	15
1805	-232	-264	Max	2.51	81.01	15	8.34	15	-0.54	15	4.87	15	-0.12	15	0.00	15
1805	-232	-264	Max	16.87	82.03	15	8.34	15	0.65	15	4.89	15	0.58	15	0.00	15
1805	-232	-264	Min.	2.51	81.01	15	8.34	15	-0.54	15	4.87	15	-0.12	15	0.00	15
1805	-232	-264	Min.	16.87	82.03	15	8.34	15	0.65	15	4.89	15	0.58	15	0.00	15
1805	-264	-296	Max	2.51	93.99	15	8.54	15	-0.53	15	4.97	15	-0.11	15	0.00	15
1805	-264	-296	Max	16.87	95.01	15	8.54	15	0.69	15	5.00	15	0.61	15	0.00	15
1805	-264	-296	Min.	2.51	93.99	15	8.54	15	-0.53	15	4.97	15	-0.11	15	0.00	15
1805	-264	-296	Min.	16.87	95.01	15	8.54	15	0.69	15	5.00	15	0.61	15	0.00	15
1805	-296	-328	Max	2.51	107.47	15	8.75	15	-0.52	15	5.09	15	-0.10	15	0.00	15
1805	-296	-328	Max	16.87	108.49	15	8.75	15	0.74	15	5.11	15	0.63	15	0.00	15
1805	-296	-328	Min.	2.51	107.47	15	8.75	15	-0.52	15	5.09	15	-0.10	15	0.00	15
1805	-296	-328	Min.	16.87	108.49	15	8.75	15	0.74	15	5.11	15	0.63	15	0.00	15
1805	-328	-360	Max	2.51	121.50	15	8.98	15	-0.51	15	5.20	15	-0.08	15	0.00	15
1805	-328	-360	Max	16.87	122.52	15	8.98	15	0.78	15	5.23	15	0.67	15	0.00	15
1805	-328	-360	Min.	2.51	121.50	15	8.98	15	-0.51	15	5.20	15	-0.08	15	0.00	15
1805	-328	-360	Min.	16.87	122.52	15	8.98	15	0.78	15	5.23	15	0.67	15	0.00	15
1805	-360	-392	Max	2.51	136.13	15	9.23	15	-0.49	15	5.32	15	-0.07	15	0.00	15
1805	-360	-392	Max	16.87	137.15	15	9.23	15	0.84	15	5.35	15	0.70	15	0.00	15
1805	-360	-392	Min.	2.51	136.13	15	9.23	15	-0.49	15	5.32	15	-0.07	15	0.00	15
1805	-360	-392	Min.	16.87	137.15	15	9.23	15	0.84	15	5.35	15	0.70	15	0.00	15
1805	-392	-424	Max	2.51	151.38	15	9.43	15	-0.47	15	5.47	15	-0.05	15	0.00	15
1805	-392	-424	Max	16.87	152.41	15	9.43	15	0.89	15	5.49	15	0.74	15	0.00	15
1805	-392	-424	Min.	2.51	151.38	15	9.43	15	-0.47	15	5.47	15	-0.05	15	0.00	15
1805	-392	-424	Min.	16.87	152.41	15	9.43	15	0.89	15	5.49	15	0.74	15	0.00	15
1805	-424	-456	Max	2.51	167.32	15	10.04	15	-0.44	15	5.48	15	-0.03	15	0.00	15
1805	-424	-456	Max	16.87	168.34	15	10.04	15	1.00	15	5.50	15	0.76	15	0.00	15
1805	-424	-456	Min.	2.51	167.32	15	10.04	15	-0.44	15	5.48	15	-0.03	15	0.00	15
1805	-424	-456	Min.	16.87	168.34	15	10.04	15	1.00	15	5.50	15	0.76	15	0.00	15
1805	-456	-488	Max	2.51	183.87	15	7.93	15	-0.36	15	6.59	15	-0.00	15	0.00	15
1805	-456	-488	Max	16.87	184.89	15	7.93	15	0.78	15	6.62	15	0.94	15	0.00	15
1805	-456	-488	Min.	2.51	183.87	15	7.93	15	-0.36	15	6.59	15	-0.00	15	0.00	15
1805	-456	-488	Min.	16.87	184.89	15	7.93	15	0.78	15	6.62	15	0.94	15	0.00	15
1805	-488	1307	Max	2.51	200.31	15	22.15	15	-0.27	15	0.95	15	0.18	15	-0.00	15
1805	-488	1307	Max	14.38	201.15	15	22.15	15	2.36	15	0.97	15	0.30	15	-0.00	15
1805	-488	1307	Min.	2.51	200.31	15	22.15	15	-0.27	15	0.95	15	0.18	15	-0.00	15
1805	-488	1307	Min.	14.38	201.15	15	22.15	15	2.36	15	0.97	15	0.30	15	-0.00	15
1830	351	-18	Max	4.85	0.00	15	0.00	15	0.00	15	0.00	15	0.00	15	0.00	15
1830	351	-18	Min.	4.85	0.00	15	0.00	15	0.00	15	0.00	15	0.00	15	0.00	15
1830	-18	-50	Max	4.85	0.00	15	0.00	15	0.00	15	0.00	15	0.00	15	0.00	15
1830	-18	-50	Min.	4.85	0.00	15	0.00	15	0.00	15	0.00	15	0.00	15	0.00	15
1830	-50	-82	Max	5.01	-246.44	15	-7.26	15	0.82	15	-2.25	15	0.08	15	-0.00	15
1830	-50	-82	Max	16.87	-245.59	15	-7.26	15	-0.05	15	-2.23	15	-0.18	15	-0.00	15
1830	-50	-82	Min.	5.01	-246.44	15	-7.26	15	0.82	15	-2.25	15	0.08	15	-0.00	15
1830	-50	-82	Min.	16.87	-245.59	15	-7.26	15	-0.05	15	-2.23	15	-0.18	15	-0.00	15
1830	-82	-114	Max	2.51	-250.21	15	-8.38	15	0.76	15	-4.18	15	0.21	15	0.00	15
1830	-82	-114	Max	16.87	-249.19	15	-8.38	15	-0.45	15	-4.16	15	-0.39	15	0.00	15
1830	-82	-114	Min.	2.51	-250.21	15	-8.38	15	0.76	15	-4.18	15	0.21	15	0.00	15
1830	-82	-114	Min.	16.87	-249.19	15	-8.38	15	-0.45	15	-4.16	15	-0.39	15	0.00	15
1830	-114	-146	Max	2.51	-255.73	15	-8.48	15	0.66	15	-4.11	15	0.14	15	0.00	15
1830	-114	-146	Max	16.87	-254.71	15	-8.48	15	-0.56	15	-4.08	15	-0.45	15	0.00	15

1830	-114	-146	Min.	2.51	-255.73	15	-8.48	15	0.66	15	-4.11	15	0.14	15	0.00	15
1830	-114	-146	Min.	16.87	-254.71	15	-8.48	15	-0.56	15	-4.08	15	-0.45	15	0.00	15
1830	-146	-178	Max	2.51	-262.00	15	-8.68	15	0.63	15	-4.22	15	0.12	15	0.00	15
1830	-146	-178	Max	16.87	-260.97	15	-8.68	15	-0.61	15	-4.20	15	-0.48	15	0.00	15
1830	-146	-178	Min.	2.51	-262.00	15	-8.68	15	0.63	15	-4.22	15	0.12	15	0.00	15
1830	-146	-178	Min.	16.87	-260.97	15	-8.68	15	-0.61	15	-4.20	15	-0.48	15	0.00	15
1830	-178	-210	Max	2.51	-268.76	15	-8.87	15	0.62	15	-4.32	15	0.11	15	0.00	15
1830	-178	-210	Max	16.87	-267.74	15	-8.87	15	-0.65	15	-4.30	15	-0.51	15	0.00	15
1830	-178	-210	Min.	2.51	-268.76	15	-8.87	15	0.62	15	-4.32	15	0.11	15	0.00	15
1830	-178	-210	Min.	16.87	-267.74	15	-8.87	15	-0.65	15	-4.30	15	-0.51	15	0.00	15
1830	-210	-242	Max	2.51	-276.00	15	-9.08	15	0.62	15	-4.43	15	0.11	15	0.00	15
1830	-210	-242	Max	16.87	-274.98	15	-9.08	15	-0.69	15	-4.41	15	-0.53	15	0.00	15
1830	-210	-242	Min.	2.51	-276.00	15	-9.08	15	0.62	15	-4.43	15	0.11	15	0.00	15
1830	-210	-242	Min.	16.87	-274.98	15	-9.08	15	-0.69	15	-4.41	15	-0.53	15	0.00	15
1830	-242	-274	Max	2.51	-283.73	15	-9.30	15	0.61	15	-4.55	15	0.10	15	0.00	15
1830	-242	-274	Max	16.87	-282.71	15	-9.30	15	-0.73	15	-4.53	15	-0.56	15	0.00	15
1830	-242	-274	Min.	2.51	-283.73	15	-9.30	15	0.61	15	-4.55	15	0.10	15	0.00	15
1830	-242	-274	Min.	16.87	-282.71	15	-9.30	15	-0.73	15	-4.53	15	-0.56	15	0.00	15
1830	-274	-306	Max	2.51	-291.99	15	-9.53	15	0.60	15	-4.68	15	0.09	15	0.00	15
1830	-274	-306	Max	16.87	-290.97	15	-9.53	15	-0.77	15	-4.65	15	-0.58	15	0.00	15
1830	-274	-306	Min.	2.51	-291.99	15	-9.53	15	0.60	15	-4.68	15	0.09	15	0.00	15
1830	-274	-306	Min.	16.87	-290.97	15	-9.53	15	-0.77	15	-4.65	15	-0.58	15	0.00	15
1830	-306	-338	Max	2.51	-300.80	15	-9.76	15	0.59	15	-4.79	15	0.07	15	0.00	15
1830	-306	-338	Max	16.87	-299.78	15	-9.76	15	-0.81	15	-4.77	15	-0.61	15	0.00	15
1830	-306	-338	Min.	2.51	-300.80	15	-9.76	15	0.59	15	-4.79	15	0.07	15	0.00	15
1830	-306	-338	Min.	16.87	-299.78	15	-9.76	15	-0.81	15	-4.77	15	-0.61	15	0.00	15
1830	-338	-370	Max	2.51	-310.21	15	-10.02	15	0.58	15	-4.94	15	0.06	15	0.00	15
1830	-338	-370	Max	16.87	-309.19	15	-10.02	15	-0.86	15	-4.91	15	-0.65	15	0.00	15
1830	-338	-370	Min.	2.51	-310.21	15	-10.02	15	0.58	15	-4.94	15	0.06	15	0.00	15
1830	-338	-370	Min.	16.87	-309.19	15	-10.02	15	-0.86	15	-4.91	15	-0.65	15	0.00	15
1830	-370	-402	Max	2.51	-320.26	15	-10.29	15	0.56	15	-5.05	15	0.05	15	0.00	15
1830	-370	-402	Max	16.87	-319.24	15	-10.29	15	-0.91	15	-5.03	15	-0.68	15	0.00	15
1830	-370	-402	Min.	2.51	-320.26	15	-10.29	15	0.56	15	-5.05	15	0.05	15	0.00	15
1830	-370	-402	Min.	16.87	-319.24	15	-10.29	15	-0.91	15	-5.03	15	-0.68	15	0.00	15
1830	-402	-434	Max	2.51	-331.00	15	-10.53	15	0.54	15	-5.32	15	0.03	15	0.00	15
1830	-402	-434	Max	16.87	-329.98	15	-10.53	15	-0.97	15	-5.29	15	-0.73	15	0.00	15
1830	-402	-434	Min.	2.51	-331.00	15	-10.53	15	0.54	15	-5.32	15	0.03	15	0.00	15
1830	-402	-434	Min.	16.87	-329.98	15	-10.53	15	-0.97	15	-5.29	15	-0.73	15	0.00	15
1830	-434	-466	Max	2.51	-342.47	15	-11.16	15	0.52	15	-4.66	15	0.01	15	0.00	15
1830	-434	-466	Max	16.87	-341.45	15	-11.16	15	-1.08	15	-4.64	15	-0.66	15	0.00	15
1830	-434	-466	Min.	2.51	-342.47	15	-11.16	15	0.52	15	-4.66	15	0.01	15	0.00	15
1830	-434	-466	Min.	16.87	-341.45	15	-11.16	15	-1.08	15	-4.64	15	-0.66	15	0.00	15
1830	-466	-498	Max	2.51	-354.49	15	-9.09	15	0.43	15	-10.28	15	0.02	15	0.01	15
1830	-466	-498	Max	16.87	-353.47	15	-9.09	15	-0.88	15	-10.26	15	-1.46	15	0.01	15
1830	-466	-498	Min.	2.51	-354.49	15	-9.09	15	0.43	15	-10.28	15	0.02	15	0.01	15
1830	-466	-498	Min.	16.87	-353.47	15	-9.09	15	-0.88	15	-10.26	15	-1.46	15	0.01	15
1830	-498	1330	Max	2.51	-367.14	15	-23.33	15	0.32	15	20.79	15	-0.51	15	0.01	15
1830	-498	1330	Max	14.38	-366.29	15	-23.33	15	-2.45	15	20.81	15	1.96	15	0.01	15
1830	-498	1330	Min.	2.51	-367.14	15	-23.33	15	0.32	15	20.79	15	-0.51	15	0.01	15
1830	-498	1330	Min.	14.38	-366.29	15	-23.33	15	-2.45	15	20.81	15	1.96	15	0.01	15
1831	357	-22	Max	4.85	0.00	15	0.00	15	0.00	15	0.00	15	0.00	15	0.00	15
1831	357	-22	Min.	4.85	0.00	15	0.00	15	0.00	15	0.00	15	0.00	15	0.00	15
1831	-22	-54	Max	4.85	0.00	15	0.00	15	0.00	15	0.00	15	0.00	15	0.00	15
1831	-22	-54	Min.	4.85	0.00	15	0.00	15	0.00	15	0.00	15	0.00	15	0.00	15
1831	-54	-86	Max	5.01	-181.07	15	-9.68	15	0.95	15	-10.56	15	1.10	15	-0.01	15
1831	-54	-86	Max	16.87	-180.23	15	-9.68	15	-0.20	15	-10.54	15	-0.15	15	-0.01	15
1831	-54	-86	Min.	5.01	-181.07	15	-9.68	15	0.95	15	-10.56	15	1.10	15	-0.01	15
1831	-54	-86	Min.	16.87	-180.23	15	-9.68	15	-0.20	15	-10.54	15	-0.15	15	-0.01	15
1831	-86	-118	Max	2.51	-196.81	15	-10.39	15	0.79	15	-12.57	15	1.04	15	-0.00	15

1831	-86	-118	Max	16.87	-195.79	15	-10.39	15	-0.70	15	-12.54	15	-0.76	15	-0.00	15
1831	-86	-118	Min.	2.51	-196.81	15	-10.39	15	0.79	15	-12.57	15	1.04	15	-0.00	15
1831	-86	-118	Min.	16.87	-195.79	15	-10.39	15	-0.70	15	-12.54	15	-0.76	15	-0.00	15
1831	-118	-150	Max	2.51	-217.84	15	-10.55	15	0.66	15	-12.64	15	0.87	15	-0.00	15
1831	-118	-150	Max	16.87	-216.82	15	-10.55	15	-0.85	15	-12.61	15	-0.94	15	-0.00	15
1831	-118	-150	Min.	2.51	-217.84	15	-10.55	15	0.66	15	-12.64	15	0.87	15	-0.00	15
1831	-118	-150	Min.	16.87	-216.82	15	-10.55	15	-0.85	15	-12.61	15	-0.94	15	-0.00	15
1831	-150	-182	Max	2.51	-241.00	15	-10.78	15	0.63	15	-12.95	15	0.84	15	-0.00	15
1831	-150	-182	Max	16.87	-239.99	15	-10.78	15	-0.92	15	-12.93	15	-1.02	15	-0.00	15
1831	-150	-182	Min.	2.51	-241.00	15	-10.78	15	0.63	15	-12.95	15	0.84	15	-0.00	15
1831	-150	-182	Min.	16.87	-239.99	15	-10.78	15	-0.92	15	-12.93	15	-1.02	15	-0.00	15
1831	-182	-214	Max	2.51	-265.61	15	-11.01	15	0.61	15	-13.25	15	0.82	15	-0.00	15
1831	-182	-214	Max	16.87	-264.59	15	-11.01	15	-0.97	15	-13.23	15	-1.08	15	-0.00	15
1831	-182	-214	Min.	2.51	-265.61	15	-11.01	15	0.61	15	-13.25	15	0.82	15	-0.00	15
1831	-182	-214	Min.	16.87	-264.59	15	-11.01	15	-0.97	15	-13.23	15	-1.08	15	-0.00	15
1831	-214	-246	Max	2.51	-291.56	15	-11.27	15	0.60	15	-13.57	15	0.80	15	-0.00	15
1831	-214	-246	Max	16.87	-290.54	15	-11.27	15	-1.02	15	-13.55	15	-1.14	15	-0.00	15
1831	-214	-246	Min.	2.51	-291.56	15	-11.27	15	0.60	15	-13.57	15	0.80	15	-0.00	15
1831	-214	-246	Min.	16.87	-290.54	15	-11.27	15	-1.02	15	-13.55	15	-1.14	15	-0.00	15
1831	-246	-278	Max	2.51	-318.91	15	-11.54	15	0.58	15	-13.92	15	0.79	15	-0.00	15
1831	-246	-278	Max	16.87	-317.89	15	-11.54	15	-1.08	15	-13.90	15	-1.21	15	-0.00	15
1831	-246	-278	Min.	2.51	-318.91	15	-11.54	15	0.58	15	-13.92	15	0.79	15	-0.00	15
1831	-246	-278	Min.	16.87	-317.89	15	-11.54	15	-1.08	15	-13.90	15	-1.21	15	-0.00	15
1831	-278	-310	Max	2.51	-347.76	15	-11.82	15	0.56	15	-14.28	15	0.77	15	-0.00	15
1831	-278	-310	Max	16.87	-346.74	15	-11.82	15	-1.14	15	-14.26	15	-1.28	15	-0.00	15
1831	-278	-310	Min.	2.51	-347.76	15	-11.82	15	0.56	15	-14.28	15	0.77	15	-0.00	15
1831	-278	-310	Min.	16.87	-346.74	15	-11.82	15	-1.14	15	-14.26	15	-1.28	15	-0.00	15
1831	-310	-342	Max	2.51	-378.20	15	-12.11	15	0.54	15	-14.63	15	0.75	15	-0.00	15
1831	-310	-342	Max	16.87	-377.18	15	-12.11	15	-1.20	15	-14.61	15	-1.35	15	-0.00	15
1831	-310	-342	Min.	2.51	-378.20	15	-12.11	15	0.54	15	-14.63	15	0.75	15	-0.00	15
1831	-310	-342	Min.	16.87	-377.18	15	-12.11	15	-1.20	15	-14.61	15	-1.35	15	-0.00	15
1831	-342	-374	Max	2.51	-410.35	15	-12.42	15	0.52	15	-15.04	15	0.72	15	-0.00	15
1831	-342	-374	Max	16.87	-409.33	15	-12.42	15	-1.27	15	-15.02	15	-1.43	15	-0.00	15
1831	-342	-374	Min.	2.51	-410.35	15	-12.42	15	0.52	15	-15.04	15	0.72	15	-0.00	15
1831	-342	-374	Min.	16.87	-409.33	15	-12.42	15	-1.27	15	-15.02	15	-1.43	15	-0.00	15
1831	-374	-406	Max	2.51	-444.35	15	-12.75	15	0.49	15	-15.41	15	0.70	15	-0.00	15
1831	-374	-406	Max	16.87	-443.32	15	-12.75	15	-1.34	15	-15.39	15	-1.52	15	-0.00	15
1831	-374	-406	Min.	2.51	-444.35	15	-12.75	15	0.49	15	-15.41	15	0.70	15	-0.00	15
1831	-374	-406	Min.	16.87	-443.32	15	-12.75	15	-1.34	15	-15.39	15	-1.52	15	-0.00	15
1831	-406	-438	Max	2.51	-480.32	15	-12.99	15	0.45	15	-16.06	15	0.66	15	-0.00	15
1831	-406	-438	Max	16.87	-479.30	15	-12.99	15	-1.41	15	-16.03	15	-1.64	15	-0.00	15
1831	-406	-438	Min.	2.51	-480.32	15	-12.99	15	0.45	15	-16.06	15	0.66	15	-0.00	15
1831	-406	-438	Min.	16.87	-479.30	15	-12.99	15	-1.41	15	-16.03	15	-1.64	15	-0.00	15
1831	-438	-470	Max	2.51	-518.36	15	-14.08	15	0.42	15	-15.13	15	0.61	15	-0.00	15
1831	-438	-470	Max	16.87	-517.34	15	-14.08	15	-1.61	15	-15.11	15	-1.57	15	-0.00	15
1831	-438	-470	Min.	2.51	-518.36	15	-14.08	15	0.42	15	-15.13	15	0.61	15	-0.00	15
1831	-438	-470	Min.	16.87	-517.34	15	-14.08	15	-1.61	15	-15.11	15	-1.57	15	-0.00	15
1831	-470	-502	Max	2.51	-557.87	15	-9.56	15	0.28	15	-24.77	15	0.58	15	0.00	15
1831	-470	-502	Max	16.87	-556.85	15	-9.56	15	-1.09	15	-24.74	15	-2.98	15	0.00	15
1831	-470	-502	Min.	2.51	-557.87	15	-9.56	15	0.28	15	-24.77	15	0.58	15	0.00	15
1831	-470	-502	Min.	16.87	-556.85	15	-9.56	15	-1.09	15	-24.74	15	-2.98	15	0.00	15
1831	-502	1336	Max	2.51	-596.69	15	-38.53	15	0.34	15	27.28	15	-0.56	15	0.00	15
1831	-502	1336	Max	14.38	-595.85	15	-38.53	15	-4.23	15	27.30	15	2.68	15	0.00	15
1831	-502	1336	Min.	2.51	-596.69	15	-38.53	15	0.34	15	27.28	15	-0.56	15	0.00	15
1831	-502	1336	Min.	14.38	-595.85	15	-38.53	15	-4.23	15	27.30	15	2.68	15	0.00	15
1832	375	-26	Max	4.85	0.00	15	0.00	15	0.00	15	0.00	15	0.00	15	0.00	15
1832	375	-26	Min.	4.85	0.00	15	0.00	15	0.00	15	0.00	15	0.00	15	0.00	15
1832	-26	-58	Max	4.85	0.00	15	0.00	15	0.00	15	0.00	15	0.00	15	0.00	15
1832	-26	-58	Min.	4.85	0.00	15	0.00	15	0.00	15	0.00	15	0.00	15	0.00	15

1832	-58	-90	Max	5.01	-182.49	15	-5.80	15	0.49	15	9.77	15	-1.12	15	-0.00	15
1832	-58	-90	Max	16.87	-181.65	15	-5.80	15	-0.20	15	9.79	15	0.04	15	-0.00	15
1832	-58	-90	Min.	5.01	-182.49	15	-5.80	15	0.49	15	9.77	15	-1.12	15	-0.00	15
1832	-58	-90	Min.	16.87	-181.65	15	-5.80	15	-0.20	15	9.79	15	0.04	15	-0.00	15
1832	-90	-122	Max	2.51	-168.83	15	-4.85	15	0.25	15	8.12	15	-0.72	15	0.00	15
1832	-90	-122	Max	16.87	-167.81	15	-4.85	15	-0.45	15	8.14	15	0.45	15	0.00	15
1832	-90	-122	Min.	2.51	-168.83	15	-4.85	15	0.25	15	8.12	15	-0.72	15	0.00	15
1832	-90	-122	Min.	16.87	-167.81	15	-4.85	15	-0.45	15	8.14	15	0.45	15	0.00	15
1832	-122	-154	Max	2.51	-151.64	15	-5.02	15	0.20	15	8.42	15	-0.65	15	0.00	15
1832	-122	-154	Max	16.87	-150.62	15	-5.02	15	-0.52	15	8.44	15	0.56	15	0.00	15
1832	-122	-154	Min.	2.51	-151.64	15	-5.02	15	0.20	15	8.42	15	-0.65	15	0.00	15
1832	-122	-154	Min.	16.87	-150.62	15	-5.02	15	-0.52	15	8.44	15	0.56	15	0.00	15
1832	-154	-186	Max	2.51	-133.14	15	-5.14	15	0.19	15	8.60	15	-0.63	15	0.00	15
1832	-154	-186	Max	16.87	-132.12	15	-5.14	15	-0.55	15	8.63	15	0.61	15	0.00	15
1832	-154	-186	Min.	2.51	-133.14	15	-5.14	15	0.19	15	8.60	15	-0.63	15	0.00	15
1832	-154	-186	Min.	16.87	-132.12	15	-5.14	15	-0.55	15	8.63	15	0.61	15	0.00	15
1832	-186	-218	Max	2.51	-113.78	15	-5.26	15	0.18	15	8.79	15	-0.62	15	0.00	15
1832	-186	-218	Max	16.87	-112.76	15	-5.26	15	-0.58	15	8.81	15	0.64	15	0.00	15
1832	-186	-218	Min.	2.51	-113.78	15	-5.26	15	0.18	15	8.79	15	-0.62	15	0.00	15
1832	-186	-218	Min.	16.87	-112.76	15	-5.26	15	-0.58	15	8.81	15	0.64	15	0.00	15
1832	-218	-250	Max	2.51	-93.61	15	-5.39	15	0.17	15	8.99	15	-0.61	15	0.00	15
1832	-218	-250	Max	16.87	-92.59	15	-5.39	15	-0.60	15	9.01	15	0.68	15	0.00	15
1832	-218	-250	Min.	2.51	-93.61	15	-5.39	15	0.17	15	8.99	15	-0.61	15	0.00	15
1832	-218	-250	Min.	16.87	-92.59	15	-5.39	15	-0.60	15	9.01	15	0.68	15	0.00	15
1832	-250	-282	Max	2.51	-72.61	15	-5.52	15	0.17	15	9.20	15	-0.61	15	0.00	15
1832	-250	-282	Max	16.87	-71.59	15	-5.52	15	-0.63	15	9.23	15	0.72	15	0.00	15
1832	-250	-282	Min.	2.51	-72.61	15	-5.52	15	0.17	15	9.20	15	-0.61	15	0.00	15
1832	-250	-282	Min.	16.87	-71.59	15	-5.52	15	-0.63	15	9.23	15	0.72	15	0.00	15
1832	-282	-314	Max	2.51	-50.70	15	-5.66	15	0.16	15	9.42	15	-0.60	15	0.00	15
1832	-282	-314	Max	16.87	-49.68	15	-5.66	15	-0.66	15	9.45	15	0.76	15	0.00	15
1832	-282	-314	Min.	2.51	-50.70	15	-5.66	15	0.16	15	9.42	15	-0.60	15	0.00	15
1832	-282	-314	Min.	16.87	-49.68	15	-5.66	15	-0.66	15	9.45	15	0.76	15	0.00	15
1832	-314	-346	Max	2.51	-27.84	15	-5.81	15	0.15	15	9.65	15	-0.59	15	0.00	15
1832	-314	-346	Max	16.87	-26.82	15	-5.81	15	-0.69	15	9.68	15	0.80	15	0.00	15
1832	-314	-346	Min.	2.51	-27.84	15	-5.81	15	0.15	15	9.65	15	-0.59	15	0.00	15
1832	-314	-346	Min.	16.87	-26.82	15	-5.81	15	-0.69	15	9.68	15	0.80	15	0.00	15
1832	-346	-378	Max	2.51	-3.94	15	-5.97	15	0.14	15	9.90	15	-0.57	15	0.00	15
1832	-346	-378	Max	16.87	-2.92	15	-5.97	15	-0.72	15	9.93	15	0.85	15	0.00	15
1832	-346	-378	Min.	2.51	-3.94	15	-5.97	15	0.14	15	9.90	15	-0.57	15	0.00	15
1832	-346	-378	Min.	16.87	-2.92	15	-5.97	15	-0.72	15	9.93	15	0.85	15	0.00	15
1832	-378	-410	Max	2.51	21.08	15	-6.14	15	0.12	15	10.16	15	-0.56	15	0.00	15
1832	-378	-410	Max	16.87	22.10	15	-6.14	15	-0.76	15	10.18	15	0.90	15	0.00	15
1832	-378	-410	Min.	2.51	21.08	15	-6.14	15	0.12	15	10.16	15	-0.56	15	0.00	15
1832	-378	-410	Min.	16.87	22.10	15	-6.14	15	-0.76	15	10.18	15	0.90	15	0.00	15
1832	-410	-442	Max	2.51	47.29	15	-6.25	15	0.11	15	10.44	15	-0.54	15	0.00	15
1832	-410	-442	Max	16.87	48.31	15	-6.25	15	-0.79	15	10.46	15	0.96	15	0.00	15
1832	-410	-442	Min.	2.51	47.29	15	-6.25	15	0.11	15	10.44	15	-0.54	15	0.00	15
1832	-410	-442	Min.	16.87	48.31	15	-6.25	15	-0.79	15	10.46	15	0.96	15	0.00	15
1832	-442	-474	Max	2.51	74.75	15	-6.89	15	0.09	15	10.71	15	-0.51	15	0.00	15
1832	-442	-474	Max	16.87	75.77	15	-6.89	15	-0.90	15	10.73	15	1.03	15	0.00	15
1832	-442	-474	Min.	2.51	74.75	15	-6.89	15	0.09	15	10.71	15	-0.51	15	0.00	15
1832	-442	-474	Min.	16.87	75.77	15	-6.89	15	-0.90	15	10.73	15	1.03	15	0.00	15
1832	-474	-506	Max	2.51	103.11	15	-3.88	15	0.03	15	11.15	15	-0.44	15	0.00	15
1832	-474	-506	Max	16.87	104.14	15	-3.88	15	-0.52	15	11.18	15	1.16	15	0.00	15
1832	-474	-506	Min.	2.51	103.11	15	-3.88	15	0.03	15	11.15	15	-0.44	15	0.00	15
1832	-474	-506	Min.	16.87	104.14	15	-3.88	15	-0.52	15	11.18	15	1.16	15	0.00	15
1832	-506	1350	Max	2.51	130.13	15	-22.58	15	0.16	15	10.19	15	-0.15	15	0.00	15
1832	-506	1350	Max	14.38	130.97	15	-22.58	15	-2.53	15	10.21	15	1.06	15	0.00	15
1832	-506	1350	Min.	2.51	130.13	15	-22.58	15	0.16	15	10.19	15	-0.15	15	0.00	15

1832	-506	1350	Min.	14.38	130.97	15	-22.58	15	-2.53	15	10.21	15	1.06	15	0.00	15
1833	384	-32	Max	4.85	0.00	15	0.00	15	0.00	15	0.00	15	0.00	15	0.00	15
1833	384	-32	Min.	4.85	0.00	15	0.00	15	0.00	15	0.00	15	0.00	15	0.00	15
1833	-32	-64	Max	4.85	0.00	15	0.00	15	0.00	15	0.00	15	0.00	15	0.00	15
1833	-32	-64	Min.	4.85	0.00	15	0.00	15	0.00	15	0.00	15	0.00	15	0.00	15
1833	-64	-96	Max	5.01	14.66	15	-7.45	15	0.85	15	5.24	15	-0.41	15	-0.01	15
1833	-64	-96	Max	16.87	15.51	15	-7.45	15	-0.03	15	5.25	15	0.22	15	-0.01	15
1833	-64	-96	Min.	5.01	14.66	15	-7.45	15	0.85	15	5.24	15	-0.41	15	-0.01	15
1833	-64	-96	Min.	16.87	15.51	15	-7.45	15	-0.03	15	5.25	15	0.22	15	-0.01	15
1833	-96	-128	Max	2.51	23.18	15	-7.62	15	0.69	15	4.62	15	-0.23	15	-0.00	15
1833	-96	-128	Max	16.87	24.20	15	-7.62	15	-0.41	15	4.64	15	0.44	15	-0.00	15
1833	-96	-128	Min.	2.51	23.18	15	-7.62	15	0.69	15	4.62	15	-0.23	15	-0.00	15
1833	-96	-128	Min.	16.87	24.20	15	-7.62	15	-0.41	15	4.64	15	0.44	15	-0.00	15
1833	-128	-160	Max	2.51	33.69	15	-7.80	15	0.61	15	4.81	15	-0.19	15	-0.00	15
1833	-128	-160	Max	16.87	34.71	15	-7.80	15	-0.51	15	4.83	15	0.50	15	-0.00	15
1833	-128	-160	Min.	2.51	33.69	15	-7.80	15	0.61	15	4.81	15	-0.19	15	-0.00	15
1833	-128	-160	Min.	16.87	34.71	15	-7.80	15	-0.51	15	4.83	15	0.50	15	-0.00	15
1833	-160	-192	Max	2.51	44.90	15	-7.97	15	0.59	15	4.90	15	-0.17	15	-0.00	15
1833	-160	-192	Max	16.87	45.92	15	-7.97	15	-0.56	15	4.92	15	0.53	15	-0.00	15
1833	-160	-192	Min.	2.51	44.90	15	-7.97	15	0.59	15	4.90	15	-0.17	15	-0.00	15
1833	-160	-192	Min.	16.87	45.92	15	-7.97	15	-0.56	15	4.92	15	0.53	15	-0.00	15
1833	-192	-224	Max	2.51	56.57	15	-8.16	15	0.58	15	5.01	15	-0.16	15	-0.00	15
1833	-192	-224	Max	16.87	57.59	15	-8.16	15	-0.60	15	5.03	15	0.56	15	-0.00	15
1833	-192	-224	Min.	2.51	56.57	15	-8.16	15	0.58	15	5.01	15	-0.16	15	-0.00	15
1833	-192	-224	Min.	16.87	57.59	15	-8.16	15	-0.60	15	5.03	15	0.56	15	-0.00	15
1833	-224	-256	Max	2.51	68.66	15	-8.35	15	0.57	15	5.11	15	-0.16	15	-0.00	15
1833	-224	-256	Max	16.87	69.68	15	-8.35	15	-0.63	15	5.14	15	0.58	15	-0.00	15
1833	-224	-256	Min.	2.51	68.66	15	-8.35	15	0.57	15	5.11	15	-0.16	15	-0.00	15
1833	-224	-256	Min.	16.87	69.68	15	-8.35	15	-0.63	15	5.14	15	0.58	15	-0.00	15
1833	-256	-288	Max	2.51	81.20	15	-8.56	15	0.56	15	5.23	15	-0.15	15	-0.00	15
1833	-256	-288	Max	16.87	82.22	15	-8.56	15	-0.67	15	5.26	15	0.61	15	-0.00	15
1833	-256	-288	Min.	2.51	81.20	15	-8.56	15	0.56	15	5.23	15	-0.15	15	-0.00	15
1833	-256	-288	Min.	16.87	82.22	15	-8.56	15	-0.67	15	5.26	15	0.61	15	-0.00	15
1833	-288	-320	Max	2.51	94.21	15	-8.78	15	0.55	15	5.36	15	-0.14	15	-0.00	15
1833	-288	-320	Max	16.87	95.23	15	-8.78	15	-0.71	15	5.38	15	0.63	15	-0.00	15
1833	-288	-320	Min.	2.51	94.21	15	-8.78	15	0.55	15	5.36	15	-0.14	15	-0.00	15
1833	-288	-320	Min.	16.87	95.23	15	-8.78	15	-0.71	15	5.38	15	0.63	15	-0.00	15
1833	-320	-352	Max	2.51	107.73	15	-9.00	15	0.54	15	5.48	15	-0.13	15	-0.00	15
1833	-320	-352	Max	16.87	108.75	15	-9.00	15	-0.75	15	5.50	15	0.66	15	-0.00	15
1833	-320	-352	Min.	2.51	107.73	15	-9.00	15	0.54	15	5.48	15	-0.13	15	-0.00	15
1833	-320	-352	Min.	16.87	108.75	15	-9.00	15	-0.75	15	5.50	15	0.66	15	-0.00	15
1833	-352	-384	Max	2.51	121.80	15	-9.23	15	0.52	15	5.62	15	-0.11	15	-0.00	15
1833	-352	-384	Max	16.87	122.82	15	-9.23	15	-0.80	15	5.64	15	0.70	15	-0.00	15
1833	-352	-384	Min.	2.51	121.80	15	-9.23	15	0.52	15	5.62	15	-0.11	15	-0.00	15
1833	-352	-384	Min.	16.87	122.82	15	-9.23	15	-0.80	15	5.64	15	0.70	15	-0.00	15
1833	-384	-416	Max	2.51	136.46	15	-9.49	15	0.51	15	5.76	15	-0.10	15	-0.00	15
1833	-384	-416	Max	16.87	137.48	15	-9.49	15	-0.86	15	5.79	15	0.73	15	-0.00	15
1833	-384	-416	Min.	2.51	136.46	15	-9.49	15	0.51	15	5.76	15	-0.10	15	-0.00	15
1833	-384	-416	Min.	16.87	137.48	15	-9.49	15	-0.86	15	5.79	15	0.73	15	-0.00	15
1833	-416	-448	Max	2.51	151.75	15	-9.71	15	0.49	15	5.93	15	-0.08	15	-0.00	15
1833	-416	-448	Max	16.87	152.78	15	-9.71	15	-0.91	15	5.96	15	0.77	15	-0.00	15
1833	-416	-448	Min.	2.51	151.75	15	-9.71	15	0.49	15	5.93	15	-0.08	15	-0.00	15
1833	-416	-448	Min.	16.87	152.78	15	-9.71	15	-0.91	15	5.96	15	0.77	15	-0.00	15
1833	-448	-480	Max	2.51	167.73	15	-10.33	15	0.46	15	5.96	15	-0.06	15	-0.00	15
1833	-448	-480	Max	16.87	168.75	15	-10.33	15	-1.02	15	5.98	15	0.80	15	-0.00	15
1833	-448	-480	Min.	2.51	167.73	15	-10.33	15	0.46	15	5.96	15	-0.06	15	-0.00	15
1833	-448	-480	Min.	16.87	168.75	15	-10.33	15	-1.02	15	5.98	15	0.80	15	-0.00	15
1833	-480	-512	Max	2.51	184.27	15	-8.25	15	0.38	15	7.11	15	-0.03	15	0.00	15
1833	-480	-512	Max	16.87	185.29	15	-8.25	15	-0.80	15	7.14	15	0.99	15	0.00	15

1833	-480	-512	Min.	2.51	184.27	15	-8.25	15	0.38	15	7.11	15	-0.03	15	0.00	15
1833	-480	-512	Min.	16.87	185.29	15	-8.25	15	-0.80	15	7.14	15	0.99	15	0.00	15
1833	-512	1359	Max	2.51	200.86	15	-22.33	15	0.29	15	1.18	15	0.15	15	0.00	15
1833	-512	1359	Max	14.38	201.71	15	-22.33	15	-2.36	15	1.20	15	0.29	15	0.00	15
1833	-512	1359	Min.	2.51	200.86	15	-22.33	15	0.29	15	1.18	15	0.15	15	0.00	15
1833	-512	1359	Min.	14.38	201.71	15	-22.33	15	-2.36	15	1.20	15	0.29	15	0.00	15
1834	378	-28	Max	4.85	0.00	15	0.00	15	0.00	15	0.00	15	0.00	15	0.00	15
1834	378	-28	Min.	4.85	0.00	15	0.00	15	0.00	15	0.00	15	0.00	15	0.00	15
1834	-28	-60	Max	4.85	0.00	15	0.00	15	0.00	15	0.00	15	0.00	15	0.00	15
1834	-28	-60	Min.	4.85	0.00	15	0.00	15	0.00	15	0.00	15	0.00	15	0.00	15
1834	-60	-92	Max	5.01	-190.31	15	-11.84	15	1.19	15	14.86	15	-1.58	15	-0.01	15
1834	-60	-92	Max	16.87	-189.47	15	-11.84	15	-0.21	15	14.88	15	0.18	15	-0.01	15
1834	-60	-92	Min.	5.01	-190.31	15	-11.84	15	1.19	15	14.86	15	-1.58	15	-0.01	15
1834	-60	-92	Min.	16.87	-189.47	15	-11.84	15	-0.21	15	14.88	15	0.18	15	-0.01	15
1834	-92	-124	Max	2.51	-169.82	15	-11.14	15	0.84	15	12.96	15	-1.04	15	-0.00	15
1834	-92	-124	Max	16.87	-168.80	15	-11.14	15	-0.76	15	12.99	15	0.82	15	-0.00	15
1834	-92	-124	Min.	2.51	-169.82	15	-11.14	15	0.84	15	12.96	15	-1.04	15	-0.00	15
1834	-92	-124	Min.	16.87	-168.80	15	-11.14	15	-0.76	15	12.99	15	0.82	15	-0.00	15
1834	-124	-156	Max	2.51	-143.84	15	-11.45	15	0.73	15	13.42	15	-0.93	15	0.00	15
1834	-124	-156	Max	16.87	-142.81	15	-11.45	15	-0.92	15	13.44	15	1.00	15	0.00	15
1834	-124	-156	Min.	2.51	-143.84	15	-11.45	15	0.73	15	13.42	15	-0.93	15	0.00	15
1834	-124	-156	Min.	16.87	-142.81	15	-11.45	15	-0.92	15	13.44	15	1.00	15	0.00	15
1834	-156	-188	Max	2.51	-115.75	15	-11.72	15	0.70	15	13.72	15	-0.89	15	0.00	15
1834	-156	-188	Max	16.87	-114.73	15	-11.72	15	-0.99	15	13.74	15	1.08	15	0.00	15
1834	-156	-188	Min.	2.51	-115.75	15	-11.72	15	0.70	15	13.72	15	-0.89	15	0.00	15
1834	-156	-188	Min.	16.87	-114.73	15	-11.72	15	-0.99	15	13.74	15	1.08	15	0.00	15
1834	-188	-220	Max	2.51	-86.27	15	-11.99	15	0.68	15	14.02	15	-0.87	15	0.00	15
1834	-188	-220	Max	16.87	-85.25	15	-11.99	15	-1.04	15	14.05	15	1.14	15	0.00	15
1834	-188	-220	Min.	2.51	-86.27	15	-11.99	15	0.68	15	14.02	15	-0.87	15	0.00	15
1834	-188	-220	Min.	16.87	-85.25	15	-11.99	15	-1.04	15	14.05	15	1.14	15	0.00	15
1834	-220	-252	Max	2.51	-55.50	15	-12.28	15	0.67	15	14.35	15	-0.86	15	0.00	15
1834	-220	-252	Max	16.87	-54.48	15	-12.28	15	-1.10	15	14.38	15	1.20	15	0.00	15
1834	-220	-252	Min.	2.51	-55.50	15	-12.28	15	0.67	15	14.35	15	-0.86	15	0.00	15
1834	-220	-252	Min.	16.87	-54.48	15	-12.28	15	-1.10	15	14.38	15	1.20	15	0.00	15
1834	-252	-284	Max	2.51	-23.37	15	-12.59	15	0.65	15	14.70	15	-0.85	15	0.00	15
1834	-252	-284	Max	16.87	-22.35	15	-12.59	15	-1.15	15	14.73	15	1.27	15	0.00	15
1834	-252	-284	Min.	2.51	-23.37	15	-12.59	15	0.65	15	14.70	15	-0.85	15	0.00	15
1834	-252	-284	Min.	16.87	-22.35	15	-12.59	15	-1.15	15	14.73	15	1.27	15	0.00	15
1834	-284	-316	Max	2.51	10.20	15	-12.91	15	0.64	15	15.06	15	-0.83	15	0.00	15
1834	-284	-316	Max	16.87	11.22	15	-12.91	15	-1.22	15	15.09	15	1.34	15	0.00	15
1834	-284	-316	Min.	2.51	10.20	15	-12.91	15	0.64	15	15.06	15	-0.83	15	0.00	15
1834	-284	-316	Min.	16.87	11.22	15	-12.91	15	-1.22	15	15.09	15	1.34	15	0.00	15
1834	-316	-348	Max	2.51	45.32	15	-13.24	15	0.62	15	15.44	15	-0.81	15	0.00	15
1834	-316	-348	Max	16.87	46.34	15	-13.24	15	-1.28	15	15.46	15	1.41	15	0.00	15
1834	-316	-348	Min.	2.51	45.32	15	-13.24	15	0.62	15	15.44	15	-0.81	15	0.00	15
1834	-316	-348	Min.	16.87	46.34	15	-13.24	15	-1.28	15	15.46	15	1.41	15	0.00	15
1834	-348	-380	Max	2.51	82.10	15	-13.60	15	0.60	15	15.85	15	-0.78	15	0.00	15
1834	-348	-380	Max	16.87	83.12	15	-13.60	15	-1.35	15	15.87	15	1.49	15	0.00	15
1834	-348	-380	Min.	2.51	82.10	15	-13.60	15	0.60	15	15.85	15	-0.78	15	0.00	15
1834	-348	-380	Min.	16.87	83.12	15	-13.60	15	-1.35	15	15.87	15	1.49	15	0.00	15
1834	-380	-412	Max	2.51	120.68	15	-13.98	15	0.57	15	16.26	15	-0.76	15	0.00	15
1834	-380	-412	Max	16.87	121.70	15	-13.98	15	-1.43	15	16.29	15	1.58	15	0.00	15
1834	-380	-412	Min.	2.51	120.68	15	-13.98	15	0.57	15	16.26	15	-0.76	15	0.00	15
1834	-380	-412	Min.	16.87	121.70	15	-13.98	15	-1.43	15	16.29	15	1.58	15	0.00	15
1834	-412	-444	Max	2.51	161.19	15	-14.28	15	0.55	15	16.73	15	-0.72	15	0.00	15
1834	-412	-444	Max	16.87	162.21	15	-14.28	15	-1.51	15	16.75	15	1.68	15	0.00	15
1834	-412	-444	Min.	2.51	161.19	15	-14.28	15	0.55	15	16.73	15	-0.72	15	0.00	15
1834	-412	-444	Min.	16.87	162.21	15	-14.28	15	-1.51	15	16.75	15	1.68	15	0.00	15
1834	-444	-476	Max	2.51	203.69	15	-15.39	15	0.51	15	17.09	15	-0.68	15	0.00	15

1834	-444	-476	Max	16.87	204.71	15	-15.39	15	-1.70	15	17.11	15	1.78	15	0.00	15
1834	-444	-476	Min.	2.51	203.69	15	-15.39	15	0.51	15	17.09	15	-0.68	15	0.00	15
1834	-444	-476	Min.	16.87	204.71	15	-15.39	15	-1.70	15	17.11	15	1.78	15	0.00	15
1834	-476	-508	Max	2.51	247.72	15	-10.96	15	0.38	15	18.38	15	-0.57	15	0.01	15
1834	-476	-508	Max	16.87	248.75	15	-10.96	15	-1.19	15	18.40	15	2.07	15	0.01	15
1834	-476	-508	Min.	2.51	247.72	15	-10.96	15	0.38	15	18.38	15	-0.57	15	0.01	15
1834	-476	-508	Min.	16.87	248.75	15	-10.96	15	-1.19	15	18.40	15	2.07	15	0.01	15
1834	-508	1353	Max	2.51	290.09	15	-39.53	15	0.40	15	13.42	15	-0.09	15	0.01	15
1834	-508	1353	Max	14.38	290.93	15	-39.53	15	-4.29	15	13.44	15	1.51	15	0.01	15
1834	-508	1353	Min.	2.51	290.09	15	-39.53	15	0.40	15	13.42	15	-0.09	15	0.01	15
1834	-508	1353	Min.	14.38	290.93	15	-39.53	15	-4.29	15	13.44	15	1.51	15	0.01	15
1835	354	-20	Max	4.85	0.00	15	0.00	15	0.00	15	0.00	15	0.00	15	0.00	15
1835	354	-20	Min.	4.85	0.00	15	0.00	15	0.00	15	0.00	15	0.00	15	0.00	15
1835	-20	-52	Max	4.85	0.00	15	0.00	15	0.00	15	0.00	15	0.00	15	0.00	15
1835	-20	-52	Min.	4.85	0.00	15	0.00	15	0.00	15	0.00	15	0.00	15	0.00	15
1835	-52	-84	Max	5.01	-240.87	15	-11.75	15	1.22	15	-8.26	15	0.79	15	-0.01	15
1835	-52	-84	Max	16.87	-240.03	15	-11.75	15	-0.17	15	-8.24	15	-0.19	15	-0.01	15
1835	-52	-84	Min.	5.01	-240.87	15	-11.75	15	1.22	15	-8.26	15	0.79	15	-0.01	15
1835	-52	-84	Min.	16.87	-240.03	15	-11.75	15	-0.17	15	-8.24	15	-0.19	15	-0.01	15
1835	-84	-116	Max	2.51	-253.79	15	-12.85	15	1.05	15	-10.56	15	0.81	15	-0.00	15
1835	-84	-116	Max	16.87	-252.77	15	-12.85	15	-0.79	15	-10.54	15	-0.70	15	-0.00	15
1835	-84	-116	Min.	2.51	-253.79	15	-12.85	15	1.05	15	-10.56	15	0.81	15	-0.00	15
1835	-84	-116	Min.	16.87	-252.77	15	-12.85	15	-0.79	15	-10.54	15	-0.70	15	-0.00	15
1835	-116	-148	Max	2.51	-271.16	15	-13.02	15	0.90	15	-10.58	15	0.66	15	0.00	15
1835	-116	-148	Max	16.87	-270.14	15	-13.02	15	-0.97	15	-10.56	15	-0.85	15	0.00	15
1835	-116	-148	Min.	2.51	-271.16	15	-13.02	15	0.90	15	-10.58	15	0.66	15	0.00	15
1835	-116	-148	Min.	16.87	-270.14	15	-13.02	15	-0.97	15	-10.56	15	-0.85	15	0.00	15
1835	-148	-180	Max	2.51	-290.34	15	-13.32	15	0.86	15	-10.84	15	0.63	15	0.00	15
1835	-148	-180	Max	16.87	-289.32	15	-13.32	15	-1.05	15	-10.81	15	-0.92	15	0.00	15
1835	-148	-180	Min.	2.51	-290.34	15	-13.32	15	0.86	15	-10.84	15	0.63	15	0.00	15
1835	-148	-180	Min.	16.87	-289.32	15	-13.32	15	-1.05	15	-10.81	15	-0.92	15	0.00	15
1835	-180	-212	Max	2.51	-310.74	15	-13.61	15	0.84	15	-11.09	15	0.62	15	0.00	15
1835	-180	-212	Max	16.87	-309.72	15	-13.61	15	-1.11	15	-11.07	15	-0.98	15	0.00	15
1835	-180	-212	Min.	2.51	-310.74	15	-13.61	15	0.84	15	-11.09	15	0.62	15	0.00	15
1835	-180	-212	Min.	16.87	-309.72	15	-13.61	15	-1.11	15	-11.07	15	-0.98	15	0.00	15
1835	-212	-244	Max	2.51	-332.27	15	-13.94	15	0.83	15	-11.35	15	0.60	15	0.00	15
1835	-212	-244	Max	16.87	-331.25	15	-13.94	15	-1.17	15	-11.33	15	-1.03	15	0.00	15
1835	-212	-244	Min.	2.51	-332.27	15	-13.94	15	0.83	15	-11.35	15	0.60	15	0.00	15
1835	-212	-244	Min.	16.87	-331.25	15	-13.94	15	-1.17	15	-11.33	15	-1.03	15	0.00	15
1835	-244	-276	Max	2.51	-354.99	15	-14.26	15	0.81	15	-11.66	15	0.59	15	0.00	15
1835	-244	-276	Max	16.87	-353.97	15	-14.26	15	-1.24	15	-11.64	15	-1.09	15	0.00	15
1835	-244	-276	Min.	2.51	-354.99	15	-14.26	15	0.81	15	-11.66	15	0.59	15	0.00	15
1835	-244	-276	Min.	16.87	-353.97	15	-14.26	15	-1.24	15	-11.64	15	-1.09	15	0.00	15
1835	-276	-308	Max	2.51	-378.98	15	-14.63	15	0.79	15	-11.94	15	0.57	15	0.00	15
1835	-276	-308	Max	16.87	-377.96	15	-14.63	15	-1.31	15	-11.92	15	-1.14	15	0.00	15
1835	-276	-308	Min.	2.51	-378.98	15	-14.63	15	0.79	15	-11.94	15	0.57	15	0.00	15
1835	-276	-308	Min.	16.87	-377.96	15	-14.63	15	-1.31	15	-11.92	15	-1.14	15	0.00	15
1835	-308	-340	Max	2.51	-404.32	15	-14.97	15	0.77	15	-12.26	15	0.55	15	0.00	15
1835	-308	-340	Max	16.87	-403.31	15	-14.97	15	-1.38	15	-12.23	15	-1.21	15	0.00	15
1835	-308	-340	Min.	2.51	-404.32	15	-14.97	15	0.77	15	-12.26	15	0.55	15	0.00	15
1835	-308	-340	Min.	16.87	-403.31	15	-14.97	15	-1.38	15	-12.23	15	-1.21	15	0.00	15
1835	-340	-372	Max	2.51	-431.12	15	-15.37	15	0.75	15	-12.59	15	0.53	15	0.00	15
1835	-340	-372	Max	16.87	-430.10	15	-15.37	15	-1.46	15	-12.57	15	-1.28	15	0.00	15
1835	-340	-372	Min.	2.51	-431.12	15	-15.37	15	0.75	15	-12.59	15	0.53	15	0.00	15
1835	-340	-372	Min.	16.87	-430.10	15	-15.37	15	-1.46	15	-12.57	15	-1.28	15	0.00	15
1835	-372	-404	Max	2.51	-459.46	15	-15.78	15	0.72	15	-12.89	15	0.50	15	0.00	15
1835	-372	-404	Max	16.87	-458.44	15	-15.78	15	-1.55	15	-12.87	15	-1.35	15	0.00	15
1835	-372	-404	Min.	2.51	-459.46	15	-15.78	15	0.72	15	-12.89	15	0.50	15	0.00	15
1835	-372	-404	Min.	16.87	-458.44	15	-15.78	15	-1.55	15	-12.87	15	-1.35	15	0.00	15

1835	-404	-436	Max	2.51	-489.47	15	-16.12	15	0.68	15	-13.44	15	0.47	15	0.00	15
1835	-404	-436	Max	16.87	-488.45	15	-16.12	15	-1.63	15	-13.42	15	-1.46	15	0.00	15
1835	-404	-436	Min.	2.51	-489.47	15	-16.12	15	0.68	15	-13.44	15	0.47	15	0.00	15
1835	-404	-436	Min.	16.87	-488.45	15	-16.12	15	-1.63	15	-13.42	15	-1.46	15	0.00	15
1835	-436	-468	Max	2.51	-521.25	15	-17.27	15	0.64	15	-12.50	15	0.42	15	0.00	15
1835	-436	-468	Max	16.87	-520.24	15	-17.27	15	-1.84	15	-12.48	15	-1.37	15	0.00	15
1835	-436	-468	Min.	2.51	-521.25	15	-17.27	15	0.64	15	-12.50	15	0.42	15	0.00	15
1835	-436	-468	Min.	16.87	-520.24	15	-17.27	15	-1.84	15	-12.48	15	-1.37	15	0.00	15
1835	-468	-500	Max	2.51	-554.30	15	-12.78	15	0.49	15	-21.94	15	0.41	15	0.01	15
1835	-468	-500	Max	16.87	-553.28	15	-12.78	15	-1.35	15	-21.92	15	-2.74	15	0.01	15
1835	-468	-500	Min.	2.51	-554.30	15	-12.78	15	0.49	15	-21.94	15	0.41	15	0.01	15
1835	-468	-500	Min.	16.87	-553.28	15	-12.78	15	-1.35	15	-21.92	15	-2.74	15	0.01	15
1835	-500	1333	Max	2.51	-587.16	15	-42.36	15	0.45	15	29.56	15	-0.64	15	0.01	15
1835	-500	1333	Max	14.38	-586.32	15	-42.36	15	-4.58	15	29.58	15	2.87	15	0.01	15
1835	-500	1333	Min.	2.51	-587.16	15	-42.36	15	0.45	15	29.56	15	-0.64	15	0.01	15
1835	-500	1333	Min.	14.38	-586.32	15	-42.36	15	-4.58	15	29.58	15	2.87	15	0.01	15
1836	360	-24	Max	4.85	0.00	15	0.00	15	0.00	15	0.00	15	0.00	15	0.00	15
1836	360	-24	Min.	4.85	0.00	15	0.00	15	0.00	15	0.00	15	0.00	15	0.00	15
1836	-24	-56	Max	4.85	0.00	15	0.00	15	0.00	15	0.00	15	0.00	15	0.00	15
1836	-24	-56	Min.	4.85	0.00	15	0.00	15	0.00	15	0.00	15	0.00	15	0.00	15
1836	-56	-88	Max	5.01	-48.87	15	-3.88	15	0.28	15	-6.91	15	0.81	15	-0.00	15
1836	-56	-88	Max	16.87	-48.03	15	-3.88	15	-0.18	15	-6.89	15	-0.01	15	-0.00	15
1836	-56	-88	Min.	5.01	-48.87	15	-3.88	15	0.28	15	-6.91	15	0.81	15	-0.00	15
1836	-56	-88	Min.	16.87	-48.03	15	-3.88	15	-0.18	15	-6.89	15	-0.01	15	-0.00	15
1836	-88	-120	Max	2.51	-57.82	15	-3.81	15	0.17	15	-7.81	15	0.71	15	-0.00	15
1836	-88	-120	Max	16.87	-56.80	15	-3.81	15	-0.38	15	-7.79	15	-0.41	15	-0.00	15
1836	-88	-120	Min.	2.51	-57.82	15	-3.81	15	0.17	15	-7.81	15	0.71	15	-0.00	15
1836	-88	-120	Min.	16.87	-56.80	15	-3.81	15	-0.38	15	-7.79	15	-0.41	15	-0.00	15
1836	-120	-152	Max	2.51	-70.06	15	-3.87	15	0.12	15	-7.89	15	0.61	15	-0.00	15
1836	-120	-152	Max	16.87	-69.04	15	-3.87	15	-0.43	15	-7.87	15	-0.52	15	-0.00	15
1836	-120	-152	Min.	2.51	-70.06	15	-3.87	15	0.12	15	-7.89	15	0.61	15	-0.00	15
1836	-120	-152	Min.	16.87	-69.04	15	-3.87	15	-0.43	15	-7.87	15	-0.52	15	-0.00	15
1836	-152	-184	Max	2.51	-83.65	15	-3.95	15	0.11	15	-8.09	15	0.59	15	-0.00	15
1836	-152	-184	Max	16.87	-82.63	15	-3.95	15	-0.46	15	-8.07	15	-0.57	15	-0.00	15
1836	-152	-184	Min.	2.51	-83.65	15	-3.95	15	0.11	15	-8.09	15	0.59	15	-0.00	15
1836	-152	-184	Min.	16.87	-82.63	15	-3.95	15	-0.46	15	-8.07	15	-0.57	15	-0.00	15
1836	-184	-216	Max	2.51	-98.16	15	-4.04	15	0.10	15	-8.28	15	0.58	15	-0.00	15
1836	-184	-216	Max	16.87	-97.14	15	-4.04	15	-0.49	15	-8.26	15	-0.60	15	-0.00	15
1836	-184	-216	Min.	2.51	-98.16	15	-4.04	15	0.10	15	-8.28	15	0.58	15	-0.00	15
1836	-184	-216	Min.	16.87	-97.14	15	-4.04	15	-0.49	15	-8.26	15	-0.60	15	-0.00	15
1836	-216	-248	Max	2.51	-113.52	15	-4.13	15	0.09	15	-8.49	15	0.58	15	-0.00	15
1836	-216	-248	Max	16.87	-112.50	15	-4.13	15	-0.51	15	-8.46	15	-0.64	15	-0.00	15
1836	-216	-248	Min.	2.51	-113.52	15	-4.13	15	0.09	15	-8.49	15	0.58	15	-0.00	15
1836	-216	-248	Min.	16.87	-112.50	15	-4.13	15	-0.51	15	-8.46	15	-0.64	15	-0.00	15
1836	-248	-280	Max	2.51	-129.76	15	-4.23	15	0.07	15	-8.72	15	0.57	15	-0.00	15
1836	-248	-280	Max	16.87	-128.74	15	-4.23	15	-0.53	15	-8.69	15	-0.68	15	-0.00	15
1836	-248	-280	Min.	2.51	-129.76	15	-4.23	15	0.07	15	-8.72	15	0.57	15	-0.00	15
1836	-248	-280	Min.	16.87	-128.74	15	-4.23	15	-0.53	15	-8.69	15	-0.68	15	-0.00	15
1836	-280	-312	Max	2.51	-146.96	15	-4.34	15	0.06	15	-8.94	15	0.56	15	-0.00	15
1836	-280	-312	Max	16.87	-145.93	15	-4.34	15	-0.56	15	-8.91	15	-0.72	15	-0.00	15
1836	-280	-312	Min.	2.51	-146.96	15	-4.34	15	0.06	15	-8.94	15	0.56	15	-0.00	15
1836	-280	-312	Min.	16.87	-145.93	15	-4.34	15	-0.56	15	-8.91	15	-0.72	15	-0.00	15
1836	-312	-344	Max	2.51	-165.16	15	-4.43	15	0.05	15	-9.18	15	0.55	15	-0.00	15
1836	-312	-344	Max	16.87	-164.14	15	-4.43	15	-0.59	15	-9.15	15	-0.77	15	-0.00	15
1836	-312	-344	Min.	2.51	-165.16	15	-4.43	15	0.05	15	-9.18	15	0.55	15	-0.00	15
1836	-312	-344	Min.	16.87	-164.14	15	-4.43	15	-0.59	15	-9.15	15	-0.77	15	-0.00	15
1836	-344	-376	Max	2.51	-184.45	15	-4.54	15	0.04	15	-9.43	15	0.54	15	-0.00	15
1836	-344	-376	Max	16.87	-183.43	15	-4.54	15	-0.62	15	-9.41	15	-0.82	15	-0.00	15
1836	-344	-376	Min.	2.51	-184.45	15	-4.54	15	0.04	15	-9.43	15	0.54	15	-0.00	15

1836	-344	-376	Min.	16.87	-183.43	15	-4.54	15	-0.62	15	-9.41	15	-0.82	15	-0.00	15
1836	-376	-408	Max	2.51	-204.90	15	-4.67	15	0.02	15	-9.67	15	0.52	15	-0.00	15
1836	-376	-408	Max	16.87	-203.88	15	-4.67	15	-0.65	15	-9.65	15	-0.87	15	-0.00	15
1836	-376	-408	Min.	2.51	-204.90	15	-4.67	15	0.02	15	-9.67	15	0.52	15	-0.00	15
1836	-376	-408	Min.	16.87	-203.88	15	-4.67	15	-0.65	15	-9.65	15	-0.87	15	-0.00	15
1836	-408	-440	Max	2.51	-226.59	15	-4.73	15	0.00	15	-10.04	15	0.50	15	-0.00	15
1836	-408	-440	Max	16.87	-225.56	15	-4.73	15	-0.68	15	-10.02	15	-0.94	15	-0.00	15
1836	-408	-440	Min.	2.51	-226.59	15	-4.73	15	0.00	15	-10.04	15	0.50	15	-0.00	15
1836	-408	-440	Min.	16.87	-225.56	15	-4.73	15	-0.68	15	-10.02	15	-0.94	15	-0.00	15
1836	-440	-472	Max	2.51	-249.58	15	-5.32	15	-0.02	15	-9.66	15	0.47	15	-0.00	15
1836	-440	-472	Max	16.87	-248.56	15	-5.32	15	-0.78	15	-9.64	15	-0.91	15	-0.00	15
1836	-440	-472	Min.	2.51	-249.58	15	-5.32	15	-0.02	15	-9.66	15	0.47	15	-0.00	15
1836	-440	-472	Min.	16.87	-248.56	15	-5.32	15	-0.78	15	-9.64	15	-0.91	15	-0.00	15
1836	-472	-504	Max	2.51	-273.51	15	-2.23	15	-0.08	15	-14.58	15	0.45	15	-0.00	15
1836	-472	-504	Max	16.87	-272.49	15	-2.23	15	-0.40	15	-14.55	15	-1.65	15	-0.00	15
1836	-472	-504	Min.	2.51	-273.51	15	-2.23	15	-0.08	15	-14.58	15	0.45	15	-0.00	15
1836	-472	-504	Min.	16.87	-272.49	15	-2.23	15	-0.40	15	-14.55	15	-1.65	15	-0.00	15
1836	-504	1339	Max	2.51	-296.58	15	-21.19	15	0.09	15	11.67	15	-0.20	15	-0.00	15
1836	-504	1339	Max	14.38	-295.74	15	-21.19	15	-2.43	15	11.69	15	1.18	15	-0.00	15
1836	-504	1339	Min.	2.51	-296.58	15	-21.19	15	0.09	15	11.67	15	-0.20	15	-0.00	15
1836	-504	1339	Min.	14.38	-295.74	15	-21.19	15	-2.43	15	11.69	15	1.18	15	-0.00	15
1837	381	-30	Max	4.85	0.00	15	0.00	15	0.00	15	0.00	15	0.00	15	0.00	15
1837	381	-30	Min.	4.85	0.00	15	0.00	15	0.00	15	0.00	15	0.00	15	0.00	15
1837	-30	-62	Max	4.85	0.00	15	0.00	15	0.00	15	0.00	15	0.00	15	0.00	15
1837	-30	-62	Min.	4.85	0.00	15	0.00	15	0.00	15	0.00	15	0.00	15	0.00	15
1837	-62	-94	Max	5.01	-130.73	15	-13.01	15	1.37	15	12.63	15	-1.28	15	-0.01	15
1837	-62	-94	Max	16.87	-129.89	15	-13.01	15	-0.17	15	12.65	15	0.22	15	-0.01	15
1837	-62	-94	Min.	5.01	-130.73	15	-13.01	15	1.37	15	12.63	15	-1.28	15	-0.01	15
1837	-62	-94	Min.	16.87	-129.89	15	-13.01	15	-0.17	15	12.65	15	0.22	15	-0.01	15
1837	-94	-126	Max	2.51	-113.04	15	-12.68	15	1.03	15	11.03	15	-0.82	15	-0.01	15
1837	-94	-126	Max	16.87	-112.02	15	-12.68	15	-0.79	15	11.05	15	0.76	15	-0.01	15
1837	-94	-126	Min.	2.51	-113.04	15	-12.68	15	1.03	15	11.03	15	-0.82	15	-0.01	15
1837	-94	-126	Min.	16.87	-112.02	15	-12.68	15	-0.79	15	11.05	15	0.76	15	-0.01	15
1837	-126	-158	Max	2.51	-90.69	15	-12.99	15	0.90	15	11.45	15	-0.73	15	-0.00	15
1837	-126	-158	Max	16.87	-89.67	15	-12.99	15	-0.97	15	11.47	15	0.92	15	-0.00	15
1837	-126	-158	Min.	2.51	-90.69	15	-12.99	15	0.90	15	11.45	15	-0.73	15	-0.00	15
1837	-126	-158	Min.	16.87	-89.67	15	-12.99	15	-0.97	15	11.47	15	0.92	15	-0.00	15
1837	-158	-190	Max	2.51	-66.57	15	-13.30	15	0.86	15	11.70	15	-0.70	15	-0.00	15
1837	-158	-190	Max	16.87	-65.55	15	-13.30	15	-1.05	15	11.72	15	0.99	15	-0.00	15
1837	-158	-190	Min.	2.51	-66.57	15	-13.30	15	0.86	15	11.70	15	-0.70	15	-0.00	15
1837	-158	-190	Min.	16.87	-65.55	15	-13.30	15	-1.05	15	11.72	15	0.99	15	-0.00	15
1837	-190	-222	Max	2.51	-41.27	15	-13.60	15	0.84	15	11.96	15	-0.68	15	-0.00	15
1837	-190	-222	Max	16.87	-40.25	15	-13.60	15	-1.11	15	11.98	15	1.04	15	-0.00	15
1837	-190	-222	Min.	2.51	-41.27	15	-13.60	15	0.84	15	11.96	15	-0.68	15	-0.00	15
1837	-190	-222	Min.	16.87	-40.25	15	-13.60	15	-1.11	15	11.98	15	1.04	15	-0.00	15
1837	-222	-254	Max	2.51	-14.89	15	-13.93	15	0.83	15	12.24	15	-0.67	15	-0.00	15
1837	-222	-254	Max	16.87	-13.87	15	-13.93	15	-1.17	15	12.26	15	1.09	15	-0.00	15
1837	-222	-254	Min.	2.51	-14.89	15	-13.93	15	0.83	15	12.24	15	-0.67	15	-0.00	15
1837	-222	-254	Min.	16.87	-13.87	15	-13.93	15	-1.17	15	12.26	15	1.09	15	-0.00	15
1837	-254	-286	Max	2.51	12.63	15	-14.28	15	0.81	15	12.53	15	-0.65	15	-0.00	15
1837	-254	-286	Max	16.87	13.65	15	-14.28	15	-1.24	15	12.56	15	1.15	15	-0.00	15
1837	-254	-286	Min.	2.51	12.63	15	-14.28	15	0.81	15	12.53	15	-0.65	15	-0.00	15
1837	-254	-286	Min.	16.87	13.65	15	-14.28	15	-1.24	15	12.56	15	1.15	15	-0.00	15
1837	-286	-318	Max	2.51	41.37	15	-14.64	15	0.80	15	12.84	15	-0.64	15	-0.00	15
1837	-286	-318	Max	16.87	42.39	15	-14.64	15	-1.31	15	12.87	15	1.21	15	-0.00	15
1837	-286	-318	Min.	2.51	41.37	15	-14.64	15	0.80	15	12.84	15	-0.64	15	-0.00	15
1837	-286	-318	Min.	16.87	42.39	15	-14.64	15	-1.31	15	12.87	15	1.21	15	-0.00	15
1837	-318	-350	Max	2.51	71.41	15	-15.01	15	0.78	15	13.16	15	-0.62	15	-0.00	15
1837	-318	-350	Max	16.87	72.43	15	-15.01	15	-1.38	15	13.18	15	1.28	15	-0.00	15

1837	-318	-350	Min.	2.51	71.41	15	-15.01	15	0.78	15	13.16	15	-0.62	15	-0.00	15
1837	-318	-350	Min.	16.87	72.43	15	-15.01	15	-1.38	15	13.18	15	1.28	15	-0.00	15
1837	-350	-382	Max	2.51	102.84	15	-15.41	15	0.75	15	13.51	15	-0.59	15	-0.00	15
1837	-350	-382	Max	16.87	103.86	15	-15.41	15	-1.46	15	13.53	15	1.35	15	-0.00	15
1837	-350	-382	Min.	2.51	102.84	15	-15.41	15	0.75	15	13.51	15	-0.59	15	-0.00	15
1837	-350	-382	Min.	16.87	103.86	15	-15.41	15	-1.46	15	13.53	15	1.35	15	-0.00	15
1837	-382	-414	Max	2.51	135.79	15	-15.84	15	0.72	15	13.86	15	-0.57	15	-0.00	15
1837	-382	-414	Max	16.87	136.81	15	-15.84	15	-1.55	15	13.89	15	1.42	15	-0.00	15
1837	-382	-414	Min.	2.51	135.79	15	-15.84	15	0.72	15	13.86	15	-0.57	15	-0.00	15
1837	-382	-414	Min.	16.87	136.81	15	-15.84	15	-1.55	15	13.89	15	1.42	15	-0.00	15
1837	-414	-446	Max	2.51	170.37	15	-16.18	15	0.69	15	14.26	15	-0.54	15	-0.00	15
1837	-414	-446	Max	16.87	171.39	15	-16.18	15	-1.64	15	14.29	15	1.51	15	-0.00	15
1837	-414	-446	Min.	2.51	170.37	15	-16.18	15	0.69	15	14.26	15	-0.54	15	-0.00	15
1837	-414	-446	Min.	16.87	171.39	15	-16.18	15	-1.64	15	14.29	15	1.51	15	-0.00	15
1837	-446	-478	Max	2.51	206.63	15	-17.38	15	0.65	15	14.56	15	-0.50	15	-0.00	15
1837	-446	-478	Max	16.87	207.65	15	-17.38	15	-1.85	15	14.58	15	1.60	15	-0.00	15
1837	-446	-478	Min.	2.51	206.63	15	-17.38	15	0.65	15	14.56	15	-0.50	15	-0.00	15
1837	-446	-478	Min.	16.87	207.65	15	-17.38	15	-1.85	15	14.58	15	1.60	15	-0.00	15
1837	-478	-510	Max	2.51	244.20	15	-12.90	15	0.51	15	15.69	15	-0.41	15	0.00	15
1837	-478	-510	Max	16.87	245.22	15	-12.90	15	-1.35	15	15.71	15	1.84	15	0.00	15
1837	-478	-510	Min.	2.51	244.20	15	-12.90	15	0.51	15	15.69	15	-0.41	15	0.00	15
1837	-478	-510	Min.	16.87	245.22	15	-12.90	15	-1.35	15	15.71	15	1.84	15	0.00	15
1837	-510	1356	Max	2.51	280.62	15	-42.12	15	0.46	15	11.21	15	-0.02	15	0.00	15
1837	-510	1356	Max	14.38	281.47	15	-42.12	15	-4.54	15	11.23	15	1.31	15	0.00	15
1837	-510	1356	Min.	2.51	280.62	15	-42.12	15	0.46	15	11.21	15	-0.02	15	0.00	15
1837	-510	1356	Min.	14.38	281.47	15	-42.12	15	-4.54	15	11.23	15	1.31	15	0.00	15
1858	1305	1306	Max	1.77	20.56	15	-1.50	15	0.78	15	0.07	15	0.07	15	0.01	15
1858	1305	1306	Max	10.00	20.56	15	-0.91	15	0.68	15	0.07	15	0.08	15	0.01	15
1858	1305	1306	Min.	1.77	20.56	15	-1.50	15	0.78	15	0.07	15	0.07	15	0.01	15
1858	1305	1306	Min.	10.00	20.56	15	-0.91	15	0.68	15	0.07	15	0.08	15	0.01	15
1858	1306	1307	Max	0.00	20.56	15	-0.91	15	0.68	15	0.07	15	0.08	15	0.01	15
1858	1306	1307	Max	8.23	20.56	15	-0.33	15	0.63	15	0.07	15	0.08	15	0.01	15
1858	1306	1307	Min.	0.00	20.56	15	-0.91	15	0.68	15	0.07	15	0.08	15	0.01	15
1858	1306	1307	Min.	8.23	20.56	15	-0.33	15	0.63	15	0.07	15	0.08	15	0.01	15
1860	1325	1326	Max	1.77	-27.31	15	0.21	15	-0.10	15	-2.20	15	-1.40	15	-0.01	15
1860	1325	1326	Max	10.00	-27.31	15	0.21	15	-0.08	15	-1.62	15	-1.56	15	-0.01	15
1860	1325	1326	Min.	1.77	-27.31	15	0.21	15	-0.10	15	-2.20	15	-1.40	15	-0.01	15
1860	1325	1326	Min.	10.00	-27.31	15	0.21	15	-0.08	15	-1.62	15	-1.56	15	-0.01	15
1860	1326	1327	Max	0.00	-27.31	15	0.21	15	-0.08	15	-1.62	15	-1.56	15	-0.01	15
1860	1326	1327	Max	8.23	-27.31	15	0.21	15	-0.06	15	-1.03	15	-1.67	15	-0.01	15
1860	1326	1327	Min.	0.00	-27.31	15	0.21	15	-0.08	15	-1.62	15	-1.56	15	-0.01	15
1860	1326	1327	Min.	8.23	-27.31	15	0.21	15	-0.06	15	-1.03	15	-1.67	15	-0.01	15
1902	1337	1338	Max	1.77	-27.25	15	-2.27	15	-1.40	15	0.21	15	-0.10	15	0.01	15
1902	1337	1338	Max	10.00	-27.25	15	-1.68	15	-1.56	15	0.21	15	-0.08	15	0.01	15
1902	1337	1338	Min.	1.77	-27.25	15	-2.27	15	-1.40	15	0.21	15	-0.10	15	0.01	15
1902	1337	1338	Min.	10.00	-27.25	15	-1.68	15	-1.56	15	0.21	15	-0.08	15	0.01	15
1902	1338	1339	Max	0.00	-27.25	15	-1.68	15	-1.56	15	0.21	15	-0.08	15	0.01	15
1902	1338	1339	Max	8.23	-27.25	15	-1.10	15	-1.67	15	0.21	15	-0.06	15	0.01	15
1902	1338	1339	Min.	0.00	-27.25	15	-1.68	15	-1.56	15	0.21	15	-0.08	15	0.01	15
1902	1338	1339	Min.	8.23	-27.25	15	-1.10	15	-1.67	15	0.21	15	-0.06	15	0.01	15
1904	1357	1358	Max	1.77	20.52	15	0.07	15	0.07	15	-1.55	15	0.79	15	-0.01	15
1904	1357	1358	Max	10.00	20.52	15	0.07	15	0.08	15	-0.97	15	0.69	15	-0.01	15
1904	1357	1358	Min.	1.77	20.52	15	0.07	15	0.07	15	-1.55	15	0.79	15	-0.01	15
1904	1357	1358	Min.	10.00	20.52	15	0.07	15	0.08	15	-0.97	15	0.69	15	-0.01	15
1904	1358	1359	Max	0.00	20.52	15	0.07	15	0.08	15	-0.97	15	0.69	15	-0.01	15
1904	1358	1359	Max	8.23	20.52	15	0.07	15	0.09	15	-0.38	15	0.63	15	-0.01	15
1904	1358	1359	Min.	0.00	20.52	15	0.07	15	0.08	15	-0.97	15	0.69	15	-0.01	15
1904	1358	1359	Min.	8.23	20.52	15	0.07	15	0.09	15	-0.38	15	0.63	15	-0.01	15
2022	2025	2026	Max	0.00	-0.17	15	-288.87	15	-0.09	15	-64.53	15	0.08	15	12.27	15

2022	2025	2026	Max	0.63	-0.17	15	-288.87	15	-1.91	15	-64.57	15	-0.33	15	12.27	15
2022	2025	2026	Min.	0.00	-0.17	15	-288.87	15	-0.09	15	-64.53	15	0.08	15	12.27	15
2022	2025	2026	Min.	0.63	-0.17	15	-288.87	15	-1.91	15	-64.57	15	-0.33	15	12.27	15
2022	2026	2027	Max	5.37	-0.43	15	302.31	15	-1.75	15	116.24	15	-0.78	15	-13.00	15
2022	2026	2027	Max	6.00	-0.43	15	302.31	15	0.15	15	116.20	15	-0.05	15	-13.00	15
2022	2026	2027	Min.	5.37	-0.43	15	302.31	15	-1.75	15	116.24	15	-0.78	15	-13.00	15
2022	2026	2027	Min.	6.00	-0.43	15	302.31	15	0.15	15	116.20	15	-0.05	15	-13.00	15
2066	2285	2286	Max	0.00	-0.15	15	284.37	15	0.08	15	-65.49	15	0.08	15	-12.16	15
2066	2285	2286	Max	0.63	-0.15	15	284.37	15	1.87	15	-65.53	15	-0.33	15	-12.16	15
2066	2285	2286	Min.	0.00	-0.15	15	284.37	15	0.08	15	-65.49	15	0.08	15	-12.16	15
2066	2285	2286	Min.	0.63	-0.15	15	284.37	15	1.87	15	-65.53	15	-0.33	15	-12.16	15
2066	2286	2287	Max	5.37	-0.47	15	-307.17	15	1.80	15	115.44	15	-0.77	15	13.03	15
2066	2286	2287	Max	6.00	-0.47	15	-307.17	15	-0.14	15	115.40	15	-0.04	15	13.03	15
2066	2286	2287	Min.	5.37	-0.47	15	-307.17	15	1.80	15	115.44	15	-0.77	15	13.03	15
2066	2286	2287	Min.	6.00	-0.47	15	-307.17	15	-0.14	15	115.40	15	-0.04	15	13.03	15
2106	2001	9	Max	0.00	-7.02	15	-0.12	15	0.02	15	-2.66	15	0.26	15	-0.01	15
2106	2001	9	Max	16.67	-7.02	15	-0.12	15	-0.00	15	-3.31	15	-0.24	15	-0.01	15
2106	2001	9	Min.	0.00	-7.02	15	-0.12	15	0.02	15	-2.66	15	0.26	15	-0.01	15
2106	2001	9	Min.	16.67	-7.02	15	-0.12	15	-0.00	15	-3.31	15	-0.24	15	-0.01	15
2106	9	17	Max	0.00	-17.64	15	-0.16	15	0.02	15	-3.77	15	0.26	15	-0.01	15
2106	9	17	Max	16.67	-17.64	15	-0.16	15	-0.00	15	-4.43	15	-0.42	15	-0.01	15
2106	9	17	Min.	0.00	-17.64	15	-0.16	15	0.02	15	-3.77	15	0.26	15	-0.01	15
2106	9	17	Min.	16.67	-17.64	15	-0.16	15	-0.00	15	-4.43	15	-0.42	15	-0.01	15
2106	17	2025	Max	0.00	-28.83	15	-0.26	15	0.00	15	0.41	15	0.10	15	-0.01	15
2106	17	2025	Max	10.00					-0.02	15			0.12	15		
2106	17	2025	Max	16.67	-28.83	15	-0.26	15	-0.04	15	-0.25	15	0.11	15	-0.01	15
2106	17	2025	Min.	0.00	-28.83	15	-0.26	15	0.00	15	0.41	15	0.10	15	-0.01	15
2106	17	2025	Min.	10.00					-0.02	15			0.12	15		
2106	17	2025	Min.	16.67	-28.83	15	-0.26	15	-0.04	15	-0.25	15	0.11	15	-0.01	15
2106	2025	37	Max	0.00	-328.82	15	-0.30	15	0.06	15	71.25	15	-11.01	15	0.05	15
2106	2025	37	Max	21.56	-328.82	15	-0.30	15	0.00	15	70.41	15	4.26	15	0.05	15
2106	2025	37	Min.	0.00	-328.82	15	-0.30	15	0.06	15	71.25	15	-11.01	15	0.05	15
2106	2025	37	Min.	21.56	-328.82	15	-0.30	15	0.00	15	70.41	15	4.26	15	0.05	15
2106	37	45	Max	0.00	-159.60	15	-0.23	15	0.04	15	60.67	15	-7.41	15	0.05	15
2106	37	45	Max	21.56	-159.60	15	-0.23	15	-0.01	15	59.82	15	5.58	15	0.05	15
2106	37	45	Min.	0.00	-159.60	15	-0.23	15	0.04	15	60.67	15	-7.41	15	0.05	15
2106	37	45	Min.	21.56	-159.60	15	-0.23	15	-0.01	15	59.82	15	5.58	15	0.05	15
2106	45	53	Max	0.00	-9.86	15	-0.24	15	0.03	15	53.78	15	-6.01	15	0.05	15
2106	45	53	Max	21.56	-9.86	15	-0.24	15	-0.02	15	52.94	15	5.49	15	0.05	15
2106	45	53	Min.	0.00	-9.86	15	-0.24	15	0.03	15	53.78	15	-6.01	15	0.05	15
2106	45	53	Min.	21.56	-9.86	15	-0.24	15	-0.02	15	52.94	15	5.49	15	0.05	15
2106	53	61	Max	0.00	110.61	15	-0.21	15	0.01	15	47.68	15	-4.90	15	0.04	15
2106	53	61	Max	21.56	110.61	15	-0.21	15	-0.03	15	46.83	15	5.29	15	0.04	15
2106	53	61	Min.	0.00	110.61	15	-0.21	15	0.01	15	47.68	15	-4.90	15	0.04	15
2106	53	61	Min.	21.56	110.61	15	-0.21	15	-0.03	15	46.83	15	5.29	15	0.04	15
2106	61	69	Max	0.00	202.12	15	-0.05	15	0.01	15	35.85	15	-3.40	15	0.03	15
2106	61	69	Max	21.56	202.12	15	-0.05	15	0.00	15	35.00	15	4.23	15	0.03	15
2106	61	69	Min.	0.00	202.12	15	-0.05	15	0.01	15	35.85	15	-3.40	15	0.03	15
2106	61	69	Min.	21.56	202.12	15	-0.05	15	0.00	15	35.00	15	4.23	15	0.03	15
2106	69	77	Max	0.00	270.54	15	-0.11	15	0.02	15	31.44	15	-2.89	15	0.02	15
2106	69	77	Max	21.56	270.54	15	-0.11	15	-0.01	15	30.59	15	3.80	15	0.02	15
2106	69	77	Min.	0.00	270.54	15	-0.11	15	0.02	15	31.44	15	-2.89	15	0.02	15
2106	69	77	Min.	21.56	270.54	15	-0.11	15	-0.01	15	30.59	15	3.80	15	0.02	15
2106	77	85	Max	0.00	325.62	15	-0.11	15	0.01	15	27.98	15	-2.42	15	0.02	15
2106	77	85	Max	21.56	325.62	15	-0.11	15	-0.02	15	27.13	15	3.52	15	0.02	15
2106	77	85	Min.	0.00	325.62	15	-0.11	15	0.01	15	27.98	15	-2.42	15	0.02	15
2106	77	85	Min.	21.56	325.62	15	-0.11	15	-0.02	15	27.13	15	3.52	15	0.02	15
2106	85	93	Max	0.00	369.48	15	-0.07	15	-0.00	15	24.60	15	-1.81	15	0.02	15
2106	85	93	Max	21.56	369.48	15	-0.07	15	-0.02	15	23.76	15	3.40	15	0.02	15

2106	85	93	Min.	0.00	369.48	15	-0.07	15	-0.00	15	24.60	15	-1.81	15	0.02	15
2106	85	93	Min.	21.56	369.48	15	-0.07	15	-0.02	15	23.76	15	3.40	15	0.02	15
2106	93	101	Max	0.00	397.97	15	-0.05	15	0.01	15	11.23	15	-0.32	15	0.02	15
2106	93	101	Max	21.56	397.97	15	-0.05	15	0.00	15	10.38	15	2.01	15	0.02	15
2106	93	101	Min.	0.00	397.97	15	-0.05	15	0.01	15	11.23	15	-0.32	15	0.02	15
2106	93	101	Min.	21.56	397.97	15	-0.05	15	0.00	15	10.38	15	2.01	15	0.02	15
2106	101	109	Max	0.00	413.85	15	-0.09	15	0.01	15	8.77	15	-0.22	15	0.01	15
2106	101	109	Max	21.56	413.85	15	-0.09	15	-0.00	15	7.92	15	1.58	15	0.01	15
2106	101	109	Min.	0.00	413.85	15	-0.09	15	0.01	15	8.77	15	-0.22	15	0.01	15
2106	101	109	Min.	21.56	413.85	15	-0.09	15	-0.00	15	7.92	15	1.58	15	0.01	15
2106	109	117	Max	0.00	424.64	15	-0.09	15	0.01	15	6.98	15	-0.03	15	0.01	15
2106	109	117	Max	21.56	424.64	15	-0.09	15	-0.01	15	6.14	15	1.38	15	0.01	15
2106	109	117	Min.	0.00	424.64	15	-0.09	15	0.01	15	6.98	15	-0.03	15	0.01	15
2106	109	117	Min.	21.56	424.64	15	-0.09	15	-0.01	15	6.14	15	1.38	15	0.01	15
2106	117	125	Max	0.00	431.18	15	-0.06	15	-0.00	15	4.95	15	0.34	15	0.01	15
2106	117	125	Max	21.56	431.18	15	-0.06	15	-0.02	15	4.10	15	1.32	15	0.01	15
2106	117	125	Min.	0.00	431.18	15	-0.06	15	-0.00	15	4.95	15	0.34	15	0.01	15
2106	117	125	Min.	21.56	431.18	15	-0.06	15	-0.02	15	4.10	15	1.32	15	0.01	15
2106	125	133	Max	0.00	430.43	15	0.02	15	0.00	15	-5.11	15	1.43	15	0.01	15
2106	125	133	Max	21.56	430.43	15	0.02	15	0.00	15	-5.95	15	0.23	15	0.01	15
2106	125	133	Min.	0.00	430.43	15	0.02	15	0.00	15	-5.11	15	1.43	15	0.01	15
2106	125	133	Min.	21.56	430.43	15	0.02	15	0.00	15	-5.95	15	0.23	15	0.01	15
2106	133	141	Max	0.00	423.57	15	-0.01	15	0.00	15	-6.70	15	1.40	15	0.00	15
2106	133	141	Max	21.56	423.57	15	-0.01	15	-0.00	15	-7.55	15	-0.14	15	0.00	15
2106	133	141	Min.	0.00	423.57	15	-0.01	15	0.00	15	-6.70	15	1.40	15	0.00	15
2106	133	141	Min.	21.56	423.57	15	-0.01	15	-0.00	15	-7.55	15	-0.14	15	0.00	15
2106	141	149	Max	0.00	415.15	15	-0.02	15	-0.01	15	-8.18	15	1.39	15	-0.00	15
2106	141	149	Max	21.56	415.15	15	-0.02	15	-0.01	15	-9.03	15	-0.47	15	-0.00	15
2106	141	149	Min.	0.00	415.15	15	-0.02	15	-0.01	15	-8.18	15	1.39	15	-0.00	15
2106	141	149	Min.	21.56	415.15	15	-0.02	15	-0.01	15	-9.03	15	-0.47	15	-0.00	15
2106	149	157	Max	0.00	407.45	15	-0.01	15	-0.01	15	-8.55	15	0.97	15	-0.00	15
2106	149	157	Max	21.56	407.45	15	-0.01	15	-0.02	15	-9.40	15	-0.96	15	-0.00	15
2106	149	157	Min.	0.00	407.45	15	-0.01	15	-0.01	15	-8.55	15	0.97	15	-0.00	15
2106	149	157	Min.	21.56	407.45	15	-0.01	15	-0.02	15	-9.40	15	-0.96	15	-0.00	15
2106	157	165	Max	0.00	407.45	15	0.01	15	-0.02	15	9.41	15	-0.96	15	0.00	15
2106	157	165	Max	21.56	407.45	15	0.01	15	-0.01	15	8.57	15	0.97	15	0.00	15
2106	157	165	Min.	0.00	407.45	15	0.01	15	-0.02	15	9.41	15	-0.96	15	0.00	15
2106	157	165	Min.	21.56	407.45	15	0.01	15	-0.01	15	8.57	15	0.97	15	0.00	15
2106	165	173	Max	0.00	415.18	15	0.02	15	-0.01	15	9.05	15	-0.47	15	0.00	15
2106	165	173	Max	21.56	415.18	15	0.02	15	-0.01	15	8.20	15	1.39	15	0.00	15
2106	165	173	Min.	0.00	415.18	15	0.02	15	-0.01	15	9.05	15	-0.47	15	0.00	15
2106	165	173	Min.	21.56	415.18	15	0.02	15	-0.01	15	8.20	15	1.39	15	0.00	15
2106	173	181	Max	0.00	423.62	15	0.01	15	-0.00	15	7.57	15	-0.14	15	0.00	15
2106	173	181	Max	21.56	423.62	15	0.01	15	0.00	15	6.72	15	1.40	15	0.00	15
2106	173	181	Min.	0.00	423.62	15	0.01	15	-0.00	15	7.57	15	-0.14	15	0.00	15
2106	173	181	Min.	21.56	423.62	15	0.01	15	0.00	15	6.72	15	1.40	15	0.00	15
2106	181	189	Max	0.00	430.50	15	-0.02	15	0.00	15	5.97	15	0.23	15	-0.01	15
2106	181	189	Max	21.56	430.50	15	-0.02	15	-0.00	15	5.13	15	1.43	15	-0.01	15
2106	181	189	Min.	0.00	430.50	15	-0.02	15	0.00	15	5.97	15	0.23	15	-0.01	15
2106	181	189	Min.	21.56	430.50	15	-0.02	15	-0.00	15	5.13	15	1.43	15	-0.01	15
2106	189	197	Max	0.00	431.28	15	0.07	15	-0.02	15	-4.08	15	1.32	15	-0.01	15
2106	189	197	Max	21.56	431.28	15	0.07	15	-0.00	15	-4.93	15	0.35	15	-0.01	15
2106	189	197	Min.	0.00	431.28	15	0.07	15	-0.02	15	-4.08	15	1.32	15	-0.01	15
2106	189	197	Min.	21.56	431.28	15	0.07	15	-0.00	15	-4.93	15	0.35	15	-0.01	15
2106	197	205	Max	0.00	424.77	15	0.09	15	-0.01	15	-6.12	15	1.38	15	-0.01	15
2106	197	205	Max	21.56	424.77	15	0.09	15	0.01	15	-6.97	15	-0.03	15	-0.01	15
2106	197	205	Min.	0.00	424.77	15	0.09	15	-0.01	15	-6.12	15	1.38	15	-0.01	15
2106	197	205	Min.	21.56	424.77	15	0.09	15	0.01	15	-6.97	15	-0.03	15	-0.01	15
2106	205	213	Max	0.00	414.01	15	0.09	15	-0.00	15	-7.90	15	1.58	15	-0.01	15

2106	205	213	Max	21.56	414.01	15	0.09	15	0.01	15	-8.75	15	-0.22	15	-0.01	15
2106	205	213	Min.	0.00	414.01	15	0.09	15	-0.00	15	-7.90	15	1.58	15	-0.01	15
2106	205	213	Min.	21.56	414.01	15	0.09	15	0.01	15	-8.75	15	-0.22	15	-0.01	15
2106	213	221	Max	0.00	398.16	15	0.05	15	0.00	15	-10.36	15	2.01	15	-0.02	15
2106	213	221	Max	21.56	398.16	15	0.05	15	0.01	15	-11.21	15	-0.32	15	-0.02	15
2106	213	221	Min.	0.00	398.16	15	0.05	15	0.00	15	-10.36	15	2.01	15	-0.02	15
2106	213	221	Min.	21.56	398.16	15	0.05	15	0.01	15	-11.21	15	-0.32	15	-0.02	15
2106	221	229	Max	0.00	369.70	15	0.07	15	-0.02	15	-23.74	15	3.40	15	-0.02	15
2106	221	229	Max	21.56	369.70	15	0.07	15	-0.00	15	-24.59	15	-1.81	15	-0.02	15
2106	221	229	Min.	0.00	369.70	15	0.07	15	-0.02	15	-23.74	15	3.40	15	-0.02	15
2106	221	229	Min.	21.56	369.70	15	0.07	15	-0.00	15	-24.59	15	-1.81	15	-0.02	15
2106	229	237	Max	0.00	325.86	15	0.11	15	-0.02	15	-27.11	15	3.52	15	-0.02	15
2106	229	237	Max	21.56	325.86	15	0.11	15	0.01	15	-27.96	15	-2.42	15	-0.02	15
2106	229	237	Min.	0.00	325.86	15	0.11	15	-0.02	15	-27.11	15	3.52	15	-0.02	15
2106	229	237	Min.	21.56	325.86	15	0.11	15	0.01	15	-27.96	15	-2.42	15	-0.02	15
2106	237	245	Max	0.00	270.82	15	0.11	15	-0.01	15	-30.57	15	3.80	15	-0.02	15
2106	237	245	Max	21.56	270.82	15	0.11	15	0.02	15	-31.42	15	-2.89	15	-0.02	15
2106	237	245	Min.	0.00	270.82	15	0.11	15	-0.01	15	-30.57	15	3.80	15	-0.02	15
2106	237	245	Min.	21.56	270.82	15	0.11	15	0.02	15	-31.42	15	-2.89	15	-0.02	15
2106	245	253	Max	0.00	202.44	15	0.05	15	0.00	15	-34.98	15	4.23	15	-0.03	15
2106	245	253	Max	21.56	202.44	15	0.05	15	0.01	15	-35.83	15	-3.40	15	-0.03	15
2106	245	253	Min.	0.00	202.44	15	0.05	15	0.00	15	-34.98	15	4.23	15	-0.03	15
2106	245	253	Min.	21.56	202.44	15	0.05	15	0.01	15	-35.83	15	-3.40	15	-0.03	15
2106	253	261	Max	0.00	110.94	15	0.21	15	-0.03	15	-46.84	15	5.29	15	-0.04	15
2106	253	261	Max	21.56	110.94	15	0.21	15	0.01	15	-47.69	15	-4.90	15	-0.04	15
2106	253	261	Min.	0.00	110.94	15	0.21	15	-0.03	15	-46.84	15	5.29	15	-0.04	15
2106	253	261	Min.	21.56	110.94	15	0.21	15	0.01	15	-47.69	15	-4.90	15	-0.04	15
2106	261	269	Max	0.00	-9.55	15	0.23	15	-0.02	15	-52.95	15	5.50	15	-0.05	15
2106	261	269	Max	21.56	-9.55	15	0.23	15	0.03	15	-53.79	15	-6.01	15	-0.05	15
2106	261	269	Min.	0.00	-9.55	15	0.23	15	-0.02	15	-52.95	15	5.50	15	-0.05	15
2106	261	269	Min.	21.56	-9.55	15	0.23	15	0.03	15	-53.79	15	-6.01	15	-0.05	15
2106	269	277	Max	0.00	-159.33	15	0.23	15	-0.01	15	-59.83	15	5.58	15	-0.05	15
2106	269	277	Max	21.56	-159.33	15	0.23	15	0.04	15	-60.68	15	-7.41	15	-0.05	15
2106	269	277	Min.	0.00	-159.33	15	0.23	15	-0.01	15	-59.83	15	5.58	15	-0.05	15
2106	269	277	Min.	21.56	-159.33	15	0.23	15	0.04	15	-60.68	15	-7.41	15	-0.05	15
2106	277	2285	Max	0.00	-328.60	15	0.30	15	-0.00	15	-70.43	15	4.26	15	-0.05	15
2106	277	2285	Max	21.56	-328.60	15	0.30	15	0.06	15	-71.27	15	-11.01	15	-0.05	15
2106	277	2285	Min.	0.00	-328.60	15	0.30	15	-0.00	15	-70.43	15	4.26	15	-0.05	15
2106	277	2285	Min.	21.56	-328.60	15	0.30	15	0.06	15	-71.27	15	-11.01	15	-0.05	15
2106	2285	297	Max	0.00	-33.32	15	0.24	15	-0.03	15	1.01	15	0.01	15	0.02	15
2106	2285	297	Max	16.67	-33.32	15	0.24	15	0.01	15	0.35	15	0.13	15	0.02	15
2106	2285	297	Min.	0.00	-33.32	15	0.24	15	-0.03	15	1.01	15	0.01	15	0.02	15
2106	2285	297	Min.	16.67	-33.32	15	0.24	15	0.01	15	0.35	15	0.13	15	0.02	15
2106	297	305	Max	0.00	-20.28	15	0.14	15	-0.01	15	5.16	15	-0.49	15	0.01	15
2106	297	305	Max	16.67	-20.28	15	0.14	15	0.01	15	4.51	15	0.32	15	0.01	15
2106	297	305	Min.	0.00	-20.28	15	0.14	15	-0.01	15	5.16	15	-0.49	15	0.01	15
2106	297	305	Min.	16.67	-20.28	15	0.14	15	0.01	15	4.51	15	0.32	15	0.01	15
2106	305	2313	Max	0.00	-7.85	15	0.21	15	-0.01	15	3.73	15	-0.26	15	0.01	15
2106	305	2313	Max	16.67	-7.85	15	0.21	15	0.02	15	3.08	15	0.30	15	0.01	15
2106	305	2313	Min.	0.00	-7.85	15	0.21	15	-0.01	15	3.73	15	-0.26	15	0.01	15
2106	305	2313	Min.	16.67	-7.85	15	0.21	15	0.02	15	3.08	15	0.30	15	0.01	15
2107	-514	18	Max	0.00	-34.52	15	-0.40	15	0.06	15	0.80	15	-0.14	15	-0.01	15
2107	-514	18	Max	19.08	-34.89	15	-0.40	15	-0.02	15	0.15	15	-0.05	15	-0.01	15
2107	-514	18	Min.	0.00	-34.52	15	-0.40	15	0.06	15	0.80	15	-0.14	15	-0.01	15
2107	-514	18	Min.	19.08	-34.89	15	-0.40	15	-0.02	15	0.15	15	-0.05	15	-0.01	15
2144	2003	11	Max	0.00	-32.41	15	-0.23	15	0.03	15	-14.23	15	1.29	15	0.02	15
2144	2003	11	Max	16.67	-32.41	15	-0.23	15	-0.01	15	-14.89	15	-1.14	15	0.02	15
2144	2003	11	Min.	0.00	-32.41	15	-0.23	15	0.03	15	-14.23	15	1.29	15	0.02	15
2144	2003	11	Min.	16.67	-32.41	15	-0.23	15	-0.01	15	-14.89	15	-1.14	15	0.02	15

2144	11	19	Max	0.00	-78.43	15	-0.24	15	0.02	15	-15.30	15	1.03	15	0.03	15
2144	11	19	Max	16.67	-78.43	15	-0.24	15	-0.02	15	-15.96	15	-1.58	15	0.03	15
2144	11	19	Min.	0.00	-78.43	15	-0.24	15	0.02	15	-15.30	15	1.03	15	0.03	15
2144	11	19	Min.	16.67	-78.43	15	-0.24	15	-0.02	15	-15.96	15	-1.58	15	0.03	15
2144	19	2028	Max	0.00	-119.58	15	-0.19	15	0.01	15	-9.33	15	0.53	15	0.02	15
2144	19	2028	Max	16.67	-119.58	15	-0.19	15	-0.02	15	-9.98	15	-1.08	15	0.02	15
2144	19	2028	Min.	0.00	-119.58	15	-0.19	15	0.01	15	-9.33	15	0.53	15	0.02	15
2144	19	2028	Min.	16.67	-119.58	15	-0.19	15	-0.02	15	-9.98	15	-1.08	15	0.02	15
2144	2028	39	Max	0.00	-656.63	15	0.12	15	-0.02	15	140.48	15	-21.67	15	-0.00	15
2144	2028	39	Max	21.56	-656.63	15	0.12	15	0.01	15	139.64	15	8.54	15	-0.00	15
2144	2028	39	Min.	0.00	-656.63	15	0.12	15	-0.02	15	140.48	15	-21.67	15	-0.00	15
2144	2028	39	Min.	21.56	-656.63	15	0.12	15	0.01	15	139.64	15	8.54	15	-0.00	15
2144	39	47	Max	0.00	-322.74	15	-0.01	15	0.00	15	118.76	15	-14.50	15	-0.00	15
2144	39	47	Max	21.56	-322.74	15	-0.01	15	0.00	15	117.92	15	11.02	15	-0.00	15
2144	39	47	Min.	0.00	-322.74	15	-0.01	15	0.00	15	118.76	15	-14.50	15	-0.00	15
2144	39	47	Min.	21.56	-322.74	15	-0.01	15	0.00	15	117.92	15	11.02	15	-0.00	15
2144	47	55	Max	0.00	-29.52	15	0.00	15	0.00	15	104.70	15	-11.69	15	0.00	15
2144	47	55	Max	21.56	-29.52	15	0.00	15	0.00	15	103.85	15	10.80	15	0.00	15
2144	47	55	Min.	0.00	-29.52	15	0.00	15	0.00	15	104.70	15	-11.69	15	0.00	15
2144	47	55	Min.	21.56	-29.52	15	0.00	15	0.00	15	103.85	15	10.80	15	0.00	15
2144	55	63	Max	0.00	203.81	15	0.02	15	0.00	15	91.60	15	-9.33	15	0.01	15
2144	55	63	Max	21.56	203.81	15	0.02	15	0.00	15	90.75	15	10.33	15	0.01	15
2144	55	63	Min.	0.00	203.81	15	0.02	15	0.00	15	91.60	15	-9.33	15	0.01	15
2144	55	63	Min.	21.56	203.81	15	0.02	15	0.00	15	90.75	15	10.33	15	0.01	15
2144	63	71	Max	0.00	373.52	15	-0.06	15	0.01	15	63.23	15	-5.83	15	0.01	15
2144	63	71	Max	21.56	373.52	15	-0.06	15	0.00	15	62.39	15	7.71	15	0.01	15
2144	63	71	Min.	0.00	373.52	15	-0.06	15	0.01	15	63.23	15	-5.83	15	0.01	15
2144	63	71	Min.	21.56	373.52	15	-0.06	15	0.00	15	62.39	15	7.71	15	0.01	15
2144	71	79	Max	0.00	495.09	15	-0.06	15	0.01	15	54.80	15	-4.94	15	0.01	15
2144	71	79	Max	21.56	495.09	15	-0.06	15	-0.00	15	53.95	15	6.78	15	0.01	15
2144	71	79	Min.	0.00	495.09	15	-0.06	15	0.01	15	54.80	15	-4.94	15	0.01	15
2144	71	79	Min.	21.56	495.09	15	-0.06	15	-0.00	15	53.95	15	6.78	15	0.01	15
2144	79	87	Max	0.00	590.92	15	-0.06	15	0.01	15	47.83	15	-4.04	15	0.01	15
2144	79	87	Max	21.56	590.92	15	-0.06	15	-0.01	15	46.98	15	6.18	15	0.01	15
2144	79	87	Min.	0.00	590.92	15	-0.06	15	0.01	15	47.83	15	-4.04	15	0.01	15
2144	79	87	Min.	21.56	590.92	15	-0.06	15	-0.01	15	46.98	15	6.18	15	0.01	15
2144	87	95	Max	0.00	666.05	15	-0.05	15	0.00	15	41.05	15	-2.96	15	0.01	15
2144	87	95	Max	21.56	666.05	15	-0.05	15	-0.01	15	40.20	15	5.80	15	0.01	15
2144	87	95	Min.	0.00	666.05	15	-0.05	15	0.00	15	41.05	15	-2.96	15	0.01	15
2144	87	95	Min.	21.56	666.05	15	-0.05	15	-0.01	15	40.20	15	5.80	15	0.01	15
2144	95	103	Max	0.00	715.51	15	-0.01	15	0.00	15	20.60	15	-0.68	15	0.01	15
2144	95	103	Max	21.56	715.51	15	-0.01	15	0.00	15	19.75	15	3.68	15	0.01	15
2144	95	103	Min.	0.00	715.51	15	-0.01	15	0.00	15	20.60	15	-0.68	15	0.01	15
2144	95	103	Min.	21.56	715.51	15	-0.01	15	0.00	15	19.75	15	3.68	15	0.01	15
2144	103	111	Max	0.00	744.37	15	-0.03	15	0.00	15	15.69	15	-0.38	15	0.01	15
2144	103	111	Max	21.56	744.37	15	-0.03	15	-0.00	15	14.84	15	2.91	15	0.01	15
2144	103	111	Min.	0.00	744.37	15	-0.03	15	0.00	15	15.69	15	-0.38	15	0.01	15
2144	103	111	Min.	21.56	744.37	15	-0.03	15	-0.00	15	14.84	15	2.91	15	0.01	15
2144	111	119	Max	0.00	763.42	15	-0.03	15	0.00	15	11.74	15	0.06	15	0.00	15
2144	111	119	Max	21.56	763.42	15	-0.03	15	-0.00	15	10.89	15	2.50	15	0.00	15
2144	111	119	Min.	0.00	763.42	15	-0.03	15	0.00	15	11.74	15	0.06	15	0.00	15
2144	111	119	Min.	21.56	763.42	15	-0.03	15	-0.00	15	10.89	15	2.50	15	0.00	15
2144	119	127	Max	0.00	773.85	15	-0.02	15	0.00	15	7.32	15	0.85	15	0.00	15
2144	119	127	Max	21.56	773.85	15	-0.02	15	-0.01	15	6.48	15	2.33	15	0.00	15
2144	119	127	Min.	0.00	773.85	15	-0.02	15	0.00	15	7.32	15	0.85	15	0.00	15
2144	119	127	Min.	21.56	773.85	15	-0.02	15	-0.01	15	6.48	15	2.33	15	0.00	15
2144	127	135	Max	0.00	769.76	15	-0.01	15	0.00	15	-12.41	15	2.97	15	0.00	15
2144	127	135	Max	21.56	769.76	15	-0.01	15	0.00	15	-13.25	15	0.21	15	0.00	15
2144	127	135	Min.	0.00	769.76	15	-0.01	15	0.00	15	-12.41	15	2.97	15	0.00	15

2144	127	135	Min.	21.56	769.76	15	-0.01	15	0.00	15	-13.25	15	0.21	15	0.00	15
2144	135	143	Max	0.00	753.77	15	-0.01	15	0.00	15	-15.70	15	2.94	15	0.00	15
2144	135	143	Max	21.56	753.77	15	-0.01	15	-0.00	15	-16.55	15	-0.54	15	0.00	15
2144	135	143	Min.	0.00	753.77	15	-0.01	15	0.00	15	-15.70	15	2.94	15	0.00	15
2144	135	143	Min.	21.56	753.77	15	-0.01	15	-0.00	15	-16.55	15	-0.54	15	0.00	15
2144	143	151	Max	0.00	734.68	15	-0.01	15	0.00	15	-18.92	15	2.92	15	0.00	15
2144	143	151	Max	21.56	734.68	15	-0.01	15	-0.00	15	-19.77	15	-1.25	15	0.00	15
2144	143	151	Min.	0.00	734.68	15	-0.01	15	0.00	15	-18.92	15	2.92	15	0.00	15
2144	143	151	Min.	21.56	734.68	15	-0.01	15	-0.00	15	-19.77	15	-1.25	15	0.00	15
2144	151	159	Max	0.00	717.36	15	-0.01	15	-0.00	15	-19.71	15	2.00	15	0.00	15
2144	151	159	Max	21.56	717.36	15	-0.01	15	-0.00	15	-20.56	15	-2.34	15	0.00	15
2144	151	159	Min.	0.00	717.36	15	-0.01	15	-0.00	15	-19.71	15	2.00	15	0.00	15
2144	151	159	Min.	21.56	717.36	15	-0.01	15	-0.00	15	-20.56	15	-2.34	15	0.00	15
2144	159	167	Max	0.00	717.36	15	0.01	15	-0.00	15	20.56	15	-2.34	15	0.00	15
2144	159	167	Max	21.56	717.36	15	0.01	15	-0.00	15	19.71	15	2.00	15	0.00	15
2144	159	167	Min.	0.00	717.36	15	0.01	15	-0.00	15	20.56	15	-2.34	15	0.00	15
2144	159	167	Min.	21.56	717.36	15	0.01	15	-0.00	15	19.71	15	2.00	15	0.00	15
2144	167	175	Max	0.00	734.68	15	0.01	15	-0.00	15	19.77	15	-1.25	15	0.00	15
2144	167	175	Max	12.94					-0.00	15			1.28	15		
2144	167	175	Max	21.56	734.68	15	0.01	15	0.00	15	18.92	15	2.92	15	0.00	15
2144	167	175	Min.	0.00	734.68	15	0.01	15	-0.00	15	19.77	15	-1.25	15	0.00	15
2144	167	175	Min.	12.94					-0.00	15			1.28	15		
2144	167	175	Min.	21.56	734.68	15	0.01	15	0.00	15	18.92	15	2.92	15	0.00	15
2144	175	183	Max	0.00	753.77	15	0.01	15	-0.00	15	16.55	15	-0.54	15	-0.00	15
2144	175	183	Max	21.56	753.77	15	0.01	15	0.00	15	15.70	15	2.94	15	-0.00	15
2144	175	183	Min.	0.00	753.77	15	0.01	15	-0.00	15	16.55	15	-0.54	15	-0.00	15
2144	175	183	Min.	21.56	753.77	15	0.01	15	0.00	15	15.70	15	2.94	15	-0.00	15
2144	183	191	Max	0.00	769.77	15	0.01	15	0.00	15	13.25	15	0.21	15	-0.00	15
2144	183	191	Max	21.56	769.77	15	0.01	15	0.00	15	12.41	15	2.97	15	-0.00	15
2144	183	191	Min.	0.00	769.77	15	0.01	15	0.00	15	13.25	15	0.21	15	-0.00	15
2144	183	191	Min.	21.56	769.77	15	0.01	15	0.00	15	12.41	15	2.97	15	-0.00	15
2144	191	199	Max	0.00	773.86	15	0.02	15	-0.01	15	-6.48	15	2.33	15	-0.00	15
2144	191	199	Max	17.25					-0.00	15			1.16	15		
2144	191	199	Max	21.56	773.86	15	0.02	15	0.00	15	-7.32	15	0.85	15	-0.00	15
2144	191	199	Min.	0.00	773.86	15	0.02	15	-0.01	15	-6.48	15	2.33	15	-0.00	15
2144	191	199	Min.	17.25					-0.00	15			1.16	15		
2144	191	199	Min.	21.56	773.86	15	0.02	15	0.00	15	-7.32	15	0.85	15	-0.00	15
2144	199	207	Max	0.00	763.43	15	0.03	15	-0.00	15	-10.89	15	2.50	15	-0.00	15
2144	199	207	Max	21.56	763.43	15	0.03	15	0.00	15	-11.74	15	0.06	15	-0.00	15
2144	199	207	Min.	0.00	763.43	15	0.03	15	-0.00	15	-10.89	15	2.50	15	-0.00	15
2144	199	207	Min.	21.56	763.43	15	0.03	15	0.00	15	-11.74	15	0.06	15	-0.00	15
2144	207	215	Max	0.00	744.38	15	0.03	15	-0.00	15	-14.84	15	2.91	15	-0.01	15
2144	207	215	Max	21.56	744.38	15	0.03	15	0.00	15	-15.69	15	-0.38	15	-0.01	15
2144	207	215	Min.	0.00	744.38	15	0.03	15	-0.00	15	-14.84	15	2.91	15	-0.01	15
2144	207	215	Min.	21.56	744.38	15	0.03	15	0.00	15	-15.69	15	-0.38	15	-0.01	15
2144	215	223	Max	0.00	715.51	15	0.01	15	0.00	15	-19.75	15	3.68	15	-0.01	15
2144	215	223	Max	21.56	715.51	15	0.01	15	0.00	15	-20.60	15	-0.67	15	-0.01	15
2144	215	223	Min.	0.00	715.51	15	0.01	15	0.00	15	-19.75	15	3.68	15	-0.01	15
2144	215	223	Min.	21.56	715.51	15	0.01	15	0.00	15	-20.60	15	-0.67	15	-0.01	15
2144	223	231	Max	0.00	666.05	15	0.05	15	-0.01	15	-40.21	15	5.80	15	-0.01	15
2144	223	231	Max	21.56	666.05	15	0.05	15	0.00	15	-41.05	15	-2.96	15	-0.01	15
2144	223	231	Min.	0.00	666.05	15	0.05	15	-0.01	15	-40.21	15	5.80	15	-0.01	15
2144	223	231	Min.	21.56	666.05	15	0.05	15	0.00	15	-41.05	15	-2.96	15	-0.01	15
2144	231	239	Max	0.00	590.91	15	0.06	15	-0.01	15	-46.99	15	6.18	15	-0.01	15
2144	231	239	Max	21.56	590.91	15	0.06	15	0.01	15	-47.83	15	-4.04	15	-0.01	15
2144	231	239	Min.	0.00	590.91	15	0.06	15	-0.01	15	-46.99	15	6.18	15	-0.01	15
2144	231	239	Min.	21.56	590.91	15	0.06	15	0.01	15	-47.83	15	-4.04	15	-0.01	15
2144	239	247	Max	0.00	495.07	15	0.06	15	-0.00	15	-53.96	15	6.78	15	-0.01	15
2144	239	247	Max	21.56	495.07	15	0.06	15	0.01	15	-54.80	15	-4.95	15	-0.01	15

2144	239	247	Min.	0.00	495.07	15	0.06	15	-0.00	15	-53.96	15	6.78	15	-0.01	15
2144	239	247	Min.	21.56	495.07	15	0.06	15	0.01	15	-54.80	15	-4.95	15	-0.01	15
2144	247	255	Max	0.00	373.48	15	0.06	15	0.00	15	-62.39	15	7.71	15	-0.01	15
2144	247	255	Max	21.56	373.48	15	0.06	15	0.01	15	-63.24	15	-5.83	15	-0.01	15
2144	247	255	Min.	0.00	373.48	15	0.06	15	0.00	15	-62.39	15	7.71	15	-0.01	15
2144	247	255	Min.	21.56	373.48	15	0.06	15	0.01	15	-63.24	15	-5.83	15	-0.01	15
2144	255	263	Max	0.00	203.72	15	-0.02	15	0.00	15	-90.80	15	10.33	15	-0.01	15
2144	255	263	Max	21.56	203.72	15	-0.02	15	0.00	15	-91.64	15	-9.34	15	-0.01	15
2144	255	263	Min.	0.00	203.72	15	-0.02	15	0.00	15	-90.80	15	10.33	15	-0.01	15
2144	255	263	Min.	21.56	203.72	15	-0.02	15	0.00	15	-91.64	15	-9.34	15	-0.01	15
2144	263	271	Max	0.00	-29.72	15	0.00	15	0.00	15	-103.90	15	10.80	15	0.00	15
2144	263	271	Max	21.56	-29.72	15	0.00	15	0.00	15	-104.75	15	-11.69	15	0.00	15
2144	263	271	Min.	0.00	-29.72	15	0.00	15	0.00	15	-103.90	15	10.80	15	0.00	15
2144	263	271	Min.	21.56	-29.72	15	0.00	15	0.00	15	-104.75	15	-11.69	15	0.00	15
2144	271	279	Max	0.00	-323.06	15	0.01	15	0.00	15	-117.96	15	11.02	15	0.00	15
2144	271	279	Max	21.56	-323.06	15	0.01	15	0.00	15	-118.80	15	-14.50	15	0.00	15
2144	271	279	Min.	0.00	-323.06	15	0.01	15	0.00	15	-117.96	15	11.02	15	0.00	15
2144	271	279	Min.	21.56	-323.06	15	0.01	15	0.00	15	-118.80	15	-14.50	15	0.00	15
2144	279	2288	Max	0.00	-657.13	15	-0.12	15	0.01	15	-139.71	15	8.54	15	0.00	15
2144	279	2288	Max	21.56	-657.13	15	-0.12	15	-0.02	15	-140.55	15	-21.67	15	0.00	15
2144	279	2288	Min.	0.00	-657.13	15	-0.12	15	0.01	15	-139.71	15	8.54	15	0.00	15
2144	279	2288	Min.	21.56	-657.13	15	-0.12	15	-0.02	15	-140.55	15	-21.67	15	0.00	15
2144	2288	299	Max	0.00	-127.19	15	0.20	15	-0.03	15	10.88	15	-1.21	15	-0.02	15
2144	2288	299	Max	16.67	-127.19	15	0.20	15	0.01	15	10.23	15	0.55	15	-0.02	15
2144	2288	299	Min.	0.00	-127.19	15	0.20	15	-0.03	15	10.88	15	-1.21	15	-0.02	15
2144	2288	299	Min.	16.67	-127.19	15	0.20	15	0.01	15	10.23	15	0.55	15	-0.02	15
2144	299	307	Max	0.00	-83.41	15	0.18	15	-0.02	15	17.19	15	-1.69	15	-0.02	15
2144	299	307	Max	16.67	-83.41	15	0.18	15	0.01	15	16.54	15	1.12	15	-0.02	15
2144	299	307	Min.	0.00	-83.41	15	0.18	15	-0.02	15	17.19	15	-1.69	15	-0.02	15
2144	299	307	Min.	16.67	-83.41	15	0.18	15	0.01	15	16.54	15	1.12	15	-0.02	15
2144	307	2315	Max	0.00	-34.13	15	0.27	15	-0.02	15	15.74	15	-1.20	15	-0.02	15
2144	307	2315	Max	16.67	-34.13	15	0.27	15	0.03	15	15.08	15	1.37	15	-0.02	15
2144	307	2315	Min.	0.00	-34.13	15	0.27	15	-0.02	15	15.74	15	-1.20	15	-0.02	15
2144	307	2315	Min.	16.67	-34.13	15	0.27	15	0.03	15	15.08	15	1.37	15	-0.02	15
2145	-516	20	Max	0.00	-52.17	15	-0.22	15	0.04	15	1.05	15	-0.26	15	0.01	15
2145	-516	20	Max	19.08	-52.53	15	-0.22	15	0.00	15	0.40	15	-0.12	15	0.01	15
2145	-516	20	Min.	0.00	-52.17	15	-0.22	15	0.04	15	1.05	15	-0.26	15	0.01	15
2145	-516	20	Min.	19.08	-52.53	15	-0.22	15	0.00	15	0.40	15	-0.12	15	0.01	15
2182	2005	13	Max	0.00	-23.59	15	0.19	15	-0.02	15	-9.80	15	0.90	15	-0.01	15
2182	2005	13	Max	16.67	-23.59	15	0.19	15	0.01	15	-10.46	15	-0.79	15	-0.01	15
2182	2005	13	Min.	0.00	-23.59	15	0.19	15	-0.02	15	-9.80	15	0.90	15	-0.01	15
2182	2005	13	Min.	16.67	-23.59	15	0.19	15	0.01	15	-10.46	15	-0.79	15	-0.01	15
2182	13	21	Max	0.00	-57.40	15	0.11	15	-0.01	15	-11.45	15	0.79	15	-0.02	15
2182	13	21	Max	16.67	-57.40	15	0.11	15	0.01	15	-12.11	15	-1.18	15	-0.02	15
2182	13	21	Min.	0.00	-57.40	15	0.11	15	-0.01	15	-11.45	15	0.79	15	-0.02	15
2182	13	21	Min.	16.67	-57.40	15	0.11	15	0.01	15	-12.11	15	-1.18	15	-0.02	15
2182	21	2031	Max	0.00	-89.36	15	0.40	15	-0.01	15	-5.20	15	0.41	15	-0.01	15
2182	21	2031	Max	16.67	-89.36	15	0.40	15	0.06	15	-5.85	15	-0.51	15	-0.01	15
2182	21	2031	Min.	0.00	-89.36	15	0.40	15	-0.01	15	-5.20	15	0.41	15	-0.01	15
2182	21	2031	Min.	16.67	-89.36	15	0.40	15	0.06	15	-5.85	15	-0.51	15	-0.01	15
2182	2031	41	Max	0.00	-657.71	15	0.15	15	-0.03	15	139.79	15	-21.57	15	0.00	15
2182	2031	41	Max	21.56	-657.71	15	0.15	15	0.00	15	138.94	15	8.48	15	0.00	15
2182	2031	41	Min.	0.00	-657.71	15	0.15	15	-0.03	15	139.79	15	-21.57	15	0.00	15
2182	2031	41	Min.	21.56	-657.71	15	0.15	15	0.00	15	138.94	15	8.48	15	0.00	15
2182	41	49	Max	0.00	-325.52	15	0.01	15	-0.00	15	118.19	15	-14.43	15	-0.00	15
2182	41	49	Max	12.94					-0.00	15			0.83	15		
2182	41	49	Max	21.56	-325.52	15	0.01	15	0.00	15	117.35	15	10.96	15	-0.00	15
2182	41	49	Min.	0.00	-325.52	15	0.01	15	-0.00	15	118.19	15	-14.43	15	-0.00	15
2182	41	49	Min.	12.94					-0.00	15			0.83	15		

2182	41	49	Min.	21.56	-325.52	15	0.01	15	0.00	15	117.35	15	10.96	15	-0.00	15
2182	49	57	Max	0.00	-33.95	15	0.02	15	-0.00	15	104.00	15	-11.62	15	-0.00	15
2182	49	57	Max	21.56	-33.95	15	0.02	15	0.00	15	103.16	15	10.72	15	-0.00	15
2182	49	57	Min.	0.00	-33.95	15	0.02	15	-0.00	15	104.00	15	-11.62	15	-0.00	15
2182	49	57	Min.	21.56	-33.95	15	0.02	15	0.00	15	103.16	15	10.72	15	-0.00	15
2182	57	65	Max	0.00	198.20	15	-0.00	15	0.00	15	90.94	15	-9.31	15	-0.01	15
2182	57	65	Max	21.56	198.20	15	-0.00	15	0.00	15	90.09	15	10.21	15	-0.01	15
2182	57	65	Min.	0.00	198.20	15	-0.00	15	0.00	15	90.94	15	-9.31	15	-0.01	15
2182	57	65	Min.	21.56	198.20	15	-0.00	15	0.00	15	90.09	15	10.21	15	-0.01	15
2182	65	73	Max	0.00	369.76	15	0.04	15	-0.01	15	65.45	15	-6.12	15	-0.01	15
2182	65	73	Max	21.56	369.76	15	0.04	15	-0.00	15	64.60	15	7.90	15	-0.01	15
2182	65	73	Min.	0.00	369.76	15	0.04	15	-0.01	15	65.45	15	-6.12	15	-0.01	15
2182	65	73	Min.	21.56	369.76	15	0.04	15	-0.00	15	64.60	15	7.90	15	-0.01	15
2182	73	81	Max	0.00	495.15	15	0.06	15	-0.01	15	56.74	15	-5.16	15	-0.01	15
2182	73	81	Max	21.56	495.15	15	0.06	15	0.00	15	55.89	15	6.99	15	-0.01	15
2182	73	81	Min.	0.00	495.15	15	0.06	15	-0.01	15	56.74	15	-5.16	15	-0.01	15
2182	73	81	Min.	21.56	495.15	15	0.06	15	0.00	15	55.89	15	6.99	15	-0.01	15
2182	81	89	Max	0.00	594.32	15	0.06	15	-0.00	15	49.51	15	-4.21	15	-0.01	15
2182	81	89	Max	21.56	594.32	15	0.06	15	0.01	15	48.66	15	6.38	15	-0.01	15
2182	81	89	Min.	0.00	594.32	15	0.06	15	-0.00	15	49.51	15	-4.21	15	-0.01	15
2182	81	89	Min.	21.56	594.32	15	0.06	15	0.01	15	48.66	15	6.38	15	-0.01	15
2182	89	97	Max	0.00	672.11	15	0.04	15	0.00	15	42.50	15	-3.09	15	-0.01	15
2182	89	97	Max	21.56	672.11	15	0.04	15	0.01	15	41.65	15	5.98	15	-0.01	15
2182	89	97	Min.	0.00	672.11	15	0.04	15	0.00	15	42.50	15	-3.09	15	-0.01	15
2182	89	97	Min.	21.56	672.11	15	0.04	15	0.01	15	41.65	15	5.98	15	-0.01	15
2182	97	105	Max	0.00	723.40	15	0.01	15	-0.00	15	21.28	15	-0.73	15	-0.01	15
2182	97	105	Max	17.25					-0.00	15			2.88	15		
2182	97	105	Max	21.56	723.40	15	0.01	15	0.00	15	20.43	15	3.77	15	-0.01	15
2182	97	105	Min.	0.00	723.40	15	0.01	15	-0.00	15	21.28	15	-0.73	15	-0.01	15
2182	97	105	Min.	17.25					-0.00	15			2.88	15		
2182	97	105	Min.	21.56	723.40	15	0.01	15	0.00	15	20.43	15	3.77	15	-0.01	15
2182	105	113	Max	0.00	753.26	15	0.03	15	-0.00	15	16.19	15	-0.42	15	-0.01	15
2182	105	113	Max	21.56	753.26	15	0.03	15	0.00	15	15.34	15	2.98	15	-0.01	15
2182	105	113	Min.	0.00	753.26	15	0.03	15	-0.00	15	16.19	15	-0.42	15	-0.01	15
2182	105	113	Min.	21.56	753.26	15	0.03	15	0.00	15	15.34	15	2.98	15	-0.01	15
2182	113	121	Max	0.00	772.95	15	0.03	15	-0.00	15	12.09	15	0.03	15	-0.00	15
2182	113	121	Max	21.56	772.95	15	0.03	15	0.00	15	11.25	15	2.55	15	-0.00	15
2182	113	121	Min.	0.00	772.95	15	0.03	15	-0.00	15	12.09	15	0.03	15	-0.00	15
2182	113	121	Min.	21.56	772.95	15	0.03	15	0.00	15	11.25	15	2.55	15	-0.00	15
2182	121	129	Max	0.00	783.80	15	0.02	15	0.00	15	7.54	15	0.82	15	-0.00	15
2182	121	129	Max	21.56	783.80	15	0.02	15	0.01	15	6.69	15	2.36	15	-0.00	15
2182	121	129	Min.	0.00	783.80	15	0.02	15	0.00	15	7.54	15	0.82	15	-0.00	15
2182	121	129	Min.	21.56	783.80	15	0.02	15	0.01	15	6.69	15	2.36	15	-0.00	15
2182	129	137	Max	0.00	780.11	15	0.00	15	0.00	15	-12.01	15	2.93	15	-0.00	15
2182	129	137	Max	21.56	780.11	15	0.00	15	0.00	15	-12.86	15	0.25	15	-0.00	15
2182	129	137	Min.	0.00	780.11	15	0.00	15	0.00	15	-12.01	15	2.93	15	-0.00	15
2182	129	137	Min.	21.56	780.11	15	0.00	15	0.00	15	-12.86	15	0.25	15	-0.00	15
2182	137	145	Max	0.00	764.49	15	0.01	15	0.00	15	-15.43	15	2.92	15	-0.00	15
2182	137	145	Max	21.56	764.49	15	0.01	15	0.00	15	-16.28	15	-0.50	15	-0.00	15
2182	137	145	Min.	0.00	764.49	15	0.01	15	0.00	15	-15.43	15	2.92	15	-0.00	15
2182	137	145	Min.	21.56	764.49	15	0.01	15	0.00	15	-16.28	15	-0.50	15	-0.00	15
2182	145	153	Max	0.00	745.63	15	0.01	15	0.00	15	-18.79	15	2.92	15	0.00	15
2182	145	153	Max	21.56	745.63	15	0.01	15	0.00	15	-19.63	15	-1.22	15	0.00	15
2182	145	153	Min.	0.00	745.63	15	0.01	15	0.00	15	-18.79	15	2.92	15	0.00	15
2182	145	153	Min.	21.56	745.63	15	0.01	15	0.00	15	-19.63	15	-1.22	15	0.00	15
2182	153	161	Max	0.00	728.40	15	0.01	15	0.00	15	-19.70	15	2.01	15	0.00	15
2182	153	161	Max	21.56	728.40	15	0.01	15	0.00	15	-20.55	15	-2.33	15	0.00	15
2182	153	161	Min.	0.00	728.40	15	0.01	15	0.00	15	-19.70	15	2.01	15	0.00	15
2182	153	161	Min.	21.56	728.40	15	0.01	15	0.00	15	-20.55	15	-2.33	15	0.00	15

2182	161	169	Max	0.00	728.40	15	-0.01	15	0.00	15	20.55	15	-2.33	15	0.00	15
2182	161	169	Max	21.56	728.40	15	-0.01	15	0.00	15	19.70	15	2.01	15	0.00	15
2182	161	169	Min.	0.00	728.40	15	-0.01	15	0.00	15	20.55	15	-2.33	15	0.00	15
2182	161	169	Min.	21.56	728.40	15	-0.01	15	0.00	15	19.70	15	2.01	15	0.00	15
2182	169	177	Max	0.00	745.62	15	-0.01	15	0.00	15	19.63	15	-1.22	15	0.00	15
2182	169	177	Max	21.56	745.62	15	-0.01	15	0.00	15	18.79	15	2.92	15	0.00	15
2182	169	177	Min.	0.00	745.62	15	-0.01	15	0.00	15	19.63	15	-1.22	15	0.00	15
2182	169	177	Min.	21.56	745.62	15	-0.01	15	0.00	15	18.79	15	2.92	15	0.00	15
2182	177	185	Max	0.00	764.48	15	-0.01	15	0.00	15	16.27	15	-0.50	15	0.00	15
2182	177	185	Max	21.56	764.48	15	-0.01	15	0.00	15	15.43	15	2.92	15	0.00	15
2182	177	185	Min.	0.00	764.48	15	-0.01	15	0.00	15	16.27	15	-0.50	15	0.00	15
2182	177	185	Min.	21.56	764.48	15	-0.01	15	0.00	15	15.43	15	2.92	15	0.00	15
2182	185	193	Max	0.00	780.09	15	-0.00	15	0.00	15	12.85	15	0.25	15	0.00	15
2182	185	193	Max	21.56	780.09	15	-0.00	15	0.00	15	12.01	15	2.93	15	0.00	15
2182	185	193	Min.	0.00	780.09	15	-0.00	15	0.00	15	12.85	15	0.25	15	0.00	15
2182	185	193	Min.	21.56	780.09	15	-0.00	15	0.00	15	12.01	15	2.93	15	0.00	15
2182	193	201	Max	0.00	783.78	15	-0.02	15	0.01	15	-6.70	15	2.36	15	0.00	15
2182	193	201	Max	21.56	783.78	15	-0.02	15	0.00	15	-7.54	15	0.82	15	0.00	15
2182	193	201	Min.	0.00	783.78	15	-0.02	15	0.01	15	-6.70	15	2.36	15	0.00	15
2182	193	201	Min.	21.56	783.78	15	-0.02	15	0.00	15	-7.54	15	0.82	15	0.00	15
2182	201	209	Max	0.00	772.92	15	-0.03	15	0.00	15	-11.25	15	2.55	15	0.00	15
2182	201	209	Max	21.56	772.92	15	-0.03	15	-0.00	15	-12.10	15	0.03	15	0.00	15
2182	201	209	Min.	0.00	772.92	15	-0.03	15	0.00	15	-11.25	15	2.55	15	0.00	15
2182	201	209	Min.	21.56	772.92	15	-0.03	15	-0.00	15	-12.10	15	0.03	15	0.00	15
2182	209	217	Max	0.00	753.22	15	-0.03	15	0.00	15	-15.35	15	2.98	15	0.01	15
2182	209	217	Max	21.56	753.22	15	-0.03	15	-0.00	15	-16.20	15	-0.42	15	0.01	15
2182	209	217	Min.	0.00	753.22	15	-0.03	15	0.00	15	-15.35	15	2.98	15	0.01	15
2182	209	217	Min.	21.56	753.22	15	-0.03	15	-0.00	15	-16.20	15	-0.42	15	0.01	15
2182	217	225	Max	0.00	723.36	15	-0.01	15	0.00	15	-20.44	15	3.77	15	0.01	15
2182	217	225	Max	21.56	723.36	15	-0.01	15	-0.00	15	-21.29	15	-0.73	15	0.01	15
2182	217	225	Min.	0.00	723.36	15	-0.01	15	0.00	15	-20.44	15	3.77	15	0.01	15
2182	217	225	Min.	21.56	723.36	15	-0.01	15	-0.00	15	-21.29	15	-0.73	15	0.01	15
2182	225	233	Max	0.00	672.04	15	-0.04	15	0.01	15	-41.66	15	5.99	15	0.01	15
2182	225	233	Max	21.56	672.04	15	-0.04	15	0.00	15	-42.51	15	-3.09	15	0.01	15
2182	225	233	Min.	0.00	672.04	15	-0.04	15	0.01	15	-41.66	15	5.99	15	0.01	15
2182	225	233	Min.	21.56	672.04	15	-0.04	15	0.00	15	-42.51	15	-3.09	15	0.01	15
2182	233	241	Max	0.00	594.23	15	-0.06	15	0.01	15	-48.67	15	6.38	15	0.01	15
2182	233	241	Max	21.56	594.23	15	-0.06	15	-0.00	15	-49.52	15	-4.21	15	0.01	15
2182	233	241	Min.	0.00	594.23	15	-0.06	15	0.01	15	-48.67	15	6.38	15	0.01	15
2182	233	241	Min.	21.56	594.23	15	-0.06	15	-0.00	15	-49.52	15	-4.21	15	0.01	15
2182	241	249	Max	0.00	495.04	15	-0.06	15	0.00	15	-55.91	15	6.99	15	0.01	15
2182	241	249	Max	21.56	495.04	15	-0.06	15	-0.01	15	-56.76	15	-5.16	15	0.01	15
2182	241	249	Min.	0.00	495.04	15	-0.06	15	0.00	15	-55.91	15	6.99	15	0.01	15
2182	241	249	Min.	21.56	495.04	15	-0.06	15	-0.01	15	-56.76	15	-5.16	15	0.01	15
2182	249	257	Max	0.00	369.60	15	-0.04	15	-0.00	15	-64.62	15	7.90	15	0.01	15
2182	249	257	Max	21.56	369.60	15	-0.04	15	-0.01	15	-65.47	15	-6.13	15	0.01	15
2182	249	257	Min.	0.00	369.60	15	-0.04	15	-0.00	15	-64.62	15	7.90	15	0.01	15
2182	249	257	Min.	21.56	369.60	15	-0.04	15	-0.01	15	-65.47	15	-6.13	15	0.01	15
2182	257	265	Max	0.00	197.95	15	0.00	15	0.00	15	-90.16	15	10.21	15	0.01	15
2182	257	265	Max	21.56	197.95	15	0.00	15	0.00	15	-91.00	15	-9.32	15	0.01	15
2182	257	265	Min.	0.00	197.95	15	0.00	15	0.00	15	-90.16	15	10.21	15	0.01	15
2182	257	265	Min.	21.56	197.95	15	0.00	15	0.00	15	-91.00	15	-9.32	15	0.01	15
2182	265	273	Max	0.00	-34.35	15	-0.02	15	0.00	15	-103.23	15	10.72	15	0.00	15
2182	265	273	Max	21.56	-34.35	15	-0.02	15	-0.00	15	-104.07	15	-11.62	15	0.00	15
2182	265	273	Min.	0.00	-34.35	15	-0.02	15	0.00	15	-103.23	15	10.72	15	0.00	15
2182	265	273	Min.	21.56	-34.35	15	-0.02	15	-0.00	15	-104.07	15	-11.62	15	0.00	15
2182	273	281	Max	0.00	-326.11	15	-0.01	15	0.00	15	-117.41	15	10.97	15	0.00	15
2182	273	281	Max	21.56	-326.11	15	-0.01	15	-0.00	15	-118.26	15	-14.44	15	0.00	15
2182	273	281	Min.	0.00	-326.11	15	-0.01	15	0.00	15	-117.41	15	10.97	15	0.00	15

2182	273	281	Min.	21.56	-326.11	15	-0.01	15	-0.00	15	-118.26	15	-14.44	15	0.00	15
2182	281	2291	Max	0.00	-658.55	15	-0.14	15	0.00	15	-139.04	15	8.49	15	0.00	15
2182	281	2291	Max	21.56	-658.55	15	-0.14	15	-0.03	15	-139.89	15	-21.58	15	0.00	15
2182	281	2291	Min.	0.00	-658.55	15	-0.14	15	0.00	15	-139.04	15	8.49	15	0.00	15
2182	281	2291	Min.	21.56	-658.55	15	-0.14	15	-0.03	15	-139.89	15	-21.58	15	0.00	15
2182	2291	301	Max	0.00	-99.01	15	-0.40	15	0.06	15	6.99	15	-0.67	15	0.01	15
2182	2291	301	Max	16.67	-99.01	15	-0.40	15	-0.01	15	6.33	15	0.44	15	0.01	15
2182	2291	301	Min.	0.00	-99.01	15	-0.40	15	0.06	15	6.99	15	-0.67	15	0.01	15
2182	2291	301	Min.	16.67	-99.01	15	-0.40	15	-0.01	15	6.33	15	0.44	15	0.01	15
2182	301	309	Max	0.00	-63.79	15	-0.21	15	0.02	15	13.61	15	-1.32	15	0.02	15
2182	301	309	Max	16.67	-63.79	15	-0.21	15	-0.02	15	12.95	15	0.89	15	0.02	15
2182	301	309	Min.	0.00	-63.79	15	-0.21	15	0.02	15	13.61	15	-1.32	15	0.02	15
2182	301	309	Min.	16.67	-63.79	15	-0.21	15	-0.02	15	12.95	15	0.89	15	0.02	15
2182	309	2317	Max	0.00	-25.86	15	-0.13	15	0.00	15	11.60	15	-0.87	15	0.01	15
2182	309	2317	Max	16.67	-25.86	15	-0.13	15	-0.02	15	10.95	15	1.01	15	0.01	15
2182	309	2317	Min.	0.00	-25.86	15	-0.13	15	0.00	15	11.60	15	-0.87	15	0.01	15
2182	309	2317	Min.	16.67	-25.86	15	-0.13	15	-0.02	15	10.95	15	1.01	15	0.01	15
2183	-518	22	Max	0.00	-66.71	15	0.06	15	-0.01	15	1.20	15	-0.33	15	-0.00	15
2183	-518	22	Max	15.27					-0.00	15			-0.19	15		
2183	-518	22	Max	19.08	-67.07	15	0.06	15	0.00	15	0.54	15	-0.17	15	-0.00	15
2183	-518	22	Min.	0.00	-66.71	15	0.06	15	-0.01	15	1.20	15	-0.33	15	-0.00	15
2183	-518	22	Min.	15.27					-0.00	15			-0.19	15		
2183	-518	22	Min.	19.08	-67.07	15	0.06	15	0.00	15	0.54	15	-0.17	15	-0.00	15
2220	2007	15	Max	0.00	-14.06	15	0.24	15	-0.02	15	-5.94	15	0.58	15	0.01	15
2220	2007	15	Max	16.67	-14.06	15	0.24	15	0.02	15	-6.59	15	-0.47	15	0.01	15
2220	2007	15	Min.	0.00	-14.06	15	0.24	15	-0.02	15	-5.94	15	0.58	15	0.01	15
2220	2007	15	Min.	16.67	-14.06	15	0.24	15	0.02	15	-6.59	15	-0.47	15	0.01	15
2220	15	23	Max	0.00	-36.71	15	0.10	15	-0.01	15	-7.90	15	0.60	15	0.01	15
2220	15	23	Max	16.67	-36.71	15	0.10	15	0.01	15	-8.56	15	-0.78	15	0.01	15
2220	15	23	Min.	0.00	-36.71	15	0.10	15	-0.01	15	-7.90	15	0.60	15	0.01	15
2220	15	23	Min.	16.67	-36.71	15	0.10	15	0.01	15	-8.56	15	-0.78	15	0.01	15
2220	23	2034	Max	0.00	-59.60	15	0.39	15	-0.02	15	-5.72	15	0.39	15	0.02	15
2220	23	2034	Max	16.67	-59.60	15	0.39	15	0.05	15	-6.37	15	-0.61	15	0.02	15
2220	23	2034	Min.	0.00	-59.60	15	0.39	15	-0.02	15	-5.72	15	0.39	15	0.02	15
2220	23	2034	Min.	16.67	-59.60	15	0.39	15	0.05	15	-6.37	15	-0.61	15	0.02	15
2220	2034	43	Max	0.00	-377.82	15	0.39	15	-0.08	15	82.91	15	-12.69	15	-0.04	15
2220	2034	43	Max	21.56	-377.82	15	0.39	15	0.01	15	82.06	15	5.09	15	-0.04	15
2220	2034	43	Min.	0.00	-377.82	15	0.39	15	-0.08	15	82.91	15	-12.69	15	-0.04	15
2220	2034	43	Min.	21.56	-377.82	15	0.39	15	0.01	15	82.06	15	5.09	15	-0.04	15
2220	43	51	Max	0.00	-182.95	15	0.23	15	-0.04	15	69.00	15	-8.35	15	-0.05	15
2220	43	51	Max	21.56	-182.95	15	0.23	15	0.01	15	68.15	15	6.44	15	-0.05	15
2220	43	51	Min.	0.00	-182.95	15	0.23	15	-0.04	15	69.00	15	-8.35	15	-0.05	15
2220	43	51	Min.	21.56	-182.95	15	0.23	15	0.01	15	68.15	15	6.44	15	-0.05	15
2220	51	59	Max	0.00	-14.77	15	0.23	15	-0.03	15	59.57	15	-6.59	15	-0.05	15
2220	51	59	Max	21.56	-14.77	15	0.23	15	0.02	15	58.72	15	6.17	15	-0.05	15
2220	51	59	Min.	0.00	-14.77	15	0.23	15	-0.03	15	59.57	15	-6.59	15	-0.05	15
2220	51	59	Min.	21.56	-14.77	15	0.23	15	0.02	15	58.72	15	6.17	15	-0.05	15
2220	59	67	Max	0.00	116.73	15	0.21	15	-0.01	15	50.86	15	-5.18	15	-0.04	15
2220	59	67	Max	21.56	116.73	15	0.21	15	0.03	15	50.01	15	5.69	15	-0.04	15
2220	59	67	Min.	0.00	116.73	15	0.21	15	-0.01	15	50.86	15	-5.18	15	-0.04	15
2220	59	67	Min.	21.56	116.73	15	0.21	15	0.03	15	50.01	15	5.69	15	-0.04	15
2220	67	75	Max	0.00	214.20	15	0.05	15	-0.01	15	38.39	15	-3.59	15	-0.03	15
2220	67	75	Max	17.25					-0.00	15			2.97	15		
2220	67	75	Max	21.56	214.20	15	0.05	15	0.00	15	37.55	15	4.60	15	-0.03	15
2220	67	75	Min.	0.00	214.20	15	0.05	15	-0.01	15	38.39	15	-3.59	15	-0.03	15
2220	67	75	Min.	17.25					-0.00	15			2.97	15		
2220	67	75	Min.	21.56	214.20	15	0.05	15	0.00	15	37.55	15	4.60	15	-0.03	15
2220	75	83	Max	0.00	285.83	15	0.11	15	-0.02	15	32.22	15	-2.86	15	-0.02	15
2220	75	83	Max	21.56	285.83	15	0.11	15	0.01	15	31.37	15	4.00	15	-0.02	15

2220	75	83	Min.	0.00	285.83	15	0.11	15	-0.02	15	32.22	15	-2.86	15	-0.02	15
2220	75	83	Min.	21.56	285.83	15	0.11	15	0.01	15	31.37	15	4.00	15	-0.02	15
2220	83	91	Max	0.00	340.58	15	0.11	15	-0.01	15	26.74	15	-2.18	15	-0.02	15
2220	83	91	Max	21.56	340.58	15	0.11	15	0.02	15	25.89	15	3.49	15	-0.02	15
2220	83	91	Min.	0.00	340.58	15	0.11	15	-0.01	15	26.74	15	-2.18	15	-0.02	15
2220	83	91	Min.	21.56	340.58	15	0.11	15	0.02	15	25.89	15	3.49	15	-0.02	15
2220	91	99	Max	0.00	382.08	15	0.07	15	0.00	15	21.73	15	-1.56	15	-0.02	15
2220	91	99	Max	21.56	382.08	15	0.07	15	0.02	15	20.88	15	3.03	15	-0.02	15
2220	91	99	Min.	0.00	382.08	15	0.07	15	0.00	15	21.73	15	-1.56	15	-0.02	15
2220	91	99	Min.	21.56	382.08	15	0.07	15	0.02	15	20.88	15	3.03	15	-0.02	15
2220	99	107	Max	0.00	412.15	15	0.05	15	-0.01	15	15.71	15	-0.90	15	-0.02	15
2220	99	107	Max	21.56	412.15	15	0.05	15	-0.00	15	14.86	15	2.39	15	-0.02	15
2220	99	107	Min.	0.00	412.15	15	0.05	15	-0.01	15	15.71	15	-0.90	15	-0.02	15
2220	99	107	Min.	21.56	412.15	15	0.05	15	-0.00	15	14.86	15	2.39	15	-0.02	15
2220	107	115	Max	0.00	432.48	15	0.09	15	-0.01	15	11.46	15	-0.45	15	-0.01	15
2220	107	115	Max	21.56	432.48	15	0.09	15	0.00	15	10.61	15	1.93	15	-0.01	15
2220	107	115	Min.	0.00	432.48	15	0.09	15	-0.01	15	11.46	15	-0.45	15	-0.01	15
2220	107	115	Min.	21.56	432.48	15	0.09	15	0.00	15	10.61	15	1.93	15	-0.01	15
2220	115	123	Max	0.00	445.46	15	0.09	15	-0.01	15	7.56	15	-0.01	15	-0.01	15
2220	115	123	Max	21.56	445.46	15	0.09	15	0.01	15	6.71	15	1.53	15	-0.01	15
2220	115	123	Min.	0.00	445.46	15	0.09	15	-0.01	15	7.56	15	-0.01	15	-0.01	15
2220	115	123	Min.	21.56	445.46	15	0.09	15	0.01	15	6.71	15	1.53	15	-0.01	15
2220	123	131	Max	0.00	451.99	15	0.07	15	0.00	15	3.69	15	0.50	15	-0.01	15
2220	123	131	Max	21.56	451.99	15	0.07	15	0.02	15	2.85	15	1.20	15	-0.01	15
2220	123	131	Min.	0.00	451.99	15	0.07	15	0.00	15	3.69	15	0.50	15	-0.01	15
2220	123	131	Min.	21.56	451.99	15	0.07	15	0.02	15	2.85	15	1.20	15	-0.01	15
2220	131	139	Max	0.00	451.17	15	-0.02	15	0.00	15	-3.90	15	1.31	15	-0.01	15
2220	131	139	Max	21.56	451.17	15	-0.02	15	-0.00	15	-4.75	15	0.38	15	-0.01	15
2220	131	139	Min.	0.00	451.17	15	-0.02	15	0.00	15	-3.90	15	1.31	15	-0.01	15
2220	131	139	Min.	21.56	451.17	15	-0.02	15	-0.00	15	-4.75	15	0.38	15	-0.01	15
2220	139	147	Max	0.00	444.27	15	0.01	15	0.00	15	-7.22	15	1.56	15	0.00	15
2220	139	147	Max	21.56	444.27	15	0.01	15	0.00	15	-8.06	15	-0.09	15	0.00	15
2220	139	147	Min.	0.00	444.27	15	0.01	15	0.00	15	-7.22	15	1.56	15	0.00	15
2220	139	147	Min.	21.56	444.27	15	0.01	15	0.00	15	-8.06	15	-0.09	15	0.00	15
2220	147	155	Max	0.00	434.19	15	0.02	15	0.01	15	-10.71	15	1.74	15	0.00	15
2220	147	155	Max	21.56	434.19	15	0.02	15	0.01	15	-11.56	15	-0.66	15	0.00	15
2220	147	155	Min.	0.00	434.19	15	0.02	15	0.01	15	-10.71	15	1.74	15	0.00	15
2220	147	155	Min.	21.56	434.19	15	0.02	15	0.01	15	-11.56	15	-0.66	15	0.00	15
2220	155	163	Max	0.00	423.89	15	0.01	15	0.01	15	-12.53	15	1.27	15	0.00	15
2220	155	163	Max	21.56	423.89	15	0.01	15	0.02	15	-13.38	15	-1.52	15	0.00	15
2220	155	163	Min.	0.00	423.89	15	0.01	15	0.01	15	-12.53	15	1.27	15	0.00	15
2220	155	163	Min.	21.56	423.89	15	0.01	15	0.02	15	-13.38	15	-1.52	15	0.00	15
2220	163	171	Max	0.00	423.89	15	-0.01	15	0.02	15	13.38	15	-1.52	15	-0.00	15
2220	163	171	Max	21.56	423.89	15	-0.01	15	0.01	15	12.53	15	1.27	15	-0.00	15
2220	163	171	Min.	0.00	423.89	15	-0.01	15	0.02	15	13.38	15	-1.52	15	-0.00	15
2220	163	171	Min.	21.56	423.89	15	-0.01	15	0.01	15	12.53	15	1.27	15	-0.00	15
2220	171	179	Max	0.00	434.20	15	-0.02	15	0.01	15	11.56	15	-0.66	15	-0.00	15
2220	171	179	Max	21.56	434.20	15	-0.02	15	0.01	15	10.72	15	1.74	15	-0.00	15
2220	171	179	Min.	0.00	434.20	15	-0.02	15	0.01	15	11.56	15	-0.66	15	-0.00	15
2220	171	179	Min.	21.56	434.20	15	-0.02	15	0.01	15	10.72	15	1.74	15	-0.00	15
2220	179	187	Max	0.00	444.28	15	-0.01	15	0.00	15	8.07	15	-0.09	15	0.00	15
2220	179	187	Max	21.56	444.28	15	-0.01	15	0.00	15	7.22	15	1.56	15	0.00	15
2220	179	187	Min.	0.00	444.28	15	-0.01	15	0.00	15	8.07	15	-0.09	15	0.00	15
2220	179	187	Min.	21.56	444.28	15	-0.01	15	0.00	15	7.22	15	1.56	15	0.00	15
2220	187	195	Max	0.00	451.19	15	0.02	15	-0.00	15	4.75	15	0.38	15	0.01	15
2220	187	195	Max	21.56	451.19	15	0.02	15	0.00	15	3.91	15	1.32	15	0.01	15
2220	187	195	Min.	0.00	451.19	15	0.02	15	-0.00	15	4.75	15	0.38	15	0.01	15
2220	187	195	Min.	21.56	451.19	15	0.02	15	0.00	15	3.91	15	1.32	15	0.01	15
2220	195	203	Max	0.00	452.01	15	-0.07	15	0.02	15	-2.84	15	1.20	15	0.01	15

2220	195	203	Max	21.56	452.01	15	-0.07	15	0.00	15	-3.69	15	0.50	15	0.01	15
2220	195	203	Min.	0.00	452.01	15	-0.07	15	0.02	15	-2.84	15	1.20	15	0.01	15
2220	195	203	Min.	21.56	452.01	15	-0.07	15	0.00	15	-3.69	15	0.50	15	0.01	15
2220	203	211	Max	0.00	445.49	15	-0.09	15	0.01	15	-6.71	15	1.53	15	0.01	15
2220	203	211	Max	21.56	445.49	15	-0.09	15	-0.01	15	-7.55	15	-0.00	15	0.01	15
2220	203	211	Min.	0.00	445.49	15	-0.09	15	0.01	15	-6.71	15	1.53	15	0.01	15
2220	203	211	Min.	21.56	445.49	15	-0.09	15	-0.01	15	-7.55	15	-0.00	15	0.01	15
2220	211	219	Max	0.00	432.52	15	-0.09	15	0.00	15	-10.61	15	1.93	15	0.01	15
2220	211	219	Max	21.56	432.52	15	-0.09	15	-0.01	15	-11.46	15	-0.45	15	0.01	15
2220	211	219	Min.	0.00	432.52	15	-0.09	15	0.00	15	-10.61	15	1.93	15	0.01	15
2220	211	219	Min.	21.56	432.52	15	-0.09	15	-0.01	15	-11.46	15	-0.45	15	0.01	15
2220	219	227	Max	0.00	412.19	15	-0.05	15	-0.00	15	-14.86	15	2.39	15	0.02	15
2220	219	227	Max	21.56	412.19	15	-0.05	15	-0.01	15	-15.70	15	-0.90	15	0.02	15
2220	219	227	Min.	0.00	412.19	15	-0.05	15	-0.00	15	-14.86	15	2.39	15	0.02	15
2220	219	227	Min.	21.56	412.19	15	-0.05	15	-0.01	15	-15.70	15	-0.90	15	0.02	15
2220	227	235	Max	0.00	382.13	15	-0.07	15	0.02	15	-20.88	15	3.03	15	0.02	15
2220	227	235	Max	21.56	382.13	15	-0.07	15	0.00	15	-21.73	15	-1.56	15	0.02	15
2220	227	235	Min.	0.00	382.13	15	-0.07	15	0.02	15	-20.88	15	3.03	15	0.02	15
2220	227	235	Min.	21.56	382.13	15	-0.07	15	0.00	15	-21.73	15	-1.56	15	0.02	15
2220	235	243	Max	0.00	340.63	15	-0.11	15	0.02	15	-25.89	15	3.49	15	0.02	15
2220	235	243	Max	21.56	340.63	15	-0.11	15	-0.01	15	-26.74	15	-2.18	15	0.02	15
2220	235	243	Min.	0.00	340.63	15	-0.11	15	0.02	15	-25.89	15	3.49	15	0.02	15
2220	235	243	Min.	21.56	340.63	15	-0.11	15	-0.01	15	-26.74	15	-2.18	15	0.02	15
2220	243	251	Max	0.00	285.89	15	-0.11	15	0.01	15	-31.37	15	4.00	15	0.02	15
2220	243	251	Max	21.56	285.89	15	-0.11	15	-0.02	15	-32.21	15	-2.86	15	0.02	15
2220	243	251	Min.	0.00	285.89	15	-0.11	15	0.01	15	-31.37	15	4.00	15	0.02	15
2220	243	251	Min.	21.56	285.89	15	-0.11	15	-0.02	15	-32.21	15	-2.86	15	0.02	15
2220	251	259	Max	0.00	214.27	15	-0.05	15	0.00	15	-37.54	15	4.60	15	0.03	15
2220	251	259	Max	21.56	214.27	15	-0.05	15	-0.01	15	-38.39	15	-3.59	15	0.03	15
2220	251	259	Min.	0.00	214.27	15	-0.05	15	0.00	15	-37.54	15	4.60	15	0.03	15
2220	251	259	Min.	21.56	214.27	15	-0.05	15	-0.01	15	-38.39	15	-3.59	15	0.03	15
2220	259	267	Max	0.00	116.79	15	-0.21	15	0.03	15	-50.03	15	5.70	15	0.04	15
2220	259	267	Max	21.56	116.79	15	-0.21	15	-0.01	15	-50.87	15	-5.18	15	0.04	15
2220	259	267	Min.	0.00	116.79	15	-0.21	15	0.03	15	-50.03	15	5.70	15	0.04	15
2220	259	267	Min.	21.56	116.79	15	-0.21	15	-0.01	15	-50.87	15	-5.18	15	0.04	15
2220	267	275	Max	0.00	-14.74	15	-0.23	15	0.02	15	-58.74	15	6.17	15	0.05	15
2220	267	275	Max	21.56	-14.74	15	-0.23	15	-0.03	15	-59.58	15	-6.59	15	0.05	15
2220	267	275	Min.	0.00	-14.74	15	-0.23	15	0.02	15	-58.74	15	6.17	15	0.05	15
2220	267	275	Min.	21.56	-14.74	15	-0.23	15	-0.03	15	-59.58	15	-6.59	15	0.05	15
2220	275	283	Max	0.00	-182.96	15	-0.23	15	0.01	15	-68.16	15	6.44	15	0.05	15
2220	275	283	Max	21.56	-182.96	15	-0.23	15	-0.04	15	-69.01	15	-8.35	15	0.05	15
2220	275	283	Min.	0.00	-182.96	15	-0.23	15	0.01	15	-68.16	15	6.44	15	0.05	15
2220	275	283	Min.	21.56	-182.96	15	-0.23	15	-0.04	15	-69.01	15	-8.35	15	0.05	15
2220	283	2294	Max	0.00	-377.88	15	-0.39	15	0.01	15	-82.09	15	5.10	15	0.04	15
2220	283	2294	Max	21.56	-377.88	15	-0.39	15	-0.08	15	-82.93	15	-12.69	15	0.04	15
2220	283	2294	Min.	0.00	-377.88	15	-0.39	15	0.01	15	-82.09	15	5.10	15	0.04	15
2220	283	2294	Min.	21.56	-377.88	15	-0.39	15	-0.08	15	-82.93	15	-12.69	15	0.04	15
2220	2294	303	Max	0.00	-62.12	15	-0.37	15	0.05	15	6.68	15	-0.66	15	-0.02	15
2220	2294	303	Max	16.67	-62.12	15	-0.37	15	-0.01	15	6.03	15	0.40	15	-0.02	15
2220	2294	303	Min.	0.00	-62.12	15	-0.37	15	0.05	15	6.68	15	-0.66	15	-0.02	15
2220	2294	303	Min.	16.67	-62.12	15	-0.37	15	-0.01	15	6.03	15	0.40	15	-0.02	15
2220	303	311	Max	0.00	-38.36	15	-0.15	15	0.01	15	8.95	15	-0.81	15	-0.01	15
2220	303	311	Max	16.67	-38.36	15	-0.15	15	-0.01	15	8.30	15	0.62	15	-0.01	15
2220	303	311	Min.	0.00	-38.36	15	-0.15	15	0.01	15	8.95	15	-0.81	15	-0.01	15
2220	303	311	Min.	16.67	-38.36	15	-0.15	15	-0.01	15	8.30	15	0.62	15	-0.01	15
2220	311	2319	Max	0.00	-14.64	15	-0.21	15	0.01	15	6.89	15	-0.49	15	-0.01	15
2220	311	2319	Max	16.67	-14.64	15	-0.21	15	-0.02	15	6.24	15	0.60	15	-0.01	15
2220	311	2319	Min.	0.00	-14.64	15	-0.21	15	0.01	15	6.89	15	-0.49	15	-0.01	15
2220	311	2319	Min.	16.67	-14.64	15	-0.21	15	-0.02	15	6.24	15	0.60	15	-0.01	15

2221	-520	24	Max	0.00	-17.34	15	0.31	15	-0.03	15	0.32	15	-0.07	15	0.02	15
2221	-520	24	Max	9.40					-0.00	15			-0.06	15		
2221	-520	24	Max	19.08	-17.71	15	0.31	15	0.03	15	-0.34	15	-0.07	15	0.02	15
2221	-520	24	Min.	0.00	-17.34	15	0.31	15	-0.03	15	0.32	15	-0.07	15	0.02	15
2221	-520	24	Min.	9.40					-0.00	15			-0.06	15		
2221	-520	24	Min.	19.08	-17.71	15	0.31	15	0.03	15	-0.34	15	-0.07	15	0.02	15
2301	2028	2029	Max	0.00	-2.18	15	-520.97	15	0.02	15	-189.81	15	0.06	15	22.41	15
2301	2028	2029	Max	0.63	-2.18	15	-520.97	15	-3.27	15	-189.85	15	-1.14	15	22.41	15
2301	2028	2029	Min.	0.00	-2.18	15	-520.97	15	0.02	15	-189.81	15	0.06	15	22.41	15
2301	2028	2029	Min.	0.63	-2.18	15	-520.97	15	-3.27	15	-189.85	15	-1.14	15	22.41	15
2301	2029	2030	Max	5.37	-1.11	15	534.49	15	-3.26	15	171.76	15	-1.00	15	-22.73	15
2301	2029	2030	Max	6.00	-1.11	15	534.49	15	0.11	15	171.71	15	0.09	15	-22.73	15
2301	2029	2030	Min.	5.37	-1.11	15	534.49	15	-3.26	15	171.76	15	-1.00	15	-22.73	15
2301	2029	2030	Min.	6.00	-1.11	15	534.49	15	0.11	15	171.71	15	0.09	15	-22.73	15
2345	2288	2289	Max	0.00	-2.19	15	514.13	15	-0.01	15	-190.91	15	0.06	15	-22.28	15
2345	2288	2289	Max	0.63	-2.19	15	514.13	15	3.23	15	-190.96	15	-1.14	15	-22.28	15
2345	2288	2289	Min.	0.00	-2.19	15	514.13	15	-0.01	15	-190.91	15	0.06	15	-22.28	15
2345	2288	2289	Min.	0.63	-2.19	15	514.13	15	3.23	15	-190.96	15	-1.14	15	-22.28	15
2345	2289	2290	Max	5.37	-1.20	15	-542.63	15	3.31	15	170.24	15	-0.99	15	22.80	15
2345	2289	2290	Max	6.00	-1.20	15	-542.63	15	-0.11	15	170.20	15	0.08	15	22.80	15
2345	2289	2290	Min.	5.37	-1.20	15	-542.63	15	3.31	15	170.24	15	-0.99	15	22.80	15
2345	2289	2290	Min.	6.00	-1.20	15	-542.63	15	-0.11	15	170.20	15	0.08	15	22.80	15
2386	2002	10	Max	0.00	-13.12	15	-0.13	15	0.02	15	-6.54	15	0.54	15	-0.01	15
2386	2002	10	Max	16.67	-13.12	15	-0.13	15	-0.01	15	-7.19	15	-0.60	15	-0.01	15
2386	2002	10	Min.	0.00	-13.12	15	-0.13	15	0.02	15	-6.54	15	0.54	15	-0.01	15
2386	2002	10	Min.	16.67	-13.12	15	-0.13	15	-0.01	15	-7.19	15	-0.60	15	-0.01	15
2386	10	18	Max	0.00	-23.94	15	-0.11	15	0.02	15	-0.24	15	-0.07	15	-0.01	15
2386	10	18	Max	16.67	-23.94	15	-0.11	15	0.00	15	-0.89	15	-0.17	15	-0.01	15
2386	10	18	Min.	0.00	-23.94	15	-0.11	15	0.02	15	-0.24	15	-0.07	15	-0.01	15
2386	10	18	Min.	16.67	-23.94	15	-0.11	15	0.00	15	-0.89	15	-0.17	15	-0.01	15
2386	18	2027	Max	0.00	-68.67	15	-0.40	15	0.01	15	-6.63	15	0.50	15	-0.02	15
2386	18	2027	Max	16.67	-68.67	15	-0.40	15	-0.06	15	-7.28	15	-0.66	15	-0.02	15
2386	18	2027	Min.	0.00	-68.67	15	-0.40	15	0.01	15	-6.63	15	0.50	15	-0.02	15
2386	18	2027	Min.	16.67	-68.67	15	-0.40	15	-0.06	15	-7.28	15	-0.66	15	-0.02	15
2386	2027	38	Max	0.00	-378.64	15	-0.39	15	0.08	15	83.02	15	-12.70	15	0.04	15
2386	2027	38	Max	21.56	-378.64	15	-0.39	15	-0.00	15	82.17	15	5.10	15	0.04	15
2386	2027	38	Min.	0.00	-378.64	15	-0.39	15	0.08	15	83.02	15	-12.70	15	0.04	15
2386	2027	38	Min.	21.56	-378.64	15	-0.39	15	-0.00	15	82.17	15	5.10	15	0.04	15
2386	38	46	Max	0.00	-183.45	15	-0.23	15	0.04	15	69.08	15	-8.36	15	0.05	15
2386	38	46	Max	21.56	-183.45	15	-0.23	15	-0.01	15	68.24	15	6.44	15	0.05	15
2386	38	46	Min.	0.00	-183.45	15	-0.23	15	0.04	15	69.08	15	-8.36	15	0.05	15
2386	38	46	Min.	21.56	-183.45	15	-0.23	15	-0.01	15	68.24	15	6.44	15	0.05	15
2386	46	54	Max	0.00	-15.05	15	-0.24	15	0.03	15	59.64	15	-6.60	15	0.05	15
2386	46	54	Max	21.56	-15.05	15	-0.24	15	-0.02	15	58.80	15	6.17	15	0.05	15
2386	46	54	Min.	0.00	-15.05	15	-0.24	15	0.03	15	59.64	15	-6.60	15	0.05	15
2386	46	54	Min.	21.56	-15.05	15	-0.24	15	-0.02	15	58.80	15	6.17	15	0.05	15
2386	54	62	Max	0.00	116.62	15	-0.21	15	0.01	15	50.93	15	-5.19	15	0.04	15
2386	54	62	Max	21.56	116.62	15	-0.21	15	-0.03	15	50.08	15	5.70	15	0.04	15
2386	54	62	Min.	0.00	116.62	15	-0.21	15	0.01	15	50.93	15	-5.19	15	0.04	15
2386	54	62	Min.	21.56	116.62	15	-0.21	15	-0.03	15	50.08	15	5.70	15	0.04	15
2386	62	70	Max	0.00	214.19	15	-0.05	15	0.01	15	38.41	15	-3.59	15	0.03	15
2386	62	70	Max	21.56	214.19	15	-0.05	15	0.00	15	37.57	15	4.60	15	0.03	15
2386	62	70	Min.	0.00	214.19	15	-0.05	15	0.01	15	38.41	15	-3.59	15	0.03	15
2386	62	70	Min.	21.56	214.19	15	-0.05	15	0.00	15	37.57	15	4.60	15	0.03	15
2386	70	78	Max	0.00	285.86	15	-0.11	15	0.02	15	32.23	15	-2.86	15	0.02	15
2386	70	78	Max	21.56	285.86	15	-0.11	15	-0.01	15	31.39	15	4.00	15	0.02	15
2386	70	78	Min.	0.00	285.86	15	-0.11	15	0.02	15	32.23	15	-2.86	15	0.02	15
2386	70	78	Min.	21.56	285.86	15	-0.11	15	-0.01	15	31.39	15	4.00	15	0.02	15
2386	78	86	Max	0.00	340.64	15	-0.11	15	0.01	15	26.76	15	-2.18	15	0.02	15

2386	78	86	Max	21.56	340.64	15	-0.11	15	-0.02	15	25.91	15	3.49	15	0.02	15
2386	78	86	Min.	0.00	340.64	15	-0.11	15	0.01	15	26.76	15	-2.18	15	0.02	15
2386	78	86	Min.	21.56	340.64	15	-0.11	15	-0.02	15	25.91	15	3.49	15	0.02	15
2386	86	94	Max	0.00	382.17	15	-0.07	15	-0.00	15	21.74	15	-1.56	15	0.02	15
2386	86	94	Max	21.56	382.17	15	-0.07	15	-0.02	15	20.89	15	3.03	15	0.02	15
2386	86	94	Min.	0.00	382.17	15	-0.07	15	-0.00	15	21.74	15	-1.56	15	0.02	15
2386	86	94	Min.	21.56	382.17	15	-0.07	15	-0.02	15	20.89	15	3.03	15	0.02	15
2386	94	102	Max	0.00	412.25	15	-0.05	15	0.01	15	15.71	15	-0.90	15	0.02	15
2386	94	102	Max	21.56	412.25	15	-0.05	15	0.00	15	14.87	15	2.40	15	0.02	15
2386	94	102	Min.	0.00	412.25	15	-0.05	15	0.01	15	15.71	15	-0.90	15	0.02	15
2386	94	102	Min.	21.56	412.25	15	-0.05	15	0.00	15	14.87	15	2.40	15	0.02	15
2386	102	110	Max	0.00	432.59	15	-0.09	15	0.01	15	11.46	15	-0.45	15	0.01	15
2386	102	110	Max	21.56	432.59	15	-0.09	15	-0.00	15	10.62	15	1.93	15	0.01	15
2386	102	110	Min.	0.00	432.59	15	-0.09	15	0.01	15	11.46	15	-0.45	15	0.01	15
2386	102	110	Min.	21.56	432.59	15	-0.09	15	-0.00	15	10.62	15	1.93	15	0.01	15
2386	110	118	Max	0.00	445.57	15	-0.09	15	0.01	15	7.56	15	-0.01	15	0.01	15
2386	110	118	Max	21.56	445.57	15	-0.09	15	-0.01	15	6.71	15	1.53	15	0.01	15
2386	110	118	Min.	0.00	445.57	15	-0.09	15	0.01	15	7.56	15	-0.01	15	0.01	15
2386	110	118	Min.	21.56	445.57	15	-0.09	15	-0.01	15	6.71	15	1.53	15	0.01	15
2386	118	126	Max	0.00	452.11	15	-0.07	15	-0.00	15	3.70	15	0.50	15	0.01	15
2386	118	126	Max	21.56	452.11	15	-0.07	15	-0.02	15	2.85	15	1.20	15	0.01	15
2386	118	126	Min.	0.00	452.11	15	-0.07	15	-0.00	15	3.70	15	0.50	15	0.01	15
2386	118	126	Min.	21.56	452.11	15	-0.07	15	-0.02	15	2.85	15	1.20	15	0.01	15
2386	126	134	Max	0.00	451.30	15	0.02	15	-0.00	15	-3.90	15	1.31	15	0.01	15
2386	126	134	Max	21.56	451.30	15	0.02	15	0.00	15	-4.74	15	0.38	15	0.01	15
2386	126	134	Min.	0.00	451.30	15	0.02	15	-0.00	15	-3.90	15	1.31	15	0.01	15
2386	126	134	Min.	21.56	451.30	15	0.02	15	0.00	15	-4.74	15	0.38	15	0.01	15
2386	134	142	Max	0.00	444.40	15	-0.01	15	0.00	15	-7.22	15	1.56	15	0.00	15
2386	134	142	Max	21.56	444.40	15	-0.01	15	-0.00	15	-8.06	15	-0.09	15	0.00	15
2386	134	142	Min.	0.00	444.40	15	-0.01	15	0.00	15	-7.22	15	1.56	15	0.00	15
2386	134	142	Min.	21.56	444.40	15	-0.01	15	-0.00	15	-8.06	15	-0.09	15	0.00	15
2386	142	150	Max	0.00	434.32	15	-0.02	15	-0.01	15	-10.71	15	1.74	15	-0.00	15
2386	142	150	Max	21.56	434.32	15	-0.02	15	-0.01	15	-11.56	15	-0.66	15	-0.00	15
2386	142	150	Min.	0.00	434.32	15	-0.02	15	-0.01	15	-10.71	15	1.74	15	-0.00	15
2386	142	150	Min.	21.56	434.32	15	-0.02	15	-0.01	15	-11.56	15	-0.66	15	-0.00	15
2386	150	158	Max	0.00	424.02	15	-0.01	15	-0.01	15	-12.53	15	1.27	15	-0.00	15
2386	150	158	Max	21.56	424.02	15	-0.01	15	-0.02	15	-13.37	15	-1.52	15	-0.00	15
2386	150	158	Min.	0.00	424.02	15	-0.01	15	-0.01	15	-12.53	15	1.27	15	-0.00	15
2386	150	158	Min.	21.56	424.02	15	-0.01	15	-0.02	15	-13.37	15	-1.52	15	-0.00	15
2386	158	166	Max	0.00	424.02	15	0.01	15	-0.02	15	13.38	15	-1.52	15	0.00	15
2386	158	166	Max	21.56	424.02	15	0.01	15	-0.01	15	12.54	15	1.27	15	0.00	15
2386	158	166	Min.	0.00	424.02	15	0.01	15	-0.02	15	13.38	15	-1.52	15	0.00	15
2386	158	166	Min.	21.56	424.02	15	0.01	15	-0.01	15	12.54	15	1.27	15	0.00	15
2386	166	174	Max	0.00	434.33	15	0.02	15	-0.01	15	11.56	15	-0.66	15	0.00	15
2386	166	174	Max	21.56	434.33	15	0.02	15	-0.01	15	10.72	15	1.74	15	0.00	15
2386	166	174	Min.	0.00	434.33	15	0.02	15	-0.01	15	11.56	15	-0.66	15	0.00	15
2386	166	174	Min.	21.56	434.33	15	0.02	15	-0.01	15	10.72	15	1.74	15	0.00	15
2386	174	182	Max	0.00	444.42	15	0.01	15	-0.00	15	8.07	15	-0.09	15	0.00	15
2386	174	182	Max	4.31					-0.00	15			0.26	15		
2386	174	182	Max	21.56	444.42	15	0.01	15	0.00	15	7.22	15	1.56	15	0.00	15
2386	174	182	Min.	0.00	444.42	15	0.01	15	-0.00	15	8.07	15	-0.09	15	0.00	15
2386	174	182	Min.	4.31					-0.00	15			0.26	15		
2386	174	182	Min.	21.56	444.42	15	0.01	15	0.00	15	7.22	15	1.56	15	0.00	15
2386	182	190	Max	0.00	451.33	15	-0.02	15	0.00	15	4.75	15	0.38	15	-0.01	15
2386	182	190	Max	21.56	451.33	15	-0.02	15	-0.00	15	3.91	15	1.32	15	-0.01	15
2386	182	190	Min.	0.00	451.33	15	-0.02	15	0.00	15	4.75	15	0.38	15	-0.01	15
2386	182	190	Min.	21.56	451.33	15	-0.02	15	-0.00	15	3.91	15	1.32	15	-0.01	15
2386	190	198	Max	0.00	452.15	15	0.07	15	-0.02	15	-2.84	15	1.20	15	-0.01	15
2386	190	198	Max	21.56	452.15	15	0.07	15	-0.00	15	-3.69	15	0.50	15	-0.01	15

2386	190	198	Min.	0.00	452.15	15	0.07	15	-0.02	15	-2.84	15	1.20	15	-0.01	15
2386	190	198	Min.	21.56	452.15	15	0.07	15	-0.00	15	-3.69	15	0.50	15	-0.01	15
2386	198	206	Max	0.00	445.63	15	0.09	15	-0.01	15	-6.70	15	1.53	15	-0.01	15
2386	198	206	Max	21.56	445.63	15	0.09	15	0.01	15	-7.55	15	-0.00	15	-0.01	15
2386	198	206	Min.	0.00	445.63	15	0.09	15	-0.01	15	-6.70	15	1.53	15	-0.01	15
2386	198	206	Min.	21.56	445.63	15	0.09	15	0.01	15	-7.55	15	-0.00	15	-0.01	15
2386	206	214	Max	0.00	432.66	15	0.09	15	-0.00	15	-10.61	15	1.93	15	-0.01	15
2386	206	214	Max	21.56	432.66	15	0.09	15	0.01	15	-11.45	15	-0.45	15	-0.01	15
2386	206	214	Min.	0.00	432.66	15	0.09	15	-0.00	15	-10.61	15	1.93	15	-0.01	15
2386	206	214	Min.	21.56	432.66	15	0.09	15	0.01	15	-11.45	15	-0.45	15	-0.01	15
2386	214	222	Max	0.00	412.34	15	0.05	15	0.00	15	-14.85	15	2.39	15	-0.02	15
2386	214	222	Max	21.56	412.34	15	0.05	15	0.01	15	-15.70	15	-0.90	15	-0.02	15
2386	214	222	Min.	0.00	412.34	15	0.05	15	0.00	15	-14.85	15	2.39	15	-0.02	15
2386	214	222	Min.	21.56	412.34	15	0.05	15	0.01	15	-15.70	15	-0.90	15	-0.02	15
2386	222	230	Max	0.00	382.29	15	0.07	15	-0.02	15	-20.87	15	3.03	15	-0.02	15
2386	222	230	Max	17.25					-0.00	15			-0.63	15		
2386	222	230	Max	21.56	382.29	15	0.07	15	0.00	15	-21.72	15	-1.56	15	-0.02	15
2386	222	230	Min.	0.00	382.29	15	0.07	15	-0.02	15	-20.87	15	3.03	15	-0.02	15
2386	222	230	Min.	17.25					-0.00	15			-0.63	15		
2386	222	230	Min.	21.56	382.29	15	0.07	15	0.00	15	-21.72	15	-1.56	15	-0.02	15
2386	230	238	Max	0.00	340.80	15	0.11	15	-0.02	15	-25.89	15	3.49	15	-0.02	15
2386	230	238	Max	21.56	340.80	15	0.11	15	0.01	15	-26.73	15	-2.18	15	-0.02	15
2386	230	238	Min.	0.00	340.80	15	0.11	15	-0.02	15	-25.89	15	3.49	15	-0.02	15
2386	230	238	Min.	21.56	340.80	15	0.11	15	0.01	15	-26.73	15	-2.18	15	-0.02	15
2386	238	246	Max	0.00	286.07	15	0.11	15	-0.01	15	-31.36	15	4.00	15	-0.02	15
2386	238	246	Max	21.56	286.07	15	0.11	15	0.02	15	-32.21	15	-2.86	15	-0.02	15
2386	238	246	Min.	0.00	286.07	15	0.11	15	-0.01	15	-31.36	15	4.00	15	-0.02	15
2386	238	246	Min.	21.56	286.07	15	0.11	15	0.02	15	-32.21	15	-2.86	15	-0.02	15
2386	246	254	Max	0.00	214.45	15	0.05	15	0.00	15	-37.54	15	4.60	15	-0.03	15
2386	246	254	Max	21.56	214.45	15	0.05	15	0.01	15	-38.39	15	-3.59	15	-0.03	15
2386	246	254	Min.	0.00	214.45	15	0.05	15	0.00	15	-37.54	15	4.60	15	-0.03	15
2386	246	254	Min.	21.56	214.45	15	0.05	15	0.01	15	-38.39	15	-3.59	15	-0.03	15
2386	254	262	Max	0.00	116.98	15	0.21	15	-0.03	15	-50.02	15	5.70	15	-0.04	15
2386	254	262	Max	21.56	116.98	15	0.21	15	0.01	15	-50.86	15	-5.18	15	-0.04	15
2386	254	262	Min.	0.00	116.98	15	0.21	15	-0.03	15	-50.02	15	5.70	15	-0.04	15
2386	254	262	Min.	21.56	116.98	15	0.21	15	0.01	15	-50.86	15	-5.18	15	-0.04	15
2386	262	270	Max	0.00	-14.53	15	0.23	15	-0.02	15	-58.73	15	6.17	15	-0.05	15
2386	262	270	Max	21.56	-14.53	15	0.23	15	0.03	15	-59.57	15	-6.59	15	-0.05	15
2386	262	270	Min.	0.00	-14.53	15	0.23	15	-0.02	15	-58.73	15	6.17	15	-0.05	15
2386	262	270	Min.	21.56	-14.53	15	0.23	15	0.03	15	-59.57	15	-6.59	15	-0.05	15
2386	270	278	Max	0.00	-182.72	15	0.23	15	-0.01	15	-68.15	15	6.44	15	-0.05	15
2386	270	278	Max	21.56	-182.72	15	0.23	15	0.04	15	-69.00	15	-8.35	15	-0.05	15
2386	270	278	Min.	0.00	-182.72	15	0.23	15	-0.01	15	-68.15	15	6.44	15	-0.05	15
2386	270	278	Min.	21.56	-182.72	15	0.23	15	0.04	15	-69.00	15	-8.35	15	-0.05	15
2386	278	2287	Max	0.00	-377.62	15	0.39	15	-0.01	15	-82.07	15	5.10	15	-0.04	15
2386	278	2287	Max	21.56	-377.62	15	0.39	15	0.08	15	-82.92	15	-12.69	15	-0.04	15
2386	278	2287	Min.	0.00	-377.62	15	0.39	15	-0.01	15	-82.07	15	5.10	15	-0.04	15
2386	278	2287	Min.	21.56	-377.62	15	0.39	15	0.08	15	-82.92	15	-12.69	15	-0.04	15
2386	2287	298	Max	0.00	-62.05	15	0.37	15	-0.05	15	6.68	15	-0.66	15	0.02	15
2386	2287	298	Max	16.67	-62.05	15	0.37	15	0.01	15	6.03	15	0.40	15	0.02	15
2386	2287	298	Min.	0.00	-62.05	15	0.37	15	-0.05	15	6.68	15	-0.66	15	0.02	15
2386	2287	298	Min.	16.67	-62.05	15	0.37	15	0.01	15	6.03	15	0.40	15	0.02	15
2386	298	306	Max	0.00	-38.31	15	0.15	15	-0.01	15	8.94	15	-0.81	15	0.01	15
2386	298	306	Max	16.67	-38.31	15	0.15	15	0.01	15	8.29	15	0.62	15	0.01	15
2386	298	306	Min.	0.00	-38.31	15	0.15	15	-0.01	15	8.94	15	-0.81	15	0.01	15
2386	298	306	Min.	16.67	-38.31	15	0.15	15	0.01	15	8.29	15	0.62	15	0.01	15
2386	306	2314	Max	0.00	-14.62	15	0.21	15	-0.01	15	6.88	15	-0.49	15	0.01	15
2386	306	2314	Max	16.67	-14.62	15	0.21	15	0.02	15	6.23	15	0.60	15	0.01	15
2386	306	2314	Min.	0.00	-14.62	15	0.21	15	-0.01	15	6.88	15	-0.49	15	0.01	15

2386	306	2314	Min.	16.67	-14.62	15	0.21	15	0.02	15	6.23	15	0.60	15	0.01	15
2424	2004	12	Max	0.00	-23.89	15	-0.09	15	0.01	15	-11.52	15	0.92	15	0.01	15
2424	2004	12	Max	16.67	-23.89	15	-0.09	15	-0.00	15	-12.17	15	-1.05	15	0.01	15
2424	2004	12	Min.	0.00	-23.89	15	-0.09	15	0.01	15	-11.52	15	0.92	15	0.01	15
2424	2004	12	Min.	16.67	-23.89	15	-0.09	15	-0.00	15	-12.17	15	-1.05	15	0.01	15
2424	12	20	Max	0.00	-42.36	15	-0.21	15	0.02	15	-0.68	15	-0.15	15	0.02	15
2424	12	20	Max	16.67	-42.36	15	-0.21	15	-0.01	15	-1.33	15	-0.32	15	0.02	15
2424	12	20	Min.	0.00	-42.36	15	-0.21	15	0.02	15	-0.68	15	-0.15	15	0.02	15
2424	12	20	Min.	16.67	-42.36	15	-0.21	15	-0.01	15	-1.33	15	-0.32	15	0.02	15
2424	20	2030	Max	0.00	-109.94	15	-0.48	15	0.02	15	-7.52	15	0.61	15	0.02	15
2424	20	2030	Max	16.67	-109.94	15	-0.48	15	-0.06	15	-8.18	15	-0.70	15	0.02	15
2424	20	2030	Min.	0.00	-109.94	15	-0.48	15	0.02	15	-7.52	15	0.61	15	0.02	15
2424	20	2030	Min.	16.67	-109.94	15	-0.48	15	-0.06	15	-8.18	15	-0.70	15	0.02	15
2424	2030	40	Max	0.00	-660.44	15	-0.13	15	0.02	15	140.01	15	-21.60	15	0.00	15
2424	2030	40	Max	21.56	-660.44	15	-0.13	15	-0.00	15	139.16	15	8.50	15	0.00	15
2424	2030	40	Min.	0.00	-660.44	15	-0.13	15	0.02	15	140.01	15	-21.60	15	0.00	15
2424	2030	40	Min.	21.56	-660.44	15	-0.13	15	-0.00	15	139.16	15	8.50	15	0.00	15
2424	40	48	Max	0.00	-327.61	15	-0.01	15	0.00	15	118.38	15	-14.46	15	0.00	15
2424	40	48	Max	21.56	-327.61	15	-0.01	15	0.00	15	117.53	15	10.98	15	0.00	15
2424	40	48	Min.	0.00	-327.61	15	-0.01	15	0.00	15	118.38	15	-14.46	15	0.00	15
2424	40	48	Min.	21.56	-327.61	15	-0.01	15	0.00	15	117.53	15	10.98	15	0.00	15
2424	48	56	Max	0.00	-35.57	15	-0.01	15	0.00	15	104.17	15	-11.64	15	0.00	15
2424	48	56	Max	21.56	-35.57	15	-0.01	15	-0.00	15	103.32	15	10.73	15	0.00	15
2424	48	56	Min.	0.00	-35.57	15	-0.01	15	0.00	15	104.17	15	-11.64	15	0.00	15
2424	48	56	Min.	21.56	-35.57	15	-0.01	15	-0.00	15	103.32	15	10.73	15	0.00	15
2424	56	64	Max	0.00	196.95	15	0.00	15	0.00	15	91.09	15	-9.33	15	0.01	15
2424	56	64	Max	21.56	196.95	15	0.00	15	0.00	15	90.24	15	10.22	15	0.01	15
2424	56	64	Min.	0.00	196.95	15	0.00	15	0.00	15	91.09	15	-9.33	15	0.01	15
2424	56	64	Min.	21.56	196.95	15	0.00	15	0.00	15	90.24	15	10.22	15	0.01	15
2424	64	72	Max	0.00	368.75	15	-0.04	15	0.01	15	65.52	15	-6.13	15	0.01	15
2424	64	72	Max	21.56	368.75	15	-0.04	15	0.00	15	64.67	15	7.90	15	0.01	15
2424	64	72	Min.	0.00	368.75	15	-0.04	15	0.01	15	65.52	15	-6.13	15	0.01	15
2424	64	72	Min.	21.56	368.75	15	-0.04	15	0.00	15	64.67	15	7.90	15	0.01	15
2424	72	80	Max	0.00	494.28	15	-0.06	15	0.01	15	56.80	15	-5.16	15	0.01	15
2424	72	80	Max	21.56	494.28	15	-0.06	15	-0.00	15	55.95	15	6.99	15	0.01	15
2424	72	80	Min.	0.00	494.28	15	-0.06	15	0.01	15	56.80	15	-5.16	15	0.01	15
2424	72	80	Min.	21.56	494.28	15	-0.06	15	-0.00	15	55.95	15	6.99	15	0.01	15
2424	80	88	Max	0.00	593.55	15	-0.05	15	0.00	15	49.56	15	-4.21	15	0.01	15
2424	80	88	Max	21.56	593.55	15	-0.05	15	-0.01	15	48.72	15	6.38	15	0.01	15
2424	80	88	Min.	0.00	593.55	15	-0.05	15	0.00	15	49.56	15	-4.21	15	0.01	15
2424	80	88	Min.	21.56	593.55	15	-0.05	15	-0.01	15	48.72	15	6.38	15	0.01	15
2424	88	96	Max	0.00	671.43	15	-0.04	15	0.00	15	42.55	15	-3.09	15	0.01	15
2424	88	96	Max	21.56	671.43	15	-0.04	15	-0.01	15	41.70	15	5.99	15	0.01	15
2424	88	96	Min.	0.00	671.43	15	-0.04	15	0.00	15	42.55	15	-3.09	15	0.01	15
2424	88	96	Min.	21.56	671.43	15	-0.04	15	-0.01	15	41.70	15	5.99	15	0.01	15
2424	96	104	Max	0.00	722.80	15	-0.01	15	0.00	15	21.31	15	-0.73	15	0.01	15
2424	96	104	Max	21.56	722.80	15	-0.01	15	0.00	15	20.47	15	3.77	15	0.01	15
2424	96	104	Min.	0.00	722.80	15	-0.01	15	0.00	15	21.31	15	-0.73	15	0.01	15
2424	96	104	Min.	21.56	722.80	15	-0.01	15	0.00	15	20.47	15	3.77	15	0.01	15
2424	104	112	Max	0.00	752.70	15	-0.03	15	0.00	15	16.22	15	-0.43	15	0.01	15
2424	104	112	Max	21.56	752.70	15	-0.03	15	-0.00	15	15.37	15	2.98	15	0.01	15
2424	104	112	Min.	0.00	752.70	15	-0.03	15	0.00	15	16.22	15	-0.43	15	0.01	15
2424	104	112	Min.	21.56	752.70	15	-0.03	15	-0.00	15	15.37	15	2.98	15	0.01	15
2424	112	120	Max	0.00	772.43	15	-0.03	15	0.00	15	12.12	15	0.03	15	0.00	15
2424	112	120	Max	21.56	772.43	15	-0.03	15	-0.00	15	11.27	15	2.55	15	0.00	15
2424	112	120	Min.	0.00	772.43	15	-0.03	15	0.00	15	12.12	15	0.03	15	0.00	15
2424	112	120	Min.	21.56	772.43	15	-0.03	15	-0.00	15	11.27	15	2.55	15	0.00	15
2424	120	128	Max	0.00	783.33	15	-0.02	15	0.00	15	7.57	15	0.82	15	0.00	15
2424	120	128	Max	21.56	783.33	15	-0.02	15	-0.01	15	6.72	15	2.36	15	0.00	15

2424	120	128	Min.	0.00	783.33	15	-0.02	15	0.00	15	7.57	15	0.82	15	0.00	15
2424	120	128	Min.	21.56	783.33	15	-0.02	15	-0.01	15	6.72	15	2.36	15	0.00	15
2424	128	136	Max	0.00	779.66	15	-0.00	15	0.00	15	-11.99	15	2.93	15	0.00	15
2424	128	136	Max	21.56	779.66	15	-0.00	15	0.00	15	-12.84	15	0.25	15	0.00	15
2424	128	136	Min.	0.00	779.66	15	-0.00	15	0.00	15	-11.99	15	2.93	15	0.00	15
2424	128	136	Min.	21.56	779.66	15	-0.00	15	0.00	15	-12.84	15	0.25	15	0.00	15
2424	136	144	Max	0.00	764.07	15	-0.01	15	0.00	15	-15.41	15	2.92	15	0.00	15
2424	136	144	Max	21.56	764.07	15	-0.01	15	-0.00	15	-16.26	15	-0.50	15	0.00	15
2424	136	144	Min.	0.00	764.07	15	-0.01	15	0.00	15	-15.41	15	2.92	15	0.00	15
2424	136	144	Min.	21.56	764.07	15	-0.01	15	-0.00	15	-16.26	15	-0.50	15	0.00	15
2424	144	152	Max	0.00	745.23	15	-0.01	15	0.00	15	-18.77	15	2.92	15	0.00	15
2424	144	152	Max	21.56	745.23	15	-0.01	15	-0.00	15	-19.62	15	-1.22	15	0.00	15
2424	144	152	Min.	0.00	745.23	15	-0.01	15	0.00	15	-18.77	15	2.92	15	0.00	15
2424	144	152	Min.	21.56	745.23	15	-0.01	15	-0.00	15	-19.62	15	-1.22	15	0.00	15
2424	152	160	Max	0.00	728.02	15	-0.01	15	-0.00	15	-19.69	15	2.01	15	0.00	15
2424	152	160	Max	21.56	728.02	15	-0.01	15	-0.00	15	-20.53	15	-2.33	15	0.00	15
2424	152	160	Min.	0.00	728.02	15	-0.01	15	-0.00	15	-19.69	15	2.01	15	0.00	15
2424	152	160	Min.	21.56	728.02	15	-0.01	15	-0.00	15	-20.53	15	-2.33	15	0.00	15
2424	160	168	Max	0.00	728.03	15	0.01	15	-0.00	15	20.56	15	-2.33	15	0.00	15
2424	160	168	Max	21.56	728.03	15	0.01	15	-0.00	15	19.71	15	2.01	15	0.00	15
2424	160	168	Min.	0.00	728.03	15	0.01	15	-0.00	15	20.56	15	-2.33	15	0.00	15
2424	160	168	Min.	21.56	728.03	15	0.01	15	-0.00	15	19.71	15	2.01	15	0.00	15
2424	168	176	Max	0.00	745.27	15	0.01	15	-0.00	15	19.64	15	-1.22	15	0.00	15
2424	168	176	Max	17.25					-0.00	15			2.11	15		
2424	168	176	Max	21.56	745.27	15	0.01	15	0.00	15	18.80	15	2.92	15	0.00	15
2424	168	176	Min.	0.00	745.27	15	0.01	15	-0.00	15	19.64	15	-1.22	15	0.00	15
2424	168	176	Min.	17.25					-0.00	15			2.11	15		
2424	168	176	Min.	21.56	745.27	15	0.01	15	0.00	15	18.80	15	2.92	15	0.00	15
2424	176	184	Max	0.00	764.14	15	0.01	15	-0.00	15	16.29	15	-0.50	15	-0.00	15
2424	176	184	Max	21.56	764.14	15	0.01	15	0.00	15	15.44	15	2.92	15	-0.00	15
2424	176	184	Min.	0.00	764.14	15	0.01	15	-0.00	15	16.29	15	-0.50	15	-0.00	15
2424	176	184	Min.	21.56	764.14	15	0.01	15	0.00	15	15.44	15	2.92	15	-0.00	15
2424	184	192	Max	0.00	779.77	15	0.00	15	0.00	15	12.87	15	0.25	15	-0.00	15
2424	184	192	Max	21.56	779.77	15	0.00	15	0.00	15	12.02	15	2.93	15	-0.00	15
2424	184	192	Min.	0.00	779.77	15	0.00	15	0.00	15	12.87	15	0.25	15	-0.00	15
2424	184	192	Min.	21.56	779.77	15	0.00	15	0.00	15	12.02	15	2.93	15	-0.00	15
2424	192	200	Max	0.00	783.48	15	0.02	15	-0.01	15	-6.69	15	2.36	15	-0.00	15
2424	192	200	Max	17.25					-0.00	15			1.15	15		
2424	192	200	Max	21.56	783.48	15	0.02	15	0.00	15	-7.53	15	0.83	15	-0.00	15
2424	192	200	Min.	0.00	783.48	15	0.02	15	-0.01	15	-6.69	15	2.36	15	-0.00	15
2424	192	200	Min.	17.25					-0.00	15			1.15	15		
2424	192	200	Min.	21.56	783.48	15	0.02	15	0.00	15	-7.53	15	0.83	15	-0.00	15
2424	200	208	Max	0.00	772.63	15	0.03	15	-0.00	15	-11.24	15	2.55	15	-0.00	15
2424	200	208	Max	21.56	772.63	15	0.03	15	0.00	15	-12.09	15	0.03	15	-0.00	15
2424	200	208	Min.	0.00	772.63	15	0.03	15	-0.00	15	-11.24	15	2.55	15	-0.00	15
2424	200	208	Min.	21.56	772.63	15	0.03	15	0.00	15	-12.09	15	0.03	15	-0.00	15
2424	208	216	Max	0.00	752.95	15	0.03	15	-0.00	15	-15.34	15	2.98	15	-0.01	15
2424	208	216	Max	21.56	752.95	15	0.03	15	0.00	15	-16.18	15	-0.42	15	-0.01	15
2424	208	216	Min.	0.00	752.95	15	0.03	15	-0.00	15	-15.34	15	2.98	15	-0.01	15
2424	208	216	Min.	21.56	752.95	15	0.03	15	0.00	15	-16.18	15	-0.42	15	-0.01	15
2424	216	224	Max	0.00	723.11	15	0.01	15	0.00	15	-20.43	15	3.77	15	-0.01	15
2424	216	224	Max	21.56	723.11	15	0.01	15	0.00	15	-21.27	15	-0.73	15	-0.01	15
2424	216	224	Min.	0.00	723.11	15	0.01	15	0.00	15	-20.43	15	3.77	15	-0.01	15
2424	216	224	Min.	21.56	723.11	15	0.01	15	0.00	15	-21.27	15	-0.73	15	-0.01	15
2424	224	232	Max	0.00	671.81	15	0.04	15	-0.01	15	-41.66	15	5.98	15	-0.01	15
2424	224	232	Max	17.25					-0.00	15			-1.26	15		
2424	224	232	Max	21.56	671.81	15	0.04	15	0.00	15	-42.50	15	-3.09	15	-0.01	15
2424	224	232	Min.	0.00	671.81	15	0.04	15	-0.01	15	-41.66	15	5.98	15	-0.01	15
2424	224	232	Min.	17.25					-0.00	15			-1.26	15		

2424	224	232	Min.	21.56	671.81	15	0.04	15	0.00	15	-42.50	15	-3.09	15	-0.01	15
2424	232	240	Max	0.00	594.01	15	0.06	15	-0.01	15	-48.67	15	6.38	15	-0.01	15
2424	232	240	Max	21.56	594.01	15	0.06	15	0.00	15	-49.51	15	-4.21	15	-0.01	15
2424	232	240	Min.	0.00	594.01	15	0.06	15	-0.01	15	-48.67	15	6.38	15	-0.01	15
2424	232	240	Min.	21.56	594.01	15	0.06	15	0.00	15	-49.51	15	-4.21	15	-0.01	15
2424	240	248	Max	0.00	494.83	15	0.06	15	-0.00	15	-55.90	15	6.99	15	-0.01	15
2424	240	248	Max	21.56	494.83	15	0.06	15	0.01	15	-56.75	15	-5.16	15	-0.01	15
2424	240	248	Min.	0.00	494.83	15	0.06	15	-0.00	15	-55.90	15	6.99	15	-0.01	15
2424	240	248	Min.	21.56	494.83	15	0.06	15	0.01	15	-56.75	15	-5.16	15	-0.01	15
2424	248	256	Max	0.00	369.42	15	0.04	15	0.00	15	-64.61	15	7.90	15	-0.01	15
2424	248	256	Max	21.56	369.42	15	0.04	15	0.01	15	-65.46	15	-6.12	15	-0.01	15
2424	248	256	Min.	0.00	369.42	15	0.04	15	0.00	15	-64.61	15	7.90	15	-0.01	15
2424	248	256	Min.	21.56	369.42	15	0.04	15	0.01	15	-65.46	15	-6.12	15	-0.01	15
2424	256	264	Max	0.00	197.79	15	-0.00	15	0.00	15	-90.15	15	10.21	15	-0.01	15
2424	256	264	Max	21.56	197.79	15	-0.00	15	0.00	15	-90.99	15	-9.32	15	-0.01	15
2424	256	264	Min.	0.00	197.79	15	-0.00	15	0.00	15	-90.15	15	10.21	15	-0.01	15
2424	256	264	Min.	21.56	197.79	15	-0.00	15	0.00	15	-90.99	15	-9.32	15	-0.01	15
2424	264	272	Max	0.00	-34.49	15	0.02	15	-0.00	15	-103.22	15	10.72	15	-0.00	15
2424	264	272	Max	21.56	-34.49	15	0.02	15	0.00	15	-104.06	15	-11.62	15	-0.00	15
2424	264	272	Min.	0.00	-34.49	15	0.02	15	-0.00	15	-103.22	15	10.72	15	-0.00	15
2424	264	272	Min.	21.56	-34.49	15	0.02	15	0.00	15	-104.06	15	-11.62	15	-0.00	15
2424	272	280	Max	0.00	-326.23	15	0.01	15	0.00	15	-117.41	15	10.97	15	-0.00	15
2424	272	280	Max	21.56	-326.23	15	0.01	15	0.00	15	-118.25	15	-14.44	15	-0.00	15
2424	272	280	Min.	0.00	-326.23	15	0.01	15	0.00	15	-117.41	15	10.97	15	-0.00	15
2424	272	280	Min.	21.56	-326.23	15	0.01	15	0.00	15	-118.25	15	-14.44	15	-0.00	15
2424	280	2290	Max	0.00	-658.64	15	0.14	15	-0.00	15	-139.03	15	8.49	15	0.00	15
2424	280	2290	Max	21.56	-658.64	15	0.14	15	0.03	15	-139.87	15	-21.58	15	0.00	15
2424	280	2290	Min.	0.00	-658.64	15	0.14	15	-0.00	15	-139.03	15	8.49	15	0.00	15
2424	280	2290	Min.	21.56	-658.64	15	0.14	15	0.03	15	-139.87	15	-21.58	15	0.00	15
2424	2290	300	Max	0.00	-99.01	15	0.41	15	-0.06	15	6.99	15	-0.67	15	-0.01	15
2424	2290	300	Max	16.67	-99.01	15	0.41	15	0.01	15	6.34	15	0.44	15	-0.01	15
2424	2290	300	Min.	0.00	-99.01	15	0.41	15	-0.06	15	6.99	15	-0.67	15	-0.01	15
2424	2290	300	Min.	16.67	-99.01	15	0.41	15	0.01	15	6.34	15	0.44	15	-0.01	15
2424	300	308	Max	0.00	-63.79	15	0.22	15	-0.02	15	13.61	15	-1.32	15	-0.02	15
2424	300	308	Max	16.67	-63.79	15	0.22	15	0.02	15	12.95	15	0.89	15	-0.02	15
2424	300	308	Min.	0.00	-63.79	15	0.22	15	-0.02	15	13.61	15	-1.32	15	-0.02	15
2424	300	308	Min.	16.67	-63.79	15	0.22	15	0.02	15	12.95	15	0.89	15	-0.02	15
2424	308	2316	Max	0.00	-25.86	15	0.13	15	-0.01	15	11.60	15	-0.87	15	-0.01	15
2424	308	2316	Max	16.67	-25.86	15	0.13	15	0.02	15	10.95	15	1.01	15	-0.01	15
2424	308	2316	Min.	0.00	-25.86	15	0.13	15	-0.01	15	11.60	15	-0.87	15	-0.01	15
2424	308	2316	Min.	16.67	-25.86	15	0.13	15	0.02	15	10.95	15	1.01	15	-0.01	15
2462	2006	14	Max	0.00	-31.69	15	0.33	15	-0.03	15	-15.88	15	1.26	15	-0.02	15
2462	2006	14	Max	16.67	-31.69	15	0.33	15	0.02	15	-16.53	15	-1.44	15	-0.02	15
2462	2006	14	Min.	0.00	-31.69	15	0.33	15	-0.03	15	-15.88	15	1.26	15	-0.02	15
2462	2006	14	Min.	16.67	-31.69	15	0.33	15	0.02	15	-16.53	15	-1.44	15	-0.02	15
2462	14	22	Max	0.00	-55.98	15	0.05	15	0.00	15	-0.70	15	-0.24	15	-0.02	15
2462	14	22	Max	16.67	-55.98	15	0.05	15	0.01	15	-1.36	15	-0.41	15	-0.02	15
2462	14	22	Min.	0.00	-55.98	15	0.05	15	0.00	15	-0.70	15	-0.24	15	-0.02	15
2462	14	22	Min.	16.67	-55.98	15	0.05	15	0.01	15	-1.36	15	-0.41	15	-0.02	15
2462	22	2033	Max	0.00	-140.86	15	0.22	15	-0.01	15	-11.62	15	0.76	15	-0.02	15
2462	22	2033	Max	16.67	-140.86	15	0.22	15	0.03	15	-12.28	15	-1.23	15	-0.02	15
2462	22	2033	Min.	0.00	-140.86	15	0.22	15	-0.01	15	-11.62	15	0.76	15	-0.02	15
2462	22	2033	Min.	16.67	-140.86	15	0.22	15	0.03	15	-12.28	15	-1.23	15	-0.02	15
2462	2033	42	Max	0.00	-659.30	15	-0.11	15	0.01	15	140.70	15	-21.69	15	0.00	15
2462	2033	42	Max	21.56	-659.30	15	-0.11	15	-0.01	15	139.86	15	8.56	15	0.00	15
2462	2033	42	Min.	0.00	-659.30	15	-0.11	15	0.01	15	140.70	15	-21.69	15	0.00	15
2462	2033	42	Min.	21.56	-659.30	15	-0.11	15	-0.01	15	139.86	15	8.56	15	0.00	15
2462	42	50	Max	0.00	-324.76	15	0.02	15	-0.00	15	118.94	15	-14.52	15	0.00	15
2462	42	50	Max	21.56	-324.76	15	0.02	15	-0.00	15	118.09	15	11.03	15	0.00	15

2462	42	50	Min.	0.00	-324.76	15	0.02	15	-0.00	15	118.94	15	-14.52	15	0.00	15
2462	42	50	Min.	21.56	-324.76	15	0.02	15	-0.00	15	118.09	15	11.03	15	0.00	15
2462	50	58	Max	0.00	-31.08	15	0.00	15	-0.00	15	104.86	15	-11.71	15	0.00	15
2462	50	58	Max	21.56	-31.08	15	0.00	15	0.00	15	104.01	15	10.81	15	0.00	15
2462	50	58	Min.	0.00	-31.08	15	0.00	15	-0.00	15	104.86	15	-11.71	15	0.00	15
2462	50	58	Min.	21.56	-31.08	15	0.00	15	0.00	15	104.01	15	10.81	15	0.00	15
2462	58	66	Max	0.00	202.62	15	-0.01	15	0.00	15	91.75	15	-9.35	15	-0.01	15
2462	58	66	Max	21.56	202.62	15	-0.01	15	-0.00	15	90.90	15	10.34	15	-0.01	15
2462	58	66	Min.	0.00	202.62	15	-0.01	15	0.00	15	91.75	15	-9.35	15	-0.01	15
2462	58	66	Min.	21.56	202.62	15	-0.01	15	-0.00	15	90.90	15	10.34	15	-0.01	15
2462	66	74	Max	0.00	372.56	15	0.06	15	-0.01	15	63.29	15	-5.84	15	-0.01	15
2462	66	74	Max	17.25					-0.00	15			5.02	15		
2462	66	74	Max	21.56	372.56	15	0.06	15	0.00	15	62.45	15	7.72	15	-0.01	15
2462	66	74	Min.	0.00	372.56	15	0.06	15	-0.01	15	63.29	15	-5.84	15	-0.01	15
2462	66	74	Min.	17.25					-0.00	15			5.02	15		
2462	66	74	Min.	21.56	372.56	15	0.06	15	0.00	15	62.45	15	7.72	15	-0.01	15
2462	74	82	Max	0.00	494.25	15	0.06	15	-0.01	15	54.85	15	-4.95	15	-0.01	15
2462	74	82	Max	21.56	494.25	15	0.06	15	0.00	15	54.00	15	6.78	15	-0.01	15
2462	74	82	Min.	0.00	494.25	15	0.06	15	-0.01	15	54.85	15	-4.95	15	-0.01	15
2462	74	82	Min.	21.56	494.25	15	0.06	15	0.00	15	54.00	15	6.78	15	-0.01	15
2462	82	90	Max	0.00	590.18	15	0.06	15	-0.01	15	47.88	15	-4.05	15	-0.01	15
2462	82	90	Max	21.56	590.18	15	0.06	15	0.01	15	47.03	15	6.19	15	-0.01	15
2462	82	90	Min.	0.00	590.18	15	0.06	15	-0.01	15	47.88	15	-4.05	15	-0.01	15
2462	82	90	Min.	21.56	590.18	15	0.06	15	0.01	15	47.03	15	6.19	15	-0.01	15
2462	90	98	Max	0.00	665.39	15	0.05	15	-0.00	15	41.09	15	-2.96	15	-0.01	15
2462	90	98	Max	21.56	665.39	15	0.05	15	0.01	15	40.25	15	5.81	15	-0.01	15
2462	90	98	Min.	0.00	665.39	15	0.05	15	-0.00	15	41.09	15	-2.96	15	-0.01	15
2462	90	98	Min.	21.56	665.39	15	0.05	15	0.01	15	40.25	15	5.81	15	-0.01	15
2462	98	106	Max	0.00	714.91	15	0.01	15	-0.00	15	20.63	15	-0.68	15	-0.01	15
2462	98	106	Max	8.63					-0.00	15			1.09	15		
2462	98	106	Max	21.56	714.91	15	0.01	15	0.00	15	19.78	15	3.68	15	-0.01	15
2462	98	106	Min.	0.00	714.91	15	0.01	15	-0.00	15	20.63	15	-0.68	15	-0.01	15
2462	98	106	Min.	8.63					-0.00	15			1.09	15		
2462	98	106	Min.	21.56	714.91	15	0.01	15	0.00	15	19.78	15	3.68	15	-0.01	15
2462	106	114	Max	0.00	743.82	15	0.03	15	-0.00	15	15.71	15	-0.38	15	-0.01	15
2462	106	114	Max	21.56	743.82	15	0.03	15	0.00	15	14.86	15	2.92	15	-0.01	15
2462	106	114	Min.	0.00	743.82	15	0.03	15	-0.00	15	15.71	15	-0.38	15	-0.01	15
2462	106	114	Min.	21.56	743.82	15	0.03	15	0.00	15	14.86	15	2.92	15	-0.01	15
2462	114	122	Max	0.00	762.91	15	0.03	15	-0.00	15	11.76	15	0.06	15	-0.00	15
2462	114	122	Max	21.56	762.91	15	0.03	15	0.00	15	10.92	15	2.51	15	-0.00	15
2462	114	122	Min.	0.00	762.91	15	0.03	15	-0.00	15	11.76	15	0.06	15	-0.00	15
2462	114	122	Min.	21.56	762.91	15	0.03	15	0.00	15	10.92	15	2.51	15	-0.00	15
2462	122	130	Max	0.00	773.37	15	0.02	15	0.00	15	7.35	15	0.84	15	-0.00	15
2462	122	130	Max	21.56	773.37	15	0.02	15	0.01	15	6.50	15	2.34	15	-0.00	15
2462	122	130	Min.	0.00	773.37	15	0.02	15	0.00	15	7.35	15	0.84	15	-0.00	15
2462	122	130	Min.	21.56	773.37	15	0.02	15	0.01	15	6.50	15	2.34	15	-0.00	15
2462	130	138	Max	0.00	769.30	15	0.01	15	0.00	15	-12.39	15	2.97	15	-0.00	15
2462	130	138	Max	21.56	769.30	15	0.01	15	0.00	15	-13.24	15	0.21	15	-0.00	15
2462	130	138	Min.	0.00	769.30	15	0.01	15	0.00	15	-12.39	15	2.97	15	-0.00	15
2462	130	138	Min.	21.56	769.30	15	0.01	15	0.00	15	-13.24	15	0.21	15	-0.00	15
2462	138	146	Max	0.00	753.32	15	0.01	15	-0.00	15	-15.69	15	2.94	15	-0.00	15
2462	138	146	Max	21.56	753.32	15	0.01	15	0.00	15	-16.54	15	-0.54	15	-0.00	15
2462	138	146	Min.	0.00	753.32	15	0.01	15	-0.00	15	-15.69	15	2.94	15	-0.00	15
2462	138	146	Min.	21.56	753.32	15	0.01	15	0.00	15	-16.54	15	-0.54	15	-0.00	15
2462	146	154	Max	0.00	734.24	15	0.01	15	0.00	15	-18.91	15	2.92	15	0.00	15
2462	146	154	Max	21.56	734.24	15	0.01	15	0.00	15	-19.76	15	-1.25	15	0.00	15
2462	146	154	Min.	0.00	734.24	15	0.01	15	0.00	15	-18.91	15	2.92	15	0.00	15
2462	146	154	Min.	21.56	734.24	15	0.01	15	0.00	15	-19.76	15	-1.25	15	0.00	15
2462	154	162	Max	0.00	716.94	15	0.01	15	0.00	15	-19.70	15	2.00	15	0.00	15

2462	154	162	Max	21.56	716.94	15	0.01	15	0.00	15	-20.55	15	-2.34	15	0.00	15
2462	154	162	Min.	0.00	716.94	15	0.01	15	0.00	15	-19.70	15	2.00	15	0.00	15
2462	154	162	Min.	21.56	716.94	15	0.01	15	0.00	15	-20.55	15	-2.34	15	0.00	15
2462	162	170	Max	0.00	716.96	15	-0.01	15	0.00	15	20.57	15	-2.34	15	0.00	15
2462	162	170	Max	21.56	716.96	15	-0.01	15	0.00	15	19.72	15	2.00	15	0.00	15
2462	162	170	Min.	0.00	716.96	15	-0.01	15	0.00	15	20.57	15	-2.34	15	0.00	15
2462	162	170	Min.	21.56	716.96	15	-0.01	15	0.00	15	19.72	15	2.00	15	0.00	15
2462	170	178	Max	0.00	734.28	15	-0.01	15	0.00	15	19.78	15	-1.25	15	0.00	15
2462	170	178	Max	21.56	734.28	15	-0.01	15	0.00	15	18.94	15	2.92	15	0.00	15
2462	170	178	Min.	0.00	734.28	15	-0.01	15	0.00	15	19.78	15	-1.25	15	0.00	15
2462	170	178	Min.	21.56	734.28	15	-0.01	15	0.00	15	18.94	15	2.92	15	0.00	15
2462	178	186	Max	0.00	753.39	15	-0.01	15	0.00	15	16.56	15	-0.54	15	0.00	15
2462	178	186	Max	21.56	753.39	15	-0.01	15	-0.00	15	15.71	15	2.94	15	0.00	15
2462	178	186	Min.	0.00	753.39	15	-0.01	15	0.00	15	16.56	15	-0.54	15	0.00	15
2462	178	186	Min.	21.56	753.39	15	-0.01	15	-0.00	15	15.71	15	2.94	15	0.00	15
2462	186	194	Max	0.00	769.40	15	-0.01	15	0.00	15	13.27	15	0.20	15	0.00	15
2462	186	194	Max	21.56	769.40	15	-0.01	15	0.00	15	12.42	15	2.97	15	0.00	15
2462	186	194	Min.	0.00	769.40	15	-0.01	15	0.00	15	13.27	15	0.20	15	0.00	15
2462	186	194	Min.	21.56	769.40	15	-0.01	15	0.00	15	12.42	15	2.97	15	0.00	15
2462	194	202	Max	0.00	773.51	15	-0.02	15	0.01	15	-6.47	15	2.33	15	0.00	15
2462	194	202	Max	21.56	773.51	15	-0.02	15	0.00	15	-7.31	15	0.85	15	0.00	15
2462	194	202	Min.	0.00	773.51	15	-0.02	15	0.01	15	-6.47	15	2.33	15	0.00	15
2462	194	202	Min.	21.56	773.51	15	-0.02	15	0.00	15	-7.31	15	0.85	15	0.00	15
2462	202	210	Max	0.00	763.09	15	-0.03	15	0.00	15	-10.88	15	2.50	15	0.00	15
2462	202	210	Max	21.56	763.09	15	-0.03	15	-0.00	15	-11.73	15	0.06	15	0.00	15
2462	202	210	Min.	0.00	763.09	15	-0.03	15	0.00	15	-10.88	15	2.50	15	0.00	15
2462	202	210	Min.	21.56	763.09	15	-0.03	15	-0.00	15	-11.73	15	0.06	15	0.00	15
2462	210	218	Max	0.00	744.05	15	-0.03	15	0.00	15	-14.83	15	2.91	15	0.01	15
2462	210	218	Max	21.56	744.05	15	-0.03	15	-0.00	15	-15.68	15	-0.38	15	0.01	15
2462	210	218	Min.	0.00	744.05	15	-0.03	15	0.00	15	-14.83	15	2.91	15	0.01	15
2462	210	218	Min.	21.56	744.05	15	-0.03	15	-0.00	15	-15.68	15	-0.38	15	0.01	15
2462	218	226	Max	0.00	715.20	15	-0.01	15	0.00	15	-19.75	15	3.67	15	0.01	15
2462	218	226	Max	21.56	715.20	15	-0.01	15	-0.00	15	-20.59	15	-0.67	15	0.01	15
2462	218	226	Min.	0.00	715.20	15	-0.01	15	0.00	15	-19.75	15	3.67	15	0.01	15
2462	218	226	Min.	21.56	715.20	15	-0.01	15	-0.00	15	-20.59	15	-0.67	15	0.01	15
2462	226	234	Max	0.00	665.74	15	-0.05	15	0.01	15	-40.20	15	5.80	15	0.01	15
2462	226	234	Max	21.56	665.74	15	-0.05	15	-0.00	15	-41.05	15	-2.96	15	0.01	15
2462	226	234	Min.	0.00	665.74	15	-0.05	15	0.01	15	-40.20	15	5.80	15	0.01	15
2462	226	234	Min.	21.56	665.74	15	-0.05	15	-0.00	15	-41.05	15	-2.96	15	0.01	15
2462	234	242	Max	0.00	590.61	15	-0.06	15	0.01	15	-46.98	15	6.18	15	0.01	15
2462	234	242	Max	21.56	590.61	15	-0.06	15	-0.01	15	-47.83	15	-4.04	15	0.01	15
2462	234	242	Min.	0.00	590.61	15	-0.06	15	0.01	15	-46.98	15	6.18	15	0.01	15
2462	234	242	Min.	21.56	590.61	15	-0.06	15	-0.01	15	-47.83	15	-4.04	15	0.01	15
2462	242	250	Max	0.00	494.78	15	-0.06	15	0.00	15	-53.95	15	6.78	15	0.01	15
2462	242	250	Max	21.56	494.78	15	-0.06	15	-0.01	15	-54.80	15	-4.94	15	0.01	15
2462	242	250	Min.	0.00	494.78	15	-0.06	15	0.00	15	-53.95	15	6.78	15	0.01	15
2462	242	250	Min.	21.56	494.78	15	-0.06	15	-0.01	15	-54.80	15	-4.94	15	0.01	15
2462	250	258	Max	0.00	373.21	15	-0.06	15	0.00	15	-62.39	15	7.71	15	0.01	15
2462	250	258	Max	21.56	373.21	15	-0.06	15	-0.01	15	-63.23	15	-5.83	15	0.01	15
2462	250	258	Min.	0.00	373.21	15	-0.06	15	0.00	15	-62.39	15	7.71	15	0.01	15
2462	250	258	Min.	21.56	373.21	15	-0.06	15	-0.01	15	-63.23	15	-5.83	15	0.01	15
2462	258	266	Max	0.00	203.46	15	0.02	15	-0.00	15	-90.79	15	10.33	15	0.01	15
2462	258	266	Max	17.25					-0.00	15			-5.39	15		
2462	258	266	Max	21.56	203.46	15	0.02	15	0.00	15	-91.64	15	-9.34	15	0.01	15
2462	258	266	Min.	0.00	203.46	15	0.02	15	-0.00	15	-90.79	15	10.33	15	0.01	15
2462	258	266	Min.	17.25					-0.00	15			-5.39	15		
2462	258	266	Min.	21.56	203.46	15	0.02	15	0.00	15	-91.64	15	-9.34	15	0.01	15
2462	266	274	Max	0.00	-29.98	15	-0.00	15	0.00	15	-103.90	15	10.80	15	0.00	15
2462	266	274	Max	21.56	-29.98	15	-0.00	15	0.00	15	-104.74	15	-11.69	15	0.00	15

2462	266	274	Min.	0.00	-29.98	15	-0.00	15	0.00	15	-103.90	15	10.80	15	0.00	15
2462	266	274	Min.	21.56	-29.98	15	-0.00	15	0.00	15	-104.74	15	-11.69	15	0.00	15
2462	274	282	Max	0.00	-323.31	15	-0.01	15	-0.00	15	-117.96	15	11.02	15	-0.00	15
2462	274	282	Max	21.56	-323.31	15	-0.01	15	-0.00	15	-118.80	15	-14.50	15	-0.00	15
2462	274	282	Min.	0.00	-323.31	15	-0.01	15	-0.00	15	-117.96	15	11.02	15	-0.00	15
2462	274	282	Min.	21.56	-323.31	15	-0.01	15	-0.00	15	-118.80	15	-14.50	15	-0.00	15
2462	282	2293	Max	0.00	-657.37	15	0.12	15	-0.01	15	-139.70	15	8.54	15	-0.00	15
2462	282	2293	Max	21.56	-657.37	15	0.12	15	0.02	15	-140.55	15	-21.67	15	-0.00	15
2462	282	2293	Min.	0.00	-657.37	15	0.12	15	-0.01	15	-139.70	15	8.54	15	-0.00	15
2462	282	2293	Min.	21.56	-657.37	15	0.12	15	0.02	15	-140.55	15	-21.67	15	-0.00	15
2462	2293	302	Max	0.00	-127.19	15	-0.19	15	0.02	15	10.88	15	-1.20	15	0.02	15
2462	2293	302	Max	16.67	-127.19	15	-0.19	15	-0.01	15	10.23	15	0.55	15	0.02	15
2462	2293	302	Min.	0.00	-127.19	15	-0.19	15	0.02	15	10.88	15	-1.20	15	0.02	15
2462	2293	302	Min.	16.67	-127.19	15	-0.19	15	-0.01	15	10.23	15	0.55	15	0.02	15
2462	302	310	Max	0.00	-83.40	15	-0.18	15	0.02	15	17.19	15	-1.69	15	0.02	15
2462	302	310	Max	16.67	-83.40	15	-0.18	15	-0.01	15	16.54	15	1.12	15	0.02	15
2462	302	310	Min.	0.00	-83.40	15	-0.18	15	0.02	15	17.19	15	-1.69	15	0.02	15
2462	302	310	Min.	16.67	-83.40	15	-0.18	15	-0.01	15	16.54	15	1.12	15	0.02	15
2462	310	2318	Max	0.00	-34.13	15	-0.27	15	0.02	15	15.74	15	-1.20	15	0.02	15
2462	310	2318	Max	16.67	-34.13	15	-0.27	15	-0.03	15	15.08	15	1.37	15	0.02	15
2462	310	2318	Min.	0.00	-34.13	15	-0.27	15	0.02	15	15.74	15	-1.20	15	0.02	15
2462	310	2318	Min.	16.67	-34.13	15	-0.27	15	-0.03	15	15.08	15	1.37	15	0.02	15
2500	2008	16	Max	0.00	-7.13	15	0.24	15	-0.02	15	-3.25	15	0.27	15	0.01	15
2500	2008	16	Max	16.67	-7.13	15	0.24	15	0.02	15	-3.91	15	-0.32	15	0.01	15
2500	2008	16	Min.	0.00	-7.13	15	0.24	15	-0.02	15	-3.25	15	0.27	15	0.01	15
2500	2008	16	Min.	16.67	-7.13	15	0.24	15	0.02	15	-3.91	15	-0.32	15	0.01	15
2500	16	24	Max	0.00	-13.09	15	0.04	15	-0.00	15	-0.32	15	-0.03	15	0.01	15
2500	16	24	Max	16.67	-13.09	15	0.04	15	0.00	15	-0.97	15	-0.14	15	0.01	15
2500	16	24	Min.	0.00	-13.09	15	0.04	15	-0.00	15	-0.32	15	-0.03	15	0.01	15
2500	16	24	Min.	16.67	-13.09	15	0.04	15	0.00	15	-0.97	15	-0.14	15	0.01	15
2500	24	2036	Max	0.00	-37.22	15	0.23	15	-0.01	15	-0.90	15	0.19	15	0.02	15
2500	24	2036	Max	16.67	-37.22	15	0.23	15	0.03	15	-1.56	15	-0.02	15	0.02	15
2500	24	2036	Min.	0.00	-37.22	15	0.23	15	-0.01	15	-0.90	15	0.19	15	0.02	15
2500	24	2036	Min.	16.67	-37.22	15	0.23	15	0.03	15	-1.56	15	-0.02	15	0.02	15
2500	2036	44	Max	0.00	-329.29	15	0.30	15	-0.06	15	71.33	15	-11.02	15	-0.05	15
2500	2036	44	Max	21.56	-329.29	15	0.30	15	0.00	15	70.48	15	4.27	15	-0.05	15
2500	2036	44	Min.	0.00	-329.29	15	0.30	15	-0.06	15	71.33	15	-11.02	15	-0.05	15
2500	2036	44	Min.	21.56	-329.29	15	0.30	15	0.00	15	70.48	15	4.27	15	-0.05	15
2500	44	52	Max	0.00	-159.85	15	0.23	15	-0.04	15	60.73	15	-7.42	15	-0.05	15
2500	44	52	Max	21.56	-159.85	15	0.23	15	0.01	15	59.89	15	5.59	15	-0.05	15
2500	44	52	Min.	0.00	-159.85	15	0.23	15	-0.04	15	60.73	15	-7.42	15	-0.05	15
2500	44	52	Min.	21.56	-159.85	15	0.23	15	0.01	15	59.89	15	5.59	15	-0.05	15
2500	52	60	Max	0.00	-9.94	15	0.23	15	-0.03	15	53.84	15	-6.02	15	-0.05	15
2500	52	60	Max	21.56	-9.94	15	0.23	15	0.02	15	52.99	15	5.50	15	-0.05	15
2500	52	60	Min.	0.00	-9.94	15	0.23	15	-0.03	15	53.84	15	-6.02	15	-0.05	15
2500	52	60	Min.	21.56	-9.94	15	0.23	15	0.02	15	52.99	15	5.50	15	-0.05	15
2500	60	68	Max	0.00	110.65	15	0.21	15	-0.01	15	47.73	15	-4.91	15	-0.04	15
2500	60	68	Max	21.56	110.65	15	0.21	15	0.03	15	46.88	15	5.29	15	-0.04	15
2500	60	68	Min.	0.00	110.65	15	0.21	15	-0.01	15	47.73	15	-4.91	15	-0.04	15
2500	60	68	Min.	21.56	110.65	15	0.21	15	0.03	15	46.88	15	5.29	15	-0.04	15
2500	68	76	Max	0.00	202.23	15	0.05	15	-0.01	15	35.86	15	-3.41	15	-0.03	15
2500	68	76	Max	17.25					-0.00	15			2.72	15		
2500	68	76	Max	21.56	202.23	15	0.05	15	0.00	15	35.01	15	4.24	15	-0.03	15
2500	68	76	Min.	0.00	202.23	15	0.05	15	-0.01	15	35.86	15	-3.41	15	-0.03	15
2500	68	76	Min.	17.25					-0.00	15			2.72	15		
2500	68	76	Min.	21.56	202.23	15	0.05	15	0.00	15	35.01	15	4.24	15	-0.03	15
2500	76	84	Max	0.00	270.67	15	0.11	15	-0.02	15	31.45	15	-2.89	15	-0.02	15
2500	76	84	Max	21.56	270.67	15	0.11	15	0.01	15	30.60	15	3.80	15	-0.02	15
2500	76	84	Min.	0.00	270.67	15	0.11	15	-0.02	15	31.45	15	-2.89	15	-0.02	15

2500	76	84	Min.	21.56	270.67	15	0.11	15	0.01	15	30.60	15	3.80	15	-0.02	15
2500	84	92	Max	0.00	325.76	15	0.11	15	-0.01	15	27.98	15	-2.42	15	-0.02	15
2500	84	92	Max	21.56	325.76	15	0.11	15	0.02	15	27.14	15	3.52	15	-0.02	15
2500	84	92	Min.	0.00	325.76	15	0.11	15	-0.01	15	27.98	15	-2.42	15	-0.02	15
2500	84	92	Min.	21.56	325.76	15	0.11	15	0.02	15	27.14	15	3.52	15	-0.02	15
2500	92	100	Max	0.00	369.63	15	0.07	15	0.00	15	24.61	15	-1.81	15	-0.02	15
2500	92	100	Max	21.56	369.63	15	0.07	15	0.02	15	23.76	15	3.40	15	-0.02	15
2500	92	100	Min.	0.00	369.63	15	0.07	15	0.00	15	24.61	15	-1.81	15	-0.02	15
2500	92	100	Min.	21.56	369.63	15	0.07	15	0.02	15	23.76	15	3.40	15	-0.02	15
2500	100	108	Max	0.00	398.13	15	0.05	15	-0.01	15	11.23	15	-0.32	15	-0.02	15
2500	100	108	Max	21.56	398.13	15	0.05	15	-0.00	15	10.38	15	2.01	15	-0.02	15
2500	100	108	Min.	0.00	398.13	15	0.05	15	-0.01	15	11.23	15	-0.32	15	-0.02	15
2500	100	108	Min.	21.56	398.13	15	0.05	15	-0.00	15	10.38	15	2.01	15	-0.02	15
2500	108	116	Max	0.00	414.01	15	0.09	15	-0.01	15	8.76	15	-0.22	15	-0.01	15
2500	108	116	Max	21.56	414.01	15	0.09	15	0.00	15	7.92	15	1.58	15	-0.01	15
2500	108	116	Min.	0.00	414.01	15	0.09	15	-0.01	15	8.76	15	-0.22	15	-0.01	15
2500	108	116	Min.	21.56	414.01	15	0.09	15	0.00	15	7.92	15	1.58	15	-0.01	15
2500	116	124	Max	0.00	424.79	15	0.09	15	-0.01	15	6.98	15	-0.03	15	-0.01	15
2500	116	124	Max	21.56	424.79	15	0.09	15	0.01	15	6.14	15	1.38	15	-0.01	15
2500	116	124	Min.	0.00	424.79	15	0.09	15	-0.01	15	6.98	15	-0.03	15	-0.01	15
2500	116	124	Min.	21.56	424.79	15	0.09	15	0.01	15	6.14	15	1.38	15	-0.01	15
2500	124	132	Max	0.00	431.32	15	0.06	15	0.00	15	4.94	15	0.34	15	-0.01	15
2500	124	132	Max	21.56	431.32	15	0.06	15	0.02	15	4.10	15	1.32	15	-0.01	15
2500	124	132	Min.	0.00	431.32	15	0.06	15	0.00	15	4.94	15	0.34	15	-0.01	15
2500	124	132	Min.	21.56	431.32	15	0.06	15	0.02	15	4.10	15	1.32	15	-0.01	15
2500	132	140	Max	0.00	430.57	15	-0.02	15	0.00	15	-5.11	15	1.43	15	-0.01	15
2500	132	140	Max	21.56	430.57	15	-0.02	15	-0.00	15	-5.96	15	0.23	15	-0.01	15
2500	132	140	Min.	0.00	430.57	15	-0.02	15	0.00	15	-5.11	15	1.43	15	-0.01	15
2500	132	140	Min.	21.56	430.57	15	-0.02	15	-0.00	15	-5.96	15	0.23	15	-0.01	15
2500	140	148	Max	0.00	423.71	15	0.01	15	0.00	15	-6.70	15	1.40	15	0.00	15
2500	140	148	Max	21.56	423.71	15	0.01	15	0.00	15	-7.55	15	-0.14	15	0.00	15
2500	140	148	Min.	0.00	423.71	15	0.01	15	0.00	15	-6.70	15	1.40	15	0.00	15
2500	140	148	Min.	21.56	423.71	15	0.01	15	0.00	15	-7.55	15	-0.14	15	0.00	15
2500	148	156	Max	0.00	415.29	15	0.02	15	0.01	15	-8.19	15	1.39	15	0.00	15
2500	148	156	Max	21.56	415.29	15	0.02	15	0.01	15	-9.03	15	-0.47	15	0.00	15
2500	148	156	Min.	0.00	415.29	15	0.02	15	0.01	15	-8.19	15	1.39	15	0.00	15
2500	148	156	Min.	21.56	415.29	15	0.02	15	0.01	15	-9.03	15	-0.47	15	0.00	15
2500	156	164	Max	0.00	407.57	15	0.01	15	0.01	15	-8.55	15	0.97	15	0.00	15
2500	156	164	Max	21.56	407.57	15	0.01	15	0.02	15	-9.40	15	-0.96	15	0.00	15
2500	156	164	Min.	0.00	407.57	15	0.01	15	0.01	15	-8.55	15	0.97	15	0.00	15
2500	156	164	Min.	21.56	407.57	15	0.01	15	0.02	15	-9.40	15	-0.96	15	0.00	15
2500	164	172	Max	0.00	407.58	15	-0.01	15	0.02	15	9.41	15	-0.96	15	-0.00	15
2500	164	172	Max	21.56	407.58	15	-0.01	15	0.01	15	8.56	15	0.97	15	-0.00	15
2500	164	172	Min.	0.00	407.58	15	-0.01	15	0.02	15	9.41	15	-0.96	15	-0.00	15
2500	164	172	Min.	21.56	407.58	15	-0.01	15	0.01	15	8.56	15	0.97	15	-0.00	15
2500	172	180	Max	0.00	415.30	15	-0.02	15	0.01	15	9.04	15	-0.47	15	-0.00	15
2500	172	180	Max	21.56	415.30	15	-0.02	15	0.01	15	8.20	15	1.39	15	-0.00	15
2500	172	180	Min.	0.00	415.30	15	-0.02	15	0.01	15	9.04	15	-0.47	15	-0.00	15
2500	172	180	Min.	21.56	415.30	15	-0.02	15	0.01	15	8.20	15	1.39	15	-0.00	15
2500	180	188	Max	0.00	423.73	15	-0.01	15	0.00	15	7.56	15	-0.14	15	0.00	15
2500	180	188	Max	21.56	423.73	15	-0.01	15	0.00	15	6.71	15	1.40	15	0.00	15
2500	180	188	Min.	0.00	423.73	15	-0.01	15	0.00	15	7.56	15	-0.14	15	0.00	15
2500	180	188	Min.	21.56	423.73	15	-0.01	15	0.00	15	6.71	15	1.40	15	0.00	15
2500	188	196	Max	0.00	430.60	15	0.02	15	-0.00	15	5.97	15	0.23	15	0.01	15
2500	188	196	Max	21.56	430.60	15	0.02	15	0.00	15	5.12	15	1.43	15	0.01	15
2500	188	196	Min.	0.00	430.60	15	0.02	15	-0.00	15	5.97	15	0.23	15	0.01	15
2500	188	196	Min.	21.56	430.60	15	0.02	15	0.00	15	5.12	15	1.43	15	0.01	15
2500	196	204	Max	0.00	431.36	15	-0.06	15	0.02	15	-4.09	15	1.32	15	0.01	15
2500	196	204	Max	21.56	431.36	15	-0.06	15	0.00	15	-4.94	15	0.34	15	0.01	15

2500	196	204	Min.	0.00	431.36	15	-0.06	15	0.02	15	-4.09	15	1.32	15	0.01	15
2500	196	204	Min.	21.56	431.36	15	-0.06	15	0.00	15	-4.94	15	0.34	15	0.01	15
2500	204	212	Max	0.00	424.84	15	-0.09	15	0.01	15	-6.13	15	1.38	15	0.01	15
2500	204	212	Max	21.56	424.84	15	-0.09	15	-0.01	15	-6.97	15	-0.03	15	0.01	15
2500	204	212	Min.	0.00	424.84	15	-0.09	15	0.01	15	-6.13	15	1.38	15	0.01	15
2500	204	212	Min.	21.56	424.84	15	-0.09	15	-0.01	15	-6.97	15	-0.03	15	0.01	15
2500	212	220	Max	0.00	414.07	15	-0.09	15	0.00	15	-7.91	15	1.58	15	0.01	15
2500	212	220	Max	21.56	414.07	15	-0.09	15	-0.01	15	-8.75	15	-0.22	15	0.01	15
2500	212	220	Min.	0.00	414.07	15	-0.09	15	0.00	15	-7.91	15	1.58	15	0.01	15
2500	212	220	Min.	21.56	414.07	15	-0.09	15	-0.01	15	-8.75	15	-0.22	15	0.01	15
2500	220	228	Max	0.00	398.21	15	-0.05	15	-0.00	15	-10.37	15	2.01	15	0.02	15
2500	220	228	Max	21.56	398.21	15	-0.05	15	-0.01	15	-11.22	15	-0.32	15	0.02	15
2500	220	228	Min.	0.00	398.21	15	-0.05	15	-0.00	15	-10.37	15	2.01	15	0.02	15
2500	220	228	Min.	21.56	398.21	15	-0.05	15	-0.01	15	-11.22	15	-0.32	15	0.02	15
2500	228	236	Max	0.00	369.73	15	-0.07	15	0.02	15	-23.75	15	3.40	15	0.02	15
2500	228	236	Max	21.56	369.73	15	-0.07	15	0.00	15	-24.60	15	-1.81	15	0.02	15
2500	228	236	Min.	0.00	369.73	15	-0.07	15	0.02	15	-23.75	15	3.40	15	0.02	15
2500	228	236	Min.	21.56	369.73	15	-0.07	15	0.00	15	-24.60	15	-1.81	15	0.02	15
2500	236	244	Max	0.00	325.88	15	-0.11	15	0.02	15	-27.12	15	3.52	15	0.02	15
2500	236	244	Max	21.56	325.88	15	-0.11	15	-0.01	15	-27.97	15	-2.42	15	0.02	15
2500	236	244	Min.	0.00	325.88	15	-0.11	15	0.02	15	-27.12	15	3.52	15	0.02	15
2500	236	244	Min.	21.56	325.88	15	-0.11	15	-0.01	15	-27.97	15	-2.42	15	0.02	15
2500	244	252	Max	0.00	270.82	15	-0.11	15	0.01	15	-30.58	15	3.80	15	0.02	15
2500	244	252	Max	21.56	270.82	15	-0.11	15	-0.02	15	-31.43	15	-2.89	15	0.02	15
2500	244	252	Min.	0.00	270.82	15	-0.11	15	0.01	15	-30.58	15	3.80	15	0.02	15
2500	244	252	Min.	21.56	270.82	15	-0.11	15	-0.02	15	-31.43	15	-2.89	15	0.02	15
2500	252	260	Max	0.00	202.41	15	-0.05	15	0.00	15	-34.99	15	4.23	15	0.03	15
2500	252	260	Max	21.56	202.41	15	-0.05	15	-0.01	15	-35.84	15	-3.40	15	0.03	15
2500	252	260	Min.	0.00	202.41	15	-0.05	15	0.00	15	-34.99	15	4.23	15	0.03	15
2500	252	260	Min.	21.56	202.41	15	-0.05	15	-0.01	15	-35.84	15	-3.40	15	0.03	15
2500	260	268	Max	0.00	110.89	15	-0.21	15	0.03	15	-46.85	15	5.29	15	0.04	15
2500	260	268	Max	21.56	110.89	15	-0.21	15	-0.01	15	-47.70	15	-4.91	15	0.04	15
2500	260	268	Min.	0.00	110.89	15	-0.21	15	0.03	15	-46.85	15	5.29	15	0.04	15
2500	260	268	Min.	21.56	110.89	15	-0.21	15	-0.01	15	-47.70	15	-4.91	15	0.04	15
2500	268	276	Max	0.00	-9.62	15	-0.23	15	0.02	15	-52.96	15	5.50	15	0.05	15
2500	268	276	Max	21.56	-9.62	15	-0.23	15	-0.03	15	-53.80	15	-6.01	15	0.05	15
2500	268	276	Min.	0.00	-9.62	15	-0.23	15	0.02	15	-52.96	15	5.50	15	0.05	15
2500	268	276	Min.	21.56	-9.62	15	-0.23	15	-0.03	15	-53.80	15	-6.01	15	0.05	15
2500	276	284	Max	0.00	-159.42	15	-0.23	15	0.01	15	-59.84	15	5.59	15	0.05	15
2500	276	284	Max	21.56	-159.42	15	-0.23	15	-0.04	15	-60.69	15	-7.41	15	0.05	15
2500	276	284	Min.	0.00	-159.42	15	-0.23	15	0.01	15	-59.84	15	5.59	15	0.05	15
2500	276	284	Min.	21.56	-159.42	15	-0.23	15	-0.04	15	-60.69	15	-7.41	15	0.05	15
2500	284	2296	Max	0.00	-328.72	15	-0.30	15	0.00	15	-70.44	15	4.26	15	0.05	15
2500	284	2296	Max	21.56	-328.72	15	-0.30	15	-0.06	15	-71.29	15	-11.02	15	0.05	15
2500	284	2296	Min.	0.00	-328.72	15	-0.30	15	0.00	15	-70.44	15	4.26	15	0.05	15
2500	284	2296	Min.	21.56	-328.72	15	-0.30	15	-0.06	15	-71.29	15	-11.02	15	0.05	15
2500	2296	304	Max	0.00	-33.25	15	-0.25	15	0.03	15	1.00	15	0.01	15	-0.02	15
2500	2296	304	Max	16.67	-33.25	15	-0.25	15	-0.01	15	0.34	15	0.13	15	-0.02	15
2500	2296	304	Min.	0.00	-33.25	15	-0.25	15	0.03	15	1.00	15	0.01	15	-0.02	15
2500	2296	304	Min.	16.67	-33.25	15	-0.25	15	-0.01	15	0.34	15	0.13	15	-0.02	15
2500	304	312	Max	0.00	-20.23	15	-0.14	15	0.01	15	5.15	15	-0.49	15	-0.01	15
2500	304	312	Max	16.67	-20.23	15	-0.14	15	-0.01	15	4.50	15	0.32	15	-0.01	15
2500	304	312	Min.	0.00	-20.23	15	-0.14	15	0.01	15	5.15	15	-0.49	15	-0.01	15
2500	304	312	Min.	16.67	-20.23	15	-0.14	15	-0.01	15	4.50	15	0.32	15	-0.01	15
2500	312	2320	Max	0.00	-7.83	15	-0.21	15	0.01	15	3.72	15	-0.26	15	-0.01	15
2500	312	2320	Max	16.67	-7.83	15	-0.21	15	-0.02	15	3.07	15	0.30	15	-0.01	15
2500	312	2320	Min.	0.00	-7.83	15	-0.21	15	0.01	15	3.72	15	-0.26	15	-0.01	15
2500	312	2320	Min.	16.67	-7.83	15	-0.21	15	-0.02	15	3.07	15	0.30	15	-0.01	15
2580	2031	2032	Max	0.00	-1.22	15	-551.01	15	0.11	15	-168.85	15	0.08	15	22.97	15

2580	2031	2032	Max	0.63	-1.22	15	-551.01	15	-3.36	15	-168.89	15	-0.99	15	22.97	15
2580	2031	2032	Min.	0.00	-1.22	15	-551.01	15	0.11	15	-168.85	15	0.08	15	22.97	15
2580	2031	2032	Min.	0.63	-1.22	15	-551.01	15	-3.36	15	-168.89	15	-0.99	15	22.97	15
2580	2032	2033	Max	5.37	-2.19	15	503.92	15	-3.17	15	192.72	15	-1.15	15	-22.20	15
2580	2032	2033	Max	6.00	-2.19	15	503.92	15	0.01	15	192.68	15	0.06	15	-22.20	15
2580	2032	2033	Min.	5.37	-2.19	15	503.92	15	-3.17	15	192.72	15	-1.15	15	-22.20	15
2580	2032	2033	Min.	6.00	-2.19	15	503.92	15	0.01	15	192.68	15	0.06	15	-22.20	15
2624	2291	2292	Max	0.00	-1.20	15	542.54	15	-0.11	15	-170.27	15	0.08	15	-22.80	15
2624	2291	2292	Max	0.63	-1.20	15	542.54	15	3.31	15	-170.31	15	-0.99	15	-22.80	15
2624	2291	2292	Min.	0.00	-1.20	15	542.54	15	-0.11	15	-170.27	15	0.08	15	-22.80	15
2624	2291	2292	Min.	0.63	-1.20	15	542.54	15	3.31	15	-170.31	15	-0.99	15	-22.80	15
2624	2292	2293	Max	5.37	-2.18	15	-514.35	15	3.23	15	190.89	15	-1.14	15	22.28	15
2624	2292	2293	Max	6.00	-2.18	15	-514.35	15	-0.01	15	190.85	15	0.06	15	22.28	15
2624	2292	2293	Min.	5.37	-2.18	15	-514.35	15	3.23	15	190.89	15	-1.14	15	22.28	15
2624	2292	2293	Min.	6.00	-2.18	15	-514.35	15	-0.01	15	190.85	15	0.06	15	22.28	15
2859	2034	2035	Max	0.00	-0.44	15	-309.71	15	0.14	15	-115.10	15	-0.04	15	13.08	15
2859	2034	2035	Max	0.63	-0.44	15	-309.71	15	-1.81	15	-115.14	15	-0.77	15	13.08	15
2859	2034	2035	Min.	0.00	-0.44	15	-309.71	15	0.14	15	-115.10	15	-0.04	15	13.08	15
2859	2034	2035	Min.	0.63	-0.44	15	-309.71	15	-1.81	15	-115.14	15	-0.77	15	13.08	15
2859	2035	2036	Max	5.37	-0.14	15	281.44	15	-1.86	15	66.26	15	-0.33	15	-12.13	15
2859	2035	2036	Max	6.00	-0.14	15	281.44	15	-0.08	15	66.22	15	0.08	15	-12.13	15
2859	2035	2036	Min.	5.37	-0.14	15	281.44	15	-1.86	15	66.26	15	-0.33	15	-12.13	15
2859	2035	2036	Min.	6.00	-0.14	15	281.44	15	-0.08	15	66.22	15	0.08	15	-12.13	15
2903	2294	2295	Max	0.00	-0.47	15	307.35	15	-0.14	15	-115.46	15	-0.04	15	-13.03	15
2903	2294	2295	Max	0.63	-0.47	15	307.35	15	1.80	15	-115.50	15	-0.77	15	-13.03	15
2903	2294	2295	Min.	0.00	-0.47	15	307.35	15	-0.14	15	-115.46	15	-0.04	15	-13.03	15
2903	2294	2295	Min.	0.63	-0.47	15	307.35	15	1.80	15	-115.50	15	-0.77	15	-13.03	15
2903	2295	2296	Max	5.37	-0.15	15	-284.54	15	1.87	15	65.51	15	-0.33	15	12.17	15
2903	2295	2296	Max	6.00	-0.15	15	-284.54	15	0.08	15	65.47	15	0.08	15	12.17	15
2903	2295	2296	Min.	5.37	-0.15	15	-284.54	15	1.87	15	65.51	15	-0.33	15	12.17	15
2903	2295	2296	Min.	6.00	-0.15	15	-284.54	15	0.08	15	65.47	15	0.08	15	12.17	15
3001	3001	3002	Max	0.00	1.31	15	-2.26	15	0.11	15	-5.55	15	0.03	15	0.06	15
3001	3001	3002	Max	12.00	1.31	15	-2.26	15	-0.16	15	-3.77	15	-0.53	15	0.06	15
3001	3001	3002	Min.	0.00	1.31	15	-2.26	15	0.11	15	-5.55	15	0.03	15	0.06	15
3001	3001	3002	Min.	12.00	1.31	15	-2.26	15	-0.16	15	-3.77	15	-0.53	15	0.06	15
3001	3003	3004	Max	0.00	3.19	15	-1.42	15	0.07	15	-1.99	15	16.39	15	-0.04	15
3001	3003	3004	Max	12.00	3.19	15	-1.42	15	-0.10	15	-0.21	15	16.25	15	-0.04	15
3001	3003	3004	Min.	0.00	3.19	15	-1.42	15	0.07	15	-1.99	15	16.39	15	-0.04	15
3001	3003	3004	Min.	12.00	3.19	15	-1.42	15	-0.10	15	-0.21	15	16.25	15	-0.04	15
3001	3005	3006	Max	0.00	3.37	15	-0.12	15	-0.01	15	4.61	15	16.02	15	0.14	15
3001	3005	3006	Max	12.00	3.37	15	-0.12	15	-0.02	15	6.39	15	16.68	15	0.14	15
3001	3005	3006	Min.	0.00	3.37	15	-0.12	15	-0.01	15	4.61	15	16.02	15	0.14	15
3001	3005	3006	Min.	12.00	3.37	15	-0.12	15	-0.02	15	6.39	15	16.68	15	0.14	15
3001	3007	3008	Max	0.00	1.47	15	1.86	15	-0.10	15	5.34	15	-0.74	15	-0.01	15
3001	3007	3008	Max	12.00	1.47	15	1.86	15	0.12	15	7.12	15	0.01	15	-0.01	15
3001	3007	3008	Min.	0.00	1.47	15	1.86	15	-0.10	15	5.34	15	-0.74	15	-0.01	15
3001	3007	3008	Min.	12.00	1.47	15	1.86	15	0.12	15	7.12	15	0.01	15	-0.01	15
3087	3313	3314	Max	0.00	1.45	15	2.05	15	-0.12	15	-6.55	15	0.02	15	-0.03	15
3087	3313	3314	Max	12.00	1.45	15	2.05	15	0.12	15	-4.77	15	-0.66	15	-0.03	15
3087	3313	3314	Min.	0.00	1.45	15	2.05	15	-0.12	15	-6.55	15	0.02	15	-0.03	15
3087	3313	3314	Min.	12.00	1.45	15	2.05	15	0.12	15	-4.77	15	-0.66	15	-0.03	15
3087	3315	3316	Max	0.00	3.42	15	0.69	15	-0.02	15	-3.84	15	16.50	15	0.08	15
3087	3315	3316	Max	12.00	3.42	15	0.69	15	0.06	15	-2.06	15	16.15	15	0.08	15
3087	3315	3316	Min.	0.00	3.42	15	0.69	15	-0.02	15	-3.84	15	16.50	15	0.08	15
3087	3315	3316	Min.	12.00	3.42	15	0.69	15	0.06	15	-2.06	15	16.15	15	0.08	15
3087	3317	3318	Max	0.00	3.43	15	-0.67	15	0.06	15	2.06	15	16.15	15	-0.08	15
3087	3317	3318	Max	12.00	3.43	15	-0.67	15	-0.02	15	3.84	15	16.50	15	-0.08	15
3087	3317	3318	Min.	0.00	3.43	15	-0.67	15	0.06	15	2.06	15	16.15	15	-0.08	15
3087	3317	3318	Min.	12.00	3.43	15	-0.67	15	-0.02	15	3.84	15	16.50	15	-0.08	15

3087	3319	3320	Max	0.00	1.46	15	-2.09	15	0.13	15	4.75	15	-0.66	15	0.03	15
3087	3319	3320	Max	12.00	1.46	15	-2.09	15	-0.12	15	6.53	15	0.02	15	0.03	15
3087	3319	3320	Min.	0.00	1.46	15	-2.09	15	0.13	15	4.75	15	-0.66	15	0.03	15
3087	3319	3320	Min.	12.00	1.46	15	-2.09	15	-0.12	15	6.53	15	0.02	15	0.03	15
4022	4025	4026	Max	0.00	-1.05	15	279.70	15	-0.12	15	-59.39	15	0.06	15	9.45	15
4022	4025	4026	Max	0.63	-1.05	15	279.70	15	1.64	15	-59.45	15	-0.31	15	9.45	15
4022	4025	4026	Min.	0.00	-1.05	15	279.70	15	-0.12	15	-59.39	15	0.06	15	9.45	15
4022	4025	4026	Min.	0.63	-1.05	15	279.70	15	1.64	15	-59.45	15	-0.31	15	9.45	15
4022	4026	4027	Max	5.37	15.59	15	-279.15	15	1.87	15	69.05	15	-4.81	15	-10.28	15
4022	4026	4027	Max	6.00	15.59	15	-279.15	15	0.11	15	68.99	15	-4.38	15	-10.28	15
4022	4026	4027	Min.	5.37	15.59	15	-279.15	15	1.87	15	69.05	15	-4.81	15	-10.28	15
4022	4026	4027	Min.	6.00	15.59	15	-279.15	15	0.11	15	68.99	15	-4.38	15	-10.28	15
4022	4028	4029	Max	0.00	32.00	15	491.58	15	-0.13	15	-108.72	15	-17.55	15	17.47	15
4022	4028	4029	Max	0.63	32.00	15	491.58	15	2.96	15	-108.78	15	-18.23	15	17.47	15
4022	4028	4029	Min.	0.00	32.00	15	491.58	15	-0.13	15	-108.72	15	-17.55	15	17.47	15
4022	4028	4029	Min.	0.63	32.00	15	491.58	15	2.96	15	-108.78	15	-18.23	15	17.47	15
4022	4029	4030	Max	5.37	38.32	15	-500.05	15	3.10	15	119.62	15	-14.18	15	-17.81	15
4022	4029	4030	Max	6.00	38.32	15	-500.05	15	-0.05	15	119.56	15	-13.42	15	-17.81	15
4022	4029	4030	Min.	5.37	38.32	15	-500.05	15	3.10	15	119.62	15	-14.18	15	-17.81	15
4022	4029	4030	Min.	6.00	38.32	15	-500.05	15	-0.05	15	119.56	15	-13.42	15	-17.81	15
4022	4031	4032	Max	0.00	38.28	15	515.61	15	-0.04	15	-116.30	15	-13.56	15	18.03	15
4022	4031	4032	Max	0.63	38.28	15	515.61	15	3.21	15	-116.36	15	-14.29	15	18.03	15
4022	4031	4032	Min.	0.00	38.28	15	515.61	15	-0.04	15	-116.30	15	-13.56	15	18.03	15
4022	4031	4032	Min.	0.63	38.28	15	515.61	15	3.21	15	-116.36	15	-14.29	15	18.03	15
4022	4032	4033	Max	5.37	31.80	15	-475.51	15	2.87	15	112.06	15	-18.14	15	-17.27	15
4022	4032	4033	Max	6.00	31.80	15	-475.51	15	-0.13	15	112.00	15	-17.43	15	-17.27	15
4022	4032	4033	Min.	5.37	31.80	15	-475.51	15	2.87	15	112.06	15	-18.14	15	-17.27	15
4022	4032	4033	Min.	6.00	31.80	15	-475.51	15	-0.13	15	112.00	15	-17.43	15	-17.27	15
4022	4034	4035	Max	0.00	15.46	15	286.92	15	0.10	15	-67.73	15	-4.47	15	10.35	15
4022	4034	4035	Max	0.63	15.46	15	286.92	15	1.91	15	-67.79	15	-4.90	15	10.35	15
4022	4034	4035	Min.	0.00	15.46	15	286.92	15	0.10	15	-67.73	15	-4.47	15	10.35	15
4022	4034	4035	Min.	0.63	15.46	15	286.92	15	1.91	15	-67.79	15	-4.90	15	10.35	15
4022	4035	4036	Max	5.37	-1.26	15	-271.98	15	1.60	15	61.12	15	-0.32	15	-9.32	15
4022	4035	4036	Max	6.00	-1.26	15	-271.98	15	-0.12	15	61.06	15	0.06	15	-9.32	15
4022	4035	4036	Min.	5.37	-1.26	15	-271.98	15	1.60	15	61.12	15	-0.32	15	-9.32	15
4022	4035	4036	Min.	6.00	-1.26	15	-271.98	15	-0.12	15	61.06	15	0.06	15	-9.32	15
4066	4285	4286	Max	0.00	-1.24	15	-274.72	15	0.12	15	-60.29	15	0.06	15	-9.35	15
4066	4285	4286	Max	0.63	-1.24	15	-274.72	15	-1.61	15	-60.36	15	-0.32	15	-9.35	15
4066	4285	4286	Min.	0.00	-1.24	15	-274.72	15	0.12	15	-60.29	15	0.06	15	-9.35	15
4066	4285	4286	Min.	0.63	-1.24	15	-274.72	15	-1.61	15	-60.36	15	-0.32	15	-9.35	15
4066	4286	4287	Max	5.37	15.52	15	284.56	15	-1.89	15	68.25	15	-4.84	15	10.29	15
4066	4286	4287	Max	6.00	15.52	15	284.56	15	-0.09	15	68.19	15	-4.41	15	10.29	15
4066	4286	4287	Min.	5.37	15.52	15	284.56	15	-1.89	15	68.25	15	-4.84	15	10.29	15
4066	4286	4287	Min.	6.00	15.52	15	284.56	15	-0.09	15	68.19	15	-4.41	15	10.29	15
4066	4288	4289	Max	0.00	31.74	15	-485.29	15	0.13	15	-109.98	15	-17.50	15	-17.33	15
4066	4288	4289	Max	0.63	31.74	15	-485.29	15	-2.93	15	-110.04	15	-18.20	15	-17.33	15
4066	4288	4289	Min.	0.00	31.74	15	-485.29	15	0.13	15	-109.98	15	-17.50	15	-17.33	15
4066	4288	4289	Min.	0.63	31.74	15	-485.29	15	-2.93	15	-110.04	15	-18.20	15	-17.33	15
4066	4289	4290	Max	5.37	38.19	15	507.64	15	-3.15	15	117.99	15	-14.22	15	17.86	15
4066	4289	4290	Max	6.00	38.19	15	507.64	15	0.04	15	117.92	15	-13.48	15	17.86	15
4066	4289	4290	Min.	5.37	38.19	15	507.64	15	-3.15	15	117.99	15	-14.22	15	17.86	15
4066	4289	4290	Min.	6.00	38.19	15	507.64	15	0.04	15	117.92	15	-13.48	15	17.86	15
4066	4291	4292	Max	0.00	38.18	15	-507.73	15	0.05	15	-117.88	15	-13.50	15	-17.86	15
4066	4291	4292	Max	0.63	38.18	15	-507.73	15	-3.15	15	-117.94	15	-14.24	15	-17.86	15
4066	4291	4292	Min.	0.00	38.18	15	-507.73	15	0.05	15	-117.88	15	-13.50	15	-17.86	15
4066	4291	4292	Min.	0.63	38.18	15	-507.73	15	-3.15	15	-117.94	15	-14.24	15	-17.86	15
4066	4292	4293	Max	5.37	31.77	15	485.31	15	-2.93	15	110.09	15	-18.18	15	17.33	15
4066	4292	4293	Max	6.00	31.77	15	485.31	15	0.13	15	110.02	15	-17.49	15	17.33	15
4066	4292	4293	Min.	5.37	31.77	15	485.31	15	-2.93	15	110.09	15	-18.18	15	17.33	15

4066	4292	4293	Min.	6.00	31.77	15	485.31	15	0.13	15	110.02	15	-17.49	15	17.33	15
4066	4294	4295	Max	0.00	15.45	15	-284.70	15	-0.10	15	-68.17	15	-4.43	15	-10.30	15
4066	4294	4295	Max	0.63	15.45	15	-284.70	15	-1.89	15	-68.24	15	-4.86	15	-10.30	15
4066	4294	4295	Min.	0.00	15.45	15	-284.70	15	-0.10	15	-68.17	15	-4.43	15	-10.30	15
4066	4294	4295	Min.	0.63	15.45	15	-284.70	15	-1.89	15	-68.24	15	-4.86	15	-10.30	15
4066	4295	4296	Max	5.37	-1.25	15	274.88	15	-1.61	15	60.37	15	-0.32	15	9.35	15
4066	4295	4296	Max	6.00	-1.25	15	274.88	15	0.12	15	60.30	15	0.06	15	9.35	15
4066	4295	4296	Min.	5.37	-1.25	15	274.88	15	-1.61	15	60.37	15	-0.32	15	9.35	15
4066	4295	4296	Min.	6.00	-1.25	15	274.88	15	0.12	15	60.30	15	0.06	15	9.35	15
4106	3001	-513	Max	0.00	9.51	15	-1.19	15	0.10	15	-2.44	15	0.24	15	-0.02	15
4106	3001	-513	Max	16.72	9.57	15	-1.19	15	-0.10	15	-3.19	15	-0.23	15	-0.02	15
4106	3001	-513	Min.	0.00	9.51	15	-1.19	15	0.10	15	-2.44	15	0.24	15	-0.02	15
4106	3001	-513	Min.	16.72	9.57	15	-1.19	15	-0.10	15	-3.19	15	-0.23	15	-0.02	15
4106	-513	-529	Max	0.00	24.37	15	-0.96	15	0.10	15	-2.51	15	0.21	15	-0.00	15
4106	-513	-529	Max	16.72	24.43	15	-0.96	15	-0.06	15	-3.25	15	-0.27	15	-0.00	15
4106	-513	-529	Min.	0.00	24.37	15	-0.96	15	0.10	15	-2.51	15	0.21	15	-0.00	15
4106	-513	-529	Min.	16.72	24.43	15	-0.96	15	-0.06	15	-3.25	15	-0.27	15	-0.00	15
4106	-529	4025	Max	0.00	38.35	15	-1.06	15	0.07	15	-7.81	15	0.39	15	-0.01	15
4106	-529	4025	Max	16.72	38.41	15	-1.06	15	-0.11	15	-8.55	15	-0.98	15	-0.01	15
4106	-529	4025	Min.	0.00	38.35	15	-1.06	15	0.07	15	-7.81	15	0.39	15	-0.01	15
4106	-529	4025	Min.	16.72	38.41	15	-1.06	15	-0.11	15	-8.55	15	-0.98	15	-0.01	15
4106	4025	-545	Max	0.00	324.08	15	0.19	15	-0.01	15	66.75	15	-10.24	15	0.05	15
4106	4025	-545	Max	21.63	324.16	15	0.19	15	0.03	15	65.76	15	4.09	15	0.05	15
4106	4025	-545	Min.	0.00	324.08	15	0.19	15	-0.01	15	66.75	15	-10.24	15	0.05	15
4106	4025	-545	Min.	21.63	324.16	15	0.19	15	0.03	15	65.76	15	4.09	15	0.05	15
4106	-545	-561	Max	0.00	154.76	15	0.12	15	-0.01	15	61.24	15	-7.51	15	0.05	15
4106	-545	-561	Max	21.63	154.84	15	0.12	15	0.02	15	60.24	15	5.63	15	0.05	15
4106	-545	-561	Min.	0.00	154.76	15	0.12	15	-0.01	15	61.24	15	-7.51	15	0.05	15
4106	-545	-561	Min.	21.63	154.84	15	0.12	15	0.02	15	60.24	15	5.63	15	0.05	15
4106	-561	-577	Max	0.00	5.15	15	0.13	15	-0.02	15	53.54	15	-5.99	15	0.05	15
4106	-561	-577	Max	21.63	5.23	15	0.13	15	0.01	15	52.55	15	5.49	15	0.05	15
4106	-561	-577	Min.	0.00	5.15	15	0.13	15	-0.02	15	53.54	15	-5.99	15	0.05	15
4106	-561	-577	Min.	21.63	5.23	15	0.13	15	0.01	15	52.55	15	5.49	15	0.05	15
4106	-577	-593	Max	0.00	-115.21	15	0.10	15	-0.03	15	47.37	15	-4.89	15	0.06	15
4106	-577	-593	Max	21.63	-115.13	15	0.10	15	-0.01	15	46.37	15	5.25	15	0.06	15
4106	-577	-593	Min.	0.00	-115.21	15	0.10	15	-0.03	15	47.37	15	-4.89	15	0.06	15
4106	-577	-593	Min.	21.63	-115.13	15	0.10	15	-0.01	15	46.37	15	5.25	15	0.06	15
4106	-593	-609	Max	0.00	-205.03	15	-0.04	15	0.03	15	35.15	15	-3.31	15	0.02	15
4106	-593	-609	Max	21.63	-204.95	15	-0.04	15	0.02	15	34.15	15	4.19	15	0.02	15
4106	-593	-609	Min.	0.00	-205.03	15	-0.04	15	0.03	15	35.15	15	-3.31	15	0.02	15
4106	-593	-609	Min.	21.63	-204.95	15	-0.04	15	0.02	15	34.15	15	4.19	15	0.02	15
4106	-609	-625	Max	0.00	-273.37	15	0.02	15	0.00	15	31.35	15	-2.89	15	0.02	15
4106	-609	-625	Max	21.63	-273.29	15	0.02	15	0.00	15	30.36	15	3.79	15	0.02	15
4106	-609	-625	Min.	0.00	-273.37	15	0.02	15	0.00	15	31.35	15	-2.89	15	0.02	15
4106	-609	-625	Min.	21.63	-273.29	15	0.02	15	0.00	15	30.36	15	3.79	15	0.02	15
4106	-625	-641	Max	0.00	-328.32	15	0.02	15	-0.01	15	27.63	15	-2.39	15	0.02	15
4106	-625	-641	Max	21.63	-328.24	15	0.02	15	-0.01	15	26.64	15	3.48	15	0.02	15
4106	-625	-641	Min.	0.00	-328.32	15	0.02	15	-0.01	15	27.63	15	-2.39	15	0.02	15
4106	-625	-641	Min.	21.63	-328.24	15	0.02	15	-0.01	15	26.64	15	3.48	15	0.02	15
4106	-641	-657	Max	0.00	-372.09	15	-0.02	15	-0.02	15	24.65	15	-1.82	15	0.02	15
4106	-641	-657	Max	21.63	-372.01	15	-0.02	15	-0.03	15	23.66	15	3.40	15	0.02	15
4106	-641	-657	Min.	0.00	-372.09	15	-0.02	15	-0.02	15	24.65	15	-1.82	15	0.02	15
4106	-641	-657	Min.	21.63	-372.01	15	-0.02	15	-0.03	15	23.66	15	3.40	15	0.02	15
4106	-657	-673	Max	0.00	-396.98	15	-0.05	15	0.03	15	10.54	15	-0.23	15	0.02	15
4106	-657	-673	Max	21.63	-396.90	15	-0.05	15	0.02	15	9.54	15	1.94	15	0.02	15
4106	-657	-673	Min.	0.00	-396.98	15	-0.05	15	0.03	15	10.54	15	-0.23	15	0.02	15
4106	-657	-673	Min.	21.63	-396.90	15	-0.05	15	0.02	15	9.54	15	1.94	15	0.02	15
4106	-673	-689	Max	0.00	-412.77	15	-0.01	15	0.01	15	8.79	15	-0.23	15	0.01	15
4106	-673	-689	Max	21.63	-412.69	15	-0.01	15	0.00	15	7.79	15	1.56	15	0.01	15

4106	-673	-689	Min.	0.00	-412.77	15	-0.01	15	0.01	15	8.79	15	-0.23	15	0.01	15
4106	-673	-689	Min.	21.63	-412.69	15	-0.01	15	0.00	15	7.79	15	1.56	15	0.01	15
4106	-689	-705	Max	0.00	-423.43	15	-0.01	15	-0.01	15	6.70	15	-0.01	15	0.02	15
4106	-689	-705	Max	21.63	-423.35	15	-0.01	15	-0.01	15	5.70	15	1.33	15	0.02	15
4106	-689	-705	Min.	0.00	-423.43	15	-0.01	15	-0.01	15	6.70	15	-0.01	15	0.02	15
4106	-689	-705	Min.	21.63	-423.35	15	-0.01	15	-0.01	15	5.70	15	1.33	15	0.02	15
4106	-705	-721	Max	0.00	-429.86	15	-0.04	15	-0.02	15	5.14	15	0.33	15	0.02	15
4106	-705	-721	Max	21.63	-429.78	15	-0.04	15	-0.03	15	4.14	15	1.33	15	0.02	15
4106	-705	-721	Min.	0.00	-429.86	15	-0.04	15	-0.02	15	5.14	15	0.33	15	0.02	15
4106	-705	-721	Min.	21.63	-429.78	15	-0.04	15	-0.03	15	4.14	15	1.33	15	0.02	15
4106	-721	-737	Max	0.00	-425.00	15	-0.11	15	0.04	15	-5.63	15	1.50	15	-0.01	15
4106	-721	-737	Max	21.63	-424.92	15	-0.11	15	0.01	15	-6.63	15	0.17	15	-0.01	15
4106	-721	-737	Min.	0.00	-425.00	15	-0.11	15	0.04	15	-5.63	15	1.50	15	-0.01	15
4106	-721	-737	Min.	21.63	-424.92	15	-0.11	15	0.01	15	-6.63	15	0.17	15	-0.01	15
4106	-737	-753	Max	0.00	-418.04	15	-0.08	15	0.01	15	-6.68	15	1.39	15	-0.01	15
4106	-737	-753	Max	21.63	-417.96	15	-0.08	15	-0.00	15	-7.68	15	-0.17	15	-0.01	15
4106	-737	-753	Min.	0.00	-418.04	15	-0.08	15	0.01	15	-6.68	15	1.39	15	-0.01	15
4106	-737	-753	Min.	21.63	-417.96	15	-0.08	15	-0.00	15	-7.68	15	-0.17	15	-0.01	15
4106	-753	-769	Max	0.00	-409.50	15	-0.07	15	0.00	15	-7.79	15	1.38	15	-0.01	15
4106	-753	-769	Max	21.63	-409.42	15	-0.07	15	-0.02	15	-8.79	15	-0.41	15	-0.01	15
4106	-753	-769	Min.	0.00	-409.50	15	-0.07	15	0.00	15	-7.79	15	1.38	15	-0.01	15
4106	-753	-769	Min.	21.63	-409.42	15	-0.07	15	-0.02	15	-8.79	15	-0.41	15	-0.01	15
4106	-769	-785	Max	0.00	-401.57	15	-0.08	15	-0.01	15	-10.14	15	1.10	15	-0.00	15
4106	-769	-785	Max	21.63	-401.50	15	-0.08	15	-0.03	15	-11.13	15	-1.20	15	-0.00	15
4106	-769	-785	Min.	0.00	-401.57	15	-0.08	15	-0.01	15	-10.14	15	1.10	15	-0.00	15
4106	-769	-785	Min.	21.63	-401.50	15	-0.08	15	-0.03	15	-11.13	15	-1.20	15	-0.00	15
4107	3002	-514	Max	0.00	11.40	15	-1.16	15	0.10	15	-6.45	15	0.59	15	-0.02	15
4107	3002	-514	Max	16.72	11.65	15	-1.16	15	-0.10	15	-9.51	15	-0.74	15	-0.02	15
4107	3002	-514	Min.	0.00	11.40	15	-1.16	15	0.10	15	-6.45	15	0.59	15	-0.02	15
4107	3002	-514	Min.	16.72	11.65	15	-1.16	15	-0.10	15	-9.51	15	-0.74	15	-0.02	15
4107	-514	-530	Max	0.00	48.07	15	-0.97	15	0.10	15	1.27	15	-0.09	15	-0.01	15
4107	-514	-530	Max	6.69					0.03	15			-0.04	15		
4107	-514	-530	Max	16.72	48.32	15	-0.97	15	-0.06	15	-1.79	15	-0.13	15	-0.01	15
4107	-514	-530	Min.	0.00	48.07	15	-0.97	15	0.10	15	1.27	15	-0.09	15	-0.01	15
4107	-514	-530	Min.	6.69					0.03	15			-0.04	15		
4107	-514	-530	Min.	16.72	48.32	15	-0.97	15	-0.06	15	-1.79	15	-0.13	15	-0.01	15
4107	-530	4027	Max	0.00	61.09	15	-0.87	15	0.06	15	-12.38	15	0.68	15	-0.00	15
4107	-530	4027	Max	16.72	61.34	15	-0.87	15	-0.08	15	-15.44	15	-1.65	15	-0.00	15
4107	-530	4027	Min.	0.00	61.09	15	-0.87	15	0.06	15	-12.38	15	0.68	15	-0.00	15
4107	-530	4027	Min.	16.72	61.34	15	-0.87	15	-0.08	15	-15.44	15	-1.65	15	-0.00	15
4107	4027	-546	Max	0.00	352.57	15	0.28	15	-0.02	15	79.81	15	-11.93	15	0.04	15
4107	4027	-546	Max	21.63	352.96	15	0.28	15	0.04	15	74.98	15	4.81	15	0.04	15
4107	4027	-546	Min.	0.00	352.57	15	0.28	15	-0.02	15	79.81	15	-11.93	15	0.04	15
4107	4027	-546	Min.	21.63	352.96	15	0.28	15	0.04	15	74.98	15	4.81	15	0.04	15
4107	-546	-562	Max	0.00	157.40	15	0.12	15	-0.00	15	71.70	15	-8.56	15	0.05	15
4107	-546	-562	Max	21.63	157.79	15	0.12	15	0.02	15	66.87	15	6.43	15	0.05	15
4107	-546	-562	Min.	0.00	157.40	15	0.12	15	-0.00	15	71.70	15	-8.56	15	0.05	15
4107	-546	-562	Min.	21.63	157.79	15	0.12	15	0.02	15	66.87	15	6.43	15	0.05	15
4107	-562	-578	Max	0.00	-10.70	15	0.12	15	-0.02	15	61.21	15	-6.63	15	0.05	15
4107	-562	-578	Max	21.63	-10.31	15	0.12	15	0.01	15	56.38	15	6.09	15	0.05	15
4107	-562	-578	Min.	0.00	-10.70	15	0.12	15	-0.02	15	61.21	15	-6.63	15	0.05	15
4107	-562	-578	Min.	21.63	-10.31	15	0.12	15	0.01	15	56.38	15	6.09	15	0.05	15
4107	-578	-594	Max	0.00	-142.13	15	0.10	15	-0.03	15	52.90	15	-5.26	15	0.06	15
4107	-578	-594	Max	21.63	-141.74	15	0.10	15	-0.01	15	48.07	15	5.66	15	0.06	15
4107	-578	-594	Min.	0.00	-142.13	15	0.10	15	-0.03	15	52.90	15	-5.26	15	0.06	15
4107	-578	-594	Min.	21.63	-141.74	15	0.10	15	-0.01	15	48.07	15	5.66	15	0.06	15
4107	-594	-610	Max	0.00	-239.97	15	-0.04	15	0.03	15	40.06	15	-3.64	15	0.02	15
4107	-594	-610	Max	21.63	-239.57	15	-0.04	15	0.02	15	35.24	15	4.50	15	0.02	15
4107	-594	-610	Min.	0.00	-239.97	15	-0.04	15	0.03	15	40.06	15	-3.64	15	0.02	15

4107	-594	-610	Min.	21.63	-239.57	15	-0.04	15	0.02	15	35.24	15	4.50	15	0.02	15
4107	-610	-626	Max	0.00	-311.38	15	0.02	15	0.00	15	33.94	15	-2.91	15	0.02	15
4107	-610	-626	Max	21.63	-310.99	15	0.02	15	0.00	15	29.12	15	3.91	15	0.02	15
4107	-610	-626	Min.	0.00	-311.38	15	0.02	15	0.00	15	33.94	15	-2.91	15	0.02	15
4107	-610	-626	Min.	21.63	-310.99	15	0.02	15	0.00	15	29.12	15	3.91	15	0.02	15
4107	-626	-642	Max	0.00	-365.89	15	0.02	15	-0.01	15	28.42	15	-2.23	15	0.02	15
4107	-626	-642	Max	21.63	-365.50	15	0.02	15	-0.01	15	23.60	15	3.40	15	0.02	15
4107	-626	-642	Min.	0.00	-365.89	15	0.02	15	-0.01	15	28.42	15	-2.23	15	0.02	15
4107	-626	-642	Min.	21.63	-365.50	15	0.02	15	-0.01	15	23.60	15	3.40	15	0.02	15
4107	-642	-658	Max	0.00	-407.14	15	-0.02	15	-0.02	15	23.44	15	-1.61	15	0.02	15
4107	-642	-658	Max	21.63	-406.75	15	-0.02	15	-0.03	15	18.62	15	2.93	15	0.02	15
4107	-642	-658	Min.	0.00	-407.14	15	-0.02	15	-0.02	15	23.44	15	-1.61	15	0.02	15
4107	-642	-658	Min.	21.63	-406.75	15	-0.02	15	-0.03	15	18.62	15	2.93	15	0.02	15
4107	-658	-674	Max	0.00	-391.24	15	-0.05	15	0.03	15	17.41	15	-0.95	15	0.02	15
4107	-658	-674	Max	21.63	-390.84	15	-0.05	15	0.02	15	12.58	15	2.30	15	0.02	15
4107	-658	-674	Min.	0.00	-391.24	15	-0.05	15	0.03	15	17.41	15	-0.95	15	0.02	15
4107	-658	-674	Min.	21.63	-390.84	15	-0.05	15	0.02	15	12.58	15	2.30	15	0.02	15
4107	-674	-690	Max	0.00	-411.30	15	-0.01	15	0.01	15	13.24	15	-0.50	15	0.01	15
4107	-674	-690	Max	21.63	-410.91	15	-0.01	15	0.00	15	8.42	15	1.84	15	0.01	15
4107	-674	-690	Min.	0.00	-411.30	15	-0.01	15	0.01	15	13.24	15	-0.50	15	0.01	15
4107	-674	-690	Min.	21.63	-410.91	15	-0.01	15	0.00	15	8.42	15	1.84	15	0.01	15
4107	-690	-706	Max	0.00	-424.01	15	-0.00	15	-0.01	15	9.26	15	-0.05	15	0.02	15
4107	-690	-706	Max	21.63	-423.62	15	-0.00	15	-0.01	15	4.44	15	1.43	15	0.02	15
4107	-690	-706	Min.	0.00	-424.01	15	-0.00	15	-0.01	15	9.26	15	-0.05	15	0.02	15
4107	-690	-706	Min.	21.63	-423.62	15	-0.00	15	-0.01	15	4.44	15	1.43	15	0.02	15
4107	-706	-722	Max	0.00	-430.27	15	-0.03	15	-0.02	15	5.69	15	0.42	15	0.02	15
4107	-706	-722	Max	21.63	-429.88	15	-0.03	15	-0.02	15	0.86	15	1.13	15	0.02	15
4107	-706	-722	Min.	0.00	-430.27	15	-0.03	15	-0.02	15	5.69	15	0.42	15	0.02	15
4107	-706	-722	Min.	21.63	-429.88	15	-0.03	15	-0.02	15	0.86	15	1.13	15	0.02	15
4107	-722	-738	Max	0.00	-432.35	15	-0.11	15	0.03	15	-2.23	15	1.28	15	-0.01	15
4107	-722	-738	Max	21.63	-431.96	15	-0.11	15	0.01	15	-7.06	15	0.27	15	-0.01	15
4107	-722	-738	Min.	0.00	-432.35	15	-0.11	15	0.03	15	-2.23	15	1.28	15	-0.01	15
4107	-722	-738	Min.	21.63	-431.96	15	-0.11	15	0.01	15	-7.06	15	0.27	15	-0.01	15
4107	-738	-754	Max	0.00	-425.18	15	-0.08	15	0.01	15	-5.40	15	1.49	15	-0.01	15
4107	-738	-754	Max	21.63	-424.78	15	-0.08	15	-0.00	15	-10.22	15	-0.19	15	-0.01	15
4107	-738	-754	Min.	0.00	-425.18	15	-0.08	15	0.01	15	-5.40	15	1.49	15	-0.01	15
4107	-738	-754	Min.	21.63	-424.78	15	-0.08	15	-0.00	15	-10.22	15	-0.19	15	-0.01	15
4107	-754	-770	Max	0.00	-414.84	15	-0.07	15	0.00	15	-8.20	15	1.66	15	-0.01	15
4107	-754	-770	Max	21.63	-414.45	15	-0.07	15	-0.02	15	-13.02	15	-0.64	15	-0.01	15
4107	-754	-770	Min.	0.00	-414.84	15	-0.07	15	0.00	15	-8.20	15	1.66	15	-0.01	15
4107	-754	-770	Min.	21.63	-414.45	15	-0.07	15	-0.02	15	-13.02	15	-0.64	15	-0.01	15
4107	-770	-786	Max	0.00	-404.13	15	-0.08	15	-0.01	15	-12.71	15	1.37	15	-0.00	15
4107	-770	-786	Max	21.63	-403.74	15	-0.08	15	-0.03	15	-17.54	15	-1.90	15	-0.00	15
4107	-770	-786	Min.	0.00	-404.13	15	-0.08	15	-0.01	15	-12.71	15	1.37	15	-0.00	15
4107	-770	-786	Min.	21.63	-403.74	15	-0.08	15	-0.03	15	-17.54	15	-1.90	15	-0.00	15
4144	3003	-515	Max	0.00	35.07	15	-0.36	15	0.03	15	-13.63	15	1.29	15	0.03	15
4144	3003	-515	Max	16.72	35.32	15	-0.36	15	-0.03	15	-16.69	15	-1.24	15	0.03	15
4144	3003	-515	Min.	0.00	35.07	15	-0.36	15	0.03	15	-13.63	15	1.29	15	0.03	15
4144	3003	-515	Min.	16.72	35.32	15	-0.36	15	-0.03	15	-16.69	15	-1.24	15	0.03	15
4144	-515	-531	Max	0.00	82.83	15	-0.22	15	0.02	15	-12.81	15	0.96	15	0.04	15
4144	-515	-531	Max	16.72	83.08	15	-0.22	15	-0.02	15	-15.87	15	-1.44	15	0.04	15
4144	-515	-531	Min.	0.00	82.83	15	-0.22	15	0.02	15	-12.81	15	0.96	15	0.04	15
4144	-515	-531	Min.	16.72	83.08	15	-0.22	15	-0.02	15	-15.87	15	-1.44	15	0.04	15
4144	-531	4028	Max	0.00	125.81	15	-0.36	15	0.02	15	-20.98	15	0.90	15	-0.02	15
4144	-531	4028	Max	16.72	126.05	15	-0.36	15	-0.04	15	-24.04	15	-2.86	15	-0.02	15
4144	-531	4028	Min.	0.00	125.81	15	-0.36	15	0.02	15	-20.98	15	0.90	15	-0.02	15
4144	-531	4028	Min.	16.72	126.05	15	-0.36	15	-0.04	15	-24.04	15	-2.86	15	-0.02	15
4144	4028	-547	Max	0.00	624.66	15	-0.13	15	0.02	15	133.43	15	-20.26	15	0.02	15
4144	4028	-547	Max	21.63	625.06	15	-0.13	15	-0.01	15	128.61	15	8.09	15	0.02	15

4144	4028	-547	Min.	0.00	624.66	15	-0.13	15	0.02	15	133.43	15	-20.26	15	0.02	15
4144	4028	-547	Min.	21.63	625.06	15	-0.13	15	-0.01	15	128.61	15	8.09	15	0.02	15
4144	-547	-563	Max	0.00	290.61	15	0.01	15	-0.00	15	121.87	15	-14.79	15	0.00	15
4144	-547	-563	Max	21.63	291.00	15	0.01	15	0.00	15	117.04	15	11.05	15	0.00	15
4144	-547	-563	Min.	0.00	290.61	15	0.01	15	-0.00	15	121.87	15	-14.79	15	0.00	15
4144	-547	-563	Min.	21.63	291.00	15	0.01	15	0.00	15	117.04	15	11.05	15	0.00	15
4144	-563	-579	Max	0.00	-2.27	15	-0.00	15	0.00	15	105.89	15	-11.69	15	0.00	15
4144	-563	-579	Max	21.63	-1.88	15	-0.00	15	0.00	15	101.06	15	10.69	15	0.00	15
4144	-563	-579	Min.	0.00	-2.27	15	-0.00	15	0.00	15	105.89	15	-11.69	15	0.00	15
4144	-563	-579	Min.	21.63	-1.88	15	-0.00	15	0.00	15	101.06	15	10.69	15	0.00	15
4144	-579	-595	Max	0.00	-235.39	15	-0.02	15	0.00	15	93.73	15	-9.43	15	-0.00	15
4144	-579	-595	Max	21.63	-235.00	15	-0.02	15	-0.00	15	88.90	15	10.33	15	-0.00	15
4144	-579	-595	Min.	0.00	-235.39	15	-0.02	15	0.00	15	93.73	15	-9.43	15	-0.00	15
4144	-579	-595	Min.	21.63	-235.00	15	-0.02	15	-0.00	15	88.90	15	10.33	15	-0.00	15
4144	-595	-611	Max	0.00	-402.21	15	0.02	15	0.00	15	64.33	15	-5.83	15	0.02	15
4144	-595	-611	Max	21.63	-401.82	15	0.02	15	0.01	15	59.51	15	7.57	15	0.02	15
4144	-595	-611	Min.	0.00	-402.21	15	0.02	15	0.00	15	64.33	15	-5.83	15	0.02	15
4144	-595	-611	Min.	21.63	-401.82	15	0.02	15	0.01	15	59.51	15	7.57	15	0.02	15
4144	-611	-627	Max	0.00	-523.54	15	0.03	15	-0.00	15	56.43	15	-5.00	15	0.01	15
4144	-611	-627	Max	21.63	-523.15	15	0.03	15	0.00	15	51.60	15	6.68	15	0.01	15
4144	-611	-627	Min.	0.00	-523.54	15	0.03	15	-0.00	15	56.43	15	-5.00	15	0.01	15
4144	-611	-627	Min.	21.63	-523.15	15	0.03	15	0.00	15	51.60	15	6.68	15	0.01	15
4144	-627	-643	Max	0.00	-619.08	15	0.02	15	-0.00	15	49.07	15	-4.06	15	0.01	15
4144	-627	-643	Max	12.98					-0.00	15			2.12	15		
4144	-627	-643	Max	21.63	-618.69	15	0.02	15	0.00	15	44.24	15	6.04	15	0.01	15
4144	-627	-643	Min.	0.00	-619.08	15	0.02	15	-0.00	15	49.07	15	-4.06	15	0.01	15
4144	-627	-643	Min.	12.98					-0.00	15			2.12	15		
4144	-627	-643	Min.	21.63	-618.69	15	0.02	15	0.00	15	44.24	15	6.04	15	0.01	15
4144	-643	-659	Max	0.00	-693.98	15	0.01	15	-0.01	15	43.13	15	-3.04	15	0.01	15
4144	-643	-659	Max	21.63	-693.59	15	0.01	15	-0.01	15	38.31	15	5.77	15	0.01	15
4144	-643	-659	Min.	0.00	-693.98	15	0.01	15	-0.01	15	43.13	15	-3.04	15	0.01	15
4144	-643	-659	Min.	21.63	-693.59	15	0.01	15	-0.01	15	38.31	15	5.77	15	0.01	15
4144	-659	-675	Max	0.00	-736.82	15	-0.01	15	0.01	15	21.66	15	-0.65	15	0.00	15
4144	-659	-675	Max	21.63	-736.43	15	-0.01	15	0.01	15	16.84	15	3.51	15	0.00	15
4144	-659	-675	Min.	0.00	-736.82	15	-0.01	15	0.01	15	21.66	15	-0.65	15	0.00	15
4144	-659	-675	Min.	21.63	-736.43	15	-0.01	15	0.01	15	16.84	15	3.51	15	0.00	15
4144	-675	-691	Max	0.00	-765.44	15	0.00	15	0.00	15	17.47	15	-0.44	15	0.00	15
4144	-675	-691	Max	21.63	-765.05	15	0.00	15	0.00	15	12.64	15	2.81	15	0.00	15
4144	-675	-691	Min.	0.00	-765.44	15	0.00	15	0.00	15	17.47	15	-0.44	15	0.00	15
4144	-675	-691	Min.	21.63	-765.05	15	0.00	15	0.00	15	12.64	15	2.81	15	0.00	15
4144	-691	-707	Max	0.00	-784.19	15	0.00	15	-0.00	15	13.04	15	0.04	15	0.00	15
4144	-691	-707	Max	21.63	-783.80	15	0.00	15	-0.00	15	8.22	15	2.34	15	0.00	15
4144	-691	-707	Min.	0.00	-784.19	15	0.00	15	-0.00	15	13.04	15	0.04	15	0.00	15
4144	-691	-707	Min.	21.63	-783.80	15	0.00	15	-0.00	15	8.22	15	2.34	15	0.00	15
4144	-707	-723	Max	0.00	-794.39	15	-0.00	15	-0.01	15	9.70	15	0.74	15	0.01	15
4144	-707	-723	Max	21.63	-793.99	15	-0.00	15	-0.01	15	4.88	15	2.32	15	0.01	15
4144	-707	-723	Min.	0.00	-794.39	15	-0.00	15	-0.01	15	9.70	15	0.74	15	0.01	15
4144	-707	-723	Min.	21.63	-793.99	15	-0.00	15	-0.01	15	4.88	15	2.32	15	0.01	15
4144	-723	-739	Max	0.00	-788.44	15	-0.01	15	0.00	15	-11.40	15	3.02	15	0.00	15
4144	-723	-739	Max	21.63	-788.05	15	-0.01	15	0.00	15	-16.22	15	0.03	15	0.00	15
4144	-723	-739	Min.	0.00	-788.44	15	-0.01	15	0.00	15	-11.40	15	3.02	15	0.00	15
4144	-723	-739	Min.	21.63	-788.05	15	-0.01	15	0.00	15	-16.22	15	0.03	15	0.00	15
4144	-739	-755	Max	0.00	-772.20	15	-0.00	15	0.00	15	-13.84	15	2.85	15	0.00	15
4144	-739	-755	Max	21.63	-771.81	15	-0.00	15	0.00	15	-18.67	15	-0.66	15	0.00	15
4144	-739	-755	Min.	0.00	-772.20	15	-0.00	15	0.00	15	-13.84	15	2.85	15	0.00	15
4144	-739	-755	Min.	21.63	-771.81	15	-0.00	15	0.00	15	-18.67	15	-0.66	15	0.00	15
4144	-755	-771	Max	0.00	-752.85	15	-0.00	15	0.00	15	-16.19	15	2.85	15	0.00	15
4144	-755	-771	Max	21.63	-752.46	15	-0.00	15	-0.00	15	-21.02	15	-1.18	15	0.00	15
4144	-755	-771	Min.	0.00	-752.85	15	-0.00	15	0.00	15	-16.19	15	2.85	15	0.00	15

4144	-755	-771	Min.	21.63	-752.46	15	-0.00	15	-0.00	15	-21.02	15	-1.18	15	0.00	15
4144	-771	-787	Max	0.00	-735.08	15	-0.00	15	-0.00	15	-21.16	15	2.20	15	0.00	15
4144	-771	-787	Max	21.63	-734.69	15	-0.00	15	-0.00	15	-25.99	15	-2.90	15	0.00	15
4144	-771	-787	Min.	0.00	-735.08	15	-0.00	15	-0.00	15	-21.16	15	2.20	15	0.00	15
4144	-771	-787	Min.	21.63	-734.69	15	-0.00	15	-0.00	15	-25.99	15	-2.90	15	0.00	15
4145	3004	-516	Max	0.00	23.42	15	-0.41	15	0.03	15	-11.15	15	0.93	15	0.01	15
4145	3004	-516	Max	16.72	23.68	15	-0.41	15	-0.03	15	-14.36	15	-1.20	15	0.01	15
4145	3004	-516	Min.	0.00	23.42	15	-0.41	15	0.03	15	-11.15	15	0.93	15	0.01	15
4145	3004	-516	Min.	16.72	23.68	15	-0.41	15	-0.03	15	-14.36	15	-1.20	15	0.01	15
4145	-516	-532	Max	0.00	85.48	15	-0.21	15	0.02	15	1.74	15	-0.20	15	0.04	15
4145	-516	-532	Max	9.08					-0.00	15			-0.12	15		
4145	-516	-532	Max	16.72	85.74	15	-0.21	15	-0.02	15	-1.47	15	-0.18	15	0.04	15
4145	-516	-532	Min.	0.00	85.48	15	-0.21	15	0.02	15	1.74	15	-0.20	15	0.04	15
4145	-516	-532	Min.	9.08					-0.00	15			-0.12	15		
4145	-516	-532	Min.	16.72	85.74	15	-0.21	15	-0.02	15	-1.47	15	-0.18	15	0.04	15
4145	-532	4030	Max	0.00	107.74	15	-0.07	15	0.01	15	-19.31	15	0.99	15	0.04	15
4145	-532	4030	Max	16.72	108.00	15	-0.07	15	-0.00	15	-22.52	15	-2.51	15	0.04	15
4145	-532	4030	Min.	0.00	107.74	15	-0.07	15	0.01	15	-19.31	15	0.99	15	0.04	15
4145	-532	4030	Min.	16.72	108.00	15	-0.07	15	-0.00	15	-22.52	15	-2.51	15	0.04	15
4145	4030	-548	Max	0.00	620.17	15	0.11	15	-0.01	15	133.34	15	-20.23	15	-0.01	15
4145	4030	-548	Max	21.63	620.58	15	0.11	15	0.01	15	128.27	15	8.07	15	-0.01	15
4145	4030	-548	Min.	0.00	620.17	15	0.11	15	-0.01	15	133.34	15	-20.23	15	-0.01	15
4145	4030	-548	Min.	21.63	620.58	15	0.11	15	0.01	15	128.27	15	8.07	15	-0.01	15
4145	-548	-564	Max	0.00	287.20	15	-0.01	15	0.00	15	121.52	15	-14.74	15	0.00	15
4145	-548	-564	Max	21.63	287.62	15	-0.01	15	0.00	15	116.45	15	11.00	15	0.00	15
4145	-548	-564	Min.	0.00	287.20	15	-0.01	15	0.00	15	121.52	15	-14.74	15	0.00	15
4145	-548	-564	Min.	21.63	287.62	15	-0.01	15	0.00	15	116.45	15	11.00	15	0.00	15
4145	-564	-580	Max	0.00	-4.50	15	-0.01	15	0.00	15	105.54	15	-11.65	15	0.00	15
4145	-564	-580	Max	21.63	-4.08	15	-0.01	15	-0.00	15	100.46	15	10.63	15	0.00	15
4145	-564	-580	Min.	0.00	-4.50	15	-0.01	15	0.00	15	105.54	15	-11.65	15	0.00	15
4145	-564	-580	Min.	21.63	-4.08	15	-0.01	15	-0.00	15	100.46	15	10.63	15	0.00	15
4145	-580	-596	Max	0.00	-236.78	15	-0.03	15	-0.00	15	93.17	15	-9.41	15	0.00	15
4145	-580	-596	Max	21.63	-236.37	15	-0.03	15	-0.01	15	88.10	15	10.19	15	0.00	15
4145	-580	-596	Min.	0.00	-236.78	15	-0.03	15	-0.00	15	93.17	15	-9.41	15	0.00	15
4145	-580	-596	Min.	21.63	-236.37	15	-0.03	15	-0.01	15	88.10	15	10.19	15	0.00	15
4145	-596	-612	Max	0.00	-407.84	15	0.00	15	0.01	15	66.72	15	-6.12	15	0.01	15
4145	-596	-612	Max	21.63	-407.43	15	0.00	15	0.01	15	61.65	15	7.76	15	0.01	15
4145	-596	-612	Min.	0.00	-407.84	15	0.00	15	0.01	15	66.72	15	-6.12	15	0.01	15
4145	-596	-612	Min.	21.63	-407.43	15	0.00	15	0.01	15	61.65	15	7.76	15	0.01	15
4145	-612	-628	Max	0.00	-533.11	15	0.01	15	0.00	15	58.53	15	-5.22	15	0.01	15
4145	-612	-628	Max	21.63	-532.70	15	0.01	15	0.00	15	53.45	15	6.89	15	0.01	15
4145	-612	-628	Min.	0.00	-533.11	15	0.01	15	0.00	15	58.53	15	-5.22	15	0.01	15
4145	-612	-628	Min.	21.63	-532.70	15	0.01	15	0.00	15	53.45	15	6.89	15	0.01	15
4145	-628	-644	Max	0.00	-632.09	15	0.01	15	-0.00	15	50.91	15	-4.24	15	0.01	15
4145	-628	-644	Max	21.63	-631.68	15	0.01	15	-0.00	15	45.84	15	6.23	15	0.01	15
4145	-628	-644	Min.	0.00	-632.09	15	0.01	15	-0.00	15	50.91	15	-4.24	15	0.01	15
4145	-628	-644	Min.	21.63	-631.68	15	0.01	15	-0.00	15	45.84	15	6.23	15	0.01	15
4145	-644	-660	Max	0.00	-709.73	15	-0.00	15	-0.01	15	44.73	15	-3.18	15	0.01	15
4145	-644	-660	Max	21.63	-709.32	15	-0.00	15	-0.01	15	39.66	15	5.95	15	0.01	15
4145	-644	-660	Min.	0.00	-709.73	15	-0.00	15	-0.01	15	44.73	15	-3.18	15	0.01	15
4145	-644	-660	Min.	21.63	-709.32	15	-0.00	15	-0.01	15	39.66	15	5.95	15	0.01	15
4145	-660	-676	Max	0.00	-730.60	15	-0.01	15	0.01	15	22.48	15	-0.71	15	0.01	15
4145	-660	-676	Max	21.63	-730.19	15	-0.01	15	0.01	15	17.40	15	3.60	15	0.01	15
4145	-660	-676	Min.	0.00	-730.60	15	-0.01	15	0.01	15	22.48	15	-0.71	15	0.01	15
4145	-660	-676	Min.	21.63	-730.19	15	-0.01	15	0.01	15	17.40	15	3.60	15	0.01	15
4145	-676	-692	Max	0.00	-760.25	15	-0.00	15	0.00	15	18.13	15	-0.50	15	0.00	15
4145	-676	-692	Max	21.63	-759.84	15	-0.00	15	0.00	15	13.06	15	2.87	15	0.00	15
4145	-676	-692	Min.	0.00	-760.25	15	-0.00	15	0.00	15	18.13	15	-0.50	15	0.00	15
4145	-676	-692	Min.	21.63	-759.84	15	-0.00	15	0.00	15	13.06	15	2.87	15	0.00	15

4145	-692	-708	Max	0.00	-779.67	15	0.00	15	-0.00	15	13.55	15	0.00	15	0.00	15
4145	-692	-708	Max	21.63	-779.26	15	0.00	15	-0.00	15	8.48	15	2.39	15	0.00	15
4145	-692	-708	Min.	0.00	-779.67	15	0.00	15	-0.00	15	13.55	15	0.00	15	0.00	15
4145	-692	-708	Min.	21.63	-779.26	15	0.00	15	-0.00	15	8.48	15	2.39	15	0.00	15
4145	-708	-724	Max	0.00	-790.32	15	-0.00	15	-0.01	15	10.07	15	0.71	15	0.01	15
4145	-708	-724	Max	21.63	-789.91	15	-0.00	15	-0.01	15	4.99	15	2.34	15	0.01	15
4145	-708	-724	Min.	0.00	-790.32	15	-0.00	15	-0.01	15	10.07	15	0.71	15	0.01	15
4145	-708	-724	Min.	21.63	-789.91	15	-0.00	15	-0.01	15	4.99	15	2.34	15	0.01	15
4145	-724	-740	Max	0.00	-785.47	15	-0.01	15	0.01	15	-10.83	15	2.97	15	0.00	15
4145	-724	-740	Max	21.63	-785.06	15	-0.01	15	0.00	15	-15.91	15	0.08	15	0.00	15
4145	-724	-740	Min.	0.00	-785.47	15	-0.01	15	0.01	15	-10.83	15	2.97	15	0.00	15
4145	-724	-740	Min.	21.63	-785.06	15	-0.01	15	0.00	15	-15.91	15	0.08	15	0.00	15
4145	-740	-756	Max	0.00	-769.62	15	-0.01	15	0.00	15	-13.43	15	2.83	15	0.00	15
4145	-740	-756	Max	21.63	-769.21	15	-0.01	15	0.00	15	-18.51	15	-0.63	15	0.00	15
4145	-740	-756	Min.	0.00	-769.62	15	-0.01	15	0.00	15	-13.43	15	2.83	15	0.00	15
4145	-740	-756	Min.	21.63	-769.21	15	-0.01	15	0.00	15	-18.51	15	-0.63	15	0.00	15
4145	-756	-772	Max	0.00	-750.51	15	-0.00	15	0.00	15	-15.91	15	2.84	15	0.00	15
4145	-756	-772	Max	21.63	-750.10	15	-0.00	15	-0.00	15	-20.99	15	-1.15	15	0.00	15
4145	-756	-772	Min.	0.00	-750.51	15	-0.00	15	0.00	15	-15.91	15	2.84	15	0.00	15
4145	-756	-772	Min.	21.63	-750.10	15	-0.00	15	-0.00	15	-20.99	15	-1.15	15	0.00	15
4145	-772	-788	Max	0.00	-732.84	15	-0.01	15	-0.00	15	-21.02	15	2.20	15	0.00	15
4145	-772	-788	Max	21.63	-732.42	15	-0.01	15	-0.00	15	-26.09	15	-2.90	15	0.00	15
4145	-772	-788	Min.	0.00	-732.84	15	-0.01	15	-0.00	15	-21.02	15	2.20	15	0.00	15
4145	-772	-788	Min.	21.63	-732.42	15	-0.01	15	-0.00	15	-26.09	15	-2.90	15	0.00	15
4182	3005	-517	Max	0.00	24.48	15	0.14	15	-0.01	15	-8.21	15	0.83	15	-0.03	15
4182	3005	-517	Max	16.72	24.74	15	0.14	15	0.01	15	-11.42	15	-0.82	15	-0.03	15
4182	3005	-517	Min.	0.00	24.48	15	0.14	15	-0.01	15	-8.21	15	0.83	15	-0.03	15
4182	3005	-517	Min.	16.72	24.74	15	0.14	15	0.01	15	-11.42	15	-0.82	15	-0.03	15
4182	-517	-533	Max	0.00	57.54	15	0.26	15	-0.02	15	-8.12	15	0.66	15	-0.01	15
4182	-517	-533	Max	16.72	57.80	15	0.26	15	0.03	15	-11.33	15	-0.97	15	-0.01	15
4182	-517	-533	Min.	0.00	57.54	15	0.26	15	-0.02	15	-8.12	15	0.66	15	-0.01	15
4182	-517	-533	Min.	16.72	57.80	15	0.26	15	0.03	15	-11.33	15	-0.97	15	-0.01	15
4182	-533	4031	Max	0.00	89.55	15	-0.08	15	0.01	15	-17.22	15	0.79	15	-0.04	15
4182	-533	4031	Max	16.72	89.81	15	-0.08	15	-0.01	15	-20.43	15	-2.35	15	-0.04	15
4182	-533	4031	Min.	0.00	89.55	15	-0.08	15	0.01	15	-17.22	15	0.79	15	-0.04	15
4182	-533	4031	Min.	16.72	89.81	15	-0.08	15	-0.01	15	-20.43	15	-2.35	15	-0.04	15
4182	4031	-549	Max	0.00	619.05	15	-0.12	15	0.01	15	133.14	15	-20.20	15	0.01	15
4182	4031	-549	Max	21.63	619.46	15	-0.12	15	-0.01	15	128.07	15	8.05	15	0.01	15
4182	4031	-549	Min.	0.00	619.05	15	-0.12	15	0.01	15	133.14	15	-20.20	15	0.01	15
4182	4031	-549	Min.	21.63	619.46	15	-0.12	15	-0.01	15	128.07	15	8.05	15	0.01	15
4182	-549	-565	Max	0.00	286.72	15	0.01	15	-0.01	15	121.34	15	-14.71	15	-0.00	15
4182	-549	-565	Max	21.63	287.13	15	0.01	15	-0.00	15	116.26	15	10.99	15	-0.00	15
4182	-549	-565	Min.	0.00	286.72	15	0.01	15	-0.01	15	121.34	15	-14.71	15	-0.00	15
4182	-549	-565	Min.	21.63	287.13	15	0.01	15	-0.00	15	116.26	15	10.99	15	-0.00	15
4182	-565	-581	Max	0.00	-4.51	15	0.01	15	0.00	15	105.37	15	-11.63	15	-0.00	15
4182	-565	-581	Max	21.63	-4.10	15	0.01	15	0.00	15	100.30	15	10.62	15	-0.00	15
4182	-565	-581	Min.	0.00	-4.51	15	0.01	15	0.00	15	105.37	15	-11.63	15	-0.00	15
4182	-565	-581	Min.	21.63	-4.10	15	0.01	15	0.00	15	100.30	15	10.62	15	-0.00	15
4182	-581	-597	Max	0.00	-236.42	15	0.03	15	0.00	15	93.02	15	-9.40	15	-0.00	15
4182	-581	-597	Max	21.63	-236.01	15	0.03	15	0.01	15	87.95	15	10.18	15	-0.00	15
4182	-581	-597	Min.	0.00	-236.42	15	0.03	15	0.00	15	93.02	15	-9.40	15	-0.00	15
4182	-581	-597	Min.	21.63	-236.01	15	0.03	15	0.01	15	87.95	15	10.18	15	-0.00	15
4182	-597	-613	Max	0.00	-407.67	15	0.00	15	-0.01	15	66.66	15	-6.12	15	-0.01	15
4182	-597	-613	Max	21.63	-407.26	15	0.00	15	-0.01	15	61.59	15	7.76	15	-0.01	15
4182	-597	-613	Min.	0.00	-407.67	15	0.00	15	-0.01	15	66.66	15	-6.12	15	-0.01	15
4182	-597	-613	Min.	21.63	-407.26	15	0.00	15	-0.01	15	61.59	15	7.76	15	-0.01	15
4182	-613	-629	Max	0.00	-532.81	15	-0.01	15	0.00	15	58.47	15	-5.21	15	-0.01	15
4182	-613	-629	Max	21.63	-532.40	15	-0.01	15	-0.00	15	53.39	15	6.89	15	-0.01	15
4182	-613	-629	Min.	0.00	-532.81	15	-0.01	15	0.00	15	58.47	15	-5.21	15	-0.01	15

4182	-613	-629	Min.	21.63	-532.40	15	-0.01	15	-0.00	15	53.39	15	6.89	15	-0.01	15
4182	-629	-645	Max	0.00	-631.68	15	-0.01	15	0.00	15	50.86	15	-4.23	15	-0.01	15
4182	-629	-645	Max	21.63	-631.27	15	-0.01	15	0.00	15	45.78	15	6.22	15	-0.01	15
4182	-629	-645	Min.	0.00	-631.68	15	-0.01	15	0.00	15	50.86	15	-4.23	15	-0.01	15
4182	-629	-645	Min.	21.63	-631.27	15	-0.01	15	0.00	15	45.78	15	6.22	15	-0.01	15
4182	-645	-661	Max	0.00	-709.23	15	0.01	15	0.01	15	44.68	15	-3.17	15	-0.01	15
4182	-645	-661	Max	21.63	-708.82	15	0.01	15	0.01	15	39.61	15	5.94	15	-0.01	15
4182	-645	-661	Min.	0.00	-709.23	15	0.01	15	0.01	15	44.68	15	-3.17	15	-0.01	15
4182	-645	-661	Min.	21.63	-708.82	15	0.01	15	0.01	15	39.61	15	5.94	15	-0.01	15
4182	-661	-677	Max	0.00	-730.30	15	0.02	15	-0.01	15	22.45	15	-0.71	15	-0.01	15
4182	-661	-677	Max	21.63	-729.89	15	0.02	15	-0.01	15	17.37	15	3.60	15	-0.01	15
4182	-661	-677	Min.	0.00	-730.30	15	0.02	15	-0.01	15	22.45	15	-0.71	15	-0.01	15
4182	-661	-677	Min.	21.63	-729.89	15	0.02	15	-0.01	15	17.37	15	3.60	15	-0.01	15
4182	-677	-693	Max	0.00	-759.90	15	0.00	15	-0.00	15	18.10	15	-0.50	15	-0.00	15
4182	-677	-693	Max	21.63	-759.48	15	0.00	15	-0.00	15	13.03	15	2.87	15	-0.00	15
4182	-677	-693	Min.	0.00	-759.90	15	0.00	15	-0.00	15	18.10	15	-0.50	15	-0.00	15
4182	-677	-693	Min.	21.63	-759.48	15	0.00	15	-0.00	15	13.03	15	2.87	15	-0.00	15
4182	-693	-709	Max	0.00	-779.28	15	0.00	15	0.00	15	13.52	15	0.01	15	-0.00	15
4182	-693	-709	Max	21.63	-778.87	15	0.00	15	0.00	15	8.45	15	2.38	15	-0.00	15
4182	-693	-709	Min.	0.00	-779.28	15	0.00	15	0.00	15	13.52	15	0.01	15	-0.00	15
4182	-693	-709	Min.	21.63	-778.87	15	0.00	15	0.00	15	8.45	15	2.38	15	-0.00	15
4182	-709	-725	Max	0.00	-789.89	15	0.01	15	0.01	15	10.04	15	0.72	15	-0.01	15
4182	-709	-725	Max	21.63	-789.48	15	0.01	15	0.01	15	4.97	15	2.34	15	-0.01	15
4182	-709	-725	Min.	0.00	-789.89	15	0.01	15	0.01	15	10.04	15	0.72	15	-0.01	15
4182	-709	-725	Min.	21.63	-789.48	15	0.01	15	0.01	15	4.97	15	2.34	15	-0.01	15
4182	-725	-741	Max	0.00	-785.25	15	0.01	15	-0.01	15	-10.85	15	2.97	15	0.00	15
4182	-725	-741	Max	21.63	-784.84	15	0.01	15	-0.00	15	-15.93	15	0.07	15	0.00	15
4182	-725	-741	Min.	0.00	-785.25	15	0.01	15	-0.01	15	-10.85	15	2.97	15	0.00	15
4182	-725	-741	Min.	21.63	-784.84	15	0.01	15	-0.00	15	-15.93	15	0.07	15	0.00	15
4182	-741	-757	Max	0.00	-769.37	15	0.01	15	-0.00	15	-13.45	15	2.83	15	-0.00	15
4182	-741	-757	Max	4.33					-0.00	15			2.23	15		
4182	-741	-757	Max	21.63	-768.96	15	0.01	15	0.00	15	-18.53	15	-0.63	15	-0.00	15
4182	-741	-757	Min.	0.00	-769.37	15	0.01	15	-0.00	15	-13.45	15	2.83	15	-0.00	15
4182	-741	-757	Min.	4.33					-0.00	15			2.23	15		
4182	-741	-757	Min.	21.63	-768.96	15	0.01	15	0.00	15	-18.53	15	-0.63	15	-0.00	15
4182	-757	-773	Max	0.00	-750.25	15	0.01	15	0.00	15	-15.93	15	2.84	15	-0.00	15
4182	-757	-773	Max	21.63	-749.83	15	0.01	15	0.00	15	-21.00	15	-1.16	15	-0.00	15
4182	-757	-773	Min.	0.00	-750.25	15	0.01	15	0.00	15	-15.93	15	2.84	15	-0.00	15
4182	-757	-773	Min.	21.63	-749.83	15	0.01	15	0.00	15	-21.00	15	-1.16	15	-0.00	15
4182	-773	-789	Max	0.00	-732.55	15	0.01	15	0.00	15	-21.03	15	2.20	15	-0.00	15
4182	-773	-789	Max	21.63	-732.14	15	0.01	15	0.00	15	-26.11	15	-2.90	15	-0.00	15
4182	-773	-789	Min.	0.00	-732.55	15	0.01	15	0.00	15	-21.03	15	2.20	15	-0.00	15
4182	-773	-789	Min.	21.63	-732.14	15	0.01	15	0.00	15	-26.11	15	-2.90	15	-0.00	15
4183	3006	-518	Max	0.00	33.00	15	0.09	15	-0.01	15	-16.74	15	1.37	15	-0.05	15
4183	3006	-518	Max	16.72	33.24	15	0.09	15	0.01	15	-19.80	15	-1.69	15	-0.05	15
4183	3006	-518	Min.	0.00	33.00	15	0.09	15	-0.01	15	-16.74	15	1.37	15	-0.05	15
4183	3006	-518	Min.	16.72	33.24	15	0.09	15	0.01	15	-19.80	15	-1.69	15	-0.05	15
4183	-518	-534	Max	0.00	115.85	15	0.26	15	-0.02	15	0.59	15	-0.20	15	-0.01	15
4183	-518	-534	Max	3.34					-0.01	15			-0.19	15		
4183	-518	-534	Max	16.72	116.10	15	0.26	15	0.03	15	-2.47	15	-0.36	15	-0.01	15
4183	-518	-534	Min.	0.00	115.85	15	0.26	15	-0.02	15	0.59	15	-0.20	15	-0.01	15
4183	-518	-534	Min.	3.34					-0.01	15			-0.19	15		
4183	-518	-534	Min.	16.72	116.10	15	0.26	15	0.03	15	-2.47	15	-0.36	15	-0.01	15
4183	-534	4033	Max	0.00	144.69	15	0.20	15	-0.01	15	-23.04	15	1.13	15	0.02	15
4183	-534	4033	Max	16.72	144.93	15	0.20	15	0.03	15	-26.10	15	-2.98	15	0.02	15
4183	-534	4033	Min.	0.00	144.69	15	0.20	15	-0.01	15	-23.04	15	1.13	15	0.02	15
4183	-534	4033	Min.	16.72	144.93	15	0.20	15	0.03	15	-26.10	15	-2.98	15	0.02	15
4183	4033	-550	Max	0.00	625.69	15	0.12	15	-0.02	15	133.63	15	-20.28	15	-0.02	15
4183	4033	-550	Max	21.63	626.08	15	0.12	15	0.01	15	128.80	15	8.11	15	-0.02	15

4183	4033	-550	Min.	0.00	625.69	15	0.12	15	-0.02	15	133.63	15	-20.28	15	-0.02	15
4183	4033	-550	Min.	21.63	626.08	15	0.12	15	0.01	15	128.80	15	8.11	15	-0.02	15
4183	-550	-566	Max	0.00	290.99	15	-0.00	15	0.00	15	122.05	15	-14.81	15	-0.00	15
4183	-550	-566	Max	21.63	291.38	15	-0.00	15	0.00	15	117.22	15	11.07	15	-0.00	15
4183	-550	-566	Min.	0.00	290.99	15	-0.00	15	0.00	15	122.05	15	-14.81	15	-0.00	15
4183	-550	-566	Min.	21.63	291.38	15	-0.00	15	0.00	15	117.22	15	11.07	15	-0.00	15
4183	-566	-582	Max	0.00	-2.36	15	0.01	15	-0.00	15	106.05	15	-11.71	15	0.00	15
4183	-566	-582	Max	21.63	-1.97	15	0.01	15	0.00	15	101.22	15	10.71	15	0.00	15
4183	-566	-582	Min.	0.00	-2.36	15	0.01	15	-0.00	15	106.05	15	-11.71	15	0.00	15
4183	-566	-582	Min.	21.63	-1.97	15	0.01	15	0.00	15	101.22	15	10.71	15	0.00	15
4183	-582	-598	Max	0.00	-235.84	15	0.03	15	0.00	15	93.87	15	-9.44	15	0.00	15
4183	-582	-598	Max	21.63	-235.44	15	0.03	15	0.01	15	89.05	15	10.34	15	0.00	15
4183	-582	-598	Min.	0.00	-235.84	15	0.03	15	0.00	15	93.87	15	-9.44	15	0.00	15
4183	-582	-598	Min.	21.63	-235.44	15	0.03	15	0.01	15	89.05	15	10.34	15	0.00	15
4183	-598	-614	Max	0.00	-402.44	15	-0.02	15	-0.00	15	64.39	15	-5.83	15	-0.02	15
4183	-598	-614	Max	21.63	-402.05	15	-0.02	15	-0.01	15	59.56	15	7.58	15	-0.02	15
4183	-598	-614	Min.	0.00	-402.44	15	-0.02	15	-0.00	15	64.39	15	-5.83	15	-0.02	15
4183	-598	-614	Min.	21.63	-402.05	15	-0.02	15	-0.01	15	59.56	15	7.58	15	-0.02	15
4183	-614	-630	Max	0.00	-523.89	15	-0.02	15	0.00	15	56.48	15	-5.01	15	-0.01	15
4183	-614	-630	Max	21.63	-523.50	15	-0.02	15	-0.00	15	51.65	15	6.69	15	-0.01	15
4183	-614	-630	Min.	0.00	-523.89	15	-0.02	15	0.00	15	56.48	15	-5.01	15	-0.01	15
4183	-614	-630	Min.	21.63	-523.50	15	-0.02	15	-0.00	15	51.65	15	6.69	15	-0.01	15
4183	-630	-646	Max	0.00	-619.54	15	-0.02	15	0.00	15	49.12	15	-4.06	15	-0.01	15
4183	-630	-646	Max	21.63	-619.15	15	-0.02	15	0.00	15	44.29	15	6.04	15	-0.01	15
4183	-630	-646	Min.	0.00	-619.54	15	-0.02	15	0.00	15	49.12	15	-4.06	15	-0.01	15
4183	-630	-646	Min.	21.63	-619.15	15	-0.02	15	0.00	15	44.29	15	6.04	15	-0.01	15
4183	-646	-662	Max	0.00	-694.52	15	-0.01	15	0.01	15	43.18	15	-3.05	15	-0.01	15
4183	-646	-662	Max	21.63	-694.12	15	-0.01	15	0.01	15	38.35	15	5.77	15	-0.01	15
4183	-646	-662	Min.	0.00	-694.52	15	-0.01	15	0.01	15	43.18	15	-3.05	15	-0.01	15
4183	-646	-662	Min.	21.63	-694.12	15	-0.01	15	0.01	15	38.35	15	5.77	15	-0.01	15
4183	-662	-678	Max	0.00	-737.20	15	0.02	15	-0.01	15	21.68	15	-0.65	15	-0.00	15
4183	-662	-678	Max	21.63	-736.81	15	0.02	15	-0.01	15	16.86	15	3.52	15	-0.00	15
4183	-662	-678	Min.	0.00	-737.20	15	0.02	15	-0.01	15	21.68	15	-0.65	15	-0.00	15
4183	-662	-678	Min.	21.63	-736.81	15	0.02	15	-0.01	15	16.86	15	3.52	15	-0.00	15
4183	-678	-694	Max	0.00	-765.87	15	0.00	15	-0.00	15	17.49	15	-0.45	15	-0.00	15
4183	-678	-694	Max	21.63	-765.47	15	0.00	15	-0.00	15	12.67	15	2.82	15	-0.00	15
4183	-678	-694	Min.	0.00	-765.87	15	0.00	15	-0.00	15	17.49	15	-0.45	15	-0.00	15
4183	-678	-694	Min.	21.63	-765.47	15	0.00	15	-0.00	15	12.67	15	2.82	15	-0.00	15
4183	-694	-710	Max	0.00	-784.65	15	0.00	15	0.00	15	13.06	15	0.04	15	-0.00	15
4183	-694	-710	Max	21.63	-784.26	15	0.00	15	0.00	15	8.24	15	2.34	15	-0.00	15
4183	-694	-710	Min.	0.00	-784.65	15	0.00	15	0.00	15	13.06	15	0.04	15	-0.00	15
4183	-694	-710	Min.	21.63	-784.26	15	0.00	15	0.00	15	8.24	15	2.34	15	-0.00	15
4183	-710	-726	Max	0.00	-794.88	15	0.01	15	0.01	15	9.73	15	0.74	15	-0.01	15
4183	-710	-726	Max	21.63	-794.48	15	0.01	15	0.01	15	4.90	15	2.32	15	-0.01	15
4183	-710	-726	Min.	0.00	-794.88	15	0.01	15	0.01	15	9.73	15	0.74	15	-0.01	15
4183	-710	-726	Min.	21.63	-794.48	15	0.01	15	0.01	15	4.90	15	2.32	15	-0.01	15
4183	-726	-742	Max	0.00	-788.71	15	0.01	15	-0.01	15	-11.38	15	3.02	15	-0.00	15
4183	-726	-742	Max	21.63	-788.32	15	0.01	15	-0.00	15	-16.21	15	0.03	15	-0.00	15
4183	-726	-742	Min.	0.00	-788.71	15	0.01	15	-0.01	15	-11.38	15	3.02	15	-0.00	15
4183	-726	-742	Min.	21.63	-788.32	15	0.01	15	-0.00	15	-16.21	15	0.03	15	-0.00	15
4183	-742	-758	Max	0.00	-772.49	15	0.00	15	-0.00	15	-13.83	15	2.85	15	-0.00	15
4183	-742	-758	Max	8.65					-0.00	15			1.57	15		
4183	-742	-758	Max	21.63	-772.10	15	0.00	15	0.00	15	-18.65	15	-0.66	15	-0.00	15
4183	-742	-758	Min.	0.00	-772.49	15	0.00	15	-0.00	15	-13.83	15	2.85	15	-0.00	15
4183	-742	-758	Min.	8.65					-0.00	15			1.57	15		
4183	-742	-758	Min.	21.63	-772.10	15	0.00	15	0.00	15	-18.65	15	-0.66	15	-0.00	15
4183	-758	-774	Max	0.00	-753.16	15	0.00	15	0.00	15	-16.18	15	2.84	15	-0.00	15
4183	-758	-774	Max	21.63	-752.76	15	0.00	15	0.00	15	-21.00	15	-1.18	15	-0.00	15
4183	-758	-774	Min.	0.00	-753.16	15	0.00	15	0.00	15	-16.18	15	2.84	15	-0.00	15

4183	-758	-774	Min.	21.63	-752.76	15	0.00	15	0.00	15	-21.00	15	-1.18	15	-0.00	15
4183	-774	-790	Max	0.00	-735.39	15	0.01	15	0.00	15	-21.15	15	2.20	15	-0.00	15
4183	-774	-790	Max	21.63	-735.00	15	0.01	15	0.00	15	-25.98	15	-2.90	15	-0.00	15
4183	-774	-790	Min.	0.00	-735.39	15	0.01	15	0.00	15	-21.15	15	2.20	15	-0.00	15
4183	-774	-790	Min.	21.63	-735.00	15	0.01	15	0.00	15	-25.98	15	-2.90	15	-0.00	15
4220	3007	-519	Max	0.00	12.69	15	1.25	15	-0.11	15	-5.19	15	0.58	15	0.01	15
4220	3007	-519	Max	16.72	12.94	15	1.25	15	0.10	15	-8.25	15	-0.54	15	0.01	15
4220	3007	-519	Min.	0.00	12.69	15	1.25	15	-0.11	15	-5.19	15	0.58	15	0.01	15
4220	3007	-519	Min.	16.72	12.94	15	1.25	15	0.10	15	-8.25	15	-0.54	15	0.01	15
4220	-519	-535	Max	0.00	31.33	15	1.26	15	-0.10	15	-5.99	15	0.54	15	0.02	15
4220	-519	-535	Max	16.72	31.58	15	1.26	15	0.11	15	-9.05	15	-0.72	15	0.02	15
4220	-519	-535	Min.	0.00	31.33	15	1.26	15	-0.10	15	-5.99	15	0.54	15	0.02	15
4220	-519	-535	Min.	16.72	31.58	15	1.26	15	0.11	15	-9.05	15	-0.72	15	0.02	15
4220	-535	4034	Max	0.00	50.97	15	1.06	15	-0.09	15	-11.76	15	0.59	15	-0.00	15
4220	-535	4034	Max	16.72	51.22	15	1.06	15	0.09	15	-14.82	15	-1.63	15	-0.00	15
4220	-535	4034	Min.	0.00	50.97	15	1.06	15	-0.09	15	-11.76	15	0.59	15	-0.00	15
4220	-535	4034	Min.	16.72	51.22	15	1.06	15	0.09	15	-14.82	15	-1.63	15	-0.00	15
4220	4034	-551	Max	0.00	351.17	15	-0.29	15	0.02	15	79.72	15	-11.92	15	-0.04	15
4220	4034	-551	Max	21.63	351.56	15	-0.29	15	-0.04	15	74.89	15	4.80	15	-0.04	15
4220	4034	-551	Min.	0.00	351.17	15	-0.29	15	0.02	15	79.72	15	-11.92	15	-0.04	15
4220	4034	-551	Min.	21.63	351.56	15	-0.29	15	-0.04	15	74.89	15	4.80	15	-0.04	15
4220	-551	-567	Max	0.00	156.32	15	-0.12	15	0.00	15	71.61	15	-8.55	15	-0.05	15
4220	-551	-567	Max	21.63	156.71	15	-0.12	15	-0.02	15	66.79	15	6.42	15	-0.05	15
4220	-551	-567	Min.	0.00	156.32	15	-0.12	15	0.00	15	71.61	15	-8.55	15	-0.05	15
4220	-551	-567	Min.	21.63	156.71	15	-0.12	15	-0.02	15	66.79	15	6.42	15	-0.05	15
4220	-567	-583	Max	0.00	-11.57	15	-0.13	15	0.02	15	61.13	15	-6.62	15	-0.05	15
4220	-567	-583	Max	21.63	-11.18	15	-0.13	15	-0.01	15	56.30	15	6.08	15	-0.05	15
4220	-567	-583	Min.	0.00	-11.57	15	-0.13	15	0.02	15	61.13	15	-6.62	15	-0.05	15
4220	-567	-583	Min.	21.63	-11.18	15	-0.13	15	-0.01	15	56.30	15	6.08	15	-0.05	15
4220	-583	-599	Max	0.00	-142.82	15	-0.10	15	0.03	15	52.83	15	-5.25	15	-0.06	15
4220	-583	-599	Max	21.63	-142.43	15	-0.10	15	0.01	15	48.00	15	5.65	15	-0.06	15
4220	-583	-599	Min.	0.00	-142.82	15	-0.10	15	0.03	15	52.83	15	-5.25	15	-0.06	15
4220	-583	-599	Min.	21.63	-142.43	15	-0.10	15	0.01	15	48.00	15	5.65	15	-0.06	15
4220	-599	-615	Max	0.00	-240.33	15	0.04	15	-0.02	15	40.04	15	-3.64	15	-0.02	15
4220	-599	-615	Max	21.63	-239.94	15	0.04	15	-0.02	15	35.22	15	4.50	15	-0.02	15
4220	-599	-615	Min.	0.00	-240.33	15	0.04	15	-0.02	15	40.04	15	-3.64	15	-0.02	15
4220	-599	-615	Min.	21.63	-239.94	15	0.04	15	-0.02	15	35.22	15	4.50	15	-0.02	15
4220	-615	-631	Max	0.00	-311.70	15	-0.02	15	0.00	15	33.92	15	-2.91	15	-0.02	15
4220	-615	-631	Max	21.63	-311.31	15	-0.02	15	-0.00	15	29.10	15	3.91	15	-0.02	15
4220	-615	-631	Min.	0.00	-311.70	15	-0.02	15	0.00	15	33.92	15	-2.91	15	-0.02	15
4220	-615	-631	Min.	21.63	-311.31	15	-0.02	15	-0.00	15	29.10	15	3.91	15	-0.02	15
4220	-631	-647	Max	0.00	-366.18	15	-0.02	15	0.01	15	28.41	15	-2.23	15	-0.02	15
4220	-631	-647	Max	21.63	-365.79	15	-0.02	15	0.01	15	23.58	15	3.40	15	-0.02	15
4220	-631	-647	Min.	0.00	-366.18	15	-0.02	15	0.01	15	28.41	15	-2.23	15	-0.02	15
4220	-631	-647	Min.	21.63	-365.79	15	-0.02	15	0.01	15	23.58	15	3.40	15	-0.02	15
4220	-647	-663	Max	0.00	-407.41	15	0.02	15	0.02	15	23.43	15	-1.61	15	-0.02	15
4220	-647	-663	Max	21.63	-407.02	15	0.02	15	0.03	15	18.60	15	2.93	15	-0.02	15
4220	-647	-663	Min.	0.00	-407.41	15	0.02	15	0.02	15	23.43	15	-1.61	15	-0.02	15
4220	-647	-663	Min.	21.63	-407.02	15	0.02	15	0.03	15	18.60	15	2.93	15	-0.02	15
4220	-663	-679	Max	0.00	-391.49	15	0.04	15	-0.03	15	17.40	15	-0.95	15	-0.02	15
4220	-663	-679	Max	21.63	-391.10	15	0.04	15	-0.02	15	12.58	15	2.30	15	-0.02	15
4220	-663	-679	Min.	0.00	-391.49	15	0.04	15	-0.03	15	17.40	15	-0.95	15	-0.02	15
4220	-663	-679	Min.	21.63	-391.10	15	0.04	15	-0.02	15	12.58	15	2.30	15	-0.02	15
4220	-679	-695	Max	0.00	-411.55	15	0.01	15	-0.01	15	13.24	15	-0.50	15	-0.01	15
4220	-679	-695	Max	21.63	-411.16	15	0.01	15	-0.00	15	8.41	15	1.84	15	-0.01	15
4220	-679	-695	Min.	0.00	-411.55	15	0.01	15	-0.01	15	13.24	15	-0.50	15	-0.01	15
4220	-679	-695	Min.	21.63	-411.16	15	0.01	15	-0.00	15	8.41	15	1.84	15	-0.01	15
4220	-695	-711	Max	0.00	-424.25	15	0.00	15	0.01	15	9.26	15	-0.05	15	-0.02	15
4220	-695	-711	Max	21.63	-423.86	15	0.00	15	0.01	15	4.43	15	1.43	15	-0.02	15

4220	-695	-711	Min.	0.00	-424.25	15	0.00	15	0.01	15	9.26	15	-0.05	15	-0.02	15
4220	-695	-711	Min.	21.63	-423.86	15	0.00	15	0.01	15	4.43	15	1.43	15	-0.02	15
4220	-711	-727	Max	0.00	-430.51	15	0.03	15	0.02	15	5.69	15	0.42	15	-0.02	15
4220	-711	-727	Max	21.63	-430.12	15	0.03	15	0.02	15	0.86	15	1.13	15	-0.02	15
4220	-711	-727	Min.	0.00	-430.51	15	0.03	15	0.02	15	5.69	15	0.42	15	-0.02	15
4220	-711	-727	Min.	21.63	-430.12	15	0.03	15	0.02	15	0.86	15	1.13	15	-0.02	15
4220	-727	-743	Max	0.00	-432.46	15	0.10	15	-0.03	15	-2.23	15	1.28	15	0.01	15
4220	-727	-743	Max	21.63	-432.06	15	0.10	15	-0.01	15	-7.06	15	0.27	15	0.01	15
4220	-727	-743	Min.	0.00	-432.46	15	0.10	15	-0.03	15	-2.23	15	1.28	15	0.01	15
4220	-727	-743	Min.	21.63	-432.06	15	0.10	15	-0.01	15	-7.06	15	0.27	15	0.01	15
4220	-743	-759	Max	0.00	-425.27	15	0.08	15	-0.01	15	-5.40	15	1.49	15	0.01	15
4220	-743	-759	Max	21.63	-424.88	15	0.08	15	0.00	15	-10.22	15	-0.19	15	0.01	15
4220	-743	-759	Min.	0.00	-425.27	15	0.08	15	-0.01	15	-5.40	15	1.49	15	0.01	15
4220	-743	-759	Min.	21.63	-424.88	15	0.08	15	0.00	15	-10.22	15	-0.19	15	0.01	15
4220	-759	-775	Max	0.00	-414.94	15	0.07	15	0.00	15	-8.20	15	1.66	15	0.01	15
4220	-759	-775	Max	21.63	-414.55	15	0.07	15	0.02	15	-13.02	15	-0.64	15	0.01	15
4220	-759	-775	Min.	0.00	-414.94	15	0.07	15	0.00	15	-8.20	15	1.66	15	0.01	15
4220	-759	-775	Min.	21.63	-414.55	15	0.07	15	0.02	15	-13.02	15	-0.64	15	0.01	15
4220	-775	-791	Max	0.00	-404.23	15	0.08	15	0.01	15	-12.71	15	1.37	15	0.00	15
4220	-775	-791	Max	21.63	-403.84	15	0.08	15	0.03	15	-17.54	15	-1.90	15	0.00	15
4220	-775	-791	Min.	0.00	-404.23	15	0.08	15	0.01	15	-12.71	15	1.37	15	0.00	15
4220	-775	-791	Min.	21.63	-403.84	15	0.08	15	0.03	15	-17.54	15	-1.90	15	0.00	15
4221	3008	-520	Max	0.00	9.30	15	1.23	15	-0.10	15	-3.44	15	0.28	15	0.01	15
4221	3008	-520	Max	16.72	9.36	15	1.23	15	0.10	15	-4.19	15	-0.36	15	0.01	15
4221	3008	-520	Min.	0.00	9.30	15	1.23	15	-0.10	15	-3.44	15	0.28	15	0.01	15
4221	3008	-520	Min.	16.72	9.36	15	1.23	15	0.10	15	-4.19	15	-0.36	15	0.01	15
4221	-520	-536	Max	0.00	34.45	15	1.25	15	-0.10	15	0.64	15	-0.06	15	0.02	15
4221	-520	-536	Max	14.34					0.07	15			-0.02	15		
4221	-520	-536	Max	16.72	34.51	15	1.25	15	0.10	15	-0.10	15	-0.02	15	0.02	15
4221	-520	-536	Min.	0.00	34.45	15	1.25	15	-0.10	15	0.64	15	-0.06	15	0.02	15
4221	-520	-536	Min.	14.34					0.07	15			-0.02	15		
4221	-520	-536	Min.	16.72	34.51	15	1.25	15	0.10	15	-0.10	15	-0.02	15	0.02	15
4221	-536	4036	Max	0.00	47.89	15	1.27	15	-0.10	15	-9.03	15	0.48	15	0.01	15
4221	-536	4036	Max	16.72	47.95	15	1.27	15	0.11	15	-9.78	15	-1.09	15	0.01	15
4221	-536	4036	Min.	0.00	47.89	15	1.27	15	-0.10	15	-9.03	15	0.48	15	0.01	15
4221	-536	4036	Min.	16.72	47.95	15	1.27	15	0.11	15	-9.78	15	-1.09	15	0.01	15
4221	4036	-552	Max	0.00	325.27	15	-0.19	15	0.01	15	66.83	15	-10.25	15	-0.05	15
4221	4036	-552	Max	21.63	325.35	15	-0.19	15	-0.03	15	65.83	15	4.10	15	-0.05	15
4221	4036	-552	Min.	0.00	325.27	15	-0.19	15	0.01	15	66.83	15	-10.25	15	-0.05	15
4221	4036	-552	Min.	21.63	325.35	15	-0.19	15	-0.03	15	65.83	15	4.10	15	-0.05	15
4221	-552	-568	Max	0.00	155.72	15	-0.13	15	0.01	15	61.30	15	-7.52	15	-0.05	15
4221	-552	-568	Max	21.63	155.80	15	-0.13	15	-0.02	15	60.31	15	5.63	15	-0.05	15
4221	-552	-568	Min.	0.00	155.72	15	-0.13	15	0.01	15	61.30	15	-7.52	15	-0.05	15
4221	-552	-568	Min.	21.63	155.80	15	-0.13	15	-0.02	15	60.31	15	5.63	15	-0.05	15
4221	-568	-584	Max	0.00	5.95	15	-0.13	15	0.02	15	53.60	15	-5.99	15	-0.05	15
4221	-568	-584	Max	21.63	6.03	15	-0.13	15	-0.01	15	52.61	15	5.50	15	-0.05	15
4221	-568	-584	Min.	0.00	5.95	15	-0.13	15	0.02	15	53.60	15	-5.99	15	-0.05	15
4221	-568	-584	Min.	21.63	6.03	15	-0.13	15	-0.01	15	52.61	15	5.50	15	-0.05	15
4221	-584	-600	Max	0.00	-114.54	15	-0.10	15	0.03	15	47.42	15	-4.90	15	-0.06	15
4221	-584	-600	Max	21.63	-114.46	15	-0.10	15	0.01	15	46.43	15	5.25	15	-0.06	15
4221	-584	-600	Min.	0.00	-114.54	15	-0.10	15	0.03	15	47.42	15	-4.90	15	-0.06	15
4221	-584	-600	Min.	21.63	-114.46	15	-0.10	15	0.01	15	46.43	15	5.25	15	-0.06	15
4221	-600	-616	Max	0.00	-204.63	15	0.04	15	-0.02	15	35.15	15	-3.31	15	-0.02	15
4221	-600	-616	Max	21.63	-204.55	15	0.04	15	-0.02	15	34.16	15	4.19	15	-0.02	15
4221	-600	-616	Min.	0.00	-204.63	15	0.04	15	-0.02	15	35.15	15	-3.31	15	-0.02	15
4221	-600	-616	Min.	21.63	-204.55	15	0.04	15	-0.02	15	34.16	15	4.19	15	-0.02	15
4221	-616	-632	Max	0.00	-272.99	15	-0.02	15	0.00	15	31.36	15	-2.89	15	-0.02	15
4221	-616	-632	Max	21.63	-272.91	15	-0.02	15	-0.00	15	30.36	15	3.79	15	-0.02	15
4221	-616	-632	Min.	0.00	-272.99	15	-0.02	15	0.00	15	31.36	15	-2.89	15	-0.02	15

4221	-616	-632	Min.	21.63	-272.91	15	-0.02	15	-0.00	15	30.36	15	3.79	15	-0.02	15
4221	-632	-648	Max	0.00	-327.95	15	-0.02	15	0.01	15	27.64	15	-2.39	15	-0.02	15
4221	-632	-648	Max	21.63	-327.87	15	-0.02	15	0.01	15	26.64	15	3.48	15	-0.02	15
4221	-632	-648	Min.	0.00	-327.95	15	-0.02	15	0.01	15	27.64	15	-2.39	15	-0.02	15
4221	-632	-648	Min.	21.63	-327.87	15	-0.02	15	0.01	15	26.64	15	3.48	15	-0.02	15
4221	-648	-664	Max	0.00	-371.73	15	0.02	15	0.02	15	24.66	15	-1.82	15	-0.02	15
4221	-648	-664	Max	21.63	-371.65	15	0.02	15	0.03	15	23.66	15	3.40	15	-0.02	15
4221	-648	-664	Min.	0.00	-371.73	15	0.02	15	0.02	15	24.66	15	-1.82	15	-0.02	15
4221	-648	-664	Min.	21.63	-371.65	15	0.02	15	0.03	15	23.66	15	3.40	15	-0.02	15
4221	-664	-680	Max	0.00	-396.69	15	0.05	15	-0.03	15	10.54	15	-0.23	15	-0.02	15
4221	-664	-680	Max	21.63	-396.61	15	0.05	15	-0.02	15	9.54	15	1.94	15	-0.02	15
4221	-664	-680	Min.	0.00	-396.69	15	0.05	15	-0.03	15	10.54	15	-0.23	15	-0.02	15
4221	-664	-680	Min.	21.63	-396.61	15	0.05	15	-0.02	15	9.54	15	1.94	15	-0.02	15
4221	-680	-696	Max	0.00	-412.48	15	0.01	15	-0.01	15	8.78	15	-0.23	15	-0.01	15
4221	-680	-696	Max	21.63	-412.40	15	0.01	15	-0.00	15	7.79	15	1.56	15	-0.01	15
4221	-680	-696	Min.	0.00	-412.48	15	0.01	15	-0.01	15	8.78	15	-0.23	15	-0.01	15
4221	-680	-696	Min.	21.63	-412.40	15	0.01	15	-0.00	15	7.79	15	1.56	15	-0.01	15
4221	-696	-712	Max	0.00	-423.13	15	0.01	15	0.01	15	6.69	15	-0.01	15	-0.02	15
4221	-696	-712	Max	21.63	-423.05	15	0.01	15	0.01	15	5.70	15	1.33	15	-0.02	15
4221	-696	-712	Min.	0.00	-423.13	15	0.01	15	0.01	15	6.69	15	-0.01	15	-0.02	15
4221	-696	-712	Min.	21.63	-423.05	15	0.01	15	0.01	15	5.70	15	1.33	15	-0.02	15
4221	-712	-728	Max	0.00	-429.56	15	0.04	15	0.02	15	5.13	15	0.33	15	-0.02	15
4221	-712	-728	Max	21.63	-429.48	15	0.04	15	0.03	15	4.14	15	1.33	15	-0.02	15
4221	-712	-728	Min.	0.00	-429.56	15	0.04	15	0.02	15	5.13	15	0.33	15	-0.02	15
4221	-712	-728	Min.	21.63	-429.48	15	0.04	15	0.03	15	4.14	15	1.33	15	-0.02	15
4221	-728	-744	Max	0.00	-424.82	15	0.11	15	-0.03	15	-5.63	15	1.50	15	0.01	15
4221	-728	-744	Max	21.63	-424.74	15	0.11	15	-0.01	15	-6.63	15	0.17	15	0.01	15
4221	-728	-744	Min.	0.00	-424.82	15	0.11	15	-0.03	15	-5.63	15	1.50	15	0.01	15
4221	-728	-744	Min.	21.63	-424.74	15	0.11	15	-0.01	15	-6.63	15	0.17	15	0.01	15
4221	-744	-760	Max	0.00	-417.85	15	0.08	15	-0.01	15	-6.69	15	1.39	15	0.01	15
4221	-744	-760	Max	21.63	-417.77	15	0.08	15	0.00	15	-7.68	15	-0.17	15	0.01	15
4221	-744	-760	Min.	0.00	-417.85	15	0.08	15	-0.01	15	-6.69	15	1.39	15	0.01	15
4221	-744	-760	Min.	21.63	-417.77	15	0.08	15	0.00	15	-7.68	15	-0.17	15	0.01	15
4221	-760	-776	Max	0.00	-409.31	15	0.07	15	0.00	15	-7.80	15	1.38	15	0.01	15
4221	-760	-776	Max	21.63	-409.23	15	0.07	15	0.02	15	-8.79	15	-0.41	15	0.01	15
4221	-760	-776	Min.	0.00	-409.31	15	0.07	15	0.00	15	-7.80	15	1.38	15	0.01	15
4221	-760	-776	Min.	21.63	-409.23	15	0.07	15	0.02	15	-8.79	15	-0.41	15	0.01	15
4221	-776	-792	Max	0.00	-401.38	15	0.08	15	0.01	15	-10.14	15	1.10	15	0.00	15
4221	-776	-792	Max	21.63	-401.30	15	0.08	15	0.03	15	-11.14	15	-1.20	15	0.00	15
4221	-776	-792	Min.	0.00	-401.38	15	0.08	15	0.01	15	-10.14	15	1.10	15	0.00	15
4221	-776	-792	Min.	21.63	-401.30	15	0.08	15	0.03	15	-11.14	15	-1.20	15	0.00	15
4385	-785	-777	Max	0.00	-401.45	15	0.08	15	-0.03	15	11.15	15	-1.21	15	0.00	15
4385	-785	-777	Max	21.63	-401.54	15	0.08	15	-0.01	15	10.16	15	1.10	15	0.00	15
4385	-785	-777	Min.	0.00	-401.45	15	0.08	15	-0.03	15	11.15	15	-1.21	15	0.00	15
4385	-785	-777	Min.	21.63	-401.54	15	0.08	15	-0.01	15	10.16	15	1.10	15	0.00	15
4385	-777	-761	Max	0.00	-409.40	15	0.07	15	-0.02	15	8.81	15	-0.41	15	0.01	15
4385	-777	-761	Max	17.31					-0.00	15			1.04	15		
4385	-777	-761	Max	21.63	-409.48	15	0.07	15	0.00	15	7.81	15	1.39	15	0.01	15
4385	-777	-761	Min.	0.00	-409.40	15	0.07	15	-0.02	15	8.81	15	-0.41	15	0.01	15
4385	-777	-761	Min.	17.31					-0.00	15			1.04	15		
4385	-777	-761	Min.	21.63	-409.48	15	0.07	15	0.00	15	7.81	15	1.39	15	0.01	15
4385	-761	-745	Max	0.00	-417.96	15	0.08	15	-0.00	15	7.70	15	-0.17	15	0.01	15
4385	-761	-745	Max	21.63	-418.04	15	0.08	15	0.01	15	6.70	15	1.39	15	0.01	15
4385	-761	-745	Min.	0.00	-417.96	15	0.08	15	-0.00	15	7.70	15	-0.17	15	0.01	15
4385	-761	-745	Min.	21.63	-418.04	15	0.08	15	0.01	15	6.70	15	1.39	15	0.01	15
4385	-745	-729	Max	0.00	-424.94	15	0.11	15	0.01	15	6.64	15	0.17	15	0.01	15
4385	-745	-729	Max	21.63	-425.02	15	0.11	15	0.03	15	5.65	15	1.50	15	0.01	15
4385	-745	-729	Min.	0.00	-424.94	15	0.11	15	0.01	15	6.64	15	0.17	15	0.01	15
4385	-745	-729	Min.	21.63	-425.02	15	0.11	15	0.03	15	5.65	15	1.50	15	0.01	15

4385	-729	-713	Max	0.00	-429.65	15	0.03	15	-0.03	15	-4.12	15	1.33	15	-0.02	15
4385	-729	-713	Max	21.63	-429.73	15	0.03	15	-0.02	15	-5.12	15	0.33	15	-0.02	15
4385	-729	-713	Min.	0.00	-429.65	15	0.03	15	-0.03	15	-4.12	15	1.33	15	-0.02	15
4385	-729	-713	Min.	21.63	-429.73	15	0.03	15	-0.02	15	-5.12	15	0.33	15	-0.02	15
4385	-713	-697	Max	0.00	-423.25	15	0.01	15	-0.01	15	-5.68	15	1.33	15	-0.02	15
4385	-713	-697	Max	21.63	-423.33	15	0.01	15	-0.01	15	-6.68	15	-0.01	15	-0.02	15
4385	-713	-697	Min.	0.00	-423.25	15	0.01	15	-0.01	15	-5.68	15	1.33	15	-0.02	15
4385	-713	-697	Min.	21.63	-423.33	15	0.01	15	-0.01	15	-6.68	15	-0.01	15	-0.02	15
4385	-697	-681	Max	0.00	-412.62	15	0.01	15	0.00	15	-7.77	15	1.56	15	-0.01	15
4385	-697	-681	Max	21.63	-412.70	15	0.01	15	0.01	15	-8.77	15	-0.23	15	-0.01	15
4385	-697	-681	Min.	0.00	-412.62	15	0.01	15	0.00	15	-7.77	15	1.56	15	-0.01	15
4385	-697	-681	Min.	21.63	-412.70	15	0.01	15	0.01	15	-8.77	15	-0.23	15	-0.01	15
4385	-681	-665	Max	0.00	-396.86	15	0.05	15	0.02	15	-9.52	15	1.94	15	-0.02	15
4385	-681	-665	Max	21.63	-396.94	15	0.05	15	0.03	15	-10.52	15	-0.23	15	-0.02	15
4385	-681	-665	Min.	0.00	-396.86	15	0.05	15	0.02	15	-9.52	15	1.94	15	-0.02	15
4385	-681	-665	Min.	21.63	-396.94	15	0.05	15	0.03	15	-10.52	15	-0.23	15	-0.02	15
4385	-665	-649	Max	0.00	-371.88	15	0.02	15	-0.03	15	-23.64	15	3.40	15	-0.02	15
4385	-665	-649	Max	21.63	-371.96	15	0.02	15	-0.02	15	-24.64	15	-1.82	15	-0.02	15
4385	-665	-649	Min.	0.00	-371.88	15	0.02	15	-0.03	15	-23.64	15	3.40	15	-0.02	15
4385	-665	-649	Min.	21.63	-371.96	15	0.02	15	-0.02	15	-24.64	15	-1.82	15	-0.02	15
4385	-649	-633	Max	0.00	-328.15	15	-0.02	15	-0.01	15	-26.62	15	3.48	15	-0.02	15
4385	-649	-633	Max	21.63	-328.23	15	-0.02	15	-0.01	15	-27.61	15	-2.39	15	-0.02	15
4385	-649	-633	Min.	0.00	-328.15	15	-0.02	15	-0.01	15	-26.62	15	3.48	15	-0.02	15
4385	-649	-633	Min.	21.63	-328.23	15	-0.02	15	-0.01	15	-27.61	15	-2.39	15	-0.02	15
4385	-633	-617	Max	0.00	-273.23	15	-0.02	15	0.00	15	-30.34	15	3.78	15	-0.02	15
4385	-633	-617	Max	21.63	-273.31	15	-0.02	15	0.00	15	-31.33	15	-2.89	15	-0.02	15
4385	-633	-617	Min.	0.00	-273.23	15	-0.02	15	0.00	15	-30.34	15	3.78	15	-0.02	15
4385	-633	-617	Min.	21.63	-273.31	15	-0.02	15	0.00	15	-31.33	15	-2.89	15	-0.02	15
4385	-617	-601	Max	0.00	-204.92	15	0.04	15	0.02	15	-34.13	15	4.18	15	-0.02	15
4385	-617	-601	Max	21.63	-205.00	15	0.04	15	0.02	15	-35.12	15	-3.31	15	-0.02	15
4385	-617	-601	Min.	0.00	-204.92	15	0.04	15	0.02	15	-34.13	15	4.18	15	-0.02	15
4385	-617	-601	Min.	21.63	-205.00	15	0.04	15	0.02	15	-35.12	15	-3.31	15	-0.02	15
4385	-601	-585	Max	0.00	-114.89	15	-0.10	15	-0.01	15	-46.39	15	5.25	15	-0.06	15
4385	-601	-585	Max	21.63	-114.97	15	-0.10	15	-0.03	15	-47.38	15	-4.89	15	-0.06	15
4385	-601	-585	Min.	0.00	-114.89	15	-0.10	15	-0.01	15	-46.39	15	5.25	15	-0.06	15
4385	-601	-585	Min.	21.63	-114.97	15	-0.10	15	-0.03	15	-47.38	15	-4.89	15	-0.06	15
4385	-585	-569	Max	0.00	5.50	15	-0.13	15	0.01	15	-52.56	15	5.49	15	-0.05	15
4385	-585	-569	Max	21.63	5.41	15	-0.13	15	-0.02	15	-53.55	15	-5.99	15	-0.05	15
4385	-585	-569	Min.	0.00	5.50	15	-0.13	15	0.01	15	-52.56	15	5.49	15	-0.05	15
4385	-585	-569	Min.	21.63	5.41	15	-0.13	15	-0.02	15	-53.55	15	-5.99	15	-0.05	15
4385	-569	-553	Max	0.00	155.14	15	-0.13	15	0.02	15	-60.26	15	5.63	15	-0.05	15
4385	-569	-553	Max	21.63	155.06	15	-0.13	15	-0.01	15	-61.26	15	-7.51	15	-0.05	15
4385	-569	-553	Min.	0.00	155.14	15	-0.13	15	0.02	15	-60.26	15	5.63	15	-0.05	15
4385	-569	-553	Min.	21.63	155.06	15	-0.13	15	-0.01	15	-61.26	15	-7.51	15	-0.05	15
4385	-553	4285	Max	0.00	324.52	15	-0.19	15	0.03	15	-65.77	15	4.09	15	-0.05	15
4385	-553	4285	Max	21.63	324.44	15	-0.19	15	-0.01	15	-66.76	15	-10.24	15	-0.05	15
4385	-553	4285	Min.	0.00	324.52	15	-0.19	15	0.03	15	-65.77	15	4.09	15	-0.05	15
4385	-553	4285	Min.	21.63	324.44	15	-0.19	15	-0.01	15	-66.76	15	-10.24	15	-0.05	15
4385	4285	-537	Max	0.00	44.02	15	1.25	15	-0.11	15	9.20	15	-1.07	15	0.01	15
4385	4285	-537	Max	16.72	43.96	15	1.25	15	0.10	15	8.45	15	0.41	15	0.01	15
4385	4285	-537	Min.	0.00	44.02	15	1.25	15	-0.11	15	9.20	15	-1.07	15	0.01	15
4385	4285	-537	Min.	16.72	43.96	15	1.25	15	0.10	15	8.45	15	0.41	15	0.01	15
4385	-537	-521	Max	0.00	26.70	15	1.30	15	-0.11	15	3.91	15	-0.33	15	0.02	15
4385	-537	-521	Max	16.72	26.64	15	1.30	15	0.11	15	3.17	15	0.26	15	0.02	15
4385	-537	-521	Min.	0.00	26.70	15	1.30	15	-0.11	15	3.91	15	-0.33	15	0.02	15
4385	-537	-521	Min.	16.72	26.64	15	1.30	15	0.11	15	3.17	15	0.26	15	0.02	15
4385	-521	3313	Max	0.00	10.23	15	1.24	15	-0.10	15	3.72	15	-0.27	15	0.01	15
4385	-521	3313	Max	16.72	10.17	15	1.24	15	0.10	15	2.97	15	0.29	15	0.01	15
4385	-521	3313	Min.	0.00	10.23	15	1.24	15	-0.10	15	3.72	15	-0.27	15	0.01	15

4385	-521	3313	Min.	16.72	10.17	15	1.24	15	0.10	15	2.97	15	0.29	15	0.01	15
4386	-786	-778	Max	0.00	-403.75	15	0.08	15	-0.03	15	17.55	15	-1.90	15	0.00	15
4386	-786	-778	Max	21.63	-404.14	15	0.08	15	-0.01	15	12.72	15	1.37	15	0.00	15
4386	-786	-778	Min.	0.00	-403.75	15	0.08	15	-0.03	15	17.55	15	-1.90	15	0.00	15
4386	-786	-778	Min.	21.63	-404.14	15	0.08	15	-0.01	15	12.72	15	1.37	15	0.00	15
4386	-778	-762	Max	0.00	-414.46	15	0.07	15	-0.02	15	13.03	15	-0.64	15	0.01	15
4386	-778	-762	Max	17.31					-0.00	15			1.28	15		
4386	-778	-762	Max	21.63	-414.85	15	0.07	15	0.00	15	8.20	15	1.66	15	0.01	15
4386	-778	-762	Min.	0.00	-414.46	15	0.07	15	-0.02	15	13.03	15	-0.64	15	0.01	15
4386	-778	-762	Min.	17.31					-0.00	15			1.28	15		
4386	-778	-762	Min.	21.63	-414.85	15	0.07	15	0.00	15	8.20	15	1.66	15	0.01	15
4386	-762	-746	Max	0.00	-424.81	15	0.08	15	-0.00	15	10.23	15	-0.20	15	0.01	15
4386	-762	-746	Max	21.63	-425.20	15	0.08	15	0.01	15	5.40	15	1.50	15	0.01	15
4386	-762	-746	Min.	0.00	-424.81	15	0.08	15	-0.00	15	10.23	15	-0.20	15	0.01	15
4386	-762	-746	Min.	21.63	-425.20	15	0.08	15	0.01	15	5.40	15	1.50	15	0.01	15
4386	-746	-730	Max	0.00	-431.99	15	0.10	15	0.01	15	7.07	15	0.27	15	0.01	15
4386	-746	-730	Max	21.63	-432.39	15	0.10	15	0.03	15	2.24	15	1.28	15	0.01	15
4386	-746	-730	Min.	0.00	-431.99	15	0.10	15	0.01	15	7.07	15	0.27	15	0.01	15
4386	-746	-730	Min.	21.63	-432.39	15	0.10	15	0.03	15	2.24	15	1.28	15	0.01	15
4386	-730	-714	Max	0.00	-430.12	15	0.03	15	-0.02	15	-0.85	15	1.13	15	-0.02	15
4386	-730	-714	Max	21.63	-430.51	15	0.03	15	-0.02	15	-5.68	15	0.43	15	-0.02	15
4386	-730	-714	Min.	0.00	-430.12	15	0.03	15	-0.02	15	-0.85	15	1.13	15	-0.02	15
4386	-730	-714	Min.	21.63	-430.51	15	0.03	15	-0.02	15	-5.68	15	0.43	15	-0.02	15
4386	-714	-698	Max	0.00	-423.87	15	0.00	15	-0.01	15	-4.42	15	1.43	15	-0.02	15
4386	-714	-698	Max	21.63	-424.26	15	0.00	15	-0.01	15	-9.25	15	-0.05	15	-0.02	15
4386	-714	-698	Min.	0.00	-423.87	15	0.00	15	-0.01	15	-4.42	15	1.43	15	-0.02	15
4386	-714	-698	Min.	21.63	-424.26	15	0.00	15	-0.01	15	-9.25	15	-0.05	15	-0.02	15
4386	-698	-682	Max	0.00	-411.18	15	0.01	15	0.00	15	-8.40	15	1.84	15	-0.01	15
4386	-698	-682	Max	21.63	-411.57	15	0.01	15	0.01	15	-13.23	15	-0.50	15	-0.01	15
4386	-698	-682	Min.	0.00	-411.18	15	0.01	15	0.00	15	-8.40	15	1.84	15	-0.01	15
4386	-698	-682	Min.	21.63	-411.57	15	0.01	15	0.01	15	-13.23	15	-0.50	15	-0.01	15
4386	-682	-666	Max	0.00	-391.13	15	0.04	15	0.02	15	-12.57	15	2.29	15	-0.02	15
4386	-682	-666	Max	21.63	-391.52	15	0.04	15	0.03	15	-17.39	15	-0.95	15	-0.02	15
4386	-682	-666	Min.	0.00	-391.13	15	0.04	15	0.02	15	-12.57	15	2.29	15	-0.02	15
4386	-682	-666	Min.	21.63	-391.52	15	0.04	15	0.03	15	-17.39	15	-0.95	15	-0.02	15
4386	-666	-650	Max	0.00	-407.08	15	0.02	15	-0.03	15	-18.60	15	2.93	15	-0.02	15
4386	-666	-650	Max	21.63	-407.47	15	0.02	15	-0.02	15	-23.42	15	-1.61	15	-0.02	15
4386	-666	-650	Min.	0.00	-407.08	15	0.02	15	-0.03	15	-18.60	15	2.93	15	-0.02	15
4386	-666	-650	Min.	21.63	-407.47	15	0.02	15	-0.02	15	-23.42	15	-1.61	15	-0.02	15
4386	-650	-634	Max	0.00	-365.86	15	-0.02	15	-0.01	15	-23.57	15	3.39	15	-0.02	15
4386	-650	-634	Max	21.63	-366.25	15	-0.02	15	-0.01	15	-28.40	15	-2.23	15	-0.02	15
4386	-650	-634	Min.	0.00	-365.86	15	-0.02	15	-0.01	15	-23.57	15	3.39	15	-0.02	15
4386	-650	-634	Min.	21.63	-366.25	15	-0.02	15	-0.01	15	-28.40	15	-2.23	15	-0.02	15
4386	-634	-618	Max	0.00	-311.39	15	-0.02	15	0.00	15	-29.09	15	3.91	15	-0.02	15
4386	-634	-618	Max	21.63	-311.79	15	-0.02	15	0.00	15	-33.92	15	-2.91	15	-0.02	15
4386	-634	-618	Min.	0.00	-311.39	15	-0.02	15	0.00	15	-29.09	15	3.91	15	-0.02	15
4386	-634	-618	Min.	21.63	-311.79	15	-0.02	15	0.00	15	-33.92	15	-2.91	15	-0.02	15
4386	-618	-602	Max	0.00	-240.04	15	0.04	15	0.02	15	-35.21	15	4.50	15	-0.02	15
4386	-618	-602	Max	21.63	-240.43	15	0.04	15	0.02	15	-40.03	15	-3.64	15	-0.02	15
4386	-618	-602	Min.	0.00	-240.04	15	0.04	15	0.02	15	-35.21	15	4.50	15	-0.02	15
4386	-618	-602	Min.	21.63	-240.43	15	0.04	15	0.02	15	-40.03	15	-3.64	15	-0.02	15
4386	-602	-586	Max	0.00	-142.56	15	-0.10	15	-0.01	15	-48.01	15	5.65	15	-0.06	15
4386	-602	-586	Max	21.63	-142.96	15	-0.10	15	-0.03	15	-52.83	15	-5.25	15	-0.06	15
4386	-602	-586	Min.	0.00	-142.56	15	-0.10	15	-0.01	15	-48.01	15	5.65	15	-0.06	15
4386	-602	-586	Min.	21.63	-142.96	15	-0.10	15	-0.03	15	-52.83	15	-5.25	15	-0.06	15
4386	-586	-570	Max	0.00	-11.30	15	-0.13	15	0.01	15	-56.31	15	6.08	15	-0.05	15
4386	-586	-570	Max	21.63	-11.69	15	-0.13	15	-0.02	15	-61.13	15	-6.62	15	-0.05	15
4386	-586	-570	Min.	0.00	-11.30	15	-0.13	15	0.01	15	-56.31	15	6.08	15	-0.05	15
4386	-586	-570	Min.	21.63	-11.69	15	-0.13	15	-0.02	15	-61.13	15	-6.62	15	-0.05	15

4386	-570	-554	Max	0.00	156.60	15	-0.12	15	0.02	15	-66.79	15	6.43	15	-0.05	15
4386	-570	-554	Max	21.63	156.21	15	-0.12	15	-0.00	15	-71.62	15	-8.55	15	-0.05	15
4386	-570	-554	Min.	0.00	156.60	15	-0.12	15	0.02	15	-66.79	15	6.43	15	-0.05	15
4386	-570	-554	Min.	21.63	156.21	15	-0.12	15	-0.00	15	-71.62	15	-8.55	15	-0.05	15
4386	-554	4287	Max	0.00	351.48	15	-0.28	15	0.04	15	-74.89	15	4.81	15	-0.04	15
4386	-554	4287	Max	21.63	351.08	15	-0.28	15	-0.02	15	-79.72	15	-11.92	15	-0.04	15
4386	-554	4287	Min.	0.00	351.48	15	-0.28	15	0.04	15	-74.89	15	4.81	15	-0.04	15
4386	-554	4287	Min.	21.63	351.08	15	-0.28	15	-0.02	15	-79.72	15	-11.92	15	-0.04	15
4386	4287	-538	Max	0.00	53.63	15	1.04	15	-0.08	15	15.10	15	-1.68	15	0.00	15
4386	4287	-538	Max	16.72	53.38	15	1.04	15	0.09	15	12.04	15	0.59	15	0.00	15
4386	4287	-538	Min.	0.00	53.63	15	1.04	15	-0.08	15	15.10	15	-1.68	15	0.00	15
4386	4287	-538	Min.	16.72	53.38	15	1.04	15	0.09	15	12.04	15	0.59	15	0.00	15
4386	-538	-522	Max	0.00	33.17	15	1.31	15	-0.11	15	9.43	15	-0.75	15	0.02	15
4386	-538	-522	Max	16.72	32.92	15	1.31	15	0.11	15	6.37	15	0.57	15	0.02	15
4386	-538	-522	Min.	0.00	33.17	15	1.31	15	-0.11	15	9.43	15	-0.75	15	0.02	15
4386	-538	-522	Min.	16.72	32.92	15	1.31	15	0.11	15	6.37	15	0.57	15	0.02	15
4386	-522	3314	Max	0.00	13.31	15	1.24	15	-0.10	15	8.60	15	-0.56	15	0.01	15
4386	-522	3314	Max	16.72	13.07	15	1.24	15	0.10	15	5.54	15	0.62	15	0.01	15
4386	-522	3314	Min.	0.00	13.31	15	1.24	15	-0.10	15	8.60	15	-0.56	15	0.01	15
4386	-522	3314	Min.	16.72	13.07	15	1.24	15	0.10	15	5.54	15	0.62	15	0.01	15
4423	-787	-779	Max	0.00	-734.75	15	0.01	15	-0.00	15	25.99	15	-2.90	15	-0.00	15
4423	-787	-779	Max	21.63	-735.14	15	0.01	15	-0.00	15	21.17	15	2.20	15	-0.00	15
4423	-787	-779	Min.	0.00	-734.75	15	0.01	15	-0.00	15	25.99	15	-2.90	15	-0.00	15
4423	-787	-779	Min.	21.63	-735.14	15	0.01	15	-0.00	15	21.17	15	2.20	15	-0.00	15
4423	-779	-763	Max	0.00	-752.53	15	0.00	15	-0.00	15	21.02	15	-1.18	15	-0.00	15
4423	-779	-763	Max	12.98					-0.00	15			1.36	15		
4423	-779	-763	Max	21.63	-752.92	15	0.00	15	0.00	15	16.19	15	2.85	15	-0.00	15
4423	-779	-763	Min.	0.00	-752.53	15	0.00	15	-0.00	15	21.02	15	-1.18	15	-0.00	15
4423	-779	-763	Min.	12.98					-0.00	15			1.36	15		
4423	-779	-763	Min.	21.63	-752.92	15	0.00	15	0.00	15	16.19	15	2.85	15	-0.00	15
4423	-763	-747	Max	0.00	-771.87	15	0.00	15	0.00	15	18.67	15	-0.66	15	-0.00	15
4423	-763	-747	Max	21.63	-772.27	15	0.00	15	0.00	15	13.85	15	2.85	15	-0.00	15
4423	-763	-747	Min.	0.00	-771.87	15	0.00	15	0.00	15	18.67	15	-0.66	15	-0.00	15
4423	-763	-747	Min.	21.63	-772.27	15	0.00	15	0.00	15	13.85	15	2.85	15	-0.00	15
4423	-747	-731	Max	0.00	-788.12	15	0.01	15	0.00	15	16.22	15	0.03	15	-0.00	15
4423	-747	-731	Max	21.63	-788.51	15	0.01	15	0.01	15	11.40	15	3.02	15	-0.00	15
4423	-747	-731	Min.	0.00	-788.12	15	0.01	15	0.00	15	16.22	15	0.03	15	-0.00	15
4423	-747	-731	Min.	21.63	-788.51	15	0.01	15	0.01	15	11.40	15	3.02	15	-0.00	15
4423	-731	-715	Max	0.00	-794.25	15	0.01	15	-0.01	15	-4.88	15	2.32	15	-0.01	15
4423	-731	-715	Max	21.63	-794.64	15	0.01	15	-0.01	15	-9.70	15	0.74	15	-0.01	15
4423	-731	-715	Min.	0.00	-794.25	15	0.01	15	-0.01	15	-4.88	15	2.32	15	-0.01	15
4423	-731	-715	Min.	21.63	-794.64	15	0.01	15	-0.01	15	-9.70	15	0.74	15	-0.01	15
4423	-715	-699	Max	0.00	-784.06	15	-0.00	15	-0.00	15	-8.22	15	2.34	15	-0.00	15
4423	-715	-699	Max	21.63	-784.45	15	-0.00	15	-0.00	15	-13.04	15	0.04	15	-0.00	15
4423	-715	-699	Min.	0.00	-784.06	15	-0.00	15	-0.00	15	-8.22	15	2.34	15	-0.00	15
4423	-715	-699	Min.	21.63	-784.45	15	-0.00	15	-0.00	15	-13.04	15	0.04	15	-0.00	15
4423	-699	-683	Max	0.00	-765.31	15	0.00	15	0.00	15	-12.64	15	2.81	15	-0.00	15
4423	-699	-683	Max	21.63	-765.70	15	0.00	15	0.00	15	-17.47	15	-0.44	15	-0.00	15
4423	-699	-683	Min.	0.00	-765.31	15	0.00	15	0.00	15	-12.64	15	2.81	15	-0.00	15
4423	-699	-683	Min.	21.63	-765.70	15	0.00	15	0.00	15	-17.47	15	-0.44	15	-0.00	15
4423	-683	-667	Max	0.00	-736.68	15	0.01	15	0.01	15	-16.83	15	3.51	15	-0.00	15
4423	-683	-667	Max	21.63	-737.08	15	0.01	15	0.01	15	-21.66	15	-0.65	15	-0.00	15
4423	-683	-667	Min.	0.00	-736.68	15	0.01	15	0.01	15	-16.83	15	3.51	15	-0.00	15
4423	-683	-667	Min.	21.63	-737.08	15	0.01	15	0.01	15	-21.66	15	-0.65	15	-0.00	15
4423	-667	-651	Max	0.00	-693.97	15	-0.01	15	-0.01	15	-38.31	15	5.77	15	-0.01	15
4423	-667	-651	Max	21.63	-694.36	15	-0.01	15	-0.01	15	-43.14	15	-3.04	15	-0.01	15
4423	-667	-651	Min.	0.00	-693.97	15	-0.01	15	-0.01	15	-38.31	15	5.77	15	-0.01	15
4423	-667	-651	Min.	21.63	-694.36	15	-0.01	15	-0.01	15	-43.14	15	-3.04	15	-0.01	15
4423	-651	-635	Max	0.00	-619.06	15	-0.02	15	0.00	15	-44.25	15	6.04	15	-0.01	15

4423	-651	-635	Max	21.63	-619.45	15	-0.02	15	-0.00	15	-49.07	15	-4.06	15	-0.01	15
4423	-651	-635	Min.	0.00	-619.06	15	-0.02	15	0.00	15	-44.25	15	6.04	15	-0.01	15
4423	-651	-635	Min.	21.63	-619.45	15	-0.02	15	-0.00	15	-49.07	15	-4.06	15	-0.01	15
4423	-635	-619	Max	0.00	-523.50	15	-0.02	15	0.00	15	-51.61	15	6.69	15	-0.01	15
4423	-635	-619	Max	21.63	-523.90	15	-0.02	15	-0.00	15	-56.43	15	-5.00	15	-0.01	15
4423	-635	-619	Min.	0.00	-523.50	15	-0.02	15	0.00	15	-51.61	15	6.69	15	-0.01	15
4423	-635	-619	Min.	21.63	-523.90	15	-0.02	15	-0.00	15	-56.43	15	-5.00	15	-0.01	15
4423	-619	-603	Max	0.00	-402.16	15	-0.02	15	0.01	15	-59.51	15	7.57	15	-0.02	15
4423	-619	-603	Max	21.63	-402.55	15	-0.02	15	0.00	15	-64.34	15	-5.82	15	-0.02	15
4423	-619	-603	Min.	0.00	-402.16	15	-0.02	15	0.01	15	-59.51	15	7.57	15	-0.02	15
4423	-619	-603	Min.	21.63	-402.55	15	-0.02	15	0.00	15	-64.34	15	-5.82	15	-0.02	15
4423	-603	-587	Max	0.00	-235.55	15	0.02	15	-0.01	15	-88.94	15	10.33	15	0.00	15
4423	-603	-587	Max	17.31					-0.00	15			-5.39	15		
4423	-603	-587	Max	21.63	-235.94	15	0.02	15	0.00	15	-93.77	15	-9.43	15	0.00	15
4423	-603	-587	Min.	0.00	-235.55	15	0.02	15	-0.01	15	-88.94	15	10.33	15	0.00	15
4423	-603	-587	Min.	17.31					-0.00	15			-5.39	15		
4423	-603	-587	Min.	21.63	-235.94	15	0.02	15	0.00	15	-93.77	15	-9.43	15	0.00	15
4423	-587	-571	Max	0.00	-2.33	15	0.01	15	0.00	15	-101.11	15	10.70	15	0.00	15
4423	-587	-571	Max	21.63	-2.72	15	0.01	15	0.00	15	-105.93	15	-11.70	15	0.00	15
4423	-587	-571	Min.	0.00	-2.33	15	0.01	15	0.00	15	-101.11	15	10.70	15	0.00	15
4423	-587	-571	Min.	21.63	-2.72	15	0.01	15	0.00	15	-105.93	15	-11.70	15	0.00	15
4423	-571	-555	Max	0.00	290.68	15	-0.01	15	0.00	15	-117.10	15	11.06	15	-0.00	15
4423	-571	-555	Max	21.63	290.29	15	-0.01	15	0.00	15	-121.93	15	-14.80	15	-0.00	15
4423	-571	-555	Min.	0.00	290.68	15	-0.01	15	0.00	15	-117.10	15	11.06	15	-0.00	15
4423	-571	-555	Min.	21.63	290.29	15	-0.01	15	0.00	15	-121.93	15	-14.80	15	-0.00	15
4423	-555	4288	Max	0.00	624.91	15	0.12	15	-0.01	15	-128.65	15	8.09	15	-0.02	15
4423	-555	4288	Max	21.63	624.51	15	0.12	15	0.02	15	-133.48	15	-20.26	15	-0.02	15
4423	-555	4288	Min.	0.00	624.91	15	0.12	15	-0.01	15	-128.65	15	8.09	15	-0.02	15
4423	-555	4288	Min.	21.63	624.51	15	0.12	15	0.02	15	-133.48	15	-20.26	15	-0.02	15
4423	4288	-539	Max	0.00	132.53	15	0.31	15	-0.03	15	24.88	15	-2.98	15	0.02	15
4423	4288	-539	Max	16.72	132.28	15	0.31	15	0.02	15	21.82	15	0.92	15	0.02	15
4423	4288	-539	Min.	0.00	132.53	15	0.31	15	-0.03	15	24.88	15	-2.98	15	0.02	15
4423	4288	-539	Min.	16.72	132.28	15	0.31	15	0.02	15	21.82	15	0.92	15	0.02	15
4423	-539	-523	Max	0.00	86.95	15	0.27	15	-0.02	15	17.09	15	-1.56	15	-0.03	15
4423	-539	-523	Max	16.72	86.71	15	0.27	15	0.02	15	14.03	15	1.05	15	-0.03	15
4423	-539	-523	Min.	0.00	86.95	15	0.27	15	-0.02	15	17.09	15	-1.56	15	-0.03	15
4423	-539	-523	Min.	16.72	86.71	15	0.27	15	0.02	15	14.03	15	1.05	15	-0.03	15
4423	-523	3315	Max	0.00	36.36	15	0.24	15	-0.02	15	17.71	15	-1.31	15	-0.04	15
4423	-523	3315	Max	16.72	36.12	15	0.24	15	0.02	15	14.65	15	1.40	15	-0.04	15
4423	-523	3315	Min.	0.00	36.36	15	0.24	15	-0.02	15	17.71	15	-1.31	15	-0.04	15
4423	-523	3315	Min.	16.72	36.12	15	0.24	15	0.02	15	14.65	15	1.40	15	-0.04	15
4424	-788	-780	Max	0.00	-732.38	15	0.01	15	-0.00	15	26.12	15	-2.90	15	-0.00	15
4424	-788	-780	Max	21.63	-732.79	15	0.01	15	-0.00	15	21.04	15	2.20	15	-0.00	15
4424	-788	-780	Min.	0.00	-732.38	15	0.01	15	-0.00	15	26.12	15	-2.90	15	-0.00	15
4424	-788	-780	Min.	21.63	-732.79	15	0.01	15	-0.00	15	21.04	15	2.20	15	-0.00	15
4424	-780	-764	Max	0.00	-750.08	15	0.01	15	-0.00	15	21.01	15	-1.16	15	-0.00	15
4424	-780	-764	Max	17.31					-0.00	15			2.13	15		
4424	-780	-764	Max	21.63	-750.50	15	0.01	15	0.00	15	15.94	15	2.84	15	-0.00	15
4424	-780	-764	Min.	0.00	-750.08	15	0.01	15	-0.00	15	21.01	15	-1.16	15	-0.00	15
4424	-780	-764	Min.	17.31					-0.00	15			2.13	15		
4424	-780	-764	Min.	21.63	-750.50	15	0.01	15	0.00	15	15.94	15	2.84	15	-0.00	15
4424	-764	-748	Max	0.00	-769.22	15	0.01	15	0.00	15	18.54	15	-0.63	15	-0.00	15
4424	-764	-748	Max	21.63	-769.63	15	0.01	15	0.00	15	13.46	15	2.83	15	-0.00	15
4424	-764	-748	Min.	0.00	-769.22	15	0.01	15	0.00	15	18.54	15	-0.63	15	-0.00	15
4424	-764	-748	Min.	21.63	-769.63	15	0.01	15	0.00	15	13.46	15	2.83	15	-0.00	15
4424	-748	-732	Max	0.00	-785.11	15	0.01	15	0.00	15	15.94	15	0.07	15	0.00	15
4424	-748	-732	Max	21.63	-785.52	15	0.01	15	0.01	15	10.86	15	2.97	15	0.00	15
4424	-748	-732	Min.	0.00	-785.11	15	0.01	15	0.00	15	15.94	15	0.07	15	0.00	15
4424	-748	-732	Min.	21.63	-785.52	15	0.01	15	0.01	15	10.86	15	2.97	15	0.00	15

4424	-732	-716	Max	0.00	-789.81	15	0.01	15	-0.01	15	-4.96	15	2.34	15	-0.01	15
4424	-732	-716	Max	21.63	-790.22	15	0.01	15	-0.01	15	-10.03	15	0.72	15	-0.01	15
4424	-732	-716	Min.	0.00	-789.81	15	0.01	15	-0.01	15	-4.96	15	2.34	15	-0.01	15
4424	-732	-716	Min.	21.63	-790.22	15	0.01	15	-0.01	15	-10.03	15	0.72	15	-0.01	15
4424	-716	-700	Max	0.00	-779.21	15	-0.00	15	-0.00	15	-8.44	15	2.38	15	-0.00	15
4424	-716	-700	Max	21.63	-779.62	15	-0.00	15	-0.00	15	-13.52	15	0.01	15	-0.00	15
4424	-716	-700	Min.	0.00	-779.21	15	-0.00	15	-0.00	15	-8.44	15	2.38	15	-0.00	15
4424	-716	-700	Min.	21.63	-779.62	15	-0.00	15	-0.00	15	-13.52	15	0.01	15	-0.00	15
4424	-700	-684	Max	0.00	-759.84	15	0.00	15	0.00	15	-13.02	15	2.87	15	-0.00	15
4424	-700	-684	Max	21.63	-760.25	15	0.00	15	0.00	15	-18.10	15	-0.49	15	-0.00	15
4424	-700	-684	Min.	0.00	-759.84	15	0.00	15	0.00	15	-13.02	15	2.87	15	-0.00	15
4424	-700	-684	Min.	21.63	-760.25	15	0.00	15	0.00	15	-18.10	15	-0.49	15	-0.00	15
4424	-684	-668	Max	0.00	-730.25	15	0.02	15	0.01	15	-17.36	15	3.60	15	-0.01	15
4424	-684	-668	Max	21.63	-730.66	15	0.02	15	0.01	15	-22.44	15	-0.71	15	-0.01	15
4424	-684	-668	Min.	0.00	-730.25	15	0.02	15	0.01	15	-17.36	15	3.60	15	-0.01	15
4424	-684	-668	Min.	21.63	-730.66	15	0.02	15	0.01	15	-22.44	15	-0.71	15	-0.01	15
4424	-668	-652	Max	0.00	-709.28	15	0.00	15	-0.01	15	-39.62	15	5.94	15	-0.01	15
4424	-668	-652	Max	21.63	-709.69	15	0.00	15	-0.01	15	-44.69	15	-3.18	15	-0.01	15
4424	-668	-652	Min.	0.00	-709.28	15	0.00	15	-0.01	15	-39.62	15	5.94	15	-0.01	15
4424	-668	-652	Min.	21.63	-709.69	15	0.00	15	-0.01	15	-44.69	15	-3.18	15	-0.01	15
4424	-652	-636	Max	0.00	-631.73	15	-0.01	15	-0.00	15	-45.79	15	6.23	15	-0.01	15
4424	-652	-636	Max	21.63	-632.14	15	-0.01	15	-0.00	15	-50.86	15	-4.23	15	-0.01	15
4424	-652	-636	Min.	0.00	-631.73	15	-0.01	15	-0.00	15	-45.79	15	6.23	15	-0.01	15
4424	-652	-636	Min.	21.63	-632.14	15	-0.01	15	-0.00	15	-50.86	15	-4.23	15	-0.01	15
4424	-636	-620	Max	0.00	-532.84	15	-0.01	15	0.00	15	-53.40	15	6.89	15	-0.01	15
4424	-636	-620	Max	21.63	-533.25	15	-0.01	15	0.00	15	-58.47	15	-5.21	15	-0.01	15
4424	-636	-620	Min.	0.00	-532.84	15	-0.01	15	0.00	15	-53.40	15	6.89	15	-0.01	15
4424	-636	-620	Min.	21.63	-533.25	15	-0.01	15	0.00	15	-58.47	15	-5.21	15	-0.01	15
4424	-620	-604	Max	0.00	-407.68	15	0.00	15	0.01	15	-61.59	15	7.76	15	-0.01	15
4424	-620	-604	Max	21.63	-408.09	15	0.00	15	0.01	15	-66.66	15	-6.12	15	-0.01	15
4424	-620	-604	Min.	0.00	-407.68	15	0.00	15	0.01	15	-61.59	15	7.76	15	-0.01	15
4424	-620	-604	Min.	21.63	-408.09	15	0.00	15	0.01	15	-66.66	15	-6.12	15	-0.01	15
4424	-604	-588	Max	0.00	-236.54	15	0.03	15	-0.01	15	-88.00	15	10.18	15	0.00	15
4424	-604	-588	Max	21.63	-236.95	15	0.03	15	-0.00	15	-93.07	15	-9.40	15	0.00	15
4424	-604	-588	Min.	0.00	-236.54	15	0.03	15	-0.01	15	-88.00	15	10.18	15	0.00	15
4424	-604	-588	Min.	21.63	-236.95	15	0.03	15	-0.00	15	-93.07	15	-9.40	15	0.00	15
4424	-588	-572	Max	0.00	-4.49	15	0.01	15	-0.00	15	-100.36	15	10.62	15	0.00	15
4424	-588	-572	Max	4.33					-0.00	15			6.26	15		
4424	-588	-572	Max	21.63	-4.91	15	0.01	15	0.00	15	-105.43	15	-11.63	15	0.00	15
4424	-588	-572	Min.	0.00	-4.49	15	0.01	15	-0.00	15	-100.36	15	10.62	15	0.00	15
4424	-588	-572	Min.	4.33					-0.00	15			6.26	15		
4424	-588	-572	Min.	21.63	-4.91	15	0.01	15	0.00	15	-105.43	15	-11.63	15	0.00	15
4424	-572	-556	Max	0.00	286.90	15	0.01	15	0.00	15	-116.34	15	10.99	15	0.00	15
4424	-572	-556	Max	21.63	286.49	15	0.01	15	0.00	15	-121.41	15	-14.72	15	0.00	15
4424	-572	-556	Min.	0.00	286.90	15	0.01	15	0.00	15	-116.34	15	10.99	15	0.00	15
4424	-572	-556	Min.	21.63	286.49	15	0.01	15	0.00	15	-121.41	15	-14.72	15	0.00	15
4424	-556	4290	Max	0.00	619.45	15	-0.12	15	0.01	15	-128.13	15	8.06	15	0.01	15
4424	-556	4290	Max	21.63	619.04	15	-0.12	15	-0.01	15	-133.21	15	-20.21	15	0.01	15
4424	-556	4290	Min.	0.00	619.45	15	-0.12	15	0.01	15	-128.13	15	8.06	15	0.01	15
4424	-556	4290	Min.	21.63	619.04	15	-0.12	15	-0.01	15	-133.21	15	-20.21	15	0.01	15
4424	4290	-540	Max	0.00	98.18	15	0.02	15	0.00	15	21.49	15	-2.51	15	-0.04	15
4424	4290	-540	Max	16.72	97.92	15	0.02	15	0.00	15	18.28	15	0.82	15	-0.04	15
4424	4290	-540	Min.	0.00	98.18	15	0.02	15	0.00	15	21.49	15	-2.51	15	-0.04	15
4424	4290	-540	Min.	16.72	97.92	15	0.02	15	0.00	15	18.28	15	0.82	15	-0.04	15
4424	-540	-524	Max	0.00	63.14	15	0.27	15	-0.02	15	12.79	15	-1.11	15	-0.03	15
4424	-540	-524	Max	16.72	62.87	15	0.27	15	0.02	15	9.58	15	0.76	15	-0.03	15
4424	-540	-524	Min.	0.00	63.14	15	0.27	15	-0.02	15	12.79	15	-1.11	15	-0.03	15
4424	-540	-524	Min.	16.72	62.87	15	0.27	15	0.02	15	9.58	15	0.76	15	-0.03	15
4424	-524	3316	Max	0.00	26.29	15	0.29	15	-0.02	15	12.78	15	-0.91	15	-0.02	15

4424	-524	3316	Max	16.72	26.03	15	0.29	15	0.02	15	9.57	15	0.96	15	-0.02	15
4424	-524	3316	Min.	0.00	26.29	15	0.29	15	-0.02	15	12.78	15	-0.91	15	-0.02	15
4424	-524	3316	Min.	16.72	26.03	15	0.29	15	0.02	15	9.57	15	0.96	15	-0.02	15
4461	-789	-781	Max	0.00	-732.21	15	-0.01	15	0.00	15	26.11	15	-2.90	15	0.00	15
4461	-789	-781	Max	21.63	-732.62	15	-0.01	15	0.00	15	21.03	15	2.20	15	0.00	15
4461	-789	-781	Min.	0.00	-732.21	15	-0.01	15	0.00	15	26.11	15	-2.90	15	0.00	15
4461	-789	-781	Min.	21.63	-732.62	15	-0.01	15	0.00	15	21.03	15	2.20	15	0.00	15
4461	-781	-765	Max	0.00	-749.90	15	-0.00	15	0.00	15	21.00	15	-1.16	15	0.00	15
4461	-781	-765	Max	21.63	-750.31	15	-0.00	15	0.00	15	15.92	15	2.84	15	0.00	15
4461	-781	-765	Min.	0.00	-749.90	15	-0.00	15	0.00	15	21.00	15	-1.16	15	0.00	15
4461	-781	-765	Min.	21.63	-750.31	15	-0.00	15	0.00	15	15.92	15	2.84	15	0.00	15
4461	-765	-749	Max	0.00	-769.02	15	-0.01	15	0.00	15	18.52	15	-0.63	15	0.00	15
4461	-765	-749	Max	21.63	-769.43	15	-0.01	15	-0.00	15	13.45	15	2.83	15	0.00	15
4461	-765	-749	Min.	0.00	-769.02	15	-0.01	15	0.00	15	18.52	15	-0.63	15	0.00	15
4461	-765	-749	Min.	21.63	-769.43	15	-0.01	15	-0.00	15	13.45	15	2.83	15	0.00	15
4461	-749	-733	Max	0.00	-784.89	15	-0.01	15	-0.00	15	15.92	15	0.07	15	0.00	15
4461	-749	-733	Max	21.63	-785.31	15	-0.01	15	-0.01	15	10.85	15	2.97	15	0.00	15
4461	-749	-733	Min.	0.00	-784.89	15	-0.01	15	-0.00	15	15.92	15	0.07	15	0.00	15
4461	-749	-733	Min.	21.63	-785.31	15	-0.01	15	-0.01	15	10.85	15	2.97	15	0.00	15
4461	-733	-717	Max	0.00	-789.70	15	-0.01	15	0.01	15	-4.97	15	2.34	15	0.01	15
4461	-733	-717	Max	21.63	-790.11	15	-0.01	15	0.01	15	-10.04	15	0.71	15	0.01	15
4461	-733	-717	Min.	0.00	-789.70	15	-0.01	15	0.01	15	-4.97	15	2.34	15	0.01	15
4461	-733	-717	Min.	21.63	-790.11	15	-0.01	15	0.01	15	-10.04	15	0.71	15	0.01	15
4461	-717	-701	Max	0.00	-779.08	15	0.00	15	0.00	15	-8.45	15	2.38	15	0.00	15
4461	-717	-701	Max	21.63	-779.50	15	0.00	15	0.00	15	-13.53	15	0.01	15	0.00	15
4461	-717	-701	Min.	0.00	-779.08	15	0.00	15	0.00	15	-8.45	15	2.38	15	0.00	15
4461	-717	-701	Min.	21.63	-779.50	15	0.00	15	0.00	15	-13.53	15	0.01	15	0.00	15
4461	-701	-685	Max	0.00	-759.69	15	-0.00	15	-0.00	15	-13.03	15	2.87	15	0.00	15
4461	-701	-685	Max	21.63	-760.10	15	-0.00	15	-0.00	15	-18.11	15	-0.50	15	0.00	15
4461	-701	-685	Min.	0.00	-759.69	15	-0.00	15	-0.00	15	-13.03	15	2.87	15	0.00	15
4461	-701	-685	Min.	21.63	-760.10	15	-0.00	15	-0.00	15	-18.11	15	-0.50	15	0.00	15
4461	-685	-669	Max	0.00	-730.08	15	-0.01	15	-0.01	15	-17.38	15	3.60	15	0.01	15
4461	-685	-669	Max	21.63	-730.49	15	-0.01	15	-0.01	15	-22.45	15	-0.71	15	0.01	15
4461	-685	-669	Min.	0.00	-730.08	15	-0.01	15	-0.01	15	-17.38	15	3.60	15	0.01	15
4461	-685	-669	Min.	21.63	-730.49	15	-0.01	15	-0.01	15	-22.45	15	-0.71	15	0.01	15
4461	-669	-653	Max	0.00	-709.16	15	-0.00	15	0.01	15	-39.63	15	5.94	15	0.01	15
4461	-669	-653	Max	21.63	-709.58	15	-0.00	15	0.01	15	-44.70	15	-3.18	15	0.01	15
4461	-669	-653	Min.	0.00	-709.16	15	-0.00	15	0.01	15	-39.63	15	5.94	15	0.01	15
4461	-669	-653	Min.	21.63	-709.58	15	-0.00	15	0.01	15	-44.70	15	-3.18	15	0.01	15
4461	-653	-637	Max	0.00	-631.60	15	0.01	15	0.00	15	-45.80	15	6.23	15	0.01	15
4461	-653	-637	Max	21.63	-632.01	15	0.01	15	0.00	15	-50.87	15	-4.23	15	0.01	15
4461	-653	-637	Min.	0.00	-631.60	15	0.01	15	0.00	15	-45.80	15	6.23	15	0.01	15
4461	-653	-637	Min.	21.63	-632.01	15	0.01	15	0.00	15	-50.87	15	-4.23	15	0.01	15
4461	-637	-621	Max	0.00	-532.69	15	0.01	15	-0.00	15	-53.41	15	6.89	15	0.01	15
4461	-637	-621	Max	17.31					-0.00	15			-2.71	15		
4461	-637	-621	Max	21.63	-533.11	15	0.01	15	0.00	15	-58.48	15	-5.21	15	0.01	15
4461	-637	-621	Min.	0.00	-532.69	15	0.01	15	-0.00	15	-53.41	15	6.89	15	0.01	15
4461	-637	-621	Min.	17.31					-0.00	15			-2.71	15		
4461	-637	-621	Min.	21.63	-533.11	15	0.01	15	0.00	15	-58.48	15	-5.21	15	0.01	15
4461	-621	-605	Max	0.00	-407.51	15	0.00	15	-0.01	15	-61.60	15	7.76	15	0.01	15
4461	-621	-605	Max	21.63	-407.92	15	0.00	15	-0.01	15	-66.68	15	-6.12	15	0.01	15
4461	-621	-605	Min.	0.00	-407.51	15	0.00	15	-0.01	15	-61.60	15	7.76	15	0.01	15
4461	-621	-605	Min.	21.63	-407.92	15	0.00	15	-0.01	15	-66.68	15	-6.12	15	0.01	15
4461	-605	-589	Max	0.00	-236.41	15	-0.03	15	0.01	15	-88.01	15	10.18	15	0.00	15
4461	-605	-589	Max	21.63	-236.82	15	-0.03	15	0.00	15	-93.08	15	-9.40	15	0.00	15
4461	-605	-589	Min.	0.00	-236.41	15	-0.03	15	0.01	15	-88.01	15	10.18	15	0.00	15
4461	-605	-589	Min.	21.63	-236.82	15	-0.03	15	0.00	15	-93.08	15	-9.40	15	0.00	15
4461	-589	-573	Max	0.00	-4.35	15	-0.01	15	0.00	15	-100.36	15	10.62	15	0.00	15
4461	-589	-573	Max	21.63	-4.76	15	-0.01	15	0.00	15	-105.44	15	-11.64	15	0.00	15

4461	-589	-573	Min.	0.00	-4.35	15	-0.01	15	0.00	15	-100.36	15	10.62	15	0.00	15
4461	-589	-573	Min.	21.63	-4.76	15	-0.01	15	0.00	15	-105.44	15	-11.64	15	0.00	15
4461	-573	-557	Max	0.00	287.07	15	-0.01	15	-0.00	15	-116.35	15	10.99	15	0.00	15
4461	-573	-557	Max	21.63	286.66	15	-0.01	15	-0.00	15	-121.42	15	-14.72	15	0.00	15
4461	-573	-557	Min.	0.00	287.07	15	-0.01	15	-0.00	15	-116.35	15	10.99	15	0.00	15
4461	-573	-557	Min.	21.63	286.66	15	-0.01	15	-0.00	15	-121.42	15	-14.72	15	0.00	15
4461	-557	4291	Max	0.00	619.64	15	0.12	15	-0.01	15	-128.14	15	8.06	15	-0.01	15
4461	-557	4291	Max	21.63	619.23	15	0.12	15	0.01	15	-133.21	15	-20.21	15	-0.01	15
4461	-557	4291	Min.	0.00	619.64	15	0.12	15	-0.01	15	-128.14	15	8.06	15	-0.01	15
4461	-557	4291	Min.	21.63	619.23	15	0.12	15	0.01	15	-133.21	15	-20.21	15	-0.01	15
4461	4291	-541	Max	0.00	98.28	15	-0.01	15	0.00	15	21.49	15	-2.51	15	0.04	15
4461	4291	-541	Max	16.72	98.02	15	-0.01	15	-0.00	15	18.28	15	0.82	15	0.04	15
4461	4291	-541	Min.	0.00	98.28	15	-0.01	15	0.00	15	21.49	15	-2.51	15	0.04	15
4461	4291	-541	Min.	16.72	98.02	15	-0.01	15	-0.00	15	18.28	15	0.82	15	0.04	15
4461	-541	-525	Max	0.00	63.20	15	-0.26	15	0.02	15	12.79	15	-1.11	15	0.03	15
4461	-541	-525	Max	16.72	62.94	15	-0.26	15	-0.02	15	9.58	15	0.76	15	0.03	15
4461	-541	-525	Min.	0.00	63.20	15	-0.26	15	0.02	15	12.79	15	-1.11	15	0.03	15
4461	-541	-525	Min.	16.72	62.94	15	-0.26	15	-0.02	15	9.58	15	0.76	15	0.03	15
4461	-525	3317	Max	0.00	26.32	15	-0.28	15	0.02	15	12.78	15	-0.91	15	0.02	15
4461	-525	3317	Max	16.72	26.06	15	-0.28	15	-0.02	15	9.57	15	0.96	15	0.02	15
4461	-525	3317	Min.	0.00	26.32	15	-0.28	15	0.02	15	12.78	15	-0.91	15	0.02	15
4461	-525	3317	Min.	16.72	26.06	15	-0.28	15	-0.02	15	9.57	15	0.96	15	0.02	15
4462	-790	-782	Max	0.00	-734.94	15	-0.00	15	0.00	15	26.00	15	-2.91	15	0.00	15
4462	-790	-782	Max	21.63	-735.33	15	-0.00	15	0.00	15	21.18	15	2.20	15	0.00	15
4462	-790	-782	Min.	0.00	-734.94	15	-0.00	15	0.00	15	26.00	15	-2.91	15	0.00	15
4462	-790	-782	Min.	21.63	-735.33	15	-0.00	15	0.00	15	21.18	15	2.20	15	0.00	15
4462	-782	-766	Max	0.00	-752.73	15	-0.00	15	0.00	15	21.03	15	-1.18	15	0.00	15
4462	-782	-766	Max	21.63	-753.12	15	-0.00	15	0.00	15	16.20	15	2.85	15	0.00	15
4462	-782	-766	Min.	0.00	-752.73	15	-0.00	15	0.00	15	21.03	15	-1.18	15	0.00	15
4462	-782	-766	Min.	21.63	-753.12	15	-0.00	15	0.00	15	16.20	15	2.85	15	0.00	15
4462	-766	-750	Max	0.00	-772.09	15	-0.00	15	0.00	15	18.68	15	-0.66	15	0.00	15
4462	-766	-750	Max	21.63	-772.48	15	-0.00	15	-0.00	15	13.86	15	2.86	15	0.00	15
4462	-766	-750	Min.	0.00	-772.09	15	-0.00	15	0.00	15	18.68	15	-0.66	15	0.00	15
4462	-766	-750	Min.	21.63	-772.48	15	-0.00	15	-0.00	15	13.86	15	2.86	15	0.00	15
4462	-750	-734	Max	0.00	-788.35	15	-0.01	15	-0.00	15	16.23	15	0.03	15	0.00	15
4462	-750	-734	Max	21.63	-788.74	15	-0.01	15	-0.01	15	11.41	15	3.02	15	0.00	15
4462	-750	-734	Min.	0.00	-788.35	15	-0.01	15	-0.00	15	16.23	15	0.03	15	0.00	15
4462	-750	-734	Min.	21.63	-788.74	15	-0.01	15	-0.01	15	11.41	15	3.02	15	0.00	15
4462	-734	-718	Max	0.00	-794.38	15	-0.01	15	0.01	15	-4.87	15	2.32	15	0.01	15
4462	-734	-718	Max	21.63	-794.77	15	-0.01	15	0.01	15	-9.70	15	0.74	15	0.01	15
4462	-734	-718	Min.	0.00	-794.38	15	-0.01	15	0.01	15	-4.87	15	2.32	15	0.01	15
4462	-734	-718	Min.	21.63	-794.77	15	-0.01	15	0.01	15	-9.70	15	0.74	15	0.01	15
4462	-718	-702	Max	0.00	-784.20	15	0.00	15	0.00	15	-8.21	15	2.34	15	0.00	15
4462	-718	-702	Max	21.63	-784.59	15	0.00	15	0.00	15	-13.03	15	0.04	15	0.00	15
4462	-718	-702	Min.	0.00	-784.20	15	0.00	15	0.00	15	-8.21	15	2.34	15	0.00	15
4462	-718	-702	Min.	21.63	-784.59	15	0.00	15	0.00	15	-13.03	15	0.04	15	0.00	15
4462	-702	-686	Max	0.00	-765.46	15	-0.00	15	-0.00	15	-12.63	15	2.81	15	0.00	15
4462	-702	-686	Max	21.63	-765.85	15	-0.00	15	-0.00	15	-17.46	15	-0.44	15	0.00	15
4462	-702	-686	Min.	0.00	-765.46	15	-0.00	15	-0.00	15	-12.63	15	2.81	15	0.00	15
4462	-702	-686	Min.	21.63	-765.85	15	-0.00	15	-0.00	15	-17.46	15	-0.44	15	0.00	15
4462	-686	-670	Max	0.00	-736.85	15	-0.01	15	-0.01	15	-16.82	15	3.51	15	0.00	15
4462	-686	-670	Max	21.63	-737.24	15	-0.01	15	-0.01	15	-21.65	15	-0.65	15	0.00	15
4462	-686	-670	Min.	0.00	-736.85	15	-0.01	15	-0.01	15	-16.82	15	3.51	15	0.00	15
4462	-686	-670	Min.	21.63	-737.24	15	-0.01	15	-0.01	15	-21.65	15	-0.65	15	0.00	15
4462	-670	-654	Max	0.00	-694.04	15	0.01	15	0.01	15	-38.31	15	5.77	15	0.01	15
4462	-670	-654	Max	21.63	-694.44	15	0.01	15	0.01	15	-43.13	15	-3.04	15	0.01	15
4462	-670	-654	Min.	0.00	-694.04	15	0.01	15	0.01	15	-38.31	15	5.77	15	0.01	15
4462	-670	-654	Min.	21.63	-694.44	15	0.01	15	0.01	15	-43.13	15	-3.04	15	0.01	15
4462	-654	-638	Max	0.00	-619.15	15	0.02	15	0.00	15	-44.24	15	6.04	15	0.01	15

4462	-654	-638	Max	21.63	-619.54	15	0.02	15	0.00	15	-49.07	15	-4.06	15	0.01	15
4462	-654	-638	Min.	0.00	-619.15	15	0.02	15	0.00	15	-44.24	15	6.04	15	0.01	15
4462	-654	-638	Min.	21.63	-619.54	15	0.02	15	0.00	15	-49.07	15	-4.06	15	0.01	15
4462	-638	-622	Max	0.00	-523.60	15	0.02	15	-0.00	15	-51.60	15	6.69	15	0.01	15
4462	-638	-622	Max	21.63	-524.00	15	0.02	15	0.00	15	-56.43	15	-5.00	15	0.01	15
4462	-638	-622	Min.	0.00	-523.60	15	0.02	15	-0.00	15	-51.60	15	6.69	15	0.01	15
4462	-638	-622	Min.	21.63	-524.00	15	0.02	15	0.00	15	-56.43	15	-5.00	15	0.01	15
4462	-622	-606	Max	0.00	-402.27	15	0.02	15	-0.01	15	-59.51	15	7.57	15	0.02	15
4462	-622	-606	Max	21.63	-402.66	15	0.02	15	-0.00	15	-64.33	15	-5.82	15	0.02	15
4462	-622	-606	Min.	0.00	-402.27	15	0.02	15	-0.01	15	-59.51	15	7.57	15	0.02	15
4462	-622	-606	Min.	21.63	-402.66	15	0.02	15	-0.00	15	-64.33	15	-5.82	15	0.02	15
4462	-606	-590	Max	0.00	-235.61	15	-0.02	15	0.01	15	-88.94	15	10.33	15	-0.00	15
4462	-606	-590	Max	21.63	-236.00	15	-0.02	15	0.00	15	-93.77	15	-9.43	15	-0.00	15
4462	-606	-590	Min.	0.00	-235.61	15	-0.02	15	0.01	15	-88.94	15	10.33	15	-0.00	15
4462	-606	-590	Min.	21.63	-236.00	15	-0.02	15	0.00	15	-93.77	15	-9.43	15	-0.00	15
4462	-590	-574	Max	0.00	-2.40	15	-0.00	15	0.00	15	-101.11	15	10.70	15	0.00	15
4462	-590	-574	Max	21.63	-2.79	15	-0.00	15	0.00	15	-105.93	15	-11.70	15	0.00	15
4462	-590	-574	Min.	0.00	-2.40	15	-0.00	15	0.00	15	-101.11	15	10.70	15	0.00	15
4462	-590	-574	Min.	21.63	-2.79	15	-0.00	15	0.00	15	-105.93	15	-11.70	15	0.00	15
4462	-574	-558	Max	0.00	290.61	15	0.01	15	0.00	15	-117.10	15	11.06	15	0.00	15
4462	-574	-558	Max	21.63	290.22	15	0.01	15	0.00	15	-121.92	15	-14.80	15	0.00	15
4462	-574	-558	Min.	0.00	290.61	15	0.01	15	0.00	15	-117.10	15	11.06	15	0.00	15
4462	-574	-558	Min.	21.63	290.22	15	0.01	15	0.00	15	-121.92	15	-14.80	15	0.00	15
4462	-558	4293	Max	0.00	624.82	15	-0.12	15	0.01	15	-128.65	15	8.09	15	0.02	15
4462	-558	4293	Max	21.63	624.43	15	-0.12	15	-0.02	15	-133.47	15	-20.26	15	0.02	15
4462	-558	4293	Min.	0.00	624.82	15	-0.12	15	0.01	15	-128.65	15	8.09	15	0.02	15
4462	-558	4293	Min.	21.63	624.43	15	-0.12	15	-0.02	15	-133.47	15	-20.26	15	0.02	15
4462	4293	-542	Max	0.00	132.42	15	-0.30	15	0.03	15	24.88	15	-2.98	15	-0.02	15
4462	4293	-542	Max	16.72	132.18	15	-0.30	15	-0.02	15	21.82	15	0.92	15	-0.02	15
4462	4293	-542	Min.	0.00	132.42	15	-0.30	15	0.03	15	24.88	15	-2.98	15	-0.02	15
4462	4293	-542	Min.	16.72	132.18	15	-0.30	15	-0.02	15	21.82	15	0.92	15	-0.02	15
4462	-542	-526	Max	0.00	86.89	15	-0.26	15	0.02	15	17.09	15	-1.56	15	0.03	15
4462	-542	-526	Max	16.72	86.64	15	-0.26	15	-0.02	15	14.03	15	1.05	15	0.03	15
4462	-542	-526	Min.	0.00	86.89	15	-0.26	15	0.02	15	17.09	15	-1.56	15	0.03	15
4462	-542	-526	Min.	16.72	86.64	15	-0.26	15	-0.02	15	14.03	15	1.05	15	0.03	15
4462	-526	3318	Max	0.00	36.34	15	-0.23	15	0.02	15	17.70	15	-1.31	15	0.04	15
4462	-526	3318	Max	16.72	36.09	15	-0.23	15	-0.02	15	14.64	15	1.40	15	0.04	15
4462	-526	3318	Min.	0.00	36.34	15	-0.23	15	0.02	15	17.70	15	-1.31	15	0.04	15
4462	-526	3318	Min.	16.72	36.09	15	-0.23	15	-0.02	15	14.64	15	1.40	15	0.04	15
4499	-791	-783	Max	0.00	-403.86	15	-0.08	15	0.03	15	17.55	15	-1.90	15	-0.00	15
4499	-791	-783	Max	21.63	-404.25	15	-0.08	15	0.01	15	12.72	15	1.37	15	-0.00	15
4499	-791	-783	Min.	0.00	-403.86	15	-0.08	15	0.03	15	17.55	15	-1.90	15	-0.00	15
4499	-791	-783	Min.	21.63	-404.25	15	-0.08	15	0.01	15	12.72	15	1.37	15	-0.00	15
4499	-783	-767	Max	0.00	-414.57	15	-0.07	15	0.02	15	13.03	15	-0.64	15	-0.01	15
4499	-783	-767	Max	21.63	-414.96	15	-0.07	15	0.00	15	8.20	15	1.66	15	-0.01	15
4499	-783	-767	Min.	0.00	-414.57	15	-0.07	15	0.02	15	13.03	15	-0.64	15	-0.01	15
4499	-783	-767	Min.	21.63	-414.96	15	-0.07	15	0.00	15	8.20	15	1.66	15	-0.01	15
4499	-767	-751	Max	0.00	-424.92	15	-0.08	15	0.00	15	10.23	15	-0.20	15	-0.01	15
4499	-767	-751	Max	21.63	-425.31	15	-0.08	15	-0.01	15	5.40	15	1.50	15	-0.01	15
4499	-767	-751	Min.	0.00	-424.92	15	-0.08	15	0.00	15	10.23	15	-0.20	15	-0.01	15
4499	-767	-751	Min.	21.63	-425.31	15	-0.08	15	-0.01	15	5.40	15	1.50	15	-0.01	15
4499	-751	-735	Max	0.00	-432.10	15	-0.10	15	-0.01	15	7.06	15	0.27	15	-0.01	15
4499	-751	-735	Max	21.63	-432.50	15	-0.10	15	-0.03	15	2.24	15	1.28	15	-0.01	15
4499	-751	-735	Min.	0.00	-432.10	15	-0.10	15	-0.01	15	7.06	15	0.27	15	-0.01	15
4499	-751	-735	Min.	21.63	-432.50	15	-0.10	15	-0.03	15	2.24	15	1.28	15	-0.01	15
4499	-735	-719	Max	0.00	-430.14	15	-0.03	15	0.02	15	-0.86	15	1.13	15	0.02	15
4499	-735	-719	Max	21.63	-430.53	15	-0.03	15	0.02	15	-5.68	15	0.42	15	0.02	15
4499	-735	-719	Min.	0.00	-430.14	15	-0.03	15	0.02	15	-0.86	15	1.13	15	0.02	15
4499	-735	-719	Min.	21.63	-430.53	15	-0.03	15	0.02	15	-5.68	15	0.42	15	0.02	15

4499	-719	-703	Max	0.00	-423.89	15	-0.00	15	0.01	15	-4.43	15	1.43	15	0.02	15
4499	-719	-703	Max	21.63	-424.28	15	-0.00	15	0.01	15	-9.25	15	-0.05	15	0.02	15
4499	-719	-703	Min.	0.00	-423.89	15	-0.00	15	0.01	15	-4.43	15	1.43	15	0.02	15
4499	-719	-703	Min.	21.63	-424.28	15	-0.00	15	0.01	15	-9.25	15	-0.05	15	0.02	15
4499	-703	-687	Max	0.00	-411.19	15	-0.01	15	-0.00	15	-8.41	15	1.84	15	0.01	15
4499	-703	-687	Max	21.63	-411.59	15	-0.01	15	-0.01	15	-13.23	15	-0.50	15	0.01	15
4499	-703	-687	Min.	0.00	-411.19	15	-0.01	15	-0.00	15	-8.41	15	1.84	15	0.01	15
4499	-703	-687	Min.	21.63	-411.59	15	-0.01	15	-0.01	15	-13.23	15	-0.50	15	0.01	15
4499	-687	-671	Max	0.00	-391.14	15	-0.04	15	-0.02	15	-12.57	15	2.30	15	0.02	15
4499	-687	-671	Max	21.63	-391.53	15	-0.04	15	-0.03	15	-17.40	15	-0.95	15	0.02	15
4499	-687	-671	Min.	0.00	-391.14	15	-0.04	15	-0.02	15	-12.57	15	2.30	15	0.02	15
4499	-687	-671	Min.	21.63	-391.53	15	-0.04	15	-0.03	15	-17.40	15	-0.95	15	0.02	15
4499	-671	-655	Max	0.00	-407.11	15	-0.02	15	0.03	15	-18.60	15	2.93	15	0.02	15
4499	-671	-655	Max	21.63	-407.50	15	-0.02	15	0.02	15	-23.42	15	-1.61	15	0.02	15
4499	-671	-655	Min.	0.00	-407.11	15	-0.02	15	0.03	15	-18.60	15	2.93	15	0.02	15
4499	-671	-655	Min.	21.63	-407.50	15	-0.02	15	0.02	15	-23.42	15	-1.61	15	0.02	15
4499	-655	-639	Max	0.00	-365.88	15	0.02	15	0.01	15	-23.58	15	3.39	15	0.02	15
4499	-655	-639	Max	21.63	-366.27	15	0.02	15	0.01	15	-28.40	15	-2.23	15	0.02	15
4499	-655	-639	Min.	0.00	-365.88	15	0.02	15	0.01	15	-23.58	15	3.39	15	0.02	15
4499	-655	-639	Min.	21.63	-366.27	15	0.02	15	0.01	15	-28.40	15	-2.23	15	0.02	15
4499	-639	-623	Max	0.00	-311.41	15	0.02	15	-0.00	15	-29.10	15	3.91	15	0.02	15
4499	-639	-623	Max	17.31					-0.00	15			-1.46	15		
4499	-639	-623	Max	21.63	-311.80	15	0.02	15	0.00	15	-33.92	15	-2.91	15	0.02	15
4499	-639	-623	Min.	0.00	-311.41	15	0.02	15	-0.00	15	-29.10	15	3.91	15	0.02	15
4499	-639	-623	Min.	17.31					-0.00	15			-1.46	15		
4499	-639	-623	Min.	21.63	-311.80	15	0.02	15	0.00	15	-33.92	15	-2.91	15	0.02	15
4499	-623	-607	Max	0.00	-240.04	15	-0.04	15	-0.02	15	-35.21	15	4.50	15	0.02	15
4499	-623	-607	Max	21.63	-240.43	15	-0.04	15	-0.02	15	-40.04	15	-3.64	15	0.02	15
4499	-623	-607	Min.	0.00	-240.04	15	-0.04	15	-0.02	15	-35.21	15	4.50	15	0.02	15
4499	-623	-607	Min.	21.63	-240.43	15	-0.04	15	-0.02	15	-40.04	15	-3.64	15	0.02	15
4499	-607	-591	Max	0.00	-142.49	15	0.10	15	0.01	15	-48.02	15	5.65	15	0.06	15
4499	-607	-591	Max	21.63	-142.88	15	0.10	15	0.03	15	-52.84	15	-5.25	15	0.06	15
4499	-607	-591	Min.	0.00	-142.49	15	0.10	15	0.01	15	-48.02	15	5.65	15	0.06	15
4499	-607	-591	Min.	21.63	-142.88	15	0.10	15	0.03	15	-52.84	15	-5.25	15	0.06	15
4499	-591	-575	Max	0.00	-11.20	15	0.13	15	-0.01	15	-56.32	15	6.08	15	0.05	15
4499	-591	-575	Max	21.63	-11.60	15	0.13	15	0.02	15	-61.14	15	-6.62	15	0.05	15
4499	-591	-575	Min.	0.00	-11.20	15	0.13	15	-0.01	15	-56.32	15	6.08	15	0.05	15
4499	-591	-575	Min.	21.63	-11.60	15	0.13	15	0.02	15	-61.14	15	-6.62	15	0.05	15
4499	-575	-559	Max	0.00	156.72	15	0.12	15	-0.02	15	-66.81	15	6.43	15	0.05	15
4499	-575	-559	Max	21.63	156.33	15	0.12	15	0.00	15	-71.63	15	-8.55	15	0.05	15
4499	-575	-559	Min.	0.00	156.72	15	0.12	15	-0.02	15	-66.81	15	6.43	15	0.05	15
4499	-575	-559	Min.	21.63	156.33	15	0.12	15	0.00	15	-71.63	15	-8.55	15	0.05	15
4499	-559	4294	Max	0.00	351.62	15	0.28	15	-0.04	15	-74.90	15	4.81	15	0.04	15
4499	-559	4294	Max	21.63	351.23	15	0.28	15	0.02	15	-79.73	15	-11.92	15	0.04	15
4499	-559	4294	Min.	0.00	351.62	15	0.28	15	-0.04	15	-74.90	15	4.81	15	0.04	15
4499	-559	4294	Min.	21.63	351.23	15	0.28	15	0.02	15	-79.73	15	-11.92	15	0.04	15
4499	4294	-543	Max	0.00	53.59	15	-1.05	15	0.09	15	15.12	15	-1.68	15	0.00	15
4499	4294	-543	Max	16.72	53.34	15	-1.05	15	-0.09	15	12.06	15	0.59	15	0.00	15
4499	4294	-543	Min.	0.00	53.59	15	-1.05	15	0.09	15	15.12	15	-1.68	15	0.00	15
4499	4294	-543	Min.	16.72	53.34	15	-1.05	15	-0.09	15	12.06	15	0.59	15	0.00	15
4499	-543	-527	Max	0.00	33.14	15	-1.32	15	0.11	15	9.44	15	-0.75	15	-0.02	15
4499	-543	-527	Max	16.72	32.89	15	-1.32	15	-0.11	15	6.38	15	0.57	15	-0.02	15
4499	-543	-527	Min.	0.00	33.14	15	-1.32	15	0.11	15	9.44	15	-0.75	15	-0.02	15
4499	-543	-527	Min.	16.72	32.89	15	-1.32	15	-0.11	15	6.38	15	0.57	15	-0.02	15
4499	-527	3319	Max	0.00	13.30	15	-1.25	15	0.10	15	8.61	15	-0.57	15	-0.01	15
4499	-527	3319	Max	16.72	13.05	15	-1.25	15	-0.11	15	5.55	15	0.62	15	-0.01	15
4499	-527	3319	Min.	0.00	13.30	15	-1.25	15	0.10	15	8.61	15	-0.57	15	-0.01	15
4499	-527	3319	Min.	16.72	13.05	15	-1.25	15	-0.11	15	5.55	15	0.62	15	-0.01	15
4500	-792	-784	Max	0.00	-401.30	15	-0.08	15	0.03	15	11.14	15	-1.21	15	-0.00	15

4500	-792	-784	Max	21.63	-401.38	15	-0.08	15	0.01	15	10.15	15	1.10	15	-0.00	15
4500	-792	-784	Min.	0.00	-401.30	15	-0.08	15	0.03	15	11.14	15	-1.21	15	-0.00	15
4500	-792	-784	Min.	21.63	-401.38	15	-0.08	15	0.01	15	10.15	15	1.10	15	-0.00	15
4500	-784	-768	Max	0.00	-409.23	15	-0.07	15	0.02	15	8.80	15	-0.41	15	-0.01	15
4500	-784	-768	Max	21.63	-409.31	15	-0.07	15	0.00	15	7.80	15	1.39	15	-0.01	15
4500	-784	-768	Min.	0.00	-409.23	15	-0.07	15	0.02	15	8.80	15	-0.41	15	-0.01	15
4500	-784	-768	Min.	21.63	-409.31	15	-0.07	15	0.00	15	7.80	15	1.39	15	-0.01	15
4500	-768	-752	Max	0.00	-417.78	15	-0.08	15	0.00	15	7.69	15	-0.17	15	-0.01	15
4500	-768	-752	Max	21.63	-417.87	15	-0.08	15	-0.01	15	6.70	15	1.39	15	-0.01	15
4500	-768	-752	Min.	0.00	-417.78	15	-0.08	15	0.00	15	7.69	15	-0.17	15	-0.01	15
4500	-768	-752	Min.	21.63	-417.87	15	-0.08	15	-0.01	15	6.70	15	1.39	15	-0.01	15
4500	-752	-736	Max	0.00	-424.76	15	-0.11	15	-0.01	15	6.64	15	0.17	15	-0.01	15
4500	-752	-736	Max	21.63	-424.84	15	-0.11	15	-0.03	15	5.64	15	1.50	15	-0.01	15
4500	-752	-736	Min.	0.00	-424.76	15	-0.11	15	-0.01	15	6.64	15	0.17	15	-0.01	15
4500	-752	-736	Min.	21.63	-424.84	15	-0.11	15	-0.03	15	5.64	15	1.50	15	-0.01	15
4500	-736	-720	Max	0.00	-429.54	15	-0.04	15	0.03	15	-4.13	15	1.33	15	0.02	15
4500	-736	-720	Max	21.63	-429.62	15	-0.04	15	0.02	15	-5.13	15	0.33	15	0.02	15
4500	-736	-720	Min.	0.00	-429.54	15	-0.04	15	0.03	15	-4.13	15	1.33	15	0.02	15
4500	-736	-720	Min.	21.63	-429.62	15	-0.04	15	0.02	15	-5.13	15	0.33	15	0.02	15
4500	-720	-704	Max	0.00	-423.12	15	-0.01	15	0.01	15	-5.69	15	1.33	15	0.02	15
4500	-720	-704	Max	21.63	-423.20	15	-0.01	15	0.01	15	-6.69	15	-0.01	15	0.02	15
4500	-720	-704	Min.	0.00	-423.12	15	-0.01	15	0.01	15	-5.69	15	1.33	15	0.02	15
4500	-720	-704	Min.	21.63	-423.20	15	-0.01	15	0.01	15	-6.69	15	-0.01	15	0.02	15
4500	-704	-688	Max	0.00	-412.48	15	-0.01	15	-0.00	15	-7.78	15	1.56	15	0.01	15
4500	-704	-688	Max	21.63	-412.56	15	-0.01	15	-0.01	15	-8.77	15	-0.23	15	0.01	15
4500	-704	-688	Min.	0.00	-412.48	15	-0.01	15	-0.00	15	-7.78	15	1.56	15	0.01	15
4500	-704	-688	Min.	21.63	-412.56	15	-0.01	15	-0.01	15	-8.77	15	-0.23	15	0.01	15
4500	-688	-672	Max	0.00	-396.71	15	-0.05	15	-0.02	15	-9.53	15	1.94	15	0.02	15
4500	-688	-672	Max	21.63	-396.79	15	-0.05	15	-0.03	15	-10.53	15	-0.23	15	0.02	15
4500	-688	-672	Min.	0.00	-396.71	15	-0.05	15	-0.02	15	-9.53	15	1.94	15	0.02	15
4500	-688	-672	Min.	21.63	-396.79	15	-0.05	15	-0.03	15	-10.53	15	-0.23	15	0.02	15
4500	-672	-656	Max	0.00	-371.76	15	-0.02	15	0.03	15	-23.65	15	3.40	15	0.02	15
4500	-672	-656	Max	21.63	-371.84	15	-0.02	15	0.02	15	-24.65	15	-1.82	15	0.02	15
4500	-672	-656	Min.	0.00	-371.76	15	-0.02	15	0.03	15	-23.65	15	3.40	15	0.02	15
4500	-672	-656	Min.	21.63	-371.84	15	-0.02	15	0.02	15	-24.65	15	-1.82	15	0.02	15
4500	-656	-640	Max	0.00	-328.00	15	0.02	15	0.01	15	-26.63	15	3.48	15	0.02	15
4500	-656	-640	Max	21.63	-328.08	15	0.02	15	0.01	15	-27.62	15	-2.39	15	0.02	15
4500	-656	-640	Min.	0.00	-328.00	15	0.02	15	0.01	15	-26.63	15	3.48	15	0.02	15
4500	-656	-640	Min.	21.63	-328.08	15	0.02	15	0.01	15	-27.62	15	-2.39	15	0.02	15
4500	-640	-624	Max	0.00	-273.06	15	0.02	15	-0.00	15	-30.35	15	3.79	15	0.02	15
4500	-640	-624	Max	17.31					-0.00	15			-1.54	15		
4500	-640	-624	Max	21.63	-273.14	15	0.02	15	0.00	15	-31.35	15	-2.89	15	0.02	15
4500	-640	-624	Min.	0.00	-273.06	15	0.02	15	-0.00	15	-30.35	15	3.79	15	0.02	15
4500	-640	-624	Min.	17.31					-0.00	15			-1.54	15		
4500	-640	-624	Min.	21.63	-273.14	15	0.02	15	0.00	15	-31.35	15	-2.89	15	0.02	15
4500	-624	-608	Max	0.00	-204.74	15	-0.04	15	-0.02	15	-34.14	15	4.18	15	0.02	15
4500	-624	-608	Max	21.63	-204.82	15	-0.04	15	-0.02	15	-35.14	15	-3.31	15	0.02	15
4500	-624	-608	Min.	0.00	-204.74	15	-0.04	15	-0.02	15	-34.14	15	4.18	15	0.02	15
4500	-624	-608	Min.	21.63	-204.82	15	-0.04	15	-0.02	15	-35.14	15	-3.31	15	0.02	15
4500	-608	-592	Max	0.00	-114.74	15	0.10	15	0.01	15	-46.39	15	5.25	15	0.06	15
4500	-608	-592	Max	21.63	-114.82	15	0.10	15	0.03	15	-47.39	15	-4.89	15	0.06	15
4500	-608	-592	Min.	0.00	-114.74	15	0.10	15	0.01	15	-46.39	15	5.25	15	0.06	15
4500	-608	-592	Min.	21.63	-114.82	15	0.10	15	0.03	15	-47.39	15	-4.89	15	0.06	15
4500	-592	-576	Max	0.00	5.67	15	0.13	15	-0.01	15	-52.57	15	5.49	15	0.05	15
4500	-592	-576	Max	21.63	5.59	15	0.13	15	0.02	15	-53.56	15	-5.99	15	0.05	15
4500	-592	-576	Min.	0.00	5.67	15	0.13	15	-0.01	15	-52.57	15	5.49	15	0.05	15
4500	-592	-576	Min.	21.63	5.59	15	0.13	15	0.02	15	-53.56	15	-5.99	15	0.05	15
4500	-576	-560	Max	0.00	155.34	15	0.13	15	-0.02	15	-60.27	15	5.63	15	0.05	15
4500	-576	-560	Max	21.63	155.26	15	0.13	15	0.01	15	-61.27	15	-7.51	15	0.05	15

4500	-576	-560	Min.	0.00	155.34	15	0.13	15	-0.02	15	-60.27	15	5.63	15	0.05	15
4500	-576	-560	Min.	21.63	155.26	15	0.13	15	0.01	15	-61.27	15	-7.51	15	0.05	15
4500	-560	4296	Max	0.00	324.75	15	0.19	15	-0.03	15	-65.78	15	4.09	15	0.05	15
4500	-560	4296	Max	21.63	324.67	15	0.19	15	0.01	15	-66.77	15	-10.25	15	0.05	15
4500	-560	4296	Min.	0.00	324.75	15	0.19	15	-0.03	15	-65.78	15	4.09	15	0.05	15
4500	-560	4296	Min.	21.63	324.67	15	0.19	15	0.01	15	-66.77	15	-10.25	15	0.05	15
4500	4296	-544	Max	0.00	44.08	15	-1.26	15	0.11	15	9.19	15	-1.07	15	-0.01	15
4500	4296	-544	Max	16.72	44.02	15	-1.26	15	-0.10	15	8.45	15	0.41	15	-0.01	15
4500	4296	-544	Min.	0.00	44.08	15	-1.26	15	0.11	15	9.19	15	-1.07	15	-0.01	15
4500	4296	-544	Min.	16.72	44.02	15	-1.26	15	-0.10	15	8.45	15	0.41	15	-0.01	15
4500	-544	-528	Max	0.00	26.73	15	-1.32	15	0.11	15	3.91	15	-0.33	15	-0.02	15
4500	-544	-528	Max	16.72	26.67	15	-1.32	15	-0.11	15	3.16	15	0.26	15	-0.02	15
4500	-544	-528	Min.	0.00	26.73	15	-1.32	15	0.11	15	3.91	15	-0.33	15	-0.02	15
4500	-544	-528	Min.	16.72	26.67	15	-1.32	15	-0.11	15	3.16	15	0.26	15	-0.02	15
4500	-528	3320	Max	0.00	10.25	15	-1.26	15	0.10	15	3.71	15	-0.27	15	-0.01	15
4500	-528	3320	Max	16.72	10.19	15	-1.26	15	-0.11	15	2.96	15	0.29	15	-0.01	15
4500	-528	3320	Min.	0.00	10.25	15	-1.26	15	0.10	15	3.71	15	-0.27	15	-0.01	15
4500	-528	3320	Min.	16.72	10.19	15	-1.26	15	-0.11	15	2.96	15	0.29	15	-0.01	15
6002	-513	-514	Max	0.00	-0.19	15	-4.19	15	0.23	15	-0.61	15	-0.01	15	0.05	15
6002	-513	-514	Max	12.00	-0.19	15	-4.19	15	-0.28	15	0.99	15	0.02	15	0.05	15
6002	-513	-514	Min.	0.00	-0.19	15	-4.19	15	0.23	15	-0.61	15	-0.01	15	0.05	15
6002	-513	-514	Min.	12.00	-0.19	15	-4.19	15	-0.28	15	0.99	15	0.02	15	0.05	15
6003	-529	-530	Max	0.00	0.20	15	-2.32	15	0.14	15	-0.41	15	0.01	15	0.01	15
6003	-529	-530	Max	12.00	0.20	15	-2.32	15	-0.14	15	0.06	15	-0.01	15	0.01	15
6003	-529	-530	Min.	0.00	0.20	15	-2.32	15	0.14	15	-0.41	15	0.01	15	0.01	15
6003	-529	-530	Min.	12.00	0.20	15	-2.32	15	-0.14	15	0.06	15	-0.01	15	0.01	15
6004	313	314	Max	1.77	-5.13	15	0.18	15	-0.02	15	1.04	15	-0.25	15	0.04	15
6004	313	314	Max	15.00	-5.13	15	0.18	15	0.01	15	0.10	15	-0.17	15	0.04	15
6004	313	314	Min.	1.77	-5.13	15	0.18	15	-0.02	15	1.04	15	-0.25	15	0.04	15
6004	313	314	Min.	15.00	-5.13	15	0.18	15	0.01	15	0.10	15	-0.17	15	0.04	15
6004	314	315	Max	0.00	-5.13	15	0.18	15	0.01	15	0.10	15	-0.17	15	0.04	15
6004	314	315	Max	1.36					0.01	15			-0.17	15		
6004	314	315	Max	13.23	-5.13	15	0.18	15	0.03	15	-0.84	15	-0.22	15	0.04	15
6004	314	315	Min.	0.00	-5.13	15	0.18	15	0.01	15	0.10	15	-0.17	15	0.04	15
6004	314	315	Min.	1.36					0.01	15			-0.17	15		
6004	314	315	Min.	13.23	-5.13	15	0.18	15	0.03	15	-0.84	15	-0.22	15	0.04	15
6005	-1	-2	Max	2.83	20.79	15	0.09	15	-0.01	15	-0.28	15	0.19	15	0.00	15
6005	-1	-2	Max	26.15	20.79	15	0.09	15	0.01	15	-2.11	15	-0.09	15	0.00	15
6005	-1	-2	Min.	2.83	20.79	15	0.09	15	-0.01	15	-0.28	15	0.19	15	0.00	15
6005	-1	-2	Min.	26.15	20.79	15	0.09	15	0.01	15	-2.11	15	-0.09	15	0.00	15
6006	-33	-34	Max	2.83	4.89	15	0.01	15	0.00	15	-1.47	15	0.37	15	-0.00	15
6006	-33	-34	Max	25.84	4.89	15	0.01	15	0.00	15	-3.27	15	-0.18	15	-0.00	15
6006	-33	-34	Min.	2.83	4.89	15	0.01	15	0.00	15	-1.47	15	0.37	15	-0.00	15
6006	-33	-34	Min.	25.84	4.89	15	0.01	15	0.00	15	-3.27	15	-0.18	15	-0.00	15
6007	-65	-66	Max	2.83	-0.59	15	-0.03	15	0.01	15	-1.79	15	0.23	15	0.00	15
6007	-65	-66	Max	25.22	-0.59	15	-0.03	15	0.00	15	-2.66	15	-0.26	15	0.00	15
6007	-65	-66	Min.	2.83	-0.59	15	-0.03	15	0.01	15	-1.79	15	0.23	15	0.00	15
6007	-65	-66	Min.	25.22	-0.59	15	-0.03	15	0.00	15	-2.66	15	-0.26	15	0.00	15
6008	-97	-98	Max	2.83	-0.02	15	-0.04	15	0.01	15	-2.48	15	0.31	15	0.00	15
6008	-97	-98	Max	24.59	-0.02	15	-0.04	15	0.00	15	-3.33	15	-0.33	15	0.00	15
6008	-97	-98	Min.	2.83	-0.02	15	-0.04	15	0.01	15	-2.48	15	0.31	15	0.00	15
6008	-97	-98	Min.	24.59	-0.02	15	-0.04	15	0.00	15	-3.33	15	-0.33	15	0.00	15
6009	-129	-130	Max	2.83	-0.09	15	-0.04	15	0.01	15	-2.76	15	0.32	15	0.00	15
6009	-129	-130	Max	23.97	-0.09	15	-0.04	15	0.00	15	-3.59	15	-0.35	15	0.00	15
6009	-129	-130	Min.	2.83	-0.09	15	-0.04	15	0.01	15	-2.76	15	0.32	15	0.00	15
6009	-129	-130	Min.	23.97	-0.09	15	-0.04	15	0.00	15	-3.59	15	-0.35	15	0.00	15
6010	-161	-162	Max	2.83	-0.08	15	-0.04	15	0.01	15	-2.95	15	0.33	15	0.00	15
6010	-161	-162	Max	23.34	-0.08	15	-0.04	15	0.00	15	-3.75	15	-0.35	15	0.00	15
6010	-161	-162	Min.	2.83	-0.08	15	-0.04	15	0.01	15	-2.95	15	0.33	15	0.00	15

6010	-161	-162	Min.	23.34	-0.08	15	-0.04	15	0.00	15	-3.75	15	-0.35	15	0.00	15
6011	-193	-194	Max	2.83	-0.08	15	-0.04	15	0.01	15	-3.13	15	0.34	15	0.00	15
6011	-193	-194	Max	22.72	-0.08	15	-0.04	15	0.00	15	-3.91	15	-0.36	15	0.00	15
6011	-193	-194	Min.	2.83	-0.08	15	-0.04	15	0.01	15	-3.13	15	0.34	15	0.00	15
6011	-193	-194	Min.	22.72	-0.08	15	-0.04	15	0.00	15	-3.91	15	-0.36	15	0.00	15
6012	-225	-226	Max	2.83	-0.08	15	-0.05	15	0.01	15	-3.31	15	0.35	15	0.00	15
6012	-225	-226	Max	22.09	-0.08	15	-0.05	15	0.00	15	-4.07	15	-0.36	15	0.00	15
6012	-225	-226	Min.	2.83	-0.08	15	-0.05	15	0.01	15	-3.31	15	0.35	15	0.00	15
6012	-225	-226	Min.	22.09	-0.08	15	-0.05	15	0.00	15	-4.07	15	-0.36	15	0.00	15
6013	-257	-258	Max	2.83	-0.08	15	-0.05	15	0.01	15	-3.51	15	0.35	15	0.00	15
6013	-257	-258	Max	21.47	-0.08	15	-0.05	15	0.00	15	-4.24	15	-0.37	15	0.00	15
6013	-257	-258	Min.	2.83	-0.08	15	-0.05	15	0.01	15	-3.51	15	0.35	15	0.00	15
6013	-257	-258	Min.	21.47	-0.08	15	-0.05	15	0.00	15	-4.24	15	-0.37	15	0.00	15
6014	-289	-290	Max	2.83	-0.08	15	-0.05	15	0.01	15	-3.72	15	0.36	15	0.00	15
6014	-289	-290	Max	20.84	-0.08	15	-0.05	15	0.00	15	-4.42	15	-0.37	15	0.00	15
6014	-289	-290	Min.	2.83	-0.08	15	-0.05	15	0.01	15	-3.72	15	0.36	15	0.00	15
6014	-289	-290	Min.	20.84	-0.08	15	-0.05	15	0.00	15	-4.42	15	-0.37	15	0.00	15
6015	-321	-322	Max	2.83	-0.08	15	-0.06	15	0.01	15	-3.94	15	0.37	15	0.00	15
6015	-321	-322	Max	20.22	-0.08	15	-0.06	15	0.00	15	-4.62	15	-0.38	15	0.00	15
6015	-321	-322	Min.	2.83	-0.08	15	-0.06	15	0.01	15	-3.94	15	0.37	15	0.00	15
6015	-321	-322	Min.	20.22	-0.08	15	-0.06	15	0.00	15	-4.62	15	-0.38	15	0.00	15
6016	-353	-354	Max	2.83	-0.09	15	-0.06	15	0.01	15	-4.18	15	0.37	15	0.00	15
6016	-353	-354	Max	19.59	-0.09	15	-0.06	15	0.00	15	-4.84	15	-0.38	15	0.00	15
6016	-353	-354	Min.	2.83	-0.09	15	-0.06	15	0.01	15	-4.18	15	0.37	15	0.00	15
6016	-353	-354	Min.	19.59	-0.09	15	-0.06	15	0.00	15	-4.84	15	-0.38	15	0.00	15
6017	-385	-386	Max	2.83	-0.04	15	-0.06	15	0.01	15	-4.44	15	0.38	15	0.00	15
6017	-385	-386	Max	18.97	-0.04	15	-0.06	15	0.00	15	-5.07	15	-0.39	15	0.00	15
6017	-385	-386	Min.	2.83	-0.04	15	-0.06	15	0.01	15	-4.44	15	0.38	15	0.00	15
6017	-385	-386	Min.	18.97	-0.04	15	-0.06	15	0.00	15	-5.07	15	-0.39	15	0.00	15
6018	-417	-418	Max	2.83	-0.43	15	-0.06	15	0.01	15	-4.69	15	0.38	15	0.00	15
6018	-417	-418	Max	18.34	-0.43	15	-0.06	15	0.00	15	-5.30	15	-0.39	15	0.00	15
6018	-417	-418	Min.	2.83	-0.43	15	-0.06	15	0.01	15	-4.69	15	0.38	15	0.00	15
6018	-417	-418	Min.	18.34	-0.43	15	-0.06	15	0.00	15	-5.30	15	-0.39	15	0.00	15
6019	-449	-450	Max	2.83	2.26	15	-0.07	15	0.01	15	-4.87	15	0.36	15	0.00	15
6019	-449	-450	Max	17.72	2.26	15	-0.07	15	0.00	15	-5.46	15	-0.41	15	0.00	15
6019	-449	-450	Min.	2.83	2.26	15	-0.07	15	0.01	15	-4.87	15	0.36	15	0.00	15
6019	-449	-450	Min.	17.72	2.26	15	-0.07	15	0.00	15	-5.46	15	-0.41	15	0.00	15
6020	-481	-482	Max	2.83	-14.14	15	-0.04	15	0.01	15	-4.22	15	0.44	15	0.00	15
6020	-481	-482	Max	17.09	-14.14	15	-0.04	15	0.00	15	-4.78	15	-0.20	15	0.00	15
6020	-481	-482	Min.	2.83	-14.14	15	-0.04	15	0.01	15	-4.22	15	0.44	15	0.00	15
6020	-481	-482	Min.	17.09	-14.14	15	-0.04	15	0.00	15	-4.78	15	-0.20	15	0.00	15
6024	-489	-490	Max	3.53	32.02	15	0.06	15	0.00	15	-5.57	15	0.13	15	0.00	15
6024	-489	-490	Max	17.80	32.02	15	0.06	15	0.01	15	-6.13	15	-0.70	15	0.00	15
6024	-489	-490	Min.	3.53	32.02	15	0.06	15	0.00	15	-5.57	15	0.13	15	0.00	15
6024	-489	-490	Min.	17.80	32.02	15	0.06	15	0.01	15	-6.13	15	-0.70	15	0.00	15
6025	-457	-458	Max	3.53	-5.51	15	0.09	15	-0.00	15	-6.41	15	0.54	15	0.00	15
6025	-457	-458	Max	18.42	-5.51	15	0.09	15	0.01	15	-7.00	15	-0.46	15	0.00	15
6025	-457	-458	Min.	3.53	-5.51	15	0.09	15	-0.00	15	-6.41	15	0.54	15	0.00	15
6025	-457	-458	Min.	18.42	-5.51	15	0.09	15	0.01	15	-7.00	15	-0.46	15	0.00	15
6026	-425	-426	Max	3.53	0.82	15	0.09	15	-0.00	15	-6.15	15	0.49	15	0.00	15
6026	-425	-426	Max	19.05	0.82	15	0.09	15	0.01	15	-6.76	15	-0.51	15	0.00	15
6026	-425	-426	Min.	3.53	0.82	15	0.09	15	-0.00	15	-6.15	15	0.49	15	0.00	15
6026	-425	-426	Min.	19.05	0.82	15	0.09	15	0.01	15	-6.76	15	-0.51	15	0.00	15
6027	-393	-394	Max	3.53	-0.11	15	0.08	15	-0.00	15	-5.83	15	0.49	15	0.00	15
6027	-393	-394	Max	19.67	-0.11	15	0.08	15	0.01	15	-6.46	15	-0.50	15	0.00	15
6027	-393	-394	Min.	3.53	-0.11	15	0.08	15	-0.00	15	-5.83	15	0.49	15	0.00	15
6027	-393	-394	Min.	19.67	-0.11	15	0.08	15	0.01	15	-6.46	15	-0.50	15	0.00	15
6028	-361	-362	Max	3.53	0.01	15	0.08	15	-0.00	15	-5.50	15	0.48	15	0.00	15
6028	-361	-362	Max	20.30	0.01	15	0.08	15	0.01	15	-6.16	15	-0.49	15	0.00	15

6028	-361	-362	Min.	3.53	0.01	15	0.08	15	-0.00	15	-5.50	15	0.48	15	0.00	15
6028	-361	-362	Min.	20.30	0.01	15	0.08	15	0.01	15	-6.16	15	-0.49	15	0.00	15
6029	-329	-330	Max	3.53	-0.00	15	0.08	15	-0.00	15	-5.19	15	0.47	15	0.00	15
6029	-329	-330	Max	20.92	-0.00	15	0.08	15	0.01	15	-5.87	15	-0.49	15	0.00	15
6029	-329	-330	Min.	3.53	-0.00	15	0.08	15	-0.00	15	-5.19	15	0.47	15	0.00	15
6029	-329	-330	Min.	20.92	-0.00	15	0.08	15	0.01	15	-5.87	15	-0.49	15	0.00	15
6030	-297	-298	Max	3.53	-0.00	15	0.07	15	0.00	15	-4.91	15	0.47	15	0.00	15
6030	-297	-298	Max	21.55	-0.00	15	0.07	15	0.01	15	-5.61	15	-0.48	15	0.00	15
6030	-297	-298	Min.	3.53	-0.00	15	0.07	15	0.00	15	-4.91	15	0.47	15	0.00	15
6030	-297	-298	Min.	21.55	-0.00	15	0.07	15	0.01	15	-5.61	15	-0.48	15	0.00	15
6031	-265	-266	Max	3.53	-0.01	15	0.07	15	0.00	15	-4.64	15	0.46	15	0.00	15
6031	-265	-266	Max	22.17	-0.01	15	0.07	15	0.01	15	-5.37	15	-0.48	15	0.00	15
6031	-265	-266	Min.	3.53	-0.01	15	0.07	15	0.00	15	-4.64	15	0.46	15	0.00	15
6031	-265	-266	Min.	22.17	-0.01	15	0.07	15	0.01	15	-5.37	15	-0.48	15	0.00	15
6032	-233	-234	Max	3.53	-0.01	15	0.06	15	0.00	15	-4.39	15	0.45	15	0.00	15
6032	-233	-234	Max	22.80	-0.01	15	0.06	15	0.01	15	-5.15	15	-0.47	15	0.00	15
6032	-233	-234	Min.	3.53	-0.01	15	0.06	15	0.00	15	-4.39	15	0.45	15	0.00	15
6032	-233	-234	Min.	22.80	-0.01	15	0.06	15	0.01	15	-5.15	15	-0.47	15	0.00	15
6033	-201	-202	Max	3.53	-0.01	15	0.06	15	0.00	15	-4.16	15	0.44	15	0.00	15
6033	-201	-202	Max	23.42	-0.01	15	0.06	15	0.01	15	-4.94	15	-0.46	15	0.00	15
6033	-201	-202	Min.	3.53	-0.01	15	0.06	15	0.00	15	-4.16	15	0.44	15	0.00	15
6033	-201	-202	Min.	23.42	-0.01	15	0.06	15	0.01	15	-4.94	15	-0.46	15	0.00	15
6034	-169	-170	Max	3.53	-0.01	15	0.06	15	0.00	15	-3.93	15	0.43	15	0.00	15
6034	-169	-170	Max	24.05	-0.01	15	0.06	15	0.01	15	-4.74	15	-0.46	15	0.00	15
6034	-169	-170	Min.	3.53	-0.01	15	0.06	15	0.00	15	-3.93	15	0.43	15	0.00	15
6034	-169	-170	Min.	24.05	-0.01	15	0.06	15	0.01	15	-4.74	15	-0.46	15	0.00	15
6035	-137	-138	Max	3.53	-0.02	15	0.05	15	0.00	15	-3.69	15	0.42	15	0.00	15
6035	-137	-138	Max	24.67	-0.02	15	0.05	15	0.01	15	-4.52	15	-0.45	15	0.00	15
6035	-137	-138	Min.	3.53	-0.02	15	0.05	15	0.00	15	-3.69	15	0.42	15	0.00	15
6035	-137	-138	Min.	24.67	-0.02	15	0.05	15	0.01	15	-4.52	15	-0.45	15	0.00	15
6036	-105	-106	Max	3.53	0.05	15	0.05	15	0.00	15	-3.34	15	0.40	15	0.00	15
6036	-105	-106	Max	25.30	0.05	15	0.05	15	0.01	15	-4.20	15	-0.42	15	0.00	15
6036	-105	-106	Min.	3.53	0.05	15	0.05	15	0.00	15	-3.34	15	0.40	15	0.00	15
6036	-105	-106	Min.	25.30	0.05	15	0.05	15	0.01	15	-4.20	15	-0.42	15	0.00	15
6037	-73	-74	Max	3.53	-0.64	15	0.03	15	0.00	15	-2.45	15	0.31	15	0.00	15
6037	-73	-74	Max	25.92	-0.64	15	0.03	15	0.01	15	-3.33	15	-0.34	15	0.00	15
6037	-73	-74	Min.	3.53	-0.64	15	0.03	15	0.00	15	-2.45	15	0.31	15	0.00	15
6037	-73	-74	Min.	25.92	-0.64	15	0.03	15	0.01	15	-3.33	15	-0.34	15	0.00	15
6038	-41	-42	Max	3.53	6.57	15	-0.00	15	0.00	15	-2.31	15	0.50	15	0.00	15
6038	-41	-42	Max	26.55	6.57	15	-0.00	15	0.00	15	-4.11	15	-0.24	15	0.00	15
6038	-41	-42	Min.	3.53	6.57	15	-0.00	15	0.00	15	-2.31	15	0.50	15	0.00	15
6038	-41	-42	Min.	26.55	6.57	15	-0.00	15	0.00	15	-4.11	15	-0.24	15	0.00	15
6039	-9	-10	Max	3.53	26.31	15	-0.09	15	0.01	15	-0.88	15	0.28	15	0.00	15
6039	-9	-10	Max	26.86	26.31	15	-0.09	15	-0.01	15	-2.71	15	-0.14	15	0.00	15
6039	-9	-10	Min.	3.53	26.31	15	-0.09	15	0.01	15	-0.88	15	0.28	15	0.00	15
6039	-9	-10	Min.	26.86	26.31	15	-0.09	15	-0.01	15	-2.71	15	-0.14	15	0.00	15
6040	337	338	Max	1.77	-6.72	15	0.90	15	-0.28	15	0.21	15	-0.02	15	-0.04	15
6040	337	338	Max	14.34					-0.22	15			0.01	15		
6040	337	338	Max	15.00	-6.72	15	-0.04	15	-0.22	15	0.21	15	0.01	15	-0.04	15
6040	337	338	Min.	1.77	-6.72	15	0.90	15	-0.28	15	0.21	15	-0.02	15	-0.04	15
6040	337	338	Min.	14.34					-0.22	15			0.01	15		
6040	337	338	Min.	15.00	-6.72	15	-0.04	15	-0.22	15	0.21	15	0.01	15	-0.04	15
6040	338	339	Max	0.00	-6.72	15	-0.04	15	-0.22	15	0.21	15	0.01	15	-0.04	15
6040	338	339	Max	13.23	-6.72	15	-0.98	15	-0.29	15	0.21	15	0.04	15	-0.04	15
6040	338	339	Min.	0.00	-6.72	15	-0.04	15	-0.22	15	0.21	15	0.01	15	-0.04	15
6040	338	339	Min.	13.23	-6.72	15	-0.98	15	-0.29	15	0.21	15	0.04	15	-0.04	15
6041	-593	-594	Max	0.00	-0.02	15	-1.01	15	0.07	15	-14.16	15	0.08	15	-0.14	15
6041	-593	-594	Max	12.00	-0.02	15	-1.01	15	-0.05	15	-12.20	15	-1.50	15	-0.14	15
6041	-593	-594	Min.	0.00	-0.02	15	-1.01	15	0.07	15	-14.16	15	0.08	15	-0.14	15

6041	-593	-594	Min.	12.00	-0.02	15	-1.01	15	-0.05	15	-12.20	15	-1.50	15	-0.14	15
6041	-595	-596	Max	0.00	32.00	15	-0.93	15	0.15	15	-1.90	15	18.07	15	-0.02	15
6041	-595	-596	Max	12.00	32.00	15	-0.93	15	0.03	15	0.06	15	17.96	15	-0.02	15
6041	-595	-596	Min.	0.00	32.00	15	-0.93	15	0.15	15	-1.90	15	18.07	15	-0.02	15
6041	-595	-596	Min.	12.00	32.00	15	-0.93	15	0.03	15	0.06	15	17.96	15	-0.02	15
6041	-597	-598	Max	0.00	31.95	15	1.35	15	0.01	15	0.12	15	17.96	15	0.02	15
6041	-597	-598	Max	12.00	31.95	15	1.35	15	0.17	15	2.08	15	18.09	15	0.02	15
6041	-597	-598	Min.	0.00	31.95	15	1.35	15	0.01	15	0.12	15	17.96	15	0.02	15
6041	-597	-598	Min.	12.00	31.95	15	1.35	15	0.17	15	2.08	15	18.09	15	0.02	15
6041	-599	-600	Max	0.00	-0.02	15	0.79	15	-0.03	15	12.26	15	-1.51	15	0.14	15
6041	-599	-600	Max	12.00	-0.02	15	0.79	15	0.07	15	14.22	15	0.08	15	0.14	15
6041	-599	-600	Min.	0.00	-0.02	15	0.79	15	-0.03	15	12.26	15	-1.51	15	0.14	15
6041	-599	-600	Min.	12.00	-0.02	15	0.79	15	0.07	15	14.22	15	0.08	15	0.14	15
6042	-657	-658	Max	0.00	0.01	15	-2.54	15	0.09	15	-22.56	15	0.02	15	-0.05	15
6042	-657	-658	Max	12.00	0.01	15	-2.54	15	-0.22	15	-20.60	15	-2.57	15	-0.05	15
6042	-657	-658	Min.	0.00	0.01	15	-2.54	15	0.09	15	-22.56	15	0.02	15	-0.05	15
6042	-657	-658	Min.	12.00	0.01	15	-2.54	15	-0.22	15	-20.60	15	-2.57	15	-0.05	15
6042	-659	-660	Max	0.00	-16.50	15	-1.76	15	0.16	15	0.80	15	11.17	15	-0.03	15
6042	-659	-660	Max	12.00	-16.50	15	-1.76	15	-0.05	15	2.76	15	11.39	15	-0.03	15
6042	-659	-660	Min.	0.00	-16.50	15	-1.76	15	0.16	15	0.80	15	11.17	15	-0.03	15
6042	-659	-660	Min.	12.00	-16.50	15	-1.76	15	-0.05	15	2.76	15	11.39	15	-0.03	15
6042	-661	-662	Max	0.00	-16.51	15	1.97	15	-0.06	15	-2.72	15	11.39	15	0.03	15
6042	-661	-662	Max	12.00	-16.51	15	1.97	15	0.17	15	-0.76	15	11.18	15	0.03	15
6042	-661	-662	Min.	0.00	-16.51	15	1.97	15	-0.06	15	-2.72	15	11.39	15	0.03	15
6042	-661	-662	Min.	12.00	-16.51	15	1.97	15	0.17	15	-0.76	15	11.18	15	0.03	15
6042	-663	-664	Max	0.00	0.01	15	2.47	15	-0.21	15	20.61	15	-2.58	15	0.05	15
6042	-663	-664	Max	12.00	0.01	15	2.47	15	0.09	15	22.58	15	0.02	15	0.05	15
6042	-663	-664	Min.	0.00	0.01	15	2.47	15	-0.21	15	20.61	15	-2.58	15	0.05	15
6042	-663	-664	Min.	12.00	0.01	15	2.47	15	0.09	15	22.58	15	0.02	15	0.05	15
6043	-721	-722	Max	0.00	-0.01	15	-3.22	15	0.08	15	-18.04	15	0.06	15	-0.03	15
6043	-721	-722	Max	12.00	-0.01	15	-3.22	15	-0.31	15	-16.08	15	-1.98	15	-0.03	15
6043	-721	-722	Min.	0.00	-0.01	15	-3.22	15	0.08	15	-18.04	15	0.06	15	-0.03	15
6043	-721	-722	Min.	12.00	-0.01	15	-3.22	15	-0.31	15	-16.08	15	-1.98	15	-0.03	15
6043	-723	-724	Max	0.00	52.62	15	-0.35	15	-0.12	15	0.26	15	13.64	15	-0.01	15
6043	-723	-724	Max	12.00	52.62	15	-0.35	15	-0.16	15	2.22	15	13.79	15	-0.01	15
6043	-723	-724	Min.	0.00	52.62	15	-0.35	15	-0.12	15	0.26	15	13.64	15	-0.01	15
6043	-723	-724	Min.	12.00	52.62	15	-0.35	15	-0.16	15	2.22	15	13.79	15	-0.01	15
6043	-725	-726	Max	0.00	52.61	15	0.58	15	-0.17	15	-2.19	15	13.79	15	0.01	15
6043	-725	-726	Max	12.00	52.61	15	0.58	15	-0.10	15	-0.22	15	13.64	15	0.01	15
6043	-725	-726	Min.	0.00	52.61	15	0.58	15	-0.17	15	-2.19	15	13.79	15	0.01	15
6043	-725	-726	Min.	12.00	52.61	15	0.58	15	-0.10	15	-0.22	15	13.64	15	0.01	15
6043	-727	-728	Max	0.00	-0.01	15	3.10	15	-0.30	15	16.07	15	-1.98	15	0.03	15
6043	-727	-728	Max	12.00	-0.01	15	3.10	15	0.08	15	18.03	15	0.06	15	0.03	15
6043	-727	-728	Min.	0.00	-0.01	15	3.10	15	-0.30	15	16.07	15	-1.98	15	0.03	15
6043	-727	-728	Min.	12.00	-0.01	15	3.10	15	0.08	15	18.03	15	0.06	15	0.03	15
6044	-785	-786	Max	0.00	-0.18	15	-0.05	15	0.00	15	-22.36	15	0.00	15	0.00	15
6044	-785	-786	Max	12.00	-0.18	15	-0.05	15	-0.00	15	-20.40	15	-2.56	15	0.00	15
6044	-785	-786	Min.	0.00	-0.18	15	-0.05	15	0.00	15	-22.36	15	0.00	15	0.00	15
6044	-785	-786	Min.	12.00	-0.18	15	-0.05	15	-0.00	15	-20.40	15	-2.56	15	0.00	15
6044	-787	-788	Max	0.00	-169.27	15	0.04	15	-0.00	15	-1.64	15	9.76	15	0.00	15
6044	-787	-788	Max	12.00	-169.27	15	0.04	15	0.00	15	0.32	15	9.68	15	0.00	15
6044	-787	-788	Min.	0.00	-169.27	15	0.04	15	-0.00	15	-1.64	15	9.76	15	0.00	15
6044	-787	-788	Min.	12.00	-169.27	15	0.04	15	0.00	15	0.32	15	9.68	15	0.00	15
6044	-789	-790	Max	0.00	-169.26	15	0.06	15	-0.00	15	-0.28	15	9.68	15	0.00	15
6044	-789	-790	Max	12.00	-169.26	15	0.06	15	0.00	15	1.68	15	9.77	15	0.00	15
6044	-789	-790	Min.	0.00	-169.26	15	0.06	15	-0.00	15	-0.28	15	9.68	15	0.00	15
6044	-789	-790	Min.	12.00	-169.26	15	0.06	15	0.00	15	1.68	15	9.77	15	0.00	15
6044	-791	-792	Max	0.00	-0.18	15	0.00	15	0.00	15	20.38	15	-2.56	15	0.00	15
6044	-791	-792	Max	12.00	-0.18	15	0.00	15	0.00	15	22.34	15	0.00	15	0.00	15

6044	-791	-792	Min.	0.00	-0.18	15	0.00	15	0.00	15	20.38	15	-2.56	15	0.00	15
6044	-791	-792	Min.	12.00	-0.18	15	0.00	15	0.00	15	22.34	15	0.00	15	0.00	15
6045	-729	-730	Max	0.00	-0.01	15	3.05	15	-0.07	15	-18.03	15	0.06	15	0.03	15
6045	-729	-730	Max	12.00	-0.01	15	3.05	15	0.29	15	-16.07	15	-1.98	15	0.03	15
6045	-729	-730	Min.	0.00	-0.01	15	3.05	15	-0.07	15	-18.03	15	0.06	15	0.03	15
6045	-729	-730	Min.	12.00	-0.01	15	3.05	15	0.29	15	-16.07	15	-1.98	15	0.03	15
6045	-731	-732	Max	0.00	52.62	15	0.53	15	0.11	15	0.24	15	13.64	15	0.01	15
6045	-731	-732	Max	12.00	52.62	15	0.53	15	0.17	15	2.20	15	13.79	15	0.01	15
6045	-731	-732	Min.	0.00	52.62	15	0.53	15	0.11	15	0.24	15	13.64	15	0.01	15
6045	-731	-732	Min.	12.00	52.62	15	0.53	15	0.17	15	2.20	15	13.79	15	0.01	15
6045	-733	-734	Max	0.00	52.61	15	-0.42	15	0.16	15	-2.20	15	13.79	15	-0.01	15
6045	-733	-734	Max	12.00	52.61	15	-0.42	15	0.11	15	-0.24	15	13.64	15	-0.01	15
6045	-733	-734	Min.	0.00	52.61	15	-0.42	15	0.16	15	-2.20	15	13.79	15	-0.01	15
6045	-733	-734	Min.	12.00	52.61	15	-0.42	15	0.11	15	-0.24	15	13.64	15	-0.01	15
6045	-735	-736	Max	0.00	-0.01	15	-3.13	15	0.30	15	16.07	15	-1.98	15	-0.03	15
6045	-735	-736	Max	12.00	-0.01	15	-3.13	15	-0.08	15	18.03	15	0.06	15	-0.03	15
6045	-735	-736	Min.	0.00	-0.01	15	-3.13	15	0.30	15	16.07	15	-1.98	15	-0.03	15
6045	-735	-736	Min.	12.00	-0.01	15	-3.13	15	-0.08	15	18.03	15	0.06	15	-0.03	15
6046	-665	-666	Max	0.00	0.01	15	2.42	15	-0.08	15	-22.57	15	0.02	15	0.05	15
6046	-665	-666	Max	12.00	0.01	15	2.42	15	0.21	15	-20.61	15	-2.57	15	0.05	15
6046	-665	-666	Min.	0.00	0.01	15	2.42	15	-0.08	15	-22.57	15	0.02	15	0.05	15
6046	-665	-666	Min.	12.00	0.01	15	2.42	15	0.21	15	-20.61	15	-2.57	15	0.05	15
6046	-667	-668	Max	0.00	-16.53	15	1.87	15	-0.17	15	0.78	15	11.17	15	0.03	15
6046	-667	-668	Max	12.00	-16.53	15	1.87	15	0.06	15	2.75	15	11.39	15	0.03	15
6046	-667	-668	Min.	0.00	-16.53	15	1.87	15	-0.17	15	0.78	15	11.17	15	0.03	15
6046	-667	-668	Min.	12.00	-16.53	15	1.87	15	0.06	15	2.75	15	11.39	15	0.03	15
6046	-669	-670	Max	0.00	-16.53	15	-1.83	15	0.05	15	-2.74	15	11.39	15	-0.03	15
6046	-669	-670	Max	12.00	-16.53	15	-1.83	15	-0.17	15	-0.78	15	11.18	15	-0.03	15
6046	-669	-670	Min.	0.00	-16.53	15	-1.83	15	0.05	15	-2.74	15	11.39	15	-0.03	15
6046	-669	-670	Min.	12.00	-16.53	15	-1.83	15	-0.17	15	-0.78	15	11.18	15	-0.03	15
6046	-671	-672	Max	0.00	0.01	15	-2.46	15	0.21	15	20.61	15	-2.57	15	-0.05	15
6046	-671	-672	Max	12.00	0.01	15	-2.46	15	-0.09	15	22.57	15	0.02	15	-0.05	15
6046	-671	-672	Min.	0.00	0.01	15	-2.46	15	0.21	15	20.61	15	-2.57	15	-0.05	15
6046	-671	-672	Min.	12.00	0.01	15	-2.46	15	-0.09	15	22.57	15	0.02	15	-0.05	15
6047	-601	-602	Max	0.00	-0.02	15	0.77	15	-0.07	15	-14.20	15	0.08	15	0.14	15
6047	-601	-602	Max	12.00	-0.02	15	0.77	15	0.03	15	-12.24	15	-1.51	15	0.14	15
6047	-601	-602	Min.	0.00	-0.02	15	0.77	15	-0.07	15	-14.20	15	0.08	15	0.14	15
6047	-601	-602	Min.	12.00	-0.02	15	0.77	15	0.03	15	-12.24	15	-1.51	15	0.14	15
6047	-603	-604	Max	0.00	31.96	15	1.18	15	-0.16	15	-1.98	15	18.08	15	0.02	15
6047	-603	-604	Max	12.00	31.96	15	1.18	15	-0.02	15	-0.02	15	17.96	15	0.02	15
6047	-603	-604	Min.	0.00	31.96	15	1.18	15	-0.16	15	-1.98	15	18.08	15	0.02	15
6047	-603	-604	Min.	12.00	31.96	15	1.18	15	-0.02	15	-0.02	15	17.96	15	0.02	15
6047	-605	-606	Max	0.00	31.95	15	-1.12	15	-0.02	15	0.02	15	17.96	15	-0.02	15
6047	-605	-606	Max	12.00	31.95	15	-1.12	15	-0.16	15	1.98	15	18.08	15	-0.02	15
6047	-605	-606	Min.	0.00	31.95	15	-1.12	15	-0.02	15	0.02	15	17.96	15	-0.02	15
6047	-605	-606	Min.	12.00	31.95	15	-1.12	15	-0.16	15	1.98	15	18.08	15	-0.02	15
6047	-607	-608	Max	0.00	-0.02	15	-0.82	15	0.03	15	12.24	15	-1.50	15	-0.14	15
6047	-607	-608	Max	12.00	-0.02	15	-0.82	15	-0.07	15	14.20	15	0.08	15	-0.14	15
6047	-607	-608	Min.	0.00	-0.02	15	-0.82	15	0.03	15	12.24	15	-1.50	15	-0.14	15
6047	-607	-608	Min.	12.00	-0.02	15	-0.82	15	-0.07	15	14.20	15	0.08	15	-0.14	15
6048	349	350	Max	1.77	-6.71	15	0.21	15	-0.02	15	0.90	15	-0.28	15	0.04	15
6048	349	350	Max	14.34					0.01	15			-0.22	15		
6048	349	350	Max	15.00	-6.71	15	0.21	15	0.01	15	-0.04	15	-0.22	15	0.04	15
6048	349	350	Min.	1.77	-6.71	15	0.21	15	-0.02	15	0.90	15	-0.28	15	0.04	15
6048	349	350	Min.	14.34					0.01	15			-0.22	15		
6048	349	350	Min.	15.00	-6.71	15	0.21	15	0.01	15	-0.04	15	-0.22	15	0.04	15
6048	350	351	Max	0.00	-6.71	15	0.21	15	0.01	15	-0.04	15	-0.22	15	0.04	15
6048	350	351	Max	13.23	-6.71	15	0.21	15	0.04	15	-0.98	15	-0.29	15	0.04	15
6048	350	351	Min.	0.00	-6.71	15	0.21	15	0.01	15	-0.04	15	-0.22	15	0.04	15

6048	350	351	Min.	13.23	-6.71	15	0.21	15	0.04	15	-0.98	15	-0.29	15	0.04	15
6049	-17	-18	Max	2.83	26.41	15	0.09	15	-0.01	15	-0.82	15	0.28	15	0.00	15
6049	-17	-18	Max	26.15	26.41	15	0.09	15	0.01	15	-2.65	15	-0.12	15	0.00	15
6049	-17	-18	Min.	2.83	26.41	15	0.09	15	-0.01	15	-0.82	15	0.28	15	0.00	15
6049	-17	-18	Min.	26.15	26.41	15	0.09	15	0.01	15	-2.65	15	-0.12	15	0.00	15
6050	-49	-50	Max	2.83	6.54	15	0.00	15	-0.00	15	-2.23	15	0.50	15	-0.00	15
6050	-49	-50	Max	25.84	6.54	15	0.00	15	-0.00	15	-4.03	15	-0.22	15	-0.00	15
6050	-49	-50	Min.	2.83	6.54	15	0.00	15	-0.00	15	-2.23	15	0.50	15	-0.00	15
6050	-49	-50	Min.	25.84	6.54	15	0.00	15	-0.00	15	-4.03	15	-0.22	15	-0.00	15
6051	-81	-82	Max	2.83	-0.62	15	-0.03	15	0.00	15	-2.43	15	0.31	15	0.00	15
6051	-81	-82	Max	25.22	-0.62	15	-0.03	15	-0.01	15	-3.31	15	-0.33	15	0.00	15
6051	-81	-82	Min.	2.83	-0.62	15	-0.03	15	0.00	15	-2.43	15	0.31	15	0.00	15
6051	-81	-82	Min.	25.22	-0.62	15	-0.03	15	-0.01	15	-3.31	15	-0.33	15	0.00	15
6052	-113	-114	Max	2.83	0.07	15	-0.05	15	0.00	15	-3.31	15	0.40	15	0.00	15
6052	-113	-114	Max	24.59	0.07	15	-0.05	15	-0.01	15	-4.16	15	-0.41	15	0.00	15
6052	-113	-114	Min.	2.83	0.07	15	-0.05	15	0.00	15	-3.31	15	0.40	15	0.00	15
6052	-113	-114	Min.	24.59	0.07	15	-0.05	15	-0.01	15	-4.16	15	-0.41	15	0.00	15
6053	-145	-146	Max	2.83	-0.01	15	-0.05	15	0.00	15	-3.66	15	0.43	15	0.00	15
6053	-145	-146	Max	23.97	-0.01	15	-0.05	15	-0.01	15	-4.49	15	-0.44	15	0.00	15
6053	-145	-146	Min.	2.83	-0.01	15	-0.05	15	0.00	15	-3.66	15	0.43	15	0.00	15
6053	-145	-146	Min.	23.97	-0.01	15	-0.05	15	-0.01	15	-4.49	15	-0.44	15	0.00	15
6054	-177	-178	Max	2.83	-0.00	15	-0.06	15	0.00	15	-3.90	15	0.44	15	0.00	15
6054	-177	-178	Max	23.34	-0.00	15	-0.06	15	-0.01	15	-4.70	15	-0.44	15	0.00	15
6054	-177	-178	Min.	2.83	-0.00	15	-0.06	15	0.00	15	-3.90	15	0.44	15	0.00	15
6054	-177	-178	Min.	23.34	-0.00	15	-0.06	15	-0.01	15	-4.70	15	-0.44	15	0.00	15
6055	-209	-210	Max	2.83	-0.00	15	-0.06	15	0.00	15	-4.12	15	0.45	15	0.00	15
6055	-209	-210	Max	22.72	-0.00	15	-0.06	15	-0.01	15	-4.90	15	-0.45	15	0.00	15
6055	-209	-210	Min.	2.83	-0.00	15	-0.06	15	0.00	15	-4.12	15	0.45	15	0.00	15
6055	-209	-210	Min.	22.72	-0.00	15	-0.06	15	-0.01	15	-4.90	15	-0.45	15	0.00	15
6056	-241	-242	Max	2.83	-0.00	15	-0.06	15	0.00	15	-4.36	15	0.46	15	0.00	15
6056	-241	-242	Max	22.09	-0.00	15	-0.06	15	-0.01	15	-5.11	15	-0.46	15	0.00	15
6056	-241	-242	Min.	2.83	-0.00	15	-0.06	15	0.00	15	-4.36	15	0.46	15	0.00	15
6056	-241	-242	Min.	22.09	-0.00	15	-0.06	15	-0.01	15	-5.11	15	-0.46	15	0.00	15
6057	-273	-274	Max	2.83	0.00	15	-0.07	15	0.00	15	-4.61	15	0.46	15	-0.00	15
6057	-273	-274	Max	21.47	0.00	15	-0.07	15	-0.01	15	-5.34	15	-0.46	15	-0.00	15
6057	-273	-274	Min.	2.83	0.00	15	-0.07	15	0.00	15	-4.61	15	0.46	15	-0.00	15
6057	-273	-274	Min.	21.47	0.00	15	-0.07	15	-0.01	15	-5.34	15	-0.46	15	-0.00	15
6058	-305	-306	Max	2.83	0.00	15	-0.07	15	0.00	15	-4.87	15	0.47	15	-0.00	15
6058	-305	-306	Max	20.84	0.00	15	-0.07	15	-0.01	15	-5.58	15	-0.47	15	-0.00	15
6058	-305	-306	Min.	2.83	0.00	15	-0.07	15	0.00	15	-4.87	15	0.47	15	-0.00	15
6058	-305	-306	Min.	20.84	0.00	15	-0.07	15	-0.01	15	-5.58	15	-0.47	15	-0.00	15
6059	-337	-338	Max	2.83	0.00	15	-0.08	15	0.00	15	-5.15	15	0.48	15	-0.00	15
6059	-337	-338	Max	20.22	0.00	15	-0.08	15	-0.01	15	-5.84	15	-0.47	15	-0.00	15
6059	-337	-338	Min.	2.83	0.00	15	-0.08	15	0.00	15	-5.15	15	0.48	15	-0.00	15
6059	-337	-338	Min.	20.22	0.00	15	-0.08	15	-0.01	15	-5.84	15	-0.47	15	-0.00	15
6060	-369	-370	Max	2.83	0.02	15	-0.08	15	0.00	15	-5.46	15	0.49	15	-0.00	15
6060	-369	-370	Max	19.59	0.02	15	-0.08	15	-0.01	15	-6.12	15	-0.48	15	-0.00	15
6060	-369	-370	Min.	2.83	0.02	15	-0.08	15	0.00	15	-5.46	15	0.49	15	-0.00	15
6060	-369	-370	Min.	19.59	0.02	15	-0.08	15	-0.01	15	-6.12	15	-0.48	15	-0.00	15
6061	-401	-402	Max	2.83	-0.10	15	-0.08	15	0.00	15	-5.79	15	0.50	15	-0.00	15
6061	-401	-402	Max	18.97	-0.10	15	-0.08	15	-0.01	15	-6.42	15	-0.49	15	-0.00	15
6061	-401	-402	Min.	2.83	-0.10	15	-0.08	15	0.00	15	-5.79	15	0.50	15	-0.00	15
6061	-401	-402	Min.	18.97	-0.10	15	-0.08	15	-0.01	15	-6.42	15	-0.49	15	-0.00	15
6062	-433	-434	Max	2.83	0.83	15	-0.09	15	0.00	15	-6.12	15	0.50	15	-0.00	15
6062	-433	-434	Max	18.34	0.83	15	-0.09	15	-0.01	15	-6.73	15	-0.50	15	-0.00	15
6062	-433	-434	Min.	2.83	0.83	15	-0.09	15	0.00	15	-6.12	15	0.50	15	-0.00	15
6062	-433	-434	Min.	18.34	0.83	15	-0.09	15	-0.01	15	-6.73	15	-0.50	15	-0.00	15
6063	-465	-466	Max	2.83	-5.50	15	-0.09	15	0.00	15	-6.28	15	0.54	15	-0.00	15
6063	-465	-466	Max	17.72	-5.50	15	-0.09	15	-0.01	15	-6.87	15	-0.44	15	-0.00	15

6063	-465	-466	Min.	2.83	-5.50	15	-0.09	15	0.00	15	-6.28	15	0.54	15	-0.00	15
6063	-465	-466	Min.	17.72	-5.50	15	-0.09	15	-0.01	15	-6.87	15	-0.44	15	-0.00	15
6064	-497	-498	Max	2.83	31.92	15	-0.07	15	0.00	15	-5.72	15	0.15	15	0.00	15
6064	-497	-498	Max	17.09	31.92	15	-0.07	15	-0.01	15	-6.28	15	-0.70	15	0.00	15
6064	-497	-498	Min.	2.83	31.92	15	-0.07	15	0.00	15	-5.72	15	0.15	15	0.00	15
6064	-497	-498	Min.	17.09	31.92	15	-0.07	15	-0.01	15	-6.28	15	-0.70	15	0.00	15
6068	-505	-506	Max	3.53	-14.03	15	0.04	15	-0.01	15	-4.40	15	0.44	15	-0.00	15
6068	-505	-506	Max	17.80	-14.03	15	0.04	15	-0.00	15	-4.96	15	-0.23	15	-0.00	15
6068	-505	-506	Min.	3.53	-14.03	15	0.04	15	-0.01	15	-4.40	15	0.44	15	-0.00	15
6068	-505	-506	Min.	17.80	-14.03	15	0.04	15	-0.00	15	-4.96	15	-0.23	15	-0.00	15
6069	-473	-474	Max	3.53	2.25	15	0.07	15	-0.01	15	-4.94	15	0.36	15	0.00	15
6069	-473	-474	Max	15.44					-0.00	15			-0.26	15		
6069	-473	-474	Max	18.42	2.25	15	0.07	15	0.00	15	-5.52	15	-0.42	15	0.00	15
6069	-473	-474	Min.	3.53	2.25	15	0.07	15	-0.01	15	-4.94	15	0.36	15	0.00	15
6069	-473	-474	Min.	15.44					-0.00	15			-0.26	15		
6069	-473	-474	Min.	18.42	2.25	15	0.07	15	0.00	15	-5.52	15	-0.42	15	0.00	15
6070	-441	-442	Max	3.53	-0.44	15	0.07	15	-0.01	15	-4.80	15	0.38	15	0.00	15
6070	-441	-442	Max	15.94					-0.00	15			-0.24	15		
6070	-441	-442	Max	19.05	-0.44	15	0.07	15	0.00	15	-5.41	15	-0.41	15	0.00	15
6070	-441	-442	Min.	3.53	-0.44	15	0.07	15	-0.01	15	-4.80	15	0.38	15	0.00	15
6070	-441	-442	Min.	15.94					-0.00	15			-0.24	15		
6070	-441	-442	Min.	19.05	-0.44	15	0.07	15	0.00	15	-5.41	15	-0.41	15	0.00	15
6071	-409	-410	Max	3.53	-0.05	15	0.06	15	-0.01	15	-4.54	15	0.38	15	0.00	15
6071	-409	-410	Max	16.44					-0.00	15			-0.24	15		
6071	-409	-410	Max	19.67	-0.05	15	0.06	15	0.00	15	-5.17	15	-0.41	15	0.00	15
6071	-409	-410	Min.	3.53	-0.05	15	0.06	15	-0.01	15	-4.54	15	0.38	15	0.00	15
6071	-409	-410	Min.	16.44					-0.00	15			-0.24	15		
6071	-409	-410	Min.	19.67	-0.05	15	0.06	15	0.00	15	-5.17	15	-0.41	15	0.00	15
6072	-377	-378	Max	3.53	-0.10	15	0.06	15	-0.01	15	-4.28	15	0.37	15	0.00	15
6072	-377	-378	Max	16.94					-0.00	15			-0.24	15		
6072	-377	-378	Max	20.30	-0.10	15	0.06	15	0.00	15	-4.94	15	-0.40	15	0.00	15
6072	-377	-378	Min.	3.53	-0.10	15	0.06	15	-0.01	15	-4.28	15	0.37	15	0.00	15
6072	-377	-378	Min.	16.94					-0.00	15			-0.24	15		
6072	-377	-378	Min.	20.30	-0.10	15	0.06	15	0.00	15	-4.94	15	-0.40	15	0.00	15
6073	-345	-346	Max	3.53	-0.09	15	0.06	15	-0.01	15	-4.03	15	0.37	15	0.00	15
6073	-345	-346	Max	17.44					-0.00	15			-0.23	15		
6073	-345	-346	Max	20.92	-0.09	15	0.06	15	0.00	15	-4.72	15	-0.39	15	0.00	15
6073	-345	-346	Min.	3.53	-0.09	15	0.06	15	-0.01	15	-4.03	15	0.37	15	0.00	15
6073	-345	-346	Min.	17.44					-0.00	15			-0.23	15		
6073	-345	-346	Min.	20.92	-0.09	15	0.06	15	0.00	15	-4.72	15	-0.39	15	0.00	15
6074	-313	-314	Max	3.53	-0.09	15	0.05	15	-0.01	15	-3.81	15	0.36	15	0.00	15
6074	-313	-314	Max	17.94					-0.00	15			-0.23	15		
6074	-313	-314	Max	21.55	-0.09	15	0.05	15	0.00	15	-4.51	15	-0.39	15	0.00	15
6074	-313	-314	Min.	3.53	-0.09	15	0.05	15	-0.01	15	-3.81	15	0.36	15	0.00	15
6074	-313	-314	Min.	17.94					-0.00	15			-0.23	15		
6074	-313	-314	Min.	21.55	-0.09	15	0.05	15	0.00	15	-4.51	15	-0.39	15	0.00	15
6075	-281	-282	Max	3.53	-0.09	15	0.05	15	-0.01	15	-3.59	15	0.35	15	0.00	15
6075	-281	-282	Max	18.44					-0.00	15			-0.23	15		
6075	-281	-282	Max	22.17	-0.09	15	0.05	15	0.00	15	-4.32	15	-0.38	15	0.00	15
6075	-281	-282	Min.	3.53	-0.09	15	0.05	15	-0.01	15	-3.59	15	0.35	15	0.00	15
6075	-281	-282	Min.	18.44					-0.00	15			-0.23	15		
6075	-281	-282	Min.	22.17	-0.09	15	0.05	15	0.00	15	-4.32	15	-0.38	15	0.00	15
6076	-249	-250	Max	3.53	-0.09	15	0.05	15	-0.01	15	-3.39	15	0.35	15	0.00	15
6076	-249	-250	Max	18.94					-0.00	15			-0.22	15		
6076	-249	-250	Max	22.80	-0.09	15	0.05	15	0.00	15	-4.15	15	-0.38	15	0.00	15
6076	-249	-250	Min.	3.53	-0.09	15	0.05	15	-0.01	15	-3.39	15	0.35	15	0.00	15
6076	-249	-250	Min.	18.94					-0.00	15			-0.22	15		
6076	-249	-250	Min.	22.80	-0.09	15	0.05	15	0.00	15	-4.15	15	-0.38	15	0.00	15
6077	-217	-218	Max	3.53	-0.09	15	0.05	15	-0.01	15	-3.21	15	0.34	15	0.00	15

6077	-217	-218	Max	19.44					-0.00	15			-0.22	15		
6077	-217	-218	Max	23.42	-0.09	15	0.05	15	0.00	15	-3.99	15	-0.37	15	0.00	15
6077	-217	-218	Min.	3.53	-0.09	15	0.05	15	-0.01	15	-3.21	15	0.34	15	0.00	15
6077	-217	-218	Min.	19.44					-0.00	15			-0.22	15		
6077	-217	-218	Min.	23.42	-0.09	15	0.05	15	0.00	15	-3.99	15	-0.37	15	0.00	15
6078	-185	-186	Max	3.53	-0.09	15	0.04	15	-0.01	15	-3.03	15	0.34	15	0.00	15
6078	-185	-186	Max	19.94					-0.00	15			-0.21	15		
6078	-185	-186	Max	24.05	-0.09	15	0.04	15	0.00	15	-3.83	15	-0.37	15	0.00	15
6078	-185	-186	Min.	3.53	-0.09	15	0.04	15	-0.01	15	-3.03	15	0.34	15	0.00	15
6078	-185	-186	Min.	19.94					-0.00	15			-0.21	15		
6078	-185	-186	Min.	24.05	-0.09	15	0.04	15	0.00	15	-3.83	15	-0.37	15	0.00	15
6079	-153	-154	Max	3.53	-0.09	15	0.04	15	-0.01	15	-2.83	15	0.33	15	0.00	15
6079	-153	-154	Max	20.44					-0.00	15			-0.21	15		
6079	-153	-154	Max	24.67	-0.09	15	0.04	15	0.00	15	-3.66	15	-0.36	15	0.00	15
6079	-153	-154	Min.	3.53	-0.09	15	0.04	15	-0.01	15	-2.83	15	0.33	15	0.00	15
6079	-153	-154	Min.	20.44					-0.00	15			-0.21	15		
6079	-153	-154	Min.	24.67	-0.09	15	0.04	15	0.00	15	-3.66	15	-0.36	15	0.00	15
6080	-121	-122	Max	3.53	-0.04	15	0.04	15	-0.01	15	-2.55	15	0.31	15	0.00	15
6080	-121	-122	Max	20.94					-0.00	15			-0.20	15		
6080	-121	-122	Max	25.30	-0.04	15	0.04	15	0.00	15	-3.40	15	-0.34	15	0.00	15
6080	-121	-122	Min.	3.53	-0.04	15	0.04	15	-0.01	15	-2.55	15	0.31	15	0.00	15
6080	-121	-122	Min.	20.94					-0.00	15			-0.20	15		
6080	-121	-122	Min.	25.30	-0.04	15	0.04	15	0.00	15	-3.40	15	-0.34	15	0.00	15
6081	-89	-90	Max	3.53	-0.61	15	0.03	15	-0.01	15	-1.84	15	0.24	15	0.00	15
6081	-89	-90	Max	21.44					-0.00	15			-0.16	15		
6081	-89	-90	Max	25.92	-0.61	15	0.03	15	0.00	15	-2.72	15	-0.27	15	0.00	15
6081	-89	-90	Min.	3.53	-0.61	15	0.03	15	-0.01	15	-1.84	15	0.24	15	0.00	15
6081	-89	-90	Min.	21.44					-0.00	15			-0.16	15		
6081	-89	-90	Min.	25.92	-0.61	15	0.03	15	0.00	15	-2.72	15	-0.27	15	0.00	15
6082	-57	-58	Max	3.53	4.92	15	-0.01	15	-0.00	15	-1.58	15	0.37	15	0.00	15
6082	-57	-58	Max	26.55	4.92	15	-0.01	15	-0.00	15	-3.38	15	-0.20	15	0.00	15
6082	-57	-58	Min.	3.53	4.92	15	-0.01	15	-0.00	15	-1.58	15	0.37	15	0.00	15
6082	-57	-58	Min.	26.55	4.92	15	-0.01	15	-0.00	15	-3.38	15	-0.20	15	0.00	15
6083	-25	-26	Max	3.53	20.73	15	-0.09	15	0.01	15	-0.36	15	0.20	15	0.00	15
6083	-25	-26	Max	26.86	20.73	15	-0.09	15	-0.01	15	-2.19	15	-0.10	15	0.00	15
6083	-25	-26	Min.	3.53	20.73	15	-0.09	15	0.01	15	-0.36	15	0.20	15	0.00	15
6083	-25	-26	Min.	26.86	20.73	15	-0.09	15	-0.01	15	-2.19	15	-0.10	15	0.00	15
6084	373	374	Max	1.77	-5.13	15	1.04	15	-0.25	15	0.18	15	-0.02	15	-0.04	15
6084	373	374	Max	15.00	-5.13	15	0.10	15	-0.17	15	0.18	15	0.01	15	-0.04	15
6084	373	374	Min.	1.77	-5.13	15	1.04	15	-0.25	15	0.18	15	-0.02	15	-0.04	15
6084	373	374	Min.	15.00	-5.13	15	0.10	15	-0.17	15	0.18	15	0.01	15	-0.04	15
6084	374	375	Max	0.00	-5.13	15	0.10	15	-0.17	15	0.18	15	0.01	15	-0.04	15
6084	374	375	Max	1.34					-0.17	15			0.01	15		
6084	374	375	Max	13.23	-5.13	15	-0.85	15	-0.22	15	0.18	15	0.03	15	-0.04	15
6084	374	375	Min.	0.00	-5.13	15	0.10	15	-0.17	15	0.18	15	0.01	15	-0.04	15
6084	374	375	Min.	1.34					-0.17	15			0.01	15		
6084	374	375	Min.	13.23	-5.13	15	-0.85	15	-0.22	15	0.18	15	0.03	15	-0.04	15
6085	-537	-538	Max	0.00	0.05	15	3.80	15	-0.23	15	-0.69	15	0.00	15	-0.04	15
6085	-537	-538	Max	12.00	0.05	15	3.80	15	0.22	15	0.91	15	0.02	15	-0.04	15
6085	-537	-538	Min.	0.00	0.05	15	3.80	15	-0.23	15	-0.69	15	0.00	15	-0.04	15
6085	-537	-538	Min.	12.00	0.05	15	3.80	15	0.22	15	0.91	15	0.02	15	-0.04	15
6086	-521	-522	Max	0.00	-0.01	15	3.97	15	-0.24	15	-1.20	15	0.02	15	-0.04	15
6086	-521	-522	Max	12.00	-0.01	15	3.97	15	0.24	15	0.40	15	-0.02	15	-0.04	15
6086	-521	-522	Min.	0.00	-0.01	15	3.97	15	-0.24	15	-1.20	15	0.02	15	-0.04	15
6086	-521	-522	Min.	12.00	-0.01	15	3.97	15	0.24	15	0.40	15	-0.02	15	-0.04	15
6088	313	325	Max	1.77	8.41	15	17.37	15	-0.85	15	2.68	15	-0.09	15	-0.10	15
6088	313	325	Max	15.00	8.41	15	16.43	15	1.38	15	2.68	15	0.26	15	-0.10	15
6088	313	325	Min.	1.77	8.41	15	17.37	15	-0.85	15	2.68	15	-0.09	15	-0.10	15
6088	313	325	Min.	15.00	8.41	15	16.43	15	1.38	15	2.68	15	0.26	15	-0.10	15

6088	325	337	Max	0.00	-1.33	15	4.68	15	-0.79	15	-2.92	15	0.28	15	0.10	15
6088	325	337	Max	13.23	-1.33	15	3.74	15	-0.23	15	-2.92	15	-0.10	15	0.10	15
6088	325	337	Min.	0.00	-1.33	15	4.68	15	-0.79	15	-2.92	15	0.28	15	0.10	15
6088	325	337	Min.	13.23	-1.33	15	3.74	15	-0.23	15	-2.92	15	-0.10	15	0.10	15
6089	-1	-9	Max	3.53	16.63	15	-0.05	15	0.00	15	6.06	15	-0.53	15	0.00	15
6089	-1	-9	Max	26.86	16.63	15	-0.05	15	-0.01	15	4.23	15	0.67	15	0.00	15
6089	-1	-9	Min.	3.53	16.63	15	-0.05	15	0.00	15	6.06	15	-0.53	15	0.00	15
6089	-1	-9	Min.	26.86	16.63	15	-0.05	15	-0.01	15	4.23	15	0.67	15	0.00	15
6090	-33	-41	Max	3.53	2.95	15	-0.08	15	0.01	15	10.20	15	-0.99	15	0.00	15
6090	-33	-41	Max	26.55	2.95	15	-0.08	15	-0.01	15	8.39	15	1.15	15	0.00	15
6090	-33	-41	Min.	3.53	2.95	15	-0.08	15	0.01	15	10.20	15	-0.99	15	0.00	15
6090	-33	-41	Min.	26.55	2.95	15	-0.08	15	-0.01	15	8.39	15	1.15	15	0.00	15
6091	-65	-73	Max	3.53	-0.48	15	-0.10	15	0.01	15	8.85	15	-0.95	15	0.00	15
6091	-65	-73	Max	25.92	-0.48	15	-0.10	15	-0.01	15	7.97	15	0.93	15	0.00	15
6091	-65	-73	Min.	3.53	-0.48	15	-0.10	15	0.01	15	8.85	15	-0.95	15	0.00	15
6091	-65	-73	Min.	25.92	-0.48	15	-0.10	15	-0.01	15	7.97	15	0.93	15	0.00	15
6092	-97	-105	Max	3.53	0.05	15	-0.14	15	0.02	15	11.38	15	-1.19	15	0.00	15
6092	-97	-105	Max	25.30	0.05	15	-0.14	15	-0.01	15	10.52	15	1.19	15	0.00	15
6092	-97	-105	Min.	3.53	0.05	15	-0.14	15	0.02	15	11.38	15	-1.19	15	0.00	15
6092	-97	-105	Min.	25.30	0.05	15	-0.14	15	-0.01	15	10.52	15	1.19	15	0.00	15
6093	-129	-137	Max	3.53	-0.03	15	-0.15	15	0.02	15	12.36	15	-1.26	15	0.00	15
6093	-129	-137	Max	24.67	-0.03	15	-0.15	15	-0.01	15	11.53	15	1.26	15	0.00	15
6093	-129	-137	Min.	3.53	-0.03	15	-0.15	15	0.02	15	12.36	15	-1.26	15	0.00	15
6093	-129	-137	Min.	24.67	-0.03	15	-0.15	15	-0.01	15	11.53	15	1.26	15	0.00	15
6094	-161	-169	Max	3.53	-0.03	15	-0.16	15	0.02	15	13.01	15	-1.29	15	0.00	15
6094	-161	-169	Max	24.05	-0.03	15	-0.16	15	-0.02	15	12.20	15	1.29	15	0.00	15
6094	-161	-169	Min.	3.53	-0.03	15	-0.16	15	0.02	15	13.01	15	-1.29	15	0.00	15
6094	-161	-169	Min.	24.05	-0.03	15	-0.16	15	-0.02	15	12.20	15	1.29	15	0.00	15
6095	-193	-201	Max	3.53	-0.02	15	-0.17	15	0.02	15	13.61	15	-1.31	15	0.00	15
6095	-193	-201	Max	23.42	-0.02	15	-0.17	15	-0.02	15	12.83	15	1.32	15	0.00	15
6095	-193	-201	Min.	3.53	-0.02	15	-0.17	15	0.02	15	13.61	15	-1.31	15	0.00	15
6095	-193	-201	Min.	23.42	-0.02	15	-0.17	15	-0.02	15	12.83	15	1.32	15	0.00	15
6096	-225	-233	Max	3.53	-0.02	15	-0.18	15	0.02	15	14.24	15	-1.33	15	0.00	15
6096	-225	-233	Max	22.80	-0.02	15	-0.18	15	-0.02	15	13.48	15	1.34	15	0.00	15
6096	-225	-233	Min.	3.53	-0.02	15	-0.18	15	0.02	15	14.24	15	-1.33	15	0.00	15
6096	-225	-233	Min.	22.80	-0.02	15	-0.18	15	-0.02	15	13.48	15	1.34	15	0.00	15
6097	-257	-265	Max	3.53	-0.02	15	-0.19	15	0.02	15	14.91	15	-1.35	15	0.00	15
6097	-257	-265	Max	22.17	-0.02	15	-0.19	15	-0.02	15	14.18	15	1.36	15	0.00	15
6097	-257	-265	Min.	3.53	-0.02	15	-0.19	15	0.02	15	14.91	15	-1.35	15	0.00	15
6097	-257	-265	Min.	22.17	-0.02	15	-0.19	15	-0.02	15	14.18	15	1.36	15	0.00	15
6098	-289	-297	Max	3.53	-0.02	15	-0.20	15	0.02	15	15.63	15	-1.37	15	0.00	15
6098	-289	-297	Max	21.55	-0.02	15	-0.20	15	-0.02	15	14.92	15	1.38	15	0.00	15
6098	-289	-297	Min.	3.53	-0.02	15	-0.20	15	0.02	15	15.63	15	-1.37	15	0.00	15
6098	-289	-297	Min.	21.55	-0.02	15	-0.20	15	-0.02	15	14.92	15	1.38	15	0.00	15
6099	-321	-329	Max	3.53	-0.02	15	-0.21	15	0.02	15	16.40	15	-1.39	15	0.00	15
6099	-321	-329	Max	20.92	-0.02	15	-0.21	15	-0.02	15	15.72	15	1.40	15	0.00	15
6099	-321	-329	Min.	3.53	-0.02	15	-0.21	15	0.02	15	16.40	15	-1.39	15	0.00	15
6099	-321	-329	Min.	20.92	-0.02	15	-0.21	15	-0.02	15	15.72	15	1.40	15	0.00	15
6100	-353	-361	Max	3.53	-0.01	15	-0.22	15	0.02	15	17.24	15	-1.41	15	0.00	15
6100	-353	-361	Max	20.30	-0.01	15	-0.22	15	-0.02	15	16.58	15	1.43	15	0.00	15
6100	-353	-361	Min.	3.53	-0.01	15	-0.22	15	0.02	15	17.24	15	-1.41	15	0.00	15
6100	-353	-361	Min.	20.30	-0.01	15	-0.22	15	-0.02	15	16.58	15	1.43	15	0.00	15
6101	-385	-393	Max	3.53	-0.03	15	-0.24	15	0.02	15	18.13	15	-1.43	15	0.00	15
6101	-385	-393	Max	19.67	-0.03	15	-0.24	15	-0.02	15	17.50	15	1.45	15	0.00	15
6101	-385	-393	Min.	3.53	-0.03	15	-0.24	15	0.02	15	18.13	15	-1.43	15	0.00	15
6101	-385	-393	Min.	19.67	-0.03	15	-0.24	15	-0.02	15	17.50	15	1.45	15	0.00	15
6102	-417	-425	Max	3.53	0.13	15	-0.25	15	0.02	15	19.06	15	-1.44	15	0.00	15
6102	-417	-425	Max	19.05	0.13	15	-0.25	15	-0.02	15	18.46	15	1.47	15	0.00	15
6102	-417	-425	Min.	3.53	0.13	15	-0.25	15	0.02	15	19.06	15	-1.44	15	0.00	15

6102	-417	-425	Min.	19.05	0.13	15	-0.25	15	-0.02	15	18.46	15	1.47	15	0.00	15
6103	-449	-457	Max	3.53	-0.98	15	-0.24	15	0.02	15	19.83	15	-1.43	15	0.00	15
6103	-449	-457	Max	18.42	-0.98	15	-0.24	15	-0.02	15	19.24	15	1.48	15	0.00	15
6103	-449	-457	Min.	3.53	-0.98	15	-0.24	15	0.02	15	19.83	15	-1.43	15	0.00	15
6103	-449	-457	Min.	18.42	-0.98	15	-0.24	15	-0.02	15	19.24	15	1.48	15	0.00	15
6104	-481	-489	Max	3.53	5.41	15	-0.29	15	0.02	15	19.08	15	-1.38	15	-0.01	15
6104	-481	-489	Max	17.80	5.41	15	-0.29	15	-0.02	15	18.52	15	1.31	15	-0.01	15
6104	-481	-489	Min.	3.53	5.41	15	-0.29	15	0.02	15	19.08	15	-1.38	15	-0.01	15
6104	-481	-489	Min.	17.80	5.41	15	-0.29	15	-0.02	15	18.52	15	1.31	15	-0.01	15
6109	-482	-490	Max	2.83	12.48	15	0.32	15	-0.02	15	20.42	15	-1.57	15	0.01	15
6109	-482	-490	Max	17.09	12.48	15	0.32	15	0.02	15	19.86	15	1.30	15	0.01	15
6109	-482	-490	Min.	2.83	12.48	15	0.32	15	-0.02	15	20.42	15	-1.57	15	0.01	15
6109	-482	-490	Min.	17.09	12.48	15	0.32	15	0.02	15	19.86	15	1.30	15	0.01	15
6110	-450	-458	Max	2.83	-2.27	15	0.26	15	-0.02	15	21.36	15	-1.57	15	0.00	15
6110	-450	-458	Max	17.72	-2.27	15	0.26	15	0.02	15	20.78	15	1.56	15	0.00	15
6110	-450	-458	Min.	2.83	-2.27	15	0.26	15	-0.02	15	21.36	15	-1.57	15	0.00	15
6110	-450	-458	Min.	17.72	-2.27	15	0.26	15	0.02	15	20.78	15	1.56	15	0.00	15
6111	-418	-426	Max	2.83	0.26	15	0.27	15	-0.02	15	20.52	15	-1.59	15	0.00	15
6111	-418	-426	Max	18.34	0.26	15	0.27	15	0.02	15	19.91	15	1.54	15	0.00	15
6111	-418	-426	Min.	2.83	0.26	15	0.27	15	-0.02	15	20.52	15	-1.59	15	0.00	15
6111	-418	-426	Min.	18.34	0.26	15	0.27	15	0.02	15	19.91	15	1.54	15	0.00	15
6112	-386	-394	Max	2.83	-0.11	15	0.26	15	-0.02	15	19.52	15	-1.57	15	0.00	15
6112	-386	-394	Max	18.97	-0.11	15	0.26	15	0.02	15	18.89	15	1.53	15	0.00	15
6112	-386	-394	Min.	2.83	-0.11	15	0.26	15	-0.02	15	19.52	15	-1.57	15	0.00	15
6112	-386	-394	Min.	18.97	-0.11	15	0.26	15	0.02	15	18.89	15	1.53	15	0.00	15
6113	-354	-362	Max	2.83	-0.06	15	0.25	15	-0.02	15	18.55	15	-1.55	15	0.00	15
6113	-354	-362	Max	19.59	-0.06	15	0.25	15	0.02	15	17.89	15	1.51	15	0.00	15
6113	-354	-362	Min.	2.83	-0.06	15	0.25	15	-0.02	15	18.55	15	-1.55	15	0.00	15
6113	-354	-362	Min.	19.59	-0.06	15	0.25	15	0.02	15	17.89	15	1.51	15	0.00	15
6114	-322	-330	Max	2.83	-0.07	15	0.23	15	-0.02	15	17.65	15	-1.53	15	0.00	15
6114	-322	-330	Max	20.22	-0.07	15	0.23	15	0.02	15	16.97	15	1.48	15	0.00	15
6114	-322	-330	Min.	2.83	-0.07	15	0.23	15	-0.02	15	17.65	15	-1.53	15	0.00	15
6114	-322	-330	Min.	20.22	-0.07	15	0.23	15	0.02	15	16.97	15	1.48	15	0.00	15
6115	-290	-298	Max	2.83	-0.07	15	0.22	15	-0.02	15	16.81	15	-1.50	15	0.00	15
6115	-290	-298	Max	20.84	-0.07	15	0.22	15	0.02	15	16.11	15	1.46	15	0.00	15
6115	-290	-298	Min.	2.83	-0.07	15	0.22	15	-0.02	15	16.81	15	-1.50	15	0.00	15
6115	-290	-298	Min.	20.84	-0.07	15	0.22	15	0.02	15	16.11	15	1.46	15	0.00	15
6116	-258	-266	Max	2.83	-0.07	15	0.21	15	-0.02	15	16.04	15	-1.48	15	0.00	15
6116	-258	-266	Max	21.47	-0.07	15	0.21	15	0.02	15	15.31	15	1.44	15	0.00	15
6116	-258	-266	Min.	2.83	-0.07	15	0.21	15	-0.02	15	16.04	15	-1.48	15	0.00	15
6116	-258	-266	Min.	21.47	-0.07	15	0.21	15	0.02	15	15.31	15	1.44	15	0.00	15
6117	-226	-234	Max	2.83	-0.07	15	0.20	15	-0.02	15	15.31	15	-1.46	15	0.00	15
6117	-226	-234	Max	22.09	-0.07	15	0.20	15	0.02	15	14.56	15	1.42	15	0.00	15
6117	-226	-234	Min.	2.83	-0.07	15	0.20	15	-0.02	15	15.31	15	-1.46	15	0.00	15
6117	-226	-234	Min.	22.09	-0.07	15	0.20	15	0.02	15	14.56	15	1.42	15	0.00	15
6118	-194	-202	Max	2.83	-0.07	15	0.19	15	-0.02	15	14.64	15	-1.44	15	0.00	15
6118	-194	-202	Max	22.72	-0.07	15	0.19	15	0.02	15	13.86	15	1.40	15	0.00	15
6118	-194	-202	Min.	2.83	-0.07	15	0.19	15	-0.02	15	14.64	15	-1.44	15	0.00	15
6118	-194	-202	Min.	22.72	-0.07	15	0.19	15	0.02	15	13.86	15	1.40	15	0.00	15
6119	-162	-170	Max	2.83	-0.07	15	0.18	15	-0.02	15	13.98	15	-1.41	15	0.00	15
6119	-162	-170	Max	23.34	-0.07	15	0.18	15	0.02	15	13.18	15	1.37	15	0.00	15
6119	-162	-170	Min.	2.83	-0.07	15	0.18	15	-0.02	15	13.98	15	-1.41	15	0.00	15
6119	-162	-170	Min.	23.34	-0.07	15	0.18	15	0.02	15	13.18	15	1.37	15	0.00	15
6120	-130	-138	Max	2.83	-0.07	15	0.17	15	-0.02	15	13.28	15	-1.38	15	0.00	15
6120	-130	-138	Max	23.97	-0.07	15	0.17	15	0.02	15	12.46	15	1.34	15	0.00	15
6120	-130	-138	Min.	2.83	-0.07	15	0.17	15	-0.02	15	13.28	15	-1.38	15	0.00	15
6120	-130	-138	Min.	23.97	-0.07	15	0.17	15	0.02	15	12.46	15	1.34	15	0.00	15
6121	-98	-106	Max	2.83	0.04	15	0.15	15	-0.01	15	12.23	15	-1.31	15	0.00	15
6121	-98	-106	Max	24.59	0.04	15	0.15	15	0.02	15	11.38	15	1.26	15	0.00	15

6121	-98	-106	Min.	2.83	0.04	15	0.15	15	-0.01	15	12.23	15	-1.31	15	0.00	15
6121	-98	-106	Min.	24.59	0.04	15	0.15	15	0.02	15	11.38	15	1.26	15	0.00	15
6122	-66	-74	Max	2.83	-2.10	15	0.11	15	-0.01	15	9.50	15	-1.04	15	0.00	15
6122	-66	-74	Max	25.22	-2.10	15	0.11	15	0.01	15	8.62	15	0.99	15	0.00	15
6122	-66	-74	Min.	2.83	-2.10	15	0.11	15	-0.01	15	9.50	15	-1.04	15	0.00	15
6122	-66	-74	Min.	25.22	-2.10	15	0.11	15	0.01	15	8.62	15	0.99	15	0.00	15
6123	-34	-42	Max	2.83	36.50	15	0.09	15	-0.01	15	11.08	15	-0.62	15	0.00	15
6123	-34	-42	Max	25.84	36.50	15	0.09	15	0.01	15	9.27	15	1.72	15	0.00	15
6123	-34	-42	Min.	2.83	36.50	15	0.09	15	-0.01	15	11.08	15	-0.62	15	0.00	15
6123	-34	-42	Min.	25.84	36.50	15	0.09	15	0.01	15	9.27	15	1.72	15	0.00	15
6124	-2	-10	Max	2.83	101.84	15	0.05	15	-0.01	15	6.60	15	-0.65	15	0.00	15
6124	-2	-10	Max	26.15	101.84	15	0.05	15	0.01	15	4.77	15	0.68	15	0.00	15
6124	-2	-10	Min.	2.83	101.84	15	0.05	15	-0.01	15	6.60	15	-0.65	15	0.00	15
6124	-2	-10	Min.	26.15	101.84	15	0.05	15	0.01	15	4.77	15	0.68	15	0.00	15
6125	315	327	Max	1.77	-104.61	15	-1.31	15	-0.01	15	-153.34	15	8.97	15	-0.13	15
6125	315	327	Max	15.00	-104.61	15	-1.31	15	-0.19	15	-154.28	15	-11.38	15	-0.13	15
6125	315	327	Min.	1.77	-104.61	15	-1.31	15	-0.01	15	-153.34	15	8.97	15	-0.13	15
6125	315	327	Min.	15.00	-104.61	15	-1.31	15	-0.19	15	-154.28	15	-11.38	15	-0.13	15
6125	327	339	Max	0.00	-116.59	15	1.28	15	-0.19	15	175.88	15	-13.58	15	0.13	15
6125	327	339	Max	13.23	-116.59	15	1.28	15	-0.02	15	174.94	15	9.63	15	0.13	15
6125	327	339	Min.	0.00	-116.59	15	1.28	15	-0.19	15	175.88	15	-13.58	15	0.13	15
6125	327	339	Min.	13.23	-116.59	15	1.28	15	-0.02	15	174.94	15	9.63	15	0.13	15
6126	316	328	Max	1.77	-53.54	15	-102.07	15	5.02	15	2.00	15	-0.11	15	-0.01	15
6126	316	328	Max	15.00	-53.54	15	-103.01	15	-8.55	15	2.00	15	0.16	15	-0.01	15
6126	316	328	Min.	1.77	-53.54	15	-102.07	15	5.02	15	2.00	15	-0.11	15	-0.01	15
6126	316	328	Min.	15.00	-53.54	15	-103.01	15	-8.55	15	2.00	15	0.16	15	-0.01	15
6126	328	340	Max	0.00	-77.07	15	91.31	15	-6.44	15	-1.86	15	0.14	15	0.01	15
6126	328	340	Max	13.23	-77.07	15	90.37	15	5.58	15	-1.86	15	-0.11	15	0.01	15
6126	328	340	Min.	0.00	-77.07	15	91.31	15	-6.44	15	-1.86	15	0.14	15	0.01	15
6126	328	340	Min.	13.23	-77.07	15	90.37	15	5.58	15	-1.86	15	-0.11	15	0.01	15
6127	-3	-11	Max	3.53	79.51	15	-0.11	15	0.01	15	15.43	15	-1.59	15	0.00	15
6127	-3	-11	Max	26.86	79.51	15	-0.11	15	-0.01	15	13.60	15	1.80	15	0.00	15
6127	-3	-11	Min.	3.53	79.51	15	-0.11	15	0.01	15	15.43	15	-1.59	15	0.00	15
6127	-3	-11	Min.	26.86	79.51	15	-0.11	15	-0.01	15	13.60	15	1.80	15	0.00	15
6128	-35	-43	Max	3.53	25.65	15	-0.18	15	0.02	15	20.59	15	-1.81	15	0.00	15
6128	-35	-43	Max	26.55	25.65	15	-0.18	15	-0.02	15	18.78	15	2.72	15	0.00	15
6128	-35	-43	Min.	3.53	25.65	15	-0.18	15	0.02	15	20.59	15	-1.81	15	0.00	15
6128	-35	-43	Min.	26.55	25.65	15	-0.18	15	-0.02	15	18.78	15	2.72	15	0.00	15
6129	-67	-75	Max	3.53	-1.67	15	-0.20	15	0.02	15	17.03	15	-1.86	15	0.00	15
6129	-67	-75	Max	25.92	-1.67	15	-0.20	15	-0.02	15	16.15	15	1.85	15	0.00	15
6129	-67	-75	Min.	3.53	-1.67	15	-0.20	15	0.02	15	17.03	15	-1.86	15	0.00	15
6129	-67	-75	Min.	25.92	-1.67	15	-0.20	15	-0.02	15	16.15	15	1.85	15	0.00	15
6130	-99	-107	Max	3.53	0.15	15	-0.27	15	0.03	15	21.96	15	-2.33	15	0.00	15
6130	-99	-107	Max	25.30	0.15	15	-0.27	15	-0.03	15	21.11	15	2.35	15	0.00	15
6130	-99	-107	Min.	3.53	0.15	15	-0.27	15	0.03	15	21.96	15	-2.33	15	0.00	15
6130	-99	-107	Min.	25.30	0.15	15	-0.27	15	-0.03	15	21.11	15	2.35	15	0.00	15
6131	-131	-139	Max	3.53	-0.03	15	-0.30	15	0.03	15	23.89	15	-2.47	15	0.00	15
6131	-131	-139	Max	24.67	-0.03	15	-0.30	15	-0.03	15	23.06	15	2.49	15	0.00	15
6131	-131	-139	Min.	3.53	-0.03	15	-0.30	15	0.03	15	23.89	15	-2.47	15	0.00	15
6131	-131	-139	Min.	24.67	-0.03	15	-0.30	15	-0.03	15	23.06	15	2.49	15	0.00	15
6132	-163	-171	Max	3.53	-0.02	15	-0.32	15	0.03	15	25.17	15	-2.53	15	0.00	15
6132	-163	-171	Max	24.05	-0.02	15	-0.32	15	-0.03	15	24.37	15	2.55	15	0.00	15
6132	-163	-171	Min.	3.53	-0.02	15	-0.32	15	0.03	15	25.17	15	-2.53	15	0.00	15
6132	-163	-171	Min.	24.05	-0.02	15	-0.32	15	-0.03	15	24.37	15	2.55	15	0.00	15
6133	-195	-203	Max	3.53	-0.02	15	-0.34	15	0.03	15	26.37	15	-2.57	15	0.00	15
6133	-195	-203	Max	23.42	-0.02	15	-0.34	15	-0.03	15	25.59	15	2.60	15	0.00	15
6133	-195	-203	Min.	3.53	-0.02	15	-0.34	15	0.03	15	26.37	15	-2.57	15	0.00	15
6133	-195	-203	Min.	23.42	-0.02	15	-0.34	15	-0.03	15	25.59	15	2.60	15	0.00	15
6134	-227	-235	Max	3.53	-0.02	15	-0.36	15	0.04	15	27.62	15	-2.61	15	0.00	15

6134	-227	-235	Max	22.80	-0.02	15	-0.36	15	-0.03	15	26.86	15	2.64	15	0.00	15
6134	-227	-235	Min.	3.53	-0.02	15	-0.36	15	0.04	15	27.62	15	-2.61	15	0.00	15
6134	-227	-235	Min.	22.80	-0.02	15	-0.36	15	-0.03	15	26.86	15	2.64	15	0.00	15
6135	-259	-267	Max	3.53	-0.02	15	-0.38	15	0.04	15	28.95	15	-2.64	15	0.00	15
6135	-259	-267	Max	22.17	-0.02	15	-0.38	15	-0.03	15	28.22	15	2.68	15	0.00	15
6135	-259	-267	Min.	3.53	-0.02	15	-0.38	15	0.04	15	28.95	15	-2.64	15	0.00	15
6135	-259	-267	Min.	22.17	-0.02	15	-0.38	15	-0.03	15	28.22	15	2.68	15	0.00	15
6136	-291	-299	Max	3.53	-0.02	15	-0.40	15	0.04	15	30.38	15	-2.68	15	0.00	15
6136	-291	-299	Max	21.55	-0.02	15	-0.40	15	-0.04	15	29.67	15	2.72	15	0.00	15
6136	-291	-299	Min.	3.53	-0.02	15	-0.40	15	0.04	15	30.38	15	-2.68	15	0.00	15
6136	-291	-299	Min.	21.55	-0.02	15	-0.40	15	-0.04	15	29.67	15	2.72	15	0.00	15
6137	-323	-331	Max	3.53	-0.02	15	-0.42	15	0.04	15	31.91	15	-2.72	15	0.00	15
6137	-323	-331	Max	20.92	-0.02	15	-0.42	15	-0.04	15	31.23	15	2.77	15	0.00	15
6137	-323	-331	Min.	3.53	-0.02	15	-0.42	15	0.04	15	31.91	15	-2.72	15	0.00	15
6137	-323	-331	Min.	20.92	-0.02	15	-0.42	15	-0.04	15	31.23	15	2.77	15	0.00	15
6138	-355	-363	Max	3.53	-0.00	15	-0.44	15	0.04	15	33.57	15	-2.76	15	0.00	15
6138	-355	-363	Max	20.30	-0.00	15	-0.44	15	-0.04	15	32.91	15	2.81	15	0.00	15
6138	-355	-363	Min.	3.53	-0.00	15	-0.44	15	0.04	15	33.57	15	-2.76	15	0.00	15
6138	-355	-363	Min.	20.30	-0.00	15	-0.44	15	-0.04	15	32.91	15	2.81	15	0.00	15
6139	-387	-395	Max	3.53	-0.07	15	-0.47	15	0.04	15	35.34	15	-2.80	15	0.00	15
6139	-387	-395	Max	19.67	-0.07	15	-0.47	15	-0.04	15	34.71	15	2.85	15	0.00	15
6139	-387	-395	Min.	3.53	-0.07	15	-0.47	15	0.04	15	35.34	15	-2.80	15	0.00	15
6139	-387	-395	Min.	19.67	-0.07	15	-0.47	15	-0.04	15	34.71	15	2.85	15	0.00	15
6140	-419	-427	Max	3.53	0.43	15	-0.49	15	0.04	15	37.18	15	-2.83	15	0.00	15
6140	-419	-427	Max	19.05	0.43	15	-0.49	15	-0.04	15	36.57	15	2.89	15	0.00	15
6140	-419	-427	Min.	3.53	0.43	15	-0.49	15	0.04	15	37.18	15	-2.83	15	0.00	15
6140	-419	-427	Min.	19.05	0.43	15	-0.49	15	-0.04	15	36.57	15	2.89	15	0.00	15
6141	-451	-459	Max	3.53	-3.00	15	-0.48	15	0.04	15	38.65	15	-2.80	15	0.00	15
6141	-451	-459	Max	18.42	-3.00	15	-0.48	15	-0.03	15	38.07	15	2.91	15	0.00	15
6141	-451	-459	Min.	3.53	-3.00	15	-0.48	15	0.04	15	38.65	15	-2.80	15	0.00	15
6141	-451	-459	Min.	18.42	-3.00	15	-0.48	15	-0.03	15	38.07	15	2.91	15	0.00	15
6142	-483	-491	Max	3.53	16.86	15	-0.56	15	0.04	15	37.05	15	-2.74	15	-0.02	15
6142	-483	-491	Max	17.80	16.86	15	-0.56	15	-0.04	15	36.49	15	2.50	15	-0.02	15
6142	-483	-491	Min.	3.53	16.86	15	-0.56	15	0.04	15	37.05	15	-2.74	15	-0.02	15
6142	-483	-491	Min.	17.80	16.86	15	-0.56	15	-0.04	15	36.49	15	2.50	15	-0.02	15
6147	-484	-492	Max	2.83	16.67	15	0.57	15	-0.04	15	37.43	15	-2.84	15	0.02	15
6147	-484	-492	Max	17.09	16.67	15	0.57	15	0.04	15	36.87	15	2.46	15	0.02	15
6147	-484	-492	Min.	2.83	16.67	15	0.57	15	-0.04	15	37.43	15	-2.84	15	0.02	15
6147	-484	-492	Min.	17.09	16.67	15	0.57	15	0.04	15	36.87	15	2.46	15	0.02	15
6148	-452	-460	Max	2.83	-3.00	15	0.48	15	-0.04	15	39.23	15	-2.91	15	-0.00	15
6148	-452	-460	Max	17.72	-3.00	15	0.48	15	0.04	15	38.64	15	2.88	15	-0.00	15
6148	-452	-460	Min.	2.83	-3.00	15	0.48	15	-0.04	15	39.23	15	-2.91	15	-0.00	15
6148	-452	-460	Min.	17.72	-3.00	15	0.48	15	0.04	15	38.64	15	2.88	15	-0.00	15
6149	-420	-428	Max	2.83	0.36	15	0.50	15	-0.04	15	37.69	15	-2.94	15	0.00	15
6149	-420	-428	Max	18.34	0.36	15	0.50	15	0.04	15	37.08	15	2.86	15	0.00	15
6149	-420	-428	Min.	2.83	0.36	15	0.50	15	-0.04	15	37.69	15	-2.94	15	0.00	15
6149	-420	-428	Min.	18.34	0.36	15	0.50	15	0.04	15	37.08	15	2.86	15	0.00	15
6150	-388	-396	Max	2.83	-0.13	15	0.47	15	-0.04	15	35.83	15	-2.90	15	0.00	15
6150	-388	-396	Max	18.97	-0.13	15	0.47	15	0.04	15	35.19	15	2.83	15	0.00	15
6150	-388	-396	Min.	2.83	-0.13	15	0.47	15	-0.04	15	35.83	15	-2.90	15	0.00	15
6150	-388	-396	Min.	18.97	-0.13	15	0.47	15	0.04	15	35.19	15	2.83	15	0.00	15
6151	-356	-364	Max	2.83	-0.07	15	0.45	15	-0.04	15	34.03	15	-2.86	15	0.00	15
6151	-356	-364	Max	19.59	-0.07	15	0.45	15	0.04	15	33.37	15	2.79	15	0.00	15
6151	-356	-364	Min.	2.83	-0.07	15	0.45	15	-0.04	15	34.03	15	-2.86	15	0.00	15
6151	-356	-364	Min.	19.59	-0.07	15	0.45	15	0.04	15	33.37	15	2.79	15	0.00	15
6152	-324	-332	Max	2.83	-0.07	15	0.43	15	-0.04	15	32.35	15	-2.82	15	0.00	15
6152	-324	-332	Max	20.22	-0.07	15	0.43	15	0.04	15	31.67	15	2.75	15	0.00	15
6152	-324	-332	Min.	2.83	-0.07	15	0.43	15	-0.04	15	32.35	15	-2.82	15	0.00	15
6152	-324	-332	Min.	20.22	-0.07	15	0.43	15	0.04	15	31.67	15	2.75	15	0.00	15

6153	-292	-300	Max	2.83	-0.07	15	0.41	15	-0.04	15	30.79	15	-2.77	15	0.00	15
6153	-292	-300	Max	20.84	-0.07	15	0.41	15	0.04	15	30.09	15	2.71	15	0.00	15
6153	-292	-300	Min.	2.83	-0.07	15	0.41	15	-0.04	15	30.79	15	-2.77	15	0.00	15
6153	-292	-300	Min.	20.84	-0.07	15	0.41	15	0.04	15	30.09	15	2.71	15	0.00	15
6154	-260	-268	Max	2.83	-0.07	15	0.39	15	-0.04	15	29.35	15	-2.73	15	0.00	15
6154	-260	-268	Max	21.47	-0.07	15	0.39	15	0.04	15	28.61	15	2.67	15	0.00	15
6154	-260	-268	Min.	2.83	-0.07	15	0.39	15	-0.04	15	29.35	15	-2.73	15	0.00	15
6154	-260	-268	Min.	21.47	-0.07	15	0.39	15	0.04	15	28.61	15	2.67	15	0.00	15
6155	-228	-236	Max	2.83	-0.07	15	0.37	15	-0.03	15	28.00	15	-2.69	15	0.00	15
6155	-228	-236	Max	22.09	-0.07	15	0.37	15	0.04	15	27.24	15	2.63	15	0.00	15
6155	-228	-236	Min.	2.83	-0.07	15	0.37	15	-0.03	15	28.00	15	-2.69	15	0.00	15
6155	-228	-236	Min.	22.09	-0.07	15	0.37	15	0.04	15	27.24	15	2.63	15	0.00	15
6156	-196	-204	Max	2.83	-0.07	15	0.35	15	-0.03	15	26.74	15	-2.65	15	0.00	15
6156	-196	-204	Max	22.72	-0.07	15	0.35	15	0.04	15	25.96	15	2.59	15	0.00	15
6156	-196	-204	Min.	2.83	-0.07	15	0.35	15	-0.03	15	26.74	15	-2.65	15	0.00	15
6156	-196	-204	Min.	22.72	-0.07	15	0.35	15	0.04	15	25.96	15	2.59	15	0.00	15
6157	-164	-172	Max	2.83	-0.07	15	0.33	15	-0.03	15	25.52	15	-2.61	15	0.00	15
6157	-164	-172	Max	23.34	-0.07	15	0.33	15	0.03	15	24.71	15	2.55	15	0.00	15
6157	-164	-172	Min.	2.83	-0.07	15	0.33	15	-0.03	15	25.52	15	-2.61	15	0.00	15
6157	-164	-172	Min.	23.34	-0.07	15	0.33	15	0.03	15	24.71	15	2.55	15	0.00	15
6158	-132	-140	Max	2.83	-0.07	15	0.31	15	-0.03	15	24.22	15	-2.55	15	0.00	15
6158	-132	-140	Max	23.97	-0.07	15	0.31	15	0.03	15	23.39	15	2.49	15	0.00	15
6158	-132	-140	Min.	2.83	-0.07	15	0.31	15	-0.03	15	24.22	15	-2.55	15	0.00	15
6158	-132	-140	Min.	23.97	-0.07	15	0.31	15	0.03	15	23.39	15	2.49	15	0.00	15
6159	-100	-108	Max	2.83	0.04	15	0.27	15	-0.03	15	22.27	15	-2.41	15	0.00	15
6159	-100	-108	Max	24.59	0.04	15	0.27	15	0.03	15	21.41	15	2.35	15	0.00	15
6159	-100	-108	Min.	2.83	0.04	15	0.27	15	-0.03	15	22.27	15	-2.41	15	0.00	15
6159	-100	-108	Min.	24.59	0.04	15	0.27	15	0.03	15	21.41	15	2.35	15	0.00	15
6160	-68	-76	Max	2.83	-2.25	15	0.20	15	-0.02	15	17.26	15	-1.92	15	0.00	15
6160	-68	-76	Max	25.22	-2.25	15	0.20	15	0.02	15	16.38	15	1.85	15	0.00	15
6160	-68	-76	Min.	2.83	-2.25	15	0.20	15	-0.02	15	17.26	15	-1.92	15	0.00	15
6160	-68	-76	Min.	25.22	-2.25	15	0.20	15	0.02	15	16.38	15	1.85	15	0.00	15
6161	-36	-44	Max	2.83	36.66	15	0.18	15	-0.02	15	21.00	15	-1.75	15	0.00	15
6161	-36	-44	Max	25.84	36.66	15	0.18	15	0.02	15	19.20	15	2.87	15	0.00	15
6161	-36	-44	Min.	2.83	36.66	15	0.18	15	-0.02	15	21.00	15	-1.75	15	0.00	15
6161	-36	-44	Min.	25.84	36.66	15	0.18	15	0.02	15	19.20	15	2.87	15	0.00	15
6162	-4	-12	Max	2.83	105.90	15	0.11	15	-0.01	15	15.60	15	-1.66	15	0.00	15
6162	-4	-12	Max	26.15	105.90	15	0.11	15	0.01	15	13.77	15	1.77	15	0.00	15
6162	-4	-12	Min.	2.83	105.90	15	0.11	15	-0.01	15	15.60	15	-1.66	15	0.00	15
6162	-4	-12	Min.	26.15	105.90	15	0.11	15	0.01	15	13.77	15	1.77	15	0.00	15
6163	318	330	Max	1.77	-90.39	15	0.57	15	-0.07	15	-156.24	15	8.14	15	-0.06	15
6163	318	330	Max	15.00	-90.39	15	0.57	15	0.00	15	-157.18	15	-12.60	15	-0.06	15
6163	318	330	Min.	1.77	-90.39	15	0.57	15	-0.07	15	-156.24	15	8.14	15	-0.06	15
6163	318	330	Min.	15.00	-90.39	15	0.57	15	0.00	15	-157.18	15	-12.60	15	-0.06	15
6163	330	342	Max	0.00	-114.67	15	-0.35	15	-0.02	15	145.69	15	-10.51	15	0.06	15
6163	330	342	Max	13.23	-114.67	15	-0.35	15	-0.07	15	144.75	15	8.71	15	0.06	15
6163	330	342	Min.	0.00	-114.67	15	-0.35	15	-0.02	15	145.69	15	-10.51	15	0.06	15
6163	330	342	Min.	13.23	-114.67	15	-0.35	15	-0.07	15	144.75	15	8.71	15	0.06	15
6164	319	331	Max	1.77	-89.66	15	-155.85	15	8.12	15	0.60	15	-0.07	15	0.06	15
6164	319	331	Max	15.00	-89.66	15	-156.79	15	-12.57	15	0.60	15	0.00	15	0.06	15
6164	319	331	Min.	1.77	-89.66	15	-155.85	15	8.12	15	0.60	15	-0.07	15	0.06	15
6164	319	331	Min.	15.00	-89.66	15	-156.79	15	-12.57	15	0.60	15	0.00	15	0.06	15
6164	331	343	Max	0.00	-114.25	15	145.50	15	-10.49	15	-0.35	15	-0.02	15	-0.06	15
6164	331	343	Max	13.23	-114.25	15	144.56	15	8.70	15	-0.35	15	-0.07	15	-0.06	15
6164	331	343	Min.	0.00	-114.25	15	145.50	15	-10.49	15	-0.35	15	-0.02	15	-0.06	15
6164	331	343	Min.	13.23	-114.25	15	144.56	15	8.70	15	-0.35	15	-0.07	15	-0.06	15
6165	-5	-13	Max	3.53	106.17	15	-0.11	15	0.01	15	15.68	15	-1.64	15	0.00	15
6165	-5	-13	Max	26.86	106.17	15	-0.11	15	-0.01	15	13.85	15	1.81	15	0.00	15
6165	-5	-13	Min.	3.53	106.17	15	-0.11	15	0.01	15	15.68	15	-1.64	15	0.00	15

6165	-5	-13	Min.	26.86	106.17	15	-0.11	15	-0.01	15	13.85	15	1.81	15	0.00	15
6166	-37	-45	Max	3.53	36.19	15	-0.18	15	0.02	15	20.92	15	-1.70	15	0.00	15
6166	-37	-45	Max	26.55	36.19	15	-0.18	15	-0.02	15	19.12	15	2.91	15	0.00	15
6166	-37	-45	Min.	3.53	36.19	15	-0.18	15	0.02	15	20.92	15	-1.70	15	0.00	15
6166	-37	-45	Min.	26.55	36.19	15	-0.18	15	-0.02	15	19.12	15	2.91	15	0.00	15
6167	-69	-77	Max	3.53	-2.16	15	-0.20	15	0.02	15	17.33	15	-1.90	15	0.00	15
6167	-69	-77	Max	25.92	-2.16	15	-0.20	15	-0.02	15	16.45	15	1.89	15	0.00	15
6167	-69	-77	Min.	3.53	-2.16	15	-0.20	15	0.02	15	17.33	15	-1.90	15	0.00	15
6167	-69	-77	Min.	25.92	-2.16	15	-0.20	15	-0.02	15	16.45	15	1.89	15	0.00	15
6168	-101	-109	Max	3.53	0.15	15	-0.27	15	0.03	15	22.35	15	-2.38	15	0.00	15
6168	-101	-109	Max	25.30	0.15	15	-0.27	15	-0.03	15	21.50	15	2.39	15	0.00	15
6168	-101	-109	Min.	3.53	0.15	15	-0.27	15	0.03	15	22.35	15	-2.38	15	0.00	15
6168	-101	-109	Min.	25.30	0.15	15	-0.27	15	-0.03	15	21.50	15	2.39	15	0.00	15
6169	-133	-141	Max	3.53	-0.04	15	-0.31	15	0.03	15	24.31	15	-2.51	15	0.00	15
6169	-133	-141	Max	24.67	-0.04	15	-0.31	15	-0.03	15	23.48	15	2.54	15	0.00	15
6169	-133	-141	Min.	3.53	-0.04	15	-0.31	15	0.03	15	24.31	15	-2.51	15	0.00	15
6169	-133	-141	Min.	24.67	-0.04	15	-0.31	15	-0.03	15	23.48	15	2.54	15	0.00	15
6170	-165	-173	Max	3.53	-0.04	15	-0.33	15	0.03	15	25.62	15	-2.57	15	0.00	15
6170	-165	-173	Max	24.05	-0.04	15	-0.33	15	-0.03	15	24.82	15	2.60	15	0.00	15
6170	-165	-173	Min.	3.53	-0.04	15	-0.33	15	0.03	15	25.62	15	-2.57	15	0.00	15
6170	-165	-173	Min.	24.05	-0.04	15	-0.33	15	-0.03	15	24.82	15	2.60	15	0.00	15
6171	-197	-205	Max	3.53	-0.03	15	-0.35	15	0.03	15	26.84	15	-2.62	15	0.00	15
6171	-197	-205	Max	23.42	-0.03	15	-0.35	15	-0.04	15	26.06	15	2.65	15	0.00	15
6171	-197	-205	Min.	3.53	-0.03	15	-0.35	15	0.03	15	26.84	15	-2.62	15	0.00	15
6171	-197	-205	Min.	23.42	-0.03	15	-0.35	15	-0.04	15	26.06	15	2.65	15	0.00	15
6172	-229	-237	Max	3.53	-0.03	15	-0.37	15	0.03	15	28.11	15	-2.65	15	0.00	15
6172	-229	-237	Max	22.80	-0.03	15	-0.37	15	-0.04	15	27.36	15	2.69	15	0.00	15
6172	-229	-237	Min.	3.53	-0.03	15	-0.37	15	0.03	15	28.11	15	-2.65	15	0.00	15
6172	-229	-237	Min.	22.80	-0.03	15	-0.37	15	-0.04	15	27.36	15	2.69	15	0.00	15
6173	-261	-269	Max	3.53	-0.03	15	-0.39	15	0.04	15	29.47	15	-2.69	15	0.00	15
6173	-261	-269	Max	22.17	-0.03	15	-0.39	15	-0.04	15	28.74	15	2.73	15	0.00	15
6173	-261	-269	Min.	3.53	-0.03	15	-0.39	15	0.04	15	29.47	15	-2.69	15	0.00	15
6173	-261	-269	Min.	22.17	-0.03	15	-0.39	15	-0.04	15	28.74	15	2.73	15	0.00	15
6174	-293	-301	Max	3.53	-0.03	15	-0.41	15	0.04	15	30.92	15	-2.73	15	0.00	15
6174	-293	-301	Max	21.55	-0.03	15	-0.41	15	-0.04	15	30.21	15	2.77	15	0.00	15
6174	-293	-301	Min.	3.53	-0.03	15	-0.41	15	0.04	15	30.92	15	-2.73	15	0.00	15
6174	-293	-301	Min.	21.55	-0.03	15	-0.41	15	-0.04	15	30.21	15	2.77	15	0.00	15
6175	-325	-333	Max	3.53	-0.03	15	-0.43	15	0.04	15	32.49	15	-2.77	15	0.00	15
6175	-325	-333	Max	20.92	-0.03	15	-0.43	15	-0.04	15	31.80	15	2.82	15	0.00	15
6175	-325	-333	Min.	3.53	-0.03	15	-0.43	15	0.04	15	32.49	15	-2.77	15	0.00	15
6175	-325	-333	Min.	20.92	-0.03	15	-0.43	15	-0.04	15	31.80	15	2.82	15	0.00	15
6176	-357	-365	Max	3.53	-0.02	15	-0.45	15	0.04	15	34.17	15	-2.81	15	0.00	15
6176	-357	-365	Max	20.30	-0.02	15	-0.45	15	-0.04	15	33.51	15	2.86	15	0.00	15
6176	-357	-365	Min.	3.53	-0.02	15	-0.45	15	0.04	15	34.17	15	-2.81	15	0.00	15
6176	-357	-365	Min.	20.30	-0.02	15	-0.45	15	-0.04	15	33.51	15	2.86	15	0.00	15
6177	-389	-397	Max	3.53	-0.08	15	-0.48	15	0.04	15	35.98	15	-2.85	15	0.00	15
6177	-389	-397	Max	19.67	-0.08	15	-0.48	15	-0.04	15	35.35	15	2.91	15	0.00	15
6177	-389	-397	Min.	3.53	-0.08	15	-0.48	15	0.04	15	35.98	15	-2.85	15	0.00	15
6177	-389	-397	Min.	19.67	-0.08	15	-0.48	15	-0.04	15	35.35	15	2.91	15	0.00	15
6178	-421	-429	Max	3.53	0.40	15	-0.51	15	0.04	15	37.86	15	-2.88	15	0.00	15
6178	-421	-429	Max	19.05	0.40	15	-0.51	15	-0.04	15	37.25	15	2.94	15	0.00	15
6178	-421	-429	Min.	3.53	0.40	15	-0.51	15	0.04	15	37.86	15	-2.88	15	0.00	15
6178	-421	-429	Min.	19.05	0.40	15	-0.51	15	-0.04	15	37.25	15	2.94	15	0.00	15
6179	-453	-461	Max	3.53	-2.89	15	-0.49	15	0.04	15	39.35	15	-2.85	15	0.00	15
6179	-453	-461	Max	18.42	-2.89	15	-0.49	15	-0.04	15	38.77	15	2.96	15	0.00	15
6179	-453	-461	Min.	3.53	-2.89	15	-0.49	15	0.04	15	39.35	15	-2.85	15	0.00	15
6179	-453	-461	Min.	18.42	-2.89	15	-0.49	15	-0.04	15	38.77	15	2.96	15	0.00	15
6180	-485	-493	Max	3.53	16.02	15	-0.58	15	0.04	15	37.70	15	-2.78	15	-0.02	15
6180	-485	-493	Max	17.80	16.02	15	-0.58	15	-0.04	15	37.14	15	2.56	15	-0.02	15

6180	-485	-493	Min.	3.53	16.02	15	-0.58	15	0.04	15	37.70	15	-2.78	15	-0.02	15
6180	-485	-493	Min.	17.80	16.02	15	-0.58	15	-0.04	15	37.14	15	2.56	15	-0.02	15
6185	-486	-494	Max	2.83	17.50	15	0.56	15	-0.04	15	36.77	15	-2.79	15	0.02	15
6185	-486	-494	Max	17.09	17.50	15	0.56	15	0.04	15	36.21	15	2.41	15	0.02	15
6185	-486	-494	Min.	2.83	17.50	15	0.56	15	-0.04	15	36.77	15	-2.79	15	0.02	15
6185	-486	-494	Min.	17.09	17.50	15	0.56	15	0.04	15	36.21	15	2.41	15	0.02	15
6186	-454	-462	Max	2.83	-3.11	15	0.47	15	-0.04	15	38.52	15	-2.86	15	-0.00	15
6186	-454	-462	Max	17.72	-3.11	15	0.47	15	0.03	15	37.93	15	2.83	15	-0.00	15
6186	-454	-462	Min.	2.83	-3.11	15	0.47	15	-0.04	15	38.52	15	-2.86	15	-0.00	15
6186	-454	-462	Min.	17.72	-3.11	15	0.47	15	0.03	15	37.93	15	2.83	15	-0.00	15
6187	-422	-430	Max	2.83	0.40	15	0.49	15	-0.04	15	37.00	15	-2.89	15	0.00	15
6187	-422	-430	Max	18.34	0.40	15	0.49	15	0.04	15	36.39	15	2.81	15	0.00	15
6187	-422	-430	Min.	2.83	0.40	15	0.49	15	-0.04	15	37.00	15	-2.89	15	0.00	15
6187	-422	-430	Min.	18.34	0.40	15	0.49	15	0.04	15	36.39	15	2.81	15	0.00	15
6188	-390	-398	Max	2.83	-0.12	15	0.46	15	-0.04	15	35.17	15	-2.85	15	-0.00	15
6188	-390	-398	Max	18.97	-0.12	15	0.46	15	0.04	15	34.54	15	2.78	15	-0.00	15
6188	-390	-398	Min.	2.83	-0.12	15	0.46	15	-0.04	15	35.17	15	-2.85	15	-0.00	15
6188	-390	-398	Min.	18.97	-0.12	15	0.46	15	0.04	15	34.54	15	2.78	15	-0.00	15
6189	-358	-366	Max	2.83	-0.05	15	0.44	15	-0.04	15	33.41	15	-2.81	15	-0.00	15
6189	-358	-366	Max	19.59	-0.05	15	0.44	15	0.04	15	32.75	15	2.74	15	-0.00	15
6189	-358	-366	Min.	2.83	-0.05	15	0.44	15	-0.04	15	33.41	15	-2.81	15	-0.00	15
6189	-358	-366	Min.	19.59	-0.05	15	0.44	15	0.04	15	32.75	15	2.74	15	-0.00	15
6190	-326	-334	Max	2.83	-0.06	15	0.42	15	-0.04	15	31.76	15	-2.76	15	-0.00	15
6190	-326	-334	Max	20.22	-0.06	15	0.42	15	0.04	15	31.08	15	2.70	15	-0.00	15
6190	-326	-334	Min.	2.83	-0.06	15	0.42	15	-0.04	15	31.76	15	-2.76	15	-0.00	15
6190	-326	-334	Min.	20.22	-0.06	15	0.42	15	0.04	15	31.08	15	2.70	15	-0.00	15
6191	-294	-302	Max	2.83	-0.06	15	0.40	15	-0.04	15	30.23	15	-2.72	15	0.00	15
6191	-294	-302	Max	20.84	-0.06	15	0.40	15	0.03	15	29.53	15	2.66	15	0.00	15
6191	-294	-302	Min.	2.83	-0.06	15	0.40	15	-0.04	15	30.23	15	-2.72	15	0.00	15
6191	-294	-302	Min.	20.84	-0.06	15	0.40	15	0.03	15	29.53	15	2.66	15	0.00	15
6192	-262	-270	Max	2.83	-0.06	15	0.38	15	-0.04	15	28.82	15	-2.68	15	0.00	15
6192	-262	-270	Max	21.47	-0.06	15	0.38	15	0.03	15	28.08	15	2.62	15	0.00	15
6192	-262	-270	Min.	2.83	-0.06	15	0.38	15	-0.04	15	28.82	15	-2.68	15	0.00	15
6192	-262	-270	Min.	21.47	-0.06	15	0.38	15	0.03	15	28.08	15	2.62	15	0.00	15
6193	-230	-238	Max	2.83	-0.06	15	0.36	15	-0.04	15	27.49	15	-2.64	15	0.00	15
6193	-230	-238	Max	22.09	-0.06	15	0.36	15	0.03	15	26.74	15	2.58	15	0.00	15
6193	-230	-238	Min.	2.83	-0.06	15	0.36	15	-0.04	15	27.49	15	-2.64	15	0.00	15
6193	-230	-238	Min.	22.09	-0.06	15	0.36	15	0.03	15	26.74	15	2.58	15	0.00	15
6194	-198	-206	Max	2.83	-0.05	15	0.34	15	-0.03	15	26.25	15	-2.60	15	0.00	15
6194	-198	-206	Max	22.72	-0.05	15	0.34	15	0.03	15	25.47	15	2.54	15	0.00	15
6194	-198	-206	Min.	2.83	-0.05	15	0.34	15	-0.03	15	26.25	15	-2.60	15	0.00	15
6194	-198	-206	Min.	22.72	-0.05	15	0.34	15	0.03	15	25.47	15	2.54	15	0.00	15
6195	-166	-174	Max	2.83	-0.06	15	0.32	15	-0.03	15	25.06	15	-2.56	15	0.00	15
6195	-166	-174	Max	23.34	-0.06	15	0.32	15	0.03	15	24.26	15	2.50	15	0.00	15
6195	-166	-174	Min.	2.83	-0.06	15	0.32	15	-0.03	15	25.06	15	-2.56	15	0.00	15
6195	-166	-174	Min.	23.34	-0.06	15	0.32	15	0.03	15	24.26	15	2.50	15	0.00	15
6196	-134	-142	Max	2.83	-0.06	15	0.30	15	-0.03	15	23.78	15	-2.50	15	0.00	15
6196	-134	-142	Max	23.97	-0.06	15	0.30	15	0.03	15	22.95	15	2.44	15	0.00	15
6196	-134	-142	Min.	2.83	-0.06	15	0.30	15	-0.03	15	23.78	15	-2.50	15	0.00	15
6196	-134	-142	Min.	23.97	-0.06	15	0.30	15	0.03	15	22.95	15	2.44	15	0.00	15
6197	-102	-110	Max	2.83	0.04	15	0.27	15	-0.03	15	21.87	15	-2.36	15	0.00	15
6197	-102	-110	Max	24.59	0.04	15	0.27	15	0.03	15	21.01	15	2.30	15	0.00	15
6197	-102	-110	Min.	2.83	0.04	15	0.27	15	-0.03	15	21.87	15	-2.36	15	0.00	15
6197	-102	-110	Min.	24.59	0.04	15	0.27	15	0.03	15	21.01	15	2.30	15	0.00	15
6198	-70	-78	Max	2.83	-1.76	15	0.20	15	-0.02	15	16.95	15	-1.88	15	0.00	15
6198	-70	-78	Max	25.22	-1.76	15	0.20	15	0.02	15	16.07	15	1.82	15	0.00	15
6198	-70	-78	Min.	2.83	-1.76	15	0.20	15	-0.02	15	16.95	15	-1.88	15	0.00	15
6198	-70	-78	Min.	25.22	-1.76	15	0.20	15	0.02	15	16.07	15	1.82	15	0.00	15
6199	-38	-46	Max	2.83	26.12	15	0.18	15	-0.02	15	20.62	15	-1.86	15	0.00	15

6199	-38	-46	Max	25.84	26.12	15	0.18	15	0.02	15	18.81	15	2.68	15	0.00	15
6199	-38	-46	Min.	2.83	26.12	15	0.18	15	-0.02	15	20.62	15	-1.86	15	0.00	15
6199	-38	-46	Min.	25.84	26.12	15	0.18	15	0.02	15	18.81	15	2.68	15	0.00	15
6200	-6	-14	Max	2.83	79.25	15	0.11	15	-0.01	15	15.36	15	-1.61	15	0.00	15
6200	-6	-14	Max	26.15	79.25	15	0.11	15	0.01	15	13.53	15	1.76	15	0.00	15
6200	-6	-14	Min.	2.83	79.25	15	0.11	15	-0.01	15	15.36	15	-1.61	15	0.00	15
6200	-6	-14	Min.	26.15	79.25	15	0.11	15	0.01	15	13.53	15	1.76	15	0.00	15
6201	321	333	Max	1.77	-54.27	15	1.98	15	-0.11	15	-102.36	15	5.04	15	0.01	15
6201	321	333	Max	15.00	-54.27	15	1.98	15	0.16	15	-103.30	15	-8.57	15	0.01	15
6201	321	333	Min.	1.77	-54.27	15	1.98	15	-0.11	15	-102.36	15	5.04	15	0.01	15
6201	321	333	Min.	15.00	-54.27	15	1.98	15	0.16	15	-103.30	15	-8.57	15	0.01	15
6201	333	345	Max	0.00	-77.49	15	-1.86	15	0.14	15	91.60	15	-6.47	15	-0.01	15
6201	333	345	Max	13.23	-77.49	15	-1.86	15	-0.11	15	90.66	15	5.59	15	-0.01	15
6201	333	345	Min.	0.00	-77.49	15	-1.86	15	0.14	15	91.60	15	-6.47	15	-0.01	15
6201	333	345	Min.	13.23	-77.49	15	-1.86	15	-0.11	15	90.66	15	5.59	15	-0.01	15
6202	322	334	Max	1.77	-104.50	15	-153.21	15	8.97	15	-1.30	15	-0.01	15	0.13	15
6202	322	334	Max	15.00	-104.50	15	-154.15	15	-11.36	15	-1.30	15	-0.19	15	0.13	15
6202	322	334	Min.	1.77	-104.50	15	-153.21	15	8.97	15	-1.30	15	-0.01	15	0.13	15
6202	322	334	Min.	15.00	-104.50	15	-154.15	15	-11.36	15	-1.30	15	-0.19	15	0.13	15
6202	334	346	Max	0.00	-116.41	15	176.02	15	-13.59	15	1.27	15	-0.19	15	-0.13	15
6202	334	346	Max	13.23	-116.41	15	175.08	15	9.64	15	1.27	15	-0.02	15	-0.13	15
6202	334	346	Min.	0.00	-116.41	15	176.02	15	-13.59	15	1.27	15	-0.19	15	-0.13	15
6202	334	346	Min.	13.23	-116.41	15	175.08	15	9.64	15	1.27	15	-0.02	15	-0.13	15
6203	-7	-15	Max	3.53	102.09	15	-0.06	15	0.01	15	6.59	15	-0.64	15	0.00	15
6203	-7	-15	Max	26.86	102.09	15	-0.06	15	-0.01	15	4.76	15	0.69	15	0.00	15
6203	-7	-15	Min.	3.53	102.09	15	-0.06	15	0.01	15	6.59	15	-0.64	15	0.00	15
6203	-7	-15	Min.	26.86	102.09	15	-0.06	15	-0.01	15	4.76	15	0.69	15	0.00	15
6204	-39	-47	Max	3.53	36.36	15	-0.09	15	0.01	15	10.86	15	-0.57	15	0.00	15
6204	-39	-47	Max	26.55	36.36	15	-0.09	15	-0.01	15	9.05	15	1.72	15	0.00	15
6204	-39	-47	Min.	3.53	36.36	15	-0.09	15	0.01	15	10.86	15	-0.57	15	0.00	15
6204	-39	-47	Min.	26.55	36.36	15	-0.09	15	-0.01	15	9.05	15	1.72	15	0.00	15
6205	-71	-79	Max	3.53	-2.04	15	-0.10	15	0.01	15	9.46	15	-1.02	15	0.00	15
6205	-71	-79	Max	25.92	-2.04	15	-0.10	15	-0.01	15	8.58	15	1.00	15	0.00	15
6205	-71	-79	Min.	3.53	-2.04	15	-0.10	15	0.01	15	9.46	15	-1.02	15	0.00	15
6205	-71	-79	Min.	25.92	-2.04	15	-0.10	15	-0.01	15	8.58	15	1.00	15	0.00	15
6206	-103	-111	Max	3.53	0.10	15	-0.15	15	0.01	15	12.17	15	-1.28	15	0.00	15
6206	-103	-111	Max	25.30	0.10	15	-0.15	15	-0.02	15	11.31	15	1.28	15	0.00	15
6206	-103	-111	Min.	3.53	0.10	15	-0.15	15	0.01	15	12.17	15	-1.28	15	0.00	15
6206	-103	-111	Min.	25.30	0.10	15	-0.15	15	-0.02	15	11.31	15	1.28	15	0.00	15
6207	-135	-143	Max	3.53	-0.05	15	-0.17	15	0.02	15	13.22	15	-1.35	15	0.00	15
6207	-135	-143	Max	24.67	-0.05	15	-0.17	15	-0.02	15	12.39	15	1.35	15	0.00	15
6207	-135	-143	Min.	3.53	-0.05	15	-0.17	15	0.02	15	13.22	15	-1.35	15	0.00	15
6207	-135	-143	Min.	24.67	-0.05	15	-0.17	15	-0.02	15	12.39	15	1.35	15	0.00	15
6208	-167	-175	Max	3.53	-0.05	15	-0.18	15	0.02	15	13.91	15	-1.38	15	0.00	15
6208	-167	-175	Max	24.05	-0.05	15	-0.18	15	-0.02	15	13.11	15	1.39	15	0.00	15
6208	-167	-175	Min.	3.53	-0.05	15	-0.18	15	0.02	15	13.91	15	-1.38	15	0.00	15
6208	-167	-175	Min.	24.05	-0.05	15	-0.18	15	-0.02	15	13.11	15	1.39	15	0.00	15
6209	-199	-207	Max	3.53	-0.05	15	-0.19	15	0.02	15	14.57	15	-1.41	15	0.00	15
6209	-199	-207	Max	23.42	-0.05	15	-0.19	15	-0.02	15	13.78	15	1.41	15	0.00	15
6209	-199	-207	Min.	3.53	-0.05	15	-0.19	15	0.02	15	14.57	15	-1.41	15	0.00	15
6209	-199	-207	Min.	23.42	-0.05	15	-0.19	15	-0.02	15	13.78	15	1.41	15	0.00	15
6210	-231	-239	Max	3.53	-0.05	15	-0.20	15	0.02	15	15.24	15	-1.43	15	0.00	15
6210	-231	-239	Max	22.80	-0.05	15	-0.20	15	-0.02	15	14.48	15	1.44	15	0.00	15
6210	-231	-239	Min.	3.53	-0.05	15	-0.20	15	0.02	15	15.24	15	-1.43	15	0.00	15
6210	-231	-239	Min.	22.80	-0.05	15	-0.20	15	-0.02	15	14.48	15	1.44	15	0.00	15
6211	-263	-271	Max	3.53	-0.05	15	-0.21	15	0.02	15	15.96	15	-1.45	15	0.00	15
6211	-263	-271	Max	22.17	-0.05	15	-0.21	15	-0.02	15	15.23	15	1.46	15	0.00	15
6211	-263	-271	Min.	3.53	-0.05	15	-0.21	15	0.02	15	15.96	15	-1.45	15	0.00	15
6211	-263	-271	Min.	22.17	-0.05	15	-0.21	15	-0.02	15	15.23	15	1.46	15	0.00	15

6212	-295	-303	Max	3.53	-0.05	15	-0.22	15	0.02	15	16.74	15	-1.47	15	0.00	15
6212	-295	-303	Max	21.55	-0.05	15	-0.22	15	-0.02	15	16.03	15	1.48	15	0.00	15
6212	-295	-303	Min.	3.53	-0.05	15	-0.22	15	0.02	15	16.74	15	-1.47	15	0.00	15
6212	-295	-303	Min.	21.55	-0.05	15	-0.22	15	-0.02	15	16.03	15	1.48	15	0.00	15
6213	-327	-335	Max	3.53	-0.05	15	-0.23	15	0.02	15	17.57	15	-1.49	15	0.00	15
6213	-327	-335	Max	20.92	-0.05	15	-0.23	15	-0.02	15	16.89	15	1.51	15	0.00	15
6213	-327	-335	Min.	3.53	-0.05	15	-0.23	15	0.02	15	17.57	15	-1.49	15	0.00	15
6213	-327	-335	Min.	20.92	-0.05	15	-0.23	15	-0.02	15	16.89	15	1.51	15	0.00	15
6214	-359	-367	Max	3.53	-0.04	15	-0.24	15	0.02	15	18.47	15	-1.51	15	0.00	15
6214	-359	-367	Max	20.30	-0.04	15	-0.24	15	-0.02	15	17.81	15	1.53	15	0.00	15
6214	-359	-367	Min.	3.53	-0.04	15	-0.24	15	0.02	15	18.47	15	-1.51	15	0.00	15
6214	-359	-367	Min.	20.30	-0.04	15	-0.24	15	-0.02	15	17.81	15	1.53	15	0.00	15
6215	-391	-399	Max	3.53	-0.09	15	-0.26	15	0.02	15	19.43	15	-1.53	15	0.00	15
6215	-391	-399	Max	19.67	-0.09	15	-0.26	15	-0.02	15	18.80	15	1.56	15	0.00	15
6215	-391	-399	Min.	3.53	-0.09	15	-0.26	15	0.02	15	19.43	15	-1.53	15	0.00	15
6215	-391	-399	Min.	19.67	-0.09	15	-0.26	15	-0.02	15	18.80	15	1.56	15	0.00	15
6216	-423	-431	Max	3.53	0.28	15	-0.27	15	0.02	15	20.43	15	-1.55	15	0.00	15
6216	-423	-431	Max	19.05	0.28	15	-0.27	15	-0.02	15	19.82	15	1.57	15	0.00	15
6216	-423	-431	Min.	3.53	0.28	15	-0.27	15	0.02	15	20.43	15	-1.55	15	0.00	15
6216	-423	-431	Min.	19.05	0.28	15	-0.27	15	-0.02	15	19.82	15	1.57	15	0.00	15
6217	-455	-463	Max	3.53	-2.21	15	-0.26	15	0.02	15	21.24	15	-1.53	15	0.00	15
6217	-455	-463	Max	18.42	-2.21	15	-0.26	15	-0.02	15	20.65	15	1.59	15	0.00	15
6217	-455	-463	Min.	3.53	-2.21	15	-0.26	15	0.02	15	21.24	15	-1.53	15	0.00	15
6217	-455	-463	Min.	18.42	-2.21	15	-0.26	15	-0.02	15	20.65	15	1.59	15	0.00	15
6218	-487	-495	Max	3.53	12.16	15	-0.32	15	0.02	15	20.42	15	-1.53	15	-0.01	15
6218	-487	-495	Max	17.80	12.16	15	-0.32	15	-0.02	15	19.86	15	1.34	15	-0.01	15
6218	-487	-495	Min.	3.53	12.16	15	-0.32	15	0.02	15	20.42	15	-1.53	15	-0.01	15
6218	-487	-495	Min.	17.80	12.16	15	-0.32	15	-0.02	15	19.86	15	1.34	15	-0.01	15
6223	-488	-496	Max	2.83	5.77	15	0.29	15	-0.02	15	19.06	15	-1.41	15	0.01	15
6223	-488	-496	Max	17.09	5.77	15	0.29	15	0.02	15	18.50	15	1.27	15	0.01	15
6223	-488	-496	Min.	2.83	5.77	15	0.29	15	-0.02	15	19.06	15	-1.41	15	0.01	15
6223	-488	-496	Min.	17.09	5.77	15	0.29	15	0.02	15	18.50	15	1.27	15	0.01	15
6224	-456	-464	Max	2.83	-1.04	15	0.24	15	-0.02	15	19.86	15	-1.47	15	-0.00	15
6224	-456	-464	Max	17.72	-1.04	15	0.24	15	0.02	15	19.27	15	1.44	15	-0.00	15
6224	-456	-464	Min.	2.83	-1.04	15	0.24	15	-0.02	15	19.86	15	-1.47	15	-0.00	15
6224	-456	-464	Min.	17.72	-1.04	15	0.24	15	0.02	15	19.27	15	1.44	15	-0.00	15
6225	-424	-432	Max	2.83	0.11	15	0.25	15	-0.02	15	19.08	15	-1.48	15	-0.00	15
6225	-424	-432	Max	18.34	0.11	15	0.25	15	0.02	15	18.47	15	1.43	15	-0.00	15
6225	-424	-432	Min.	2.83	0.11	15	0.25	15	-0.02	15	19.08	15	-1.48	15	-0.00	15
6225	-424	-432	Min.	18.34	0.11	15	0.25	15	0.02	15	18.47	15	1.43	15	-0.00	15
6226	-392	-400	Max	2.83	-0.06	15	0.24	15	-0.02	15	18.15	15	-1.46	15	-0.00	15
6226	-392	-400	Max	18.97	-0.06	15	0.24	15	0.02	15	17.52	15	1.42	15	-0.00	15
6226	-392	-400	Min.	2.83	-0.06	15	0.24	15	-0.02	15	18.15	15	-1.46	15	-0.00	15
6226	-392	-400	Min.	18.97	-0.06	15	0.24	15	0.02	15	17.52	15	1.42	15	-0.00	15
6227	-360	-368	Max	2.83	-0.04	15	0.22	15	-0.02	15	17.25	15	-1.44	15	-0.00	15
6227	-360	-368	Max	19.59	-0.04	15	0.22	15	0.02	15	16.60	15	1.40	15	-0.00	15
6227	-360	-368	Min.	2.83	-0.04	15	0.22	15	-0.02	15	17.25	15	-1.44	15	-0.00	15
6227	-360	-368	Min.	19.59	-0.04	15	0.22	15	0.02	15	16.60	15	1.40	15	-0.00	15
6228	-328	-336	Max	2.83	-0.04	15	0.21	15	-0.02	15	16.42	15	-1.42	15	-0.00	15
6228	-328	-336	Max	20.22	-0.04	15	0.21	15	0.02	15	15.74	15	1.38	15	-0.00	15
6228	-328	-336	Min.	2.83	-0.04	15	0.21	15	-0.02	15	16.42	15	-1.42	15	-0.00	15
6228	-328	-336	Min.	20.22	-0.04	15	0.21	15	0.02	15	15.74	15	1.38	15	-0.00	15
6229	-296	-304	Max	2.83	-0.04	15	0.20	15	-0.02	15	15.65	15	-1.40	15	-0.00	15
6229	-296	-304	Max	20.84	-0.04	15	0.20	15	0.02	15	14.94	15	1.36	15	-0.00	15
6229	-296	-304	Min.	2.83	-0.04	15	0.20	15	-0.02	15	15.65	15	-1.40	15	-0.00	15
6229	-296	-304	Min.	20.84	-0.04	15	0.20	15	0.02	15	14.94	15	1.36	15	-0.00	15
6230	-264	-272	Max	2.83	-0.04	15	0.19	15	-0.02	15	14.93	15	-1.38	15	-0.00	15
6230	-264	-272	Max	21.47	-0.04	15	0.19	15	0.02	15	14.20	15	1.34	15	-0.00	15
6230	-264	-272	Min.	2.83	-0.04	15	0.19	15	-0.02	15	14.93	15	-1.38	15	-0.00	15

6230	-264	-272	Min.	21.47	-0.04	15	0.19	15	0.02	15	14.20	15	1.34	15	-0.00	15
6231	-232	-240	Max	2.83	-0.04	15	0.18	15	-0.02	15	14.26	15	-1.36	15	-0.00	15
6231	-232	-240	Max	22.09	-0.04	15	0.18	15	0.02	15	13.50	15	1.32	15	-0.00	15
6231	-232	-240	Min.	2.83	-0.04	15	0.18	15	-0.02	15	14.26	15	-1.36	15	-0.00	15
6231	-232	-240	Min.	22.09	-0.04	15	0.18	15	0.02	15	13.50	15	1.32	15	-0.00	15
6232	-200	-208	Max	2.83	-0.04	15	0.17	15	-0.02	15	13.63	15	-1.34	15	-0.00	15
6232	-200	-208	Max	22.72	-0.04	15	0.17	15	0.02	15	12.85	15	1.30	15	-0.00	15
6232	-200	-208	Min.	2.83	-0.04	15	0.17	15	-0.02	15	13.63	15	-1.34	15	-0.00	15
6232	-200	-208	Min.	22.72	-0.04	15	0.17	15	0.02	15	12.85	15	1.30	15	-0.00	15
6233	-168	-176	Max	2.83	-0.04	15	0.16	15	-0.02	15	13.03	15	-1.32	15	-0.00	15
6233	-168	-176	Max	23.34	-0.04	15	0.16	15	0.02	15	12.22	15	1.27	15	-0.00	15
6233	-168	-176	Min.	2.83	-0.04	15	0.16	15	-0.02	15	13.03	15	-1.32	15	-0.00	15
6233	-168	-176	Min.	23.34	-0.04	15	0.16	15	0.02	15	12.22	15	1.27	15	-0.00	15
6234	-136	-144	Max	2.83	-0.05	15	0.15	15	-0.02	15	12.38	15	-1.29	15	0.00	15
6234	-136	-144	Max	23.97	-0.05	15	0.15	15	0.01	15	11.55	15	1.24	15	0.00	15
6234	-136	-144	Min.	2.83	-0.05	15	0.15	15	-0.02	15	12.38	15	-1.29	15	0.00	15
6234	-136	-144	Min.	23.97	-0.05	15	0.15	15	0.01	15	11.55	15	1.24	15	0.00	15
6235	-104	-112	Max	2.83	-0.00	15	0.14	15	-0.02	15	11.40	15	-1.22	15	0.00	15
6235	-104	-112	Max	24.59	-0.00	15	0.14	15	0.01	15	10.54	15	1.17	15	0.00	15
6235	-104	-112	Min.	2.83	-0.00	15	0.14	15	-0.02	15	11.40	15	-1.22	15	0.00	15
6235	-104	-112	Min.	24.59	-0.00	15	0.14	15	0.01	15	10.54	15	1.17	15	0.00	15
6236	-72	-80	Max	2.83	-0.53	15	0.10	15	-0.01	15	8.86	15	-0.97	15	0.00	15
6236	-72	-80	Max	25.22	-0.53	15	0.10	15	0.01	15	7.98	15	0.92	15	0.00	15
6236	-72	-80	Min.	2.83	-0.53	15	0.10	15	-0.01	15	8.86	15	-0.97	15	0.00	15
6236	-72	-80	Min.	25.22	-0.53	15	0.10	15	0.01	15	7.98	15	0.92	15	0.00	15
6237	-40	-48	Max	2.83	3.16	15	0.08	15	-0.01	15	10.25	15	-1.02	15	0.00	15
6237	-40	-48	Max	25.84	3.16	15	0.08	15	0.01	15	8.44	15	1.14	15	0.00	15
6237	-40	-48	Min.	2.83	3.16	15	0.08	15	-0.01	15	10.25	15	-1.02	15	0.00	15
6237	-40	-48	Min.	25.84	3.16	15	0.08	15	0.01	15	8.44	15	1.14	15	0.00	15
6238	-8	-16	Max	2.83	16.63	15	0.05	15	-0.01	15	6.10	15	-0.55	15	0.00	15
6238	-8	-16	Max	26.15	16.63	15	0.05	15	0.01	15	4.27	15	0.66	15	0.00	15
6238	-8	-16	Min.	2.83	16.63	15	0.05	15	-0.01	15	6.10	15	-0.55	15	0.00	15
6238	-8	-16	Min.	26.15	16.63	15	0.05	15	0.01	15	4.27	15	0.66	15	0.00	15
6239	324	336	Max	1.77	8.07	15	2.68	15	-0.09	15	17.18	15	-0.84	15	0.10	15
6239	324	336	Max	15.00	8.07	15	2.68	15	0.26	15	16.24	15	1.37	15	0.10	15
6239	324	336	Min.	1.77	8.07	15	2.68	15	-0.09	15	17.18	15	-0.84	15	0.10	15
6239	324	336	Min.	15.00	8.07	15	2.68	15	0.26	15	16.24	15	1.37	15	0.10	15
6239	336	348	Max	0.00	-1.69	15	-2.91	15	0.28	15	5.12	15	-0.83	15	-0.10	15
6239	336	348	Max	13.23	-1.69	15	-2.91	15	-0.10	15	4.18	15	-0.21	15	-0.10	15
6239	336	348	Min.	0.00	-1.69	15	-2.91	15	0.28	15	5.12	15	-0.83	15	-0.10	15
6239	336	348	Min.	13.23	-1.69	15	-2.91	15	-0.10	15	4.18	15	-0.21	15	-0.10	15
6240	332	345	Max	0.00	-53.58	15	2.32	15	-0.21	15	62.84	15	-5.95	15	-0.23	15
6240	332	345	Max	18.38	-53.58	15	2.32	15	0.22	15	61.54	15	5.49	15	-0.23	15
6240	332	345	Min.	0.00	-53.58	15	2.32	15	-0.21	15	62.84	15	-5.95	15	-0.23	15
6240	332	345	Min.	18.38	-53.58	15	2.32	15	0.22	15	61.54	15	5.49	15	-0.23	15
6240	319	332	Max	2.83	-41.09	15	2.49	15	-0.18	15	-78.71	15	4.75	15	-0.47	15
6240	319	332	Max	21.21	-41.09	15	2.49	15	0.28	15	-80.01	15	-9.84	15	-0.47	15
6240	319	332	Min.	2.83	-41.09	15	2.49	15	-0.18	15	-78.71	15	4.75	15	-0.47	15
6240	319	332	Min.	21.21	-41.09	15	2.49	15	0.28	15	-80.01	15	-9.84	15	-0.47	15
6241	318	329	Max	2.83	-41.05	15	-2.51	15	0.18	15	-78.80	15	4.75	15	0.46	15
6241	318	329	Max	21.21	-41.05	15	-2.51	15	-0.28	15	-80.10	15	-9.86	15	0.46	15
6241	318	329	Min.	2.83	-41.05	15	-2.51	15	0.18	15	-78.80	15	4.75	15	0.46	15
6241	318	329	Min.	21.21	-41.05	15	-2.51	15	-0.28	15	-80.10	15	-9.86	15	0.46	15
6241	329	340	Max	0.00	-53.42	15	-2.31	15	0.20	15	62.74	15	-5.93	15	0.23	15
6241	329	340	Max	18.38	-53.42	15	-2.31	15	-0.22	15	61.44	15	5.49	15	0.23	15
6241	329	340	Min.	0.00	-53.42	15	-2.31	15	0.20	15	62.74	15	-5.93	15	0.23	15
6241	329	340	Min.	18.38	-53.42	15	-2.31	15	-0.22	15	61.44	15	5.49	15	0.23	15
6242	329	342	Max	0.00	-51.20	15	3.48	15	-0.39	15	73.61	15	-8.17	15	0.12	15
6242	329	342	Max	18.38	-51.20	15	3.48	15	0.25	15	72.31	15	5.25	15	0.12	15

6242	329	342	Min.	0.00	-51.20	15	3.48	15	-0.39	15	73.61	15	-8.17	15	0.12	15
6242	329	342	Min.	18.38	-51.20	15	3.48	15	0.25	15	72.31	15	5.25	15	0.12	15
6242	316	329	Max	2.83	-42.81	15	1.38	15	-0.15	15	-67.92	15	4.99	15	-0.81	15
6242	316	329	Max	21.21	-42.81	15	1.38	15	0.10	15	-69.21	15	-7.62	15	-0.81	15
6242	316	329	Min.	2.83	-42.81	15	1.38	15	-0.15	15	-67.92	15	4.99	15	-0.81	15
6242	316	329	Min.	21.21	-42.81	15	1.38	15	0.10	15	-69.21	15	-7.62	15	-0.81	15
6243	335	348	Max	0.00	-35.08	15	0.02	15	0.09	15	34.78	15	-2.43	15	-0.92	15
6243	335	348	Max	18.38	-35.08	15	0.02	15	0.10	15	33.48	15	3.84	15	-0.92	15
6243	335	348	Min.	0.00	-35.08	15	0.02	15	0.09	15	34.78	15	-2.43	15	-0.92	15
6243	335	348	Min.	18.38	-35.08	15	0.02	15	0.10	15	33.48	15	3.84	15	-0.92	15
6243	322	335	Max	2.83	-25.62	15	3.03	15	-0.16	15	-55.99	15	2.71	15	0.47	15
6243	322	335	Max	21.21	-25.62	15	3.03	15	0.40	15	-57.29	15	-7.70	15	0.47	15
6243	322	335	Min.	2.83	-25.62	15	3.03	15	-0.16	15	-55.99	15	2.71	15	0.47	15
6243	322	335	Min.	21.21	-25.62	15	3.03	15	0.40	15	-57.29	15	-7.70	15	0.47	15
6244	313	326	Max	2.83	-27.25	15	-0.36	15	-0.06	15	-21.04	15	3.38	15	-0.60	15
6244	313	326	Max	21.21	-27.25	15	-0.36	15	-0.13	15	-22.34	15	-0.61	15	-0.60	15
6244	313	326	Min.	2.83	-27.25	15	-0.36	15	-0.06	15	-21.04	15	3.38	15	-0.60	15
6244	313	326	Min.	21.21	-27.25	15	-0.36	15	-0.13	15	-22.34	15	-0.61	15	-0.60	15
6244	326	339	Max	0.00	-31.99	15	3.50	15	-0.45	15	69.52	15	-9.50	15	0.17	15
6244	326	339	Max	18.38	-31.99	15	3.50	15	0.20	15	68.23	15	3.16	15	0.17	15
6244	326	339	Min.	0.00	-31.99	15	3.50	15	-0.45	15	69.52	15	-9.50	15	0.17	15
6244	326	339	Min.	18.38	-31.99	15	3.50	15	0.20	15	68.23	15	3.16	15	0.17	15
6245	315	326	Max	2.83	-25.60	15	-3.04	15	0.16	15	-56.01	15	2.71	15	-0.47	15
6245	315	326	Max	21.21	-25.60	15	-3.04	15	-0.40	15	-57.31	15	-7.71	15	-0.47	15
6245	315	326	Min.	2.83	-25.60	15	-3.04	15	0.16	15	-56.01	15	2.71	15	-0.47	15
6245	315	326	Min.	21.21	-25.60	15	-3.04	15	-0.40	15	-57.31	15	-7.71	15	-0.47	15
6245	326	337	Max	0.00	-35.02	15	-0.01	15	-0.10	15	34.58	15	-2.40	15	0.92	15
6245	326	337	Max	18.38	-35.02	15	-0.01	15	-0.10	15	33.28	15	3.84	15	0.92	15
6245	326	337	Min.	0.00	-35.02	15	-0.01	15	-0.10	15	34.58	15	-2.40	15	0.92	15
6245	326	337	Min.	18.38	-35.02	15	-0.01	15	-0.10	15	33.28	15	3.84	15	0.92	15
6246	332	343	Max	0.00	-51.03	15	-3.47	15	0.38	15	73.57	15	-8.16	15	-0.12	15
6246	332	343	Max	18.38	-51.03	15	-3.47	15	-0.25	15	72.27	15	5.25	15	-0.12	15
6246	332	343	Min.	0.00	-51.03	15	-3.47	15	0.38	15	73.57	15	-8.16	15	-0.12	15
6246	332	343	Min.	18.38	-51.03	15	-3.47	15	-0.25	15	72.27	15	5.25	15	-0.12	15
6246	321	332	Max	2.83	-42.78	15	-1.40	15	0.15	15	-67.97	15	4.99	15	0.81	15
6246	321	332	Max	21.21	-42.78	15	-1.40	15	-0.11	15	-69.27	15	-7.62	15	0.81	15
6246	321	332	Min.	2.83	-42.78	15	-1.40	15	0.15	15	-67.97	15	4.99	15	0.81	15
6246	321	332	Min.	21.21	-42.78	15	-1.40	15	-0.11	15	-69.27	15	-7.62	15	0.81	15
6247	324	335	Max	2.83	-27.36	15	0.36	15	0.06	15	-21.10	15	3.38	15	0.60	15
6247	324	335	Max	21.21	-27.36	15	0.36	15	0.13	15	-22.40	15	-0.61	15	0.60	15
6247	324	335	Min.	2.83	-27.36	15	0.36	15	0.06	15	-21.10	15	3.38	15	0.60	15
6247	324	335	Min.	21.21	-27.36	15	0.36	15	0.13	15	-22.40	15	-0.61	15	0.60	15
6247	335	346	Max	0.00	-32.01	15	-3.49	15	0.44	15	69.65	15	-9.51	15	-0.16	15
6247	335	346	Max	18.38	-32.01	15	-3.49	15	-0.20	15	68.35	15	3.17	15	-0.16	15
6247	335	346	Min.	0.00	-32.01	15	-3.49	15	0.44	15	69.65	15	-9.51	15	-0.16	15
6247	335	346	Min.	18.38	-32.01	15	-3.49	15	-0.20	15	68.35	15	3.17	15	-0.16	15
6272	351	362	Max	2.83	-31.98	15	-3.49	15	0.20	15	-68.32	15	3.17	15	-0.17	15
6272	351	362	Max	21.21	-31.98	15	-3.49	15	-0.45	15	-69.62	15	-9.51	15	-0.17	15
6272	351	362	Min.	2.83	-31.98	15	-3.49	15	0.20	15	-68.32	15	3.17	15	-0.17	15
6272	351	362	Min.	21.21	-31.98	15	-3.49	15	-0.45	15	-69.62	15	-9.51	15	-0.17	15
6272	362	373	Max	0.00	-27.32	15	0.36	15	-0.13	15	22.29	15	-0.60	15	0.60	15
6272	362	373	Max	18.38	-27.32	15	0.36	15	-0.06	15	20.99	15	3.38	15	0.60	15
6272	362	373	Min.	0.00	-27.32	15	0.36	15	-0.13	15	22.29	15	-0.60	15	0.60	15
6272	362	373	Min.	18.38	-27.32	15	0.36	15	-0.06	15	20.99	15	3.38	15	0.60	15
6273	357	368	Max	2.83	-53.42	15	-2.31	15	0.22	15	-61.43	15	5.48	15	0.23	15
6273	357	368	Max	21.21	-53.42	15	-2.31	15	-0.20	15	-62.73	15	-5.93	15	0.23	15
6273	357	368	Min.	2.83	-53.42	15	-2.31	15	0.22	15	-61.43	15	5.48	15	0.23	15
6273	357	368	Min.	21.21	-53.42	15	-2.31	15	-0.20	15	-62.73	15	-5.93	15	0.23	15
6273	368	379	Max	0.00	-41.03	15	-2.50	15	0.28	15	79.98	15	-9.84	15	0.47	15

6273	368	379	Max	18.38	-41.03	15	-2.50	15	-0.18	15	78.68	15	4.75	15	0.47	15
6273	368	379	Min.	0.00	-41.03	15	-2.50	15	0.28	15	79.98	15	-9.84	15	0.47	15
6273	368	379	Min.	18.38	-41.03	15	-2.50	15	-0.18	15	78.68	15	4.75	15	0.47	15
6274	362	375	Max	0.00	-25.58	15	3.03	15	-0.40	15	57.26	15	-7.70	15	0.48	15
6274	362	375	Max	18.38	-25.58	15	3.03	15	0.16	15	55.97	15	2.71	15	0.48	15
6274	362	375	Min.	0.00	-25.58	15	3.03	15	-0.40	15	57.26	15	-7.70	15	0.48	15
6274	362	375	Min.	18.38	-25.58	15	3.03	15	0.16	15	55.97	15	2.71	15	0.48	15
6274	349	362	Max	2.83	-35.03	15	0.02	15	-0.10	15	-33.37	15	3.84	15	-0.92	15
6274	349	362	Max	21.21	-35.03	15	0.02	15	-0.09	15	-34.67	15	-2.41	15	-0.92	15
6274	349	362	Min.	2.83	-35.03	15	0.02	15	-0.10	15	-33.37	15	3.84	15	-0.92	15
6274	349	362	Min.	21.21	-35.03	15	0.02	15	-0.09	15	-34.67	15	-2.41	15	-0.92	15
6275	358	371	Max	2.83	-32.02	15	3.49	15	-0.20	15	-68.22	15	3.17	15	0.17	15
6275	358	371	Max	21.21	-32.02	15	3.49	15	0.44	15	-69.52	15	-9.49	15	0.17	15
6275	358	371	Min.	2.83	-32.02	15	3.49	15	-0.20	15	-68.22	15	3.17	15	0.17	15
6275	358	371	Min.	21.21	-32.02	15	3.49	15	0.44	15	-69.52	15	-9.49	15	0.17	15
6275	371	384	Max	0.00	-27.31	15	-0.36	15	0.13	15	22.40	15	-0.62	15	-0.60	15
6275	371	384	Max	18.38	-27.31	15	-0.36	15	0.06	15	21.10	15	3.38	15	-0.60	15
6275	371	384	Min.	0.00	-27.31	15	-0.36	15	0.13	15	22.40	15	-0.62	15	-0.60	15
6275	371	384	Min.	18.38	-27.31	15	-0.36	15	0.06	15	21.10	15	3.38	15	-0.60	15
6276	352	365	Max	2.83	-53.47	15	2.32	15	-0.22	15	-61.41	15	5.48	15	-0.23	15
6276	352	365	Max	21.21	-53.47	15	2.32	15	0.20	15	-62.71	15	-5.93	15	-0.23	15
6276	352	365	Min.	2.83	-53.47	15	2.32	15	-0.22	15	-61.41	15	5.48	15	-0.23	15
6276	352	365	Min.	21.21	-53.47	15	2.32	15	0.20	15	-62.71	15	-5.93	15	-0.23	15
6276	365	378	Max	0.00	-41.02	15	2.49	15	-0.28	15	79.99	15	-9.84	15	-0.46	15
6276	365	378	Max	18.38	-41.02	15	2.49	15	0.18	15	78.69	15	4.75	15	-0.46	15
6276	365	378	Min.	0.00	-41.02	15	2.49	15	-0.28	15	79.99	15	-9.84	15	-0.46	15
6276	365	378	Min.	18.38	-41.02	15	2.49	15	0.18	15	78.69	15	4.75	15	-0.46	15
6277	354	365	Max	2.83	-51.04	15	-3.47	15	0.25	15	-72.25	15	5.24	15	-0.12	15
6277	354	365	Max	21.21	-51.04	15	-3.47	15	-0.38	15	-73.55	15	-8.16	15	-0.12	15
6277	354	365	Min.	2.83	-51.04	15	-3.47	15	0.25	15	-72.25	15	5.24	15	-0.12	15
6277	354	365	Min.	21.21	-51.04	15	-3.47	15	-0.38	15	-73.55	15	-8.16	15	-0.12	15
6277	365	376	Max	0.00	-42.75	15	-1.39	15	0.11	15	69.13	15	-7.61	15	0.81	15
6277	365	376	Max	18.38	-42.75	15	-1.39	15	-0.15	15	67.84	15	4.99	15	0.81	15
6277	365	376	Min.	0.00	-42.75	15	-1.39	15	0.11	15	69.13	15	-7.61	15	0.81	15
6277	365	376	Min.	18.38	-42.75	15	-1.39	15	-0.15	15	67.84	15	4.99	15	0.81	15
6278	360	371	Max	2.83	-35.02	15	-0.02	15	0.10	15	-33.34	15	3.84	15	0.92	15
6278	360	371	Max	21.21	-35.02	15	-0.02	15	0.09	15	-34.64	15	-2.41	15	0.92	15
6278	360	371	Min.	2.83	-35.02	15	-0.02	15	0.10	15	-33.34	15	3.84	15	0.92	15
6278	360	371	Min.	21.21	-35.02	15	-0.02	15	0.09	15	-34.64	15	-2.41	15	0.92	15
6278	371	382	Max	0.00	-25.58	15	-3.03	15	0.40	15	57.30	15	-7.71	15	-0.47	15
6278	371	382	Max	18.38	-25.58	15	-3.03	15	-0.16	15	56.00	15	2.71	15	-0.47	15
6278	371	382	Min.	0.00	-25.58	15	-3.03	15	0.40	15	57.30	15	-7.71	15	-0.47	15
6278	371	382	Min.	18.38	-25.58	15	-3.03	15	-0.16	15	56.00	15	2.71	15	-0.47	15
6279	355	368	Max	2.83	-51.10	15	3.47	15	-0.25	15	-72.19	15	5.24	15	0.12	15
6279	355	368	Max	21.21	-51.10	15	3.47	15	0.39	15	-73.49	15	-8.15	15	0.12	15
6279	355	368	Min.	2.83	-51.10	15	3.47	15	-0.25	15	-72.19	15	5.24	15	0.12	15
6279	355	368	Min.	21.21	-51.10	15	3.47	15	0.39	15	-73.49	15	-8.15	15	0.12	15
6279	368	381	Max	0.00	-42.73	15	1.38	15	-0.10	15	69.20	15	-7.62	15	-0.81	15
6279	368	381	Max	18.38	-42.73	15	1.38	15	0.15	15	67.90	15	4.98	15	-0.81	15
6279	368	381	Min.	0.00	-42.73	15	1.38	15	-0.10	15	69.20	15	-7.62	15	-0.81	15
6279	368	381	Min.	18.38	-42.73	15	1.38	15	0.15	15	67.90	15	4.98	15	-0.81	15
6281	-515	-516	Max	0.00	-0.14	15	-1.65	15	0.09	15	-0.02	15	-0.01	15	-0.09	15
6281	-515	-516	Max	12.00	-0.14	15	-1.65	15	-0.11	15	1.58	15	0.08	15	-0.09	15
6281	-515	-516	Min.	0.00	-0.14	15	-1.65	15	0.09	15	-0.02	15	-0.01	15	-0.09	15
6281	-515	-516	Min.	12.00	-0.14	15	-1.65	15	-0.11	15	1.58	15	0.08	15	-0.09	15
6282	-531	-532	Max	0.00	0.08	15	-1.03	15	0.06	15	-1.50	15	0.08	15	-0.07	15
6282	-531	-532	Max	12.00	0.08	15	-1.03	15	-0.06	15	0.10	15	-0.01	15	-0.07	15
6282	-531	-532	Min.	0.00	0.08	15	-1.03	15	0.06	15	-1.50	15	0.08	15	-0.07	15
6282	-531	-532	Min.	12.00	0.08	15	-1.03	15	-0.06	15	0.10	15	-0.01	15	-0.07	15

6283	316	317	Max	1.77	-12.94	15	0.08	15	-0.00	15	0.87	15	-0.39	15	0.01	15
6283	316	317	Max	14.01					0.01	15			-0.34	15		
6283	316	317	Max	15.00	-12.94	15	0.08	15	0.01	15	-0.07	15	-0.34	15	0.01	15
6283	316	317	Min.	1.77	-12.94	15	0.08	15	-0.00	15	0.87	15	-0.39	15	0.01	15
6283	316	317	Min.	14.01					0.01	15			-0.34	15		
6283	316	317	Min.	15.00	-12.94	15	0.08	15	0.01	15	-0.07	15	-0.34	15	0.01	15
6283	317	318	Max	0.00	-12.94	15	0.08	15	0.01	15	-0.07	15	-0.34	15	0.01	15
6283	317	318	Max	13.23	-12.94	15	0.08	15	0.02	15	-1.01	15	-0.41	15	0.01	15
6283	317	318	Min.	0.00	-12.94	15	0.08	15	0.01	15	-0.07	15	-0.34	15	0.01	15
6283	317	318	Min.	13.23	-12.94	15	0.08	15	0.02	15	-1.01	15	-0.41	15	0.01	15
6284	-3	-4	Max	2.83	36.86	15	0.03	15	0.00	15	0.11	15	0.19	15	0.00	15
6284	-3	-4	Max	4.19									0.19	15		
6284	-3	-4	Max	26.15	36.86	15	0.03	15	0.01	15	-1.72	15	0.00	15	0.00	15
6284	-3	-4	Min.	2.83	36.86	15	0.03	15	0.00	15	0.11	15	0.19	15	0.00	15
6284	-3	-4	Min.	4.19									0.19	15		
6284	-3	-4	Min.	26.15	36.86	15	0.03	15	0.01	15	-1.72	15	0.00	15	0.00	15
6285	-35	-36	Max	2.83	9.46	15	-0.00	15	0.01	15	-0.48	15	0.34	15	0.00	15
6285	-35	-36	Max	25.84	9.46	15	-0.00	15	0.01	15	-2.29	15	0.02	15	0.00	15
6285	-35	-36	Min.	2.83	9.46	15	-0.00	15	0.01	15	-0.48	15	0.34	15	0.00	15
6285	-35	-36	Min.	25.84	9.46	15	-0.00	15	0.01	15	-2.29	15	0.02	15	0.00	15
6286	-67	-68	Max	2.83	-0.98	15	-0.02	15	0.01	15	-0.83	15	0.12	15	0.00	15
6286	-67	-68	Max	25.22	-0.98	15	-0.02	15	0.00	15	-1.71	15	-0.16	15	0.00	15
6286	-67	-68	Min.	2.83	-0.98	15	-0.02	15	0.01	15	-0.83	15	0.12	15	0.00	15
6286	-67	-68	Min.	25.22	-0.98	15	-0.02	15	0.00	15	-1.71	15	-0.16	15	0.00	15
6287	-99	-100	Max	2.83	-0.03	15	-0.02	15	0.01	15	-1.23	15	0.17	15	0.00	15
6287	-99	-100	Max	24.59	-0.03	15	-0.02	15	0.01	15	-2.08	15	-0.19	15	0.00	15
6287	-99	-100	Min.	2.83	-0.03	15	-0.02	15	0.01	15	-1.23	15	0.17	15	0.00	15
6287	-99	-100	Min.	24.59	-0.03	15	-0.02	15	0.01	15	-2.08	15	-0.19	15	0.00	15
6288	-131	-132	Max	2.83	-0.13	15	-0.02	15	0.01	15	-1.39	15	0.18	15	0.00	15
6288	-131	-132	Max	23.97	-0.13	15	-0.02	15	0.01	15	-2.22	15	-0.20	15	0.00	15
6288	-131	-132	Min.	2.83	-0.13	15	-0.02	15	0.01	15	-1.39	15	0.18	15	0.00	15
6288	-131	-132	Min.	23.97	-0.13	15	-0.02	15	0.01	15	-2.22	15	-0.20	15	0.00	15
6289	-163	-164	Max	2.83	-0.11	15	-0.02	15	0.01	15	-1.50	15	0.18	15	0.00	15
6289	-163	-164	Max	23.34	-0.11	15	-0.02	15	0.01	15	-2.31	15	-0.21	15	0.00	15
6289	-163	-164	Min.	2.83	-0.11	15	-0.02	15	0.01	15	-1.50	15	0.18	15	0.00	15
6289	-163	-164	Min.	23.34	-0.11	15	-0.02	15	0.01	15	-2.31	15	-0.21	15	0.00	15
6290	-195	-196	Max	2.83	-0.12	15	-0.03	15	0.01	15	-1.61	15	0.19	15	0.00	15
6290	-195	-196	Max	22.72	-0.12	15	-0.03	15	0.01	15	-2.39	15	-0.21	15	0.00	15
6290	-195	-196	Min.	2.83	-0.12	15	-0.03	15	0.01	15	-1.61	15	0.19	15	0.00	15
6290	-195	-196	Min.	22.72	-0.12	15	-0.03	15	0.01	15	-2.39	15	-0.21	15	0.00	15
6291	-227	-228	Max	2.83	-0.12	15	-0.03	15	0.01	15	-1.72	15	0.19	15	0.00	15
6291	-227	-228	Max	22.09	-0.12	15	-0.03	15	0.01	15	-2.48	15	-0.21	15	0.00	15
6291	-227	-228	Min.	2.83	-0.12	15	-0.03	15	0.01	15	-1.72	15	0.19	15	0.00	15
6291	-227	-228	Min.	22.09	-0.12	15	-0.03	15	0.01	15	-2.48	15	-0.21	15	0.00	15
6292	-259	-260	Max	2.83	-0.12	15	-0.03	15	0.01	15	-1.84	15	0.19	15	0.00	15
6292	-259	-260	Max	21.47	-0.12	15	-0.03	15	0.01	15	-2.57	15	-0.22	15	0.00	15
6292	-259	-260	Min.	2.83	-0.12	15	-0.03	15	0.01	15	-1.84	15	0.19	15	0.00	15
6292	-259	-260	Min.	21.47	-0.12	15	-0.03	15	0.01	15	-2.57	15	-0.22	15	0.00	15
6293	-291	-292	Max	2.83	-0.12	15	-0.03	15	0.01	15	-1.96	15	0.20	15	0.00	15
6293	-291	-292	Max	20.84	-0.12	15	-0.03	15	0.01	15	-2.67	15	-0.22	15	0.00	15
6293	-291	-292	Min.	2.83	-0.12	15	-0.03	15	0.01	15	-1.96	15	0.20	15	0.00	15
6293	-291	-292	Min.	20.84	-0.12	15	-0.03	15	0.01	15	-2.67	15	-0.22	15	0.00	15
6294	-323	-324	Max	2.83	-0.13	15	-0.03	15	0.01	15	-2.10	15	0.20	15	0.00	15
6294	-323	-324	Max	20.22	-0.13	15	-0.03	15	0.01	15	-2.78	15	-0.22	15	0.00	15
6294	-323	-324	Min.	2.83	-0.13	15	-0.03	15	0.01	15	-2.10	15	0.20	15	0.00	15
6294	-323	-324	Min.	20.22	-0.13	15	-0.03	15	0.01	15	-2.78	15	-0.22	15	0.00	15
6295	-355	-356	Max	2.83	-0.13	15	-0.03	15	0.01	15	-2.24	15	0.20	15	0.00	15
6295	-355	-356	Max	19.59	-0.13	15	-0.03	15	0.01	15	-2.90	15	-0.23	15	0.00	15
6295	-355	-356	Min.	2.83	-0.13	15	-0.03	15	0.01	15	-2.24	15	0.20	15	0.00	15

6295	-355	-356	Min.	19.59	-0.13	15	-0.03	15	0.01	15	-2.90	15	-0.23	15	0.00	15
6296	-387	-388	Max	2.83	-0.06	15	-0.04	15	0.01	15	-2.39	15	0.21	15	0.00	15
6296	-387	-388	Max	18.97	-0.06	15	-0.04	15	0.01	15	-3.02	15	-0.23	15	0.00	15
6296	-387	-388	Min.	2.83	-0.06	15	-0.04	15	0.01	15	-2.39	15	0.21	15	0.00	15
6296	-387	-388	Min.	18.97	-0.06	15	-0.04	15	0.01	15	-3.02	15	-0.23	15	0.00	15
6297	-419	-420	Max	2.83	-0.72	15	-0.04	15	0.01	15	-2.54	15	0.21	15	0.00	15
6297	-419	-420	Max	18.34	-0.72	15	-0.04	15	0.01	15	-3.15	15	-0.23	15	0.00	15
6297	-419	-420	Min.	2.83	-0.72	15	-0.04	15	0.01	15	-2.54	15	0.21	15	0.00	15
6297	-419	-420	Min.	18.34	-0.72	15	-0.04	15	0.01	15	-3.15	15	-0.23	15	0.00	15
6298	-451	-452	Max	2.83	3.83	15	-0.04	15	0.01	15	-2.69	15	0.18	15	0.00	15
6298	-451	-452	Max	17.72	3.83	15	-0.04	15	0.01	15	-3.28	15	-0.26	15	0.00	15
6298	-451	-452	Min.	2.83	3.83	15	-0.04	15	0.01	15	-2.69	15	0.18	15	0.00	15
6298	-451	-452	Min.	17.72	3.83	15	-0.04	15	0.01	15	-3.28	15	-0.26	15	0.00	15
6299	-483	-484	Max	2.83	-23.84	15	-0.03	15	0.01	15	-2.36	15	0.38	15	0.00	15
6299	-483	-484	Max	17.09	-23.84	15	-0.03	15	0.01	15	-2.92	15	0.01	15	0.00	15
6299	-483	-484	Min.	2.83	-23.84	15	-0.03	15	0.01	15	-2.36	15	0.38	15	0.00	15
6299	-483	-484	Min.	17.09	-23.84	15	-0.03	15	0.01	15	-2.92	15	0.01	15	0.00	15
6303	-491	-492	Max	3.53	57.39	15	0.04	15	0.01	15	-2.74	15	-0.29	15	0.00	15
6303	-491	-492	Max	17.80	57.39	15	0.04	15	0.01	15	-3.30	15	-0.72	15	0.00	15
6303	-491	-492	Min.	3.53	57.39	15	0.04	15	0.01	15	-2.74	15	-0.29	15	0.00	15
6303	-491	-492	Min.	17.80	57.39	15	0.04	15	0.01	15	-3.30	15	-0.72	15	0.00	15
6304	-459	-460	Max	3.53	-9.85	15	0.04	15	0.01	15	-3.26	15	0.34	15	0.00	15
6304	-459	-460	Max	18.42	-9.85	15	0.04	15	0.01	15	-3.84	15	-0.18	15	0.00	15
6304	-459	-460	Min.	3.53	-9.85	15	0.04	15	0.01	15	-3.26	15	0.34	15	0.00	15
6304	-459	-460	Min.	18.42	-9.85	15	0.04	15	0.01	15	-3.84	15	-0.18	15	0.00	15
6305	-427	-428	Max	3.53	1.51	15	0.04	15	0.01	15	-3.05	15	0.25	15	0.00	15
6305	-427	-428	Max	19.05	1.51	15	0.04	15	0.01	15	-3.66	15	-0.27	15	0.00	15
6305	-427	-428	Min.	3.53	1.51	15	0.04	15	0.01	15	-3.05	15	0.25	15	0.00	15
6305	-427	-428	Min.	19.05	1.51	15	0.04	15	0.01	15	-3.66	15	-0.27	15	0.00	15
6306	-395	-396	Max	3.53	-0.14	15	0.04	15	0.01	15	-2.89	15	0.26	15	0.00	15
6306	-395	-396	Max	19.67	-0.14	15	0.04	15	0.01	15	-3.52	15	-0.26	15	0.00	15
6306	-395	-396	Min.	3.53	-0.14	15	0.04	15	0.01	15	-2.89	15	0.26	15	0.00	15
6306	-395	-396	Min.	19.67	-0.14	15	0.04	15	0.01	15	-3.52	15	-0.26	15	0.00	15
6307	-363	-364	Max	3.53	0.05	15	0.04	15	0.01	15	-2.70	15	0.25	15	0.00	15
6307	-363	-364	Max	20.30	0.05	15	0.04	15	0.01	15	-3.36	15	-0.25	15	0.00	15
6307	-363	-364	Min.	3.53	0.05	15	0.04	15	0.01	15	-2.70	15	0.25	15	0.00	15
6307	-363	-364	Min.	20.30	0.05	15	0.04	15	0.01	15	-3.36	15	-0.25	15	0.00	15
6308	-331	-332	Max	3.53	0.05	15	0.04	15	0.01	15	-2.53	15	0.25	15	0.00	15
6308	-331	-332	Max	20.92	0.05	15	0.04	15	0.01	15	-3.22	15	-0.25	15	0.00	15
6308	-331	-332	Min.	3.53	0.05	15	0.04	15	0.01	15	-2.53	15	0.25	15	0.00	15
6308	-331	-332	Min.	20.92	0.05	15	0.04	15	0.01	15	-3.22	15	-0.25	15	0.00	15
6309	-299	-300	Max	3.53	0.04	15	0.04	15	0.01	15	-2.38	15	0.25	15	0.00	15
6309	-299	-300	Max	21.55	0.04	15	0.04	15	0.01	15	-3.09	15	-0.25	15	0.00	15
6309	-299	-300	Min.	3.53	0.04	15	0.04	15	0.01	15	-2.38	15	0.25	15	0.00	15
6309	-299	-300	Min.	21.55	0.04	15	0.04	15	0.01	15	-3.09	15	-0.25	15	0.00	15
6310	-267	-268	Max	3.53	0.03	15	0.03	15	0.01	15	-2.24	15	0.24	15	0.00	15
6310	-267	-268	Max	22.17	0.03	15	0.03	15	0.01	15	-2.97	15	-0.25	15	0.00	15
6310	-267	-268	Min.	3.53	0.03	15	0.03	15	0.01	15	-2.24	15	0.24	15	0.00	15
6310	-267	-268	Min.	22.17	0.03	15	0.03	15	0.01	15	-2.97	15	-0.25	15	0.00	15
6311	-235	-236	Max	3.53	0.03	15	0.03	15	0.01	15	-2.11	15	0.24	15	0.00	15
6311	-235	-236	Max	22.80	0.03	15	0.03	15	0.01	15	-2.86	15	-0.24	15	0.00	15
6311	-235	-236	Min.	3.53	0.03	15	0.03	15	0.01	15	-2.11	15	0.24	15	0.00	15
6311	-235	-236	Min.	22.80	0.03	15	0.03	15	0.01	15	-2.86	15	-0.24	15	0.00	15
6312	-203	-204	Max	3.53	0.02	15	0.03	15	0.01	15	-1.98	15	0.23	15	0.00	15
6312	-203	-204	Max	23.42	0.02	15	0.03	15	0.01	15	-2.76	15	-0.24	15	0.00	15
6312	-203	-204	Min.	3.53	0.02	15	0.03	15	0.01	15	-1.98	15	0.23	15	0.00	15
6312	-203	-204	Min.	23.42	0.02	15	0.03	15	0.01	15	-2.76	15	-0.24	15	0.00	15
6313	-171	-172	Max	3.53	0.04	15	0.03	15	0.01	15	-1.86	15	0.23	15	0.00	15
6313	-171	-172	Max	24.05	0.04	15	0.03	15	0.01	15	-2.66	15	-0.24	15	0.00	15

6313	-171	-172	Min.	3.53	0.04	15	0.03	15	0.01	15	-1.86	15	0.23	15	0.00	15
6313	-171	-172	Min.	24.05	0.04	15	0.03	15	0.01	15	-2.66	15	-0.24	15	0.00	15
6314	-139	-140	Max	3.53	0.01	15	0.03	15	0.01	15	-1.72	15	0.22	15	0.00	15
6314	-139	-140	Max	24.67	0.01	15	0.03	15	0.01	15	-2.55	15	-0.23	15	0.00	15
6314	-139	-140	Min.	3.53	0.01	15	0.03	15	0.01	15	-1.72	15	0.22	15	0.00	15
6314	-139	-140	Min.	24.67	0.01	15	0.03	15	0.01	15	-2.55	15	-0.23	15	0.00	15
6315	-107	-108	Max	3.53	0.12	15	0.02	15	0.01	15	-1.54	15	0.21	15	0.00	15
6315	-107	-108	Max	25.30	0.12	15	0.02	15	0.01	15	-2.39	15	-0.22	15	0.00	15
6315	-107	-108	Min.	3.53	0.12	15	0.02	15	0.01	15	-1.54	15	0.21	15	0.00	15
6315	-107	-108	Min.	25.30	0.12	15	0.02	15	0.01	15	-2.39	15	-0.22	15	0.00	15
6316	-75	-76	Max	3.53	-0.84	15	0.02	15	0.00	15	-1.07	15	0.15	15	0.00	15
6316	-75	-76	Max	25.92	-0.84	15	0.02	15	0.01	15	-1.95	15	-0.18	15	0.00	15
6316	-75	-76	Min.	3.53	-0.84	15	0.02	15	0.00	15	-1.07	15	0.15	15	0.00	15
6316	-75	-76	Min.	25.92	-0.84	15	0.02	15	0.01	15	-1.95	15	-0.18	15	0.00	15
6317	-43	-44	Max	3.53	9.10	15	0.00	15	0.01	15	-0.82	15	0.39	15	0.00	15
6317	-43	-44	Max	26.55	9.10	15	0.00	15	0.01	15	-2.63	15	-0.00	15	0.00	15
6317	-43	-44	Min.	3.53	9.10	15	0.00	15	0.01	15	-0.82	15	0.39	15	0.00	15
6317	-43	-44	Min.	26.55	9.10	15	0.00	15	0.01	15	-2.63	15	-0.00	15	0.00	15
6318	-11	-12	Max	3.53	37.14	15	-0.03	15	0.01	15	-0.13	15	0.25	15	0.00	15
6318	-11	-12	Max	26.86	37.14	15	-0.03	15	0.00	15	-1.96	15	0.01	15	0.00	15
6318	-11	-12	Min.	3.53	37.14	15	-0.03	15	0.01	15	-0.13	15	0.25	15	0.00	15
6318	-11	-12	Min.	26.86	37.14	15	-0.03	15	0.00	15	-1.96	15	0.01	15	0.00	15
6319	340	341	Max	1.77	-6.20	15	0.83	15	-0.36	15	0.09	15	0.01	15	-0.01	15
6319	340	341	Max	12.83					-0.31	15			0.02	15		
6319	340	341	Max	15.00	-6.20	15	-0.11	15	-0.31	15	0.09	15	0.02	15	-0.01	15
6319	340	341	Min.	1.77	-6.20	15	0.83	15	-0.36	15	0.09	15	0.01	15	-0.01	15
6319	340	341	Min.	12.83					-0.31	15			0.02	15		
6319	340	341	Min.	15.00	-6.20	15	-0.11	15	-0.31	15	0.09	15	0.02	15	-0.01	15
6319	341	342	Max	0.00	-6.20	15	-0.11	15	-0.31	15	0.09	15	0.02	15	-0.01	15
6319	341	342	Max	13.23	-6.20	15	-1.05	15	-0.39	15	0.09	15	0.03	15	-0.01	15
6319	341	342	Min.	0.00	-6.20	15	-0.11	15	-0.31	15	0.09	15	0.02	15	-0.01	15
6319	341	342	Min.	13.23	-6.20	15	-1.05	15	-0.39	15	0.09	15	0.03	15	-0.01	15
6327	352	353	Max	1.77	-6.18	15	0.10	15	0.00	15	0.81	15	-0.36	15	0.01	15
6327	352	353	Max	12.51					0.02	15			-0.31	15		
6327	352	353	Max	15.00	-6.18	15	0.10	15	0.02	15	-0.13	15	-0.31	15	0.01	15
6327	352	353	Min.	1.77	-6.18	15	0.10	15	0.00	15	0.81	15	-0.36	15	0.01	15
6327	352	353	Min.	12.51					0.02	15			-0.31	15		
6327	352	353	Min.	15.00	-6.18	15	0.10	15	0.02	15	-0.13	15	-0.31	15	0.01	15
6327	353	354	Max	0.00	-6.18	15	0.10	15	0.02	15	-0.13	15	-0.31	15	0.01	15
6327	353	354	Max	13.23	-6.18	15	0.10	15	0.03	15	-1.07	15	-0.39	15	0.01	15
6327	353	354	Min.	0.00	-6.18	15	0.10	15	0.02	15	-0.13	15	-0.31	15	0.01	15
6327	353	354	Min.	13.23	-6.18	15	0.10	15	0.03	15	-1.07	15	-0.39	15	0.01	15
6328	-19	-20	Max	2.83	37.15	15	0.02	15	-0.01	15	-0.13	15	0.25	15	0.00	15
6328	-19	-20	Max	26.15	37.15	15	0.02	15	-0.00	15	-1.96	15	0.01	15	0.00	15
6328	-19	-20	Min.	2.83	37.15	15	0.02	15	-0.01	15	-0.13	15	0.25	15	0.00	15
6328	-19	-20	Min.	26.15	37.15	15	0.02	15	-0.00	15	-1.96	15	0.01	15	0.00	15
6329	-51	-52	Max	2.83	9.06	15	-0.01	15	-0.01	15	-0.82	15	0.40	15	-0.00	15
6329	-51	-52	Max	25.84	9.06	15	-0.01	15	-0.01	15	-2.63	15	0.00	15	-0.00	15
6329	-51	-52	Min.	2.83	9.06	15	-0.01	15	-0.01	15	-0.82	15	0.40	15	-0.00	15
6329	-51	-52	Min.	25.84	9.06	15	-0.01	15	-0.01	15	-2.63	15	0.00	15	-0.00	15
6330	-83	-84	Max	2.83	-0.83	15	-0.02	15	-0.00	15	-1.12	15	0.16	15	0.00	15
6330	-83	-84	Max	25.22	-0.83	15	-0.02	15	-0.01	15	-2.00	15	-0.19	15	0.00	15
6330	-83	-84	Min.	2.83	-0.83	15	-0.02	15	-0.00	15	-1.12	15	0.16	15	0.00	15
6330	-83	-84	Min.	25.22	-0.83	15	-0.02	15	-0.01	15	-2.00	15	-0.19	15	0.00	15
6331	-115	-116	Max	2.83	0.13	15	-0.03	15	-0.01	15	-1.60	15	0.22	15	0.00	15
6331	-115	-116	Max	24.59	0.13	15	-0.03	15	-0.01	15	-2.45	15	-0.23	15	0.00	15
6331	-115	-116	Min.	2.83	0.13	15	-0.03	15	-0.01	15	-1.60	15	0.22	15	0.00	15
6331	-115	-116	Min.	24.59	0.13	15	-0.03	15	-0.01	15	-2.45	15	-0.23	15	0.00	15
6332	-147	-148	Max	2.83	0.01	15	-0.03	15	-0.01	15	-1.79	15	0.23	15	0.00	15

6332	-147	-148	Max	23.97	0.01	15	-0.03	15	-0.01	15	-2.62	15	-0.24	15	0.00	15
6332	-147	-148	Min.	2.83	0.01	15	-0.03	15	-0.01	15	-1.79	15	0.23	15	0.00	15
6332	-147	-148	Min.	23.97	0.01	15	-0.03	15	-0.01	15	-2.62	15	-0.24	15	0.00	15
6333	-179	-180	Max	2.83	0.04	15	-0.03	15	-0.01	15	-1.93	15	0.24	15	0.00	15
6333	-179	-180	Max	23.34	0.04	15	-0.03	15	-0.01	15	-2.74	15	-0.24	15	0.00	15
6333	-179	-180	Min.	2.83	0.04	15	-0.03	15	-0.01	15	-1.93	15	0.24	15	0.00	15
6333	-179	-180	Min.	23.34	0.04	15	-0.03	15	-0.01	15	-2.74	15	-0.24	15	0.00	15
6334	-211	-212	Max	2.83	0.02	15	-0.03	15	-0.01	15	-2.06	15	0.24	15	0.00	15
6334	-211	-212	Max	22.72	0.02	15	-0.03	15	-0.01	15	-2.84	15	-0.24	15	0.00	15
6334	-211	-212	Min.	2.83	0.02	15	-0.03	15	-0.01	15	-2.06	15	0.24	15	0.00	15
6334	-211	-212	Min.	22.72	0.02	15	-0.03	15	-0.01	15	-2.84	15	-0.24	15	0.00	15
6335	-243	-244	Max	2.83	0.03	15	-0.04	15	-0.01	15	-2.19	15	0.25	15	0.00	15
6335	-243	-244	Max	22.09	0.03	15	-0.04	15	-0.01	15	-2.95	15	-0.25	15	0.00	15
6335	-243	-244	Min.	2.83	0.03	15	-0.04	15	-0.01	15	-2.19	15	0.25	15	0.00	15
6335	-243	-244	Min.	22.09	0.03	15	-0.04	15	-0.01	15	-2.95	15	-0.25	15	0.00	15
6336	-275	-276	Max	2.83	0.04	15	-0.04	15	-0.01	15	-2.33	15	0.25	15	0.00	15
6336	-275	-276	Max	21.47	0.04	15	-0.04	15	-0.01	15	-3.06	15	-0.25	15	0.00	15
6336	-275	-276	Min.	2.83	0.04	15	-0.04	15	-0.01	15	-2.33	15	0.25	15	0.00	15
6336	-275	-276	Min.	21.47	0.04	15	-0.04	15	-0.01	15	-3.06	15	-0.25	15	0.00	15
6337	-307	-308	Max	2.83	0.04	15	-0.04	15	-0.01	15	-2.48	15	0.26	15	0.00	15
6337	-307	-308	Max	20.84	0.04	15	-0.04	15	-0.01	15	-3.18	15	-0.25	15	0.00	15
6337	-307	-308	Min.	2.83	0.04	15	-0.04	15	-0.01	15	-2.48	15	0.26	15	0.00	15
6337	-307	-308	Min.	20.84	0.04	15	-0.04	15	-0.01	15	-3.18	15	-0.25	15	0.00	15
6338	-339	-340	Max	2.83	0.05	15	-0.04	15	-0.01	15	-2.63	15	0.26	15	0.00	15
6338	-339	-340	Max	20.22	0.05	15	-0.04	15	-0.01	15	-3.32	15	-0.25	15	0.00	15
6338	-339	-340	Min.	2.83	0.05	15	-0.04	15	-0.01	15	-2.63	15	0.26	15	0.00	15
6338	-339	-340	Min.	20.22	0.05	15	-0.04	15	-0.01	15	-3.32	15	-0.25	15	0.00	15
6339	-371	-372	Max	2.83	0.05	15	-0.04	15	-0.01	15	-2.81	15	0.27	15	0.00	15
6339	-371	-372	Max	19.59	0.05	15	-0.04	15	-0.01	15	-3.47	15	-0.26	15	0.00	15
6339	-371	-372	Min.	2.83	0.05	15	-0.04	15	-0.01	15	-2.81	15	0.27	15	0.00	15
6339	-371	-372	Min.	19.59	0.05	15	-0.04	15	-0.01	15	-3.47	15	-0.26	15	0.00	15
6340	-403	-404	Max	2.83	-0.14	15	-0.05	15	-0.01	15	-3.00	15	0.28	15	0.00	15
6340	-403	-404	Max	18.97	-0.14	15	-0.05	15	-0.01	15	-3.63	15	-0.26	15	0.00	15
6340	-403	-404	Min.	2.83	-0.14	15	-0.05	15	-0.01	15	-3.00	15	0.28	15	0.00	15
6340	-403	-404	Min.	18.97	-0.14	15	-0.05	15	-0.01	15	-3.63	15	-0.26	15	0.00	15
6341	-435	-436	Max	2.83	1.52	15	-0.05	15	-0.01	15	-3.18	15	0.27	15	0.00	15
6341	-435	-436	Max	18.34	1.52	15	-0.05	15	-0.01	15	-3.79	15	-0.27	15	0.00	15
6341	-435	-436	Min.	2.83	1.52	15	-0.05	15	-0.01	15	-3.18	15	0.27	15	0.00	15
6341	-435	-436	Min.	18.34	1.52	15	-0.05	15	-0.01	15	-3.79	15	-0.27	15	0.00	15
6342	-467	-468	Max	2.83	-9.84	15	-0.05	15	-0.01	15	-3.22	15	0.35	15	0.00	15
6342	-467	-468	Max	17.72	-9.84	15	-0.05	15	-0.01	15	-3.81	15	-0.18	15	0.00	15
6342	-467	-468	Min.	2.83	-9.84	15	-0.05	15	-0.01	15	-3.22	15	0.35	15	0.00	15
6342	-467	-468	Min.	17.72	-9.84	15	-0.05	15	-0.01	15	-3.81	15	-0.18	15	0.00	15
6343	-499	-500	Max	2.83	57.32	15	-0.05	15	-0.00	15	-3.20	15	-0.25	15	-0.00	15
6343	-499	-500	Max	17.09	57.32	15	-0.05	15	-0.01	15	-3.76	15	-0.74	15	-0.00	15
6343	-499	-500	Min.	2.83	57.32	15	-0.05	15	-0.00	15	-3.20	15	-0.25	15	-0.00	15
6343	-499	-500	Min.	17.09	57.32	15	-0.05	15	-0.01	15	-3.76	15	-0.74	15	-0.00	15
6347	-507	-508	Max	3.53	-23.83	15	0.03	15	-0.01	15	-2.43	15	0.38	15	0.00	15
6347	-507	-508	Max	17.80	-23.83	15	0.03	15	-0.01	15	-2.99	15	-0.00	15	0.00	15
6347	-507	-508	Min.	3.53	-23.83	15	0.03	15	-0.01	15	-2.43	15	0.38	15	0.00	15
6347	-507	-508	Min.	17.80	-23.83	15	0.03	15	-0.01	15	-2.99	15	-0.00	15	0.00	15
6348	-475	-476	Max	3.53	3.83	15	0.04	15	-0.01	15	-2.57	15	0.17	15	0.00	15
6348	-475	-476	Max	18.42	3.83	15	0.04	15	-0.01	15	-3.15	15	-0.26	15	0.00	15
6348	-475	-476	Min.	3.53	3.83	15	0.04	15	-0.01	15	-2.57	15	0.17	15	0.00	15
6348	-475	-476	Min.	18.42	3.83	15	0.04	15	-0.01	15	-3.15	15	-0.26	15	0.00	15
6349	-443	-444	Max	3.53	-0.72	15	0.04	15	-0.01	15	-2.49	15	0.21	15	0.00	15
6349	-443	-444	Max	19.05	-0.72	15	0.04	15	-0.01	15	-3.10	15	-0.23	15	0.00	15
6349	-443	-444	Min.	3.53	-0.72	15	0.04	15	-0.01	15	-2.49	15	0.21	15	0.00	15
6349	-443	-444	Min.	19.05	-0.72	15	0.04	15	-0.01	15	-3.10	15	-0.23	15	0.00	15

6350	-411	-412	Max	3.53	-0.06	15	0.04	15	-0.01	15	-2.34	15	0.20	15	0.00	15
6350	-411	-412	Max	19.67	-0.06	15	0.04	15	-0.01	15	-2.97	15	-0.23	15	0.00	15
6350	-411	-412	Min.	3.53	-0.06	15	0.04	15	-0.01	15	-2.34	15	0.20	15	0.00	15
6350	-411	-412	Min.	19.67	-0.06	15	0.04	15	-0.01	15	-2.97	15	-0.23	15	0.00	15
6351	-379	-380	Max	3.53	-0.14	15	0.03	15	-0.01	15	-2.19	15	0.20	15	0.00	15
6351	-379	-380	Max	20.30	-0.14	15	0.03	15	-0.01	15	-2.85	15	-0.23	15	0.00	15
6351	-379	-380	Min.	3.53	-0.14	15	0.03	15	-0.01	15	-2.19	15	0.20	15	0.00	15
6351	-379	-380	Min.	20.30	-0.14	15	0.03	15	-0.01	15	-2.85	15	-0.23	15	0.00	15
6352	-347	-348	Max	3.53	-0.13	15	0.03	15	-0.01	15	-2.06	15	0.19	15	0.00	15
6352	-347	-348	Max	20.92	-0.13	15	0.03	15	-0.01	15	-2.74	15	-0.22	15	0.00	15
6352	-347	-348	Min.	3.53	-0.13	15	0.03	15	-0.01	15	-2.06	15	0.19	15	0.00	15
6352	-347	-348	Min.	20.92	-0.13	15	0.03	15	-0.01	15	-2.74	15	-0.22	15	0.00	15
6353	-315	-316	Max	3.53	-0.13	15	0.03	15	-0.01	15	-1.93	15	0.19	15	0.00	15
6353	-315	-316	Max	21.55	-0.13	15	0.03	15	-0.01	15	-2.63	15	-0.22	15	0.00	15
6353	-315	-316	Min.	3.53	-0.13	15	0.03	15	-0.01	15	-1.93	15	0.19	15	0.00	15
6353	-315	-316	Min.	21.55	-0.13	15	0.03	15	-0.01	15	-2.63	15	-0.22	15	0.00	15
6354	-283	-284	Max	3.53	-0.13	15	0.03	15	-0.01	15	-1.80	15	0.19	15	0.00	15
6354	-283	-284	Max	22.17	-0.13	15	0.03	15	-0.01	15	-2.54	15	-0.22	15	0.00	15
6354	-283	-284	Min.	3.53	-0.13	15	0.03	15	-0.01	15	-1.80	15	0.19	15	0.00	15
6354	-283	-284	Min.	22.17	-0.13	15	0.03	15	-0.01	15	-2.54	15	-0.22	15	0.00	15
6355	-251	-252	Max	3.53	-0.12	15	0.03	15	-0.01	15	-1.69	15	0.18	15	0.00	15
6355	-251	-252	Max	22.80	-0.12	15	0.03	15	-0.01	15	-2.45	15	-0.21	15	0.00	15
6355	-251	-252	Min.	3.53	-0.12	15	0.03	15	-0.01	15	-1.69	15	0.18	15	0.00	15
6355	-251	-252	Min.	22.80	-0.12	15	0.03	15	-0.01	15	-2.45	15	-0.21	15	0.00	15
6356	-219	-220	Max	3.53	-0.12	15	0.03	15	-0.01	15	-1.58	15	0.18	15	0.00	15
6356	-219	-220	Max	23.42	-0.12	15	0.03	15	-0.01	15	-2.36	15	-0.21	15	0.00	15
6356	-219	-220	Min.	3.53	-0.12	15	0.03	15	-0.01	15	-1.58	15	0.18	15	0.00	15
6356	-219	-220	Min.	23.42	-0.12	15	0.03	15	-0.01	15	-2.36	15	-0.21	15	0.00	15
6357	-187	-188	Max	3.53	-0.11	15	0.02	15	-0.01	15	-1.48	15	0.18	15	0.00	15
6357	-187	-188	Max	24.05	-0.11	15	0.02	15	-0.01	15	-2.28	15	-0.21	15	0.00	15
6357	-187	-188	Min.	3.53	-0.11	15	0.02	15	-0.01	15	-1.48	15	0.18	15	0.00	15
6357	-187	-188	Min.	24.05	-0.11	15	0.02	15	-0.01	15	-2.28	15	-0.21	15	0.00	15
6358	-155	-156	Max	3.53	-0.13	15	0.02	15	-0.01	15	-1.37	15	0.17	15	0.00	15
6358	-155	-156	Max	24.67	-0.13	15	0.02	15	-0.01	15	-2.20	15	-0.20	15	0.00	15
6358	-155	-156	Min.	3.53	-0.13	15	0.02	15	-0.01	15	-1.37	15	0.17	15	0.00	15
6358	-155	-156	Min.	24.67	-0.13	15	0.02	15	-0.01	15	-2.20	15	-0.20	15	0.00	15
6359	-123	-124	Max	3.53	-0.03	15	0.02	15	-0.01	15	-1.21	15	0.16	15	0.00	15
6359	-123	-124	Max	25.30	-0.03	15	0.02	15	-0.01	15	-2.06	15	-0.19	15	0.00	15
6359	-123	-124	Min.	3.53	-0.03	15	0.02	15	-0.01	15	-1.21	15	0.16	15	0.00	15
6359	-123	-124	Min.	25.30	-0.03	15	0.02	15	-0.01	15	-2.06	15	-0.19	15	0.00	15
6360	-91	-92	Max	3.53	-0.98	15	0.01	15	-0.01	15	-0.81	15	0.12	15	0.00	15
6360	-91	-92	Max	25.92	-0.98	15	0.01	15	-0.00	15	-1.69	15	-0.16	15	0.00	15
6360	-91	-92	Min.	3.53	-0.98	15	0.01	15	-0.01	15	-0.81	15	0.12	15	0.00	15
6360	-91	-92	Min.	25.92	-0.98	15	0.01	15	-0.00	15	-1.69	15	-0.16	15	0.00	15
6361	-59	-60	Max	3.53	9.47	15	0.00	15	-0.01	15	-0.52	15	0.34	15	0.00	15
6361	-59	-60	Max	26.55	9.47	15	0.00	15	-0.01	15	-2.33	15	0.02	15	0.00	15
6361	-59	-60	Min.	3.53	9.47	15	0.00	15	-0.01	15	-0.52	15	0.34	15	0.00	15
6361	-59	-60	Min.	26.55	9.47	15	0.00	15	-0.01	15	-2.33	15	0.02	15	0.00	15
6362	-27	-28	Max	3.53	36.79	15	-0.03	15	0.00	15	0.09	15	0.19	15	0.00	15
6362	-27	-28	Max	4.71									0.19	15		
6362	-27	-28	Max	26.86	36.79	15	-0.03	15	-0.01	15	-1.74	15	-0.00	15	0.00	15
6362	-27	-28	Min.	3.53	36.79	15	-0.03	15	0.00	15	0.09	15	0.19	15	0.00	15
6362	-27	-28	Min.	4.71									0.19	15		
6362	-27	-28	Min.	26.86	36.79	15	-0.03	15	-0.01	15	-1.74	15	-0.00	15	0.00	15
6363	376	377	Max	1.77	-12.94	15	0.89	15	-0.39	15	0.08	15	-0.00	15	-0.01	15
6363	376	377	Max	13.68					-0.34	15			0.01	15		
6363	376	377	Max	15.00	-12.94	15	-0.05	15	-0.34	15	0.08	15	0.01	15	-0.01	15
6363	376	377	Min.	1.77	-12.94	15	0.89	15	-0.39	15	0.08	15	-0.00	15	-0.01	15
6363	376	377	Min.	13.68					-0.34	15			0.01	15		

6363	376	377	Min.	15.00	-12.94	15	-0.05	15	-0.34	15	0.08	15	0.01	15	-0.01	15
6363	377	378	Max	0.00	-12.94	15	-0.05	15	-0.34	15	0.08	15	0.01	15	-0.01	15
6363	377	378	Max	13.23	-12.94	15	-0.99	15	-0.40	15	0.08	15	0.02	15	-0.01	15
6363	377	378	Min.	0.00	-12.94	15	-0.05	15	-0.34	15	0.08	15	0.01	15	-0.01	15
6363	377	378	Min.	13.23	-12.94	15	-0.99	15	-0.40	15	0.08	15	0.02	15	-0.01	15
6364	-539	-540	Max	0.00	0.06	15	1.00	15	-0.06	15	-1.00	15	0.05	15	0.06	15
6364	-539	-540	Max	12.00	0.06	15	1.00	15	0.06	15	0.60	15	0.03	15	0.06	15
6364	-539	-540	Min.	0.00	0.06	15	1.00	15	-0.06	15	-1.00	15	0.05	15	0.06	15
6364	-539	-540	Min.	12.00	0.06	15	1.00	15	0.06	15	0.60	15	0.03	15	0.06	15
6365	-523	-524	Max	0.00	-0.07	15	1.20	15	-0.07	15	-0.84	15	0.03	15	0.09	15
6365	-523	-524	Max	12.00	-0.07	15	1.20	15	0.07	15	0.76	15	0.02	15	0.09	15
6365	-523	-524	Min.	0.00	-0.07	15	1.20	15	-0.07	15	-0.84	15	0.03	15	0.09	15
6365	-523	-524	Min.	12.00	-0.07	15	1.20	15	0.07	15	0.76	15	0.02	15	0.09	15
6367	349	361	Max	1.77	-1.51	15	-3.87	15	-0.23	15	2.92	15	-0.10	15	-0.10	15
6367	349	361	Max	15.00	-1.51	15	-4.81	15	-0.80	15	2.92	15	0.28	15	-0.10	15
6367	349	361	Min.	1.77	-1.51	15	-3.87	15	-0.23	15	2.92	15	-0.10	15	-0.10	15
6367	349	361	Min.	15.00	-1.51	15	-4.81	15	-0.80	15	2.92	15	0.28	15	-0.10	15
6367	361	373	Max	0.00	8.29	15	-16.55	15	1.40	15	-2.69	15	0.26	15	0.10	15
6367	361	373	Max	13.23	8.29	15	-17.49	15	-0.86	15	-2.69	15	-0.09	15	0.10	15
6367	361	373	Min.	0.00	8.29	15	-16.55	15	1.40	15	-2.69	15	0.26	15	0.10	15
6367	361	373	Min.	13.23	8.29	15	-17.49	15	-0.86	15	-2.69	15	-0.09	15	0.10	15
6368	-17	-25	Max	3.53	16.45	15	0.05	15	-0.01	15	-4.28	15	0.66	15	0.00	15
6368	-17	-25	Max	26.86	16.45	15	0.05	15	0.01	15	-6.11	15	-0.55	15	0.00	15
6368	-17	-25	Min.	3.53	16.45	15	0.05	15	-0.01	15	-4.28	15	0.66	15	0.00	15
6368	-17	-25	Min.	26.86	16.45	15	0.05	15	0.01	15	-6.11	15	-0.55	15	0.00	15
6369	-49	-57	Max	3.53	3.09	15	0.08	15	-0.01	15	-8.46	15	1.14	15	0.00	15
6369	-49	-57	Max	26.55	3.09	15	0.08	15	0.01	15	-10.26	15	-1.02	15	0.00	15
6369	-49	-57	Min.	3.53	3.09	15	0.08	15	-0.01	15	-8.46	15	1.14	15	0.00	15
6369	-49	-57	Min.	26.55	3.09	15	0.08	15	0.01	15	-10.26	15	-1.02	15	0.00	15
6370	-81	-89	Max	3.53	-0.52	15	0.10	15	-0.01	15	-7.99	15	0.92	15	0.00	15
6370	-81	-89	Max	25.92	-0.52	15	0.10	15	0.01	15	-8.87	15	-0.97	15	0.00	15
6370	-81	-89	Min.	3.53	-0.52	15	0.10	15	-0.01	15	-7.99	15	0.92	15	0.00	15
6370	-81	-89	Min.	25.92	-0.52	15	0.10	15	0.01	15	-8.87	15	-0.97	15	0.00	15
6371	-113	-121	Max	3.53	-0.00	15	0.14	15	-0.01	15	-10.55	15	1.17	15	0.00	15
6371	-113	-121	Max	25.30	-0.00	15	0.14	15	0.02	15	-11.41	15	-1.22	15	0.00	15
6371	-113	-121	Min.	3.53	-0.00	15	0.14	15	-0.01	15	-10.55	15	1.17	15	0.00	15
6371	-113	-121	Min.	25.30	-0.00	15	0.14	15	0.02	15	-11.41	15	-1.22	15	0.00	15
6372	-145	-153	Max	3.53	-0.05	15	0.15	15	-0.01	15	-11.56	15	1.24	15	0.00	15
6372	-145	-153	Max	24.67	-0.05	15	0.15	15	0.02	15	-12.39	15	-1.29	15	0.00	15
6372	-145	-153	Min.	3.53	-0.05	15	0.15	15	-0.01	15	-11.56	15	1.24	15	0.00	15
6372	-145	-153	Min.	24.67	-0.05	15	0.15	15	0.02	15	-12.39	15	-1.29	15	0.00	15
6373	-177	-185	Max	3.53	-0.05	15	0.16	15	-0.02	15	-12.23	15	1.27	15	0.00	15
6373	-177	-185	Max	24.05	-0.05	15	0.16	15	0.02	15	-13.04	15	-1.32	15	0.00	15
6373	-177	-185	Min.	3.53	-0.05	15	0.16	15	-0.02	15	-12.23	15	1.27	15	0.00	15
6373	-177	-185	Min.	24.05	-0.05	15	0.16	15	0.02	15	-13.04	15	-1.32	15	0.00	15
6374	-209	-217	Max	3.53	-0.04	15	0.17	15	-0.02	15	-12.86	15	1.30	15	-0.00	15
6374	-209	-217	Max	23.42	-0.04	15	0.17	15	0.02	15	-13.64	15	-1.34	15	-0.00	15
6374	-209	-217	Min.	3.53	-0.04	15	0.17	15	-0.02	15	-12.86	15	1.30	15	-0.00	15
6374	-209	-217	Min.	23.42	-0.04	15	0.17	15	0.02	15	-13.64	15	-1.34	15	-0.00	15
6375	-241	-249	Max	3.53	-0.04	15	0.18	15	-0.02	15	-13.52	15	1.32	15	-0.00	15
6375	-241	-249	Max	22.80	-0.04	15	0.18	15	0.02	15	-14.27	15	-1.36	15	-0.00	15
6375	-241	-249	Min.	3.53	-0.04	15	0.18	15	-0.02	15	-13.52	15	1.32	15	-0.00	15
6375	-241	-249	Min.	22.80	-0.04	15	0.18	15	0.02	15	-14.27	15	-1.36	15	-0.00	15
6376	-273	-281	Max	3.53	-0.04	15	0.19	15	-0.02	15	-14.21	15	1.34	15	-0.00	15
6376	-273	-281	Max	22.17	-0.04	15	0.19	15	0.02	15	-14.95	15	-1.38	15	-0.00	15
6376	-273	-281	Min.	3.53	-0.04	15	0.19	15	-0.02	15	-14.21	15	1.34	15	-0.00	15
6376	-273	-281	Min.	22.17	-0.04	15	0.19	15	0.02	15	-14.95	15	-1.38	15	-0.00	15
6377	-305	-313	Max	3.53	-0.04	15	0.20	15	-0.02	15	-14.96	15	1.36	15	-0.00	15
6377	-305	-313	Max	21.55	-0.04	15	0.20	15	0.02	15	-15.66	15	-1.40	15	-0.00	15

6377	-305	-313	Min.	3.53	-0.04	15	0.20	15	-0.02	15	-14.96	15	1.36	15	-0.00	15
6377	-305	-313	Min.	21.55	-0.04	15	0.20	15	0.02	15	-15.66	15	-1.40	15	-0.00	15
6378	-337	-345	Max	3.53	-0.04	15	0.21	15	-0.02	15	-15.75	15	1.38	15	-0.00	15
6378	-337	-345	Max	20.92	-0.04	15	0.21	15	0.02	15	-16.44	15	-1.42	15	-0.00	15
6378	-337	-345	Min.	3.53	-0.04	15	0.21	15	-0.02	15	-15.75	15	1.38	15	-0.00	15
6378	-337	-345	Min.	20.92	-0.04	15	0.21	15	0.02	15	-16.44	15	-1.42	15	-0.00	15
6379	-369	-377	Max	3.53	-0.04	15	0.22	15	-0.02	15	-16.61	15	1.40	15	-0.00	15
6379	-369	-377	Max	20.30	-0.04	15	0.22	15	0.02	15	-17.27	15	-1.44	15	-0.00	15
6379	-369	-377	Min.	3.53	-0.04	15	0.22	15	-0.02	15	-16.61	15	1.40	15	-0.00	15
6379	-369	-377	Min.	20.30	-0.04	15	0.22	15	0.02	15	-17.27	15	-1.44	15	-0.00	15
6380	-401	-409	Max	3.53	-0.05	15	0.24	15	-0.02	15	-17.54	15	1.42	15	-0.00	15
6380	-401	-409	Max	19.67	-0.05	15	0.24	15	0.02	15	-18.17	15	-1.46	15	-0.00	15
6380	-401	-409	Min.	3.53	-0.05	15	0.24	15	-0.02	15	-17.54	15	1.42	15	-0.00	15
6380	-401	-409	Min.	19.67	-0.05	15	0.24	15	0.02	15	-18.17	15	-1.46	15	-0.00	15
6381	-433	-441	Max	3.53	0.10	15	0.25	15	-0.02	15	-18.49	15	1.44	15	-0.00	15
6381	-433	-441	Max	19.05	0.10	15	0.25	15	0.02	15	-19.10	15	-1.48	15	-0.00	15
6381	-433	-441	Min.	3.53	0.10	15	0.25	15	-0.02	15	-18.49	15	1.44	15	-0.00	15
6381	-433	-441	Min.	19.05	0.10	15	0.25	15	0.02	15	-19.10	15	-1.48	15	-0.00	15
6382	-465	-473	Max	3.53	-1.02	15	0.24	15	-0.02	15	-19.29	15	1.44	15	-0.00	15
6382	-465	-473	Max	18.42	-1.02	15	0.24	15	0.02	15	-19.88	15	-1.47	15	-0.00	15
6382	-465	-473	Min.	3.53	-1.02	15	0.24	15	-0.02	15	-19.29	15	1.44	15	-0.00	15
6382	-465	-473	Min.	18.42	-1.02	15	0.24	15	0.02	15	-19.88	15	-1.47	15	-0.00	15
6383	-497	-505	Max	3.53	5.72	15	0.29	15	-0.02	15	-18.52	15	1.27	15	0.01	15
6383	-497	-505	Max	17.80	5.72	15	0.29	15	0.02	15	-19.08	15	-1.41	15	0.01	15
6383	-497	-505	Min.	3.53	5.72	15	0.29	15	-0.02	15	-18.52	15	1.27	15	0.01	15
6383	-497	-505	Min.	17.80	5.72	15	0.29	15	0.02	15	-19.08	15	-1.41	15	0.01	15
6388	-498	-506	Max	2.83	12.14	15	-0.32	15	0.02	15	-19.84	15	1.34	15	-0.01	15
6388	-498	-506	Max	17.09	12.14	15	-0.32	15	-0.02	15	-20.40	15	-1.53	15	-0.01	15
6388	-498	-506	Min.	2.83	12.14	15	-0.32	15	0.02	15	-19.84	15	1.34	15	-0.01	15
6388	-498	-506	Min.	17.09	12.14	15	-0.32	15	-0.02	15	-20.40	15	-1.53	15	-0.01	15
6389	-466	-474	Max	2.83	-2.20	15	-0.26	15	0.02	15	-20.64	15	1.59	15	0.00	15
6389	-466	-474	Max	17.72	-2.20	15	-0.26	15	-0.02	15	-21.22	15	-1.53	15	0.00	15
6389	-466	-474	Min.	2.83	-2.20	15	-0.26	15	0.02	15	-20.64	15	1.59	15	0.00	15
6389	-466	-474	Min.	17.72	-2.20	15	-0.26	15	-0.02	15	-21.22	15	-1.53	15	0.00	15
6390	-434	-442	Max	2.83	0.27	15	-0.27	15	0.02	15	-19.81	15	1.57	15	0.00	15
6390	-434	-442	Max	18.34	0.27	15	-0.27	15	-0.02	15	-20.42	15	-1.55	15	0.00	15
6390	-434	-442	Min.	2.83	0.27	15	-0.27	15	0.02	15	-19.81	15	1.57	15	0.00	15
6390	-434	-442	Min.	18.34	0.27	15	-0.27	15	-0.02	15	-20.42	15	-1.55	15	0.00	15
6391	-402	-410	Max	2.83	-0.08	15	-0.26	15	0.02	15	-18.78	15	1.55	15	0.00	15
6391	-402	-410	Max	18.97	-0.08	15	-0.26	15	-0.02	15	-19.42	15	-1.53	15	0.00	15
6391	-402	-410	Min.	2.83	-0.08	15	-0.26	15	0.02	15	-18.78	15	1.55	15	0.00	15
6391	-402	-410	Min.	18.97	-0.08	15	-0.26	15	-0.02	15	-19.42	15	-1.53	15	0.00	15
6392	-370	-378	Max	2.83	-0.05	15	-0.24	15	0.02	15	-17.80	15	1.53	15	0.00	15
6392	-370	-378	Max	19.59	-0.05	15	-0.24	15	-0.02	15	-18.45	15	-1.51	15	0.00	15
6392	-370	-378	Min.	2.83	-0.05	15	-0.24	15	0.02	15	-17.80	15	1.53	15	0.00	15
6392	-370	-378	Min.	19.59	-0.05	15	-0.24	15	-0.02	15	-18.45	15	-1.51	15	0.00	15
6393	-338	-346	Max	2.83	-0.04	15	-0.23	15	0.02	15	-16.87	15	1.51	15	0.00	15
6393	-338	-346	Max	20.22	-0.04	15	-0.23	15	-0.02	15	-17.56	15	-1.49	15	0.00	15
6393	-338	-346	Min.	2.83	-0.04	15	-0.23	15	0.02	15	-16.87	15	1.51	15	0.00	15
6393	-338	-346	Min.	20.22	-0.04	15	-0.23	15	-0.02	15	-17.56	15	-1.49	15	0.00	15
6394	-306	-314	Max	2.83	-0.05	15	-0.22	15	0.02	15	-16.02	15	1.48	15	0.00	15
6394	-306	-314	Max	20.84	-0.05	15	-0.22	15	-0.02	15	-16.73	15	-1.47	15	0.00	15
6394	-306	-314	Min.	2.83	-0.05	15	-0.22	15	0.02	15	-16.02	15	1.48	15	0.00	15
6394	-306	-314	Min.	20.84	-0.05	15	-0.22	15	-0.02	15	-16.73	15	-1.47	15	0.00	15
6395	-274	-282	Max	2.83	-0.05	15	-0.21	15	0.02	15	-15.22	15	1.46	15	0.00	15
6395	-274	-282	Max	21.47	-0.05	15	-0.21	15	-0.02	15	-15.95	15	-1.45	15	0.00	15
6395	-274	-282	Min.	2.83	-0.05	15	-0.21	15	0.02	15	-15.22	15	1.46	15	0.00	15
6395	-274	-282	Min.	21.47	-0.05	15	-0.21	15	-0.02	15	-15.95	15	-1.45	15	0.00	15
6396	-242	-250	Max	2.83	-0.04	15	-0.20	15	0.02	15	-14.47	15	1.44	15	0.00	15

6396	-242	-250	Max	22.09	-0.04	15	-0.20	15	-0.02	15	-15.23	15	-1.43	15	0.00	15
6396	-242	-250	Min.	2.83	-0.04	15	-0.20	15	0.02	15	-14.47	15	1.44	15	0.00	15
6396	-242	-250	Min.	22.09	-0.04	15	-0.20	15	-0.02	15	-15.23	15	-1.43	15	0.00	15
6397	-210	-218	Max	2.83	-0.05	15	-0.19	15	0.02	15	-13.77	15	1.41	15	0.00	15
6397	-210	-218	Max	22.72	-0.05	15	-0.19	15	-0.02	15	-14.55	15	-1.40	15	0.00	15
6397	-210	-218	Min.	2.83	-0.05	15	-0.19	15	0.02	15	-13.77	15	1.41	15	0.00	15
6397	-210	-218	Min.	22.72	-0.05	15	-0.19	15	-0.02	15	-14.55	15	-1.40	15	0.00	15
6398	-178	-186	Max	2.83	-0.05	15	-0.18	15	0.02	15	-13.10	15	1.39	15	0.00	15
6398	-178	-186	Max	23.34	-0.05	15	-0.18	15	-0.02	15	-13.90	15	-1.38	15	0.00	15
6398	-178	-186	Min.	2.83	-0.05	15	-0.18	15	0.02	15	-13.10	15	1.39	15	0.00	15
6398	-178	-186	Min.	23.34	-0.05	15	-0.18	15	-0.02	15	-13.90	15	-1.38	15	0.00	15
6399	-146	-154	Max	2.83	-0.05	15	-0.17	15	0.02	15	-12.38	15	1.35	15	0.00	15
6399	-146	-154	Max	23.97	-0.05	15	-0.17	15	-0.02	15	-13.21	15	-1.35	15	0.00	15
6399	-146	-154	Min.	2.83	-0.05	15	-0.17	15	0.02	15	-12.38	15	1.35	15	0.00	15
6399	-146	-154	Min.	23.97	-0.05	15	-0.17	15	-0.02	15	-13.21	15	-1.35	15	0.00	15
6400	-114	-122	Max	2.83	0.10	15	-0.15	15	0.02	15	-11.31	15	1.28	15	0.00	15
6400	-114	-122	Max	24.59	0.10	15	-0.15	15	-0.01	15	-12.16	15	-1.28	15	0.00	15
6400	-114	-122	Min.	2.83	0.10	15	-0.15	15	0.02	15	-11.31	15	1.28	15	0.00	15
6400	-114	-122	Min.	24.59	0.10	15	-0.15	15	-0.01	15	-12.16	15	-1.28	15	0.00	15
6401	-82	-90	Max	2.83	-2.04	15	-0.10	15	0.01	15	-8.58	15	1.00	15	0.00	15
6401	-82	-90	Max	25.22	-2.04	15	-0.10	15	-0.01	15	-9.46	15	-1.02	15	0.00	15
6401	-82	-90	Min.	2.83	-2.04	15	-0.10	15	0.01	15	-8.58	15	1.00	15	0.00	15
6401	-82	-90	Min.	25.22	-2.04	15	-0.10	15	-0.01	15	-9.46	15	-1.02	15	0.00	15
6402	-50	-58	Max	2.83	36.36	15	-0.09	15	0.01	15	-9.04	15	1.72	15	0.00	15
6402	-50	-58	Max	25.84	36.36	15	-0.09	15	-0.01	15	-10.85	15	-0.57	15	0.00	15
6402	-50	-58	Min.	2.83	36.36	15	-0.09	15	0.01	15	-9.04	15	1.72	15	0.00	15
6402	-50	-58	Min.	25.84	36.36	15	-0.09	15	-0.01	15	-10.85	15	-0.57	15	0.00	15
6403	-18	-26	Max	2.83	102.10	15	-0.06	15	0.01	15	-4.75	15	0.69	15	0.00	15
6403	-18	-26	Max	26.15	102.10	15	-0.06	15	-0.01	15	-6.58	15	-0.64	15	0.00	15
6403	-18	-26	Min.	2.83	102.10	15	-0.06	15	0.01	15	-4.75	15	0.69	15	0.00	15
6403	-18	-26	Min.	26.15	102.10	15	-0.06	15	-0.01	15	-6.58	15	-0.64	15	0.00	15
6404	351	363	Max	1.77	-116.45	15	-1.28	15	-0.02	15	-175.15	15	9.64	15	-0.13	15
6404	351	363	Max	15.00	-116.45	15	-1.28	15	-0.19	15	-176.09	15	-13.60	15	-0.13	15
6404	351	363	Min.	1.77	-116.45	15	-1.28	15	-0.02	15	-175.15	15	9.64	15	-0.13	15
6404	351	363	Min.	15.00	-116.45	15	-1.28	15	-0.19	15	-176.09	15	-13.60	15	-0.13	15
6404	363	375	Max	0.00	-104.56	15	1.31	15	-0.19	15	154.23	15	-11.37	15	0.13	15
6404	363	375	Max	13.23	-104.56	15	1.31	15	-0.01	15	153.29	15	8.98	15	0.13	15
6404	363	375	Min.	0.00	-104.56	15	1.31	15	-0.19	15	154.23	15	-11.37	15	0.13	15
6404	363	375	Min.	13.23	-104.56	15	1.31	15	-0.01	15	153.29	15	8.98	15	0.13	15
6405	352	364	Max	1.77	-77.31	15	-90.28	15	5.57	15	1.85	15	-0.11	15	-0.01	15
6405	352	364	Max	15.00	-77.31	15	-91.22	15	-6.44	15	1.85	15	0.14	15	-0.01	15
6405	352	364	Min.	1.77	-77.31	15	-90.28	15	5.57	15	1.85	15	-0.11	15	-0.01	15
6405	352	364	Min.	15.00	-77.31	15	-91.22	15	-6.44	15	1.85	15	0.14	15	-0.01	15
6405	364	376	Max	0.00	-53.96	15	102.90	15	-8.54	15	-1.98	15	0.16	15	0.01	15
6405	364	376	Max	13.23	-53.96	15	101.96	15	5.01	15	-1.98	15	-0.11	15	0.01	15
6405	364	376	Min.	0.00	-53.96	15	102.90	15	-8.54	15	-1.98	15	0.16	15	0.01	15
6405	364	376	Min.	13.23	-53.96	15	101.96	15	5.01	15	-1.98	15	-0.11	15	0.01	15
6406	-19	-27	Max	3.53	79.02	15	0.11	15	-0.01	15	-13.56	15	1.76	15	0.00	15
6406	-19	-27	Max	26.86	79.02	15	0.11	15	0.01	15	-15.39	15	-1.62	15	0.00	15
6406	-19	-27	Min.	3.53	79.02	15	0.11	15	-0.01	15	-13.56	15	1.76	15	0.00	15
6406	-19	-27	Min.	26.86	79.02	15	0.11	15	0.01	15	-15.39	15	-1.62	15	0.00	15
6407	-51	-59	Max	3.53	26.03	15	0.18	15	-0.02	15	-18.86	15	2.68	15	0.00	15
6407	-51	-59	Max	26.55	26.03	15	0.18	15	0.02	15	-20.67	15	-1.87	15	0.00	15
6407	-51	-59	Min.	3.53	26.03	15	0.18	15	-0.02	15	-18.86	15	2.68	15	0.00	15
6407	-51	-59	Min.	26.55	26.03	15	0.18	15	0.02	15	-20.67	15	-1.87	15	0.00	15
6408	-83	-91	Max	3.53	-1.75	15	0.20	15	-0.02	15	-16.11	15	1.82	15	0.00	15
6408	-83	-91	Max	25.92	-1.75	15	0.20	15	0.02	15	-16.99	15	-1.89	15	0.00	15
6408	-83	-91	Min.	3.53	-1.75	15	0.20	15	-0.02	15	-16.11	15	1.82	15	0.00	15
6408	-83	-91	Min.	25.92	-1.75	15	0.20	15	0.02	15	-16.99	15	-1.89	15	0.00	15

6409	-115	-123	Max	3.53	0.03	15	0.27	15	-0.03	15	-21.06	15	2.31	15	0.00	15
6409	-115	-123	Max	25.30	0.03	15	0.27	15	0.03	15	-21.92	15	-2.37	15	0.00	15
6409	-115	-123	Min.	3.53	0.03	15	0.27	15	-0.03	15	-21.06	15	2.31	15	0.00	15
6409	-115	-123	Min.	25.30	0.03	15	0.27	15	0.03	15	-21.92	15	-2.37	15	0.00	15
6410	-147	-155	Max	3.53	-0.06	15	0.30	15	-0.03	15	-23.01	15	2.45	15	0.00	15
6410	-147	-155	Max	24.67	-0.06	15	0.30	15	0.03	15	-23.84	15	-2.51	15	0.00	15
6410	-147	-155	Min.	3.53	-0.06	15	0.30	15	-0.03	15	-23.01	15	2.45	15	0.00	15
6410	-147	-155	Min.	24.67	-0.06	15	0.30	15	0.03	15	-23.84	15	-2.51	15	0.00	15
6411	-179	-187	Max	3.53	-0.06	15	0.32	15	-0.03	15	-24.32	15	2.50	15	0.00	15
6411	-179	-187	Max	24.05	-0.06	15	0.32	15	0.03	15	-25.12	15	-2.57	15	0.00	15
6411	-179	-187	Min.	3.53	-0.06	15	0.32	15	-0.03	15	-24.32	15	2.50	15	0.00	15
6411	-179	-187	Min.	24.05	-0.06	15	0.32	15	0.03	15	-25.12	15	-2.57	15	0.00	15
6412	-211	-219	Max	3.53	-0.06	15	0.34	15	-0.03	15	-25.53	15	2.55	15	0.00	15
6412	-211	-219	Max	23.42	-0.06	15	0.34	15	0.03	15	-26.31	15	-2.61	15	0.00	15
6412	-211	-219	Min.	3.53	-0.06	15	0.34	15	-0.03	15	-25.53	15	2.55	15	0.00	15
6412	-211	-219	Min.	23.42	-0.06	15	0.34	15	0.03	15	-26.31	15	-2.61	15	0.00	15
6413	-243	-251	Max	3.53	-0.05	15	0.36	15	-0.03	15	-26.80	15	2.59	15	0.00	15
6413	-243	-251	Max	22.80	-0.05	15	0.36	15	0.04	15	-27.56	15	-2.65	15	0.00	15
6413	-243	-251	Min.	3.53	-0.05	15	0.36	15	-0.03	15	-26.80	15	2.59	15	0.00	15
6413	-243	-251	Min.	22.80	-0.05	15	0.36	15	0.04	15	-27.56	15	-2.65	15	0.00	15
6414	-275	-283	Max	3.53	-0.06	15	0.38	15	-0.03	15	-28.16	15	2.63	15	0.00	15
6414	-275	-283	Max	22.17	-0.06	15	0.38	15	0.04	15	-28.89	15	-2.69	15	0.00	15
6414	-275	-283	Min.	3.53	-0.06	15	0.38	15	-0.03	15	-28.16	15	2.63	15	0.00	15
6414	-275	-283	Min.	22.17	-0.06	15	0.38	15	0.04	15	-28.89	15	-2.69	15	0.00	15
6415	-307	-315	Max	3.53	-0.06	15	0.40	15	-0.03	15	-29.60	15	2.67	15	0.00	15
6415	-307	-315	Max	21.55	-0.06	15	0.40	15	0.04	15	-30.31	15	-2.73	15	0.00	15
6415	-307	-315	Min.	3.53	-0.06	15	0.40	15	-0.03	15	-29.60	15	2.67	15	0.00	15
6415	-307	-315	Min.	21.55	-0.06	15	0.40	15	0.04	15	-30.31	15	-2.73	15	0.00	15
6416	-339	-347	Max	3.53	-0.05	15	0.42	15	-0.04	15	-31.15	15	2.70	15	0.00	15
6416	-339	-347	Max	20.92	-0.05	15	0.42	15	0.04	15	-31.84	15	-2.77	15	0.00	15
6416	-339	-347	Min.	3.53	-0.05	15	0.42	15	-0.04	15	-31.15	15	2.70	15	0.00	15
6416	-339	-347	Min.	20.92	-0.05	15	0.42	15	0.04	15	-31.84	15	-2.77	15	0.00	15
6417	-371	-379	Max	3.53	-0.06	15	0.44	15	-0.04	15	-32.83	15	2.74	15	0.00	15
6417	-371	-379	Max	20.30	-0.06	15	0.44	15	0.04	15	-33.49	15	-2.81	15	0.00	15
6417	-371	-379	Min.	3.53	-0.06	15	0.44	15	-0.04	15	-32.83	15	2.74	15	0.00	15
6417	-371	-379	Min.	20.30	-0.06	15	0.44	15	0.04	15	-33.49	15	-2.81	15	0.00	15
6418	-403	-411	Max	3.53	-0.11	15	0.47	15	-0.04	15	-34.62	15	2.78	15	-0.00	15
6418	-403	-411	Max	19.67	-0.11	15	0.47	15	0.04	15	-35.26	15	-2.85	15	-0.00	15
6418	-403	-411	Min.	3.53	-0.11	15	0.47	15	-0.04	15	-34.62	15	2.78	15	-0.00	15
6418	-403	-411	Min.	19.67	-0.11	15	0.47	15	0.04	15	-35.26	15	-2.85	15	-0.00	15
6419	-435	-443	Max	3.53	0.38	15	0.49	15	-0.04	15	-36.48	15	2.81	15	0.00	15
6419	-435	-443	Max	19.05	0.38	15	0.49	15	0.04	15	-37.09	15	-2.89	15	0.00	15
6419	-435	-443	Min.	3.53	0.38	15	0.49	15	-0.04	15	-36.48	15	2.81	15	0.00	15
6419	-435	-443	Min.	19.05	0.38	15	0.49	15	0.04	15	-37.09	15	-2.89	15	0.00	15
6420	-467	-475	Max	3.53	-3.08	15	0.47	15	-0.03	15	-38.02	15	2.84	15	-0.00	15
6420	-467	-475	Max	18.42	-3.08	15	0.47	15	0.04	15	-38.61	15	-2.87	15	-0.00	15
6420	-467	-475	Min.	3.53	-3.08	15	0.47	15	-0.03	15	-38.02	15	2.84	15	-0.00	15
6420	-467	-475	Min.	18.42	-3.08	15	0.47	15	0.04	15	-38.61	15	-2.87	15	-0.00	15
6421	-499	-507	Max	3.53	17.41	15	0.56	15	-0.04	15	-36.30	15	2.42	15	0.02	15
6421	-499	-507	Max	17.80	17.41	15	0.56	15	0.04	15	-36.86	15	-2.80	15	0.02	15
6421	-499	-507	Min.	3.53	17.41	15	0.56	15	-0.04	15	-36.30	15	2.42	15	0.02	15
6421	-499	-507	Min.	17.80	17.41	15	0.56	15	0.04	15	-36.86	15	-2.80	15	0.02	15
6426	-500	-508	Max	2.83	16.03	15	-0.57	15	0.04	15	-37.06	15	2.55	15	-0.02	15
6426	-500	-508	Max	17.09	16.03	15	-0.57	15	-0.04	15	-37.62	15	-2.78	15	-0.02	15
6426	-500	-508	Min.	2.83	16.03	15	-0.57	15	0.04	15	-37.06	15	2.55	15	-0.02	15
6426	-500	-508	Min.	17.09	16.03	15	-0.57	15	-0.04	15	-37.62	15	-2.78	15	-0.02	15
6427	-468	-476	Max	2.83	-2.88	15	-0.49	15	0.04	15	-38.69	15	2.96	15	0.00	15
6427	-468	-476	Max	17.72	-2.88	15	-0.49	15	-0.04	15	-39.27	15	-2.85	15	0.00	15
6427	-468	-476	Min.	2.83	-2.88	15	-0.49	15	0.04	15	-38.69	15	2.96	15	0.00	15

6427	-468	-476	Min.	17.72	-2.88	15	-0.49	15	-0.04	15	-39.27	15	-2.85	15	0.00	15
6428	-436	-444	Max	2.83	0.38	15	-0.50	15	0.04	15	-37.17	15	2.93	15	0.00	15
6428	-436	-444	Max	18.34	0.38	15	-0.50	15	-0.04	15	-37.78	15	-2.88	15	0.00	15
6428	-436	-444	Min.	2.83	0.38	15	-0.50	15	0.04	15	-37.17	15	2.93	15	0.00	15
6428	-436	-444	Min.	18.34	0.38	15	-0.50	15	-0.04	15	-37.78	15	-2.88	15	0.00	15
6429	-404	-412	Max	2.83	-0.07	15	-0.48	15	0.04	15	-35.27	15	2.90	15	0.00	15
6429	-404	-412	Max	18.97	-0.07	15	-0.48	15	-0.04	15	-35.90	15	-2.84	15	0.00	15
6429	-404	-412	Min.	2.83	-0.07	15	-0.48	15	0.04	15	-35.27	15	2.90	15	0.00	15
6429	-404	-412	Min.	18.97	-0.07	15	-0.48	15	-0.04	15	-35.90	15	-2.84	15	0.00	15
6430	-372	-380	Max	2.83	-0.03	15	-0.45	15	0.04	15	-33.44	15	2.86	15	0.00	15
6430	-372	-380	Max	19.59	-0.03	15	-0.45	15	-0.04	15	-34.10	15	-2.80	15	0.00	15
6430	-372	-380	Min.	2.83	-0.03	15	-0.45	15	0.04	15	-33.44	15	2.86	15	0.00	15
6430	-372	-380	Min.	19.59	-0.03	15	-0.45	15	-0.04	15	-34.10	15	-2.80	15	0.00	15
6431	-340	-348	Max	2.83	-0.02	15	-0.43	15	0.04	15	-31.73	15	2.81	15	0.00	15
6431	-340	-348	Max	20.22	-0.02	15	-0.43	15	-0.04	15	-32.42	15	-2.77	15	0.00	15
6431	-340	-348	Min.	2.83	-0.02	15	-0.43	15	0.04	15	-31.73	15	2.81	15	0.00	15
6431	-340	-348	Min.	20.22	-0.02	15	-0.43	15	-0.04	15	-32.42	15	-2.77	15	0.00	15
6432	-308	-316	Max	2.83	-0.04	15	-0.41	15	0.04	15	-30.15	15	2.77	15	0.00	15
6432	-308	-316	Max	20.84	-0.04	15	-0.41	15	-0.04	15	-30.86	15	-2.73	15	0.00	15
6432	-308	-316	Min.	2.83	-0.04	15	-0.41	15	0.04	15	-30.15	15	2.77	15	0.00	15
6432	-308	-316	Min.	20.84	-0.04	15	-0.41	15	-0.04	15	-30.86	15	-2.73	15	0.00	15
6433	-276	-284	Max	2.83	-0.03	15	-0.39	15	0.04	15	-28.68	15	2.73	15	0.00	15
6433	-276	-284	Max	21.47	-0.03	15	-0.39	15	-0.04	15	-29.41	15	-2.69	15	0.00	15
6433	-276	-284	Min.	2.83	-0.03	15	-0.39	15	0.04	15	-28.68	15	2.73	15	0.00	15
6433	-276	-284	Min.	21.47	-0.03	15	-0.39	15	-0.04	15	-29.41	15	-2.69	15	0.00	15
6434	-244	-252	Max	2.83	-0.02	15	-0.37	15	0.04	15	-27.30	15	2.68	15	0.00	15
6434	-244	-252	Max	22.09	-0.02	15	-0.37	15	-0.03	15	-28.05	15	-2.65	15	0.00	15
6434	-244	-252	Min.	2.83	-0.02	15	-0.37	15	0.04	15	-27.30	15	2.68	15	0.00	15
6434	-244	-252	Min.	22.09	-0.02	15	-0.37	15	-0.03	15	-28.05	15	-2.65	15	0.00	15
6435	-212	-220	Max	2.83	-0.04	15	-0.35	15	0.04	15	-26.00	15	2.64	15	0.00	15
6435	-212	-220	Max	22.72	-0.04	15	-0.35	15	-0.03	15	-26.78	15	-2.61	15	0.00	15
6435	-212	-220	Min.	2.83	-0.04	15	-0.35	15	0.04	15	-26.00	15	2.64	15	0.00	15
6435	-212	-220	Min.	22.72	-0.04	15	-0.35	15	-0.03	15	-26.78	15	-2.61	15	0.00	15
6436	-180	-188	Max	2.83	-0.04	15	-0.33	15	0.03	15	-24.76	15	2.59	15	0.00	15
6436	-180	-188	Max	23.34	-0.04	15	-0.33	15	-0.03	15	-25.57	15	-2.57	15	0.00	15
6436	-180	-188	Min.	2.83	-0.04	15	-0.33	15	0.03	15	-24.76	15	2.59	15	0.00	15
6436	-180	-188	Min.	23.34	-0.04	15	-0.33	15	-0.03	15	-25.57	15	-2.57	15	0.00	15
6437	-148	-156	Max	2.83	-0.04	15	-0.31	15	0.03	15	-23.43	15	2.53	15	0.00	15
6437	-148	-156	Max	23.97	-0.04	15	-0.31	15	-0.03	15	-24.26	15	-2.51	15	0.00	15
6437	-148	-156	Min.	2.83	-0.04	15	-0.31	15	0.03	15	-23.43	15	2.53	15	0.00	15
6437	-148	-156	Min.	23.97	-0.04	15	-0.31	15	-0.03	15	-24.26	15	-2.51	15	0.00	15
6438	-116	-124	Max	2.83	0.15	15	-0.27	15	0.03	15	-21.45	15	2.39	15	0.00	15
6438	-116	-124	Max	24.59	0.15	15	-0.27	15	-0.03	15	-22.30	15	-2.37	15	0.00	15
6438	-116	-124	Min.	2.83	0.15	15	-0.27	15	0.03	15	-21.45	15	2.39	15	0.00	15
6438	-116	-124	Min.	24.59	0.15	15	-0.27	15	-0.03	15	-22.30	15	-2.37	15	0.00	15
6439	-84	-92	Max	2.83	-2.16	15	-0.20	15	0.02	15	-16.42	15	1.88	15	0.00	15
6439	-84	-92	Max	25.22	-2.16	15	-0.20	15	-0.02	15	-17.30	15	-1.89	15	0.00	15
6439	-84	-92	Min.	2.83	-2.16	15	-0.20	15	0.02	15	-16.42	15	1.88	15	0.00	15
6439	-84	-92	Min.	25.22	-2.16	15	-0.20	15	-0.02	15	-17.30	15	-1.89	15	0.00	15
6440	-52	-60	Max	2.83	36.20	15	-0.18	15	0.02	15	-19.08	15	2.90	15	0.00	15
6440	-52	-60	Max	25.84	36.20	15	-0.18	15	-0.02	15	-20.88	15	-1.69	15	0.00	15
6440	-52	-60	Min.	2.83	36.20	15	-0.18	15	0.02	15	-19.08	15	2.90	15	0.00	15
6440	-52	-60	Min.	25.84	36.20	15	-0.18	15	-0.02	15	-20.88	15	-1.69	15	0.00	15
6441	-20	-28	Max	2.83	106.22	15	-0.11	15	0.01	15	-13.82	15	1.80	15	0.00	15
6441	-20	-28	Max	26.15	106.22	15	-0.11	15	-0.01	15	-15.65	15	-1.63	15	0.00	15
6441	-20	-28	Min.	2.83	106.22	15	-0.11	15	0.01	15	-13.82	15	1.80	15	0.00	15
6441	-20	-28	Min.	26.15	106.22	15	-0.11	15	-0.01	15	-15.65	15	-1.63	15	0.00	15
6442	354	366	Max	1.77	-114.27	15	0.35	15	-0.07	15	-144.69	15	8.70	15	-0.06	15
6442	354	366	Max	15.00	-114.27	15	0.35	15	-0.02	15	-145.63	15	-10.50	15	-0.06	15

6442	354	366	Min.	1.77	-114.27	15	0.35	15	-0.07	15	-144.69	15	8.70	15	-0.06	15
6442	354	366	Min.	15.00	-114.27	15	0.35	15	-0.02	15	-145.63	15	-10.50	15	-0.06	15
6442	366	378	Max	0.00	-89.81	15	-0.59	15	0.00	15	156.94	15	-12.58	15	0.06	15
6442	366	378	Max	13.23	-89.81	15	-0.59	15	-0.07	15	156.00	15	8.13	15	0.06	15
6442	366	378	Min.	0.00	-89.81	15	-0.59	15	0.00	15	156.94	15	-12.58	15	0.06	15
6442	366	378	Min.	13.23	-89.81	15	-0.59	15	-0.07	15	156.00	15	8.13	15	0.06	15
6443	355	367	Max	1.77	-114.49	15	-144.38	15	8.69	15	0.35	15	-0.07	15	0.06	15
6443	355	367	Max	15.00	-114.49	15	-145.32	15	-10.48	15	0.35	15	-0.02	15	0.06	15
6443	355	367	Min.	1.77	-114.49	15	-144.38	15	8.69	15	0.35	15	-0.07	15	0.06	15
6443	355	367	Min.	15.00	-114.49	15	-145.32	15	-10.48	15	0.35	15	-0.02	15	0.06	15
6443	367	379	Max	0.00	-90.08	15	156.78	15	-12.57	15	-0.58	15	0.00	15	-0.06	15
6443	367	379	Max	13.23	-90.08	15	155.84	15	8.12	15	-0.58	15	-0.07	15	-0.06	15
6443	367	379	Min.	0.00	-90.08	15	156.78	15	-12.57	15	-0.58	15	0.00	15	-0.06	15
6443	367	379	Min.	13.23	-90.08	15	155.84	15	8.12	15	-0.58	15	-0.07	15	-0.06	15
6444	-21	-29	Max	3.53	105.68	15	0.11	15	-0.01	15	-13.80	15	1.77	15	0.00	15
6444	-21	-29	Max	26.86	105.68	15	0.11	15	0.01	15	-15.63	15	-1.66	15	0.00	15
6444	-21	-29	Min.	3.53	105.68	15	0.11	15	-0.01	15	-13.80	15	1.77	15	0.00	15
6444	-21	-29	Min.	26.86	105.68	15	0.11	15	0.01	15	-15.63	15	-1.66	15	0.00	15
6445	-53	-61	Max	3.53	36.57	15	0.18	15	-0.02	15	-19.24	15	2.88	15	0.00	15
6445	-53	-61	Max	26.55	36.57	15	0.18	15	0.02	15	-21.05	15	-1.76	15	0.00	15
6445	-53	-61	Min.	3.53	36.57	15	0.18	15	-0.02	15	-19.24	15	2.88	15	0.00	15
6445	-53	-61	Min.	26.55	36.57	15	0.18	15	0.02	15	-21.05	15	-1.76	15	0.00	15
6446	-85	-93	Max	3.53	-2.24	15	0.20	15	-0.02	15	-16.41	15	1.85	15	0.00	15
6446	-85	-93	Max	25.92	-2.24	15	0.20	15	0.02	15	-17.29	15	-1.92	15	0.00	15
6446	-85	-93	Min.	3.53	-2.24	15	0.20	15	-0.02	15	-16.41	15	1.85	15	0.00	15
6446	-85	-93	Min.	25.92	-2.24	15	0.20	15	0.02	15	-17.29	15	-1.92	15	0.00	15
6447	-117	-125	Max	3.53	0.04	15	0.27	15	-0.03	15	-21.46	15	2.35	15	0.00	15
6447	-117	-125	Max	25.30	0.04	15	0.27	15	0.03	15	-22.31	15	-2.41	15	0.00	15
6447	-117	-125	Min.	3.53	0.04	15	0.27	15	-0.03	15	-21.46	15	2.35	15	0.00	15
6447	-117	-125	Min.	25.30	0.04	15	0.27	15	0.03	15	-22.31	15	-2.41	15	0.00	15
6448	-149	-157	Max	3.53	-0.07	15	0.31	15	-0.03	15	-23.44	15	2.49	15	0.00	15
6448	-149	-157	Max	24.67	-0.07	15	0.31	15	0.03	15	-24.27	15	-2.55	15	0.00	15
6448	-149	-157	Min.	3.53	-0.07	15	0.31	15	-0.03	15	-23.44	15	2.49	15	0.00	15
6448	-149	-157	Min.	24.67	-0.07	15	0.31	15	0.03	15	-24.27	15	-2.55	15	0.00	15
6449	-181	-189	Max	3.53	-0.07	15	0.33	15	-0.03	15	-24.77	15	2.55	15	0.00	15
6449	-181	-189	Max	24.05	-0.07	15	0.33	15	0.03	15	-25.58	15	-2.61	15	0.00	15
6449	-181	-189	Min.	3.53	-0.07	15	0.33	15	-0.03	15	-24.77	15	2.55	15	0.00	15
6449	-181	-189	Min.	24.05	-0.07	15	0.33	15	0.03	15	-25.58	15	-2.61	15	0.00	15
6450	-213	-221	Max	3.53	-0.07	15	0.35	15	-0.04	15	-26.01	15	2.59	15	0.00	15
6450	-213	-221	Max	23.42	-0.07	15	0.35	15	0.03	15	-26.79	15	-2.66	15	0.00	15
6450	-213	-221	Min.	3.53	-0.07	15	0.35	15	-0.04	15	-26.01	15	2.59	15	0.00	15
6450	-213	-221	Min.	23.42	-0.07	15	0.35	15	0.03	15	-26.79	15	-2.66	15	0.00	15
6451	-245	-253	Max	3.53	-0.06	15	0.37	15	-0.04	15	-27.30	15	2.63	15	0.00	15
6451	-245	-253	Max	22.80	-0.06	15	0.37	15	0.03	15	-28.06	15	-2.70	15	0.00	15
6451	-245	-253	Min.	3.53	-0.06	15	0.37	15	-0.04	15	-27.30	15	2.63	15	0.00	15
6451	-245	-253	Min.	22.80	-0.06	15	0.37	15	0.03	15	-28.06	15	-2.70	15	0.00	15
6452	-277	-285	Max	3.53	-0.07	15	0.39	15	-0.04	15	-28.68	15	2.67	15	0.00	15
6452	-277	-285	Max	22.17	-0.07	15	0.39	15	0.04	15	-29.42	15	-2.74	15	0.00	15
6452	-277	-285	Min.	3.53	-0.07	15	0.39	15	-0.04	15	-28.68	15	2.67	15	0.00	15
6452	-277	-285	Min.	22.17	-0.07	15	0.39	15	0.04	15	-29.42	15	-2.74	15	0.00	15
6453	-309	-317	Max	3.53	-0.08	15	0.41	15	-0.04	15	-30.16	15	2.71	15	0.00	15
6453	-309	-317	Max	21.55	-0.08	15	0.41	15	0.04	15	-30.86	15	-2.78	15	0.00	15
6453	-309	-317	Min.	3.53	-0.08	15	0.41	15	-0.04	15	-30.16	15	2.71	15	0.00	15
6453	-309	-317	Min.	21.55	-0.08	15	0.41	15	0.04	15	-30.86	15	-2.78	15	0.00	15
6454	-341	-349	Max	3.53	-0.06	15	0.43	15	-0.04	15	-31.74	15	2.75	15	0.00	15
6454	-341	-349	Max	20.92	-0.06	15	0.43	15	0.04	15	-32.42	15	-2.82	15	0.00	15
6454	-341	-349	Min.	3.53	-0.06	15	0.43	15	-0.04	15	-31.74	15	2.75	15	0.00	15
6454	-341	-349	Min.	20.92	-0.06	15	0.43	15	0.04	15	-32.42	15	-2.82	15	0.00	15
6455	-373	-381	Max	3.53	-0.08	15	0.45	15	-0.04	15	-33.45	15	2.80	15	0.00	15

6455	-373	-381	Max	20.30	-0.08	15	0.45	15	0.04	15	-34.10	15	-2.87	15	0.00	15
6455	-373	-381	Min.	3.53	-0.08	15	0.45	15	-0.04	15	-33.45	15	2.80	15	0.00	15
6455	-373	-381	Min.	20.30	-0.08	15	0.45	15	0.04	15	-34.10	15	-2.87	15	0.00	15
6456	-405	-413	Max	3.53	-0.12	15	0.48	15	-0.04	15	-35.27	15	2.84	15	0.00	15
6456	-405	-413	Max	19.67	-0.12	15	0.48	15	0.04	15	-35.91	15	-2.91	15	0.00	15
6456	-405	-413	Min.	3.53	-0.12	15	0.48	15	-0.04	15	-35.27	15	2.84	15	0.00	15
6456	-405	-413	Min.	19.67	-0.12	15	0.48	15	0.04	15	-35.91	15	-2.91	15	0.00	15
6457	-437	-445	Max	3.53	0.34	15	0.50	15	-0.04	15	-37.16	15	2.87	15	0.00	15
6457	-437	-445	Max	19.05	0.34	15	0.50	15	0.04	15	-37.77	15	-2.95	15	0.00	15
6457	-437	-445	Min.	3.53	0.34	15	0.50	15	-0.04	15	-37.16	15	2.87	15	0.00	15
6457	-437	-445	Min.	19.05	0.34	15	0.50	15	0.04	15	-37.77	15	-2.95	15	0.00	15
6458	-469	-477	Max	3.53	-2.97	15	0.49	15	-0.04	15	-38.73	15	2.89	15	-0.00	15
6458	-469	-477	Max	18.42	-2.97	15	0.49	15	0.04	15	-39.32	15	-2.92	15	-0.00	15
6458	-469	-477	Min.	3.53	-2.97	15	0.49	15	-0.04	15	-38.73	15	2.89	15	-0.00	15
6458	-469	-477	Min.	18.42	-2.97	15	0.49	15	0.04	15	-39.32	15	-2.92	15	-0.00	15
6459	-501	-509	Max	3.53	16.59	15	0.57	15	-0.04	15	-36.96	15	2.47	15	0.02	15
6459	-501	-509	Max	17.80	16.59	15	0.57	15	0.04	15	-37.52	15	-2.84	15	0.02	15
6459	-501	-509	Min.	3.53	16.59	15	0.57	15	-0.04	15	-36.96	15	2.47	15	0.02	15
6459	-501	-509	Min.	17.80	16.59	15	0.57	15	0.04	15	-37.52	15	-2.84	15	0.02	15
6464	-502	-510	Max	2.83	16.86	15	-0.56	15	0.04	15	-36.42	15	2.50	15	-0.02	15
6464	-502	-510	Max	17.09	16.86	15	-0.56	15	-0.04	15	-36.98	15	-2.74	15	-0.02	15
6464	-502	-510	Min.	2.83	16.86	15	-0.56	15	0.04	15	-36.42	15	2.50	15	-0.02	15
6464	-502	-510	Min.	17.09	16.86	15	-0.56	15	-0.04	15	-36.98	15	-2.74	15	-0.02	15
6465	-470	-478	Max	2.83	-2.99	15	-0.47	15	0.03	15	-37.99	15	2.91	15	0.00	15
6465	-470	-478	Max	17.72	-2.99	15	-0.47	15	-0.04	15	-38.58	15	-2.79	15	0.00	15
6465	-470	-478	Min.	2.83	-2.99	15	-0.47	15	0.03	15	-37.99	15	2.91	15	0.00	15
6465	-470	-478	Min.	17.72	-2.99	15	-0.47	15	-0.04	15	-38.58	15	-2.79	15	0.00	15
6466	-438	-446	Max	2.83	0.42	15	-0.49	15	0.04	15	-36.50	15	2.88	15	0.00	15
6466	-438	-446	Max	18.34	0.42	15	-0.49	15	-0.04	15	-37.11	15	-2.83	15	0.00	15
6466	-438	-446	Min.	2.83	0.42	15	-0.49	15	0.04	15	-36.50	15	2.88	15	0.00	15
6466	-438	-446	Min.	18.34	0.42	15	-0.49	15	-0.04	15	-37.11	15	-2.83	15	0.00	15
6467	-406	-414	Max	2.83	-0.06	15	-0.47	15	0.04	15	-34.64	15	2.85	15	0.00	15
6467	-406	-414	Max	18.97	-0.06	15	-0.47	15	-0.04	15	-35.27	15	-2.79	15	0.00	15
6467	-406	-414	Min.	2.83	-0.06	15	-0.47	15	0.04	15	-34.64	15	2.85	15	0.00	15
6467	-406	-414	Min.	18.97	-0.06	15	-0.47	15	-0.04	15	-35.27	15	-2.79	15	0.00	15
6468	-374	-382	Max	2.83	-0.02	15	-0.44	15	0.04	15	-32.84	15	2.81	15	0.00	15
6468	-374	-382	Max	19.59	-0.02	15	-0.44	15	-0.04	15	-33.50	15	-2.75	15	0.00	15
6468	-374	-382	Min.	2.83	-0.02	15	-0.44	15	0.04	15	-32.84	15	2.81	15	0.00	15
6468	-374	-382	Min.	19.59	-0.02	15	-0.44	15	-0.04	15	-33.50	15	-2.75	15	0.00	15
6469	-342	-350	Max	2.83	-0.01	15	-0.42	15	0.04	15	-31.16	15	2.76	15	0.00	15
6469	-342	-350	Max	20.22	-0.01	15	-0.42	15	-0.04	15	-31.85	15	-2.72	15	0.00	15
6469	-342	-350	Min.	2.83	-0.01	15	-0.42	15	0.04	15	-31.16	15	2.76	15	0.00	15
6469	-342	-350	Min.	20.22	-0.01	15	-0.42	15	-0.04	15	-31.85	15	-2.72	15	0.00	15
6470	-310	-318	Max	2.83	-0.02	15	-0.40	15	0.04	15	-29.61	15	2.72	15	0.00	15
6470	-310	-318	Max	20.84	-0.02	15	-0.40	15	-0.04	15	-30.32	15	-2.68	15	0.00	15
6470	-310	-318	Min.	2.83	-0.02	15	-0.40	15	0.04	15	-29.61	15	2.72	15	0.00	15
6470	-310	-318	Min.	20.84	-0.02	15	-0.40	15	-0.04	15	-30.32	15	-2.68	15	0.00	15
6471	-278	-286	Max	2.83	-0.02	15	-0.38	15	0.03	15	-28.16	15	2.68	15	0.00	15
6471	-278	-286	Max	21.47	-0.02	15	-0.38	15	-0.04	15	-28.89	15	-2.64	15	0.00	15
6471	-278	-286	Min.	2.83	-0.02	15	-0.38	15	0.03	15	-28.16	15	2.68	15	0.00	15
6471	-278	-286	Min.	21.47	-0.02	15	-0.38	15	-0.04	15	-28.89	15	-2.64	15	0.00	15
6472	-246	-254	Max	2.83	-0.01	15	-0.36	15	0.03	15	-26.81	15	2.63	15	0.00	15
6472	-246	-254	Max	22.09	-0.01	15	-0.36	15	-0.04	15	-27.56	15	-2.60	15	0.00	15
6472	-246	-254	Min.	2.83	-0.01	15	-0.36	15	0.03	15	-26.81	15	2.63	15	0.00	15
6472	-246	-254	Min.	22.09	-0.01	15	-0.36	15	-0.04	15	-27.56	15	-2.60	15	0.00	15
6473	-214	-222	Max	2.83	-0.02	15	-0.34	15	0.03	15	-25.54	15	2.59	15	0.00	15
6473	-214	-222	Max	22.72	-0.02	15	-0.34	15	-0.03	15	-26.32	15	-2.56	15	0.00	15
6473	-214	-222	Min.	2.83	-0.02	15	-0.34	15	0.03	15	-25.54	15	2.59	15	0.00	15
6473	-214	-222	Min.	22.72	-0.02	15	-0.34	15	-0.03	15	-26.32	15	-2.56	15	0.00	15

6474	-182	-190	Max	2.83	-0.03	15	-0.32	15	0.03	15	-24.32	15	2.55	15	0.00	15
6474	-182	-190	Max	23.34	-0.03	15	-0.32	15	-0.03	15	-25.12	15	-2.52	15	0.00	15
6474	-182	-190	Min.	2.83	-0.03	15	-0.32	15	0.03	15	-24.32	15	2.55	15	0.00	15
6474	-182	-190	Min.	23.34	-0.03	15	-0.32	15	-0.03	15	-25.12	15	-2.52	15	0.00	15
6475	-150	-158	Max	2.83	-0.02	15	-0.30	15	0.03	15	-23.01	15	2.49	15	0.00	15
6475	-150	-158	Max	23.97	-0.02	15	-0.30	15	-0.03	15	-23.84	15	-2.47	15	0.00	15
6475	-150	-158	Min.	2.83	-0.02	15	-0.30	15	0.03	15	-23.01	15	2.49	15	0.00	15
6475	-150	-158	Min.	23.97	-0.02	15	-0.30	15	-0.03	15	-23.84	15	-2.47	15	0.00	15
6476	-118	-126	Max	2.83	0.14	15	-0.27	15	0.03	15	-21.06	15	2.35	15	0.00	15
6476	-118	-126	Max	24.59	0.14	15	-0.27	15	-0.03	15	-21.92	15	-2.33	15	0.00	15
6476	-118	-126	Min.	2.83	0.14	15	-0.27	15	0.03	15	-21.06	15	2.35	15	0.00	15
6476	-118	-126	Min.	24.59	0.14	15	-0.27	15	-0.03	15	-21.92	15	-2.33	15	0.00	15
6477	-86	-94	Max	2.83	-1.67	15	-0.20	15	0.02	15	-16.12	15	1.85	15	0.00	15
6477	-86	-94	Max	25.22	-1.67	15	-0.20	15	-0.02	15	-17.00	15	-1.86	15	0.00	15
6477	-86	-94	Min.	2.83	-1.67	15	-0.20	15	0.02	15	-16.12	15	1.85	15	0.00	15
6477	-86	-94	Min.	25.22	-1.67	15	-0.20	15	-0.02	15	-17.00	15	-1.86	15	0.00	15
6478	-54	-62	Max	2.83	25.67	15	-0.18	15	0.02	15	-18.75	15	2.71	15	0.00	15
6478	-54	-62	Max	25.84	25.67	15	-0.18	15	-0.02	15	-20.55	15	-1.81	15	0.00	15
6478	-54	-62	Min.	2.83	25.67	15	-0.18	15	0.02	15	-18.75	15	2.71	15	0.00	15
6478	-54	-62	Min.	25.84	25.67	15	-0.18	15	-0.02	15	-20.55	15	-1.81	15	0.00	15
6479	-22	-30	Max	2.83	79.56	15	-0.11	15	0.01	15	-13.57	15	1.79	15	0.00	15
6479	-22	-30	Max	26.15	79.56	15	-0.11	15	-0.01	15	-15.40	15	-1.59	15	0.00	15
6479	-22	-30	Min.	2.83	79.56	15	-0.11	15	0.01	15	-13.57	15	1.79	15	0.00	15
6479	-22	-30	Min.	26.15	79.56	15	-0.11	15	-0.01	15	-15.40	15	-1.59	15	0.00	15
6480	357	369	Max	1.77	-77.09	15	1.86	15	-0.11	15	-90.49	15	5.58	15	0.01	15
6480	357	369	Max	15.00	-77.09	15	1.86	15	0.14	15	-91.43	15	-6.45	15	0.01	15
6480	357	369	Min.	1.77	-77.09	15	1.86	15	-0.11	15	-90.49	15	5.58	15	0.01	15
6480	357	369	Min.	15.00	-77.09	15	1.86	15	0.14	15	-91.43	15	-6.45	15	0.01	15
6480	369	381	Max	0.00	-53.69	15	-1.99	15	0.16	15	103.15	15	-8.56	15	-0.01	15
6480	369	381	Max	13.23	-53.69	15	-1.99	15	-0.11	15	102.21	15	5.03	15	-0.01	15
6480	369	381	Min.	0.00	-53.69	15	-1.99	15	0.16	15	103.15	15	-8.56	15	-0.01	15
6480	369	381	Min.	13.23	-53.69	15	-1.99	15	-0.11	15	102.21	15	5.03	15	-0.01	15
6481	358	370	Max	1.77	-116.48	15	-174.82	15	9.63	15	-1.27	15	-0.02	15	0.13	15
6481	358	370	Max	15.00	-116.48	15	-175.76	15	-13.57	15	-1.27	15	-0.19	15	0.13	15
6481	358	370	Min.	1.77	-116.48	15	-174.82	15	9.63	15	-1.27	15	-0.02	15	0.13	15
6481	358	370	Min.	15.00	-116.48	15	-175.76	15	-13.57	15	-1.27	15	-0.19	15	0.13	15
6481	370	382	Max	0.00	-104.59	15	154.18	15	-11.37	15	1.31	15	-0.19	15	-0.13	15
6481	370	382	Max	13.23	-104.59	15	153.24	15	8.97	15	1.31	15	-0.01	15	-0.13	15
6481	370	382	Min.	0.00	-104.59	15	154.18	15	-11.37	15	1.31	15	-0.19	15	-0.13	15
6481	370	382	Min.	13.23	-104.59	15	153.24	15	8.97	15	1.31	15	-0.01	15	-0.13	15
6482	-23	-31	Max	3.53	101.80	15	0.05	15	-0.01	15	-4.75	15	0.67	15	0.00	15
6482	-23	-31	Max	26.86	101.80	15	0.05	15	0.01	15	-6.58	15	-0.65	15	0.00	15
6482	-23	-31	Min.	3.53	101.80	15	0.05	15	-0.01	15	-4.75	15	0.67	15	0.00	15
6482	-23	-31	Min.	26.86	101.80	15	0.05	15	0.01	15	-6.58	15	-0.65	15	0.00	15
6483	-55	-63	Max	3.53	36.48	15	0.09	15	-0.01	15	-9.24	15	1.72	15	0.00	15
6483	-55	-63	Max	26.55	36.48	15	0.09	15	0.01	15	-11.04	15	-0.62	15	0.00	15
6483	-55	-63	Min.	3.53	36.48	15	0.09	15	-0.01	15	-9.24	15	1.72	15	0.00	15
6483	-55	-63	Min.	26.55	36.48	15	0.09	15	0.01	15	-11.04	15	-0.62	15	0.00	15
6484	-87	-95	Max	3.53	-2.09	15	0.10	15	-0.01	15	-8.59	15	0.98	15	0.00	15
6484	-87	-95	Max	25.92	-2.09	15	0.10	15	0.01	15	-9.47	15	-1.04	15	0.00	15
6484	-87	-95	Min.	3.53	-2.09	15	0.10	15	-0.01	15	-8.59	15	0.98	15	0.00	15
6484	-87	-95	Min.	25.92	-2.09	15	0.10	15	0.01	15	-9.47	15	-1.04	15	0.00	15
6485	-119	-127	Max	3.53	0.04	15	0.15	15	-0.02	15	-11.34	15	1.26	15	0.00	15
6485	-119	-127	Max	25.30	0.04	15	0.15	15	0.01	15	-12.19	15	-1.30	15	0.00	15
6485	-119	-127	Min.	3.53	0.04	15	0.15	15	-0.02	15	-11.34	15	1.26	15	0.00	15
6485	-119	-127	Min.	25.30	0.04	15	0.15	15	0.01	15	-12.19	15	-1.30	15	0.00	15
6486	-151	-159	Max	3.53	-0.07	15	0.17	15	-0.02	15	-12.41	15	1.33	15	0.00	15
6486	-151	-159	Max	24.67	-0.07	15	0.17	15	0.02	15	-13.24	15	-1.38	15	0.00	15
6486	-151	-159	Min.	3.53	-0.07	15	0.17	15	-0.02	15	-12.41	15	1.33	15	0.00	15

6486	-151	-159	Min.	24.67	-0.07	15	0.17	15	0.02	15	-13.24	15	-1.38	15	0.00	15
6487	-183	-191	Max	3.53	-0.07	15	0.18	15	-0.02	15	-13.13	15	1.37	15	0.00	15
6487	-183	-191	Max	24.05	-0.07	15	0.18	15	0.02	15	-13.94	15	-1.41	15	0.00	15
6487	-183	-191	Min.	3.53	-0.07	15	0.18	15	-0.02	15	-13.13	15	1.37	15	0.00	15
6487	-183	-191	Min.	24.05	-0.07	15	0.18	15	0.02	15	-13.94	15	-1.41	15	0.00	15
6488	-215	-223	Max	3.53	-0.07	15	0.19	15	-0.02	15	-13.81	15	1.39	15	0.00	15
6488	-215	-223	Max	23.42	-0.07	15	0.19	15	0.02	15	-14.59	15	-1.43	15	0.00	15
6488	-215	-223	Min.	3.53	-0.07	15	0.19	15	-0.02	15	-13.81	15	1.39	15	0.00	15
6488	-215	-223	Min.	23.42	-0.07	15	0.19	15	0.02	15	-14.59	15	-1.43	15	0.00	15
6489	-247	-255	Max	3.53	-0.06	15	0.20	15	-0.02	15	-14.51	15	1.41	15	0.00	15
6489	-247	-255	Max	22.80	-0.06	15	0.20	15	0.02	15	-15.26	15	-1.45	15	0.00	15
6489	-247	-255	Min.	3.53	-0.06	15	0.20	15	-0.02	15	-14.51	15	1.41	15	0.00	15
6489	-247	-255	Min.	22.80	-0.06	15	0.20	15	0.02	15	-15.26	15	-1.45	15	0.00	15
6490	-279	-287	Max	3.53	-0.07	15	0.21	15	-0.02	15	-15.26	15	1.43	15	0.00	15
6490	-279	-287	Max	22.17	-0.07	15	0.21	15	0.02	15	-15.99	15	-1.48	15	0.00	15
6490	-279	-287	Min.	3.53	-0.07	15	0.21	15	-0.02	15	-15.26	15	1.43	15	0.00	15
6490	-279	-287	Min.	22.17	-0.07	15	0.21	15	0.02	15	-15.99	15	-1.48	15	0.00	15
6491	-311	-319	Max	3.53	-0.08	15	0.22	15	-0.02	15	-16.06	15	1.46	15	0.00	15
6491	-311	-319	Max	21.55	-0.08	15	0.22	15	0.02	15	-16.76	15	-1.50	15	0.00	15
6491	-311	-319	Min.	3.53	-0.08	15	0.22	15	-0.02	15	-16.06	15	1.46	15	0.00	15
6491	-311	-319	Min.	21.55	-0.08	15	0.22	15	0.02	15	-16.76	15	-1.50	15	0.00	15
6492	-343	-351	Max	3.53	-0.06	15	0.23	15	-0.02	15	-16.91	15	1.48	15	0.00	15
6492	-343	-351	Max	20.92	-0.06	15	0.23	15	0.02	15	-17.59	15	-1.52	15	0.00	15
6492	-343	-351	Min.	3.53	-0.06	15	0.23	15	-0.02	15	-16.91	15	1.48	15	0.00	15
6492	-343	-351	Min.	20.92	-0.06	15	0.23	15	0.02	15	-17.59	15	-1.52	15	0.00	15
6493	-375	-383	Max	3.53	-0.07	15	0.24	15	-0.02	15	-17.83	15	1.50	15	0.00	15
6493	-375	-383	Max	20.30	-0.07	15	0.24	15	0.02	15	-18.49	15	-1.54	15	0.00	15
6493	-375	-383	Min.	3.53	-0.07	15	0.24	15	-0.02	15	-17.83	15	1.50	15	0.00	15
6493	-375	-383	Min.	20.30	-0.07	15	0.24	15	0.02	15	-18.49	15	-1.54	15	0.00	15
6494	-407	-415	Max	3.53	-0.11	15	0.26	15	-0.02	15	-18.82	15	1.52	15	0.00	15
6494	-407	-415	Max	19.67	-0.11	15	0.26	15	0.02	15	-19.46	15	-1.57	15	0.00	15
6494	-407	-415	Min.	3.53	-0.11	15	0.26	15	-0.02	15	-18.82	15	1.52	15	0.00	15
6494	-407	-415	Min.	19.67	-0.11	15	0.26	15	0.02	15	-19.46	15	-1.57	15	0.00	15
6495	-439	-447	Max	3.53	0.25	15	0.27	15	-0.02	15	-19.85	15	1.54	15	0.00	15
6495	-439	-447	Max	19.05	0.25	15	0.27	15	0.02	15	-20.46	15	-1.59	15	0.00	15
6495	-439	-447	Min.	3.53	0.25	15	0.27	15	-0.02	15	-19.85	15	1.54	15	0.00	15
6495	-439	-447	Min.	19.05	0.25	15	0.27	15	0.02	15	-20.46	15	-1.59	15	0.00	15
6496	-471	-479	Max	3.53	-2.25	15	0.26	15	-0.02	15	-20.71	15	1.56	15	0.00	15
6496	-471	-479	Max	18.42	-2.25	15	0.26	15	0.02	15	-21.30	15	-1.57	15	0.00	15
6496	-471	-479	Min.	3.53	-2.25	15	0.26	15	-0.02	15	-20.71	15	1.56	15	0.00	15
6496	-471	-479	Min.	18.42	-2.25	15	0.26	15	0.02	15	-21.30	15	-1.57	15	0.00	15
6497	-503	-511	Max	3.53	12.44	15	0.32	15	-0.02	15	-19.80	15	1.30	15	0.01	15
6497	-503	-511	Max	17.80	12.44	15	0.32	15	0.02	15	-20.36	15	-1.57	15	0.01	15
6497	-503	-511	Min.	3.53	12.44	15	0.32	15	-0.02	15	-19.80	15	1.30	15	0.01	15
6497	-503	-511	Min.	17.80	12.44	15	0.32	15	0.02	15	-20.36	15	-1.57	15	0.01	15
6502	-504	-512	Max	2.83	5.44	15	-0.29	15	0.02	15	-18.56	15	1.31	15	-0.01	15
6502	-504	-512	Max	17.09	5.44	15	-0.29	15	-0.02	15	-19.12	15	-1.38	15	-0.01	15
6502	-504	-512	Min.	2.83	5.44	15	-0.29	15	0.02	15	-18.56	15	1.31	15	-0.01	15
6502	-504	-512	Min.	17.09	5.44	15	-0.29	15	-0.02	15	-19.12	15	-1.38	15	-0.01	15
6503	-472	-480	Max	2.83	-0.98	15	-0.24	15	0.02	15	-19.28	15	1.48	15	0.00	15
6503	-472	-480	Max	17.72	-0.98	15	-0.24	15	-0.02	15	-19.87	15	-1.44	15	0.00	15
6503	-472	-480	Min.	2.83	-0.98	15	-0.24	15	0.02	15	-19.28	15	1.48	15	0.00	15
6503	-472	-480	Min.	17.72	-0.98	15	-0.24	15	-0.02	15	-19.87	15	-1.44	15	0.00	15
6504	-440	-448	Max	2.83	0.12	15	-0.25	15	0.02	15	-18.50	15	1.47	15	0.00	15
6504	-440	-448	Max	18.34	0.12	15	-0.25	15	-0.02	15	-19.11	15	-1.45	15	0.00	15
6504	-440	-448	Min.	2.83	0.12	15	-0.25	15	0.02	15	-18.50	15	1.47	15	0.00	15
6504	-440	-448	Min.	18.34	0.12	15	-0.25	15	-0.02	15	-19.11	15	-1.45	15	0.00	15
6505	-408	-416	Max	2.83	-0.03	15	-0.24	15	0.02	15	-17.54	15	1.45	15	0.00	15
6505	-408	-416	Max	18.97	-0.03	15	-0.24	15	-0.02	15	-18.17	15	-1.43	15	0.00	15

6505	-408	-416	Min.	2.83	-0.03	15	-0.24	15	0.02	15	-17.54	15	1.45	15	0.00	15
6505	-408	-416	Min.	18.97	-0.03	15	-0.24	15	-0.02	15	-18.17	15	-1.43	15	0.00	15
6506	-376	-384	Max	2.83	-0.02	15	-0.23	15	0.02	15	-16.62	15	1.43	15	0.00	15
6506	-376	-384	Max	19.59	-0.02	15	-0.23	15	-0.02	15	-17.27	15	-1.41	15	0.00	15
6506	-376	-384	Min.	2.83	-0.02	15	-0.23	15	0.02	15	-16.62	15	1.43	15	0.00	15
6506	-376	-384	Min.	19.59	-0.02	15	-0.23	15	-0.02	15	-17.27	15	-1.41	15	0.00	15
6507	-344	-352	Max	2.83	-0.01	15	-0.21	15	0.02	15	-15.75	15	1.41	15	0.00	15
6507	-344	-352	Max	20.22	-0.01	15	-0.21	15	-0.02	15	-16.44	15	-1.39	15	0.00	15
6507	-344	-352	Min.	2.83	-0.01	15	-0.21	15	0.02	15	-15.75	15	1.41	15	0.00	15
6507	-344	-352	Min.	20.22	-0.01	15	-0.21	15	-0.02	15	-16.44	15	-1.39	15	0.00	15
6508	-312	-320	Max	2.83	-0.02	15	-0.20	15	0.02	15	-14.96	15	1.38	15	0.00	15
6508	-312	-320	Max	20.84	-0.02	15	-0.20	15	-0.02	15	-15.66	15	-1.37	15	0.00	15
6508	-312	-320	Min.	2.83	-0.02	15	-0.20	15	0.02	15	-14.96	15	1.38	15	0.00	15
6508	-312	-320	Min.	20.84	-0.02	15	-0.20	15	-0.02	15	-15.66	15	-1.37	15	0.00	15
6509	-280	-288	Max	2.83	-0.02	15	-0.19	15	0.02	15	-14.21	15	1.36	15	0.00	15
6509	-280	-288	Max	21.47	-0.02	15	-0.19	15	-0.02	15	-14.94	15	-1.35	15	0.00	15
6509	-280	-288	Min.	2.83	-0.02	15	-0.19	15	0.02	15	-14.21	15	1.36	15	0.00	15
6509	-280	-288	Min.	21.47	-0.02	15	-0.19	15	-0.02	15	-14.94	15	-1.35	15	0.00	15
6510	-248	-256	Max	2.83	-0.02	15	-0.18	15	0.02	15	-13.51	15	1.34	15	0.00	15
6510	-248	-256	Max	22.09	-0.02	15	-0.18	15	-0.02	15	-14.27	15	-1.33	15	0.00	15
6510	-248	-256	Min.	2.83	-0.02	15	-0.18	15	0.02	15	-13.51	15	1.34	15	0.00	15
6510	-248	-256	Min.	22.09	-0.02	15	-0.18	15	-0.02	15	-14.27	15	-1.33	15	0.00	15
6511	-216	-224	Max	2.83	-0.02	15	-0.17	15	0.02	15	-12.86	15	1.32	15	0.00	15
6511	-216	-224	Max	22.72	-0.02	15	-0.17	15	-0.02	15	-13.64	15	-1.32	15	0.00	15
6511	-216	-224	Min.	2.83	-0.02	15	-0.17	15	0.02	15	-12.86	15	1.32	15	0.00	15
6511	-216	-224	Min.	22.72	-0.02	15	-0.17	15	-0.02	15	-13.64	15	-1.32	15	0.00	15
6512	-184	-192	Max	2.83	-0.03	15	-0.16	15	0.02	15	-12.23	15	1.30	15	0.00	15
6512	-184	-192	Max	23.34	-0.03	15	-0.16	15	-0.02	15	-13.03	15	-1.29	15	0.00	15
6512	-184	-192	Min.	2.83	-0.03	15	-0.16	15	0.02	15	-12.23	15	1.30	15	0.00	15
6512	-184	-192	Min.	23.34	-0.03	15	-0.16	15	-0.02	15	-13.03	15	-1.29	15	0.00	15
6513	-152	-160	Max	2.83	-0.03	15	-0.15	15	0.01	15	-11.55	15	1.26	15	0.00	15
6513	-152	-160	Max	23.97	-0.03	15	-0.15	15	-0.02	15	-12.38	15	-1.27	15	0.00	15
6513	-152	-160	Min.	2.83	-0.03	15	-0.15	15	0.01	15	-11.55	15	1.26	15	0.00	15
6513	-152	-160	Min.	23.97	-0.03	15	-0.15	15	-0.02	15	-12.38	15	-1.27	15	0.00	15
6514	-120	-128	Max	2.83	0.05	15	-0.14	15	0.01	15	-10.55	15	1.19	15	0.00	15
6514	-120	-128	Max	24.59	0.05	15	-0.14	15	-0.02	15	-11.40	15	-1.20	15	0.00	15
6514	-120	-128	Min.	2.83	0.05	15	-0.14	15	0.01	15	-10.55	15	1.19	15	0.00	15
6514	-120	-128	Min.	24.59	0.05	15	-0.14	15	-0.02	15	-11.40	15	-1.20	15	0.00	15
6515	-88	-96	Max	2.83	-0.48	15	-0.10	15	0.01	15	-7.99	15	0.93	15	0.00	15
6515	-88	-96	Max	25.22	-0.48	15	-0.10	15	-0.01	15	-8.86	15	-0.95	15	0.00	15
6515	-88	-96	Min.	2.83	-0.48	15	-0.10	15	0.01	15	-7.99	15	0.93	15	0.00	15
6515	-88	-96	Min.	25.22	-0.48	15	-0.10	15	-0.01	15	-8.86	15	-0.95	15	0.00	15
6516	-56	-64	Max	2.83	2.99	15	-0.08	15	0.01	15	-8.41	15	1.15	15	0.00	15
6516	-56	-64	Max	25.84	2.99	15	-0.08	15	-0.01	15	-10.22	15	-0.99	15	0.00	15
6516	-56	-64	Min.	2.83	2.99	15	-0.08	15	0.01	15	-8.41	15	1.15	15	0.00	15
6516	-56	-64	Min.	25.84	2.99	15	-0.08	15	-0.01	15	-10.22	15	-0.99	15	0.00	15
6517	-24	-32	Max	2.83	16.75	15	-0.05	15	0.01	15	-4.25	15	0.67	15	0.00	15
6517	-24	-32	Max	26.15	16.75	15	-0.05	15	-0.00	15	-6.08	15	-0.53	15	0.00	15
6517	-24	-32	Min.	2.83	16.75	15	-0.05	15	0.01	15	-4.25	15	0.67	15	0.00	15
6517	-24	-32	Min.	26.15	16.75	15	-0.05	15	-0.00	15	-6.08	15	-0.53	15	0.00	15
6518	360	372	Max	1.77	-1.50	15	2.92	15	-0.10	15	-3.96	15	-0.22	15	0.10	15
6518	360	372	Max	15.00	-1.50	15	2.92	15	0.28	15	-4.90	15	-0.81	15	0.10	15
6518	360	372	Min.	1.77	-1.50	15	2.92	15	-0.10	15	-3.96	15	-0.22	15	0.10	15
6518	360	372	Min.	15.00	-1.50	15	2.92	15	0.28	15	-4.90	15	-0.81	15	0.10	15
6518	372	384	Max	0.00	8.32	15	-2.69	15	0.26	15	-16.24	15	1.37	15	-0.10	15
6518	372	384	Max	13.23	8.32	15	-2.69	15	-0.09	15	-17.18	15	-0.84	15	-0.10	15
6518	372	384	Min.	0.00	8.32	15	-2.69	15	0.26	15	-16.24	15	1.37	15	-0.10	15
6518	372	384	Min.	13.23	8.32	15	-2.69	15	-0.09	15	-17.18	15	-0.84	15	-0.10	15
6560	-517	-518	Max	0.00	-0.04	15	0.86	15	-0.05	15	0.00	15	-0.03	15	0.09	15

6560	-517	-518	Max	12.00	-0.04	15	0.86	15	0.06	15	1.60	15	0.07	15	0.09	15
6560	-517	-518	Min.	0.00	-0.04	15	0.86	15	-0.05	15	0.00	15	-0.03	15	0.09	15
6560	-517	-518	Min.	12.00	-0.04	15	0.86	15	0.06	15	1.60	15	0.07	15	0.09	15
6561	-533	-534	Max	0.00	0.05	15	0.78	15	-0.04	15	-1.12	15	0.06	15	0.06	15
6561	-533	-534	Max	12.00	0.05	15	0.78	15	0.05	15	0.48	15	0.02	15	0.06	15
6561	-533	-534	Min.	0.00	0.05	15	0.78	15	-0.04	15	-1.12	15	0.06	15	0.06	15
6561	-533	-534	Min.	12.00	0.05	15	0.78	15	0.05	15	0.48	15	0.02	15	0.06	15
6562	319	320	Max	1.77	-12.95	15	-0.08	15	0.02	15	0.99	15	-0.40	15	-0.01	15
6562	319	320	Max	15.00	-12.95	15	-0.08	15	0.01	15	0.05	15	-0.34	15	-0.01	15
6562	319	320	Min.	1.77	-12.95	15	-0.08	15	0.02	15	0.99	15	-0.40	15	-0.01	15
6562	319	320	Min.	15.00	-12.95	15	-0.08	15	0.01	15	0.05	15	-0.34	15	-0.01	15
6562	320	321	Max	0.00	-12.95	15	-0.08	15	0.01	15	0.05	15	-0.34	15	-0.01	15
6562	320	321	Max	0.66					0.01	15			-0.34	15		
6562	320	321	Max	13.23	-12.95	15	-0.08	15	-0.00	15	-0.89	15	-0.39	15	-0.01	15
6562	320	321	Min.	0.00	-12.95	15	-0.08	15	0.01	15	0.05	15	-0.34	15	-0.01	15
6562	320	321	Min.	0.66					0.01	15			-0.34	15		
6562	320	321	Min.	13.23	-12.95	15	-0.08	15	-0.00	15	-0.89	15	-0.39	15	-0.01	15
6563	-5	-6	Max	2.83	36.83	15	-0.03	15	0.01	15	1.72	15	0.00	15	0.00	15
6563	-5	-6	Max	24.11									0.19	15		
6563	-5	-6	Max	26.15	36.83	15	-0.03	15	0.00	15	-0.11	15	0.19	15	0.00	15
6563	-5	-6	Min.	2.83	36.83	15	-0.03	15	0.01	15	1.72	15	0.00	15	0.00	15
6563	-5	-6	Min.	24.11									0.19	15		
6563	-5	-6	Min.	26.15	36.83	15	-0.03	15	0.00	15	-0.11	15	0.19	15	0.00	15
6564	-37	-38	Max	2.83	9.48	15	0.00	15	0.01	15	2.29	15	0.02	15	0.00	15
6564	-37	-38	Max	25.84	9.48	15	0.00	15	0.01	15	0.49	15	0.34	15	0.00	15
6564	-37	-38	Min.	2.83	9.48	15	0.00	15	0.01	15	2.29	15	0.02	15	0.00	15
6564	-37	-38	Min.	25.84	9.48	15	0.00	15	0.01	15	0.49	15	0.34	15	0.00	15
6565	-69	-70	Max	2.83	-0.98	15	0.01	15	0.00	15	1.66	15	-0.16	15	0.00	15
6565	-69	-70	Max	25.22	-0.98	15	0.01	15	0.01	15	0.79	15	0.12	15	0.00	15
6565	-69	-70	Min.	2.83	-0.98	15	0.01	15	0.00	15	1.66	15	-0.16	15	0.00	15
6565	-69	-70	Min.	25.22	-0.98	15	0.01	15	0.01	15	0.79	15	0.12	15	0.00	15
6566	-101	-102	Max	2.83	-0.03	15	0.02	15	0.01	15	2.02	15	-0.19	15	0.00	15
6566	-101	-102	Max	24.59	-0.03	15	0.02	15	0.01	15	1.17	15	0.16	15	0.00	15
6566	-101	-102	Min.	2.83	-0.03	15	0.02	15	0.01	15	2.02	15	-0.19	15	0.00	15
6566	-101	-102	Min.	24.59	-0.03	15	0.02	15	0.01	15	1.17	15	0.16	15	0.00	15
6567	-133	-134	Max	2.83	-0.13	15	0.02	15	0.01	15	2.16	15	-0.20	15	0.00	15
6567	-133	-134	Max	23.97	-0.13	15	0.02	15	0.01	15	1.33	15	0.17	15	0.00	15
6567	-133	-134	Min.	2.83	-0.13	15	0.02	15	0.01	15	2.16	15	-0.20	15	0.00	15
6567	-133	-134	Min.	23.97	-0.13	15	0.02	15	0.01	15	1.33	15	0.17	15	0.00	15
6568	-165	-166	Max	2.83	-0.12	15	0.02	15	0.01	15	2.24	15	-0.20	15	0.00	15
6568	-165	-166	Max	23.34	-0.12	15	0.02	15	0.01	15	1.44	15	0.17	15	0.00	15
6568	-165	-166	Min.	2.83	-0.12	15	0.02	15	0.01	15	2.24	15	-0.20	15	0.00	15
6568	-165	-166	Min.	23.34	-0.12	15	0.02	15	0.01	15	1.44	15	0.17	15	0.00	15
6569	-197	-198	Max	2.83	-0.12	15	0.02	15	0.01	15	2.32	15	-0.21	15	0.00	15
6569	-197	-198	Max	22.72	-0.12	15	0.02	15	0.01	15	1.54	15	0.18	15	0.00	15
6569	-197	-198	Min.	2.83	-0.12	15	0.02	15	0.01	15	2.32	15	-0.21	15	0.00	15
6569	-197	-198	Min.	22.72	-0.12	15	0.02	15	0.01	15	1.54	15	0.18	15	0.00	15
6570	-229	-230	Max	2.83	-0.12	15	0.03	15	0.01	15	2.40	15	-0.21	15	0.00	15
6570	-229	-230	Max	22.09	-0.12	15	0.03	15	0.01	15	1.64	15	0.18	15	0.00	15
6570	-229	-230	Min.	2.83	-0.12	15	0.03	15	0.01	15	2.40	15	-0.21	15	0.00	15
6570	-229	-230	Min.	22.09	-0.12	15	0.03	15	0.01	15	1.64	15	0.18	15	0.00	15
6571	-261	-262	Max	2.83	-0.12	15	0.03	15	0.01	15	2.49	15	-0.21	15	0.00	15
6571	-261	-262	Max	21.47	-0.12	15	0.03	15	0.01	15	1.76	15	0.18	15	0.00	15
6571	-261	-262	Min.	2.83	-0.12	15	0.03	15	0.01	15	2.49	15	-0.21	15	0.00	15
6571	-261	-262	Min.	21.47	-0.12	15	0.03	15	0.01	15	1.76	15	0.18	15	0.00	15
6572	-293	-294	Max	2.83	-0.13	15	0.03	15	0.01	15	2.58	15	-0.22	15	0.00	15
6572	-293	-294	Max	20.84	-0.13	15	0.03	15	0.01	15	1.88	15	0.19	15	0.00	15
6572	-293	-294	Min.	2.83	-0.13	15	0.03	15	0.01	15	2.58	15	-0.22	15	0.00	15
6572	-293	-294	Min.	20.84	-0.13	15	0.03	15	0.01	15	1.88	15	0.19	15	0.00	15

6573	-325	-326	Max	2.83	-0.13	15	0.03	15	0.01	15	2.68	15	-0.22	15	0.00	15
6573	-325	-326	Max	20.22	-0.13	15	0.03	15	0.01	15	2.00	15	0.19	15	0.00	15
6573	-325	-326	Min.	2.83	-0.13	15	0.03	15	0.01	15	2.68	15	-0.22	15	0.00	15
6573	-325	-326	Min.	20.22	-0.13	15	0.03	15	0.01	15	2.00	15	0.19	15	0.00	15
6574	-357	-358	Max	2.83	-0.14	15	0.03	15	0.01	15	2.80	15	-0.22	15	0.00	15
6574	-357	-358	Max	19.59	-0.14	15	0.03	15	0.01	15	2.14	15	0.19	15	0.00	15
6574	-357	-358	Min.	2.83	-0.14	15	0.03	15	0.01	15	2.80	15	-0.22	15	0.00	15
6574	-357	-358	Min.	19.59	-0.14	15	0.03	15	0.01	15	2.14	15	0.19	15	0.00	15
6575	-389	-390	Max	2.83	-0.06	15	0.03	15	0.01	15	2.91	15	-0.23	15	0.00	15
6575	-389	-390	Max	18.97	-0.06	15	0.03	15	0.01	15	2.28	15	0.19	15	0.00	15
6575	-389	-390	Min.	2.83	-0.06	15	0.03	15	0.01	15	2.91	15	-0.23	15	0.00	15
6575	-389	-390	Min.	18.97	-0.06	15	0.03	15	0.01	15	2.28	15	0.19	15	0.00	15
6576	-421	-422	Max	2.83	-0.72	15	0.04	15	0.01	15	3.04	15	-0.22	15	0.00	15
6576	-421	-422	Max	18.34	-0.72	15	0.04	15	0.01	15	2.43	15	0.20	15	0.00	15
6576	-421	-422	Min.	2.83	-0.72	15	0.04	15	0.01	15	3.04	15	-0.22	15	0.00	15
6576	-421	-422	Min.	18.34	-0.72	15	0.04	15	0.01	15	2.43	15	0.20	15	0.00	15
6577	-453	-454	Max	2.83	3.83	15	0.03	15	0.01	15	3.09	15	-0.25	15	0.00	15
6577	-453	-454	Max	17.72	3.83	15	0.03	15	0.01	15	2.50	15	0.16	15	0.00	15
6577	-453	-454	Min.	2.83	3.83	15	0.03	15	0.01	15	3.09	15	-0.25	15	0.00	15
6577	-453	-454	Min.	17.72	3.83	15	0.03	15	0.01	15	2.50	15	0.16	15	0.00	15
6578	-485	-486	Max	2.83	-23.80	15	0.03	15	0.01	15	2.93	15	0.00	15	0.00	15
6578	-485	-486	Max	17.09	-23.80	15	0.03	15	0.01	15	2.37	15	0.38	15	0.00	15
6578	-485	-486	Min.	2.83	-23.80	15	0.03	15	0.01	15	2.93	15	0.00	15	0.00	15
6578	-485	-486	Min.	17.09	-23.80	15	0.03	15	0.01	15	2.37	15	0.38	15	0.00	15
6582	-493	-494	Max	3.53	57.34	15	-0.05	15	0.01	15	3.86	15	-0.75	15	-0.00	15
6582	-493	-494	Max	17.80	57.34	15	-0.05	15	0.00	15	3.30	15	-0.24	15	-0.00	15
6582	-493	-494	Min.	3.53	57.34	15	-0.05	15	0.01	15	3.86	15	-0.75	15	-0.00	15
6582	-493	-494	Min.	17.80	57.34	15	-0.05	15	0.00	15	3.30	15	-0.24	15	-0.00	15
6583	-461	-462	Max	3.53	-9.84	15	-0.05	15	0.01	15	3.92	15	-0.18	15	-0.00	15
6583	-461	-462	Max	18.42	-9.84	15	-0.05	15	0.01	15	3.33	15	0.36	15	-0.00	15
6583	-461	-462	Min.	3.53	-9.84	15	-0.05	15	0.01	15	3.92	15	-0.18	15	-0.00	15
6583	-461	-462	Min.	18.42	-9.84	15	-0.05	15	0.01	15	3.33	15	0.36	15	-0.00	15
6584	-429	-430	Max	3.53	1.51	15	-0.05	15	0.01	15	3.89	15	-0.28	15	-0.00	15
6584	-429	-430	Max	19.05	1.51	15	-0.05	15	0.01	15	3.29	15	0.28	15	-0.00	15
6584	-429	-430	Min.	3.53	1.51	15	-0.05	15	0.01	15	3.89	15	-0.28	15	-0.00	15
6584	-429	-430	Min.	19.05	1.51	15	-0.05	15	0.01	15	3.29	15	0.28	15	-0.00	15
6585	-397	-398	Max	3.53	-0.14	15	-0.05	15	0.01	15	3.73	15	-0.27	15	0.00	15
6585	-397	-398	Max	19.67	-0.14	15	-0.05	15	0.01	15	3.10	15	0.28	15	0.00	15
6585	-397	-398	Min.	3.53	-0.14	15	-0.05	15	0.01	15	3.73	15	-0.27	15	0.00	15
6585	-397	-398	Min.	19.67	-0.14	15	-0.05	15	0.01	15	3.10	15	0.28	15	0.00	15
6586	-365	-366	Max	3.53	0.05	15	-0.05	15	0.01	15	3.56	15	-0.26	15	0.00	15
6586	-365	-366	Max	20.30	0.05	15	-0.05	15	0.01	15	2.91	15	0.28	15	0.00	15
6586	-365	-366	Min.	3.53	0.05	15	-0.05	15	0.01	15	3.56	15	-0.26	15	0.00	15
6586	-365	-366	Min.	20.30	0.05	15	-0.05	15	0.01	15	2.91	15	0.28	15	0.00	15
6587	-333	-334	Max	3.53	0.06	15	-0.04	15	0.01	15	3.41	15	-0.26	15	0.00	15
6587	-333	-334	Max	20.92	0.06	15	-0.04	15	0.01	15	2.73	15	0.27	15	0.00	15
6587	-333	-334	Min.	3.53	0.06	15	-0.04	15	0.01	15	3.41	15	-0.26	15	0.00	15
6587	-333	-334	Min.	20.92	0.06	15	-0.04	15	0.01	15	2.73	15	0.27	15	0.00	15
6588	-301	-302	Max	3.53	0.02	15	-0.04	15	0.01	15	3.27	15	-0.26	15	0.00	15
6588	-301	-302	Max	21.55	0.02	15	-0.04	15	0.01	15	2.56	15	0.27	15	0.00	15
6588	-301	-302	Min.	3.53	0.02	15	-0.04	15	0.01	15	3.27	15	-0.26	15	0.00	15
6588	-301	-302	Min.	21.55	0.02	15	-0.04	15	0.01	15	2.56	15	0.27	15	0.00	15
6589	-269	-270	Max	3.53	0.04	15	-0.04	15	0.01	15	3.14	15	-0.26	15	0.00	15
6589	-269	-270	Max	22.17	0.04	15	-0.04	15	0.01	15	2.41	15	0.26	15	0.00	15
6589	-269	-270	Min.	3.53	0.04	15	-0.04	15	0.01	15	3.14	15	-0.26	15	0.00	15
6589	-269	-270	Min.	22.17	0.04	15	-0.04	15	0.01	15	2.41	15	0.26	15	0.00	15
6590	-237	-238	Max	3.53	0.05	15	-0.04	15	0.01	15	3.02	15	-0.25	15	0.00	15
6590	-237	-238	Max	22.80	0.05	15	-0.04	15	0.01	15	2.27	15	0.26	15	0.00	15
6590	-237	-238	Min.	3.53	0.05	15	-0.04	15	0.01	15	3.02	15	-0.25	15	0.00	15

6590	-237	-238	Min.	22.80	0.05	15	-0.04	15	0.01	15	2.27	15	0.26	15	0.00	15
6591	-205	-206	Max	3.53	0.02	15	-0.04	15	0.01	15	2.91	15	-0.25	15	0.00	15
6591	-205	-206	Max	23.42	0.02	15	-0.04	15	0.01	15	2.13	15	0.25	15	0.00	15
6591	-205	-206	Min.	3.53	0.02	15	-0.04	15	0.01	15	2.91	15	-0.25	15	0.00	15
6591	-205	-206	Min.	23.42	0.02	15	-0.04	15	0.01	15	2.13	15	0.25	15	0.00	15
6592	-173	-174	Max	3.53	0.04	15	-0.03	15	0.01	15	2.81	15	-0.25	15	0.00	15
6592	-173	-174	Max	24.05	0.04	15	-0.03	15	0.01	15	2.00	15	0.24	15	0.00	15
6592	-173	-174	Min.	3.53	0.04	15	-0.03	15	0.01	15	2.81	15	-0.25	15	0.00	15
6592	-173	-174	Min.	24.05	0.04	15	-0.03	15	0.01	15	2.00	15	0.24	15	0.00	15
6593	-141	-142	Max	3.53	0.02	15	-0.03	15	0.01	15	2.69	15	-0.24	15	0.00	15
6593	-141	-142	Max	24.67	0.02	15	-0.03	15	0.01	15	1.86	15	0.24	15	0.00	15
6593	-141	-142	Min.	3.53	0.02	15	-0.03	15	0.01	15	2.69	15	-0.24	15	0.00	15
6593	-141	-142	Min.	24.67	0.02	15	-0.03	15	0.01	15	1.86	15	0.24	15	0.00	15
6594	-109	-110	Max	3.53	0.13	15	-0.03	15	0.01	15	2.52	15	-0.23	15	0.00	15
6594	-109	-110	Max	25.30	0.13	15	-0.03	15	0.01	15	1.66	15	0.22	15	0.00	15
6594	-109	-110	Min.	3.53	0.13	15	-0.03	15	0.01	15	2.52	15	-0.23	15	0.00	15
6594	-109	-110	Min.	25.30	0.13	15	-0.03	15	0.01	15	1.66	15	0.22	15	0.00	15
6595	-77	-78	Max	3.53	-0.83	15	-0.02	15	0.01	15	2.05	15	-0.19	15	0.00	15
6595	-77	-78	Max	25.92	-0.83	15	-0.02	15	0.00	15	1.17	15	0.17	15	0.00	15
6595	-77	-78	Min.	3.53	-0.83	15	-0.02	15	0.01	15	2.05	15	-0.19	15	0.00	15
6595	-77	-78	Min.	25.92	-0.83	15	-0.02	15	0.00	15	1.17	15	0.17	15	0.00	15
6596	-45	-46	Max	3.53	9.07	15	-0.01	15	0.01	15	2.69	15	-0.01	15	-0.00	15
6596	-45	-46	Max	26.55	9.07	15	-0.01	15	0.01	15	0.88	15	0.40	15	-0.00	15
6596	-45	-46	Min.	3.53	9.07	15	-0.01	15	0.01	15	2.69	15	-0.01	15	-0.00	15
6596	-45	-46	Min.	26.55	9.07	15	-0.01	15	0.01	15	0.88	15	0.40	15	-0.00	15
6597	-13	-14	Max	3.53	37.19	15	0.02	15	0.00	15	2.00	15	0.01	15	0.00	15
6597	-13	-14	Max	26.86	37.19	15	0.02	15	0.01	15	0.17	15	0.26	15	0.00	15
6597	-13	-14	Min.	3.53	37.19	15	0.02	15	0.00	15	2.00	15	0.01	15	0.00	15
6597	-13	-14	Min.	26.86	37.19	15	0.02	15	0.01	15	0.17	15	0.26	15	0.00	15
6598	343	344	Max	1.77	-6.19	15	1.08	15	-0.39	15	-0.10	15	0.03	15	0.01	15
6598	343	344	Max	15.00	-6.19	15	0.14	15	-0.31	15	-0.10	15	0.02	15	0.01	15
6598	343	344	Min.	1.77	-6.19	15	1.08	15	-0.39	15	-0.10	15	0.03	15	0.01	15
6598	343	344	Min.	15.00	-6.19	15	0.14	15	-0.31	15	-0.10	15	0.02	15	0.01	15
6598	344	345	Max	0.00	-6.19	15	0.14	15	-0.31	15	-0.10	15	0.02	15	0.01	15
6598	344	345	Max	1.99					-0.31	15			0.02	15		
6598	344	345	Max	13.23	-6.19	15	-0.80	15	-0.35	15	-0.10	15	0.00	15	0.01	15
6598	344	345	Min.	0.00	-6.19	15	0.14	15	-0.31	15	-0.10	15	0.02	15	0.01	15
6598	344	345	Min.	1.99					-0.31	15			0.02	15		
6598	344	345	Min.	13.23	-6.19	15	-0.80	15	-0.35	15	-0.10	15	0.00	15	0.01	15
6606	355	356	Max	1.77	-6.19	15	-0.10	15	0.03	15	1.06	15	-0.39	15	-0.01	15
6606	355	356	Max	15.00	-6.19	15	-0.10	15	0.02	15	0.12	15	-0.31	15	-0.01	15
6606	355	356	Min.	1.77	-6.19	15	-0.10	15	0.03	15	1.06	15	-0.39	15	-0.01	15
6606	355	356	Min.	15.00	-6.19	15	-0.10	15	0.02	15	0.12	15	-0.31	15	-0.01	15
6606	356	357	Max	0.00	-6.19	15	-0.10	15	0.02	15	0.12	15	-0.31	15	-0.01	15
6606	356	357	Max	1.65					0.02	15			-0.31	15		
6606	356	357	Max	13.23	-6.19	15	-0.10	15	0.01	15	-0.82	15	-0.36	15	-0.01	15
6606	356	357	Min.	0.00	-6.19	15	-0.10	15	0.02	15	0.12	15	-0.31	15	-0.01	15
6606	356	357	Min.	1.65					0.02	15			-0.31	15		
6606	356	357	Min.	13.23	-6.19	15	-0.10	15	0.01	15	-0.82	15	-0.36	15	-0.01	15
6607	-21	-22	Max	2.83	37.11	15	-0.02	15	-0.00	15	2.00	15	0.00	15	0.00	15
6607	-21	-22	Max	26.15	37.11	15	-0.02	15	-0.01	15	0.17	15	0.26	15	0.00	15
6607	-21	-22	Min.	2.83	37.11	15	-0.02	15	-0.00	15	2.00	15	0.00	15	0.00	15
6607	-21	-22	Min.	26.15	37.11	15	-0.02	15	-0.01	15	0.17	15	0.26	15	0.00	15
6608	-53	-54	Max	2.83	9.09	15	0.00	15	-0.01	15	2.68	15	-0.01	15	0.00	15
6608	-53	-54	Max	25.84	9.09	15	0.00	15	-0.01	15	0.87	15	0.40	15	0.00	15
6608	-53	-54	Min.	2.83	9.09	15	0.00	15	-0.01	15	2.68	15	-0.01	15	0.00	15
6608	-53	-54	Min.	25.84	9.09	15	0.00	15	-0.01	15	0.87	15	0.40	15	0.00	15
6609	-85	-86	Max	2.83	-0.84	15	0.02	15	-0.01	15	1.99	15	-0.19	15	0.00	15
6609	-85	-86	Max	25.22	-0.84	15	0.02	15	-0.00	15	1.11	15	0.16	15	0.00	15

6609	-85	-86	Min.	2.83	-0.84	15	0.02	15	-0.01	15	1.99	15	-0.19	15	0.00	15
6609	-85	-86	Min.	25.22	-0.84	15	0.02	15	-0.00	15	1.11	15	0.16	15	0.00	15
6610	-117	-118	Max	2.83	0.12	15	0.02	15	-0.01	15	2.44	15	-0.23	15	0.00	15
6610	-117	-118	Max	24.59	0.12	15	0.02	15	-0.01	15	1.59	15	0.21	15	0.00	15
6610	-117	-118	Min.	2.83	0.12	15	0.02	15	-0.01	15	2.44	15	-0.23	15	0.00	15
6610	-117	-118	Min.	24.59	0.12	15	0.02	15	-0.01	15	1.59	15	0.21	15	0.00	15
6611	-149	-150	Max	2.83	0.01	15	0.03	15	-0.01	15	2.61	15	-0.24	15	0.00	15
6611	-149	-150	Max	23.97	0.01	15	0.03	15	-0.01	15	1.78	15	0.22	15	0.00	15
6611	-149	-150	Min.	2.83	0.01	15	0.03	15	-0.01	15	2.61	15	-0.24	15	0.00	15
6611	-149	-150	Min.	23.97	0.01	15	0.03	15	-0.01	15	1.78	15	0.22	15	0.00	15
6612	-181	-182	Max	2.83	0.04	15	0.03	15	-0.01	15	2.72	15	-0.24	15	0.00	15
6612	-181	-182	Max	23.34	0.04	15	0.03	15	-0.01	15	1.92	15	0.23	15	0.00	15
6612	-181	-182	Min.	2.83	0.04	15	0.03	15	-0.01	15	2.72	15	-0.24	15	0.00	15
6612	-181	-182	Min.	23.34	0.04	15	0.03	15	-0.01	15	1.92	15	0.23	15	0.00	15
6613	-213	-214	Max	2.83	0.01	15	0.03	15	-0.01	15	2.82	15	-0.25	15	0.00	15
6613	-213	-214	Max	22.72	0.01	15	0.03	15	-0.01	15	2.04	15	0.24	15	0.00	15
6613	-213	-214	Min.	2.83	0.01	15	0.03	15	-0.01	15	2.82	15	-0.25	15	0.00	15
6613	-213	-214	Min.	22.72	0.01	15	0.03	15	-0.01	15	2.04	15	0.24	15	0.00	15
6614	-245	-246	Max	2.83	0.05	15	0.03	15	-0.01	15	2.93	15	-0.25	15	0.00	15
6614	-245	-246	Max	22.09	0.05	15	0.03	15	-0.01	15	2.17	15	0.24	15	0.00	15
6614	-245	-246	Min.	2.83	0.05	15	0.03	15	-0.01	15	2.93	15	-0.25	15	0.00	15
6614	-245	-246	Min.	22.09	0.05	15	0.03	15	-0.01	15	2.17	15	0.24	15	0.00	15
6615	-277	-278	Max	2.83	0.03	15	0.04	15	-0.01	15	3.04	15	-0.25	15	0.00	15
6615	-277	-278	Max	21.47	0.03	15	0.04	15	-0.01	15	2.31	15	0.25	15	0.00	15
6615	-277	-278	Min.	2.83	0.03	15	0.04	15	-0.01	15	3.04	15	-0.25	15	0.00	15
6615	-277	-278	Min.	21.47	0.03	15	0.04	15	-0.01	15	2.31	15	0.25	15	0.00	15
6616	-309	-310	Max	2.83	0.02	15	0.04	15	-0.01	15	3.16	15	-0.25	15	0.00	15
6616	-309	-310	Max	20.84	0.02	15	0.04	15	-0.01	15	2.46	15	0.25	15	0.00	15
6616	-309	-310	Min.	2.83	0.02	15	0.04	15	-0.01	15	3.16	15	-0.25	15	0.00	15
6616	-309	-310	Min.	20.84	0.02	15	0.04	15	-0.01	15	2.46	15	0.25	15	0.00	15
6617	-341	-342	Max	2.83	0.06	15	0.04	15	-0.01	15	3.30	15	-0.26	15	0.00	15
6617	-341	-342	Max	20.22	0.06	15	0.04	15	-0.01	15	2.61	15	0.26	15	0.00	15
6617	-341	-342	Min.	2.83	0.06	15	0.04	15	-0.01	15	3.30	15	-0.26	15	0.00	15
6617	-341	-342	Min.	20.22	0.06	15	0.04	15	-0.01	15	2.61	15	0.26	15	0.00	15
6618	-373	-374	Max	2.83	0.05	15	0.04	15	-0.01	15	3.44	15	-0.26	15	0.00	15
6618	-373	-374	Max	19.59	0.05	15	0.04	15	-0.01	15	2.78	15	0.26	15	0.00	15
6618	-373	-374	Min.	2.83	0.05	15	0.04	15	-0.01	15	3.44	15	-0.26	15	0.00	15
6618	-373	-374	Min.	19.59	0.05	15	0.04	15	-0.01	15	2.78	15	0.26	15	0.00	15
6619	-405	-406	Max	2.83	-0.14	15	0.04	15	-0.01	15	3.60	15	-0.26	15	0.00	15
6619	-405	-406	Max	18.97	-0.14	15	0.04	15	-0.01	15	2.97	15	0.27	15	0.00	15
6619	-405	-406	Min.	2.83	-0.14	15	0.04	15	-0.01	15	3.60	15	-0.26	15	0.00	15
6619	-405	-406	Min.	18.97	-0.14	15	0.04	15	-0.01	15	2.97	15	0.27	15	0.00	15
6620	-437	-438	Max	2.83	1.51	15	0.05	15	-0.01	15	3.75	15	-0.27	15	0.00	15
6620	-437	-438	Max	18.34	1.51	15	0.05	15	-0.01	15	3.14	15	0.26	15	0.00	15
6620	-437	-438	Min.	2.83	1.51	15	0.05	15	-0.01	15	3.75	15	-0.27	15	0.00	15
6620	-437	-438	Min.	18.34	1.51	15	0.05	15	-0.01	15	3.14	15	0.26	15	0.00	15
6621	-469	-470	Max	2.83	-9.84	15	0.05	15	-0.01	15	3.93	15	-0.19	15	0.00	15
6621	-469	-470	Max	17.72	-9.84	15	0.05	15	-0.01	15	3.35	15	0.35	15	0.00	15
6621	-469	-470	Min.	2.83	-9.84	15	0.05	15	-0.01	15	3.93	15	-0.19	15	0.00	15
6621	-469	-470	Min.	17.72	-9.84	15	0.05	15	-0.01	15	3.35	15	0.35	15	0.00	15
6622	-501	-502	Max	2.83	57.38	15	0.04	15	-0.01	15	3.39	15	-0.72	15	0.00	15
6622	-501	-502	Max	17.09	57.38	15	0.04	15	-0.01	15	2.83	15	-0.28	15	0.00	15
6622	-501	-502	Min.	2.83	57.38	15	0.04	15	-0.01	15	3.39	15	-0.72	15	0.00	15
6622	-501	-502	Min.	17.09	57.38	15	0.04	15	-0.01	15	2.83	15	-0.28	15	0.00	15
6626	-509	-510	Max	3.53	-23.87	15	-0.03	15	-0.01	15	2.85	15	0.01	15	0.00	15
6626	-509	-510	Max	17.80	-23.87	15	-0.03	15	-0.01	15	2.29	15	0.38	15	0.00	15
6626	-509	-510	Min.	3.53	-23.87	15	-0.03	15	-0.01	15	2.85	15	0.01	15	0.00	15
6626	-509	-510	Min.	17.80	-23.87	15	-0.03	15	-0.01	15	2.29	15	0.38	15	0.00	15
6627	-477	-478	Max	3.53	3.84	15	-0.04	15	-0.01	15	3.20	15	-0.26	15	0.00	15

6627	-477	-478	Max	18.42	3.84	15	-0.04	15	-0.01	15	2.62	15	0.18	15	0.00	15
6627	-477	-478	Min.	3.53	3.84	15	-0.04	15	-0.01	15	3.20	15	-0.26	15	0.00	15
6627	-477	-478	Min.	18.42	3.84	15	-0.04	15	-0.01	15	2.62	15	0.18	15	0.00	15
6628	-445	-446	Max	3.53	-0.72	15	-0.04	15	-0.01	15	3.08	15	-0.22	15	0.00	15
6628	-445	-446	Max	19.05	-0.72	15	-0.04	15	-0.01	15	2.47	15	0.21	15	0.00	15
6628	-445	-446	Min.	3.53	-0.72	15	-0.04	15	-0.01	15	3.08	15	-0.22	15	0.00	15
6628	-445	-446	Min.	19.05	-0.72	15	-0.04	15	-0.01	15	2.47	15	0.21	15	0.00	15
6629	-413	-414	Max	3.53	-0.06	15	-0.03	15	-0.01	15	2.95	15	-0.22	15	0.00	15
6629	-413	-414	Max	19.67	-0.06	15	-0.03	15	-0.01	15	2.32	15	0.20	15	0.00	15
6629	-413	-414	Min.	3.53	-0.06	15	-0.03	15	-0.01	15	2.95	15	-0.22	15	0.00	15
6629	-413	-414	Min.	19.67	-0.06	15	-0.03	15	-0.01	15	2.32	15	0.20	15	0.00	15
6630	-381	-382	Max	3.53	-0.13	15	-0.03	15	-0.01	15	2.83	15	-0.22	15	0.00	15
6630	-381	-382	Max	20.30	-0.13	15	-0.03	15	-0.01	15	2.18	15	0.20	15	0.00	15
6630	-381	-382	Min.	3.53	-0.13	15	-0.03	15	-0.01	15	2.83	15	-0.22	15	0.00	15
6630	-381	-382	Min.	20.30	-0.13	15	-0.03	15	-0.01	15	2.18	15	0.20	15	0.00	15
6631	-349	-350	Max	3.53	-0.13	15	-0.03	15	-0.01	15	2.72	15	-0.22	15	0.00	15
6631	-349	-350	Max	20.92	-0.13	15	-0.03	15	-0.01	15	2.04	15	0.20	15	0.00	15
6631	-349	-350	Min.	3.53	-0.13	15	-0.03	15	-0.01	15	2.72	15	-0.22	15	0.00	15
6631	-349	-350	Min.	20.92	-0.13	15	-0.03	15	-0.01	15	2.04	15	0.20	15	0.00	15
6632	-317	-318	Max	3.53	-0.12	15	-0.03	15	-0.01	15	2.61	15	-0.21	15	0.00	15
6632	-317	-318	Max	21.55	-0.12	15	-0.03	15	-0.01	15	1.91	15	0.19	15	0.00	15
6632	-317	-318	Min.	3.53	-0.12	15	-0.03	15	-0.01	15	2.61	15	-0.21	15	0.00	15
6632	-317	-318	Min.	21.55	-0.12	15	-0.03	15	-0.01	15	1.91	15	0.19	15	0.00	15
6633	-285	-286	Max	3.53	-0.12	15	-0.03	15	-0.01	15	2.52	15	-0.21	15	0.00	15
6633	-285	-286	Max	22.17	-0.12	15	-0.03	15	-0.01	15	1.78	15	0.19	15	0.00	15
6633	-285	-286	Min.	3.53	-0.12	15	-0.03	15	-0.01	15	2.52	15	-0.21	15	0.00	15
6633	-285	-286	Min.	22.17	-0.12	15	-0.03	15	-0.01	15	1.78	15	0.19	15	0.00	15
6634	-253	-254	Max	3.53	-0.12	15	-0.03	15	-0.01	15	2.43	15	-0.21	15	0.00	15
6634	-253	-254	Max	22.80	-0.12	15	-0.03	15	-0.01	15	1.67	15	0.19	15	0.00	15
6634	-253	-254	Min.	3.53	-0.12	15	-0.03	15	-0.01	15	2.43	15	-0.21	15	0.00	15
6634	-253	-254	Min.	22.80	-0.12	15	-0.03	15	-0.01	15	1.67	15	0.19	15	0.00	15
6635	-221	-222	Max	3.53	-0.12	15	-0.02	15	-0.01	15	2.34	15	-0.21	15	0.00	15
6635	-221	-222	Max	23.42	-0.12	15	-0.02	15	-0.01	15	1.56	15	0.18	15	0.00	15
6635	-221	-222	Min.	3.53	-0.12	15	-0.02	15	-0.01	15	2.34	15	-0.21	15	0.00	15
6635	-221	-222	Min.	23.42	-0.12	15	-0.02	15	-0.01	15	1.56	15	0.18	15	0.00	15
6636	-189	-190	Max	3.53	-0.11	15	-0.02	15	-0.01	15	2.26	15	-0.20	15	0.00	15
6636	-189	-190	Max	24.05	-0.11	15	-0.02	15	-0.01	15	1.46	15	0.18	15	0.00	15
6636	-189	-190	Min.	3.53	-0.11	15	-0.02	15	-0.01	15	2.26	15	-0.20	15	0.00	15
6636	-189	-190	Min.	24.05	-0.11	15	-0.02	15	-0.01	15	1.46	15	0.18	15	0.00	15
6637	-157	-158	Max	3.53	-0.13	15	-0.02	15	-0.01	15	2.18	15	-0.20	15	0.00	15
6637	-157	-158	Max	24.67	-0.13	15	-0.02	15	-0.01	15	1.35	15	0.17	15	0.00	15
6637	-157	-158	Min.	3.53	-0.13	15	-0.02	15	-0.01	15	2.18	15	-0.20	15	0.00	15
6637	-157	-158	Min.	24.67	-0.13	15	-0.02	15	-0.01	15	1.35	15	0.17	15	0.00	15
6638	-125	-126	Max	3.53	-0.03	15	-0.02	15	-0.01	15	2.04	15	-0.19	15	0.00	15
6638	-125	-126	Max	25.30	-0.03	15	-0.02	15	-0.01	15	1.19	15	0.16	15	0.00	15
6638	-125	-126	Min.	3.53	-0.03	15	-0.02	15	-0.01	15	2.04	15	-0.19	15	0.00	15
6638	-125	-126	Min.	25.30	-0.03	15	-0.02	15	-0.01	15	1.19	15	0.16	15	0.00	15
6639	-93	-94	Max	3.53	-0.98	15	-0.02	15	-0.00	15	1.68	15	-0.16	15	0.00	15
6639	-93	-94	Max	25.92	-0.98	15	-0.02	15	-0.01	15	0.80	15	0.12	15	0.00	15
6639	-93	-94	Min.	3.53	-0.98	15	-0.02	15	-0.00	15	1.68	15	-0.16	15	0.00	15
6639	-93	-94	Min.	25.92	-0.98	15	-0.02	15	-0.01	15	0.80	15	0.12	15	0.00	15
6640	-61	-62	Max	3.53	9.46	15	-0.00	15	-0.01	15	2.25	15	0.03	15	0.00	15
6640	-61	-62	Max	26.55	9.46	15	-0.00	15	-0.01	15	0.44	15	0.34	15	0.00	15
6640	-61	-62	Min.	3.53	9.46	15	-0.00	15	-0.01	15	2.25	15	0.03	15	0.00	15
6640	-61	-62	Min.	26.55	9.46	15	-0.00	15	-0.01	15	0.44	15	0.34	15	0.00	15
6641	-29	-30	Max	3.53	36.83	15	0.03	15	-0.01	15	1.70	15	0.00	15	0.00	15
6641	-29	-30	Max	24.53									0.19	15		
6641	-29	-30	Max	26.86	36.83	15	0.03	15	0.00	15	-0.13	15	0.19	15	0.00	15
6641	-29	-30	Min.	3.53	36.83	15	0.03	15	-0.01	15	1.70	15	0.00	15	0.00	15

6641	-29	-30	Min.	22.19					-0.00	15			0.18	15		
6641	-29	-30	Min.	26.86	36.83	15	0.03	15	0.00	15	-0.13	15	0.19	15	0.00	15
6642	379	380	Max	1.77	-12.93	15	1.01	15	-0.41	15	-0.08	15	0.02	15	0.01	15
6642	379	380	Max	15.00	-12.93	15	0.07	15	-0.34	15	-0.08	15	0.01	15	0.01	15
6642	379	380	Min.	1.77	-12.93	15	1.01	15	-0.41	15	-0.08	15	0.02	15	0.01	15
6642	379	380	Min.	15.00	-12.93	15	0.07	15	-0.34	15	-0.08	15	0.01	15	0.01	15
6642	380	381	Max	0.00	-12.93	15	0.07	15	-0.34	15	-0.08	15	0.01	15	0.01	15
6642	380	381	Max	0.66					-0.34	15			0.01	15		
6642	380	381	Max	13.23	-12.93	15	-0.88	15	-0.39	15	-0.08	15	-0.00	15	0.01	15
6642	380	381	Min.	0.00	-12.93	15	0.07	15	-0.34	15	-0.08	15	0.01	15	0.01	15
6642	380	381	Min.	0.66					-0.34	15			0.01	15		
6642	380	381	Min.	13.23	-12.93	15	-0.88	15	-0.39	15	-0.08	15	-0.00	15	0.01	15
6643	-541	-542	Max	0.00	0.06	15	-0.97	15	0.05	15	-0.60	15	0.03	15	-0.06	15
6643	-541	-542	Max	12.00	0.06	15	-0.97	15	-0.06	15	1.00	15	0.05	15	-0.06	15
6643	-541	-542	Min.	0.00	0.06	15	-0.97	15	0.05	15	-0.60	15	0.03	15	-0.06	15
6643	-541	-542	Min.	12.00	0.06	15	-0.97	15	-0.06	15	1.00	15	0.05	15	-0.06	15
6644	-525	-526	Max	0.00	-0.07	15	-1.16	15	0.07	15	-0.76	15	0.02	15	-0.09	15
6644	-525	-526	Max	12.00	-0.07	15	-1.16	15	-0.07	15	0.84	15	0.03	15	-0.09	15
6644	-525	-526	Min.	0.00	-0.07	15	-1.16	15	0.07	15	-0.76	15	0.02	15	-0.09	15
6644	-525	-526	Min.	12.00	-0.07	15	-1.16	15	-0.07	15	0.84	15	0.03	15	-0.09	15
6839	-519	-520	Max	0.00	0.12	15	4.14	15	-0.23	15	-0.17	15	-0.04	15	-0.04	15
6839	-519	-520	Max	12.00	0.12	15	4.14	15	0.26	15	1.43	15	0.04	15	-0.04	15
6839	-519	-520	Min.	0.00	0.12	15	4.14	15	-0.23	15	-0.17	15	-0.04	15	-0.04	15
6839	-519	-520	Min.	12.00	0.12	15	4.14	15	0.26	15	1.43	15	0.04	15	-0.04	15
6840	-535	-536	Max	0.00	-0.09	15	3.78	15	-0.22	15	-1.02	15	0.03	15	-0.04	15
6840	-535	-536	Max	12.00	-0.09	15	3.78	15	0.23	15	0.58	15	0.00	15	-0.04	15
6840	-535	-536	Min.	0.00	-0.09	15	3.78	15	-0.22	15	-1.02	15	0.03	15	-0.04	15
6840	-535	-536	Min.	12.00	-0.09	15	3.78	15	0.23	15	0.58	15	0.00	15	-0.04	15
6841	322	323	Max	1.77	-5.14	15	-0.18	15	0.03	15	0.84	15	-0.22	15	-0.04	15
6841	322	323	Max	13.34					0.01	15			-0.17	15		
6841	322	323	Max	15.00	-5.14	15	-0.18	15	0.01	15	-0.10	15	-0.17	15	-0.04	15
6841	322	323	Min.	1.77	-5.14	15	-0.18	15	0.03	15	0.84	15	-0.22	15	-0.04	15
6841	322	323	Min.	13.34					0.01	15			-0.17	15		
6841	322	323	Min.	15.00	-5.14	15	-0.18	15	0.01	15	-0.10	15	-0.17	15	-0.04	15
6841	323	324	Max	0.00	-5.14	15	-0.18	15	0.01	15	-0.10	15	-0.17	15	-0.04	15
6841	323	324	Max	13.23	-5.14	15	-0.18	15	-0.02	15	-1.04	15	-0.25	15	-0.04	15
6841	323	324	Min.	0.00	-5.14	15	-0.18	15	0.01	15	-0.10	15	-0.17	15	-0.04	15
6841	323	324	Min.	13.23	-5.14	15	-0.18	15	-0.02	15	-1.04	15	-0.25	15	-0.04	15
6842	-7	-8	Max	2.83	20.77	15	-0.09	15	0.01	15	2.18	15	-0.10	15	0.00	15
6842	-7	-8	Max	26.15	20.77	15	-0.09	15	-0.01	15	0.35	15	0.20	15	0.00	15
6842	-7	-8	Min.	2.83	20.77	15	-0.09	15	0.01	15	2.18	15	-0.10	15	0.00	15
6842	-7	-8	Min.	26.15	20.77	15	-0.09	15	-0.01	15	0.35	15	0.20	15	0.00	15
6843	-39	-40	Max	2.83	4.93	15	-0.01	15	0.00	15	3.37	15	-0.19	15	0.00	15
6843	-39	-40	Max	25.84	4.93	15	-0.01	15	0.00	15	1.57	15	0.37	15	0.00	15
6843	-39	-40	Min.	2.83	4.93	15	-0.01	15	0.00	15	3.37	15	-0.19	15	0.00	15
6843	-39	-40	Min.	25.84	4.93	15	-0.01	15	0.00	15	1.57	15	0.37	15	0.00	15
6844	-71	-72	Max	2.83	-0.61	15	0.03	15	0.00	15	2.71	15	-0.27	15	0.00	15
6844	-71	-72	Max	25.22	-0.61	15	0.03	15	0.01	15	1.83	15	0.24	15	0.00	15
6844	-71	-72	Min.	2.83	-0.61	15	0.03	15	0.00	15	2.71	15	-0.27	15	0.00	15
6844	-71	-72	Min.	25.22	-0.61	15	0.03	15	0.01	15	1.83	15	0.24	15	0.00	15
6845	-103	-104	Max	2.83	-0.04	15	0.04	15	0.00	15	3.39	15	-0.34	15	0.00	15
6845	-103	-104	Max	24.59	-0.04	15	0.04	15	0.01	15	2.54	15	0.31	15	0.00	15
6845	-103	-104	Min.	2.83	-0.04	15	0.04	15	0.00	15	3.39	15	-0.34	15	0.00	15
6845	-103	-104	Min.	24.59	-0.04	15	0.04	15	0.01	15	2.54	15	0.31	15	0.00	15
6846	-135	-136	Max	2.83	-0.09	15	0.04	15	0.00	15	3.65	15	-0.36	15	0.00	15
6846	-135	-136	Max	23.97	-0.09	15	0.04	15	0.01	15	2.82	15	0.33	15	0.00	15
6846	-135	-136	Min.	2.83	-0.09	15	0.04	15	0.00	15	3.65	15	-0.36	15	0.00	15
6846	-135	-136	Min.	23.97	-0.09	15	0.04	15	0.01	15	2.82	15	0.33	15	0.00	15
6847	-167	-168	Max	2.83	-0.08	15	0.04	15	0.00	15	3.82	15	-0.37	15	0.00	15

6847	-167	-168	Max	23.34	-0.08	15	0.04	15	0.01	15	3.01	15	0.33	15	0.00	15
6847	-167	-168	Min.	2.83	-0.08	15	0.04	15	0.00	15	3.82	15	-0.37	15	0.00	15
6847	-167	-168	Min.	23.34	-0.08	15	0.04	15	0.01	15	3.01	15	0.33	15	0.00	15
6848	-199	-200	Max	2.83	-0.09	15	0.05	15	0.00	15	3.97	15	-0.37	15	0.00	15
6848	-199	-200	Max	22.72	-0.09	15	0.05	15	0.01	15	3.19	15	0.34	15	0.00	15
6848	-199	-200	Min.	2.83	-0.09	15	0.05	15	0.00	15	3.97	15	-0.37	15	0.00	15
6848	-199	-200	Min.	22.72	-0.09	15	0.05	15	0.01	15	3.19	15	0.34	15	0.00	15
6849	-231	-232	Max	2.83	-0.09	15	0.05	15	0.00	15	4.13	15	-0.38	15	0.00	15
6849	-231	-232	Max	22.09	-0.09	15	0.05	15	0.01	15	3.38	15	0.35	15	0.00	15
6849	-231	-232	Min.	2.83	-0.09	15	0.05	15	0.00	15	4.13	15	-0.38	15	0.00	15
6849	-231	-232	Min.	22.09	-0.09	15	0.05	15	0.01	15	3.38	15	0.35	15	0.00	15
6850	-263	-264	Max	2.83	-0.08	15	0.05	15	0.00	15	4.31	15	-0.38	15	0.00	15
6850	-263	-264	Max	21.47	-0.08	15	0.05	15	0.01	15	3.58	15	0.35	15	0.00	15
6850	-263	-264	Min.	2.83	-0.08	15	0.05	15	0.00	15	4.31	15	-0.38	15	0.00	15
6850	-263	-264	Min.	21.47	-0.08	15	0.05	15	0.01	15	3.58	15	0.35	15	0.00	15
6851	-295	-296	Max	2.83	-0.09	15	0.05	15	0.00	15	4.50	15	-0.39	15	0.00	15
6851	-295	-296	Max	20.84	-0.09	15	0.05	15	0.01	15	3.79	15	0.36	15	0.00	15
6851	-295	-296	Min.	2.83	-0.09	15	0.05	15	0.00	15	4.50	15	-0.39	15	0.00	15
6851	-295	-296	Min.	20.84	-0.09	15	0.05	15	0.01	15	3.79	15	0.36	15	0.00	15
6852	-327	-328	Max	2.83	-0.09	15	0.06	15	0.00	15	4.70	15	-0.39	15	0.00	15
6852	-327	-328	Max	20.22	-0.09	15	0.06	15	0.01	15	4.01	15	0.36	15	0.00	15
6852	-327	-328	Min.	2.83	-0.09	15	0.06	15	0.00	15	4.70	15	-0.39	15	0.00	15
6852	-327	-328	Min.	20.22	-0.09	15	0.06	15	0.01	15	4.01	15	0.36	15	0.00	15
6853	-359	-360	Max	2.83	-0.09	15	0.06	15	0.00	15	4.92	15	-0.40	15	0.00	15
6853	-359	-360	Max	19.59	-0.09	15	0.06	15	0.01	15	4.26	15	0.37	15	0.00	15
6853	-359	-360	Min.	2.83	-0.09	15	0.06	15	0.00	15	4.92	15	-0.40	15	0.00	15
6853	-359	-360	Min.	19.59	-0.09	15	0.06	15	0.01	15	4.26	15	0.37	15	0.00	15
6854	-391	-392	Max	2.83	-0.05	15	0.06	15	0.00	15	5.15	15	-0.40	15	0.00	15
6854	-391	-392	Max	18.97	-0.05	15	0.06	15	0.01	15	4.52	15	0.38	15	0.00	15
6854	-391	-392	Min.	2.83	-0.05	15	0.06	15	0.00	15	5.15	15	-0.40	15	0.00	15
6854	-391	-392	Min.	18.97	-0.05	15	0.06	15	0.01	15	4.52	15	0.38	15	0.00	15
6855	-423	-424	Max	2.83	-0.44	15	0.07	15	0.00	15	5.39	15	-0.41	15	0.00	15
6855	-423	-424	Max	18.34	-0.44	15	0.07	15	0.01	15	4.78	15	0.38	15	0.00	15
6855	-423	-424	Min.	2.83	-0.44	15	0.07	15	0.00	15	5.39	15	-0.41	15	0.00	15
6855	-423	-424	Min.	18.34	-0.44	15	0.07	15	0.01	15	4.78	15	0.38	15	0.00	15
6856	-455	-456	Max	2.83	2.25	15	0.07	15	0.00	15	5.50	15	-0.42	15	0.00	15
6856	-455	-456	Max	17.72	2.25	15	0.07	15	0.01	15	4.91	15	0.36	15	0.00	15
6856	-455	-456	Min.	2.83	2.25	15	0.07	15	0.00	15	5.50	15	-0.42	15	0.00	15
6856	-455	-456	Min.	17.72	2.25	15	0.07	15	0.01	15	4.91	15	0.36	15	0.00	15
6857	-487	-488	Max	2.83	-14.01	15	0.04	15	0.00	15	4.94	15	-0.22	15	-0.00	15
6857	-487	-488	Max	17.09	-14.01	15	0.04	15	0.01	15	4.38	15	0.44	15	-0.00	15
6857	-487	-488	Min.	2.83	-14.01	15	0.04	15	0.00	15	4.94	15	-0.22	15	-0.00	15
6857	-487	-488	Min.	17.09	-14.01	15	0.04	15	0.01	15	4.38	15	0.44	15	-0.00	15
6861	-495	-496	Max	3.53	31.93	15	-0.07	15	0.01	15	6.30	15	-0.70	15	0.00	15
6861	-495	-496	Max	17.80	31.93	15	-0.07	15	0.00	15	5.74	15	0.15	15	0.00	15
6861	-495	-496	Min.	3.53	31.93	15	-0.07	15	0.01	15	6.30	15	-0.70	15	0.00	15
6861	-495	-496	Min.	17.80	31.93	15	-0.07	15	0.00	15	5.74	15	0.15	15	0.00	15
6862	-463	-464	Max	3.53	-5.51	15	-0.09	15	0.01	15	6.89	15	-0.44	15	-0.00	15
6862	-463	-464	Max	18.42	-5.51	15	-0.09	15	-0.00	15	6.31	15	0.54	15	-0.00	15
6862	-463	-464	Min.	3.53	-5.51	15	-0.09	15	0.01	15	6.89	15	-0.44	15	-0.00	15
6862	-463	-464	Min.	18.42	-5.51	15	-0.09	15	-0.00	15	6.31	15	0.54	15	-0.00	15
6863	-431	-432	Max	3.53	0.82	15	-0.09	15	0.01	15	6.74	15	-0.50	15	-0.00	15
6863	-431	-432	Max	19.05	0.82	15	-0.09	15	-0.00	15	6.13	15	0.50	15	-0.00	15
6863	-431	-432	Min.	3.53	0.82	15	-0.09	15	0.01	15	6.74	15	-0.50	15	-0.00	15
6863	-431	-432	Min.	19.05	0.82	15	-0.09	15	-0.00	15	6.13	15	0.50	15	-0.00	15
6864	-399	-400	Max	3.53	-0.10	15	-0.08	15	0.01	15	6.42	15	-0.49	15	-0.00	15
6864	-399	-400	Max	19.67	-0.10	15	-0.08	15	-0.00	15	5.79	15	0.50	15	-0.00	15
6864	-399	-400	Min.	3.53	-0.10	15	-0.08	15	0.01	15	6.42	15	-0.49	15	-0.00	15
6864	-399	-400	Min.	19.67	-0.10	15	-0.08	15	-0.00	15	5.79	15	0.50	15	-0.00	15

6865	-367	-368	Max	3.53	0.03	15	-0.08	15	0.01	15	6.13	15	-0.48	15	-0.00	15
6865	-367	-368	Max	20.30	0.03	15	-0.08	15	-0.00	15	5.47	15	0.49	15	-0.00	15
6865	-367	-368	Min.	3.53	0.03	15	-0.08	15	0.01	15	6.13	15	-0.48	15	-0.00	15
6865	-367	-368	Min.	20.30	0.03	15	-0.08	15	-0.00	15	5.47	15	0.49	15	-0.00	15
6866	-335	-336	Max	3.53	0.00	15	-0.08	15	0.01	15	5.86	15	-0.48	15	-0.00	15
6866	-335	-336	Max	20.92	0.00	15	-0.08	15	-0.00	15	5.17	15	0.48	15	-0.00	15
6866	-335	-336	Min.	3.53	0.00	15	-0.08	15	0.01	15	5.86	15	-0.48	15	-0.00	15
6866	-335	-336	Min.	20.92	0.00	15	-0.08	15	-0.00	15	5.17	15	0.48	15	-0.00	15
6867	-303	-304	Max	3.53	0.00	15	-0.07	15	0.01	15	5.59	15	-0.47	15	-0.00	15
6867	-303	-304	Max	21.55	0.00	15	-0.07	15	-0.00	15	4.88	15	0.47	15	-0.00	15
6867	-303	-304	Min.	3.53	0.00	15	-0.07	15	0.01	15	5.59	15	-0.47	15	-0.00	15
6867	-303	-304	Min.	21.55	0.00	15	-0.07	15	-0.00	15	4.88	15	0.47	15	-0.00	15
6868	-271	-272	Max	3.53	0.00	15	-0.07	15	0.01	15	5.35	15	-0.46	15	-0.00	15
6868	-271	-272	Max	22.17	0.00	15	-0.07	15	-0.00	15	4.62	15	0.46	15	-0.00	15
6868	-271	-272	Min.	3.53	0.00	15	-0.07	15	0.01	15	5.35	15	-0.46	15	-0.00	15
6868	-271	-272	Min.	22.17	0.00	15	-0.07	15	-0.00	15	4.62	15	0.46	15	-0.00	15
6869	-239	-240	Max	3.53	-0.01	15	-0.07	15	0.01	15	5.12	15	-0.46	15	-0.00	15
6869	-239	-240	Max	22.80	-0.01	15	-0.07	15	-0.00	15	4.37	15	0.46	15	-0.00	15
6869	-239	-240	Min.	3.53	-0.01	15	-0.07	15	0.01	15	5.12	15	-0.46	15	-0.00	15
6869	-239	-240	Min.	22.80	-0.01	15	-0.07	15	-0.00	15	4.37	15	0.46	15	-0.00	15
6870	-207	-208	Max	3.53	-0.00	15	-0.06	15	0.01	15	4.91	15	-0.45	15	0.00	15
6870	-207	-208	Max	23.42	-0.00	15	-0.06	15	0.00	15	4.13	15	0.45	15	0.00	15
6870	-207	-208	Min.	3.53	-0.00	15	-0.06	15	0.01	15	4.91	15	-0.45	15	0.00	15
6870	-207	-208	Min.	23.42	-0.00	15	-0.06	15	0.00	15	4.13	15	0.45	15	0.00	15
6871	-175	-176	Max	3.53	0.00	15	-0.06	15	0.01	15	4.71	15	-0.45	15	0.00	15
6871	-175	-176	Max	24.05	0.00	15	-0.06	15	0.00	15	3.91	15	0.44	15	0.00	15
6871	-175	-176	Min.	3.53	0.00	15	-0.06	15	0.01	15	4.71	15	-0.45	15	0.00	15
6871	-175	-176	Min.	24.05	0.00	15	-0.06	15	0.00	15	3.91	15	0.44	15	0.00	15
6872	-143	-144	Max	3.53	-0.01	15	-0.05	15	0.01	15	4.50	15	-0.44	15	0.00	15
6872	-143	-144	Max	24.67	-0.01	15	-0.05	15	0.00	15	3.67	15	0.43	15	0.00	15
6872	-143	-144	Min.	3.53	-0.01	15	-0.05	15	0.01	15	4.50	15	-0.44	15	0.00	15
6872	-143	-144	Min.	24.67	-0.01	15	-0.05	15	0.00	15	3.67	15	0.43	15	0.00	15
6873	-111	-112	Max	3.53	0.06	15	-0.05	15	0.01	15	4.17	15	-0.41	15	0.00	15
6873	-111	-112	Max	25.30	0.06	15	-0.05	15	0.00	15	3.32	15	0.40	15	0.00	15
6873	-111	-112	Min.	3.53	0.06	15	-0.05	15	0.01	15	4.17	15	-0.41	15	0.00	15
6873	-111	-112	Min.	25.30	0.06	15	-0.05	15	0.00	15	3.32	15	0.40	15	0.00	15
6874	-79	-80	Max	3.53	-0.62	15	-0.03	15	0.01	15	3.31	15	-0.33	15	0.00	15
6874	-79	-80	Max	25.92	-0.62	15	-0.03	15	0.00	15	2.43	15	0.31	15	0.00	15
6874	-79	-80	Min.	3.53	-0.62	15	-0.03	15	0.01	15	3.31	15	-0.33	15	0.00	15
6874	-79	-80	Min.	25.92	-0.62	15	-0.03	15	0.00	15	2.43	15	0.31	15	0.00	15
6875	-47	-48	Max	3.53	6.55	15	0.00	15	0.00	15	4.04	15	-0.23	15	-0.00	15
6875	-47	-48	Max	26.55	6.55	15	0.00	15	0.00	15	2.23	15	0.50	15	-0.00	15
6875	-47	-48	Min.	3.53	6.55	15	0.00	15	0.00	15	4.04	15	-0.23	15	-0.00	15
6875	-47	-48	Min.	26.55	6.55	15	0.00	15	0.00	15	2.23	15	0.50	15	-0.00	15
6876	-15	-16	Max	3.53	26.45	15	0.09	15	-0.01	15	2.66	15	-0.13	15	0.00	15
6876	-15	-16	Max	26.86	26.45	15	0.09	15	0.01	15	0.82	15	0.28	15	0.00	15
6876	-15	-16	Min.	3.53	26.45	15	0.09	15	-0.01	15	2.66	15	-0.13	15	0.00	15
6876	-15	-16	Min.	26.86	26.45	15	0.09	15	0.01	15	0.82	15	0.28	15	0.00	15
6877	346	347	Max	1.77	-6.72	15	0.98	15	-0.29	15	-0.21	15	0.04	15	0.04	15
6877	346	347	Max	15.00	-6.72	15	0.04	15	-0.22	15	-0.21	15	0.01	15	0.04	15
6877	346	347	Min.	1.77	-6.72	15	0.98	15	-0.29	15	-0.21	15	0.04	15	0.04	15
6877	346	347	Min.	15.00	-6.72	15	0.04	15	-0.22	15	-0.21	15	0.01	15	0.04	15
6877	347	348	Max	0.00	-6.72	15	0.04	15	-0.22	15	-0.21	15	0.01	15	0.04	15
6877	347	348	Max	0.66					-0.22	15			0.01	15		
6877	347	348	Max	13.23	-6.72	15	-0.90	15	-0.28	15	-0.21	15	-0.02	15	0.04	15
6877	347	348	Min.	0.00	-6.72	15	0.04	15	-0.22	15	-0.21	15	0.01	15	0.04	15
6877	347	348	Min.	0.66					-0.22	15			0.01	15		
6877	347	348	Min.	13.23	-6.72	15	-0.90	15	-0.28	15	-0.21	15	-0.02	15	0.04	15
6885	358	359	Max	1.77	-6.73	15	-0.21	15	0.04	15	0.97	15	-0.29	15	-0.04	15

6885	358	359	Max	15.00	-6.73	15	-0.21	15	0.01	15	0.03	15	-0.22	15	-0.04	15
6885	358	359	Min.	1.77	-6.73	15	-0.21	15	0.04	15	0.97	15	-0.29	15	-0.04	15
6885	358	359	Min.	15.00	-6.73	15	-0.21	15	0.01	15	0.03	15	-0.22	15	-0.04	15
6885	359	360	Max	0.00	-6.73	15	-0.21	15	0.01	15	0.03	15	-0.22	15	-0.04	15
6885	359	360	Max	0.33					0.01	15			-0.22	15		
6885	359	360	Max	13.23	-6.73	15	-0.21	15	-0.02	15	-0.91	15	-0.28	15	-0.04	15
6885	359	360	Min.	0.00	-6.73	15	-0.21	15	0.01	15	0.03	15	-0.22	15	-0.04	15
6885	359	360	Min.	0.33					0.01	15			-0.22	15		
6885	359	360	Min.	13.23	-6.73	15	-0.21	15	-0.02	15	-0.91	15	-0.28	15	-0.04	15
6886	-23	-24	Max	2.83	26.33	15	-0.09	15	0.01	15	2.69	15	-0.13	15	0.00	15
6886	-23	-24	Max	26.15	26.33	15	-0.09	15	-0.01	15	0.86	15	0.28	15	0.00	15
6886	-23	-24	Min.	2.83	26.33	15	-0.09	15	0.01	15	2.69	15	-0.13	15	0.00	15
6886	-23	-24	Min.	26.15	26.33	15	-0.09	15	-0.01	15	0.86	15	0.28	15	0.00	15
6887	-55	-56	Max	2.83	6.58	15	-0.00	15	-0.00	15	4.09	15	-0.24	15	0.00	15
6887	-55	-56	Max	25.84	6.58	15	-0.00	15	-0.00	15	2.29	15	0.50	15	0.00	15
6887	-55	-56	Min.	2.83	6.58	15	-0.00	15	-0.00	15	4.09	15	-0.24	15	0.00	15
6887	-55	-56	Min.	25.84	6.58	15	-0.00	15	-0.00	15	2.29	15	0.50	15	0.00	15
6888	-87	-88	Max	2.83	-0.64	15	0.03	15	-0.01	15	3.31	15	-0.34	15	0.00	15
6888	-87	-88	Max	20.74					-0.00	15			0.19	15		
6888	-87	-88	Max	25.22	-0.64	15	0.03	15	0.00	15	2.43	15	0.31	15	0.00	15
6888	-87	-88	Min.	2.83	-0.64	15	0.03	15	-0.01	15	3.31	15	-0.34	15	0.00	15
6888	-87	-88	Min.	20.74					-0.00	15			0.19	15		
6888	-87	-88	Min.	25.22	-0.64	15	0.03	15	0.00	15	2.43	15	0.31	15	0.00	15
6889	-119	-120	Max	2.83	0.05	15	0.05	15	-0.01	15	4.17	15	-0.42	15	0.00	15
6889	-119	-120	Max	20.24					-0.00	15			0.25	15		
6889	-119	-120	Max	24.59	0.05	15	0.05	15	0.00	15	3.32	15	0.40	15	0.00	15
6889	-119	-120	Min.	2.83	0.05	15	0.05	15	-0.01	15	4.17	15	-0.42	15	0.00	15
6889	-119	-120	Min.	20.24					-0.00	15			0.25	15		
6889	-119	-120	Min.	24.59	0.05	15	0.05	15	0.00	15	3.32	15	0.40	15	0.00	15
6890	-151	-152	Max	2.83	-0.02	15	0.05	15	-0.01	15	4.50	15	-0.44	15	0.00	15
6890	-151	-152	Max	19.74					-0.00	15			0.26	15		
6890	-151	-152	Max	23.97	-0.02	15	0.05	15	0.00	15	3.67	15	0.42	15	0.00	15
6890	-151	-152	Min.	2.83	-0.02	15	0.05	15	-0.01	15	4.50	15	-0.44	15	0.00	15
6890	-151	-152	Min.	19.74					-0.00	15			0.26	15		
6890	-151	-152	Min.	23.97	-0.02	15	0.05	15	0.00	15	3.67	15	0.42	15	0.00	15
6891	-183	-184	Max	2.83	-0.01	15	0.06	15	-0.01	15	4.71	15	-0.45	15	0.00	15
6891	-183	-184	Max	19.24					-0.00	15			0.27	15		
6891	-183	-184	Max	23.34	-0.01	15	0.06	15	0.00	15	3.91	15	0.43	15	0.00	15
6891	-183	-184	Min.	2.83	-0.01	15	0.06	15	-0.01	15	4.71	15	-0.45	15	0.00	15
6891	-183	-184	Min.	19.24					-0.00	15			0.27	15		
6891	-183	-184	Min.	23.34	-0.01	15	0.06	15	0.00	15	3.91	15	0.43	15	0.00	15
6892	-215	-216	Max	2.83	-0.01	15	0.06	15	-0.01	15	4.91	15	-0.46	15	0.00	15
6892	-215	-216	Max	18.74					-0.00	15			0.27	15		
6892	-215	-216	Max	22.72	-0.01	15	0.06	15	0.00	15	4.13	15	0.44	15	0.00	15
6892	-215	-216	Min.	2.83	-0.01	15	0.06	15	-0.01	15	4.91	15	-0.46	15	0.00	15
6892	-215	-216	Min.	18.74					-0.00	15			0.27	15		
6892	-215	-216	Min.	22.72	-0.01	15	0.06	15	0.00	15	4.13	15	0.44	15	0.00	15
6893	-247	-248	Max	2.83	-0.01	15	0.06	15	-0.01	15	5.12	15	-0.47	15	0.00	15
6893	-247	-248	Max	18.24					-0.00	15			0.28	15		
6893	-247	-248	Max	22.09	-0.01	15	0.06	15	0.00	15	4.36	15	0.45	15	0.00	15
6893	-247	-248	Min.	2.83	-0.01	15	0.06	15	-0.01	15	5.12	15	-0.47	15	0.00	15
6893	-247	-248	Min.	18.24					-0.00	15			0.28	15		
6893	-247	-248	Min.	22.09	-0.01	15	0.06	15	0.00	15	4.36	15	0.45	15	0.00	15
6894	-279	-280	Max	2.83	-0.00	15	0.07	15	-0.01	15	5.34	15	-0.47	15	0.00	15
6894	-279	-280	Max	17.74					-0.00	15			0.28	15		
6894	-279	-280	Max	21.47	-0.00	15	0.07	15	0.00	15	4.61	15	0.46	15	0.00	15
6894	-279	-280	Min.	2.83	-0.00	15	0.07	15	-0.01	15	5.34	15	-0.47	15	0.00	15
6894	-279	-280	Min.	17.74					-0.00	15			0.28	15		
6894	-279	-280	Min.	21.47	-0.00	15	0.07	15	0.00	15	4.61	15	0.46	15	0.00	15

6895	-311	-312	Max	2.83	-0.01	15	0.07	15	-0.01	15	5.58	15	-0.48	15	0.00	15
6895	-311	-312	Max	17.24					-0.00	15			0.28	15		
6895	-311	-312	Max	20.84	-0.01	15	0.07	15	0.00	15	4.88	15	0.46	15	0.00	15
6895	-311	-312	Min.	2.83	-0.01	15	0.07	15	-0.01	15	5.58	15	-0.48	15	0.00	15
6895	-311	-312	Min.	17.24					-0.00	15			0.28	15		
6895	-311	-312	Min.	20.84	-0.01	15	0.07	15	0.00	15	4.88	15	0.46	15	0.00	15
6896	-343	-344	Max	2.83	-0.00	15	0.07	15	-0.01	15	5.85	15	-0.49	15	0.00	15
6896	-343	-344	Max	16.74					-0.00	15			0.29	15		
6896	-343	-344	Max	20.22	-0.00	15	0.07	15	0.00	15	5.16	15	0.47	15	0.00	15
6896	-343	-344	Min.	2.83	-0.00	15	0.07	15	-0.01	15	5.85	15	-0.49	15	0.00	15
6896	-343	-344	Min.	16.74					-0.00	15			0.29	15		
6896	-343	-344	Min.	20.22	-0.00	15	0.07	15	0.00	15	5.16	15	0.47	15	0.00	15
6897	-375	-376	Max	2.83	0.02	15	0.08	15	-0.01	15	6.12	15	-0.49	15	0.00	15
6897	-375	-376	Max	19.59	0.02	15	0.08	15	0.00	15	5.46	15	0.48	15	0.00	15
6897	-375	-376	Min.	2.83	0.02	15	0.08	15	-0.01	15	6.12	15	-0.49	15	0.00	15
6897	-375	-376	Min.	19.59	0.02	15	0.08	15	0.00	15	5.46	15	0.48	15	0.00	15
6898	-407	-408	Max	2.83	-0.11	15	0.08	15	-0.01	15	6.41	15	-0.50	15	0.00	15
6898	-407	-408	Max	18.97	-0.11	15	0.08	15	0.00	15	5.78	15	0.49	15	0.00	15
6898	-407	-408	Min.	2.83	-0.11	15	0.08	15	-0.01	15	6.41	15	-0.50	15	0.00	15
6898	-407	-408	Min.	18.97	-0.11	15	0.08	15	0.00	15	5.78	15	0.49	15	0.00	15
6899	-439	-440	Max	2.83	0.82	15	0.09	15	-0.01	15	6.72	15	-0.51	15	0.00	15
6899	-439	-440	Max	18.34	0.82	15	0.09	15	0.00	15	6.11	15	0.49	15	0.00	15
6899	-439	-440	Min.	2.83	0.82	15	0.09	15	-0.01	15	6.72	15	-0.51	15	0.00	15
6899	-439	-440	Min.	18.34	0.82	15	0.09	15	0.00	15	6.11	15	0.49	15	0.00	15
6900	-471	-472	Max	2.83	-5.51	15	0.09	15	-0.01	15	6.96	15	-0.46	15	0.00	15
6900	-471	-472	Max	17.72	-5.51	15	0.09	15	0.00	15	6.38	15	0.53	15	0.00	15
6900	-471	-472	Min.	2.83	-5.51	15	0.09	15	-0.01	15	6.96	15	-0.46	15	0.00	15
6900	-471	-472	Min.	17.72	-5.51	15	0.09	15	0.00	15	6.38	15	0.53	15	0.00	15
6901	-503	-504	Max	2.83	32.02	15	0.06	15	-0.01	15	6.09	15	-0.70	15	0.00	15
6901	-503	-504	Max	14.24					-0.00	15			-0.03	15		
6901	-503	-504	Max	17.09	32.02	15	0.06	15	0.00	15	5.53	15	0.13	15	0.00	15
6901	-503	-504	Min.	2.83	32.02	15	0.06	15	-0.01	15	6.09	15	-0.70	15	0.00	15
6901	-503	-504	Min.	14.24					-0.00	15			-0.03	15		
6901	-503	-504	Min.	17.09	32.02	15	0.06	15	0.00	15	5.53	15	0.13	15	0.00	15
6905	-511	-512	Max	3.53	-14.11	15	-0.04	15	-0.00	15	4.85	15	-0.21	15	0.00	15
6905	-511	-512	Max	17.80	-14.11	15	-0.04	15	-0.01	15	4.29	15	0.44	15	0.00	15
6905	-511	-512	Min.	3.53	-14.11	15	-0.04	15	-0.00	15	4.85	15	-0.21	15	0.00	15
6905	-511	-512	Min.	17.80	-14.11	15	-0.04	15	-0.01	15	4.29	15	0.44	15	0.00	15
6906	-479	-480	Max	3.53	2.26	15	-0.07	15	0.00	15	5.52	15	-0.41	15	0.00	15
6906	-479	-480	Max	18.42	2.26	15	-0.07	15	-0.01	15	4.94	15	0.37	15	0.00	15
6906	-479	-480	Min.	3.53	2.26	15	-0.07	15	0.00	15	5.52	15	-0.41	15	0.00	15
6906	-479	-480	Min.	18.42	2.26	15	-0.07	15	-0.01	15	4.94	15	0.37	15	0.00	15
6907	-447	-448	Max	3.53	-0.43	15	-0.06	15	0.00	15	5.37	15	-0.40	15	0.00	15
6907	-447	-448	Max	19.05	-0.43	15	-0.06	15	-0.01	15	4.76	15	0.39	15	0.00	15
6907	-447	-448	Min.	3.53	-0.43	15	-0.06	15	0.00	15	5.37	15	-0.40	15	0.00	15
6907	-447	-448	Min.	19.05	-0.43	15	-0.06	15	-0.01	15	4.76	15	0.39	15	0.00	15
6908	-415	-416	Max	3.53	-0.04	15	-0.06	15	0.00	15	5.14	15	-0.39	15	0.00	15
6908	-415	-416	Max	19.67	-0.04	15	-0.06	15	-0.01	15	4.50	15	0.38	15	0.00	15
6908	-415	-416	Min.	3.53	-0.04	15	-0.06	15	0.00	15	5.14	15	-0.39	15	0.00	15
6908	-415	-416	Min.	19.67	-0.04	15	-0.06	15	-0.01	15	4.50	15	0.38	15	0.00	15
6909	-383	-384	Max	3.53	-0.09	15	-0.06	15	0.00	15	4.90	15	-0.39	15	0.00	15
6909	-383	-384	Max	20.30	-0.09	15	-0.06	15	-0.01	15	4.24	15	0.38	15	0.00	15
6909	-383	-384	Min.	3.53	-0.09	15	-0.06	15	0.00	15	4.90	15	-0.39	15	0.00	15
6909	-383	-384	Min.	20.30	-0.09	15	-0.06	15	-0.01	15	4.24	15	0.38	15	0.00	15
6910	-351	-352	Max	3.53	-0.08	15	-0.06	15	0.00	15	4.68	15	-0.38	15	0.00	15
6910	-351	-352	Max	20.92	-0.08	15	-0.06	15	-0.01	15	4.00	15	0.37	15	0.00	15
6910	-351	-352	Min.	3.53	-0.08	15	-0.06	15	0.00	15	4.68	15	-0.38	15	0.00	15
6910	-351	-352	Min.	20.92	-0.08	15	-0.06	15	-0.01	15	4.00	15	0.37	15	0.00	15
6911	-319	-320	Max	3.53	-0.09	15	-0.05	15	0.00	15	4.48	15	-0.38	15	0.00	15

6911	-319	-320	Max	21.55	-0.09	15	-0.05	15	-0.01	15	3.77	15	0.36	15	0.00	15
6911	-319	-320	Min.	3.53	-0.09	15	-0.05	15	0.00	15	4.48	15	-0.38	15	0.00	15
6911	-319	-320	Min.	21.55	-0.09	15	-0.05	15	-0.01	15	3.77	15	0.36	15	0.00	15
6912	-287	-288	Max	3.53	-0.08	15	-0.05	15	0.00	15	4.29	15	-0.37	15	0.00	15
6912	-287	-288	Max	22.17	-0.08	15	-0.05	15	-0.01	15	3.56	15	0.36	15	0.00	15
6912	-287	-288	Min.	3.53	-0.08	15	-0.05	15	0.00	15	4.29	15	-0.37	15	0.00	15
6912	-287	-288	Min.	22.17	-0.08	15	-0.05	15	-0.01	15	3.56	15	0.36	15	0.00	15
6913	-255	-256	Max	3.53	-0.09	15	-0.05	15	0.00	15	4.11	15	-0.37	15	0.00	15
6913	-255	-256	Max	22.80	-0.09	15	-0.05	15	-0.01	15	3.36	15	0.35	15	0.00	15
6913	-255	-256	Min.	3.53	-0.09	15	-0.05	15	0.00	15	4.11	15	-0.37	15	0.00	15
6913	-255	-256	Min.	22.80	-0.09	15	-0.05	15	-0.01	15	3.36	15	0.35	15	0.00	15
6914	-223	-224	Max	3.53	-0.08	15	-0.05	15	0.00	15	3.95	15	-0.36	15	0.00	15
6914	-223	-224	Max	23.42	-0.08	15	-0.05	15	-0.01	15	3.17	15	0.35	15	0.00	15
6914	-223	-224	Min.	3.53	-0.08	15	-0.05	15	0.00	15	3.95	15	-0.36	15	0.00	15
6914	-223	-224	Min.	23.42	-0.08	15	-0.05	15	-0.01	15	3.17	15	0.35	15	0.00	15
6915	-191	-192	Max	3.53	-0.08	15	-0.04	15	0.00	15	3.80	15	-0.36	15	0.00	15
6915	-191	-192	Max	24.05	-0.08	15	-0.04	15	-0.01	15	2.99	15	0.34	15	0.00	15
6915	-191	-192	Min.	3.53	-0.08	15	-0.04	15	0.00	15	3.80	15	-0.36	15	0.00	15
6915	-191	-192	Min.	24.05	-0.08	15	-0.04	15	-0.01	15	2.99	15	0.34	15	0.00	15
6916	-159	-160	Max	3.53	-0.09	15	-0.04	15	0.00	15	3.63	15	-0.35	15	0.00	15
6916	-159	-160	Max	24.67	-0.09	15	-0.04	15	-0.01	15	2.80	15	0.33	15	0.00	15
6916	-159	-160	Min.	3.53	-0.09	15	-0.04	15	0.00	15	3.63	15	-0.35	15	0.00	15
6916	-159	-160	Min.	24.67	-0.09	15	-0.04	15	-0.01	15	2.80	15	0.33	15	0.00	15
6917	-127	-128	Max	3.53	-0.03	15	-0.04	15	0.00	15	3.37	15	-0.33	15	0.00	15
6917	-127	-128	Max	25.30	-0.03	15	-0.04	15	-0.01	15	2.52	15	0.31	15	0.00	15
6917	-127	-128	Min.	3.53	-0.03	15	-0.04	15	0.00	15	3.37	15	-0.33	15	0.00	15
6917	-127	-128	Min.	25.30	-0.03	15	-0.04	15	-0.01	15	2.52	15	0.31	15	0.00	15
6918	-95	-96	Max	3.53	-0.60	15	-0.03	15	0.00	15	2.69	15	-0.27	15	0.00	15
6918	-95	-96	Max	25.92	-0.60	15	-0.03	15	-0.01	15	1.81	15	0.24	15	0.00	15
6918	-95	-96	Min.	3.53	-0.60	15	-0.03	15	0.00	15	2.69	15	-0.27	15	0.00	15
6918	-95	-96	Min.	25.92	-0.60	15	-0.03	15	-0.01	15	1.81	15	0.24	15	0.00	15
6919	-63	-64	Max	3.53	4.90	15	0.01	15	-0.00	15	3.31	15	-0.18	15	-0.00	15
6919	-63	-64	Max	26.55	4.90	15	0.01	15	-0.00	15	1.50	15	0.37	15	-0.00	15
6919	-63	-64	Min.	3.53	4.90	15	0.01	15	-0.00	15	3.31	15	-0.18	15	-0.00	15
6919	-63	-64	Min.	26.55	4.90	15	0.01	15	-0.00	15	1.50	15	0.37	15	-0.00	15
6920	-31	-32	Max	3.53	20.81	15	0.09	15	-0.01	15	2.14	15	-0.09	15	0.00	15
6920	-31	-32	Max	26.86	20.81	15	0.09	15	0.01	15	0.31	15	0.19	15	0.00	15
6920	-31	-32	Min.	3.53	20.81	15	0.09	15	-0.01	15	2.14	15	-0.09	15	0.00	15
6920	-31	-32	Min.	26.86	20.81	15	0.09	15	0.01	15	0.31	15	0.19	15	0.00	15
6921	382	383	Max	1.77	-5.13	15	0.85	15	-0.22	15	-0.18	15	0.03	15	0.04	15
6921	382	383	Max	13.68					-0.17	15			0.01	15		
6921	382	383	Max	15.00	-5.13	15	-0.09	15	-0.17	15	-0.18	15	0.01	15	0.04	15
6921	382	383	Min.	1.77	-5.13	15	0.85	15	-0.22	15	-0.18	15	0.03	15	0.04	15
6921	382	383	Min.	13.68					-0.17	15			0.01	15		
6921	382	383	Min.	15.00	-5.13	15	-0.09	15	-0.17	15	-0.18	15	0.01	15	0.04	15
6921	383	384	Max	0.00	-5.13	15	-0.09	15	-0.17	15	-0.18	15	0.01	15	0.04	15
6921	383	384	Max	13.23	-5.13	15	-1.03	15	-0.25	15	-0.18	15	-0.02	15	0.04	15
6921	383	384	Min.	0.00	-5.13	15	-0.09	15	-0.17	15	-0.18	15	0.01	15	0.04	15
6921	383	384	Min.	13.23	-5.13	15	-1.03	15	-0.25	15	-0.18	15	-0.02	15	0.04	15
6922	-543	-544	Max	0.00	0.05	15	-3.84	15	0.23	15	-0.91	15	0.02	15	0.04	15
6922	-543	-544	Max	12.00	0.05	15	-3.84	15	-0.23	15	0.69	15	0.00	15	0.04	15
6922	-543	-544	Min.	0.00	0.05	15	-3.84	15	0.23	15	-0.91	15	0.02	15	0.04	15
6922	-543	-544	Min.	12.00	0.05	15	-3.84	15	-0.23	15	0.69	15	0.00	15	0.04	15
6923	-527	-528	Max	0.00	-0.01	15	-4.01	15	0.24	15	-0.40	15	-0.02	15	0.04	15
6923	-527	-528	Max	12.00	-0.01	15	-4.01	15	-0.24	15	1.20	15	0.02	15	0.04	15
6923	-527	-528	Min.	0.00	-0.01	15	-4.01	15	0.24	15	-0.40	15	-0.02	15	0.04	15
6923	-527	-528	Min.	12.00	-0.01	15	-4.01	15	-0.24	15	1.20	15	0.02	15	0.04	15
7001	3002	-815	Max	0.00	2.60	15	0.02	15	-0.05	15	-17.35	15	-0.50	15	-0.03	15
7001	3002	-815	Max	154.00	2.60	15	0.02	15	-0.02	15	5.50	15	-9.62	15	-0.03	15

7001	3002	-815	Min.	0.00	2.60	15	0.02	15	-0.05	15	-17.35	15	-0.50	15	-0.03	15
7001	3002	-815	Min.	154.00	2.60	15	0.02	15	-0.02	15	5.50	15	-9.62	15	-0.03	15
7001	-815	3003	Max	0.00	2.60	15	0.02	15	-0.02	15	5.50	15	-9.62	15	-0.03	15
7001	-815	3003	Max	154.00	2.60	15	0.02	15	0.01	15	28.36	15	16.45	15	-0.03	15
7001	-815	3003	Min.	0.00	2.60	15	0.02	15	-0.02	15	5.50	15	-9.62	15	-0.03	15
7001	-815	3003	Min.	154.00	2.60	15	0.02	15	0.01	15	28.36	15	16.45	15	-0.03	15
7001	3004	-804	Max	0.00	3.70	15	0.02	15	-0.05	15	-24.42	15	16.23	15	-0.00	15
7001	3004	-804	Max	164.00	3.70	15	0.02	15	-0.01	15	-0.08	15	-3.86	15	-0.00	15
7001	3004	-804	Min.	0.00	3.70	15	0.02	15	-0.05	15	-24.42	15	16.23	15	-0.00	15
7001	3004	-804	Min.	164.00	3.70	15	0.02	15	-0.01	15	-0.08	15	-3.86	15	-0.00	15
7001	-804	3005	Max	0.00	3.70	15	0.02	15	-0.01	15	-0.08	15	-3.86	15	-0.00	15
7001	-804	3005	Max	164.00	3.70	15	0.02	15	0.02	15	24.26	15	15.96	15	-0.00	15
7001	-804	3005	Min.	0.00	3.70	15	0.02	15	-0.01	15	-0.08	15	-3.86	15	-0.00	15
7001	-804	3005	Min.	164.00	3.70	15	0.02	15	0.02	15	24.26	15	15.96	15	-0.00	15
7001	3006	-795	Max	0.00	2.96	15	0.03	15	-0.06	15	-28.54	15	16.78	15	0.03	15
7001	3006	-795	Max	154.00	2.96	15	0.03	15	-0.02	15	-5.68	15	-9.57	15	0.03	15
7001	3006	-795	Min.	0.00	2.96	15	0.03	15	-0.06	15	-28.54	15	16.78	15	0.03	15
7001	3006	-795	Min.	154.00	2.96	15	0.03	15	-0.02	15	-5.68	15	-9.57	15	0.03	15
7001	-795	3007	Max	0.00	2.96	15	0.03	15	-0.02	15	-5.68	15	-9.57	15	0.03	15
7001	-795	3007	Max	154.00	2.96	15	0.03	15	0.03	15	17.17	15	-0.72	15	0.03	15
7001	-795	3007	Min.	0.00	2.96	15	0.03	15	-0.02	15	-5.68	15	-9.57	15	0.03	15
7001	-795	3007	Min.	154.00	2.96	15	0.03	15	0.03	15	17.17	15	-0.72	15	0.03	15
7002	4027	-816	Max	0.00	34.01	15	0.04	15	-0.05	15	-20.83	15	4.37	15	-0.04	15
7002	4027	-816	Max	154.00	34.01	15	0.04	15	0.00	15	4.34	15	-8.33	15	-0.04	15
7002	4027	-816	Min.	0.00	34.01	15	0.04	15	-0.05	15	-20.83	15	4.37	15	-0.04	15
7002	4027	-816	Min.	154.00	34.01	15	0.04	15	0.00	15	4.34	15	-8.33	15	-0.04	15
7002	-816	4028	Max	0.00	34.01	15	0.04	15	0.00	15	4.34	15	-8.33	15	-0.04	15
7002	-816	4028	Max	154.00	34.01	15	0.04	15	0.06	15	29.50	15	17.73	15	-0.04	15
7002	-816	4028	Min.	0.00	34.01	15	0.04	15	0.00	15	4.34	15	-8.33	15	-0.04	15
7002	-816	4028	Min.	154.00	34.01	15	0.04	15	0.06	15	29.50	15	17.73	15	-0.04	15
7002	4030	-805	Max	0.00	50.05	15	-0.01	15	0.02	15	-26.76	15	13.58	15	0.00	15
7002	4030	-805	Max	164.00	50.05	15	-0.01	15	0.00	15	0.04	15	-8.32	15	0.00	15
7002	4030	-805	Min.	0.00	50.05	15	-0.01	15	0.02	15	-26.76	15	13.58	15	0.00	15
7002	4030	-805	Min.	164.00	50.05	15	-0.01	15	0.00	15	0.04	15	-8.32	15	0.00	15
7002	-805	4031	Max	0.00	50.05	15	-0.01	15	0.00	15	0.04	15	-8.32	15	0.00	15
7002	-805	4031	Max	164.00	50.05	15	-0.01	15	-0.01	15	26.84	15	13.73	15	0.00	15
7002	-805	4031	Min.	0.00	50.05	15	-0.01	15	0.00	15	0.04	15	-8.32	15	0.00	15
7002	-805	4031	Min.	164.00	50.05	15	-0.01	15	-0.01	15	26.84	15	13.73	15	0.00	15
7002	4033	-794	Max	0.00	33.70	15	-0.04	15	0.06	15	-29.43	15	17.61	15	0.04	15
7002	4033	-794	Max	154.00	33.70	15	-0.04	15	0.01	15	-4.26	15	-8.33	15	0.04	15
7002	4033	-794	Min.	0.00	33.70	15	-0.04	15	0.06	15	-29.43	15	17.61	15	0.04	15
7002	4033	-794	Min.	154.00	33.70	15	-0.04	15	0.01	15	-4.26	15	-8.33	15	0.04	15
7002	-794	4034	Max	0.00	33.70	15	-0.04	15	0.01	15	-4.26	15	-8.33	15	0.04	15
7002	-794	4034	Max	154.00	33.70	15	-0.04	15	-0.05	15	20.90	15	4.48	15	0.04	15
7002	-794	4034	Min.	0.00	33.70	15	-0.04	15	0.01	15	-4.26	15	-8.33	15	0.04	15
7002	-794	4034	Min.	154.00	33.70	15	-0.04	15	-0.05	15	20.90	15	4.48	15	0.04	15
7003	-594	-817	Max	0.00	-0.04	15	-0.03	15	0.02	15	-23.16	15	-1.42	15	-0.08	15
7003	-594	-817	Max	154.00	-0.04	15	-0.03	15	-0.02	15	2.01	15	-17.71	15	-0.08	15
7003	-594	-817	Min.	0.00	-0.04	15	-0.03	15	0.02	15	-23.16	15	-1.42	15	-0.08	15
7003	-594	-817	Min.	154.00	-0.04	15	-0.03	15	-0.02	15	2.01	15	-17.71	15	-0.08	15
7003	-817	-595	Max	0.00	31.96	15	0.12	15	-0.06	15	10.67	15	-17.71	15	-0.09	15
7003	-817	-595	Max	154.00	31.96	15	0.12	15	0.13	15	35.84	15	18.11	15	-0.09	15
7003	-817	-595	Min.	0.00	31.96	15	0.12	15	-0.06	15	10.67	15	-17.71	15	-0.09	15
7003	-817	-595	Min.	154.00	31.96	15	0.12	15	0.13	15	35.84	15	18.11	15	-0.09	15
7003	-596	-806	Max	0.00	32.02	15	-0.10	15	0.06	15	-31.36	15	17.94	15	0.00	15
7003	-596	-806	Max	164.00	32.02	15	-0.10	15	-0.11	15	-4.56	15	-11.51	15	0.00	15
7003	-596	-806	Min.	0.00	32.02	15	-0.10	15	0.06	15	-31.36	15	17.94	15	0.00	15
7003	-596	-806	Min.	164.00	32.02	15	-0.10	15	-0.11	15	-4.56	15	-11.51	15	0.00	15
7003	-806	-597	Max	0.00	31.97	15	0.09	15	-0.10	15	4.55	15	-11.51	15	-0.00	15

7003	-806	-597	Max	164.00	31.97	15	0.09	15	0.04	15	31.35	15	17.93	15	-0.00	15
7003	-806	-597	Min.	0.00	31.97	15	0.09	15	-0.10	15	4.55	15	-11.51	15	-0.00	15
7003	-806	-597	Min.	164.00	31.97	15	0.09	15	0.04	15	31.35	15	17.93	15	-0.00	15
7003	-598	-793	Max	0.00	31.93	15	-0.14	15	0.15	15	-35.85	15	18.12	15	0.09	15
7003	-598	-793	Max	154.00	31.93	15	-0.14	15	-0.07	15	-10.68	15	-17.71	15	0.09	15
7003	-598	-793	Min.	0.00	31.93	15	-0.14	15	0.15	15	-35.85	15	18.12	15	0.09	15
7003	-598	-793	Min.	154.00	31.93	15	-0.14	15	-0.07	15	-10.68	15	-17.71	15	0.09	15
7003	-793	-599	Max	0.00	-0.03	15	0.05	15	-0.03	15	-2.01	15	-17.70	15	0.08	15
7003	-793	-599	Max	154.00	-0.03	15	0.05	15	0.04	15	23.15	15	-1.43	15	0.08	15
7003	-793	-599	Min.	0.00	-0.03	15	0.05	15	-0.03	15	-2.01	15	-17.70	15	0.08	15
7003	-793	-599	Min.	154.00	-0.03	15	0.05	15	0.04	15	23.15	15	-1.43	15	0.08	15
7004	-658	-818	Max	0.00	61.34	15	0.09	15	-0.13	15	-20.72	15	-2.56	15	-0.06	15
7004	-658	-818	Max	154.00	61.34	15	0.09	15	0.00	15	4.45	15	-15.08	15	-0.06	15
7004	-658	-818	Min.	0.00	61.34	15	0.09	15	-0.13	15	-20.72	15	-2.56	15	-0.06	15
7004	-658	-818	Min.	154.00	61.34	15	0.09	15	0.00	15	4.45	15	-15.08	15	-0.06	15
7004	-818	-659	Max	0.00	61.34	15	0.09	15	0.00	15	4.45	15	-15.08	15	-0.06	15
7004	-818	-659	Max	154.00	61.34	15	0.09	15	0.14	15	29.62	15	11.15	15	-0.06	15
7004	-818	-659	Min.	0.00	61.34	15	0.09	15	0.00	15	4.45	15	-15.08	15	-0.06	15
7004	-818	-659	Min.	154.00	61.34	15	0.09	15	0.14	15	29.62	15	11.15	15	-0.06	15
7004	-660	-807	Max	0.00	68.44	15	-0.00	15	-0.02	15	-26.80	15	11.40	15	0.00	15
7004	-660	-807	Max	164.00	68.44	15	-0.00	15	-0.02	15	-0.00	15	-10.58	15	0.00	15
7004	-660	-807	Min.	0.00	68.44	15	-0.00	15	-0.02	15	-26.80	15	11.40	15	0.00	15
7004	-660	-807	Min.	164.00	68.44	15	-0.00	15	-0.02	15	-0.00	15	-10.58	15	0.00	15
7004	-807	-661	Max	0.00	68.44	15	-0.00	15	-0.02	15	-0.00	15	-10.58	15	0.00	15
7004	-807	-661	Max	164.00	68.44	15	-0.00	15	-0.03	15	26.80	15	11.40	15	0.00	15
7004	-807	-661	Min.	0.00	68.44	15	-0.00	15	-0.02	15	-0.00	15	-10.58	15	0.00	15
7004	-807	-661	Min.	164.00	68.44	15	-0.00	15	-0.03	15	26.80	15	11.40	15	0.00	15
7004	-662	-796	Max	0.00	61.42	15	-0.09	15	0.15	15	-29.62	15	11.16	15	0.06	15
7004	-662	-796	Max	154.00	61.42	15	-0.09	15	0.01	15	-4.45	15	-15.08	15	0.06	15
7004	-662	-796	Min.	0.00	61.42	15	-0.09	15	0.15	15	-29.62	15	11.16	15	0.06	15
7004	-662	-796	Min.	154.00	61.42	15	-0.09	15	0.01	15	-4.45	15	-15.08	15	0.06	15
7004	-796	-663	Max	0.00	61.42	15	-0.09	15	0.01	15	-4.45	15	-15.08	15	0.06	15
7004	-796	-663	Max	154.00	61.42	15	-0.09	15	-0.13	15	20.71	15	-2.56	15	0.06	15
7004	-796	-663	Min.	0.00	61.42	15	-0.09	15	0.01	15	-4.45	15	-15.08	15	0.06	15
7004	-796	-663	Min.	154.00	61.42	15	-0.09	15	-0.13	15	20.71	15	-2.56	15	0.06	15
7005	-722	-819	Max	0.00	-0.02	15	0.30	15	-0.24	15	-24.42	15	-1.92	15	-0.02	15
7005	-722	-819	Max	154.00	-0.02	15	0.30	15	0.23	15	0.75	15	-20.15	15	-0.02	15
7005	-722	-819	Min.	0.00	-0.02	15	0.30	15	-0.24	15	-24.42	15	-1.92	15	-0.02	15
7005	-722	-819	Min.	154.00	-0.02	15	0.30	15	0.23	15	0.75	15	-20.15	15	-0.02	15
7005	-819	-723	Max	0.00	52.63	15	-0.23	15	0.22	15	9.35	15	-20.15	15	-0.02	15
7005	-819	-723	Max	154.00	52.63	15	-0.23	15	-0.13	15	34.52	15	13.63	15	-0.02	15
7005	-819	-723	Min.	0.00	52.63	15	-0.23	15	0.22	15	9.35	15	-20.15	15	-0.02	15
7005	-819	-723	Min.	154.00	52.63	15	-0.23	15	-0.13	15	34.52	15	13.63	15	-0.02	15
7005	-724	-808	Max	0.00	52.61	15	0.17	15	-0.14	15	-31.33	15	13.80	15	0.00	15
7005	-724	-808	Max	164.00	52.61	15	0.17	15	0.14	15	-4.53	15	-15.60	15	0.00	15
7005	-724	-808	Min.	0.00	52.61	15	0.17	15	-0.14	15	-31.33	15	13.80	15	0.00	15
7005	-724	-808	Min.	164.00	52.61	15	0.17	15	0.14	15	-4.53	15	-15.60	15	0.00	15
7005	-808	-725	Max	0.00	52.59	15	-0.18	15	0.14	15	4.53	15	-15.60	15	-0.00	15
7005	-808	-725	Max	164.00	52.59	15	-0.18	15	-0.15	15	31.33	15	13.80	15	-0.00	15
7005	-808	-725	Min.	0.00	52.59	15	-0.18	15	0.14	15	4.53	15	-15.60	15	-0.00	15
7005	-808	-725	Min.	164.00	52.59	15	-0.18	15	-0.15	15	31.33	15	13.80	15	-0.00	15
7005	-726	-797	Max	0.00	52.62	15	0.21	15	-0.12	15	-34.52	15	13.63	15	0.02	15
7005	-726	-797	Max	154.00	52.62	15	0.21	15	0.21	15	-9.35	15	-20.15	15	0.02	15
7005	-726	-797	Min.	0.00	52.62	15	0.21	15	-0.12	15	-34.52	15	13.63	15	0.02	15
7005	-726	-797	Min.	154.00	52.62	15	0.21	15	0.21	15	-9.35	15	-20.15	15	0.02	15
7005	-797	-727	Max	0.00	-0.02	15	-0.29	15	0.22	15	-0.75	15	-20.15	15	0.02	15
7005	-797	-727	Max	154.00	-0.02	15	-0.29	15	-0.23	15	24.42	15	-1.92	15	0.02	15
7005	-797	-727	Min.	0.00	-0.02	15	-0.29	15	0.22	15	-0.75	15	-20.15	15	0.02	15
7005	-797	-727	Min.	154.00	-0.02	15	-0.29	15	-0.23	15	24.42	15	-1.92	15	0.02	15

7006	-786	-820	Max	0.00	29.47	15	0.00	15	-0.00	15	-21.17	15	-2.56	15	0.00	15
7006	-786	-820	Max	154.00	29.47	15	0.00	15	-0.00	15	3.99	15	-15.79	15	0.00	15
7006	-786	-820	Min.	0.00	29.47	15	0.00	15	-0.00	15	-21.17	15	-2.56	15	0.00	15
7006	-786	-820	Min.	154.00	29.47	15	0.00	15	-0.00	15	3.99	15	-15.79	15	0.00	15
7006	-820	-787	Max	0.00	29.47	15	0.00	15	-0.00	15	3.99	15	-15.79	15	0.00	15
7006	-820	-787	Max	61.60					-0.00	15			-10.23	15		
7006	-820	-787	Max	154.00	29.47	15	0.00	15	0.00	15	29.16	15	9.74	15	0.00	15
7006	-820	-787	Min.	0.00	29.47	15	0.00	15	-0.00	15	3.99	15	-15.79	15	0.00	15
7006	-820	-787	Min.	61.60					-0.00	15			-10.23	15		
7006	-820	-787	Min.	154.00	29.47	15	0.00	15	0.00	15	29.16	15	9.74	15	0.00	15
7006	-788	-809	Max	0.00	-27.15	15	-0.00	15	0.00	15	-26.80	15	9.70	15	0.00	15
7006	-788	-809	Max	164.00	-27.15	15	-0.00	15	0.00	15	-0.00	15	-12.28	15	0.00	15
7006	-788	-809	Min.	0.00	-27.15	15	-0.00	15	0.00	15	-26.80	15	9.70	15	0.00	15
7006	-788	-809	Min.	164.00	-27.15	15	-0.00	15	0.00	15	-0.00	15	-12.28	15	0.00	15
7006	-809	-789	Max	0.00	-27.15	15	-0.00	15	0.00	15	-0.00	15	-12.28	15	0.00	15
7006	-809	-789	Max	164.00	-27.15	15	-0.00	15	-0.00	15	26.80	15	9.69	15	0.00	15
7006	-809	-789	Min.	0.00	-27.15	15	-0.00	15	0.00	15	-0.00	15	-12.28	15	0.00	15
7006	-809	-789	Min.	164.00	-27.15	15	-0.00	15	-0.00	15	26.80	15	9.69	15	0.00	15
7006	-790	-798	Max	0.00	29.52	15	-0.00	15	0.00	15	-29.16	15	9.75	15	0.00	15
7006	-790	-798	Max	154.00	29.52	15	-0.00	15	0.00	15	-4.00	15	-15.78	15	0.00	15
7006	-790	-798	Min.	0.00	29.52	15	-0.00	15	0.00	15	-29.16	15	9.75	15	0.00	15
7006	-790	-798	Min.	154.00	29.52	15	-0.00	15	0.00	15	-4.00	15	-15.78	15	0.00	15
7006	-798	-791	Max	0.00	29.52	15	-0.00	15	0.00	15	-4.00	15	-15.78	15	0.00	15
7006	-798	-791	Max	154.00	29.52	15	-0.00	15	0.00	15	21.17	15	-2.56	15	0.00	15
7006	-798	-791	Min.	0.00	29.52	15	-0.00	15	0.00	15	-4.00	15	-15.78	15	0.00	15
7006	-798	-791	Min.	154.00	29.52	15	-0.00	15	0.00	15	21.17	15	-2.56	15	0.00	15
7007	-730	-821	Max	0.00	-0.02	15	-0.29	15	0.22	15	-24.42	15	-1.92	15	0.02	15
7007	-730	-821	Max	154.00	-0.02	15	-0.29	15	-0.22	15	0.75	15	-20.15	15	0.02	15
7007	-730	-821	Min.	0.00	-0.02	15	-0.29	15	0.22	15	-24.42	15	-1.92	15	0.02	15
7007	-730	-821	Min.	154.00	-0.02	15	-0.29	15	-0.22	15	0.75	15	-20.15	15	0.02	15
7007	-821	-731	Max	0.00	52.63	15	0.22	15	-0.21	15	9.35	15	-20.15	15	0.02	15
7007	-821	-731	Max	154.00	52.63	15	0.22	15	0.12	15	34.52	15	13.63	15	0.02	15
7007	-821	-731	Min.	0.00	52.63	15	0.22	15	-0.21	15	9.35	15	-20.15	15	0.02	15
7007	-821	-731	Min.	154.00	52.63	15	0.22	15	0.12	15	34.52	15	13.63	15	0.02	15
7007	-732	-810	Max	0.00	52.61	15	-0.18	15	0.15	15	-31.33	15	13.80	15	-0.00	15
7007	-732	-810	Max	164.00	52.61	15	-0.18	15	-0.14	15	-4.53	15	-15.60	15	-0.00	15
7007	-732	-810	Min.	0.00	52.61	15	-0.18	15	0.15	15	-31.33	15	13.80	15	-0.00	15
7007	-732	-810	Min.	164.00	52.61	15	-0.18	15	-0.14	15	-4.53	15	-15.60	15	-0.00	15
7007	-810	-733	Max	0.00	52.60	15	0.18	15	-0.14	15	4.53	15	-15.60	15	0.00	15
7007	-810	-733	Max	164.00	52.60	15	0.18	15	0.15	15	31.33	15	13.80	15	0.00	15
7007	-810	-733	Min.	0.00	52.60	15	0.18	15	-0.14	15	4.53	15	-15.60	15	0.00	15
7007	-810	-733	Min.	164.00	52.60	15	0.18	15	0.15	15	31.33	15	13.80	15	0.00	15
7007	-734	-799	Max	0.00	52.62	15	-0.22	15	0.13	15	-34.52	15	13.63	15	-0.02	15
7007	-734	-799	Max	154.00	52.62	15	-0.22	15	-0.21	15	-9.35	15	-20.15	15	-0.02	15
7007	-734	-799	Min.	0.00	52.62	15	-0.22	15	0.13	15	-34.52	15	13.63	15	-0.02	15
7007	-734	-799	Min.	154.00	52.62	15	-0.22	15	-0.21	15	-9.35	15	-20.15	15	-0.02	15
7007	-799	-735	Max	0.00	-0.02	15	0.29	15	-0.22	15	-0.75	15	-20.15	15	-0.02	15
7007	-799	-735	Max	154.00	-0.02	15	0.29	15	0.23	15	24.42	15	-1.92	15	-0.02	15
7007	-799	-735	Min.	0.00	-0.02	15	0.29	15	-0.22	15	-0.75	15	-20.15	15	-0.02	15
7007	-799	-735	Min.	154.00	-0.02	15	0.29	15	0.23	15	24.42	15	-1.92	15	-0.02	15
7008	-666	-822	Max	0.00	61.41	15	-0.09	15	0.12	15	-20.71	15	-2.56	15	0.06	15
7008	-666	-822	Max	154.00	61.41	15	-0.09	15	-0.01	15	4.45	15	-15.08	15	0.06	15
7008	-666	-822	Min.	0.00	61.41	15	-0.09	15	0.12	15	-20.71	15	-2.56	15	0.06	15
7008	-666	-822	Min.	154.00	61.41	15	-0.09	15	-0.01	15	4.45	15	-15.08	15	0.06	15
7008	-822	-667	Max	0.00	61.41	15	-0.09	15	-0.01	15	4.45	15	-15.08	15	0.06	15
7008	-822	-667	Max	154.00	61.41	15	-0.09	15	-0.14	15	29.62	15	11.15	15	0.06	15
7008	-822	-667	Min.	0.00	61.41	15	-0.09	15	-0.01	15	4.45	15	-15.08	15	0.06	15
7008	-822	-667	Min.	154.00	61.41	15	-0.09	15	-0.14	15	29.62	15	11.15	15	0.06	15
7008	-668	-811	Max	0.00	68.45	15	-0.00	15	0.03	15	-26.80	15	11.40	15	0.00	15

7008	-668	-811	Max	164.00	68.45	15	-0.00	15	0.02	15	-0.00	15	-10.58	15	0.00	15
7008	-668	-811	Min.	0.00	68.45	15	-0.00	15	0.03	15	-26.80	15	11.40	15	0.00	15
7008	-668	-811	Min.	164.00	68.45	15	-0.00	15	0.02	15	-0.00	15	-10.58	15	0.00	15
7008	-811	-669	Max	0.00	68.45	15	-0.00	15	0.02	15	-0.00	15	-10.58	15	0.00	15
7008	-811	-669	Max	164.00	68.45	15	-0.00	15	0.02	15	26.80	15	11.40	15	0.00	15
7008	-811	-669	Min.	0.00	68.45	15	-0.00	15	0.02	15	-0.00	15	-10.58	15	0.00	15
7008	-811	-669	Min.	164.00	68.45	15	-0.00	15	0.02	15	26.80	15	11.40	15	0.00	15
7008	-670	-800	Max	0.00	61.42	15	0.09	15	-0.14	15	-29.62	15	11.15	15	-0.06	15
7008	-670	-800	Max	154.00	61.42	15	0.09	15	-0.01	15	-4.45	15	-15.08	15	-0.06	15
7008	-670	-800	Min.	0.00	61.42	15	0.09	15	-0.14	15	-29.62	15	11.15	15	-0.06	15
7008	-670	-800	Min.	154.00	61.42	15	0.09	15	-0.01	15	-4.45	15	-15.08	15	-0.06	15
7008	-800	-671	Max	0.00	61.42	15	0.09	15	-0.01	15	-4.45	15	-15.08	15	-0.06	15
7008	-800	-671	Max	154.00	61.42	15	0.09	15	0.13	15	20.71	15	-2.56	15	-0.06	15
7008	-800	-671	Min.	0.00	61.42	15	0.09	15	-0.01	15	-4.45	15	-15.08	15	-0.06	15
7008	-800	-671	Min.	154.00	61.42	15	0.09	15	0.13	15	20.71	15	-2.56	15	-0.06	15
7009	-602	-823	Max	0.00	-0.03	15	0.05	15	-0.04	15	-23.16	15	-1.42	15	0.08	15
7009	-602	-823	Max	154.00	-0.03	15	0.05	15	0.03	15	2.01	15	-17.71	15	0.08	15
7009	-602	-823	Min.	0.00	-0.03	15	0.05	15	-0.04	15	-23.16	15	-1.42	15	0.08	15
7009	-602	-823	Min.	154.00	-0.03	15	0.05	15	0.03	15	2.01	15	-17.71	15	0.08	15
7009	-823	-603	Max	0.00	31.93	15	-0.14	15	0.06	15	10.68	15	-17.71	15	0.09	15
7009	-823	-603	Max	154.00	31.93	15	-0.14	15	-0.14	15	35.84	15	18.11	15	0.09	15
7009	-823	-603	Min.	0.00	31.93	15	-0.14	15	0.06	15	10.68	15	-17.71	15	0.09	15
7009	-823	-603	Min.	154.00	31.93	15	-0.14	15	-0.14	15	35.84	15	18.11	15	0.09	15
7009	-604	-812	Max	0.00	31.98	15	0.10	15	-0.05	15	-31.35	15	17.94	15	-0.00	15
7009	-604	-812	Max	164.00	31.98	15	0.10	15	0.11	15	-4.55	15	-11.51	15	-0.00	15
7009	-604	-812	Min.	0.00	31.98	15	0.10	15	-0.05	15	-31.35	15	17.94	15	-0.00	15
7009	-604	-812	Min.	164.00	31.98	15	0.10	15	0.11	15	-4.55	15	-11.51	15	-0.00	15
7009	-812	-605	Max	0.00	31.97	15	-0.10	15	0.11	15	4.55	15	-11.50	15	0.00	15
7009	-812	-605	Max	164.00	31.97	15	-0.10	15	-0.05	15	31.35	15	17.94	15	0.00	15
7009	-812	-605	Min.	0.00	31.97	15	-0.10	15	0.11	15	4.55	15	-11.50	15	0.00	15
7009	-812	-605	Min.	164.00	31.97	15	-0.10	15	-0.05	15	31.35	15	17.94	15	0.00	15
7009	-606	-801	Max	0.00	31.92	15	0.13	15	-0.14	15	-35.84	15	18.11	15	-0.09	15
7009	-606	-801	Max	154.00	31.92	15	0.13	15	0.06	15	-10.68	15	-17.71	15	-0.09	15
7009	-606	-801	Min.	0.00	31.92	15	0.13	15	-0.14	15	-35.84	15	18.11	15	-0.09	15
7009	-606	-801	Min.	154.00	31.92	15	0.13	15	0.06	15	-10.68	15	-17.71	15	-0.09	15
7009	-801	-607	Max	0.00	-0.03	15	-0.04	15	0.03	15	-2.01	15	-17.70	15	-0.08	15
7009	-801	-607	Max	154.00	-0.03	15	-0.04	15	-0.04	15	23.16	15	-1.42	15	-0.08	15
7009	-801	-607	Min.	0.00	-0.03	15	-0.04	15	0.03	15	-2.01	15	-17.70	15	-0.08	15
7009	-801	-607	Min.	154.00	-0.03	15	-0.04	15	-0.04	15	23.16	15	-1.42	15	-0.08	15
7010	4287	-824	Max	0.00	33.78	15	-0.03	15	0.04	15	-20.86	15	4.42	15	0.04	15
7010	4287	-824	Max	154.00	33.78	15	-0.03	15	-0.01	15	4.31	15	-8.33	15	0.04	15
7010	4287	-824	Min.	0.00	33.78	15	-0.03	15	0.04	15	-20.86	15	4.42	15	0.04	15
7010	4287	-824	Min.	154.00	33.78	15	-0.03	15	-0.01	15	4.31	15	-8.33	15	0.04	15
7010	-824	4288	Max	0.00	33.78	15	-0.03	15	-0.01	15	4.31	15	-8.33	15	0.04	15
7010	-824	4288	Max	154.00	33.78	15	-0.03	15	-0.06	15	29.47	15	17.69	15	0.04	15
7010	-824	4288	Min.	0.00	33.78	15	-0.03	15	-0.01	15	4.31	15	-8.33	15	0.04	15
7010	-824	4288	Min.	154.00	33.78	15	-0.03	15	-0.06	15	29.47	15	17.69	15	0.04	15
7010	4290	-813	Max	0.00	49.95	15	-0.00	15	-0.00	15	-26.79	15	13.64	15	0.00	15
7010	4290	-813	Max	164.00	49.95	15	-0.00	15	-0.00	15	0.01	15	-8.32	15	0.00	15
7010	4290	-813	Min.	0.00	49.95	15	-0.00	15	-0.00	15	-26.79	15	13.64	15	0.00	15
7010	4290	-813	Min.	164.00	49.95	15	-0.00	15	-0.00	15	0.01	15	-8.32	15	0.00	15
7010	-813	4291	Max	0.00	49.95	15	-0.00	15	-0.00	15	0.01	15	-8.32	15	0.00	15
7010	-813	4291	Max	164.00	49.95	15	-0.00	15	-0.01	15	26.81	15	13.66	15	0.00	15
7010	-813	4291	Min.	0.00	49.95	15	-0.00	15	-0.00	15	0.01	15	-8.32	15	0.00	15
7010	-813	4291	Min.	164.00	49.95	15	-0.00	15	-0.01	15	26.81	15	13.66	15	0.00	15
7010	4293	-802	Max	0.00	33.76	15	0.03	15	-0.06	15	-29.46	15	17.67	15	-0.04	15
7010	4293	-802	Max	154.00	33.76	15	0.03	15	-0.01	15	-4.30	15	-8.33	15	-0.04	15
7010	4293	-802	Min.	0.00	33.76	15	0.03	15	-0.06	15	-29.46	15	17.67	15	-0.04	15
7010	4293	-802	Min.	154.00	33.76	15	0.03	15	-0.01	15	-4.30	15	-8.33	15	-0.04	15

7010	-802	4294	Max	0.00	33.76	15	0.03	15	-0.01	15	-4.30	15	-8.33	15	-0.04	15
7010	-802	4294	Max	154.00	33.76	15	0.03	15	0.04	15	20.87	15	4.43	15	-0.04	15
7010	-802	4294	Min.	0.00	33.76	15	0.03	15	-0.01	15	-4.30	15	-8.33	15	-0.04	15
7010	-802	4294	Min.	154.00	33.76	15	0.03	15	0.04	15	20.87	15	4.43	15	-0.04	15
7011	3314	-825	Max	0.00	2.90	15	0.01	15	-0.00	15	-17.26	15	-0.64	15	0.03	15
7011	3314	-825	Max	154.00	2.90	15	0.01	15	0.01	15	5.59	15	-9.63	15	0.03	15
7011	3314	-825	Min.	0.00	2.90	15	0.01	15	-0.00	15	-17.26	15	-0.64	15	0.03	15
7011	3314	-825	Min.	154.00	2.90	15	0.01	15	0.01	15	5.59	15	-9.63	15	0.03	15
7011	-825	3315	Max	0.00	2.90	15	0.01	15	0.01	15	5.59	15	-9.63	15	0.03	15
7011	-825	3315	Max	154.00	2.90	15	0.01	15	0.03	15	28.45	15	16.58	15	0.03	15
7011	-825	3315	Min.	0.00	2.90	15	0.01	15	0.01	15	5.59	15	-9.63	15	0.03	15
7011	-825	3315	Min.	154.00	2.90	15	0.01	15	0.03	15	28.45	15	16.58	15	0.03	15
7011	3316	-814	Max	0.00	3.84	15	-0.00	15	0.02	15	-24.34	15	16.11	15	0.00	15
7011	3316	-814	Max	164.00	3.84	15	-0.00	15	0.02	15	0.00	15	-3.85	15	0.00	15
7011	3316	-814	Min.	0.00	3.84	15	-0.00	15	0.02	15	-24.34	15	16.11	15	0.00	15
7011	3316	-814	Min.	164.00	3.84	15	-0.00	15	0.02	15	0.00	15	-3.85	15	0.00	15
7011	-814	3317	Max	0.00	3.84	15	-0.00	15	0.02	15	0.00	15	-3.85	15	0.00	15
7011	-814	3317	Max	164.00	3.84	15	-0.00	15	0.02	15	24.34	15	16.11	15	0.00	15
7011	-814	3317	Min.	0.00	3.84	15	-0.00	15	0.02	15	0.00	15	-3.85	15	0.00	15
7011	-814	3317	Min.	164.00	3.84	15	-0.00	15	0.02	15	24.34	15	16.11	15	0.00	15
7011	3318	-803	Max	0.00	2.93	15	-0.01	15	0.03	15	-28.45	15	16.58	15	-0.03	15
7011	3318	-803	Max	154.00	2.93	15	-0.01	15	0.01	15	-5.59	15	-9.63	15	-0.03	15
7011	3318	-803	Min.	0.00	2.93	15	-0.01	15	0.03	15	-28.45	15	16.58	15	-0.03	15
7011	3318	-803	Min.	154.00	2.93	15	-0.01	15	0.01	15	-5.59	15	-9.63	15	-0.03	15
7011	-803	3319	Max	0.00	2.93	15	-0.01	15	0.01	15	-5.59	15	-9.63	15	-0.03	15
7011	-803	3319	Max	154.00	2.93	15	-0.01	15	0.00	15	17.26	15	-0.64	15	-0.03	15
7011	-803	3319	Min.	0.00	2.93	15	-0.01	15	0.01	15	-5.59	15	-9.63	15	-0.03	15
7011	-803	3319	Min.	154.00	2.93	15	-0.01	15	0.00	15	17.26	15	-0.64	15	-0.03	15
8001	4027	-817	Max	0.00	-23.00	15	1.30	15	0.00	15	-0.01	15	0.00	15	0.00	15
8001	4027	-817	Max	66.29					0.43	15			-0.00	15		
8001	4027	-817	Max	176.65	-22.86	15	-2.16	15	-0.76	15	-0.01	15	-0.01	15	0.00	15
8001	4027	-817	Min.	0.00	-23.00	15	1.30	15	0.00	15	-0.01	15	0.00	15	0.00	15
8001	4027	-817	Min.	66.29					0.43	15			-0.00	15		
8001	4027	-817	Min.	176.65	-22.86	15	-2.16	15	-0.76	15	-0.01	15	-0.01	15	0.00	15
8001	-817	-659	Max	0.00	-41.47	15	2.16	15	-0.76	15	-0.02	15	0.03	15	0.00	15
8001	-817	-659	Max	109.57					0.43	15			0.01	15		
8001	-817	-659	Max	176.65	-41.34	15	-1.30	15	0.00	15	-0.02	15	0.00	15	0.00	15
8001	-817	-659	Min.	0.00	-41.47	15	2.16	15	-0.76	15	-0.02	15	0.03	15	0.00	15
8001	-817	-659	Min.	109.57					0.43	15			0.01	15		
8001	-817	-659	Min.	176.65	-41.34	15	-1.30	15	0.00	15	-0.02	15	0.00	15	0.00	15
8002	-658	-817	Max	0.00	14.13	15	1.30	15	0.00	15	0.03	15	0.00	15	0.00	15
8002	-658	-817	Max	66.44					0.43	15			0.02	15		
8002	-658	-817	Max	176.65	13.99	15	-2.16	15	-0.76	15	0.03	15	0.05	15	0.00	15
8002	-658	-817	Min.	0.00	14.13	15	1.30	15	0.00	15	0.03	15	0.00	15	0.00	15
8002	-658	-817	Min.	66.44					0.43	15			0.02	15		
8002	-658	-817	Min.	176.65	13.99	15	-2.16	15	-0.76	15	0.03	15	0.05	15	0.00	15
8002	-817	4028	Max	0.00	-4.08	15	2.16	15	-0.76	15	-0.02	15	0.04	15	0.00	15
8002	-817	4028	Max	109.46					0.43	15			0.02	15		
8002	-817	4028	Max	176.65	-4.22	15	-1.30	15	0.00	15	-0.02	15	0.00	15	0.00	15
8002	-817	4028	Min.	0.00	-4.08	15	2.16	15	-0.76	15	-0.02	15	0.04	15	0.00	15
8002	-817	4028	Min.	109.46					0.43	15			0.02	15		
8002	-817	4028	Min.	176.65	-4.22	15	-1.30	15	0.00	15	-0.02	15	0.00	15	0.00	15
8003	-658	-819	Max	0.00	-84.49	15	1.30	15	0.00	15	0.00	15	0.00	15	0.00	15
8003	-658	-819	Max	66.39					0.43	15			0.00	15		
8003	-658	-819	Max	176.65	-84.35	15	-2.16	15	-0.76	15	0.00	15	0.00	15	0.00	15
8003	-658	-819	Min.	0.00	-84.49	15	1.30	15	0.00	15	0.00	15	0.00	15	0.00	15
8003	-658	-819	Min.	66.39					0.43	15			0.00	15		
8003	-658	-819	Min.	176.65	-84.35	15	-2.16	15	-0.76	15	0.00	15	0.00	15	0.00	15
8003	-819	-787	Max	0.00	-114.11	15	2.16	15	-0.76	15	-0.05	15	0.10	15	0.00	15

8003	-819	-787	Max	109.48					0.43	15			0.04	15		
8003	-819	-787	Max	176.65	-113.97	15	-1.30	15	0.00	15	-0.05	15	0.00	15	0.00	15
8003	-819	-787	Min.	0.00	-114.11	15	2.16	15	-0.76	15	-0.05	15	0.10	15	0.00	15
8003	-819	-787	Min.	109.48					0.43	15			0.04	15		
8003	-819	-787	Min.	176.65	-113.97	15	-1.30	15	0.00	15	-0.05	15	0.00	15	0.00	15
8004	-786	-819	Max	0.00	-17.03	15	1.30	15	0.00	15	0.04	15	0.00	15	0.00	15
8004	-786	-819	Max	66.42					0.43	15			0.03	15		
8004	-786	-819	Max	176.65	-17.17	15	-2.16	15	-0.76	15	0.04	15	0.07	15	0.00	15
8004	-786	-819	Min.	0.00	-17.03	15	1.30	15	0.00	15	0.04	15	0.00	15	0.00	15
8004	-786	-819	Min.	66.42					0.43	15			0.03	15		
8004	-786	-819	Min.	176.65	-17.17	15	-2.16	15	-0.76	15	0.04	15	0.07	15	0.00	15
8004	-819	-659	Max	0.00	-47.82	15	2.16	15	-0.76	15	0.01	15	-0.01	15	-0.00	15
8004	-819	-659	Max	141.32					0.34	15			-0.00	15		
8004	-819	-659	Max	176.65	-47.96	15	-1.30	15	0.00	15	0.01	15	0.00	15	-0.00	15
8004	-819	-659	Min.	0.00	-47.82	15	2.16	15	-0.76	15	0.01	15	-0.01	15	-0.00	15
8004	-819	-659	Min.	109.45					0.43	15			-0.00	15		
8004	-819	-659	Min.	176.65	-47.96	15	-1.30	15	0.00	15	0.01	15	0.00	15	-0.00	15
8005	-786	-821	Max	0.00	-17.13	15	1.30	15	0.00	15	-0.04	15	0.00	15	0.00	15
8005	-786	-821	Max	66.42					0.43	15			-0.03	15		
8005	-786	-821	Max	176.65	-17.27	15	-2.16	15	-0.76	15	-0.04	15	-0.07	15	0.00	15
8005	-786	-821	Min.	0.00	-17.13	15	1.30	15	0.00	15	-0.04	15	0.00	15	0.00	15
8005	-786	-821	Min.	66.42					0.43	15			-0.03	15		
8005	-786	-821	Min.	176.65	-17.27	15	-2.16	15	-0.76	15	-0.04	15	-0.07	15	0.00	15
8005	-821	-667	Max	0.00	-47.89	15	2.16	15	-0.76	15	-0.01	15	0.01	15	0.00	15
8005	-821	-667	Max	109.45					0.43	15			0.00	15		
8005	-821	-667	Max	176.65	-48.03	15	-1.30	15	0.00	15	-0.01	15	0.00	15	0.00	15
8005	-821	-667	Min.	0.00	-47.89	15	2.16	15	-0.76	15	-0.01	15	0.01	15	0.00	15
8005	-821	-667	Min.	109.45					0.43	15			0.00	15		
8005	-821	-667	Min.	176.65	-48.03	15	-1.30	15	0.00	15	-0.01	15	0.00	15	0.00	15
8006	-666	-821	Max	0.00	-84.42	15	1.30	15	0.00	15	-0.00	15	0.00	15	0.00	15
8006	-666	-821	Max	66.39					0.43	15			0.00	15		
8006	-666	-821	Max	176.65	-84.28	15	-2.16	15	-0.76	15	-0.00	15	0.00	15	0.00	15
8006	-666	-821	Min.	0.00	-84.42	15	1.30	15	0.00	15	-0.00	15	0.00	15	0.00	15
8006	-666	-821	Min.	66.39					0.43	15			0.00	15		
8006	-666	-821	Min.	176.65	-84.28	15	-2.16	15	-0.76	15	-0.00	15	0.00	15	0.00	15
8006	-821	-787	Max	0.00	-114.06	15	2.16	15	-0.76	15	0.05	15	-0.10	15	-0.00	15
8006	-821	-787	Max	141.32					0.34	15			-0.02	15		
8006	-821	-787	Max	176.65	-113.93	15	-1.30	15	0.00	15	0.05	15	0.00	15	-0.00	15
8006	-821	-787	Min.	0.00	-114.06	15	2.16	15	-0.76	15	0.05	15	-0.10	15	-0.00	15
8006	-821	-787	Min.	109.48					0.43	15			-0.04	15		
8006	-821	-787	Min.	176.65	-113.93	15	-1.30	15	0.00	15	0.05	15	0.00	15	-0.00	15
8007	-666	-823	Max	0.00	13.98	15	1.30	15	0.00	15	-0.03	15	0.00	15	0.00	15
8007	-666	-823	Max	66.44					0.43	15			-0.02	15		
8007	-666	-823	Max	176.65	13.85	15	-2.16	15	-0.76	15	-0.03	15	-0.05	15	0.00	15
8007	-666	-823	Min.	0.00	13.98	15	1.30	15	0.00	15	-0.03	15	0.00	15	0.00	15
8007	-666	-823	Min.	66.44					0.43	15			-0.02	15		
8007	-666	-823	Min.	176.65	13.85	15	-2.16	15	-0.76	15	-0.03	15	-0.05	15	0.00	15
8007	-823	4288	Max	0.00	-4.17	15	2.16	15	-0.76	15	0.02	15	-0.04	15	-0.00	15
8007	-823	4288	Max	141.32					0.34	15			-0.01	15		
8007	-823	4288	Max	176.65	-4.31	15	-1.30	15	0.00	15	0.02	15	0.00	15	-0.00	15
8007	-823	4288	Min.	0.00	-4.17	15	2.16	15	-0.76	15	0.02	15	-0.04	15	-0.00	15
8007	-823	4288	Min.	109.46					0.43	15			-0.02	15		
8007	-823	4288	Min.	176.65	-4.31	15	-1.30	15	0.00	15	0.02	15	0.00	15	-0.00	15
8008	4287	-823	Max	0.00	-23.03	15	1.30	15	0.00	15	0.01	15	0.00	15	0.00	15
8008	4287	-823	Max	66.29					0.43	15			0.00	15		
8008	4287	-823	Max	176.65	-22.89	15	-2.16	15	-0.76	15	0.01	15	0.01	15	0.00	15
8008	4287	-823	Min.	0.00	-23.03	15	1.30	15	0.00	15	0.01	15	0.00	15	0.00	15
8008	4287	-823	Min.	66.29					0.43	15			0.00	15		
8008	4287	-823	Min.	176.65	-22.89	15	-2.16	15	-0.76	15	0.01	15	0.01	15	0.00	15

8008	-823	-667	Max	0.00	-41.52	15	2.16	15	-0.76	15	0.02	15	-0.03	15	-0.00	15
8008	-823	-667	Max	141.32					0.34	15			-0.01	15		
8008	-823	-667	Max	176.65	-41.38	15	-1.30	15	0.00	15	0.02	15	0.00	15	-0.00	15
8008	-823	-667	Min.	0.00	-41.52	15	2.16	15	-0.76	15	0.02	15	-0.03	15	-0.00	15
8008	-823	-667	Min.	109.57					0.43	15			-0.01	15		
8008	-823	-667	Min.	176.65	-41.38	15	-1.30	15	0.00	15	0.02	15	0.00	15	-0.00	15
8009	4030	-806	Max	0.00	-15.19	15	1.36	15	0.00	15	0.00	15	0.00	15	0.00	15
8009	4030	-806	Max	69.60					0.47	15			0.00	15		
8009	4030	-806	Max	185.43	-15.05	15	-2.27	15	-0.84	15	0.00	15	0.00	15	0.00	15
8009	4030	-806	Min.	0.00	-15.19	15	1.36	15	0.00	15	0.00	15	0.00	15	0.00	15
8009	4030	-806	Min.	69.60					0.47	15			0.00	15		
8009	4030	-806	Min.	185.43	-15.05	15	-2.27	15	-0.84	15	0.00	15	0.00	15	0.00	15
8009	-806	-661	Max	0.00	-15.37	15	2.27	15	-0.84	15	-0.02	15	0.03	15	0.00	15
8009	-806	-661	Max	114.99					0.47	15			0.01	15		
8009	-806	-661	Max	185.43	-15.23	15	-1.36	15	0.00	15	-0.02	15	0.00	15	0.00	15
8009	-806	-661	Min.	0.00	-15.37	15	2.27	15	-0.84	15	-0.02	15	0.03	15	0.00	15
8009	-806	-661	Min.	114.99					0.47	15			0.01	15		
8009	-806	-661	Min.	185.43	-15.23	15	-1.36	15	0.00	15	-0.02	15	0.00	15	0.00	15
8010	-660	-806	Max	0.00	-15.17	15	1.36	15	0.00	15	0.02	15	0.00	15	0.00	15
8010	-660	-806	Max	69.59					0.47	15			0.01	15		
8010	-660	-806	Max	185.43	-15.31	15	-2.27	15	-0.84	15	0.02	15	0.03	15	0.00	15
8010	-660	-806	Min.	0.00	-15.17	15	1.36	15	0.00	15	0.02	15	0.00	15	0.00	15
8010	-660	-806	Min.	69.59					0.47	15			0.01	15		
8010	-660	-806	Min.	185.43	-15.31	15	-2.27	15	-0.84	15	0.02	15	0.03	15	0.00	15
8010	-806	4031	Max	0.00	-14.93	15	2.27	15	-0.84	15	-0.00	15	0.00	15	0.01	15
8010	-806	4031	Max	114.98					0.47	15			0.00	15		
8010	-806	4031	Max	185.43	-15.07	15	-1.36	15	0.00	15	-0.00	15	0.00	15	0.01	15
8010	-806	4031	Min.	0.00	-14.93	15	2.27	15	-0.84	15	-0.00	15	0.00	15	0.01	15
8010	-806	4031	Min.	114.98					0.47	15			0.00	15		
8010	-806	4031	Min.	185.43	-15.07	15	-1.36	15	0.00	15	-0.00	15	0.00	15	0.01	15
8011	-660	-808	Max	0.00	-80.90	15	1.37	15	0.00	15	-0.01	15	0.00	15	0.00	15
8011	-660	-808	Max	69.67					0.48	15			-0.01	15		
8011	-660	-808	Max	185.43	-80.76	15	-2.27	15	-0.84	15	-0.01	15	-0.02	15	0.00	15
8011	-660	-808	Min.	0.00	-80.90	15	1.37	15	0.00	15	-0.01	15	0.00	15	0.00	15
8011	-660	-808	Min.	69.67					0.48	15			-0.01	15		
8011	-660	-808	Min.	185.43	-80.76	15	-2.27	15	-0.84	15	-0.01	15	-0.02	15	0.00	15
8011	-808	-789	Max	0.00	-80.48	15	2.27	15	-0.84	15	-0.04	15	0.08	15	0.00	15
8011	-808	-789	Max	114.94					0.48	15			0.03	15		
8011	-808	-789	Max	185.43	-80.34	15	-1.37	15	0.00	15	-0.04	15	0.00	15	0.00	15
8011	-808	-789	Min.	0.00	-80.48	15	2.27	15	-0.84	15	-0.04	15	0.08	15	0.00	15
8011	-808	-789	Min.	114.94					0.48	15			0.03	15		
8011	-808	-789	Min.	185.43	-80.34	15	-1.37	15	0.00	15	-0.04	15	0.00	15	0.00	15
8012	-788	-808	Max	0.00	-80.32	15	1.37	15	0.00	15	0.04	15	0.00	15	0.00	15
8012	-788	-808	Max	69.66					0.48	15			0.03	15		
8012	-788	-808	Max	185.43	-80.45	15	-2.27	15	-0.84	15	0.04	15	0.08	15	0.00	15
8012	-788	-808	Min.	0.00	-80.32	15	1.37	15	0.00	15	0.04	15	0.00	15	0.00	15
8012	-788	-808	Min.	69.66					0.48	15			0.03	15		
8012	-788	-808	Min.	185.43	-80.45	15	-2.27	15	-0.84	15	0.04	15	0.08	15	0.00	15
8012	-808	-661	Max	0.00	-80.72	15	2.27	15	-0.84	15	0.01	15	-0.02	15	-0.00	15
8012	-808	-661	Max	148.34					0.37	15			-0.00	15		
8012	-808	-661	Max	185.43	-80.86	15	-1.37	15	0.00	15	0.01	15	0.00	15	-0.00	15
8012	-808	-661	Min.	0.00	-80.72	15	2.27	15	-0.84	15	0.01	15	-0.02	15	-0.00	15
8012	-808	-661	Min.	114.93					0.48	15			-0.01	15		
8012	-808	-661	Min.	185.43	-80.86	15	-1.37	15	0.00	15	0.01	15	0.00	15	-0.00	15
8013	-788	-810	Max	0.00	-80.35	15	1.37	15	0.00	15	-0.04	15	0.00	15	0.00	15
8013	-788	-810	Max	69.66					0.48	15			-0.03	15		
8013	-788	-810	Max	185.43	-80.49	15	-2.27	15	-0.84	15	-0.04	15	-0.08	15	0.00	15
8013	-788	-810	Min.	0.00	-80.35	15	1.37	15	0.00	15	-0.04	15	0.00	15	0.00	15
8013	-788	-810	Min.	69.66					0.48	15			-0.03	15		

8013	-788	-810	Min.	185.43	-80.49	15	-2.27	15	-0.84	15	-0.04	15	-0.08	15	0.00	15
8013	-810	-669	Max	0.00	-80.76	15	2.27	15	-0.84	15	-0.01	15	0.02	15	0.00	15
8013	-810	-669	Max	114.93					0.48	15			0.01	15		
8013	-810	-669	Max	185.43	-80.89	15	-1.37	15	0.00	15	-0.01	15	0.00	15	0.00	15
8013	-810	-669	Min.	0.00	-80.76	15	2.27	15	-0.84	15	-0.01	15	0.02	15	0.00	15
8013	-810	-669	Min.	114.93					0.48	15			0.01	15		
8013	-810	-669	Min.	185.43	-80.89	15	-1.37	15	0.00	15	-0.01	15	0.00	15	0.00	15
8014	-668	-810	Max	0.00	-80.87	15	1.37	15	0.00	15	0.01	15	0.00	15	0.00	15
8014	-668	-810	Max	69.67					0.48	15			0.01	15		
8014	-668	-810	Max	185.43	-80.73	15	-2.27	15	-0.84	15	0.01	15	0.02	15	0.00	15
8014	-668	-810	Min.	0.00	-80.87	15	1.37	15	0.00	15	0.01	15	0.00	15	0.00	15
8014	-668	-810	Min.	69.67					0.48	15			0.01	15		
8014	-668	-810	Min.	185.43	-80.73	15	-2.27	15	-0.84	15	0.01	15	0.02	15	0.00	15
8014	-810	-789	Max	0.00	-80.46	15	2.27	15	-0.84	15	0.04	15	-0.08	15	-0.00	15
8014	-810	-789	Max	148.34					0.37	15			-0.02	15		
8014	-810	-789	Max	185.43	-80.32	15	-1.37	15	0.00	15	0.04	15	0.00	15	-0.00	15
8014	-810	-789	Min.	0.00	-80.46	15	2.27	15	-0.84	15	0.04	15	-0.08	15	-0.00	15
8014	-810	-789	Min.	114.94					0.48	15			-0.03	15		
8014	-810	-789	Min.	185.43	-80.32	15	-1.37	15	0.00	15	0.04	15	0.00	15	-0.00	15
8015	-668	-812	Max	0.00	-15.24	15	1.36	15	0.00	15	-0.02	15	0.00	15	0.00	15
8015	-668	-812	Max	69.59					0.47	15			-0.01	15		
8015	-668	-812	Max	185.43	-15.38	15	-2.27	15	-0.84	15	-0.02	15	-0.03	15	0.00	15
8015	-668	-812	Min.	0.00	-15.24	15	1.36	15	0.00	15	-0.02	15	0.00	15	0.00	15
8015	-668	-812	Min.	69.59					0.47	15			-0.01	15		
8015	-668	-812	Min.	185.43	-15.38	15	-2.27	15	-0.84	15	-0.02	15	-0.03	15	0.00	15
8015	-812	4291	Max	0.00	-15.03	15	2.27	15	-0.84	15	0.00	15	-0.00	15	-0.01	15
8015	-812	4291	Max	114.98					0.47	15			0.00	15		
8015	-812	4291	Max	185.43	-15.17	15	-1.36	15	0.00	15	0.00	15	0.00	15	-0.01	15
8015	-812	4291	Min.	0.00	-15.03	15	2.27	15	-0.84	15	0.00	15	-0.00	15	-0.01	15
8015	-812	4291	Min.	74.17					0.30	15			-0.00	15		
8015	-812	4291	Min.	185.43	-15.17	15	-1.36	15	0.00	15	0.00	15	0.00	15	-0.01	15
8016	4290	-812	Max	0.00	-15.16	15	1.36	15	0.00	15	-0.00	15	0.00	15	0.00	15
8016	4290	-812	Max	69.60					0.47	15			0.00	15		
8016	4290	-812	Max	185.43	-15.02	15	-2.27	15	-0.84	15	-0.00	15	-0.00	15	0.00	15
8016	4290	-812	Min.	0.00	-15.16	15	1.36	15	0.00	15	-0.00	15	0.00	15	0.00	15
8016	4290	-812	Min.	69.60					0.47	15			0.00	15		
8016	4290	-812	Min.	185.43	-15.02	15	-2.27	15	-0.84	15	-0.00	15	-0.00	15	0.00	15
8016	-812	-669	Max	0.00	-15.36	15	2.27	15	-0.84	15	0.02	15	-0.03	15	-0.00	15
8016	-812	-669	Max	148.34					0.37	15			-0.01	15		
8016	-812	-669	Max	185.43	-15.23	15	-1.36	15	0.00	15	0.02	15	0.00	15	-0.00	15
8016	-812	-669	Min.	0.00	-15.36	15	2.27	15	-0.84	15	0.02	15	-0.03	15	-0.00	15
8016	-812	-669	Min.	114.99					0.47	15			-0.01	15		
8016	-812	-669	Min.	185.43	-15.23	15	-1.36	15	0.00	15	0.02	15	0.00	15	-0.00	15
8017	4033	-793	Max	0.00	-4.27	15	1.30	15	0.00	15	0.02	15	0.00	15	0.00	15
8017	4033	-793	Max	66.41					0.43	15			0.02	15		
8017	4033	-793	Max	176.65	-4.13	15	-2.16	15	-0.76	15	0.02	15	0.04	15	0.00	15
8017	4033	-793	Min.	0.00	-4.27	15	1.30	15	0.00	15	0.02	15	0.00	15	0.00	15
8017	4033	-793	Min.	66.41					0.43	15			0.02	15		
8017	4033	-793	Min.	176.65	-4.13	15	-2.16	15	-0.76	15	0.02	15	0.04	15	0.00	15
8017	-793	-663	Max	0.00	13.88	15	2.16	15	-0.76	15	-0.03	15	0.05	15	0.00	15
8017	-793	-663	Max	109.44					0.43	15			0.02	15		
8017	-793	-663	Max	176.65	14.02	15	-1.30	15	0.00	15	-0.03	15	0.00	15	0.00	15
8017	-793	-663	Min.	0.00	13.88	15	2.16	15	-0.76	15	-0.03	15	0.05	15	0.00	15
8017	-793	-663	Min.	109.44					0.43	15			0.02	15		
8017	-793	-663	Min.	176.65	14.02	15	-1.30	15	0.00	15	-0.03	15	0.00	15	0.00	15
8018	-662	-793	Max	0.00	-41.38	15	1.30	15	0.00	15	0.02	15	0.00	15	0.00	15
8018	-662	-793	Max	66.25					0.43	15			0.01	15		
8018	-662	-793	Max	176.65	-41.52	15	-2.16	15	-0.76	15	0.02	15	0.03	15	0.00	15
8018	-662	-793	Min.	0.00	-41.38	15	1.30	15	0.00	15	0.02	15	0.00	15	0.00	15

8018	-662	-793	Min.	66.25					0.43	15			0.01	15		
8018	-662	-793	Min.	176.65	-41.52	15	-2.16	15	-0.76	15	0.02	15	0.03	15	0.00	15
8018	-793	4034	Max	0.00	-22.89	15	2.16	15	-0.76	15	0.01	15	-0.01	15	0.01	15
8018	-793	4034	Max	141.32					0.34	15			-0.00	15		
8018	-793	4034	Max	176.65	-23.03	15	-1.30	15	0.00	15	0.01	15	0.00	15	0.01	15
8018	-793	4034	Min.	0.00	-22.89	15	2.16	15	-0.76	15	0.01	15	-0.01	15	0.01	15
8018	-793	4034	Min.	109.54					0.43	15			-0.00	15		
8018	-793	4034	Min.	176.65	-23.03	15	-1.30	15	0.00	15	0.01	15	0.00	15	0.01	15
8019	-662	-797	Max	0.00	-48.01	15	1.30	15	0.00	15	-0.01	15	0.00	15	0.00	15
8019	-662	-797	Max	66.43					0.43	15			-0.00	15		
8019	-662	-797	Max	176.65	-47.88	15	-2.16	15	-0.76	15	-0.01	15	-0.01	15	0.00	15
8019	-662	-797	Min.	0.00	-48.01	15	1.30	15	0.00	15	-0.01	15	0.00	15	0.00	15
8019	-662	-797	Min.	66.43					0.43	15			-0.00	15		
8019	-662	-797	Min.	176.65	-47.88	15	-2.16	15	-0.76	15	-0.01	15	-0.01	15	0.00	15
8019	-797	-791	Max	0.00	-17.26	15	2.16	15	-0.76	15	-0.04	15	0.07	15	0.00	15
8019	-797	-791	Max	109.45					0.43	15			0.03	15		
8019	-797	-791	Max	176.65	-17.12	15	-1.30	15	0.00	15	-0.04	15	0.00	15	0.00	15
8019	-797	-791	Min.	0.00	-17.26	15	2.16	15	-0.76	15	-0.04	15	0.07	15	0.00	15
8019	-797	-791	Min.	109.45					0.43	15			0.03	15		
8019	-797	-791	Min.	176.65	-17.12	15	-1.30	15	0.00	15	-0.04	15	0.00	15	0.00	15
8020	-790	-797	Max	0.00	-113.95	15	1.30	15	0.00	15	0.05	15	0.00	15	0.00	15
8020	-790	-797	Max	66.38					0.43	15			0.04	15		
8020	-790	-797	Max	176.65	-114.09	15	-2.16	15	-0.76	15	0.05	15	0.10	15	0.00	15
8020	-790	-797	Min.	0.00	-113.95	15	1.30	15	0.00	15	0.05	15	0.00	15	0.00	15
8020	-790	-797	Min.	66.38					0.43	15			0.04	15		
8020	-790	-797	Min.	176.65	-114.09	15	-2.16	15	-0.76	15	0.05	15	0.10	15	0.00	15
8020	-797	-663	Max	0.00	-84.32	15	2.16	15	-0.76	15	-0.00	15	0.00	15	0.00	15
8020	-797	-663	Max	109.47					0.43	15			0.00	15		
8020	-797	-663	Max	176.65	-84.46	15	-1.30	15	0.00	15	-0.00	15	0.00	15	0.00	15
8020	-797	-663	Min.	0.00	-84.32	15	2.16	15	-0.76	15	-0.00	15	0.00	15	0.00	15
8020	-797	-663	Min.	109.47					0.43	15			0.00	15		
8020	-797	-663	Min.	176.65	-84.46	15	-1.30	15	0.00	15	-0.00	15	0.00	15	0.00	15
8021	-790	-799	Max	0.00	-113.98	15	1.30	15	0.00	15	-0.05	15	0.00	15	0.00	15
8021	-790	-799	Max	66.38					0.43	15			-0.04	15		
8021	-790	-799	Max	176.65	-114.11	15	-2.16	15	-0.76	15	-0.05	15	-0.09	15	0.00	15
8021	-790	-799	Min.	0.00	-113.98	15	1.30	15	0.00	15	-0.05	15	0.00	15	0.00	15
8021	-790	-799	Min.	66.38					0.43	15			-0.04	15		
8021	-790	-799	Min.	176.65	-114.11	15	-2.16	15	-0.76	15	-0.05	15	-0.09	15	0.00	15
8021	-799	-671	Max	0.00	-84.35	15	2.16	15	-0.76	15	0.00	15	0.00	15	0.00	15
8021	-799	-671	Max	109.47					0.43	15			0.00	15		
8021	-799	-671	Max	176.65	-84.49	15	-1.30	15	0.00	15	0.00	15	0.00	15	0.00	15
8021	-799	-671	Min.	0.00	-84.35	15	2.16	15	-0.76	15	0.00	15	0.00	15	0.00	15
8021	-799	-671	Min.	109.47					0.43	15			0.00	15		
8021	-799	-671	Min.	176.65	-84.49	15	-1.30	15	0.00	15	0.00	15	0.00	15	0.00	15
8022	-670	-799	Max	0.00	-47.99	15	1.30	15	0.00	15	0.01	15	0.00	15	0.00	15
8022	-670	-799	Max	66.43					0.43	15			0.00	15		
8022	-670	-799	Max	176.65	-47.86	15	-2.16	15	-0.76	15	0.01	15	0.01	15	0.00	15
8022	-670	-799	Min.	0.00	-47.99	15	1.30	15	0.00	15	0.01	15	0.00	15	0.00	15
8022	-670	-799	Min.	66.43					0.43	15			0.00	15		
8022	-670	-799	Min.	176.65	-47.86	15	-2.16	15	-0.76	15	0.01	15	0.01	15	0.00	15
8022	-799	-791	Max	0.00	-17.23	15	2.16	15	-0.76	15	0.04	15	-0.07	15	0.00	15
8022	-799	-791	Max	141.32					0.34	15			-0.01	15		
8022	-799	-791	Max	176.65	-17.09	15	-1.30	15	0.00	15	0.04	15	0.00	15	0.00	15
8022	-799	-791	Min.	0.00	-17.23	15	2.16	15	-0.76	15	0.04	15	-0.07	15	0.00	15
8022	-799	-791	Min.	109.45					0.43	15			-0.03	15		
8022	-799	-791	Min.	176.65	-17.09	15	-1.30	15	0.00	15	0.04	15	0.00	15	0.00	15
8023	-670	-801	Max	0.00	-41.43	15	1.30	15	0.00	15	-0.02	15	0.00	15	0.00	15
8023	-670	-801	Max	66.25					0.43	15			-0.01	15		
8023	-670	-801	Max	176.65	-41.57	15	-2.16	15	-0.76	15	-0.02	15	-0.03	15	0.00	15

8023	-670	-801	Min.	0.00	-41.43	15	1.30	15	0.00	15	-0.02	15	0.00	15	0.00	15
8023	-670	-801	Min.	66.25					0.43	15			-0.01	15		
8023	-670	-801	Min.	176.65	-41.57	15	-2.16	15	-0.76	15	-0.02	15	-0.03	15	0.00	15
8023	-801	4294	Max	0.00	-22.96	15	2.16	15	-0.76	15	-0.01	15	0.01	15	-0.01	15
8023	-801	4294	Max	109.54					0.43	15			0.00	15		
8023	-801	4294	Max	176.65	-23.10	15	-1.30	15	0.00	15	-0.01	15	0.00	15	-0.01	15
8023	-801	4294	Min.	0.00	-22.96	15	2.16	15	-0.76	15	-0.01	15	0.01	15	-0.01	15
8023	-801	4294	Min.	109.54					0.43	15			0.00	15		
8023	-801	4294	Min.	176.65	-23.10	15	-1.30	15	0.00	15	-0.01	15	0.00	15	-0.01	15
8024	4293	-801	Max	0.00	-4.26	15	1.30	15	0.00	15	-0.02	15	0.00	15	0.00	15
8024	4293	-801	Max	66.41					0.43	15			-0.02	15		
8024	4293	-801	Max	176.65	-4.12	15	-2.16	15	-0.76	15	-0.02	15	-0.04	15	0.00	15
8024	4293	-801	Min.	0.00	-4.26	15	1.30	15	0.00	15	-0.02	15	0.00	15	0.00	15
8024	4293	-801	Min.	66.41					0.43	15			-0.02	15		
8024	4293	-801	Min.	176.65	-4.12	15	-2.16	15	-0.76	15	-0.02	15	-0.04	15	0.00	15
8024	-801	-671	Max	0.00	13.90	15	2.16	15	-0.76	15	0.03	15	-0.05	15	-0.00	15
8024	-801	-671	Max	141.32					0.34	15			-0.01	15		
8024	-801	-671	Max	176.65	14.04	15	-1.30	15	0.00	15	0.03	15	0.00	15	-0.00	15
8024	-801	-671	Min.	0.00	13.90	15	2.16	15	-0.76	15	0.03	15	-0.05	15	-0.00	15
8024	-801	-671	Min.	109.44					0.43	15			-0.02	15		
8024	-801	-671	Min.	176.65	14.04	15	-1.30	15	0.00	15	0.03	15	0.00	15	-0.00	15

Criteri di progetto utilizzati

Travi in c.a.

Generali	
Parametri di progetto	
Passo di progettazione <m>	0.30
Tipo di sollecitazioni zone rigide	Costanti
Min. angolo per spinte a vuoto <grad>	10.00
Invertire i ferri anche in presenza di pilastro sottostante	Si
Max differenza larghezza travi continue <cm>	5.00
Progetta a taglio con traliccio ad inclinazione variabile	Si
-Classe A	
-In zona critica limita ctg θ a	1.00
-In zona non critica limita ctg θ a	2.50
-Classe B	
-In zona critica limita ctg θ a	2.50
-In zona non critica limita ctg θ a	2.50
Verifiche a taglio per elementi esistenti come per elementi nuovi	Si
Lunghezze e arrotondamenti	
Max lunghezza barre <m>	12.00
Arrotondamento lunghezza ferri <cm>	50.00
Lunghezza ferri nei muri d'estremità <m>	1.20
Min. interferro ammissibile <cm>	2.00
Elenco diametri minimizzazione interferri <mm>	14 16 18 20 24
Riduzione ancoraggi	
-Nella zona compressa per flessione	No
-Nei punti inferiori della travata	Si
Considerare nel calcolo degli ancoraggi i risvolti specificati nei criteri generali di disegno	No
Risvoltare i ferri per garantire l'ancoraggio agli estremi della trave	No
Reggistaffe	
Interruzione reggistaffe in campata	No
Modalità di sovrapposizione reggistaffe	Per garantire la copertura del momento negativo
Modalità di unificazione reggistaffe	Solo se la geometria della travata e la lunghezza totale delle barre lo consentono

Minimi di regolamento	
Min. percentuale di regolamento	
-Per le travi di fondazione	No
-Per le travi di elevazione	Si
Min. di armatura a taglio	
-Per le travi di fondazione	No
-Per le travi di elevazione	No
Tipo di armatura per taglio (T.A.)	Mista
Controllo passo e 12Fi	Si
Min. di regolamento a torsione nell'ala	No
Min. di regolamento nell'ala	No
Stampe	
Verifiche a flessione in relazione	Minimizzate
Verifiche a taglio in relazione	Max scorrimento per taglio e torsione
Parametri di disegno	
Scala disegno travi	50.00
Scala disegno sezioni	25.00
Campitura sezioni	Fitta
Disegno sezione travi in falso	Si
Disegna sezioni	Si
Campitura travi in falso	Fitta
Campitura muri	Rada
Tipo di quotatura luci nette trave	Con riferimento ai pilastri superiori
Lunghezza monconi di pilastro	Minimizzata
Linee di riferimento quote	Si
Quotatura zone di staffatura	No
Quotatura zone di staffatura	No
Indicazione numero bracci staffe	Solo se il numero è maggiore di due
Disegno ferri longitudinali	
Disegno ferri dentro la trave	Si
Disegno esploso ferri di parete	No
Distanza fra ferri esplosi <cm>	0.10
Disegno reggistaffe aggiuntivi per travi a T e L	Reggistaffe aggiuntivi tipo 3
Disegno staffe	
Posizione staffe esterne	In automatico
Disegno staffe dentro la sezione	Si

Specifici	**1**
Materiali	
-Considera come elemento esistente	No
-Calcestruzzo	
-Livello di conoscenza	LC2
-Fattore di confidenza	1.20
-Tipo di calcestruzzo	C30/37
-Rck calcestruzzo	370.00
-Modulo elastico <daN/cmq>	330194.00
-Resistenza caratteristica cilindrica (Fck)	307.10
-Resistenza caratteristica a trazione (Fctk)	20.59
-Resistenza media (Fcm) <daN/cmq>	387.10
-Resistenza media a trazione (Fctm) <daN/cmq>	29.42
-σ amm. calcestruzzo <daN/cmq>	115.00
-τc0 <daN/cmq>	6.90
-τc1 <daN/cmq>	20.30
-Riduci Fcd per tutte le verifiche secondo il D.M. 18	Si

-γ_c per stati limite ultimi	
-Automatico	x
-Pari a	
-Acciaio	
-Livello di conoscenza	LC2
-Fattore di confidenza	1.20
-Tipo di acciaio	B450C
-Modulo elastico <daN/cmq>	2060000.00
-Tensione caratteristica di snervamento (Fyk) <daN/cmq>	4500.00
-Tensione media di snervamento (Fym) <daN/cmq>	4500.00
-Sigma amm. acciaio <daN/cmq>	2600.00
-Sigma amm. reti e tralicci <daN/cmq>	2600.00
-Allungamento per verifiche di duttilità (Agt) <%>	4.00
-γ_s per stati limite ultimi	
-Automatico	x
-Pari a	
-Coeff. di omogeneizzazione	15.00
Parametri per analisi pushover	
Numero fibre	200.00
Fattore di confinamento nucleo interno	1.00
Fattore di incrudimento acciaio <%>	0.10
Parametri per verifiche di duttilità	
Considera rotazione massima di esercizio per determinare SLO e SLD	No
Modalità di calcolo luce di taglio Lv	
-Lv=L/2	x
-Lv=M/V	
-Lv=Punto di nullo del momento flettente	
Capacità di rotazione alla corda al collasso	
-Formula C8A.6.1 con fattore di riduzione pari a	
-Formula C8A.6.5	x
Sforzo normale di verifica per analisi pushover	
-Gravitazionale	
-Dal calcolo	x
Parametri di calcolo	
Progetto a pressoflessione	Si
-Per tutte le travi	
-Solo per travi inclinate	x
-Min. angolo per pressoflessione <grad>	10.00
-Compressione massima senza progetto a pressoflessione <%>	10.00
Progetto a torsione	No
-Trazione senza progetto a torsione<%>	
Armatura secondo Circ. 65 del 10/04/97	No
Parametri di progetto secondo il D.M. 18	
Elemento dissipativo	Si
Trascura gerarchia	No
Limita verifica a taglio ad elemento non dissipativo	Si
Elemento secondario	No
Sollecitazioni dissipative amplificate per elementi di fondazione	Si
Escludi dal calcolo sovraresistenza per pilastri incidenti	No
Sollecitazioni complanari ad eventuali elementi bidimensionali	No
Copriferro teorico superiore <cm>	4.10
Copriferro teorico inferiore <cm>	4.10
Min. momento fittizio agli appoggi	No
-Denominatore	
Min. momento fittizio in campata	No
-Denominatore	
Incremento percentuale momento in campata <%>	10.00

Usa taglio max per traslazione momento (S.L.)	Si
Limitare momento traslato al valore max di appoggio (S.L.)	No
Limitare momento traslato al valore max di campata (S.L.)	No
Taglio da momento resistente in fondazione (S.L.)	No
Tipo di progetto in doppia armatura (T.A.)	
-Tensioni pari ai valori amm.	
-Tensioni pari ai valori amm. con AfComp/AfTesa minore o pari a	1.00
-Con AfComp/AfTesa pari a	
Parametri di progettazione armatura	
Max differenza fra diametri per unificazioni	2.00
Max distanza fra barre per unificazioni <m>	1.00
Denominatore per individuazione zona di campata	32.00
Fattore di copertura appoggi (0÷1)	0.00
Fattore di riduzione per ancoraggio ferri	1.00
Minimizzazione momenti resistenti di appoggio (stati limite D.M. 18)	Si
-Tolleranza di copertura da sovrapposizione <%>	10.00
Tipo di distribuzione armatura eccedente in fase di verifica	
-Ripartita proporzionalmente per flessione, torsione e taglio	x
-Tutta agente per flessione	
-Tutta agente per taglio	
Armatura a flessione	
Elenco diametri ferri longitudinali 1 <mm>	16
Elenco diametri ferri longitudinali 2 <mm>	20
Elenco diametri ferri longitudinali 3 <mm>	
Elenco diametri ferri longitudinali 4 <mm>	
Elenco diametri ferri longitudinali 5 <mm>	
Elenco diametri ferri longitudinali 6 <mm>	
Elenco diametri ferri longitudinali 7 <mm>	
Max differenza fra diametri nella trave	8.00
Max differenza fra diametri ferri accoppiati	4.00
Reggistaffe superiori	
-Numero	
-Automatico	
-Pari a	2.00
-Max mutua distanza <cm>	
-Diametro	
-Automatico	x
-Pari a <mm>	
-Minimo <mm>	
Reggistaffe inferiori	
-Numero	
-Automatico	
-Pari a	2.00
-Max mutua distanza <cm>	
-Diametro	
-Automatico	x
-Pari a <mm>	
-Minimo <mm>	
Armatura a taglio	
Scorrimento (T.A.)	
-Percentuale assorbita dalle staffe <%>	100.00
-Percentuale assorbita dai ferri piegati <%>	0.00
-Percentuale assorbita dai ferri di parete <%>	0
-Considerare il valore relativo alle staffe come minimo percentuale da adottare	No
Variabilità staffe	
-Staffe uguali a passo costante	
-Staffe diverse in tre parti della trave in funzione delle zone critiche	x

-Staffe diverse in tre parti della trave in	
funzione di un multiplo dell'altezza pari a	
Variabilità staffe ala	
-Passi uguali a passi anima	x
-Passi multipli di passi anima	
-Passi indipendenti da passi anima	
Min. lunghezza tratto centrale come multiplo dell'altezza della trave	1.10
Elenco diametri staffe 1 <mm>	8
Elenco diametri staffe 2 <mm>	10
Elenco diametri staffe 3 <mm>	
Elenco diametri staffe 4 <mm>	
Elenco diametri staffe 5 <mm>	
Elenco diametri staffe 6 <mm>	
Elenco diametri staffe 7 <mm>	
Elenco numero bracci staffe 1	2
Elenco numero bracci staffe 2	4
Elenco numero bracci staffe 3	
Elenco numero bracci staffe 4	
Elenco numero bracci staffe 5	
Passi staffe	
-Minimo <cm>	4.00
-Massimo <cm>	32.00
-Incremento <cm>	4.00
Elementi costanti	
-Diametro	Si
-Passo	No
-Bracci	Si
Tipo di minimizzazione staffatura	
-Minimizza il numero delle staffe	x
-Minimizza il peso delle staffe	
Raffittimento staffe all'estremità della trave	No
-Passo non superiore a	
Lunghezza max del tratto di calcolo scorrimento	
-Pari al tratto in cui $\tau > \tau c0$	x
-Pari a <cm>	
-Come multiplo dell'altezza pari a	
Armatura a taglio e torsione	
Elenco diametri ferri piegati 1 <mm>	16
Elenco diametri ferri piegati 2 <mm>	20
Elenco diametri ferri piegati 3 <mm>	
Elenco diametri ferri piegati 4 <mm>	
Elenco diametri ferri piegati 5 <mm>	
Elenco diametri ferri piegati 6 <mm>	
Elenco diametri ferri piegati 7 <mm>	
Angolo di piegatura <grad>	45.00
Posizione primo punto di piegatura	
-Pari al multiplo dell'altezza	
-Distanza <cm>	5.00
Interasse punti di piegatura	
-Pari al multiplo dell'altezza	
-Distanza <cm>	25.00
Tipo di ferri piegati	
-Solo sagomati	
-Solo cavallotti	
-Sia sagomati che cavallotti	x
Ferri di parete	Si
-Max distanza fra le barre <cm>	30.00
Elenco diametri ferri di parete 1 <mm>	16

Elenco diametri ferri di parete 2 <mm>	20
Elenco diametri ferri di parete 3 <mm>	
Elenco diametri ferri di parete 4 <mm>	
Elenco diametri ferri di parete 5 <mm>	
Elenco diametri ferri di parete 6 <mm>	
Elenco diametri ferri di parete 7 <mm>	
Elenco diametri staffe orizzontali 1 <mm>	8
Elenco diametri staffe orizzontali 2 <mm>	10
Elenco diametri staffe orizzontali 3 <mm>	
Elenco diametri staffe orizzontali 4 <mm>	
Elenco diametri staffe orizzontali 5 <mm>	
Elenco diametri staffe orizzontali 6 <mm>	
Elenco diametri staffe orizzontali 7 <mm>	
Parametri di disegno	
Risvolto ferri superiori	Si
-Pari a <cm>	25.00
-Pari all'altezza della trave	
-Pari alla minima altezza delle travi incidenti	
Risvolto ferri inferiori	Si
-Pari a <cm>	25.00
-Pari all'altezza della trave	
-Pari alla minima altezza delle travi incidenti	
Risvolto ferri laterali	Si
-Pari a <cm>	25.00
-Pari alla larghezza della trave	
Magrone	Si
-Allargamento laterale <cm>	0.00
-Altezza <cm>	10.00
Dati per progettazione interattiva sezioni	
Copriferro reale al bordo staffa <cm>	2.50
Diametro staffa teorica <mm>	8.00
Distanza fra ferri su più strati <cm>	1.00
Integrare lo scorrimento lungo il tratto	Si
-Lunghezza del tratto <m>	1.00
Dati per progettazione agli stati limite	
Gruppo di esigenza	
-Ambiente poco aggressivo	x
-Ambiente moderatamente aggressivo	
-Ambiente molto aggressivo	
Usa dominio N-M per flessioni rette	Si
-Ricerca della sicurezza con sforzo normale costante	
-Ricerca della sicurezza con eccentricità costante	x
Controllo rapporto X/D	Si
Barre da considerare tese per verifiche a taglio	
-Solo le barre con deformazione percentuale rispetto	
alla barra più tesa non inferiore al <%>	30.00
-Tutte le barre in trazione	
Dati per verifiche di resistenza al fuoco	
-Tempo di verifica (REI) <minuti>	120.00
Dimensione MESH <cm>	2.00
-Passo di calcolo <secondi>	10.00
-Temperatura ambiente <C°>	20.00
-Coeff. di convezione a temperatura ambiente <W/mq K>	9.00
Calcestruzzo	
-Tipo di aggregati	SILICEI
Massa volumica a secco <daN/mc>	2300.00

-Umidità iniziale <%>	3.00
-Fattore di interpolazione conducibilità	0.50
Dati per verifiche FRP	
Rinforzo longitudinale	
Tipo di fibra/resina	
-Vetro/Epossidica	
-Arammidica/Epossidica	
-Carbonio/Epossidica	x
Resistenza caratteristica(f_{fk}) <daN/cmq>	49000.00
Modulo elastico(E_c) <daN/cmq>	2500000.00
Deformazione caratteristica a rottura per trazione(ε_{fk}) <%>	2.00
Spessore equivalente(t_f) <mm>	0.17
Sistemi di rinforzo	
-Preformati	
-Impregnati in situ	x
Rinforzo trasversale	
Tipo di fibra/resina	
-Vetro/Epossidica	
-Arammidica/Epossidica	
-Carbonio/Epossidica	x
Resistenza caratteristica(f_{fk}) <daN/cmq>	49000.00
Modulo elastico(E_c) <daN/cmq>	2500000.00
Deformazione caratteristica a rottura per trazione(ε_{fk}) <%>	2.00
Spessore equivalente(t_f) <mm>	0.17
Sistemi di rinforzo	
-Preformati	
-Impregnati in situ	x
Modalità di carico	
-Lungo termine	x
-Ciclico	
Coeff. parziale SLU di distacco(γ_{fd})	1.50
Fattore di conversione ambientale(η_a)	0.95
Raggio di arrotondamento spigoli(r_c) <cm>	2.00
Coeff. condizione di carico(K_q)	1.25

Aste in acciaio

Generali	
Verifica aste in acciaio	
Numero punti di verifica	10.00
Numero CC da considerare di tipo I	99.00
Stati limite D.M. 18	
Verifiche con EC3	No
Coeff. amplificativo sollecitazioni per effetti del secondo ordine	1.00
Stampe	
Verifiche da riportare in relazione	Tutte

Specifici	**1**
Materiali	
CNR 10011	
Tipo di acciaio	FE430
D.M. 18	
Tipo di acciaio per profilati a sezione aperta	S275
	UNI EN

	10025-2
Tipo di acciaio per profilati a sezione cava	S275H
	UNI EN
	10210-1
EC3	
Tipo di acciaio	S275
-Fy <daN/cmq>	2750.00
-Fu <daN/cmq>	4300.00
-Fy,40 <daN/cmq>	2550.00
-Fu,40 <daN/cmq>	4100.00
γ M0	1.00
γ M1	1.00
γ M2	1.25
γ Rd	1.30
γ Ov	1.25
-Considera come elemento esistente (S.L. D.M. 18/EC3)	No
-Livello di conoscenza	LC1
-Fattore di confidenza	1.35
Verifiche di resistenza	
Rapporto fra area effettiva e area nominale	1.00
Rapporto fra area netta e area nominale	1.00
Coeff. di forma intorno all'asse Y	1.00
Coeff. di forma intorno all'asse Z	1.00
Verifica le bielle solo con sollecitazioni di trazione moltiplicate per	Si
Valutare la τ per torsione nei punti di spigolo (CNR 10011)	No
-Pari a	
Stati limite D.M. 18/EC3	
-Elemento dissipativo	Si
-Effettua le verifiche della gerarchia delle resistenze per strutture intelaiate	No
-Usa classe 1 in pressoflessione deviata se non presente in archivio	No
-Verifica in campo plastico elemento non dissipativo	No
Stati limite D.M. 18	
-Usa prescrizioni EC3 quando più dettagliate	Si
-Considera prescrizioni relative ai ponti	No
Verifiche di deformabilità	
Max valore del rapporto tra la luce e la freccia (totale)	250.00
Max valore del rapporto tra la luce e la freccia (solo accidentali)	300.00
Max valore del rapporto tra altezza e spostamento orizz. (aste)	300.00
Max valore del rapporto tra altezza e spostamento orizz. (membrature)	500.00
Considerare anche spostamento relativo nodi per calcolo freccia	No
Considerare solo la verifica di deformabilità delle membrature	Si
Trascura deformazione dovuta al sisma (T.A.)	No
Verifiche di stabilità asta	
Riduzione lunghezza libera d'inflessione	
-Distanza fra i nodi dell'asta	x
-Distanza ridotta delle zone rigide moltiplicate per il valore	
Tipo di accoppiamento aste composte	
-Separate	
-Calastrellate	
-Imbottite	
-Automatico	x
Calcolo momento medio usando valori assoluti	Si
Interasse calastrelli o imbottiture	
-Distanza pari a <m>	
-Interasse da normativa moltiplicato per il valore	0.80
-Aste rigidamente collegate	
Curva di stabilità (D.M. 18/EC3)	Automatica

Aste laminate	Si
Sigma max amm. senza verifiche di stabilità (CNR 10011) <%>	2.00
Verifiche di stabilità globale in dir. Y locale	Si
-Coeff. β intorno all'asse Y	1.00
Verifiche di stabilità globale in dir. Z locale	Si
-Coeff. β intorno all'asse Z	1.00
Verifiche di stabilità flesso - torsionale	Si
-Coeff. per calcolo interasse ritegni torsionali	1.00
Aste inflesse (D.M. 18/EC3)	
-Coeff. Ψ per calcolo momento critico	
-Valuta in base ai momenti dell'asta	x
-Utilizza valore imposto	
-Fattore correttivo di distribuzione K_c	0.94
-Snellezza di riferimento $\lambda_{LT,0}$	0.40
-Coeff. β	0.75
Aste pressoinflesse (D.M. 18/EC3)	
-Considera come molto deformabile a torsione	No
-Fattore correttivo di distribuzione α_{mY}/C_{mY}	0.95
-Fattore correttivo di distribuzione α_{mZ}/C_{mZ}	0.95
-Fattore correttivo di distribuzione α_{mLT}/C_{mLT}	0.95
Eseguire anche le verifiche al punto 7.3.2 (CNR 10011)	Si
Carichi sull'estradosso (CNR 10011)	Si
Verifiche di stabilità all'imbozzamento (CNR 10011)	
-Numero irrigidimenti orizzontali anima	0.00
-Interasse irrigidimenti verticali anima	
-Numero di suddivisioni	
-Distanza non inferiore a <cm>	
-Pari alla lunghezza dell'asta	x
-Modalità di calcolo σ cr,id	
-Normativa	
-Massonet	x
-Ballio	
Verifiche di stabilità membratura	
Massimo numero aste costituenti unica membratura	1.00
Sforzo normale di verifica	
-Massimo valore fra tutte le aste	x
-Media aritmetica dei valori di tutte le aste	
-Media pesata di tutte le aste	
Contributo eventuali sforzi di trazione	No
Verifica nei piani principali	Si
Incremento snellezza	Si
Verifiche di stabilità globale in dir. Y locale	Si
-Coeff. β calcolato in funzione dello sforzo normale	
-Coeff. β	1.00
Verifiche di stabilità globale in dir. Z locale	Si
-Coeff. β calcolato in funzione dello sforzo normale	
-Coeff. β	1.00
Dati per verifiche di resistenza al fuoco	
-Tempo di verifica (REI) <minuti>	120.00
-Fattore di momento uniforme equivalente β M, y	1.10
-Fattore di momento uniforme equivalente β M, z	1.10
-Fattore di momento uniforme equivalente β M, LT	1.10

Verifiche e armature travi

Simbologia

Caso = Caso di verifica

Xg = Coordinata progressiva (dal primo nodo) in cui viene effettuato il progetto/verifica
CC = Combinazione delle condizioni di carico elementari
c = momento fittizio in campata
a = momento fittizio agli appoggi
TG = taglio da gerarchia delle resistenze
TGND = taglio non dissipativo limitante la gerarchia
T = momento traslato per taglio
e = eccentricità aggiuntiva in caso di compressione o pressoflessione
TCC = Tipo di combinazione di carico
SLU = Stato limite ultimo
SLU S = Stato limite ultimo (azione sismica)
SLE R = Stato limite d'esercizio, combinazione rara
SLE F = Stato limite d'esercizio, combinazione frequente
SLE Q = Stato limite d'esercizio, combinazione quasi permanente
SLD = Stato limite di danno
SLV = Stato limite di salvaguardia della vita
SLC = Stato limite di prevenzione del collasso
SLO = Stato limite di operatività
SLU I = Stato limite di resistenza al fuoco
SND = Stato limite di salvaguardia della vita (non dissipativo)
El = Elemento (asta) in cui viene effettuato il progetto/verifica (progressivo sul numero di aste)
Sez. = Numero della sezione
Crit. = Numero del criterio di progetto
X = Coordinata progressiva rispetto al nodo iniziale
AfE S = Area di ferro effettiva totale presente nel punto di verifica, superiore
AfE I = Area di ferro effettiva totale presente nel punto di verifica, inferiore
AfEP S = Area di ferro effettiva parziale presente nella CC considerata, per la sollecitazione indicata, superiore
AfEP I = Area di ferro effettiva parziale presente nella CC considerata, per la sollecitazione indicata, inferiore
My = Momento flettente intorno all'asse Y
M'ydy = Momento resistente massimo in campo sostanzialmente elastico intorno all'asse Y
MRdy = Momento resistente allo stato limite ultimo intorno all'asse Y
Sic. = Sicurezza a rottura
σ_f sup = Tensione nel ferro - superiore
σ_f inf = Tensione nel ferro - inferiore
σ_c = Tensione nel calcestruzzo
X0 = Coordinata progressiva (dal nodo iniziale) dell'inizio del tratto
X1 = Coordinata progressiva (dal nodo iniziale) della fine del tratto
Lung. = Lunghezza del tratto di progettazione
Staff. = Staffatura adottata
AfE St. = Area di ferro effettiva della staffatura (d'anima per travi a T o L)
bw = Larghezza membratura resistente al taglio
Vsdu = Taglio agente nella direzione del momento ultimo
ctgθ = Cotangente dell'angolo di inclinazione dei puntoni di calcestruzzo
VRsd = Taglio ultimo lato armatura
VRcd = Taglio ultimo lato calcestruzzo
Vrdu = Taglio ultimo assorbibile dal solo calcestruzzo
Sic.T = Sicurezza a rottura per taglio
c = Ricoprimento dell'armatura
s = Distanza minima tra le barre
K3 = Coefficiente di forma del diagramma delle tensioni prima della fessurazione
s_{rm} = Distanza media tra le fessure
Φ = Diametro della barra
A_c = Area complessiva dei ferri nell'area di calcestruzzo efficace
$A_{c\,eff}$ = Area di calcestruzzo efficace
σ_s = Tensione nell'acciaio nella sezione fessurata
σ_{sr} = Tensione nell'acciaio corrispondente al raggiungimento della resistenza a trazione nel calcestruzzo
ε_{sm} = Deformazione unitaria media dell'armatura (*1000)
Wk = Apertura delle fessure
Tipo = Tipologia
2C = Doppia C lato labbri
2Cdx = Doppia C lato costola
2I = Doppia I
2L = Doppia L lato labbri
2Ldx = Doppia L lato costole
C = Sezione a C
Cdx = C destra
Cir. = Circolare
Cir.c = Circolare cava
I = Sezione a I
L = Sezione a L
Ldx = L destra
Om. = Omega
Pg = Pi greco
Pr = Poligono regolare
Prc = Poligono regolare cavo
Pc = Per coordinate
Ia = Inerzie assegnate
R = Rettangolare
Rc = Rettangolare cava
T = Sezione a T
U = Sezione a U
Ur = U rovescia
V = Sezione a V
Vr = V rovescia
Z = Sezione a Z
Zdx = Z destra
Ts = T stondata
Ls = L stondata
Cs = C stondata
Is = I stondata
Dis. = Disegnata
B = Base
H = Altezza
Cf sup = Copriferro superiore
Cf inf = Copriferro inferiore
Cls = Tipo di calcestruzzo
Fck = Resistenza caratteristica cilindrica a compressione del calcestruzzo
Fctk = Resistenza caratteristica a trazione del calcestruzzo
Fcd = Resistenza di calcolo a compressione del calcestruzzo
Fctd = Resistenza di calcolo a trazione del calcestruzzo

Tp = Tipo di acciaio
Fyk = Tensione caratteristica di snervamento dell'acciaio
Fyd = Resistenza di calcolo dell'acciaio

Travata n. 901

Nodi: 325 326 327 328 329 330 331 332 333 334 335 336

Caratteristiche delle sezioni e dei materiali utilizzati

Sez.	Tipo	B <cm>	H <cm>	Cf sup <cm>	Cf inf <cm>	Cls	Fck <daN/cmq>	Fctk <daN/cmq>	Fcd <daN/cmq>	Fctd <daN/cmq>	Tp	Fyk <daN/cmq>	Fyd <daN/cmq>
11	R	50.00	40.00	4.10	4.10	C30/37	307.10	20.59	174.02	13.73	B450C	4500.00	3913.04

Stato limite ultimo - Verifiche a flessione/pressoflessione

Xg <m>	CC	TCC	El	X <cm>	AfE S <cmq>	AfE I <cmq>	AfEP S <cmq>	AfEP I <cmq>	My <daNm>	MRdy <daNm>	Sic.
0.04	17	SLU	1	4.10	4.02	4.02	4.02	4.02	-271.31	-5633.74	20.765
1.21	19	SLU	3	91.13	4.02	4.02	4.02	4.02	-1227.75	-5633.74	4.589
10.06	17	SLU	11	10.90	4.02	4.02	4.02	4.02	244.29	5633.74	23.061

Stato limite elastico - Verifiche a flessione/pressoflessione

Xg <m>	CC	TCC	El	X <cm>	AfE S <cmq>	AfE I <cmq>	AfEP S <cmq>	AfEP I <cmq>	My <daNm>	M'ydy <daNm>	Sic.
0.04	1	SLV(E)	1	4.10	4.02	4.02	4.02	4.02	-88.28	-5231.07	59.256
1.21	1	SLV(E)	3	91.13	4.02	4.02	4.02	4.02	-577.54	-5231.07	9.058
10.06	1	SLV(E)	11	10.90	4.02	4.02	4.02	4.02	-88.41	-5231.07	59.171

Stato limite d'esercizio - Verifiche tensionali

Xg <m>	CC	TCC	El	X <cm>	AfE S <cmq>	AfE I <cmq>	My <daNm>	σ_f sup <daN/cmq>	σ_f inf <daN/cmq>	σ_c <daN/cmq>
0.04	23	SLER	1	4.10	4.02	4.02	-180.48	135.44	-17.31	2.47
0.04	15	SLEQ	1	4.10	4.02	4.02	1.82	-0.17	1.36	0.02
1.21	21	SLER	3	91.13	4.02	4.02	-1076.61	807.96	-103.25	14.72
1.21	15	SLEQ	3	91.13	4.02	4.02	-365.00	273.93	-35.00	4.99
10.06	23	SLER	11	10.90	4.02	4.02	163.21	-15.65	122.48	2.23
10.06	15	SLEQ	11	10.90	4.02	4.02	1.73	-0.17	1.30	0.02

Stato limite d'esercizio - Verifiche a fessurazione

Caso	Xg <m>	CC	TCC	El	Sez.	Crit.	X <cm>	My <daNm>	c <mm>	s <mm>	K3	s_{rm} <mm>	Φ	A_s <cmq>	$A_{c\,eff}$ <cmq>	σ_s <daN/cmq>	σ_{sr} <daN/cmq>	ε_{sm}	Wk <mm>
41	0.04	15	SLE Q	1	11	1	4.10	1.82	33.00	224.00	0.15	210.43	16.00	2.01	202.44	1.36	3936.62	0.00	0.00
45	0.04	27	SLE F	1	11	1	4.10	-110.88	33.00	224.00	0.15	210.43	16.00	2.01	202.44	83.21	3936.62	0.02	0.01
75	1.21	15	SLE Q	3	11	1	91.13	-365.00	33.00	224.00	0.15	210.43	16.00	2.01	202.44	273.93	3936.62	0.05	0.02
79	1.21	27	SLE F	3	11	1	91.13	-759.94	33.00	224.00	0.15	210.43	16.00	2.01	202.44	570.31	3936.62	0.11	0.04
121	10.06	15	SLE Q	11	11	1	10.90	1.73	33.00	224.00	0.15	210.43	16.00	2.01	202.44	1.30	3936.62	0.00	0.00
125	10.06	27	SLE F	11	11	1	10.90	95.49	33.00	224.00	0.15	210.43	16.00	2.01	202.44	71.66	3936.62	0.01	0.00

Staffe - Verifiche armatura

CC	X0 <m>	X1 <m>	Lung. <m>	Staff.	AfE St. <cmq/m>	bw <m>	Vsdu <daN>	ctgθ	VRsd <daN>	VRcd <daN>	Vrdu <daN>	Sic.T
17 SLU	0.00	0.40	0.40	ø10/20 2 br.	7.85	0.50	1714.61	2.50	24824.60	48471.50	24824.60	14.48
18 SLU	0.40	9.70	9.30	ø10/20 2 br.	7.85	0.50	1288.18	2.50	24824.60	48471.50	24824.60	19.27
17 SLU	9.70	10.10	0.40	ø10/20 2 br.	7.85	0.50	1571.79	2.50	24824.60	48471.50	24824.60	15.79

Travata n. 902

Nodi: 361 362 363 364 365 366 367 368 369 370 371 372

Caratteristiche delle sezioni e dei materiali utilizzati

Sez.	Tipo	B <cm>	H <cm>	Cf sup <cm>	Cf inf <cm>	Cls	Fck <daN/cmq>	Fctk <daN/cmq>	Fcd <daN/cmq>	Fctd <daN/cmq>	Tp	Fyk <daN/cmq>	Fyd <daN/cmq>
11	R	50.00	40.00	4.10	4.10	C30/37	307.10	20.59	174.02	13.73	B450 C	4500.00	3913.04

Stato limite ultimo - Verifiche a flessione/pressoflessione

Xg <m>	CC	TCC	El	X <cm>	AfE S <cmq>	AfE I <cmq>	AfEP S <cmq>	AfEP I <cmq>	My <daNm>	MRdy <daNm>	Sic.
0.04	17	SLU	1	4.10	4.02	4.02	4.02	4.02	-271.38	-5633.74	20.760
1.21	19	SLU	3	91.22	4.02	4.02	4.02	4.02	-1228.02	-5633.74	4.588
10.06	17	SLU	11	10.90	4.02	4.02	4.02	4.02	244.39	5633.74	23.053

Stato limite elastico - Verifiche a flessione/pressoflessione

Xg <m>	CC	TCC	El	X <cm>	AfE S <cmq>	AfE I <cmq>	AfEP S <cmq>	AfEP I <cmq>	My <daNm>	M'ydy <daNm>	Sic.
0.04	1	SLV(E)	1	4.10	4.02	4.02	4.02	4.02	-88.11	-5231.07	59.371
1.21	1	SLV(E)	3	91.22	4.02	4.02	4.02	4.02	-577.47	-5231.07	9.059
10.06	1	SLV(E)	11	10.90	4.02	4.02	4.02	4.02	-88.19	-5231.07	59.313

Stato limite d'esercizio - Verifiche tensionali

Xg <m>	CC	TCC	El	X <cm>	AfE S <cmq>	AfE I <cmq>	My <daNm>	σ_f sup <daN/cmq>	σ_f inf <daN/cmq>	σ_c <daN/cmq>
0.04	23	SLER	1	4.10	4.02	4.02	-180.52	135.48	-17.31	2.47
0.04	15	SLEQ	1	4.10	4.02	4.02	1.82	-0.17	1.36	0.02
1.21	21	SLER	3	91.22	4.02	4.02	-1076.89	808.17	-103.27	14.72
1.21	15	SLEQ	3	91.22	4.02	4.02	-365.28	274.13	-35.03	4.99
10.06	23	SLER	11	10.90	4.02	4.02	163.28	-15.66	122.53	2.23
10.06	15	SLEQ	11	10.90	4.02	4.02	1.76	-0.17	1.32	0.02

Stato limite d'esercizio - Verifiche a fessurazione

Caso	Xg <m>	C C	TCC	El	Sez.	Crit.	X <cm>	My <daNm>	c <mm>	s <mm>	K3	s_{rm} <mm>	Φ	A_s <cmq>	$A_{c\ eff}$ <cmq>	σ_s <daN/cmq>	σ_{sr} <daN/cmq>	ε_{sm}	Wk <mm>
39	0.04	15	SLE Q	1	11	1	4.10	1.82	33.00	224.00	0.15	210.43	16.00	2.01	202.44	1.36	3936.62	0.00	0.00
43	0.04	27	SLE F	1	11	1	4.10	-110.92	33.00	224.00	0.15	210.43	16.00	2.01	202.44	83.24	3936.62	0.02	0.01
73	1.21	15	SLE Q	3	11	1	91.22	-365.28	33.00	224.00	0.15	210.43	16.00	2.01	202.44	274.13	3936.62	0.05	0.02
77	1.21	27	SLE F	3	11	1	91.22	-760.15	33.00	224.00	0.15	210.43	16.00	2.01	202.44	570.47	3936.62	0.11	0.04
117	10.06	15	SLE Q	11	11	1	10.90	1.76	33.00	224.00	0.15	210.43	16.00	2.01	202.44	1.32	3936.62	0.00	0.00
121	10.06	27	SLE F	11	11	1	10.90	95.56	33.00	224.00	0.15	210.43	16.00	2.01	202.44	71.71	3936.62	0.01	0.00

Staffe - Verifiche armatura

CC	X0 <m>	X1 <m>	Lung. <m>	Staff.	AfE St. <cmq/m>	bw <m>	Vsdu <daN>	ctgθ	VRsd <daN>	VRcd <daN>	Vrdu <daN>	Sic.T
17 SLU	0.00	0.40	0.40	ø10/20 2 br.	7.85	0.50	1715.04	2.50	24824.60	48471.50	24824.60	14.47
19 SLU	0.40	9.70	9.30	ø10/20 2 br.	7.85	0.50	1169.13	2.50	24824.60	48471.50	24824.60	21.23
17 SLU	9.70	10.10	0.40	ø10/20 2 br.	7.85	0.50	1572.51	2.50	24824.60	48471.50	24824.60	15.79

Verifiche aste in acciaio

Simbologia

Sez. = Numero della sezione
Cod. = Codice
Tipo = Tipologia
- 2C = Doppia C lato labbri
- 2Cdx = Doppia C lato costola
- 2I = Doppia I
- 2L = Doppia L lato labbri
- 2Ldx = Doppia L lato costole
- C = Sezione a C
- Cdx = C destra
- Cir. = Circolare
- Cir.c = Circolare cava
- I = Sezione a I
- L = Sezione a L
- Ldx = L destra
- Om. = Omega
- Pg = Pi greco
- Pr = Poligono regolare
- Prc = Poligono regolare cavo
- Pc = Per coordinate
- Ia = Inerzie assegnate
- R = Rettangolare
- Rc = Rettangolare cava
- T = Sezione a T
- U = Sezione a U
- Ur = U rovescia
- V = Sezione a V
- Vr = V rovescia
- Z = Sezione a Z
- Zdx = Z destra
- Ts = T stondata
- Ls = L stondata
- Cs = C stondata
- Is = I stondata
- Dis. = Disegnata

D <cm> = Distanza
Area <cmq> = Area
Anet <cmq> = Area netta per compressione
Aeff <cmq> = Area effettiva per trazione
Jy <cm4> = Momento d'inerzia rispetto all'asse Y
Jz <cm4> = Momento d'inerzia rispetto all'asse Z
Iy <cm> = Raggio giratorio d'inerzia rispetto all'asse Y
Iz <cm> = Raggio giratorio d'inerzia rispetto all'asse Z
Wymin <cmc> = Modulo di resistenza minimo rispetto all'asse Y
Wzmin <cmc> = Modulo di resistenza minimo rispetto all'asse Z
Tp = Tipo di acciaio
Fyk <daN/cmq> = Tensione caratteristica di snervamento dell'acciaio
Fyt <daN/cmq> = Tensione caratteristica di rottura
Wy,plas <cmc> = Modulo di resistenza plastico intorno all'asse Y
Wz,plas <cmc> = Modulo di resistenza plastico intorno all'asse Z
Atag,y <cmq> = Area resistente a taglio in dir. Y
Atag,z <cmq> = Area resistente a taglio in dir. Z
Jω <cm6> = Costante di ingobbamento
L_{cr} <m> = Lunghezza di libera inflessione laterale fra ritegni torsionali
α_{imp} = Coefficiente di imperfezione
k_c = Coeff. di correzione momento flettente per stabilità laterale membrature inflesse
ψ = Coeff. di correzione momento critico per stabilità laterale membrature inflesse
M_i,cr <daNm> = Momento critico per instabilità flesso torsionale
λ_{LT} = Coefficiente di imperfezione per stabilità laterale membrature inflesse
$\lambda_{LT,0}$ = Coefficiente di imperfezione di confronto per stabilità laterale membrature inflesse
β_{LT} = Coefficiente per calcolo Φ_{LT}
Φ_{LT} = Coefficiente Φ per stabilità laterale membrature inflesse
f = Fattore di modifica per il coefficiente di riduzione
χ_{LT} = Coefficiente di riduzione per stabilità laterale membrature inflesse
My,Ed <daNm> = Momento flettente di calcolo intorno all'asse Y

My,b,Rd	<daNm>	= Resistenza di calcolo a flessione ridotta per stabilità laterale membrature inflesse
CC		= Numero della combinazione delle condizioni di carico elementari
N,Ed	<daN>	= Forza assiale di calcolo
Myeq,Ed	<daNm>	= Valore equivalente del momento flettente intorno all'asse Y
Mzeq,Ed	<daNm>	= Valore equivalente del momento flettente intorno all'asse Z
Nc,Rd	<daN>	= Resistenza a compressione
My,c,Rd	<daNm>	= Resistenza di calcolo a flessione intorno all'asse Y
Mz,c,Rd	<daNm>	= Resistenza di calcolo a flessione intorno all'asse Z
L	<cm>	= Lunghezza dell'asta
λ_y		= Snellezza per inflessione intorno all'asse y(c)
Ncr,y	<daN>	= Sforzo normale critico euleriano per inflessione intorno all'asse y(c)
λ^*_y		= Snellezza adimensionale per inflessione intorno all'asse y(c)
Curva		= Curva di instabilità adottata
Φ_y		= Coefficiente Φ per inflessione intorno all'asse y(c)
χ_y		= Coefficiente χ di riduzione per instabilità intorno all'asse y(c)
λ_z		= Snellezza per inflessione intorno all'asse z(e)
Ncr,z	<daN>	= Sforzo normale critico euleriano per inflessione intorno all'asse z(e)
λ^*_z		= Snellezza adimensionale per inflessione intorno all'asse z(e)
Φ_z		= Coefficiente Φ per inflessione intorno all'asse z(e)
χ_z		= Coefficiente χ di riduzione per instabilità intorno all'asse z(e)
Xl	<m>	= Coordinata progressiva (dal nodo iniziale dell'asta) in cui viene effettuato il progetto/verifica
N	<daN>	= Sforzo normale
Tz	<daN>	= Taglio in dir. Z
My	<daNm>	= Momento flettente intorno all'asse Y
σ_N	<daN/cmq>	= Tensione normale per sforzo normale
σ_M	<daN/cmq>	= Tensione normale per momento flettente
τ	<daN/cmq>	= Tensione tangenziale per taglio e/o torsione
$\sigma_{ID,max}$	<daN/cmq>	= Tensione ideale massima
V,Ed	<daN>	= Forza di taglio di calcolo
Vc,Rd	<daN>	= Resistenza a taglio
Ty	<daN>	= Taglio in dir. Y
Mz,Ed	<daNm>	= Momento flettente di calcolo intorno all'asse Z
αmy, αmz, αLT		= Coefficienti correttivi per il momento flettente
Kyy, Kyz, Kzy, Kzz		= Coefficienti di interazione
Mz	<daNm>	= Momento flettente intorno all'asse Z
Mx	<daNm>	= Momento torcente intorno all'asse X
Vc,Rd,Red	<daN>	= Resistenza a taglio ridotta
Npl,Rd	<daN>	= Resistenza plastica a trazione per sezione lorda
Nu,Rd	<daN>	= Resistenza a rottura di trazione per sezione netta
Nt,Rd	<daN>	= Resistenza a trazione ultima
MNy,c,Rd	<daNm>	= Resistenza di calcolo a pressoflessione intorno all'asse Y
τ,Ed	<daN/cmq>	= Tensione tangenziale
τ,Rd	<daN/cmq>	= Resistenza tangenziale in termini tensionali
$f_{Z,L}$	<cm>	= Freccia in direzione Z locale
$f_{Z,G}$	<cm>	= Freccia in direzione Z globale
δ	<cm>	= Spostamento relativo asta

Caratteristiche profilati utilizzati

Sez.	Cod.	Tipo	D <cm>	Area <cmq>	Anet <cmq>	Aeff <cmq>	Jy <cm4>	Jz <cm4>	Iy <cm>	Iz <cm>	Wymin <cmc>	Wzmin <cmc>	Tp	Fyk <daN/cmq>	Fyt <daN/cmq>
1	angolari L50x10	Ls	--	9.05	9.05	9.05	19.36	19.36	1.46	1.46	5.69	5.69	S275 UNI EN 10025-2	2750.00	4300.00
2	calastrelli 50x10	R	--	5.00	5.00	5.00	10.42	0.42	1.44	0.29	4.17	0.83	S275 UNI EN 10025-2	2750.00	4300.00
3	calastrelli 100x5	R	--	10.00	10.00	10.00	83.33	0.83	2.89	0.29	16.67	1.67	S275 UNI EN 10025-2	2750.00	4300.00
4	montante SHS120x120x6.3	Rc	--	28.65	28.65	28.65	619.24	619.24	4.65	4.65	103.21	103.21	S275H UNI EN 10210-1	2750.00	4300.00
5	modellazione SHS50x50x5	Rc	--	9.00	9.00	9.00	30.75	30.75	1.85	1.85	12.30	12.30	S275H UNI EN 10210-1	2750.00	4300.00
6	briglie 50x10	R	--	5.00	5.00	5.00	10.42	0.42	1.44	0.29	4.17	0.83	S275 UNI EN 10025-2	2750.00	4300.00
7	montanti 50x10	R	--	5.00	5.00	5.00	10.42	0.42	1.44	0.29	4.17	0.83	S275 UNI EN 10025-2	2750.00	4300.00
8	collegamenti 50x10	R	--	5.00	5.00	5.00	10.42	0.42	1.44	0.29	4.17	0.83	S275 UNI EN 10025-2	2750.00	4300.00
9	arcarecci T 120x60x10	Ts	--	17.00	17.00	17.00	250.93	18.88	3.84	1.05	32.93	6.29	S275 UNI EN 10025-2	2750.00	4300.00
10	controventi 50x5	R	--	2.50	2.50	2.50	5.21	0.05	1.44	0.14	2.08	0.21	S275 UNI EN 10025-2	2750.00	4300.00
12	piatto 150x5	R	--	7.50	7.50	7.50	0.16	140.63	0.14	4.33	0.63	18.75	S275 UNI EN 10025-2	2750.00	4300.00

Caratteristiche profilati utilizzati

Sez.	Cod.	Wy,plas <cmc>	Wz,plas <cmc>	Atag,y <cmq>	Atag,z <cmq>	Jω <cm6>
1	angolari L50x10	11.39	11.39	5.00	5.00	
2	calastrelli 50x10	6.25	1.25	5.00	5.00	
3	calastrelli 100x5	25.00	2.50	10.00	10.00	
4	montante SHS120x120x6.3	122.29	122.29	14.33	14.33	
5	modellazione SHS50x50x5	15.25	15.25	4.50	4.50	
6	briglie 50x10	6.25	1.25	5.00	5.00	
7	montanti 50x10	6.25	1.25	5.00	5.00	
8	collegamenti 50x10	6.25	1.25	5.00	5.00	
9	arcarecci T 120x60x10	57.99	11.74	6.00	12.00	
10	controventi 50x5	3.13	0.31	2.50	2.50	
12	piatto 150x5	0.94	28.13	7.50	7.50	

Asta n. 1 (2001 3001) montanti 50x10 Crit. 1

- Verifica di stabilità aste inflesse (4.2.4.1.3.2) CC 17 SLU - Classe 3

  L_{cr}=0.08 Curva d: α_{imp}=0.76 k_c=0.94 ψ=2.55 M,cr=0.00 λ_{LT}=0.00

  $\lambda_{LT,0}$=0.20 β_{LT}=1.00 Φ_{LT}=0.00 β_{LT}=1.00 f=0.00 χ_{LT}=1.00

CC 17 SLU My,Ed=-0.99 My,b,Rd=109.13 My,Ed/My,b,Rd=0.01

- Verifica di stabilità aste presso-inflesse (C4.2.4.1.3.3.1) - CC 18 SLU - Classe 3
Sollecitazioni: N,Ed=-12.40 Myeq,Ed=-1.11 Mzeq,Ed=0.05
Resistenze: Nc,Rd=13095.20 My,c,Rd=109.13 Mz,c,Rd=21.83 L=7.94
λ_Y=5.50 Ncr,y=3422840.00 λ^*_y=0.06 Curva c: Φ_y=0.47 χ_y=1.00
λ_Z=27.51 Ncr,z=136914.00 λ^*_z=0.32 Curva c: Φ_z=0.58 χ_z=0.94
χ,min=0.94
Verifica: 0.00+0.01+0.00=0.01

- Verifica in termini tensionali [4.2.4] - CC 18 SLU Xl=0.08 - Classe 3
Sollecitazioni: N=-12.00 T_z=27.95 M_y=-1.11
Tensioni: σ_N=-2.40 σ_M=-26.69 τ=0.00 σ_{max}=-29.09
Tensioni: σ_N=-2.40 σ_M=0.00 τ=8.38 τ_{max}=8.38
Tensioni: σ_N=-2.40 σ_M=-26.69 τ=0.00 $\sigma_{ID,max}$=29.09

- Verifica a taglio dir. Z [4.2.16] - CC 17 SLU Xl=0.00
Sollecitazioni: N=11.48 T_z=-20.51
V,Ed=-20.51 Vc,Rd=7560.76 V,Ed/Vc,Rd=0.00

Asta n. 2 (2002 3002) montanti 50x10 Crit. 1

- Verifica di stabilità aste presso-inflesse (C4.2.4.1.3.3.1) - CC 17 SLU - Classe 3
Sollecitazioni: N,Ed=-27.50 Myeq,Ed=2.21 Mzeq,Ed=-0.12
Resistenze: Nc,Rd=13095.20 My,c,Rd=109.13 Mz,c,Rd=21.83 L=7.94
λ_Y=5.50 Ncr,y=3422840.00 λ^*_y=0.06 Curva c: Φ_y=0.47 χ_y=1.00
λ_Z=27.51 Ncr,z=136914.00 λ^*_z=0.32 Curva c: Φ_z=0.58 χ_z=0.94
χ,min=0.94
Verifica: 0.00+0.02+0.01=0.03

- Verifica in termini tensionali [4.2.4] - CC 17 SLU Xl=0.00 - Classe 3
Sollecitazioni: N=-27.50 T_z=50.77 M_y=2.21 T_y=1.30
Tensioni: σ_N=-5.50 σ_M=-53.12 τ=0.00 σ_{max}=-58.62
Tensioni: σ_N=-5.50 σ_M=-0.00 τ=15.23 τ_{max}=15.23
Tensioni: σ_N=-5.50 σ_M=-53.12 τ=0.39 $\sigma_{ID,max}$=58.62

- Verifica a taglio dir. Z [4.2.16] - CC 1 SLV Xl=0.00
Sollecitazioni: T_z=23.29
V,Ed=23.29 Vc,Rd=7560.76 V,Ed/Vc,Rd=0.00

Asta n. 3 (2003 3003) montanti 50x10 Crit. 1

- Verifica di stabilità aste presso-inflesse (C4.2.4.1.3.3.1) - CC 18 SLU - Classe 3
Sollecitazioni: N,Ed=-39.87 Myeq,Ed=3.69 Mzeq,Ed=0.11
Resistenze: Nc,Rd=13095.20 My,c,Rd=109.13 Mz,c,Rd=21.83 L=7.94
λ_Y=5.50 Ncr,y=3422840.00 λ^*_y=0.06 Curva c: Φ_y=0.47 χ_y=1.00
λ_Z=27.51 Ncr,z=136914.00 λ^*_z=0.32 Curva c: Φ_z=0.58 χ_z=0.94
χ,min=0.94
Verifica: 0.00+0.03+0.01=0.04

- Verifica in termini tensionali [4.2.4] - CC 18 SLU Xl=0.00 - Classe 3
Sollecitazioni: N=-39.87 T_z=90.93 M_y=3.69
Tensioni: σ_N=-7.97 σ_M=-88.47 τ=0.00 σ_{max}=-96.44
Tensioni: σ_N=-7.97 σ_M=-0.00 τ=27.28 τ_{max}=27.28
Tensioni: σ_N=-7.97 σ_M=-88.47 τ=0.00 $\sigma_{ID,max}$=96.44

Asta n. 4 (2004 3004) montanti 50x10 Crit. 1

- Verifica di stabilità aste presso-inflesse (C4.2.4.1.3.3.1) - CC 17 SLU - Classe 3

Sollecitazioni: N,Ed=-37.08 Myeq,Ed=2.97 Mzeq,Ed=-0.09
Resistenze: Nc,Rd=13095.20 My,c,Rd=109.13 Mz,c,Rd=21.83 L=7.94
λ_Y=5.50 Ncr,y=3422840.00 λ^*_y=0.06 Curva c: Φ_y=0.47 χ_y=1.00
λ_Z=27.51 Ncr,z=136914.00 λ^*_z=0.32 Curva c: Φ_z=0.58 χ_z=0.94
χ,min=0.94
Verifica: 0.00+0.03+0.00=0.03

- Verifica in termini tensionali [4.2.4] - CC 19 SLU Xl=0.00 - Classe 3
Sollecitazioni: N=-38.09 T_z=74.72 M_y=3.06 T_y=1.02
Tensioni: σ_N=-7.62 σ_M=-73.40 τ=0.00 σ_{max}=-81.02
Tensioni: σ_N=-7.62 σ_M=-0.00 τ=22.42 τ_{max}=22.42
Tensioni: σ_N=-7.62 σ_M=-73.40 τ=0.31 $\sigma_{ID,max}$=81.02

Asta n. 5 (2005 3005) montanti 50x10 Crit. 1

- Verifica di stabilità aste inflesse (4.2.4.1.3.2) CC 17 SLU - Classe 3
L_{cr}=0.08 Curva d: α_{imp}=0.76 k_c=0.94 ψ=1.37 M,cr=0.00 λ_{LT}=0.00
$\lambda_{LT,0}$=0.20 β_{LT}=1.00 Φ_{LT}=0.00 β_{LT}=1.00 f=0.00 χ_{LT}=1.00
CC 17 SLU My,Ed=-0.30 My,b,Rd=109.13 My,Ed/My,b,Rd=0.00

- Verifica di stabilità aste presso-inflesse (C4.2.4.1.3.3.1) - CC 18 SLU - Classe 3
Sollecitazioni: N,Ed=-27.24 Myeq,Ed=-2.63 Mzeq,Ed=-0.10
Resistenze: Nc,Rd=13095.20 My,c,Rd=109.13 Mz,c,Rd=21.83 L=7.94
λ_Y=5.50 Ncr,y=3422840.00 λ^*_y=0.06 Curva c: Φ_y=0.47 χ_y=1.00
λ_Z=27.51 Ncr,z=136914.00 λ^*_z=0.32 Curva c: Φ_z=0.58 χ_z=0.94
χ,min=0.94
Verifica: 0.00+0.02+0.00=0.03

- Verifica in termini tensionali [4.2.4] - CC 18 SLU Xl=0.08 - Classe 3
Sollecitazioni: N=-26.83 T_z=65.91 M_y=-2.63
Tensioni: σ_N=-5.37 σ_M=-63.00 τ=0.00 σ_{max}=-68.37
Tensioni: σ_N=-5.37 σ_M=0.00 τ=19.77 τ_{max}=19.77
Tensioni: σ_N=-5.37 σ_M=-63.00 τ=0.00 $\sigma_{ID,max}$=68.37

- Verifica a taglio dir. Y [4.2.16] - CC 17 SLU Xl=0.00
Sollecitazioni: N=2.18 T_z=2.18 T_y=-1.51
V,Ed=-1.51 Vc,Rd=7560.76 V,Ed/Vc,Rd=0.00

- Verifica a taglio dir. Z [4.2.16]
V,Ed=2.18 Vc,Rd=7560.76 V,Ed/Vc,Rd=0.00

Asta n. 6 (2006 3006) montanti 50x10 Crit. 1

- Verifica di stabilità aste presso-inflesse (C4.2.4.1.3.3.1) - CC 19 SLU - Classe 3
Sollecitazioni: N,Ed=-48.76 Myeq,Ed=3.88 Mzeq,Ed=-0.17
Resistenze: Nc,Rd=13095.20 My,c,Rd=109.13 Mz,c,Rd=21.83 L=7.94
λ_Y=5.50 Ncr,y=3422840.00 λ^*_y=0.06 Curva c: Φ_y=0.47 χ_y=1.00
λ_Z=27.51 Ncr,z=136914.00 λ^*_z=0.32 Curva c: Φ_z=0.58 χ_z=0.94
χ,min=0.94
Verifica: 0.00+0.04+0.01=0.05

- Verifica in termini tensionali [4.2.4] - CC 19 SLU Xl=0.00 - Classe 3
Sollecitazioni: N=-48.76 T_z=93.70 M_y=3.88
Tensioni: σ_N=-9.75 σ_M=-93.03 τ=0.00 σ_{max}=-102.79
Tensioni: σ_N=-9.75 σ_M=-0.00 τ=28.11 τ_{max}=28.11
Tensioni: σ_N=-9.75 σ_M=-93.03 τ=0.00 $\sigma_{ID,max}$=102.79

Asta n. 7 (2007 3007) montanti 50x10 Crit. 1

- Verifica di stabilità aste inflesse (4.2.4.1.3.2) CC 17 SLU - Classe 3
  L_{cr}=0.08 Curva d: α_{imp}=0.76 k_c=0.94 ψ=2.55 M,cr=0.00 λ_{LT}=0.00
  $\lambda_{LT,0}$=0.20 β_{LT}=1.00 Φ_{LT}=0.00 β_{LT}=1.00 f=0.00 χ_{LT}=1.00
  CC 17 SLU My,Ed=-0.73 My,b,Rd=109.13 My,Ed/My,b,Rd=0.01

- Verifica di stabilità aste presso-inflesse (C4.2.4.1.3.3.1) - CC 18 SLU - Classe 3
  Sollecitazioni: N,Ed=-12.11 Myeq,Ed=1.30 Mzeq,Ed=-0.07
  Resistenze: Nc,Rd=13095.20 My,c,Rd=109.13 Mz,c,Rd=21.83 L=7.94
  λ_Y=5.50 Ncr,y=3422840.00 λ^*_y=0.06 Curva c: Φ_y=0.47 χ_y=1.00
  λ_Z=27.51 Ncr,z=136914.00 λ^*_z=0.32 Curva c: Φ_z=0.58 χ_z=0.94
  χ,min=0.94
  Verifica: 0.00+0.01+0.00=0.02

- Verifica in termini tensionali [4.2.4] - CC 18 SLU Xl=0.00 - Classe 3
  Sollecitazioni: N=-12.11 T_z=29.64 M_y=1.30 T_y=-1.39
  Tensioni: σ_N=-2.42 σ_M=-31.24 τ=0.00 σ_{max}=-33.66
  Tensioni: σ_N=-2.42 σ_M=-0.00 τ=8.90 τ_{max}=8.90
  Tensioni: σ_N=-2.42 σ_M=-31.24 τ=0.42 $\sigma_{ID,max}$=33.67

- Verifica a taglio dir. Y [4.2.16] - CC 1 SLV Xl=0.01
  Sollecitazioni: T_z=25.19 T_y=-1.23
  V,Ed=-1.23 Vc,Rd=7560.76 V,Ed/Vc,Rd=0.00

- Verifica a taglio dir. Z [4.2.16]
  V,Ed=25.19 Vc,Rd=7560.76 V,Ed/Vc,Rd=0.00

Asta n. 8 (2008 3008) montanti 50x10 Crit. 1

- Verifica di stabilità aste inflesse (4.2.4.1.3.2) CC 1 SLV - Classe 3
  L_{cr}=0.08 Curva d: α_{imp}=0.76 k_c=0.94 ψ=2.92 M,cr=0.00 λ_{LT}=0.00
  $\lambda_{LT,0}$=0.20 β_{LT}=1.00 Φ_{LT}=0.00 β_{LT}=1.00 f=0.00 χ_{LT}=1.00
  CC 1 SLV My,Ed=0.69 My,b,Rd=109.13 My,Ed/My,b,Rd=0.01

- Verifica di stabilità aste presso-inflesse (C4.2.4.1.3.3.1) - CC 17 SLU - Classe 3
  Sollecitazioni: N,Ed=-23.50 Myeq,Ed=1.87 Mzeq,Ed=-0.10
  Resistenze: Nc,Rd=13095.20 My,c,Rd=109.13 Mz,c,Rd=21.83 L=7.94
  λ_Y=5.50 Ncr,y=3422840.00 λ^*_y=0.06 Curva c: Φ_y=0.47 χ_y=1.00
  λ_Z=27.51 Ncr,z=136914.00 λ^*_z=0.32 Curva c: Φ_z=0.58 χ_z=0.94
  χ,min=0.94
  Verifica: 0.00+0.02+0.00=0.02

- Verifica in termini tensionali [4.2.4] - CC 17 SLU Xl=0.00 - Classe 3
  Sollecitazioni: N=-23.50 T_z=43.60 M_y=1.87
  Tensioni: σ_N=-4.70 σ_M=-44.89 τ=0.00 σ_{max}=-49.59
  Tensioni: σ_N=-4.70 σ_M=-0.00 τ=13.08 τ_{max}=13.08
  Tensioni: σ_N=-4.70 σ_M=-44.89 τ=0.00 $\sigma_{ID,max}$=49.59

- Verifica a taglio dir. Y [4.2.16] - CC 1 SLV Xl=0.00
  Sollecitazioni: N=1.98 T_z=16.28 T_y=-1.17
  V,Ed=-1.17 Vc,Rd=7560.76 V,Ed/Vc,Rd=0.00

- Verifica a taglio dir. Z [4.2.16]
  V,Ed=16.28 Vc,Rd=7560.76 V,Ed/Vc,Rd=0.00

Asta n. 9 (9 -513) montanti 50x10 Crit. 1

- Verifica di stabilità aste inflesse (4.2.4.1.3.2) CC 16 SLU - Classe 3
  L_{cr}=0.09 Curva d: α_{imp}=0.76 k_c=0.94 ψ=3.10 M,cr=0.00 λ_{LT}=0.00
  $\lambda_{LT,0}$=0.20 β_{LT}=1.00 Φ_{LT}=0.00 β_{LT}=1.00 f=0.00 χ_{LT}=1.00

CC 16 SLU My,Ed=-1.43 My,b,Rd=109.13 My,Ed/My,b,Rd=0.01

- Verifica di stabilità aste presso-inflesse (C4.2.4.1.3.3.1) - CC 18 SLU - Classe 3
Sollecitazioni: N,Ed=-0.93 Myeq,Ed=1.86 Mzeq,Ed=0.01
Resistenze: Nc,Rd=13095.20 My,c,Rd=109.13 Mz,c,Rd=21.83 L=9.29
λ_Y=6.44 Ncr,y=2499070.00 λ^*_y=0.07 Curva c: Φ_y=0.47 χ_y=1.00
λ_Z=32.20 Ncr,z=99963.00 λ^*_z=0.37 Curva c: Φ_z=0.61 χ_z=0.91
χ,min=0.91
Verifica: 0.00+0.02+0.00=0.02

- Verifica a flessione [4.2.13] - CC 18 SLU Xl=0.00 - Classe 3
Sollecitazioni: T_z=39.33 M_y=1.86
My,Ed=1.86 My,c,Rd=109.13 My,Ed/My,c,Rd=0.02

- Verifica a taglio dir. Z [4.2.16] - CC 18 SLU Xl=0.03
Sollecitazioni: T_z=39.33
V,Ed=39.33 Vc,Rd=7560.76 V,Ed/Vc,Rd=0.01

Asta n. 10 (10 -514) montanti 50x10 Crit. 1

- Verifica in termini tensionali [4.2.4] - CC 17 SLU Xl=0.00 - Classe 3
Sollecitazioni: N=27.66 T_z=40.99 M_y=2.08 T_y=2.70
Tensioni: σ_N=5.53 σ_M=49.82 τ=0.00 σ_{max}=55.35
Tensioni: σ_N=5.53 σ_M=-0.00 τ=12.32 τ_{max}=12.32
Tensioni: σ_N=5.53 σ_M=49.82 τ=0.81 $\sigma_{ID,max}$=55.37

- Verifica a taglio dir. Y [4.2.16] - CC 17 SLU Xl=0.03
Sollecitazioni: N=27.83 T_z=40.99 T_y=2.70
V,Ed=2.70 Vc,Rd=7560.76 V,Ed/Vc,Rd=0.00

- Verifica a taglio dir. Z [4.2.16]
V,Ed=40.99 Vc,Rd=7560.76 V,Ed/Vc,Rd=0.01

Asta n. 11 (11 -515) montanti 50x10 Crit. 1

- Verifica di stabilità aste inflesse (4.2.4.1.3.2) CC 1 SLV - Classe 3
L_{cr}=0.09 Curva d: α_{imp}=0.76 k_c=0.94 ψ=3.04 M,cr=0.00 λ_{LT}=0.00
$\lambda_{LT,0}$=0.20 β_{LT}=1.00 Φ_{LT}=0.00 β_{LT}=1.00 f=0.00 χ_{LT}=1.00
CC 1 SLV My,Ed=2.93 My,b,Rd=109.13 My,Ed/My,b,Rd=0.03

- Verifica di stabilità aste presso-inflesse (C4.2.4.1.3.3.1) - CC 18 SLU - Classe 3
Sollecitazioni: N,Ed=-12.27 Myeq,Ed=6.75 Mzeq,Ed=0.03
Resistenze: Nc,Rd=13095.20 My,c,Rd=109.13 Mz,c,Rd=21.83 L=9.29
λ_Y=6.44 Ncr,y=2499070.00 λ^*_y=0.07 Curva c: Φ_y=0.47 χ_y=1.00
λ_Z=32.20 Ncr,z=99963.00 λ^*_z=0.37 Curva c: Φ_z=0.61 χ_z=0.91
χ,min=0.91
Verifica: 0.00+0.06+0.00=0.06

- Verifica in termini tensionali [4.2.4] - CC 18 SLU Xl=0.00 - Classe 3
Sollecitazioni: N=-12.27 T_z=143.38 M_y=6.75
Tensioni: σ_N=-2.45 σ_M=-162.06 τ=0.00 σ_{max}=-164.51
Tensioni: σ_N=-2.45 σ_M=-0.00 τ=43.01 τ_{max}=43.01
Tensioni: σ_N=-2.45 σ_M=-162.06 τ=0.00 $\sigma_{ID,max}$=164.51

- Verifica a taglio dir. Z [4.2.16] - CC 1 SLV Xl=0.03
Sollecitazioni: N=1.05 T_z=61.74
V,Ed=61.74 Vc,Rd=7560.76 V,Ed/Vc,Rd=0.01

Asta n. 12 (12 -516) montanti 50x10 Crit. 1

- Verifica in termini tensionali [4.2.4] - CC 19 SLU Xl=0.00 - Classe 3
  Sollecitazioni: N=35.95 T_z=60.51 M_y=2.98 T_y=1.93
  Tensioni: σ_N=7.19 σ_M=71.45 τ=0.00 σ_{max}=78.64
  Tensioni: σ_N=7.19 σ_M=-0.00 τ=18.16 τ_{max}=18.16
  Tensioni: σ_N=7.19 σ_M=71.45 τ=0.58 $\sigma_{ID,max}$=78.65

- Verifica a taglio dir. Y [4.2.16] - CC 19 SLU Xl=0.03
  Sollecitazioni: N=36.13 T_z=60.51 T_y=1.93
  V,Ed=1.93 Vc,Rd=7560.76 V,Ed/Vc,Rd=0.00

- Verifica a taglio dir. Z [4.2.16]
  V,Ed=60.51 Vc,Rd=7560.76 V,Ed/Vc,Rd=0.01

Asta n. 13 (13 -517) montanti 50x10 Crit. 1

- Verifica di stabilità aste presso-inflesse (C4.2.4.1.3.3.1) - CC 18 SLU - Classe 3
  Sollecitazioni: N,Ed=-14.70 Myeq,Ed=5.15 Mzeq,Ed=0.02
  Resistenze: Nc,Rd=13095.20 My,c,Rd=109.13 Mz,c,Rd=21.83 L=9.29
  λ_Y=6.44 Ncr,y=2499070.00 λ^*_y=0.07 Curva c: Φ_y=0.47 χ_y=1.00
  λ_Z=32.20 Ncr,z=99963.00 λ^*_z=0.37 Curva c: Φ_z=0.61 χ_z=0.91
  χ,min=0.91
  Verifica: 0.00+0.05+0.00=0.05

- Verifica in termini tensionali [4.2.4] - CC 18 SLU Xl=0.00 - Classe 3
  Sollecitazioni: N=-14.70 T_z=110.52 M_y=5.15
  Tensioni: σ_N=-2.94 σ_M=-123.54 τ=0.00 σ_{max}=-126.48
  Tensioni: σ_N=-2.94 σ_M=-0.00 τ=33.16 τ_{max}=33.16
  Tensioni: σ_N=-2.94 σ_M=-123.54 τ=0.00 $\sigma_{ID,max}$=126.48

- Verifica a taglio dir. Z [4.2.16] - CC 1 SLV Xl=0.03
  Sollecitazioni: T_z=49.55
  V,Ed=49.55 Vc,Rd=7560.76 V,Ed/Vc,Rd=0.01

Asta n. 14 (14 -518) montanti 50x10 Crit. 1

- Verifica in termini tensionali [4.2.4] - CC 19 SLU Xl=0.00 - Classe 3
  Sollecitazioni: N=46.42 T_z=74.53 M_y=3.72 T_y=2.64
  Tensioni: σ_N=9.28 σ_M=89.26 τ=0.00 σ_{max}=98.54
  Tensioni: σ_N=9.28 σ_M=-0.00 τ=22.37 τ_{max}=22.37
  Tensioni: σ_N=9.28 σ_M=89.26 τ=0.79 $\sigma_{ID,max}$=98.55

- Verifica a taglio dir. Y [4.2.16] - CC 19 SLU Xl=0.04
  Sollecitazioni: N=46.64 T_z=74.53 T_y=2.64
  V,Ed=2.64 Vc,Rd=7560.76 V,Ed/Vc,Rd=0.00

- Verifica a taglio dir. Z [4.2.16]
  V,Ed=74.53 Vc,Rd=7560.76 V,Ed/Vc,Rd=0.01

Asta n. 15 (15 -519) montanti 50x10 Crit. 1

- Verifica di stabilità aste presso-inflesse (C4.2.4.1.3.3.1) - CC 18 SLU - Classe 3
  Sollecitazioni: N,Ed=-14.15 Myeq,Ed=3.03 Mzeq,Ed=0.04
  Resistenze: Nc,Rd=13095.20 My,c,Rd=109.13 Mz,c,Rd=21.83 L=9.29
  λ_Y=6.44 Ncr,y=2499070.00 λ^*_y=0.07 Curva c: Φ_y=0.47 χ_y=1.00
  λ_Z=32.20 Ncr,z=99963.00 λ^*_z=0.37 Curva c: Φ_z=0.61 χ_z=0.91
  χ,min=0.91
  Verifica: 0.00+0.03+0.00=0.03

- Verifica in termini tensionali [4.2.4] - CC 18 SLU Xl=0.00 - Classe 3

Sollecitazioni: N=-14.15 T_z=65.06 M_y=3.03
Tensioni: σ_N=-2.83 σ_M=-72.60 τ=0.00 σ_{max}=-75.43
Tensioni: σ_N=-2.83 σ_M=-0.00 τ=19.52 τ_{max}=19.52
Tensioni: σ_N=-2.83 σ_M=-72.60 τ=0.00 $\sigma_{ID,max}$=75.43

- Verifica a taglio dir. Z [4.2.16] - CC 1 SLV Xl=0.03
Sollecitazioni: T_z=38.29
V,Ed=38.29 Vc,Rd=7560.76 V,Ed/Vc,Rd=0.01

Asta n. 16 (16 -520) montanti 50x10 Crit. 1

- Verifica di stabilità aste inflesse (4.2.4.1.3.2) CC 17 SLU - Classe 3
L_{cr}=0.09 Curva d: α_{imp}=0.76 k_c=0.94 ψ=2.81 M,cr=0.00 λ_{LT}=0.00
$\lambda_{LT,0}$=0.20 β_{LT}=1.00 Φ_{LT}=0.00 β_{LT}=1.00 f=0.00 χ_{LT}=1.00
CC 17 SLU My,Ed=1.74 My,b,Rd=109.13 My,Ed/My,b,Rd=0.02

- Verifica di stabilità aste presso-inflesse (C4.2.4.1.3.3.1) - CC 1 SLV - Classe 3
Sollecitazioni: N,Ed=-1.58 Myeq,Ed=0.66 Mzeq,Ed=0.03
Resistenze: Nc,Rd=13095.20 My,c,Rd=109.13 Mz,c,Rd=21.83 L=9.29
λ_Y=6.44 Ncr,y=2499070.00 λ^*_y=0.07 Curva c: Φ_y=0.47 χ_y=1.00
λ_Z=32.20 Ncr,z=99963.00 λ^*_z=0.37 Curva c: Φ_z=0.61 χ_z=0.91
χ,min=0.91
Verifica: 0.00+0.01+0.00=0.01

- Verifica in termini tensionali [4.2.4] - CC 17 SLU Xl=0.00 - Classe 3
Sollecitazioni: N=23.41 T_z=34.08 M_y=1.74 T_y=3.51
Tensioni: σ_N=4.68 σ_M=41.83 τ=0.00 σ_{max}=46.51
Tensioni: σ_N=4.68 σ_M=-0.00 τ=10.28 τ_{max}=10.28
Tensioni: σ_N=4.68 σ_M=41.83 τ=1.05 $\sigma_{ID,max}$=46.55

- Verifica a taglio dir. Y [4.2.16] - CC 17 SLU Xl=0.03
Sollecitazioni: N=23.54 T_z=34.08 T_y=3.51
V,Ed=3.51 Vc,Rd=7560.76 V,Ed/Vc,Rd=0.00

- Verifica a taglio dir. Z [4.2.16]
V,Ed=34.08 Vc,Rd=7560.76 V,Ed/Vc,Rd=0.00

Asta n. 17 (17 -529) montanti 50x10 Crit. 1

- Verifica di stabilità aste inflesse (4.2.4.1.3.2) CC 9 SLU - Classe 3
L_{cr}=0.11 Curva d: α_{imp}=0.76 k_c=0.94 ψ=2.66 M,cr=0.00 λ_{LT}=0.00
$\lambda_{LT,0}$=0.20 β_{LT}=1.00 Φ_{LT}=0.00 β_{LT}=1.00 f=0.00 χ_{LT}=1.00
CC 9 SLU My,Ed=-2.09 My,b,Rd=109.13 My,Ed/My,b,Rd=0.02

- Verifica di stabilità aste presso-inflesse (C4.2.4.1.3.3.1) - CC 5 SLV - Classe 3
Sollecitazioni: N,Ed=-5.60 Myeq,Ed=-1.64 Mzeq,Ed=0.04
Resistenze: Nc,Rd=13095.20 My,c,Rd=109.13 Mz,c,Rd=21.83 L=10.65
λ_Y=7.38 Ncr,y=1904440.00 λ^*_y=0.08 Curva c: Φ_y=0.48 χ_y=1.00
λ_Z=36.88 Ncr,z=76177.60 λ^*_z=0.42 Curva c: Φ_z=0.65 χ_z=0.88
χ,min=0.88
Verifica: 0.00+0.02+0.00=0.02

- Verifica in termini tensionali [4.2.4] - CC 9 SLU Xl=0.11 - Classe 3
Sollecitazioni: N=19.13 T_z=33.79 M_y=-2.09
Tensioni: σ_N=3.83 σ_M=50.20 τ=0.00 σ_{max}=54.02
Tensioni: σ_N=3.83 σ_M=0.00 τ=10.14 τ_{max}=10.14
Tensioni: σ_N=3.83 σ_M=50.20 τ=0.00 $\sigma_{ID,max}$=54.02

- Verifica a taglio dir. Z [4.2.16] - CC 9 SLU Xl=0.02

Sollecitazioni: N=18.68 T_z=33.79
V,Ed=33.79 Vc,Rd=7560.76 V,Ed/Vc,Rd=0.00

Asta n. 18 (18 -530) montanti 50x10 Crit. 1

- Verifica di stabilità aste inflesse (4.2.4.1.3.2) CC 19 SLU - Classe 3
L_{cr}=0.11 Curva d: α_{imp}=0.76 k_c=0.94 ψ=2.98 M,cr=0.00 λ_{LT}=0.00
$\lambda_{LT,0}$=0.20 β_{LT}=1.00 Φ_{LT}=0.00 β_{LT}=1.00 f=0.00 χ_{LT}=1.00
CC 19 SLU My,Ed=-3.07 My,b,Rd=109.13 My,Ed/My,b,Rd=0.03

- Verifica di stabilità aste presso-inflesse (C4.2.4.1.3.3.1) - CC 5 SLV - Classe 3
Sollecitazioni: N,Ed=-1.09 Myeq,Ed=-1.60 Mzeq,Ed=0.02
Resistenze: Nc,Rd=13095.20 My,c,Rd=109.13 Mz,c,Rd=21.83 L=10.65
λ_Y=7.38 Ncr,y=1904440.00 λ^*_y=0.08 Curva c: Φ_y=0.48 χ_y=1.00
λ_Z=36.88 Ncr,z=76177.60 λ^*_z=0.42 Curva c: Φ_z=0.65 χ_z=0.88
χ,min=0.88
Verifica: 0.00+0.01+0.00=0.02

- Verifica in termini tensionali [4.2.4] - CC 19 SLU Xl=0.11 - Classe 3
Sollecitazioni: N=34.96 T_z=55.51 M_y=-3.07
Tensioni: σ_N=6.99 σ_M=73.67 τ=0.00 σ_{max}=80.66
Tensioni: σ_N=6.99 σ_M=0.00 τ=16.65 τ_{max}=16.65
Tensioni: σ_N=6.99 σ_M=73.67 τ=0.00 $\sigma_{ID,max}$=80.66

- Verifica a taglio dir. Z [4.2.16] - CC 19 SLU Xl=0.04
Sollecitazioni: N=34.61 T_z=55.51
V,Ed=55.51 Vc,Rd=7560.76 V,Ed/Vc,Rd=0.01

Asta n. 19 (19 -531) montanti 50x10 Crit. 1

- Verifica di stabilità aste inflesse (4.2.4.1.3.2) CC 18 SLU - Classe 3
L_{cr}=0.11 Curva d: α_{imp}=0.76 k_c=0.94 ψ=2.95 M,cr=0.00 λ_{LT}=0.00
$\lambda_{LT,0}$=0.20 β_{LT}=1.00 Φ_{LT}=0.00 β_{LT}=1.00 f=0.00 χ_{LT}=1.00
CC 18 SLU My,Ed=-7.74 My,b,Rd=109.13 My,Ed/My,b,Rd=0.07

- Verifica di stabilità aste presso-inflesse (C4.2.4.1.3.3.1) - CC 5 SLV - Classe 3
Sollecitazioni: N,Ed=-4.25 Myeq,Ed=-3.23 Mzeq,Ed=-0.03
Resistenze: Nc,Rd=13095.20 My,c,Rd=109.13 Mz,c,Rd=21.83 L=10.65
λ_Y=7.38 Ncr,y=1904440.00 λ^*_y=0.08 Curva c: Φ_y=0.48 χ_y=1.00
λ_Z=36.88 Ncr,z=76177.60 λ^*_z=0.42 Curva c: Φ_z=0.65 χ_z=0.88
χ,min=0.88
Verifica: 0.00+0.03+0.00=0.03

- Verifica in termini tensionali [4.2.4] - CC 18 SLU Xl=0.11 - Classe 3
Sollecitazioni: N=17.41 T_z=138.79 M_y=-7.74
Tensioni: σ_N=3.48 σ_M=185.72 τ=0.00 σ_{max}=189.20
Tensioni: σ_N=3.48 σ_M=0.00 τ=41.64 τ_{max}=41.64
Tensioni: σ_N=3.48 σ_M=185.72 τ=0.00 $\sigma_{ID,max}$=189.20

- Verifica a taglio dir. Z [4.2.16] - CC 18 SLU Xl=0.05
Sollecitazioni: N=17.11 T_z=138.79
V,Ed=138.79 Vc,Rd=7560.76 V,Ed/Vc,Rd=0.02

Asta n. 20 (20 -532) montanti 50x10 Crit. 1

- Verifica in termini tensionali [4.2.4] - CC 19 SLU Xl=0.11 - Classe 3
Sollecitazioni: N=64.33 T_z=80.18 M_y=-4.56
Tensioni: σ_N=12.87 σ_M=109.52 τ=0.00 σ_{max}=122.38
Tensioni: σ_N=12.87 σ_M=0.00 τ=24.05 τ_{max}=24.05

Tensioni: σ_N=12.87 σ_M=109.52 τ=0.00 $\sigma_{ID,max}$=122.38

- Verifica a taglio dir. Z [4.2.16] - CC 19 SLU Xl=0.04
Sollecitazioni: N=63.99 T_z=80.18
V,Ed=80.18 Vc,Rd=7560.76 V,Ed/Vc,Rd=0.01

Asta n. 21 (21 -533) montanti 50x10 Crit. 1

- Verifica di stabilità aste inflesse (4.2.4.1.3.2) CC 18 SLU - Classe 3
L_{cr}=0.11 Curva d: α_{imp}=0.76 k_c=0.94 ψ=2.89 M,cr=0.00 λ_{LT}=0.00
$\lambda_{LT,0}$=0.20 β_{LT}=1.00 Φ_{LT}=0.00 β_{LT}=1.00 f=0.00 χ_{LT}=1.00
CC 18 SLU My,Ed=-6.58 My,b,Rd=109.13 My,Ed/My,b,Rd=0.06

- Verifica di stabilità aste presso-inflesse (C4.2.4.1.3.3.1) - CC 5 SLV - Classe 3
Sollecitazioni: N,Ed=-4.01 Myeq,Ed=-2.76 Mzeq,Ed=-0.05
Resistenze: Nc,Rd=13095.20 My,c,Rd=109.13 Mz,c,Rd=21.83 L=10.65
λ_Y=7.38 Ncr,y=1904440.00 λ^*_y=0.08 Curva c: Φ_y=0.48 χ_y=1.00
λ_Z=36.88 Ncr,z=76177.60 λ^*_z=0.42 Curva c: Φ_z=0.65 χ_z=0.88
χ,min=0.88
Verifica: 0.00+0.03+0.00=0.03

- Verifica in termini tensionali [4.2.4] - CC 18 SLU Xl=0.11 - Classe 3
Sollecitazioni: N=17.15 T_z=115.42 M_y=-6.58 T_y=-1.15
Tensioni: σ_N=3.43 σ_M=157.98 τ=0.00 σ_{max}=161.41
Tensioni: σ_N=3.43 σ_M=0.00 τ=34.63 τ_{max}=34.63
Tensioni: σ_N=3.43 σ_M=157.98 τ=0.34 $\sigma_{ID,max}$=161.41

- Verifica a taglio dir. Y [4.2.16] - CC 18 SLU Xl=0.05
Sollecitazioni: N=16.85 T_z=115.42 T_y=-1.15
V,Ed=-1.15 Vc,Rd=7560.76 V,Ed/Vc,Rd=0.00

- Verifica a taglio dir. Z [4.2.16]
V,Ed=115.42 Vc,Rd=7560.76 V,Ed/Vc,Rd=0.02

Asta n. 22 (22 -534) montanti 50x10 Crit. 1

- Verifica in termini tensionali [4.2.4] - CC 19 SLU Xl=0.11 - Classe 3
Sollecitazioni: N=71.14 T_z=90.47 M_y=-5.00
Tensioni: σ_N=14.23 σ_M=119.96 τ=0.00 σ_{max}=134.19
Tensioni: σ_N=14.23 σ_M=0.00 τ=27.14 τ_{max}=27.14
Tensioni: σ_N=14.23 σ_M=119.96 τ=0.00 $\sigma_{ID,max}$=134.19

- Verifica a taglio dir. Z [4.2.16] - CC 19 SLU Xl=0.05
Sollecitazioni: N=70.84 T_z=90.47
V,Ed=90.47 Vc,Rd=7560.76 V,Ed/Vc,Rd=0.01

Asta n. 23 (23 -535) montanti 50x10 Crit. 1

- Verifica di stabilità aste inflesse (4.2.4.1.3.2) CC 9 SLU - Classe 3
L_{cr}=0.11 Curva d: α_{imp}=0.76 k_c=0.94 ψ=2.91 M,cr=0.00 λ_{LT}=0.00
$\lambda_{LT,0}$=0.20 β_{LT}=1.00 Φ_{LT}=0.00 β_{LT}=1.00 f=0.00 χ_{LT}=1.00
CC 9 SLU My,Ed=-3.81 My,b,Rd=109.13 My,Ed/My,b,Rd=0.03

- Verifica di stabilità aste presso-inflesse (C4.2.4.1.3.3.1) - CC 18 SLU - Classe 3
Sollecitazioni: N,Ed=-2.81 Myeq,Ed=-4.12 Mzeq,Ed=-0.08
Resistenze: Nc,Rd=13095.20 My,c,Rd=109.13 Mz,c,Rd=21.83 L=10.65
λ_Y=7.38 Ncr,y=1904440.00 λ^*_y=0.08 Curva c: Φ_y=0.48 χ_y=1.00
λ_Z=36.88 Ncr,z=76177.60 λ^*_z=0.42 Curva c: Φ_z=0.65 χ_z=0.88
χ,min=0.88

Verifica: 0.00+0.04+0.00=0.04

- Verifica in termini tensionali [4.2.4] - CC 18 SLU Xl=0.11 - Classe 3
Sollecitazioni: N=-2.27 T_z=75.30 M_y=-4.12 T_y=-1.09
Tensioni: σ_N=-0.45 σ_M=-98.95 τ=0.00 σ_{max}=-99.40
Tensioni: σ_N=-0.45 σ_M=0.00 τ=22.59 τ_{max}=22.59
Tensioni: σ_N=-0.45 σ_M=-98.95 τ=0.33 $\sigma_{ID,max}$=99.41

- Verifica a taglio dir. Y [4.2.16] - CC 9 SLU Xl=0.04
Sollecitazioni: N=7.09 T_z=67.29 T_y=-1.15
V,Ed=-1.15 Vc,Rd=7560.76 V,Ed/Vc,Rd=0.00

- Verifica a taglio dir. Z [4.2.16]
V,Ed=67.29 Vc,Rd=7560.76 V,Ed/Vc,Rd=0.01

Asta n. 24 (24 -536) montanti 50x10 Crit. 1

- Verifica di stabilità aste inflesse (4.2.4.1.3.2) CC 19 SLU - Classe 3
L_{cr}=0.11 Curva d: α_{imp}=0.76 k_c=0.94 ψ=2.89 M,cr=0.00 λ_{LT}=0.00
$\lambda_{LT,0}$=0.20 β_{LT}=1.00 Φ_{LT}=0.00 β_{LT}=1.00 f=0.00 χ_{LT}=1.00
CC 19 SLU My,Ed=-2.08 My,b,Rd=109.13 My,Ed/My,b,Rd=0.02

- Verifica di stabilità aste presso-inflesse (C4.2.4.1.3.3.1) - CC 5 SLV - Classe 3
Sollecitazioni: N,Ed=-3.44 Myeq,Ed=-1.31 Mzeq,Ed=-0.03
Resistenze: Nc,Rd=13095.20 My,c,Rd=109.13 Mz,c,Rd=21.83 L=10.65
λ_Y=7.38 Ncr,y=1904440.00 λ^*_y=0.08 Curva c: Φ_y=0.48 χ_y=1.00
λ_Z=36.88 Ncr,z=76177.60 λ^*_z=0.42 Curva c: Φ_z=0.65 χ_z=0.88
χ,min=0.88
Verifica: 0.00+0.01+0.00=0.01

- Verifica in termini tensionali [4.2.4] - CC 19 SLU Xl=0.11 - Classe 3
Sollecitazioni: N=37.96 T_z=36.57 M_y=-2.08
Tensioni: σ_N=7.59 σ_M=50.03 τ=0.00 σ_{max}=57.62
Tensioni: σ_N=7.59 σ_M=0.00 τ=10.97 τ_{max}=10.97
Tensioni: σ_N=7.59 σ_M=50.03 τ=0.00 $\sigma_{ID,max}$=57.62

- Verifica a taglio dir. Z [4.2.16] - CC 19 SLU Xl=0.03
Sollecitazioni: N=37.56 T_z=36.57
V,Ed=36.57 Vc,Rd=7560.76 V,Ed/Vc,Rd=0.00

Asta n. 25 (2025 4025) montanti 50x10 Crit. 1

- Verifica di stabilità aste inflesse (4.2.4.1.3.2) CC 5 SLV - Classe 3
L_{cr}=0.12 Curva d: α_{imp}=0.76 k_c=0.94 ψ=2.47 M,cr=0.00 λ_{LT}=0.00
$\lambda_{LT,0}$=0.20 β_{LT}=1.00 Φ_{LT}=0.00 β_{LT}=1.00 f=0.00 χ_{LT}=1.00
CC 5 SLV My,Ed=7.18 My,b,Rd=109.13 My,Ed/My,b,Rd=0.07

- Verifica di stabilità aste presso-inflesse (C4.2.4.1.3.3.1) - CC 5 SLV - Classe 3
Sollecitazioni: N,Ed=-12.05 Myeq,Ed=7.18 Mzeq,Ed=-0.02
Resistenze: Nc,Rd=13095.20 My,c,Rd=109.13 Mz,c,Rd=21.83 L=12.00
λ_Y=8.31 Ncr,y=1499290.00 λ^*_y=0.10 Curva c: Φ_y=0.48 χ_y=1.00
λ_Z=41.57 Ncr,z=59971.70 λ^*_z=0.48 Curva c: Φ_z=0.68 χ_z=0.85
χ,min=0.85
Verifica: 0.00+0.07+0.00=0.07

- Verifica in termini tensionali [4.2.4] - CC 5 SLV Xl=0.00 - Classe 3
Sollecitazioni: N=25.99 T_z=94.91 M_y=7.18
Tensioni: σ_N=5.20 σ_M=172.30 τ=0.00 σ_{max}=177.50
Tensioni: σ_N=5.20 σ_M=-0.00 τ=28.47 τ_{max}=28.47

Tensioni: σ_N=5.20 σ_M=172.30 τ=0.00 $\sigma_{ID,max}$=177.50

- Verifica a taglio dir. Z [4.2.16] - CC 5 SLV Xl=0.07
Sollecitazioni: N=26.24 T_z=94.91
V,Ed=94.91 Vc,Rd=7560.76 V,Ed/Vc,Rd=0.01

Asta n. 26 (1026 2026) montante SHS120x120x6.3 Crit. 1

- Verifica di stabilità aste presso-inflesse (C4.2.4.1.3.3.2) - CC 19 SLU - Classe 3
Sollecitazioni: N,Ed=-1180.85 My,Ed=71.64 Mz,Ed=426.24
Resistenze: Nc,Rd=75042.00 My,c,Rd=2703.05 Mz,c,Rd=2703.05 L=14.00
αmy, αmz, αLT=0.95, 0.95, 0.95
λ_Y=3.01 Ncr,y=65482300.00 λ^*_y=0.03 Curva a: Φ_y=0.00 χ_y=1.00
λ_Z=3.01 Ncr,z=65482300.00 λ^*_z=0.03 Curva a: Φ_z=0.00 χ_z=1.00
Kyy, Kyz, Kzy, Kzz=0.95, 0.95, 0.76, 0.95
Verifica YY: 0.02+0.02+0.15=0.19
Verifica ZZ: 0.02+0.02+0.15=0.18

- Verifica in termini tensionali [4.2.4] - CC 19 SLU Xl=0.09 - Classe 3
Sollecitazioni: N=-1178.22 T_z=-54.65 M_y=71.64 T_y=123.36 M_z=426.24 M_x=-2.63
Tensioni: σ_N=-41.12 σ_M=-482.41 τ=1.61 σ_{max}=-523.53
Tensioni: σ_N=-41.12 σ_M=62.12 τ=11.29 τ_{max}=11.29
Tensioni: σ_N=-41.12 σ_M=-482.41 τ=1.61 $\sigma_{ID,max}$=523.54

- Verifica a taglio e torsione dir. Y [4.2.25] - CC 1 SLV Xl=0.00
Sollecitazioni: N=-279.26 T_z=-40.33 T_y=51.09 M_z=173.20 M_x=-1.55
V,Ed=51.09 Vc,Rd,Red=21649.80 V,Ed/Vc,Rd,Red=0.00

- Verifica a taglio e torsione dir. Z [4.2.25]
V,Ed=-40.33 Vc,Rd,Red=21649.80 V,Ed/Vc,Rd,Red=0.00

- Verifica Spostamento relativo massimo per singola asta - CC 22
δ=0.02 (L/423)

Asta n. 26 (2026 4026) montante SHS120x120x6.3 Crit. 1

- Verifica di stabilità aste presso-inflesse (C4.2.4.1.3.3.2) - CC 19 SLU - Classe 3
Sollecitazioni: N,Ed=-457.93 My,Ed=334.64 Mz,Ed=-52.77
Resistenze: Nc,Rd=75042.00 My,c,Rd=2703.05 Mz,c,Rd=2703.05 L=12.00
αmy, αmz, αLT=0.95, 0.95, 0.95
λ_Y=2.58 Ncr,y=89129000.00 λ^*_y=0.03 Curva a: Φ_y=0.00 χ_y=1.00
λ_Z=2.58 Ncr,z=89129000.00 λ^*_z=0.03 Curva a: Φ_z=0.00 χ_z=1.00
Kyy, Kyz, Kzy, Kzz=0.95, 0.95, 0.76, 0.95
Verifica YY: 0.01+0.10+0.02=0.12
Verifica ZZ: 0.01+0.08+0.02=0.10

- Verifica in termini tensionali [4.2.4] - CC 19 SLU Xl=0.00 - Classe 3
Sollecitazioni: N=-457.93 T_z=2150.54 M_y=334.64 T_y=-36.33 M_z=-50.23 M_x=-1.90
Tensioni: σ_N=-15.98 σ_M=-372.91 τ=1.17 σ_{max}=-388.89
Tensioni: σ_N=-15.98 σ_M=43.56 τ=169.70 τ_{max}=169.70
Tensioni: σ_N=-15.98 σ_M=-338.86 τ=117.29 $\sigma_{ID,max}$=408.88

- Verifica a taglio e torsione dir. Z [4.2.25] - CC 5 SLV Xl=0.04
Sollecitazioni: N=-123.32 T_z=1916.13 M_y=202.16 M_x=1.83
V,Ed=1916.13 Vc,Rd,Red=21647.30 V,Ed/Vc,Rd,Red=0.09

- Verifica Spostamento relativo massimo per singola asta - CC 22
δ=0.02 (L/377)

Asta n. 27 (2027 4027) montanti 50x10 Crit. 1

- Verifica di stabilità aste inflesse (4.2.4.1.3.2) CC 5 SLV - Classe 3
  L_{cr}=0.12 Curva d: α_{imp}=0.76 k_c=0.94 ψ=1.24 M,cr=0.00 λ_{LT}=0.00
  $\lambda_{LT,0}$=0.20 β_{LT}=1.00 Φ_{LT}=0.00 β_{LT}=1.00 f=0.00 χ_{LT}=1.00
  CC 5 SLV My,Ed=7.00 My,b,Rd=109.13 My,Ed/My,b,Rd=0.06

- Verifica di stabilità aste presso-inflesse (C4.2.4.1.3.3.1) - CC 5 SLV - Classe 3
  Sollecitazioni: N,Ed=-56.68 Myeq,Ed=7.00 Mzeq,Ed=-0.09
  Resistenze: Nc,Rd=13095.20 My,c,Rd=109.13 Mz,c,Rd=21.83 L=12.00
  λ_Y=8.31 Ncr,y=1499290.00 λ^*_y=0.10 Curva c: Φ_y=0.48 χ_y=1.00
  λ_Z=41.57 Ncr,z=59971.70 λ^*_z=0.48 Curva c: Φ_z=0.68 χ_z=0.85
  χ,min=0.85
  Verifica: 0.00+0.06+0.00=0.07

- Verifica in termini tensionali [4.2.4] - CC 5 SLV Xl=0.00 - Classe 3
  Sollecitazioni: N=-56.68 T_z=91.84 M_y=7.00 T_y=-1.18
  Tensioni: σ_N=-11.34 σ_M=-168.11 τ=0.00 σ_{max}=-179.45
  Tensioni: σ_N=-11.34 σ_M=-0.00 τ=27.56 τ_{max}=27.56
  Tensioni: σ_N=-11.34 σ_M=-168.11 τ=0.36 $\sigma_{ID,max}$=179.45

- Verifica a taglio dir. Z [4.2.16] - CC 5 SLV Xl=0.08
  Sollecitazioni: N=5.18 T_z=91.84
  V,Ed=91.84 Vc,Rd=7560.76 V,Ed/Vc,Rd=0.01

Asta n. 28 (2028 4028) montanti 50x10 Crit. 1

- Verifica di stabilità aste inflesse (4.2.4.1.3.2) CC 19 SLU - Classe 3
  L_{cr}=0.12 Curva d: α_{imp}=0.76 k_c=0.94 ψ=1.88 M,cr=0.00 λ_{LT}=0.00
  $\lambda_{LT,0}$=0.20 β_{LT}=1.00 Φ_{LT}=0.00 β_{LT}=1.00 f=0.00 χ_{LT}=1.00
  CC 19 SLU My,Ed=8.17 My,b,Rd=109.13 My,Ed/My,b,Rd=0.07

- Verifica di stabilità aste presso-inflesse (C4.2.4.1.3.3.1) - CC 5 SLV - Classe 3
  Sollecitazioni: N,Ed=-73.31 Myeq,Ed=7.90 Mzeq,Ed=0.20
  Resistenze: Nc,Rd=13095.20 My,c,Rd=109.13 Mz,c,Rd=21.83 L=12.00
  λ_Y=8.31 Ncr,y=1499290.00 λ^*_y=0.10 Curva c: Φ_y=0.48 χ_y=1.00
  λ_Z=41.57 Ncr,z=59971.70 λ^*_z=0.48 Curva c: Φ_z=0.68 χ_z=0.85
  χ,min=0.85
  Verifica: 0.01+0.07+0.01=0.09

- Verifica in termini tensionali [4.2.4] - CC 9 SLU Xl=0.00 - Classe 3
  Sollecitazioni: N=-106.72 T_z=70.62 M_y=7.85 T_y=4.91
  Tensioni: σ_N=-21.34 σ_M=-188.42 τ=0.00 σ_{max}=-209.77
  Tensioni: σ_N=-21.34 σ_M=-0.00 τ=21.24 τ_{max}=21.24
  Tensioni: σ_N=-21.34 σ_M=-188.42 τ=1.47 $\sigma_{ID,max}$=209.78

- Verifica a taglio dir. Y [4.2.16] - CC 19 SLU Xl=0.10
  Sollecitazioni: N=45.44 T_z=75.96 T_y=1.22
  V,Ed=1.22 Vc,Rd=7560.76 V,Ed/Vc,Rd=0.00

- Verifica a taglio dir. Z [4.2.16]
  V,Ed=75.96 Vc,Rd=7560.76 V,Ed/Vc,Rd=0.01

Asta n. 29 (1029 2029) montante SHS120x120x6.3 Crit. 1

- Verifica di stabilità aste presso-inflesse (C4.2.4.1.3.3.2) - CC 19 SLU - Classe 3
  Sollecitazioni: N,Ed=-2281.77 My,Ed=63.12 Mz,Ed=823.51
  Resistenze: Nc,Rd=75042.00 My,c,Rd=2703.05 Mz,c,Rd=2703.05 L=14.00
  αmy, αmz, αLT=0.95, 0.95, 0.95

λ_Y=3.01 Ncr,y=65482300.00 λ^*_y=0.03 Curva a: Φ_y=0.00 χ_y=1.00
λ_Z=3.01 Ncr,z=65482300.00 λ^*_z=0.03 Curva a: Φ_z=0.00 χ_z=1.00
Kyy, Kyz, Kzy, Kzz=0.95, 0.95, 0.76, 0.95
Verifica YY: 0.03+0.02+0.29=0.34
Verifica ZZ: 0.03+0.01+0.29=0.34

- Verifica in termini tensionali [4.2.4] - CC 19 SLU Xl=0.09 - Classe 3
Sollecitazioni: N=-2279.13 T_z=-100.18 M_y=63.12 T_y=268.60 M_z=823.51 M_x=-1.75
Tensioni: σ_N=-79.54 σ_M=-859.08 τ=1.07 σ_{max}=-938.62
Tensioni: σ_N=-79.54 σ_M=54.73 τ=22.13 τ_{max}=22.13
Tensioni: σ_N=-79.54 σ_M=-859.08 τ=1.07 $\sigma_{ID,max}$=938.62

- Verifica Spostamento relativo massimo per singola asta - CC 22
δ=0.03 (L/334)

Asta n. 29 (2029 4029) montante SHS120x120x6.3 Crit. 1

- Verifica di stabilità aste presso-inflesse (C4.2.4.1.3.3.2) - CC 19 SLU - Classe 3
Sollecitazioni: N,Ed=-909.63 My,Ed=647.98 Mz,Ed=-54.66
Resistenze: Nc,Rd=75042.00 My,c,Rd=2703.05 Mz,c,Rd=2703.05 L=12.00
αmy, αmz, αLT=0.95, 0.95, 0.95
λ_Y=2.58 Ncr,y=89129000.00 λ^*_y=0.03 Curva a: Φ_y=0.00 χ_y=1.00
λ_Z=2.58 Ncr,z=89129000.00 λ^*_z=0.03 Curva a: Φ_z=0.00 χ_z=1.00
Kyy, Kyz, Kzy, Kzz=0.95, 0.95, 0.76, 0.95
Verifica YY: 0.01+0.19+0.02=0.22
Verifica ZZ: 0.01+0.15+0.02=0.19

- Verifica in termini tensionali [4.2.4] - CC 19 SLU Xl=0.00 - Classe 3
Sollecitazioni: N=-909.63 T_z=4170.09 M_y=647.98 T_y=-82.15 M_z=-48.91 M_x=-5.13
Tensioni: σ_N=-31.75 σ_M=-675.23 τ=3.15 σ_{max}=-706.98
Tensioni: σ_N=-31.75 σ_M=42.42 τ=329.95 τ_{max}=329.95
Tensioni: σ_N=-31.75 σ_M=-609.31 τ=226.55 $\sigma_{ID,max}$=751.62

- Verifica Spostamento relativo massimo per singola asta - CC 24
δ=0.03 (L/334)

Asta n. 30 (2030 4030) montanti 50x10 Crit. 1

- Verifica di stabilità aste inflesse (4.2.4.1.3.2) CC 5 SLV - Classe 3
L_{cr}=0.12 Curva d: α_{imp}=0.76 k_c=0.94 ψ=2.39 M,cr=0.00 λ_{LT}=0.00
$\lambda_{LT,0}$=0.20 β_{LT}=1.00 Φ_{LT}=0.00 β_{LT}=1.00 f=0.00 χ_{LT}=1.00
CC 5 SLV My,Ed=7.94 My,b,Rd=109.13 My,Ed/My,b,Rd=0.07

- Verifica di stabilità aste presso-inflesse (C4.2.4.1.3.3.1) - CC 19 SLU - Classe 3
Sollecitazioni: N,Ed=-229.59 Myeq,Ed=5.59 Mzeq,Ed=-0.61
Resistenze: Nc,Rd=13095.20 My,c,Rd=109.13 Mz,c,Rd=21.83 L=12.00
λ_Y=8.31 Ncr,y=1499290.00 λ^*_y=0.10 Curva c: Φ_y=0.48 χ_y=1.00
λ_Z=41.57 Ncr,z=59971.70 λ^*_z=0.48 Curva c: Φ_z=0.68 χ_z=0.85
χ,min=0.85
Verifica: 0.02+0.05+0.03=0.10

- Verifica in termini tensionali [4.2.4] - CC 19 SLU Xl=0.00 - Classe 3
Sollecitazioni: N=-229.59 T_z=63.31 M_y=7.45 T_y=-7.88
Tensioni: σ_N=-45.92 σ_M=-178.79 τ=0.00 σ_{max}=-224.71
Tensioni: σ_N=-45.92 σ_M=-0.00 τ=19.14 τ_{max}=19.14
Tensioni: σ_N=-45.92 σ_M=-178.79 τ=2.36 $\sigma_{ID,max}$=224.74

- Verifica a taglio dir. Z [4.2.16] - CC 5 SLV Xl=0.08
Sollecitazioni: N=13.77 T_z=100.98

V,Ed=100.98 Vc,Rd=7560.76 V,Ed/Vc,Rd=0.01

Asta n. 31 (2031 4031) montanti 50x10 Crit. 1

- Verifica di stabilità aste inflesse (4.2.4.1.3.2) CC 19 SLU - Classe 3
L_{cr}=0.12 Curva d: α_{imp}=0.76 k_c=0.94 ψ=1.89 M,cr=0.00 λ_{LT}=0.00
$\lambda_{LT,0}$=0.20 β_{LT}=1.00 Φ_{LT}=0.00 β_{LT}=1.00 f=0.00 χ_{LT}=1.00
CC 19 SLU My,Ed=8.25 My,b,Rd=109.13 My,Ed/My,b,Rd=0.08

- Verifica di stabilità aste presso-inflesse (C4.2.4.1.3.3.1) - CC 5 SLV - Classe 3
Sollecitazioni: N,Ed=-60.21 Myeq,Ed=7.98 Mzeq,Ed=0.16
Resistenze: Nc,Rd=13095.20 My,c,Rd=109.13 Mz,c,Rd=21.83 L=12.00
λ_Y=8.31 Ncr,y=1499290.00 λ^*_y=0.10 Curva c: Φ_y=0.48 χ_y=1.00
λ_Z=41.57 Ncr,z=59971.70 λ^*_z=0.48 Curva c: Φ_z=0.68 χ_z=0.85
χ,min=0.85
Verifica: 0.00+0.07+0.01=0.09

- Verifica in termini tensionali [4.2.4] - CC 19 SLU Xl=0.00 - Classe 3
Sollecitazioni: N=72.43 T_z=77.52 M_y=8.25
Tensioni: σ_N=14.49 σ_M=198.06 τ=0.00 σ_{max}=212.54
Tensioni: σ_N=14.49 σ_M=-0.00 τ=23.26 τ_{max}=23.26
Tensioni: σ_N=14.49 σ_M=198.06 τ=0.00 $\sigma_{ID,max}$=212.54

- Verifica a taglio dir. Y [4.2.16] - CC 5 SLV Xl=0.08
Sollecitazioni: N=14.10 T_z=102.33 T_y=2.10
V,Ed=2.10 Vc,Rd=7560.76 V,Ed/Vc,Rd=0.00

- Verifica a taglio dir. Z [4.2.16]
V,Ed=102.33 Vc,Rd=7560.76 V,Ed/Vc,Rd=0.01

Asta n. 32 (1032 2032) montante SHS120x120x6.3 Crit. 1

- Verifica di stabilità aste presso-inflesse (C4.2.4.1.3.3.2) - CC 19 SLU - Classe 3
Sollecitazioni: N,Ed=-2276.54 My,Ed=75.68 Mz,Ed=818.69
Resistenze: Nc,Rd=75042.00 My,c,Rd=2703.05 Mz,c,Rd=2703.05 L=14.00
αmy, αmz, αLT=0.95, 0.95, 0.95
λ_Y=3.01 Ncr,y=65482300.00 λ^*_y=0.03 Curva a: Φ_y=0.00 χ_y=1.00
λ_Z=3.01 Ncr,z=65482300.00 λ^*_z=0.03 Curva a: Φ_z=0.00 χ_z=1.00
Kyy, Kyz, Kzy, Kzz=0.95, 0.95, 0.76, 0.95
Verifica YY: 0.03+0.02+0.29=0.34
Verifica ZZ: 0.03+0.02+0.29=0.34

- Verifica in termini tensionali [4.2.4] - CC 19 SLU Xl=0.09 - Classe 3
Sollecitazioni: N=-2273.91 T_z=-126.77 M_y=75.68 T_y=266.78 M_z=818.69
Tensioni: σ_N=-79.36 σ_M=-866.57 τ=0.00 σ_{max}=-945.93
Tensioni: σ_N=-79.36 σ_M=65.63 τ=20.92 τ_{max}=20.92
Tensioni: σ_N=-79.36 σ_M=-866.57 τ=0.00 $\sigma_{ID,max}$=945.93

- Verifica Spostamento relativo massimo per singola asta - CC 22
δ=0.03 (L/334)

Asta n. 32 (2032 4032) montante SHS120x120x6.3 Crit. 1

- Verifica di stabilità aste presso-inflesse (C4.2.4.1.3.3.2) - CC 19 SLU - Classe 3
Sollecitazioni: N,Ed=-908.47 My,Ed=644.10 Mz,Ed=-65.92
Resistenze: Nc,Rd=75042.00 My,c,Rd=2703.05 Mz,c,Rd=2703.05 L=12.00
αmy, αmz, αLT=0.95, 0.95, 0.95
λ_Y=2.58 Ncr,y=89129000.00 λ^*_y=0.03 Curva a: Φ_y=0.00 χ_y=1.00
λ_Z=2.58 Ncr,z=89129000.00 λ^*_z=0.03 Curva a: Φ_z=0.00 χ_z=1.00

Kyy, Kyz, Kzy, Kzz=0.95, 0.95, 0.76, 0.95
Verifica YY: 0.01+0.19+0.02=0.23
Verifica ZZ: 0.01+0.15+0.02=0.19

- Verifica in termini tensionali [4.2.4] - CC 19 SLU Xl=0.00 - Classe 3
Sollecitazioni: N=-908.47 T_z=4144.34 M_y=644.10 T_y=-103.28 M_z=-58.69 M_x=-14.30
Tensioni: σ_N=-31.71 σ_M=-680.95 τ=8.78 σ_{max}=-712.66
Tensioni: σ_N=-31.71 σ_M=50.89 τ=333.56 τ_{max}=333.56
Tensioni: σ_N=-31.71 σ_M=-615.42 τ=219.51 $\sigma_{ID,max}$=750.55

- Verifica Spostamento relativo massimo per singola asta - CC 24
δ=0.03 (L/334)

Asta n. 33 (2033 4033) montanti 50x10 Crit. 1

- Verifica di stabilità aste inflesse (4.2.4.1.3.2) CC 1 SLV - Classe 3
L_{cr}=0.12 Curva d: α_{imp}=0.76 k_c=0.94 ψ=2.19 M,cr=0.00 λ_{LT}=0.00
$\lambda_{LT,0}$=0.20 β_{LT}=1.00 Φ_{LT}=0.00 β_{LT}=1.00 f=0.00 χ_{LT}=1.00
CC 1 SLV My,Ed=3.76 My,b,Rd=109.13 My,Ed/My,b,Rd=0.03

- Verifica di stabilità aste presso-inflesse (C4.2.4.1.3.3.1) - CC 19 SLU - Classe 3
Sollecitazioni: N,Ed=-259.20 Myeq,Ed=5.43 Mzeq,Ed=-0.67
Resistenze: Nc,Rd=13095.20 My,c,Rd=109.13 Mz,c,Rd=21.83 L=12.00
λ_Y=8.31 Ncr,y=1499290.00 λ^*_y=0.10 Curva c: Φ_y=0.48 χ_y=1.00
λ_Z=41.57 Ncr,z=59971.70 λ^*_z=0.48 Curva c: Φ_z=0.68 χ_z=0.85
χ,min=0.85
Verifica: 0.02+0.05+0.03=0.10

- Verifica in termini tensionali [4.2.4] - CC 19 SLU Xl=0.00 - Classe 3
Sollecitazioni: N=-259.20 T_z=60.25 M_y=7.24 T_y=-8.60
Tensioni: σ_N=-51.84 σ_M=-173.68 τ=0.00 σ_{max}=-225.52
Tensioni: σ_N=-51.84 σ_M=-0.00 τ=18.26 τ_{max}=18.26
Tensioni: σ_N=-51.84 σ_M=-173.68 τ=2.58 $\sigma_{ID,max}$=225.56

- Verifica a taglio dir. Z [4.2.16] - CC 1 SLV Xl=0.07
Sollecitazioni: N=44.39 T_z=43.23
V,Ed=43.23 Vc,Rd=7560.76 V,Ed/Vc,Rd=0.01

Asta n. 34 (2034 4034) montanti 50x10 Crit. 1

- Verifica di stabilità aste inflesse (4.2.4.1.3.2) CC 5 SLV - Classe 3
L_{cr}=0.12 Curva d: α_{imp}=0.76 k_c=0.94 ψ=2.46 M,cr=0.00 λ_{LT}=0.00
$\lambda_{LT,0}$=0.20 β_{LT}=1.00 Φ_{LT}=0.00 β_{LT}=1.00 f=0.00 χ_{LT}=1.00
CC 5 SLV My,Ed=7.06 My,b,Rd=109.13 My,Ed/My,b,Rd=0.06

- Verifica di stabilità aste presso-inflesse (C4.2.4.1.3.3.1) - CC 5 SLV - Classe 3
Sollecitazioni: N,Ed=-56.67 Myeq,Ed=7.06 Mzeq,Ed=0.09
Resistenze: Nc,Rd=13095.20 My,c,Rd=109.13 Mz,c,Rd=21.83 L=12.00
λ_Y=8.31 Ncr,y=1499290.00 λ^*_y=0.10 Curva c: Φ_y=0.48 χ_y=1.00
λ_Z=41.57 Ncr,z=59971.70 λ^*_z=0.48 Curva c: Φ_z=0.68 χ_z=0.85
χ,min=0.85
Verifica: 0.00+0.06+0.00=0.07

- Verifica in termini tensionali [4.2.4] - CC 5 SLV Xl=0.00 - Classe 3
Sollecitazioni: N=-56.67 T_z=92.85 M_y=7.06 T_y=1.19
Tensioni: σ_N=-11.33 σ_M=-169.52 τ=0.00 σ_{max}=-180.85
Tensioni: σ_N=-11.33 σ_M=-0.00 τ=27.86 τ_{max}=27.86
Tensioni: σ_N=-11.33 σ_M=-169.52 τ=0.36 $\sigma_{ID,max}$=180.85

- Verifica a taglio dir. Y [4.2.16] - CC 5 SLV Xl=0.07
  Sollecitazioni: N=5.29 T_z=92.85 T_y=1.19
  V,Ed=1.19 Vc,Rd=7560.76 V,Ed/Vc,Rd=0.00

- Verifica a taglio dir. Z [4.2.16]
  V,Ed=92.85 Vc,Rd=7560.76 V,Ed/Vc,Rd=0.01

Asta n. 35 (1035 2035) montante SHS120x120x6.3 Crit. 1

- Verifica di stabilità aste presso-inflesse (C4.2.4.1.3.3.2) - CC 9 SLU - Classe 3
  Sollecitazioni: N,Ed=-1154.53 My,Ed=-38.22 Mz,Ed=428.83
  Resistenze: Nc,Rd=75042.00 My,c,Rd=2703.05 Mz,c,Rd=2703.05 L=14.00
  αmy, αmz, αLT=0.95, 0.95, 0.95
  λ_Y=3.01 Ncr,y=65482300.00 λ^*_y=0.03 Curva a: Φ_y=0.00 χ_y=1.00
  λ_Z=3.01 Ncr,z=65482300.00 λ^*_z=0.03 Curva a: Φ_z=0.00 χ_z=1.00
  Kyy, Kyz, Kzy, Kzz=0.95, 0.95, 0.76, 0.95
  Verifica YY: 0.02+0.01+0.15=0.18
  Verifica ZZ: 0.02+0.01+0.15=0.18

- Verifica in termini tensionali [4.2.4] - CC 9 SLU Xl=0.09 - Classe 3
  Sollecitazioni: N=-1151.90 T_z=-31.42 M_y=-35.39 T_y=124.09 M_z=428.83 M_x=1.77
  Tensioni: σ_N=-40.20 σ_M=-449.79 τ=1.09 σ_{max}=-490.00
  Tensioni: σ_N=-40.20 σ_M=30.69 τ=10.81 τ_{max}=10.81
  Tensioni: σ_N=-40.20 σ_M=-449.79 τ=1.09 $\sigma_{ID,max}$=490.00

- Verifica a taglio dir. Y [4.2.16] - CC 19 SLU Xl=0.08
  Sollecitazioni: N=-1124.86 T_z=-117.49 T_y=124.97 M_z=430.61
  V,Ed=124.97 Vc,Rd=21663.40 V,Ed/Vc,Rd=0.01

- Verifica a taglio dir. Z [4.2.16]
  V,Ed=-117.49 Vc,Rd=21663.40 V,Ed/Vc,Rd=0.01

- Verifica Spostamento relativo massimo per singola asta - CC 22
  δ=0.02 (L/422)

Asta n. 35 (2035 4035) montante SHS120x120x6.3 Crit. 1

- Verifica di stabilità aste presso-inflesse (C4.2.4.1.3.3.2) - CC 9 SLU - Classe 3
  Sollecitazioni: N,Ed=-480.36 My,Ed=336.98 Mz,Ed=22.32
  Resistenze: Nc,Rd=75042.00 My,c,Rd=2703.05 Mz,c,Rd=2703.05 L=12.00
  αmy, αmz, αLT=0.95, 0.95, 0.95
  λ_Y=2.58 Ncr,y=89129000.00 λ^*_y=0.03 Curva a: Φ_y=0.00 χ_y=1.00
  λ_Z=2.58 Ncr,z=89129000.00 λ^*_z=0.03 Curva a: Φ_z=0.00 χ_z=1.00
  Kyy, Kyz, Kzy, Kzz=0.95, 0.95, 0.76, 0.95
  Verifica YY: 0.01+0.10+0.01=0.11
  Verifica ZZ: 0.01+0.08+0.01=0.09

- Verifica in termini tensionali [4.2.4] - CC 9 SLU Xl=0.00 - Classe 3
  Sollecitazioni: N=-480.36 T_z=2169.64 M_y=336.98 T_y=-32.02 M_z=22.32 M_x=-7.03
  Tensioni: σ_N=-16.77 σ_M=-348.13 τ=4.32 σ_{max}=-364.90
  Tensioni: σ_N=-16.77 σ_M=-19.36 τ=174.34 τ_{max}=174.34
  Tensioni: σ_N=-16.77 σ_M=-313.85 τ=123.83 $\sigma_{ID,max}$=394.09

- Verifica a taglio e torsione dir. Z [4.2.25] - CC 5 SLV Xl=0.04
  Sollecitazioni: N=-123.70 T_z=1916.08 M_y=202.11 M_x=-2.54
  V,Ed=1916.08 Vc,Rd,Red=21641.10 V,Ed/Vc,Rd,Red=0.09

- Verifica Spostamento relativo massimo per singola asta - CC 22
  δ=0.02 (L/377)

Asta n. 36 (2036 4036) montanti 50x10 Crit. 1

- Verifica di stabilità aste inflesse (4.2.4.1.3.2) CC 5 SLV - Classe 3
  L_{cr}=0.12 Curva d: α_{imp}=0.76 k_c=0.94 ψ=2.47 M,cr=0.00 λ_{LT}=0.00
  $\lambda_{LT,0}$=0.20 β_{LT}=1.00 Φ_{LT}=0.00 β_{LT}=1.00 f=0.00 χ_{LT}=1.00
  CC 5 SLV My,Ed=7.15 My,b,Rd=109.13 My,Ed/My,b,Rd=0.07

- Verifica di stabilità aste presso-inflesse (C4.2.4.1.3.3.1) - CC 5 SLV - Classe 3
  Sollecitazioni: N,Ed=-12.35 Myeq,Ed=7.15 Mzeq,Ed=0.02
  Resistenze: Nc,Rd=13095.20 My,c,Rd=109.13 Mz,c,Rd=21.83 L=12.00
  λ_Y=8.31 Ncr,y=1499290.00 λ^*_y=0.10 Curva c: Φ_y=0.48 χ_y=1.00
  λ_Z=41.57 Ncr,z=59971.70 λ^*_z=0.48 Curva c: Φ_z=0.68 χ_z=0.85
  χ,min=0.85
  Verifica: 0.00+0.07+0.00=0.07

- Verifica in termini tensionali [4.2.4] - CC 5 SLV Xl=0.00 - Classe 3
  Sollecitazioni: N=25.68 T_z=94.32 M_y=7.15
  Tensioni: σ_N=5.14 σ_M=171.48 τ=0.00 σ_{max}=176.62
  Tensioni: σ_N=5.14 σ_M=-0.00 τ=28.30 τ_{max}=28.30
  Tensioni: σ_N=5.14 σ_M=171.48 τ=0.00 $\sigma_{ID,max}$=176.62

- Verifica a taglio dir. Z [4.2.16] - CC 5 SLV Xl=0.07
  Sollecitazioni: N=25.94 T_z=94.32
  V,Ed=94.32 Vc,Rd=7560.76 V,Ed/Vc,Rd=0.01

Asta n. 37 (37 -545) montanti 50x10 Crit. 1

- Verifica di stabilità aste inflesse (4.2.4.1.3.2) CC 5 SLV - Classe 3
  L_{cr}=0.14 Curva d: α_{imp}=0.76 k_c=0.94 ψ=3.08 M,cr=0.00 λ_{LT}=0.00
  $\lambda_{LT,0}$=0.20 β_{LT}=1.00 Φ_{LT}=0.00 β_{LT}=1.00 f=0.00 χ_{LT}=1.00
  CC 5 SLV My,Ed=-19.72 My,b,Rd=109.13 My,Ed/My,b,Rd=0.18

- Verifica di stabilità aste presso-inflesse (C4.2.4.1.3.3.1) - CC 18 SLU - Classe 3
  Sollecitazioni: N,Ed=-34.74 Myeq,Ed=-45.02 Mzeq,Ed=-0.03
  Resistenze: Nc,Rd=13095.20 My,c,Rd=109.13 Mz,c,Rd=21.83 L=13.75
  λ_Y=9.53 Ncr,y=1141940.00 λ^*_y=0.11 Curva c: Φ_y=0.48 χ_y=1.00
  λ_Z=47.63 Ncr,z=45677.60 λ^*_z=0.55 Curva c: Φ_z=0.74 χ_z=0.82
  χ,min=0.82
  Verifica: 0.00+0.41+0.00=0.42

- Verifica in termini tensionali [4.2.4] - CC 18 SLU Xl=0.00 - Classe 3
  Sollecitazioni: N=-34.74 T_z=-653.20 M_y=-45.02
  Tensioni: σ_N=-6.95 σ_M=-1080.58 τ=0.00 σ_{max}=-1087.53
  Tensioni: σ_N=-6.95 σ_M=0.00 τ=195.96 τ_{max}=195.96
  Tensioni: σ_N=-6.95 σ_M=-1080.58 τ=0.00 $\sigma_{ID,max}$=1087.53

- Verifica a taglio dir. Z [4.2.16] - CC 7 SLV Xl=0.06
  Sollecitazioni: T_z=-57.66
  V,Ed=-57.66 Vc,Rd=7560.76 V,Ed/Vc,Rd=0.01

Asta n. 38 (38 -546) montanti 50x10 Crit. 1

- Verifica di stabilità aste presso-inflesse (C4.2.4.1.3.3.1) - CC 18 SLU - Classe 3
  Sollecitazioni: N,Ed=-66.20 Myeq,Ed=-55.18 Mzeq,Ed=-0.06
  Resistenze: Nc,Rd=13095.20 My,c,Rd=109.13 Mz,c,Rd=21.83 L=13.75
  λ_Y=9.53 Ncr,y=1141940.00 λ^*_y=0.11 Curva c: Φ_y=0.48 χ_y=1.00
  λ_Z=47.63 Ncr,z=45677.60 λ^*_z=0.55 Curva c: Φ_z=0.74 χ_z=0.82
  χ,min=0.82
  Verifica: 0.01+0.51+0.00=0.51

- Verifica in termini tensionali [4.2.4] - CC 18 SLU Xl=0.00 - Classe 3
  Sollecitazioni: N=-66.20 T_z=-800.15 M_y=-55.18
  Tensioni: σ_N=-13.24 σ_M=-1324.26 τ=0.00 σ_{max}=-1337.50
  Tensioni: σ_N=-13.24 σ_M=0.00 τ=240.04 τ_{max}=240.04
  Tensioni: σ_N=-13.24 σ_M=-1324.26 τ=0.00 $\sigma_{ID,max}$=1337.50

Asta n. 39 (39 -547) montanti 50x10 Crit. 1

- Verifica di stabilità aste presso-inflesse (C4.2.4.1.3.3.1) - CC 18 SLU - Classe 3
  Sollecitazioni: N,Ed=-105.27 Myeq,Ed=-103.49 Mzeq,Ed=0.04
  Resistenze: Nc,Rd=13095.20 My,c,Rd=109.13 Mz,c,Rd=21.83 L=13.75
  λ_Y=9.53 Ncr,y=1141940.00 λ^*_y=0.11 Curva c: Φ_y=0.48 χ_y=1.00
  λ_Z=47.63 Ncr,z=45677.60 λ^*_z=0.55 Curva c: Φ_z=0.74 χ_z=0.82
  χ,min=0.82
  Verifica: 0.01+0.95+0.00=0.96

- Verifica in termini tensionali [4.2.4] - CC 18 SLU Xl=0.00 - Classe 3
  Sollecitazioni: N=-105.27 T_z=-1500.56 M_y=-103.49
  Tensioni: σ_N=-21.05 σ_M=-2483.73 τ=0.00 σ_{max}=-2504.78
  Tensioni: σ_N=-21.05 σ_M=0.00 τ=450.17 τ_{max}=450.17
  Tensioni: σ_N=-21.05 σ_M=-2483.73 τ=0.00 $\sigma_{ID,max}$=2504.78

Asta n. 40 (40 -548) montanti 50x10 Crit. 1

- Verifica di stabilità aste presso-inflesse (C4.2.4.1.3.3.1) - CC 18 SLU - Classe 3
  Sollecitazioni: N,Ed=-107.00 Myeq,Ed=-104.21 Mzeq,Ed=-0.04
  Resistenze: Nc,Rd=13095.20 My,c,Rd=109.13 Mz,c,Rd=21.83 L=13.75
  λ_Y=9.53 Ncr,y=1141940.00 λ^*_y=0.11 Curva c: Φ_y=0.48 χ_y=1.00
  λ_Z=47.63 Ncr,z=45677.60 λ^*_z=0.55 Curva c: Φ_z=0.74 χ_z=0.82
  χ,min=0.82
  Verifica: 0.01+0.96+0.00=0.97

- Verifica in termini tensionali [4.2.4] - CC 18 SLU Xl=0.00 - Classe 3
  Sollecitazioni: N=-107.00 T_z=-1511.14 M_y=-104.21
  Tensioni: σ_N=-21.40 σ_M=-2500.97 τ=0.00 σ_{max}=-2522.37
  Tensioni: σ_N=-21.40 σ_M=0.00 τ=453.34 τ_{max}=453.34
  Tensioni: σ_N=-21.40 σ_M=-2500.97 τ=0.00 $\sigma_{ID,max}$=2522.37

Asta n. 41 (41 -549) montanti 50x10 Crit. 1

- Verifica di stabilità aste presso-inflesse (C4.2.4.1.3.3.1) - CC 18 SLU - Classe 3
  Sollecitazioni: N,Ed=-106.87 Myeq,Ed=-104.06 Mzeq,Ed=0.05
  Resistenze: Nc,Rd=13095.20 My,c,Rd=109.13 Mz,c,Rd=21.83 L=13.75
  λ_Y=9.53 Ncr,y=1141940.00 λ^*_y=0.11 Curva c: Φ_y=0.48 χ_y=1.00
  λ_Z=47.63 Ncr,z=45677.60 λ^*_z=0.55 Curva c: Φ_z=0.74 χ_z=0.82
  χ,min=0.82
  Verifica: 0.01+0.95+0.00=0.96

- Verifica in termini tensionali [4.2.4] - CC 18 SLU Xl=0.00 - Classe 3
  Sollecitazioni: N=-106.87 T_z=-1508.95 M_y=-104.06
  Tensioni: σ_N=-21.37 σ_M=-2497.33 τ=0.00 σ_{max}=-2518.70
  Tensioni: σ_N=-21.37 σ_M=0.00 τ=452.69 τ_{max}=452.69
  Tensioni: σ_N=-21.37 σ_M=-2497.33 τ=0.00 $\sigma_{ID,max}$=2518.70

Asta n. 42 (42 -550) montanti 50x10 Crit. 1

- Verifica di stabilità aste presso-inflesse (C4.2.4.1.3.3.1) - CC 18 SLU - Classe 3
  Sollecitazioni: N,Ed=-105.41 Myeq,Ed=-103.64 Mzeq,Ed=-0.04

Resistenze: Nc,Rd=13095.20 My,c,Rd=109.13 Mz,c,Rd=21.83 L=13.75
λ_Y=9.53 Ncr,y=1141940.00 λ^*_y=0.11 Curva c: Φ_y=0.48 χ_y=1.00
λ_Z=47.63 Ncr,z=45677.60 λ^*_z=0.55 Curva c: Φ_z=0.74 χ_z=0.82
χ,min=0.82
Verifica: 0.01+0.95+0.00=0.96

- Verifica in termini tensionali [4.2.4] - CC 18 SLU Xl=0.00 - Classe 3
Sollecitazioni: N=-105.41 T_z=-1502.75 M_y=-103.64
Tensioni: σ_N=-21.08 σ_M=-2487.36 τ=0.00 σ_{max}=-2508.44
Tensioni: σ_N=-21.08 σ_M=0.00 τ=450.82 τ_{max}=450.82
Tensioni: σ_N=-21.08 σ_M=-2487.36 τ=0.00 $\sigma_{ID,max}$=2508.44

Asta n. 43 (43 -551) montanti 50x10 Crit. 1

- Verifica di stabilità aste presso-inflesse (C4.2.4.1.3.3.1) - CC 18 SLU - Classe 3
Sollecitazioni: N,Ed=-66.12 Myeq,Ed=-55.11 Mzeq,Ed=0.06
Resistenze: Nc,Rd=13095.20 My,c,Rd=109.13 Mz,c,Rd=21.83 L=13.75
λ_Y=9.53 Ncr,y=1141940.00 λ^*_y=0.11 Curva c: Φ_y=0.48 χ_y=1.00
λ_Z=47.63 Ncr,z=45677.60 λ^*_z=0.55 Curva c: Φ_z=0.74 χ_z=0.82
χ,min=0.82
Verifica: 0.01+0.51+0.00=0.51

- Verifica in termini tensionali [4.2.4] - CC 18 SLU Xl=0.00 - Classe 3
Sollecitazioni: N=-66.12 T_z=-799.12 M_y=-55.11
Tensioni: σ_N=-13.22 σ_M=-1322.55 τ=0.00 σ_{max}=-1335.77
Tensioni: σ_N=-13.22 σ_M=0.00 τ=239.74 τ_{max}=239.74
Tensioni: σ_N=-13.22 σ_M=-1322.55 τ=0.00 $\sigma_{ID,max}$=1335.77

Asta n. 44 (44 -552) montanti 50x10 Crit. 1

- Verifica di stabilità aste inflesse (4.2.4.1.3.2) CC 5 SLV - Classe 3
L_{cr}=0.14 Curva d: α_{imp}=0.76 k_c=0.94 ψ=3.09 M,cr=0.00 λ_{LT}=0.00
$\lambda_{LT,0}$=0.20 β_{LT}=1.00 Φ_{LT}=0.00 β_{LT}=1.00 f=0.00 χ_{LT}=1.00
CC 5 SLV My,Ed=-19.75 My,b,Rd=109.13 My,Ed/My,b,Rd=0.18

- Verifica di stabilità aste presso-inflesse (C4.2.4.1.3.3.1) - CC 19 SLU - Classe 3
Sollecitazioni: N,Ed=-38.30 Myeq,Ed=-45.23 Mzeq,Ed=0.03
Resistenze: Nc,Rd=13095.20 My,c,Rd=109.13 Mz,c,Rd=21.83 L=13.75
λ_Y=9.53 Ncr,y=1141940.00 λ^*_y=0.11 Curva c: Φ_y=0.48 χ_y=1.00
λ_Z=47.63 Ncr,z=45677.60 λ^*_z=0.55 Curva c: Φ_z=0.74 χ_z=0.82
χ,min=0.82
Verifica: 0.00+0.41+0.00=0.42

- Verifica in termini tensionali [4.2.4] - CC 19 SLU Xl=0.00 - Classe 3
Sollecitazioni: N=-38.30 T_z=-655.49 M_y=-45.23
Tensioni: σ_N=-7.66 σ_M=-1085.47 τ=0.00 σ_{max}=-1093.13
Tensioni: σ_N=-7.66 σ_M=0.00 τ=196.65 τ_{max}=196.65
Tensioni: σ_N=-7.66 σ_M=-1085.47 τ=0.00 $\sigma_{ID,max}$=1093.13

- Verifica a taglio dir. Z [4.2.16] - CC 7 SLV Xl=0.06
Sollecitazioni: T_z=-57.82
V,Ed=-57.82 Vc,Rd=7560.76 V,Ed/Vc,Rd=0.01

Asta n. 45 (45 -561) montanti 50x10 Crit. 1

- Verifica di stabilità aste presso-inflesse (C4.2.4.1.3.3.1) - CC 18 SLU - Classe 3
Sollecitazioni: N,Ed=-23.46 Myeq,Ed=-44.77 Mzeq,Ed=-0.01
Resistenze: Nc,Rd=13095.20 My,c,Rd=109.13 Mz,c,Rd=21.83 L=15.50
λ_Y=10.74 Ncr,y=898638.00 λ^*_y=0.12 Curva c: Φ_y=0.49 χ_y=1.00

λ_Z=53.69 Ncr,z=35945.50 λ^*_z=0.62 Curva c: Φ_z=0.79 χ_z=0.77
χ,min=0.77
Verifica: 0.00+0.41+0.00=0.41

- Verifica in termini tensionali [4.2.4] - CC 18 SLU Xl=0.00 - Classe 3
Sollecitazioni: N=-23.46 T_z=-577.58 M_y=-44.77
Tensioni: σ_N=-4.69 σ_M=-1074.60 τ=0.00 σ_{max}=-1079.29
Tensioni: σ_N=-4.69 σ_M=0.00 τ=173.27 τ_{max}=173.27
Tensioni: σ_N=-4.69 σ_M=-1074.60 τ=0.00 $\sigma_{ID,max}$=1079.29

Asta n. 46 (46 -562) montanti 50x10 Crit. 1

- Verifica di stabilità aste presso-inflesse (C4.2.4.1.3.3.1) - CC 18 SLU - Classe 3
Sollecitazioni: N,Ed=-50.36 Myeq,Ed=-50.74 Mzeq,Ed=-0.02
Resistenze: Nc,Rd=13095.20 My,c,Rd=109.13 Mz,c,Rd=21.83 L=15.50
λ_Y=10.74 Ncr,y=898638.00 λ^*_y=0.12 Curva c: Φ_y=0.49 χ_y=1.00
λ_Z=53.69 Ncr,z=35945.50 λ^*_z=0.62 Curva c: Φ_z=0.79 χ_z=0.77
χ,min=0.77
Verifica: 0.00+0.46+0.00=0.47

- Verifica in termini tensionali [4.2.4] - CC 18 SLU Xl=0.00 - Classe 3
Sollecitazioni: N=-50.36 T_z=-654.56 M_y=-50.74
Tensioni: σ_N=-10.07 σ_M=-1217.66 τ=0.00 σ_{max}=-1227.73
Tensioni: σ_N=-10.07 σ_M=0.00 τ=196.37 τ_{max}=196.37
Tensioni: σ_N=-10.07 σ_M=-1217.66 τ=0.00 $\sigma_{ID,max}$=1227.73

Asta n. 47 (47 -563) montanti 50x10 Crit. 1

- Verifica di stabilità aste presso-inflesse (C4.2.4.1.3.3.1) - CC 18 SLU - Classe 3
Sollecitazioni: N,Ed=-73.77 Myeq,Ed=99.56 Mzeq,Ed=0.01
Resistenze: Nc,Rd=13095.20 My,c,Rd=109.13 Mz,c,Rd=21.83 L=15.50
λ_Y=10.74 Ncr,y=898638.00 λ^*_y=0.12 Curva c: Φ_y=0.49 χ_y=1.00
λ_Z=53.69 Ncr,z=35945.50 λ^*_z=0.62 Curva c: Φ_z=0.79 χ_z=0.77
χ,min=0.77
Verifica: 0.01+0.91+0.00=0.92

- Verifica in termini tensionali [4.2.4] - CC 18 SLU Xl=0.15 - Classe 3
Sollecitazioni: N=-72.98 T_z=-1284.32 M_y=99.56
Tensioni: σ_N=-14.60 σ_M=-2389.39 τ=0.00 σ_{max}=-2403.98
Tensioni: σ_N=-14.60 σ_M=-0.00 τ=385.30 τ_{max}=385.30
Tensioni: σ_N=-14.60 σ_M=-2389.39 τ=0.00 $\sigma_{ID,max}$=2403.98

Asta n. 48 (48 -564) montanti 50x10 Crit. 1

- Verifica di stabilità aste presso-inflesse (C4.2.4.1.3.3.1) - CC 18 SLU - Classe 3
Sollecitazioni: N,Ed=-75.72 Myeq,Ed=100.02 Mzeq,Ed=-0.00
Resistenze: Nc,Rd=13095.20 My,c,Rd=109.13 Mz,c,Rd=21.83 L=15.50
λ_Y=10.74 Ncr,y=898638.00 λ^*_y=0.12 Curva c: Φ_y=0.49 χ_y=1.00
λ_Z=53.69 Ncr,z=35945.50 λ^*_z=0.62 Curva c: Φ_z=0.79 χ_z=0.77
χ,min=0.77
Verifica: 0.01+0.92+0.00=0.92

- Verifica in termini tensionali [4.2.4] - CC 18 SLU Xl=0.15 - Classe 3
Sollecitazioni: N=-74.93 T_z=-1290.36 M_y=100.02
Tensioni: σ_N=-14.99 σ_M=-2400.58 τ=0.00 σ_{max}=-2415.56
Tensioni: σ_N=-14.99 σ_M=-0.00 τ=387.11 τ_{max}=387.11
Tensioni: σ_N=-14.99 σ_M=-2400.58 τ=0.00 $\sigma_{ID,max}$=2415.56

Asta n. 49 (49 -565) montanti 50x10 Crit. 1

- Verifica di stabilità aste presso-inflesse (C4.2.4.1.3.3.1) - CC 18 SLU - Classe 3
  Sollecitazioni: N,Ed=-75.66 Myeq,Ed=99.90 Mzeq,Ed=0.00
  Resistenze: Nc,Rd=13095.20 My,c,Rd=109.13 Mz,c,Rd=21.83 L=15.50
  λ_Y=10.74 Ncr,y=898638.00 λ^*_y=0.12 Curva c: Φ_y=0.49 χ_y=1.00
  λ_Z=53.69 Ncr,z=35945.50 λ^*_z=0.62 Curva c: Φ_z=0.79 χ_z=0.77
  χ,min=0.77
  Verifica: 0.01+0.92+0.00=0.92

- Verifica in termini tensionali [4.2.4] - CC 18 SLU Xl=0.15 - Classe 3
  Sollecitazioni: N=-74.87 T_z=-1288.75 M_y=99.90
  Tensioni: σ_N=-14.97 σ_M=-2397.58 τ=0.00 σ_{max}=-2412.55
  Tensioni: σ_N=-14.97 σ_M=-0.00 τ=386.62 τ_{max}=386.62
  Tensioni: σ_N=-14.97 σ_M=-2397.58 τ=0.00 $\sigma_{ID,max}$=2412.55

Asta n. 50 (50 -566) montanti 50x10 Crit. 1

- Verifica di stabilità aste presso-inflesse (C4.2.4.1.3.3.1) - CC 18 SLU - Classe 3
  Sollecitazioni: N,Ed=-73.82 Myeq,Ed=99.68 Mzeq,Ed=-0.01
  Resistenze: Nc,Rd=13095.20 My,c,Rd=109.13 Mz,c,Rd=21.83 L=15.50
  λ_Y=10.74 Ncr,y=898638.00 λ^*_y=0.12 Curva c: Φ_y=0.49 χ_y=1.00
  λ_Z=53.69 Ncr,z=35945.50 λ^*_z=0.62 Curva c: Φ_z=0.79 χ_z=0.77
  χ,min=0.77
  Verifica: 0.01+0.91+0.00=0.92

- Verifica in termini tensionali [4.2.4] - CC 18 SLU Xl=0.15 - Classe 3
  Sollecitazioni: N=-73.03 T_z=-1285.88 M_y=99.68
  Tensioni: σ_N=-14.61 σ_M=-2392.29 τ=0.00 σ_{max}=-2406.89
  Tensioni: σ_N=-14.61 σ_M=-0.00 τ=385.76 τ_{max}=385.76
  Tensioni: σ_N=-14.61 σ_M=-2392.29 τ=0.00 $\sigma_{ID,max}$=2406.89

Asta n. 51 (51 -567) montanti 50x10 Crit. 1

- Verifica di stabilità aste presso-inflesse (C4.2.4.1.3.3.1) - CC 18 SLU - Classe 3
  Sollecitazioni: N,Ed=-50.34 Myeq,Ed=-50.68 Mzeq,Ed=0.02
  Resistenze: Nc,Rd=13095.20 My,c,Rd=109.13 Mz,c,Rd=21.83 L=15.50
  λ_Y=10.74 Ncr,y=898638.00 λ^*_y=0.12 Curva c: Φ_y=0.49 χ_y=1.00
  λ_Z=53.69 Ncr,z=35945.50 λ^*_z=0.62 Curva c: Φ_z=0.79 χ_z=0.77
  χ,min=0.77
  Verifica: 0.00+0.46+0.00=0.47

- Verifica in termini tensionali [4.2.4] - CC 18 SLU Xl=0.00 - Classe 3
  Sollecitazioni: N=-50.34 T_z=-653.85 M_y=-50.68
  Tensioni: σ_N=-10.07 σ_M=-1216.34 τ=0.00 σ_{max}=-1226.41
  Tensioni: σ_N=-10.07 σ_M=0.00 τ=196.15 τ_{max}=196.15
  Tensioni: σ_N=-10.07 σ_M=-1216.34 τ=0.00 $\sigma_{ID,max}$=1226.41

Asta n. 52 (52 -568) montanti 50x10 Crit. 1

- Verifica di stabilità aste presso-inflesse (C4.2.4.1.3.3.1) - CC 19 SLU - Classe 3
  Sollecitazioni: N,Ed=-22.86 Myeq,Ed=45.38 Mzeq,Ed=0.06
  Resistenze: Nc,Rd=13095.20 My,c,Rd=109.13 Mz,c,Rd=21.83 L=15.50
  λ_Y=10.74 Ncr,y=898638.00 λ^*_y=0.12 Curva c: Φ_y=0.49 χ_y=1.00
  λ_Z=53.69 Ncr,z=35945.50 λ^*_z=0.62 Curva c: Φ_z=0.79 χ_z=0.77
  χ,min=0.77
  Verifica: 0.00+0.42+0.00=0.42

- Verifica in termini tensionali [4.2.4] - CC 19 SLU Xl=0.15 - Classe 3
  Sollecitazioni: N=-22.07 T_z=-585.01 M_y=45.38

Tensioni: σ_N=-4.41 σ_M=-1089.07 τ=0.00 σ_{max}=-1093.48
Tensioni: σ_N=-4.41 σ_M=-0.00 τ=175.50 τ_{max}=175.50
Tensioni: σ_N=-4.41 σ_M=-1089.07 τ=0.00 $\sigma_{ID,max}$=1093.48

Asta n. 53 (53 -577) montanti 50x10 Crit. 1

- Verifica di stabilità aste presso-inflesse (C4.2.4.1.3.3.1) - CC 18 SLU - Classe 3
Sollecitazioni: N,Ed=-20.38 Myeq,Ed=-40.18 Mzeq,Ed=-0.04
Resistenze: Nc,Rd=13095.20 My,c,Rd=109.13 Mz,c,Rd=21.83 L=17.25
λ_Y=11.95 Ncr,y=725555.00 λ^*_y=0.14 Curva c: Φ_y=0.49 χ_y=1.00
λ_Z=59.76 Ncr,z=29022.20 λ^*_z=0.69 Curva c: Φ_z=0.86 χ_z=0.73
χ,min=0.73
Verifica: 0.00+0.37+0.00=0.37

- Verifica in termini tensionali [4.2.4] - CC 18 SLU Xl=0.00 - Classe 3
Sollecitazioni: N=-20.38 T_z=-465.23 M_y=-40.18
Tensioni: σ_N=-4.08 σ_M=-964.33 τ=0.00 σ_{max}=-968.41
Tensioni: σ_N=-4.08 σ_M=0.00 τ=139.57 τ_{max}=139.57
Tensioni: σ_N=-4.08 σ_M=-964.33 τ=0.00 $\sigma_{ID,max}$=968.41

- Verifica a taglio dir. Z [4.2.16] - CC 5 SLV Xl=0.11
Sollecitazioni: T_z=-27.77
V,Ed=-27.77 Vc,Rd=7560.76 V,Ed/Vc,Rd=0.00

Asta n. 54 (54 -578) montanti 50x10 Crit. 1

- Verifica di stabilità aste presso-inflesse (C4.2.4.1.3.3.1) - CC 19 SLU - Classe 3
Sollecitazioni: N,Ed=-38.72 Myeq,Ed=-42.51 Mzeq,Ed=0.15
Resistenze: Nc,Rd=13095.20 My,c,Rd=109.13 Mz,c,Rd=21.83 L=17.25
λ_Y=11.95 Ncr,y=725555.00 λ^*_y=0.14 Curva c: Φ_y=0.49 χ_y=1.00
λ_Z=59.76 Ncr,z=29022.20 λ^*_z=0.69 Curva c: Φ_z=0.86 χ_z=0.73
χ,min=0.73
Verifica: 0.00+0.39+0.01=0.40

- Verifica in termini tensionali [4.2.4] - CC 19 SLU Xl=0.00 - Classe 3
Sollecitazioni: N=-38.72 T_z=-492.51 M_y=-42.51
Tensioni: σ_N=-7.74 σ_M=-1020.31 τ=0.00 σ_{max}=-1028.05
Tensioni: σ_N=-7.74 σ_M=0.00 τ=147.75 τ_{max}=147.75
Tensioni: σ_N=-7.74 σ_M=-1020.31 τ=0.00 $\sigma_{ID,max}$=1028.05

Asta n. 55 (55 -579) montanti 50x10 Crit. 1

- Verifica di stabilità aste presso-inflesse (C4.2.4.1.3.3.1) - CC 18 SLU - Classe 3
Sollecitazioni: N,Ed=-67.28 Myeq,Ed=-85.98 Mzeq,Ed=0.01
Resistenze: Nc,Rd=13095.20 My,c,Rd=109.13 Mz,c,Rd=21.83 L=17.25
λ_Y=11.95 Ncr,y=725555.00 λ^*_y=0.14 Curva c: Φ_y=0.49 χ_y=1.00
λ_Z=59.76 Ncr,z=29022.20 λ^*_z=0.69 Curva c: Φ_z=0.86 χ_z=0.73
χ,min=0.73
Verifica: 0.01+0.79+0.00=0.79

- Verifica in termini tensionali [4.2.4] - CC 18 SLU Xl=0.00 - Classe 3
Sollecitazioni: N=-67.28 T_z=-995.95 M_y=-85.98
Tensioni: σ_N=-13.46 σ_M=-2063.51 τ=0.00 σ_{max}=-2076.96
Tensioni: σ_N=-13.46 σ_M=0.00 τ=298.79 τ_{max}=298.79
Tensioni: σ_N=-13.46 σ_M=-2063.51 τ=0.00 $\sigma_{ID,max}$=2076.96

Asta n. 56 (56 -580) montanti 50x10 Crit. 1

- Verifica di stabilità aste presso-inflesse (C4.2.4.1.3.3.1) - CC 18 SLU - Classe 3

Sollecitazioni: N,Ed=-68.62 Myeq,Ed=-86.27 Mzeq,Ed=0.01
Resistenze: Nc,Rd=13095.20 My,c,Rd=109.13 Mz,c,Rd=21.83 L=17.25
λ_Y=11.95 Ncr,y=725555.00 λ^*_y=0.14 Curva c: Φ_y=0.49 χ_y=1.00
λ_Z=59.76 Ncr,z=29022.20 λ^*_z=0.69 Curva c: Φ_z=0.86 χ_z=0.73
χ,min=0.73
Verifica: 0.01+0.79+0.00=0.80

- Verifica in termini tensionali [4.2.4] - CC 18 SLU Xl=0.00 - Classe 3
Sollecitazioni: N=-68.62 T_z=-999.24 M_y=-86.27
Tensioni: σ_N=-13.72 σ_M=-2070.58 τ=0.00 σ_{max}=-2084.30
Tensioni: σ_N=-13.72 σ_M=0.00 τ=299.77 τ_{max}=299.77
Tensioni: σ_N=-13.72 σ_M=-2070.58 τ=0.00 $\sigma_{ID,max}$=2084.30

Asta n. 57 (57 -581) montanti 50x10 Crit. 1

- Verifica di stabilità aste presso-inflesse (C4.2.4.1.3.3.1) - CC 18 SLU - Classe 3
Sollecitazioni: N,Ed=-68.56 Myeq,Ed=-86.16 Mzeq,Ed=-0.01
Resistenze: Nc,Rd=13095.20 My,c,Rd=109.13 Mz,c,Rd=21.83 L=17.25
λ_Y=11.95 Ncr,y=725555.00 λ^*_y=0.14 Curva c: Φ_y=0.49 χ_y=1.00
λ_Z=59.76 Ncr,z=29022.20 λ^*_z=0.69 Curva c: Φ_z=0.86 χ_z=0.73
χ,min=0.73
Verifica: 0.01+0.79+0.00=0.80

- Verifica in termini tensionali [4.2.4] - CC 18 SLU Xl=0.00 - Classe 3
Sollecitazioni: N=-68.56 T_z=-997.97 M_y=-86.16
Tensioni: σ_N=-13.71 σ_M=-2067.94 τ=0.00 σ_{max}=-2081.65
Tensioni: σ_N=-13.71 σ_M=0.00 τ=299.39 τ_{max}=299.39
Tensioni: σ_N=-13.71 σ_M=-2067.94 τ=0.00 $\sigma_{ID,max}$=2081.65

Asta n. 58 (58 -582) montanti 50x10 Crit. 1

- Verifica di stabilità aste presso-inflesse (C4.2.4.1.3.3.1) - CC 18 SLU - Classe 3
Sollecitazioni: N,Ed=-67.34 Myeq,Ed=-86.08 Mzeq,Ed=-0.01
Resistenze: Nc,Rd=13095.20 My,c,Rd=109.13 Mz,c,Rd=21.83 L=17.25
λ_Y=11.95 Ncr,y=725555.00 λ^*_y=0.14 Curva c: Φ_y=0.49 χ_y=1.00
λ_Z=59.76 Ncr,z=29022.20 λ^*_z=0.69 Curva c: Φ_z=0.86 χ_z=0.73
χ,min=0.73
Verifica: 0.01+0.79+0.00=0.79

- Verifica in termini tensionali [4.2.4] - CC 18 SLU Xl=0.00 - Classe 3
Sollecitazioni: N=-67.34 T_z=-997.17 M_y=-86.08
Tensioni: σ_N=-13.47 σ_M=-2066.04 τ=0.00 σ_{max}=-2079.51
Tensioni: σ_N=-13.47 σ_M=0.00 τ=299.15 τ_{max}=299.15
Tensioni: σ_N=-13.47 σ_M=-2066.04 τ=0.00 $\sigma_{ID,max}$=2079.51

Asta n. 59 (59 -583) montanti 50x10 Crit. 1

- Verifica di stabilità aste presso-inflesse (C4.2.4.1.3.3.1) - CC 18 SLU - Classe 3
Sollecitazioni: N,Ed=-45.09 Myeq,Ed=-41.82 Mzeq,Ed=0.04
Resistenze: Nc,Rd=13095.20 My,c,Rd=109.13 Mz,c,Rd=21.83 L=17.25
λ_Y=11.95 Ncr,y=725555.00 λ^*_y=0.14 Curva c: Φ_y=0.49 χ_y=1.00
λ_Z=59.76 Ncr,z=29022.20 λ^*_z=0.69 Curva c: Φ_z=0.86 χ_z=0.73
χ,min=0.73
Verifica: 0.00+0.38+0.00=0.39

- Verifica in termini tensionali [4.2.4] - CC 18 SLU Xl=0.00 - Classe 3
Sollecitazioni: N=-45.09 T_z=-483.89 M_y=-41.82
Tensioni: σ_N=-9.02 σ_M=-1003.58 τ=0.00 σ_{max}=-1012.60
Tensioni: σ_N=-9.02 σ_M=0.00 τ=145.17 τ_{max}=145.17

Tensioni: σ_N=-9.02 σ_M=-1003.58 τ=0.00 $\sigma_{ID,max}$=1012.60

Asta n. 60 (60 -584) montanti 50x10 Crit. 1

- Verifica di stabilità aste presso-inflesse (C4.2.4.1.3.3.1) - CC 19 SLU - Classe 3
Sollecitazioni: N,Ed=-20.71 Myeq,Ed=-40.87 Mzeq,Ed=0.21
Resistenze: Nc,Rd=13095.20 My,c,Rd=109.13 Mz,c,Rd=21.83 L=17.25
λ_Y=11.95 Ncr,y=725555.00 λ^*_y=0.14 Curva c: Φ_y=0.49 χ_y=1.00
λ_Z=59.76 Ncr,z=29022.20 λ^*_z=0.69 Curva c: Φ_z=0.86 χ_z=0.73
χ,min=0.73
Verifica: 0.00+0.37+0.01=0.39

- Verifica in termini tensionali [4.2.4] - CC 19 SLU Xl=0.00 - Classe 3
Sollecitazioni: N=-20.71 T_z=-473.69 M_y=-40.87
Tensioni: σ_N=-4.14 σ_M=-980.95 τ=0.00 σ_{max}=-985.09
Tensioni: σ_N=-4.14 σ_M=0.00 τ=142.11 τ_{max}=142.11
Tensioni: σ_N=-4.14 σ_M=-980.95 τ=0.00 $\sigma_{ID,max}$=985.09

- Verifica a taglio dir. Z [4.2.16] - CC 5 SLV Xl=0.11
Sollecitazioni: T_z=-27.86
V,Ed=-27.86 Vc,Rd=7560.76 V,Ed/Vc,Rd=0.00

Asta n. 61 (61 -593) montanti 50x10 Crit. 1

- Verifica di stabilità aste presso-inflesse (C4.2.4.1.3.3.1) - CC 9 SLU - Classe 3
Sollecitazioni: N,Ed=-55.58 Myeq,Ed=32.50 Mzeq,Ed=-0.09
Resistenze: Nc,Rd=13095.20 My,c,Rd=109.13 Mz,c,Rd=21.83 L=19.00
λ_Y=13.16 Ncr,y=598055.00 λ^*_y=0.15 Curva c: Φ_y=0.50 χ_y=1.00
λ_Z=65.82 Ncr,z=23922.20 λ^*_z=0.76 Curva c: Φ_z=0.92 χ_z=0.69
χ,min=0.69
Verifica: 0.00+0.30+0.00=0.31

- Verifica in termini tensionali [4.2.4] - CC 9 SLU Xl=0.19 - Classe 3
Sollecitazioni: N=-54.61 T_z=-341.94 M_y=32.50
Tensioni: σ_N=-10.92 σ_M=-780.08 τ=0.00 σ_{max}=-791.00
Tensioni: σ_N=-10.92 σ_M=-0.00 τ=102.58 τ_{max}=102.58
Tensioni: σ_N=-10.92 σ_M=-780.08 τ=0.00 $\sigma_{ID,max}$=791.00

Asta n. 62 (62 -594) montanti 50x10 Crit. 1

- Verifica di stabilità aste presso-inflesse (C4.2.4.1.3.3.1) - CC 19 SLU - Classe 3
Sollecitazioni: N,Ed=-29.48 Myeq,Ed=-35.46 Mzeq,Ed=1.03
Resistenze: Nc,Rd=13095.20 My,c,Rd=109.13 Mz,c,Rd=21.83 L=19.00
λ_Y=13.16 Ncr,y=598055.00 λ^*_y=0.15 Curva c: Φ_y=0.50 χ_y=1.00
λ_Z=65.82 Ncr,z=23922.20 λ^*_z=0.76 Curva c: Φ_z=0.92 χ_z=0.69
χ,min=0.69
Verifica: 0.00+0.32+0.05=0.37

- Verifica in termini tensionali [4.2.4] - CC 19 SLU Xl=0.19 - Classe 3
Sollecitazioni: N=-28.51 T_z=-372.07 M_y=35.24 T_y=8.33 M_z=1.24
Tensioni: σ_N=-5.70 σ_M=-994.58 τ=0.00 σ_{max}=-1000.28
Tensioni: σ_N=-5.70 σ_M=-0.00 τ=111.65 τ_{max}=111.65
Tensioni: σ_N=-5.70 σ_M=-994.58 τ=0.00 $\sigma_{ID,max}$=1000.28

Asta n. 63 (63 -595) montanti 50x10 Crit. 1

- Verifica di stabilità aste presso-inflesse (C4.2.4.1.3.3.1) - CC 18 SLU - Classe 3
Sollecitazioni: N,Ed=-112.16 Myeq,Ed=-68.29 Mzeq,Ed=0.03
Resistenze: Nc,Rd=13095.20 My,c,Rd=109.13 Mz,c,Rd=21.83 L=19.00

λ_Y=13.16 Ncr,y=598055.00 λ^*_y=0.15 Curva c: Φ_y=0.50 χ_y=1.00
λ_Z=65.82 Ncr,z=23922.20 λ^*_z=0.76 Curva c: Φ_z=0.92 χ_z=0.69
χ,min=0.69
Verifica: 0.01+0.63+0.00=0.64

- Verifica in termini tensionali [4.2.4] - CC 18 SLU Xl=0.00 - Classe 3
Sollecitazioni: N=-112.16 T_z=-716.77 M_y=-68.29
Tensioni: σ_N=-22.43 σ_M=-1638.98 τ=0.00 σ_{max}=-1661.41
Tensioni: σ_N=-22.43 σ_M=0.00 τ=215.03 τ_{max}=215.03
Tensioni: σ_N=-22.43 σ_M=-1638.98 τ=0.00 $\sigma_{ID,max}$=1661.41

Asta n. 64 (64 -596) montanti 50x10 Crit. 1

- Verifica di stabilità aste presso-inflesse (C4.2.4.1.3.3.1) - CC 19 SLU - Classe 3
Sollecitazioni: N,Ed=-90.03 Myeq,Ed=-65.76 Mzeq,Ed=1.10
Resistenze: Nc,Rd=13095.20 My,c,Rd=109.13 Mz,c,Rd=21.83 L=19.00
λ_Y=13.16 Ncr,y=598055.00 λ^*_y=0.15 Curva c: Φ_y=0.50 χ_y=1.00
λ_Z=65.82 Ncr,z=23922.20 λ^*_z=0.76 Curva c: Φ_z=0.92 χ_z=0.69
χ,min=0.69
Verifica: 0.01+0.60+0.05=0.66

- Verifica in termini tensionali [4.2.4] - CC 19 SLU Xl=0.19 - Classe 3
Sollecitazioni: N=-89.06 T_z=-690.55 M_y=65.45 T_y=8.89 M_z=1.37
Tensioni: σ_N=-17.81 σ_M=-1735.57 τ=0.00 σ_{max}=-1753.38
Tensioni: σ_N=-17.81 σ_M=-0.00 τ=207.18 τ_{max}=207.18
Tensioni: σ_N=-17.81 σ_M=-1735.57 τ=0.00 $\sigma_{ID,max}$=1753.38

Asta n. 65 (65 -597) montanti 50x10 Crit. 1

- Verifica di stabilità aste presso-inflesse (C4.2.4.1.3.3.1) - CC 18 SLU - Classe 3
Sollecitazioni: N,Ed=-101.36 Myeq,Ed=-69.33 Mzeq,Ed=-0.01
Resistenze: Nc,Rd=13095.20 My,c,Rd=109.13 Mz,c,Rd=21.83 L=19.00
λ_Y=13.16 Ncr,y=598055.00 λ^*_y=0.15 Curva c: Φ_y=0.50 χ_y=1.00
λ_Z=65.82 Ncr,z=23922.20 λ^*_z=0.76 Curva c: Φ_z=0.92 χ_z=0.69
χ,min=0.69
Verifica: 0.01+0.64+0.00=0.64

- Verifica in termini tensionali [4.2.4] - CC 18 SLU Xl=0.00 - Classe 3
Sollecitazioni: N=-101.36 T_z=-727.82 M_y=-69.33
Tensioni: σ_N=-20.27 σ_M=-1663.93 τ=0.00 σ_{max}=-1684.20
Tensioni: σ_N=-20.27 σ_M=0.00 τ=218.35 τ_{max}=218.35
Tensioni: σ_N=-20.27 σ_M=-1663.93 τ=0.00 $\sigma_{ID,max}$=1684.20

Asta n. 66 (66 -598) montanti 50x10 Crit. 1

- Verifica di stabilità aste presso-inflesse (C4.2.4.1.3.3.1) - CC 19 SLU - Classe 3
Sollecitazioni: N,Ed=-98.28 Myeq,Ed=-64.42 Mzeq,Ed=1.07
Resistenze: Nc,Rd=13095.20 My,c,Rd=109.13 Mz,c,Rd=21.83 L=19.00
λ_Y=13.16 Ncr,y=598055.00 λ^*_y=0.15 Curva c: Φ_y=0.50 χ_y=1.00
λ_Z=65.82 Ncr,z=23922.20 λ^*_z=0.76 Curva c: Φ_z=0.92 χ_z=0.69
χ,min=0.69
Verifica: 0.01+0.59+0.05=0.65

- Verifica in termini tensionali [4.2.4] - CC 19 SLU Xl=0.19 - Classe 3
Sollecitazioni: N=-97.31 T_z=-676.36 M_y=64.09 T_y=8.65 M_z=1.32
Tensioni: σ_N=-19.46 σ_M=-1697.08 τ=0.00 σ_{max}=-1716.55
Tensioni: σ_N=-19.46 σ_M=-0.00 τ=202.93 τ_{max}=202.93
Tensioni: σ_N=-19.46 σ_M=-1697.08 τ=0.00 $\sigma_{ID,max}$=1716.55

Asta n. 67 (67 -599) montanti 50x10 Crit. 1

- Verifica di stabilità aste presso-inflesse (C4.2.4.1.3.3.1) - CC 9 SLU - Classe 3
  Sollecitazioni: N,Ed=-23.27 Myeq,Ed=-35.15 Mzeq,Ed=0.09
  Resistenze: Nc,Rd=13095.20 My,c,Rd=109.13 Mz,c,Rd=21.83 L=19.00
  λ_Y=13.16 Ncr,y=598055.00 λ^*_y=0.15 Curva c: Φ_y=0.50 χ_y=1.00
  λ_Z=65.82 Ncr,z=23922.20 λ^*_z=0.76 Curva c: Φ_z=0.92 χ_z=0.69
  χ,min=0.69
  Verifica: 0.00+0.32+0.00=0.33

- Verifica in termini tensionali [4.2.4] - CC 9 SLU Xl=0.00 - Classe 3
  Sollecitazioni: N=-23.27 T_z=-369.06 M_y=-35.15
  Tensioni: σ_N=-4.65 σ_M=-843.59 τ=0.00 σ_{max}=-848.25
  Tensioni: σ_N=-4.65 σ_M=0.00 τ=110.72 τ_{max}=110.72
  Tensioni: σ_N=-4.65 σ_M=-843.59 τ=0.00 $\sigma_{ID,max}$=848.25

Asta n. 68 (68 -600) montanti 50x10 Crit. 1

- Verifica di stabilità aste presso-inflesse (C4.2.4.1.3.3.1) - CC 19 SLU - Classe 3
  Sollecitazioni: N,Ed=-62.06 Myeq,Ed=-32.85 Mzeq,Ed=1.14
  Resistenze: Nc,Rd=13095.20 My,c,Rd=109.13 Mz,c,Rd=21.83 L=19.00
  λ_Y=13.16 Ncr,y=598055.00 λ^*_y=0.15 Curva c: Φ_y=0.50 χ_y=1.00
  λ_Z=65.82 Ncr,z=23922.20 λ^*_z=0.76 Curva c: Φ_z=0.92 χ_z=0.69
  χ,min=0.69
  Verifica: 0.00+0.30+0.05=0.36

- Verifica in termini tensionali [4.2.4] - CC 19 SLU Xl=0.19 - Classe 3
  Sollecitazioni: N=-61.09 T_z=-345.79 M_y=32.85 T_y=9.23 M_z=1.46
  Tensioni: σ_N=-12.22 σ_M=-963.98 τ=0.00 σ_{max}=-976.20
  Tensioni: σ_N=-12.22 σ_M=-0.00 τ=103.77 τ_{max}=103.77
  Tensioni: σ_N=-12.22 σ_M=-963.98 τ=0.00 $\sigma_{ID,max}$=976.20

Asta n. 69 (69 -609) montanti 50x10 Crit. 1

- Verifica di stabilità aste presso-inflesse (C4.2.4.1.3.3.1) - CC 19 SLU - Classe 3
  Sollecitazioni: N,Ed=-12.88 Myeq,Ed=-25.98 Mzeq,Ed=-0.05
  Resistenze: Nc,Rd=13095.20 My,c,Rd=109.13 Mz,c,Rd=21.83 L=20.75
  λ_Y=14.38 Ncr,y=501432.00 λ^*_y=0.17 Curva c: Φ_y=0.51 χ_y=1.00
  λ_Z=71.88 Ncr,z=20057.30 λ^*_z=0.83 Curva c: Φ_z=1.00 χ_z=0.64
  χ,min=0.64
  Verifica: 0.00+0.24+0.00=0.24

- Verifica in termini tensionali [4.2.4] - CC 19 SLU Xl=0.00 - Classe 3
  Sollecitazioni: N=-12.88 T_z=-249.49 M_y=-25.98
  Tensioni: σ_N=-2.58 σ_M=-623.62 τ=0.00 σ_{max}=-626.19
  Tensioni: σ_N=-2.58 σ_M=0.00 τ=74.85 τ_{max}=74.85
  Tensioni: σ_N=-2.58 σ_M=-623.62 τ=0.00 $\sigma_{ID,max}$=626.19

- Verifica a taglio dir. Z [4.2.16] - CC 7 SLV Xl=0.02
  Sollecitazioni: T_z=-5.11
  V,Ed=-5.11 Vc,Rd=7560.76 V,Ed/Vc,Rd=0.00

Asta n. 70 (70 -610) montanti 50x10 Crit. 1

- Verifica di stabilità aste presso-inflesse (C4.2.4.1.3.3.1) - CC 19 SLU - Classe 3
  Sollecitazioni: N,Ed=-29.10 Myeq,Ed=-29.19 Mzeq,Ed=0.22
  Resistenze: Nc,Rd=13095.20 My,c,Rd=109.13 Mz,c,Rd=21.83 L=20.75
  λ_Y=14.38 Ncr,y=501432.00 λ^*_y=0.17 Curva c: Φ_y=0.51 χ_y=1.00
  λ_Z=71.88 Ncr,z=20057.30 λ^*_z=0.83 Curva c: Φ_z=1.00 χ_z=0.64

χ,min=0.64
Verifica: 0.00+0.27+0.01=0.28

- Verifica in termini tensionali [4.2.4] - CC 9 SLU Xl=0.00 - Classe 3
Sollecitazioni: N=-29.28 T_z=-282.90 M_y=-29.42
Tensioni: σ_N=-5.86 σ_M=-706.11 τ=0.00 σ_{max}=-711.97
Tensioni: σ_N=-5.86 σ_M=0.00 τ=84.87 τ_{max}=84.87
Tensioni: σ_N=-5.86 σ_M=-706.11 τ=0.00 $\sigma_{ID,max}$=711.97

Asta n. 71 (71 -611) montanti 50x10 Crit. 1

- Verifica di stabilità aste presso-inflesse (C4.2.4.1.3.3.1) - CC 18 SLU - Classe 3
Sollecitazioni: N,Ed=-46.65 Myeq,Ed=-52.57 Mzeq,Ed=0.01
Resistenze: Nc,Rd=13095.20 My,c,Rd=109.13 Mz,c,Rd=21.83 L=20.75
λ_Y=14.38 Ncr,y=501432.00 λ^*_y=0.17 Curva c: Φ_y=0.51 χ_y=1.00
λ_Z=71.88 Ncr,z=20057.30 λ^*_z=0.83 Curva c: Φ_z=1.00 χ_z=0.64
χ,min=0.64
Verifica: 0.00+0.48+0.00=0.49

- Verifica in termini tensionali [4.2.4] - CC 18 SLU Xl=0.00 - Classe 3
Sollecitazioni: N=-46.65 T_z=-504.68 M_y=-52.57
Tensioni: σ_N=-9.33 σ_M=-1261.69 τ=0.00 σ_{max}=-1271.02
Tensioni: σ_N=-9.33 σ_M=0.00 τ=151.41 τ_{max}=151.41
Tensioni: σ_N=-9.33 σ_M=-1261.69 τ=0.00 $\sigma_{ID,max}$=1271.02

Asta n. 72 (72 -612) montanti 50x10 Crit. 1

- Verifica di stabilità aste presso-inflesse (C4.2.4.1.3.3.1) - CC 18 SLU - Classe 3
Sollecitazioni: N,Ed=-48.80 Myeq,Ed=-54.38 Mzeq,Ed=0.01
Resistenze: Nc,Rd=13095.20 My,c,Rd=109.13 Mz,c,Rd=21.83 L=20.75
λ_Y=14.38 Ncr,y=501432.00 λ^*_y=0.17 Curva c: Φ_y=0.51 χ_y=1.00
λ_Z=71.88 Ncr,z=20057.30 λ^*_z=0.83 Curva c: Φ_z=1.00 χ_z=0.64
χ,min=0.64
Verifica: 0.00+0.50+0.00=0.50

- Verifica in termini tensionali [4.2.4] - CC 18 SLU Xl=0.00 - Classe 3
Sollecitazioni: N=-48.80 T_z=-522.11 M_y=-54.38
Tensioni: σ_N=-9.76 σ_M=-1305.08 τ=0.00 σ_{max}=-1314.84
Tensioni: σ_N=-9.76 σ_M=0.00 τ=156.63 τ_{max}=156.63
Tensioni: σ_N=-9.76 σ_M=-1305.08 τ=0.00 $\sigma_{ID,max}$=1314.84

Asta n. 73 (73 -613) montanti 50x10 Crit. 1

- Verifica di stabilità aste presso-inflesse (C4.2.4.1.3.3.1) - CC 18 SLU - Classe 3
Sollecitazioni: N,Ed=-48.77 Myeq,Ed=-54.33 Mzeq,Ed=-0.01
Resistenze: Nc,Rd=13095.20 My,c,Rd=109.13 Mz,c,Rd=21.83 L=20.75
λ_Y=14.38 Ncr,y=501432.00 λ^*_y=0.17 Curva c: Φ_y=0.51 χ_y=1.00
λ_Z=71.88 Ncr,z=20057.30 λ^*_z=0.83 Curva c: Φ_z=1.00 χ_z=0.64
χ,min=0.64
Verifica: 0.00+0.50+0.00=0.50

- Verifica in termini tensionali [4.2.4] - CC 18 SLU Xl=0.00 - Classe 3
Sollecitazioni: N=-48.77 T_z=-521.64 M_y=-54.33
Tensioni: σ_N=-9.75 σ_M=-1303.89 τ=0.00 σ_{max}=-1313.65
Tensioni: σ_N=-9.75 σ_M=0.00 τ=156.49 τ_{max}=156.49
Tensioni: σ_N=-9.75 σ_M=-1303.89 τ=0.00 $\sigma_{ID,max}$=1313.65

Asta n. 74 (74 -614) montanti 50x10 Crit. 1

- Verifica di stabilità aste presso-inflesse (C4.2.4.1.3.3.1) - CC 18 SLU - Classe 3
  Sollecitazioni: N,Ed=-46.67 Myeq,Ed=-52.62 Mzeq,Ed=-0.01
  Resistenze: Nc,Rd=13095.20 My,c,Rd=109.13 Mz,c,Rd=21.83 L=20.75
  λ_Y=14.38 Ncr,y=501432.00 λ^*_y=0.17 Curva c: Φ_y=0.51 χ_y=1.00
  λ_Z=71.88 Ncr,z=20057.30 λ^*_z=0.83 Curva c: Φ_z=1.00 χ_z=0.64
  χ,min=0.64
  Verifica: 0.00+0.48+0.00=0.49

- Verifica in termini tensionali [4.2.4] - CC 18 SLU Xl=0.00 - Classe 3
  Sollecitazioni: N=-46.67 T_z=-505.11 M_y=-52.62
  Tensioni: σ_N=-9.33 σ_M=-1262.77 τ=0.00 σ_{max}=-1272.10
  Tensioni: σ_N=-9.33 σ_M=0.00 τ=151.53 τ_{max}=151.53
  Tensioni: σ_N=-9.33 σ_M=-1262.77 τ=0.00 $\sigma_{ID,max}$=1272.10

Asta n. 75 (75 -615) montanti 50x10 Crit. 1

- Verifica di stabilità aste presso-inflesse (C4.2.4.1.3.3.1) - CC 19 SLU - Classe 3
  Sollecitazioni: N,Ed=-29.45 Myeq,Ed=-29.65 Mzeq,Ed=0.02
  Resistenze: Nc,Rd=13095.20 My,c,Rd=109.13 Mz,c,Rd=21.83 L=20.75
  λ_Y=14.38 Ncr,y=501432.00 λ^*_y=0.17 Curva c: Φ_y=0.51 χ_y=1.00
  λ_Z=71.88 Ncr,z=20057.30 λ^*_z=0.83 Curva c: Φ_z=1.00 χ_z=0.64
  χ,min=0.64
  Verifica: 0.00+0.27+0.00=0.28

- Verifica in termini tensionali [4.2.4] - CC 19 SLU Xl=0.00 - Classe 3
  Sollecitazioni: N=-29.45 T_z=-285.16 M_y=-29.65
  Tensioni: σ_N=-5.89 σ_M=-711.72 τ=0.00 σ_{max}=-717.61
  Tensioni: σ_N=-5.89 σ_M=0.00 τ=85.55 τ_{max}=85.55
  Tensioni: σ_N=-5.89 σ_M=-711.72 τ=0.00 $\sigma_{ID,max}$=717.61

Asta n. 76 (76 -616) montanti 50x10 Crit. 1

- Verifica di stabilità aste presso-inflesse (C4.2.4.1.3.3.1) - CC 19 SLU - Classe 3
  Sollecitazioni: N,Ed=-12.59 Myeq,Ed=-25.65 Mzeq,Ed=0.27
  Resistenze: Nc,Rd=13095.20 My,c,Rd=109.13 Mz,c,Rd=21.83 L=20.75
  λ_Y=14.38 Ncr,y=501432.00 λ^*_y=0.17 Curva c: Φ_y=0.51 χ_y=1.00
  λ_Z=71.88 Ncr,z=20057.30 λ^*_z=0.83 Curva c: Φ_z=1.00 χ_z=0.64
  χ,min=0.64
  Verifica: 0.00+0.24+0.01=0.25

- Verifica in termini tensionali [4.2.4] - CC 9 SLU Xl=0.00 - Classe 3
  Sollecitazioni: N=-12.74 T_z=-247.88 M_y=-25.82
  Tensioni: σ_N=-2.55 σ_M=-619.64 τ=0.00 σ_{max}=-622.19
  Tensioni: σ_N=-2.55 σ_M=0.00 τ=74.36 τ_{max}=74.36
  Tensioni: σ_N=-2.55 σ_M=-619.64 τ=0.00 $\sigma_{ID,max}$=622.19

- Verifica a taglio dir. Z [4.2.16] - CC 7 SLV Xl=0.02
  Sollecitazioni: T_z=-5.15
  V,Ed=-5.15 Vc,Rd=7560.76 V,Ed/Vc,Rd=0.00

Asta n. 77 (77 -625) montanti 50x10 Crit. 1

- Verifica di stabilità aste presso-inflesse (C4.2.4.1.3.3.1) - CC 19 SLU - Classe 3
  Sollecitazioni: N,Ed=-8.88 Myeq,Ed=-23.06 Mzeq,Ed=-0.02
  Resistenze: Nc,Rd=13095.20 My,c,Rd=109.13 Mz,c,Rd=21.83 L=22.50
  λ_Y=15.59 Ncr,y=426465.00 λ^*_y=0.18 Curva c: Φ_y=0.51 χ_y=1.00
  λ_Z=77.94 Ncr,z=17058.60 λ^*_z=0.90 Curva c: Φ_z=1.07 χ_z=0.60
  χ,min=0.60
  Verifica: 0.00+0.21+0.00=0.21

- Verifica in termini tensionali [4.2.4] - CC 19 SLU Xl=0.00 - Classe 3
  Sollecitazioni: N=-8.88 T_z=-204.27 M_y=-23.06
  Tensioni: σ_N=-1.78 σ_M=-553.34 τ=0.00 σ_{max}=-555.11
  Tensioni: σ_N=-1.78 σ_M=0.00 τ=61.28 τ_{max}=61.28
  Tensioni: σ_N=-1.78 σ_M=-553.34 τ=0.00 $\sigma_{ID,max}$=555.11

Asta n. 78 (78 -626) montanti 50x10 Crit. 1

- Verifica di stabilità aste presso-inflesse (C4.2.4.1.3.3.1) - CC 19 SLU - Classe 3
  Sollecitazioni: N,Ed=-26.90 Myeq,Ed=-23.21 Mzeq,Ed=0.12
  Resistenze: Nc,Rd=13095.20 My,c,Rd=109.13 Mz,c,Rd=21.83 L=22.50
  λ_Y=15.59 Ncr,y=426465.00 λ^*_y=0.18 Curva c: Φ_y=0.51 χ_y=1.00
  λ_Z=77.94 Ncr,z=17058.60 λ^*_z=0.90 Curva c: Φ_z=1.07 χ_z=0.60
  χ,min=0.60
  Verifica: 0.00+0.21+0.01=0.22

- Verifica in termini tensionali [4.2.4] - CC 9 SLU Xl=0.00 - Classe 3
  Sollecitazioni: N=-26.99 T_z=-208.00 M_y=-23.49
  Tensioni: σ_N=-5.40 σ_M=-563.70 τ=0.00 σ_{max}=-569.10
  Tensioni: σ_N=-5.40 σ_M=0.00 τ=62.40 τ_{max}=62.40
  Tensioni: σ_N=-5.40 σ_M=-563.70 τ=0.00 $\sigma_{ID,max}$=569.10

Asta n. 79 (79 -627) montanti 50x10 Crit. 1

- Verifica di stabilità aste presso-inflesse (C4.2.4.1.3.3.1) - CC 19 SLU - Classe 3
  Sollecitazioni: N,Ed=-33.33 Myeq,Ed=-43.31 Mzeq,Ed=-0.00
  Resistenze: Nc,Rd=13095.20 My,c,Rd=109.13 Mz,c,Rd=21.83 L=22.50
  λ_Y=15.59 Ncr,y=426465.00 λ^*_y=0.18 Curva c: Φ_y=0.51 χ_y=1.00
  λ_Z=77.94 Ncr,z=17058.60 λ^*_z=0.90 Curva c: Φ_z=1.07 χ_z=0.60
  χ,min=0.60
  Verifica: 0.00+0.40+0.00=0.40

- Verifica in termini tensionali [4.2.4] - CC 19 SLU Xl=0.00 - Classe 3
  Sollecitazioni: N=-33.33 T_z=-383.54 M_y=-43.31
  Tensioni: σ_N=-6.67 σ_M=-1039.36 τ=0.00 σ_{max}=-1046.02
  Tensioni: σ_N=-6.67 σ_M=0.00 τ=115.06 τ_{max}=115.06
  Tensioni: σ_N=-6.67 σ_M=-1039.36 τ=0.00 $\sigma_{ID,max}$=1046.02

Asta n. 80 (80 -628) montanti 50x10 Crit. 1

- Verifica di stabilità aste presso-inflesse (C4.2.4.1.3.3.1) - CC 19 SLU - Classe 3
  Sollecitazioni: N,Ed=-34.84 Myeq,Ed=-44.21 Mzeq,Ed=0.13
  Resistenze: Nc,Rd=13095.20 My,c,Rd=109.13 Mz,c,Rd=21.83 L=22.50
  λ_Y=15.59 Ncr,y=426465.00 λ^*_y=0.18 Curva c: Φ_y=0.51 χ_y=1.00
  λ_Z=77.94 Ncr,z=17058.60 λ^*_z=0.90 Curva c: Φ_z=1.07 χ_z=0.60
  χ,min=0.60
  Verifica: 0.00+0.41+0.01=0.41

- Verifica in termini tensionali [4.2.4] - CC 9 SLU Xl=0.00 - Classe 3
  Sollecitazioni: N=-34.87 T_z=-392.31 M_y=-44.30
  Tensioni: σ_N=-6.97 σ_M=-1063.15 τ=0.00 σ_{max}=-1070.13
  Tensioni: σ_N=-6.97 σ_M=0.00 τ=117.69 τ_{max}=117.69
  Tensioni: σ_N=-6.97 σ_M=-1063.15 τ=0.00 $\sigma_{ID,max}$=1070.13

Asta n. 81 (81 -629) montanti 50x10 Crit. 1

- Verifica di stabilità aste presso-inflesse (C4.2.4.1.3.3.1) - CC 19 SLU - Classe 3
  Sollecitazioni: N,Ed=-34.88 Myeq,Ed=-44.35 Mzeq,Ed=-0.00

Resistenze: Nc,Rd=13095.20 My,c,Rd=109.13 Mz,c,Rd=21.83 L=22.50
λ_Y=15.59 Ncr,y=426465.00 λ^*_y=0.18 Curva c: Φ_y=0.51 χ_y=1.00
λ_Z=77.94 Ncr,z=17058.60 λ^*_z=0.90 Curva c: Φ_z=1.07 χ_z=0.60
χ,min=0.60
Verifica: 0.00+0.41+0.00=0.41

- Verifica in termini tensionali [4.2.4] - CC 19 SLU Xl=0.00 - Classe 3
Sollecitazioni: N=-34.88 T_z=-392.78 M_y=-44.35
Tensioni: σ_N=-6.98 σ_M=-1064.38 τ=0.00 σ_{max}=-1071.36
Tensioni: σ_N=-6.98 σ_M=0.00 τ=117.83 τ_{max}=117.83
Tensioni: σ_N=-6.98 σ_M=-1064.38 τ=0.00 $\sigma_{ID,max}$=1071.36

Asta n. 82 (82 -630) montanti 50x10 Crit. 1

- Verifica di stabilità aste presso-inflesse (C4.2.4.1.3.3.1) - CC 19 SLU - Classe 3
Sollecitazioni: N,Ed=-33.09 Myeq,Ed=-42.57 Mzeq,Ed=0.13
Resistenze: Nc,Rd=13095.20 My,c,Rd=109.13 Mz,c,Rd=21.83 L=22.50
λ_Y=15.59 Ncr,y=426465.00 λ^*_y=0.18 Curva c: Φ_y=0.51 χ_y=1.00
λ_Z=77.94 Ncr,z=17058.60 λ^*_z=0.90 Curva c: Φ_z=1.07 χ_z=0.60
χ,min=0.60
Verifica: 0.00+0.39+0.01=0.40

- Verifica in termini tensionali [4.2.4] - CC 9 SLU Xl=0.00 - Classe 3
Sollecitazioni: N=-33.22 T_z=-380.43 M_y=-42.96
Tensioni: σ_N=-6.64 σ_M=-1030.95 τ=0.00 σ_{max}=-1037.60
Tensioni: σ_N=-6.64 σ_M=0.00 τ=114.13 τ_{max}=114.13
Tensioni: σ_N=-6.64 σ_M=-1030.95 τ=0.00 $\sigma_{ID,max}$=1037.60

Asta n. 83 (83 -631) montanti 50x10 Crit. 1

- Verifica di stabilità aste presso-inflesse (C4.2.4.1.3.3.1) - CC 19 SLU - Classe 3
Sollecitazioni: N,Ed=-27.08 Myeq,Ed=-23.77 Mzeq,Ed=0.01
Resistenze: Nc,Rd=13095.20 My,c,Rd=109.13 Mz,c,Rd=21.83 L=22.50
λ_Y=15.59 Ncr,y=426465.00 λ^*_y=0.18 Curva c: Φ_y=0.51 χ_y=1.00
λ_Z=77.94 Ncr,z=17058.60 λ^*_z=0.90 Curva c: Φ_z=1.07 χ_z=0.60
χ,min=0.60
Verifica: 0.00+0.22+0.00=0.22

- Verifica in termini tensionali [4.2.4] - CC 19 SLU Xl=0.00 - Classe 3
Sollecitazioni: N=-27.08 T_z=-210.47 M_y=-23.77
Tensioni: σ_N=-5.42 σ_M=-570.36 τ=0.00 σ_{max}=-575.78
Tensioni: σ_N=-5.42 σ_M=0.00 τ=63.14 τ_{max}=63.14
Tensioni: σ_N=-5.42 σ_M=-570.36 τ=0.00 $\sigma_{ID,max}$=575.78

Asta n. 84 (84 -632) montanti 50x10 Crit. 1

- Verifica di stabilità aste presso-inflesse (C4.2.4.1.3.3.1) - CC 19 SLU - Classe 3
Sollecitazioni: N,Ed=-8.72 Myeq,Ed=-22.61 Mzeq,Ed=0.14
Resistenze: Nc,Rd=13095.20 My,c,Rd=109.13 Mz,c,Rd=21.83 L=22.50
λ_Y=15.59 Ncr,y=426465.00 λ^*_y=0.18 Curva c: Φ_y=0.51 χ_y=1.00
λ_Z=77.94 Ncr,z=17058.60 λ^*_z=0.90 Curva c: Φ_z=1.07 χ_z=0.60
χ,min=0.60
Verifica: 0.00+0.21+0.01=0.21

- Verifica in termini tensionali [4.2.4] - CC 9 SLU Xl=0.00 - Classe 3
Sollecitazioni: N=-8.80 T_z=-202.31 M_y=-22.84
Tensioni: σ_N=-1.76 σ_M=-548.09 τ=0.00 σ_{max}=-549.85
Tensioni: σ_N=-1.76 σ_M=0.00 τ=60.69 τ_{max}=60.69
Tensioni: σ_N=-1.76 σ_M=-548.09 τ=0.00 $\sigma_{ID,max}$=549.85

Asta n. 85 (85 -641) montanti 50x10 Crit. 1

- Verifica di stabilità aste presso-inflesse (C4.2.4.1.3.3.1) - CC 19 SLU - Classe 3
  Sollecitazioni: N,Ed=-8.94 Myeq,Ed=-20.19 Mzeq,Ed=-0.03
  Resistenze: Nc,Rd=13095.20 My,c,Rd=109.13 Mz,c,Rd=21.83 L=24.25
  λ_Y=16.80 Ncr,y=367134.00 λ^*_y=0.19 Curva c: Φ_y=0.52 χ_y=1.00
  λ_Z=84.00 Ncr,z=14685.40 λ^*_z=0.97 Curva c: Φ_z=1.16 χ_z=0.56
  χ,min=0.56
  Verifica: 0.00+0.18+0.00=0.19

- Verifica in termini tensionali [4.2.4] - CC 19 SLU Xl=0.00 - Classe 3
  Sollecitazioni: N=-8.94 T_z=-166.01 M_y=-20.19
  Tensioni: σ_N=-1.79 σ_M=-484.46 τ=0.00 σ_{max}=-486.25
  Tensioni: σ_N=-1.79 σ_M=0.00 τ=49.80 τ_{max}=49.80
  Tensioni: σ_N=-1.79 σ_M=-484.46 τ=0.00 $\sigma_{ID,max}$=486.25

- Verifica a taglio dir. Z [4.2.16] - CC 7 SLV Xl=0.13
  Sollecitazioni: T_z=-90.71
  V,Ed=-90.71 Vc,Rd=7560.76 V,Ed/Vc,Rd=0.01

Asta n. 86 (86 -642) montanti 50x10 Crit. 1

- Verifica di stabilità aste presso-inflesse (C4.2.4.1.3.3.1) - CC 19 SLU - Classe 3
  Sollecitazioni: N,Ed=-23.77 Myeq,Ed=-17.95 Mzeq,Ed=0.31
  Resistenze: Nc,Rd=13095.20 My,c,Rd=109.13 Mz,c,Rd=21.83 L=24.25
  λ_Y=16.80 Ncr,y=367134.00 λ^*_y=0.19 Curva c: Φ_y=0.52 χ_y=1.00
  λ_Z=84.00 Ncr,z=14685.40 λ^*_z=0.97 Curva c: Φ_z=1.16 χ_z=0.56
  χ,min=0.56
  Verifica: 0.00+0.16+0.01=0.18

- Verifica in termini tensionali [4.2.4] - CC 9 SLU Xl=0.00 - Classe 3
  Sollecitazioni: N=-23.89 T_z=-149.20 M_y=-18.19
  Tensioni: σ_N=-4.78 σ_M=-436.66 τ=0.00 σ_{max}=-441.43
  Tensioni: σ_N=-4.78 σ_M=0.00 τ=44.76 τ_{max}=44.76
  Tensioni: σ_N=-4.78 σ_M=-436.66 τ=0.00 $\sigma_{ID,max}$=441.43

Asta n. 87 (87 -643) montanti 50x10 Crit. 1

- Verifica di stabilità aste presso-inflesse (C4.2.4.1.3.3.1) - CC 19 SLU - Classe 3
  Sollecitazioni: N,Ed=-31.53 Myeq,Ed=-35.63 Mzeq,Ed=-0.02
  Resistenze: Nc,Rd=13095.20 My,c,Rd=109.13 Mz,c,Rd=21.83 L=24.25
  λ_Y=16.80 Ncr,y=367134.00 λ^*_y=0.19 Curva c: Φ_y=0.52 χ_y=1.00
  λ_Z=84.00 Ncr,z=14685.40 λ^*_z=0.97 Curva c: Φ_z=1.16 χ_z=0.56
  χ,min=0.56
  Verifica: 0.00+0.33+0.00=0.33

- Verifica in termini tensionali [4.2.4] - CC 19 SLU Xl=0.00 - Classe 3
  Sollecitazioni: N=-31.53 T_z=-292.77 M_y=-35.63
  Tensioni: σ_N=-6.31 σ_M=-855.23 τ=0.00 σ_{max}=-861.54
  Tensioni: σ_N=-6.31 σ_M=0.00 τ=87.83 τ_{max}=87.83
  Tensioni: σ_N=-6.31 σ_M=-855.23 τ=0.00 $\sigma_{ID,max}$=861.54

Asta n. 88 (88 -644) montanti 50x10 Crit. 1

- Verifica di stabilità aste presso-inflesse (C4.2.4.1.3.3.1) - CC 19 SLU - Classe 3
  Sollecitazioni: N,Ed=-32.61 Myeq,Ed=-36.32 Mzeq,Ed=0.32
  Resistenze: Nc,Rd=13095.20 My,c,Rd=109.13 Mz,c,Rd=21.83 L=24.25
  λ_Y=16.80 Ncr,y=367134.00 λ^*_y=0.19 Curva c: Φ_y=0.52 χ_y=1.00

λ_Z=84.00 Ncr,z=14685.40 λ^*_z=0.97 Curva c: Φ_z=1.16 χ_z=0.56
χ,min=0.56
Verifica: 0.00+0.33+0.01=0.35

- Verifica in termini tensionali [4.2.4] - CC 9 SLU Xl=0.00 - Classe 3
Sollecitazioni: N=-32.68 T_z=-299.02 M_y=-36.40
Tensioni: σ_N=-6.54 σ_M=-873.64 τ=0.00 σ_{max}=-880.17
Tensioni: σ_N=-6.54 σ_M=0.00 τ=89.71 τ_{max}=89.71
Tensioni: σ_N=-6.54 σ_M=-873.64 τ=0.00 $\sigma_{ID,max}$=880.17

Asta n. 89 (89 -645) montanti 50x10 Crit. 1

- Verifica di stabilità aste presso-inflesse (C4.2.4.1.3.3.1) - CC 19 SLU - Classe 3
Sollecitazioni: N,Ed=-32.74 Myeq,Ed=-36.45 Mzeq,Ed=0.01
Resistenze: Nc,Rd=13095.20 My,c,Rd=109.13 Mz,c,Rd=21.83 L=24.25
λ_Y=16.80 Ncr,y=367134.00 λ^*_y=0.19 Curva c: Φ_y=0.52 χ_y=1.00
λ_Z=84.00 Ncr,z=14685.40 λ^*_z=0.97 Curva c: Φ_z=1.16 χ_z=0.56
χ,min=0.56
Verifica: 0.00+0.33+0.00=0.34

- Verifica in termini tensionali [4.2.4] - CC 19 SLU Xl=0.00 - Classe 3
Sollecitazioni: N=-32.74 T_z=-299.40 M_y=-36.45
Tensioni: σ_N=-6.55 σ_M=-874.69 τ=0.00 σ_{max}=-881.23
Tensioni: σ_N=-6.55 σ_M=0.00 τ=89.82 τ_{max}=89.82
Tensioni: σ_N=-6.55 σ_M=-874.69 τ=0.00 $\sigma_{ID,max}$=881.23

Asta n. 90 (90 -646) montanti 50x10 Crit. 1

- Verifica di stabilità aste presso-inflesse (C4.2.4.1.3.3.1) - CC 19 SLU - Classe 3
Sollecitazioni: N,Ed=-31.17 Myeq,Ed=-34.98 Mzeq,Ed=0.33
Resistenze: Nc,Rd=13095.20 My,c,Rd=109.13 Mz,c,Rd=21.83 L=24.25
λ_Y=16.80 Ncr,y=367134.00 λ^*_y=0.19 Curva c: Φ_y=0.52 χ_y=1.00
λ_Z=84.00 Ncr,z=14685.40 λ^*_z=0.97 Curva c: Φ_z=1.16 χ_z=0.56
χ,min=0.56
Verifica: 0.00+0.32+0.02=0.34

- Verifica in termini tensionali [4.2.4] - CC 9 SLU Xl=0.00 - Classe 3
Sollecitazioni: N=-31.35 T_z=-290.19 M_y=-35.32
Tensioni: σ_N=-6.27 σ_M=-847.78 τ=0.00 σ_{max}=-854.05
Tensioni: σ_N=-6.27 σ_M=0.00 τ=87.06 τ_{max}=87.06
Tensioni: σ_N=-6.27 σ_M=-847.78 τ=0.00 $\sigma_{ID,max}$=854.05

Asta n. 91 (91 -647) montanti 50x10 Crit. 1

- Verifica di stabilità aste presso-inflesse (C4.2.4.1.3.3.1) - CC 19 SLU - Classe 3
Sollecitazioni: N,Ed=-24.00 Myeq,Ed=-18.44 Mzeq,Ed=0.02
Resistenze: Nc,Rd=13095.20 My,c,Rd=109.13 Mz,c,Rd=21.83 L=24.25
λ_Y=16.80 Ncr,y=367134.00 λ^*_y=0.19 Curva c: Φ_y=0.52 χ_y=1.00
λ_Z=84.00 Ncr,z=14685.40 λ^*_z=0.97 Curva c: Φ_z=1.16 χ_z=0.56
χ,min=0.56
Verifica: 0.00+0.17+0.00=0.17

- Verifica in termini tensionali [4.2.4] - CC 19 SLU Xl=0.00 - Classe 3
Sollecitazioni: N=-24.00 T_z=-151.24 M_y=-18.44
Tensioni: σ_N=-4.80 σ_M=-442.59 τ=0.00 σ_{max}=-447.39
Tensioni: σ_N=-4.80 σ_M=0.00 τ=45.37 τ_{max}=45.37
Tensioni: σ_N=-4.80 σ_M=-442.59 τ=0.00 $\sigma_{ID,max}$=447.39

Asta n. 92 (92 -648) montanti 50x10 Crit. 1

- Verifica di stabilità aste presso-inflesse (C4.2.4.1.3.3.1) - CC 19 SLU - Classe 3
  Sollecitazioni: N,Ed=-8.80 Myeq,Ed=-19.77 Mzeq,Ed=0.34
  Resistenze: Nc,Rd=13095.20 My,c,Rd=109.13 Mz,c,Rd=21.83 L=24.25
  λ_Y=16.80 Ncr,y=367134.00 λ^*_y=0.19 Curva c: Φ_y=0.52 χ_y=1.00
  λ_Z=84.00 Ncr,z=14685.40 λ^*_z=0.97 Curva c: Φ_z=1.16 χ_z=0.56
  χ,min=0.56
  Verifica: 0.00+0.18+0.02=0.20

- Verifica in termini tensionali [4.2.4] - CC 9 SLU Xl=0.00 - Classe 3
  Sollecitazioni: N=-8.87 T_z=-164.29 M_y=-19.98
  Tensioni: σ_N=-1.77 σ_M=-479.47 τ=0.00 σ_{max}=-481.24
  Tensioni: σ_N=-1.77 σ_M=0.00 τ=49.29 τ_{max}=49.29
  Tensioni: σ_N=-1.77 σ_M=-479.47 τ=0.00 $\sigma_{ID,max}$=481.24

- Verifica a taglio dir. Z [4.2.16] - CC 7 SLV Xl=0.13
  Sollecitazioni: T_z=-90.71
  V,Ed=-90.71 Vc,Rd=7560.76 V,Ed/Vc,Rd=0.01

Asta n. 93 (93 -657) montanti 50x10 Crit. 1

- Verifica di stabilità aste presso-inflesse (C4.2.4.1.3.3.1) - CC 19 SLU - Classe 3
  Sollecitazioni: N,Ed=-55.83 Myeq,Ed=-13.83 Mzeq,Ed=-0.06
  Resistenze: Nc,Rd=13095.20 My,c,Rd=109.13 Mz,c,Rd=21.83 L=26.00
  λ_Y=18.01 Ncr,y=319375.00 λ^*_y=0.21 Curva c: Φ_y=0.52 χ_y=1.00
  λ_Z=90.07 Ncr,z=12775.00 λ^*_z=1.04 Curva c: Φ_z=1.24 χ_z=0.52
  χ,min=0.52
  Verifica: 0.00+0.13+0.00=0.13

- Verifica in termini tensionali [4.2.4] - CC 19 SLU Xl=0.00 - Classe 3
  Sollecitazioni: N=-55.83 T_z=-105.94 M_y=-13.83
  Tensioni: σ_N=-11.17 σ_M=-331.97 τ=0.00 σ_{max}=-343.14
  Tensioni: σ_N=-11.17 σ_M=0.00 τ=31.78 τ_{max}=31.78
  Tensioni: σ_N=-11.17 σ_M=-331.97 τ=0.00 $\sigma_{ID,max}$=343.14

Asta n. 94 (94 -658) montanti 50x10 Crit. 1

- Verifica di stabilità aste inflesse (4.2.4.1.3.2) CC 16 SLU - Classe 3
  L_{cr}=0.26 Curva d: α_{imp}=0.76 k_c=0.94 ψ=2.94 M,cr=0.00 λ_{LT}=0.00
  $\lambda_{LT,0}$=0.20 β_{LT}=1.00 Φ_{LT}=0.00 β_{LT}=1.00 f=0.00 χ_{LT}=1.00
  CC 16 SLU My,Ed=-1.72 My,b,Rd=109.13 My,Ed/My,b,Rd=0.02

- Verifica di stabilità aste presso-inflesse (C4.2.4.1.3.3.1) - CC 19 SLU - Classe 3
  Sollecitazioni: N,Ed=-4.11 Myeq,Ed=-14.62 Mzeq,Ed=1.39
  Resistenze: Nc,Rd=13095.20 My,c,Rd=109.13 Mz,c,Rd=21.83 L=26.00
  λ_Y=18.01 Ncr,y=319375.00 λ^*_y=0.21 Curva c: Φ_y=0.52 χ_y=1.00
  λ_Z=90.07 Ncr,z=12775.00 λ^*_z=1.04 Curva c: Φ_z=1.24 χ_z=0.52
  χ,min=0.52
  Verifica: 0.00+0.13+0.06=0.20

- Verifica in termini tensionali [4.2.4] - CC 19 SLU Xl=0.26 - Classe 3
  Sollecitazioni: N=-2.79 T_z=-111.79 M_y=14.45 T_y=8.23 M_z=1.75
  Tensioni: σ_N=-0.56 σ_M=-556.75 τ=0.00 σ_{max}=-557.31
  Tensioni: σ_N=-0.56 σ_M=-0.00 τ=33.63 τ_{max}=33.63
  Tensioni: σ_N=-0.56 σ_M=-556.75 τ=0.00 $\sigma_{ID,max}$=557.31

- Verifica a taglio dir. Z [4.2.16] - CC 18 SLU Xl=0.14
  Sollecitazioni: T_z=-81.48
  V,Ed=-81.48 Vc,Rd=7560.76 V,Ed/Vc,Rd=0.01

Asta n. 95 (95 -659) montanti 50x10 Crit. 1

- Verifica di stabilità aste presso-inflesse (C4.2.4.1.3.3.1) - CC 19 SLU - Classe 3
  Sollecitazioni: N,Ed=-67.83 Myeq,Ed=-25.46 Mzeq,Ed=-0.03
  Resistenze: Nc,Rd=13095.20 My,c,Rd=109.13 Mz,c,Rd=21.83 L=26.00
  λ_Y=18.01 Ncr,y=319375.00 λ^*_y=0.21 Curva c: Φ_y=0.52 χ_y=1.00
  λ_Z=90.07 Ncr,z=12775.00 λ^*_z=1.04 Curva c: Φ_z=1.24 χ_z=0.52
  χ,min=0.52
  Verifica: 0.01+0.23+0.00=0.24

- Verifica in termini tensionali [4.2.4] - CC 19 SLU Xl=0.00 - Classe 3
  Sollecitazioni: N=-67.83 T_z=-194.41 M_y=-25.46
  Tensioni: σ_N=-13.57 σ_M=-611.04 τ=0.00 σ_{max}=-624.60
  Tensioni: σ_N=-13.57 σ_M=0.00 τ=58.32 τ_{max}=58.32
  Tensioni: σ_N=-13.57 σ_M=-611.04 τ=0.00 $\sigma_{ID,max}$=624.60

Asta n. 96 (96 -660) montanti 50x10 Crit. 1

- Verifica di stabilità aste presso-inflesse (C4.2.4.1.3.3.1) - CC 19 SLU - Classe 3
  Sollecitazioni: N,Ed=-65.58 Myeq,Ed=-26.30 Mzeq,Ed=1.41
  Resistenze: Nc,Rd=13095.20 My,c,Rd=109.13 Mz,c,Rd=21.83 L=26.00
  λ_Y=18.01 Ncr,y=319375.00 λ^*_y=0.21 Curva c: Φ_y=0.52 χ_y=1.00
  λ_Z=90.07 Ncr,z=12775.00 λ^*_z=1.04 Curva c: Φ_z=1.24 χ_z=0.52
  χ,min=0.52
  Verifica: 0.01+0.24+0.06=0.31

- Verifica in termini tensionali [4.2.4] - CC 19 SLU Xl=0.26 - Classe 3
  Sollecitazioni: N=-64.26 T_z=-200.96 M_y=25.94 T_y=8.35 M_z=1.79
  Tensioni: σ_N=-12.85 σ_M=-837.11 τ=0.00 σ_{max}=-849.96
  Tensioni: σ_N=-12.85 σ_M=-0.00 τ=60.34 τ_{max}=60.34
  Tensioni: σ_N=-12.85 σ_M=-837.11 τ=0.00 $\sigma_{ID,max}$=849.96

Asta n. 97 (97 -661) montanti 50x10 Crit. 1

- Verifica di stabilità aste presso-inflesse (C4.2.4.1.3.3.1) - CC 9 SLU - Classe 3
  Sollecitazioni: N,Ed=-66.19 Myeq,Ed=-26.28 Mzeq,Ed=0.02
  Resistenze: Nc,Rd=13095.20 My,c,Rd=109.13 Mz,c,Rd=21.83 L=26.00
  λ_Y=18.01 Ncr,y=319375.00 λ^*_y=0.21 Curva c: Φ_y=0.52 χ_y=1.00
  λ_Z=90.07 Ncr,z=12775.00 λ^*_z=1.04 Curva c: Φ_z=1.24 χ_z=0.52
  χ,min=0.52
  Verifica: 0.01+0.24+0.00=0.25

- Verifica in termini tensionali [4.2.4] - CC 19 SLU Xl=0.00 - Classe 3
  Sollecitazioni: N=-66.84 T_z=-200.72 M_y=-26.28
  Tensioni: σ_N=-13.37 σ_M=-630.62 τ=0.00 σ_{max}=-643.99
  Tensioni: σ_N=-13.37 σ_M=0.00 τ=60.22 τ_{max}=60.22
  Tensioni: σ_N=-13.37 σ_M=-630.62 τ=0.00 $\sigma_{ID,max}$=643.99

Asta n. 98 (98 -662) montanti 50x10 Crit. 1

- Verifica di stabilità aste presso-inflesse (C4.2.4.1.3.3.1) - CC 19 SLU - Classe 3
  Sollecitazioni: N,Ed=-65.07 Myeq,Ed=-25.12 Mzeq,Ed=1.45
  Resistenze: Nc,Rd=13095.20 My,c,Rd=109.13 Mz,c,Rd=21.83 L=26.00
  λ_Y=18.01 Ncr,y=319375.00 λ^*_y=0.21 Curva c: Φ_y=0.52 χ_y=1.00
  λ_Z=90.07 Ncr,z=12775.00 λ^*_z=1.04 Curva c: Φ_z=1.24 χ_z=0.52
  χ,min=0.52
  Verifica: 0.00+0.23+0.07=0.30

- Verifica in termini tensionali [4.2.4] - CC 19 SLU Xl=0.26 - Classe 3
  Sollecitazioni: N=-63.74 T_z=-191.84 M_y=24.76 T_y=8.58 M_z=1.85
  Tensioni: σ_N=-12.75 σ_M=-816.42 τ=0.00 σ_{max}=-829.16
  Tensioni: σ_N=-12.75 σ_M=-0.00 τ=57.61 τ_{max}=57.61
  Tensioni: σ_N=-12.75 σ_M=-816.42 τ=0.00 $\sigma_{ID,max}$=829.16

Asta n. 99 (99 -663) montanti 50x10 Crit. 1

- Verifica di stabilità aste inflesse (4.2.4.1.3.2) CC 16 SLU - Classe 3
  L_{cr}=0.26 Curva d: α_{imp}=0.76 k_c=0.94 ψ=2.94 M,cr=0.00 λ_{LT}=0.00
  $\lambda_{LT,0}$=0.20 β_{LT}=1.00 Φ_{LT}=0.00 β_{LT}=1.00 f=0.00 χ_{LT}=1.00
  CC 16 SLU My,Ed=-1.72 My,b,Rd=109.13 My,Ed/My,b,Rd=0.02

- Verifica di stabilità aste presso-inflesse (C4.2.4.1.3.3.1) - CC 19 SLU - Classe 3
  Sollecitazioni: N,Ed=-6.61 Myeq,Ed=-14.83 Mzeq,Ed=0.04
  Resistenze: Nc,Rd=13095.20 My,c,Rd=109.13 Mz,c,Rd=21.83 L=26.00
  λ_Y=18.01 Ncr,y=319375.00 λ^*_y=0.21 Curva c: Φ_y=0.52 χ_y=1.00
  λ_Z=90.07 Ncr,z=12775.00 λ^*_z=1.04 Curva c: Φ_z=1.24 χ_z=0.52
  χ,min=0.52
  Verifica: 0.00+0.14+0.00=0.14

- Verifica in termini tensionali [4.2.4] - CC 19 SLU Xl=0.00 - Classe 3
  Sollecitazioni: N=-6.61 T_z=-113.46 M_y=-14.83
  Tensioni: σ_N=-1.32 σ_M=-356.02 τ=0.00 σ_{max}=-357.34
  Tensioni: σ_N=-1.32 σ_M=0.00 τ=34.04 τ_{max}=34.04
  Tensioni: σ_N=-1.32 σ_M=-356.02 τ=0.00 $\sigma_{ID,max}$=357.34

- Verifica a taglio dir. Z [4.2.16] - CC 18 SLU Xl=0.14
  Sollecitazioni: T_z=-81.45
  V,Ed=-81.45 Vc,Rd=7560.76 V,Ed/Vc,Rd=0.01

Asta n. 100 (100 -664) montanti 50x10 Crit. 1

- Verifica di stabilità aste presso-inflesse (C4.2.4.1.3.3.1) - CC 19 SLU - Classe 3
  Sollecitazioni: N,Ed=-54.95 Myeq,Ed=-13.50 Mzeq,Ed=1.46
  Resistenze: Nc,Rd=13095.20 My,c,Rd=109.13 Mz,c,Rd=21.83 L=26.00
  λ_Y=18.01 Ncr,y=319375.00 λ^*_y=0.21 Curva c: Φ_y=0.52 χ_y=1.00
  λ_Z=90.07 Ncr,z=12775.00 λ^*_z=1.04 Curva c: Φ_z=1.24 χ_z=0.52
  χ,min=0.52
  Verifica: 0.00+0.12+0.07=0.20

- Verifica in termini tensionali [4.2.4] - CC 19 SLU Xl=0.26 - Classe 3
  Sollecitazioni: N=-53.62 T_z=-103.38 M_y=13.38 T_y=8.66 M_z=1.88
  Tensioni: σ_N=-10.72 σ_M=-546.48 τ=0.00 σ_{max}=-557.21
  Tensioni: σ_N=-10.72 σ_M=-0.00 τ=31.12 τ_{max}=31.12
  Tensioni: σ_N=-10.72 σ_M=-546.48 τ=0.00 $\sigma_{ID,max}$=557.21

Asta n. 101 (101 -673) montanti 50x10 Crit. 1

- Verifica di stabilità aste presso-inflesse (C4.2.4.1.3.3.1) - CC 19 SLU - Classe 3
  Sollecitazioni: N,Ed=-5.31 Myeq,Ed=-8.00 Mzeq,Ed=-0.04
  Resistenze: Nc,Rd=13095.20 My,c,Rd=109.13 Mz,c,Rd=21.83 L=27.75
  λ_Y=19.23 Ncr,y=280364.00 λ^*_y=0.22 Curva c: Φ_y=0.53 χ_y=0.99
  λ_Z=96.13 Ncr,z=11214.60 λ^*_z=1.11 Curva c: Φ_z=1.34 χ_z=0.48
  χ,min=0.48
  Verifica: 0.00+0.07+0.00=0.08

- Verifica in termini tensionali [4.2.4] - CC 19 SLU Xl=0.00 - Classe 3
  Sollecitazioni: N=-5.31 T_z=-56.85 M_y=-8.00

Tensioni: σ_N=-1.06 σ_M=-192.04 τ=0.00 σ_{max}=-193.11
Tensioni: σ_N=-1.06 σ_M=0.00 τ=17.06 τ_{max}=17.06
Tensioni: σ_N=-1.06 σ_M=-192.04 τ=0.00 $\sigma_{ID,max}$=193.11

- Verifica a taglio dir. Z [4.2.16] - CC 5 SLV Xl=0.13
Sollecitazioni: T_z=-52.48
V,Ed=-52.48 Vc,Rd=7560.76 V,Ed/Vc,Rd=0.01

Asta n. 102 (102 -674) montanti 50x10 Crit. 1

- Verifica di stabilità aste presso-inflesse (C4.2.4.1.3.3.1) - CC 19 SLU - Classe 3
Sollecitazioni: N,Ed=-21.21 Myeq,Ed=-11.23 Mzeq,Ed=0.36
Resistenze: Nc,Rd=13095.20 My,c,Rd=109.13 Mz,c,Rd=21.83 L=27.75
λ_Y=19.23 Ncr,y=280364.00 λ^*_y=0.22 Curva c: Φ_y=0.53 χ_y=0.99
λ_Z=96.13 Ncr,z=11214.60 λ^*_z=1.11 Curva c: Φ_z=1.34 χ_z=0.48
χ,min=0.48
Verifica: 0.00+0.10+0.02=0.12

- Verifica in termini tensionali [4.2.4] - CC 9 SLU Xl=0.00 - Classe 3
Sollecitazioni: N=-21.25 T_z=-80.46 M_y=-11.23
Tensioni: σ_N=-4.25 σ_M=-269.64 τ=0.00 σ_{max}=-273.89
Tensioni: σ_N=-4.25 σ_M=0.00 τ=24.14 τ_{max}=24.14
Tensioni: σ_N=-4.25 σ_M=-269.64 τ=0.00 $\sigma_{ID,max}$=273.89

Asta n. 103 (103 -675) montanti 50x10 Crit. 1

- Verifica di stabilità aste presso-inflesse (C4.2.4.1.3.3.1) - CC 19 SLU - Classe 3
Sollecitazioni: N,Ed=-24.07 Myeq,Ed=-16.24 Mzeq,Ed=-0.02
Resistenze: Nc,Rd=13095.20 My,c,Rd=109.13 Mz,c,Rd=21.83 L=27.75
λ_Y=19.23 Ncr,y=280364.00 λ^*_y=0.22 Curva c: Φ_y=0.53 χ_y=0.99
λ_Z=96.13 Ncr,z=11214.60 λ^*_z=1.11 Curva c: Φ_z=1.34 χ_z=0.48
χ,min=0.48
Verifica: 0.00+0.15+0.00=0.15

- Verifica in termini tensionali [4.2.4] - CC 19 SLU Xl=0.00 - Classe 3
Sollecitazioni: N=-24.07 T_z=-115.72 M_y=-16.24
Tensioni: σ_N=-4.81 σ_M=-389.83 τ=0.00 σ_{max}=-394.64
Tensioni: σ_N=-4.81 σ_M=0.00 τ=34.72 τ_{max}=34.72
Tensioni: σ_N=-4.81 σ_M=-389.83 τ=0.00 $\sigma_{ID,max}$=394.64

Asta n. 104 (104 -676) montanti 50x10 Crit. 1

- Verifica di stabilità aste presso-inflesse (C4.2.4.1.3.3.1) - CC 19 SLU - Classe 3
Sollecitazioni: N,Ed=-25.35 Myeq,Ed=-17.03 Mzeq,Ed=0.37
Resistenze: Nc,Rd=13095.20 My,c,Rd=109.13 Mz,c,Rd=21.83 L=27.75
λ_Y=19.23 Ncr,y=280364.00 λ^*_y=0.22 Curva c: Φ_y=0.53 χ_y=0.99
λ_Z=96.13 Ncr,z=11214.60 λ^*_z=1.11 Curva c: Φ_z=1.34 χ_z=0.48
χ,min=0.48
Verifica: 0.00+0.16+0.02=0.18

- Verifica in termini tensionali [4.2.4] - CC 19 SLU Xl=0.00 - Classe 3
Sollecitazioni: N=-25.35 T_z=-121.45 M_y=-17.03 T_y=1.36
Tensioni: σ_N=-5.07 σ_M=-408.77 τ=0.00 σ_{max}=-413.84
Tensioni: σ_N=-5.07 σ_M=0.00 τ=36.44 τ_{max}=36.44
Tensioni: σ_N=-5.07 σ_M=-408.77 τ=0.41 $\sigma_{ID,max}$=413.84

Asta n. 105 (105 -677) montanti 50x10 Crit. 1

- Verifica di stabilità aste presso-inflesse (C4.2.4.1.3.3.1) - CC 9 SLU - Classe 3

Sollecitazioni: N,Ed=-25.34 Myeq,Ed=-16.97 Mzeq,Ed=0.01
Resistenze: Nc,Rd=13095.20 My,c,Rd=109.13 Mz,c,Rd=21.83 L=27.75
λ_Y=19.23 Ncr,y=280364.00 λ^*_y=0.22 Curva c: Φ_y=0.53 χ_y=0.99
λ_Z=96.13 Ncr,z=11214.60 λ^*_z=1.11 Curva c: Φ_z=1.34 χ_z=0.48
χ,min=0.48
Verifica: 0.00+0.16+0.00=0.16

- Verifica in termini tensionali [4.2.4] - CC 9 SLU Xl=0.00 - Classe 3
Sollecitazioni: N=-25.34 T_z=-120.99 M_y=-16.97
Tensioni: σ_N=-5.07 σ_M=-407.26 τ=0.00 σ_{max}=-412.32
Tensioni: σ_N=-5.07 σ_M=0.00 τ=36.30 τ_{max}=36.30
Tensioni: σ_N=-5.07 σ_M=-407.26 τ=0.00 $\sigma_{ID,max}$=412.32

Asta n. 106 (106 -678) montanti 50x10 Crit. 1

- Verifica di stabilità aste presso-inflesse (C4.2.4.1.3.3.1) - CC 19 SLU - Classe 3
Sollecitazioni: N,Ed=-24.01 Myeq,Ed=-16.13 Mzeq,Ed=0.39
Resistenze: Nc,Rd=13095.20 My,c,Rd=109.13 Mz,c,Rd=21.83 L=27.75
λ_Y=19.23 Ncr,y=280364.00 λ^*_y=0.22 Curva c: Φ_y=0.53 χ_y=0.99
λ_Z=96.13 Ncr,z=11214.60 λ^*_z=1.11 Curva c: Φ_z=1.34 χ_z=0.48
χ,min=0.48
Verifica: 0.00+0.15+0.02=0.17

- Verifica in termini tensionali [4.2.4] - CC 9 SLU Xl=0.00 - Classe 3
Sollecitazioni: N=-24.05 T_z=-115.38 M_y=-16.19
Tensioni: σ_N=-4.81 σ_M=-388.66 τ=0.00 σ_{max}=-393.47
Tensioni: σ_N=-4.81 σ_M=0.00 τ=34.62 τ_{max}=34.62
Tensioni: σ_N=-4.81 σ_M=-388.66 τ=0.00 $\sigma_{ID,max}$=393.47

Asta n. 107 (107 -679) montanti 50x10 Crit. 1

- Verifica di stabilità aste presso-inflesse (C4.2.4.1.3.3.1) - CC 9 SLU - Classe 3
Sollecitazioni: N,Ed=-21.26 Myeq,Ed=-11.23 Mzeq,Ed=0.03
Resistenze: Nc,Rd=13095.20 My,c,Rd=109.13 Mz,c,Rd=21.83 L=27.75
λ_Y=19.23 Ncr,y=280364.00 λ^*_y=0.22 Curva c: Φ_y=0.53 χ_y=0.99
λ_Z=96.13 Ncr,z=11214.60 λ^*_z=1.11 Curva c: Φ_z=1.34 χ_z=0.48
χ,min=0.48
Verifica: 0.00+0.10+0.00=0.11

- Verifica in termini tensionali [4.2.4] - CC 19 SLU Xl=0.00 - Classe 3
Sollecitazioni: N=-21.31 T_z=-80.51 M_y=-11.24
Tensioni: σ_N=-4.26 σ_M=-269.87 τ=0.00 σ_{max}=-274.13
Tensioni: σ_N=-4.26 σ_M=0.00 τ=24.15 τ_{max}=24.15
Tensioni: σ_N=-4.26 σ_M=-269.87 τ=0.00 $\sigma_{ID,max}$=274.13

Asta n. 108 (108 -680) montanti 50x10 Crit. 1

- Verifica di stabilità aste presso-inflesse (C4.2.4.1.3.3.1) - CC 19 SLU - Classe 3
Sollecitazioni: N,Ed=-5.21 Myeq,Ed=-7.77 Mzeq,Ed=0.40
Resistenze: Nc,Rd=13095.20 My,c,Rd=109.13 Mz,c,Rd=21.83 L=27.75
λ_Y=19.23 Ncr,y=280364.00 λ^*_y=0.22 Curva c: Φ_y=0.53 χ_y=0.99
λ_Z=96.13 Ncr,z=11214.60 λ^*_z=1.11 Curva c: Φ_z=1.34 χ_z=0.48
χ,min=0.48
Verifica: 0.00+0.07+0.02=0.09

- Verifica in termini tensionali [4.2.4] - CC 9 SLU Xl=0.00 - Classe 3
Sollecitazioni: N=-5.26 T_z=-56.00 M_y=-7.88
Tensioni: σ_N=-1.05 σ_M=-189.21 τ=0.00 σ_{max}=-190.27
Tensioni: σ_N=-1.05 σ_M=0.00 τ=16.80 τ_{max}=16.80

Tensioni: σ_N=-1.05 σ_M=-189.21 τ=0.00 $\sigma_{ID,max}$=190.27

- Verifica a taglio dir. Z [4.2.16] - CC 5 SLV Xl=0.13
Sollecitazioni: T_z=-52.48
V,Ed=-52.48 Vc,Rd=7560.76 V,Ed/Vc,Rd=0.01

Asta n. 109 (109 -689) montanti 50x10 Crit. 1

- Verifica di stabilità aste inflesse (4.2.4.1.3.2) CC 5 SLV - Classe 3
L_{cr}=0.29 Curva d: α_{imp}=0.76 k_c=0.94 ψ=3.09 M,cr=0.00 λ_{LT}=0.00
$\lambda_{LT,0}$=0.20 β_{LT}=1.00 Φ_{LT}=0.00 β_{LT}=1.00 f=0.00 χ_{LT}=1.00
CC 5 SLV My,Ed=-6.40 My,b,Rd=109.13 My,Ed/My,b,Rd=0.06

- Verifica di stabilità aste presso-inflesse (C4.2.4.1.3.3.1) - CC 5 SLV - Classe 3
Sollecitazioni: N,Ed=-2.24 Myeq,Ed=-6.40 Mzeq,Ed=-0.01
Resistenze: Nc,Rd=13095.20 My,c,Rd=109.13 Mz,c,Rd=21.83 L=29.50
λ_Y=20.44 Ncr,y=248087.00 λ^*_y=0.24 Curva c: Φ_y=0.54 χ_y=0.98
λ_Z=102.19 Ncr,z=9923.48 λ^*_z=1.18 Curva c: Φ_z=1.43 χ_z=0.44
χ,min=0.44
Verifica: 0.00+0.06+0.00=0.06

- Verifica in termini tensionali [4.2.4] - CC 5 SLV Xl=0.00 - Classe 3
Sollecitazioni: N=-2.24 T_z=-43.28 M_y=-6.40
Tensioni: σ_N=-0.45 σ_M=-153.59 τ=0.00 σ_{max}=-154.03
Tensioni: σ_N=-0.45 σ_M=0.00 τ=12.98 τ_{max}=12.98
Tensioni: σ_N=-0.45 σ_M=-153.59 τ=0.00 $\sigma_{ID,max}$=154.03

- Verifica a taglio dir. Z [4.2.16] - CC 5 SLV Xl=0.13
Sollecitazioni: T_z=-43.28
V,Ed=-43.28 Vc,Rd=7560.76 V,Ed/Vc,Rd=0.01

Asta n. 110 (110 -690) montanti 50x10 Crit. 1

- Verifica di stabilità aste presso-inflesse (C4.2.4.1.3.3.1) - CC 19 SLU - Classe 3
Sollecitazioni: N,Ed=-20.64 Myeq,Ed=-6.81 Mzeq,Ed=0.22
Resistenze: Nc,Rd=13095.20 My,c,Rd=109.13 Mz,c,Rd=21.83 L=29.50
λ_Y=20.44 Ncr,y=248087.00 λ^*_y=0.24 Curva c: Φ_y=0.54 χ_y=0.98
λ_Z=102.19 Ncr,z=9923.48 λ^*_z=1.18 Curva c: Φ_z=1.43 χ_z=0.44
χ,min=0.44
Verifica: 0.00+0.06+0.01=0.07

- Verifica in termini tensionali [4.2.4] - CC 19 SLU Xl=0.00 - Classe 3
Sollecitazioni: N=-20.64 T_z=-45.62 M_y=-6.81
Tensioni: σ_N=-4.13 σ_M=-163.37 τ=0.00 σ_{max}=-167.50
Tensioni: σ_N=-4.13 σ_M=0.00 τ=13.69 τ_{max}=13.69
Tensioni: σ_N=-4.13 σ_M=-163.37 τ=0.00 $\sigma_{ID,max}$=167.50

- Verifica a taglio dir. Z [4.2.16] - CC 5 SLV Xl=0.19
Sollecitazioni: T_z=20.80
V,Ed=20.80 Vc,Rd=7560.76 V,Ed/Vc,Rd=0.00

Asta n. 111 (111 -691) montanti 50x10 Crit. 1

- Verifica di stabilità aste presso-inflesse (C4.2.4.1.3.3.1) - CC 19 SLU - Classe 3
Sollecitazioni: N,Ed=-20.75 Myeq,Ed=-10.53 Mzeq,Ed=-0.01
Resistenze: Nc,Rd=13095.20 My,c,Rd=109.13 Mz,c,Rd=21.83 L=29.50
λ_Y=20.44 Ncr,y=248087.00 λ^*_y=0.24 Curva c: Φ_y=0.54 χ_y=0.98
λ_Z=102.19 Ncr,z=9923.48 λ^*_z=1.18 Curva c: Φ_z=1.43 χ_z=0.44
χ,min=0.44

Verifica: 0.00+0.10+0.00=0.10

- Verifica in termini tensionali [4.2.4] - CC 19 SLU Xl=0.00 - Classe 3
Sollecitazioni: N=-20.75 T_z=-70.30 M_y=-10.53
Tensioni: σ_N=-4.15 σ_M=-252.78 τ=0.00 σ_{max}=-256.93
Tensioni: σ_N=-4.15 σ_M=0.00 τ=21.09 τ_{max}=21.09
Tensioni: σ_N=-4.15 σ_M=-252.78 τ=0.00 $\sigma_{ID,max}$=256.93

Asta n. 112 (112 -692) montanti 50x10 Crit. 1

- Verifica di stabilità aste presso-inflesse (C4.2.4.1.3.3.1) - CC 19 SLU - Classe 3
Sollecitazioni: N,Ed=-22.04 Myeq,Ed=-11.09 Mzeq,Ed=0.22
Resistenze: Nc,Rd=13095.20 My,c,Rd=109.13 Mz,c,Rd=21.83 L=29.50
λ_Y=20.44 Ncr,y=248087.00 λ^*_y=0.24 Curva c: Φ_y=0.54 χ_y=0.98
λ_Z=102.19 Ncr,z=9923.48 λ^*_z=1.18 Curva c: Φ_z=1.43 χ_z=0.44
χ,min=0.44
Verifica: 0.00+0.10+0.01=0.11

- Verifica in termini tensionali [4.2.4] - CC 19 SLU Xl=0.00 - Classe 3
Sollecitazioni: N=-22.04 T_z=-74.09 M_y=-11.09
Tensioni: σ_N=-4.41 σ_M=-266.12 τ=0.00 σ_{max}=-270.53
Tensioni: σ_N=-4.41 σ_M=0.00 τ=22.23 τ_{max}=22.23
Tensioni: σ_N=-4.41 σ_M=-266.12 τ=0.00 $\sigma_{ID,max}$=270.53

Asta n. 113 (113 -693) montanti 50x10 Crit. 1

- Verifica di stabilità aste presso-inflesse (C4.2.4.1.3.3.1) - CC 9 SLU - Classe 3
Sollecitazioni: N,Ed=-22.03 Myeq,Ed=-11.02 Mzeq,Ed=0.00
Resistenze: Nc,Rd=13095.20 My,c,Rd=109.13 Mz,c,Rd=21.83 L=29.50
λ_Y=20.44 Ncr,y=248087.00 λ^*_y=0.24 Curva c: Φ_y=0.54 χ_y=0.98
λ_Z=102.19 Ncr,z=9923.48 λ^*_z=1.18 Curva c: Φ_z=1.43 χ_z=0.44
χ,min=0.44
Verifica: 0.00+0.10+0.00=0.10

- Verifica in termini tensionali [4.2.4] - CC 9 SLU Xl=0.00 - Classe 3
Sollecitazioni: N=-22.03 T_z=-73.66 M_y=-11.02
Tensioni: σ_N=-4.41 σ_M=-264.58 τ=0.00 σ_{max}=-268.98
Tensioni: σ_N=-4.41 σ_M=0.00 τ=22.10 τ_{max}=22.10
Tensioni: σ_N=-4.41 σ_M=-264.58 τ=0.00 $\sigma_{ID,max}$=268.98

Asta n. 114 (114 -694) montanti 50x10 Crit. 1

- Verifica di stabilità aste presso-inflesse (C4.2.4.1.3.3.1) - CC 19 SLU - Classe 3
Sollecitazioni: N,Ed=-20.74 Myeq,Ed=-10.45 Mzeq,Ed=0.23
Resistenze: Nc,Rd=13095.20 My,c,Rd=109.13 Mz,c,Rd=21.83 L=29.50
λ_Y=20.44 Ncr,y=248087.00 λ^*_y=0.24 Curva c: Φ_y=0.54 χ_y=0.98
λ_Z=102.19 Ncr,z=9923.48 λ^*_z=1.18 Curva c: Φ_z=1.43 χ_z=0.44
χ,min=0.44
Verifica: 0.00+0.10+0.01=0.11

- Verifica in termini tensionali [4.2.4] - CC 9 SLU Xl=0.00 - Classe 3
Sollecitazioni: N=-20.75 T_z=-70.11 M_y=-10.50
Tensioni: σ_N=-4.15 σ_M=-252.05 τ=0.00 σ_{max}=-256.20
Tensioni: σ_N=-4.15 σ_M=0.00 τ=21.03 τ_{max}=21.03
Tensioni: σ_N=-4.15 σ_M=-252.05 τ=0.00 $\sigma_{ID,max}$=256.20

Asta n. 115 (115 -695) montanti 50x10 Crit. 1

- Verifica di stabilità aste presso-inflesse (C4.2.4.1.3.3.1) - CC 9 SLU - Classe 3

Sollecitazioni: N,Ed=-20.62 Myeq,Ed=-6.79 Mzeq,Ed=0.01
Resistenze: Nc,Rd=13095.20 My,c,Rd=109.13 Mz,c,Rd=21.83 L=29.50
λ_Y=20.44 Ncr,y=248087.00 λ^*_y=0.24 Curva c: Φ_y=0.54 χ_y=0.98
λ_Z=102.19 Ncr,z=9923.48 λ^*_z=1.18 Curva c: Φ_z=1.43 χ_z=0.44
χ,min=0.44
Verifica: 0.00+0.06+0.00=0.06

- Verifica in termini tensionali [4.2.4] - CC 9 SLU Xl=0.00 - Classe 3
Sollecitazioni: N=-20.62 T_z=-45.50 M_y=-6.79
Tensioni: σ_N=-4.12 σ_M=-162.99 τ=0.00 σ_{max}=-167.12
Tensioni: σ_N=-4.12 σ_M=0.00 τ=13.65 τ_{max}=13.65
Tensioni: σ_N=-4.12 σ_M=-162.99 τ=0.00 $\sigma_{ID,max}$=167.12

- Verifica a taglio dir. Z [4.2.16] - CC 5 SLV Xl=0.19
Sollecitazioni: T_z=20.81
V,Ed=20.81 Vc,Rd=7560.76 V,Ed/Vc,Rd=0.00

Asta n. 116 (116 -696) montanti 50x10 Crit. 1

- Verifica di stabilità aste inflesse (4.2.4.1.3.2) CC 5 SLV - Classe 3
L_{cr}=0.29 Curva d: α_{imp}=0.76 k_c=0.94 ψ=3.09 M,cr=0.00 λ_{LT}=0.00
$\lambda_{LT,0}$=0.20 β_{LT}=1.00 Φ_{LT}=0.00 β_{LT}=1.00 f=0.00 χ_{LT}=1.00
CC 5 SLV My,Ed=-6.40 My,b,Rd=109.13 My,Ed/My,b,Rd=0.06

- Verifica di stabilità aste presso-inflesse (C4.2.4.1.3.3.1) - CC 19 SLU - Classe 3
Sollecitazioni: N,Ed=-2.24 Myeq,Ed=-5.94 Mzeq,Ed=0.23
Resistenze: Nc,Rd=13095.20 My,c,Rd=109.13 Mz,c,Rd=21.83 L=29.50
λ_Y=20.44 Ncr,y=248087.00 λ^*_y=0.24 Curva c: Φ_y=0.54 χ_y=0.98
λ_Z=102.19 Ncr,z=9923.48 λ^*_z=1.18 Curva c: Φ_z=1.43 χ_z=0.44
χ,min=0.44
Verifica: 0.00+0.05+0.01=0.07

- Verifica in termini tensionali [4.2.4] - CC 5 SLV Xl=0.00 - Classe 3
Sollecitazioni: N=-2.24 T_z=-43.28 M_y=-6.40
Tensioni: σ_N=-0.45 σ_M=-153.58 τ=0.00 σ_{max}=-154.03
Tensioni: σ_N=-0.45 σ_M=0.00 τ=12.98 τ_{max}=12.98
Tensioni: σ_N=-0.45 σ_M=-153.58 τ=0.00 $\sigma_{ID,max}$=154.03

- Verifica a taglio dir. Z [4.2.16] - CC 5 SLV Xl=0.13
Sollecitazioni: T_z=-43.28
V,Ed=-43.28 Vc,Rd=7560.76 V,Ed/Vc,Rd=0.01

Asta n. 117 (117 -705) montanti 50x10 Crit. 1

- Verifica di stabilità aste presso-inflesse (C4.2.4.1.3.3.1) - CC 16 SLU - Classe 3
Sollecitazioni: N,Ed=-1.39 Myeq,Ed=-6.74 Mzeq,Ed=-0.03
Resistenze: Nc,Rd=13095.20 My,c,Rd=109.13 Mz,c,Rd=21.83 L=31.25
λ_Y=21.65 Ncr,y=221080.00 λ^*_y=0.25 Curva c: Φ_y=0.54 χ_y=0.97
λ_Z=108.25 Ncr,z=8843.18 λ^*_z=1.25 Curva c: Φ_z=1.53 χ_z=0.41
χ,min=0.41
Verifica: 0.00+0.06+0.00=0.06

- Verifica a flessione [4.2.13] - CC 16 SLU Xl=0.31 - Classe 3
Sollecitazioni: T_z=42.90 M_y=-6.74
My,Ed=-6.74 My,c,Rd=109.13 My,Ed/My,c,Rd=0.06

- Verifica a taglio dir. Z [4.2.16] - CC 16 SLU Xl=0.14
Sollecitazioni: T_z=42.90
V,Ed=42.90 Vc,Rd=7560.76 V,Ed/Vc,Rd=0.01

Asta n. 118 (118 -706) montanti 50x10 Crit. 1

- Verifica di stabilità aste presso-inflesse (C4.2.4.1.3.3.1) - CC 16 SLU - Classe 3
  Sollecitazioni: N,Ed=-17.70 Myeq,Ed=-9.20 Mzeq,Ed=-0.03
  Resistenze: Nc,Rd=13095.20 My,c,Rd=109.13 Mz,c,Rd=21.83 L=31.25
  λ_Y=21.65 Ncr,y=221080.00 λ^*_y=0.25 Curva c: Φ_y=0.54 χ_y=0.97
  λ_Z=108.25 Ncr,z=8843.18 λ^*_z=1.25 Curva c: Φ_z=1.53 χ_z=0.41
  χ,min=0.41
  Verifica: 0.00+0.08+0.00=0.09

- Verifica in termini tensionali [4.2.4] - CC 16 SLU Xl=0.31 - Classe 3
  Sollecitazioni: N=-16.11 T_z=58.41 M_y=-9.20
  Tensioni: σ_N=-3.22 σ_M=-220.84 τ=0.00 σ_{max}=-224.06
  Tensioni: σ_N=-3.22 σ_M=0.00 τ=17.52 τ_{max}=17.52
  Tensioni: σ_N=-3.22 σ_M=-220.84 τ=0.00 $\sigma_{ID,max}$=224.06

Asta n. 119 (119 -707) montanti 50x10 Crit. 1

- Verifica di stabilità aste presso-inflesse (C4.2.4.1.3.3.1) - CC 16 SLU - Classe 3
  Sollecitazioni: N,Ed=-18.92 Myeq,Ed=-12.04 Mzeq,Ed=-0.00
  Resistenze: Nc,Rd=13095.20 My,c,Rd=109.13 Mz,c,Rd=21.83 L=31.25
  λ_Y=21.65 Ncr,y=221080.00 λ^*_y=0.25 Curva c: Φ_y=0.54 χ_y=0.97
  λ_Z=108.25 Ncr,z=8843.18 λ^*_z=1.25 Curva c: Φ_z=1.53 χ_z=0.41
  χ,min=0.41
  Verifica: 0.00+0.11+0.00=0.11

- Verifica in termini tensionali [4.2.4] - CC 16 SLU Xl=0.31 - Classe 3
  Sollecitazioni: N=-17.32 T_z=76.45 M_y=-12.04
  Tensioni: σ_N=-3.46 σ_M=-288.96 τ=0.00 σ_{max}=-292.42
  Tensioni: σ_N=-3.46 σ_M=0.00 τ=22.93 τ_{max}=22.93
  Tensioni: σ_N=-3.46 σ_M=-288.96 τ=0.00 $\sigma_{ID,max}$=292.42

Asta n. 120 (120 -708) montanti 50x10 Crit. 1

- Verifica di stabilità aste presso-inflesse (C4.2.4.1.3.3.1) - CC 16 SLU - Classe 3
  Sollecitazioni: N,Ed=-20.09 Myeq,Ed=-11.99 Mzeq,Ed=-0.01
  Resistenze: Nc,Rd=13095.20 My,c,Rd=109.13 Mz,c,Rd=21.83 L=31.25
  λ_Y=21.65 Ncr,y=221080.00 λ^*_y=0.25 Curva c: Φ_y=0.54 χ_y=0.97
  λ_Z=108.25 Ncr,z=8843.18 λ^*_z=1.25 Curva c: Φ_z=1.53 χ_z=0.41
  χ,min=0.41
  Verifica: 0.00+0.11+0.00=0.11

- Verifica in termini tensionali [4.2.4] - CC 16 SLU Xl=0.31 - Classe 3
  Sollecitazioni: N=-18.50 T_z=76.09 M_y=-11.99
  Tensioni: σ_N=-3.70 σ_M=-287.65 τ=0.00 σ_{max}=-291.35
  Tensioni: σ_N=-3.70 σ_M=0.00 τ=22.83 τ_{max}=22.83
  Tensioni: σ_N=-3.70 σ_M=-287.65 τ=0.00 $\sigma_{ID,max}$=291.35

Asta n. 121 (121 -709) montanti 50x10 Crit. 1

- Verifica di stabilità aste presso-inflesse (C4.2.4.1.3.3.1) - CC 16 SLU - Classe 3
  Sollecitazioni: N,Ed=-20.09 Myeq,Ed=-12.00 Mzeq,Ed=0.01
  Resistenze: Nc,Rd=13095.20 My,c,Rd=109.13 Mz,c,Rd=21.83 L=31.25
  λ_Y=21.65 Ncr,y=221080.00 λ^*_y=0.25 Curva c: Φ_y=0.54 χ_y=0.97
  λ_Z=108.25 Ncr,z=8843.18 λ^*_z=1.25 Curva c: Φ_z=1.53 χ_z=0.41
  χ,min=0.41
  Verifica: 0.00+0.11+0.00=0.11

- Verifica in termini tensionali [4.2.4] - CC 16 SLU Xl=0.31 - Classe 3
  Sollecitazioni: N=-18.49 T_z=76.20 M_y=-12.00
  Tensioni: σ_N=-3.70 σ_M=-288.05 τ=0.00 σ_{max}=-291.74
  Tensioni: σ_N=-3.70 σ_M=0.00 τ=22.86 τ_{max}=22.86
  Tensioni: σ_N=-3.70 σ_M=-288.05 τ=0.00 $\sigma_{ID,max}$=291.74

Asta n. 122 (122 -710) montanti 50x10 Crit. 1

- Verifica di stabilità aste presso-inflesse (C4.2.4.1.3.3.1) - CC 16 SLU - Classe 3
  Sollecitazioni: N,Ed=-18.92 Myeq,Ed=-12.03 Mzeq,Ed=0.01
  Resistenze: Nc,Rd=13095.20 My,c,Rd=109.13 Mz,c,Rd=21.83 L=31.25
  λ_Y=21.65 Ncr,y=221080.00 λ^*_y=0.25 Curva c: Φ_y=0.54 χ_y=0.97
  λ_Z=108.25 Ncr,z=8843.18 λ^*_z=1.25 Curva c: Φ_z=1.53 χ_z=0.41
  χ,min=0.41
  Verifica: 0.00+0.11+0.00=0.11

- Verifica in termini tensionali [4.2.4] - CC 16 SLU Xl=0.31 - Classe 3
  Sollecitazioni: N=-17.33 T_z=76.36 M_y=-12.03
  Tensioni: σ_N=-3.47 σ_M=-288.63 τ=0.00 σ_{max}=-292.10
  Tensioni: σ_N=-3.47 σ_M=0.00 τ=22.91 τ_{max}=22.91
  Tensioni: σ_N=-3.47 σ_M=-288.63 τ=0.00 $\sigma_{ID,max}$=292.10

Asta n. 123 (123 -711) montanti 50x10 Crit. 1

- Verifica di stabilità aste presso-inflesse (C4.2.4.1.3.3.1) - CC 16 SLU - Classe 3
  Sollecitazioni: N,Ed=-17.70 Myeq,Ed=-9.20 Mzeq,Ed=0.03
  Resistenze: Nc,Rd=13095.20 My,c,Rd=109.13 Mz,c,Rd=21.83 L=31.25
  λ_Y=21.65 Ncr,y=221080.00 λ^*_y=0.25 Curva c: Φ_y=0.54 χ_y=0.97
  λ_Z=108.25 Ncr,z=8843.18 λ^*_z=1.25 Curva c: Φ_z=1.53 χ_z=0.41
  χ,min=0.41
  Verifica: 0.00+0.08+0.00=0.09

- Verifica in termini tensionali [4.2.4] - CC 16 SLU Xl=0.31 - Classe 3
  Sollecitazioni: N=-16.11 T_z=58.43 M_y=-9.20
  Tensioni: σ_N=-3.22 σ_M=-220.91 τ=0.00 σ_{max}=-224.13
  Tensioni: σ_N=-3.22 σ_M=0.00 τ=17.53 τ_{max}=17.53
  Tensioni: σ_N=-3.22 σ_M=-220.91 τ=0.00 $\sigma_{ID,max}$=224.13

Asta n. 124 (124 -712) montanti 50x10 Crit. 1

- Verifica di stabilità aste presso-inflesse (C4.2.4.1.3.3.1) - CC 16 SLU - Classe 3
  Sollecitazioni: N,Ed=-1.39 Myeq,Ed=-6.74 Mzeq,Ed=0.03
  Resistenze: Nc,Rd=13095.20 My,c,Rd=109.13 Mz,c,Rd=21.83 L=31.25
  λ_Y=21.65 Ncr,y=221080.00 λ^*_y=0.25 Curva c: Φ_y=0.54 χ_y=0.97
  λ_Z=108.25 Ncr,z=8843.18 λ^*_z=1.25 Curva c: Φ_z=1.53 χ_z=0.41
  χ,min=0.41
  Verifica: 0.00+0.06+0.00=0.06

- Verifica a flessione [4.2.13] - CC 16 SLU Xl=0.31 - Classe 3
  Sollecitazioni: T_z=42.91 M_y=-6.74
  My,Ed=-6.74 My,c,Rd=109.13 My,Ed/My,c,Rd=0.06

- Verifica a taglio dir. Z [4.2.16] - CC 16 SLU Xl=0.14
  Sollecitazioni: T_z=42.91
  V,Ed=42.91 Vc,Rd=7560.76 V,Ed/Vc,Rd=0.01

Asta n. 125 (125 -721) montanti 50x10 Crit. 1

- Verifica di stabilità aste presso-inflesse (C4.2.4.1.3.3.1) - CC 16 SLU - Classe 3

Sollecitazioni: N,Ed=-47.52 Myeq,Ed=-11.43 Mzeq,Ed=-0.09
Resistenze: Nc,Rd=13095.20 My,c,Rd=109.13 Mz,c,Rd=21.83 L=33.00
λ_Y=22.86 Ncr,y=198253.00 λ^*_y=0.26 Curva c: Φ_y=0.55 χ_y=0.97
λ_Z=114.31 Ncr,z=7930.13 λ^*_z=1.32 Curva c: Φ_z=1.64 χ_z=0.38
χ,min=0.38
Verifica: 0.00+0.10+0.00=0.11

- Verifica in termini tensionali [4.2.4] - CC 16 SLU Xl=0.33 - Classe 3
Sollecitazioni: N=-45.84 T_z=68.88 M_y=-11.43
Tensioni: σ_N=-9.17 σ_M=-274.23 τ=0.00 σ_{max}=-283.39
Tensioni: σ_N=-9.17 σ_M=0.00 τ=20.66 τ_{max}=20.66
Tensioni: σ_N=-9.17 σ_M=-274.23 τ=0.00 $\sigma_{ID,max}$=283.39

Asta n. 126 (126 -722) montanti 50x10 Crit. 1

- Verifica di stabilità aste presso-inflesse (C4.2.4.1.3.3.1) - CC 17 SLU - Classe 3
Sollecitazioni: N,Ed=-6.79 Myeq,Ed=-0.22 Mzeq,Ed=2.72
Resistenze: Nc,Rd=13095.20 My,c,Rd=109.13 Mz,c,Rd=21.83 L=33.00
λ_Y=22.86 Ncr,y=198253.00 λ^*_y=0.26 Curva c: Φ_y=0.55 χ_y=0.97
λ_Z=114.31 Ncr,z=7930.13 λ^*_z=1.32 Curva c: Φ_z=1.64 χ_z=0.38
χ,min=0.38
Verifica: 0.00+0.00+0.12=0.13

- Verifica in termini tensionali [4.2.4] - CC 17 SLU Xl=0.33 - Classe 3
Sollecitazioni: N=-5.11 T_z=1.11 T_y=12.68 M_z=3.43
Tensioni: σ_N=-1.02 σ_M=-411.48 τ=0.00 σ_{max}=-412.50
Tensioni: σ_N=-1.02 σ_M=0.00 τ=3.82 τ_{max}=3.82
Tensioni: σ_N=-1.02 σ_M=-411.48 τ=0.33 $\sigma_{ID,max}$=412.50

Asta n. 127 (127 -723) montanti 50x10 Crit. 1

- Verifica di stabilità aste presso-inflesse (C4.2.4.1.3.3.1) - CC 16 SLU - Classe 3
Sollecitazioni: N,Ed=-61.12 Myeq,Ed=-20.10 Mzeq,Ed=-0.01
Resistenze: Nc,Rd=13095.20 My,c,Rd=109.13 Mz,c,Rd=21.83 L=33.00
λ_Y=22.86 Ncr,y=198253.00 λ^*_y=0.26 Curva c: Φ_y=0.55 χ_y=0.97
λ_Z=114.31 Ncr,z=7930.13 λ^*_z=1.32 Curva c: Φ_z=1.64 χ_z=0.38
χ,min=0.38
Verifica: 0.00+0.18+0.00=0.19

- Verifica in termini tensionali [4.2.4] - CC 16 SLU Xl=0.33 - Classe 3
Sollecitazioni: N=-59.44 T_z=121.11 M_y=-20.10
Tensioni: σ_N=-11.89 σ_M=-482.29 τ=0.00 σ_{max}=-494.18
Tensioni: σ_N=-11.89 σ_M=0.00 τ=36.33 τ_{max}=36.33
Tensioni: σ_N=-11.89 σ_M=-482.29 τ=0.00 $\sigma_{ID,max}$=494.18

Asta n. 128 (128 -724) montanti 50x10 Crit. 1

- Verifica di stabilità aste presso-inflesse (C4.2.4.1.3.3.1) - CC 16 SLU - Classe 3
Sollecitazioni: N,Ed=-58.17 Myeq,Ed=-19.93 Mzeq,Ed=-0.02
Resistenze: Nc,Rd=13095.20 My,c,Rd=109.13 Mz,c,Rd=21.83 L=33.00
λ_Y=22.86 Ncr,y=198253.00 λ^*_y=0.26 Curva c: Φ_y=0.55 χ_y=0.97
λ_Z=114.31 Ncr,z=7930.13 λ^*_z=1.32 Curva c: Φ_z=1.64 χ_z=0.38
χ,min=0.38
Verifica: 0.00+0.18+0.00=0.19

- Verifica in termini tensionali [4.2.4] - CC 16 SLU Xl=0.33 - Classe 3
Sollecitazioni: N=-56.49 T_z=120.09 M_y=-19.93
Tensioni: σ_N=-11.30 σ_M=-478.30 τ=0.00 σ_{max}=-489.60
Tensioni: σ_N=-11.30 σ_M=0.00 τ=36.03 τ_{max}=36.03

Tensioni: σ_N=-11.30 σ_M=-478.30 τ=0.00 $\sigma_{ID,max}$=489.60

Asta n. 129 (129 -725) montanti 50x10 Crit. 1

- Verifica di stabilità aste presso-inflesse (C4.2.4.1.3.3.1) - CC 16 SLU - Classe 3
Sollecitazioni: N,Ed=-58.15 Myeq,Ed=-19.94 Mzeq,Ed=0.02
Resistenze: Nc,Rd=13095.20 My,c,Rd=109.13 Mz,c,Rd=21.83 L=33.00
λ_Y=22.86 Ncr,y=198253.00 λ^*_y=0.26 Curva c: Φ_y=0.55 χ_y=0.97
λ_Z=114.31 Ncr,z=7930.13 λ^*_z=1.32 Curva c: Φ_z=1.64 χ_z=0.38
χ,min=0.38
Verifica: 0.00+0.18+0.00=0.19

- Verifica in termini tensionali [4.2.4] - CC 16 SLU Xl=0.33 - Classe 3
Sollecitazioni: N=-56.47 T_z=120.18 M_y=-19.94
Tensioni: σ_N=-11.29 σ_M=-478.65 τ=0.00 σ_{max}=-489.94
Tensioni: σ_N=-11.29 σ_M=0.00 τ=36.05 τ_{max}=36.05
Tensioni: σ_N=-11.29 σ_M=-478.65 τ=0.00 $\sigma_{ID,max}$=489.94

Asta n. 130 (130 -726) montanti 50x10 Crit. 1

- Verifica di stabilità aste presso-inflesse (C4.2.4.1.3.3.1) - CC 16 SLU - Classe 3
Sollecitazioni: N,Ed=-61.14 Myeq,Ed=-20.08 Mzeq,Ed=0.01
Resistenze: Nc,Rd=13095.20 My,c,Rd=109.13 Mz,c,Rd=21.83 L=33.00
λ_Y=22.86 Ncr,y=198253.00 λ^*_y=0.26 Curva c: Φ_y=0.55 χ_y=0.97
λ_Z=114.31 Ncr,z=7930.13 λ^*_z=1.32 Curva c: Φ_z=1.64 χ_z=0.38
χ,min=0.38
Verifica: 0.00+0.18+0.00=0.19

- Verifica in termini tensionali [4.2.4] - CC 16 SLU Xl=0.33 - Classe 3
Sollecitazioni: N=-59.46 T_z=121.05 M_y=-20.08
Tensioni: σ_N=-11.89 σ_M=-482.03 τ=0.00 σ_{max}=-493.92
Tensioni: σ_N=-11.89 σ_M=0.00 τ=36.31 τ_{max}=36.31
Tensioni: σ_N=-11.89 σ_M=-482.03 τ=0.00 $\sigma_{ID,max}$=493.92

Asta n. 131 (131 -727) montanti 50x10 Crit. 1

- Verifica di stabilità aste presso-inflesse (C4.2.4.1.3.3.1) - CC 16 SLU - Classe 3
Sollecitazioni: N,Ed=-2.56 Myeq,Ed=-11.84 Mzeq,Ed=0.09
Resistenze: Nc,Rd=13095.20 My,c,Rd=109.13 Mz,c,Rd=21.83 L=33.00
λ_Y=22.86 Ncr,y=198253.00 λ^*_y=0.26 Curva c: Φ_y=0.55 χ_y=0.97
λ_Z=114.31 Ncr,z=7930.13 λ^*_z=1.32 Curva c: Φ_z=1.64 χ_z=0.38
χ,min=0.38
Verifica: 0.00+0.11+0.00=0.11

- Verifica a flessione [4.2.13] - CC 16 SLU Xl=0.33 - Classe 3
Sollecitazioni: T_z=71.41 M_y=-11.84
My,Ed=-11.84 My,c,Rd=109.13 My,Ed/My,c,Rd=0.11

Asta n. 132 (132 -728) montanti 50x10 Crit. 1

- Verifica di stabilità aste presso-inflesse (C4.2.4.1.3.3.1) - CC 17 SLU - Classe 3
Sollecitazioni: N,Ed=-24.69 Myeq,Ed=-0.61 Mzeq,Ed=2.78
Resistenze: Nc,Rd=13095.20 My,c,Rd=109.13 Mz,c,Rd=21.83 L=33.00
λ_Y=22.86 Ncr,y=198253.00 λ^*_y=0.26 Curva c: Φ_y=0.55 χ_y=0.97
λ_Z=114.31 Ncr,z=7930.13 λ^*_z=1.32 Curva c: Φ_z=1.64 χ_z=0.38
χ,min=0.38
Verifica: 0.00+0.01+0.13=0.14

- Verifica in termini tensionali [4.2.4] - CC 17 SLU Xl=0.33 - Classe 3

Sollecitazioni: N=-23.00 T_z=3.46 T_y=12.98 M_z=3.53
Tensioni: σ_N=-4.60 σ_M=-423.69 τ=0.00 σ_{max}=-428.29
Tensioni: σ_N=-4.60 σ_M=0.00 τ=4.03 τ_{max}=4.03
Tensioni: σ_N=-4.60 σ_M=-423.69 τ=1.04 $\sigma_{ID,max}$=428.29

Asta n. 133 (133 -737) montanti 50x10 Crit. 1

- Verifica di stabilità aste inflesse (4.2.4.1.3.2) CC 16 SLU - Classe 3
L_{cr}=0.35 Curva d: α_{imp}=0.76 k_c=0.94 ψ=3.08 M,cr=0.00 λ_{LT}=0.00
$\lambda_{LT,0}$=0.20 β_{LT}=1.00 Φ_{LT}=0.00 β_{LT}=1.00 f=0.00 χ_{LT}=1.00
CC 16 SLU My,Ed=-15.69 My,b,Rd=109.13 My,Ed/My,b,Rd=0.14

- Verifica di stabilità aste presso-inflesse (C4.2.4.1.3.3.1) - CC 18 SLU - Classe 3
Sollecitazioni: N,Ed=-0.71 Myeq,Ed=-13.01 Mzeq,Ed=-0.03
Resistenze: Nc,Rd=13095.20 My,c,Rd=109.13 Mz,c,Rd=21.83 L=34.75
λ_Y=24.08 Ncr,y=178788.00 λ^*_y=0.28 Curva c: Φ_y=0.56 χ_y=0.96
λ_Z=120.38 Ncr,z=7151.52 λ^*_z=1.39 Curva c: Φ_z=1.75 χ_z=0.35
χ,min=0.35
Verifica: 0.00+0.12+0.00=0.12

- Verifica in termini tensionali [4.2.4] - CC 16 SLU Xl=0.35 - Classe 3
Sollecitazioni: N=2.34 T_z=89.86 M_y=-15.69
Tensioni: σ_N=0.47 σ_M=376.66 τ=0.00 σ_{max}=377.13
Tensioni: σ_N=0.47 σ_M=0.00 τ=26.96 τ_{max}=26.96
Tensioni: σ_N=0.47 σ_M=376.66 τ=0.00 $\sigma_{ID,max}$=377.13

- Verifica a taglio dir. Z [4.2.16] - CC 20 SLU Xl=0.16
Sollecitazioni: T_z=67.31
V,Ed=67.31 Vc,Rd=7560.76 V,Ed/Vc,Rd=0.01

Asta n. 134 (134 -738) montanti 50x10 Crit. 1

- Verifica di stabilità aste presso-inflesse (C4.2.4.1.3.3.1) - CC 16 SLU - Classe 3
Sollecitazioni: N,Ed=-16.76 Myeq,Ed=-14.39 Mzeq,Ed=-0.03
Resistenze: Nc,Rd=13095.20 My,c,Rd=109.13 Mz,c,Rd=21.83 L=34.75
λ_Y=24.08 Ncr,y=178788.00 λ^*_y=0.28 Curva c: Φ_y=0.56 χ_y=0.96
λ_Z=120.38 Ncr,z=7151.52 λ^*_z=1.39 Curva c: Φ_z=1.75 χ_z=0.35
χ,min=0.35
Verifica: 0.00+0.13+0.00=0.13

- Verifica in termini tensionali [4.2.4] - CC 16 SLU Xl=0.35 - Classe 3
Sollecitazioni: N=-14.99 T_z=82.59 M_y=-14.39
Tensioni: σ_N=-3.00 σ_M=-345.48 τ=0.00 σ_{max}=-348.47
Tensioni: σ_N=-3.00 σ_M=0.00 τ=24.78 τ_{max}=24.78
Tensioni: σ_N=-3.00 σ_M=-345.48 τ=0.00 $\sigma_{ID,max}$=348.47

- Verifica a taglio dir. Z [4.2.16] - CC 5 SLV Xl=0.16
Sollecitazioni: T_z=31.58
V,Ed=31.58 Vc,Rd=7560.76 V,Ed/Vc,Rd=0.00

Asta n. 135 (135 -739) montanti 50x10 Crit. 1

- Verifica di stabilità aste presso-inflesse (C4.2.4.1.3.3.1) - CC 16 SLU - Classe 3
Sollecitazioni: N,Ed=-15.51 Myeq,Ed=-27.56 Mzeq,Ed=-0.00
Resistenze: Nc,Rd=13095.20 My,c,Rd=109.13 Mz,c,Rd=21.83 L=34.75
λ_Y=24.08 Ncr,y=178788.00 λ^*_y=0.28 Curva c: Φ_y=0.56 χ_y=0.96
λ_Z=120.38 Ncr,z=7151.52 λ^*_z=1.39 Curva c: Φ_z=1.75 χ_z=0.35
χ,min=0.35
Verifica: 0.00+0.25+0.00=0.25

- Verifica in termini tensionali [4.2.4] - CC 16 SLU Xl=0.35 - Classe 3
  Sollecitazioni: N=-13.74 T_z=157.86 M_y=-27.56
  Tensioni: σ_N=-2.75 σ_M=-661.33 τ=0.00 σ_{max}=-664.08
  Tensioni: σ_N=-2.75 σ_M=0.00 τ=47.36 τ_{max}=47.36
  Tensioni: σ_N=-2.75 σ_M=-661.33 τ=0.00 $\sigma_{ID,max}$=664.08

- Verifica a taglio dir. Z [4.2.16] - CC 5 SLV Xl=0.16
  Sollecitazioni: T_z=40.62
  V,Ed=40.62 Vc,Rd=7560.76 V,Ed/Vc,Rd=0.01

Asta n. 136 (136 -740) montanti 50x10 Crit. 1

- Verifica di stabilità aste presso-inflesse (C4.2.4.1.3.3.1) - CC 16 SLU - Classe 3
  Sollecitazioni: N,Ed=-16.63 Myeq,Ed=-27.27 Mzeq,Ed=-0.01
  Resistenze: Nc,Rd=13095.20 My,c,Rd=109.13 Mz,c,Rd=21.83 L=34.75
  λ_Y=24.08 Ncr,y=178788.00 λ^*_y=0.28 Curva c: Φ_y=0.56 χ_y=0.96
  λ_Z=120.38 Ncr,z=7151.52 λ^*_z=1.39 Curva c: Φ_z=1.75 χ_z=0.35
  χ,min=0.35
  Verifica: 0.00+0.25+0.00=0.25

- Verifica in termini tensionali [4.2.4] - CC 16 SLU Xl=0.35 - Classe 3
  Sollecitazioni: N=-14.86 T_z=156.21 M_y=-27.27
  Tensioni: σ_N=-2.97 σ_M=-654.39 τ=0.00 σ_{max}=-657.37
  Tensioni: σ_N=-2.97 σ_M=0.00 τ=46.86 τ_{max}=46.86
  Tensioni: σ_N=-2.97 σ_M=-654.39 τ=0.00 $\sigma_{ID,max}$=657.37

- Verifica a taglio dir. Z [4.2.16] - CC 5 SLV Xl=0.16
  Sollecitazioni: T_z=40.30
  V,Ed=40.30 Vc,Rd=7560.76 V,Ed/Vc,Rd=0.01

Asta n. 137 (137 -741) montanti 50x10 Crit. 1

- Verifica di stabilità aste presso-inflesse (C4.2.4.1.3.3.1) - CC 16 SLU - Classe 3
  Sollecitazioni: N,Ed=-16.62 Myeq,Ed=-27.28 Mzeq,Ed=0.01
  Resistenze: Nc,Rd=13095.20 My,c,Rd=109.13 Mz,c,Rd=21.83 L=34.75
  λ_Y=24.08 Ncr,y=178788.00 λ^*_y=0.28 Curva c: Φ_y=0.56 χ_y=0.96
  λ_Z=120.38 Ncr,z=7151.52 λ^*_z=1.39 Curva c: Φ_z=1.75 χ_z=0.35
  χ,min=0.35
  Verifica: 0.00+0.25+0.00=0.25

- Verifica in termini tensionali [4.2.4] - CC 16 SLU Xl=0.35 - Classe 3
  Sollecitazioni: N=-14.85 T_z=156.28 M_y=-27.28
  Tensioni: σ_N=-2.97 σ_M=-654.68 τ=0.00 σ_{max}=-657.65
  Tensioni: σ_N=-2.97 σ_M=0.00 τ=46.88 τ_{max}=46.88
  Tensioni: σ_N=-2.97 σ_M=-654.68 τ=0.00 $\sigma_{ID,max}$=657.65

- Verifica a taglio dir. Z [4.2.16] - CC 5 SLV Xl=0.16
  Sollecitazioni: T_z=40.32
  V,Ed=40.32 Vc,Rd=7560.76 V,Ed/Vc,Rd=0.01

Asta n. 138 (138 -742) montanti 50x10 Crit. 1

- Verifica di stabilità aste presso-inflesse (C4.2.4.1.3.3.1) - CC 16 SLU - Classe 3
  Sollecitazioni: N,Ed=-15.51 Myeq,Ed=-27.55 Mzeq,Ed=0.00
  Resistenze: Nc,Rd=13095.20 My,c,Rd=109.13 Mz,c,Rd=21.83 L=34.75
  λ_Y=24.08 Ncr,y=178788.00 λ^*_y=0.28 Curva c: Φ_y=0.56 χ_y=0.96
  λ_Z=120.38 Ncr,z=7151.52 λ^*_z=1.39 Curva c: Φ_z=1.75 χ_z=0.35
  χ,min=0.35

Verifica: 0.00+0.25+0.00=0.25

- Verifica in termini tensionali [4.2.4] - CC 16 SLU Xl=0.35 - Classe 3
Sollecitazioni: N=-13.74 T_z=157.81 M_y=-27.55
Tensioni: σ_N=-2.75 σ_M=-661.12 τ=0.00 σ_{max}=-663.87
Tensioni: σ_N=-2.75 σ_M=0.00 τ=47.34 τ_{max}=47.34
Tensioni: σ_N=-2.75 σ_M=-661.12 τ=0.00 $\sigma_{ID,max}$=663.87

- Verifica a taglio dir. Z [4.2.16] - CC 5 SLV Xl=0.16
Sollecitazioni: T_z=40.61
V,Ed=40.61 Vc,Rd=7560.76 V,Ed/Vc,Rd=0.01

Asta n. 139 (139 -743) montanti 50x10 Crit. 1

- Verifica di stabilità aste presso-inflesse (C4.2.4.1.3.3.1) - CC 16 SLU - Classe 3
Sollecitazioni: N,Ed=-16.76 Myeq,Ed=-14.40 Mzeq,Ed=0.03
Resistenze: Nc,Rd=13095.20 My,c,Rd=109.13 Mz,c,Rd=21.83 L=34.75
λ_Y=24.08 Ncr,y=178788.00 λ^*_y=0.28 Curva c: Φ_y=0.56 χ_y=0.96
λ_Z=120.38 Ncr,z=7151.52 λ^*_z=1.39 Curva c: Φ_z=1.75 χ_z=0.35
χ,min=0.35
Verifica: 0.00+0.13+0.00=0.13

- Verifica in termini tensionali [4.2.4] - CC 16 SLU Xl=0.35 - Classe 3
Sollecitazioni: N=-14.98 T_z=82.60 M_y=-14.40
Tensioni: σ_N=-3.00 σ_M=-345.52 τ=0.00 σ_{max}=-348.52
Tensioni: σ_N=-3.00 σ_M=0.00 τ=24.78 τ_{max}=24.78
Tensioni: σ_N=-3.00 σ_M=-345.52 τ=0.00 $\sigma_{ID,max}$=348.52

- Verifica a taglio dir. Z [4.2.16] - CC 5 SLV Xl=0.16
Sollecitazioni: T_z=31.58
V,Ed=31.58 Vc,Rd=7560.76 V,Ed/Vc,Rd=0.00

Asta n. 140 (140 -744) montanti 50x10 Crit. 1

- Verifica di stabilità aste inflesse (4.2.4.1.3.2) CC 16 SLU - Classe 3
L_{cr}=0.35 Curva d: α_{imp}=0.76 k_c=0.94 ψ=3.08 M,cr=0.00 λ_{LT}=0.00
$\lambda_{LT,0}$=0.20 β_{LT}=1.00 Φ_{LT}=0.00 β_{LT}=1.00 f=0.00 χ_{LT}=1.00
CC 16 SLU My,Ed=-15.70 My,b,Rd=109.13 My,Ed/My,b,Rd=0.14

- Verifica di stabilità aste presso-inflesse (C4.2.4.1.3.3.1) - CC 18 SLU - Classe 3
Sollecitazioni: N,Ed=-0.71 Myeq,Ed=-13.01 Mzeq,Ed=0.03
Resistenze: Nc,Rd=13095.20 My,c,Rd=109.13 Mz,c,Rd=21.83 L=34.75
λ_Y=24.08 Ncr,y=178788.00 λ^*_y=0.28 Curva c: Φ_y=0.56 χ_y=0.96
λ_Z=120.38 Ncr,z=7151.52 λ^*_z=1.39 Curva c: Φ_z=1.75 χ_z=0.35
χ,min=0.35
Verifica: 0.00+0.12+0.00=0.12

- Verifica in termini tensionali [4.2.4] - CC 16 SLU Xl=0.35 - Classe 3
Sollecitazioni: N=2.34 T_z=89.88 M_y=-15.70
Tensioni: σ_N=0.47 σ_M=376.73 τ=0.00 σ_{max}=377.20
Tensioni: σ_N=0.47 σ_M=0.00 τ=26.96 τ_{max}=26.96
Tensioni: σ_N=0.47 σ_M=376.73 τ=0.00 $\sigma_{ID,max}$=377.20

- Verifica a taglio dir. Z [4.2.16] - CC 20 SLU Xl=0.16
Sollecitazioni: T_z=67.33
V,Ed=67.33 Vc,Rd=7560.76 V,Ed/Vc,Rd=0.01

Asta n. 141 (141 -753) montanti 50x10 Crit. 1

- Verifica di stabilità aste inflesse (4.2.4.1.3.2) CC 16 SLU - Classe 3
  L_{cr}=0.36 Curva d: α_{imp}=0.76 k_c=0.94 ψ=3.09 M,cr=0.00 λ_{LT}=0.00
  $\lambda_{LT,0}$=0.20 β_{LT}=1.00 Φ_{LT}=0.00 β_{LT}=1.00 f=0.00 χ_{LT}=1.00
  CC 16 SLU My,Ed=-16.10 My,b,Rd=109.13 My,Ed/My,b,Rd=0.15

- Verifica di stabilità aste presso-inflesse (C4.2.4.1.3.3.1) - CC 9 SLU - Classe 3
  Sollecitazioni: N,Ed=-0.70 Myeq,Ed=-6.08 Mzeq,Ed=-0.01
  Resistenze: Nc,Rd=13095.20 My,c,Rd=109.13 Mz,c,Rd=21.83 L=36.50
  λ_Y=25.29 Ncr,y=162055.00 λ^*_y=0.29 Curva c: Φ_y=0.56 χ_y=0.95
  λ_Z=126.44 Ncr,z=6482.20 λ^*_z=1.46 Curva c: Φ_z=1.87 χ_z=0.33
  χ,min=0.33
  Verifica: 0.00+0.06+0.00=0.06

- Verifica in termini tensionali [4.2.4] - CC 16 SLU Xl=0.36 - Classe 3
  Sollecitazioni: N=3.73 T_z=88.02 M_y=-16.10
  Tensioni: σ_N=0.75 σ_M=386.40 τ=0.00 σ_{max}=387.15
  Tensioni: σ_N=0.75 σ_M=0.00 τ=26.41 τ_{max}=26.41
  Tensioni: σ_N=0.75 σ_M=386.40 τ=0.00 $\sigma_{ID,max}$=387.15

- Verifica a taglio dir. Z [4.2.16] - CC 9 SLU Xl=0.17
  Sollecitazioni: T_z=33.02
  V,Ed=33.02 Vc,Rd=7560.76 V,Ed/Vc,Rd=0.00

Asta n. 142 (142 -754) montanti 50x10 Crit. 1

- Verifica di stabilità aste presso-inflesse (C4.2.4.1.3.3.1) - CC 16 SLU - Classe 3
  Sollecitazioni: N,Ed=-17.94 Myeq,Ed=-17.67 Mzeq,Ed=-0.01
  Resistenze: Nc,Rd=13095.20 My,c,Rd=109.13 Mz,c,Rd=21.83 L=36.50
  λ_Y=25.29 Ncr,y=162055.00 λ^*_y=0.29 Curva c: Φ_y=0.56 χ_y=0.95
  λ_Z=126.44 Ncr,z=6482.20 λ^*_z=1.46 Curva c: Φ_z=1.87 χ_z=0.33
  χ,min=0.33
  Verifica: 0.00+0.16+0.00=0.16

- Verifica in termini tensionali [4.2.4] - CC 16 SLU Xl=0.36 - Classe 3
  Sollecitazioni: N=-16.07 T_z=96.63 M_y=-17.67
  Tensioni: σ_N=-3.21 σ_M=-424.13 τ=0.00 σ_{max}=-427.35
  Tensioni: σ_N=-3.21 σ_M=0.00 τ=28.99 τ_{max}=28.99
  Tensioni: σ_N=-3.21 σ_M=-424.13 τ=0.00 $\sigma_{ID,max}$=427.35

- Verifica a taglio dir. Z [4.2.16] - CC 5 SLV Xl=0.20
  Sollecitazioni: T_z=32.51
  V,Ed=32.51 Vc,Rd=7560.76 V,Ed/Vc,Rd=0.00

Asta n. 143 (143 -755) montanti 50x10 Crit. 1

- Verifica di stabilità aste presso-inflesse (C4.2.4.1.3.3.1) - CC 16 SLU - Classe 3
  Sollecitazioni: N,Ed=-14.91 Myeq,Ed=-30.97 Mzeq,Ed=-0.00
  Resistenze: Nc,Rd=13095.20 My,c,Rd=109.13 Mz,c,Rd=21.83 L=36.50
  λ_Y=25.29 Ncr,y=162055.00 λ^*_y=0.29 Curva c: Φ_y=0.56 χ_y=0.95
  λ_Z=126.44 Ncr,z=6482.20 λ^*_z=1.46 Curva c: Φ_z=1.87 χ_z=0.33
  χ,min=0.33
  Verifica: 0.00+0.28+0.00=0.29

- Verifica in termini tensionali [4.2.4] - CC 16 SLU Xl=0.36 - Classe 3
  Sollecitazioni: N=-13.04 T_z=169.32 M_y=-30.97
  Tensioni: σ_N=-2.61 σ_M=-743.27 τ=0.00 σ_{max}=-745.88
  Tensioni: σ_N=-2.61 σ_M=0.00 τ=50.80 τ_{max}=50.80
  Tensioni: σ_N=-2.61 σ_M=-743.27 τ=0.00 $\sigma_{ID,max}$=745.88

- Verifica a taglio dir. Z [4.2.16] - CC 5 SLV Xl=0.17
  Sollecitazioni: T_z=41.49
  V,Ed=41.49 Vc,Rd=7560.76 V,Ed/Vc,Rd=0.01

Asta n. 144 (144 -756) montanti 50x10 Crit. 1

- Verifica di stabilità aste presso-inflesse (C4.2.4.1.3.3.1) - CC 16 SLU - Classe 3
  Sollecitazioni: N,Ed=-16.22 Myeq,Ed=-30.88 Mzeq,Ed=-0.00
  Resistenze: Nc,Rd=13095.20 My,c,Rd=109.13 Mz,c,Rd=21.83 L=36.50
  λ_Y=25.29 Ncr,y=162055.00 λ^*_y=0.29 Curva c: Φ_y=0.56 χ_y=0.95
  λ_Z=126.44 Ncr,z=6482.20 λ^*_z=1.46 Curva c: Φ_z=1.87 χ_z=0.33
  χ,min=0.33
  Verifica: 0.00+0.28+0.00=0.28

- Verifica in termini tensionali [4.2.4] - CC 16 SLU Xl=0.36 - Classe 3
  Sollecitazioni: N=-14.35 T_z=168.82 M_y=-30.88
  Tensioni: σ_N=-2.87 σ_M=-741.07 τ=0.00 σ_{max}=-743.94
  Tensioni: σ_N=-2.87 σ_M=0.00 τ=50.65 τ_{max}=50.65
  Tensioni: σ_N=-2.87 σ_M=-741.07 τ=0.00 $\sigma_{ID,max}$=743.94

- Verifica a taglio dir. Z [4.2.16] - CC 5 SLV Xl=0.17
  Sollecitazioni: T_z=41.31
  V,Ed=41.31 Vc,Rd=7560.76 V,Ed/Vc,Rd=0.01

Asta n. 145 (145 -757) montanti 50x10 Crit. 1

- Verifica di stabilità aste presso-inflesse (C4.2.4.1.3.3.1) - CC 16 SLU - Classe 3
  Sollecitazioni: N,Ed=-16.22 Myeq,Ed=-30.89 Mzeq,Ed=0.00
  Resistenze: Nc,Rd=13095.20 My,c,Rd=109.13 Mz,c,Rd=21.83 L=36.50
  λ_Y=25.29 Ncr,y=162055.00 λ^*_y=0.29 Curva c: Φ_y=0.56 χ_y=0.95
  λ_Z=126.44 Ncr,z=6482.20 λ^*_z=1.46 Curva c: Φ_z=1.87 χ_z=0.33
  χ,min=0.33
  Verifica: 0.00+0.28+0.00=0.28

- Verifica in termini tensionali [4.2.4] - CC 16 SLU Xl=0.36 - Classe 3
  Sollecitazioni: N=-14.35 T_z=168.88 M_y=-30.89
  Tensioni: σ_N=-2.87 σ_M=-741.33 τ=0.00 σ_{max}=-744.20
  Tensioni: σ_N=-2.87 σ_M=0.00 τ=50.66 τ_{max}=50.66
  Tensioni: σ_N=-2.87 σ_M=-741.33 τ=0.00 $\sigma_{ID,max}$=744.20

- Verifica a taglio dir. Z [4.2.16] - CC 5 SLV Xl=0.17
  Sollecitazioni: T_z=41.33
  V,Ed=41.33 Vc,Rd=7560.76 V,Ed/Vc,Rd=0.01

Asta n. 146 (146 -758) montanti 50x10 Crit. 1

- Verifica di stabilità aste presso-inflesse (C4.2.4.1.3.3.1) - CC 16 SLU - Classe 3
  Sollecitazioni: N,Ed=-14.91 Myeq,Ed=-30.96 Mzeq,Ed=0.00
  Resistenze: Nc,Rd=13095.20 My,c,Rd=109.13 Mz,c,Rd=21.83 L=36.50
  λ_Y=25.29 Ncr,y=162055.00 λ^*_y=0.29 Curva c: Φ_y=0.56 χ_y=0.95
  λ_Z=126.44 Ncr,z=6482.20 λ^*_z=1.46 Curva c: Φ_z=1.87 χ_z=0.33
  χ,min=0.33
  Verifica: 0.00+0.28+0.00=0.29

- Verifica in termini tensionali [4.2.4] - CC 16 SLU Xl=0.36 - Classe 3
  Sollecitazioni: N=-13.04 T_z=169.28 M_y=-30.96
  Tensioni: σ_N=-2.61 σ_M=-743.08 τ=0.00 σ_{max}=-745.69
  Tensioni: σ_N=-2.61 σ_M=0.00 τ=50.78 τ_{max}=50.78
  Tensioni: σ_N=-2.61 σ_M=-743.08 τ=0.00 $\sigma_{ID,max}$=745.69

- Verifica a taglio dir. Z [4.2.16] - CC 5 SLV Xl=0.17
  Sollecitazioni: T_z=41.48
  V,Ed=41.48 Vc,Rd=7560.76 V,Ed/Vc,Rd=0.01

Asta n. 147 (147 -759) montanti 50x10 Crit. 1

- Verifica di stabilità aste presso-inflesse (C4.2.4.1.3.3.1) - CC 16 SLU - Classe 3
  Sollecitazioni: N,Ed=-17.94 Myeq,Ed=-17.67 Mzeq,Ed=0.01
  Resistenze: Nc,Rd=13095.20 My,c,Rd=109.13 Mz,c,Rd=21.83 L=36.50
  λ_Y=25.29 Ncr,y=162055.00 λ^*_y=0.29 Curva c: Φ_y=0.56 χ_y=0.95
  λ_Z=126.44 Ncr,z=6482.20 λ^*_z=1.46 Curva c: Φ_z=1.87 χ_z=0.33
  χ,min=0.33
  Verifica: 0.00+0.16+0.00=0.16

- Verifica in termini tensionali [4.2.4] - CC 16 SLU Xl=0.36 - Classe 3
  Sollecitazioni: N=-16.08 T_z=96.64 M_y=-17.67
  Tensioni: σ_N=-3.22 σ_M=-424.17 τ=0.00 σ_{max}=-427.38
  Tensioni: σ_N=-3.22 σ_M=0.00 τ=28.99 τ_{max}=28.99
  Tensioni: σ_N=-3.22 σ_M=-424.17 τ=0.00 $\sigma_{ID,max}$=427.38

- Verifica a taglio dir. Z [4.2.16] - CC 5 SLV Xl=0.20
  Sollecitazioni: T_z=32.51
  V,Ed=32.51 Vc,Rd=7560.76 V,Ed/Vc,Rd=0.00

Asta n. 148 (148 -760) montanti 50x10 Crit. 1

- Verifica di stabilità aste inflesse (4.2.4.1.3.2) CC 16 SLU - Classe 3
  L_{cr}=0.36 Curva d: α_{imp}=0.76 k_c=0.94 ψ=3.09 M,cr=0.00 λ_{LT}=0.00
  $\lambda_{LT,0}$=0.20 β_{LT}=1.00 Φ_{LT}=0.00 β_{LT}=1.00 f=0.00 χ_{LT}=1.00
  CC 16 SLU My,Ed=-16.10 My,b,Rd=109.13 My,Ed/My,b,Rd=0.15

- Verifica di stabilità aste presso-inflesse (C4.2.4.1.3.3.1) - CC 19 SLU - Classe 3
  Sollecitazioni: N,Ed=-0.69 Myeq,Ed=-6.23 Mzeq,Ed=0.32
  Resistenze: Nc,Rd=13095.20 My,c,Rd=109.13 Mz,c,Rd=21.83 L=36.50
  λ_Y=25.29 Ncr,y=162055.00 λ^*_y=0.29 Curva c: Φ_y=0.56 χ_y=0.95
  λ_Z=126.44 Ncr,z=6482.20 λ^*_z=1.46 Curva c: Φ_z=1.87 χ_z=0.33
  χ,min=0.33
  Verifica: 0.00+0.06+0.01=0.07

- Verifica in termini tensionali [4.2.4] - CC 16 SLU Xl=0.36 - Classe 3
  Sollecitazioni: N=3.73 T_z=88.04 M_y=-16.10
  Tensioni: σ_N=0.75 σ_M=386.47 τ=0.00 σ_{max}=387.22
  Tensioni: σ_N=0.75 σ_M=0.00 τ=26.41 τ_{max}=26.41
  Tensioni: σ_N=0.75 σ_M=386.47 τ=0.00 $\sigma_{ID,max}$=387.22

- Verifica a taglio dir. Z [4.2.16] - CC 19 SLU Xl=0.17
  Sollecitazioni: T_z=33.86
  V,Ed=33.86 Vc,Rd=7560.76 V,Ed/Vc,Rd=0.00

Asta n. 149 (149 -769) montanti 50x10 Crit. 1

- Verifica in termini tensionali [4.2.4] - CC 16 SLU Xl=0.38 - Classe 3
  Sollecitazioni: N=4.88 T_z=79.83 M_y=-15.34
  Tensioni: σ_N=0.98 σ_M=368.06 τ=0.00 σ_{max}=369.03
  Tensioni: σ_N=0.98 σ_M=0.00 τ=23.95 τ_{max}=23.95
  Tensioni: σ_N=0.98 σ_M=368.06 τ=0.00 $\sigma_{ID,max}$=369.03

- Verifica a taglio dir. Z [4.2.16] - CC 20 SLU Xl=0.17

Sollecitazioni: N=3.91 T_z=60.12
V,Ed=60.12 Vc,Rd=7560.76 V,Ed/Vc,Rd=0.01

Asta n. 150 (150 -770) montanti 50x10 Crit. 1

- Verifica di stabilità aste presso-inflesse (C4.2.4.1.3.3.1) - CC 16 SLU - Classe 3
Sollecitazioni: N,Ed=-13.19 Myeq,Ed=-19.66 Mzeq,Ed=-0.01
Resistenze: Nc,Rd=13095.20 My,c,Rd=109.13 Mz,c,Rd=21.83 L=38.25
λ_Y=26.50 Ncr,y=147566.00 λ^*_y=0.31 Curva c: Φ_y=0.57 χ_y=0.95
λ_Z=132.50 Ncr,z=5902.62 λ^*_z=1.53 Curva c: Φ_z=1.99 χ_z=0.31
χ,min=0.31
Verifica: 0.00+0.18+0.00=0.18

- Verifica in termini tensionali [4.2.4] - CC 16 SLU Xl=0.38 - Classe 3
Sollecitazioni: N=-11.24 T_z=102.28 M_y=-19.66
Tensioni: σ_N=-2.25 σ_M=-471.84 τ=0.00 σ_{max}=-474.09
Tensioni: σ_N=-2.25 σ_M=0.00 τ=30.68 τ_{max}=30.68
Tensioni: σ_N=-2.25 σ_M=-471.84 τ=0.00 $\sigma_{ID,max}$=474.09

- Verifica a taglio dir. Z [4.2.16] - CC 5 SLV Xl=0.17
Sollecitazioni: T_z=30.75
V,Ed=30.75 Vc,Rd=7560.76 V,Ed/Vc,Rd=0.00

Asta n. 151 (151 -771) montanti 50x10 Crit. 1

- Verifica di stabilità aste inflesse (4.2.4.1.3.2) CC 5 SLV - Classe 3
L_{cr}=0.38 Curva d: α_{imp}=0.76 k_c=0.94 ψ=3.07 M,cr=0.00 λ_{LT}=0.00
$\lambda_{LT,0}$=0.20 β_{LT}=1.00 Φ_{LT}=0.00 β_{LT}=1.00 f=0.00 χ_{LT}=1.00
CC 5 SLV My,Ed=-7.28 My,b,Rd=109.13 My,Ed/My,b,Rd=0.07

- Verifica di stabilità aste presso-inflesse (C4.2.4.1.3.3.1) - CC 16 SLU - Classe 3
Sollecitazioni: N,Ed=-9.15 Myeq,Ed=-31.83 Mzeq,Ed=-0.00
Resistenze: Nc,Rd=13095.20 My,c,Rd=109.13 Mz,c,Rd=21.83 L=38.25
λ_Y=26.50 Ncr,y=147566.00 λ^*_y=0.31 Curva c: Φ_y=0.57 χ_y=0.95
λ_Z=132.50 Ncr,z=5902.62 λ^*_z=1.53 Curva c: Φ_z=1.99 χ_z=0.31
χ,min=0.31
Verifica: 0.00+0.29+0.00=0.29

- Verifica in termini tensionali [4.2.4] - CC 16 SLU Xl=0.38 - Classe 3
Sollecitazioni: N=-7.20 T_z=165.56 M_y=-31.83
Tensioni: σ_N=-1.44 σ_M=-763.84 τ=0.00 σ_{max}=-765.28
Tensioni: σ_N=-1.44 σ_M=0.00 τ=49.67 τ_{max}=49.67
Tensioni: σ_N=-1.44 σ_M=-763.84 τ=0.00 $\sigma_{ID,max}$=765.28

- Verifica a taglio dir. Z [4.2.16] - CC 5 SLV Xl=0.17
Sollecitazioni: N=1.53 T_z=37.73
V,Ed=37.73 Vc,Rd=7560.76 V,Ed/Vc,Rd=0.00

Asta n. 152 (152 -772) montanti 50x10 Crit. 1

- Verifica di stabilità aste inflesse (4.2.4.1.3.2) CC 5 SLV - Classe 3
L_{cr}=0.38 Curva d: α_{imp}=0.76 k_c=0.94 ψ=3.07 M,cr=0.00 λ_{LT}=0.00
$\lambda_{LT,0}$=0.20 β_{LT}=1.00 Φ_{LT}=0.00 β_{LT}=1.00 f=0.00 χ_{LT}=1.00
CC 5 SLV My,Ed=-7.27 My,b,Rd=109.13 My,Ed/My,b,Rd=0.07

- Verifica di stabilità aste presso-inflesse (C4.2.4.1.3.3.1) - CC 16 SLU - Classe 3
Sollecitazioni: N,Ed=-10.38 Myeq,Ed=-31.94 Mzeq,Ed=-0.00
Resistenze: Nc,Rd=13095.20 My,c,Rd=109.13 Mz,c,Rd=21.83 L=38.25
λ_Y=26.50 Ncr,y=147566.00 λ^*_y=0.31 Curva c: Φ_y=0.57 χ_y=0.95

λ_Z=132.50 Ncr,z=5902.62 λ^*_z=1.53 Curva c: Φ_z=1.99 χ_z=0.31
χ,min=0.31
Verifica: 0.00+0.29+0.00=0.29

- Verifica in termini tensionali [4.2.4] - CC 16 SLU Xl=0.38 - Classe 3
Sollecitazioni: N=-8.43 T_z=166.13 M_y=-31.94
Tensioni: σ_N=-1.69 σ_M=-766.46 τ=0.00 σ_{max}=-768.14
Tensioni: σ_N=-1.69 σ_M=0.00 τ=49.84 τ_{max}=49.84
Tensioni: σ_N=-1.69 σ_M=-766.46 τ=0.00 $\sigma_{ID,max}$=768.14

- Verifica a taglio dir. Z [4.2.16] - CC 5 SLV Xl=0.17
Sollecitazioni: N=1.39 T_z=37.69
V,Ed=37.69 Vc,Rd=7560.76 V,Ed/Vc,Rd=0.00

Asta n. 153 (153 -773) montanti 50x10 Crit. 1

- Verifica di stabilità aste inflesse (4.2.4.1.3.2) CC 5 SLV - Classe 3
L_{cr}=0.38 Curva d: α_{imp}=0.76 k_c=0.94 ψ=3.07 M,cr=0.00 λ_{LT}=0.00
$\lambda_{LT,0}$=0.20 β_{LT}=1.00 Φ_{LT}=0.00 β_{LT}=1.00 f=0.00 χ_{LT}=1.00
CC 5 SLV My,Ed=-7.27 My,b,Rd=109.13 My,Ed/My,b,Rd=0.07

- Verifica di stabilità aste presso-inflesse (C4.2.4.1.3.3.1) - CC 16 SLU - Classe 3
Sollecitazioni: N,Ed=-10.37 Myeq,Ed=-31.95 Mzeq,Ed=0.00
Resistenze: Nc,Rd=13095.20 My,c,Rd=109.13 Mz,c,Rd=21.83 L=38.25
λ_Y=26.50 Ncr,y=147566.00 λ^*_y=0.31 Curva c: Φ_y=0.57 χ_y=0.95
λ_Z=132.50 Ncr,z=5902.62 λ^*_z=1.53 Curva c: Φ_z=1.99 χ_z=0.31
χ,min=0.31
Verifica: 0.00+0.29+0.00=0.29

- Verifica in termini tensionali [4.2.4] - CC 16 SLU Xl=0.38 - Classe 3
Sollecitazioni: N=-8.42 T_z=166.18 M_y=-31.95
Tensioni: σ_N=-1.68 σ_M=-766.70 τ=0.00 σ_{max}=-768.38
Tensioni: σ_N=-1.68 σ_M=0.00 τ=49.85 τ_{max}=49.85
Tensioni: σ_N=-1.68 σ_M=-766.70 τ=0.00 $\sigma_{ID,max}$=768.38

- Verifica a taglio dir. Z [4.2.16] - CC 5 SLV Xl=0.21
Sollecitazioni: N=1.53 T_z=37.71
V,Ed=37.71 Vc,Rd=7560.76 V,Ed/Vc,Rd=0.00

Asta n. 154 (154 -774) montanti 50x10 Crit. 1

- Verifica di stabilità aste inflesse (4.2.4.1.3.2) CC 5 SLV - Classe 3
L_{cr}=0.38 Curva d: α_{imp}=0.76 k_c=0.94 ψ=3.07 M,cr=0.00 λ_{LT}=0.00
$\lambda_{LT,0}$=0.20 β_{LT}=1.00 Φ_{LT}=0.00 β_{LT}=1.00 f=0.00 χ_{LT}=1.00
CC 5 SLV My,Ed=-7.28 My,b,Rd=109.13 My,Ed/My,b,Rd=0.07

- Verifica di stabilità aste presso-inflesse (C4.2.4.1.3.3.1) - CC 16 SLU - Classe 3
Sollecitazioni: N,Ed=-9.16 Myeq,Ed=-31.82 Mzeq,Ed=0.00
Resistenze: Nc,Rd=13095.20 My,c,Rd=109.13 Mz,c,Rd=21.83 L=38.25
λ_Y=26.50 Ncr,y=147566.00 λ^*_y=0.31 Curva c: Φ_y=0.57 χ_y=0.95
λ_Z=132.50 Ncr,z=5902.62 λ^*_z=1.53 Curva c: Φ_z=1.99 χ_z=0.31
χ,min=0.31
Verifica: 0.00+0.29+0.00=0.29

- Verifica in termini tensionali [4.2.4] - CC 16 SLU Xl=0.38 - Classe 3
Sollecitazioni: N=-7.21 T_z=165.52 M_y=-31.82
Tensioni: σ_N=-1.44 σ_M=-763.66 τ=0.00 σ_{max}=-765.11
Tensioni: σ_N=-1.44 σ_M=0.00 τ=49.66 τ_{max}=49.66
Tensioni: σ_N=-1.44 σ_M=-763.66 τ=0.00 $\sigma_{ID,max}$=765.11

- Verifica a taglio dir. Z [4.2.16] - CC 5 SLV Xl=0.17
  Sollecitazioni: N=1.53 T_z=37.72
  V,Ed=37.72 Vc,Rd=7560.76 V,Ed/Vc,Rd=0.00

Asta n. 155 (155 -775) montanti 50x10 Crit. 1

- Verifica di stabilità aste presso-inflesse (C4.2.4.1.3.3.1) - CC 16 SLU - Classe 3
  Sollecitazioni: N,Ed=-13.19 Myeq,Ed=-19.66 Mzeq,Ed=0.01
  Resistenze: Nc,Rd=13095.20 My,c,Rd=109.13 Mz,c,Rd=21.83 L=38.25
  λ_Y=26.50 Ncr,y=147566.00 λ^*_y=0.31 Curva c: Φ_y=0.57 χ_y=0.95
  λ_Z=132.50 Ncr,z=5902.62 λ^*_z=1.53 Curva c: Φ_z=1.99 χ_z=0.31
  χ,min=0.31
  Verifica: 0.00+0.18+0.00=0.18

- Verifica in termini tensionali [4.2.4] - CC 16 SLU Xl=0.38 - Classe 3
  Sollecitazioni: N=-11.24 T_z=102.29 M_y=-19.66
  Tensioni: σ_N=-2.25 σ_M=-471.88 τ=0.00 σ_{max}=-474.12
  Tensioni: σ_N=-2.25 σ_M=0.00 τ=30.69 τ_{max}=30.69
  Tensioni: σ_N=-2.25 σ_M=-471.88 τ=0.00 $\sigma_{ID,max}$=474.12

- Verifica a taglio dir. Z [4.2.16] - CC 5 SLV Xl=0.17
  Sollecitazioni: T_z=30.75
  V,Ed=30.75 Vc,Rd=7560.76 V,Ed/Vc,Rd=0.00

Asta n. 156 (156 -776) montanti 50x10 Crit. 1

- Verifica in termini tensionali [4.2.4] - CC 16 SLU Xl=0.38 - Classe 3
  Sollecitazioni: N=4.88 T_z=79.85 M_y=-15.34
  Tensioni: σ_N=0.98 σ_M=368.12 τ=0.00 σ_{max}=369.10
  Tensioni: σ_N=0.98 σ_M=0.00 τ=23.95 τ_{max}=23.95
  Tensioni: σ_N=0.98 σ_M=368.12 τ=0.00 $\sigma_{ID,max}$=369.10

- Verifica a taglio dir. Z [4.2.16] - CC 20 SLU Xl=0.17
  Sollecitazioni: N=3.91 T_z=60.14
  V,Ed=60.14 Vc,Rd=7560.76 V,Ed/Vc,Rd=0.01

Asta n. 157 (157 -785) montanti 50x10 Crit. 1

- Verifica in termini tensionali [4.2.4] - CC 16 SLU Xl=0.40 - Classe 3
  Sollecitazioni: N=44.03 T_z=56.70 M_y=-11.38
  Tensioni: σ_N=8.81 σ_M=273.02 τ=0.00 σ_{max}=281.83
  Tensioni: σ_N=8.81 σ_M=0.00 τ=17.01 τ_{max}=17.01
  Tensioni: σ_N=8.81 σ_M=273.02 τ=0.00 $\sigma_{ID,max}$=281.83

- Verifica a taglio dir. Z [4.2.16] - CC 16 SLU Xl=0.18
  Sollecitazioni: N=42.92 T_z=56.70
  V,Ed=56.70 Vc,Rd=7560.76 V,Ed/Vc,Rd=0.01

Asta n. 158 (158 -786) montanti 50x10 Crit. 1

- Verifica in termini tensionali [4.2.4] - CC 17 SLU Xl=0.40 - Classe 3
  Sollecitazioni: N=62.46 T_y=10.27 M_z=3.35
  Tensioni: σ_N=12.49 σ_M=401.90 τ=0.00 σ_{max}=414.39
  Tensioni: σ_N=12.49 σ_M=0.00 τ=3.08 τ_{max}=3.08
  Tensioni: σ_N=12.49 σ_M=401.90 τ=0.00 $\sigma_{ID,max}$=414.39

- Verifica a taglio dir. Z [4.2.16] - CC 18 SLU Xl=0.18
  Sollecitazioni: N=121.19 T_z=43.66

V,Ed=43.66 Vc,Rd=7560.76 V,Ed/Vc,Rd=0.01

Asta n. 159 (159 -787) montanti 50x10 Crit. 1

- Verifica in termini tensionali [4.2.4] - CC 16 SLU Xl=0.40 - Classe 3
Sollecitazioni: N=115.31 T_z=112.78 M_y=-22.61
Tensioni: σ_N=23.06 σ_M=542.57 τ=0.00 σ_{max}=565.63
Tensioni: σ_N=23.06 σ_M=0.00 τ=33.83 τ_{max}=33.83
Tensioni: σ_N=23.06 σ_M=542.57 τ=0.00 $\sigma_{ID,max}$=565.63

- Verifica a taglio dir. Z [4.2.16] - CC 5 SLV Xl=0.18
Sollecitazioni: N=41.85 T_z=-18.57
V,Ed=-18.57 Vc,Rd=7560.76 V,Ed/Vc,Rd=0.00

Asta n. 160 (160 -788) montanti 50x10 Crit. 1

- Verifica in termini tensionali [4.2.4] - CC 16 SLU Xl=0.40 - Classe 3
Sollecitazioni: N=116.66 T_z=113.40 M_y=-22.74
Tensioni: σ_N=23.33 σ_M=545.66 τ=0.00 σ_{max}=568.99
Tensioni: σ_N=23.33 σ_M=0.00 τ=34.02 τ_{max}=34.02
Tensioni: σ_N=23.33 σ_M=545.66 τ=0.00 $\sigma_{ID,max}$=568.99

- Verifica a taglio dir. Z [4.2.16] - CC 5 SLV Xl=0.18
Sollecitazioni: N=41.84 T_z=-18.66
V,Ed=-18.66 Vc,Rd=7560.76 V,Ed/Vc,Rd=0.00

Asta n. 161 (161 -789) montanti 50x10 Crit. 1

- Verifica in termini tensionali [4.2.4] - CC 16 SLU Xl=0.40 - Classe 3
Sollecitazioni: N=116.67 T_z=113.43 M_y=-22.74
Tensioni: σ_N=23.33 σ_M=545.82 τ=0.00 σ_{max}=569.15
Tensioni: σ_N=23.33 σ_M=0.00 τ=34.03 τ_{max}=34.03
Tensioni: σ_N=23.33 σ_M=545.82 τ=0.00 $\sigma_{ID,max}$=569.15

- Verifica a taglio dir. Z [4.2.16] - CC 5 SLV Xl=0.18
Sollecitazioni: N=41.84 T_z=18.64
V,Ed=18.64 Vc,Rd=7560.76 V,Ed/Vc,Rd=0.00

Asta n. 162 (162 -790) montanti 50x10 Crit. 1

- Verifica in termini tensionali [4.2.4] - CC 16 SLU Xl=0.40 - Classe 3
Sollecitazioni: N=115.31 T_z=112.75 M_y=-22.60
Tensioni: σ_N=23.06 σ_M=542.46 τ=0.00 σ_{max}=565.52
Tensioni: σ_N=23.06 σ_M=0.00 τ=33.83 τ_{max}=33.83
Tensioni: σ_N=23.06 σ_M=542.46 τ=0.00 $\sigma_{ID,max}$=565.52

- Verifica a taglio dir. Z [4.2.16] - CC 5 SLV Xl=0.18
Sollecitazioni: N=41.84 T_z=-18.59
V,Ed=-18.59 Vc,Rd=7560.76 V,Ed/Vc,Rd=0.00

Asta n. 163 (163 -791) montanti 50x10 Crit. 1

- Verifica in termini tensionali [4.2.4] - CC 16 SLU Xl=0.40 - Classe 3
Sollecitazioni: N=74.56 T_z=72.76 M_y=-14.58
Tensioni: σ_N=14.91 σ_M=349.86 τ=0.00 σ_{max}=364.77
Tensioni: σ_N=14.91 σ_M=0.00 τ=21.83 τ_{max}=21.83
Tensioni: σ_N=14.91 σ_M=349.86 τ=0.00 $\sigma_{ID,max}$=364.77

- Verifica a taglio dir. Z [4.2.16] - CC 18 SLU Xl=0.18

Sollecitazioni: N=121.20 T_z=43.66
V,Ed=43.66 Vc,Rd=7560.76 V,Ed/Vc,Rd=0.01

Asta n. 164 (164 -792) montanti 50x10 Crit. 1

- Verifica in termini tensionali [4.2.4] - CC 17 SLU Xl=0.40 - Classe 3
Sollecitazioni: N=41.35 T_y=10.42 M_z=3.39
Tensioni: σ_N=8.27 σ_M=407.11 τ=0.00 σ_{max}=415.38
Tensioni: σ_N=8.27 σ_M=0.00 τ=3.13 τ_{max}=3.13
Tensioni: σ_N=8.27 σ_M=407.11 τ=0.00 $\sigma_{ID,max}$=415.38

- Verifica a taglio dir. Z [4.2.16] - CC 16 SLU Xl=0.18
Sollecitazioni: N=42.91 T_z=56.72
V,Ed=56.72 Vc,Rd=7560.76 V,Ed/Vc,Rd=0.01

Asta n. 165 (165 -777) montanti 50x10 Crit. 1

- Verifica a flessione [4.2.13] - CC 16 SLU Xl=0.00 - Classe 3
Sollecitazioni: T_z=42.97 M_y=8.30
My,Ed=8.30 My,c,Rd=109.13 My,Ed/My,c,Rd=0.08

- Verifica a taglio dir. Z [4.2.16] - CC 16 SLU Xl=0.17
Sollecitazioni: N=1.26 T_z=42.97
V,Ed=42.97 Vc,Rd=7560.76 V,Ed/Vc,Rd=0.01

Asta n. 166 (166 -778) montanti 50x10 Crit. 1

- Verifica di stabilità aste inflesse (4.2.4.1.3.2) CC 16 SLU - Classe 3
L_{cr}=0.38 Curva d: α_{imp}=0.76 k_c=0.94 ψ=3.06 M,cr=0.00 λ_{LT}=0.00
$\lambda_{LT,0}$=0.20 β_{LT}=1.00 Φ_{LT}=0.00 β_{LT}=1.00 f=0.00 χ_{LT}=1.00
CC 16 SLU My,Ed=9.29 My,b,Rd=109.13 My,Ed/My,b,Rd=0.09

- Verifica di stabilità aste presso-inflesse (C4.2.4.1.3.3.1) - CC 19 SLU - Classe 3
Sollecitazioni: N,Ed=-11.19 Myeq,Ed=8.13 Mzeq,Ed=0.48
Resistenze: Nc,Rd=13095.20 My,c,Rd=109.13 Mz,c,Rd=21.83 L=38.25
λ_Y=26.50 Ncr,y=147566.00 λ^*_y=0.31 Curva c: Φ_y=0.57 χ_y=0.95
λ_Z=132.50 Ncr,z=5902.62 λ^*_z=1.53 Curva c: Φ_z=1.99 χ_z=0.31
χ,min=0.31
Verifica: 0.00+0.07+0.02=0.10

- Verifica in termini tensionali [4.2.4] - CC 17 SLU Xl=0.38 - Classe 3
Sollecitazioni: N=-2.83 T_z=-22.53 M_y=4.39 T_y=2.53 M_z=1.08
Tensioni: σ_N=-0.57 σ_M=-234.54 τ=0.00 σ_{max}=-235.11
Tensioni: σ_N=-0.57 σ_M=-0.00 τ=6.80 τ_{max}=6.80
Tensioni: σ_N=-0.57 σ_M=-234.54 τ=0.00 $\sigma_{ID,max}$=235.11

- Verifica a taglio dir. Z [4.2.16] - CC 16 SLU Xl=0.17
Sollecitazioni: N=2.15 T_z=48.06
V,Ed=48.06 Vc,Rd=7560.76 V,Ed/Vc,Rd=0.01

Asta n. 167 (167 -779) montanti 50x10 Crit. 1

- Verifica di stabilità aste inflesse (4.2.4.1.3.2) CC 16 SLU - Classe 3
L_{cr}=0.38 Curva d: α_{imp}=0.76 k_c=0.94 ψ=3.06 M,cr=0.00 λ_{LT}=0.00
$\lambda_{LT,0}$=0.20 β_{LT}=1.00 Φ_{LT}=0.00 β_{LT}=1.00 f=0.00 χ_{LT}=1.00
CC 16 SLU My,Ed=13.87 My,b,Rd=109.13 My,Ed/My,b,Rd=0.13

- Verifica di stabilità aste presso-inflesse (C4.2.4.1.3.3.1) - CC 19 SLU - Classe 3
Sollecitazioni: N,Ed=-6.45 Myeq,Ed=14.43 Mzeq,Ed=-0.01
Resistenze: Nc,Rd=13095.20 My,c,Rd=109.13 Mz,c,Rd=21.83 L=38.25

λ_Y=26.50 Ncr,y=147566.00 λ^*_y=0.31 Curva c: Φ_y=0.57 χ_y=0.95
λ_Z=132.50 Ncr,z=5902.62 λ^*_z=1.53 Curva c: Φ_z=1.99 χ_z=0.31
χ,min=0.31
Verifica: 0.00+0.13+0.00=0.13

- Verifica in termini tensionali [4.2.4] - CC 19 SLU Xl=0.38 - Classe 3
Sollecitazioni: N=-4.50 T_z=-74.04 M_y=14.43
Tensioni: σ_N=-0.90 σ_M=-346.31 τ=0.00 σ_{max}=-347.21
Tensioni: σ_N=-0.90 σ_M=-0.00 τ=22.21 τ_{max}=22.21
Tensioni: σ_N=-0.90 σ_M=-346.31 τ=0.00 $\sigma_{ID,max}$=347.21

- Verifica a taglio dir. Z [4.2.16] - CC 5 SLV Xl=0.17
Sollecitazioni: N=1.53 T_z=-37.73
V,Ed=-37.73 Vc,Rd=7560.76 V,Ed/Vc,Rd=0.00

Asta n. 168 (168 -780) montanti 50x10 Crit. 1

- Verifica di stabilità aste inflesse (4.2.4.1.3.2) CC 16 SLU - Classe 3
L_{cr}=0.38 Curva d: α_{imp}=0.76 k_c=0.94 ψ=3.06 M,cr=0.00 λ_{LT}=0.00
$\lambda_{LT,0}$=0.20 β_{LT}=1.00 Φ_{LT}=0.00 β_{LT}=1.00 f=0.00 χ_{LT}=1.00
CC 16 SLU My,Ed=13.88 My,b,Rd=109.13 My,Ed/My,b,Rd=0.13

- Verifica di stabilità aste presso-inflesse (C4.2.4.1.3.3.1) - CC 19 SLU - Classe 3
Sollecitazioni: N,Ed=-7.41 Myeq,Ed=14.57 Mzeq,Ed=0.48
Resistenze: Nc,Rd=13095.20 My,c,Rd=109.13 Mz,c,Rd=21.83 L=38.25
λ_Y=26.50 Ncr,y=147566.00 λ^*_y=0.31 Curva c: Φ_y=0.57 χ_y=0.95
λ_Z=132.50 Ncr,z=5902.62 λ^*_z=1.53 Curva c: Φ_z=1.99 χ_z=0.31
χ,min=0.31
Verifica: 0.00+0.13+0.02=0.16

- Verifica in termini tensionali [4.2.4] - CC 19 SLU Xl=0.38 - Classe 3
Sollecitazioni: N=-5.46 T_z=-74.77 M_y=14.57 T_y=1.52
Tensioni: σ_N=-1.09 σ_M=-349.65 τ=0.00 σ_{max}=-350.74
Tensioni: σ_N=-1.09 σ_M=-0.00 τ=22.43 τ_{max}=22.43
Tensioni: σ_N=-1.09 σ_M=-349.65 τ=0.45 $\sigma_{ID,max}$=350.74

- Verifica a taglio dir. Z [4.2.16] - CC 5 SLV Xl=0.17
Sollecitazioni: N=1.40 T_z=-37.72
V,Ed=-37.72 Vc,Rd=7560.76 V,Ed/Vc,Rd=0.00

Asta n. 169 (169 -781) montanti 50x10 Crit. 1

- Verifica di stabilità aste inflesse (4.2.4.1.3.2) CC 16 SLU - Classe 3
L_{cr}=0.38 Curva d: α_{imp}=0.76 k_c=0.94 ψ=3.06 M,cr=0.00 λ_{LT}=0.00
$\lambda_{LT,0}$=0.20 β_{LT}=1.00 Φ_{LT}=0.00 β_{LT}=1.00 f=0.00 χ_{LT}=1.00
CC 16 SLU My,Ed=13.89 My,b,Rd=109.13 My,Ed/My,b,Rd=0.13

- Verifica di stabilità aste presso-inflesse (C4.2.4.1.3.3.1) - CC 9 SLU - Classe 3
Sollecitazioni: N,Ed=-7.43 Myeq,Ed=14.54 Mzeq,Ed=0.01
Resistenze: Nc,Rd=13095.20 My,c,Rd=109.13 Mz,c,Rd=21.83 L=38.25
λ_Y=26.50 Ncr,y=147566.00 λ^*_y=0.31 Curva c: Φ_y=0.57 χ_y=0.95
λ_Z=132.50 Ncr,z=5902.62 λ^*_z=1.53 Curva c: Φ_z=1.99 χ_z=0.31
χ,min=0.31
Verifica: 0.00+0.13+0.00=0.13

- Verifica in termini tensionali [4.2.4] - CC 9 SLU Xl=0.38 - Classe 3
Sollecitazioni: N=-5.47 T_z=-74.59 M_y=14.54
Tensioni: σ_N=-1.09 σ_M=-348.85 τ=0.00 σ_{max}=-349.95
Tensioni: σ_N=-1.09 σ_M=-0.00 τ=22.38 τ_{max}=22.38

Tensioni: σ_N=-1.09 σ_M=-348.85 τ=0.00 $\sigma_{ID,max}$=349.95

- Verifica a taglio dir. Z [4.2.16] - CC 5 SLV Xl=0.17
Sollecitazioni: N=1.40 T_z=-37.70
V,Ed=-37.70 Vc,Rd=7560.76 V,Ed/Vc,Rd=0.00

Asta n. 170 (170 -782) montanti 50x10 Crit. 1

- Verifica di stabilità aste inflesse (4.2.4.1.3.2) CC 16 SLU - Classe 3
L_{cr}=0.38 Curva d: α_{imp}=0.76 k_c=0.94 ψ=3.06 M,cr=0.00 λ_{LT}=0.00
$\lambda_{LT,0}$=0.20 β_{LT}=1.00 Φ_{LT}=0.00 β_{LT}=1.00 f=0.00 χ_{LT}=1.00
CC 16 SLU My,Ed=13.86 My,b,Rd=109.13 My,Ed/My,b,Rd=0.13

- Verifica di stabilità aste presso-inflesse (C4.2.4.1.3.3.1) - CC 19 SLU - Classe 3
Sollecitazioni: N,Ed=-6.50 Myeq,Ed=14.39 Mzeq,Ed=0.49
Resistenze: Nc,Rd=13095.20 My,c,Rd=109.13 Mz,c,Rd=21.83 L=38.25
λ_Y=26.50 Ncr,y=147566.00 λ^*_y=0.31 Curva c: Φ_y=0.57 χ_y=0.95
λ_Z=132.50 Ncr,z=5902.62 λ^*_z=1.53 Curva c: Φ_z=1.99 χ_z=0.31
χ,min=0.31
Verifica: 0.00+0.13+0.02=0.16

- Verifica in termini tensionali [4.2.4] - CC 9 SLU Xl=0.38 - Classe 3
Sollecitazioni: N=-4.52 T_z=-73.97 M_y=14.42
Tensioni: σ_N=-0.90 σ_M=-345.96 τ=0.00 σ_{max}=-346.87
Tensioni: σ_N=-0.90 σ_M=-0.00 τ=22.19 τ_{max}=22.19
Tensioni: σ_N=-0.90 σ_M=-345.96 τ=0.00 $\sigma_{ID,max}$=346.87

- Verifica a taglio dir. Z [4.2.16] - CC 5 SLV Xl=0.17
Sollecitazioni: N=1.53 T_z=-37.75
V,Ed=-37.75 Vc,Rd=7560.76 V,Ed/Vc,Rd=0.00

Asta n. 171 (171 -783) montanti 50x10 Crit. 1

- Verifica di stabilità aste inflesse (4.2.4.1.3.2) CC 16 SLU - Classe 3
L_{cr}=0.38 Curva d: α_{imp}=0.76 k_c=0.94 ψ=3.06 M,cr=0.00 λ_{LT}=0.00
$\lambda_{LT,0}$=0.20 β_{LT}=1.00 Φ_{LT}=0.00 β_{LT}=1.00 f=0.00 χ_{LT}=1.00
CC 16 SLU My,Ed=9.29 My,b,Rd=109.13 My,Ed/My,b,Rd=0.09

- Verifica di stabilità aste presso-inflesse (C4.2.4.1.3.3.1) - CC 19 SLU - Classe 3
Sollecitazioni: N,Ed=-11.04 Myeq,Ed=8.33 Mzeq,Ed=0.01
Resistenze: Nc,Rd=13095.20 My,c,Rd=109.13 Mz,c,Rd=21.83 L=38.25
λ_Y=26.50 Ncr,y=147566.00 λ^*_y=0.31 Curva c: Φ_y=0.57 χ_y=0.95
λ_Z=132.50 Ncr,z=5902.62 λ^*_z=1.53 Curva c: Φ_z=1.99 χ_z=0.31
χ,min=0.31
Verifica: 0.00+0.08+0.00=0.08

- Verifica in termini tensionali [4.2.4] - CC 16 SLU Xl=0.00 - Classe 3
Sollecitazioni: N=1.26 T_z=48.06 M_y=9.29
Tensioni: σ_N=0.25 σ_M=223.06 τ=0.00 σ_{max}=223.31
Tensioni: σ_N=0.25 σ_M=-0.00 τ=14.42 τ_{max}=14.42
Tensioni: σ_N=0.25 σ_M=223.06 τ=0.00 $\sigma_{ID,max}$=223.31

- Verifica a taglio dir. Z [4.2.16] - CC 16 SLU Xl=0.17
Sollecitazioni: N=2.14 T_z=48.06
V,Ed=48.06 Vc,Rd=7560.76 V,Ed/Vc,Rd=0.01

Asta n. 172 (172 -784) montanti 50x10 Crit. 1

- Verifica in termini tensionali [4.2.4] - CC 17 SLU Xl=0.38 - Classe 3

Sollecitazioni: N=3.47 T_z=-17.16 M_y=3.35 T_y=2.57 M_z=1.09
Tensioni: σ_N=0.69 σ_M=211.22 τ=0.00 σ_{max}=211.91
Tensioni: σ_N=0.69 σ_M=-0.00 τ=5.21 τ_{max}=5.21
Tensioni: σ_N=0.69 σ_M=211.22 τ=0.00 $\sigma_{ID,max}$=211.91

- Verifica a taglio dir. Z [4.2.16] - CC 16 SLU Xl=0.17
Sollecitazioni: N=1.26 T_z=42.99
V,Ed=42.99 Vc,Rd=7560.76 V,Ed/Vc,Rd=0.01

Asta n. 173 (173 -761) montanti 50x10 Crit. 1

- Verifica di stabilità aste inflesse (4.2.4.1.3.2) CC 5 SLV - Classe 3
L_{cr}=0.36 Curva d: α_{imp}=0.76 k_c=0.94 ψ=3.09 M,cr=0.00 λ_{LT}=0.00
$\lambda_{LT,0}$=0.20 β_{LT}=1.00 Φ_{LT}=0.00 β_{LT}=1.00 f=0.00 χ_{LT}=1.00
CC 5 SLV My,Ed=5.49 My,b,Rd=109.13 My,Ed/My,b,Rd=0.05

- Verifica di stabilità aste presso-inflesse (C4.2.4.1.3.3.1) - CC 16 SLU - Classe 3
Sollecitazioni: N,Ed=-3.40 Myeq,Ed=8.26 Mzeq,Ed=-0.00
Resistenze: Nc,Rd=13095.20 My,c,Rd=109.13 Mz,c,Rd=21.83 L=36.50
λ_Y=25.29 Ncr,y=162055.00 λ^*_y=0.29 Curva c: Φ_y=0.56 χ_y=0.95
λ_Z=126.44 Ncr,z=6482.20 λ^*_z=1.46 Curva c: Φ_z=1.87 χ_z=0.33
χ,min=0.33
Verifica: 0.00+0.08+0.00=0.08

- Verifica in termini tensionali [4.2.4] - CC 16 SLU Xl=0.00 - Classe 3
Sollecitazioni: N=-3.40 T_z=45.07 M_y=8.26
Tensioni: σ_N=-0.68 σ_M=-198.14 τ=0.00 σ_{max}=-198.82
Tensioni: σ_N=-0.68 σ_M=-0.00 τ=13.52 τ_{max}=13.52
Tensioni: σ_N=-0.68 σ_M=-198.14 τ=0.00 $\sigma_{ID,max}$=198.82

- Verifica a taglio dir. Z [4.2.16] - CC 9 SLU Xl=0.17
Sollecitazioni: T_z=-33.08
V,Ed=-33.08 Vc,Rd=7560.76 V,Ed/Vc,Rd=0.00

Asta n. 174 (174 -762) montanti 50x10 Crit. 1

- Verifica di stabilità aste presso-inflesse (C4.2.4.1.3.3.1) - CC 16 SLU - Classe 3
Sollecitazioni: N,Ed=-3.74 Myeq,Ed=8.76 Mzeq,Ed=-0.00
Resistenze: Nc,Rd=13095.20 My,c,Rd=109.13 Mz,c,Rd=21.83 L=36.50
λ_Y=25.29 Ncr,y=162055.00 λ^*_y=0.29 Curva c: Φ_y=0.56 χ_y=0.95
λ_Z=126.44 Ncr,z=6482.20 λ^*_z=1.46 Curva c: Φ_z=1.87 χ_z=0.33
χ,min=0.33
Verifica: 0.00+0.08+0.00=0.08

- Verifica in termini tensionali [4.2.4] - CC 16 SLU Xl=0.00 - Classe 3
Sollecitazioni: N=-3.74 T_z=47.86 M_y=8.76
Tensioni: σ_N=-0.75 σ_M=-210.28 τ=0.00 σ_{max}=-211.03
Tensioni: σ_N=-0.75 σ_M=-0.00 τ=14.36 τ_{max}=14.36
Tensioni: σ_N=-0.75 σ_M=-210.28 τ=0.00 $\sigma_{ID,max}$=211.03

- Verifica a taglio dir. Z [4.2.16] - CC 5 SLV Xl=0.20
Sollecitazioni: T_z=-32.51
V,Ed=-32.51 Vc,Rd=7560.76 V,Ed/Vc,Rd=0.00

Asta n. 175 (175 -763) montanti 50x10 Crit. 1

- Verifica di stabilità aste presso-inflesse (C4.2.4.1.3.3.1) - CC 19 SLU - Classe 3
Sollecitazioni: N,Ed=-17.76 Myeq,Ed=14.29 Mzeq,Ed=-0.01
Resistenze: Nc,Rd=13095.20 My,c,Rd=109.13 Mz,c,Rd=21.83 L=36.50

λ_Y=25.29 Ncr,y=162055.00 λ^*_y=0.29 Curva c: Φ_y=0.56 χ_y=0.95
λ_Z=126.44 Ncr,z=6482.20 λ^*_z=1.46 Curva c: Φ_z=1.87 χ_z=0.33
χ,min=0.33
Verifica: 0.00+0.13+0.00=0.13

- Verifica in termini tensionali [4.2.4] - CC 19 SLU Xl=0.36 - Classe 3
Sollecitazioni: N=-15.90 T_z=-77.78 M_y=14.29
Tensioni: σ_N=-3.18 σ_M=-343.05 τ=0.00 σ_{max}=-346.23
Tensioni: σ_N=-3.18 σ_M=-0.00 τ=23.34 τ_{max}=23.34
Tensioni: σ_N=-3.18 σ_M=-343.05 τ=0.00 $\sigma_{ID,max}$=346.23

- Verifica a taglio dir. Z [4.2.16] - CC 5 SLV Xl=0.17
Sollecitazioni: T_z=-41.49
V,Ed=-41.49 Vc,Rd=7560.76 V,Ed/Vc,Rd=0.01

Asta n. 176 (176 -764) montanti 50x10 Crit. 1

- Verifica di stabilità aste presso-inflesse (C4.2.4.1.3.3.1) - CC 19 SLU - Classe 3
Sollecitazioni: N,Ed=-18.94 Myeq,Ed=14.28 Mzeq,Ed=0.32
Resistenze: Nc,Rd=13095.20 My,c,Rd=109.13 Mz,c,Rd=21.83 L=36.50
λ_Y=25.29 Ncr,y=162055.00 λ^*_y=0.29 Curva c: Φ_y=0.56 χ_y=0.95
λ_Z=126.44 Ncr,z=6482.20 λ^*_z=1.46 Curva c: Φ_z=1.87 χ_z=0.33
χ,min=0.33
Verifica: 0.00+0.13+0.01=0.15

- Verifica in termini tensionali [4.2.4] - CC 19 SLU Xl=0.36 - Classe 3
Sollecitazioni: N=-17.08 T_z=-77.70 M_y=14.28
Tensioni: σ_N=-3.42 σ_M=-342.65 τ=0.00 σ_{max}=-346.07
Tensioni: σ_N=-3.42 σ_M=-0.00 τ=23.31 τ_{max}=23.31
Tensioni: σ_N=-3.42 σ_M=-342.65 τ=0.00 $\sigma_{ID,max}$=346.07

- Verifica a taglio dir. Z [4.2.16] - CC 5 SLV Xl=0.17
Sollecitazioni: T_z=-41.34
V,Ed=-41.34 Vc,Rd=7560.76 V,Ed/Vc,Rd=0.01

Asta n. 177 (177 -765) montanti 50x10 Crit. 1

- Verifica di stabilità aste presso-inflesse (C4.2.4.1.3.3.1) - CC 9 SLU - Classe 3
Sollecitazioni: N,Ed=-18.95 Myeq,Ed=14.24 Mzeq,Ed=0.00
Resistenze: Nc,Rd=13095.20 My,c,Rd=109.13 Mz,c,Rd=21.83 L=36.50
λ_Y=25.29 Ncr,y=162055.00 λ^*_y=0.29 Curva c: Φ_y=0.56 χ_y=0.95
λ_Z=126.44 Ncr,z=6482.20 λ^*_z=1.46 Curva c: Φ_z=1.87 χ_z=0.33
χ,min=0.33
Verifica: 0.00+0.13+0.00=0.13

- Verifica in termini tensionali [4.2.4] - CC 9 SLU Xl=0.36 - Classe 3
Sollecitazioni: N=-17.09 T_z=-77.49 M_y=14.24
Tensioni: σ_N=-3.42 σ_M=-341.73 τ=0.00 σ_{max}=-345.15
Tensioni: σ_N=-3.42 σ_M=-0.00 τ=23.25 τ_{max}=23.25
Tensioni: σ_N=-3.42 σ_M=-341.73 τ=0.00 $\sigma_{ID,max}$=345.15

- Verifica a taglio dir. Z [4.2.16] - CC 5 SLV Xl=0.17
Sollecitazioni: T_z=-41.32
V,Ed=-41.32 Vc,Rd=7560.76 V,Ed/Vc,Rd=0.01

Asta n. 178 (178 -766) montanti 50x10 Crit. 1

- Verifica di stabilità aste presso-inflesse (C4.2.4.1.3.3.1) - CC 19 SLU - Classe 3
Sollecitazioni: N,Ed=-17.77 Myeq,Ed=14.25 Mzeq,Ed=0.32

Resistenze: Nc,Rd=13095.20 My,c,Rd=109.13 Mz,c,Rd=21.83 L=36.50
λ_Y=25.29 Ncr,y=162055.00 λ^*_y=0.29 Curva c: Φ_y=0.56 χ_y=0.95
λ_Z=126.44 Ncr,z=6482.20 λ^*_z=1.46 Curva c: Φ_z=1.87 χ_z=0.33
χ,min=0.33
Verifica: 0.00+0.13+0.01=0.15

- Verifica in termini tensionali [4.2.4] - CC 9 SLU Xl=0.36 - Classe 3
Sollecitazioni: N=-15.91 T_z=-77.69 M_y=14.28
Tensioni: σ_N=-3.18 σ_M=-342.61 τ=0.00 σ_{max}=-345.79
Tensioni: σ_N=-3.18 σ_M=-0.00 τ=23.31 τ_{max}=23.31
Tensioni: σ_N=-3.18 σ_M=-342.61 τ=0.00 $\sigma_{ID,max}$=345.79

- Verifica a taglio dir. Z [4.2.16] - CC 5 SLV Xl=0.17
Sollecitazioni: T_z=-41.51
V,Ed=-41.51 Vc,Rd=7560.76 V,Ed/Vc,Rd=0.01

Asta n. 179 (179 -767) montanti 50x10 Crit. 1

- Verifica di stabilità aste presso-inflesse (C4.2.4.1.3.3.1) - CC 16 SLU - Classe 3
Sollecitazioni: N,Ed=-3.74 Myeq,Ed=8.76 Mzeq,Ed=0.00
Resistenze: Nc,Rd=13095.20 My,c,Rd=109.13 Mz,c,Rd=21.83 L=36.50
λ_Y=25.29 Ncr,y=162055.00 λ^*_y=0.29 Curva c: Φ_y=0.56 χ_y=0.95
λ_Z=126.44 Ncr,z=6482.20 λ^*_z=1.46 Curva c: Φ_z=1.87 χ_z=0.33
χ,min=0.33
Verifica: 0.00+0.08+0.00=0.08

- Verifica in termini tensionali [4.2.4] - CC 16 SLU Xl=0.00 - Classe 3
Sollecitazioni: N=-3.74 T_z=47.86 M_y=8.76
Tensioni: σ_N=-0.75 σ_M=-210.30 τ=0.00 σ_{max}=-211.05
Tensioni: σ_N=-0.75 σ_M=-0.00 τ=14.36 τ_{max}=14.36
Tensioni: σ_N=-0.75 σ_M=-210.30 τ=0.00 $\sigma_{ID,max}$=211.05

- Verifica a taglio dir. Z [4.2.16] - CC 5 SLV Xl=0.20
Sollecitazioni: T_z=-32.52
V,Ed=-32.52 Vc,Rd=7560.76 V,Ed/Vc,Rd=0.00

Asta n. 180 (180 -768) montanti 50x10 Crit. 1

- Verifica di stabilità aste inflesse (4.2.4.1.3.2) CC 5 SLV - Classe 3
L_{cr}=0.36 Curva d: α_{imp}=0.76 k_c=0.94 ψ=3.09 M,cr=0.00 λ_{LT}=0.00
$\lambda_{LT,0}$=0.20 β_{LT}=1.00 Φ_{LT}=0.00 β_{LT}=1.00 f=0.00 χ_{LT}=1.00
CC 5 SLV My,Ed=5.49 My,b,Rd=109.13 My,Ed/My,b,Rd=0.05

- Verifica di stabilità aste presso-inflesse (C4.2.4.1.3.3.1) - CC 16 SLU - Classe 3
Sollecitazioni: N,Ed=-3.40 Myeq,Ed=8.26 Mzeq,Ed=0.00
Resistenze: Nc,Rd=13095.20 My,c,Rd=109.13 Mz,c,Rd=21.83 L=36.50
λ_Y=25.29 Ncr,y=162055.00 λ^*_y=0.29 Curva c: Φ_y=0.56 χ_y=0.95
λ_Z=126.44 Ncr,z=6482.20 λ^*_z=1.46 Curva c: Φ_z=1.87 χ_z=0.33
χ,min=0.33
Verifica: 0.00+0.08+0.00=0.08

- Verifica in termini tensionali [4.2.4] - CC 16 SLU Xl=0.00 - Classe 3
Sollecitazioni: N=-3.40 T_z=45.09 M_y=8.26
Tensioni: σ_N=-0.68 σ_M=-198.24 τ=0.00 σ_{max}=-198.92
Tensioni: σ_N=-0.68 σ_M=-0.00 τ=13.53 τ_{max}=13.53
Tensioni: σ_N=-0.68 σ_M=-198.24 τ=0.00 $\sigma_{ID,max}$=198.92

- Verifica a taglio dir. Z [4.2.16] - CC 19 SLU Xl=0.17
Sollecitazioni: T_z=-33.86

V,Ed=-33.86 Vc,Rd=7560.76 V,Ed/Vc,Rd=0.00

Asta n. 181 (181 -745) montanti 50x10 Crit. 1

- Verifica di stabilità aste inflesse (4.2.4.1.3.2) CC 5 SLV - Classe 3
L_{cr}=0.35 Curva d: α_{imp}=0.76 k_c=0.94 ψ=3.08 M,cr=0.00 λ_{LT}=0.00
$\lambda_{LT,0}$=0.20 β_{LT}=1.00 Φ_{LT}=0.00 β_{LT}=1.00 f=0.00 χ_{LT}=1.00
CC 5 SLV My,Ed=5.35 My,b,Rd=109.13 My,Ed/My,b,Rd=0.05

- Verifica di stabilità aste presso-inflesse (C4.2.4.1.3.3.1) - CC 16 SLU - Classe 3
Sollecitazioni: N,Ed=-3.31 Myeq,Ed=9.06 Mzeq,Ed=0.01
Resistenze: Nc,Rd=13095.20 My,c,Rd=109.13 Mz,c,Rd=21.83 L=34.75
λ_Y=24.08 Ncr,y=178788.00 λ^*_y=0.28 Curva c: Φ_y=0.56 χ_y=0.96
λ_Z=120.38 Ncr,z=7151.52 λ^*_z=1.39 Curva c: Φ_z=1.75 χ_z=0.35
χ,min=0.35
Verifica: 0.00+0.08+0.00=0.08

- Verifica in termini tensionali [4.2.4] - CC 16 SLU Xl=0.00 - Classe 3
Sollecitazioni: N=-3.31 T_z=51.90 M_y=9.06
Tensioni: σ_N=-0.66 σ_M=-217.52 τ=0.00 σ_{max}=-218.18
Tensioni: σ_N=-0.66 σ_M=-0.00 τ=15.57 τ_{max}=15.57
Tensioni: σ_N=-0.66 σ_M=-217.52 τ=0.00 $\sigma_{ID,max}$=218.18

- Verifica a taglio dir. Z [4.2.16] - CC 5 SLV Xl=0.16
Sollecitazioni: T_z=-30.62
V,Ed=-30.62 Vc,Rd=7560.76 V,Ed/Vc,Rd=0.00

Asta n. 182 (182 -746) montanti 50x10 Crit. 1

- Verifica di stabilità aste presso-inflesse (C4.2.4.1.3.3.1) - CC 16 SLU - Classe 3
Sollecitazioni: N,Ed=-3.01 Myeq,Ed=9.49 Mzeq,Ed=0.01
Resistenze: Nc,Rd=13095.20 My,c,Rd=109.13 Mz,c,Rd=21.83 L=34.75
λ_Y=24.08 Ncr,y=178788.00 λ^*_y=0.28 Curva c: Φ_y=0.56 χ_y=0.96
λ_Z=120.38 Ncr,z=7151.52 λ^*_z=1.39 Curva c: Φ_z=1.75 χ_z=0.35
χ,min=0.35
Verifica: 0.00+0.09+0.00=0.09

- Verifica in termini tensionali [4.2.4] - CC 16 SLU Xl=0.00 - Classe 3
Sollecitazioni: N=-3.01 T_z=54.37 M_y=9.49
Tensioni: σ_N=-0.60 σ_M=-227.79 τ=0.00 σ_{max}=-228.39
Tensioni: σ_N=-0.60 σ_M=-0.00 τ=16.31 τ_{max}=16.31
Tensioni: σ_N=-0.60 σ_M=-227.79 τ=0.00 $\sigma_{ID,max}$=228.39

- Verifica a taglio dir. Z [4.2.16] - CC 5 SLV Xl=0.16
Sollecitazioni: T_z=-31.58
V,Ed=-31.58 Vc,Rd=7560.76 V,Ed/Vc,Rd=0.00

Asta n. 183 (183 -747) montanti 50x10 Crit. 1

- Verifica di stabilità aste presso-inflesse (C4.2.4.1.3.3.1) - CC 16 SLU - Classe 3
Sollecitazioni: N,Ed=-4.10 Myeq,Ed=13.62 Mzeq,Ed=-0.01
Resistenze: Nc,Rd=13095.20 My,c,Rd=109.13 Mz,c,Rd=21.83 L=34.75
λ_Y=24.08 Ncr,y=178788.00 λ^*_y=0.28 Curva c: Φ_y=0.56 χ_y=0.96
λ_Z=120.38 Ncr,z=7151.52 λ^*_z=1.39 Curva c: Φ_z=1.75 χ_z=0.35
χ,min=0.35
Verifica: 0.00+0.12+0.00=0.13

- Verifica in termini tensionali [4.2.4] - CC 16 SLU Xl=0.00 - Classe 3
Sollecitazioni: N=-4.10 T_z=77.87 M_y=13.62

Tensioni: σ_N=-0.82 σ_M=-326.82 τ=0.00 σ_{max}=-327.64
Tensioni: σ_N=-0.82 σ_M=-0.00 τ=23.36 τ_{max}=23.36
Tensioni: σ_N=-0.82 σ_M=-326.82 τ=0.00 $\sigma_{ID,max}$=327.64

- Verifica a taglio dir. Z [4.2.16] - CC 5 SLV Xl=0.16
Sollecitazioni: T_z=-40.62
V,Ed=-40.62 Vc,Rd=7560.76 V,Ed/Vc,Rd=0.01

Asta n. 184 (184 -748) montanti 50x10 Crit. 1

- Verifica di stabilità aste presso-inflesse (C4.2.4.1.3.3.1) - CC 16 SLU - Classe 3
Sollecitazioni: N,Ed=-4.16 Myeq,Ed=13.63 Mzeq,Ed=-0.01
Resistenze: Nc,Rd=13095.20 My,c,Rd=109.13 Mz,c,Rd=21.83 L=34.75
λ_Y=24.08 Ncr,y=178788.00 λ^*_y=0.28 Curva c: Φ_y=0.56 χ_y=0.96
λ_Z=120.38 Ncr,z=7151.52 λ^*_z=1.39 Curva c: Φ_z=1.75 χ_z=0.35
χ,min=0.35
Verifica: 0.00+0.12+0.00=0.13

- Verifica in termini tensionali [4.2.4] - CC 16 SLU Xl=0.00 - Classe 3
Sollecitazioni: N=-4.16 T_z=77.97 M_y=13.63
Tensioni: σ_N=-0.83 σ_M=-327.22 τ=0.00 σ_{max}=-328.05
Tensioni: σ_N=-0.83 σ_M=-0.00 τ=23.39 τ_{max}=23.39
Tensioni: σ_N=-0.83 σ_M=-327.22 τ=0.00 $\sigma_{ID,max}$=328.05

- Verifica a taglio dir. Z [4.2.16] - CC 5 SLV Xl=0.16
Sollecitazioni: T_z=-40.33
V,Ed=-40.33 Vc,Rd=7560.76 V,Ed/Vc,Rd=0.01

Asta n. 185 (185 -749) montanti 50x10 Crit. 1

- Verifica di stabilità aste presso-inflesse (C4.2.4.1.3.3.1) - CC 16 SLU - Classe 3
Sollecitazioni: N,Ed=-4.16 Myeq,Ed=13.64 Mzeq,Ed=0.01
Resistenze: Nc,Rd=13095.20 My,c,Rd=109.13 Mz,c,Rd=21.83 L=34.75
λ_Y=24.08 Ncr,y=178788.00 λ^*_y=0.28 Curva c: Φ_y=0.56 χ_y=0.96
λ_Z=120.38 Ncr,z=7151.52 λ^*_z=1.39 Curva c: Φ_z=1.75 χ_z=0.35
χ,min=0.35
Verifica: 0.00+0.13+0.00=0.13

- Verifica in termini tensionali [4.2.4] - CC 16 SLU Xl=0.00 - Classe 3
Sollecitazioni: N=-4.16 T_z=78.01 M_y=13.64
Tensioni: σ_N=-0.83 σ_M=-327.42 τ=0.00 σ_{max}=-328.25
Tensioni: σ_N=-0.83 σ_M=-0.00 τ=23.40 τ_{max}=23.40
Tensioni: σ_N=-0.83 σ_M=-327.42 τ=0.00 $\sigma_{ID,max}$=328.25

- Verifica a taglio dir. Z [4.2.16] - CC 5 SLV Xl=0.16
Sollecitazioni: T_z=-40.31
V,Ed=-40.31 Vc,Rd=7560.76 V,Ed/Vc,Rd=0.01

Asta n. 186 (186 -750) montanti 50x10 Crit. 1

- Verifica di stabilità aste presso-inflesse (C4.2.4.1.3.3.1) - CC 16 SLU - Classe 3
Sollecitazioni: N,Ed=-4.09 Myeq,Ed=13.61 Mzeq,Ed=0.01
Resistenze: Nc,Rd=13095.20 My,c,Rd=109.13 Mz,c,Rd=21.83 L=34.75
λ_Y=24.08 Ncr,y=178788.00 λ^*_y=0.28 Curva c: Φ_y=0.56 χ_y=0.96
λ_Z=120.38 Ncr,z=7151.52 λ^*_z=1.39 Curva c: Φ_z=1.75 χ_z=0.35
χ,min=0.35
Verifica: 0.00+0.12+0.00=0.13

- Verifica in termini tensionali [4.2.4] - CC 16 SLU Xl=0.00 - Classe 3

Sollecitazioni: N=-4.09 T_z=77.83 M_y=13.61
Tensioni: σ_N=-0.82 σ_M=-326.63 τ=0.00 σ_{max}=-327.45
Tensioni: σ_N=-0.82 σ_M=-0.00 τ=23.35 τ_{max}=23.35
Tensioni: σ_N=-0.82 σ_M=-326.63 τ=0.00 $\sigma_{ID,max}$=327.45

- Verifica a taglio dir. Z [4.2.16] - CC 5 SLV Xl=0.16
Sollecitazioni: T_z=-40.64
V,Ed=-40.64 Vc,Rd=7560.76 V,Ed/Vc,Rd=0.01

Asta n. 187 (187 -751) montanti 50x10 Crit. 1

- Verifica di stabilità aste presso-inflesse (C4.2.4.1.3.3.1) - CC 16 SLU - Classe 3
Sollecitazioni: N,Ed=-3.00 Myeq,Ed=9.49 Mzeq,Ed=-0.01
Resistenze: Nc,Rd=13095.20 My,c,Rd=109.13 Mz,c,Rd=21.83 L=34.75
λ_Y=24.08 Ncr,y=178788.00 λ^*_y=0.28 Curva c: Φ_y=0.56 χ_y=0.96
λ_Z=120.38 Ncr,z=7151.52 λ^*_z=1.39 Curva c: Φ_z=1.75 χ_z=0.35
χ,min=0.35
Verifica: 0.00+0.09+0.00=0.09

- Verifica in termini tensionali [4.2.4] - CC 16 SLU Xl=0.00 - Classe 3
Sollecitazioni: N=-3.00 T_z=54.38 M_y=9.49
Tensioni: σ_N=-0.60 σ_M=-227.81 τ=0.00 σ_{max}=-228.41
Tensioni: σ_N=-0.60 σ_M=-0.00 τ=16.31 τ_{max}=16.31
Tensioni: σ_N=-0.60 σ_M=-227.81 τ=0.00 $\sigma_{ID,max}$=228.41

- Verifica a taglio dir. Z [4.2.16] - CC 5 SLV Xl=0.16
Sollecitazioni: T_z=-31.60
V,Ed=-31.60 Vc,Rd=7560.76 V,Ed/Vc,Rd=0.00

Asta n. 188 (188 -752) montanti 50x10 Crit. 1

- Verifica di stabilità aste inflesse (4.2.4.1.3.2) CC 5 SLV - Classe 3
L_{cr}=0.35 Curva d: α_{imp}=0.76 k_c=0.94 ψ=3.08 M,cr=0.00 λ_{LT}=0.00
$\lambda_{LT,0}$=0.20 β_{LT}=1.00 Φ_{LT}=0.00 β_{LT}=1.00 f=0.00 χ_{LT}=1.00
CC 5 SLV My,Ed=5.34 My,b,Rd=109.13 My,Ed/My,b,Rd=0.05

- Verifica di stabilità aste presso-inflesse (C4.2.4.1.3.3.1) - CC 16 SLU - Classe 3
Sollecitazioni: N,Ed=-3.31 Myeq,Ed=9.07 Mzeq,Ed=-0.02
Resistenze: Nc,Rd=13095.20 My,c,Rd=109.13 Mz,c,Rd=21.83 L=34.75
λ_Y=24.08 Ncr,y=178788.00 λ^*_y=0.28 Curva c: Φ_y=0.56 χ_y=0.96
λ_Z=120.38 Ncr,z=7151.52 λ^*_z=1.39 Curva c: Φ_z=1.75 χ_z=0.35
χ,min=0.35
Verifica: 0.00+0.08+0.00=0.08

- Verifica in termini tensionali [4.2.4] - CC 16 SLU Xl=0.00 - Classe 3
Sollecitazioni: N=-3.31 T_z=51.92 M_y=9.07
Tensioni: σ_N=-0.66 σ_M=-217.62 τ=0.00 σ_{max}=-218.28
Tensioni: σ_N=-0.66 σ_M=-0.00 τ=15.58 τ_{max}=15.58
Tensioni: σ_N=-0.66 σ_M=-217.62 τ=0.00 $\sigma_{ID,max}$=218.28

- Verifica a taglio dir. Y [4.2.16] - CC 19 SLU Xl=0.16
Sollecitazioni: T_z=-30.95 T_y=1.40
V,Ed=1.40 Vc,Rd=7560.76 V,Ed/Vc,Rd=0.00

- Verifica a taglio dir. Z [4.2.16]
V,Ed=-30.95 Vc,Rd=7560.76 V,Ed/Vc,Rd=0.00

Asta n. 189 (189 -729) montanti 50x10 Crit. 1

- Verifica di stabilità aste presso-inflesse (C4.2.4.1.3.3.1) - CC 16 SLU - Classe 3
  Sollecitazioni: N,Ed=-10.03 Myeq,Ed=10.56 Mzeq,Ed=0.01
  Resistenze: Nc,Rd=13095.20 My,c,Rd=109.13 Mz,c,Rd=21.83 L=33.00
  λ_Y=22.86 Ncr,y=198253.00 λ^*_y=0.26 Curva c: Φ_y=0.55 χ_y=0.97
  λ_Z=114.31 Ncr,z=7930.13 λ^*_z=1.32 Curva c: Φ_z=1.64 χ_z=0.38
  χ,min=0.38
  Verifica: 0.00+0.10+0.00=0.10

- Verifica in termini tensionali [4.2.4] - CC 16 SLU Xl=0.00 - Classe 3
  Sollecitazioni: N=-10.03 T_z=63.87 M_y=10.56
  Tensioni: σ_N=-2.01 σ_M=-253.53 τ=0.00 σ_{max}=-255.53
  Tensioni: σ_N=-2.01 σ_M=-0.00 τ=19.16 τ_{max}=19.16
  Tensioni: σ_N=-2.01 σ_M=-253.53 τ=0.00 $\sigma_{ID,max}$=255.53

Asta n. 190 (190 -730) montanti 50x10 Crit. 1

- Verifica di stabilità aste presso-inflesse (C4.2.4.1.3.3.1) - CC 17 SLU - Classe 3
  Sollecitazioni: N,Ed=-6.79 Myeq,Ed=0.24 Mzeq,Ed=2.72
  Resistenze: Nc,Rd=13095.20 My,c,Rd=109.13 Mz,c,Rd=21.83 L=33.00
  λ_Y=22.86 Ncr,y=198253.00 λ^*_y=0.26 Curva c: Φ_y=0.55 χ_y=0.97
  λ_Z=114.31 Ncr,z=7930.13 λ^*_z=1.32 Curva c: Φ_z=1.64 χ_z=0.38
  χ,min=0.38
  Verifica: 0.00+0.00+0.12=0.13

- Verifica in termini tensionali [4.2.4] - CC 17 SLU Xl=0.33 - Classe 3
  Sollecitazioni: N=-5.10 T_z=-1.20 T_y=12.68 M_z=3.43
  Tensioni: σ_N=-1.02 σ_M=-411.45 τ=0.00 σ_{max}=-412.47
  Tensioni: σ_N=-1.02 σ_M=0.00 τ=3.82 τ_{max}=3.82
  Tensioni: σ_N=-1.02 σ_M=-411.45 τ=0.36 $\sigma_{ID,max}$=412.47

Asta n. 191 (191 -731) montanti 50x10 Crit. 1

- Verifica di stabilità aste presso-inflesse (C4.2.4.1.3.3.1) - CC 16 SLU - Classe 3
  Sollecitazioni: N,Ed=-20.66 Myeq,Ed=16.09 Mzeq,Ed=-0.02
  Resistenze: Nc,Rd=13095.20 My,c,Rd=109.13 Mz,c,Rd=21.83 L=33.00
  λ_Y=22.86 Ncr,y=198253.00 λ^*_y=0.26 Curva c: Φ_y=0.55 χ_y=0.97
  λ_Z=114.31 Ncr,z=7930.13 λ^*_z=1.32 Curva c: Φ_z=1.64 χ_z=0.38
  χ,min=0.38
  Verifica: 0.00+0.15+0.00=0.15

- Verifica in termini tensionali [4.2.4] - CC 16 SLU Xl=0.00 - Classe 3
  Sollecitazioni: N=-20.66 T_z=97.03 M_y=16.09
  Tensioni: σ_N=-4.13 σ_M=-386.20 τ=0.00 σ_{max}=-390.33
  Tensioni: σ_N=-4.13 σ_M=-0.00 τ=29.11 τ_{max}=29.11
  Tensioni: σ_N=-4.13 σ_M=-386.20 τ=0.00 $\sigma_{ID,max}$=390.33

Asta n. 192 (192 -732) montanti 50x10 Crit. 1

- Verifica di stabilità aste presso-inflesse (C4.2.4.1.3.3.1) - CC 16 SLU - Classe 3
  Sollecitazioni: N,Ed=-22.42 Myeq,Ed=16.26 Mzeq,Ed=-0.01
  Resistenze: Nc,Rd=13095.20 My,c,Rd=109.13 Mz,c,Rd=21.83 L=33.00
  λ_Y=22.86 Ncr,y=198253.00 λ^*_y=0.26 Curva c: Φ_y=0.55 χ_y=0.97
  λ_Z=114.31 Ncr,z=7930.13 λ^*_z=1.32 Curva c: Φ_z=1.64 χ_z=0.38
  χ,min=0.38
  Verifica: 0.00+0.15+0.00=0.15

- Verifica in termini tensionali [4.2.4] - CC 17 SLU Xl=0.33 - Classe 3
  Sollecitazioni: N=-34.81 T_z=-9.32 M_y=1.62 T_y=12.78 M_z=3.47
  Tensioni: σ_N=-6.96 σ_M=-454.77 τ=0.00 σ_{max}=-461.73

Tensioni: σ_N=-6.96 σ_M=0.00 τ=4.75 τ_{max}=4.75
Tensioni: σ_N=-6.96 σ_M=-454.77 τ=0.00 $\sigma_{ID,max}$=461.73

Asta n. 193 (193 -733) montanti 50x10 Crit. 1

- Verifica di stabilità aste presso-inflesse (C4.2.4.1.3.3.1) - CC 16 SLU - Classe 3
Sollecitazioni: N,Ed=-22.42 Myeq,Ed=16.27 Mzeq,Ed=0.01
Resistenze: Nc,Rd=13095.20 My,c,Rd=109.13 Mz,c,Rd=21.83 L=33.00
λ_Y=22.86 Ncr,y=198253.00 λ^*_y=0.26 Curva c: Φ_y=0.55 χ_y=0.97
λ_Z=114.31 Ncr,z=7930.13 λ^*_z=1.32 Curva c: Φ_z=1.64 χ_z=0.38
χ,min=0.38
Verifica: 0.00+0.15+0.00=0.15

- Verifica in termini tensionali [4.2.4] - CC 16 SLU Xl=0.00 - Classe 3
Sollecitazioni: N=-22.42 T_z=98.14 M_y=16.27
Tensioni: σ_N=-4.48 σ_M=-390.53 τ=0.00 σ_{max}=-395.01
Tensioni: σ_N=-4.48 σ_M=-0.00 τ=29.44 τ_{max}=29.44
Tensioni: σ_N=-4.48 σ_M=-390.53 τ=0.00 $\sigma_{ID,max}$=395.01

Asta n. 194 (194 -734) montanti 50x10 Crit. 1

- Verifica di stabilità aste presso-inflesse (C4.2.4.1.3.3.1) - CC 16 SLU - Classe 3
Sollecitazioni: N,Ed=-20.67 Myeq,Ed=16.08 Mzeq,Ed=0.02
Resistenze: Nc,Rd=13095.20 My,c,Rd=109.13 Mz,c,Rd=21.83 L=33.00
λ_Y=22.86 Ncr,y=198253.00 λ^*_y=0.26 Curva c: Φ_y=0.55 χ_y=0.97
λ_Z=114.31 Ncr,z=7930.13 λ^*_z=1.32 Curva c: Φ_z=1.64 χ_z=0.38
χ,min=0.38
Verifica: 0.00+0.15+0.00=0.15

- Verifica in termini tensionali [4.2.4] - CC 17 SLU Xl=0.33 - Classe 3
Sollecitazioni: N=-34.19 T_z=-10.29 M_y=1.78 T_y=12.88 M_z=3.50
Tensioni: σ_N=-6.84 σ_M=-462.31 τ=0.00 σ_{max}=-469.14
Tensioni: σ_N=-6.84 σ_M=0.00 τ=4.94 τ_{max}=4.94
Tensioni: σ_N=-6.84 σ_M=-462.31 τ=0.00 $\sigma_{ID,max}$=469.14

Asta n. 195 (195 -735) montanti 50x10 Crit. 1

- Verifica di stabilità aste presso-inflesse (C4.2.4.1.3.3.1) - CC 16 SLU - Classe 3
Sollecitazioni: N,Ed=-12.07 Myeq,Ed=11.11 Mzeq,Ed=-0.01
Resistenze: Nc,Rd=13095.20 My,c,Rd=109.13 Mz,c,Rd=21.83 L=33.00
λ_Y=22.86 Ncr,y=198253.00 λ^*_y=0.26 Curva c: Φ_y=0.55 χ_y=0.97
λ_Z=114.31 Ncr,z=7930.13 λ^*_z=1.32 Curva c: Φ_z=1.64 χ_z=0.38
χ,min=0.38
Verifica: 0.00+0.10+0.00=0.10

- Verifica in termini tensionali [4.2.4] - CC 16 SLU Xl=0.00 - Classe 3
Sollecitazioni: N=-12.07 T_z=67.05 M_y=11.11
Tensioni: σ_N=-2.41 σ_M=-266.54 τ=0.00 σ_{max}=-268.95
Tensioni: σ_N=-2.41 σ_M=-0.00 τ=20.11 τ_{max}=20.11
Tensioni: σ_N=-2.41 σ_M=-266.54 τ=0.00 $\sigma_{ID,max}$=268.95

Asta n. 196 (196 -736) montanti 50x10 Crit. 1

- Verifica di stabilità aste presso-inflesse (C4.2.4.1.3.3.1) - CC 17 SLU - Classe 3
Sollecitazioni: N,Ed=-24.69 Myeq,Ed=0.61 Mzeq,Ed=2.78
Resistenze: Nc,Rd=13095.20 My,c,Rd=109.13 Mz,c,Rd=21.83 L=33.00
λ_Y=22.86 Ncr,y=198253.00 λ^*_y=0.26 Curva c: Φ_y=0.55 χ_y=0.97
λ_Z=114.31 Ncr,z=7930.13 λ^*_z=1.32 Curva c: Φ_z=1.64 χ_z=0.38
χ,min=0.38

Verifica: 0.00+0.01+0.13=0.14

- Verifica in termini tensionali [4.2.4] - CC 17 SLU Xl=0.33 - Classe 3
Sollecitazioni: N=-23.00 T_z=-3.46 T_y=12.98 M_z=3.53
Tensioni: σ_N=-4.60 σ_M=-423.70 τ=0.00 σ_{max}=-428.30
Tensioni: σ_N=-4.60 σ_M=0.00 τ=4.03 τ_{max}=4.03
Tensioni: σ_N=-4.60 σ_M=-423.70 τ=1.04 $\sigma_{ID,max}$=428.30

Asta n. 197 (197 -713) montanti 50x10 Crit. 1

- Verifica di stabilità aste presso-inflesse (C4.2.4.1.3.3.1) - CC 16 SLU - Classe 3
Sollecitazioni: N,Ed=-3.92 Myeq,Ed=12.15 Mzeq,Ed=0.01
Resistenze: Nc,Rd=13095.20 My,c,Rd=109.13 Mz,c,Rd=21.83 L=31.25
λ_Y=21.65 Ncr,y=221080.00 λ^*_y=0.25 Curva c: Φ_y=0.54 χ_y=0.97
λ_Z=108.25 Ncr,z=8843.18 λ^*_z=1.25 Curva c: Φ_z=1.53 χ_z=0.41
χ,min=0.41
Verifica: 0.00+0.11+0.00=0.11

- Verifica in termini tensionali [4.2.4] - CC 16 SLU Xl=0.00 - Classe 3
Sollecitazioni: N=-3.92 T_z=77.54 M_y=12.15
Tensioni: σ_N=-0.78 σ_M=-291.63 τ=0.00 σ_{max}=-292.41
Tensioni: σ_N=-0.78 σ_M=-0.00 τ=23.26 τ_{max}=23.26
Tensioni: σ_N=-0.78 σ_M=-291.63 τ=0.00 $\sigma_{ID,max}$=292.41

- Verifica a taglio dir. Z [4.2.16] - CC 5 SLV Xl=0.14
Sollecitazioni: T_z=35.58
V,Ed=35.58 Vc,Rd=7560.76 V,Ed/Vc,Rd=0.00

Asta n. 198 (198 -714) montanti 50x10 Crit. 1

- Verifica di stabilità aste presso-inflesse (C4.2.4.1.3.3.1) - CC 16 SLU - Classe 3
Sollecitazioni: N,Ed=-4.38 Myeq,Ed=12.93 Mzeq,Ed=0.01
Resistenze: Nc,Rd=13095.20 My,c,Rd=109.13 Mz,c,Rd=21.83 L=31.25
λ_Y=21.65 Ncr,y=221080.00 λ^*_y=0.25 Curva c: Φ_y=0.54 χ_y=0.97
λ_Z=108.25 Ncr,z=8843.18 λ^*_z=1.25 Curva c: Φ_z=1.53 χ_z=0.41
χ,min=0.41
Verifica: 0.00+0.12+0.00=0.12

- Verifica in termini tensionali [4.2.4] - CC 16 SLU Xl=0.00 - Classe 3
Sollecitazioni: N=-4.38 T_z=82.57 M_y=12.93
Tensioni: σ_N=-0.88 σ_M=-310.36 τ=0.00 σ_{max}=-311.23
Tensioni: σ_N=-0.88 σ_M=-0.00 τ=24.77 τ_{max}=24.77
Tensioni: σ_N=-0.88 σ_M=-310.36 τ=0.00 $\sigma_{ID,max}$=311.23

Asta n. 199 (199 -715) montanti 50x10 Crit. 1

- Verifica di stabilità aste presso-inflesse (C4.2.4.1.3.3.1) - CC 16 SLU - Classe 3
Sollecitazioni: N,Ed=-6.13 Myeq,Ed=18.88 Mzeq,Ed=-0.01
Resistenze: Nc,Rd=13095.20 My,c,Rd=109.13 Mz,c,Rd=21.83 L=31.25
λ_Y=21.65 Ncr,y=221080.00 λ^*_y=0.25 Curva c: Φ_y=0.54 χ_y=0.97
λ_Z=108.25 Ncr,z=8843.18 λ^*_z=1.25 Curva c: Φ_z=1.53 χ_z=0.41
χ,min=0.41
Verifica: 0.00+0.17+0.00=0.17

- Verifica in termini tensionali [4.2.4] - CC 16 SLU Xl=0.00 - Classe 3
Sollecitazioni: N=-6.13 T_z=120.44 M_y=18.88
Tensioni: σ_N=-1.23 σ_M=-453.21 τ=0.00 σ_{max}=-454.44
Tensioni: σ_N=-1.23 σ_M=-0.00 τ=36.13 τ_{max}=36.13
Tensioni: σ_N=-1.23 σ_M=-453.21 τ=0.00 $\sigma_{ID,max}$=454.44

Asta n. 200 (200 -716) montanti 50x10 Crit. 1

- Verifica di stabilità aste presso-inflesse (C4.2.4.1.3.3.1) - CC 16 SLU - Classe 3
  Sollecitazioni: N,Ed=-6.26 Myeq,Ed=19.23 Mzeq,Ed=-0.01
  Resistenze: Nc,Rd=13095.20 My,c,Rd=109.13 Mz,c,Rd=21.83 L=31.25
  λ_Y=21.65 Ncr,y=221080.00 λ^*_y=0.25 Curva c: Φ_y=0.54 χ_y=0.97
  λ_Z=108.25 Ncr,z=8843.18 λ^*_z=1.25 Curva c: Φ_z=1.53 χ_z=0.41
  χ,min=0.41
  Verifica: 0.00+0.18+0.00=0.18

- Verifica in termini tensionali [4.2.4] - CC 16 SLU Xl=0.00 - Classe 3
  Sollecitazioni: N=-6.26 T_z=122.67 M_y=19.23
  Tensioni: σ_N=-1.25 σ_M=-461.50 τ=0.00 σ_{max}=-462.76
  Tensioni: σ_N=-1.25 σ_M=-0.00 τ=36.80 τ_{max}=36.80
  Tensioni: σ_N=-1.25 σ_M=-461.50 τ=0.00 $\sigma_{ID,max}$=462.76

Asta n. 201 (201 -717) montanti 50x10 Crit. 1

- Verifica di stabilità aste presso-inflesse (C4.2.4.1.3.3.1) - CC 16 SLU - Classe 3
  Sollecitazioni: N,Ed=-6.26 Myeq,Ed=19.24 Mzeq,Ed=0.01
  Resistenze: Nc,Rd=13095.20 My,c,Rd=109.13 Mz,c,Rd=21.83 L=31.25
  λ_Y=21.65 Ncr,y=221080.00 λ^*_y=0.25 Curva c: Φ_y=0.54 χ_y=0.97
  λ_Z=108.25 Ncr,z=8843.18 λ^*_z=1.25 Curva c: Φ_z=1.53 χ_z=0.41
  χ,min=0.41
  Verifica: 0.00+0.18+0.00=0.18

- Verifica in termini tensionali [4.2.4] - CC 16 SLU Xl=0.00 - Classe 3
  Sollecitazioni: N=-6.26 T_z=122.71 M_y=19.24
  Tensioni: σ_N=-1.25 σ_M=-461.67 τ=0.00 σ_{max}=-462.92
  Tensioni: σ_N=-1.25 σ_M=-0.00 τ=36.81 τ_{max}=36.81
  Tensioni: σ_N=-1.25 σ_M=-461.67 τ=0.00 $\sigma_{ID,max}$=462.92

Asta n. 202 (202 -718) montanti 50x10 Crit. 1

- Verifica di stabilità aste presso-inflesse (C4.2.4.1.3.3.1) - CC 16 SLU - Classe 3
  Sollecitazioni: N,Ed=-6.14 Myeq,Ed=18.88 Mzeq,Ed=0.01
  Resistenze: Nc,Rd=13095.20 My,c,Rd=109.13 Mz,c,Rd=21.83 L=31.25
  λ_Y=21.65 Ncr,y=221080.00 λ^*_y=0.25 Curva c: Φ_y=0.54 χ_y=0.97
  λ_Z=108.25 Ncr,z=8843.18 λ^*_z=1.25 Curva c: Φ_z=1.53 χ_z=0.41
  χ,min=0.41
  Verifica: 0.00+0.17+0.00=0.17

- Verifica in termini tensionali [4.2.4] - CC 16 SLU Xl=0.00 - Classe 3
  Sollecitazioni: N=-6.14 T_z=120.41 M_y=18.88
  Tensioni: σ_N=-1.23 σ_M=-453.06 τ=0.00 σ_{max}=-454.29
  Tensioni: σ_N=-1.23 σ_M=-0.00 τ=36.12 τ_{max}=36.12
  Tensioni: σ_N=-1.23 σ_M=-453.06 τ=0.00 $\sigma_{ID,max}$=454.29

Asta n. 203 (203 -719) montanti 50x10 Crit. 1

- Verifica di stabilità aste presso-inflesse (C4.2.4.1.3.3.1) - CC 16 SLU - Classe 3
  Sollecitazioni: N,Ed=-4.38 Myeq,Ed=12.93 Mzeq,Ed=-0.01
  Resistenze: Nc,Rd=13095.20 My,c,Rd=109.13 Mz,c,Rd=21.83 L=31.25
  λ_Y=21.65 Ncr,y=221080.00 λ^*_y=0.25 Curva c: Φ_y=0.54 χ_y=0.97
  λ_Z=108.25 Ncr,z=8843.18 λ^*_z=1.25 Curva c: Φ_z=1.53 χ_z=0.41
  χ,min=0.41
  Verifica: 0.00+0.12+0.00=0.12

- Verifica in termini tensionali [4.2.4] - CC 16 SLU Xl=0.00 - Classe 3
  Sollecitazioni: N=-4.38 T_z=82.58 M_y=12.93
  Tensioni: σ_N=-0.88 σ_M=-310.38 τ=0.00 σ_{max}=-311.26
  Tensioni: σ_N=-0.88 σ_M=-0.00 τ=24.77 τ_{max}=24.77
  Tensioni: σ_N=-0.88 σ_M=-310.38 τ=0.00 $\sigma_{ID,max}$=311.26

Asta n. 204 (204 -720) montanti 50x10 Crit. 1

- Verifica di stabilità aste presso-inflesse (C4.2.4.1.3.3.1) - CC 16 SLU - Classe 3
  Sollecitazioni: N,Ed=-3.92 Myeq,Ed=12.16 Mzeq,Ed=-0.01
  Resistenze: Nc,Rd=13095.20 My,c,Rd=109.13 Mz,c,Rd=21.83 L=31.25
  λ_Y=21.65 Ncr,y=221080.00 λ^*_y=0.25 Curva c: Φ_y=0.54 χ_y=0.97
  λ_Z=108.25 Ncr,z=8843.18 λ^*_z=1.25 Curva c: Φ_z=1.53 χ_z=0.41
  χ,min=0.41
  Verifica: 0.00+0.11+0.00=0.11

- Verifica in termini tensionali [4.2.4] - CC 16 SLU Xl=0.00 - Classe 3
  Sollecitazioni: N=-3.92 T_z=77.57 M_y=12.16
  Tensioni: σ_N=-0.78 σ_M=-291.73 τ=0.00 σ_{max}=-292.51
  Tensioni: σ_N=-0.78 σ_M=-0.00 τ=23.27 τ_{max}=23.27
  Tensioni: σ_N=-0.78 σ_M=-291.73 τ=0.00 $\sigma_{ID,max}$=292.51

- Verifica a taglio dir. Z [4.2.16] - CC 5 SLV Xl=0.14
  Sollecitazioni: T_z=35.58
  V,Ed=35.58 Vc,Rd=7560.76 V,Ed/Vc,Rd=0.00

Asta n. 205 (205 -697) montanti 50x10 Crit. 1

- Verifica di stabilità aste inflesse (4.2.4.1.3.2) CC 5 SLV - Classe 3
  L_{cr}=0.29 Curva d: α_{imp}=0.76 k_c=0.94 ψ=3.09 M,cr=0.00 λ_{LT}=0.00
  $\lambda_{LT,0}$=0.20 β_{LT}=1.00 Φ_{LT}=0.00 β_{LT}=1.00 f=0.00 χ_{LT}=1.00
  CC 5 SLV My,Ed=6.40 My,b,Rd=109.13 My,Ed/My,b,Rd=0.06

- Verifica di stabilità aste presso-inflesse (C4.2.4.1.3.3.1) - CC 16 SLU - Classe 3
  Sollecitazioni: N,Ed=-4.30 Myeq,Ed=13.39 Mzeq,Ed=0.00
  Resistenze: Nc,Rd=13095.20 My,c,Rd=109.13 Mz,c,Rd=21.83 L=29.50
  λ_Y=20.44 Ncr,y=248087.00 λ^*_y=0.24 Curva c: Φ_y=0.54 χ_y=0.98
  λ_Z=102.19 Ncr,z=9923.48 λ^*_z=1.18 Curva c: Φ_z=1.43 χ_z=0.44
  χ,min=0.44
  Verifica: 0.00+0.12+0.00=0.12

- Verifica in termini tensionali [4.2.4] - CC 16 SLU Xl=0.00 - Classe 3
  Sollecitazioni: N=-4.30 T_z=90.52 M_y=13.39
  Tensioni: σ_N=-0.86 σ_M=-321.25 τ=0.00 σ_{max}=-322.11
  Tensioni: σ_N=-0.86 σ_M=-0.00 τ=27.15 τ_{max}=27.15
  Tensioni: σ_N=-0.86 σ_M=-321.25 τ=0.00 $\sigma_{ID,max}$=322.11

- Verifica a taglio dir. Z [4.2.16] - CC 5 SLV Xl=0.13
  Sollecitazioni: T_z=43.27
  V,Ed=43.27 Vc,Rd=7560.76 V,Ed/Vc,Rd=0.01

Asta n. 206 (206 -698) montanti 50x10 Crit. 1

- Verifica di stabilità aste presso-inflesse (C4.2.4.1.3.3.1) - CC 16 SLU - Classe 3
  Sollecitazioni: N,Ed=-4.39 Myeq,Ed=14.24 Mzeq,Ed=0.00
  Resistenze: Nc,Rd=13095.20 My,c,Rd=109.13 Mz,c,Rd=21.83 L=29.50
  λ_Y=20.44 Ncr,y=248087.00 λ^*_y=0.24 Curva c: Φ_y=0.54 χ_y=0.98
  λ_Z=102.19 Ncr,z=9923.48 λ^*_z=1.18 Curva c: Φ_z=1.43 χ_z=0.44
  χ,min=0.44

Verifica: 0.00+0.13+0.00=0.13

- Verifica in termini tensionali [4.2.4] - CC 16 SLU Xl=0.00 - Classe 3
Sollecitazioni: N=-4.39 T_z=96.29 M_y=14.24
Tensioni: σ_N=-0.88 σ_M=-341.68 τ=0.00 σ_{max}=-342.56
Tensioni: σ_N=-0.88 σ_M=-0.00 τ=28.89 τ_{max}=28.89
Tensioni: σ_N=-0.88 σ_M=-341.68 τ=0.00 $\sigma_{ID,max}$=342.56

- Verifica a taglio dir. Z [4.2.16] - CC 5 SLV Xl=0.19
Sollecitazioni: T_z=-20.82
V,Ed=-20.82 Vc,Rd=7560.76 V,Ed/Vc,Rd=0.00

Asta n. 207 (207 -699) montanti 50x10 Crit. 1

- Verifica di stabilità aste presso-inflesse (C4.2.4.1.3.3.1) - CC 16 SLU - Classe 3
Sollecitazioni: N,Ed=-6.04 Myeq,Ed=20.68 Mzeq,Ed=-0.00
Resistenze: Nc,Rd=13095.20 My,c,Rd=109.13 Mz,c,Rd=21.83 L=29.50
λ_Y=20.44 Ncr,y=248087.00 λ^*_y=0.24 Curva c: Φ_y=0.54 χ_y=0.98
λ_Z=102.19 Ncr,z=9923.48 λ^*_z=1.18 Curva c: Φ_z=1.43 χ_z=0.44
χ,min=0.44
Verifica: 0.00+0.19+0.00=0.19

- Verifica in termini tensionali [4.2.4] - CC 16 SLU Xl=0.00 - Classe 3
Sollecitazioni: N=-6.04 T_z=139.74 M_y=20.68
Tensioni: σ_N=-1.21 σ_M=-496.43 τ=0.00 σ_{max}=-497.64
Tensioni: σ_N=-1.21 σ_M=-0.00 τ=41.92 τ_{max}=41.92
Tensioni: σ_N=-1.21 σ_M=-496.43 τ=0.00 $\sigma_{ID,max}$=497.64

Asta n. 208 (208 -700) montanti 50x10 Crit. 1

- Verifica di stabilità aste presso-inflesse (C4.2.4.1.3.3.1) - CC 16 SLU - Classe 3
Sollecitazioni: N,Ed=-6.12 Myeq,Ed=21.08 Mzeq,Ed=-0.00
Resistenze: Nc,Rd=13095.20 My,c,Rd=109.13 Mz,c,Rd=21.83 L=29.50
λ_Y=20.44 Ncr,y=248087.00 λ^*_y=0.24 Curva c: Φ_y=0.54 χ_y=0.98
λ_Z=102.19 Ncr,z=9923.48 λ^*_z=1.18 Curva c: Φ_z=1.43 χ_z=0.44
χ,min=0.44
Verifica: 0.00+0.19+0.00=0.19

- Verifica in termini tensionali [4.2.4] - CC 16 SLU Xl=0.00 - Classe 3
Sollecitazioni: N=-6.12 T_z=142.44 M_y=21.08
Tensioni: σ_N=-1.22 σ_M=-506.00 τ=0.00 σ_{max}=-507.22
Tensioni: σ_N=-1.22 σ_M=-0.00 τ=42.73 τ_{max}=42.73
Tensioni: σ_N=-1.22 σ_M=-506.00 τ=0.00 $\sigma_{ID,max}$=507.22

Asta n. 209 (209 -701) montanti 50x10 Crit. 1

- Verifica di stabilità aste presso-inflesse (C4.2.4.1.3.3.1) - CC 16 SLU - Classe 3
Sollecitazioni: N,Ed=-6.13 Myeq,Ed=21.09 Mzeq,Ed=0.00
Resistenze: Nc,Rd=13095.20 My,c,Rd=109.13 Mz,c,Rd=21.83 L=29.50
λ_Y=20.44 Ncr,y=248087.00 λ^*_y=0.24 Curva c: Φ_y=0.54 χ_y=0.98
λ_Z=102.19 Ncr,z=9923.48 λ^*_z=1.18 Curva c: Φ_z=1.43 χ_z=0.44
χ,min=0.44
Verifica: 0.00+0.19+0.00=0.19

- Verifica in termini tensionali [4.2.4] - CC 16 SLU Xl=0.00 - Classe 3
Sollecitazioni: N=-6.13 T_z=142.49 M_y=21.09
Tensioni: σ_N=-1.23 σ_M=-506.17 τ=0.00 σ_{max}=-507.39
Tensioni: σ_N=-1.23 σ_M=-0.00 τ=42.75 τ_{max}=42.75
Tensioni: σ_N=-1.23 σ_M=-506.17 τ=0.00 $\sigma_{ID,max}$=507.39

Asta n. 210 (210 -702) montanti 50x10 Crit. 1

- Verifica di stabilità aste presso-inflesse (C4.2.4.1.3.3.1) - CC 16 SLU - Classe 3
  Sollecitazioni: N,Ed=-6.04 Myeq,Ed=20.68 Mzeq,Ed=0.00
  Resistenze: Nc,Rd=13095.20 My,c,Rd=109.13 Mz,c,Rd=21.83 L=29.50
  λ_Y=20.44 Ncr,y=248087.00 λ^*_y=0.24 Curva c: Φ_y=0.54 χ_y=0.98
  λ_Z=102.19 Ncr,z=9923.48 λ^*_z=1.18 Curva c: Φ_z=1.43 χ_z=0.44
  χ,min=0.44
  Verifica: 0.00+0.19+0.00=0.19

- Verifica in termini tensionali [4.2.4] - CC 16 SLU Xl=0.00 - Classe 3
  Sollecitazioni: N=-6.04 T_z=139.69 M_y=20.68
  Tensioni: σ_N=-1.21 σ_M=-496.29 τ=0.00 σ_{max}=-497.50
  Tensioni: σ_N=-1.21 σ_M=-0.00 τ=41.91 τ_{max}=41.91
  Tensioni: σ_N=-1.21 σ_M=-496.29 τ=0.00 $\sigma_{ID,max}$=497.50

Asta n. 211 (211 -703) montanti 50x10 Crit. 1

- Verifica di stabilità aste presso-inflesse (C4.2.4.1.3.3.1) - CC 16 SLU - Classe 3
  Sollecitazioni: N,Ed=-4.39 Myeq,Ed=14.24 Mzeq,Ed=-0.00
  Resistenze: Nc,Rd=13095.20 My,c,Rd=109.13 Mz,c,Rd=21.83 L=29.50
  λ_Y=20.44 Ncr,y=248087.00 λ^*_y=0.24 Curva c: Φ_y=0.54 χ_y=0.98
  λ_Z=102.19 Ncr,z=9923.48 λ^*_z=1.18 Curva c: Φ_z=1.43 χ_z=0.44
  χ,min=0.44
  Verifica: 0.00+0.13+0.00=0.13

- Verifica in termini tensionali [4.2.4] - CC 16 SLU Xl=0.00 - Classe 3
  Sollecitazioni: N=-4.39 T_z=96.30 M_y=14.24
  Tensioni: σ_N=-0.88 σ_M=-341.71 τ=0.00 σ_{max}=-342.59
  Tensioni: σ_N=-0.88 σ_M=-0.00 τ=28.89 τ_{max}=28.89
  Tensioni: σ_N=-0.88 σ_M=-341.71 τ=0.00 $\sigma_{ID,max}$=342.59

- Verifica a taglio dir. Z [4.2.16] - CC 5 SLV Xl=0.19
  Sollecitazioni: T_z=-20.83
  V,Ed=-20.83 Vc,Rd=7560.76 V,Ed/Vc,Rd=0.00

Asta n. 212 (212 -704) montanti 50x10 Crit. 1

- Verifica di stabilità aste inflesse (4.2.4.1.3.2) CC 5 SLV - Classe 3
  L_{cr}=0.29 Curva d: α_{imp}=0.76 k_c=0.94 ψ=3.09 M,cr=0.00 λ_{LT}=0.00
  $\lambda_{LT,0}$=0.20 β_{LT}=1.00 Φ_{LT}=0.00 β_{LT}=1.00 f=0.00 χ_{LT}=1.00
  CC 5 SLV My,Ed=6.40 My,b,Rd=109.13 My,Ed/My,b,Rd=0.06

- Verifica di stabilità aste presso-inflesse (C4.2.4.1.3.3.1) - CC 16 SLU - Classe 3
  Sollecitazioni: N,Ed=-4.30 Myeq,Ed=13.39 Mzeq,Ed=-0.00
  Resistenze: Nc,Rd=13095.20 My,c,Rd=109.13 Mz,c,Rd=21.83 L=29.50
  λ_Y=20.44 Ncr,y=248087.00 λ^*_y=0.24 Curva c: Φ_y=0.54 χ_y=0.98
  λ_Z=102.19 Ncr,z=9923.48 λ^*_z=1.18 Curva c: Φ_z=1.43 χ_z=0.44
  χ,min=0.44
  Verifica: 0.00+0.12+0.00=0.12

- Verifica in termini tensionali [4.2.4] - CC 16 SLU Xl=0.00 - Classe 3
  Sollecitazioni: N=-4.30 T_z=90.55 M_y=13.39
  Tensioni: σ_N=-0.86 σ_M=-321.35 τ=0.00 σ_{max}=-322.21
  Tensioni: σ_N=-0.86 σ_M=-0.00 τ=27.16 τ_{max}=27.16
  Tensioni: σ_N=-0.86 σ_M=-321.35 τ=0.00 $\sigma_{ID,max}$=322.21

- Verifica a taglio dir. Z [4.2.16] - CC 5 SLV Xl=0.13

Sollecitazioni: T_z=43.27
V,Ed=43.27 Vc,Rd=7560.76 V,Ed/Vc,Rd=0.01

Asta n. 213 (213 -681) montanti 50x10 Crit. 1

- Verifica di stabilità aste presso-inflesse (C4.2.4.1.3.3.1) - CC 16 SLU - Classe 3
Sollecitazioni: N,Ed=-5.37 Myeq,Ed=14.75 Mzeq,Ed=0.02
Resistenze: Nc,Rd=13095.20 My,c,Rd=109.13 Mz,c,Rd=21.83 L=27.75
λ_Y=19.23 Ncr,y=280364.00 λ^*_y=0.22 Curva c: Φ_y=0.53 χ_y=0.99
λ_Z=96.13 Ncr,z=11214.60 λ^*_z=1.11 Curva c: Φ_z=1.34 χ_z=0.48
χ,min=0.48
Verifica: 0.00+0.14+0.00=0.14

- Verifica in termini tensionali [4.2.4] - CC 16 SLU Xl=0.00 - Classe 3
Sollecitazioni: N=-5.37 T_z=106.00 M_y=14.75
Tensioni: σ_N=-1.07 σ_M=-353.91 τ=0.00 σ_{max}=-354.98
Tensioni: σ_N=-1.07 σ_M=-0.00 τ=31.80 τ_{max}=31.80
Tensioni: σ_N=-1.07 σ_M=-353.91 τ=0.00 $\sigma_{ID,max}$=354.98

- Verifica a taglio dir. Z [4.2.16] - CC 5 SLV Xl=0.13
Sollecitazioni: T_z=52.47
V,Ed=52.47 Vc,Rd=7560.76 V,Ed/Vc,Rd=0.01

Asta n. 214 (214 -682) montanti 50x10 Crit. 1

- Verifica di stabilità aste presso-inflesse (C4.2.4.1.3.3.1) - CC 18 SLU - Classe 3
Sollecitazioni: N,Ed=-18.27 Myeq,Ed=16.82 Mzeq,Ed=-0.03
Resistenze: Nc,Rd=13095.20 My,c,Rd=109.13 Mz,c,Rd=21.83 L=27.75
λ_Y=19.23 Ncr,y=280364.00 λ^*_y=0.22 Curva c: Φ_y=0.53 χ_y=0.99
λ_Z=96.13 Ncr,z=11214.60 λ^*_z=1.11 Curva c: Φ_z=1.34 χ_z=0.48
χ,min=0.48
Verifica: 0.00+0.15+0.00=0.16

- Verifica in termini tensionali [4.2.4] - CC 18 SLU Xl=0.00 - Classe 3
Sollecitazioni: N=-18.27 T_z=120.77 M_y=16.82
Tensioni: σ_N=-3.65 σ_M=-403.70 τ=0.00 σ_{max}=-407.35
Tensioni: σ_N=-3.65 σ_M=-0.00 τ=36.23 τ_{max}=36.23
Tensioni: σ_N=-3.65 σ_M=-403.70 τ=0.00 $\sigma_{ID,max}$=407.35

Asta n. 215 (215 -683) montanti 50x10 Crit. 1

- Verifica di stabilità aste presso-inflesse (C4.2.4.1.3.3.1) - CC 18 SLU - Classe 3
Sollecitazioni: N,Ed=-21.42 Myeq,Ed=24.32 Mzeq,Ed=-0.01
Resistenze: Nc,Rd=13095.20 My,c,Rd=109.13 Mz,c,Rd=21.83 L=27.75
λ_Y=19.23 Ncr,y=280364.00 λ^*_y=0.22 Curva c: Φ_y=0.53 χ_y=0.99
λ_Z=96.13 Ncr,z=11214.60 λ^*_z=1.11 Curva c: Φ_z=1.34 χ_z=0.48
χ,min=0.48
Verifica: 0.00+0.22+0.00=0.23

- Verifica in termini tensionali [4.2.4] - CC 18 SLU Xl=0.00 - Classe 3
Sollecitazioni: N=-21.42 T_z=174.05 M_y=24.32
Tensioni: σ_N=-4.28 σ_M=-583.60 τ=0.00 σ_{max}=-587.88
Tensioni: σ_N=-4.28 σ_M=-0.00 τ=52.22 τ_{max}=52.22
Tensioni: σ_N=-4.28 σ_M=-583.60 τ=0.00 $\sigma_{ID,max}$=587.88

Asta n. 216 (216 -684) montanti 50x10 Crit. 1

- Verifica di stabilità aste presso-inflesse (C4.2.4.1.3.3.1) - CC 18 SLU - Classe 3
Sollecitazioni: N,Ed=-22.47 Myeq,Ed=25.14 Mzeq,Ed=-0.01

Resistenze: Nc,Rd=13095.20 My,c,Rd=109.13 Mz,c,Rd=21.83 L=27.75
λ_Y=19.23 Ncr,y=280364.00 λ^*_y=0.22 Curva c: Φ_y=0.53 χ_y=0.99
λ_Z=96.13 Ncr,z=11214.60 λ^*_z=1.11 Curva c: Φ_z=1.34 χ_z=0.48
χ,min=0.48
Verifica: 0.00+0.23+0.00=0.23

- Verifica in termini tensionali [4.2.4] - CC 18 SLU Xl=0.00 - Classe 3
Sollecitazioni: N=-22.47 T_z=180.01 M_y=25.14
Tensioni: σ_N=-4.49 σ_M=-603.40 τ=0.00 σ_{max}=-607.90
Tensioni: σ_N=-4.49 σ_M=-0.00 τ=54.00 τ_{max}=54.00
Tensioni: σ_N=-4.49 σ_M=-603.40 τ=0.00 $\sigma_{ID,max}$=607.90

Asta n. 217 (217 -685) montanti 50x10 Crit. 1

- Verifica di stabilità aste presso-inflesse (C4.2.4.1.3.3.1) - CC 18 SLU - Classe 3
Sollecitazioni: N,Ed=-22.47 Myeq,Ed=25.15 Mzeq,Ed=0.01
Resistenze: Nc,Rd=13095.20 My,c,Rd=109.13 Mz,c,Rd=21.83 L=27.75
λ_Y=19.23 Ncr,y=280364.00 λ^*_y=0.22 Curva c: Φ_y=0.53 χ_y=0.99
λ_Z=96.13 Ncr,z=11214.60 λ^*_z=1.11 Curva c: Φ_z=1.34 χ_z=0.48
χ,min=0.48
Verifica: 0.00+0.23+0.00=0.23

- Verifica in termini tensionali [4.2.4] - CC 18 SLU Xl=0.00 - Classe 3
Sollecitazioni: N=-22.47 T_z=180.08 M_y=25.15
Tensioni: σ_N=-4.49 σ_M=-603.62 τ=0.00 σ_{max}=-608.11
Tensioni: σ_N=-4.49 σ_M=-0.00 τ=54.02 τ_{max}=54.02
Tensioni: σ_N=-4.49 σ_M=-603.62 τ=0.00 $\sigma_{ID,max}$=608.11

Asta n. 218 (218 -686) montanti 50x10 Crit. 1

- Verifica di stabilità aste presso-inflesse (C4.2.4.1.3.3.1) - CC 18 SLU - Classe 3
Sollecitazioni: N,Ed=-21.44 Myeq,Ed=24.31 Mzeq,Ed=0.01
Resistenze: Nc,Rd=13095.20 My,c,Rd=109.13 Mz,c,Rd=21.83 L=27.75
λ_Y=19.23 Ncr,y=280364.00 λ^*_y=0.22 Curva c: Φ_y=0.53 χ_y=0.99
λ_Z=96.13 Ncr,z=11214.60 λ^*_z=1.11 Curva c: Φ_z=1.34 χ_z=0.48
χ,min=0.48
Verifica: 0.00+0.22+0.00=0.23

- Verifica in termini tensionali [4.2.4] - CC 18 SLU Xl=0.00 - Classe 3
Sollecitazioni: N=-21.44 T_z=174.00 M_y=24.31
Tensioni: σ_N=-4.29 σ_M=-583.42 τ=0.00 σ_{max}=-587.71
Tensioni: σ_N=-4.29 σ_M=-0.00 τ=52.20 τ_{max}=52.20
Tensioni: σ_N=-4.29 σ_M=-583.42 τ=0.00 $\sigma_{ID,max}$=587.71

Asta n. 219 (219 -687) montanti 50x10 Crit. 1

- Verifica di stabilità aste presso-inflesse (C4.2.4.1.3.3.1) - CC 18 SLU - Classe 3
Sollecitazioni: N,Ed=-18.28 Myeq,Ed=16.82 Mzeq,Ed=0.03
Resistenze: Nc,Rd=13095.20 My,c,Rd=109.13 Mz,c,Rd=21.83 L=27.75
λ_Y=19.23 Ncr,y=280364.00 λ^*_y=0.22 Curva c: Φ_y=0.53 χ_y=0.99
λ_Z=96.13 Ncr,z=11214.60 λ^*_z=1.11 Curva c: Φ_z=1.34 χ_z=0.48
χ,min=0.48
Verifica: 0.00+0.15+0.00=0.16

- Verifica in termini tensionali [4.2.4] - CC 18 SLU Xl=0.00 - Classe 3
Sollecitazioni: N=-18.28 T_z=120.77 M_y=16.82
Tensioni: σ_N=-3.66 σ_M=-403.73 τ=0.00 σ_{max}=-407.39
Tensioni: σ_N=-3.66 σ_M=-0.00 τ=36.23 τ_{max}=36.23
Tensioni: σ_N=-3.66 σ_M=-403.73 τ=0.00 $\sigma_{ID,max}$=407.39

Asta n. 220 (220 -688) montanti 50x10 Crit. 1

- Verifica di stabilità aste presso-inflesse (C4.2.4.1.3.3.1) - CC 16 SLU - Classe 3
  Sollecitazioni: N,Ed=-5.37 Myeq,Ed=14.75 Mzeq,Ed=-0.02
  Resistenze: Nc,Rd=13095.20 My,c,Rd=109.13 Mz,c,Rd=21.83 L=27.75
  λ_Y=19.23 Ncr,y=280364.00 λ^*_y=0.22 Curva c: Φ_y=0.53 χ_y=0.99
  λ_Z=96.13 Ncr,z=11214.60 λ^*_z=1.11 Curva c: Φ_z=1.34 χ_z=0.48
  χ,min=0.48
  Verifica: 0.00+0.14+0.00=0.14

- Verifica in termini tensionali [4.2.4] - CC 16 SLU Xl=0.00 - Classe 3
  Sollecitazioni: N=-5.37 T_z=106.03 M_y=14.75
  Tensioni: σ_N=-1.07 σ_M=-354.02 τ=0.00 σ_{max}=-355.09
  Tensioni: σ_N=-1.07 σ_M=-0.00 τ=31.81 τ_{max}=31.81
  Tensioni: σ_N=-1.07 σ_M=-354.02 τ=0.00 $\sigma_{ID,max}$=355.09

- Verifica a taglio dir. Z [4.2.16] - CC 5 SLV Xl=0.13
  Sollecitazioni: T_z=52.47
  V,Ed=52.47 Vc,Rd=7560.76 V,Ed/Vc,Rd=0.01

Asta n. 221 (221 -665) montanti 50x10 Crit. 1

- Verifica di stabilità aste presso-inflesse (C4.2.4.1.3.3.1) - CC 18 SLU - Classe 3
  Sollecitazioni: N,Ed=-45.88 Myeq,Ed=19.05 Mzeq,Ed=-0.04
  Resistenze: Nc,Rd=13095.20 My,c,Rd=109.13 Mz,c,Rd=21.83 L=26.00
  λ_Y=18.01 Ncr,y=319375.00 λ^*_y=0.21 Curva c: Φ_y=0.52 χ_y=1.00
  λ_Z=90.07 Ncr,z=12775.00 λ^*_z=1.04 Curva c: Φ_z=1.24 χ_z=0.52
  χ,min=0.52
  Verifica: 0.00+0.17+0.00=0.18

- Verifica in termini tensionali [4.2.4] - CC 18 SLU Xl=0.00 - Classe 3
  Sollecitazioni: N=-45.88 T_z=146.18 M_y=19.05
  Tensioni: σ_N=-9.18 σ_M=-457.24 τ=0.00 σ_{max}=-466.42
  Tensioni: σ_N=-9.18 σ_M=-0.00 τ=43.85 τ_{max}=43.85
  Tensioni: σ_N=-9.18 σ_M=-457.24 τ=0.00 $\sigma_{ID,max}$=466.42

Asta n. 222 (222 -666) montanti 50x10 Crit. 1

- Verifica di stabilità aste presso-inflesse (C4.2.4.1.3.3.1) - CC 19 SLU - Classe 3
  Sollecitazioni: N,Ed=-4.09 Myeq,Ed=14.60 Mzeq,Ed=1.39
  Resistenze: Nc,Rd=13095.20 My,c,Rd=109.13 Mz,c,Rd=21.83 L=26.00
  λ_Y=18.01 Ncr,y=319375.00 λ^*_y=0.21 Curva c: Φ_y=0.52 χ_y=1.00
  λ_Z=90.07 Ncr,z=12775.00 λ^*_z=1.04 Curva c: Φ_z=1.24 χ_z=0.52
  χ,min=0.52
  Verifica: 0.00+0.13+0.06=0.20

- Verifica in termini tensionali [4.2.4] - CC 19 SLU Xl=0.26 - Classe 3
  Sollecitazioni: N=-2.77 T_z=111.69 M_y=-14.44 T_y=8.23 M_z=1.75
  Tensioni: σ_N=-0.55 σ_M=-556.45 τ=0.00 σ_{max}=-557.00
  Tensioni: σ_N=-0.55 σ_M=0.00 τ=33.60 τ_{max}=33.60
  Tensioni: σ_N=-0.55 σ_M=-556.45 τ=0.00 $\sigma_{ID,max}$=557.00

Asta n. 223 (223 -667) montanti 50x10 Crit. 1

- Verifica di stabilità aste presso-inflesse (C4.2.4.1.3.3.1) - CC 18 SLU - Classe 3
  Sollecitazioni: N,Ed=-57.03 Myeq,Ed=32.25 Mzeq,Ed=-0.02
  Resistenze: Nc,Rd=13095.20 My,c,Rd=109.13 Mz,c,Rd=21.83 L=26.00
  λ_Y=18.01 Ncr,y=319375.00 λ^*_y=0.21 Curva c: Φ_y=0.52 χ_y=1.00

λ_Z=90.07 Ncr,z=12775.00 λ^*_z=1.04 Curva c: Φ_z=1.24 χ_z=0.52
χ,min=0.52
Verifica: 0.00+0.30+0.00=0.30

- Verifica in termini tensionali [4.2.4] - CC 18 SLU Xl=0.00 - Classe 3
Sollecitazioni: N=-57.03 T_z=246.79 M_y=32.25
Tensioni: σ_N=-11.41 σ_M=-774.01 τ=0.00 σ_{max}=-785.41
Tensioni: σ_N=-11.41 σ_M=-0.00 τ=74.04 τ_{max}=74.04
Tensioni: σ_N=-11.41 σ_M=-774.01 τ=0.00 $\sigma_{ID,max}$=785.41

Asta n. 224 (224 -668) montanti 50x10 Crit. 1

- Verifica di stabilità aste presso-inflesse (C4.2.4.1.3.3.1) - CC 19 SLU - Classe 3
Sollecitazioni: N,Ed=-65.57 Myeq,Ed=26.28 Mzeq,Ed=1.41
Resistenze: Nc,Rd=13095.20 My,c,Rd=109.13 Mz,c,Rd=21.83 L=26.00
λ_Y=18.01 Ncr,y=319375.00 λ^*_y=0.21 Curva c: Φ_y=0.52 χ_y=1.00
λ_Z=90.07 Ncr,z=12775.00 λ^*_z=1.04 Curva c: Φ_z=1.24 χ_z=0.52
χ,min=0.52
Verifica: 0.01+0.24+0.06=0.31

- Verifica in termini tensionali [4.2.4] - CC 19 SLU Xl=0.26 - Classe 3
Sollecitazioni: N=-64.24 T_z=200.78 M_y=-25.92 T_y=8.35 M_z=1.79
Tensioni: σ_N=-12.85 σ_M=-836.55 τ=0.00 σ_{max}=-849.40
Tensioni: σ_N=-12.85 σ_M=0.00 τ=60.29 τ_{max}=60.29
Tensioni: σ_N=-12.85 σ_M=-836.55 τ=0.00 $\sigma_{ID,max}$=849.40

Asta n. 225 (225 -669) montanti 50x10 Crit. 1

- Verifica di stabilità aste presso-inflesse (C4.2.4.1.3.3.1) - CC 18 SLU - Classe 3
Sollecitazioni: N,Ed=-57.23 Myeq,Ed=33.30 Mzeq,Ed=0.02
Resistenze: Nc,Rd=13095.20 My,c,Rd=109.13 Mz,c,Rd=21.83 L=26.00
λ_Y=18.01 Ncr,y=319375.00 λ^*_y=0.21 Curva c: Φ_y=0.52 χ_y=1.00
λ_Z=90.07 Ncr,z=12775.00 λ^*_z=1.04 Curva c: Φ_z=1.24 χ_z=0.52
χ,min=0.52
Verifica: 0.00+0.31+0.00=0.31

- Verifica in termini tensionali [4.2.4] - CC 18 SLU Xl=0.00 - Classe 3
Sollecitazioni: N=-57.23 T_z=254.88 M_y=33.30
Tensioni: σ_N=-11.45 σ_M=-799.18 τ=0.00 σ_{max}=-810.63
Tensioni: σ_N=-11.45 σ_M=-0.00 τ=76.46 τ_{max}=76.46
Tensioni: σ_N=-11.45 σ_M=-799.18 τ=0.00 $\sigma_{ID,max}$=810.63

Asta n. 226 (226 -670) montanti 50x10 Crit. 1

- Verifica di stabilità aste presso-inflesse (C4.2.4.1.3.3.1) - CC 19 SLU - Classe 3
Sollecitazioni: N,Ed=-65.05 Myeq,Ed=25.10 Mzeq,Ed=1.45
Resistenze: Nc,Rd=13095.20 My,c,Rd=109.13 Mz,c,Rd=21.83 L=26.00
λ_Y=18.01 Ncr,y=319375.00 λ^*_y=0.21 Curva c: Φ_y=0.52 χ_y=1.00
λ_Z=90.07 Ncr,z=12775.00 λ^*_z=1.04 Curva c: Φ_z=1.24 χ_z=0.52
χ,min=0.52
Verifica: 0.00+0.23+0.07=0.30

- Verifica in termini tensionali [4.2.4] - CC 19 SLU Xl=0.26 - Classe 3
Sollecitazioni: N=-63.72 T_z=191.68 M_y=-24.74 T_y=8.58 M_z=1.85
Tensioni: σ_N=-12.74 σ_M=-815.89 τ=0.00 σ_{max}=-828.64
Tensioni: σ_N=-12.74 σ_M=0.00 τ=57.56 τ_{max}=57.56
Tensioni: σ_N=-12.74 σ_M=-815.89 τ=0.00 $\sigma_{ID,max}$=828.64

Asta n. 227 (227 -671) montanti 50x10 Crit. 1

- Verifica di stabilità aste presso-inflesse (C4.2.4.1.3.3.1) - CC 18 SLU - Classe 3
  Sollecitazioni: N,Ed=-9.03 Myeq,Ed=20.26 Mzeq,Ed=0.04
  Resistenze: Nc,Rd=13095.20 My,c,Rd=109.13 Mz,c,Rd=21.83 L=26.00
  λ_Y=18.01 Ncr,y=319375.00 λ^*_y=0.21 Curva c: Φ_y=0.52 χ_y=1.00
  λ_Z=90.07 Ncr,z=12775.00 λ^*_z=1.04 Curva c: Φ_z=1.24 χ_z=0.52
  χ,min=0.52
  Verifica: 0.00+0.19+0.00=0.19

- Verifica in termini tensionali [4.2.4] - CC 18 SLU Xl=0.00 - Classe 3
  Sollecitazioni: N=-9.03 T_z=155.28 M_y=20.26
  Tensioni: σ_N=-1.81 σ_M=-486.18 τ=0.00 σ_{max}=-487.99
  Tensioni: σ_N=-1.81 σ_M=-0.00 τ=46.58 τ_{max}=46.58
  Tensioni: σ_N=-1.81 σ_M=-486.18 τ=0.00 $\sigma_{ID,max}$=487.99

Asta n. 228 (228 -672) montanti 50x10 Crit. 1

- Verifica di stabilità aste presso-inflesse (C4.2.4.1.3.3.1) - CC 19 SLU - Classe 3
  Sollecitazioni: N,Ed=-54.94 Myeq,Ed=13.50 Mzeq,Ed=1.46
  Resistenze: Nc,Rd=13095.20 My,c,Rd=109.13 Mz,c,Rd=21.83 L=26.00
  λ_Y=18.01 Ncr,y=319375.00 λ^*_y=0.21 Curva c: Φ_y=0.52 χ_y=1.00
  λ_Z=90.07 Ncr,z=12775.00 λ^*_z=1.04 Curva c: Φ_z=1.24 χ_z=0.52
  χ,min=0.52
  Verifica: 0.00+0.12+0.07=0.20

- Verifica in termini tensionali [4.2.4] - CC 19 SLU Xl=0.26 - Classe 3
  Sollecitazioni: N=-53.61 T_z=103.36 M_y=-13.37 T_y=8.66 M_z=1.88
  Tensioni: σ_N=-10.72 σ_M=-546.44 τ=0.00 σ_{max}=-557.16
  Tensioni: σ_N=-10.72 σ_M=0.00 τ=31.12 τ_{max}=31.12
  Tensioni: σ_N=-10.72 σ_M=-546.44 τ=0.00 $\sigma_{ID,max}$=557.16

Asta n. 229 (229 -649) montanti 50x10 Crit. 1

- Verifica di stabilità aste presso-inflesse (C4.2.4.1.3.3.1) - CC 18 SLU - Classe 3
  Sollecitazioni: N,Ed=-9.94 Myeq,Ed=24.60 Mzeq,Ed=-0.03
  Resistenze: Nc,Rd=13095.20 My,c,Rd=109.13 Mz,c,Rd=21.83 L=24.25
  λ_Y=16.80 Ncr,y=367134.00 λ^*_y=0.19 Curva c: Φ_y=0.52 χ_y=1.00
  λ_Z=84.00 Ncr,z=14685.40 λ^*_z=0.97 Curva c: Φ_z=1.16 χ_z=0.56
  χ,min=0.56
  Verifica: 0.00+0.23+0.00=0.23

- Verifica in termini tensionali [4.2.4] - CC 18 SLU Xl=0.00 - Classe 3
  Sollecitazioni: N=-9.94 T_z=202.49 M_y=24.60
  Tensioni: σ_N=-1.99 σ_M=-590.42 τ=0.00 σ_{max}=-592.41
  Tensioni: σ_N=-1.99 σ_M=-0.00 τ=60.75 τ_{max}=60.75
  Tensioni: σ_N=-1.99 σ_M=-590.42 τ=0.00 $\sigma_{ID,max}$=592.41

- Verifica a taglio dir. Z [4.2.16] - CC 7 SLV Xl=0.13
  Sollecitazioni: T_z=90.66
  V,Ed=90.66 Vc,Rd=7560.76 V,Ed/Vc,Rd=0.01

Asta n. 230 (230 -650) montanti 50x10 Crit. 1

- Verifica di stabilità aste presso-inflesse (C4.2.4.1.3.3.1) - CC 18 SLU - Classe 3
  Sollecitazioni: N,Ed=-21.09 Myeq,Ed=23.69 Mzeq,Ed=-0.03
  Resistenze: Nc,Rd=13095.20 My,c,Rd=109.13 Mz,c,Rd=21.83 L=24.25
  λ_Y=16.80 Ncr,y=367134.00 λ^*_y=0.19 Curva c: Φ_y=0.52 χ_y=1.00
  λ_Z=84.00 Ncr,z=14685.40 λ^*_z=0.97 Curva c: Φ_z=1.16 χ_z=0.56
  χ,min=0.56

Verifica: 0.00+0.22+0.00=0.22

- Verifica in termini tensionali [4.2.4] - CC 18 SLU Xl=0.00 - Classe 3
Sollecitazioni: N=-21.09 T_z=194.67 M_y=23.69
Tensioni: σ_N=-4.22 σ_M=-568.53 τ=0.00 σ_{max}=-572.75
Tensioni: σ_N=-4.22 σ_M=-0.00 τ=58.40 τ_{max}=58.40
Tensioni: σ_N=-4.22 σ_M=-568.53 τ=0.00 $\sigma_{ID,max}$=572.75

Asta n. 231 (231 -651) montanti 50x10 Crit. 1

- Verifica di stabilità aste presso-inflesse (C4.2.4.1.3.3.1) - CC 18 SLU - Classe 3
Sollecitazioni: N,Ed=-28.31 Myeq,Ed=41.01 Mzeq,Ed=-0.01
Resistenze: Nc,Rd=13095.20 My,c,Rd=109.13 Mz,c,Rd=21.83 L=24.25
λ_Y=16.80 Ncr,y=367134.00 λ^*_y=0.19 Curva c: Φ_y=0.52 χ_y=1.00
λ_Z=84.00 Ncr,z=14685.40 λ^*_z=0.97 Curva c: Φ_z=1.16 χ_z=0.56
χ,min=0.56
Verifica: 0.00+0.38+0.00=0.38

- Verifica in termini tensionali [4.2.4] - CC 18 SLU Xl=0.00 - Classe 3
Sollecitazioni: N=-28.31 T_z=337.25 M_y=41.01
Tensioni: σ_N=-5.66 σ_M=-984.30 τ=0.00 σ_{max}=-989.96
Tensioni: σ_N=-5.66 σ_M=-0.00 τ=101.17 τ_{max}=101.17
Tensioni: σ_N=-5.66 σ_M=-984.30 τ=0.00 $\sigma_{ID,max}$=989.96

Asta n. 232 (232 -652) montanti 50x10 Crit. 1

- Verifica di stabilità aste presso-inflesse (C4.2.4.1.3.3.1) - CC 18 SLU - Classe 3
Sollecitazioni: N,Ed=-29.35 Myeq,Ed=42.13 Mzeq,Ed=-0.01
Resistenze: Nc,Rd=13095.20 My,c,Rd=109.13 Mz,c,Rd=21.83 L=24.25
λ_Y=16.80 Ncr,y=367134.00 λ^*_y=0.19 Curva c: Φ_y=0.52 χ_y=1.00
λ_Z=84.00 Ncr,z=14685.40 λ^*_z=0.97 Curva c: Φ_z=1.16 χ_z=0.56
χ,min=0.56
Verifica: 0.00+0.39+0.00=0.39

- Verifica in termini tensionali [4.2.4] - CC 18 SLU Xl=0.00 - Classe 3
Sollecitazioni: N=-29.35 T_z=346.44 M_y=42.13
Tensioni: σ_N=-5.87 σ_M=-1011.22 τ=0.00 σ_{max}=-1017.09
Tensioni: σ_N=-5.87 σ_M=-0.00 τ=103.93 τ_{max}=103.93
Tensioni: σ_N=-5.87 σ_M=-1011.22 τ=0.00 $\sigma_{ID,max}$=1017.09

Asta n. 233 (233 -653) montanti 50x10 Crit. 1

- Verifica di stabilità aste presso-inflesse (C4.2.4.1.3.3.1) - CC 18 SLU - Classe 3
Sollecitazioni: N,Ed=-29.36 Myeq,Ed=42.14 Mzeq,Ed=0.01
Resistenze: Nc,Rd=13095.20 My,c,Rd=109.13 Mz,c,Rd=21.83 L=24.25
λ_Y=16.80 Ncr,y=367134.00 λ^*_y=0.19 Curva c: Φ_y=0.52 χ_y=1.00
λ_Z=84.00 Ncr,z=14685.40 λ^*_z=0.97 Curva c: Φ_z=1.16 χ_z=0.56
χ,min=0.56
Verifica: 0.00+0.39+0.00=0.39

- Verifica in termini tensionali [4.2.4] - CC 18 SLU Xl=0.00 - Classe 3
Sollecitazioni: N=-29.36 T_z=346.50 M_y=42.14
Tensioni: σ_N=-5.87 σ_M=-1011.38 τ=0.00 σ_{max}=-1017.25
Tensioni: σ_N=-5.87 σ_M=-0.00 τ=103.95 τ_{max}=103.95
Tensioni: σ_N=-5.87 σ_M=-1011.38 τ=0.00 $\sigma_{ID,max}$=1017.25

Asta n. 234 (234 -654) montanti 50x10 Crit. 1

- Verifica di stabilità aste presso-inflesse (C4.2.4.1.3.3.1) - CC 18 SLU - Classe 3

Sollecitazioni: N,Ed=-28.29 Myeq,Ed=41.01 Mzeq,Ed=0.01
Resistenze: Nc,Rd=13095.20 My,c,Rd=109.13 Mz,c,Rd=21.83 L=24.25
λ_Y=16.80 Ncr,y=367134.00 λ^*_y=0.19 Curva c: Φ_y=0.52 χ_y=1.00
λ_Z=84.00 Ncr,z=14685.40 λ^*_z=0.97 Curva c: Φ_z=1.16 χ_z=0.56
χ,min=0.56
Verifica: 0.00+0.38+0.00=0.38

- Verifica in termini tensionali [4.2.4] - CC 18 SLU Xl=0.00 - Classe 3
Sollecitazioni: N=-28.29 T_z=337.21 M_y=41.01
Tensioni: σ_N=-5.66 σ_M=-984.19 τ=0.00 σ_{max}=-989.85
Tensioni: σ_N=-5.66 σ_M=-0.00 τ=101.16 τ_{max}=101.16
Tensioni: σ_N=-5.66 σ_M=-984.19 τ=0.00 $\sigma_{ID,max}$=989.85

Asta n. 235 (235 -655) montanti 50x10 Crit. 1

- Verifica di stabilità aste presso-inflesse (C4.2.4.1.3.3.1) - CC 18 SLU - Classe 3
Sollecitazioni: N,Ed=-21.09 Myeq,Ed=23.69 Mzeq,Ed=0.03
Resistenze: Nc,Rd=13095.20 My,c,Rd=109.13 Mz,c,Rd=21.83 L=24.25
λ_Y=16.80 Ncr,y=367134.00 λ^*_y=0.19 Curva c: Φ_y=0.52 χ_y=1.00
λ_Z=84.00 Ncr,z=14685.40 λ^*_z=0.97 Curva c: Φ_z=1.16 χ_z=0.56
χ,min=0.56
Verifica: 0.00+0.22+0.00=0.22

- Verifica in termini tensionali [4.2.4] - CC 18 SLU Xl=0.00 - Classe 3
Sollecitazioni: N=-21.09 T_z=194.68 M_y=23.69
Tensioni: σ_N=-4.22 σ_M=-568.58 τ=0.00 σ_{max}=-572.80
Tensioni: σ_N=-4.22 σ_M=-0.00 τ=58.41 τ_{max}=58.41
Tensioni: σ_N=-4.22 σ_M=-568.58 τ=0.00 $\sigma_{ID,max}$=572.80

Asta n. 236 (236 -656) montanti 50x10 Crit. 1

- Verifica di stabilità aste presso-inflesse (C4.2.4.1.3.3.1) - CC 18 SLU - Classe 3
Sollecitazioni: N,Ed=-9.94 Myeq,Ed=24.61 Mzeq,Ed=0.03
Resistenze: Nc,Rd=13095.20 My,c,Rd=109.13 Mz,c,Rd=21.83 L=24.25
λ_Y=16.80 Ncr,y=367134.00 λ^*_y=0.19 Curva c: Φ_y=0.52 χ_y=1.00
λ_Z=84.00 Ncr,z=14685.40 λ^*_z=0.97 Curva c: Φ_z=1.16 χ_z=0.56
χ,min=0.56
Verifica: 0.00+0.23+0.00=0.23

- Verifica in termini tensionali [4.2.4] - CC 18 SLU Xl=0.00 - Classe 3
Sollecitazioni: N=-9.94 T_z=202.54 M_y=24.61
Tensioni: σ_N=-1.99 σ_M=-590.58 τ=0.00 σ_{max}=-592.57
Tensioni: σ_N=-1.99 σ_M=-0.00 τ=60.76 τ_{max}=60.76
Tensioni: σ_N=-1.99 σ_M=-590.58 τ=0.00 $\sigma_{ID,max}$=592.57

- Verifica a taglio dir. Z [4.2.16] - CC 7 SLV Xl=0.13
Sollecitazioni: T_z=90.67
V,Ed=90.67 Vc,Rd=7560.76 V,Ed/Vc,Rd=0.01

Asta n. 237 (237 -633) montanti 50x10 Crit. 1

- Verifica di stabilità aste presso-inflesse (C4.2.4.1.3.3.1) - CC 18 SLU - Classe 3
Sollecitazioni: N,Ed=-10.45 Myeq,Ed=27.55 Mzeq,Ed=-0.01
Resistenze: Nc,Rd=13095.20 My,c,Rd=109.13 Mz,c,Rd=21.83 L=22.50
λ_Y=15.59 Ncr,y=426465.00 λ^*_y=0.18 Curva c: Φ_y=0.51 χ_y=1.00
λ_Z=77.94 Ncr,z=17058.60 λ^*_z=0.90 Curva c: Φ_z=1.07 χ_z=0.60
χ,min=0.60
Verifica: 0.00+0.25+0.00=0.25

- Verifica in termini tensionali [4.2.4] - CC 18 SLU Xl=0.00 - Classe 3
  Sollecitazioni: N=-10.45 T_z=244.38 M_y=27.55
  Tensioni: σ_N=-2.09 σ_M=-661.23 τ=0.00 σ_{max}=-663.32
  Tensioni: σ_N=-2.09 σ_M=-0.00 τ=73.32 τ_{max}=73.32
  Tensioni: σ_N=-2.09 σ_M=-661.23 τ=0.00 $\sigma_{ID,max}$=663.32

Asta n. 238 (238 -634) montanti 50x10 Crit. 1

- Verifica di stabilità aste presso-inflesse (C4.2.4.1.3.3.1) - CC 18 SLU - Classe 3
  Sollecitazioni: N,Ed=-23.92 Myeq,Ed=28.44 Mzeq,Ed=-0.01
  Resistenze: Nc,Rd=13095.20 My,c,Rd=109.13 Mz,c,Rd=21.83 L=22.50
  λ_Y=15.59 Ncr,y=426465.00 λ^*_y=0.18 Curva c: Φ_y=0.51 χ_y=1.00
  λ_Z=77.94 Ncr,z=17058.60 λ^*_z=0.90 Curva c: Φ_z=1.07 χ_z=0.60
  χ,min=0.60
  Verifica: 0.00+0.26+0.00=0.26

- Verifica in termini tensionali [4.2.4] - CC 18 SLU Xl=0.00 - Classe 3
  Sollecitazioni: N=-23.92 T_z=252.18 M_y=28.44
  Tensioni: σ_N=-4.78 σ_M=-682.54 τ=0.00 σ_{max}=-687.33
  Tensioni: σ_N=-4.78 σ_M=-0.00 τ=75.66 τ_{max}=75.66
  Tensioni: σ_N=-4.78 σ_M=-682.54 τ=0.00 $\sigma_{ID,max}$=687.33

Asta n. 239 (239 -635) montanti 50x10 Crit. 1

- Verifica di stabilità aste presso-inflesse (C4.2.4.1.3.3.1) - CC 18 SLU - Classe 3
  Sollecitazioni: N,Ed=-30.29 Myeq,Ed=47.87 Mzeq,Ed=-0.00
  Resistenze: Nc,Rd=13095.20 My,c,Rd=109.13 Mz,c,Rd=21.83 L=22.50
  λ_Y=15.59 Ncr,y=426465.00 λ^*_y=0.18 Curva c: Φ_y=0.51 χ_y=1.00
  λ_Z=77.94 Ncr,z=17058.60 λ^*_z=0.90 Curva c: Φ_z=1.07 χ_z=0.60
  χ,min=0.60
  Verifica: 0.00+0.44+0.00=0.44

- Verifica in termini tensionali [4.2.4] - CC 18 SLU Xl=0.00 - Classe 3
  Sollecitazioni: N=-30.29 T_z=424.36 M_y=47.87
  Tensioni: σ_N=-6.06 σ_M=-1148.96 τ=0.00 σ_{max}=-1155.02
  Tensioni: σ_N=-6.06 σ_M=-0.00 τ=127.31 τ_{max}=127.31
  Tensioni: σ_N=-6.06 σ_M=-1148.96 τ=0.00 $\sigma_{ID,max}$=1155.02

Asta n. 240 (240 -636) montanti 50x10 Crit. 1

- Verifica di stabilità aste presso-inflesse (C4.2.4.1.3.3.1) - CC 18 SLU - Classe 3
  Sollecitazioni: N,Ed=-31.64 Myeq,Ed=49.21 Mzeq,Ed=-0.00
  Resistenze: Nc,Rd=13095.20 My,c,Rd=109.13 Mz,c,Rd=21.83 L=22.50
  λ_Y=15.59 Ncr,y=426465.00 λ^*_y=0.18 Curva c: Φ_y=0.51 χ_y=1.00
  λ_Z=77.94 Ncr,z=17058.60 λ^*_z=0.90 Curva c: Φ_z=1.07 χ_z=0.60
  χ,min=0.60
  Verifica: 0.00+0.45+0.00=0.45

- Verifica in termini tensionali [4.2.4] - CC 18 SLU Xl=0.00 - Classe 3
  Sollecitazioni: N=-31.64 T_z=436.20 M_y=49.21
  Tensioni: σ_N=-6.33 σ_M=-1181.04 τ=0.00 σ_{max}=-1187.37
  Tensioni: σ_N=-6.33 σ_M=-0.00 τ=130.86 τ_{max}=130.86
  Tensioni: σ_N=-6.33 σ_M=-1181.04 τ=0.00 $\sigma_{ID,max}$=1187.37

Asta n. 241 (241 -637) montanti 50x10 Crit. 1

- Verifica di stabilità aste presso-inflesse (C4.2.4.1.3.3.1) - CC 18 SLU - Classe 3
  Sollecitazioni: N,Ed=-31.64 Myeq,Ed=49.22 Mzeq,Ed=0.00
  Resistenze: Nc,Rd=13095.20 My,c,Rd=109.13 Mz,c,Rd=21.83 L=22.50

λ_Y=15.59 Ncr,y=426465.00 λ^*_y=0.18 Curva c: Φ_y=0.51 χ_y=1.00
λ_Z=77.94 Ncr,z=17058.60 λ^*_z=0.90 Curva c: Φ_z=1.07 χ_z=0.60
χ,min=0.60
Verifica: 0.00+0.45+0.00=0.45

- Verifica in termini tensionali [4.2.4] - CC 18 SLU Xl=0.00 - Classe 3
Sollecitazioni: N=-31.64 T_z=436.27 M_y=49.22
Tensioni: σ_N=-6.33 σ_M=-1181.22 τ=0.00 σ_{max}=-1187.54
Tensioni: σ_N=-6.33 σ_M=-0.00 τ=130.88 τ_{max}=130.88
Tensioni: σ_N=-6.33 σ_M=-1181.22 τ=0.00 $\sigma_{ID,max}$=1187.54

Asta n. 242 (242 -638) montanti 50x10 Crit. 1

- Verifica di stabilità aste presso-inflesse (C4.2.4.1.3.3.1) - CC 18 SLU - Classe 3
Sollecitazioni: N,Ed=-30.29 Myeq,Ed=47.87 Mzeq,Ed=0.00
Resistenze: Nc,Rd=13095.20 My,c,Rd=109.13 Mz,c,Rd=21.83 L=22.50
λ_Y=15.59 Ncr,y=426465.00 λ^*_y=0.18 Curva c: Φ_y=0.51 χ_y=1.00
λ_Z=77.94 Ncr,z=17058.60 λ^*_z=0.90 Curva c: Φ_z=1.07 χ_z=0.60
χ,min=0.60
Verifica: 0.00+0.44+0.00=0.44

- Verifica in termini tensionali [4.2.4] - CC 18 SLU Xl=0.00 - Classe 3
Sollecitazioni: N=-30.29 T_z=424.31 M_y=47.87
Tensioni: σ_N=-6.06 σ_M=-1148.83 τ=0.00 σ_{max}=-1154.89
Tensioni: σ_N=-6.06 σ_M=-0.00 τ=127.30 τ_{max}=127.30
Tensioni: σ_N=-6.06 σ_M=-1148.83 τ=0.00 $\sigma_{ID,max}$=1154.89

Asta n. 243 (243 -639) montanti 50x10 Crit. 1

- Verifica di stabilità aste presso-inflesse (C4.2.4.1.3.3.1) - CC 18 SLU - Classe 3
Sollecitazioni: N,Ed=-23.92 Myeq,Ed=28.44 Mzeq,Ed=0.01
Resistenze: Nc,Rd=13095.20 My,c,Rd=109.13 Mz,c,Rd=21.83 L=22.50
λ_Y=15.59 Ncr,y=426465.00 λ^*_y=0.18 Curva c: Φ_y=0.51 χ_y=1.00
λ_Z=77.94 Ncr,z=17058.60 λ^*_z=0.90 Curva c: Φ_z=1.07 χ_z=0.60
χ,min=0.60
Verifica: 0.00+0.26+0.00=0.26

- Verifica in termini tensionali [4.2.4] - CC 18 SLU Xl=0.00 - Classe 3
Sollecitazioni: N=-23.92 T_z=252.20 M_y=28.44
Tensioni: σ_N=-4.78 σ_M=-682.59 τ=0.00 σ_{max}=-687.38
Tensioni: σ_N=-4.78 σ_M=-0.00 τ=75.66 τ_{max}=75.66
Tensioni: σ_N=-4.78 σ_M=-682.59 τ=0.00 $\sigma_{ID,max}$=687.38

Asta n. 244 (244 -640) montanti 50x10 Crit. 1

- Verifica di stabilità aste presso-inflesse (C4.2.4.1.3.3.1) - CC 18 SLU - Classe 3
Sollecitazioni: N,Ed=-10.45 Myeq,Ed=27.56 Mzeq,Ed=0.01
Resistenze: Nc,Rd=13095.20 My,c,Rd=109.13 Mz,c,Rd=21.83 L=22.50
λ_Y=15.59 Ncr,y=426465.00 λ^*_y=0.18 Curva c: Φ_y=0.51 χ_y=1.00
λ_Z=77.94 Ncr,z=17058.60 λ^*_z=0.90 Curva c: Φ_z=1.07 χ_z=0.60
χ,min=0.60
Verifica: 0.00+0.25+0.00=0.25

- Verifica in termini tensionali [4.2.4] - CC 18 SLU Xl=0.00 - Classe 3
Sollecitazioni: N=-10.45 T_z=244.44 M_y=27.56
Tensioni: σ_N=-2.09 σ_M=-661.39 τ=0.00 σ_{max}=-663.48
Tensioni: σ_N=-2.09 σ_M=-0.00 τ=73.33 τ_{max}=73.33
Tensioni: σ_N=-2.09 σ_M=-661.39 τ=0.00 $\sigma_{ID,max}$=663.48

Asta n. 245 (245 -617) montanti 50x10 Crit. 1

- Verifica di stabilità aste presso-inflesse (C4.2.4.1.3.3.1) - CC 18 SLU - Classe 3
  Sollecitazioni: N,Ed=-14.21 Myeq,Ed=30.70 Mzeq,Ed=-0.03
  Resistenze: Nc,Rd=13095.20 My,c,Rd=109.13 Mz,c,Rd=21.83 L=20.75
  λ_Y=14.38 Ncr,y=501433.00 λ^*_y=0.17 Curva c: Φ_y=0.51 χ_y=1.00
  λ_Z=71.88 Ncr,z=20057.30 λ^*_z=0.83 Curva c: Φ_z=1.00 χ_z=0.64
  χ,min=0.64
  Verifica: 0.00+0.28+0.00=0.28

- Verifica in termini tensionali [4.2.4] - CC 18 SLU Xl=0.00 - Classe 3
  Sollecitazioni: N=-14.21 T_z=295.20 M_y=30.70
  Tensioni: σ_N=-2.84 σ_M=-736.78 τ=0.00 σ_{max}=-739.63
  Tensioni: σ_N=-2.84 σ_M=-0.00 τ=88.56 τ_{max}=88.56
  Tensioni: σ_N=-2.84 σ_M=-736.78 τ=0.00 $\sigma_{ID,max}$=739.63

- Verifica a taglio dir. Z [4.2.16] - CC 7 SLV Xl=0.02
  Sollecitazioni: T_z=5.11
  V,Ed=5.11 Vc,Rd=7560.76 V,Ed/Vc,Rd=0.00

Asta n. 246 (246 -618) montanti 50x10 Crit. 1

- Verifica di stabilità aste presso-inflesse (C4.2.4.1.3.3.1) - CC 18 SLU - Classe 3
  Sollecitazioni: N,Ed=-26.34 Myeq,Ed=33.78 Mzeq,Ed=-0.03
  Resistenze: Nc,Rd=13095.20 My,c,Rd=109.13 Mz,c,Rd=21.83 L=20.75
  λ_Y=14.38 Ncr,y=501433.00 λ^*_y=0.17 Curva c: Φ_y=0.51 χ_y=1.00
  λ_Z=71.88 Ncr,z=20057.30 λ^*_z=0.83 Curva c: Φ_z=1.00 χ_z=0.64
  χ,min=0.64
  Verifica: 0.00+0.31+0.00=0.31

- Verifica in termini tensionali [4.2.4] - CC 18 SLU Xl=0.00 - Classe 3
  Sollecitazioni: N=-26.34 T_z=325.09 M_y=33.78
  Tensioni: σ_N=-5.27 σ_M=-810.68 τ=0.00 σ_{max}=-815.95
  Tensioni: σ_N=-5.27 σ_M=-0.00 τ=97.53 τ_{max}=97.53
  Tensioni: σ_N=-5.27 σ_M=-810.68 τ=0.00 $\sigma_{ID,max}$=815.95

Asta n. 247 (247 -619) montanti 50x10 Crit. 1

- Verifica di stabilità aste presso-inflesse (C4.2.4.1.3.3.1) - CC 18 SLU - Classe 3
  Sollecitazioni: N,Ed=-35.54 Myeq,Ed=55.42 Mzeq,Ed=0.01
  Resistenze: Nc,Rd=13095.20 My,c,Rd=109.13 Mz,c,Rd=21.83 L=20.75
  λ_Y=14.38 Ncr,y=501433.00 λ^*_y=0.17 Curva c: Φ_y=0.51 χ_y=1.00
  λ_Z=71.88 Ncr,z=20057.30 λ^*_z=0.83 Curva c: Φ_z=1.00 χ_z=0.64
  χ,min=0.64
  Verifica: 0.00+0.51+0.00=0.51

- Verifica in termini tensionali [4.2.4] - CC 18 SLU Xl=0.00 - Classe 3
  Sollecitazioni: N=-35.54 T_z=532.93 M_y=55.42
  Tensioni: σ_N=-7.11 σ_M=-1330.01 τ=0.00 σ_{max}=-1337.12
  Tensioni: σ_N=-7.11 σ_M=-0.00 τ=159.88 τ_{max}=159.88
  Tensioni: σ_N=-7.11 σ_M=-1330.01 τ=0.00 $\sigma_{ID,max}$=1337.12

Asta n. 248 (248 -620) montanti 50x10 Crit. 1

- Verifica di stabilità aste presso-inflesse (C4.2.4.1.3.3.1) - CC 18 SLU - Classe 3
  Sollecitazioni: N,Ed=-36.85 Myeq,Ed=56.92 Mzeq,Ed=0.01
  Resistenze: Nc,Rd=13095.20 My,c,Rd=109.13 Mz,c,Rd=21.83 L=20.75
  λ_Y=14.38 Ncr,y=501433.00 λ^*_y=0.17 Curva c: Φ_y=0.51 χ_y=1.00
  λ_Z=71.88 Ncr,z=20057.30 λ^*_z=0.83 Curva c: Φ_z=1.00 χ_z=0.64

χ,min=0.64
Verifica: 0.00+0.52+0.00=0.52

- Verifica in termini tensionali [4.2.4] - CC 18 SLU Xl=0.00 - Classe 3
Sollecitazioni: N=-36.85 T_z=547.41 M_y=56.92
Tensioni: σ_N=-7.37 σ_M=-1366.08 τ=0.00 σ_{max}=-1373.45
Tensioni: σ_N=-7.37 σ_M=-0.00 τ=164.22 τ_{max}=164.22
Tensioni: σ_N=-7.37 σ_M=-1366.08 τ=0.00 $\sigma_{ID,max}$=1373.45

Asta n. 249 (249 -621) montanti 50x10 Crit. 1

- Verifica di stabilità aste presso-inflesse (C4.2.4.1.3.3.1) - CC 18 SLU - Classe 3
Sollecitazioni: N,Ed=-36.85 Myeq,Ed=56.93 Mzeq,Ed=-0.01
Resistenze: Nc,Rd=13095.20 My,c,Rd=109.13 Mz,c,Rd=21.83 L=20.75
λ_Y=14.38 Ncr,y=501433.00 λ^*_y=0.17 Curva c: Φ_y=0.51 χ_y=1.00
λ_Z=71.88 Ncr,z=20057.30 λ^*_z=0.83 Curva c: Φ_z=1.00 χ_z=0.64
χ,min=0.64
Verifica: 0.00+0.52+0.00=0.53

- Verifica in termini tensionali [4.2.4] - CC 18 SLU Xl=0.00 - Classe 3
Sollecitazioni: N=-36.85 T_z=547.48 M_y=56.93
Tensioni: σ_N=-7.37 σ_M=-1366.26 τ=0.00 σ_{max}=-1373.63
Tensioni: σ_N=-7.37 σ_M=-0.00 τ=164.25 τ_{max}=164.25
Tensioni: σ_N=-7.37 σ_M=-1366.26 τ=0.00 $\sigma_{ID,max}$=1373.63

Asta n. 250 (250 -622) montanti 50x10 Crit. 1

- Verifica di stabilità aste presso-inflesse (C4.2.4.1.3.3.1) - CC 18 SLU - Classe 3
Sollecitazioni: N,Ed=-35.54 Myeq,Ed=55.41 Mzeq,Ed=-0.01
Resistenze: Nc,Rd=13095.20 My,c,Rd=109.13 Mz,c,Rd=21.83 L=20.75
λ_Y=14.38 Ncr,y=501433.00 λ^*_y=0.17 Curva c: Φ_y=0.51 χ_y=1.00
λ_Z=71.88 Ncr,z=20057.30 λ^*_z=0.83 Curva c: Φ_z=1.00 χ_z=0.64
χ,min=0.64
Verifica: 0.00+0.51+0.00=0.51

- Verifica in termini tensionali [4.2.4] - CC 18 SLU Xl=0.00 - Classe 3
Sollecitazioni: N=-35.54 T_z=532.87 M_y=55.41
Tensioni: σ_N=-7.11 σ_M=-1329.87 τ=0.00 σ_{max}=-1336.97
Tensioni: σ_N=-7.11 σ_M=-0.00 τ=159.86 τ_{max}=159.86
Tensioni: σ_N=-7.11 σ_M=-1329.87 τ=0.00 $\sigma_{ID,max}$=1336.97

Asta n. 251 (251 -623) montanti 50x10 Crit. 1

- Verifica di stabilità aste presso-inflesse (C4.2.4.1.3.3.1) - CC 18 SLU - Classe 3
Sollecitazioni: N,Ed=-26.34 Myeq,Ed=33.78 Mzeq,Ed=0.03
Resistenze: Nc,Rd=13095.20 My,c,Rd=109.13 Mz,c,Rd=21.83 L=20.75
λ_Y=14.38 Ncr,y=501433.00 λ^*_y=0.17 Curva c: Φ_y=0.51 χ_y=1.00
λ_Z=71.88 Ncr,z=20057.30 λ^*_z=0.83 Curva c: Φ_z=1.00 χ_z=0.64
χ,min=0.64
Verifica: 0.00+0.31+0.00=0.31

- Verifica in termini tensionali [4.2.4] - CC 18 SLU Xl=0.00 - Classe 3
Sollecitazioni: N=-26.34 T_z=325.11 M_y=33.78
Tensioni: σ_N=-5.27 σ_M=-810.73 τ=0.00 σ_{max}=-816.00
Tensioni: σ_N=-5.27 σ_M=-0.00 τ=97.53 τ_{max}=97.53
Tensioni: σ_N=-5.27 σ_M=-810.73 τ=0.00 $\sigma_{ID,max}$=816.00

Asta n. 252 (252 -624) montanti 50x10 Crit. 1

- Verifica di stabilità aste presso-inflesse (C4.2.4.1.3.3.1) - CC 18 SLU - Classe 3
  Sollecitazioni: N,Ed=-14.21 Myeq,Ed=30.71 Mzeq,Ed=0.03
  Resistenze: Nc,Rd=13095.20 My,c,Rd=109.13 Mz,c,Rd=21.83 L=20.75
  λ_Y=14.38 Ncr,y=501433.00 λ^*_y=0.17 Curva c: Φ_y=0.51 χ_y=1.00
  λ_Z=71.88 Ncr,z=20057.30 λ^*_z=0.83 Curva c: Φ_z=1.00 χ_z=0.64
  χ,min=0.64
  Verifica: 0.00+0.28+0.00=0.28

- Verifica in termini tensionali [4.2.4] - CC 18 SLU Xl=0.00 - Classe 3
  Sollecitazioni: N=-14.21 T_z=295.27 M_y=30.71
  Tensioni: σ_N=-2.84 σ_M=-736.95 τ=0.00 σ_{max}=-739.79
  Tensioni: σ_N=-2.84 σ_M=-0.00 τ=88.58 τ_{max}=88.58
  Tensioni: σ_N=-2.84 σ_M=-736.95 τ=0.00 $\sigma_{ID,max}$=739.79

- Verifica a taglio dir. Z [4.2.16] - CC 7 SLV Xl=0.02
  Sollecitazioni: T_z=5.13
  V,Ed=5.13 Vc,Rd=7560.76 V,Ed/Vc,Rd=0.00

Asta n. 253 (253 -601) montanti 50x10 Crit. 1

- Verifica di stabilità aste presso-inflesse (C4.2.4.1.3.3.1) - CC 18 SLU - Classe 3
  Sollecitazioni: N,Ed=-47.94 Myeq,Ed=-36.89 Mzeq,Ed=-0.07
  Resistenze: Nc,Rd=13095.20 My,c,Rd=109.13 Mz,c,Rd=21.83 L=19.00
  λ_Y=13.16 Ncr,y=598055.00 λ^*_y=0.15 Curva c: Φ_y=0.50 χ_y=1.00
  λ_Z=65.82 Ncr,z=23922.20 λ^*_z=0.76 Curva c: Φ_z=0.92 χ_z=0.69
  χ,min=0.69
  Verifica: 0.00+0.34+0.00=0.35

- Verifica in termini tensionali [4.2.4] - CC 18 SLU Xl=0.19 - Classe 3
  Sollecitazioni: N=-46.97 T_z=387.90 M_y=-36.89
  Tensioni: σ_N=-9.39 σ_M=-885.42 τ=0.00 σ_{max}=-894.81
  Tensioni: σ_N=-9.39 σ_M=0.00 τ=116.37 τ_{max}=116.37
  Tensioni: σ_N=-9.39 σ_M=-885.42 τ=0.00 $\sigma_{ID,max}$=894.81

Asta n. 254 (254 -602) montanti 50x10 Crit. 1

- Verifica di stabilità aste presso-inflesse (C4.2.4.1.3.3.1) - CC 19 SLU - Classe 3
  Sollecitazioni: N,Ed=-29.37 Myeq,Ed=35.42 Mzeq,Ed=1.03
  Resistenze: Nc,Rd=13095.20 My,c,Rd=109.13 Mz,c,Rd=21.83 L=19.00
  λ_Y=13.16 Ncr,y=598055.00 λ^*_y=0.15 Curva c: Φ_y=0.50 χ_y=1.00
  λ_Z=65.82 Ncr,z=23922.20 λ^*_z=0.76 Curva c: Φ_z=0.92 χ_z=0.69
  χ,min=0.69
  Verifica: 0.00+0.32+0.05=0.37

- Verifica in termini tensionali [4.2.4] - CC 19 SLU Xl=0.19 - Classe 3
  Sollecitazioni: N=-28.40 T_z=371.75 M_y=-35.21 T_y=8.33 M_z=1.24
  Tensioni: σ_N=-5.68 σ_M=-993.80 τ=0.00 σ_{max}=-999.48
  Tensioni: σ_N=-5.68 σ_M=0.00 τ=111.55 τ_{max}=111.55
  Tensioni: σ_N=-5.68 σ_M=-993.80 τ=0.00 $\sigma_{ID,max}$=999.48

Asta n. 255 (255 -603) montanti 50x10 Crit. 1

- Verifica di stabilità aste presso-inflesse (C4.2.4.1.3.3.1) - CC 18 SLU - Classe 3
  Sollecitazioni: N,Ed=-81.77 Myeq,Ed=67.02 Mzeq,Ed=0.02
  Resistenze: Nc,Rd=13095.20 My,c,Rd=109.13 Mz,c,Rd=21.83 L=19.00
  λ_Y=13.16 Ncr,y=598055.00 λ^*_y=0.15 Curva c: Φ_y=0.50 χ_y=1.00
  λ_Z=65.82 Ncr,z=23922.20 λ^*_z=0.76 Curva c: Φ_z=0.92 χ_z=0.69
  χ,min=0.69
  Verifica: 0.01+0.61+0.00=0.62

- Verifica in termini tensionali [4.2.4] - CC 18 SLU Xl=0.00 - Classe 3
  Sollecitazioni: N=-81.77 T_z=704.35 M_y=67.02
  Tensioni: σ_N=-16.35 σ_M=-1608.48 τ=0.00 σ_{max}=-1624.83
  Tensioni: σ_N=-16.35 σ_M=-0.00 τ=211.31 τ_{max}=211.31
  Tensioni: σ_N=-16.35 σ_M=-1608.48 τ=0.00 $\sigma_{ID,max}$=1624.83

Asta n. 256 (256 -604) montanti 50x10 Crit. 1

- Verifica di stabilità aste presso-inflesse (C4.2.4.1.3.3.1) - CC 19 SLU - Classe 3
  Sollecitazioni: N,Ed=-89.90 Myeq,Ed=65.71 Mzeq,Ed=1.10
  Resistenze: Nc,Rd=13095.20 My,c,Rd=109.13 Mz,c,Rd=21.83 L=19.00
  λ_Y=13.16 Ncr,y=598055.00 λ^*_y=0.15 Curva c: Φ_y=0.50 χ_y=1.00
  λ_Z=65.82 Ncr,z=23922.20 λ^*_z=0.76 Curva c: Φ_z=0.92 χ_z=0.69
  χ,min=0.69
  Verifica: 0.01+0.60+0.05=0.66

- Verifica in termini tensionali [4.2.4] - CC 19 SLU Xl=0.19 - Classe 3
  Sollecitazioni: N=-88.93 T_z=690.07 M_y=-65.40 T_y=8.88 M_z=1.37
  Tensioni: σ_N=-17.79 σ_M=-1734.33 τ=0.00 σ_{max}=-1752.12
  Tensioni: σ_N=-17.79 σ_M=0.00 τ=207.04 τ_{max}=207.04
  Tensioni: σ_N=-17.79 σ_M=-1734.33 τ=0.00 $\sigma_{ID,max}$=1752.12

Asta n. 257 (257 -605) montanti 50x10 Crit. 1

- Verifica di stabilità aste presso-inflesse (C4.2.4.1.3.3.1) - CC 18 SLU - Classe 3
  Sollecitazioni: N,Ed=-74.05 Myeq,Ed=67.98 Mzeq,Ed=-0.01
  Resistenze: Nc,Rd=13095.20 My,c,Rd=109.13 Mz,c,Rd=21.83 L=19.00
  λ_Y=13.16 Ncr,y=598055.00 λ^*_y=0.15 Curva c: Φ_y=0.50 χ_y=1.00
  λ_Z=65.82 Ncr,z=23922.20 λ^*_z=0.76 Curva c: Φ_z=0.92 χ_z=0.69
  χ,min=0.69
  Verifica: 0.01+0.62+0.00=0.63

- Verifica in termini tensionali [4.2.4] - CC 18 SLU Xl=0.00 - Classe 3
  Sollecitazioni: N=-74.05 T_z=714.56 M_y=67.98
  Tensioni: σ_N=-14.81 σ_M=-1631.63 τ=0.00 σ_{max}=-1646.44
  Tensioni: σ_N=-14.81 σ_M=-0.00 τ=214.37 τ_{max}=214.37
  Tensioni: σ_N=-14.81 σ_M=-1631.63 τ=0.00 $\sigma_{ID,max}$=1646.44

Asta n. 258 (258 -606) montanti 50x10 Crit. 1

- Verifica di stabilità aste presso-inflesse (C4.2.4.1.3.3.1) - CC 19 SLU - Classe 3
  Sollecitazioni: N,Ed=-98.13 Myeq,Ed=64.37 Mzeq,Ed=1.07
  Resistenze: Nc,Rd=13095.20 My,c,Rd=109.13 Mz,c,Rd=21.83 L=19.00
  λ_Y=13.16 Ncr,y=598055.00 λ^*_y=0.15 Curva c: Φ_y=0.50 χ_y=1.00
  λ_Z=65.82 Ncr,z=23922.20 λ^*_z=0.76 Curva c: Φ_z=0.92 χ_z=0.69
  χ,min=0.69
  Verifica: 0.01+0.59+0.05=0.65

- Verifica in termini tensionali [4.2.4] - CC 19 SLU Xl=0.19 - Classe 3
  Sollecitazioni: N=-97.16 T_z=675.86 M_y=-64.04 T_y=8.64 M_z=1.32
  Tensioni: σ_N=-19.43 σ_M=-1695.80 τ=0.00 σ_{max}=-1715.23
  Tensioni: σ_N=-19.43 σ_M=0.00 τ=202.77 τ_{max}=202.77
  Tensioni: σ_N=-19.43 σ_M=-1695.80 τ=0.00 $\sigma_{ID,max}$=1715.23

Asta n. 259 (259 -607) montanti 50x10 Crit. 1

- Verifica di stabilità aste presso-inflesse (C4.2.4.1.3.3.1) - CC 18 SLU - Classe 3
  Sollecitazioni: N,Ed=-25.25 Myeq,Ed=39.30 Mzeq,Ed=0.07

Resistenze: Nc,Rd=13095.20 My,c,Rd=109.13 Mz,c,Rd=21.83 L=19.00
λ_Y=13.16 Ncr,y=598055.00 λ^*_y=0.15 Curva c: Φ_y=0.50 χ_y=1.00
λ_Z=65.82 Ncr,z=23922.20 λ^*_z=0.76 Curva c: Φ_z=0.92 χ_z=0.69
χ,min=0.69
Verifica: 0.00+0.36+0.00=0.37

- Verifica in termini tensionali [4.2.4] - CC 18 SLU Xl=0.00 - Classe 3
Sollecitazioni: N=-25.25 T_z=413.14 M_y=39.30
Tensioni: σ_N=-5.05 σ_M=-943.29 τ=0.00 σ_{max}=-948.34
Tensioni: σ_N=-5.05 σ_M=-0.00 τ=123.94 τ_{max}=123.94
Tensioni: σ_N=-5.05 σ_M=-943.29 τ=0.00 $\sigma_{ID,max}$=948.34

Asta n. 260 (260 -608) montanti 50x10 Crit. 1

- Verifica di stabilità aste presso-inflesse (C4.2.4.1.3.3.1) - CC 19 SLU - Classe 3
Sollecitazioni: N,Ed=-61.99 Myeq,Ed=32.84 Mzeq,Ed=1.14
Resistenze: Nc,Rd=13095.20 My,c,Rd=109.13 Mz,c,Rd=21.83 L=19.00
λ_Y=13.16 Ncr,y=598055.00 λ^*_y=0.15 Curva c: Φ_y=0.50 χ_y=1.00
λ_Z=65.82 Ncr,z=23922.20 λ^*_z=0.76 Curva c: Φ_z=0.92 χ_z=0.69
χ,min=0.69
Verifica: 0.00+0.30+0.05=0.36

- Verifica in termini tensionali [4.2.4] - CC 19 SLU Xl=0.19 - Classe 3
Sollecitazioni: N=-61.02 T_z=345.67 M_y=-32.83 T_y=9.23 M_z=1.46
Tensioni: σ_N=-12.20 σ_M=-963.67 τ=0.00 σ_{max}=-975.88
Tensioni: σ_N=-12.20 σ_M=0.00 τ=103.74 τ_{max}=103.74
Tensioni: σ_N=-12.20 σ_M=-963.67 τ=0.00 $\sigma_{ID,max}$=975.88

Asta n. 261 (261 -585) montanti 50x10 Crit. 1

- Verifica di stabilità aste presso-inflesse (C4.2.4.1.3.3.1) - CC 18 SLU - Classe 3
Sollecitazioni: N,Ed=-21.41 Myeq,Ed=-43.54 Mzeq,Ed=-0.02
Resistenze: Nc,Rd=13095.20 My,c,Rd=109.13 Mz,c,Rd=21.83 L=17.25
λ_Y=11.95 Ncr,y=725555.00 λ^*_y=0.14 Curva c: Φ_y=0.49 χ_y=1.00
λ_Z=59.76 Ncr,z=29022.20 λ^*_z=0.69 Curva c: Φ_z=0.86 χ_z=0.73
χ,min=0.73
Verifica: 0.00+0.40+0.00=0.40

- Verifica in termini tensionali [4.2.4] - CC 18 SLU Xl=0.17 - Classe 3
Sollecitazioni: N=-20.53 T_z=504.79 M_y=-43.54
Tensioni: σ_N=-4.11 σ_M=-1045.05 τ=0.00 σ_{max}=-1049.16
Tensioni: σ_N=-4.11 σ_M=0.00 τ=151.44 τ_{max}=151.44
Tensioni: σ_N=-4.11 σ_M=-1045.05 τ=0.00 $\sigma_{ID,max}$=1049.16

- Verifica a taglio dir. Z [4.2.16] - CC 5 SLV Xl=0.11
Sollecitazioni: T_z=27.81
V,Ed=27.81 Vc,Rd=7560.76 V,Ed/Vc,Rd=0.00

Asta n. 262 (262 -586) montanti 50x10 Crit. 1

- Verifica di stabilità aste presso-inflesse (C4.2.4.1.3.3.1) - CC 18 SLU - Classe 3
Sollecitazioni: N,Ed=-35.09 Myeq,Ed=45.48 Mzeq,Ed=-0.02
Resistenze: Nc,Rd=13095.20 My,c,Rd=109.13 Mz,c,Rd=21.83 L=17.25
λ_Y=11.95 Ncr,y=725555.00 λ^*_y=0.14 Curva c: Φ_y=0.49 χ_y=1.00
λ_Z=59.76 Ncr,z=29022.20 λ^*_z=0.69 Curva c: Φ_z=0.86 χ_z=0.73
χ,min=0.73
Verifica: 0.00+0.42+0.00=0.42

- Verifica in termini tensionali [4.2.4] - CC 18 SLU Xl=0.00 - Classe 3

Sollecitazioni: N=-35.09 T_z=527.29 M_y=45.48
Tensioni: σ_N=-7.02 σ_M=-1091.64 τ=0.00 σ_{max}=-1098.66
Tensioni: σ_N=-7.02 σ_M=-0.00 τ=158.19 τ_{max}=158.19
Tensioni: σ_N=-7.02 σ_M=-1091.64 τ=0.00 $\sigma_{ID,max}$=1098.66

Asta n. 263 (263 -587) montanti 50x10 Crit. 1

- Verifica di stabilità aste presso-inflesse (C4.2.4.1.3.3.1) - CC 18 SLU - Classe 3
Sollecitazioni: N,Ed=-52.33 Myeq,Ed=80.13 Mzeq,Ed=0.01
Resistenze: Nc,Rd=13095.20 My,c,Rd=109.13 Mz,c,Rd=21.83 L=17.25
λ_Y=11.95 Ncr,y=725555.00 λ^*_y=0.14 Curva c: Φ_y=0.49 χ_y=1.00
λ_Z=59.76 Ncr,z=29022.20 λ^*_z=0.69 Curva c: Φ_z=0.86 χ_z=0.73
χ,min=0.73
Verifica: 0.00+0.73+0.00=0.74

- Verifica in termini tensionali [4.2.4] - CC 18 SLU Xl=0.00 - Classe 3
Sollecitazioni: N=-52.33 T_z=929.04 M_y=80.13
Tensioni: σ_N=-10.47 σ_M=-1923.20 τ=0.00 σ_{max}=-1933.67
Tensioni: σ_N=-10.47 σ_M=-0.00 τ=278.71 τ_{max}=278.71
Tensioni: σ_N=-10.47 σ_M=-1923.20 τ=0.00 $\sigma_{ID,max}$=1933.67

Asta n. 264 (264 -588) montanti 50x10 Crit. 1

- Verifica di stabilità aste presso-inflesse (C4.2.4.1.3.3.1) - CC 19 SLU - Classe 3
Sollecitazioni: N,Ed=-58.45 Myeq,Ed=80.33 Mzeq,Ed=0.18
Resistenze: Nc,Rd=13095.20 My,c,Rd=109.13 Mz,c,Rd=21.83 L=17.25
λ_Y=11.95 Ncr,y=725555.00 λ^*_y=0.14 Curva c: Φ_y=0.49 χ_y=1.00
λ_Z=59.76 Ncr,z=29022.20 λ^*_z=0.69 Curva c: Φ_z=0.86 χ_z=0.73
χ,min=0.73
Verifica: 0.00+0.74+0.01=0.75

- Verifica in termini tensionali [4.2.4] - CC 18 SLU Xl=0.00 - Classe 3
Sollecitazioni: N=-53.06 T_z=932.77 M_y=80.46
Tensioni: σ_N=-10.61 σ_M=-1931.09 τ=0.00 σ_{max}=-1941.71
Tensioni: σ_N=-10.61 σ_M=-0.00 τ=279.83 τ_{max}=279.83
Tensioni: σ_N=-10.61 σ_M=-1931.09 τ=0.00 $\sigma_{ID,max}$=1941.71

Asta n. 265 (265 -589) montanti 50x10 Crit. 1

- Verifica di stabilità aste presso-inflesse (C4.2.4.1.3.3.1) - CC 18 SLU - Classe 3
Sollecitazioni: N,Ed=-53.06 Myeq,Ed=80.47 Mzeq,Ed=-0.01
Resistenze: Nc,Rd=13095.20 My,c,Rd=109.13 Mz,c,Rd=21.83 L=17.25
λ_Y=11.95 Ncr,y=725555.00 λ^*_y=0.14 Curva c: Φ_y=0.49 χ_y=1.00
λ_Z=59.76 Ncr,z=29022.20 λ^*_z=0.69 Curva c: Φ_z=0.86 χ_z=0.73
χ,min=0.73
Verifica: 0.00+0.74+0.00=0.74

- Verifica in termini tensionali [4.2.4] - CC 18 SLU Xl=0.00 - Classe 3
Sollecitazioni: N=-53.06 T_z=932.82 M_y=80.47
Tensioni: σ_N=-10.61 σ_M=-1931.21 τ=0.00 σ_{max}=-1941.82
Tensioni: σ_N=-10.61 σ_M=-0.00 τ=279.85 τ_{max}=279.85
Tensioni: σ_N=-10.61 σ_M=-1931.21 τ=0.00 $\sigma_{ID,max}$=1941.82

Asta n. 266 (266 -590) montanti 50x10 Crit. 1

- Verifica di stabilità aste presso-inflesse (C4.2.4.1.3.3.1) - CC 19 SLU - Classe 3
Sollecitazioni: N,Ed=-57.29 Myeq,Ed=79.62 Mzeq,Ed=0.17
Resistenze: Nc,Rd=13095.20 My,c,Rd=109.13 Mz,c,Rd=21.83 L=17.25
λ_Y=11.95 Ncr,y=725555.00 λ^*_y=0.14 Curva c: Φ_y=0.49 χ_y=1.00

λ_Z=59.76 Ncr,z=29022.20 λ^*_z=0.69 Curva c: Φ_z=0.86 χ_z=0.73
χ,min=0.73
Verifica: 0.00+0.73+0.01=0.74

- Verifica in termini tensionali [4.2.4] - CC 18 SLU Xl=0.00 - Classe 3
Sollecitazioni: N=-52.34 T_z=929.01 M_y=80.13
Tensioni: σ_N=-10.47 σ_M=-1923.13 τ=0.00 σ_{max}=-1933.60
Tensioni: σ_N=-10.47 σ_M=-0.00 τ=278.70 τ_{max}=278.70
Tensioni: σ_N=-10.47 σ_M=-1923.13 τ=0.00 $\sigma_{ID,max}$=1933.60

Asta n. 267 (267 -591) montanti 50x10 Crit. 1

- Verifica di stabilità aste presso-inflesse (C4.2.4.1.3.3.1) - CC 18 SLU - Classe 3
Sollecitazioni: N,Ed=-35.10 Myeq,Ed=45.49 Mzeq,Ed=0.03
Resistenze: Nc,Rd=13095.20 My,c,Rd=109.13 Mz,c,Rd=21.83 L=17.25
λ_Y=11.95 Ncr,y=725555.00 λ^*_y=0.14 Curva c: Φ_y=0.49 χ_y=1.00
λ_Z=59.76 Ncr,z=29022.20 λ^*_z=0.69 Curva c: Φ_z=0.86 χ_z=0.73
χ,min=0.73
Verifica: 0.00+0.42+0.00=0.42

- Verifica in termini tensionali [4.2.4] - CC 18 SLU Xl=0.00 - Classe 3
Sollecitazioni: N=-35.10 T_z=527.34 M_y=45.49
Tensioni: σ_N=-7.02 σ_M=-1091.74 τ=0.00 σ_{max}=-1098.76
Tensioni: σ_N=-7.02 σ_M=-0.00 τ=158.20 τ_{max}=158.20
Tensioni: σ_N=-7.02 σ_M=-1091.74 τ=0.00 $\sigma_{ID,max}$=1098.76

Asta n. 268 (268 -592) montanti 50x10 Crit. 1

- Verifica di stabilità aste presso-inflesse (C4.2.4.1.3.3.1) - CC 18 SLU - Classe 3
Sollecitazioni: N,Ed=-21.41 Myeq,Ed=-43.55 Mzeq,Ed=0.02
Resistenze: Nc,Rd=13095.20 My,c,Rd=109.13 Mz,c,Rd=21.83 L=17.25
λ_Y=11.95 Ncr,y=725555.00 λ^*_y=0.14 Curva c: Φ_y=0.49 χ_y=1.00
λ_Z=59.76 Ncr,z=29022.20 λ^*_z=0.69 Curva c: Φ_z=0.86 χ_z=0.73
χ,min=0.73
Verifica: 0.00+0.40+0.00=0.40

- Verifica in termini tensionali [4.2.4] - CC 18 SLU Xl=0.17 - Classe 3
Sollecitazioni: N=-20.53 T_z=504.85 M_y=-43.55
Tensioni: σ_N=-4.11 σ_M=-1045.19 τ=0.00 σ_{max}=-1049.30
Tensioni: σ_N=-4.11 σ_M=0.00 τ=151.46 τ_{max}=151.46
Tensioni: σ_N=-4.11 σ_M=-1045.19 τ=0.00 $\sigma_{ID,max}$=1049.30

- Verifica a taglio dir. Z [4.2.16] - CC 5 SLV Xl=0.11
Sollecitazioni: T_z=27.82
V,Ed=27.82 Vc,Rd=7560.76 V,Ed/Vc,Rd=0.00

Asta n. 269 (269 -569) montanti 50x10 Crit. 1

- Verifica di stabilità aste presso-inflesse (C4.2.4.1.3.3.1) - CC 18 SLU - Classe 3
Sollecitazioni: N,Ed=-23.69 Myeq,Ed=-48.01 Mzeq,Ed=-0.01
Resistenze: Nc,Rd=13095.20 My,c,Rd=109.13 Mz,c,Rd=21.83 L=15.50
λ_Y=10.74 Ncr,y=898638.00 λ^*_y=0.12 Curva c: Φ_y=0.49 χ_y=1.00
λ_Z=53.69 Ncr,z=35945.50 λ^*_z=0.62 Curva c: Φ_z=0.79 χ_z=0.77
χ,min=0.77
Verifica: 0.00+0.44+0.00=0.44

- Verifica in termini tensionali [4.2.4] - CC 18 SLU Xl=0.15 - Classe 3
Sollecitazioni: N=-22.90 T_z=618.36 M_y=-48.01
Tensioni: σ_N=-4.58 σ_M=-1152.31 τ=0.00 σ_{max}=-1156.89

Tensioni: σ_N=-4.58 σ_M=0.00 τ=185.51 τ_{max}=185.51
Tensioni: σ_N=-4.58 σ_M=-1152.31 τ=0.00 $\sigma_{ID,max}$=1156.89

Asta n. 270 (270 -570) montanti 50x10 Crit. 1

- Verifica di stabilità aste presso-inflesse (C4.2.4.1.3.3.1) - CC 18 SLU - Classe 3
Sollecitazioni: N,Ed=-38.27 Myeq,Ed=-52.32 Mzeq,Ed=-0.01
Resistenze: Nc,Rd=13095.20 My,c,Rd=109.13 Mz,c,Rd=21.83 L=15.50
λ_Y=10.74 Ncr,y=898638.00 λ^*_y=0.12 Curva c: Φ_y=0.49 χ_y=1.00
λ_Z=53.69 Ncr,z=35945.50 λ^*_z=0.62 Curva c: Φ_z=0.79 χ_z=0.77
χ,min=0.77
Verifica: 0.00+0.48+0.00=0.48

- Verifica in termini tensionali [4.2.4] - CC 18 SLU Xl=0.15 - Classe 3
Sollecitazioni: N=-37.48 T_z=673.92 M_y=-52.32
Tensioni: σ_N=-7.50 σ_M=-1255.65 τ=0.00 σ_{max}=-1263.15
Tensioni: σ_N=-7.50 σ_M=0.00 τ=202.18 τ_{max}=202.18
Tensioni: σ_N=-7.50 σ_M=-1255.65 τ=0.00 $\sigma_{ID,max}$=1263.15

Asta n. 271 (271 -571) montanti 50x10 Crit. 1

- Verifica di stabilità aste presso-inflesse (C4.2.4.1.3.3.1) - CC 18 SLU - Classe 3
Sollecitazioni: N,Ed=-56.43 Myeq,Ed=-90.49 Mzeq,Ed=0.01
Resistenze: Nc,Rd=13095.20 My,c,Rd=109.13 Mz,c,Rd=21.83 L=15.50
λ_Y=10.74 Ncr,y=898638.00 λ^*_y=0.12 Curva c: Φ_y=0.49 χ_y=1.00
λ_Z=53.69 Ncr,z=35945.50 λ^*_z=0.62 Curva c: Φ_z=0.79 χ_z=0.77
χ,min=0.77
Verifica: 0.00+0.83+0.00=0.83

- Verifica in termini tensionali [4.2.4] - CC 18 SLU Xl=0.15 - Classe 3
Sollecitazioni: N=-55.63 T_z=1165.92 M_y=-90.49
Tensioni: σ_N=-11.13 σ_M=-2171.67 τ=0.00 σ_{max}=-2182.80
Tensioni: σ_N=-11.13 σ_M=0.00 τ=349.78 τ_{max}=349.78
Tensioni: σ_N=-11.13 σ_M=-2171.67 τ=0.00 $\sigma_{ID,max}$=2182.80

Asta n. 272 (272 -572) montanti 50x10 Crit. 1

- Verifica di stabilità aste presso-inflesse (C4.2.4.1.3.3.1) - CC 19 SLU - Classe 3
Sollecitazioni: N,Ed=-63.22 Myeq,Ed=-91.98 Mzeq,Ed=0.04
Resistenze: Nc,Rd=13095.20 My,c,Rd=109.13 Mz,c,Rd=21.83 L=15.50
λ_Y=10.74 Ncr,y=898638.00 λ^*_y=0.12 Curva c: Φ_y=0.49 χ_y=1.00
λ_Z=53.69 Ncr,z=35945.50 λ^*_z=0.62 Curva c: Φ_z=0.79 χ_z=0.77
χ,min=0.77
Verifica: 0.00+0.84+0.00=0.85

- Verifica in termini tensionali [4.2.4] - CC 19 SLU Xl=0.15 - Classe 3
Sollecitazioni: N=-62.43 T_z=1185.84 M_y=-91.98
Tensioni: σ_N=-12.49 σ_M=-2207.55 τ=0.00 σ_{max}=-2220.03
Tensioni: σ_N=-12.49 σ_M=0.00 τ=355.75 τ_{max}=355.75
Tensioni: σ_N=-12.49 σ_M=-2207.55 τ=0.00 $\sigma_{ID,max}$=2220.03

Asta n. 273 (273 -573) montanti 50x10 Crit. 1

- Verifica di stabilità aste presso-inflesse (C4.2.4.1.3.3.1) - CC 18 SLU - Classe 3
Sollecitazioni: N,Ed=-57.59 Myeq,Ed=-90.89 Mzeq,Ed=0.00
Resistenze: Nc,Rd=13095.20 My,c,Rd=109.13 Mz,c,Rd=21.83 L=15.50
λ_Y=10.74 Ncr,y=898638.00 λ^*_y=0.12 Curva c: Φ_y=0.49 χ_y=1.00
λ_Z=53.69 Ncr,z=35945.50 λ^*_z=0.62 Curva c: Φ_z=0.79 χ_z=0.77
χ,min=0.77

Verifica: 0.00+0.83+0.00=0.84

- Verifica in termini tensionali [4.2.4] - CC 18 SLU Xl=0.15 - Classe 3
Sollecitazioni: N=-56.80 T_z=1171.14 M_y=-90.89
Tensioni: σ_N=-11.36 σ_M=-2181.32 τ=0.00 σ_{max}=-2192.68
Tensioni: σ_N=-11.36 σ_M=0.00 τ=351.34 τ_{max}=351.34
Tensioni: σ_N=-11.36 σ_M=-2181.32 τ=0.00 $\sigma_{ID,max}$=2192.68

Asta n. 274 (274 -574) montanti 50x10 Crit. 1

- Verifica di stabilità aste presso-inflesse (C4.2.4.1.3.3.1) - CC 19 SLU - Classe 3
Sollecitazioni: N,Ed=-61.54 Myeq,Ed=-91.12 Mzeq,Ed=0.03
Resistenze: Nc,Rd=13095.20 My,c,Rd=109.13 Mz,c,Rd=21.83 L=15.50
λ_Y=10.74 Ncr,y=898638.00 λ^*_y=0.12 Curva c: Φ_y=0.49 χ_y=1.00
λ_Z=53.69 Ncr,z=35945.50 λ^*_z=0.62 Curva c: Φ_z=0.79 χ_z=0.77
χ,min=0.77
Verifica: 0.00+0.84+0.00=0.84

- Verifica in termini tensionali [4.2.4] - CC 19 SLU Xl=0.15 - Classe 3
Sollecitazioni: N=-60.75 T_z=1174.73 M_y=-91.12
Tensioni: σ_N=-12.15 σ_M=-2186.91 τ=0.00 σ_{max}=-2199.06
Tensioni: σ_N=-12.15 σ_M=0.00 τ=352.42 τ_{max}=352.42
Tensioni: σ_N=-12.15 σ_M=-2186.91 τ=0.00 $\sigma_{ID,max}$=2199.06

Asta n. 275 (275 -575) montanti 50x10 Crit. 1

- Verifica di stabilità aste presso-inflesse (C4.2.4.1.3.3.1) - CC 18 SLU - Classe 3
Sollecitazioni: N,Ed=-38.27 Myeq,Ed=-52.32 Mzeq,Ed=0.01
Resistenze: Nc,Rd=13095.20 My,c,Rd=109.13 Mz,c,Rd=21.83 L=15.50
λ_Y=10.74 Ncr,y=898638.00 λ^*_y=0.12 Curva c: Φ_y=0.49 χ_y=1.00
λ_Z=53.69 Ncr,z=35945.50 λ^*_z=0.62 Curva c: Φ_z=0.79 χ_z=0.77
χ,min=0.77
Verifica: 0.00+0.48+0.00=0.48

- Verifica in termini tensionali [4.2.4] - CC 18 SLU Xl=0.15 - Classe 3
Sollecitazioni: N=-37.48 T_z=673.99 M_y=-52.32
Tensioni: σ_N=-7.50 σ_M=-1255.77 τ=0.00 σ_{max}=-1263.27
Tensioni: σ_N=-7.50 σ_M=0.00 τ=202.20 τ_{max}=202.20
Tensioni: σ_N=-7.50 σ_M=-1255.77 τ=0.00 $\sigma_{ID,max}$=1263.27

Asta n. 276 (276 -576) montanti 50x10 Crit. 1

- Verifica di stabilità aste presso-inflesse (C4.2.4.1.3.3.1) - CC 18 SLU - Classe 3
Sollecitazioni: N,Ed=-23.69 Myeq,Ed=-48.02 Mzeq,Ed=0.01
Resistenze: Nc,Rd=13095.20 My,c,Rd=109.13 Mz,c,Rd=21.83 L=15.50
λ_Y=10.74 Ncr,y=898638.00 λ^*_y=0.12 Curva c: Φ_y=0.49 χ_y=1.00
λ_Z=53.69 Ncr,z=35945.50 λ^*_z=0.62 Curva c: Φ_z=0.79 χ_z=0.77
χ,min=0.77
Verifica: 0.00+0.44+0.00=0.44

- Verifica in termini tensionali [4.2.4] - CC 18 SLU Xl=0.15 - Classe 3
Sollecitazioni: N=-22.90 T_z=618.43 M_y=-48.02
Tensioni: σ_N=-4.58 σ_M=-1152.45 τ=0.00 σ_{max}=-1157.03
Tensioni: σ_N=-4.58 σ_M=0.00 τ=185.53 τ_{max}=185.53
Tensioni: σ_N=-4.58 σ_M=-1152.45 τ=0.00 $\sigma_{ID,max}$=1157.03

Asta n. 277 (277 -553) montanti 50x10 Crit. 1

- Verifica di stabilità aste inflesse (4.2.4.1.3.2) CC 5 SLV - Classe 3

L_{cr}=0.14 Curva d: α_{imp}=0.76 k_c=0.94 ψ=3.09 M,cr=0.00 λ_{LT}=0.00
$\lambda_{LT,0}$=0.20 β_{LT}=1.00 Φ_{LT}=0.00 β_{LT}=1.00 f=0.00 χ_{LT}=1.00
CC 5 SLV My,Ed=19.73 My,b,Rd=109.13 My,Ed/My,b,Rd=0.18

- Verifica di stabilità aste presso-inflesse (C4.2.4.1.3.3.1) - CC 18 SLU - Classe 3
Sollecitazioni: N,Ed=-42.67 Myeq,Ed=47.29 Mzeq,Ed=-0.01
Resistenze: Nc,Rd=13095.20 My,c,Rd=109.13 Mz,c,Rd=21.83 L=13.75
λ_Y=9.53 Ncr,y=1141940.00 λ^*_y=0.11 Curva c: Φ_y=0.48 χ_y=1.00
λ_Z=47.63 Ncr,z=45677.60 λ^*_z=0.55 Curva c: Φ_z=0.74 χ_z=0.82
χ,min=0.82
Verifica: 0.00+0.43+0.00=0.44

- Verifica in termini tensionali [4.2.4] - CC 18 SLU Xl=0.00 - Classe 3
Sollecitazioni: N=-42.67 T_z=685.37 M_y=47.29
Tensioni: σ_N=-8.53 σ_M=-1135.06 τ=0.00 σ_{max}=-1143.59
Tensioni: σ_N=-8.53 σ_M=-0.00 τ=205.61 τ_{max}=205.61
Tensioni: σ_N=-8.53 σ_M=-1135.06 τ=0.00 $\sigma_{ID,max}$=1143.59

- Verifica a taglio dir. Z [4.2.16] - CC 7 SLV Xl=0.06
Sollecitazioni: T_z=57.63
V,Ed=57.63 Vc,Rd=7560.76 V,Ed/Vc,Rd=0.01

Asta n. 278 (278 -554) montanti 50x10 Crit. 1

- Verifica di stabilità aste presso-inflesse (C4.2.4.1.3.3.1) - CC 18 SLU - Classe 3
Sollecitazioni: N,Ed=-59.85 Myeq,Ed=53.76 Mzeq,Ed=-0.05
Resistenze: Nc,Rd=13095.20 My,c,Rd=109.13 Mz,c,Rd=21.83 L=13.75
λ_Y=9.53 Ncr,y=1141940.00 λ^*_y=0.11 Curva c: Φ_y=0.48 χ_y=1.00
λ_Z=47.63 Ncr,z=45677.60 λ^*_z=0.55 Curva c: Φ_z=0.74 χ_z=0.82
χ,min=0.82
Verifica: 0.00+0.49+0.00=0.50

- Verifica in termini tensionali [4.2.4] - CC 18 SLU Xl=0.00 - Classe 3
Sollecitazioni: N=-59.85 T_z=779.04 M_y=53.76
Tensioni: σ_N=-11.97 σ_M=-1290.34 τ=0.00 σ_{max}=-1302.31
Tensioni: σ_N=-11.97 σ_M=-0.00 τ=233.71 τ_{max}=233.71
Tensioni: σ_N=-11.97 σ_M=-1290.34 τ=0.00 $\sigma_{ID,max}$=1302.31

Asta n. 279 (279 -555) montanti 50x10 Crit. 1

- Verifica di stabilità aste presso-inflesse (C4.2.4.1.3.3.1) - CC 9 SLU - Classe 3
Sollecitazioni: N,Ed=-93.28 Myeq,Ed=92.56 Mzeq,Ed=0.03
Resistenze: Nc,Rd=13095.20 My,c,Rd=109.13 Mz,c,Rd=21.83 L=13.75
λ_Y=9.53 Ncr,y=1141940.00 λ^*_y=0.11 Curva c: Φ_y=0.48 χ_y=1.00
λ_Z=47.63 Ncr,z=45677.60 λ^*_z=0.55 Curva c: Φ_z=0.74 χ_z=0.82
χ,min=0.82
Verifica: 0.01+0.85+0.00=0.86

- Verifica in termini tensionali [4.2.4] - CC 9 SLU Xl=0.00 - Classe 3
Sollecitazioni: N=-93.28 T_z=1341.65 M_y=92.56
Tensioni: σ_N=-18.66 σ_M=-2221.34 τ=0.00 σ_{max}=-2239.99
Tensioni: σ_N=-18.66 σ_M=-0.00 τ=402.49 τ_{max}=402.49
Tensioni: σ_N=-18.66 σ_M=-2221.34 τ=0.00 $\sigma_{ID,max}$=2239.99

Asta n. 280 (280 -556) montanti 50x10 Crit. 1

- Verifica di stabilità aste presso-inflesse (C4.2.4.1.3.3.1) - CC 19 SLU - Classe 3
Sollecitazioni: N,Ed=-97.07 Myeq,Ed=94.50 Mzeq,Ed=-0.06
Resistenze: Nc,Rd=13095.20 My,c,Rd=109.13 Mz,c,Rd=21.83 L=13.75

λ_Y=9.53 Ncr,y=1141940.00 λ^*_y=0.11 Curva c: Φ_y=0.48 χ_y=1.00
λ_Z=47.63 Ncr,z=45677.60 λ^*_z=0.55 Curva c: Φ_z=0.74 χ_z=0.82
χ,min=0.82
Verifica: 0.01+0.87+0.00=0.88

- Verifica in termini tensionali [4.2.4] - CC 19 SLU Xl=0.00 - Classe 3
Sollecitazioni: N=-97.07 T_z=1369.08 M_y=94.50
Tensioni: σ_N=-19.41 σ_M=-2267.88 τ=0.00 σ_{max}=-2287.30
Tensioni: σ_N=-19.41 σ_M=-0.00 τ=410.72 τ_{max}=410.72
Tensioni: σ_N=-19.41 σ_M=-2267.88 τ=0.00 $\sigma_{ID,max}$=2287.30

Asta n. 281 (281 -557) montanti 50x10 Crit. 1

- Verifica di stabilità aste presso-inflesse (C4.2.4.1.3.3.1) - CC 9 SLU - Classe 3
Sollecitazioni: N,Ed=-94.38 Myeq,Ed=93.05 Mzeq,Ed=0.04
Resistenze: Nc,Rd=13095.20 My,c,Rd=109.13 Mz,c,Rd=21.83 L=13.75
λ_Y=9.53 Ncr,y=1141940.00 λ^*_y=0.11 Curva c: Φ_y=0.48 χ_y=1.00
λ_Z=47.63 Ncr,z=45677.60 λ^*_z=0.55 Curva c: Φ_z=0.74 χ_z=0.82
χ,min=0.82
Verifica: 0.01+0.85+0.00=0.86

- Verifica in termini tensionali [4.2.4] - CC 9 SLU Xl=0.00 - Classe 3
Sollecitazioni: N=-94.38 T_z=1348.96 M_y=93.05
Tensioni: σ_N=-18.88 σ_M=-2233.14 τ=0.00 σ_{max}=-2252.02
Tensioni: σ_N=-18.88 σ_M=-0.00 τ=404.69 τ_{max}=404.69
Tensioni: σ_N=-18.88 σ_M=-2233.14 τ=0.00 $\sigma_{ID,max}$=2252.02

Asta n. 282 (282 -558) montanti 50x10 Crit. 1

- Verifica di stabilità aste presso-inflesse (C4.2.4.1.3.3.1) - CC 19 SLU - Classe 3
Sollecitazioni: N,Ed=-95.57 Myeq,Ed=93.49 Mzeq,Ed=-0.06
Resistenze: Nc,Rd=13095.20 My,c,Rd=109.13 Mz,c,Rd=21.83 L=13.75
λ_Y=9.53 Ncr,y=1141940.00 λ^*_y=0.11 Curva c: Φ_y=0.48 χ_y=1.00
λ_Z=47.63 Ncr,z=45677.60 λ^*_z=0.55 Curva c: Φ_z=0.74 χ_z=0.82
χ,min=0.82
Verifica: 0.01+0.86+0.00=0.87

- Verifica in termini tensionali [4.2.4] - CC 19 SLU Xl=0.00 - Classe 3
Sollecitazioni: N=-95.57 T_z=1354.31 M_y=93.49
Tensioni: σ_N=-19.11 σ_M=-2243.74 τ=0.00 σ_{max}=-2262.85
Tensioni: σ_N=-19.11 σ_M=-0.00 τ=406.29 τ_{max}=406.29
Tensioni: σ_N=-19.11 σ_M=-2243.74 τ=0.00 $\sigma_{ID,max}$=2262.85

Asta n. 283 (283 -559) montanti 50x10 Crit. 1

- Verifica di stabilità aste presso-inflesse (C4.2.4.1.3.3.1) - CC 18 SLU - Classe 3
Sollecitazioni: N,Ed=-59.87 Myeq,Ed=53.77 Mzeq,Ed=0.05
Resistenze: Nc,Rd=13095.20 My,c,Rd=109.13 Mz,c,Rd=21.83 L=13.75
λ_Y=9.53 Ncr,y=1141940.00 λ^*_y=0.11 Curva c: Φ_y=0.48 χ_y=1.00
λ_Z=47.63 Ncr,z=45677.60 λ^*_z=0.55 Curva c: Φ_z=0.74 χ_z=0.82
χ,min=0.82
Verifica: 0.00+0.49+0.00=0.50

- Verifica in termini tensionali [4.2.4] - CC 18 SLU Xl=0.00 - Classe 3
Sollecitazioni: N=-59.87 T_z=779.11 M_y=53.77
Tensioni: σ_N=-11.97 σ_M=-1290.46 τ=0.00 σ_{max}=-1302.43
Tensioni: σ_N=-11.97 σ_M=-0.00 τ=233.73 τ_{max}=233.73
Tensioni: σ_N=-11.97 σ_M=-1290.46 τ=0.00 $\sigma_{ID,max}$=1302.43

Asta n. 284 (284 -560) montanti 50x10 Crit. 1

- Verifica di stabilità aste inflesse (4.2.4.1.3.2) CC 5 SLV - Classe 3
  L_{cr}=0.14 Curva d: α_{imp}=0.76 k_c=0.94 ψ=3.09 M,cr=0.00 λ_{LT}=0.00
  $\lambda_{LT,0}$=0.20 β_{LT}=1.00 Φ_{LT}=0.00 β_{LT}=1.00 f=0.00 χ_{LT}=1.00
  CC 5 SLV My,Ed=19.73 My,b,Rd=109.13 My,Ed/My,b,Rd=0.18

- Verifica di stabilità aste presso-inflesse (C4.2.4.1.3.3.1) - CC 18 SLU - Classe 3
  Sollecitazioni: N,Ed=-42.68 Myeq,Ed=47.30 Mzeq,Ed=0.01
  Resistenze: Nc,Rd=13095.20 My,c,Rd=109.13 Mz,c,Rd=21.83 L=13.75
  λ_Y=9.53 Ncr,y=1141940.00 λ^*_y=0.11 Curva c: Φ_y=0.48 χ_y=1.00
  λ_Z=47.63 Ncr,z=45677.60 λ^*_z=0.55 Curva c: Φ_z=0.74 χ_z=0.82
  χ,min=0.82
  Verifica: 0.00+0.43+0.00=0.44

- Verifica in termini tensionali [4.2.4] - CC 18 SLU Xl=0.00 - Classe 3
  Sollecitazioni: N=-42.68 T_z=685.45 M_y=47.30
  Tensioni: σ_N=-8.54 σ_M=-1135.19 τ=0.00 σ_{max}=-1143.73
  Tensioni: σ_N=-8.54 σ_M=-0.00 τ=205.64 τ_{max}=205.64
  Tensioni: σ_N=-8.54 σ_M=-1135.19 τ=0.00 $\sigma_{ID,max}$=1143.73

- Verifica a taglio dir. Z [4.2.16] - CC 7 SLV Xl=0.06
  Sollecitazioni: T_z=57.66
  V,Ed=57.66 Vc,Rd=7560.76 V,Ed/Vc,Rd=0.01

Asta n. 285 (2285 4285) montanti 50x10 Crit. 1

- Verifica di stabilità aste inflesse (4.2.4.1.3.2) CC 16 SLU - Classe 3
  L_{cr}=0.12 Curva d: α_{imp}=0.76 k_c=0.94 ψ=2.44 M,cr=0.00 λ_{LT}=0.00
  $\lambda_{LT,0}$=0.20 β_{LT}=1.00 Φ_{LT}=0.00 β_{LT}=1.00 f=0.00 χ_{LT}=1.00
  CC 16 SLU My,Ed=-10.44 My,b,Rd=109.13 My,Ed/My,b,Rd=0.10

- Verifica di stabilità aste presso-inflesse (C4.2.4.1.3.3.1) - CC 5 SLV - Classe 3
  Sollecitazioni: N,Ed=-12.18 Myeq,Ed=-7.16 Mzeq,Ed=-0.02
  Resistenze: Nc,Rd=13095.20 My,c,Rd=109.13 Mz,c,Rd=21.83 L=12.00
  λ_Y=8.31 Ncr,y=1499290.00 λ^*_y=0.10 Curva c: Φ_y=0.48 χ_y=1.00
  λ_Z=41.57 Ncr,z=59971.70 λ^*_z=0.48 Curva c: Φ_z=0.68 χ_z=0.85
  χ,min=0.85
  Verifica: 0.00+0.07+0.00=0.07

- Verifica in termini tensionali [4.2.4] - CC 16 SLU Xl=0.00 - Classe 3
  Sollecitazioni: N=19.23 T_z=-136.43 M_y=-10.44
  Tensioni: σ_N=3.85 σ_M=250.53 τ=0.00 σ_{max}=254.38
  Tensioni: σ_N=3.85 σ_M=0.00 τ=40.93 τ_{max}=40.93
  Tensioni: σ_N=3.85 σ_M=250.53 τ=0.00 $\sigma_{ID,max}$=254.38

- Verifica a taglio dir. Z [4.2.16] - CC 16 SLU Xl=0.08
  Sollecitazioni: N=19.62 T_z=-136.43
  V,Ed=-136.43 Vc,Rd=7560.76 V,Ed/Vc,Rd=0.02

Asta n. 286 (1286 2286) montante SHS120x120x6.3 Crit. 1

- Verifica di stabilità aste presso-inflesse (C4.2.4.1.3.3.2) - CC 18 SLU - Classe 3
  Sollecitazioni: N,Ed=-1091.10 My,Ed=31.45 Mz,Ed=-588.49
  Resistenze: Nc,Rd=75042.00 My,c,Rd=2703.05 Mz,c,Rd=2703.05 L=14.00
  αmy, αmz, αLT=0.95, 0.95, 0.95
  λ_Y=3.01 Ncr,y=65482300.00 λ^*_y=0.03 Curva a: Φ_y=0.00 χ_y=1.00
  λ_Z=3.01 Ncr,z=65482300.00 λ^*_z=0.03 Curva a: Φ_z=0.00 χ_z=1.00
  Kyy, Kyz, Kzy, Kzz=0.95, 0.95, 0.76, 0.95

Verifica YY: 0.01+0.01+0.21=0.23
Verifica ZZ: 0.01+0.01+0.21=0.23

- Verifica in termini tensionali [4.2.4] - CC 18 SLU Xl=0.09 - Classe 3
Sollecitazioni: N=-1088.47 T_z=34.11 M_y=28.38 T_y=-135.93 M_z=-588.49 M_x=1.94
Tensioni: σ_N=-37.99 σ_M=-597.70 τ=1.19 σ_{max}=-635.69
Tensioni: σ_N=-37.99 σ_M=24.61 τ=11.85 τ_{max}=11.85
Tensioni: σ_N=-37.99 σ_M=-597.70 τ=1.19 $\sigma_{ID,max}$=635.69

- Verifica a taglio e torsione dir. Y [4.2.25] - CC 1 SLV Xl=0.00
Sollecitazioni: N=-279.56 T_z=-40.14 T_y=-50.92 M_z=-172.98 M_x=1.62
V,Ed=-50.92 Vc,Rd,Red=21649.10 V,Ed/Vc,Rd,Red=0.00

- Verifica a taglio e torsione dir. Z [4.2.25]
V,Ed=-40.14 Vc,Rd,Red=21649.10 V,Ed/Vc,Rd,Red=0.00

- Verifica Spostamento relativo massimo per singola asta - CC 21
δ=0.01 (L/766)

Asta n. 286 (2286 4286) montante SHS120x120x6.3 Crit. 1

- Verifica di stabilità aste presso-inflesse (C4.2.4.1.3.3.2) - CC 18 SLU - Classe 3
Sollecitazioni: N,Ed=-431.85 My,Ed=-473.01 Mz,Ed=-17.62
Resistenze: Nc,Rd=75042.00 My,c,Rd=2703.05 Mz,c,Rd=2703.05 L=12.00
αmy, αmz, αLT=0.95, 0.95, 0.95
λ_Y=2.58 Ncr,y=89129000.00 λ^*_y=0.03 Curva a: Φ_y=0.00 χ_y=1.00
λ_Z=2.58 Ncr,z=89129000.00 λ^*_z=0.03 Curva a: Φ_z=0.00 χ_z=1.00
Kyy, Kyz, Kzy, Kzz=0.95, 0.95, 0.76, 0.95
Verifica YY: 0.01+0.14+0.01=0.15
Verifica ZZ: 0.01+0.11+0.01=0.12

- Verifica in termini tensionali [4.2.4] - CC 18 SLU Xl=0.00 - Classe 3
Sollecitazioni: N=-431.85 T_z=-3172.33 M_y=-473.01 T_y=33.79 M_z=-17.62 M_x=-6.08
Tensioni: σ_N=-15.07 σ_M=-475.38 τ=3.73 σ_{max}=-490.46
Tensioni: σ_N=-15.07 σ_M=-15.28 τ=252.34 τ_{max}=252.34
Tensioni: σ_N=-15.07 σ_M=-427.26 τ=178.48 $\sigma_{ID,max}$=539.65

- Verifica a taglio e torsione dir. Z [4.2.25] - CC 5 SLV Xl=0.04
Sollecitazioni: N=-123.37 T_z=-1916.30 M_y=-202.07 M_x=-2.21
V,Ed=-1916.30 Vc,Rd,Red=21644.00 V,Ed/Vc,Rd,Red=0.09

- Verifica Spostamento relativo massimo per singola asta - CC 21
δ=0.01 (L/559)

Asta n. 287 (2287 4287) montanti 50x10 Crit. 1

- Verifica di stabilità aste inflesse (4.2.4.1.3.2) CC 5 SLV - Classe 3
L_{cr}=0.12 Curva d: α_{imp}=0.76 k_c=0.94 ψ=2.46 M,cr=0.00 λ_{LT}=0.00
$\lambda_{LT,0}$=0.20 β_{LT}=1.00 Φ_{LT}=0.00 β_{LT}=1.00 f=0.00 χ_{LT}=1.00
CC 5 SLV My,Ed=-7.05 My,b,Rd=109.13 My,Ed/My,b,Rd=0.06

- Verifica di stabilità aste presso-inflesse (C4.2.4.1.3.3.1) - CC 16 SLU - Classe 3
Sollecitazioni: N,Ed=-2.95 Myeq,Ed=-10.45 Mzeq,Ed=-0.02
Resistenze: Nc,Rd=13095.20 My,c,Rd=109.13 Mz,c,Rd=21.83 L=12.00
λ_Y=8.31 Ncr,y=1499290.00 λ^*_y=0.10 Curva c: Φ_y=0.48 χ_y=1.00
λ_Z=41.57 Ncr,z=59971.70 λ^*_z=0.48 Curva c: Φ_z=0.68 χ_z=0.85
χ,min=0.85
Verifica: 0.00+0.10+0.00=0.10

- Verifica in termini tensionali [4.2.4] - CC 16 SLU Xl=0.00 - Classe 3
  Sollecitazioni: N=-2.95 T_z=-136.52 M_y=-10.45
  Tensioni: σ_N=-0.59 σ_M=-250.79 τ=0.00 σ_{max}=-251.38
  Tensioni: σ_N=-0.59 σ_M=0.00 τ=40.95 τ_{max}=40.95
  Tensioni: σ_N=-0.59 σ_M=-250.79 τ=0.00 $\sigma_{ID,max}$=251.38

- Verifica a taglio dir. Z [4.2.16] - CC 5 SLV Xl=0.07
  Sollecitazioni: N=5.20 T_z=-92.69
  V,Ed=-92.69 Vc,Rd=7560.76 V,Ed/Vc,Rd=0.01

Asta n. 288 (2288 4288) montanti 50x10 Crit. 1

- Verifica di stabilità aste inflesse (4.2.4.1.3.2) CC 19 SLU - Classe 3
  L_{cr}=0.12 Curva d: α_{imp}=0.76 k_c=0.94 ψ=1.87 M,cr=0.00 λ_{LT}=0.00
  $\lambda_{LT,0}$=0.20 β_{LT}=1.00 Φ_{LT}=0.00 β_{LT}=1.00 f=0.00 χ_{LT}=1.00
  CC 19 SLU My,Ed=-8.11 My,b,Rd=109.13 My,Ed/My,b,Rd=0.07

- Verifica di stabilità aste presso-inflesse (C4.2.4.1.3.3.1) - CC 16 SLU - Classe 3
  Sollecitazioni: N,Ed=-28.85 Myeq,Ed=-13.10 Mzeq,Ed=0.18
  Resistenze: Nc,Rd=13095.20 My,c,Rd=109.13 Mz,c,Rd=21.83 L=12.00
  λ_Y=8.31 Ncr,y=1499290.00 λ^*_y=0.10 Curva c: Φ_y=0.48 χ_y=1.00
  λ_Z=41.57 Ncr,z=59971.70 λ^*_z=0.48 Curva c: Φ_z=0.68 χ_z=0.85
  χ,min=0.85
  Verifica: 0.00+0.12+0.01=0.13

- Verifica in termini tensionali [4.2.4] - CC 18 SLU Xl=0.00 - Classe 3
  Sollecitazioni: N=-82.06 T_z=-148.10 M_y=-13.17 T_y=4.31
  Tensioni: σ_N=-16.41 σ_M=-316.12 τ=0.00 σ_{max}=-332.53
  Tensioni: σ_N=-16.41 σ_M=0.00 τ=44.45 τ_{max}=44.45
  Tensioni: σ_N=-16.41 σ_M=-316.12 τ=1.29 $\sigma_{ID,max}$=332.54

- Verifica a taglio dir. Y [4.2.16] - CC 19 SLU Xl=0.10
  Sollecitazioni: N=44.99 T_z=-74.95 T_y=1.20
  V,Ed=1.20 Vc,Rd=7560.76 V,Ed/Vc,Rd=0.00

- Verifica a taglio dir. Z [4.2.16]
  V,Ed=-74.95 Vc,Rd=7560.76 V,Ed/Vc,Rd=0.01

Asta n. 289 (1289 2289) montante SHS120x120x6.3 Crit. 1

- Verifica di stabilità aste presso-inflesse (C4.2.4.1.3.3.2) - CC 18 SLU - Classe 3
  Sollecitazioni: N,Ed=-2082.57 My,Ed=-6.66 Mz,Ed=-970.60
  Resistenze: Nc,Rd=75042.00 My,c,Rd=2703.05 Mz,c,Rd=2703.05 L=14.00
  αmy, αmz, αLT=0.95, 0.95, 0.95
  λ_Y=3.01 Ncr,y=65482300.00 λ^*_y=0.03 Curva a: Φ_y=0.00 χ_y=1.00
  λ_Z=3.01 Ncr,z=65482300.00 λ^*_z=0.03 Curva a: Φ_z=0.00 χ_z=1.00
  Kyy, Kyz, Kzy, Kzz=0.95, 0.95, 0.76, 0.95
  Verifica YY: 0.03+0.00+0.34=0.37
  Verifica ZZ: 0.03+0.00+0.34=0.37

- Verifica in termini tensionali [4.2.4] - CC 18 SLU Xl=0.09 - Classe 3
  Sollecitazioni: N=-2079.94 T_z=14.00 M_y=-6.66 T_y=-276.81 M_z=-970.60 M_x=1.05
  Tensioni: σ_N=-72.59 σ_M=-946.89 τ=0.65 σ_{max}=-1019.49
  Tensioni: σ_N=-72.59 σ_M=-5.78 τ=22.34 τ_{max}=22.34
  Tensioni: σ_N=-72.59 σ_M=-946.89 τ=0.65 $\sigma_{ID,max}$=1019.49

- Verifica Spostamento relativo massimo per singola asta - CC 21
  δ=0.02 (L/479)

Asta n. 289 (2289 4289) montante SHS120x120x6.3 Crit. 1

- Verifica di stabilità aste presso-inflesse (C4.2.4.1.3.3.2) - CC 18 SLU - Classe 3
  Sollecitazioni: N,Ed=-803.06 My,Ed=-776.33 Mz,Ed=6.03
  Resistenze: Nc,Rd=75042.00 My,c,Rd=2703.05 Mz,c,Rd=2703.05 L=12.00
  αmy, αmz, αLT=0.95, 0.95, 0.95
  λ_Y=2.58 Ncr,y=89129000.00 λ^*_y=0.03 Curva a: Φ_y=0.00 χ_y=1.00
  λ_Z=2.58 Ncr,z=89129000.00 λ^*_z=0.03 Curva a: Φ_z=0.00 χ_z=1.00
  Kyy, Kyz, Kzy, Kzz=0.95, 0.95, 0.76, 0.95
  Verifica YY: 0.01+0.23+0.00=0.24
  Verifica ZZ: 0.01+0.18+0.00=0.20

- Verifica in termini tensionali [4.2.4] - CC 18 SLU Xl=0.00 - Classe 3
  Sollecitazioni: N=-803.06 T_z=-5147.36 M_y=-776.33 T_y=11.26 M_z=5.24 M_x=-4.01
  Tensioni: σ_N=-28.03 σ_M=-757.28 τ=2.46 σ_{max}=-785.31
  Tensioni: σ_N=-28.03 σ_M=5.08 τ=405.84 τ_{max}=405.84
  Tensioni: σ_N=-28.03 σ_M=-677.77 τ=281.80 $\sigma_{ID,max}$=858.13

- Verifica Spostamento relativo massimo per singola asta - CC 21
  δ=0.02 (L/317)

Asta n. 290 (2290 4290) montanti 50x10 Crit. 1

- Verifica di stabilità aste inflesse (4.2.4.1.3.2) CC 5 SLV - Classe 3
  L_{cr}=0.12 Curva d: α_{imp}=0.76 k_c=0.94 ψ=2.39 M,cr=0.00 λ_{LT}=0.00
  $\lambda_{LT,0}$=0.20 β_{LT}=1.00 Φ_{LT}=0.00 β_{LT}=1.00 f=0.00 χ_{LT}=1.00
  CC 5 SLV My,Ed=-7.99 My,b,Rd=109.13 My,Ed/My,b,Rd=0.07

- Verifica di stabilità aste presso-inflesse (C4.2.4.1.3.3.1) - CC 16 SLU - Classe 3
  Sollecitazioni: N,Ed=-1.76 Myeq,Ed=-13.19 Mzeq,Ed=-0.12
  Resistenze: Nc,Rd=13095.20 My,c,Rd=109.13 Mz,c,Rd=21.83 L=12.00
  λ_Y=8.31 Ncr,y=1499290.00 λ^*_y=0.10 Curva c: Φ_y=0.48 χ_y=1.00
  λ_Z=41.57 Ncr,z=59971.70 λ^*_z=0.48 Curva c: Φ_z=0.68 χ_z=0.85
  χ,min=0.85
  Verifica: 0.00+0.12+0.01=0.13

- Verifica in termini tensionali [4.2.4] - CC 18 SLU Xl=0.00 - Classe 3
  Sollecitazioni: N=-51.47 T_z=-149.72 M_y=-13.28 T_y=-3.56
  Tensioni: σ_N=-10.29 σ_M=-318.62 τ=0.00 σ_{max}=-328.91
  Tensioni: σ_N=-10.29 σ_M=0.00 τ=44.93 τ_{max}=44.93
  Tensioni: σ_N=-10.29 σ_M=-318.62 τ=1.07 $\sigma_{ID,max}$=328.92

- Verifica a taglio dir. Z [4.2.16] - CC 5 SLV Xl=0.08
  Sollecitazioni: N=13.86 T_z=-101.94
  V,Ed=-101.94 Vc,Rd=7560.76 V,Ed/Vc,Rd=0.01

Asta n. 291 (2291 4291) montanti 50x10 Crit. 1

- Verifica di stabilità aste inflesse (4.2.4.1.3.2) CC 19 SLU - Classe 3
  L_{cr}=0.12 Curva d: α_{imp}=0.76 k_c=0.94 ψ=1.88 M,cr=0.00 λ_{LT}=0.00
  $\lambda_{LT,0}$=0.20 β_{LT}=1.00 Φ_{LT}=0.00 β_{LT}=1.00 f=0.00 χ_{LT}=1.00
  CC 19 SLU My,Ed=-8.19 My,b,Rd=109.13 My,Ed/My,b,Rd=0.08

- Verifica di stabilità aste presso-inflesse (C4.2.4.1.3.3.1) - CC 16 SLU - Classe 3
  Sollecitazioni: N,Ed=-1.87 Myeq,Ed=-13.19 Mzeq,Ed=0.12
  Resistenze: Nc,Rd=13095.20 My,c,Rd=109.13 Mz,c,Rd=21.83 L=12.00
  λ_Y=8.31 Ncr,y=1499290.00 λ^*_y=0.10 Curva c: Φ_y=0.48 χ_y=1.00
  λ_Z=41.57 Ncr,z=59971.70 λ^*_z=0.48 Curva c: Φ_z=0.68 χ_z=0.85
  χ,min=0.85

Verifica: 0.00+0.12+0.01=0.13

- Verifica in termini tensionali [4.2.4] - CC 18 SLU Xl=0.00 - Classe 3
Sollecitazioni: N=-51.60 T_z=-149.68 M_y=-13.27 T_y=3.56
Tensioni: σ_N=-10.32 σ_M=-318.59 τ=0.00 σ_{max}=-328.91
Tensioni: σ_N=-10.32 σ_M=0.00 τ=44.92 τ_{max}=44.92
Tensioni: σ_N=-10.32 σ_M=-318.59 τ=1.07 $\sigma_{ID,max}$=328.92

- Verifica a taglio dir. Y [4.2.16] - CC 5 SLV Xl=0.08
Sollecitazioni: N=13.85 T_z=-101.93 T_y=2.10
V,Ed=2.10 Vc,Rd=7560.76 V,Ed/Vc,Rd=0.00

- Verifica a taglio dir. Z [4.2.16]
V,Ed=-101.93 Vc,Rd=7560.76 V,Ed/Vc,Rd=0.01

Asta n. 292 (1292 2292) montante SHS120x120x6.3 Crit. 1

- Verifica di stabilità aste presso-inflesse (C4.2.4.1.3.3.2) - CC 18 SLU - Classe 3
Sollecitazioni: N,Ed=-2082.56 My,Ed=6.61 Mz,Ed=-970.65
Resistenze: Nc,Rd=75042.00 My,c,Rd=2703.05 Mz,c,Rd=2703.05 L=14.00
αmy, αmz, αLT=0.95, 0.95, 0.95
λ_Y=3.01 Ncr,y=65482300.00 λ^*_y=0.03 Curva a: Φ_y=0.00 χ_y=1.00
λ_Z=3.01 Ncr,z=65482300.00 λ^*_z=0.03 Curva a: Φ_z=0.00 χ_z=1.00
Kyy, Kyz, Kzy, Kzz=0.95, 0.95, 0.76, 0.95
Verifica YY: 0.03+0.00+0.34=0.37
Verifica ZZ: 0.03+0.00+0.34=0.37

- Verifica in termini tensionali [4.2.4] - CC 18 SLU Xl=0.09 - Classe 3
Sollecitazioni: N=-2079.93 T_z=-13.85 M_y=6.61 T_y=-276.87 M_z=-970.65 M_x=-1.01
Tensioni: σ_N=-72.59 σ_M=-946.89 τ=0.62 σ_{max}=-1019.48
Tensioni: σ_N=-72.59 σ_M=-5.73 τ=22.31 τ_{max}=22.31
Tensioni: σ_N=-72.59 σ_M=-946.89 τ=0.62 $\sigma_{ID,max}$=1019.48

- Verifica Spostamento relativo massimo per singola asta - CC 21
δ=0.02 (L/481)

Asta n. 292 (2292 4292) montante SHS120x120x6.3 Crit. 1

- Verifica di stabilità aste presso-inflesse (C4.2.4.1.3.3.2) - CC 18 SLU - Classe 3
Sollecitazioni: N,Ed=-803.05 My,Ed=-776.37 Mz,Ed=-5.98
Resistenze: Nc,Rd=75042.00 My,c,Rd=2703.05 Mz,c,Rd=2703.05 L=12.00
αmy, αmz, αLT=0.95, 0.95, 0.95
λ_Y=2.58 Ncr,y=89129000.00 λ^*_y=0.03 Curva a: Φ_y=0.00 χ_y=1.00
λ_Z=2.58 Ncr,z=89129000.00 λ^*_z=0.03 Curva a: Φ_z=0.00 χ_z=1.00
Kyy, Kyz, Kzy, Kzz=0.95, 0.95, 0.76, 0.95
Verifica YY: 0.01+0.23+0.00=0.24
Verifica ZZ: 0.01+0.18+0.00=0.20

- Verifica in termini tensionali [4.2.4] - CC 18 SLU Xl=0.00 - Classe 3
Sollecitazioni: N=-803.05 T_z=-5147.67 M_y=-776.37 T_y=-11.16 M_z=-5.20 M_x=4.00
Tensioni: σ_N=-28.03 σ_M=-757.28 τ=2.46 σ_{max}=-785.31
Tensioni: σ_N=-28.03 σ_M=4.51 τ=405.87 τ_{max}=405.87
Tensioni: σ_N=-28.03 σ_M=-677.77 τ=281.82 $\sigma_{ID,max}$=858.15

- Verifica Spostamento relativo massimo per singola asta - CC 21
δ=0.02 (L/322)

Asta n. 293 (2293 4293) montanti 50x10 Crit. 1

- Verifica di stabilità aste inflesse (4.2.4.1.3.2) CC 1 SLV - Classe 3
  L_{cr}=0.12 Curva d: α_{imp}=0.76 k_c=0.94 ψ=2.20 M,cr=0.00 λ_{LT}=0.00
  $\lambda_{LT,0}$=0.20 β_{LT}=1.00 Φ_{LT}=0.00 β_{LT}=1.00 f=0.00 χ_{LT}=1.00
  CC 1 SLV My,Ed=-3.82 My,b,Rd=109.13 My,Ed/My,b,Rd=0.03

- Verifica di stabilità aste presso-inflesse (C4.2.4.1.3.3.1) - CC 16 SLU - Classe 3
  Sollecitazioni: N,Ed=-28.73 Myeq,Ed=-13.11 Mzeq,Ed=-0.18
  Resistenze: Nc,Rd=13095.20 My,c,Rd=109.13 Mz,c,Rd=21.83 L=12.00
  λ_Y=8.31 Ncr,y=1499290.00 λ^*_y=0.10 Curva c: Φ_y=0.48 χ_y=1.00
  λ_Z=41.57 Ncr,z=59971.70 λ^*_z=0.48 Curva c: Φ_z=0.68 χ_z=0.85
  χ,min=0.85
  Verifica: 0.00+0.12+0.01=0.13

- Verifica in termini tensionali [4.2.4] - CC 18 SLU Xl=0.00 - Classe 3
  Sollecitazioni: N=-81.92 T_z=-148.19 M_y=-13.18 T_y=-4.31
  Tensioni: σ_N=-16.38 σ_M=-316.22 τ=0.00 σ_{max}=-332.61
  Tensioni: σ_N=-16.38 σ_M=0.00 τ=44.48 τ_{max}=44.48
  Tensioni: σ_N=-16.38 σ_M=-316.22 τ=1.29 $\sigma_{ID,max}$=332.62

- Verifica a taglio dir. Z [4.2.16] - CC 1 SLV Xl=0.07
  Sollecitazioni: N=44.45 T_z=-44.18
  V,Ed=-44.18 Vc,Rd=7560.76 V,Ed/Vc,Rd=0.01

Asta n. 294 (2294 4294) montanti 50x10 Crit. 1

- Verifica di stabilità aste inflesse (4.2.4.1.3.2) CC 5 SLV - Classe 3
  L_{cr}=0.12 Curva d: α_{imp}=0.76 k_c=0.94 ψ=2.46 M,cr=0.00 λ_{LT}=0.00
  $\lambda_{LT,0}$=0.20 β_{LT}=1.00 Φ_{LT}=0.00 β_{LT}=1.00 f=0.00 χ_{LT}=1.00
  CC 5 SLV My,Ed=-7.05 My,b,Rd=109.13 My,Ed/My,b,Rd=0.06

- Verifica di stabilità aste presso-inflesse (C4.2.4.1.3.3.1) - CC 16 SLU - Classe 3
  Sollecitazioni: N,Ed=-3.03 Myeq,Ed=-10.45 Mzeq,Ed=0.02
  Resistenze: Nc,Rd=13095.20 My,c,Rd=109.13 Mz,c,Rd=21.83 L=12.00
  λ_Y=8.31 Ncr,y=1499290.00 λ^*_y=0.10 Curva c: Φ_y=0.48 χ_y=1.00
  λ_Z=41.57 Ncr,z=59971.70 λ^*_z=0.48 Curva c: Φ_z=0.68 χ_z=0.85
  χ,min=0.85
  Verifica: 0.00+0.10+0.00=0.10

- Verifica in termini tensionali [4.2.4] - CC 16 SLU Xl=0.00 - Classe 3
  Sollecitazioni: N=-3.03 T_z=-136.54 M_y=-10.45
  Tensioni: σ_N=-0.61 σ_M=-250.86 τ=0.00 σ_{max}=-251.46
  Tensioni: σ_N=-0.61 σ_M=0.00 τ=40.96 τ_{max}=40.96
  Tensioni: σ_N=-0.61 σ_M=-250.86 τ=0.00 $\sigma_{ID,max}$=251.46

- Verifica a taglio dir. Y [4.2.16] - CC 5 SLV Xl=0.07
  Sollecitazioni: N=5.20 T_z=-92.70 T_y=1.19
  V,Ed=1.19 Vc,Rd=7560.76 V,Ed/Vc,Rd=0.00

- Verifica a taglio dir. Z [4.2.16]
  V,Ed=-92.70 Vc,Rd=7560.76 V,Ed/Vc,Rd=0.01

Asta n. 295 (1295 2295) montante SHS120x120x6.3 Crit. 1

- Verifica di stabilità aste presso-inflesse (C4.2.4.1.3.3.2) - CC 18 SLU - Classe 3
  Sollecitazioni: N,Ed=-1091.20 My,Ed=-31.46 Mz,Ed=-588.63
  Resistenze: Nc,Rd=75042.00 My,c,Rd=2703.05 Mz,c,Rd=2703.05 L=14.00
  αmy, αmz, αLT=0.95, 0.95, 0.95
  λ_Y=3.01 Ncr,y=65482300.00 λ^*_y=0.03 Curva a: Φ_y=0.00 χ_y=1.00
  λ_Z=3.01 Ncr,z=65482300.00 λ^*_z=0.03 Curva a: Φ_z=0.00 χ_z=1.00

Kyy, Kyz, Kzy, Kzz=0.95, 0.95, 0.76, 0.95
Verifica YY: 0.01+0.01+0.21=0.23
Verifica ZZ: 0.01+0.01+0.21=0.23

- Verifica in termini tensionali [4.2.4] - CC 18 SLU Xl=0.09 - Classe 3
Sollecitazioni: N=-1088.57 T_z=-34.00 M_y=-28.40 T_y=-136.07 M_z=-588.63 M_x=-1.95
Tensioni: σ_N=-37.99 σ_M=-597.85 τ=1.20 σ_{max}=-635.84
Tensioni: σ_N=-37.99 σ_M=24.63 τ=11.86 τ_{max}=11.86
Tensioni: σ_N=-37.99 σ_M=-597.85 τ=1.20 $\sigma_{ID,max}$=635.85

- Verifica a taglio dir. Y [4.2.16] - CC 19 SLU Xl=0.09
Sollecitazioni: N=-1123.94 T_z=-117.42 T_y=-125.10 M_z=-431.71
V,Ed=-125.10 Vc,Rd=21663.40 V,Ed/Vc,Rd=0.01

- Verifica a taglio dir. Z [4.2.16]
V,Ed=-117.42 Vc,Rd=21663.40 V,Ed/Vc,Rd=0.01

- Verifica Spostamento relativo massimo per singola asta - CC 21
δ=0.01 (L/673)

Asta n. 295 (2295 4295) montante SHS120x120x6.3 Crit. 1

- Verifica di stabilità aste presso-inflesse (C4.2.4.1.3.3.2) - CC 18 SLU - Classe 3
Sollecitazioni: N,Ed=-431.85 My,Ed=-473.13 Mz,Ed=17.64
Resistenze: Nc,Rd=75042.00 My,c,Rd=2703.05 Mz,c,Rd=2703.05 L=12.00
αmy, αmz, αLT=0.95, 0.95, 0.95
λ_Y=2.58 Ncr,y=89129000.00 λ^*_y=0.03 Curva a: Φ_y=0.00 χ_y=1.00
λ_Z=2.58 Ncr,z=89129000.00 λ^*_z=0.03 Curva a: Φ_z=0.00 χ_z=1.00
Kyy, Kyz, Kzy, Kzz=0.95, 0.95, 0.76, 0.95
Verifica YY: 0.01+0.14+0.01=0.15
Verifica ZZ: 0.01+0.11+0.01=0.12

- Verifica in termini tensionali [4.2.4] - CC 18 SLU Xl=0.00 - Classe 3
Sollecitazioni: N=-431.85 T_z=-3173.08 M_y=-473.13 T_y=-33.66 M_z=17.64 M_x=6.09
Tensioni: σ_N=-15.07 σ_M=-475.52 τ=3.74 σ_{max}=-490.59
Tensioni: σ_N=-15.07 σ_M=-15.30 τ=252.41 τ_{max}=252.41
Tensioni: σ_N=-15.07 σ_M=-427.38 τ=178.52 $\sigma_{ID,max}$=539.79

- Verifica a taglio e torsione dir. Z [4.2.25] - CC 5 SLV Xl=0.04
Sollecitazioni: N=-123.36 T_z=-1916.73 M_y=-202.12 M_x=2.21
V,Ed=-1916.73 Vc,Rd,Red=21644.00 V,Ed/Vc,Rd,Red=0.09

- Verifica Spostamento relativo massimo per singola asta - CC 21
δ=0.01 (L/500)

Asta n. 296 (2296 4296) montanti 50x10 Crit. 1

- Verifica di stabilità aste inflesse (4.2.4.1.3.2) CC 16 SLU - Classe 3
L_{cr}=0.12 Curva d: α_{imp}=0.76 k_c=0.94 ψ=2.44 M,cr=0.00 λ_{LT}=0.00
$\lambda_{LT,0}$=0.20 β_{LT}=1.00 Φ_{LT}=0.00 β_{LT}=1.00 f=0.00 χ_{LT}=1.00
CC 16 SLU My,Ed=-10.44 My,b,Rd=109.13 My,Ed/My,b,Rd=0.10

- Verifica di stabilità aste presso-inflesse (C4.2.4.1.3.3.1) - CC 5 SLV - Classe 3
Sollecitazioni: N,Ed=-12.14 Myeq,Ed=-7.16 Mzeq,Ed=0.02
Resistenze: Nc,Rd=13095.20 My,c,Rd=109.13 Mz,c,Rd=21.83 L=12.00
λ_Y=8.31 Ncr,y=1499290.00 λ^*_y=0.10 Curva c: Φ_y=0.48 χ_y=1.00
λ_Z=41.57 Ncr,z=59971.70 λ^*_z=0.48 Curva c: Φ_z=0.68 χ_z=0.85
χ,min=0.85
Verifica: 0.00+0.07+0.00=0.07

- Verifica in termini tensionali [4.2.4] - CC 16 SLU Xl=0.00 - Classe 3
  Sollecitazioni: N=19.27 T_z=-136.46 M_y=-10.44
  Tensioni: σ_N=3.85 σ_M=250.59 τ=0.00 σ_{max}=254.44
  Tensioni: σ_N=3.85 σ_M=0.00 τ=40.94 τ_{max}=40.94
  Tensioni: σ_N=3.85 σ_M=250.59 τ=0.00 $\sigma_{ID,max}$=254.44

- Verifica a taglio dir. Z [4.2.16] - CC 16 SLU Xl=0.08
  Sollecitazioni: N=19.66 T_z=-136.46
  V,Ed=-136.46 Vc,Rd=7560.76 V,Ed/Vc,Rd=0.02

Asta n. 297 (297 -537) montanti 50x10 Crit. 1

- Verifica di stabilità aste inflesse (4.2.4.1.3.2) CC 18 SLU - Classe 3
  L_{cr}=0.11 Curva d: α_{imp}=0.76 k_c=0.94 ψ=2.64 M,cr=0.00 λ_{LT}=0.00
  $\lambda_{LT,0}$=0.20 β_{LT}=1.00 Φ_{LT}=0.00 β_{LT}=1.00 f=0.00 χ_{LT}=1.00
  CC 18 SLU My,Ed=2.74 My,b,Rd=109.13 My,Ed/My,b,Rd=0.03

- Verifica di stabilità aste presso-inflesse (C4.2.4.1.3.3.1) - CC 5 SLV - Classe 3
  Sollecitazioni: N,Ed=-5.74 Myeq,Ed=1.72 Mzeq,Ed=0.03
  Resistenze: Nc,Rd=13095.20 My,c,Rd=109.13 Mz,c,Rd=21.83 L=10.65
  λ_Y=7.38 Ncr,y=1904430.00 λ^*_y=0.08 Curva c: Φ_y=0.48 χ_y=1.00
  λ_Z=36.88 Ncr,z=76177.20 λ^*_z=0.42 Curva c: Φ_z=0.65 χ_z=0.88
  χ,min=0.88
  Verifica: 0.00+0.02+0.00=0.02

- Verifica in termini tensionali [4.2.4] - CC 18 SLU Xl=0.11 - Classe 3
  Sollecitazioni: N=26.70 T_z=-43.86 M_y=2.74
  Tensioni: σ_N=5.34 σ_M=65.75 τ=0.00 σ_{max}=71.09
  Tensioni: σ_N=5.34 σ_M=-0.00 τ=13.16 τ_{max}=13.16
  Tensioni: σ_N=5.34 σ_M=65.75 τ=0.00 $\sigma_{ID,max}$=71.09

- Verifica a taglio dir. Z [4.2.16] - CC 18 SLU Xl=0.03
  Sollecitazioni: N=26.30 T_z=-43.86
  V,Ed=-43.86 Vc,Rd=7560.76 V,Ed/Vc,Rd=0.01

Asta n. 298 (298 -538) montanti 50x10 Crit. 1

- Verifica di stabilità aste inflesse (4.2.4.1.3.2) CC 19 SLU - Classe 3
  L_{cr}=0.11 Curva d: α_{imp}=0.76 k_c=0.94 ψ=3.03 M,cr=0.00 λ_{LT}=0.00
  $\lambda_{LT,0}$=0.20 β_{LT}=1.00 Φ_{LT}=0.00 β_{LT}=1.00 f=0.00 χ_{LT}=1.00
  CC 19 SLU My,Ed=5.00 My,b,Rd=109.13 My,Ed/My,b,Rd=0.05

- Verifica di stabilità aste presso-inflesse (C4.2.4.1.3.3.1) - CC 5 SLV - Classe 3
  Sollecitazioni: N,Ed=-7.59 Myeq,Ed=2.28 Mzeq,Ed=0.06
  Resistenze: Nc,Rd=13095.20 My,c,Rd=109.13 Mz,c,Rd=21.83 L=10.65
  λ_Y=7.38 Ncr,y=1904430.00 λ^*_y=0.08 Curva c: Φ_y=0.48 χ_y=1.00
  λ_Z=36.88 Ncr,z=76177.20 λ^*_z=0.42 Curva c: Φ_z=0.65 χ_z=0.88
  χ,min=0.88
  Verifica: 0.00+0.02+0.00=0.02

- Verifica in termini tensionali [4.2.4] - CC 19 SLU Xl=0.11 - Classe 3
  Sollecitazioni: N=5.01 T_z=-91.98 M_y=5.00 T_y=1.06
  Tensioni: σ_N=1.00 σ_M=119.91 τ=0.00 σ_{max}=120.91
  Tensioni: σ_N=1.00 σ_M=-0.00 τ=27.60 τ_{max}=27.60
  Tensioni: σ_N=1.00 σ_M=119.91 τ=0.32 $\sigma_{ID,max}$=120.91

- Verifica a taglio dir. Y [4.2.16] - CC 19 SLU Xl=0.05
  Sollecitazioni: N=4.71 T_z=-91.98 T_y=1.06

V,Ed=1.06 Vc,Rd=7560.76 V,Ed/Vc,Rd=0.00

- Verifica a taglio dir. Z [4.2.16]
V,Ed=-91.98 Vc,Rd=7560.76 V,Ed/Vc,Rd=0.01

Asta n. 299 (299 -539) montanti 50x10 Crit. 1

- Verifica di stabilità aste inflesse (4.2.4.1.3.2) CC 9 SLU - Classe 3
L_{cr}=0.11 Curva d: α_{imp}=0.76 k_c=0.94 ψ=2.91 M,cr=0.00 λ_{LT}=0.00
$\lambda_{LT,0}$=0.20 β_{LT}=1.00 Φ_{LT}=0.00 β_{LT}=1.00 f=0.00 χ_{LT}=1.00
CC 9 SLU My,Ed=7.30 My,b,Rd=109.13 My,Ed/My,b,Rd=0.07

- Verifica di stabilità aste presso-inflesse (C4.2.4.1.3.3.1) - CC 5 SLV - Classe 3
Sollecitazioni: N,Ed=-3.94 Myeq,Ed=3.38 Mzeq,Ed=-0.03
Resistenze: Nc,Rd=13095.20 My,c,Rd=109.13 Mz,c,Rd=21.83 L=10.65
λ_Y=7.38 Ncr,y=1904430.00 λ^*_y=0.08 Curva c: Φ_y=0.48 χ_y=1.00
λ_Z=36.88 Ncr,z=76177.20 λ^*_z=0.42 Curva c: Φ_z=0.65 χ_z=0.88
χ,min=0.88
Verifica: 0.00+0.03+0.00=0.03

- Verifica in termini tensionali [4.2.4] - CC 9 SLU Xl=0.11 - Classe 3
Sollecitazioni: N=25.58 T_z=-129.12 M_y=7.30
Tensioni: σ_N=5.12 σ_M=175.22 τ=0.00 σ_{max}=180.34
Tensioni: σ_N=5.12 σ_M=-0.00 τ=38.74 τ_{max}=38.74
Tensioni: σ_N=5.12 σ_M=175.22 τ=0.00 $\sigma_{ID,max}$=180.34

- Verifica a taglio dir. Z [4.2.16] - CC 9 SLU Xl=0.05
Sollecitazioni: N=25.28 T_z=-129.12
V,Ed=-129.12 Vc,Rd=7560.76 V,Ed/Vc,Rd=0.02

Asta n. 300 (300 -540) montanti 50x10 Crit. 1

- Verifica di stabilità aste inflesse (4.2.4.1.3.2) CC 19 SLU - Classe 3
L_{cr}=0.11 Curva d: α_{imp}=0.76 k_c=0.94 ψ=2.94 M,cr=0.00 λ_{LT}=0.00
$\lambda_{LT,0}$=0.20 β_{LT}=1.00 Φ_{LT}=0.00 β_{LT}=1.00 f=0.00 χ_{LT}=1.00
CC 19 SLU My,Ed=7.40 My,b,Rd=109.13 My,Ed/My,b,Rd=0.07

- Verifica di stabilità aste presso-inflesse (C4.2.4.1.3.3.1) - CC 5 SLV - Classe 3
Sollecitazioni: N,Ed=-3.65 Myeq,Ed=2.94 Mzeq,Ed=0.04
Resistenze: Nc,Rd=13095.20 My,c,Rd=109.13 Mz,c,Rd=21.83 L=10.65
λ_Y=7.38 Ncr,y=1904430.00 λ^*_y=0.08 Curva c: Φ_y=0.48 χ_y=1.00
λ_Z=36.88 Ncr,z=76177.20 λ^*_z=0.42 Curva c: Φ_z=0.65 χ_z=0.88
χ,min=0.88
Verifica: 0.00+0.03+0.00=0.03

- Verifica in termini tensionali [4.2.4] - CC 19 SLU Xl=0.11 - Classe 3
Sollecitazioni: N=21.89 T_z=-132.24 M_y=7.40 T_y=1.02
Tensioni: σ_N=4.38 σ_M=177.53 τ=0.00 σ_{max}=181.90
Tensioni: σ_N=4.38 σ_M=-0.00 τ=39.67 τ_{max}=39.67
Tensioni: σ_N=4.38 σ_M=177.53 τ=0.31 $\sigma_{ID,max}$=181.91

- Verifica a taglio dir. Y [4.2.16] - CC 19 SLU Xl=0.05
Sollecitazioni: N=21.60 T_z=-132.24 T_y=1.02
V,Ed=1.02 Vc,Rd=7560.76 V,Ed/Vc,Rd=0.00

- Verifica a taglio dir. Z [4.2.16]
V,Ed=-132.24 Vc,Rd=7560.76 V,Ed/Vc,Rd=0.02

Asta n. 301 (301 -541) montanti 50x10 Crit. 1

- Verifica di stabilità aste inflesse (4.2.4.1.3.2) CC 9 SLU - Classe 3
  L_{cr}=0.11 Curva d: α_{imp}=0.76 k_c=0.94 ψ=2.84 M,cr=0.00 λ_{LT}=0.00
  $\lambda_{LT,0}$=0.20 β_{LT}=1.00 Φ_{LT}=0.00 β_{LT}=1.00 f=0.00 χ_{LT}=1.00
  CC 9 SLU My,Ed=6.35 My,b,Rd=109.13 My,Ed/My,b,Rd=0.06

- Verifica di stabilità aste presso-inflesse (C4.2.4.1.3.3.1) - CC 5 SLV - Classe 3
  Sollecitazioni: N,Ed=-3.65 Myeq,Ed=2.94 Mzeq,Ed=-0.04
  Resistenze: Nc,Rd=13095.20 My,c,Rd=109.13 Mz,c,Rd=21.83 L=10.65
  λ_Y=7.38 Ncr,y=1904430.00 λ^*_y=0.08 Curva c: Φ_y=0.48 χ_y=1.00
  λ_Z=36.88 Ncr,z=76177.20 λ^*_z=0.42 Curva c: Φ_z=0.65 χ_z=0.88
  χ,min=0.88
  Verifica: 0.00+0.03+0.00=0.03

- Verifica in termini tensionali [4.2.4] - CC 9 SLU Xl=0.11 - Classe 3
  Sollecitazioni: N=25.56 T_z=-109.78 M_y=6.35
  Tensioni: σ_N=5.11 σ_M=152.46 τ=0.00 σ_{max}=157.57
  Tensioni: σ_N=5.11 σ_M=-0.00 τ=32.93 τ_{max}=32.93
  Tensioni: σ_N=5.11 σ_M=152.46 τ=0.00 $\sigma_{ID,max}$=157.57

- Verifica a taglio dir. Z [4.2.16] - CC 9 SLU Xl=0.05
  Sollecitazioni: N=25.26 T_z=-109.78
  V,Ed=-109.78 Vc,Rd=7560.76 V,Ed/Vc,Rd=0.01

Asta n. 302 (302 -542) montanti 50x10 Crit. 1

- Verifica di stabilità aste inflesse (4.2.4.1.3.2) CC 19 SLU - Classe 3
  L_{cr}=0.11 Curva d: α_{imp}=0.76 k_c=0.94 ψ=2.99 M,cr=0.00 λ_{LT}=0.00
  $\lambda_{LT,0}$=0.20 β_{LT}=1.00 Φ_{LT}=0.00 β_{LT}=1.00 f=0.00 χ_{LT}=1.00
  CC 19 SLU My,Ed=8.32 My,b,Rd=109.13 My,Ed/My,b,Rd=0.08

- Verifica di stabilità aste presso-inflesse (C4.2.4.1.3.3.1) - CC 5 SLV - Classe 3
  Sollecitazioni: N,Ed=-3.94 Myeq,Ed=3.38 Mzeq,Ed=0.03
  Resistenze: Nc,Rd=13095.20 My,c,Rd=109.13 Mz,c,Rd=21.83 L=10.65
  λ_Y=7.38 Ncr,y=1904430.00 λ^*_y=0.08 Curva c: Φ_y=0.48 χ_y=1.00
  λ_Z=36.88 Ncr,z=76177.20 λ^*_z=0.42 Curva c: Φ_z=0.65 χ_z=0.88
  χ,min=0.88
  Verifica: 0.00+0.03+0.00=0.03

- Verifica in termini tensionali [4.2.4] - CC 19 SLU Xl=0.11 - Classe 3
  Sollecitazioni: N=21.69 T_z=-151.11 M_y=8.32
  Tensioni: σ_N=4.34 σ_M=199.60 τ=0.00 σ_{max}=203.94
  Tensioni: σ_N=4.34 σ_M=-0.00 τ=45.33 τ_{max}=45.33
  Tensioni: σ_N=4.34 σ_M=199.60 τ=0.00 $\sigma_{ID,max}$=203.94

- Verifica a taglio dir. Z [4.2.16] - CC 19 SLU Xl=0.05
  Sollecitazioni: N=21.39 T_z=-151.11
  V,Ed=-151.11 Vc,Rd=7560.76 V,Ed/Vc,Rd=0.02

Asta n. 303 (303 -543) montanti 50x10 Crit. 1

- Verifica di stabilità aste inflesse (4.2.4.1.3.2) CC 18 SLU - Classe 3
  L_{cr}=0.11 Curva d: α_{imp}=0.76 k_c=0.94 ψ=2.81 M,cr=0.00 λ_{LT}=0.00
  $\lambda_{LT,0}$=0.20 β_{LT}=1.00 Φ_{LT}=0.00 β_{LT}=1.00 f=0.00 χ_{LT}=1.00
  CC 18 SLU My,Ed=3.97 My,b,Rd=109.13 My,Ed/My,b,Rd=0.04

- Verifica di stabilità aste presso-inflesse (C4.2.4.1.3.3.1) - CC 5 SLV - Classe 3
  Sollecitazioni: N,Ed=-7.59 Myeq,Ed=2.28 Mzeq,Ed=-0.06
  Resistenze: Nc,Rd=13095.20 My,c,Rd=109.13 Mz,c,Rd=21.83 L=10.65

λ_Y=7.38 Ncr,y=1904430.00 λ^*_y=0.08 Curva c: Φ_y=0.48 χ_y=1.00
λ_Z=36.88 Ncr,z=76177.20 λ^*_z=0.42 Curva c: Φ_z=0.65 χ_z=0.88
χ,min=0.88
Verifica: 0.00+0.02+0.00=0.02

- Verifica in termini tensionali [4.2.4] - CC 18 SLU Xl=0.11 - Classe 3
Sollecitazioni: N=17.78 T_z=-67.69 M_y=3.97 T_y=-1.08
Tensioni: σ_N=3.56 σ_M=95.18 τ=0.00 σ_{max}=98.73
Tensioni: σ_N=3.56 σ_M=-0.00 τ=20.31 τ_{max}=20.31
Tensioni: σ_N=3.56 σ_M=95.18 τ=0.33 $\sigma_{ID,max}$=98.73

- Verifica a taglio dir. Z [4.2.16] - CC 9 SLU Xl=0.04
Sollecitazioni: N=7.26 T_z=-69.98
V,Ed=-69.98 Vc,Rd=7560.76 V,Ed/Vc,Rd=0.01

Asta n. 304 (304 -544) montanti 50x10 Crit. 1

- Verifica di stabilità aste inflesse (4.2.4.1.3.2) CC 19 SLU - Classe 3
L_{cr}=0.11 Curva d: α_{imp}=0.76 k_c=0.94 ψ=2.90 M,cr=0.00 λ_{LT}=0.00
$\lambda_{LT,0}$=0.20 β_{LT}=1.00 Φ_{LT}=0.00 β_{LT}=1.00 f=0.00 χ_{LT}=1.00
CC 19 SLU My,Ed=3.36 My,b,Rd=109.13 My,Ed/My,b,Rd=0.03

- Verifica di stabilità aste presso-inflesse (C4.2.4.1.3.3.1) - CC 5 SLV - Classe 3
Sollecitazioni: N,Ed=-5.74 Myeq,Ed=1.72 Mzeq,Ed=-0.03
Resistenze: Nc,Rd=13095.20 My,c,Rd=109.13 Mz,c,Rd=21.83 L=10.65
λ_Y=7.38 Ncr,y=1904430.00 λ^*_y=0.08 Curva c: Φ_y=0.48 χ_y=1.00
λ_Z=36.88 Ncr,z=76177.20 λ^*_z=0.42 Curva c: Φ_z=0.65 χ_z=0.88
χ,min=0.88
Verifica: 0.00+0.02+0.00=0.02

- Verifica in termini tensionali [4.2.4] - CC 19 SLU Xl=0.11 - Classe 3
Sollecitazioni: N=18.21 T_z=-59.31 M_y=3.36
Tensioni: σ_N=3.64 σ_M=80.73 τ=0.00 σ_{max}=84.37
Tensioni: σ_N=3.64 σ_M=-0.00 τ=17.79 τ_{max}=17.79
Tensioni: σ_N=3.64 σ_M=80.73 τ=0.00 $\sigma_{ID,max}$=84.37

- Verifica a taglio dir. Z [4.2.16] - CC 17 SLU Xl=0.04
Sollecitazioni: N=8.68 T_z=-59.54
V,Ed=-59.54 Vc,Rd=7560.76 V,Ed/Vc,Rd=0.01

Asta n. 305 (305 -521) montanti 50x10 Crit. 1

- Verifica di stabilità aste presso-inflesse (C4.2.4.1.3.3.1) - CC 9 SLU - Classe 3
Sollecitazioni: N,Ed=-2.52 Myeq,Ed=-1.81 Mzeq,Ed=-0.02
Resistenze: Nc,Rd=13095.20 My,c,Rd=109.13 Mz,c,Rd=21.83 L=9.29
λ_Y=6.44 Ncr,y=2499070.00 λ^*_y=0.07 Curva c: Φ_y=0.47 χ_y=1.00
λ_Z=32.20 Ncr,z=99963.00 λ^*_z=0.37 Curva c: Φ_z=0.61 χ_z=0.91
χ,min=0.91
Verifica: 0.00+0.02+0.00=0.02

- Verifica in termini tensionali [4.2.4] - CC 9 SLU Xl=0.00 - Classe 3
Sollecitazioni: N=-2.52 T_z=-38.04 M_y=-1.81
Tensioni: σ_N=-0.50 σ_M=-43.41 τ=0.00 σ_{max}=-43.91
Tensioni: σ_N=-0.50 σ_M=0.00 τ=11.41 τ_{max}=11.41
Tensioni: σ_N=-0.50 σ_M=-43.41 τ=0.00 $\sigma_{ID,max}$=43.91

- Verifica a taglio dir. Z [4.2.16] - CC 1 SLV Xl=0.02
Sollecitazioni: T_z=-26.46
V,Ed=-26.46 Vc,Rd=7560.76 V,Ed/Vc,Rd=0.00

Asta n. 306 (306 -522) montanti 50x10 Crit. 1

- Verifica di stabilità aste presso-inflesse (C4.2.4.1.3.3.1) - CC 17 SLU - Classe 3
  Sollecitazioni: N,Ed=-3.28 Myeq,Ed=-4.16 Mzeq,Ed=0.16
  Resistenze: Nc,Rd=13095.20 My,c,Rd=109.13 Mz,c,Rd=21.83 L=9.29
  λ_Y=6.44 Ncr,y=2499070.00 λ^*_y=0.07 Curva c: Φ_y=0.47 χ_y=1.00
  λ_Z=32.20 Ncr,z=99963.00 λ^*_z=0.37 Curva c: Φ_z=0.61 χ_z=0.91
  χ,min=0.91
  Verifica: 0.00+0.04+0.01=0.05

- Verifica in termini tensionali [4.2.4] - CC 17 SLU Xl=0.00 - Classe 3
  Sollecitazioni: N=-3.28 T_z=-87.61 M_y=-4.16 T_y=2.60
  Tensioni: σ_N=-0.66 σ_M=-99.96 τ=0.00 σ_{max}=-100.61
  Tensioni: σ_N=-0.66 σ_M=0.00 τ=26.29 τ_{max}=26.29
  Tensioni: σ_N=-0.66 σ_M=-99.96 τ=0.78 $\sigma_{ID,max}$=100.62

- Verifica a taglio dir. Z [4.2.16] - CC 1 SLV Xl=0.03
  Sollecitazioni: T_z=-38.54
  V,Ed=-38.54 Vc,Rd=7560.76 V,Ed/Vc,Rd=0.01

Asta n. 307 (307 -523) montanti 50x10 Crit. 1

- Verifica di stabilità aste presso-inflesse (C4.2.4.1.3.3.1) - CC 9 SLU - Classe 3
  Sollecitazioni: N,Ed=-10.62 Myeq,Ed=-6.05 Mzeq,Ed=-0.02
  Resistenze: Nc,Rd=13095.20 My,c,Rd=109.13 Mz,c,Rd=21.83 L=9.29
  λ_Y=6.44 Ncr,y=2499070.00 λ^*_y=0.07 Curva c: Φ_y=0.47 χ_y=1.00
  λ_Z=32.20 Ncr,z=99963.00 λ^*_z=0.37 Curva c: Φ_z=0.61 χ_z=0.91
  χ,min=0.91
  Verifica: 0.00+0.06+0.00=0.06

- Verifica in termini tensionali [4.2.4] - CC 9 SLU Xl=0.00 - Classe 3
  Sollecitazioni: N=-10.62 T_z=-128.16 M_y=-6.05
  Tensioni: σ_N=-2.12 σ_M=-145.13 τ=0.00 σ_{max}=-147.25
  Tensioni: σ_N=-2.12 σ_M=0.00 τ=38.45 τ_{max}=38.45
  Tensioni: σ_N=-2.12 σ_M=-145.13 τ=0.00 $\sigma_{ID,max}$=147.25

- Verifica a taglio dir. Z [4.2.16] - CC 1 SLV Xl=0.03
  Sollecitazioni: T_z=-64.02
  V,Ed=-64.02 Vc,Rd=7560.76 V,Ed/Vc,Rd=0.01

Asta n. 308 (308 -524) montanti 50x10 Crit. 1

- Verifica di stabilità aste presso-inflesse (C4.2.4.1.3.3.1) - CC 19 SLU - Classe 3
  Sollecitazioni: N,Ed=-11.10 Myeq,Ed=-6.11 Mzeq,Ed=0.11
  Resistenze: Nc,Rd=13095.20 My,c,Rd=109.13 Mz,c,Rd=21.83 L=9.29
  λ_Y=6.44 Ncr,y=2499070.00 λ^*_y=0.07 Curva c: Φ_y=0.47 χ_y=1.00
  λ_Z=32.20 Ncr,z=99963.00 λ^*_z=0.37 Curva c: Φ_z=0.61 χ_z=0.91
  χ,min=0.91
  Verifica: 0.00+0.06+0.00=0.06

- Verifica in termini tensionali [4.2.4] - CC 19 SLU Xl=0.00 - Classe 3
  Sollecitazioni: N=-11.10 T_z=-130.16 M_y=-6.11 T_y=1.75
  Tensioni: σ_N=-2.22 σ_M=-146.76 τ=0.00 σ_{max}=-148.98
  Tensioni: σ_N=-2.22 σ_M=0.00 τ=39.05 τ_{max}=39.05
  Tensioni: σ_N=-2.22 σ_M=-146.76 τ=0.53 $\sigma_{ID,max}$=148.98

- Verifica a taglio dir. Z [4.2.16] - CC 1 SLV Xl=0.03
  Sollecitazioni: T_z=-52.74

V,Ed=-52.74 Vc,Rd=7560.76 V,Ed/Vc,Rd=0.01

Asta n. 309 (309 -525) montanti 50x10 Crit. 1

- Verifica di stabilità aste presso-inflesse (C4.2.4.1.3.3.1) - CC 9 SLU - Classe 3
Sollecitazioni: N,Ed=-12.44 Myeq,Ed=-4.73 Mzeq,Ed=-0.04
Resistenze: Nc,Rd=13095.20 My,c,Rd=109.13 Mz,c,Rd=21.83 L=9.29
λ_Y=6.44 Ncr,y=2499070.00 λ^*_y=0.07 Curva c: Φ_y=0.47 χ_y=1.00
λ_Z=32.20 Ncr,z=99963.00 λ^*_z=0.37 Curva c: Φ_z=0.61 χ_z=0.91
χ,min=0.91
Verifica: 0.00+0.04+0.00=0.05

- Verifica in termini tensionali [4.2.4] - CC 9 SLU Xl=0.00 - Classe 3
Sollecitazioni: N=-12.44 T_z=-101.31 M_y=-4.73
Tensioni: σ_N=-2.49 σ_M=-113.52 τ=0.00 σ_{max}=-116.01
Tensioni: σ_N=-2.49 σ_M=0.00 τ=30.39 τ_{max}=30.39
Tensioni: σ_N=-2.49 σ_M=-113.52 τ=0.00 $\sigma_{ID,max}$=116.01

- Verifica a taglio dir. Z [4.2.16] - CC 1 SLV Xl=0.03
Sollecitazioni: T_z=-52.74
V,Ed=-52.74 Vc,Rd=7560.76 V,Ed/Vc,Rd=0.01

Asta n. 310 (310 -526) montanti 50x10 Crit. 1

- Verifica di stabilità aste presso-inflesse (C4.2.4.1.3.3.1) - CC 19 SLU - Classe 3
Sollecitazioni: N,Ed=-9.28 Myeq,Ed=-7.41 Mzeq,Ed=0.11
Resistenze: Nc,Rd=13095.20 My,c,Rd=109.13 Mz,c,Rd=21.83 L=9.29
λ_Y=6.44 Ncr,y=2499070.00 λ^*_y=0.07 Curva c: Φ_y=0.47 χ_y=1.00
λ_Z=32.20 Ncr,z=99963.00 λ^*_z=0.37 Curva c: Φ_z=0.61 χ_z=0.91
χ,min=0.91
Verifica: 0.00+0.07+0.01=0.07

- Verifica in termini tensionali [4.2.4] - CC 19 SLU Xl=0.00 - Classe 3
Sollecitazioni: N=-9.28 T_z=-156.46 M_y=-7.41 T_y=1.85
Tensioni: σ_N=-1.86 σ_M=-177.73 τ=0.00 σ_{max}=-179.59
Tensioni: σ_N=-1.86 σ_M=0.00 τ=46.94 τ_{max}=46.94
Tensioni: σ_N=-1.86 σ_M=-177.73 τ=0.56 $\sigma_{ID,max}$=179.59

- Verifica a taglio dir. Z [4.2.16] - CC 1 SLV Xl=0.03
Sollecitazioni: T_z=-64.02
V,Ed=-64.02 Vc,Rd=7560.76 V,Ed/Vc,Rd=0.01

Asta n. 311 (311 -527) montanti 50x10 Crit. 1

- Verifica di stabilità aste presso-inflesse (C4.2.4.1.3.3.1) - CC 9 SLU - Classe 3
Sollecitazioni: N,Ed=-11.28 Myeq,Ed=-2.64 Mzeq,Ed=0.02
Resistenze: Nc,Rd=13095.20 My,c,Rd=109.13 Mz,c,Rd=21.83 L=9.29
λ_Y=6.44 Ncr,y=2499070.00 λ^*_y=0.07 Curva c: Φ_y=0.47 χ_y=1.00
λ_Z=32.20 Ncr,z=99963.00 λ^*_z=0.37 Curva c: Φ_z=0.61 χ_z=0.91
χ,min=0.91
Verifica: 0.00+0.02+0.00=0.03

- Verifica in termini tensionali [4.2.4] - CC 9 SLU Xl=0.00 - Classe 3
Sollecitazioni: N=-11.28 T_z=-56.49 M_y=-2.64
Tensioni: σ_N=-2.26 σ_M=-63.33 τ=0.00 σ_{max}=-65.58
Tensioni: σ_N=-2.26 σ_M=0.00 τ=16.95 τ_{max}=16.95
Tensioni: σ_N=-2.26 σ_M=-63.33 τ=0.00 $\sigma_{ID,max}$=65.58

- Verifica a taglio dir. Z [4.2.16] - CC 1 SLV Xl=0.03

Sollecitazioni: T_z=-38.52
V,Ed=-38.52 Vc,Rd=7560.76 V,Ed/Vc,Rd=0.01

Asta n. 312 (312 -528) montanti 50x10 Crit. 1

- Verifica di stabilità aste presso-inflesse (C4.2.4.1.3.3.1) - CC 17 SLU - Classe 3
Sollecitazioni: N,Ed=-0.23 Myeq,Ed=-3.31 Mzeq,Ed=0.17
Resistenze: Nc,Rd=13095.20 My,c,Rd=109.13 Mz,c,Rd=21.83 L=9.29
λ_Y=6.44 Ncr,y=2499070.00 λ^*_y=0.07 Curva c: Φ_y=0.47 χ_y=1.00
λ_Z=32.20 Ncr,z=99963.00 λ^*_z=0.37 Curva c: Φ_z=0.61 χ_z=0.91
χ,min=0.91
Verifica: 0.00+0.03+0.01=0.04

- Verifica a flessione [4.2.13] - CC 17 SLU Xl=0.00 - Classe 3
Sollecitazioni: T_z=-68.99 M_y=-3.31 T_y=2.82
My,Ed=-3.31 My,c,Rd=109.13 My,Ed/My,c,Rd=0.03

- Verifica a taglio dir. Y [4.2.16] - CC 17 SLU Xl=0.03
Sollecitazioni: T_z=-68.99 T_y=2.82
V,Ed=2.82 Vc,Rd=7560.76 V,Ed/Vc,Rd=0.00

- Verifica a taglio dir. Z [4.2.16]
V,Ed=-68.99 Vc,Rd=7560.76 V,Ed/Vc,Rd=0.01

Asta n. 313 (2313 3313) montanti 50x10 Crit. 1

- Verifica di stabilità aste inflesse (4.2.4.1.3.2) CC 17 SLU - Classe 3
L_{cr}=0.08 Curva d: α_{imp}=0.76 k_c=0.94 ψ=2.53 M,cr=0.00 λ_{LT}=0.00
$\lambda_{LT,0}$=0.20 β_{LT}=1.00 Φ_{LT}=0.00 β_{LT}=1.00 f=0.00 χ_{LT}=1.00
CC 17 SLU My,Ed=0.81 My,b,Rd=109.13 My,Ed/My,b,Rd=0.01

- Verifica di stabilità aste presso-inflesse (C4.2.4.1.3.3.1) - CC 9 SLU - Classe 3
Sollecitazioni: N,Ed=-10.94 Myeq,Ed=-1.01 Mzeq,Ed=0.06
Resistenze: Nc,Rd=13095.20 My,c,Rd=109.13 Mz,c,Rd=21.83 L=7.94
λ_Y=5.50 Ncr,y=3422820.00 λ^*_y=0.06 Curva c: Φ_y=0.47 χ_y=1.00
λ_Z=27.51 Ncr,z=136913.00 λ^*_z=0.32 Curva c: Φ_z=0.58 χ_z=0.94
χ,min=0.94
Verifica: 0.00+0.01+0.00=0.01

- Verifica in termini tensionali [4.2.4] - CC 9 SLU Xl=0.00 - Classe 3
Sollecitazioni: N=-10.94 T_z=-24.80 M_y=-1.01 T_y=1.19
Tensioni: σ_N=-2.19 σ_M=-24.14 τ=0.00 σ_{max}=-26.33
Tensioni: σ_N=-2.19 σ_M=0.00 τ=7.45 τ_{max}=7.45
Tensioni: σ_N=-2.19 σ_M=-24.14 τ=0.36 $\sigma_{ID,max}$=26.34

- Verifica a taglio dir. Z [4.2.16] - CC 1 SLV Xl=0.00
Sollecitazioni: N=1.88 T_z=-17.64
V,Ed=-17.64 Vc,Rd=7560.76 V,Ed/Vc,Rd=0.00

Asta n. 314 (2314 3314) montanti 50x10 Crit. 1

- Verifica di stabilità aste presso-inflesse (C4.2.4.1.3.3.1) - CC 17 SLU - Classe 3
Sollecitazioni: N,Ed=-25.95 Myeq,Ed=-2.41 Mzeq,Ed=-0.11
Resistenze: Nc,Rd=13095.20 My,c,Rd=109.13 Mz,c,Rd=21.83 L=7.94
λ_Y=5.50 Ncr,y=3422820.00 λ^*_y=0.06 Curva c: Φ_y=0.47 χ_y=1.00
λ_Z=27.51 Ncr,z=136913.00 λ^*_z=0.32 Curva c: Φ_z=0.58 χ_z=0.94
χ,min=0.94
Verifica: 0.00+0.02+0.01=0.03

- Verifica in termini tensionali [4.2.4] - CC 17 SLU Xl=0.00 - Classe 3

Sollecitazioni: N=-25.95 T_z=-55.36 M_y=-2.41 T_y=1.31
Tensioni: σ_N=-5.19 σ_M=-57.84 τ=0.00 σ_{max}=-63.03
Tensioni: σ_N=-5.19 σ_M=0.00 τ=16.61 τ_{max}=16.61
Tensioni: σ_N=-5.19 σ_M=-57.84 τ=0.39 $\sigma_{ID,max}$=63.04

- Verifica a taglio dir. Z [4.2.16] - CC 1 SLV Xl=0.01
Sollecitazioni: T_z=-25.03
V,Ed=-25.03 Vc,Rd=7560.76 V,Ed/Vc,Rd=0.00

Asta n. 315 (2315 3315) montanti 50x10 Crit. 1

- Verifica di stabilità aste presso-inflesse (C4.2.4.1.3.3.1) - CC 9 SLU - Classe 3
Sollecitazioni: N,Ed=-35.72 Myeq,Ed=-3.31 Mzeq,Ed=0.11
Resistenze: Nc,Rd=13095.20 My,c,Rd=109.13 Mz,c,Rd=21.83 L=7.94
λ_Y=5.50 Ncr,y=3422820.00 λ^*_y=0.06 Curva c: Φ_y=0.47 χ_y=1.00
λ_Z=27.51 Ncr,z=136913.00 λ^*_z=0.32 Curva c: Φ_z=0.58 χ_z=0.94
χ,min=0.94
Verifica: 0.00+0.03+0.01=0.04

- Verifica in termini tensionali [4.2.4] - CC 9 SLU Xl=0.00 - Classe 3
Sollecitazioni: N=-35.72 T_z=-81.20 M_y=-3.31
Tensioni: σ_N=-7.14 σ_M=-79.42 τ=0.00 σ_{max}=-86.56
Tensioni: σ_N=-7.14 σ_M=0.00 τ=24.36 τ_{max}=24.36
Tensioni: σ_N=-7.14 σ_M=-79.42 τ=0.00 $\sigma_{ID,max}$=86.56

Asta n. 316 (2316 3316) montanti 50x10 Crit. 1

- Verifica di stabilità aste presso-inflesse (C4.2.4.1.3.3.1) - CC 17 SLU - Classe 3
Sollecitazioni: N,Ed=-35.02 Myeq,Ed=-3.21 Mzeq,Ed=-0.08
Resistenze: Nc,Rd=13095.20 My,c,Rd=109.13 Mz,c,Rd=21.83 L=7.94
λ_Y=5.50 Ncr,y=3422820.00 λ^*_y=0.06 Curva c: Φ_y=0.47 χ_y=1.00
λ_Z=27.51 Ncr,z=136913.00 λ^*_z=0.32 Curva c: Φ_z=0.58 χ_z=0.94
χ,min=0.94
Verifica: 0.00+0.03+0.00=0.04

- Verifica in termini tensionali [4.2.4] - CC 19 SLU Xl=0.00 - Classe 3
Sollecitazioni: N=-35.59 T_z=-81.42 M_y=-3.34 T_y=1.18
Tensioni: σ_N=-7.12 σ_M=-80.22 τ=0.00 σ_{max}=-87.34
Tensioni: σ_N=-7.12 σ_M=0.00 τ=24.43 τ_{max}=24.43
Tensioni: σ_N=-7.12 σ_M=-80.22 τ=0.35 $\sigma_{ID,max}$=87.34

Asta n. 317 (2317 3317) montanti 50x10 Crit. 1

- Verifica di stabilità aste presso-inflesse (C4.2.4.1.3.3.1) - CC 9 SLU - Classe 3
Sollecitazioni: N,Ed=-25.43 Myeq,Ed=-2.43 Mzeq,Ed=-0.08
Resistenze: Nc,Rd=13095.20 My,c,Rd=109.13 Mz,c,Rd=21.83 L=7.94
λ_Y=5.50 Ncr,y=3422820.00 λ^*_y=0.06 Curva c: Φ_y=0.47 χ_y=1.00
λ_Z=27.51 Ncr,z=136913.00 λ^*_z=0.32 Curva c: Φ_z=0.58 χ_z=0.94
χ,min=0.94
Verifica: 0.00+0.02+0.00=0.03

- Verifica in termini tensionali [4.2.4] - CC 9 SLU Xl=0.00 - Classe 3
Sollecitazioni: N=-25.43 T_z=-60.84 M_y=-2.43
Tensioni: σ_N=-5.09 σ_M=-58.42 τ=0.00 σ_{max}=-63.50
Tensioni: σ_N=-5.09 σ_M=0.00 τ=18.25 τ_{max}=18.25
Tensioni: σ_N=-5.09 σ_M=-58.42 τ=0.00 $\sigma_{ID,max}$=63.50

- Verifica a taglio dir. Y [4.2.16] - CC 17 SLU Xl=0.04
Sollecitazioni: T_z=-8.75 T_y=-1.27

V,Ed=-1.27 Vc,Rd=7560.76 V,Ed/Vc,Rd=0.00

- Verifica a taglio dir. Z [4.2.16]
V,Ed=-8.75 Vc,Rd=7560.76 V,Ed/Vc,Rd=0.00

Asta n. 318 (2318 3318) montanti 50x10 Crit. 1

- Verifica di stabilità aste presso-inflesse (C4.2.4.1.3.3.1) - CC 19 SLU - Classe 3
Sollecitazioni: N,Ed=-45.68 Myeq,Ed=-4.20 Mzeq,Ed=-0.16
Resistenze: Nc,Rd=13095.20 My,c,Rd=109.13 Mz,c,Rd=21.83 L=7.94
λ_Y=5.50 Ncr,y=3422820.00 λ^*_y=0.06 Curva c: Φ_y=0.47 χ_y=1.00
λ_Z=27.51 Ncr,z=136913.00 λ^*_z=0.32 Curva c: Φ_z=0.58 χ_z=0.94
χ,min=0.94
Verifica: 0.00+0.04+0.01=0.05

- Verifica in termini tensionali [4.2.4] - CC 19 SLU Xl=0.00 - Classe 3
Sollecitazioni: N=-45.68 T_z=-101.32 M_y=-4.20
Tensioni: σ_N=-9.14 σ_M=-100.82 τ=0.00 σ_{max}=-109.96
Tensioni: σ_N=-9.14 σ_M=0.00 τ=30.40 τ_{max}=30.40
Tensioni: σ_N=-9.14 σ_M=-100.82 τ=0.00 $\sigma_{ID,max}$=109.96

Asta n. 319 (2319 3319) montanti 50x10 Crit. 1

- Verifica di stabilità aste inflesse (4.2.4.1.3.2) CC 17 SLU - Classe 3
L_{cr}=0.08 Curva d: α_{imp}=0.76 k_c=0.94 ψ=2.54 M,cr=0.00 λ_{LT}=0.00
$\lambda_{LT,0}$=0.20 β_{LT}=1.00 Φ_{LT}=0.00 β_{LT}=1.00 f=0.00 χ_{LT}=1.00
CC 17 SLU My,Ed=0.58 My,b,Rd=109.13 My,Ed/My,b,Rd=0.01

- Verifica di stabilità aste presso-inflesse (C4.2.4.1.3.3.1) - CC 1 SLV - Classe 3
Sollecitazioni: N,Ed=-11.61 Myeq,Ed=-1.07 Mzeq,Ed=-0.11
Resistenze: Nc,Rd=13095.20 My,c,Rd=109.13 Mz,c,Rd=21.83 L=7.94
λ_Y=5.50 Ncr,y=3422820.00 λ^*_y=0.06 Curva c: Φ_y=0.47 χ_y=1.00
λ_Z=27.51 Ncr,z=136913.00 λ^*_z=0.32 Curva c: Φ_z=0.58 χ_z=0.94
χ,min=0.94
Verifica: 0.00+0.01+0.01=0.02

- Verifica in termini tensionali [4.2.4] - CC 9 SLU Xl=0.00 - Classe 3
Sollecitazioni: N=-10.95 T_z=-26.90 M_y=-1.17 T_y=-1.20
Tensioni: σ_N=-2.19 σ_M=-28.02 τ=0.00 σ_{max}=-30.21
Tensioni: σ_N=-2.19 σ_M=0.00 τ=8.08 τ_{max}=8.08
Tensioni: σ_N=-2.19 σ_M=-28.02 τ=0.36 $\sigma_{ID,max}$=30.22

- Verifica a taglio dir. Y [4.2.16] - CC 1 SLV Xl=0.01
Sollecitazioni: T_z=-25.03 T_y=-1.14
V,Ed=-1.14 Vc,Rd=7560.76 V,Ed/Vc,Rd=0.00

- Verifica a taglio dir. Z [4.2.16]
V,Ed=-25.03 Vc,Rd=7560.76 V,Ed/Vc,Rd=0.00

Asta n. 320 (2320 3320) montanti 50x10 Crit. 1

- Verifica di stabilità aste inflesse (4.2.4.1.3.2) CC 1 SLV - Classe 3
L_{cr}=0.08 Curva d: α_{imp}=0.76 k_c=0.94 ψ=2.91 M,cr=0.00 λ_{LT}=0.00
$\lambda_{LT,0}$=0.20 β_{LT}=1.00 Φ_{LT}=0.00 β_{LT}=1.00 f=0.00 χ_{LT}=1.00
CC 1 SLV My,Ed=-0.74 My,b,Rd=109.13 My,Ed/My,b,Rd=0.01

- Verifica di stabilità aste presso-inflesse (C4.2.4.1.3.3.1) - CC 17 SLU - Classe 3
Sollecitazioni: N,Ed=-22.31 Myeq,Ed=-2.02 Mzeq,Ed=-0.11
Resistenze: Nc,Rd=13095.20 My,c,Rd=109.13 Mz,c,Rd=21.83 L=7.94

λ_Y=5.50 Ncr,y=3422820.00 λ^*_y=0.06 Curva c: Φ_y=0.47 χ_y=1.00
λ_Z=27.51 Ncr,z=136913.00 λ^*_z=0.32 Curva c: Φ_z=0.58 χ_z=0.94
χ,min=0.94
Verifica: 0.00+0.02+0.01=0.03

- Verifica in termini tensionali [4.2.4] - CC 17 SLU Xl=0.00 - Classe 3
Sollecitazioni: N=-22.31 T_z=-47.03 M_y=-2.02
Tensioni: σ_N=-4.46 σ_M=-48.41 τ=0.00 σ_{max}=-52.88
Tensioni: σ_N=-4.46 σ_M=0.00 τ=14.11 τ_{max}=14.11
Tensioni: σ_N=-4.46 σ_M=-48.41 τ=0.00 $\sigma_{ID,max}$=52.88

- Verifica a taglio dir. Y [4.2.16] - CC 1 SLV Xl=0.00
Sollecitazioni: N=1.87 T_z=-17.59 T_y=-1.07
V,Ed=-1.07 Vc,Rd=7560.76 V,Ed/Vc,Rd=0.00

- Verifica a taglio dir. Z [4.2.16]
V,Ed=-17.59 Vc,Rd=7560.76 V,Ed/Vc,Rd=0.00

Asta n. 1021 (1296 1297) angolari L50x10 Crit. 1

- Verifica di stabilità aste inflesse (4.2.4.1.3.2) CC 9 SLU - Classe 3
L_{cr}=0.10 Curva d: α_{imp}=0.76 k_c=0.94 ψ=1.02 M,cr=0.00 λ_{LT}=0.00
$\lambda_{LT,0}$=0.00 β_{LT}=0.00 Φ_{LT}=0.00 β_{LT}=0.00 f=0.00 χ_{LT}=1.00
CC 9 SLU My,Ed=-0.31 My,b,Rd=149.05 My,Ed/My,b,Rd=0.00

- Verifica di stabilità aste presso-inflesse (C4.2.4.1.3.3.1) - CC 5 SLV - Classe 3
Sollecitazioni: N,Ed=-26.73 Myeq,Ed=-0.25 Mzeq,Ed=3.13
Resistenze: Nc,Rd=23709.20 My,c,Rd=149.05 Mz,c,Rd=149.05 L=10.00
λ_c=5.46 Ncr,y=6286590.00 λ^*_y=0.06 Curva b: Φ_y=0.00 χ_y=1.00
λ_e=10.39 Ncr,z=1738550.00 λ^*_z=0.12 Curva b: Φ_z=0.00 χ_z=1.00
χ,min=1.00
Verifica: 0.00+0.00+0.02=0.02

- Verifica in termini tensionali [4.2.4] - CC 19 SLU Xl=0.02 - Classe 3
Sollecitazioni: N=79.71 T_z=1.43 T_y=-19.27 M_z=4.31
Tensioni: σ_N=8.81 σ_M=93.98 τ=0.82 σ_{max}=102.79
Tensioni: σ_N=8.81 σ_M=-17.73 τ=5.56 τ_{max}=5.56
Tensioni: σ_N=8.81 σ_M=93.98 τ=0.82 $\sigma_{ID,max}$=102.80

- Verifica a taglio dir. Y [4.2.16] - CC 3 SLV Xl=0.10
Sollecitazioni: N=6.58 T_y=11.91
V,Ed=11.91 Vc,Rd=7560.76 V,Ed/Vc,Rd=0.00

Asta n. 1021 (1297 1298) angolari L50x10 Crit. 1

- Verifica di stabilità aste inflesse (4.2.4.1.3.2) CC 19 SLU - Classe 3
L_{cr}=0.10 Curva d: α_{imp}=0.76 k_c=0.94 ψ=1.15 M,cr=0.00 λ_{LT}=0.00
$\lambda_{LT,0}$=0.00 β_{LT}=0.00 Φ_{LT}=0.00 β_{LT}=0.00 f=0.00 χ_{LT}=1.00
CC 19 SLU My,Ed=-0.42 My,b,Rd=149.05 My,Ed/My,b,Rd=0.00

- Verifica di stabilità aste presso-inflesse (C4.2.4.1.3.3.1) - CC 5 SLV - Classe 3
Sollecitazioni: N,Ed=-26.71 Myeq,Ed=-0.27 Mzeq,Ed=3.21
Resistenze: Nc,Rd=23709.20 My,c,Rd=149.05 Mz,c,Rd=149.05 L=10.00
λ_c=5.46 Ncr,y=6286590.00 λ^*_y=0.06 Curva b: Φ_y=0.00 χ_y=1.00
λ_e=10.39 Ncr,z=1738550.00 λ^*_z=0.12 Curva b: Φ_z=0.00 χ_z=1.00
χ,min=1.00
Verifica: 0.00+0.00+0.02=0.02

- Verifica in termini tensionali [4.2.4] - CC 5 SLV Xl=0.08 - Classe 3

Sollecitazioni: N=67.79 T_y=5.40 M_z=3.21
Tensioni: σ_N=7.49 σ_M=69.86 τ=0.23 σ_{max}=77.35
Tensioni: σ_N=7.49 σ_M=-13.18 τ=1.56 τ_{max}=1.56
Tensioni: σ_N=7.49 σ_M=69.86 τ=0.23 $\sigma_{ID,max}$=77.35

- Verifica a taglio dir. Y [4.2.16] - CC 17 SLU Xl=0.02
Sollecitazioni: N=43.65 T_z=2.11 T_y=-28.68
V,Ed=-28.68 Vc,Rd=7560.76 V,Ed/Vc,Rd=0.00

- Verifica a taglio dir. Z [4.2.16]
V,Ed=2.11 Vc,Rd=7560.76 V,Ed/Vc,Rd=0.00

Asta n. 1023 (1316 1317) angolari L50x10 Crit. 1

- Verifica di stabilità aste inflesse (4.2.4.1.3.2) CC 5 SLV - Classe 3
L_{cr}=0.10 Curva d: α_{imp}=0.76 k_c=0.94 ψ=1.05 M,cr=0.00 λ_{LT}=0.00
$\lambda_{LT,0}$=0.00 β_{LT}=0.00 Φ_{LT}=0.00 β_{LT}=0.00 f=0.00 χ_{LT}=1.00
CC 5 SLV My,Ed=4.42 My,b,Rd=149.05 My,Ed/My,b,Rd=0.03

- Verifica di stabilità aste presso-inflesse (C4.2.4.1.3.3.1) - CC 9 SLU - Classe 3
Sollecitazioni: N,Ed=-104.75 Myeq,Ed=6.13 Mzeq,Ed=-0.31
Resistenze: Nc,Rd=23709.20 My,c,Rd=149.05 Mz,c,Rd=149.05 L=10.00
λ_c=5.46 Ncr,y=6286590.00 λ^*_y=0.06 Curva b: Φ_y=0.00 χ_y=1.00
λ_e=10.39 Ncr,z=1738550.00 λ^*_z=0.12 Curva b: Φ_z=0.00 χ_z=1.00
χ,min=1.00
Verifica: 0.00+0.04+0.00=0.05

- Verifica in termini tensionali [4.2.4] - CC 9 SLU Xl=0.02 - Classe 3
Sollecitazioni: N=-104.75 T_z=2.21 M_y=6.13
Tensioni: σ_N=-11.57 σ_M=-116.75 τ=0.00 σ_{max}=-128.33
Tensioni: σ_N=-11.57 σ_M=-25.20 τ=0.64 τ_{max}=0.64
Tensioni: σ_N=-11.57 σ_M=-116.75 τ=0.00 $\sigma_{ID,max}$=128.33

- Verifica a taglio dir. Z [4.2.16] - CC 3 SLV Xl=0.10
Sollecitazioni: N=-41.62 T_z=10.61
V,Ed=10.61 Vc,Rd=7560.76 V,Ed/Vc,Rd=0.00

Asta n. 1023 (1317 1318) angolari L50x10 Crit. 1

- Verifica di stabilità aste inflesse (4.2.4.1.3.2) CC 5 SLV - Classe 3
L_{cr}=0.10 Curva d: α_{imp}=0.76 k_c=0.94 ψ=1.01 M,cr=0.00 λ_{LT}=0.00
$\lambda_{LT,0}$=0.00 β_{LT}=0.00 Φ_{LT}=0.00 β_{LT}=0.00 f=0.00 χ_{LT}=1.00
CC 5 SLV My,Ed=3.93 My,b,Rd=149.05 My,Ed/My,b,Rd=0.03

- Verifica di stabilità aste presso-inflesse (C4.2.4.1.3.3.1) - CC 19 SLU - Classe 3
Sollecitazioni: N,Ed=-105.01 Myeq,Ed=6.96 Mzeq,Ed=-0.31
Resistenze: Nc,Rd=23709.20 My,c,Rd=149.05 Mz,c,Rd=149.05 L=10.00
λ_c=5.46 Ncr,y=6286590.00 λ^*_y=0.06 Curva b: Φ_y=0.00 χ_y=1.00
λ_e=10.39 Ncr,z=1738550.00 λ^*_z=0.12 Curva b: Φ_z=0.00 χ_z=1.00
χ,min=1.00
Verifica: 0.00+0.05+0.00=0.05

- Verifica in termini tensionali [4.2.4] - CC 19 SLU Xl=0.08 - Classe 3
Sollecitazioni: N=-105.01 T_z=-12.32 M_y=6.96
Tensioni: σ_N=-11.60 σ_M=-132.58 τ=0.00 σ_{max}=-144.18
Tensioni: σ_N=-11.60 σ_M=-28.62 τ=3.55 τ_{max}=3.55
Tensioni: σ_N=-11.60 σ_M=-132.58 τ=0.00 $\sigma_{ID,max}$=144.18

- Verifica a taglio dir. Z [4.2.16] - CC 3 SLV Xl=0.01

Sollecitazioni: N=-41.71 T_z=10.71
V,Ed=10.71 Vc,Rd=7560.76 V,Ed/Vc,Rd=0.00

Asta n. 1065 (1328 1329) angolari L50x10 Crit. 1

- Verifica di stabilità aste inflesse (4.2.4.1.3.2) CC 5 SLV - Classe 3
L_{cr}=0.10 Curva d: α_{imp}=0.76 k_c=0.94 ψ=1.06 M,cr=0.00 λ_{LT}=0.00
$\lambda_{LT,0}$=0.00 β_{LT}=0.00 Φ_{LT}=0.00 β_{LT}=0.00 f=0.00 χ_{LT}=1.00
CC 5 SLV My,Ed=0.24 My,b,Rd=149.05 My,Ed/My,b,Rd=0.00

- Verifica di stabilità aste presso-inflesse (C4.2.4.1.3.3.1) - CC 18 SLU - Classe 3
Sollecitazioni: N,Ed=-134.53 Myeq,Ed=0.40 Mzeq,Ed=-7.82
Resistenze: Nc,Rd=23709.20 My,c,Rd=149.05 Mz,c,Rd=149.05 L=10.00
λ_c=5.46 Ncr,y=6286590.00 λ^*_y=0.06 Curva b: Φ_y=0.00 χ_y=1.00
λ_e=10.39 Ncr,z=1738550.00 λ^*_z=0.12 Curva b: Φ_z=0.00 χ_z=1.00
χ,min=1.00
Verifica: 0.01+0.00+0.05=0.06

- Verifica in termini tensionali [4.2.4] - CC 18 SLU Xl=0.02 - Classe 3
Sollecitazioni: N=-134.53 T_y=3.10 M_z=-7.82
Tensioni: σ_N=-14.86 σ_M=-170.43 τ=0.13 σ_{max}=-185.29
Tensioni: σ_N=-14.86 σ_M=32.16 τ=0.89 τ_{max}=0.89
Tensioni: σ_N=-14.86 σ_M=-170.43 τ=0.13 $\sigma_{ID,max}$=185.29

- Verifica a taglio dir. Y [4.2.16] - CC 3 SLV Xl=0.10
Sollecitazioni: N=-41.88 T_y=10.43
V,Ed=10.43 Vc,Rd=7560.76 V,Ed/Vc,Rd=0.00

Asta n. 1065 (1329 1330) angolari L50x10 Crit. 1

- Verifica di stabilità aste inflesse (4.2.4.1.3.2) CC 5 SLV - Classe 3
L_{cr}=0.10 Curva d: α_{imp}=0.76 k_c=0.94 ψ=1.08 M,cr=0.00 λ_{LT}=0.00
$\lambda_{LT,0}$=0.00 β_{LT}=0.00 Φ_{LT}=0.00 β_{LT}=0.00 f=0.00 χ_{LT}=1.00
CC 5 SLV My,Ed=0.29 My,b,Rd=149.05 My,Ed/My,b,Rd=0.00

- Verifica di stabilità aste presso-inflesse (C4.2.4.1.3.3.1) - CC 18 SLU - Classe 3
Sollecitazioni: N,Ed=-134.53 Myeq,Ed=0.45 Mzeq,Ed=-7.53
Resistenze: Nc,Rd=23709.20 My,c,Rd=149.05 Mz,c,Rd=149.05 L=10.00
λ_c=5.46 Ncr,y=6286590.00 λ^*_y=0.06 Curva b: Φ_y=0.00 χ_y=1.00
λ_e=10.39 Ncr,z=1738550.00 λ^*_z=0.12 Curva b: Φ_z=0.00 χ_z=1.00
χ,min=1.00
Verifica: 0.01+0.00+0.05=0.06

- Verifica in termini tensionali [4.2.4] - CC 18 SLU Xl=0.00 - Classe 3
Sollecitazioni: N=-134.53 T_y=3.86 M_z=-7.53
Tensioni: σ_N=-14.86 σ_M=-164.18 τ=0.17 σ_{max}=-179.04
Tensioni: σ_N=-14.86 σ_M=30.98 τ=1.11 τ_{max}=1.11
Tensioni: σ_N=-14.86 σ_M=-164.18 τ=0.17 $\sigma_{ID,max}$=179.04

- Verifica a taglio dir. Y [4.2.16] - CC 3 SLV Xl=0.01
Sollecitazioni: N=-41.82 T_y=10.54
V,Ed=10.54 Vc,Rd=7560.76 V,Ed/Vc,Rd=0.00

Asta n. 1067 (1348 1349) angolari L50x10 Crit. 1

- Verifica di stabilità aste inflesse (4.2.4.1.3.2) CC 18 SLU - Classe 3
L_{cr}=0.10 Curva d: α_{imp}=0.76 k_c=0.94 ψ=1.00 M,cr=0.00 λ_{LT}=0.00
$\lambda_{LT,0}$=0.00 β_{LT}=0.00 Φ_{LT}=0.00 β_{LT}=0.00 f=0.00 χ_{LT}=1.00
CC 18 SLU My,Ed=-4.64 My,b,Rd=149.05 My,Ed/My,b,Rd=0.03

- Verifica di stabilità aste presso-inflesse (C4.2.4.1.3.3.1) - CC 5 SLV - Classe 3
  Sollecitazioni: N,Ed=-26.78 Myeq,Ed=-3.13 Mzeq,Ed=0.25
  Resistenze: Nc,Rd=23709.20 My,c,Rd=149.05 Mz,c,Rd=149.05 L=10.00
  λ_c=5.46 Ncr,y=6286590.00 λ^*_y=0.06 Curva b: Φ_y=0.00 χ_y=1.00
  λ_e=10.39 Ncr,z=1738550.00 λ^*_z=0.12 Curva b: Φ_z=0.00 χ_z=1.00
  χ,min=1.00
  Verifica: 0.00+0.02+0.00=0.02

- Verifica in termini tensionali [4.2.4] - CC 18 SLU Xl=0.02 - Classe 3
  Sollecitazioni: N=112.01 M_y=-4.64
  Tensioni: σ_N=12.37 σ_M=88.35 τ=0.00 σ_{max}=100.73
  Tensioni: σ_N=0.00 σ_M=0.00 τ=0.00 τ_{max}=0.00
  Tensioni: σ_N=12.37 σ_M=88.35 τ=0.00 $\sigma_{ID,max}$=100.73

- Verifica a taglio dir. Z [4.2.16] - CC 3 SLV Xl=0.10
  Sollecitazioni: N=6.84 T_z=11.96
  V,Ed=11.96 Vc,Rd=7560.76 V,Ed/Vc,Rd=0.00

Asta n. 1067 (1349 1350) angolari L50x10 Crit. 1

- Verifica di stabilità aste inflesse (4.2.4.1.3.2) CC 16 SLU - Classe 3
  L_{cr}=0.10 Curva d: α_{imp}=0.76 k_c=0.94 ψ=1.02 M,cr=0.00 λ_{LT}=0.00
  $\lambda_{LT,0}$=0.00 β_{LT}=0.00 Φ_{LT}=0.00 β_{LT}=0.00 f=0.00 χ_{LT}=1.00
  CC 16 SLU My,Ed=-4.72 My,b,Rd=149.05 My,Ed/My,b,Rd=0.03

- Verifica di stabilità aste presso-inflesse (C4.2.4.1.3.3.1) - CC 5 SLV - Classe 3
  Sollecitazioni: N,Ed=-26.75 Myeq,Ed=-3.20 Mzeq,Ed=0.27
  Resistenze: Nc,Rd=23709.20 My,c,Rd=149.05 Mz,c,Rd=149.05 L=10.00
  λ_c=5.46 Ncr,y=6286590.00 λ^*_y=0.06 Curva b: Φ_y=0.00 χ_y=1.00
  λ_e=10.39 Ncr,z=1738550.00 λ^*_z=0.12 Curva b: Φ_z=0.00 χ_z=1.00
  χ,min=1.00
  Verifica: 0.00+0.02+0.00=0.02

- Verifica in termini tensionali [4.2.4] - CC 16 SLU Xl=0.08 - Classe 3
  Sollecitazioni: N=97.44 T_z=2.68 M_y=-4.72
  Tensioni: σ_N=10.76 σ_M=89.97 τ=0.00 σ_{max}=100.74
  Tensioni: σ_N=10.76 σ_M=19.42 τ=0.77 τ_{max}=0.77
  Tensioni: σ_N=10.76 σ_M=89.97 τ=0.00 $\sigma_{ID,max}$=100.74

- Verifica a taglio dir. Y [4.2.16] - CC 17 SLU Xl=0.02
  Sollecitazioni: N=42.96 T_z=-28.90 T_y=2.15
  V,Ed=2.15 Vc,Rd=7560.76 V,Ed/Vc,Rd=0.00

- Verifica a taglio dir. Z [4.2.16]
  V,Ed=-28.90 Vc,Rd=7560.76 V,Ed/Vc,Rd=0.00

Asta n. 1105 (1296 1308) angolari L50x10 Crit. 1

- Verifica di stabilità aste inflesse (4.2.4.1.3.2) CC 19 SLU - Classe 3
  L_{cr}=0.10 Curva d: α_{imp}=0.76 k_c=0.94 ψ=2.01 M,cr=0.00 λ_{LT}=0.00
  $\lambda_{LT,0}$=0.00 β_{LT}=0.00 Φ_{LT}=0.00 β_{LT}=0.00 f=0.00 χ_{LT}=1.00
  CC 19 SLU My,Ed=-4.01 My,b,Rd=149.05 My,Ed/My,b,Rd=0.03

- Verifica di stabilità aste presso-inflesse (C4.2.4.1.3.3.1) - CC 9 SLU - Classe 3
  Sollecitazioni: N,Ed=-9.58 Myeq,Ed=-3.28 Mzeq,Ed=-0.17
  Resistenze: Nc,Rd=23709.20 My,c,Rd=149.05 Mz,c,Rd=149.05 L=10.00
  λ_c=5.46 Ncr,y=6286590.00 λ^*_y=0.06 Curva b: Φ_y=0.00 χ_y=1.00
  λ_e=10.39 Ncr,z=1738550.00 λ^*_z=0.12 Curva b: Φ_z=0.00 χ_z=1.00

χ,min=1.00
Verifica: 0.00+0.02+0.00=0.02

- Verifica in termini tensionali [4.2.4] - CC 9 SLU Xl=0.02 - Classe 3
Sollecitazioni: N=-9.58 T_z=-61.62 M_y=-3.97 T_y=2.76
Tensioni: σ_N=-1.06 σ_M=-86.54 τ=3.01 σ_{max}=-87.60
Tensioni: σ_N=-1.06 σ_M=16.33 τ=17.76 τ_{max}=17.76
Tensioni: σ_N=-1.06 σ_M=-86.54 τ=3.01 $\sigma_{ID,max}$=87.76

- Verifica a taglio dir. Y [4.2.16] - CC 9 SLU Xl=0.07
Sollecitazioni: N=-9.58 T_z=-61.13 T_y=2.76
V,Ed=2.76 Vc,Rd=7560.76 V,Ed/Vc,Rd=0.00

- Verifica a taglio dir. Z [4.2.16]
V,Ed=-61.13 Vc,Rd=7560.76 V,Ed/Vc,Rd=0.01

Asta n. 1105 (1308 1316) angolari L50x10 Crit. 1

- Verifica di stabilità aste inflesse (4.2.4.1.3.2) CC 19 SLU - Classe 3
L_{cr}=0.10 Curva d: α_{imp}=0.76 k_c=0.94 ψ=1.59 M,cr=0.00 λ_{LT}=0.00
$\lambda_{LT,0}$=0.00 β_{LT}=0.00 Φ_{LT}=0.00 β_{LT}=0.00 f=0.00 χ_{LT}=1.00
CC 19 SLU My,Ed=5.82 My,b,Rd=149.05 My,Ed/My,b,Rd=0.04

- Verifica di stabilità aste presso-inflesse (C4.2.4.1.3.3.1) - CC 9 SLU - Classe 3
Sollecitazioni: N,Ed=-9.58 Myeq,Ed=4.63 Mzeq,Ed=0.17
Resistenze: Nc,Rd=23709.20 My,c,Rd=149.05 Mz,c,Rd=149.05 L=10.00
λ_c=5.46 Ncr,y=6286590.00 λ^*_y=0.06 Curva b: Φ_y=0.00 χ_y=1.00
λ_e=10.39 Ncr,z=1738550.00 λ^*_z=0.12 Curva b: Φ_z=0.00 χ_z=1.00
χ,min=1.00
Verifica: 0.00+0.03+0.00=0.03

- Verifica in termini tensionali [4.2.4] - CC 9 SLU Xl=0.08 - Classe 3
Sollecitazioni: N=-9.58 T_z=-60.09 M_y=6.05 T_y=2.76
Tensioni: σ_N=-1.06 σ_M=131.84 τ=2.94 σ_{max}=130.78
Tensioni: σ_N=-1.06 σ_M=-24.88 τ=17.33 τ_{max}=17.33
Tensioni: σ_N=-1.06 σ_M=131.84 τ=2.94 $\sigma_{ID,max}$=130.88

- Verifica a taglio dir. Y [4.2.16] - CC 19 SLU Xl=0.00
Sollecitazioni: N=6.85 T_z=-59.70 T_y=2.59
V,Ed=2.59 Vc,Rd=7560.76 V,Ed/Vc,Rd=0.00

- Verifica a taglio dir. Z [4.2.16]
V,Ed=-59.70 Vc,Rd=7560.76 V,Ed/Vc,Rd=0.01

Asta n. 1108 (1298 1309) angolari L50x10 Crit. 1

- Verifica di stabilità aste inflesse (4.2.4.1.3.2) CC 1 SLV - Classe 3
L_{cr}=0.10 Curva d: α_{imp}=0.76 k_c=0.94 ψ=2.11 M,cr=0.00 λ_{LT}=0.00
$\lambda_{LT,0}$=0.00 β_{LT}=0.00 Φ_{LT}=0.00 β_{LT}=0.00 f=0.00 χ_{LT}=1.00
CC 1 SLV My,Ed=0.17 My,b,Rd=149.05 My,Ed/My,b,Rd=0.00

- Verifica di stabilità aste presso-inflesse (C4.2.4.1.3.3.1) - CC 9 SLU - Classe 3
Sollecitazioni: N,Ed=-14.44 Myeq,Ed=0.21 Mzeq,Ed=3.33
Resistenze: Nc,Rd=23709.20 My,c,Rd=149.05 Mz,c,Rd=149.05 L=10.00
λ_c=5.46 Ncr,y=6286590.00 λ^*_y=0.06 Curva b: Φ_y=0.00 χ_y=1.00
λ_e=10.39 Ncr,z=1738550.00 λ^*_z=0.12 Curva b: Φ_z=0.00 χ_z=1.00
χ,min=1.00
Verifica: 0.00+0.00+0.02=0.02

- Verifica in termini tensionali [4.2.4] - CC 5 SLV Xl=0.02 - Classe 3
  Sollecitazioni: N=-6.33 T_z=-1.00 T_y=-51.17 M_z=3.48
  Tensioni: σ_N=-0.70 σ_M=75.76 τ=2.19 σ_{max}=75.06
  Tensioni: σ_N=-0.70 σ_M=-14.30 τ=14.75 τ_{max}=14.75
  Tensioni: σ_N=-0.70 σ_M=75.76 τ=2.19 $\sigma_{ID,max}$=75.16

- Verifica a taglio dir. Y [4.2.16] - CC 19 SLU Xl=0.06
  Sollecitazioni: N=-31.16 T_z=3.64 T_y=-65.54
  V,Ed=-65.54 Vc,Rd=7560.76 V,Ed/Vc,Rd=0.01

- Verifica a taglio dir. Z [4.2.16]
  V,Ed=3.64 Vc,Rd=7560.76 V,Ed/Vc,Rd=0.00

Asta n. 1108 (1309 1318) angolari L50x10 Crit. 1

- Verifica di stabilità aste inflesse (4.2.4.1.3.2) CC 1 SLV - Classe 3
  L_{cr}=0.10 Curva d: α_{imp}=0.76 k_c=0.94 ψ=1.42 M,cr=0.00 λ_{LT}=0.00
  $\lambda_{LT,0}$=0.00 β_{LT}=0.00 Φ_{LT}=0.00 β_{LT}=0.00 f=0.00 χ_{LT}=1.00
  CC 1 SLV My,Ed=-0.15 My,b,Rd=149.05 My,Ed/My,b,Rd=0.00

- Verifica di stabilità aste presso-inflesse (C4.2.4.1.3.3.1) - CC 19 SLU - Classe 3
  Sollecitazioni: N,Ed=-31.16 Myeq,Ed=-0.19 Mzeq,Ed=-6.37
  Resistenze: Nc,Rd=23709.20 My,c,Rd=149.05 Mz,c,Rd=149.05 L=10.00
  λ_c=5.46 Ncr,y=6286590.00 λ^*_y=0.06 Curva b: Φ_y=0.00 χ_y=1.00
  λ_e=10.39 Ncr,z=1738550.00 λ^*_z=0.12 Curva b: Φ_z=0.00 χ_z=1.00
  χ,min=1.00
  Verifica: 0.00+0.00+0.04=0.05

- Verifica in termini tensionali [4.2.4] - CC 19 SLU Xl=0.08 - Classe 3
  Sollecitazioni: N=-31.16 T_z=3.64 T_y=-64.36 M_z=-7.57
  Tensioni: σ_N=-3.44 σ_M=-164.93 τ=2.75 σ_{max}=-168.37
  Tensioni: σ_N=-3.44 σ_M=31.12 τ=18.56 τ_{max}=18.56
  Tensioni: σ_N=-3.44 σ_M=-164.93 τ=2.75 $\sigma_{ID,max}$=168.44

- Verifica a taglio dir. Y [4.2.16] - CC 5 SLV Xl=0.00
  Sollecitazioni: T_z=2.80 T_y=-50.59
  V,Ed=-50.59 Vc,Rd=7560.76 V,Ed/Vc,Rd=0.01

- Verifica a taglio dir. Z [4.2.16]
  V,Ed=2.80 Vc,Rd=7560.76 V,Ed/Vc,Rd=0.00

Asta n. 1143 (1299 1310) angolari L50x10 Crit. 1

- Verifica di stabilità aste inflesse (4.2.4.1.3.2) CC 17 SLU - Classe 3
  L_{cr}=0.10 Curva d: α_{imp}=0.76 k_c=0.94 ψ=1.99 M,cr=0.00 λ_{LT}=0.00
  $\lambda_{LT,0}$=0.00 β_{LT}=0.00 Φ_{LT}=0.00 β_{LT}=0.00 f=0.00 χ_{LT}=1.00
  CC 17 SLU My,Ed=-4.57 My,b,Rd=149.05 My,Ed/My,b,Rd=0.03

- Verifica di stabilità aste presso-inflesse (C4.2.4.1.3.3.1) - CC 9 SLU - Classe 3
  Sollecitazioni: N,Ed=-27.11 Myeq,Ed=-6.64 Mzeq,Ed=-0.39
  Resistenze: Nc,Rd=23709.20 My,c,Rd=149.05 Mz,c,Rd=149.05 L=10.00
  λ_c=5.46 Ncr,y=6286590.00 λ^*_y=0.06 Curva b: Φ_y=0.00 χ_y=1.00
  λ_e=10.39 Ncr,z=1738550.00 λ^*_z=0.12 Curva b: Φ_z=0.00 χ_z=1.00
  χ,min=1.00
  Verifica: 0.00+0.04+0.00=0.05

- Verifica in termini tensionali [4.2.4] - CC 19 SLU Xl=0.02 - Classe 3
  Sollecitazioni: N=-1.19 T_z=-123.95 M_y=-7.59 T_y=6.01
  Tensioni: σ_N=-0.13 σ_M=-165.47 τ=6.06 σ_{max}=-165.60

Tensioni: σ_N=-0.13 σ_M=31.23 τ=35.74 τ_{max}=35.74
Tensioni: σ_N=-0.13 σ_M=-165.47 τ=6.06 $\sigma_{ID,max}$=165.94

- Verifica a taglio dir. Y [4.2.16] - CC 9 SLU Xl=0.07
Sollecitazioni: N=-27.11 T_z=-124.06 T_y=6.18
V,Ed=6.18 Vc,Rd=7560.76 V,Ed/Vc,Rd=0.00

- Verifica a taglio dir. Z [4.2.16]
V,Ed=-124.06 Vc,Rd=7560.76 V,Ed/Vc,Rd=0.02

Asta n. 1143 (1310 1319) angolari L50x10 Crit. 1

- Verifica di stabilità aste inflesse (4.2.4.1.3.2) CC 17 SLU - Classe 3
L_{cr}=0.10 Curva d: α_{imp}=0.76 k_c=0.94 ψ=1.60 M,cr=0.00 λ_{LT}=0.00
$\lambda_{LT,0}$=0.00 β_{LT}=0.00 Φ_{LT}=0.00 β_{LT}=0.00 f=0.00 χ_{LT}=1.00
CC 17 SLU My,Ed=6.45 My,b,Rd=149.05 My,Ed/My,b,Rd=0.04

- Verifica di stabilità aste presso-inflesse (C4.2.4.1.3.3.1) - CC 18 SLU - Classe 3
Sollecitazioni: N,Ed=-31.86 Myeq,Ed=11.09 Mzeq,Ed=0.37
Resistenze: Nc,Rd=23709.20 My,c,Rd=149.05 Mz,c,Rd=149.05 L=10.00
λ_c=5.46 Ncr,y=6286590.00 λ^*_y=0.06 Curva b: Φ_y=0.00 χ_y=1.00
λ_e=10.39 Ncr,z=1738550.00 λ^*_z=0.12 Curva b: Φ_z=0.00 χ_z=1.00
χ,min=1.00
Verifica: 0.00+0.07+0.00=0.08

- Verifica in termini tensionali [4.2.4] - CC 18 SLU Xl=0.08 - Classe 3
Sollecitazioni: N=-31.86 T_z=-119.28 M_y=13.46 T_y=6.16
Tensioni: σ_N=-3.52 σ_M=293.34 τ=5.83 σ_{max}=289.82
Tensioni: σ_N=-3.52 σ_M=-55.35 τ=34.39 τ_{max}=34.39
Tensioni: σ_N=-3.52 σ_M=293.34 τ=5.83 $\sigma_{ID,max}$=289.99

- Verifica a taglio dir. Y [4.2.16] - CC 17 SLU Xl=0.00
Sollecitazioni: N=27.07 T_z=-66.93 T_y=3.11
V,Ed=3.11 Vc,Rd=7560.76 V,Ed/Vc,Rd=0.00

- Verifica a taglio dir. Z [4.2.16]
V,Ed=-66.93 Vc,Rd=7560.76 V,Ed/Vc,Rd=0.01

Asta n. 1146 (1301 1311) angolari L50x10 Crit. 1

- Verifica di stabilità aste inflesse (4.2.4.1.3.2) CC 5 SLV - Classe 3
L_{cr}=0.10 Curva d: α_{imp}=0.76 k_c=0.94 ψ=1.86 M,cr=0.00 λ_{LT}=0.00
$\lambda_{LT,0}$=0.00 β_{LT}=0.00 Φ_{LT}=0.00 β_{LT}=0.00 f=0.00 χ_{LT}=1.00
CC 5 SLV My,Ed=0.28 My,b,Rd=149.05 My,Ed/My,b,Rd=0.00

- Verifica di stabilità aste presso-inflesse (C4.2.4.1.3.3.1) - CC 19 SLU - Classe 3
Sollecitazioni: N,Ed=-45.85 Myeq,Ed=0.49 Mzeq,Ed=6.81
Resistenze: Nc,Rd=23709.20 My,c,Rd=149.05 Mz,c,Rd=149.05 L=10.00
λ_c=5.46 Ncr,y=6286590.00 λ^*_y=0.06 Curva b: Φ_y=0.00 χ_y=1.00
λ_e=10.39 Ncr,z=1738550.00 λ^*_z=0.12 Curva b: Φ_z=0.00 χ_z=1.00
χ,min=1.00
Verifica: 0.00+0.00+0.05=0.05

- Verifica in termini tensionali [4.2.4] - CC 9 SLU Xl=0.02 - Classe 3
Sollecitazioni: N=-20.14 T_z=6.49 T_y=-126.19 M_z=7.33
Tensioni: σ_N=-2.23 σ_M=159.78 τ=5.39 σ_{max}=157.55
Tensioni: σ_N=-2.23 σ_M=-30.15 τ=36.38 τ_{max}=36.38
Tensioni: σ_N=-2.23 σ_M=159.78 τ=5.39 $\sigma_{ID,max}$=157.83

- Verifica a taglio dir. Y [4.2.16] - CC 19 SLU Xl=0.07
  Sollecitazioni: N=-45.85 T_z=6.71 T_y=-127.15
  V,Ed=-127.15 Vc,Rd=7560.76 V,Ed/Vc,Rd=0.02

- Verifica a taglio dir. Z [4.2.16]
  V,Ed=6.71 Vc,Rd=7560.76 V,Ed/Vc,Rd=0.00

Asta n. 1146 (1311 1321) angolari L50x10 Crit. 1

- Verifica di stabilità aste inflesse (4.2.4.1.3.2) CC 5 SLV - Classe 3
  L_{cr}=0.10 Curva d: α_{imp}=0.76 k_c=0.94 ψ=1.65 M,cr=0.00 λ_{LT}=0.00
  $\lambda_{LT,0}$=0.00 β_{LT}=0.00 Φ_{LT}=0.00 β_{LT}=0.00 f=0.00 χ_{LT}=1.00
  CC 5 SLV My,Ed=-0.29 My,b,Rd=149.05 My,Ed/My,b,Rd=0.00

- Verifica di stabilità aste presso-inflesse (C4.2.4.1.3.3.1) - CC 19 SLU - Classe 3
  Sollecitazioni: N,Ed=-45.85 Myeq,Ed=-0.36 Mzeq,Ed=-11.32
  Resistenze: Nc,Rd=23709.20 My,c,Rd=149.05 Mz,c,Rd=149.05 L=10.00
  λ_c=5.46 Ncr,y=6286590.00 λ^*_y=0.06 Curva b: Φ_y=0.00 χ_y=1.00
  λ_e=10.39 Ncr,z=1738550.00 λ^*_z=0.12 Curva b: Φ_z=0.00 χ_z=1.00
  χ,min=1.00
  Verifica: 0.00+0.00+0.08=0.08

- Verifica in termini tensionali [4.2.4] - CC 19 SLU Xl=0.08 - Classe 3
  Sollecitazioni: N=-45.85 T_z=6.71 T_y=-126.11 M_z=-13.91
  Tensioni: σ_N=-5.06 σ_M=-303.26 τ=5.39 σ_{max}=-308.33
  Tensioni: σ_N=-5.06 σ_M=57.23 τ=36.36 τ_{max}=36.36
  Tensioni: σ_N=-5.06 σ_M=-303.26 τ=5.39 $\sigma_{ID,max}$=308.47

- Verifica a taglio dir. Y [4.2.16] - CC 5 SLV Xl=0.00
  Sollecitazioni: T_z=3.28 T_y=-63.43
  V,Ed=-63.43 Vc,Rd=7560.76 V,Ed/Vc,Rd=0.01

- Verifica a taglio dir. Z [4.2.16]
  V,Ed=3.28 Vc,Rd=7560.76 V,Ed/Vc,Rd=0.00

Asta n. 1181 (1302 1312) angolari L50x10 Crit. 1

- Verifica di stabilità aste inflesse (4.2.4.1.3.2) CC 19 SLU - Classe 3
  L_{cr}=0.10 Curva d: α_{imp}=0.76 k_c=0.94 ψ=2.12 M,cr=0.00 λ_{LT}=0.00
  $\lambda_{LT,0}$=0.00 β_{LT}=0.00 Φ_{LT}=0.00 β_{LT}=0.00 f=0.00 χ_{LT}=1.00
  CC 19 SLU My,Ed=-7.76 My,b,Rd=149.05 My,Ed/My,b,Rd=0.05

- Verifica di stabilità aste presso-inflesse (C4.2.4.1.3.3.1) - CC 9 SLU - Classe 3
  Sollecitazioni: N,Ed=-21.71 Myeq,Ed=-6.74 Mzeq,Ed=-0.40
  Resistenze: Nc,Rd=23709.20 My,c,Rd=149.05 Mz,c,Rd=149.05 L=10.00
  λ_c=5.46 Ncr,y=6286590.00 λ^*_y=0.06 Curva b: Φ_y=0.00 χ_y=1.00
  λ_e=10.39 Ncr,z=1738550.00 λ^*_z=0.12 Curva b: Φ_z=0.00 χ_z=1.00
  χ,min=1.00
  Verifica: 0.00+0.05+0.00=0.05

- Verifica in termini tensionali [4.2.4] - CC 19 SLU Xl=0.02 - Classe 3
  Sollecitazioni: N=4.28 T_z=-125.04 M_y=-7.76 T_y=6.33
  Tensioni: σ_N=0.47 σ_M=-169.17 τ=6.12 σ_{max}=-168.70
  Tensioni: σ_N=0.47 σ_M=31.92 τ=36.05 τ_{max}=36.05
  Tensioni: σ_N=0.47 σ_M=-169.17 τ=6.12 $\sigma_{ID,max}$=169.03

- Verifica a taglio dir. Y [4.2.16] - CC 9 SLU Xl=0.07
  Sollecitazioni: N=-21.71 T_z=-125.90 T_y=6.55
  V,Ed=6.55 Vc,Rd=7560.76 V,Ed/Vc,Rd=0.00

- Verifica a taglio dir. Z [4.2.16]
  V,Ed=-125.90 Vc,Rd=7560.76 V,Ed/Vc,Rd=0.02

Asta n. 1181 (1312 1322) angolari L50x10 Crit. 1

- Verifica di stabilità aste inflesse (4.2.4.1.3.2) CC 19 SLU - Classe 3
  L_{cr}=0.10 Curva d: α_{imp}=0.76 k_c=0.94 ψ=1.55 M,cr=0.00 λ_{LT}=0.00
  $\lambda_{LT,0}$=0.00 β_{LT}=0.00 Φ_{LT}=0.00 β_{LT}=0.00 f=0.00 χ_{LT}=1.00
  CC 19 SLU My,Ed=12.70 My,b,Rd=149.05 My,Ed/My,b,Rd=0.09

- Verifica di stabilità aste presso-inflesse (C4.2.4.1.3.3.1) - CC 18 SLU - Classe 3
  Sollecitazioni: N,Ed=-26.55 Myeq,Ed=11.10 Mzeq,Ed=0.41
  Resistenze: Nc,Rd=23709.20 My,c,Rd=149.05 Mz,c,Rd=149.05 L=10.00
  λ_c=5.46 Ncr,y=6286590.00 λ^*_y=0.06 Curva b: Φ_y=0.00 χ_y=1.00
  λ_e=10.39 Ncr,z=1738550.00 λ^*_z=0.12 Curva b: Φ_z=0.00 χ_z=1.00
  χ,min=1.00
  Verifica: 0.00+0.07+0.00=0.08

- Verifica in termini tensionali [4.2.4] - CC 18 SLU Xl=0.08 - Classe 3
  Sollecitazioni: N=-26.55 T_z=-121.11 M_y=13.54 T_y=6.52
  Tensioni: σ_N=-2.93 σ_M=295.12 τ=5.92 σ_{max}=292.19
  Tensioni: σ_N=-2.93 σ_M=-55.69 τ=34.92 τ_{max}=34.92
  Tensioni: σ_N=-2.93 σ_M=295.12 τ=5.92 $\sigma_{ID,max}$=292.37

- Verifica a taglio dir. Y [4.2.16] - CC 17 SLU Xl=0.00
  Sollecitazioni: N=31.66 T_z=-66.63 T_y=3.23
  V,Ed=3.23 Vc,Rd=7560.76 V,Ed/Vc,Rd=0.00

- Verifica a taglio dir. Z [4.2.16]
  V,Ed=-66.63 Vc,Rd=7560.76 V,Ed/Vc,Rd=0.01

Asta n. 1184 (1304 1313) angolari L50x10 Crit. 1

- Verifica di stabilità aste inflesse (4.2.4.1.3.2) CC 1 SLV - Classe 3
  L_{cr}=0.10 Curva d: α_{imp}=0.76 k_c=0.94 ψ=1.46 M,cr=0.00 λ_{LT}=0.00
  $\lambda_{LT,0}$=0.00 β_{LT}=0.00 Φ_{LT}=0.00 β_{LT}=0.00 f=0.00 χ_{LT}=1.00
  CC 1 SLV My,Ed=0.24 My,b,Rd=149.05 My,Ed/My,b,Rd=0.00

- Verifica di stabilità aste presso-inflesse (C4.2.4.1.3.3.1) - CC 19 SLU - Classe 3
  Sollecitazioni: N,Ed=-51.22 Myeq,Ed=0.49 Mzeq,Ed=6.67
  Resistenze: Nc,Rd=23709.20 My,c,Rd=149.05 Mz,c,Rd=149.05 L=10.00
  λ_c=5.46 Ncr,y=6286590.00 λ^*_y=0.06 Curva b: Φ_y=0.00 χ_y=1.00
  λ_e=10.39 Ncr,z=1738550.00 λ^*_z=0.12 Curva b: Φ_z=0.00 χ_z=1.00
  χ,min=1.00
  Verifica: 0.00+0.00+0.04=0.05

- Verifica in termini tensionali [4.2.4] - CC 9 SLU Xl=0.02 - Classe 3
  Sollecitazioni: N=-25.57 T_z=6.13 T_y=-124.35 M_z=7.11
  Tensioni: σ_N=-2.82 σ_M=154.90 τ=5.32 σ_{max}=152.07
  Tensioni: σ_N=-2.82 σ_M=-29.23 τ=35.85 τ_{max}=35.85
  Tensioni: σ_N=-2.82 σ_M=154.90 τ=5.32 $\sigma_{ID,max}$=152.35

- Verifica a taglio dir. Y [4.2.16] - CC 19 SLU Xl=0.07
  Sollecitazioni: N=-51.22 T_z=6.31 T_y=-124.54
  V,Ed=-124.54 Vc,Rd=7560.76 V,Ed/Vc,Rd=0.02

- Verifica a taglio dir. Z [4.2.16]
  V,Ed=6.31 Vc,Rd=7560.76 V,Ed/Vc,Rd=0.00

Asta n. 1184 (1313 1324) angolari L50x10 Crit. 1

- Verifica di stabilità aste inflesse (4.2.4.1.3.2) CC 1 SLV - Classe 3
  L_{cr}=0.10 Curva d: α_{imp}=0.76 k_c=0.94 ψ=2.17 M,cr=0.00 λ_{LT}=0.00
  $\lambda_{LT,0}$=0.00 β_{LT}=0.00 Φ_{LT}=0.00 β_{LT}=0.00 f=0.00 χ_{LT}=1.00
  CC 1 SLV My,Ed=-0.20 My,b,Rd=149.05 My,Ed/My,b,Rd=0.00

- Verifica di stabilità aste presso-inflesse (C4.2.4.1.3.3.1) - CC 19 SLU - Classe 3
  Sollecitazioni: N,Ed=-51.22 Myeq,Ed=-0.34 Mzeq,Ed=-11.26
  Resistenze: Nc,Rd=23709.20 My,c,Rd=149.05 Mz,c,Rd=149.05 L=10.00
  λ_c=5.46 Ncr,y=6286590.00 λ^*_y=0.06 Curva b: Φ_y=0.00 χ_y=1.00
  λ_e=10.39 Ncr,z=1738550.00 λ^*_z=0.12 Curva b: Φ_z=0.00 χ_z=1.00
  χ,min=1.00
  Verifica: 0.00+0.00+0.08=0.08

- Verifica in termini tensionali [4.2.4] - CC 19 SLU Xl=0.08 - Classe 3
  Sollecitazioni: N=-51.22 T_z=6.31 T_y=-123.50 M_z=-13.76
  Tensioni: σ_N=-5.66 σ_M=-299.99 τ=5.28 σ_{max}=-305.65
  Tensioni: σ_N=-5.66 σ_M=56.61 τ=35.61 τ_{max}=35.61
  Tensioni: σ_N=-5.66 σ_M=-299.99 τ=5.28 $\sigma_{ID,max}$=305.79

- Verifica a taglio dir. Y [4.2.16] - CC 7 SLV Xl=0.00
  Sollecitazioni: N=-11.30 T_y=-62.14
  V,Ed=-62.14 Vc,Rd=7560.76 V,Ed/Vc,Rd=0.01

Asta n. 1219 (1305 1314) angolari L50x10 Crit. 1

- Verifica di stabilità aste inflesse (4.2.4.1.3.2) CC 19 SLU - Classe 3
  L_{cr}=0.10 Curva d: α_{imp}=0.76 k_c=0.94 ψ=2.36 M,cr=0.00 λ_{LT}=0.00
  $\lambda_{LT,0}$=0.00 β_{LT}=0.00 Φ_{LT}=0.00 β_{LT}=0.00 f=0.00 χ_{LT}=1.00
  CC 19 SLU My,Ed=-3.52 My,b,Rd=149.05 My,Ed/My,b,Rd=0.02

- Verifica di stabilità aste presso-inflesse (C4.2.4.1.3.3.1) - CC 9 SLU - Classe 3
  Sollecitazioni: N,Ed=-15.23 Myeq,Ed=-3.34 Mzeq,Ed=-0.22
  Resistenze: Nc,Rd=23709.20 My,c,Rd=149.05 Mz,c,Rd=149.05 L=10.00
  λ_c=5.46 Ncr,y=6286590.00 λ^*_y=0.06 Curva b: Φ_y=0.00 χ_y=1.00
  λ_e=10.39 Ncr,z=1738550.00 λ^*_z=0.12 Curva b: Φ_z=0.00 χ_z=1.00
  χ,min=1.00
  Verifica: 0.00+0.02+0.00=0.02

- Verifica in termini tensionali [4.2.4] - CC 5 SLV Xl=0.02 - Classe 3
  Sollecitazioni: N=-6.95 T_z=-51.09 M_y=-3.48 T_y=-1.00
  Tensioni: σ_N=-0.77 σ_M=-75.90 τ=2.50 σ_{max}=-76.67
  Tensioni: σ_N=-0.77 σ_M=14.32 τ=14.73 τ_{max}=14.73
  Tensioni: σ_N=-0.77 σ_M=-75.90 τ=2.50 $\sigma_{ID,max}$=76.79

- Verifica a taglio dir. Y [4.2.16] - CC 9 SLU Xl=0.06
  Sollecitazioni: N=-15.23 T_z=-64.94 T_y=3.49
  V,Ed=3.49 Vc,Rd=7560.76 V,Ed/Vc,Rd=0.00

- Verifica a taglio dir. Z [4.2.16]
  V,Ed=-64.94 Vc,Rd=7560.76 V,Ed/Vc,Rd=0.01

Asta n. 1219 (1314 1325) angolari L50x10 Crit. 1

- Verifica di stabilità aste inflesse (4.2.4.1.3.2) CC 19 SLU - Classe 3
  L_{cr}=0.10 Curva d: α_{imp}=0.76 k_c=0.94 ψ=1.50 M,cr=0.00 λ_{LT}=0.00
  $\lambda_{LT,0}$=0.00 β_{LT}=0.00 Φ_{LT}=0.00 β_{LT}=0.00 f=0.00 χ_{LT}=1.00

CC 19 SLU My,Ed=7.03 My,b,Rd=149.05 My,Ed/My,b,Rd=0.05

- Verifica di stabilità aste presso-inflesse (C4.2.4.1.3.3.1) - CC 9 SLU - Classe 3
Sollecitazioni: N,Ed=-15.23 Myeq,Ed=6.03 Mzeq,Ed=0.22
Resistenze: Nc,Rd=23709.20 My,c,Rd=149.05 Mz,c,Rd=149.05 L=10.00
λ_c=5.46 Ncr,y=6286590.00 λ^*_y=0.06 Curva b: Φ_y=0.00 χ_y=1.00
λ_e=10.39 Ncr,z=1738550.00 λ^*_z=0.12 Curva b: Φ_z=0.00 χ_z=1.00
χ,min=1.00
Verifica: 0.00+0.04+0.00=0.04

- Verifica in termini tensionali [4.2.4] - CC 9 SLU Xl=0.08 - Classe 3
Sollecitazioni: N=-15.23 T_z=-63.76 M_y=7.28 T_y=3.49
Tensioni: σ_N=-1.68 σ_M=158.67 τ=3.12 σ_{max}=156.99
Tensioni: σ_N=-1.68 σ_M=-29.94 τ=18.39 τ_{max}=18.39
Tensioni: σ_N=-1.68 σ_M=158.67 τ=3.12 $\sigma_{ID,max}$=157.08

- Verifica a taglio dir. Y [4.2.16] - CC 5 SLV Xl=0.00
Sollecitazioni: T_z=-50.51 T_y=2.79
V,Ed=2.79 Vc,Rd=7560.76 V,Ed/Vc,Rd=0.00

- Verifica a taglio dir. Z [4.2.16]
V,Ed=-50.51 Vc,Rd=7560.76 V,Ed/Vc,Rd=0.01

Asta n. 1222 (1307 1315) angolari L50x10 Crit. 1

- Verifica di stabilità aste inflesse (4.2.4.1.3.2) CC 5 SLV - Classe 3
L_{cr}=0.10 Curva d: α_{imp}=0.76 k_c=0.94 ψ=1.64 M,cr=0.00 λ_{LT}=0.00
$\lambda_{LT,0}$=0.00 β_{LT}=0.00 Φ_{LT}=0.00 β_{LT}=0.00 f=0.00 χ_{LT}=1.00
CC 5 SLV My,Ed=0.20 My,b,Rd=149.05 My,Ed/My,b,Rd=0.00

- Verifica di stabilità aste presso-inflesse (C4.2.4.1.3.3.1) - CC 19 SLU - Classe 3
Sollecitazioni: N,Ed=-25.00 Myeq,Ed=0.26 Mzeq,Ed=3.36
Resistenze: Nc,Rd=23709.20 My,c,Rd=149.05 Mz,c,Rd=149.05 L=10.00
λ_c=5.46 Ncr,y=6286590.00 λ^*_y=0.06 Curva b: Φ_y=0.00 χ_y=1.00
λ_e=10.39 Ncr,z=1738550.00 λ^*_z=0.12 Curva b: Φ_z=0.00 χ_z=1.00
χ,min=1.00
Verifica: 0.00+0.00+0.02=0.03

- Verifica in termini tensionali [4.2.4] - CC 9 SLU Xl=0.02 - Classe 3
Sollecitazioni: N=-8.84 T_z=2.78 T_y=-61.75 M_z=3.96
Tensioni: σ_N=-0.98 σ_M=86.21 τ=2.64 σ_{max}=85.23
Tensioni: σ_N=-0.98 σ_M=-16.27 τ=17.80 τ_{max}=17.80
Tensioni: σ_N=-0.98 σ_M=86.21 τ=2.64 $\sigma_{ID,max}$=85.35

- Verifica a taglio dir. Y [4.2.16] - CC 19 SLU Xl=0.07
Sollecitazioni: N=-25.00 T_z=2.99 T_y=-62.65
V,Ed=-62.65 Vc,Rd=7560.76 V,Ed/Vc,Rd=0.01

- Verifica a taglio dir. Z [4.2.16]
V,Ed=2.99 Vc,Rd=7560.76 V,Ed/Vc,Rd=0.00

Asta n. 1222 (1315 1327) angolari L50x10 Crit. 1

- Verifica di stabilità aste inflesse (4.2.4.1.3.2) CC 5 SLV - Classe 3
L_{cr}=0.10 Curva d: α_{imp}=0.76 k_c=0.94 ψ=1.88 M,cr=0.00 λ_{LT}=0.00
$\lambda_{LT,0}$=0.00 β_{LT}=0.00 Φ_{LT}=0.00 β_{LT}=0.00 f=0.00 χ_{LT}=1.00
CC 5 SLV My,Ed=-0.18 My,b,Rd=149.05 My,Ed/My,b,Rd=0.00

- Verifica di stabilità aste presso-inflesse (C4.2.4.1.3.3.1) - CC 19 SLU - Classe 3

Sollecitazioni: N,Ed=-25.00 Myeq,Ed=-0.16 Mzeq,Ed=-4.93
Resistenze: Nc,Rd=23709.20 My,c,Rd=149.05 Mz,c,Rd=149.05 L=10.00
λ_c=5.46 Ncr,y=6286590.00 λ^*_y=0.06 Curva b: Φ_y=0.00 χ_y=1.00
λ_e=10.39 Ncr,z=1738550.00 λ^*_z=0.12 Curva b: Φ_z=0.00 χ_z=1.00
χ,min=1.00
Verifica: 0.00+0.00+0.03=0.04

- Verifica in termini tensionali [4.2.4] - CC 19 SLU Xl=0.08 - Classe 3
Sollecitazioni: N=-25.00 T_z=2.99 T_y=-61.61 M_z=-6.34
Tensioni: σ_N=-2.76 σ_M=-138.21 τ=2.63 σ_{max}=-140.97
Tensioni: σ_N=-2.76 σ_M=26.08 τ=17.76 τ_{max}=17.76
Tensioni: σ_N=-2.76 σ_M=-138.21 τ=2.63 $\sigma_{ID,max}$=141.04

- Verifica a taglio dir. Y [4.2.16] - CC 10 SLU Xl=0.00
Sollecitazioni: N=-7.32 T_z=2.18 T_y=-47.76
V,Ed=-47.76 Vc,Rd=7560.76 V,Ed/Vc,Rd=0.01

- Verifica a taglio dir. Z [4.2.16]
V,Ed=2.18 Vc,Rd=7560.76 V,Ed/Vc,Rd=0.00

Asta n. 1240 (-37 -69) angolari L50x10 Crit. 1

- Verifica di stabilità aste inflesse (4.2.4.1.3.2) CC 1 SLV - Classe 3
L_{cr}=0.19 Curva d: α_{imp}=0.76 k_c=0.94 ψ=1.89 M,cr=0.00 λ_{LT}=0.00
$\lambda_{LT,0}$=0.20 β_{LT}=1.00 Φ_{LT}=0.00 β_{LT}=1.00 f=0.00 χ_{LT}=1.00
CC 1 SLV My,Ed=3.66 My,b,Rd=149.05 My,Ed/My,b,Rd=0.02

- Verifica di stabilità aste presso-inflesse (C4.2.4.1.3.3.1) - CC 17 SLU - Classe 3
Sollecitazioni: N,Ed=-1354.48 Myeq,Ed=7.19 Mzeq,Ed=-1.94
Resistenze: Nc,Rd=23709.20 My,c,Rd=149.05 Mz,c,Rd=149.05 L=19.38
λ_c=10.59 Ncr,y=1673810.00 λ^*_y=0.12 Curva b: Φ_y=0.49 χ_y=1.00
λ_e=20.13 Ncr,z=462889.00 λ^*_z=0.23 Curva b: Φ_z=0.53 χ_z=0.99
χ,min=0.99
Verifica: 0.06+0.05+0.01=0.12

- Verifica a compressione [4.2.9] - CC 17 SLU Xl=0.16 - Classe 1
Sollecitazioni: N=-1353.49 T_z=79.92 T_y=11.27
N,Ed=-1353.49 Nc,Rd=-23709.20 N,Ed/Nc,Rd=0.06
Verifiche di duttilità [7.5.3]:
q_0=4.00 N,Ed=-1353.49 Npl,Rd=23709.20 N,Ed/Npl,Rd=0.057087

- Verifica a taglio dir. Y [4.2.16] - CC 19 SLU Xl=0.16
Sollecitazioni: N=-1164.92 T_z=85.73 T_y=-27.77
V,Ed=-27.77 Vc,Rd=7560.76 V,Ed/Vc,Rd=0.00

- Verifica a taglio dir. Z [4.2.16]
V,Ed=85.73 Vc,Rd=7560.76 V,Ed/Vc,Rd=0.01

Asta n. 1240 (-69 -101) angolari L50x10 Crit. 1

- Verifica di stabilità aste inflesse (4.2.4.1.3.2) CC 1 SLV - Classe 3
L_{cr}=0.19 Curva d: α_{imp}=0.76 k_c=0.94 ψ=2.43 M,cr=0.00 λ_{LT}=0.00
$\lambda_{LT,0}$=0.20 β_{LT}=1.00 Φ_{LT}=0.00 β_{LT}=1.00 f=0.00 χ_{LT}=1.00
CC 1 SLV My,Ed=2.54 My,b,Rd=149.05 My,Ed/My,b,Rd=0.02

- Verifica di stabilità aste presso-inflesse (C4.2.4.1.3.3.1) - CC 17 SLU - Classe 3
Sollecitazioni: N,Ed=-1250.74 Myeq,Ed=6.52 Mzeq,Ed=-1.93
Resistenze: Nc,Rd=23709.20 My,c,Rd=149.05 Mz,c,Rd=149.05 L=19.38
λ_c=10.59 Ncr,y=1673810.00 λ^*_y=0.12 Curva b: Φ_y=0.49 χ_y=1.00

λ_e=20.13 Ncr,z=462890.00 λ^*_z=0.23 Curva b: Φ_z=0.53 χ_z=0.99
χ,min=0.99
Verifica: 0.05+0.04+0.01=0.11

- Verifica a compressione [4.2.9] - CC 17 SLU Xl=0.12 - Classe 1
Sollecitazioni: N=-1249.89 T_z=69.82 T_y=17.47
N,Ed=-1249.89 Nc,Rd=-23709.20 N,Ed/Nc,Rd=0.05
Verifiche di duttilità [7.5.3]:
q_0=4.00 N,Ed=-1249.89 Npl,Rd=23709.20 N,Ed/Npl,Rd=0.052718

- Verifica a taglio dir. Y [4.2.16] - CC 19 SLU Xl=0.10
Sollecitazioni: N=-1053.37 T_z=76.20 T_y=-22.99
V,Ed=-22.99 Vc,Rd=7560.76 V,Ed/Vc,Rd=0.00

- Verifica a taglio dir. Z [4.2.16]
V,Ed=76.20 Vc,Rd=7560.76 V,Ed/Vc,Rd=0.01

Asta n. 1240 (-101 -133) angolari L50x10 Crit. 1

- Verifica di stabilità aste inflesse (4.2.4.1.3.2) CC 1 SLV - Classe 3
L_{cr}=0.19 Curva d: α_{imp}=0.76 k_c=0.94 ψ=2.76 M,cr=0.00 λ_{LT}=0.00
$\lambda_{LT,0}$=0.20 β_{LT}=1.00 Φ_{LT}=0.00 β_{LT}=1.00 f=0.00 χ_{LT}=1.00
CC 1 SLV My,Ed=2.28 My,b,Rd=149.05 My,Ed/My,b,Rd=0.02

- Verifica di stabilità aste presso-inflesse (C4.2.4.1.3.3.1) - CC 17 SLU - Classe 3
Sollecitazioni: N,Ed=-1119.10 Myeq,Ed=5.82 Mzeq,Ed=-1.64
Resistenze: Nc,Rd=23709.20 My,c,Rd=149.05 Mz,c,Rd=149.05 L=19.38
λ_c=10.59 Ncr,y=1673810.00 λ^*_y=0.12 Curva b: Φ_y=0.49 χ_y=1.00
λ_e=20.13 Ncr,z=462889.00 λ^*_z=0.23 Curva b: Φ_z=0.53 χ_z=0.99
χ,min=0.99
Verifica: 0.05+0.04+0.01=0.10

- Verifica a compressione [4.2.9] - CC 17 SLU Xl=0.10 - Classe 1
Sollecitazioni: N=-1118.38 T_z=70.33 T_y=15.82
N,Ed=-1118.38 Nc,Rd=-23709.20 N,Ed/Nc,Rd=0.05
Verifiche di duttilità [7.5.3]:
q_0=4.00 N,Ed=-1118.38 Npl,Rd=23709.20 N,Ed/Npl,Rd=0.047171

- Verifica a taglio dir. Y [4.2.16] - CC 19 SLU Xl=0.09
Sollecitazioni: N=-910.58 T_z=77.64 T_y=-24.86
V,Ed=-24.86 Vc,Rd=7560.76 V,Ed/Vc,Rd=0.00

- Verifica a taglio dir. Z [4.2.16]
V,Ed=77.64 Vc,Rd=7560.76 V,Ed/Vc,Rd=0.01

Asta n. 1240 (-133 -165) angolari L50x10 Crit. 1

- Verifica di stabilità aste inflesse (4.2.4.1.3.2) CC 5 SLV - Classe 3
L_{cr}=0.19 Curva d: α_{imp}=0.76 k_c=0.94 ψ=2.88 M,cr=0.00 λ_{LT}=0.00
$\lambda_{LT,0}$=0.20 β_{LT}=1.00 Φ_{LT}=0.00 β_{LT}=1.00 f=0.00 χ_{LT}=1.00
CC 5 SLV My,Ed=-2.45 My,b,Rd=149.05 My,Ed/My,b,Rd=0.02

- Verifica di stabilità aste presso-inflesse (C4.2.4.1.3.3.1) - CC 17 SLU - Classe 3
Sollecitazioni: N,Ed=-978.50 Myeq,Ed=5.53 Mzeq,Ed=-1.55
Resistenze: Nc,Rd=23709.20 My,c,Rd=149.05 Mz,c,Rd=149.05 L=19.38
λ_c=10.59 Ncr,y=1673810.00 λ^*_y=0.12 Curva b: Φ_y=0.49 χ_y=1.00
λ_e=20.13 Ncr,z=462890.00 λ^*_z=0.23 Curva b: Φ_z=0.53 χ_z=0.99
χ,min=0.99

Verifica: 0.04+0.04+0.01=0.09

- Verifica a compressione [4.2.9] - CC 17 SLU Xl=0.10 - Classe 1
Sollecitazioni: N=-977.78 T_z=70.50 T_y=14.73
N,Ed=-977.78 Nc,Rd=-23709.20 N,Ed/Nc,Rd=0.04
Verifiche di duttilità [7.5.3]:
q_0=4.00 N,Ed=-977.78 Npl,Rd=23709.20 N,Ed/Npl,Rd=0.041240

- Verifica a taglio dir. Y [4.2.16] - CC 19 SLU Xl=0.09
Sollecitazioni: N=-756.64 T_z=78.55 T_y=-26.30
V,Ed=-26.30 Vc,Rd=7560.76 V,Ed/Vc,Rd=0.00

- Verifica a taglio dir. Z [4.2.16]
V,Ed=78.55 Vc,Rd=7560.76 V,Ed/Vc,Rd=0.01

Asta n. 1240 (-165 -197) angolari L50x10 Crit. 1

- Verifica di stabilità aste inflesse (4.2.4.1.3.2) CC 5 SLV - Classe 3
L_{cr}=0.19 Curva d: α_{imp}=0.76 k_c=0.94 ψ=2.78 M,cr=0.00 λ_{LT}=0.00
$\lambda_{LT,0}$=0.20 β_{LT}=1.00 Φ_{LT}=0.00 β_{LT}=1.00 f=0.00 χ_{LT}=1.00
CC 5 SLV My,Ed=-2.59 My,b,Rd=149.05 My,Ed/My,b,Rd=0.02

- Verifica di stabilità aste presso-inflesse (C4.2.4.1.3.3.1) - CC 19 SLU - Classe 3
Sollecitazioni: N,Ed=-596.73 Myeq,Ed=-5.95 Mzeq,Ed=-2.60
Resistenze: Nc,Rd=23709.20 My,c,Rd=149.05 Mz,c,Rd=149.05 L=19.38
λ_c=10.59 Ncr,y=1673810.00 λ^*_y=0.12 Curva b: Φ_y=0.49 χ_y=1.00
λ_e=20.13 Ncr,z=462890.00 λ^*_z=0.23 Curva b: Φ_z=0.53 χ_z=0.99
χ,min=0.99
Verifica: 0.03+0.04+0.02=0.08

- Verifica a compressione [4.2.9] - CC 17 SLU Xl=0.10 - Classe 1
Sollecitazioni: N=-832.47 T_z=70.65 T_y=13.57
N,Ed=-832.47 Nc,Rd=-23709.20 N,Ed/Nc,Rd=0.04
Verifiche di duttilità [7.5.3]:
q_0=4.00 N,Ed=-832.47 Npl,Rd=23709.20 N,Ed/Npl,Rd=0.035112

- Verifica a taglio dir. Y [4.2.16] - CC 19 SLU Xl=0.09
Sollecitazioni: N=-596.12 T_z=79.49 T_y=-27.83
V,Ed=-27.83 Vc,Rd=7560.76 V,Ed/Vc,Rd=0.00

- Verifica a taglio dir. Z [4.2.16]
V,Ed=79.49 Vc,Rd=7560.76 V,Ed/Vc,Rd=0.01

Asta n. 1240 (-197 -229) angolari L50x10 Crit. 1

- Verifica di stabilità aste inflesse (4.2.4.1.3.2) CC 5 SLV - Classe 3
L_{cr}=0.19 Curva d: α_{imp}=0.76 k_c=0.94 ψ=2.70 M,cr=0.00 λ_{LT}=0.00
$\lambda_{LT,0}$=0.20 β_{LT}=1.00 Φ_{LT}=0.00 β_{LT}=1.00 f=0.00 χ_{LT}=1.00
CC 5 SLV My,Ed=-2.73 My,b,Rd=149.05 My,Ed/My,b,Rd=0.02

- Verifica di stabilità aste presso-inflesse (C4.2.4.1.3.3.1) - CC 19 SLU - Classe 3
Sollecitazioni: N,Ed=-430.31 Myeq,Ed=-6.23 Mzeq,Ed=-2.74
Resistenze: Nc,Rd=23709.20 My,c,Rd=149.05 Mz,c,Rd=149.05 L=19.38
λ_c=10.59 Ncr,y=1673810.00 λ^*_y=0.12 Curva b: Φ_y=0.49 χ_y=1.00
λ_e=20.13 Ncr,z=462889.00 λ^*_z=0.23 Curva b: Φ_z=0.53 χ_z=0.99
χ,min=0.99
Verifica: 0.02+0.04+0.02=0.08

- Verifica a compressione [4.2.9] - CC 17 SLU Xl=0.10 - Classe 1
  Sollecitazioni: N=-683.19 T_z=70.91 T_y=12.48
  N,Ed=-683.19 Nc,Rd=-23709.20 N,Ed/Nc,Rd=0.03
  Verifiche di duttilità [7.5.3]:
  q_0=4.00 N,Ed=-683.19 Npl,Rd=23709.20 N,Ed/Npl,Rd=0.028815

- Verifica a taglio dir. Y [4.2.16] - CC 19 SLU Xl=0.09
  Sollecitazioni: N=-429.70 T_z=80.55 T_y=-29.35
  V,Ed=-29.35 Vc,Rd=7560.76 V,Ed/Vc,Rd=0.00

- Verifica a taglio dir. Z [4.2.16]
  V,Ed=80.55 Vc,Rd=7560.76 V,Ed/Vc,Rd=0.01

Asta n. 1240 (-229 -261) angolari L50x10 Crit. 1

- Verifica di stabilità aste inflesse (4.2.4.1.3.2) CC 9 SLU - Classe 3
  L_{cr}=0.19 Curva d: α_{imp}=0.76 k_c=0.94 ψ=2.54 M,cr=0.00 λ_{LT}=0.00
  $\lambda_{LT,0}$=0.20 β_{LT}=1.00 Φ_{LT}=0.00 β_{LT}=1.00 f=0.00 χ_{LT}=1.00
  CC 9 SLU My,Ed=-5.14 My,b,Rd=149.05 My,Ed/My,b,Rd=0.03

- Verifica di stabilità aste presso-inflesse (C4.2.4.1.3.3.1) - CC 19 SLU - Classe 3
  Sollecitazioni: N,Ed=-257.85 Myeq,Ed=-6.52 Mzeq,Ed=-2.89
  Resistenze: Nc,Rd=23709.20 My,c,Rd=149.05 Mz,c,Rd=149.05 L=19.38
  λ_c=10.59 Ncr,y=1673810.00 λ^*_y=0.12 Curva b: Φ_y=0.49 χ_y=1.00
  λ_e=20.13 Ncr,z=462889.00 λ^*_z=0.23 Curva b: Φ_z=0.53 χ_z=0.99
  χ,min=0.99
  Verifica: 0.01+0.04+0.02=0.07

- Verifica in termini tensionali [4.2.4] - CC 9 SLU Xl=0.17 - Classe 3
  Sollecitazioni: N=62.75 T_z=58.60 M_y=-5.14 T_y=-55.74 M_z=-5.00 (M_c=-0.09 M_e=-7.17)
  Tensioni: σ_N=6.93 σ_M=193.19 τ=0.00 σ_{max}=200.12
  Tensioni: σ_N=6.93 σ_M=30.15 τ=19.24 τ_{max}=19.24
  Tensioni: σ_N=6.93 σ_M=193.19 τ=0.00 $\sigma_{ID,max}$=200.12

- Verifica a taglio dir. Y [4.2.16] - CC 19 SLU Xl=0.08
  Sollecitazioni: N=-257.37 T_z=81.64 T_y=-30.97
  V,Ed=-30.97 Vc,Rd=7560.76 V,Ed/Vc,Rd=0.00

- Verifica a taglio dir. Z [4.2.16]
  V,Ed=81.64 Vc,Rd=7560.76 V,Ed/Vc,Rd=0.01

Asta n. 1240 (-261 -293) angolari L50x10 Crit. 1

- Verifica di stabilità aste inflesse (4.2.4.1.3.2) CC 9 SLU - Classe 3
  L_{cr}=0.19 Curva d: α_{imp}=0.76 k_c=0.94 ψ=2.48 M,cr=0.00 λ_{LT}=0.00
  $\lambda_{LT,0}$=0.20 β_{LT}=1.00 Φ_{LT}=0.00 β_{LT}=1.00 f=0.00 χ_{LT}=1.00
  CC 9 SLU My,Ed=-5.42 My,b,Rd=149.05 My,Ed/My,b,Rd=0.04

- Verifica di stabilità aste presso-inflesse (C4.2.4.1.3.3.1) - CC 19 SLU - Classe 3
  Sollecitazioni: N,Ed=-78.96 Myeq,Ed=-6.83 Mzeq,Ed=-3.05
  Resistenze: Nc,Rd=23709.20 My,c,Rd=149.05 Mz,c,Rd=149.05 L=19.38
  λ_c=10.59 Ncr,y=1673810.00 λ^*_y=0.12 Curva b: Φ_y=0.49 χ_y=1.00
  λ_e=20.13 Ncr,z=462889.00 λ^*_z=0.23 Curva b: Φ_z=0.53 χ_z=0.99
  χ,min=0.99
  Verifica: 0.00+0.05+0.02=0.07

- Verifica in termini tensionali [4.2.4] - CC 9 SLU Xl=0.17 - Classe 3
  Sollecitazioni: N=190.81 T_z=60.08 M_y=-5.42 T_y=-57.15 M_z=-5.27 (M_c=-0.10 M_e=-7.56)
  Tensioni: σ_N=21.08 σ_M=203.69 τ=0.00 σ_{max}=224.77

Tensioni: σ_N=21.08 σ_M=31.80 τ=19.73 τ_{max}=19.73
Tensioni: σ_N=21.08 σ_M=203.69 τ=0.00 $\sigma_{ID,max}$=224.77

- Verifica a taglio dir. Y [4.2.16] - CC 19 SLU Xl=0.08
Sollecitazioni: N=-78.48 T_z=82.83 T_y=-32.62
V,Ed=-32.62 Vc,Rd=7560.76 V,Ed/Vc,Rd=0.00

- Verifica a taglio dir. Z [4.2.16]
V,Ed=82.83 Vc,Rd=7560.76 V,Ed/Vc,Rd=0.01

Asta n. 1240 (-293 -325) angolari L50x10 Crit. 1

- Verifica di stabilità aste inflesse (4.2.4.1.3.2) CC 19 SLU - Classe 3
L_{cr}=0.19 Curva d: α_{imp}=0.76 k_c=0.94 ψ=2.61 M,cr=0.00 λ_{LT}=0.00
$\lambda_{LT,0}$=0.20 β_{LT}=1.00 Φ_{LT}=0.00 β_{LT}=1.00 f=0.00 χ_{LT}=1.00
CC 19 SLU My,Ed=-7.17 My,b,Rd=149.05 My,Ed/My,b,Rd=0.05

- Verifica di stabilità aste presso-inflesse (C4.2.4.1.3.3.1) - CC 17 SLU - Classe 3
Sollecitazioni: N,Ed=-211.12 Myeq,Ed=-5.59 Mzeq,Ed=-1.32
Resistenze: Nc,Rd=23709.20 My,c,Rd=149.05 Mz,c,Rd=149.05 L=19.38
λ_c=10.59 Ncr,y=1673810.00 λ^*_y=0.12 Curva b: Φ_y=0.49 χ_y=1.00
λ_e=20.13 Ncr,z=462889.00 λ^*_z=0.23 Curva b: Φ_z=0.53 χ_z=0.99
χ,min=0.99
Verifica: 0.01+0.04+0.01=0.06

- Verifica in termini tensionali [4.2.4] - CC 9 SLU Xl=0.17 - Classe 3
Sollecitazioni: N=325.13 T_z=61.63 M_y=-5.72 T_y=-58.63 M_z=-5.56 (M_c=-0.11 M_e=-7.98)
Tensioni: σ_N=35.92 σ_M=215.02 τ=0.00 σ_{max}=250.94
Tensioni: σ_N=35.92 σ_M=33.58 τ=20.24 τ_{max}=20.24
Tensioni: σ_N=35.92 σ_M=215.02 τ=0.00 $\sigma_{ID,max}$=250.94

- Verifica a taglio dir. Y [4.2.16] - CC 19 SLU Xl=0.08
Sollecitazioni: N=107.32 T_z=84.11 T_y=-34.33
V,Ed=-34.33 Vc,Rd=7560.76 V,Ed/Vc,Rd=0.00

- Verifica a taglio dir. Z [4.2.16]
V,Ed=84.11 Vc,Rd=7560.76 V,Ed/Vc,Rd=0.01

Asta n. 1240 (-325 -357) angolari L50x10 Crit. 1

- Verifica di stabilità aste inflesse (4.2.4.1.3.2) CC 19 SLU - Classe 3
L_{cr}=0.19 Curva d: α_{imp}=0.76 k_c=0.94 ψ=2.53 M,cr=0.00 λ_{LT}=0.00
$\lambda_{LT,0}$=0.20 β_{LT}=1.00 Φ_{LT}=0.00 β_{LT}=1.00 f=0.00 χ_{LT}=1.00
CC 19 SLU My,Ed=-7.54 My,b,Rd=149.05 My,Ed/My,b,Rd=0.05

- Verifica di stabilità aste presso-inflesse (C4.2.4.1.3.3.1) - CC 5 SLV - Classe 3
Sollecitazioni: N,Ed=-238.99 Myeq,Ed=-3.35 Mzeq,Ed=-3.17
Resistenze: Nc,Rd=23709.20 My,c,Rd=149.05 Mz,c,Rd=149.05 L=19.38
λ_c=10.59 Ncr,y=1673810.00 λ^*_y=0.12 Curva b: Φ_y=0.49 χ_y=1.00
λ_e=20.13 Ncr,z=462889.00 λ^*_z=0.23 Curva b: Φ_z=0.53 χ_z=0.99
χ,min=0.99
Verifica: 0.01+0.02+0.02=0.05

- Verifica in termini tensionali [4.2.4] - CC 9 SLU Xl=0.17 - Classe 3
Sollecitazioni: N=466.20 T_z=63.27 M_y=-6.05 T_y=-60.18 M_z=-5.87 (M_c=-0.13 M_e=-8.43)
Tensioni: σ_N=51.50 σ_M=227.27 τ=0.00 σ_{max}=278.77
Tensioni: σ_N=51.50 σ_M=35.50 τ=20.78 τ_{max}=20.78
Tensioni: σ_N=51.50 σ_M=227.27 τ=0.00 $\sigma_{ID,max}$=278.77

- Verifica a taglio dir. Y [4.2.16] - CC 19 SLU Xl=0.08
  Sollecitazioni: N=300.52 T_z=85.47 T_y=-36.12
  V,Ed=-36.12 Vc,Rd=7560.76 V,Ed/Vc,Rd=0.00

- Verifica a taglio dir. Z [4.2.16]
  V,Ed=85.47 Vc,Rd=7560.76 V,Ed/Vc,Rd=0.01

Asta n. 1240 (-357 -389) angolari L50x10 Crit. 1

- Verifica di stabilità aste inflesse (4.2.4.1.3.2) CC 19 SLU - Classe 3
  L_{cr}=0.19 Curva d: α_{imp}=0.76 k_c=0.94 ψ=2.45 M,cr=0.00 λ_{LT}=0.00
  $\lambda_{LT,0}$=0.20 β_{LT}=1.00 Φ_{LT}=0.00 β_{LT}=1.00 f=0.00 χ_{LT}=1.00
  CC 19 SLU My,Ed=-7.94 My,b,Rd=149.05 My,Ed/My,b,Rd=0.05

- Verifica di stabilità aste presso-inflesse (C4.2.4.1.3.3.1) - CC 5 SLV - Classe 3
  Sollecitazioni: N,Ed=-229.65 Myeq,Ed=-3.43 Mzeq,Ed=-3.24
  Resistenze: Nc,Rd=23709.20 My,c,Rd=149.05 Mz,c,Rd=149.05 L=19.38
  λ_c=10.59 Ncr,y=1673810.00 λ^*_y=0.12 Curva b: Φ_y=0.49 χ_y=1.00
  λ_e=20.13 Ncr,z=462890.00 λ^*_z=0.23 Curva b: Φ_z=0.53 χ_z=0.99
  χ,min=0.99
  Verifica: 0.01+0.02+0.02=0.05

- Verifica in termini tensionali [4.2.4] - CC 9 SLU Xl=0.17 - Classe 3
  Sollecitazioni: N=614.53 T_z=64.98 M_y=-6.41 T_y=-61.88 M_z=-6.22 (M_c=-0.13 M_e=-8.93)
  Tensioni: σ_N=67.88 σ_M=240.69 τ=0.00 σ_{max}=308.58
  Tensioni: σ_N=67.88 σ_M=37.60 τ=21.35 τ_{max}=21.35
  Tensioni: σ_N=67.88 σ_M=240.69 τ=0.00 $\sigma_{ID,max}$=308.58

- Verifica a taglio dir. Y [4.2.16] - CC 9 SLU Xl=0.08
  Sollecitazioni: N=613.69 T_z=64.96 T_y=-61.88
  V,Ed=-61.88 Vc,Rd=7560.76 V,Ed/Vc,Rd=0.01

- Verifica a taglio dir. Z [4.2.16]
  V,Ed=64.96 Vc,Rd=7560.76 V,Ed/Vc,Rd=0.01

Asta n. 1240 (-389 -421) angolari L50x10 Crit. 1

- Verifica di stabilità aste inflesse (4.2.4.1.3.2) CC 19 SLU - Classe 3
  L_{cr}=0.19 Curva d: α_{imp}=0.76 k_c=0.94 ψ=2.37 M,cr=0.00 λ_{LT}=0.00
  $\lambda_{LT,0}$=0.20 β_{LT}=1.00 Φ_{LT}=0.00 β_{LT}=1.00 f=0.00 χ_{LT}=1.00
  CC 19 SLU My,Ed=-8.40 My,b,Rd=149.05 My,Ed/My,b,Rd=0.06

- Verifica di stabilità aste presso-inflesse (C4.2.4.1.3.3.1) - CC 5 SLV - Classe 3
  Sollecitazioni: N,Ed=-219.68 Myeq,Ed=-3.52 Mzeq,Ed=-3.30
  Resistenze: Nc,Rd=23709.20 My,c,Rd=149.05 Mz,c,Rd=149.05 L=19.38
  λ_c=10.59 Ncr,y=1673810.00 λ^*_y=0.12 Curva b: Φ_y=0.49 χ_y=1.00
  λ_e=20.13 Ncr,z=462889.00 λ^*_z=0.23 Curva b: Φ_z=0.53 χ_z=0.99
  χ,min=0.99
  Verifica: 0.01+0.02+0.02=0.05

- Verifica in termini tensionali [4.2.4] - CC 9 SLU Xl=0.17 - Classe 3
  Sollecitazioni: N=770.62 T_z=66.87 M_y=-6.82 T_y=-63.22 M_z=-6.54 (M_c=-0.19 M_e=-9.45)
  Tensioni: σ_N=85.13 σ_M=254.50 τ=0.00 σ_{max}=339.63
  Tensioni: σ_N=85.13 σ_M=39.84 τ=21.93 τ_{max}=21.93
  Tensioni: σ_N=85.13 σ_M=254.50 τ=0.00 $\sigma_{ID,max}$=339.63

- Verifica a taglio dir. Y [4.2.16] - CC 19 SLU Xl=0.06
  Sollecitazioni: N=711.32 T_z=88.56 T_y=-39.60
  V,Ed=-39.60 Vc,Rd=7560.76 V,Ed/Vc,Rd=0.01

- Verifica a taglio dir. Z [4.2.16]
  V,Ed=88.56 Vc,Rd=7560.76 V,Ed/Vc,Rd=0.01

Asta n. 1240 (-421 -453) angolari L50x10 Crit. 1

- Verifica di stabilità aste inflesse (4.2.4.1.3.2) CC 19 SLU - Classe 3
  L_{cr}=0.19 Curva d: α_{imp}=0.76 k_c=0.94 ψ=2.29 M,cr=0.00 λ_{LT}=0.00
  $\lambda_{LT,0}$=0.20 β_{LT}=1.00 Φ_{LT}=0.00 β_{LT}=1.00 f=0.00 χ_{LT}=1.00
  CC 19 SLU My,Ed=-8.82 My,b,Rd=149.05 My,Ed/My,b,Rd=0.06

- Verifica di stabilità aste presso-inflesse (C4.2.4.1.3.3.1) - CC 5 SLV - Classe 3
  Sollecitazioni: N,Ed=-209.06 Myeq,Ed=-3.51 Mzeq,Ed=-3.51
  Resistenze: Nc,Rd=23709.20 My,c,Rd=149.05 Mz,c,Rd=149.05 L=19.38
  λ_c=10.59 Ncr,y=1673810.00 λ^*_y=0.12 Curva b: Φ_y=0.49 χ_y=1.00
  λ_e=20.13 Ncr,z=462889.00 λ^*_z=0.23 Curva b: Φ_z=0.53 χ_z=0.99
  χ,min=0.99
  Verifica: 0.01+0.02+0.02=0.06

- Verifica in termini tensionali [4.2.4] - CC 9 SLU Xl=0.17 - Classe 3
  Sollecitazioni: N=934.82 T_z=68.13 M_y=-7.19 T_y=-67.98 M_z=-7.39 (M_c=0.14 M_e=-10.30)
  Tensioni: σ_N=103.27 σ_M=277.64 τ=0.00 σ_{max}=380.91
  Tensioni: σ_N=103.27 σ_M=42.89 τ=22.63 τ_{max}=22.63
  Tensioni: σ_N=103.27 σ_M=277.64 τ=0.00 $\sigma_{ID,max}$=380.91

- Verifica a taglio dir. Y [4.2.16] - CC 19 SLU Xl=0.06
  Sollecitazioni: N=929.80 T_z=89.44 T_y=-44.40
  V,Ed=-44.40 Vc,Rd=7560.76 V,Ed/Vc,Rd=0.01

- Verifica a taglio dir. Z [4.2.16]
  V,Ed=89.44 Vc,Rd=7560.76 V,Ed/Vc,Rd=0.01

Asta n. 1240 (-453 -485) angolari L50x10 Crit. 1

- Verifica di stabilità aste inflesse (4.2.4.1.3.2) CC 19 SLU - Classe 3
  L_{cr}=0.19 Curva d: α_{imp}=0.76 k_c=0.94 ψ=2.13 M,cr=0.00 λ_{LT}=0.00
  $\lambda_{LT,0}$=0.20 β_{LT}=1.00 Φ_{LT}=0.00 β_{LT}=1.00 f=0.00 χ_{LT}=1.00
  CC 19 SLU My,Ed=-10.48 My,b,Rd=149.05 My,Ed/My,b,Rd=0.07

- Verifica di stabilità aste presso-inflesse (C4.2.4.1.3.3.1) - CC 5 SLV - Classe 3
  Sollecitazioni: N,Ed=-207.05 Myeq,Ed=-4.17 Mzeq,Ed=-2.59
  Resistenze: Nc,Rd=23709.20 My,c,Rd=149.05 Mz,c,Rd=149.05 L=19.38
  λ_c=10.59 Ncr,y=1673810.00 λ^*_y=0.12 Curva b: Φ_y=0.49 χ_y=1.00
  λ_e=20.13 Ncr,z=462890.00 λ^*_z=0.23 Curva b: Φ_z=0.53 χ_z=0.99
  χ,min=0.99
  Verifica: 0.01+0.03+0.02=0.05

- Verifica a trazione [4.2.5] - CC 19 SLU Xl=0.06 - Classe 1
  Sollecitazioni: N=1154.27 T_z=96.99 T_y=-27.15
  N,Ed=1154.27 Npl,Rd=23709.20 Nu,Rd=28026.90 N,Ed/Nt,Rd=0.05
  Verifiche di duttilità [7.5.3]:
  q_0=4.00 N,Ed=1154.27 Npl,Rd=23709.20 N,Ed/Npl,Rd=0.048685

- Verifica a taglio dir. Y [4.2.16] - CC 19 SLU Xl=0.06
  Sollecitazioni: N=1154.27 T_z=96.99 T_y=-27.15
  V,Ed=-27.15 Vc,Rd=7560.76 V,Ed/Vc,Rd=0.00

- Verifica a taglio dir. Z [4.2.16]
  V,Ed=96.99 Vc,Rd=7560.76 V,Ed/Vc,Rd=0.01

Asta n. 1240 (-485 1302) angolari L50x10 Crit. 1

- Verifica di stabilità aste inflesse (4.2.4.1.3.2) CC 18 SLU - Classe 3
  L_{cr}=0.19 Curva d: α_{imp}=0.76 k_c=0.94 ψ=1.85 M,cr=0.00 λ_{LT}=0.00
  $\lambda_{LT,0}$=0.20 β_{LT}=1.00 Φ_{LT}=0.00 β_{LT}=1.00 f=0.00 χ_{LT}=1.00
  CC 18 SLU My,Ed=-7.59 My,b,Rd=149.05 My,Ed/My,b,Rd=0.05

- Verifica di stabilità aste presso-inflesse (C4.2.4.1.3.3.1) - CC 5 SLV - Classe 3
  Sollecitazioni: N,Ed=-214.57 Myeq,Ed=-1.91 Mzeq,Ed=-7.32
  Resistenze: Nc,Rd=23709.20 My,c,Rd=149.05 Mz,c,Rd=149.05 L=19.38
  λ_c=10.59 Ncr,y=1673810.00 λ^*_y=0.12 Curva b: Φ_y=0.49 χ_y=1.00
  λ_e=20.13 Ncr,z=462891.00 λ^*_z=0.23 Curva b: Φ_z=0.53 χ_z=0.99
  χ,min=0.99
  Verifica: 0.01+0.01+0.05=0.07

- Verifica in termini tensionali [4.2.4] - CC 9 SLU Xl=0.14 - Classe 3
  Sollecitazioni: N=1269.24 T_z=45.59 M_y=-5.26 T_y=-169.72 M_z=-18.36 (M_c=9.27 M_e=-16.70)
  Tensioni: σ_N=140.21 σ_M=449.98 τ=0.00 σ_{max}=590.19
  Tensioni: σ_N=140.21 σ_M=85.00 τ=49.35 τ_{max}=49.35
  Tensioni: σ_N=140.21 σ_M=449.98 τ=0.00 $\sigma_{ID,max}$=590.19

- Verifica a taglio dir. Y [4.2.16] - CC 9 SLU Xl=0.04
  Sollecitazioni: N=1268.24 T_z=45.57 T_y=-169.72
  V,Ed=-169.72 Vc,Rd=7560.76 V,Ed/Vc,Rd=0.02

- Verifica a taglio dir. Z [4.2.16]
  V,Ed=45.57 Vc,Rd=7560.76 V,Ed/Vc,Rd=0.01

Asta n. 1241 (-43 -75) angolari L50x10 Crit. 1

- Verifica di stabilità aste inflesse (4.2.4.1.3.2) CC 1 SLV - Classe 3
  L_{cr}=0.19 Curva d: α_{imp}=0.76 k_c=0.94 ψ=1.89 M,cr=0.00 λ_{LT}=0.00
  $\lambda_{LT,0}$=0.20 β_{LT}=1.00 Φ_{LT}=0.00 β_{LT}=1.00 f=0.00 χ_{LT}=1.00
  CC 1 SLV My,Ed=-3.18 My,b,Rd=149.05 My,Ed/My,b,Rd=0.02

- Verifica di stabilità aste presso-inflesse (C4.2.4.1.3.3.1) - CC 17 SLU - Classe 3
  Sollecitazioni: N,Ed=-1382.11 Myeq,Ed=2.96 Mzeq,Ed=5.20
  Resistenze: Nc,Rd=23709.20 My,c,Rd=149.05 Mz,c,Rd=149.05 L=19.38
  λ_c=10.59 Ncr,y=1673810.00 λ^*_y=0.12 Curva b: Φ_y=0.49 χ_y=1.00
  λ_e=20.13 Ncr,z=462889.00 λ^*_z=0.23 Curva b: Φ_z=0.53 χ_z=0.99
  χ,min=0.99
  Verifica: 0.06+0.02+0.03=0.11

- Verifica a compressione [4.2.9] - CC 17 SLU Xl=0.17 - Classe 1
  Sollecitazioni: N=-1381.02 T_z=24.53 T_y=-59.37
  N,Ed=-1381.02 Nc,Rd=-23709.20 N,Ed/Nc,Rd=0.06
  Verifiche di duttilità [7.5.3]:
  q_0=4.00 N,Ed=-1381.02 Npl,Rd=23709.20 N,Ed/Npl,Rd=0.058248

- Verifica a taglio dir. Y [4.2.16] - CC 19 SLU Xl=0.15
  Sollecitazioni: N=-1263.38 T_z=-14.75 T_y=-64.88
  V,Ed=-64.88 Vc,Rd=7560.76 V,Ed/Vc,Rd=0.01

- Verifica a taglio dir. Z [4.2.16]
  V,Ed=-14.75 Vc,Rd=7560.76 V,Ed/Vc,Rd=0.00

Asta n. 1241 (-75 -107) angolari L50x10 Crit. 1

- Verifica di stabilità aste inflesse (4.2.4.1.3.2) CC 1 SLV - Classe 3
  L_{cr}=0.19 Curva d: α_{imp}=0.76 k_c=0.94 ψ=2.40 M,cr=0.00 λ_{LT}=0.00
  $\lambda_{LT,0}$=0.20 β_{LT}=1.00 Φ_{LT}=0.00 β_{LT}=1.00 f=0.00 χ_{LT}=1.00
  CC 1 SLV My,Ed=-2.55 My,b,Rd=149.05 My,Ed/My,b,Rd=0.02

- Verifica di stabilità aste presso-inflesse (C4.2.4.1.3.3.1) - CC 19 SLU - Classe 3
  Sollecitazioni: N,Ed=-1297.58 Myeq,Ed=2.16 Mzeq,Ed=6.19
  Resistenze: Nc,Rd=23709.20 My,c,Rd=149.05 Mz,c,Rd=149.05 L=19.38
  λ_c=10.59 Ncr,y=1673810.00 λ^*_y=0.12 Curva b: Φ_y=0.49 χ_y=1.00
  λ_e=20.13 Ncr,z=462890.00 λ^*_z=0.23 Curva b: Φ_z=0.53 χ_z=0.99
  χ,min=0.99
  Verifica: 0.05+0.01+0.04=0.11

- Verifica a compressione [4.2.9] - CC 17 SLU Xl=0.12 - Classe 1
  Sollecitazioni: N=-1358.50 T_z=14.13 T_y=-66.02
  N,Ed=-1358.50 Nc,Rd=-23709.20 N,Ed/Nc,Rd=0.06
  Verifiche di duttilità [7.5.3]:
  q_0=4.00 N,Ed=-1358.50 Npl,Rd=23709.20 N,Ed/Npl,Rd=0.057298

- Verifica a taglio dir. Y [4.2.16] - CC 19 SLU Xl=0.10
  Sollecitazioni: N=-1296.85 T_z=-25.27 T_y=-70.66
  V,Ed=-70.66 Vc,Rd=7560.76 V,Ed/Vc,Rd=0.01

- Verifica a taglio dir. Z [4.2.16]
  V,Ed=-25.27 Vc,Rd=7560.76 V,Ed/Vc,Rd=0.00

Asta n. 1241 (-107 -139) angolari L50x10 Crit. 1

- Verifica di stabilità aste inflesse (4.2.4.1.3.2) CC 1 SLV - Classe 3
  L_{cr}=0.19 Curva d: α_{imp}=0.76 k_c=0.94 ψ=2.76 M,cr=0.00 λ_{LT}=0.00
  $\lambda_{LT,0}$=0.20 β_{LT}=1.00 Φ_{LT}=0.00 β_{LT}=1.00 f=0.00 χ_{LT}=1.00
  CC 1 SLV My,Ed=-2.24 My,b,Rd=149.05 My,Ed/My,b,Rd=0.02

- Verifica di stabilità aste presso-inflesse (C4.2.4.1.3.3.1) - CC 19 SLU - Classe 3
  Sollecitazioni: N,Ed=-1342.95 Myeq,Ed=2.41 Mzeq,Ed=5.29
  Resistenze: Nc,Rd=23709.20 My,c,Rd=149.05 Mz,c,Rd=149.05 L=19.38
  λ_c=10.59 Ncr,y=1673810.00 λ^*_y=0.12 Curva b: Φ_y=0.49 χ_y=1.00
  λ_e=20.13 Ncr,z=462889.00 λ^*_z=0.23 Curva b: Φ_z=0.53 χ_z=0.99
  χ,min=0.99
  Verifica: 0.06+0.02+0.04=0.11

- Verifica a compressione [4.2.9] - CC 19 SLU Xl=0.09 - Classe 1
  Sollecitazioni: N=-1342.34 T_z=-25.82 T_y=-70.96
  N,Ed=-1342.34 Nc,Rd=-23709.20 N,Ed/Nc,Rd=0.06
  Verifiche di duttilità [7.5.3]:
  q_0=4.00 N,Ed=-1342.34 Npl,Rd=23709.20 N,Ed/Npl,Rd=0.056617

- Verifica a taglio dir. Y [4.2.16] - CC 19 SLU Xl=0.09
  Sollecitazioni: N=-1342.34 T_z=-25.82 T_y=-70.96
  V,Ed=-70.96 Vc,Rd=7560.76 V,Ed/Vc,Rd=0.01

- Verifica a taglio dir. Z [4.2.16]
  V,Ed=-25.82 Vc,Rd=7560.76 V,Ed/Vc,Rd=0.00

Asta n. 1241 (-139 -171) angolari L50x10 Crit. 1

- Verifica di stabilità aste inflesse (4.2.4.1.3.2) CC 1 SLV - Classe 3
  L_{cr}=0.19 Curva d: α_{imp}=0.76 k_c=0.94 ψ=2.92 M,cr=0.00 λ_{LT}=0.00

$\lambda_{LT,0}$=0.20 β_{LT}=1.00 Φ_{LT}=0.00 β_{LT}=1.00 f=0.00 χ_{LT}=1.00
CC 1 SLV My,Ed=-2.16 My,b,Rd=149.05 My,Ed/My,b,Rd=0.01

- Verifica di stabilità aste presso-inflesse (C4.2.4.1.3.3.1) - CC 19 SLU - Classe 3
Sollecitazioni: N,Ed=-1394.24 Myeq,Ed=2.55 Mzeq,Ed=-5.27
Resistenze: Nc,Rd=23709.20 My,c,Rd=149.05 Mz,c,Rd=149.05 L=19.38
λ_c=10.59 Ncr,y=1673810.00 λ^*_y=0.12 Curva b: Φ_y=0.49 χ_y=1.00
λ_e=20.13 Ncr,z=462890.00 λ^*_z=0.23 Curva b: Φ_z=0.53 χ_z=0.99
χ,min=0.99
Verifica: 0.06+0.02+0.04=0.11

- Verifica a compressione [4.2.9] - CC 19 SLU Xl=0.09 - Classe 1
Sollecitazioni: N=-1393.64 T_z=-27.28 T_y=-71.62
N,Ed=-1393.64 Nc,Rd=-23709.20 N,Ed/Nc,Rd=0.06
Verifiche di duttilità [7.5.3]:
q_0=4.00 N,Ed=-1393.64 Npl,Rd=23709.20 N,Ed/Npl,Rd=0.058780

- Verifica a taglio dir. Y [4.2.16] - CC 19 SLU Xl=0.09
Sollecitazioni: N=-1393.64 T_z=-27.28 T_y=-71.62
V,Ed=-71.62 Vc,Rd=7560.76 V,Ed/Vc,Rd=0.01

- Verifica a taglio dir. Z [4.2.16]
V,Ed=-27.28 Vc,Rd=7560.76 V,Ed/Vc,Rd=0.00

Asta n. 1241 (-171 -203) angolari L50x10 Crit. 1

- Verifica di stabilità aste inflesse (4.2.4.1.3.2) CC 1 SLV - Classe 3
L_{cr}=0.19 Curva d: α_{imp}=0.76 k_c=0.94 ψ=3.03 M,cr=0.00 λ_{LT}=0.00
$\lambda_{LT,0}$=0.20 β_{LT}=1.00 Φ_{LT}=0.00 β_{LT}=1.00 f=0.00 χ_{LT}=1.00
CC 1 SLV My,Ed=-2.13 My,b,Rd=149.05 My,Ed/My,b,Rd=0.01

- Verifica di stabilità aste presso-inflesse (C4.2.4.1.3.3.1) - CC 19 SLU - Classe 3
Sollecitazioni: N,Ed=-1450.29 Myeq,Ed=2.69 Mzeq,Ed=-5.53
Resistenze: Nc,Rd=23709.20 My,c,Rd=149.05 Mz,c,Rd=149.05 L=19.38
λ_c=10.59 Ncr,y=1673810.00 λ^*_y=0.12 Curva b: Φ_y=0.49 χ_y=1.00
λ_e=20.13 Ncr,z=462890.00 λ^*_z=0.23 Curva b: Φ_z=0.53 χ_z=0.99
χ,min=0.99
Verifica: 0.06+0.02+0.04=0.12

- Verifica a compressione [4.2.9] - CC 19 SLU Xl=0.09 - Classe 1
Sollecitazioni: N=-1449.69 T_z=-28.82 T_y=-72.35
N,Ed=-1449.69 Nc,Rd=-23709.20 N,Ed/Nc,Rd=0.06
Verifiche di duttilità [7.5.3]:
q_0=4.00 N,Ed=-1449.69 Npl,Rd=23709.20 N,Ed/Npl,Rd=0.061145

- Verifica a taglio dir. Y [4.2.16] - CC 19 SLU Xl=0.09
Sollecitazioni: N=-1449.69 T_z=-28.82 T_y=-72.35
V,Ed=-72.35 Vc,Rd=7560.76 V,Ed/Vc,Rd=0.01

- Verifica a taglio dir. Z [4.2.16]
V,Ed=-28.82 Vc,Rd=7560.76 V,Ed/Vc,Rd=0.00

Asta n. 1241 (-203 -235) angolari L50x10 Crit. 1

- Verifica di stabilità aste presso-inflesse (C4.2.4.1.3.3.1) - CC 19 SLU - Classe 3
Sollecitazioni: N,Ed=-1511.07 Myeq,Ed=2.84 Mzeq,Ed=-5.77
Resistenze: Nc,Rd=23709.20 My,c,Rd=149.05 Mz,c,Rd=149.05 L=19.38
λ_c=10.59 Ncr,y=1673810.00 λ^*_y=0.12 Curva b: Φ_y=0.49 χ_y=1.00

λ_e=20.13 Ncr,z=462889.00 λ^*_z=0.23 Curva b: Φ_z=0.53 χ_z=0.99
χ,min=0.99
Verifica: 0.06+0.02+0.04=0.12

- Verifica Freccia massima carichi totali - CC 21
$f_{Z,G}$=0.00 (L/14345)

- Verifica a compressione [4.2.9] - CC 19 SLU Xl=0.08 - Classe 1
Sollecitazioni: N=-1510.58 T_z=-30.40 T_y=-73.15
N,Ed=-1510.58 Nc,Rd=-23709.20 N,Ed/Nc,Rd=0.06
Verifiche di duttilità [7.5.3]:
q_0=4.00 N,Ed=-1510.58 Npl,Rd=23709.20 N,Ed/Npl,Rd=0.063713

- Verifica a taglio dir. Y [4.2.16] - CC 19 SLU Xl=0.08
Sollecitazioni: N=-1510.58 T_z=-30.40 T_y=-73.15
V,Ed=-73.15 Vc,Rd=7560.76 V,Ed/Vc,Rd=0.01

- Verifica a taglio dir. Z [4.2.16]
V,Ed=-30.40 Vc,Rd=7560.76 V,Ed/Vc,Rd=0.00

Asta n. 1241 (-235 -267) angolari L50x10 Crit. 1

- Verifica di stabilità aste presso-inflesse (C4.2.4.1.3.3.1) - CC 19 SLU - Classe 3
Sollecitazioni: N,Ed=-1576.78 Myeq,Ed=2.98 Mzeq,Ed=-6.04
Resistenze: Nc,Rd=23709.20 My,c,Rd=149.05 Mz,c,Rd=149.05 L=19.38
λ_c=10.59 Ncr,y=1673810.00 λ^*_y=0.12 Curva b: Φ_y=0.49 χ_y=1.00
λ_e=20.13 Ncr,z=462889.00 λ^*_z=0.23 Curva b: Φ_z=0.53 χ_z=0.99
χ,min=0.99
Verifica: 0.07+0.02+0.04=0.13

- Verifica Freccia massima carichi totali - CC 21
$f_{Z,G}$=0.00 (L/13389)

- Verifica a compressione [4.2.9] - CC 19 SLU Xl=0.08 - Classe 1
Sollecitazioni: N=-1576.30 T_z=-31.95 T_y=-74.08
N,Ed=-1576.30 Nc,Rd=-23709.20 N,Ed/Nc,Rd=0.07
Verifiche di duttilità [7.5.3]:
q_0=4.00 N,Ed=-1576.30 Npl,Rd=23709.20 N,Ed/Npl,Rd=0.066485

- Verifica a taglio dir. Y [4.2.16] - CC 19 SLU Xl=0.08
Sollecitazioni: N=-1576.30 T_z=-31.95 T_y=-74.08
V,Ed=-74.08 Vc,Rd=7560.76 V,Ed/Vc,Rd=0.01

- Verifica a taglio dir. Z [4.2.16]
V,Ed=-31.95 Vc,Rd=7560.76 V,Ed/Vc,Rd=0.00

Asta n. 1241 (-267 -299) angolari L50x10 Crit. 1

- Verifica di stabilità aste presso-inflesse (C4.2.4.1.3.3.1) - CC 19 SLU - Classe 3
Sollecitazioni: N,Ed=-1647.79 Myeq,Ed=3.15 Mzeq,Ed=-6.32
Resistenze: Nc,Rd=23709.20 My,c,Rd=149.05 Mz,c,Rd=149.05 L=19.38
λ_c=10.59 Ncr,y=1673810.00 λ^*_y=0.12 Curva b: Φ_y=0.49 χ_y=1.00
λ_e=20.13 Ncr,z=462889.00 λ^*_z=0.23 Curva b: Φ_z=0.53 χ_z=0.99
χ,min=0.99
Verifica: 0.07+0.02+0.04=0.13

- Verifica Freccia massima carichi totali - CC 21
$f_{Z,G}$=0.00 (L/13389)

- Verifica a compressione [4.2.9] - CC 19 SLU Xl=0.08 - Classe 1
  Sollecitazioni: N=-1647.31 T_z=-33.69 T_y=-74.94
  N,Ed=-1647.31 Nc,Rd=-23709.20 N,Ed/Nc,Rd=0.07
  Verifiche di duttilità [7.5.3]:
  q_0=4.00 N,Ed=-1647.31 Npl,Rd=23709.20 N,Ed/Npl,Rd=0.069480

- Verifica a taglio dir. Y [4.2.16] - CC 19 SLU Xl=0.08
  Sollecitazioni: N=-1647.31 T_z=-33.69 T_y=-74.94
  V,Ed=-74.94 Vc,Rd=7560.76 V,Ed/Vc,Rd=0.01

- Verifica a taglio dir. Z [4.2.16]
  V,Ed=-33.69 Vc,Rd=7560.76 V,Ed/Vc,Rd=0.00

Asta n. 1241 (-299 -331) angolari L50x10 Crit. 1

- Verifica di stabilità aste presso-inflesse (C4.2.4.1.3.3.1) - CC 19 SLU - Classe 3
  Sollecitazioni: N,Ed=-1724.48 Myeq,Ed=3.30 Mzeq,Ed=-6.64
  Resistenze: Nc,Rd=23709.20 My,c,Rd=149.05 Mz,c,Rd=149.05 L=19.38
  λ_c=10.59 Ncr,y=1673810.00 λ^*_y=0.12 Curva b: Φ_y=0.49 χ_y=1.00
  λ_e=20.13 Ncr,z=462889.00 λ^*_z=0.23 Curva b: Φ_z=0.53 χ_z=0.99
  χ,min=0.99
  Verifica: 0.07+0.02+0.04=0.14

- Verifica Freccia massima carichi totali - CC 21
  $f_{Z,G}$=0.00 (L/12819)

- Verifica a compressione [4.2.9] - CC 19 SLU Xl=0.08 - Classe 1
  Sollecitazioni: N=-1724.00 T_z=-35.35 T_y=-76.02
  N,Ed=-1724.00 Nc,Rd=-23709.20 N,Ed/Nc,Rd=0.07
  Verifiche di duttilità [7.5.3]:
  q_0=4.00 N,Ed=-1724.00 Npl,Rd=23709.20 N,Ed/Npl,Rd=0.072714

- Verifica a taglio dir. Y [4.2.16] - CC 19 SLU Xl=0.08
  Sollecitazioni: N=-1724.00 T_z=-35.35 T_y=-76.02
  V,Ed=-76.02 Vc,Rd=7560.76 V,Ed/Vc,Rd=0.01

- Verifica a taglio dir. Z [4.2.16]
  V,Ed=-35.35 Vc,Rd=7560.76 V,Ed/Vc,Rd=0.00

Asta n. 1241 (-331 -363) angolari L50x10 Crit. 1

- Verifica di stabilità aste presso-inflesse (C4.2.4.1.3.3.1) - CC 19 SLU - Classe 3
  Sollecitazioni: N,Ed=-1807.29 Myeq,Ed=3.47 Mzeq,Ed=-6.97
  Resistenze: Nc,Rd=23709.20 My,c,Rd=149.05 Mz,c,Rd=149.05 L=19.38
  λ_c=10.59 Ncr,y=1673810.00 λ^*_y=0.12 Curva b: Φ_y=0.49 χ_y=1.00
  λ_e=20.13 Ncr,z=462889.00 λ^*_z=0.23 Curva b: Φ_z=0.53 χ_z=0.99
  χ,min=0.99
  Verifica: 0.08+0.02+0.05=0.15

- Verifica Freccia massima carichi totali - CC 21
  $f_{Z,G}$=0.00 (L/11814)

- Verifica a compressione [4.2.9] - CC 19 SLU Xl=0.08 - Classe 1
  Sollecitazioni: N=-1806.80 T_z=-37.20 T_y=-77.03
  N,Ed=-1806.80 Nc,Rd=-23709.20 N,Ed/Nc,Rd=0.08
  Verifiche di duttilità [7.5.3]:
  q_0=4.00 N,Ed=-1806.80 Npl,Rd=23709.20 N,Ed/Npl,Rd=0.076207

- Verifica a taglio dir. Y [4.2.16] - CC 19 SLU Xl=0.08
  Sollecitazioni: N=-1806.80 T_z=-37.20 T_y=-77.03
  V,Ed=-77.03 Vc,Rd=7560.76 V,Ed/Vc,Rd=0.01

- Verifica a taglio dir. Z [4.2.16]
  V,Ed=-37.20 Vc,Rd=7560.76 V,Ed/Vc,Rd=0.00

Asta n. 1241 (-363 -395) angolari L50x10 Crit. 1

- Verifica di stabilità aste presso-inflesse (C4.2.4.1.3.3.1) - CC 19 SLU - Classe 3
  Sollecitazioni: N,Ed=-1896.69 Myeq,Ed=3.64 Mzeq,Ed=-7.31
  Resistenze: Nc,Rd=23709.20 My,c,Rd=149.05 Mz,c,Rd=149.05 L=19.38
  λ_c=10.59 Ncr,y=1673810.00 λ^*_y=0.12 Curva b: Φ_y=0.49 χ_y=1.00
  λ_c=20.13 Ncr,z=462890.00 λ^*_z=0.23 Curva b: Φ_z=0.53 χ_z=0.99
  χ,min=0.99
  Verifica: 0.08+0.02+0.05=0.15

- Verifica Freccia massima carichi totali - CC 21
  $f_{Z,G}$=0.00 (L/12552)

- Verifica a compressione [4.2.9] - CC 19 SLU Xl=0.06 - Classe 1
  Sollecitazioni: N=-1896.32 T_z=-38.96 T_y=-78.26
  N,Ed=-1896.32 Nc,Rd=-23709.20 N,Ed/Nc,Rd=0.08
  Verifiche di duttilità [7.5.3]:
   q_0=4.00 N,Ed=-1896.32 Npl,Rd=23709.20 N,Ed/Npl,Rd=0.079983

- Verifica a taglio dir. Y [4.2.16] - CC 19 SLU Xl=0.06
  Sollecitazioni: N=-1896.32 T_z=-38.96 T_y=-78.26
  V,Ed=-78.26 Vc,Rd=7560.76 V,Ed/Vc,Rd=0.01

- Verifica a taglio dir. Z [4.2.16]
  V,Ed=-38.96 Vc,Rd=7560.76 V,Ed/Vc,Rd=0.01

Asta n. 1241 (-395 -427) angolari L50x10 Crit. 1

- Verifica di stabilità aste presso-inflesse (C4.2.4.1.3.3.1) - CC 19 SLU - Classe 3
  Sollecitazioni: N,Ed=-1993.19 Myeq,Ed=3.89 Mzeq,Ed=-7.38
  Resistenze: Nc,Rd=23709.20 My,c,Rd=149.05 Mz,c,Rd=149.05 L=19.38
  λ_c=10.59 Ncr,y=1673810.00 λ^*_y=0.12 Curva b: Φ_y=0.49 χ_y=1.00
  λ_c=20.13 Ncr,z=462889.00 λ^*_z=0.23 Curva b: Φ_z=0.53 χ_z=0.99
  χ,min=0.99
  Verifica: 0.08+0.03+0.05=0.16

- Verifica Freccia massima carichi totali - CC 21
  $f_{Z,G}$=0.00 (L/10954)

- Verifica a compressione [4.2.9] - CC 19 SLU Xl=0.06 - Classe 1
  Sollecitazioni: N=-1992.83 T_z=-41.68 T_y=-79.00
  N,Ed=-1992.83 Nc,Rd=-23709.20 N,Ed/Nc,Rd=0.08
  Verifiche di duttilità [7.5.3]:
   q_0=4.00 N,Ed=-1992.83 Npl,Rd=23709.20 N,Ed/Npl,Rd=0.084053

- Verifica a taglio dir. Y [4.2.16] - CC 19 SLU Xl=0.06
  Sollecitazioni: N=-1992.83 T_z=-41.68 T_y=-79.00
  V,Ed=-79.00 Vc,Rd=7560.76 V,Ed/Vc,Rd=0.01

- Verifica a taglio dir. Z [4.2.16]
  V,Ed=-41.68 Vc,Rd=7560.76 V,Ed/Vc,Rd=0.01

Asta n. 1241 (-427 -459) angolari L50x10 Crit. 1

- Verifica di stabilità aste presso-inflesse (C4.2.4.1.3.3.1) - CC 9 SLU - Classe 3
  Sollecitazioni: N,Ed=-2091.97 Myeq,Ed=5.67 Mzeq,Ed=-5.80
  Resistenze: Nc,Rd=23709.20 My,c,Rd=149.05 Mz,c,Rd=149.05 L=19.38
  λ_c=10.59 Ncr,y=1673810.00 λ^*_y=0.12 Curva b: Φ_y=0.49 χ_y=1.00
  λ_e=20.13 Ncr,z=462889.00 λ^*_z=0.23 Curva b: Φ_z=0.53 χ_z=0.99
  χ,min=0.99
  Verifica: 0.09+0.04+0.04=0.17

- Verifica Freccia massima carichi totali - CC 21
  $f_{Z,G}$=0.00 (L/11586)

- Verifica a compressione [4.2.9] - CC 19 SLU Xl=0.06 - Classe 1
  Sollecitazioni: N=-2096.87 T_z=-38.40 T_y=-83.59
  N,Ed=-2096.87 Nc,Rd=-23709.20 N,Ed/Nc,Rd=0.09
  Verifiche di duttilità [7.5.3]:
   q_0=4.00 N,Ed=-2096.87 Npl,Rd=23709.20 N,Ed/Npl,Rd=0.088441

- Verifica a taglio dir. Y [4.2.16] - CC 19 SLU Xl=0.06
  Sollecitazioni: N=-2096.87 T_z=-38.40 T_y=-83.59
  V,Ed=-83.59 Vc,Rd=7560.76 V,Ed/Vc,Rd=0.01

- Verifica a taglio dir. Z [4.2.16]
  V,Ed=-38.40 Vc,Rd=7560.76 V,Ed/Vc,Rd=0.01

Asta n. 1241 (-459 -491) angolari L50x10 Crit. 1

- Verifica di stabilità aste presso-inflesse (C4.2.4.1.3.3.1) - CC 18 SLU - Classe 3
  Sollecitazioni: N,Ed=-2206.75 Myeq,Ed=9.39 Mzeq,Ed=-4.22
  Resistenze: Nc,Rd=23709.20 My,c,Rd=149.05 Mz,c,Rd=149.05 L=19.38
  λ_c=10.59 Ncr,y=1673810.00 λ^*_y=0.12 Curva b: Φ_y=0.49 χ_y=1.00
  λ_e=20.13 Ncr,z=462890.00 λ^*_z=0.23 Curva b: Φ_z=0.53 χ_z=0.99
  χ,min=0.99
  Verifica: 0.09+0.06+0.03=0.18

- Verifica Freccia massima carichi totali - CC 21
  $f_{Z,G}$=0.00 (L/10212)

- Verifica a compressione [4.2.9] - CC 9 SLU Xl=0.04 - Classe 1
  Sollecitazioni: N=-2256.05 T_z=-99.18 T_y=-43.15
  N,Ed=-2256.05 Nc,Rd=-23709.20 N,Ed/Nc,Rd=0.10
  Verifiche di duttilità [7.5.3]:
   q_0=4.00 N,Ed=-2256.05 Npl,Rd=23709.20 N,Ed/Npl,Rd=0.095155

- Verifica a taglio dir. Y [4.2.16] - CC 18 SLU Xl=0.05
  Sollecitazioni: N=-2206.51 T_z=-100.63 T_y=-45.24
  V,Ed=-45.24 Vc,Rd=7560.76 V,Ed/Vc,Rd=0.01

- Verifica a taglio dir. Z [4.2.16]
  V,Ed=-100.63 Vc,Rd=7560.76 V,Ed/Vc,Rd=0.01

Asta n. 1241 (-491 1319) angolari L50x10 Crit. 1

- Verifica di stabilità aste presso-inflesse (C4.2.4.1.3.3.1) - CC 19 SLU - Classe 3

Sollecitazioni: N,Ed=-2320.72 Myeq,Ed=-9.67 Mzeq,Ed=-15.43
Resistenze: Nc,Rd=23709.20 My,c,Rd=149.05 Mz,c,Rd=149.05 L=19.38
λ_c=10.59 Ncr,y=1673810.00 λ^*_y=0.12 Curva b: Φ_y=0.49 χ_y=1.00
λ_e=20.13 Ncr,z=462891.00 λ^*_z=0.23 Curva b: Φ_z=0.53 χ_z=0.99
χ,min=0.99
Verifica: 0.10+0.06+0.10=0.27

- Verifica Freccia massima carichi totali - CC 21
$f_{Z,G}$=0.00 (L/9222)

- Verifica a compressione [4.2.9] - CC 18 SLU Xl=0.04 - Classe 1
Sollecitazioni: N=-2369.27 T_z=112.86 T_y=-157.89
N,Ed=-2369.27 Nc,Rd=-23709.20 N,Ed/Nc,Rd=0.10
Verifiche di duttilità [7.5.3]:
q_0=4.00 N,Ed=-2369.27 Npl,Rd=23709.20 N,Ed/Npl,Rd=0.099930

- Verifica a taglio dir. Y [4.2.16] - CC 18 SLU Xl=0.04
Sollecitazioni: N=-2369.27 T_z=112.86 T_y=-157.89
V,Ed=-157.89 Vc,Rd=7560.76 V,Ed/Vc,Rd=0.02

- Verifica a taglio dir. Z [4.2.16]
V,Ed=112.86 Vc,Rd=7560.76 V,Ed/Vc,Rd=0.01

Asta n. 1242 (-35 -67) angolari L50x10 Crit. 1

- Verifica di stabilità aste inflesse (4.2.4.1.3.2) CC 1 SLV - Classe 3
L_{cr}=0.19 Curva d: α_{imp}=0.76 k_c=0.94 ψ=1.92 M,cr=0.00 λ_{LT}=0.00
$\lambda_{LT,0}$=0.20 β_{LT}=1.00 Φ_{LT}=0.00 β_{LT}=1.00 f=0.00 χ_{LT}=1.00
CC 1 SLV My,Ed=3.35 My,b,Rd=149.05 My,Ed/My,b,Rd=0.02

- Verifica di stabilità aste presso-inflesse (C4.2.4.1.3.3.1) - CC 17 SLU - Classe 3
Sollecitazioni: N,Ed=-1269.50 Myeq,Ed=6.90 Mzeq,Ed=-1.73
Resistenze: Nc,Rd=23709.20 My,c,Rd=149.05 Mz,c,Rd=149.05 L=19.38
λ_c=10.59 Ncr,y=1673810.00 λ^*_y=0.12 Curva b: Φ_y=0.49 χ_y=1.00
λ_e=20.13 Ncr,z=462889.00 λ^*_z=0.23 Curva b: Φ_z=0.53 χ_z=0.99
χ,min=0.99
Verifica: 0.05+0.05+0.01=0.11

- Verifica a compressione [4.2.9] - CC 17 SLU Xl=0.16 - Classe 1
Sollecitazioni: N=-1268.50 T_z=77.20 T_y=9.56
N,Ed=-1268.50 Nc,Rd=-23709.20 N,Ed/Nc,Rd=0.05
Verifiche di duttilità [7.5.3]:
q_0=4.00 N,Ed=-1268.50 Npl,Rd=23709.20 N,Ed/Npl,Rd=0.053502

- Verifica a taglio dir. Y [4.2.16] - CC 19 SLU Xl=0.17
Sollecitazioni: N=-1058.94 T_z=82.06 T_y=-28.73
V,Ed=-28.73 Vc,Rd=7560.76 V,Ed/Vc,Rd=0.00

- Verifica a taglio dir. Z [4.2.16]
V,Ed=82.06 Vc,Rd=7560.76 V,Ed/Vc,Rd=0.01

Asta n. 1242 (-67 -99) angolari L50x10 Crit. 1

- Verifica di stabilità aste inflesse (4.2.4.1.3.2) CC 1 SLV - Classe 3
L_{cr}=0.19 Curva d: α_{imp}=0.76 k_c=0.94 ψ=2.47 M,cr=0.00 λ_{LT}=0.00
$\lambda_{LT,0}$=0.20 β_{LT}=1.00 Φ_{LT}=0.00 β_{LT}=1.00 f=0.00 χ_{LT}=1.00
CC 1 SLV My,Ed=2.32 My,b,Rd=149.05 My,Ed/My,b,Rd=0.02

- Verifica di stabilità aste presso-inflesse (C4.2.4.1.3.3.1) - CC 17 SLU - Classe 3
  Sollecitazioni: N,Ed=-1169.13 Myeq,Ed=6.30 Mzeq,Ed=-1.72
  Resistenze: Nc,Rd=23709.20 My,c,Rd=149.05 Mz,c,Rd=149.05 L=19.38
  λ_c=10.59 Ncr,y=1673810.00 λ^*_y=0.12 Curva b: Φ_y=0.49 χ_y=1.00
  λ_e=20.13 Ncr,z=462890.00 λ^*_z=0.23 Curva b: Φ_z=0.53 χ_z=0.99
  χ,min=0.99
  Verifica: 0.05+0.04+0.01=0.10

- Verifica a compressione [4.2.9] - CC 17 SLU Xl=0.12 - Classe 1
  Sollecitazioni: N=-1168.28 T_z=67.49 T_y=15.18
  N,Ed=-1168.28 Nc,Rd=-23709.20 N,Ed/Nc,Rd=0.05
  Verifiche di duttilità [7.5.3]:
  q_0=4.00 N,Ed=-1168.28 Npl,Rd=23709.20 N,Ed/Npl,Rd=0.049275

- Verifica a taglio dir. Y [4.2.16] - CC 19 SLU Xl=0.12
  Sollecitazioni: N=-951.92 T_z=73.04 T_y=-24.62
  V,Ed=-24.62 Vc,Rd=7560.76 V,Ed/Vc,Rd=0.00

- Verifica a taglio dir. Z [4.2.16]
  V,Ed=73.04 Vc,Rd=7560.76 V,Ed/Vc,Rd=0.01

Asta n. 1242 (-99 -131) angolari L50x10 Crit. 1

- Verifica di stabilità aste inflesse (4.2.4.1.3.2) CC 5 SLV - Classe 3
  L_{cr}=0.19 Curva d: α_{imp}=0.76 k_c=0.94 ψ=2.95 M,cr=0.00 λ_{LT}=0.00
  $\lambda_{LT,0}$=0.20 β_{LT}=1.00 Φ_{LT}=0.00 β_{LT}=1.00 f=0.00 χ_{LT}=1.00
  CC 5 SLV My,Ed=-2.17 My,b,Rd=149.05 My,Ed/My,b,Rd=0.01

- Verifica di stabilità aste presso-inflesse (C4.2.4.1.3.3.1) - CC 17 SLU - Classe 3
  Sollecitazioni: N,Ed=-1041.86 Myeq,Ed=5.56 Mzeq,Ed=-1.46
  Resistenze: Nc,Rd=23709.20 My,c,Rd=149.05 Mz,c,Rd=149.05 L=19.38
  λ_c=10.59 Ncr,y=1673810.00 λ^*_y=0.12 Curva b: Φ_y=0.49 χ_y=1.00
  λ_e=20.13 Ncr,z=462889.00 λ^*_z=0.23 Curva b: Φ_z=0.53 χ_z=0.99
  χ,min=0.99
  Verifica: 0.04+0.04+0.01=0.09

- Verifica a compressione [4.2.9] - CC 17 SLU Xl=0.10 - Classe 1
  Sollecitazioni: N=-1041.13 T_z=67.98 T_y=13.56
  N,Ed=-1041.13 Nc,Rd=-23709.20 N,Ed/Nc,Rd=0.04
  Verifiche di duttilità [7.5.3]:
  q_0=4.00 N,Ed=-1041.13 Npl,Rd=23709.20 N,Ed/Npl,Rd=0.043913

- Verifica a taglio dir. Y [4.2.16] - CC 19 SLU Xl=0.10
  Sollecitazioni: N=-815.02 T_z=74.45 T_y=-26.45
  V,Ed=-26.45 Vc,Rd=7560.76 V,Ed/Vc,Rd=0.00

- Verifica a taglio dir. Z [4.2.16]
  V,Ed=74.45 Vc,Rd=7560.76 V,Ed/Vc,Rd=0.01

Asta n. 1242 (-131 -163) angolari L50x10 Crit. 1

- Verifica di stabilità aste inflesse (4.2.4.1.3.2) CC 5 SLV - Classe 3
  L_{cr}=0.19 Curva d: α_{imp}=0.76 k_c=0.94 ψ=2.79 M,cr=0.00 λ_{LT}=0.00
  $\lambda_{LT,0}$=0.20 β_{LT}=1.00 Φ_{LT}=0.00 β_{LT}=1.00 f=0.00 χ_{LT}=1.00
  CC 5 SLV My,Ed=-2.34 My,b,Rd=149.05 My,Ed/My,b,Rd=0.02

- Verifica di stabilità aste presso-inflesse (C4.2.4.1.3.3.1) - CC 19 SLU - Classe 3
  Sollecitazioni: N,Ed=-668.25 Myeq,Ed=-5.53 Mzeq,Ed=-2.61

Resistenze: Nc,Rd=23709.20 My,c,Rd=149.05 Mz,c,Rd=149.05 L=19.38
λ_c=10.59 Ncr,y=1673810.00 λ^*_y=0.12 Curva b: Φ_y=0.49 χ_y=1.00
λ_e=20.13 Ncr,z=462890.00 λ^*_z=0.23 Curva b: Φ_z=0.53 χ_z=0.99
χ,min=0.99
Verifica: 0.03+0.04+0.02=0.08

- Verifica a compressione [4.2.9] - CC 17 SLU Xl=0.10 - Classe 1
Sollecitazioni: N=-905.30 T_z=68.08 T_y=12.39
N,Ed=-905.30 Nc,Rd=-23709.20 N,Ed/Nc,Rd=0.04
Verifiche di duttilità [7.5.3]:
q_0=4.00 N,Ed=-905.30 Npl,Rd=23709.20 N,Ed/Npl,Rd=0.038184

- Verifica a taglio dir. Y [4.2.16] - CC 19 SLU Xl=0.09
Sollecitazioni: N=-667.64 T_z=75.25 T_y=-27.95
V,Ed=-27.95 Vc,Rd=7560.76 V,Ed/Vc,Rd=0.00

- Verifica a taglio dir. Z [4.2.16]
V,Ed=75.25 Vc,Rd=7560.76 V,Ed/Vc,Rd=0.01

Asta n. 1242 (-163 -195) angolari L50x10 Crit. 1

- Verifica di stabilità aste inflesse (4.2.4.1.3.2) CC 5 SLV - Classe 3
L_{cr}=0.19 Curva d: α_{imp}=0.76 k_c=0.94 ψ=2.70 M,cr=0.00 λ_{LT}=0.00
$\lambda_{LT,0}$=0.20 β_{LT}=1.00 Φ_{LT}=0.00 β_{LT}=1.00 f=0.00 χ_{LT}=1.00
CC 5 SLV My,Ed=-2.47 My,b,Rd=149.05 My,Ed/My,b,Rd=0.02

- Verifica di stabilità aste presso-inflesse (C4.2.4.1.3.3.1) - CC 19 SLU - Classe 3
Sollecitazioni: N,Ed=-514.52 Myeq,Ed=-5.80 Mzeq,Ed=-2.76
Resistenze: Nc,Rd=23709.20 My,c,Rd=149.05 Mz,c,Rd=149.05 L=19.38
λ_c=10.59 Ncr,y=1673810.00 λ^*_y=0.12 Curva b: Φ_y=0.49 χ_y=1.00
λ_e=20.13 Ncr,z=462890.00 λ^*_z=0.23 Curva b: Φ_z=0.53 χ_z=0.99
χ,min=0.99
Verifica: 0.02+0.04+0.02=0.08

- Verifica a compressione [4.2.9] - CC 17 SLU Xl=0.10 - Classe 1
Sollecitazioni: N=-765.03 T_z=68.17 T_y=11.18
N,Ed=-765.03 Nc,Rd=-23709.20 N,Ed/Nc,Rd=0.03
Verifiche di duttilità [7.5.3]:
q_0=4.00 N,Ed=-765.03 Npl,Rd=23709.20 N,Ed/Npl,Rd=0.032267

- Verifica a taglio dir. Y [4.2.16] - CC 19 SLU Xl=0.09
Sollecitazioni: N=-513.92 T_z=76.12 T_y=-29.51
V,Ed=-29.51 Vc,Rd=7560.76 V,Ed/Vc,Rd=0.00

- Verifica a taglio dir. Z [4.2.16]
V,Ed=76.12 Vc,Rd=7560.76 V,Ed/Vc,Rd=0.01

Asta n. 1242 (-195 -227) angolari L50x10 Crit. 1

- Verifica di stabilità aste inflesse (4.2.4.1.3.2) CC 9 SLU - Classe 3
L_{cr}=0.19 Curva d: α_{imp}=0.76 k_c=0.94 ψ=2.54 M,cr=0.00 λ_{LT}=0.00
$\lambda_{LT,0}$=0.20 β_{LT}=1.00 Φ_{LT}=0.00 β_{LT}=1.00 f=0.00 χ_{LT}=1.00
CC 9 SLU My,Ed=-4.68 My,b,Rd=149.05 My,Ed/My,b,Rd=0.03

- Verifica di stabilità aste presso-inflesse (C4.2.4.1.3.3.1) - CC 19 SLU - Classe 3
Sollecitazioni: N,Ed=-355.25 Myeq,Ed=-6.06 Mzeq,Ed=-2.90
Resistenze: Nc,Rd=23709.20 My,c,Rd=149.05 Mz,c,Rd=149.05 L=19.38
λ_c=10.59 Ncr,y=1673810.00 λ^*_y=0.12 Curva b: Φ_y=0.49 χ_y=1.00

λ_e=20.13 Ncr,z=462889.00 λ^*_z=0.23 Curva b: Φ_z=0.53 χ_z=0.99
χ,min=0.99
Verifica: 0.01+0.04+0.02=0.08

- Verifica a compressione [4.2.9] - CC 17 SLU Xl=0.10 - Classe 1
Sollecitazioni: N=-621.06 T_z=68.36 T_y=10.01
N,Ed=-621.06 Nc,Rd=-23709.20 N,Ed/Nc,Rd=0.03
Verifiche di duttilità [7.5.3]:
q_0=4.00 N,Ed=-621.06 Npl,Rd=23709.20 N,Ed/Npl,Rd=0.026195

- Verifica a taglio dir. Y [4.2.16] - CC 19 SLU Xl=0.09
Sollecitazioni: N=-354.65 T_z=77.08 T_y=-31.08
V,Ed=-31.08 Vc,Rd=7560.76 V,Ed/Vc,Rd=0.00

- Verifica a taglio dir. Z [4.2.16]
V,Ed=77.08 Vc,Rd=7560.76 V,Ed/Vc,Rd=0.01

Asta n. 1242 (-227 -259) angolari L50x10 Crit. 1

- Verifica di stabilità aste inflesse (4.2.4.1.3.2) CC 9 SLU - Classe 3
L_{cr}=0.19 Curva d: α_{imp}=0.76 k_c=0.94 ψ=2.48 M,cr=0.00 λ_{LT}=0.00
$\lambda_{LT,0}$=0.20 β_{LT}=1.00 Φ_{LT}=0.00 β_{LT}=1.00 f=0.00 χ_{LT}=1.00
CC 9 SLU My,Ed=-4.92 My,b,Rd=149.05 My,Ed/My,b,Rd=0.03

- Verifica di stabilità aste presso-inflesse (C4.2.4.1.3.3.1) - CC 19 SLU - Classe 3
Sollecitazioni: N,Ed=-190.28 Myeq,Ed=-6.34 Mzeq,Ed=-3.06
Resistenze: Nc,Rd=23709.20 My,c,Rd=149.05 Mz,c,Rd=149.05 L=19.38
λ_c=10.59 Ncr,y=1673810.00 λ^*_y=0.12 Curva b: Φ_y=0.49 χ_y=1.00
λ_e=20.13 Ncr,z=462889.00 λ^*_z=0.23 Curva b: Φ_z=0.53 χ_z=0.99
χ,min=0.99
Verifica: 0.01+0.04+0.02=0.07

- Verifica in termini tensionali [4.2.4] - CC 9 SLU Xl=0.17 - Classe 3
Sollecitazioni: N=128.29 T_z=54.70 M_y=-4.92 T_y=-57.16 M_z=-5.03 (M_c=0.08 M_e=-7.04)
Tensioni: σ_N=14.17 σ_M=189.67 τ=0.00 σ_{max}=203.84
Tensioni: σ_N=14.17 σ_M=29.33 τ=18.39 τ_{max}=18.39
Tensioni: σ_N=14.17 σ_M=189.67 τ=0.00 $\sigma_{ID,max}$=203.84

- Verifica a taglio dir. Y [4.2.16] - CC 19 SLU Xl=0.09
Sollecitazioni: N=-189.68 T_z=78.11 T_y=-32.72
V,Ed=-32.72 Vc,Rd=7560.76 V,Ed/Vc,Rd=0.00

- Verifica a taglio dir. Z [4.2.16]
V,Ed=78.11 Vc,Rd=7560.76 V,Ed/Vc,Rd=0.01

Asta n. 1242 (-259 -291) angolari L50x10 Crit. 1

- Verifica di stabilità aste inflesse (4.2.4.1.3.2) CC 9 SLU - Classe 3
L_{cr}=0.19 Curva d: α_{imp}=0.76 k_c=0.94 ψ=2.42 M,cr=0.00 λ_{LT}=0.00
$\lambda_{LT,0}$=0.20 β_{LT}=1.00 Φ_{LT}=0.00 β_{LT}=1.00 f=0.00 χ_{LT}=1.00
CC 9 SLU My,Ed=-5.19 My,b,Rd=149.05 My,Ed/My,b,Rd=0.03

- Verifica di stabilità aste presso-inflesse (C4.2.4.1.3.3.1) - CC 19 SLU - Classe 3
Sollecitazioni: N,Ed=-19.25 Myeq,Ed=-6.64 Mzeq,Ed=-3.21
Resistenze: Nc,Rd=23709.20 My,c,Rd=149.05 Mz,c,Rd=149.05 L=19.38
λ_c=10.59 Ncr,y=1673810.00 λ^*_y=0.12 Curva b: Φ_y=0.49 χ_y=1.00
λ_e=20.13 Ncr,z=462889.00 λ^*_z=0.23 Curva b: Φ_z=0.53 χ_z=0.99
χ,min=0.99

Verifica: 0.00+0.04+0.02=0.07

- Verifica in termini tensionali [4.2.4] - CC 9 SLU Xl=0.17 - Classe 3
Sollecitazioni: N=247.72 T_z=56.08 M_y=-5.19 T_y=-58.59 M_z=-5.31 (M_c=0.08 M_e=-7.43)
Tensioni: σ_N=27.36 σ_M=200.08 τ=0.00 σ_{max}=227.44
Tensioni: σ_N=27.36 σ_M=30.94 τ=18.85 τ_{max}=18.85
Tensioni: σ_N=27.36 σ_M=200.08 τ=0.00 $\sigma_{ID,max}$=227.44

- Verifica a taglio dir. Y [4.2.16] - CC 19 SLU Xl=0.08
Sollecitazioni: N=-18.77 T_z=79.20 T_y=-34.42
V,Ed=-34.42 Vc,Rd=7560.76 V,Ed/Vc,Rd=0.00

- Verifica a taglio dir. Z [4.2.16]
V,Ed=79.20 Vc,Rd=7560.76 V,Ed/Vc,Rd=0.01

Asta n. 1242 (-291 -323) angolari L50x10 Crit. 1

- Verifica di stabilità aste inflesse (4.2.4.1.3.2) CC 19 SLU - Classe 3
L_{cr}=0.19 Curva d: α_{imp}=0.76 k_c=0.94 ψ=2.57 M,cr=0.00 λ_{LT}=0.00
$\lambda_{LT,0}$=0.20 β_{LT}=1.00 Φ_{LT}=0.00 β_{LT}=1.00 f=0.00 χ_{LT}=1.00
CC 19 SLU My,Ed=-6.96 My,b,Rd=149.05 My,Ed/My,b,Rd=0.05

- Verifica di stabilità aste presso-inflesse (C4.2.4.1.3.3.1) - CC 17 SLU - Classe 3
Sollecitazioni: N,Ed=-166.47 Myeq,Ed=-5.44 Mzeq,Ed=-1.27
Resistenze: Nc,Rd=23709.20 My,c,Rd=149.05 Mz,c,Rd=149.05 L=19.38
λ_c=10.59 Ncr,y=1673810.00 λ^*_y=0.12 Curva b: Φ_y=0.49 χ_y=1.00
λ_e=20.13 Ncr,z=462889.00 λ^*_z=0.23 Curva b: Φ_z=0.53 χ_z=0.99
χ,min=0.99
Verifica: 0.01+0.04+0.01=0.05

- Verifica in termini tensionali [4.2.4] - CC 9 SLU Xl=0.17 - Classe 3
Sollecitazioni: N=372.96 T_z=57.52 M_y=-5.48 T_y=-60.12 M_z=-5.61 (M_c=0.10 M_e=-7.84)
Tensioni: σ_N=41.20 σ_M=211.32 τ=0.00 σ_{max}=252.52
Tensioni: σ_N=41.20 σ_M=32.66 τ=19.33 τ_{max}=19.33
Tensioni: σ_N=41.20 σ_M=211.32 τ=0.00 $\sigma_{ID,max}$=252.52

- Verifica a taglio dir. Y [4.2.16] - CC 19 SLU Xl=0.08
Sollecitazioni: N=158.75 T_z=80.37 T_y=-36.19
V,Ed=-36.19 Vc,Rd=7560.76 V,Ed/Vc,Rd=0.00

- Verifica a taglio dir. Z [4.2.16]
V,Ed=80.37 Vc,Rd=7560.76 V,Ed/Vc,Rd=0.01

Asta n. 1242 (-323 -355) angolari L50x10 Crit. 1

- Verifica di stabilità aste inflesse (4.2.4.1.3.2) CC 19 SLU - Classe 3
L_{cr}=0.19 Curva d: α_{imp}=0.76 k_c=0.94 ψ=2.49 M,cr=0.00 λ_{LT}=0.00
$\lambda_{LT,0}$=0.20 β_{LT}=1.00 Φ_{LT}=0.00 β_{LT}=1.00 f=0.00 χ_{LT}=1.00
CC 19 SLU My,Ed=-7.31 My,b,Rd=149.05 My,Ed/My,b,Rd=0.05

- Verifica di stabilità aste presso-inflesse (C4.2.4.1.3.3.1) - CC 5 SLV - Classe 3
Sollecitazioni: N,Ed=-221.58 Myeq,Ed=-3.10 Mzeq,Ed=-3.33
Resistenze: Nc,Rd=23709.20 My,c,Rd=149.05 Mz,c,Rd=149.05 L=19.38
λ_c=10.59 Ncr,y=1673810.00 λ^*_y=0.12 Curva b: Φ_y=0.49 χ_y=1.00
λ_e=20.13 Ncr,z=462889.00 λ^*_z=0.23 Curva b: Φ_z=0.53 χ_z=0.99
χ,min=0.99
Verifica: 0.01+0.02+0.02=0.05

- Verifica in termini tensionali [4.2.4] - CC 9 SLU Xl=0.17 - Classe 3

Sollecitazioni: N=504.48 T_z=59.05 M_y=-5.79 T_y=-61.70 M_z=-5.94 (M_c=0.11 M_e=-8.29)
Tensioni: σ_N=55.73 σ_M=223.46 τ=0.00 σ_{max}=279.19
Tensioni: σ_N=55.73 σ_M=34.53 τ=19.85 τ_{max}=19.85
Tensioni: σ_N=55.73 σ_M=223.46 τ=0.00 $\sigma_{ID,max}$=279.19

- Verifica a taglio dir. Y [4.2.16] - CC 19 SLU Xl=0.08
Sollecitazioni: N=343.25 T_z=81.64 T_y=-38.02
V,Ed=-38.02 Vc,Rd=7560.76 V,Ed/Vc,Rd=0.01

- Verifica a taglio dir. Z [4.2.16]
V,Ed=81.64 Vc,Rd=7560.76 V,Ed/Vc,Rd=0.01

Asta n. 1242 (-355 -387) angolari L50x10 Crit. 1

- Verifica di stabilità aste inflesse (4.2.4.1.3.2) CC 19 SLU - Classe 3
L_{cr}=0.19 Curva d: α_{imp}=0.76 k_c=0.94 ψ=2.42 M,cr=0.00 λ_{LT}=0.00
$\lambda_{LT,0}$=0.20 β_{LT}=1.00 Φ_{LT}=0.00 β_{LT}=1.00 f=0.00 χ_{LT}=1.00
CC 19 SLU My,Ed=-7.69 My,b,Rd=149.05 My,Ed/My,b,Rd=0.05

- Verifica di stabilità aste presso-inflesse (C4.2.4.1.3.3.1) - CC 5 SLV - Classe 3
Sollecitazioni: N,Ed=-216.71 Myeq,Ed=-3.17 Mzeq,Ed=-3.41
Resistenze: Nc,Rd=23709.20 My,c,Rd=149.05 Mz,c,Rd=149.05 L=19.38
λ_c=10.59 Ncr,y=1673810.00 λ^*_y=0.12 Curva b: Φ_y=0.49 χ_y=1.00
λ_e=20.13 Ncr,z=462890.00 λ^*_z=0.23 Curva b: Φ_z=0.53 χ_z=0.99
χ,min=0.99
Verifica: 0.01+0.02+0.02=0.05

- Verifica in termini tensionali [4.2.4] - CC 9 SLU Xl=0.17 - Classe 3
Sollecitazioni: N=642.75 T_z=60.65 M_y=-6.13 T_y=-63.44 M_z=-6.30 (M_c=0.12 M_e=-8.79)
Tensioni: σ_N=71.00 σ_M=236.78 τ=0.00 σ_{max}=307.78
Tensioni: σ_N=71.00 σ_M=36.57 τ=20.39 τ_{max}=20.39
Tensioni: σ_N=71.00 σ_M=236.78 τ=0.00 $\sigma_{ID,max}$=307.78

- Verifica a taglio dir. Y [4.2.16] - CC 19 SLU Xl=0.06
Sollecitazioni: N=535.16 T_z=82.97 T_y=-39.98
V,Ed=-39.98 Vc,Rd=7560.76 V,Ed/Vc,Rd=0.01

- Verifica a taglio dir. Z [4.2.16]
V,Ed=82.97 Vc,Rd=7560.76 V,Ed/Vc,Rd=0.01

Asta n. 1242 (-387 -419) angolari L50x10 Crit. 1

- Verifica di stabilità aste inflesse (4.2.4.1.3.2) CC 19 SLU - Classe 3
L_{cr}=0.19 Curva d: α_{imp}=0.76 k_c=0.94 ψ=2.34 M,cr=0.00 λ_{LT}=0.00
$\lambda_{LT,0}$=0.20 β_{LT}=1.00 Φ_{LT}=0.00 β_{LT}=1.00 f=0.00 χ_{LT}=1.00
CC 19 SLU My,Ed=-8.13 My,b,Rd=149.05 My,Ed/My,b,Rd=0.05

- Verifica di stabilità aste presso-inflesse (C4.2.4.1.3.3.1) - CC 5 SLV - Classe 3
Sollecitazioni: N,Ed=-211.44 Myeq,Ed=-3.25 Mzeq,Ed=-3.46
Resistenze: Nc,Rd=23709.20 My,c,Rd=149.05 Mz,c,Rd=149.05 L=19.38
λ_c=10.59 Ncr,y=1673810.00 λ^*_y=0.12 Curva b: Φ_y=0.49 χ_y=1.00
λ_e=20.13 Ncr,z=462889.00 λ^*_z=0.23 Curva b: Φ_z=0.53 χ_z=0.99
χ,min=0.99
Verifica: 0.01+0.02+0.02=0.05

- Verifica in termini tensionali [4.2.4] - CC 9 SLU Xl=0.17 - Classe 3
Sollecitazioni: N=788.26 T_z=62.45 M_y=-6.51 T_y=-64.78 M_z=-6.63 (M_c=0.09 M_e=-9.30)
Tensioni: σ_N=87.08 σ_M=250.46 τ=0.00 σ_{max}=337.53
Tensioni: σ_N=87.08 σ_M=38.76 τ=20.95 τ_{max}=20.95

Tensioni: σ_N=87.08 σ_M=250.46 τ=0.00 $\sigma_{ID,max}$=337.53

- Verifica a taglio dir. Y [4.2.16] - CC 19 SLU Xl=0.06
Sollecitazioni: N=735.23 T_z=84.55 T_y=-41.56
V,Ed=-41.56 Vc,Rd=7560.76 V,Ed/Vc,Rd=0.01

- Verifica a taglio dir. Z [4.2.16]
V,Ed=84.55 Vc,Rd=7560.76 V,Ed/Vc,Rd=0.01

Asta n. 1242 (-419 -451) angolari L50x10 Crit. 1

- Verifica di stabilità aste inflesse (4.2.4.1.3.2) CC 19 SLU - Classe 3
L_{cr}=0.19 Curva d: α_{imp}=0.76 k_c=0.94 ψ=2.27 M,cr=0.00 λ_{LT}=0.00
$\lambda_{LT,0}$=0.20 β_{LT}=1.00 Φ_{LT}=0.00 β_{LT}=1.00 f=0.00 χ_{LT}=1.00
CC 19 SLU My,Ed=-8.52 My,b,Rd=149.05 My,Ed/My,b,Rd=0.06

- Verifica di stabilità aste presso-inflesse (C4.2.4.1.3.3.1) - CC 5 SLV - Classe 3
Sollecitazioni: N,Ed=-205.77 Myeq,Ed=-3.23 Mzeq,Ed=-3.69
Resistenze: Nc,Rd=23709.20 My,c,Rd=149.05 Mz,c,Rd=149.05 L=19.38
λ_c=10.59 Ncr,y=1673810.00 λ^*_y=0.12 Curva b: Φ_y=0.49 χ_y=1.00
λ_e=20.13 Ncr,z=462889.00 λ^*_z=0.23 Curva b: Φ_z=0.53 χ_z=0.99
χ,min=0.99
Verifica: 0.01+0.02+0.02=0.06

- Verifica in termini tensionali [4.2.4] - CC 9 SLU Xl=0.17 - Classe 3
Sollecitazioni: N=941.30 T_z=63.54 M_y=-6.85 T_y=-69.69 M_z=-7.51 (M_c=0.46 M_e=-10.15)
Tensioni: σ_N=103.98 σ_M=273.57 τ=0.00 σ_{max}=377.55
Tensioni: σ_N=103.98 σ_M=43.24 τ=22.07 τ_{max}=22.07
Tensioni: σ_N=103.98 σ_M=273.57 τ=0.00 $\sigma_{ID,max}$=377.55

- Verifica a taglio dir. Y [4.2.16] - CC 19 SLU Xl=0.06
Sollecitazioni: N=943.55 T_z=85.25 T_y=-46.53
V,Ed=-46.53 Vc,Rd=7560.76 V,Ed/Vc,Rd=0.01

- Verifica a taglio dir. Z [4.2.16]
V,Ed=85.25 Vc,Rd=7560.76 V,Ed/Vc,Rd=0.01

Asta n. 1242 (-451 -483) angolari L50x10 Crit. 1

- Verifica di stabilità aste inflesse (4.2.4.1.3.2) CC 19 SLU - Classe 3
L_{cr}=0.19 Curva d: α_{imp}=0.76 k_c=0.94 ψ=2.11 M,cr=0.00 λ_{LT}=0.00
$\lambda_{LT,0}$=0.20 β_{LT}=1.00 Φ_{LT}=0.00 β_{LT}=1.00 f=0.00 χ_{LT}=1.00
CC 19 SLU My,Ed=-10.13 My,b,Rd=149.05 My,Ed/My,b,Rd=0.07

- Verifica di stabilità aste presso-inflesse (C4.2.4.1.3.3.1) - CC 5 SLV - Classe 3
Sollecitazioni: N,Ed=-210.99 Myeq,Ed=-3.88 Mzeq,Ed=-2.76
Resistenze: Nc,Rd=23709.20 My,c,Rd=149.05 Mz,c,Rd=149.05 L=19.38
λ_c=10.59 Ncr,y=1673810.00 λ^*_y=0.12 Curva b: Φ_y=0.49 χ_y=1.00
λ_e=20.13 Ncr,z=462890.00 λ^*_z=0.23 Curva b: Φ_z=0.53 χ_z=0.99
χ,min=0.99
Verifica: 0.01+0.03+0.02=0.05

- Verifica a trazione [4.2.5] - CC 19 SLU Xl=0.06 - Classe 1
Sollecitazioni: N=1157.48 T_z=92.66 T_y=-29.03
N,Ed=1157.48 Npl,Rd=23709.20 Nu,Rd=28026.90 N,Ed/Nt,Rd=0.05
Verifiche di duttilità [7.5.3]:
q_0=4.00 N,Ed=1157.48 Npl,Rd=23709.20 N,Ed/Npl,Rd=0.048820

- Verifica a taglio dir. Y [4.2.16] - CC 19 SLU Xl=0.06

Sollecitazioni: N=1157.48 T_z=92.66 T_y=-29.03
V,Ed=-29.03 Vc,Rd=7560.76 V,Ed/Vc,Rd=0.00

- Verifica a taglio dir. Z [4.2.16]
V,Ed=92.66 Vc,Rd=7560.76 V,Ed/Vc,Rd=0.01

Asta n. 1242 (-483 1299) angolari L50x10 Crit. 1

- Verifica di stabilità aste inflesse (4.2.4.1.3.2) CC 18 SLU - Classe 3
L_{cr}=0.19 Curva d: α_{imp}=0.76 k_c=0.94 ψ=1.84 M,cr=0.00 λ_{LT}=0.00
$\lambda_{LT,0}$=0.20 β_{LT}=1.00 Φ_{LT}=0.00 β_{LT}=1.00 f=0.00 χ_{LT}=1.00
CC 18 SLU My,Ed=-7.24 My,b,Rd=149.05 My,Ed/My,b,Rd=0.05

- Verifica di stabilità aste presso-inflesse (C4.2.4.1.3.3.1) - CC 5 SLV - Classe 3
Sollecitazioni: N,Ed=-223.44 Myeq,Ed=-1.77 Mzeq,Ed=-7.51
Resistenze: Nc,Rd=23709.20 My,c,Rd=149.05 Mz,c,Rd=149.05 L=19.38
λ_c=10.59 Ncr,y=1673810.00 λ^*_y=0.12 Curva b: Φ_y=0.49 χ_y=1.00
λ_e=20.13 Ncr,z=462891.00 λ^*_z=0.23 Curva b: Φ_z=0.53 χ_z=0.99
χ,min=0.99
Verifica: 0.01+0.01+0.05=0.07

- Verifica in termini tensionali [4.2.4] - CC 9 SLU Xl=0.14 - Classe 3
Sollecitazioni: N=1253.55 T_z=41.54 M_y=-4.91 T_y=-172.30 M_z=-18.63 (M_c=9.70 M_e=-16.64)
Tensioni: σ_N=138.47 σ_M=448.49 τ=0.00 σ_{max}=586.96
Tensioni: σ_N=138.47 σ_M=85.48 τ=50.02 τ_{max}=50.02
Tensioni: σ_N=138.47 σ_M=448.49 τ=0.00 $\sigma_{ID,max}$=586.96

- Verifica a taglio dir. Y [4.2.16] - CC 9 SLU Xl=0.04
Sollecitazioni: N=1252.55 T_z=41.51 T_y=-172.30
V,Ed=-172.30 Vc,Rd=7560.76 V,Ed/Vc,Rd=0.02

- Verifica a taglio dir. Z [4.2.16]
V,Ed=41.51 Vc,Rd=7560.76 V,Ed/Vc,Rd=0.01

Asta n. 1243 (-39 -71) angolari L50x10 Crit. 1

- Verifica di stabilità aste inflesse (4.2.4.1.3.2) CC 1 SLV - Classe 3
L_{cr}=0.19 Curva d: α_{imp}=0.76 k_c=0.94 ψ=1.87 M,cr=0.00 λ_{LT}=0.00
$\lambda_{LT,0}$=0.20 β_{LT}=1.00 Φ_{LT}=0.00 β_{LT}=1.00 f=0.00 χ_{LT}=1.00
CC 1 SLV My,Ed=2.92 My,b,Rd=149.05 My,Ed/My,b,Rd=0.02

- Verifica di stabilità aste presso-inflesse (C4.2.4.1.3.3.1) - CC 17 SLU - Classe 3
Sollecitazioni: N,Ed=-1158.59 Myeq,Ed=5.57 Mzeq,Ed=-2.39
Resistenze: Nc,Rd=23709.20 My,c,Rd=149.05 Mz,c,Rd=149.05 L=19.38
λ_c=10.59 Ncr,y=1673810.00 λ^*_y=0.12 Curva b: Φ_y=0.49 χ_y=1.00
λ_e=20.13 Ncr,z=462889.00 λ^*_z=0.23 Curva b: Φ_z=0.53 χ_z=0.99
χ,min=0.99
Verifica: 0.05+0.04+0.02=0.10

- Verifica a compressione [4.2.9] - CC 17 SLU Xl=0.16 - Classe 1
Sollecitazioni: N=-1157.60 T_z=59.82 T_y=18.90
N,Ed=-1157.60 Nc,Rd=-23709.20 N,Ed/Nc,Rd=0.05
Verifiche di duttilità [7.5.3]:
q_0=4.00 N,Ed=-1157.60 Npl,Rd=23709.20 N,Ed/Npl,Rd=0.048825

- Verifica a taglio dir. Y [4.2.16] - CC 17 SLU Xl=0.17
Sollecitazioni: N=-1157.50 T_z=59.82 T_y=18.90
V,Ed=18.90 Vc,Rd=7560.76 V,Ed/Vc,Rd=0.00

- Verifica a taglio dir. Z [4.2.16]
  V,Ed=59.82 Vc,Rd=7560.76 V,Ed/Vc,Rd=0.01

Asta n. 1243 (-71 -103) angolari L50x10 Crit. 1

- Verifica di stabilità aste inflesse (4.2.4.1.3.2) CC 1 SLV - Classe 3
  L_{cr}=0.19 Curva d: α_{imp}=0.76 k_c=0.94 ψ=2.32 M,cr=0.00 λ_{LT}=0.00
  $\lambda_{LT,0}$=0.20 β_{LT}=1.00 Φ_{LT}=0.00 β_{LT}=1.00 f=0.00 χ_{LT}=1.00
  CC 1 SLV My,Ed=2.02 My,b,Rd=149.05 My,Ed/My,b,Rd=0.01

- Verifica di stabilità aste presso-inflesse (C4.2.4.1.3.3.1) - CC 17 SLU - Classe 3
  Sollecitazioni: N,Ed=-1081.33 Myeq,Ed=4.79 Mzeq,Ed=-2.36
  Resistenze: Nc,Rd=23709.20 My,c,Rd=149.05 Mz,c,Rd=149.05 L=19.38
  λ_c=10.59 Ncr,y=1673810.00 λ^*_y=0.12 Curva b: Φ_y=0.49 χ_y=1.00
  λ_e=20.13 Ncr,z=462890.00 λ^*_z=0.23 Curva b: Φ_z=0.53 χ_z=0.99
  χ,min=0.99
  Verifica: 0.05+0.03+0.02=0.09

- Verifica a compressione [4.2.9] - CC 17 SLU Xl=0.12 - Classe 1
  Sollecitazioni: N=-1080.49 T_z=51.27 T_y=24.60
  N,Ed=-1080.49 Nc,Rd=-23709.20 N,Ed/Nc,Rd=0.05
  Verifiche di duttilità [7.5.3]:
  q_0=4.00 N,Ed=-1080.49 Npl,Rd=23709.20 N,Ed/Npl,Rd=0.045572

- Verifica a taglio dir. Y [4.2.16] - CC 17 SLU Xl=0.14
  Sollecitazioni: N=-1080.25 T_z=51.28 T_y=24.60
  V,Ed=24.60 Vc,Rd=7560.76 V,Ed/Vc,Rd=0.00

- Verifica a taglio dir. Z [4.2.16]
  V,Ed=51.28 Vc,Rd=7560.76 V,Ed/Vc,Rd=0.01

Asta n. 1243 (-103 -135) angolari L50x10 Crit. 1

- Verifica di stabilità aste inflesse (4.2.4.1.3.2) CC 1 SLV - Classe 3
  L_{cr}=0.19 Curva d: α_{imp}=0.76 k_c=0.94 ψ=2.60 M,cr=0.00 λ_{LT}=0.00
  $\lambda_{LT,0}$=0.20 β_{LT}=1.00 Φ_{LT}=0.00 β_{LT}=1.00 f=0.00 χ_{LT}=1.00
  CC 1 SLV My,Ed=1.82 My,b,Rd=149.05 My,Ed/My,b,Rd=0.01

- Verifica di stabilità aste presso-inflesse (C4.2.4.1.3.3.1) - CC 17 SLU - Classe 3
  Sollecitazioni: N,Ed=-983.93 Myeq,Ed=4.47 Mzeq,Ed=-2.17
  Resistenze: Nc,Rd=23709.20 My,c,Rd=149.05 Mz,c,Rd=149.05 L=19.38
  λ_c=10.59 Ncr,y=1673810.00 λ^*_y=0.12 Curva b: Φ_y=0.49 χ_y=1.00
  λ_e=20.13 Ncr,z=462889.00 λ^*_z=0.23 Curva b: Φ_z=0.53 χ_z=0.99
  χ,min=0.99
  Verifica: 0.04+0.03+0.01=0.09

- Verifica a compressione [4.2.9] - CC 17 SLU Xl=0.10 - Classe 1
  Sollecitazioni: N=-983.20 T_z=51.25 T_y=23.23
  N,Ed=-983.20 Nc,Rd=-23709.20 N,Ed/Nc,Rd=0.04
  Verifiche di duttilità [7.5.3]:
  q_0=4.00 N,Ed=-983.20 Npl,Rd=23709.20 N,Ed/Npl,Rd=0.041469

- Verifica a taglio dir. Y [4.2.16] - CC 17 SLU Xl=0.13
  Sollecitazioni: N=-982.96 T_z=51.26 T_y=23.23
  V,Ed=23.23 Vc,Rd=7560.76 V,Ed/Vc,Rd=0.00

- Verifica a taglio dir. Z [4.2.16]
  V,Ed=51.26 Vc,Rd=7560.76 V,Ed/Vc,Rd=0.01

Asta n. 1243 (-135 -167) angolari L50x10 Crit. 1

- Verifica di stabilità aste inflesse (4.2.4.1.3.2) CC 5 SLV - Classe 3
  L_{cr}=0.19 Curva d: α_{imp}=0.76 k_c=0.94 ψ=2.99 M,cr=0.00 λ_{LT}=0.00
  $\lambda_{LT,0}$=0.20 β_{LT}=1.00 Φ_{LT}=0.00 β_{LT}=1.00 f=0.00 χ_{LT}=1.00
  CC 5 SLV My,Ed=-1.94 My,b,Rd=149.05 My,Ed/My,b,Rd=0.01

- Verifica di stabilità aste presso-inflesse (C4.2.4.1.3.3.1) - CC 17 SLU - Classe 3
  Sollecitazioni: N,Ed=-880.65 Myeq,Ed=4.24 Mzeq,Ed=-2.08
  Resistenze: Nc,Rd=23709.20 My,c,Rd=149.05 Mz,c,Rd=149.05 L=19.38
  λ_c=10.59 Ncr,y=1673810.00 λ^*_y=0.12 Curva b: Φ_y=0.49 χ_y=1.00
  λ_e=20.13 Ncr,z=462890.00 λ^*_z=0.23 Curva b: Φ_z=0.53 χ_z=0.99
  χ,min=0.99
  Verifica: 0.04+0.03+0.01=0.08

- Verifica a compressione [4.2.9] - CC 17 SLU Xl=0.10 - Classe 1
  Sollecitazioni: N=-879.92 T_z=50.96 T_y=22.28
  N,Ed=-879.92 Nc,Rd=-23709.20 N,Ed/Nc,Rd=0.04
  Verifiche di duttilità [7.5.3]:
  q_0=4.00 N,Ed=-879.92 Npl,Rd=23709.20 N,Ed/Npl,Rd=0.037113

- Verifica a taglio dir. Y [4.2.16] - CC 17 SLU Xl=0.12
  Sollecitazioni: N=-879.80 T_z=50.96 T_y=22.28
  V,Ed=22.28 Vc,Rd=7560.76 V,Ed/Vc,Rd=0.00

- Verifica a taglio dir. Z [4.2.16]
  V,Ed=50.96 Vc,Rd=7560.76 V,Ed/Vc,Rd=0.01

Asta n. 1243 (-167 -199) angolari L50x10 Crit. 1

- Verifica di stabilità aste inflesse (4.2.4.1.3.2) CC 5 SLV - Classe 3
  L_{cr}=0.19 Curva d: α_{imp}=0.76 k_c=0.94 ψ=2.88 M,cr=0.00 λ_{LT}=0.00
  $\lambda_{LT,0}$=0.20 β_{LT}=1.00 Φ_{LT}=0.00 β_{LT}=1.00 f=0.00 χ_{LT}=1.00
  CC 5 SLV My,Ed=-2.05 My,b,Rd=149.05 My,Ed/My,b,Rd=0.01

- Verifica di stabilità aste presso-inflesse (C4.2.4.1.3.3.1) - CC 17 SLU - Classe 3
  Sollecitazioni: N,Ed=-774.70 Myeq,Ed=4.10 Mzeq,Ed=-1.99
  Resistenze: Nc,Rd=23709.20 My,c,Rd=149.05 Mz,c,Rd=149.05 L=19.38
  λ_c=10.59 Ncr,y=1673810.00 λ^*_y=0.12 Curva b: Φ_y=0.49 χ_y=1.00
  λ_e=20.13 Ncr,z=462890.00 λ^*_z=0.23 Curva b: Φ_z=0.53 χ_z=0.99
  χ,min=0.99
  Verifica: 0.03+0.03+0.01=0.07

- Verifica a compressione [4.2.9] - CC 17 SLU Xl=0.10 - Classe 1
  Sollecitazioni: N=-773.98 T_z=50.68 T_y=21.34
  N,Ed=-773.98 Nc,Rd=-23709.20 N,Ed/Nc,Rd=0.03
  Verifiche di duttilità [7.5.3]:
  q_0=4.00 N,Ed=-773.98 Npl,Rd=23709.20 N,Ed/Npl,Rd=0.032645

- Verifica a taglio dir. Y [4.2.16] - CC 17 SLU Xl=0.12
  Sollecitazioni: N=-773.86 T_z=50.69 T_y=21.34
  V,Ed=21.34 Vc,Rd=7560.76 V,Ed/Vc,Rd=0.00

- Verifica a taglio dir. Z [4.2.16]
  V,Ed=50.69 Vc,Rd=7560.76 V,Ed/Vc,Rd=0.01

Asta n. 1243 (-199 -231) angolari L50x10 Crit. 1

- Verifica di stabilità aste inflesse (4.2.4.1.3.2) CC 5 SLV - Classe 3
  L_{cr}=0.19 Curva d: α_{imp}=0.76 k_c=0.94 ψ=2.79 M,cr=0.00 λ_{LT}=0.00
  $\lambda_{LT,0}$=0.20 β_{LT}=1.00 Φ_{LT}=0.00 β_{LT}=1.00 f=0.00 χ_{LT}=1.00
  CC 5 SLV My,Ed=-2.16 My,b,Rd=149.05 My,Ed/My,b,Rd=0.01

- Verifica di stabilità aste presso-inflesse (C4.2.4.1.3.3.1) - CC 17 SLU - Classe 3
  Sollecitazioni: N,Ed=-666.72 Myeq,Ed=3.97 Mzeq,Ed=-1.90
  Resistenze: Nc,Rd=23709.20 My,c,Rd=149.05 Mz,c,Rd=149.05 L=19.38
  λ_c=10.59 Ncr,y=1673810.00 λ^*_y=0.12 Curva b: Φ_y=0.49 χ_y=1.00
  λ_e=20.13 Ncr,z=462889.00 λ^*_z=0.23 Curva b: Φ_z=0.53 χ_z=0.99
  χ,min=0.99
  Verifica: 0.03+0.03+0.01=0.07

- Verifica a compressione [4.2.9] - CC 17 SLU Xl=0.10 - Classe 1
  Sollecitazioni: N=-666.00 T_z=50.44 T_y=20.40
  N,Ed=-666.00 Nc,Rd=-23709.20 N,Ed/Nc,Rd=0.03
  Verifiche di duttilità [7.5.3]:
  q_0=4.00 N,Ed=-666.00 Npl,Rd=23709.20 N,Ed/Npl,Rd=0.028090

- Verifica a taglio dir. Y [4.2.16] - CC 17 SLU Xl=0.12
  Sollecitazioni: N=-665.87 T_z=50.45 T_y=20.40
  V,Ed=20.40 Vc,Rd=7560.76 V,Ed/Vc,Rd=0.00

- Verifica a taglio dir. Z [4.2.16]
  V,Ed=50.45 Vc,Rd=7560.76 V,Ed/Vc,Rd=0.01

Asta n. 1243 (-231 -263) angolari L50x10 Crit. 1

- Verifica di stabilità aste inflesse (4.2.4.1.3.2) CC 5 SLV - Classe 3
  L_{cr}=0.19 Curva d: α_{imp}=0.76 k_c=0.94 ψ=2.71 M,cr=0.00 λ_{LT}=0.00
  $\lambda_{LT,0}$=0.20 β_{LT}=1.00 Φ_{LT}=0.00 β_{LT}=1.00 f=0.00 χ_{LT}=1.00
  CC 5 SLV My,Ed=-2.27 My,b,Rd=149.05 My,Ed/My,b,Rd=0.02

- Verifica di stabilità aste presso-inflesse (C4.2.4.1.3.3.1) - CC 17 SLU - Classe 3
  Sollecitazioni: N,Ed=-556.74 Myeq,Ed=3.84 Mzeq,Ed=-1.82
  Resistenze: Nc,Rd=23709.20 My,c,Rd=149.05 Mz,c,Rd=149.05 L=19.38
  λ_c=10.59 Ncr,y=1673810.00 λ^*_y=0.12 Curva b: Φ_y=0.49 χ_y=1.00
  λ_e=20.13 Ncr,z=462889.00 λ^*_z=0.23 Curva b: Φ_z=0.53 χ_z=0.99
  χ,min=0.99
  Verifica: 0.02+0.03+0.01=0.06

- Verifica a compressione [4.2.9] - CC 17 SLU Xl=0.10 - Classe 1
  Sollecitazioni: N=-556.02 T_z=50.23 T_y=19.45
  N,Ed=-556.02 Nc,Rd=-23709.20 N,Ed/Nc,Rd=0.02
  Verifiche di duttilità [7.5.3]:
  q_0=4.00 N,Ed=-556.02 Npl,Rd=23709.20 N,Ed/Npl,Rd=0.023451

- Verifica a taglio dir. Y [4.2.16] - CC 17 SLU Xl=0.12
  Sollecitazioni: N=-555.89 T_z=50.23 T_y=19.45
  V,Ed=19.45 Vc,Rd=7560.76 V,Ed/Vc,Rd=0.00

- Verifica a taglio dir. Z [4.2.16]
  V,Ed=50.23 Vc,Rd=7560.76 V,Ed/Vc,Rd=0.01

Asta n. 1243 (-263 -295) angolari L50x10 Crit. 1

- Verifica di stabilità aste inflesse (4.2.4.1.3.2) CC 5 SLV - Classe 3

L_{cr}=0.19 Curva d: α_{imp}=0.76 k_c=0.94 ψ=2.63 M,cr=0.00 λ_{LT}=0.00
$\lambda_{LT,0}$=0.20 β_{LT}=1.00 Φ_{LT}=0.00 β_{LT}=1.00 f=0.00 χ_{LT}=1.00
CC 5 SLV My,Ed=-2.39 My,b,Rd=149.05 My,Ed/My,b,Rd=0.02

- Verifica di stabilità aste presso-inflesse (C4.2.4.1.3.3.1) - CC 17 SLU - Classe 3
Sollecitazioni: N,Ed=-444.67 Myeq,Ed=3.71 Mzeq,Ed=-1.73
Resistenze: Nc,Rd=23709.20 My,c,Rd=149.05 Mz,c,Rd=149.05 L=19.38
λ_c=10.59 Ncr,y=1673810.00 λ^*_y=0.12 Curva b: Φ_y=0.49 χ_y=1.00
λ_e=20.13 Ncr,z=462889.00 λ^*_z=0.23 Curva b: Φ_z=0.53 χ_z=0.99
χ,min=0.99
Verifica: 0.02+0.02+0.01=0.06

- Verifica a compressione [4.2.9] - CC 16 SLU Xl=0.03 - Classe 1
Sollecitazioni: N=-448.05 T_z=3.05
N,Ed=-448.05 Nc,Rd=-23709.20 N,Ed/Nc,Rd=0.02
Verifiche di duttilità [7.5.3]:
q_0=4.00 N,Ed=-448.05 Npl,Rd=23709.20 N,Ed/Npl,Rd=0.018898

- Verifica a taglio dir. Y [4.2.16] - CC 19 SLU Xl=0.08
Sollecitazioni: N=-247.50 T_z=50.37 T_y=-7.21
V,Ed=-7.21 Vc,Rd=7560.76 V,Ed/Vc,Rd=0.00

- Verifica a taglio dir. Z [4.2.16]
V,Ed=50.37 Vc,Rd=7560.76 V,Ed/Vc,Rd=0.01

Asta n. 1243 (-295 -327) angolari L50x10 Crit. 1

- Verifica di stabilità aste inflesse (4.2.4.1.3.2) CC 9 SLU - Classe 3
L_{cr}=0.19 Curva d: α_{imp}=0.76 k_c=0.94 ψ=2.52 M,cr=0.00 λ_{LT}=0.00
$\lambda_{LT,0}$=0.20 β_{LT}=1.00 Φ_{LT}=0.00 β_{LT}=1.00 f=0.00 χ_{LT}=1.00
CC 9 SLU My,Ed=-2.89 My,b,Rd=149.05 My,Ed/My,b,Rd=0.02

- Verifica di stabilità aste presso-inflesse (C4.2.4.1.3.3.1) - CC 17 SLU - Classe 3
Sollecitazioni: N,Ed=-330.35 Myeq,Ed=-3.59 Mzeq,Ed=-1.64
Resistenze: Nc,Rd=23709.20 My,c,Rd=149.05 Mz,c,Rd=149.05 L=19.38
λ_c=10.59 Ncr,y=1673810.00 λ^*_y=0.12 Curva b: Φ_y=0.49 χ_y=1.00
λ_e=20.13 Ncr,z=462889.00 λ^*_z=0.23 Curva b: Φ_z=0.53 χ_z=0.99
χ,min=0.99
Verifica: 0.01+0.02+0.01=0.05

- Verifica a compressione [4.2.9] - CC 16 SLU Xl=0.03 - Classe 1
Sollecitazioni: N=-434.56 T_z=4.65
N,Ed=-434.56 Nc,Rd=-23709.20 N,Ed/Nc,Rd=0.02
Verifiche di duttilità [7.5.3]:
q_0=4.00 N,Ed=-434.56 Npl,Rd=23709.20 N,Ed/Npl,Rd=0.018329

- Verifica a taglio dir. Y [4.2.16] - CC 19 SLU Xl=0.08
Sollecitazioni: N=-133.16 T_z=50.79 T_y=-8.27
V,Ed=-8.27 Vc,Rd=7560.76 V,Ed/Vc,Rd=0.00

- Verifica a taglio dir. Z [4.2.16]
V,Ed=50.79 Vc,Rd=7560.76 V,Ed/Vc,Rd=0.01

Asta n. 1243 (-327 -359) angolari L50x10 Crit. 1

- Verifica di stabilità aste inflesse (4.2.4.1.3.2) CC 9 SLU - Classe 3
L_{cr}=0.19 Curva d: α_{imp}=0.76 k_c=0.94 ψ=2.45 M,cr=0.00 λ_{LT}=0.00
$\lambda_{LT,0}$=0.20 β_{LT}=1.00 Φ_{LT}=0.00 β_{LT}=1.00 f=0.00 χ_{LT}=1.00

CC 9 SLU My,Ed=-3.06 My,b,Rd=149.05 My,Ed/My,b,Rd=0.02

- Verifica di stabilità aste presso-inflesse (C4.2.4.1.3.3.1) - CC 5 SLV - Classe 3
Sollecitazioni: N,Ed=-317.49 Myeq,Ed=-2.65 Mzeq,Ed=-2.46
Resistenze: Nc,Rd=23709.20 My,c,Rd=149.05 Mz,c,Rd=149.05 L=19.38
λ_c=10.59 Ncr,y=1673810.00 λ^*_y=0.12 Curva b: Φ_y=0.49 χ_y=1.00
λ_e=20.13 Ncr,z=462889.00 λ^*_z=0.23 Curva b: Φ_z=0.53 χ_z=0.99
χ,min=0.99
Verifica: 0.01+0.02+0.02=0.05

- Verifica a compressione [4.2.9] - CC 16 SLU Xl=0.03 - Classe 1
Sollecitazioni: N=-417.23 T_z=6.28 T_y=-2.49
N,Ed=-417.23 Nc,Rd=-23709.20 N,Ed/Nc,Rd=0.02
Verifiche di duttilità [7.5.3]:
q_0=4.00 N,Ed=-417.23 Npl,Rd=23709.20 N,Ed/Npl,Rd=0.017598

- Verifica a taglio dir. Y [4.2.16] - CC 19 SLU Xl=0.08
Sollecitazioni: N=-15.10 T_z=51.26 T_y=-9.36
V,Ed=-9.36 Vc,Rd=7560.76 V,Ed/Vc,Rd=0.00

- Verifica a taglio dir. Z [4.2.16]
V,Ed=51.26 Vc,Rd=7560.76 V,Ed/Vc,Rd=0.01

Asta n. 1243 (-359 -391) angolari L50x10 Crit. 1

- Verifica di stabilità aste inflesse (4.2.4.1.3.2) CC 19 SLU - Classe 3
L_{cr}=0.19 Curva d: α_{imp}=0.76 k_c=0.94 ψ=2.60 M,cr=0.00 λ_{LT}=0.00
$\lambda_{LT,0}$=0.20 β_{LT}=1.00 Φ_{LT}=0.00 β_{LT}=1.00 f=0.00 χ_{LT}=1.00
CC 19 SLU My,Ed=-4.43 My,b,Rd=149.05 My,Ed/My,b,Rd=0.03

- Verifica di stabilità aste presso-inflesse (C4.2.4.1.3.3.1) - CC 5 SLV - Classe 3
Sollecitazioni: N,Ed=-323.56 Myeq,Ed=-2.80 Mzeq,Ed=-2.50
Resistenze: Nc,Rd=23709.20 My,c,Rd=149.05 Mz,c,Rd=149.05 L=19.38
λ_c=10.59 Ncr,y=1673810.00 λ^*_y=0.12 Curva b: Φ_y=0.49 χ_y=1.00
λ_e=20.13 Ncr,z=462890.00 λ^*_z=0.23 Curva b: Φ_z=0.53 χ_z=0.99
χ,min=0.99
Verifica: 0.01+0.02+0.02=0.05

- Verifica in termini tensionali [4.2.4] - CC 9 SLU Xl=0.17 - Classe 3
Sollecitazioni: N=220.57 T_z=34.33 M_y=-3.24 T_y=-28.95 M_z=-3.22 (M_c=-0.01 M_e=-4.57)
Tensioni: σ_N=24.37 σ_M=123.14 τ=0.00 σ_{max}=147.51
Tensioni: σ_N=24.37 σ_M=19.15 τ=10.99 τ_{max}=10.99
Tensioni: σ_N=24.37 σ_M=123.14 τ=0.00 $\sigma_{ID,max}$=147.51

- Verifica a taglio dir. Y [4.2.16] - CC 19 SLU Xl=0.06
Sollecitazioni: N=106.87 T_z=51.79 T_y=-10.51
V,Ed=-10.51 Vc,Rd=7560.76 V,Ed/Vc,Rd=0.00

- Verifica a taglio dir. Z [4.2.16]
V,Ed=51.79 Vc,Rd=7560.76 V,Ed/Vc,Rd=0.01

Asta n. 1243 (-391 -423) angolari L50x10 Crit. 1

- Verifica di stabilità aste inflesse (4.2.4.1.3.2) CC 19 SLU - Classe 3
L_{cr}=0.19 Curva d: α_{imp}=0.76 k_c=0.94 ψ=2.51 M,cr=0.00 λ_{LT}=0.00
$\lambda_{LT,0}$=0.20 β_{LT}=1.00 Φ_{LT}=0.00 β_{LT}=1.00 f=0.00 χ_{LT}=1.00
CC 19 SLU My,Ed=-4.66 My,b,Rd=149.05 My,Ed/My,b,Rd=0.03

- Verifica di stabilità aste presso-inflesse (C4.2.4.1.3.3.1) - CC 5 SLV - Classe 3

Sollecitazioni: N,Ed=-329.84 Myeq,Ed=-2.86 Mzeq,Ed=-2.54
Resistenze: Nc,Rd=23709.20 My,c,Rd=149.05 Mz,c,Rd=149.05 L=19.38
λ_c=10.59 Ncr,y=1673810.00 λ^*_y=0.12 Curva b: Φ_y=0.49 χ_y=1.00
λ_e=20.13 Ncr,z=462889.00 λ^*_z=0.23 Curva b: Φ_z=0.53 χ_z=0.99
χ,min=0.99
Verifica: 0.01+0.02+0.02=0.05

- Verifica in termini tensionali [4.2.4] - CC 9 SLU Xl=0.17 - Classe 3
Sollecitazioni: N=304.46 T_z=35.31 M_y=-3.45 T_y=-29.52 M_z=-3.36 (M_c=-0.06 M_e=-4.82)
Tensioni: σ_N=33.63 σ_M=129.84 τ=0.00 σ_{max}=163.47
Tensioni: σ_N=33.63 σ_M=20.26 τ=11.29 τ_{max}=11.29
Tensioni: σ_N=33.63 σ_M=129.84 τ=0.00 $\sigma_{ID,max}$=163.47

- Verifica a taglio dir. Y [4.2.16] - CC 19 SLU Xl=0.06
Sollecitazioni: N=233.25 T_z=52.40 T_y=-11.44
V,Ed=-11.44 Vc,Rd=7560.76 V,Ed/Vc,Rd=0.00

- Verifica a taglio dir. Z [4.2.16]
V,Ed=52.40 Vc,Rd=7560.76 V,Ed/Vc,Rd=0.01

Asta n. 1243 (-423 -455) angolari L50x10 Crit. 1

- Verifica di stabilità aste inflesse (4.2.4.1.3.2) CC 19 SLU - Classe 3
L_{cr}=0.19 Curva d: α_{imp}=0.76 k_c=0.94 ψ=2.41 M,cr=0.00 λ_{LT}=0.00
$\lambda_{LT,0}$=0.20 β_{LT}=1.00 Φ_{LT}=0.00 β_{LT}=1.00 f=0.00 χ_{LT}=1.00
CC 19 SLU My,Ed=-4.90 My,b,Rd=149.05 My,Ed/My,b,Rd=0.03

- Verifica di stabilità aste presso-inflesse (C4.2.4.1.3.3.1) - CC 5 SLV - Classe 3
Sollecitazioni: N,Ed=-336.32 Myeq,Ed=-2.85 Mzeq,Ed=-2.71
Resistenze: Nc,Rd=23709.20 My,c,Rd=149.05 Mz,c,Rd=149.05 L=19.38
λ_c=10.59 Ncr,y=1673810.00 λ^*_y=0.12 Curva b: Φ_y=0.49 χ_y=1.00
λ_e=20.13 Ncr,z=462889.00 λ^*_z=0.23 Curva b: Φ_z=0.53 χ_z=0.99
χ,min=0.99
Verifica: 0.01+0.02+0.02=0.05

- Verifica in termini tensionali [4.2.4] - CC 9 SLU Xl=0.17 - Classe 3
Sollecitazioni: N=392.60 T_z=36.07 M_y=-3.66 T_y=-32.15 M_z=-3.81 (M_c=0.11 M_e=-5.28)
Tensioni: σ_N=43.37 σ_M=142.34 τ=0.00 σ_{max}=185.71
Tensioni: σ_N=43.37 σ_M=21.93 τ=11.68 τ_{max}=11.68
Tensioni: σ_N=43.37 σ_M=142.34 τ=0.00 $\sigma_{ID,max}$=185.71

- Verifica a taglio dir. Y [4.2.16] - CC 19 SLU Xl=0.06
Sollecitazioni: N=363.96 T_z=52.70 T_y=-14.38
V,Ed=-14.38 Vc,Rd=7560.76 V,Ed/Vc,Rd=0.00

- Verifica a taglio dir. Z [4.2.16]
V,Ed=52.70 Vc,Rd=7560.76 V,Ed/Vc,Rd=0.01

Asta n. 1243 (-455 -487) angolari L50x10 Crit. 1

- Verifica di stabilità aste inflesse (4.2.4.1.3.2) CC 19 SLU - Classe 3
L_{cr}=0.19 Curva d: α_{imp}=0.76 k_c=0.94 ψ=2.23 M,cr=0.00 λ_{LT}=0.00
$\lambda_{LT,0}$=0.20 β_{LT}=1.00 Φ_{LT}=0.00 β_{LT}=1.00 f=0.00 χ_{LT}=1.00
CC 19 SLU My,Ed=-5.68 My,b,Rd=149.05 My,Ed/My,b,Rd=0.04

- Verifica di stabilità aste presso-inflesse (C4.2.4.1.3.3.1) - CC 5 SLV - Classe 3
Sollecitazioni: N,Ed=-342.82 Myeq,Ed=-3.41 Mzeq,Ed=-1.94
Resistenze: Nc,Rd=23709.20 My,c,Rd=149.05 Mz,c,Rd=149.05 L=19.38
λ_c=10.59 Ncr,y=1673810.00 λ^*_y=0.12 Curva b: Φ_y=0.49 χ_y=1.00

λ_e=20.13 Ncr,z=462890.00 λ^*_z=0.23 Curva b: Φ_z=0.53 χ_z=0.99
χ,min=0.99
Verifica: 0.01+0.02+0.01=0.05

- Verifica a trazione [4.2.5] - CC 5 SLV Xl=0.10 - Classe 1
Sollecitazioni: N=549.59 T_z=-14.23 T_y=12.97
N,Ed=549.59 Npl,Rd=23709.20 Nu,Rd=28026.90 N,Ed/Nt,Rd=0.02
Verifiche di duttilità [7.5.3]:
q_0=4.00 N,Ed=549.59 Npl,Rd=23709.20 N,Ed/Npl,Rd=0.023181

- Verifica a taglio dir. Y [4.2.16] - CC 19 SLU Xl=0.08
Sollecitazioni: N=497.34 T_z=55.58 T_y=-3.82
V,Ed=-3.82 Vc,Rd=7560.76 V,Ed/Vc,Rd=0.00

- Verifica a taglio dir. Z [4.2.16]
V,Ed=55.58 Vc,Rd=7560.76 V,Ed/Vc,Rd=0.01

Asta n. 1243 (-487 1305) angolari L50x10 Crit. 1

- Verifica di stabilità aste inflesse (4.2.4.1.3.2) CC 18 SLU - Classe 3
L_{cr}=0.19 Curva d: α_{imp}=0.76 k_c=0.94 ψ=1.93 M,cr=0.00 λ_{LT}=0.00
$\lambda_{LT,0}$=0.20 β_{LT}=1.00 Φ_{LT}=0.00 β_{LT}=1.00 f=0.00 χ_{LT}=1.00
CC 18 SLU My,Ed=-4.85 My,b,Rd=149.05 My,Ed/My,b,Rd=0.03

- Verifica di stabilità aste presso-inflesse (C4.2.4.1.3.3.1) - CC 5 SLV - Classe 3
Sollecitazioni: N,Ed=-360.05 Myeq,Ed=-1.60 Mzeq,Ed=-5.91
Resistenze: Nc,Rd=23709.20 My,c,Rd=149.05 Mz,c,Rd=149.05 L=19.38
λ_c=10.59 Ncr,y=1673810.00 λ^*_y=0.12 Curva b: Φ_y=0.49 χ_y=1.00
λ_e=20.13 Ncr,z=462891.00 λ^*_z=0.23 Curva b: Φ_z=0.53 χ_z=0.99
χ,min=0.99
Verifica: 0.02+0.01+0.04=0.07

- Verifica in termini tensionali [4.2.4] - CC 9 SLU Xl=0.14 - Classe 3
Sollecitazioni: N=571.25 T_z=28.74 M_y=-3.14 T_y=-91.52 M_z=-10.07 (M_c=4.90 M_e=-9.35)
Tensioni: σ_N=63.10 σ_M=251.81 τ=0.00 σ_{max}=314.92
Tensioni: σ_N=63.10 σ_M=47.10 τ=26.70 τ_{max}=26.70
Tensioni: σ_N=63.10 σ_M=251.81 τ=0.00 $\sigma_{ID,max}$=314.92

- Verifica a taglio dir. Y [4.2.16] - CC 9 SLU Xl=0.03
Sollecitazioni: N=570.15 T_z=28.72 T_y=-91.52
V,Ed=-91.52 Vc,Rd=7560.76 V,Ed/Vc,Rd=0.01

- Verifica a taglio dir. Z [4.2.16]
V,Ed=28.72 Vc,Rd=7560.76 V,Ed/Vc,Rd=0.00

Asta n. 1244 (-33 -65) angolari L50x10 Crit. 1

- Verifica di stabilità aste inflesse (4.2.4.1.3.2) CC 1 SLV - Classe 3
L_{cr}=0.19 Curva d: α_{imp}=0.76 k_c=0.94 ψ=2.01 M,cr=0.00 λ_{LT}=0.00
$\lambda_{LT,0}$=0.20 β_{LT}=1.00 Φ_{LT}=0.00 β_{LT}=1.00 f=0.00 χ_{LT}=1.00
CC 1 SLV My,Ed=2.16 My,b,Rd=149.05 My,Ed/My,b,Rd=0.01

- Verifica di stabilità aste presso-inflesse (C4.2.4.1.3.3.1) - CC 17 SLU - Classe 3
Sollecitazioni: N,Ed=-867.21 Myeq,Ed=4.73 Mzeq,Ed=-1.93
Resistenze: Nc,Rd=23709.20 My,c,Rd=149.05 Mz,c,Rd=149.05 L=19.38
λ_c=10.59 Ncr,y=1673810.00 λ^*_y=0.12 Curva b: Φ_y=0.49 χ_y=1.00
λ_e=20.13 Ncr,z=462889.00 λ^*_z=0.23 Curva b: Φ_z=0.53 χ_z=0.99
χ,min=0.99

Verifica: 0.04+0.03+0.01=0.08

- Verifica a compressione [4.2.9] - CC 17 SLU Xl=0.16 - Classe 1
Sollecitazioni: N=-866.22 T_z=52.76 T_y=17.89
N,Ed=-866.22 Nc,Rd=-23709.20 N,Ed/Nc,Rd=0.04
Verifiche di duttilità [7.5.3]:
q_0=4.00 N,Ed=-866.22 Npl,Rd=23709.20 N,Ed/Npl,Rd=0.036535

- Verifica a taglio dir. Y [4.2.16] - CC 17 SLU Xl=0.17
Sollecitazioni: N=-866.12 T_z=52.76 T_y=17.89
V,Ed=17.89 Vc,Rd=7560.76 V,Ed/Vc,Rd=0.00

- Verifica a taglio dir. Z [4.2.16]
V,Ed=52.76 Vc,Rd=7560.76 V,Ed/Vc,Rd=0.01

Asta n. 1244 (-65 -97) angolari L50x10 Crit. 1

- Verifica di stabilità aste inflesse (4.2.4.1.3.2) CC 9 SLU - Classe 3
L_{cr}=0.19 Curva d: α_{imp}=0.76 k_c=0.94 ψ=2.75 M,cr=0.00 λ_{LT}=0.00
$\lambda_{LT,0}$=0.20 β_{LT}=1.00 Φ_{LT}=0.00 β_{LT}=1.00 f=0.00 χ_{LT}=1.00
CC 9 SLU My,Ed=-1.71 My,b,Rd=149.05 My,Ed/My,b,Rd=0.01

- Verifica di stabilità aste presso-inflesse (C4.2.4.1.3.3.1) - CC 17 SLU - Classe 3
Sollecitazioni: N,Ed=-798.20 Myeq,Ed=4.26 Mzeq,Ed=-2.04
Resistenze: Nc,Rd=23709.20 My,c,Rd=149.05 Mz,c,Rd=149.05 L=19.38
λ_c=10.59 Ncr,y=1673810.00 λ^*_y=0.12 Curva b: Φ_y=0.49 χ_y=1.00
λ_e=20.13 Ncr,z=462890.00 λ^*_z=0.23 Curva b: Φ_z=0.53 χ_z=0.99
χ,min=0.99
Verifica: 0.03+0.03+0.01=0.08

- Verifica a compressione [4.2.9] - CC 17 SLU Xl=0.10 - Classe 1
Sollecitazioni: N=-797.47 T_z=45.62 T_y=21.87
N,Ed=-797.47 Nc,Rd=-23709.20 N,Ed/Nc,Rd=0.03
Verifiche di duttilità [7.5.3]:
q_0=4.00 N,Ed=-797.47 Npl,Rd=23709.20 N,Ed/Npl,Rd=0.033636

- Verifica a taglio dir. Y [4.2.16] - CC 17 SLU Xl=0.13
Sollecitazioni: N=-797.23 T_z=45.63 T_y=21.87
V,Ed=21.87 Vc,Rd=7560.76 V,Ed/Vc,Rd=0.00

- Verifica a taglio dir. Z [4.2.16]
V,Ed=45.63 Vc,Rd=7560.76 V,Ed/Vc,Rd=0.01

Asta n. 1244 (-97 -129) angolari L50x10 Crit. 1

- Verifica di stabilità aste inflesse (4.2.4.1.3.2) CC 9 SLU - Classe 3
L_{cr}=0.19 Curva d: α_{imp}=0.76 k_c=0.94 ψ=2.44 M,cr=0.00 λ_{LT}=0.00
$\lambda_{LT,0}$=0.20 β_{LT}=1.00 Φ_{LT}=0.00 β_{LT}=1.00 f=0.00 χ_{LT}=1.00
CC 9 SLU My,Ed=-2.01 My,b,Rd=149.05 My,Ed/My,b,Rd=0.01

- Verifica di stabilità aste presso-inflesse (C4.2.4.1.3.3.1) - CC 17 SLU - Classe 3
Sollecitazioni: N,Ed=-711.50 Myeq,Ed=3.73 Mzeq,Ed=-1.91
Resistenze: Nc,Rd=23709.20 My,c,Rd=149.05 Mz,c,Rd=149.05 L=19.38
λ_c=10.59 Ncr,y=1673810.00 λ^*_y=0.12 Curva b: Φ_y=0.49 χ_y=1.00
λ_e=20.13 Ncr,z=462889.00 λ^*_z=0.23 Curva b: Φ_z=0.53 χ_z=0.99
χ,min=0.99
Verifica: 0.03+0.03+0.01=0.07

- Verifica a compressione [4.2.9] - CC 17 SLU Xl=0.09 - Classe 1
  Sollecitazioni: N=-710.89 T_z=45.42 T_y=20.51
  N,Ed=-710.89 Nc,Rd=-23709.20 N,Ed/Nc,Rd=0.03
  Verifiche di duttilità [7.5.3]:
  q_0=4.00 N,Ed=-710.89 Npl,Rd=23709.20 N,Ed/Npl,Rd=0.029984

- Verifica a taglio dir. Y [4.2.16] - CC 17 SLU Xl=0.12
  Sollecitazioni: N=-710.65 T_z=45.42 T_y=20.51
  V,Ed=20.51 Vc,Rd=7560.76 V,Ed/Vc,Rd=0.00

- Verifica a taglio dir. Z [4.2.16]
  V,Ed=45.42 Vc,Rd=7560.76 V,Ed/Vc,Rd=0.01

Asta n. 1244 (-129 -161) angolari L50x10 Crit. 1

- Verifica di stabilità aste inflesse (4.2.4.1.3.2) CC 9 SLU - Classe 3
  L_{cr}=0.19 Curva d: α_{imp}=0.76 k_c=0.94 ψ=2.34 M,cr=0.00 λ_{LT}=0.00
  $\lambda_{LT,0}$=0.20 β_{LT}=1.00 Φ_{LT}=0.00 β_{LT}=1.00 f=0.00 χ_{LT}=1.00
  CC 9 SLU My,Ed=-2.15 My,b,Rd=149.05 My,Ed/My,b,Rd=0.01

- Verifica di stabilità aste presso-inflesse (C4.2.4.1.3.3.1) - CC 17 SLU - Classe 3
  Sollecitazioni: N,Ed=-619.89 Myeq,Ed=3.51 Mzeq,Ed=-1.82
  Resistenze: Nc,Rd=23709.20 My,c,Rd=149.05 Mz,c,Rd=149.05 L=19.38
  λ_c=10.59 Ncr,y=1673810.00 λ^*_y=0.12 Curva b: Φ_y=0.49 χ_y=1.00
  λ_e=20.13 Ncr,z=462890.00 λ^*_z=0.23 Curva b: Φ_z=0.53 χ_z=0.99
  χ,min=0.99
  Verifica: 0.03+0.02+0.01=0.06

- Verifica a compressione [4.2.9] - CC 17 SLU Xl=0.09 - Classe 1
  Sollecitazioni: N=-619.29 T_z=44.99 T_y=19.50
  N,Ed=-619.29 Nc,Rd=-23709.20 N,Ed/Nc,Rd=0.03
  Verifiche di duttilità [7.5.3]:
  q_0=4.00 N,Ed=-619.29 Npl,Rd=23709.20 N,Ed/Npl,Rd=0.026120

- Verifica a taglio dir. Y [4.2.16] - CC 17 SLU Xl=0.12
  Sollecitazioni: N=-619.05 T_z=45.00 T_y=19.50
  V,Ed=19.50 Vc,Rd=7560.76 V,Ed/Vc,Rd=0.00

- Verifica a taglio dir. Z [4.2.16]
  V,Ed=45.00 Vc,Rd=7560.76 V,Ed/Vc,Rd=0.01

Asta n. 1244 (-161 -193) angolari L50x10 Crit. 1

- Verifica di stabilità aste inflesse (4.2.4.1.3.2) CC 9 SLU - Classe 3
  L_{cr}=0.19 Curva d: α_{imp}=0.76 k_c=0.94 ψ=2.29 M,cr=0.00 λ_{LT}=0.00
  $\lambda_{LT,0}$=0.20 β_{LT}=1.00 Φ_{LT}=0.00 β_{LT}=1.00 f=0.00 χ_{LT}=1.00
  CC 9 SLU My,Ed=-2.26 My,b,Rd=149.05 My,Ed/My,b,Rd=0.02

- Verifica di stabilità aste presso-inflesse (C4.2.4.1.3.3.1) - CC 17 SLU - Classe 3
  Sollecitazioni: N,Ed=-526.28 Myeq,Ed=3.36 Mzeq,Ed=-1.73
  Resistenze: Nc,Rd=23709.20 My,c,Rd=149.05 Mz,c,Rd=149.05 L=19.38
  λ_c=10.59 Ncr,y=1673810.00 λ^*_y=0.12 Curva b: Φ_y=0.49 χ_y=1.00
  λ_e=20.13 Ncr,z=462890.00 λ^*_z=0.23 Curva b: Φ_z=0.53 χ_z=0.99
  χ,min=0.99
  Verifica: 0.02+0.02+0.01=0.06

- Verifica a compressione [4.2.9] - CC 17 SLU Xl=0.09 - Classe 1
  Sollecitazioni: N=-525.67 T_z=44.58 T_y=18.51

N,Ed=-525.67 Nc,Rd=-23709.20 N,Ed/Nc,Rd=0.02
Verifiche di duttilità [7.5.3]:
q_0=4.00 N,Ed=-525.67 Npl,Rd=23709.20 N,Ed/Npl,Rd=0.022172

- Verifica a taglio dir. Y [4.2.16] - CC 17 SLU Xl=0.12
Sollecitazioni: N=-525.43 T_z=44.59 T_y=18.51
V,Ed=18.51 Vc,Rd=7560.76 V,Ed/Vc,Rd=0.00

- Verifica a taglio dir. Z [4.2.16]
V,Ed=44.59 Vc,Rd=7560.76 V,Ed/Vc,Rd=0.01

Asta n. 1244 (-193 -225) angolari L50x10 Crit. 1

- Verifica di stabilità aste inflesse (4.2.4.1.3.2) CC 9 SLU - Classe 3
L_{cr}=0.19 Curva d: α_{imp}=0.76 k_c=0.94 ψ=2.24 M,cr=0.00 λ_{LT}=0.00
$\lambda_{LT,0}$=0.20 β_{LT}=1.00 Φ_{LT}=0.00 β_{LT}=1.00 f=0.00 χ_{LT}=1.00
CC 9 SLU My,Ed=-2.37 My,b,Rd=149.05 My,Ed/My,b,Rd=0.02

- Verifica di stabilità aste presso-inflesse (C4.2.4.1.3.3.1) - CC 17 SLU - Classe 3
Sollecitazioni: N,Ed=-431.24 Myeq,Ed=3.24 Mzeq,Ed=-1.63
Resistenze: Nc,Rd=23709.20 My,c,Rd=149.05 Mz,c,Rd=149.05 L=19.38
λ_c=10.59 Ncr,y=1673810.00 λ^*_y=0.12 Curva b: Φ_y=0.49 χ_y=1.00
λ_e=20.13 Ncr,z=462889.00 λ^*_z=0.23 Curva b: Φ_z=0.53 χ_z=0.99
χ,min=0.99
Verifica: 0.02+0.02+0.01=0.05

- Verifica a compressione [4.2.9] - CC 17 SLU Xl=0.08 - Classe 1
Sollecitazioni: N=-430.75 T_z=44.19 T_y=17.50
N,Ed=-430.75 Nc,Rd=-23709.20 N,Ed/Nc,Rd=0.02
Verifiche di duttilità [7.5.3]:
q_0=4.00 N,Ed=-430.75 Npl,Rd=23709.20 N,Ed/Npl,Rd=0.018168

- Verifica a taglio dir. Y [4.2.16] - CC 17 SLU Xl=0.12
Sollecitazioni: N=-430.39 T_z=44.20 T_y=17.50
V,Ed=17.50 Vc,Rd=7560.76 V,Ed/Vc,Rd=0.00

- Verifica a taglio dir. Z [4.2.16]
V,Ed=44.20 Vc,Rd=7560.76 V,Ed/Vc,Rd=0.01

Asta n. 1244 (-225 -257) angolari L50x10 Crit. 1

- Verifica di stabilità aste inflesse (4.2.4.1.3.2) CC 9 SLU - Classe 3
L_{cr}=0.19 Curva d: α_{imp}=0.76 k_c=0.94 ψ=2.20 M,cr=0.00 λ_{LT}=0.00
$\lambda_{LT,0}$=0.20 β_{LT}=1.00 Φ_{LT}=0.00 β_{LT}=1.00 f=0.00 χ_{LT}=1.00
CC 9 SLU My,Ed=-2.48 My,b,Rd=149.05 My,Ed/My,b,Rd=0.02

- Verifica di stabilità aste presso-inflesse (C4.2.4.1.3.3.1) - CC 17 SLU - Classe 3
Sollecitazioni: N,Ed=-334.84 Myeq,Ed=-3.19 Mzeq,Ed=-1.54
Resistenze: Nc,Rd=23709.20 My,c,Rd=149.05 Mz,c,Rd=149.05 L=19.38
λ_c=10.59 Ncr,y=1673810.00 λ^*_y=0.12 Curva b: Φ_y=0.49 χ_y=1.00
λ_e=20.13 Ncr,z=462889.00 λ^*_z=0.23 Curva b: Φ_z=0.53 χ_z=0.99
χ,min=0.99
Verifica: 0.01+0.02+0.01=0.05

- Verifica a trazione [4.2.5] - CC 5 SLV Xl=0.17 - Classe 1
Sollecitazioni: N=335.11 T_z=-12.09 T_y=8.56
N,Ed=335.11 Npl,Rd=23709.20 Nu,Rd=28026.90 N,Ed/Nt,Rd=0.01
Verifiche di duttilità [7.5.3]:

q_0=4.00 N,Ed=335.11 Npl,Rd=23709.20 N,Ed/Npl,Rd=0.014134

- Verifica a taglio dir. Y [4.2.16] - CC 17 SLU Xl=0.12
  Sollecitazioni: N=-333.99 T_z=43.83 T_y=16.48
  V,Ed=16.48 Vc,Rd=7560.76 V,Ed/Vc,Rd=0.00

- Verifica a taglio dir. Z [4.2.16]
  V,Ed=43.83 Vc,Rd=7560.76 V,Ed/Vc,Rd=0.01

Asta n. 1244 (-257 -289) angolari L50x10 Crit. 1

- Verifica di stabilità aste inflesse (4.2.4.1.3.2) CC 19 SLU - Classe 3
  L_{cr}=0.19 Curva d: α_{imp}=0.76 k_c=0.94 ψ=2.57 M,cr=0.00 λ_{LT}=0.00
  $\lambda_{LT,0}$=0.20 β_{LT}=1.00 Φ_{LT}=0.00 β_{LT}=1.00 f=0.00 χ_{LT}=1.00
  CC 19 SLU My,Ed=-3.71 My,b,Rd=149.05 My,Ed/My,b,Rd=0.02

- Verifica di stabilità aste presso-inflesse (C4.2.4.1.3.3.1) - CC 17 SLU - Classe 3
  Sollecitazioni: N,Ed=-237.02 Myeq,Ed=-3.27 Mzeq,Ed=-1.44
  Resistenze: Nc,Rd=23709.20 My,c,Rd=149.05 Mz,c,Rd=149.05 L=19.38
  λ_c=10.59 Ncr,y=1673810.00 λ^*_y=0.12 Curva b: Φ_y=0.49 χ_y=1.00
  λ_e=20.13 Ncr,z=462889.00 λ^*_z=0.23 Curva b: Φ_z=0.53 χ_z=0.99
  χ,min=0.99
  Verifica: 0.01+0.02+0.01=0.04

- Verifica a trazione [4.2.5] - CC 5 SLV Xl=0.17 - Classe 1
  Sollecitazioni: N=373.27 T_z=-12.27 T_y=8.63
  N,Ed=373.27 Npl,Rd=23709.20 Nu,Rd=28026.90 N,Ed/Nt,Rd=0.02
  Verifiche di duttilità [7.5.3]:
  q_0=4.00 N,Ed=373.27 Npl,Rd=23709.20 N,Ed/Npl,Rd=0.015744

- Verifica a taglio dir. Y [4.2.16] - CC 17 SLU Xl=0.12
  Sollecitazioni: N=-236.17 T_z=43.47 T_y=15.45
  V,Ed=15.45 Vc,Rd=7560.76 V,Ed/Vc,Rd=0.00

- Verifica a taglio dir. Z [4.2.16]
  V,Ed=43.47 Vc,Rd=7560.76 V,Ed/Vc,Rd=0.01

Asta n. 1244 (-289 -321) angolari L50x10 Crit. 1

- Verifica di stabilità aste inflesse (4.2.4.1.3.2) CC 19 SLU - Classe 3
  L_{cr}=0.19 Curva d: α_{imp}=0.76 k_c=0.94 ψ=2.50 M,cr=0.00 λ_{LT}=0.00
  $\lambda_{LT,0}$=0.20 β_{LT}=1.00 Φ_{LT}=0.00 β_{LT}=1.00 f=0.00 χ_{LT}=1.00
  CC 19 SLU My,Ed=-3.85 My,b,Rd=149.05 My,Ed/My,b,Rd=0.03

- Verifica di stabilità aste presso-inflesse (C4.2.4.1.3.3.1) - CC 5 SLV - Classe 3
  Sollecitazioni: N,Ed=-195.70 Myeq,Ed=-2.19 Mzeq,Ed=-2.35
  Resistenze: Nc,Rd=23709.20 My,c,Rd=149.05 Mz,c,Rd=149.05 L=19.38
  λ_c=10.59 Ncr,y=1673810.00 λ^*_y=0.12 Curva b: Φ_y=0.49 χ_y=1.00
  λ_e=20.13 Ncr,z=462889.00 λ^*_z=0.23 Curva b: Φ_z=0.53 χ_z=0.99
  χ,min=0.99
  Verifica: 0.01+0.01+0.02=0.04

- Verifica a trazione [4.2.5] - CC 5 SLV Xl=0.17 - Classe 1
  Sollecitazioni: N=413.01 T_z=-12.43 T_y=8.70
  N,Ed=413.01 Npl,Rd=23709.20 Nu,Rd=28026.90 N,Ed/Nt,Rd=0.02
  Verifiche di duttilità [7.5.3]:
  q_0=4.00 N,Ed=413.01 Npl,Rd=23709.20 N,Ed/Npl,Rd=0.017420

- Verifica a taglio dir. Y [4.2.16] - CC 17 SLU Xl=0.10
  Sollecitazioni: N=-136.95 T_z=43.14 T_y=14.40
  V,Ed=14.40 Vc,Rd=7560.76 V,Ed/Vc,Rd=0.00

- Verifica a taglio dir. Z [4.2.16]
  V,Ed=43.14 Vc,Rd=7560.76 V,Ed/Vc,Rd=0.01

Asta n. 1244 (-321 -353) angolari L50x10 Crit. 1

- Verifica di stabilità aste inflesse (4.2.4.1.3.2) CC 19 SLU - Classe 3
  L_{cr}=0.19 Curva d: α_{imp}=0.76 k_c=0.94 ψ=2.42 M,cr=0.00 λ_{LT}=0.00
  $\lambda_{LT,0}$=0.20 β_{LT}=1.00 Φ_{LT}=0.00 β_{LT}=1.00 f=0.00 χ_{LT}=1.00
  CC 19 SLU My,Ed=-4.01 My,b,Rd=149.05 My,Ed/My,b,Rd=0.03

- Verifica di stabilità aste presso-inflesse (C4.2.4.1.3.3.1) - CC 5 SLV - Classe 3
  Sollecitazioni: N,Ed=-208.94 Myeq,Ed=-2.23 Mzeq,Ed=-2.49
  Resistenze: Nc,Rd=23709.20 My,c,Rd=149.05 Mz,c,Rd=149.05 L=19.38
  λ_c=10.59 Ncr,y=1673810.00 λ^*_y=0.12 Curva b: Φ_y=0.49 χ_y=1.00
  λ_e=20.13 Ncr,z=462889.00 λ^*_z=0.23 Curva b: Φ_z=0.53 χ_z=0.99
  χ,min=0.99
  Verifica: 0.01+0.01+0.02=0.04

- Verifica a trazione [4.2.5] - CC 5 SLV Xl=0.16 - Classe 1
  Sollecitazioni: N=454.33 T_z=-12.60 T_y=8.75
  N,Ed=454.33 Npl,Rd=23709.20 Nu,Rd=28026.90 N,Ed/Nt,Rd=0.02
  Verifiche di duttilità [7.5.3]:
   q_0=4.00 N,Ed=454.33 Npl,Rd=23709.20 N,Ed/Npl,Rd=0.019163

- Verifica a taglio dir. Y [4.2.16] - CC 19 SLU Xl=0.09
  Sollecitazioni: N=267.03 T_z=43.31 T_y=-11.38
  V,Ed=-11.38 Vc,Rd=7560.76 V,Ed/Vc,Rd=0.00

- Verifica a taglio dir. Z [4.2.16]
  V,Ed=43.31 Vc,Rd=7560.76 V,Ed/Vc,Rd=0.01

Asta n. 1244 (-353 -385) angolari L50x10 Crit. 1

- Verifica di stabilità aste inflesse (4.2.4.1.3.2) CC 19 SLU - Classe 3
  L_{cr}=0.19 Curva d: α_{imp}=0.76 k_c=0.94 ψ=2.35 M,cr=0.00 λ_{LT}=0.00
  $\lambda_{LT,0}$=0.20 β_{LT}=1.00 Φ_{LT}=0.00 β_{LT}=1.00 f=0.00 χ_{LT}=1.00
  CC 19 SLU My,Ed=-4.18 My,b,Rd=149.05 My,Ed/My,b,Rd=0.03

- Verifica di stabilità aste presso-inflesse (C4.2.4.1.3.3.1) - CC 5 SLV - Classe 3
  Sollecitazioni: N,Ed=-222.77 Myeq,Ed=-2.27 Mzeq,Ed=-2.59
  Resistenze: Nc,Rd=23709.20 My,c,Rd=149.05 Mz,c,Rd=149.05 L=19.38
  λ_c=10.59 Ncr,y=1673810.00 λ^*_y=0.12 Curva b: Φ_y=0.49 χ_y=1.00
  λ_e=20.13 Ncr,z=462890.00 λ^*_z=0.23 Curva b: Φ_z=0.53 χ_z=0.99
  χ,min=0.99
  Verifica: 0.01+0.02+0.02=0.04

- Verifica a trazione [4.2.5] - CC 9 SLU Xl=0.09 - Classe 1
  Sollecitazioni: N=504.75 T_z=26.53 T_y=-31.22
  N,Ed=504.75 Npl,Rd=23709.20 Nu,Rd=28026.90 N,Ed/Nt,Rd=0.02
  Verifiche di duttilità [7.5.3]:
   q_0=4.00 N,Ed=504.75 Npl,Rd=23709.20 N,Ed/Npl,Rd=0.021289

- Verifica a taglio dir. Y [4.2.16] - CC 19 SLU Xl=0.09

Sollecitazioni: N=370.05 T_z=43.60 T_y=-12.59
V,Ed=-12.59 Vc,Rd=7560.76 V,Ed/Vc,Rd=0.00

- Verifica a taglio dir. Z [4.2.16]
V,Ed=43.60 Vc,Rd=7560.76 V,Ed/Vc,Rd=0.01

Asta n. 1244 (-385 -417) angolari L50x10 Crit. 1

- Verifica di stabilità aste inflesse (4.2.4.1.3.2) CC 19 SLU - Classe 3
L_{cr}=0.19 Curva d: α_{imp}=0.76 k_c=0.94 ψ=2.27 M,cr=0.00 λ_{LT}=0.00
$\lambda_{LT,0}$=0.20 β_{LT}=1.00 Φ_{LT}=0.00 β_{LT}=1.00 f=0.00 χ_{LT}=1.00
CC 19 SLU My,Ed=-4.39 My,b,Rd=149.05 My,Ed/My,b,Rd=0.03

- Verifica di stabilità aste presso-inflesse (C4.2.4.1.3.3.1) - CC 5 SLV - Classe 3
Sollecitazioni: N,Ed=-237.22 Myeq,Ed=-2.33 Mzeq,Ed=-2.62
Resistenze: Nc,Rd=23709.20 My,c,Rd=149.05 Mz,c,Rd=149.05 L=19.38
λ_c=10.59 Ncr,y=1673810.00 λ^*_y=0.12 Curva b: Φ_y=0.49 χ_y=1.00
λ_e=20.13 Ncr,z=462889.00 λ^*_z=0.23 Curva b: Φ_z=0.53 χ_z=0.99
χ,min=0.99
Verifica: 0.01+0.02+0.02=0.04

- Verifica a trazione [4.2.5] - CC 9 SLU Xl=0.08 - Classe 1
Sollecitazioni: N=569.38 T_z=27.34 T_y=-31.89
N,Ed=569.38 Npl,Rd=23709.20 Nu,Rd=28026.90 N,Ed/Nt,Rd=0.02
Verifiche di duttilità [7.5.3]:
q_0=4.00 N,Ed=569.38 Npl,Rd=23709.20 N,Ed/Npl,Rd=0.024015

- Verifica a taglio dir. Y [4.2.16] - CC 19 SLU Xl=0.09
Sollecitazioni: N=476.31 T_z=44.02 T_y=-13.62
V,Ed=-13.62 Vc,Rd=7560.76 V,Ed/Vc,Rd=0.00

- Verifica a taglio dir. Z [4.2.16]
V,Ed=44.02 Vc,Rd=7560.76 V,Ed/Vc,Rd=0.01

Asta n. 1244 (-417 -449) angolari L50x10 Crit. 1

- Verifica di stabilità aste inflesse (4.2.4.1.3.2) CC 19 SLU - Classe 3
L_{cr}=0.19 Curva d: α_{imp}=0.76 k_c=0.94 ψ=2.20 M,cr=0.00 λ_{LT}=0.00
$\lambda_{LT,0}$=0.20 β_{LT}=1.00 Φ_{LT}=0.00 β_{LT}=1.00 f=0.00 χ_{LT}=1.00
CC 19 SLU My,Ed=-4.54 My,b,Rd=149.05 My,Ed/My,b,Rd=0.03

- Verifica di stabilità aste presso-inflesse (C4.2.4.1.3.3.1) - CC 5 SLV - Classe 3
Sollecitazioni: N,Ed=-252.30 Myeq,Ed=-2.29 Mzeq,Ed=-2.79
Resistenze: Nc,Rd=23709.20 My,c,Rd=149.05 Mz,c,Rd=149.05 L=19.38
λ_c=10.59 Ncr,y=1673810.00 λ^*_y=0.12 Curva b: Φ_y=0.49 χ_y=1.00
λ_e=20.13 Ncr,z=462889.00 λ^*_z=0.23 Curva b: Φ_z=0.53 χ_z=0.99
χ,min=0.99
Verifica: 0.01+0.02+0.02=0.04

- Verifica a trazione [4.2.5] - CC 9 SLU Xl=0.08 - Classe 1
Sollecitazioni: N=637.42 T_z=27.53 T_y=-34.21
N,Ed=637.42 Npl,Rd=23709.20 Nu,Rd=28026.90 N,Ed/Nt,Rd=0.03
Verifiche di duttilità [7.5.3]:
q_0=4.00 N,Ed=637.42 Npl,Rd=23709.20 N,Ed/Npl,Rd=0.026885

- Verifica a taglio dir. Y [4.2.16] - CC 19 SLU Xl=0.08
Sollecitazioni: N=585.76 T_z=43.82 T_y=-16.23
V,Ed=-16.23 Vc,Rd=7560.76 V,Ed/Vc,Rd=0.00

- Verifica a taglio dir. Z [4.2.16]
  V,Ed=43.82 Vc,Rd=7560.76 V,Ed/Vc,Rd=0.01

Asta n. 1244 (-449 -481) angolari L50x10 Crit. 1

- Verifica di stabilità aste inflesse (4.2.4.1.3.2) CC 19 SLU - Classe 3
  L_{cr}=0.19 Curva d: α_{imp}=0.76 k_c=0.94 ψ=2.05 M,cr=0.00 λ_{LT}=0.00
  $\lambda_{LT,0}$=0.20 β_{LT}=1.00 Φ_{LT}=0.00 β_{LT}=1.00 f=0.00 χ_{LT}=1.00
  CC 19 SLU My,Ed=-5.49 My,b,Rd=149.05 My,Ed/My,b,Rd=0.04

- Verifica di stabilità aste presso-inflesse (C4.2.4.1.3.3.1) - CC 5 SLV - Classe 3
  Sollecitazioni: N,Ed=-267.67 Myeq,Ed=-2.91 Mzeq,Ed=-2.09
  Resistenze: Nc,Rd=23709.20 My,c,Rd=149.05 Mz,c,Rd=149.05 L=19.38
  λ_c=10.59 Ncr,y=1673810.00 λ^*_y=0.12 Curva b: Φ_y=0.49 χ_y=1.00
  λ_e=20.13 Ncr,z=462890.00 λ^*_z=0.23 Curva b: Φ_z=0.53 χ_z=0.99
  χ,min=0.99
  Verifica: 0.01+0.02+0.01=0.04

- Verifica a trazione [4.2.5] - CC 9 SLU Xl=0.06 - Classe 1
  Sollecitazioni: N=707.92 T_z=32.41 T_y=-25.54
  N,Ed=707.92 Npl,Rd=23709.20 Nu,Rd=28026.90 N,Ed/Nt,Rd=0.03
  Verifiche di duttilità [7.5.3]:
  q_0=4.00 N,Ed=707.92 Npl,Rd=23709.20 N,Ed/Npl,Rd=0.029858

- Verifica a taglio dir. Y [4.2.16] - CC 19 SLU Xl=0.06
  Sollecitazioni: N=697.16 T_z=48.36 T_y=-8.30
  V,Ed=-8.30 Vc,Rd=7560.76 V,Ed/Vc,Rd=0.00

- Verifica a taglio dir. Z [4.2.16]
  V,Ed=48.36 Vc,Rd=7560.76 V,Ed/Vc,Rd=0.01

Asta n. 1244 (-481 1296) angolari L50x10 Crit. 1

- Verifica di stabilità aste inflesse (4.2.4.1.3.2) CC 17 SLU - Classe 3
  L_{cr}=0.19 Curva d: α_{imp}=0.76 k_c=0.94 ψ=1.92 M,cr=0.00 λ_{LT}=0.00
  $\lambda_{LT,0}$=0.20 β_{LT}=1.00 Φ_{LT}=0.00 β_{LT}=1.00 f=0.00 χ_{LT}=1.00
  CC 17 SLU My,Ed=-2.96 My,b,Rd=149.05 My,Ed/My,b,Rd=0.02

- Verifica di stabilità aste presso-inflesse (C4.2.4.1.3.3.1) - CC 5 SLV - Classe 3
  Sollecitazioni: N,Ed=-286.01 Myeq,Ed=-1.23 Mzeq,Ed=-5.62
  Resistenze: Nc,Rd=23709.20 My,c,Rd=149.05 Mz,c,Rd=149.05 L=19.38
  λ_c=10.59 Ncr,y=1673810.00 λ^*_y=0.12 Curva b: Φ_y=0.49 χ_y=1.00
  λ_e=20.13 Ncr,z=462891.00 λ^*_z=0.23 Curva b: Φ_z=0.53 χ_z=0.99
  χ,min=0.99
  Verifica: 0.01+0.01+0.04=0.06

- Verifica a trazione [4.2.5] - CC 19 SLU Xl=0.05 - Classe 1
  Sollecitazioni: N=802.54 T_z=23.24 T_y=-62.80
  N,Ed=802.54 Npl,Rd=23709.20 Nu,Rd=28026.90 N,Ed/Nt,Rd=0.03
  Verifiche di duttilità [7.5.3]:
  q_0=4.00 N,Ed=802.54 Npl,Rd=23709.20 N,Ed/Npl,Rd=0.033849

- Verifica a taglio dir. Y [4.2.16] - CC 9 SLU Xl=0.03
  Sollecitazioni: N=777.34 T_z=8.19 T_y=-82.36
  V,Ed=-82.36 Vc,Rd=7560.76 V,Ed/Vc,Rd=0.01

- Verifica a taglio dir. Z [4.2.16]

V,Ed=8.19 Vc,Rd=7560.76 V,Ed/Vc,Rd=0.00

Asta n. 1245 (-41 -73) angolari L50x10 Crit. 1

- Verifica di stabilità aste inflesse (4.2.4.1.3.2) CC 5 SLV - Classe 3
L_{cr}=0.19 Curva d: α_{imp}=0.76 k_c=0.94 ψ=1.86 M,cr=0.00 λ_{LT}=0.00
$\lambda_{LT,0}$=0.20 β_{LT}=1.00 Φ_{LT}=0.00 β_{LT}=1.00 f=0.00 χ_{LT}=1.00
CC 5 SLV My,Ed=-2.63 My,b,Rd=149.05 My,Ed/My,b,Rd=0.02

- Verifica di stabilità aste presso-inflesse (C4.2.4.1.3.3.1) - CC 17 SLU - Classe 3
Sollecitazioni: N,Ed=-1008.96 Myeq,Ed=2.83 Mzeq,Ed=3.47
Resistenze: Nc,Rd=23709.20 My,c,Rd=149.05 Mz,c,Rd=149.05 L=19.38
λ_c=10.59 Ncr,y=1673810.00 λ^*_y=0.12 Curva b: Φ_y=0.49 χ_y=1.00
λ_e=20.13 Ncr,z=462889.00 λ^*_z=0.23 Curva b: Φ_z=0.53 χ_z=0.99
χ,min=0.99
Verifica: 0.04+0.02+0.02=0.08

- Verifica a compressione [4.2.9] - CC 17 SLU Xl=0.16 - Classe 1
Sollecitazioni: N=-1007.96 T_z=27.75 T_y=-39.49
N,Ed=-1007.96 Nc,Rd=-23709.20 N,Ed/Nc,Rd=0.04
Verifiche di duttilità [7.5.3]:
q_0=4.00 N,Ed=-1007.96 Npl,Rd=23709.20 N,Ed/Npl,Rd=0.042513

- Verifica a taglio dir. Y [4.2.16] - CC 17 SLU Xl=0.16
Sollecitazioni: N=-1007.96 T_z=27.75 T_y=-39.49
V,Ed=-39.49 Vc,Rd=7560.76 V,Ed/Vc,Rd=0.01

- Verifica a taglio dir. Z [4.2.16]
V,Ed=27.75 Vc,Rd=7560.76 V,Ed/Vc,Rd=0.00

Asta n. 1245 (-73 -105) angolari L50x10 Crit. 1

- Verifica di stabilità aste inflesse (4.2.4.1.3.2) CC 5 SLV - Classe 3
L_{cr}=0.19 Curva d: α_{imp}=0.76 k_c=0.94 ψ=2.57 M,cr=0.00 λ_{LT}=0.00
$\lambda_{LT,0}$=0.20 β_{LT}=1.00 Φ_{LT}=0.00 β_{LT}=1.00 f=0.00 χ_{LT}=1.00
CC 5 SLV My,Ed=-2.11 My,b,Rd=149.05 My,Ed/My,b,Rd=0.01

- Verifica di stabilità aste presso-inflesse (C4.2.4.1.3.3.1) - CC 17 SLU - Classe 3
Sollecitazioni: N,Ed=-977.40 Myeq,Ed=1.88 Mzeq,Ed=4.09
Resistenze: Nc,Rd=23709.20 My,c,Rd=149.05 Mz,c,Rd=149.05 L=19.38
λ_c=10.59 Ncr,y=1673810.00 λ^*_y=0.12 Curva b: Φ_y=0.49 χ_y=1.00
λ_e=20.13 Ncr,z=462890.00 λ^*_z=0.23 Curva b: Φ_z=0.53 χ_z=0.99
χ,min=0.99
Verifica: 0.04+0.01+0.03=0.08

- Verifica a compressione [4.2.9] - CC 17 SLU Xl=0.10 - Classe 1
Sollecitazioni: N=-976.67 T_z=20.15 T_y=-43.83
N,Ed=-976.67 Nc,Rd=-23709.20 N,Ed/Nc,Rd=0.04
Verifiche di duttilità [7.5.3]:
q_0=4.00 N,Ed=-976.67 Npl,Rd=23709.20 N,Ed/Npl,Rd=0.041194

- Verifica a taglio dir. Y [4.2.16] - CC 17 SLU Xl=0.10
Sollecitazioni: N=-976.67 T_z=20.15 T_y=-43.83
V,Ed=-43.83 Vc,Rd=7560.76 V,Ed/Vc,Rd=0.01

- Verifica a taglio dir. Z [4.2.16]
V,Ed=20.15 Vc,Rd=7560.76 V,Ed/Vc,Rd=0.00

Asta n. 1245 (-105 -137) angolari L50x10 Crit. 1

- Verifica di stabilità aste inflesse (4.2.4.1.3.2) CC 5 SLV - Classe 3
  L_{cr}=0.19 Curva d: α_{imp}=0.76 k_c=0.94 ψ=3.01 M,cr=0.00 λ_{LT}=0.00
  $\lambda_{LT,0}$=0.20 β_{LT}=1.00 Φ_{LT}=0.00 β_{LT}=1.00 f=0.00 χ_{LT}=1.00
  CC 5 SLV My,Ed=-1.82 My,b,Rd=149.05 My,Ed/My,b,Rd=0.01

- Verifica di stabilità aste presso-inflesse (C4.2.4.1.3.3.1) - CC 17 SLU - Classe 3
  Sollecitazioni: N,Ed=-939.42 Myeq,Ed=1.83 Mzeq,Ed=3.56
  Resistenze: Nc,Rd=23709.20 My,c,Rd=149.05 Mz,c,Rd=149.05 L=19.38
  λ_c=10.59 Ncr,y=1673810.00 λ^*_y=0.12 Curva b: Φ_y=0.49 χ_y=1.00
  λ_e=20.13 Ncr,z=462889.00 λ^*_z=0.23 Curva b: Φ_z=0.53 χ_z=0.99
  χ,min=0.99
  Verifica: 0.04+0.01+0.02=0.08

- Verifica a compressione [4.2.9] - CC 17 SLU Xl=0.09 - Classe 1
  Sollecitazioni: N=-938.81 T_z=19.57 T_y=-43.10
  N,Ed=-938.81 Nc,Rd=-23709.20 N,Ed/Nc,Rd=0.04
  Verifiche di duttilità [7.5.3]:
  q_0=4.00 N,Ed=-938.81 Npl,Rd=23709.20 N,Ed/Npl,Rd=0.039597

- Verifica a taglio dir. Y [4.2.16] - CC 17 SLU Xl=0.09
  Sollecitazioni: N=-938.81 T_z=19.57 T_y=-43.10
  V,Ed=-43.10 Vc,Rd=7560.76 V,Ed/Vc,Rd=0.01

- Verifica a taglio dir. Z [4.2.16]
  V,Ed=19.57 Vc,Rd=7560.76 V,Ed/Vc,Rd=0.00

Asta n. 1245 (-137 -169) angolari L50x10 Crit. 1

- Verifica di stabilità aste inflesse (4.2.4.1.3.2) CC 5 SLV - Classe 3
  L_{cr}=0.19 Curva d: α_{imp}=0.76 k_c=0.94 ψ=2.99 M,cr=0.00 λ_{LT}=0.00
  $\lambda_{LT,0}$=0.20 β_{LT}=1.00 Φ_{LT}=0.00 β_{LT}=1.00 f=0.00 χ_{LT}=1.00
  CC 5 SLV My,Ed=1.87 My,b,Rd=149.05 My,Ed/My,b,Rd=0.01

- Verifica di stabilità aste presso-inflesse (C4.2.4.1.3.3.1) - CC 17 SLU - Classe 3
  Sollecitazioni: N,Ed=-900.93 Myeq,Ed=1.73 Mzeq,Ed=3.34
  Resistenze: Nc,Rd=23709.20 My,c,Rd=149.05 Mz,c,Rd=149.05 L=19.38
  λ_c=10.59 Ncr,y=1673810.00 λ^*_y=0.12 Curva b: Φ_y=0.49 χ_y=1.00
  λ_e=20.13 Ncr,z=462890.00 λ^*_z=0.23 Curva b: Φ_z=0.53 χ_z=0.99
  χ,min=0.99
  Verifica: 0.04+0.01+0.02=0.07

- Verifica a compressione [4.2.9] - CC 17 SLU Xl=0.09 - Classe 1
  Sollecitazioni: N=-900.33 T_z=18.54 T_y=-42.59
  N,Ed=-900.33 Nc,Rd=-23709.20 N,Ed/Nc,Rd=0.04
  Verifiche di duttilità [7.5.3]:
  q_0=4.00 N,Ed=-900.33 Npl,Rd=23709.20 N,Ed/Npl,Rd=0.037974

- Verifica a taglio dir. Y [4.2.16] - CC 17 SLU Xl=0.09
  Sollecitazioni: N=-900.33 T_z=18.54 T_y=-42.59
  V,Ed=-42.59 Vc,Rd=7560.76 V,Ed/Vc,Rd=0.01

- Verifica a taglio dir. Z [4.2.16]
  V,Ed=18.54 Vc,Rd=7560.76 V,Ed/Vc,Rd=0.00

Asta n. 1245 (-169 -201) angolari L50x10 Crit. 1

- Verifica di stabilità aste inflesse (4.2.4.1.3.2) CC 5 SLV - Classe 3
  L_{cr}=0.19 Curva d: α_{imp}=0.76 k_c=0.94 ψ=2.88 M,cr=0.00 λ_{LT}=0.00
  $\lambda_{LT,0}$=0.20 β_{LT}=1.00 Φ_{LT}=0.00 β_{LT}=1.00 f=0.00 χ_{LT}=1.00
  CC 5 SLV My,Ed=1.98 My,b,Rd=149.05 My,Ed/My,b,Rd=0.01

- Verifica di stabilità aste presso-inflesse (C4.2.4.1.3.3.1) - CC 17 SLU - Classe 3
  Sollecitazioni: N,Ed=-863.37 Myeq,Ed=1.63 Mzeq,Ed=3.19
  Resistenze: Nc,Rd=23709.20 My,c,Rd=149.05 Mz,c,Rd=149.05 L=19.38
  λ_c=10.59 Ncr,y=1673810.00 λ^*_y=0.12 Curva b: Φ_y=0.49 χ_y=1.00
  λ_e=20.13 Ncr,z=462890.00 λ^*_z=0.23 Curva b: Φ_z=0.53 χ_z=0.99
  χ,min=0.99
  Verifica: 0.04+0.01+0.02=0.07

- Verifica a compressione [4.2.9] - CC 17 SLU Xl=0.08 - Classe 1
  Sollecitazioni: N=-862.89 T_z=17.49 T_y=-42.10
  N,Ed=-862.89 Nc,Rd=-23709.20 N,Ed/Nc,Rd=0.04
  Verifiche di duttilità [7.5.3]:
  q_0=4.00 N,Ed=-862.89 Npl,Rd=23709.20 N,Ed/Npl,Rd=0.036395

- Verifica a taglio dir. Y [4.2.16] - CC 17 SLU Xl=0.08
  Sollecitazioni: N=-862.89 T_z=17.49 T_y=-42.10
  V,Ed=-42.10 Vc,Rd=7560.76 V,Ed/Vc,Rd=0.01

- Verifica a taglio dir. Z [4.2.16]
  V,Ed=17.49 Vc,Rd=7560.76 V,Ed/Vc,Rd=0.00

Asta n. 1245 (-201 -233) angolari L50x10 Crit. 1

- Verifica di stabilità aste inflesse (4.2.4.1.3.2) CC 5 SLV - Classe 3
  L_{cr}=0.19 Curva d: α_{imp}=0.76 k_c=0.94 ψ=2.79 M,cr=0.00 λ_{LT}=0.00
  $\lambda_{LT,0}$=0.20 β_{LT}=1.00 Φ_{LT}=0.00 β_{LT}=1.00 f=0.00 χ_{LT}=1.00
  CC 5 SLV My,Ed=2.08 My,b,Rd=149.05 My,Ed/My,b,Rd=0.01

- Verifica di stabilità aste presso-inflesse (C4.2.4.1.3.3.1) - CC 17 SLU - Classe 3
  Sollecitazioni: N,Ed=-827.13 Myeq,Ed=1.53 Mzeq,Ed=3.06
  Resistenze: Nc,Rd=23709.20 My,c,Rd=149.05 Mz,c,Rd=149.05 L=19.38
  λ_c=10.59 Ncr,y=1673810.00 λ^*_y=0.12 Curva b: Φ_y=0.49 χ_y=1.00
  λ_e=20.13 Ncr,z=462889.00 λ^*_z=0.23 Curva b: Φ_z=0.53 χ_z=0.99
  χ,min=0.99
  Verifica: 0.03+0.01+0.02=0.07

- Verifica a compressione [4.2.9] - CC 19 SLU Xl=0.06 - Classe 1
  Sollecitazioni: N=-830.33 T_z=-8.77 T_y=-38.34
  N,Ed=-830.33 Nc,Rd=-23709.20 N,Ed/Nc,Rd=0.04
  Verifiche di duttilità [7.5.3]:
  q_0=4.00 N,Ed=-830.33 Npl,Rd=23709.20 N,Ed/Npl,Rd=0.035021

- Verifica a taglio dir. Y [4.2.16] - CC 17 SLU Xl=0.08
  Sollecitazioni: N=-826.64 T_z=16.43 T_y=-41.63
  V,Ed=-41.63 Vc,Rd=7560.76 V,Ed/Vc,Rd=0.01

- Verifica a taglio dir. Z [4.2.16]
  V,Ed=16.43 Vc,Rd=7560.76 V,Ed/Vc,Rd=0.00

Asta n. 1245 (-233 -265) angolari L50x10 Crit. 1

- Verifica di stabilità aste inflesse (4.2.4.1.3.2) CC 5 SLV - Classe 3
  L_{cr}=0.19 Curva d: α_{imp}=0.76 k_c=0.94 ψ=2.70 M,cr=0.00 λ_{LT}=0.00

$\lambda_{LT,0}$=0.20 β_{LT}=1.00 Φ_{LT}=0.00 β_{LT}=1.00 f=0.00 χ_{LT}=1.00
CC 5 SLV My,Ed=2.19 My,b,Rd=149.05 My,Ed/My,b,Rd=0.01

- Verifica di stabilità aste presso-inflesse (C4.2.4.1.3.3.1) - CC 19 SLU - Classe 3
Sollecitazioni: N,Ed=-849.02 Myeq,Ed=0.98 Mzeq,Ed=-3.26
Resistenze: Nc,Rd=23709.20 My,c,Rd=149.05 Mz,c,Rd=149.05 L=19.38
λ_c=10.59 Ncr,y=1673810.00 λ^*_y=0.12 Curva b: Φ_y=0.49 χ_y=1.00
λ_e=20.13 Ncr,z=462889.00 λ^*_z=0.23 Curva b: Φ_z=0.53 χ_z=0.99
χ,min=0.99
Verifica: 0.04+0.01+0.02=0.06

- Verifica a compressione [4.2.9] - CC 19 SLU Xl=0.06 - Classe 1
Sollecitazioni: N=-848.65 T_z=-9.87 T_y=-38.37
N,Ed=-848.65 Nc,Rd=-23709.20 N,Ed/Nc,Rd=0.04
Verifiche di duttilità [7.5.3]:
q_0=4.00 N,Ed=-848.65 Npl,Rd=23709.20 N,Ed/Npl,Rd=0.035794

- Verifica a taglio dir. Y [4.2.16] - CC 17 SLU Xl=0.08
Sollecitazioni: N=-791.88 T_z=15.35 T_y=-41.16
V,Ed=-41.16 Vc,Rd=7560.76 V,Ed/Vc,Rd=0.01

- Verifica a taglio dir. Z [4.2.16]
V,Ed=15.35 Vc,Rd=7560.76 V,Ed/Vc,Rd=0.00

Asta n. 1245 (-265 -297) angolari L50x10 Crit. 1

- Verifica di stabilità aste inflesse (4.2.4.1.3.2) CC 5 SLV - Classe 3
L_{cr}=0.19 Curva d: α_{imp}=0.76 k_c=0.94 ψ=2.62 M,cr=0.00 λ_{LT}=0.00
$\lambda_{LT,0}$=0.20 β_{LT}=1.00 Φ_{LT}=0.00 β_{LT}=1.00 f=0.00 χ_{LT}=1.00
CC 5 SLV My,Ed=2.31 My,b,Rd=149.05 My,Ed/My,b,Rd=0.02

- Verifica di stabilità aste presso-inflesse (C4.2.4.1.3.3.1) - CC 19 SLU - Classe 3
Sollecitazioni: N,Ed=-870.31 Myeq,Ed=1.08 Mzeq,Ed=-3.38
Resistenze: Nc,Rd=23709.20 My,c,Rd=149.05 Mz,c,Rd=149.05 L=19.38
λ_c=10.59 Ncr,y=1673810.00 λ^*_y=0.12 Curva b: Φ_y=0.49 χ_y=1.00
λ_e=20.13 Ncr,z=462889.00 λ^*_z=0.23 Curva b: Φ_z=0.53 χ_z=0.99
χ,min=0.99
Verifica: 0.04+0.01+0.02=0.07

- Verifica a compressione [4.2.9] - CC 19 SLU Xl=0.06 - Classe 1
Sollecitazioni: N=-869.95 T_z=-11.01 T_y=-38.43
N,Ed=-869.95 Nc,Rd=-23709.20 N,Ed/Nc,Rd=0.04
Verifiche di duttilità [7.5.3]:
q_0=4.00 N,Ed=-869.95 Npl,Rd=23709.20 N,Ed/Npl,Rd=0.036692

- Verifica a taglio dir. Y [4.2.16] - CC 17 SLU Xl=0.08
Sollecitazioni: N=-758.73 T_z=14.25 T_y=-40.71
V,Ed=-40.71 Vc,Rd=7560.76 V,Ed/Vc,Rd=0.01

- Verifica a taglio dir. Z [4.2.16]
V,Ed=14.25 Vc,Rd=7560.76 V,Ed/Vc,Rd=0.00

Asta n. 1245 (-297 -329) angolari L50x10 Crit. 1

- Verifica di stabilità aste inflesse (4.2.4.1.3.2) CC 5 SLV - Classe 3
L_{cr}=0.19 Curva d: α_{imp}=0.76 k_c=0.94 ψ=2.54 M,cr=0.00 λ_{LT}=0.00
$\lambda_{LT,0}$=0.20 β_{LT}=1.00 Φ_{LT}=0.00 β_{LT}=1.00 f=0.00 χ_{LT}=1.00
CC 5 SLV My,Ed=2.44 My,b,Rd=149.05 My,Ed/My,b,Rd=0.02

- Verifica di stabilità aste presso-inflesse (C4.2.4.1.3.3.1) - CC 19 SLU - Classe 3
  Sollecitazioni: N,Ed=-894.79 Myeq,Ed=1.19 Mzeq,Ed=-3.52
  Resistenze: Nc,Rd=23709.20 My,c,Rd=149.05 Mz,c,Rd=149.05 L=19.38
  λ_c=10.59 Ncr,y=1673810.00 λ^*_y=0.12 Curva b: Φ_y=0.49 χ_y=1.00
  λ_e=20.13 Ncr,z=462889.00 λ^*_z=0.23 Curva b: Φ_z=0.53 χ_z=0.99
  χ,min=0.99
  Verifica: 0.04+0.01+0.02=0.07

- Verifica a compressione [4.2.9] - CC 19 SLU Xl=0.06 - Classe 1
  Sollecitazioni: N=-894.42 T_z=-12.17 T_y=-38.51
  N,Ed=-894.42 Nc,Rd=-23709.20 N,Ed/Nc,Rd=0.04
  Verifiche di duttilità [7.5.3]:
  q_0=4.00 N,Ed=-894.42 Npl,Rd=23709.20 N,Ed/Npl,Rd=0.037725

- Verifica a taglio dir. Y [4.2.16] - CC 17 SLU Xl=0.08
  Sollecitazioni: N=-727.30 T_z=13.14 T_y=-40.27
  V,Ed=-40.27 Vc,Rd=7560.76 V,Ed/Vc,Rd=0.01

- Verifica a taglio dir. Z [4.2.16]
  V,Ed=13.14 Vc,Rd=7560.76 V,Ed/Vc,Rd=0.00

Asta n. 1245 (-329 -361) angolari L50x10 Crit. 1

- Verifica di stabilità aste inflesse (4.2.4.1.3.2) CC 5 SLV - Classe 3
  L_{cr}=0.19 Curva d: α_{imp}=0.76 k_c=0.94 ψ=2.46 M,cr=0.00 λ_{LT}=0.00
  $\lambda_{LT,0}$=0.20 β_{LT}=1.00 Φ_{LT}=0.00 β_{LT}=1.00 f=0.00 χ_{LT}=1.00
  CC 5 SLV My,Ed=2.57 My,b,Rd=149.05 My,Ed/My,b,Rd=0.02

- Verifica di stabilità aste presso-inflesse (C4.2.4.1.3.3.1) - CC 19 SLU - Classe 3
  Sollecitazioni: N,Ed=-922.69 Myeq,Ed=1.30 Mzeq,Ed=-3.61
  Resistenze: Nc,Rd=23709.20 My,c,Rd=149.05 Mz,c,Rd=149.05 L=19.38
  λ_c=10.59 Ncr,y=1673810.00 λ^*_y=0.12 Curva b: Φ_y=0.49 χ_y=1.00
  λ_e=20.13 Ncr,z=462889.00 λ^*_z=0.23 Curva b: Φ_z=0.53 χ_z=0.99
  χ,min=0.99
  Verifica: 0.04+0.01+0.02=0.07

- Verifica a compressione [4.2.9] - CC 19 SLU Xl=0.05 - Classe 1
  Sollecitazioni: N=-922.45 T_z=-13.39 T_y=-38.61
  N,Ed=-922.45 Nc,Rd=-23709.20 N,Ed/Nc,Rd=0.04
  Verifiche di duttilità [7.5.3]:
  q_0=4.00 N,Ed=-922.45 Npl,Rd=23709.20 N,Ed/Npl,Rd=0.038907

- Verifica a taglio dir. Y [4.2.16] - CC 17 SLU Xl=0.06
  Sollecitazioni: N=-697.86 T_z=12.00 T_y=-39.84
  V,Ed=-39.84 Vc,Rd=7560.76 V,Ed/Vc,Rd=0.01

- Verifica a taglio dir. Z [4.2.16]
  V,Ed=12.00 Vc,Rd=7560.76 V,Ed/Vc,Rd=0.00

Asta n. 1245 (-361 -393) angolari L50x10 Crit. 1

- Verifica di stabilità aste inflesse (4.2.4.1.3.2) CC 5 SLV - Classe 3
  L_{cr}=0.19 Curva d: α_{imp}=0.76 k_c=0.94 ψ=2.39 M,cr=0.00 λ_{LT}=0.00
  $\lambda_{LT,0}$=0.20 β_{LT}=1.00 Φ_{LT}=0.00 β_{LT}=1.00 f=0.00 χ_{LT}=1.00
  CC 5 SLV My,Ed=2.72 My,b,Rd=149.05 My,Ed/My,b,Rd=0.02

- Verifica di stabilità aste presso-inflesse (C4.2.4.1.3.3.1) - CC 19 SLU - Classe 3

Sollecitazioni: N,Ed=-954.29 Myeq,Ed=1.42 Mzeq,Ed=-3.62
Resistenze: Nc,Rd=23709.20 My,c,Rd=149.05 Mz,c,Rd=149.05 L=19.38
λ_c=10.59 Ncr,y=1673810.00 λ^*_y=0.12 Curva b: Φ_y=0.49 χ_y=1.00
λ_e=20.13 Ncr,z=462890.00 λ^*_z=0.23 Curva b: Φ_z=0.53 χ_z=0.99
χ,min=0.99
Verifica: 0.04+0.01+0.02=0.07

- Verifica a compressione [4.2.9] - CC 19 SLU Xl=0.05 - Classe 1
Sollecitazioni: N=-954.05 T_z=-14.59 T_y=-38.78
N,Ed=-954.05 Nc,Rd=-23709.20 N,Ed/Nc,Rd=0.04
Verifiche di duttilità [7.5.3]:
q_0=4.00 N,Ed=-954.05 Npl,Rd=23709.20 N,Ed/Npl,Rd=0.040240

- Verifica a taglio dir. Y [4.2.16] - CC 17 SLU Xl=0.06
Sollecitazioni: N=-670.32 T_z=10.87 T_y=-39.44
V,Ed=-39.44 Vc,Rd=7560.76 V,Ed/Vc,Rd=0.01

- Verifica a taglio dir. Z [4.2.16]
V,Ed=10.87 Vc,Rd=7560.76 V,Ed/Vc,Rd=0.00

Asta n. 1245 (-393 -425) angolari L50x10 Crit. 1

- Verifica di stabilità aste inflesse (4.2.4.1.3.2) CC 5 SLV - Classe 3
L_{cr}=0.19 Curva d: α_{imp}=0.76 k_c=0.94 ψ=2.31 M,cr=0.00 λ_{LT}=0.00
$\lambda_{LT,0}$=0.20 β_{LT}=1.00 Φ_{LT}=0.00 β_{LT}=1.00 f=0.00 χ_{LT}=1.00
CC 5 SLV My,Ed=2.91 My,b,Rd=149.05 My,Ed/My,b,Rd=0.02

- Verifica di stabilità aste presso-inflesse (C4.2.4.1.3.3.1) - CC 19 SLU - Classe 3
Sollecitazioni: N,Ed=-989.86 Myeq,Ed=1.59 Mzeq,Ed=-3.61
Resistenze: Nc,Rd=23709.20 My,c,Rd=149.05 Mz,c,Rd=149.05 L=19.38
λ_c=10.59 Ncr,y=1673810.00 λ^*_y=0.12 Curva b: Φ_y=0.49 χ_y=1.00
λ_e=20.13 Ncr,z=462889.00 λ^*_z=0.23 Curva b: Φ_z=0.53 χ_z=0.99
χ,min=0.99
Verifica: 0.04+0.01+0.02=0.08

- Verifica a compressione [4.2.9] - CC 19 SLU Xl=0.05 - Classe 1
Sollecitazioni: N=-989.62 T_z=-16.24 T_y=-38.69
N,Ed=-989.62 Nc,Rd=-23709.20 N,Ed/Nc,Rd=0.04
Verifiche di duttilità [7.5.3]:
q_0=4.00 N,Ed=-989.62 Npl,Rd=23709.20 N,Ed/Npl,Rd=0.041740

- Verifica a taglio dir. Y [4.2.16] - CC 17 SLU Xl=0.06
Sollecitazioni: N=-644.95 T_z=9.49 T_y=-38.89
V,Ed=-38.89 Vc,Rd=7560.76 V,Ed/Vc,Rd=0.01

- Verifica a taglio dir. Z [4.2.16]
V,Ed=9.49 Vc,Rd=7560.76 V,Ed/Vc,Rd=0.00

Asta n. 1245 (-425 -457) angolari L50x10 Crit. 1

- Verifica di stabilità aste inflesse (4.2.4.1.3.2) CC 5 SLV - Classe 3
L_{cr}=0.19 Curva d: α_{imp}=0.76 k_c=0.94 ψ=2.26 M,cr=0.00 λ_{LT}=0.00
$\lambda_{LT,0}$=0.20 β_{LT}=1.00 Φ_{LT}=0.00 β_{LT}=1.00 f=0.00 χ_{LT}=1.00
CC 5 SLV My,Ed=2.88 My,b,Rd=149.05 My,Ed/My,b,Rd=0.02

- Verifica di stabilità aste presso-inflesse (C4.2.4.1.3.3.1) - CC 19 SLU - Classe 3
Sollecitazioni: N,Ed=-1029.70 Myeq,Ed=1.47 Mzeq,Ed=-3.80
Resistenze: Nc,Rd=23709.20 My,c,Rd=149.05 Mz,c,Rd=149.05 L=19.38

λ_c=10.59 Ncr,y=1673810.00 λ^*_y=0.12 Curva b: Φ_y=0.49 χ_y=1.00
λ_e=20.13 Ncr,z=462889.00 λ^*_z=0.23 Curva b: Φ_z=0.53 χ_z=0.99
χ,min=0.99
Verifica: 0.04+0.01+0.03=0.08

- Verifica a compressione [4.2.9] - CC 19 SLU Xl=0.04 - Classe 1
Sollecitazioni: N=-1029.58 T_z=-15.01 T_y=-40.70
N,Ed=-1029.58 Nc,Rd=-23709.20 N,Ed/Nc,Rd=0.04
Verifiche di duttilità [7.5.3]:
q_0=4.00 N,Ed=-1029.58 Npl,Rd=23709.20 N,Ed/Npl,Rd=0.043425

- Verifica a taglio dir. Y [4.2.16] - CC 19 SLU Xl=0.04
Sollecitazioni: N=-1029.58 T_z=-15.01 T_y=-40.70
V,Ed=-40.70 Vc,Rd=7560.76 V,Ed/Vc,Rd=0.01

- Verifica a taglio dir. Z [4.2.16]
V,Ed=-15.01 Vc,Rd=7560.76 V,Ed/Vc,Rd=0.00

Asta n. 1245 (-457 -489) angolari L50x10 Crit. 1

- Verifica di stabilità aste inflesse (4.2.4.1.3.2) CC 5 SLV - Classe 3
L_{cr}=0.19 Curva d: α_{imp}=0.76 k_c=0.94 ψ=2.03 M,cr=0.00 λ_{LT}=0.00
$\lambda_{LT,0}$=0.20 β_{LT}=1.00 Φ_{LT}=0.00 β_{LT}=1.00 f=0.00 χ_{LT}=1.00
CC 5 SLV My,Ed=4.62 My,b,Rd=149.05 My,Ed/My,b,Rd=0.03

- Verifica di stabilità aste presso-inflesse (C4.2.4.1.3.3.1) - CC 9 SLU - Classe 3
Sollecitazioni: N,Ed=-1073.69 Myeq,Ed=4.78 Mzeq,Ed=-1.41
Resistenze: Nc,Rd=23709.20 My,c,Rd=149.05 Mz,c,Rd=149.05 L=19.38
λ_c=10.59 Ncr,y=1673810.00 λ^*_y=0.12 Curva b: Φ_y=0.49 χ_y=1.00
λ_e=20.13 Ncr,z=462890.00 λ^*_z=0.23 Curva b: Φ_z=0.53 χ_z=0.99
χ,min=0.99
Verifica: 0.05+0.03+0.01=0.09

- Verifica a compressione [4.2.9] - CC 9 SLU Xl=0.04 - Classe 1
Sollecitazioni: N=-1073.57 T_z=-51.17 T_y=-13.29
N,Ed=-1073.57 Nc,Rd=-23709.20 N,Ed/Nc,Rd=0.05
Verifiche di duttilità [7.5.3]:
q_0=4.00 N,Ed=-1073.57 Npl,Rd=23709.20 N,Ed/Npl,Rd=0.045281

- Verifica a taglio dir. Y [4.2.16] - CC 9 SLU Xl=0.04
Sollecitazioni: N=-1073.57 T_z=-51.17 T_y=-13.29
V,Ed=-13.29 Vc,Rd=7560.76 V,Ed/Vc,Rd=0.00

- Verifica a taglio dir. Z [4.2.16]
V,Ed=-51.17 Vc,Rd=7560.76 V,Ed/Vc,Rd=0.01

Asta n. 1245 (-489 1316) angolari L50x10 Crit. 1

- Verifica di stabilità aste inflesse (4.2.4.1.3.2) CC 5 SLV - Classe 3
L_{cr}=0.19 Curva d: α_{imp}=0.76 k_c=0.94 ψ=2.07 M,cr=0.00 λ_{LT}=0.00
$\lambda_{LT,0}$=0.20 β_{LT}=1.00 Φ_{LT}=0.00 β_{LT}=1.00 f=0.00 χ_{LT}=1.00
CC 5 SLV My,Ed=-2.55 My,b,Rd=149.05 My,Ed/My,b,Rd=0.02

- Verifica di stabilità aste presso-inflesse (C4.2.4.1.3.3.1) - CC 19 SLU - Classe 3
Sollecitazioni: N,Ed=-1119.90 Myeq,Ed=-5.00 Mzeq,Ed=-8.28
Resistenze: Nc,Rd=23709.20 My,c,Rd=149.05 Mz,c,Rd=149.05 L=19.38
λ_c=10.59 Ncr,y=1673810.00 λ^*_y=0.12 Curva b: Φ_y=0.49 χ_y=1.00
λ_e=20.13 Ncr,z=462891.00 λ^*_z=0.23 Curva b: Φ_z=0.53 χ_z=0.99

χ,min=0.99
Verifica: 0.05+0.03+0.06=0.14

- Verifica a compressione [4.2.9] - CC 9 SLU Xl=0.03 - Classe 1
Sollecitazioni: N=-1157.09 T_z=49.56 T_y=-84.69
N,Ed=-1157.09 Nc,Rd=-23709.20 N,Ed/Nc,Rd=0.05
Verifiche di duttilità [7.5.3]:
q_0=4.00 N,Ed=-1157.09 Npl,Rd=23709.20 N,Ed/Npl,Rd=0.048803

- Verifica a taglio dir. Y [4.2.16] - CC 19 SLU Xl=0.04
Sollecitazioni: N=-1119.80 T_z=64.75 T_y=-100.93
V,Ed=-100.93 Vc,Rd=7560.76 V,Ed/Vc,Rd=0.01

- Verifica a taglio dir. Z [4.2.16]
V,Ed=64.75 Vc,Rd=7560.76 V,Ed/Vc,Rd=0.01

Asta n. 1246 (-45 -77) angolari L50x10 Crit. 1

- Verifica di stabilità aste inflesse (4.2.4.1.3.2) CC 1 SLV - Classe 3
L_{cr}=0.19 Curva d: α_{imp}=0.76 k_c=0.94 ψ=1.92 M,cr=0.00 λ_{LT}=0.00
$\lambda_{LT,0}$=0.20 β_{LT}=1.00 Φ_{LT}=0.00 β_{LT}=1.00 f=0.00 χ_{LT}=1.00
CC 1 SLV My,Ed=-2.86 My,b,Rd=149.05 My,Ed/My,b,Rd=0.02

- Verifica di stabilità aste presso-inflesse (C4.2.4.1.3.3.1) - CC 17 SLU - Classe 3
Sollecitazioni: N,Ed=-1469.03 Myeq,Ed=3.33 Mzeq,Ed=5.50
Resistenze: Nc,Rd=23709.20 My,c,Rd=149.05 Mz,c,Rd=149.05 L=19.38
λ_c=10.59 Ncr,y=1673810.00 λ^*_y=0.12 Curva b: Φ_y=0.49 χ_y=1.00
λ_e=20.13 Ncr,z=462889.00 λ^*_z=0.23 Curva b: Φ_z=0.53 χ_z=0.99
χ,min=0.99
Verifica: 0.06+0.02+0.04=0.12

- Verifica a compressione [4.2.9] - CC 17 SLU Xl=0.17 - Classe 1
Sollecitazioni: N=-1467.93 T_z=28.39 T_y=-62.40
N,Ed=-1467.93 Nc,Rd=-23709.20 N,Ed/Nc,Rd=0.06
Verifiche di duttilità [7.5.3]:
q_0=4.00 N,Ed=-1467.93 Npl,Rd=23709.20 N,Ed/Npl,Rd=0.061914

- Verifica a taglio dir. Y [4.2.16] - CC 19 SLU Xl=0.15
Sollecitazioni: N=-1370.95 T_z=-10.32 T_y=-69.70
V,Ed=-69.70 Vc,Rd=7560.76 V,Ed/Vc,Rd=0.01

- Verifica a taglio dir. Z [4.2.16]
V,Ed=-10.32 Vc,Rd=7560.76 V,Ed/Vc,Rd=0.00

Asta n. 1246 (-77 -109) angolari L50x10 Crit. 1

- Verifica di stabilità aste inflesse (4.2.4.1.3.2) CC 1 SLV - Classe 3
L_{cr}=0.19 Curva d: α_{imp}=0.76 k_c=0.94 ψ=2.44 M,cr=0.00 λ_{LT}=0.00
$\lambda_{LT,0}$=0.20 β_{LT}=1.00 Φ_{LT}=0.00 β_{LT}=1.00 f=0.00 χ_{LT}=1.00
CC 1 SLV My,Ed=-2.33 My,b,Rd=149.05 My,Ed/My,b,Rd=0.02

- Verifica di stabilità aste presso-inflesse (C4.2.4.1.3.3.1) - CC 19 SLU - Classe 3
Sollecitazioni: N,Ed=-1399.62 Myeq,Ed=1.99 Mzeq,Ed=6.76
Resistenze: Nc,Rd=23709.20 My,c,Rd=149.05 Mz,c,Rd=149.05 L=19.38
λ_c=10.59 Ncr,y=1673810.00 λ^*_y=0.12 Curva b: Φ_y=0.49 χ_y=1.00
λ_e=20.13 Ncr,z=462890.00 λ^*_z=0.23 Curva b: Φ_z=0.53 χ_z=0.99
χ,min=0.99
Verifica: 0.06+0.01+0.05=0.12

- Verifica a compressione [4.2.9] - CC 17 SLU Xl=0.12 - Classe 1
  Sollecitazioni: N=-1440.51 T_z=17.63 T_y=-69.65
  N,Ed=-1440.51 Nc,Rd=-23709.20 N,Ed/Nc,Rd=0.06
  Verifiche di duttilità [7.5.3]:
  q_0=4.00 N,Ed=-1440.51 Npl,Rd=23709.20 N,Ed/Npl,Rd=0.060758

- Verifica a taglio dir. Y [4.2.16] - CC 19 SLU Xl=0.10
  Sollecitazioni: N=-1398.90 T_z=-21.30 T_y=-76.21
  V,Ed=-76.21 Vc,Rd=7560.76 V,Ed/Vc,Rd=0.01

- Verifica a taglio dir. Z [4.2.16]
  V,Ed=-21.30 Vc,Rd=7560.76 V,Ed/Vc,Rd=0.00

Asta n. 1246 (-109 -141) angolari L50x10 Crit. 1

- Verifica di stabilità aste inflesse (4.2.4.1.3.2) CC 1 SLV - Classe 3
  L_{cr}=0.19 Curva d: α_{imp}=0.76 k_c=0.94 ψ=2.82 M,cr=0.00 λ_{LT}=0.00
  $\lambda_{LT,0}$=0.20 β_{LT}=1.00 Φ_{LT}=0.00 β_{LT}=1.00 f=0.00 χ_{LT}=1.00
  CC 1 SLV My,Ed=-2.03 My,b,Rd=149.05 My,Ed/My,b,Rd=0.01

- Verifica di stabilità aste presso-inflesse (C4.2.4.1.3.3.1) - CC 19 SLU - Classe 3
  Sollecitazioni: N,Ed=-1437.86 Myeq,Ed=2.04 Mzeq,Ed=5.80
  Resistenze: Nc,Rd=23709.20 My,c,Rd=149.05 Mz,c,Rd=149.05 L=19.38
  λ_c=10.59 Ncr,y=1673810.00 λ^*_y=0.12 Curva b: Φ_y=0.49 χ_y=1.00
  λ_e=20.13 Ncr,z=462889.00 λ^*_z=0.23 Curva b: Φ_z=0.53 χ_z=0.99
  χ,min=0.99
  Verifica: 0.06+0.01+0.04=0.11

- Verifica a compressione [4.2.9] - CC 19 SLU Xl=0.09 - Classe 1
  Sollecitazioni: N=-1437.25 T_z=-21.82 T_y=-76.52
  N,Ed=-1437.25 Nc,Rd=-23709.20 N,Ed/Nc,Rd=0.06
  Verifiche di duttilità [7.5.3]:
  q_0=4.00 N,Ed=-1437.25 Npl,Rd=23709.20 N,Ed/Npl,Rd=0.060620

- Verifica a taglio dir. Y [4.2.16] - CC 19 SLU Xl=0.09
  Sollecitazioni: N=-1437.25 T_z=-21.82 T_y=-76.52
  V,Ed=-76.52 Vc,Rd=7560.76 V,Ed/Vc,Rd=0.01

- Verifica a taglio dir. Z [4.2.16]
  V,Ed=-21.82 Vc,Rd=7560.76 V,Ed/Vc,Rd=0.00

Asta n. 1246 (-141 -173) angolari L50x10 Crit. 1

- Verifica di stabilità aste inflesse (4.2.4.1.3.2) CC 1 SLV - Classe 3
  L_{cr}=0.19 Curva d: α_{imp}=0.76 k_c=0.94 ψ=2.99 M,cr=0.00 λ_{LT}=0.00
  $\lambda_{LT,0}$=0.20 β_{LT}=1.00 Φ_{LT}=0.00 β_{LT}=1.00 f=0.00 χ_{LT}=1.00
  CC 1 SLV My,Ed=-1.96 My,b,Rd=149.05 My,Ed/My,b,Rd=0.01

- Verifica di stabilità aste presso-inflesse (C4.2.4.1.3.3.1) - CC 19 SLU - Classe 3
  Sollecitazioni: N,Ed=-1481.38 Myeq,Ed=2.16 Mzeq,Ed=-5.59
  Resistenze: Nc,Rd=23709.20 My,c,Rd=149.05 Mz,c,Rd=149.05 L=19.38
  λ_c=10.59 Ncr,y=1673810.00 λ^*_y=0.12 Curva b: Φ_y=0.49 χ_y=1.00
  λ_e=20.13 Ncr,z=462890.00 λ^*_z=0.23 Curva b: Φ_z=0.53 χ_z=0.99
  χ,min=0.99
  Verifica: 0.06+0.01+0.04=0.11

- Verifica Freccia massima carichi totali - CC 21

$f_{Z,G}$=0.00 (L/13851)

- Verifica a compressione [4.2.9] - CC 19 SLU Xl=0.09 - Classe 1
Sollecitazioni: N=-1480.77 T_z=-23.15 T_y=-77.35
N,Ed=-1480.77 Nc,Rd=-23709.20 N,Ed/Nc,Rd=0.06
Verifiche di duttilità [7.5.3]:
q_0=4.00 N,Ed=-1480.77 Npl,Rd=23709.20 N,Ed/Npl,Rd=0.062456

- Verifica a taglio dir. Y [4.2.16] - CC 19 SLU Xl=0.09
Sollecitazioni: N=-1480.77 T_z=-23.15 T_y=-77.35
V,Ed=-77.35 Vc,Rd=7560.76 V,Ed/Vc,Rd=0.01

- Verifica a taglio dir. Z [4.2.16]
V,Ed=-23.15 Vc,Rd=7560.76 V,Ed/Vc,Rd=0.00

Asta n. 1246 (-173 -205) angolari L50x10 Crit. 1

- Verifica di stabilità aste presso-inflesse (C4.2.4.1.3.3.1) - CC 19 SLU - Classe 3
Sollecitazioni: N,Ed=-1529.22 Myeq,Ed=2.30 Mzeq,Ed=-5.87
Resistenze: Nc,Rd=23709.20 My,c,Rd=149.05 Mz,c,Rd=149.05 L=19.38
λ_c=10.59 Ncr,y=1673810.00 λ^*_y=0.12 Curva b: Φ_y=0.49 χ_y=1.00
λ_e=20.13 Ncr,z=462890.00 λ^*_z=0.23 Curva b: Φ_z=0.53 χ_z=0.99
χ,min=0.99
Verifica: 0.06+0.02+0.04=0.12

- Verifica Freccia massima carichi totali - CC 21
$f_{Z,G}$=0.00 (L/13539)

- Verifica a compressione [4.2.9] - CC 19 SLU Xl=0.09 - Classe 1
Sollecitazioni: N=-1528.61 T_z=-24.59 T_y=-78.21
N,Ed=-1528.61 Nc,Rd=-23709.20 N,Ed/Nc,Rd=0.06
Verifiche di duttilità [7.5.3]:
q_0=4.00 N,Ed=-1528.61 Npl,Rd=23709.20 N,Ed/Npl,Rd=0.064473

- Verifica a taglio dir. Y [4.2.16] - CC 19 SLU Xl=0.09
Sollecitazioni: N=-1528.61 T_z=-24.59 T_y=-78.21
V,Ed=-78.21 Vc,Rd=7560.76 V,Ed/Vc,Rd=0.01

- Verifica a taglio dir. Z [4.2.16]
V,Ed=-24.59 Vc,Rd=7560.76 V,Ed/Vc,Rd=0.00

Asta n. 1246 (-205 -237) angolari L50x10 Crit. 1

- Verifica di stabilità aste presso-inflesse (C4.2.4.1.3.3.1) - CC 19 SLU - Classe 3
Sollecitazioni: N,Ed=-1581.35 Myeq,Ed=2.43 Mzeq,Ed=-6.13
Resistenze: Nc,Rd=23709.20 My,c,Rd=149.05 Mz,c,Rd=149.05 L=19.38
λ_c=10.59 Ncr,y=1673810.00 λ^*_y=0.12 Curva b: Φ_y=0.49 χ_y=1.00
λ_e=20.13 Ncr,z=462889.00 λ^*_z=0.23 Curva b: Φ_z=0.53 χ_z=0.99
χ,min=0.99
Verifica: 0.07+0.02+0.04=0.12

- Verifica Freccia massima carichi totali - CC 21
$f_{Z,G}$=0.00 (L/13851)

- Verifica a compressione [4.2.9] - CC 19 SLU Xl=0.09 - Classe 1
Sollecitazioni: N=-1580.75 T_z=-26.02 T_y=-79.19
N,Ed=-1580.75 Nc,Rd=-23709.20 N,Ed/Nc,Rd=0.07
Verifiche di duttilità [7.5.3]:

q_0=4.00 N,Ed=-1580.75 Npl,Rd=23709.20 N,Ed/Npl,Rd=0.066672

- Verifica a taglio dir. Y [4.2.16] - CC 19 SLU Xl=0.09
  Sollecitazioni: N=-1580.75 T_z=-26.02 T_y=-79.19
  V,Ed=-79.19 Vc,Rd=7560.76 V,Ed/Vc,Rd=0.01

- Verifica a taglio dir. Z [4.2.16]
  V,Ed=-26.02 Vc,Rd=7560.76 V,Ed/Vc,Rd=0.00

Asta n. 1246 (-237 -269) angolari L50x10 Crit. 1

- Verifica di stabilità aste presso-inflesse (C4.2.4.1.3.3.1) - CC 19 SLU - Classe 3
  Sollecitazioni: N,Ed=-1638.05 Myeq,Ed=2.57 Mzeq,Ed=-6.42
  Resistenze: Nc,Rd=23709.20 My,c,Rd=149.05 Mz,c,Rd=149.05 L=19.38
  λ_c=10.59 Ncr,y=1673810.00 λ^*_y=0.12 Curva b: Φ_y=0.49 χ_y=1.00
  λ_e=20.13 Ncr,z=462889.00 λ^*_z=0.23 Curva b: Φ_z=0.53 χ_z=0.99
  χ,min=0.99
  Verifica: 0.07+0.02+0.04=0.13

- Verifica Freccia massima carichi totali - CC 21
  $f_{Z,G}$=0.00 (L/13539)

- Verifica a compressione [4.2.9] - CC 19 SLU Xl=0.08 - Classe 1
  Sollecitazioni: N=-1637.56 T_z=-27.55 T_y=-80.18
  N,Ed=-1637.56 Nc,Rd=-23709.20 N,Ed/Nc,Rd=0.07
  Verifiche di duttilità [7.5.3]:
  q_0=4.00 N,Ed=-1637.56 Npl,Rd=23709.20 N,Ed/Npl,Rd=0.069069

- Verifica a taglio dir. Y [4.2.16] - CC 19 SLU Xl=0.08
  Sollecitazioni: N=-1637.56 T_z=-27.55 T_y=-80.18
  V,Ed=-80.18 Vc,Rd=7560.76 V,Ed/Vc,Rd=0.01

- Verifica a taglio dir. Z [4.2.16]
  V,Ed=-27.55 Vc,Rd=7560.76 V,Ed/Vc,Rd=0.00

Asta n. 1246 (-269 -301) angolari L50x10 Crit. 1

- Verifica di stabilità aste presso-inflesse (C4.2.4.1.3.3.1) - CC 19 SLU - Classe 3
  Sollecitazioni: N,Ed=-1699.59 Myeq,Ed=2.72 Mzeq,Ed=-6.72
  Resistenze: Nc,Rd=23709.20 My,c,Rd=149.05 Mz,c,Rd=149.05 L=19.38
  λ_c=10.59 Ncr,y=1673810.00 λ^*_y=0.12 Curva b: Φ_y=0.49 χ_y=1.00
  λ_e=20.13 Ncr,z=462889.00 λ^*_z=0.23 Curva b: Φ_z=0.53 χ_z=0.99
  χ,min=0.99
  Verifica: 0.07+0.02+0.05=0.14

- Verifica Freccia massima carichi totali - CC 21
  $f_{Z,G}$=0.00 (L/13098)

- Verifica a compressione [4.2.9] - CC 19 SLU Xl=0.08 - Classe 1
  Sollecitazioni: N=-1699.11 T_z=-29.11 T_y=-81.27
  N,Ed=-1699.11 Nc,Rd=-23709.20 N,Ed/Nc,Rd=0.07
  Verifiche di duttilità [7.5.3]:
  q_0=4.00 N,Ed=-1699.11 Npl,Rd=23709.20 N,Ed/Npl,Rd=0.071665

- Verifica a taglio dir. Y [4.2.16] - CC 19 SLU Xl=0.08
  Sollecitazioni: N=-1699.11 T_z=-29.11 T_y=-81.27
  V,Ed=-81.27 Vc,Rd=7560.76 V,Ed/Vc,Rd=0.01

- Verifica a taglio dir. Z [4.2.16]
  V,Ed=-29.11 Vc,Rd=7560.76 V,Ed/Vc,Rd=0.00

Asta n. 1246 (-301 -333) angolari L50x10 Crit. 1

- Verifica di stabilità aste presso-inflesse (C4.2.4.1.3.3.1) - CC 19 SLU - Classe 3
  Sollecitazioni: N,Ed=-1766.34 Myeq,Ed=2.87 Mzeq,Ed=-7.05
  Resistenze: Nc,Rd=23709.20 My,c,Rd=149.05 Mz,c,Rd=149.05 L=19.38
  λ_c=10.59 Ncr,y=1673810.00 λ^*_y=0.12 Curva b: Φ_y=0.49 χ_y=1.00
  λ_e=20.13 Ncr,z=462889.00 λ^*_z=0.23 Curva b: Φ_z=0.53 χ_z=0.99
  χ,min=0.99
  Verifica: 0.07+0.02+0.05=0.14

- Verifica Freccia massima carichi totali - CC 21
  $f_{Z,G}$=0.00 (L/12819)

- Verifica a compressione [4.2.9] - CC 19 SLU Xl=0.08 - Classe 1
  Sollecitazioni: N=-1765.86 T_z=-30.70 T_y=-82.46
  N,Ed=-1765.86 Nc,Rd=-23709.20 N,Ed/Nc,Rd=0.07
  Verifiche di duttilità [7.5.3]:
   q_0=4.00 N,Ed=-1765.86 Npl,Rd=23709.20 N,Ed/Npl,Rd=0.074480

- Verifica a taglio dir. Y [4.2.16] - CC 19 SLU Xl=0.08
  Sollecitazioni: N=-1765.86 T_z=-30.70 T_y=-82.46
  V,Ed=-82.46 Vc,Rd=7560.76 V,Ed/Vc,Rd=0.01

- Verifica a taglio dir. Z [4.2.16]
  V,Ed=-30.70 Vc,Rd=7560.76 V,Ed/Vc,Rd=0.00

Asta n. 1246 (-333 -365) angolari L50x10 Crit. 1

- Verifica di stabilità aste presso-inflesse (C4.2.4.1.3.3.1) - CC 19 SLU - Classe 3
  Sollecitazioni: N,Ed=-1838.70 Myeq,Ed=3.03 Mzeq,Ed=-7.41
  Resistenze: Nc,Rd=23709.20 My,c,Rd=149.05 Mz,c,Rd=149.05 L=19.38
  λ_c=10.59 Ncr,y=1673810.00 λ^*_y=0.12 Curva b: Φ_y=0.49 χ_y=1.00
  λ_e=20.13 Ncr,z=462889.00 λ^*_z=0.23 Curva b: Φ_z=0.53 χ_z=0.99
  χ,min=0.99
  Verifica: 0.08+0.02+0.05=0.15

- Verifica Freccia massima carichi totali - CC 21
  $f_{Z,G}$=0.00 (L/12296)

- Verifica a compressione [4.2.9] - CC 9 SLU Xl=0.06 - Classe 1
  Sollecitazioni: N=-1679.30 T_z=-56.02 T_y=-61.87
  N,Ed=-1679.30 Nc,Rd=-23709.20 N,Ed/Nc,Rd=0.07
  Verifiche di duttilità [7.5.3]:
   q_0=4.00 N,Ed=-1679.30 Npl,Rd=23709.20 N,Ed/Npl,Rd=0.070829

- Verifica a taglio dir. Y [4.2.16] - CC 9 SLU Xl=0.06
  Sollecitazioni: N=-1679.30 T_z=-56.02 T_y=-61.87
  V,Ed=-61.87 Vc,Rd=7560.76 V,Ed/Vc,Rd=0.01

- Verifica a taglio dir. Z [4.2.16]
  V,Ed=-56.02 Vc,Rd=7560.76 V,Ed/Vc,Rd=0.01

Asta n. 1246 (-365 -397) angolari L50x10 Crit. 1

- Verifica di stabilità aste presso-inflesse (C4.2.4.1.3.3.1) - CC 19 SLU - Classe 3
  Sollecitazioni: N,Ed=-1917.09 Myeq,Ed=3.18 Mzeq,Ed=-7.81
  Resistenze: Nc,Rd=23709.20 My,c,Rd=149.05 Mz,c,Rd=149.05 L=19.38
  λ_c=10.59 Ncr,y=1673810.00 λ^*_y=0.12 Curva b: Φ_y=0.49 χ_y=1.00
  λ_e=20.13 Ncr,z=462890.00 λ^*_z=0.23 Curva b: Φ_z=0.53 χ_z=0.99
  χ,min=0.99
  Verifica: 0.08+0.02+0.05=0.15

- Verifica Freccia massima carichi totali - CC 21
  $f_{Z,G}$=0.00 (L/11586)

- Verifica a compressione [4.2.9] - CC 9 SLU Xl=0.06 - Classe 1
  Sollecitazioni: N=-1811.46 T_z=-57.40 T_y=-63.57
  N,Ed=-1811.46 Nc,Rd=-23709.20 N,Ed/Nc,Rd=0.08
  Verifiche di duttilità [7.5.3]:
  q_0=4.00 N,Ed=-1811.46 Npl,Rd=23709.20 N,Ed/Npl,Rd=0.076403

- Verifica a taglio dir. Y [4.2.16] - CC 9 SLU Xl=0.06
  Sollecitazioni: N=-1811.46 T_z=-57.40 T_y=-63.57
  V,Ed=-63.57 Vc,Rd=7560.76 V,Ed/Vc,Rd=0.01

- Verifica a taglio dir. Z [4.2.16]
  V,Ed=-57.40 Vc,Rd=7560.76 V,Ed/Vc,Rd=0.01

Asta n. 1246 (-397 -429) angolari L50x10 Crit. 1

- Verifica di stabilità aste presso-inflesse (C4.2.4.1.3.3.1) - CC 19 SLU - Classe 3
  Sollecitazioni: N,Ed=-2001.94 Myeq,Ed=3.49 Mzeq,Ed=-8.04
  Resistenze: Nc,Rd=23709.20 My,c,Rd=149.05 Mz,c,Rd=149.05 L=19.38
  λ_c=10.59 Ncr,y=1673810.00 λ^*_y=0.12 Curva b: Φ_y=0.49 χ_y=1.00
  λ_e=20.13 Ncr,z=462889.00 λ^*_z=0.23 Curva b: Φ_z=0.53 χ_z=0.99
  χ,min=0.99
  Verifica: 0.08+0.02+0.05=0.16

- Verifica Freccia massima carichi totali - CC 21
  $f_{Z,G}$=0.00 (L/11157)

- Verifica a compressione [4.2.9] - CC 19 SLU Xl=0.06 - Classe 1
  Sollecitazioni: N=-2001.58 T_z=-36.51 T_y=-86.10
  N,Ed=-2001.58 Nc,Rd=-23709.20 N,Ed/Nc,Rd=0.08
  Verifiche di duttilità [7.5.3]:
  q_0=4.00 N,Ed=-2001.58 Npl,Rd=23709.20 N,Ed/Npl,Rd=0.084422

- Verifica a taglio dir. Y [4.2.16] - CC 19 SLU Xl=0.06
  Sollecitazioni: N=-2001.58 T_z=-36.51 T_y=-86.10
  V,Ed=-86.10 Vc,Rd=7560.76 V,Ed/Vc,Rd=0.01

- Verifica a taglio dir. Z [4.2.16]
  V,Ed=-36.51 Vc,Rd=7560.76 V,Ed/Vc,Rd=0.00

Asta n. 1246 (-429 -461) angolari L50x10 Crit. 1

- Verifica di stabilità aste presso-inflesse (C4.2.4.1.3.3.1) - CC 9 SLU - Classe 3
  Sollecitazioni: N,Ed=-2098.39 Myeq,Ed=5.24 Mzeq,Ed=-6.50
  Resistenze: Nc,Rd=23709.20 My,c,Rd=149.05 Mz,c,Rd=149.05 L=19.38
  λ_c=10.59 Ncr,y=1673810.00 λ^*_y=0.12 Curva b: Φ_y=0.49 χ_y=1.00
  λ_e=20.13 Ncr,z=462889.00 λ^*_z=0.23 Curva b: Φ_z=0.53 χ_z=0.99
  χ,min=0.99

Verifica: 0.09+0.04+0.04=0.17

- Verifica Freccia massima carichi totali - CC 21
$f_{Z,G}$=0.00 (L/11157)

- Verifica a compressione [4.2.9] - CC 9 SLU Xl=0.05 - Classe 1
Sollecitazioni: N=-2098.15 T_z=-56.08 T_y=-69.65
N,Ed=-2098.15 Nc,Rd=-23709.20 N,Ed/Nc,Rd=0.09
Verifiche di duttilità [7.5.3]:
q_0=4.00 N,Ed=-2098.15 Npl,Rd=23709.20 N,Ed/Npl,Rd=0.088495

- Verifica a taglio dir. Y [4.2.16] - CC 19 SLU Xl=0.06
Sollecitazioni: N=-2093.42 T_z=-33.31 T_y=-90.70
V,Ed=-90.70 Vc,Rd=7560.76 V,Ed/Vc,Rd=0.01

- Verifica a taglio dir. Z [4.2.16]
V,Ed=-33.31 Vc,Rd=7560.76 V,Ed/Vc,Rd=0.00

Asta n. 1246 (-461 -493) angolari L50x10 Crit. 1

- Verifica di stabilità aste presso-inflesse (C4.2.4.1.3.3.1) - CC 18 SLU - Classe 3
Sollecitazioni: N,Ed=-2202.43 Myeq,Ed=8.92 Mzeq,Ed=-4.94
Resistenze: Nc,Rd=23709.20 My,c,Rd=149.05 Mz,c,Rd=149.05 L=19.38
λ_c=10.59 Ncr,y=1673810.00 λ^*_y=0.12 Curva b: Φ_y=0.49 χ_y=1.00
λ_e=20.13 Ncr,z=462890.00 λ^*_z=0.23 Curva b: Φ_z=0.53 χ_z=0.99
χ,min=0.99
Verifica: 0.09+0.06+0.03=0.19

- Verifica Freccia massima carichi totali - CC 21
$f_{Z,G}$=0.00 (L/10759)

- Verifica a compressione [4.2.9] - CC 9 SLU Xl=0.05 - Classe 1
Sollecitazioni: N=-2250.82 T_z=-94.10 T_y=-50.83
N,Ed=-2250.82 Nc,Rd=-23709.20 N,Ed/Nc,Rd=0.09
Verifiche di duttilità [7.5.3]:
q_0=4.00 N,Ed=-2250.82 Npl,Rd=23709.20 N,Ed/Npl,Rd=0.094934

- Verifica a taglio dir. Y [4.2.16] - CC 18 SLU Xl=0.05
Sollecitazioni: N=-2202.18 T_z=-95.59 T_y=-52.86
V,Ed=-52.86 Vc,Rd=7560.76 V,Ed/Vc,Rd=0.01

- Verifica a taglio dir. Z [4.2.16]
V,Ed=-95.59 Vc,Rd=7560.76 V,Ed/Vc,Rd=0.01

Asta n. 1246 (-493 1322) angolari L50x10 Crit. 1

- Verifica di stabilità aste presso-inflesse (C4.2.4.1.3.3.1) - CC 19 SLU - Classe 3
Sollecitazioni: N,Ed=-2293.04 Myeq,Ed=-9.96 Mzeq,Ed=-15.93
Resistenze: Nc,Rd=23709.20 My,c,Rd=149.05 Mz,c,Rd=149.05 L=19.38
λ_c=10.59 Ncr,y=1673810.00 λ^*_y=0.12 Curva b: Φ_y=0.49 χ_y=1.00
λ_e=20.13 Ncr,z=462891.00 λ^*_z=0.23 Curva b: Φ_z=0.53 χ_z=0.99
χ,min=0.99
Verifica: 0.10+0.07+0.11=0.27

- Verifica Freccia massima carichi totali - CC 21
$f_{Z,G}$=0.00 (L/10163)

- Verifica in termini tensionali [4.2.4] - CC 19 SLU Xl=0.14 - Classe 3

Sollecitazioni: N=-2291.94 T_z=129.09 M_y=-12.34 T_y=-199.09 M_z=-21.24 (M_c=6.29 M_e=-23.75)
Tensioni: σ_N=-253.18 σ_M=-554.88 τ=8.51 σ_{max}=-808.07
Tensioni: σ_N=-253.18 σ_M=109.63 τ=60.31 τ_{max}=60.31
Tensioni: σ_N=-253.18 σ_M=-554.88 τ=8.51 $\sigma_{ID,max}$=808.20

- Verifica a taglio dir. Y [4.2.16] - CC 17 SLU Xl=0.05
Sollecitazioni: N=-1146.50 T_z=91.27 T_y=-138.02
V,Ed=-138.02 Vc,Rd=7560.76 V,Ed/Vc,Rd=0.02

- Verifica a taglio dir. Z [4.2.16]
V,Ed=91.27 Vc,Rd=7560.76 V,Ed/Vc,Rd=0.01

Asta n. 1247 (-47 -79) angolari L50x10 Crit. 1

- Verifica di stabilità aste inflesse (4.2.4.1.3.2) CC 1 SLV - Classe 3
L_{cr}=0.19 Curva d: α_{imp}=0.76 k_c=0.94 ψ=2.02 M,cr=0.00 λ_{LT}=0.00
$\lambda_{LT,0}$=0.20 β_{LT}=1.00 Φ_{LT}=0.00 β_{LT}=1.00 f=0.00 χ_{LT}=1.00
CC 1 SLV My,Ed=-1.82 My,b,Rd=149.05 My,Ed/My,b,Rd=0.01

- Verifica di stabilità aste presso-inflesse (C4.2.4.1.3.3.1) - CC 17 SLU - Classe 3
Sollecitazioni: N,Ed=-1304.60 Myeq,Ed=3.62 Mzeq,Ed=4.17
Resistenze: Nc,Rd=23709.20 My,c,Rd=149.05 Mz,c,Rd=149.05 L=19.38
λ_c=10.59 Ncr,y=1673810.00 λ^*_y=0.12 Curva b: Φ_y=0.49 χ_y=1.00
λ_e=20.13 Ncr,z=462889.00 λ^*_z=0.23 Curva b: Φ_z=0.53 χ_z=0.99
χ,min=0.99
Verifica: 0.06+0.02+0.03=0.11

- Verifica a compressione [4.2.9] - CC 17 SLU Xl=0.17 - Classe 1
Sollecitazioni: N=-1303.50 T_z=33.94 T_y=-45.61
N,Ed=-1303.50 Nc,Rd=-23709.20 N,Ed/Nc,Rd=0.05
Verifiche di duttilità [7.5.3]:
q_0=4.00 N,Ed=-1303.50 Npl,Rd=23709.20 N,Ed/Npl,Rd=0.054979

- Verifica a taglio dir. Y [4.2.16] - CC 17 SLU Xl=0.17
Sollecitazioni: N=-1303.50 T_z=33.94 T_y=-45.61
V,Ed=-45.61 Vc,Rd=7560.76 V,Ed/Vc,Rd=0.01

- Verifica a taglio dir. Z [4.2.16]
V,Ed=33.94 Vc,Rd=7560.76 V,Ed/Vc,Rd=0.00

Asta n. 1247 (-79 -111) angolari L50x10 Crit. 1

- Verifica di stabilità aste inflesse (4.2.4.1.3.2) CC 1 SLV - Classe 3
L_{cr}=0.19 Curva d: α_{imp}=0.76 k_c=0.94 ψ=2.50 M,cr=0.00 λ_{LT}=0.00
$\lambda_{LT,0}$=0.20 β_{LT}=1.00 Φ_{LT}=0.00 β_{LT}=1.00 f=0.00 χ_{LT}=1.00
CC 1 SLV My,Ed=-1.49 My,b,Rd=149.05 My,Ed/My,b,Rd=0.01

- Verifica di stabilità aste presso-inflesse (C4.2.4.1.3.3.1) - CC 17 SLU - Classe 3
Sollecitazioni: N,Ed=-1266.26 Myeq,Ed=2.33 Mzeq,Ed=4.83
Resistenze: Nc,Rd=23709.20 My,c,Rd=149.05 Mz,c,Rd=149.05 L=19.38
λ_c=10.59 Ncr,y=1673810.00 λ^*_y=0.12 Curva b: Φ_y=0.49 χ_y=1.00
λ_e=20.13 Ncr,z=462890.00 λ^*_z=0.23 Curva b: Φ_z=0.53 χ_z=0.99
χ,min=0.99
Verifica: 0.05+0.02+0.03=0.10

- Verifica a compressione [4.2.9] - CC 17 SLU Xl=0.12 - Classe 1
Sollecitazioni: N=-1265.41 T_z=24.95 T_y=-51.75
N,Ed=-1265.41 Nc,Rd=-23709.20 N,Ed/Nc,Rd=0.05
Verifiche di duttilità [7.5.3]:

q_0=4.00 N,Ed=-1265.41 Npl,Rd=23709.20 N,Ed/Npl,Rd=0.053372

- Verifica a taglio dir. Y [4.2.16] - CC 17 SLU Xl=0.12
  Sollecitazioni: N=-1265.41 T_z=24.95 T_y=-51.75
  V,Ed=-51.75 Vc,Rd=7560.76 V,Ed/Vc,Rd=0.01

- Verifica a taglio dir. Z [4.2.16]
  V,Ed=24.95 Vc,Rd=7560.76 V,Ed/Vc,Rd=0.00

Asta n. 1247 (-111 -143) angolari L50x10 Crit. 1

- Verifica di stabilità aste inflesse (4.2.4.1.3.2) CC 1 SLV - Classe 3
  L_{cr}=0.19 Curva d: α_{imp}=0.76 k_c=0.94 ψ=2.90 M,cr=0.00 λ_{LT}=0.00
  $\lambda_{LT,0}$=0.20 β_{LT}=1.00 Φ_{LT}=0.00 β_{LT}=1.00 f=0.00 χ_{LT}=1.00
  CC 1 SLV My,Ed=-1.29 My,b,Rd=149.05 My,Ed/My,b,Rd=0.01

- Verifica di stabilità aste presso-inflesse (C4.2.4.1.3.3.1) - CC 17 SLU - Classe 3
  Sollecitazioni: N,Ed=-1219.46 Myeq,Ed=2.29 Mzeq,Ed=4.46
  Resistenze: Nc,Rd=23709.20 My,c,Rd=149.05 Mz,c,Rd=149.05 L=19.38
  λ_c=10.59 Ncr,y=1673810.00 λ^*_y=0.12 Curva b: Φ_y=0.49 χ_y=1.00
  λ_e=20.13 Ncr,z=462889.00 λ^*_z=0.23 Curva b: Φ_z=0.53 χ_z=0.99
  χ,min=0.99
  Verifica: 0.05+0.02+0.03=0.10

- Verifica a compressione [4.2.9] - CC 17 SLU Xl=0.10 - Classe 1
  Sollecitazioni: N=-1218.73 T_z=24.57 T_y=-51.14
  N,Ed=-1218.73 Nc,Rd=-23709.20 N,Ed/Nc,Rd=0.05
  Verifiche di duttilità [7.5.3]:
  q_0=4.00 N,Ed=-1218.73 Npl,Rd=23709.20 N,Ed/Npl,Rd=0.051403

- Verifica a taglio dir. Y [4.2.16] - CC 17 SLU Xl=0.10
  Sollecitazioni: N=-1218.73 T_z=24.57 T_y=-51.14
  V,Ed=-51.14 Vc,Rd=7560.76 V,Ed/Vc,Rd=0.01

- Verifica a taglio dir. Z [4.2.16]
  V,Ed=24.57 Vc,Rd=7560.76 V,Ed/Vc,Rd=0.00

Asta n. 1247 (-143 -175) angolari L50x10 Crit. 1

- Verifica di stabilità aste inflesse (4.2.4.1.3.2) CC 1 SLV - Classe 3
  L_{cr}=0.19 Curva d: α_{imp}=0.76 k_c=0.94 ψ=3.09 M,cr=0.00 λ_{LT}=0.00
  $\lambda_{LT,0}$=0.20 β_{LT}=1.00 Φ_{LT}=0.00 β_{LT}=1.00 f=0.00 χ_{LT}=1.00
  CC 1 SLV My,Ed=-1.23 My,b,Rd=149.05 My,Ed/My,b,Rd=0.01

- Verifica di stabilità aste presso-inflesse (C4.2.4.1.3.3.1) - CC 17 SLU - Classe 3
  Sollecitazioni: N,Ed=-1171.34 Myeq,Ed=2.21 Mzeq,Ed=4.23
  Resistenze: Nc,Rd=23709.20 My,c,Rd=149.05 Mz,c,Rd=149.05 L=19.38
  λ_c=10.59 Ncr,y=1673810.00 λ^*_y=0.12 Curva b: Φ_y=0.49 χ_y=1.00
  λ_e=20.13 Ncr,z=462890.00 λ^*_z=0.23 Curva b: Φ_z=0.53 χ_z=0.99
  χ,min=0.99
  Verifica: 0.05+0.01+0.03=0.09

- Verifica a compressione [4.2.9] - CC 19 SLU Xl=0.09 - Classe 1
  Sollecitazioni: N=-1186.26 T_y=-49.81
  N,Ed=-1186.26 Nc,Rd=-23709.20 N,Ed/Nc,Rd=0.05
  Verifiche di duttilità [7.5.3]:
  q_0=4.00 N,Ed=-1186.26 Npl,Rd=23709.20 N,Ed/Npl,Rd=0.050034

- Verifica a taglio dir. Y [4.2.16] - CC 17 SLU Xl=0.10
  Sollecitazioni: N=-1170.62 T_z=23.66 T_y=-50.80
  V,Ed=-50.80 Vc,Rd=7560.76 V,Ed/Vc,Rd=0.01

- Verifica a taglio dir. Z [4.2.16]
  V,Ed=23.66 Vc,Rd=7560.76 V,Ed/Vc,Rd=0.00

Asta n. 1247 (-175 -207) angolari L50x10 Crit. 1

- Verifica di stabilità aste presso-inflesse (C4.2.4.1.3.3.1) - CC 17 SLU - Classe 3
  Sollecitazioni: N,Ed=-1123.63 Myeq,Ed=2.12 Mzeq,Ed=4.08
  Resistenze: Nc,Rd=23709.20 My,c,Rd=149.05 Mz,c,Rd=149.05 L=19.38
  λ_c=10.59 Ncr,y=1673810.00 λ^*_y=0.12 Curva b: Φ_y=0.49 χ_y=1.00
  λ_e=20.13 Ncr,z=462890.00 λ^*_z=0.23 Curva b: Φ_z=0.53 χ_z=0.99
  χ,min=0.99
  Verifica: 0.05+0.01+0.03=0.09

- Verifica a compressione [4.2.9] - CC 19 SLU Xl=0.09 - Classe 1
  Sollecitazioni: N=-1186.29 T_z=-1.04 T_y=-50.04
  N,Ed=-1186.29 Nc,Rd=-23709.20 N,Ed/Nc,Rd=0.05
  Verifiche di duttilità [7.5.3]:
  q_0=4.00 N,Ed=-1186.29 Npl,Rd=23709.20 N,Ed/Npl,Rd=0.050035

- Verifica a taglio dir. Y [4.2.16] - CC 17 SLU Xl=0.10
  Sollecitazioni: N=-1122.91 T_z=22.71 T_y=-50.49
  V,Ed=-50.49 Vc,Rd=7560.76 V,Ed/Vc,Rd=0.01

- Verifica a taglio dir. Z [4.2.16]
  V,Ed=22.71 Vc,Rd=7560.76 V,Ed/Vc,Rd=0.00

Asta n. 1247 (-207 -239) angolari L50x10 Crit. 1

- Verifica di stabilità aste presso-inflesse (C4.2.4.1.3.3.1) - CC 17 SLU - Classe 3
  Sollecitazioni: N,Ed=-1076.73 Myeq,Ed=2.03 Mzeq,Ed=3.96
  Resistenze: Nc,Rd=23709.20 My,c,Rd=149.05 Mz,c,Rd=149.05 L=19.38
  λ_c=10.59 Ncr,y=1673810.00 λ^*_y=0.12 Curva b: Φ_y=0.49 χ_y=1.00
  λ_e=20.13 Ncr,z=462889.00 λ^*_z=0.23 Curva b: Φ_z=0.53 χ_z=0.99
  χ,min=0.99
  Verifica: 0.05+0.01+0.03=0.09

- Verifica a compressione [4.2.9] - CC 19 SLU Xl=0.08 - Classe 1
  Sollecitazioni: N=-1188.42 T_z=-1.95 T_y=-50.34
  N,Ed=-1188.42 Nc,Rd=-23709.20 N,Ed/Nc,Rd=0.05
  Verifiche di duttilità [7.5.3]:
  q_0=4.00 N,Ed=-1188.42 Npl,Rd=23709.20 N,Ed/Npl,Rd=0.050125

- Verifica a taglio dir. Y [4.2.16] - CC 19 SLU Xl=0.08
  Sollecitazioni: N=-1188.42 T_z=-1.95 T_y=-50.34
  V,Ed=-50.34 Vc,Rd=7560.76 V,Ed/Vc,Rd=0.01

- Verifica a taglio dir. Z [4.2.16]
  V,Ed=-1.95 Vc,Rd=7560.76 V,Ed/Vc,Rd=0.00

Asta n. 1247 (-239 -271) angolari L50x10 Crit. 1

- Verifica di stabilità aste inflesse (4.2.4.1.3.2) CC 5 SLV - Classe 3
  L_{cr}=0.19 Curva d: α_{imp}=0.76 k_c=0.94 ψ=2.39 M,cr=0.00 λ_{LT}=0.00

$\lambda_{LT,0}$=0.20 β_{LT}=1.00 Φ_{LT}=0.00 β_{LT}=1.00 f=0.00 χ_{LT}=1.00
CC 5 SLV My,Ed=2.01 My,b,Rd=149.05 My,Ed/My,b,Rd=0.01

- Verifica di stabilità aste presso-inflesse (C4.2.4.1.3.3.1) - CC 19 SLU - Classe 3
Sollecitazioni: N,Ed=-1193.00 Myeq,Ed=1.22 Mzeq,Ed=-3.76
Resistenze: Nc,Rd=23709.20 My,c,Rd=149.05 Mz,c,Rd=149.05 L=19.38
λ_c=10.59 Ncr,y=1673810.00 λ^*_y=0.12 Curva b: Φ_y=0.49 χ_y=1.00
λ_e=20.13 Ncr,z=462889.00 λ^*_z=0.23 Curva b: Φ_z=0.53 χ_z=0.99
χ,min=0.99
Verifica: 0.05+0.01+0.03=0.08

- Verifica a compressione [4.2.9] - CC 19 SLU Xl=0.08 - Classe 1
Sollecitazioni: N=-1192.52 T_z=-2.84 T_y=-50.70
N,Ed=-1192.52 Nc,Rd=-23709.20 N,Ed/Nc,Rd=0.05
Verifiche di duttilità [7.5.3]:
q_0=4.00 N,Ed=-1192.52 Npl,Rd=23709.20 N,Ed/Npl,Rd=0.050298

- Verifica a taglio dir. Y [4.2.16] - CC 19 SLU Xl=0.08
Sollecitazioni: N=-1192.52 T_z=-2.84 T_y=-50.70
V,Ed=-50.70 Vc,Rd=7560.76 V,Ed/Vc,Rd=0.01

- Verifica a taglio dir. Z [4.2.16]
V,Ed=-2.84 Vc,Rd=7560.76 V,Ed/Vc,Rd=0.00

Asta n. 1247 (-271 -303) angolari L50x10 Crit. 1

- Verifica di stabilità aste inflesse (4.2.4.1.3.2) CC 5 SLV - Classe 3
L_{cr}=0.19 Curva d: α_{imp}=0.76 k_c=0.94 ψ=2.33 M,cr=0.00 λ_{LT}=0.00
$\lambda_{LT,0}$=0.20 β_{LT}=1.00 Φ_{LT}=0.00 β_{LT}=1.00 f=0.00 χ_{LT}=1.00
CC 5 SLV My,Ed=2.11 My,b,Rd=149.05 My,Ed/My,b,Rd=0.01

- Verifica di stabilità aste presso-inflesse (C4.2.4.1.3.3.1) - CC 19 SLU - Classe 3
Sollecitazioni: N,Ed=-1199.38 Myeq,Ed=1.33 Mzeq,Ed=-3.91
Resistenze: Nc,Rd=23709.20 My,c,Rd=149.05 Mz,c,Rd=149.05 L=19.38
λ_c=10.59 Ncr,y=1673810.00 λ^*_y=0.12 Curva b: Φ_y=0.49 χ_y=1.00
λ_e=20.13 Ncr,z=462889.00 λ^*_z=0.23 Curva b: Φ_z=0.53 χ_z=0.99
χ,min=0.99
Verifica: 0.05+0.01+0.03=0.09

- Verifica a compressione [4.2.9] - CC 19 SLU Xl=0.08 - Classe 1
Sollecitazioni: N=-1198.89 T_z=-3.84 T_y=-51.03
N,Ed=-1198.89 Nc,Rd=-23709.20 N,Ed/Nc,Rd=0.05
Verifiche di duttilità [7.5.3]:
q_0=4.00 N,Ed=-1198.89 Npl,Rd=23709.20 N,Ed/Npl,Rd=0.050567

- Verifica a taglio dir. Y [4.2.16] - CC 19 SLU Xl=0.08
Sollecitazioni: N=-1198.89 T_z=-3.84 T_y=-51.03
V,Ed=-51.03 Vc,Rd=7560.76 V,Ed/Vc,Rd=0.01

- Verifica a taglio dir. Z [4.2.16]
V,Ed=-3.84 Vc,Rd=7560.76 V,Ed/Vc,Rd=0.00

Asta n. 1247 (-303 -335) angolari L50x10 Crit. 1

- Verifica di stabilità aste inflesse (4.2.4.1.3.2) CC 5 SLV - Classe 3
L_{cr}=0.19 Curva d: α_{imp}=0.76 k_c=0.94 ψ=2.27 M,cr=0.00 λ_{LT}=0.00
$\lambda_{LT,0}$=0.20 β_{LT}=1.00 Φ_{LT}=0.00 β_{LT}=1.00 f=0.00 χ_{LT}=1.00
CC 5 SLV My,Ed=2.22 My,b,Rd=149.05 My,Ed/My,b,Rd=0.01

- Verifica di stabilità aste presso-inflesse (C4.2.4.1.3.3.1) - CC 19 SLU - Classe 3
  Sollecitazioni: N,Ed=-1208.17 Myeq,Ed=1.43 Mzeq,Ed=-4.09
  Resistenze: Nc,Rd=23709.20 My,c,Rd=149.05 Mz,c,Rd=149.05 L=19.38
  λ_c=10.59 Ncr,y=1673810.00 λ^*_y=0.12 Curva b: Φ_y=0.49 χ_y=1.00
  λ_e=20.13 Ncr,z=462889.00 λ^*_z=0.23 Curva b: Φ_z=0.53 χ_z=0.99
  χ,min=0.99
  Verifica: 0.05+0.01+0.03=0.09

- Verifica a compressione [4.2.9] - CC 9 SLU Xl=0.05 - Classe 1
  Sollecitazioni: N=-1004.22 T_z=-23.44 T_y=-33.73
  N,Ed=-1004.22 Nc,Rd=-23709.20 N,Ed/Nc,Rd=0.04
  Verifiche di duttilità [7.5.3]:
  q_0=4.00 N,Ed=-1004.22 Npl,Rd=23709.20 N,Ed/Npl,Rd=0.042356

- Verifica a taglio dir. Y [4.2.16] - CC 17 SLU Xl=0.09
  Sollecitazioni: N=-941.56 T_z=18.93 T_y=-49.55
  V,Ed=-49.55 Vc,Rd=7560.76 V,Ed/Vc,Rd=0.01

- Verifica a taglio dir. Z [4.2.16]
  V,Ed=18.93 Vc,Rd=7560.76 V,Ed/Vc,Rd=0.00

Asta n. 1247 (-335 -367) angolari L50x10 Crit. 1

- Verifica di stabilità aste inflesse (4.2.4.1.3.2) CC 5 SLV - Classe 3
  L_{cr}=0.19 Curva d: α_{imp}=0.76 k_c=0.94 ψ=2.21 M,cr=0.00 λ_{LT}=0.00
  $\lambda_{LT,0}$=0.20 β_{LT}=1.00 Φ_{LT}=0.00 β_{LT}=1.00 f=0.00 χ_{LT}=1.00
  CC 5 SLV My,Ed=2.33 My,b,Rd=149.05 My,Ed/My,b,Rd=0.02

- Verifica di stabilità aste presso-inflesse (C4.2.4.1.3.3.1) - CC 19 SLU - Classe 3
  Sollecitazioni: N,Ed=-1219.57 Myeq,Ed=1.50 Mzeq,Ed=-4.27
  Resistenze: Nc,Rd=23709.20 My,c,Rd=149.05 Mz,c,Rd=149.05 L=19.38
  λ_c=10.59 Ncr,y=1673810.00 λ^*_y=0.12 Curva b: Φ_y=0.49 χ_y=1.00
  λ_e=20.13 Ncr,z=462889.00 λ^*_z=0.23 Curva b: Φ_z=0.53 χ_z=0.99
  χ,min=0.99
  Verifica: 0.05+0.01+0.03=0.09

- Verifica a compressione [4.2.9] - CC 9 SLU Xl=0.05 - Classe 1
  Sollecitazioni: N=-1056.83 T_z=-24.05 T_y=-34.60
  N,Ed=-1056.83 Nc,Rd=-23709.20 N,Ed/Nc,Rd=0.04
  Verifiche di duttilità [7.5.3]:
  q_0=4.00 N,Ed=-1056.83 Npl,Rd=23709.20 N,Ed/Npl,Rd=0.044575

- Verifica a taglio dir. Y [4.2.16] - CC 17 SLU Xl=0.09
  Sollecitazioni: N=-899.03 T_z=17.96 T_y=-49.36
  V,Ed=-49.36 Vc,Rd=7560.76 V,Ed/Vc,Rd=0.01

- Verifica a taglio dir. Z [4.2.16]
  V,Ed=17.96 Vc,Rd=7560.76 V,Ed/Vc,Rd=0.00

Asta n. 1247 (-367 -399) angolari L50x10 Crit. 1

- Verifica di stabilità aste inflesse (4.2.4.1.3.2) CC 5 SLV - Classe 3
  L_{cr}=0.19 Curva d: α_{imp}=0.76 k_c=0.94 ψ=2.15 M,cr=0.00 λ_{LT}=0.00
  $\lambda_{LT,0}$=0.20 β_{LT}=1.00 Φ_{LT}=0.00 β_{LT}=1.00 f=0.00 χ_{LT}=1.00
  CC 5 SLV My,Ed=2.45 My,b,Rd=149.05 My,Ed/My,b,Rd=0.02

- Verifica di stabilità aste presso-inflesse (C4.2.4.1.3.3.1) - CC 19 SLU - Classe 3

Sollecitazioni: N,Ed=-1233.81 Myeq,Ed=1.57 Mzeq,Ed=-4.48
Resistenze: Nc,Rd=23709.20 My,c,Rd=149.05 Mz,c,Rd=149.05 L=19.38
λ_c=10.59 Ncr,y=1673810.00 λ^*_y=0.12 Curva b: Φ_y=0.49 χ_y=1.00
λ_e=20.13 Ncr,z=462890.00 λ^*_z=0.23 Curva b: Φ_z=0.53 χ_z=0.99
χ,min=0.99
Verifica: 0.05+0.01+0.03=0.09

- Verifica a compressione [4.2.9] - CC 19 SLU Xl=0.06 - Classe 1
Sollecitazioni: N=-1233.45 T_z=-6.82 T_y=-52.40
N,Ed=-1233.45 Nc,Rd=-23709.20 N,Ed/Nc,Rd=0.05
Verifiche di duttilità [7.5.3]:
q_0=4.00 N,Ed=-1233.45 Npl,Rd=23709.20 N,Ed/Npl,Rd=0.052024

- Verifica a taglio dir. Y [4.2.16] - CC 19 SLU Xl=0.06
Sollecitazioni: N=-1233.45 T_z=-6.82 T_y=-52.40
V,Ed=-52.40 Vc,Rd=7560.76 V,Ed/Vc,Rd=0.01

- Verifica a taglio dir. Z [4.2.16]
V,Ed=-6.82 Vc,Rd=7560.76 V,Ed/Vc,Rd=0.00

Asta n. 1247 (-399 -431) angolari L50x10 Crit. 1

- Verifica di stabilità aste inflesse (4.2.4.1.3.2) CC 5 SLV - Classe 3
L_{cr}=0.19 Curva d: α_{imp}=0.76 k_c=0.94 ψ=2.09 M,cr=0.00 λ_{LT}=0.00
$\lambda_{LT,0}$=0.20 β_{LT}=1.00 Φ_{LT}=0.00 β_{LT}=1.00 f=0.00 χ_{LT}=1.00
CC 5 SLV My,Ed=2.61 My,b,Rd=149.05 My,Ed/My,b,Rd=0.02

- Verifica di stabilità aste presso-inflesse (C4.2.4.1.3.3.1) - CC 19 SLU - Classe 3
Sollecitazioni: N,Ed=-1251.11 Myeq,Ed=1.70 Mzeq,Ed=-4.68
Resistenze: Nc,Rd=23709.20 My,c,Rd=149.05 Mz,c,Rd=149.05 L=19.38
λ_c=10.59 Ncr,y=1673810.00 λ^*_y=0.12 Curva b: Φ_y=0.49 χ_y=1.00
λ_e=20.13 Ncr,z=462889.00 λ^*_z=0.23 Curva b: Φ_z=0.53 χ_z=0.99
χ,min=0.99
Verifica: 0.05+0.01+0.03=0.10

- Verifica a compressione [4.2.9] - CC 9 SLU Xl=0.05 - Classe 1
Sollecitazioni: N=-1171.23 T_z=-25.78 T_y=-36.26
N,Ed=-1171.23 Nc,Rd=-23709.20 N,Ed/Nc,Rd=0.05
Verifiche di duttilità [7.5.3]:
q_0=4.00 N,Ed=-1171.23 Npl,Rd=23709.20 N,Ed/Npl,Rd=0.049400

- Verifica a taglio dir. Y [4.2.16] - CC 17 SLU Xl=0.09
Sollecitazioni: N=-818.10 T_z=15.74 T_y=-48.95
V,Ed=-48.95 Vc,Rd=7560.76 V,Ed/Vc,Rd=0.01

- Verifica a taglio dir. Z [4.2.16]
V,Ed=15.74 Vc,Rd=7560.76 V,Ed/Vc,Rd=0.00

Asta n. 1247 (-431 -463) angolari L50x10 Crit. 1

- Verifica di stabilità aste inflesse (4.2.4.1.3.2) CC 5 SLV - Classe 3
L_{cr}=0.19 Curva d: α_{imp}=0.76 k_c=0.94 ψ=2.05 M,cr=0.00 λ_{LT}=0.00
$\lambda_{LT,0}$=0.20 β_{LT}=1.00 Φ_{LT}=0.00 β_{LT}=1.00 f=0.00 χ_{LT}=1.00
CC 5 SLV My,Ed=2.53 My,b,Rd=149.05 My,Ed/My,b,Rd=0.02

- Verifica di stabilità aste presso-inflesse (C4.2.4.1.3.3.1) - CC 19 SLU - Classe 3
Sollecitazioni: N,Ed=-1271.73 Myeq,Ed=1.55 Mzeq,Ed=-5.12
Resistenze: Nc,Rd=23709.20 My,c,Rd=149.05 Mz,c,Rd=149.05 L=19.38

λ_c=10.59 Ncr,y=1673810.00 λ^*_y=0.12 Curva b: Φ_y=0.49 χ_y=1.00
λ_e=20.13 Ncr,z=462889.00 λ^*_z=0.23 Curva b: Φ_z=0.53 χ_z=0.99
χ,min=0.99
Verifica: 0.05+0.01+0.03=0.10

- Verifica a compressione [4.2.9] - CC 19 SLU Xl=0.06 - Classe 1
Sollecitazioni: N=-1271.37 T_z=-6.45 T_y=-54.86
N,Ed=-1271.37 Nc,Rd=-23709.20 N,Ed/Nc,Rd=0.05
Verifiche di duttilità [7.5.3]:
q_0=4.00 N,Ed=-1271.37 Npl,Rd=23709.20 N,Ed/Npl,Rd=0.053623

- Verifica a taglio dir. Y [4.2.16] - CC 19 SLU Xl=0.06
Sollecitazioni: N=-1271.37 T_z=-6.45 T_y=-54.86
V,Ed=-54.86 Vc,Rd=7560.76 V,Ed/Vc,Rd=0.01

- Verifica a taglio dir. Z [4.2.16]
V,Ed=-6.45 Vc,Rd=7560.76 V,Ed/Vc,Rd=0.00

Asta n. 1247 (-463 -495) angolari L50x10 Crit. 1

- Verifica di stabilità aste inflesse (4.2.4.1.3.2) CC 5 SLV - Classe 3
L_{cr}=0.19 Curva d: α_{imp}=0.76 k_c=0.94 ψ=1.91 M,cr=0.00 λ_{LT}=0.00
$\lambda_{LT,0}$=0.20 β_{LT}=1.00 Φ_{LT}=0.00 β_{LT}=1.00 f=0.00 χ_{LT}=1.00
CC 5 SLV My,Ed=4.33 My,b,Rd=149.05 My,Ed/My,b,Rd=0.03

- Verifica di stabilità aste presso-inflesse (C4.2.4.1.3.3.1) - CC 19 SLU - Classe 3
Sollecitazioni: N,Ed=-1295.44 Myeq,Ed=3.36 Mzeq,Ed=-4.24
Resistenze: Nc,Rd=23709.20 My,c,Rd=149.05 Mz,c,Rd=149.05 L=19.38
λ_c=10.59 Ncr,y=1673810.00 λ^*_y=0.12 Curva b: Φ_y=0.49 χ_y=1.00
λ_e=20.13 Ncr,z=462890.00 λ^*_z=0.23 Curva b: Φ_z=0.53 χ_z=0.99
χ,min=0.99
Verifica: 0.05+0.02+0.03=0.11

- Verifica a compressione [4.2.9] - CC 9 SLU Xl=0.04 - Classe 1
Sollecitazioni: N=-1298.09 T_z=-44.37 T_y=-30.09
N,Ed=-1298.09 Nc,Rd=-23709.20 N,Ed/Nc,Rd=0.05
Verifiche di duttilità [7.5.3]:
q_0=4.00 N,Ed=-1298.09 Npl,Rd=23709.20 N,Ed/Npl,Rd=0.054751

- Verifica a taglio dir. Y [4.2.16] - CC 9 SLU Xl=0.04
Sollecitazioni: N=-1298.09 T_z=-44.37 T_y=-30.09
V,Ed=-30.09 Vc,Rd=7560.76 V,Ed/Vc,Rd=0.00

- Verifica a taglio dir. Z [4.2.16]
V,Ed=-44.37 Vc,Rd=7560.76 V,Ed/Vc,Rd=0.01

Asta n. 1247 (-495 1325) angolari L50x10 Crit. 1

- Verifica di stabilità aste inflesse (4.2.4.1.3.2) CC 5 SLV - Classe 3
L_{cr}=0.19 Curva d: α_{imp}=0.76 k_c=0.94 ψ=2.11 M,cr=0.00 λ_{LT}=0.00
$\lambda_{LT,0}$=0.20 β_{LT}=1.00 Φ_{LT}=0.00 β_{LT}=1.00 f=0.00 χ_{LT}=1.00
CC 5 SLV My,Ed=-3.41 My,b,Rd=149.05 My,Ed/My,b,Rd=0.02

- Verifica di stabilità aste presso-inflesse (C4.2.4.1.3.3.1) - CC 19 SLU - Classe 3
Sollecitazioni: N,Ed=-1325.25 Myeq,Ed=-6.47 Mzeq,Ed=-8.21
Resistenze: Nc,Rd=23709.20 My,c,Rd=149.05 Mz,c,Rd=149.05 L=19.38
λ_c=10.59 Ncr,y=1673810.00 λ^*_y=0.12 Curva b: Φ_y=0.49 χ_y=1.00
λ_e=20.13 Ncr,z=462891.00 λ^*_z=0.23 Curva b: Φ_z=0.53 χ_z=0.99

χ,min=0.99
Verifica: 0.06+0.04+0.06=0.15

- Verifica a compressione [4.2.9] - CC 9 SLU Xl=0.04 - Classe 1
Sollecitazioni: N=-1363.74 T_z=70.25 T_y=-87.80
N,Ed=-1363.74 Nc,Rd=-23709.20 N,Ed/Nc,Rd=0.06
Verifiche di duttilità [7.5.3]:
q_0=4.00 N,Ed=-1363.74 Npl,Rd=23709.20 N,Ed/Npl,Rd=0.057519

- Verifica a taglio dir. Y [4.2.16] - CC 19 SLU Xl=0.05
Sollecitazioni: N=-1325.05 T_z=83.87 T_y=-104.94
V,Ed=-104.94 Vc,Rd=7560.76 V,Ed/Vc,Rd=0.01

- Verifica a taglio dir. Z [4.2.16]
V,Ed=83.87 Vc,Rd=7560.76 V,Ed/Vc,Rd=0.01

Asta n. 1272 (-57 -89) angolari L50x10 Crit. 1

- Verifica di stabilità aste inflesse (4.2.4.1.3.2) CC 18 SLU - Classe 3
L_{cr}=0.19 Curva d: α_{imp}=0.76 k_c=0.94 ψ=2.05 M,cr=0.00 λ_{LT}=0.00
$\lambda_{LT,0}$=0.20 β_{LT}=1.00 Φ_{LT}=0.00 β_{LT}=1.00 f=0.00 χ_{LT}=1.00
CC 18 SLU My,Ed=3.44 My,b,Rd=149.05 My,Ed/My,b,Rd=0.02

- Verifica di stabilità aste presso-inflesse (C4.2.4.1.3.3.1) - CC 17 SLU - Classe 3
Sollecitazioni: N,Ed=-867.06 Myeq,Ed=4.76 Mzeq,Ed=1.97
Resistenze: Nc,Rd=23709.20 My,c,Rd=149.05 Mz,c,Rd=149.05 L=19.38
λ_c=10.59 Ncr,y=1673810.00 λ^*_y=0.12 Curva b: Φ_y=0.49 χ_y=1.00
λ_e=20.13 Ncr,z=462889.00 λ^*_z=0.23 Curva b: Φ_z=0.53 χ_z=0.99
χ,min=0.99
Verifica: 0.04+0.03+0.01=0.08

- Verifica a compressione [4.2.9] - CC 17 SLU Xl=0.16 - Classe 1
Sollecitazioni: N=-866.06 T_z=53.32 T_y=-19.34
N,Ed=-866.06 Nc,Rd=-23709.20 N,Ed/Nc,Rd=0.04
Verifiche di duttilità [7.5.3]:
q_0=4.00 N,Ed=-866.06 Npl,Rd=23709.20 N,Ed/Npl,Rd=0.036528

- Verifica a taglio dir. Y [4.2.16] - CC 17 SLU Xl=0.17
Sollecitazioni: N=-865.96 T_z=53.32 T_y=-19.34
V,Ed=-19.34 Vc,Rd=7560.76 V,Ed/Vc,Rd=0.00

- Verifica a taglio dir. Z [4.2.16]
V,Ed=53.32 Vc,Rd=7560.76 V,Ed/Vc,Rd=0.01

Asta n. 1272 (-89 -121) angolari L50x10 Crit. 1

- Verifica di stabilità aste inflesse (4.2.4.1.3.2) CC 18 SLU - Classe 3
L_{cr}=0.19 Curva d: α_{imp}=0.76 k_c=0.94 ψ=2.91 M,cr=0.00 λ_{LT}=0.00
$\lambda_{LT,0}$=0.20 β_{LT}=1.00 Φ_{LT}=0.00 β_{LT}=1.00 f=0.00 χ_{LT}=1.00
CC 18 SLU My,Ed=-2.61 My,b,Rd=149.05 My,Ed/My,b,Rd=0.02

- Verifica di stabilità aste presso-inflesse (C4.2.4.1.3.3.1) - CC 17 SLU - Classe 3
Sollecitazioni: N,Ed=-798.16 Myeq,Ed=4.32 Mzeq,Ed=2.20
Resistenze: Nc,Rd=23709.20 My,c,Rd=149.05 Mz,c,Rd=149.05 L=19.38
λ_c=10.59 Ncr,y=1673810.00 λ^*_y=0.12 Curva b: Φ_y=0.49 χ_y=1.00
λ_e=20.13 Ncr,z=462890.00 λ^*_z=0.23 Curva b: Φ_z=0.53 χ_z=0.99
χ,min=0.99
Verifica: 0.03+0.03+0.01=0.08

- Verifica a compressione [4.2.9] - CC 17 SLU Xl=0.10 - Classe 1
  Sollecitazioni: N=-797.44 T_z=46.30 T_y=-23.51
  N,Ed=-797.44 Nc,Rd=-23709.20 N,Ed/Nc,Rd=0.03
  Verifiche di duttilità [7.5.3]:
  q_0=4.00 N,Ed=-797.44 Npl,Rd=23709.20 N,Ed/Npl,Rd=0.033634

- Verifica a taglio dir. Y [4.2.16] - CC 17 SLU Xl=0.13
  Sollecitazioni: N=-797.20 T_z=46.30 T_y=-23.51
  V,Ed=-23.51 Vc,Rd=7560.76 V,Ed/Vc,Rd=0.00

- Verifica a taglio dir. Z [4.2.16]
  V,Ed=46.30 Vc,Rd=7560.76 V,Ed/Vc,Rd=0.01

Asta n. 1272 (-121 -153) angolari L50x10 Crit. 1

- Verifica di stabilità aste inflesse (4.2.4.1.3.2) CC 18 SLU - Classe 3
  L_{cr}=0.19 Curva d: α_{imp}=0.76 k_c=0.94 ψ=2.51 M,cr=0.00 λ_{LT}=0.00
  $\lambda_{LT,0}$=0.20 β_{LT}=1.00 Φ_{LT}=0.00 β_{LT}=1.00 f=0.00 χ_{LT}=1.00
  CC 18 SLU My,Ed=-3.05 My,b,Rd=149.05 My,Ed/My,b,Rd=0.02

- Verifica di stabilità aste presso-inflesse (C4.2.4.1.3.3.1) - CC 17 SLU - Classe 3
  Sollecitazioni: N,Ed=-711.55 Myeq,Ed=3.78 Mzeq,Ed=2.10
  Resistenze: Nc,Rd=23709.20 My,c,Rd=149.05 Mz,c,Rd=149.05 L=19.38
  λ_c=10.59 Ncr,y=1673810.00 λ^*_y=0.12 Curva b: Φ_y=0.49 χ_y=1.00
  λ_e=20.13 Ncr,z=462889.00 λ^*_z=0.23 Curva b: Φ_z=0.53 χ_z=0.99
  χ,min=0.99
  Verifica: 0.03+0.03+0.01=0.07

- Verifica a compressione [4.2.9] - CC 17 SLU Xl=0.09 - Classe 1
  Sollecitazioni: N=-710.95 T_z=46.16 T_y=-22.45
  N,Ed=-710.95 Nc,Rd=-23709.20 N,Ed/Nc,Rd=0.03
  Verifiche di duttilità [7.5.3]:
  q_0=4.00 N,Ed=-710.95 Npl,Rd=23709.20 N,Ed/Npl,Rd=0.029986

- Verifica a taglio dir. Y [4.2.16] - CC 17 SLU Xl=0.12
  Sollecitazioni: N=-710.71 T_z=46.16 T_y=-22.45
  V,Ed=-22.45 Vc,Rd=7560.76 V,Ed/Vc,Rd=0.00

- Verifica a taglio dir. Z [4.2.16]
  V,Ed=46.16 Vc,Rd=7560.76 V,Ed/Vc,Rd=0.01

Asta n. 1272 (-153 -185) angolari L50x10 Crit. 1

- Verifica di stabilità aste inflesse (4.2.4.1.3.2) CC 18 SLU - Classe 3
  L_{cr}=0.19 Curva d: α_{imp}=0.76 k_c=0.94 ψ=2.39 M,cr=0.00 λ_{LT}=0.00
  $\lambda_{LT,0}$=0.20 β_{LT}=1.00 Φ_{LT}=0.00 β_{LT}=1.00 f=0.00 χ_{LT}=1.00
  CC 18 SLU My,Ed=-3.20 My,b,Rd=149.05 My,Ed/My,b,Rd=0.02

- Verifica di stabilità aste presso-inflesse (C4.2.4.1.3.3.1) - CC 17 SLU - Classe 3
  Sollecitazioni: N,Ed=-620.04 Myeq,Ed=3.56 Mzeq,Ed=2.00
  Resistenze: Nc,Rd=23709.20 My,c,Rd=149.05 Mz,c,Rd=149.05 L=19.38
  λ_c=10.59 Ncr,y=1673810.00 λ^*_y=0.12 Curva b: Φ_y=0.49 χ_y=1.00
  λ_e=20.13 Ncr,z=462890.00 λ^*_z=0.23 Curva b: Φ_z=0.53 χ_z=0.99
  χ,min=0.99
  Verifica: 0.03+0.02+0.01=0.06

- Verifica a compressione [4.2.9] - CC 17 SLU Xl=0.09 - Classe 1

Sollecitazioni: N=-619.44 T_z=45.75 T_y=-21.44
N,Ed=-619.44 Nc,Rd=-23709.20 N,Ed/Nc,Rd=0.03
Verifiche di duttilità [7.5.3]:
q_0=4.00 N,Ed=-619.44 Npl,Rd=23709.20 N,Ed/Npl,Rd=0.026126

- Verifica a taglio dir. Y [4.2.16] - CC 17 SLU Xl=0.12
Sollecitazioni: N=-619.20 T_z=45.76 T_y=-21.44
V,Ed=-21.44 Vc,Rd=7560.76 V,Ed/Vc,Rd=0.00

- Verifica a taglio dir. Z [4.2.16]
V,Ed=45.76 Vc,Rd=7560.76 V,Ed/Vc,Rd=0.01

Asta n. 1272 (-185 -217) angolari L50x10 Crit. 1

- Verifica di stabilità aste inflesse (4.2.4.1.3.2) CC 18 SLU - Classe 3
L_{cr}=0.19 Curva d: α_{imp}=0.76 k_c=0.94 ψ=2.32 M,cr=0.00 λ_{LT}=0.00
$\lambda_{LT,0}$=0.20 β_{LT}=1.00 Φ_{LT}=0.00 β_{LT}=1.00 f=0.00 χ_{LT}=1.00
CC 18 SLU My,Ed=-3.31 My,b,Rd=149.05 My,Ed/My,b,Rd=0.02

- Verifica di stabilità aste presso-inflesse (C4.2.4.1.3.3.1) - CC 17 SLU - Classe 3
Sollecitazioni: N,Ed=-526.52 Myeq,Ed=3.42 Mzeq,Ed=1.92
Resistenze: Nc,Rd=23709.20 My,c,Rd=149.05 Mz,c,Rd=149.05 L=19.38
λ_c=10.59 Ncr,y=1673810.00 λ^*_y=0.12 Curva b: Φ_y=0.49 χ_y=1.00
λ_e=20.13 Ncr,z=462890.00 λ^*_z=0.23 Curva b: Φ_z=0.53 χ_z=0.99
χ,min=0.99
Verifica: 0.02+0.02+0.01=0.06

- Verifica a compressione [4.2.9] - CC 17 SLU Xl=0.09 - Classe 1
Sollecitazioni: N=-525.91 T_z=45.29 T_y=-20.52
N,Ed=-525.91 Nc,Rd=-23709.20 N,Ed/Nc,Rd=0.02
Verifiche di duttilità [7.5.3]:
q_0=4.00 N,Ed=-525.91 Npl,Rd=23709.20 N,Ed/Npl,Rd=0.022182

- Verifica a taglio dir. Y [4.2.16] - CC 17 SLU Xl=0.12
Sollecitazioni: N=-525.67 T_z=45.29 T_y=-20.52
V,Ed=-20.52 Vc,Rd=7560.76 V,Ed/Vc,Rd=0.00

- Verifica a taglio dir. Z [4.2.16]
V,Ed=45.29 Vc,Rd=7560.76 V,Ed/Vc,Rd=0.01

Asta n. 1272 (-217 -249) angolari L50x10 Crit. 1

- Verifica di stabilità aste inflesse (4.2.4.1.3.2) CC 18 SLU - Classe 3
L_{cr}=0.19 Curva d: α_{imp}=0.76 k_c=0.94 ψ=2.26 M,cr=0.00 λ_{LT}=0.00
$\lambda_{LT,0}$=0.20 β_{LT}=1.00 Φ_{LT}=0.00 β_{LT}=1.00 f=0.00 χ_{LT}=1.00
CC 18 SLU My,Ed=-3.40 My,b,Rd=149.05 My,Ed/My,b,Rd=0.02

- Verifica di stabilità aste presso-inflesse (C4.2.4.1.3.3.1) - CC 17 SLU - Classe 3
Sollecitazioni: N,Ed=-431.58 Myeq,Ed=3.29 Mzeq,Ed=1.82
Resistenze: Nc,Rd=23709.20 My,c,Rd=149.05 Mz,c,Rd=149.05 L=19.38
λ_c=10.59 Ncr,y=1673810.00 λ^*_y=0.12 Curva b: Φ_y=0.49 χ_y=1.00
λ_e=20.13 Ncr,z=462889.00 λ^*_z=0.23 Curva b: Φ_z=0.53 χ_z=0.99
χ,min=0.99
Verifica: 0.02+0.02+0.01=0.05

- Verifica a trazione [4.2.5] - CC 16 SLU Xl=0.09 - Classe 1
Sollecitazioni: N=452.03 T_z=31.05 T_y=36.64
N,Ed=452.03 Npl,Rd=23709.20 Nu,Rd=28026.90 N,Ed/Nt,Rd=0.02

Verifiche di duttilità [7.5.3]:
q_0=4.00 N,Ed=452.03 Npl,Rd=23709.20 N,Ed/Npl,Rd=0.019066

- Verifica a taglio dir. Y [4.2.16] - CC 17 SLU Xl=0.12
Sollecitazioni: N=-430.74 T_z=44.90 T_y=-19.52
V,Ed=-19.52 Vc,Rd=7560.76 V,Ed/Vc,Rd=0.00

- Verifica a taglio dir. Z [4.2.16]
V,Ed=44.90 Vc,Rd=7560.76 V,Ed/Vc,Rd=0.01

Asta n. 1272 (-249 -281) angolari L50x10 Crit. 1

- Verifica di stabilità aste inflesse (4.2.4.1.3.2) CC 18 SLU - Classe 3
L_{cr}=0.19 Curva d: α_{imp}=0.76 k_c=0.94 ψ=2.20 M,cr=0.00 λ_{LT}=0.00
$\lambda_{LT,0}$=0.20 β_{LT}=1.00 Φ_{LT}=0.00 β_{LT}=1.00 f=0.00 χ_{LT}=1.00
CC 18 SLU My,Ed=-3.51 My,b,Rd=149.05 My,Ed/My,b,Rd=0.02

- Verifica di stabilità aste presso-inflesse (C4.2.4.1.3.3.1) - CC 17 SLU - Classe 3
Sollecitazioni: N,Ed=-335.29 Myeq,Ed=-3.23 Mzeq,Ed=1.73
Resistenze: Nc,Rd=23709.20 My,c,Rd=149.05 Mz,c,Rd=149.05 L=19.38
λ_c=10.59 Ncr,y=1673810.00 λ^*_y=0.12 Curva b: Φ_y=0.49 χ_y=1.00
λ_e=20.13 Ncr,z=462889.00 λ^*_z=0.23 Curva b: Φ_z=0.53 χ_z=0.99
χ,min=0.99
Verifica: 0.01+0.02+0.01=0.05

- Verifica a trazione [4.2.5] - CC 16 SLU Xl=0.09 - Classe 1
Sollecitazioni: N=520.85 T_z=30.37 T_y=36.11
N,Ed=520.85 Npl,Rd=23709.20 Nu,Rd=28026.90 N,Ed/Nt,Rd=0.02
Verifiche di duttilità [7.5.3]:
q_0=4.00 N,Ed=520.85 Npl,Rd=23709.20 N,Ed/Npl,Rd=0.021968

- Verifica a taglio dir. Y [4.2.16] - CC 17 SLU Xl=0.12
Sollecitazioni: N=-334.45 T_z=44.50 T_y=-18.54
V,Ed=-18.54 Vc,Rd=7560.76 V,Ed/Vc,Rd=0.00

- Verifica a taglio dir. Z [4.2.16]
V,Ed=44.50 Vc,Rd=7560.76 V,Ed/Vc,Rd=0.01

Asta n. 1272 (-281 -313) angolari L50x10 Crit. 1

- Verifica di stabilità aste inflesse (4.2.4.1.3.2) CC 19 SLU - Classe 3
L_{cr}=0.19 Curva d: α_{imp}=0.76 k_c=0.94 ψ=2.57 M,cr=0.00 λ_{LT}=0.00
$\lambda_{LT,0}$=0.20 β_{LT}=1.00 Φ_{LT}=0.00 β_{LT}=1.00 f=0.00 χ_{LT}=1.00
CC 19 SLU My,Ed=-3.68 My,b,Rd=149.05 My,Ed/My,b,Rd=0.02

- Verifica di stabilità aste presso-inflesse (C4.2.4.1.3.3.1) - CC 17 SLU - Classe 3
Sollecitazioni: N,Ed=-237.57 Myeq,Ed=-3.32 Mzeq,Ed=1.64
Resistenze: Nc,Rd=23709.20 My,c,Rd=149.05 Mz,c,Rd=149.05 L=19.38
λ_c=10.59 Ncr,y=1673810.00 λ^*_y=0.12 Curva b: Φ_y=0.49 χ_y=1.00
λ_e=20.13 Ncr,z=462889.00 λ^*_z=0.23 Curva b: Φ_z=0.53 χ_z=0.99
χ,min=0.99
Verifica: 0.01+0.02+0.01=0.04

- Verifica a trazione [4.2.5] - CC 16 SLU Xl=0.09 - Classe 1
Sollecitazioni: N=589.74 T_z=29.67 T_y=35.57
N,Ed=589.74 Npl,Rd=23709.20 Nu,Rd=28026.90 N,Ed/Nt,Rd=0.02
Verifiche di duttilità [7.5.3]:
q_0=4.00 N,Ed=589.74 Npl,Rd=23709.20 N,Ed/Npl,Rd=0.024874

- Verifica a taglio dir. Y [4.2.16] - CC 17 SLU Xl=0.10
  Sollecitazioni: N=-236.85 T_z=44.12 T_y=-17.53
  V,Ed=-17.53 Vc,Rd=7560.76 V,Ed/Vc,Rd=0.00

- Verifica a taglio dir. Z [4.2.16]
  V,Ed=44.12 Vc,Rd=7560.76 V,Ed/Vc,Rd=0.01

Asta n. 1272 (-313 -345) angolari L50x10 Crit. 1

- Verifica di stabilità aste inflesse (4.2.4.1.3.2) CC 19 SLU - Classe 3
  L_{cr}=0.19 Curva d: α_{imp}=0.76 k_c=0.94 ψ=2.49 M,cr=0.00 λ_{LT}=0.00
  $\lambda_{LT,0}$=0.20 β_{LT}=1.00 Φ_{LT}=0.00 β_{LT}=1.00 f=0.00 χ_{LT}=1.00
  CC 19 SLU My,Ed=-3.82 My,b,Rd=149.05 My,Ed/My,b,Rd=0.03

- Verifica di stabilità aste presso-inflesse (C4.2.4.1.3.3.1) - CC 17 SLU - Classe 3
  Sollecitazioni: N,Ed=-138.35 Myeq,Ed=-3.40 Mzeq,Ed=1.54
  Resistenze: Nc,Rd=23709.20 My,c,Rd=149.05 Mz,c,Rd=149.05 L=19.38
  λ_c=10.59 Ncr,y=1673810.00 λ^*_y=0.12 Curva b: Φ_y=0.49 χ_y=1.00
  λ_e=20.13 Ncr,z=462889.00 λ^*_z=0.23 Curva b: Φ_z=0.53 χ_z=0.99
  χ,min=0.99
  Verifica: 0.01+0.02+0.01=0.04

- Verifica a trazione [4.2.5] - CC 16 SLU Xl=0.09 - Classe 1
  Sollecitazioni: N=658.67 T_z=28.94 T_y=35.01
  N,Ed=658.67 Npl,Rd=23709.20 Nu,Rd=28026.90 N,Ed/Nt,Rd=0.03
  Verifiche di duttilità [7.5.3]:
  q_0=4.00 N,Ed=658.67 Npl,Rd=23709.20 N,Ed/Npl,Rd=0.027781

- Verifica a taglio dir. Y [4.2.16] - CC 17 SLU Xl=0.10
  Sollecitazioni: N=-137.62 T_z=43.75 T_y=-16.52
  V,Ed=-16.52 Vc,Rd=7560.76 V,Ed/Vc,Rd=0.00

- Verifica a taglio dir. Z [4.2.16]
  V,Ed=43.75 Vc,Rd=7560.76 V,Ed/Vc,Rd=0.01

Asta n. 1272 (-345 -377) angolari L50x10 Crit. 1

- Verifica di stabilità aste inflesse (4.2.4.1.3.2) CC 19 SLU - Classe 3
  L_{cr}=0.19 Curva d: α_{imp}=0.76 k_c=0.94 ψ=2.42 M,cr=0.00 λ_{LT}=0.00
  $\lambda_{LT,0}$=0.20 β_{LT}=1.00 Φ_{LT}=0.00 β_{LT}=1.00 f=0.00 χ_{LT}=1.00
  CC 19 SLU My,Ed=-3.97 My,b,Rd=149.05 My,Ed/My,b,Rd=0.03

- Verifica di stabilità aste presso-inflesse (C4.2.4.1.3.3.1) - CC 5 SLV - Classe 3
  Sollecitazioni: N,Ed=-209.22 Myeq,Ed=-2.15 Mzeq,Ed=2.44
  Resistenze: Nc,Rd=23709.20 My,c,Rd=149.05 Mz,c,Rd=149.05 L=19.38
  λ_c=10.59 Ncr,y=1673810.00 λ^*_y=0.12 Curva b: Φ_y=0.49 χ_y=1.00
  λ_e=20.13 Ncr,z=462889.00 λ^*_z=0.23 Curva b: Φ_z=0.53 χ_z=0.99
  χ,min=0.99
  Verifica: 0.01+0.01+0.02=0.04

- Verifica a trazione [4.2.5] - CC 16 SLU Xl=0.08 - Classe 1
  Sollecitazioni: N=727.50 T_z=28.26 T_y=34.49
  N,Ed=727.50 Npl,Rd=23709.20 Nu,Rd=28026.90 N,Ed/Nt,Rd=0.03
  Verifiche di duttilità [7.5.3]:
  q_0=4.00 N,Ed=727.50 Npl,Rd=23709.20 N,Ed/Npl,Rd=0.030684

- Verifica a taglio dir. Y [4.2.16] - CC 17 SLU Xl=0.10
  Sollecitazioni: N=-36.77 T_z=43.42 T_y=-15.48
  V,Ed=-15.48 Vc,Rd=7560.76 V,Ed/Vc,Rd=0.00

- Verifica a taglio dir. Z [4.2.16]
  V,Ed=43.42 Vc,Rd=7560.76 V,Ed/Vc,Rd=0.01

Asta n. 1272 (-377 -409) angolari L50x10 Crit. 1

- Verifica di stabilità aste inflesse (4.2.4.1.3.2) CC 19 SLU - Classe 3
  L_{cr}=0.19 Curva d: α_{imp}=0.76 k_c=0.94 ψ=2.34 M,cr=0.00 λ_{LT}=0.00
  $\lambda_{LT,0}$=0.20 β_{LT}=1.00 Φ_{LT}=0.00 β_{LT}=1.00 f=0.00 χ_{LT}=1.00
  CC 19 SLU My,Ed=-4.14 My,b,Rd=149.05 My,Ed/My,b,Rd=0.03

- Verifica di stabilità aste presso-inflesse (C4.2.4.1.3.3.1) - CC 5 SLV - Classe 3
  Sollecitazioni: N,Ed=-223.12 Myeq,Ed=-2.18 Mzeq,Ed=2.53
  Resistenze: Nc,Rd=23709.20 My,c,Rd=149.05 Mz,c,Rd=149.05 L=19.38
  λ_c=10.59 Ncr,y=1673810.00 λ^*_y=0.12 Curva b: Φ_y=0.49 χ_y=1.00
  λ_e=20.13 Ncr,z=462890.00 λ^*_z=0.23 Curva b: Φ_z=0.53 χ_z=0.99
  χ,min=0.99
  Verifica: 0.01+0.01+0.02=0.04

- Verifica a trazione [4.2.5] - CC 18 SLU Xl=0.08 - Classe 1
  Sollecitazioni: N=807.58 T_z=33.70 T_y=39.69
  N,Ed=807.58 Npl,Rd=23709.20 Nu,Rd=28026.90 N,Ed/Nt,Rd=0.03
  Verifiche di duttilità [7.5.3]:
  q_0=4.00 N,Ed=807.58 Npl,Rd=23709.20 N,Ed/Npl,Rd=0.034062

- Verifica a taglio dir. Y [4.2.16] - CC 17 SLU Xl=0.10
  Sollecitazioni: N=65.82 T_z=43.08 T_y=-14.43
  V,Ed=-14.43 Vc,Rd=7560.76 V,Ed/Vc,Rd=0.00

- Verifica a taglio dir. Z [4.2.16]
  V,Ed=43.08 Vc,Rd=7560.76 V,Ed/Vc,Rd=0.01

Asta n. 1272 (-409 -441) angolari L50x10 Crit. 1

- Verifica di stabilità aste inflesse (4.2.4.1.3.2) CC 19 SLU - Classe 3
  L_{cr}=0.19 Curva d: α_{imp}=0.76 k_c=0.94 ψ=2.26 M,cr=0.00 λ_{LT}=0.00
  $\lambda_{LT,0}$=0.20 β_{LT}=1.00 Φ_{LT}=0.00 β_{LT}=1.00 f=0.00 χ_{LT}=1.00
  CC 19 SLU My,Ed=-4.34 My,b,Rd=149.05 My,Ed/My,b,Rd=0.03

- Verifica di stabilità aste presso-inflesse (C4.2.4.1.3.3.1) - CC 5 SLV - Classe 3
  Sollecitazioni: N,Ed=-237.63 Myeq,Ed=-2.23 Mzeq,Ed=2.56
  Resistenze: Nc,Rd=23709.20 My,c,Rd=149.05 Mz,c,Rd=149.05 L=19.38
  λ_c=10.59 Ncr,y=1673810.00 λ^*_y=0.12 Curva b: Φ_y=0.49 χ_y=1.00
  λ_e=20.13 Ncr,z=462889.00 λ^*_z=0.23 Curva b: Φ_z=0.53 χ_z=0.99
  χ,min=0.99
  Verifica: 0.01+0.01+0.02=0.04

- Verifica a trazione [4.2.5] - CC 18 SLU Xl=0.06 - Classe 1
  Sollecitazioni: N=892.35 T_z=33.90 T_y=39.62
  N,Ed=892.35 Npl,Rd=23709.20 Nu,Rd=28026.90 N,Ed/Nt,Rd=0.04
  Verifiche di duttilità [7.5.3]:
  q_0=4.00 N,Ed=892.35 Npl,Rd=23709.20 N,Ed/Npl,Rd=0.037637

- Verifica a taglio dir. Y [4.2.16] - CC 19 SLU Xl=0.09
  Sollecitazioni: N=475.28 T_z=43.38 T_y=11.60

V,Ed=11.60 Vc,Rd=7560.76 V,Ed/Vc,Rd=0.00

- Verifica a taglio dir. Z [4.2.16]
V,Ed=43.38 Vc,Rd=7560.76 V,Ed/Vc,Rd=0.01

Asta n. 1272 (-441 -473) angolari L50x10 Crit. 1

- Verifica di stabilità aste inflesse (4.2.4.1.3.2) CC 19 SLU - Classe 3
L_{cr}=0.19 Curva d: α_{imp}=0.76 k_c=0.94 ψ=2.19 M,cr=0.00 λ_{LT}=0.00
$\lambda_{LT,0}$=0.20 β_{LT}=1.00 Φ_{LT}=0.00 β_{LT}=1.00 f=0.00 χ_{LT}=1.00
CC 19 SLU My,Ed=-4.49 My,b,Rd=149.05 My,Ed/My,b,Rd=0.03

- Verifica di stabilità aste presso-inflesse (C4.2.4.1.3.3.1) - CC 5 SLV - Classe 3
Sollecitazioni: N,Ed=-252.78 Myeq,Ed=-2.19 Mzeq,Ed=2.72
Resistenze: Nc,Rd=23709.20 My,c,Rd=149.05 Mz,c,Rd=149.05 L=19.38
λ_c=10.59 Ncr,y=1673810.00 λ^*_y=0.12 Curva b: Φ_y=0.49 χ_y=1.00
λ_e=20.13 Ncr,z=462889.00 λ^*_z=0.23 Curva b: Φ_z=0.53 χ_z=0.99
χ,min=0.99
Verifica: 0.01+0.01+0.02=0.04

- Verifica a trazione [4.2.5] - CC 18 SLU Xl=0.06 - Classe 1
Sollecitazioni: N=979.47 T_z=32.75 T_y=41.95
N,Ed=979.47 Npl,Rd=23709.20 Nu,Rd=28026.90 N,Ed/Nt,Rd=0.04
Verifiche di duttilità [7.5.3]:
q_0=4.00 N,Ed=979.47 Npl,Rd=23709.20 N,Ed/Npl,Rd=0.041312

- Verifica a taglio dir. Y [4.2.16] - CC 19 SLU Xl=0.08
Sollecitazioni: N=584.59 T_z=43.12 T_y=14.16
V,Ed=14.16 Vc,Rd=7560.76 V,Ed/Vc,Rd=0.00

- Verifica a taglio dir. Z [4.2.16]
V,Ed=43.12 Vc,Rd=7560.76 V,Ed/Vc,Rd=0.01

Asta n. 1272 (-473 -505) angolari L50x10 Crit. 1

- Verifica di stabilità aste inflesse (4.2.4.1.3.2) CC 18 SLU - Classe 3
L_{cr}=0.19 Curva d: α_{imp}=0.76 k_c=0.94 ψ=1.81 M,cr=0.00 λ_{LT}=0.00
$\lambda_{LT,0}$=0.20 β_{LT}=1.00 Φ_{LT}=0.00 β_{LT}=1.00 f=0.00 χ_{LT}=1.00
CC 18 SLU My,Ed=-5.61 My,b,Rd=149.05 My,Ed/My,b,Rd=0.04

- Verifica di stabilità aste presso-inflesse (C4.2.4.1.3.3.1) - CC 5 SLV - Classe 3
Sollecitazioni: N,Ed=-268.29 Myeq,Ed=-2.80 Mzeq,Ed=2.02
Resistenze: Nc,Rd=23709.20 My,c,Rd=149.05 Mz,c,Rd=149.05 L=19.38
λ_c=10.59 Ncr,y=1673810.00 λ^*_y=0.12 Curva b: Φ_y=0.49 χ_y=1.00
λ_e=20.13 Ncr,z=462890.00 λ^*_z=0.23 Curva b: Φ_z=0.53 χ_z=0.99
χ,min=0.99
Verifica: 0.01+0.02+0.01=0.04

- Verifica a trazione [4.2.5] - CC 18 SLU Xl=0.05 - Classe 1
Sollecitazioni: N=1068.01 T_z=41.36 T_y=28.03
N,Ed=1068.01 Npl,Rd=23709.20 Nu,Rd=28026.90 N,Ed/Nt,Rd=0.05
Verifiche di duttilità [7.5.3]:
q_0=4.00 N,Ed=1068.01 Npl,Rd=23709.20 N,Ed/Npl,Rd=0.045046

- Verifica a taglio dir. Y [4.2.16] - CC 19 SLU Xl=0.06
Sollecitazioni: N=696.05 T_z=47.52 T_y=6.10
V,Ed=6.10 Vc,Rd=7560.76 V,Ed/Vc,Rd=0.00

- Verifica a taglio dir. Z [4.2.16]
  V,Ed=47.52 Vc,Rd=7560.76 V,Ed/Vc,Rd=0.01

Asta n. 1272 (-505 1348) angolari L50x10 Crit. 1

- Verifica di stabilità aste inflesse (4.2.4.1.3.2) CC 17 SLU - Classe 3
  L_{cr}=0.19 Curva d: α_{imp}=0.76 k_c=0.94 ψ=1.93 M,cr=0.00 λ_{LT}=0.00
  $\lambda_{LT,0}$=0.20 β_{LT}=1.00 Φ_{LT}=0.00 β_{LT}=1.00 f=0.00 χ_{LT}=1.00
  CC 17 SLU My,Ed=-2.98 My,b,Rd=149.05 My,Ed/My,b,Rd=0.02

- Verifica di stabilità aste presso-inflesse (C4.2.4.1.3.3.1) - CC 5 SLV - Classe 3
  Sollecitazioni: N,Ed=-286.55 Myeq,Ed=-1.28 Mzeq,Ed=5.62
  Resistenze: Nc,Rd=23709.20 My,c,Rd=149.05 Mz,c,Rd=149.05 L=19.38
  λ_c=10.59 Ncr,y=1673810.00 λ^*_y=0.12 Curva b: Φ_y=0.49 χ_y=1.00
  λ_e=20.13 Ncr,z=462891.00 λ^*_z=0.23 Curva b: Φ_z=0.53 χ_z=0.99
  χ,min=0.99
  Verifica: 0.01+0.01+0.04=0.06

- Verifica a trazione [4.2.5] - CC 18 SLU Xl=0.04 - Classe 1
  Sollecitazioni: N=1153.71 T_z=-8.80 T_y=110.94
  N,Ed=1153.71 Npl,Rd=23709.20 Nu,Rd=28026.90 N,Ed/Nt,Rd=0.05
  Verifiche di duttilità [7.5.3]:
  q_0=4.00 N,Ed=1153.71 Npl,Rd=23709.20 N,Ed/Npl,Rd=0.048661

- Verifica a taglio dir. Y [4.2.16] - CC 18 SLU Xl=0.04
  Sollecitazioni: N=1153.71 T_z=-8.80 T_y=110.94
  V,Ed=110.94 Vc,Rd=7560.76 V,Ed/Vc,Rd=0.01

- Verifica a taglio dir. Z [4.2.16]
  V,Ed=-8.80 Vc,Rd=7560.76 V,Ed/Vc,Rd=0.00

Asta n. 1273 (-61 -93) angolari L50x10 Crit. 1

- Verifica di stabilità aste inflesse (4.2.4.1.3.2) CC 1 SLV - Classe 3
  L_{cr}=0.19 Curva d: α_{imp}=0.76 k_c=0.94 ψ=1.88 M,cr=0.00 λ_{LT}=0.00
  $\lambda_{LT,0}$=0.20 β_{LT}=1.00 Φ_{LT}=0.00 β_{LT}=1.00 f=0.00 χ_{LT}=1.00
  CC 1 SLV My,Ed=3.65 My,b,Rd=149.05 My,Ed/My,b,Rd=0.02

- Verifica di stabilità aste presso-inflesse (C4.2.4.1.3.3.1) - CC 17 SLU - Classe 3
  Sollecitazioni: N,Ed=-1354.65 Myeq,Ed=7.21 Mzeq,Ed=1.90
  Resistenze: Nc,Rd=23709.20 My,c,Rd=149.05 Mz,c,Rd=149.05 L=19.38
  λ_c=10.59 Ncr,y=1673810.00 λ^*_y=0.12 Curva b: Φ_y=0.49 χ_y=1.00
  λ_e=20.13 Ncr,z=462889.00 λ^*_z=0.23 Curva b: Φ_z=0.53 χ_z=0.99
  χ,min=0.99
  Verifica: 0.06+0.05+0.01=0.12

- Verifica a compressione [4.2.9] - CC 17 SLU Xl=0.16 - Classe 1
  Sollecitazioni: N=-1353.66 T_z=80.35 T_y=-13.26
  N,Ed=-1353.66 Nc,Rd=-23709.20 N,Ed/Nc,Rd=0.06
  Verifiche di duttilità [7.5.3]:
  q_0=4.00 N,Ed=-1353.66 Npl,Rd=23709.20 N,Ed/Npl,Rd=0.057094

- Verifica a taglio dir. Y [4.2.16] - CC 19 SLU Xl=0.17
  Sollecitazioni: N=-1165.03 T_z=85.08 T_y=25.56
  V,Ed=25.56 Vc,Rd=7560.76 V,Ed/Vc,Rd=0.00

- Verifica a taglio dir. Z [4.2.16]
  V,Ed=85.08 Vc,Rd=7560.76 V,Ed/Vc,Rd=0.01

Asta n. 1273 (-93 -125) angolari L50x10 Crit. 1

- Verifica di stabilità aste inflesse (4.2.4.1.3.2) CC 1 SLV - Classe 3
  L_{cr}=0.19 Curva d: α_{imp}=0.76 k_c=0.94 ψ=2.43 M,cr=0.00 λ_{LT}=0.00
  $\lambda_{LT,0}$=0.20 β_{LT}=1.00 Φ_{LT}=0.00 β_{LT}=1.00 f=0.00 χ_{LT}=1.00
  CC 1 SLV My,Ed=2.53 My,b,Rd=149.05 My,Ed/My,b,Rd=0.02

- Verifica di stabilità aste presso-inflesse (C4.2.4.1.3.3.1) - CC 17 SLU - Classe 3
  Sollecitazioni: N,Ed=-1251.03 Myeq,Ed=6.57 Mzeq,Ed=2.04
  Resistenze: Nc,Rd=23709.20 My,c,Rd=149.05 Mz,c,Rd=149.05 L=19.38
  λ_c=10.59 Ncr,y=1673810.00 λ^*_y=0.12 Curva b: Φ_y=0.49 χ_y=1.00
  λ_e=20.13 Ncr,z=462890.00 λ^*_z=0.23 Curva b: Φ_z=0.53 χ_z=0.99
  χ,min=0.99
  Verifica: 0.05+0.04+0.01=0.11

- Verifica a compressione [4.2.9] - CC 17 SLU Xl=0.12 - Classe 1
  Sollecitazioni: N=-1250.18 T_z=70.40 T_y=-19.74
  N,Ed=-1250.18 Nc,Rd=-23709.20 N,Ed/Nc,Rd=0.05
  Verifiche di duttilità [7.5.3]:
  q_0=4.00 N,Ed=-1250.18 Npl,Rd=23709.20 N,Ed/Npl,Rd=0.052730

- Verifica a taglio dir. Y [4.2.16] - CC 19 SLU Xl=0.12
  Sollecitazioni: N=-1053.57 T_z=75.50 T_y=20.47
  V,Ed=20.47 Vc,Rd=7560.76 V,Ed/Vc,Rd=0.00

- Verifica a taglio dir. Z [4.2.16]
  V,Ed=75.50 Vc,Rd=7560.76 V,Ed/Vc,Rd=0.01

Asta n. 1273 (-125 -157) angolari L50x10 Crit. 1

- Verifica di stabilità aste inflesse (4.2.4.1.3.2) CC 1 SLV - Classe 3
  L_{cr}=0.19 Curva d: α_{imp}=0.76 k_c=0.94 ψ=2.76 M,cr=0.00 λ_{LT}=0.00
  $\lambda_{LT,0}$=0.20 β_{LT}=1.00 Φ_{LT}=0.00 β_{LT}=1.00 f=0.00 χ_{LT}=1.00
  CC 1 SLV My,Ed=2.27 My,b,Rd=149.05 My,Ed/My,b,Rd=0.02

- Verifica di stabilità aste presso-inflesse (C4.2.4.1.3.3.1) - CC 17 SLU - Classe 3
  Sollecitazioni: N,Ed=-1119.45 Myeq,Ed=5.86 Mzeq,Ed=1.79
  Resistenze: Nc,Rd=23709.20 My,c,Rd=149.05 Mz,c,Rd=149.05 L=19.38
  λ_c=10.59 Ncr,y=1673810.00 λ^*_y=0.12 Curva b: Φ_y=0.49 χ_y=1.00
  λ_e=20.13 Ncr,z=462889.00 λ^*_z=0.23 Curva b: Φ_z=0.53 χ_z=0.99
  χ,min=0.99
  Verifica: 0.05+0.04+0.01=0.10

- Verifica a compressione [4.2.9] - CC 17 SLU Xl=0.10 - Classe 1
  Sollecitazioni: N=-1118.73 T_z=70.92 T_y=-18.56
  N,Ed=-1118.73 Nc,Rd=-23709.20 N,Ed/Nc,Rd=0.05
  Verifiche di duttilità [7.5.3]:
  q_0=4.00 N,Ed=-1118.73 Npl,Rd=23709.20 N,Ed/Npl,Rd=0.047185

- Verifica a taglio dir. Y [4.2.16] - CC 19 SLU Xl=0.10
  Sollecitazioni: N=-910.84 T_z=76.72 T_y=21.82
  V,Ed=21.82 Vc,Rd=7560.76 V,Ed/Vc,Rd=0.00

- Verifica a taglio dir. Z [4.2.16]
  V,Ed=76.72 Vc,Rd=7560.76 V,Ed/Vc,Rd=0.01

Asta n. 1273 (-157 -189) angolari L50x10 Crit. 1

- Verifica di stabilità aste inflesse (4.2.4.1.3.2) CC 16 SLU - Classe 3
  L_{cr}=0.19 Curva d: α_{imp}=0.76 k_c=0.94 ψ=2.67 M,cr=0.00 λ_{LT}=0.00
  $\lambda_{LT,0}$=0.20 β_{LT}=1.00 Φ_{LT}=0.00 β_{LT}=1.00 f=0.00 χ_{LT}=1.00
  CC 16 SLU My,Ed=-4.23 My,b,Rd=149.05 My,Ed/My,b,Rd=0.03

- Verifica di stabilità aste presso-inflesse (C4.2.4.1.3.3.1) - CC 17 SLU - Classe 3
  Sollecitazioni: N,Ed=-978.90 Myeq,Ed=5.58 Mzeq,Ed=1.70
  Resistenze: Nc,Rd=23709.20 My,c,Rd=149.05 Mz,c,Rd=149.05 L=19.38
  λ_c=10.59 Ncr,y=1673810.00 λ^*_y=0.12 Curva b: Φ_y=0.49 χ_y=1.00
  λ_e=20.13 Ncr,z=462890.00 λ^*_z=0.23 Curva b: Φ_z=0.53 χ_z=0.99
  χ,min=0.99
  Verifica: 0.04+0.04+0.01=0.09

- Verifica a compressione [4.2.9] - CC 17 SLU Xl=0.10 - Classe 1
  Sollecitazioni: N=-978.17 T_z=71.12 T_y=-17.50
  N,Ed=-978.17 Nc,Rd=-23709.20 N,Ed/Nc,Rd=0.04
  Verifiche di duttilità [7.5.3]:
  q_0=4.00 N,Ed=-978.17 Npl,Rd=23709.20 N,Ed/Npl,Rd=0.041257

- Verifica a taglio dir. Y [4.2.16] - CC 19 SLU Xl=0.09
  Sollecitazioni: N=-757.08 T_z=77.59 T_y=23.19
  V,Ed=23.19 Vc,Rd=7560.76 V,Ed/Vc,Rd=0.00

- Verifica a taglio dir. Z [4.2.16]
  V,Ed=77.59 Vc,Rd=7560.76 V,Ed/Vc,Rd=0.01

Asta n. 1273 (-189 -221) angolari L50x10 Crit. 1

- Verifica di stabilità aste inflesse (4.2.4.1.3.2) CC 18 SLU - Classe 3
  L_{cr}=0.19 Curva d: α_{imp}=0.76 k_c=0.94 ψ=2.62 M,cr=0.00 λ_{LT}=0.00
  $\lambda_{LT,0}$=0.20 β_{LT}=1.00 Φ_{LT}=0.00 β_{LT}=1.00 f=0.00 χ_{LT}=1.00
  CC 18 SLU My,Ed=-5.59 My,b,Rd=149.05 My,Ed/My,b,Rd=0.04

- Verifica di stabilità aste presso-inflesse (C4.2.4.1.3.3.1) - CC 17 SLU - Classe 3
  Sollecitazioni: N,Ed=-833.65 Myeq,Ed=5.40 Mzeq,Ed=1.64
  Resistenze: Nc,Rd=23709.20 My,c,Rd=149.05 Mz,c,Rd=149.05 L=19.38
  λ_c=10.59 Ncr,y=1673810.00 λ^*_y=0.12 Curva b: Φ_y=0.49 χ_y=1.00
  λ_e=20.13 Ncr,z=462890.00 λ^*_z=0.23 Curva b: Φ_z=0.53 χ_z=0.99
  χ,min=0.99
  Verifica: 0.04+0.04+0.01=0.08

- Verifica a compressione [4.2.9] - CC 17 SLU Xl=0.10 - Classe 1
  Sollecitazioni: N=-832.92 T_z=71.19 T_y=-16.48
  N,Ed=-832.92 Nc,Rd=-23709.20 N,Ed/Nc,Rd=0.04
  Verifiche di duttilità [7.5.3]:
  q_0=4.00 N,Ed=-832.92 Npl,Rd=23709.20 N,Ed/Npl,Rd=0.035131

- Verifica a taglio dir. Y [4.2.16] - CC 19 SLU Xl=0.09
  Sollecitazioni: N=-596.64 T_z=78.40 T_y=24.54
  V,Ed=24.54 Vc,Rd=7560.76 V,Ed/Vc,Rd=0.00

- Verifica a taglio dir. Z [4.2.16]
  V,Ed=78.40 Vc,Rd=7560.76 V,Ed/Vc,Rd=0.01

Asta n. 1273 (-221 -253) angolari L50x10 Crit. 1

- Verifica di stabilità aste inflesse (4.2.4.1.3.2) CC 18 SLU - Classe 3

L_{cr}=0.19 Curva d: α_{imp}=0.76 k_c=0.94 ψ=2.55 M,cr=0.00 λ_{LT}=0.00
$\lambda_{LT,0}$=0.20 β_{LT}=1.00 Φ_{LT}=0.00 β_{LT}=1.00 f=0.00 χ_{LT}=1.00
CC 18 SLU My,Ed=-5.82 My,b,Rd=149.05 My,Ed/My,b,Rd=0.04

- Verifica di stabilità aste presso-inflesse (C4.2.4.1.3.3.1) - CC 19 SLU - Classe 3
Sollecitazioni: N,Ed=-430.91 Myeq,Ed=-6.14 Mzeq,Ed=2.42
Resistenze: Nc,Rd=23709.20 My,c,Rd=149.05 Mz,c,Rd=149.05 L=19.38
λ_c=10.59 Ncr,y=1673810.00 λ^*_y=0.12 Curva b: Φ_y=0.49 χ_y=1.00
λ_e=20.13 Ncr,z=462889.00 λ^*_z=0.23 Curva b: Φ_z=0.53 χ_z=0.99
χ,min=0.99
Verifica: 0.02+0.04+0.02=0.08

- Verifica a compressione [4.2.9] - CC 17 SLU Xl=0.10 - Classe 1
Sollecitazioni: N=-683.71 T_z=71.45 T_y=-15.43
N,Ed=-683.71 Nc,Rd=-23709.20 N,Ed/Nc,Rd=0.03
Verifiche di duttilità [7.5.3]:
q_0=4.00 N,Ed=-683.71 Npl,Rd=23709.20 N,Ed/Npl,Rd=0.028837

- Verifica a taglio dir. Y [4.2.16] - CC 19 SLU Xl=0.09
Sollecitazioni: N=-430.30 T_z=79.39 T_y=25.97
V,Ed=25.97 Vc,Rd=7560.76 V,Ed/Vc,Rd=0.00

- Verifica a taglio dir. Z [4.2.16]
V,Ed=79.39 Vc,Rd=7560.76 V,Ed/Vc,Rd=0.01

Asta n. 1273 (-253 -285) angolari L50x10 Crit. 1

- Verifica di stabilità aste inflesse (4.2.4.1.3.2) CC 18 SLU - Classe 3
L_{cr}=0.19 Curva d: α_{imp}=0.76 k_c=0.94 ψ=2.48 M,cr=0.00 λ_{LT}=0.00
$\lambda_{LT,0}$=0.20 β_{LT}=1.00 Φ_{LT}=0.00 β_{LT}=1.00 f=0.00 χ_{LT}=1.00
CC 18 SLU My,Ed=-6.07 My,b,Rd=149.05 My,Ed/My,b,Rd=0.04

- Verifica di stabilità aste presso-inflesse (C4.2.4.1.3.3.1) - CC 19 SLU - Classe 3
Sollecitazioni: N,Ed=-258.54 Myeq,Ed=-6.43 Mzeq,Ed=2.57
Resistenze: Nc,Rd=23709.20 My,c,Rd=149.05 Mz,c,Rd=149.05 L=19.38
λ_c=10.59 Ncr,y=1673810.00 λ^*_y=0.12 Curva b: Φ_y=0.49 χ_y=1.00
λ_e=20.13 Ncr,z=462889.00 λ^*_z=0.23 Curva b: Φ_z=0.53 χ_z=0.99
χ,min=0.99
Verifica: 0.01+0.04+0.02=0.07

- Verifica a compressione [4.2.9] - CC 17 SLU Xl=0.10 - Classe 1
Sollecitazioni: N=-530.52 T_z=71.68 T_y=-14.32
N,Ed=-530.52 Nc,Rd=-23709.20 N,Ed/Nc,Rd=0.02
Verifiche di duttilità [7.5.3]:
q_0=4.00 N,Ed=-530.52 Npl,Rd=23709.20 N,Ed/Npl,Rd=0.022376

- Verifica a taglio dir. Y [4.2.16] - CC 19 SLU Xl=0.08
Sollecitazioni: N=-258.06 T_z=80.41 T_y=27.48
V,Ed=27.48 Vc,Rd=7560.76 V,Ed/Vc,Rd=0.00

- Verifica a taglio dir. Z [4.2.16]
V,Ed=80.41 Vc,Rd=7560.76 V,Ed/Vc,Rd=0.01

Asta n. 1273 (-285 -317) angolari L50x10 Crit. 1

- Verifica di stabilità aste inflesse (4.2.4.1.3.2) CC 18 SLU - Classe 3
L_{cr}=0.19 Curva d: α_{imp}=0.76 k_c=0.94 ψ=2.41 M,cr=0.00 λ_{LT}=0.00
$\lambda_{LT,0}$=0.20 β_{LT}=1.00 Φ_{LT}=0.00 β_{LT}=1.00 f=0.00 χ_{LT}=1.00

CC 18 SLU My,Ed=-6.34 My,b,Rd=149.05 My,Ed/My,b,Rd=0.04

- Verifica di stabilità aste presso-inflesse (C4.2.4.1.3.3.1) - CC 19 SLU - Classe 3
Sollecitazioni: N,Ed=-79.72 Myeq,Ed=-6.73 Mzeq,Ed=2.71
Resistenze: Nc,Rd=23709.20 My,c,Rd=149.05 Mz,c,Rd=149.05 L=19.38
λ_c=10.59 Ncr,y=1673810.00 λ^*_y=0.12 Curva b: Φ_y=0.49 χ_y=1.00
λ_e=20.13 Ncr,z=462889.00 λ^*_z=0.23 Curva b: Φ_z=0.53 χ_z=0.99
χ,min=0.99
Verifica: 0.00+0.05+0.02=0.07

- Verifica a trazione [4.2.5] - CC 16 SLU Xl=0.09 - Classe 1
Sollecitazioni: N=514.51 T_z=49.73 T_y=46.55
N,Ed=514.51 Npl,Rd=23709.20 Nu,Rd=28026.90 N,Ed/Nt,Rd=0.02
Verifiche di duttilità [7.5.3]:
q_0=4.00 N,Ed=514.51 Npl,Rd=23709.20 N,Ed/Npl,Rd=0.021701

- Verifica a taglio dir. Y [4.2.16] - CC 19 SLU Xl=0.08
Sollecitazioni: N=-79.23 T_z=81.51 T_y=29.02
V,Ed=29.02 Vc,Rd=7560.76 V,Ed/Vc,Rd=0.00

- Verifica a taglio dir. Z [4.2.16]
V,Ed=81.51 Vc,Rd=7560.76 V,Ed/Vc,Rd=0.01

Asta n. 1273 (-317 -349) angolari L50x10 Crit. 1

- Verifica di stabilità aste inflesse (4.2.4.1.3.2) CC 19 SLU - Classe 3
L_{cr}=0.19 Curva d: α_{imp}=0.76 k_c=0.94 ψ=2.61 M,cr=0.00 λ_{LT}=0.00
$\lambda_{LT,0}$=0.20 β_{LT}=1.00 Φ_{LT}=0.00 β_{LT}=1.00 f=0.00 χ_{LT}=1.00
CC 19 SLU My,Ed=-7.06 My,b,Rd=149.05 My,Ed/My,b,Rd=0.05

- Verifica di stabilità aste presso-inflesse (C4.2.4.1.3.3.1) - CC 17 SLU - Classe 3
Sollecitazioni: N,Ed=-211.82 Myeq,Ed=-5.62 Mzeq,Ed=1.41
Resistenze: Nc,Rd=23709.20 My,c,Rd=149.05 Mz,c,Rd=149.05 L=19.38
λ_c=10.59 Ncr,y=1673810.00 λ^*_y=0.12 Curva b: Φ_y=0.49 χ_y=1.00
λ_e=20.13 Ncr,z=462889.00 λ^*_z=0.23 Curva b: Φ_z=0.53 χ_z=0.99
χ,min=0.99
Verifica: 0.01+0.04+0.01=0.06

- Verifica a trazione [4.2.5] - CC 16 SLU Xl=0.08 - Classe 1
Sollecitazioni: N=628.83 T_z=49.50 T_y=46.25
N,Ed=628.83 Npl,Rd=23709.20 Nu,Rd=28026.90 N,Ed/Nt,Rd=0.03
Verifiche di duttilità [7.5.3]:
q_0=4.00 N,Ed=628.83 Npl,Rd=23709.20 N,Ed/Npl,Rd=0.026523

- Verifica a taglio dir. Y [4.2.16] - CC 19 SLU Xl=0.08
Sollecitazioni: N=106.49 T_z=82.66 T_y=30.56
V,Ed=30.56 Vc,Rd=7560.76 V,Ed/Vc,Rd=0.00

- Verifica a taglio dir. Z [4.2.16]
V,Ed=82.66 Vc,Rd=7560.76 V,Ed/Vc,Rd=0.01

Asta n. 1273 (-349 -381) angolari L50x10 Crit. 1

- Verifica di stabilità aste inflesse (4.2.4.1.3.2) CC 19 SLU - Classe 3
L_{cr}=0.19 Curva d: α_{imp}=0.76 k_c=0.94 ψ=2.52 M,cr=0.00 λ_{LT}=0.00
$\lambda_{LT,0}$=0.20 β_{LT}=1.00 Φ_{LT}=0.00 β_{LT}=1.00 f=0.00 χ_{LT}=1.00
CC 19 SLU My,Ed=-7.42 My,b,Rd=149.05 My,Ed/My,b,Rd=0.05

- Verifica di stabilità aste presso-inflesse (C4.2.4.1.3.3.1) - CC 5 SLV - Classe 3
  Sollecitazioni: N,Ed=-239.07 Myeq,Ed=-3.25 Mzeq,Ed=3.05
  Resistenze: Nc,Rd=23709.20 My,c,Rd=149.05 Mz,c,Rd=149.05 L=19.38
  λ_c=10.59 Ncr,y=1673810.00 λ^*_y=0.12 Curva b: Φ_y=0.49 χ_y=1.00
  λ_e=20.13 Ncr,z=462889.00 λ^*_z=0.23 Curva b: Φ_z=0.53 χ_z=0.99
  χ,min=0.99
  Verifica: 0.01+0.02+0.02=0.05

- Verifica a trazione [4.2.5] - CC 18 SLU Xl=0.08 - Classe 1
  Sollecitazioni: N=773.70 T_z=69.91 T_y=66.44
  N,Ed=773.70 Npl,Rd=23709.20 Nu,Rd=28026.90 N,Ed/Nt,Rd=0.03
  Verifiche di duttilità [7.5.3]:
  q_0=4.00 N,Ed=773.70 Npl,Rd=23709.20 N,Ed/Npl,Rd=0.032633

- Verifica a taglio dir. Y [4.2.16] - CC 18 SLU Xl=0.08
  Sollecitazioni: N=773.70 T_z=69.91 T_y=66.44
  V,Ed=66.44 Vc,Rd=7560.76 V,Ed/Vc,Rd=0.01

- Verifica a taglio dir. Z [4.2.16]
  V,Ed=69.91 Vc,Rd=7560.76 V,Ed/Vc,Rd=0.01

Asta n. 1273 (-381 -413) angolari L50x10 Crit. 1

- Verifica di stabilità aste inflesse (4.2.4.1.3.2) CC 19 SLU - Classe 3
  L_{cr}=0.19 Curva d: α_{imp}=0.76 k_c=0.94 ψ=2.44 M,cr=0.00 λ_{LT}=0.00
  $\lambda_{LT,0}$=0.20 β_{LT}=1.00 Φ_{LT}=0.00 β_{LT}=1.00 f=0.00 χ_{LT}=1.00
  CC 19 SLU My,Ed=-7.81 My,b,Rd=149.05 My,Ed/My,b,Rd=0.05

- Verifica di stabilità aste presso-inflesse (C4.2.4.1.3.3.1) - CC 5 SLV - Classe 3
  Sollecitazioni: N,Ed=-229.79 Myeq,Ed=-3.32 Mzeq,Ed=3.11
  Resistenze: Nc,Rd=23709.20 My,c,Rd=149.05 Mz,c,Rd=149.05 L=19.38
  λ_c=10.59 Ncr,y=1673810.00 λ^*_y=0.12 Curva b: Φ_y=0.49 χ_y=1.00
  λ_e=20.13 Ncr,z=462890.00 λ^*_z=0.23 Curva b: Φ_z=0.53 χ_z=0.99
  χ,min=0.99
  Verifica: 0.01+0.02+0.02=0.05

- Verifica a trazione [4.2.5] - CC 18 SLU Xl=0.08 - Classe 1
  Sollecitazioni: N=943.18 T_z=70.85 T_y=67.38
  N,Ed=943.18 Npl,Rd=23709.20 Nu,Rd=28026.90 N,Ed/Nt,Rd=0.04
  Verifiche di duttilità [7.5.3]:
  q_0=4.00 N,Ed=943.18 Npl,Rd=23709.20 N,Ed/Npl,Rd=0.039781

- Verifica a taglio dir. Y [4.2.16] - CC 18 SLU Xl=0.08
  Sollecitazioni: N=943.18 T_z=70.85 T_y=67.38
  V,Ed=67.38 Vc,Rd=7560.76 V,Ed/Vc,Rd=0.01

- Verifica a taglio dir. Z [4.2.16]
  V,Ed=70.85 Vc,Rd=7560.76 V,Ed/Vc,Rd=0.01

Asta n. 1273 (-413 -445) angolari L50x10 Crit. 1

- Verifica di stabilità aste inflesse (4.2.4.1.3.2) CC 19 SLU - Classe 3
  L_{cr}=0.19 Curva d: α_{imp}=0.76 k_c=0.94 ψ=2.36 M,cr=0.00 λ_{LT}=0.00
  $\lambda_{LT,0}$=0.20 β_{LT}=1.00 Φ_{LT}=0.00 β_{LT}=1.00 f=0.00 χ_{LT}=1.00
  CC 19 SLU My,Ed=-8.26 My,b,Rd=149.05 My,Ed/My,b,Rd=0.06

- Verifica di stabilità aste presso-inflesse (C4.2.4.1.3.3.1) - CC 5 SLV - Classe 3
  Sollecitazioni: N,Ed=-219.88 Myeq,Ed=-3.40 Mzeq,Ed=3.16

Resistenze: Nc,Rd=23709.20 My,c,Rd=149.05 Mz,c,Rd=149.05 L=19.38
λ_c=10.59 Ncr,y=1673810.00 λ^*_y=0.12 Curva b: Φ_y=0.49 χ_y=1.00
λ_e=20.13 Ncr,z=462889.00 λ^*_z=0.23 Curva b: Φ_z=0.53 χ_z=0.99
χ,min=0.99
Verifica: 0.01+0.02+0.02=0.05

- Verifica a trazione [4.2.5] - CC 18 SLU Xl=0.06 - Classe 1
Sollecitazioni: N=1119.37 T_z=72.08 T_y=67.87
N,Ed=1119.37 Npl,Rd=23709.20 Nu,Rd=28026.90 N,Ed/Nt,Rd=0.05
Verifiche di duttilità [7.5.3]:
q_0=4.00 N,Ed=1119.37 Npl,Rd=23709.20 N,Ed/Npl,Rd=0.047213

- Verifica a taglio dir. Y [4.2.16] - CC 19 SLU Xl=0.06
Sollecitazioni: N=710.21 T_z=86.78 T_y=35.39
V,Ed=35.39 Vc,Rd=7560.76 V,Ed/Vc,Rd=0.00

- Verifica a taglio dir. Z [4.2.16]
V,Ed=86.78 Vc,Rd=7560.76 V,Ed/Vc,Rd=0.01

Asta n. 1273 (-445 -477) angolari L50x10 Crit. 1

- Verifica di stabilità aste inflesse (4.2.4.1.3.2) CC 19 SLU - Classe 3
L_{cr}=0.19 Curva d: α_{imp}=0.76 k_c=0.94 ψ=2.28 M,cr=0.00 λ_{LT}=0.00
$\lambda_{LT,0}$=0.20 β_{LT}=1.00 Φ_{LT}=0.00 β_{LT}=1.00 f=0.00 χ_{LT}=1.00
CC 19 SLU My,Ed=-8.68 My,b,Rd=149.05 My,Ed/My,b,Rd=0.06

- Verifica di stabilità aste presso-inflesse (C4.2.4.1.3.3.1) - CC 5 SLV - Classe 3
Sollecitazioni: N,Ed=-209.33 Myeq,Ed=-3.39 Mzeq,Ed=3.37
Resistenze: Nc,Rd=23709.20 My,c,Rd=149.05 Mz,c,Rd=149.05 L=19.38
λ_c=10.59 Ncr,y=1673810.00 λ^*_y=0.12 Curva b: Φ_y=0.49 χ_y=1.00
λ_e=20.13 Ncr,z=462889.00 λ^*_z=0.23 Curva b: Φ_z=0.53 χ_z=0.99
χ,min=0.99
Verifica: 0.01+0.02+0.02=0.05

- Verifica a trazione [4.2.5] - CC 18 SLU Xl=0.06 - Classe 1
Sollecitazioni: N=1302.73 T_z=71.83 T_y=72.45
N,Ed=1302.73 Npl,Rd=23709.20 Nu,Rd=28026.90 N,Ed/Nt,Rd=0.05
Verifiche di duttilità [7.5.3]:
q_0=4.00 N,Ed=1302.73 Npl,Rd=23709.20 N,Ed/Npl,Rd=0.054946

- Verifica a taglio dir. Y [4.2.16] - CC 18 SLU Xl=0.05
Sollecitazioni: N=1302.61 T_z=71.82 T_y=72.45
V,Ed=72.45 Vc,Rd=7560.76 V,Ed/Vc,Rd=0.01

- Verifica a taglio dir. Z [4.2.16]
V,Ed=71.82 Vc,Rd=7560.76 V,Ed/Vc,Rd=0.01

Asta n. 1273 (-477 -509) angolari L50x10 Crit. 1

- Verifica di stabilità aste inflesse (4.2.4.1.3.2) CC 19 SLU - Classe 3
L_{cr}=0.19 Curva d: α_{imp}=0.76 k_c=0.94 ψ=2.12 M,cr=0.00 λ_{LT}=0.00
$\lambda_{LT,0}$=0.20 β_{LT}=1.00 Φ_{LT}=0.00 β_{LT}=1.00 f=0.00 χ_{LT}=1.00
CC 19 SLU My,Ed=-10.28 My,b,Rd=149.05 My,Ed/My,b,Rd=0.07

- Verifica di stabilità aste presso-inflesse (C4.2.4.1.3.3.1) - CC 5 SLV - Classe 3
Sollecitazioni: N,Ed=-207.23 Myeq,Ed=-4.04 Mzeq,Ed=2.44
Resistenze: Nc,Rd=23709.20 My,c,Rd=149.05 Mz,c,Rd=149.05 L=19.38
λ_c=10.59 Ncr,y=1673810.00 λ^*_y=0.12 Curva b: Φ_y=0.49 χ_y=1.00

λ_e=20.13 Ncr,z=462890.00 λ^*_z=0.23 Curva b: Φ_z=0.53 χ_z=0.99
χ,min=0.99
Verifica: 0.01+0.03+0.02=0.05

- Verifica a trazione [4.2.5] - CC 18 SLU Xl=0.05 - Classe 1
Sollecitazioni: N=1491.33 T_z=83.11 T_y=48.94
N,Ed=1491.33 Npl,Rd=23709.20 Nu,Rd=28026.90 N,Ed/Nt,Rd=0.06
Verifiche di duttilità [7.5.3]:
q_0=4.00 N,Ed=1491.33 Npl,Rd=23709.20 N,Ed/Npl,Rd=0.062901

- Verifica a taglio dir. Y [4.2.16] - CC 19 SLU Xl=0.06
Sollecitazioni: N=1153.40 T_z=94.86 T_y=22.50
V,Ed=22.50 Vc,Rd=7560.76 V,Ed/Vc,Rd=0.00

- Verifica a taglio dir. Z [4.2.16]
V,Ed=94.86 Vc,Rd=7560.76 V,Ed/Vc,Rd=0.01

Asta n. 1273 (-509 1354) angolari L50x10 Crit. 1

- Verifica di stabilità aste inflesse (4.2.4.1.3.2) CC 19 SLU - Classe 3
L_{cr}=0.19 Curva d: α_{imp}=0.76 k_c=0.94 ψ=1.83 M,cr=0.00 λ_{LT}=0.00
$\lambda_{LT,0}$=0.20 β_{LT}=1.00 Φ_{LT}=0.00 β_{LT}=1.00 f=0.00 χ_{LT}=1.00
CC 19 SLU My,Ed=-6.70 My,b,Rd=149.05 My,Ed/My,b,Rd=0.04

- Verifica di stabilità aste presso-inflesse (C4.2.4.1.3.3.1) - CC 5 SLV - Classe 3
Sollecitazioni: N,Ed=-214.73 Myeq,Ed=-1.92 Mzeq,Ed=7.31
Resistenze: Nc,Rd=23709.20 My,c,Rd=149.05 Mz,c,Rd=149.05 L=19.38
λ_c=10.59 Ncr,y=1673810.00 λ^*_y=0.12 Curva b: Φ_y=0.49 χ_y=1.00
λ_e=20.13 Ncr,z=462891.00 λ^*_z=0.23 Curva b: Φ_z=0.53 χ_z=0.99
χ,min=0.99
Verifica: 0.01+0.01+0.05=0.07

- Verifica in termini tensionali [4.2.4] - CC 18 SLU Xl=0.14 - Classe 3
Sollecitazioni: N=1672.18 T_z=23.75 M_y=-3.47 T_y=193.75 M_z=21.33 (M_c=-17.54 M_e=12.63)
Tensioni: σ_N=184.72 σ_M=439.06 τ=8.28 σ_{max}=623.78
Tensioni: σ_N=184.72 σ_M=-81.47 τ=55.94 τ_{max}=55.94
Tensioni: σ_N=184.72 σ_M=439.06 τ=8.28 $\sigma_{ID,max}$=623.94

- Verifica a taglio dir. Y [4.2.16] - CC 18 SLU Xl=0.04
Sollecitazioni: N=1671.19 T_z=23.73 T_y=193.75
V,Ed=193.75 Vc,Rd=7560.76 V,Ed/Vc,Rd=0.03

- Verifica a taglio dir. Z [4.2.16]
V,Ed=23.73 Vc,Rd=7560.76 V,Ed/Vc,Rd=0.00

Asta n. 1274 (-49 -81) angolari L50x10 Crit. 1

- Verifica di stabilità aste inflesse (4.2.4.1.3.2) CC 5 SLV - Classe 3
L_{cr}=0.19 Curva d: α_{imp}=0.76 k_c=0.94 ψ=1.88 M,cr=0.00 λ_{LT}=0.00
$\lambda_{LT,0}$=0.20 β_{LT}=1.00 Φ_{LT}=0.00 β_{LT}=1.00 f=0.00 χ_{LT}=1.00
CC 5 SLV My,Ed=-2.64 My,b,Rd=149.05 My,Ed/My,b,Rd=0.02

- Verifica di stabilità aste presso-inflesse (C4.2.4.1.3.3.1) - CC 17 SLU - Classe 3
Sollecitazioni: N,Ed=-1009.83 Myeq,Ed=2.79 Mzeq,Ed=-3.44
Resistenze: Nc,Rd=23709.20 My,c,Rd=149.05 Mz,c,Rd=149.05 L=19.38
λ_c=10.59 Ncr,y=1673810.00 λ^*_y=0.12 Curva b: Φ_y=0.49 χ_y=1.00
λ_e=20.13 Ncr,z=462889.00 λ^*_z=0.23 Curva b: Φ_z=0.53 χ_z=0.99
χ,min=0.99

Verifica: 0.04+0.02+0.02=0.08

- Verifica a compressione [4.2.9] - CC 17 SLU Xl=0.16 - Classe 1
Sollecitazioni: N=-1008.83 T_z=26.63 T_y=38.66
N,Ed=-1008.83 Nc,Rd=-23709.20 N,Ed/Nc,Rd=0.04
Verifiche di duttilità [7.5.3]:
q_0=4.00 N,Ed=-1008.83 Npl,Rd=23709.20 N,Ed/Npl,Rd=0.042550

- Verifica a taglio dir. Y [4.2.16] - CC 16 SLU Xl=0.14
Sollecitazioni: N=-187.11 T_z=-40.45 T_y=33.95
V,Ed=33.95 Vc,Rd=7560.76 V,Ed/Vc,Rd=0.00

- Verifica a taglio dir. Z [4.2.16]
V,Ed=-40.45 Vc,Rd=7560.76 V,Ed/Vc,Rd=0.01

Asta n. 1274 (-81 -113) angolari L50x10 Crit. 1

- Verifica di stabilità aste inflesse (4.2.4.1.3.2) CC 5 SLV - Classe 3
L_{cr}=0.19 Curva d: α_{imp}=0.76 k_c=0.94 ψ=2.58 M,cr=0.00 λ_{LT}=0.00
$\lambda_{LT,0}$=0.20 β_{LT}=1.00 Φ_{LT}=0.00 β_{LT}=1.00 f=0.00 χ_{LT}=1.00
CC 5 SLV My,Ed=-2.13 My,b,Rd=149.05 My,Ed/My,b,Rd=0.01

- Verifica di stabilità aste presso-inflesse (C4.2.4.1.3.3.1) - CC 17 SLU - Classe 3
Sollecitazioni: N,Ed=-978.21 Myeq,Ed=1.75 Mzeq,Ed=-4.01
Resistenze: Nc,Rd=23709.20 My,c,Rd=149.05 Mz,c,Rd=149.05 L=19.38
λ_c=10.59 Ncr,y=1673810.00 λ^*_y=0.12 Curva b: Φ_y=0.49 χ_y=1.00
λ_e=20.13 Ncr,z=462890.00 λ^*_z=0.23 Curva b: Φ_z=0.53 χ_z=0.99
χ,min=0.99
Verifica: 0.04+0.01+0.03=0.08

- Verifica a compressione [4.2.9] - CC 17 SLU Xl=0.10 - Classe 1
Sollecitazioni: N=-977.49 T_z=18.77 T_y=42.97
N,Ed=-977.49 Nc,Rd=-23709.20 N,Ed/Nc,Rd=0.04
Verifiche di duttilità [7.5.3]:
q_0=4.00 N,Ed=-977.49 Npl,Rd=23709.20 N,Ed/Npl,Rd=0.041228

- Verifica a taglio dir. Y [4.2.16] - CC 17 SLU Xl=0.10
Sollecitazioni: N=-977.49 T_z=18.77 T_y=42.97
V,Ed=42.97 Vc,Rd=7560.76 V,Ed/Vc,Rd=0.01

- Verifica a taglio dir. Z [4.2.16]
V,Ed=18.77 Vc,Rd=7560.76 V,Ed/Vc,Rd=0.00

Asta n. 1274 (-113 -145) angolari L50x10 Crit. 1

- Verifica di stabilità aste inflesse (4.2.4.1.3.2) CC 5 SLV - Classe 3
L_{cr}=0.19 Curva d: α_{imp}=0.76 k_c=0.94 ψ=3.01 M,cr=0.00 λ_{LT}=0.00
$\lambda_{LT,0}$=0.20 β_{LT}=1.00 Φ_{LT}=0.00 β_{LT}=1.00 f=0.00 χ_{LT}=1.00
CC 5 SLV My,Ed=-1.85 My,b,Rd=149.05 My,Ed/My,b,Rd=0.01

- Verifica di stabilità aste presso-inflesse (C4.2.4.1.3.3.1) - CC 17 SLU - Classe 3
Sollecitazioni: N,Ed=-940.23 Myeq,Ed=1.68 Mzeq,Ed=-3.49
Resistenze: Nc,Rd=23709.20 My,c,Rd=149.05 Mz,c,Rd=149.05 L=19.38
λ_c=10.59 Ncr,y=1673810.00 λ^*_y=0.12 Curva b: Φ_y=0.49 χ_y=1.00
λ_e=20.13 Ncr,z=462889.00 λ^*_z=0.23 Curva b: Φ_z=0.53 χ_z=0.99
χ,min=0.99
Verifica: 0.04+0.01+0.02=0.07

- Verifica a compressione [4.2.9] - CC 17 SLU Xl=0.09 - Classe 1
  Sollecitazioni: N=-939.62 T_z=17.99 T_y=42.12
  N,Ed=-939.62 Nc,Rd=-23709.20 N,Ed/Nc,Rd=0.04
  Verifiche di duttilità [7.5.3]:
  q_0=4.00 N,Ed=-939.62 Npl,Rd=23709.20 N,Ed/Npl,Rd=0.039631

- Verifica a taglio dir. Y [4.2.16] - CC 18 SLU Xl=0.08
  Sollecitazioni: N=-416.87 T_z=-42.62 T_y=33.09
  V,Ed=33.09 Vc,Rd=7560.76 V,Ed/Vc,Rd=0.00

- Verifica a taglio dir. Z [4.2.16]
  V,Ed=-42.62 Vc,Rd=7560.76 V,Ed/Vc,Rd=0.01

Asta n. 1274 (-145 -177) angolari L50x10 Crit. 1

- Verifica di stabilità aste inflesse (4.2.4.1.3.2) CC 5 SLV - Classe 3
  L_{cr}=0.19 Curva d: α_{imp}=0.76 k_c=0.94 ψ=2.99 M,cr=0.00 λ_{LT}=0.00
  $\lambda_{LT,0}$=0.20 β_{LT}=1.00 Φ_{LT}=0.00 β_{LT}=1.00 f=0.00 χ_{LT}=1.00
  CC 5 SLV My,Ed=1.91 My,b,Rd=149.05 My,Ed/My,b,Rd=0.01

- Verifica di stabilità aste presso-inflesse (C4.2.4.1.3.3.1) - CC 17 SLU - Classe 3
  Sollecitazioni: N,Ed=-901.75 Myeq,Ed=1.58 Mzeq,Ed=-3.27
  Resistenze: Nc,Rd=23709.20 My,c,Rd=149.05 Mz,c,Rd=149.05 L=19.38
  λ_c=10.59 Ncr,y=1673810.00 λ^*_y=0.12 Curva b: Φ_y=0.49 χ_y=1.00
  λ_e=20.13 Ncr,z=462890.00 λ^*_z=0.23 Curva b: Φ_z=0.53 χ_z=0.99
  χ,min=0.99
  Verifica: 0.04+0.01+0.02=0.07

- Verifica a compressione [4.2.9] - CC 17 SLU Xl=0.09 - Classe 1
  Sollecitazioni: N=-901.14 T_z=16.90 T_y=41.65
  N,Ed=-901.14 Nc,Rd=-23709.20 N,Ed/Nc,Rd=0.04
  Verifiche di duttilità [7.5.3]:
  q_0=4.00 N,Ed=-901.14 Npl,Rd=23709.20 N,Ed/Npl,Rd=0.038008

- Verifica a taglio dir. Y [4.2.16] - CC 18 SLU Xl=0.08
  Sollecitazioni: N=-495.60 T_z=-42.75 T_y=32.97
  V,Ed=32.97 Vc,Rd=7560.76 V,Ed/Vc,Rd=0.00

- Verifica a taglio dir. Z [4.2.16]
  V,Ed=-42.75 Vc,Rd=7560.76 V,Ed/Vc,Rd=0.01

Asta n. 1274 (-177 -209) angolari L50x10 Crit. 1

- Verifica di stabilità aste inflesse (4.2.4.1.3.2) CC 5 SLV - Classe 3
  L_{cr}=0.19 Curva d: α_{imp}=0.76 k_c=0.94 ψ=2.88 M,cr=0.00 λ_{LT}=0.00
  $\lambda_{LT,0}$=0.20 β_{LT}=1.00 Φ_{LT}=0.00 β_{LT}=1.00 f=0.00 χ_{LT}=1.00
  CC 5 SLV My,Ed=2.02 My,b,Rd=149.05 My,Ed/My,b,Rd=0.01

- Verifica di stabilità aste presso-inflesse (C4.2.4.1.3.3.1) - CC 18 SLU - Classe 3
  Sollecitazioni: N,Ed=-577.65 Myeq,Ed=3.51 Mzeq,Ed=3.05
  Resistenze: Nc,Rd=23709.20 My,c,Rd=149.05 Mz,c,Rd=149.05 L=19.38
  λ_c=10.59 Ncr,y=1673810.00 λ^*_y=0.12 Curva b: Φ_y=0.49 χ_y=1.00
  λ_e=20.13 Ncr,z=462890.00 λ^*_z=0.23 Curva b: Φ_z=0.53 χ_z=0.99
  χ,min=0.99
  Verifica: 0.02+0.02+0.02=0.07

- Verifica a compressione [4.2.9] - CC 17 SLU Xl=0.08 - Classe 1
  Sollecitazioni: N=-863.71 T_z=15.86 T_y=41.15

N,Ed=-863.71 Nc,Rd=-23709.20 N,Ed/Nc,Rd=0.04
Verifiche di duttilità [7.5.3]:
q_0=4.00 N,Ed=-863.71 Npl,Rd=23709.20 N,Ed/Npl,Rd=0.036429

- Verifica a taglio dir. Y [4.2.16] - CC 18 SLU Xl=0.06
Sollecitazioni: N=-577.30 T_z=-42.99 T_y=32.97
V,Ed=32.97 Vc,Rd=7560.76 V,Ed/Vc,Rd=0.00

- Verifica a taglio dir. Z [4.2.16]
V,Ed=-42.99 Vc,Rd=7560.76 V,Ed/Vc,Rd=0.01

Asta n. 1274 (-209 -241) angolari L50x10 Crit. 1

- Verifica di stabilità aste inflesse (4.2.4.1.3.2) CC 5 SLV - Classe 3
L_{cr}=0.19 Curva d: α_{imp}=0.76 k_c=0.94 ψ=2.79 M,cr=0.00 λ_{LT}=0.00
$\lambda_{LT,0}$=0.20 β_{LT}=1.00 Φ_{LT}=0.00 β_{LT}=1.00 f=0.00 χ_{LT}=1.00
CC 5 SLV My,Ed=2.12 My,b,Rd=149.05 My,Ed/My,b,Rd=0.01

- Verifica di stabilità aste presso-inflesse (C4.2.4.1.3.3.1) - CC 18 SLU - Classe 3
Sollecitazioni: N,Ed=-661.62 Myeq,Ed=3.63 Mzeq,Ed=3.04
Resistenze: Nc,Rd=23709.20 My,c,Rd=149.05 Mz,c,Rd=149.05 L=19.38
λ_c=10.59 Ncr,y=1673810.00 λ^*_y=0.12 Curva b: Φ_y=0.49 χ_y=1.00
λ_e=20.13 Ncr,z=462889.00 λ^*_z=0.23 Curva b: Φ_z=0.53 χ_z=0.99
χ,min=0.99
Verifica: 0.03+0.02+0.02=0.07

- Verifica a compressione [4.2.9] - CC 19 SLU Xl=0.06 - Classe 1
Sollecitazioni: N=-831.17 T_z=-10.31 T_y=38.64
N,Ed=-831.17 Nc,Rd=-23709.20 N,Ed/Nc,Rd=0.04
Verifiche di duttilità [7.5.3]:
q_0=4.00 N,Ed=-831.17 Npl,Rd=23709.20 N,Ed/Npl,Rd=0.035057

- Verifica a taglio dir. Y [4.2.16] - CC 18 SLU Xl=0.06
Sollecitazioni: N=-661.27 T_z=-43.13 T_y=32.86
V,Ed=32.86 Vc,Rd=7560.76 V,Ed/Vc,Rd=0.00

- Verifica a taglio dir. Z [4.2.16]
V,Ed=-43.13 Vc,Rd=7560.76 V,Ed/Vc,Rd=0.01

Asta n. 1274 (-241 -273) angolari L50x10 Crit. 1

- Verifica di stabilità aste inflesse (4.2.4.1.3.2) CC 5 SLV - Classe 3
L_{cr}=0.19 Curva d: α_{imp}=0.76 k_c=0.94 ψ=2.71 M,cr=0.00 λ_{LT}=0.00
$\lambda_{LT,0}$=0.20 β_{LT}=1.00 Φ_{LT}=0.00 β_{LT}=1.00 f=0.00 χ_{LT}=1.00
CC 5 SLV My,Ed=2.24 My,b,Rd=149.05 My,Ed/My,b,Rd=0.02

- Verifica di stabilità aste presso-inflesse (C4.2.4.1.3.3.1) - CC 18 SLU - Classe 3
Sollecitazioni: N,Ed=-747.99 Myeq,Ed=3.77 Mzeq,Ed=3.04
Resistenze: Nc,Rd=23709.20 My,c,Rd=149.05 Mz,c,Rd=149.05 L=19.38
λ_c=10.59 Ncr,y=1673810.00 λ^*_y=0.12 Curva b: Φ_y=0.49 χ_y=1.00
λ_e=20.13 Ncr,z=462889.00 λ^*_z=0.23 Curva b: Φ_z=0.53 χ_z=0.99
χ,min=0.99
Verifica: 0.03+0.03+0.02=0.08

- Verifica a compressione [4.2.9] - CC 19 SLU Xl=0.06 - Classe 1
Sollecitazioni: N=-849.50 T_z=-11.48 T_y=38.75
N,Ed=-849.50 Nc,Rd=-23709.20 N,Ed/Nc,Rd=0.04
Verifiche di duttilità [7.5.3]:

q_0=4.00 N,Ed=-849.50 Npl,Rd=23709.20 N,Ed/Npl,Rd=0.035830

- Verifica a taglio dir. Y [4.2.16] - CC 18 SLU Xl=0.06
Sollecitazioni: N=-747.64 T_z=-43.35 T_y=32.80
V,Ed=32.80 Vc,Rd=7560.76 V,Ed/Vc,Rd=0.00

- Verifica a taglio dir. Z [4.2.16]
V,Ed=-43.35 Vc,Rd=7560.76 V,Ed/Vc,Rd=0.01

Asta n. 1274 (-273 -305) angolari L50x10 Crit. 1

- Verifica di stabilità aste inflesse (4.2.4.1.3.2) CC 5 SLV - Classe 3
L_{cr}=0.19 Curva d: α_{imp}=0.76 k_c=0.94 ψ=2.62 M,cr=0.00 λ_{LT}=0.00
$\lambda_{LT,0}$=0.20 β_{LT}=1.00 Φ_{LT}=0.00 β_{LT}=1.00 f=0.00 χ_{LT}=1.00
CC 5 SLV My,Ed=2.36 My,b,Rd=149.05 My,Ed/My,b,Rd=0.02

- Verifica di stabilità aste presso-inflesse (C4.2.4.1.3.3.1) - CC 18 SLU - Classe 3
Sollecitazioni: N,Ed=-836.94 Myeq,Ed=3.91 Mzeq,Ed=3.03
Resistenze: Nc,Rd=23709.20 My,c,Rd=149.05 Mz,c,Rd=149.05 L=19.38
λ_c=10.59 Ncr,y=1673810.00 λ^*_y=0.12 Curva b: Φ_y=0.49 χ_y=1.00
λ_e=20.13 Ncr,z=462889.00 λ^*_z=0.23 Curva b: Φ_z=0.53 χ_z=0.99
χ,min=0.99
Verifica: 0.04+0.03+0.02=0.08

- Verifica a compressione [4.2.9] - CC 19 SLU Xl=0.06 - Classe 1
Sollecitazioni: N=-870.80 T_z=-12.65 T_y=38.87
N,Ed=-870.80 Nc,Rd=-23709.20 N,Ed/Nc,Rd=0.04
Verifiche di duttilità [7.5.3]:
q_0=4.00 N,Ed=-870.80 Npl,Rd=23709.20 N,Ed/Npl,Rd=0.036729

- Verifica a taglio dir. Y [4.2.16] - CC 18 SLU Xl=0.06
Sollecitazioni: N=-836.58 T_z=-43.56 T_y=32.74
V,Ed=32.74 Vc,Rd=7560.76 V,Ed/Vc,Rd=0.00

- Verifica a taglio dir. Z [4.2.16]
V,Ed=-43.56 Vc,Rd=7560.76 V,Ed/Vc,Rd=0.01

Asta n. 1274 (-305 -337) angolari L50x10 Crit. 1

- Verifica di stabilità aste inflesse (4.2.4.1.3.2) CC 5 SLV - Classe 3
L_{cr}=0.19 Curva d: α_{imp}=0.76 k_c=0.94 ψ=2.55 M,cr=0.00 λ_{LT}=0.00
$\lambda_{LT,0}$=0.20 β_{LT}=1.00 Φ_{LT}=0.00 β_{LT}=1.00 f=0.00 χ_{LT}=1.00
CC 5 SLV My,Ed=2.48 My,b,Rd=149.05 My,Ed/My,b,Rd=0.02

- Verifica di stabilità aste presso-inflesse (C4.2.4.1.3.3.1) - CC 18 SLU - Classe 3
Sollecitazioni: N,Ed=-928.60 Myeq,Ed=4.06 Mzeq,Ed=3.02
Resistenze: Nc,Rd=23709.20 My,c,Rd=149.05 Mz,c,Rd=149.05 L=19.38
λ_c=10.59 Ncr,y=1673810.00 λ^*_y=0.12 Curva b: Φ_y=0.49 χ_y=1.00
λ_e=20.13 Ncr,z=462889.00 λ^*_z=0.23 Curva b: Φ_z=0.53 χ_z=0.99
χ,min=0.99
Verifica: 0.04+0.03+0.02=0.09

- Verifica a compressione [4.2.9] - CC 18 SLU Xl=0.06 - Classe 1
Sollecitazioni: N=-928.24 T_z=-43.77 T_y=32.66
N,Ed=-928.24 Nc,Rd=-23709.20 N,Ed/Nc,Rd=0.04
Verifiche di duttilità [7.5.3]:
q_0=4.00 N,Ed=-928.24 Npl,Rd=23709.20 N,Ed/Npl,Rd=0.039151

- Verifica a taglio dir. Y [4.2.16] - CC 18 SLU Xl=0.06
  Sollecitazioni: N=-928.24 T_z=-43.77 T_y=32.66
  V,Ed=32.66 Vc,Rd=7560.76 V,Ed/Vc,Rd=0.00

- Verifica a taglio dir. Z [4.2.16]
  V,Ed=-43.77 Vc,Rd=7560.76 V,Ed/Vc,Rd=0.01

Asta n. 1274 (-337 -369) angolari L50x10 Crit. 1

- Verifica di stabilità aste inflesse (4.2.4.1.3.2) CC 5 SLV - Classe 3
  L_{cr}=0.19 Curva d: α_{imp}=0.76 k_c=0.94 ψ=2.47 M,cr=0.00 λ_{LT}=0.00
  $\lambda_{LT,0}$=0.20 β_{LT}=1.00 Φ_{LT}=0.00 β_{LT}=1.00 f=0.00 χ_{LT}=1.00
  CC 5 SLV My,Ed=2.62 My,b,Rd=149.05 My,Ed/My,b,Rd=0.02

- Verifica di stabilità aste presso-inflesse (C4.2.4.1.3.3.1) - CC 18 SLU - Classe 3
  Sollecitazioni: N,Ed=-1023.16 Myeq,Ed=4.09 Mzeq,Ed=3.02
  Resistenze: Nc,Rd=23709.20 My,c,Rd=149.05 Mz,c,Rd=149.05 L=19.38
  λ_c=10.59 Ncr,y=1673810.00 λ^*_y=0.12 Curva b: Φ_y=0.49 χ_y=1.00
  λ_e=20.13 Ncr,z=462889.00 λ^*_z=0.23 Curva b: Φ_z=0.53 χ_z=0.99
  χ,min=0.99
  Verifica: 0.04+0.03+0.02=0.09

- Verifica a compressione [4.2.9] - CC 18 SLU Xl=0.05 - Classe 1
  Sollecitazioni: N=-1022.93 T_z=-44.20 T_y=32.77
  N,Ed=-1022.93 Nc,Rd=-23709.20 N,Ed/Nc,Rd=0.04
  Verifiche di duttilità [7.5.3]:
  q_0=4.00 N,Ed=-1022.93 Npl,Rd=23709.20 N,Ed/Npl,Rd=0.043145

- Verifica a taglio dir. Y [4.2.16] - CC 18 SLU Xl=0.05
  Sollecitazioni: N=-1022.93 T_z=-44.20 T_y=32.77
  V,Ed=32.77 Vc,Rd=7560.76 V,Ed/Vc,Rd=0.00

- Verifica a taglio dir. Z [4.2.16]
  V,Ed=-44.20 Vc,Rd=7560.76 V,Ed/Vc,Rd=0.01

Asta n. 1274 (-369 -401) angolari L50x10 Crit. 1

- Verifica di stabilità aste inflesse (4.2.4.1.3.2) CC 5 SLV - Classe 3
  L_{cr}=0.19 Curva d: α_{imp}=0.76 k_c=0.94 ψ=2.40 M,cr=0.00 λ_{LT}=0.00
  $\lambda_{LT,0}$=0.20 β_{LT}=1.00 Φ_{LT}=0.00 β_{LT}=1.00 f=0.00 χ_{LT}=1.00
  CC 5 SLV My,Ed=2.77 My,b,Rd=149.05 My,Ed/My,b,Rd=0.02

- Verifica di stabilità aste presso-inflesse (C4.2.4.1.3.3.1) - CC 18 SLU - Classe 3
  Sollecitazioni: N,Ed=-1120.88 Myeq,Ed=4.11 Mzeq,Ed=3.02
  Resistenze: Nc,Rd=23709.20 My,c,Rd=149.05 Mz,c,Rd=149.05 L=19.38
  λ_c=10.59 Ncr,y=1673810.00 λ^*_y=0.12 Curva b: Φ_y=0.49 χ_y=1.00
  λ_e=20.13 Ncr,z=462890.00 λ^*_z=0.23 Curva b: Φ_z=0.53 χ_z=0.99
  χ,min=0.99
  Verifica: 0.05+0.03+0.02=0.10

- Verifica a compressione [4.2.9] - CC 18 SLU Xl=0.05 - Classe 1
  Sollecitazioni: N=-1120.65 T_z=-44.44 T_y=32.79
  N,Ed=-1120.65 Nc,Rd=-23709.20 N,Ed/Nc,Rd=0.05
  Verifiche di duttilità [7.5.3]:
  q_0=4.00 N,Ed=-1120.65 Npl,Rd=23709.20 N,Ed/Npl,Rd=0.047266

- Verifica a taglio dir. Y [4.2.16] - CC 18 SLU Xl=0.05

Sollecitazioni: N=-1120.65 T_z=-44.44 T_y=32.79
V,Ed=32.79 Vc,Rd=7560.76 V,Ed/Vc,Rd=0.00

- Verifica a taglio dir. Z [4.2.16]
V,Ed=-44.44 Vc,Rd=7560.76 V,Ed/Vc,Rd=0.01

Asta n. 1274 (-401 -433) angolari L50x10 Crit. 1

- Verifica di stabilità aste inflesse (4.2.4.1.3.2) CC 5 SLV - Classe 3
L_{cr}=0.19 Curva d: α_{imp}=0.76 k_c=0.94 ψ=2.32 M,cr=0.00 λ_{LT}=0.00
$\lambda_{LT,0}$=0.20 β_{LT}=1.00 Φ_{LT}=0.00 β_{LT}=1.00 f=0.00 χ_{LT}=1.00
CC 5 SLV My,Ed=2.96 My,b,Rd=149.05 My,Ed/My,b,Rd=0.02

- Verifica di stabilità aste presso-inflesse (C4.2.4.1.3.3.1) - CC 18 SLU - Classe 3
Sollecitazioni: N,Ed=-1221.93 Myeq,Ed=4.19 Mzeq,Ed=3.00
Resistenze: Nc,Rd=23709.20 My,c,Rd=149.05 Mz,c,Rd=149.05 L=19.38
λ_c=10.59 Ncr,y=1673810.00 λ^*_y=0.12 Curva b: Φ_y=0.49 χ_y=1.00
λ_e=20.13 Ncr,z=462889.00 λ^*_z=0.23 Curva b: Φ_z=0.53 χ_z=0.99
χ,min=0.99
Verifica: 0.05+0.03+0.02=0.10

- Verifica a compressione [4.2.9] - CC 18 SLU Xl=0.05 - Classe 1
Sollecitazioni: N=-1221.70 T_z=-45.26 T_y=32.50
N,Ed=-1221.70 Nc,Rd=-23709.20 N,Ed/Nc,Rd=0.05
Verifiche di duttilità [7.5.3]:
q_0=4.00 N,Ed=-1221.70 Npl,Rd=23709.20 N,Ed/Npl,Rd=0.051528

- Verifica a taglio dir. Y [4.2.16] - CC 18 SLU Xl=0.05
Sollecitazioni: N=-1221.70 T_z=-45.26 T_y=32.50
V,Ed=32.50 Vc,Rd=7560.76 V,Ed/Vc,Rd=0.00

- Verifica a taglio dir. Z [4.2.16]
V,Ed=-45.26 Vc,Rd=7560.76 V,Ed/Vc,Rd=0.01

Asta n. 1274 (-433 -465) angolari L50x10 Crit. 1

- Verifica di stabilità aste inflesse (4.2.4.1.3.2) CC 5 SLV - Classe 3
L_{cr}=0.19 Curva d: α_{imp}=0.76 k_c=0.94 ψ=2.28 M,cr=0.00 λ_{LT}=0.00
$\lambda_{LT,0}$=0.20 β_{LT}=1.00 Φ_{LT}=0.00 β_{LT}=1.00 f=0.00 χ_{LT}=1.00
CC 5 SLV My,Ed=2.93 My,b,Rd=149.05 My,Ed/My,b,Rd=0.02

- Verifica di stabilità aste presso-inflesse (C4.2.4.1.3.3.1) - CC 18 SLU - Classe 3
Sollecitazioni: N,Ed=-1326.49 Myeq,Ed=3.92 Mzeq,Ed=3.38
Resistenze: Nc,Rd=23709.20 My,c,Rd=149.05 Mz,c,Rd=149.05 L=19.38
λ_c=10.59 Ncr,y=1673810.00 λ^*_y=0.12 Curva b: Φ_y=0.49 χ_y=1.00
λ_e=20.13 Ncr,z=462889.00 λ^*_z=0.23 Curva b: Φ_z=0.53 χ_z=0.99
χ,min=0.99
Verifica: 0.06+0.03+0.02=0.10

- Verifica a compressione [4.2.9] - CC 18 SLU Xl=0.05 - Classe 1
Sollecitazioni: N=-1326.25 T_z=-42.42 T_y=34.87
N,Ed=-1326.25 Nc,Rd=-23709.20 N,Ed/Nc,Rd=0.06
Verifiche di duttilità [7.5.3]:
q_0=4.00 N,Ed=-1326.25 Npl,Rd=23709.20 N,Ed/Npl,Rd=0.055938

- Verifica a taglio dir. Y [4.2.16] - CC 18 SLU Xl=0.05
Sollecitazioni: N=-1326.25 T_z=-42.42 T_y=34.87
V,Ed=34.87 Vc,Rd=7560.76 V,Ed/Vc,Rd=0.00

- Verifica a taglio dir. Z [4.2.16]
  V,Ed=-42.42 Vc,Rd=7560.76 V,Ed/Vc,Rd=0.01

Asta n. 1274 (-465 -497) angolari L50x10 Crit. 1

- Verifica di stabilità aste inflesse (4.2.4.1.3.2) CC 5 SLV - Classe 3
  L_{cr}=0.19 Curva d: α_{imp}=0.76 k_c=0.94 ψ=2.03 M,cr=0.00 λ_{LT}=0.00
  $\lambda_{LT,0}$=0.20 β_{LT}=1.00 Φ_{LT}=0.00 β_{LT}=1.00 f=0.00 χ_{LT}=1.00
  CC 5 SLV My,Ed=4.70 My,b,Rd=149.05 My,Ed/My,b,Rd=0.03

- Verifica di stabilità aste presso-inflesse (C4.2.4.1.3.3.1) - CC 18 SLU - Classe 3
  Sollecitazioni: N,Ed=-1432.61 Myeq,Ed=6.00 Mzeq,Ed=1.91
  Resistenze: Nc,Rd=23709.20 My,c,Rd=149.05 Mz,c,Rd=149.05 L=19.38
  λ_c=10.59 Ncr,y=1673810.00 λ^*_y=0.12 Curva b: Φ_y=0.49 χ_y=1.00
  λ_e=20.13 Ncr,z=462890.00 λ^*_z=0.23 Curva b: Φ_z=0.53 χ_z=0.99
  χ,min=0.99
  Verifica: 0.06+0.04+0.01=0.11

- Verifica a compressione [4.2.9] - CC 18 SLU Xl=0.04 - Classe 1
  Sollecitazioni: N=-1432.49 T_z=-64.80 T_y=18.89
  N,Ed=-1432.49 Nc,Rd=-23709.20 N,Ed/Nc,Rd=0.06
  Verifiche di duttilità [7.5.3]:
  q_0=4.00 N,Ed=-1432.49 Npl,Rd=23709.20 N,Ed/Npl,Rd=0.060419

- Verifica a taglio dir. Y [4.2.16] - CC 18 SLU Xl=0.04
  Sollecitazioni: N=-1432.49 T_z=-64.80 T_y=18.89
  V,Ed=18.89 Vc,Rd=7560.76 V,Ed/Vc,Rd=0.00

- Verifica a taglio dir. Z [4.2.16]
  V,Ed=-64.80 Vc,Rd=7560.76 V,Ed/Vc,Rd=0.01

Asta n. 1274 (-497 1328) angolari L50x10 Crit. 1

- Verifica di stabilità aste inflesse (4.2.4.1.3.2) CC 5 SLV - Classe 3
  L_{cr}=0.19 Curva d: α_{imp}=0.76 k_c=0.94 ψ=2.03 M,cr=0.00 λ_{LT}=0.00
  $\lambda_{LT,0}$=0.20 β_{LT}=1.00 Φ_{LT}=0.00 β_{LT}=1.00 f=0.00 χ_{LT}=1.00
  CC 5 SLV My,Ed=-2.57 My,b,Rd=149.05 My,Ed/My,b,Rd=0.02

- Verifica di stabilità aste presso-inflesse (C4.2.4.1.3.3.1) - CC 18 SLU - Classe 3
  Sollecitazioni: N,Ed=-1536.30 Myeq,Ed=-4.73 Mzeq,Ed=9.48
  Resistenze: Nc,Rd=23709.20 My,c,Rd=149.05 Mz,c,Rd=149.05 L=19.38
  λ_c=10.59 Ncr,y=1673810.00 λ^*_y=0.12 Curva b: Φ_y=0.49 χ_y=1.00
  λ_e=20.13 Ncr,z=462891.00 λ^*_z=0.23 Curva b: Φ_z=0.53 χ_z=0.99
  χ,min=0.99
  Verifica: 0.06+0.03+0.06=0.16

- Verifica a compressione [4.2.9] - CC 18 SLU Xl=0.04 - Classe 1
  Sollecitazioni: N=-1536.20 T_z=60.79 T_y=112.37
  N,Ed=-1536.20 Nc,Rd=-23709.20 N,Ed/Nc,Rd=0.06
  Verifiche di duttilità [7.5.3]:
  q_0=4.00 N,Ed=-1536.20 Npl,Rd=23709.20 N,Ed/Npl,Rd=0.064793

- Verifica a taglio dir. Y [4.2.16] - CC 18 SLU Xl=0.04
  Sollecitazioni: N=-1536.20 T_z=60.79 T_y=112.37
  V,Ed=112.37 Vc,Rd=7560.76 V,Ed/Vc,Rd=0.01

- Verifica a taglio dir. Z [4.2.16]

V,Ed=60.79 Vc,Rd=7560.76 V,Ed/Vc,Rd=0.01

Asta n. 1275 (-55 -87) angolari L50x10 Crit. 1

- Verifica di stabilità aste inflesse (4.2.4.1.3.2) CC 1 SLV - Classe 3
L_{cr}=0.19 Curva d: α_{imp}=0.76 k_c=0.94 ψ=2.04 M,cr=0.00 λ_{LT}=0.00
$\lambda_{LT,0}$=0.20 β_{LT}=1.00 Φ_{LT}=0.00 β_{LT}=1.00 f=0.00 χ_{LT}=1.00
CC 1 SLV My,Ed=-1.83 My,b,Rd=149.05 My,Ed/My,b,Rd=0.01

- Verifica di stabilità aste presso-inflesse (C4.2.4.1.3.3.1) - CC 17 SLU - Classe 3
Sollecitazioni: N,Ed=-1304.43 Myeq,Ed=3.63 Mzeq,Ed=-4.16
Resistenze: Nc,Rd=23709.20 My,c,Rd=149.05 Mz,c,Rd=149.05 L=19.38
λ_c=10.59 Ncr,y=1673810.00 λ^*_y=0.12 Curva b: Φ_y=0.49 χ_y=1.00
λ_e=20.13 Ncr,z=462889.00 λ^*_z=0.23 Curva b: Φ_z=0.53 χ_z=0.99
χ,min=0.99
Verifica: 0.06+0.02+0.03=0.11

- Verifica a compressione [4.2.9] - CC 17 SLU Xl=0.17 - Classe 1
Sollecitazioni: N=-1303.33 T_z=32.59 T_y=44.92
N,Ed=-1303.33 Nc,Rd=-23709.20 N,Ed/Nc,Rd=0.05
Verifiche di duttilità [7.5.3]:
q_0=4.00 N,Ed=-1303.33 Npl,Rd=23709.20 N,Ed/Npl,Rd=0.054972

- Verifica a taglio dir. Y [4.2.16] - CC 17 SLU Xl=0.17
Sollecitazioni: N=-1303.33 T_z=32.59 T_y=44.92
V,Ed=44.92 Vc,Rd=7560.76 V,Ed/Vc,Rd=0.01

- Verifica a taglio dir. Z [4.2.16]
V,Ed=32.59 Vc,Rd=7560.76 V,Ed/Vc,Rd=0.00

Asta n. 1275 (-87 -119) angolari L50x10 Crit. 1

- Verifica di stabilità aste inflesse (4.2.4.1.3.2) CC 1 SLV - Classe 3
L_{cr}=0.19 Curva d: α_{imp}=0.76 k_c=0.94 ψ=2.50 M,cr=0.00 λ_{LT}=0.00
$\lambda_{LT,0}$=0.20 β_{LT}=1.00 Φ_{LT}=0.00 β_{LT}=1.00 f=0.00 χ_{LT}=1.00
CC 1 SLV My,Ed=-1.50 My,b,Rd=149.05 My,Ed/My,b,Rd=0.01

- Verifica di stabilità aste presso-inflesse (C4.2.4.1.3.3.1) - CC 17 SLU - Classe 3
Sollecitazioni: N,Ed=-1266.06 Myeq,Ed=2.22 Mzeq,Ed=-4.76
Resistenze: Nc,Rd=23709.20 My,c,Rd=149.05 Mz,c,Rd=149.05 L=19.38
λ_c=10.59 Ncr,y=1673810.00 λ^*_y=0.12 Curva b: Φ_y=0.49 χ_y=1.00
λ_e=20.13 Ncr,z=462890.00 λ^*_z=0.23 Curva b: Φ_z=0.53 χ_z=0.99
χ,min=0.99
Verifica: 0.05+0.01+0.03=0.10

- Verifica a compressione [4.2.9] - CC 17 SLU Xl=0.12 - Classe 1
Sollecitazioni: N=-1265.21 T_z=23.27 T_y=51.02
N,Ed=-1265.21 Nc,Rd=-23709.20 N,Ed/Nc,Rd=0.05
Verifiche di duttilità [7.5.3]:
q_0=4.00 N,Ed=-1265.21 Npl,Rd=23709.20 N,Ed/Npl,Rd=0.053364

- Verifica a taglio dir. Y [4.2.16] - CC 17 SLU Xl=0.12
Sollecitazioni: N=-1265.21 T_z=23.27 T_y=51.02
V,Ed=51.02 Vc,Rd=7560.76 V,Ed/Vc,Rd=0.01

- Verifica a taglio dir. Z [4.2.16]
V,Ed=23.27 Vc,Rd=7560.76 V,Ed/Vc,Rd=0.00

Asta n. 1275 (-119 -151) angolari L50x10 Crit. 1

- Verifica di stabilità aste inflesse (4.2.4.1.3.2) CC 1 SLV - Classe 3
  L_{cr}=0.19 Curva d: α_{imp}=0.76 k_c=0.94 ψ=2.91 M,cr=0.00 λ_{LT}=0.00
  $\lambda_{LT,0}$=0.20 β_{LT}=1.00 Φ_{LT}=0.00 β_{LT}=1.00 f=0.00 χ_{LT}=1.00
  CC 1 SLV My,Ed=-1.30 My,b,Rd=149.05 My,Ed/My,b,Rd=0.01

- Verifica di stabilità aste presso-inflesse (C4.2.4.1.3.3.1) - CC 17 SLU - Classe 3
  Sollecitazioni: N,Ed=-1219.30 Myeq,Ed=2.12 Mzeq,Ed=-4.40
  Resistenze: Nc,Rd=23709.20 My,c,Rd=149.05 Mz,c,Rd=149.05 L=19.38
  λ_c=10.59 Ncr,y=1673810.00 λ^*_y=0.12 Curva b: Φ_y=0.49 χ_y=1.00
  λ_e=20.13 Ncr,z=462889.00 λ^*_z=0.23 Curva b: Φ_z=0.53 χ_z=0.99
  χ,min=0.99
  Verifica: 0.05+0.01+0.03=0.10

- Verifica a compressione [4.2.9] - CC 17 SLU Xl=0.10 - Classe 1
  Sollecitazioni: N=-1218.58 T_z=22.67 T_y=50.25
  N,Ed=-1218.58 Nc,Rd=-23709.20 N,Ed/Nc,Rd=0.05
  Verifiche di duttilità [7.5.3]:
  q_0=4.00 N,Ed=-1218.58 Npl,Rd=23709.20 N,Ed/Npl,Rd=0.051397

- Verifica a taglio dir. Y [4.2.16] - CC 17 SLU Xl=0.10
  Sollecitazioni: N=-1218.58 T_z=22.67 T_y=50.25
  V,Ed=50.25 Vc,Rd=7560.76 V,Ed/Vc,Rd=0.01

- Verifica a taglio dir. Z [4.2.16]
  V,Ed=22.67 Vc,Rd=7560.76 V,Ed/Vc,Rd=0.00

Asta n. 1275 (-151 -183) angolari L50x10 Crit. 1

- Verifica di stabilità aste inflesse (4.2.4.1.3.2) CC 1 SLV - Classe 3
  L_{cr}=0.19 Curva d: α_{imp}=0.76 k_c=0.94 ψ=3.09 M,cr=0.00 λ_{LT}=0.00
  $\lambda_{LT,0}$=0.20 β_{LT}=1.00 Φ_{LT}=0.00 β_{LT}=1.00 f=0.00 χ_{LT}=1.00
  CC 1 SLV My,Ed=-1.25 My,b,Rd=149.05 My,Ed/My,b,Rd=0.01

- Verifica di stabilità aste presso-inflesse (C4.2.4.1.3.3.1) - CC 17 SLU - Classe 3
  Sollecitazioni: N,Ed=-1171.25 Myeq,Ed=2.02 Mzeq,Ed=-4.17
  Resistenze: Nc,Rd=23709.20 My,c,Rd=149.05 Mz,c,Rd=149.05 L=19.38
  λ_c=10.59 Ncr,y=1673810.00 λ^*_y=0.12 Curva b: Φ_y=0.49 χ_y=1.00
  λ_e=20.13 Ncr,z=462890.00 λ^*_z=0.23 Curva b: Φ_z=0.53 χ_z=0.99
  χ,min=0.99
  Verifica: 0.05+0.01+0.03=0.09

- Verifica a compressione [4.2.9] - CC 19 SLU Xl=0.09 - Classe 1
  Sollecitazioni: N=-1186.15 T_z=-2.10 T_y=49.86
  N,Ed=-1186.15 Nc,Rd=-23709.20 N,Ed/Nc,Rd=0.05
  Verifiche di duttilità [7.5.3]:
  q_0=4.00 N,Ed=-1186.15 Npl,Rd=23709.20 N,Ed/Npl,Rd=0.050029

- Verifica a taglio dir. Y [4.2.16] - CC 17 SLU Xl=0.10
  Sollecitazioni: N=-1170.53 T_z=21.66 T_y=49.97
  V,Ed=49.97 Vc,Rd=7560.76 V,Ed/Vc,Rd=0.01

- Verifica a taglio dir. Z [4.2.16]
  V,Ed=21.66 Vc,Rd=7560.76 V,Ed/Vc,Rd=0.00

Asta n. 1275 (-183 -215) angolari L50x10 Crit. 1

- Verifica di stabilità aste presso-inflesse (C4.2.4.1.3.3.1) - CC 17 SLU - Classe 3
  Sollecitazioni: N,Ed=-1123.61 Myeq,Ed=1.93 Mzeq,Ed=-4.02
  Resistenze: Nc,Rd=23709.20 My,c,Rd=149.05 Mz,c,Rd=149.05 L=19.38
  λ_c=10.59 Ncr,y=1673810.00 λ^*_y=0.12 Curva b: Φ_y=0.49 χ_y=1.00
  λ_e=20.13 Ncr,z=462890.00 λ^*_z=0.23 Curva b: Φ_z=0.53 χ_z=0.99
  χ,min=0.99
  Verifica: 0.05+0.01+0.03=0.09

- Verifica a compressione [4.2.9] - CC 19 SLU Xl=0.09 - Classe 1
  Sollecitazioni: N=-1186.25 T_z=-3.03 T_y=50.08
  N,Ed=-1186.25 Nc,Rd=-23709.20 N,Ed/Nc,Rd=0.05
  Verifiche di duttilità [7.5.3]:
  q_0=4.00 N,Ed=-1186.25 Npl,Rd=23709.20 N,Ed/Npl,Rd=0.050033

- Verifica a taglio dir. Y [4.2.16] - CC 19 SLU Xl=0.09
  Sollecitazioni: N=-1186.25 T_z=-3.03 T_y=50.08
  V,Ed=50.08 Vc,Rd=7560.76 V,Ed/Vc,Rd=0.01

- Verifica a taglio dir. Z [4.2.16]
  V,Ed=-3.03 Vc,Rd=7560.76 V,Ed/Vc,Rd=0.00

Asta n. 1275 (-215 -247) angolari L50x10 Crit. 1

- Verifica di stabilità aste presso-inflesse (C4.2.4.1.3.3.1) - CC 18 SLU - Classe 3
  Sollecitazioni: N,Ed=-1020.40 Myeq,Ed=3.29 Mzeq,Ed=3.83
  Resistenze: Nc,Rd=23709.20 My,c,Rd=149.05 Mz,c,Rd=149.05 L=19.38
  λ_c=10.59 Ncr,y=1673810.00 λ^*_y=0.12 Curva b: Φ_y=0.49 χ_y=1.00
  λ_e=20.13 Ncr,z=462889.00 λ^*_z=0.23 Curva b: Φ_z=0.53 χ_z=0.99
  χ,min=0.99
  Verifica: 0.04+0.02+0.03=0.09

- Verifica a compressione [4.2.9] - CC 19 SLU Xl=0.08 - Classe 1
  Sollecitazioni: N=-1188.43 T_z=-4.01 T_y=50.42
  N,Ed=-1188.43 Nc,Rd=-23709.20 N,Ed/Nc,Rd=0.05
  Verifiche di duttilità [7.5.3]:
  q_0=4.00 N,Ed=-1188.43 Npl,Rd=23709.20 N,Ed/Npl,Rd=0.050125

- Verifica a taglio dir. Y [4.2.16] - CC 19 SLU Xl=0.08
  Sollecitazioni: N=-1188.43 T_z=-4.01 T_y=50.42
  V,Ed=50.42 Vc,Rd=7560.76 V,Ed/Vc,Rd=0.01

- Verifica a taglio dir. Z [4.2.16]
  V,Ed=-4.01 Vc,Rd=7560.76 V,Ed/Vc,Rd=0.00

Asta n. 1275 (-247 -279) angolari L50x10 Crit. 1

- Verifica di stabilità aste inflesse (4.2.4.1.3.2) CC 5 SLV - Classe 3
  L_{cr}=0.19 Curva d: α_{imp}=0.76 k_c=0.94 ψ=2.41 M,cr=0.00 λ_{LT}=0.00
  $\lambda_{LT,0}$=0.20 β_{LT}=1.00 Φ_{LT}=0.00 β_{LT}=1.00 f=0.00 χ_{LT}=1.00
  CC 5 SLV My,Ed=2.08 My,b,Rd=149.05 My,Ed/My,b,Rd=0.01

- Verifica di stabilità aste presso-inflesse (C4.2.4.1.3.3.1) - CC 18 SLU - Classe 3
  Sollecitazioni: N,Ed=-1089.69 Myeq,Ed=3.28 Mzeq,Ed=3.97
  Resistenze: Nc,Rd=23709.20 My,c,Rd=149.05 Mz,c,Rd=149.05 L=19.38
  λ_c=10.59 Ncr,y=1673810.00 λ^*_y=0.12 Curva b: Φ_y=0.49 χ_y=1.00
  λ_e=20.13 Ncr,z=462889.00 λ^*_z=0.23 Curva b: Φ_z=0.53 χ_z=0.99
  χ,min=0.99
  Verifica: 0.05+0.02+0.03=0.09

- Verifica a compressione [4.2.9] - CC 19 SLU Xl=0.08 - Classe 1
  Sollecitazioni: N=-1192.61 T_z=-4.99 T_y=50.86
  N,Ed=-1192.61 Nc,Rd=-23709.20 N,Ed/Nc,Rd=0.05
  Verifiche di duttilità [7.5.3]:
  q_0=4.00 N,Ed=-1192.61 Npl,Rd=23709.20 N,Ed/Npl,Rd=0.050301

- Verifica a taglio dir. Y [4.2.16] - CC 19 SLU Xl=0.08
  Sollecitazioni: N=-1192.61 T_z=-4.99 T_y=50.86
  V,Ed=50.86 Vc,Rd=7560.76 V,Ed/Vc,Rd=0.01

- Verifica a taglio dir. Z [4.2.16]
  V,Ed=-4.99 Vc,Rd=7560.76 V,Ed/Vc,Rd=0.00

Asta n. 1275 (-279 -311) angolari L50x10 Crit. 1

- Verifica di stabilità aste inflesse (4.2.4.1.3.2) CC 5 SLV - Classe 3
  L_{cr}=0.19 Curva d: α_{imp}=0.76 k_c=0.94 ψ=2.35 M,cr=0.00 λ_{LT}=0.00
  $\lambda_{LT,0}$=0.20 β_{LT}=1.00 Φ_{LT}=0.00 β_{LT}=1.00 f=0.00 χ_{LT}=1.00
  CC 5 SLV My,Ed=2.19 My,b,Rd=149.05 My,Ed/My,b,Rd=0.01

- Verifica di stabilità aste presso-inflesse (C4.2.4.1.3.3.1) - CC 18 SLU - Classe 3
  Sollecitazioni: N,Ed=-1160.71 Myeq,Ed=3.29 Mzeq,Ed=4.12
  Resistenze: Nc,Rd=23709.20 My,c,Rd=149.05 Mz,c,Rd=149.05 L=19.38
  λ_c=10.59 Ncr,y=1673810.00 λ^*_y=0.12 Curva b: Φ_y=0.49 χ_y=1.00
  λ_e=20.13 Ncr,z=462889.00 λ^*_z=0.23 Curva b: Φ_z=0.53 χ_z=0.99
  χ,min=0.99
  Verifica: 0.05+0.02+0.03=0.10

- Verifica a compressione [4.2.9] - CC 19 SLU Xl=0.08 - Classe 1
  Sollecitazioni: N=-1199.07 T_z=-6.05 T_y=51.23
  N,Ed=-1199.07 Nc,Rd=-23709.20 N,Ed/Nc,Rd=0.05
  Verifiche di duttilità [7.5.3]:
  q_0=4.00 N,Ed=-1199.07 Npl,Rd=23709.20 N,Ed/Npl,Rd=0.050574

- Verifica a taglio dir. Y [4.2.16] - CC 19 SLU Xl=0.08
  Sollecitazioni: N=-1199.07 T_z=-6.05 T_y=51.23
  V,Ed=51.23 Vc,Rd=7560.76 V,Ed/Vc,Rd=0.01

- Verifica a taglio dir. Z [4.2.16]
  V,Ed=-6.05 Vc,Rd=7560.76 V,Ed/Vc,Rd=0.00

Asta n. 1275 (-311 -343) angolari L50x10 Crit. 1

- Verifica di stabilità aste inflesse (4.2.4.1.3.2) CC 5 SLV - Classe 3
  L_{cr}=0.19 Curva d: α_{imp}=0.76 k_c=0.94 ψ=2.29 M,cr=0.00 λ_{LT}=0.00
  $\lambda_{LT,0}$=0.20 β_{LT}=1.00 Φ_{LT}=0.00 β_{LT}=1.00 f=0.00 χ_{LT}=1.00
  CC 5 SLV My,Ed=2.29 My,b,Rd=149.05 My,Ed/My,b,Rd=0.02

- Verifica di stabilità aste presso-inflesse (C4.2.4.1.3.3.1) - CC 18 SLU - Classe 3
  Sollecitazioni: N,Ed=-1233.55 Myeq,Ed=3.29 Mzeq,Ed=4.27
  Resistenze: Nc,Rd=23709.20 My,c,Rd=149.05 Mz,c,Rd=149.05 L=19.38
  λ_c=10.59 Ncr,y=1673810.00 λ^*_y=0.12 Curva b: Φ_y=0.49 χ_y=1.00
  λ_e=20.13 Ncr,z=462889.00 λ^*_z=0.23 Curva b: Φ_z=0.53 χ_z=0.99
  χ,min=0.99
  Verifica: 0.05+0.02+0.03=0.10

- Verifica a compressione [4.2.9] - CC 18 SLU Xl=0.06 - Classe 1

Sollecitazioni: N=-1233.19 T_z=-35.51 T_y=46.64
N,Ed=-1233.19 Nc,Rd=-23709.20 N,Ed/Nc,Rd=0.05
Verifiche di duttilità [7.5.3]:
q_0=4.00 N,Ed=-1233.19 Npl,Rd=23709.20 N,Ed/Npl,Rd=0.052013

- Verifica a taglio dir. Y [4.2.16] - CC 19 SLU Xl=0.08
Sollecitazioni: N=-1207.95 T_z=-7.03 T_y=51.69
V,Ed=51.69 Vc,Rd=7560.76 V,Ed/Vc,Rd=0.01

- Verifica a taglio dir. Z [4.2.16]
V,Ed=-7.03 Vc,Rd=7560.76 V,Ed/Vc,Rd=0.00

Asta n. 1275 (-343 -375) angolari L50x10 Crit. 1

- Verifica di stabilità aste inflesse (4.2.4.1.3.2) CC 5 SLV - Classe 3
L_{cr}=0.19 Curva d: α_{imp}=0.76 k_c=0.94 ψ=2.23 M,cr=0.00 λ_{LT}=0.00
$\lambda_{LT,0}$=0.20 β_{LT}=1.00 Φ_{LT}=0.00 β_{LT}=1.00 f=0.00 χ_{LT}=1.00
CC 5 SLV My,Ed=2.41 My,b,Rd=149.05 My,Ed/My,b,Rd=0.02

- Verifica di stabilità aste presso-inflesse (C4.2.4.1.3.3.1) - CC 18 SLU - Classe 3
Sollecitazioni: N,Ed=-1308.28 Myeq,Ed=3.30 Mzeq,Ed=4.36
Resistenze: Nc,Rd=23709.20 My,c,Rd=149.05 Mz,c,Rd=149.05 L=19.38
λ_c=10.59 Ncr,y=1673810.00 λ^*_y=0.12 Curva b: Φ_y=0.49 χ_y=1.00
λ_e=20.13 Ncr,z=462889.00 λ^*_z=0.23 Curva b: Φ_z=0.53 χ_z=0.99
χ,min=0.99
Verifica: 0.06+0.02+0.03=0.11

- Verifica a compressione [4.2.9] - CC 18 SLU Xl=0.06 - Classe 1
Sollecitazioni: N=-1307.93 T_z=-35.62 T_y=47.00
N,Ed=-1307.93 Nc,Rd=-23709.20 N,Ed/Nc,Rd=0.06
Verifiche di duttilità [7.5.3]:
q_0=4.00 N,Ed=-1307.93 Npl,Rd=23709.20 N,Ed/Npl,Rd=0.055165

- Verifica a taglio dir. Y [4.2.16] - CC 19 SLU Xl=0.08
Sollecitazioni: N=-1219.43 T_z=-8.14 T_y=52.22
V,Ed=52.22 Vc,Rd=7560.76 V,Ed/Vc,Rd=0.01

- Verifica a taglio dir. Z [4.2.16]
V,Ed=-8.14 Vc,Rd=7560.76 V,Ed/Vc,Rd=0.00

Asta n. 1275 (-375 -407) angolari L50x10 Crit. 1

- Verifica di stabilità aste inflesse (4.2.4.1.3.2) CC 5 SLV - Classe 3
L_{cr}=0.19 Curva d: α_{imp}=0.76 k_c=0.94 ψ=2.18 M,cr=0.00 λ_{LT}=0.00
$\lambda_{LT,0}$=0.20 β_{LT}=1.00 Φ_{LT}=0.00 β_{LT}=1.00 f=0.00 χ_{LT}=1.00
CC 5 SLV My,Ed=2.53 My,b,Rd=149.05 My,Ed/My,b,Rd=0.02

- Verifica di stabilità aste presso-inflesse (C4.2.4.1.3.3.1) - CC 18 SLU - Classe 3
Sollecitazioni: N,Ed=-1385.16 Myeq,Ed=3.30 Mzeq,Ed=4.39
Resistenze: Nc,Rd=23709.20 My,c,Rd=149.05 Mz,c,Rd=149.05 L=19.38
λ_c=10.59 Ncr,y=1673810.00 λ^*_y=0.12 Curva b: Φ_y=0.49 χ_y=1.00
λ_e=20.13 Ncr,z=462890.00 λ^*_z=0.23 Curva b: Φ_z=0.53 χ_z=0.99
χ,min=0.99
Verifica: 0.06+0.02+0.03=0.11

- Verifica a compressione [4.2.9] - CC 18 SLU Xl=0.05 - Classe 1
Sollecitazioni: N=-1384.92 T_z=-35.79 T_y=47.44
N,Ed=-1384.92 Nc,Rd=-23709.20 N,Ed/Nc,Rd=0.06

Verifiche di duttilità [7.5.3]:
q_0=4.00 N,Ed=-1384.92 Npl,Rd=23709.20 N,Ed/Npl,Rd=0.058413

- Verifica a taglio dir. Y [4.2.16] - CC 17 SLU Xl=0.09
Sollecitazioni: N=-858.31 T_z=14.73 T_y=48.47
V,Ed=48.47 Vc,Rd=7560.76 V,Ed/Vc,Rd=0.01

- Verifica a taglio dir. Z [4.2.16]
V,Ed=14.73 Vc,Rd=7560.76 V,Ed/Vc,Rd=0.00

Asta n. 1275 (-407 -439) angolari L50x10 Crit. 1

- Verifica di stabilità aste inflesse (4.2.4.1.3.2) CC 5 SLV - Classe 3
L_{cr}=0.19 Curva d: α_{imp}=0.76 k_c=0.94 ψ=2.12 M,cr=0.00 λ_{LT}=0.00
$\lambda_{LT,0}$=0.20 β_{LT}=1.00 Φ_{LT}=0.00 β_{LT}=1.00 f=0.00 χ_{LT}=1.00
CC 5 SLV My,Ed=2.71 My,b,Rd=149.05 My,Ed/My,b,Rd=0.02

- Verifica di stabilità aste presso-inflesse (C4.2.4.1.3.3.1) - CC 18 SLU - Classe 3
Sollecitazioni: N,Ed=-1464.28 Myeq,Ed=3.36 Mzeq,Ed=4.41
Resistenze: Nc,Rd=23709.20 My,c,Rd=149.05 Mz,c,Rd=149.05 L=19.38
λ_c=10.59 Ncr,y=1673810.00 λ^*_y=0.12 Curva b: Φ_y=0.49 χ_y=1.00
λ_e=20.13 Ncr,z=462889.00 λ^*_z=0.23 Curva b: Φ_z=0.53 χ_z=0.99
χ,min=0.99
Verifica: 0.06+0.02+0.03=0.11

- Verifica a compressione [4.2.9] - CC 18 SLU Xl=0.05 - Classe 1
Sollecitazioni: N=-1464.04 T_z=-36.44 T_y=47.60
N,Ed=-1464.04 Nc,Rd=-23709.20 N,Ed/Nc,Rd=0.06
Verifiche di duttilità [7.5.3]:
q_0=4.00 N,Ed=-1464.04 Npl,Rd=23709.20 N,Ed/Npl,Rd=0.061750

- Verifica a taglio dir. Y [4.2.16] - CC 19 SLU Xl=0.06
Sollecitazioni: N=-1251.27 T_z=-10.80 T_y=53.15
V,Ed=53.15 Vc,Rd=7560.76 V,Ed/Vc,Rd=0.01

- Verifica a taglio dir. Z [4.2.16]
V,Ed=-10.80 Vc,Rd=7560.76 V,Ed/Vc,Rd=0.00

Asta n. 1275 (-439 -471) angolari L50x10 Crit. 1

- Verifica di stabilità aste inflesse (4.2.4.1.3.2) CC 5 SLV - Classe 3
L_{cr}=0.19 Curva d: α_{imp}=0.76 k_c=0.94 ψ=2.09 M,cr=0.00 λ_{LT}=0.00
$\lambda_{LT,0}$=0.20 β_{LT}=1.00 Φ_{LT}=0.00 β_{LT}=1.00 f=0.00 χ_{LT}=1.00
CC 5 SLV My,Ed=2.62 My,b,Rd=149.05 My,Ed/My,b,Rd=0.02

- Verifica di stabilità aste presso-inflesse (C4.2.4.1.3.3.1) - CC 18 SLU - Classe 3
Sollecitazioni: N,Ed=-1545.74 Myeq,Ed=3.04 Mzeq,Ed=4.65
Resistenze: Nc,Rd=23709.20 My,c,Rd=149.05 Mz,c,Rd=149.05 L=19.38
λ_c=10.59 Ncr,y=1673810.00 λ^*_y=0.12 Curva b: Φ_y=0.49 χ_y=1.00
λ_e=20.13 Ncr,z=462889.00 λ^*_z=0.23 Curva b: Φ_z=0.53 χ_z=0.99
χ,min=0.99
Verifica: 0.07+0.02+0.03=0.12

- Verifica a compressione [4.2.9] - CC 18 SLU Xl=0.05 - Classe 1
Sollecitazioni: N=-1545.50 T_z=-32.98 T_y=50.15
N,Ed=-1545.50 Nc,Rd=-23709.20 N,Ed/Nc,Rd=0.07
Verifiche di duttilità [7.5.3]:
q_0=4.00 N,Ed=-1545.50 Npl,Rd=23709.20 N,Ed/Npl,Rd=0.065186

- Verifica a taglio dir. Y [4.2.16] - CC 19 SLU Xl=0.06
  Sollecitazioni: N=-1272.00 T_z=-8.99 T_y=55.29
  V,Ed=55.29 Vc,Rd=7560.76 V,Ed/Vc,Rd=0.01

- Verifica a taglio dir. Z [4.2.16]
  V,Ed=-8.99 Vc,Rd=7560.76 V,Ed/Vc,Rd=0.00

Asta n. 1275 (-471 -503) angolari L50x10 Crit. 1

- Verifica di stabilità aste inflesse (4.2.4.1.3.2) CC 5 SLV - Classe 3
  L_{cr}=0.19 Curva d: α_{imp}=0.76 k_c=0.94 ψ=1.92 M,cr=0.00 λ_{LT}=0.00
  $\lambda_{LT,0}$=0.20 β_{LT}=1.00 Φ_{LT}=0.00 β_{LT}=1.00 f=0.00 χ_{LT}=1.00
  CC 5 SLV My,Ed=4.45 My,b,Rd=149.05 My,Ed/My,b,Rd=0.03

- Verifica di stabilità aste presso-inflesse (C4.2.4.1.3.3.1) - CC 18 SLU - Classe 3
  Sollecitazioni: N,Ed=-1628.02 Myeq,Ed=5.67 Mzeq,Ed=3.38
  Resistenze: Nc,Rd=23709.20 My,c,Rd=149.05 Mz,c,Rd=149.05 L=19.38
  λ_c=10.59 Ncr,y=1673810.00 λ^*_y=0.12 Curva b: Φ_y=0.49 χ_y=1.00
  λ_e=20.13 Ncr,z=462890.00 λ^*_z=0.23 Curva b: Φ_z=0.53 χ_z=0.99
  χ,min=0.99
  Verifica: 0.07+0.04+0.02=0.13

- Verifica a compressione [4.2.9] - CC 18 SLU Xl=0.04 - Classe 1
  Sollecitazioni: N=-1627.90 T_z=-57.18 T_y=36.69
  N,Ed=-1627.90 Nc,Rd=-23709.20 N,Ed/Nc,Rd=0.07
  Verifiche di duttilità [7.5.3]:
  q_0=4.00 N,Ed=-1627.90 Npl,Rd=23709.20 N,Ed/Npl,Rd=0.068661

- Verifica a taglio dir. Y [4.2.16] - CC 18 SLU Xl=0.04
  Sollecitazioni: N=-1627.90 T_z=-57.18 T_y=36.69
  V,Ed=36.69 Vc,Rd=7560.76 V,Ed/Vc,Rd=0.00

- Verifica a taglio dir. Z [4.2.16]
  V,Ed=-57.18 Vc,Rd=7560.76 V,Ed/Vc,Rd=0.01

Asta n. 1275 (-503 1337) angolari L50x10 Crit. 1

- Verifica di stabilità aste inflesse (4.2.4.1.3.2) CC 5 SLV - Classe 3
  L_{cr}=0.19 Curva d: α_{imp}=0.76 k_c=0.94 ψ=2.07 M,cr=0.00 λ_{LT}=0.00
  $\lambda_{LT,0}$=0.20 β_{LT}=1.00 Φ_{LT}=0.00 β_{LT}=1.00 f=0.00 χ_{LT}=1.00
  CC 5 SLV My,Ed=-3.42 My,b,Rd=149.05 My,Ed/My,b,Rd=0.02

- Verifica di stabilità aste presso-inflesse (C4.2.4.1.3.3.1) - CC 18 SLU - Classe 3
  Sollecitazioni: N,Ed=-1710.94 Myeq,Ed=-6.25 Mzeq,Ed=9.62
  Resistenze: Nc,Rd=23709.20 My,c,Rd=149.05 Mz,c,Rd=149.05 L=19.38
  λ_c=10.59 Ncr,y=1673810.00 λ^*_y=0.12 Curva b: Φ_y=0.49 χ_y=1.00
  λ_e=20.13 Ncr,z=462891.00 λ^*_z=0.23 Curva b: Φ_z=0.53 χ_z=0.99
  χ,min=0.99
  Verifica: 0.07+0.04+0.06=0.18

- Verifica a compressione [4.2.9] - CC 20 SLU Xl=0.04 - Classe 1
  Sollecitazioni: N=-1420.33 T_z=66.61 T_y=99.91
  N,Ed=-1420.33 Nc,Rd=-23709.20 N,Ed/Nc,Rd=0.06
  Verifiche di duttilità [7.5.3]:
  q_0=4.00 N,Ed=-1420.33 Npl,Rd=23709.20 N,Ed/Npl,Rd=0.059906

- Verifica a taglio dir. Y [4.2.16] - CC 19 SLU Xl=0.05
  Sollecitazioni: N=-1326.13 T_z=82.57 T_y=105.16
  V,Ed=105.16 Vc,Rd=7560.76 V,Ed/Vc,Rd=0.01

- Verifica a taglio dir. Z [4.2.16]
  V,Ed=82.57 Vc,Rd=7560.76 V,Ed/Vc,Rd=0.01

Asta n. 1276 (-51 -83) angolari L50x10 Crit. 1

- Verifica di stabilità aste inflesse (4.2.4.1.3.2) CC 1 SLV - Classe 3
  L_{cr}=0.19 Curva d: α_{imp}=0.76 k_c=0.94 ψ=1.91 M,cr=0.00 λ_{LT}=0.00
  $\lambda_{LT,0}$=0.20 β_{LT}=1.00 Φ_{LT}=0.00 β_{LT}=1.00 f=0.00 χ_{LT}=1.00
  CC 1 SLV My,Ed=-3.18 My,b,Rd=149.05 My,Ed/My,b,Rd=0.02

- Verifica di stabilità aste presso-inflesse (C4.2.4.1.3.3.1) - CC 17 SLU - Classe 3
  Sollecitazioni: N,Ed=-1382.44 Myeq,Ed=2.98 Mzeq,Ed=-5.18
  Resistenze: Nc,Rd=23709.20 My,c,Rd=149.05 Mz,c,Rd=149.05 L=19.38
  λ_c=10.59 Ncr,y=1673810.00 λ^*_y=0.12 Curva b: Φ_y=0.49 χ_y=1.00
  λ_e=20.13 Ncr,z=462889.00 λ^*_z=0.23 Curva b: Φ_z=0.53 χ_z=0.99
  χ,min=0.99
  Verifica: 0.06+0.02+0.03=0.11

- Verifica a compressione [4.2.9] - CC 17 SLU Xl=0.17 - Classe 1
  Sollecitazioni: N=-1381.34 T_z=22.79 T_y=58.83
  N,Ed=-1381.34 Nc,Rd=-23709.20 N,Ed/Nc,Rd=0.06
  Verifiche di duttilità [7.5.3]:
  q_0=4.00 N,Ed=-1381.34 Npl,Rd=23709.20 N,Ed/Npl,Rd=0.058262

- Verifica a taglio dir. Y [4.2.16] - CC 19 SLU Xl=0.15
  Sollecitazioni: N=-1263.76 T_z=-16.64 T_y=65.30
  V,Ed=65.30 Vc,Rd=7560.76 V,Ed/Vc,Rd=0.01

- Verifica a taglio dir. Z [4.2.16]
  V,Ed=-16.64 Vc,Rd=7560.76 V,Ed/Vc,Rd=0.00

Asta n. 1276 (-83 -115) angolari L50x10 Crit. 1

- Verifica di stabilità aste inflesse (4.2.4.1.3.2) CC 1 SLV - Classe 3
  L_{cr}=0.19 Curva d: α_{imp}=0.76 k_c=0.94 ψ=2.41 M,cr=0.00 λ_{LT}=0.00
  $\lambda_{LT,0}$=0.20 β_{LT}=1.00 Φ_{LT}=0.00 β_{LT}=1.00 f=0.00 χ_{LT}=1.00
  CC 1 SLV My,Ed=-2.56 My,b,Rd=149.05 My,Ed/My,b,Rd=0.02

- Verifica di stabilità aste presso-inflesse (C4.2.4.1.3.3.1) - CC 19 SLU - Classe 3
  Sollecitazioni: N,Ed=-1297.92 Myeq,Ed=2.34 Mzeq,Ed=-6.22
  Resistenze: Nc,Rd=23709.20 My,c,Rd=149.05 Mz,c,Rd=149.05 L=19.38
  λ_c=10.59 Ncr,y=1673810.00 λ^*_y=0.12 Curva b: Φ_y=0.49 χ_y=1.00
  λ_e=20.13 Ncr,z=462890.00 λ^*_z=0.23 Curva b: Φ_z=0.53 χ_z=0.99
  χ,min=0.99
  Verifica: 0.05+0.02+0.04=0.11

- Verifica a compressione [4.2.9] - CC 17 SLU Xl=0.12 - Classe 1
  Sollecitazioni: N=-1358.78 T_z=12.01 T_y=65.49
  N,Ed=-1358.78 Nc,Rd=-23709.20 N,Ed/Nc,Rd=0.06
  Verifiche di duttilità [7.5.3]:
  q_0=4.00 N,Ed=-1358.78 Npl,Rd=23709.20 N,Ed/Npl,Rd=0.057310

- Verifica a taglio dir. Y [4.2.16] - CC 19 SLU Xl=0.10
  Sollecitazioni: N=-1297.20 T_z=-27.56 T_y=71.25

V,Ed=71.25 Vc,Rd=7560.76 V,Ed/Vc,Rd=0.01

- Verifica a taglio dir. Z [4.2.16]
V,Ed=-27.56 Vc,Rd=7560.76 V,Ed/Vc,Rd=0.00

Asta n. 1276 (-115 -147) angolari L50x10 Crit. 1

- Verifica di stabilità aste inflesse (4.2.4.1.3.2) CC 1 SLV - Classe 3
L_{cr}=0.19 Curva d: α_{imp}=0.76 k_c=0.94 ψ=2.76 M,cr=0.00 λ_{LT}=0.00
$\lambda_{LT,0}$=0.20 β_{LT}=1.00 Φ_{LT}=0.00 β_{LT}=1.00 f=0.00 χ_{LT}=1.00
CC 1 SLV My,Ed=-2.25 My,b,Rd=149.05 My,Ed/My,b,Rd=0.02

- Verifica di stabilità aste presso-inflesse (C4.2.4.1.3.3.1) - CC 19 SLU - Classe 3
Sollecitazioni: N,Ed=-1343.34 Myeq,Ed=2.66 Mzeq,Ed=-5.35
Resistenze: Nc,Rd=23709.20 My,c,Rd=149.05 Mz,c,Rd=149.05 L=19.38
λ_c=10.59 Ncr,y=1673810.00 λ^*_y=0.12 Curva b: Φ_y=0.49 χ_y=1.00
λ_e=20.13 Ncr,z=462889.00 λ^*_z=0.23 Curva b: Φ_z=0.53 χ_z=0.99
χ,min=0.99
Verifica: 0.06+0.02+0.04=0.11

- Verifica a compressione [4.2.9] - CC 19 SLU Xl=0.09 - Classe 1
Sollecitazioni: N=-1342.73 T_z=-28.48 T_y=71.70
N,Ed=-1342.73 Nc,Rd=-23709.20 N,Ed/Nc,Rd=0.06
Verifiche di duttilità [7.5.3]:
q_0=4.00 N,Ed=-1342.73 Npl,Rd=23709.20 N,Ed/Npl,Rd=0.056633

- Verifica a taglio dir. Y [4.2.16] - CC 19 SLU Xl=0.09
Sollecitazioni: N=-1342.73 T_z=-28.48 T_y=71.70
V,Ed=71.70 Vc,Rd=7560.76 V,Ed/Vc,Rd=0.01

- Verifica a taglio dir. Z [4.2.16]
V,Ed=-28.48 Vc,Rd=7560.76 V,Ed/Vc,Rd=0.00

Asta n. 1276 (-147 -179) angolari L50x10 Crit. 1

- Verifica di stabilità aste inflesse (4.2.4.1.3.2) CC 1 SLV - Classe 3
L_{cr}=0.19 Curva d: α_{imp}=0.76 k_c=0.94 ψ=2.92 M,cr=0.00 λ_{LT}=0.00
$\lambda_{LT,0}$=0.20 β_{LT}=1.00 Φ_{LT}=0.00 β_{LT}=1.00 f=0.00 χ_{LT}=1.00
CC 1 SLV My,Ed=-2.17 My,b,Rd=149.05 My,Ed/My,b,Rd=0.01

- Verifica di stabilità aste presso-inflesse (C4.2.4.1.3.3.1) - CC 18 SLU - Classe 3
Sollecitazioni: N,Ed=-992.51 Myeq,Ed=5.48 Mzeq,Ed=5.22
Resistenze: Nc,Rd=23709.20 My,c,Rd=149.05 Mz,c,Rd=149.05 L=19.38
λ_c=10.59 Ncr,y=1673810.00 λ^*_y=0.12 Curva b: Φ_y=0.49 χ_y=1.00
λ_e=20.13 Ncr,z=462890.00 λ^*_z=0.23 Curva b: Φ_z=0.53 χ_z=0.99
χ,min=0.99
Verifica: 0.04+0.04+0.04=0.11

- Verifica a compressione [4.2.9] - CC 19 SLU Xl=0.09 - Classe 1
Sollecitazioni: N=-1394.07 T_z=-30.11 T_y=72.49
N,Ed=-1394.07 Nc,Rd=-23709.20 N,Ed/Nc,Rd=0.06
Verifiche di duttilità [7.5.3]:
q_0=4.00 N,Ed=-1394.07 Npl,Rd=23709.20 N,Ed/Npl,Rd=0.058799

- Verifica a taglio dir. Y [4.2.16] - CC 19 SLU Xl=0.09
Sollecitazioni: N=-1394.07 T_z=-30.11 T_y=72.49
V,Ed=72.49 Vc,Rd=7560.76 V,Ed/Vc,Rd=0.01

- Verifica a taglio dir. Z [4.2.16]
  V,Ed=-30.11 Vc,Rd=7560.76 V,Ed/Vc,Rd=0.00

Asta n. 1276 (-179 -211) angolari L50x10 Crit. 1

- Verifica di stabilità aste inflesse (4.2.4.1.3.2) CC 1 SLV - Classe 3
  L_{cr}=0.19 Curva d: α_{imp}=0.76 k_c=0.94 ψ=3.04 M,cr=0.00 λ_{LT}=0.00
  $\lambda_{LT,0}$=0.20 β_{LT}=1.00 Φ_{LT}=0.00 β_{LT}=1.00 f=0.00 χ_{LT}=1.00
  CC 1 SLV My,Ed=-2.14 My,b,Rd=149.05 My,Ed/My,b,Rd=0.01

- Verifica di stabilità aste presso-inflesse (C4.2.4.1.3.3.1) - CC 18 SLU - Classe 3
  Sollecitazioni: N,Ed=-1123.20 Myeq,Ed=5.73 Mzeq,Ed=5.44
  Resistenze: Nc,Rd=23709.20 My,c,Rd=149.05 Mz,c,Rd=149.05 L=19.38
  λ_c=10.59 Ncr,y=1673810.00 λ^*_y=0.12 Curva b: Φ_y=0.49 χ_y=1.00
  λ_e=20.13 Ncr,z=462890.00 λ^*_z=0.23 Curva b: Φ_z=0.53 χ_z=0.99
  χ,min=0.99
  Verifica: 0.05+0.04+0.04=0.12

- Verifica a compressione [4.2.9] - CC 19 SLU Xl=0.09 - Classe 1
  Sollecitazioni: N=-1450.19 T_z=-31.70 T_y=73.25
  N,Ed=-1450.19 Nc,Rd=-23709.20 N,Ed/Nc,Rd=0.06
  Verifiche di duttilità [7.5.3]:
  q_0=4.00 N,Ed=-1450.19 Npl,Rd=23709.20 N,Ed/Npl,Rd=0.061166

- Verifica a taglio dir. Y [4.2.16] - CC 19 SLU Xl=0.09
  Sollecitazioni: N=-1450.19 T_z=-31.70 T_y=73.25
  V,Ed=73.25 Vc,Rd=7560.76 V,Ed/Vc,Rd=0.01

- Verifica a taglio dir. Z [4.2.16]
  V,Ed=-31.70 Vc,Rd=7560.76 V,Ed/Vc,Rd=0.00

Asta n. 1276 (-211 -243) angolari L50x10 Crit. 1

- Verifica di stabilità aste presso-inflesse (C4.2.4.1.3.3.1) - CC 18 SLU - Classe 3
  Sollecitazioni: N,Ed=-1258.67 Myeq,Ed=5.97 Mzeq,Ed=5.66
  Resistenze: Nc,Rd=23709.20 My,c,Rd=149.05 Mz,c,Rd=149.05 L=19.38
  λ_c=10.59 Ncr,y=1673810.00 λ^*_y=0.12 Curva b: Φ_y=0.49 χ_y=1.00
  λ_e=20.13 Ncr,z=462889.00 λ^*_z=0.23 Curva b: Φ_z=0.53 χ_z=0.99
  χ,min=0.99
  Verifica: 0.05+0.04+0.04=0.13

- Verifica a compressione [4.2.9] - CC 19 SLU Xl=0.08 - Classe 1
  Sollecitazioni: N=-1511.12 T_z=-33.38 T_y=74.14
  N,Ed=-1511.12 Nc,Rd=-23709.20 N,Ed/Nc,Rd=0.06
  Verifiche di duttilità [7.5.3]:
  q_0=4.00 N,Ed=-1511.12 Npl,Rd=23709.20 N,Ed/Npl,Rd=0.063736

- Verifica a taglio dir. Y [4.2.16] - CC 19 SLU Xl=0.08
  Sollecitazioni: N=-1511.12 T_z=-33.38 T_y=74.14
  V,Ed=74.14 Vc,Rd=7560.76 V,Ed/Vc,Rd=0.01

- Verifica a taglio dir. Z [4.2.16]
  V,Ed=-33.38 Vc,Rd=7560.76 V,Ed/Vc,Rd=0.00

Asta n. 1276 (-243 -275) angolari L50x10 Crit. 1

- Verifica di stabilità aste presso-inflesse (C4.2.4.1.3.3.1) - CC 18 SLU - Classe 3
  Sollecitazioni: N,Ed=-1399.03 Myeq,Ed=6.22 Mzeq,Ed=5.90

Resistenze: Nc,Rd=23709.20 My,c,Rd=149.05 Mz,c,Rd=149.05 L=19.38
λ_c=10.59 Ncr,y=1673810.00 λ^*_y=0.12 Curva b: Φ_y=0.49 χ_y=1.00
λ_e=20.13 Ncr,z=462889.00 λ^*_z=0.23 Curva b: Φ_z=0.53 χ_z=0.99
χ,min=0.99
Verifica: 0.06+0.04+0.04=0.14

- Verifica Freccia massima carichi totali - CC 21
$f_{Z,G}$=0.00 (L/13851)

- Verifica a compressione [4.2.9] - CC 19 SLU Xl=0.08 - Classe 1
Sollecitazioni: N=-1576.88 T_z=-35.08 T_y=75.20
N,Ed=-1576.88 Nc,Rd=-23709.20 N,Ed/Nc,Rd=0.07
Verifiche di duttilità [7.5.3]:
q_0=4.00 N,Ed=-1576.88 Npl,Rd=23709.20 N,Ed/Npl,Rd=0.066509

- Verifica a taglio dir. Y [4.2.16] - CC 19 SLU Xl=0.08
Sollecitazioni: N=-1576.88 T_z=-35.08 T_y=75.20
V,Ed=75.20 Vc,Rd=7560.76 V,Ed/Vc,Rd=0.01

- Verifica a taglio dir. Z [4.2.16]
V,Ed=-35.08 Vc,Rd=7560.76 V,Ed/Vc,Rd=0.00

Asta n. 1276 (-275 -307) angolari L50x10 Crit. 1

- Verifica di stabilità aste presso-inflesse (C4.2.4.1.3.3.1) - CC 18 SLU - Classe 3
Sollecitazioni: N,Ed=-1544.63 Myeq,Ed=6.50 Mzeq,Ed=6.06
Resistenze: Nc,Rd=23709.20 My,c,Rd=149.05 Mz,c,Rd=149.05 L=19.38
λ_c=10.59 Ncr,y=1673810.00 λ^*_y=0.12 Curva b: Φ_y=0.49 χ_y=1.00
λ_e=20.13 Ncr,z=462889.00 λ^*_z=0.23 Curva b: Φ_z=0.53 χ_z=0.99
χ,min=0.99
Verifica: 0.07+0.04+0.04=0.15

- Verifica Freccia massima carichi totali - CC 21
$f_{Z,G}$=0.00 (L/13389)

- Verifica a compressione [4.2.9] - CC 19 SLU Xl=0.08 - Classe 1
Sollecitazioni: N=-1647.98 T_z=-36.93 T_y=76.16
N,Ed=-1647.98 Nc,Rd=-23709.20 N,Ed/Nc,Rd=0.07
Verifiche di duttilità [7.5.3]:
q_0=4.00 N,Ed=-1647.98 Npl,Rd=23709.20 N,Ed/Npl,Rd=0.069508

- Verifica a taglio dir. Y [4.2.16] - CC 19 SLU Xl=0.08
Sollecitazioni: N=-1647.98 T_z=-36.93 T_y=76.16
V,Ed=76.16 Vc,Rd=7560.76 V,Ed/Vc,Rd=0.01

- Verifica a taglio dir. Z [4.2.16]
V,Ed=-36.93 Vc,Rd=7560.76 V,Ed/Vc,Rd=0.00

Asta n. 1276 (-307 -339) angolari L50x10 Crit. 1

- Verifica di stabilità aste presso-inflesse (C4.2.4.1.3.3.1) - CC 18 SLU - Classe 3
Sollecitazioni: N,Ed=-1695.80 Myeq,Ed=6.67 Mzeq,Ed=6.13
Resistenze: Nc,Rd=23709.20 My,c,Rd=149.05 Mz,c,Rd=149.05 L=19.38
λ_c=10.59 Ncr,y=1673810.00 λ^*_y=0.12 Curva b: Φ_y=0.49 χ_y=1.00
λ_e=20.13 Ncr,z=462889.00 λ^*_z=0.23 Curva b: Φ_z=0.53 χ_z=0.99
χ,min=0.99
Verifica: 0.07+0.04+0.04=0.16

- Verifica Freccia massima carichi totali - CC 21
  $f_{Z,G}$=0.00 (L/12819)

- Verifica a compressione [4.2.9] - CC 19 SLU Xl=0.08 - Classe 1
  Sollecitazioni: N=-1724.75 T_z=-38.65 T_y=77.29
  N,Ed=-1724.75 Nc,Rd=-23709.20 N,Ed/Nc,Rd=0.07
  Verifiche di duttilità [7.5.3]:
  q_0=4.00 N,Ed=-1724.75 Npl,Rd=23709.20 N,Ed/Npl,Rd=0.072746

- Verifica a taglio dir. Y [4.2.16] - CC 19 SLU Xl=0.08
  Sollecitazioni: N=-1724.75 T_z=-38.65 T_y=77.29
  V,Ed=77.29 Vc,Rd=7560.76 V,Ed/Vc,Rd=0.01

- Verifica a taglio dir. Z [4.2.16]
  V,Ed=-38.65 Vc,Rd=7560.76 V,Ed/Vc,Rd=0.01

Asta n. 1276 (-339 -371) angolari L50x10 Crit. 1

- Verifica di stabilità aste presso-inflesse (C4.2.4.1.3.3.1) - CC 18 SLU - Classe 3
  Sollecitazioni: N,Ed=-1852.91 Myeq,Ed=6.78 Mzeq,Ed=6.21
  Resistenze: Nc,Rd=23709.20 My,c,Rd=149.05 Mz,c,Rd=149.05 L=19.38
  λ_c=10.59 Ncr,y=1673810.00 λ^*_y=0.12 Curva b: Φ_y=0.49 χ_y=1.00
  λ_c=20.13 Ncr,z=462889.00 λ^*_z=0.23 Curva b: Φ_z=0.53 χ_z=0.99
  χ,min=0.99
  Verifica: 0.08+0.05+0.04=0.17

- Verifica Freccia massima carichi totali - CC 21
  $f_{Z,G}$=0.00 (L/13098)

- Verifica a compressione [4.2.9] - CC 18 SLU Xl=0.06 - Classe 1
  Sollecitazioni: N=-1852.55 T_z=-72.92 T_y=66.82
  N,Ed=-1852.55 Nc,Rd=-23709.20 N,Ed/Nc,Rd=0.08
  Verifiche di duttilità [7.5.3]:
  q_0=4.00 N,Ed=-1852.55 Npl,Rd=23709.20 N,Ed/Npl,Rd=0.078136

- Verifica a taglio dir. Y [4.2.16] - CC 19 SLU Xl=0.08
  Sollecitazioni: N=-1807.61 T_z=-40.69 T_y=78.46
  V,Ed=78.46 Vc,Rd=7560.76 V,Ed/Vc,Rd=0.01

- Verifica a taglio dir. Z [4.2.16]
  V,Ed=-40.69 Vc,Rd=7560.76 V,Ed/Vc,Rd=0.01

Asta n. 1276 (-371 -403) angolari L50x10 Crit. 1

- Verifica di stabilità aste presso-inflesse (C4.2.4.1.3.3.1) - CC 18 SLU - Classe 3
  Sollecitazioni: N,Ed=-2016.50 Myeq,Ed=6.87 Mzeq,Ed=6.30
  Resistenze: Nc,Rd=23709.20 My,c,Rd=149.05 Mz,c,Rd=149.05 L=19.38
  λ_c=10.59 Ncr,y=1673810.00 λ^*_y=0.12 Curva b: Φ_y=0.49 χ_y=1.00
  λ_c=20.13 Ncr,z=462890.00 λ^*_z=0.23 Curva b: Φ_z=0.53 χ_z=0.99
  χ,min=0.99
  Verifica: 0.09+0.05+0.04=0.17

- Verifica Freccia massima carichi totali - CC 21
  $f_{Z,G}$=0.00 (L/11814)

- Verifica a compressione [4.2.9] - CC 18 SLU Xl=0.06 - Classe 1
  Sollecitazioni: N=-2016.15 T_z=-73.86 T_y=67.79
  N,Ed=-2016.15 Nc,Rd=-23709.20 N,Ed/Nc,Rd=0.09

Verifiche di duttilità [7.5.3]:
q_0=4.00 N,Ed=-2016.15 Npl,Rd=23709.20 N,Ed/Npl,Rd=0.085036

- Verifica a taglio dir. Y [4.2.16] - CC 19 SLU Xl=0.06
Sollecitazioni: N=-1897.21 T_z=-42.53 T_y=79.77
V,Ed=79.77 Vc,Rd=7560.76 V,Ed/Vc,Rd=0.01

- Verifica a taglio dir. Z [4.2.16]
V,Ed=-42.53 Vc,Rd=7560.76 V,Ed/Vc,Rd=0.01

Asta n. 1276 (-403 -435) angolari L50x10 Crit. 1

- Verifica di stabilità aste presso-inflesse (C4.2.4.1.3.3.1) - CC 18 SLU - Classe 3
Sollecitazioni: N,Ed=-2186.99 Myeq,Ed=7.07 Mzeq,Ed=6.35
Resistenze: Nc,Rd=23709.20 My,c,Rd=149.05 Mz,c,Rd=149.05 L=19.38
λ_c=10.59 Ncr,y=1673810.00 λ^*_y=0.12 Curva b: Φ_y=0.49 χ_y=1.00
λ_e=20.13 Ncr,z=462889.00 λ^*_z=0.23 Curva b: Φ_z=0.53 χ_z=0.99
χ,min=0.99
Verifica: 0.09+0.05+0.04=0.18

- Verifica Freccia massima carichi totali - CC 21
$f_{Z,G}$=0.00 (L/11157)

- Verifica a compressione [4.2.9] - CC 18 SLU Xl=0.05 - Classe 1
Sollecitazioni: N=-2186.75 T_z=-76.08 T_y=68.39
N,Ed=-2186.75 Nc,Rd=-23709.20 N,Ed/Nc,Rd=0.09
Verifiche di duttilità [7.5.3]:
q_0=4.00 N,Ed=-2186.75 Npl,Rd=23709.20 N,Ed/Npl,Rd=0.092232

- Verifica a taglio dir. Y [4.2.16] - CC 19 SLU Xl=0.06
Sollecitazioni: N=-1993.77 T_z=-45.45 T_y=80.68
V,Ed=80.68 Vc,Rd=7560.76 V,Ed/Vc,Rd=0.01

- Verifica a taglio dir. Z [4.2.16]
V,Ed=-45.45 Vc,Rd=7560.76 V,Ed/Vc,Rd=0.01

Asta n. 1276 (-435 -467) angolari L50x10 Crit. 1

- Verifica di stabilità aste presso-inflesse (C4.2.4.1.3.3.1) - CC 18 SLU - Classe 3
Sollecitazioni: N,Ed=-2364.69 Myeq,Ed=6.63 Mzeq,Ed=6.79
Resistenze: Nc,Rd=23709.20 My,c,Rd=149.05 Mz,c,Rd=149.05 L=19.38
λ_c=10.59 Ncr,y=1673810.00 λ^*_y=0.12 Curva b: Φ_y=0.49 χ_y=1.00
λ_e=20.13 Ncr,z=462889.00 λ^*_z=0.23 Curva b: Φ_z=0.53 χ_z=0.99
χ,min=0.99
Verifica: 0.10+0.04+0.05=0.19

- Verifica Freccia massima carichi totali - CC 24
$f_{Z,G}$=0.00 (L/10954)

- Verifica a compressione [4.2.9] - CC 18 SLU Xl=0.05 - Classe 1
Sollecitazioni: N=-2364.46 T_z=-71.42 T_y=73.09
N,Ed=-2364.46 Nc,Rd=-23709.20 N,Ed/Nc,Rd=0.10
Verifiche di duttilità [7.5.3]:
q_0=4.00 N,Ed=-2364.46 Npl,Rd=23709.20 N,Ed/Npl,Rd=0.099727

- Verifica a taglio dir. Y [4.2.16] - CC 19 SLU Xl=0.06
Sollecitazioni: N=-2097.91 T_z=-42.23 T_y=85.32

V,Ed=85.32 Vc,Rd=7560.76 V,Ed/Vc,Rd=0.01

- Verifica a taglio dir. Z [4.2.16]
V,Ed=-42.23 Vc,Rd=7560.76 V,Ed/Vc,Rd=0.01

Asta n. 1276 (-467 -499) angolari L50x10 Crit. 1

- Verifica di stabilità aste presso-inflesse (C4.2.4.1.3.3.1) - CC 18 SLU - Classe 3
Sollecitazioni: N,Ed=-2546.41 Myeq,Ed=10.43 Mzeq,Ed=4.60
Resistenze: Nc,Rd=23709.20 My,c,Rd=149.05 Mz,c,Rd=149.05 L=19.38
λ_c=10.59 Ncr,y=1673810.00 λ^*_y=0.12 Curva b: Φ_y=0.49 χ_y=1.00
λ_e=20.13 Ncr,z=462890.00 λ^*_z=0.23 Curva b: Φ_z=0.53 χ_z=0.99
χ,min=0.99
Verifica: 0.11+0.07+0.03=0.21

- Verifica Freccia massima carichi totali - CC 24
$f_{Z,G}$=0.00 (L/10388)

- Verifica a compressione [4.2.9] - CC 18 SLU Xl=0.04 - Classe 1
Sollecitazioni: N=-2546.29 T_z=-112.27 T_y=49.84
N,Ed=-2546.29 Nc,Rd=-23709.20 N,Ed/Nc,Rd=0.11
Verifiche di duttilità [7.5.3]:
q_0=4.00 N,Ed=-2546.29 Npl,Rd=23709.20 N,Ed/Npl,Rd=0.107400

- Verifica a taglio dir. Y [4.2.16] - CC 18 SLU Xl=0.04
Sollecitazioni: N=-2546.29 T_z=-112.27 T_y=49.84
V,Ed=49.84 Vc,Rd=7560.76 V,Ed/Vc,Rd=0.01

- Verifica a taglio dir. Z [4.2.16]
V,Ed=-112.27 Vc,Rd=7560.76 V,Ed/Vc,Rd=0.01

Asta n. 1276 (-499 1331) angolari L50x10 Crit. 1

- Verifica di stabilità aste presso-inflesse (C4.2.4.1.3.3.1) - CC 18 SLU - Classe 3
Sollecitazioni: N,Ed=-2725.70 Myeq,Ed=-8.80 Mzeq,Ed=15.82
Resistenze: Nc,Rd=23709.20 My,c,Rd=149.05 Mz,c,Rd=149.05 L=19.38
λ_c=10.59 Ncr,y=1673810.00 λ^*_y=0.12 Curva b: Φ_y=0.49 χ_y=1.00
λ_e=20.13 Ncr,z=462891.00 λ^*_z=0.23 Curva b: Φ_z=0.53 χ_z=0.99
χ,min=0.99
Verifica: 0.11+0.06+0.11=0.28

- Verifica Freccia massima carichi totali - CC 24
$f_{Z,G}$=0.00 (L/9055)

- Verifica a compressione [4.2.9] - CC 9 SLU Xl=0.04 - Classe 1
Sollecitazioni: N=-2419.08 T_z=107.06 T_y=166.43
N,Ed=-2419.08 Nc,Rd=-23709.20 N,Ed/Nc,Rd=0.10
Verifiche di duttilità [7.5.3]:
q_0=4.00 N,Ed=-2419.08 Npl,Rd=23709.20 N,Ed/Npl,Rd=0.102030

- Verifica a taglio dir. Y [4.2.16] - CC 9 SLU Xl=0.04
Sollecitazioni: N=-2419.08 T_z=107.06 T_y=166.43
V,Ed=166.43 Vc,Rd=7560.76 V,Ed/Vc,Rd=0.02

- Verifica a taglio dir. Z [4.2.16]
V,Ed=107.06 Vc,Rd=7560.76 V,Ed/Vc,Rd=0.01

Asta n. 1277 (-59 -91) angolari L50x10 Crit. 1

- Verifica di stabilità aste inflesse (4.2.4.1.3.2) CC 1 SLV - Classe 3
  L_{cr}=0.19 Curva d: α_{imp}=0.76 k_c=0.94 ψ=1.90 M,cr=0.00 λ_{LT}=0.00
  $\lambda_{LT,0}$=0.20 β_{LT}=1.00 Φ_{LT}=0.00 β_{LT}=1.00 f=0.00 χ_{LT}=1.00
  CC 1 SLV My,Ed=3.34 My,b,Rd=149.05 My,Ed/My,b,Rd=0.02

- Verifica di stabilità aste presso-inflesse (C4.2.4.1.3.3.1) - CC 17 SLU - Classe 3
  Sollecitazioni: N,Ed=-1269.45 Myeq,Ed=6.91 Mzeq,Ed=1.69
  Resistenze: Nc,Rd=23709.20 My,c,Rd=149.05 Mz,c,Rd=149.05 L=19.38
  λ_c=10.59 Ncr,y=1673810.00 λ^*_y=0.12 Curva b: Φ_y=0.49 χ_y=1.00
  λ_e=20.13 Ncr,z=462889.00 λ^*_z=0.23 Curva b: Φ_z=0.53 χ_z=0.99
  χ,min=0.99
  Verifica: 0.05+0.05+0.01=0.11

- Verifica a compressione [4.2.9] - CC 17 SLU Xl=0.16 - Classe 1
  Sollecitazioni: N=-1268.46 T_z=77.56 T_y=-11.49
  N,Ed=-1268.46 Nc,Rd=-23709.20 N,Ed/Nc,Rd=0.05
  Verifiche di duttilità [7.5.3]:
  q_0=4.00 N,Ed=-1268.46 Npl,Rd=23709.20 N,Ed/Npl,Rd=0.053501

- Verifica a taglio dir. Y [4.2.16] - CC 19 SLU Xl=0.17
  Sollecitazioni: N=-1058.83 T_z=81.37 T_y=26.57
  V,Ed=26.57 Vc,Rd=7560.76 V,Ed/Vc,Rd=0.00

- Verifica a taglio dir. Z [4.2.16]
  V,Ed=81.37 Vc,Rd=7560.76 V,Ed/Vc,Rd=0.01

Asta n. 1277 (-91 -123) angolari L50x10 Crit. 1

- Verifica di stabilità aste inflesse (4.2.4.1.3.2) CC 1 SLV - Classe 3
  L_{cr}=0.19 Curva d: α_{imp}=0.76 k_c=0.94 ψ=2.47 M,cr=0.00 λ_{LT}=0.00
  $\lambda_{LT,0}$=0.20 β_{LT}=1.00 Φ_{LT}=0.00 β_{LT}=1.00 f=0.00 χ_{LT}=1.00
  CC 1 SLV My,Ed=2.31 My,b,Rd=149.05 My,Ed/My,b,Rd=0.02

- Verifica di stabilità aste presso-inflesse (C4.2.4.1.3.3.1) - CC 17 SLU - Classe 3
  Sollecitazioni: N,Ed=-1169.21 Myeq,Ed=6.35 Mzeq,Ed=1.82
  Resistenze: Nc,Rd=23709.20 My,c,Rd=149.05 Mz,c,Rd=149.05 L=19.38
  λ_c=10.59 Ncr,y=1673810.00 λ^*_y=0.12 Curva b: Φ_y=0.49 χ_y=1.00
  λ_e=20.13 Ncr,z=462890.00 λ^*_z=0.23 Curva b: Φ_z=0.53 χ_z=0.99
  χ,min=0.99
  Verifica: 0.05+0.04+0.01=0.10

- Verifica a compressione [4.2.9] - CC 17 SLU Xl=0.12 - Classe 1
  Sollecitazioni: N=-1168.36 T_z=67.99 T_y=-17.38
  N,Ed=-1168.36 Nc,Rd=-23709.20 N,Ed/Nc,Rd=0.05
  Verifiche di duttilità [7.5.3]:
  q_0=4.00 N,Ed=-1168.36 Npl,Rd=23709.20 N,Ed/Npl,Rd=0.049279

- Verifica a taglio dir. Y [4.2.16] - CC 19 SLU Xl=0.12
  Sollecitazioni: N=-951.92 T_z=72.28 T_y=22.16
  V,Ed=22.16 Vc,Rd=7560.76 V,Ed/Vc,Rd=0.00

- Verifica a taglio dir. Z [4.2.16]
  V,Ed=72.28 Vc,Rd=7560.76 V,Ed/Vc,Rd=0.01

Asta n. 1277 (-123 -155) angolari L50x10 Crit. 1

- Verifica di stabilità aste inflesse (4.2.4.1.3.2) CC 16 SLU - Classe 3

L_{cr}=0.19 Curva d: α_{imp}=0.76 k_c=0.94 ψ=2.74 M,cr=0.00 λ_{LT}=0.00
$\lambda_{LT,0}$=0.20 β_{LT}=1.00 Φ_{LT}=0.00 β_{LT}=1.00 f=0.00 χ_{LT}=1.00
CC 16 SLU My,Ed=-3.87 My,b,Rd=149.05 My,Ed/My,b,Rd=0.03

- Verifica di stabilità aste presso-inflesse (C4.2.4.1.3.3.1) - CC 17 SLU - Classe 3
Sollecitazioni: N,Ed=-1042.01 Myeq,Ed=5.60 Mzeq,Ed=1.60
Resistenze: Nc,Rd=23709.20 My,c,Rd=149.05 Mz,c,Rd=149.05 L=19.38
λ_c=10.59 Ncr,y=1673810.00 λ^*_y=0.12 Curva b: Φ_y=0.49 χ_y=1.00
λ_e=20.13 Ncr,z=462889.00 λ^*_z=0.23 Curva b: Φ_z=0.53 χ_z=0.99
χ,min=0.99
Verifica: 0.04+0.04+0.01=0.09

- Verifica a compressione [4.2.9] - CC 17 SLU Xl=0.10 - Classe 1
Sollecitazioni: N=-1041.28 T_z=68.48 T_y=-16.22
N,Ed=-1041.28 Nc,Rd=-23709.20 N,Ed/Nc,Rd=0.04
Verifiche di duttilità [7.5.3]:
q_0=4.00 N,Ed=-1041.28 Npl,Rd=23709.20 N,Ed/Npl,Rd=0.043919

- Verifica a taglio dir. Y [4.2.16] - CC 19 SLU Xl=0.10
Sollecitazioni: N=-815.09 T_z=73.46 T_y=23.49
V,Ed=23.49 Vc,Rd=7560.76 V,Ed/Vc,Rd=0.00

- Verifica a taglio dir. Z [4.2.16]
V,Ed=73.46 Vc,Rd=7560.76 V,Ed/Vc,Rd=0.01

Asta n. 1277 (-155 -187) angolari L50x10 Crit. 1

- Verifica di stabilità aste inflesse (4.2.4.1.3.2) CC 20 SLU - Classe 3
L_{cr}=0.19 Curva d: α_{imp}=0.76 k_c=0.94 ψ=2.63 M,cr=0.00 λ_{LT}=0.00
$\lambda_{LT,0}$=0.20 β_{LT}=1.00 Φ_{LT}=0.00 β_{LT}=1.00 f=0.00 χ_{LT}=1.00
CC 20 SLU My,Ed=-4.25 My,b,Rd=149.05 My,Ed/My,b,Rd=0.03

- Verifica di stabilità aste presso-inflesse (C4.2.4.1.3.3.1) - CC 17 SLU - Classe 3
Sollecitazioni: N,Ed=-906.24 Myeq,Ed=5.32 Mzeq,Ed=1.51
Resistenze: Nc,Rd=23709.20 My,c,Rd=149.05 Mz,c,Rd=149.05 L=19.38
λ_c=10.59 Ncr,y=1673810.00 λ^*_y=0.12 Curva b: Φ_y=0.49 χ_y=1.00
λ_e=20.13 Ncr,z=462890.00 λ^*_z=0.23 Curva b: Φ_z=0.53 χ_z=0.99
χ,min=0.99
Verifica: 0.04+0.04+0.01=0.08

- Verifica a compressione [4.2.9] - CC 17 SLU Xl=0.10 - Classe 1
Sollecitazioni: N=-905.52 T_z=68.60 T_y=-15.07
N,Ed=-905.52 Nc,Rd=-23709.20 N,Ed/Nc,Rd=0.04
Verifiche di duttilità [7.5.3]:
q_0=4.00 N,Ed=-905.52 Npl,Rd=23709.20 N,Ed/Npl,Rd=0.038193

- Verifica a taglio dir. Y [4.2.16] - CC 19 SLU Xl=0.09
Sollecitazioni: N=-667.79 T_z=74.22 T_y=24.93
V,Ed=24.93 Vc,Rd=7560.76 V,Ed/Vc,Rd=0.00

- Verifica a taglio dir. Z [4.2.16]
V,Ed=74.22 Vc,Rd=7560.76 V,Ed/Vc,Rd=0.01

Asta n. 1277 (-187 -219) angolari L50x10 Crit. 1

- Verifica di stabilità aste inflesse (4.2.4.1.3.2) CC 18 SLU - Classe 3
L_{cr}=0.19 Curva d: α_{imp}=0.76 k_c=0.94 ψ=2.56 M,cr=0.00 λ_{LT}=0.00
$\lambda_{LT,0}$=0.20 β_{LT}=1.00 Φ_{LT}=0.00 β_{LT}=1.00 f=0.00 χ_{LT}=1.00

CC 18 SLU My,Ed=-5.40 My,b,Rd=149.05 My,Ed/My,b,Rd=0.04

- Verifica di stabilità aste presso-inflesse (C4.2.4.1.3.3.1) - CC 17 SLU - Classe 3
Sollecitazioni: N,Ed=-766.05 Myeq,Ed=5.14 Mzeq,Ed=1.45
Resistenze: Nc,Rd=23709.20 My,c,Rd=149.05 Mz,c,Rd=149.05 L=19.38
λ_c=10.59 Ncr,y=1673810.00 λ^*_y=0.12 Curva b: Φ_y=0.49 χ_y=1.00
λ_e=20.13 Ncr,z=462890.00 λ^*_z=0.23 Curva b: Φ_z=0.53 χ_z=0.99
χ,min=0.99
Verifica: 0.03+0.03+0.01=0.08

- Verifica a compressione [4.2.9] - CC 17 SLU Xl=0.10 - Classe 1
Sollecitazioni: N=-765.32 T_z=68.61 T_y=-13.99
N,Ed=-765.32 Nc,Rd=-23709.20 N,Ed/Nc,Rd=0.03
Verifiche di duttilità [7.5.3]:
q_0=4.00 N,Ed=-765.32 Npl,Rd=23709.20 N,Ed/Npl,Rd=0.032280

- Verifica a taglio dir. Y [4.2.16] - CC 19 SLU Xl=0.09
Sollecitazioni: N=-514.15 T_z=74.96 T_y=26.32
V,Ed=26.32 Vc,Rd=7560.76 V,Ed/Vc,Rd=0.00

- Verifica a taglio dir. Z [4.2.16]
V,Ed=74.96 Vc,Rd=7560.76 V,Ed/Vc,Rd=0.01

Asta n. 1277 (-219 -251) angolari L50x10 Crit. 1

- Verifica di stabilità aste inflesse (4.2.4.1.3.2) CC 18 SLU - Classe 3
L_{cr}=0.19 Curva d: α_{imp}=0.76 k_c=0.94 ψ=2.49 M,cr=0.00 λ_{LT}=0.00
$\lambda_{LT,0}$=0.20 β_{LT}=1.00 Φ_{LT}=0.00 β_{LT}=1.00 f=0.00 χ_{LT}=1.00
CC 18 SLU My,Ed=-5.61 My,b,Rd=149.05 My,Ed/My,b,Rd=0.04

- Verifica di stabilità aste presso-inflesse (C4.2.4.1.3.3.1) - CC 19 SLU - Classe 3
Sollecitazioni: N,Ed=-355.58 Myeq,Ed=-5.97 Mzeq,Ed=2.60
Resistenze: Nc,Rd=23709.20 My,c,Rd=149.05 Mz,c,Rd=149.05 L=19.38
λ_c=10.59 Ncr,y=1673810.00 λ^*_y=0.12 Curva b: Φ_y=0.49 χ_y=1.00
λ_e=20.13 Ncr,z=462889.00 λ^*_z=0.23 Curva b: Φ_z=0.53 χ_z=0.99
χ,min=0.99
Verifica: 0.01+0.04+0.02=0.07

- Verifica a compressione [4.2.9] - CC 17 SLU Xl=0.10 - Classe 1
Sollecitazioni: N=-621.43 T_z=68.79 T_y=-12.86
N,Ed=-621.43 Nc,Rd=-23709.20 N,Ed/Nc,Rd=0.03
Verifiche di duttilità [7.5.3]:
q_0=4.00 N,Ed=-621.43 Npl,Rd=23709.20 N,Ed/Npl,Rd=0.026211

- Verifica a taglio dir. Y [4.2.16] - CC 19 SLU Xl=0.09
Sollecitazioni: N=-354.98 T_z=75.84 T_y=27.81
V,Ed=27.81 Vc,Rd=7560.76 V,Ed/Vc,Rd=0.00

- Verifica a taglio dir. Z [4.2.16]
V,Ed=75.84 Vc,Rd=7560.76 V,Ed/Vc,Rd=0.01

Asta n. 1277 (-251 -283) angolari L50x10 Crit. 1

- Verifica di stabilità aste inflesse (4.2.4.1.3.2) CC 18 SLU - Classe 3
L_{cr}=0.19 Curva d: α_{imp}=0.76 k_c=0.94 ψ=2.42 M,cr=0.00 λ_{LT}=0.00
$\lambda_{LT,0}$=0.20 β_{LT}=1.00 Φ_{LT}=0.00 β_{LT}=1.00 f=0.00 χ_{LT}=1.00
CC 18 SLU My,Ed=-5.84 My,b,Rd=149.05 My,Ed/My,b,Rd=0.04

- Verifica di stabilità aste presso-inflesse (C4.2.4.1.3.3.1) - CC 19 SLU - Classe 3
  Sollecitazioni: N,Ed=-190.71 Myeq,Ed=-6.24 Mzeq,Ed=2.74
  Resistenze: Nc,Rd=23709.20 My,c,Rd=149.05 Mz,c,Rd=149.05 L=19.38
  λ_c=10.59 Ncr,y=1673810.00 λ^*_y=0.12 Curva b: Φ_y=0.49 χ_y=1.00
  λ_e=20.13 Ncr,z=462889.00 λ^*_z=0.23 Curva b: Φ_z=0.53 χ_z=0.99
  χ,min=0.99
  Verifica: 0.01+0.04+0.02=0.07

- Verifica in termini tensionali [4.2.4] - CC 17 SLU Xl=0.03 - Classe 3
  Sollecitazioni: N=-474.52 T_z=68.97 M_y=4.85 T_y=-11.73 M_z=1.79 (M_c=2.16 M_e=4.69)
  Tensioni: σ_N=-52.42 σ_M=-126.49 τ=0.00 σ_{max}=-178.91
  Tensioni: σ_N=-52.42 σ_M=-23.17 τ=19.97 τ_{max}=19.97
  Tensioni: σ_N=-52.42 σ_M=-126.49 τ=0.00 $\sigma_{ID,max}$=178.91

- Verifica a taglio dir. Y [4.2.16] - CC 19 SLU Xl=0.08
  Sollecitazioni: N=-190.23 T_z=76.80 T_y=29.35
  V,Ed=29.35 Vc,Rd=7560.76 V,Ed/Vc,Rd=0.00

- Verifica a taglio dir. Z [4.2.16]
  V,Ed=76.80 Vc,Rd=7560.76 V,Ed/Vc,Rd=0.01

Asta n. 1277 (-283 -315) angolari L50x10 Crit. 1

- Verifica di stabilità aste inflesse (4.2.4.1.3.2) CC 18 SLU - Classe 3
  L_{cr}=0.19 Curva d: α_{imp}=0.76 k_c=0.94 ψ=2.36 M,cr=0.00 λ_{LT}=0.00
  $\lambda_{LT,0}$=0.20 β_{LT}=1.00 Φ_{LT}=0.00 β_{LT}=1.00 f=0.00 χ_{LT}=1.00
  CC 18 SLU My,Ed=-6.09 My,b,Rd=149.05 My,Ed/My,b,Rd=0.04

- Verifica di stabilità aste presso-inflesse (C4.2.4.1.3.3.1) - CC 19 SLU - Classe 3
  Sollecitazioni: N,Ed=-19.76 Myeq,Ed=-6.53 Mzeq,Ed=2.89
  Resistenze: Nc,Rd=23709.20 My,c,Rd=149.05 Mz,c,Rd=149.05 L=19.38
  λ_c=10.59 Ncr,y=1673810.00 λ^*_y=0.12 Curva b: Φ_y=0.49 χ_y=1.00
  λ_e=20.13 Ncr,z=462889.00 λ^*_z=0.23 Curva b: Φ_z=0.53 χ_z=0.99
  χ,min=0.99
  Verifica: 0.00+0.04+0.02=0.06

- Verifica a trazione [4.2.5] - CC 16 SLU Xl=0.09 - Classe 1
  Sollecitazioni: N=564.70 T_z=46.04 T_y=48.44
  N,Ed=564.70 Npl,Rd=23709.20 Nu,Rd=28026.90 N,Ed/Nt,Rd=0.02
  Verifiche di duttilità [7.5.3]:
  q_0=4.00 N,Ed=564.70 Npl,Rd=23709.20 N,Ed/Npl,Rd=0.023818

- Verifica a taglio dir. Y [4.2.16] - CC 19 SLU Xl=0.08
  Sollecitazioni: N=-19.28 T_z=77.80 T_y=30.93
  V,Ed=30.93 Vc,Rd=7560.76 V,Ed/Vc,Rd=0.00

- Verifica a taglio dir. Z [4.2.16]
  V,Ed=77.80 Vc,Rd=7560.76 V,Ed/Vc,Rd=0.01

Asta n. 1277 (-315 -347) angolari L50x10 Crit. 1

- Verifica di stabilità aste inflesse (4.2.4.1.3.2) CC 19 SLU - Classe 3
  L_{cr}=0.19 Curva d: α_{imp}=0.76 k_c=0.94 ψ=2.57 M,cr=0.00 λ_{LT}=0.00
  $\lambda_{LT,0}$=0.20 β_{LT}=1.00 Φ_{LT}=0.00 β_{LT}=1.00 f=0.00 χ_{LT}=1.00
  CC 19 SLU My,Ed=-6.84 My,b,Rd=149.05 My,Ed/My,b,Rd=0.05

- Verifica di stabilità aste presso-inflesse (C4.2.4.1.3.3.1) - CC 17 SLU - Classe 3
  Sollecitazioni: N,Ed=-167.09 Myeq,Ed=-5.46 Mzeq,Ed=1.27
  Resistenze: Nc,Rd=23709.20 My,c,Rd=149.05 Mz,c,Rd=149.05 L=19.38

λ_c=10.59 Ncr,y=1673810.00 λ^*_y=0.12 Curva b: Φ_y=0.49 χ_y=1.00
λ_e=20.13 Ncr,z=462889.00 λ^*_z=0.23 Curva b: Φ_z=0.53 χ_z=0.99
χ,min=0.99
Verifica: 0.01+0.04+0.01=0.05

- Verifica a trazione [4.2.5] - CC 16 SLU Xl=0.08 - Classe 1
Sollecitazioni: N=670.77 T_z=45.68 T_y=48.23
N,Ed=670.77 Npl,Rd=23709.20 Nu,Rd=28026.90 N,Ed/Nt,Rd=0.03
Verifiche di duttilità [7.5.3]:
q_0=4.00 N,Ed=670.77 Npl,Rd=23709.20 N,Ed/Npl,Rd=0.028291

- Verifica a taglio dir. Y [4.2.16] - CC 19 SLU Xl=0.08
Sollecitazioni: N=158.16 T_z=78.83 T_y=32.55
V,Ed=32.55 Vc,Rd=7560.76 V,Ed/Vc,Rd=0.00

- Verifica a taglio dir. Z [4.2.16]
V,Ed=78.83 Vc,Rd=7560.76 V,Ed/Vc,Rd=0.01

Asta n. 1277 (-347 -379) angolari L50x10 Crit. 1

- Verifica di stabilità aste inflesse (4.2.4.1.3.2) CC 19 SLU - Classe 3
L_{cr}=0.19 Curva d: α_{imp}=0.76 k_c=0.94 ψ=2.49 M,cr=0.00 λ_{LT}=0.00
$\lambda_{LT,0}$=0.20 β_{LT}=1.00 Φ_{LT}=0.00 β_{LT}=1.00 f=0.00 χ_{LT}=1.00
CC 19 SLU My,Ed=-7.19 My,b,Rd=149.05 My,Ed/My,b,Rd=0.05

- Verifica di stabilità aste presso-inflesse (C4.2.4.1.3.3.1) - CC 5 SLV - Classe 3
Sollecitazioni: N,Ed=-221.59 Myeq,Ed=-2.99 Mzeq,Ed=3.22
Resistenze: Nc,Rd=23709.20 My,c,Rd=149.05 Mz,c,Rd=149.05 L=19.38
λ_c=10.59 Ncr,y=1673810.00 λ^*_y=0.12 Curva b: Φ_y=0.49 χ_y=1.00
λ_e=20.13 Ncr,z=462889.00 λ^*_z=0.23 Curva b: Φ_z=0.53 χ_z=0.99
χ,min=0.99
Verifica: 0.01+0.02+0.02=0.05

- Verifica a trazione [4.2.5] - CC 18 SLU Xl=0.08 - Classe 1
Sollecitazioni: N=813.62 T_z=65.40 T_y=67.98
N,Ed=813.62 Npl,Rd=23709.20 Nu,Rd=28026.90 N,Ed/Nt,Rd=0.03
Verifiche di duttilità [7.5.3]:
q_0=4.00 N,Ed=813.62 Npl,Rd=23709.20 N,Ed/Npl,Rd=0.034317

- Verifica a taglio dir. Y [4.2.16] - CC 19 SLU Xl=0.08
Sollecitazioni: N=342.55 T_z=80.01 T_y=34.26
V,Ed=34.26 Vc,Rd=7560.76 V,Ed/Vc,Rd=0.00

- Verifica a taglio dir. Z [4.2.16]
V,Ed=80.01 Vc,Rd=7560.76 V,Ed/Vc,Rd=0.01

Asta n. 1277 (-379 -411) angolari L50x10 Crit. 1

- Verifica di stabilità aste inflesse (4.2.4.1.3.2) CC 19 SLU - Classe 3
L_{cr}=0.19 Curva d: α_{imp}=0.76 k_c=0.94 ψ=2.41 M,cr=0.00 λ_{LT}=0.00
$\lambda_{LT,0}$=0.20 β_{LT}=1.00 Φ_{LT}=0.00 β_{LT}=1.00 f=0.00 χ_{LT}=1.00
CC 19 SLU My,Ed=-7.56 My,b,Rd=149.05 My,Ed/My,b,Rd=0.05

- Verifica di stabilità aste presso-inflesse (C4.2.4.1.3.3.1) - CC 5 SLV - Classe 3
Sollecitazioni: N,Ed=-216.77 Myeq,Ed=-3.05 Mzeq,Ed=3.29
Resistenze: Nc,Rd=23709.20 My,c,Rd=149.05 Mz,c,Rd=149.05 L=19.38
λ_c=10.59 Ncr,y=1673810.00 λ^*_y=0.12 Curva b: Φ_y=0.49 χ_y=1.00
λ_e=20.13 Ncr,z=462890.00 λ^*_z=0.23 Curva b: Φ_z=0.53 χ_z=0.99

χ,min=0.99
Verifica: 0.01+0.02+0.02=0.05

- Verifica a trazione [4.2.5] - CC 18 SLU Xl=0.08 - Classe 1
Sollecitazioni: N=972.52 T_z=66.21 T_y=68.98
N,Ed=972.52 Npl,Rd=23709.20 Nu,Rd=28026.90 N,Ed/Nt,Rd=0.04
Verifiche di duttilità [7.5.3]:
q_0=4.00 N,Ed=972.52 Npl,Rd=23709.20 N,Ed/Npl,Rd=0.041019

- Verifica a taglio dir. Y [4.2.16] - CC 19 SLU Xl=0.06
Sollecitazioni: N=534.34 T_z=81.21 T_y=36.06
V,Ed=36.06 Vc,Rd=7560.76 V,Ed/Vc,Rd=0.00

- Verifica a taglio dir. Z [4.2.16]
V,Ed=81.21 Vc,Rd=7560.76 V,Ed/Vc,Rd=0.01

Asta n. 1277 (-411 -443) angolari L50x10 Crit. 1

- Verifica di stabilità aste inflesse (4.2.4.1.3.2) CC 19 SLU - Classe 3
L_{cr}=0.19 Curva d: α_{imp}=0.76 k_c=0.94 ψ=2.33 M,cr=0.00 λ_{LT}=0.00
$\lambda_{LT,0}$=0.20 β_{LT}=1.00 Φ_{LT}=0.00 β_{LT}=1.00 f=0.00 χ_{LT}=1.00
CC 19 SLU My,Ed=-7.99 My,b,Rd=149.05 My,Ed/My,b,Rd=0.05

- Verifica di stabilità aste presso-inflesse (C4.2.4.1.3.3.1) - CC 5 SLV - Classe 3
Sollecitazioni: N,Ed=-211.56 Myeq,Ed=-3.12 Mzeq,Ed=3.34
Resistenze: Nc,Rd=23709.20 My,c,Rd=149.05 Mz,c,Rd=149.05 L=19.38
λ_c=10.59 Ncr,y=1673810.00 λ^*_y=0.12 Curva b: Φ_y=0.49 χ_y=1.00
λ_e=20.13 Ncr,z=462889.00 λ^*_z=0.23 Curva b: Φ_z=0.53 χ_z=0.99
χ,min=0.99
Verifica: 0.01+0.02+0.02=0.05

- Verifica a trazione [4.2.5] - CC 18 SLU Xl=0.06 - Classe 1
Sollecitazioni: N=1137.59 T_z=67.37 T_y=69.45
N,Ed=1137.59 Npl,Rd=23709.20 Nu,Rd=28026.90 N,Ed/Nt,Rd=0.05
Verifiche di duttilità [7.5.3]:
q_0=4.00 N,Ed=1137.59 Npl,Rd=23709.20 N,Ed/Npl,Rd=0.047981

- Verifica a taglio dir. Y [4.2.16] - CC 19 SLU Xl=0.06
Sollecitazioni: N=734.30 T_z=82.67 T_y=37.49
V,Ed=37.49 Vc,Rd=7560.76 V,Ed/Vc,Rd=0.00

- Verifica a taglio dir. Z [4.2.16]
V,Ed=82.67 Vc,Rd=7560.76 V,Ed/Vc,Rd=0.01

Asta n. 1277 (-443 -475) angolari L50x10 Crit. 1

- Verifica di stabilità aste inflesse (4.2.4.1.3.2) CC 19 SLU - Classe 3
L_{cr}=0.19 Curva d: α_{imp}=0.76 k_c=0.94 ψ=2.25 M,cr=0.00 λ_{LT}=0.00
$\lambda_{LT,0}$=0.20 β_{LT}=1.00 Φ_{LT}=0.00 β_{LT}=1.00 f=0.00 χ_{LT}=1.00
CC 19 SLU My,Ed=-8.38 My,b,Rd=149.05 My,Ed/My,b,Rd=0.06

- Verifica di stabilità aste presso-inflesse (C4.2.4.1.3.3.1) - CC 5 SLV - Classe 3
Sollecitazioni: N,Ed=-205.94 Myeq,Ed=-3.11 Mzeq,Ed=3.56
Resistenze: Nc,Rd=23709.20 My,c,Rd=149.05 Mz,c,Rd=149.05 L=19.38
λ_c=10.59 Ncr,y=1673810.00 λ^*_y=0.12 Curva b: Φ_y=0.49 χ_y=1.00
λ_e=20.13 Ncr,z=462889.00 λ^*_z=0.23 Curva b: Φ_z=0.53 χ_z=0.99
χ,min=0.99
Verifica: 0.01+0.02+0.02=0.05

- Verifica a trazione [4.2.5] - CC 18 SLU Xl=0.06 - Classe 1
  Sollecitazioni: N=1309.21 T_z=66.89 T_y=74.21
  N,Ed=1309.21 Npl,Rd=23709.20 Nu,Rd=28026.90 N,Ed/Nt,Rd=0.06
  Verifiche di duttilità [7.5.3]:
  q_0=4.00 N,Ed=1309.21 Npl,Rd=23709.20 N,Ed/Npl,Rd=0.055219

- Verifica a taglio dir. Y [4.2.16] - CC 19 SLU Xl=0.06
  Sollecitazioni: N=942.49 T_z=83.25 T_y=42.34
  V,Ed=42.34 Vc,Rd=7560.76 V,Ed/Vc,Rd=0.01

- Verifica a taglio dir. Z [4.2.16]
  V,Ed=83.25 Vc,Rd=7560.76 V,Ed/Vc,Rd=0.01

Asta n. 1277 (-475 -507) angolari L50x10 Crit. 1

- Verifica di stabilità aste inflesse (4.2.4.1.3.2) CC 19 SLU - Classe 3
  L_{cr}=0.19 Curva d: α_{imp}=0.76 k_c=0.94 ψ=2.10 M,cr=0.00 λ_{LT}=0.00
  $\lambda_{LT,0}$=0.20 β_{LT}=1.00 Φ_{LT}=0.00 β_{LT}=1.00 f=0.00 χ_{LT}=1.00
  CC 19 SLU My,Ed=-9.92 My,b,Rd=149.05 My,Ed/My,b,Rd=0.07

- Verifica di stabilità aste presso-inflesse (C4.2.4.1.3.3.1) - CC 5 SLV - Classe 3
  Sollecitazioni: N,Ed=-211.09 Myeq,Ed=-3.74 Mzeq,Ed=2.62
  Resistenze: Nc,Rd=23709.20 My,c,Rd=149.05 Mz,c,Rd=149.05 L=19.38
  λ_c=10.59 Ncr,y=1673810.00 λ^*_y=0.12 Curva b: Φ_y=0.49 χ_y=1.00
  λ_e=20.13 Ncr,z=462890.00 λ^*_z=0.23 Curva b: Φ_z=0.53 χ_z=0.99
  χ,min=0.99
  Verifica: 0.01+0.03+0.02=0.05

- Verifica a trazione [4.2.5] - CC 18 SLU Xl=0.05 - Classe 1
  Sollecitazioni: N=1485.64 T_z=77.94 T_y=50.54
  N,Ed=1485.64 Npl,Rd=23709.20 Nu,Rd=28026.90 N,Ed/Nt,Rd=0.06
  Verifiche di duttilità [7.5.3]:
  q_0=4.00 N,Ed=1485.64 Npl,Rd=23709.20 N,Ed/Npl,Rd=0.062661

- Verifica a taglio dir. Y [4.2.16] - CC 19 SLU Xl=0.06
  Sollecitazioni: N=1156.75 T_z=90.42 T_y=24.55
  V,Ed=24.55 Vc,Rd=7560.76 V,Ed/Vc,Rd=0.00

- Verifica a taglio dir. Z [4.2.16]
  V,Ed=90.42 Vc,Rd=7560.76 V,Ed/Vc,Rd=0.01

Asta n. 1277 (-507 1351) angolari L50x10 Crit. 1

- Verifica di stabilità aste inflesse (4.2.4.1.3.2) CC 19 SLU - Classe 3
  L_{cr}=0.19 Curva d: α_{imp}=0.76 k_c=0.94 ψ=1.81 M,cr=0.00 λ_{LT}=0.00
  $\lambda_{LT,0}$=0.20 β_{LT}=1.00 Φ_{LT}=0.00 β_{LT}=1.00 f=0.00 χ_{LT}=1.00
  CC 19 SLU My,Ed=-6.35 My,b,Rd=149.05 My,Ed/My,b,Rd=0.04

- Verifica di stabilità aste presso-inflesse (C4.2.4.1.3.3.1) - CC 5 SLV - Classe 3
  Sollecitazioni: N,Ed=-223.53 Myeq,Ed=-1.83 Mzeq,Ed=7.49
  Resistenze: Nc,Rd=23709.20 My,c,Rd=149.05 Mz,c,Rd=149.05 L=19.38
  λ_c=10.59 Ncr,y=1673810.00 λ^*_y=0.12 Curva b: Φ_y=0.49 χ_y=1.00
  λ_e=20.13 Ncr,z=462891.00 λ^*_z=0.23 Curva b: Φ_z=0.53 χ_z=0.99
  χ,min=0.99
  Verifica: 0.01+0.01+0.05=0.07

- Verifica in termini tensionali [4.2.4] - CC 18 SLU Xl=0.14 - Classe 3

Sollecitazioni: N=1655.32 T_z=19.47 M_y=-3.11 T_y=196.29 M_z=21.59 (M_c=-17.46 M_e=13.07)
Tensioni: σ_N=182.85 σ_M=447.46 τ=8.39 σ_{max}=630.31
Tensioni: σ_N=182.85 σ_M=-83.20 τ=56.64 τ_{max}=56.64
Tensioni: σ_N=182.85 σ_M=447.46 τ=8.39 $\sigma_{ID,max}$=630.48

- Verifica a taglio dir. Y [4.2.16] - CC 9 SLU Xl=0.04
Sollecitazioni: N=1251.17 T_z=39.87 T_y=170.52
V,Ed=170.52 Vc,Rd=7560.76 V,Ed/Vc,Rd=0.02

- Verifica a taglio dir. Z [4.2.16]
V,Ed=39.87 Vc,Rd=7560.76 V,Ed/Vc,Rd=0.01

Asta n. 1278 (-63 -95) angolari L50x10 Crit. 1

- Verifica di stabilità aste inflesse (4.2.4.1.3.2) CC 1 SLV - Classe 3
L_{cr}=0.19 Curva d: α_{imp}=0.76 k_c=0.94 ψ=1.85 M,cr=0.00 λ_{LT}=0.00
$\lambda_{LT,0}$=0.20 β_{LT}=1.00 Φ_{LT}=0.00 β_{LT}=1.00 f=0.00 χ_{LT}=1.00
CC 1 SLV My,Ed=2.91 My,b,Rd=149.05 My,Ed/My,b,Rd=0.02

- Verifica di stabilità aste presso-inflesse (C4.2.4.1.3.3.1) - CC 17 SLU - Classe 3
Sollecitazioni: N,Ed=-1159.04 Myeq,Ed=5.60 Mzeq,Ed=2.35
Resistenze: Nc,Rd=23709.20 My,c,Rd=149.05 Mz,c,Rd=149.05 L=19.38
λ_c=10.59 Ncr,y=1673810.00 λ^*_y=0.12 Curva b: Φ_y=0.49 χ_y=1.00
λ_e=20.13 Ncr,z=462889.00 λ^*_z=0.23 Curva b: Φ_z=0.53 χ_z=0.99
χ,min=0.99
Verifica: 0.05+0.04+0.02=0.10

- Verifica a compressione [4.2.9] - CC 17 SLU Xl=0.16 - Classe 1
Sollecitazioni: N=-1158.04 T_z=60.47 T_y=-20.25
N,Ed=-1158.04 Nc,Rd=-23709.20 N,Ed/Nc,Rd=0.05
Verifiche di duttilità [7.5.3]:
q_0=4.00 N,Ed=-1158.04 Npl,Rd=23709.20 N,Ed/Npl,Rd=0.048843

- Verifica a taglio dir. Y [4.2.16] - CC 17 SLU Xl=0.17
Sollecitazioni: N=-1157.94 T_z=60.47 T_y=-20.25
V,Ed=-20.25 Vc,Rd=7560.76 V,Ed/Vc,Rd=0.00

- Verifica a taglio dir. Z [4.2.16]
V,Ed=60.47 Vc,Rd=7560.76 V,Ed/Vc,Rd=0.01

Asta n. 1278 (-95 -127) angolari L50x10 Crit. 1

- Verifica di stabilità aste inflesse (4.2.4.1.3.2) CC 1 SLV - Classe 3
L_{cr}=0.19 Curva d: α_{imp}=0.76 k_c=0.94 ψ=2.32 M,cr=0.00 λ_{LT}=0.00
$\lambda_{LT,0}$=0.20 β_{LT}=1.00 Φ_{LT}=0.00 β_{LT}=1.00 f=0.00 χ_{LT}=1.00
CC 1 SLV My,Ed=2.02 My,b,Rd=149.05 My,Ed/My,b,Rd=0.01

- Verifica di stabilità aste presso-inflesse (C4.2.4.1.3.3.1) - CC 17 SLU - Classe 3
Sollecitazioni: N,Ed=-1081.86 Myeq,Ed=4.86 Mzeq,Ed=2.44
Resistenze: Nc,Rd=23709.20 My,c,Rd=149.05 Mz,c,Rd=149.05 L=19.38
λ_c=10.59 Ncr,y=1673810.00 λ^*_y=0.12 Curva b: Φ_y=0.49 χ_y=1.00
λ_e=20.13 Ncr,z=462890.00 λ^*_z=0.23 Curva b: Φ_z=0.53 χ_z=0.99
χ,min=0.99
Verifica: 0.05+0.03+0.02=0.09

- Verifica a compressione [4.2.9] - CC 17 SLU Xl=0.12 - Classe 1
Sollecitazioni: N=-1081.02 T_z=52.08 T_y=-26.16
N,Ed=-1081.02 Nc,Rd=-23709.20 N,Ed/Nc,Rd=0.05
Verifiche di duttilità [7.5.3]:

q_0=4.00 N,Ed=-1081.02 Npl,Rd=23709.20 N,Ed/Npl,Rd=0.045595

- Verifica a taglio dir. Y [4.2.16] - CC 17 SLU Xl=0.14
  Sollecitazioni: N=-1080.78 T_z=52.08 T_y=-26.16
  V,Ed=-26.16 Vc,Rd=7560.76 V,Ed/Vc,Rd=0.00

- Verifica a taglio dir. Z [4.2.16]
  V,Ed=52.08 Vc,Rd=7560.76 V,Ed/Vc,Rd=0.01

Asta n. 1278 (-127 -159) angolari L50x10 Crit. 1

- Verifica di stabilità aste inflesse (4.2.4.1.3.2) CC 1 SLV - Classe 3
  L_{cr}=0.19 Curva d: α_{imp}=0.76 k_c=0.94 ψ=2.60 M,cr=0.00 λ_{LT}=0.00
  $\lambda_{LT,0}$=0.20 β_{LT}=1.00 Φ_{LT}=0.00 β_{LT}=1.00 f=0.00 χ_{LT}=1.00
  CC 1 SLV My,Ed=1.82 My,b,Rd=149.05 My,Ed/My,b,Rd=0.01

- Verifica di stabilità aste presso-inflesse (C4.2.4.1.3.3.1) - CC 17 SLU - Classe 3
  Sollecitazioni: N,Ed=-984.48 Myeq,Ed=4.54 Mzeq,Ed=2.35
  Resistenze: Nc,Rd=23709.20 My,c,Rd=149.05 Mz,c,Rd=149.05 L=19.38
  λ_c=10.59 Ncr,y=1673810.00 λ^*_y=0.12 Curva b: Φ_y=0.49 χ_y=1.00
  λ_e=20.13 Ncr,z=462889.00 λ^*_z=0.23 Curva b: Φ_z=0.53 χ_z=0.99
  χ,min=0.99
  Verifica: 0.04+0.03+0.02=0.09

- Verifica a compressione [4.2.9] - CC 17 SLU Xl=0.10 - Classe 1
  Sollecitazioni: N=-983.75 T_z=52.13 T_y=-25.13
  N,Ed=-983.75 Nc,Rd=-23709.20 N,Ed/Nc,Rd=0.04
  Verifiche di duttilità [7.5.3]:
  q_0=4.00 N,Ed=-983.75 Npl,Rd=23709.20 N,Ed/Npl,Rd=0.041492

- Verifica a taglio dir. Y [4.2.16] - CC 17 SLU Xl=0.13
  Sollecitazioni: N=-983.51 T_z=52.13 T_y=-25.13
  V,Ed=-25.13 Vc,Rd=7560.76 V,Ed/Vc,Rd=0.00

- Verifica a taglio dir. Z [4.2.16]
  V,Ed=52.13 Vc,Rd=7560.76 V,Ed/Vc,Rd=0.01

Asta n. 1278 (-159 -191) angolari L50x10 Crit. 1

- Verifica di stabilità aste inflesse (4.2.4.1.3.2) CC 16 SLU - Classe 3
  L_{cr}=0.19 Curva d: α_{imp}=0.76 k_c=0.94 ψ=2.71 M,cr=0.00 λ_{LT}=0.00
  $\lambda_{LT,0}$=0.20 β_{LT}=1.00 Φ_{LT}=0.00 β_{LT}=1.00 f=0.00 χ_{LT}=1.00
  CC 16 SLU My,Ed=-3.25 My,b,Rd=149.05 My,Ed/My,b,Rd=0.02

- Verifica di stabilità aste presso-inflesse (C4.2.4.1.3.3.1) - CC 17 SLU - Classe 3
  Sollecitazioni: N,Ed=-881.21 Myeq,Ed=4.31 Mzeq,Ed=2.26
  Resistenze: Nc,Rd=23709.20 My,c,Rd=149.05 Mz,c,Rd=149.05 L=19.38
  λ_c=10.59 Ncr,y=1673810.00 λ^*_y=0.12 Curva b: Φ_y=0.49 χ_y=1.00
  λ_e=20.13 Ncr,z=462890.00 λ^*_z=0.23 Curva b: Φ_z=0.53 χ_z=0.99
  χ,min=0.99
  Verifica: 0.04+0.03+0.02=0.08

- Verifica a compressione [4.2.9] - CC 17 SLU Xl=0.10 - Classe 1
  Sollecitazioni: N=-880.48 T_z=51.88 T_y=-24.18
  N,Ed=-880.48 Nc,Rd=-23709.20 N,Ed/Nc,Rd=0.04
  Verifiche di duttilità [7.5.3]:
  q_0=4.00 N,Ed=-880.48 Npl,Rd=23709.20 N,Ed/Npl,Rd=0.037137

- Verifica a taglio dir. Y [4.2.16] - CC 17 SLU Xl=0.12
  Sollecitazioni: N=-880.36 T_z=51.88 T_y=-24.18
  V,Ed=-24.18 Vc,Rd=7560.76 V,Ed/Vc,Rd=0.00

- Verifica a taglio dir. Z [4.2.16]
  V,Ed=51.88 Vc,Rd=7560.76 V,Ed/Vc,Rd=0.01

Asta n. 1278 (-191 -223) angolari L50x10 Crit. 1

- Verifica di stabilità aste inflesse (4.2.4.1.3.2) CC 16 SLU - Classe 3
  L_{cr}=0.19 Curva d: α_{imp}=0.76 k_c=0.94 ψ=2.62 M,cr=0.00 λ_{LT}=0.00
  $\lambda_{LT,0}$=0.20 β_{LT}=1.00 Φ_{LT}=0.00 β_{LT}=1.00 f=0.00 χ_{LT}=1.00
  CC 16 SLU My,Ed=-3.33 My,b,Rd=149.05 My,Ed/My,b,Rd=0.02

- Verifica di stabilità aste presso-inflesse (C4.2.4.1.3.3.1) - CC 17 SLU - Classe 3
  Sollecitazioni: N,Ed=-775.28 Myeq,Ed=4.16 Mzeq,Ed=2.18
  Resistenze: Nc,Rd=23709.20 My,c,Rd=149.05 Mz,c,Rd=149.05 L=19.38
  λ_c=10.59 Ncr,y=1673810.00 λ^*_y=0.12 Curva b: Φ_y=0.49 χ_y=1.00
  λ_e=20.13 Ncr,z=462890.00 λ^*_z=0.23 Curva b: Φ_z=0.53 χ_z=0.99
  χ,min=0.99
  Verifica: 0.03+0.03+0.01=0.08

- Verifica a compressione [4.2.9] - CC 17 SLU Xl=0.10 - Classe 1
  Sollecitazioni: N=-774.55 T_z=51.54 T_y=-23.32
  N,Ed=-774.55 Nc,Rd=-23709.20 N,Ed/Nc,Rd=0.03
  Verifiche di duttilità [7.5.3]:
  q_0=4.00 N,Ed=-774.55 Npl,Rd=23709.20 N,Ed/Npl,Rd=0.032669

- Verifica a taglio dir. Y [4.2.16] - CC 17 SLU Xl=0.12
  Sollecitazioni: N=-774.43 T_z=51.54 T_y=-23.32
  V,Ed=-23.32 Vc,Rd=7560.76 V,Ed/Vc,Rd=0.00

- Verifica a taglio dir. Z [4.2.16]
  V,Ed=51.54 Vc,Rd=7560.76 V,Ed/Vc,Rd=0.01

Asta n. 1278 (-223 -255) angolari L50x10 Crit. 1

- Verifica di stabilità aste inflesse (4.2.4.1.3.2) CC 18 SLU - Classe 3
  L_{cr}=0.19 Curva d: α_{imp}=0.76 k_c=0.94 ψ=2.60 M,cr=0.00 λ_{LT}=0.00
  $\lambda_{LT,0}$=0.20 β_{LT}=1.00 Φ_{LT}=0.00 β_{LT}=1.00 f=0.00 χ_{LT}=1.00
  CC 18 SLU My,Ed=-3.58 My,b,Rd=149.05 My,Ed/My,b,Rd=0.02

- Verifica di stabilità aste presso-inflesse (C4.2.4.1.3.3.1) - CC 17 SLU - Classe 3
  Sollecitazioni: N,Ed=-667.32 Myeq,Ed=4.04 Mzeq,Ed=2.09
  Resistenze: Nc,Rd=23709.20 My,c,Rd=149.05 Mz,c,Rd=149.05 L=19.38
  λ_c=10.59 Ncr,y=1673810.00 λ^*_y=0.12 Curva b: Φ_y=0.49 χ_y=1.00
  λ_e=20.13 Ncr,z=462889.00 λ^*_z=0.23 Curva b: Φ_z=0.53 χ_z=0.99
  χ,min=0.99
  Verifica: 0.03+0.03+0.01=0.07

- Verifica a compressione [4.2.9] - CC 17 SLU Xl=0.10 - Classe 1
  Sollecitazioni: N=-666.59 T_z=51.31 T_y=-22.39
  N,Ed=-666.59 Nc,Rd=-23709.20 N,Ed/Nc,Rd=0.03
  Verifiche di duttilità [7.5.3]:
  q_0=4.00 N,Ed=-666.59 Npl,Rd=23709.20 N,Ed/Npl,Rd=0.028115

- Verifica a taglio dir. Y [4.2.16] - CC 17 SLU Xl=0.12

Sollecitazioni: N=-666.47 T_z=51.31 T_y=-22.39
V,Ed=-22.39 Vc,Rd=7560.76 V,Ed/Vc,Rd=0.00

- Verifica a taglio dir. Z [4.2.16]
V,Ed=51.31 Vc,Rd=7560.76 V,Ed/Vc,Rd=0.01

Asta n. 1278 (-255 -287) angolari L50x10 Crit. 1

- Verifica di stabilità aste inflesse (4.2.4.1.3.2) CC 18 SLU - Classe 3
L_{cr}=0.19 Curva d: α_{imp}=0.76 k_c=0.94 ψ=2.53 M,cr=0.00 λ_{LT}=0.00
$\lambda_{LT,0}$=0.20 β_{LT}=1.00 Φ_{LT}=0.00 β_{LT}=1.00 f=0.00 χ_{LT}=1.00
CC 18 SLU My,Ed=-3.70 My,b,Rd=149.05 My,Ed/My,b,Rd=0.02

- Verifica di stabilità aste presso-inflesse (C4.2.4.1.3.3.1) - CC 17 SLU - Classe 3
Sollecitazioni: N,Ed=-557.35 Myeq,Ed=3.91 Mzeq,Ed=2.01
Resistenze: Nc,Rd=23709.20 My,c,Rd=149.05 Mz,c,Rd=149.05 L=19.38
λ_c=10.59 Ncr,y=1673810.00 λ^*_y=0.12 Curva b: Φ_y=0.49 χ_y=1.00
λ_e=20.13 Ncr,z=462889.00 λ^*_z=0.23 Curva b: Φ_z=0.53 χ_z=0.99
χ,min=0.99
Verifica: 0.02+0.03+0.01=0.06

- Verifica a compressione [4.2.9] - CC 17 SLU Xl=0.10 - Classe 1
Sollecitazioni: N=-556.63 T_z=51.07 T_y=-21.49
N,Ed=-556.63 Nc,Rd=-23709.20 N,Ed/Nc,Rd=0.02
Verifiche di duttilità [7.5.3]:
q_0=4.00 N,Ed=-556.63 Npl,Rd=23709.20 N,Ed/Npl,Rd=0.023477

- Verifica a taglio dir. Y [4.2.16] - CC 17 SLU Xl=0.12
Sollecitazioni: N=-556.51 T_z=51.08 T_y=-21.49
V,Ed=-21.49 Vc,Rd=7560.76 V,Ed/Vc,Rd=0.00

- Verifica a taglio dir. Z [4.2.16]
V,Ed=51.08 Vc,Rd=7560.76 V,Ed/Vc,Rd=0.01

Asta n. 1278 (-287 -319) angolari L50x10 Crit. 1

- Verifica di stabilità aste inflesse (4.2.4.1.3.2) CC 18 SLU - Classe 3
L_{cr}=0.19 Curva d: α_{imp}=0.76 k_c=0.94 ψ=2.46 M,cr=0.00 λ_{LT}=0.00
$\lambda_{LT,0}$=0.20 β_{LT}=1.00 Φ_{LT}=0.00 β_{LT}=1.00 f=0.00 χ_{LT}=1.00
CC 18 SLU My,Ed=-3.84 My,b,Rd=149.05 My,Ed/My,b,Rd=0.03

- Verifica di stabilità aste presso-inflesse (C4.2.4.1.3.3.1) - CC 17 SLU - Classe 3
Sollecitazioni: N,Ed=-445.29 Myeq,Ed=3.77 Mzeq,Ed=1.92
Resistenze: Nc,Rd=23709.20 My,c,Rd=149.05 Mz,c,Rd=149.05 L=19.38
λ_c=10.59 Ncr,y=1673810.00 λ^*_y=0.12 Curva b: Φ_y=0.49 χ_y=1.00
λ_e=20.13 Ncr,z=462889.00 λ^*_z=0.23 Curva b: Φ_z=0.53 χ_z=0.99
χ,min=0.99
Verifica: 0.02+0.03+0.01=0.06

- Verifica in termini tensionali [4.2.4] - CC 17 SLU Xl=0.03 - Classe 3
Sollecitazioni: N=-445.29 T_z=50.84 M_y=3.77 T_y=-20.56 M_z=2.33 (M_c=1.02 M_e=4.32)
Tensioni: σ_N=-49.19 σ_M=-116.30 τ=0.00 σ_{max}=-165.49
Tensioni: σ_N=-49.19 σ_M=-19.72 τ=15.04 τ_{max}=15.04
Tensioni: σ_N=-49.19 σ_M=-116.30 τ=0.00 $\sigma_{ID,max}$=165.49

- Verifica a taglio dir. Y [4.2.16] - CC 17 SLU Xl=0.12
Sollecitazioni: N=-444.44 T_z=50.86 T_y=-20.56
V,Ed=-20.56 Vc,Rd=7560.76 V,Ed/Vc,Rd=0.00

- Verifica a taglio dir. Z [4.2.16]
  V,Ed=50.86 Vc,Rd=7560.76 V,Ed/Vc,Rd=0.01

Asta n. 1278 (-319 -351) angolari L50x10 Crit. 1

- Verifica di stabilità aste inflesse (4.2.4.1.3.2) CC 18 SLU - Classe 3
  L_{cr}=0.19 Curva d: α_{imp}=0.76 k_c=0.94 ψ=2.38 M,cr=0.00 λ_{LT}=0.00
  $\lambda_{LT,0}$=0.20 β_{LT}=1.00 Φ_{LT}=0.00 β_{LT}=1.00 f=0.00 χ_{LT}=1.00
  CC 18 SLU My,Ed=-3.99 My,b,Rd=149.05 My,Ed/My,b,Rd=0.03

- Verifica di stabilità aste presso-inflesse (C4.2.4.1.3.3.1) - CC 17 SLU - Classe 3
  Sollecitazioni: N,Ed=-330.97 Myeq,Ed=-3.65 Mzeq,Ed=1.83
  Resistenze: Nc,Rd=23709.20 My,c,Rd=149.05 Mz,c,Rd=149.05 L=19.38
  λ_c=10.59 Ncr,y=1673810.00 λ^*_y=0.12 Curva b: Φ_y=0.49 χ_y=1.00
  λ_e=20.13 Ncr,z=462889.00 λ^*_z=0.23 Curva b: Φ_z=0.53 χ_z=0.99
  χ,min=0.99
  Verifica: 0.01+0.02+0.01=0.05

- Verifica a trazione [4.2.5] - CC 16 SLU Xl=0.09 - Classe 1
  Sollecitazioni: N=457.84 T_z=37.07 T_y=30.40
  N,Ed=457.84 Npl,Rd=23709.20 Nu,Rd=28026.90 N,Ed/Nt,Rd=0.02
  Verifiche di duttilità [7.5.3]:
  q_0=4.00 N,Ed=457.84 Npl,Rd=23709.20 N,Ed/Npl,Rd=0.019311

- Verifica a taglio dir. Y [4.2.16] - CC 17 SLU Xl=0.10
  Sollecitazioni: N=-330.25 T_z=50.67 T_y=-19.63
  V,Ed=-19.63 Vc,Rd=7560.76 V,Ed/Vc,Rd=0.00

- Verifica a taglio dir. Z [4.2.16]
  V,Ed=50.67 Vc,Rd=7560.76 V,Ed/Vc,Rd=0.01

Asta n. 1278 (-351 -383) angolari L50x10 Crit. 1

- Verifica di stabilità aste inflesse (4.2.4.1.3.2) CC 18 SLU - Classe 3
  L_{cr}=0.19 Curva d: α_{imp}=0.76 k_c=0.94 ψ=2.31 M,cr=0.00 λ_{LT}=0.00
  $\lambda_{LT,0}$=0.20 β_{LT}=1.00 Φ_{LT}=0.00 β_{LT}=1.00 f=0.00 χ_{LT}=1.00
  CC 18 SLU My,Ed=-4.15 My,b,Rd=149.05 My,Ed/My,b,Rd=0.03

- Verifica di stabilità aste presso-inflesse (C4.2.4.1.3.3.1) - CC 5 SLV - Classe 3
  Sollecitazioni: N,Ed=-317.35 Myeq,Ed=-2.59 Mzeq,Ed=2.36
  Resistenze: Nc,Rd=23709.20 My,c,Rd=149.05 Mz,c,Rd=149.05 L=19.38
  λ_c=10.59 Ncr,y=1673810.00 λ^*_y=0.12 Curva b: Φ_y=0.49 χ_y=1.00
  λ_e=20.13 Ncr,z=462889.00 λ^*_z=0.23 Curva b: Φ_z=0.53 χ_z=0.99
  χ,min=0.99
  Verifica: 0.01+0.02+0.02=0.05

- Verifica a trazione [4.2.5] - CC 16 SLU Xl=0.08 - Classe 1
  Sollecitazioni: N=545.26 T_z=36.60 T_y=29.76
  N,Ed=545.26 Npl,Rd=23709.20 Nu,Rd=28026.90 N,Ed/Nt,Rd=0.02
  Verifiche di duttilità [7.5.3]:
  q_0=4.00 N,Ed=545.26 Npl,Rd=23709.20 N,Ed/Npl,Rd=0.022998

- Verifica a taglio dir. Y [4.2.16] - CC 17 SLU Xl=0.10
  Sollecitazioni: N=-213.53 T_z=50.52 T_y=-18.67
  V,Ed=-18.67 Vc,Rd=7560.76 V,Ed/Vc,Rd=0.00

- Verifica a taglio dir. Z [4.2.16]
  V,Ed=50.52 Vc,Rd=7560.76 V,Ed/Vc,Rd=0.01

Asta n. 1278 (-383 -415) angolari L50x10 Crit. 1

- Verifica di stabilità aste inflesse (4.2.4.1.3.2) CC 19 SLU - Classe 3
  L_{cr}=0.19 Curva d: α_{imp}=0.76 k_c=0.94 ψ=2.60 M,cr=0.00 λ_{LT}=0.00
  $\lambda_{LT,0}$=0.20 β_{LT}=1.00 Φ_{LT}=0.00 β_{LT}=1.00 f=0.00 χ_{LT}=1.00
  CC 19 SLU My,Ed=-4.39 My,b,Rd=149.05 My,Ed/My,b,Rd=0.03

- Verifica di stabilità aste presso-inflesse (C4.2.4.1.3.3.1) - CC 5 SLV - Classe 3
  Sollecitazioni: N,Ed=-323.45 Myeq,Ed=-2.71 Mzeq,Ed=2.40
  Resistenze: Nc,Rd=23709.20 My,c,Rd=149.05 Mz,c,Rd=149.05 L=19.38
  λ_c=10.59 Ncr,y=1673810.00 λ^*_y=0.12 Curva b: Φ_y=0.49 χ_y=1.00
  λ_e=20.13 Ncr,z=462890.00 λ^*_z=0.23 Curva b: Φ_z=0.53 χ_z=0.99
  χ,min=0.99
  Verifica: 0.01+0.02+0.02=0.05

- Verifica a trazione [4.2.5] - CC 16 SLU Xl=0.08 - Classe 1
  Sollecitazioni: N=633.85 T_z=36.14 T_y=29.12
  N,Ed=633.85 Npl,Rd=23709.20 Nu,Rd=28026.90 N,Ed/Nt,Rd=0.03
  Verifiche di duttilità [7.5.3]:
  q_0=4.00 N,Ed=633.85 Npl,Rd=23709.20 N,Ed/Npl,Rd=0.026734

- Verifica a taglio dir. Y [4.2.16] - CC 19 SLU Xl=0.06
  Sollecitazioni: N=106.26 T_z=51.36 T_y=8.20
  V,Ed=8.20 Vc,Rd=7560.76 V,Ed/Vc,Rd=0.00

- Verifica a taglio dir. Z [4.2.16]
  V,Ed=51.36 Vc,Rd=7560.76 V,Ed/Vc,Rd=0.01

Asta n. 1278 (-415 -447) angolari L50x10 Crit. 1

- Verifica di stabilità aste inflesse (4.2.4.1.3.2) CC 19 SLU - Classe 3
  L_{cr}=0.19 Curva d: α_{imp}=0.76 k_c=0.94 ψ=2.51 M,cr=0.00 λ_{LT}=0.00
  $\lambda_{LT,0}$=0.20 β_{LT}=1.00 Φ_{LT}=0.00 β_{LT}=1.00 f=0.00 χ_{LT}=1.00
  CC 19 SLU My,Ed=-4.63 My,b,Rd=149.05 My,Ed/My,b,Rd=0.03

- Verifica di stabilità aste presso-inflesse (C4.2.4.1.3.3.1) - CC 5 SLV - Classe 3
  Sollecitazioni: N,Ed=-329.75 Myeq,Ed=-2.78 Mzeq,Ed=2.43
  Resistenze: Nc,Rd=23709.20 My,c,Rd=149.05 Mz,c,Rd=149.05 L=19.38
  λ_c=10.59 Ncr,y=1673810.00 λ^*_y=0.12 Curva b: Φ_y=0.49 χ_y=1.00
  λ_e=20.13 Ncr,z=462889.00 λ^*_z=0.23 Curva b: Φ_z=0.53 χ_z=0.99
  χ,min=0.99
  Verifica: 0.01+0.02+0.02=0.05

- Verifica a trazione [4.2.5] - CC 16 SLU Xl=0.08 - Classe 1
  Sollecitazioni: N=723.55 T_z=35.86 T_y=28.19
  N,Ed=723.55 Npl,Rd=23709.20 Nu,Rd=28026.90 N,Ed/Nt,Rd=0.03
  Verifiche di duttilità [7.5.3]:
  q_0=4.00 N,Ed=723.55 Npl,Rd=23709.20 N,Ed/Npl,Rd=0.030518

- Verifica a taglio dir. Y [4.2.16] - CC 19 SLU Xl=0.06
  Sollecitazioni: N=232.65 T_z=51.93 T_y=9.06
  V,Ed=9.06 Vc,Rd=7560.76 V,Ed/Vc,Rd=0.00

- Verifica a taglio dir. Z [4.2.16]
  V,Ed=51.93 Vc,Rd=7560.76 V,Ed/Vc,Rd=0.01

Asta n. 1278 (-447 -479) angolari L50x10 Crit. 1

- Verifica di stabilità aste inflesse (4.2.4.1.3.2) CC 19 SLU - Classe 3
  L_{cr}=0.19 Curva d: α_{imp}=0.76 k_c=0.94 ψ=2.41 M,cr=0.00 λ_{LT}=0.00
  $\lambda_{LT,0}$=0.20 β_{LT}=1.00 Φ_{LT}=0.00 β_{LT}=1.00 f=0.00 χ_{LT}=1.00
  CC 19 SLU My,Ed=-4.86 My,b,Rd=149.05 My,Ed/My,b,Rd=0.03

- Verifica di stabilità aste presso-inflesse (C4.2.4.1.3.3.1) - CC 5 SLV - Classe 3
  Sollecitazioni: N,Ed=-336.26 Myeq,Ed=-2.76 Mzeq,Ed=2.60
  Resistenze: Nc,Rd=23709.20 My,c,Rd=149.05 Mz,c,Rd=149.05 L=19.38
  λ_c=10.59 Ncr,y=1673810.00 λ^*_y=0.12 Curva b: Φ_y=0.49 χ_y=1.00
  λ_e=20.13 Ncr,z=462889.00 λ^*_z=0.23 Curva b: Φ_z=0.53 χ_z=0.99
  χ,min=0.99
  Verifica: 0.01+0.02+0.02=0.05

- Verifica a trazione [4.2.5] - CC 16 SLU Xl=0.06 - Classe 1
  Sollecitazioni: N=814.15 T_z=34.11 T_y=29.61
  N,Ed=814.15 Npl,Rd=23709.20 Nu,Rd=28026.90 N,Ed/Nt,Rd=0.03
  Verifiche di duttilità [7.5.3]:
  q_0=4.00 N,Ed=814.15 Npl,Rd=23709.20 N,Ed/Npl,Rd=0.034339

- Verifica a taglio dir. Y [4.2.16] - CC 17 SLU Xl=0.10
  Sollecitazioni: N=152.56 T_z=50.01 T_y=-14.91
  V,Ed=-14.91 Vc,Rd=7560.76 V,Ed/Vc,Rd=0.00

- Verifica a taglio dir. Z [4.2.16]
  V,Ed=50.01 Vc,Rd=7560.76 V,Ed/Vc,Rd=0.01

Asta n. 1278 (-479 -511) angolari L50x10 Crit. 1

- Verifica di stabilità aste inflesse (4.2.4.1.3.2) CC 18 SLU - Classe 3
  L_{cr}=0.19 Curva d: α_{imp}=0.76 k_c=0.94 ψ=1.98 M,cr=0.00 λ_{LT}=0.00
  $\lambda_{LT,0}$=0.20 β_{LT}=1.00 Φ_{LT}=0.00 β_{LT}=1.00 f=0.00 χ_{LT}=1.00
  CC 18 SLU My,Ed=-5.88 My,b,Rd=149.05 My,Ed/My,b,Rd=0.04

- Verifica di stabilità aste presso-inflesse (C4.2.4.1.3.3.1) - CC 5 SLV - Classe 3
  Sollecitazioni: N,Ed=-342.85 Myeq,Ed=-3.31 Mzeq,Ed=1.82
  Resistenze: Nc,Rd=23709.20 My,c,Rd=149.05 Mz,c,Rd=149.05 L=19.38
  λ_c=10.59 Ncr,y=1673810.00 λ^*_y=0.12 Curva b: Φ_y=0.49 χ_y=1.00
  λ_e=20.13 Ncr,z=462890.00 λ^*_z=0.23 Curva b: Φ_z=0.53 χ_z=0.99
  χ,min=0.99
  Verifica: 0.01+0.02+0.01=0.05

- Verifica a trazione [4.2.5] - CC 16 SLU Xl=0.06 - Classe 1
  Sollecitazioni: N=904.95 T_z=42.47 T_y=15.15
  N,Ed=904.95 Npl,Rd=23709.20 Nu,Rd=28026.90 N,Ed/Nt,Rd=0.04
  Verifiche di duttilità [7.5.3]:
  q_0=4.00 N,Ed=904.95 Npl,Rd=23709.20 N,Ed/Npl,Rd=0.038169

- Verifica a taglio dir. Y [4.2.16] - CC 19 SLU Xl=0.08
  Sollecitazioni: N=497.02 T_z=54.91 T_y=1.24
  V,Ed=1.24 Vc,Rd=7560.76 V,Ed/Vc,Rd=0.00

- Verifica a taglio dir. Z [4.2.16]
  V,Ed=54.91 Vc,Rd=7560.76 V,Ed/Vc,Rd=0.01

Asta n. 1278 (-511 1357) angolari L50x10 Crit. 1

- Verifica di stabilità aste inflesse (4.2.4.1.3.2) CC 19 SLU - Classe 3

L_{cr}=0.19 Curva d: α_{imp}=0.76 k_c=0.94 ψ=1.91 M,cr=0.00 λ_{LT}=0.00
$\lambda_{LT,0}$=0.20 β_{LT}=1.00 Φ_{LT}=0.00 β_{LT}=1.00 f=0.00 χ_{LT}=1.00
CC 19 SLU My,Ed=-4.30 My,b,Rd=149.05 My,Ed/My,b,Rd=0.03

- Verifica di stabilità aste presso-inflesse (C4.2.4.1.3.3.1) - CC 5 SLV - Classe 3
Sollecitazioni: N,Ed=-359.66 Myeq,Ed=-1.62 Mzeq,Ed=5.90
Resistenze: Nc,Rd=23709.20 My,c,Rd=149.05 Mz,c,Rd=149.05 L=19.38
λ_c=10.59 Ncr,y=1673810.00 λ^*_y=0.12 Curva b: Φ_y=0.49 χ_y=1.00
λ_e=20.13 Ncr,z=462891.00 λ^*_z=0.23 Curva b: Φ_z=0.53 χ_z=0.99
χ,min=0.99
Verifica: 0.02+0.01+0.04=0.07

- Verifica in termini tensionali [4.2.4] - CC 18 SLU Xl=0.14 - Classe 3
Sollecitazioni: N=980.50 T_z=11.31 M_y=-1.74 T_y=117.29 M_z=13.15 (M_c=-10.53 M_e=8.07)
Tensioni: σ_N=108.31 σ_M=273.65 τ=5.01 σ_{max}=381.97
Tensioni: σ_N=108.31 σ_M=-50.95 τ=33.84 τ_{max}=33.84
Tensioni: σ_N=108.31 σ_M=273.65 τ=5.01 $\sigma_{ID,max}$=382.06

- Verifica a taglio dir. Y [4.2.16] - CC 18 SLU Xl=0.03
Sollecitazioni: N=979.40 T_z=11.29 T_y=117.29
V,Ed=117.29 Vc,Rd=7560.76 V,Ed/Vc,Rd=0.02

- Verifica a taglio dir. Z [4.2.16]
V,Ed=11.29 Vc,Rd=7560.76 V,Ed/Vc,Rd=0.00

Asta n. 1279 (-53 -85) angolari L50x10 Crit. 1

- Verifica di stabilità aste inflesse (4.2.4.1.3.2) CC 1 SLV - Classe 3
L_{cr}=0.19 Curva d: α_{imp}=0.76 k_c=0.94 ψ=1.94 M,cr=0.00 λ_{LT}=0.00
$\lambda_{LT,0}$=0.20 β_{LT}=1.00 Φ_{LT}=0.00 β_{LT}=1.00 f=0.00 χ_{LT}=1.00
CC 1 SLV My,Ed=-2.87 My,b,Rd=149.05 My,Ed/My,b,Rd=0.02

- Verifica di stabilità aste presso-inflesse (C4.2.4.1.3.3.1) - CC 17 SLU - Classe 3
Sollecitazioni: N,Ed=-1469.06 Myeq,Ed=3.34 Mzeq,Ed=-5.48
Resistenze: Nc,Rd=23709.20 My,c,Rd=149.05 Mz,c,Rd=149.05 L=19.38
λ_c=10.59 Ncr,y=1673810.00 λ^*_y=0.12 Curva b: Φ_y=0.49 χ_y=1.00
λ_e=20.13 Ncr,z=462889.00 λ^*_z=0.23 Curva b: Φ_z=0.53 χ_z=0.99
χ,min=0.99
Verifica: 0.06+0.02+0.04=0.12

- Verifica a compressione [4.2.9] - CC 17 SLU Xl=0.17 - Classe 1
Sollecitazioni: N=-1467.96 T_z=26.54 T_y=61.76
N,Ed=-1467.96 Nc,Rd=-23709.20 N,Ed/Nc,Rd=0.06
Verifiche di duttilità [7.5.3]:
q_0=4.00 N,Ed=-1467.96 Npl,Rd=23709.20 N,Ed/Npl,Rd=0.061915

- Verifica a taglio dir. Y [4.2.16] - CC 19 SLU Xl=0.15
Sollecitazioni: N=-1370.97 T_z=-12.38 T_y=70.02
V,Ed=70.02 Vc,Rd=7560.76 V,Ed/Vc,Rd=0.01

- Verifica a taglio dir. Z [4.2.16]
V,Ed=-12.38 Vc,Rd=7560.76 V,Ed/Vc,Rd=0.00

Asta n. 1279 (-85 -117) angolari L50x10 Crit. 1

- Verifica di stabilità aste inflesse (4.2.4.1.3.2) CC 1 SLV - Classe 3
L_{cr}=0.19 Curva d: α_{imp}=0.76 k_c=0.94 ψ=2.45 M,cr=0.00 λ_{LT}=0.00
$\lambda_{LT,0}$=0.20 β_{LT}=1.00 Φ_{LT}=0.00 β_{LT}=1.00 f=0.00 χ_{LT}=1.00

CC 1 SLV My,Ed=-2.34 My,b,Rd=149.05 My,Ed/My,b,Rd=0.02

- Verifica di stabilità aste presso-inflesse (C4.2.4.1.3.3.1) - CC 19 SLU - Classe 3
Sollecitazioni: N,Ed=-1399.65 Myeq,Ed=2.22 Mzeq,Ed=-6.79
Resistenze: Nc,Rd=23709.20 My,c,Rd=149.05 Mz,c,Rd=149.05 L=19.38
λ_c=10.59 Ncr,y=1673810.00 λ^*_y=0.12 Curva b: Φ_y=0.49 χ_y=1.00
λ_e=20.13 Ncr,z=462890.00 λ^*_z=0.23 Curva b: Φ_z=0.53 χ_z=0.99
χ,min=0.99
Verifica: 0.06+0.01+0.05=0.12

- Verifica a compressione [4.2.9] - CC 17 SLU Xl=0.12 - Classe 1
Sollecitazioni: N=-1440.51 T_z=15.38 T_y=69.00
N,Ed=-1440.51 Nc,Rd=-23709.20 N,Ed/Nc,Rd=0.06
Verifiche di duttilità [7.5.3]:
q_0=4.00 N,Ed=-1440.51 Npl,Rd=23709.20 N,Ed/Npl,Rd=0.060758

- Verifica a taglio dir. Y [4.2.16] - CC 19 SLU Xl=0.10
Sollecitazioni: N=-1398.92 T_z=-23.79 T_y=76.70
V,Ed=76.70 Vc,Rd=7560.76 V,Ed/Vc,Rd=0.01

- Verifica a taglio dir. Z [4.2.16]
V,Ed=-23.79 Vc,Rd=7560.76 V,Ed/Vc,Rd=0.00

Asta n. 1279 (-117 -149) angolari L50x10 Crit. 1

- Verifica di stabilità aste inflesse (4.2.4.1.3.2) CC 1 SLV - Classe 3
L_{cr}=0.19 Curva d: α_{imp}=0.76 k_c=0.94 ψ=2.82 M,cr=0.00 λ_{LT}=0.00
$\lambda_{LT,0}$=0.20 β_{LT}=1.00 Φ_{LT}=0.00 β_{LT}=1.00 f=0.00 χ_{LT}=1.00
CC 1 SLV My,Ed=-2.05 My,b,Rd=149.05 My,Ed/My,b,Rd=0.01

- Verifica di stabilità aste presso-inflesse (C4.2.4.1.3.3.1) - CC 19 SLU - Classe 3
Sollecitazioni: N,Ed=-1437.97 Myeq,Ed=2.31 Mzeq,Ed=-5.84
Resistenze: Nc,Rd=23709.20 My,c,Rd=149.05 Mz,c,Rd=149.05 L=19.38
λ_c=10.59 Ncr,y=1673810.00 λ^*_y=0.12 Curva b: Φ_y=0.49 χ_y=1.00
λ_e=20.13 Ncr,z=462889.00 λ^*_z=0.23 Curva b: Φ_z=0.53 χ_z=0.99
χ,min=0.99
Verifica: 0.06+0.02+0.04=0.12

- Verifica a compressione [4.2.9] - CC 19 SLU Xl=0.09 - Classe 1
Sollecitazioni: N=-1437.37 T_z=-24.72 T_y=77.12
N,Ed=-1437.37 Nc,Rd=-23709.20 N,Ed/Nc,Rd=0.06
Verifiche di duttilità [7.5.3]:
q_0=4.00 N,Ed=-1437.37 Npl,Rd=23709.20 N,Ed/Npl,Rd=0.060625

- Verifica a taglio dir. Y [4.2.16] - CC 19 SLU Xl=0.09
Sollecitazioni: N=-1437.37 T_z=-24.72 T_y=77.12
V,Ed=77.12 Vc,Rd=7560.76 V,Ed/Vc,Rd=0.01

- Verifica a taglio dir. Z [4.2.16]
V,Ed=-24.72 Vc,Rd=7560.76 V,Ed/Vc,Rd=0.00

Asta n. 1279 (-149 -181) angolari L50x10 Crit. 1

- Verifica di stabilità aste inflesse (4.2.4.1.3.2) CC 1 SLV - Classe 3
L_{cr}=0.19 Curva d: α_{imp}=0.76 k_c=0.94 ψ=2.99 M,cr=0.00 λ_{LT}=0.00
$\lambda_{LT,0}$=0.20 β_{LT}=1.00 Φ_{LT}=0.00 β_{LT}=1.00 f=0.00 χ_{LT}=1.00
CC 1 SLV My,Ed=-1.98 My,b,Rd=149.05 My,Ed/My,b,Rd=0.01

- Verifica di stabilità aste presso-inflesse (C4.2.4.1.3.3.1) - CC 18 SLU - Classe 3
  Sollecitazioni: N,Ed=-1085.95 Myeq,Ed=5.31 Mzeq,Ed=5.59
  Resistenze: Nc,Rd=23709.20 My,c,Rd=149.05 Mz,c,Rd=149.05 L=19.38
  λ_c=10.59 Ncr,y=1673810.00 λ^*_y=0.12 Curva b: Φ_y=0.49 χ_y=1.00
  λ_e=20.13 Ncr,z=462890.00 λ^*_z=0.23 Curva b: Φ_z=0.53 χ_z=0.99
  χ,min=0.99
  Verifica: 0.05+0.04+0.04=0.12

- Verifica Freccia massima carichi totali - CC 21
  $f_{Z,G}$=0.00 (L/13851)

- Verifica a compressione [4.2.9] - CC 19 SLU Xl=0.09 - Classe 1
  Sollecitazioni: N=-1480.99 T_z=-26.22 T_y=78.09
  N,Ed=-1480.99 Nc,Rd=-23709.20 N,Ed/Nc,Rd=0.06
  Verifiche di duttilità [7.5.3]:
  q_0=4.00 N,Ed=-1480.99 Npl,Rd=23709.20 N,Ed/Npl,Rd=0.062465

- Verifica a taglio dir. Y [4.2.16] - CC 19 SLU Xl=0.09
  Sollecitazioni: N=-1480.99 T_z=-26.22 T_y=78.09
  V,Ed=78.09 Vc,Rd=7560.76 V,Ed/Vc,Rd=0.01

- Verifica a taglio dir. Z [4.2.16]
  V,Ed=-26.22 Vc,Rd=7560.76 V,Ed/Vc,Rd=0.00

Asta n. 1279 (-181 -213) angolari L50x10 Crit. 1

- Verifica di stabilità aste presso-inflesse (C4.2.4.1.3.3.1) - CC 18 SLU - Classe 3
  Sollecitazioni: N,Ed=-1208.76 Myeq,Ed=5.55 Mzeq,Ed=5.83
  Resistenze: Nc,Rd=23709.20 My,c,Rd=149.05 Mz,c,Rd=149.05 L=19.38
  λ_c=10.59 Ncr,y=1673810.00 λ^*_y=0.12 Curva b: Φ_y=0.49 χ_y=1.00
  λ_e=20.13 Ncr,z=462890.00 λ^*_z=0.23 Curva b: Φ_z=0.53 χ_z=0.99
  χ,min=0.99
  Verifica: 0.05+0.04+0.04=0.13

- Verifica Freccia massima carichi totali - CC 21
  $f_{Z,G}$=0.00 (L/14176)

- Verifica a compressione [4.2.9] - CC 19 SLU Xl=0.09 - Classe 1
  Sollecitazioni: N=-1528.95 T_z=-27.73 T_y=78.96
  N,Ed=-1528.95 Nc,Rd=-23709.20 N,Ed/Nc,Rd=0.06
  Verifiche di duttilità [7.5.3]:
  q_0=4.00 N,Ed=-1528.95 Npl,Rd=23709.20 N,Ed/Npl,Rd=0.064488

- Verifica a taglio dir. Y [4.2.16] - CC 19 SLU Xl=0.09
  Sollecitazioni: N=-1528.95 T_z=-27.73 T_y=78.96
  V,Ed=78.96 Vc,Rd=7560.76 V,Ed/Vc,Rd=0.01

- Verifica a taglio dir. Z [4.2.16]
  V,Ed=-27.73 Vc,Rd=7560.76 V,Ed/Vc,Rd=0.00

Asta n. 1279 (-213 -245) angolari L50x10 Crit. 1

- Verifica di stabilità aste presso-inflesse (C4.2.4.1.3.3.1) - CC 18 SLU - Classe 3
  Sollecitazioni: N,Ed=-1335.95 Myeq,Ed=5.77 Mzeq,Ed=6.07
  Resistenze: Nc,Rd=23709.20 My,c,Rd=149.05 Mz,c,Rd=149.05 L=19.38
  λ_c=10.59 Ncr,y=1673810.00 λ^*_y=0.12 Curva b: Φ_y=0.49 χ_y=1.00
  λ_e=20.13 Ncr,z=462889.00 λ^*_z=0.23 Curva b: Φ_z=0.53 χ_z=0.99
  χ,min=0.99

Verifica: 0.06+0.04+0.04=0.14

- Verifica Freccia massima carichi totali - CC 21
$f_{Z,G}$=0.00 (L/13693)

- Verifica a compressione [4.2.9] - CC 19 SLU Xl=0.09 - Classe 1
Sollecitazioni: N=-1581.19 T_z=-29.27 T_y=80.03
N,Ed=-1581.19 Nc,Rd=-23709.20 N,Ed/Nc,Rd=0.07
Verifiche di duttilità [7.5.3]:
q_0=4.00 N,Ed=-1581.19 Npl,Rd=23709.20 N,Ed/Npl,Rd=0.066691

- Verifica a taglio dir. Y [4.2.16] - CC 19 SLU Xl=0.09
Sollecitazioni: N=-1581.19 T_z=-29.27 T_y=80.03
V,Ed=80.03 Vc,Rd=7560.76 V,Ed/Vc,Rd=0.01

- Verifica a taglio dir. Z [4.2.16]
V,Ed=-29.27 Vc,Rd=7560.76 V,Ed/Vc,Rd=0.00

Asta n. 1279 (-245 -277) angolari L50x10 Crit. 1

- Verifica di stabilità aste presso-inflesse (C4.2.4.1.3.3.1) - CC 18 SLU - Classe 3
Sollecitazioni: N,Ed=-1467.65 Myeq,Ed=6.01 Mzeq,Ed=6.33
Resistenze: Nc,Rd=23709.20 My,c,Rd=149.05 Mz,c,Rd=149.05 L=19.38
λ_c=10.59 Ncr,y=1673810.00 λ^*_y=0.12 Curva b: Φ_y=0.49 χ_y=1.00
λ_e=20.13 Ncr,z=462889.00 λ^*_z=0.23 Curva b: Φ_z=0.53 χ_z=0.99
χ,min=0.99
Verifica: 0.06+0.04+0.04=0.14

- Verifica Freccia massima carichi totali - CC 21
$f_{Z,G}$=0.00 (L/12957)

- Verifica a compressione [4.2.9] - CC 19 SLU Xl=0.08 - Classe 1
Sollecitazioni: N=-1638.11 T_z=-30.96 T_y=81.13
N,Ed=-1638.11 Nc,Rd=-23709.20 N,Ed/Nc,Rd=0.07
Verifiche di duttilità [7.5.3]:
q_0=4.00 N,Ed=-1638.11 Npl,Rd=23709.20 N,Ed/Npl,Rd=0.069092

- Verifica a taglio dir. Y [4.2.16] - CC 19 SLU Xl=0.08
Sollecitazioni: N=-1638.11 T_z=-30.96 T_y=81.13
V,Ed=81.13 Vc,Rd=7560.76 V,Ed/Vc,Rd=0.01

- Verifica a taglio dir. Z [4.2.16]
V,Ed=-30.96 Vc,Rd=7560.76 V,Ed/Vc,Rd=0.00

Asta n. 1279 (-277 -309) angolari L50x10 Crit. 1

- Verifica di stabilità aste presso-inflesse (C4.2.4.1.3.3.1) - CC 18 SLU - Classe 3
Sollecitazioni: N,Ed=-1604.16 Myeq,Ed=6.21 Mzeq,Ed=6.60
Resistenze: Nc,Rd=23709.20 My,c,Rd=149.05 Mz,c,Rd=149.05 L=19.38
λ_c=10.59 Ncr,y=1673810.00 λ^*_y=0.12 Curva b: Φ_y=0.49 χ_y=1.00
λ_e=20.13 Ncr,z=462889.00 λ^*_z=0.23 Curva b: Φ_z=0.53 χ_z=0.99
χ,min=0.99
Verifica: 0.07+0.04+0.04=0.15

- Verifica Freccia massima carichi totali - CC 21
$f_{Z,G}$=0.00 (L/12552)

- Verifica a compressione [4.2.9] - CC 19 SLU Xl=0.08 - Classe 1

Sollecitazioni: N=-1699.80 T_z=-32.65 T_y=82.31
N,Ed=-1699.80 Nc,Rd=-23709.20 N,Ed/Nc,Rd=0.07
Verifiche di duttilità [7.5.3]:
q_0=4.00 N,Ed=-1699.80 Npl,Rd=23709.20 N,Ed/Npl,Rd=0.071694

- Verifica a taglio dir. Y [4.2.16] - CC 19 SLU Xl=0.08
Sollecitazioni: N=-1699.80 T_z=-32.65 T_y=82.31
V,Ed=82.31 Vc,Rd=7560.76 V,Ed/Vc,Rd=0.01

- Verifica a taglio dir. Z [4.2.16]
V,Ed=-32.65 Vc,Rd=7560.76 V,Ed/Vc,Rd=0.00

Asta n. 1279 (-309 -341) angolari L50x10 Crit. 1

- Verifica di stabilità aste presso-inflesse (C4.2.4.1.3.3.1) - CC 18 SLU - Classe 3
Sollecitazioni: N,Ed=-1745.79 Myeq,Ed=6.29 Mzeq,Ed=6.80
Resistenze: Nc,Rd=23709.20 My,c,Rd=149.05 Mz,c,Rd=149.05 L=19.38
λ_c=10.59 Ncr,y=1673810.00 λ^*_y=0.12 Curva b: Φ_y=0.49 χ_y=1.00
λ_e=20.13 Ncr,z=462889.00 λ^*_z=0.23 Curva b: Φ_z=0.53 χ_z=0.99
χ,min=0.99
Verifica: 0.07+0.04+0.05=0.16

- Verifica Freccia massima carichi totali - CC 21
$f_{Z,G}$=0.00 (L/12050)

- Verifica a compressione [4.2.9] - CC 19 SLU Xl=0.08 - Classe 1
Sollecitazioni: N=-1766.70 T_z=-34.31 T_y=83.55
N,Ed=-1766.70 Nc,Rd=-23709.20 N,Ed/Nc,Rd=0.07
Verifiche di duttilità [7.5.3]:
q_0=4.00 N,Ed=-1766.70 Npl,Rd=23709.20 N,Ed/Npl,Rd=0.074515

- Verifica a taglio dir. Y [4.2.16] - CC 19 SLU Xl=0.08
Sollecitazioni: N=-1766.70 T_z=-34.31 T_y=83.55
V,Ed=83.55 Vc,Rd=7560.76 V,Ed/Vc,Rd=0.01

- Verifica a taglio dir. Z [4.2.16]
V,Ed=-34.31 Vc,Rd=7560.76 V,Ed/Vc,Rd=0.00

Asta n. 1279 (-341 -373) angolari L50x10 Crit. 1

- Verifica di stabilità aste presso-inflesse (C4.2.4.1.3.3.1) - CC 18 SLU - Classe 3
Sollecitazioni: N,Ed=-1892.89 Myeq,Ed=6.38 Mzeq,Ed=6.90
Resistenze: Nc,Rd=23709.20 My,c,Rd=149.05 Mz,c,Rd=149.05 L=19.38
λ_c=10.59 Ncr,y=1673810.00 λ^*_y=0.12 Curva b: Φ_y=0.49 χ_y=1.00
λ_e=20.13 Ncr,z=462889.00 λ^*_z=0.23 Curva b: Φ_z=0.53 χ_z=0.99
χ,min=0.99
Verifica: 0.08+0.04+0.05=0.17

- Verifica Freccia massima carichi totali - CC 21
$f_{Z,G}$=0.00 (L/11814)

- Verifica a compressione [4.2.9] - CC 18 SLU Xl=0.06 - Classe 1
Sollecitazioni: N=-1892.54 T_z=-68.63 T_y=74.21
N,Ed=-1892.54 Nc,Rd=-23709.20 N,Ed/Nc,Rd=0.08
Verifiche di duttilità [7.5.3]:
q_0=4.00 N,Ed=-1892.54 Npl,Rd=23709.20 N,Ed/Npl,Rd=0.079823

- Verifica a taglio dir. Y [4.2.16] - CC 19 SLU Xl=0.08
  Sollecitazioni: N=-1839.20 T_z=-36.22 T_y=84.91
  V,Ed=84.91 Vc,Rd=7560.76 V,Ed/Vc,Rd=0.01

- Verifica a taglio dir. Z [4.2.16]
  V,Ed=-36.22 Vc,Rd=7560.76 V,Ed/Vc,Rd=0.00

Asta n. 1279 (-373 -405) angolari L50x10 Crit. 1

- Verifica di stabilità aste presso-inflesse (C4.2.4.1.3.3.1) - CC 18 SLU - Classe 3
  Sollecitazioni: N,Ed=-2045.92 Myeq,Ed=6.46 Mzeq,Ed=7.01
  Resistenze: Nc,Rd=23709.20 My,c,Rd=149.05 Mz,c,Rd=149.05 L=19.38
  λ_c=10.59 Ncr,y=1673810.00 λ^*_y=0.12 Curva b: Φ_y=0.49 χ_y=1.00
  λ_e=20.13 Ncr,z=462890.00 λ^*_z=0.23 Curva b: Φ_z=0.53 χ_z=0.99
  χ,min=0.99
  Verifica: 0.09+0.04+0.05=0.18

- Verifica Freccia massima carichi totali - CC 21
  $f_{Z,G}$=0.00 (L/11368)

- Verifica a compressione [4.2.9] - CC 18 SLU Xl=0.06 - Classe 1
  Sollecitazioni: N=-2045.56 T_z=-69.46 T_y=75.37
  N,Ed=-2045.56 Nc,Rd=-23709.20 N,Ed/Nc,Rd=0.09
  Verifiche di duttilità [7.5.3]:
   q_0=4.00 N,Ed=-2045.56 Npl,Rd=23709.20 N,Ed/Npl,Rd=0.086277

- Verifica a taglio dir. Y [4.2.16] - CC 18 SLU Xl=0.06
  Sollecitazioni: N=-2045.56 T_z=-69.46 T_y=75.37
  V,Ed=75.37 Vc,Rd=7560.76 V,Ed/Vc,Rd=0.01

- Verifica a taglio dir. Z [4.2.16]
  V,Ed=-69.46 Vc,Rd=7560.76 V,Ed/Vc,Rd=0.01

Asta n. 1279 (-405 -437) angolari L50x10 Crit. 1

- Verifica di stabilità aste presso-inflesse (C4.2.4.1.3.3.1) - CC 18 SLU - Classe 3
  Sollecitazioni: N,Ed=-2205.21 Myeq,Ed=6.63 Mzeq,Ed=7.08
  Resistenze: Nc,Rd=23709.20 My,c,Rd=149.05 Mz,c,Rd=149.05 L=19.38
  λ_c=10.59 Ncr,y=1673810.00 λ^*_y=0.12 Curva b: Φ_y=0.49 χ_y=1.00
  λ_e=20.13 Ncr,z=462889.00 λ^*_z=0.23 Curva b: Φ_z=0.53 χ_z=0.99
  χ,min=0.99
  Verifica: 0.09+0.04+0.05=0.19

- Verifica Freccia massima carichi totali - CC 21
  $f_{Z,G}$=0.00 (L/10759)

- Verifica a compressione [4.2.9] - CC 18 SLU Xl=0.06 - Classe 1
  Sollecitazioni: N=-2204.86 T_z=-71.34 T_y=76.16
  N,Ed=-2204.86 Nc,Rd=-23709.20 N,Ed/Nc,Rd=0.09
  Verifiche di duttilità [7.5.3]:
   q_0=4.00 N,Ed=-2204.86 Npl,Rd=23709.20 N,Ed/Npl,Rd=0.092996

- Verifica a taglio dir. Y [4.2.16] - CC 19 SLU Xl=0.06
  Sollecitazioni: N=-2002.85 T_z=-40.64 T_y=87.56
  V,Ed=87.56 Vc,Rd=7560.76 V,Ed/Vc,Rd=0.01

- Verifica a taglio dir. Z [4.2.16]
  V,Ed=-40.64 Vc,Rd=7560.76 V,Ed/Vc,Rd=0.01

Asta n. 1279 (-437 -469) angolari L50x10 Crit. 1

- Verifica di stabilità aste presso-inflesse (C4.2.4.1.3.3.1) - CC 18 SLU - Classe 3
  Sollecitazioni: N,Ed=-2371.21 Myeq,Ed=6.21 Mzeq,Ed=7.53
  Resistenze: Nc,Rd=23709.20 My,c,Rd=149.05 Mz,c,Rd=149.05 L=19.38
  λ_c=10.59 Ncr,y=1673810.00 λ^*_y=0.12 Curva b: Φ_y=0.49 χ_y=1.00
  λ_e=20.13 Ncr,z=462889.00 λ^*_z=0.23 Curva b: Φ_z=0.53 χ_z=0.99
  χ,min=0.99
  Verifica: 0.10+0.04+0.05=0.19

- Verifica Freccia massima carichi totali - CC 24
  $f_{Z,G}$=0.00 (L/11157)

- Verifica a compressione [4.2.9] - CC 18 SLU Xl=0.05 - Classe 1
  Sollecitazioni: N=-2370.98 T_z=-66.89 T_y=81.00
  N,Ed=-2370.98 Nc,Rd=-23709.20 N,Ed/Nc,Rd=0.10
  Verifiche di duttilità [7.5.3]:
  q_0=4.00 N,Ed=-2370.98 Npl,Rd=23709.20 N,Ed/Npl,Rd=0.100000

- Verifica a taglio dir. Y [4.2.16] - CC 19 SLU Xl=0.06
  Sollecitazioni: N=-2094.88 T_z=-37.51 T_y=92.21
  V,Ed=92.21 Vc,Rd=7560.76 V,Ed/Vc,Rd=0.01

- Verifica a taglio dir. Z [4.2.16]
  V,Ed=-37.51 Vc,Rd=7560.76 V,Ed/Vc,Rd=0.00

Asta n. 1279 (-469 -501) angolari L50x10 Crit. 1

- Verifica di stabilità aste presso-inflesse (C4.2.4.1.3.3.1) - CC 18 SLU - Classe 3
  Sollecitazioni: N,Ed=-2540.88 Myeq,Ed=9.97 Mzeq,Ed=5.36
  Resistenze: Nc,Rd=23709.20 My,c,Rd=149.05 Mz,c,Rd=149.05 L=19.38
  λ_c=10.59 Ncr,y=1673810.00 λ^*_y=0.12 Curva b: Φ_y=0.49 χ_y=1.00
  λ_e=20.13 Ncr,z=462890.00 λ^*_z=0.23 Curva b: Φ_z=0.53 χ_z=0.99
  χ,min=0.99
  Verifica: 0.11+0.07+0.04=0.21

- Verifica Freccia massima carichi totali - CC 24
  $f_{Z,G}$=0.00 (L/10042)

- Verifica a compressione [4.2.9] - CC 18 SLU Xl=0.05 - Classe 1
  Sollecitazioni: N=-2540.64 T_z=-107.23 T_y=57.81
  N,Ed=-2540.64 Nc,Rd=-23709.20 N,Ed/Nc,Rd=0.11
  Verifiche di duttilità [7.5.3]:
  q_0=4.00 N,Ed=-2540.64 Npl,Rd=23709.20 N,Ed/Npl,Rd=0.107160

- Verifica a taglio dir. Y [4.2.16] - CC 18 SLU Xl=0.05
  Sollecitazioni: N=-2540.64 T_z=-107.23 T_y=57.81
  V,Ed=57.81 Vc,Rd=7560.76 V,Ed/Vc,Rd=0.01

- Verifica a taglio dir. Z [4.2.16]
  V,Ed=-107.23 Vc,Rd=7560.76 V,Ed/Vc,Rd=0.01

Asta n. 1279 (-501 1334) angolari L50x10 Crit. 1

- Verifica di stabilità aste presso-inflesse (C4.2.4.1.3.3.1) - CC 18 SLU - Classe 3
  Sollecitazioni: N,Ed=-2709.05 Myeq,Ed=-9.12 Mzeq,Ed=16.45
  Resistenze: Nc,Rd=23709.20 My,c,Rd=149.05 Mz,c,Rd=149.05 L=19.38

λ_c=10.59 Ncr,y=1673810.00 λ^*_y=0.12 Curva b: Φ_y=0.49 χ_y=1.00
λ_c=20.13 Ncr,z=462891.00 λ^*_z=0.23 Curva b: Φ_z=0.53 χ_z=0.99
χ,min=0.99
Verifica: 0.11+0.06+0.11=0.29

- Verifica Freccia massima carichi totali - CC 24
$f_{Z,G}$=0.00 (L/9055)

- Verifica a compressione [4.2.9] - CC 10 SLU Xl=0.04 - Classe 1
Sollecitazioni: N=-1866.61 T_z=87.09 T_y=135.92
N,Ed=-1866.61 Nc,Rd=-23709.20 N,Ed/Nc,Rd=0.08
Verifiche di duttilità [7.5.3]:
q_0=4.00 N,Ed=-1866.61 Npl,Rd=23709.20 N,Ed/Npl,Rd=0.078729

- Verifica a taglio dir. Y [4.2.16] - CC 17 SLU Xl=0.05
Sollecitazioni: N=-1148.34 T_z=89.56 T_y=137.70
V,Ed=137.70 Vc,Rd=7560.76 V,Ed/Vc,Rd=0.02

- Verifica a taglio dir. Z [4.2.16]
V,Ed=89.56 Vc,Rd=7560.76 V,Ed/Vc,Rd=0.01

Asta n. 1300 (1299 1300) angolari L50x10 Crit. 1

- Verifica di stabilità aste inflesse (4.2.4.1.3.2) CC 9 SLU - Classe 3
L_{cr}=0.10 Curva d: α_{imp}=0.76 k_c=0.94 ψ=1.00 M,cr=0.00 λ_{LT}=0.00
$\lambda_{LT,0}$=0.00 β_{LT}=0.00 Φ_{LT}=0.00 β_{LT}=0.00 f=0.00 χ_{LT}=1.00
CC 9 SLU My,Ed=-0.61 My,b,Rd=149.05 My,Ed/My,b,Rd=0.00

- Verifica di stabilità aste presso-inflesse (C4.2.4.1.3.3.1) - CC 5 SLV - Classe 3
Sollecitazioni: N,Ed=-10.96 Myeq,Ed=-0.34 Mzeq,Ed=3.65
Resistenze: Nc,Rd=23709.20 My,c,Rd=149.05 Mz,c,Rd=149.05 L=10.00
λ_c=5.46 Ncr,y=6286600.00 λ^*_y=0.06 Curva b: Φ_y=0.00 χ_y=1.00
λ_c=10.39 Ncr,z=1738550.00 λ^*_z=0.12 Curva b: Φ_z=0.00 χ_z=1.00
χ,min=1.00
Verifica: 0.00+0.00+0.02=0.03

- Verifica in termini tensionali [4.2.4] - CC 19 SLU Xl=0.02 - Classe 3
Sollecitazioni: N=157.97 T_z=1.72 T_y=-24.10 M_z=7.22
Tensioni: σ_N=17.45 σ_M=157.41 τ=1.03 σ_{max}=174.87
Tensioni: σ_N=17.45 σ_M=-29.70 τ=6.95 τ_{max}=6.95
Tensioni: σ_N=17.45 σ_M=157.41 τ=1.03 $\sigma_{ID,max}$=174.87

- Verifica a taglio dir. Y [4.2.16] - CC 3 SLV Xl=0.10
Sollecitazioni: N=22.98 T_z=-1.19 T_y=16.57
V,Ed=16.57 Vc,Rd=7560.76 V,Ed/Vc,Rd=0.00

- Verifica a taglio dir. Z [4.2.16]
V,Ed=-1.19 Vc,Rd=7560.76 V,Ed/Vc,Rd=0.00

Asta n. 1300 (1300 1301) angolari L50x10 Crit. 1

- Verifica di stabilità aste inflesse (4.2.4.1.3.2) CC 19 SLU - Classe 3
L_{cr}=0.10 Curva d: α_{imp}=0.76 k_c=0.94 ψ=1.10 M,cr=0.00 λ_{LT}=0.00
$\lambda_{LT,0}$=0.00 β_{LT}=0.00 Φ_{LT}=0.00 β_{LT}=0.00 f=0.00 χ_{LT}=1.00
CC 19 SLU My,Ed=-0.75 My,b,Rd=149.05 My,Ed/My,b,Rd=0.01

- Verifica di stabilità aste presso-inflesse (C4.2.4.1.3.3.1) - CC 5 SLV - Classe 3
Sollecitazioni: N,Ed=-10.99 Myeq,Ed=-0.33 Mzeq,Ed=3.90
Resistenze: Nc,Rd=23709.20 My,c,Rd=149.05 Mz,c,Rd=149.05 L=10.00

λ_c=5.46 Ncr,y=6286600.00 λ^*_y=0.06 Curva b: Φ_y=0.00 χ_y=1.00
λ_e=10.39 Ncr,z=1738550.00 λ^*_z=0.12 Curva b: Φ_z=0.00 χ_z=1.00
χ,min=1.00
Verifica: 0.00+0.00+0.03=0.03

- Verifica in termini tensionali [4.2.4] - CC 9 SLU Xl=0.08 - Classe 3
Sollecitazioni: N=157.53 T_y=2.74 M_z=5.44
Tensioni: σ_N=17.40 σ_M=118.65 τ=0.12 σ_{max}=136.05
Tensioni: σ_N=17.40 σ_M=-22.39 τ=0.79 τ_{max}=0.79
Tensioni: σ_N=17.40 σ_M=118.65 τ=0.12 $\sigma_{ID,max}$=136.05

- Verifica a taglio dir. Y [4.2.16] - CC 17 SLU Xl=0.05
Sollecitazioni: N=86.59 T_z=2.85 T_y=-39.87
V,Ed=-39.87 Vc,Rd=7560.76 V,Ed/Vc,Rd=0.01

- Verifica a taglio dir. Z [4.2.16]
V,Ed=2.85 Vc,Rd=7560.76 V,Ed/Vc,Rd=0.00

Asta n. 1302 (1319 1320) angolari L50x10 Crit. 1

- Verifica di stabilità aste presso-inflesse (C4.2.4.1.3.3.1) - CC 9 SLU - Classe 3
Sollecitazioni: N,Ed=-204.81 Myeq,Ed=11.59 Mzeq,Ed=-0.61
Resistenze: Nc,Rd=23709.20 My,c,Rd=149.05 Mz,c,Rd=149.05 L=10.00
λ_c=5.46 Ncr,y=6286600.00 λ^*_y=0.06 Curva b: Φ_y=0.00 χ_y=1.00
λ_e=10.39 Ncr,z=1738550.00 λ^*_z=0.12 Curva b: Φ_z=0.00 χ_z=1.00
χ,min=1.00
Verifica: 0.01+0.08+0.00=0.09

- Verifica in termini tensionali [4.2.4] - CC 9 SLU Xl=0.02 - Classe 3
Sollecitazioni: N=-204.81 T_z=2.87 M_y=11.59
Tensioni: σ_N=-22.62 σ_M=-220.83 τ=0.00 σ_{max}=-243.45
Tensioni: σ_N=-22.62 σ_M=-47.67 τ=0.83 τ_{max}=0.83
Tensioni: σ_N=-22.62 σ_M=-220.83 τ=0.00 $\sigma_{ID,max}$=243.45

- Verifica a taglio dir. Z [4.2.16] - CC 7 SLV Xl=0.10
Sollecitazioni: T_z=5.16
V,Ed=5.16 Vc,Rd=7560.76 V,Ed/Vc,Rd=0.00

Asta n. 1302 (1320 1321) angolari L50x10 Crit. 1

- Verifica di stabilità aste presso-inflesse (C4.2.4.1.3.3.1) - CC 19 SLU - Classe 3
Sollecitazioni: N,Ed=-206.00 Myeq,Ed=12.92 Mzeq,Ed=-0.61
Resistenze: Nc,Rd=23709.20 My,c,Rd=149.05 Mz,c,Rd=149.05 L=10.00
λ_c=5.46 Ncr,y=6286600.00 λ^*_y=0.06 Curva b: Φ_y=0.00 χ_y=1.00
λ_e=10.39 Ncr,z=1738550.00 λ^*_z=0.12 Curva b: Φ_z=0.00 χ_z=1.00
χ,min=1.00
Verifica: 0.01+0.09+0.00=0.10

- Verifica in termini tensionali [4.2.4] - CC 19 SLU Xl=0.08 - Classe 3
Sollecitazioni: N=-206.00 T_z=-18.89 M_y=12.92 T_y=1.01
Tensioni: σ_N=-22.76 σ_M=-246.24 τ=0.00 σ_{max}=-268.99
Tensioni: σ_N=-22.76 σ_M=-53.15 τ=5.45 τ_{max}=5.45
Tensioni: σ_N=-22.76 σ_M=-246.24 τ=0.00 $\sigma_{ID,max}$=268.99

- Verifica a taglio dir. Z [4.2.16] - CC 1 SLV Xl=0.07
Sollecitazioni: N=-34.39 T_z=-11.30
V,Ed=-11.30 Vc,Rd=7560.76 V,Ed/Vc,Rd=0.00

Asta n. 1344 (1331 1332) angolari L50x10 Crit. 1

- Verifica di stabilità aste presso-inflesse (C4.2.4.1.3.3.1) - CC 18 SLU - Classe 3
  Sollecitazioni: N,Ed=-231.00 Myeq,Ed=0.69 Mzeq,Ed=-12.91
  Resistenze: Nc,Rd=23709.20 My,c,Rd=149.05 Mz,c,Rd=149.05 L=10.00
  λ_c=5.46 Ncr,y=6286600.00 λ^*_y=0.06 Curva b: Φ_y=0.00 χ_y=1.00
  λ_e=10.39 Ncr,z=1738550.00 λ^*_z=0.12 Curva b: Φ_z=0.00 χ_z=1.00
  χ,min=1.00
  Verifica: 0.01+0.00+0.09=0.10

- Verifica in termini tensionali [4.2.4] - CC 18 SLU Xl=0.02 - Classe 3
  Sollecitazioni: N=-231.00 T_y=2.70 M_z=-12.91
  Tensioni: σ_N=-25.52 σ_M=-281.48 τ=0.12 σ_{max}=-307.00
  Tensioni: σ_N=-25.52 σ_M=53.12 τ=0.78 τ_{max}=0.78
  Tensioni: σ_N=-25.52 σ_M=-281.48 τ=0.12 $\sigma_{ID,max}$=307.00

- Verifica a taglio dir. Y [4.2.16] - CC 7 SLV Xl=0.10
  Sollecitazioni: T_y=5.21
  V,Ed=5.21 Vc,Rd=7560.76 V,Ed/Vc,Rd=0.00

Asta n. 1344 (1332 1333) angolari L50x10 Crit. 1

- Verifica di stabilità aste presso-inflesse (C4.2.4.1.3.3.1) - CC 19 SLU - Classe 3
  Sollecitazioni: N,Ed=-205.51 Myeq,Ed=0.61 Mzeq,Ed=-12.96
  Resistenze: Nc,Rd=23709.20 My,c,Rd=149.05 Mz,c,Rd=149.05 L=10.00
  λ_c=5.46 Ncr,y=6286600.00 λ^*_y=0.06 Curva b: Φ_y=0.00 χ_y=1.00
  λ_e=10.39 Ncr,z=1738550.00 λ^*_z=0.12 Curva b: Φ_z=0.00 χ_z=1.00
  χ,min=1.00
  Verifica: 0.01+0.00+0.09=0.10

- Verifica in termini tensionali [4.2.4] - CC 19 SLU Xl=0.08 - Classe 3
  Sollecitazioni: N=-205.51 T_z=1.02 T_y=-19.29 M_z=-12.96
  Tensioni: σ_N=-22.70 σ_M=-282.58 τ=0.82 σ_{max}=-305.28
  Tensioni: σ_N=-22.70 σ_M=53.32 τ=5.56 τ_{max}=5.56
  Tensioni: σ_N=-22.70 σ_M=-282.58 τ=0.82 $\sigma_{ID,max}$=305.28

- Verifica a taglio dir. Y [4.2.16] - CC 1 SLV Xl=0.07
  Sollecitazioni: N=-34.74 T_y=-11.34
  V,Ed=-11.34 Vc,Rd=7560.76 V,Ed/Vc,Rd=0.00

Asta n. 1346 (1351 1352) angolari L50x10 Crit. 1

- Verifica di stabilità aste inflesse (4.2.4.1.3.2) CC 19 SLU - Classe 3
  L_{cr}=0.10 Curva d: α_{imp}=0.76 k_c=0.94 ψ=1.15 M,cr=0.00 λ_{LT}=0.00
  $\lambda_{LT,0}$=0.00 β_{LT}=0.00 Φ_{LT}=0.00 β_{LT}=0.00 f=0.00 χ_{LT}=1.00
  CC 19 SLU My,Ed=-7.28 My,b,Rd=149.05 My,Ed/My,b,Rd=0.05

- Verifica di stabilità aste presso-inflesse (C4.2.4.1.3.3.1) - CC 5 SLV - Classe 3
  Sollecitazioni: N,Ed=-10.83 Myeq,Ed=-3.67 Mzeq,Ed=0.33
  Resistenze: Nc,Rd=23709.20 My,c,Rd=149.05 Mz,c,Rd=149.05 L=10.00
  λ_c=5.46 Ncr,y=6286600.00 λ^*_y=0.06 Curva b: Φ_y=0.00 χ_y=1.00
  λ_e=10.39 Ncr,z=1738550.00 λ^*_z=0.12 Curva b: Φ_z=0.00 χ_z=1.00
  χ,min=1.00
  Verifica: 0.00+0.02+0.00=0.03

- Verifica in termini tensionali [4.2.4] - CC 18 SLU Xl=0.10 - Classe 3
  Sollecitazioni: N=188.01 T_z=1.43 M_y=-7.11
  Tensioni: σ_N=20.77 σ_M=135.43 τ=0.00 σ_{max}=156.19
  Tensioni: σ_N=20.77 σ_M=29.23 τ=0.41 τ_{max}=0.41
  Tensioni: σ_N=20.77 σ_M=135.43 τ=0.00 $\sigma_{ID,max}$=156.19

- Verifica a taglio dir. Y [4.2.16] - CC 3 SLV Xl=0.10
  Sollecitazioni: N=22.69 T_z=16.41 T_y=-1.16
  V,Ed=-1.16 Vc,Rd=7560.76 V,Ed/Vc,Rd=0.00

- Verifica a taglio dir. Z [4.2.16]
  V,Ed=16.41 Vc,Rd=7560.76 V,Ed/Vc,Rd=0.00

Asta n. 1346 (1352 1353) angolari L50x10 Crit. 1

- Verifica di stabilità aste inflesse (4.2.4.1.3.2) CC 18 SLU - Classe 3
  L_{cr}=0.10 Curva d: α_{imp}=0.76 k_c=0.94 ψ=1.01 M,cr=0.00 λ_{LT}=0.00
  $\lambda_{LT,0}$=0.00 β_{LT}=0.00 Φ_{LT}=0.00 β_{LT}=0.00 f=0.00 χ_{LT}=1.00
  CC 18 SLU My,Ed=-7.26 My,b,Rd=149.05 My,Ed/My,b,Rd=0.05

- Verifica di stabilità aste presso-inflesse (C4.2.4.1.3.3.1) - CC 5 SLV - Classe 3
  Sollecitazioni: N,Ed=-10.85 Myeq,Ed=-3.88 Mzeq,Ed=0.33
  Resistenze: Nc,Rd=23709.20 My,c,Rd=149.05 Mz,c,Rd=149.05 L=10.00
  λ_c=5.46 Ncr,y=6286600.00 λ^*_y=0.06 Curva b: Φ_y=0.00 χ_y=1.00
  λ_e=10.39 Ncr,z=1738550.00 λ^*_z=0.12 Curva b: Φ_z=0.00 χ_z=1.00
  χ,min=1.00
  Verifica: 0.00+0.03+0.00=0.03

- Verifica in termini tensionali [4.2.4] - CC 18 SLU Xl=0.08 - Classe 3
  Sollecitazioni: N=188.01 T_z=2.19 M_y=-7.26
  Tensioni: σ_N=20.77 σ_M=138.26 τ=0.00 σ_{max}=159.03
  Tensioni: σ_N=20.77 σ_M=29.85 τ=0.63 τ_{max}=0.63
  Tensioni: σ_N=20.77 σ_M=138.26 τ=0.00 $\sigma_{ID,max}$=159.03

- Verifica a taglio dir. Y [4.2.16] - CC 17 SLU Xl=0.05
  Sollecitazioni: N=85.67 T_z=-40.10 T_y=2.88
  V,Ed=2.88 Vc,Rd=7560.76 V,Ed/Vc,Rd=0.00

- Verifica a taglio dir. Z [4.2.16]
  V,Ed=-40.10 Vc,Rd=7560.76 V,Ed/Vc,Rd=0.01

Asta n. 1384 (1328 1340) angolari L50x10 Crit. 1

- Verifica di stabilità aste inflesse (4.2.4.1.3.2) CC 19 SLU - Classe 3
  L_{cr}=0.10 Curva d: α_{imp}=0.76 k_c=0.94 ψ=1.59 M,cr=0.00 λ_{LT}=0.00
  $\lambda_{LT,0}$=0.00 β_{LT}=0.00 Φ_{LT}=0.00 β_{LT}=0.00 f=0.00 χ_{LT}=1.00
  CC 19 SLU My,Ed=5.83 My,b,Rd=149.05 My,Ed/My,b,Rd=0.04

- Verifica di stabilità aste presso-inflesse (C4.2.4.1.3.3.1) - CC 18 SLU - Classe 3
  Sollecitazioni: N,Ed=-10.03 Myeq,Ed=5.70 Mzeq,Ed=0.21
  Resistenze: Nc,Rd=23709.20 My,c,Rd=149.05 Mz,c,Rd=149.05 L=10.00
  λ_c=5.46 Ncr,y=6286600.00 λ^*_y=0.06 Curva b: Φ_y=0.00 χ_y=1.00
  λ_e=10.39 Ncr,z=1738550.00 λ^*_z=0.12 Curva b: Φ_z=0.00 χ_z=1.00
  χ,min=1.00
  Verifica: 0.00+0.04+0.00=0.04

- Verifica in termini tensionali [4.2.4] - CC 18 SLU Xl=0.02 - Classe 3
  Sollecitazioni: N=-10.03 T_z=78.78 M_y=7.60 T_y=-3.53
  Tensioni: σ_N=-1.11 σ_M=165.55 τ=3.85 σ_{max}=164.44
  Tensioni: σ_N=-1.11 σ_M=-31.24 τ=22.71 τ_{max}=22.71
  Tensioni: σ_N=-1.11 σ_M=165.55 τ=3.85 $\sigma_{ID,max}$=164.58

- Verifica a taglio dir. Y [4.2.16] - CC 20 SLU Xl=0.10
  Sollecitazioni: N=-8.51 T_z=66.30 T_y=-2.94

V,Ed=-2.94 Vc,Rd=7560.76 V,Ed/Vc,Rd=0.00

- Verifica a taglio dir. Z [4.2.16]
V,Ed=66.30 Vc,Rd=7560.76 V,Ed/Vc,Rd=0.01

Asta n. 1384 (1340 1348) angolari L50x10 Crit. 1

- Verifica di stabilità aste inflesse (4.2.4.1.3.2) CC 19 SLU - Classe 3
L_{cr}=0.10 Curva d: α_{imp}=0.76 k_c=0.94 ψ=2.02 M,cr=0.00 λ_{LT}=0.00
$\lambda_{LT,0}$=0.00 β_{LT}=0.00 Φ_{LT}=0.00 β_{LT}=0.00 f=0.00 χ_{LT}=1.00
CC 19 SLU My,Ed=-3.99 My,b,Rd=149.05 My,Ed/My,b,Rd=0.03

- Verifica di stabilità aste presso-inflesse (C4.2.4.1.3.3.1) - CC 18 SLU - Classe 3
Sollecitazioni: N,Ed=-10.03 Myeq,Ed=-4.28 Mzeq,Ed=-0.22
Resistenze: Nc,Rd=23709.20 My,c,Rd=149.05 Mz,c,Rd=149.05 L=10.00
λ_c=5.46 Ncr,y=6286600.00 λ^*_y=0.06 Curva b: Φ_y=0.00 χ_y=1.00
λ_e=10.39 Ncr,z=1738550.00 λ^*_z=0.12 Curva b: Φ_z=0.00 χ_z=1.00
χ,min=1.00
Verifica: 0.00+0.03+0.00=0.03

- Verifica in termini tensionali [4.2.4] - CC 18 SLU Xl=0.08 - Classe 3
Sollecitazioni: N=-10.03 T_z=80.30 M_y=-5.50 T_y=-3.53
Tensioni: σ_N=-1.11 σ_M=-119.87 τ=3.93 σ_{max}=-120.98
Tensioni: σ_N=-1.11 σ_M=22.62 τ=23.15 τ_{max}=23.15
Tensioni: σ_N=-1.11 σ_M=-119.87 τ=3.93 $\sigma_{ID,max}$=121.17

- Verifica a taglio dir. Y [4.2.16] - CC 18 SLU Xl=0.02
Sollecitazioni: N=-10.03 T_z=79.74 T_y=-3.53
V,Ed=-3.53 Vc,Rd=7560.76 V,Ed/Vc,Rd=0.00

- Verifica a taglio dir. Z [4.2.16]
V,Ed=79.74 Vc,Rd=7560.76 V,Ed/Vc,Rd=0.01

Asta n. 1387 (1330 1341) angolari L50x10 Crit. 1

- Verifica di stabilità aste inflesse (4.2.4.1.3.2) CC 1 SLV - Classe 3
L_{cr}=0.10 Curva d: α_{imp}=0.76 k_c=0.94 ψ=1.42 M,cr=0.00 λ_{LT}=0.00
$\lambda_{LT,0}$=0.00 β_{LT}=0.00 Φ_{LT}=0.00 β_{LT}=0.00 f=0.00 χ_{LT}=1.00
CC 1 SLV My,Ed=-0.15 My,b,Rd=149.05 My,Ed/My,b,Rd=0.00

- Verifica di stabilità aste presso-inflesse (C4.2.4.1.3.3.1) - CC 18 SLU - Classe 3
Sollecitazioni: N,Ed=-13.42 Myeq,Ed=-0.27 Mzeq,Ed=-6.83
Resistenze: Nc,Rd=23709.20 My,c,Rd=149.05 Mz,c,Rd=149.05 L=10.00
λ_c=5.46 Ncr,y=6286600.00 λ^*_y=0.06 Curva b: Φ_y=0.00 χ_y=1.00
λ_e=10.39 Ncr,z=1738550.00 λ^*_z=0.12 Curva b: Φ_z=0.00 χ_z=1.00
χ,min=1.00
Verifica: 0.00+0.00+0.05=0.05

- Verifica in termini tensionali [4.2.4] - CC 18 SLU Xl=0.02 - Classe 3
Sollecitazioni: N=-13.42 T_z=-4.31 T_y=82.67 M_z=-8.67
Tensioni: σ_N=-1.48 σ_M=-189.07 τ=3.53 σ_{max}=-190.55
Tensioni: σ_N=-1.48 σ_M=35.68 τ=23.84 τ_{max}=23.84
Tensioni: σ_N=-1.48 σ_M=-189.07 τ=3.53 $\sigma_{ID,max}$=190.65

- Verifica a taglio dir. Y [4.2.16] - CC 16 SLU Xl=0.10
Sollecitazioni: N=-5.23 T_z=-3.33 T_y=67.93
V,Ed=67.93 Vc,Rd=7560.76 V,Ed/Vc,Rd=0.01

- Verifica a taglio dir. Z [4.2.16]

V,Ed=-3.33 Vc,Rd=7560.76 V,Ed/Vc,Rd=0.00

Asta n. 1387 (1341 1350) angolari L50x10 Crit. 1

- Verifica di stabilità aste inflesse (4.2.4.1.3.2) CC 1 SLV - Classe 3
L_{cr}=0.10 Curva d: α_{imp}=0.76 k_c=0.94 ψ=2.10 M,cr=0.00 λ_{LT}=0.00
$\lambda_{LT,0}$=0.00 β_{LT}=0.00 Φ_{LT}=0.00 β_{LT}=0.00 f=0.00 χ_{LT}=1.00
CC 1 SLV My,Ed=0.17 My,b,Rd=149.05 My,Ed/My,b,Rd=0.00

- Verifica di stabilità aste presso-inflesse (C4.2.4.1.3.3.1) - CC 18 SLU - Classe 3
Sollecitazioni: N,Ed=-13.42 Myeq,Ed=0.26 Mzeq,Ed=4.48
Resistenze: Nc,Rd=23709.20 My,c,Rd=149.05 Mz,c,Rd=149.05 L=10.00
λ_c=5.46 Ncr,y=6286600.00 λ^*_y=0.06 Curva b: Φ_y=0.00 χ_y=1.00
λ_e=10.39 Ncr,z=1738550.00 λ^*_z=0.12 Curva b: Φ_z=0.00 χ_z=1.00
χ,min=1.00
Verifica: 0.00+0.00+0.03=0.03

- Verifica in termini tensionali [4.2.4] - CC 18 SLU Xl=0.08 - Classe 3
Sollecitazioni: N=-13.42 T_z=-4.31 T_y=84.20 M_z=5.06
Tensioni: σ_N=-1.48 σ_M=110.34 τ=3.60 σ_{max}=108.86
Tensioni: σ_N=-1.48 σ_M=-20.82 τ=24.27 τ_{max}=24.27
Tensioni: σ_N=-1.48 σ_M=110.34 τ=3.60 $\sigma_{ID,max}$=109.04

- Verifica a taglio dir. Y [4.2.16] - CC 18 SLU Xl=0.03
Sollecitazioni: N=-13.42 T_z=-4.31 T_y=83.71
V,Ed=83.71 Vc,Rd=7560.76 V,Ed/Vc,Rd=0.01

- Verifica a taglio dir. Z [4.2.16]
V,Ed=-4.31 Vc,Rd=7560.76 V,Ed/Vc,Rd=0.00

Asta n. 1422 (1331 1342) angolari L50x10 Crit. 1

- Verifica di stabilità aste inflesse (4.2.4.1.3.2) CC 19 SLU - Classe 3
L_{cr}=0.10 Curva d: α_{imp}=0.76 k_c=0.94 ψ=1.55 M,cr=0.00 λ_{LT}=0.00
$\lambda_{LT,0}$=0.00 β_{LT}=0.00 Φ_{LT}=0.00 β_{LT}=0.00 f=0.00 χ_{LT}=1.00
CC 19 SLU My,Ed=12.72 My,b,Rd=149.05 My,Ed/My,b,Rd=0.09

- Verifica di stabilità aste presso-inflesse (C4.2.4.1.3.3.1) - CC 18 SLU - Classe 3
Sollecitazioni: N,Ed=-23.81 Myeq,Ed=11.20 Mzeq,Ed=0.41
Resistenze: Nc,Rd=23709.20 My,c,Rd=149.05 Mz,c,Rd=149.05 L=10.00
λ_c=5.46 Ncr,y=6286600.00 λ^*_y=0.06 Curva b: Φ_y=0.00 χ_y=1.00
λ_e=10.39 Ncr,z=1738550.00 λ^*_z=0.12 Curva b: Φ_z=0.00 χ_z=1.00
χ,min=1.00
Verifica: 0.00+0.08+0.00=0.08

- Verifica in termini tensionali [4.2.4] - CC 18 SLU Xl=0.02 - Classe 3
Sollecitazioni: N=-23.81 T_z=140.10 M_y=14.40 T_y=-6.84
Tensioni: σ_N=-2.63 σ_M=313.76 τ=6.85 σ_{max}=311.13
Tensioni: σ_N=-2.63 σ_M=-59.21 τ=40.39 τ_{max}=40.39
Tensioni: σ_N=-2.63 σ_M=313.76 τ=6.85 $\sigma_{ID,max}$=311.36

- Verifica a taglio dir. Z [4.2.16] - CC 5 SLV Xl=0.10
Sollecitazioni: N=-2.44 T_z=62.69
V,Ed=62.69 Vc,Rd=7560.76 V,Ed/Vc,Rd=0.01

Asta n. 1422 (1342 1351) angolari L50x10 Crit. 1

- Verifica di stabilità aste inflesse (4.2.4.1.3.2) CC 19 SLU - Classe 3
L_{cr}=0.10 Curva d: α_{imp}=0.76 k_c=0.94 ψ=2.15 M,cr=0.00 λ_{LT}=0.00

$\lambda_{LT,0}$=0.00 β_{LT}=0.00 Φ_{LT}=0.00 β_{LT}=0.00 f=0.00 χ_{LT}=1.00
CC 19 SLU My,Ed=-7.53 My,b,Rd=149.05 My,Ed/My,b,Rd=0.05

- Verifica di stabilità aste presso-inflesse (C4.2.4.1.3.3.1) - CC 18 SLU - Classe 3
Sollecitazioni: N,Ed=-23.81 Myeq,Ed=-7.56 Mzeq,Ed=-0.43
Resistenze: Nc,Rd=23709.20 My,c,Rd=149.05 Mz,c,Rd=149.05 L=10.00
λ_c=5.46 Ncr,y=6286600.00 λ^*_y=0.06 Curva b: Φ_y=0.00 χ_y=1.00
λ_e=10.39 Ncr,z=1738550.00 λ^*_z=0.12 Curva b: Φ_z=0.00 χ_z=1.00
χ,min=1.00
Verifica: 0.00+0.05+0.00=0.05

- Verifica in termini tensionali [4.2.4] - CC 18 SLU Xl=0.08 - Classe 3
Sollecitazioni: N=-23.81 T_z=141.62 M_y=-8.80 T_y=-6.84
Tensioni: σ_N=-2.63 σ_M=-191.73 τ=6.93 σ_{max}=-194.36
Tensioni: σ_N=-2.63 σ_M=36.18 τ=40.83 τ_{max}=40.83
Tensioni: σ_N=-2.63 σ_M=-191.73 τ=6.93 $\sigma_{ID,max}$=194.73

- Verifica a taglio dir. Y [4.2.16] - CC 18 SLU Xl=0.02
Sollecitazioni: N=-23.81 T_z=141.07 T_y=-6.84
V,Ed=-6.84 Vc,Rd=7560.76 V,Ed/Vc,Rd=0.00

- Verifica a taglio dir. Z [4.2.16]
V,Ed=141.07 Vc,Rd=7560.76 V,Ed/Vc,Rd=0.02

Asta n. 1425 (1333 1343) angolari L50x10 Crit. 1

- Verifica di stabilità aste inflesse (4.2.4.1.3.2) CC 5 SLV - Classe 3
L_{cr}=0.10 Curva d: α_{imp}=0.76 k_c=0.94 ψ=1.66 M,cr=0.00 λ_{LT}=0.00
$\lambda_{LT,0}$=0.00 β_{LT}=0.00 Φ_{LT}=0.00 β_{LT}=0.00 f=0.00 χ_{LT}=1.00
CC 5 SLV My,Ed=-0.29 My,b,Rd=149.05 My,Ed/My,b,Rd=0.00

- Verifica di stabilità aste presso-inflesse (C4.2.4.1.3.3.1) - CC 19 SLU - Classe 3
Sollecitazioni: N,Ed=-47.49 Myeq,Ed=-0.36 Mzeq,Ed=-11.25
Resistenze: Nc,Rd=23709.20 My,c,Rd=149.05 Mz,c,Rd=149.05 L=10.00
λ_c=5.46 Ncr,y=6286600.00 λ^*_y=0.06 Curva b: Φ_y=0.00 χ_y=1.00
λ_e=10.39 Ncr,z=1738550.00 λ^*_z=0.12 Curva b: Φ_z=0.00 χ_z=1.00
χ,min=1.00
Verifica: 0.00+0.00+0.08=0.08

- Verifica in termini tensionali [4.2.4] - CC 18 SLU Xl=0.02 - Classe 3
Sollecitazioni: N=-20.06 T_z=-7.26 T_y=142.13 M_z=-14.44
Tensioni: σ_N=-2.22 σ_M=-314.76 τ=6.08 σ_{max}=-316.97
Tensioni: σ_N=-2.22 σ_M=59.40 τ=40.98 τ_{max}=40.98
Tensioni: σ_N=-2.22 σ_M=-314.76 τ=6.08 $\sigma_{ID,max}$=317.15

- Verifica a taglio dir. Y [4.2.16] - CC 5 SLV Xl=0.10
Sollecitazioni: T_z=-3.29 T_y=63.45
V,Ed=63.45 Vc,Rd=7560.76 V,Ed/Vc,Rd=0.01

- Verifica a taglio dir. Z [4.2.16]
V,Ed=-3.29 Vc,Rd=7560.76 V,Ed/Vc,Rd=0.00

Asta n. 1425 (1343 1353) angolari L50x10 Crit. 1

- Verifica di stabilità aste inflesse (4.2.4.1.3.2) CC 5 SLV - Classe 3
L_{cr}=0.10 Curva d: α_{imp}=0.76 k_c=0.94 ψ=1.85 M,cr=0.00 λ_{LT}=0.00
$\lambda_{LT,0}$=0.00 β_{LT}=0.00 Φ_{LT}=0.00 β_{LT}=0.00 f=0.00 χ_{LT}=1.00
CC 5 SLV My,Ed=0.28 My,b,Rd=149.05 My,Ed/My,b,Rd=0.00

- Verifica di stabilità aste presso-inflesse (C4.2.4.1.3.3.1) - CC 18 SLU - Classe 3
  Sollecitazioni: N,Ed=-20.06 Myeq,Ed=0.44 Mzeq,Ed=7.67
  Resistenze: Nc,Rd=23709.20 My,c,Rd=149.05 Mz,c,Rd=149.05 L=10.00
  λ_c=5.46 Ncr,y=6286600.00 λ^*_y=0.06 Curva b: Φ_y=0.00 χ_y=1.00
  λ_e=10.39 Ncr,z=1738550.00 λ^*_z=0.12 Curva b: Φ_z=0.00 χ_z=1.00
  χ,min=1.00
  Verifica: 0.00+0.00+0.05=0.06

- Verifica in termini tensionali [4.2.4] - CC 18 SLU Xl=0.08 - Classe 3
  Sollecitazioni: N=-20.06 T_z=-7.26 T_y=143.65 M_z=9.09
  Tensioni: σ_N=-2.22 σ_M=198.02 τ=6.14 σ_{max}=195.81
  Tensioni: σ_N=-2.22 σ_M=-37.37 τ=41.42 τ_{max}=41.42
  Tensioni: σ_N=-2.22 σ_M=198.02 τ=6.14 $\sigma_{ID,max}$=196.10

- Verifica a taglio dir. Y [4.2.16] - CC 18 SLU Xl=0.02
  Sollecitazioni: N=-20.06 T_z=-7.26 T_y=143.10
  V,Ed=143.10 Vc,Rd=7560.76 V,Ed/Vc,Rd=0.02

- Verifica a taglio dir. Z [4.2.16]
  V,Ed=-7.26 Vc,Rd=7560.76 V,Ed/Vc,Rd=0.00

Asta n. 1460 (1334 1344) angolari L50x10 Crit. 1

- Verifica di stabilità aste inflesse (4.2.4.1.3.2) CC 19 SLU - Classe 3
  L_{cr}=0.10 Curva d: α_{imp}=0.76 k_c=0.94 ψ=1.55 M,cr=0.00 λ_{LT}=0.00
  $\lambda_{LT,0}$=0.00 β_{LT}=0.00 Φ_{LT}=0.00 β_{LT}=0.00 f=0.00 χ_{LT}=1.00
  CC 19 SLU My,Ed=12.74 My,b,Rd=149.05 My,Ed/My,b,Rd=0.09

- Verifica di stabilità aste presso-inflesse (C4.2.4.1.3.3.1) - CC 18 SLU - Classe 3
  Sollecitazioni: N,Ed=-18.10 Myeq,Ed=11.21 Mzeq,Ed=0.46
  Resistenze: Nc,Rd=23709.20 My,c,Rd=149.05 Mz,c,Rd=149.05 L=10.00
  λ_c=5.46 Ncr,y=6286600.00 λ^*_y=0.06 Curva b: Φ_y=0.00 χ_y=1.00
  λ_e=10.39 Ncr,z=1738550.00 λ^*_z=0.12 Curva b: Φ_z=0.00 χ_z=1.00
  χ,min=1.00
  Verifica: 0.00+0.08+0.00=0.08

- Verifica in termini tensionali [4.2.4] - CC 18 SLU Xl=0.02 - Classe 3
  Sollecitazioni: N=-18.10 T_z=142.20 M_y=14.49 T_y=-7.25
  Tensioni: σ_N=-2.00 σ_M=315.86 τ=6.96 σ_{max}=313.86
  Tensioni: σ_N=-2.00 σ_M=-59.60 τ=41.00 τ_{max}=41.00
  Tensioni: σ_N=-2.00 σ_M=315.86 τ=6.96 $\sigma_{ID,max}$=314.09

- Verifica a taglio dir. Y [4.2.16] - CC 17 SLU Xl=0.10
  Sollecitazioni: N=32.50 T_z=66.43 T_y=-3.19
  V,Ed=-3.19 Vc,Rd=7560.76 V,Ed/Vc,Rd=0.00

- Verifica a taglio dir. Z [4.2.16]
  V,Ed=66.43 Vc,Rd=7560.76 V,Ed/Vc,Rd=0.01

Asta n. 1460 (1344 1354) angolari L50x10 Crit. 1

- Verifica di stabilità aste inflesse (4.2.4.1.3.2) CC 19 SLU - Classe 3
  L_{cr}=0.10 Curva d: α_{imp}=0.76 k_c=0.94 ψ=2.13 M,cr=0.00 λ_{LT}=0.00
  $\lambda_{LT,0}$=0.00 β_{LT}=0.00 Φ_{LT}=0.00 β_{LT}=0.00 f=0.00 χ_{LT}=1.00
  CC 19 SLU My,Ed=-7.70 My,b,Rd=149.05 My,Ed/My,b,Rd=0.05

- Verifica di stabilità aste presso-inflesse (C4.2.4.1.3.3.1) - CC 18 SLU - Classe 3
  Sollecitazioni: N,Ed=-18.10 Myeq,Ed=-7.67 Mzeq,Ed=-0.44
  Resistenze: Nc,Rd=23709.20 My,c,Rd=149.05 Mz,c,Rd=149.05 L=10.00

λ_c=5.46 Ncr,y=6286600.00 λ^*_y=0.06 Curva b: Φ_y=0.00 χ_y=1.00
λ_e=10.39 Ncr,z=1738550.00 λ^*_z=0.12 Curva b: Φ_z=0.00 χ_z=1.00
χ,min=1.00
Verifica: 0.00+0.05+0.00=0.06

- Verifica in termini tensionali [4.2.4] - CC 18 SLU Xl=0.08 - Classe 3
Sollecitazioni: N=-18.10 T_z=143.72 M_y=-9.05 T_y=-7.25
Tensioni: σ_N=-2.00 σ_M=-197.16 τ=7.03 σ_{max}=-199.16
Tensioni: σ_N=-2.00 σ_M=37.21 τ=41.44 τ_{max}=41.44
Tensioni: σ_N=-2.00 σ_M=-197.16 τ=7.03 $\sigma_{ID,max}$=199.54

- Verifica a taglio dir. Y [4.2.16] - CC 18 SLU Xl=0.02
Sollecitazioni: N=-18.10 T_z=143.17 T_y=-7.25
V,Ed=-7.25 Vc,Rd=7560.76 V,Ed/Vc,Rd=0.00

- Verifica a taglio dir. Z [4.2.16]
V,Ed=143.17 Vc,Rd=7560.76 V,Ed/Vc,Rd=0.02

Asta n. 1463 (1336 1345) angolari L50x10 Crit. 1

- Verifica di stabilità aste inflesse (4.2.4.1.3.2) CC 1 SLV - Classe 3
L_{cr}=0.10 Curva d: α_{imp}=0.76 k_c=0.94 ψ=2.17 M,cr=0.00 λ_{LT}=0.00
$\lambda_{LT,0}$=0.00 β_{LT}=0.00 Φ_{LT}=0.00 β_{LT}=0.00 f=0.00 χ_{LT}=1.00
CC 1 SLV My,Ed=-0.20 My,b,Rd=149.05 My,Ed/My,b,Rd=0.00

- Verifica di stabilità aste presso-inflesse (C4.2.4.1.3.3.1) - CC 19 SLU - Classe 3
Sollecitazioni: N,Ed=-52.79 Myeq,Ed=-0.34 Mzeq,Ed=-11.20
Resistenze: Nc,Rd=23709.20 My,c,Rd=149.05 Mz,c,Rd=149.05 L=10.00
λ_c=5.46 Ncr,y=6286600.00 λ^*_y=0.06 Curva b: Φ_y=0.00 χ_y=1.00
λ_e=10.39 Ncr,z=1738550.00 λ^*_z=0.12 Curva b: Φ_z=0.00 χ_z=1.00
χ,min=1.00
Verifica: 0.00+0.00+0.08=0.08

- Verifica in termini tensionali [4.2.4] - CC 18 SLU Xl=0.02 - Classe 3
Sollecitazioni: N=-25.74 T_z=-6.85 T_y=140.04 M_z=-14.35
Tensioni: σ_N=-2.84 σ_M=-312.69 τ=5.99 σ_{max}=-315.53
Tensioni: σ_N=-2.84 σ_M=59.00 τ=40.37 τ_{max}=40.37
Tensioni: σ_N=-2.84 σ_M=-312.69 τ=5.99 $\sigma_{ID,max}$=315.70

- Verifica a taglio dir. Y [4.2.16] - CC 5 SLV Xl=0.10
Sollecitazioni: N=-2.39 T_y=62.65
V,Ed=62.65 Vc,Rd=7560.76 V,Ed/Vc,Rd=0.01

Asta n. 1463 (1345 1356) angolari L50x10 Crit. 1

- Verifica di stabilità aste inflesse (4.2.4.1.3.2) CC 1 SLV - Classe 3
L_{cr}=0.10 Curva d: α_{imp}=0.76 k_c=0.94 ψ=1.46 M,cr=0.00 λ_{LT}=0.00
$\lambda_{LT,0}$=0.00 β_{LT}=0.00 Φ_{LT}=0.00 β_{LT}=0.00 f=0.00 χ_{LT}=1.00
CC 1 SLV My,Ed=0.25 My,b,Rd=149.05 My,Ed/My,b,Rd=0.00

- Verifica di stabilità aste presso-inflesse (C4.2.4.1.3.3.1) - CC 18 SLU - Classe 3
Sollecitazioni: N,Ed=-25.74 Myeq,Ed=0.43 Mzeq,Ed=7.55
Resistenze: Nc,Rd=23709.20 My,c,Rd=149.05 Mz,c,Rd=149.05 L=10.00
λ_c=5.46 Ncr,y=6286600.00 λ^*_y=0.06 Curva b: Φ_y=0.00 χ_y=1.00
λ_e=10.39 Ncr,z=1738550.00 λ^*_z=0.12 Curva b: Φ_z=0.00 χ_z=1.00
χ,min=1.00
Verifica: 0.00+0.00+0.05=0.05

- Verifica in termini tensionali [4.2.4] - CC 18 SLU Xl=0.08 - Classe 3

Sollecitazioni: N=-25.74 T_z=-6.85 T_y=141.56 M_z=8.84
Tensioni: σ_N=-2.84 σ_M=192.58 τ=6.05 σ_{max}=189.73
Tensioni: σ_N=-2.84 σ_M=-36.34 τ=40.81 τ_{max}=40.81
Tensioni: σ_N=-2.84 σ_M=192.58 τ=6.05 $\sigma_{ID,max}$=190.02

- Verifica a taglio dir. Y [4.2.16] - CC 18 SLU Xl=0.02
Sollecitazioni: N=-25.74 T_z=-6.85 T_y=141.00
V,Ed=141.00 Vc,Rd=7560.76 V,Ed/Vc,Rd=0.02

- Verifica a taglio dir. Z [4.2.16]
V,Ed=-6.85 Vc,Rd=7560.76 V,Ed/Vc,Rd=0.00

Asta n. 1498 (1337 1346) angolari L50x10 Crit. 1

- Verifica di stabilità aste inflesse (4.2.4.1.3.2) CC 19 SLU - Classe 3
L_{cr}=0.10 Curva d: α_{imp}=0.76 k_c=0.94 ψ=1.50 M,cr=0.00 λ_{LT}=0.00
$\lambda_{LT,0}$=0.00 β_{LT}=0.00 Φ_{LT}=0.00 β_{LT}=0.00 f=0.00 χ_{LT}=1.00
CC 19 SLU My,Ed=7.05 My,b,Rd=149.05 My,Ed/My,b,Rd=0.05

- Verifica di stabilità aste presso-inflesse (C4.2.4.1.3.3.1) - CC 18 SLU - Classe 3
Sollecitazioni: N,Ed=-12.35 Myeq,Ed=6.87 Mzeq,Ed=0.27
Resistenze: Nc,Rd=23709.20 My,c,Rd=149.05 Mz,c,Rd=149.05 L=10.00
λ_c=5.46 Ncr,y=6286600.00 λ^*_y=0.06 Curva b: Φ_y=0.00 χ_y=1.00
λ_e=10.39 Ncr,z=1738550.00 λ^*_z=0.12 Curva b: Φ_z=0.00 χ_z=1.00
χ,min=1.00
Verifica: 0.00+0.05+0.00=0.05

- Verifica in termini tensionali [4.2.4] - CC 18 SLU Xl=0.02 - Classe 3
Sollecitazioni: N=-12.35 T_z=82.76 M_y=8.71 T_y=-4.31
Tensioni: σ_N=-1.36 σ_M=189.77 τ=4.05 σ_{max}=188.41
Tensioni: σ_N=-1.36 σ_M=-35.81 τ=23.86 τ_{max}=23.86
Tensioni: σ_N=-1.36 σ_M=189.77 τ=4.05 $\sigma_{ID,max}$=188.54

- Verifica a taglio dir. Y [4.2.16] - CC 16 SLU Xl=0.10
Sollecitazioni: N=-4.42 T_z=67.97 T_y=-3.33
V,Ed=-3.33 Vc,Rd=7560.76 V,Ed/Vc,Rd=0.00

- Verifica a taglio dir. Z [4.2.16]
V,Ed=67.97 Vc,Rd=7560.76 V,Ed/Vc,Rd=0.01

Asta n. 1498 (1346 1357) angolari L50x10 Crit. 1

- Verifica di stabilità aste inflesse (4.2.4.1.3.2) CC 19 SLU - Classe 3
L_{cr}=0.10 Curva d: α_{imp}=0.76 k_c=0.94 ψ=2.38 M,cr=0.00 λ_{LT}=0.00
$\lambda_{LT,0}$=0.00 β_{LT}=0.00 Φ_{LT}=0.00 β_{LT}=0.00 f=0.00 χ_{LT}=1.00
CC 19 SLU My,Ed=-3.49 My,b,Rd=149.05 My,Ed/My,b,Rd=0.02

- Verifica di stabilità aste presso-inflesse (C4.2.4.1.3.3.1) - CC 18 SLU - Classe 3
Sollecitazioni: N,Ed=-12.35 Myeq,Ed=-4.49 Mzeq,Ed=-0.26
Resistenze: Nc,Rd=23709.20 My,c,Rd=149.05 Mz,c,Rd=149.05 L=10.00
λ_c=5.46 Ncr,y=6286600.00 λ^*_y=0.06 Curva b: Φ_y=0.00 χ_y=1.00
λ_e=10.39 Ncr,z=1738550.00 λ^*_z=0.12 Curva b: Φ_z=0.00 χ_z=1.00
χ,min=1.00
Verifica: 0.00+0.03+0.00=0.03

- Verifica in termini tensionali [4.2.4] - CC 18 SLU Xl=0.08 - Classe 3
Sollecitazioni: N=-12.35 T_z=84.28 M_y=-5.04 T_y=-4.31
Tensioni: σ_N=-1.36 σ_M=-109.95 τ=4.12 σ_{max}=-111.31
Tensioni: σ_N=-1.36 σ_M=20.75 τ=24.30 τ_{max}=24.30

Tensioni: σ_N=-1.36 σ_M=-109.95 τ=4.12 $\sigma_{ID,max}$=111.54

- Verifica a taglio dir. Y [4.2.16] - CC 18 SLU Xl=0.03
Sollecitazioni: N=-12.35 T_z=83.80 T_y=-4.31
V,Ed=-4.31 Vc,Rd=7560.76 V,Ed/Vc,Rd=0.00

- Verifica a taglio dir. Z [4.2.16]
V,Ed=83.80 Vc,Rd=7560.76 V,Ed/Vc,Rd=0.01

Asta n. 1501 (1339 1347) angolari L50x10 Crit. 1

- Verifica di stabilità aste inflesse (4.2.4.1.3.2) CC 5 SLV - Classe 3
L_{cr}=0.10 Curva d: α_{imp}=0.76 k_c=0.94 ψ=1.89 M,cr=0.00 λ_{LT}=0.00
$\lambda_{LT,0}$=0.00 β_{LT}=0.00 Φ_{LT}=0.00 β_{LT}=0.00 f=0.00 χ_{LT}=1.00
CC 5 SLV My,Ed=-0.18 My,b,Rd=149.05 My,Ed/My,b,Rd=0.00

- Verifica di stabilità aste presso-inflesse (C4.2.4.1.3.3.1) - CC 18 SLU - Classe 3
Sollecitazioni: N,Ed=-11.06 Myeq,Ed=-0.21 Mzeq,Ed=-5.68
Resistenze: Nc,Rd=23709.20 My,c,Rd=149.05 Mz,c,Rd=149.05 L=10.00
λ_c=5.46 Ncr,y=6286600.00 λ^*_y=0.06 Curva b: Φ_y=0.00 χ_y=1.00
λ_e=10.39 Ncr,z=1738550.00 λ^*_z=0.12 Curva b: Φ_z=0.00 χ_z=1.00
χ,min=1.00
Verifica: 0.00+0.00+0.04=0.04

- Verifica in termini tensionali [4.2.4] - CC 18 SLU Xl=0.02 - Classe 3
Sollecitazioni: N=-11.06 T_z=-3.53 T_y=78.74 M_z=-7.57
Tensioni: σ_N=-1.22 σ_M=-164.99 τ=3.37 σ_{max}=-166.21
Tensioni: σ_N=-1.22 σ_M=31.13 τ=22.70 τ_{max}=22.70
Tensioni: σ_N=-1.22 σ_M=-164.99 τ=3.37 $\sigma_{ID,max}$=166.31

- Verifica a taglio dir. Y [4.2.16] - CC 20 SLU Xl=0.10
Sollecitazioni: N=-9.36 T_z=-2.93 T_y=66.28
V,Ed=66.28 Vc,Rd=7560.76 V,Ed/Vc,Rd=0.01

- Verifica a taglio dir. Z [4.2.16]
V,Ed=-2.93 Vc,Rd=7560.76 V,Ed/Vc,Rd=0.00

Asta n. 1501 (1347 1359) angolari L50x10 Crit. 1

- Verifica di stabilità aste inflesse (4.2.4.1.3.2) CC 5 SLV - Classe 3
L_{cr}=0.10 Curva d: α_{imp}=0.76 k_c=0.94 ψ=1.64 M,cr=0.00 λ_{LT}=0.00
$\lambda_{LT,0}$=0.00 β_{LT}=0.00 Φ_{LT}=0.00 β_{LT}=0.00 f=0.00 χ_{LT}=1.00
CC 5 SLV My,Ed=0.20 My,b,Rd=149.05 My,Ed/My,b,Rd=0.00

- Verifica di stabilità aste presso-inflesse (C4.2.4.1.3.3.1) - CC 18 SLU - Classe 3
Sollecitazioni: N,Ed=-11.06 Myeq,Ed=0.22 Mzeq,Ed=4.27
Resistenze: Nc,Rd=23709.20 My,c,Rd=149.05 Mz,c,Rd=149.05 L=10.00
λ_c=5.46 Ncr,y=6286600.00 λ^*_y=0.06 Curva b: Φ_y=0.00 χ_y=1.00
λ_e=10.39 Ncr,z=1738550.00 λ^*_z=0.12 Curva b: Φ_z=0.00 χ_z=1.00
χ,min=1.00
Verifica: 0.00+0.00+0.03=0.03

- Verifica in termini tensionali [4.2.4] - CC 18 SLU Xl=0.08 - Classe 3
Sollecitazioni: N=-11.06 T_z=-3.53 T_y=80.27 M_z=5.52
Tensioni: σ_N=-1.22 σ_M=120.32 τ=3.43 σ_{max}=119.10
Tensioni: σ_N=-1.22 σ_M=-22.71 τ=23.14 τ_{max}=23.14
Tensioni: σ_N=-1.22 σ_M=120.32 τ=3.43 $\sigma_{ID,max}$=119.25

- Verifica a taglio dir. Y [4.2.16] - CC 18 SLU Xl=0.02

Sollecitazioni: N=-11.06 T_z=-3.53 T_y=79.71
V,Ed=79.71 Vc,Rd=7560.76 V,Ed/Vc,Rd=0.01

- Verifica a taglio dir. Z [4.2.16]
V,Ed=-3.53 Vc,Rd=7560.76 V,Ed/Vc,Rd=0.00

Asta n. 1519 (1032 1324) modellazione SHS50x50x5 Crit. 1

- Verifica di stabilità aste presso-inflesse (C4.2.4.1.3.3.2) - CC 9 SLU - Classe 3
Sollecitazioni: N,Ed=-4.02 My,Ed=-108.27 Mz,Ed=1.90
Resistenze: Nc,Rd=23571.40 My,c,Rd=322.14 Mz,c,Rd=322.14 L=14.14
αmy, αmz, αLT=0.95, 0.95, 0.95
λ_Y=7.65 Ncr,y=3186650.00 λ^*_y=0.09 Curva a: Φ_y=0.00 χ_y=1.00
λ_Z=7.65 Ncr,z=3186650.00 λ^*_z=0.09 Curva a: Φ_z=0.00 χ_z=1.00
Kyy, Kyz, Kzy, Kzz=0.95, 0.95, 0.76, 0.95
Verifica YY: 0.00+0.26+0.01=0.26
Verifica ZZ: 0.00+0.21+0.01=0.21

- Verifica Freccia massima per soli carichi accidentali - CC 21
$f_{Z,L}$=0.00 (L/1540)

- Verifica Freccia massima carichi totali - CC 21
$f_{Z,G}$=0.00 (L/934)

- Verifica in termini tensionali [4.2.4] - CC 19 SLU Xl=0.10 - Classe 3
Sollecitazioni: N=26.19 T_z=-2662.29 M_y=-74.25 T_y=-35.93 M_z=1.05 M_x=21.56
Tensioni: σ_N=2.91 σ_M=612.21 τ=106.48 σ_{max}=615.12
Tensioni: σ_N=2.91 σ_M=-6.86 τ=766.65 τ_{max}=766.65
Tensioni: σ_N=2.91 σ_M=-8.57 τ=766.65 $\sigma_{ID,max}$=1327.89

- Verifica a taglio e torsione dir. Y [4.2.25] - CC 19 SLU Xl=0.11
Sollecitazioni: N=26.19 T_z=-2662.41 M_y=-40.02 T_y=-35.93 M_x=21.56
V,Ed=-35.93 Vc,Rd,Red=6325.50 V,Ed/Vc,Rd,Red=0.01

- Verifica a taglio e torsione dir. Z [4.2.25]
V,Ed=-2662.41 Vc,Rd,Red=6325.50 V,Ed/Vc,Rd,Red=0.42

Asta n. 1519 (1302 1032) modellazione SHS50x50x5 Crit. 1

- Verifica di stabilità aste presso-inflesse (C4.2.4.1.3.3.2) - CC 19 SLU - Classe 3
Sollecitazioni: N,Ed=-138.67 My,Ed=82.78 Mz,Ed=1.62
Resistenze: Nc,Rd=23571.40 My,c,Rd=322.14 Mz,c,Rd=322.14 L=14.14
αmy, αmz, αLT=0.95, 0.95, 0.95
λ_Y=7.65 Ncr,y=3186650.00 λ^*_y=0.09 Curva a: Φ_y=0.00 χ_y=1.00
λ_Z=7.65 Ncr,z=3186650.00 λ^*_z=0.09 Curva a: Φ_z=0.00 χ_z=1.00
Kyy, Kyz, Kzy, Kzz=0.95, 0.95, 0.76, 0.95
Verifica YY: 0.01+0.20+0.00=0.21
Verifica ZZ: 0.01+0.16+0.00=0.17

- Verifica Freccia massima per soli carichi accidentali - CC 21
$f_{Z,L}$=0.00 (L/2372)

- Verifica Freccia massima carichi totali - CC 21
$f_{Z,L}$=0.00 (L/1482)

- Verifica in termini tensionali [4.2.4] - CC 19 SLU Xl=0.06 - Classe 3
Sollecitazioni: N=-138.67 T_z=-1522.34 M_y=82.78 T_y=36.09 M_z=1.62 M_x=-21.55
Tensioni: σ_N=-15.41 σ_M=-686.12 τ=106.42 σ_{max}=-701.53
Tensioni: σ_N=-15.41 σ_M=10.51 τ=483.92 τ_{max}=483.92
Tensioni: σ_N=-15.41 σ_M=-525.26 τ=384.90 $\sigma_{ID,max}$=858.35

- Verifica a taglio e torsione dir. Y [4.2.25] - CC 19 SLU Xl=0.04
  Sollecitazioni: N=-138.67 T_z=-1522.17 M_y=55.38 T_y=36.09 M_x=-21.55
  V,Ed=36.09 Vc,Rd,Red=6325.78 V,Ed/Vc,Rd,Red=0.01

- Verifica a taglio e torsione dir. Z [4.2.25]
  V,Ed=-1522.17 Vc,Rd,Red=6325.78 V,Ed/Vc,Rd,Red=0.24

Asta n. 1520 (1029 1319) modellazione SHS50x50x5 Crit. 1

- Verifica di stabilità aste presso-inflesse (C4.2.4.1.3.3.2) - CC 9 SLU - Classe 3
  Sollecitazioni: N,Ed=-4.35 My,Ed=-108.09 Mz,Ed=-1.91
  Resistenze: Nc,Rd=23571.40 My,c,Rd=322.14 Mz,c,Rd=322.14 L=14.14
  αmy, αmz, αLT=0.95, 0.95, 0.95
  λ_Y=7.65 Ncr,y=3186650.00 λ^*_y=0.09 Curva a: Φ_y=0.00 χ_y=1.00
  λ_Z=7.65 Ncr,z=3186650.00 λ^*_z=0.09 Curva a: Φ_z=0.00 χ_z=1.00
  Kyy, Kyz, Kzy, Kzz=0.95, 0.95, 0.76, 0.95
  Verifica YY: 0.00+0.26+0.01=0.26
  Verifica ZZ: 0.00+0.21+0.01=0.21

- Verifica Freccia massima per soli carichi accidentali - CC 11
  $f_{Z,L}$=0.00 (L/1719)

- Verifica Freccia massima carichi totali - CC 21
  $f_{Z,L}$=0.00 (L/1088)

- Verifica in termini tensionali [4.2.4] - CC 9 SLU Xl=0.11 - Classe 3
  Sollecitazioni: N=-4.35 T_z=-2538.33 M_y=-55.88 T_y=43.77 M_z=-1.01 M_x=-24.08
  Tensioni: σ_N=-0.48 σ_M=-462.49 τ=118.91 σ_{max}=-462.97
  Tensioni: σ_N=-0.48 σ_M=-6.57 τ=748.34 τ_{max}=748.34
  Tensioni: σ_N=-0.48 σ_M=-8.21 τ=748.34 $\sigma_{ID,max}$=1296.19

- Verifica a taglio e torsione dir. Y [4.2.25] - CC 9 SLU Xl=0.11
  Sollecitazioni: N=-4.35 T_z=-2538.40 M_y=-36.30 T_y=43.77 M_x=-24.08
  V,Ed=43.77 Vc,Rd,Red=6269.57 V,Ed/Vc,Rd,Red=0.01

- Verifica a taglio e torsione dir. Z [4.2.25]
  V,Ed=-2538.40 Vc,Rd,Red=6269.57 V,Ed/Vc,Rd,Red=0.40

Asta n. 1520 (1301 1029) modellazione SHS50x50x5 Crit. 1

- Verifica di stabilità aste presso-inflesse (C4.2.4.1.3.3.2) - CC 9 SLU - Classe 3
  Sollecitazioni: N,Ed=-107.71 My,Ed=75.48 Mz,Ed=-2.04
  Resistenze: Nc,Rd=23571.40 My,c,Rd=322.14 Mz,c,Rd=322.14 L=14.14
  αmy, αmz, αLT=0.95, 0.95, 0.95
  λ_Y=7.65 Ncr,y=3186650.00 λ^*_y=0.09 Curva a: Φ_y=0.00 χ_y=1.00
  λ_Z=7.65 Ncr,z=3186650.00 λ^*_z=0.09 Curva a: Φ_z=0.00 χ_z=1.00
  Kyy, Kyz, Kzy, Kzz=0.95, 0.95, 0.76, 0.95
  Verifica YY: 0.00+0.18+0.01=0.19
  Verifica ZZ: 0.00+0.14+0.01=0.15

- Verifica Freccia massima per soli carichi accidentali - CC 11
  $f_{Z,L}$=0.00 (L/2824)

- Verifica Freccia massima carichi totali - CC 11
  $f_{Z,L}$=0.00 (L/1853)

- Verifica in termini tensionali [4.2.4] - CC 9 SLU Xl=0.06 - Classe 3
  Sollecitazioni: N=-107.71 T_z=-1396.98 M_y=75.48 T_y=-46.71 M_z=-2.04 M_x=24.20
  Tensioni: σ_N=-11.97 σ_M=-630.25 τ=119.52 σ_{max}=-642.22

Tensioni: σ_N=-11.97 σ_M=13.24 τ=465.93 τ_{max}=465.93
Tensioni: σ_N=-11.97 σ_M=507.51 τ=375.07 $\sigma_{ID,max}$=817.06

- Verifica a taglio e torsione dir. Y [4.2.25] - CC 9 SLU Xl=0.03
Sollecitazioni: N=-107.71 T_z=-1396.77 M_y=43.16 T_y=-46.71 M_x=24.20
V,Ed=-46.71 Vc,Rd,Red=6266.85 V,Ed/Vc,Rd,Red=0.01

- Verifica a taglio e torsione dir. Z [4.2.25]
V,Ed=-1396.77 Vc,Rd,Red=6266.85 V,Ed/Vc,Rd,Red=0.22

Asta n. 1521 (1029 1321) modellazione SHS50x50x5 Crit. 1

- Verifica di stabilità aste presso-inflesse (C4.2.4.1.3.3.2) - CC 9 SLU - Classe 3
Sollecitazioni: N,Ed=-11.28 My,Ed=-106.96 Mz,Ed=2.13
Resistenze: Nc,Rd=23571.40 My,c,Rd=322.14 Mz,c,Rd=322.14 L=14.14
αmy, αmz, αLT=0.95, 0.95, 0.95
λ_Y=7.65 Ncr,y=3186650.00 λ^*_y=0.09 Curva a: Φ_y=0.00 χ_y=1.00
λ_Z=7.65 Ncr,z=3186650.00 λ^*_z=0.09 Curva a: Φ_z=0.00 χ_z=1.00
Kyy, Kyz, Kzy, Kzz=0.95, 0.95, 0.76, 0.95
Verifica YY: 0.00+0.25+0.01=0.26
Verifica ZZ: 0.00+0.20+0.01=0.21

- Verifica Freccia massima per soli carichi accidentali - CC 21
$f_{Z,L}$=0.00 (L/1520)

- Verifica Freccia massima carichi totali - CC 21
$f_{Z,G}$=0.00 (L/941)

- Verifica in termini tensionali [4.2.4] - CC 19 SLU Xl=0.10 - Classe 3
Sollecitazioni: N=19.14 T_z=-2653.99 M_y=-66.81 T_y=-41.88 M_z=1.10 M_x=22.33
Tensioni: σ_N=2.13 σ_M=552.10 τ=110.29 σ_{max}=554.23
Tensioni: σ_N=2.13 σ_M=-7.15 τ=768.40 τ_{max}=768.40
Tensioni: σ_N=2.13 σ_M=-8.94 τ=768.39 $\sigma_{ID,max}$=1330.92

- Verifica a taglio e torsione dir. Y [4.2.25] - CC 19 SLU Xl=0.11
Sollecitazioni: N=19.14 T_z=-2654.08 M_y=-39.51 T_y=-41.88 M_x=22.33
V,Ed=-41.88 Vc,Rd,Red=6308.38 V,Ed/Vc,Rd,Red=0.01

- Verifica a taglio e torsione dir. Z [4.2.25]
V,Ed=-2654.08 Vc,Rd,Red=6308.38 V,Ed/Vc,Rd,Red=0.42

Asta n. 1521 (1299 1029) modellazione SHS50x50x5 Crit. 1

- Verifica di stabilità aste presso-inflesse (C4.2.4.1.3.3.2) - CC 19 SLU - Classe 3
Sollecitazioni: N,Ed=-131.85 My,Ed=81.96 Mz,Ed=1.56
Resistenze: Nc,Rd=23571.40 My,c,Rd=322.14 Mz,c,Rd=322.14 L=14.14
αmy, αmz, αLT=0.95, 0.95, 0.95
λ_Y=7.65 Ncr,y=3186650.00 λ^*_y=0.09 Curva a: Φ_y=0.00 χ_y=1.00
λ_Z=7.65 Ncr,z=3186650.00 λ^*_z=0.09 Curva a: Φ_z=0.00 χ_z=1.00
Kyy, Kyz, Kzy, Kzz=0.95, 0.95, 0.76, 0.95
Verifica YY: 0.01+0.19+0.00=0.21
Verifica ZZ: 0.01+0.16+0.00=0.17

- Verifica Freccia massima per soli carichi accidentali - CC 21
$f_{Z,L}$=0.00 (L/2326)

- Verifica Freccia massima carichi totali - CC 21
$f_{Z,L}$=0.00 (L/1501)

- Verifica in termini tensionali [4.2.4] - CC 19 SLU Xl=0.06 - Classe 3

Sollecitazioni: N=-131.85 T_z=-1511.38 M_y=81.96 T_y=34.89 M_z=1.56 M_x=-22.05
Tensioni: σ_N=-14.65 σ_M=-678.97 τ=108.87 σ_{max}=-693.62
Tensioni: σ_N=-14.65 σ_M=10.12 τ=483.64 τ_{max}=483.64
Tensioni: σ_N=-14.65 σ_M=-520.39 τ=385.34 $\sigma_{ID,max}$=855.41

- Verifica a taglio e torsione dir. Y [4.2.25] - CC 19 SLU Xl=0.04
Sollecitazioni: N=-131.85 T_z=-1511.21 M_y=54.75 T_y=34.89 M_x=-22.05
V,Ed=34.89 Vc,Rd,Red=6314.78 V,Ed/Vc,Rd,Red=0.01

- Verifica a taglio e torsione dir. Z [4.2.25]
V,Ed=-1511.21 Vc,Rd,Red=6314.78 V,Ed/Vc,Rd,Red=0.24

Asta n. 1522 (1305 1035) modellazione SHS50x50x5 Crit. 1

- Verifica di stabilità aste presso-inflesse (C4.2.4.1.3.3.2) - CC 19 SLU - Classe 3
Sollecitazioni: N,Ed=-83.24 My,Ed=39.59 Mz,Ed=0.84
Resistenze: Nc,Rd=23571.40 My,c,Rd=322.14 Mz,c,Rd=322.14 L=14.14
αmy, αmz, αLT=0.95, 0.95, 0.95
λ_Y=7.65 Ncr,y=3186640.00 λ^*_y=0.09 Curva a: Φ_y=0.00 χ_y=1.00
λ_Z=7.65 Ncr,z=3186640.00 λ^*_z=0.09 Curva a: Φ_z=0.00 χ_z=1.00
Kyy, Kyz, Kzy, Kzz=0.95, 0.95, 0.76, 0.95
Verifica YY: 0.00+0.09+0.00=0.10
Verifica ZZ: 0.00+0.08+0.00=0.08

- Verifica in termini tensionali [4.2.4] - CC 9 SLU Xl=0.06 - Classe 3
Sollecitazioni: N=-59.68 T_z=-638.18 M_y=35.35 T_y=26.22 M_z=1.16 M_x=-13.63
Tensioni: σ_N=-6.63 σ_M=-296.86 τ=67.32 σ_{max}=-303.49
Tensioni: σ_N=-6.63 σ_M=7.57 τ=225.57 τ_{max}=225.57
Tensioni: σ_N=-6.63 σ_M=239.38 τ=184.06 $\sigma_{ID,max}$=394.72

- Verifica a taglio e torsione dir. Y [4.2.25] - CC 19 SLU Xl=0.06
Sollecitazioni: N=-83.24 T_z=-706.89 M_y=39.59 T_y=18.00 M_x=-12.18
V,Ed=18.00 Vc,Rd,Red=6534.08 V,Ed/Vc,Rd,Red=0.00

- Verifica a taglio e torsione dir. Z [4.2.25]
V,Ed=-706.89 Vc,Rd,Red=6534.08 V,Ed/Vc,Rd,Red=0.11

Asta n. 1522 (1035 1327) modellazione SHS50x50x5 Crit. 1

- Verifica di stabilità aste presso-inflesse (C4.2.4.1.3.3.2) - CC 5 SLV - Classe 3
Sollecitazioni: N,Ed=-11.76 My,Ed=-39.17 Mz,Ed=0.66
Resistenze: Nc,Rd=23571.40 My,c,Rd=322.14 Mz,c,Rd=322.14 L=14.14
αmy, αmz, αLT=0.95, 0.95, 0.95
λ_Y=7.65 Ncr,y=3186670.00 λ^*_y=0.09 Curva a: Φ_y=0.00 χ_y=1.00
λ_Z=7.65 Ncr,z=3186670.00 λ^*_z=0.09 Curva a: Φ_z=0.00 χ_z=1.00
Kyy, Kyz, Kzy, Kzz=0.95, 0.95, 0.76, 0.95
Verifica YY: 0.00+0.09+0.00=0.10
Verifica ZZ: 0.00+0.07+0.00=0.08

- Verifica Freccia massima carichi totali - CC 21
$f_{Z,L}$=0.00 (L/1883)

- Verifica a pressoflessione retta - CC 19 SLU Xl=0.08 - Classe 1
Sollecitazioni: N=26.97 T_z=-1272.08 M_y=-55.74 T_y=-14.75 M_x=12.07
My,Ed=-55.74 My,c,Rd=399.40
N,Ed=26.97 Nc,Rd=23571.40 n=N,Ed/Nc,Rd=0.00
MNy,c,Rd=399.40 My,Ed/MNy,c,Rd=0.14

- Verifica a taglio e torsione dir. Y [4.2.25] - CC 19 SLU Xl=0.11
Sollecitazioni: N=26.97 T_z=-1272.34 M_y=-19.75 T_y=-14.75 M_x=12.07

V,Ed=-14.75 Vc,Rd,Red=6536.51 V,Ed/Vc,Rd,Red=0.00

- Verifica a taglio e torsione dir. Z [4.2.25]
V,Ed=-1272.34 Vc,Rd,Red=6536.51 V,Ed/Vc,Rd,Red=0.19

Asta n. 1523 (1296 1026) modellazione SHS50x50x5 Crit. 1

- Verifica di stabilità aste presso-inflesse (C4.2.4.1.3.3.2) - CC 19 SLU - Classe 3
Sollecitazioni: N,Ed=-63.30 My,Ed=46.82 Mz,Ed=0.55
Resistenze: Nc,Rd=23571.40 My,c,Rd=322.14 Mz,c,Rd=322.14 L=14.14
αmy, αmz, αLT=0.95, 0.95, 0.95
λ_Y=7.65 Ncr,y=3186650.00 λ^*_y=0.09 Curva a: Φ_y=0.00 χ_y=1.00
λ_Z=7.65 Ncr,z=3186650.00 λ^*_z=0.09 Curva a: Φ_z=0.00 χ_z=1.00
Kyy, Kyz, Kzy, Kzz=0.95, 0.95, 0.76, 0.95
Verifica YY: 0.00+0.11+0.00=0.12
Verifica ZZ: 0.00+0.09+0.00=0.09

- Verifica Freccia massima carichi totali - CC 21
$f_{Z,G}$=0.00 (L/2578)

- Verifica a pressoflessione retta - CC 19 SLU Xl=0.06 - Classe 1
Sollecitazioni: N=-63.30 T_z=-884.80 M_y=46.82 T_y=12.09 M_x=-10.08
My,Ed=46.82 My,c,Rd=399.40
N,Ed=-63.30 Nc,Rd=23571.40 n=N,Ed/Nc,Rd=0.00
MNy,c,Rd=399.40 My,Ed/MNy,c,Rd=0.12

- Verifica a taglio e torsione dir. Y [4.2.25] - CC 19 SLU Xl=0.06
Sollecitazioni: N=-63.30 T_z=-884.80 M_y=46.82 T_y=12.09 M_x=-10.08
V,Ed=12.09 Vc,Rd,Red=6580.71 V,Ed/Vc,Rd,Red=0.00

- Verifica a taglio e torsione dir. Z [4.2.25]
V,Ed=-884.80 Vc,Rd,Red=6580.71 V,Ed/Vc,Rd,Red=0.13

Asta n. 1523 (1026 1318) modellazione SHS50x50x5 Crit. 1

- Verifica di stabilità aste presso-inflesse (C4.2.4.1.3.3.2) - CC 9 SLU - Classe 3
Sollecitazioni: N,Ed=-18.24 My,Ed=-60.14 Mz,Ed=1.19
Resistenze: Nc,Rd=23571.40 My,c,Rd=322.14 Mz,c,Rd=322.14 L=14.14
αmy, αmz, αLT=0.95, 0.95, 0.95
λ_Y=7.65 Ncr,y=3186650.00 λ^*_y=0.09 Curva a: Φ_y=0.00 χ_y=1.00
λ_Z=7.65 Ncr,z=3186650.00 λ^*_z=0.09 Curva a: Φ_z=0.00 χ_z=1.00
Kyy, Kyz, Kzy, Kzz=0.95, 0.95, 0.76, 0.95
Verifica YY: 0.00+0.14+0.00=0.15
Verifica ZZ: 0.00+0.11+0.00=0.12

- Verifica Freccia massima carichi totali - CC 21
$f_{Z,L}$=0.00 (L/1647)

- Verifica in termini tensionali [4.2.4] - CC 9 SLU Xl=0.09 - Classe 3
Sollecitazioni: N=-18.24 T_z=-1421.33 M_y=-52.83 T_y=-27.65 M_z=1.05 M_x=11.97
Tensioni: σ_N=-2.03 σ_M=-438.00 τ=59.12 σ_{max}=-440.02
Tensioni: σ_N=-2.03 σ_M=-6.80 τ=411.57 τ_{max}=411.57
Tensioni: σ_N=-2.03 σ_M=-8.50 τ=411.57 $\sigma_{ID,max}$=712.93

- Verifica a taglio e torsione dir. Y [4.2.25] - CC 19 SLU Xl=0.11
Sollecitazioni: N=4.49 T_z=-1477.04 M_y=-21.97 T_y=-22.54 M_x=10.50
V,Ed=-22.54 Vc,Rd,Red=6571.44 V,Ed/Vc,Rd,Red=0.00

- Verifica a taglio e torsione dir. Z [4.2.25]
V,Ed=-1477.04 Vc,Rd,Red=6571.44 V,Ed/Vc,Rd,Red=0.22

Asta n. 1524 (1298 1026) modellazione SHS50x50x5 Crit. 1

- Verifica di stabilità aste presso-inflesse (C4.2.4.1.3.3.2) - CC 9 SLU - Classe 3
  Sollecitazioni: N,Ed=-59.49 My,Ed=35.28 Mz,Ed=-1.16
  Resistenze: Nc,Rd=23571.40 My,c,Rd=322.14 Mz,c,Rd=322.14 L=14.14
  αmy, αmz, αLT=0.95, 0.95, 0.95
  λ_Y=7.65 Ncr,y=3186650.00 λ^*_y=0.09 Curva a: Φ_y=0.00 χ_y=1.00
  λ_Z=7.65 Ncr,z=3186650.00 λ^*_z=0.09 Curva a: Φ_z=0.00 χ_z=1.00
  Kyy, Kyz, Kzy, Kzz=0.95, 0.95, 0.76, 0.95
  Verifica YY: 0.00+0.08+0.00=0.09
  Verifica ZZ: 0.00+0.07+0.00=0.07

- Verifica in termini tensionali [4.2.4] - CC 9 SLU Xl=0.06 - Classe 3
  Sollecitazioni: N=-59.49 T_z=-637.28 M_y=35.28 T_y=-26.23 M_z=-1.16 M_x=13.64
  Tensioni: σ_N=-6.61 σ_M=-296.29 τ=67.35 σ_{max}=-302.90
  Tensioni: σ_N=-6.61 σ_M=7.57 τ=225.38 τ_{max}=225.38
  Tensioni: σ_N=-6.61 σ_M=238.93 τ=183.93 $\sigma_{ID,max}$=394.28

- Verifica a taglio e torsione dir. Y [4.2.25] - CC 5 SLV Xl=0.06
  Sollecitazioni: N=-1.15 T_z=-676.71 M_y=33.62 T_y=9.57 M_x=10.39
  V,Ed=9.57 Vc,Rd,Red=6573.89 V,Ed/Vc,Rd,Red=0.00

- Verifica a taglio e torsione dir. Z [4.2.25]
  V,Ed=-676.71 Vc,Rd,Red=6573.89 V,Ed/Vc,Rd,Red=0.10

Asta n. 1524 (1026 1316) modellazione SHS50x50x5 Crit. 1

- Verifica di stabilità aste presso-inflesse (C4.2.4.1.3.3.2) - CC 19 SLU - Classe 3
  Sollecitazioni: N,Ed=-22.42 My,Ed=-47.97 Mz,Ed=-1.04
  Resistenze: Nc,Rd=23571.40 My,c,Rd=322.14 Mz,c,Rd=322.14 L=14.14
  αmy, αmz, αLT=0.95, 0.95, 0.95
  λ_Y=7.65 Ncr,y=3186650.00 λ^*_y=0.09 Curva a: Φ_y=0.00 χ_y=1.00
  λ_Z=7.65 Ncr,z=3186650.00 λ^*_z=0.09 Curva a: Φ_z=0.00 χ_z=1.00
  Kyy, Kyz, Kzy, Kzz=0.95, 0.95, 0.76, 0.95
  Verifica YY: 0.00+0.11+0.00=0.12
  Verifica ZZ: 0.00+0.09+0.00=0.10

- Verifica Freccia massima carichi totali - CC 21
  $f_{Z,G}$=0.00 (L/2238)

- Verifica in termini tensionali [4.2.4] - CC 19 SLU Xl=0.08 - Classe 3
  Sollecitazioni: N=-22.42 T_z=-1160.82 M_y=-47.97 T_y=23.94 M_z=-1.04 M_x=-14.69
  Tensioni: σ_N=-2.49 σ_M=-398.49 τ=72.55 σ_{max}=-400.98
  Tensioni: σ_N=-2.49 σ_M=-6.77 τ=360.39 τ_{max}=360.39
  Tensioni: σ_N=-2.49 σ_M=-8.46 τ=360.39 $\sigma_{ID,max}$=624.32

- Verifica a taglio e torsione dir. Y [4.2.25] - CC 9 SLU Xl=0.11
  Sollecitazioni: N=2.55 T_z=-1215.82 M_y=-17.44 T_y=18.93 M_x=-13.35
  V,Ed=18.93 Vc,Rd,Red=6507.98 V,Ed/Vc,Rd,Red=0.00

- Verifica a taglio e torsione dir. Z [4.2.25]
  V,Ed=-1215.82 Vc,Rd,Red=6507.98 V,Ed/Vc,Rd,Red=0.19

Asta n. 1525 (1032 1322) modellazione SHS50x50x5 Crit. 1

- Verifica di stabilità aste presso-inflesse (C4.2.4.1.3.3.2) - CC 9 SLU - Classe 3
  Sollecitazioni: N,Ed=-11.71 My,Ed=-106.76 Mz,Ed=-2.14
  Resistenze: Nc,Rd=23571.40 My,c,Rd=322.14 Mz,c,Rd=322.14 L=14.14
  αmy, αmz, αLT=0.95, 0.95, 0.95

λ_Y=7.65 Ncr,y=3186650.00 λ^*_y=0.09 Curva a: Φ_y=0.00 χ_y=1.00
λ_Z=7.65 Ncr,z=3186650.00 λ^*_z=0.09 Curva a: Φ_z=0.00 χ_z=1.00
Kyy, Kyz, Kzy, Kzz=0.95, 0.95, 0.76, 0.95
Verifica YY: 0.00+0.25+0.01=0.26
Verifica ZZ: 0.00+0.20+0.01=0.21

- Verifica Freccia massima per soli carichi accidentali - CC 11
$f_{Z,L}$=0.00 (L/1744)

- Verifica Freccia massima carichi totali - CC 21
$f_{Z,L}$=0.00 (L/1108)

- Verifica in termini tensionali [4.2.4] - CC 9 SLU Xl=0.08 - Classe 3
Sollecitazioni: N=-11.71 T_z=-2517.06 M_y=-106.76 T_y=49.43 M_z=-2.14 M_x=-24.71
Tensioni: σ_N=-1.30 σ_M=-885.41 τ=122.01 σ_{max}=-886.71
Tensioni: σ_N=-1.30 σ_M=-13.94 τ=746.16 τ_{max}=746.16
Tensioni: σ_N=-1.30 σ_M=-17.43 τ=746.16 $\sigma_{ID,max}$=1292.52

- Verifica a taglio e torsione dir. Y [4.2.25] - CC 9 SLU Xl=0.11
Sollecitazioni: N=-11.71 T_z=-2517.32 M_y=-35.57 T_y=49.43 M_x=-24.71
V,Ed=49.43 Vc,Rd,Red=6255.64 V,Ed/Vc,Rd,Red=0.01

- Verifica a taglio e torsione dir. Z [4.2.25]
V,Ed=-2517.32 Vc,Rd,Red=6255.64 V,Ed/Vc,Rd,Red=0.40

Asta n. 1525 (1304 1032) modellazione SHS50x50x5 Crit. 1

- Verifica di stabilità aste presso-inflesse (C4.2.4.1.3.3.2) - CC 9 SLU - Classe 3
Sollecitazioni: N,Ed=-100.41 My,Ed=74.16 Mz,Ed=-1.97
Resistenze: Nc,Rd=23571.40 My,c,Rd=322.14 Mz,c,Rd=322.14 L=14.14
αmy, αmz, αLT=0.95, 0.95, 0.95
λ_Y=7.65 Ncr,y=3186650.00 λ^*_y=0.09 Curva a: Φ_y=0.00 χ_y=1.00
λ_Z=7.65 Ncr,z=3186650.00 λ^*_z=0.09 Curva a: Φ_z=0.00 χ_z=1.00
Kyy, Kyz, Kzy, Kzz=0.95, 0.95, 0.76, 0.95
Verifica YY: 0.00+0.18+0.01=0.19
Verifica ZZ: 0.00+0.14+0.01=0.15

- Verifica Freccia massima per soli carichi accidentali - CC 11
$f_{Z,G}$=0.00 (L/2824)

- Verifica Freccia massima carichi totali - CC 11
$f_{Z,L}$=0.00 (L/1913)

- Verifica in termini tensionali [4.2.4] - CC 9 SLU Xl=0.06 - Classe 3
Sollecitazioni: N=-100.41 T_z=-1375.88 M_y=74.16 T_y=-45.25 M_z=-1.97 M_x=24.56
Tensioni: σ_N=-11.16 σ_M=-618.92 τ=121.26 σ_{max}=-630.08
Tensioni: σ_N=-11.16 σ_M=12.79 τ=462.44 τ_{max}=462.44
Tensioni: σ_N=-11.16 σ_M=498.34 τ=372.95 $\sigma_{ID,max}$=809.08

- Verifica a taglio e torsione dir. Y [4.2.25] - CC 9 SLU Xl=0.03
Sollecitazioni: N=-100.41 T_z=-1375.67 M_y=42.32 T_y=-45.25 M_x=24.56
V,Ed=-45.25 Vc,Rd,Red=6259.01 V,Ed/Vc,Rd,Red=0.01

- Verifica a taglio e torsione dir. Z [4.2.25]
V,Ed=-1375.67 Vc,Rd,Red=6259.01 V,Ed/Vc,Rd,Red=0.22

Asta n. 1526 (1035 1325) modellazione SHS50x50x5 Crit. 1

- Verifica di stabilità aste presso-inflesse (C4.2.4.1.3.3.2) - CC 9 SLU - Classe 3
Sollecitazioni: N,Ed=-18.53 My,Ed=-60.03 Mz,Ed=-1.17

Resistenze: Nc,Rd=23571.40 My,c,Rd=322.14 Mz,c,Rd=322.14 L=14.14
αmy, αmz, αLT=0.95, 0.95, 0.95
λ_Y=7.65 Ncr,y=3186640.00 λ^*_y=0.09 Curva a: Φ_y=0.00 χ_y=1.00
λ_Z=7.65 Ncr,z=3186640.00 λ^*_z=0.09 Curva a: Φ_z=0.00 χ_z=1.00
Kyy, Kyz, Kzy, Kzz=0.95, 0.95, 0.76, 0.95
Verifica YY: 0.00+0.14+0.00=0.15
Verifica ZZ: 0.00+0.11+0.00=0.12

- Verifica Freccia massima carichi totali - CC 21
$f_{Z,L}$=0.00 (L/1883)

- Verifica in termini tensionali [4.2.4] - CC 9 SLU Xl=0.09 - Classe 3
Sollecitazioni: N=-18.53 T_z=-1419.93 M_y=-52.73 T_y=27.32 M_z=-1.03 M_x=-11.95
Tensioni: σ_N=-2.06 σ_M=-437.09 τ=59.00 σ_{max}=-439.15
Tensioni: σ_N=-2.06 σ_M=-6.72 τ=411.10 τ_{max}=411.10
Tensioni: σ_N=-2.06 σ_M=-8.39 τ=411.10 $\sigma_{ID,max}$=712.12

- Verifica a taglio e torsione dir. Y [4.2.25] - CC 9 SLU Xl=0.11
Sollecitazioni: N=-18.53 T_z=-1420.14 M_y=-19.87 T_y=27.32 M_x=-11.95
V,Ed=27.32 Vc,Rd,Red=6539.17 V,Ed/Vc,Rd,Red=0.00

- Verifica a taglio e torsione dir. Z [4.2.25]
V,Ed=-1420.14 Vc,Rd,Red=6539.17 V,Ed/Vc,Rd,Red=0.22

Asta n. 1526 (1307 1035) modellazione SHS50x50x5 Crit. 1

- Verifica di stabilità aste presso-inflesse (C4.2.4.1.3.3.2) - CC 9 SLU - Classe 3
Sollecitazioni: N,Ed=-38.57 My,Ed=43.47 Mz,Ed=-0.88
Resistenze: Nc,Rd=23571.40 My,c,Rd=322.14 Mz,c,Rd=322.14 L=14.14
αmy, αmz, αLT=0.95, 0.95, 0.95
λ_Y=7.65 Ncr,y=3186670.00 λ^*_y=0.09 Curva a: Φ_y=0.00 χ_y=1.00
λ_Z=7.65 Ncr,z=3186670.00 λ^*_z=0.09 Curva a: Φ_z=0.00 χ_z=1.00
Kyy, Kyz, Kzy, Kzz=0.95, 0.95, 0.76, 0.95
Verifica YY: 0.00+0.10+0.00=0.11
Verifica ZZ: 0.00+0.08+0.00=0.09

- Verifica in termini tensionali [4.2.4] - CC 19 SLU Xl=0.06 - Classe 3
Sollecitazioni: N=-14.41 T_z=-799.44 M_y=40.25 T_y=-28.87 M_z=-1.22 M_x=13.30
Tensioni: σ_N=-1.60 σ_M=-337.08 τ=65.69 σ_{max}=-338.68
Tensioni: σ_N=-1.60 σ_M=7.90 τ=263.93 τ_{max}=263.93
Tensioni: σ_N=-1.60 σ_M=9.88 τ=263.93 $\sigma_{ID,max}$=457.21

- Verifica a taglio e torsione dir. Y [4.2.25] - CC 9 SLU Xl=0.06
Sollecitazioni: N=-38.57 T_z=-841.07 M_y=43.47 T_y=-20.37 M_x=11.69
V,Ed=-20.37 Vc,Rd,Red=6544.99 V,Ed/Vc,Rd,Red=0.00

- Verifica a taglio e torsione dir. Z [4.2.25]
V,Ed=-841.07 Vc,Rd,Red=6544.99 V,Ed/Vc,Rd,Red=0.13

Asta n. 1551 (1330 1286) modellazione SHS50x50x5 Crit. 1

- Verifica di stabilità aste presso-inflesse (C4.2.4.1.3.3.2) - CC 18 SLU - Classe 3
Sollecitazioni: N,Ed=-20.13 My,Ed=-76.68 Mz,Ed=1.51
Resistenze: Nc,Rd=23571.40 My,c,Rd=322.14 Mz,c,Rd=322.14 L=14.14
αmy, αmz, αLT=0.95, 0.95, 0.95
λ_Y=7.65 Ncr,y=3186650.00 λ^*_y=0.09 Curva a: Φ_y=0.00 χ_y=1.00
λ_Z=7.65 Ncr,z=3186650.00 λ^*_z=0.09 Curva a: Φ_z=0.00 χ_z=1.00
Kyy, Kyz, Kzy, Kzz=0.95, 0.95, 0.76, 0.95
Verifica YY: 0.00+0.18+0.00=0.19

Verifica ZZ: 0.00+0.15+0.00=0.15

- Verifica Freccia massima per soli carichi accidentali - CC 24
$f_{Z,L}$=0.00 (L/2421)

- Verifica Freccia massima carichi totali - CC 24
$f_{Z,L}$=0.00 (L/1694)

- Verifica in termini tensionali [4.2.4] - CC 18 SLU Xl=0.04 - Classe 3
Sollecitazioni: N=-20.13 T_z=1783.84 M_y=-53.74 T_y=34.55 M_z=1.06 M_x=-16.72
Tensioni: σ_N=-2.24 σ_M=-445.57 τ=82.56 σ_{max}=-447.81
Tensioni: σ_N=-2.24 σ_M=-6.90 τ=524.90 τ_{max}=524.90
Tensioni: σ_N=-2.24 σ_M=-8.63 τ=524.90 $\sigma_{ID,max}$=909.22

- Verifica a taglio e torsione dir. Y [4.2.25] - CC 18 SLU Xl=0.03
Sollecitazioni: N=-20.13 T_z=1783.98 M_y=-26.22 T_y=34.55 M_x=-16.72
V,Ed=34.55 Vc,Rd,Red=6433.14 V,Ed/Vc,Rd,Red=0.01

- Verifica a taglio e torsione dir. Z [4.2.25]
V,Ed=1783.98 Vc,Rd,Red=6433.14 V,Ed/Vc,Rd,Red=0.28

Asta n. 1551 (1286 1348) modellazione SHS50x50x5 Crit. 1

- Verifica di stabilità aste presso-inflesse (C4.2.4.1.3.3.2) - CC 18 SLU - Classe 3
Sollecitazioni: N,Ed=-34.37 My,Ed=61.05 Mz,Ed=1.19
Resistenze: Nc,Rd=23571.40 My,c,Rd=322.14 Mz,c,Rd=322.14 L=14.14
αmy, αmz, αLT=0.95, 0.95, 0.95
λ_Y=7.65 Ncr,y=3186650.00 λ^*_y=0.09 Curva a: Φ_y=0.00 χ_y=1.00
λ_Z=7.65 Ncr,z=3186650.00 λ^*_z=0.09 Curva a: Φ_z=0.00 χ_z=1.00
Kyy, Kyz, Kzy, Kzz=0.95, 0.95, 0.76, 0.95
Verifica YY: 0.00+0.15+0.00=0.15
Verifica ZZ: 0.00+0.12+0.00=0.12

- Verifica Freccia massima carichi totali - CC 24
$f_{Z,L}$=0.00 (L/2118)

- Verifica in termini tensionali [4.2.4] - CC 18 SLU Xl=0.08 - Classe 3
Sollecitazioni: N=-34.37 T_z=1236.61 M_y=61.05 T_y=-27.02 M_z=1.19 M_x=16.44
Tensioni: σ_N=-3.82 σ_M=-505.95 τ=81.20 σ_{max}=-509.77
Tensioni: σ_N=-3.82 σ_M=7.72 τ=387.84 τ_{max}=387.84
Tensioni: σ_N=-3.82 σ_M=9.65 τ=387.84 $\sigma_{ID,max}$=671.79

- Verifica a taglio e torsione dir. Y [4.2.25] - CC 18 SLU Xl=0.09
Sollecitazioni: N=-34.37 T_z=1236.54 M_y=51.51 T_y=-27.02 M_x=16.44
V,Ed=-27.02 Vc,Rd,Red=6439.28 V,Ed/Vc,Rd,Red=0.00

- Verifica a taglio e torsione dir. Z [4.2.25]
V,Ed=1236.54 Vc,Rd,Red=6439.28 V,Ed/Vc,Rd,Red=0.19

Asta n. 1552 (1336 1292) modellazione SHS50x50x5 Crit. 1

- Verifica di stabilità aste presso-inflesse (C4.2.4.1.3.3.2) - CC 18 SLU - Classe 3
Sollecitazioni: N,Ed=-2.41 My,Ed=-123.53 Mz,Ed=2.16
Resistenze: Nc,Rd=23571.40 My,c,Rd=322.14 Mz,c,Rd=322.14 L=14.14
αmy, αmz, αLT=0.95, 0.95, 0.95
λ_Y=7.65 Ncr,y=3186650.00 λ^*_y=0.09 Curva a: Φ_y=0.00 χ_y=1.00
λ_Z=7.65 Ncr,z=3186650.00 λ^*_z=0.09 Curva a: Φ_z=0.00 χ_z=1.00
Kyy, Kyz, Kzy, Kzz=0.95, 0.95, 0.76, 0.95
Verifica YY: 0.00+0.29+0.01=0.30
Verifica ZZ: 0.00+0.24+0.01=0.24

- Verifica Freccia massima per soli carichi accidentali - CC 24
  $f_{Z,L}$=0.00 (L/1540)

- Verifica Freccia massima carichi totali - CC 21
  $f_{Z,L}$=0.00 (L/996)

- Verifica in termini tensionali [4.2.4] - CC 18 SLU Xl=0.03 - Classe 3
  Sollecitazioni: N=-2.41 T_z=2863.07 M_y=-57.28 T_y=49.12 M_z=1.03 M_x=-28.28
  Tensioni: σ_N=-0.27 σ_M=-474.04 τ=139.65 σ_{max}=-474.31
  Tensioni: σ_N=-0.27 σ_M=-6.67 τ=849.60 τ_{max}=849.60
  Tensioni: σ_N=-0.27 σ_M=-8.34 τ=849.60 $\sigma_{ID,max}$=1471.58

- Verifica a taglio e torsione dir. Y [4.2.25] - CC 18 SLU Xl=0.03
  Sollecitazioni: N=-2.41 T_z=2863.12 M_y=-42.56 T_y=49.12 M_x=-28.28
  V,Ed=49.12 Vc,Rd,Red=6176.25 V,Ed/Vc,Rd,Red=0.01

- Verifica a taglio e torsione dir. Z [4.2.25]
  V,Ed=2863.12 Vc,Rd,Red=6176.25 V,Ed/Vc,Rd,Red=0.46

Asta n. 1552 (1292 1354) modellazione SHS50x50x5 Crit. 1

- Verifica di stabilità aste presso-inflesse (C4.2.4.1.3.3.2) - CC 18 SLU - Classe 3
  Sollecitazioni: N,Ed=-100.51 My,Ed=93.76 Mz,Ed=2.34
  Resistenze: Nc,Rd=23571.40 My,c,Rd=322.14 Mz,c,Rd=322.14 L=14.14
  αmy, αmz, αLT=0.95, 0.95, 0.95
  λ_Y=7.65 Ncr,y=3186650.00 λ^*_y=0.09 Curva a: Φ_y=0.00 χ_y=1.00
  λ_Z=7.65 Ncr,z=3186650.00 λ^*_z=0.09 Curva a: Φ_z=0.00 χ_z=1.00
  Kyy, Kyz, Kzy, Kzz=0.95, 0.95, 0.76, 0.95
  Verifica YY: 0.00+0.22+0.01=0.23
  Verifica ZZ: 0.00+0.18+0.01=0.19

- Verifica Freccia massima per soli carichi accidentali - CC 24
  $f_{Z,L}$=0.00 (L/1913)

- Verifica Freccia massima carichi totali - CC 21
  $f_{Z,L}$=0.00 (L/1395)

- Verifica in termini tensionali [4.2.4] - CC 18 SLU Xl=0.08 - Classe 3
  Sollecitazioni: N=-100.51 T_z=1820.04 M_y=93.76 T_y=-53.16 M_z=2.34 M_x=28.45
  Tensioni: σ_N=-11.17 σ_M=-781.24 τ=140.51 σ_{max}=-792.41
  Tensioni: σ_N=-11.17 σ_M=15.19 τ=591.83 τ_{max}=591.83
  Tensioni: σ_N=-11.17 σ_M=628.79 τ=473.45 $\sigma_{ID,max}$=1026.60

- Verifica a taglio e torsione dir. Y [4.2.25] - CC 18 SLU Xl=0.11
  Sollecitazioni: N=-100.51 T_z=1819.80 M_y=46.96 T_y=-53.16 M_x=28.45
  V,Ed=-53.16 Vc,Rd,Red=6172.38 V,Ed/Vc,Rd,Red=0.01

- Verifica a taglio e torsione dir. Z [4.2.25]
  V,Ed=1819.80 Vc,Rd,Red=6172.38 V,Ed/Vc,Rd,Red=0.29

Asta n. 1553 (1328 1286) modellazione SHS50x50x5 Crit. 1

- Verifica di stabilità aste presso-inflesse (C4.2.4.1.3.3.2) - CC 19 SLU - Classe 3
  Sollecitazioni: N,Ed=-22.27 My,Ed=-48.05 Mz,Ed=-1.04
  Resistenze: Nc,Rd=23571.40 My,c,Rd=322.14 Mz,c,Rd=322.14 L=14.14
  αmy, αmz, αLT=0.95, 0.95, 0.95
  λ_Y=7.65 Ncr,y=3186650.00 λ^*_y=0.09 Curva a: Φ_y=0.00 χ_y=1.00
  λ_Z=7.65 Ncr,z=3186650.00 λ^*_z=0.09 Curva a: Φ_z=0.00 χ_z=1.00
  Kyy, Kyz, Kzy, Kzz=0.95, 0.95, 0.76, 0.95

Verifica YY: 0.00+0.11+0.00=0.12
Verifica ZZ: 0.00+0.09+0.00=0.10

- Verifica Freccia massima per soli carichi accidentali - CC 24
$f_{Z,L}$=0.00 (L/2578)

- Verifica Freccia massima carichi totali - CC 24
$f_{Z,L}$=0.00 (L/1853)

- Verifica in termini tensionali [4.2.4] - CC 18 SLU Xl=0.05 - Classe 3
Sollecitazioni: N=2.09 T_z=1614.03 M_y=-61.81 T_y=-25.00 M_z=-1.01 M_x=17.70
Tensioni: σ_N=0.23 σ_M=510.76 τ=87.41 σ_{max}=510.99
Tensioni: σ_N=0.23 σ_M=-6.56 τ=487.64 τ_{max}=487.64
Tensioni: σ_N=0.23 σ_M=-8.20 τ=487.64 $\sigma_{ID,max}$=844.65

- Verifica a taglio e torsione dir. Y [4.2.25] - CC 18 SLU Xl=0.03
Sollecitazioni: N=2.09 T_z=1614.25 M_y=-24.46 T_y=-25.00 M_x=17.70
V,Ed=-25.00 Vc,Rd,Red=6411.35 V,Ed/Vc,Rd,Red=0.00

- Verifica a taglio e torsione dir. Z [4.2.25]
V,Ed=1614.25 Vc,Rd,Red=6411.35 V,Ed/Vc,Rd,Red=0.25

Asta n. 1553 (1286 1350) modellazione SHS50x50x5 Crit. 1

- Verifica di stabilità aste presso-inflesse (C4.2.4.1.3.3.2) - CC 18 SLU - Classe 3
Sollecitazioni: N,Ed=-56.59 My,Ed=54.48 Mz,Ed=-1.47
Resistenze: Nc,Rd=23571.40 My,c,Rd=322.14 Mz,c,Rd=322.14 L=14.14
αmy, αmz, αLT=0.95, 0.95, 0.95
λ_Y=7.65 Ncr,y=3186650.00 λ^*_y=0.09 Curva a: Φ_y=0.00 χ_y=1.00
λ_Z=7.65 Ncr,z=3186650.00 λ^*_z=0.09 Curva a: Φ_z=0.00 χ_z=1.00
Kyy, Kyz, Kzy, Kzz=0.95, 0.95, 0.76, 0.95
Verifica YY: 0.00+0.13+0.00=0.14
Verifica ZZ: 0.00+0.10+0.00=0.11

- Verifica Freccia massima carichi totali - CC 22
$f_{Z,L}$=0.00 (L/2421)

- Verifica in termini tensionali [4.2.4] - CC 18 SLU Xl=0.08 - Classe 3
Sollecitazioni: N=-56.59 T_z=1066.88 M_y=54.48 T_y=32.75 M_z=-1.47 M_x=-18.00
Tensioni: σ_N=-6.29 σ_M=-454.87 τ=88.91 σ_{max}=-461.15
Tensioni: σ_N=-6.29 σ_M=9.54 τ=353.46 τ_{max}=353.46
Tensioni: σ_N=-6.29 σ_M=11.92 τ=353.46 $\sigma_{ID,max}$=612.23

- Verifica a taglio e torsione dir. Y [4.2.25] - CC 18 SLU Xl=0.10
Sollecitazioni: N=-56.59 T_z=1066.74 M_y=38.02 T_y=32.75 M_x=-18.00
V,Ed=32.75 Vc,Rd,Red=6404.61 V,Ed/Vc,Rd,Red=0.01

- Verifica a taglio e torsione dir. Z [4.2.25]
V,Ed=1066.74 Vc,Rd,Red=6404.61 V,Ed/Vc,Rd,Red=0.17

Asta n. 1554 (1337 1295) modellazione SHS50x50x5 Crit. 1

- Verifica di stabilità aste presso-inflesse (C4.2.4.1.3.3.2) - CC 18 SLU - Classe 3
Sollecitazioni: N,Ed=-19.77 My,Ed=-76.74 Mz,Ed=-1.52
Resistenze: Nc,Rd=23571.40 My,c,Rd=322.14 Mz,c,Rd=322.14 L=14.14
αmy, αmz, αLT=0.95, 0.95, 0.95
λ_Y=7.65 Ncr,y=3186640.00 λ^*_y=0.09 Curva a: Φ_y=0.00 χ_y=1.00
λ_Z=7.65 Ncr,z=3186640.00 λ^*_z=0.09 Curva a: Φ_z=0.00 χ_z=1.00
Kyy, Kyz, Kzy, Kzz=0.95, 0.95, 0.76, 0.95
Verifica YY: 0.00+0.18+0.00=0.19

Verifica ZZ: 0.00+0.15+0.00=0.15

- Verifica Freccia massima per soli carichi accidentali - CC 24
$f_{Z,L}$=0.00 (L/2421)

- Verifica Freccia massima carichi totali - CC 24
$f_{Z,L}$=0.00 (L/1694)

- Verifica in termini tensionali [4.2.4] - CC 18 SLU Xl=0.06 - Classe 3
Sollecitazioni: N=-19.77 T_z=1783.99 M_y=-76.74 T_y=-34.75 M_z=-1.52 M_x=16.76
Tensioni: σ_N=-2.20 σ_M=-636.20 τ=82.75 σ_{max}=-638.39
Tensioni: σ_N=-2.20 σ_M=-9.86 τ=525.13 τ_{max}=525.13
Tensioni: σ_N=-2.20 σ_M=-12.32 τ=525.13 $\sigma_{ID,max}$=909.66

- Verifica a taglio e torsione dir. Y [4.2.25] - CC 18 SLU Xl=0.03
Sollecitazioni: N=-19.77 T_z=1784.25 M_y=-26.27 T_y=-34.75 M_x=16.76
V,Ed=-34.75 Vc,Rd,Red=6432.30 V,Ed/Vc,Rd,Red=0.01

- Verifica a taglio e torsione dir. Z [4.2.25]
V,Ed=1784.25 Vc,Rd,Red=6432.30 V,Ed/Vc,Rd,Red=0.28

Asta n. 1554 (1295 1359) modellazione SHS50x50x5 Crit. 1

- Verifica di stabilità aste presso-inflesse (C4.2.4.1.3.3.2) - CC 18 SLU - Classe 3
Sollecitazioni: N,Ed=-34.64 My,Ed=61.10 Mz,Ed=-1.20
Resistenze: Nc,Rd=23571.40 My,c,Rd=322.14 Mz,c,Rd=322.14 L=14.14
αmy, αmz, αLT=0.95, 0.95, 0.95
λ_Y=7.65 Ncr,y=3186670.00 λ^*_y=0.09 Curva a: Φ_y=0.00 χ_y=1.00
λ_Z=7.65 Ncr,z=3186670.00 λ^*_z=0.09 Curva a: Φ_z=0.00 χ_z=1.00
Kyy, Kyz, Kzy, Kzz=0.95, 0.95, 0.76, 0.95
Verifica YY: 0.00+0.15+0.00=0.15
Verifica ZZ: 0.00+0.12+0.00=0.12

- Verifica Freccia massima per soli carichi accidentali - CC 24
$f_{Z,L}$=0.00 (L/2824)

- Verifica Freccia massima carichi totali - CC 24
$f_{Z,L}$=0.00 (L/2118)

- Verifica in termini tensionali [4.2.4] - CC 18 SLU Xl=0.08 - Classe 3
Sollecitazioni: N=-34.64 T_z=1236.85 M_y=61.10 T_y=27.21 M_z=-1.20 M_x=-16.47
Tensioni: σ_N=-3.85 σ_M=-506.43 τ=81.35 σ_{max}=-510.28
Tensioni: σ_N=-3.85 σ_M=7.77 τ=388.05 τ_{max}=388.05
Tensioni: σ_N=-3.85 σ_M=9.72 τ=388.05 $\sigma_{ID,max}$=672.15

- Verifica a taglio e torsione dir. Y [4.2.25] - CC 18 SLU Xl=0.09
Sollecitazioni: N=-34.64 T_z=1236.78 M_y=51.56 T_y=27.21 M_x=-16.47
V,Ed=27.21 Vc,Rd,Red=6438.60 V,Ed/Vc,Rd,Red=0.00

- Verifica a taglio e torsione dir. Z [4.2.25]
V,Ed=1236.78 Vc,Rd,Red=6438.60 V,Ed/Vc,Rd,Red=0.19

Asta n. 1555 (1331 1289) modellazione SHS50x50x5 Crit. 1

- Verifica di stabilità aste presso-inflesse (C4.2.4.1.3.3.2) - CC 18 SLU - Classe 3
Sollecitazioni: N,Ed=-2.01 My,Ed=-123.60 Mz,Ed=-2.18
Resistenze: Nc,Rd=23571.40 My,c,Rd=322.14 Mz,c,Rd=322.14 L=14.14
αmy, αmz, αLT=0.95, 0.95, 0.95
λ_Y=7.65 Ncr,y=3186650.00 λ^*_y=0.09 Curva a: Φ_y=0.00 χ_y=1.00
λ_Z=7.65 Ncr,z=3186650.00 λ^*_z=0.09 Curva a: Φ_z=0.00 χ_z=1.00

Kyy, Kyz, Kzy, Kzz=0.95, 0.95, 0.76, 0.95
Verifica YY: 0.00+0.29+0.01=0.30
Verifica ZZ: 0.00+0.24+0.01=0.24

- Verifica Freccia massima per soli carichi accidentali - CC 24
$f_{Z,L}$=0.00 (L/1540)

- Verifica Freccia massima carichi totali - CC 24
$f_{Z,L}$=0.00 (L/1059)

- Verifica in termini tensionali [4.2.4] - CC 18 SLU Xl=0.03 - Classe 3
Sollecitazioni: N=-2.01 T_z=2863.01 M_y=-57.34 T_y=-49.42 M_z=-1.03 M_x=28.34
Tensioni: σ_N=-0.22 σ_M=-474.62 τ=139.95 σ_{max}=-474.84
Tensioni: σ_N=-0.22 σ_M=-6.72 τ=849.89 τ_{max}=849.89
Tensioni: σ_N=-0.22 σ_M=-8.40 τ=849.89 $\sigma_{ID,max}$=1472.07

- Verifica a taglio e torsione dir. Y [4.2.25] - CC 18 SLU Xl=0.03
Sollecitazioni: N=-2.01 T_z=2863.05 M_y=-42.62 T_y=-49.42 M_x=28.34
V,Ed=-49.42 Vc,Rd,Red=6174.89 V,Ed/Vc,Rd,Red=0.01

- Verifica a taglio e torsione dir. Z [4.2.25]
V,Ed=2863.05 Vc,Rd,Red=6174.89 V,Ed/Vc,Rd,Red=0.46

Asta n. 1555 (1289 1353) modellazione SHS50x50x5 Crit. 1

- Verifica di stabilità aste presso-inflesse (C4.2.4.1.3.3.2) - CC 18 SLU - Classe 3
Sollecitazioni: N,Ed=-100.95 My,Ed=93.82 Mz,Ed=-2.36
Resistenze: Nc,Rd=23571.40 My,c,Rd=322.14 Mz,c,Rd=322.14 L=14.14
αmy, αmz, αLT=0.95, 0.95, 0.95
λ_Y=7.65 Ncr,y=3186650.00 λ^*_y=0.09 Curva a: Φ_y=0.00 χ_y=1.00
λ_Z=7.65 Ncr,z=3186650.00 λ^*_z=0.09 Curva a: Φ_z=0.00 χ_z=1.00
Kyy, Kyz, Kzy, Kzz=0.95, 0.95, 0.76, 0.95
Verifica YY: 0.00+0.22+0.01=0.23
Verifica ZZ: 0.00+0.18+0.01=0.19

- Verifica Freccia massima per soli carichi accidentali - CC 24
$f_{Z,L}$=0.00 (L/1913)

- Verifica Freccia massima carichi totali - CC 24
$f_{Z,L}$=0.00 (L/1412)

- Verifica in termini tensionali [4.2.4] - CC 18 SLU Xl=0.08 - Classe 3
Sollecitazioni: N=-100.95 T_z=1819.95 M_y=93.82 T_y=53.66 M_z=-2.36 M_x=-28.51
Tensioni: σ_N=-11.22 σ_M=-781.93 τ=140.77 σ_{max}=-793.15
Tensioni: σ_N=-11.22 σ_M=15.33 τ=592.06 τ_{max}=592.06
Tensioni: σ_N=-11.22 σ_M=629.38 τ=473.68 $\sigma_{ID,max}$=1027.26

- Verifica a taglio e torsione dir. Y [4.2.25] - CC 18 SLU Xl=0.11
Sollecitazioni: N=-100.95 T_z=1819.71 M_y=47.03 T_y=53.66 M_x=-28.51
V,Ed=53.66 Vc,Rd,Red=6171.23 V,Ed/Vc,Rd,Red=0.01

- Verifica a taglio e torsione dir. Z [4.2.25]
V,Ed=1819.71 Vc,Rd,Red=6171.23 V,Ed/Vc,Rd,Red=0.29

Asta n. 1556 (1333 1289) modellazione SHS50x50x5 Crit. 1

- Verifica di stabilità aste presso-inflesse (C4.2.4.1.3.3.2) - CC 18 SLU - Classe 3
Sollecitazioni: N,Ed=-10.11 My,Ed=-122.13 Mz,Ed=2.42
Resistenze: Nc,Rd=23571.40 My,c,Rd=322.14 Mz,c,Rd=322.14 L=14.14
αmy, αmz, αLT=0.95, 0.95, 0.95

λ_Y=7.65 Ncr,y=3186650.00 λ^*_y=0.09 Curva a: Φ_y=0.00 χ_y=1.00
λ_Z=7.65 Ncr,z=3186650.00 λ^*_z=0.09 Curva a: Φ_z=0.00 χ_z=1.00
Kyy, Kyz, Kzy, Kzz=0.95, 0.95, 0.76, 0.95
Verifica YY: 0.00+0.29+0.01=0.30
Verifica ZZ: 0.00+0.23+0.01=0.24

- Verifica Freccia massima per soli carichi accidentali - CC 24
$f_{Z,G}$=0.00 (L/1540)

- Verifica Freccia massima carichi totali - CC 21
$f_{Z,L}$=0.00 (L/996)

- Verifica in termini tensionali [4.2.4] - CC 18 SLU Xl=0.06 - Classe 3
Sollecitazioni: N=-10.11 T_z=2840.44 M_y=-122.13 T_y=55.38 M_z=2.42 M_x=-28.95
Tensioni: σ_N=-1.12 σ_M=-1012.61 τ=142.97 σ_{max}=-1013.73
Tensioni: σ_N=-1.12 σ_M=-15.74 τ=847.31 τ_{max}=847.31
Tensioni: σ_N=-1.12 σ_M=-19.68 τ=847.30 $\sigma_{ID,max}$=1467.72

- Verifica a taglio e torsione dir. Y [4.2.25] - CC 18 SLU Xl=0.03
Sollecitazioni: N=-10.11 T_z=2840.70 M_y=-41.79 T_y=55.38 M_x=-28.95
V,Ed=55.38 Vc,Rd,Red=6161.33 V,Ed/Vc,Rd,Red=0.01

- Verifica a taglio e torsione dir. Z [4.2.25]
V,Ed=2840.70 Vc,Rd,Red=6161.33 V,Ed/Vc,Rd,Red=0.46

Asta n. 1556 (1289 1351) modellazione SHS50x50x5 Crit. 1

- Verifica di stabilità aste presso-inflesse (C4.2.4.1.3.3.2) - CC 18 SLU - Classe 3
Sollecitazioni: N,Ed=-92.87 My,Ed=92.36 Mz,Ed=2.25
Resistenze: Nc,Rd=23571.40 My,c,Rd=322.14 Mz,c,Rd=322.14 L=14.14
αmy, αmz, αLT=0.95, 0.95, 0.95
λ_Y=7.65 Ncr,y=3186650.00 λ^*_y=0.09 Curva a: Φ_y=0.00 χ_y=1.00
λ_Z=7.65 Ncr,z=3186650.00 λ^*_z=0.09 Curva a: Φ_z=0.00 χ_z=1.00
Kyy, Kyz, Kzy, Kzz=0.95, 0.95, 0.76, 0.95
Verifica YY: 0.00+0.22+0.01=0.23
Verifica ZZ: 0.00+0.18+0.01=0.19

- Verifica Freccia massima per soli carichi accidentali - CC 24
$f_{Z,L}$=0.00 (L/1944)

- Verifica Freccia massima carichi totali - CC 21
$f_{Z,L}$=0.00 (L/1395)

- Verifica in termini tensionali [4.2.4] - CC 18 SLU Xl=0.08 - Classe 3
Sollecitazioni: N=-92.87 T_z=1797.60 M_y=92.36 T_y=-51.32 M_z=2.25 M_x=28.81
Tensioni: σ_N=-10.32 σ_M=-769.15 τ=142.29 σ_{max}=-779.47
Tensioni: σ_N=-10.32 σ_M=14.63 τ=588.04 τ_{max}=588.04
Tensioni: σ_N=-10.32 σ_M=18.29 τ=588.03 $\sigma_{ID,max}$=1018.54

- Verifica a taglio e torsione dir. Y [4.2.25] - CC 18 SLU Xl=0.11
Sollecitazioni: N=-92.87 T_z=1797.36 M_y=46.14 T_y=-51.32 M_x=28.81
V,Ed=-51.32 Vc,Rd,Red=6164.38 V,Ed/Vc,Rd,Red=0.01

- Verifica a taglio e torsione dir. Z [4.2.25]
V,Ed=1797.36 Vc,Rd,Red=6164.38 V,Ed/Vc,Rd,Red=0.29

Asta n. 1557 (1295 1357) modellazione SHS50x50x5 Crit. 1

- Verifica di stabilità aste presso-inflesse (C4.2.4.1.3.3.2) - CC 18 SLU - Classe 3
Sollecitazioni: N,Ed=-56.35 My,Ed=54.46 Mz,Ed=1.46

Resistenze: Nc,Rd=23571.40 My,c,Rd=322.14 Mz,c,Rd=322.14 L=14.14
αmy, αmz, αLT=0.95, 0.95, 0.95
λ_Y=7.65 Ncr,y=3186640.00 λ^*_y=0.09 Curva a: Φ_y=0.00 χ_y=1.00
λ_Z=7.65 Ncr,z=3186640.00 λ^*_z=0.09 Curva a: Φ_z=0.00 χ_z=1.00
Kyy, Kyz, Kzy, Kzz=0.95, 0.95, 0.76, 0.95
Verifica YY: 0.00+0.13+0.00=0.14
Verifica ZZ: 0.00+0.10+0.00=0.11

- Verifica Freccia massima carichi totali - CC 24
$f_{Z,L}$=0.00 (L/2421)

- Verifica in termini tensionali [4.2.4] - CC 18 SLU Xl=0.08 - Classe 3
Sollecitazioni: N=-56.35 T_z=1067.10 M_y=54.46 T_y=-32.53 M_z=1.46 M_x=17.98
Tensioni: σ_N=-6.26 σ_M=-454.64 τ=88.78 σ_{max}=-460.90
Tensioni: σ_N=-6.26 σ_M=9.47 τ=353.39 τ_{max}=353.39
Tensioni: σ_N=-6.26 σ_M=11.84 τ=353.39 $\sigma_{ID,max}$=612.11

- Verifica a taglio e torsione dir. Y [4.2.25] - CC 18 SLU Xl=0.10
Sollecitazioni: N=-56.35 T_z=1066.96 M_y=38.00 T_y=-32.53 M_x=17.98
V,Ed=-32.53 Vc,Rd,Red=6405.17 V,Ed/Vc,Rd,Red=0.01

- Verifica a taglio e torsione dir. Z [4.2.25]
V,Ed=1066.96 Vc,Rd,Red=6405.17 V,Ed/Vc,Rd,Red=0.17

Asta n. 1557 (1339 1295) modellazione SHS50x50x5 Crit. 1

- Verifica di stabilità aste presso-inflesse (C4.2.4.1.3.3.2) - CC 5 SLV - Classe 3
Sollecitazioni: N,Ed=-11.69 My,Ed=-39.14 Mz,Ed=0.66
Resistenze: Nc,Rd=23571.40 My,c,Rd=322.14 Mz,c,Rd=322.14 L=14.14
αmy, αmz, αLT=0.95, 0.95, 0.95
λ_Y=7.65 Ncr,y=3186670.00 λ^*_y=0.09 Curva a: Φ_y=0.00 χ_y=1.00
λ_Z=7.65 Ncr,z=3186670.00 λ^*_z=0.09 Curva a: Φ_z=0.00 χ_z=1.00
Kyy, Kyz, Kzy, Kzz=0.95, 0.95, 0.76, 0.95
Verifica YY: 0.00+0.09+0.00=0.10
Verifica ZZ: 0.00+0.07+0.00=0.08

- Verifica Freccia massima per soli carichi accidentali - CC 24
$f_{Z,L}$=0.00 (L/2578)

- Verifica Freccia massima carichi totali - CC 24
$f_{Z,L}$=0.00 (L/1883)

- Verifica in termini tensionali [4.2.4] - CC 18 SLU Xl=0.05 - Classe 3
Sollecitazioni: N=1.94 T_z=1614.30 M_y=-65.95 T_y=24.78 M_z=1.06 M_x=-17.67
Tensioni: σ_N=0.22 σ_M=544.82 τ=87.25 σ_{max}=545.04
Tensioni: σ_N=0.22 σ_M=-6.91 τ=487.54 τ_{max}=487.54
Tensioni: σ_N=0.22 σ_M=-8.64 τ=487.54 $\sigma_{ID,max}$=844.49

- Verifica a taglio e torsione dir. Y [4.2.25] - CC 18 SLU Xl=0.03
Sollecitazioni: N=1.94 T_z=1614.54 M_y=-24.44 T_y=24.78 M_x=-17.67
V,Ed=24.78 Vc,Rd,Red=6412.08 V,Ed/Vc,Rd,Red=0.00

- Verifica a taglio e torsione dir. Z [4.2.25]
V,Ed=1614.54 Vc,Rd,Red=6412.08 V,Ed/Vc,Rd,Red=0.25

Asta n. 1558 (1334 1292) modellazione SHS50x50x5 Crit. 1

- Verifica di stabilità aste presso-inflesse (C4.2.4.1.3.3.2) - CC 18 SLU - Classe 3
Sollecitazioni: N,Ed=-9.62 My,Ed=-122.21 Mz,Ed=-2.43
Resistenze: Nc,Rd=23571.40 My,c,Rd=322.14 Mz,c,Rd=322.14 L=14.14

αmy, αmz, αLT=0.95, 0.95, 0.95
λ_Y=7.65 Ncr,y=3186650.00 λ^*_y=0.09 Curva a: Φ_y=0.00 χ_y=1.00
λ_Z=7.65 Ncr,z=3186650.00 λ^*_z=0.09 Curva a: Φ_z=0.00 χ_z=1.00
Kyy, Kyz, Kzy, Kzz=0.95, 0.95, 0.76, 0.95
Verifica YY: 0.00+0.29+0.01=0.30
Verifica ZZ: 0.00+0.23+0.01=0.24

- Verifica Freccia massima per soli carichi accidentali - CC 24
$f_{Z,L}$=0.00 (L/1540)

- Verifica Freccia massima carichi totali - CC 24
$f_{Z,L}$=0.00 (L/1068)

- Verifica in termini tensionali [4.2.4] - CC 18 SLU Xl=0.06 - Classe 3
Sollecitazioni: N=-9.62 T_z=2840.57 M_y=-122.21 T_y=-55.66 M_z=-2.43 M_x=29.01
Tensioni: σ_N=-1.07 σ_M=-1013.36 τ=143.27 σ_{max}=-1014.43
Tensioni: σ_N=-1.07 σ_M=-15.83 τ=847.64 τ_{max}=847.64
Tensioni: σ_N=-1.07 σ_M=-19.79 τ=847.64 $\sigma_{ID,max}$=1468.31

- Verifica a taglio e torsione dir. Y [4.2.25] - CC 18 SLU Xl=0.03
Sollecitazioni: N=-9.62 T_z=2840.83 M_y=-41.86 T_y=-55.66 M_x=29.01
V,Ed=-55.66 Vc,Rd,Red=6159.95 V,Ed/Vc,Rd,Red=0.01

- Verifica a taglio e torsione dir. Z [4.2.25]
V,Ed=2840.83 Vc,Rd,Red=6159.95 V,Ed/Vc,Rd,Red=0.46

Asta n. 1558 (1292 1356) modellazione SHS50x50x5 Crit. 1

- Verifica di stabilità aste presso-inflesse (C4.2.4.1.3.3.2) - CC 18 SLU - Classe 3
Sollecitazioni: N,Ed=-93.31 My,Ed=92.43 Mz,Ed=-2.27
Resistenze: Nc,Rd=23571.40 My,c,Rd=322.14 Mz,c,Rd=322.14 L=14.14
αmy, αmz, αLT=0.95, 0.95, 0.95
λ_Y=7.65 Ncr,y=3186650.00 λ^*_y=0.09 Curva a: Φ_y=0.00 χ_y=1.00
λ_Z=7.65 Ncr,z=3186650.00 λ^*_z=0.09 Curva a: Φ_z=0.00 χ_z=1.00
Kyy, Kyz, Kzy, Kzz=0.95, 0.95, 0.76, 0.95
Verifica YY: 0.00+0.22+0.01=0.23
Verifica ZZ: 0.00+0.18+0.01=0.19

- Verifica Freccia massima per soli carichi accidentali - CC 24
$f_{Z,L}$=0.00 (L/1944)

- Verifica Freccia massima carichi totali - CC 24
$f_{Z,L}$=0.00 (L/1412)

- Verifica in termini tensionali [4.2.4] - CC 18 SLU Xl=0.08 - Classe 3
Sollecitazioni: N=-93.31 T_z=1797.70 M_y=92.43 T_y=51.80 M_z=-2.27 M_x=-28.87
Tensioni: σ_N=-10.37 σ_M=-769.93 τ=142.54 σ_{max}=-780.30
Tensioni: σ_N=-10.37 σ_M=14.77 τ=588.32 τ_{max}=588.32
Tensioni: σ_N=-10.37 σ_M=18.46 τ=588.32 $\sigma_{ID,max}$=1019.03

- Verifica a taglio e torsione dir. Y [4.2.25] - CC 18 SLU Xl=0.11
Sollecitazioni: N=-93.31 T_z=1797.47 M_y=46.21 T_y=51.80 M_x=-28.87
V,Ed=51.80 Vc,Rd,Red=6163.23 V,Ed/Vc,Rd,Red=0.01

- Verifica a taglio e torsione dir. Z [4.2.25]
V,Ed=1797.47 Vc,Rd,Red=6163.23 V,Ed/Vc,Rd,Red=0.29

Asta n. 1579 (1302 1303) angolari L50x10 Crit. 1

- Verifica di stabilità aste inflesse (4.2.4.1.3.2) CC 9 SLU - Classe 3

L_{cr}=0.10 Curva d: α_{imp}=0.76 k_c=0.94 ψ=1.00 M,cr=0.00 λ_{LT}=0.00
$\lambda_{LT,0}$=0.00 β_{LT}=0.00 Φ_{LT}=0.00 β_{LT}=0.00 f=0.00 χ_{LT}=1.00
CC 9 SLU My,Ed=-0.61 My,b,Rd=149.05 My,Ed/My,b,Rd=0.00

- Verifica di stabilità aste presso-inflesse (C4.2.4.1.3.3.1) - CC 5 SLV - Classe 3
Sollecitazioni: N,Ed=-10.86 Myeq,Ed=-0.33 Mzeq,Ed=3.87
Resistenze: Nc,Rd=23709.20 My,c,Rd=149.05 Mz,c,Rd=149.05 L=10.00
λ_c=5.46 Ncr,y=6286600.00 λ^*_y=0.06 Curva b: Φ_y=0.00 χ_y=1.00
λ_e=10.39 Ncr,z=1738550.00 λ^*_z=0.12 Curva b: Φ_z=0.00 χ_z=1.00
χ,min=1.00
Verifica: 0.00+0.00+0.03=0.03

- Verifica in termini tensionali [4.2.4] - CC 19 SLU Xl=0.02 - Classe 3
Sollecitazioni: N=156.99 T_z=1.70 T_y=-27.47 M_z=7.46
Tensioni: σ_N=17.34 σ_M=162.55 τ=1.17 σ_{max}=179.89
Tensioni: σ_N=17.34 σ_M=-30.67 τ=7.92 τ_{max}=7.92
Tensioni: σ_N=17.34 σ_M=162.55 τ=1.17 $\sigma_{ID,max}$=179.90

- Verifica a taglio dir. Y [4.2.16] - CC 3 SLV Xl=0.07
Sollecitazioni: N=22.74 T_z=1.17 T_y=-16.69
V,Ed=-16.69 Vc,Rd=7560.76 V,Ed/Vc,Rd=0.00

- Verifica a taglio dir. Z [4.2.16]
V,Ed=1.17 Vc,Rd=7560.76 V,Ed/Vc,Rd=0.00

Asta n. 1579 (1303 1304) angolari L50x10 Crit. 1

- Verifica di stabilità aste inflesse (4.2.4.1.3.2) CC 19 SLU - Classe 3
L_{cr}=0.10 Curva d: α_{imp}=0.76 k_c=0.94 ψ=1.10 M,cr=0.00 λ_{LT}=0.00
$\lambda_{LT,0}$=0.00 β_{LT}=0.00 Φ_{LT}=0.00 β_{LT}=0.00 f=0.00 χ_{LT}=1.00
CC 19 SLU My,Ed=-0.75 My,b,Rd=149.05 My,Ed/My,b,Rd=0.01

- Verifica di stabilità aste presso-inflesse (C4.2.4.1.3.3.1) - CC 5 SLV - Classe 3
Sollecitazioni: N,Ed=-10.85 Myeq,Ed=-0.33 Mzeq,Ed=3.68
Resistenze: Nc,Rd=23709.20 My,c,Rd=149.05 Mz,c,Rd=149.05 L=10.00
λ_c=5.46 Ncr,y=6286600.00 λ^*_y=0.06 Curva b: Φ_y=0.00 χ_y=1.00
λ_e=10.39 Ncr,z=1738550.00 λ^*_z=0.12 Curva b: Φ_z=0.00 χ_z=1.00
χ,min=1.00
Verifica: 0.00+0.00+0.02=0.03

- Verifica in termini tensionali [4.2.4] - CC 9 SLU Xl=0.00 - Classe 3
Sollecitazioni: N=157.58 T_y=-1.40 M_z=5.25
Tensioni: σ_N=17.41 σ_M=114.39 τ=0.06 σ_{max}=131.80
Tensioni: σ_N=17.41 σ_M=-21.59 τ=0.40 τ_{max}=0.40
Tensioni: σ_N=17.41 σ_M=114.39 τ=0.06 $\sigma_{ID,max}$=131.80

- Verifica a taglio dir. Y [4.2.16] - CC 17 SLU Xl=0.04
Sollecitazioni: N=84.92 T_z=2.95 T_y=-43.30
V,Ed=-43.30 Vc,Rd=7560.76 V,Ed/Vc,Rd=0.01

- Verifica a taglio dir. Z [4.2.16]
V,Ed=2.95 Vc,Rd=7560.76 V,Ed/Vc,Rd=0.00

Asta n. 1581 (1322 1323) angolari L50x10 Crit. 1

- Verifica di stabilità aste presso-inflesse (C4.2.4.1.3.3.1) - CC 19 SLU - Classe 3
Sollecitazioni: N,Ed=-204.93 Myeq,Ed=11.28 Mzeq,Ed=-0.75
Resistenze: Nc,Rd=23709.20 My,c,Rd=149.05 Mz,c,Rd=149.05 L=10.00
λ_c=5.46 Ncr,y=6286600.00 λ^*_y=0.06 Curva b: Φ_y=0.00 χ_y=1.00

λ_e=10.39 Ncr,z=1738550.00 λ^*_z=0.12 Curva b: Φ_z=0.00 χ_z=1.00
χ,min=1.00
Verifica: 0.01+0.08+0.01=0.09

- Verifica in termini tensionali [4.2.4] - CC 9 SLU Xl=0.10 - Classe 3
Sollecitazioni: N=-204.87 T_z=-3.44 M_y=11.32
Tensioni: σ_N=-22.63 σ_M=-215.68 τ=0.00 σ_{max}=-238.31
Tensioni: σ_N=-22.63 σ_M=-46.56 τ=0.99 τ_{max}=0.99
Tensioni: σ_N=-22.63 σ_M=-215.68 τ=0.00 $\sigma_{ID,max}$=238.31

- Verifica a taglio dir. Z [4.2.16] - CC 1 SLV Xl=0.03
Sollecitazioni: N=-34.75 T_z=11.29
V,Ed=11.29 Vc,Rd=7560.76 V,Ed/Vc,Rd=0.00

Asta n. 1581 (1323 1324) angolari L50x10 Crit. 1

- Verifica di stabilità aste presso-inflesse (C4.2.4.1.3.3.1) - CC 19 SLU - Classe 3
Sollecitazioni: N,Ed=-204.93 Myeq,Ed=13.45 Mzeq,Ed=-0.61
Resistenze: Nc,Rd=23709.20 My,c,Rd=149.05 Mz,c,Rd=149.05 L=10.00
λ_c=5.46 Ncr,y=6286600.00 λ^*_y=0.06 Curva b: Φ_y=0.00 χ_y=1.00
λ_e=10.39 Ncr,z=1738550.00 λ^*_z=0.12 Curva b: Φ_z=0.00 χ_z=1.00
χ,min=1.00
Verifica: 0.01+0.09+0.00=0.10

- Verifica in termini tensionali [4.2.4] - CC 19 SLU Xl=0.08 - Classe 3
Sollecitazioni: N=-204.93 T_z=-25.97 M_y=13.45 T_y=1.73
Tensioni: σ_N=-22.64 σ_M=-256.26 τ=0.00 σ_{max}=-278.90
Tensioni: σ_N=-22.64 σ_M=-55.32 τ=7.49 τ_{max}=7.49
Tensioni: σ_N=-22.64 σ_M=-256.26 τ=0.00 $\sigma_{ID,max}$=278.90

- Verifica a taglio dir. Z [4.2.16] - CC 7 SLV Xl=0.00
Sollecitazioni: T_z=-5.26
V,Ed=-5.26 Vc,Rd=7560.76 V,Ed/Vc,Rd=0.00

Asta n. 1623 (1334 1335) angolari L50x10 Crit. 1

- Verifica di stabilità aste presso-inflesse (C4.2.4.1.3.3.1) - CC 18 SLU - Classe 3
Sollecitazioni: N,Ed=-230.94 Myeq,Ed=0.73 Mzeq,Ed=-12.66
Resistenze: Nc,Rd=23709.20 My,c,Rd=149.05 Mz,c,Rd=149.05 L=10.00
λ_c=5.46 Ncr,y=6286600.00 λ^*_y=0.06 Curva b: Φ_y=0.00 χ_y=1.00
λ_e=10.39 Ncr,z=1738550.00 λ^*_z=0.12 Curva b: Φ_z=0.00 χ_z=1.00
χ,min=1.00
Verifica: 0.01+0.00+0.08=0.10

- Verifica in termini tensionali [4.2.4] - CC 18 SLU Xl=0.10 - Classe 3
Sollecitazioni: N=-230.94 T_y=-4.12 M_z=-12.66
Tensioni: σ_N=-25.51 σ_M=-275.99 τ=0.18 σ_{max}=-301.50
Tensioni: σ_N=-25.51 σ_M=52.08 τ=1.19 τ_{max}=1.19
Tensioni: σ_N=-25.51 σ_M=-275.99 τ=0.18 $\sigma_{ID,max}$=301.50

- Verifica a taglio dir. Y [4.2.16] - CC 1 SLV Xl=0.03
Sollecitazioni: N=-34.38 T_y=11.25
V,Ed=11.25 Vc,Rd=7560.76 V,Ed/Vc,Rd=0.00

Asta n. 1623 (1335 1336) angolari L50x10 Crit. 1

- Verifica di stabilità aste presso-inflesse (C4.2.4.1.3.3.1) - CC 19 SLU - Classe 3
Sollecitazioni: N,Ed=-204.32 Myeq,Ed=0.61 Mzeq,Ed=-13.49
Resistenze: Nc,Rd=23709.20 My,c,Rd=149.05 Mz,c,Rd=149.05 L=10.00

λ_c=5.46 Ncr,y=6286600.00 λ^*_y=0.06 Curva b: Φ_y=0.00 χ_y=1.00
λ_e=10.39 Ncr,z=1738550.00 λ^*_z=0.12 Curva b: Φ_z=0.00 χ_z=1.00
χ,min=1.00
Verifica: 0.01+0.00+0.09=0.10

- Verifica in termini tensionali [4.2.4] - CC 19 SLU Xl=0.08 - Classe 3
Sollecitazioni: N=-204.32 T_z=1.73 T_y=-26.35 M_z=-13.49
Tensioni: σ_N=-22.57 σ_M=-294.10 τ=1.13 σ_{max}=-316.67
Tensioni: σ_N=-22.57 σ_M=55.50 τ=7.60 τ_{max}=7.60
Tensioni: σ_N=-22.57 σ_M=-294.10 τ=1.13 $\sigma_{ID,max}$=316.67

- Verifica a taglio dir. Y [4.2.16] - CC 7 SLV Xl=0.00
Sollecitazioni: T_y=-5.18
V,Ed=-5.18 Vc,Rd=7560.76 V,Ed/Vc,Rd=0.00

Asta n. 1625 (1354 1355) angolari L50x10 Crit. 1

- Verifica di stabilità aste inflesse (4.2.4.1.3.2) CC 19 SLU - Classe 3
L_{cr}=0.10 Curva d: α_{imp}=0.76 k_c=0.94 ψ=1.16 M,cr=0.00 λ_{LT}=0.00
$\lambda_{LT,0}$=0.00 β_{LT}=0.00 Φ_{LT}=0.00 β_{LT}=0.00 f=0.00 χ_{LT}=1.00
CC 19 SLU My,Ed=-7.51 My,b,Rd=149.05 My,Ed/My,b,Rd=0.05

- Verifica di stabilità aste presso-inflesse (C4.2.4.1.3.3.1) - CC 5 SLV - Classe 3
Sollecitazioni: N,Ed=-10.98 Myeq,Ed=-3.90 Mzeq,Ed=0.33
Resistenze: Nc,Rd=23709.20 My,c,Rd=149.05 Mz,c,Rd=149.05 L=10.00
λ_c=5.46 Ncr,y=6286600.00 λ^*_y=0.06 Curva b: Φ_y=0.00 χ_y=1.00
λ_e=10.39 Ncr,z=1738550.00 λ^*_z=0.12 Curva b: Φ_z=0.00 χ_z=1.00
χ,min=1.00
Verifica: 0.00+0.03+0.00=0.03

- Verifica in termini tensionali [4.2.4] - CC 19 SLU Xl=0.02 - Classe 3
Sollecitazioni: N=156.39 T_z=-27.93 M_y=-7.51 T_y=1.76
Tensioni: σ_N=17.28 σ_M=143.12 τ=0.00 σ_{max}=160.39
Tensioni: σ_N=17.28 σ_M=30.89 τ=8.06 τ_{max}=8.06
Tensioni: σ_N=17.28 σ_M=143.12 τ=0.00 $\sigma_{ID,max}$=160.39

- Verifica a taglio dir. Y [4.2.16] - CC 3 SLV Xl=0.08
Sollecitazioni: N=23.09 T_z=-16.63 T_y=1.18
V,Ed=1.18 Vc,Rd=7560.76 V,Ed/Vc,Rd=0.00

- Verifica a taglio dir. Z [4.2.16]
V,Ed=-16.63 Vc,Rd=7560.76 V,Ed/Vc,Rd=0.00

Asta n. 1625 (1355 1356) angolari L50x10 Crit. 1

- Verifica di stabilità aste inflesse (4.2.4.1.3.2) CC 18 SLU - Classe 3
L_{cr}=0.10 Curva d: α_{imp}=0.76 k_c=0.94 ψ=1.01 M,cr=0.00 λ_{LT}=0.00
$\lambda_{LT,0}$=0.00 β_{LT}=0.00 Φ_{LT}=0.00 β_{LT}=0.00 f=0.00 χ_{LT}=1.00
CC 18 SLU My,Ed=-7.11 My,b,Rd=149.05 My,Ed/My,b,Rd=0.05

- Verifica di stabilità aste presso-inflesse (C4.2.4.1.3.3.1) - CC 5 SLV - Classe 3
Sollecitazioni: N,Ed=-10.95 Myeq,Ed=-3.65 Mzeq,Ed=0.34
Resistenze: Nc,Rd=23709.20 My,c,Rd=149.05 Mz,c,Rd=149.05 L=10.00
λ_c=5.46 Ncr,y=6286600.00 λ^*_y=0.06 Curva b: Φ_y=0.00 χ_y=1.00
λ_e=10.39 Ncr,z=1738550.00 λ^*_z=0.12 Curva b: Φ_z=0.00 χ_z=1.00
χ,min=1.00
Verifica: 0.00+0.02+0.00=0.03

- Verifica in termini tensionali [4.2.4] - CC 18 SLU Xl=0.00 - Classe 3

Sollecitazioni: N=187.97 T_z=-1.96 M_y=-7.11
Tensioni: σ_N=20.76 σ_M=135.45 τ=0.00 σ_{max}=156.21
Tensioni: σ_N=20.76 σ_M=29.24 τ=0.56 τ_{max}=0.56
Tensioni: σ_N=20.76 σ_M=135.45 τ=0.00 $\sigma_{ID,max}$=156.21

- Verifica a taglio dir. Y [4.2.16] - CC 17 SLU Xl=0.04
Sollecitazioni: N=83.94 T_z=-43.52 T_y=2.98
V,Ed=2.98 Vc,Rd=7560.76 V,Ed/Vc,Rd=0.00

- Verifica a taglio dir. Z [4.2.16]
V,Ed=-43.52 Vc,Rd=7560.76 V,Ed/Vc,Rd=0.01

Asta n. 1798 (-46 -78) angolari L50x10 Crit. 1

- Verifica di stabilità aste inflesse (4.2.4.1.3.2) CC 17 SLU - Classe 3
L_{cr}=0.19 Curva d: α_{imp}=0.76 k_c=0.94 ψ=1.73 M,cr=0.00 λ_{LT}=0.00
$\lambda_{LT,0}$=0.20 β_{LT}=1.00 Φ_{LT}=0.00 β_{LT}=1.00 f=0.00 χ_{LT}=1.00
CC 17 SLU My,Ed=-8.71 My,b,Rd=149.05 My,Ed/My,b,Rd=0.06

- Verifica di stabilità aste presso-inflesse (C4.2.4.1.3.3.1) - CC 9 SLU - Classe 3
Sollecitazioni: N,Ed=-666.38 Myeq,Ed=-3.49 Mzeq,Ed=-3.40
Resistenze: Nc,Rd=23709.20 My,c,Rd=149.05 Mz,c,Rd=149.05 L=19.38
λ_c=10.59 Ncr,y=1673810.00 λ^*_y=0.12 Curva b: Φ_y=0.49 χ_y=1.00
λ_e=20.13 Ncr,z=462889.00 λ^*_z=0.23 Curva b: Φ_z=0.53 χ_z=0.99
χ,min=0.99
Verifica: 0.03+0.02+0.02=0.07

- Verifica a compressione [4.2.9] - CC 18 SLU Xl=0.13 - Classe 1
Sollecitazioni: N=-737.26 T_z=-34.78 T_y=34.17
N,Ed=-737.26 Nc,Rd=-23709.20 N,Ed/Nc,Rd=0.03
Verifiche di duttilità [7.5.3]:
q_0=4.00 N,Ed=-737.26 Npl,Rd=23709.20 N,Ed/Npl,Rd=0.031096

- Verifica a taglio dir. Y [4.2.16] - CC 19 SLU Xl=0.16
Sollecitazioni: N=-66.18 T_z=-73.30 T_y=23.53
V,Ed=23.53 Vc,Rd=7560.76 V,Ed/Vc,Rd=0.00

- Verifica a taglio dir. Z [4.2.16]
V,Ed=-73.30 Vc,Rd=7560.76 V,Ed/Vc,Rd=0.01

Asta n. 1798 (-78 -110) angolari L50x10 Crit. 1

- Verifica di stabilità aste inflesse (4.2.4.1.3.2) CC 17 SLU - Classe 3
L_{cr}=0.19 Curva d: α_{imp}=0.76 k_c=0.94 ψ=2.36 M,cr=0.00 λ_{LT}=0.00
$\lambda_{LT,0}$=0.20 β_{LT}=1.00 Φ_{LT}=0.00 β_{LT}=1.00 f=0.00 χ_{LT}=1.00
CC 17 SLU My,Ed=-6.68 My,b,Rd=149.05 My,Ed/My,b,Rd=0.04

- Verifica di stabilità aste presso-inflesse (C4.2.4.1.3.3.1) - CC 9 SLU - Classe 3
Sollecitazioni: N,Ed=-735.77 Myeq,Ed=-4.20 Mzeq,Ed=-3.65
Resistenze: Nc,Rd=23709.20 My,c,Rd=149.05 Mz,c,Rd=149.05 L=19.38
λ_c=10.59 Ncr,y=1673810.00 λ^*_y=0.12 Curva b: Φ_y=0.49 χ_y=1.00
λ_e=20.13 Ncr,z=462890.00 λ^*_z=0.23 Curva b: Φ_z=0.53 χ_z=0.99
χ,min=0.99
Verifica: 0.03+0.03+0.02=0.08

- Verifica a compressione [4.2.9] - CC 18 SLU Xl=0.09 - Classe 1
Sollecitazioni: N=-794.08 T_z=-43.37 T_y=38.22
N,Ed=-794.08 Nc,Rd=-23709.20 N,Ed/Nc,Rd=0.03
Verifiche di duttilità [7.5.3]:

q_0=4.00 N,Ed=-794.08 Npl,Rd=23709.20 N,Ed/Npl,Rd=0.033492

- Verifica a taglio dir. Y [4.2.16] - CC 19 SLU Xl=0.10
  Sollecitazioni: N=-171.93 T_z=-76.66 T_y=23.13
  V,Ed=23.13 Vc,Rd=7560.76 V,Ed/Vc,Rd=0.00

- Verifica a taglio dir. Z [4.2.16]
  V,Ed=-76.66 Vc,Rd=7560.76 V,Ed/Vc,Rd=0.01

Asta n. 1798 (-110 -142) angolari L50x10 Crit. 1

- Verifica di stabilità aste inflesse (4.2.4.1.3.2) CC 17 SLU - Classe 3
  L_{cr}=0.19 Curva d: α_{imp}=0.76 k_c=0.94 ψ=2.68 M,cr=0.00 λ_{LT}=0.00
  $\lambda_{LT,0}$=0.20 β_{LT}=1.00 Φ_{LT}=0.00 β_{LT}=1.00 f=0.00 χ_{LT}=1.00
  CC 17 SLU My,Ed=-5.81 My,b,Rd=149.05 My,Ed/My,b,Rd=0.04

- Verifica di stabilità aste presso-inflesse (C4.2.4.1.3.3.1) - CC 9 SLU - Classe 3
  Sollecitazioni: N,Ed=-826.75 Myeq,Ed=4.01 Mzeq,Ed=3.78
  Resistenze: Nc,Rd=23709.20 My,c,Rd=149.05 Mz,c,Rd=149.05 L=19.38
  λ_c=10.59 Ncr,y=1673810.00 λ^*_y=0.12 Curva b: Φ_y=0.49 χ_y=1.00
  λ_e=20.13 Ncr,z=462889.00 λ^*_z=0.23 Curva b: Φ_z=0.53 χ_z=0.99
  χ,min=0.99
  Verifica: 0.03+0.03+0.03=0.09

- Verifica a compressione [4.2.9] - CC 18 SLU Xl=0.08 - Classe 1
  Sollecitazioni: N=-870.05 T_z=-44.69 T_y=39.97
  N,Ed=-870.05 Nc,Rd=-23709.20 N,Ed/Nc,Rd=0.04
  Verifiche di duttilità [7.5.3]:
  q_0=4.00 N,Ed=-870.05 Npl,Rd=23709.20 N,Ed/Npl,Rd=0.036697

- Verifica a taglio dir. Y [4.2.16] - CC 19 SLU Xl=0.09
  Sollecitazioni: N=-308.57 T_z=-77.24 T_y=24.63
  V,Ed=24.63 Vc,Rd=7560.76 V,Ed/Vc,Rd=0.00

- Verifica a taglio dir. Z [4.2.16]
  V,Ed=-77.24 Vc,Rd=7560.76 V,Ed/Vc,Rd=0.01

Asta n. 1798 (-142 -174) angolari L50x10 Crit. 1

- Verifica di stabilità aste inflesse (4.2.4.1.3.2) CC 17 SLU - Classe 3
  L_{cr}=0.19 Curva d: α_{imp}=0.76 k_c=0.94 ψ=2.82 M,cr=0.00 λ_{LT}=0.00
  $\lambda_{LT,0}$=0.20 β_{LT}=1.00 Φ_{LT}=0.00 β_{LT}=1.00 f=0.00 χ_{LT}=1.00
  CC 17 SLU My,Ed=-5.53 My,b,Rd=149.05 My,Ed/My,b,Rd=0.04

- Verifica di stabilità aste presso-inflesse (C4.2.4.1.3.3.1) - CC 9 SLU - Classe 3
  Sollecitazioni: N,Ed=-926.22 Myeq,Ed=4.34 Mzeq,Ed=4.08
  Resistenze: Nc,Rd=23709.20 My,c,Rd=149.05 Mz,c,Rd=149.05 L=19.38
  λ_c=10.59 Ncr,y=1673810.00 λ^*_y=0.12 Curva b: Φ_y=0.49 χ_y=1.00
  λ_e=20.13 Ncr,z=462890.00 λ^*_z=0.23 Curva b: Φ_z=0.53 χ_z=0.99
  χ,min=0.99
  Verifica: 0.04+0.03+0.03=0.10

- Verifica a compressione [4.2.9] - CC 18 SLU Xl=0.08 - Classe 1
  Sollecitazioni: N=-954.60 T_z=-46.67 T_y=41.75
  N,Ed=-954.60 Nc,Rd=-23709.20 N,Ed/Nc,Rd=0.04
  Verifiche di duttilità [7.5.3]:
  q_0=4.00 N,Ed=-954.60 Npl,Rd=23709.20 N,Ed/Npl,Rd=0.040263

- Verifica a taglio dir. Y [4.2.16] - CC 19 SLU Xl=0.09
  Sollecitazioni: N=-456.12 T_z=-78.22 T_y=26.06
  V,Ed=26.06 Vc,Rd=7560.76 V,Ed/Vc,Rd=0.00

- Verifica a taglio dir. Z [4.2.16]
  V,Ed=-78.22 Vc,Rd=7560.76 V,Ed/Vc,Rd=0.01

Asta n. 1798 (-174 -206) angolari L50x10 Crit. 1

- Verifica di stabilità aste inflesse (4.2.4.1.3.2) CC 17 SLU - Classe 3
  L_{cr}=0.19 Curva d: α_{imp}=0.76 k_c=0.94 ψ=2.91 M,cr=0.00 λ_{LT}=0.00
  $\lambda_{LT,0}$=0.20 β_{LT}=1.00 Φ_{LT}=0.00 β_{LT}=1.00 f=0.00 χ_{LT}=1.00
  CC 17 SLU My,Ed=-5.36 My,b,Rd=149.05 My,Ed/My,b,Rd=0.04

- Verifica di stabilità aste presso-inflesse (C4.2.4.1.3.3.1) - CC 9 SLU - Classe 3
  Sollecitazioni: N,Ed=-1031.41 Myeq,Ed=4.59 Mzeq,Ed=4.31
  Resistenze: Nc,Rd=23709.20 My,c,Rd=149.05 Mz,c,Rd=149.05 L=19.38
  λ_c=10.59 Ncr,y=1673810.00 λ^*_y=0.12 Curva b: Φ_y=0.49 χ_y=1.00
  λ_e=20.13 Ncr,z=462890.00 λ^*_z=0.23 Curva b: Φ_z=0.53 χ_z=0.99
  χ,min=0.99
  Verifica: 0.04+0.03+0.03=0.10

- Verifica a compressione [4.2.9] - CC 18 SLU Xl=0.08 - Classe 1
  Sollecitazioni: N=-1045.75 T_z=-48.69 T_y=43.62
  N,Ed=-1045.75 Nc,Rd=-23709.20 N,Ed/Nc,Rd=0.04
  Verifiche di duttilità [7.5.3]:
  q_0=4.00 N,Ed=-1045.75 Npl,Rd=23709.20 N,Ed/Npl,Rd=0.044108

- Verifica a taglio dir. Y [4.2.16] - CC 19 SLU Xl=0.09
  Sollecitazioni: N=-610.34 T_z=-79.20 T_y=27.57
  V,Ed=27.57 Vc,Rd=7560.76 V,Ed/Vc,Rd=0.00

- Verifica a taglio dir. Z [4.2.16]
  V,Ed=-79.20 Vc,Rd=7560.76 V,Ed/Vc,Rd=0.01

Asta n. 1798 (-206 -238) angolari L50x10 Crit. 1

- Verifica di stabilità aste presso-inflesse (C4.2.4.1.3.3.1) - CC 9 SLU - Classe 3
  Sollecitazioni: N,Ed=-1141.92 Myeq,Ed=4.84 Mzeq,Ed=4.54
  Resistenze: Nc,Rd=23709.20 My,c,Rd=149.05 Mz,c,Rd=149.05 L=19.38
  λ_c=10.59 Ncr,y=1673810.00 λ^*_y=0.12 Curva b: Φ_y=0.49 χ_y=1.00
  λ_e=20.13 Ncr,z=462889.00 λ^*_z=0.23 Curva b: Φ_z=0.53 χ_z=0.99
  χ,min=0.99
  Verifica: 0.05+0.03+0.03=0.11

- Verifica a compressione [4.2.9] - CC 18 SLU Xl=0.08 - Classe 1
  Sollecitazioni: N=-1143.34 T_z=-50.77 T_y=45.57
  N,Ed=-1143.34 Nc,Rd=-23709.20 N,Ed/Nc,Rd=0.05
  Verifiche di duttilità [7.5.3]:
  q_0=4.00 N,Ed=-1143.34 Npl,Rd=23709.20 N,Ed/Npl,Rd=0.048223

- Verifica a taglio dir. Y [4.2.16] - CC 19 SLU Xl=0.09
  Sollecitazioni: N=-770.51 T_z=-80.26 T_y=29.10
  V,Ed=29.10 Vc,Rd=7560.76 V,Ed/Vc,Rd=0.00

- Verifica a taglio dir. Z [4.2.16]
  V,Ed=-80.26 Vc,Rd=7560.76 V,Ed/Vc,Rd=0.01

Asta n. 1798 (-238 -270) angolari L50x10 Crit. 1

- Verifica di stabilità aste presso-inflesse (C4.2.4.1.3.3.1) - CC 9 SLU - Classe 3
  Sollecitazioni: N,Ed=-1257.97 Myeq,Ed=5.11 Mzeq,Ed=4.79
  Resistenze: Nc,Rd=23709.20 My,c,Rd=149.05 Mz,c,Rd=149.05 L=19.38
  λ_c=10.59 Ncr,y=1673810.00 λ^*_y=0.12 Curva b: Φ_y=0.49 χ_y=1.00
  λ_e=20.13 Ncr,z=462889.00 λ^*_z=0.23 Curva b: Φ_z=0.53 χ_z=0.99
  χ,min=0.99
  Verifica: 0.05+0.03+0.03=0.12

- Verifica a compressione [4.2.9] - CC 9 SLU Xl=0.06 - Classe 1
  Sollecitazioni: N=-1257.60 T_z=-58.23 T_y=52.85
  N,Ed=-1257.60 Nc,Rd=-23709.20 N,Ed/Nc,Rd=0.05
  Verifiche di duttilità [7.5.3]:
  q_0=4.00 N,Ed=-1257.60 Npl,Rd=23709.20 N,Ed/Npl,Rd=0.053043

- Verifica a taglio dir. Y [4.2.16] - CC 19 SLU Xl=0.08
  Sollecitazioni: N=-936.90 T_z=-81.51 T_y=30.59
  V,Ed=30.59 Vc,Rd=7560.76 V,Ed/Vc,Rd=0.00

- Verifica a taglio dir. Z [4.2.16]
  V,Ed=-81.51 Vc,Rd=7560.76 V,Ed/Vc,Rd=0.01

Asta n. 1798 (-270 -302) angolari L50x10 Crit. 1

- Verifica di stabilità aste presso-inflesse (C4.2.4.1.3.3.1) - CC 9 SLU - Classe 3
  Sollecitazioni: N,Ed=-1379.91 Myeq,Ed=5.39 Mzeq,Ed=5.05
  Resistenze: Nc,Rd=23709.20 My,c,Rd=149.05 Mz,c,Rd=149.05 L=19.38
  λ_c=10.59 Ncr,y=1673810.00 λ^*_y=0.12 Curva b: Φ_y=0.49 χ_y=1.00
  λ_e=20.13 Ncr,z=462889.00 λ^*_z=0.23 Curva b: Φ_z=0.53 χ_z=0.99
  χ,min=0.99
  Verifica: 0.06+0.04+0.03=0.13

- Verifica a compressione [4.2.9] - CC 9 SLU Xl=0.06 - Classe 1
  Sollecitazioni: N=-1379.55 T_z=-59.72 T_y=54.19
  N,Ed=-1379.55 Nc,Rd=-23709.20 N,Ed/Nc,Rd=0.06
  Verifiche di duttilità [7.5.3]:
  q_0=4.00 N,Ed=-1379.55 Npl,Rd=23709.20 N,Ed/Npl,Rd=0.058186

- Verifica a taglio dir. Y [4.2.16] - CC 19 SLU Xl=0.08
  Sollecitazioni: N=-1109.66 T_z=-82.72 T_y=32.24
  V,Ed=32.24 Vc,Rd=7560.76 V,Ed/Vc,Rd=0.00

- Verifica a taglio dir. Z [4.2.16]
  V,Ed=-82.72 Vc,Rd=7560.76 V,Ed/Vc,Rd=0.01

Asta n. 1798 (-302 -334) angolari L50x10 Crit. 1

- Verifica di stabilità aste presso-inflesse (C4.2.4.1.3.3.1) - CC 9 SLU - Classe 3
  Sollecitazioni: N,Ed=-1508.18 Myeq,Ed=5.70 Mzeq,Ed=5.19
  Resistenze: Nc,Rd=23709.20 My,c,Rd=149.05 Mz,c,Rd=149.05 L=19.38
  λ_c=10.59 Ncr,y=1673810.00 λ^*_y=0.12 Curva b: Φ_y=0.49 χ_y=1.00
  λ_e=20.13 Ncr,z=462889.00 λ^*_z=0.23 Curva b: Φ_z=0.53 χ_z=0.99
  χ,min=0.99
  Verifica: 0.06+0.04+0.03=0.14

- Verifica a compressione [4.2.9] - CC 9 SLU Xl=0.06 - Classe 1

Sollecitazioni: N=-1507.81 T_z=-61.28 T_y=55.61
N,Ed=-1507.81 Nc,Rd=-23709.20 N,Ed/Nc,Rd=0.06
Verifiche di duttilità [7.5.3]:
q_0=4.00 N,Ed=-1507.81 Npl,Rd=23709.20 N,Ed/Npl,Rd=0.063596

- Verifica a taglio dir. Y [4.2.16] - CC 19 SLU Xl=0.08
Sollecitazioni: N=-1289.39 T_z=-84.01 T_y=33.95
V,Ed=33.95 Vc,Rd=7560.76 V,Ed/Vc,Rd=0.00

- Verifica a taglio dir. Z [4.2.16]
V,Ed=-84.01 Vc,Rd=7560.76 V,Ed/Vc,Rd=0.01

Asta n. 1798 (-334 -366) angolari L50x10 Crit. 1

- Verifica di stabilità aste presso-inflesse (C4.2.4.1.3.3.1) - CC 9 SLU - Classe 3
Sollecitazioni: N,Ed=-1643.25 Myeq,Ed=5.88 Mzeq,Ed=5.33
Resistenze: Nc,Rd=23709.20 My,c,Rd=149.05 Mz,c,Rd=149.05 L=19.38
λ_c=10.59 Ncr,y=1673810.00 λ^*_y=0.12 Curva b: Φ_y=0.49 χ_y=1.00
λ_e=20.13 Ncr,z=462889.00 λ^*_z=0.23 Curva b: Φ_z=0.53 χ_z=0.99
χ,min=0.99
Verifica: 0.07+0.04+0.04=0.14

- Verifica a compressione [4.2.9] - CC 9 SLU Xl=0.06 - Classe 1
Sollecitazioni: N=-1642.88 T_z=-62.96 T_y=57.06
N,Ed=-1642.88 Nc,Rd=-23709.20 N,Ed/Nc,Rd=0.07
Verifiche di duttilità [7.5.3]:
q_0=4.00 N,Ed=-1642.88 Npl,Rd=23709.20 N,Ed/Npl,Rd=0.069293

- Verifica a taglio dir. Y [4.2.16] - CC 19 SLU Xl=0.08
Sollecitazioni: N=-1476.60 T_z=-85.41 T_y=35.73
V,Ed=35.73 Vc,Rd=7560.76 V,Ed/Vc,Rd=0.00

- Verifica a taglio dir. Z [4.2.16]
V,Ed=-85.41 Vc,Rd=7560.76 V,Ed/Vc,Rd=0.01

Asta n. 1798 (-366 -398) angolari L50x10 Crit. 1

- Verifica di stabilità aste presso-inflesse (C4.2.4.1.3.3.1) - CC 9 SLU - Classe 3
Sollecitazioni: N,Ed=-1785.64 Myeq,Ed=6.03 Mzeq,Ed=5.48
Resistenze: Nc,Rd=23709.20 My,c,Rd=149.05 Mz,c,Rd=149.05 L=19.38
λ_c=10.59 Ncr,y=1673810.00 λ^*_y=0.12 Curva b: Φ_y=0.49 χ_y=1.00
λ_e=20.13 Ncr,z=462890.00 λ^*_z=0.23 Curva b: Φ_z=0.53 χ_z=0.99
χ,min=0.99
Verifica: 0.08+0.04+0.04=0.15

- Verifica Freccia massima carichi totali - CC 21
$f_{Z,G}$=0.00 (L/14345)

- Verifica a compressione [4.2.9] - CC 9 SLU Xl=0.06 - Classe 1
Sollecitazioni: N=-1785.28 T_z=-64.59 T_y=58.69
N,Ed=-1785.28 Nc,Rd=-23709.20 N,Ed/Nc,Rd=0.08
Verifiche di duttilità [7.5.3]:
q_0=4.00 N,Ed=-1785.28 Npl,Rd=23709.20 N,Ed/Npl,Rd=0.075299

- Verifica a taglio dir. Y [4.2.16] - CC 9 SLU Xl=0.06
Sollecitazioni: N=-1785.28 T_z=-64.59 T_y=58.69
V,Ed=58.69 Vc,Rd=7560.76 V,Ed/Vc,Rd=0.01

- Verifica a taglio dir. Z [4.2.16]
  V,Ed=-64.59 Vc,Rd=7560.76 V,Ed/Vc,Rd=0.01

Asta n. 1798 (-398 -430) angolari L50x10 Crit. 1

- Verifica di stabilità aste presso-inflesse (C4.2.4.1.3.3.1) - CC 9 SLU - Classe 3
  Sollecitazioni: N,Ed=-1935.88 Myeq,Ed=6.28 Mzeq,Ed=5.59
  Resistenze: Nc,Rd=23709.20 My,c,Rd=149.05 Mz,c,Rd=149.05 L=19.38
  λ_c=10.59 Ncr,y=1673810.00 λ^*_y=0.12 Curva b: Φ_y=0.49 χ_y=1.00
  λ_c=20.13 Ncr,z=462889.00 λ^*_z=0.23 Curva b: Φ_z=0.53 χ_z=0.99
  χ,min=0.99
  Verifica: 0.08+0.04+0.04=0.16

- Verifica Freccia massima carichi totali - CC 21
  $f_{Z,G}$=0.00 (L/13098)

- Verifica a compressione [4.2.9] - CC 9 SLU Xl=0.06 - Classe 1
  Sollecitazioni: N=-1935.52 T_z=-67.22 T_y=59.87
  N,Ed=-1935.52 Nc,Rd=-23709.20 N,Ed/Nc,Rd=0.08
  Verifiche di duttilità [7.5.3]:
   q_0=4.00 N,Ed=-1935.52 Npl,Rd=23709.20 N,Ed/Npl,Rd=0.081636

- Verifica a taglio dir. Y [4.2.16] - CC 19 SLU Xl=0.06
  Sollecitazioni: N=-1875.83 T_z=-89.29 T_y=39.02
  V,Ed=39.02 Vc,Rd=7560.76 V,Ed/Vc,Rd=0.01

- Verifica a taglio dir. Z [4.2.16]
  V,Ed=-89.29 Vc,Rd=7560.76 V,Ed/Vc,Rd=0.01

Asta n. 1798 (-430 -462) angolari L50x10 Crit. 1

- Verifica di stabilità aste presso-inflesse (C4.2.4.1.3.3.1) - CC 19 SLU - Classe 3
  Sollecitazioni: N,Ed=-2088.97 Myeq,Ed=7.94 Mzeq,Ed=4.17
  Resistenze: Nc,Rd=23709.20 My,c,Rd=149.05 Mz,c,Rd=149.05 L=19.38
  λ_c=10.59 Ncr,y=1673810.00 λ^*_y=0.12 Curva b: Φ_y=0.49 χ_y=1.00
  λ_c=20.13 Ncr,z=462889.00 λ^*_z=0.23 Curva b: Φ_z=0.53 χ_z=0.99
  χ,min=0.99
  Verifica: 0.09+0.05+0.03=0.17

- Verifica Freccia massima carichi totali - CC 21
  $f_{Z,G}$=0.00 (L/10570)

- Verifica a compressione [4.2.9] - CC 9 SLU Xl=0.05 - Classe 1
  Sollecitazioni: N=-2094.13 T_z=-63.67 T_y=64.67
  N,Ed=-2094.13 Nc,Rd=-23709.20 N,Ed/Nc,Rd=0.09
  Verifiche di duttilità [7.5.3]:
   q_0=4.00 N,Ed=-2094.13 Npl,Rd=23709.20 N,Ed/Npl,Rd=0.088326

- Verifica a taglio dir. Y [4.2.16] - CC 19 SLU Xl=0.06
  Sollecitazioni: N=-2088.62 T_z=-85.36 T_y=43.94
  V,Ed=43.94 Vc,Rd=7560.76 V,Ed/Vc,Rd=0.01

- Verifica a taglio dir. Z [4.2.16]
  V,Ed=-85.36 Vc,Rd=7560.76 V,Ed/Vc,Rd=0.01

Asta n. 1798 (-462 -494) angolari L50x10 Crit. 1

- Verifica di stabilità aste presso-inflesse (C4.2.4.1.3.3.1) - CC 19 SLU - Classe 3
  Sollecitazioni: N,Ed=-2306.92 Myeq,Ed=11.62 Mzeq,Ed=2.54
  Resistenze: Nc,Rd=23709.20 My,c,Rd=149.05 Mz,c,Rd=149.05 L=19.38
  λ_c=10.59 Ncr,y=1673810.00 λ^*_y=0.12 Curva b: Φ_y=0.49 χ_y=1.00
  λ_e=20.13 Ncr,z=462890.00 λ^*_z=0.23 Curva b: Φ_z=0.53 χ_z=0.99
  χ,min=0.99
  Verifica: 0.10+0.08+0.02=0.19

- Verifica Freccia massima carichi totali - CC 21
  $f_{Z,G}$=0.00 (L/10042)

- Verifica a compressione [4.2.9] - CC 19 SLU Xl=0.05 - Classe 1
  Sollecitazioni: N=-2306.69 T_z=-124.86 T_y=26.50
  N,Ed=-2306.69 Nc,Rd=-23709.20 N,Ed/Nc,Rd=0.10
  Verifiche di duttilità [7.5.3]:
  q_0=4.00 N,Ed=-2306.69 Npl,Rd=23709.20 N,Ed/Npl,Rd=0.097291

- Verifica a taglio dir. Y [4.2.16] - CC 19 SLU Xl=0.05
  Sollecitazioni: N=-2306.69 T_z=-124.86 T_y=26.50
  V,Ed=26.50 Vc,Rd=7560.76 V,Ed/Vc,Rd=0.00

- Verifica a taglio dir. Z [4.2.16]
  V,Ed=-124.86 Vc,Rd=7560.76 V,Ed/Vc,Rd=0.02

Asta n. 1798 (-494 1324) angolari L50x10 Crit. 1

- Verifica di stabilità aste presso-inflesse (C4.2.4.1.3.3.1) - CC 9 SLU - Classe 3
  Sollecitazioni: N,Ed=-2420.94 Myeq,Ed=-8.27 Mzeq,Ed=13.57
  Resistenze: Nc,Rd=23709.20 My,c,Rd=149.05 Mz,c,Rd=149.05 L=19.38
  λ_c=10.59 Ncr,y=1673810.00 λ^*_y=0.12 Curva b: Φ_y=0.49 χ_y=1.00
  λ_e=20.13 Ncr,z=462891.00 λ^*_z=0.23 Curva b: Φ_z=0.53 χ_z=0.99
  χ,min=0.99
  Verifica: 0.10+0.06+0.09=0.25

- Verifica Freccia massima carichi totali - CC 21
  $f_{Z,G}$=0.00 (L/8893)

- Verifica a compressione [4.2.9] - CC 19 SLU Xl=0.04 - Classe 1
  Sollecitazioni: N=-2517.71 T_z=90.40 T_y=139.90
  N,Ed=-2517.71 Nc,Rd=-23709.20 N,Ed/Nc,Rd=0.11
  Verifiche di duttilità [7.5.3]:
  q_0=4.00 N,Ed=-2517.71 Npl,Rd=23709.20 N,Ed/Npl,Rd=0.106190

- Verifica a taglio dir. Y [4.2.16] - CC 9 SLU Xl=0.04
  Sollecitazioni: N=-2420.84 T_z=107.13 T_y=166.12
  V,Ed=166.12 Vc,Rd=7560.76 V,Ed/Vc,Rd=0.02

- Verifica a taglio dir. Z [4.2.16]
  V,Ed=107.13 Vc,Rd=7560.76 V,Ed/Vc,Rd=0.01

Asta n. 1799 (-36 -68) angolari L50x10 Crit. 1

- Verifica di stabilità aste inflesse (4.2.4.1.3.2) CC 1 SLV - Classe 3
  L_{cr}=0.19 Curva d: α_{imp}=0.76 k_c=0.94 ψ=1.88 M,cr=0.00 λ_{LT}=0.00
  $\lambda_{LT,0}$=0.20 β_{LT}=1.00 Φ_{LT}=0.00 β_{LT}=1.00 f=0.00 χ_{LT}=1.00
  CC 1 SLV My,Ed=3.66 My,b,Rd=149.05 My,Ed/My,b,Rd=0.02

- Verifica di stabilità aste presso-inflesse (C4.2.4.1.3.3.1) - CC 9 SLU - Classe 3

Sollecitazioni: N,Ed=-569.15 Myeq,Ed=4.47 Mzeq,Ed=-3.85
Resistenze: Nc,Rd=23709.20 My,c,Rd=149.05 Mz,c,Rd=149.05 L=19.38
λ_c=10.59 Ncr,y=1673810.00 λ^*_y=0.12 Curva b: Φ_y=0.49 χ_y=1.00
λ_e=20.13 Ncr,z=462889.00 λ^*_z=0.23 Curva b: Φ_z=0.53 χ_z=0.99
χ,min=0.99
Verifica: 0.02+0.03+0.03=0.08

- Verifica in termini tensionali [4.2.4] - CC 17 SLU Xl=0.05 - Classe 3
Sollecitazioni: N=637.94 T_z=-17.80 M_y=-2.85 T_y=67.82 M_z=-7.82 (M_c=3.52 M_e=-7.54)
Tensioni: σ_N=70.47 σ_M=203.17 τ=0.00 σ_{max}=273.64
Tensioni: σ_N=70.47 σ_M=37.29 τ=19.71 τ_{max}=19.71
Tensioni: σ_N=70.47 σ_M=203.17 τ=0.00 $\sigma_{ID,max}$=273.64

- Verifica a taglio dir. Y [4.2.16] - CC 19 SLU Xl=0.16
Sollecitazioni: N=29.80 T_z=27.17 T_y=73.16
V,Ed=73.16 Vc,Rd=7560.76 V,Ed/Vc,Rd=0.01

- Verifica a taglio dir. Z [4.2.16]
V,Ed=27.17 Vc,Rd=7560.76 V,Ed/Vc,Rd=0.00

Asta n. 1799 (-68 -100) angolari L50x10 Crit. 1

- Verifica di stabilità aste inflesse (4.2.4.1.3.2) CC 1 SLV - Classe 3
L_{cr}=0.19 Curva d: α_{imp}=0.76 k_c=0.94 ψ=2.43 M,cr=0.00 λ_{LT}=0.00
$\lambda_{LT,0}$=0.20 β_{LT}=1.00 Φ_{LT}=0.00 β_{LT}=1.00 f=0.00 χ_{LT}=1.00
CC 1 SLV My,Ed=2.53 My,b,Rd=149.05 My,Ed/My,b,Rd=0.02

- Verifica di stabilità aste presso-inflesse (C4.2.4.1.3.3.1) - CC 9 SLU - Classe 3
Sollecitazioni: N,Ed=-493.50 Myeq,Ed=3.98 Mzeq,Ed=-3.69
Resistenze: Nc,Rd=23709.20 My,c,Rd=149.05 Mz,c,Rd=149.05 L=19.38
λ_c=10.59 Ncr,y=1673810.00 λ^*_y=0.12 Curva b: Φ_y=0.49 χ_y=1.00
λ_e=20.13 Ncr,z=462890.00 λ^*_z=0.23 Curva b: Φ_z=0.53 χ_z=0.99
χ,min=0.99
Verifica: 0.02+0.03+0.02=0.07

- Verifica a compressione [4.2.9] - CC 18 SLU Xl=0.09 - Classe 1
Sollecitazioni: N=-650.15 T_z=41.33 T_y=38.84
N,Ed=-650.15 Nc,Rd=-23709.20 N,Ed/Nc,Rd=0.03
Verifiche di duttilità [7.5.3]:
q_0=4.00 N,Ed=-650.15 Npl,Rd=23709.20 N,Ed/Npl,Rd=0.027422

- Verifica a taglio dir. Y [4.2.16] - CC 19 SLU Xl=0.10
Sollecitazioni: N=69.11 T_z=24.72 T_y=74.62
V,Ed=74.62 Vc,Rd=7560.76 V,Ed/Vc,Rd=0.01

- Verifica a taglio dir. Z [4.2.16]
V,Ed=24.72 Vc,Rd=7560.76 V,Ed/Vc,Rd=0.00

Asta n. 1799 (-100 -132) angolari L50x10 Crit. 1

- Verifica di stabilità aste inflesse (4.2.4.1.3.2) CC 19 SLU - Classe 3
L_{cr}=0.19 Curva d: α_{imp}=0.76 k_c=0.94 ψ=2.26 M,cr=0.00 λ_{LT}=0.00
$\lambda_{LT,0}$=0.20 β_{LT}=1.00 Φ_{LT}=0.00 β_{LT}=1.00 f=0.00 χ_{LT}=1.00
CC 19 SLU My,Ed=-2.63 My,b,Rd=149.05 My,Ed/My,b,Rd=0.02

- Verifica di stabilità aste presso-inflesse (C4.2.4.1.3.3.1) - CC 9 SLU - Classe 3
Sollecitazioni: N,Ed=-396.19 Myeq,Ed=-3.91 Mzeq,Ed=3.80
Resistenze: Nc,Rd=23709.20 My,c,Rd=149.05 Mz,c,Rd=149.05 L=19.38
λ_c=10.59 Ncr,y=1673810.00 λ^*_y=0.12 Curva b: Φ_y=0.49 χ_y=1.00

λ_e=20.13 Ncr,z=462889.00 λ^*_z=0.23 Curva b: Φ_z=0.53 χ_z=0.99
χ,min=0.99
Verifica: 0.02+0.03+0.03=0.07

- Verifica a trazione [4.2.5] - CC 17 SLU Xl=0.12 - Classe 1
Sollecitazioni: N=601.97 T_z=-12.99 T_y=70.40
N,Ed=601.97 Npl,Rd=23709.20 Nu,Rd=28026.90 N,Ed/Nt,Rd=0.03
Verifiche di duttilità [7.5.3]:
q_0=4.00 N,Ed=601.97 Npl,Rd=23709.20 N,Ed/Npl,Rd=0.025390

- Verifica a taglio dir. Y [4.2.16] - CC 19 SLU Xl=0.09
Sollecitazioni: N=120.77 T_z=26.14 T_y=75.33
V,Ed=75.33 Vc,Rd=7560.76 V,Ed/Vc,Rd=0.01

- Verifica a taglio dir. Z [4.2.16]
V,Ed=26.14 Vc,Rd=7560.76 V,Ed/Vc,Rd=0.00

Asta n. 1799 (-132 -164) angolari L50x10 Crit. 1

- Verifica di stabilità aste inflesse (4.2.4.1.3.2) CC 19 SLU - Classe 3
L_{cr}=0.19 Curva d: α_{imp}=0.76 k_c=0.94 ψ=2.19 M,cr=0.00 λ_{LT}=0.00
$\lambda_{LT,0}$=0.20 β_{LT}=1.00 Φ_{LT}=0.00 β_{LT}=1.00 f=0.00 χ_{LT}=1.00
CC 19 SLU My,Ed=-2.87 My,b,Rd=149.05 My,Ed/My,b,Rd=0.02

- Verifica di stabilità aste presso-inflesse (C4.2.4.1.3.3.1) - CC 9 SLU - Classe 3
Sollecitazioni: N,Ed=-290.44 Myeq,Ed=-4.23 Mzeq,Ed=4.10
Resistenze: Nc,Rd=23709.20 My,c,Rd=149.05 Mz,c,Rd=149.05 L=19.38
λ_c=10.59 Ncr,y=1673810.00 λ^*_y=0.12 Curva b: Φ_y=0.49 χ_y=1.00
λ_e=20.13 Ncr,z=462890.00 λ^*_z=0.23 Curva b: Φ_z=0.53 χ_z=0.99
χ,min=0.99
Verifica: 0.01+0.03+0.03=0.07

- Verifica a trazione [4.2.5] - CC 17 SLU Xl=0.10 - Classe 1
Sollecitazioni: N=582.06 T_z=-12.11 T_y=70.70
N,Ed=582.06 Npl,Rd=23709.20 Nu,Rd=28026.90 N,Ed/Nt,Rd=0.02
Verifiche di duttilità [7.5.3]:
q_0=4.00 N,Ed=582.06 Npl,Rd=23709.20 N,Ed/Npl,Rd=0.024550

- Verifica a taglio dir. Y [4.2.16] - CC 19 SLU Xl=0.09
Sollecitazioni: N=178.42 T_z=27.52 T_y=76.10
V,Ed=76.10 Vc,Rd=7560.76 V,Ed/Vc,Rd=0.01

- Verifica a taglio dir. Z [4.2.16]
V,Ed=27.52 Vc,Rd=7560.76 V,Ed/Vc,Rd=0.00

Asta n. 1799 (-164 -196) angolari L50x10 Crit. 1

- Verifica di stabilità aste inflesse (4.2.4.1.3.2) CC 19 SLU - Classe 3
L_{cr}=0.19 Curva d: α_{imp}=0.76 k_c=0.94 ψ=2.16 M,cr=0.00 λ_{LT}=0.00
$\lambda_{LT,0}$=0.20 β_{LT}=1.00 Φ_{LT}=0.00 β_{LT}=1.00 f=0.00 χ_{LT}=1.00
CC 19 SLU My,Ed=-3.08 My,b,Rd=149.05 My,Ed/My,b,Rd=0.02

- Verifica di stabilità aste presso-inflesse (C4.2.4.1.3.3.1) - CC 18 SLU - Classe 3
Sollecitazioni: N,Ed=-380.43 Myeq,Ed=-3.84 Mzeq,Ed=3.71
Resistenze: Nc,Rd=23709.20 My,c,Rd=149.05 Mz,c,Rd=149.05 L=19.38
λ_c=10.59 Ncr,y=1673810.00 λ^*_y=0.12 Curva b: Φ_y=0.49 χ_y=1.00
λ_e=20.13 Ncr,z=462890.00 λ^*_z=0.23 Curva b: Φ_z=0.53 χ_z=0.99
χ,min=0.99

Verifica: 0.02+0.03+0.02=0.07

- Verifica a trazione [4.2.5] - CC 17 SLU Xl=0.10 - Classe 1
Sollecitazioni: N=563.83 T_z=-10.93 T_y=70.83
N,Ed=563.83 Npl,Rd=23709.20 Nu,Rd=28026.90 N,Ed/Nt,Rd=0.02
Verifiche di duttilità [7.5.3]:
q_0=4.00 N,Ed=563.83 Npl,Rd=23709.20 N,Ed/Npl,Rd=0.023781

- Verifica a taglio dir. Y [4.2.16] - CC 19 SLU Xl=0.09
Sollecitazioni: N=240.76 T_z=29.02 T_y=76.94
V,Ed=76.94 Vc,Rd=7560.76 V,Ed/Vc,Rd=0.01

- Verifica a taglio dir. Z [4.2.16]
V,Ed=29.02 Vc,Rd=7560.76 V,Ed/Vc,Rd=0.00

Asta n. 1799 (-196 -228) angolari L50x10 Crit. 1

- Verifica di stabilità aste inflesse (4.2.4.1.3.2) CC 19 SLU - Classe 3
L_{cr}=0.19 Curva d: α_{imp}=0.76 k_c=0.94 ψ=2.13 M,cr=0.00 λ_{LT}=0.00
$\lambda_{LT,0}$=0.20 β_{LT}=1.00 Φ_{LT}=0.00 β_{LT}=1.00 f=0.00 χ_{LT}=1.00
CC 19 SLU My,Ed=-3.30 My,b,Rd=149.05 My,Ed/My,b,Rd=0.02

- Verifica di stabilità aste presso-inflesse (C4.2.4.1.3.3.1) - CC 18 SLU - Classe 3
Sollecitazioni: N,Ed=-276.72 Myeq,Ed=-4.12 Mzeq,Ed=3.97
Resistenze: Nc,Rd=23709.20 My,c,Rd=149.05 Mz,c,Rd=149.05 L=19.38
λ_c=10.59 Ncr,y=1673810.00 λ^*_y=0.12 Curva b: Φ_y=0.49 χ_y=1.00
λ_e=20.13 Ncr,z=462889.00 λ^*_z=0.23 Curva b: Φ_z=0.53 χ_z=0.99
χ,min=0.99
Verifica: 0.01+0.03+0.03=0.07

- Verifica a trazione [4.2.5] - CC 17 SLU Xl=0.10 - Classe 1
Sollecitazioni: N=547.48 T_z=-9.77 T_y=71.05
N,Ed=547.48 Npl,Rd=23709.20 Nu,Rd=28026.90 N,Ed/Nt,Rd=0.02
Verifiche di duttilità [7.5.3]:
q_0=4.00 N,Ed=547.48 Npl,Rd=23709.20 N,Ed/Npl,Rd=0.023091

- Verifica a taglio dir. Y [4.2.16] - CC 19 SLU Xl=0.08
Sollecitazioni: N=307.63 T_z=30.42 T_y=77.98
V,Ed=77.98 Vc,Rd=7560.76 V,Ed/Vc,Rd=0.01

- Verifica a taglio dir. Z [4.2.16]
V,Ed=30.42 Vc,Rd=7560.76 V,Ed/Vc,Rd=0.00

Asta n. 1799 (-228 -260) angolari L50x10 Crit. 1

- Verifica di stabilità aste inflesse (4.2.4.1.3.2) CC 9 SLU - Classe 3
L_{cr}=0.19 Curva d: α_{imp}=0.76 k_c=0.94 ψ=2.53 M,cr=0.00 λ_{LT}=0.00
$\lambda_{LT,0}$=0.20 β_{LT}=1.00 Φ_{LT}=0.00 β_{LT}=1.00 f=0.00 χ_{LT}=1.00
CC 9 SLU My,Ed=-4.97 My,b,Rd=149.05 My,Ed/My,b,Rd=0.03

- Verifica di stabilità aste presso-inflesse (C4.2.4.1.3.3.1) - CC 18 SLU - Classe 3
Sollecitazioni: N,Ed=-166.33 Myeq,Ed=-4.41 Mzeq,Ed=4.25
Resistenze: Nc,Rd=23709.20 My,c,Rd=149.05 Mz,c,Rd=149.05 L=19.38
λ_c=10.59 Ncr,y=1673810.00 λ^*_y=0.12 Curva b: Φ_y=0.49 χ_y=1.00
λ_e=20.13 Ncr,z=462889.00 λ^*_z=0.23 Curva b: Φ_z=0.53 χ_z=0.99
χ,min=0.99
Verifica: 0.01+0.03+0.03=0.07

- Verifica a trazione [4.2.5] - CC 17 SLU Xl=0.10 - Classe 1
  Sollecitazioni: N=533.21 T_z=-8.57 T_y=71.29
  N,Ed=533.21 Npl,Rd=23709.20 Nu,Rd=28026.90 N,Ed/Nt,Rd=0.02
  Verifiche di duttilità [7.5.3]:
  q_0=4.00 N,Ed=533.21 Npl,Rd=23709.20 N,Ed/Npl,Rd=0.022489

- Verifica a taglio dir. Y [4.2.16] - CC 19 SLU Xl=0.08
  Sollecitazioni: N=379.51 T_z=32.01 T_y=78.96
  V,Ed=78.96 Vc,Rd=7560.76 V,Ed/Vc,Rd=0.01

- Verifica a taglio dir. Z [4.2.16]
  V,Ed=32.01 Vc,Rd=7560.76 V,Ed/Vc,Rd=0.00

Asta n. 1799 (-260 -292) angolari L50x10 Crit. 1

- Verifica di stabilità aste inflesse (4.2.4.1.3.2) CC 9 SLU - Classe 3
  L_{cr}=0.19 Curva d: α_{imp}=0.76 k_c=0.94 ψ=2.46 M,cr=0.00 λ_{LT}=0.00
  $\lambda_{LT,0}$=0.20 β_{LT}=1.00 Φ_{LT}=0.00 β_{LT}=1.00 f=0.00 χ_{LT}=1.00
  CC 9 SLU My,Ed=-5.24 My,b,Rd=149.05 My,Ed/My,b,Rd=0.04

- Verifica di stabilità aste presso-inflesse (C4.2.4.1.3.3.1) - CC 18 SLU - Classe 3
  Sollecitazioni: N,Ed=-48.79 Myeq,Ed=-4.72 Mzeq,Ed=4.55
  Resistenze: Nc,Rd=23709.20 My,c,Rd=149.05 Mz,c,Rd=149.05 L=19.38
  λ_c=10.59 Ncr,y=1673810.00 λ^*_y=0.12 Curva b: Φ_y=0.49 χ_y=1.00
  λ_e=20.13 Ncr,z=462889.00 λ^*_z=0.23 Curva b: Φ_z=0.53 χ_z=0.99
  χ,min=0.99
  Verifica: 0.00+0.03+0.03=0.06

- Verifica a trazione [4.2.5] - CC 17 SLU Xl=0.10 - Classe 1
  Sollecitazioni: N=521.17 T_z=-7.36 T_y=71.59
  N,Ed=521.17 Npl,Rd=23709.20 Nu,Rd=28026.90 N,Ed/Nt,Rd=0.02
  Verifiche di duttilità [7.5.3]:
  q_0=4.00 N,Ed=521.17 Npl,Rd=23709.20 N,Ed/Npl,Rd=0.021982

- Verifica a taglio dir. Y [4.2.16] - CC 19 SLU Xl=0.08
  Sollecitazioni: N=456.62 T_z=33.65 T_y=80.02
  V,Ed=80.02 Vc,Rd=7560.76 V,Ed/Vc,Rd=0.01

- Verifica a taglio dir. Z [4.2.16]
  V,Ed=33.65 Vc,Rd=7560.76 V,Ed/Vc,Rd=0.00

Asta n. 1799 (-292 -324) angolari L50x10 Crit. 1

- Verifica di stabilità aste inflesse (4.2.4.1.3.2) CC 9 SLU - Classe 3
  L_{cr}=0.19 Curva d: α_{imp}=0.76 k_c=0.94 ψ=2.40 M,cr=0.00 λ_{LT}=0.00
  $\lambda_{LT,0}$=0.20 β_{LT}=1.00 Φ_{LT}=0.00 β_{LT}=1.00 f=0.00 χ_{LT}=1.00
  CC 9 SLU My,Ed=-5.54 My,b,Rd=149.05 My,Ed/My,b,Rd=0.04

- Verifica di stabilità aste presso-inflesse (C4.2.4.1.3.3.1) - CC 5 SLV - Classe 3
  Sollecitazioni: N,Ed=-248.50 Myeq,Ed=-3.10 Mzeq,Ed=2.98
  Resistenze: Nc,Rd=23709.20 My,c,Rd=149.05 Mz,c,Rd=149.05 L=19.38
  λ_c=10.59 Ncr,y=1673810.00 λ^*_y=0.12 Curva b: Φ_y=0.49 χ_y=1.00
  λ_e=20.13 Ncr,z=462889.00 λ^*_z=0.23 Curva b: Φ_z=0.53 χ_z=0.99
  χ,min=0.99
  Verifica: 0.01+0.02+0.02=0.05

- Verifica a trazione [4.2.5] - CC 19 SLU Xl=0.08 - Classe 1
  Sollecitazioni: N=539.37 T_z=35.37 T_y=81.12

N,Ed=539.37 Npl,Rd=23709.20 Nu,Rd=28026.90 N,Ed/Nt,Rd=0.02
Verifiche di duttilità [7.5.3]:
q_0=4.00 N,Ed=539.37 Npl,Rd=23709.20 N,Ed/Npl,Rd=0.022749

- Verifica a taglio dir. Y [4.2.16] - CC 19 SLU Xl=0.08
Sollecitazioni: N=539.37 T_z=35.37 T_y=81.12
V,Ed=81.12 Vc,Rd=7560.76 V,Ed/Vc,Rd=0.01

- Verifica a taglio dir. Z [4.2.16]
V,Ed=35.37 Vc,Rd=7560.76 V,Ed/Vc,Rd=0.00

Asta n. 1799 (-324 -356) angolari L50x10 Crit. 1

- Verifica di stabilità aste inflesse (4.2.4.1.3.2) CC 9 SLU - Classe 3
L_{cr}=0.19 Curva d: α_{imp}=0.76 k_c=0.94 ψ=2.33 M,cr=0.00 λ_{LT}=0.00
$\lambda_{LT,0}$=0.20 β_{LT}=1.00 Φ_{LT}=0.00 β_{LT}=1.00 f=0.00 χ_{LT}=1.00
CC 9 SLU My,Ed=-5.86 My,b,Rd=149.05 My,Ed/My,b,Rd=0.04

- Verifica di stabilità aste presso-inflesse (C4.2.4.1.3.3.1) - CC 5 SLV - Classe 3
Sollecitazioni: N,Ed=-239.76 Myeq,Ed=-3.25 Mzeq,Ed=3.04
Resistenze: Nc,Rd=23709.20 My,c,Rd=149.05 Mz,c,Rd=149.05 L=19.38
λ_c=10.59 Ncr,y=1673810.00 λ^*_y=0.12 Curva b: Φ_y=0.49 χ_y=1.00
λ_e=20.13 Ncr,z=462889.00 λ^*_z=0.23 Curva b: Φ_z=0.53 χ_z=0.99
χ,min=0.99
Verifica: 0.01+0.02+0.02=0.05

- Verifica a trazione [4.2.5] - CC 19 SLU Xl=0.08 - Classe 1
Sollecitazioni: N=628.18 T_z=37.13 T_y=82.32
N,Ed=628.18 Npl,Rd=23709.20 Nu,Rd=28026.90 N,Ed/Nt,Rd=0.03
Verifiche di duttilità [7.5.3]:
q_0=4.00 N,Ed=628.18 Npl,Rd=23709.20 N,Ed/Npl,Rd=0.026495

- Verifica a taglio dir. Y [4.2.16] - CC 19 SLU Xl=0.08
Sollecitazioni: N=628.18 T_z=37.13 T_y=82.32
V,Ed=82.32 Vc,Rd=7560.76 V,Ed/Vc,Rd=0.01

- Verifica a taglio dir. Z [4.2.16]
V,Ed=37.13 Vc,Rd=7560.76 V,Ed/Vc,Rd=0.00

Asta n. 1799 (-356 -388) angolari L50x10 Crit. 1

- Verifica di stabilità aste inflesse (4.2.4.1.3.2) CC 9 SLU - Classe 3
L_{cr}=0.19 Curva d: α_{imp}=0.76 k_c=0.94 ψ=2.27 M,cr=0.00 λ_{LT}=0.00
$\lambda_{LT,0}$=0.20 β_{LT}=1.00 Φ_{LT}=0.00 β_{LT}=1.00 f=0.00 χ_{LT}=1.00
CC 9 SLU My,Ed=-6.21 My,b,Rd=149.05 My,Ed/My,b,Rd=0.04

- Verifica di stabilità aste presso-inflesse (C4.2.4.1.3.3.1) - CC 5 SLV - Classe 3
Sollecitazioni: N,Ed=-230.45 Myeq,Ed=-3.32 Mzeq,Ed=3.11
Resistenze: Nc,Rd=23709.20 My,c,Rd=149.05 Mz,c,Rd=149.05 L=19.38
λ_c=10.59 Ncr,y=1673810.00 λ^*_y=0.12 Curva b: Φ_y=0.49 χ_y=1.00
λ_e=20.13 Ncr,z=462890.00 λ^*_z=0.23 Curva b: Φ_z=0.53 χ_z=0.99
χ,min=0.99
Verifica: 0.01+0.02+0.02=0.05

- Verifica a trazione [4.2.5] - CC 19 SLU Xl=0.06 - Classe 1
Sollecitazioni: N=723.38 T_z=38.84 T_y=83.79
N,Ed=723.38 Npl,Rd=23709.20 Nu,Rd=28026.90 N,Ed/Nt,Rd=0.03
Verifiche di duttilità [7.5.3]:

q_0=4.00 N,Ed=723.38 Npl,Rd=23709.20 N,Ed/Npl,Rd=0.030511

- Verifica a taglio dir. Y [4.2.16] - CC 19 SLU Xl=0.06
  Sollecitazioni: N=723.38 T_z=38.84 T_y=83.79
  V,Ed=83.79 Vc,Rd=7560.76 V,Ed/Vc,Rd=0.01

- Verifica a taglio dir. Z [4.2.16]
  V,Ed=38.84 Vc,Rd=7560.76 V,Ed/Vc,Rd=0.01

Asta n. 1799 (-388 -420) angolari L50x10 Crit. 1

- Verifica di stabilità aste inflesse (4.2.4.1.3.2) CC 9 SLU - Classe 3
  L_{cr}=0.19 Curva d: α_{imp}=0.76 k_c=0.94 ψ=2.21 M,cr=0.00 λ_{LT}=0.00
  $\lambda_{LT,0}$=0.20 β_{LT}=1.00 Φ_{LT}=0.00 β_{LT}=1.00 f=0.00 χ_{LT}=1.00
  CC 9 SLU My,Ed=-6.60 My,b,Rd=149.05 My,Ed/My,b,Rd=0.04

- Verifica di stabilità aste presso-inflesse (C4.2.4.1.3.3.1) - CC 5 SLV - Classe 3
  Sollecitazioni: N,Ed=-220.51 Myeq,Ed=-3.40 Mzeq,Ed=3.15
  Resistenze: Nc,Rd=23709.20 My,c,Rd=149.05 Mz,c,Rd=149.05 L=19.38
  λ_c=10.59 Ncr,y=1673810.00 λ^*_y=0.12 Curva b: Φ_y=0.49 χ_y=1.00
  λ_e=20.13 Ncr,z=462889.00 λ^*_z=0.23 Curva b: Φ_z=0.53 χ_z=0.99
  χ,min=0.99
  Verifica: 0.01+0.02+0.02=0.05

- Verifica a trazione [4.2.5] - CC 19 SLU Xl=0.06 - Classe 1
  Sollecitazioni: N=825.73 T_z=40.81 T_y=84.74
  N,Ed=825.73 Npl,Rd=23709.20 Nu,Rd=28026.90 N,Ed/Nt,Rd=0.03
  Verifiche di duttilità [7.5.3]:
  q_0=4.00 N,Ed=825.73 Npl,Rd=23709.20 N,Ed/Npl,Rd=0.034827

- Verifica a taglio dir. Y [4.2.16] - CC 19 SLU Xl=0.06
  Sollecitazioni: N=825.73 T_z=40.81 T_y=84.74
  V,Ed=84.74 Vc,Rd=7560.76 V,Ed/Vc,Rd=0.01

- Verifica a taglio dir. Z [4.2.16]
  V,Ed=40.81 Vc,Rd=7560.76 V,Ed/Vc,Rd=0.01

Asta n. 1799 (-420 -452) angolari L50x10 Crit. 1

- Verifica di stabilità aste inflesse (4.2.4.1.3.2) CC 9 SLU - Classe 3
  L_{cr}=0.19 Curva d: α_{imp}=0.76 k_c=0.94 ψ=2.14 M,cr=0.00 λ_{LT}=0.00
  $\lambda_{LT,0}$=0.20 β_{LT}=1.00 Φ_{LT}=0.00 β_{LT}=1.00 f=0.00 χ_{LT}=1.00
  CC 9 SLU My,Ed=-6.97 My,b,Rd=149.05 My,Ed/My,b,Rd=0.05

- Verifica di stabilità aste presso-inflesse (C4.2.4.1.3.3.1) - CC 5 SLV - Classe 3
  Sollecitazioni: N,Ed=-209.92 Myeq,Ed=-3.39 Mzeq,Ed=3.36
  Resistenze: Nc,Rd=23709.20 My,c,Rd=149.05 Mz,c,Rd=149.05 L=19.38
  λ_c=10.59 Ncr,y=1673810.00 λ^*_y=0.12 Curva b: Φ_y=0.49 χ_y=1.00
  λ_e=20.13 Ncr,z=462889.00 λ^*_z=0.23 Curva b: Φ_z=0.53 χ_z=0.99
  χ,min=0.99
  Verifica: 0.01+0.02+0.02=0.05

- Verifica a trazione [4.2.5] - CC 19 SLU Xl=0.06 - Classe 1
  Sollecitazioni: N=935.47 T_z=42.35 T_y=89.35
  N,Ed=935.47 Npl,Rd=23709.20 Nu,Rd=28026.90 N,Ed/Nt,Rd=0.04
  Verifiche di duttilità [7.5.3]:
  q_0=4.00 N,Ed=935.47 Npl,Rd=23709.20 N,Ed/Npl,Rd=0.039456

- Verifica a taglio dir. Y [4.2.16] - CC 19 SLU Xl=0.06
  Sollecitazioni: N=935.47 T_z=42.35 T_y=89.35
  V,Ed=89.35 Vc,Rd=7560.76 V,Ed/Vc,Rd=0.01

- Verifica a taglio dir. Z [4.2.16]
  V,Ed=42.35 Vc,Rd=7560.76 V,Ed/Vc,Rd=0.01

Asta n. 1799 (-452 -484) angolari L50x10 Crit. 1

- Verifica di stabilità aste inflesse (4.2.4.1.3.2) CC 9 SLU - Classe 3
  L_{cr}=0.19 Curva d: α_{imp}=0.76 k_c=0.94 ψ=2.02 M,cr=0.00 λ_{LT}=0.00
  $\lambda_{LT,0}$=0.20 β_{LT}=1.00 Φ_{LT}=0.00 β_{LT}=1.00 f=0.00 χ_{LT}=1.00
  CC 9 SLU My,Ed=-8.27 My,b,Rd=149.05 My,Ed/My,b,Rd=0.06

- Verifica di stabilità aste presso-inflesse (C4.2.4.1.3.3.1) - CC 5 SLV - Classe 3
  Sollecitazioni: N,Ed=-207.93 Myeq,Ed=-4.04 Mzeq,Ed=2.43
  Resistenze: Nc,Rd=23709.20 My,c,Rd=149.05 Mz,c,Rd=149.05 L=19.38
  λ_c=10.59 Ncr,y=1673810.00 λ^*_y=0.12 Curva b: Φ_y=0.49 χ_y=1.00
  λ_e=20.13 Ncr,z=462890.00 λ^*_z=0.23 Curva b: Φ_z=0.53 χ_z=0.99
  χ,min=0.99
  Verifica: 0.01+0.03+0.02=0.05

- Verifica a trazione [4.2.5] - CC 9 SLU Xl=0.06 - Classe 1
  Sollecitazioni: N=1102.17 T_z=71.63 T_y=45.59
  N,Ed=1102.17 Npl,Rd=23709.20 Nu,Rd=28026.90 N,Ed/Nt,Rd=0.05
  Verifiche di duttilità [7.5.3]:
  q_0=4.00 N,Ed=1102.17 Npl,Rd=23709.20 N,Ed/Npl,Rd=0.046487

- Verifica a taglio dir. Y [4.2.16] - CC 9 SLU Xl=0.06
  Sollecitazioni: N=1102.17 T_z=71.63 T_y=45.59
  V,Ed=45.59 Vc,Rd=7560.76 V,Ed/Vc,Rd=0.01

- Verifica a taglio dir. Z [4.2.16]
  V,Ed=71.63 Vc,Rd=7560.76 V,Ed/Vc,Rd=0.01

Asta n. 1799 (-484 1301) angolari L50x10 Crit. 1

- Verifica di stabilità aste inflesse (4.2.4.1.3.2) CC 18 SLU - Classe 3
  L_{cr}=0.19 Curva d: α_{imp}=0.76 k_c=0.94 ψ=1.82 M,cr=0.00 λ_{LT}=0.00
  $\lambda_{LT,0}$=0.20 β_{LT}=1.00 Φ_{LT}=0.00 β_{LT}=1.00 f=0.00 χ_{LT}=1.00
  CC 18 SLU My,Ed=-7.63 My,b,Rd=149.05 My,Ed/My,b,Rd=0.05

- Verifica di stabilità aste presso-inflesse (C4.2.4.1.3.3.1) - CC 5 SLV - Classe 3
  Sollecitazioni: N,Ed=-215.45 Myeq,Ed=-1.93 Mzeq,Ed=7.31
  Resistenze: Nc,Rd=23709.20 My,c,Rd=149.05 Mz,c,Rd=149.05 L=19.38
  λ_c=10.59 Ncr,y=1673810.00 λ^*_y=0.12 Curva b: Φ_y=0.49 χ_y=1.00
  λ_e=20.13 Ncr,z=462891.00 λ^*_z=0.23 Curva b: Φ_z=0.53 χ_z=0.99
  χ,min=0.99
  Verifica: 0.01+0.01+0.05=0.07

- Verifica in termini tensionali [4.2.4] - CC 19 SLU Xl=0.14 - Classe 3
  Sollecitazioni: N=1167.73 T_z=27.97 M_y=-3.88 T_y=196.84 M_z=21.09 (M_c=-17.66 M_e=12.17)
  Tensioni: σ_N=128.99 σ_M=430.86 τ=8.41 σ_{max}=559.86
  Tensioni: σ_N=128.99 σ_M=-79.76 τ=56.87 τ_{max}=56.87
  Tensioni: σ_N=128.99 σ_M=430.86 τ=8.41 $\sigma_{ID,max}$=560.05

- Verifica a taglio dir. Y [4.2.16] - CC 19 SLU Xl=0.04
  Sollecitazioni: N=1166.76 T_z=26.99 T_y=197.80

V,Ed=197.80 Vc,Rd=7560.76 V,Ed/Vc,Rd=0.03

- Verifica a taglio dir. Z [4.2.16]
V,Ed=26.99 Vc,Rd=7560.76 V,Ed/Vc,Rd=0.00

Asta n. 1800 (-44 -76) angolari L50x10 Crit. 1

- Verifica di stabilità aste inflesse (4.2.4.1.3.2) CC 17 SLU - Classe 3
L_{cr}=0.19 Curva d: α_{imp}=0.76 k_c=0.94 ψ=1.74 M,cr=0.00 λ_{LT}=0.00
$\lambda_{LT,0}$=0.20 β_{LT}=1.00 Φ_{LT}=0.00 β_{LT}=1.00 f=0.00 χ_{LT}=1.00
CC 17 SLU My,Ed=-8.31 My,b,Rd=149.05 My,Ed/My,b,Rd=0.06

- Verifica di stabilità aste presso-inflesse (C4.2.4.1.3.3.1) - CC 9 SLU - Classe 3
Sollecitazioni: N,Ed=-774.46 Myeq,Ed=-3.18 Mzeq,Ed=-3.79
Resistenze: Nc,Rd=23709.20 My,c,Rd=149.05 Mz,c,Rd=149.05 L=19.38
λ_c=10.59 Ncr,y=1673810.00 λ^*_y=0.12 Curva b: Φ_y=0.49 χ_y=1.00
λ_e=20.13 Ncr,z=462889.00 λ^*_z=0.23 Curva b: Φ_z=0.53 χ_z=0.99
χ,min=0.99
Verifica: 0.03+0.02+0.03=0.08

- Verifica a compressione [4.2.9] - CC 18 SLU Xl=0.14 - Classe 1
Sollecitazioni: N=-845.08 T_z=-30.82 T_y=39.16
N,Ed=-845.08 Nc,Rd=-23709.20 N,Ed/Nc,Rd=0.04
Verifiche di duttilità [7.5.3]:
q_0=4.00 N,Ed=-845.08 Npl,Rd=23709.20 N,Ed/Npl,Rd=0.035644

- Verifica a taglio dir. Y [4.2.16] - CC 19 SLU Xl=0.15
Sollecitazioni: N=-175.26 T_z=-69.70 T_y=28.80
V,Ed=28.80 Vc,Rd=7560.76 V,Ed/Vc,Rd=0.00

- Verifica a taglio dir. Z [4.2.16]
V,Ed=-69.70 Vc,Rd=7560.76 V,Ed/Vc,Rd=0.01

Asta n. 1800 (-76 -108) angolari L50x10 Crit. 1

- Verifica di stabilità aste inflesse (4.2.4.1.3.2) CC 17 SLU - Classe 3
L_{cr}=0.19 Curva d: α_{imp}=0.76 k_c=0.94 ψ=2.37 M,cr=0.00 λ_{LT}=0.00
$\lambda_{LT,0}$=0.20 β_{LT}=1.00 Φ_{LT}=0.00 β_{LT}=1.00 f=0.00 χ_{LT}=1.00
CC 17 SLU My,Ed=-6.40 My,b,Rd=149.05 My,Ed/My,b,Rd=0.04

- Verifica di stabilità aste presso-inflesse (C4.2.4.1.3.3.1) - CC 9 SLU - Classe 3
Sollecitazioni: N,Ed=-838.79 Myeq,Ed=-3.81 Mzeq,Ed=-4.23
Resistenze: Nc,Rd=23709.20 My,c,Rd=149.05 Mz,c,Rd=149.05 L=19.38
λ_c=10.59 Ncr,y=1673810.00 λ^*_y=0.12 Curva b: Φ_y=0.49 χ_y=1.00
λ_e=20.13 Ncr,z=462890.00 λ^*_z=0.23 Curva b: Φ_z=0.53 χ_z=0.99
χ,min=0.99
Verifica: 0.04+0.03+0.03=0.09

- Verifica a compressione [4.2.9] - CC 18 SLU Xl=0.09 - Classe 1
Sollecitazioni: N=-896.98 T_z=-39.94 T_y=43.93
N,Ed=-896.98 Nc,Rd=-23709.20 N,Ed/Nc,Rd=0.04
Verifiche di duttilità [7.5.3]:
q_0=4.00 N,Ed=-896.98 Npl,Rd=23709.20 N,Ed/Npl,Rd=0.037832

- Verifica a taglio dir. Y [4.2.16] - CC 19 SLU Xl=0.10
Sollecitazioni: N=-276.31 T_z=-73.53 T_y=29.19
V,Ed=29.19 Vc,Rd=7560.76 V,Ed/Vc,Rd=0.00

- Verifica a taglio dir. Z [4.2.16]
  V,Ed=-73.53 Vc,Rd=7560.76 V,Ed/Vc,Rd=0.01

Asta n. 1800 (-108 -140) angolari L50x10 Crit. 1

- Verifica di stabilità aste inflesse (4.2.4.1.3.2) CC 17 SLU - Classe 3
  L_{cr}=0.19 Curva d: α_{imp}=0.76 k_c=0.94 ψ=2.70 M,cr=0.00 λ_{LT}=0.00
  $\lambda_{LT,0}$=0.20 β_{LT}=1.00 Φ_{LT}=0.00 β_{LT}=1.00 f=0.00 χ_{LT}=1.00
  CC 17 SLU My,Ed=-5.55 My,b,Rd=149.05 My,Ed/My,b,Rd=0.04

- Verifica di stabilità aste presso-inflesse (C4.2.4.1.3.3.1) - CC 9 SLU - Classe 3
  Sollecitazioni: N,Ed=-923.24 Myeq,Ed=3.87 Mzeq,Ed=4.08
  Resistenze: Nc,Rd=23709.20 My,c,Rd=149.05 Mz,c,Rd=149.05 L=19.38
  λ_c=10.59 Ncr,y=1673810.00 λ^*_y=0.12 Curva b: Φ_y=0.49 χ_y=1.00
  λ_e=20.13 Ncr,z=462889.00 λ^*_z=0.23 Curva b: Φ_z=0.53 χ_z=0.99
  χ,min=0.99
  Verifica: 0.04+0.03+0.03=0.09

- Verifica a compressione [4.2.9] - CC 18 SLU Xl=0.08 - Classe 1
  Sollecitazioni: N=-966.46 T_z=-41.26 T_y=45.67
  N,Ed=-966.46 Nc,Rd=-23709.20 N,Ed/Nc,Rd=0.04
  Verifiche di duttilità [7.5.3]:
  q_0=4.00 N,Ed=-966.46 Npl,Rd=23709.20 N,Ed/Npl,Rd=0.040763

- Verifica a taglio dir. Y [4.2.16] - CC 19 SLU Xl=0.09
  Sollecitazioni: N=-406.98 T_z=-74.11 T_y=30.72
  V,Ed=30.72 Vc,Rd=7560.76 V,Ed/Vc,Rd=0.00

- Verifica a taglio dir. Z [4.2.16]
  V,Ed=-74.11 Vc,Rd=7560.76 V,Ed/Vc,Rd=0.01

Asta n. 1800 (-140 -172) angolari L50x10 Crit. 1

- Verifica di stabilità aste inflesse (4.2.4.1.3.2) CC 17 SLU - Classe 3
  L_{cr}=0.19 Curva d: α_{imp}=0.76 k_c=0.94 ψ=2.85 M,cr=0.00 λ_{LT}=0.00
  $\lambda_{LT,0}$=0.20 β_{LT}=1.00 Φ_{LT}=0.00 β_{LT}=1.00 f=0.00 χ_{LT}=1.00
  CC 17 SLU My,Ed=-5.27 My,b,Rd=149.05 My,Ed/My,b,Rd=0.04

- Verifica di stabilità aste presso-inflesse (C4.2.4.1.3.3.1) - CC 9 SLU - Classe 3
  Sollecitazioni: N,Ed=-1015.59 Myeq,Ed=4.18 Mzeq,Ed=4.41
  Resistenze: Nc,Rd=23709.20 My,c,Rd=149.05 Mz,c,Rd=149.05 L=19.38
  λ_c=10.59 Ncr,y=1673810.00 λ^*_y=0.12 Curva b: Φ_y=0.49 χ_y=1.00
  λ_e=20.13 Ncr,z=462890.00 λ^*_z=0.23 Curva b: Φ_z=0.53 χ_z=0.99
  χ,min=0.99
  Verifica: 0.04+0.03+0.03=0.10

- Verifica a compressione [4.2.9] - CC 18 SLU Xl=0.08 - Classe 1
  Sollecitazioni: N=-1043.96 T_z=-43.12 T_y=47.62
  N,Ed=-1043.96 Nc,Rd=-23709.20 N,Ed/Nc,Rd=0.04
  Verifiche di duttilità [7.5.3]:
  q_0=4.00 N,Ed=-1043.96 Npl,Rd=23709.20 N,Ed/Npl,Rd=0.044032

- Verifica a taglio dir. Y [4.2.16] - CC 19 SLU Xl=0.09
  Sollecitazioni: N=-548.05 T_z=-74.97 T_y=32.32
  V,Ed=32.32 Vc,Rd=7560.76 V,Ed/Vc,Rd=0.00

- Verifica a taglio dir. Z [4.2.16]
  V,Ed=-74.97 Vc,Rd=7560.76 V,Ed/Vc,Rd=0.01

Asta n. 1800 (-172 -204) angolari L50x10 Crit. 1

- Verifica di stabilità aste inflesse (4.2.4.1.3.2) CC 17 SLU - Classe 3
  L_{cr}=0.19 Curva d: α_{imp}=0.76 k_c=0.94 ψ=2.95 M,cr=0.00 λ_{LT}=0.00
  $\lambda_{LT,0}$=0.20 β_{LT}=1.00 Φ_{LT}=0.00 β_{LT}=1.00 f=0.00 χ_{LT}=1.00
  CC 17 SLU My,Ed=-5.11 My,b,Rd=149.05 My,Ed/My,b,Rd=0.03

- Verifica di stabilità aste presso-inflesse (C4.2.4.1.3.3.1) - CC 9 SLU - Classe 3
  Sollecitazioni: N,Ed=-1113.26 Myeq,Ed=4.42 Mzeq,Ed=4.67
  Resistenze: Nc,Rd=23709.20 My,c,Rd=149.05 Mz,c,Rd=149.05 L=19.38
  λ_c=10.59 Ncr,y=1673810.00 λ^*_y=0.12 Curva b: Φ_y=0.49 χ_y=1.00
  λ_e=20.13 Ncr,z=462890.00 λ^*_z=0.23 Curva b: Φ_z=0.53 χ_z=0.99
  χ,min=0.99
  Verifica: 0.05+0.03+0.03=0.11

- Verifica a compressione [4.2.9] - CC 18 SLU Xl=0.08 - Classe 1
  Sollecitazioni: N=-1127.66 T_z=-45.07 T_y=49.62
  N,Ed=-1127.66 Nc,Rd=-23709.20 N,Ed/Nc,Rd=0.05
  Verifiche di duttilità [7.5.3]:
  q_0=4.00 N,Ed=-1127.66 Npl,Rd=23709.20 N,Ed/Npl,Rd=0.047562

- Verifica a taglio dir. Y [4.2.16] - CC 19 SLU Xl=0.09
  Sollecitazioni: N=-695.41 T_z=-75.89 T_y=33.97
  V,Ed=33.97 Vc,Rd=7560.76 V,Ed/Vc,Rd=0.00

- Verifica a taglio dir. Z [4.2.16]
  V,Ed=-75.89 Vc,Rd=7560.76 V,Ed/Vc,Rd=0.01

Asta n. 1800 (-204 -236) angolari L50x10 Crit. 1

- Verifica di stabilità aste presso-inflesse (C4.2.4.1.3.3.1) - CC 9 SLU - Classe 3
  Sollecitazioni: N,Ed=-1215.87 Myeq,Ed=4.65 Mzeq,Ed=4.92
  Resistenze: Nc,Rd=23709.20 My,c,Rd=149.05 Mz,c,Rd=149.05 L=19.38
  λ_c=10.59 Ncr,y=1673810.00 λ^*_y=0.12 Curva b: Φ_y=0.49 χ_y=1.00
  λ_e=20.13 Ncr,z=462889.00 λ^*_z=0.23 Curva b: Φ_z=0.53 χ_z=0.99
  χ,min=0.99
  Verifica: 0.05+0.03+0.03=0.12

- Verifica a compressione [4.2.9] - CC 18 SLU Xl=0.08 - Classe 1
  Sollecitazioni: N=-1217.41 T_z=-47.04 T_y=51.73
  N,Ed=-1217.41 Nc,Rd=-23709.20 N,Ed/Nc,Rd=0.05
  Verifiche di duttilità [7.5.3]:
  q_0=4.00 N,Ed=-1217.41 Npl,Rd=23709.20 N,Ed/Npl,Rd=0.051347

- Verifica a taglio dir. Y [4.2.16] - CC 19 SLU Xl=0.08
  Sollecitazioni: N=-848.49 T_z=-76.97 T_y=35.56
  V,Ed=35.56 Vc,Rd=7560.76 V,Ed/Vc,Rd=0.00

- Verifica a taglio dir. Z [4.2.16]
  V,Ed=-76.97 Vc,Rd=7560.76 V,Ed/Vc,Rd=0.01

Asta n. 1800 (-236 -268) angolari L50x10 Crit. 1

- Verifica di stabilità aste presso-inflesse (C4.2.4.1.3.3.1) - CC 9 SLU - Classe 3
  Sollecitazioni: N,Ed=-1323.65 Myeq,Ed=4.91 Mzeq,Ed=5.18
  Resistenze: Nc,Rd=23709.20 My,c,Rd=149.05 Mz,c,Rd=149.05 L=19.38
  λ_c=10.59 Ncr,y=1673810.00 λ^*_y=0.12 Curva b: Φ_y=0.49 χ_y=1.00

λ_e=20.13 Ncr,z=462889.00 λ^*_z=0.23 Curva b: Φ_z=0.53 χ_z=0.99
χ,min=0.99
Verifica: 0.06+0.03+0.03=0.12

- Verifica a compressione [4.2.9] - CC 9 SLU Xl=0.08 - Classe 1
Sollecitazioni: N=-1323.17 T_z=-54.43 T_y=59.16
N,Ed=-1323.17 Nc,Rd=-23709.20 N,Ed/Nc,Rd=0.06
Verifiche di duttilità [7.5.3]:
q_0=4.00 N,Ed=-1323.17 Npl,Rd=23709.20 N,Ed/Npl,Rd=0.055808

- Verifica a taglio dir. Y [4.2.16] - CC 19 SLU Xl=0.08
Sollecitazioni: N=-1007.23 T_z=-78.08 T_y=37.26
V,Ed=37.26 Vc,Rd=7560.76 V,Ed/Vc,Rd=0.00

- Verifica a taglio dir. Z [4.2.16]
V,Ed=-78.08 Vc,Rd=7560.76 V,Ed/Vc,Rd=0.01

Asta n. 1800 (-268 -300) angolari L50x10 Crit. 1

- Verifica di stabilità aste presso-inflesse (C4.2.4.1.3.3.1) - CC 9 SLU - Classe 3
Sollecitazioni: N,Ed=-1436.92 Myeq,Ed=5.17 Mzeq,Ed=5.47
Resistenze: Nc,Rd=23709.20 My,c,Rd=149.05 Mz,c,Rd=149.05 L=19.38
λ_c=10.59 Ncr,y=1673810.00 λ^*_y=0.12 Curva b: Φ_y=0.49 χ_y=1.00
λ_e=20.13 Ncr,z=462889.00 λ^*_z=0.23 Curva b: Φ_z=0.53 χ_z=0.99
χ,min=0.99
Verifica: 0.06+0.03+0.04=0.13

- Verifica a compressione [4.2.9] - CC 9 SLU Xl=0.06 - Classe 1
Sollecitazioni: N=-1436.56 T_z=-55.77 T_y=60.72
N,Ed=-1436.56 Nc,Rd=-23709.20 N,Ed/Nc,Rd=0.06
Verifiche di duttilità [7.5.3]:
q_0=4.00 N,Ed=-1436.56 Npl,Rd=23709.20 N,Ed/Npl,Rd=0.060591

- Verifica a taglio dir. Y [4.2.16] - CC 19 SLU Xl=0.08
Sollecitazioni: N=-1172.10 T_z=-79.14 T_y=39.14
V,Ed=39.14 Vc,Rd=7560.76 V,Ed/Vc,Rd=0.01

- Verifica a taglio dir. Z [4.2.16]
V,Ed=-79.14 Vc,Rd=7560.76 V,Ed/Vc,Rd=0.01

Asta n. 1800 (-300 -332) angolari L50x10 Crit. 1

- Verifica di stabilità aste presso-inflesse (C4.2.4.1.3.3.1) - CC 9 SLU - Classe 3
Sollecitazioni: N,Ed=-1556.09 Myeq,Ed=5.35 Mzeq,Ed=5.77
Resistenze: Nc,Rd=23709.20 My,c,Rd=149.05 Mz,c,Rd=149.05 L=19.38
λ_c=10.59 Ncr,y=1673810.00 λ^*_y=0.12 Curva b: Φ_y=0.49 χ_y=1.00
λ_e=20.13 Ncr,z=462889.00 λ^*_z=0.23 Curva b: Φ_z=0.53 χ_z=0.99
χ,min=0.99
Verifica: 0.07+0.04+0.04=0.14

- Verifica a compressione [4.2.9] - CC 9 SLU Xl=0.06 - Classe 1
Sollecitazioni: N=-1555.73 T_z=-57.31 T_y=62.22
N,Ed=-1555.73 Nc,Rd=-23709.20 N,Ed/Nc,Rd=0.07
Verifiche di duttilità [7.5.3]:
q_0=4.00 N,Ed=-1555.73 Npl,Rd=23709.20 N,Ed/Npl,Rd=0.065617

- Verifica a taglio dir. Y [4.2.16] - CC 19 SLU Xl=0.08

Sollecitazioni: N=-1343.53 T_z=-80.41 T_y=40.96
V,Ed=40.96 Vc,Rd=7560.76 V,Ed/Vc,Rd=0.01

- Verifica a taglio dir. Z [4.2.16]
V,Ed=-80.41 Vc,Rd=7560.76 V,Ed/Vc,Rd=0.01

Asta n. 1800 (-332 -364) angolari L50x10 Crit. 1

- Verifica di stabilità aste presso-inflesse (C4.2.4.1.3.3.1) - CC 9 SLU - Classe 3
Sollecitazioni: N,Ed=-1681.61 Myeq,Ed=5.49 Mzeq,Ed=5.97
Resistenze: Nc,Rd=23709.20 My,c,Rd=149.05 Mz,c,Rd=149.05 L=19.38
λ_c=10.59 Ncr,y=1673810.00 λ^*_y=0.12 Curva b: Φ_y=0.49 χ_y=1.00
λ_e=20.13 Ncr,z=462889.00 λ^*_z=0.23 Curva b: Φ_z=0.53 χ_z=0.99
χ,min=0.99
Verifica: 0.07+0.04+0.04=0.15

- Verifica a compressione [4.2.9] - CC 9 SLU Xl=0.06 - Classe 1
Sollecitazioni: N=-1681.24 T_z=-58.85 T_y=63.89
N,Ed=-1681.24 Nc,Rd=-23709.20 N,Ed/Nc,Rd=0.07
Verifiche di duttilità [7.5.3]:
q_0=4.00 N,Ed=-1681.24 Npl,Rd=23709.20 N,Ed/Npl,Rd=0.070911

- Verifica a taglio dir. Y [4.2.16] - CC 19 SLU Xl=0.08
Sollecitazioni: N=-1522.03 T_z=-81.69 T_y=42.95
V,Ed=42.95 Vc,Rd=7560.76 V,Ed/Vc,Rd=0.01

- Verifica a taglio dir. Z [4.2.16]
V,Ed=-81.69 Vc,Rd=7560.76 V,Ed/Vc,Rd=0.01

Asta n. 1800 (-364 -396) angolari L50x10 Crit. 1

- Verifica di stabilità aste presso-inflesse (C4.2.4.1.3.3.1) - CC 9 SLU - Classe 3
Sollecitazioni: N,Ed=-1813.92 Myeq,Ed=5.64 Mzeq,Ed=6.13
Resistenze: Nc,Rd=23709.20 My,c,Rd=149.05 Mz,c,Rd=149.05 L=19.38
λ_c=10.59 Ncr,y=1673810.00 λ^*_y=0.12 Curva b: Φ_y=0.49 χ_y=1.00
λ_e=20.13 Ncr,z=462890.00 λ^*_z=0.23 Curva b: Φ_z=0.53 χ_z=0.99
χ,min=0.99
Verifica: 0.08+0.04+0.04=0.16

- Verifica Freccia massima carichi totali - CC 21
$f_{Z,G}$=0.00 (L/12819)

- Verifica a compressione [4.2.9] - CC 9 SLU Xl=0.06 - Classe 1
Sollecitazioni: N=-1813.56 T_z=-60.37 T_y=65.70
N,Ed=-1813.56 Nc,Rd=-23709.20 N,Ed/Nc,Rd=0.08
Verifiche di duttilità [7.5.3]:
q_0=4.00 N,Ed=-1813.56 Npl,Rd=23709.20 N,Ed/Npl,Rd=0.076492

- Verifica a taglio dir. Y [4.2.16] - CC 19 SLU Xl=0.06
Sollecitazioni: N=-1708.21 T_z=-83.08 T_y=44.94
V,Ed=44.94 Vc,Rd=7560.76 V,Ed/Vc,Rd=0.01

- Verifica a taglio dir. Z [4.2.16]
V,Ed=-83.08 Vc,Rd=7560.76 V,Ed/Vc,Rd=0.01

Asta n. 1800 (-396 -428) angolari L50x10 Crit. 1

- Verifica di stabilità aste presso-inflesse (C4.2.4.1.3.3.1) - CC 9 SLU - Classe 3

Sollecitazioni: N,Ed=-1953.49 Myeq,Ed=5.86 Mzeq,Ed=6.27
Resistenze: Nc,Rd=23709.20 My,c,Rd=149.05 Mz,c,Rd=149.05 L=19.38
λ_c=10.59 Ncr,y=1673810.00 λ^*_y=0.12 Curva b: Φ_y=0.49 χ_y=1.00
λ_e=20.13 Ncr,z=462889.00 λ^*_z=0.23 Curva b: Φ_z=0.53 χ_z=0.99
χ,min=0.99
Verifica: 0.08+0.04+0.04=0.16

- Verifica Freccia massima carichi totali - CC 21
$f_{Z,G}$=0.00 (L/12050)

- Verifica a compressione [4.2.9] - CC 9 SLU Xl=0.06 - Classe 1
Sollecitazioni: N=-1953.13 T_z=-62.80 T_y=67.16
N,Ed=-1953.13 Nc,Rd=-23709.20 N,Ed/Nc,Rd=0.08
Verifiche di duttilità [7.5.3]:
q_0=4.00 N,Ed=-1953.13 Npl,Rd=23709.20 N,Ed/Npl,Rd=0.082378

- Verifica a taglio dir. Y [4.2.16] - CC 19 SLU Xl=0.06
Sollecitazioni: N=-1902.34 T_z=-85.28 T_y=46.72
V,Ed=46.72 Vc,Rd=7560.76 V,Ed/Vc,Rd=0.01

- Verifica a taglio dir. Z [4.2.16]
V,Ed=-85.28 Vc,Rd=7560.76 V,Ed/Vc,Rd=0.01

Asta n. 1800 (-428 -460) angolari L50x10 Crit. 1

- Verifica di stabilità aste presso-inflesse (C4.2.4.1.3.3.1) - CC 19 SLU - Classe 3
Sollecitazioni: N,Ed=-2105.29 Myeq,Ed=7.57 Mzeq,Ed=4.86
Resistenze: Nc,Rd=23709.20 My,c,Rd=149.05 Mz,c,Rd=149.05 L=19.38
λ_c=10.59 Ncr,y=1673810.00 λ^*_y=0.12 Curva b: Φ_y=0.49 χ_y=1.00
λ_e=20.13 Ncr,z=462889.00 λ^*_z=0.23 Curva b: Φ_z=0.53 χ_z=0.99
χ,min=0.99
Verifica: 0.09+0.05+0.03=0.17

- Verifica Freccia massima carichi totali - CC 21
$f_{Z,G}$=0.00 (L/10954)

- Verifica a compressione [4.2.9] - CC 19 SLU Xl=0.06 - Classe 1
Sollecitazioni: N=-2104.94 T_z=-81.42 T_y=51.71
N,Ed=-2104.94 Nc,Rd=-23709.20 N,Ed/Nc,Rd=0.09
Verifiche di duttilità [7.5.3]:
q_0=4.00 N,Ed=-2104.94 Npl,Rd=23709.20 N,Ed/Npl,Rd=0.088781

- Verifica a taglio dir. Y [4.2.16] - CC 19 SLU Xl=0.06
Sollecitazioni: N=-2104.94 T_z=-81.42 T_y=51.71
V,Ed=51.71 Vc,Rd=7560.76 V,Ed/Vc,Rd=0.01

- Verifica a taglio dir. Z [4.2.16]
V,Ed=-81.42 Vc,Rd=7560.76 V,Ed/Vc,Rd=0.01

Asta n. 1800 (-460 -492) angolari L50x10 Crit. 1

- Verifica di stabilità aste presso-inflesse (C4.2.4.1.3.3.1) - CC 19 SLU - Classe 3
Sollecitazioni: N,Ed=-2312.77 Myeq,Ed=11.23 Mzeq,Ed=3.24
Resistenze: Nc,Rd=23709.20 My,c,Rd=149.05 Mz,c,Rd=149.05 L=19.38
λ_c=10.59 Ncr,y=1673810.00 λ^*_y=0.12 Curva b: Φ_y=0.49 χ_y=1.00
λ_e=20.13 Ncr,z=462890.00 λ^*_z=0.23 Curva b: Φ_z=0.53 χ_z=0.99
χ,min=0.99
Verifica: 0.10+0.08+0.02=0.19

- Verifica Freccia massima carichi totali - CC 21
  $f_{Z,G}$=0.00 (L/9718)

- Verifica a compressione [4.2.9] - CC 19 SLU Xl=0.05 - Classe 1
  Sollecitazioni: N=-2312.54 T_z=-120.72 T_y=34.33
  N,Ed=-2312.54 Nc,Rd=-23709.20 N,Ed/Nc,Rd=0.10
  Verifiche di duttilità [7.5.3]:
  q_0=4.00 N,Ed=-2312.54 Npl,Rd=23709.20 N,Ed/Npl,Rd=0.097537

- Verifica a taglio dir. Y [4.2.16] - CC 19 SLU Xl=0.05
  Sollecitazioni: N=-2312.54 T_z=-120.72 T_y=34.33
  V,Ed=34.33 Vc,Rd=7560.76 V,Ed/Vc,Rd=0.00

- Verifica a taglio dir. Z [4.2.16]
  V,Ed=-120.72 Vc,Rd=7560.76 V,Ed/Vc,Rd=0.02

Asta n. 1800 (-492 1321) angolari L50x10 Crit. 1

- Verifica di stabilità aste presso-inflesse (C4.2.4.1.3.3.1) - CC 9 SLU - Classe 3
  Sollecitazioni: N,Ed=-2405.26 Myeq,Ed=-8.58 Mzeq,Ed=14.15
  Resistenze: Nc,Rd=23709.20 My,c,Rd=149.05 Mz,c,Rd=149.05 L=19.38
  λ_c=10.59 Ncr,y=1673810.00 λ^*_y=0.12 Curva b: Φ_y=0.49 χ_y=1.00
  λ_e=20.13 Ncr,z=462891.00 λ^*_z=0.23 Curva b: Φ_z=0.53 χ_z=0.99
  χ,min=0.99
  Verifica: 0.10+0.06+0.10=0.25

- Verifica Freccia massima carichi totali - CC 21
  $f_{Z,G}$=0.00 (L/8300)

- Verifica a compressione [4.2.9] - CC 19 SLU Xl=0.04 - Classe 1
  Sollecitazioni: N=-2513.95 T_z=94.72 T_y=149.62
  N,Ed=-2513.95 Nc,Rd=-23709.20 N,Ed/Nc,Rd=0.11
  Verifiche di duttilità [7.5.3]:
  q_0=4.00 N,Ed=-2513.95 Npl,Rd=23709.20 N,Ed/Npl,Rd=0.106030

- Verifica a taglio dir. Y [4.2.16] - CC 18 SLU Xl=0.04
  Sollecitazioni: N=-2358.17 T_z=115.43 T_y=167.23
  V,Ed=167.23 Vc,Rd=7560.76 V,Ed/Vc,Rd=0.02

- Verifica a taglio dir. Z [4.2.16]
  V,Ed=115.43 Vc,Rd=7560.76 V,Ed/Vc,Rd=0.02

Asta n. 1801 (-48 -80) angolari L50x10 Crit. 1

- Verifica di stabilità aste inflesse (4.2.4.1.3.2) CC 17 SLU - Classe 3
  L_{cr}=0.19 Curva d: α_{imp}=0.76 k_c=0.94 ψ=1.69 M,cr=0.00 λ_{LT}=0.00
  $\lambda_{LT,0}$=0.20 β_{LT}=1.00 Φ_{LT}=0.00 β_{LT}=1.00 f=0.00 χ_{LT}=1.00
  CC 17 SLU My,Ed=-6.92 My,b,Rd=149.05 My,Ed/My,b,Rd=0.05

- Verifica di stabilità aste presso-inflesse (C4.2.4.1.3.3.1) - CC 1 SLV - Classe 3
  Sollecitazioni: N,Ed=-339.43 Myeq,Ed=-1.95 Mzeq,Ed=-1.26
  Resistenze: Nc,Rd=23709.20 My,c,Rd=149.05 Mz,c,Rd=149.05 L=19.38
  λ_c=10.59 Ncr,y=1673810.00 λ^*_y=0.12 Curva b: Φ_y=0.49 χ_y=1.00
  λ_e=20.13 Ncr,z=462890.00 λ^*_z=0.23 Curva b: Φ_z=0.53 χ_z=0.99
  χ,min=0.99
  Verifica: 0.01+0.01+0.01=0.04

- Verifica a trazione [4.2.5] - CC 17 SLU Xl=0.17 - Classe 1
  Sollecitazioni: N=753.29 T_z=-54.33 T_y=-18.06
  N,Ed=753.29 Npl,Rd=23709.20 Nu,Rd=28026.90 N,Ed/Nt,Rd=0.03
  Verifiche di duttilità [7.5.3]:
  q_0=4.00 N,Ed=753.29 Npl,Rd=23709.20 N,Ed/Npl,Rd=0.031772

- Verifica a taglio dir. Y [4.2.16] - CC 17 SLU Xl=0.16
  Sollecitazioni: N=753.20 T_z=-54.49 T_y=-18.22
  V,Ed=-18.22 Vc,Rd=7560.76 V,Ed/Vc,Rd=0.00

- Verifica a taglio dir. Z [4.2.16]
  V,Ed=-54.49 Vc,Rd=7560.76 V,Ed/Vc,Rd=0.01

Asta n. 1801 (-80 -112) angolari L50x10 Crit. 1

- Verifica di stabilità aste inflesse (4.2.4.1.3.2) CC 17 SLU - Classe 3
  L_{cr}=0.19 Curva d: α_{imp}=0.76 k_c=0.94 ψ=2.26 M,cr=0.00 λ_{LT}=0.00
  $\lambda_{LT,0}$=0.20 β_{LT}=1.00 Φ_{LT}=0.00 β_{LT}=1.00 f=0.00 χ_{LT}=1.00
  CC 17 SLU My,Ed=-5.12 My,b,Rd=149.05 My,Ed/My,b,Rd=0.03

- Verifica di stabilità aste presso-inflesse (C4.2.4.1.3.3.1) - CC 9 SLU - Classe 3
  Sollecitazioni: N,Ed=-287.50 Myeq,Ed=-2.32 Mzeq,Ed=1.55
  Resistenze: Nc,Rd=23709.20 My,c,Rd=149.05 Mz,c,Rd=149.05 L=19.38
  λ_c=10.59 Ncr,y=1673810.00 λ^*_y=0.12 Curva b: Φ_y=0.49 χ_y=1.00
  λ_e=20.13 Ncr,z=462890.00 λ^*_z=0.23 Curva b: Φ_z=0.53 χ_z=0.99
  χ,min=0.99
  Verifica: 0.01+0.02+0.01=0.04

- Verifica a trazione [4.2.5] - CC 17 SLU Xl=0.14 - Classe 1
  Sollecitazioni: N=682.18 T_z=-50.40 T_y=-22.33
  N,Ed=682.18 Npl,Rd=23709.20 Nu,Rd=28026.90 N,Ed/Nt,Rd=0.03
  Verifiche di duttilità [7.5.3]:
  q_0=4.00 N,Ed=682.18 Npl,Rd=23709.20 N,Ed/Npl,Rd=0.028773

- Verifica a taglio dir. Y [4.2.16] - CC 17 SLU Xl=0.12
  Sollecitazioni: N=681.95 T_z=-50.80 T_y=-22.72
  V,Ed=-22.72 Vc,Rd=7560.76 V,Ed/Vc,Rd=0.00

- Verifica a taglio dir. Z [4.2.16]
  V,Ed=-50.80 Vc,Rd=7560.76 V,Ed/Vc,Rd=0.01

Asta n. 1801 (-112 -144) angolari L50x10 Crit. 1

- Verifica di stabilità aste inflesse (4.2.4.1.3.2) CC 17 SLU - Classe 3
  L_{cr}=0.19 Curva d: α_{imp}=0.76 k_c=0.94 ψ=2.54 M,cr=0.00 λ_{LT}=0.00
  $\lambda_{LT,0}$=0.20 β_{LT}=1.00 Φ_{LT}=0.00 β_{LT}=1.00 f=0.00 χ_{LT}=1.00
  CC 17 SLU My,Ed=-4.46 My,b,Rd=149.05 My,Ed/My,b,Rd=0.03

- Verifica di stabilità aste presso-inflesse (C4.2.4.1.3.3.1) - CC 9 SLU - Classe 3
  Sollecitazioni: N,Ed=-334.03 Myeq,Ed=-2.00 Mzeq,Ed=1.81
  Resistenze: Nc,Rd=23709.20 My,c,Rd=149.05 Mz,c,Rd=149.05 L=19.38
  λ_c=10.59 Ncr,y=1673810.00 λ^*_y=0.12 Curva b: Φ_y=0.49 χ_y=1.00
  λ_e=20.13 Ncr,z=462889.00 λ^*_z=0.23 Curva b: Φ_z=0.53 χ_z=0.99
  χ,min=0.99
  Verifica: 0.01+0.01+0.01=0.04

- Verifica a trazione [4.2.5] - CC 17 SLU Xl=0.13 - Classe 1
  Sollecitazioni: N=591.11 T_z=-50.28 T_y=-21.24

N,Ed=591.11 Npl,Rd=23709.20 Nu,Rd=28026.90 N,Ed/Nt,Rd=0.02
Verifiche di duttilità [7.5.3]:
q_0=4.00 N,Ed=591.11 Npl,Rd=23709.20 N,Ed/Npl,Rd=0.024932

- Verifica a taglio dir. Y [4.2.16] - CC 17 SLU Xl=0.10
Sollecitazioni: N=590.88 T_z=-50.68 T_y=-21.63
V,Ed=-21.63 Vc,Rd=7560.76 V,Ed/Vc,Rd=0.00

- Verifica a taglio dir. Z [4.2.16]
V,Ed=-50.68 Vc,Rd=7560.76 V,Ed/Vc,Rd=0.01

Asta n. 1801 (-144 -176) angolari L50x10 Crit. 1

- Verifica di stabilità aste inflesse (4.2.4.1.3.2) CC 17 SLU - Classe 3
L_{cr}=0.19 Curva d: α_{imp}=0.76 k_c=0.94 ψ=2.65 M,cr=0.00 λ_{LT}=0.00
$\lambda_{LT,0}$=0.20 β_{LT}=1.00 Φ_{LT}=0.00 β_{LT}=1.00 f=0.00 χ_{LT}=1.00
CC 17 SLU My,Ed=-4.23 My,b,Rd=149.05 My,Ed/My,b,Rd=0.03

- Verifica di stabilità aste presso-inflesse (C4.2.4.1.3.3.1) - CC 9 SLU - Classe 3
Sollecitazioni: N,Ed=-385.10 Myeq,Ed=2.15 Mzeq,Ed=1.85
Resistenze: Nc,Rd=23709.20 My,c,Rd=149.05 Mz,c,Rd=149.05 L=19.38
λ_c=10.59 Ncr,y=1673810.00 λ^*_y=0.12 Curva b: Φ_y=0.49 χ_y=1.00
λ_e=20.13 Ncr,z=462890.00 λ^*_z=0.23 Curva b: Φ_z=0.53 χ_z=0.99
χ,min=0.99
Verifica: 0.02+0.01+0.01=0.04

- Verifica a trazione [4.2.5] - CC 17 SLU Xl=0.12 - Classe 1
Sollecitazioni: N=494.09 T_z=-50.23 T_y=-20.44
N,Ed=494.09 Npl,Rd=23709.20 Nu,Rd=28026.90 N,Ed/Nt,Rd=0.02
Verifiche di duttilità [7.5.3]:
q_0=4.00 N,Ed=494.09 Npl,Rd=23709.20 N,Ed/Npl,Rd=0.020840

- Verifica a taglio dir. Y [4.2.16] - CC 17 SLU Xl=0.10
Sollecitazioni: N=493.97 T_z=-50.43 T_y=-20.64
V,Ed=-20.64 Vc,Rd=7560.76 V,Ed/Vc,Rd=0.00

- Verifica a taglio dir. Z [4.2.16]
V,Ed=-50.43 Vc,Rd=7560.76 V,Ed/Vc,Rd=0.01

Asta n. 1801 (-176 -208) angolari L50x10 Crit. 1

- Verifica di stabilità aste inflesse (4.2.4.1.3.2) CC 17 SLU - Classe 3
L_{cr}=0.19 Curva d: α_{imp}=0.76 k_c=0.94 ψ=2.73 M,cr=0.00 λ_{LT}=0.00
$\lambda_{LT,0}$=0.20 β_{LT}=1.00 Φ_{LT}=0.00 β_{LT}=1.00 f=0.00 χ_{LT}=1.00
CC 17 SLU My,Ed=-4.09 My,b,Rd=149.05 My,Ed/My,b,Rd=0.03

- Verifica di stabilità aste presso-inflesse (C4.2.4.1.3.3.1) - CC 9 SLU - Classe 3
Sollecitazioni: N,Ed=-439.20 Myeq,Ed=2.28 Mzeq,Ed=1.89
Resistenze: Nc,Rd=23709.20 My,c,Rd=149.05 Mz,c,Rd=149.05 L=19.38
λ_c=10.59 Ncr,y=1673810.00 λ^*_y=0.12 Curva b: Φ_y=0.49 χ_y=1.00
λ_e=20.13 Ncr,z=462890.00 λ^*_z=0.23 Curva b: Φ_z=0.53 χ_z=0.99
χ,min=0.99
Verifica: 0.02+0.02+0.01=0.05

- Verifica a compressione [4.2.9] - CC 9 SLU Xl=0.06 - Classe 1
Sollecitazioni: N=-438.84 T_z=-29.03 T_y=20.29
N,Ed=-438.84 Nc,Rd=-23709.20 N,Ed/Nc,Rd=0.02
Verifiche di duttilità [7.5.3]:

q_0=4.00 N,Ed=-438.84 Npl,Rd=23709.20 N,Ed/Npl,Rd=0.018509

- Verifica a taglio dir. Y [4.2.16] - CC 17 SLU Xl=0.10
Sollecitazioni: N=394.34 T_z=-50.17 T_y=-19.67
V,Ed=-19.67 Vc,Rd=7560.76 V,Ed/Vc,Rd=0.00

- Verifica a taglio dir. Z [4.2.16]
V,Ed=-50.17 Vc,Rd=7560.76 V,Ed/Vc,Rd=0.01

Asta n. 1801 (-208 -240) angolari L50x10 Crit. 1

- Verifica di stabilità aste inflesse (4.2.4.1.3.2) CC 17 SLU - Classe 3
L_{cr}=0.19 Curva d: α_{imp}=0.76 k_c=0.94 ψ=2.80 M,cr=0.00 λ_{LT}=0.00
$\lambda_{LT,0}$=0.20 β_{LT}=1.00 Φ_{LT}=0.00 β_{LT}=1.00 f=0.00 χ_{LT}=1.00
CC 17 SLU My,Ed=-3.97 My,b,Rd=149.05 My,Ed/My,b,Rd=0.03

- Verifica di stabilità aste presso-inflesse (C4.2.4.1.3.3.1) - CC 9 SLU - Classe 3
Sollecitazioni: N,Ed=-496.12 Myeq,Ed=2.41 Mzeq,Ed=1.94
Resistenze: Nc,Rd=23709.20 My,c,Rd=149.05 Mz,c,Rd=149.05 L=19.38
λ_c=10.59 Ncr,y=1673810.00 λ^*_y=0.12 Curva b: Φ_y=0.49 χ_y=1.00
λ_e=20.13 Ncr,z=462889.00 λ^*_z=0.23 Curva b: Φ_z=0.53 χ_z=0.99
χ,min=0.99
Verifica: 0.02+0.02+0.01=0.05

- Verifica a compressione [4.2.9] - CC 9 SLU Xl=0.06 - Classe 1
Sollecitazioni: N=-495.75 T_z=-29.75 T_y=20.78
N,Ed=-495.75 Nc,Rd=-23709.20 N,Ed/Nc,Rd=0.02
Verifiche di duttilità [7.5.3]:
q_0=4.00 N,Ed=-495.75 Npl,Rd=23709.20 N,Ed/Npl,Rd=0.020910

- Verifica a taglio dir. Y [4.2.16] - CC 17 SLU Xl=0.10
Sollecitazioni: N=292.63 T_z=-49.95 T_y=-18.70
V,Ed=-18.70 Vc,Rd=7560.76 V,Ed/Vc,Rd=0.00

- Verifica a taglio dir. Z [4.2.16]
V,Ed=-49.95 Vc,Rd=7560.76 V,Ed/Vc,Rd=0.01

Asta n. 1801 (-240 -272) angolari L50x10 Crit. 1

- Verifica di stabilità aste inflesse (4.2.4.1.3.2) CC 17 SLU - Classe 3
L_{cr}=0.19 Curva d: α_{imp}=0.76 k_c=0.94 ψ=2.88 M,cr=0.00 λ_{LT}=0.00
$\lambda_{LT,0}$=0.20 β_{LT}=1.00 Φ_{LT}=0.00 β_{LT}=1.00 f=0.00 χ_{LT}=1.00
CC 17 SLU My,Ed=-3.84 My,b,Rd=149.05 My,Ed/My,b,Rd=0.03

- Verifica di stabilità aste presso-inflesse (C4.2.4.1.3.3.1) - CC 9 SLU - Classe 3
Sollecitazioni: N,Ed=-555.98 Myeq,Ed=2.55 Mzeq,Ed=1.99
Resistenze: Nc,Rd=23709.20 My,c,Rd=149.05 Mz,c,Rd=149.05 L=19.38
λ_c=10.59 Ncr,y=1673810.00 λ^*_y=0.12 Curva b: Φ_y=0.49 χ_y=1.00
λ_e=20.13 Ncr,z=462889.00 λ^*_z=0.23 Curva b: Φ_z=0.53 χ_z=0.99
χ,min=0.99
Verifica: 0.02+0.02+0.01=0.05

- Verifica a compressione [4.2.9] - CC 9 SLU Xl=0.06 - Classe 1
Sollecitazioni: N=-555.62 T_z=-30.53 T_y=21.27
N,Ed=-555.62 Nc,Rd=-23709.20 N,Ed/Nc,Rd=0.02
Verifiche di duttilità [7.5.3]:
q_0=4.00 N,Ed=-555.62 Npl,Rd=23709.20 N,Ed/Npl,Rd=0.023435

- Verifica a taglio dir. Y [4.2.16] - CC 17 SLU Xl=0.09
  Sollecitazioni: N=188.74 T_z=-49.96 T_y=-17.91
  V,Ed=-17.91 Vc,Rd=7560.76 V,Ed/Vc,Rd=0.00

- Verifica a taglio dir. Z [4.2.16]
  V,Ed=-49.96 Vc,Rd=7560.76 V,Ed/Vc,Rd=0.01

Asta n. 1801 (-272 -304) angolari L50x10 Crit. 1

- Verifica di stabilità aste inflesse (4.2.4.1.3.2) CC 17 SLU - Classe 3
  L_{cr}=0.19 Curva d: α_{imp}=0.76 k_c=0.94 ψ=2.98 M,cr=0.00 λ_{LT}=0.00
  $\lambda_{LT,0}$=0.20 β_{LT}=1.00 Φ_{LT}=0.00 β_{LT}=1.00 f=0.00 χ_{LT}=1.00
  CC 17 SLU My,Ed=-3.71 My,b,Rd=149.05 My,Ed/My,b,Rd=0.02

- Verifica di stabilità aste presso-inflesse (C4.2.4.1.3.3.1) - CC 9 SLU - Classe 3
  Sollecitazioni: N,Ed=-618.99 Myeq,Ed=2.69 Mzeq,Ed=2.04
  Resistenze: Nc,Rd=23709.20 My,c,Rd=149.05 Mz,c,Rd=149.05 L=19.38
  λ_c=10.59 Ncr,y=1673810.00 λ^*_y=0.12 Curva b: Φ_y=0.49 χ_y=1.00
  λ_e=20.13 Ncr,z=462889.00 λ^*_z=0.23 Curva b: Φ_z=0.53 χ_z=0.99
  χ,min=0.99
  Verifica: 0.03+0.02+0.01=0.06

- Verifica a compressione [4.2.9] - CC 9 SLU Xl=0.05 - Classe 1
  Sollecitazioni: N=-618.75 T_z=-31.28 T_y=21.84
  N,Ed=-618.75 Nc,Rd=-23709.20 N,Ed/Nc,Rd=0.03
  Verifiche di duttilità [7.5.3]:
  q_0=4.00 N,Ed=-618.75 Npl,Rd=23709.20 N,Ed/Npl,Rd=0.026097

- Verifica a taglio dir. Y [4.2.16] - CC 19 SLU Xl=0.08
  Sollecitazioni: N=-365.82 T_z=-50.13 T_y=4.67
  V,Ed=4.67 Vc,Rd=7560.76 V,Ed/Vc,Rd=0.00

- Verifica a taglio dir. Z [4.2.16]
  V,Ed=-50.13 Vc,Rd=7560.76 V,Ed/Vc,Rd=0.01

Asta n. 1801 (-304 -336) angolari L50x10 Crit. 1

- Verifica di stabilità aste inflesse (4.2.4.1.3.2) CC 5 SLV - Classe 3
  L_{cr}=0.19 Curva d: α_{imp}=0.76 k_c=0.94 ψ=2.55 M,cr=0.00 λ_{LT}=0.00
  $\lambda_{LT,0}$=0.20 β_{LT}=1.00 Φ_{LT}=0.00 β_{LT}=1.00 f=0.00 χ_{LT}=1.00
  CC 5 SLV My,Ed=2.49 My,b,Rd=149.05 My,Ed/My,b,Rd=0.02

- Verifica di stabilità aste presso-inflesse (C4.2.4.1.3.3.1) - CC 9 SLU - Classe 3
  Sollecitazioni: N,Ed=-685.35 Myeq,Ed=2.86 Mzeq,Ed=2.09
  Resistenze: Nc,Rd=23709.20 My,c,Rd=149.05 Mz,c,Rd=149.05 L=19.38
  λ_c=10.59 Ncr,y=1673810.00 λ^*_y=0.12 Curva b: Φ_y=0.49 χ_y=1.00
  λ_e=20.13 Ncr,z=462889.00 λ^*_z=0.23 Curva b: Φ_z=0.53 χ_z=0.99
  χ,min=0.99
  Verifica: 0.03+0.02+0.01=0.06

- Verifica a compressione [4.2.9] - CC 9 SLU Xl=0.05 - Classe 1
  Sollecitazioni: N=-685.11 T_z=-32.14 T_y=22.37
  N,Ed=-685.11 Nc,Rd=-23709.20 N,Ed/Nc,Rd=0.03
  Verifiche di duttilità [7.5.3]:
  q_0=4.00 N,Ed=-685.11 Npl,Rd=23709.20 N,Ed/Npl,Rd=0.028896

- Verifica a taglio dir. Y [4.2.16] - CC 19 SLU Xl=0.08

Sollecitazioni: N=-474.10 T_z=-50.61 T_y=5.64
V,Ed=5.64 Vc,Rd=7560.76 V,Ed/Vc,Rd=0.00

- Verifica a taglio dir. Z [4.2.16]
V,Ed=-50.61 Vc,Rd=7560.76 V,Ed/Vc,Rd=0.01

Asta n. 1801 (-336 -368) angolari L50x10 Crit. 1

- Verifica di stabilità aste inflesse (4.2.4.1.3.2) CC 5 SLV - Classe 3
L_{cr}=0.19 Curva d: α_{imp}=0.76 k_c=0.94 ψ=2.47 M,cr=0.00 λ_{LT}=0.00
$\lambda_{LT,0}$=0.20 β_{LT}=1.00 Φ_{LT}=0.00 β_{LT}=1.00 f=0.00 χ_{LT}=1.00
CC 5 SLV My,Ed=2.63 My,b,Rd=149.05 My,Ed/My,b,Rd=0.02

- Verifica di stabilità aste presso-inflesse (C4.2.4.1.3.3.1) - CC 9 SLU - Classe 3
Sollecitazioni: N,Ed=-755.35 Myeq,Ed=3.03 Mzeq,Ed=2.14
Resistenze: Nc,Rd=23709.20 My,c,Rd=149.05 Mz,c,Rd=149.05 L=19.38
λ_c=10.59 Ncr,y=1673810.00 λ^*_y=0.12 Curva b: Φ_y=0.49 χ_y=1.00
λ_e=20.13 Ncr,z=462889.00 λ^*_z=0.23 Curva b: Φ_z=0.53 χ_z=0.99
χ,min=0.99
Verifica: 0.03+0.02+0.01=0.07

- Verifica a compressione [4.2.9] - CC 9 SLU Xl=0.05 - Classe 1
Sollecitazioni: N=-755.10 T_z=-33.02 T_y=22.97
N,Ed=-755.10 Nc,Rd=-23709.20 N,Ed/Nc,Rd=0.03
Verifiche di duttilità [7.5.3]:
q_0=4.00 N,Ed=-755.10 Npl,Rd=23709.20 N,Ed/Npl,Rd=0.031849

- Verifica a taglio dir. Y [4.2.16] - CC 17 SLU Xl=0.09
Sollecitazioni: N=-136.19 T_z=-49.55 T_y=-14.86
V,Ed=-14.86 Vc,Rd=7560.76 V,Ed/Vc,Rd=0.00

- Verifica a taglio dir. Z [4.2.16]
V,Ed=-49.55 Vc,Rd=7560.76 V,Ed/Vc,Rd=0.01

Asta n. 1801 (-368 -400) angolari L50x10 Crit. 1

- Verifica di stabilità aste inflesse (4.2.4.1.3.2) CC 5 SLV - Classe 3
L_{cr}=0.19 Curva d: α_{imp}=0.76 k_c=0.94 ψ=2.40 M,cr=0.00 λ_{LT}=0.00
$\lambda_{LT,0}$=0.20 β_{LT}=1.00 Φ_{LT}=0.00 β_{LT}=1.00 f=0.00 χ_{LT}=1.00
CC 5 SLV My,Ed=2.77 My,b,Rd=149.05 My,Ed/My,b,Rd=0.02

- Verifica di stabilità aste presso-inflesse (C4.2.4.1.3.3.1) - CC 9 SLU - Classe 3
Sollecitazioni: N,Ed=-829.20 Myeq,Ed=3.16 Mzeq,Ed=2.21
Resistenze: Nc,Rd=23709.20 My,c,Rd=149.05 Mz,c,Rd=149.05 L=19.38
λ_c=10.59 Ncr,y=1673810.00 λ^*_y=0.12 Curva b: Φ_y=0.49 χ_y=1.00
λ_e=20.13 Ncr,z=462890.00 λ^*_z=0.23 Curva b: Φ_z=0.53 χ_z=0.99
χ,min=0.99
Verifica: 0.03+0.02+0.01=0.07

- Verifica a compressione [4.2.9] - CC 9 SLU Xl=0.05 - Classe 1
Sollecitazioni: N=-828.96 T_z=-33.86 T_y=23.67
N,Ed=-828.96 Nc,Rd=-23709.20 N,Ed/Nc,Rd=0.03
Verifiche di duttilità [7.5.3]:
q_0=4.00 N,Ed=-828.96 Npl,Rd=23709.20 N,Ed/Npl,Rd=0.034964

- Verifica a taglio dir. Y [4.2.16] - CC 19 SLU Xl=0.06
Sollecitazioni: N=-702.47 T_z=-51.68 T_y=7.67
V,Ed=7.67 Vc,Rd=7560.76 V,Ed/Vc,Rd=0.00

- Verifica a taglio dir. Z [4.2.16]
  V,Ed=-51.68 Vc,Rd=7560.76 V,Ed/Vc,Rd=0.01

Asta n. 1801 (-400 -432) angolari L50x10 Crit. 1

- Verifica di stabilità aste inflesse (4.2.4.1.3.2) CC 5 SLV - Classe 3
  L_{cr}=0.19 Curva d: α_{imp}=0.76 k_c=0.94 ψ=2.32 M,cr=0.00 λ_{LT}=0.00
  $\lambda_{LT,0}$=0.20 β_{LT}=1.00 Φ_{LT}=0.00 β_{LT}=1.00 f=0.00 χ_{LT}=1.00
  CC 5 SLV My,Ed=2.96 My,b,Rd=149.05 My,Ed/My,b,Rd=0.02

- Verifica di stabilità aste presso-inflesse (C4.2.4.1.3.3.1) - CC 19 SLU - Classe 3
  Sollecitazioni: N,Ed=-823.28 Myeq,Ed=4.66 Mzeq,Ed=1.66
  Resistenze: Nc,Rd=23709.20 My,c,Rd=149.05 Mz,c,Rd=149.05 L=19.38
  λ_c=10.59 Ncr,y=1673810.00 λ^*_y=0.12 Curva b: Φ_y=0.49 χ_y=1.00
  λ_e=20.13 Ncr,z=462889.00 λ^*_z=0.23 Curva b: Φ_z=0.53 χ_z=0.99
  χ,min=0.99
  Verifica: 0.03+0.03+0.01=0.08

- Verifica a compressione [4.2.9] - CC 9 SLU Xl=0.05 - Classe 1
  Sollecitazioni: N=-906.94 T_z=-35.17 T_y=24.09
  N,Ed=-906.94 Nc,Rd=-23709.20 N,Ed/Nc,Rd=0.04
  Verifiche di duttilità [7.5.3]:
  q_0=4.00 N,Ed=-906.94 Npl,Rd=23709.20 N,Ed/Npl,Rd=0.038253

- Verifica a taglio dir. Y [4.2.16] - CC 19 SLU Xl=0.06
  Sollecitazioni: N=-822.92 T_z=-52.63 T_y=8.54
  V,Ed=8.54 Vc,Rd=7560.76 V,Ed/Vc,Rd=0.00

- Verifica a taglio dir. Z [4.2.16]
  V,Ed=-52.63 Vc,Rd=7560.76 V,Ed/Vc,Rd=0.01

Asta n. 1801 (-432 -464) angolari L50x10 Crit. 1

- Verifica di stabilità aste inflesse (4.2.4.1.3.2) CC 5 SLV - Classe 3
  L_{cr}=0.19 Curva d: α_{imp}=0.76 k_c=0.94 ψ=2.28 M,cr=0.00 λ_{LT}=0.00
  $\lambda_{LT,0}$=0.20 β_{LT}=1.00 Φ_{LT}=0.00 β_{LT}=1.00 f=0.00 χ_{LT}=1.00
  CC 5 SLV My,Ed=2.94 My,b,Rd=149.05 My,Ed/My,b,Rd=0.02

- Verifica di stabilità aste presso-inflesse (C4.2.4.1.3.3.1) - CC 19 SLU - Classe 3
  Sollecitazioni: N,Ed=-948.23 Myeq,Ed=4.58 Mzeq,Ed=1.91
  Resistenze: Nc,Rd=23709.20 My,c,Rd=149.05 Mz,c,Rd=149.05 L=19.38
  λ_c=10.59 Ncr,y=1673810.00 λ^*_y=0.12 Curva b: Φ_y=0.49 χ_y=1.00
  λ_e=20.13 Ncr,z=462889.00 λ^*_z=0.23 Curva b: Φ_z=0.53 χ_z=0.99
  χ,min=0.99
  Verifica: 0.04+0.03+0.01=0.08

- Verifica a compressione [4.2.9] - CC 9 SLU Xl=0.05 - Classe 1
  Sollecitazioni: N=-989.32 T_z=-33.62 T_y=26.50
  N,Ed=-989.32 Nc,Rd=-23709.20 N,Ed/Nc,Rd=0.04
  Verifiche di duttilità [7.5.3]:
  q_0=4.00 N,Ed=-989.32 Npl,Rd=23709.20 N,Ed/Npl,Rd=0.041727

- Verifica a taglio dir. Y [4.2.16] - CC 17 SLU Xl=0.08
  Sollecitazioni: N=-484.80 T_z=-48.25 T_y=-11.03
  V,Ed=-11.03 Vc,Rd=7560.76 V,Ed/Vc,Rd=0.00

- Verifica a taglio dir. Z [4.2.16]

V,Ed=-48.25 Vc,Rd=7560.76 V,Ed/Vc,Rd=0.01

Asta n. 1801 (-464 -496) angolari L50x10 Crit. 1

- Verifica di stabilità aste inflesse (4.2.4.1.3.2) CC 5 SLV - Classe 3
L_{cr}=0.19 Curva d: α_{imp}=0.76 k_c=0.94 ψ=2.03 M,cr=0.00 λ_{LT}=0.00
$\lambda_{LT,0}$=0.20 β_{LT}=1.00 Φ_{LT}=0.00 β_{LT}=1.00 f=0.00 χ_{LT}=1.00
CC 5 SLV My,Ed=4.70 My,b,Rd=149.05 My,Ed/My,b,Rd=0.03

- Verifica di stabilità aste presso-inflesse (C4.2.4.1.3.3.1) - CC 19 SLU - Classe 3
Sollecitazioni: N,Ed=-1075.43 Myeq,Ed=6.45 Mzeq,Ed=0.85
Resistenze: Nc,Rd=23709.20 My,c,Rd=149.05 Mz,c,Rd=149.05 L=19.38
λ_c=10.59 Ncr,y=1673810.00 λ^*_y=0.12 Curva b: Φ_y=0.49 χ_y=1.00
λ_e=20.13 Ncr,z=462890.00 λ^*_z=0.23 Curva b: Φ_z=0.53 χ_z=0.99
χ,min=0.99
Verifica: 0.05+0.04+0.01=0.09

- Verifica a compressione [4.2.9] - CC 19 SLU Xl=0.05 - Classe 1
Sollecitazioni: N=-1075.19 T_z=-69.45
N,Ed=-1075.19 Nc,Rd=-23709.20 N,Ed/Nc,Rd=0.05
Verifiche di duttilità [7.5.3]:
q_0=4.00 N,Ed=-1075.19 Npl,Rd=23709.20 N,Ed/Npl,Rd=0.045349

- Verifica a taglio dir. Z [4.2.16] - CC 19 SLU Xl=0.05
Sollecitazioni: N=-1075.19 T_z=-69.45
V,Ed=-69.45 Vc,Rd=7560.76 V,Ed/Vc,Rd=0.01

Asta n. 1801 (-496 1327) angolari L50x10 Crit. 1

- Verifica di stabilità aste inflesse (4.2.4.1.3.2) CC 5 SLV - Classe 3
L_{cr}=0.19 Curva d: α_{imp}=0.76 k_c=0.94 ψ=2.03 M,cr=0.00 λ_{LT}=0.00
$\lambda_{LT,0}$=0.20 β_{LT}=1.00 Φ_{LT}=0.00 β_{LT}=1.00 f=0.00 χ_{LT}=1.00
CC 5 SLV My,Ed=-2.57 My,b,Rd=149.05 My,Ed/My,b,Rd=0.02

- Verifica di stabilità aste presso-inflesse (C4.2.4.1.3.3.1) - CC 9 SLU - Classe 3
Sollecitazioni: N,Ed=-1158.77 Myeq,Ed=-3.79 Mzeq,Ed=7.20
Resistenze: Nc,Rd=23709.20 My,c,Rd=149.05 Mz,c,Rd=149.05 L=19.38
λ_c=10.59 Ncr,y=1673810.00 λ^*_y=0.12 Curva b: Φ_y=0.49 χ_y=1.00
λ_e=20.13 Ncr,z=462891.00 λ^*_z=0.23 Curva b: Φ_z=0.53 χ_z=0.99
χ,min=0.99
Verifica: 0.05+0.03+0.05=0.12

- Verifica a compressione [4.2.9] - CC 19 SLU Xl=0.03 - Classe 1
Sollecitazioni: N=-1196.21 T_z=33.58 T_y=69.32
N,Ed=-1196.21 Nc,Rd=-23709.20 N,Ed/Nc,Rd=0.05
Verifiche di duttilità [7.5.3]:
q_0=4.00 N,Ed=-1196.21 Npl,Rd=23709.20 N,Ed/Npl,Rd=0.050453

- Verifica a taglio dir. Y [4.2.16] - CC 9 SLU Xl=0.03
Sollecitazioni: N=-1158.77 T_z=49.08 T_y=85.61
V,Ed=85.61 Vc,Rd=7560.76 V,Ed/Vc,Rd=0.01

- Verifica a taglio dir. Z [4.2.16]
V,Ed=49.08 Vc,Rd=7560.76 V,Ed/Vc,Rd=0.01

Asta n. 1802 (-42 -74) angolari L50x10 Crit. 1

- Verifica di stabilità aste inflesse (4.2.4.1.3.2) CC 17 SLU - Classe 3

L_{cr}=0.19 Curva d: α_{imp}=0.76 k_c=0.94 ψ=1.73 M,cr=0.00 λ_{LT}=0.00
$\lambda_{LT,0}$=0.20 β_{LT}=1.00 Φ_{LT}=0.00 β_{LT}=1.00 f=0.00 χ_{LT}=1.00
CC 17 SLU My,Ed=-5.75 My,b,Rd=149.05 My,Ed/My,b,Rd=0.04

- Verifica di stabilità aste presso-inflesse (C4.2.4.1.3.3.1) - CC 9 SLU - Classe 3
Sollecitazioni: N,Ed=-680.53 Myeq,Ed=-1.23 Mzeq,Ed=-2.14
Resistenze: Nc,Rd=23709.20 My,c,Rd=149.05 Mz,c,Rd=149.05 L=19.38
λ_c=10.59 Ncr,y=1673810.00 λ^*_y=0.12 Curva b: Φ_y=0.49 χ_y=1.00
λ_e=20.13 Ncr,z=462889.00 λ^*_z=0.23 Curva b: Φ_z=0.53 χ_z=0.99
χ,min=0.99
Verifica: 0.03+0.01+0.01=0.05

- Verifica a compressione [4.2.9] - CC 18 SLU Xl=0.09 - Classe 1
Sollecitazioni: N=-700.30 T_z=-2.98 T_y=13.34
N,Ed=-700.30 Nc,Rd=-23709.20 N,Ed/Nc,Rd=0.03
Verifiche di duttilità [7.5.3]:
q_0=4.00 N,Ed=-700.30 Npl,Rd=23709.20 N,Ed/Npl,Rd=0.029537

- Verifica a taglio dir. Y [4.2.16] - CC 17 SLU Xl=0.16
Sollecitazioni: N=416.51 T_z=-47.01 T_y=-13.37
V,Ed=-13.37 Vc,Rd=7560.76 V,Ed/Vc,Rd=0.00

- Verifica a taglio dir. Z [4.2.16]
V,Ed=-47.01 Vc,Rd=7560.76 V,Ed/Vc,Rd=0.01

Asta n. 1802 (-74 -106) angolari L50x10 Crit. 1

- Verifica di stabilità aste inflesse (4.2.4.1.3.2) CC 17 SLU - Classe 3
L_{cr}=0.19 Curva d: α_{imp}=0.76 k_c=0.94 ψ=2.36 M,cr=0.00 λ_{LT}=0.00
$\lambda_{LT,0}$=0.20 β_{LT}=1.00 Φ_{LT}=0.00 β_{LT}=1.00 f=0.00 χ_{LT}=1.00
CC 17 SLU My,Ed=-4.34 My,b,Rd=149.05 My,Ed/My,b,Rd=0.03

- Verifica di stabilità aste presso-inflesse (C4.2.4.1.3.3.1) - CC 9 SLU - Classe 3
Sollecitazioni: N,Ed=-706.56 Myeq,Ed=1.67 Mzeq,Ed=-2.51
Resistenze: Nc,Rd=23709.20 My,c,Rd=149.05 Mz,c,Rd=149.05 L=19.38
λ_c=10.59 Ncr,y=1673810.00 λ^*_y=0.12 Curva b: Φ_y=0.49 χ_y=1.00
λ_e=20.13 Ncr,z=462890.00 λ^*_z=0.23 Curva b: Φ_z=0.53 χ_z=0.99
χ,min=0.99
Verifica: 0.03+0.01+0.02=0.06

- Verifica a compressione [4.2.9] - CC 18 SLU Xl=0.06 - Classe 1
Sollecitazioni: N=-709.35 T_z=-9.32 T_y=17.05
N,Ed=-709.35 Nc,Rd=-23709.20 N,Ed/Nc,Rd=0.03
Verifiche di duttilità [7.5.3]:
q_0=4.00 N,Ed=-709.35 Npl,Rd=23709.20 N,Ed/Npl,Rd=0.029919

- Verifica a taglio dir. Y [4.2.16] - CC 17 SLU Xl=0.10
Sollecitazioni: N=353.44 T_z=-45.42 T_y=-16.19
V,Ed=-16.19 Vc,Rd=7560.76 V,Ed/Vc,Rd=0.00

- Verifica a taglio dir. Z [4.2.16]
V,Ed=-45.42 Vc,Rd=7560.76 V,Ed/Vc,Rd=0.01

Asta n. 1802 (-106 -138) angolari L50x10 Crit. 1

- Verifica di stabilità aste inflesse (4.2.4.1.3.2) CC 17 SLU - Classe 3
L_{cr}=0.19 Curva d: α_{imp}=0.76 k_c=0.94 ψ=2.69 M,cr=0.00 λ_{LT}=0.00
$\lambda_{LT,0}$=0.20 β_{LT}=1.00 Φ_{LT}=0.00 β_{LT}=1.00 f=0.00 χ_{LT}=1.00

CC 17 SLU My,Ed=-3.72 My,b,Rd=149.05 My,Ed/My,b,Rd=0.02

- Verifica di stabilità aste presso-inflesse (C4.2.4.1.3.3.1) - CC 9 SLU - Classe 3
Sollecitazioni: N,Ed=-741.33 Myeq,Ed=1.98 Mzeq,Ed=-2.18
Resistenze: Nc,Rd=23709.20 My,c,Rd=149.05 Mz,c,Rd=149.05 L=19.38
λ_c=10.59 Ncr,y=1673810.00 λ^*_y=0.12 Curva b: Φ_y=0.49 χ_y=1.00
λ_e=20.13 Ncr,z=462889.00 λ^*_z=0.23 Curva b: Φ_z=0.53 χ_z=0.99
χ,min=0.99
Verifica: 0.03+0.01+0.01=0.06

- Verifica a compressione [4.2.9] - CC 9 SLU Xl=0.06 - Classe 1
Sollecitazioni: N=-740.97 T_z=-21.45 T_y=30.22
N,Ed=-740.97 Nc,Rd=-23709.20 N,Ed/Nc,Rd=0.03
Verifiche di duttilità [7.5.3]:
q_0=4.00 N,Ed=-740.97 Npl,Rd=23709.20 N,Ed/Npl,Rd=0.031252

- Verifica a taglio dir. Y [4.2.16] - CC 17 SLU Xl=0.09
Sollecitazioni: N=273.11 T_z=-45.10 T_y=-15.05
V,Ed=-15.05 Vc,Rd=7560.76 V,Ed/Vc,Rd=0.00

- Verifica a taglio dir. Z [4.2.16]
V,Ed=-45.10 Vc,Rd=7560.76 V,Ed/Vc,Rd=0.01

Asta n. 1802 (-138 -170) angolari L50x10 Crit. 1

- Verifica di stabilità aste inflesse (4.2.4.1.3.2) CC 17 SLU - Classe 3
L_{cr}=0.19 Curva d: α_{imp}=0.76 k_c=0.94 ψ=2.83 M,cr=0.00 λ_{LT}=0.00
$\lambda_{LT,0}$=0.20 β_{LT}=1.00 Φ_{LT}=0.00 β_{LT}=1.00 f=0.00 χ_{LT}=1.00
CC 17 SLU My,Ed=-3.50 My,b,Rd=149.05 My,Ed/My,b,Rd=0.02

- Verifica di stabilità aste presso-inflesse (C4.2.4.1.3.3.1) - CC 9 SLU - Classe 3
Sollecitazioni: N,Ed=-779.57 Myeq,Ed=2.05 Mzeq,Ed=2.34
Resistenze: Nc,Rd=23709.20 My,c,Rd=149.05 Mz,c,Rd=149.05 L=19.38
λ_c=10.59 Ncr,y=1673810.00 λ^*_y=0.12 Curva b: Φ_y=0.49 χ_y=1.00
λ_e=20.13 Ncr,z=462890.00 λ^*_z=0.23 Curva b: Φ_z=0.53 χ_z=0.99
χ,min=0.99
Verifica: 0.03+0.01+0.02=0.06

- Verifica a compressione [4.2.9] - CC 9 SLU Xl=0.06 - Classe 1
Sollecitazioni: N=-779.21 T_z=-21.98 T_y=30.90
N,Ed=-779.21 Nc,Rd=-23709.20 N,Ed/Nc,Rd=0.03
Verifiche di duttilità [7.5.3]:
q_0=4.00 N,Ed=-779.21 Npl,Rd=23709.20 N,Ed/Npl,Rd=0.032865

- Verifica a taglio dir. Y [4.2.16] - CC 17 SLU Xl=0.09
Sollecitazioni: N=187.93 T_z=-44.72 T_y=-13.92
V,Ed=-13.92 Vc,Rd=7560.76 V,Ed/Vc,Rd=0.00

- Verifica a taglio dir. Z [4.2.16]
V,Ed=-44.72 Vc,Rd=7560.76 V,Ed/Vc,Rd=0.01

Asta n. 1802 (-170 -202) angolari L50x10 Crit. 1

- Verifica di stabilità aste inflesse (4.2.4.1.3.2) CC 17 SLU - Classe 3
L_{cr}=0.19 Curva d: α_{imp}=0.76 k_c=0.94 ψ=2.92 M,cr=0.00 λ_{LT}=0.00
$\lambda_{LT,0}$=0.20 β_{LT}=1.00 Φ_{LT}=0.00 β_{LT}=1.00 f=0.00 χ_{LT}=1.00
CC 17 SLU My,Ed=-3.36 My,b,Rd=149.05 My,Ed/My,b,Rd=0.02

- Verifica di stabilità aste presso-inflesse (C4.2.4.1.3.3.1) - CC 9 SLU - Classe 3
  Sollecitazioni: N,Ed=-820.14 Myeq,Ed=2.10 Mzeq,Ed=2.48
  Resistenze: Nc,Rd=23709.20 My,c,Rd=149.05 Mz,c,Rd=149.05 L=19.38
  λ_c=10.59 Ncr,y=1673810.00 λ^*_y=0.12 Curva b: Φ_y=0.49 χ_y=1.00
  λ_e=20.13 Ncr,z=462890.00 λ^*_z=0.23 Curva b: Φ_z=0.53 χ_z=0.99
  χ,min=0.99
  Verifica: 0.03+0.01+0.02=0.07

- Verifica a compressione [4.2.9] - CC 9 SLU Xl=0.06 - Classe 1
  Sollecitazioni: N=-819.78 T_z=-22.53 T_y=31.63
  N,Ed=-819.78 Nc,Rd=-23709.20 N,Ed/Nc,Rd=0.03
  Verifiche di duttilità [7.5.3]:
  q_0=4.00 N,Ed=-819.78 Npl,Rd=23709.20 N,Ed/Npl,Rd=0.034576

- Verifica a taglio dir. Y [4.2.16] - CC 17 SLU Xl=0.09
  Sollecitazioni: N=100.67 T_z=-44.33 T_y=-12.80
  V,Ed=-12.80 Vc,Rd=7560.76 V,Ed/Vc,Rd=0.00

- Verifica a taglio dir. Z [4.2.16]
  V,Ed=-44.33 Vc,Rd=7560.76 V,Ed/Vc,Rd=0.01

Asta n. 1802 (-202 -234) angolari L50x10 Crit. 1

- Verifica di stabilità aste inflesse (4.2.4.1.3.2) CC 17 SLU - Classe 3
  L_{cr}=0.19 Curva d: α_{imp}=0.76 k_c=0.94 ψ=3.01 M,cr=0.00 λ_{LT}=0.00
  $\lambda_{LT,0}$=0.20 β_{LT}=1.00 Φ_{LT}=0.00 β_{LT}=1.00 f=0.00 χ_{LT}=1.00
  CC 17 SLU My,Ed=-3.24 My,b,Rd=149.05 My,Ed/My,b,Rd=0.02

- Verifica di stabilità aste presso-inflesse (C4.2.4.1.3.3.1) - CC 9 SLU - Classe 3
  Sollecitazioni: N,Ed=-862.87 Myeq,Ed=2.16 Mzeq,Ed=2.61
  Resistenze: Nc,Rd=23709.20 My,c,Rd=149.05 Mz,c,Rd=149.05 L=19.38
  λ_c=10.59 Ncr,y=1673810.00 λ^*_y=0.12 Curva b: Φ_y=0.49 χ_y=1.00
  λ_e=20.13 Ncr,z=462889.00 λ^*_z=0.23 Curva b: Φ_z=0.53 χ_z=0.99
  χ,min=0.99
  Verifica: 0.04+0.01+0.02=0.07

- Verifica a compressione [4.2.9] - CC 9 SLU Xl=0.06 - Classe 1
  Sollecitazioni: N=-862.51 T_z=-23.09 T_y=32.38
  N,Ed=-862.51 Nc,Rd=-23709.20 N,Ed/Nc,Rd=0.04
  Verifiche di duttilità [7.5.3]:
  q_0=4.00 N,Ed=-862.51 Npl,Rd=23709.20 N,Ed/Npl,Rd=0.036379

- Verifica a taglio dir. Y [4.2.16] - CC 17 SLU Xl=0.08
  Sollecitazioni: N=11.81 T_z=-44.17 T_y=-11.86
  V,Ed=-11.86 Vc,Rd=7560.76 V,Ed/Vc,Rd=0.00

- Verifica a taglio dir. Z [4.2.16]
  V,Ed=-44.17 Vc,Rd=7560.76 V,Ed/Vc,Rd=0.01

Asta n. 1802 (-234 -266) angolari L50x10 Crit. 1

- Verifica di stabilità aste inflesse (4.2.4.1.3.2) CC 5 SLV - Classe 3
  L_{cr}=0.19 Curva d: α_{imp}=0.76 k_c=0.94 ψ=2.41 M,cr=0.00 λ_{LT}=0.00
  $\lambda_{LT,0}$=0.20 β_{LT}=1.00 Φ_{LT}=0.00 β_{LT}=1.00 f=0.00 χ_{LT}=1.00
  CC 5 SLV My,Ed=2.09 My,b,Rd=149.05 My,Ed/My,b,Rd=0.01

- Verifica di stabilità aste presso-inflesse (C4.2.4.1.3.3.1) - CC 9 SLU - Classe 3
  Sollecitazioni: N,Ed=-907.86 Myeq,Ed=2.21 Mzeq,Ed=2.75

Resistenze: Nc,Rd=23709.20 My,c,Rd=149.05 Mz,c,Rd=149.05 L=19.38
λ_c=10.59 Ncr,y=1673810.00 λ^*_y=0.12 Curva b: Φ_y=0.49 χ_y=1.00
λ_e=20.13 Ncr,z=462889.00 λ^*_z=0.23 Curva b: Φ_z=0.53 χ_z=0.99
χ,min=0.99
Verifica: 0.04+0.01+0.02=0.07

- Verifica a compressione [4.2.9] - CC 9 SLU Xl=0.06 - Classe 1
Sollecitazioni: N=-907.50 T_z=-23.69 T_y=33.18
N,Ed=-907.50 Nc,Rd=-23709.20 N,Ed/Nc,Rd=0.04
Verifiche di duttilità [7.5.3]:
q_0=4.00 N,Ed=-907.50 Npl,Rd=23709.20 N,Ed/Npl,Rd=0.038276

- Verifica a taglio dir. Y [4.2.16] - CC 17 SLU Xl=0.08
Sollecitazioni: N=-78.37 T_z=-43.83 T_y=-10.70
V,Ed=-10.70 Vc,Rd=7560.76 V,Ed/Vc,Rd=0.00

- Verifica a taglio dir. Z [4.2.16]
V,Ed=-43.83 Vc,Rd=7560.76 V,Ed/Vc,Rd=0.01

Asta n. 1802 (-266 -298) angolari L50x10 Crit. 1

- Verifica di stabilità aste inflesse (4.2.4.1.3.2) CC 5 SLV - Classe 3
L_{cr}=0.19 Curva d: α_{imp}=0.76 k_c=0.94 ψ=2.35 M,cr=0.00 λ_{LT}=0.00
$\lambda_{LT,0}$=0.20 β_{LT}=1.00 Φ_{LT}=0.00 β_{LT}=1.00 f=0.00 χ_{LT}=1.00
CC 5 SLV My,Ed=2.19 My,b,Rd=149.05 My,Ed/My,b,Rd=0.01

- Verifica di stabilità aste presso-inflesse (C4.2.4.1.3.3.1) - CC 9 SLU - Classe 3
Sollecitazioni: N,Ed=-955.25 Myeq,Ed=2.27 Mzeq,Ed=2.90
Resistenze: Nc,Rd=23709.20 My,c,Rd=149.05 Mz,c,Rd=149.05 L=19.38
λ_c=10.59 Ncr,y=1673810.00 λ^*_y=0.12 Curva b: Φ_y=0.49 χ_y=1.00
λ_e=20.13 Ncr,z=462889.00 λ^*_z=0.23 Curva b: Φ_z=0.53 χ_z=0.99
χ,min=0.99
Verifica: 0.04+0.02+0.02=0.08

- Verifica a compressione [4.2.9] - CC 9 SLU Xl=0.06 - Classe 1
Sollecitazioni: N=-954.88 T_z=-24.31 T_y=34.01
N,Ed=-954.88 Nc,Rd=-23709.20 N,Ed/Nc,Rd=0.04
Verifiche di duttilità [7.5.3]:
q_0=4.00 N,Ed=-954.88 Npl,Rd=23709.20 N,Ed/Npl,Rd=0.040275

- Verifica a taglio dir. Y [4.2.16] - CC 17 SLU Xl=0.08
Sollecitazioni: N=-170.03 T_z=-43.51 T_y=-9.51
V,Ed=-9.51 Vc,Rd=7560.76 V,Ed/Vc,Rd=0.00

- Verifica a taglio dir. Z [4.2.16]
V,Ed=-43.51 Vc,Rd=7560.76 V,Ed/Vc,Rd=0.01

Asta n. 1802 (-298 -330) angolari L50x10 Crit. 1

- Verifica di stabilità aste inflesse (4.2.4.1.3.2) CC 5 SLV - Classe 3
L_{cr}=0.19 Curva d: α_{imp}=0.76 k_c=0.94 ψ=2.29 M,cr=0.00 λ_{LT}=0.00
$\lambda_{LT,0}$=0.20 β_{LT}=1.00 Φ_{LT}=0.00 β_{LT}=1.00 f=0.00 χ_{LT}=1.00
CC 5 SLV My,Ed=2.30 My,b,Rd=149.05 My,Ed/My,b,Rd=0.02

- Verifica di stabilità aste presso-inflesse (C4.2.4.1.3.3.1) - CC 9 SLU - Classe 3
Sollecitazioni: N,Ed=-1005.20 Myeq,Ed=2.33 Mzeq,Ed=3.06
Resistenze: Nc,Rd=23709.20 My,c,Rd=149.05 Mz,c,Rd=149.05 L=19.38
λ_c=10.59 Ncr,y=1673810.00 λ^*_y=0.12 Curva b: Φ_y=0.49 χ_y=1.00

λ_e=20.13 Ncr,z=462889.00 λ^*_z=0.23 Curva b: Φ_z=0.53 χ_z=0.99
χ,min=0.99
Verifica: 0.04+0.02+0.02=0.08

- Verifica a compressione [4.2.9] - CC 9 SLU Xl=0.06 - Classe 1
Sollecitazioni: N=-1004.84 T_z=-24.97 T_y=34.89
N,Ed=-1004.84 Nc,Rd=-23709.20 N,Ed/Nc,Rd=0.04
Verifiche di duttilità [7.5.3]:
q_0=4.00 N,Ed=-1004.84 Npl,Rd=23709.20 N,Ed/Npl,Rd=0.042382

- Verifica a taglio dir. Y [4.2.16] - CC 17 SLU Xl=0.08
Sollecitazioni: N=-263.28 T_z=-43.20 T_y=-8.31
V,Ed=-8.31 Vc,Rd=7560.76 V,Ed/Vc,Rd=0.00

- Verifica a taglio dir. Z [4.2.16]
V,Ed=-43.20 Vc,Rd=7560.76 V,Ed/Vc,Rd=0.01

Asta n. 1802 (-330 -362) angolari L50x10 Crit. 1

- Verifica di stabilità aste inflesse (4.2.4.1.3.2) CC 5 SLV - Classe 3
L_{cr}=0.19 Curva d: α_{imp}=0.76 k_c=0.94 ψ=2.23 M,cr=0.00 λ_{LT}=0.00
$\lambda_{LT,0}$=0.20 β_{LT}=1.00 Φ_{LT}=0.00 β_{LT}=1.00 f=0.00 χ_{LT}=1.00
CC 5 SLV My,Ed=2.41 My,b,Rd=149.05 My,Ed/My,b,Rd=0.02

- Verifica di stabilità aste presso-inflesse (C4.2.4.1.3.3.1) - CC 9 SLU - Classe 3
Sollecitazioni: N,Ed=-1057.92 Myeq,Ed=2.40 Mzeq,Ed=3.23
Resistenze: Nc,Rd=23709.20 My,c,Rd=149.05 Mz,c,Rd=149.05 L=19.38
λ_c=10.59 Ncr,y=1673810.00 λ^*_y=0.12 Curva b: Φ_y=0.49 χ_y=1.00
λ_e=20.13 Ncr,z=462889.00 λ^*_z=0.23 Curva b: Φ_z=0.53 χ_z=0.99
χ,min=0.99
Verifica: 0.04+0.02+0.02=0.08

- Verifica a compressione [4.2.9] - CC 9 SLU Xl=0.05 - Classe 1
Sollecitazioni: N=-1057.68 T_z=-25.67 T_y=35.81
N,Ed=-1057.68 Nc,Rd=-23709.20 N,Ed/Nc,Rd=0.04
Verifiche di duttilità [7.5.3]:
q_0=4.00 N,Ed=-1057.68 Npl,Rd=23709.20 N,Ed/Npl,Rd=0.044610

- Verifica a taglio dir. Y [4.2.16] - CC 19 SLU Xl=0.06
Sollecitazioni: N=-895.20 T_z=-43.46 T_y=18.78
V,Ed=18.78 Vc,Rd=7560.76 V,Ed/Vc,Rd=0.00

- Verifica a taglio dir. Z [4.2.16]
V,Ed=-43.46 Vc,Rd=7560.76 V,Ed/Vc,Rd=0.01

Asta n. 1802 (-362 -394) angolari L50x10 Crit. 1

- Verifica di stabilità aste inflesse (4.2.4.1.3.2) CC 5 SLV - Classe 3
L_{cr}=0.19 Curva d: α_{imp}=0.76 k_c=0.94 ψ=2.18 M,cr=0.00 λ_{LT}=0.00
$\lambda_{LT,0}$=0.20 β_{LT}=1.00 Φ_{LT}=0.00 β_{LT}=1.00 f=0.00 χ_{LT}=1.00
CC 5 SLV My,Ed=2.54 My,b,Rd=149.05 My,Ed/My,b,Rd=0.02

- Verifica di stabilità aste presso-inflesse (C4.2.4.1.3.3.1) - CC 9 SLU - Classe 3
Sollecitazioni: N,Ed=-1113.60 Myeq,Ed=2.46 Mzeq,Ed=3.43
Resistenze: Nc,Rd=23709.20 My,c,Rd=149.05 Mz,c,Rd=149.05 L=19.38
λ_c=10.59 Ncr,y=1673810.00 λ^*_y=0.12 Curva b: Φ_y=0.49 χ_y=1.00
λ_e=20.13 Ncr,z=462890.00 λ^*_z=0.23 Curva b: Φ_z=0.53 χ_z=0.99
χ,min=0.99

Verifica: 0.05+0.02+0.02=0.09

- Verifica a compressione [4.2.9] - CC 9 SLU Xl=0.05 - Classe 1
Sollecitazioni: N=-1113.36 T_z=-26.34 T_y=36.80
N,Ed=-1113.36 Nc,Rd=-23709.20 N,Ed/Nc,Rd=0.05
Verifiche di duttilità [7.5.3]:
q_0=4.00 N,Ed=-1113.36 Npl,Rd=23709.20 N,Ed/Npl,Rd=0.046959

- Verifica a taglio dir. Y [4.2.16] - CC 19 SLU Xl=0.05
Sollecitazioni: N=-992.37 T_z=-43.86 T_y=20.07
V,Ed=20.07 Vc,Rd=7560.76 V,Ed/Vc,Rd=0.00

- Verifica a taglio dir. Z [4.2.16]
V,Ed=-43.86 Vc,Rd=7560.76 V,Ed/Vc,Rd=0.01

Asta n. 1802 (-394 -426) angolari L50x10 Crit. 1

- Verifica di stabilità aste inflesse (4.2.4.1.3.2) CC 5 SLV - Classe 3
L_{cr}=0.19 Curva d: α_{imp}=0.76 k_c=0.94 ψ=2.12 M,cr=0.00 λ_{LT}=0.00
$\lambda_{LT,0}$=0.20 β_{LT}=1.00 Φ_{LT}=0.00 β_{LT}=1.00 f=0.00 χ_{LT}=1.00
CC 5 SLV My,Ed=2.71 My,b,Rd=149.05 My,Ed/My,b,Rd=0.02

- Verifica di stabilità aste presso-inflesse (C4.2.4.1.3.3.1) - CC 9 SLU - Classe 3
Sollecitazioni: N,Ed=-1172.46 Myeq,Ed=2.57 Mzeq,Ed=3.51
Resistenze: Nc,Rd=23709.20 My,c,Rd=149.05 Mz,c,Rd=149.05 L=19.38
λ_c=10.59 Ncr,y=1673810.00 λ^*_y=0.12 Curva b: Φ_y=0.49 χ_y=1.00
λ_e=20.13 Ncr,z=462889.00 λ^*_z=0.23 Curva b: Φ_z=0.53 χ_z=0.99
χ,min=0.99
Verifica: 0.05+0.02+0.02=0.09

- Verifica a compressione [4.2.9] - CC 9 SLU Xl=0.05 - Classe 1
Sollecitazioni: N=-1172.22 T_z=-27.51 T_y=37.63
N,Ed=-1172.22 Nc,Rd=-23709.20 N,Ed/Nc,Rd=0.05
Verifiche di duttilità [7.5.3]:
q_0=4.00 N,Ed=-1172.22 Npl,Rd=23709.20 N,Ed/Npl,Rd=0.049442

- Verifica a taglio dir. Y [4.2.16] - CC 19 SLU Xl=0.05
Sollecitazioni: N=-1092.73 T_z=-44.66 T_y=21.32
V,Ed=21.32 Vc,Rd=7560.76 V,Ed/Vc,Rd=0.00

- Verifica a taglio dir. Z [4.2.16]
V,Ed=-44.66 Vc,Rd=7560.76 V,Ed/Vc,Rd=0.01

Asta n. 1802 (-426 -458) angolari L50x10 Crit. 1

- Verifica di stabilità aste inflesse (4.2.4.1.3.2) CC 5 SLV - Classe 3
L_{cr}=0.19 Curva d: α_{imp}=0.76 k_c=0.94 ψ=2.09 M,cr=0.00 λ_{LT}=0.00
$\lambda_{LT,0}$=0.20 β_{LT}=1.00 Φ_{LT}=0.00 β_{LT}=1.00 f=0.00 χ_{LT}=1.00
CC 5 SLV My,Ed=2.63 My,b,Rd=149.05 My,Ed/My,b,Rd=0.02

- Verifica di stabilità aste presso-inflesse (C4.2.4.1.3.3.1) - CC 9 SLU - Classe 3
Sollecitazioni: N,Ed=-1234.72 Myeq,Ed=2.36 Mzeq,Ed=3.75
Resistenze: Nc,Rd=23709.20 My,c,Rd=149.05 Mz,c,Rd=149.05 L=19.38
λ_c=10.59 Ncr,y=1673810.00 λ^*_y=0.12 Curva b: Φ_y=0.49 χ_y=1.00
λ_e=20.13 Ncr,z=462889.00 λ^*_z=0.23 Curva b: Φ_z=0.53 χ_z=0.99
χ,min=0.99
Verifica: 0.05+0.02+0.03=0.09

- Verifica a compressione [4.2.9] - CC 9 SLU Xl=0.05 - Classe 1
  Sollecitazioni: N=-1234.48 T_z=-25.33 T_y=40.12
  N,Ed=-1234.48 Nc,Rd=-23709.20 N,Ed/Nc,Rd=0.05
  Verifiche di duttilità [7.5.3]:
  q_0=4.00 N,Ed=-1234.48 Npl,Rd=23709.20 N,Ed/Npl,Rd=0.052068

- Verifica a taglio dir. Y [4.2.16] - CC 19 SLU Xl=0.05
  Sollecitazioni: N=-1196.53 T_z=-42.03 T_y=24.16
  V,Ed=24.16 Vc,Rd=7560.76 V,Ed/Vc,Rd=0.00

- Verifica a taglio dir. Z [4.2.16]
  V,Ed=-42.03 Vc,Rd=7560.76 V,Ed/Vc,Rd=0.01

Asta n. 1802 (-458 -490) angolari L50x10 Crit. 1

- Verifica di stabilità aste inflesse (4.2.4.1.3.2) CC 5 SLV - Classe 3
  L_{cr}=0.19 Curva d: α_{imp}=0.76 k_c=0.94 ψ=1.92 M,cr=0.00 λ_{LT}=0.00
  $\lambda_{LT,0}$=0.20 β_{LT}=1.00 Φ_{LT}=0.00 β_{LT}=1.00 f=0.00 χ_{LT}=1.00
  CC 5 SLV My,Ed=4.45 My,b,Rd=149.05 My,Ed/My,b,Rd=0.03

- Verifica di stabilità aste presso-inflesse (C4.2.4.1.3.3.1) - CC 9 SLU - Classe 3
  Sollecitazioni: N,Ed=-1299.22 Myeq,Ed=4.55 Mzeq,Ed=2.95
  Resistenze: Nc,Rd=23709.20 My,c,Rd=149.05 Mz,c,Rd=149.05 L=19.38
  λ_c=10.59 Ncr,y=1673810.00 λ^*_y=0.12 Curva b: Φ_y=0.49 χ_y=1.00
  λ_e=20.13 Ncr,z=462890.00 λ^*_z=0.23 Curva b: Φ_z=0.53 χ_z=0.99
  χ,min=0.99
  Verifica: 0.05+0.03+0.02=0.11

- Verifica a compressione [4.2.9] - CC 19 SLU Xl=0.04 - Classe 1
  Sollecitazioni: N=-1302.03 T_z=-63.24 T_y=16.36
  N,Ed=-1302.03 Nc,Rd=-23709.20 N,Ed/Nc,Rd=0.05
  Verifiche di duttilità [7.5.3]:
  q_0=4.00 N,Ed=-1302.03 Npl,Rd=23709.20 N,Ed/Npl,Rd=0.054917

- Verifica a taglio dir. Y [4.2.16] - CC 19 SLU Xl=0.04
  Sollecitazioni: N=-1302.03 T_z=-63.24 T_y=16.36
  V,Ed=16.36 Vc,Rd=7560.76 V,Ed/Vc,Rd=0.00

- Verifica a taglio dir. Z [4.2.16]
  V,Ed=-63.24 Vc,Rd=7560.76 V,Ed/Vc,Rd=0.01

Asta n. 1802 (-490 1318) angolari L50x10 Crit. 1

- Verifica di stabilità aste inflesse (4.2.4.1.3.2) CC 5 SLV - Classe 3
  L_{cr}=0.19 Curva d: α_{imp}=0.76 k_c=0.94 ψ=2.07 M,cr=0.00 λ_{LT}=0.00
  $\lambda_{LT,0}$=0.20 β_{LT}=1.00 Φ_{LT}=0.00 β_{LT}=1.00 f=0.00 χ_{LT}=1.00
  CC 5 SLV My,Ed=-3.42 My,b,Rd=149.05 My,Ed/My,b,Rd=0.02

- Verifica di stabilità aste presso-inflesse (C4.2.4.1.3.3.1) - CC 9 SLU - Classe 3
  Sollecitazioni: N,Ed=-1365.40 Myeq,Ed=-5.35 Mzeq,Ed=7.06
  Resistenze: Nc,Rd=23709.20 My,c,Rd=149.05 Mz,c,Rd=149.05 L=19.38
  λ_c=10.59 Ncr,y=1673810.00 λ^*_y=0.12 Curva b: Φ_y=0.49 χ_y=1.00
  λ_e=20.13 Ncr,z=462891.00 λ^*_z=0.23 Curva b: Φ_z=0.53 χ_z=0.99
  χ,min=0.99
  Verifica: 0.06+0.04+0.05=0.14

- Verifica a compressione [4.2.9] - CC 19 SLU Xl=0.04 - Classe 1
  Sollecitazioni: N=-1404.04 T_z=55.54 T_y=71.04

N,Ed=-1404.04 Nc,Rd=-23709.20 N,Ed/Nc,Rd=0.06
Verifiche di duttilità [7.5.3]:
q_0=4.00 N,Ed=-1404.04 Npl,Rd=23709.20 N,Ed/Npl,Rd=0.059219

- Verifica a taglio dir. Y [4.2.16] - CC 9 SLU Xl=0.04
Sollecitazioni: N=-1365.30 T_z=69.35 T_y=88.61
V,Ed=88.61 Vc,Rd=7560.76 V,Ed/Vc,Rd=0.01

- Verifica a taglio dir. Z [4.2.16]
V,Ed=69.35 Vc,Rd=7560.76 V,Ed/Vc,Rd=0.01

Asta n. 1803 (-34 -66) angolari L50x10 Crit. 1

- Verifica di stabilità aste inflesse (4.2.4.1.3.2) CC 17 SLU - Classe 3
L_{cr}=0.19 Curva d: α_{imp}=0.76 k_c=0.94 ψ=1.59 M,cr=0.00 λ_{LT}=0.00
$\lambda_{LT,0}$=0.20 β_{LT}=1.00 Φ_{LT}=0.00 β_{LT}=1.00 f=0.00 χ_{LT}=1.00
CC 17 SLU My,Ed=-3.22 My,b,Rd=149.05 My,Ed/My,b,Rd=0.02

- Verifica di stabilità aste presso-inflesse (C4.2.4.1.3.3.1) - CC 9 SLU - Classe 3
Sollecitazioni: N,Ed=-420.12 Myeq,Ed=2.57 Mzeq,Ed=-1.91
Resistenze: Nc,Rd=23709.20 My,c,Rd=149.05 Mz,c,Rd=149.05 L=19.38
λ_c=10.59 Ncr,y=1673810.00 λ^*_y=0.12 Curva b: Φ_y=0.49 χ_y=1.00
λ_e=20.13 Ncr,z=462889.00 λ^*_z=0.23 Curva b: Φ_z=0.53 χ_z=0.99
χ,min=0.99
Verifica: 0.02+0.02+0.01=0.05

- Verifica in termini tensionali [4.2.4] - CC 17 SLU Xl=0.05 - Classe 3
Sollecitazioni: N=557.93 T_z=-23.66 M_y=-3.22 T_y=47.40 M_z=-5.43 (M_c=1.57 M_e=-6.12)
Tensioni: σ_N=61.63 σ_M=164.77 τ=0.00 σ_{max}=226.41
Tensioni: σ_N=61.63 σ_M=28.14 τ=14.08 τ_{max}=14.08
Tensioni: σ_N=61.63 σ_M=164.77 τ=0.00 $\sigma_{ID,max}$=226.41

- Verifica a taglio dir. Y [4.2.16] - CC 17 SLU Xl=0.15
Sollecitazioni: N=558.79 T_z=-22.19 T_y=45.96
V,Ed=45.96 Vc,Rd=7560.76 V,Ed/Vc,Rd=0.01

- Verifica a taglio dir. Z [4.2.16]
V,Ed=-22.19 Vc,Rd=7560.76 V,Ed/Vc,Rd=0.00

Asta n. 1803 (-66 -98) angolari L50x10 Crit. 1

- Verifica di stabilità aste inflesse (4.2.4.1.3.2) CC 17 SLU - Classe 3
L_{cr}=0.19 Curva d: α_{imp}=0.76 k_c=0.94 ψ=1.97 M,cr=0.00 λ_{LT}=0.00
$\lambda_{LT,0}$=0.20 β_{LT}=1.00 Φ_{LT}=0.00 β_{LT}=1.00 f=0.00 χ_{LT}=1.00
CC 17 SLU My,Ed=-2.40 My,b,Rd=149.05 My,Ed/My,b,Rd=0.02

- Verifica di stabilità aste presso-inflesse (C4.2.4.1.3.3.1) - CC 9 SLU - Classe 3
Sollecitazioni: N,Ed=-378.84 Myeq,Ed=2.23 Mzeq,Ed=1.76
Resistenze: Nc,Rd=23709.20 My,c,Rd=149.05 Mz,c,Rd=149.05 L=19.38
λ_c=10.59 Ncr,y=1673810.00 λ^*_y=0.12 Curva b: Φ_y=0.49 χ_y=1.00
λ_e=20.13 Ncr,z=462890.00 λ^*_z=0.23 Curva b: Φ_z=0.53 χ_z=0.99
χ,min=0.99
Verifica: 0.02+0.01+0.01=0.04

- Verifica a trazione [4.2.5] - CC 17 SLU Xl=0.13 - Classe 1
Sollecitazioni: N=533.43 T_z=-19.60 T_y=48.68
N,Ed=533.43 Npl,Rd=23709.20 Nu,Rd=28026.90 N,Ed/Nt,Rd=0.02
Verifiche di duttilità [7.5.3]:
q_0=4.00 N,Ed=533.43 Npl,Rd=23709.20 N,Ed/Npl,Rd=0.022499

- Verifica a taglio dir. Y [4.2.16] - CC 17 SLU Xl=0.10
  Sollecitazioni: N=533.20 T_z=-19.99 T_y=49.06
  V,Ed=49.06 Vc,Rd=7560.76 V,Ed/Vc,Rd=0.01

- Verifica a taglio dir. Z [4.2.16]
  V,Ed=-19.99 Vc,Rd=7560.76 V,Ed/Vc,Rd=0.00

Asta n. 1803 (-98 -130) angolari L50x10 Crit. 1

- Verifica di stabilità aste inflesse (4.2.4.1.3.2) CC 17 SLU - Classe 3
  L_{cr}=0.19 Curva d: α_{imp}=0.76 k_c=0.94 ψ=2.10 M,cr=0.00 λ_{LT}=0.00
  $\lambda_{LT,0}$=0.20 β_{LT}=1.00 Φ_{LT}=0.00 β_{LT}=1.00 f=0.00 χ_{LT}=1.00
  CC 17 SLU My,Ed=-2.10 My,b,Rd=149.05 My,Ed/My,b,Rd=0.01

- Verifica di stabilità aste presso-inflesse (C4.2.4.1.3.3.1) - CC 9 SLU - Classe 3
  Sollecitazioni: N,Ed=-325.91 Myeq,Ed=1.98 Mzeq,Ed=2.08
  Resistenze: Nc,Rd=23709.20 My,c,Rd=149.05 Mz,c,Rd=149.05 L=19.38
  λ_c=10.59 Ncr,y=1673810.00 λ^*_y=0.12 Curva b: Φ_y=0.49 χ_y=1.00
  λ_e=20.13 Ncr,z=462889.00 λ^*_z=0.23 Curva b: Φ_z=0.53 χ_z=0.99
  χ,min=0.99
  Verifica: 0.01+0.01+0.01=0.04

- Verifica a trazione [4.2.5] - CC 17 SLU Xl=0.12 - Classe 1
  Sollecitazioni: N=501.75 T_z=-18.89 T_y=48.37
  N,Ed=501.75 Npl,Rd=23709.20 Nu,Rd=28026.90 N,Ed/Nt,Rd=0.02
  Verifiche di duttilità [7.5.3]:
  q_0=4.00 N,Ed=501.75 Npl,Rd=23709.20 N,Ed/Npl,Rd=0.021162

- Verifica a taglio dir. Y [4.2.16] - CC 17 SLU Xl=0.09
  Sollecitazioni: N=501.51 T_z=-19.29 T_y=48.75
  V,Ed=48.75 Vc,Rd=7560.76 V,Ed/Vc,Rd=0.01

- Verifica a taglio dir. Z [4.2.16]
  V,Ed=-19.29 Vc,Rd=7560.76 V,Ed/Vc,Rd=0.00

Asta n. 1803 (-130 -162) angolari L50x10 Crit. 1

- Verifica di stabilità aste inflesse (4.2.4.1.3.2) CC 17 SLU - Classe 3
  L_{cr}=0.19 Curva d: α_{imp}=0.76 k_c=0.94 ψ=2.13 M,cr=0.00 λ_{LT}=0.00
  $\lambda_{LT,0}$=0.20 β_{LT}=1.00 Φ_{LT}=0.00 β_{LT}=1.00 f=0.00 χ_{LT}=1.00
  CC 17 SLU My,Ed=-1.97 My,b,Rd=149.05 My,Ed/My,b,Rd=0.01

- Verifica di stabilità aste presso-inflesse (C4.2.4.1.3.3.1) - CC 9 SLU - Classe 3
  Sollecitazioni: N,Ed=-268.50 Myeq,Ed=-2.12 Mzeq,Ed=2.18
  Resistenze: Nc,Rd=23709.20 My,c,Rd=149.05 Mz,c,Rd=149.05 L=19.38
  λ_c=10.59 Ncr,y=1673810.00 λ^*_y=0.12 Curva b: Φ_y=0.49 χ_y=1.00
  λ_e=20.13 Ncr,z=462890.00 λ^*_z=0.23 Curva b: Φ_z=0.53 χ_z=0.99
  χ,min=0.99
  Verifica: 0.01+0.01+0.01=0.04

- Verifica a compressione [4.2.9] - CC 16 SLU Xl=0.03 - Classe 1
  Sollecitazioni: N=-469.83 T_z=-2.66 T_y=-6.01
  N,Ed=-469.83 Nc,Rd=-23709.20 N,Ed/Nc,Rd=0.02
  Verifiche di duttilità [7.5.3]:
  q_0=4.00 N,Ed=-469.83 Npl,Rd=23709.20 N,Ed/Npl,Rd=0.019817

- Verifica a taglio dir. Y [4.2.16] - CC 17 SLU Xl=0.09
  Sollecitazioni: N=469.38 T_z=-18.30 T_y=48.35
  V,Ed=48.35 Vc,Rd=7560.76 V,Ed/Vc,Rd=0.01

- Verifica a taglio dir. Z [4.2.16]
  V,Ed=-18.30 Vc,Rd=7560.76 V,Ed/Vc,Rd=0.00

Asta n. 1803 (-162 -194) angolari L50x10 Crit. 1

- Verifica di stabilità aste inflesse (4.2.4.1.3.2) CC 5 SLV - Classe 3
  L_{cr}=0.19 Curva d: α_{imp}=0.76 k_c=0.94 ψ=2.88 M,cr=0.00 λ_{LT}=0.00
  $\lambda_{LT,0}$=0.20 β_{LT}=1.00 Φ_{LT}=0.00 β_{LT}=1.00 f=0.00 χ_{LT}=1.00
  CC 5 SLV My,Ed=-2.00 My,b,Rd=149.05 My,Ed/My,b,Rd=0.01

- Verifica di stabilità aste presso-inflesse (C4.2.4.1.3.3.1) - CC 5 SLV - Classe 3
  Sollecitazioni: N,Ed=-290.52 Myeq,Ed=-2.00 Mzeq,Ed=2.02
  Resistenze: Nc,Rd=23709.20 My,c,Rd=149.05 Mz,c,Rd=149.05 L=19.38
  λ_c=10.59 Ncr,y=1673810.00 λ^*_y=0.12 Curva b: Φ_y=0.49 χ_y=1.00
  λ_e=20.13 Ncr,z=462890.00 λ^*_z=0.23 Curva b: Φ_z=0.53 χ_z=0.99
  χ,min=0.99
  Verifica: 0.01+0.01+0.01=0.04

- Verifica a compressione [4.2.9] - CC 16 SLU Xl=0.03 - Classe 1
  Sollecitazioni: N=-469.08 T_z=-1.29 T_y=-4.70
  N,Ed=-469.08 Nc,Rd=-23709.20 N,Ed/Nc,Rd=0.02
  Verifiche di duttilità [7.5.3]:
  q_0=4.00 N,Ed=-469.08 Npl,Rd=23709.20 N,Ed/Npl,Rd=0.019785

- Verifica a taglio dir. Y [4.2.16] - CC 17 SLU Xl=0.09
  Sollecitazioni: N=438.12 T_z=-17.28 T_y=48.00
  V,Ed=48.00 Vc,Rd=7560.76 V,Ed/Vc,Rd=0.01

- Verifica a taglio dir. Z [4.2.16]
  V,Ed=-17.28 Vc,Rd=7560.76 V,Ed/Vc,Rd=0.00

Asta n. 1803 (-194 -226) angolari L50x10 Crit. 1

- Verifica di stabilità aste inflesse (4.2.4.1.3.2) CC 5 SLV - Classe 3
  L_{cr}=0.19 Curva d: α_{imp}=0.76 k_c=0.94 ψ=2.79 M,cr=0.00 λ_{LT}=0.00
  $\lambda_{LT,0}$=0.20 β_{LT}=1.00 Φ_{LT}=0.00 β_{LT}=1.00 f=0.00 χ_{LT}=1.00
  CC 5 SLV My,Ed=-2.10 My,b,Rd=149.05 My,Ed/My,b,Rd=0.01

- Verifica di stabilità aste presso-inflesse (C4.2.4.1.3.3.1) - CC 5 SLV - Classe 3
  Sollecitazioni: N,Ed=-295.49 Myeq,Ed=-2.10 Mzeq,Ed=2.11
  Resistenze: Nc,Rd=23709.20 My,c,Rd=149.05 Mz,c,Rd=149.05 L=19.38
  λ_c=10.59 Ncr,y=1673810.00 λ^*_y=0.12 Curva b: Φ_y=0.49 χ_y=1.00
  λ_e=20.13 Ncr,z=462889.00 λ^*_z=0.23 Curva b: Φ_z=0.53 χ_z=0.99
  χ,min=0.99
  Verifica: 0.01+0.01+0.01=0.04

- Verifica a compressione [4.2.9] - CC 16 SLU Xl=0.03 - Classe 1
  Sollecitazioni: N=-465.49 T_y=-3.36
  N,Ed=-465.49 Nc,Rd=-23709.20 N,Ed/Nc,Rd=0.02
  Verifiche di duttilità [7.5.3]:
  q_0=4.00 N,Ed=-465.49 Npl,Rd=23709.20 N,Ed/Npl,Rd=0.019633

- Verifica a taglio dir. Y [4.2.16] - CC 17 SLU Xl=0.08
  Sollecitazioni: N=407.98 T_z=-16.44 T_y=47.85

V,Ed=47.85 Vc,Rd=7560.76 V,Ed/Vc,Rd=0.01

- Verifica a taglio dir. Z [4.2.16]
V,Ed=-16.44 Vc,Rd=7560.76 V,Ed/Vc,Rd=0.00

Asta n. 1803 (-226 -258) angolari L50x10 Crit. 1

- Verifica di stabilità aste inflesse (4.2.4.1.3.2) CC 5 SLV - Classe 3
L_{cr}=0.19 Curva d: α_{imp}=0.76 k_c=0.94 ψ=2.70 M,cr=0.00 λ_{LT}=0.00
$\lambda_{LT,0}$=0.20 β_{LT}=1.00 Φ_{LT}=0.00 β_{LT}=1.00 f=0.00 χ_{LT}=1.00
CC 5 SLV My,Ed=-2.21 My,b,Rd=149.05 My,Ed/My,b,Rd=0.01

- Verifica di stabilità aste presso-inflesse (C4.2.4.1.3.3.1) - CC 5 SLV - Classe 3
Sollecitazioni: N,Ed=-300.68 Myeq,Ed=-2.21 Mzeq,Ed=2.21
Resistenze: Nc,Rd=23709.20 My,c,Rd=149.05 Mz,c,Rd=149.05 L=19.38
λ_c=10.59 Ncr,y=1673810.00 λ^*_y=0.12 Curva b: Φ_y=0.49 χ_y=1.00
λ_e=20.13 Ncr,z=462889.00 λ^*_z=0.23 Curva b: Φ_z=0.53 χ_z=0.99
χ,min=0.99
Verifica: 0.01+0.01+0.01=0.04

- Verifica a compressione [4.2.9] - CC 16 SLU Xl=0.03 - Classe 1
Sollecitazioni: N=-458.84 T_z=1.57 T_y=-2.00
N,Ed=-458.84 Nc,Rd=-23709.20 N,Ed/Nc,Rd=0.02
Verifiche di duttilità [7.5.3]:
q_0=4.00 N,Ed=-458.84 Npl,Rd=23709.20 N,Ed/Npl,Rd=0.019353

- Verifica a taglio dir. Y [4.2.16] - CC 17 SLU Xl=0.08
Sollecitazioni: N=379.39 T_z=-15.39 T_y=47.53
V,Ed=47.53 Vc,Rd=7560.76 V,Ed/Vc,Rd=0.01

- Verifica a taglio dir. Z [4.2.16]
V,Ed=-15.39 Vc,Rd=7560.76 V,Ed/Vc,Rd=0.00

Asta n. 1803 (-258 -290) angolari L50x10 Crit. 1

- Verifica di stabilità aste inflesse (4.2.4.1.3.2) CC 5 SLV - Classe 3
L_{cr}=0.19 Curva d: α_{imp}=0.76 k_c=0.94 ψ=2.62 M,cr=0.00 λ_{LT}=0.00
$\lambda_{LT,0}$=0.20 β_{LT}=1.00 Φ_{LT}=0.00 β_{LT}=1.00 f=0.00 χ_{LT}=1.00
CC 5 SLV My,Ed=-2.33 My,b,Rd=149.05 My,Ed/My,b,Rd=0.02

- Verifica di stabilità aste presso-inflesse (C4.2.4.1.3.3.1) - CC 5 SLV - Classe 3
Sollecitazioni: N,Ed=-306.10 Myeq,Ed=-2.33 Mzeq,Ed=2.28
Resistenze: Nc,Rd=23709.20 My,c,Rd=149.05 Mz,c,Rd=149.05 L=19.38
λ_c=10.59 Ncr,y=1673810.00 λ^*_y=0.12 Curva b: Φ_y=0.49 χ_y=1.00
λ_e=20.13 Ncr,z=462889.00 λ^*_z=0.23 Curva b: Φ_z=0.53 χ_z=0.99
χ,min=0.99
Verifica: 0.01+0.02+0.02=0.04

- Verifica a compressione [4.2.9] - CC 16 SLU Xl=0.03 - Classe 1
Sollecitazioni: N=-448.89 T_z=3.05
N,Ed=-448.89 Nc,Rd=-23709.20 N,Ed/Nc,Rd=0.02
Verifiche di duttilità [7.5.3]:
q_0=4.00 N,Ed=-448.89 Npl,Rd=23709.20 N,Ed/Npl,Rd=0.018933

- Verifica a taglio dir. Y [4.2.16] - CC 17 SLU Xl=0.08
Sollecitazioni: N=352.35 T_z=-14.32 T_y=47.22
V,Ed=47.22 Vc,Rd=7560.76 V,Ed/Vc,Rd=0.01

- Verifica a taglio dir. Z [4.2.16]
  V,Ed=-14.32 Vc,Rd=7560.76 V,Ed/Vc,Rd=0.00

Asta n. 1803 (-290 -322) angolari L50x10 Crit. 1

- Verifica di stabilità aste inflesse (4.2.4.1.3.2) CC 9 SLU - Classe 3
  L_{cr}=0.19 Curva d: α_{imp}=0.76 k_c=0.94 ψ=2.50 M,cr=0.00 λ_{LT}=0.00
  $\lambda_{LT,0}$=0.20 β_{LT}=1.00 Φ_{LT}=0.00 β_{LT}=1.00 f=0.00 χ_{LT}=1.00
  CC 9 SLU My,Ed=-2.80 My,b,Rd=149.05 My,Ed/My,b,Rd=0.02

- Verifica di stabilità aste presso-inflesse (C4.2.4.1.3.3.1) - CC 5 SLV - Classe 3
  Sollecitazioni: N,Ed=-311.73 Myeq,Ed=-2.45 Mzeq,Ed=2.32
  Resistenze: Nc,Rd=23709.20 My,c,Rd=149.05 Mz,c,Rd=149.05 L=19.38
  λ_c=10.59 Ncr,y=1673810.00 λ^*_y=0.12 Curva b: Φ_y=0.49 χ_y=1.00
  λ_e=20.13 Ncr,z=462889.00 λ^*_z=0.23 Curva b: Φ_z=0.53 χ_z=0.99
  χ,min=0.99
  Verifica: 0.01+0.02+0.02=0.05

- Verifica a compressione [4.2.9] - CC 16 SLU Xl=0.03 - Classe 1
  Sollecitazioni: N=-435.39 T_z=4.56
  N,Ed=-435.39 Nc,Rd=-23709.20 N,Ed/Nc,Rd=0.02
  Verifiche di duttilità [7.5.3]:
  q_0=4.00 N,Ed=-435.39 Npl,Rd=23709.20 N,Ed/Npl,Rd=0.018364

- Verifica a taglio dir. Y [4.2.16] - CC 17 SLU Xl=0.08
  Sollecitazioni: N=326.97 T_z=-13.23 T_y=46.94
  V,Ed=46.94 Vc,Rd=7560.76 V,Ed/Vc,Rd=0.01

- Verifica a taglio dir. Z [4.2.16]
  V,Ed=-13.23 Vc,Rd=7560.76 V,Ed/Vc,Rd=0.00

Asta n. 1803 (-322 -354) angolari L50x10 Crit. 1

- Verifica di stabilità aste inflesse (4.2.4.1.3.2) CC 9 SLU - Classe 3
  L_{cr}=0.19 Curva d: α_{imp}=0.76 k_c=0.94 ψ=2.43 M,cr=0.00 λ_{LT}=0.00
  $\lambda_{LT,0}$=0.20 β_{LT}=1.00 Φ_{LT}=0.00 β_{LT}=1.00 f=0.00 χ_{LT}=1.00
  CC 9 SLU My,Ed=-2.97 My,b,Rd=149.05 My,Ed/My,b,Rd=0.02

- Verifica di stabilità aste presso-inflesse (C4.2.4.1.3.3.1) - CC 5 SLV - Classe 3
  Sollecitazioni: N,Ed=-317.57 Myeq,Ed=-2.59 Mzeq,Ed=2.37
  Resistenze: Nc,Rd=23709.20 My,c,Rd=149.05 Mz,c,Rd=149.05 L=19.38
  λ_c=10.59 Ncr,y=1673810.00 λ^*_y=0.12 Curva b: Φ_y=0.49 χ_y=1.00
  λ_e=20.13 Ncr,z=462889.00 λ^*_z=0.23 Curva b: Φ_z=0.53 χ_z=0.99
  χ,min=0.99
  Verifica: 0.01+0.02+0.02=0.05

- Verifica a compressione [4.2.9] - CC 16 SLU Xl=0.03 - Classe 1
  Sollecitazioni: N=-418.06 T_z=6.12 T_y=2.30
  N,Ed=-418.06 Nc,Rd=-23709.20 N,Ed/Nc,Rd=0.02
  Verifiche di duttilità [7.5.3]:
  q_0=4.00 N,Ed=-418.06 Npl,Rd=23709.20 N,Ed/Npl,Rd=0.017633

- Verifica a taglio dir. Y [4.2.16] - CC 17 SLU Xl=0.08
  Sollecitazioni: N=303.40 T_z=-12.12 T_y=46.67
  V,Ed=46.67 Vc,Rd=7560.76 V,Ed/Vc,Rd=0.01

- Verifica a taglio dir. Z [4.2.16]
  V,Ed=-12.12 Vc,Rd=7560.76 V,Ed/Vc,Rd=0.00

Asta n. 1803 (-354 -386) angolari L50x10 Crit. 1

- Verifica di stabilità aste inflesse (4.2.4.1.3.2) CC 9 SLU - Classe 3
  L_{cr}=0.19 Curva d: α_{imp}=0.76 k_c=0.94 ψ=2.36 M,cr=0.00 λ_{LT}=0.00
  $\lambda_{LT,0}$=0.20 β_{LT}=1.00 Φ_{LT}=0.00 β_{LT}=1.00 f=0.00 χ_{LT}=1.00
  CC 9 SLU My,Ed=-3.15 My,b,Rd=149.05 My,Ed/My,b,Rd=0.02

- Verifica di stabilità aste presso-inflesse (C4.2.4.1.3.3.1) - CC 5 SLV - Classe 3
  Sollecitazioni: N,Ed=-323.61 Myeq,Ed=-2.71 Mzeq,Ed=2.41
  Resistenze: Nc,Rd=23709.20 My,c,Rd=149.05 Mz,c,Rd=149.05 L=19.38
  λ_c=10.59 Ncr,y=1673810.00 λ^*_y=0.12 Curva b: Φ_y=0.49 χ_y=1.00
  λ_e=20.13 Ncr,z=462890.00 λ^*_z=0.23 Curva b: Φ_z=0.53 χ_z=0.99
  χ,min=0.99
  Verifica: 0.01+0.02+0.02=0.05

- Verifica a compressione [4.2.9] - CC 16 SLU Xl=0.03 - Classe 1
  Sollecitazioni: N=-396.60 T_z=7.75 T_y=3.82
  N,Ed=-396.60 Nc,Rd=-23709.20 N,Ed/Nc,Rd=0.02
  Verifiche di duttilità [7.5.3]:
  q_0=4.00 N,Ed=-396.60 Npl,Rd=23709.20 N,Ed/Npl,Rd=0.016728

- Verifica a taglio dir. Y [4.2.16] - CC 19 SLU Xl=0.06
  Sollecitazioni: N=331.58 T_z=14.43 T_y=46.96
  V,Ed=46.96 Vc,Rd=7560.76 V,Ed/Vc,Rd=0.01

- Verifica a taglio dir. Z [4.2.16]
  V,Ed=14.43 Vc,Rd=7560.76 V,Ed/Vc,Rd=0.00

Asta n. 1803 (-386 -418) angolari L50x10 Crit. 1

- Verifica di stabilità aste inflesse (4.2.4.1.3.2) CC 9 SLU - Classe 3
  L_{cr}=0.19 Curva d: α_{imp}=0.76 k_c=0.94 ψ=2.29 M,cr=0.00 λ_{LT}=0.00
  $\lambda_{LT,0}$=0.20 β_{LT}=1.00 Φ_{LT}=0.00 β_{LT}=1.00 f=0.00 χ_{LT}=1.00
  CC 9 SLU My,Ed=-3.35 My,b,Rd=149.05 My,Ed/My,b,Rd=0.02

- Verifica di stabilità aste presso-inflesse (C4.2.4.1.3.3.1) - CC 5 SLV - Classe 3
  Sollecitazioni: N,Ed=-329.85 Myeq,Ed=-2.78 Mzeq,Ed=2.44
  Resistenze: Nc,Rd=23709.20 My,c,Rd=149.05 Mz,c,Rd=149.05 L=19.38
  λ_c=10.59 Ncr,y=1673810.00 λ^*_y=0.12 Curva b: Φ_y=0.49 χ_y=1.00
  λ_e=20.13 Ncr,z=462889.00 λ^*_z=0.23 Curva b: Φ_z=0.53 χ_z=0.99
  χ,min=0.99
  Verifica: 0.01+0.02+0.02=0.05

- Verifica a trazione [4.2.5] - CC 5 SLV Xl=0.14 - Classe 1
  Sollecitazioni: N=425.20 T_z=-9.38 T_y=-14.49
  N,Ed=425.20 Npl,Rd=23709.20 Nu,Rd=28026.90 N,Ed/Nt,Rd=0.02
  Verifiche di duttilità [7.5.3]:
  q_0=4.00 N,Ed=425.20 Npl,Rd=23709.20 N,Ed/Npl,Rd=0.017934

- Verifica a taglio dir. Y [4.2.16] - CC 19 SLU Xl=0.05
  Sollecitazioni: N=372.91 T_z=15.58 T_y=47.21
  V,Ed=47.21 Vc,Rd=7560.76 V,Ed/Vc,Rd=0.01

- Verifica a taglio dir. Z [4.2.16]
  V,Ed=15.58 Vc,Rd=7560.76 V,Ed/Vc,Rd=0.00

Asta n. 1803 (-418 -450) angolari L50x10 Crit. 1

- Verifica di stabilità aste inflesse (4.2.4.1.3.2) CC 9 SLU - Classe 3
  L_{cr}=0.19 Curva d: α_{imp}=0.76 k_c=0.94 ψ=2.22 M,cr=0.00 λ_{LT}=0.00
  $\lambda_{LT,0}$=0.20 β_{LT}=1.00 Φ_{LT}=0.00 β_{LT}=1.00 f=0.00 χ_{LT}=1.00
  CC 9 SLU My,Ed=-3.56 My,b,Rd=149.05 My,Ed/My,b,Rd=0.02

- Verifica di stabilità aste presso-inflesse (C4.2.4.1.3.3.1) - CC 5 SLV - Classe 3
  Sollecitazioni: N,Ed=-336.30 Myeq,Ed=-2.76 Mzeq,Ed=2.61
  Resistenze: Nc,Rd=23709.20 My,c,Rd=149.05 Mz,c,Rd=149.05 L=19.38
  λ_c=10.59 Ncr,y=1673810.00 λ^*_y=0.12 Curva b: Φ_y=0.49 χ_y=1.00
  λ_e=20.13 Ncr,z=462889.00 λ^*_z=0.23 Curva b: Φ_z=0.53 χ_z=0.99
  χ,min=0.99
  Verifica: 0.01+0.02+0.02=0.05

- Verifica a trazione [4.2.5] - CC 5 SLV Xl=0.14 - Classe 1
  Sollecitazioni: N=486.55 T_z=-8.68 T_y=-15.04
  N,Ed=486.55 Npl,Rd=23709.20 Nu,Rd=28026.90 N,Ed/Nt,Rd=0.02
  Verifiche di duttilità [7.5.3]:
  q_0=4.00 N,Ed=486.55 Npl,Rd=23709.20 N,Ed/Npl,Rd=0.020522

- Verifica a taglio dir. Y [4.2.16] - CC 19 SLU Xl=0.05
  Sollecitazioni: N=418.50 T_z=16.78 T_y=49.44
  V,Ed=49.44 Vc,Rd=7560.76 V,Ed/Vc,Rd=0.01

- Verifica a taglio dir. Z [4.2.16]
  V,Ed=16.78 Vc,Rd=7560.76 V,Ed/Vc,Rd=0.00

Asta n. 1803 (-450 -482) angolari L50x10 Crit. 1

- Verifica di stabilità aste inflesse (4.2.4.1.3.2) CC 9 SLU - Classe 3
  L_{cr}=0.19 Curva d: α_{imp}=0.76 k_c=0.94 ψ=2.09 M,cr=0.00 λ_{LT}=0.00
  $\lambda_{LT,0}$=0.20 β_{LT}=1.00 Φ_{LT}=0.00 β_{LT}=1.00 f=0.00 χ_{LT}=1.00
  CC 9 SLU My,Ed=-4.12 My,b,Rd=149.05 My,Ed/My,b,Rd=0.03

- Verifica di stabilità aste presso-inflesse (C4.2.4.1.3.3.1) - CC 5 SLV - Classe 3
  Sollecitazioni: N,Ed=-342.83 Myeq,Ed=-3.32 Mzeq,Ed=1.83
  Resistenze: Nc,Rd=23709.20 My,c,Rd=149.05 Mz,c,Rd=149.05 L=19.38
  λ_c=10.59 Ncr,y=1673810.00 λ^*_y=0.12 Curva b: Φ_y=0.49 χ_y=1.00
  λ_e=20.13 Ncr,z=462890.00 λ^*_z=0.23 Curva b: Φ_z=0.53 χ_z=0.99
  χ,min=0.99
  Verifica: 0.01+0.02+0.01=0.05

- Verifica a trazione [4.2.5] - CC 5 SLV Xl=0.10 - Classe 1
  Sollecitazioni: N=549.70 T_z=-13.82 T_y=19.58
  N,Ed=549.70 Npl,Rd=23709.20 Nu,Rd=28026.90 N,Ed/Nt,Rd=0.02
  Verifiche di duttilità [7.5.3]:
  q_0=4.00 N,Ed=549.70 Npl,Rd=23709.20 N,Ed/Npl,Rd=0.023185

- Verifica a taglio dir. Y [4.2.16] - CC 17 SLU Xl=0.05
  Sollecitazioni: N=230.90 T_z=-8.11 T_y=39.81
  V,Ed=39.81 Vc,Rd=7560.76 V,Ed/Vc,Rd=0.01

- Verifica a taglio dir. Z [4.2.16]
  V,Ed=-8.11 Vc,Rd=7560.76 V,Ed/Vc,Rd=0.00

Asta n. 1803 (-482 1298) angolari L50x10 Crit. 1

- Verifica di stabilità aste inflesse (4.2.4.1.3.2) CC 18 SLU - Classe 3

L_{cr}=0.19 Curva d: α_{imp}=0.76 k_c=0.94 ψ=1.91 M,cr=0.00 λ_{LT}=0.00
$\lambda_{LT,0}$=0.20 β_{LT}=1.00 Φ_{LT}=0.00 β_{LT}=1.00 f=0.00 χ_{LT}=1.00
CC 18 SLU My,Ed=-4.86 My,b,Rd=149.05 My,Ed/My,b,Rd=0.03

- Verifica di stabilità aste presso-inflesse (C4.2.4.1.3.3.1) - CC 5 SLV - Classe 3
Sollecitazioni: N,Ed=-359.88 Myeq,Ed=-1.62 Mzeq,Ed=5.91
Resistenze: Nc,Rd=23709.20 My,c,Rd=149.05 Mz,c,Rd=149.05 L=19.38
λ_c=10.59 Ncr,y=1673810.00 λ^*_y=0.12 Curva b: Φ_y=0.49 χ_y=1.00
λ_e=20.13 Ncr,z=462891.00 λ^*_z=0.23 Curva b: Φ_z=0.53 χ_z=0.99
χ,min=0.99
Verifica: 0.02+0.01+0.04=0.07

- Verifica in termini tensionali [4.2.4] - CC 19 SLU Xl=0.14 - Classe 3
Sollecitazioni: N=519.19 T_z=15.01 M_y=-2.02 T_y=109.40 M_z=11.79 (M_c=-9.77 M_e=6.91)
Tensioni: σ_N=57.35 σ_M=241.94 τ=4.68 σ_{max}=299.29
Tensioni: σ_N=57.35 σ_M=-44.85 τ=31.60 τ_{max}=31.60
Tensioni: σ_N=57.35 σ_M=241.94 τ=4.68 $\sigma_{ID,max}$=299.40

- Verifica a taglio dir. Y [4.2.16] - CC 19 SLU Xl=0.04
Sollecitazioni: N=518.21 T_z=14.03 T_y=110.36
V,Ed=110.36 Vc,Rd=7560.76 V,Ed/Vc,Rd=0.01

- Verifica a taglio dir. Z [4.2.16]
V,Ed=14.03 Vc,Rd=7560.76 V,Ed/Vc,Rd=0.00

Asta n. 1804 (-38 -70) angolari L50x10 Crit. 1

- Verifica di stabilità aste inflesse (4.2.4.1.3.2) CC 17 SLU - Classe 3
L_{cr}=0.19 Curva d: α_{imp}=0.76 k_c=0.94 ψ=1.49 M,cr=0.00 λ_{LT}=0.00
$\lambda_{LT,0}$=0.20 β_{LT}=1.00 Φ_{LT}=0.00 β_{LT}=1.00 f=0.00 χ_{LT}=1.00
CC 17 SLU My,Ed=-3.36 My,b,Rd=149.05 My,Ed/My,b,Rd=0.02

- Verifica di stabilità aste presso-inflesse (C4.2.4.1.3.3.1) - CC 9 SLU - Classe 3
Sollecitazioni: N,Ed=-461.25 Myeq,Ed=4.05 Mzeq,Ed=-3.98
Resistenze: Nc,Rd=23709.20 My,c,Rd=149.05 Mz,c,Rd=149.05 L=19.38
λ_c=10.59 Ncr,y=1673810.00 λ^*_y=0.12 Curva b: Φ_y=0.49 χ_y=1.00
λ_e=20.13 Ncr,z=462889.00 λ^*_z=0.23 Curva b: Φ_z=0.53 χ_z=0.99
χ,min=0.99
Verifica: 0.02+0.03+0.03=0.07

- Verifica in termini tensionali [4.2.4] - CC 17 SLU Xl=0.05 - Classe 3
Sollecitazioni: N=728.96 T_z=-21.69 M_y=-3.36 T_y=68.60 M_z=-7.98 (M_c=3.26 M_e=-8.02)
Tensioni: σ_N=80.52 σ_M=216.08 τ=0.00 σ_{max}=296.60
Tensioni: σ_N=80.52 σ_M=38.89 τ=20.02 τ_{max}=20.02
Tensioni: σ_N=80.52 σ_M=216.08 τ=0.00 $\sigma_{ID,max}$=296.60

- Verifica a taglio dir. Y [4.2.16] - CC 19 SLU Xl=0.16
Sollecitazioni: N=139.49 T_z=22.79 T_y=73.59
V,Ed=73.59 Vc,Rd=7560.76 V,Ed/Vc,Rd=0.01

- Verifica a taglio dir. Z [4.2.16]
V,Ed=22.79 Vc,Rd=7560.76 V,Ed/Vc,Rd=0.00

Asta n. 1804 (-70 -102) angolari L50x10 Crit. 1

- Verifica di stabilità aste inflesse (4.2.4.1.3.2) CC 17 SLU - Classe 3
L_{cr}=0.19 Curva d: α_{imp}=0.76 k_c=0.94 ψ=1.75 M,cr=0.00 λ_{LT}=0.00
$\lambda_{LT,0}$=0.20 β_{LT}=1.00 Φ_{LT}=0.00 β_{LT}=1.00 f=0.00 χ_{LT}=1.00
CC 17 SLU My,Ed=-2.55 My,b,Rd=149.05 My,Ed/My,b,Rd=0.02

- Verifica di stabilità aste presso-inflesse (C4.2.4.1.3.3.1) - CC 9 SLU - Classe 3
  Sollecitazioni: N,Ed=-390.61 Myeq,Ed=3.58 Mzeq,Ed=-3.92
  Resistenze: Nc,Rd=23709.20 My,c,Rd=149.05 Mz,c,Rd=149.05 L=19.38
  λ_c=10.59 Ncr,y=1673810.00 λ^*_y=0.12 Curva b: Φ_y=0.49 χ_y=1.00
  λ_e=20.13 Ncr,z=462890.00 λ^*_z=0.23 Curva b: Φ_z=0.53 χ_z=0.99
  χ,min=0.99
  Verifica: 0.02+0.02+0.03=0.07

- Verifica a trazione [4.2.5] - CC 17 SLU Xl=0.13 - Classe 1
  Sollecitazioni: N=708.44 T_z=-17.23 T_y=71.62
  N,Ed=708.44 Npl,Rd=23709.20 Nu,Rd=28026.90 N,Ed/Nt,Rd=0.03
  Verifiche di duttilità [7.5.3]:
  q_0=4.00 N,Ed=708.44 Npl,Rd=23709.20 N,Ed/Npl,Rd=0.029881

- Verifica a taglio dir. Y [4.2.16] - CC 19 SLU Xl=0.10
  Sollecitazioni: N=173.35 T_z=20.89 T_y=75.71
  V,Ed=75.71 Vc,Rd=7560.76 V,Ed/Vc,Rd=0.01

- Verifica a taglio dir. Z [4.2.16]
  V,Ed=20.89 Vc,Rd=7560.76 V,Ed/Vc,Rd=0.00

Asta n. 1804 (-102 -134) angolari L50x10 Crit. 1

- Verifica di stabilità aste inflesse (4.2.4.1.3.2) CC 19 SLU - Classe 3
  L_{cr}=0.19 Curva d: α_{imp}=0.76 k_c=0.94 ψ=2.10 M,cr=0.00 λ_{LT}=0.00
  $\lambda_{LT,0}$=0.20 β_{LT}=1.00 Φ_{LT}=0.00 β_{LT}=1.00 f=0.00 χ_{LT}=1.00
  CC 19 SLU My,Ed=-2.45 My,b,Rd=149.05 My,Ed/My,b,Rd=0.02

- Verifica di stabilità aste presso-inflesse (C4.2.4.1.3.3.1) - CC 9 SLU - Classe 3
  Sollecitazioni: N,Ed=-299.80 Myeq,Ed=-3.75 Mzeq,Ed=3.80
  Resistenze: Nc,Rd=23709.20 My,c,Rd=149.05 Mz,c,Rd=149.05 L=19.38
  λ_c=10.59 Ncr,y=1673810.00 λ^*_y=0.12 Curva b: Φ_y=0.49 χ_y=1.00
  λ_e=20.13 Ncr,z=462889.00 λ^*_z=0.23 Curva b: Φ_z=0.53 χ_z=0.99
  χ,min=0.99
  Verifica: 0.01+0.03+0.03=0.06

- Verifica a trazione [4.2.5] - CC 17 SLU Xl=0.12 - Classe 1
  Sollecitazioni: N=681.79 T_z=-16.50 T_y=71.73
  N,Ed=681.79 Npl,Rd=23709.20 Nu,Rd=28026.90 N,Ed/Nt,Rd=0.03
  Verifiche di duttilità [7.5.3]:
  q_0=4.00 N,Ed=681.79 Npl,Rd=23709.20 N,Ed/Npl,Rd=0.028756

- Verifica a taglio dir. Y [4.2.16] - CC 19 SLU Xl=0.09
  Sollecitazioni: N=217.92 T_z=22.22 T_y=76.42
  V,Ed=76.42 Vc,Rd=7560.76 V,Ed/Vc,Rd=0.01

- Verifica a taglio dir. Z [4.2.16]
  V,Ed=22.22 Vc,Rd=7560.76 V,Ed/Vc,Rd=0.00

Asta n. 1804 (-134 -166) angolari L50x10 Crit. 1

- Verifica di stabilità aste inflesse (4.2.4.1.3.2) CC 19 SLU - Classe 3
  L_{cr}=0.19 Curva d: α_{imp}=0.76 k_c=0.94 ψ=2.05 M,cr=0.00 λ_{LT}=0.00
  $\lambda_{LT,0}$=0.20 β_{LT}=1.00 Φ_{LT}=0.00 β_{LT}=1.00 f=0.00 χ_{LT}=1.00
  CC 19 SLU My,Ed=-2.67 My,b,Rd=149.05 My,Ed/My,b,Rd=0.02

- Verifica di stabilità aste presso-inflesse (C4.2.4.1.3.3.1) - CC 9 SLU - Classe 3

Sollecitazioni: N,Ed=-201.13 Myeq,Ed=-4.05 Mzeq,Ed=4.11
Resistenze: Nc,Rd=23709.20 My,c,Rd=149.05 Mz,c,Rd=149.05 L=19.38
λ_c=10.59 Ncr,y=1673810.00 λ^*_y=0.12 Curva b: Φ_y=0.49 χ_y=1.00
λ_e=20.13 Ncr,z=462890.00 λ^*_z=0.23 Curva b: Φ_z=0.53 χ_z=0.99
χ,min=0.99
Verifica: 0.01+0.03+0.03=0.06

- Verifica a trazione [4.2.5] - CC 17 SLU Xl=0.12 - Classe 1
Sollecitazioni: N=655.11 T_z=-15.51 T_y=71.86
N,Ed=655.11 Npl,Rd=23709.20 Nu,Rd=28026.90 N,Ed/Nt,Rd=0.03
Verifiche di duttilità [7.5.3]:
q_0=4.00 N,Ed=655.11 Npl,Rd=23709.20 N,Ed/Npl,Rd=0.027631

- Verifica a taglio dir. Y [4.2.16] - CC 19 SLU Xl=0.09
Sollecitazioni: N=267.85 T_z=23.50 T_y=77.22
V,Ed=77.22 Vc,Rd=7560.76 V,Ed/Vc,Rd=0.01

- Verifica a taglio dir. Z [4.2.16]
V,Ed=23.50 Vc,Rd=7560.76 V,Ed/Vc,Rd=0.00

Asta n. 1804 (-166 -198) angolari L50x10 Crit. 1

- Verifica di stabilità aste inflesse (4.2.4.1.3.2) CC 19 SLU - Classe 3
L_{cr}=0.19 Curva d: α_{imp}=0.76 k_c=0.94 ψ=2.03 M,cr=0.00 λ_{LT}=0.00
$\lambda_{LT,0}$=0.20 β_{LT}=1.00 Φ_{LT}=0.00 β_{LT}=1.00 f=0.00 χ_{LT}=1.00
CC 19 SLU My,Ed=-2.87 My,b,Rd=149.05 My,Ed/My,b,Rd=0.02

- Verifica di stabilità aste presso-inflesse (C4.2.4.1.3.3.1) - CC 18 SLU - Classe 3
Sollecitazioni: N,Ed=-298.53 Myeq,Ed=-3.66 Mzeq,Ed=3.72
Resistenze: Nc,Rd=23709.20 My,c,Rd=149.05 Mz,c,Rd=149.05 L=19.38
λ_c=10.59 Ncr,y=1673810.00 λ^*_y=0.12 Curva b: Φ_y=0.49 χ_y=1.00
λ_e=20.13 Ncr,z=462890.00 λ^*_z=0.23 Curva b: Φ_z=0.53 χ_z=0.99
χ,min=0.99
Verifica: 0.01+0.02+0.03=0.06

- Verifica a trazione [4.2.5] - CC 17 SLU Xl=0.10 - Classe 1
Sollecitazioni: N=629.48 T_z=-14.61 T_y=72.22
N,Ed=629.48 Npl,Rd=23709.20 Nu,Rd=28026.90 N,Ed/Nt,Rd=0.03
Verifiche di duttilità [7.5.3]:
q_0=4.00 N,Ed=629.48 Npl,Rd=23709.20 N,Ed/Npl,Rd=0.026550

- Verifica a taglio dir. Y [4.2.16] - CC 19 SLU Xl=0.09
Sollecitazioni: N=322.04 T_z=24.90 T_y=78.09
V,Ed=78.09 Vc,Rd=7560.76 V,Ed/Vc,Rd=0.01

- Verifica a taglio dir. Z [4.2.16]
V,Ed=24.90 Vc,Rd=7560.76 V,Ed/Vc,Rd=0.00

Asta n. 1804 (-198 -230) angolari L50x10 Crit. 1

- Verifica di stabilità aste inflesse (4.2.4.1.3.2) CC 9 SLU - Classe 3
L_{cr}=0.19 Curva d: α_{imp}=0.76 k_c=0.94 ψ=2.53 M,cr=0.00 λ_{LT}=0.00
$\lambda_{LT,0}$=0.20 β_{LT}=1.00 Φ_{LT}=0.00 β_{LT}=1.00 f=0.00 χ_{LT}=1.00
CC 9 SLU My,Ed=-4.51 My,b,Rd=149.05 My,Ed/My,b,Rd=0.03

- Verifica di stabilità aste presso-inflesse (C4.2.4.1.3.3.1) - CC 18 SLU - Classe 3
Sollecitazioni: N,Ed=-202.62 Myeq,Ed=-3.92 Mzeq,Ed=4.00
Resistenze: Nc,Rd=23709.20 My,c,Rd=149.05 Mz,c,Rd=149.05 L=19.38

λ_c=10.59 Ncr,y=1673810.00 λ^*_y=0.12 Curva b: Φ_y=0.49 χ_y=1.00
λ_e=20.13 Ncr,z=462889.00 λ^*_z=0.23 Curva b: Φ_z=0.53 χ_z=0.99
χ,min=0.99
Verifica: 0.01+0.03+0.03=0.06

- Verifica a trazione [4.2.5] - CC 17 SLU Xl=0.10 - Classe 1
Sollecitazioni: N=605.48 T_z=-13.55 T_y=72.49
N,Ed=605.48 Npl,Rd=23709.20 Nu,Rd=28026.90 N,Ed/Nt,Rd=0.03
Verifiche di duttilità [7.5.3]:
q_0=4.00 N,Ed=605.48 Npl,Rd=23709.20 N,Ed/Npl,Rd=0.025538

- Verifica a taglio dir. Y [4.2.16] - CC 19 SLU Xl=0.09
Sollecitazioni: N=380.45 T_z=26.32 T_y=79.05
V,Ed=79.05 Vc,Rd=7560.76 V,Ed/Vc,Rd=0.01

- Verifica a taglio dir. Z [4.2.16]
V,Ed=26.32 Vc,Rd=7560.76 V,Ed/Vc,Rd=0.00

Asta n. 1804 (-230 -262) angolari L50x10 Crit. 1

- Verifica di stabilità aste inflesse (4.2.4.1.3.2) CC 9 SLU - Classe 3
L_{cr}=0.19 Curva d: α_{imp}=0.76 k_c=0.94 ψ=2.46 M,cr=0.00 λ_{LT}=0.00
$\lambda_{LT,0}$=0.20 β_{LT}=1.00 Φ_{LT}=0.00 β_{LT}=1.00 f=0.00 χ_{LT}=1.00
CC 9 SLU My,Ed=-4.75 My,b,Rd=149.05 My,Ed/My,b,Rd=0.03

- Verifica di stabilità aste presso-inflesse (C4.2.4.1.3.3.1) - CC 18 SLU - Classe 3
Sollecitazioni: N,Ed=-100.41 Myeq,Ed=-4.20 Mzeq,Ed=4.29
Resistenze: Nc,Rd=23709.20 My,c,Rd=149.05 Mz,c,Rd=149.05 L=19.38
λ_c=10.59 Ncr,y=1673810.00 λ^*_y=0.12 Curva b: Φ_y=0.49 χ_y=1.00
λ_e=20.13 Ncr,z=462889.00 λ^*_z=0.23 Curva b: Φ_z=0.53 χ_z=0.99
χ,min=0.99
Verifica: 0.00+0.03+0.03=0.06

- Verifica a trazione [4.2.5] - CC 17 SLU Xl=0.10 - Classe 1
Sollecitazioni: N=583.21 T_z=-12.43 T_y=72.74
N,Ed=583.21 Npl,Rd=23709.20 Nu,Rd=28026.90 N,Ed/Nt,Rd=0.02
Verifiche di duttilità [7.5.3]:
q_0=4.00 N,Ed=583.21 Npl,Rd=23709.20 N,Ed/Npl,Rd=0.024598

- Verifica a taglio dir. Y [4.2.16] - CC 19 SLU Xl=0.08
Sollecitazioni: N=443.23 T_z=27.69 T_y=80.16
V,Ed=80.16 Vc,Rd=7560.76 V,Ed/Vc,Rd=0.01

- Verifica a taglio dir. Z [4.2.16]
V,Ed=27.69 Vc,Rd=7560.76 V,Ed/Vc,Rd=0.00

Asta n. 1804 (-262 -294) angolari L50x10 Crit. 1

- Verifica di stabilità aste inflesse (4.2.4.1.3.2) CC 9 SLU - Classe 3
L_{cr}=0.19 Curva d: α_{imp}=0.76 k_c=0.94 ψ=2.40 M,cr=0.00 λ_{LT}=0.00
$\lambda_{LT,0}$=0.20 β_{LT}=1.00 Φ_{LT}=0.00 β_{LT}=1.00 f=0.00 χ_{LT}=1.00
CC 9 SLU My,Ed=-5.01 My,b,Rd=149.05 My,Ed/My,b,Rd=0.03

- Verifica di stabilità aste presso-inflesse (C4.2.4.1.3.3.1) - CC 5 SLV - Classe 3
Sollecitazioni: N,Ed=-231.02 Myeq,Ed=-2.79 Mzeq,Ed=2.91
Resistenze: Nc,Rd=23709.20 My,c,Rd=149.05 Mz,c,Rd=149.05 L=19.38
λ_c=10.59 Ncr,y=1673810.00 λ^*_y=0.12 Curva b: Φ_y=0.49 χ_y=1.00
λ_e=20.13 Ncr,z=462889.00 λ^*_z=0.23 Curva b: Φ_z=0.53 χ_z=0.99

χ,min=0.99
Verifica: 0.01+0.02+0.02=0.05

- Verifica a trazione [4.2.5] - CC 17 SLU Xl=0.10 - Classe 1
Sollecitazioni: N=562.78 T_z=-11.31 T_y=73.08
N,Ed=562.78 Npl,Rd=23709.20 Nu,Rd=28026.90 N,Ed/Nt,Rd=0.02
Verifiche di duttilità [7.5.3]:
q_0=4.00 N,Ed=562.78 Npl,Rd=23709.20 N,Ed/Npl,Rd=0.023737

- Verifica a taglio dir. Y [4.2.16] - CC 19 SLU Xl=0.08
Sollecitazioni: N=510.92 T_z=29.23 T_y=81.25
V,Ed=81.25 Vc,Rd=7560.76 V,Ed/Vc,Rd=0.01

- Verifica a taglio dir. Z [4.2.16]
V,Ed=29.23 Vc,Rd=7560.76 V,Ed/Vc,Rd=0.00

Asta n. 1804 (-294 -326) angolari L50x10 Crit. 1

- Verifica di stabilità aste inflesse (4.2.4.1.3.2) CC 9 SLU - Classe 3
L_{cr}=0.19 Curva d: α_{imp}=0.76 k_c=0.94 ψ=2.34 M,cr=0.00 λ_{LT}=0.00
$\lambda_{LT,0}$=0.20 β_{LT}=1.00 Φ_{LT}=0.00 β_{LT}=1.00 f=0.00 χ_{LT}=1.00
CC 9 SLU My,Ed=-5.29 My,b,Rd=149.05 My,Ed/My,b,Rd=0.04

- Verifica di stabilità aste presso-inflesse (C4.2.4.1.3.3.1) - CC 5 SLV - Classe 3
Sollecitazioni: N,Ed=-226.83 Myeq,Ed=-2.93 Mzeq,Ed=3.07
Resistenze: Nc,Rd=23709.20 My,c,Rd=149.05 Mz,c,Rd=149.05 L=19.38
λ_c=10.59 Ncr,y=1673810.00 λ^*_y=0.12 Curva b: Φ_y=0.49 χ_y=1.00
λ_e=20.13 Ncr,z=462889.00 λ^*_z=0.23 Curva b: Φ_z=0.53 χ_z=0.99
χ,min=0.99
Verifica: 0.01+0.02+0.02=0.05

- Verifica a trazione [4.2.5] - CC 19 SLU Xl=0.08 - Classe 1
Sollecitazioni: N=583.75 T_z=30.80 T_y=82.42
N,Ed=583.75 Npl,Rd=23709.20 Nu,Rd=28026.90 N,Ed/Nt,Rd=0.02
Verifiche di duttilità [7.5.3]:
q_0=4.00 N,Ed=583.75 Npl,Rd=23709.20 N,Ed/Npl,Rd=0.024621

- Verifica a taglio dir. Y [4.2.16] - CC 19 SLU Xl=0.08
Sollecitazioni: N=583.75 T_z=30.80 T_y=82.42
V,Ed=82.42 Vc,Rd=7560.76 V,Ed/Vc,Rd=0.01

- Verifica a taglio dir. Z [4.2.16]
V,Ed=30.80 Vc,Rd=7560.76 V,Ed/Vc,Rd=0.00

Asta n. 1804 (-326 -358) angolari L50x10 Crit. 1

- Verifica di stabilità aste inflesse (4.2.4.1.3.2) CC 9 SLU - Classe 3
L_{cr}=0.19 Curva d: α_{imp}=0.76 k_c=0.94 ψ=2.28 M,cr=0.00 λ_{LT}=0.00
$\lambda_{LT,0}$=0.20 β_{LT}=1.00 Φ_{LT}=0.00 β_{LT}=1.00 f=0.00 χ_{LT}=1.00
CC 9 SLU My,Ed=-5.59 My,b,Rd=149.05 My,Ed/My,b,Rd=0.04

- Verifica di stabilità aste presso-inflesse (C4.2.4.1.3.3.1) - CC 5 SLV - Classe 3
Sollecitazioni: N,Ed=-222.34 Myeq,Ed=-2.99 Mzeq,Ed=3.21
Resistenze: Nc,Rd=23709.20 My,c,Rd=149.05 Mz,c,Rd=149.05 L=19.38
λ_c=10.59 Ncr,y=1673810.00 λ^*_y=0.12 Curva b: Φ_y=0.49 χ_y=1.00
λ_e=20.13 Ncr,z=462889.00 λ^*_z=0.23 Curva b: Φ_z=0.53 χ_z=0.99
χ,min=0.99
Verifica: 0.01+0.02+0.02=0.05

- Verifica in termini tensionali [4.2.4] - CC 19 SLU Xl=0.17 - Classe 3
  Sollecitazioni: N=662.94 T_z=33.30 M_y=-4.01 T_y=82.82 M_z=7.38 (M_c=-8.05 M_e=2.38)
  Tensioni: σ_N=73.23 σ_M=130.97 τ=3.54 σ_{max}=204.20
  Tensioni: σ_N=73.23 σ_M=-23.12 τ=24.35 τ_{max}=24.35
  Tensioni: σ_N=73.23 σ_M=130.97 τ=3.54 $\sigma_{ID,max}$=204.29

- Verifica a taglio dir. Y [4.2.16] - CC 9 SLU Xl=0.06
  Sollecitazioni: N=501.59 T_z=56.31 T_y=58.77
  V,Ed=58.77 Vc,Rd=7560.76 V,Ed/Vc,Rd=0.01

- Verifica a taglio dir. Z [4.2.16]
  V,Ed=56.31 Vc,Rd=7560.76 V,Ed/Vc,Rd=0.01

Asta n. 1804 (-358 -390) angolari L50x10 Crit. 1

- Verifica di stabilità aste inflesse (4.2.4.1.3.2) CC 9 SLU - Classe 3
  L_{cr}=0.19 Curva d: α_{imp}=0.76 k_c=0.94 ψ=2.22 M,cr=0.00 λ_{LT}=0.00
  $\lambda_{LT,0}$=0.20 β_{LT}=1.00 Φ_{LT}=0.00 β_{LT}=1.00 f=0.00 χ_{LT}=1.00
  CC 9 SLU My,Ed=-5.92 My,b,Rd=149.05 My,Ed/My,b,Rd=0.04

- Verifica di stabilità aste presso-inflesse (C4.2.4.1.3.3.1) - CC 5 SLV - Classe 3
  Sollecitazioni: N,Ed=-217.51 Myeq,Ed=-3.05 Mzeq,Ed=3.28
  Resistenze: Nc,Rd=23709.20 My,c,Rd=149.05 Mz,c,Rd=149.05 L=19.38
  λ_c=10.59 Ncr,y=1673810.00 λ^*_y=0.12 Curva b: Φ_y=0.49 χ_y=1.00
  λ_e=20.13 Ncr,z=462890.00 λ^*_z=0.23 Curva b: Φ_z=0.53 χ_z=0.99
  χ,min=0.99
  Verifica: 0.01+0.02+0.02=0.05

- Verifica a trazione [4.2.5] - CC 9 SLU Xl=0.08 - Classe 1
  Sollecitazioni: N=639.83 T_z=57.77 T_y=60.37
  N,Ed=639.83 Npl,Rd=23709.20 Nu,Rd=28026.90 N,Ed/Nt,Rd=0.03
  Verifiche di duttilità [7.5.3]:
  q_0=4.00 N,Ed=639.83 Npl,Rd=23709.20 N,Ed/Npl,Rd=0.026986

- Verifica a taglio dir. Y [4.2.16] - CC 9 SLU Xl=0.06
  Sollecitazioni: N=639.71 T_z=57.77 T_y=60.37
  V,Ed=60.37 Vc,Rd=7560.76 V,Ed/Vc,Rd=0.01

- Verifica a taglio dir. Z [4.2.16]
  V,Ed=57.77 Vc,Rd=7560.76 V,Ed/Vc,Rd=0.01

Asta n. 1804 (-390 -422) angolari L50x10 Crit. 1

- Verifica di stabilità aste inflesse (4.2.4.1.3.2) CC 9 SLU - Classe 3
  L_{cr}=0.19 Curva d: α_{imp}=0.76 k_c=0.94 ψ=2.16 M,cr=0.00 λ_{LT}=0.00
  $\lambda_{LT,0}$=0.20 β_{LT}=1.00 Φ_{LT}=0.00 β_{LT}=1.00 f=0.00 χ_{LT}=1.00
  CC 9 SLU My,Ed=-6.29 My,b,Rd=149.05 My,Ed/My,b,Rd=0.04

- Verifica di stabilità aste presso-inflesse (C4.2.4.1.3.3.1) - CC 5 SLV - Classe 3
  Sollecitazioni: N,Ed=-212.30 Myeq,Ed=-3.12 Mzeq,Ed=3.33
  Resistenze: Nc,Rd=23709.20 My,c,Rd=149.05 Mz,c,Rd=149.05 L=19.38
  λ_c=10.59 Ncr,y=1673810.00 λ^*_y=0.12 Curva b: Φ_y=0.49 χ_y=1.00
  λ_e=20.13 Ncr,z=462889.00 λ^*_z=0.23 Curva b: Φ_z=0.53 χ_z=0.99
  χ,min=0.99
  Verifica: 0.01+0.02+0.02=0.05

- Verifica a trazione [4.2.5] - CC 19 SLU Xl=0.06 - Classe 1
  Sollecitazioni: N=837.12 T_z=35.90 T_y=86.10

N,Ed=837.12 Npl,Rd=23709.20 Nu,Rd=28026.90 N,Ed/Nt,Rd=0.04
Verifiche di duttilità [7.5.3]:
q_0=4.00 N,Ed=837.12 Npl,Rd=23709.20 N,Ed/Npl,Rd=0.035308

- Verifica a taglio dir. Y [4.2.16] - CC 19 SLU Xl=0.06
Sollecitazioni: N=837.12 T_z=35.90 T_y=86.10
V,Ed=86.10 Vc,Rd=7560.76 V,Ed/Vc,Rd=0.01

- Verifica a taglio dir. Z [4.2.16]
V,Ed=35.90 Vc,Rd=7560.76 V,Ed/Vc,Rd=0.00

Asta n. 1804 (-422 -454) angolari L50x10 Crit. 1

- Verifica di stabilità aste inflesse (4.2.4.1.3.2) CC 9 SLU - Classe 3
L_{cr}=0.19 Curva d: α_{imp}=0.76 k_c=0.94 ψ=2.10 M,cr=0.00 λ_{LT}=0.00
$\lambda_{LT,0}$=0.20 β_{LT}=1.00 Φ_{LT}=0.00 β_{LT}=1.00 f=0.00 χ_{LT}=1.00
CC 9 SLU My,Ed=-6.62 My,b,Rd=149.05 My,Ed/My,b,Rd=0.04

- Verifica di stabilità aste presso-inflesse (C4.2.4.1.3.3.1) - CC 5 SLV - Classe 3
Sollecitazioni: N,Ed=-206.68 Myeq,Ed=-3.11 Mzeq,Ed=3.55
Resistenze: Nc,Rd=23709.20 My,c,Rd=149.05 Mz,c,Rd=149.05 L=19.38
λ_c=10.59 Ncr,y=1673810.00 λ^*_y=0.12 Curva b: Φ_y=0.49 χ_y=1.00
λ_e=20.13 Ncr,z=462889.00 λ^*_z=0.23 Curva b: Φ_z=0.53 χ_z=0.99
χ,min=0.99
Verifica: 0.01+0.02+0.02=0.05

- Verifica a trazione [4.2.5] - CC 9 SLU Xl=0.06 - Classe 1
Sollecitazioni: N=937.92 T_z=60.40 T_y=66.35
N,Ed=937.92 Npl,Rd=23709.20 Nu,Rd=28026.90 N,Ed/Nt,Rd=0.04
Verifiche di duttilità [7.5.3]:
q_0=4.00 N,Ed=937.92 Npl,Rd=23709.20 N,Ed/Npl,Rd=0.039559

- Verifica a taglio dir. Y [4.2.16] - CC 19 SLU Xl=0.06
Sollecitazioni: N=934.66 T_z=37.26 T_y=90.83
V,Ed=90.83 Vc,Rd=7560.76 V,Ed/Vc,Rd=0.01

- Verifica a taglio dir. Z [4.2.16]
V,Ed=37.26 Vc,Rd=7560.76 V,Ed/Vc,Rd=0.00

Asta n. 1804 (-454 -486) angolari L50x10 Crit. 1

- Verifica di stabilità aste inflesse (4.2.4.1.3.2) CC 9 SLU - Classe 3
L_{cr}=0.19 Curva d: α_{imp}=0.76 k_c=0.94 ψ=1.99 M,cr=0.00 λ_{LT}=0.00
$\lambda_{LT,0}$=0.20 β_{LT}=1.00 Φ_{LT}=0.00 β_{LT}=1.00 f=0.00 χ_{LT}=1.00
CC 9 SLU My,Ed=-7.86 My,b,Rd=149.05 My,Ed/My,b,Rd=0.05

- Verifica di stabilità aste presso-inflesse (C4.2.4.1.3.3.1) - CC 5 SLV - Classe 3
Sollecitazioni: N,Ed=-211.93 Myeq,Ed=-3.74 Mzeq,Ed=2.61
Resistenze: Nc,Rd=23709.20 My,c,Rd=149.05 Mz,c,Rd=149.05 L=19.38
λ_c=10.59 Ncr,y=1673810.00 λ^*_y=0.12 Curva b: Φ_y=0.49 χ_y=1.00
λ_e=20.13 Ncr,z=462890.00 λ^*_z=0.23 Curva b: Φ_z=0.53 χ_z=0.99
χ,min=0.99
Verifica: 0.01+0.03+0.02=0.05

- Verifica a trazione [4.2.5] - CC 9 SLU Xl=0.06 - Classe 1
Sollecitazioni: N=1097.02 T_z=66.70 T_y=47.35
N,Ed=1097.02 Npl,Rd=23709.20 Nu,Rd=28026.90 N,Ed/Nt,Rd=0.05
Verifiche di duttilità [7.5.3]:

q_0=4.00 N,Ed=1097.02 Npl,Rd=23709.20 N,Ed/Npl,Rd=0.046270

- Verifica a taglio dir. Y [4.2.16] - CC 9 SLU Xl=0.06
Sollecitazioni: N=1097.02 T_z=66.70 T_y=47.35
V,Ed=47.35 Vc,Rd=7560.76 V,Ed/Vc,Rd=0.01

- Verifica a taglio dir. Z [4.2.16]
V,Ed=66.70 Vc,Rd=7560.76 V,Ed/Vc,Rd=0.01

Asta n. 1804 (-486 1304) angolari L50x10 Crit. 1

- Verifica di stabilità aste inflesse (4.2.4.1.3.2) CC 18 SLU - Classe 3
L_{cr}=0.19 Curva d: α_{imp}=0.76 k_c=0.94 ψ=1.80 M,cr=0.00 λ_{LT}=0.00
$\lambda_{LT,0}$=0.20 β_{LT}=1.00 Φ_{LT}=0.00 β_{LT}=1.00 f=0.00 χ_{LT}=1.00
CC 18 SLU My,Ed=-7.28 My,b,Rd=149.05 My,Ed/My,b,Rd=0.05

- Verifica di stabilità aste presso-inflesse (C4.2.4.1.3.3.1) - CC 5 SLV - Classe 3
Sollecitazioni: N,Ed=-224.40 Myeq,Ed=-1.83 Mzeq,Ed=7.49
Resistenze: Nc,Rd=23709.20 My,c,Rd=149.05 Mz,c,Rd=149.05 L=19.38
λ_c=10.59 Ncr,y=1673810.00 λ^*_y=0.12 Curva b: Φ_y=0.49 χ_y=1.00
λ_e=20.13 Ncr,z=462891.00 λ^*_z=0.23 Curva b: Φ_z=0.53 χ_z=0.99
χ,min=0.99
Verifica: 0.01+0.01+0.05=0.07

- Verifica in termini tensionali [4.2.4] - CC 19 SLU Xl=0.14 - Classe 3
Sollecitazioni: N=1142.65 T_z=23.85 M_y=-3.52 T_y=198.48 M_z=21.25 (M_c=-17.52 M_e=12.54)
Tensioni: σ_N=126.22 σ_M=436.93 τ=8.48 σ_{max}=563.15
Tensioni: σ_N=126.22 σ_M=-81.05 τ=57.31 τ_{max}=57.31
Tensioni: σ_N=126.22 σ_M=436.93 τ=8.48 $\sigma_{ID,max}$=563.34

- Verifica a taglio dir. Y [4.2.16] - CC 9 SLU Xl=0.04
Sollecitazioni: N=1249.28 T_z=39.96 T_y=170.42
V,Ed=170.42 Vc,Rd=7560.76 V,Ed/Vc,Rd=0.02

- Verifica a taglio dir. Z [4.2.16]
V,Ed=39.96 Vc,Rd=7560.76 V,Ed/Vc,Rd=0.01

Asta n. 1805 (-40 -72) angolari L50x10 Crit. 1

- Verifica di stabilità aste inflesse (4.2.4.1.3.2) CC 17 SLU - Classe 3
L_{cr}=0.19 Curva d: α_{imp}=0.76 k_c=0.94 ψ=1.56 M,cr=0.00 λ_{LT}=0.00
$\lambda_{LT,0}$=0.20 β_{LT}=1.00 Φ_{LT}=0.00 β_{LT}=1.00 f=0.00 χ_{LT}=1.00
CC 17 SLU My,Ed=-4.29 My,b,Rd=149.05 My,Ed/My,b,Rd=0.03

- Verifica di stabilità aste presso-inflesse (C4.2.4.1.3.3.1) - CC 1 SLV - Classe 3
Sollecitazioni: N,Ed=-275.32 Myeq,Ed=1.70 Mzeq,Ed=-1.75
Resistenze: Nc,Rd=23709.20 My,c,Rd=149.05 Mz,c,Rd=149.05 L=19.38
λ_c=10.59 Ncr,y=1673810.00 λ^*_y=0.12 Curva b: Φ_y=0.49 χ_y=1.00
λ_e=20.13 Ncr,z=462890.00 λ^*_z=0.23 Curva b: Φ_z=0.53 χ_z=0.99
χ,min=0.99
Verifica: 0.01+0.01+0.01=0.03

- Verifica a trazione [4.2.5] - CC 17 SLU Xl=0.17 - Classe 1
Sollecitazioni: N=899.27 T_z=-28.44 T_y=47.70
N,Ed=899.27 Npl,Rd=23709.20 Nu,Rd=28026.90 N,Ed/Nt,Rd=0.04
Verifiche di duttilità [7.5.3]:
q_0=4.00 N,Ed=899.27 Npl,Rd=23709.20 N,Ed/Npl,Rd=0.037929

- Verifica a taglio dir. Y [4.2.16] - CC 17 SLU Xl=0.17
  Sollecitazioni: N=899.27 T_z=-28.44 T_y=47.70
  V,Ed=47.70 Vc,Rd=7560.76 V,Ed/Vc,Rd=0.01

- Verifica a taglio dir. Z [4.2.16]
  V,Ed=-28.44 Vc,Rd=7560.76 V,Ed/Vc,Rd=0.00

Asta n. 1805 (-72 -104) angolari L50x10 Crit. 1

- Verifica di stabilità aste inflesse (4.2.4.1.3.2) CC 17 SLU - Classe 3
  L_{cr}=0.19 Curva d: α_{imp}=0.76 k_c=0.94 ψ=1.91 M,cr=0.00 λ_{LT}=0.00
  $\lambda_{LT,0}$=0.20 β_{LT}=1.00 Φ_{LT}=0.00 β_{LT}=1.00 f=0.00 χ_{LT}=1.00
  CC 17 SLU My,Ed=-3.11 My,b,Rd=149.05 My,Ed/My,b,Rd=0.02

- Verifica di stabilità aste presso-inflesse (C4.2.4.1.3.3.1) - CC 1 SLV - Classe 3
  Sollecitazioni: N,Ed=-260.30 Myeq,Ed=1.49 Mzeq,Ed=-1.98
  Resistenze: Nc,Rd=23709.20 My,c,Rd=149.05 Mz,c,Rd=149.05 L=19.38
  λ_c=10.59 Ncr,y=1673810.00 λ^*_y=0.12 Curva b: Φ_y=0.49 χ_y=1.00
  λ_e=20.13 Ncr,z=462890.00 λ^*_z=0.23 Curva b: Φ_z=0.53 χ_z=0.99
  χ,min=0.99
  Verifica: 0.01+0.01+0.01=0.03

- Verifica a trazione [4.2.5] - CC 17 SLU Xl=0.14 - Classe 1
  Sollecitazioni: N=867.08 T_z=-24.08 T_y=52.44
  N,Ed=867.08 Npl,Rd=23709.20 Nu,Rd=28026.90 N,Ed/Nt,Rd=0.04
  Verifiche di duttilità [7.5.3]:
  q_0=4.00 N,Ed=867.08 Npl,Rd=23709.20 N,Ed/Npl,Rd=0.036572

- Verifica a taglio dir. Y [4.2.16] - CC 17 SLU Xl=0.12
  Sollecitazioni: N=866.85 T_z=-24.47 T_y=52.83
  V,Ed=52.83 Vc,Rd=7560.76 V,Ed/Vc,Rd=0.01

- Verifica a taglio dir. Z [4.2.16]
  V,Ed=-24.47 Vc,Rd=7560.76 V,Ed/Vc,Rd=0.00

Asta n. 1805 (-104 -136) angolari L50x10 Crit. 1

- Verifica di stabilità aste inflesse (4.2.4.1.3.2) CC 17 SLU - Classe 3
  L_{cr}=0.19 Curva d: α_{imp}=0.76 k_c=0.94 ψ=2.02 M,cr=0.00 λ_{LT}=0.00
  $\lambda_{LT,0}$=0.20 β_{LT}=1.00 Φ_{LT}=0.00 β_{LT}=1.00 f=0.00 χ_{LT}=1.00
  CC 17 SLU My,Ed=-2.79 My,b,Rd=149.05 My,Ed/My,b,Rd=0.02

- Verifica di stabilità aste presso-inflesse (C4.2.4.1.3.3.1) - CC 1 SLV - Classe 3
  Sollecitazioni: N,Ed=-241.37 Myeq,Ed=1.32 Mzeq,Ed=-1.83
  Resistenze: Nc,Rd=23709.20 My,c,Rd=149.05 Mz,c,Rd=149.05 L=19.38
  λ_c=10.59 Ncr,y=1673810.00 λ^*_y=0.12 Curva b: Φ_y=0.49 χ_y=1.00
  λ_e=20.13 Ncr,z=462889.00 λ^*_z=0.23 Curva b: Φ_z=0.53 χ_z=0.99
  χ,min=0.99
  Verifica: 0.01+0.01+0.01=0.03

- Verifica a trazione [4.2.5] - CC 17 SLU Xl=0.13 - Classe 1
  Sollecitazioni: N=826.63 T_z=-23.58 T_y=52.15
  N,Ed=826.63 Npl,Rd=23709.20 Nu,Rd=28026.90 N,Ed/Nt,Rd=0.03
  Verifiche di duttilità [7.5.3]:
  q_0=4.00 N,Ed=826.63 Npl,Rd=23709.20 N,Ed/Npl,Rd=0.034865

- Verifica a taglio dir. Y [4.2.16] - CC 17 SLU Xl=0.10
  Sollecitazioni: N=826.39 T_z=-23.97 T_y=52.54

V,Ed=52.54 Vc,Rd=7560.76 V,Ed/Vc,Rd=0.01

- Verifica a taglio dir. Z [4.2.16]
V,Ed=-23.97 Vc,Rd=7560.76 V,Ed/Vc,Rd=0.00

Asta n. 1805 (-136 -168) angolari L50x10 Crit. 1

- Verifica di stabilità aste inflesse (4.2.4.1.3.2) CC 17 SLU - Classe 3
L_{cr}=0.19 Curva d: α_{imp}=0.76 k_c=0.94 ψ=2.04 M,cr=0.00 λ_{LT}=0.00
$\lambda_{LT,0}$=0.20 β_{LT}=1.00 Φ_{LT}=0.00 β_{LT}=1.00 f=0.00 χ_{LT}=1.00
CC 17 SLU My,Ed=-2.65 My,b,Rd=149.05 My,Ed/My,b,Rd=0.02

- Verifica di stabilità aste presso-inflesse (C4.2.4.1.3.3.1) - CC 1 SLV - Classe 3
Sollecitazioni: N,Ed=-221.01 Myeq,Ed=1.27 Mzeq,Ed=-1.77
Resistenze: Nc,Rd=23709.20 My,c,Rd=149.05 Mz,c,Rd=149.05 L=19.38
λ_c=10.59 Ncr,y=1673810.00 λ^*_y=0.12 Curva b: Φ_y=0.49 χ_y=1.00
λ_e=20.13 Ncr,z=462890.00 λ^*_z=0.23 Curva b: Φ_z=0.53 χ_z=0.99
χ,min=0.99
Verifica: 0.01+0.01+0.01=0.03

- Verifica a trazione [4.2.5] - CC 17 SLU Xl=0.12 - Classe 1
Sollecitazioni: N=784.80 T_z=-22.91 T_y=52.03
N,Ed=784.80 Npl,Rd=23709.20 Nu,Rd=28026.90 N,Ed/Nt,Rd=0.03
Verifiche di duttilità [7.5.3]:
q_0=4.00 N,Ed=784.80 Npl,Rd=23709.20 N,Ed/Npl,Rd=0.033101

- Verifica a taglio dir. Y [4.2.16] - CC 17 SLU Xl=0.10
Sollecitazioni: N=784.68 T_z=-23.11 T_y=52.23
V,Ed=52.23 Vc,Rd=7560.76 V,Ed/Vc,Rd=0.01

- Verifica a taglio dir. Z [4.2.16]
V,Ed=-23.11 Vc,Rd=7560.76 V,Ed/Vc,Rd=0.00

Asta n. 1805 (-168 -200) angolari L50x10 Crit. 1

- Verifica di stabilità aste inflesse (4.2.4.1.3.2) CC 17 SLU - Classe 3
L_{cr}=0.19 Curva d: α_{imp}=0.76 k_c=0.94 ψ=2.04 M,cr=0.00 λ_{LT}=0.00
$\lambda_{LT,0}$=0.20 β_{LT}=1.00 Φ_{LT}=0.00 β_{LT}=1.00 f=0.00 χ_{LT}=1.00
CC 17 SLU My,Ed=-2.55 My,b,Rd=149.05 My,Ed/My,b,Rd=0.02

- Verifica di stabilità aste presso-inflesse (C4.2.4.1.3.3.1) - CC 5 SLV - Classe 3
Sollecitazioni: N,Ed=-148.79 Myeq,Ed=-1.86 Mzeq,Ed=1.87
Resistenze: Nc,Rd=23709.20 My,c,Rd=149.05 Mz,c,Rd=149.05 L=19.38
λ_c=10.59 Ncr,y=1673810.00 λ^*_y=0.12 Curva b: Φ_y=0.49 χ_y=1.00
λ_e=20.13 Ncr,z=462890.00 λ^*_z=0.23 Curva b: Φ_z=0.53 χ_z=0.99
χ,min=0.99
Verifica: 0.01+0.01+0.01=0.03

- Verifica a trazione [4.2.5] - CC 17 SLU Xl=0.12 - Classe 1
Sollecitazioni: N=743.40 T_z=-22.01 T_y=51.78
N,Ed=743.40 Npl,Rd=23709.20 Nu,Rd=28026.90 N,Ed/Nt,Rd=0.03
Verifiche di duttilità [7.5.3]:
q_0=4.00 N,Ed=743.40 Npl,Rd=23709.20 N,Ed/Npl,Rd=0.031355

- Verifica a taglio dir. Y [4.2.16] - CC 17 SLU Xl=0.10
Sollecitazioni: N=743.29 T_z=-22.21 T_y=51.98
V,Ed=51.98 Vc,Rd=7560.76 V,Ed/Vc,Rd=0.01

- Verifica a taglio dir. Z [4.2.16]
  V,Ed=-22.21 Vc,Rd=7560.76 V,Ed/Vc,Rd=0.00

Asta n. 1805 (-200 -232) angolari L50x10 Crit. 1

- Verifica di stabilità aste inflesse (4.2.4.1.3.2) CC 17 SLU - Classe 3
  L_{cr}=0.19 Curva d: α_{imp}=0.76 k_c=0.94 ψ=2.03 M,cr=0.00 λ_{LT}=0.00
  $\lambda_{LT,0}$=0.20 β_{LT}=1.00 Φ_{LT}=0.00 β_{LT}=1.00 f=0.00 χ_{LT}=1.00
  CC 17 SLU My,Ed=-2.46 My,b,Rd=149.05 My,Ed/My,b,Rd=0.02

- Verifica di stabilità aste presso-inflesse (C4.2.4.1.3.3.1) - CC 5 SLV - Classe 3
  Sollecitazioni: N,Ed=-159.88 Myeq,Ed=-1.95 Mzeq,Ed=1.97
  Resistenze: Nc,Rd=23709.20 My,c,Rd=149.05 Mz,c,Rd=149.05 L=19.38
  λ_c=10.59 Ncr,y=1673810.00 λ^*_y=0.12 Curva b: Φ_y=0.49 χ_y=1.00
  λ_e=20.13 Ncr,z=462889.00 λ^*_z=0.23 Curva b: Φ_z=0.53 χ_z=0.99
  χ,min=0.99
  Verifica: 0.01+0.01+0.01=0.03

- Verifica a trazione [4.2.5] - CC 17 SLU Xl=0.12 - Classe 1
  Sollecitazioni: N=702.77 T_z=-21.10 T_y=51.55
  N,Ed=702.77 Npl,Rd=23709.20 Nu,Rd=28026.90 N,Ed/Nt,Rd=0.03
  Verifiche di duttilità [7.5.3]:
  q_0=4.00 N,Ed=702.77 Npl,Rd=23709.20 N,Ed/Npl,Rd=0.029641

- Verifica a taglio dir. Y [4.2.16] - CC 17 SLU Xl=0.10
  Sollecitazioni: N=702.65 T_z=-21.29 T_y=51.74
  V,Ed=51.74 Vc,Rd=7560.76 V,Ed/Vc,Rd=0.01

- Verifica a taglio dir. Z [4.2.16]
  V,Ed=-21.29 Vc,Rd=7560.76 V,Ed/Vc,Rd=0.00

Asta n. 1805 (-232 -264) angolari L50x10 Crit. 1

- Verifica di stabilità aste inflesse (4.2.4.1.3.2) CC 9 SLU - Classe 3
  L_{cr}=0.19 Curva d: α_{imp}=0.76 k_c=0.94 ψ=2.17 M,cr=0.00 λ_{LT}=0.00
  $\lambda_{LT,0}$=0.20 β_{LT}=1.00 Φ_{LT}=0.00 β_{LT}=1.00 f=0.00 χ_{LT}=1.00
  CC 9 SLU My,Ed=-2.40 My,b,Rd=149.05 My,Ed/My,b,Rd=0.02

- Verifica di stabilità aste presso-inflesse (C4.2.4.1.3.3.1) - CC 5 SLV - Classe 3
  Sollecitazioni: N,Ed=-171.50 Myeq,Ed=-2.04 Mzeq,Ed=2.08
  Resistenze: Nc,Rd=23709.20 My,c,Rd=149.05 Mz,c,Rd=149.05 L=19.38
  λ_c=10.59 Ncr,y=1673810.00 λ^*_y=0.12 Curva b: Φ_y=0.49 χ_y=1.00
  λ_e=20.13 Ncr,z=462889.00 λ^*_z=0.23 Curva b: Φ_z=0.53 χ_z=0.99
  χ,min=0.99
  Verifica: 0.01+0.01+0.01=0.03

- Verifica a trazione [4.2.5] - CC 17 SLU Xl=0.12 - Classe 1
  Sollecitazioni: N=663.03 T_z=-20.18 T_y=51.32
  N,Ed=663.03 Npl,Rd=23709.20 Nu,Rd=28026.90 N,Ed/Nt,Rd=0.03
  Verifiche di duttilità [7.5.3]:
  q_0=4.00 N,Ed=663.03 Npl,Rd=23709.20 N,Ed/Npl,Rd=0.027965

- Verifica a taglio dir. Y [4.2.16] - CC 17 SLU Xl=0.09
  Sollecitazioni: N=662.80 T_z=-20.57 T_y=51.71
  V,Ed=51.71 Vc,Rd=7560.76 V,Ed/Vc,Rd=0.01

- Verifica a taglio dir. Z [4.2.16]
  V,Ed=-20.57 Vc,Rd=7560.76 V,Ed/Vc,Rd=0.00

Asta n. 1805 (-264 -296) angolari L50x10 Crit. 1

- Verifica di stabilità aste inflesse (4.2.4.1.3.2) CC 9 SLU - Classe 3
  L_{cr}=0.19 Curva d: α_{imp}=0.76 k_c=0.94 ψ=2.13 M,cr=0.00 λ_{LT}=0.00
  $\lambda_{LT,0}$=0.20 β_{LT}=1.00 Φ_{LT}=0.00 β_{LT}=1.00 f=0.00 χ_{LT}=1.00
  CC 9 SLU My,Ed=-2.52 My,b,Rd=149.05 My,Ed/My,b,Rd=0.02

- Verifica di stabilità aste presso-inflesse (C4.2.4.1.3.3.1) - CC 5 SLV - Classe 3
  Sollecitazioni: N,Ed=-183.66 Myeq,Ed=-2.07 Mzeq,Ed=2.19
  Resistenze: Nc,Rd=23709.20 My,c,Rd=149.05 Mz,c,Rd=149.05 L=19.38
  λ_c=10.59 Ncr,y=1673810.00 λ^*_y=0.12 Curva b: Φ_y=0.49 χ_y=1.00
  λ_e=20.13 Ncr,z=462889.00 λ^*_z=0.23 Curva b: Φ_z=0.53 χ_z=0.99
  χ,min=0.99
  Verifica: 0.01+0.01+0.01=0.04

- Verifica a trazione [4.2.5] - CC 17 SLU Xl=0.12 - Classe 1
  Sollecitazioni: N=624.28 T_z=-19.25 T_y=51.14
  N,Ed=624.28 Npl,Rd=23709.20 Nu,Rd=28026.90 N,Ed/Nt,Rd=0.03
  Verifiche di duttilità [7.5.3]:
  q_0=4.00 N,Ed=624.28 Npl,Rd=23709.20 N,Ed/Npl,Rd=0.026331

- Verifica a taglio dir. Y [4.2.16] - CC 17 SLU Xl=0.09
  Sollecitazioni: N=624.05 T_z=-19.65 T_y=51.53
  V,Ed=51.53 Vc,Rd=7560.76 V,Ed/Vc,Rd=0.01

- Verifica a taglio dir. Z [4.2.16]
  V,Ed=-19.65 Vc,Rd=7560.76 V,Ed/Vc,Rd=0.00

Asta n. 1805 (-296 -328) angolari L50x10 Crit. 1

- Verifica di stabilità aste inflesse (4.2.4.1.3.2) CC 9 SLU - Classe 3
  L_{cr}=0.19 Curva d: α_{imp}=0.76 k_c=0.94 ψ=2.09 M,cr=0.00 λ_{LT}=0.00
  $\lambda_{LT,0}$=0.20 β_{LT}=1.00 Φ_{LT}=0.00 β_{LT}=1.00 f=0.00 χ_{LT}=1.00
  CC 9 SLU My,Ed=-2.65 My,b,Rd=149.05 My,Ed/My,b,Rd=0.02

- Verifica di stabilità aste presso-inflesse (C4.2.4.1.3.3.1) - CC 5 SLV - Classe 3
  Sollecitazioni: N,Ed=-196.38 Myeq,Ed=-2.11 Mzeq,Ed=2.31
  Resistenze: Nc,Rd=23709.20 My,c,Rd=149.05 Mz,c,Rd=149.05 L=19.38
  λ_c=10.59 Ncr,y=1673810.00 λ^*_y=0.12 Curva b: Φ_y=0.49 χ_y=1.00
  λ_e=20.13 Ncr,z=462889.00 λ^*_z=0.23 Curva b: Φ_z=0.53 χ_z=0.99
  χ,min=0.99
  Verifica: 0.01+0.01+0.02=0.04

- Verifica a trazione [4.2.5] - CC 19 SLU Xl=0.08 - Classe 1
  Sollecitazioni: N=600.35 T_z=5.01 T_y=49.18
  N,Ed=600.35 Npl,Rd=23709.20 Nu,Rd=28026.90 N,Ed/Nt,Rd=0.03
  Verifiche di duttilità [7.5.3]:
  q_0=4.00 N,Ed=600.35 Npl,Rd=23709.20 N,Ed/Npl,Rd=0.025321

- Verifica a taglio dir. Y [4.2.16] - CC 17 SLU Xl=0.09
  Sollecitazioni: N=586.37 T_z=-18.70 T_y=51.35
  V,Ed=51.35 Vc,Rd=7560.76 V,Ed/Vc,Rd=0.01

- Verifica a taglio dir. Z [4.2.16]
  V,Ed=-18.70 Vc,Rd=7560.76 V,Ed/Vc,Rd=0.00

Asta n. 1805 (-328 -360) angolari L50x10 Crit. 1

- Verifica di stabilità aste inflesse (4.2.4.1.3.2) CC 9 SLU - Classe 3
  L_{cr}=0.19 Curva d: α_{imp}=0.76 k_c=0.94 ψ=2.05 M,cr=0.00 λ_{LT}=0.00
  $\lambda_{LT,0}$=0.20 β_{LT}=1.00 Φ_{LT}=0.00 β_{LT}=1.00 f=0.00 χ_{LT}=1.00
  CC 9 SLU My,Ed=-2.79 My,b,Rd=149.05 My,Ed/My,b,Rd=0.02

- Verifica di stabilità aste presso-inflesse (C4.2.4.1.3.3.1) - CC 5 SLV - Classe 3
  Sollecitazioni: N,Ed=-209.68 Myeq,Ed=-2.15 Mzeq,Ed=2.44
  Resistenze: Nc,Rd=23709.20 My,c,Rd=149.05 Mz,c,Rd=149.05 L=19.38
  λ_c=10.59 Ncr,y=1673810.00 λ^*_y=0.12 Curva b: Φ_y=0.49 χ_y=1.00
  λ_e=20.13 Ncr,z=462889.00 λ^*_z=0.23 Curva b: Φ_z=0.53 χ_z=0.99
  χ,min=0.99
  Verifica: 0.01+0.01+0.02=0.04

- Verifica a trazione [4.2.5] - CC 17 SLU Xl=0.10 - Classe 1
  Sollecitazioni: N=549.98 T_z=-17.54 T_y=51.02
  N,Ed=549.98 Npl,Rd=23709.20 Nu,Rd=28026.90 N,Ed/Nt,Rd=0.02
  Verifiche di duttilità [7.5.3]:
  q_0=4.00 N,Ed=549.98 Npl,Rd=23709.20 N,Ed/Npl,Rd=0.023197

- Verifica a taglio dir. Y [4.2.16] - CC 17 SLU Xl=0.09
  Sollecitazioni: N=549.86 T_z=-17.74 T_y=51.21
  V,Ed=51.21 Vc,Rd=7560.76 V,Ed/Vc,Rd=0.01

- Verifica a taglio dir. Z [4.2.16]
  V,Ed=-17.74 Vc,Rd=7560.76 V,Ed/Vc,Rd=0.00

Asta n. 1805 (-360 -392) angolari L50x10 Crit. 1

- Verifica di stabilità aste inflesse (4.2.4.1.3.2) CC 9 SLU - Classe 3
  L_{cr}=0.19 Curva d: α_{imp}=0.76 k_c=0.94 ψ=2.01 M,cr=0.00 λ_{LT}=0.00
  $\lambda_{LT,0}$=0.20 β_{LT}=1.00 Φ_{LT}=0.00 β_{LT}=1.00 f=0.00 χ_{LT}=1.00
  CC 9 SLU My,Ed=-2.94 My,b,Rd=149.05 My,Ed/My,b,Rd=0.02

- Verifica di stabilità aste presso-inflesse (C4.2.4.1.3.3.1) - CC 5 SLV - Classe 3
  Sollecitazioni: N,Ed=-223.57 Myeq,Ed=-2.18 Mzeq,Ed=2.53
  Resistenze: Nc,Rd=23709.20 My,c,Rd=149.05 Mz,c,Rd=149.05 L=19.38
  λ_c=10.59 Ncr,y=1673810.00 λ^*_y=0.12 Curva b: Φ_y=0.49 χ_y=1.00
  λ_e=20.13 Ncr,z=462890.00 λ^*_z=0.23 Curva b: Φ_z=0.53 χ_z=0.99
  χ,min=0.99
  Verifica: 0.01+0.01+0.02=0.04

- Verifica a trazione [4.2.5] - CC 19 SLU Xl=0.06 - Classe 1
  Sollecitazioni: N=637.85 T_z=6.88 T_y=50.15
  N,Ed=637.85 Npl,Rd=23709.20 Nu,Rd=28026.90 N,Ed/Nt,Rd=0.03
  Verifiche di duttilità [7.5.3]:
  q_0=4.00 N,Ed=637.85 Npl,Rd=23709.20 N,Ed/Npl,Rd=0.026903

- Verifica a taglio dir. Y [4.2.16] - CC 17 SLU Xl=0.09
  Sollecitazioni: N=514.60 T_z=-16.78 T_y=51.13
  V,Ed=51.13 Vc,Rd=7560.76 V,Ed/Vc,Rd=0.01

- Verifica a taglio dir. Z [4.2.16]
  V,Ed=-16.78 Vc,Rd=7560.76 V,Ed/Vc,Rd=0.00

Asta n. 1805 (-392 -424) angolari L50x10 Crit. 1

- Verifica di stabilità aste inflesse (4.2.4.1.3.2) CC 9 SLU - Classe 3

L_{cr}=0.19 Curva d: α_{imp}=0.76 k_c=0.94 ψ=1.96 M,cr=0.00 λ_{LT}=0.00
$\lambda_{LT,0}$=0.20 β_{LT}=1.00 Φ_{LT}=0.00 β_{LT}=1.00 f=0.00 χ_{LT}=1.00
CC 9 SLU My,Ed=-3.11 My,b,Rd=149.05 My,Ed/My,b,Rd=0.02

- Verifica di stabilità aste presso-inflesse (C4.2.4.1.3.3.1) - CC 5 SLV - Classe 3
Sollecitazioni: N,Ed=-238.08 Myeq,Ed=-2.23 Mzeq,Ed=2.56
Resistenze: Nc,Rd=23709.20 My,c,Rd=149.05 Mz,c,Rd=149.05 L=19.38
λ_c=10.59 Ncr,y=1673810.00 λ^*_y=0.12 Curva b: Φ_y=0.49 χ_y=1.00
λ_e=20.13 Ncr,z=462889.00 λ^*_z=0.23 Curva b: Φ_z=0.53 χ_z=0.99
χ,min=0.99
Verifica: 0.01+0.01+0.02=0.04

- Verifica a trazione [4.2.5] - CC 9 SLU Xl=0.08 - Classe 1
Sollecitazioni: N=567.83 T_z=25.84 T_y=30.83
N,Ed=567.83 Npl,Rd=23709.20 Nu,Rd=28026.90 N,Ed/Nt,Rd=0.02
Verifiche di duttilità [7.5.3]:
q_0=4.00 N,Ed=567.83 Npl,Rd=23709.20 N,Ed/Npl,Rd=0.023950

- Verifica a taglio dir. Y [4.2.16] - CC 17 SLU Xl=0.09
Sollecitazioni: N=480.73 T_z=-15.76 T_y=50.94
V,Ed=50.94 Vc,Rd=7560.76 V,Ed/Vc,Rd=0.01

- Verifica a taglio dir. Z [4.2.16]
V,Ed=-15.76 Vc,Rd=7560.76 V,Ed/Vc,Rd=0.00

Asta n. 1805 (-424 -456) angolari L50x10 Crit. 1

- Verifica di stabilità aste inflesse (4.2.4.1.3.2) CC 9 SLU - Classe 3
L_{cr}=0.19 Curva d: α_{imp}=0.76 k_c=0.94 ψ=1.92 M,cr=0.00 λ_{LT}=0.00
$\lambda_{LT,0}$=0.20 β_{LT}=1.00 Φ_{LT}=0.00 β_{LT}=1.00 f=0.00 χ_{LT}=1.00
CC 9 SLU My,Ed=-3.23 My,b,Rd=149.05 My,Ed/My,b,Rd=0.02

- Verifica di stabilità aste presso-inflesse (C4.2.4.1.3.3.1) - CC 5 SLV - Classe 3
Sollecitazioni: N,Ed=-253.22 Myeq,Ed=-2.19 Mzeq,Ed=2.72
Resistenze: Nc,Rd=23709.20 My,c,Rd=149.05 Mz,c,Rd=149.05 L=19.38
λ_c=10.59 Ncr,y=1673810.00 λ^*_y=0.12 Curva b: Φ_y=0.49 χ_y=1.00
λ_e=20.13 Ncr,z=462889.00 λ^*_z=0.23 Curva b: Φ_z=0.53 χ_z=0.99
χ,min=0.99
Verifica: 0.01+0.01+0.02=0.04

- Verifica a trazione [4.2.5] - CC 9 SLU Xl=0.08 - Classe 1
Sollecitazioni: N=635.76 T_z=25.99 T_y=33.09
N,Ed=635.76 Npl,Rd=23709.20 Nu,Rd=28026.90 N,Ed/Nt,Rd=0.03
Verifiche di duttilità [7.5.3]:
q_0=4.00 N,Ed=635.76 Npl,Rd=23709.20 N,Ed/Npl,Rd=0.026815

- Verifica a taglio dir. Y [4.2.16] - CC 17 SLU Xl=0.09
Sollecitazioni: N=448.50 T_z=-15.03 T_y=51.75
V,Ed=51.75 Vc,Rd=7560.76 V,Ed/Vc,Rd=0.01

- Verifica a taglio dir. Z [4.2.16]
V,Ed=-15.03 Vc,Rd=7560.76 V,Ed/Vc,Rd=0.00

Asta n. 1805 (-456 -488) angolari L50x10 Crit. 1

- Verifica di stabilità aste inflesse (4.2.4.1.3.2) CC 9 SLU - Classe 3
L_{cr}=0.19 Curva d: α_{imp}=0.76 k_c=0.94 ψ=1.85 M,cr=0.00 λ_{LT}=0.00
$\lambda_{LT,0}$=0.20 β_{LT}=1.00 Φ_{LT}=0.00 β_{LT}=1.00 f=0.00 χ_{LT}=1.00

CC 9 SLU My,Ed=-4.03 My,b,Rd=149.05 My,Ed/My,b,Rd=0.03

- Verifica di stabilità aste presso-inflesse (C4.2.4.1.3.3.1) - CC 5 SLV - Classe 3
Sollecitazioni: N,Ed=-268.75 Myeq,Ed=-2.80 Mzeq,Ed=2.02
Resistenze: Nc,Rd=23709.20 My,c,Rd=149.05 Mz,c,Rd=149.05 L=19.38
λ_c=10.59 Ncr,y=1673810.00 λ^*_y=0.12 Curva b: Φ_y=0.49 χ_y=1.00
λ_e=20.13 Ncr,z=462890.00 λ^*_z=0.23 Curva b: Φ_z=0.53 χ_z=0.99
χ,min=0.99
Verifica: 0.01+0.02+0.01=0.04

- Verifica a trazione [4.2.5] - CC 9 SLU Xl=0.06 - Classe 1
Sollecitazioni: N=706.39 T_z=30.72 T_y=24.27
N,Ed=706.39 Npl,Rd=23709.20 Nu,Rd=28026.90 N,Ed/Nt,Rd=0.03
Verifiche di duttilità [7.5.3]:
q_0=4.00 N,Ed=706.39 Npl,Rd=23709.20 N,Ed/Npl,Rd=0.029794

- Verifica a taglio dir. Y [4.2.16] - CC 17 SLU Xl=0.08
Sollecitazioni: N=418.75 T_z=-12.12 T_y=45.87
V,Ed=45.87 Vc,Rd=7560.76 V,Ed/Vc,Rd=0.01

- Verifica a taglio dir. Z [4.2.16]
V,Ed=-12.12 Vc,Rd=7560.76 V,Ed/Vc,Rd=0.00

Asta n. 1805 (-488 1307) angolari L50x10 Crit. 1

- Verifica di stabilità aste inflesse (4.2.4.1.3.2) CC 18 SLU - Classe 3
L_{cr}=0.19 Curva d: α_{imp}=0.76 k_c=0.94 ψ=1.73 M,cr=0.00 λ_{LT}=0.00
$\lambda_{LT,0}$=0.20 β_{LT}=1.00 Φ_{LT}=0.00 β_{LT}=1.00 f=0.00 χ_{LT}=1.00
CC 18 SLU My,Ed=-2.96 My,b,Rd=149.05 My,Ed/My,b,Rd=0.02

- Verifica di stabilità aste presso-inflesse (C4.2.4.1.3.3.1) - CC 5 SLV - Classe 3
Sollecitazioni: N,Ed=-286.98 Myeq,Ed=-1.29 Mzeq,Ed=5.63
Resistenze: Nc,Rd=23709.20 My,c,Rd=149.05 Mz,c,Rd=149.05 L=19.38
λ_c=10.59 Ncr,y=1673810.00 λ^*_y=0.12 Curva b: Φ_y=0.49 χ_y=1.00
λ_e=20.13 Ncr,z=462891.00 λ^*_z=0.23 Curva b: Φ_z=0.53 χ_z=0.99
χ,min=0.99
Verifica: 0.01+0.01+0.04=0.06

- Verifica in termini tensionali [4.2.4] - CC 19 SLU Xl=0.14 - Classe 3
Sollecitazioni: N=751.44 T_z=-7.59 T_y=101.74 M_z=10.73
Tensioni: σ_N=83.01 σ_M=233.95 τ=4.35 σ_{max}=316.96
Tensioni: σ_N=83.01 σ_M=-44.15 τ=29.34 τ_{max}=29.34
Tensioni: σ_N=83.01 σ_M=233.95 τ=4.35 $\sigma_{ID,max}$=317.05

- Verifica a taglio dir. Y [4.2.16] - CC 19 SLU Xl=0.04
Sollecitazioni: N=750.46 T_z=-8.58 T_y=102.70
V,Ed=102.70 Vc,Rd=7560.76 V,Ed/Vc,Rd=0.01

- Verifica a taglio dir. Z [4.2.16]
V,Ed=-8.58 Vc,Rd=7560.76 V,Ed/Vc,Rd=0.00

Asta n. 1830 (-50 -82) angolari L50x10 Crit. 1

- Verifica di stabilità aste inflesse (4.2.4.1.3.2) CC 17 SLU - Classe 3
L_{cr}=0.19 Curva d: α_{imp}=0.76 k_c=0.94 ψ=1.74 M,cr=0.00 λ_{LT}=0.00
$\lambda_{LT,0}$=0.20 β_{LT}=1.00 Φ_{LT}=0.00 β_{LT}=1.00 f=0.00 χ_{LT}=1.00
CC 17 SLU My,Ed=-5.77 My,b,Rd=149.05 My,Ed/My,b,Rd=0.04

- Verifica di stabilità aste presso-inflesse (C4.2.4.1.3.3.1) - CC 18 SLU - Classe 3

Sollecitazioni: N,Ed=-717.33 Myeq,Ed=-2.30 Mzeq,Ed=3.29
Resistenze: Nc,Rd=23709.20 My,c,Rd=149.05 Mz,c,Rd=149.05 L=19.38
λ_c=10.59 Ncr,y=1673810.00 λ^*_y=0.12 Curva b: Φ_y=0.49 χ_y=1.00
λ_e=20.13 Ncr,z=462889.00 λ^*_z=0.23 Curva b: Φ_z=0.53 χ_z=0.99
χ,min=0.99
Verifica: 0.03+0.02+0.02=0.07

- Verifica a compressione [4.2.9] - CC 18 SLU Xl=0.14 - Classe 1
Sollecitazioni: N=-716.55 T_z=-29.52 T_y=-41.58
N,Ed=-716.55 Nc,Rd=-23709.20 N,Ed/Nc,Rd=0.03
Verifiche di duttilità [7.5.3]:
q_0=4.00 N,Ed=-716.55 Npl,Rd=23709.20 N,Ed/Npl,Rd=0.030223

- Verifica a taglio dir. Y [4.2.16] - CC 17 SLU Xl=0.16
Sollecitazioni: N=416.32 T_z=-47.45 T_y=14.35
V,Ed=14.35 Vc,Rd=7560.76 V,Ed/Vc,Rd=0.00

- Verifica a taglio dir. Z [4.2.16]
V,Ed=-47.45 Vc,Rd=7560.76 V,Ed/Vc,Rd=0.01

Asta n. 1830 (-82 -114) angolari L50x10 Crit. 1

- Verifica di stabilità aste inflesse (4.2.4.1.3.2) CC 17 SLU - Classe 3
L_{cr}=0.19 Curva d: α_{imp}=0.76 k_c=0.94 ψ=2.37 M,cr=0.00 λ_{LT}=0.00
$\lambda_{LT,0}$=0.20 β_{LT}=1.00 Φ_{LT}=0.00 β_{LT}=1.00 f=0.00 χ_{LT}=1.00
CC 17 SLU My,Ed=-4.37 My,b,Rd=149.05 My,Ed/My,b,Rd=0.03

- Verifica di stabilità aste presso-inflesse (C4.2.4.1.3.3.1) - CC 18 SLU - Classe 3
Sollecitazioni: N,Ed=-763.66 Myeq,Ed=2.55 Mzeq,Ed=3.59
Resistenze: Nc,Rd=23709.20 My,c,Rd=149.05 Mz,c,Rd=149.05 L=19.38
λ_c=10.59 Ncr,y=1673810.00 λ^*_y=0.12 Curva b: Φ_y=0.49 χ_y=1.00
λ_e=20.13 Ncr,z=462890.00 λ^*_z=0.23 Curva b: Φ_z=0.53 χ_z=0.99
χ,min=0.99
Verifica: 0.03+0.02+0.02=0.07

- Verifica a compressione [4.2.9] - CC 18 SLU Xl=0.09 - Classe 1
Sollecitazioni: N=-763.07 T_z=-34.24 T_y=-43.98
N,Ed=-763.07 Nc,Rd=-23709.20 N,Ed/Nc,Rd=0.03
Verifiche di duttilità [7.5.3]:
q_0=4.00 N,Ed=-763.07 Npl,Rd=23709.20 N,Ed/Npl,Rd=0.032184

- Verifica a taglio dir. Y [4.2.16] - CC 17 SLU Xl=0.10
Sollecitazioni: N=353.35 T_z=-45.89 T_y=17.42
V,Ed=17.42 Vc,Rd=7560.76 V,Ed/Vc,Rd=0.00

- Verifica a taglio dir. Z [4.2.16]
V,Ed=-45.89 Vc,Rd=7560.76 V,Ed/Vc,Rd=0.01

Asta n. 1830 (-114 -146) angolari L50x10 Crit. 1

- Verifica di stabilità aste inflesse (4.2.4.1.3.2) CC 17 SLU - Classe 3
L_{cr}=0.19 Curva d: α_{imp}=0.76 k_c=0.94 ψ=2.69 M,cr=0.00 λ_{LT}=0.00
$\lambda_{LT,0}$=0.20 β_{LT}=1.00 Φ_{LT}=0.00 β_{LT}=1.00 f=0.00 χ_{LT}=1.00
CC 17 SLU My,Ed=-3.76 My,b,Rd=149.05 My,Ed/My,b,Rd=0.03

- Verifica di stabilità aste presso-inflesse (C4.2.4.1.3.3.1) - CC 18 SLU - Classe 3
Sollecitazioni: N,Ed=-823.47 Myeq,Ed=2.99 Mzeq,Ed=-3.28
Resistenze: Nc,Rd=23709.20 My,c,Rd=149.05 Mz,c,Rd=149.05 L=19.38

λ_c=10.59 Ncr,y=1673810.00 λ^*_y=0.12 Curva b: Φ_y=0.49 χ_y=1.00
λ_e=20.13 Ncr,z=462889.00 λ^*_z=0.23 Curva b: Φ_z=0.53 χ_z=0.99
χ,min=0.99
Verifica: 0.03+0.02+0.02=0.08

- Verifica a compressione [4.2.9] - CC 18 SLU Xl=0.08 - Classe 1
Sollecitazioni: N=-823.00 T_z=-33.74 T_y=-43.93
N,Ed=-823.00 Nc,Rd=-23709.20 N,Ed/Nc,Rd=0.03
Verifiche di duttilità [7.5.3]:
q_0=4.00 N,Ed=-823.00 Npl,Rd=23709.20 N,Ed/Npl,Rd=0.034712

- Verifica a taglio dir. Y [4.2.16] - CC 17 SLU Xl=0.09
Sollecitazioni: N=273.11 T_z=-45.64 T_y=16.52
V,Ed=16.52 Vc,Rd=7560.76 V,Ed/Vc,Rd=0.00

- Verifica a taglio dir. Z [4.2.16]
V,Ed=-45.64 Vc,Rd=7560.76 V,Ed/Vc,Rd=0.01

Asta n. 1830 (-146 -178) angolari L50x10 Crit. 1

- Verifica di stabilità aste inflesse (4.2.4.1.3.2) CC 17 SLU - Classe 3
L_{cr}=0.19 Curva d: α_{imp}=0.76 k_c=0.94 ψ=2.83 M,cr=0.00 λ_{LT}=0.00
$\lambda_{LT,0}$=0.20 β_{LT}=1.00 Φ_{LT}=0.00 β_{LT}=1.00 f=0.00 χ_{LT}=1.00
CC 17 SLU My,Ed=-3.54 My,b,Rd=149.05 My,Ed/My,b,Rd=0.02

- Verifica di stabilità aste presso-inflesse (C4.2.4.1.3.3.1) - CC 18 SLU - Classe 3
Sollecitazioni: N,Ed=-887.41 Myeq,Ed=3.13 Mzeq,Ed=-3.48
Resistenze: Nc,Rd=23709.20 My,c,Rd=149.05 Mz,c,Rd=149.05 L=19.38
λ_c=10.59 Ncr,y=1673810.00 λ^*_y=0.12 Curva b: Φ_y=0.49 χ_y=1.00
λ_e=20.13 Ncr,z=462890.00 λ^*_z=0.23 Curva b: Φ_z=0.53 χ_z=0.99
χ,min=0.99
Verifica: 0.04+0.02+0.02=0.08

- Verifica a compressione [4.2.9] - CC 18 SLU Xl=0.08 - Classe 1
Sollecitazioni: N=-886.94 T_z=-33.67 T_y=-44.05
N,Ed=-886.94 Nc,Rd=-23709.20 N,Ed/Nc,Rd=0.04
Verifiche di duttilità [7.5.3]:
q_0=4.00 N,Ed=-886.94 Npl,Rd=23709.20 N,Ed/Npl,Rd=0.037409

- Verifica a taglio dir. Y [4.2.16] - CC 17 SLU Xl=0.09
Sollecitazioni: N=188.02 T_z=-45.23 T_y=15.43
V,Ed=15.43 Vc,Rd=7560.76 V,Ed/Vc,Rd=0.00

- Verifica a taglio dir. Z [4.2.16]
V,Ed=-45.23 Vc,Rd=7560.76 V,Ed/Vc,Rd=0.01

Asta n. 1830 (-178 -210) angolari L50x10 Crit. 1

- Verifica di stabilità aste inflesse (4.2.4.1.3.2) CC 17 SLU - Classe 3
L_{cr}=0.19 Curva d: α_{imp}=0.76 k_c=0.94 ψ=2.92 M,cr=0.00 λ_{LT}=0.00
$\lambda_{LT,0}$=0.20 β_{LT}=1.00 Φ_{LT}=0.00 β_{LT}=1.00 f=0.00 χ_{LT}=1.00
CC 17 SLU My,Ed=-3.40 My,b,Rd=149.05 My,Ed/My,b,Rd=0.02

- Verifica di stabilità aste presso-inflesse (C4.2.4.1.3.3.1) - CC 18 SLU - Classe 3
Sollecitazioni: N,Ed=-953.40 Myeq,Ed=3.12 Mzeq,Ed=-3.61
Resistenze: Nc,Rd=23709.20 My,c,Rd=149.05 Mz,c,Rd=149.05 L=19.38
λ_c=10.59 Ncr,y=1673810.00 λ^*_y=0.12 Curva b: Φ_y=0.49 χ_y=1.00
λ_e=20.13 Ncr,z=462890.00 λ^*_z=0.23 Curva b: Φ_z=0.53 χ_z=0.99

χ,min=0.99
Verifica: 0.04+0.02+0.02=0.09

- Verifica a compressione [4.2.9] - CC 18 SLU Xl=0.06 - Classe 1
Sollecitazioni: N=-953.04 T_z=-33.68 T_y=-44.27
N,Ed=-953.04 Nc,Rd=-23709.20 N,Ed/Nc,Rd=0.04
Verifiche di duttilità [7.5.3]:
q_0=4.00 N,Ed=-953.04 Npl,Rd=23709.20 N,Ed/Npl,Rd=0.040197

- Verifica a taglio dir. Y [4.2.16] - CC 17 SLU Xl=0.09
Sollecitazioni: N=100.86 T_z=-44.82 T_y=14.32
V,Ed=14.32 Vc,Rd=7560.76 V,Ed/Vc,Rd=0.00

- Verifica a taglio dir. Z [4.2.16]
V,Ed=-44.82 Vc,Rd=7560.76 V,Ed/Vc,Rd=0.01

Asta n. 1830 (-210 -242) angolari L50x10 Crit. 1

- Verifica di stabilità aste inflesse (4.2.4.1.3.2) CC 17 SLU - Classe 3
L_{cr}=0.19 Curva d: α_{imp}=0.76 k_c=0.94 ψ=3.01 M,cr=0.00 λ_{LT}=0.00
$\lambda_{LT,0}$=0.20 β_{LT}=1.00 Φ_{LT}=0.00 β_{LT}=1.00 f=0.00 χ_{LT}=1.00
CC 17 SLU My,Ed=-3.27 My,b,Rd=149.05 My,Ed/My,b,Rd=0.02

- Verifica di stabilità aste presso-inflesse (C4.2.4.1.3.3.1) - CC 18 SLU - Classe 3
Sollecitazioni: N,Ed=-1021.00 Myeq,Ed=3.11 Mzeq,Ed=-3.74
Resistenze: Nc,Rd=23709.20 My,c,Rd=149.05 Mz,c,Rd=149.05 L=19.38
λ_c=10.59 Ncr,y=1673810.00 λ^*_y=0.12 Curva b: Φ_y=0.49 χ_y=1.00
λ_e=20.13 Ncr,z=462889.00 λ^*_z=0.23 Curva b: Φ_z=0.53 χ_z=0.99
χ,min=0.99
Verifica: 0.04+0.02+0.03=0.09

- Verifica a compressione [4.2.9] - CC 18 SLU Xl=0.06 - Classe 1
Sollecitazioni: N=-1020.64 T_z=-33.62 T_y=-44.45
N,Ed=-1020.64 Nc,Rd=-23709.20 N,Ed/Nc,Rd=0.04
Verifiche di duttilità [7.5.3]:
q_0=4.00 N,Ed=-1020.64 Npl,Rd=23709.20 N,Ed/Npl,Rd=0.043048

- Verifica a taglio dir. Y [4.2.16] - CC 17 SLU Xl=0.08
Sollecitazioni: N=12.09 T_z=-44.62 T_y=13.40
V,Ed=13.40 Vc,Rd=7560.76 V,Ed/Vc,Rd=0.00

- Verifica a taglio dir. Z [4.2.16]
V,Ed=-44.62 Vc,Rd=7560.76 V,Ed/Vc,Rd=0.01

Asta n. 1830 (-242 -274) angolari L50x10 Crit. 1

- Verifica di stabilità aste inflesse (4.2.4.1.3.2) CC 5 SLV - Classe 3
L_{cr}=0.19 Curva d: α_{imp}=0.76 k_c=0.94 ψ=2.39 M,cr=0.00 λ_{LT}=0.00
$\lambda_{LT,0}$=0.20 β_{LT}=1.00 Φ_{LT}=0.00 β_{LT}=1.00 f=0.00 χ_{LT}=1.00
CC 5 SLV My,Ed=2.01 My,b,Rd=149.05 My,Ed/My,b,Rd=0.01

- Verifica di stabilità aste presso-inflesse (C4.2.4.1.3.3.1) - CC 18 SLU - Classe 3
Sollecitazioni: N,Ed=-1090.21 Myeq,Ed=3.11 Mzeq,Ed=-3.87
Resistenze: Nc,Rd=23709.20 My,c,Rd=149.05 Mz,c,Rd=149.05 L=19.38
λ_c=10.59 Ncr,y=1673810.00 λ^*_y=0.12 Curva b: Φ_y=0.49 χ_y=1.00
λ_e=20.13 Ncr,z=462889.00 λ^*_z=0.23 Curva b: Φ_z=0.53 χ_z=0.99
χ,min=0.99
Verifica: 0.05+0.02+0.03=0.09

- Verifica a compressione [4.2.9] - CC 18 SLU Xl=0.06 - Classe 1
  Sollecitazioni: N=-1089.86 T_z=-33.61 T_y=-44.67
  N,Ed=-1089.86 Nc,Rd=-23709.20 N,Ed/Nc,Rd=0.05
  Verifiche di duttilità [7.5.3]:
  q_0=4.00 N,Ed=-1089.86 Npl,Rd=23709.20 N,Ed/Npl,Rd=0.045968

- Verifica a taglio dir. Y [4.2.16] - CC 18 SLU Xl=0.06
  Sollecitazioni: N=-1089.86 T_z=-33.61 T_y=-44.67
  V,Ed=-44.67 Vc,Rd=7560.76 V,Ed/Vc,Rd=0.01

- Verifica a taglio dir. Z [4.2.16]
  V,Ed=-33.61 Vc,Rd=7560.76 V,Ed/Vc,Rd=0.00

Asta n. 1830 (-274 -306) angolari L50x10 Crit. 1

- Verifica di stabilità aste inflesse (4.2.4.1.3.2) CC 5 SLV - Classe 3
  L_{cr}=0.19 Curva d: α_{imp}=0.76 k_c=0.94 ψ=2.32 M,cr=0.00 λ_{LT}=0.00
  $\lambda_{LT,0}$=0.20 β_{LT}=1.00 Φ_{LT}=0.00 β_{LT}=1.00 f=0.00 χ_{LT}=1.00
  CC 5 SLV My,Ed=2.11 My,b,Rd=149.05 My,Ed/My,b,Rd=0.01

- Verifica di stabilità aste presso-inflesse (C4.2.4.1.3.3.1) - CC 18 SLU - Classe 3
  Sollecitazioni: N,Ed=-1161.15 Myeq,Ed=3.11 Mzeq,Ed=-4.01
  Resistenze: Nc,Rd=23709.20 My,c,Rd=149.05 Mz,c,Rd=149.05 L=19.38
  λ_c=10.59 Ncr,y=1673810.00 λ^*_y=0.12 Curva b: Φ_y=0.49 χ_y=1.00
  λ_e=20.13 Ncr,z=462889.00 λ^*_z=0.23 Curva b: Φ_z=0.53 χ_z=0.99
  χ,min=0.99
  Verifica: 0.05+0.02+0.03=0.10

- Verifica a compressione [4.2.9] - CC 18 SLU Xl=0.06 - Classe 1
  Sollecitazioni: N=-1160.80 T_z=-33.58 T_y=-44.91
  N,Ed=-1160.80 Nc,Rd=-23709.20 N,Ed/Nc,Rd=0.05
  Verifiche di duttilità [7.5.3]:
  q_0=4.00 N,Ed=-1160.80 Npl,Rd=23709.20 N,Ed/Npl,Rd=0.048960

- Verifica a taglio dir. Y [4.2.16] - CC 18 SLU Xl=0.06
  Sollecitazioni: N=-1160.80 T_z=-33.58 T_y=-44.91
  V,Ed=-44.91 Vc,Rd=7560.76 V,Ed/Vc,Rd=0.01

- Verifica a taglio dir. Z [4.2.16]
  V,Ed=-33.58 Vc,Rd=7560.76 V,Ed/Vc,Rd=0.00

Asta n. 1830 (-306 -338) angolari L50x10 Crit. 1

- Verifica di stabilità aste inflesse (4.2.4.1.3.2) CC 5 SLV - Classe 3
  L_{cr}=0.19 Curva d: α_{imp}=0.76 k_c=0.94 ψ=2.27 M,cr=0.00 λ_{LT}=0.00
  $\lambda_{LT,0}$=0.20 β_{LT}=1.00 Φ_{LT}=0.00 β_{LT}=1.00 f=0.00 χ_{LT}=1.00
  CC 5 SLV My,Ed=2.22 My,b,Rd=149.05 My,Ed/My,b,Rd=0.01

- Verifica di stabilità aste presso-inflesse (C4.2.4.1.3.3.1) - CC 18 SLU - Classe 3
  Sollecitazioni: N,Ed=-1233.91 Myeq,Ed=3.10 Mzeq,Ed=-4.16
  Resistenze: Nc,Rd=23709.20 My,c,Rd=149.05 Mz,c,Rd=149.05 L=19.38
  λ_c=10.59 Ncr,y=1673810.00 λ^*_y=0.12 Curva b: Φ_y=0.49 χ_y=1.00
  λ_e=20.13 Ncr,z=462889.00 λ^*_z=0.23 Curva b: Φ_z=0.53 χ_z=0.99
  χ,min=0.99
  Verifica: 0.05+0.02+0.03=0.10

- Verifica a compressione [4.2.9] - CC 18 SLU Xl=0.06 - Classe 1

Sollecitazioni: N=-1233.55 T_z=-33.52 T_y=-45.13
N,Ed=-1233.55 Nc,Rd=-23709.20 N,Ed/Nc,Rd=0.05
Verifiche di duttilità [7.5.3]:
q_0=4.00 N,Ed=-1233.55 Npl,Rd=23709.20 N,Ed/Npl,Rd=0.052028

- Verifica a taglio dir. Y [4.2.16] - CC 18 SLU Xl=0.06
Sollecitazioni: N=-1233.55 T_z=-33.52 T_y=-45.13
V,Ed=-45.13 Vc,Rd=7560.76 V,Ed/Vc,Rd=0.01

- Verifica a taglio dir. Z [4.2.16]
V,Ed=-33.52 Vc,Rd=7560.76 V,Ed/Vc,Rd=0.00

Asta n. 1830 (-338 -370) angolari L50x10 Crit. 1

- Verifica di stabilità aste inflesse (4.2.4.1.3.2) CC 5 SLV - Classe 3
L_{cr}=0.19 Curva d: α_{imp}=0.76 k_c=0.94 ψ=2.21 M,cr=0.00 λ_{LT}=0.00
$\lambda_{LT,0}$=0.20 β_{LT}=1.00 Φ_{LT}=0.00 β_{LT}=1.00 f=0.00 χ_{LT}=1.00
CC 5 SLV My,Ed=2.33 My,b,Rd=149.05 My,Ed/My,b,Rd=0.02

- Verifica di stabilità aste presso-inflesse (C4.2.4.1.3.3.1) - CC 18 SLU - Classe 3
Sollecitazioni: N,Ed=-1308.59 Myeq,Ed=3.11 Mzeq,Ed=-4.22
Resistenze: Nc,Rd=23709.20 My,c,Rd=149.05 Mz,c,Rd=149.05 L=19.38
λ_c=10.59 Ncr,y=1673810.00 λ^*_y=0.12 Curva b: Φ_y=0.49 χ_y=1.00
λ_e=20.13 Ncr,z=462889.00 λ^*_z=0.23 Curva b: Φ_z=0.53 χ_z=0.99
χ,min=0.99
Verifica: 0.06+0.02+0.03=0.10

- Verifica a compressione [4.2.9] - CC 18 SLU Xl=0.05 - Classe 1
Sollecitazioni: N=-1308.35 T_z=-33.70 T_y=-45.57
N,Ed=-1308.35 Nc,Rd=-23709.20 N,Ed/Nc,Rd=0.06
Verifiche di duttilità [7.5.3]:
q_0=4.00 N,Ed=-1308.35 Npl,Rd=23709.20 N,Ed/Npl,Rd=0.055183

- Verifica a taglio dir. Y [4.2.16] - CC 18 SLU Xl=0.05
Sollecitazioni: N=-1308.35 T_z=-33.70 T_y=-45.57
V,Ed=-45.57 Vc,Rd=7560.76 V,Ed/Vc,Rd=0.01

- Verifica a taglio dir. Z [4.2.16]
V,Ed=-33.70 Vc,Rd=7560.76 V,Ed/Vc,Rd=0.00

Asta n. 1830 (-370 -402) angolari L50x10 Crit. 1

- Verifica di stabilità aste inflesse (4.2.4.1.3.2) CC 5 SLV - Classe 3
L_{cr}=0.19 Curva d: α_{imp}=0.76 k_c=0.94 ψ=2.15 M,cr=0.00 λ_{LT}=0.00
$\lambda_{LT,0}$=0.20 β_{LT}=1.00 Φ_{LT}=0.00 β_{LT}=1.00 f=0.00 χ_{LT}=1.00
CC 5 SLV My,Ed=2.45 My,b,Rd=149.05 My,Ed/My,b,Rd=0.02

- Verifica di stabilità aste presso-inflesse (C4.2.4.1.3.3.1) - CC 18 SLU - Classe 3
Sollecitazioni: N,Ed=-1385.37 Myeq,Ed=3.10 Mzeq,Ed=-4.25
Resistenze: Nc,Rd=23709.20 My,c,Rd=149.05 Mz,c,Rd=149.05 L=19.38
λ_c=10.59 Ncr,y=1673810.00 λ^*_y=0.12 Curva b: Φ_y=0.49 χ_y=1.00
λ_e=20.13 Ncr,z=462890.00 λ^*_z=0.23 Curva b: Φ_z=0.53 χ_z=0.99
χ,min=0.99
Verifica: 0.06+0.02+0.03=0.11

- Verifica a compressione [4.2.9] - CC 18 SLU Xl=0.05 - Classe 1
Sollecitazioni: N=-1385.13 T_z=-33.64 T_y=-45.92
N,Ed=-1385.13 Nc,Rd=-23709.20 N,Ed/Nc,Rd=0.06

Verifiche di duttilità [7.5.3]:
q_0=4.00 N,Ed=-1385.13 Npl,Rd=23709.20 N,Ed/Npl,Rd=0.058422

- Verifica a taglio dir. Y [4.2.16] - CC 18 SLU Xl=0.05
Sollecitazioni: N=-1385.13 T_z=-33.64 T_y=-45.92
V,Ed=-45.92 Vc,Rd=7560.76 V,Ed/Vc,Rd=0.01

- Verifica a taglio dir. Z [4.2.16]
V,Ed=-33.64 Vc,Rd=7560.76 V,Ed/Vc,Rd=0.00

Asta n. 1830 (-402 -434) angolari L50x10 Crit. 1

- Verifica di stabilità aste inflesse (4.2.4.1.3.2) CC 5 SLV - Classe 3
L_{cr}=0.19 Curva d: α_{imp}=0.76 k_c=0.94 ψ=2.09 M,cr=0.00 λ_{LT}=0.00
$\lambda_{LT,0}$=0.20 β_{LT}=1.00 Φ_{LT}=0.00 β_{LT}=1.00 f=0.00 χ_{LT}=1.00
CC 5 SLV My,Ed=2.61 My,b,Rd=149.05 My,Ed/My,b,Rd=0.02

- Verifica di stabilità aste presso-inflesse (C4.2.4.1.3.3.1) - CC 18 SLU - Classe 3
Sollecitazioni: N,Ed=-1464.36 Myeq,Ed=3.16 Mzeq,Ed=-4.26
Resistenze: Nc,Rd=23709.20 My,c,Rd=149.05 Mz,c,Rd=149.05 L=19.38
λ_c=10.59 Ncr,y=1673810.00 λ^*_y=0.12 Curva b: Φ_y=0.49 χ_y=1.00
λ_e=20.13 Ncr,z=462889.00 λ^*_z=0.23 Curva b: Φ_z=0.53 χ_z=0.99
χ,min=0.99
Verifica: 0.06+0.02+0.03=0.11

- Verifica a compressione [4.2.9] - CC 18 SLU Xl=0.05 - Classe 1
Sollecitazioni: N=-1464.12 T_z=-34.21 T_y=-46.04
N,Ed=-1464.12 Nc,Rd=-23709.20 N,Ed/Nc,Rd=0.06
Verifiche di duttilità [7.5.3]:
q_0=4.00 N,Ed=-1464.12 Npl,Rd=23709.20 N,Ed/Npl,Rd=0.061753

- Verifica a taglio dir. Y [4.2.16] - CC 18 SLU Xl=0.05
Sollecitazioni: N=-1464.12 T_z=-34.21 T_y=-46.04
V,Ed=-46.04 Vc,Rd=7560.76 V,Ed/Vc,Rd=0.01

- Verifica a taglio dir. Z [4.2.16]
V,Ed=-34.21 Vc,Rd=7560.76 V,Ed/Vc,Rd=0.00

Asta n. 1830 (-434 -466) angolari L50x10 Crit. 1

- Verifica di stabilità aste inflesse (4.2.4.1.3.2) CC 5 SLV - Classe 3
L_{cr}=0.19 Curva d: α_{imp}=0.76 k_c=0.94 ψ=2.06 M,cr=0.00 λ_{LT}=0.00
$\lambda_{LT,0}$=0.20 β_{LT}=1.00 Φ_{LT}=0.00 β_{LT}=1.00 f=0.00 χ_{LT}=1.00
CC 5 SLV My,Ed=2.53 My,b,Rd=149.05 My,Ed/My,b,Rd=0.02

- Verifica di stabilità aste presso-inflesse (C4.2.4.1.3.3.1) - CC 18 SLU - Classe 3
Sollecitazioni: N,Ed=-1545.71 Myeq,Ed=2.91 Mzeq,Ed=-4.49
Resistenze: Nc,Rd=23709.20 My,c,Rd=149.05 Mz,c,Rd=149.05 L=19.38
λ_c=10.59 Ncr,y=1673810.00 λ^*_y=0.12 Curva b: Φ_y=0.49 χ_y=1.00
λ_e=20.13 Ncr,z=462889.00 λ^*_z=0.23 Curva b: Φ_z=0.53 χ_z=0.99
χ,min=0.99
Verifica: 0.07+0.02+0.03=0.11

- Verifica a compressione [4.2.9] - CC 18 SLU Xl=0.05 - Classe 1
Sollecitazioni: N=-1545.47 T_z=-30.76 T_y=-48.50
N,Ed=-1545.47 Nc,Rd=-23709.20 N,Ed/Nc,Rd=0.07
Verifiche di duttilità [7.5.3]:
q_0=4.00 N,Ed=-1545.47 Npl,Rd=23709.20 N,Ed/Npl,Rd=0.065184

- Verifica a taglio dir. Y [4.2.16] - CC 18 SLU Xl=0.05
  Sollecitazioni: N=-1545.47 T_z=-30.76 T_y=-48.50
  V,Ed=-48.50 Vc,Rd=7560.76 V,Ed/Vc,Rd=0.01

- Verifica a taglio dir. Z [4.2.16]
  V,Ed=-30.76 Vc,Rd=7560.76 V,Ed/Vc,Rd=0.00

Asta n. 1830 (-466 -498) angolari L50x10 Crit. 1

- Verifica di stabilità aste inflesse (4.2.4.1.3.2) CC 5 SLV - Classe 3
  L_{cr}=0.19 Curva d: α_{imp}=0.76 k_c=0.94 ψ=1.91 M,cr=0.00 λ_{LT}=0.00
  $\lambda_{LT,0}$=0.20 β_{LT}=1.00 Φ_{LT}=0.00 β_{LT}=1.00 f=0.00 χ_{LT}=1.00
  CC 5 SLV My,Ed=4.33 My,b,Rd=149.05 My,Ed/My,b,Rd=0.03

- Verifica di stabilità aste presso-inflesse (C4.2.4.1.3.3.1) - CC 18 SLU - Classe 3
  Sollecitazioni: N,Ed=-1628.26 Myeq,Ed=5.52 Mzeq,Ed=-3.21
  Resistenze: Nc,Rd=23709.20 My,c,Rd=149.05 Mz,c,Rd=149.05 L=19.38
  λ_c=10.59 Ncr,y=1673810.00 λ^*_y=0.12 Curva b: Φ_y=0.49 χ_y=1.00
  λ_e=20.13 Ncr,z=462890.00 λ^*_z=0.23 Curva b: Φ_z=0.53 χ_z=0.99
  χ,min=0.99
  Verifica: 0.07+0.04+0.02=0.13

- Verifica a compressione [4.2.9] - CC 18 SLU Xl=0.04 - Classe 1
  Sollecitazioni: N=-1628.14 T_z=-54.82 T_y=-34.92
  N,Ed=-1628.14 Nc,Rd=-23709.20 N,Ed/Nc,Rd=0.07
  Verifiche di duttilità [7.5.3]:
  q_0=4.00 N,Ed=-1628.14 Npl,Rd=23709.20 N,Ed/Npl,Rd=0.068671

- Verifica a taglio dir. Y [4.2.16] - CC 19 SLU Xl=0.04
  Sollecitazioni: N=-1300.99 T_z=-62.00 T_y=-14.23
  V,Ed=-14.23 Vc,Rd=7560.76 V,Ed/Vc,Rd=0.00

- Verifica a taglio dir. Z [4.2.16]
  V,Ed=-62.00 Vc,Rd=7560.76 V,Ed/Vc,Rd=0.01

Asta n. 1830 (-498 1330) angolari L50x10 Crit. 1

- Verifica di stabilità aste inflesse (4.2.4.1.3.2) CC 5 SLV - Classe 3
  L_{cr}=0.19 Curva d: α_{imp}=0.76 k_c=0.94 ψ=2.11 M,cr=0.00 λ_{LT}=0.00
  $\lambda_{LT,0}$=0.20 β_{LT}=1.00 Φ_{LT}=0.00 β_{LT}=1.00 f=0.00 χ_{LT}=1.00
  CC 5 SLV My,Ed=-3.41 My,b,Rd=149.05 My,Ed/My,b,Rd=0.02

- Verifica di stabilità aste presso-inflesse (C4.2.4.1.3.3.1) - CC 18 SLU - Classe 3
  Sollecitazioni: N,Ed=-1710.39 Myeq,Ed=-6.35 Mzeq,Ed=-9.58
  Resistenze: Nc,Rd=23709.20 My,c,Rd=149.05 Mz,c,Rd=149.05 L=19.38
  λ_c=10.59 Ncr,y=1673810.00 λ^*_y=0.12 Curva b: Φ_y=0.49 χ_y=1.00
  λ_e=20.13 Ncr,z=462891.00 λ^*_z=0.23 Curva b: Φ_z=0.53 χ_z=0.99
  χ,min=0.99
  Verifica: 0.07+0.04+0.06=0.18

- Verifica in termini tensionali [4.2.4] - CC 18 SLU Xl=0.14 - Classe 3
  Sollecitazioni: N=-1709.32 T_z=82.79 M_y=-7.61 T_y=-117.09 M_z=-12.78 (M_c=3.65 M_e=-14.42)
  Tensioni: σ_N=-188.82 σ_M=-335.24 τ=5.01 σ_{max}=-524.06
  Tensioni: σ_N=-188.82 σ_M=66.29 τ=35.79 τ_{max}=35.79
  Tensioni: σ_N=-188.82 σ_M=-335.24 τ=5.01 $\sigma_{ID,max}$=524.13

- Verifica a taglio dir. Y [4.2.16] - CC 9 SLU Xl=0.04

Sollecitazioni: N=-1364.04 T_z=70.31 T_y=-87.73
V,Ed=-87.73 Vc,Rd=7560.76 V,Ed/Vc,Rd=0.01

- Verifica a taglio dir. Z [4.2.16]
V,Ed=70.31 Vc,Rd=7560.76 V,Ed/Vc,Rd=0.01

Asta n. 1831 (-54 -86) angolari L50x10 Crit. 1

- Verifica di stabilità aste inflesse (4.2.4.1.3.2) CC 17 SLU - Classe 3
L_{cr}=0.19 Curva d: α_{imp}=0.76 k_c=0.94 ψ=1.74 M,cr=0.00 λ_{LT}=0.00
$\lambda_{LT,0}$=0.20 β_{LT}=1.00 Φ_{LT}=0.00 β_{LT}=1.00 f=0.00 χ_{LT}=1.00
CC 17 SLU My,Ed=-8.73 My,b,Rd=149.05 My,Ed/My,b,Rd=0.06

- Verifica di stabilità aste presso-inflesse (C4.2.4.1.3.3.1) - CC 18 SLU - Classe 3
Sollecitazioni: N,Ed=-661.90 Myeq,Ed=-4.54 Mzeq,Ed=4.42
Resistenze: Nc,Rd=23709.20 My,c,Rd=149.05 Mz,c,Rd=149.05 L=19.38
λ_c=10.59 Ncr,y=1673810.00 λ^*_y=0.12 Curva b: Φ_y=0.49 χ_y=1.00
λ_e=20.13 Ncr,z=462889.00 λ^*_z=0.23 Curva b: Φ_z=0.53 χ_z=0.99
χ,min=0.99
Verifica: 0.03+0.03+0.03=0.09

- Verifica in termini tensionali [4.2.4] - CC 17 SLU Xl=0.05 - Classe 3
Sollecitazioni: N=615.12 T_z=-73.64 M_y=-8.73 T_y=13.90 M_z=-2.32 (M_c=-4.53 M_e=-7.82)
Tensioni: σ_N=67.95 σ_M=210.65 τ=0.00 σ_{max}=278.60
Tensioni: σ_N=67.95 σ_M=40.11 τ=21.35 τ_{max}=21.35
Tensioni: σ_N=67.95 σ_M=210.65 τ=0.00 $\sigma_{ID,max}$=278.60

- Verifica a taglio dir. Y [4.2.16] - CC 19 SLU Xl=0.16
Sollecitazioni: N=-65.35 T_z=-72.67 T_y=-21.76
V,Ed=-21.76 Vc,Rd=7560.76 V,Ed/Vc,Rd=0.00

- Verifica a taglio dir. Z [4.2.16]
V,Ed=-72.67 Vc,Rd=7560.76 V,Ed/Vc,Rd=0.01

Asta n. 1831 (-86 -118) angolari L50x10 Crit. 1

- Verifica di stabilità aste inflesse (4.2.4.1.3.2) CC 17 SLU - Classe 3
L_{cr}=0.19 Curva d: α_{imp}=0.76 k_c=0.94 ψ=2.36 M,cr=0.00 λ_{LT}=0.00
$\lambda_{LT,0}$=0.20 β_{LT}=1.00 Φ_{LT}=0.00 β_{LT}=1.00 f=0.00 χ_{LT}=1.00
CC 17 SLU My,Ed=-6.71 My,b,Rd=149.05 My,Ed/My,b,Rd=0.05

- Verifica di stabilità aste presso-inflesse (C4.2.4.1.3.3.1) - CC 18 SLU - Classe 3
Sollecitazioni: N,Ed=-751.63 Myeq,Ed=-5.16 Mzeq,Ed=4.58
Resistenze: Nc,Rd=23709.20 My,c,Rd=149.05 Mz,c,Rd=149.05 L=19.38
λ_c=10.59 Ncr,y=1673810.00 λ^*_y=0.12 Curva b: Φ_y=0.49 χ_y=1.00
λ_e=20.13 Ncr,z=462890.00 λ^*_z=0.23 Curva b: Φ_z=0.53 χ_z=0.99
χ,min=0.99
Verifica: 0.03+0.03+0.03=0.10

- Verifica a compressione [4.2.9] - CC 18 SLU Xl=0.09 - Classe 1
Sollecitazioni: N=-751.04 T_z=-64.61 T_y=-59.32
N,Ed=-751.04 Nc,Rd=-23709.20 N,Ed/Nc,Rd=0.03
Verifiche di duttilità [7.5.3]:
q_0=4.00 N,Ed=-751.04 Npl,Rd=23709.20 N,Ed/Npl,Rd=0.031677

- Verifica a taglio dir. Y [4.2.16] - CC 19 SLU Xl=0.10
Sollecitazioni: N=-171.03 T_z=-75.93 T_y=-20.99
V,Ed=-20.99 Vc,Rd=7560.76 V,Ed/Vc,Rd=0.00

- Verifica a taglio dir. Z [4.2.16]
  V,Ed=-75.93 Vc,Rd=7560.76 V,Ed/Vc,Rd=0.01

Asta n. 1831 (-118 -150) angolari L50x10 Crit. 1

- Verifica di stabilità aste inflesse (4.2.4.1.3.2) CC 17 SLU - Classe 3
  L_{cr}=0.19 Curva d: α_{imp}=0.76 k_c=0.94 ψ=2.68 M,cr=0.00 λ_{LT}=0.00
  $\lambda_{LT,0}$=0.20 β_{LT}=1.00 Φ_{LT}=0.00 β_{LT}=1.00 f=0.00 χ_{LT}=1.00
  CC 17 SLU My,Ed=-5.84 My,b,Rd=149.05 My,Ed/My,b,Rd=0.04

- Verifica di stabilità aste presso-inflesse (C4.2.4.1.3.3.1) - CC 18 SLU - Classe 3
  Sollecitazioni: N,Ed=-867.70 Myeq,Ed=4.97 Mzeq,Ed=-4.72
  Resistenze: Nc,Rd=23709.20 My,c,Rd=149.05 Mz,c,Rd=149.05 L=19.38
  λ_c=10.59 Ncr,y=1673810.00 λ^*_y=0.12 Curva b: Φ_y=0.49 χ_y=1.00
  λ_e=20.13 Ncr,z=462889.00 λ^*_z=0.23 Curva b: Φ_z=0.53 χ_z=0.99
  χ,min=0.99
  Verifica: 0.04+0.03+0.03=0.10

- Verifica a compressione [4.2.9] - CC 18 SLU Xl=0.08 - Classe 1
  Sollecitazioni: N=-867.23 T_z=-64.55 T_y=-59.56
  N,Ed=-867.23 Nc,Rd=-23709.20 N,Ed/Nc,Rd=0.04
  Verifiche di duttilità [7.5.3]:
  q_0=4.00 N,Ed=-867.23 Npl,Rd=23709.20 N,Ed/Npl,Rd=0.036578

- Verifica a taglio dir. Y [4.2.16] - CC 19 SLU Xl=0.09
  Sollecitazioni: N=-307.60 T_z=-76.33 T_y=-22.02
  V,Ed=-22.02 Vc,Rd=7560.76 V,Ed/Vc,Rd=0.00

- Verifica a taglio dir. Z [4.2.16]
  V,Ed=-76.33 Vc,Rd=7560.76 V,Ed/Vc,Rd=0.01

Asta n. 1831 (-150 -182) angolari L50x10 Crit. 1

- Verifica di stabilità aste inflesse (4.2.4.1.3.2) CC 17 SLU - Classe 3
  L_{cr}=0.19 Curva d: α_{imp}=0.76 k_c=0.94 ψ=2.82 M,cr=0.00 λ_{LT}=0.00
  $\lambda_{LT,0}$=0.20 β_{LT}=1.00 Φ_{LT}=0.00 β_{LT}=1.00 f=0.00 χ_{LT}=1.00
  CC 17 SLU My,Ed=-5.56 My,b,Rd=149.05 My,Ed/My,b,Rd=0.04

- Verifica di stabilità aste presso-inflesse (C4.2.4.1.3.3.1) - CC 18 SLU - Classe 3
  Sollecitazioni: N,Ed=-992.93 Myeq,Ed=5.31 Mzeq,Ed=-5.04
  Resistenze: Nc,Rd=23709.20 My,c,Rd=149.05 Mz,c,Rd=149.05 L=19.38
  λ_c=10.59 Ncr,y=1673810.00 λ^*_y=0.12 Curva b: Φ_y=0.49 χ_y=1.00
  λ_e=20.13 Ncr,z=462890.00 λ^*_z=0.23 Curva b: Φ_z=0.53 χ_z=0.99
  χ,min=0.99
  Verifica: 0.04+0.04+0.03=0.11

- Verifica a compressione [4.2.9] - CC 18 SLU Xl=0.08 - Classe 1
  Sollecitazioni: N=-992.46 T_z=-65.20 T_y=-60.00
  N,Ed=-992.46 Nc,Rd=-23709.20 N,Ed/Nc,Rd=0.04
  Verifiche di duttilità [7.5.3]:
  q_0=4.00 N,Ed=-992.46 Npl,Rd=23709.20 N,Ed/Npl,Rd=0.041859

- Verifica a taglio dir. Y [4.2.16] - CC 19 SLU Xl=0.09
  Sollecitazioni: N=-455.08 T_z=-77.24 T_y=-23.35
  V,Ed=-23.35 Vc,Rd=7560.76 V,Ed/Vc,Rd=0.00

- Verifica a taglio dir. Z [4.2.16]
  V,Ed=-77.24 Vc,Rd=7560.76 V,Ed/Vc,Rd=0.01

Asta n. 1831 (-182 -214) angolari L50x10 Crit. 1

- Verifica di stabilità aste inflesse (4.2.4.1.3.2) CC 17 SLU - Classe 3
  L_{cr}=0.19 Curva d: α_{imp}=0.76 k_c=0.94 ψ=2.91 M,cr=0.00 λ_{LT}=0.00
  $\lambda_{LT,0}$=0.20 β_{LT}=1.00 Φ_{LT}=0.00 β_{LT}=1.00 f=0.00 χ_{LT}=1.00
  CC 17 SLU My,Ed=-5.39 My,b,Rd=149.05 My,Ed/My,b,Rd=0.04

- Verifica di stabilità aste presso-inflesse (C4.2.4.1.3.3.1) - CC 18 SLU - Classe 3
  Sollecitazioni: N,Ed=-1123.59 Myeq,Ed=5.56 Mzeq,Ed=-5.26
  Resistenze: Nc,Rd=23709.20 My,c,Rd=149.05 Mz,c,Rd=149.05 L=19.38
  λ_c=10.59 Ncr,y=1673810.00 λ^*_y=0.12 Curva b: Φ_y=0.49 χ_y=1.00
  λ_e=20.13 Ncr,z=462890.00 λ^*_z=0.23 Curva b: Φ_z=0.53 χ_z=0.99
  χ,min=0.99
  Verifica: 0.05+0.04+0.04=0.12

- Verifica a compressione [4.2.9] - CC 18 SLU Xl=0.08 - Classe 1
  Sollecitazioni: N=-1123.12 T_z=-65.82 T_y=-60.45
  N,Ed=-1123.12 Nc,Rd=-23709.20 N,Ed/Nc,Rd=0.05
  Verifiche di duttilità [7.5.3]:
  q_0=4.00 N,Ed=-1123.12 Npl,Rd=23709.20 N,Ed/Npl,Rd=0.047370

- Verifica a taglio dir. Y [4.2.16] - CC 19 SLU Xl=0.09
  Sollecitazioni: N=-609.23 T_z=-78.13 T_y=-24.74
  V,Ed=-24.74 Vc,Rd=7560.76 V,Ed/Vc,Rd=0.00

- Verifica a taglio dir. Z [4.2.16]
  V,Ed=-78.13 Vc,Rd=7560.76 V,Ed/Vc,Rd=0.01

Asta n. 1831 (-214 -246) angolari L50x10 Crit. 1

- Verifica di stabilità aste presso-inflesse (C4.2.4.1.3.3.1) - CC 18 SLU - Classe 3
  Sollecitazioni: N,Ed=-1259.02 Myeq,Ed=5.79 Mzeq,Ed=-5.47
  Resistenze: Nc,Rd=23709.20 My,c,Rd=149.05 Mz,c,Rd=149.05 L=19.38
  λ_c=10.59 Ncr,y=1673810.00 λ^*_y=0.12 Curva b: Φ_y=0.49 χ_y=1.00
  λ_e=20.13 Ncr,z=462889.00 λ^*_z=0.23 Curva b: Φ_z=0.53 χ_z=0.99
  χ,min=0.99
  Verifica: 0.05+0.04+0.04=0.13

- Verifica a compressione [4.2.9] - CC 18 SLU Xl=0.08 - Classe 1
  Sollecitazioni: N=-1258.55 T_z=-66.50 T_y=-61.01
  N,Ed=-1258.55 Nc,Rd=-23709.20 N,Ed/Nc,Rd=0.05
  Verifiche di duttilità [7.5.3]:
  q_0=4.00 N,Ed=-1258.55 Npl,Rd=23709.20 N,Ed/Npl,Rd=0.053083

- Verifica a taglio dir. Y [4.2.16] - CC 19 SLU Xl=0.09
  Sollecitazioni: N=-769.32 T_z=-79.10 T_y=-26.16
  V,Ed=-26.16 Vc,Rd=7560.76 V,Ed/Vc,Rd=0.00

- Verifica a taglio dir. Z [4.2.16]
  V,Ed=-79.10 Vc,Rd=7560.76 V,Ed/Vc,Rd=0.01

Asta n. 1831 (-246 -278) angolari L50x10 Crit. 1

- Verifica di stabilità aste presso-inflesse (C4.2.4.1.3.3.1) - CC 18 SLU - Classe 3
  Sollecitazioni: N,Ed=-1399.36 Myeq,Ed=6.04 Mzeq,Ed=-5.70
  Resistenze: Nc,Rd=23709.20 My,c,Rd=149.05 Mz,c,Rd=149.05 L=19.38
  λ_c=10.59 Ncr,y=1673810.00 λ^*_y=0.12 Curva b: Φ_y=0.49 χ_y=1.00

λ_e=20.13 Ncr,z=462889.00 λ^*_z=0.23 Curva b: Φ_z=0.53 χ_z=0.99
χ,min=0.99
Verifica: 0.06+0.04+0.04=0.14

- Verifica a compressione [4.2.9] - CC 18 SLU Xl=0.06 - Classe 1
Sollecitazioni: N=-1399.00 T_z=-67.42 T_y=-61.74
N,Ed=-1399.00 Nc,Rd=-23709.20 N,Ed/Nc,Rd=0.06
Verifiche di duttilità [7.5.3]:
q_0=4.00 N,Ed=-1399.00 Npl,Rd=23709.20 N,Ed/Npl,Rd=0.059007

- Verifica a taglio dir. Y [4.2.16] - CC 19 SLU Xl=0.08
Sollecitazioni: N=-935.63 T_z=-80.29 T_y=-27.57
V,Ed=-27.57 Vc,Rd=7560.76 V,Ed/Vc,Rd=0.00

- Verifica a taglio dir. Z [4.2.16]
V,Ed=-80.29 Vc,Rd=7560.76 V,Ed/Vc,Rd=0.01

Asta n. 1831 (-278 -310) angolari L50x10 Crit. 1

- Verifica di stabilità aste presso-inflesse (C4.2.4.1.3.3.1) - CC 18 SLU - Classe 3
Sollecitazioni: N,Ed=-1544.93 Myeq,Ed=6.31 Mzeq,Ed=-5.80
Resistenze: Nc,Rd=23709.20 My,c,Rd=149.05 Mz,c,Rd=149.05 L=19.38
λ_c=10.59 Ncr,y=1673810.00 λ^*_y=0.12 Curva b: Φ_y=0.49 χ_y=1.00
λ_e=20.13 Ncr,z=462889.00 λ^*_z=0.23 Curva b: Φ_z=0.53 χ_z=0.99
χ,min=0.99
Verifica: 0.07+0.04+0.04=0.15

- Verifica a compressione [4.2.9] - CC 18 SLU Xl=0.06 - Classe 1
Sollecitazioni: N=-1544.58 T_z=-68.24 T_y=-62.38
N,Ed=-1544.58 Nc,Rd=-23709.20 N,Ed/Nc,Rd=0.07
Verifiche di duttilità [7.5.3]:
q_0=4.00 N,Ed=-1544.58 Npl,Rd=23709.20 N,Ed/Npl,Rd=0.065147

- Verifica a taglio dir. Y [4.2.16] - CC 19 SLU Xl=0.08
Sollecitazioni: N=-1108.33 T_z=-81.41 T_y=-29.11
V,Ed=-29.11 Vc,Rd=7560.76 V,Ed/Vc,Rd=0.00

- Verifica a taglio dir. Z [4.2.16]
V,Ed=-81.41 Vc,Rd=7560.76 V,Ed/Vc,Rd=0.01

Asta n. 1831 (-310 -342) angolari L50x10 Crit. 1

- Verifica di stabilità aste presso-inflesse (C4.2.4.1.3.3.1) - CC 18 SLU - Classe 3
Sollecitazioni: N,Ed=-1696.08 Myeq,Ed=6.42 Mzeq,Ed=-5.86
Resistenze: Nc,Rd=23709.20 My,c,Rd=149.05 Mz,c,Rd=149.05 L=19.38
λ_c=10.59 Ncr,y=1673810.00 λ^*_y=0.12 Curva b: Φ_y=0.49 χ_y=1.00
λ_e=20.13 Ncr,z=462889.00 λ^*_z=0.23 Curva b: Φ_z=0.53 χ_z=0.99
χ,min=0.99
Verifica: 0.07+0.04+0.04=0.15

- Verifica a compressione [4.2.9] - CC 18 SLU Xl=0.06 - Classe 1
Sollecitazioni: N=-1695.72 T_z=-69.03 T_y=-63.03
N,Ed=-1695.72 Nc,Rd=-23709.20 N,Ed/Nc,Rd=0.07
Verifiche di duttilità [7.5.3]:
q_0=4.00 N,Ed=-1695.72 Npl,Rd=23709.20 N,Ed/Npl,Rd=0.071522

- Verifica a taglio dir. Y [4.2.16] - CC 19 SLU Xl=0.08

Sollecitazioni: N=-1287.99 T_z=-82.55 T_y=-30.66
V,Ed=-30.66 Vc,Rd=7560.76 V,Ed/Vc,Rd=0.00

- Verifica a taglio dir. Z [4.2.16]
V,Ed=-82.55 Vc,Rd=7560.76 V,Ed/Vc,Rd=0.01

Asta n. 1831 (-342 -374) angolari L50x10 Crit. 1

- Verifica di stabilità aste presso-inflesse (C4.2.4.1.3.3.1) - CC 18 SLU - Classe 3
Sollecitazioni: N,Ed=-1853.18 Myeq,Ed=6.51 Mzeq,Ed=-5.93
Resistenze: Nc,Rd=23709.20 My,c,Rd=149.05 Mz,c,Rd=149.05 L=19.38
λ_c=10.59 Ncr,y=1673810.00 λ^*_y=0.12 Curva b: Φ_y=0.49 χ_y=1.00
λ_e=20.13 Ncr,z=462889.00 λ^*_z=0.23 Curva b: Φ_z=0.53 χ_z=0.99
χ,min=0.99
Verifica: 0.08+0.04+0.04=0.16

- Verifica Freccia massima carichi totali - CC 24
$f_{Z,G}$=0.00 (L/13693)

- Verifica a compressione [4.2.9] - CC 18 SLU Xl=0.06 - Classe 1
Sollecitazioni: N=-1852.82 T_z=-70.05 T_y=-63.79
N,Ed=-1852.82 Nc,Rd=-23709.20 N,Ed/Nc,Rd=0.08
Verifiche di duttilità [7.5.3]:
q_0=4.00 N,Ed=-1852.82 Npl,Rd=23709.20 N,Ed/Npl,Rd=0.078148

- Verifica a taglio dir. Y [4.2.16] - CC 18 SLU Xl=0.06
Sollecitazioni: N=-1852.82 T_z=-70.05 T_y=-63.79
V,Ed=-63.79 Vc,Rd=7560.76 V,Ed/Vc,Rd=0.01

- Verifica a taglio dir. Z [4.2.16]
V,Ed=-70.05 Vc,Rd=7560.76 V,Ed/Vc,Rd=0.01

Asta n. 1831 (-374 -406) angolari L50x10 Crit. 1

- Verifica di stabilità aste presso-inflesse (C4.2.4.1.3.3.1) - CC 18 SLU - Classe 3
Sollecitazioni: N,Ed=-2016.75 Myeq,Ed=6.59 Mzeq,Ed=-6.01
Resistenze: Nc,Rd=23709.20 My,c,Rd=149.05 Mz,c,Rd=149.05 L=19.38
λ_c=10.59 Ncr,y=1673810.00 λ^*_y=0.12 Curva b: Φ_y=0.49 χ_y=1.00
λ_e=20.13 Ncr,z=462890.00 λ^*_z=0.23 Curva b: Φ_z=0.53 χ_z=0.99
χ,min=0.99
Verifica: 0.09+0.04+0.04=0.17

- Verifica Freccia massima carichi totali - CC 24
$f_{Z,G}$=0.00 (L/13098)

- Verifica a compressione [4.2.9] - CC 18 SLU Xl=0.06 - Classe 1
Sollecitazioni: N=-2016.39 T_z=-70.89 T_y=-64.65
N,Ed=-2016.39 Nc,Rd=-23709.20 N,Ed/Nc,Rd=0.09
Verifiche di duttilità [7.5.3]:
q_0=4.00 N,Ed=-2016.39 Npl,Rd=23709.20 N,Ed/Npl,Rd=0.085047

- Verifica a taglio dir. Y [4.2.16] - CC 18 SLU Xl=0.06
Sollecitazioni: N=-2016.39 T_z=-70.89 T_y=-64.65
V,Ed=-64.65 Vc,Rd=7560.76 V,Ed/Vc,Rd=0.01

- Verifica a taglio dir. Z [4.2.16]
V,Ed=-70.89 Vc,Rd=7560.76 V,Ed/Vc,Rd=0.01

Asta n. 1831 (-406 -438) angolari L50x10 Crit. 1

- Verifica di stabilità aste presso-inflesse (C4.2.4.1.3.3.1) - CC 18 SLU - Classe 3
  Sollecitazioni: N,Ed=-2187.21 Myeq,Ed=6.78 Mzeq,Ed=-6.04
  Resistenze: Nc,Rd=23709.20 My,c,Rd=149.05 Mz,c,Rd=149.05 L=19.38
  λ_c=10.59 Ncr,y=1673810.00 λ^*_y=0.12 Curva b: Φ_y=0.49 χ_y=1.00
  λ_c=20.13 Ncr,z=462889.00 λ^*_z=0.23 Curva b: Φ_z=0.53 χ_z=0.99
  χ,min=0.99
  Verifica: 0.09+0.05+0.04=0.18

- Verifica Freccia massima carichi totali - CC 24
  $f_{Z,G}$=0.00 (L/11586)

- Verifica a compressione [4.2.9] - CC 18 SLU Xl=0.05 - Classe 1
  Sollecitazioni: N=-2186.97 T_z=-72.99 T_y=-65.12
  N,Ed=-2186.97 Nc,Rd=-23709.20 N,Ed/Nc,Rd=0.09
  Verifiche di duttilità [7.5.3]:
  q_0=4.00 N,Ed=-2186.97 Npl,Rd=23709.20 N,Ed/Npl,Rd=0.092241

- Verifica a taglio dir. Y [4.2.16] - CC 19 SLU Xl=0.06
  Sollecitazioni: N=-1874.16 T_z=-87.53 T_y=-35.34
  V,Ed=-35.34 Vc,Rd=7560.76 V,Ed/Vc,Rd=0.00

- Verifica a taglio dir. Z [4.2.16]
  V,Ed=-87.53 Vc,Rd=7560.76 V,Ed/Vc,Rd=0.01

Asta n. 1831 (-438 -470) angolari L50x10 Crit. 1

- Verifica di stabilità aste presso-inflesse (C4.2.4.1.3.3.1) - CC 18 SLU - Classe 3
  Sollecitazioni: N,Ed=-2364.87 Myeq,Ed=6.33 Mzeq,Ed=-6.47
  Resistenze: Nc,Rd=23709.20 My,c,Rd=149.05 Mz,c,Rd=149.05 L=19.38
  λ_c=10.59 Ncr,y=1673810.00 λ^*_y=0.12 Curva b: Φ_y=0.49 χ_y=1.00
  λ_c=20.13 Ncr,z=462889.00 λ^*_z=0.23 Curva b: Φ_z=0.53 χ_z=0.99
  χ,min=0.99
  Verifica: 0.10+0.04+0.04=0.19

- Verifica Freccia massima carichi totali - CC 21
  $f_{Z,G}$=0.00 (L/10759)

- Verifica a compressione [4.2.9] - CC 18 SLU Xl=0.05 - Classe 1
  Sollecitazioni: N=-2364.63 T_z=-68.25 T_y=-69.73
  N,Ed=-2364.63 Nc,Rd=-23709.20 N,Ed/Nc,Rd=0.10
  Verifiche di duttilità [7.5.3]:
  q_0=4.00 N,Ed=-2364.63 Npl,Rd=23709.20 N,Ed/Npl,Rd=0.099735

- Verifica a taglio dir. Y [4.2.16] - CC 18 SLU Xl=0.05
  Sollecitazioni: N=-2364.63 T_z=-68.25 T_y=-69.73
  V,Ed=-69.73 Vc,Rd=7560.76 V,Ed/Vc,Rd=0.01

- Verifica a taglio dir. Z [4.2.16]
  V,Ed=-68.25 Vc,Rd=7560.76 V,Ed/Vc,Rd=0.01

Asta n. 1831 (-470 -502) angolari L50x10 Crit. 1

- Verifica di stabilità aste presso-inflesse (C4.2.4.1.3.3.1) - CC 18 SLU - Classe 3
  Sollecitazioni: N,Ed=-2547.13 Myeq,Ed=10.11 Mzeq,Ed=-4.27
  Resistenze: Nc,Rd=23709.20 My,c,Rd=149.05 Mz,c,Rd=149.05 L=19.38
  λ_c=10.59 Ncr,y=1673810.00 λ^*_y=0.12 Curva b: Φ_y=0.49 χ_y=1.00

λ_e=20.13 Ncr,z=462890.00 λ^*_z=0.23 Curva b: Φ_z=0.53 χ_z=0.99
χ,min=0.99
Verifica: 0.11+0.07+0.03=0.20

- Verifica Freccia massima carichi totali - CC 21
$f_{Z,G}$=0.00 (L/10212)

- Verifica a compressione [4.2.9] - CC 18 SLU Xl=0.04 - Classe 1
Sollecitazioni: N=-2547.01 T_z=-108.86 T_y=-46.21
N,Ed=-2547.01 Nc,Rd=-23709.20 N,Ed/Nc,Rd=0.11
Verifiche di duttilità [7.5.3]:
q_0=4.00 N,Ed=-2547.01 Npl,Rd=23709.20 N,Ed/Npl,Rd=0.107430

- Verifica a taglio dir. Y [4.2.16] - CC 19 SLU Xl=0.05
Sollecitazioni: N=-2305.25 T_z=-122.74 T_y=-22.43
V,Ed=-22.43 Vc,Rd=7560.76 V,Ed/Vc,Rd=0.00

- Verifica a taglio dir. Z [4.2.16]
V,Ed=-122.74 Vc,Rd=7560.76 V,Ed/Vc,Rd=0.02

Asta n. 1831 (-502 1336) angolari L50x10 Crit. 1

- Verifica di stabilità aste presso-inflesse (C4.2.4.1.3.3.1) - CC 18 SLU - Classe 3
Sollecitazioni: N,Ed=-2725.21 Myeq,Ed=-8.93 Mzeq,Ed=-15.77
Resistenze: Nc,Rd=23709.20 My,c,Rd=149.05 Mz,c,Rd=149.05 L=19.38
λ_c=10.59 Ncr,y=1673810.00 λ^*_y=0.12 Curva b: Φ_y=0.49 χ_y=1.00
λ_e=20.13 Ncr,z=462891.00 λ^*_z=0.23 Curva b: Φ_z=0.53 χ_z=0.99
χ,min=0.99
Verifica: 0.11+0.06+0.11=0.28

- Verifica Freccia massima carichi totali - CC 21
$f_{Z,G}$=0.00 (L/8737)

- Verifica a compressione [4.2.9] - CC 19 SLU Xl=0.04 - Classe 1
Sollecitazioni: N=-2515.24 T_z=91.38 T_y=-138.19
N,Ed=-2515.24 Nc,Rd=-23709.20 N,Ed/Nc,Rd=0.11
Verifiche di duttilità [7.5.3]:
q_0=4.00 N,Ed=-2515.24 Npl,Rd=23709.20 N,Ed/Npl,Rd=0.106090

- Verifica a taglio dir. Y [4.2.16] - CC 19 SLU Xl=0.04
Sollecitazioni: N=-2515.24 T_z=91.38 T_y=-138.19
V,Ed=-138.19 Vc,Rd=7560.76 V,Ed/Vc,Rd=0.02

- Verifica a taglio dir. Z [4.2.16]
V,Ed=91.38 Vc,Rd=7560.76 V,Ed/Vc,Rd=0.01

Asta n. 1832 (-58 -90) angolari L50x10 Crit. 1

- Verifica di stabilità aste inflesse (4.2.4.1.3.2) CC 17 SLU - Classe 3
L_{cr}=0.19 Curva d: α_{imp}=0.76 k_c=0.94 ψ=1.56 M,cr=0.00 λ_{LT}=0.00
$\lambda_{LT,0}$=0.20 β_{LT}=1.00 Φ_{LT}=0.00 β_{LT}=1.00 f=0.00 χ_{LT}=1.00
CC 17 SLU My,Ed=-3.15 My,b,Rd=149.05 My,Ed/My,b,Rd=0.02

- Verifica di stabilità aste presso-inflesse (C4.2.4.1.3.3.1) - CC 18 SLU - Classe 3
Sollecitazioni: N,Ed=-352.65 Myeq,Ed=3.74 Mzeq,Ed=3.11
Resistenze: Nc,Rd=23709.20 My,c,Rd=149.05 Mz,c,Rd=149.05 L=19.38
λ_c=10.59 Ncr,y=1673810.00 λ^*_y=0.12 Curva b: Φ_y=0.49 χ_y=1.00
λ_e=20.13 Ncr,z=462889.00 λ^*_z=0.23 Curva b: Φ_z=0.53 χ_z=0.99

χ,min=0.99
Verifica: 0.01+0.03+0.02=0.06

- Verifica in termini tensionali [4.2.4] - CC 18 SLU Xl=0.05 - Classe 3
Sollecitazioni: N=-352.65 T_z=46.94 M_y=4.98 T_y=-40.37 M_z=3.83 (M_c=0.82 M_e=6.23)
Tensioni: σ_N=-38.96 σ_M=-167.85 τ=0.00 σ_{max}=-206.81
Tensioni: σ_N=-38.96 σ_M=-27.40 τ=15.09 τ_{max}=15.09
Tensioni: σ_N=-38.96 σ_M=-167.85 τ=0.00 $\sigma_{ID,max}$=206.81

- Verifica a taglio dir. Y [4.2.16] - CC 18 SLU Xl=0.17
Sollecitazioni: N=-351.56 T_z=46.97 T_y=-40.37
V,Ed=-40.37 Vc,Rd=7560.76 V,Ed/Vc,Rd=0.01

- Verifica a taglio dir. Z [4.2.16]
V,Ed=46.97 Vc,Rd=7560.76 V,Ed/Vc,Rd=0.01

Asta n. 1832 (-90 -122) angolari L50x10 Crit. 1

- Verifica di stabilità aste inflesse (4.2.4.1.3.2) CC 17 SLU - Classe 3
L_{cr}=0.19 Curva d: α_{imp}=0.76 k_c=0.94 ψ=1.92 M,cr=0.00 λ_{LT}=0.00
$\lambda_{LT,0}$=0.20 β_{LT}=1.00 Φ_{LT}=0.00 β_{LT}=1.00 f=0.00 χ_{LT}=1.00
CC 17 SLU My,Ed=-2.30 My,b,Rd=149.05 My,Ed/My,b,Rd=0.02

- Verifica di stabilità aste presso-inflesse (C4.2.4.1.3.3.1) - CC 18 SLU - Classe 3
Sollecitazioni: N,Ed=-289.71 Myeq,Ed=3.42 Mzeq,Ed=-2.83
Resistenze: Nc,Rd=23709.20 My,c,Rd=149.05 Mz,c,Rd=149.05 L=19.38
λ_c=10.59 Ncr,y=1673810.00 λ^*_y=0.12 Curva b: Φ_y=0.49 χ_y=1.00
λ_e=20.13 Ncr,z=462890.00 λ^*_z=0.23 Curva b: Φ_z=0.53 χ_z=0.99
χ,min=0.99
Verifica: 0.01+0.02+0.02=0.05

- Verifica a trazione [4.2.5] - CC 17 SLU Xl=0.13 - Classe 1
Sollecitazioni: N=534.17 T_z=-18.07 T_y=-48.23
N,Ed=534.17 Npl,Rd=23709.20 Nu,Rd=28026.90 N,Ed/Nt,Rd=0.02
Verifiche di duttilità [7.5.3]:
q_0=4.00 N,Ed=534.17 Npl,Rd=23709.20 N,Ed/Npl,Rd=0.022530

- Verifica a taglio dir. Y [4.2.16] - CC 17 SLU Xl=0.10
Sollecitazioni: N=533.93 T_z=-18.46 T_y=-48.62
V,Ed=-48.62 Vc,Rd=7560.76 V,Ed/Vc,Rd=0.01

- Verifica a taglio dir. Z [4.2.16]
V,Ed=-18.46 Vc,Rd=7560.76 V,Ed/Vc,Rd=0.00

Asta n. 1832 (-122 -154) angolari L50x10 Crit. 1

- Verifica di stabilità aste inflesse (4.2.4.1.3.2) CC 17 SLU - Classe 3
L_{cr}=0.19 Curva d: α_{imp}=0.76 k_c=0.94 ψ=2.05 M,cr=0.00 λ_{LT}=0.00
$\lambda_{LT,0}$=0.20 β_{LT}=1.00 Φ_{LT}=0.00 β_{LT}=1.00 f=0.00 χ_{LT}=1.00
CC 17 SLU My,Ed=-1.98 My,b,Rd=149.05 My,Ed/My,b,Rd=0.01

- Verifica di stabilità aste presso-inflesse (C4.2.4.1.3.3.1) - CC 18 SLU - Classe 3
Sollecitazioni: N,Ed=-209.96 Myeq,Ed=-3.23 Mzeq,Ed=-3.30
Resistenze: Nc,Rd=23709.20 My,c,Rd=149.05 Mz,c,Rd=149.05 L=19.38
λ_c=10.59 Ncr,y=1673810.00 λ^*_y=0.12 Curva b: Φ_y=0.49 χ_y=1.00
λ_e=20.13 Ncr,z=462889.00 λ^*_z=0.23 Curva b: Φ_z=0.53 χ_z=0.99
χ,min=0.99
Verifica: 0.01+0.02+0.02=0.05

- Verifica a trazione [4.2.5] - CC 17 SLU Xl=0.12 - Classe 1
  Sollecitazioni: N=502.47 T_z=-17.07 T_y=-47.86
  N,Ed=502.47 Npl,Rd=23709.20 Nu,Rd=28026.90 N,Ed/Nt,Rd=0.02
  Verifiche di duttilità [7.5.3]:
  q_0=4.00 N,Ed=502.47 Npl,Rd=23709.20 N,Ed/Npl,Rd=0.021193

- Verifica a taglio dir. Y [4.2.16] - CC 17 SLU Xl=0.09
  Sollecitazioni: N=502.24 T_z=-17.47 T_y=-48.25
  V,Ed=-48.25 Vc,Rd=7560.76 V,Ed/Vc,Rd=0.01

- Verifica a taglio dir. Z [4.2.16]
  V,Ed=-17.47 Vc,Rd=7560.76 V,Ed/Vc,Rd=0.00

Asta n. 1832 (-154 -186) angolari L50x10 Crit. 1

- Verifica di stabilità aste inflesse (4.2.4.1.3.2) CC 16 SLU - Classe 3
  L_{cr}=0.19 Curva d: α_{imp}=0.76 k_c=0.94 ψ=2.72 M,cr=0.00 λ_{LT}=0.00
  $\lambda_{LT,0}$=0.20 β_{LT}=1.00 Φ_{LT}=0.00 β_{LT}=1.00 f=0.00 χ_{LT}=1.00
  CC 16 SLU My,Ed=-3.34 My,b,Rd=149.05 My,Ed/My,b,Rd=0.02

- Verifica di stabilità aste presso-inflesse (C4.2.4.1.3.3.1) - CC 18 SLU - Classe 3
  Sollecitazioni: N,Ed=-124.88 Myeq,Ed=-3.43 Mzeq,Ed=-3.48
  Resistenze: Nc,Rd=23709.20 My,c,Rd=149.05 Mz,c,Rd=149.05 L=19.38
  λ_c=10.59 Ncr,y=1673810.00 λ^*_y=0.12 Curva b: Φ_y=0.49 χ_y=1.00
  λ_e=20.13 Ncr,z=462890.00 λ^*_z=0.23 Curva b: Φ_z=0.53 χ_z=0.99
  χ,min=0.99
  Verifica: 0.01+0.02+0.02=0.05

- Verifica a trazione [4.2.5] - CC 17 SLU Xl=0.12 - Classe 1
  Sollecitazioni: N=470.35 T_z=-16.07 T_y=-47.46
  N,Ed=470.35 Npl,Rd=23709.20 Nu,Rd=28026.90 N,Ed/Nt,Rd=0.02
  Verifiche di duttilità [7.5.3]:
  q_0=4.00 N,Ed=470.35 Npl,Rd=23709.20 N,Ed/Npl,Rd=0.019838

- Verifica a taglio dir. Y [4.2.16] - CC 17 SLU Xl=0.09
  Sollecitazioni: N=470.12 T_z=-16.46 T_y=-47.85
  V,Ed=-47.85 Vc,Rd=7560.76 V,Ed/Vc,Rd=0.01

- Verifica a taglio dir. Z [4.2.16]
  V,Ed=-16.46 Vc,Rd=7560.76 V,Ed/Vc,Rd=0.00

Asta n. 1832 (-186 -218) angolari L50x10 Crit. 1

- Verifica di stabilità aste inflesse (4.2.4.1.3.2) CC 16 SLU - Classe 3
  L_{cr}=0.19 Curva d: α_{imp}=0.76 k_c=0.94 ψ=2.63 M,cr=0.00 λ_{LT}=0.00
  $\lambda_{LT,0}$=0.20 β_{LT}=1.00 Φ_{LT}=0.00 β_{LT}=1.00 f=0.00 χ_{LT}=1.00
  CC 16 SLU My,Ed=-3.42 My,b,Rd=149.05 My,Ed/My,b,Rd=0.02

- Verifica di stabilità aste presso-inflesse (C4.2.4.1.3.3.1) - CC 18 SLU - Classe 3
  Sollecitazioni: N,Ed=-37.02 Myeq,Ed=-3.56 Mzeq,Ed=-3.52
  Resistenze: Nc,Rd=23709.20 My,c,Rd=149.05 Mz,c,Rd=149.05 L=19.38
  λ_c=10.59 Ncr,y=1673810.00 λ^*_y=0.12 Curva b: Φ_y=0.49 χ_y=1.00
  λ_e=20.13 Ncr,z=462890.00 λ^*_z=0.23 Curva b: Φ_z=0.53 χ_z=0.99
  χ,min=0.99
  Verifica: 0.00+0.02+0.02=0.05

- Verifica a trazione [4.2.5] - CC 17 SLU Xl=0.12 - Classe 1
  Sollecitazioni: N=439.08 T_z=-14.99 T_y=-47.15

N,Ed=439.08 Npl,Rd=23709.20 Nu,Rd=28026.90 N,Ed/Nt,Rd=0.02
Verifiche di duttilità [7.5.3]:
q_0=4.00 N,Ed=439.08 Npl,Rd=23709.20 N,Ed/Npl,Rd=0.018519

- Verifica a taglio dir. Y [4.2.16] - CC 17 SLU Xl=0.09
Sollecitazioni: N=438.85 T_z=-15.39 T_y=-47.54
V,Ed=-47.54 Vc,Rd=7560.76 V,Ed/Vc,Rd=0.01

- Verifica a taglio dir. Z [4.2.16]
V,Ed=-15.39 Vc,Rd=7560.76 V,Ed/Vc,Rd=0.00

Asta n. 1832 (-218 -250) angolari L50x10 Crit. 1

- Verifica di stabilità aste inflesse (4.2.4.1.3.2) CC 18 SLU - Classe 3
L_{cr}=0.19 Curva d: α_{imp}=0.76 k_c=0.94 ψ=2.62 M,cr=0.00 λ_{LT}=0.00
$\lambda_{LT,0}$=0.20 β_{LT}=1.00 Φ_{LT}=0.00 β_{LT}=1.00 f=0.00 χ_{LT}=1.00
CC 18 SLU My,Ed=-3.68 My,b,Rd=149.05 My,Ed/My,b,Rd=0.02

- Verifica di stabilità aste presso-inflesse (C4.2.4.1.3.3.1) - CC 5 SLV - Classe 3
Sollecitazioni: N,Ed=-295.29 Myeq,Ed=-2.15 Mzeq,Ed=-2.16
Resistenze: Nc,Rd=23709.20 My,c,Rd=149.05 Mz,c,Rd=149.05 L=19.38
λ_c=10.59 Ncr,y=1673810.00 λ^*_y=0.12 Curva b: Φ_y=0.49 χ_y=1.00
λ_e=20.13 Ncr,z=462889.00 λ^*_z=0.23 Curva b: Φ_z=0.53 χ_z=0.99
χ,min=0.99
Verifica: 0.01+0.01+0.01=0.04

- Verifica in termini tensionali [4.2.4] - CC 16 SLU Xl=0.17 - Classe 3
Sollecitazioni: N=201.26 T_z=39.94 M_y=-3.48 T_y=-33.90 M_z=-3.33 (M_c=-0.11 M_e=-4.82)
Tensioni: σ_N=22.23 σ_M=129.87 τ=0.00 σ_{max}=152.10
Tensioni: σ_N=22.23 σ_M=20.34 τ=12.81 τ_{max}=12.81
Tensioni: σ_N=22.23 σ_M=129.87 τ=0.00 $\sigma_{ID,max}$=152.10

- Verifica a taglio dir. Y [4.2.16] - CC 17 SLU Xl=0.08
Sollecitazioni: N=408.73 T_z=-14.53 T_y=-47.41
V,Ed=-47.41 Vc,Rd=7560.76 V,Ed/Vc,Rd=0.01

- Verifica a taglio dir. Z [4.2.16]
V,Ed=-14.53 Vc,Rd=7560.76 V,Ed/Vc,Rd=0.00

Asta n. 1832 (-250 -282) angolari L50x10 Crit. 1

- Verifica di stabilità aste inflesse (4.2.4.1.3.2) CC 18 SLU - Classe 3
L_{cr}=0.19 Curva d: α_{imp}=0.76 k_c=0.94 ψ=2.54 M,cr=0.00 λ_{LT}=0.00
$\lambda_{LT,0}$=0.20 β_{LT}=1.00 Φ_{LT}=0.00 β_{LT}=1.00 f=0.00 χ_{LT}=1.00
CC 18 SLU My,Ed=-3.81 My,b,Rd=149.05 My,Ed/My,b,Rd=0.03

- Verifica di stabilità aste presso-inflesse (C4.2.4.1.3.3.1) - CC 5 SLV - Classe 3
Sollecitazioni: N,Ed=-300.51 Myeq,Ed=-2.27 Mzeq,Ed=-2.27
Resistenze: Nc,Rd=23709.20 My,c,Rd=149.05 Mz,c,Rd=149.05 L=19.38
λ_c=10.59 Ncr,y=1673810.00 λ^*_y=0.12 Curva b: Φ_y=0.49 χ_y=1.00
λ_e=20.13 Ncr,z=462889.00 λ^*_z=0.23 Curva b: Φ_z=0.53 χ_z=0.99
χ,min=0.99
Verifica: 0.01+0.02+0.02=0.04

- Verifica in termini tensionali [4.2.4] - CC 16 SLU Xl=0.17 - Classe 3
Sollecitazioni: N=286.09 T_z=39.45 M_y=-3.55 T_y=-33.28 M_z=-3.38 (M_c=-0.12 M_e=-4.90)
Tensioni: σ_N=31.60 σ_M=132.11 τ=0.00 σ_{max}=163.72
Tensioni: σ_N=31.60 σ_M=20.72 τ=12.63 τ_{max}=12.63

Tensioni: σ_N=31.60 σ_M=132.11 τ=0.00 $\sigma_{ID,max}$=163.72

- Verifica a taglio dir. Y [4.2.16] - CC 17 SLU Xl=0.08
Sollecitazioni: N=380.14 T_z=-13.43 T_y=-47.14
V,Ed=-47.14 Vc,Rd=7560.76 V,Ed/Vc,Rd=0.01

- Verifica a taglio dir. Z [4.2.16]
V,Ed=-13.43 Vc,Rd=7560.76 V,Ed/Vc,Rd=0.00

Asta n. 1832 (-282 -314) angolari L50x10 Crit. 1

- Verifica di stabilità aste inflesse (4.2.4.1.3.2) CC 18 SLU - Classe 3
L_{cr}=0.19 Curva d: α_{imp}=0.76 k_c=0.94 ψ=2.47 M,cr=0.00 λ_{LT}=0.00
$\lambda_{LT,0}$=0.20 β_{LT}=1.00 Φ_{LT}=0.00 β_{LT}=1.00 f=0.00 χ_{LT}=1.00
CC 18 SLU My,Ed=-3.95 My,b,Rd=149.05 My,Ed/My,b,Rd=0.03

- Verifica di stabilità aste presso-inflesse (C4.2.4.1.3.3.1) - CC 5 SLV - Classe 3
Sollecitazioni: N,Ed=-305.96 Myeq,Ed=-2.38 Mzeq,Ed=-2.36
Resistenze: Nc,Rd=23709.20 My,c,Rd=149.05 Mz,c,Rd=149.05 L=19.38
λ_c=10.59 Ncr,y=1673810.00 λ^*_y=0.12 Curva b: Φ_y=0.49 χ_y=1.00
λ_e=20.13 Ncr,z=462889.00 λ^*_z=0.23 Curva b: Φ_z=0.53 χ_z=0.99
χ,min=0.99
Verifica: 0.01+0.02+0.02=0.04

- Verifica in termini tensionali [4.2.4] - CC 18 SLU Xl=0.17 - Classe 3
Sollecitazioni: N=242.09 T_z=43.74 M_y=-3.95 T_y=-37.85 M_z=-3.92 (M_c=-0.03 M_e=-5.57)
Tensioni: σ_N=26.74 σ_M=149.98 τ=0.00 σ_{max}=176.72
Tensioni: σ_N=26.74 σ_M=23.34 τ=14.08 τ_{max}=14.08
Tensioni: σ_N=26.74 σ_M=149.98 τ=0.00 $\sigma_{ID,max}$=176.72

- Verifica a taglio dir. Y [4.2.16] - CC 17 SLU Xl=0.08
Sollecitazioni: N=353.11 T_z=-12.33 T_y=-46.87
V,Ed=-46.87 Vc,Rd=7560.76 V,Ed/Vc,Rd=0.01

- Verifica a taglio dir. Z [4.2.16]
V,Ed=-12.33 Vc,Rd=7560.76 V,Ed/Vc,Rd=0.00

Asta n. 1832 (-314 -346) angolari L50x10 Crit. 1

- Verifica di stabilità aste inflesse (4.2.4.1.3.2) CC 18 SLU - Classe 3
L_{cr}=0.19 Curva d: α_{imp}=0.76 k_c=0.94 ψ=2.40 M,cr=0.00 λ_{LT}=0.00
$\lambda_{LT,0}$=0.20 β_{LT}=1.00 Φ_{LT}=0.00 β_{LT}=1.00 f=0.00 χ_{LT}=1.00
CC 18 SLU My,Ed=-4.10 My,b,Rd=149.05 My,Ed/My,b,Rd=0.03

- Verifica di stabilità aste presso-inflesse (C4.2.4.1.3.3.1) - CC 5 SLV - Classe 3
Sollecitazioni: N,Ed=-311.62 Myeq,Ed=-2.51 Mzeq,Ed=-2.41
Resistenze: Nc,Rd=23709.20 My,c,Rd=149.05 Mz,c,Rd=149.05 L=19.38
λ_c=10.59 Ncr,y=1673810.00 λ^*_y=0.12 Curva b: Φ_y=0.49 χ_y=1.00
λ_e=20.13 Ncr,z=462889.00 λ^*_z=0.23 Curva b: Φ_z=0.53 χ_z=0.99
χ,min=0.99
Verifica: 0.01+0.02+0.02=0.05

- Verifica in termini tensionali [4.2.4] - CC 18 SLU Xl=0.17 - Classe 3
Sollecitazioni: N=339.80 T_z=43.94 M_y=-4.10 T_y=-37.92 M_z=-4.04 (M_c=-0.04 M_e=-5.76)
Tensioni: σ_N=37.54 σ_M=155.20 τ=0.00 σ_{max}=192.73
Tensioni: σ_N=37.54 σ_M=24.17 τ=14.13 τ_{max}=14.13
Tensioni: σ_N=37.54 σ_M=155.20 τ=0.00 $\sigma_{ID,max}$=192.73

- Verifica a taglio dir. Y [4.2.16] - CC 19 SLU Xl=0.06

Sollecitazioni: N=260.96 T_z=14.01 T_y=-46.82
V,Ed=-46.82 Vc,Rd=7560.76 V,Ed/Vc,Rd=0.01

- Verifica a taglio dir. Z [4.2.16]
V,Ed=14.01 Vc,Rd=7560.76 V,Ed/Vc,Rd=0.00

Asta n. 1832 (-346 -378) angolari L50x10 Crit. 1

- Verifica di stabilità aste inflesse (4.2.4.1.3.2) CC 18 SLU - Classe 3
L_{cr}=0.19 Curva d: α_{imp}=0.76 k_c=0.94 ψ=2.33 M,cr=0.00 λ_{LT}=0.00
$\lambda_{LT,0}$=0.20 β_{LT}=1.00 Φ_{LT}=0.00 β_{LT}=1.00 f=0.00 χ_{LT}=1.00
CC 18 SLU My,Ed=-4.27 My,b,Rd=149.05 My,Ed/My,b,Rd=0.03

- Verifica di stabilità aste presso-inflesse (C4.2.4.1.3.3.1) - CC 5 SLV - Classe 3
Sollecitazioni: N,Ed=-317.49 Myeq,Ed=-2.65 Mzeq,Ed=-2.45
Resistenze: Nc,Rd=23709.20 My,c,Rd=149.05 Mz,c,Rd=149.05 L=19.38
λ_c=10.59 Ncr,y=1673810.00 λ^*_y=0.12 Curva b: Φ_y=0.49 χ_y=1.00
λ_e=20.13 Ncr,z=462889.00 λ^*_z=0.23 Curva b: Φ_z=0.53 χ_z=0.99
χ,min=0.99
Verifica: 0.01+0.02+0.02=0.05

- Verifica in termini tensionali [4.2.4] - CC 18 SLU Xl=0.17 - Classe 3
Sollecitazioni: N=440.36 T_z=44.23 M_y=-4.27 T_y=-38.04 M_z=-4.18 (M_c=-0.06 M_e=-5.98)
Tensioni: σ_N=48.64 σ_M=161.01 τ=0.00 σ_{max}=209.66
Tensioni: σ_N=48.64 σ_M=25.11 τ=14.22 τ_{max}=14.22
Tensioni: σ_N=48.64 σ_M=161.01 τ=0.00 $\sigma_{ID,max}$=209.66

- Verifica a taglio dir. Y [4.2.16] - CC 19 SLU Xl=0.06
Sollecitazioni: N=294.85 T_z=15.27 T_y=-47.19
V,Ed=-47.19 Vc,Rd=7560.76 V,Ed/Vc,Rd=0.01

- Verifica a taglio dir. Z [4.2.16]
V,Ed=15.27 Vc,Rd=7560.76 V,Ed/Vc,Rd=0.00

Asta n. 1832 (-378 -410) angolari L50x10 Crit. 1

- Verifica di stabilità aste inflesse (4.2.4.1.3.2) CC 18 SLU - Classe 3
L_{cr}=0.19 Curva d: α_{imp}=0.76 k_c=0.94 ψ=2.27 M,cr=0.00 λ_{LT}=0.00
$\lambda_{LT,0}$=0.20 β_{LT}=1.00 Φ_{LT}=0.00 β_{LT}=1.00 f=0.00 χ_{LT}=1.00
CC 18 SLU My,Ed=-4.45 My,b,Rd=149.05 My,Ed/My,b,Rd=0.03

- Verifica di stabilità aste presso-inflesse (C4.2.4.1.3.3.1) - CC 5 SLV - Classe 3
Sollecitazioni: N,Ed=-323.56 Myeq,Ed=-2.79 Mzeq,Ed=-2.50
Resistenze: Nc,Rd=23709.20 My,c,Rd=149.05 Mz,c,Rd=149.05 L=19.38
λ_c=10.59 Ncr,y=1673810.00 λ^*_y=0.12 Curva b: Φ_y=0.49 χ_y=1.00
λ_e=20.13 Ncr,z=462890.00 λ^*_z=0.23 Curva b: Φ_z=0.53 χ_z=0.99
χ,min=0.99
Verifica: 0.01+0.02+0.02=0.05

- Verifica a trazione [4.2.5] - CC 16 SLU Xl=0.08 - Classe 1
Sollecitazioni: N=633.67 T_z=37.47 T_y=-30.75
N,Ed=633.67 Npl,Rd=23709.20 Nu,Rd=28026.90 N,Ed/Nt,Rd=0.03
Verifiche di duttilità [7.5.3]:
q_0=4.00 N,Ed=633.67 Npl,Rd=23709.20 N,Ed/Npl,Rd=0.026727

- Verifica a taglio dir. Y [4.2.16] - CC 19 SLU Xl=0.06
Sollecitazioni: N=332.38 T_z=16.55 T_y=-47.62
V,Ed=-47.62 Vc,Rd=7560.76 V,Ed/Vc,Rd=0.01

- Verifica a taglio dir. Z [4.2.16]
  V,Ed=16.55 Vc,Rd=7560.76 V,Ed/Vc,Rd=0.00

Asta n. 1832 (-410 -442) angolari L50x10 Crit. 1

- Verifica di stabilità aste inflesse (4.2.4.1.3.2) CC 18 SLU - Classe 3
  L_{cr}=0.19 Curva d: α_{imp}=0.76 k_c=0.94 ψ=2.20 M,cr=0.00 λ_{LT}=0.00
  $\lambda_{LT,0}$=0.20 β_{LT}=1.00 Φ_{LT}=0.00 β_{LT}=1.00 f=0.00 χ_{LT}=1.00
  CC 18 SLU My,Ed=-4.67 My,b,Rd=149.05 My,Ed/My,b,Rd=0.03

- Verifica di stabilità aste presso-inflesse (C4.2.4.1.3.3.1) - CC 5 SLV - Classe 3
  Sollecitazioni: N,Ed=-329.83 Myeq,Ed=-2.86 Mzeq,Ed=-2.54
  Resistenze: Nc,Rd=23709.20 My,c,Rd=149.05 Mz,c,Rd=149.05 L=19.38
  λ_c=10.59 Ncr,y=1673810.00 λ^*_y=0.12 Curva b: Φ_y=0.49 χ_y=1.00
  λ_e=20.13 Ncr,z=462889.00 λ^*_z=0.23 Curva b: Φ_z=0.53 χ_z=0.99
  χ,min=0.99
  Verifica: 0.01+0.02+0.02=0.05

- Verifica a trazione [4.2.5] - CC 16 SLU Xl=0.08 - Classe 1
  Sollecitazioni: N=723.34 T_z=37.19 T_y=-29.84
  N,Ed=723.34 Npl,Rd=23709.20 Nu,Rd=28026.90 N,Ed/Nt,Rd=0.03
  Verifiche di duttilità [7.5.3]:
  q_0=4.00 N,Ed=723.34 Npl,Rd=23709.20 N,Ed/Npl,Rd=0.030509

- Verifica a taglio dir. Y [4.2.16] - CC 19 SLU Xl=0.05
  Sollecitazioni: N=373.71 T_z=17.79 T_y=-47.95
  V,Ed=-47.95 Vc,Rd=7560.76 V,Ed/Vc,Rd=0.01

- Verifica a taglio dir. Z [4.2.16]
  V,Ed=17.79 Vc,Rd=7560.76 V,Ed/Vc,Rd=0.00

Asta n. 1832 (-442 -474) angolari L50x10 Crit. 1

- Verifica di stabilità aste inflesse (4.2.4.1.3.2) CC 18 SLU - Classe 3
  L_{cr}=0.19 Curva d: α_{imp}=0.76 k_c=0.94 ψ=2.14 M,cr=0.00 λ_{LT}=0.00
  $\lambda_{LT,0}$=0.20 β_{LT}=1.00 Φ_{LT}=0.00 β_{LT}=1.00 f=0.00 χ_{LT}=1.00
  CC 18 SLU My,Ed=-4.77 My,b,Rd=149.05 My,Ed/My,b,Rd=0.03

- Verifica di stabilità aste presso-inflesse (C4.2.4.1.3.3.1) - CC 5 SLV - Classe 3
  Sollecitazioni: N,Ed=-336.31 Myeq,Ed=-2.85 Mzeq,Ed=-2.71
  Resistenze: Nc,Rd=23709.20 My,c,Rd=149.05 Mz,c,Rd=149.05 L=19.38
  λ_c=10.59 Ncr,y=1673810.00 λ^*_y=0.12 Curva b: Φ_y=0.49 χ_y=1.00
  λ_e=20.13 Ncr,z=462889.00 λ^*_z=0.23 Curva b: Φ_z=0.53 χ_z=0.99
  χ,min=0.99
  Verifica: 0.01+0.02+0.02=0.05

- Verifica a trazione [4.2.5] - CC 16 SLU Xl=0.06 - Classe 1
  Sollecitazioni: N=813.93 T_z=35.46 T_y=-31.22
  N,Ed=813.93 Npl,Rd=23709.20 Nu,Rd=28026.90 N,Ed/Nt,Rd=0.03
  Verifiche di duttilità [7.5.3]:
  q_0=4.00 N,Ed=813.93 Npl,Rd=23709.20 N,Ed/Npl,Rd=0.034330

- Verifica a taglio dir. Y [4.2.16] - CC 19 SLU Xl=0.05
  Sollecitazioni: N=419.31 T_z=19.02 T_y=-50.25
  V,Ed=-50.25 Vc,Rd=7560.76 V,Ed/Vc,Rd=0.01

- Verifica a taglio dir. Z [4.2.16]
  V,Ed=19.02 Vc,Rd=7560.76 V,Ed/Vc,Rd=0.00

Asta n. 1832 (-474 -506) angolari L50x10 Crit. 1

- Verifica di stabilità aste inflesse (4.2.4.1.3.2) CC 18 SLU - Classe 3
  L_{cr}=0.19 Curva d: α_{imp}=0.76 k_c=0.94 ψ=1.99 M,cr=0.00 λ_{LT}=0.00
  $\lambda_{LT,0}$=0.20 β_{LT}=1.00 Φ_{LT}=0.00 β_{LT}=1.00 f=0.00 χ_{LT}=1.00
  CC 18 SLU My,Ed=-6.05 My,b,Rd=149.05 My,Ed/My,b,Rd=0.04

- Verifica di stabilità aste presso-inflesse (C4.2.4.1.3.3.1) - CC 5 SLV - Classe 3
  Sollecitazioni: N,Ed=-342.83 Myeq,Ed=-3.41 Mzeq,Ed=-1.93
  Resistenze: Nc,Rd=23709.20 My,c,Rd=149.05 Mz,c,Rd=149.05 L=19.38
  λ_c=10.59 Ncr,y=1673810.00 λ^*_y=0.12 Curva b: Φ_y=0.49 χ_y=1.00
  λ_e=20.13 Ncr,z=462890.00 λ^*_z=0.23 Curva b: Φ_z=0.53 χ_z=0.99
  χ,min=0.99
  Verifica: 0.01+0.02+0.01=0.05

- Verifica a trazione [4.2.5] - CC 16 SLU Xl=0.06 - Classe 1
  Sollecitazioni: N=904.42 T_z=43.88 T_y=-16.85
  N,Ed=904.42 Npl,Rd=23709.20 Nu,Rd=28026.90 N,Ed/Nt,Rd=0.04
  Verifiche di duttilità [7.5.3]:
  q_0=4.00 N,Ed=904.42 Npl,Rd=23709.20 N,Ed/Npl,Rd=0.038146

- Verifica a taglio dir. Y [4.2.16] - CC 18 SLU Xl=0.06
  Sollecitazioni: N=872.50 T_z=51.35 T_y=-24.70
  V,Ed=-24.70 Vc,Rd=7560.76 V,Ed/Vc,Rd=0.00

- Verifica a taglio dir. Z [4.2.16]
  V,Ed=51.35 Vc,Rd=7560.76 V,Ed/Vc,Rd=0.01

Asta n. 1832 (-506 1350) angolari L50x10 Crit. 1

- Verifica di stabilità aste inflesse (4.2.4.1.3.2) CC 9 SLU - Classe 3
  L_{cr}=0.19 Curva d: α_{imp}=0.76 k_c=0.94 ψ=1.84 M,cr=0.00 λ_{LT}=0.00
  $\lambda_{LT,0}$=0.20 β_{LT}=1.00 Φ_{LT}=0.00 β_{LT}=1.00 f=0.00 χ_{LT}=1.00
  CC 9 SLU My,Ed=-3.14 My,b,Rd=149.05 My,Ed/My,b,Rd=0.02

- Verifica di stabilità aste presso-inflesse (C4.2.4.1.3.3.1) - CC 5 SLV - Classe 3
  Sollecitazioni: N,Ed=-359.75 Myeq,Ed=-1.59 Mzeq,Ed=-5.91
  Resistenze: Nc,Rd=23709.20 My,c,Rd=149.05 Mz,c,Rd=149.05 L=19.38
  λ_c=10.59 Ncr,y=1673810.00 λ^*_y=0.12 Curva b: Φ_y=0.49 χ_y=1.00
  λ_e=20.13 Ncr,z=462891.00 λ^*_z=0.23 Curva b: Φ_z=0.53 χ_z=0.99
  χ,min=0.99
  Verifica: 0.02+0.01+0.04=0.07

- Verifica in termini tensionali [4.2.4] - CC 18 SLU Xl=0.14 - Classe 3
  Sollecitazioni: N=980.63 T_z=12.22 M_y=-1.71 T_y=-118.33 M_z=-13.16 (M_c=8.09 M_e=-10.51)
  Tensioni: σ_N=108.33 σ_M=283.31 τ=0.00 σ_{max}=391.64
  Tensioni: σ_N=108.33 σ_M=57.21 τ=34.15 τ_{max}=34.15
  Tensioni: σ_N=108.33 σ_M=283.31 τ=0.00 $\sigma_{ID,max}$=391.64

- Verifica a taglio dir. Y [4.2.16] - CC 18 SLU Xl=0.03
  Sollecitazioni: N=979.53 T_z=12.20 T_y=-118.33
  V,Ed=-118.33 Vc,Rd=7560.76 V,Ed/Vc,Rd=0.02

- Verifica a taglio dir. Z [4.2.16]
  V,Ed=12.20 Vc,Rd=7560.76 V,Ed/Vc,Rd=0.00

Asta n. 1833 (-64 -96) angolari L50x10 Crit. 1

- Verifica di stabilità aste inflesse (4.2.4.1.3.2) CC 17 SLU - Classe 3
  L_{cr}=0.19 Curva d: α_{imp}=0.76 k_c=0.94 ψ=1.54 M,cr=0.00 λ_{LT}=0.00
  $\lambda_{LT,0}$=0.20 β_{LT}=1.00 Φ_{LT}=0.00 β_{LT}=1.00 f=0.00 χ_{LT}=1.00
  CC 17 SLU My,Ed=-4.21 My,b,Rd=149.05 My,Ed/My,b,Rd=0.03

- Verifica di stabilità aste presso-inflesse (C4.2.4.1.3.3.1) - CC 1 SLV - Classe 3
  Sollecitazioni: N,Ed=-275.23 Myeq,Ed=1.72 Mzeq,Ed=1.75
  Resistenze: Nc,Rd=23709.20 My,c,Rd=149.05 Mz,c,Rd=149.05 L=19.38
  λ_c=10.59 Ncr,y=1673810.00 λ^*_y=0.12 Curva b: Φ_y=0.49 χ_y=1.00
  λ_e=20.13 Ncr,z=462890.00 λ^*_z=0.23 Curva b: Φ_z=0.53 χ_z=0.99
  χ,min=0.99
  Verifica: 0.01+0.01+0.01=0.03

- Verifica a trazione [4.2.5] - CC 17 SLU Xl=0.17 - Classe 1
  Sollecitazioni: N=899.40 T_z=-27.00 T_y=-47.04
  N,Ed=899.40 Npl,Rd=23709.20 Nu,Rd=28026.90 N,Ed/Nt,Rd=0.04
  Verifiche di duttilità [7.5.3]:
   q_0=4.00 N,Ed=899.40 Npl,Rd=23709.20 N,Ed/Npl,Rd=0.037935

- Verifica a taglio dir. Y [4.2.16] - CC 17 SLU Xl=0.17
  Sollecitazioni: N=899.40 T_z=-27.00 T_y=-47.04
  V,Ed=-47.04 Vc,Rd=7560.76 V,Ed/Vc,Rd=0.01

- Verifica a taglio dir. Z [4.2.16]
  V,Ed=-27.00 Vc,Rd=7560.76 V,Ed/Vc,Rd=0.00

Asta n. 1833 (-96 -128) angolari L50x10 Crit. 1

- Verifica di stabilità aste inflesse (4.2.4.1.3.2) CC 17 SLU - Classe 3
  L_{cr}=0.19 Curva d: α_{imp}=0.76 k_c=0.94 ψ=1.86 M,cr=0.00 λ_{LT}=0.00
  $\lambda_{LT,0}$=0.20 β_{LT}=1.00 Φ_{LT}=0.00 β_{LT}=1.00 f=0.00 χ_{LT}=1.00
  CC 17 SLU My,Ed=-3.00 My,b,Rd=149.05 My,Ed/My,b,Rd=0.02

- Verifica di stabilità aste presso-inflesse (C4.2.4.1.3.3.1) - CC 1 SLV - Classe 3
  Sollecitazioni: N,Ed=-260.17 Myeq,Ed=1.49 Mzeq,Ed=1.97
  Resistenze: Nc,Rd=23709.20 My,c,Rd=149.05 Mz,c,Rd=149.05 L=19.38
  λ_c=10.59 Ncr,y=1673810.00 λ^*_y=0.12 Curva b: Φ_y=0.49 χ_y=1.00
  λ_e=20.13 Ncr,z=462890.00 λ^*_z=0.23 Curva b: Φ_z=0.53 χ_z=0.99
  χ,min=0.99
  Verifica: 0.01+0.01+0.01=0.03

- Verifica a trazione [4.2.5] - CC 17 SLU Xl=0.14 - Classe 1
  Sollecitazioni: N=867.20 T_z=-22.41 T_y=-51.65
  N,Ed=867.20 Npl,Rd=23709.20 Nu,Rd=28026.90 N,Ed/Nt,Rd=0.04
  Verifiche di duttilità [7.5.3]:
   q_0=4.00 N,Ed=867.20 Npl,Rd=23709.20 N,Ed/Npl,Rd=0.036576

- Verifica a taglio dir. Y [4.2.16] - CC 17 SLU Xl=0.12
  Sollecitazioni: N=866.97 T_z=-22.80 T_y=-52.03
  V,Ed=-52.03 Vc,Rd=7560.76 V,Ed/Vc,Rd=0.01

- Verifica a taglio dir. Z [4.2.16]
  V,Ed=-22.80 Vc,Rd=7560.76 V,Ed/Vc,Rd=0.00

Asta n. 1833 (-128 -160) angolari L50x10 Crit. 1

- Verifica di stabilità aste inflesse (4.2.4.1.3.2) CC 18 SLU - Classe 3
  L_{cr}=0.19 Curva d: α_{imp}=0.76 k_c=0.94 ψ=2.52 M,cr=0.00 λ_{LT}=0.00

$\lambda_{LT,0}$=0.20 β_{LT}=1.00 Φ_{LT}=0.00 β_{LT}=1.00 f=0.00 χ_{LT}=1.00
CC 18 SLU My,Ed=-3.15 My,b,Rd=149.05 My,Ed/My,b,Rd=0.02

- Verifica di stabilità aste presso-inflesse (C4.2.4.1.3.3.1) - CC 1 SLV - Classe 3
Sollecitazioni: N,Ed=-241.22 Myeq,Ed=1.33 Mzeq,Ed=1.83
Resistenze: Nc,Rd=23709.20 My,c,Rd=149.05 Mz,c,Rd=149.05 L=19.38
λ_c=10.59 Ncr,y=1673810.00 λ^*_y=0.12 Curva b: Φ_y=0.49 χ_y=1.00
λ_e=20.13 Ncr,z=462889.00 λ^*_z=0.23 Curva b: Φ_z=0.53 χ_z=0.99
χ,min=0.99
Verifica: 0.01+0.01+0.01=0.03

- Verifica a trazione [4.2.5] - CC 17 SLU Xl=0.13 - Classe 1
Sollecitazioni: N=826.79 T_z=-21.58 T_y=-51.28
N,Ed=826.79 Npl,Rd=23709.20 Nu,Rd=28026.90 N,Ed/Nt,Rd=0.03
Verifiche di duttilità [7.5.3]:
q_0=4.00 N,Ed=826.79 Npl,Rd=23709.20 N,Ed/Npl,Rd=0.034872

- Verifica a taglio dir. Y [4.2.16] - CC 17 SLU Xl=0.10
Sollecitazioni: N=826.55 T_z=-21.97 T_y=-51.66
V,Ed=-51.66 Vc,Rd=7560.76 V,Ed/Vc,Rd=0.01

- Verifica a taglio dir. Z [4.2.16]
V,Ed=-21.97 Vc,Rd=7560.76 V,Ed/Vc,Rd=0.00

Asta n. 1833 (-160 -192) angolari L50x10 Crit. 1

- Verifica di stabilità aste inflesse (4.2.4.1.3.2) CC 18 SLU - Classe 3
L_{cr}=0.19 Curva d: α_{imp}=0.76 k_c=0.94 ψ=2.41 M,cr=0.00 λ_{LT}=0.00
$\lambda_{LT,0}$=0.20 β_{LT}=1.00 Φ_{LT}=0.00 β_{LT}=1.00 f=0.00 χ_{LT}=1.00
CC 18 SLU My,Ed=-3.32 My,b,Rd=149.05 My,Ed/My,b,Rd=0.02

- Verifica di stabilità aste presso-inflesse (C4.2.4.1.3.3.1) - CC 5 SLV - Classe 3
Sollecitazioni: N,Ed=-138.13 Myeq,Ed=-1.82 Mzeq,Ed=-1.81
Resistenze: Nc,Rd=23709.20 My,c,Rd=149.05 Mz,c,Rd=149.05 L=19.38
λ_c=10.59 Ncr,y=1673810.00 λ^*_y=0.12 Curva b: Φ_y=0.49 χ_y=1.00
λ_e=20.13 Ncr,z=462890.00 λ^*_z=0.23 Curva b: Φ_z=0.53 χ_z=0.99
χ,min=0.99
Verifica: 0.01+0.01+0.01=0.03

- Verifica a trazione [4.2.5] - CC 17 SLU Xl=0.12 - Classe 1
Sollecitazioni: N=785.02 T_z=-20.90 T_y=-51.13
N,Ed=785.02 Npl,Rd=23709.20 Nu,Rd=28026.90 N,Ed/Nt,Rd=0.03
Verifiche di duttilità [7.5.3]:
q_0=4.00 N,Ed=785.02 Npl,Rd=23709.20 N,Ed/Npl,Rd=0.033111

- Verifica a taglio dir. Y [4.2.16] - CC 17 SLU Xl=0.10
Sollecitazioni: N=784.91 T_z=-21.09 T_y=-51.33
V,Ed=-51.33 Vc,Rd=7560.76 V,Ed/Vc,Rd=0.01

- Verifica a taglio dir. Z [4.2.16]
V,Ed=-21.09 Vc,Rd=7560.76 V,Ed/Vc,Rd=0.00

Asta n. 1833 (-192 -224) angolari L50x10 Crit. 1

- Verifica di stabilità aste inflesse (4.2.4.1.3.2) CC 18 SLU - Classe 3
L_{cr}=0.19 Curva d: α_{imp}=0.76 k_c=0.94 ψ=2.34 M,cr=0.00 λ_{LT}=0.00
$\lambda_{LT,0}$=0.20 β_{LT}=1.00 Φ_{LT}=0.00 β_{LT}=1.00 f=0.00 χ_{LT}=1.00
CC 18 SLU My,Ed=-3.42 My,b,Rd=149.05 My,Ed/My,b,Rd=0.02

- Verifica di stabilità aste presso-inflesse (C4.2.4.1.3.3.1) - CC 5 SLV - Classe 3
  Sollecitazioni: N,Ed=-148.66 Myeq,Ed=-1.91 Mzeq,Ed=-1.92
  Resistenze: Nc,Rd=23709.20 My,c,Rd=149.05 Mz,c,Rd=149.05 L=19.38
  λ_c=10.59 Ncr,y=1673810.00 λ^*_y=0.12 Curva b: Φ_y=0.49 χ_y=1.00
  λ_e=20.13 Ncr,z=462890.00 λ^*_z=0.23 Curva b: Φ_z=0.53 χ_z=0.99
  χ,min=0.99
  Verifica: 0.01+0.01+0.01=0.03

- Verifica a trazione [4.2.5] - CC 17 SLU Xl=0.12 - Classe 1
  Sollecitazioni: N=743.70 T_z=-19.92 T_y=-50.93
  N,Ed=743.70 Npl,Rd=23709.20 Nu,Rd=28026.90 N,Ed/Nt,Rd=0.03
  Verifiche di duttilità [7.5.3]:
  q_0=4.00 N,Ed=743.70 Npl,Rd=23709.20 N,Ed/Npl,Rd=0.031368

- Verifica a taglio dir. Y [4.2.16] - CC 17 SLU Xl=0.10
  Sollecitazioni: N=743.58 T_z=-20.12 T_y=-51.12
  V,Ed=-51.12 Vc,Rd=7560.76 V,Ed/Vc,Rd=0.01

- Verifica a taglio dir. Z [4.2.16]
  V,Ed=-20.12 Vc,Rd=7560.76 V,Ed/Vc,Rd=0.00

Asta n. 1833 (-224 -256) angolari L50x10 Crit. 1

- Verifica di stabilità aste inflesse (4.2.4.1.3.2) CC 18 SLU - Classe 3
  L_{cr}=0.19 Curva d: α_{imp}=0.76 k_c=0.94 ψ=2.28 M,cr=0.00 λ_{LT}=0.00
  $\lambda_{LT,0}$=0.20 β_{LT}=1.00 Φ_{LT}=0.00 β_{LT}=1.00 f=0.00 χ_{LT}=1.00
  CC 18 SLU My,Ed=-3.52 My,b,Rd=149.05 My,Ed/My,b,Rd=0.02

- Verifica di stabilità aste presso-inflesse (C4.2.4.1.3.3.1) - CC 5 SLV - Classe 3
  Sollecitazioni: N,Ed=-159.72 Myeq,Ed=-2.00 Mzeq,Ed=-2.02
  Resistenze: Nc,Rd=23709.20 My,c,Rd=149.05 Mz,c,Rd=149.05 L=19.38
  λ_c=10.59 Ncr,y=1673810.00 λ^*_y=0.12 Curva b: Φ_y=0.49 χ_y=1.00
  λ_e=20.13 Ncr,z=462889.00 λ^*_z=0.23 Curva b: Φ_z=0.53 χ_z=0.99
  χ,min=0.99
  Verifica: 0.01+0.01+0.01=0.03

- Verifica a trazione [4.2.5] - CC 17 SLU Xl=0.12 - Classe 1
  Sollecitazioni: N=703.14 T_z=-18.99 T_y=-50.69
  N,Ed=703.14 Npl,Rd=23709.20 Nu,Rd=28026.90 N,Ed/Nt,Rd=0.03
  Verifiche di duttilità [7.5.3]:
  q_0=4.00 N,Ed=703.14 Npl,Rd=23709.20 N,Ed/Npl,Rd=0.029657

- Verifica a taglio dir. Y [4.2.16] - CC 17 SLU Xl=0.10
  Sollecitazioni: N=703.02 T_z=-19.19 T_y=-50.88
  V,Ed=-50.88 Vc,Rd=7560.76 V,Ed/Vc,Rd=0.01

- Verifica a taglio dir. Z [4.2.16]
  V,Ed=-19.19 Vc,Rd=7560.76 V,Ed/Vc,Rd=0.00

Asta n. 1833 (-256 -288) angolari L50x10 Crit. 1

- Verifica di stabilità aste inflesse (4.2.4.1.3.2) CC 18 SLU - Classe 3
  L_{cr}=0.19 Curva d: α_{imp}=0.76 k_c=0.94 ψ=2.23 M,cr=0.00 λ_{LT}=0.00
  $\lambda_{LT,0}$=0.20 β_{LT}=1.00 Φ_{LT}=0.00 β_{LT}=1.00 f=0.00 χ_{LT}=1.00
  CC 18 SLU My,Ed=-3.63 My,b,Rd=149.05 My,Ed/My,b,Rd=0.02

- Verifica di stabilità aste presso-inflesse (C4.2.4.1.3.3.1) - CC 5 SLV - Classe 3

Sollecitazioni: N,Ed=-171.31 Myeq,Ed=-2.10 Mzeq,Ed=-2.13
Resistenze: Nc,Rd=23709.20 My,c,Rd=149.05 Mz,c,Rd=149.05 L=19.38
λ_c=10.59 Ncr,y=1673810.00 λ^*_y=0.12 Curva b: Φ_y=0.49 χ_y=1.00
λ_e=20.13 Ncr,z=462889.00 λ^*_z=0.23 Curva b: Φ_z=0.53 χ_z=0.99
χ,min=0.99
Verifica: 0.01+0.01+0.01=0.04

- Verifica a trazione [4.2.5] - CC 17 SLU Xl=0.12 - Classe 1
Sollecitazioni: N=663.48 T_z=-18.02 T_y=-50.50
N,Ed=663.48 Npl,Rd=23709.20 Nu,Rd=28026.90 N,Ed/Nt,Rd=0.03
Verifiche di duttilità [7.5.3]:
q_0=4.00 N,Ed=663.48 Npl,Rd=23709.20 N,Ed/Npl,Rd=0.027984

- Verifica a taglio dir. Y [4.2.16] - CC 17 SLU Xl=0.09
Sollecitazioni: N=663.25 T_z=-18.41 T_y=-50.88
V,Ed=-50.88 Vc,Rd=7560.76 V,Ed/Vc,Rd=0.01

- Verifica a taglio dir. Z [4.2.16]
V,Ed=-18.41 Vc,Rd=7560.76 V,Ed/Vc,Rd=0.00

Asta n. 1833 (-288 -320) angolari L50x10 Crit. 1

- Verifica di stabilità aste inflesse (4.2.4.1.3.2) CC 18 SLU - Classe 3
L_{cr}=0.19 Curva d: α_{imp}=0.76 k_c=0.94 ψ=2.17 M,cr=0.00 λ_{LT}=0.00
$\lambda_{LT,0}$=0.20 β_{LT}=1.00 Φ_{LT}=0.00 β_{LT}=1.00 f=0.00 χ_{LT}=1.00
CC 18 SLU My,Ed=-3.74 My,b,Rd=149.05 My,Ed/My,b,Rd=0.03

- Verifica di stabilità aste presso-inflesse (C4.2.4.1.3.3.1) - CC 5 SLV - Classe 3
Sollecitazioni: N,Ed=-183.43 Myeq,Ed=-2.15 Mzeq,Ed=-2.25
Resistenze: Nc,Rd=23709.20 My,c,Rd=149.05 Mz,c,Rd=149.05 L=19.38
λ_c=10.59 Ncr,y=1673810.00 λ^*_y=0.12 Curva b: Φ_y=0.49 χ_y=1.00
λ_e=20.13 Ncr,z=462889.00 λ^*_z=0.23 Curva b: Φ_z=0.53 χ_z=0.99
χ,min=0.99
Verifica: 0.01+0.01+0.02=0.04

- Verifica a trazione [4.2.5] - CC 17 SLU Xl=0.12 - Classe 1
Sollecitazioni: N=624.82 T_z=-17.05 T_y=-50.34
N,Ed=624.82 Npl,Rd=23709.20 Nu,Rd=28026.90 N,Ed/Nt,Rd=0.03
Verifiche di duttilità [7.5.3]:
q_0=4.00 N,Ed=624.82 Npl,Rd=23709.20 N,Ed/Npl,Rd=0.026353

- Verifica a taglio dir. Y [4.2.16] - CC 17 SLU Xl=0.09
Sollecitazioni: N=624.59 T_z=-17.45 T_y=-50.73
V,Ed=-50.73 Vc,Rd=7560.76 V,Ed/Vc,Rd=0.01

- Verifica a taglio dir. Z [4.2.16]
V,Ed=-17.45 Vc,Rd=7560.76 V,Ed/Vc,Rd=0.00

Asta n. 1833 (-320 -352) angolari L50x10 Crit. 1

- Verifica di stabilità aste inflesse (4.2.4.1.3.2) CC 18 SLU - Classe 3
L_{cr}=0.19 Curva d: α_{imp}=0.76 k_c=0.94 ψ=2.12 M,cr=0.00 λ_{LT}=0.00
$\lambda_{LT,0}$=0.20 β_{LT}=1.00 Φ_{LT}=0.00 β_{LT}=1.00 f=0.00 χ_{LT}=1.00
CC 18 SLU My,Ed=-3.86 My,b,Rd=149.05 My,Ed/My,b,Rd=0.03

- Verifica di stabilità aste presso-inflesse (C4.2.4.1.3.3.1) - CC 5 SLV - Classe 3
Sollecitazioni: N,Ed=-196.12 Myeq,Ed=-2.19 Mzeq,Ed=-2.37
Resistenze: Nc,Rd=23709.20 My,c,Rd=149.05 Mz,c,Rd=149.05 L=19.38

λ_c=10.59 Ncr,y=1673810.00 λ^*_y=0.12 Curva b: Φ_y=0.49 χ_y=1.00
λ_e=20.13 Ncr,z=462889.00 λ^*_z=0.23 Curva b: Φ_z=0.53 χ_z=0.99
χ,min=0.99
Verifica: 0.01+0.01+0.02=0.04

- Verifica a trazione [4.2.5] - CC 16 SLU Xl=0.09 - Classe 1
Sollecitazioni: N=658.31 T_z=30.52 T_y=-36.27
N,Ed=658.31 Npl,Rd=23709.20 Nu,Rd=28026.90 N,Ed/Nt,Rd=0.03
Verifiche di duttilità [7.5.3]:
q_0=4.00 N,Ed=658.31 Npl,Rd=23709.20 N,Ed/Npl,Rd=0.027766

- Verifica a taglio dir. Y [4.2.16] - CC 17 SLU Xl=0.09
Sollecitazioni: N=587.01 T_z=-16.47 T_y=-50.56
V,Ed=-50.56 Vc,Rd=7560.76 V,Ed/Vc,Rd=0.01

- Verifica a taglio dir. Z [4.2.16]
V,Ed=-16.47 Vc,Rd=7560.76 V,Ed/Vc,Rd=0.00

Asta n. 1833 (-352 -384) angolari L50x10 Crit. 1

- Verifica di stabilità aste inflesse (4.2.4.1.3.2) CC 18 SLU - Classe 3
L_{cr}=0.19 Curva d: α_{imp}=0.76 k_c=0.94 ψ=2.07 M,cr=0.00 λ_{LT}=0.00
$\lambda_{LT,0}$=0.20 β_{LT}=1.00 Φ_{LT}=0.00 β_{LT}=1.00 f=0.00 χ_{LT}=1.00
CC 18 SLU My,Ed=-3.99 My,b,Rd=149.05 My,Ed/My,b,Rd=0.03

- Verifica di stabilità aste presso-inflesse (C4.2.4.1.3.3.1) - CC 5 SLV - Classe 3
Sollecitazioni: N,Ed=-209.38 Myeq,Ed=-2.23 Mzeq,Ed=-2.50
Resistenze: Nc,Rd=23709.20 My,c,Rd=149.05 Mz,c,Rd=149.05 L=19.38
λ_c=10.59 Ncr,y=1673810.00 λ^*_y=0.12 Curva b: Φ_y=0.49 χ_y=1.00
λ_e=20.13 Ncr,z=462889.00 λ^*_z=0.23 Curva b: Φ_z=0.53 χ_z=0.99
χ,min=0.99
Verifica: 0.01+0.01+0.02=0.04

- Verifica a trazione [4.2.5] - CC 16 SLU Xl=0.08 - Classe 1
Sollecitazioni: N=727.23 T_z=29.85 T_y=-35.75
N,Ed=727.23 Npl,Rd=23709.20 Nu,Rd=28026.90 N,Ed/Nt,Rd=0.03
Verifiche di duttilità [7.5.3]:
q_0=4.00 N,Ed=727.23 Npl,Rd=23709.20 N,Ed/Npl,Rd=0.030673

- Verifica a taglio dir. Y [4.2.16] - CC 17 SLU Xl=0.09
Sollecitazioni: N=550.58 T_z=-15.46 T_y=-50.44
V,Ed=-50.44 Vc,Rd=7560.76 V,Ed/Vc,Rd=0.01

- Verifica a taglio dir. Z [4.2.16]
V,Ed=-15.46 Vc,Rd=7560.76 V,Ed/Vc,Rd=0.00

Asta n. 1833 (-384 -416) angolari L50x10 Crit. 1

- Verifica di stabilità aste inflesse (4.2.4.1.3.2) CC 18 SLU - Classe 3
L_{cr}=0.19 Curva d: α_{imp}=0.76 k_c=0.94 ψ=2.01 M,cr=0.00 λ_{LT}=0.00
$\lambda_{LT,0}$=0.20 β_{LT}=1.00 Φ_{LT}=0.00 β_{LT}=1.00 f=0.00 χ_{LT}=1.00
CC 18 SLU My,Ed=-4.13 My,b,Rd=149.05 My,Ed/My,b,Rd=0.03

- Verifica di stabilità aste presso-inflesse (C4.2.4.1.3.3.1) - CC 5 SLV - Classe 3
Sollecitazioni: N,Ed=-223.23 Myeq,Ed=-2.27 Mzeq,Ed=-2.60
Resistenze: Nc,Rd=23709.20 My,c,Rd=149.05 Mz,c,Rd=149.05 L=19.38
λ_c=10.59 Ncr,y=1673810.00 λ^*_y=0.12 Curva b: Φ_y=0.49 χ_y=1.00
λ_e=20.13 Ncr,z=462890.00 λ^*_z=0.23 Curva b: Φ_z=0.53 χ_z=0.99

χ,min=0.99
Verifica: 0.01+0.02+0.02=0.04

- Verifica a trazione [4.2.5] - CC 18 SLU Xl=0.08 - Classe 1
Sollecitazioni: N=807.35 T_z=35.56 T_y=-41.25
N,Ed=807.35 Npl,Rd=23709.20 Nu,Rd=28026.90 N,Ed/Nt,Rd=0.03
Verifiche di duttilità [7.5.3]:
q_0=4.00 N,Ed=807.35 Npl,Rd=23709.20 N,Ed/Npl,Rd=0.034052

- Verifica a taglio dir. Y [4.2.16] - CC 19 SLU Xl=0.06
Sollecitazioni: N=638.62 T_z=9.18 T_y=-50.54
V,Ed=-50.54 Vc,Rd=7560.76 V,Ed/Vc,Rd=0.01

- Verifica a taglio dir. Z [4.2.16]
V,Ed=9.18 Vc,Rd=7560.76 V,Ed/Vc,Rd=0.00

Asta n. 1833 (-416 -448) angolari L50x10 Crit. 1

- Verifica di stabilità aste inflesse (4.2.4.1.3.2) CC 18 SLU - Classe 3
L_{cr}=0.19 Curva d: α_{imp}=0.76 k_c=0.94 ψ=1.96 M,cr=0.00 λ_{LT}=0.00
$\lambda_{LT,0}$=0.20 β_{LT}=1.00 Φ_{LT}=0.00 β_{LT}=1.00 f=0.00 χ_{LT}=1.00
CC 18 SLU My,Ed=-4.32 My,b,Rd=149.05 My,Ed/My,b,Rd=0.03

- Verifica di stabilità aste presso-inflesse (C4.2.4.1.3.3.1) - CC 5 SLV - Classe 3
Sollecitazioni: N,Ed=-237.69 Myeq,Ed=-2.32 Mzeq,Ed=-2.64
Resistenze: Nc,Rd=23709.20 My,c,Rd=149.05 Mz,c,Rd=149.05 L=19.38
λ_c=10.59 Ncr,y=1673810.00 λ^*_y=0.12 Curva b: Φ_y=0.49 χ_y=1.00
λ_e=20.13 Ncr,z=462889.00 λ^*_z=0.23 Curva b: Φ_z=0.53 χ_z=0.99
χ,min=0.99
Verifica: 0.01+0.02+0.02=0.04

- Verifica a trazione [4.2.5] - CC 18 SLU Xl=0.06 - Classe 1
Sollecitazioni: N=892.20 T_z=35.81 T_y=-41.22
N,Ed=892.20 Npl,Rd=23709.20 Nu,Rd=28026.90 N,Ed/Nt,Rd=0.04
Verifiche di duttilità [7.5.3]:
q_0=4.00 N,Ed=892.20 Npl,Rd=23709.20 N,Ed/Npl,Rd=0.037631

- Verifica a taglio dir. Y [4.2.16] - CC 19 SLU Xl=0.06
Sollecitazioni: N=661.87 T_z=10.37 T_y=-50.87
V,Ed=-50.87 Vc,Rd=7560.76 V,Ed/Vc,Rd=0.01

- Verifica a taglio dir. Z [4.2.16]
V,Ed=10.37 Vc,Rd=7560.76 V,Ed/Vc,Rd=0.00

Asta n. 1833 (-448 -480) angolari L50x10 Crit. 1

- Verifica di stabilità aste inflesse (4.2.4.1.3.2) CC 18 SLU - Classe 3
L_{cr}=0.19 Curva d: α_{imp}=0.76 k_c=0.94 ψ=1.92 M,cr=0.00 λ_{LT}=0.00
$\lambda_{LT,0}$=0.20 β_{LT}=1.00 Φ_{LT}=0.00 β_{LT}=1.00 f=0.00 χ_{LT}=1.00
CC 18 SLU My,Ed=-4.33 My,b,Rd=149.05 My,Ed/My,b,Rd=0.03

- Verifica di stabilità aste presso-inflesse (C4.2.4.1.3.3.1) - CC 5 SLV - Classe 3
Sollecitazioni: N,Ed=-252.80 Myeq,Ed=-2.29 Mzeq,Ed=-2.81
Resistenze: Nc,Rd=23709.20 My,c,Rd=149.05 Mz,c,Rd=149.05 L=19.38
λ_c=10.59 Ncr,y=1673810.00 λ^*_y=0.12 Curva b: Φ_y=0.49 χ_y=1.00
λ_e=20.13 Ncr,z=462889.00 λ^*_z=0.23 Curva b: Φ_z=0.53 χ_z=0.99
χ,min=0.99
Verifica: 0.01+0.02+0.02=0.04

- Verifica a trazione [4.2.5] - CC 18 SLU Xl=0.06 - Classe 1
  Sollecitazioni: N=979.43 T_z=34.72 T_y=-43.54
  N,Ed=979.43 Npl,Rd=23709.20 Nu,Rd=28026.90 N,Ed/Nt,Rd=0.04
  Verifiche di duttilità [7.5.3]:
  q_0=4.00 N,Ed=979.43 Npl,Rd=23709.20 N,Ed/Npl,Rd=0.041310

- Verifica a taglio dir. Y [4.2.16] - CC 19 SLU Xl=0.06
  Sollecitazioni: N=688.37 T_z=10.99 T_y=-52.89
  V,Ed=-52.89 Vc,Rd=7560.76 V,Ed/Vc,Rd=0.01

- Verifica a taglio dir. Z [4.2.16]
  V,Ed=10.99 Vc,Rd=7560.76 V,Ed/Vc,Rd=0.00

Asta n. 1833 (-480 -512) angolari L50x10 Crit. 1

- Verifica di stabilità aste inflesse (4.2.4.1.3.2) CC 18 SLU - Classe 3
  L_{cr}=0.19 Curva d: α_{imp}=0.76 k_c=0.94 ψ=1.83 M,cr=0.00 λ_{LT}=0.00
  $\lambda_{LT,0}$=0.20 β_{LT}=1.00 Φ_{LT}=0.00 β_{LT}=1.00 f=0.00 χ_{LT}=1.00
  CC 18 SLU My,Ed=-5.79 My,b,Rd=149.05 My,Ed/My,b,Rd=0.04

- Verifica di stabilità aste presso-inflesse (C4.2.4.1.3.3.1) - CC 5 SLV - Classe 3
  Sollecitazioni: N,Ed=-268.20 Myeq,Ed=-2.91 Mzeq,Ed=-2.11
  Resistenze: Nc,Rd=23709.20 My,c,Rd=149.05 Mz,c,Rd=149.05 L=19.38
  λ_c=10.59 Ncr,y=1673810.00 λ^*_y=0.12 Curva b: Φ_y=0.49 χ_y=1.00
  λ_e=20.13 Ncr,z=462890.00 λ^*_z=0.23 Curva b: Φ_z=0.53 χ_z=0.99
  χ,min=0.99
  Verifica: 0.01+0.02+0.01=0.05

- Verifica a trazione [4.2.5] - CC 18 SLU Xl=0.05 - Classe 1
  Sollecitazioni: N=1067.77 T_z=43.46 T_y=-29.74
  N,Ed=1067.77 Npl,Rd=23709.20 Nu,Rd=28026.90 N,Ed/Nt,Rd=0.05
  Verifiche di duttilità [7.5.3]:
  q_0=4.00 N,Ed=1067.77 Npl,Rd=23709.20 N,Ed/Npl,Rd=0.045036

- Verifica a taglio dir. Y [4.2.16] - CC 17 SLU Xl=0.08
  Sollecitazioni: N=419.74 T_z=-9.61 T_y=-45.28
  V,Ed=-45.28 Vc,Rd=7560.76 V,Ed/Vc,Rd=0.01

- Verifica a taglio dir. Z [4.2.16]
  V,Ed=-9.61 Vc,Rd=7560.76 V,Ed/Vc,Rd=0.00

Asta n. 1833 (-512 1359) angolari L50x10 Crit. 1

- Verifica di stabilità aste inflesse (4.2.4.1.3.2) CC 16 SLU - Classe 3
  L_{cr}=0.19 Curva d: α_{imp}=0.76 k_c=0.94 ψ=2.64 M,cr=0.00 λ_{LT}=0.00
  $\lambda_{LT,0}$=0.20 β_{LT}=1.00 Φ_{LT}=0.00 β_{LT}=1.00 f=0.00 χ_{LT}=1.00
  CC 16 SLU My,Ed=1.59 My,b,Rd=149.05 My,Ed/My,b,Rd=0.01

- Verifica di stabilità aste presso-inflesse (C4.2.4.1.3.3.1) - CC 5 SLV - Classe 3
  Sollecitazioni: N,Ed=-286.60 Myeq,Ed=-1.23 Mzeq,Ed=-5.64
  Resistenze: Nc,Rd=23709.20 My,c,Rd=149.05 Mz,c,Rd=149.05 L=19.38
  λ_c=10.59 Ncr,y=1673810.00 λ^*_y=0.12 Curva b: Φ_y=0.49 χ_y=1.00
  λ_e=20.13 Ncr,z=462891.00 λ^*_z=0.23 Curva b: Φ_z=0.53 χ_z=0.99
  χ,min=0.99
  Verifica: 0.01+0.01+0.04=0.06

- Verifica a trazione [4.2.5] - CC 18 SLU Xl=0.04 - Classe 1

Sollecitazioni: N=1154.25 T_z=-7.80 T_y=-111.83
N,Ed=1154.25 Npl,Rd=23709.20 Nu,Rd=28026.90 N,Ed/Nt,Rd=0.05
Verifiche di duttilità [7.5.3]:
q_0=4.00 N,Ed=1154.25 Npl,Rd=23709.20 N,Ed/Npl,Rd=0.048683

- Verifica a taglio dir. Y [4.2.16] - CC 18 SLU Xl=0.04
Sollecitazioni: N=1154.25 T_z=-7.80 T_y=-111.83
V,Ed=-111.83 Vc,Rd=7560.76 V,Ed/Vc,Rd=0.01

- Verifica a taglio dir. Z [4.2.16]
V,Ed=-7.80 Vc,Rd=7560.76 V,Ed/Vc,Rd=0.00

Asta n. 1834 (-60 -92) angolari L50x10 Crit. 1

- Verifica di stabilità aste inflesse (4.2.4.1.3.2) CC 1 SLV - Classe 3
L_{cr}=0.19 Curva d: α_{imp}=0.76 k_c=0.94 ψ=1.89 M,cr=0.00 λ_{LT}=0.00
$\lambda_{LT,0}$=0.20 β_{LT}=1.00 Φ_{LT}=0.00 β_{LT}=1.00 f=0.00 χ_{LT}=1.00
CC 1 SLV My,Ed=3.66 My,b,Rd=149.05 My,Ed/My,b,Rd=0.02

- Verifica di stabilità aste presso-inflesse (C4.2.4.1.3.3.1) - CC 18 SLU - Classe 3
Sollecitazioni: N,Ed=-474.50 Myeq,Ed=5.57 Mzeq,Ed=5.08
Resistenze: Nc,Rd=23709.20 My,c,Rd=149.05 Mz,c,Rd=149.05 L=19.38
λ_c=10.59 Ncr,y=1673810.00 λ^*_y=0.12 Curva b: Φ_y=0.49 χ_y=1.00
λ_e=20.13 Ncr,z=462889.00 λ^*_z=0.23 Curva b: Φ_z=0.53 χ_z=0.99
χ,min=0.99
Verifica: 0.02+0.04+0.03=0.09

- Verifica in termini tensionali [4.2.4] - CC 18 SLU Xl=0.05 - Classe 3
Sollecitazioni: N=-474.50 T_z=71.66 M_y=7.43 T_y=-65.81 M_z=6.66 (M_c=0.55 M_e=9.96)
Tensioni: σ_N=-52.42 σ_M=-268.39 τ=0.00 σ_{max}=-320.80
Tensioni: σ_N=-52.42 σ_M=-42.58 τ=23.35 τ_{max}=23.35
Tensioni: σ_N=-52.42 σ_M=-268.39 τ=0.00 $\sigma_{ID,max}$=320.80

- Verifica a taglio dir. Y [4.2.16] - CC 19 SLU Xl=0.15
Sollecitazioni: N=30.49 T_z=29.10 T_y=-74.11
V,Ed=-74.11 Vc,Rd=7560.76 V,Ed/Vc,Rd=0.01

- Verifica a taglio dir. Z [4.2.16]
V,Ed=29.10 Vc,Rd=7560.76 V,Ed/Vc,Rd=0.00

Asta n. 1834 (-92 -124) angolari L50x10 Crit. 1

- Verifica di stabilità aste inflesse (4.2.4.1.3.2) CC 1 SLV - Classe 3
L_{cr}=0.19 Curva d: α_{imp}=0.76 k_c=0.94 ψ=2.43 M,cr=0.00 λ_{LT}=0.00
$\lambda_{LT,0}$=0.20 β_{LT}=1.00 Φ_{LT}=0.00 β_{LT}=1.00 f=0.00 χ_{LT}=1.00
CC 1 SLV My,Ed=2.54 My,b,Rd=149.05 My,Ed/My,b,Rd=0.02

- Verifica di stabilità aste presso-inflesse (C4.2.4.1.3.3.1) - CC 18 SLU - Classe 3
Sollecitazioni: N,Ed=-378.46 Myeq,Ed=5.16 Mzeq,Ed=4.87
Resistenze: Nc,Rd=23709.20 My,c,Rd=149.05 Mz,c,Rd=149.05 L=19.38
λ_c=10.59 Ncr,y=1673810.00 λ^*_y=0.12 Curva b: Φ_y=0.49 χ_y=1.00
λ_e=20.13 Ncr,z=462890.00 λ^*_z=0.23 Curva b: Φ_z=0.53 χ_z=0.99
χ,min=0.99
Verifica: 0.02+0.03+0.03=0.08

- Verifica in termini tensionali [4.2.4] - CC 18 SLU Xl=0.03 - Classe 3
Sollecitazioni: N=-378.46 T_z=66.02 M_y=5.16 T_y=-63.61 M_z=4.87 (M_c=0.21 M_e=7.09)
Tensioni: σ_N=-41.81 σ_M=-191.15 τ=0.00 σ_{max}=-232.95

Tensioni: σ_N=-41.81 σ_M=-30.02 τ=21.75 τ_{max}=21.75
Tensioni: σ_N=-41.81 σ_M=-191.15 τ=0.00 $\sigma_{ID,max}$=232.95

- Verifica a taglio dir. Y [4.2.16] - CC 19 SLU Xl=0.10
Sollecitazioni: N=69.92 T_z=27.11 T_y=-75.61
V,Ed=-75.61 Vc,Rd=7560.76 V,Ed/Vc,Rd=0.01

- Verifica a taglio dir. Z [4.2.16]
V,Ed=27.11 Vc,Rd=7560.76 V,Ed/Vc,Rd=0.00

Asta n. 1834 (-124 -156) angolari L50x10 Crit. 1

- Verifica di stabilità aste inflesse (4.2.4.1.3.2) CC 19 SLU - Classe 3
L_{cr}=0.19 Curva d: α_{imp}=0.76 k_c=0.94 ψ=2.31 M,cr=0.00 λ_{LT}=0.00
$\lambda_{LT,0}$=0.20 β_{LT}=1.00 Φ_{LT}=0.00 β_{LT}=1.00 f=0.00 χ_{LT}=1.00
CC 19 SLU My,Ed=-2.83 My,b,Rd=149.05 My,Ed/My,b,Rd=0.02

- Verifica di stabilità aste presso-inflesse (C4.2.4.1.3.3.1) - CC 18 SLU - Classe 3
Sollecitazioni: N,Ed=-255.98 Myeq,Ed=-5.18 Mzeq,Ed=-5.09
Resistenze: Nc,Rd=23709.20 My,c,Rd=149.05 Mz,c,Rd=149.05 L=19.38
λ_c=10.59 Ncr,y=1673810.00 λ^*_y=0.12 Curva b: Φ_y=0.49 χ_y=1.00
λ_e=20.13 Ncr,z=462889.00 λ^*_z=0.23 Curva b: Φ_z=0.53 χ_z=0.99
χ,min=0.99
Verifica: 0.01+0.03+0.03=0.08

- Verifica a trazione [4.2.5] - CC 17 SLU Xl=0.12 - Classe 1
Sollecitazioni: N=602.70 T_z=-10.32 T_y=-70.04
N,Ed=602.70 Npl,Rd=23709.20 Nu,Rd=28026.90 N,Ed/Nt,Rd=0.03
Verifiche di duttilità [7.5.3]:
q_0=4.00 N,Ed=602.70 Npl,Rd=23709.20 N,Ed/Npl,Rd=0.025420

- Verifica a taglio dir. Y [4.2.16] - CC 19 SLU Xl=0.09
Sollecitazioni: N=121.60 T_z=29.00 T_y=-76.52
V,Ed=-76.52 Vc,Rd=7560.76 V,Ed/Vc,Rd=0.01

- Verifica a taglio dir. Z [4.2.16]
V,Ed=29.00 Vc,Rd=7560.76 V,Ed/Vc,Rd=0.00

Asta n. 1834 (-156 -188) angolari L50x10 Crit. 1

- Verifica di stabilità aste inflesse (4.2.4.1.3.2) CC 16 SLU - Classe 3
L_{cr}=0.19 Curva d: α_{imp}=0.76 k_c=0.94 ψ=2.68 M,cr=0.00 λ_{LT}=0.00
$\lambda_{LT,0}$=0.20 β_{LT}=1.00 Φ_{LT}=0.00 β_{LT}=1.00 f=0.00 χ_{LT}=1.00
CC 16 SLU My,Ed=-4.36 My,b,Rd=149.05 My,Ed/My,b,Rd=0.03

- Verifica di stabilità aste presso-inflesse (C4.2.4.1.3.3.1) - CC 18 SLU - Classe 3
Sollecitazioni: N,Ed=-124.36 Myeq,Ed=-5.53 Mzeq,Ed=-5.43
Resistenze: Nc,Rd=23709.20 My,c,Rd=149.05 Mz,c,Rd=149.05 L=19.38
λ_c=10.59 Ncr,y=1673810.00 λ^*_y=0.12 Curva b: Φ_y=0.49 χ_y=1.00
λ_e=20.13 Ncr,z=462890.00 λ^*_z=0.23 Curva b: Φ_z=0.53 χ_z=0.99
χ,min=0.99
Verifica: 0.01+0.04+0.04=0.08

- Verifica a trazione [4.2.5] - CC 17 SLU Xl=0.10 - Classe 1
Sollecitazioni: N=582.84 T_z=-9.38 T_y=-70.34
N,Ed=582.84 Npl,Rd=23709.20 Nu,Rd=28026.90 N,Ed/Nt,Rd=0.02
Verifiche di duttilità [7.5.3]:
q_0=4.00 N,Ed=582.84 Npl,Rd=23709.20 N,Ed/Npl,Rd=0.024583

- Verifica a taglio dir. Y [4.2.16] - CC 19 SLU Xl=0.09
  Sollecitazioni: N=179.30 T_z=30.50 T_y=-77.39
  V,Ed=-77.39 Vc,Rd=7560.76 V,Ed/Vc,Rd=0.01

- Verifica a taglio dir. Z [4.2.16]
  V,Ed=30.50 Vc,Rd=7560.76 V,Ed/Vc,Rd=0.00

Asta n. 1834 (-188 -220) angolari L50x10 Crit. 1

- Verifica di stabilità aste inflesse (4.2.4.1.3.2) CC 18 SLU - Classe 3
  L_{cr}=0.19 Curva d: α_{imp}=0.76 k_c=0.94 ψ=2.64 M,cr=0.00 λ_{LT}=0.00
  $\lambda_{LT,0}$=0.20 β_{LT}=1.00 Φ_{LT}=0.00 β_{LT}=1.00 f=0.00 χ_{LT}=1.00
  CC 18 SLU My,Ed=-5.78 My,b,Rd=149.05 My,Ed/My,b,Rd=0.04

- Verifica di stabilità aste presso-inflesse (C4.2.4.1.3.3.1) - CC 9 SLU - Classe 3
  Sollecitazioni: N,Ed=-178.24 Myeq,Ed=-4.62 Mzeq,Ed=-4.51
  Resistenze: Nc,Rd=23709.20 My,c,Rd=149.05 Mz,c,Rd=149.05 L=19.38
  λ_c=10.59 Ncr,y=1673810.00 λ^*_y=0.12 Curva b: Φ_y=0.49 χ_y=1.00
  λ_e=20.13 Ncr,z=462890.00 λ^*_z=0.23 Curva b: Φ_z=0.53 χ_z=0.99
  χ,min=0.99
  Verifica: 0.01+0.03+0.03=0.07

- Verifica in termini tensionali [4.2.4] - CC 18 SLU Xl=0.17 - Classe 3
  Sollecitazioni: N=13.94 T_z=68.51 M_y=-5.78 T_y=-65.56 M_z=-5.66 (M_c=-0.08 M_e=-8.09)
  Tensioni: σ_N=1.54 σ_M=217.92 τ=0.00 σ_{max}=219.46
  Tensioni: σ_N=1.54 σ_M=33.98 τ=22.53 τ_{max}=22.53
  Tensioni: σ_N=1.54 σ_M=217.92 τ=0.00 $\sigma_{ID,max}$=219.46

- Verifica a taglio dir. Y [4.2.16] - CC 19 SLU Xl=0.09
  Sollecitazioni: N=241.69 T_z=32.10 T_y=-78.31
  V,Ed=-78.31 Vc,Rd=7560.76 V,Ed/Vc,Rd=0.01

- Verifica a taglio dir. Z [4.2.16]
  V,Ed=32.10 Vc,Rd=7560.76 V,Ed/Vc,Rd=0.00

Asta n. 1834 (-220 -252) angolari L50x10 Crit. 1

- Verifica di stabilità aste inflesse (4.2.4.1.3.2) CC 18 SLU - Classe 3
  L_{cr}=0.19 Curva d: α_{imp}=0.76 k_c=0.94 ψ=2.57 M,cr=0.00 λ_{LT}=0.00
  $\lambda_{LT,0}$=0.20 β_{LT}=1.00 Φ_{LT}=0.00 β_{LT}=1.00 f=0.00 χ_{LT}=1.00
  CC 18 SLU My,Ed=-6.01 My,b,Rd=149.05 My,Ed/My,b,Rd=0.04

- Verifica di stabilità aste presso-inflesse (C4.2.4.1.3.3.1) - CC 9 SLU - Classe 3
  Sollecitazioni: N,Ed=-61.54 Myeq,Ed=-4.87 Mzeq,Ed=-4.74
  Resistenze: Nc,Rd=23709.20 My,c,Rd=149.05 Mz,c,Rd=149.05 L=19.38
  λ_c=10.59 Ncr,y=1673810.00 λ^*_y=0.12 Curva b: Φ_y=0.49 χ_y=1.00
  λ_e=20.13 Ncr,z=462889.00 λ^*_z=0.23 Curva b: Φ_z=0.53 χ_z=0.99
  χ,min=0.99
  Verifica: 0.00+0.03+0.03=0.07

- Verifica in termini tensionali [4.2.4] - CC 18 SLU Xl=0.17 - Classe 3
  Sollecitazioni: N=155.63 T_z=69.25 M_y=-6.01 T_y=-66.26 M_z=-5.89 (M_c=-0.09 M_e=-8.41)
  Tensioni: σ_N=17.19 σ_M=226.70 τ=0.00 σ_{max}=243.89
  Tensioni: σ_N=17.19 σ_M=35.35 τ=22.77 τ_{max}=22.77
  Tensioni: σ_N=17.19 σ_M=226.70 τ=0.00 $\sigma_{ID,max}$=243.89

- Verifica a taglio dir. Y [4.2.16] - CC 19 SLU Xl=0.09
  Sollecitazioni: N=308.73 T_z=33.72 T_y=-79.32

V,Ed=-79.32 Vc,Rd=7560.76 V,Ed/Vc,Rd=0.01

- Verifica a taglio dir. Z [4.2.16]
V,Ed=33.72 Vc,Rd=7560.76 V,Ed/Vc,Rd=0.00

Asta n. 1834 (-252 -284) angolari L50x10 Crit. 1

- Verifica di stabilità aste inflesse (4.2.4.1.3.2) CC 18 SLU - Classe 3
L_{cr}=0.19 Curva d: α_{imp}=0.76 k_c=0.94 ψ=2.50 M,cr=0.00 λ_{LT}=0.00
$\lambda_{LT,0}$=0.20 β_{LT}=1.00 Φ_{LT}=0.00 β_{LT}=1.00 f=0.00 χ_{LT}=1.00
CC 18 SLU My,Ed=-6.27 My,b,Rd=149.05 My,Ed/My,b,Rd=0.04

- Verifica di stabilità aste presso-inflesse (C4.2.4.1.3.3.1) - CC 5 SLV - Classe 3
Sollecitazioni: N,Ed=-263.99 Myeq,Ed=-2.87 Mzeq,Ed=-2.78
Resistenze: Nc,Rd=23709.20 My,c,Rd=149.05 Mz,c,Rd=149.05 L=19.38
λ_c=10.59 Ncr,y=1673810.00 λ^*_y=0.12 Curva b: Φ_y=0.49 χ_y=1.00
λ_e=20.13 Ncr,z=462889.00 λ^*_z=0.23 Curva b: Φ_z=0.53 χ_z=0.99
χ,min=0.99
Verifica: 0.01+0.02+0.02=0.05

- Verifica in termini tensionali [4.2.4] - CC 18 SLU Xl=0.17 - Classe 3
Sollecitazioni: N=302.17 T_z=70.12 M_y=-6.27 T_y=-67.02 M_z=-6.13 (M_c=-0.10 M_e=-8.76)
Tensioni: σ_N=33.38 σ_M=236.13 τ=0.00 σ_{max}=269.51
Tensioni: σ_N=33.38 σ_M=36.84 τ=23.05 τ_{max}=23.05
Tensioni: σ_N=33.38 σ_M=236.13 τ=0.00 $\sigma_{ID,max}$=269.51

- Verifica a taglio dir. Y [4.2.16] - CC 19 SLU Xl=0.08
Sollecitazioni: N=380.55 T_z=35.34 T_y=-80.54
V,Ed=-80.54 Vc,Rd=7560.76 V,Ed/Vc,Rd=0.01

- Verifica a taglio dir. Z [4.2.16]
V,Ed=35.34 Vc,Rd=7560.76 V,Ed/Vc,Rd=0.00

Asta n. 1834 (-284 -316) angolari L50x10 Crit. 1

- Verifica di stabilità aste inflesse (4.2.4.1.3.2) CC 18 SLU - Classe 3
L_{cr}=0.19 Curva d: α_{imp}=0.76 k_c=0.94 ψ=2.43 M,cr=0.00 λ_{LT}=0.00
$\lambda_{LT,0}$=0.20 β_{LT}=1.00 Φ_{LT}=0.00 β_{LT}=1.00 f=0.00 χ_{LT}=1.00
CC 18 SLU My,Ed=-6.54 My,b,Rd=149.05 My,Ed/My,b,Rd=0.04

- Verifica di stabilità aste presso-inflesse (C4.2.4.1.3.3.1) - CC 5 SLV - Classe 3
Sollecitazioni: N,Ed=-256.20 Myeq,Ed=-3.02 Mzeq,Ed=-2.92
Resistenze: Nc,Rd=23709.20 My,c,Rd=149.05 Mz,c,Rd=149.05 L=19.38
λ_c=10.59 Ncr,y=1673810.00 λ^*_y=0.12 Curva b: Φ_y=0.49 χ_y=1.00
λ_e=20.13 Ncr,z=462889.00 λ^*_z=0.23 Curva b: Φ_z=0.53 χ_z=0.99
χ,min=0.99
Verifica: 0.01+0.02+0.02=0.05

- Verifica in termini tensionali [4.2.4] - CC 18 SLU Xl=0.17 - Classe 3
Sollecitazioni: N=453.88 T_z=70.98 M_y=-6.54 T_y=-67.84 M_z=-6.38 (M_c=-0.11 M_e=-9.14)
Tensioni: σ_N=50.14 σ_M=246.23 τ=0.00 σ_{max}=296.37
Tensioni: σ_N=50.14 σ_M=38.42 τ=23.34 τ_{max}=23.34
Tensioni: σ_N=50.14 σ_M=246.23 τ=0.00 $\sigma_{ID,max}$=296.37

- Verifica a taglio dir. Y [4.2.16] - CC 19 SLU Xl=0.08
Sollecitazioni: N=457.74 T_z=37.10 T_y=-81.71
V,Ed=-81.71 Vc,Rd=7560.76 V,Ed/Vc,Rd=0.01

- Verifica a taglio dir. Z [4.2.16]

V,Ed=37.10 Vc,Rd=7560.76 V,Ed/Vc,Rd=0.00

Asta n. 1834 (-316 -348) angolari L50x10 Crit. 1

- Verifica di stabilità aste inflesse (4.2.4.1.3.2) CC 18 SLU - Classe 3
L_{cr}=0.19 Curva d: α_{imp}=0.76 k_c=0.94 ψ=2.37 M,cr=0.00 λ_{LT}=0.00
$\lambda_{LT,0}$=0.20 β_{LT}=1.00 Φ_{LT}=0.00 β_{LT}=1.00 f=0.00 χ_{LT}=1.00
CC 18 SLU My,Ed=-6.83 My,b,Rd=149.05 My,Ed/My,b,Rd=0.05

- Verifica di stabilità aste presso-inflesse (C4.2.4.1.3.3.1) - CC 5 SLV - Classe 3
Sollecitazioni: N,Ed=-247.96 Myeq,Ed=-3.18 Mzeq,Ed=-3.07
Resistenze: Nc,Rd=23709.20 My,c,Rd=149.05 Mz,c,Rd=149.05 L=19.38
λ_c=10.59 Ncr,y=1673810.00 λ^*_y=0.12 Curva b: Φ_y=0.49 χ_y=1.00
λ_e=20.13 Ncr,z=462889.00 λ^*_z=0.23 Curva b: Φ_z=0.53 χ_z=0.99
χ,min=0.99
Verifica: 0.01+0.02+0.02=0.05

- Verifica in termini tensionali [4.2.4] - CC 18 SLU Xl=0.17 - Classe 3
Sollecitazioni: N=611.11 T_z=71.89 M_y=-6.83 T_y=-68.65 M_z=-6.66 (M_c=-0.12 M_e=-9.54)
Tensioni: σ_N=67.51 σ_M=256.96 τ=0.00 σ_{max}=324.47
Tensioni: σ_N=67.51 σ_M=40.11 τ=23.63 τ_{max}=23.63
Tensioni: σ_N=67.51 σ_M=256.96 τ=0.00 $\sigma_{ID,max}$=324.47

- Verifica a taglio dir. Y [4.2.16] - CC 19 SLU Xl=0.08
Sollecitazioni: N=540.58 T_z=38.91 T_y=-82.90
V,Ed=-82.90 Vc,Rd=7560.76 V,Ed/Vc,Rd=0.01

- Verifica a taglio dir. Z [4.2.16]
V,Ed=38.91 Vc,Rd=7560.76 V,Ed/Vc,Rd=0.01

Asta n. 1834 (-348 -380) angolari L50x10 Crit. 1

- Verifica di stabilità aste inflesse (4.2.4.1.3.2) CC 18 SLU - Classe 3
L_{cr}=0.19 Curva d: α_{imp}=0.76 k_c=0.94 ψ=2.30 M,cr=0.00 λ_{LT}=0.00
$\lambda_{LT,0}$=0.20 β_{LT}=1.00 Φ_{LT}=0.00 β_{LT}=1.00 f=0.00 χ_{LT}=1.00
CC 18 SLU My,Ed=-7.15 My,b,Rd=149.05 My,Ed/My,b,Rd=0.05

- Verifica di stabilità aste presso-inflesse (C4.2.4.1.3.3.1) - CC 5 SLV - Classe 3
Sollecitazioni: N,Ed=-239.21 Myeq,Ed=-3.35 Mzeq,Ed=-3.16
Resistenze: Nc,Rd=23709.20 My,c,Rd=149.05 Mz,c,Rd=149.05 L=19.38
λ_c=10.59 Ncr,y=1673810.00 λ^*_y=0.12 Curva b: Φ_y=0.49 χ_y=1.00
λ_e=20.13 Ncr,z=462889.00 λ^*_z=0.23 Curva b: Φ_z=0.53 χ_z=0.99
χ,min=0.99
Verifica: 0.01+0.02+0.02=0.05

- Verifica in termini tensionali [4.2.4] - CC 18 SLU Xl=0.17 - Classe 3
Sollecitazioni: N=774.25 T_z=72.93 M_y=-7.15 T_y=-69.61 M_z=-6.96 (M_c=-0.14 M_e=-9.98)
Tensioni: σ_N=85.53 σ_M=268.82 τ=0.00 σ_{max}=354.35
Tensioni: σ_N=85.53 σ_M=41.97 τ=23.97 τ_{max}=23.97
Tensioni: σ_N=85.53 σ_M=268.82 τ=0.00 $\sigma_{ID,max}$=354.35

- Verifica a taglio dir. Y [4.2.16] - CC 19 SLU Xl=0.08
Sollecitazioni: N=629.45 T_z=40.84 T_y=-84.24
V,Ed=-84.24 Vc,Rd=7560.76 V,Ed/Vc,Rd=0.01

- Verifica a taglio dir. Z [4.2.16]
V,Ed=40.84 Vc,Rd=7560.76 V,Ed/Vc,Rd=0.01

Asta n. 1834 (-380 -412) angolari L50x10 Crit. 1

- Verifica di stabilità aste inflesse (4.2.4.1.3.2) CC 18 SLU - Classe 3
  L_{cr}=0.19 Curva d: α_{imp}=0.76 k_c=0.94 ψ=2.24 M,cr=0.00 λ_{LT}=0.00
  $\lambda_{LT,0}$=0.20 β_{LT}=1.00 Φ_{LT}=0.00 β_{LT}=1.00 f=0.00 χ_{LT}=1.00
  CC 18 SLU My,Ed=-7.49 My,b,Rd=149.05 My,Ed/My,b,Rd=0.05

- Verifica di stabilità aste presso-inflesse (C4.2.4.1.3.3.1) - CC 5 SLV - Classe 3
  Sollecitazioni: N,Ed=-229.90 Myeq,Ed=-3.43 Mzeq,Ed=-3.23
  Resistenze: Nc,Rd=23709.20 My,c,Rd=149.05 Mz,c,Rd=149.05 L=19.38
  λ_c=10.59 Ncr,y=1673810.00 λ^*_y=0.12 Curva b: Φ_y=0.49 χ_y=1.00
  λ_e=20.13 Ncr,z=462890.00 λ^*_z=0.23 Curva b: Φ_z=0.53 χ_z=0.99
  χ,min=0.99
  Verifica: 0.01+0.02+0.02=0.05

- Verifica in termini tensionali [4.2.4] - CC 18 SLU Xl=0.17 - Classe 3
  Sollecitazioni: N=943.76 T_z=73.98 M_y=-7.49 T_y=-70.68 M_z=-7.30 (M_c=-0.14 M_e=-10.46)
  Tensioni: σ_N=104.25 σ_M=281.78 τ=0.00 σ_{max}=386.04
  Tensioni: σ_N=104.25 σ_M=43.99 τ=24.32 τ_{max}=24.32
  Tensioni: σ_N=104.25 σ_M=281.78 τ=0.00 $\sigma_{ID,max}$=386.04

- Verifica a taglio dir. Y [4.2.16] - CC 19 SLU Xl=0.08
  Sollecitazioni: N=724.84 T_z=42.80 T_y=-85.71
  V,Ed=-85.71 Vc,Rd=7560.76 V,Ed/Vc,Rd=0.01

- Verifica a taglio dir. Z [4.2.16]
  V,Ed=42.80 Vc,Rd=7560.76 V,Ed/Vc,Rd=0.01

Asta n. 1834 (-412 -444) angolari L50x10 Crit. 1

- Verifica di stabilità aste inflesse (4.2.4.1.3.2) CC 18 SLU - Classe 3
  L_{cr}=0.19 Curva d: α_{imp}=0.76 k_c=0.94 ψ=2.18 M,cr=0.00 λ_{LT}=0.00
  $\lambda_{LT,0}$=0.20 β_{LT}=1.00 Φ_{LT}=0.00 β_{LT}=1.00 f=0.00 χ_{LT}=1.00
  CC 18 SLU My,Ed=-7.90 My,b,Rd=149.05 My,Ed/My,b,Rd=0.05

- Verifica di stabilità aste presso-inflesse (C4.2.4.1.3.3.1) - CC 5 SLV - Classe 3
  Sollecitazioni: N,Ed=-219.95 Myeq,Ed=-3.51 Mzeq,Ed=-3.29
  Resistenze: Nc,Rd=23709.20 My,c,Rd=149.05 Mz,c,Rd=149.05 L=19.38
  λ_c=10.59 Ncr,y=1673810.00 λ^*_y=0.12 Curva b: Φ_y=0.49 χ_y=1.00
  λ_e=20.13 Ncr,z=462889.00 λ^*_z=0.23 Curva b: Φ_z=0.53 χ_z=0.99
  χ,min=0.99
  Verifica: 0.01+0.02+0.02=0.05

- Verifica in termini tensionali [4.2.4] - CC 18 SLU Xl=0.17 - Classe 3
  Sollecitazioni: N=1120.10 T_z=75.35 M_y=-7.90 T_y=-71.29 M_z=-7.59 (M_c=-0.22 M_e=-10.96)
  Tensioni: σ_N=123.73 σ_M=295.24 τ=0.00 σ_{max}=418.97
  Tensioni: σ_N=123.73 σ_M=46.21 τ=24.71 τ_{max}=24.71
  Tensioni: σ_N=123.73 σ_M=295.24 τ=0.00 $\sigma_{ID,max}$=418.97

- Verifica a taglio dir. Y [4.2.16] - CC 19 SLU Xl=0.06
  Sollecitazioni: N=827.14 T_z=44.82 T_y=-86.93
  V,Ed=-86.93 Vc,Rd=7560.76 V,Ed/Vc,Rd=0.01

- Verifica a taglio dir. Z [4.2.16]
  V,Ed=44.82 Vc,Rd=7560.76 V,Ed/Vc,Rd=0.01

Asta n. 1834 (-444 -476) angolari L50x10 Crit. 1

- Verifica di stabilità aste inflesse (4.2.4.1.3.2) CC 18 SLU - Classe 3
  L_{cr}=0.19 Curva d: α_{imp}=0.76 k_c=0.94 ψ=2.12 M,cr=0.00 λ_{LT}=0.00

$\lambda_{LT,0}$=0.20 β_{LT}=1.00 Φ_{LT}=0.00 β_{LT}=1.00 f=0.00 χ_{LT}=1.00
CC 18 SLU My,Ed=-8.15 My,b,Rd=149.05 My,Ed/My,b,Rd=0.05

- Verifica di stabilità aste presso-inflesse (C4.2.4.1.3.3.1) - CC 5 SLV - Classe 3
Sollecitazioni: N,Ed=-209.36 Myeq,Ed=-3.51 Mzeq,Ed=-3.50
Resistenze: Nc,Rd=23709.20 My,c,Rd=149.05 Mz,c,Rd=149.05 L=19.38
λ_c=10.59 Ncr,y=1673810.00 λ^*_y=0.12 Curva b: Φ_y=0.49 χ_y=1.00
λ_e=20.13 Ncr,z=462889.00 λ^*_z=0.23 Curva b: Φ_z=0.53 χ_z=0.99
χ,min=0.99
Verifica: 0.01+0.02+0.02=0.06

- Verifica a trazione [4.2.5] - CC 18 SLU Xl=0.06 - Classe 1
Sollecitazioni: N=1302.54 T_z=75.16 T_y=-75.96
N,Ed=1302.54 Npl,Rd=23709.20 Nu,Rd=28026.90 N,Ed/Nt,Rd=0.05
Verifiche di duttilità [7.5.3]:
q_0=4.00 N,Ed=1302.54 Npl,Rd=23709.20 N,Ed/Npl,Rd=0.054938

- Verifica a taglio dir. Y [4.2.16] - CC 19 SLU Xl=0.06
Sollecitazioni: N=936.98 T_z=46.47 T_y=-91.65
V,Ed=-91.65 Vc,Rd=7560.76 V,Ed/Vc,Rd=0.01

- Verifica a taglio dir. Z [4.2.16]
V,Ed=46.47 Vc,Rd=7560.76 V,Ed/Vc,Rd=0.01

Asta n. 1834 (-476 -508) angolari L50x10 Crit. 1

- Verifica di stabilità aste inflesse (4.2.4.1.3.2) CC 18 SLU - Classe 3
L_{cr}=0.19 Curva d: α_{imp}=0.76 k_c=0.94 ψ=1.99 M,cr=0.00 λ_{LT}=0.00
$\lambda_{LT,0}$=0.20 β_{LT}=1.00 Φ_{LT}=0.00 β_{LT}=1.00 f=0.00 χ_{LT}=1.00
CC 18 SLU My,Ed=-10.26 My,b,Rd=149.05 My,Ed/My,b,Rd=0.07

- Verifica di stabilità aste presso-inflesse (C4.2.4.1.3.3.1) - CC 5 SLV - Classe 3
Sollecitazioni: N,Ed=-207.23 Myeq,Ed=-4.17 Mzeq,Ed=-2.58
Resistenze: Nc,Rd=23709.20 My,c,Rd=149.05 Mz,c,Rd=149.05 L=19.38
λ_c=10.59 Ncr,y=1673810.00 λ^*_y=0.12 Curva b: Φ_y=0.49 χ_y=1.00
λ_e=20.13 Ncr,z=462890.00 λ^*_z=0.23 Curva b: Φ_z=0.53 χ_z=0.99
χ,min=0.99
Verifica: 0.01+0.03+0.02=0.05

- Verifica a trazione [4.2.5] - CC 18 SLU Xl=0.05 - Classe 1
Sollecitazioni: N=1490.59 T_z=86.68 T_y=-52.73
N,Ed=1490.59 Npl,Rd=23709.20 Nu,Rd=28026.90 N,Ed/Nt,Rd=0.06
Verifiche di duttilità [7.5.3]:
q_0=4.00 N,Ed=1490.59 Npl,Rd=23709.20 N,Ed/Npl,Rd=0.062870

- Verifica a taglio dir. Y [4.2.16] - CC 18 SLU Xl=0.05
Sollecitazioni: N=1490.59 T_z=86.68 T_y=-52.73
V,Ed=-52.73 Vc,Rd=7560.76 V,Ed/Vc,Rd=0.01

- Verifica a taglio dir. Z [4.2.16]
V,Ed=86.68 Vc,Rd=7560.76 V,Ed/Vc,Rd=0.01

Asta n. 1834 (-508 1353) angolari L50x10 Crit. 1

- Verifica di stabilità aste inflesse (4.2.4.1.3.2) CC 9 SLU - Classe 3
L_{cr}=0.19 Curva d: α_{imp}=0.76 k_c=0.94 ψ=1.78 M,cr=0.00 λ_{LT}=0.00
$\lambda_{LT,0}$=0.20 β_{LT}=1.00 Φ_{LT}=0.00 β_{LT}=1.00 f=0.00 χ_{LT}=1.00
CC 9 SLU My,Ed=-5.26 My,b,Rd=149.05 My,Ed/My,b,Rd=0.04

- Verifica di stabilità aste presso-inflesse (C4.2.4.1.3.3.1) - CC 5 SLV - Classe 3
  Sollecitazioni: N,Ed=-214.72 Myeq,Ed=-1.91 Mzeq,Ed=-7.32
  Resistenze: Nc,Rd=23709.20 My,c,Rd=149.05 Mz,c,Rd=149.05 L=19.38
  λ_c=10.59 Ncr,y=1673810.00 λ^*_y=0.12 Curva b: Φ_y=0.49 χ_y=1.00
  λ_e=20.13 Ncr,z=462891.00 λ^*_z=0.23 Curva b: Φ_z=0.53 χ_z=0.99
  χ,min=0.99
  Verifica: 0.01+0.01+0.05=0.07

- Verifica in termini tensionali [4.2.4] - CC 18 SLU Xl=0.14 - Classe 3
  Sollecitazioni: N=1672.65 T_z=25.53 M_y=-3.44 T_y=-195.63 M_z=-21.36 (M_c=12.67 M_e=-17.53)
  Tensioni: σ_N=184.77 σ_M=472.43 τ=0.00 σ_{max}=657.20
  Tensioni: σ_N=184.77 σ_M=94.05 τ=56.50 τ_{max}=56.50
  Tensioni: σ_N=184.77 σ_M=472.43 τ=0.00 $\sigma_{ID,max}$=657.20

- Verifica a taglio dir. Y [4.2.16] - CC 19 SLU Xl=0.04
  Sollecitazioni: N=1168.96 T_z=29.06 T_y=-199.12
  V,Ed=-199.12 Vc,Rd=7560.76 V,Ed/Vc,Rd=0.03

- Verifica a taglio dir. Z [4.2.16]
  V,Ed=29.06 Vc,Rd=7560.76 V,Ed/Vc,Rd=0.00

Asta n. 1835 (-52 -84) angolari L50x10 Crit. 1

- Verifica di stabilità aste inflesse (4.2.4.1.3.2) CC 17 SLU - Classe 3
  L_{cr}=0.19 Curva d: α_{imp}=0.76 k_c=0.94 ψ=1.75 M,cr=0.00 λ_{LT}=0.00
  $\lambda_{LT,0}$=0.20 β_{LT}=1.00 Φ_{LT}=0.00 β_{LT}=1.00 f=0.00 χ_{LT}=1.00
  CC 17 SLU My,Ed=-8.32 My,b,Rd=149.05 My,Ed/My,b,Rd=0.06

- Verifica di stabilità aste presso-inflesse (C4.2.4.1.3.3.1) - CC 18 SLU - Classe 3
  Sollecitazioni: N,Ed=-775.29 Myeq,Ed=-4.21 Mzeq,Ed=4.85
  Resistenze: Nc,Rd=23709.20 My,c,Rd=149.05 Mz,c,Rd=149.05 L=19.38
  λ_c=10.59 Ncr,y=1673810.00 λ^*_y=0.12 Curva b: Φ_y=0.49 χ_y=1.00
  λ_e=20.13 Ncr,z=462889.00 λ^*_z=0.23 Curva b: Φ_z=0.53 χ_z=0.99
  χ,min=0.99
  Verifica: 0.03+0.03+0.03=0.09

- Verifica a compressione [4.2.9] - CC 18 SLU Xl=0.15 - Classe 1
  Sollecitazioni: N=-774.41 T_z=-54.18 T_y=-62.58
  N,Ed=-774.41 Nc,Rd=-23709.20 N,Ed/Nc,Rd=0.03
  Verifiche di duttilità [7.5.3]:
  q_0=4.00 N,Ed=-774.41 Npl,Rd=23709.20 N,Ed/Npl,Rd=0.032663

- Verifica a taglio dir. Y [4.2.16] - CC 17 SLU Xl=0.16
  Sollecitazioni: N=526.16 T_z=-69.09 T_y=8.26
  V,Ed=8.26 Vc,Rd=7560.76 V,Ed/Vc,Rd=0.00

- Verifica a taglio dir. Z [4.2.16]
  V,Ed=-69.09 Vc,Rd=7560.76 V,Ed/Vc,Rd=0.01

Asta n. 1835 (-84 -116) angolari L50x10 Crit. 1

- Verifica di stabilità aste inflesse (4.2.4.1.3.2) CC 17 SLU - Classe 3
  L_{cr}=0.19 Curva d: α_{imp}=0.76 k_c=0.94 ψ=2.38 M,cr=0.00 λ_{LT}=0.00
  $\lambda_{LT,0}$=0.20 β_{LT}=1.00 Φ_{LT}=0.00 β_{LT}=1.00 f=0.00 χ_{LT}=1.00
  CC 17 SLU My,Ed=-6.42 My,b,Rd=149.05 My,Ed/My,b,Rd=0.04

- Verifica di stabilità aste presso-inflesse (C4.2.4.1.3.3.1) - CC 18 SLU - Classe 3
  Sollecitazioni: N,Ed=-859.71 Myeq,Ed=-4.73 Mzeq,Ed=5.22

Resistenze: Nc,Rd=23709.20 My,c,Rd=149.05 Mz,c,Rd=149.05 L=19.38
λ_c=10.59 Ncr,y=1673810.00 λ^*_y=0.12 Curva b: Φ_y=0.49 χ_y=1.00
λ_e=20.13 Ncr,z=462890.00 λ^*_z=0.23 Curva b: Φ_z=0.53 χ_z=0.99
χ,min=0.99
Verifica: 0.04+0.03+0.04=0.10

- Verifica a compressione [4.2.9] - CC 18 SLU Xl=0.09 - Classe 1
Sollecitazioni: N=-859.12 T_z=-60.79 T_y=-65.65
N,Ed=-859.12 Nc,Rd=-23709.20 N,Ed/Nc,Rd=0.04
Verifiche di duttilità [7.5.3]:
q_0=4.00 N,Ed=-859.12 Npl,Rd=23709.20 N,Ed/Npl,Rd=0.036236

- Verifica a taglio dir. Y [4.2.16] - CC 19 SLU Xl=0.10
Sollecitazioni: N=-275.79 T_z=-72.61 T_y=-27.14
V,Ed=-27.14 Vc,Rd=7560.76 V,Ed/Vc,Rd=0.00

- Verifica a taglio dir. Z [4.2.16]
V,Ed=-72.61 Vc,Rd=7560.76 V,Ed/Vc,Rd=0.01

Asta n. 1835 (-116 -148) angolari L50x10 Crit. 1

- Verifica di stabilità aste inflesse (4.2.4.1.3.2) CC 17 SLU - Classe 3
L_{cr}=0.19 Curva d: α_{imp}=0.76 k_c=0.94 ψ=2.70 M,cr=0.00 λ_{LT}=0.00
$\lambda_{LT,0}$=0.20 β_{LT}=1.00 Φ_{LT}=0.00 β_{LT}=1.00 f=0.00 χ_{LT}=1.00
CC 17 SLU My,Ed=-5.58 My,b,Rd=149.05 My,Ed/My,b,Rd=0.04

- Verifica di stabilità aste presso-inflesse (C4.2.4.1.3.3.1) - CC 18 SLU - Classe 3
Sollecitazioni: N,Ed=-968.90 Myeq,Ed=4.80 Mzeq,Ed=-5.07
Resistenze: Nc,Rd=23709.20 My,c,Rd=149.05 Mz,c,Rd=149.05 L=19.38
λ_c=10.59 Ncr,y=1673810.00 λ^*_y=0.12 Curva b: Φ_y=0.49 χ_y=1.00
λ_e=20.13 Ncr,z=462889.00 λ^*_z=0.23 Curva b: Φ_z=0.53 χ_z=0.99
χ,min=0.99
Verifica: 0.04+0.03+0.03=0.11

- Verifica a compressione [4.2.9] - CC 18 SLU Xl=0.08 - Classe 1
Sollecitazioni: N=-968.43 T_z=-60.67 T_y=-65.91
N,Ed=-968.43 Nc,Rd=-23709.20 N,Ed/Nc,Rd=0.04
Verifiche di duttilità [7.5.3]:
q_0=4.00 N,Ed=-968.43 Npl,Rd=23709.20 N,Ed/Npl,Rd=0.040846

- Verifica a taglio dir. Y [4.2.16] - CC 19 SLU Xl=0.09
Sollecitazioni: N=-406.39 T_z=-72.96 T_y=-28.21
V,Ed=-28.21 Vc,Rd=7560.76 V,Ed/Vc,Rd=0.00

- Verifica a taglio dir. Z [4.2.16]
V,Ed=-72.96 Vc,Rd=7560.76 V,Ed/Vc,Rd=0.01

Asta n. 1835 (-148 -180) angolari L50x10 Crit. 1

- Verifica di stabilità aste inflesse (4.2.4.1.3.2) CC 17 SLU - Classe 3
L_{cr}=0.19 Curva d: α_{imp}=0.76 k_c=0.94 ψ=2.85 M,cr=0.00 λ_{LT}=0.00
$\lambda_{LT,0}$=0.20 β_{LT}=1.00 Φ_{LT}=0.00 β_{LT}=1.00 f=0.00 χ_{LT}=1.00
CC 17 SLU My,Ed=-5.30 My,b,Rd=149.05 My,Ed/My,b,Rd=0.04

- Verifica di stabilità aste presso-inflesse (C4.2.4.1.3.3.1) - CC 18 SLU - Classe 3
Sollecitazioni: N,Ed=-1086.64 Myeq,Ed=5.12 Mzeq,Ed=-5.42
Resistenze: Nc,Rd=23709.20 My,c,Rd=149.05 Mz,c,Rd=149.05 L=19.38
λ_c=10.59 Ncr,y=1673810.00 λ^*_y=0.12 Curva b: Φ_y=0.49 χ_y=1.00

λ_e=20.13 Ncr,z=462890.00 λ^*_z=0.23 Curva b: Φ_z=0.53 χ_z=0.99
χ,min=0.99
Verifica: 0.05+0.03+0.04=0.12

- Verifica a compressione [4.2.9] - CC 18 SLU Xl=0.08 - Classe 1
Sollecitazioni: N=-1086.17 T_z=-61.18 T_y=-66.54
N,Ed=-1086.17 Nc,Rd=-23709.20 N,Ed/Nc,Rd=0.05
Verifiche di duttilità [7.5.3]:
q_0=4.00 N,Ed=-1086.17 Npl,Rd=23709.20 N,Ed/Npl,Rd=0.045812

- Verifica a taglio dir. Y [4.2.16] - CC 19 SLU Xl=0.09
Sollecitazioni: N=-547.38 T_z=-73.75 T_y=-29.72
V,Ed=-29.72 Vc,Rd=7560.76 V,Ed/Vc,Rd=0.00

- Verifica a taglio dir. Z [4.2.16]
V,Ed=-73.75 Vc,Rd=7560.76 V,Ed/Vc,Rd=0.01

Asta n. 1835 (-180 -212) angolari L50x10 Crit. 1

- Verifica di stabilità aste inflesse (4.2.4.1.3.2) CC 17 SLU - Classe 3
L_{cr}=0.19 Curva d: α_{imp}=0.76 k_c=0.94 ψ=2.95 M,cr=0.00 λ_{LT}=0.00
$\lambda_{LT,0}$=0.20 β_{LT}=1.00 Φ_{LT}=0.00 β_{LT}=1.00 f=0.00 χ_{LT}=1.00
CC 17 SLU My,Ed=-5.13 My,b,Rd=149.05 My,Ed/My,b,Rd=0.03

- Verifica di stabilità aste presso-inflesse (C4.2.4.1.3.3.1) - CC 18 SLU - Classe 3
Sollecitazioni: N,Ed=-1209.39 Myeq,Ed=5.35 Mzeq,Ed=-5.66
Resistenze: Nc,Rd=23709.20 My,c,Rd=149.05 Mz,c,Rd=149.05 L=19.38
λ_c=10.59 Ncr,y=1673810.00 λ^*_y=0.12 Curva b: Φ_y=0.49 χ_y=1.00
λ_e=20.13 Ncr,z=462890.00 λ^*_z=0.23 Curva b: Φ_z=0.53 χ_z=0.99
χ,min=0.99
Verifica: 0.05+0.04+0.04=0.12

- Verifica a compressione [4.2.9] - CC 18 SLU Xl=0.08 - Classe 1
Sollecitazioni: N=-1208.92 T_z=-61.72 T_y=-67.14
N,Ed=-1208.92 Nc,Rd=-23709.20 N,Ed/Nc,Rd=0.05
Verifiche di duttilità [7.5.3]:
q_0=4.00 N,Ed=-1208.92 Npl,Rd=23709.20 N,Ed/Npl,Rd=0.050989

- Verifica a taglio dir. Y [4.2.16] - CC 19 SLU Xl=0.09
Sollecitazioni: N=-694.66 T_z=-74.55 T_y=-31.25
V,Ed=-31.25 Vc,Rd=7560.76 V,Ed/Vc,Rd=0.00

- Verifica a taglio dir. Z [4.2.16]
V,Ed=-74.55 Vc,Rd=7560.76 V,Ed/Vc,Rd=0.01

Asta n. 1835 (-212 -244) angolari L50x10 Crit. 1

- Verifica di stabilità aste presso-inflesse (C4.2.4.1.3.3.1) - CC 18 SLU - Classe 3
Sollecitazioni: N,Ed=-1336.51 Myeq,Ed=5.56 Mzeq,Ed=-5.89
Resistenze: Nc,Rd=23709.20 My,c,Rd=149.05 Mz,c,Rd=149.05 L=19.38
λ_c=10.59 Ncr,y=1673810.00 λ^*_y=0.12 Curva b: Φ_y=0.49 χ_y=1.00
λ_e=20.13 Ncr,z=462889.00 λ^*_z=0.23 Curva b: Φ_z=0.53 χ_z=0.99
χ,min=0.99
Verifica: 0.06+0.04+0.04=0.13

- Verifica a compressione [4.2.9] - CC 18 SLU Xl=0.08 - Classe 1
Sollecitazioni: N=-1336.04 T_z=-62.27 T_y=-67.88
N,Ed=-1336.04 Nc,Rd=-23709.20 N,Ed/Nc,Rd=0.06

Verifiche di duttilità [7.5.3]:
q_0=4.00 N,Ed=-1336.04 Npl,Rd=23709.20 N,Ed/Npl,Rd=0.056351

- Verifica a taglio dir. Y [4.2.16] - CC 19 SLU Xl=0.08
Sollecitazioni: N=-847.65 T_z=-75.53 T_y=-32.74
V,Ed=-32.74 Vc,Rd=7560.76 V,Ed/Vc,Rd=0.00

- Verifica a taglio dir. Z [4.2.16]
V,Ed=-75.53 Vc,Rd=7560.76 V,Ed/Vc,Rd=0.01

Asta n. 1835 (-244 -276) angolari L50x10 Crit. 1

- Verifica di stabilità aste presso-inflesse (C4.2.4.1.3.3.1) - CC 18 SLU - Classe 3
Sollecitazioni: N,Ed=-1468.14 Myeq,Ed=5.80 Mzeq,Ed=-6.14
Resistenze: Nc,Rd=23709.20 My,c,Rd=149.05 Mz,c,Rd=149.05 L=19.38
λ_c=10.59 Ncr,y=1673810.00 λ^*_y=0.12 Curva b: Φ_y=0.49 χ_y=1.00
λ_e=20.13 Ncr,z=462889.00 λ^*_z=0.23 Curva b: Φ_z=0.53 χ_z=0.99
χ,min=0.99
Verifica: 0.06+0.04+0.04=0.14

- Verifica a compressione [4.2.9] - CC 18 SLU Xl=0.06 - Classe 1
Sollecitazioni: N=-1467.79 T_z=-63.15 T_y=-68.72
N,Ed=-1467.79 Nc,Rd=-23709.20 N,Ed/Nc,Rd=0.06
Verifiche di duttilità [7.5.3]:
q_0=4.00 N,Ed=-1467.79 Npl,Rd=23709.20 N,Ed/Npl,Rd=0.061908

- Verifica a taglio dir. Y [4.2.16] - CC 19 SLU Xl=0.08
Sollecitazioni: N=-1006.29 T_z=-76.57 T_y=-34.37
V,Ed=-34.37 Vc,Rd=7560.76 V,Ed/Vc,Rd=0.00

- Verifica a taglio dir. Z [4.2.16]
V,Ed=-76.57 Vc,Rd=7560.76 V,Ed/Vc,Rd=0.01

Asta n. 1835 (-276 -308) angolari L50x10 Crit. 1

- Verifica di stabilità aste presso-inflesse (C4.2.4.1.3.3.1) - CC 18 SLU - Classe 3
Sollecitazioni: N,Ed=-1604.60 Myeq,Ed=5.93 Mzeq,Ed=-6.41
Resistenze: Nc,Rd=23709.20 My,c,Rd=149.05 Mz,c,Rd=149.05 L=19.38
λ_c=10.59 Ncr,y=1673810.00 λ^*_y=0.12 Curva b: Φ_y=0.49 χ_y=1.00
λ_e=20.13 Ncr,z=462889.00 λ^*_z=0.23 Curva b: Φ_z=0.53 χ_z=0.99
χ,min=0.99
Verifica: 0.07+0.04+0.04=0.15

- Verifica a compressione [4.2.9] - CC 18 SLU Xl=0.06 - Classe 1
Sollecitazioni: N=-1604.24 T_z=-63.78 T_y=-69.61
N,Ed=-1604.24 Nc,Rd=-23709.20 N,Ed/Nc,Rd=0.07
Verifiche di duttilità [7.5.3]:
q_0=4.00 N,Ed=-1604.24 Npl,Rd=23709.20 N,Ed/Npl,Rd=0.067663

- Verifica a taglio dir. Y [4.2.16] - CC 19 SLU Xl=0.08
Sollecitazioni: N=-1171.08 T_z=-77.54 T_y=-36.14
V,Ed=-36.14 Vc,Rd=7560.76 V,Ed/Vc,Rd=0.00

- Verifica a taglio dir. Z [4.2.16]
V,Ed=-77.54 Vc,Rd=7560.76 V,Ed/Vc,Rd=0.01

Asta n. 1835 (-308 -340) angolari L50x10 Crit. 1

- Verifica di stabilità aste presso-inflesse (C4.2.4.1.3.3.1) - CC 18 SLU - Classe 3
  Sollecitazioni: N,Ed=-1746.16 Myeq,Ed=6.00 Mzeq,Ed=-6.54
  Resistenze: Nc,Rd=23709.20 My,c,Rd=149.05 Mz,c,Rd=149.05 L=19.38
  λ_c=10.59 Ncr,y=1673810.00 λ^*_y=0.12 Curva b: Φ_y=0.49 χ_y=1.00
  λ_e=20.13 Ncr,z=462889.00 λ^*_z=0.23 Curva b: Φ_z=0.53 χ_z=0.99
  χ,min=0.99
  Verifica: 0.07+0.04+0.04=0.16

- Verifica a compressione [4.2.9] - CC 18 SLU Xl=0.06 - Classe 1
  Sollecitazioni: N=-1745.81 T_z=-64.54 T_y=-70.36
  N,Ed=-1745.81 Nc,Rd=-23709.20 N,Ed/Nc,Rd=0.07
  Verifiche di duttilità [7.5.3]:
  q_0=4.00 N,Ed=-1745.81 Npl,Rd=23709.20 N,Ed/Npl,Rd=0.073634

- Verifica a taglio dir. Y [4.2.16] - CC 19 SLU Xl=0.08
  Sollecitazioni: N=-1342.43 T_z=-78.64 T_y=-37.81
  V,Ed=-37.81 Vc,Rd=7560.76 V,Ed/Vc,Rd=0.01

- Verifica a taglio dir. Z [4.2.16]
  V,Ed=-78.64 Vc,Rd=7560.76 V,Ed/Vc,Rd=0.01

Asta n. 1835 (-340 -372) angolari L50x10 Crit. 1

- Verifica di stabilità aste presso-inflesse (C4.2.4.1.3.3.1) - CC 18 SLU - Classe 3
  Sollecitazioni: N,Ed=-1893.22 Myeq,Ed=6.08 Mzeq,Ed=-6.64
  Resistenze: Nc,Rd=23709.20 My,c,Rd=149.05 Mz,c,Rd=149.05 L=19.38
  λ_c=10.59 Ncr,y=1673810.00 λ^*_y=0.12 Curva b: Φ_y=0.49 χ_y=1.00
  λ_e=20.13 Ncr,z=462889.00 λ^*_z=0.23 Curva b: Φ_z=0.53 χ_z=0.99
  χ,min=0.99
  Verifica: 0.08+0.04+0.04=0.17

- Verifica Freccia massima carichi totali - CC 24
  $f_{Z,G}$=0.00 (L/13693)

- Verifica a compressione [4.2.9] - CC 18 SLU Xl=0.06 - Classe 1
  Sollecitazioni: N=-1892.86 T_z=-65.40 T_y=-71.37
  N,Ed=-1892.86 Nc,Rd=-23709.20 N,Ed/Nc,Rd=0.08
  Verifiche di duttilità [7.5.3]:
  q_0=4.00 N,Ed=-1892.86 Npl,Rd=23709.20 N,Ed/Npl,Rd=0.079837

- Verifica a taglio dir. Y [4.2.16] - CC 19 SLU Xl=0.08
  Sollecitazioni: N=-1520.81 T_z=-79.84 T_y=-39.71
  V,Ed=-39.71 Vc,Rd=7560.76 V,Ed/Vc,Rd=0.01

- Verifica a taglio dir. Z [4.2.16]
  V,Ed=-79.84 Vc,Rd=7560.76 V,Ed/Vc,Rd=0.01

Asta n. 1835 (-372 -404) angolari L50x10 Crit. 1

- Verifica di stabilità aste presso-inflesse (C4.2.4.1.3.3.1) - CC 18 SLU - Classe 3
  Sollecitazioni: N,Ed=-2046.17 Myeq,Ed=6.14 Mzeq,Ed=-6.74
  Resistenze: Nc,Rd=23709.20 My,c,Rd=149.05 Mz,c,Rd=149.05 L=19.38
  λ_c=10.59 Ncr,y=1673810.00 λ^*_y=0.12 Curva b: Φ_y=0.49 χ_y=1.00
  λ_e=20.13 Ncr,z=462890.00 λ^*_z=0.23 Curva b: Φ_z=0.53 χ_z=0.99
  χ,min=0.99
  Verifica: 0.09+0.04+0.05=0.17

- Verifica Freccia massima carichi totali - CC 24
  $f_{Z,G}$=0.00 (L/12819)

- Verifica a compressione [4.2.9] - CC 18 SLU Xl=0.06 - Classe 1
  Sollecitazioni: N=-2045.82 T_z=-66.10 T_y=-72.43
  N,Ed=-2045.82 Nc,Rd=-23709.20 N,Ed/Nc,Rd=0.09
  Verifiche di duttilità [7.5.3]:
  q_0=4.00 N,Ed=-2045.82 Npl,Rd=23709.20 N,Ed/Npl,Rd=0.086288

- Verifica a taglio dir. Y [4.2.16] - CC 19 SLU Xl=0.06
  Sollecitazioni: N=-1706.90 T_z=-81.06 T_y=-41.54
  V,Ed=-41.54 Vc,Rd=7560.76 V,Ed/Vc,Rd=0.01

- Verifica a taglio dir. Z [4.2.16]
  V,Ed=-81.06 Vc,Rd=7560.76 V,Ed/Vc,Rd=0.01

Asta n. 1835 (-404 -436) angolari L50x10 Crit. 1

- Verifica di stabilità aste presso-inflesse (C4.2.4.1.3.3.1) - CC 18 SLU - Classe 3
  Sollecitazioni: N,Ed=-2205.40 Myeq,Ed=6.31 Mzeq,Ed=-6.80
  Resistenze: Nc,Rd=23709.20 My,c,Rd=149.05 Mz,c,Rd=149.05 L=19.38
  λ_c=10.59 Ncr,y=1673810.00 λ^*_y=0.12 Curva b: Φ_y=0.49 χ_y=1.00
  λ_c=20.13 Ncr,z=462889.00 λ^*_z=0.23 Curva b: Φ_z=0.53 χ_z=0.99
  χ,min=0.99
  Verifica: 0.09+0.04+0.05=0.18

- Verifica Freccia massima carichi totali - CC 24
  $f_{Z,G}$=0.00 (L/12552)

- Verifica a compressione [4.2.9] - CC 18 SLU Xl=0.05 - Classe 1
  Sollecitazioni: N=-2205.17 T_z=-67.97 T_y=-73.21
  N,Ed=-2205.17 Nc,Rd=-23709.20 N,Ed/Nc,Rd=0.09
  Verifiche di duttilità [7.5.3]:
  q_0=4.00 N,Ed=-2205.17 Npl,Rd=23709.20 N,Ed/Npl,Rd=0.093009

- Verifica a taglio dir. Y [4.2.16] - CC 19 SLU Xl=0.06
  Sollecitazioni: N=-1900.92 T_z=-83.16 T_y=-43.20
  V,Ed=-43.20 Vc,Rd=7560.76 V,Ed/Vc,Rd=0.01

- Verifica a taglio dir. Z [4.2.16]
  V,Ed=-83.16 Vc,Rd=7560.76 V,Ed/Vc,Rd=0.01

Asta n. 1835 (-436 -468) angolari L50x10 Crit. 1

- Verifica di stabilità aste presso-inflesse (C4.2.4.1.3.3.1) - CC 18 SLU - Classe 3
  Sollecitazioni: N,Ed=-2371.31 Myeq,Ed=5.87 Mzeq,Ed=-7.23
  Resistenze: Nc,Rd=23709.20 My,c,Rd=149.05 Mz,c,Rd=149.05 L=19.38
  λ_c=10.59 Ncr,y=1673810.00 λ^*_y=0.12 Curva b: Φ_y=0.49 χ_y=1.00
  λ_c=20.13 Ncr,z=462889.00 λ^*_z=0.23 Curva b: Φ_z=0.53 χ_z=0.99
  χ,min=0.99
  Verifica: 0.10+0.04+0.05=0.19

- Verifica Freccia massima carichi totali - CC 24
  $f_{Z,G}$=0.00 (L/10388)

- Verifica a compressione [4.2.9] - CC 18 SLU Xl=0.05 - Classe 1
  Sollecitazioni: N=-2371.07 T_z=-63.31 T_y=-77.86
  N,Ed=-2371.07 Nc,Rd=-23709.20 N,Ed/Nc,Rd=0.10

Verifiche di duttilità [7.5.3]:
q_0=4.00 N,Ed=-2371.07 Npl,Rd=23709.20 N,Ed/Npl,Rd=0.100010

- Verifica a taglio dir. Y [4.2.16] - CC 19 SLU Xl=0.06
Sollecitazioni: N=-2103.39 T_z=-79.13 T_y=-48.05
V,Ed=-48.05 Vc,Rd=7560.76 V,Ed/Vc,Rd=0.01

- Verifica a taglio dir. Z [4.2.16]
V,Ed=-79.13 Vc,Rd=7560.76 V,Ed/Vc,Rd=0.01

Asta n. 1835 (-468 -500) angolari L50x10 Crit. 1

- Verifica di stabilità aste presso-inflesse (C4.2.4.1.3.3.1) - CC 18 SLU - Classe 3
Sollecitazioni: N,Ed=-2541.47 Myeq,Ed=9.68 Mzeq,Ed=-5.04
Resistenze: Nc,Rd=23709.20 My,c,Rd=149.05 Mz,c,Rd=149.05 L=19.38
λ_c=10.59 Ncr,y=1673810.00 λ^*_y=0.12 Curva b: Φ_y=0.49 χ_y=1.00
λ_e=20.13 Ncr,z=462890.00 λ^*_z=0.23 Curva b: Φ_z=0.53 χ_z=0.99
χ,min=0.99
Verifica: 0.11+0.07+0.03=0.21

- Verifica Freccia massima per soli carichi accidentali - CC 24
$f_{Z,G}$=0.00 (L/14012)

- Verifica Freccia massima carichi totali - CC 21
$f_{Z,G}$=0.00 (L/9414)

- Verifica a compressione [4.2.9] - CC 18 SLU Xl=0.05 - Classe 1
Sollecitazioni: N=-2541.24 T_z=-103.39 T_y=-54.42
N,Ed=-2541.24 Nc,Rd=-23709.20 N,Ed/Nc,Rd=0.11
Verifiche di duttilità [7.5.3]:
q_0=4.00 N,Ed=-2541.24 Npl,Rd=23709.20 N,Ed/Npl,Rd=0.107180

- Verifica a taglio dir. Y [4.2.16] - CC 19 SLU Xl=0.05
Sollecitazioni: N=-2311.32 T_z=-118.20 T_y=-30.45
V,Ed=-30.45 Vc,Rd=7560.76 V,Ed/Vc,Rd=0.00

- Verifica a taglio dir. Z [4.2.16]
V,Ed=-118.20 Vc,Rd=7560.76 V,Ed/Vc,Rd=0.02

Asta n. 1835 (-500 1333) angolari L50x10 Crit. 1

- Verifica di stabilità aste presso-inflesse (C4.2.4.1.3.3.1) - CC 18 SLU - Classe 3
Sollecitazioni: N,Ed=-2708.38 Myeq,Ed=-9.27 Mzeq,Ed=-16.40
Resistenze: Nc,Rd=23709.20 My,c,Rd=149.05 Mz,c,Rd=149.05 L=19.38
λ_c=10.59 Ncr,y=1673810.00 λ^*_y=0.12 Curva b: Φ_y=0.49 χ_y=1.00
λ_e=20.13 Ncr,z=462891.00 λ^*_z=0.23 Curva b: Φ_z=0.53 χ_z=0.99
χ,min=0.99
Verifica: 0.11+0.06+0.11=0.29

- Verifica Freccia massima carichi totali - CC 21
$f_{Z,G}$=0.00 (L/8164)

- Verifica a compressione [4.2.9] - CC 19 SLU Xl=0.04 - Classe 1
Sollecitazioni: N=-2511.66 T_z=95.92 T_y=-147.96
N,Ed=-2511.66 Nc,Rd=-23709.20 N,Ed/Nc,Rd=0.11
Verifiche di duttilità [7.5.3]:
q_0=4.00 N,Ed=-2511.66 Npl,Rd=23709.20 N,Ed/Npl,Rd=0.105940

- Verifica a taglio dir. Y [4.2.16] - CC 19 SLU Xl=0.04
  Sollecitazioni: N=-2511.66 T_z=95.92 T_y=-147.96
  V,Ed=-147.96 Vc,Rd=7560.76 V,Ed/Vc,Rd=0.02

- Verifica a taglio dir. Z [4.2.16]
  V,Ed=95.92 Vc,Rd=7560.76 V,Ed/Vc,Rd=0.01

Asta n. 1836 (-56 -88) angolari L50x10 Crit. 1

- Verifica di stabilità aste inflesse (4.2.4.1.3.2) CC 17 SLU - Classe 3
  L_{cr}=0.19 Curva d: α_{imp}=0.76 k_c=0.94 ψ=1.70 M,cr=0.00 λ_{LT}=0.00
  $\lambda_{LT,0}$=0.20 β_{LT}=1.00 Φ_{LT}=0.00 β_{LT}=1.00 f=0.00 χ_{LT}=1.00
  CC 17 SLU My,Ed=-6.96 My,b,Rd=149.05 My,Ed/My,b,Rd=0.05

- Verifica di stabilità aste presso-inflesse (C4.2.4.1.3.3.1) - CC 18 SLU - Classe 3
  Sollecitazioni: N,Ed=-287.36 Myeq,Ed=-3.13 Mzeq,Ed=2.48
  Resistenze: Nc,Rd=23709.20 My,c,Rd=149.05 Mz,c,Rd=149.05 L=19.38
  λ_c=10.59 Ncr,y=1673810.00 λ^*_y=0.12 Curva b: Φ_y=0.49 χ_y=1.00
  λ_e=20.13 Ncr,z=462890.00 λ^*_z=0.23 Curva b: Φ_z=0.53 χ_z=0.99
  χ,min=0.99
  Verifica: 0.01+0.02+0.02=0.05

- Verifica a trazione [4.2.5] - CC 17 SLU Xl=0.17 - Classe 1
  Sollecitazioni: N=754.13 T_z=-54.99 T_y=19.38
  N,Ed=754.13 Npl,Rd=23709.20 Nu,Rd=28026.90 N,Ed/Nt,Rd=0.03
  Verifiche di duttilità [7.5.3]:
  q_0=4.00 N,Ed=754.13 Npl,Rd=23709.20 N,Ed/Npl,Rd=0.031808

- Verifica a taglio dir. Y [4.2.16] - CC 17 SLU Xl=0.16
  Sollecitazioni: N=754.04 T_z=-55.16 T_y=19.54
  V,Ed=19.54 Vc,Rd=7560.76 V,Ed/Vc,Rd=0.00

- Verifica a taglio dir. Z [4.2.16]
  V,Ed=-55.16 Vc,Rd=7560.76 V,Ed/Vc,Rd=0.01

Asta n. 1836 (-88 -120) angolari L50x10 Crit. 1

- Verifica di stabilità aste inflesse (4.2.4.1.3.2) CC 17 SLU - Classe 3
  L_{cr}=0.19 Curva d: α_{imp}=0.76 k_c=0.94 ψ=2.27 M,cr=0.00 λ_{LT}=0.00
  $\lambda_{LT,0}$=0.20 β_{LT}=1.00 Φ_{LT}=0.00 β_{LT}=1.00 f=0.00 χ_{LT}=1.00
  CC 17 SLU My,Ed=-5.17 My,b,Rd=149.05 My,Ed/My,b,Rd=0.03

- Verifica di stabilità aste presso-inflesse (C4.2.4.1.3.3.1) - CC 18 SLU - Classe 3
  Sollecitazioni: N,Ed=-344.11 Myeq,Ed=-3.41 Mzeq,Ed=-2.42
  Resistenze: Nc,Rd=23709.20 My,c,Rd=149.05 Mz,c,Rd=149.05 L=19.38
  λ_c=10.59 Ncr,y=1673810.00 λ^*_y=0.12 Curva b: Φ_y=0.49 χ_y=1.00
  λ_e=20.13 Ncr,z=462890.00 λ^*_z=0.23 Curva b: Φ_z=0.53 χ_z=0.99
  χ,min=0.99
  Verifica: 0.01+0.02+0.02=0.05

- Verifica a trazione [4.2.5] - CC 17 SLU Xl=0.14 - Classe 1
  Sollecitazioni: N=683.10 T_z=-51.12 T_y=23.96
  N,Ed=683.10 Npl,Rd=23709.20 Nu,Rd=28026.90 N,Ed/Nt,Rd=0.03
  Verifiche di duttilità [7.5.3]:
  q_0=4.00 N,Ed=683.10 Npl,Rd=23709.20 N,Ed/Npl,Rd=0.028811

- Verifica a taglio dir. Y [4.2.16] - CC 17 SLU Xl=0.12

Sollecitazioni: N=682.87 T_z=-51.51 T_y=24.35
V,Ed=24.35 Vc,Rd=7560.76 V,Ed/Vc,Rd=0.00

- Verifica a taglio dir. Z [4.2.16]
V,Ed=-51.51 Vc,Rd=7560.76 V,Ed/Vc,Rd=0.01

Asta n. 1836 (-120 -152) angolari L50x10 Crit. 1

- Verifica di stabilità aste inflesse (4.2.4.1.3.2) CC 17 SLU - Classe 3
L_{cr}=0.19 Curva d: α_{imp}=0.76 k_c=0.94 ψ=2.54 M,cr=0.00 λ_{LT}=0.00
$\lambda_{LT,0}$=0.20 β_{LT}=1.00 Φ_{LT}=0.00 β_{LT}=1.00 f=0.00 χ_{LT}=1.00
CC 17 SLU My,Ed=-4.52 My,b,Rd=149.05 My,Ed/My,b,Rd=0.03

- Verifica di stabilità aste presso-inflesse (C4.2.4.1.3.3.1) - CC 18 SLU - Classe 3
Sollecitazioni: N,Ed=-417.48 Myeq,Ed=3.10 Mzeq,Ed=-2.83
Resistenze: Nc,Rd=23709.20 My,c,Rd=149.05 Mz,c,Rd=149.05 L=19.38
λ_c=10.59 Ncr,y=1673810.00 λ^*_y=0.12 Curva b: Φ_y=0.49 χ_y=1.00
λ_e=20.13 Ncr,z=462889.00 λ^*_z=0.23 Curva b: Φ_z=0.53 χ_z=0.99
χ,min=0.99
Verifica: 0.02+0.02+0.02=0.06

- Verifica a trazione [4.2.5] - CC 17 SLU Xl=0.13 - Classe 1
Sollecitazioni: N=592.04 T_z=-51.14 T_y=23.12
N,Ed=592.04 Npl,Rd=23709.20 Nu,Rd=28026.90 N,Ed/Nt,Rd=0.02
Verifiche di duttilità [7.5.3]:
q_0=4.00 N,Ed=592.04 Npl,Rd=23709.20 N,Ed/Npl,Rd=0.024971

- Verifica a taglio dir. Y [4.2.16] - CC 17 SLU Xl=0.10
Sollecitazioni: N=591.81 T_z=-51.53 T_y=23.51
V,Ed=23.51 Vc,Rd=7560.76 V,Ed/Vc,Rd=0.00

- Verifica a taglio dir. Z [4.2.16]
V,Ed=-51.53 Vc,Rd=7560.76 V,Ed/Vc,Rd=0.01

Asta n. 1836 (-152 -184) angolari L50x10 Crit. 1

- Verifica di stabilità aste inflesse (4.2.4.1.3.2) CC 17 SLU - Classe 3
L_{cr}=0.19 Curva d: α_{imp}=0.76 k_c=0.94 ψ=2.66 M,cr=0.00 λ_{LT}=0.00
$\lambda_{LT,0}$=0.20 β_{LT}=1.00 Φ_{LT}=0.00 β_{LT}=1.00 f=0.00 χ_{LT}=1.00
CC 17 SLU My,Ed=-4.29 My,b,Rd=149.05 My,Ed/My,b,Rd=0.03

- Verifica di stabilità aste presso-inflesse (C4.2.4.1.3.3.1) - CC 18 SLU - Classe 3
Sollecitazioni: N,Ed=-496.23 Myeq,Ed=3.30 Mzeq,Ed=-2.91
Resistenze: Nc,Rd=23709.20 My,c,Rd=149.05 Mz,c,Rd=149.05 L=19.38
λ_c=10.59 Ncr,y=1673810.00 λ^*_y=0.12 Curva b: Φ_y=0.49 χ_y=1.00
λ_e=20.13 Ncr,z=462890.00 λ^*_z=0.23 Curva b: Φ_z=0.53 χ_z=0.99
χ,min=0.99
Verifica: 0.02+0.02+0.02=0.06

- Verifica in termini tensionali [4.2.4] - CC 17 SLU Xl=0.03 - Classe 3
Sollecitazioni: N=494.22 T_z=-52.43 M_y=-4.29 T_y=23.76 M_z=-2.61 (M_c=-1.19 M_e=-4.88)
Tensioni: σ_N=54.59 σ_M=131.46 τ=0.00 σ_{max}=186.05
Tensioni: σ_N=54.59 σ_M=22.36 τ=15.61 τ_{max}=15.61
Tensioni: σ_N=54.59 σ_M=131.46 τ=0.00 $\sigma_{ID,max}$=186.05

- Verifica a taglio dir. Y [4.2.16] - CC 17 SLU Xl=0.10
Sollecitazioni: N=494.92 T_z=-51.25 T_y=22.59
V,Ed=22.59 Vc,Rd=7560.76 V,Ed/Vc,Rd=0.00

- Verifica a taglio dir. Z [4.2.16]
  V,Ed=-51.25 Vc,Rd=7560.76 V,Ed/Vc,Rd=0.01

Asta n. 1836 (-184 -216) angolari L50x10 Crit. 1

- Verifica di stabilità aste inflesse (4.2.4.1.3.2) CC 17 SLU - Classe 3
  L_{cr}=0.19 Curva d: α_{imp}=0.76 k_c=0.94 ψ=2.73 M,cr=0.00 λ_{LT}=0.00
  $\lambda_{LT,0}$=0.20 β_{LT}=1.00 Φ_{LT}=0.00 β_{LT}=1.00 f=0.00 χ_{LT}=1.00
  CC 17 SLU My,Ed=-4.15 My,b,Rd=149.05 My,Ed/My,b,Rd=0.03

- Verifica di stabilità aste presso-inflesse (C4.2.4.1.3.3.1) - CC 18 SLU - Classe 3
  Sollecitazioni: N,Ed=-577.83 Myeq,Ed=3.42 Mzeq,Ed=-2.90
  Resistenze: Nc,Rd=23709.20 My,c,Rd=149.05 Mz,c,Rd=149.05 L=19.38
  λ_c=10.59 Ncr,y=1673810.00 λ^*_y=0.12 Curva b: Φ_y=0.49 χ_y=1.00
  λ_e=20.13 Ncr,z=462890.00 λ^*_z=0.23 Curva b: Φ_z=0.53 χ_z=0.99
  χ,min=0.99
  Verifica: 0.02+0.02+0.02=0.07

- Verifica a compressione [4.2.9] - CC 18 SLU Xl=0.06 - Classe 1
  Sollecitazioni: N=-577.47 T_z=-41.72 T_y=-31.35
  N,Ed=-577.47 Nc,Rd=-23709.20 N,Ed/Nc,Rd=0.02
  Verifiche di duttilità [7.5.3]:
  q_0=4.00 N,Ed=-577.47 Npl,Rd=23709.20 N,Ed/Npl,Rd=0.024356

- Verifica a taglio dir. Y [4.2.16] - CC 17 SLU Xl=0.10
  Sollecitazioni: N=395.30 T_z=-50.99 T_y=21.64
  V,Ed=21.64 Vc,Rd=7560.76 V,Ed/Vc,Rd=0.00

- Verifica a taglio dir. Z [4.2.16]
  V,Ed=-50.99 Vc,Rd=7560.76 V,Ed/Vc,Rd=0.01

Asta n. 1836 (-216 -248) angolari L50x10 Crit. 1

- Verifica di stabilità aste inflesse (4.2.4.1.3.2) CC 17 SLU - Classe 3
  L_{cr}=0.19 Curva d: α_{imp}=0.76 k_c=0.94 ψ=2.80 M,cr=0.00 λ_{LT}=0.00
  $\lambda_{LT,0}$=0.20 β_{LT}=1.00 Φ_{LT}=0.00 β_{LT}=1.00 f=0.00 χ_{LT}=1.00
  CC 17 SLU My,Ed=-4.03 My,b,Rd=149.05 My,Ed/My,b,Rd=0.03

- Verifica di stabilità aste presso-inflesse (C4.2.4.1.3.3.1) - CC 18 SLU - Classe 3
  Sollecitazioni: N,Ed=-661.79 Myeq,Ed=3.54 Mzeq,Ed=-2.89
  Resistenze: Nc,Rd=23709.20 My,c,Rd=149.05 Mz,c,Rd=149.05 L=19.38
  λ_c=10.59 Ncr,y=1673810.00 λ^*_y=0.12 Curva b: Φ_y=0.49 χ_y=1.00
  λ_e=20.13 Ncr,z=462889.00 λ^*_z=0.23 Curva b: Φ_z=0.53 χ_z=0.99
  χ,min=0.99
  Verifica: 0.03+0.02+0.02=0.07

- Verifica a compressione [4.2.9] - CC 18 SLU Xl=0.06 - Classe 1
  Sollecitazioni: N=-661.43 T_z=-41.85 T_y=-31.20
  N,Ed=-661.43 Nc,Rd=-23709.20 N,Ed/Nc,Rd=0.03
  Verifiche di duttilità [7.5.3]:
  q_0=4.00 N,Ed=-661.43 Npl,Rd=23709.20 N,Ed/Npl,Rd=0.027898

- Verifica a taglio dir. Y [4.2.16] - CC 17 SLU Xl=0.10
  Sollecitazioni: N=293.59 T_z=-50.74 T_y=20.72
  V,Ed=20.72 Vc,Rd=7560.76 V,Ed/Vc,Rd=0.00

- Verifica a taglio dir. Z [4.2.16]
  V,Ed=-50.74 Vc,Rd=7560.76 V,Ed/Vc,Rd=0.01

Asta n. 1836 (-248 -280) angolari L50x10 Crit. 1

- Verifica di stabilità aste inflesse (4.2.4.1.3.2) CC 17 SLU - Classe 3
  L_{cr}=0.19 Curva d: α_{imp}=0.76 k_c=0.94 ψ=2.88 M,cr=0.00 λ_{LT}=0.00
  $\lambda_{LT,0}$=0.20 β_{LT}=1.00 Φ_{LT}=0.00 β_{LT}=1.00 f=0.00 χ_{LT}=1.00
  CC 17 SLU My,Ed=-3.90 My,b,Rd=149.05 My,Ed/My,b,Rd=0.03

- Verifica di stabilità aste presso-inflesse (C4.2.4.1.3.3.1) - CC 18 SLU - Classe 3
  Sollecitazioni: N,Ed=-748.17 Myeq,Ed=3.67 Mzeq,Ed=-2.87
  Resistenze: Nc,Rd=23709.20 My,c,Rd=149.05 Mz,c,Rd=149.05 L=19.38
  λ_c=10.59 Ncr,y=1673810.00 λ^*_y=0.12 Curva b: Φ_y=0.49 χ_y=1.00
  λ_e=20.13 Ncr,z=462889.00 λ^*_z=0.23 Curva b: Φ_z=0.53 χ_z=0.99
  χ,min=0.99
  Verifica: 0.03+0.02+0.02=0.08

- Verifica a compressione [4.2.9] - CC 18 SLU Xl=0.06 - Classe 1
  Sollecitazioni: N=-747.82 T_z=-42.07 T_y=-31.07
  N,Ed=-747.82 Nc,Rd=-23709.20 N,Ed/Nc,Rd=0.03
  Verifiche di duttilità [7.5.3]:
  q_0=4.00 N,Ed=-747.82 Npl,Rd=23709.20 N,Ed/Npl,Rd=0.031541

- Verifica a taglio dir. Y [4.2.16] - CC 17 SLU Xl=0.09
  Sollecitazioni: N=189.71 T_z=-50.74 T_y=19.96
  V,Ed=19.96 Vc,Rd=7560.76 V,Ed/Vc,Rd=0.00

- Verifica a taglio dir. Z [4.2.16]
  V,Ed=-50.74 Vc,Rd=7560.76 V,Ed/Vc,Rd=0.01

Asta n. 1836 (-280 -312) angolari L50x10 Crit. 1

- Verifica di stabilità aste inflesse (4.2.4.1.3.2) CC 17 SLU - Classe 3
  L_{cr}=0.19 Curva d: α_{imp}=0.76 k_c=0.94 ψ=2.98 M,cr=0.00 λ_{LT}=0.00
  $\lambda_{LT,0}$=0.20 β_{LT}=1.00 Φ_{LT}=0.00 β_{LT}=1.00 f=0.00 χ_{LT}=1.00
  CC 17 SLU My,Ed=-3.77 My,b,Rd=149.05 My,Ed/My,b,Rd=0.03

- Verifica di stabilità aste presso-inflesse (C4.2.4.1.3.3.1) - CC 18 SLU - Classe 3
  Sollecitazioni: N,Ed=-837.13 Myeq,Ed=3.81 Mzeq,Ed=-2.87
  Resistenze: Nc,Rd=23709.20 My,c,Rd=149.05 Mz,c,Rd=149.05 L=19.38
  λ_c=10.59 Ncr,y=1673810.00 λ^*_y=0.12 Curva b: Φ_y=0.49 χ_y=1.00
  λ_e=20.13 Ncr,z=462889.00 λ^*_z=0.23 Curva b: Φ_z=0.53 χ_z=0.99
  χ,min=0.99
  Verifica: 0.04+0.03+0.02=0.08

- Verifica a compressione [4.2.9] - CC 18 SLU Xl=0.06 - Classe 1
  Sollecitazioni: N=-836.77 T_z=-42.22 T_y=-31.00
  N,Ed=-836.77 Nc,Rd=-23709.20 N,Ed/Nc,Rd=0.04
  Verifiche di duttilità [7.5.3]:
  q_0=4.00 N,Ed=-836.77 Npl,Rd=23709.20 N,Ed/Npl,Rd=0.035293

- Verifica a taglio dir. Y [4.2.16] - CC 17 SLU Xl=0.09
  Sollecitazioni: N=83.77 T_z=-50.54 T_y=18.98
  V,Ed=18.98 Vc,Rd=7560.76 V,Ed/Vc,Rd=0.00

- Verifica a taglio dir. Z [4.2.16]
  V,Ed=-50.54 Vc,Rd=7560.76 V,Ed/Vc,Rd=0.01

Asta n. 1836 (-312 -344) angolari L50x10 Crit. 1

- Verifica di stabilità aste inflesse (4.2.4.1.3.2) CC 5 SLV - Classe 3
  L_{cr}=0.19 Curva d: α_{imp}=0.76 k_c=0.94 ψ=2.54 M,cr=0.00 λ_{LT}=0.00
  $\lambda_{LT,0}$=0.20 β_{LT}=1.00 Φ_{LT}=0.00 β_{LT}=1.00 f=0.00 χ_{LT}=1.00
  CC 5 SLV My,Ed=2.44 My,b,Rd=149.05 My,Ed/My,b,Rd=0.02

- Verifica di stabilità aste presso-inflesse (C4.2.4.1.3.3.1) - CC 18 SLU - Classe 3
  Sollecitazioni: N,Ed=-928.81 Myeq,Ed=3.94 Mzeq,Ed=-2.85
  Resistenze: Nc,Rd=23709.20 My,c,Rd=149.05 Mz,c,Rd=149.05 L=19.38
  λ_c=10.59 Ncr,y=1673810.00 λ^*_y=0.12 Curva b: Φ_y=0.49 χ_y=1.00
  λ_e=20.13 Ncr,z=462889.00 λ^*_z=0.23 Curva b: Φ_z=0.53 χ_z=0.99
  χ,min=0.99
  Verifica: 0.04+0.03+0.02=0.08

- Verifica a compressione [4.2.9] - CC 18 SLU Xl=0.05 - Classe 1
  Sollecitazioni: N=-928.57 T_z=-42.56 T_y=-30.94
  N,Ed=-928.57 Nc,Rd=-23709.20 N,Ed/Nc,Rd=0.04
  Verifiche di duttilità [7.5.3]:
  q_0=4.00 N,Ed=-928.57 Npl,Rd=23709.20 N,Ed/Npl,Rd=0.039165

- Verifica a taglio dir. Y [4.2.16] - CC 17 SLU Xl=0.09
  Sollecitazioni: N=-24.47 T_z=-50.37 T_y=18.03
  V,Ed=18.03 Vc,Rd=7560.76 V,Ed/Vc,Rd=0.00

- Verifica a taglio dir. Z [4.2.16]
  V,Ed=-50.37 Vc,Rd=7560.76 V,Ed/Vc,Rd=0.01

Asta n. 1836 (-344 -376) angolari L50x10 Crit. 1

- Verifica di stabilità aste inflesse (4.2.4.1.3.2) CC 5 SLV - Classe 3
  L_{cr}=0.19 Curva d: α_{imp}=0.76 k_c=0.94 ψ=2.46 M,cr=0.00 λ_{LT}=0.00
  $\lambda_{LT,0}$=0.20 β_{LT}=1.00 Φ_{LT}=0.00 β_{LT}=1.00 f=0.00 χ_{LT}=1.00
  CC 5 SLV My,Ed=2.58 My,b,Rd=149.05 My,Ed/My,b,Rd=0.02

- Verifica di stabilità aste presso-inflesse (C4.2.4.1.3.3.1) - CC 18 SLU - Classe 3
  Sollecitazioni: N,Ed=-1023.42 Myeq,Ed=3.96 Mzeq,Ed=-2.85
  Resistenze: Nc,Rd=23709.20 My,c,Rd=149.05 Mz,c,Rd=149.05 L=19.38
  λ_c=10.59 Ncr,y=1673810.00 λ^*_y=0.12 Curva b: Φ_y=0.49 χ_y=1.00
  λ_e=20.13 Ncr,z=462889.00 λ^*_z=0.23 Curva b: Φ_z=0.53 χ_z=0.99
  χ,min=0.99
  Verifica: 0.04+0.03+0.02=0.09

- Verifica a compressione [4.2.9] - CC 18 SLU Xl=0.05 - Classe 1
  Sollecitazioni: N=-1023.18 T_z=-42.85 T_y=-30.88
  N,Ed=-1023.18 Nc,Rd=-23709.20 N,Ed/Nc,Rd=0.04
  Verifiche di duttilità [7.5.3]:
  q_0=4.00 N,Ed=-1023.18 Npl,Rd=23709.20 N,Ed/Npl,Rd=0.043155

- Verifica a taglio dir. Y [4.2.16] - CC 17 SLU Xl=0.09
  Sollecitazioni: N=-135.19 T_z=-50.24 T_y=17.04
  V,Ed=17.04 Vc,Rd=7560.76 V,Ed/Vc,Rd=0.00

- Verifica a taglio dir. Z [4.2.16]
  V,Ed=-50.24 Vc,Rd=7560.76 V,Ed/Vc,Rd=0.01

Asta n. 1836 (-376 -408) angolari L50x10 Crit. 1

- Verifica di stabilità aste inflesse (4.2.4.1.3.2) CC 5 SLV - Classe 3

L_{cr}=0.19 Curva d: α_{imp}=0.76 k_c=0.94 ψ=2.39 M,cr=0.00 λ_{LT}=0.00
$\lambda_{LT,0}$=0.20 β_{LT}=1.00 Φ_{LT}=0.00 β_{LT}=1.00 f=0.00 χ_{LT}=1.00
CC 5 SLV My,Ed=2.72 My,b,Rd=149.05 My,Ed/My,b,Rd=0.02

- Verifica di stabilità aste presso-inflesse (C4.2.4.1.3.3.1) - CC 18 SLU - Classe 3
Sollecitazioni: N,Ed=-1121.15 Myeq,Ed=3.98 Mzeq,Ed=-2.85
Resistenze: Nc,Rd=23709.20 My,c,Rd=149.05 Mz,c,Rd=149.05 L=19.38
λ_c=10.59 Ncr,y=1673810.00 λ^*_y=0.12 Curva b: Φ_y=0.49 χ_y=1.00
λ_e=20.13 Ncr,z=462890.00 λ^*_z=0.23 Curva b: Φ_z=0.53 χ_z=0.99
χ,min=0.99
Verifica: 0.05+0.03+0.02=0.09

- Verifica a compressione [4.2.9] - CC 18 SLU Xl=0.05 - Classe 1
Sollecitazioni: N=-1120.92 T_z=-43.01 T_y=-30.89
N,Ed=-1120.92 Nc,Rd=-23709.20 N,Ed/Nc,Rd=0.05
Verifiche di duttilità [7.5.3]:
q_0=4.00 N,Ed=-1120.92 Npl,Rd=23709.20 N,Ed/Npl,Rd=0.047278

- Verifica a taglio dir. Y [4.2.16] - CC 17 SLU Xl=0.09
Sollecitazioni: N=-248.56 T_z=-50.08 T_y=16.00
V,Ed=16.00 Vc,Rd=7560.76 V,Ed/Vc,Rd=0.00

- Verifica a taglio dir. Z [4.2.16]
V,Ed=-50.08 Vc,Rd=7560.76 V,Ed/Vc,Rd=0.01

Asta n. 1836 (-408 -440) angolari L50x10 Crit. 1

- Verifica di stabilità aste inflesse (4.2.4.1.3.2) CC 5 SLV - Classe 3
L_{cr}=0.19 Curva d: α_{imp}=0.76 k_c=0.94 ψ=2.31 M,cr=0.00 λ_{LT}=0.00
$\lambda_{LT,0}$=0.20 β_{LT}=1.00 Φ_{LT}=0.00 β_{LT}=1.00 f=0.00 χ_{LT}=1.00
CC 5 SLV My,Ed=2.90 My,b,Rd=149.05 My,Ed/My,b,Rd=0.02

- Verifica di stabilità aste presso-inflesse (C4.2.4.1.3.3.1) - CC 18 SLU - Classe 3
Sollecitazioni: N,Ed=-1222.19 Myeq,Ed=4.05 Mzeq,Ed=-2.90
Resistenze: Nc,Rd=23709.20 My,c,Rd=149.05 Mz,c,Rd=149.05 L=19.38
λ_c=10.59 Ncr,y=1673810.00 λ^*_y=0.12 Curva b: Φ_y=0.49 χ_y=1.00
λ_e=20.13 Ncr,z=462889.00 λ^*_z=0.23 Curva b: Φ_z=0.53 χ_z=0.99
χ,min=0.99
Verifica: 0.05+0.03+0.02=0.10

- Verifica a compressione [4.2.9] - CC 18 SLU Xl=0.05 - Classe 1
Sollecitazioni: N=-1221.96 T_z=-43.79 T_y=-30.55
N,Ed=-1221.96 Nc,Rd=-23709.20 N,Ed/Nc,Rd=0.05
Verifiche di duttilità [7.5.3]:
q_0=4.00 N,Ed=-1221.96 Npl,Rd=23709.20 N,Ed/Npl,Rd=0.051539

- Verifica a taglio dir. Y [4.2.16] - CC 17 SLU Xl=0.09
Sollecitazioni: N=-364.71 T_z=-50.21 T_y=15.11
V,Ed=15.11 Vc,Rd=7560.76 V,Ed/Vc,Rd=0.00

- Verifica a taglio dir. Z [4.2.16]
V,Ed=-50.21 Vc,Rd=7560.76 V,Ed/Vc,Rd=0.01

Asta n. 1836 (-440 -472) angolari L50x10 Crit. 1

- Verifica di stabilità aste inflesse (4.2.4.1.3.2) CC 5 SLV - Classe 3
L_{cr}=0.19 Curva d: α_{imp}=0.76 k_c=0.94 ψ=2.26 M,cr=0.00 λ_{LT}=0.00
$\lambda_{LT,0}$=0.20 β_{LT}=1.00 Φ_{LT}=0.00 β_{LT}=1.00 f=0.00 χ_{LT}=1.00

CC 5 SLV My,Ed=2.88 My,b,Rd=149.05 My,Ed/My,b,Rd=0.02

- Verifica di stabilità aste presso-inflesse (C4.2.4.1.3.3.1) - CC 18 SLU - Classe 3
Sollecitazioni: N,Ed=-1326.75 Myeq,Ed=3.79 Mzeq,Ed=-3.27
Resistenze: Nc,Rd=23709.20 My,c,Rd=149.05 Mz,c,Rd=149.05 L=19.38
λ_c=10.59 Ncr,y=1673810.00 λ^*_y=0.12 Curva b: Φ_y=0.49 χ_y=1.00
λ_e=20.13 Ncr,z=462889.00 λ^*_z=0.23 Curva b: Φ_z=0.53 χ_z=0.99
χ,min=0.99
Verifica: 0.06+0.03+0.02=0.10

- Verifica a compressione [4.2.9] - CC 18 SLU Xl=0.04 - Classe 1
Sollecitazioni: N=-1326.63 T_z=-41.12 T_y=-32.94
N,Ed=-1326.63 Nc,Rd=-23709.20 N,Ed/Nc,Rd=0.06
Verifiche di duttilità [7.5.3]:
q_0=4.00 N,Ed=-1326.63 Npl,Rd=23709.20 N,Ed/Npl,Rd=0.055954

- Verifica a taglio dir. Y [4.2.16] - CC 17 SLU Xl=0.09
Sollecitazioni: N=-483.65 T_z=-48.65 T_y=13.13
V,Ed=13.13 Vc,Rd=7560.76 V,Ed/Vc,Rd=0.00

- Verifica a taglio dir. Z [4.2.16]
V,Ed=-48.65 Vc,Rd=7560.76 V,Ed/Vc,Rd=0.01

Asta n. 1836 (-472 -504) angolari L50x10 Crit. 1

- Verifica di stabilità aste inflesse (4.2.4.1.3.2) CC 5 SLV - Classe 3
L_{cr}=0.19 Curva d: α_{imp}=0.76 k_c=0.94 ψ=2.03 M,cr=0.00 λ_{LT}=0.00
$\lambda_{LT,0}$=0.20 β_{LT}=1.00 Φ_{LT}=0.00 β_{LT}=1.00 f=0.00 χ_{LT}=1.00
CC 5 SLV My,Ed=4.62 My,b,Rd=149.05 My,Ed/My,b,Rd=0.03

- Verifica di stabilità aste presso-inflesse (C4.2.4.1.3.3.1) - CC 18 SLU - Classe 3
Sollecitazioni: N,Ed=-1433.32 Myeq,Ed=5.86 Mzeq,Ed=-1.81
Resistenze: Nc,Rd=23709.20 My,c,Rd=149.05 Mz,c,Rd=149.05 L=19.38
λ_c=10.59 Ncr,y=1673810.00 λ^*_y=0.12 Curva b: Φ_y=0.49 χ_y=1.00
λ_e=20.13 Ncr,z=462890.00 λ^*_z=0.23 Curva b: Φ_z=0.53 χ_z=0.99
χ,min=0.99
Verifica: 0.06+0.04+0.01=0.11

- Verifica a compressione [4.2.9] - CC 18 SLU Xl=0.04 - Classe 1
Sollecitazioni: N=-1433.20 T_z=-63.27 T_y=-16.70
N,Ed=-1433.20 Nc,Rd=-23709.20 N,Ed/Nc,Rd=0.06
Verifiche di duttilità [7.5.3]:
q_0=4.00 N,Ed=-1433.20 Npl,Rd=23709.20 N,Ed/Npl,Rd=0.060449

- Verifica a taglio dir. Y [4.2.16] - CC 19 SLU Xl=0.05
Sollecitazioni: N=-1074.53 T_z=-68.92 T_y=1.93
V,Ed=1.93 Vc,Rd=7560.76 V,Ed/Vc,Rd=0.00

- Verifica a taglio dir. Z [4.2.16]
V,Ed=-68.92 Vc,Rd=7560.76 V,Ed/Vc,Rd=0.01

Asta n. 1836 (-504 1339) angolari L50x10 Crit. 1

- Verifica di stabilità aste inflesse (4.2.4.1.3.2) CC 5 SLV - Classe 3
L_{cr}=0.19 Curva d: α_{imp}=0.76 k_c=0.94 ψ=2.07 M,cr=0.00 λ_{LT}=0.00
$\lambda_{LT,0}$=0.20 β_{LT}=1.00 Φ_{LT}=0.00 β_{LT}=1.00 f=0.00 χ_{LT}=1.00
CC 5 SLV My,Ed=-2.56 My,b,Rd=149.05 My,Ed/My,b,Rd=0.02

- Verifica di stabilità aste presso-inflesse (C4.2.4.1.3.3.1) - CC 18 SLU - Classe 3
  Sollecitazioni: N,Ed=-1536.25 Myeq,Ed=-4.79 Mzeq,Ed=-9.45
  Resistenze: Nc,Rd=23709.20 My,c,Rd=149.05 Mz,c,Rd=149.05 L=19.38
  λ_c=10.59 Ncr,y=1673810.00 λ^*_y=0.12 Curva b: Φ_y=0.49 χ_y=1.00
  λ_e=20.13 Ncr,z=462891.00 λ^*_z=0.23 Curva b: Φ_z=0.53 χ_z=0.99
  χ,min=0.99
  Verifica: 0.06+0.03+0.06=0.16

- Verifica a compressione [4.2.9] - CC 18 SLU Xl=0.04 - Classe 1
  Sollecitazioni: N=-1536.15 T_z=61.62 T_y=-111.40
  N,Ed=-1536.15 Nc,Rd=-23709.20 N,Ed/Nc,Rd=0.06
  Verifiche di duttilità [7.5.3]:
  q_0=4.00 N,Ed=-1536.15 Npl,Rd=23709.20 N,Ed/Npl,Rd=0.064791

- Verifica a taglio dir. Y [4.2.16] - CC 18 SLU Xl=0.04
  Sollecitazioni: N=-1536.15 T_z=61.62 T_y=-111.40
  V,Ed=-111.40 Vc,Rd=7560.76 V,Ed/Vc,Rd=0.01

- Verifica a taglio dir. Z [4.2.16]
  V,Ed=61.62 Vc,Rd=7560.76 V,Ed/Vc,Rd=0.01

Asta n. 1837 (-62 -94) angolari L50x10 Crit. 1

- Verifica di stabilità aste inflesse (4.2.4.1.3.2) CC 1 SLV - Classe 3
  L_{cr}=0.19 Curva d: α_{imp}=0.76 k_c=0.94 ψ=1.92 M,cr=0.00 λ_{LT}=0.00
  $\lambda_{LT,0}$=0.20 β_{LT}=1.00 Φ_{LT}=0.00 β_{LT}=1.00 f=0.00 χ_{LT}=1.00
  CC 1 SLV My,Ed=3.35 My,b,Rd=149.05 My,Ed/My,b,Rd=0.02

- Verifica di stabilità aste presso-inflesse (C4.2.4.1.3.3.1) - CC 18 SLU - Classe 3
  Sollecitazioni: N,Ed=-361.97 Myeq,Ed=5.20 Mzeq,Ed=5.11
  Resistenze: Nc,Rd=23709.20 My,c,Rd=149.05 Mz,c,Rd=149.05 L=19.38
  λ_c=10.59 Ncr,y=1673810.00 λ^*_y=0.12 Curva b: Φ_y=0.49 χ_y=1.00
  λ_e=20.13 Ncr,z=462889.00 λ^*_z=0.23 Curva b: Φ_z=0.53 χ_z=0.99
  χ,min=0.99
  Verifica: 0.02+0.03+0.03=0.08

- Verifica in termini tensionali [4.2.4] - CC 18 SLU Xl=0.05 - Classe 3
  Sollecitazioni: N=-361.97 T_z=67.46 M_y=6.85 T_y=-66.31 M_z=6.82 (M_c=0.02 M_e=9.67)
  Tensioni: σ_N=-39.98 σ_M=-260.45 τ=0.00 σ_{max}=-300.44
  Tensioni: σ_N=-39.98 σ_M=-40.49 τ=22.33 τ_{max}=22.33
  Tensioni: σ_N=-39.98 σ_M=-260.45 τ=0.00 $\sigma_{ID,max}$=300.44

- Verifica a taglio dir. Y [4.2.16] - CC 19 SLU Xl=0.16
  Sollecitazioni: N=139.99 T_z=24.87 T_y=-74.35
  V,Ed=-74.35 Vc,Rd=7560.76 V,Ed/Vc,Rd=0.01

- Verifica a taglio dir. Z [4.2.16]
  V,Ed=24.87 Vc,Rd=7560.76 V,Ed/Vc,Rd=0.00

Asta n. 1837 (-94 -126) angolari L50x10 Crit. 1

- Verifica di stabilità aste inflesse (4.2.4.1.3.2) CC 17 SLU - Classe 3
  L_{cr}=0.19 Curva d: α_{imp}=0.76 k_c=0.94 ψ=1.67 M,cr=0.00 λ_{LT}=0.00
  $\lambda_{LT,0}$=0.20 β_{LT}=1.00 Φ_{LT}=0.00 β_{LT}=1.00 f=0.00 χ_{LT}=1.00
  CC 17 SLU My,Ed=-2.39 My,b,Rd=149.05 My,Ed/My,b,Rd=0.02

- Verifica di stabilità aste presso-inflesse (C4.2.4.1.3.3.1) - CC 18 SLU - Classe 3
  Sollecitazioni: N,Ed=-271.16 Myeq,Ed=4.75 Mzeq,Ed=5.09
  Resistenze: Nc,Rd=23709.20 My,c,Rd=149.05 Mz,c,Rd=149.05 L=19.38

λ_c=10.59 Ncr,y=1673810.00 λ^*_y=0.12 Curva b: Φ_y=0.49 χ_y=1.00
λ_e=20.13 Ncr,z=462890.00 λ^*_z=0.23 Curva b: Φ_z=0.53 χ_z=0.99
χ,min=0.99
Verifica: 0.01+0.03+0.03=0.08

- Verifica a trazione [4.2.5] - CC 17 SLU Xl=0.13 - Classe 1
Sollecitazioni: N=708.98 T_z=-14.94 T_y=-71.18
N,Ed=708.98 Npl,Rd=23709.20 Nu,Rd=28026.90 N,Ed/Nt,Rd=0.03
Verifiche di duttilità [7.5.3]:
q_0=4.00 N,Ed=708.98 Npl,Rd=23709.20 N,Ed/Npl,Rd=0.029903

- Verifica a taglio dir. Y [4.2.16] - CC 19 SLU Xl=0.10
Sollecitazioni: N=173.90 T_z=23.34 T_y=-76.58
V,Ed=-76.58 Vc,Rd=7560.76 V,Ed/Vc,Rd=0.01

- Verifica a taglio dir. Z [4.2.16]
V,Ed=23.34 Vc,Rd=7560.76 V,Ed/Vc,Rd=0.00

Asta n. 1837 (-126 -158) angolari L50x10 Crit. 1

- Verifica di stabilità aste inflesse (4.2.4.1.3.2) CC 16 SLU - Classe 3
L_{cr}=0.19 Curva d: α_{imp}=0.76 k_c=0.94 ψ=2.75 M,cr=0.00 λ_{LT}=0.00
$\lambda_{LT,0}$=0.20 β_{LT}=1.00 Φ_{LT}=0.00 β_{LT}=1.00 f=0.00 χ_{LT}=1.00
CC 16 SLU My,Ed=-4.01 My,b,Rd=149.05 My,Ed/My,b,Rd=0.03

- Verifica di stabilità aste presso-inflesse (C4.2.4.1.3.3.1) - CC 18 SLU - Classe 3
Sollecitazioni: N,Ed=-155.47 Myeq,Ed=-5.02 Mzeq,Ed=-5.07
Resistenze: Nc,Rd=23709.20 My,c,Rd=149.05 Mz,c,Rd=149.05 L=19.38
λ_c=10.59 Ncr,y=1673810.00 λ^*_y=0.12 Curva b: Φ_y=0.49 χ_y=1.00
λ_e=20.13 Ncr,z=462889.00 λ^*_z=0.23 Curva b: Φ_z=0.53 χ_z=0.99
χ,min=0.99
Verifica: 0.01+0.03+0.03=0.07

- Verifica a trazione [4.2.5] - CC 17 SLU Xl=0.12 - Classe 1
Sollecitazioni: N=682.39 T_z=-13.76 T_y=-71.26
N,Ed=682.39 Npl,Rd=23709.20 Nu,Rd=28026.90 N,Ed/Nt,Rd=0.03
Verifiche di duttilità [7.5.3]:
q_0=4.00 N,Ed=682.39 Npl,Rd=23709.20 N,Ed/Npl,Rd=0.028782

- Verifica a taglio dir. Y [4.2.16] - CC 19 SLU Xl=0.09
Sollecitazioni: N=218.54 T_z=25.15 T_y=-77.46
V,Ed=-77.46 Vc,Rd=7560.76 V,Ed/Vc,Rd=0.01

- Verifica a taglio dir. Z [4.2.16]
V,Ed=25.15 Vc,Rd=7560.76 V,Ed/Vc,Rd=0.00

Asta n. 1837 (-158 -190) angolari L50x10 Crit. 1

- Verifica di stabilità aste inflesse (4.2.4.1.3.2) CC 20 SLU - Classe 3
L_{cr}=0.19 Curva d: α_{imp}=0.76 k_c=0.94 ψ=2.64 M,cr=0.00 λ_{LT}=0.00
$\lambda_{LT,0}$=0.20 β_{LT}=1.00 Φ_{LT}=0.00 β_{LT}=1.00 f=0.00 χ_{LT}=1.00
CC 20 SLU My,Ed=-4.40 My,b,Rd=149.05 My,Ed/My,b,Rd=0.03

- Verifica di stabilità aste presso-inflesse (C4.2.4.1.3.3.1) - CC 18 SLU - Classe 3
Sollecitazioni: N,Ed=-31.25 Myeq,Ed=-5.35 Mzeq,Ed=-5.41
Resistenze: Nc,Rd=23709.20 My,c,Rd=149.05 Mz,c,Rd=149.05 L=19.38
λ_c=10.59 Ncr,y=1673810.00 λ^*_y=0.12 Curva b: Φ_y=0.49 χ_y=1.00
λ_e=20.13 Ncr,z=462890.00 λ^*_z=0.23 Curva b: Φ_z=0.53 χ_z=0.99

χ,min=0.99
Verifica: 0.00+0.04+0.04=0.07

- Verifica a trazione [4.2.5] - CC 17 SLU Xl=0.12 - Classe 1
Sollecitazioni: N=655.80 T_z=-12.71 T_y=-71.39
N,Ed=655.80 Npl,Rd=23709.20 Nu,Rd=28026.90 N,Ed/Nt,Rd=0.03
Verifiche di duttilità [7.5.3]:
q_0=4.00 N,Ed=655.80 Npl,Rd=23709.20 N,Ed/Npl,Rd=0.027660

- Verifica a taglio dir. Y [4.2.16] - CC 19 SLU Xl=0.09
Sollecitazioni: N=268.58 T_z=26.55 T_y=-78.35
V,Ed=-78.35 Vc,Rd=7560.76 V,Ed/Vc,Rd=0.01

- Verifica a taglio dir. Z [4.2.16]
V,Ed=26.55 Vc,Rd=7560.76 V,Ed/Vc,Rd=0.00

Asta n. 1837 (-190 -222) angolari L50x10 Crit. 1

- Verifica di stabilità aste inflesse (4.2.4.1.3.2) CC 18 SLU - Classe 3
L_{cr}=0.19 Curva d: α_{imp}=0.76 k_c=0.94 ψ=2.58 M,cr=0.00 λ_{LT}=0.00
$\lambda_{LT,0}$=0.20 β_{LT}=1.00 Φ_{LT}=0.00 β_{LT}=1.00 f=0.00 χ_{LT}=1.00
CC 18 SLU My,Ed=-5.58 My,b,Rd=149.05 My,Ed/My,b,Rd=0.04

- Verifica di stabilità aste presso-inflesse (C4.2.4.1.3.3.1) - CC 9 SLU - Classe 3
Sollecitazioni: N,Ed=-96.53 Myeq,Ed=-4.44 Mzeq,Ed=-4.51
Resistenze: Nc,Rd=23709.20 My,c,Rd=149.05 Mz,c,Rd=149.05 L=19.38
λ_c=10.59 Ncr,y=1673810.00 λ^*_y=0.12 Curva b: Φ_y=0.49 χ_y=1.00
λ_e=20.13 Ncr,z=462890.00 λ^*_z=0.23 Curva b: Φ_z=0.53 χ_z=0.99
χ,min=0.99
Verifica: 0.00+0.03+0.03=0.06

- Verifica a trazione [4.2.5] - CC 17 SLU Xl=0.10 - Classe 1
Sollecitazioni: N=630.27 T_z=-11.70 T_y=-71.80
N,Ed=630.27 Npl,Rd=23709.20 Nu,Rd=28026.90 N,Ed/Nt,Rd=0.03
Verifiche di duttilità [7.5.3]:
q_0=4.00 N,Ed=630.27 Npl,Rd=23709.20 N,Ed/Npl,Rd=0.026583

- Verifica a taglio dir. Y [4.2.16] - CC 19 SLU Xl=0.09
Sollecitazioni: N=322.87 T_z=28.06 T_y=-79.30
V,Ed=-79.30 Vc,Rd=7560.76 V,Ed/Vc,Rd=0.01

- Verifica a taglio dir. Z [4.2.16]
V,Ed=28.06 Vc,Rd=7560.76 V,Ed/Vc,Rd=0.00

Asta n. 1837 (-222 -254) angolari L50x10 Crit. 1

- Verifica di stabilità aste inflesse (4.2.4.1.3.2) CC 18 SLU - Classe 3
L_{cr}=0.19 Curva d: α_{imp}=0.76 k_c=0.94 ψ=2.51 M,cr=0.00 λ_{LT}=0.00
$\lambda_{LT,0}$=0.20 β_{LT}=1.00 Φ_{LT}=0.00 β_{LT}=1.00 f=0.00 χ_{LT}=1.00
CC 18 SLU My,Ed=-5.81 My,b,Rd=149.05 My,Ed/My,b,Rd=0.04

- Verifica di stabilità aste presso-inflesse (C4.2.4.1.3.3.1) - CC 5 SLV - Classe 3
Sollecitazioni: N,Ed=-238.22 Myeq,Ed=-2.60 Mzeq,Ed=-2.70
Resistenze: Nc,Rd=23709.20 My,c,Rd=149.05 Mz,c,Rd=149.05 L=19.38
λ_c=10.59 Ncr,y=1673810.00 λ^*_y=0.12 Curva b: Φ_y=0.49 χ_y=1.00
λ_e=20.13 Ncr,z=462889.00 λ^*_z=0.23 Curva b: Φ_z=0.53 χ_z=0.99
χ,min=0.99
Verifica: 0.01+0.02+0.02=0.05

- Verifica in termini tensionali [4.2.4] - CC 18 SLU Xl=0.17 - Classe 3
  Sollecitazioni: N=232.71 T_z=65.26 M_y=-5.81 T_y=-67.49 M_z=-5.89 (M_c=0.06 M_e=-8.27)
  Tensioni: σ_N=25.71 σ_M=222.80 τ=0.00 σ_{max}=248.51
  Tensioni: σ_N=25.71 σ_M=34.51 τ=21.88 τ_{max}=21.88
  Tensioni: σ_N=25.71 σ_M=222.80 τ=0.00 $\sigma_{ID,max}$=248.51

- Verifica a taglio dir. Y [4.2.16] - CC 19 SLU Xl=0.09
  Sollecitazioni: N=381.40 T_z=29.57 T_y=-80.34
  V,Ed=-80.34 Vc,Rd=7560.76 V,Ed/Vc,Rd=0.01

- Verifica a taglio dir. Z [4.2.16]
  V,Ed=29.57 Vc,Rd=7560.76 V,Ed/Vc,Rd=0.00

Asta n. 1837 (-254 -286) angolari L50x10 Crit. 1

- Verifica di stabilità aste inflesse (4.2.4.1.3.2) CC 18 SLU - Classe 3
  L_{cr}=0.19 Curva d: α_{imp}=0.76 k_c=0.94 ψ=2.44 M,cr=0.00 λ_{LT}=0.00
  $\lambda_{LT,0}$=0.20 β_{LT}=1.00 Φ_{LT}=0.00 β_{LT}=1.00 f=0.00 χ_{LT}=1.00
  CC 18 SLU My,Ed=-6.05 My,b,Rd=149.05 My,Ed/My,b,Rd=0.04

- Verifica di stabilità aste presso-inflesse (C4.2.4.1.3.3.1) - CC 5 SLV - Classe 3
  Sollecitazioni: N,Ed=-234.47 Myeq,Ed=-2.73 Mzeq,Ed=-2.84
  Resistenze: Nc,Rd=23709.20 My,c,Rd=149.05 Mz,c,Rd=149.05 L=19.38
  λ_c=10.59 Ncr,y=1673810.00 λ^*_y=0.12 Curva b: Φ_y=0.49 χ_y=1.00
  λ_e=20.13 Ncr,z=462889.00 λ^*_z=0.23 Curva b: Φ_z=0.53 χ_z=0.99
  χ,min=0.99
  Verifica: 0.01+0.02+0.02=0.05

- Verifica in termini tensionali [4.2.4] - CC 18 SLU Xl=0.17 - Classe 3
  Sollecitazioni: N=370.63 T_z=66.01 M_y=-6.05 T_y=-68.29 M_z=-6.14 (M_c=0.07 M_e=-8.62)
  Tensioni: σ_N=40.94 σ_M=232.14 τ=0.00 σ_{max}=273.08
  Tensioni: σ_N=40.94 σ_M=35.94 τ=22.13 τ_{max}=22.13
  Tensioni: σ_N=40.94 σ_M=232.14 τ=0.00 $\sigma_{ID,max}$=273.08

- Verifica a taglio dir. Y [4.2.16] - CC 19 SLU Xl=0.08
  Sollecitazioni: N=444.30 T_z=31.10 T_y=-81.57
  V,Ed=-81.57 Vc,Rd=7560.76 V,Ed/Vc,Rd=0.01

- Verifica a taglio dir. Z [4.2.16]
  V,Ed=31.10 Vc,Rd=7560.76 V,Ed/Vc,Rd=0.00

Asta n. 1837 (-286 -318) angolari L50x10 Crit. 1

- Verifica di stabilità aste inflesse (4.2.4.1.3.2) CC 18 SLU - Classe 3
  L_{cr}=0.19 Curva d: α_{imp}=0.76 k_c=0.94 ψ=2.38 M,cr=0.00 λ_{LT}=0.00
  $\lambda_{LT,0}$=0.20 β_{LT}=1.00 Φ_{LT}=0.00 β_{LT}=1.00 f=0.00 χ_{LT}=1.00
  CC 18 SLU My,Ed=-6.30 My,b,Rd=149.05 My,Ed/My,b,Rd=0.04

- Verifica di stabilità aste presso-inflesse (C4.2.4.1.3.3.1) - CC 5 SLV - Classe 3
  Sollecitazioni: N,Ed=-230.50 Myeq,Ed=-2.87 Mzeq,Ed=-2.99
  Resistenze: Nc,Rd=23709.20 My,c,Rd=149.05 Mz,c,Rd=149.05 L=19.38
  λ_c=10.59 Ncr,y=1673810.00 λ^*_y=0.12 Curva b: Φ_y=0.49 χ_y=1.00
  λ_e=20.13 Ncr,z=462889.00 λ^*_z=0.23 Curva b: Φ_z=0.53 χ_z=0.99
  χ,min=0.99
  Verifica: 0.01+0.02+0.02=0.05

- Verifica in termini tensionali [4.2.4] - CC 18 SLU Xl=0.17 - Classe 3
  Sollecitazioni: N=513.30 T_z=66.79 M_y=-6.30 T_y=-69.13 M_z=-6.41 (M_c=0.08 M_e=-8.99)

Tensioni: σ_N=56.70 σ_M=242.14 τ=0.00 σ_{max}=298.84
Tensioni: σ_N=56.70 σ_M=37.48 τ=22.39 τ_{max}=22.39
Tensioni: σ_N=56.70 σ_M=242.14 τ=0.00 $\sigma_{ID,max}$=298.84

- Verifica a taglio dir. Y [4.2.16] - CC 19 SLU Xl=0.08
Sollecitazioni: N=512.14 T_z=32.76 T_y=-82.75
V,Ed=-82.75 Vc,Rd=7560.76 V,Ed/Vc,Rd=0.01

- Verifica a taglio dir. Z [4.2.16]
V,Ed=32.76 Vc,Rd=7560.76 V,Ed/Vc,Rd=0.00

Asta n. 1837 (-318 -350) angolari L50x10 Crit. 1

- Verifica di stabilità aste inflesse (4.2.4.1.3.2) CC 18 SLU - Classe 3
L_{cr}=0.19 Curva d: α_{imp}=0.76 k_c=0.94 ψ=2.32 M,cr=0.00 λ_{LT}=0.00
$\lambda_{LT,0}$=0.20 β_{LT}=1.00 Φ_{LT}=0.00 β_{LT}=1.00 f=0.00 χ_{LT}=1.00
CC 18 SLU My,Ed=-6.57 My,b,Rd=149.05 My,Ed/My,b,Rd=0.04

- Verifica di stabilità aste presso-inflesse (C4.2.4.1.3.3.1) - CC 5 SLV - Classe 3
Sollecitazioni: N,Ed=-226.27 Myeq,Ed=-3.02 Mzeq,Ed=-3.15
Resistenze: Nc,Rd=23709.20 My,c,Rd=149.05 Mz,c,Rd=149.05 L=19.38
λ_c=10.59 Ncr,y=1673810.00 λ^*_y=0.12 Curva b: Φ_y=0.49 χ_y=1.00
λ_e=20.13 Ncr,z=462889.00 λ^*_z=0.23 Curva b: Φ_z=0.53 χ_z=0.99
χ,min=0.99
Verifica: 0.01+0.02+0.02=0.05

- Verifica in termini tensionali [4.2.4] - CC 18 SLU Xl=0.17 - Classe 3
Sollecitazioni: N=661.01 T_z=67.57 M_y=-6.57 T_y=-69.99 M_z=-6.69 (M_c=0.09 M_e=-9.38)
Tensioni: σ_N=73.02 σ_M=252.76 τ=0.00 σ_{max}=325.78
Tensioni: σ_N=73.02 σ_M=39.11 τ=22.66 τ_{max}=22.66
Tensioni: σ_N=73.02 σ_M=252.76 τ=0.00 $\sigma_{ID,max}$=325.78

- Verifica a taglio dir. Y [4.2.16] - CC 19 SLU Xl=0.08
Sollecitazioni: N=585.12 T_z=34.43 T_y=-84.00
V,Ed=-84.00 Vc,Rd=7560.76 V,Ed/Vc,Rd=0.01

- Verifica a taglio dir. Z [4.2.16]
V,Ed=34.43 Vc,Rd=7560.76 V,Ed/Vc,Rd=0.00

Asta n. 1837 (-350 -382) angolari L50x10 Crit. 1

- Verifica di stabilità aste inflesse (4.2.4.1.3.2) CC 18 SLU - Classe 3
L_{cr}=0.19 Curva d: α_{imp}=0.76 k_c=0.94 ψ=2.26 M,cr=0.00 λ_{LT}=0.00
$\lambda_{LT,0}$=0.20 β_{LT}=1.00 Φ_{LT}=0.00 β_{LT}=1.00 f=0.00 χ_{LT}=1.00
CC 18 SLU My,Ed=-6.87 My,b,Rd=149.05 My,Ed/My,b,Rd=0.05

- Verifica di stabilità aste presso-inflesse (C4.2.4.1.3.3.1) - CC 5 SLV - Classe 3
Sollecitazioni: N,Ed=-221.74 Myeq,Ed=-3.10 Mzeq,Ed=-3.32
Resistenze: Nc,Rd=23709.20 My,c,Rd=149.05 Mz,c,Rd=149.05 L=19.38
λ_c=10.59 Ncr,y=1673810.00 λ^*_y=0.12 Curva b: Φ_y=0.49 χ_y=1.00
λ_e=20.13 Ncr,z=462889.00 λ^*_z=0.23 Curva b: Φ_z=0.53 χ_z=0.99
χ,min=0.99
Verifica: 0.01+0.02+0.02=0.05

- Verifica in termini tensionali [4.2.4] - CC 18 SLU Xl=0.17 - Classe 3
Sollecitazioni: N=814.13 T_z=68.51 M_y=-6.87 T_y=-70.97 M_z=-7.01 (M_c=0.10 M_e=-9.82)
Tensioni: σ_N=89.93 σ_M=264.50 τ=0.00 σ_{max}=354.43
Tensioni: σ_N=89.93 σ_M=40.92 τ=22.97 τ_{max}=22.97
Tensioni: σ_N=89.93 σ_M=264.50 τ=0.00 $\sigma_{ID,max}$=354.43

- Verifica a taglio dir. Y [4.2.16] - CC 19 SLU Xl=0.08
  Sollecitazioni: N=663.63 T_z=36.25 T_y=-85.34
  V,Ed=-85.34 Vc,Rd=7560.76 V,Ed/Vc,Rd=0.01

- Verifica a taglio dir. Z [4.2.16]
  V,Ed=36.25 Vc,Rd=7560.76 V,Ed/Vc,Rd=0.00

Asta n. 1837 (-382 -414) angolari L50x10 Crit. 1

- Verifica di stabilità aste inflesse (4.2.4.1.3.2) CC 18 SLU - Classe 3
  L_{cr}=0.19 Curva d: α_{imp}=0.76 k_c=0.94 ψ=2.20 M,cr=0.00 λ_{LT}=0.00
  $\lambda_{LT,0}$=0.20 β_{LT}=1.00 Φ_{LT}=0.00 β_{LT}=1.00 f=0.00 χ_{LT}=1.00
  CC 18 SLU My,Ed=-7.19 My,b,Rd=149.05 My,Ed/My,b,Rd=0.05

- Verifica di stabilità aste presso-inflesse (C4.2.4.1.3.3.1) - CC 5 SLV - Classe 3
  Sollecitazioni: N,Ed=-216.87 Myeq,Ed=-3.16 Mzeq,Ed=-3.40
  Resistenze: Nc,Rd=23709.20 My,c,Rd=149.05 Mz,c,Rd=149.05 L=19.38
  λ_c=10.59 Ncr,y=1673810.00 λ^*_y=0.12 Curva b: Φ_y=0.49 χ_y=1.00
  λ_e=20.13 Ncr,z=462890.00 λ^*_z=0.23 Curva b: Φ_z=0.53 χ_z=0.99
  χ,min=0.99
  Verifica: 0.01+0.02+0.02=0.05

- Verifica in termini tensionali [4.2.4] - CC 18 SLU Xl=0.17 - Classe 3
  Sollecitazioni: N=973.11 T_z=69.44 M_y=-7.19 T_y=-72.07 M_z=-7.36 (M_c=0.12 M_e=-10.29)
  Tensioni: σ_N=107.50 σ_M=277.34 τ=0.00 σ_{max}=384.84
  Tensioni: σ_N=107.50 σ_M=42.88 τ=23.30 τ_{max}=23.30
  Tensioni: σ_N=107.50 σ_M=277.34 τ=0.00 $\sigma_{ID,max}$=384.84

- Verifica a taglio dir. Y [4.2.16] - CC 18 SLU Xl=0.06
  Sollecitazioni: N=972.14 T_z=69.42 T_y=-72.07
  V,Ed=-72.07 Vc,Rd=7560.76 V,Ed/Vc,Rd=0.01

- Verifica a taglio dir. Z [4.2.16]
  V,Ed=69.42 Vc,Rd=7560.76 V,Ed/Vc,Rd=0.01

Asta n. 1837 (-414 -446) angolari L50x10 Crit. 1

- Verifica di stabilità aste inflesse (4.2.4.1.3.2) CC 18 SLU - Classe 3
  L_{cr}=0.19 Curva d: α_{imp}=0.76 k_c=0.94 ψ=2.14 M,cr=0.00 λ_{LT}=0.00
  $\lambda_{LT,0}$=0.20 β_{LT}=1.00 Φ_{LT}=0.00 β_{LT}=1.00 f=0.00 χ_{LT}=1.00
  CC 18 SLU My,Ed=-7.58 My,b,Rd=149.05 My,Ed/My,b,Rd=0.05

- Verifica di stabilità aste presso-inflesse (C4.2.4.1.3.3.1) - CC 5 SLV - Classe 3
  Sollecitazioni: N,Ed=-211.61 Myeq,Ed=-3.25 Mzeq,Ed=-3.45
  Resistenze: Nc,Rd=23709.20 My,c,Rd=149.05 Mz,c,Rd=149.05 L=19.38
  λ_c=10.59 Ncr,y=1673810.00 λ^*_y=0.12 Curva b: Φ_y=0.49 χ_y=1.00
  λ_e=20.13 Ncr,z=462889.00 λ^*_z=0.23 Curva b: Φ_z=0.53 χ_z=0.99
  χ,min=0.99
  Verifica: 0.01+0.02+0.02=0.05

- Verifica a trazione [4.2.5] - CC 18 SLU Xl=0.06 - Classe 1
  Sollecitazioni: N=1137.40 T_z=70.70 T_y=-72.67
  N,Ed=1137.40 Npl,Rd=23709.20 Nu,Rd=28026.90 N,Ed/Nt,Rd=0.05
  Verifiche di duttilità [7.5.3]:
  q_0=4.00 N,Ed=1137.40 Npl,Rd=23709.20 N,Ed/Npl,Rd=0.047973

- Verifica a taglio dir. Y [4.2.16] - CC 19 SLU Xl=0.06
  Sollecitazioni: N=838.93 T_z=40.01 T_y=-88.06

V,Ed=-88.06 Vc,Rd=7560.76 V,Ed/Vc,Rd=0.01

- Verifica a taglio dir. Z [4.2.16]
V,Ed=40.01 Vc,Rd=7560.76 V,Ed/Vc,Rd=0.01

Asta n. 1837 (-446 -478) angolari L50x10 Crit. 1

- Verifica di stabilità aste inflesse (4.2.4.1.3.2) CC 18 SLU - Classe 3
L_{cr}=0.19 Curva d: α_{imp}=0.76 k_c=0.94 ψ=2.09 M,cr=0.00 λ_{LT}=0.00
$\lambda_{LT,0}$=0.20 β_{LT}=1.00 Φ_{LT}=0.00 β_{LT}=1.00 f=0.00 χ_{LT}=1.00
CC 18 SLU My,Ed=-7.80 My,b,Rd=149.05 My,Ed/My,b,Rd=0.05

- Verifica di stabilità aste presso-inflesse (C4.2.4.1.3.3.1) - CC 5 SLV - Classe 3
Sollecitazioni: N,Ed=-205.94 Myeq,Ed=-3.23 Mzeq,Ed=-3.68
Resistenze: Nc,Rd=23709.20 My,c,Rd=149.05 Mz,c,Rd=149.05 L=19.38
λ_c=10.59 Ncr,y=1673810.00 λ^*_y=0.12 Curva b: Φ_y=0.49 χ_y=1.00
λ_e=20.13 Ncr,z=462889.00 λ^*_z=0.23 Curva b: Φ_z=0.53 χ_z=0.99
χ,min=0.99
Verifica: 0.01+0.02+0.02=0.06

- Verifica a trazione [4.2.5] - CC 18 SLU Xl=0.06 - Classe 1
Sollecitazioni: N=1309.11 T_z=70.32 T_y=-77.52
N,Ed=1309.11 Npl,Rd=23709.20 Nu,Rd=28026.90 N,Ed/Nt,Rd=0.06
Verifiche di duttilità [7.5.3]:
q_0=4.00 N,Ed=1309.11 Npl,Rd=23709.20 N,Ed/Npl,Rd=0.055215

- Verifica a taglio dir. Y [4.2.16] - CC 19 SLU Xl=0.06
Sollecitazioni: N=936.65 T_z=41.48 T_y=-92.89
V,Ed=-92.89 Vc,Rd=7560.76 V,Ed/Vc,Rd=0.01

- Verifica a taglio dir. Z [4.2.16]
V,Ed=41.48 Vc,Rd=7560.76 V,Ed/Vc,Rd=0.01

Asta n. 1837 (-478 -510) angolari L50x10 Crit. 1

- Verifica di stabilità aste inflesse (4.2.4.1.3.2) CC 18 SLU - Classe 3
L_{cr}=0.19 Curva d: α_{imp}=0.76 k_c=0.94 ψ=1.96 M,cr=0.00 λ_{LT}=0.00
$\lambda_{LT,0}$=0.20 β_{LT}=1.00 Φ_{LT}=0.00 β_{LT}=1.00 f=0.00 χ_{LT}=1.00
CC 18 SLU My,Ed=-9.84 My,b,Rd=149.05 My,Ed/My,b,Rd=0.07

- Verifica di stabilità aste presso-inflesse (C4.2.4.1.3.3.1) - CC 5 SLV - Classe 3
Sollecitazioni: N,Ed=-211.05 Myeq,Ed=-3.87 Mzeq,Ed=-2.75
Resistenze: Nc,Rd=23709.20 My,c,Rd=149.05 Mz,c,Rd=149.05 L=19.38
λ_c=10.59 Ncr,y=1673810.00 λ^*_y=0.12 Curva b: Φ_y=0.49 χ_y=1.00
λ_e=20.13 Ncr,z=462890.00 λ^*_z=0.23 Curva b: Φ_z=0.53 χ_z=0.99
χ,min=0.99
Verifica: 0.01+0.03+0.02=0.05

- Verifica a trazione [4.2.5] - CC 18 SLU Xl=0.05 - Classe 1
Sollecitazioni: N=1485.04 T_z=81.62 T_y=-54.09
N,Ed=1485.04 Npl,Rd=23709.20 Nu,Rd=28026.90 N,Ed/Nt,Rd=0.06
Verifiche di duttilità [7.5.3]:
q_0=4.00 N,Ed=1485.04 Npl,Rd=23709.20 N,Ed/Npl,Rd=0.062635

- Verifica a taglio dir. Y [4.2.16] - CC 18 SLU Xl=0.05
Sollecitazioni: N=1485.04 T_z=81.62 T_y=-54.09
V,Ed=-54.09 Vc,Rd=7560.76 V,Ed/Vc,Rd=0.01

- Verifica a taglio dir. Z [4.2.16]
  V,Ed=81.62 Vc,Rd=7560.76 V,Ed/Vc,Rd=0.01

Asta n. 1837 (-510 1356) angolari L50x10 Crit. 1

- Verifica di stabilità aste inflesse (4.2.4.1.3.2) CC 9 SLU - Classe 3
  L_{cr}=0.19 Curva d: α_{imp}=0.76 k_c=0.94 ψ=1.75 M,cr=0.00 λ_{LT}=0.00
  $\lambda_{LT,0}$=0.20 β_{LT}=1.00 Φ_{LT}=0.00 β_{LT}=1.00 f=0.00 χ_{LT}=1.00
  CC 9 SLU My,Ed=-4.91 My,b,Rd=149.05 My,Ed/My,b,Rd=0.03

- Verifica di stabilità aste presso-inflesse (C4.2.4.1.3.3.1) - CC 5 SLV - Classe 3
  Sollecitazioni: N,Ed=-223.47 Myeq,Ed=-1.77 Mzeq,Ed=-7.50
  Resistenze: Nc,Rd=23709.20 My,c,Rd=149.05 Mz,c,Rd=149.05 L=19.38
  λ_c=10.59 Ncr,y=1673810.00 λ^*_y=0.12 Curva b: Φ_y=0.49 χ_y=1.00
  λ_e=20.13 Ncr,z=462891.00 λ^*_z=0.23 Curva b: Φ_z=0.53 χ_z=0.99
  χ,min=0.99
  Verifica: 0.01+0.01+0.05=0.07

- Verifica in termini tensionali [4.2.4] - CC 18 SLU Xl=0.14 - Classe 3
  Sollecitazioni: N=1655.98 T_z=21.30 M_y=-3.08 T_y=-198.08 M_z=-21.62 (M_c=13.11 M_e=-17.46)
  Tensioni: σ_N=182.93 σ_M=470.51 τ=0.00 σ_{max}=653.44
  Tensioni: σ_N=182.93 σ_M=94.47 τ=57.17 τ_{max}=57.17
  Tensioni: σ_N=182.93 σ_M=470.51 τ=0.00 $\sigma_{ID,max}$=653.44

- Verifica a taglio dir. Y [4.2.16] - CC 19 SLU Xl=0.04
  Sollecitazioni: N=1144.54 T_z=24.97 T_y=-200.63
  V,Ed=-200.63 Vc,Rd=7560.76 V,Ed/Vc,Rd=0.03

- Verifica a taglio dir. Z [4.2.16]
  V,Ed=24.97 Vc,Rd=7560.76 V,Ed/Vc,Rd=0.00

Asta n. 1858 (1305 1306) angolari L50x10 Crit. 1

- Verifica di stabilità aste inflesse (4.2.4.1.3.2) CC 9 SLU - Classe 3
  L_{cr}=0.10 Curva d: α_{imp}=0.76 k_c=0.94 ψ=1.02 M,cr=0.00 λ_{LT}=0.00
  $\lambda_{LT,0}$=0.00 β_{LT}=0.00 Φ_{LT}=0.00 β_{LT}=0.00 f=0.00 χ_{LT}=1.00
  CC 9 SLU My,Ed=-0.32 My,b,Rd=149.05 My,Ed/My,b,Rd=0.00

- Verifica di stabilità aste presso-inflesse (C4.2.4.1.3.3.1) - CC 5 SLV - Classe 3
  Sollecitazioni: N,Ed=-26.79 Myeq,Ed=-0.27 Mzeq,Ed=3.20
  Resistenze: Nc,Rd=23709.20 My,c,Rd=149.05 Mz,c,Rd=149.05 L=10.00
  λ_c=5.46 Ncr,y=6286540.00 λ^*_y=0.06 Curva b: Φ_y=0.00 χ_y=1.00
  λ_e=10.39 Ncr,z=1738530.00 λ^*_z=0.12 Curva b: Φ_z=0.00 χ_z=1.00
  χ,min=1.00
  Verifica: 0.00+0.00+0.02=0.02

- Verifica in termini tensionali [4.2.4] - CC 19 SLU Xl=0.02 - Classe 3
  Sollecitazioni: N=81.53 T_z=1.14 T_y=-17.60 M_z=4.30
  Tensioni: σ_N=9.01 σ_M=93.70 τ=0.75 σ_{max}=102.71
  Tensioni: σ_N=9.01 σ_M=-17.68 τ=5.07 τ_{max}=5.07
  Tensioni: σ_N=9.01 σ_M=93.70 τ=0.75 $\sigma_{ID,max}$=102.72

- Verifica a taglio dir. Y [4.2.16] - CC 3 SLV Xl=0.03
  Sollecitazioni: N=6.78 T_y=-12.50
  V,Ed=-12.50 Vc,Rd=7560.76 V,Ed/Vc,Rd=0.00

Asta n. 1858 (1306 1307) angolari L50x10 Crit. 1

- Verifica di stabilità aste inflesse (4.2.4.1.3.2) CC 19 SLU - Classe 3

L_{cr}=0.10 Curva d: α_{imp}=0.76 k_c=0.94 ψ=1.12 M,cr=0.00 λ_{LT}=0.00
$\lambda_{LT,0}$=0.00 β_{LT}=0.00 Φ_{LT}=0.00 β_{LT}=0.00 f=0.00 χ_{LT}=1.00
CC 19 SLU My,Ed=-0.40 My,b,Rd=149.05 My,Ed/My,b,Rd=0.00

- Verifica di stabilità aste presso-inflesse (C4.2.4.1.3.3.1) - CC 5 SLV - Classe 3
Sollecitazioni: N,Ed=-26.81 Myeq,Ed=-0.25 Mzeq,Ed=3.13
Resistenze: Nc,Rd=23709.20 My,c,Rd=149.05 Mz,c,Rd=149.05 L=10.00
λ_c=5.46 Ncr,y=6286660.00 λ^*_y=0.06 Curva b: Φ_y=0.00 χ_y=1.00
λ_e=10.39 Ncr,z=1738570.00 λ^*_z=0.12 Curva b: Φ_z=0.00 χ_z=1.00
χ,min=1.00
Verifica: 0.00+0.00+0.02=0.02

- Verifica in termini tensionali [4.2.4] - CC 5 SLV Xl=0.08 - Classe 3
Sollecitazioni: N=67.93 T_y=-4.33 M_z=3.13
Tensioni: σ_N=7.50 σ_M=68.30 τ=0.19 σ_{max}=75.80
Tensioni: σ_N=7.50 σ_M=-12.89 τ=1.25 τ_{max}=1.25
Tensioni: σ_N=7.50 σ_M=68.30 τ=0.19 $\sigma_{ID,max}$=75.80

- Verifica a taglio dir. Y [4.2.16] - CC 17 SLU Xl=0.02
Sollecitazioni: N=46.63 T_z=2.16 T_y=-29.86
V,Ed=-29.86 Vc,Rd=7560.76 V,Ed/Vc,Rd=0.00

- Verifica a taglio dir. Z [4.2.16]
V,Ed=2.16 Vc,Rd=7560.76 V,Ed/Vc,Rd=0.00

Asta n. 1860 (1325 1326) angolari L50x10 Crit. 1

- Verifica di stabilità aste inflesse (4.2.4.1.3.2) CC 5 SLV - Classe 3
L_{cr}=0.10 Curva d: α_{imp}=0.76 k_c=0.94 ψ=1.01 M,cr=0.00 λ_{LT}=0.00
$\lambda_{LT,0}$=0.00 β_{LT}=0.00 Φ_{LT}=0.00 β_{LT}=0.00 f=0.00 χ_{LT}=1.00
CC 5 SLV My,Ed=3.92 My,b,Rd=149.05 My,Ed/My,b,Rd=0.03

- Verifica di stabilità aste presso-inflesse (C4.2.4.1.3.3.1) - CC 19 SLU - Classe 3
Sollecitazioni: N,Ed=-105.75 Myeq,Ed=5.89 Mzeq,Ed=-0.43
Resistenze: Nc,Rd=23709.20 My,c,Rd=149.05 Mz,c,Rd=149.05 L=10.00
λ_c=5.46 Ncr,y=6286540.00 λ^*_y=0.06 Curva b: Φ_y=0.00 χ_y=1.00
λ_e=10.39 Ncr,z=1738530.00 λ^*_z=0.12 Curva b: Φ_z=0.00 χ_z=1.00
χ,min=1.00
Verifica: 0.00+0.04+0.00=0.05

- Verifica in termini tensionali [4.2.4] - CC 9 SLU Xl=0.10 - Classe 3
Sollecitazioni: N=-104.86 T_z=-2.59 M_y=5.91
Tensioni: σ_N=-11.58 σ_M=-112.64 τ=0.00 σ_{max}=-124.22
Tensioni: σ_N=-11.58 σ_M=-24.32 τ=0.75 τ_{max}=0.75
Tensioni: σ_N=-11.58 σ_M=-112.64 τ=0.00 $\sigma_{ID,max}$=124.22

- Verifica a taglio dir. Y [4.2.16] - CC 17 SLU Xl=0.02
Sollecitazioni: N=-60.92 T_z=-29.55 T_y=1.92
V,Ed=1.92 Vc,Rd=7560.76 V,Ed/Vc,Rd=0.00

- Verifica a taglio dir. Z [4.2.16]
V,Ed=-29.55 Vc,Rd=7560.76 V,Ed/Vc,Rd=0.00

Asta n. 1860 (1326 1327) angolari L50x10 Crit. 1

- Verifica di stabilità aste inflesse (4.2.4.1.3.2) CC 5 SLV - Classe 3
L_{cr}=0.10 Curva d: α_{imp}=0.76 k_c=0.94 ψ=1.05 M,cr=0.00 λ_{LT}=0.00
$\lambda_{LT,0}$=0.00 β_{LT}=0.00 Φ_{LT}=0.00 β_{LT}=0.00 f=0.00 χ_{LT}=1.00
CC 5 SLV My,Ed=4.39 My,b,Rd=149.05 My,Ed/My,b,Rd=0.03

- Verifica di stabilità aste presso-inflesse (C4.2.4.1.3.3.1) - CC 19 SLU - Classe 3
  Sollecitazioni: N,Ed=-105.75 Myeq,Ed=7.39 Mzeq,Ed=-0.31
  Resistenze: Nc,Rd=23709.20 My,c,Rd=149.05 Mz,c,Rd=149.05 L=10.00
  λ_c=5.46 Ncr,y=6286660.00 λ^*_y=0.06 Curva b: Φ_y=0.00 χ_y=1.00
  λ_e=10.39 Ncr,z=1738570.00 λ^*_z=0.12 Curva b: Φ_z=0.00 χ_z=1.00
  χ,min=1.00
  Verifica: 0.00+0.05+0.00=0.06

- Verifica in termini tensionali [4.2.4] - CC 19 SLU Xl=0.08 - Classe 3
  Sollecitazioni: N=-105.75 T_z=-17.74 M_y=7.39 T_y=1.48
  Tensioni: σ_N=-11.68 σ_M=-140.72 τ=0.00 σ_{max}=-152.40
  Tensioni: σ_N=-11.68 σ_M=-30.38 τ=5.12 τ_{max}=5.12
  Tensioni: σ_N=-11.68 σ_M=-140.72 τ=0.00 $\sigma_{ID,max}$=152.40

- Verifica a taglio dir. Z [4.2.16] - CC 3 SLV Xl=0.00
  Sollecitazioni: N=-41.87 T_z=-10.46
  V,Ed=-10.46 Vc,Rd=7560.76 V,Ed/Vc,Rd=0.00

Asta n. 1902 (1337 1338) angolari L50x10 Crit. 1

- Verifica di stabilità aste inflesse (4.2.4.1.3.2) CC 5 SLV - Classe 3
  L_{cr}=0.10 Curva d: α_{imp}=0.76 k_c=0.94 ψ=1.08 M,cr=0.00 λ_{LT}=0.00
  $\lambda_{LT,0}$=0.00 β_{LT}=0.00 Φ_{LT}=0.00 β_{LT}=0.00 f=0.00 χ_{LT}=1.00
  CC 5 SLV My,Ed=0.29 My,b,Rd=149.05 My,Ed/My,b,Rd=0.00

- Verifica di stabilità aste presso-inflesse (C4.2.4.1.3.3.1) - CC 18 SLU - Classe 3
  Sollecitazioni: N,Ed=-134.43 Myeq,Ed=0.45 Mzeq,Ed=-7.54
  Resistenze: Nc,Rd=23709.20 My,c,Rd=149.05 Mz,c,Rd=149.05 L=10.00
  λ_c=5.46 Ncr,y=6286540.00 λ^*_y=0.06 Curva b: Φ_y=0.00 χ_y=1.00
  λ_e=10.39 Ncr,z=1738530.00 λ^*_z=0.12 Curva b: Φ_z=0.00 χ_z=1.00
  χ,min=1.00
  Verifica: 0.01+0.00+0.05=0.06

- Verifica in termini tensionali [4.2.4] - CC 18 SLU Xl=0.10 - Classe 3
  Sollecitazioni: N=-134.43 T_y=-4.25 M_z=-7.54
  Tensioni: σ_N=-14.85 σ_M=-164.27 τ=0.18 σ_{max}=-179.12
  Tensioni: σ_N=-14.85 σ_M=31.00 τ=1.23 τ_{max}=1.23
  Tensioni: σ_N=-14.85 σ_M=-164.27 τ=0.18 $\sigma_{ID,max}$=179.12

- Verifica a taglio dir. Y [4.2.16] - CC 17 SLU Xl=0.02
  Sollecitazioni: N=-60.16 T_z=1.93 T_y=-29.69
  V,Ed=-29.69 Vc,Rd=7560.76 V,Ed/Vc,Rd=0.00

- Verifica a taglio dir. Z [4.2.16]
  V,Ed=1.93 Vc,Rd=7560.76 V,Ed/Vc,Rd=0.00

Asta n. 1902 (1338 1339) angolari L50x10 Crit. 1

- Verifica di stabilità aste inflesse (4.2.4.1.3.2) CC 5 SLV - Classe 3
  L_{cr}=0.10 Curva d: α_{imp}=0.76 k_c=0.94 ψ=1.06 M,cr=0.00 λ_{LT}=0.00
  $\lambda_{LT,0}$=0.00 β_{LT}=0.00 Φ_{LT}=0.00 β_{LT}=0.00 f=0.00 χ_{LT}=1.00
  CC 5 SLV My,Ed=0.24 My,b,Rd=149.05 My,Ed/My,b,Rd=0.00

- Verifica di stabilità aste presso-inflesse (C4.2.4.1.3.3.1) - CC 18 SLU - Classe 3
  Sollecitazioni: N,Ed=-134.43 Myeq,Ed=0.40 Mzeq,Ed=-7.86
  Resistenze: Nc,Rd=23709.20 My,c,Rd=149.05 Mz,c,Rd=149.05 L=10.00
  λ_c=5.46 Ncr,y=6286660.00 λ^*_y=0.06 Curva b: Φ_y=0.00 χ_y=1.00
  λ_e=10.39 Ncr,z=1738570.00 λ^*_z=0.12 Curva b: Φ_z=0.00 χ_z=1.00

χ,min=1.00
Verifica: 0.01+0.00+0.05=0.06

- Verifica in termini tensionali [4.2.4] - CC 18 SLU Xl=0.08 - Classe 3
Sollecitazioni: N=-134.43 T_y=-3.49 M_z=-7.86
Tensioni: σ_N=-14.85 σ_M=-171.22 τ=0.15 σ_{max}=-186.07
Tensioni: σ_N=-14.85 σ_M=32.31 τ=1.01 τ_{max}=1.01
Tensioni: σ_N=-14.85 σ_M=-171.22 τ=0.15 $\sigma_{ID,max}$=186.07

- Verifica a taglio dir. Y [4.2.16] - CC 3 SLV Xl=0.00
Sollecitazioni: N=-41.58 T_y=-10.48
V,Ed=-10.48 Vc,Rd=7560.76 V,Ed/Vc,Rd=0.00

Asta n. 1904 (1357 1358) angolari L50x10 Crit. 1

- Verifica di stabilità aste inflesse (4.2.4.1.3.2) CC 16 SLU - Classe 3
L_{cr}=0.10 Curva d: α_{imp}=0.76 k_c=0.94 ψ=1.02 M,cr=0.00 λ_{LT}=0.00
$\lambda_{LT,0}$=0.00 β_{LT}=0.00 Φ_{LT}=0.00 β_{LT}=0.00 f=0.00 χ_{LT}=1.00
CC 16 SLU My,Ed=-4.75 My,b,Rd=149.05 My,Ed/My,b,Rd=0.03

- Verifica di stabilità aste presso-inflesse (C4.2.4.1.3.3.1) - CC 5 SLV - Classe 3
Sollecitazioni: N,Ed=-26.72 Myeq,Ed=-3.22 Mzeq,Ed=0.27
Resistenze: Nc,Rd=23709.20 My,c,Rd=149.05 Mz,c,Rd=149.05 L=10.00
λ_c=5.46 Ncr,y=6286540.00 λ^*_y=0.06 Curva b: Φ_y=0.00 χ_y=1.00
λ_e=10.39 Ncr,z=1738530.00 λ^*_z=0.12 Curva b: Φ_z=0.00 χ_z=1.00
χ,min=1.00
Verifica: 0.00+0.02+0.00=0.02

- Verifica in termini tensionali [4.2.4] - CC 16 SLU Xl=0.02 - Classe 3
Sollecitazioni: N=97.37 T_z=-2.94 M_y=-4.75
Tensioni: σ_N=10.76 σ_M=90.43 τ=0.00 σ_{max}=101.19
Tensioni: σ_N=10.76 σ_M=19.52 τ=0.85 τ_{max}=0.85
Tensioni: σ_N=10.76 σ_M=90.43 τ=0.00 $\sigma_{ID,max}$=101.19

- Verifica a taglio dir. Z [4.2.16] - CC 3 SLV Xl=0.03
Sollecitazioni: N=6.43 T_z=-12.52
V,Ed=-12.52 Vc,Rd=7560.76 V,Ed/Vc,Rd=0.00

Asta n. 1904 (1358 1359) angolari L50x10 Crit. 1

- Verifica di stabilità aste inflesse (4.2.4.1.3.2) CC 18 SLU - Classe 3
L_{cr}=0.10 Curva d: α_{imp}=0.76 k_c=0.94 ψ=1.00 M,cr=0.00 λ_{LT}=0.00
$\lambda_{LT,0}$=0.00 β_{LT}=0.00 Φ_{LT}=0.00 β_{LT}=0.00 f=0.00 χ_{LT}=1.00
CC 18 SLU My,Ed=-4.62 My,b,Rd=149.05 My,Ed/My,b,Rd=0.03

- Verifica di stabilità aste presso-inflesse (C4.2.4.1.3.3.1) - CC 5 SLV - Classe 3
Sollecitazioni: N,Ed=-26.74 Myeq,Ed=-3.12 Mzeq,Ed=0.25
Resistenze: Nc,Rd=23709.20 My,c,Rd=149.05 Mz,c,Rd=149.05 L=10.00
λ_c=5.46 Ncr,y=6286660.00 λ^*_y=0.06 Curva b: Φ_y=0.00 χ_y=1.00
λ_e=10.39 Ncr,z=1738570.00 λ^*_z=0.12 Curva b: Φ_z=0.00 χ_z=1.00
χ,min=1.00
Verifica: 0.00+0.02+0.00=0.02

- Verifica in termini tensionali [4.2.4] - CC 18 SLU Xl=0.08 - Classe 3
Sollecitazioni: N=111.94 M_y=-4.62
Tensioni: σ_N=12.37 σ_M=87.95 τ=0.00 σ_{max}=100.32
Tensioni: σ_N=0.00 σ_M=0.00 τ=0.00 τ_{max}=0.00
Tensioni: σ_N=12.37 σ_M=87.95 τ=0.00 $\sigma_{ID,max}$=100.32

- Verifica a taglio dir. Y [4.2.16] - CC 17 SLU Xl=0.03
  Sollecitazioni: N=45.86 T_z=-29.85 T_y=2.17
  V,Ed=2.17 Vc,Rd=7560.76 V,Ed/Vc,Rd=0.00

- Verifica a taglio dir. Z [4.2.16]
  V,Ed=-29.85 Vc,Rd=7560.76 V,Ed/Vc,Rd=0.00

Asta n. 2022 (2025 2026) modellazione SHS50x50x5 Crit. 1

- Verifica di stabilità aste presso-inflesse (C4.2.4.1.3.3.2) - CC 9 SLU - Classe 3
  Sollecitazioni: N,Ed=-0.88 My,Ed=1.24 Mz,Ed=-7.26
  Resistenze: Nc,Rd=23571.40 My,c,Rd=322.14 Mz,c,Rd=322.14 L=6.00
  αmy, αmz, αLT=0.95, 0.95, 0.95
  λ_Y=3.25 Ncr,y=17703600.00 λ^*_y=0.04 Curva a: Φ_y=0.00 χ_y=1.00
  λ_Z=3.25 Ncr,z=17703600.00 λ^*_z=0.04 Curva a: Φ_z=0.00 χ_z=1.00
  Kyy, Kyz, Kzy, Kzz=0.95, 0.95, 0.76, 0.95
  Verifica YY: 0.00+0.00+0.02=0.02
  Verifica ZZ: 0.00+0.00+0.02=0.02

- Verifica in termini tensionali [4.2.4] - CC 9 SLU Xl=0.01 - Classe 3
  Sollecitazioni: T_z=-238.31 M_y=1.24 T_y=-1084.60 M_z=-7.26 M_x=46.69
  Tensioni: σ_N=0.00 σ_M=-69.11 τ=230.58 σ_{max}=-69.11
  Tensioni: σ_N=0.00 σ_M=8.09 τ=499.60 τ_{max}=499.60
  Tensioni: σ_N=0.00 σ_M=8.09 τ=499.60 $\sigma_{ID,max}$=865.38

- Verifica a taglio e torsione dir. Y [4.2.25] - CC 19 SLU Xl=0.00
  Sollecitazioni: N=2.01 T_z=-163.04 T_y=-1119.04 M_x=47.19
  V,Ed=-1119.04 Vc,Rd,Red=5755.99 V,Ed/Vc,Rd,Red=0.19

- Verifica a taglio e torsione dir. Z [4.2.25]
  V,Ed=-163.04 Vc,Rd,Red=5755.99 V,Ed/Vc,Rd,Red=0.03

Asta n. 2022 (2026 2027) modellazione SHS50x50x5 Crit. 1

- Verifica di stabilità aste presso-inflesse (C4.2.4.1.3.3.2) - CC 19 SLU - Classe 3
  Sollecitazioni: N,Ed=-16.31 My,Ed=3.75 Mz,Ed=-6.05
  Resistenze: Nc,Rd=23571.40 My,c,Rd=322.14 Mz,c,Rd=322.14 L=6.00
  αmy, αmz, αLT=0.95, 0.95, 0.95
  λ_Y=3.25 Ncr,y=17703600.00 λ^*_y=0.04 Curva a: Φ_y=0.00 χ_y=1.00
  λ_Z=3.25 Ncr,z=17703600.00 λ^*_z=0.04 Curva a: Φ_z=0.00 χ_z=1.00
  Kyy, Kyz, Kzy, Kzz=0.95, 0.95, 0.76, 0.95
  Verifica YY: 0.00+0.01+0.02=0.03
  Verifica ZZ: 0.00+0.01+0.02=0.03

- Verifica in termini tensionali [4.2.4] - CC 9 SLU Xl=0.05 - Classe 3
  Sollecitazioni: N=-1.19 T_z=430.20 M_y=2.84 T_y=1208.35 M_z=-6.94 M_x=-51.47
  Tensioni: σ_N=-0.13 σ_M=-79.54 τ=254.18 σ_{max}=-79.67
  Tensioni: σ_N=-0.13 σ_M=18.47 τ=554.04 τ_{max}=554.04
  Tensioni: σ_N=-0.13 σ_M=18.47 τ=554.04 $\sigma_{ID,max}$=959.79

- Verifica a taglio e torsione dir. Y [4.2.25] - CC 9 SLU Xl=0.06
  Sollecitazioni: N=-1.19 T_z=430.14 T_y=1208.35 M_x=-51.47
  V,Ed=1208.35 Vc,Rd,Red=5660.88 V,Ed/Vc,Rd,Red=0.21

- Verifica a taglio e torsione dir. Z [4.2.25]
  V,Ed=430.14 Vc,Rd,Red=5660.88 V,Ed/Vc,Rd,Red=0.08

Asta n. 2066 (2285 2286) modellazione SHS50x50x5 Crit. 1

- Verifica di stabilità aste presso-inflesse (C4.2.4.1.3.3.2) - CC 18 SLU - Classe 3

Sollecitazioni: N,Ed=-0.98 My,Ed=1.38 Mz,Ed=10.28
Resistenze: Nc,Rd=23571.40 My,c,Rd=322.14 Mz,c,Rd=322.14 L=6.00
αmy, αmz, αLT=0.95, 0.95, 0.95
λ_Y=3.25 Ncr,y=17703600.00 λ^*_y=0.04 Curva a: Φ_y=0.00 χ_y=1.00
λ_Z=3.25 Ncr,z=17703600.00 λ^*_z=0.04 Curva a: Φ_z=0.00 χ_z=1.00
Kyy, Kyz, Kzy, Kzz=0.95, 0.95, 0.76, 0.95
Verifica YY: 0.00+0.00+0.03=0.03
Verifica ZZ: 0.00+0.00+0.03=0.03

- Verifica in termini tensionali [4.2.4] - CC 18 SLU Xl=0.01 - Classe 3
Sollecitazioni: T_z=-254.53 M_y=1.38 T_y=1578.94 M_z=10.28 M_x=-58.89
Tensioni: σ_N=0.00 σ_M=-94.78 τ=290.81 σ_{max}=-94.78
Tensioni: σ_N=0.00 σ_M=8.95 τ=682.40 τ_{max}=682.40
Tensioni: σ_N=0.00 σ_M=8.95 τ=682.40 $\sigma_{ID,max}$=1181.98

- Verifica a taglio e torsione dir. Y [4.2.25] - CC 18 SLU Xl=0.00
Sollecitazioni: T_z=-254.48 T_y=1578.94 M_x=-58.89
V,Ed=1578.94 Vc,Rd,Red=5496.04 V,Ed/Vc,Rd,Red=0.29

- Verifica a taglio e torsione dir. Z [4.2.25]
V,Ed=-254.48 Vc,Rd,Red=5496.04 V,Ed/Vc,Rd,Red=0.05

Asta n. 2066 (2286 2287) modellazione SHS50x50x5 Crit. 1

- Verifica di stabilità aste presso-inflesse (C4.2.4.1.3.3.2) - CC 18 SLU - Classe 3
Sollecitazioni: N,Ed=-0.66 My,Ed=2.63 Mz,Ed=10.23
Resistenze: Nc,Rd=23571.40 My,c,Rd=322.14 Mz,c,Rd=322.14 L=6.00
αmy, αmz, αLT=0.95, 0.95, 0.95
λ_Y=3.25 Ncr,y=17703600.00 λ^*_y=0.04 Curva a: Φ_y=0.00 χ_y=1.00
λ_Z=3.25 Ncr,z=17703600.00 λ^*_z=0.04 Curva a: Φ_z=0.00 χ_z=1.00
Kyy, Kyz, Kzy, Kzz=0.95, 0.95, 0.76, 0.95
Verifica YY: 0.00+0.01+0.03=0.04
Verifica ZZ: 0.00+0.01+0.03=0.04

- Verifica in termini tensionali [4.2.4] - CC 18 SLU Xl=0.05 - Classe 3
Sollecitazioni: T_z=399.64 M_y=2.63 T_y=-1729.32 M_z=10.23 M_x=63.39
Tensioni: σ_N=0.00 σ_M=-104.60 τ=313.03 σ_{max}=-104.60
Tensioni: σ_N=0.00 σ_M=17.12 τ=741.99 τ_{max}=741.99
Tensioni: σ_N=0.00 σ_M=17.12 τ=741.99 $\sigma_{ID,max}$=1285.28

- Verifica a taglio e torsione dir. Y [4.2.25] - CC 18 SLU Xl=0.06
Sollecitazioni: T_z=399.58 T_y=-1729.32 M_x=63.39
V,Ed=-1729.32 Vc,Rd,Red=5396.04 V,Ed/Vc,Rd,Red=0.32

- Verifica a taglio e torsione dir. Z [4.2.25]
V,Ed=399.58 Vc,Rd,Red=5396.04 V,Ed/Vc,Rd,Red=0.07

Asta n. 2106 (2001 9) briglie 50x10 Crit. 1

- Verifica di stabilità aste inflesse (4.2.4.1.3.2) CC 17 SLU - Classe 3
L_{cr}=0.17 Curva d: α_{imp}=0.76 k_c=0.94 ψ=2.87 M,cr=0.00 λ_{LT}=0.00
$\lambda_{LT,0}$=0.20 β_{LT}=1.00 Φ_{LT}=0.00 β_{LT}=1.00 f=0.00 χ_{LT}=1.00
CC 17 SLU My,Ed=0.99 My,b,Rd=109.13 My,Ed/My,b,Rd=0.01

- Verifica di stabilità aste presso-inflesse (C4.2.4.1.3.3.1) - CC 18 SLU - Classe 3
Sollecitazioni: N,Ed=-27.95 Myeq,Ed=-1.11 Mzeq,Ed=0.10
Resistenze: Nc,Rd=13095.20 My,c,Rd=109.13 Mz,c,Rd=21.83 L=16.67
λ_Y=11.55 Ncr,y=777231.00 λ^*_y=0.13 Curva c: Φ_y=0.49 χ_y=1.00
λ_Z=57.73 Ncr,z=31089.20 λ^*_z=0.67 Curva c: Φ_z=0.84 χ_z=0.75

χ,min=0.75
Verifica: 0.00+0.01+0.00=0.02

- Verifica in termini tensionali [4.2.4] - CC 18 SLU Xl=0.00 - Classe 3
Sollecitazioni: N=-27.95 T_z=-12.40 M_y=-1.11
Tensioni: σ_N=-5.59 σ_M=-26.58 τ=0.00 σ_{max}=-32.17
Tensioni: σ_N=-5.59 σ_M=0.00 τ=3.72 τ_{max}=3.72
Tensioni: σ_N=-5.59 σ_M=-26.58 τ=0.00 $\sigma_{ID,max}$=32.17

- Verifica a taglio dir. Z [4.2.16] - CC 17 SLU Xl=0.00
Sollecitazioni: N=20.51 T_z=11.48
V,Ed=11.48 Vc,Rd=7560.76 V,Ed/Vc,Rd=0.00

Asta n. 2106 (9 17) briglie 50x10 Crit. 1

- Verifica di stabilità aste inflesse (4.2.4.1.3.2) CC 1 SLV - Classe 3
L_{cr}=0.17 Curva d: α_{imp}=0.76 k_c=0.94 ψ=2.52 M,cr=0.00 λ_{LT}=0.00
$\lambda_{LT,0}$=0.20 β_{LT}=1.00 Φ_{LT}=0.00 β_{LT}=1.00 f=0.00 χ_{LT}=1.00
CC 1 SLV My,Ed=0.93 My,b,Rd=109.13 My,Ed/My,b,Rd=0.01

- Verifica di stabilità aste presso-inflesse (C4.2.4.1.3.3.1) - CC 18 SLU - Classe 3
Sollecitazioni: N,Ed=-67.28 Myeq,Ed=1.58 Mzeq,Ed=0.10
Resistenze: Nc,Rd=13095.20 My,c,Rd=109.13 Mz,c,Rd=21.83 L=16.67
λ_Y=11.55 Ncr,y=777232.00 λ^*_y=0.13 Curva c: Φ_y=0.49 χ_y=1.00
λ_Z=57.73 Ncr,z=31089.30 λ^*_z=0.67 Curva c: Φ_z=0.84 χ_z=0.75
χ,min=0.75
Verifica: 0.01+0.01+0.00=0.02

- Verifica in termini tensionali [4.2.4] - CC 18 SLU Xl=0.17 - Classe 3
Sollecitazioni: N=-67.28 T_z=-15.03 M_y=1.61
Tensioni: σ_N=-13.46 σ_M=-38.58 τ=0.00 σ_{max}=-52.04
Tensioni: σ_N=-13.46 σ_M=-0.00 τ=4.51 τ_{max}=4.51
Tensioni: σ_N=-13.46 σ_M=-38.58 τ=0.00 $\sigma_{ID,max}$=52.04

- Verifica a taglio dir. Z [4.2.16] - CC 1 SLV Xl=0.17
Sollecitazioni: N=8.16 T_z=-9.42
V,Ed=-9.42 Vc,Rd=7560.76 V,Ed/Vc,Rd=0.00

Asta n. 2106 (17 2025) briglie 50x10 Crit. 1

- Verifica di stabilità aste inflesse (4.2.4.1.3.2) CC 17 SLU - Classe 3
L_{cr}=0.17 Curva d: α_{imp}=0.76 k_c=0.94 ψ=1.93 M,cr=0.00 λ_{LT}=0.00
$\lambda_{LT,0}$=0.20 β_{LT}=1.00 Φ_{LT}=0.00 β_{LT}=1.00 f=0.00 χ_{LT}=1.00
CC 17 SLU My,Ed=-2.85 My,b,Rd=109.13 My,Ed/My,b,Rd=0.03

- Verifica di stabilità aste presso-inflesse (C4.2.4.1.3.3.1) - CC 5 SLV - Classe 3
Sollecitazioni: N,Ed=-53.67 Myeq,Ed=-1.89 Mzeq,Ed=-0.15
Resistenze: Nc,Rd=13095.20 My,c,Rd=109.13 Mz,c,Rd=21.83 L=16.67
λ_Y=11.55 Ncr,y=777232.00 λ^*_y=0.13 Curva c: Φ_y=0.49 χ_y=1.00
λ_Z=57.73 Ncr,z=31089.30 λ^*_z=0.67 Curva c: Φ_z=0.84 χ_z=0.75
χ,min=0.75
Verifica: 0.00+0.02+0.01=0.03

- Verifica in termini tensionali [4.2.4] - CC 17 SLU Xl=0.17 - Classe 3
Sollecitazioni: N=68.07 T_z=19.43 M_y=-2.85 T_y=3.18
Tensioni: σ_N=13.61 σ_M=68.46 τ=0.00 σ_{max}=82.07
Tensioni: σ_N=13.61 σ_M=0.00 τ=5.91 τ_{max}=5.91
Tensioni: σ_N=13.61 σ_M=68.46 τ=0.95 $\sigma_{ID,max}$=82.09

- Verifica a taglio dir. Y [4.2.16] - CC 17 SLU Xl=0.00
  Sollecitazioni: N=68.07 T_z=20.28 T_y=3.18
  V,Ed=3.18 Vc,Rd=7560.76 V,Ed/Vc,Rd=0.00

- Verifica a taglio dir. Z [4.2.16]
  V,Ed=20.28 Vc,Rd=7560.76 V,Ed/Vc,Rd=0.00

Asta n. 2106 (2025 37) briglie 50x10 Crit. 1

- Verifica di stabilità aste inflesse (4.2.4.1.3.2) CC 5 SLV - Classe 3
  L_{cr}=0.22 Curva d: α_{imp}=0.76 k_c=0.94 ψ=2.02 M,cr=0.00 λ_{LT}=0.00
  $\lambda_{LT,0}$=0.20 β_{LT}=1.00 Φ_{LT}=0.00 β_{LT}=1.00 f=0.00 χ_{LT}=1.00
  CC 5 SLV My,Ed=21.88 My,b,Rd=109.13 My,Ed/My,b,Rd=0.20

- Verifica di stabilità aste presso-inflesse (C4.2.4.1.3.3.1) - CC 9 SLU - Classe 3
  Sollecitazioni: N,Ed=-1217.26 Myeq,Ed=37.18 Mzeq,Ed=0.19
  Resistenze: Nc,Rd=13095.20 My,c,Rd=109.13 Mz,c,Rd=21.83 L=21.56
  λ_Y=14.94 Ncr,y=464354.00 λ^*_y=0.17 Curva c: Φ_y=0.51 χ_y=1.00
  λ_Z=74.69 Ncr,z=18574.20 λ^*_z=0.86 Curva c: Φ_z=1.03 χ_z=0.62
  χ,min=0.62
  Verifica: 0.15+0.34+0.01=0.50

- Verifica Freccia massima per soli carichi accidentali - CC 11
  $f_{Z,L}$=0.00 (L/12388)

- Verifica Freccia massima carichi totali - CC 21
  $f_{Z,L}$=0.00 (L/6799)

- Verifica in termini tensionali [4.2.4] - CC 9 SLU Xl=0.00 - Classe 3
  Sollecitazioni: N=-1217.26 T_z=265.80 M_y=41.23 T_y=-1.16
  Tensioni: σ_N=-243.45 σ_M=-989.60 τ=0.00 σ_{max}=-1233.05
  Tensioni: σ_N=-243.45 σ_M=-0.00 τ=79.74 τ_{max}=79.74
  Tensioni: σ_N=-243.45 σ_M=-989.60 τ=0.19 $\sigma_{ID,max}$=1233.05

- Verifica a taglio dir. Y [4.2.16] - CC 16 SLU Xl=0.14
  Sollecitazioni: N=45.53 T_z=154.28 T_y=-1.15
  V,Ed=-1.15 Vc,Rd=7560.76 V,Ed/Vc,Rd=0.00

- Verifica a taglio dir. Z [4.2.16]
  V,Ed=154.28 Vc,Rd=7560.76 V,Ed/Vc,Rd=0.02

Asta n. 2106 (37 45) briglie 50x10 Crit. 1

- Verifica di stabilità aste inflesse (4.2.4.1.3.2) CC 20 SLU - Classe 3
  L_{cr}=0.22 Curva d: α_{imp}=0.76 k_c=0.94 ψ=2.89 M,cr=0.00 λ_{LT}=0.00
  $\lambda_{LT,0}$=0.20 β_{LT}=1.00 Φ_{LT}=0.00 β_{LT}=1.00 f=0.00 χ_{LT}=1.00
  CC 20 SLU My,Ed=20.99 My,b,Rd=109.13 My,Ed/My,b,Rd=0.19

- Verifica di stabilità aste presso-inflesse (C4.2.4.1.3.3.1) - CC 9 SLU - Classe 3
  Sollecitazioni: N,Ed=-580.80 Myeq,Ed=27.93 Mzeq,Ed=0.13
  Resistenze: Nc,Rd=13095.20 My,c,Rd=109.13 Mz,c,Rd=21.83 L=21.56
  λ_Y=14.94 Ncr,y=464354.00 λ^*_y=0.17 Curva c: Φ_y=0.51 χ_y=1.00
  λ_Z=74.69 Ncr,z=18574.20 λ^*_z=0.86 Curva c: Φ_z=1.03 χ_z=0.62
  χ,min=0.62
  Verifica: 0.04+0.26+0.01=0.31

- Verifica Freccia massima carichi totali - CC 21
  $f_{Z,L}$=0.00 (L/15328)

- Verifica in termini tensionali [4.2.4] - CC 9 SLU Xl=0.00 - Classe 3

Sollecitazioni: N=-580.80 T_z=227.94 M_y=27.93
Tensioni: σ_N=-116.16 σ_M=-670.40 τ=0.00 σ_{max}=-786.56
Tensioni: σ_N=-116.16 σ_M=-0.00 τ=68.38 τ_{max}=68.38
Tensioni: σ_N=-116.16 σ_M=-670.40 τ=0.00 $\sigma_{ID,max}$=786.56

- Verifica a taglio dir. Z [4.2.16] - CC 20 SLU Xl=0.12
Sollecitazioni: N=5.49 T_z=182.10
V,Ed=182.10 Vc,Rd=7560.76 V,Ed/Vc,Rd=0.02

Asta n. 2106 (45 53) briglie 50x10 Crit. 1

- Verifica di stabilità aste inflesse (4.2.4.1.3.2) CC 18 SLU - Classe 3
L_{cr}=0.22 Curva d: α_{imp}=0.76 k_c=0.94 ψ=3.06 M,cr=0.00 λ_{LT}=0.00
$\lambda_{LT,0}$=0.20 β_{LT}=1.00 Φ_{LT}=0.00 β_{LT}=1.00 f=0.00 χ_{LT}=1.00
CC 18 SLU My,Ed=-22.55 My,b,Rd=109.13 My,Ed/My,b,Rd=0.21

- Verifica di stabilità aste presso-inflesse (C4.2.4.1.3.3.1) - CC 9 SLU - Classe 3
Sollecitazioni: N,Ed=-12.27 Myeq,Ed=22.93 Mzeq,Ed=0.10
Resistenze: Nc,Rd=13095.20 My,c,Rd=109.13 Mz,c,Rd=21.83 L=21.56
λ_Y=14.94 Ncr,y=464354.00 λ^*_y=0.17 Curva c: Φ_y=0.51 χ_y=1.00
λ_Z=74.69 Ncr,z=18574.20 λ^*_z=0.86 Curva c: Φ_z=1.03 χ_z=0.62
χ,min=0.62
Verifica: 0.00+0.21+0.00=0.22

- Verifica in termini tensionali [4.2.4] - CC 18 SLU Xl=0.22 - Classe 3
Sollecitazioni: N=460.81 T_z=205.86 M_y=-22.55 T_y=-1.08
Tensioni: σ_N=92.16 σ_M=541.17 τ=0.00 σ_{max}=633.33
Tensioni: σ_N=92.16 σ_M=0.00 τ=61.76 τ_{max}=61.76
Tensioni: σ_N=92.16 σ_M=541.17 τ=0.29 $\sigma_{ID,max}$=633.33

- Verifica a taglio dir. Z [4.2.16] - CC 16 SLU Xl=0.10
Sollecitazioni: N=775.83 T_z=120.08
V,Ed=120.08 Vc,Rd=7560.76 V,Ed/Vc,Rd=0.02

Asta n. 2106 (53 61) briglie 50x10 Crit. 1

- Verifica di stabilità aste inflesse (4.2.4.1.3.2) CC 18 SLU - Classe 3
L_{cr}=0.22 Curva d: α_{imp}=0.76 k_c=0.94 ψ=2.77 M,cr=0.00 λ_{LT}=0.00
$\lambda_{LT,0}$=0.20 β_{LT}=1.00 Φ_{LT}=0.00 β_{LT}=1.00 f=0.00 χ_{LT}=1.00
CC 18 SLU My,Ed=-22.24 My,b,Rd=109.13 My,Ed/My,b,Rd=0.20

- Verifica di stabilità aste presso-inflesse (C4.2.4.1.3.3.1) - CC 5 SLV - Classe 3
Sollecitazioni: N,Ed=-374.86 Myeq,Ed=10.13 Mzeq,Ed=-0.05
Resistenze: Nc,Rd=13095.20 My,c,Rd=109.13 Mz,c,Rd=21.83 L=21.56
λ_Y=14.94 Ncr,y=464355.00 λ^*_y=0.17 Curva c: Φ_y=0.51 χ_y=1.00
λ_Z=74.69 Ncr,z=18574.20 λ^*_z=0.86 Curva c: Φ_z=1.03 χ_z=0.62
χ,min=0.62
Verifica: 0.03+0.09+0.00=0.12

- Verifica in termini tensionali [4.2.4] - CC 18 SLU Xl=0.22 - Classe 3
Sollecitazioni: N=926.04 T_z=184.38 M_y=-22.24
Tensioni: σ_N=185.21 σ_M=533.84 τ=0.00 σ_{max}=719.05
Tensioni: σ_N=185.21 σ_M=0.00 τ=55.31 τ_{max}=55.31
Tensioni: σ_N=185.21 σ_M=533.84 τ=0.00 $\sigma_{ID,max}$=719.05

- Verifica a taglio dir. Z [4.2.16] - CC 18 SLU Xl=0.10
Sollecitazioni: N=926.04 T_z=184.98
V,Ed=184.98 Vc,Rd=7560.76 V,Ed/Vc,Rd=0.02

Asta n. 2106 (61 69) briglie 50x10 Crit. 1

- Verifica di stabilità aste inflesse (4.2.4.1.3.2) CC 9 SLU - Classe 3
  L_{cr}=0.22 Curva d: α_{imp}=0.76 k_c=0.94 ψ=2.73 M,cr=0.00 λ_{LT}=0.00
  $\lambda_{LT,0}$=0.20 β_{LT}=1.00 Φ_{LT}=0.00 β_{LT}=1.00 f=0.00 χ_{LT}=1.00
  CC 9 SLU My,Ed=-15.42 My,b,Rd=109.13 My,Ed/My,b,Rd=0.14

- Verifica di stabilità aste presso-inflesse (C4.2.4.1.3.3.1) - CC 5 SLV - Classe 3
  Sollecitazioni: N,Ed=-207.65 Myeq,Ed=7.98 Mzeq,Ed=0.04
  Resistenze: Nc,Rd=13095.20 My,c,Rd=109.13 Mz,c,Rd=21.83 L=21.56
  λ_Y=14.94 Ncr,y=464355.00 λ^*_y=0.17 Curva c: Φ_y=0.51 χ_y=1.00
  λ_Z=74.69 Ncr,z=18574.20 λ^*_z=0.86 Curva c: Φ_z=1.03 χ_z=0.62
  χ,min=0.62
  Verifica: 0.02+0.07+0.00=0.09

- Verifica in termini tensionali [4.2.4] - CC 18 SLU Xl=0.22 - Classe 3
  Sollecitazioni: N=1257.04 T_z=113.49 M_y=-15.39
  Tensioni: σ_N=251.41 σ_M=369.25 τ=0.00 σ_{max}=620.66
  Tensioni: σ_N=251.41 σ_M=0.00 τ=34.05 τ_{max}=34.05
  Tensioni: σ_N=251.41 σ_M=369.25 τ=0.00 $\sigma_{ID,max}$=620.66

- Verifica a taglio dir. Z [4.2.16] - CC 19 SLU Xl=0.10
  Sollecitazioni: N=776.58 T_z=127.55
  V,Ed=127.55 Vc,Rd=7560.76 V,Ed/Vc,Rd=0.02

Asta n. 2106 (69 77) briglie 50x10 Crit. 1

- Verifica di stabilità aste inflesse (4.2.4.1.3.2) CC 19 SLU - Classe 3
  L_{cr}=0.22 Curva d: α_{imp}=0.76 k_c=0.94 ψ=2.72 M,cr=0.00 λ_{LT}=0.00
  $\lambda_{LT,0}$=0.20 β_{LT}=1.00 Φ_{LT}=0.00 β_{LT}=1.00 f=0.00 χ_{LT}=1.00
  CC 19 SLU My,Ed=-13.91 My,b,Rd=109.13 My,Ed/My,b,Rd=0.13

- Verifica di stabilità aste presso-inflesse (C4.2.4.1.3.3.1) - CC 5 SLV - Classe 3
  Sollecitazioni: N,Ed=-74.79 Myeq,Ed=6.97 Mzeq,Ed=0.03
  Resistenze: Nc,Rd=13095.20 My,c,Rd=109.13 Mz,c,Rd=21.83 L=21.56
  λ_Y=14.94 Ncr,y=464354.00 λ^*_y=0.17 Curva c: Φ_y=0.51 χ_y=1.00
  λ_Z=74.69 Ncr,z=18574.20 λ^*_z=0.86 Curva c: Φ_z=1.03 χ_z=0.62
  χ,min=0.62
  Verifica: 0.01+0.06+0.00=0.07

- Verifica in termini tensionali [4.2.4] - CC 18 SLU Xl=0.22 - Classe 3
  Sollecitazioni: N=1482.43 T_z=99.87 M_y=-13.51
  Tensioni: σ_N=296.49 σ_M=324.34 τ=0.00 σ_{max}=620.83
  Tensioni: σ_N=296.49 σ_M=0.00 τ=29.96 τ_{max}=29.96
  Tensioni: σ_N=296.49 σ_M=324.34 τ=0.00 $\sigma_{ID,max}$=620.83

- Verifica a taglio dir. Z [4.2.16] - CC 19 SLU Xl=0.10
  Sollecitazioni: N=1026.07 T_z=113.57
  V,Ed=113.57 Vc,Rd=7560.76 V,Ed/Vc,Rd=0.02

Asta n. 2106 (77 85) briglie 50x10 Crit. 1

- Verifica in termini tensionali [4.2.4] - CC 18 SLU Xl=0.22 - Classe 3
  Sollecitazioni: N=1663.09 T_z=90.77 M_y=-12.78
  Tensioni: σ_N=332.62 σ_M=306.61 τ=0.00 σ_{max}=639.23
  Tensioni: σ_N=332.62 σ_M=0.00 τ=27.23 τ_{max}=27.23
  Tensioni: σ_N=332.62 σ_M=306.61 τ=0.00 $\sigma_{ID,max}$=639.23

- Verifica a taglio dir. Z [4.2.16] - CC 19 SLU Xl=0.08

Sollecitazioni: N=1230.33 T_z=103.70
V,Ed=103.70 Vc,Rd=7560.76 V,Ed/Vc,Rd=0.01

Asta n. 2106 (85 93) briglie 50x10 Crit. 1

- Verifica in termini tensionali [4.2.4] - CC 18 SLU Xl=0.22 - Classe 3
Sollecitazioni: N=1805.94 T_z=81.00 M_y=-12.97
Tensioni: σ_N=361.19 σ_M=311.19 τ=0.00 σ_{max}=672.38
Tensioni: σ_N=361.19 σ_M=0.00 τ=24.30 τ_{max}=24.30
Tensioni: σ_N=361.19 σ_M=311.19 τ=0.00 $\sigma_{ID,max}$=672.38

- Verifica a taglio dir. Z [4.2.16] - CC 19 SLU Xl=0.08
Sollecitazioni: N=1396.34 T_z=93.66
V,Ed=93.66 Vc,Rd=7560.76 V,Ed/Vc,Rd=0.01

Asta n. 2106 (93 101) briglie 50x10 Crit. 1

- Verifica in termini tensionali [4.2.4] - CC 18 SLU Xl=0.22 - Classe 3
Sollecitazioni: N=1879.67 T_z=8.86 M_y=-5.33
Tensioni: σ_N=375.93 σ_M=127.93 τ=0.00 σ_{max}=503.86
Tensioni: σ_N=375.93 σ_M=0.00 τ=2.66 τ_{max}=2.66
Tensioni: σ_N=375.93 σ_M=127.93 τ=0.00 $\sigma_{ID,max}$=503.86

- Verifica a taglio dir. Z [4.2.16] - CC 19 SLU Xl=0.00
Sollecitazioni: N=1502.28 T_z=37.12
V,Ed=37.12 Vc,Rd=7560.76 V,Ed/Vc,Rd=0.00

Asta n. 2106 (101 109) briglie 50x10 Crit. 1

- Verifica in termini tensionali [4.2.4] - CC 18 SLU Xl=0.22 - Classe 3
Sollecitazioni: N=1897.33 T_z=3.31 M_y=-3.57
Tensioni: σ_N=379.46 σ_M=85.73 τ=0.00 σ_{max}=465.19
Tensioni: σ_N=379.46 σ_M=0.00 τ=0.99 τ_{max}=0.99
Tensioni: σ_N=379.46 σ_M=85.73 τ=0.00 $\sigma_{ID,max}$=465.19

- Verifica a taglio dir. Z [4.2.16] - CC 5 SLV Xl=0.12
Sollecitazioni: N=577.50 T_z=31.45
V,Ed=31.45 Vc,Rd=7560.76 V,Ed/Vc,Rd=0.00

Asta n. 2106 (109 117) briglie 50x10 Crit. 1

- Verifica in termini tensionali [4.2.4] - CC 18 SLU Xl=0.22 - Classe 3
Sollecitazioni: N=1901.51 T_z=1.41 M_y=-3.28
Tensioni: σ_N=380.30 σ_M=78.77 τ=0.00 σ_{max}=459.07
Tensioni: σ_N=380.30 σ_M=0.00 τ=0.42 τ_{max}=0.42
Tensioni: σ_N=380.30 σ_M=78.77 τ=0.00 $\sigma_{ID,max}$=459.07

- Verifica a taglio dir. Z [4.2.16] - CC 5 SLV Xl=0.12
Sollecitazioni: N=555.60 T_z=28.37
V,Ed=28.37 Vc,Rd=7560.76 V,Ed/Vc,Rd=0.00

Asta n. 2106 (117 125) briglie 50x10 Crit. 1

- Verifica in termini tensionali [4.2.4] - CC 18 SLU Xl=0.00 - Classe 3
Sollecitazioni: N=1893.91 T_z=-1.89 M_y=-4.42
Tensioni: σ_N=378.78 σ_M=105.99 τ=0.00 σ_{max}=484.77
Tensioni: σ_N=378.78 σ_M=0.00 τ=0.57 τ_{max}=0.57
Tensioni: σ_N=378.78 σ_M=105.99 τ=0.00 $\sigma_{ID,max}$=484.77

- Verifica a taglio dir. Z [4.2.16] - CC 16 SLU Xl=0.22
  Sollecitazioni: N=1364.87 T_z=-28.95
  V,Ed=-28.95 Vc,Rd=7560.76 V,Ed/Vc,Rd=0.00

Asta n. 2106 (125 133) briglie 50x10 Crit. 1

- Verifica in termini tensionali [4.2.4] - CC 18 SLU Xl=0.00 - Classe 3
  Sollecitazioni: N=1849.69 T_z=-64.29 M_y=-11.11
  Tensioni: σ_N=369.94 σ_M=266.62 τ=0.00 σ_{max}=636.56
  Tensioni: σ_N=369.94 σ_M=0.00 τ=19.29 τ_{max}=19.29
  Tensioni: σ_N=369.94 σ_M=266.62 τ=0.00 $\sigma_{ID,max}$=636.56

- Verifica a taglio dir. Z [4.2.16] - CC 16 SLU Xl=0.16
  Sollecitazioni: N=1295.99 T_z=-77.27
  V,Ed=-77.27 Vc,Rd=7560.76 V,Ed/Vc,Rd=0.01

Asta n. 2106 (133 141) briglie 50x10 Crit. 1

- Verifica in termini tensionali [4.2.4] - CC 18 SLU Xl=0.00 - Classe 3
  Sollecitazioni: N=1775.46 T_z=-66.10 M_y=-9.91
  Tensioni: σ_N=355.09 σ_M=237.85 τ=0.00 σ_{max}=592.94
  Tensioni: σ_N=355.09 σ_M=0.00 τ=19.83 τ_{max}=19.83
  Tensioni: σ_N=355.09 σ_M=237.85 τ=0.00 $\sigma_{ID,max}$=592.94

- Verifica a taglio dir. Z [4.2.16] - CC 16 SLU Xl=0.14
  Sollecitazioni: N=1206.13 T_z=-77.70
  V,Ed=-77.70 Vc,Rd=7560.76 V,Ed/Vc,Rd=0.01

Asta n. 2106 (141 149) briglie 50x10 Crit. 1

- Verifica in termini tensionali [4.2.4] - CC 18 SLU Xl=0.00 - Classe 3
  Sollecitazioni: N=1700.77 T_z=-66.31 M_y=-9.12
  Tensioni: σ_N=340.15 σ_M=218.82 τ=0.00 σ_{max}=558.97
  Tensioni: σ_N=340.15 σ_M=0.00 τ=19.89 τ_{max}=19.89
  Tensioni: σ_N=340.15 σ_M=218.82 τ=0.00 $\sigma_{ID,max}$=558.97

- Verifica a taglio dir. Z [4.2.16] - CC 16 SLU Xl=0.14
  Sollecitazioni: N=1118.10 T_z=-76.93
  V,Ed=-76.93 Vc,Rd=7560.76 V,Ed/Vc,Rd=0.01

Asta n. 2106 (149 157) briglie 50x10 Crit. 1

- Verifica in termini tensionali [4.2.4] - CC 18 SLU Xl=0.00 - Classe 3
  Sollecitazioni: N=1634.87 T_z=-63.68 M_y=-7.19
  Tensioni: σ_N=326.98 σ_M=172.56 τ=0.00 σ_{max}=499.54
  Tensioni: σ_N=326.98 σ_M=0.00 τ=19.10 τ_{max}=19.10
  Tensioni: σ_N=326.98 σ_M=172.56 τ=0.00 $\sigma_{ID,max}$=499.54

- Verifica a taglio dir. Z [4.2.16] - CC 16 SLU Xl=0.12
  Sollecitazioni: N=1038.27 T_z=-75.00
  V,Ed=-75.00 Vc,Rd=7560.76 V,Ed/Vc,Rd=0.01

Asta n. 2106 (157 165) briglie 50x10 Crit. 1

- Verifica in termini tensionali [4.2.4] - CC 9 SLU Xl=0.22 - Classe 3
  Sollecitazioni: N=1538.59 T_z=29.56 M_y=-3.37
  Tensioni: σ_N=307.72 σ_M=80.86 τ=0.00 σ_{max}=388.57
  Tensioni: σ_N=307.72 σ_M=0.00 τ=8.87 τ_{max}=8.87
  Tensioni: σ_N=307.72 σ_M=80.86 τ=0.00 $\sigma_{ID,max}$=388.57

- Verifica a taglio dir. Z [4.2.16] - CC 16 SLU Xl=0.12
  Sollecitazioni: N=981.57 T_z=-34.11
  V,Ed=-34.11 Vc,Rd=7560.76 V,Ed/Vc,Rd=0.00

Asta n. 2106 (165 173) briglie 50x10 Crit. 1

- Verifica in termini tensionali [4.2.4] - CC 9 SLU Xl=0.22 - Classe 3
  Sollecitazioni: N=1566.30 T_z=31.26 M_y=-5.04
  Tensioni: σ_N=313.26 σ_M=120.99 τ=0.00 σ_{max}=434.25
  Tensioni: σ_N=313.26 σ_M=0.00 τ=9.38 τ_{max}=9.38
  Tensioni: σ_N=313.26 σ_M=120.99 τ=0.00 $\sigma_{ID,max}$=434.25

- Verifica a taglio dir. Z [4.2.16] - CC 16 SLU Xl=0.16
  Sollecitazioni: N=938.60 T_z=-35.04
  V,Ed=-35.04 Vc,Rd=7560.76 V,Ed/Vc,Rd=0.00

Asta n. 2106 (173 181) briglie 50x10 Crit. 1

- Verifica in termini tensionali [4.2.4] - CC 9 SLU Xl=0.22 - Classe 3
  Sollecitazioni: N=1599.38 T_z=29.45 M_y=-5.52
  Tensioni: σ_N=319.88 σ_M=132.59 τ=0.00 σ_{max}=452.46
  Tensioni: σ_N=319.88 σ_M=0.00 τ=8.84 τ_{max}=8.84
  Tensioni: σ_N=319.88 σ_M=132.59 τ=0.00 $\sigma_{ID,max}$=452.46

- Verifica a taglio dir. Z [4.2.16] - CC 16 SLU Xl=0.16
  Sollecitazioni: N=893.53 T_z=-39.54
  V,Ed=-39.54 Vc,Rd=7560.76 V,Ed/Vc,Rd=0.01

Asta n. 2106 (181 189) briglie 50x10 Crit. 1

- Verifica in termini tensionali [4.2.4] - CC 9 SLU Xl=0.22 - Classe 3
  Sollecitazioni: N=1629.46 T_z=26.56 M_y=-6.24
  Tensioni: σ_N=325.89 σ_M=149.78 τ=0.00 σ_{max}=475.68
  Tensioni: σ_N=325.89 σ_M=0.00 τ=7.97 τ_{max}=7.97
  Tensioni: σ_N=325.89 σ_M=149.78 τ=0.00 $\sigma_{ID,max}$=475.68

- Verifica a taglio dir. Z [4.2.16] - CC 16 SLU Xl=0.14
  Sollecitazioni: N=841.63 T_z=-43.84
  V,Ed=-43.84 Vc,Rd=7560.76 V,Ed/Vc,Rd=0.01

Asta n. 2106 (189 197) briglie 50x10 Crit. 1

- Verifica in termini tensionali [4.2.4] - CC 18 SLU Xl=0.00 - Classe 3
  Sollecitazioni: N=1541.79 T_z=-46.92 M_y=-7.95
  Tensioni: σ_N=308.36 σ_M=190.85 τ=0.00 σ_{max}=499.20
  Tensioni: σ_N=308.36 σ_M=0.00 τ=14.08 τ_{max}=14.08
  Tensioni: σ_N=308.36 σ_M=190.85 τ=0.00 $\sigma_{ID,max}$=499.20

- Verifica a taglio dir. Z [4.2.16] - CC 16 SLU Xl=0.14
  Sollecitazioni: N=777.75 T_z=-54.98
  V,Ed=-54.98 Vc,Rd=7560.76 V,Ed/Vc,Rd=0.01

Asta n. 2106 (197 205) briglie 50x10 Crit. 1

- Verifica in termini tensionali [4.2.4] - CC 18 SLU Xl=0.00 - Classe 3
  Sollecitazioni: N=1477.17 T_z=-52.83 M_y=-7.87
  Tensioni: σ_N=295.43 σ_M=188.83 τ=0.00 σ_{max}=484.26
  Tensioni: σ_N=295.43 σ_M=0.00 τ=15.85 τ_{max}=15.85

Tensioni: σ_N=295.43 σ_M=188.83 τ=0.00 $\sigma_{ID,max}$=484.26

- Verifica a taglio dir. Z [4.2.16] - CC 16 SLU Xl=0.14
Sollecitazioni: N=700.21 T_z=-60.00
V,Ed=-60.00 Vc,Rd=7560.76 V,Ed/Vc,Rd=0.01

Asta n. 2106 (205 213) briglie 50x10 Crit. 1

- Verifica in termini tensionali [4.2.4] - CC 18 SLU Xl=0.00 - Classe 3
Sollecitazioni: N=1396.31 T_z=-57.84 M_y=-8.36
Tensioni: σ_N=279.26 σ_M=200.55 τ=0.00 σ_{max}=479.81
Tensioni: σ_N=279.26 σ_M=0.00 τ=17.35 τ_{max}=17.35
Tensioni: σ_N=279.26 σ_M=200.55 τ=0.00 $\sigma_{ID,max}$=479.81

- Verifica a taglio dir. Z [4.2.16] - CC 16 SLU Xl=0.12
Sollecitazioni: N=609.70 T_z=-65.30
V,Ed=-65.30 Vc,Rd=7560.76 V,Ed/Vc,Rd=0.01

Asta n. 2106 (213 221) briglie 50x10 Crit. 1

- Verifica in termini tensionali [4.2.4] - CC 18 SLU Xl=0.00 - Classe 3
Sollecitazioni: N=1296.45 T_z=-65.50 M_y=-9.72
Tensioni: σ_N=259.29 σ_M=233.32 τ=0.00 σ_{max}=492.61
Tensioni: σ_N=259.29 σ_M=0.00 τ=19.65 τ_{max}=19.65
Tensioni: σ_N=259.29 σ_M=233.32 τ=0.00 $\sigma_{ID,max}$=492.61

- Verifica a taglio dir. Z [4.2.16] - CC 16 SLU Xl=0.12
Sollecitazioni: N=503.70 T_z=-71.77
V,Ed=-71.77 Vc,Rd=7560.76 V,Ed/Vc,Rd=0.01

Asta n. 2106 (221 229) briglie 50x10 Crit. 1

- Verifica in termini tensionali [4.2.4] - CC 19 SLU Xl=0.00 - Classe 3
Sollecitazioni: N=1396.57 T_z=-92.95 M_y=-13.16
Tensioni: σ_N=279.31 σ_M=315.88 τ=0.00 σ_{max}=595.20
Tensioni: σ_N=279.31 σ_M=0.00 τ=27.89 τ_{max}=27.89
Tensioni: σ_N=279.31 σ_M=315.88 τ=0.00 $\sigma_{ID,max}$=595.20

- Verifica a taglio dir. Z [4.2.16] - CC 18 SLU Xl=0.14
Sollecitazioni: N=1150.27 T_z=-113.18
V,Ed=-113.18 Vc,Rd=7560.76 V,Ed/Vc,Rd=0.01

Asta n. 2106 (229 237) briglie 50x10 Crit. 1

- Verifica in termini tensionali [4.2.4] - CC 9 SLU Xl=0.00 - Classe 3
Sollecitazioni: N=1241.48 T_z=-101.89 M_y=-13.10
Tensioni: σ_N=248.29 σ_M=314.32 τ=0.00 σ_{max}=562.61
Tensioni: σ_N=248.29 σ_M=0.00 τ=30.57 τ_{max}=30.57
Tensioni: σ_N=248.29 σ_M=314.32 τ=0.00 $\sigma_{ID,max}$=562.61

- Verifica a taglio dir. Z [4.2.16] - CC 18 SLU Xl=0.12
Sollecitazioni: N=947.78 T_z=-124.12
V,Ed=-124.12 Vc,Rd=7560.76 V,Ed/Vc,Rd=0.02

Asta n. 2106 (237 245) briglie 50x10 Crit. 1

- Verifica di stabilità aste inflesse (4.2.4.1.3.2) CC 18 SLU - Classe 3
L_{cr}=0.22 Curva d: α_{imp}=0.76 k_c=0.94 ψ=2.91 M,cr=0.00 λ_{LT}=0.00
$\lambda_{LT,0}$=0.20 β_{LT}=1.00 Φ_{LT}=0.00 β_{LT}=1.00 f=0.00 χ_{LT}=1.00

CC 18 SLU My,Ed=-15.56 My,b,Rd=109.13 My,Ed/My,b,Rd=0.14

- Verifica di stabilità aste presso-inflesse (C4.2.4.1.3.3.1) - CC 5 SLV - Classe 3
Sollecitazioni: N,Ed=-73.98 Myeq,Ed=6.97 Mzeq,Ed=0.03
Resistenze: Nc,Rd=13095.20 My,c,Rd=109.13 Mz,c,Rd=21.83 L=21.56
λ_Y=14.94 Ncr,y=464353.00 λ^*_y=0.17 Curva c: Φ_y=0.51 χ_y=1.00
λ_Z=74.69 Ncr,z=18574.10 λ^*_z=0.86 Curva c: Φ_z=1.03 χ_z=0.62
χ,min=0.62
Verifica: 0.01+0.06+0.00=0.07

- Verifica in termini tensionali [4.2.4] - CC 9 SLU Xl=0.00 - Classe 3
Sollecitazioni: N=1039.26 T_z=-111.79 M_y=-13.84
Tensioni: σ_N=207.85 σ_M=332.05 τ=0.00 σ_{max}=539.90
Tensioni: σ_N=207.85 σ_M=0.00 τ=33.54 τ_{max}=33.54
Tensioni: σ_N=207.85 σ_M=332.05 τ=0.00 $\sigma_{ID,max}$=539.90

- Verifica a taglio dir. Z [4.2.16] - CC 18 SLU Xl=0.12
Sollecitazioni: N=703.39 T_z=-135.67
V,Ed=-135.67 Vc,Rd=7560.76 V,Ed/Vc,Rd=0.02

Asta n. 2106 (245 253) briglie 50x10 Crit. 1

- Verifica di stabilità aste inflesse (4.2.4.1.3.2) CC 18 SLU - Classe 3
L_{cr}=0.22 Curva d: α_{imp}=0.76 k_c=0.94 ψ=2.96 M,cr=0.00 λ_{LT}=0.00
$\lambda_{LT,0}$=0.20 β_{LT}=1.00 Φ_{LT}=0.00 β_{LT}=1.00 f=0.00 χ_{LT}=1.00
CC 18 SLU My,Ed=-17.02 My,b,Rd=109.13 My,Ed/My,b,Rd=0.16

- Verifica di stabilità aste presso-inflesse (C4.2.4.1.3.3.1) - CC 16 SLU - Classe 3
Sollecitazioni: N,Ed=-193.38 Myeq,Ed=13.20 Mzeq,Ed=0.04
Resistenze: Nc,Rd=13095.20 My,c,Rd=109.13 Mz,c,Rd=21.83 L=21.56
λ_Y=14.94 Ncr,y=464355.00 λ^*_y=0.17 Curva c: Φ_y=0.51 χ_y=1.00
λ_Z=74.69 Ncr,z=18574.20 λ^*_z=0.86 Curva c: Φ_z=1.03 χ_z=0.62
χ,min=0.62
Verifica: 0.01+0.12+0.00=0.14

- Verifica in termini tensionali [4.2.4] - CC 9 SLU Xl=0.00 - Classe 3
Sollecitazioni: N=791.48 T_z=-125.61 M_y=-15.42
Tensioni: σ_N=158.30 σ_M=370.07 τ=0.00 σ_{max}=528.37
Tensioni: σ_N=158.30 σ_M=0.00 τ=37.68 τ_{max}=37.68
Tensioni: σ_N=158.30 σ_M=370.07 τ=0.00 $\sigma_{ID,max}$=528.37

- Verifica a taglio dir. Z [4.2.16] - CC 18 SLU Xl=0.12
Sollecitazioni: N=408.19 T_z=-150.98
V,Ed=-150.98 Vc,Rd=7560.76 V,Ed/Vc,Rd=0.02

Asta n. 2106 (253 261) briglie 50x10 Crit. 1

- Verifica di stabilità aste inflesse (4.2.4.1.3.2) CC 18 SLU - Classe 3
L_{cr}=0.22 Curva d: α_{imp}=0.76 k_c=0.94 ψ=3.06 M,cr=0.00 λ_{LT}=0.00
$\lambda_{LT,0}$=0.20 β_{LT}=1.00 Φ_{LT}=0.00 β_{LT}=1.00 f=0.00 χ_{LT}=1.00
CC 18 SLU My,Ed=21.84 My,b,Rd=109.13 My,Ed/My,b,Rd=0.20

- Verifica di stabilità aste presso-inflesse (C4.2.4.1.3.3.1) - CC 16 SLU - Classe 3
Sollecitazioni: N,Ed=-465.87 Myeq,Ed=15.77 Mzeq,Ed=-0.04
Resistenze: Nc,Rd=13095.20 My,c,Rd=109.13 Mz,c,Rd=21.83 L=21.56
λ_Y=14.94 Ncr,y=464355.00 λ^*_y=0.17 Curva c: Φ_y=0.51 χ_y=1.00
λ_Z=74.69 Ncr,z=18574.20 λ^*_z=0.86 Curva c: Φ_z=1.03 χ_z=0.62
χ,min=0.62
Verifica: 0.04+0.14+0.00=0.18

- Verifica in termini tensionali [4.2.4] - CC 9 SLU Xl=0.00 - Classe 3
  Sollecitazioni: N=449.55 T_z=-182.38 M_y=-20.68
  Tensioni: σ_N=89.91 σ_M=496.34 τ=0.00 σ_{max}=586.25
  Tensioni: σ_N=89.91 σ_M=0.00 τ=54.71 τ_{max}=54.71
  Tensioni: σ_N=89.91 σ_M=496.34 τ=0.00 $\sigma_{ID,max}$=586.25

- Verifica a taglio dir. Z [4.2.16] - CC 9 SLU Xl=0.12
  Sollecitazioni: N=449.55 T_z=-182.98
  V,Ed=-182.98 Vc,Rd=7560.76 V,Ed/Vc,Rd=0.02

Asta n. 2106 (261 269) briglie 50x10 Crit. 1

- Verifica di stabilità aste inflesse (4.2.4.1.3.2) CC 5 SLV - Classe 3
  L_{cr}=0.22 Curva d: α_{imp}=0.76 k_c=0.94 ψ=2.60 M,cr=0.00 λ_{LT}=0.00
  $\lambda_{LT,0}$=0.20 β_{LT}=1.00 Φ_{LT}=0.00 β_{LT}=1.00 f=0.00 χ_{LT}=1.00
  CC 5 SLV My,Ed=12.08 My,b,Rd=109.13 My,Ed/My,b,Rd=0.11

- Verifica di stabilità aste presso-inflesse (C4.2.4.1.3.3.1) - CC 18 SLU - Classe 3
  Sollecitazioni: N,Ed=-484.50 Myeq,Ed=26.28 Mzeq,Ed=0.09
  Resistenze: Nc,Rd=13095.20 My,c,Rd=109.13 Mz,c,Rd=21.83 L=21.56
  λ_Y=14.94 Ncr,y=464353.00 λ^*_y=0.17 Curva c: Φ_y=0.51 χ_y=1.00
  λ_Z=74.69 Ncr,z=18574.10 λ^*_z=0.86 Curva c: Φ_z=1.03 χ_z=0.62
  χ,min=0.62
  Verifica: 0.04+0.24+0.00=0.28

- Verifica in termini tensionali [4.2.4] - CC 18 SLU Xl=0.22 - Classe 3
  Sollecitazioni: N=-484.50 T_z=-223.03 M_y=26.28
  Tensioni: σ_N=-96.90 σ_M=-630.69 τ=0.00 σ_{max}=-727.59
  Tensioni: σ_N=-96.90 σ_M=-0.00 τ=66.91 τ_{max}=66.91
  Tensioni: σ_N=-96.90 σ_M=-630.69 τ=0.00 $\sigma_{ID,max}$=727.59

- Verifica a taglio dir. Z [4.2.16] - CC 1 SLV Xl=0.10
  Sollecitazioni: N=167.24 T_z=-67.86
  V,Ed=-67.86 Vc,Rd=7560.76 V,Ed/Vc,Rd=0.01

Asta n. 2106 (269 277) briglie 50x10 Crit. 1

- Verifica di stabilità aste inflesse (4.2.4.1.3.2) CC 5 SLV - Classe 3
  L_{cr}=0.22 Curva d: α_{imp}=0.76 k_c=0.94 ψ=2.42 M,cr=0.00 λ_{LT}=0.00
  $\lambda_{LT,0}$=0.20 β_{LT}=1.00 Φ_{LT}=0.00 β_{LT}=1.00 f=0.00 χ_{LT}=1.00
  CC 5 SLV My,Ed=14.52 My,b,Rd=109.13 My,Ed/My,b,Rd=0.13

- Verifica di stabilità aste presso-inflesse (C4.2.4.1.3.3.1) - CC 18 SLU - Classe 3
  Sollecitazioni: N,Ed=-1102.85 Myeq,Ed=31.76 Mzeq,Ed=0.12
  Resistenze: Nc,Rd=13095.20 My,c,Rd=109.13 Mz,c,Rd=21.83 L=21.56
  λ_Y=14.94 Ncr,y=464353.00 λ^*_y=0.17 Curva c: Φ_y=0.51 χ_y=1.00
  λ_Z=74.69 Ncr,z=18574.10 λ^*_z=0.86 Curva c: Φ_z=1.03 χ_z=0.62
  χ,min=0.62
  Verifica: 0.13+0.29+0.01=0.43

- Verifica Freccia massima carichi totali - CC 24
  $f_{Z,L}$=0.00 (L/16443)

- Verifica in termini tensionali [4.2.4] - CC 18 SLU Xl=0.22 - Classe 3
  Sollecitazioni: N=-1102.85 T_z=-247.82 M_y=31.76
  Tensioni: σ_N=-220.57 σ_M=-762.29 τ=0.00 σ_{max}=-982.86
  Tensioni: σ_N=-220.57 σ_M=-0.00 τ=74.34 τ_{max}=74.34
  Tensioni: σ_N=-220.57 σ_M=-762.29 τ=0.00 $\sigma_{ID,max}$=982.86

- Verifica a taglio dir. Z [4.2.16] - CC 1 SLV Xl=0.10
  Sollecitazioni: N=47.43 T_z=-75.96
  V,Ed=-75.96 Vc,Rd=7560.76 V,Ed/Vc,Rd=0.01

Asta n. 2106 (277 2285) briglie 50x10 Crit. 1

- Verifica di stabilità aste inflesse (4.2.4.1.3.2) CC 5 SLV - Classe 3
  L_{cr}=0.22 Curva d: α_{imp}=0.76 k_c=0.94 ψ=2.02 M,cr=0.00 λ_{LT}=0.00
  $\lambda_{LT,0}$=0.20 β_{LT}=1.00 Φ_{LT}=0.00 β_{LT}=1.00 f=0.00 χ_{LT}=1.00
  CC 5 SLV My,Ed=21.88 My,b,Rd=109.13 My,Ed/My,b,Rd=0.20

- Verifica di stabilità aste presso-inflesse (C4.2.4.1.3.3.1) - CC 18 SLU - Classe 3
  Sollecitazioni: N,Ed=-1788.23 Myeq,Ed=40.78 Mzeq,Ed=0.17
  Resistenze: Nc,Rd=13095.20 My,c,Rd=109.13 Mz,c,Rd=21.83 L=21.56
  λ_Y=14.94 Ncr,y=464357.00 λ^*_y=0.17 Curva c: Φ_y=0.51 χ_y=1.00
  λ_Z=74.69 Ncr,z=18574.30 λ^*_z=0.86 Curva c: Φ_z=1.03 χ_z=0.62
  χ,min=0.62
  Verifica: 0.22+0.38+0.01=0.60

- Verifica Freccia massima per soli carichi accidentali - CC 24
  $f_{Z,G}$=0.00 (L/10277)

- Verifica Freccia massima carichi totali - CC 24
  $f_{Z,L}$=0.00 (L/7121)

- Verifica in termini tensionali [4.2.4] - CC 18 SLU Xl=0.22 - Classe 3
  Sollecitazioni: N=-1788.23 T_z=-291.54 M_y=47.21
  Tensioni: σ_N=-357.65 σ_M=-1133.11 τ=0.00 σ_{max}=-1490.76
  Tensioni: σ_N=-357.65 σ_M=-0.00 τ=87.46 τ_{max}=87.46
  Tensioni: σ_N=-357.65 σ_M=-1133.11 τ=0.00 $\sigma_{ID,max}$=1490.76

- Verifica a taglio dir. Z [4.2.16] - CC 7 SLV Xl=0.22
  Sollecitazioni: N=465.00 T_z=-18.52
  V,Ed=-18.52 Vc,Rd=7560.76 V,Ed/Vc,Rd=0.00

Asta n. 2106 (2285 297) briglie 50x10 Crit. 1

- Verifica di stabilità aste inflesse (4.2.4.1.3.2) CC 17 SLU - Classe 3
  L_{cr}=0.17 Curva d: α_{imp}=0.76 k_c=0.94 ψ=1.91 M,cr=0.00 λ_{LT}=0.00
  $\lambda_{LT,0}$=0.20 β_{LT}=1.00 Φ_{LT}=0.00 β_{LT}=1.00 f=0.00 χ_{LT}=1.00
  CC 17 SLU My,Ed=-2.53 My,b,Rd=109.13 My,Ed/My,b,Rd=0.02

- Verifica di stabilità aste presso-inflesse (C4.2.4.1.3.3.1) - CC 18 SLU - Classe 3
  Sollecitazioni: N,Ed=-99.34 Myeq,Ed=-1.98 Mzeq,Ed=-0.15
  Resistenze: Nc,Rd=13095.20 My,c,Rd=109.13 Mz,c,Rd=21.83 L=16.67
  λ_Y=11.55 Ncr,y=777233.00 λ^*_y=0.13 Curva c: Φ_y=0.49 χ_y=1.00
  λ_Z=57.73 Ncr,z=31089.30 λ^*_z=0.67 Curva c: Φ_z=0.84 χ_z=0.75
  χ,min=0.75
  Verifica: 0.01+0.02+0.01=0.03

- Verifica in termini tensionali [4.2.4] - CC 16 SLU Xl=0.00 - Classe 3
  Sollecitazioni: N=-60.41 T_z=-13.88 M_y=-3.15
  Tensioni: σ_N=-12.08 σ_M=-75.51 τ=0.00 σ_{max}=-87.59
  Tensioni: σ_N=-12.08 σ_M=0.00 τ=4.16 τ_{max}=4.16
  Tensioni: σ_N=-12.08 σ_M=-75.51 τ=0.00 $\sigma_{ID,max}$=87.59

- Verifica a taglio dir. Y [4.2.16] - CC 17 SLU Xl=0.17
  Sollecitazioni: N=49.40 T_z=-17.82 T_y=-3.21

V,Ed=-3.21 Vc,Rd=7560.76 V,Ed/Vc,Rd=0.00

- Verifica a taglio dir. Z [4.2.16]
V,Ed=-17.82 Vc,Rd=7560.76 V,Ed/Vc,Rd=0.00

Asta n. 2106 (297 305) briglie 50x10 Crit. 1

- Verifica di stabilità aste inflesse (4.2.4.1.3.2) CC 1 SLV - Classe 3
L_{cr}=0.17 Curva d: α_{imp}=0.76 k_c=0.94 ψ=2.55 M,cr=0.00 λ_{LT}=0.00
$\lambda_{LT,0}$=0.20 β_{LT}=1.00 Φ_{LT}=0.00 β_{LT}=1.00 f=0.00 χ_{LT}=1.00
CC 1 SLV My,Ed=0.96 My,b,Rd=109.13 My,Ed/My,b,Rd=0.01

- Verifica di stabilità aste presso-inflesse (C4.2.4.1.3.3.1) - CC 9 SLU - Classe 3
Sollecitazioni: N,Ed=-62.84 Myeq,Ed=1.53 Mzeq,Ed=-0.08
Resistenze: Nc,Rd=13095.20 My,c,Rd=109.13 Mz,c,Rd=21.83 L=16.67
λ_Y=11.55 Ncr,y=777229.00 λ^*_y=0.13 Curva c: Φ_y=0.49 χ_y=1.00
λ_Z=57.74 Ncr,z=31089.10 λ^*_z=0.67 Curva c: Φ_z=0.84 χ_z=0.75
χ,min=0.75
Verifica: 0.00+0.01+0.00=0.02

- Verifica in termini tensionali [4.2.4] - CC 9 SLU Xl=0.00 - Classe 3
Sollecitazioni: N=-62.84 T_z=15.16 M_y=1.53
Tensioni: σ_N=-12.57 σ_M=-36.82 τ=0.00 σ_{max}=-49.39
Tensioni: σ_N=-12.57 σ_M=-0.00 τ=4.55 τ_{max}=4.55
Tensioni: σ_N=-12.57 σ_M=-36.82 τ=0.00 $\sigma_{ID,max}$=49.39

- Verifica a taglio dir. Z [4.2.16] - CC 1 SLV Xl=0.00
Sollecitazioni: N=3.48 T_z=9.84
V,Ed=9.84 Vc,Rd=7560.76 V,Ed/Vc,Rd=0.00

Asta n. 2106 (305 2313) briglie 50x10 Crit. 1

- Verifica di stabilità aste inflesse (4.2.4.1.3.2) CC 17 SLU - Classe 3
L_{cr}=0.17 Curva d: α_{imp}=0.76 k_c=0.94 ψ=2.90 M,cr=0.00 λ_{LT}=0.00
$\lambda_{LT,0}$=0.20 β_{LT}=1.00 Φ_{LT}=0.00 β_{LT}=1.00 f=0.00 χ_{LT}=1.00
CC 17 SLU My,Ed=0.81 My,b,Rd=109.13 My,Ed/My,b,Rd=0.01

- Verifica di stabilità aste presso-inflesse (C4.2.4.1.3.3.1) - CC 9 SLU - Classe 3
Sollecitazioni: N,Ed=-24.80 Myeq,Ed=-1.01 Mzeq,Ed=0.12
Resistenze: Nc,Rd=13095.20 My,c,Rd=109.13 Mz,c,Rd=21.83 L=16.67
λ_Y=11.55 Ncr,y=777233.00 λ^*_y=0.13 Curva c: Φ_y=0.49 χ_y=1.00
λ_Z=57.73 Ncr,z=31089.30 λ^*_z=0.67 Curva c: Φ_z=0.84 χ_z=0.75
χ,min=0.75
Verifica: 0.00+0.01+0.01=0.02

- Verifica in termini tensionali [4.2.4] - CC 9 SLU Xl=0.17 - Classe 3
Sollecitazioni: N=-24.80 T_z=10.94 M_y=-1.01 T_y=1.19
Tensioni: σ_N=-4.96 σ_M=-24.14 τ=0.00 σ_{max}=-29.10
Tensioni: σ_N=-4.96 σ_M=0.00 τ=3.30 τ_{max}=3.30
Tensioni: σ_N=-4.96 σ_M=-24.14 τ=0.36 $\sigma_{ID,max}$=29.11

- Verifica a taglio dir. Z [4.2.16] - CC 17 SLU Xl=0.17
Sollecitazioni: N=16.64 T_z=-9.56
V,Ed=-9.56 Vc,Rd=7560.76 V,Ed/Vc,Rd=0.00

Asta n. 2107 (-514 18) collegamenti 50x10 Crit. 1

- Verifica di stabilità aste presso-inflesse (C4.2.4.1.3.3.1) - CC 18 SLU - Classe 3
Sollecitazioni: N,Ed=-112.20 Myeq,Ed=0.19 Mzeq,Ed=0.23

Resistenze: Nc,Rd=13095.20 My,c,Rd=109.13 Mz,c,Rd=21.83 L=19.08
λ_Y=13.22 Ncr,y=592851.00 λ^*_y=0.15 Curva c: Φ_y=0.50 χ_y=1.00
λ_Z=66.11 Ncr,z=23714.00 λ^*_z=0.76 Curva c: Φ_z=0.93 χ_z=0.69
χ,min=0.69
Verifica: 0.01+0.00+0.01=0.02

- Verifica a compressione [4.2.9] - CC 19 SLU Xl=0.19 - Classe 3
Sollecitazioni: N=-131.36 T_z=1.27 T_y=-1.09
N,Ed=-131.36 Nc,Rd=-13095.20 N,Ed/Nc,Rd=0.01

Asta n. 2144 (2003 11) briglie 50x10 Crit. 1

- Verifica di stabilità aste presso-inflesse (C4.2.4.1.3.3.1) - CC 18 SLU - Classe 3
Sollecitazioni: N,Ed=-90.93 Myeq,Ed=-3.69 Mzeq,Ed=0.10
Resistenze: Nc,Rd=13095.20 My,c,Rd=109.13 Mz,c,Rd=21.83 L=16.67
λ_Y=11.55 Ncr,y=777231.00 λ^*_y=0.13 Curva c: Φ_y=0.49 χ_y=1.00
λ_Z=57.73 Ncr,z=31089.20 λ^*_z=0.67 Curva c: Φ_z=0.84 χ_z=0.75
χ,min=0.75
Verifica: 0.01+0.03+0.00=0.05

- Verifica in termini tensionali [4.2.4] - CC 18 SLU Xl=0.00 - Classe 3
Sollecitazioni: N=-90.93 T_z=-39.87 M_y=-3.69
Tensioni: σ_N=-18.19 σ_M=-88.47 τ=0.00 σ_{max}=-106.65
Tensioni: σ_N=-18.19 σ_M=0.00 τ=11.96 τ_{max}=11.96
Tensioni: σ_N=-18.19 σ_M=-88.47 τ=0.00 $\sigma_{ID,max}$=106.65

Asta n. 2144 (11 19) briglie 50x10 Crit. 1

- Verifica di stabilità aste presso-inflesse (C4.2.4.1.3.3.1) - CC 18 SLU - Classe 3
Sollecitazioni: N,Ed=-234.31 Myeq,Ed=5.18 Mzeq,Ed=0.08
Resistenze: Nc,Rd=13095.20 My,c,Rd=109.13 Mz,c,Rd=21.83 L=16.67
λ_Y=11.55 Ncr,y=777232.00 λ^*_y=0.13 Curva c: Φ_y=0.49 χ_y=1.00
λ_Z=57.73 Ncr,z=31089.30 λ^*_z=0.67 Curva c: Φ_z=0.84 χ_z=0.75
χ,min=0.75
Verifica: 0.02+0.05+0.00=0.07

- Verifica in termini tensionali [4.2.4] - CC 18 SLU Xl=0.17 - Classe 3
Sollecitazioni: N=-234.31 T_z=-53.84 M_y=5.18
Tensioni: σ_N=-46.86 σ_M=-124.31 τ=0.00 σ_{max}=-171.18
Tensioni: σ_N=-46.86 σ_M=-0.00 τ=16.15 τ_{max}=16.15
Tensioni: σ_N=-46.86 σ_M=-124.31 τ=0.00 $\sigma_{ID,max}$=171.18

Asta n. 2144 (19 2028) briglie 50x10 Crit. 1

- Verifica di stabilità aste presso-inflesse (C4.2.4.1.3.3.1) - CC 18 SLU - Classe 3
Sollecitazioni: N,Ed=-373.10 Myeq,Ed=4.05 Mzeq,Ed=-0.09
Resistenze: Nc,Rd=13095.20 My,c,Rd=109.13 Mz,c,Rd=21.83 L=16.67
λ_Y=11.55 Ncr,y=777232.00 λ^*_y=0.13 Curva c: Φ_y=0.49 χ_y=1.00
λ_Z=57.73 Ncr,z=31089.30 λ^*_z=0.67 Curva c: Φ_z=0.84 χ_z=0.75
χ,min=0.75
Verifica: 0.03+0.04+0.00=0.07

- Verifica in termini tensionali [4.2.4] - CC 16 SLU Xl=0.17 - Classe 3
Sollecitazioni: N=-306.18 T_z=-43.58 M_y=5.98
Tensioni: σ_N=-61.24 σ_M=-143.57 τ=0.00 σ_{max}=-204.81
Tensioni: σ_N=-61.24 σ_M=-0.00 τ=13.08 τ_{max}=13.08
Tensioni: σ_N=-61.24 σ_M=-143.57 τ=0.00 $\sigma_{ID,max}$=204.81

Asta n. 2144 (2028 39) briglie 50x10 Crit. 1

- Verifica di stabilità aste inflesse (4.2.4.1.3.2) CC 5 SLV - Classe 3
  L_{cr}=0.22 Curva d: α_{imp}=0.76 k_c=0.94 ψ=2.08 M,cr=0.00 λ_{LT}=0.00
  $\lambda_{LT,0}$=0.20 β_{LT}=1.00 Φ_{LT}=0.00 β_{LT}=1.00 f=0.00 χ_{LT}=1.00
  CC 5 SLV My,Ed=32.62 My,b,Rd=109.13 My,Ed/My,b,Rd=0.30

- Verifica di stabilità aste presso-inflesse (C4.2.4.1.3.3.1) - CC 18 SLU - Classe 3
  Sollecitazioni: N,Ed=-2302.11 Myeq,Ed=88.46 Mzeq,Ed=0.03
  Resistenze: Nc,Rd=13095.20 My,c,Rd=109.13 Mz,c,Rd=21.83 L=21.56
  λ_Y=14.94 Ncr,y=464354.00 λ^*_y=0.17 Curva c: Φ_y=0.51 χ_y=1.00
  λ_Z=74.69 Ncr,z=18574.20 λ^*_z=0.86 Curva c: Φ_z=1.03 χ_z=0.62
  χ,min=0.62
  Verifica: 0.28+0.81+0.00=1.10

- Verifica Freccia massima per soli carichi accidentali - CC 24
  $f_{Z,L}$=0.00 (L/5319)

- Verifica Freccia massima carichi totali - CC 21
  $f_{Z,L}$=0.01 (L/3241)

- Verifica in termini tensionali [4.2.4] - CC 18 SLU Xl=0.00 - Classe 3
  Sollecitazioni: N=-2302.11 T_z=631.69 M_y=94.71
  Tensioni: σ_N=-460.42 σ_M=-2273.00 τ=0.00 σ_{max}=-2733.42
  Tensioni: σ_N=-460.42 σ_M=-0.00 τ=189.51 τ_{max}=189.51
  Tensioni: σ_N=-460.42 σ_M=-2273.00 τ=0.00 $\sigma_{ID,max}$=2733.42

- Verifica a taglio dir. Z [4.2.16] - CC 7 SLV Xl=0.12
  Sollecitazioni: N=156.27 T_z=86.87
  V,Ed=86.87 Vc,Rd=7560.76 V,Ed/Vc,Rd=0.01

Asta n. 2144 (39 47) briglie 50x10 Crit. 1

- Verifica di stabilità aste inflesse (4.2.4.1.3.2) CC 16 SLU - Classe 3
  L_{cr}=0.22 Curva d: α_{imp}=0.76 k_c=0.94 ψ=2.94 M,cr=0.00 λ_{LT}=0.00
  $\lambda_{LT,0}$=0.20 β_{LT}=1.00 Φ_{LT}=0.00 β_{LT}=1.00 f=0.00 χ_{LT}=1.00
  CC 16 SLU My,Ed=39.77 My,b,Rd=109.13 My,Ed/My,b,Rd=0.36

- Verifica di stabilità aste presso-inflesse (C4.2.4.1.3.3.1) - CC 9 SLU - Classe 3
  Sollecitazioni: N,Ed=-1232.62 Myeq,Ed=57.57 Mzeq,Ed=0.02
  Resistenze: Nc,Rd=13095.20 My,c,Rd=109.13 Mz,c,Rd=21.83 L=21.56
  λ_Y=14.94 Ncr,y=464354.00 λ^*_y=0.17 Curva c: Φ_y=0.51 χ_y=1.00
  λ_Z=74.69 Ncr,z=18574.20 λ^*_z=0.86 Curva c: Φ_z=1.03 χ_z=0.62
  χ,min=0.62
  Verifica: 0.15+0.53+0.00=0.68

- Verifica Freccia massima per soli carichi accidentali - CC 11
  $f_{Z,G}$=0.00 (L/13498)

- Verifica Freccia massima carichi totali - CC 21
  $f_{Z,G}$=0.00 (L/7599)

- Verifica in termini tensionali [4.2.4] - CC 18 SLU Xl=0.00 - Classe 3
  Sollecitazioni: N=-801.55 T_z=525.33 M_y=62.11
  Tensioni: σ_N=-160.31 σ_M=-1490.56 τ=0.00 σ_{max}=-1650.87
  Tensioni: σ_N=-160.31 σ_M=-0.00 τ=157.60 τ_{max}=157.60
  Tensioni: σ_N=-160.31 σ_M=-1490.56 τ=0.00 $\sigma_{ID,max}$=1650.87

- Verifica a taglio dir. Z [4.2.16] - CC 7 SLV Xl=0.10
  Sollecitazioni: N=376.24 T_z=75.09

V,Ed=75.09 Vc,Rd=7560.76 V,Ed/Vc,Rd=0.01

Asta n. 2144 (47 55) briglie 50x10 Crit. 1

- Verifica di stabilità aste inflesse (4.2.4.1.3.2) CC 18 SLU - Classe 3
L_{cr}=0.22 Curva d: α_{imp}=0.76 k_c=0.94 ψ=3.10 M,cr=0.00 λ_{LT}=0.00
$\lambda_{LT,0}$=0.20 β_{LT}=1.00 Φ_{LT}=0.00 β_{LT}=1.00 f=0.00 χ_{LT}=1.00
CC 18 SLU My,Ed=-48.55 My,b,Rd=109.13 My,Ed/My,b,Rd=0.44

- Verifica di stabilità aste presso-inflesse (C4.2.4.1.3.3.1) - CC 9 SLU - Classe 3
Sollecitazioni: N,Ed=-69.18 Myeq,Ed=45.66 Mzeq,Ed=0.02
Resistenze: Nc,Rd=13095.20 My,c,Rd=109.13 Mz,c,Rd=21.83 L=21.56
λ_Y=14.94 Ncr,y=464354.00 λ^*_y=0.17 Curva c: Φ_y=0.51 χ_y=1.00
λ_Z=74.69 Ncr,z=18574.20 λ^*_z=0.86 Curva c: Φ_z=1.03 χ_z=0.62
χ,min=0.62
Verifica: 0.01+0.42+0.00=0.42

- Verifica Freccia massima carichi totali - CC 21
$f_{Z,L}$=0.00 (L/12221)

- Verifica in termini tensionali [4.2.4] - CC 18 SLU Xl=0.22 - Classe 3
Sollecitazioni: N=482.78 T_z=449.36 M_y=-48.55
Tensioni: σ_N=96.56 σ_M=1165.14 τ=0.00 σ_{max}=1261.69
Tensioni: σ_N=96.56 σ_M=0.00 τ=134.81 τ_{max}=134.81
Tensioni: σ_N=96.56 σ_M=1165.14 τ=0.00 $\sigma_{ID,max}$=1261.69

- Verifica a taglio dir. Z [4.2.16] - CC 3 SLV Xl=0.12
Sollecitazioni: N=139.19 T_z=114.03
V,Ed=114.03 Vc,Rd=7560.76 V,Ed/Vc,Rd=0.02

Asta n. 2144 (55 63) briglie 50x10 Crit. 1

- Verifica di stabilità aste inflesse (4.2.4.1.3.2) CC 18 SLU - Classe 3
L_{cr}=0.22 Curva d: α_{imp}=0.76 k_c=0.94 ψ=2.84 M,cr=0.00 λ_{LT}=0.00
$\lambda_{LT,0}$=0.20 β_{LT}=1.00 Φ_{LT}=0.00 β_{LT}=1.00 f=0.00 χ_{LT}=1.00
CC 18 SLU My,Ed=-44.83 My,b,Rd=109.13 My,Ed/My,b,Rd=0.41

- Verifica di stabilità aste presso-inflesse (C4.2.4.1.3.3.1) - CC 5 SLV - Classe 3
Sollecitazioni: N,Ed=-297.40 Myeq,Ed=14.60 Mzeq,Ed=0.01
Resistenze: Nc,Rd=13095.20 My,c,Rd=109.13 Mz,c,Rd=21.83 L=21.56
λ_Y=14.94 Ncr,y=464355.00 λ^*_y=0.17 Curva c: Φ_y=0.51 χ_y=1.00
λ_Z=74.69 Ncr,z=18574.20 λ^*_z=0.86 Curva c: Φ_z=1.03 χ_z=0.62
χ,min=0.62
Verifica: 0.02+0.13+0.00=0.16

- Verifica Freccia massima per soli carichi accidentali - CC 24
$f_{Z,L}$=0.00 (L/21032)

- Verifica Freccia massima carichi totali - CC 24
$f_{Z,L}$=0.00 (L/14587)

- Verifica in termini tensionali [4.2.4] - CC 18 SLU Xl=0.22 - Classe 3
Sollecitazioni: N=1478.73 T_z=380.98 M_y=-44.83
Tensioni: σ_N=295.75 σ_M=1076.02 τ=0.00 σ_{max}=1371.77
Tensioni: σ_N=295.75 σ_M=0.00 τ=114.29 τ_{max}=114.29
Tensioni: σ_N=295.75 σ_M=1076.02 τ=0.00 $\sigma_{ID,max}$=1371.77

- Verifica a taglio dir. Z [4.2.16] - CC 18 SLU Xl=0.10
Sollecitazioni: N=1478.73 T_z=381.57

V,Ed=381.57 Vc,Rd=7560.76 V,Ed/Vc,Rd=0.05

Asta n. 2144 (63 71) briglie 50x10 Crit. 1

- Verifica di stabilità aste inflesse (4.2.4.1.3.2) CC 18 SLU - Classe 3
L_{cr}=0.22 Curva d: α_{imp}=0.76 k_c=0.94 ψ=2.61 M,cr=0.00 λ_{LT}=0.00
$\lambda_{LT,0}$=0.20 β_{LT}=1.00 Φ_{LT}=0.00 β_{LT}=1.00 f=0.00 χ_{LT}=1.00
CC 18 SLU My,Ed=-34.39 My,b,Rd=109.13 My,Ed/My,b,Rd=0.32

- Verifica di stabilità aste presso-inflesse (C4.2.4.1.3.3.1) - CC 5 SLV - Classe 3
Sollecitazioni: N,Ed=-50.58 Myeq,Ed=10.51 Mzeq,Ed=0.03
Resistenze: Nc,Rd=13095.20 My,c,Rd=109.13 Mz,c,Rd=21.83 L=21.56
λ_Y=14.94 Ncr,y=464355.00 λ^*_y=0.17 Curva c: Φ_y=0.51 χ_y=1.00
λ_Z=74.69 Ncr,z=18574.20 λ^*_z=0.86 Curva c: Φ_z=1.03 χ_z=0.62
χ,min=0.62
Verifica: 0.00+0.10+0.00=0.10

- Verifica Freccia massima per soli carichi accidentali - CC 24
$f_{Z,G}$=0.00 (L/21032)

- Verifica Freccia massima carichi totali - CC 24
$f_{Z,L}$=0.00 (L/14826)

- Verifica in termini tensionali [4.2.4] - CC 18 SLU Xl=0.22 - Classe 3
Sollecitazioni: N=2195.50 T_z=267.71 M_y=-34.39
Tensioni: σ_N=439.10 σ_M=825.31 τ=0.00 σ_{max}=1264.41
Tensioni: σ_N=439.10 σ_M=0.00 τ=80.31 τ_{max}=80.31
Tensioni: σ_N=439.10 σ_M=825.31 τ=0.00 $\sigma_{ID,max}$=1264.41

- Verifica a taglio dir. Z [4.2.16] - CC 19 SLU Xl=0.10
Sollecitazioni: N=1503.99 T_z=261.27
V,Ed=261.27 Vc,Rd=7560.76 V,Ed/Vc,Rd=0.03

Asta n. 2144 (71 79) briglie 50x10 Crit. 1

- Verifica Freccia massima carichi totali - CC 24
$f_{Z,L}$=0.00 (L/16443)

- Verifica in termini tensionali [4.2.4] - CC 18 SLU Xl=0.22 - Classe 3
Sollecitazioni: N=2700.18 T_z=219.97 M_y=-29.37
Tensioni: σ_N=540.04 σ_M=704.83 τ=0.00 σ_{max}=1244.87
Tensioni: σ_N=540.04 σ_M=0.00 τ=65.99 τ_{max}=65.99
Tensioni: σ_N=540.04 σ_M=704.83 τ=0.00 $\sigma_{ID,max}$=1244.87

- Verifica a taglio dir. Z [4.2.16] - CC 18 SLU Xl=0.08
Sollecitazioni: N=2700.18 T_z=220.67
V,Ed=220.67 Vc,Rd=7560.76 V,Ed/Vc,Rd=0.03

Asta n. 2144 (79 87) briglie 50x10 Crit. 1

- Verifica Freccia massima carichi totali - CC 24
$f_{Z,G}$=0.00 (L/16443)

- Verifica in termini tensionali [4.2.4] - CC 18 SLU Xl=0.22 - Classe 3
Sollecitazioni: N=3076.37 T_z=178.78 M_y=-25.51
Tensioni: σ_N=615.27 σ_M=612.27 τ=0.00 σ_{max}=1227.55
Tensioni: σ_N=615.27 σ_M=0.00 τ=53.63 τ_{max}=53.63
Tensioni: σ_N=615.27 σ_M=612.27 τ=0.00 $\sigma_{ID,max}$=1227.55

- Verifica a taglio dir. Z [4.2.16] - CC 19 SLU Xl=0.08

Sollecitazioni: N=2383.40 T_z=186.82
V,Ed=186.82 Vc,Rd=7560.76 V,Ed/Vc,Rd=0.02

Asta n. 2144 (87 95) briglie 50x10 Crit. 1

- Verifica Freccia massima carichi totali - CC 24
$f_{Z,L}$=0.00 (L/15328)

- Verifica in termini tensionali [4.2.4] - CC 18 SLU Xl=0.22 - Classe 3
Sollecitazioni: N=3349.33 T_z=139.57 M_y=-22.46
Tensioni: σ_N=669.87 σ_M=539.02 τ=0.00 σ_{max}=1208.88
Tensioni: σ_N=669.87 σ_M=0.00 τ=41.87 τ_{max}=41.87
Tensioni: σ_N=669.87 σ_M=539.02 τ=0.00 $\sigma_{ID,max}$=1208.88

- Verifica a taglio dir. Z [4.2.16] - CC 18 SLU Xl=0.06
Sollecitazioni: N=3349.33 T_z=140.37
V,Ed=140.37 Vc,Rd=7560.76 V,Ed/Vc,Rd=0.02

Asta n. 2144 (95 103) briglie 50x10 Crit. 1

- Verifica Freccia massima carichi totali - CC 24
$f_{Z,L}$=0.00 (L/15866)

- Verifica in termini tensionali [4.2.4] - CC 18 SLU Xl=0.22 - Classe 3
Sollecitazioni: N=3508.90 T_z=56.19 M_y=-13.73
Tensioni: σ_N=701.78 σ_M=329.49 τ=0.00 σ_{max}=1031.27
Tensioni: σ_N=701.78 σ_M=0.00 τ=16.86 τ_{max}=16.86
Tensioni: σ_N=701.78 σ_M=329.49 τ=0.00 $\sigma_{ID,max}$=1031.27

- Verifica a taglio dir. Z [4.2.16] - CC 19 SLU Xl=0.04
Sollecitazioni: N=2870.57 T_z=85.47
V,Ed=85.47 Vc,Rd=7560.76 V,Ed/Vc,Rd=0.01

Asta n. 2144 (103 111) briglie 50x10 Crit. 1

- Verifica Freccia massima carichi totali - CC 24
$f_{Z,L}$=0.00 (L/17733)

- Verifica in termini tensionali [4.2.4] - CC 18 SLU Xl=0.22 - Classe 3
Sollecitazioni: N=3577.63 T_z=25.52 M_y=-9.59
Tensioni: σ_N=715.53 σ_M=230.26 τ=0.00 σ_{max}=945.79
Tensioni: σ_N=715.53 σ_M=0.00 τ=7.66 τ_{max}=7.66
Tensioni: σ_N=715.53 σ_M=230.26 τ=0.00 $\sigma_{ID,max}$=945.79

- Verifica a taglio dir. Z [4.2.16] - CC 19 SLU Xl=0.02
Sollecitazioni: N=2986.29 T_z=60.40
V,Ed=60.40 Vc,Rd=7560.76 V,Ed/Vc,Rd=0.01

Asta n. 2144 (111 119) briglie 50x10 Crit. 1

- Verifica Freccia massima carichi totali - CC 24
$f_{Z,L}$=0.00 (L/17392)

- Verifica in termini tensionali [4.2.4] - CC 18 SLU Xl=0.00 - Classe 3
Sollecitazioni: N=3595.14 M_y=-6.82
Tensioni: σ_N=719.03 σ_M=163.78 τ=0.00 σ_{max}=882.80
Tensioni: σ_N=0.00 σ_M=0.00 τ=0.00 τ_{max}=0.00
Tensioni: σ_N=719.03 σ_M=163.78 τ=0.00 $\sigma_{ID,max}$=882.80

- Verifica a taglio dir. Z [4.2.16] - CC 16 SLU Xl=0.22

Sollecitazioni: N=2596.74 T_z=-42.10
V,Ed=-42.10 Vc,Rd=7560.76 V,Ed/Vc,Rd=0.01

Asta n. 2144 (119 127) briglie 50x10 Crit. 1

- Verifica Freccia massima per soli carichi accidentali - CC 24
$f_{Z,G}$=0.00 (L/21032)

- Verifica Freccia massima carichi totali - CC 24
$f_{Z,L}$=0.00 (L/15073)

- Verifica in termini tensionali [4.2.4] - CC 18 SLU Xl=0.00 - Classe 3
Sollecitazioni: N=3568.74 T_z=-27.55 M_y=-10.66
Tensioni: σ_N=713.75 σ_M=255.92 τ=0.00 σ_{max}=969.67
Tensioni: σ_N=713.75 σ_M=0.00 τ=8.27 τ_{max}=8.27
Tensioni: σ_N=713.75 σ_M=255.92 τ=0.00 $\sigma_{ID,max}$=969.67

- Verifica a taglio dir. Z [4.2.16] - CC 16 SLU Xl=0.22
Sollecitazioni: N=2520.29 T_z=-62.12
V,Ed=-62.12 Vc,Rd=7560.76 V,Ed/Vc,Rd=0.01

Asta n. 2144 (127 135) briglie 50x10 Crit. 1

- Verifica Freccia massima per soli carichi accidentali - CC 24
$f_{Z,L}$=0.00 (L/19660)

- Verifica Freccia massima carichi totali - CC 24
$f_{Z,G}$=0.00 (L/13913)

- Verifica in termini tensionali [4.2.4] - CC 18 SLU Xl=0.00 - Classe 3
Sollecitazioni: N=3482.74 T_z=-102.38 M_y=-18.63
Tensioni: σ_N=696.55 σ_M=447.10 τ=0.00 σ_{max}=1143.65
Tensioni: σ_N=696.55 σ_M=0.00 τ=30.71 τ_{max}=30.71
Tensioni: σ_N=696.55 σ_M=447.10 τ=0.00 $\sigma_{ID,max}$=1143.65

- Verifica a taglio dir. Z [4.2.16] - CC 16 SLU Xl=0.16
Sollecitazioni: N=2399.18 T_z=-124.04
V,Ed=-124.04 Vc,Rd=7560.76 V,Ed/Vc,Rd=0.02

Asta n. 2144 (135 143) briglie 50x10 Crit. 1

- Verifica Freccia massima per soli carichi accidentali - CC 24
$f_{Z,L}$=0.00 (L/21032)

- Verifica Freccia massima carichi totali - CC 24
$f_{Z,L}$=0.00 (L/15593)

- Verifica in termini tensionali [4.2.4] - CC 18 SLU Xl=0.00 - Classe 3
Sollecitazioni: N=3347.71 T_z=-125.06 M_y=-19.71
Tensioni: σ_N=669.54 σ_M=473.12 τ=0.00 σ_{max}=1142.66
Tensioni: σ_N=669.54 σ_M=0.00 τ=37.52 τ_{max}=37.52
Tensioni: σ_N=669.54 σ_M=473.12 τ=0.00 $\sigma_{ID,max}$=1142.66

- Verifica a taglio dir. Z [4.2.16] - CC 16 SLU Xl=0.14
Sollecitazioni: N=2241.32 T_z=-140.54
V,Ed=-140.54 Vc,Rd=7560.76 V,Ed/Vc,Rd=0.02

Asta n. 2144 (143 151) briglie 50x10 Crit. 1

- Verifica Freccia massima carichi totali - CC 24

$f_{Z,L}$=0.00 (L/18457)

- Verifica in termini tensionali [4.2.4] - CC 18 SLU Xl=0.00 - Classe 3
Sollecitazioni: N=3194.27 T_z=-147.97 M_y=-20.52
Tensioni: σ_N=638.86 σ_M=492.58 τ=0.00 σ_{max}=1131.44
Tensioni: σ_N=638.86 σ_M=0.00 τ=44.39 τ_{max}=44.39
Tensioni: σ_N=638.86 σ_M=492.58 τ=0.00 $\sigma_{ID,max}$=1131.44

- Verifica a taglio dir. Z [4.2.16] - CC 18 SLU Xl=0.14
Sollecitazioni: N=3194.27 T_z=-148.67
V,Ed=-148.67 Vc,Rd=7560.76 V,Ed/Vc,Rd=0.02

Asta n. 2144 (151 159) briglie 50x10 Crit. 1

- Verifica in termini tensionali [4.2.4] - CC 18 SLU Xl=0.22 - Classe 3
Sollecitazioni: N=3045.14 T_z=-160.83 M_y=17.82
Tensioni: σ_N=609.03 σ_M=427.63 τ=0.00 σ_{max}=1036.66
Tensioni: σ_N=609.03 σ_M=-0.00 τ=48.25 τ_{max}=48.25
Tensioni: σ_N=609.03 σ_M=427.63 τ=0.00 $\sigma_{ID,max}$=1036.66

- Verifica a taglio dir. Z [4.2.16] - CC 19 SLU Xl=0.10
Sollecitazioni: N=2855.55 T_z=-89.06
V,Ed=-89.06 Vc,Rd=7560.76 V,Ed/Vc,Rd=0.01

Asta n. 2144 (159 167) briglie 50x10 Crit. 1

- Verifica in termini tensionali [4.2.4] - CC 9 SLU Xl=0.00 - Classe 3
Sollecitazioni: N=2859.75 T_z=89.53 M_y=10.48
Tensioni: σ_N=571.95 σ_M=251.50 τ=0.00 σ_{max}=823.45
Tensioni: σ_N=571.95 σ_M=-0.00 τ=26.86 τ_{max}=26.86
Tensioni: σ_N=571.95 σ_M=251.50 τ=0.00 $\sigma_{ID,max}$=823.45

- Verifica a taglio dir. Z [4.2.16] - CC 19 SLU Xl=0.12
Sollecitazioni: N=2855.54 T_z=89.04
V,Ed=89.04 Vc,Rd=7560.76 V,Ed/Vc,Rd=0.01

Asta n. 2144 (167 175) briglie 50x10 Crit. 1

- Verifica in termini tensionali [4.2.4] - CC 9 SLU Xl=0.22 - Classe 3
Sollecitazioni: N=2933.69 T_z=80.85 M_y=-12.39
Tensioni: σ_N=586.74 σ_M=297.35 τ=0.00 σ_{max}=884.09
Tensioni: σ_N=586.74 σ_M=0.00 τ=24.26 τ_{max}=24.26
Tensioni: σ_N=586.74 σ_M=297.35 τ=0.00 $\sigma_{ID,max}$=884.09

- Verifica a taglio dir. Z [4.2.16] - CC 19 SLU Xl=0.06
Sollecitazioni: N=2929.58 T_z=81.79
V,Ed=81.79 Vc,Rd=7560.76 V,Ed/Vc,Rd=0.01

Asta n. 2144 (175 183) briglie 50x10 Crit. 1

- Verifica Freccia massima carichi totali - CC 21
$f_{Z,L}$=0.00 (L/20097)

- Verifica in termini tensionali [4.2.4] - CC 9 SLU Xl=0.22 - Classe 3
Sollecitazioni: N=3011.33 T_z=61.99 M_y=-11.80
Tensioni: σ_N=602.27 σ_M=283.23 τ=0.00 σ_{max}=885.49
Tensioni: σ_N=602.27 σ_M=0.00 τ=18.60 τ_{max}=18.60
Tensioni: σ_N=602.27 σ_M=283.23 τ=0.00 $\sigma_{ID,max}$=885.49

- Verifica a taglio dir. Z [4.2.16] - CC 19 SLU Xl=0.02
  Sollecitazioni: N=3007.36 T_z=63.12
  V,Ed=63.12 Vc,Rd=7560.76 V,Ed/Vc,Rd=0.01

Asta n. 2144 (183 191) briglie 50x10 Crit. 1

- Verifica Freccia massima carichi totali - CC 21
  $f_{Z,L}$=0.00 (L/16443)

- Verifica in termini tensionali [4.2.4] - CC 19 SLU Xl=0.22 - Classe 3
  Sollecitazioni: N=3068.61 T_z=43.96 M_y=-10.95
  Tensioni: σ_N=613.72 σ_M=262.72 τ=0.00 σ_{max}=876.44
  Tensioni: σ_N=613.72 σ_M=0.00 τ=13.19 τ_{max}=13.19
  Tensioni: σ_N=613.72 σ_M=262.72 τ=0.00 $\sigma_{ID,max}$=876.44

- Verifica a taglio dir. Z [4.2.16] - CC 16 SLU Xl=0.16
  Sollecitazioni: N=1574.83 T_z=-64.31
  V,Ed=-64.31 Vc,Rd=7560.76 V,Ed/Vc,Rd=0.01

Asta n. 2144 (191 199) briglie 50x10 Crit. 1

- Verifica Freccia massima carichi totali - CC 21
  $f_{Z,L}$=0.00 (L/16149)

- Verifica in termini tensionali [4.2.4] - CC 18 SLU Xl=0.00 - Classe 3
  Sollecitazioni: N=2943.14 T_z=-59.81 M_y=-11.87
  Tensioni: σ_N=588.63 σ_M=284.86 τ=0.00 σ_{max}=873.48
  Tensioni: σ_N=588.63 σ_M=0.00 τ=17.94 τ_{max}=17.94
  Tensioni: σ_N=588.63 σ_M=284.86 τ=0.00 $\sigma_{ID,max}$=873.48

- Verifica a taglio dir. Z [4.2.16] - CC 16 SLU Xl=0.14
  Sollecitazioni: N=1477.79 T_z=-85.97
  V,Ed=-85.97 Vc,Rd=7560.76 V,Ed/Vc,Rd=0.01

Asta n. 2144 (199 207) briglie 50x10 Crit. 1

- Verifica Freccia massima carichi totali - CC 21
  $f_{Z,L}$=0.00 (L/18087)

- Verifica in termini tensionali [4.2.4] - CC 18 SLU Xl=0.00 - Classe 3
  Sollecitazioni: N=2851.36 T_z=-79.58 M_y=-13.32
  Tensioni: σ_N=570.27 σ_M=319.67 τ=0.00 σ_{max}=889.94
  Tensioni: σ_N=570.27 σ_M=0.00 τ=23.88 τ_{max}=23.88
  Tensioni: σ_N=570.27 σ_M=319.67 τ=0.00 $\sigma_{ID,max}$=889.94

- Verifica a taglio dir. Z [4.2.16] - CC 16 SLU Xl=0.14
  Sollecitazioni: N=1357.35 T_z=-93.21
  V,Ed=-93.21 Vc,Rd=7560.76 V,Ed/Vc,Rd=0.01

Asta n. 2144 (207 215) briglie 50x10 Crit. 1

- Verifica Freccia massima carichi totali - CC 21
  $f_{Z,L}$=0.00 (L/17392)

- Verifica in termini tensionali [4.2.4] - CC 18 SLU Xl=0.00 - Classe 3
  Sollecitazioni: N=2721.71 T_z=-99.18 M_y=-15.32
  Tensioni: σ_N=544.34 σ_M=367.59 τ=0.00 σ_{max}=911.93
  Tensioni: σ_N=544.34 σ_M=0.00 τ=29.76 τ_{max}=29.76
  Tensioni: σ_N=544.34 σ_M=367.59 τ=0.00 $\sigma_{ID,max}$=911.93

- Verifica a taglio dir. Z [4.2.16] - CC 16 SLU Xl=0.12
  Sollecitazioni: N=1217.61 T_z=-100.25
  V,Ed=-100.25 Vc,Rd=7560.76 V,Ed/Vc,Rd=0.01

Asta n. 2144 (215 223) briglie 50x10 Crit. 1

- Verifica Freccia massima carichi totali - CC 21
  $f_{Z,L}$=0.00 (L/15328)

- Verifica in termini tensionali [4.2.4] - CC 18 SLU Xl=0.00 - Classe 3
  Sollecitazioni: N=2547.66 T_z=-121.71 M_y=-18.13
  Tensioni: σ_N=509.53 σ_M=435.06 τ=0.00 σ_{max}=944.59
  Tensioni: σ_N=509.53 σ_M=0.00 τ=36.51 τ_{max}=36.51
  Tensioni: σ_N=509.53 σ_M=435.06 τ=0.00 $\sigma_{ID,max}$=944.59

- Verifica a taglio dir. Z [4.2.16] - CC 16 SLU Xl=0.12
  Sollecitazioni: N=1055.35 T_z=-108.78
  V,Ed=-108.78 Vc,Rd=7560.76 V,Ed/Vc,Rd=0.01

Asta n. 2144 (223 231) briglie 50x10 Crit. 1

- Verifica Freccia massima carichi totali - CC 21
  $f_{Z,L}$=0.00 (L/13702)

- Verifica in termini tensionali [4.2.4] - CC 19 SLU Xl=0.00 - Classe 3
  Sollecitazioni: N=2675.81 T_z=-153.56 M_y=-22.29
  Tensioni: σ_N=535.16 σ_M=535.01 τ=0.00 σ_{max}=1070.17
  Tensioni: σ_N=535.16 σ_M=0.00 τ=46.07 τ_{max}=46.07
  Tensioni: σ_N=535.16 σ_M=535.01 τ=0.00 $\sigma_{ID,max}$=1070.17

- Verifica a taglio dir. Z [4.2.16] - CC 18 SLU Xl=0.14
  Sollecitazioni: N=2300.87 T_z=-180.54
  V,Ed=-180.54 Vc,Rd=7560.76 V,Ed/Vc,Rd=0.02

Asta n. 2144 (231 239) briglie 50x10 Crit. 1

- Verifica Freccia massima carichi totali - CC 21
  $f_{Z,L}$=0.00 (L/14587)

- Verifica in termini tensionali [4.2.4] - CC 19 SLU Xl=0.00 - Classe 3
  Sollecitazioni: N=2382.95 T_z=-186.18 M_y=-24.71
  Tensioni: σ_N=476.59 σ_M=593.03 τ=0.00 σ_{max}=1069.61
  Tensioni: σ_N=476.59 σ_M=0.00 τ=55.85 τ_{max}=55.85
  Tensioni: σ_N=476.59 σ_M=593.03 τ=0.00 $\sigma_{ID,max}$=1069.61

- Verifica a taglio dir. Z [4.2.16] - CC 19 SLU Xl=0.14
  Sollecitazioni: N=2382.95 T_z=-186.88
  V,Ed=-186.88 Vc,Rd=7560.76 V,Ed/Vc,Rd=0.02

Asta n. 2144 (239 247) briglie 50x10 Crit. 1

- Verifica Freccia massima carichi totali - CC 21
  $f_{Z,L}$=0.00 (L/14587)

- Verifica in termini tensionali [4.2.4] - CC 19 SLU Xl=0.00 - Classe 3
  Sollecitazioni: N=1999.28 T_z=-220.62 M_y=-27.77
  Tensioni: σ_N=399.86 σ_M=666.40 τ=0.00 σ_{max}=1066.26
  Tensioni: σ_N=399.86 σ_M=0.00 τ=66.19 τ_{max}=66.19
  Tensioni: σ_N=399.86 σ_M=666.40 τ=0.00 $\sigma_{ID,max}$=1066.26

- Verifica a taglio dir. Z [4.2.16] - CC 18 SLU Xl=0.12
  Sollecitazioni: N=1539.26 T_z=-241.25
  V,Ed=-241.25 Vc,Rd=7560.76 V,Ed/Vc,Rd=0.03

Asta n. 2144 (247 255) briglie 50x10 Crit. 1

- Verifica di stabilità aste inflesse (4.2.4.1.3.2) CC 18 SLU - Classe 3
  L_{cr}=0.22 Curva d: α_{imp}=0.76 k_c=0.94 ψ=2.88 M,cr=0.00 λ_{LT}=0.00
  $\lambda_{LT,0}$=0.20 β_{LT}=1.00 Φ_{LT}=0.00 β_{LT}=1.00 f=0.00 χ_{LT}=1.00
  CC 18 SLU My,Ed=-32.17 My,b,Rd=109.13 My,Ed/My,b,Rd=0.29

- Verifica di stabilità aste presso-inflesse (C4.2.4.1.3.3.1) - CC 16 SLU - Classe 3
  Sollecitazioni: N,Ed=-12.63 Myeq,Ed=19.09 Mzeq,Ed=0.02
  Resistenze: Nc,Rd=13095.20 My,c,Rd=109.13 Mz,c,Rd=21.83 L=21.56
  λ_Y=14.94 Ncr,y=464355.00 λ^*_y=0.17 Curva c: Φ_y=0.51 χ_y=1.00
  λ_Z=74.69 Ncr,z=18574.20 λ^*_z=0.86 Curva c: Φ_z=1.03 χ_z=0.62
  χ,min=0.62
  Verifica: 0.00+0.17+0.00=0.18

- Verifica Freccia massima carichi totali - CC 21
  $f_{Z,L}$=0.00 (L/14131)

- Verifica in termini tensionali [4.2.4] - CC 9 SLU Xl=0.00 - Classe 3
  Sollecitazioni: N=1519.20 T_z=-258.59 M_y=-31.59
  Tensioni: σ_N=303.84 σ_M=758.19 τ=0.00 σ_{max}=1062.03
  Tensioni: σ_N=303.84 σ_M=0.00 τ=77.58 τ_{max}=77.58
  Tensioni: σ_N=303.84 σ_M=758.19 τ=0.00 $\sigma_{ID,max}$=1062.03

- Verifica a taglio dir. Z [4.2.16] - CC 18 SLU Xl=0.12
  Sollecitazioni: N=1006.33 T_z=-277.89
  V,Ed=-277.89 Vc,Rd=7560.76 V,Ed/Vc,Rd=0.04

Asta n. 2144 (255 263) briglie 50x10 Crit. 1

- Verifica di stabilità aste inflesse (4.2.4.1.3.2) CC 9 SLU - Classe 3
  L_{cr}=0.22 Curva d: α_{imp}=0.76 k_c=0.94 ψ=2.94 M,cr=0.00 λ_{LT}=0.00
  $\lambda_{LT,0}$=0.20 β_{LT}=1.00 Φ_{LT}=0.00 β_{LT}=1.00 f=0.00 χ_{LT}=1.00
  CC 9 SLU My,Ed=-39.99 My,b,Rd=109.13 My,Ed/My,b,Rd=0.37

- Verifica di stabilità aste presso-inflesse (C4.2.4.1.3.3.1) - CC 16 SLU - Classe 3
  Sollecitazioni: N,Ed=-438.97 Myeq,Ed=24.41 Mzeq,Ed=-0.00
  Resistenze: Nc,Rd=13095.20 My,c,Rd=109.13 Mz,c,Rd=21.83 L=21.56
  λ_Y=14.94 Ncr,y=464355.00 λ^*_y=0.17 Curva c: Φ_y=0.51 χ_y=1.00
  λ_Z=74.69 Ncr,z=18574.20 λ^*_z=0.86 Curva c: Φ_z=1.03 χ_z=0.62
  χ,min=0.62
  Verifica: 0.03+0.22+0.00=0.26

- Verifica Freccia massima carichi totali - CC 21
  $f_{Z,L}$=0.00 (L/13107)

- Verifica in termini tensionali [4.2.4] - CC 9 SLU Xl=0.00 - Classe 3
  Sollecitazioni: N=844.19 T_z=-352.26 M_y=-39.99
  Tensioni: σ_N=168.84 σ_M=959.66 τ=0.00 σ_{max}=1128.50
  Tensioni: σ_N=168.84 σ_M=0.00 τ=105.68 τ_{max}=105.68
  Tensioni: σ_N=168.84 σ_M=959.66 τ=0.00 $\sigma_{ID,max}$=1128.50

- Verifica a taglio dir. Z [4.2.16] - CC 17 SLU Xl=0.12
  Sollecitazioni: N=439.76 T_z=-193.78
  V,Ed=-193.78 Vc,Rd=7560.76 V,Ed/Vc,Rd=0.03

Asta n. 2144 (263 271) briglie 50x10 Crit. 1

- Verifica di stabilità aste inflesse (4.2.4.1.3.2) CC 5 SLV - Classe 3
  L_{cr}=0.22 Curva d: α_{imp}=0.76 k_c=0.94 ψ=2.72 M,cr=0.00 λ_{LT}=0.00
  $\lambda_{LT,0}$=0.20 β_{LT}=1.00 Φ_{LT}=0.00 β_{LT}=1.00 f=0.00 χ_{LT}=1.00
  CC 5 SLV My,Ed=17.80 My,b,Rd=109.13 My,Ed/My,b,Rd=0.16

- Verifica di stabilità aste presso-inflesse (C4.2.4.1.3.3.1) - CC 18 SLU - Classe 3
  Sollecitazioni: N,Ed=-627.07 Myeq,Ed=47.66 Mzeq,Ed=0.02
  Resistenze: Nc,Rd=13095.20 My,c,Rd=109.13 Mz,c,Rd=21.83 L=21.56
  λ_Y=14.94 Ncr,y=464353.00 λ^*_y=0.17 Curva c: Φ_y=0.51 χ_y=1.00
  λ_Z=74.69 Ncr,z=18574.10 λ^*_z=0.86 Curva c: Φ_z=1.03 χ_z=0.62
  χ,min=0.62
  Verifica: 0.05+0.44+0.00=0.49

- Verifica Freccia massima carichi totali - CC 24
  $f_{Z,L}$=0.00 (L/14826)

- Verifica in termini tensionali [4.2.4] - CC 18 SLU Xl=0.22 - Classe 3
  Sollecitazioni: N=-627.07 T_z=-414.70 M_y=47.66
  Tensioni: σ_N=-125.41 σ_M=-1143.85 τ=0.00 σ_{max}=-1269.26
  Tensioni: σ_N=-125.41 σ_M=-0.00 τ=124.41 τ_{max}=124.41
  Tensioni: σ_N=-125.41 σ_M=-1143.85 τ=0.00 $\sigma_{ID,max}$=1269.26

- Verifica a taglio dir. Z [4.2.16] - CC 3 SLV Xl=0.10
  Sollecitazioni: N=139.01 T_z=-114.11
  V,Ed=-114.11 Vc,Rd=7560.76 V,Ed/Vc,Rd=0.02

Asta n. 2144 (271 279) briglie 50x10 Crit. 1

- Verifica di stabilità aste inflesse (4.2.4.1.3.2) CC 5 SLV - Classe 3
  L_{cr}=0.22 Curva d: α_{imp}=0.76 k_c=0.94 ψ=2.52 M,cr=0.00 λ_{LT}=0.00
  $\lambda_{LT,0}$=0.20 β_{LT}=1.00 Φ_{LT}=0.00 β_{LT}=1.00 f=0.00 χ_{LT}=1.00
  CC 5 SLV My,Ed=21.65 My,b,Rd=109.13 My,Ed/My,b,Rd=0.20

- Verifica di stabilità aste presso-inflesse (C4.2.4.1.3.3.1) - CC 18 SLU - Classe 3
  Sollecitazioni: N,Ed=-1792.99 Myeq,Ed=59.13 Mzeq,Ed=0.03
  Resistenze: Nc,Rd=13095.20 My,c,Rd=109.13 Mz,c,Rd=21.83 L=21.56
  λ_Y=14.94 Ncr,y=464353.00 λ^*_y=0.17 Curva c: Φ_y=0.51 χ_y=1.00
  λ_Z=74.69 Ncr,z=18574.10 λ^*_z=0.86 Curva c: Φ_z=1.03 χ_z=0.62
  χ,min=0.62
  Verifica: 0.22+0.54+0.00=0.76

- Verifica Freccia massima per soli carichi accidentali - CC 24
  $f_{Z,G}$=0.00 (L/14131)

- Verifica Freccia massima carichi totali - CC 21
  $f_{Z,L}$=0.00 (L/9420)

- Verifica in termini tensionali [4.2.4] - CC 18 SLU Xl=0.22 - Classe 3
  Sollecitazioni: N=-1792.99 T_z=-472.22 M_y=59.13
  Tensioni: σ_N=-358.60 σ_M=-1419.14 τ=0.00 σ_{max}=-1777.74
  Tensioni: σ_N=-358.60 σ_M=-0.00 τ=141.67 τ_{max}=141.67
  Tensioni: σ_N=-358.60 σ_M=-1419.14 τ=0.00 $\sigma_{ID,max}$=1777.74

- Verifica a taglio dir. Z [4.2.16] - CC 7 SLV Xl=0.12
  Sollecitazioni: N=376.24 T_z=-75.12
  V,Ed=-75.12 Vc,Rd=7560.76 V,Ed/Vc,Rd=0.01

Asta n. 2144 (279 2288) briglie 50x10 Crit. 1

- Verifica di stabilità aste inflesse (4.2.4.1.3.2) CC 5 SLV - Classe 3
  L_{cr}=0.22 Curva d: α_{imp}=0.76 k_c=0.94 ψ=2.08 M,cr=0.00 λ_{LT}=0.00
  $\lambda_{LT,0}$=0.20 β_{LT}=1.00 Φ_{LT}=0.00 β_{LT}=1.00 f=0.00 χ_{LT}=1.00
  CC 5 SLV My,Ed=32.62 My,b,Rd=109.13 My,Ed/My,b,Rd=0.30

- Verifica di stabilità aste presso-inflesse (C4.2.4.1.3.3.1) - CC 18 SLU - Classe 3
  Sollecitazioni: N,Ed=-3117.60 Myeq,Ed=79.06 Mzeq,Ed=0.03
  Resistenze: Nc,Rd=13095.20 My,c,Rd=109.13 Mz,c,Rd=21.83 L=21.56
  λ_Y=14.94 Ncr,y=464357.00 λ^*_y=0.17 Curva c: Φ_y=0.51 χ_y=1.00
  λ_Z=74.69 Ncr,z=18574.30 λ^*_z=0.86 Curva c: Φ_z=1.03 χ_z=0.62
  χ,min=0.62
  Verifica: 0.38+0.73+0.00=1.11

- Verifica Freccia massima per soli carichi accidentali - CC 24
  $f_{Z,L}$=0.00 (L/5872)

- Verifica Freccia massima carichi totali - CC 21
  $f_{Z,L}$=0.01 (L/3737)

- Verifica in termini tensionali [4.2.4] - CC 18 SLU Xl=0.22 - Classe 3
  Sollecitazioni: N=-3117.60 T_z=-564.67 M_y=89.36
  Tensioni: σ_N=-623.52 σ_M=-2144.67 τ=0.00 σ_{max}=-2768.19
  Tensioni: σ_N=-623.52 σ_M=-0.00 τ=169.40 τ_{max}=169.40
  Tensioni: σ_N=-623.52 σ_M=-2144.67 τ=0.00 $\sigma_{ID,max}$=2768.19

- Verifica a taglio dir. Z [4.2.16] - CC 7 SLV Xl=0.10
  Sollecitazioni: N=156.25 T_z=-86.93
  V,Ed=-86.93 Vc,Rd=7560.76 V,Ed/Vc,Rd=0.01

Asta n. 2144 (2288 299) briglie 50x10 Crit. 1

- Verifica di stabilità aste presso-inflesse (C4.2.4.1.3.3.1) - CC 9 SLU - Classe 3
  Sollecitazioni: N,Ed=-338.49 Myeq,Ed=2.06 Mzeq,Ed=-0.08
  Resistenze: Nc,Rd=13095.20 My,c,Rd=109.13 Mz,c,Rd=21.83 L=16.67
  λ_Y=11.55 Ncr,y=777233.00 λ^*_y=0.13 Curva c: Φ_y=0.49 χ_y=1.00
  λ_Z=57.73 Ncr,z=31089.30 λ^*_z=0.67 Curva c: Φ_z=0.84 χ_z=0.75
  χ,min=0.75
  Verifica: 0.03+0.02+0.00=0.05

- Verifica in termini tensionali [4.2.4] - CC 9 SLU Xl=0.00 - Classe 3
  Sollecitazioni: N=-338.49 T_z=23.85 M_y=2.06
  Tensioni: σ_N=-67.70 σ_M=-49.43 τ=0.00 σ_{max}=-117.12
  Tensioni: σ_N=-67.70 σ_M=-0.00 τ=7.16 τ_{max}=7.16
  Tensioni: σ_N=-67.70 σ_M=-49.43 τ=0.00 $\sigma_{ID,max}$=117.12

Asta n. 2144 (299 307) briglie 50x10 Crit. 1

- Verifica di stabilità aste presso-inflesse (C4.2.4.1.3.3.1) - CC 9 SLU - Classe 3
  Sollecitazioni: N,Ed=-209.36 Myeq,Ed=4.60 Mzeq,Ed=-0.06
  Resistenze: Nc,Rd=13095.20 My,c,Rd=109.13 Mz,c,Rd=21.83 L=16.67
  λ_Y=11.55 Ncr,y=777229.00 λ^*_y=0.13 Curva c: Φ_y=0.49 χ_y=1.00
  λ_Z=57.74 Ncr,z=31089.10 λ^*_z=0.67 Curva c: Φ_z=0.84 χ_z=0.75
  χ,min=0.75
  Verifica: 0.02+0.04+0.00=0.06

- Verifica in termini tensionali [4.2.4] - CC 9 SLU Xl=0.00 - Classe 3

Sollecitazioni: N=-209.36 T_z=48.04 M_y=4.60
Tensioni: σ_N=-41.87 σ_M=-110.46 τ=0.00 σ_{max}=-152.33
Tensioni: σ_N=-41.87 σ_M=-0.00 τ=14.41 τ_{max}=14.41
Tensioni: σ_N=-41.87 σ_M=-110.46 τ=0.00 $\sigma_{ID,max}$=152.33

Asta n. 2144 (307 2315) briglie 50x10 Crit. 1

- Verifica di stabilità aste presso-inflesse (C4.2.4.1.3.3.1) - CC 9 SLU - Classe 3
Sollecitazioni: N,Ed=-81.20 Myeq,Ed=-3.31 Mzeq,Ed=0.10
Resistenze: Nc,Rd=13095.20 My,c,Rd=109.13 Mz,c,Rd=21.83 L=16.67
λ_Y=11.55 Ncr,y=777233.00 λ^*_y=0.13 Curva c: Φ_y=0.49 χ_y=1.00
λ_Z=57.73 Ncr,z=31089.30 λ^*_z=0.67 Curva c: Φ_z=0.84 χ_z=0.75
χ,min=0.75
Verifica: 0.01+0.03+0.00=0.04

- Verifica in termini tensionali [4.2.4] - CC 9 SLU Xl=0.17 - Classe 3
Sollecitazioni: N=-81.20 T_z=35.72 M_y=-3.31
Tensioni: σ_N=-16.24 σ_M=-79.42 τ=0.00 σ_{max}=-95.66
Tensioni: σ_N=-16.24 σ_M=0.00 τ=10.71 τ_{max}=10.71
Tensioni: σ_N=-16.24 σ_M=-79.42 τ=0.00 $\sigma_{ID,max}$=95.66

Asta n. 2145 (-516 20) collegamenti 50x10 Crit. 1

- Verifica di stabilità aste presso-inflesse (C4.2.4.1.3.3.1) - CC 18 SLU - Classe 3
Sollecitazioni: N,Ed=-183.67 Myeq,Ed=0.65 Mzeq,Ed=0.14
Resistenze: Nc,Rd=13095.20 My,c,Rd=109.13 Mz,c,Rd=21.83 L=19.08
λ_Y=13.22 Ncr,y=592851.00 λ^*_y=0.15 Curva c: Φ_y=0.50 χ_y=1.00
λ_Z=66.11 Ncr,z=23714.00 λ^*_z=0.76 Curva c: Φ_z=0.93 χ_z=0.69
χ,min=0.69
Verifica: 0.01+0.01+0.01=0.03

- Verifica a compressione [4.2.9] - CC 19 SLU Xl=0.19 - Classe 3
Sollecitazioni: N=-189.55 T_z=1.85
N,Ed=-189.55 Nc,Rd=-13095.20 N,Ed/Nc,Rd=0.01

Asta n. 2182 (2005 13) briglie 50x10 Crit. 1

- Verifica di stabilità aste presso-inflesse (C4.2.4.1.3.3.1) - CC 18 SLU - Classe 3
Sollecitazioni: N,Ed=-65.91 Myeq,Ed=-2.61 Mzeq,Ed=-0.08
Resistenze: Nc,Rd=13095.20 My,c,Rd=109.13 Mz,c,Rd=21.83 L=16.67
λ_Y=11.55 Ncr,y=777231.00 λ^*_y=0.13 Curva c: Φ_y=0.49 χ_y=1.00
λ_Z=57.73 Ncr,z=31089.20 λ^*_z=0.67 Curva c: Φ_z=0.84 χ_z=0.75
χ,min=0.75
Verifica: 0.01+0.02+0.00=0.03

- Verifica in termini tensionali [4.2.4] - CC 18 SLU Xl=0.00 - Classe 3
Sollecitazioni: N=-65.91 T_z=-27.24 M_y=-2.61
Tensioni: σ_N=-13.18 σ_M=-62.62 τ=0.00 σ_{max}=-75.80
Tensioni: σ_N=-13.18 σ_M=0.00 τ=8.17 τ_{max}=8.17
Tensioni: σ_N=-13.18 σ_M=-62.62 τ=0.00 $\sigma_{ID,max}$=75.80

Asta n. 2182 (13 21) briglie 50x10 Crit. 1

- Verifica di stabilità aste presso-inflesse (C4.2.4.1.3.3.1) - CC 18 SLU - Classe 3
Sollecitazioni: N,Ed=-176.43 Myeq,Ed=4.05 Mzeq,Ed=0.04
Resistenze: Nc,Rd=13095.20 My,c,Rd=109.13 Mz,c,Rd=21.83 L=16.67
λ_Y=11.55 Ncr,y=777232.00 λ^*_y=0.13 Curva c: Φ_y=0.49 χ_y=1.00
λ_Z=57.73 Ncr,z=31089.30 λ^*_z=0.67 Curva c: Φ_z=0.84 χ_z=0.75
χ,min=0.75

Verifica: 0.01+0.04+0.00=0.05

- Verifica in termini tensionali [4.2.4] - CC 18 SLU Xl=0.17 - Classe 3
Sollecitazioni: N=-176.43 T_z=-43.63 M_y=4.05
Tensioni: σ_N=-35.29 σ_M=-97.31 τ=0.00 σ_{max}=-132.60
Tensioni: σ_N=-35.29 σ_M=-0.00 τ=13.09 τ_{max}=13.09
Tensioni: σ_N=-35.29 σ_M=-97.31 τ=0.00 $\sigma_{ID,max}$=132.60

Asta n. 2182 (21 2031) briglie 50x10 Crit. 1

- Verifica di stabilità aste presso-inflesse (C4.2.4.1.3.3.1) - CC 16 SLU - Classe 3
Sollecitazioni: N,Ed=-238.99 Myeq,Ed=3.78 Mzeq,Ed=0.10
Resistenze: Nc,Rd=13095.20 My,c,Rd=109.13 Mz,c,Rd=21.83 L=16.67
λ_Y=11.55 Ncr,y=777232.00 λ^*_y=0.13 Curva c: Φ_y=0.49 χ_y=1.00
λ_Z=57.73 Ncr,z=31089.30 λ^*_z=0.67 Curva c: Φ_z=0.84 χ_z=0.75
χ,min=0.75
Verifica: 0.02+0.03+0.00=0.06

- Verifica in termini tensionali [4.2.4] - CC 16 SLU Xl=0.17 - Classe 3
Sollecitazioni: N=-238.99 T_z=-35.35 M_y=4.80
Tensioni: σ_N=-47.80 σ_M=-115.24 τ=0.00 σ_{max}=-163.04
Tensioni: σ_N=-47.80 σ_M=-0.00 τ=10.61 τ_{max}=10.61
Tensioni: σ_N=-47.80 σ_M=-115.24 τ=0.00 $\sigma_{ID,max}$=163.04

Asta n. 2182 (2031 41) briglie 50x10 Crit. 1

- Verifica di stabilità aste inflesse (4.2.4.1.3.2) CC 5 SLV - Classe 3
L_{cr}=0.22 Curva d: α_{imp}=0.76 k_c=0.94 ψ=2.08 M,cr=0.00 λ_{LT}=0.00
$\lambda_{LT,0}$=0.20 β_{LT}=1.00 Φ_{LT}=0.00 β_{LT}=1.00 f=0.00 χ_{LT}=1.00
CC 5 SLV My,Ed=32.56 My,b,Rd=109.13 My,Ed/My,b,Rd=0.30

- Verifica di stabilità aste presso-inflesse (C4.2.4.1.3.3.1) - CC 18 SLU - Classe 3
Sollecitazioni: N,Ed=-2334.76 Myeq,Ed=89.05 Mzeq,Ed=-0.11
Resistenze: Nc,Rd=13095.20 My,c,Rd=109.13 Mz,c,Rd=21.83 L=21.56
λ_Y=14.94 Ncr,y=464354.00 λ^*_y=0.17 Curva c: Φ_y=0.51 χ_y=1.00
λ_Z=74.69 Ncr,z=18574.20 λ^*_z=0.86 Curva c: Φ_z=1.03 χ_z=0.62
χ,min=0.62
Verifica: 0.29+0.82+0.01=1.11

- Verifica Freccia massima per soli carichi accidentali - CC 24
$f_{Z,L}$=0.00 (L/5258)

- Verifica Freccia massima carichi totali - CC 21
$f_{Z,L}$=0.01 (L/3253)

- Verifica in termini tensionali [4.2.4] - CC 18 SLU Xl=0.00 - Classe 3
Sollecitazioni: N=-2334.76 T_z=635.90 M_y=95.33
Tensioni: σ_N=-466.95 σ_M=-2287.92 τ=0.00 σ_{max}=-2754.87
Tensioni: σ_N=-466.95 σ_M=-0.00 τ=190.77 τ_{max}=190.77
Tensioni: σ_N=-466.95 σ_M=-2287.92 τ=0.00 $\sigma_{ID,max}$=2754.87

- Verifica a taglio dir. Z [4.2.16] - CC 7 SLV Xl=0.12
Sollecitazioni: N=153.99 T_z=86.71
V,Ed=86.71 Vc,Rd=7560.76 V,Ed/Vc,Rd=0.01

Asta n. 2182 (41 49) briglie 50x10 Crit. 1

- Verifica di stabilità aste inflesse (4.2.4.1.3.2) CC 16 SLU - Classe 3
L_{cr}=0.22 Curva d: α_{imp}=0.76 k_c=0.94 ψ=2.94 M,cr=0.00 λ_{LT}=0.00

$\lambda_{LT,0}$=0.20 β_{LT}=1.00 Φ_{LT}=0.00 β_{LT}=1.00 f=0.00 χ_{LT}=1.00
CC 16 SLU My,Ed=39.84 My,b,Rd=109.13 My,Ed/My,b,Rd=0.37

- Verifica di stabilità aste presso-inflesse (C4.2.4.1.3.3.1) - CC 9 SLU - Classe 3
Sollecitazioni: N,Ed=-1255.04 Myeq,Ed=57.83 Mzeq,Ed=-0.02
Resistenze: Nc,Rd=13095.20 My,c,Rd=109.13 Mz,c,Rd=21.83 L=21.56
λ_Y=14.94 Ncr,y=464354.00 λ^*_y=0.17 Curva c: Φ_y=0.51 χ_y=1.00
λ_Z=74.69 Ncr,z=18574.20 λ^*_z=0.86 Curva c: Φ_z=1.03 χ_z=0.62
χ,min=0.62
Verifica: 0.15+0.53+0.00=0.69

- Verifica Freccia massima per soli carichi accidentali - CC 24
$f_{Z,G}$=0.00 (L/13107)

- Verifica Freccia massima carichi totali - CC 21
$f_{Z,L}$=0.00 (L/7599)

- Verifica in termini tensionali [4.2.4] - CC 18 SLU Xl=0.00 - Classe 3
Sollecitazioni: N=-825.81 T_z=527.94 M_y=62.39
Tensioni: σ_N=-165.16 σ_M=-1497.29 τ=0.00 σ_{max}=-1662.45
Tensioni: σ_N=-165.16 σ_M=-0.00 τ=158.38 τ_{max}=158.38
Tensioni: σ_N=-165.16 σ_M=-1497.29 τ=0.00 $\sigma_{ID,max}$=1662.45

- Verifica a taglio dir. Z [4.2.16] - CC 7 SLV Xl=0.10
Sollecitazioni: N=374.57 T_z=74.95
V,Ed=74.95 Vc,Rd=7560.76 V,Ed/Vc,Rd=0.01

Asta n. 2182 (49 57) briglie 50x10 Crit. 1

- Verifica di stabilità aste inflesse (4.2.4.1.3.2) CC 18 SLU - Classe 3
L_{cr}=0.22 Curva d: α_{imp}=0.76 k_c=0.94 ψ=3.10 M,cr=0.00 λ_{LT}=0.00
$\lambda_{LT,0}$=0.20 β_{LT}=1.00 Φ_{LT}=0.00 β_{LT}=1.00 f=0.00 χ_{LT}=1.00
CC 18 SLU My,Ed=-48.64 My,b,Rd=109.13 My,Ed/My,b,Rd=0.45

- Verifica di stabilità aste presso-inflesse (C4.2.4.1.3.3.1) - CC 9 SLU - Classe 3
Sollecitazioni: N,Ed=-87.35 Myeq,Ed=45.75 Mzeq,Ed=0.02
Resistenze: Nc,Rd=13095.20 My,c,Rd=109.13 Mz,c,Rd=21.83 L=21.56
λ_Y=14.94 Ncr,y=464354.00 λ^*_y=0.17 Curva c: Φ_y=0.51 χ_y=1.00
λ_Z=74.69 Ncr,z=18574.20 λ^*_z=0.86 Curva c: Φ_z=1.03 χ_z=0.62
χ,min=0.62
Verifica: 0.01+0.42+0.00=0.43

- Verifica Freccia massima per soli carichi accidentali - CC 11
$f_{Z,G}$=0.00 (L/21032)

- Verifica Freccia massima carichi totali - CC 21
$f_{Z,L}$=0.00 (L/12058)

- Verifica in termini tensionali [4.2.4] - CC 18 SLU Xl=0.22 - Classe 3
Sollecitazioni: N=462.94 T_z=450.07 M_y=-48.64
Tensioni: σ_N=92.59 σ_M=1167.34 τ=0.00 σ_{max}=1259.93
Tensioni: σ_N=92.59 σ_M=0.00 τ=135.02 τ_{max}=135.02
Tensioni: σ_N=92.59 σ_M=1167.34 τ=0.00 $\sigma_{ID,max}$=1259.93

- Verifica a taglio dir. Z [4.2.16] - CC 1 SLV Xl=0.12
Sollecitazioni: N=151.35 T_z=118.94
V,Ed=118.94 Vc,Rd=7560.76 V,Ed/Vc,Rd=0.02

Asta n. 2182 (57 65) briglie 50x10 Crit. 1

- Verifica di stabilità aste inflesse (4.2.4.1.3.2) CC 18 SLU - Classe 3
  L_{cr}=0.22 Curva d: α_{imp}=0.76 k_c=0.94 ψ=2.85 M,cr=0.00 λ_{LT}=0.00
  $\lambda_{LT,0}$=0.20 β_{LT}=1.00 Φ_{LT}=0.00 β_{LT}=1.00 f=0.00 χ_{LT}=1.00
  CC 18 SLU My,Ed=-44.62 My,b,Rd=109.13 My,Ed/My,b,Rd=0.41

- Verifica di stabilità aste presso-inflesse (C4.2.4.1.3.3.1) - CC 5 SLV - Classe 3
  Sollecitazioni: N,Ed=-304.98 Myeq,Ed=14.60 Mzeq,Ed=0.01
  Resistenze: Nc,Rd=13095.20 My,c,Rd=109.13 Mz,c,Rd=21.83 L=21.56
  λ_Y=14.94 Ncr,y=464355.00 λ^*_y=0.17 Curva c: Φ_y=0.51 χ_y=1.00
  λ_Z=74.69 Ncr,z=18574.20 λ^*_z=0.86 Curva c: Φ_z=1.03 χ_z=0.62
  χ,min=0.62
  Verifica: 0.02+0.13+0.00=0.16

- Verifica Freccia massima carichi totali - CC 24
  $f_{Z,G}$=0.00 (L/15328)

- Verifica in termini tensionali [4.2.4] - CC 18 SLU Xl=0.22 - Classe 3
  Sollecitazioni: N=1460.91 T_z=380.41 M_y=-44.62
  Tensioni: σ_N=292.18 σ_M=1070.87 τ=0.00 σ_{max}=1363.05
  Tensioni: σ_N=292.18 σ_M=0.00 τ=114.12 τ_{max}=114.12
  Tensioni: σ_N=292.18 σ_M=1070.87 τ=0.00 $\sigma_{ID,max}$=1363.05

- Verifica a taglio dir. Z [4.2.16] - CC 18 SLU Xl=0.10
  Sollecitazioni: N=1460.91 T_z=381.01
  V,Ed=381.01 Vc,Rd=7560.76 V,Ed/Vc,Rd=0.05

Asta n. 2182 (65 73) briglie 50x10 Crit. 1

- Verifica di stabilità aste inflesse (4.2.4.1.3.2) CC 18 SLU - Classe 3
  L_{cr}=0.22 Curva d: α_{imp}=0.76 k_c=0.94 ψ=2.63 M,cr=0.00 λ_{LT}=0.00
  $\lambda_{LT,0}$=0.20 β_{LT}=1.00 Φ_{LT}=0.00 β_{LT}=1.00 f=0.00 χ_{LT}=1.00
  CC 18 SLU My,Ed=-35.34 My,b,Rd=109.13 My,Ed/My,b,Rd=0.32

- Verifica di stabilità aste presso-inflesse (C4.2.4.1.3.3.1) - CC 5 SLV - Classe 3
  Sollecitazioni: N,Ed=-56.83 Myeq,Ed=10.80 Mzeq,Ed=-0.03
  Resistenze: Nc,Rd=13095.20 My,c,Rd=109.13 Mz,c,Rd=21.83 L=21.56
  λ_Y=14.94 Ncr,y=464355.00 λ^*_y=0.17 Curva c: Φ_y=0.51 χ_y=1.00
  λ_Z=74.69 Ncr,z=18574.20 λ^*_z=0.86 Curva c: Φ_z=1.03 χ_z=0.62
  χ,min=0.62
  Verifica: 0.00+0.10+0.00=0.10

- Verifica Freccia massima per soli carichi accidentali - CC 24
  $f_{Z,L}$=0.00 (L/21533)

- Verifica Freccia massima carichi totali - CC 24
  $f_{Z,L}$=0.00 (L/15328)

- Verifica in termini tensionali [4.2.4] - CC 18 SLU Xl=0.22 - Classe 3
  Sollecitazioni: N=2188.73 T_z=277.95 M_y=-35.34
  Tensioni: σ_N=437.75 σ_M=848.18 τ=0.00 σ_{max}=1285.93
  Tensioni: σ_N=437.75 σ_M=0.00 τ=83.39 τ_{max}=83.39
  Tensioni: σ_N=437.75 σ_M=848.18 τ=0.00 $\sigma_{ID,max}$=1285.93

- Verifica a taglio dir. Z [4.2.16] - CC 19 SLU Xl=0.10
  Sollecitazioni: N=1489.54 T_z=268.54
  V,Ed=268.54 Vc,Rd=7560.76 V,Ed/Vc,Rd=0.04

Asta n. 2182 (73 81) briglie 50x10 Crit. 1

- Verifica Freccia massima carichi totali - CC 24
  $f_{Z,G}$=0.00 (L/15866)

- Verifica in termini tensionali [4.2.4] - CC 18 SLU Xl=0.22 - Classe 3
  Sollecitazioni: N=2710.37 T_z=228.08 M_y=-30.31
  Tensioni: σ_N=542.07 σ_M=727.47 τ=0.00 σ_{max}=1269.54
  Tensioni: σ_N=542.07 σ_M=0.00 τ=68.42 τ_{max}=68.42
  Tensioni: σ_N=542.07 σ_M=727.47 τ=0.00 $\sigma_{ID,max}$=1269.54

- Verifica a taglio dir. Z [4.2.16] - CC 20 SLU Xl=0.08
  Sollecitazioni: N=2259.10 T_z=178.62
  V,Ed=178.62 Vc,Rd=7560.76 V,Ed/Vc,Rd=0.02

Asta n. 2182 (81 89) briglie 50x10 Crit. 1

- Verifica Freccia massima carichi totali - CC 24
  $f_{Z,G}$=0.00 (L/15866)

- Verifica in termini tensionali [4.2.4] - CC 18 SLU Xl=0.22 - Classe 3
  Sollecitazioni: N=3099.58 T_z=184.72 M_y=-26.27
  Tensioni: σ_N=619.91 σ_M=630.40 τ=0.00 σ_{max}=1250.31
  Tensioni: σ_N=619.91 σ_M=0.00 τ=55.42 τ_{max}=55.42
  Tensioni: σ_N=619.91 σ_M=630.40 τ=0.00 $\sigma_{ID,max}$=1250.31

- Verifica a taglio dir. Z [4.2.16] - CC 19 SLU Xl=0.08
  Sollecitazioni: N=2390.01 T_z=191.04
  V,Ed=191.04 Vc,Rd=7560.76 V,Ed/Vc,Rd=0.03

Asta n. 2182 (89 97) briglie 50x10 Crit. 1

- Verifica Freccia massima per soli carichi accidentali - CC 24
  $f_{Z,L}$=0.00 (L/21032)

- Verifica Freccia massima carichi totali - CC 24
  $f_{Z,L}$=0.00 (L/14826)

- Verifica in termini tensionali [4.2.4] - CC 18 SLU Xl=0.22 - Classe 3
  Sollecitazioni: N=3381.75 T_z=143.76 M_y=-22.99
  Tensioni: σ_N=676.35 σ_M=551.82 τ=0.00 σ_{max}=1228.17
  Tensioni: σ_N=676.35 σ_M=0.00 τ=43.13 τ_{max}=43.13
  Tensioni: σ_N=676.35 σ_M=551.82 τ=0.00 $\sigma_{ID,max}$=1228.17

- Verifica a taglio dir. Z [4.2.16] - CC 18 SLU Xl=0.06
  Sollecitazioni: N=3381.75 T_z=144.56
  V,Ed=144.56 Vc,Rd=7560.76 V,Ed/Vc,Rd=0.02

Asta n. 2182 (97 105) briglie 50x10 Crit. 1

- Verifica Freccia massima carichi totali - CC 24
  $f_{Z,G}$=0.00 (L/15593)

- Verifica in termini tensionali [4.2.4] - CC 18 SLU Xl=0.22 - Classe 3
  Sollecitazioni: N=3549.52 T_z=61.25 M_y=-14.29
  Tensioni: σ_N=709.90 σ_M=342.98 τ=0.00 σ_{max}=1052.88
  Tensioni: σ_N=709.90 σ_M=0.00 τ=18.37 τ_{max}=18.37
  Tensioni: σ_N=709.90 σ_M=342.98 τ=0.00 $\sigma_{ID,max}$=1052.88

- Verifica a taglio dir. Z [4.2.16] - CC 9 SLU Xl=0.04
  Sollecitazioni: N=2913.14 T_z=89.70

V,Ed=89.70 Vc,Rd=7560.76 V,Ed/Vc,Rd=0.01

Asta n. 2182 (105 113) briglie 50x10 Crit. 1

- Verifica Freccia massima carichi totali - CC 24
$f_{Z,L}$=0.00 (L/17733)

- Verifica in termini tensionali [4.2.4] - CC 18 SLU Xl=0.22 - Classe 3
Sollecitazioni: N=3624.40 T_z=28.83 M_y=-10.02
Tensioni: σ_N=724.88 σ_M=240.44 τ=0.00 σ_{max}=965.32
Tensioni: σ_N=724.88 σ_M=0.00 τ=8.65 τ_{max}=8.65
Tensioni: σ_N=724.88 σ_M=240.44 τ=0.00 $\sigma_{ID,max}$=965.32

- Verifica a taglio dir. Z [4.2.16] - CC 9 SLU Xl=0.02
Sollecitazioni: N=3034.13 T_z=63.37
V,Ed=63.37 Vc,Rd=7560.76 V,Ed/Vc,Rd=0.01

Asta n. 2182 (113 121) briglie 50x10 Crit. 1

- Verifica Freccia massima carichi totali - CC 24
$f_{Z,L}$=0.00 (L/17064)

- Verifica in termini tensionali [4.2.4] - CC 18 SLU Xl=0.22 - Classe 3
Sollecitazioni: N=3645.44 M_y=-6.92
Tensioni: σ_N=729.09 σ_M=166.17 τ=0.00 σ_{max}=895.26
Tensioni: σ_N=0.00 σ_M=0.00 τ=0.00 τ_{max}=0.00
Tensioni: σ_N=729.09 σ_M=166.17 τ=0.00 $\sigma_{ID,max}$=895.26

- Verifica a taglio dir. Z [4.2.16] - CC 16 SLU Xl=0.22
Sollecitazioni: N=2626.48 T_z=-41.69
V,Ed=-41.69 Vc,Rd=7560.76 V,Ed/Vc,Rd=0.01

Asta n. 2182 (121 129) briglie 50x10 Crit. 1

- Verifica Freccia massima per soli carichi accidentali - CC 24
$f_{Z,L}$=0.00 (L/21533)

- Verifica Freccia massima carichi totali - CC 24
$f_{Z,G}$=0.00 (L/15073)

- Verifica in termini tensionali [4.2.4] - CC 18 SLU Xl=0.00 - Classe 3
Sollecitazioni: N=3620.59 T_z=-27.54 M_y=-10.66
Tensioni: σ_N=724.12 σ_M=255.92 τ=0.00 σ_{max}=980.04
Tensioni: σ_N=724.12 σ_M=0.00 τ=8.26 τ_{max}=8.26
Tensioni: σ_N=724.12 σ_M=255.92 τ=0.00 $\sigma_{ID,max}$=980.04

- Verifica a taglio dir. Z [4.2.16] - CC 16 SLU Xl=0.22
Sollecitazioni: N=2550.28 T_z=-62.88
V,Ed=-62.88 Vc,Rd=7560.76 V,Ed/Vc,Rd=0.01

Asta n. 2182 (129 137) briglie 50x10 Crit. 1

- Verifica Freccia massima per soli carichi accidentali - CC 24
$f_{Z,L}$=0.00 (L/20097)

- Verifica Freccia massima carichi totali - CC 24
$f_{Z,L}$=0.00 (L/14131)

- Verifica in termini tensionali [4.2.4] - CC 18 SLU Xl=0.00 - Classe 3
Sollecitazioni: N=3536.18 T_z=-99.87 M_y=-18.36

Tensioni: σ_N=707.24 σ_M=440.75 τ=0.00 σ_{max}=1147.99
Tensioni: σ_N=707.24 σ_M=0.00 τ=29.96 τ_{max}=29.96
Tensioni: σ_N=707.24 σ_M=440.75 τ=0.00 $\sigma_{ID,max}$=1147.99

- Verifica a taglio dir. Z [4.2.16] - CC 16 SLU Xl=0.16
Sollecitazioni: N=2430.10 T_z=-121.83
V,Ed=-121.83 Vc,Rd=7560.76 V,Ed/Vc,Rd=0.02

Asta n. 2182 (137 145) briglie 50x10 Crit. 1

- Verifica Freccia massima per soli carichi accidentali - CC 24
$f_{Z,L}$=0.00 (L/21032)

- Verifica Freccia massima carichi totali - CC 24
$f_{Z,L}$=0.00 (L/15593)

- Verifica in termini tensionali [4.2.4] - CC 18 SLU Xl=0.00 - Classe 3
Sollecitazioni: N=3402.90 T_z=-124.00 M_y=-19.69
Tensioni: σ_N=680.58 σ_M=472.54 τ=0.00 σ_{max}=1153.11
Tensioni: σ_N=680.58 σ_M=0.00 τ=37.20 τ_{max}=37.20
Tensioni: σ_N=680.58 σ_M=472.54 τ=0.00 $\sigma_{ID,max}$=1153.11

- Verifica a taglio dir. Z [4.2.16] - CC 16 SLU Xl=0.14
Sollecitazioni: N=2273.82 T_z=-139.45
V,Ed=-139.45 Vc,Rd=7560.76 V,Ed/Vc,Rd=0.02

Asta n. 2182 (145 153) briglie 50x10 Crit. 1

- Verifica Freccia massima carichi totali - CC 24
$f_{Z,L}$=0.00 (L/18087)

- Verifica in termini tensionali [4.2.4] - CC 18 SLU Xl=0.00 - Classe 3
Sollecitazioni: N=3249.73 T_z=-148.56 M_y=-20.68
Tensioni: σ_N=649.95 σ_M=496.35 τ=0.00 σ_{max}=1146.30
Tensioni: σ_N=649.95 σ_M=0.00 τ=44.57 τ_{max}=44.57
Tensioni: σ_N=649.95 σ_M=496.35 τ=0.00 $\sigma_{ID,max}$=1146.30

- Verifica a taglio dir. Z [4.2.16] - CC 18 SLU Xl=0.14
Sollecitazioni: N=3249.73 T_z=-149.26
V,Ed=-149.26 Vc,Rd=7560.76 V,Ed/Vc,Rd=0.02

Asta n. 2182 (153 161) briglie 50x10 Crit. 1

- Verifica in termini tensionali [4.2.4] - CC 18 SLU Xl=0.22 - Classe 3
Sollecitazioni: N=3099.65 T_z=-162.84 M_y=18.04
Tensioni: σ_N=619.93 σ_M=433.04 τ=0.00 σ_{max}=1052.97
Tensioni: σ_N=619.93 σ_M=-0.00 τ=48.85 τ_{max}=48.85
Tensioni: σ_N=619.93 σ_M=433.04 τ=0.00 $\sigma_{ID,max}$=1052.97

- Verifica a taglio dir. Z [4.2.16] - CC 9 SLU Xl=0.10
Sollecitazioni: N=2911.16 T_z=-90.40
V,Ed=-90.40 Vc,Rd=7560.76 V,Ed/Vc,Rd=0.01

Asta n. 2182 (161 169) briglie 50x10 Crit. 1

- Verifica in termini tensionali [4.2.4] - CC 9 SLU Xl=0.00 - Classe 3
Sollecitazioni: N=2911.15 T_z=90.97 M_y=10.65
Tensioni: σ_N=582.23 σ_M=255.64 τ=0.00 σ_{max}=837.87
Tensioni: σ_N=582.23 σ_M=-0.00 τ=27.29 τ_{max}=27.29

Tensioni: σ_N=582.23 σ_M=255.64 τ=0.00 $\sigma_{ID,max}$=837.87

- Verifica a taglio dir. Z [4.2.16] - CC 9 SLU Xl=0.12
Sollecitazioni: N=2911.15 T_z=90.37
V,Ed=90.37 Vc,Rd=7560.76 V,Ed/Vc,Rd=0.01

Asta n. 2182 (169 177) briglie 50x10 Crit. 1

- Verifica in termini tensionali [4.2.4] - CC 9 SLU Xl=0.22 - Classe 3
Sollecitazioni: N=2985.74 T_z=81.35 M_y=-12.51
Tensioni: σ_N=597.15 σ_M=300.22 τ=0.00 σ_{max}=897.37
Tensioni: σ_N=597.15 σ_M=0.00 τ=24.40 τ_{max}=24.40
Tensioni: σ_N=597.15 σ_M=300.22 τ=0.00 $\sigma_{ID,max}$=897.37

- Verifica a taglio dir. Z [4.2.16] - CC 9 SLU Xl=0.06
Sollecitazioni: N=2985.74 T_z=82.15
V,Ed=82.15 Vc,Rd=7560.76 V,Ed/Vc,Rd=0.01

Asta n. 2182 (177 185) briglie 50x10 Crit. 1

- Verifica Freccia massima carichi totali - CC 21
$f_{Z,L}$=0.00 (L/20097)

- Verifica in termini tensionali [4.2.4] - CC 9 SLU Xl=0.22 - Classe 3
Sollecitazioni: N=3063.24 T_z=61.30 M_y=-11.80
Tensioni: σ_N=612.65 σ_M=283.17 τ=0.00 σ_{max}=895.81
Tensioni: σ_N=612.65 σ_M=0.00 τ=18.39 τ_{max}=18.39
Tensioni: σ_N=612.65 σ_M=283.17 τ=0.00 $\sigma_{ID,max}$=895.81

- Verifica a taglio dir. Z [4.2.16] - CC 9 SLU Xl=0.02
Sollecitazioni: N=3063.24 T_z=62.30
V,Ed=62.30 Vc,Rd=7560.76 V,Ed/Vc,Rd=0.01

Asta n. 2182 (185 193) briglie 50x10 Crit. 1

- Verifica Freccia massima carichi totali - CC 21
$f_{Z,L}$=0.00 (L/17064)

- Verifica in termini tensionali [4.2.4] - CC 9 SLU Xl=0.22 - Classe 3
Sollecitazioni: N=3123.09 T_z=42.08 M_y=-10.75
Tensioni: σ_N=624.62 σ_M=258.05 τ=0.00 σ_{max}=882.67
Tensioni: σ_N=624.62 σ_M=0.00 τ=12.62 τ_{max}=12.62
Tensioni: σ_N=624.62 σ_M=258.05 τ=0.00 $\sigma_{ID,max}$=882.67

- Verifica a taglio dir. Z [4.2.16] - CC 16 SLU Xl=0.16
Sollecitazioni: N=1606.23 T_z=-64.31
V,Ed=-64.31 Vc,Rd=7560.76 V,Ed/Vc,Rd=0.01

Asta n. 2182 (193 201) briglie 50x10 Crit. 1

- Verifica Freccia massima carichi totali - CC 21
$f_{Z,L}$=0.00 (L/16443)

- Verifica in termini tensionali [4.2.4] - CC 18 SLU Xl=0.00 - Classe 3
Sollecitazioni: N=2995.16 T_z=-61.33 M_y=-12.07
Tensioni: σ_N=599.03 σ_M=289.77 τ=0.00 σ_{max}=888.80
Tensioni: σ_N=599.03 σ_M=0.00 τ=18.40 τ_{max}=18.40
Tensioni: σ_N=599.03 σ_M=289.77 τ=0.00 $\sigma_{ID,max}$=888.80

- Verifica a taglio dir. Z [4.2.16] - CC 16 SLU Xl=0.14

Sollecitazioni: N=1508.10 T_z=-87.72
V,Ed=-87.72 Vc,Rd=7560.76 V,Ed/Vc,Rd=0.01

Asta n. 2182 (201 209) briglie 50x10 Crit. 1

- Verifica Freccia massima carichi totali - CC 21
$f_{Z,L}$=0.00 (L/18087)

- Verifica in termini tensionali [4.2.4] - CC 18 SLU Xl=0.00 - Classe 3
Sollecitazioni: N=2900.63 T_z=-82.03 M_y=-13.63
Tensioni: σ_N=580.13 σ_M=327.02 τ=0.00 σ_{max}=907.14
Tensioni: σ_N=580.13 σ_M=0.00 τ=24.61 τ_{max}=24.61
Tensioni: σ_N=580.13 σ_M=327.02 τ=0.00 $\sigma_{ID,max}$=907.14

- Verifica a taglio dir. Z [4.2.16] - CC 16 SLU Xl=0.12
Sollecitazioni: N=1385.39 T_z=-94.98
V,Ed=-94.98 Vc,Rd=7560.76 V,Ed/Vc,Rd=0.01

Asta n. 2182 (209 217) briglie 50x10 Crit. 1

- Verifica Freccia massima carichi totali - CC 21
$f_{Z,L}$=0.00 (L/17392)

- Verifica in termini tensionali [4.2.4] - CC 18 SLU Xl=0.00 - Classe 3
Sollecitazioni: N=2766.74 T_z=-102.62 M_y=-15.72
Tensioni: σ_N=553.35 σ_M=377.25 τ=0.00 σ_{max}=930.59
Tensioni: σ_N=553.35 σ_M=0.00 τ=30.78 τ_{max}=30.78
Tensioni: σ_N=553.35 σ_M=377.25 τ=0.00 $\sigma_{ID,max}$=930.59

- Verifica a taglio dir. Z [4.2.16] - CC 18 SLU Xl=0.16
Sollecitazioni: N=2766.74 T_z=-103.42
V,Ed=-103.42 Vc,Rd=7560.76 V,Ed/Vc,Rd=0.01

Asta n. 2182 (217 225) briglie 50x10 Crit. 1

- Verifica Freccia massima carichi totali - CC 21
$f_{Z,L}$=0.00 (L/15328)

- Verifica in termini tensionali [4.2.4] - CC 18 SLU Xl=0.00 - Classe 3
Sollecitazioni: N=2586.66 T_z=-126.18 M_y=-18.62
Tensioni: σ_N=517.33 σ_M=446.96 τ=0.00 σ_{max}=964.30
Tensioni: σ_N=517.33 σ_M=0.00 τ=37.85 τ_{max}=37.85
Tensioni: σ_N=517.33 σ_M=446.96 τ=0.00 $\sigma_{ID,max}$=964.30

- Verifica a taglio dir. Z [4.2.16] - CC 16 SLU Xl=0.12
Sollecitazioni: N=1077.33 T_z=-110.89
V,Ed=-110.89 Vc,Rd=7560.76 V,Ed/Vc,Rd=0.01

Asta n. 2182 (225 233) briglie 50x10 Crit. 1

- Verifica Freccia massima carichi totali - CC 21
$f_{Z,L}$=0.00 (L/13702)

- Verifica in termini tensionali [4.2.4] - CC 9 SLU Xl=0.00 - Classe 3
Sollecitazioni: N=2711.96 T_z=-156.17 M_y=-22.63
Tensioni: σ_N=542.39 σ_M=543.17 τ=0.00 σ_{max}=1085.56
Tensioni: σ_N=542.39 σ_M=0.00 τ=46.85 τ_{max}=46.85
Tensioni: σ_N=542.39 σ_M=543.17 τ=0.00 $\sigma_{ID,max}$=1085.56

- Verifica a taglio dir. Z [4.2.16] - CC 18 SLU Xl=0.14

Sollecitazioni: N=2331.78 T_z=-185.22
V,Ed=-185.22 Vc,Rd=7560.76 V,Ed/Vc,Rd=0.02

Asta n. 2182 (233 241) briglie 50x10 Crit. 1

- Verifica Freccia massima carichi totali - CC 21
$f_{Z,L}$=0.00 (L/14131)

- Verifica in termini tensionali [4.2.4] - CC 9 SLU Xl=0.00 - Classe 3
Sollecitazioni: N=2413.09 T_z=-189.93 M_y=-25.22
Tensioni: σ_N=482.62 σ_M=605.34 τ=0.00 σ_{max}=1087.95
Tensioni: σ_N=482.62 σ_M=0.00 τ=56.98 τ_{max}=56.98
Tensioni: σ_N=482.62 σ_M=605.34 τ=0.00 $\sigma_{ID,max}$=1087.95

- Verifica a taglio dir. Z [4.2.16] - CC 19 SLU Xl=0.14
Sollecitazioni: N=2389.42 T_z=-191.12
V,Ed=-191.12 Vc,Rd=7560.76 V,Ed/Vc,Rd=0.03

Asta n. 2182 (241 249) briglie 50x10 Crit. 1

- Verifica Freccia massima carichi totali - CC 21
$f_{Z,L}$=0.00 (L/14355)

- Verifica in termini tensionali [4.2.4] - CC 9 SLU Xl=0.00 - Classe 3
Sollecitazioni: N=2020.95 T_z=-225.91 M_y=-28.43
Tensioni: σ_N=404.19 σ_M=682.28 τ=0.00 σ_{max}=1086.47
Tensioni: σ_N=404.19 σ_M=0.00 τ=67.77 τ_{max}=67.77
Tensioni: σ_N=404.19 σ_M=682.28 τ=0.00 $\sigma_{ID,max}$=1086.47

- Verifica a taglio dir. Z [4.2.16] - CC 18 SLU Xl=0.12
Sollecitazioni: N=1549.01 T_z=-248.32
V,Ed=-248.32 Vc,Rd=7560.76 V,Ed/Vc,Rd=0.03

Asta n. 2182 (249 257) briglie 50x10 Crit. 1

- Verifica di stabilità aste inflesse (4.2.4.1.3.2) CC 18 SLU - Classe 3
L_{cr}=0.22 Curva d: α_{imp}=0.76 k_c=0.94 ψ=2.89 M,cr=0.00 λ_{LT}=0.00
$\lambda_{LT,0}$=0.20 β_{LT}=1.00 Φ_{LT}=0.00 β_{LT}=1.00 f=0.00 χ_{LT}=1.00
CC 18 SLU My,Ed=-32.97 My,b,Rd=109.13 My,Ed/My,b,Rd=0.30

- Verifica di stabilità aste presso-inflesse (C4.2.4.1.3.3.1) - CC 16 SLU - Classe 3
Sollecitazioni: N,Ed=-16.21 Myeq,Ed=19.60 Mzeq,Ed=-0.02
Resistenze: Nc,Rd=13095.20 My,c,Rd=109.13 Mz,c,Rd=21.83 L=21.56
λ_Y=14.94 Ncr,y=464355.00 λ^*_y=0.17 Curva c: Φ_y=0.51 χ_y=1.00
λ_Z=74.69 Ncr,z=18574.20 λ^*_z=0.86 Curva c: Φ_z=1.03 χ_z=0.62
χ,min=0.62
Verifica: 0.00+0.18+0.00=0.18

- Verifica Freccia massima carichi totali - CC 21
$f_{Z,L}$=0.00 (L/13702)

- Verifica in termini tensionali [4.2.4] - CC 9 SLU Xl=0.00 - Classe 3
Sollecitazioni: N=1513.36 T_z=-267.45 M_y=-32.42
Tensioni: σ_N=302.67 σ_M=778.07 τ=0.00 σ_{max}=1080.74
Tensioni: σ_N=302.67 σ_M=0.00 τ=80.23 τ_{max}=80.23
Tensioni: σ_N=302.67 σ_M=778.07 τ=0.00 $\sigma_{ID,max}$=1080.74

- Verifica a taglio dir. Z [4.2.16] - CC 18 SLU Xl=0.12
Sollecitazioni: N=1001.53 T_z=-286.27
V,Ed=-286.27 Vc,Rd=7560.76 V,Ed/Vc,Rd=0.04

Asta n. 2182 (257 265) briglie 50x10 Crit. 1

- Verifica di stabilità aste inflesse (4.2.4.1.3.2) CC 9 SLU - Classe 3
  L_{cr}=0.22 Curva d: α_{imp}=0.76 k_c=0.94 ψ=2.95 M,cr=0.00 λ_{LT}=0.00
  $\lambda_{LT,0}$=0.20 β_{LT}=1.00 Φ_{LT}=0.00 β_{LT}=1.00 f=0.00 χ_{LT}=1.00
  CC 9 SLU My,Ed=-39.85 My,b,Rd=109.13 My,Ed/My,b,Rd=0.37

- Verifica di stabilità aste presso-inflesse (C4.2.4.1.3.3.1) - CC 16 SLU - Classe 3
  Sollecitazioni: N,Ed=-447.86 Myeq,Ed=24.53 Mzeq,Ed=0.01
  Resistenze: Nc,Rd=13095.20 My,c,Rd=109.13 Mz,c,Rd=21.83 L=21.56
  λ_Y=14.94 Ncr,y=464355.00 λ^*_y=0.17 Curva c: Φ_y=0.51 χ_y=1.00
  λ_Z=74.69 Ncr,z=18574.20 λ^*_z=0.86 Curva c: Φ_z=1.03 χ_z=0.62
  χ,min=0.62
  Verifica: 0.03+0.23+0.00=0.26

- Verifica Freccia massima carichi totali - CC 21
  $f_{Z,L}$=0.00 (L/13702)

- Verifica in termini tensionali [4.2.4] - CC 9 SLU Xl=0.00 - Classe 3
  Sollecitazioni: N=828.28 T_z=-352.27 M_y=-39.85
  Tensioni: σ_N=165.66 σ_M=956.49 τ=0.00 σ_{max}=1122.14
  Tensioni: σ_N=165.66 σ_M=0.00 τ=105.68 τ_{max}=105.68
  Tensioni: σ_N=165.66 σ_M=956.49 τ=0.00 $\sigma_{ID,max}$=1122.14

- Verifica a taglio dir. Z [4.2.16] - CC 1 SLV Xl=0.12
  Sollecitazioni: N=362.50 T_z=-104.41
  V,Ed=-104.41 Vc,Rd=7560.76 V,Ed/Vc,Rd=0.01

Asta n. 2182 (265 273) briglie 50x10 Crit. 1

- Verifica di stabilità aste inflesse (4.2.4.1.3.2) CC 5 SLV - Classe 3
  L_{cr}=0.22 Curva d: α_{imp}=0.76 k_c=0.94 ψ=2.72 M,cr=0.00 λ_{LT}=0.00
  $\lambda_{LT,0}$=0.20 β_{LT}=1.00 Φ_{LT}=0.00 β_{LT}=1.00 f=0.00 χ_{LT}=1.00
  CC 5 SLV My,Ed=17.75 My,b,Rd=109.13 My,Ed/My,b,Rd=0.16

- Verifica di stabilità aste presso-inflesse (C4.2.4.1.3.3.1) - CC 18 SLU - Classe 3
  Sollecitazioni: N,Ed=-645.85 Myeq,Ed=47.82 Mzeq,Ed=0.02
  Resistenze: Nc,Rd=13095.20 My,c,Rd=109.13 Mz,c,Rd=21.83 L=21.56
  λ_Y=14.94 Ncr,y=464353.00 λ^*_y=0.17 Curva c: Φ_y=0.51 χ_y=1.00
  λ_Z=74.69 Ncr,z=18574.10 λ^*_z=0.86 Curva c: Φ_z=1.03 χ_z=0.62
  χ,min=0.62
  Verifica: 0.05+0.44+0.00=0.49

- Verifica Freccia massima carichi totali - CC 24
  $f_{Z,L}$=0.00 (L/15073)

- Verifica in termini tensionali [4.2.4] - CC 18 SLU Xl=0.22 - Classe 3
  Sollecitazioni: N=-645.85 T_z=-416.08 M_y=47.82
  Tensioni: σ_N=-129.17 σ_M=-1147.64 τ=0.00 σ_{max}=-1276.81
  Tensioni: σ_N=-129.17 σ_M=-0.00 τ=124.83 τ_{max}=124.83
  Tensioni: σ_N=-129.17 σ_M=-1147.64 τ=0.00 $\sigma_{ID,max}$=1276.81

- Verifica a taglio dir. Z [4.2.16] - CC 1 SLV Xl=0.10
  Sollecitazioni: N=150.87 T_z=-119.00
  V,Ed=-119.00 Vc,Rd=7560.76 V,Ed/Vc,Rd=0.02

Asta n. 2182 (273 281) briglie 50x10 Crit. 1

- Verifica di stabilità aste inflesse (4.2.4.1.3.2) CC 5 SLV - Classe 3
  L_{cr}=0.22 Curva d: α_{imp}=0.76 k_c=0.94 ψ=2.52 M,cr=0.00 λ_{LT}=0.00
  $\lambda_{LT,0}$=0.20 β_{LT}=1.00 Φ_{LT}=0.00 β_{LT}=1.00 f=0.00 χ_{LT}=1.00
  CC 5 SLV My,Ed=21.61 My,b,Rd=109.13 My,Ed/My,b,Rd=0.20

- Verifica di stabilità aste presso-inflesse (C4.2.4.1.3.3.1) - CC 18 SLU - Classe 3
  Sollecitazioni: N,Ed=-1816.99 Myeq,Ed=59.43 Mzeq,Ed=-0.02
  Resistenze: Nc,Rd=13095.20 My,c,Rd=109.13 Mz,c,Rd=21.83 L=21.56
  λ_Y=14.94 Ncr,y=464353.00 λ^*_y=0.17 Curva c: Φ_y=0.51 χ_y=1.00
  λ_Z=74.69 Ncr,z=18574.10 λ^*_z=0.86 Curva c: Φ_z=1.03 χ_z=0.62
  χ,min=0.62
  Verifica: 0.22+0.55+0.00=0.77

- Verifica Freccia massima per soli carichi accidentali - CC 24
  $f_{Z,L}$=0.00 (L/13913)

- Verifica Freccia massima carichi totali - CC 21
  $f_{Z,L}$=0.00 (L/9323)

- Verifica in termini tensionali [4.2.4] - CC 18 SLU Xl=0.22 - Classe 3
  Sollecitazioni: N=-1816.99 T_z=-474.77 M_y=59.43
  Tensioni: σ_N=-363.40 σ_M=-1426.38 τ=0.00 σ_{max}=-1789.78
  Tensioni: σ_N=-363.40 σ_M=-0.00 τ=142.43 τ_{max}=142.43
  Tensioni: σ_N=-363.40 σ_M=-1426.38 τ=0.00 $\sigma_{ID,max}$=1789.78

- Verifica a taglio dir. Z [4.2.16] - CC 7 SLV Xl=0.12
  Sollecitazioni: N=374.24 T_z=-75.01
  V,Ed=-75.01 Vc,Rd=7560.76 V,Ed/Vc,Rd=0.01

Asta n. 2182 (281 2291) briglie 50x10 Crit. 1

- Verifica di stabilità aste inflesse (4.2.4.1.3.2) CC 5 SLV - Classe 3
  L_{cr}=0.22 Curva d: α_{imp}=0.76 k_c=0.94 ψ=2.08 M,cr=0.00 λ_{LT}=0.00
  $\lambda_{LT,0}$=0.20 β_{LT}=1.00 Φ_{LT}=0.00 β_{LT}=1.00 f=0.00 χ_{LT}=1.00
  CC 5 SLV My,Ed=32.57 My,b,Rd=109.13 My,Ed/My,b,Rd=0.30

- Verifica di stabilità aste presso-inflesse (C4.2.4.1.3.3.1) - CC 18 SLU - Classe 3
  Sollecitazioni: N,Ed=-3149.13 Myeq,Ed=79.53 Mzeq,Ed=-0.11
  Resistenze: Nc,Rd=13095.20 My,c,Rd=109.13 Mz,c,Rd=21.83 L=21.56
  λ_Y=14.94 Ncr,y=464357.00 λ^*_y=0.17 Curva c: Φ_y=0.51 χ_y=1.00
  λ_Z=74.69 Ncr,z=18574.30 λ^*_z=0.86 Curva c: Φ_z=1.03 χ_z=0.62
  χ,min=0.62
  Verifica: 0.39+0.73+0.01=1.12

- Verifica Freccia massima per soli carichi accidentali - CC 24
  $f_{Z,L}$=0.00 (L/5797)

- Verifica Freccia massima carichi totali - CC 21
  $f_{Z,L}$=0.01 (L/3721)

- Verifica in termini tensionali [4.2.4] - CC 18 SLU Xl=0.22 - Classe 3
  Sollecitazioni: N=-3149.13 T_z=-568.00 M_y=89.88
  Tensioni: σ_N=-629.83 σ_M=-2157.00 τ=0.00 σ_{max}=-2786.83
  Tensioni: σ_N=-629.83 σ_M=-0.00 τ=170.40 τ_{max}=170.40
  Tensioni: σ_N=-629.83 σ_M=-2157.00 τ=0.00 $\sigma_{ID,max}$=2786.83

- Verifica a taglio dir. Z [4.2.16] - CC 7 SLV Xl=0.10
  Sollecitazioni: N=153.44 T_z=-86.79
  V,Ed=-86.79 Vc,Rd=7560.76 V,Ed/Vc,Rd=0.01

Asta n. 2182 (2291 301) briglie 50x10 Crit. 1

- Verifica di stabilità aste presso-inflesse (C4.2.4.1.3.3.1) - CC 19 SLU - Classe 3
  Sollecitazioni: N,Ed=-200.10 Myeq,Ed=-1.19 Mzeq,Ed=0.42
  Resistenze: Nc,Rd=13095.20 My,c,Rd=109.13 Mz,c,Rd=21.83 L=16.67
  λ_Y=11.55 Ncr,y=777233.00 λ^*_y=0.13 Curva c: Φ_y=0.49 χ_y=1.00
  λ_Z=57.73 Ncr,z=31089.30 λ^*_z=0.67 Curva c: Φ_z=0.84 χ_z=0.75
  χ,min=0.75
  Verifica: 0.02+0.01+0.02=0.05

- Verifica in termini tensionali [4.2.4] - CC 16 SLU Xl=0.00 - Classe 3
  Sollecitazioni: N=-127.63 T_z=-14.37 M_y=-3.54 T_y=-1.17
  Tensioni: σ_N=-25.53 σ_M=-85.08 τ=0.00 σ_{max}=-110.60
  Tensioni: σ_N=-25.53 σ_M=0.00 τ=4.33 τ_{max}=4.33
  Tensioni: σ_N=-25.53 σ_M=-85.08 τ=0.35 $\sigma_{ID,max}$=110.60

Asta n. 2182 (301 309) briglie 50x10 Crit. 1

- Verifica di stabilità aste presso-inflesse (C4.2.4.1.3.3.1) - CC 9 SLU - Classe 3
  Sollecitazioni: N,Ed=-162.15 Myeq,Ed=3.67 Mzeq,Ed=-0.07
  Resistenze: Nc,Rd=13095.20 My,c,Rd=109.13 Mz,c,Rd=21.83 L=16.67
  λ_Y=11.55 Ncr,y=777229.00 λ^*_y=0.13 Curva c: Φ_y=0.49 χ_y=1.00
  λ_Z=57.74 Ncr,z=31089.10 λ^*_z=0.67 Curva c: Φ_z=0.84 χ_z=0.75
  χ,min=0.75
  Verifica: 0.01+0.03+0.00=0.05

- Verifica in termini tensionali [4.2.4] - CC 9 SLU Xl=0.00 - Classe 3
  Sollecitazioni: N=-162.15 T_z=39.58 M_y=3.67
  Tensioni: σ_N=-32.43 σ_M=-88.10 τ=0.00 σ_{max}=-120.53
  Tensioni: σ_N=-32.43 σ_M=-0.00 τ=11.87 τ_{max}=11.87
  Tensioni: σ_N=-32.43 σ_M=-88.10 τ=0.00 $\sigma_{ID,max}$=120.53

Asta n. 2182 (309 2317) briglie 50x10 Crit. 1

- Verifica di stabilità aste presso-inflesse (C4.2.4.1.3.3.1) - CC 9 SLU - Classe 3
  Sollecitazioni: N,Ed=-60.84 Myeq,Ed=-2.43 Mzeq,Ed=-0.07
  Resistenze: Nc,Rd=13095.20 My,c,Rd=109.13 Mz,c,Rd=21.83 L=16.67
  λ_Y=11.55 Ncr,y=777233.00 λ^*_y=0.13 Curva c: Φ_y=0.49 χ_y=1.00
  λ_Z=57.73 Ncr,z=31089.30 λ^*_z=0.67 Curva c: Φ_z=0.84 χ_z=0.75
  χ,min=0.75
  Verifica: 0.00+0.02+0.00=0.03

- Verifica in termini tensionali [4.2.4] - CC 9 SLU Xl=0.17 - Classe 3
  Sollecitazioni: N=-60.84 T_z=25.43 M_y=-2.43
  Tensioni: σ_N=-12.17 σ_M=-58.41 τ=0.00 σ_{max}=-70.58
  Tensioni: σ_N=-12.17 σ_M=0.00 τ=7.63 τ_{max}=7.63
  Tensioni: σ_N=-12.17 σ_M=-58.41 τ=0.00 $\sigma_{ID,max}$=70.58

Asta n. 2183 (-518 22) collegamenti 50x10 Crit. 1

- Verifica di stabilità aste presso-inflesse (C4.2.4.1.3.3.1) - CC 19 SLU - Classe 3
  Sollecitazioni: N,Ed=-221.45 Myeq,Ed=0.87 Mzeq,Ed=-0.15
  Resistenze: Nc,Rd=13095.20 My,c,Rd=109.13 Mz,c,Rd=21.83 L=19.08
  λ_Y=13.22 Ncr,y=592851.00 λ^*_y=0.15 Curva c: Φ_y=0.50 χ_y=1.00
  λ_Z=66.11 Ncr,z=23714.00 λ^*_z=0.76 Curva c: Φ_z=0.93 χ_z=0.69
  χ,min=0.69
  Verifica: 0.02+0.01+0.01=0.03

- Verifica a compressione [4.2.9] - CC 19 SLU Xl=0.19 - Classe 3
  Sollecitazioni: N=-221.45 T_z=1.89
  N,Ed=-221.45 Nc,Rd=-13095.20 N,Ed/Nc,Rd=0.02

Asta n. 2220 (2007 15) briglie 50x10 Crit. 1

- Verifica di stabilità aste inflesse (4.2.4.1.3.2) CC 17 SLU - Classe 3
  L_{cr}=0.17 Curva d: α_{imp}=0.76 k_c=0.94 ψ=3.00 M,cr=0.00 λ_{LT}=0.00
  $\lambda_{LT,0}$=0.20 β_{LT}=1.00 Φ_{LT}=0.00 β_{LT}=1.00 f=0.00 χ_{LT}=1.00
  CC 17 SLU My,Ed=-0.78 My,b,Rd=109.13 My,Ed/My,b,Rd=0.01

- Verifica di stabilità aste presso-inflesse (C4.2.4.1.3.3.1) - CC 18 SLU - Classe 3
  Sollecitazioni: N,Ed=-29.64 Myeq,Ed=-1.30 Mzeq,Ed=-0.13
  Resistenze: Nc,Rd=13095.20 My,c,Rd=109.13 Mz,c,Rd=21.83 L=16.67
  λ_Y=11.55 Ncr,y=777231.00 λ^*_y=0.13 Curva c: Φ_y=0.49 χ_y=1.00
  λ_Z=57.73 Ncr,z=31089.20 λ^*_z=0.67 Curva c: Φ_z=0.84 χ_z=0.75
  χ,min=0.75
  Verifica: 0.00+0.01+0.01=0.02

- Verifica in termini tensionali [4.2.4] - CC 18 SLU Xl=0.00 - Classe 3
  Sollecitazioni: N=-29.64 T_z=-12.11 M_y=-1.30 T_y=1.39
  Tensioni: σ_N=-5.93 σ_M=-31.24 τ=0.00 σ_{max}=-37.17
  Tensioni: σ_N=-5.93 σ_M=0.00 τ=3.66 τ_{max}=3.66
  Tensioni: σ_N=-5.93 σ_M=-31.24 τ=0.42 $\sigma_{ID,max}$=37.18

- Verifica a taglio dir. Y [4.2.16] - CC 17 SLU Xl=0.00
  Sollecitazioni: N=15.22 T_z=9.53 T_y=1.95
  V,Ed=1.95 Vc,Rd=7560.76 V,Ed/Vc,Rd=0.00

- Verifica a taglio dir. Z [4.2.16]
  V,Ed=9.53 Vc,Rd=7560.76 V,Ed/Vc,Rd=0.00

Asta n. 2220 (15 23) briglie 50x10 Crit. 1

- Verifica di stabilità aste inflesse (4.2.4.1.3.2) CC 17 SLU - Classe 3
  L_{cr}=0.17 Curva d: α_{imp}=0.76 k_c=0.94 ψ=1.50 M,cr=0.00 λ_{LT}=0.00
  $\lambda_{LT,0}$=0.20 β_{LT}=1.00 Φ_{LT}=0.00 β_{LT}=1.00 f=0.00 χ_{LT}=1.00
  CC 17 SLU My,Ed=-0.32 My,b,Rd=109.13 My,Ed/My,b,Rd=0.00

- Verifica di stabilità aste presso-inflesse (C4.2.4.1.3.3.1) - CC 18 SLU - Classe 3
  Sollecitazioni: N,Ed=-94.70 Myeq,Ed=2.35 Mzeq,Ed=0.07
  Resistenze: Nc,Rd=13095.20 My,c,Rd=109.13 Mz,c,Rd=21.83 L=16.67
  λ_Y=11.55 Ncr,y=777232.00 λ^*_y=0.13 Curva c: Φ_y=0.49 χ_y=1.00
  λ_Z=57.73 Ncr,z=31089.30 λ^*_z=0.67 Curva c: Φ_z=0.84 χ_z=0.75
  χ,min=0.75
  Verifica: 0.01+0.02+0.00=0.03

- Verifica in termini tensionali [4.2.4] - CC 18 SLU Xl=0.17 - Classe 3
  Sollecitazioni: N=-94.70 T_z=-27.95 M_y=2.35
  Tensioni: σ_N=-18.94 σ_M=-56.39 τ=0.00 σ_{max}=-75.33
  Tensioni: σ_N=-18.94 σ_M=-0.00 τ=8.39 τ_{max}=8.39
  Tensioni: σ_N=-18.94 σ_M=-56.39 τ=0.00 $\sigma_{ID,max}$=75.33

- Verifica a taglio dir. Y [4.2.16] - CC 17 SLU Xl=0.00
  Sollecitazioni: N=28.92 T_z=1.85 T_y=2.18
  V,Ed=2.18 Vc,Rd=7560.76 V,Ed/Vc,Rd=0.00

- Verifica a taglio dir. Z [4.2.16]
  V,Ed=1.85 Vc,Rd=7560.76 V,Ed/Vc,Rd=0.00

Asta n. 2220 (23 2034) briglie 50x10 Crit. 1

- Verifica di stabilità aste inflesse (4.2.4.1.3.2) CC 17 SLU - Classe 3
  L_{cr}=0.17 Curva d: α_{imp}=0.76 k_c=0.94 ψ=1.65 M,cr=0.00 λ_{LT}=0.00
  $\lambda_{LT,0}$=0.20 β_{LT}=1.00 Φ_{LT}=0.00 β_{LT}=1.00 f=0.00 χ_{LT}=1.00
  CC 17 SLU My,Ed=-1.76 My,b,Rd=109.13 My,Ed/My,b,Rd=0.02

- Verifica di stabilità aste presso-inflesse (C4.2.4.1.3.3.1) - CC 18 SLU - Classe 3
  Sollecitazioni: N,Ed=-170.00 Myeq,Ed=3.38 Mzeq,Ed=0.20
  Resistenze: Nc,Rd=13095.20 My,c,Rd=109.13 Mz,c,Rd=21.83 L=16.67
  λ_Y=11.55 Ncr,y=777232.00 λ^*_y=0.13 Curva c: Φ_y=0.49 χ_y=1.00
  λ_Z=57.73 Ncr,z=31089.30 λ^*_z=0.67 Curva c: Φ_z=0.84 χ_z=0.75
  χ,min=0.75
  Verifica: 0.01+0.03+0.01=0.05

- Verifica in termini tensionali [4.2.4] - CC 16 SLU Xl=0.17 - Classe 3
  Sollecitazioni: N=-141.85 T_z=-36.02 M_y=4.96
  Tensioni: σ_N=-28.37 σ_M=-118.93 τ=0.00 σ_{max}=-147.30
  Tensioni: σ_N=-28.37 σ_M=-0.00 τ=10.81 τ_{max}=10.81
  Tensioni: σ_N=-28.37 σ_M=-118.93 τ=0.00 $\sigma_{ID,max}$=147.30

- Verifica a taglio dir. Y [4.2.16] - CC 17 SLU Xl=0.00
  Sollecitazioni: N=25.47 T_z=9.94 T_y=4.89
  V,Ed=4.89 Vc,Rd=7560.76 V,Ed/Vc,Rd=0.00

- Verifica a taglio dir. Z [4.2.16]
  V,Ed=9.94 Vc,Rd=7560.76 V,Ed/Vc,Rd=0.00

Asta n. 2220 (2034 43) briglie 50x10 Crit. 1

- Verifica di stabilità aste inflesse (4.2.4.1.3.2) CC 5 SLV - Classe 3
  L_{cr}=0.22 Curva d: α_{imp}=0.76 k_c=0.94 ψ=2.04 M,cr=0.00 λ_{LT}=0.00
  $\lambda_{LT,0}$=0.20 β_{LT}=1.00 Φ_{LT}=0.00 β_{LT}=1.00 f=0.00 χ_{LT}=1.00
  CC 5 SLV My,Ed=23.57 My,b,Rd=109.13 My,Ed/My,b,Rd=0.22

- Verifica di stabilità aste presso-inflesse (C4.2.4.1.3.3.1) - CC 9 SLU - Classe 3
  Sollecitazioni: N,Ed=-1405.51 Myeq,Ed=45.13 Mzeq,Ed=-0.23
  Resistenze: Nc,Rd=13095.20 My,c,Rd=109.13 Mz,c,Rd=21.83 L=21.56
  λ_Y=14.94 Ncr,y=464354.00 λ^*_y=0.17 Curva c: Φ_y=0.51 χ_y=1.00
  λ_Z=74.69 Ncr,z=18574.20 λ^*_z=0.86 Curva c: Φ_z=1.03 χ_z=0.62
  χ,min=0.62
  Verifica: 0.17+0.41+0.01=0.60

- Verifica Freccia massima per soli carichi accidentali - CC 11
  $f_{Z,L}$=0.00 (L/10277)

- Verifica Freccia massima carichi totali - CC 21
  $f_{Z,L}$=0.00 (L/5872)

- Verifica in termini tensionali [4.2.4] - CC 9 SLU Xl=0.00 - Classe 3
  Sollecitazioni: N=-1405.51 T_z=322.53 M_y=49.16 T_y=1.51
  Tensioni: σ_N=-281.10 σ_M=-1179.79 τ=0.00 σ_{max}=-1460.89
  Tensioni: σ_N=-281.10 σ_M=-0.00 τ=96.76 τ_{max}=96.76
  Tensioni: σ_N=-281.10 σ_M=-1179.79 τ=0.40 $\sigma_{ID,max}$=1460.89

- Verifica a taglio dir. Z [4.2.16] - CC 7 SLV Xl=0.06
  Sollecitazioni: N=433.27 T_z=30.44
  V,Ed=30.44 Vc,Rd=7560.76 V,Ed/Vc,Rd=0.00

Asta n. 2220 (43 51) briglie 50x10 Crit. 1

- Verifica di stabilità aste inflesse (4.2.4.1.3.2) CC 16 SLU - Classe 3
  L_{cr}=0.22 Curva d: α_{imp}=0.76 k_c=0.94 ψ=3.02 M,cr=0.00 λ_{LT}=0.00
  $\lambda_{LT,0}$=0.20 β_{LT}=1.00 Φ_{LT}=0.00 β_{LT}=1.00 f=0.00 χ_{LT}=1.00
  CC 16 SLU My,Ed=-18.73 My,b,Rd=109.13 My,Ed/My,b,Rd=0.17

- Verifica di stabilità aste presso-inflesse (C4.2.4.1.3.3.1) - CC 9 SLU - Classe 3
  Sollecitazioni: N,Ed=-655.55 Myeq,Ed=31.47 Mzeq,Ed=-0.12
  Resistenze: Nc,Rd=13095.20 My,c,Rd=109.13 Mz,c,Rd=21.83 L=21.56
  λ_Y=14.94 Ncr,y=464354.00 λ^*_y=0.17 Curva c: Φ_y=0.51 χ_y=1.00
  λ_Z=74.69 Ncr,z=18574.20 λ^*_z=0.86 Curva c: Φ_z=1.03 χ_z=0.62
  χ,min=0.62
  Verifica: 0.05+0.29+0.01=0.34

- Verifica Freccia massima carichi totali - CC 21
  $f_{Z,L}$=0.00 (L/14587)

- Verifica in termini tensionali [4.2.4] - CC 9 SLU Xl=0.00 - Classe 3
  Sollecitazioni: N=-655.55 T_z=261.84 M_y=31.47
  Tensioni: σ_N=-131.11 σ_M=-755.23 τ=0.00 σ_{max}=-886.34
  Tensioni: σ_N=-131.11 σ_M=-0.00 τ=78.55 τ_{max}=78.55
  Tensioni: σ_N=-131.11 σ_M=-755.23 τ=0.00 $\sigma_{ID,max}$=886.34

- Verifica a taglio dir. Z [4.2.16] - CC 1 SLV Xl=0.12
  Sollecitazioni: N=30.67 T_z=84.96
  V,Ed=84.96 Vc,Rd=7560.76 V,Ed/Vc,Rd=0.01

Asta n. 2220 (51 59) briglie 50x10 Crit. 1

- Verifica di stabilità aste inflesse (4.2.4.1.3.2) CC 18 SLU - Classe 3
  L_{cr}=0.22 Curva d: α_{imp}=0.76 k_c=0.94 ψ=2.97 M,cr=0.00 λ_{LT}=0.00
  $\lambda_{LT,0}$=0.20 β_{LT}=1.00 Φ_{LT}=0.00 β_{LT}=1.00 f=0.00 χ_{LT}=1.00
  CC 18 SLU My,Ed=-24.93 My,b,Rd=109.13 My,Ed/My,b,Rd=0.23

- Verifica di stabilità aste presso-inflesse (C4.2.4.1.3.3.1) - CC 9 SLU - Classe 3
  Sollecitazioni: N,Ed=-24.16 Myeq,Ed=24.02 Mzeq,Ed=-0.10
  Resistenze: Nc,Rd=13095.20 My,c,Rd=109.13 Mz,c,Rd=21.83 L=21.56
  λ_Y=14.94 Ncr,y=464354.00 λ^*_y=0.17 Curva c: Φ_y=0.51 χ_y=1.00
  λ_Z=74.69 Ncr,z=18574.20 λ^*_z=0.86 Curva c: Φ_z=1.03 χ_z=0.62
  χ,min=0.62
  Verifica: 0.00+0.22+0.00=0.23

- Verifica in termini tensionali [4.2.4] - CC 18 SLU Xl=0.22 - Classe 3
  Sollecitazioni: N=468.59 T_z=221.78 M_y=-24.93 T_y=1.06
  Tensioni: σ_N=93.72 σ_M=598.34 τ=0.00 σ_{max}=692.06
  Tensioni: σ_N=93.72 σ_M=0.00 τ=66.53 τ_{max}=66.53
  Tensioni: σ_N=93.72 σ_M=598.34 τ=0.28 $\sigma_{ID,max}$=692.06

- Verifica a taglio dir. Z [4.2.16] - CC 20 SLU Xl=0.10
  Sollecitazioni: N=470.22 T_z=176.07
  V,Ed=176.07 Vc,Rd=7560.76 V,Ed/Vc,Rd=0.02

Asta n. 2220 (59 67) briglie 50x10 Crit. 1

- Verifica di stabilità aste inflesse (4.2.4.1.3.2) CC 18 SLU - Classe 3
  L_{cr}=0.22 Curva d: α_{imp}=0.76 k_c=0.94 ψ=2.78 M,cr=0.00 λ_{LT}=0.00
  $\lambda_{LT,0}$=0.20 β_{LT}=1.00 Φ_{LT}=0.00 β_{LT}=1.00 f=0.00 χ_{LT}=1.00

CC 18 SLU My,Ed=-21.10 My,b,Rd=109.13 My,Ed/My,b,Rd=0.19

- Verifica di stabilità aste presso-inflesse (C4.2.4.1.3.3.1) - CC 5 SLV - Classe 3
Sollecitazioni: N,Ed=-388.35 Myeq,Ed=10.43 Mzeq,Ed=0.06
Resistenze: Nc,Rd=13095.20 My,c,Rd=109.13 Mz,c,Rd=21.83 L=21.56
λ_Y=14.94 Ncr,y=464355.00 λ^*_y=0.17 Curva c: Φ_y=0.51 χ_y=1.00
λ_Z=74.69 Ncr,z=18574.20 λ^*_z=0.86 Curva c: Φ_z=1.03 χ_z=0.62
χ,min=0.62
Verifica: 0.03+0.10+0.00=0.13

- Verifica in termini tensionali [4.2.4] - CC 18 SLU Xl=0.22 - Classe 3
Sollecitazioni: N=952.48 T_z=175.59 M_y=-21.10
Tensioni: σ_N=190.50 σ_M=506.30 τ=0.00 σ_{max}=696.80
Tensioni: σ_N=190.50 σ_M=0.00 τ=52.68 τ_{max}=52.68
Tensioni: σ_N=190.50 σ_M=506.30 τ=0.00 $\sigma_{ID,max}$=696.80

- Verifica a taglio dir. Z [4.2.16] - CC 9 SLU Xl=0.10
Sollecitazioni: N=456.99 T_z=179.33
V,Ed=179.33 Vc,Rd=7560.76 V,Ed/Vc,Rd=0.02

Asta n. 2220 (67 75) briglie 50x10 Crit. 1

- Verifica di stabilità aste inflesse (4.2.4.1.3.2) CC 18 SLU - Classe 3
L_{cr}=0.22 Curva d: α_{imp}=0.76 k_c=0.94 ψ=2.63 M,cr=0.00 λ_{LT}=0.00
$\lambda_{LT,0}$=0.20 β_{LT}=1.00 Φ_{LT}=0.00 β_{LT}=1.00 f=0.00 χ_{LT}=1.00
CC 18 SLU My,Ed=-19.33 My,b,Rd=109.13 My,Ed/My,b,Rd=0.18

- Verifica di stabilità aste presso-inflesse (C4.2.4.1.3.3.1) - CC 5 SLV - Classe 3
Sollecitazioni: N,Ed=-214.44 Myeq,Ed=8.28 Mzeq,Ed=-0.04
Resistenze: Nc,Rd=13095.20 My,c,Rd=109.13 Mz,c,Rd=21.83 L=21.56
λ_Y=14.94 Ncr,y=464355.00 λ^*_y=0.17 Curva c: Φ_y=0.51 χ_y=1.00
λ_Z=74.69 Ncr,z=18574.20 λ^*_z=0.86 Curva c: Φ_z=1.03 χ_z=0.62
χ,min=0.62
Verifica: 0.02+0.08+0.00=0.09

- Verifica in termini tensionali [4.2.4] - CC 18 SLU Xl=0.22 - Classe 3
Sollecitazioni: N=1315.66 T_z=151.88 M_y=-19.33
Tensioni: σ_N=263.13 σ_M=463.95 τ=0.00 σ_{max}=727.08
Tensioni: σ_N=263.13 σ_M=0.00 τ=45.56 τ_{max}=45.56
Tensioni: σ_N=263.13 σ_M=463.95 τ=0.00 $\sigma_{ID,max}$=727.08

- Verifica a taglio dir. Z [4.2.16] - CC 19 SLU Xl=0.10
Sollecitazioni: N=800.25 T_z=156.62
V,Ed=156.62 Vc,Rd=7560.76 V,Ed/Vc,Rd=0.02

Asta n. 2220 (75 83) briglie 50x10 Crit. 1

- Verifica di stabilità aste inflesse (4.2.4.1.3.2) CC 18 SLU - Classe 3
L_{cr}=0.22 Curva d: α_{imp}=0.76 k_c=0.94 ψ=2.41 M,cr=0.00 λ_{LT}=0.00
$\lambda_{LT,0}$=0.20 β_{LT}=1.00 Φ_{LT}=0.00 β_{LT}=1.00 f=0.00 χ_{LT}=1.00
CC 18 SLU My,Ed=-16.12 My,b,Rd=109.13 My,Ed/My,b,Rd=0.15

- Verifica di stabilità aste presso-inflesse (C4.2.4.1.3.3.1) - CC 5 SLV - Classe 3
Sollecitazioni: N,Ed=-76.67 Myeq,Ed=7.03 Mzeq,Ed=-0.03
Resistenze: Nc,Rd=13095.20 My,c,Rd=109.13 Mz,c,Rd=21.83 L=21.56
λ_Y=14.94 Ncr,y=464354.00 λ^*_y=0.17 Curva c: Φ_y=0.51 χ_y=1.00
λ_Z=74.69 Ncr,z=18574.20 λ^*_z=0.86 Curva c: Φ_z=1.03 χ_z=0.62
χ,min=0.62
Verifica: 0.01+0.06+0.00=0.07

- Verifica in termini tensionali [4.2.4] - CC 18 SLU Xl=0.22 - Classe 3
  Sollecitazioni: N=1585.98 T_z=115.07 M_y=-16.12
  Tensioni: σ_N=317.20 σ_M=386.89 τ=0.00 σ_{max}=704.09
  Tensioni: σ_N=317.20 σ_M=0.00 τ=34.52 τ_{max}=34.52
  Tensioni: σ_N=317.20 σ_M=386.89 τ=0.00 $\sigma_{ID,max}$=704.09

- Verifica a taglio dir. Z [4.2.16] - CC 18 SLU Xl=0.08
  Sollecitazioni: N=1585.98 T_z=115.77
  V,Ed=115.77 Vc,Rd=7560.76 V,Ed/Vc,Rd=0.02

Asta n. 2220 (83 91) briglie 50x10 Crit. 1

- Verifica in termini tensionali [4.2.4] - CC 18 SLU Xl=0.22 - Classe 3
  Sollecitazioni: N=1771.15 T_z=80.62 M_y=-12.68
  Tensioni: σ_N=354.23 σ_M=304.22 τ=0.00 σ_{max}=658.45
  Tensioni: σ_N=354.23 σ_M=0.00 τ=24.19 τ_{max}=24.19
  Tensioni: σ_N=354.23 σ_M=304.22 τ=0.00 $\sigma_{ID,max}$=658.45

- Verifica a taglio dir. Z [4.2.16] - CC 19 SLU Xl=0.08
  Sollecitazioni: N=1295.88 T_z=97.99
  V,Ed=97.99 Vc,Rd=7560.76 V,Ed/Vc,Rd=0.01

Asta n. 2220 (91 99) briglie 50x10 Crit. 1

- Verifica in termini tensionali [4.2.4] - CC 18 SLU Xl=0.22 - Classe 3
  Sollecitazioni: N=1889.72 T_z=49.95 M_y=-9.05
  Tensioni: σ_N=377.94 σ_M=217.30 τ=0.00 σ_{max}=595.25
  Tensioni: σ_N=377.94 σ_M=0.00 τ=14.98 τ_{max}=14.98
  Tensioni: σ_N=377.94 σ_M=217.30 τ=0.00 $\sigma_{ID,max}$=595.25

- Verifica a taglio dir. Z [4.2.16] - CC 19 SLU Xl=0.06
  Sollecitazioni: N=1447.12 T_z=73.00
  V,Ed=73.00 Vc,Rd=7560.76 V,Ed/Vc,Rd=0.01

Asta n. 2220 (99 107) briglie 50x10 Crit. 1

- Verifica in termini tensionali [4.2.4] - CC 18 SLU Xl=0.22 - Classe 3
  Sollecitazioni: N=1971.17 T_z=47.40 M_y=-8.70
  Tensioni: σ_N=394.23 σ_M=208.80 τ=0.00 σ_{max}=603.03
  Tensioni: σ_N=394.23 σ_M=0.00 τ=14.22 τ_{max}=14.22
  Tensioni: σ_N=394.23 σ_M=208.80 τ=0.00 $\sigma_{ID,max}$=603.03

- Verifica a taglio dir. Z [4.2.16] - CC 9 SLU Xl=0.06
  Sollecitazioni: N=1578.47 T_z=65.29
  V,Ed=65.29 Vc,Rd=7560.76 V,Ed/Vc,Rd=0.01

Asta n. 2220 (107 115) briglie 50x10 Crit. 1

- Verifica in termini tensionali [4.2.4] - CC 18 SLU Xl=0.22 - Classe 3
  Sollecitazioni: N=2019.79 T_z=19.42 M_y=-6.18
  Tensioni: σ_N=403.96 σ_M=148.22 τ=0.00 σ_{max}=552.17
  Tensioni: σ_N=403.96 σ_M=0.00 τ=5.83 τ_{max}=5.83
  Tensioni: σ_N=403.96 σ_M=148.22 τ=0.00 $\sigma_{ID,max}$=552.17

- Verifica a taglio dir. Z [4.2.16] - CC 9 SLU Xl=0.02
  Sollecitazioni: N=1658.91 T_z=43.13
  V,Ed=43.13 Vc,Rd=7560.76 V,Ed/Vc,Rd=0.01

Asta n. 2220 (115 123) briglie 50x10 Crit. 1

- Verifica in termini tensionali [4.2.4] - CC 18 SLU Xl=0.00 - Classe 3
  Sollecitazioni: N=2028.07 T_z=-7.01 M_y=-4.86
  Tensioni: σ_N=405.61 σ_M=116.63 τ=0.00 σ_{max}=522.25
  Tensioni: σ_N=405.61 σ_M=0.00 τ=2.10 τ_{max}=2.10
  Tensioni: σ_N=405.61 σ_M=116.63 τ=0.00 $\sigma_{ID,max}$=522.25

- Verifica a taglio dir. Z [4.2.16] - CC 16 SLU Xl=0.22
  Sollecitazioni: N=1506.78 T_z=-34.78
  V,Ed=-34.78 Vc,Rd=7560.76 V,Ed/Vc,Rd=0.00

Asta n. 2220 (123 131) briglie 50x10 Crit. 1

- Verifica in termini tensionali [4.2.4] - CC 18 SLU Xl=0.00 - Classe 3
  Sollecitazioni: N=2002.38 T_z=-32.16 M_y=-7.14
  Tensioni: σ_N=400.48 σ_M=171.35 τ=0.00 σ_{max}=571.83
  Tensioni: σ_N=400.48 σ_M=0.00 τ=9.65 τ_{max}=9.65
  Tensioni: σ_N=400.48 σ_M=171.35 τ=0.00 $\sigma_{ID,max}$=571.83

- Verifica a taglio dir. Z [4.2.16] - CC 16 SLU Xl=0.18
  Sollecitazioni: N=1448.34 T_z=-53.38
  V,Ed=-53.38 Vc,Rd=7560.76 V,Ed/Vc,Rd=0.01

Asta n. 2220 (131 139) briglie 50x10 Crit. 1

- Verifica in termini tensionali [4.2.4] - CC 18 SLU Xl=0.00 - Classe 3
  Sollecitazioni: N=1957.24 T_z=-35.89 M_y=-7.45
  Tensioni: σ_N=391.45 σ_M=178.85 τ=0.00 σ_{max}=570.30
  Tensioni: σ_N=391.45 σ_M=0.00 τ=10.77 τ_{max}=10.77
  Tensioni: σ_N=391.45 σ_M=178.85 τ=0.00 $\sigma_{ID,max}$=570.30

- Verifica a taglio dir. Z [4.2.16] - CC 16 SLU Xl=0.16
  Sollecitazioni: N=1376.93 T_z=-56.94
  V,Ed=-56.94 Vc,Rd=7560.76 V,Ed/Vc,Rd=0.01

Asta n. 2220 (139 147) briglie 50x10 Crit. 1

- Verifica in termini tensionali [4.2.4] - CC 18 SLU Xl=0.00 - Classe 3
  Sollecitazioni: N=1895.54 T_z=-59.43 M_y=-10.25
  Tensioni: σ_N=379.11 σ_M=246.01 τ=0.00 σ_{max}=625.12
  Tensioni: σ_N=379.11 σ_M=0.00 τ=17.83 τ_{max}=17.83
  Tensioni: σ_N=379.11 σ_M=246.01 τ=0.00 $\sigma_{ID,max}$=625.12

- Verifica a taglio dir. Z [4.2.16] - CC 16 SLU Xl=0.16
  Sollecitazioni: N=1294.33 T_z=-74.80
  V,Ed=-74.80 Vc,Rd=7560.76 V,Ed/Vc,Rd=0.01

Asta n. 2220 (147 155) briglie 50x10 Crit. 1

- Verifica in termini tensionali [4.2.4] - CC 18 SLU Xl=0.00 - Classe 3
  Sollecitazioni: N=1813.51 T_z=-85.00 M_y=-12.23
  Tensioni: σ_N=362.70 σ_M=293.60 τ=0.00 σ_{max}=656.30
  Tensioni: σ_N=362.70 σ_M=0.00 τ=25.50 τ_{max}=25.50
  Tensioni: σ_N=362.70 σ_M=293.60 τ=0.00 $\sigma_{ID,max}$=656.30

- Verifica a taglio dir. Z [4.2.16] - CC 16 SLU Xl=0.14
  Sollecitazioni: N=1197.70 T_z=-93.73
  V,Ed=-93.73 Vc,Rd=7560.76 V,Ed/Vc,Rd=0.01

Asta n. 2220 (155 163) briglie 50x10 Crit. 1

- Verifica in termini tensionali [4.2.4] - CC 18 SLU Xl=0.22 - Classe 3
  Sollecitazioni: N=1723.93 T_z=-103.44 M_y=11.43
  Tensioni: σ_N=344.79 σ_M=274.33 τ=0.00 σ_{max}=619.12
  Tensioni: σ_N=344.79 σ_M=-0.00 τ=31.03 τ_{max}=31.03
  Tensioni: σ_N=344.79 σ_M=274.33 τ=0.00 $\sigma_{ID,max}$=619.12

- Verifica a taglio dir. Z [4.2.16] - CC 16 SLU Xl=0.12
  Sollecitazioni: N=1095.41 T_z=-107.92
  V,Ed=-107.92 Vc,Rd=7560.76 V,Ed/Vc,Rd=0.01

Asta n. 2220 (163 171) briglie 50x10 Crit. 1

- Verifica in termini tensionali [4.2.4] - CC 9 SLU Xl=0.00 - Classe 3
  Sollecitazioni: N=1618.24 T_z=57.01 M_y=6.70
  Tensioni: σ_N=323.65 σ_M=160.82 τ=0.00 σ_{max}=484.47
  Tensioni: σ_N=323.65 σ_M=-0.00 τ=17.10 τ_{max}=17.10
  Tensioni: σ_N=323.65 σ_M=160.82 τ=0.00 $\sigma_{ID,max}$=484.47

- Verifica a taglio dir. Z [4.2.16] - CC 19 SLU Xl=0.12
  Sollecitazioni: N=1597.95 T_z=56.93
  V,Ed=56.93 Vc,Rd=7560.76 V,Ed/Vc,Rd=0.01

Asta n. 2220 (171 179) briglie 50x10 Crit. 1

- Verifica in termini tensionali [4.2.4] - CC 9 SLU Xl=0.22 - Classe 3
  Sollecitazioni: N=1660.44 T_z=43.69 M_y=-7.10
  Tensioni: σ_N=332.09 σ_M=170.40 τ=0.00 σ_{max}=502.49
  Tensioni: σ_N=332.09 σ_M=0.00 τ=13.11 τ_{max}=13.11
  Tensioni: σ_N=332.09 σ_M=170.40 τ=0.00 $\sigma_{ID,max}$=502.49

- Verifica a taglio dir. Z [4.2.16] - CC 19 SLU Xl=0.04
  Sollecitazioni: N=1640.66 T_z=45.18
  V,Ed=45.18 Vc,Rd=7560.76 V,Ed/Vc,Rd=0.01

Asta n. 2220 (179 187) briglie 50x10 Crit. 1

- Verifica in termini tensionali [4.2.4] - CC 9 SLU Xl=0.22 - Classe 3
  Sollecitazioni: N=1697.24 T_z=23.59 M_y=-5.64
  Tensioni: σ_N=339.45 σ_M=135.31 τ=0.00 σ_{max}=474.76
  Tensioni: σ_N=339.45 σ_M=0.00 τ=7.08 τ_{max}=7.08
  Tensioni: σ_N=339.45 σ_M=135.31 τ=0.00 $\sigma_{ID,max}$=474.76

- Verifica a taglio dir. Z [4.2.16] - CC 16 SLU Xl=0.14
  Sollecitazioni: N=926.73 T_z=-41.29
  V,Ed=-41.29 Vc,Rd=7560.76 V,Ed/Vc,Rd=0.01

Asta n. 2220 (187 195) briglie 50x10 Crit. 1

- Verifica in termini tensionali [4.2.4] - CC 18 SLU Xl=0.00 - Classe 3
  Sollecitazioni: N=1654.47 T_z=-24.18 M_y=-5.22
  Tensioni: σ_N=330.89 σ_M=125.26 τ=0.00 σ_{max}=456.15
  Tensioni: σ_N=330.89 σ_M=0.00 τ=7.25 τ_{max}=7.25
  Tensioni: σ_N=330.89 σ_M=125.26 τ=0.00 $\sigma_{ID,max}$=456.15

- Verifica a taglio dir. Z [4.2.16] - CC 16 SLU Xl=0.14
  Sollecitazioni: N=872.35 T_z=-45.39

V,Ed=-45.39 Vc,Rd=7560.76 V,Ed/Vc,Rd=0.01

Asta n. 2220 (195 203) briglie 50x10 Crit. 1

- Verifica in termini tensionali [4.2.4] - CC 18 SLU Xl=0.00 - Classe 3
Sollecitazioni: N=1616.52 T_z=-33.62 M_y=-6.22
Tensioni: σ_N=323.31 σ_M=149.35 τ=0.00 σ_{max}=472.65
Tensioni: σ_N=323.31 σ_M=0.00 τ=10.09 τ_{max}=10.09
Tensioni: σ_N=323.31 σ_M=149.35 τ=0.00 $\sigma_{ID,max}$=472.65

- Verifica a taglio dir. Z [4.2.16] - CC 16 SLU Xl=0.14
Sollecitazioni: N=805.30 T_z=-58.57
V,Ed=-58.57 Vc,Rd=7560.76 V,Ed/Vc,Rd=0.01

Asta n. 2220 (203 211) briglie 50x10 Crit. 1

- Verifica in termini tensionali [4.2.4] - CC 18 SLU Xl=0.00 - Classe 3
Sollecitazioni: N=1557.59 T_z=-50.77 M_y=-8.14
Tensioni: σ_N=311.52 σ_M=195.34 τ=0.00 σ_{max}=506.86
Tensioni: σ_N=311.52 σ_M=0.00 τ=15.23 τ_{max}=15.23
Tensioni: σ_N=311.52 σ_M=195.34 τ=0.00 $\sigma_{ID,max}$=506.86

- Verifica a taglio dir. Z [4.2.16] - CC 16 SLU Xl=0.12
Sollecitazioni: N=722.72 T_z=-63.95
V,Ed=-63.95 Vc,Rd=7560.76 V,Ed/Vc,Rd=0.01

Asta n. 2220 (211 219) briglie 50x10 Crit. 1

- Verifica in termini tensionali [4.2.4] - CC 18 SLU Xl=0.00 - Classe 3
Sollecitazioni: N=1470.34 T_z=-69.30 M_y=-10.01
Tensioni: σ_N=294.07 σ_M=240.34 τ=0.00 σ_{max}=534.40
Tensioni: σ_N=294.07 σ_M=0.00 τ=20.79 τ_{max}=20.79
Tensioni: σ_N=294.07 σ_M=240.34 τ=0.00 $\sigma_{ID,max}$=534.40

- Verifica a taglio dir. Z [4.2.16] - CC 18 SLU Xl=0.16
Sollecitazioni: N=1470.34 T_z=-70.10
V,Ed=-70.10 Vc,Rd=7560.76 V,Ed/Vc,Rd=0.01

Asta n. 2220 (219 227) briglie 50x10 Crit. 1

- Verifica in termini tensionali [4.2.4] - CC 18 SLU Xl=0.00 - Classe 3
Sollecitazioni: N=1349.57 T_z=-88.68 M_y=-11.77
Tensioni: σ_N=269.91 σ_M=282.58 τ=0.00 σ_{max}=552.50
Tensioni: σ_N=269.91 σ_M=0.00 τ=26.60 τ_{max}=26.60
Tensioni: σ_N=269.91 σ_M=282.58 τ=0.00 $\sigma_{ID,max}$=552.50

- Verifica a taglio dir. Z [4.2.16] - CC 18 SLU Xl=0.14
Sollecitazioni: N=1349.57 T_z=-89.38
V,Ed=-89.38 Vc,Rd=7560.76 V,Ed/Vc,Rd=0.01

Asta n. 2220 (227 235) briglie 50x10 Crit. 1

- Verifica in termini tensionali [4.2.4] - CC 18 SLU Xl=0.00 - Classe 3
Sollecitazioni: N=1194.29 T_z=-98.81 M_y=-12.79
Tensioni: σ_N=238.86 σ_M=307.00 τ=0.00 σ_{max}=545.86
Tensioni: σ_N=238.86 σ_M=0.00 τ=29.64 τ_{max}=29.64
Tensioni: σ_N=238.86 σ_M=307.00 τ=0.00 $\sigma_{ID,max}$=545.86

- Verifica a taglio dir. Z [4.2.16] - CC 18 SLU Xl=0.14

Sollecitazioni: N=1194.29 T_z=-99.51
V,Ed=-99.51 Vc,Rd=7560.76 V,Ed/Vc,Rd=0.01

Asta n. 2220 (235 243) briglie 50x10 Crit. 1

- Verifica in termini tensionali [4.2.4] - CC 9 SLU Xl=0.00 - Classe 3
Sollecitazioni: N=1316.64 T_z=-95.93 M_y=-13.19
Tensioni: σ_N=263.33 σ_M=316.50 τ=0.00 σ_{max}=579.83
Tensioni: σ_N=263.33 σ_M=0.00 τ=28.78 τ_{max}=28.78
Tensioni: σ_N=263.33 σ_M=316.50 τ=0.00 $\sigma_{ID,max}$=579.83

- Verifica a taglio dir. Z [4.2.16] - CC 18 SLU Xl=0.12
Sollecitazioni: N=999.61 T_z=-121.60
V,Ed=-121.60 Vc,Rd=7560.76 V,Ed/Vc,Rd=0.02

Asta n. 2220 (243 251) briglie 50x10 Crit. 1

- Verifica di stabilità aste inflesse (4.2.4.1.3.2) CC 18 SLU - Classe 3
L_{cr}=0.22 Curva d: α_{imp}=0.76 k_c=0.94 ψ=2.83 M,cr=0.00 λ_{LT}=0.00
$\lambda_{LT,0}$=0.20 β_{LT}=1.00 Φ_{LT}=0.00 β_{LT}=1.00 f=0.00 χ_{LT}=1.00
CC 18 SLU My,Ed=-17.29 My,b,Rd=109.13 My,Ed/My,b,Rd=0.16

- Verifica di stabilità aste presso-inflesse (C4.2.4.1.3.3.1) - CC 5 SLV - Classe 3
Sollecitazioni: N,Ed=-76.65 Myeq,Ed=7.02 Mzeq,Ed=-0.03
Resistenze: Nc,Rd=13095.20 My,c,Rd=109.13 Mz,c,Rd=21.83 L=21.56
λ_Y=14.94 Ncr,y=464353.00 λ^*_y=0.17 Curva c: Φ_y=0.51 χ_y=1.00
λ_Z=74.69 Ncr,z=18574.10 λ^*_z=0.86 Curva c: Φ_z=1.03 χ_z=0.62
χ,min=0.62
Verifica: 0.01+0.06+0.00=0.07

- Verifica in termini tensionali [4.2.4] - CC 9 SLU Xl=0.00 - Classe 3
Sollecitazioni: N=1108.68 T_z=-124.02 M_y=-15.87
Tensioni: σ_N=221.74 σ_M=380.82 τ=0.00 σ_{max}=602.56
Tensioni: σ_N=221.74 σ_M=0.00 τ=37.21 τ_{max}=37.21
Tensioni: σ_N=221.74 σ_M=380.82 τ=0.00 $\sigma_{ID,max}$=602.56

- Verifica a taglio dir. Z [4.2.16] - CC 18 SLU Xl=0.12
Sollecitazioni: N=747.41 T_z=-146.62
V,Ed=-146.62 Vc,Rd=7560.76 V,Ed/Vc,Rd=0.02

Asta n. 2220 (251 259) briglie 50x10 Crit. 1

- Verifica di stabilità aste inflesse (4.2.4.1.3.2) CC 18 SLU - Classe 3
L_{cr}=0.22 Curva d: α_{imp}=0.76 k_c=0.94 ψ=2.98 M,cr=0.00 λ_{LT}=0.00
$\lambda_{LT,0}$=0.20 β_{LT}=1.00 Φ_{LT}=0.00 β_{LT}=1.00 f=0.00 χ_{LT}=1.00
CC 18 SLU My,Ed=-19.46 My,b,Rd=109.13 My,Ed/My,b,Rd=0.18

- Verifica di stabilità aste presso-inflesse (C4.2.4.1.3.3.1) - CC 16 SLU - Classe 3
Sollecitazioni: N,Ed=-205.20 Myeq,Ed=13.34 Mzeq,Ed=-0.03
Resistenze: Nc,Rd=13095.20 My,c,Rd=109.13 Mz,c,Rd=21.83 L=21.56
λ_Y=14.94 Ncr,y=464355.00 λ^*_y=0.17 Curva c: Φ_y=0.51 χ_y=1.00
λ_Z=74.69 Ncr,z=18574.20 λ^*_z=0.86 Curva c: Φ_z=1.03 χ_z=0.62
χ,min=0.62
Verifica: 0.02+0.12+0.00=0.14

- Verifica in termini tensionali [4.2.4] - CC 9 SLU Xl=0.00 - Classe 3
Sollecitazioni: N=825.85 T_z=-154.38 M_y=-18.42
Tensioni: σ_N=165.17 σ_M=442.11 τ=0.00 σ_{max}=607.28
Tensioni: σ_N=165.17 σ_M=0.00 τ=46.32 τ_{max}=46.32

Tensioni: σ_N=165.17 σ_M=442.11 τ=0.00 $\sigma_{ID,max}$=607.28

- Verifica a taglio dir. Z [4.2.16] - CC 18 SLU Xl=0.12
Sollecitazioni: N=422.30 T_z=-174.06
V,Ed=-174.06 Vc,Rd=7560.76 V,Ed/Vc,Rd=0.02

Asta n. 2220 (259 267) briglie 50x10 Crit. 1

- Verifica di stabilità aste inflesse (4.2.4.1.3.2) CC 18 SLU - Classe 3
L_{cr}=0.22 Curva d: α_{imp}=0.76 k_c=0.94 ψ=3.05 M,cr=0.00 λ_{LT}=0.00
$\lambda_{LT,0}$=0.20 β_{LT}=1.00 Φ_{LT}=0.00 β_{LT}=1.00 f=0.00 χ_{LT}=1.00
CC 18 SLU My,Ed=21.95 My,b,Rd=109.13 My,Ed/My,b,Rd=0.20

- Verifica di stabilità aste presso-inflesse (C4.2.4.1.3.3.1) - CC 16 SLU - Classe 3
Sollecitazioni: N,Ed=-488.88 Myeq,Ed=16.55 Mzeq,Ed=0.04
Resistenze: Nc,Rd=13095.20 My,c,Rd=109.13 Mz,c,Rd=21.83 L=21.56
λ_Y=14.94 Ncr,y=464355.00 λ^*_y=0.17 Curva c: Φ_y=0.51 χ_y=1.00
λ_Z=74.69 Ncr,z=18574.20 λ^*_z=0.86 Curva c: Φ_z=1.03 χ_z=0.62
χ,min=0.62
Verifica: 0.04+0.15+0.00=0.19

- Verifica in termini tensionali [4.2.4] - CC 9 SLU Xl=0.00 - Classe 3
Sollecitazioni: N=456.69 T_z=-178.80 M_y=-20.17
Tensioni: σ_N=91.34 σ_M=484.15 τ=0.00 σ_{max}=575.48
Tensioni: σ_N=91.34 σ_M=0.00 τ=53.64 τ_{max}=53.64
Tensioni: σ_N=91.34 σ_M=484.15 τ=0.00 $\sigma_{ID,max}$=575.48

- Verifica a taglio dir. Z [4.2.16] - CC 9 SLU Xl=0.12
Sollecitazioni: N=456.69 T_z=-179.40
V,Ed=-179.40 Vc,Rd=7560.76 V,Ed/Vc,Rd=0.02

Asta n. 2220 (267 275) briglie 50x10 Crit. 1

- Verifica di stabilità aste inflesse (4.2.4.1.3.2) CC 5 SLV - Classe 3
L_{cr}=0.22 Curva d: α_{imp}=0.76 k_c=0.94 ψ=2.64 M,cr=0.00 λ_{LT}=0.00
$\lambda_{LT,0}$=0.20 β_{LT}=1.00 Φ_{LT}=0.00 β_{LT}=1.00 f=0.00 χ_{LT}=1.00
CC 5 SLV My,Ed=12.67 My,b,Rd=109.13 My,Ed/My,b,Rd=0.12

- Verifica di stabilità aste presso-inflesse (C4.2.4.1.3.3.1) - CC 18 SLU - Classe 3
Sollecitazioni: N,Ed=-518.18 Myeq,Ed=27.47 Mzeq,Ed=-0.09
Resistenze: Nc,Rd=13095.20 My,c,Rd=109.13 Mz,c,Rd=21.83 L=21.56
λ_Y=14.94 Ncr,y=464353.00 λ^*_y=0.17 Curva c: Φ_y=0.51 χ_y=1.00
λ_Z=74.69 Ncr,z=18574.10 λ^*_z=0.86 Curva c: Φ_z=1.03 χ_z=0.62
χ,min=0.62
Verifica: 0.04+0.25+0.00=0.30

- Verifica in termini tensionali [4.2.4] - CC 18 SLU Xl=0.22 - Classe 3
Sollecitazioni: N=-518.18 T_z=-237.11 M_y=27.47
Tensioni: σ_N=-103.64 σ_M=-659.36 τ=0.00 σ_{max}=-763.00
Tensioni: σ_N=-103.64 σ_M=-0.00 τ=71.13 τ_{max}=71.13
Tensioni: σ_N=-103.64 σ_M=-659.36 τ=0.00 $\sigma_{ID,max}$=763.00

- Verifica a taglio dir. Z [4.2.16] - CC 1 SLV Xl=0.10
Sollecitazioni: N=174.67 T_z=-74.32
V,Ed=-74.32 Vc,Rd=7560.76 V,Ed/Vc,Rd=0.01

Asta n. 2220 (275 283) briglie 50x10 Crit. 1

- Verifica di stabilità aste inflesse (4.2.4.1.3.2) CC 5 SLV - Classe 3

L_{cr}=0.22 Curva d: α_{imp}=0.76 k_c=0.94 ψ=2.46 M,cr=0.00 λ_{LT}=0.00
$\lambda_{LT,0}$=0.20 β_{LT}=1.00 Φ_{LT}=0.00 β_{LT}=1.00 f=0.00 χ_{LT}=1.00
CC 5 SLV My,Ed=15.47 My,b,Rd=109.13 My,Ed/My,b,Rd=0.14

- Verifica di stabilità aste presso-inflesse (C4.2.4.1.3.3.1) - CC 18 SLU - Classe 3
Sollecitazioni: N,Ed=-1192.17 Myeq,Ed=34.82 Mzeq,Ed=-0.12
Resistenze: Nc,Rd=13095.20 My,c,Rd=109.13 Mz,c,Rd=21.83 L=21.56
λ_Y=14.94 Ncr,y=464353.00 λ^*_y=0.17 Curva c: Φ_y=0.51 χ_y=1.00
λ_Z=74.69 Ncr,z=18574.10 λ^*_z=0.86 Curva c: Φ_z=1.03 χ_z=0.62
χ,min=0.62
Verifica: 0.15+0.32+0.01=0.47

- Verifica Freccia massima carichi totali - CC 24
$f_{Z,L}$=0.00 (L/15866)

- Verifica in termini tensionali [4.2.4] - CC 18 SLU Xl=0.22 - Classe 3
Sollecitazioni: N=-1192.17 T_z=-276.48 M_y=34.82
Tensioni: σ_N=-238.43 σ_M=-835.79 τ=0.00 σ_{max}=-1074.22
Tensioni: σ_N=-238.43 σ_M=-0.00 τ=82.94 τ_{max}=82.94
Tensioni: σ_N=-238.43 σ_M=-835.79 τ=0.00 $\sigma_{ID,max}$=1074.22

- Verifica a taglio dir. Z [4.2.16] - CC 1 SLV Xl=0.10
Sollecitazioni: N=30.30 T_z=-84.98
V,Ed=-84.98 Vc,Rd=7560.76 V,Ed/Vc,Rd=0.01

Asta n. 2220 (283 2294) briglie 50x10 Crit. 1

- Verifica di stabilità aste inflesse (4.2.4.1.3.2) CC 5 SLV - Classe 3
L_{cr}=0.22 Curva d: α_{imp}=0.76 k_c=0.94 ψ=2.04 M,cr=0.00 λ_{LT}=0.00
$\lambda_{LT,0}$=0.20 β_{LT}=1.00 Φ_{LT}=0.00 β_{LT}=1.00 f=0.00 χ_{LT}=1.00
CC 5 SLV My,Ed=23.57 My,b,Rd=109.13 My,Ed/My,b,Rd=0.22

- Verifica di stabilità aste presso-inflesse (C4.2.4.1.3.3.1) - CC 18 SLU - Classe 3
Sollecitazioni: N,Ed=-1971.28 Myeq,Ed=47.21 Mzeq,Ed=-0.23
Resistenze: Nc,Rd=13095.20 My,c,Rd=109.13 Mz,c,Rd=21.83 L=21.56
λ_Y=14.94 Ncr,y=464357.00 λ^*_y=0.17 Curva c: Φ_y=0.51 χ_y=1.00
λ_Z=74.69 Ncr,z=18574.30 λ^*_z=0.86 Curva c: Φ_z=1.03 χ_z=0.62
χ,min=0.62
Verifica: 0.24+0.43+0.01=0.69

- Verifica Freccia massima per soli carichi accidentali - CC 24
$f_{Z,L}$=0.00 (L/9420)

- Verifica Freccia massima carichi totali - CC 24
$f_{Z,L}$=0.00 (L/6459)

- Verifica in termini tensionali [4.2.4] - CC 18 SLU Xl=0.22 - Classe 3
Sollecitazioni: N=-1971.28 T_z=-337.39 M_y=53.69 T_y=-1.45
Tensioni: σ_N=-394.26 σ_M=-1288.49 τ=0.00 σ_{max}=-1682.75
Tensioni: σ_N=-394.26 σ_M=-0.00 τ=101.22 τ_{max}=101.22
Tensioni: σ_N=-394.26 σ_M=-1288.49 τ=0.43 $\sigma_{ID,max}$=1682.75

- Verifica a taglio dir. Z [4.2.16] - CC 7 SLV Xl=0.16
Sollecitazioni: N=433.29 T_z=-30.46
V,Ed=-30.46 Vc,Rd=7560.76 V,Ed/Vc,Rd=0.00

Asta n. 2220 (2294 303) briglie 50x10 Crit. 1

- Verifica di stabilità aste inflesse (4.2.4.1.3.2) CC 17 SLU - Classe 3

L_{cr}=0.17 Curva d: α_{imp}=0.76 k_c=0.94 ψ=1.61 M,cr=0.00 λ_{LT}=0.00
$\lambda_{LT,0}$=0.20 β_{LT}=1.00 Φ_{LT}=0.00 β_{LT}=1.00 f=0.00 χ_{LT}=1.00
CC 17 SLU My,Ed=-1.54 My,b,Rd=109.13 My,Ed/My,b,Rd=0.01

- Verifica di stabilità aste presso-inflesse (C4.2.4.1.3.3.1) - CC 5 SLV - Classe 3
Sollecitazioni: N,Ed=-85.34 Myeq,Ed=2.50 Mzeq,Ed=0.19
Resistenze: Nc,Rd=13095.20 My,c,Rd=109.13 Mz,c,Rd=21.83 L=16.67
λ_Y=11.55 Ncr,y=777233.00 λ^*_y=0.13 Curva c: Φ_y=0.49 χ_y=1.00
λ_Z=57.73 Ncr,z=31089.30 λ^*_z=0.67 Curva c: Φ_z=0.84 χ_z=0.75
χ,min=0.75
Verifica: 0.01+0.02+0.01=0.04

- Verifica in termini tensionali [4.2.4] - CC 5 SLV Xl=0.00 - Classe 3
Sollecitazioni: N=-85.34 T_z=17.78 M_y=2.92 T_y=-1.75
Tensioni: σ_N=-17.07 σ_M=-70.18 τ=0.00 σ_{max}=-87.25
Tensioni: σ_N=-17.07 σ_M=-0.00 τ=5.36 τ_{max}=5.36
Tensioni: σ_N=-17.07 σ_M=-70.18 τ=0.52 $\sigma_{ID,max}$=87.25

- Verifica a taglio dir. Y [4.2.16] - CC 17 SLU Xl=0.17
Sollecitazioni: N=12.41 T_z=-8.41 T_y=-4.85
V,Ed=-4.85 Vc,Rd=7560.76 V,Ed/Vc,Rd=0.00

- Verifica a taglio dir. Z [4.2.16]
V,Ed=-8.41 Vc,Rd=7560.76 V,Ed/Vc,Rd=0.00

Asta n. 2220 (303 311) briglie 50x10 Crit. 1

- Verifica di stabilità aste inflesse (4.2.4.1.3.2) CC 17 SLU - Classe 3
L_{cr}=0.17 Curva d: α_{imp}=0.76 k_c=0.94 ψ=1.19 M,cr=0.00 λ_{LT}=0.00
$\lambda_{LT,0}$=0.20 β_{LT}=1.00 Φ_{LT}=0.00 β_{LT}=1.00 f=0.00 χ_{LT}=1.00
CC 17 SLU My,Ed=-0.20 My,b,Rd=109.13 My,Ed/My,b,Rd=0.00

- Verifica di stabilità aste presso-inflesse (C4.2.4.1.3.3.1) - CC 9 SLU - Classe 3
Sollecitazioni: N,Ed=-83.38 Myeq,Ed=2.01 Mzeq,Ed=0.08
Resistenze: Nc,Rd=13095.20 My,c,Rd=109.13 Mz,c,Rd=21.83 L=16.67
λ_Y=11.55 Ncr,y=777229.00 λ^*_y=0.13 Curva c: Φ_y=0.49 χ_y=1.00
λ_Z=57.74 Ncr,z=31089.10 λ^*_z=0.67 Curva c: Φ_z=0.84 χ_z=0.75
χ,min=0.75
Verifica: 0.01+0.02+0.00=0.03

- Verifica in termini tensionali [4.2.4] - CC 9 SLU Xl=0.00 - Classe 3
Sollecitazioni: N=-83.38 T_z=23.93 M_y=2.01
Tensioni: σ_N=-16.68 σ_M=-48.17 τ=0.00 σ_{max}=-64.85
Tensioni: σ_N=-16.68 σ_M=-0.00 τ=7.18 τ_{max}=7.18
Tensioni: σ_N=-16.68 σ_M=-48.17 τ=0.00 $\sigma_{ID,max}$=64.85

- Verifica a taglio dir. Y [4.2.16] - CC 17 SLU Xl=0.00
Sollecitazioni: N=20.08 T_y=-2.42
V,Ed=-2.42 Vc,Rd=7560.76 V,Ed/Vc,Rd=0.00

Asta n. 2220 (311 2319) briglie 50x10 Crit. 1

- Verifica di stabilità aste inflesse (4.2.4.1.3.2) CC 17 SLU - Classe 3
L_{cr}=0.17 Curva d: α_{imp}=0.76 k_c=0.94 ψ=2.92 M,cr=0.00 λ_{LT}=0.00
$\lambda_{LT,0}$=0.20 β_{LT}=1.00 Φ_{LT}=0.00 β_{LT}=1.00 f=0.00 χ_{LT}=1.00
CC 17 SLU My,Ed=-0.65 My,b,Rd=109.13 My,Ed/My,b,Rd=0.01

- Verifica di stabilità aste presso-inflesse (C4.2.4.1.3.3.1) - CC 9 SLU - Classe 3
Sollecitazioni: N,Ed=-26.90 Myeq,Ed=-1.17 Mzeq,Ed=-0.12

Resistenze: Nc,Rd=13095.20 My,c,Rd=109.13 Mz,c,Rd=21.83 L=16.67
λ_Y=11.55 Ncr,y=777233.00 λ^*_y=0.13 Curva c: Φ_y=0.49 χ_y=1.00
λ_Z=57.73 Ncr,z=31089.30 λ^*_z=0.67 Curva c: Φ_z=0.84 χ_z=0.75
χ,min=0.75
Verifica: 0.00+0.01+0.01=0.02

- Verifica in termini tensionali [4.2.4] - CC 9 SLU Xl=0.17 - Classe 3
Sollecitazioni: N=-26.90 T_z=10.95 M_y=-1.17 T_y=-1.20
Tensioni: σ_N=-5.38 σ_M=-28.02 τ=0.00 σ_{max}=-33.40
Tensioni: σ_N=-5.38 σ_M=0.00 τ=3.30 τ_{max}=3.30
Tensioni: σ_N=-5.38 σ_M=-28.02 τ=0.36 $\sigma_{ID,max}$=33.41

- Verifica a taglio dir. Y [4.2.16] - CC 17 SLU Xl=0.17
Sollecitazioni: N=11.86 T_z=-7.77 T_y=-1.75
V,Ed=-1.75 Vc,Rd=7560.76 V,Ed/Vc,Rd=0.00

- Verifica a taglio dir. Z [4.2.16]
V,Ed=-7.77 Vc,Rd=7560.76 V,Ed/Vc,Rd=0.00

Asta n. 2221 (-520 24) collegamenti 50x10 Crit. 1

- Verifica di stabilità aste inflesse (4.2.4.1.3.2) CC 1 SLV - Classe 3
L_{cr}=0.19 Curva d: α_{imp}=0.76 k_c=0.94 ψ=1.03 M,cr=0.00 λ_{LT}=0.00
$\lambda_{LT,0}$=0.20 β_{LT}=1.00 Φ_{LT}=0.00 β_{LT}=1.00 f=0.00 χ_{LT}=1.00
CC 1 SLV My,Ed=0.16 My,b,Rd=109.13 My,Ed/My,b,Rd=0.00

- Verifica di stabilità aste presso-inflesse (C4.2.4.1.3.3.1) - CC 17 SLU - Classe 3
Sollecitazioni: N,Ed=-92.09 Myeq,Ed=0.40 Mzeq,Ed=-0.25
Resistenze: Nc,Rd=13095.20 My,c,Rd=109.13 Mz,c,Rd=21.83 L=19.08
λ_Y=13.22 Ncr,y=592851.00 λ^*_y=0.15 Curva c: Φ_y=0.50 χ_y=1.00
λ_Z=66.11 Ncr,z=23714.00 λ^*_z=0.76 Curva c: Φ_z=0.93 χ_z=0.69
χ,min=0.69
Verifica: 0.01+0.00+0.01=0.02

- Verifica a compressione [4.2.9] - CC 17 SLU Xl=0.19 - Classe 3
Sollecitazioni: N=-92.09 T_y=1.71
N,Ed=-92.09 Nc,Rd=-13095.20 N,Ed/Nc,Rd=0.01

- Verifica a taglio dir. Y [4.2.16] - CC 1 SLV Xl=0.00
Sollecitazioni: N=1.00 T_y=1.41
V,Ed=1.41 Vc,Rd=7560.76 V,Ed/Vc,Rd=0.00

Asta n. 2301 (2028 2029) modellazione SHS50x50x5 Crit. 1

- Verifica di stabilità aste presso-inflesse (C4.2.4.1.3.3.2) - CC 9 SLU - Classe 3
Sollecitazioni: N,Ed=-5.87 My,Ed=4.19 Mz,Ed=-13.76
Resistenze: Nc,Rd=23571.40 My,c,Rd=322.14 Mz,c,Rd=322.14 L=6.00
αmy, αmz, αLT=0.95, 0.95, 0.95
λ_Y=3.25 Ncr,y=17703600.00 λ^*_y=0.04 Curva a: Φ_y=0.00 χ_y=1.00
λ_Z=3.25 Ncr,z=17703600.00 λ^*_z=0.04 Curva a: Φ_z=0.00 χ_z=1.00
Kyy, Kyz, Kzy, Kzz=0.95, 0.95, 0.76, 0.95
Verifica YY: 0.00+0.01+0.04=0.05
Verifica ZZ: 0.00+0.01+0.04=0.05

- Verifica in termini tensionali [4.2.4] - CC 19 SLU Xl=0.01 - Classe 3
Sollecitazioni: T_z=-524.56 M_y=3.10 T_y=-2240.37 M_z=-13.91 M_x=94.66
Tensioni: σ_N=0.00 σ_M=-138.28 τ=467.47 σ_{max}=-138.28
Tensioni: σ_N=0.00 σ_M=20.17 τ=1023.19 τ_{max}=1023.19
Tensioni: σ_N=0.00 σ_M=20.17 τ=1023.19 $\sigma_{ID,max}$=1772.34

- Verifica a taglio e torsione dir. Y [4.2.25] - CC 19 SLU Xl=0.00
  Sollecitazioni: T_z=-524.50 T_y=-2240.37 M_x=94.66
  V,Ed=-2240.37 Vc,Rd,Red=4701.05 V,Ed/Vc,Rd,Red=0.48

- Verifica a taglio e torsione dir. Z [4.2.25]
  V,Ed=-524.50 Vc,Rd,Red=4701.05 V,Ed/Vc,Rd,Red=0.11

Asta n. 2301 (2029 2030) modellazione SHS50x50x5 Crit. 1

- Verifica di stabilità aste presso-inflesse (C4.2.4.1.3.3.2) - CC 19 SLU - Classe 3
  Sollecitazioni: N,Ed=-17.48 My,Ed=5.24 Mz,Ed=-12.78
  Resistenze: Nc,Rd=23571.40 My,c,Rd=322.14 Mz,c,Rd=322.14 L=6.00
  αmy, αmz, αLT=0.95, 0.95, 0.95
  λ_Y=3.25 Ncr,y=17703600.00 λ^*_y=0.04 Curva a: Φ_y=0.00 χ_y=1.00
  λ_Z=3.25 Ncr,z=17703600.00 λ^*_z=0.04 Curva a: Φ_z=0.00 χ_z=1.00
  Kyy, Kyz, Kzy, Kzz=0.95, 0.95, 0.76, 0.95
  Verifica YY: 0.00+0.01+0.04=0.05
  Verifica ZZ: 0.00+0.01+0.04=0.05

- Verifica in termini tensionali [4.2.4] - CC 9 SLU Xl=0.05 - Classe 3
  Sollecitazioni: N=-2.95 T_z=669.45 M_y=3.99 T_y=2239.60 M_z=-13.64 M_x=-94.84
  Tensioni: σ_N=-0.33 σ_M=-143.34 τ=468.33 σ_{max}=-143.67
  Tensioni: σ_N=-0.33 σ_M=25.96 τ=1023.98 τ_{max}=1023.98
  Tensioni: σ_N=-0.33 σ_M=25.96 τ=1023.98 $\sigma_{ID,max}$=1773.77

- Verifica a taglio e torsione dir. Y [4.2.25] - CC 9 SLU Xl=0.06
  Sollecitazioni: N=-2.95 T_z=669.39 T_y=2239.60 M_x=-94.84
  V,Ed=2239.60 Vc,Rd,Red=4697.16 V,Ed/Vc,Rd,Red=0.48

- Verifica a taglio e torsione dir. Z [4.2.25]
  V,Ed=669.39 Vc,Rd,Red=4697.16 V,Ed/Vc,Rd,Red=0.14

Asta n. 2345 (2288 2289) modellazione SHS50x50x5 Crit. 1

- Verifica di stabilità aste presso-inflesse (C4.2.4.1.3.3.2) - CC 18 SLU - Classe 3
  Sollecitazioni: N,Ed=-5.22 My,Ed=3.95 Mz,Ed=16.75
  Resistenze: Nc,Rd=23571.40 My,c,Rd=322.14 Mz,c,Rd=322.14 L=6.00
  αmy, αmz, αLT=0.95, 0.95, 0.95
  λ_Y=3.25 Ncr,y=17703600.00 λ^*_y=0.04 Curva a: Φ_y=0.00 χ_y=1.00
  λ_Z=3.25 Ncr,z=17703600.00 λ^*_z=0.04 Curva a: Φ_z=0.00 χ_z=1.00
  Kyy, Kyz, Kzy, Kzz=0.95, 0.95, 0.76, 0.95
  Verifica YY: 0.00+0.01+0.05=0.06
  Verifica ZZ: 0.00+0.01+0.05=0.06

- Verifica in termini tensionali [4.2.4] - CC 18 SLU Xl=0.01 - Classe 3
  Sollecitazioni: N=-5.22 T_z=-654.89 M_y=3.95 T_y=2666.05 M_z=16.75 M_x=-103.17
  Tensioni: σ_N=-0.58 σ_M=-168.25 τ=509.46 σ_{max}=-168.84
  Tensioni: σ_N=-0.58 σ_M=25.67 τ=1170.80 τ_{max}=1170.80
  Tensioni: σ_N=-0.58 σ_M=25.67 τ=1170.80 $\sigma_{ID,max}$=2028.05

- Verifica a taglio e torsione dir. Y [4.2.25] - CC 18 SLU Xl=0.00
  Sollecitazioni: N=-5.22 T_z=-654.83 T_y=2666.05 M_x=-103.17
  V,Ed=2666.05 Vc,Rd,Red=4512.09 V,Ed/Vc,Rd,Red=0.59

- Verifica a taglio e torsione dir. Z [4.2.25]
  V,Ed=-654.83 Vc,Rd,Red=4512.09 V,Ed/Vc,Rd,Red=0.15

Asta n. 2345 (2289 2290) modellazione SHS50x50x5 Crit. 1

- Verifica di stabilità aste presso-inflesse (C4.2.4.1.3.3.2) - CC 18 SLU - Classe 3
  Sollecitazioni: N,Ed=-2.49 My,Ed=3.73 Mz,Ed=16.87
  Resistenze: Nc,Rd=23571.40 My,c,Rd=322.14 Mz,c,Rd=322.14 L=6.00
  αmy, αmz, αLT=0.95, 0.95, 0.95
  λ_Y=3.25 Ncr,y=17703600.00 λ^*_y=0.04 Curva a: Φ_y=0.00 χ_y=1.00
  λ_Z=3.25 Ncr,z=17703600.00 λ^*_z=0.04 Curva a: Φ_z=0.00 χ_z=1.00
  Kyy, Kyz, Kzy, Kzz=0.95, 0.95, 0.76, 0.95
  Verifica YY: 0.00+0.01+0.05=0.06
  Verifica ZZ: 0.00+0.01+0.05=0.06

- Verifica in termini tensionali [4.2.4] - CC 18 SLU Xl=0.05 - Classe 3
  Sollecitazioni: N=-2.49 T_z=619.54 M_y=3.73 T_y=-2758.13 M_z=16.87 M_x=104.95
  Tensioni: σ_N=-0.28 σ_M=-167.41 τ=518.27 σ_{max}=-167.69
  Tensioni: σ_N=-0.28 σ_M=24.24 τ=1202.41 τ_{max}=1202.41
  Tensioni: σ_N=-0.28 σ_M=24.24 τ=1202.41 $\sigma_{ID,max}$=2082.78

- Verifica a taglio e torsione dir. Y [4.2.25] - CC 18 SLU Xl=0.06
  Sollecitazioni: N=-2.49 T_z=619.48 T_y=-2758.13 M_x=104.95
  V,Ed=-2758.13 Vc,Rd,Red=4472.45 V,Ed/Vc,Rd,Red=0.62

- Verifica a taglio e torsione dir. Z [4.2.25]
  V,Ed=619.48 Vc,Rd,Red=4472.45 V,Ed/Vc,Rd,Red=0.14

Asta n. 2386 (2002 10) briglie 50x10 Crit. 1

- Verifica di stabilità aste presso-inflesse (C4.2.4.1.3.3.1) - CC 17 SLU - Classe 3
  Sollecitazioni: N,Ed=-50.77 Myeq,Ed=2.44 Mzeq,Ed=-0.07
  Resistenze: Nc,Rd=13095.20 My,c,Rd=109.13 Mz,c,Rd=21.83 L=16.67
  λ_Y=11.55 Ncr,y=777231.00 λ^*_y=0.13 Curva c: Φ_y=0.49 χ_y=1.00
  λ_Z=57.73 Ncr,z=31089.20 λ^*_z=0.67 Curva c: Φ_z=0.84 χ_z=0.75
  χ,min=0.75
  Verifica: 0.00+0.02+0.00=0.03

- Verifica in termini tensionali [4.2.4] - CC 17 SLU Xl=0.17 - Classe 3
  Sollecitazioni: N=-50.77 T_z=-28.35 M_y=2.44 T_y=2.20
  Tensioni: σ_N=-10.15 σ_M=-58.58 τ=0.00 σ_{max}=-68.73
  Tensioni: σ_N=-10.15 σ_M=-0.00 τ=8.53 τ_{max}=8.53
  Tensioni: σ_N=-10.15 σ_M=-58.58 τ=0.66 $\sigma_{ID,max}$=68.74

Asta n. 2386 (10 18) briglie 50x10 Crit. 1

- Verifica di stabilità aste presso-inflesse (C4.2.4.1.3.3.1) - CC 17 SLU - Classe 3
  Sollecitazioni: N,Ed=-91.75 Myeq,Ed=0.55 Mzeq,Ed=-0.12
  Resistenze: Nc,Rd=13095.20 My,c,Rd=109.13 Mz,c,Rd=21.83 L=16.67
  λ_Y=11.55 Ncr,y=777232.00 λ^*_y=0.13 Curva c: Φ_y=0.49 χ_y=1.00
  λ_Z=57.73 Ncr,z=31089.30 λ^*_z=0.67 Curva c: Φ_z=0.84 χ_z=0.75
  χ,min=0.75
  Verifica: 0.01+0.01+0.01=0.02

- Verifica a compressione [4.2.9] - CC 17 SLU Xl=0.00 - Classe 3
  Sollecitazioni: N=-91.75
  N,Ed=-91.75 Nc,Rd=-13095.20 N,Ed/Nc,Rd=0.01

Asta n. 2386 (18 2027) briglie 50x10 Crit. 1

- Verifica di stabilità aste presso-inflesse (C4.2.4.1.3.3.1) - CC 17 SLU - Classe 3
  Sollecitazioni: N,Ed=-250.02 Myeq,Ed=3.59 Mzeq,Ed=0.51
  Resistenze: Nc,Rd=13095.20 My,c,Rd=109.13 Mz,c,Rd=21.83 L=16.67
  λ_Y=11.55 Ncr,y=777232.00 λ^*_y=0.13 Curva c: Φ_y=0.49 χ_y=1.00

λ_Z=57.73 Ncr,z=31089.30 λ^*_z=0.67 Curva c: Φ_z=0.84 χ_z=0.75
χ,min=0.75
Verifica: 0.02+0.03+0.02=0.08

- Verifica in termini tensionali [4.2.4] - CC 16 SLU Xl=0.17 - Classe 3
Sollecitazioni: N=-166.24 T_z=-38.51 M_y=5.07
Tensioni: σ_N=-33.25 σ_M=-121.63 τ=0.00 σ_{max}=-154.88
Tensioni: σ_N=-33.25 σ_M=-0.00 τ=11.55 τ_{max}=11.55
Tensioni: σ_N=-33.25 σ_M=-121.63 τ=0.00 $\sigma_{ID,max}$=154.88

Asta n. 2386 (2027 38) briglie 50x10 Crit. 1

- Verifica di stabilità aste inflesse (4.2.4.1.3.2) CC 5 SLV - Classe 3
L_{cr}=0.22 Curva d: α_{imp}=0.76 k_c=0.94 ψ=2.04 M,cr=0.00 λ_{LT}=0.00
$\lambda_{LT,0}$=0.20 β_{LT}=1.00 Φ_{LT}=0.00 β_{LT}=1.00 f=0.00 χ_{LT}=1.00
CC 5 SLV My,Ed=23.58 My,b,Rd=109.13 My,Ed/My,b,Rd=0.22

- Verifica di stabilità aste presso-inflesse (C4.2.4.1.3.3.1) - CC 19 SLU - Classe 3
Sollecitazioni: N,Ed=-1427.32 Myeq,Ed=46.20 Mzeq,Ed=0.99
Resistenze: Nc,Rd=13095.20 My,c,Rd=109.13 Mz,c,Rd=21.83 L=21.56
λ_Y=14.94 Ncr,y=464354.00 λ^*_y=0.17 Curva c: Φ_y=0.51 χ_y=1.00
λ_Z=74.69 Ncr,z=18574.20 λ^*_z=0.86 Curva c: Φ_z=1.03 χ_z=0.62
χ,min=0.62
Verifica: 0.17+0.42+0.05=0.65

- Verifica Freccia massima per soli carichi accidentali - CC 21
$f_{Z,L}$=0.00 (L/10048)

- Verifica Freccia massima carichi totali - CC 21
$f_{Z,G}$=0.00 (L/5617)

- Verifica in termini tensionali [4.2.4] - CC 19 SLU Xl=0.00 - Classe 3
Sollecitazioni: N=-1427.32 T_z=330.17 M_y=50.24 T_y=-8.07 M_z=1.32
Tensioni: σ_N=-285.46 σ_M=-1364.72 τ=0.00 σ_{max}=-1650.19
Tensioni: σ_N=-285.46 σ_M=-0.00 τ=99.08 τ_{max}=99.08
Tensioni: σ_N=-285.46 σ_M=-1364.72 τ=0.00 $\sigma_{ID,max}$=1650.19

- Verifica a taglio dir. Z [4.2.16] - CC 7 SLV Xl=0.06
Sollecitazioni: N=431.80 T_z=30.55
V,Ed=30.55 Vc,Rd=7560.76 V,Ed/Vc,Rd=0.00

Asta n. 2386 (38 46) briglie 50x10 Crit. 1

- Verifica di stabilità aste inflesse (4.2.4.1.3.2) CC 16 SLU - Classe 3
L_{cr}=0.22 Curva d: α_{imp}=0.76 k_c=0.94 ψ=3.02 M,cr=0.00 λ_{LT}=0.00
$\lambda_{LT,0}$=0.20 β_{LT}=1.00 Φ_{LT}=0.00 β_{LT}=1.00 f=0.00 χ_{LT}=1.00
CC 16 SLU My,Ed=-18.75 My,b,Rd=109.13 My,Ed/My,b,Rd=0.17

- Verifica di stabilità aste presso-inflesse (C4.2.4.1.3.3.1) - CC 19 SLU - Classe 3
Sollecitazioni: N,Ed=-659.82 Myeq,Ed=32.15 Mzeq,Ed=-0.43
Resistenze: Nc,Rd=13095.20 My,c,Rd=109.13 Mz,c,Rd=21.83 L=21.56
λ_Y=14.94 Ncr,y=464354.00 λ^*_y=0.17 Curva c: Φ_y=0.51 χ_y=1.00
λ_Z=74.69 Ncr,z=18574.20 λ^*_z=0.86 Curva c: Φ_z=1.03 χ_z=0.62
χ,min=0.62
Verifica: 0.05+0.30+0.02=0.37

- Verifica Freccia massima carichi totali - CC 21
$f_{Z,L}$=0.00 (L/13498)

- Verifica in termini tensionali [4.2.4] - CC 19 SLU Xl=0.00 - Classe 3
  Sollecitazioni: N=-659.82 T_z=267.54 M_y=32.15 T_y=-4.40
  Tensioni: σ_N=-131.97 σ_M=-771.66 τ=0.00 σ_{max}=-903.63
  Tensioni: σ_N=-131.97 σ_M=-0.00 τ=80.27 τ_{max}=80.27
  Tensioni: σ_N=-131.97 σ_M=-771.66 τ=1.32 $\sigma_{ID,max}$=903.63

- Verifica a taglio dir. Z [4.2.16] - CC 1 SLV Xl=0.12
  Sollecitazioni: N=28.96 T_z=85.06
  V,Ed=85.06 Vc,Rd=7560.76 V,Ed/Vc,Rd=0.01

Asta n. 2386 (46 54) briglie 50x10 Crit. 1

- Verifica di stabilità aste inflesse (4.2.4.1.3.2) CC 18 SLU - Classe 3
  L_{cr}=0.22 Curva d: α_{imp}=0.76 k_c=0.94 ψ=2.98 M,cr=0.00 λ_{LT}=0.00
  $\lambda_{LT,0}$=0.20 β_{LT}=1.00 Φ_{LT}=0.00 β_{LT}=1.00 f=0.00 χ_{LT}=1.00
  CC 18 SLU My,Ed=-24.95 My,b,Rd=109.13 My,Ed/My,b,Rd=0.23

- Verifica di stabilità aste presso-inflesse (C4.2.4.1.3.3.1) - CC 19 SLU - Classe 3
  Sollecitazioni: N,Ed=-13.53 Myeq,Ed=24.63 Mzeq,Ed=-0.30
  Resistenze: Nc,Rd=13095.20 My,c,Rd=109.13 Mz,c,Rd=21.83 L=21.56
  λ_Y=14.94 Ncr,y=464354.00 λ^*_y=0.17 Curva c: Φ_y=0.51 χ_y=1.00
  λ_Z=74.69 Ncr,z=18574.20 λ^*_z=0.86 Curva c: Φ_z=1.03 χ_z=0.62
  χ,min=0.62
  Verifica: 0.00+0.23+0.01=0.24

- Verifica in termini tensionali [4.2.4] - CC 18 SLU Xl=0.22 - Classe 3
  Sollecitazioni: N=467.79 T_z=222.03 M_y=-24.95 T_y=-1.07
  Tensioni: σ_N=93.56 σ_M=598.84 τ=0.00 σ_{max}=692.40
  Tensioni: σ_N=93.56 σ_M=0.00 τ=66.61 τ_{max}=66.61
  Tensioni: σ_N=93.56 σ_M=598.84 τ=0.28 $\sigma_{ID,max}$=692.40

- Verifica a taglio dir. Z [4.2.16] - CC 20 SLU Xl=0.10
  Sollecitazioni: N=469.48 T_z=176.28
  V,Ed=176.28 Vc,Rd=7560.76 V,Ed/Vc,Rd=0.02

Asta n. 2386 (54 62) briglie 50x10 Crit. 1

- Verifica di stabilità aste inflesse (4.2.4.1.3.2) CC 18 SLU - Classe 3
  L_{cr}=0.22 Curva d: α_{imp}=0.76 k_c=0.94 ψ=2.78 M,cr=0.00 λ_{LT}=0.00
  $\lambda_{LT,0}$=0.20 β_{LT}=1.00 Φ_{LT}=0.00 β_{LT}=1.00 f=0.00 χ_{LT}=1.00
  CC 18 SLU My,Ed=-21.12 My,b,Rd=109.13 My,Ed/My,b,Rd=0.19

- Verifica di stabilità aste presso-inflesse (C4.2.4.1.3.3.1) - CC 5 SLV - Classe 3
  Sollecitazioni: N,Ed=-387.77 Myeq,Ed=10.44 Mzeq,Ed=-0.06
  Resistenze: Nc,Rd=13095.20 My,c,Rd=109.13 Mz,c,Rd=21.83 L=21.56
  λ_Y=14.94 Ncr,y=464355.00 λ^*_y=0.17 Curva c: Φ_y=0.51 χ_y=1.00
  λ_Z=74.69 Ncr,z=18574.20 λ^*_z=0.86 Curva c: Φ_z=1.03 χ_z=0.62
  χ,min=0.62
  Verifica: 0.03+0.10+0.00=0.13

- Verifica in termini tensionali [4.2.4] - CC 18 SLU Xl=0.22 - Classe 3
  Sollecitazioni: N=952.23 T_z=175.82 M_y=-21.12
  Tensioni: σ_N=190.44 σ_M=506.85 τ=0.00 σ_{max}=697.29
  Tensioni: σ_N=190.44 σ_M=0.00 τ=52.75 τ_{max}=52.75
  Tensioni: σ_N=190.44 σ_M=506.85 τ=0.00 $\sigma_{ID,max}$=697.29

- Verifica a taglio dir. Y [4.2.16] - CC 19 SLU Xl=0.10
  Sollecitazioni: N=478.97 T_z=183.99 T_y=1.63
  V,Ed=1.63 Vc,Rd=7560.76 V,Ed/Vc,Rd=0.00

- Verifica a taglio dir. Z [4.2.16]
  V,Ed=183.99 Vc,Rd=7560.76 V,Ed/Vc,Rd=0.02

Asta n. 2386 (62 70) briglie 50x10 Crit. 1

- Verifica di stabilità aste inflesse (4.2.4.1.3.2) CC 18 SLU - Classe 3
  L_{cr}=0.22 Curva d: α_{imp}=0.76 k_c=0.94 ψ=2.63 M,cr=0.00 λ_{LT}=0.00
  $\lambda_{LT,0}$=0.20 β_{LT}=1.00 Φ_{LT}=0.00 β_{LT}=1.00 f=0.00 χ_{LT}=1.00
  CC 18 SLU My,Ed=-19.34 My,b,Rd=109.13 My,Ed/My,b,Rd=0.18

- Verifica di stabilità aste presso-inflesse (C4.2.4.1.3.3.1) - CC 5 SLV - Classe 3
  Sollecitazioni: N,Ed=-213.79 Myeq,Ed=8.28 Mzeq,Ed=0.04
  Resistenze: Nc,Rd=13095.20 My,c,Rd=109.13 Mz,c,Rd=21.83 L=21.56
  λ_Y=14.94 Ncr,y=464355.00 λ^*_y=0.17 Curva c: Φ_y=0.51 χ_y=1.00
  λ_Z=74.69 Ncr,z=18574.20 λ^*_z=0.86 Curva c: Φ_z=1.03 χ_z=0.62
  χ,min=0.62
  Verifica: 0.02+0.08+0.00=0.09

- Verifica in termini tensionali [4.2.4] - CC 18 SLU Xl=0.22 - Classe 3
  Sollecitazioni: N=1315.73 T_z=151.95 M_y=-19.34
  Tensioni: σ_N=263.15 σ_M=464.14 τ=0.00 σ_{max}=727.28
  Tensioni: σ_N=263.15 σ_M=0.00 τ=45.59 τ_{max}=45.59
  Tensioni: σ_N=263.15 σ_M=464.14 τ=0.00 $\sigma_{ID,max}$=727.28

- Verifica a taglio dir. Z [4.2.16] - CC 9 SLU Xl=0.10
  Sollecitazioni: N=826.21 T_z=155.02
  V,Ed=155.02 Vc,Rd=7560.76 V,Ed/Vc,Rd=0.02

Asta n. 2386 (70 78) briglie 50x10 Crit. 1

- Verifica di stabilità aste inflesse (4.2.4.1.3.2) CC 18 SLU - Classe 3
  L_{cr}=0.22 Curva d: α_{imp}=0.76 k_c=0.94 ψ=2.41 M,cr=0.00 λ_{LT}=0.00
  $\lambda_{LT,0}$=0.20 β_{LT}=1.00 Φ_{LT}=0.00 β_{LT}=1.00 f=0.00 χ_{LT}=1.00
  CC 18 SLU My,Ed=-16.13 My,b,Rd=109.13 My,Ed/My,b,Rd=0.15

- Verifica di stabilità aste presso-inflesse (C4.2.4.1.3.3.1) - CC 5 SLV - Classe 3
  Sollecitazioni: N,Ed=-76.01 Myeq,Ed=7.03 Mzeq,Ed=0.03
  Resistenze: Nc,Rd=13095.20 My,c,Rd=109.13 Mz,c,Rd=21.83 L=21.56
  λ_Y=14.94 Ncr,y=464354.00 λ^*_y=0.17 Curva c: Φ_y=0.51 χ_y=1.00
  λ_Z=74.69 Ncr,z=18574.20 λ^*_z=0.86 Curva c: Φ_z=1.03 χ_z=0.62
  χ,min=0.62
  Verifica: 0.01+0.06+0.00=0.07

- Verifica in termini tensionali [4.2.4] - CC 18 SLU Xl=0.22 - Classe 3
  Sollecitazioni: N=1586.20 T_z=115.13 M_y=-16.13
  Tensioni: σ_N=317.24 σ_M=387.01 τ=0.00 σ_{max}=704.25
  Tensioni: σ_N=317.24 σ_M=0.00 τ=34.54 τ_{max}=34.54
  Tensioni: σ_N=317.24 σ_M=387.01 τ=0.00 $\sigma_{ID,max}$=704.25

- Verifica a taglio dir. Z [4.2.16] - CC 18 SLU Xl=0.08
  Sollecitazioni: N=1586.20 T_z=115.83
  V,Ed=115.83 Vc,Rd=7560.76 V,Ed/Vc,Rd=0.02

Asta n. 2386 (78 86) briglie 50x10 Crit. 1

- Verifica in termini tensionali [4.2.4] - CC 18 SLU Xl=0.22 - Classe 3
  Sollecitazioni: N=1771.48 T_z=80.68 M_y=-12.68
  Tensioni: σ_N=354.30 σ_M=304.34 τ=0.00 σ_{max}=658.64

Tensioni: σ_N=354.30 σ_M=0.00 τ=24.20 τ_{max}=24.20
Tensioni: σ_N=354.30 σ_M=304.34 τ=0.00 $\sigma_{ID,max}$=658.64

- Verifica a taglio dir. Z [4.2.16] - CC 9 SLU Xl=0.08
Sollecitazioni: N=1317.12 T_z=96.65
V,Ed=96.65 Vc,Rd=7560.76 V,Ed/Vc,Rd=0.01

Asta n. 2386 (86 94) briglie 50x10 Crit. 1

- Verifica in termini tensionali [4.2.4] - CC 18 SLU Xl=0.22 - Classe 3
Sollecitazioni: N=1890.14 T_z=49.99 M_y=-9.06
Tensioni: σ_N=378.03 σ_M=217.41 τ=0.00 σ_{max}=595.44
Tensioni: σ_N=378.03 σ_M=0.00 τ=15.00 τ_{max}=15.00
Tensioni: σ_N=378.03 σ_M=217.41 τ=0.00 $\sigma_{ID,max}$=595.44

- Verifica a taglio dir. Z [4.2.16] - CC 9 SLU Xl=0.06
Sollecitazioni: N=1466.31 T_z=71.76
V,Ed=71.76 Vc,Rd=7560.76 V,Ed/Vc,Rd=0.01

Asta n. 2386 (94 102) briglie 50x10 Crit. 1

- Verifica in termini tensionali [4.2.4] - CC 18 SLU Xl=0.22 - Classe 3
Sollecitazioni: N=1971.62 T_z=47.41 M_y=-8.70
Tensioni: σ_N=394.32 σ_M=208.82 τ=0.00 σ_{max}=603.14
Tensioni: σ_N=394.32 σ_M=0.00 τ=14.22 τ_{max}=14.22
Tensioni: σ_N=394.32 σ_M=208.82 τ=0.00 $\sigma_{ID,max}$=603.14

- Verifica a taglio dir. Y [4.2.16] - CC 19 SLU Xl=0.06
Sollecitazioni: N=1596.19 T_z=65.33 T_y=-4.08
V,Ed=-4.08 Vc,Rd=7560.76 V,Ed/Vc,Rd=0.00

- Verifica a taglio dir. Z [4.2.16]
V,Ed=65.33 Vc,Rd=7560.76 V,Ed/Vc,Rd=0.01

Asta n. 2386 (102 110) briglie 50x10 Crit. 1

- Verifica in termini tensionali [4.2.4] - CC 18 SLU Xl=0.22 - Classe 3
Sollecitazioni: N=2020.26 T_z=19.43 M_y=-6.18
Tensioni: σ_N=404.05 σ_M=148.24 τ=0.00 σ_{max}=552.29
Tensioni: σ_N=404.05 σ_M=0.00 τ=5.83 τ_{max}=5.83
Tensioni: σ_N=404.05 σ_M=148.24 τ=0.00 $\sigma_{ID,max}$=552.29

- Verifica a taglio dir. Y [4.2.16] - CC 19 SLU Xl=0.02
Sollecitazioni: N=1676.64 T_z=43.22 T_y=-3.29
V,Ed=-3.29 Vc,Rd=7560.76 V,Ed/Vc,Rd=0.00

- Verifica a taglio dir. Z [4.2.16]
V,Ed=43.22 Vc,Rd=7560.76 V,Ed/Vc,Rd=0.01

Asta n. 2386 (110 118) briglie 50x10 Crit. 1

- Verifica in termini tensionali [4.2.4] - CC 18 SLU Xl=0.00 - Classe 3
Sollecitazioni: N=2028.56 T_z=-7.00 M_y=-4.86
Tensioni: σ_N=405.71 σ_M=116.59 τ=0.00 σ_{max}=522.30
Tensioni: σ_N=405.71 σ_M=0.00 τ=2.10 τ_{max}=2.10
Tensioni: σ_N=405.71 σ_M=116.59 τ=0.00 $\sigma_{ID,max}$=522.30

- Verifica a taglio dir. Z [4.2.16] - CC 16 SLU Xl=0.22
Sollecitazioni: N=1507.06 T_z=-34.77
V,Ed=-34.77 Vc,Rd=7560.76 V,Ed/Vc,Rd=0.00

Asta n. 2386 (118 126) briglie 50x10 Crit. 1

- Verifica in termini tensionali [4.2.4] - CC 18 SLU Xl=0.00 - Classe 3
  Sollecitazioni: N=2002.89 T_z=-32.14 M_y=-7.14
  Tensioni: σ_N=400.58 σ_M=171.31 τ=0.00 σ_{max}=571.88
  Tensioni: σ_N=400.58 σ_M=0.00 τ=9.64 τ_{max}=9.64
  Tensioni: σ_N=400.58 σ_M=171.31 τ=0.00 $\sigma_{ID,max}$=571.88

- Verifica a taglio dir. Z [4.2.16] - CC 16 SLU Xl=0.18
  Sollecitazioni: N=1448.65 T_z=-53.37
  V,Ed=-53.37 Vc,Rd=7560.76 V,Ed/Vc,Rd=0.01

Asta n. 2386 (126 134) briglie 50x10 Crit. 1

- Verifica in termini tensionali [4.2.4] - CC 18 SLU Xl=0.00 - Classe 3
  Sollecitazioni: N=1957.77 T_z=-35.88 M_y=-7.45
  Tensioni: σ_N=391.55 σ_M=178.82 τ=0.00 σ_{max}=570.38
  Tensioni: σ_N=391.55 σ_M=0.00 τ=10.76 τ_{max}=10.76
  Tensioni: σ_N=391.55 σ_M=178.82 τ=0.00 $\sigma_{ID,max}$=570.38

- Verifica a taglio dir. Z [4.2.16] - CC 16 SLU Xl=0.16
  Sollecitazioni: N=1377.25 T_z=-56.93
  V,Ed=-56.93 Vc,Rd=7560.76 V,Ed/Vc,Rd=0.01

Asta n. 2386 (134 142) briglie 50x10 Crit. 1

- Verifica in termini tensionali [4.2.4] - CC 18 SLU Xl=0.00 - Classe 3
  Sollecitazioni: N=1896.07 T_z=-59.42 M_y=-10.25
  Tensioni: σ_N=379.21 σ_M=246.00 τ=0.00 σ_{max}=625.22
  Tensioni: σ_N=379.21 σ_M=0.00 τ=17.83 τ_{max}=17.83
  Tensioni: σ_N=379.21 σ_M=246.00 τ=0.00 $\sigma_{ID,max}$=625.22

- Verifica a taglio dir. Z [4.2.16] - CC 16 SLU Xl=0.16
  Sollecitazioni: N=1294.66 T_z=-74.79
  V,Ed=-74.79 Vc,Rd=7560.76 V,Ed/Vc,Rd=0.01

Asta n. 2386 (142 150) briglie 50x10 Crit. 1

- Verifica in termini tensionali [4.2.4] - CC 18 SLU Xl=0.00 - Classe 3
  Sollecitazioni: N=1814.05 T_z=-84.99 M_y=-12.23
  Tensioni: σ_N=362.81 σ_M=293.59 τ=0.00 σ_{max}=656.40
  Tensioni: σ_N=362.81 σ_M=0.00 τ=25.50 τ_{max}=25.50
  Tensioni: σ_N=362.81 σ_M=293.59 τ=0.00 $\sigma_{ID,max}$=656.40

- Verifica a taglio dir. Z [4.2.16] - CC 16 SLU Xl=0.14
  Sollecitazioni: N=1198.03 T_z=-93.73
  V,Ed=-93.73 Vc,Rd=7560.76 V,Ed/Vc,Rd=0.01

Asta n. 2386 (150 158) briglie 50x10 Crit. 1

- Verifica in termini tensionali [4.2.4] - CC 18 SLU Xl=0.22 - Classe 3
  Sollecitazioni: N=1724.48 T_z=-103.43 M_y=11.43
  Tensioni: σ_N=344.90 σ_M=274.32 τ=0.00 σ_{max}=619.22
  Tensioni: σ_N=344.90 σ_M=-0.00 τ=31.03 τ_{max}=31.03
  Tensioni: σ_N=344.90 σ_M=274.32 τ=0.00 $\sigma_{ID,max}$=619.22

- Verifica a taglio dir. Z [4.2.16] - CC 16 SLU Xl=0.12
  Sollecitazioni: N=1095.75 T_z=-107.92

V,Ed=-107.92 Vc,Rd=7560.76 V,Ed/Vc,Rd=0.01

Asta n. 2386 (158 166) briglie 50x10 Crit. 1

- Verifica in termini tensionali [4.2.4] - CC 19 SLU Xl=0.00 - Classe 3
Sollecitazioni: N=1638.66 T_z=56.52 M_y=6.62 T_y=-3.02
Tensioni: σ_N=327.73 σ_M=158.93 τ=0.00 σ_{max}=486.66
Tensioni: σ_N=327.73 σ_M=-0.00 τ=16.98 τ_{max}=16.98
Tensioni: σ_N=327.73 σ_M=158.93 τ=0.91 $\sigma_{ID,max}$=486.66

- Verifica a taglio dir. Z [4.2.16] - CC 9 SLU Xl=0.12
Sollecitazioni: N=1618.75 T_z=56.41
V,Ed=56.41 Vc,Rd=7560.76 V,Ed/Vc,Rd=0.01

Asta n. 2386 (166 174) briglie 50x10 Crit. 1

- Verifica in termini tensionali [4.2.4] - CC 19 SLU Xl=0.22 - Classe 3
Sollecitazioni: N=1680.38 T_z=43.12 M_y=-7.04
Tensioni: σ_N=336.07 σ_M=168.96 τ=0.00 σ_{max}=505.04
Tensioni: σ_N=336.07 σ_M=0.00 τ=12.94 τ_{max}=12.94
Tensioni: σ_N=336.07 σ_M=168.96 τ=0.00 $\sigma_{ID,max}$=505.04

- Verifica a taglio dir. Z [4.2.16] - CC 9 SLU Xl=0.04
Sollecitazioni: N=1660.95 T_z=44.59
V,Ed=44.59 Vc,Rd=7560.76 V,Ed/Vc,Rd=0.01

Asta n. 2386 (174 182) briglie 50x10 Crit. 1

- Verifica in termini tensionali [4.2.4] - CC 19 SLU Xl=0.22 - Classe 3
Sollecitazioni: N=1716.54 T_z=23.00 M_y=-5.57 T_y=3.22
Tensioni: σ_N=343.31 σ_M=133.60 τ=0.00 σ_{max}=476.91
Tensioni: σ_N=343.31 σ_M=0.00 τ=6.97 τ_{max}=6.97
Tensioni: σ_N=343.31 σ_M=133.60 τ=0.96 $\sigma_{ID,max}$=476.91

- Verifica a taglio dir. Z [4.2.16] - CC 16 SLU Xl=0.14
Sollecitazioni: N=927.08 T_z=-41.29
V,Ed=-41.29 Vc,Rd=7560.76 V,Ed/Vc,Rd=0.01

Asta n. 2386 (182 190) briglie 50x10 Crit. 1

- Verifica in termini tensionali [4.2.4] - CC 18 SLU Xl=0.00 - Classe 3
Sollecitazioni: N=1655.02 T_z=-24.18 M_y=-5.22
Tensioni: σ_N=331.00 σ_M=125.27 τ=0.00 σ_{max}=456.27
Tensioni: σ_N=331.00 σ_M=0.00 τ=7.25 τ_{max}=7.25
Tensioni: σ_N=331.00 σ_M=125.27 τ=0.00 $\sigma_{ID,max}$=456.27

- Verifica a taglio dir. Z [4.2.16] - CC 16 SLU Xl=0.14
Sollecitazioni: N=872.71 T_z=-45.39
V,Ed=-45.39 Vc,Rd=7560.76 V,Ed/Vc,Rd=0.01

Asta n. 2386 (190 198) briglie 50x10 Crit. 1

- Verifica in termini tensionali [4.2.4] - CC 18 SLU Xl=0.00 - Classe 3
Sollecitazioni: N=1617.07 T_z=-33.62 M_y=-6.22
Tensioni: σ_N=323.41 σ_M=149.35 τ=0.00 σ_{max}=472.76
Tensioni: σ_N=323.41 σ_M=0.00 τ=10.09 τ_{max}=10.09
Tensioni: σ_N=323.41 σ_M=149.35 τ=0.00 $\sigma_{ID,max}$=472.76

- Verifica a taglio dir. Z [4.2.16] - CC 16 SLU Xl=0.14

Sollecitazioni: N=805.66 T_z=-58.57
V,Ed=-58.57 Vc,Rd=7560.76 V,Ed/Vc,Rd=0.01

Asta n. 2386 (198 206) briglie 50x10 Crit. 1

- Verifica in termini tensionali [4.2.4] - CC 18 SLU Xl=0.00 - Classe 3
Sollecitazioni: N=1558.13 T_z=-50.76 M_y=-8.14
Tensioni: σ_N=311.63 σ_M=195.32 τ=0.00 σ_{max}=506.95
Tensioni: σ_N=311.63 σ_M=0.00 τ=15.23 τ_{max}=15.23
Tensioni: σ_N=311.63 σ_M=195.32 τ=0.00 $\sigma_{ID,max}$=506.95

- Verifica a taglio dir. Z [4.2.16] - CC 16 SLU Xl=0.12
Sollecitazioni: N=723.08 T_z=-63.94
V,Ed=-63.94 Vc,Rd=7560.76 V,Ed/Vc,Rd=0.01

Asta n. 2386 (206 214) briglie 50x10 Crit. 1

- Verifica in termini tensionali [4.2.4] - CC 18 SLU Xl=0.00 - Classe 3
Sollecitazioni: N=1470.90 T_z=-69.30 M_y=-10.01
Tensioni: σ_N=294.18 σ_M=240.33 τ=0.00 σ_{max}=534.51
Tensioni: σ_N=294.18 σ_M=0.00 τ=20.79 τ_{max}=20.79
Tensioni: σ_N=294.18 σ_M=240.33 τ=0.00 $\sigma_{ID,max}$=534.51

- Verifica a taglio dir. Z [4.2.16] - CC 18 SLU Xl=0.16
Sollecitazioni: N=1470.90 T_z=-70.10
V,Ed=-70.10 Vc,Rd=7560.76 V,Ed/Vc,Rd=0.01

Asta n. 2386 (214 222) briglie 50x10 Crit. 1

- Verifica in termini tensionali [4.2.4] - CC 18 SLU Xl=0.00 - Classe 3
Sollecitazioni: N=1350.13 T_z=-88.67 M_y=-11.77
Tensioni: σ_N=270.03 σ_M=282.56 τ=0.00 σ_{max}=552.59
Tensioni: σ_N=270.03 σ_M=0.00 τ=26.60 τ_{max}=26.60
Tensioni: σ_N=270.03 σ_M=282.56 τ=0.00 $\sigma_{ID,max}$=552.59

- Verifica a taglio dir. Z [4.2.16] - CC 18 SLU Xl=0.14
Sollecitazioni: N=1350.13 T_z=-89.37
V,Ed=-89.37 Vc,Rd=7560.76 V,Ed/Vc,Rd=0.01

Asta n. 2386 (222 230) briglie 50x10 Crit. 1

- Verifica in termini tensionali [4.2.4] - CC 18 SLU Xl=0.00 - Classe 3
Sollecitazioni: N=1194.88 T_z=-98.80 M_y=-12.79
Tensioni: σ_N=238.97 σ_M=306.97 τ=0.00 σ_{max}=545.95
Tensioni: σ_N=238.97 σ_M=0.00 τ=29.64 τ_{max}=29.64
Tensioni: σ_N=238.97 σ_M=306.97 τ=0.00 $\sigma_{ID,max}$=545.95

- Verifica a taglio dir. Z [4.2.16] - CC 18 SLU Xl=0.14
Sollecitazioni: N=1194.88 T_z=-99.50
V,Ed=-99.50 Vc,Rd=7560.76 V,Ed/Vc,Rd=0.01

Asta n. 2386 (230 238) briglie 50x10 Crit. 1

- Verifica in termini tensionali [4.2.4] - CC 19 SLU Xl=0.00 - Classe 3
Sollecitazioni: N=1337.82 T_z=-94.54 M_y=-13.06 T_y=-1.71
Tensioni: σ_N=267.56 σ_M=313.42 τ=0.00 σ_{max}=580.98
Tensioni: σ_N=267.56 σ_M=0.00 τ=28.37 τ_{max}=28.37
Tensioni: σ_N=267.56 σ_M=313.42 τ=0.51 $\sigma_{ID,max}$=580.98

- Verifica a taglio dir. Z [4.2.16] - CC 18 SLU Xl=0.12
  Sollecitazioni: N=1000.21 T_z=-121.59
  V,Ed=-121.59 Vc,Rd=7560.76 V,Ed/Vc,Rd=0.02

Asta n. 2386 (238 246) briglie 50x10 Crit. 1

- Verifica di stabilità aste inflesse (4.2.4.1.3.2) CC 18 SLU - Classe 3
  L_{cr}=0.22 Curva d: α_{imp}=0.76 k_c=0.94 ψ=2.82 M,cr=0.00 λ_{LT}=0.00
  $\lambda_{LT,0}$=0.20 β_{LT}=1.00 Φ_{LT}=0.00 β_{LT}=1.00 f=0.00 χ_{LT}=1.00
  CC 18 SLU My,Ed=-17.29 My,b,Rd=109.13 My,Ed/My,b,Rd=0.16

- Verifica di stabilità aste presso-inflesse (C4.2.4.1.3.3.1) - CC 5 SLV - Classe 3
  Sollecitazioni: N,Ed=-76.47 Myeq,Ed=7.02 Mzeq,Ed=0.03
  Resistenze: Nc,Rd=13095.20 My,c,Rd=109.13 Mz,c,Rd=21.83 L=21.56
  λ_Y=14.94 Ncr,y=464353.00 λ^*_y=0.17 Curva c: Φ_y=0.51 χ_y=1.00
  λ_Z=74.69 Ncr,z=18574.10 λ^*_z=0.86 Curva c: Φ_z=1.03 χ_z=0.62
  χ,min=0.62
  Verifica: 0.01+0.06+0.00=0.07

- Verifica in termini tensionali [4.2.4] - CC 19 SLU Xl=0.00 - Classe 3
  Sollecitazioni: N=1132.43 T_z=-122.53 M_y=-15.75 T_y=1.03
  Tensioni: σ_N=226.49 σ_M=378.01 τ=0.00 σ_{max}=604.49
  Tensioni: σ_N=226.49 σ_M=0.00 τ=36.76 τ_{max}=36.76
  Tensioni: σ_N=226.49 σ_M=378.01 τ=0.31 $\sigma_{ID,max}$=604.49

- Verifica a taglio dir. Z [4.2.16] - CC 18 SLU Xl=0.12
  Sollecitazioni: N=748.03 T_z=-146.61
  V,Ed=-146.61 Vc,Rd=7560.76 V,Ed/Vc,Rd=0.02

Asta n. 2386 (246 254) briglie 50x10 Crit. 1

- Verifica di stabilità aste inflesse (4.2.4.1.3.2) CC 18 SLU - Classe 3
  L_{cr}=0.22 Curva d: α_{imp}=0.76 k_c=0.94 ψ=2.98 M,cr=0.00 λ_{LT}=0.00
  $\lambda_{LT,0}$=0.20 β_{LT}=1.00 Φ_{LT}=0.00 β_{LT}=1.00 f=0.00 χ_{LT}=1.00
  CC 18 SLU My,Ed=-19.46 My,b,Rd=109.13 My,Ed/My,b,Rd=0.18

- Verifica di stabilità aste presso-inflesse (C4.2.4.1.3.3.1) - CC 16 SLU - Classe 3
  Sollecitazioni: N,Ed=-204.74 Myeq,Ed=13.34 Mzeq,Ed=0.03
  Resistenze: Nc,Rd=13095.20 My,c,Rd=109.13 Mz,c,Rd=21.83 L=21.56
  λ_Y=14.94 Ncr,y=464355.00 λ^*_y=0.17 Curva c: Φ_y=0.51 χ_y=1.00
  λ_Z=74.69 Ncr,z=18574.20 λ^*_z=0.86 Curva c: Φ_z=1.03 χ_z=0.62
  χ,min=0.62
  Verifica: 0.02+0.12+0.00=0.14

- Verifica in termini tensionali [4.2.4] - CC 19 SLU Xl=0.00 - Classe 3
  Sollecitazioni: N=851.98 T_z=-152.72 M_y=-18.38 T_y=2.50
  Tensioni: σ_N=170.40 σ_M=441.05 τ=0.00 σ_{max}=611.44
  Tensioni: σ_N=170.40 σ_M=0.00 τ=45.82 τ_{max}=45.82
  Tensioni: σ_N=170.40 σ_M=441.05 τ=0.75 $\sigma_{ID,max}$=611.44

- Verifica a taglio dir. Z [4.2.16] - CC 18 SLU Xl=0.12
  Sollecitazioni: N=422.94 T_z=-174.05
  V,Ed=-174.05 Vc,Rd=7560.76 V,Ed/Vc,Rd=0.02

Asta n. 2386 (254 262) briglie 50x10 Crit. 1

- Verifica di stabilità aste inflesse (4.2.4.1.3.2) CC 18 SLU - Classe 3
  L_{cr}=0.22 Curva d: α_{imp}=0.76 k_c=0.94 ψ=3.05 M,cr=0.00 λ_{LT}=0.00
  $\lambda_{LT,0}$=0.20 β_{LT}=1.00 Φ_{LT}=0.00 β_{LT}=1.00 f=0.00 χ_{LT}=1.00

CC 18 SLU My,Ed=21.95 My,b,Rd=109.13 My,Ed/My,b,Rd=0.20

- Verifica di stabilità aste presso-inflesse (C4.2.4.1.3.3.1) - CC 16 SLU - Classe 3
Sollecitazioni: N,Ed=-488.39 Myeq,Ed=16.55 Mzeq,Ed=-0.04
Resistenze: Nc,Rd=13095.20 My,c,Rd=109.13 Mz,c,Rd=21.83 L=21.56
λ_Y=14.94 Ncr,y=464355.00 λ^*_y=0.17 Curva c: Φ_y=0.51 χ_y=1.00
λ_Z=74.69 Ncr,z=18574.20 λ^*_z=0.86 Curva c: Φ_z=1.03 χ_z=0.62
χ,min=0.62
Verifica: 0.04+0.15+0.00=0.19

- Verifica in termini tensionali [4.2.4] - CC 19 SLU Xl=0.00 - Classe 3
Sollecitazioni: N=480.23 T_z=-183.19 M_y=-20.75 T_y=-3.11
Tensioni: σ_N=96.05 σ_M=498.10 τ=0.00 σ_{max}=594.14
Tensioni: σ_N=96.05 σ_M=0.00 τ=54.96 τ_{max}=54.96
Tensioni: σ_N=96.05 σ_M=498.10 τ=0.93 $\sigma_{ID,max}$=594.14

- Verifica a taglio dir. Y [4.2.16] - CC 19 SLU Xl=0.12
Sollecitazioni: N=480.23 T_z=-183.79 T_y=-1.63
V,Ed=-1.63 Vc,Rd=7560.76 V,Ed/Vc,Rd=0.00

- Verifica a taglio dir. Z [4.2.16]
V,Ed=-183.79 Vc,Rd=7560.76 V,Ed/Vc,Rd=0.02

Asta n. 2386 (262 270) briglie 50x10 Crit. 1

- Verifica di stabilità aste inflesse (4.2.4.1.3.2) CC 5 SLV - Classe 3
L_{cr}=0.22 Curva d: α_{imp}=0.76 k_c=0.94 ψ=2.64 M,cr=0.00 λ_{LT}=0.00
$\lambda_{LT,0}$=0.20 β_{LT}=1.00 Φ_{LT}=0.00 β_{LT}=1.00 f=0.00 χ_{LT}=1.00
CC 5 SLV My,Ed=12.66 My,b,Rd=109.13 My,Ed/My,b,Rd=0.12

- Verifica di stabilità aste presso-inflesse (C4.2.4.1.3.3.1) - CC 18 SLU - Classe 3
Sollecitazioni: N,Ed=-517.48 Myeq,Ed=27.47 Mzeq,Ed=0.09
Resistenze: Nc,Rd=13095.20 My,c,Rd=109.13 Mz,c,Rd=21.83 L=21.56
λ_Y=14.94 Ncr,y=464353.00 λ^*_y=0.17 Curva c: Φ_y=0.51 χ_y=1.00
λ_Z=74.69 Ncr,z=18574.10 λ^*_z=0.86 Curva c: Φ_z=1.03 χ_z=0.62
χ,min=0.62
Verifica: 0.04+0.25+0.00=0.30

- Verifica in termini tensionali [4.2.4] - CC 18 SLU Xl=0.22 - Classe 3
Sollecitazioni: N=-517.48 T_z=-237.08 M_y=27.47
Tensioni: σ_N=-103.50 σ_M=-659.27 τ=0.00 σ_{max}=-762.77
Tensioni: σ_N=-103.50 σ_M=-0.00 τ=71.13 τ_{max}=71.13
Tensioni: σ_N=-103.50 σ_M=-659.27 τ=0.00 $\sigma_{ID,max}$=762.77

- Verifica a taglio dir. Z [4.2.16] - CC 17 SLU Xl=0.10
Sollecitazioni: T_z=-134.30
V,Ed=-134.30 Vc,Rd=7560.76 V,Ed/Vc,Rd=0.02

Asta n. 2386 (270 278) briglie 50x10 Crit. 1

- Verifica di stabilità aste inflesse (4.2.4.1.3.2) CC 5 SLV - Classe 3
L_{cr}=0.22 Curva d: α_{imp}=0.76 k_c=0.94 ψ=2.46 M,cr=0.00 λ_{LT}=0.00
$\lambda_{LT,0}$=0.20 β_{LT}=1.00 Φ_{LT}=0.00 β_{LT}=1.00 f=0.00 χ_{LT}=1.00
CC 5 SLV My,Ed=15.46 My,b,Rd=109.13 My,Ed/My,b,Rd=0.14

- Verifica di stabilità aste presso-inflesse (C4.2.4.1.3.3.1) - CC 18 SLU - Classe 3
Sollecitazioni: N,Ed=-1191.40 Myeq,Ed=34.82 Mzeq,Ed=0.12
Resistenze: Nc,Rd=13095.20 My,c,Rd=109.13 Mz,c,Rd=21.83 L=21.56
λ_Y=14.94 Ncr,y=464353.00 λ^*_y=0.17 Curva c: Φ_y=0.51 χ_y=1.00

λ_Z=74.69 Ncr,z=18574.10 λ^*_z=0.86 Curva c: Φ_z=1.03 χ_z=0.62
χ,min=0.62
Verifica: 0.15+0.32+0.01=0.47

- Verifica Freccia massima carichi totali - CC 24
$f_{Z,L}$=0.00 (L/15866)

- Verifica in termini tensionali [4.2.4] - CC 18 SLU Xl=0.22 - Classe 3
Sollecitazioni: N=-1191.40 T_z=-276.45 M_y=34.82
Tensioni: σ_N=-238.28 σ_M=-835.69 τ=0.00 σ_{max}=-1073.97
Tensioni: σ_N=-238.28 σ_M=-0.00 τ=82.94 τ_{max}=82.94
Tensioni: σ_N=-238.28 σ_M=-835.69 τ=0.00 $\sigma_{ID,max}$=1073.97

- Verifica a taglio dir. Z [4.2.16] - CC 1 SLV Xl=0.10
Sollecitazioni: N=30.26 T_z=-84.96
V,Ed=-84.96 Vc,Rd=7560.76 V,Ed/Vc,Rd=0.01

Asta n. 2386 (278 2287) briglie 50x10 Crit. 1

- Verifica di stabilità aste inflesse (4.2.4.1.3.2) CC 5 SLV - Classe 3
L_{cr}=0.22 Curva d: α_{imp}=0.76 k_c=0.94 ψ=2.04 M,cr=0.00 λ_{LT}=0.00
$\lambda_{LT,0}$=0.20 β_{LT}=1.00 Φ_{LT}=0.00 β_{LT}=1.00 f=0.00 χ_{LT}=1.00
CC 5 SLV My,Ed=23.57 My,b,Rd=109.13 My,Ed/My,b,Rd=0.22

- Verifica di stabilità aste presso-inflesse (C4.2.4.1.3.3.1) - CC 18 SLU - Classe 3
Sollecitazioni: N,Ed=-1970.44 Myeq,Ed=47.20 Mzeq,Ed=0.23
Resistenze: Nc,Rd=13095.20 My,c,Rd=109.13 Mz,c,Rd=21.83 L=21.56
λ_Y=14.94 Ncr,y=464357.00 λ^*_y=0.17 Curva c: Φ_y=0.51 χ_y=1.00
λ_Z=74.69 Ncr,z=18574.30 λ^*_z=0.86 Curva c: Φ_z=1.03 χ_z=0.62
χ,min=0.62
Verifica: 0.24+0.43+0.01=0.69

- Verifica Freccia massima per soli carichi accidentali - CC 24
$f_{Z,L}$=0.00 (L/9420)

- Verifica Freccia massima carichi totali - CC 24
$f_{Z,L}$=0.00 (L/6368)

- Verifica in termini tensionali [4.2.4] - CC 18 SLU Xl=0.22 - Classe 3
Sollecitazioni: N=-1970.44 T_z=-337.35 M_y=53.68 T_y=1.45
Tensioni: σ_N=-394.09 σ_M=-1288.31 τ=0.00 σ_{max}=-1682.40
Tensioni: σ_N=-394.09 σ_M=-0.00 τ=101.20 τ_{max}=101.20
Tensioni: σ_N=-394.09 σ_M=-1288.31 τ=0.43 $\sigma_{ID,max}$=1682.40

- Verifica a taglio dir. Z [4.2.16] - CC 7 SLV Xl=0.16
Sollecitazioni: N=433.53 T_z=-30.45
V,Ed=-30.45 Vc,Rd=7560.76 V,Ed/Vc,Rd=0.00

Asta n. 2386 (2287 298) briglie 50x10 Crit. 1

- Verifica di stabilità aste presso-inflesse (C4.2.4.1.3.3.1) - CC 17 SLU - Classe 3
Sollecitazioni: N,Ed=-224.07 Myeq,Ed=3.33 Mzeq,Ed=0.44
Resistenze: Nc,Rd=13095.20 My,c,Rd=109.13 Mz,c,Rd=21.83 L=16.67
λ_Y=11.55 Ncr,y=777233.00 λ^*_y=0.13 Curva c: Φ_y=0.49 χ_y=1.00
λ_Z=57.73 Ncr,z=31089.30 λ^*_z=0.67 Curva c: Φ_z=0.84 χ_z=0.75
χ,min=0.75
Verifica: 0.02+0.03+0.02=0.07

- Verifica in termini tensionali [4.2.4] - CC 17 SLU Xl=0.00 - Classe 3

Sollecitazioni: N=-224.07 T_z=31.17 M_y=3.62 T_y=-5.83
Tensioni: σ_N=-44.81 σ_M=-86.88 τ=0.00 σ_{max}=-131.69
Tensioni: σ_N=-44.81 σ_M=-0.00 τ=9.51 τ_{max}=9.51
Tensioni: σ_N=-44.81 σ_M=-86.88 τ=1.75 $\sigma_{ID,max}$=131.73

Asta n. 2386 (298 306) briglie 50x10 Crit. 1

- Verifica di stabilità aste presso-inflesse (C4.2.4.1.3.3.1) - CC 17 SLU - Classe 3
Sollecitazioni: N,Ed=-142.97 Myeq,Ed=2.90 Mzeq,Ed=-0.13
Resistenze: Nc,Rd=13095.20 My,c,Rd=109.13 Mz,c,Rd=21.83 L=16.67
λ_Y=11.55 Ncr,y=777229.00 λ^*_y=0.13 Curva c: Φ_y=0.49 χ_y=1.00
λ_Z=57.74 Ncr,z=31089.10 λ^*_z=0.67 Curva c: Φ_z=0.84 χ_z=0.75
χ,min=0.75
Verifica: 0.01+0.03+0.01=0.04

- Verifica in termini tensionali [4.2.4] - CC 17 SLU Xl=0.00 - Classe 3
Sollecitazioni: N=-142.97 T_z=30.93 M_y=2.90 T_y=-3.10
Tensioni: σ_N=-28.59 σ_M=-69.69 τ=0.00 σ_{max}=-98.28
Tensioni: σ_N=-28.59 σ_M=-0.00 τ=9.32 τ_{max}=9.32
Tensioni: σ_N=-28.59 σ_M=-69.69 τ=0.93 $\sigma_{ID,max}$=98.30

Asta n. 2386 (306 2314) briglie 50x10 Crit. 1

- Verifica di stabilità aste presso-inflesse (C4.2.4.1.3.3.1) - CC 17 SLU - Classe 3
Sollecitazioni: N,Ed=-55.36 Myeq,Ed=-2.41 Mzeq,Ed=-0.07
Resistenze: Nc,Rd=13095.20 My,c,Rd=109.13 Mz,c,Rd=21.83 L=16.67
λ_Y=11.55 Ncr,y=777233.00 λ^*_y=0.13 Curva c: Φ_y=0.49 χ_y=1.00
λ_Z=57.73 Ncr,z=31089.30 λ^*_z=0.67 Curva c: Φ_z=0.84 χ_z=0.75
χ,min=0.75
Verifica: 0.00+0.02+0.00=0.03

- Verifica in termini tensionali [4.2.4] - CC 17 SLU Xl=0.17 - Classe 3
Sollecitazioni: N=-55.36 T_z=25.95 M_y=-2.41 T_y=1.31
Tensioni: σ_N=-11.07 σ_M=-57.84 τ=0.00 σ_{max}=-68.91
Tensioni: σ_N=-11.07 σ_M=0.00 τ=7.79 τ_{max}=7.79
Tensioni: σ_N=-11.07 σ_M=-57.84 τ=0.39 $\sigma_{ID,max}$=68.92

Asta n. 2424 (2004 12) briglie 50x10 Crit. 1

- Verifica di stabilità aste presso-inflesse (C4.2.4.1.3.3.1) - CC 17 SLU - Classe 3
Sollecitazioni: N,Ed=-71.56 Myeq,Ed=3.28 Mzeq,Ed=-0.09
Resistenze: Nc,Rd=13095.20 My,c,Rd=109.13 Mz,c,Rd=21.83 L=16.67
λ_Y=11.55 Ncr,y=777231.00 λ^*_y=0.13 Curva c: Φ_y=0.49 χ_y=1.00
λ_Z=57.73 Ncr,z=31089.20 λ^*_z=0.67 Curva c: Φ_z=0.84 χ_z=0.75
χ,min=0.75
Verifica: 0.01+0.03+0.00=0.04

- Verifica in termini tensionali [4.2.4] - CC 19 SLU Xl=0.17 - Classe 3
Sollecitazioni: N=-74.72 T_z=-38.94 M_y=3.36 T_y=1.08
Tensioni: σ_N=-14.94 σ_M=-80.66 τ=0.00 σ_{max}=-95.60
Tensioni: σ_N=-14.94 σ_M=-0.00 τ=11.69 τ_{max}=11.69
Tensioni: σ_N=-14.94 σ_M=-80.66 τ=0.32 $\sigma_{ID,max}$=95.60

Asta n. 2424 (12 20) briglie 50x10 Crit. 1

- Verifica di stabilità aste presso-inflesse (C4.2.4.1.3.3.1) - CC 17 SLU - Classe 3
Sollecitazioni: N,Ed=-126.88 Myeq,Ed=0.79 Mzeq,Ed=0.10
Resistenze: Nc,Rd=13095.20 My,c,Rd=109.13 Mz,c,Rd=21.83 L=16.67
λ_Y=11.55 Ncr,y=777232.00 λ^*_y=0.13 Curva c: Φ_y=0.49 χ_y=1.00

λ_Z=57.73 Ncr,z=31089.30 λ^*_z=0.67 Curva c: Φ_z=0.84 χ_z=0.75
χ,min=0.75
Verifica: 0.01+0.01+0.00=0.02

- Verifica in termini tensionali [4.2.4] - CC 18 SLU Xl=0.17 - Classe 3
Sollecitazioni: N=-124.40 T_z=-5.42 M_y=1.04
Tensioni: σ_N=-24.88 σ_M=-25.02 τ=0.00 σ_{max}=-49.90
Tensioni: σ_N=-24.88 σ_M=-0.00 τ=1.63 τ_{max}=1.63
Tensioni: σ_N=-24.88 σ_M=-25.02 τ=0.00 $\sigma_{ID,max}$=49.90

Asta n. 2424 (20 2030) briglie 50x10 Crit. 1

- Verifica di stabilità aste presso-inflesse (C4.2.4.1.3.3.1) - CC 17 SLU - Classe 3
Sollecitazioni: N,Ed=-329.83 Myeq,Ed=3.55 Mzeq,Ed=0.47
Resistenze: Nc,Rd=13095.20 My,c,Rd=109.13 Mz,c,Rd=21.83 L=16.67
λ_Y=11.55 Ncr,y=777232.00 λ^*_y=0.13 Curva c: Φ_y=0.49 χ_y=1.00
λ_Z=57.73 Ncr,z=31089.30 λ^*_z=0.67 Curva c: Φ_z=0.84 χ_z=0.75
χ,min=0.75
Verifica: 0.03+0.03+0.02=0.08

- Verifica in termini tensionali [4.2.4] - CC 16 SLU Xl=0.17 - Classe 3
Sollecitazioni: N=-296.98 T_z=-41.54 M_y=5.29 T_y=-1.11
Tensioni: σ_N=-59.40 σ_M=-126.95 τ=0.00 σ_{max}=-186.34
Tensioni: σ_N=-59.40 σ_M=-0.00 τ=12.47 τ_{max}=12.47
Tensioni: σ_N=-59.40 σ_M=-126.95 τ=0.33 $\sigma_{ID,max}$=186.34

Asta n. 2424 (2030 40) briglie 50x10 Crit. 1

- Verifica di stabilità aste inflesse (4.2.4.1.3.2) CC 5 SLV - Classe 3
L_{cr}=0.22 Curva d: α_{imp}=0.76 k_c=0.94 ψ=2.08 M,cr=0.00 λ_{LT}=0.00
$\lambda_{LT,0}$=0.20 β_{LT}=1.00 Φ_{LT}=0.00 β_{LT}=1.00 f=0.00 χ_{LT}=1.00
CC 5 SLV My,Ed=32.59 My,b,Rd=109.13 My,Ed/My,b,Rd=0.30

- Verifica di stabilità aste presso-inflesse (C4.2.4.1.3.3.1) - CC 19 SLU - Classe 3
Sollecitazioni: N,Ed=-2643.48 Myeq,Ed=81.39 Mzeq,Ed=0.85
Resistenze: Nc,Rd=13095.20 My,c,Rd=109.13 Mz,c,Rd=21.83 L=21.56
λ_Y=14.94 Ncr,y=464354.00 λ^*_y=0.17 Curva c: Φ_y=0.51 χ_y=1.00
λ_Z=74.69 Ncr,z=18574.20 λ^*_z=0.86 Curva c: Φ_z=1.03 χ_z=0.62
χ,min=0.62
Verifica: 0.32+0.75+0.05=1.12

- Verifica Freccia massima per soli carichi accidentali - CC 24
$f_{Z,L}$=0.00 (L/5227)

- Verifica Freccia massima carichi totali - CC 21
$f_{Z,L}$=0.01 (L/3140)

- Verifica in termini tensionali [4.2.4] - CC 19 SLU Xl=0.00 - Classe 3
Sollecitazioni: N=-2643.48 T_z=581.25 M_y=89.32 T_y=-7.17 M_z=1.14
Tensioni: σ_N=-528.70 σ_M=-2280.09 τ=0.00 σ_{max}=-2808.78
Tensioni: σ_N=-528.70 σ_M=-0.00 τ=174.39 τ_{max}=174.39
Tensioni: σ_N=-528.70 σ_M=-2280.09 τ=0.00 $\sigma_{ID,max}$=2808.78

- Verifica a taglio dir. Z [4.2.16] - CC 7 SLV Xl=0.12
Sollecitazioni: N=151.82 T_z=86.91
V,Ed=86.91 Vc,Rd=7560.76 V,Ed/Vc,Rd=0.01

Asta n. 2424 (40 48) briglie 50x10 Crit. 1

- Verifica di stabilità aste inflesse (4.2.4.1.3.2) CC 5 SLV - Classe 3
  L_{cr}=0.22 Curva d: α_{imp}=0.76 k_c=0.94 ψ=2.52 M,cr=0.00 λ_{LT}=0.00
  $\lambda_{LT,0}$=0.20 β_{LT}=1.00 Φ_{LT}=0.00 β_{LT}=1.00 f=0.00 χ_{LT}=1.00
  CC 5 SLV My,Ed=21.63 My,b,Rd=109.13 My,Ed/My,b,Rd=0.20

- Verifica di stabilità aste presso-inflesse (C4.2.4.1.3.3.1) - CC 19 SLU - Classe 3
  Sollecitazioni: N,Ed=-1273.09 Myeq,Ed=58.69 Mzeq,Ed=-0.33
  Resistenze: Nc,Rd=13095.20 My,c,Rd=109.13 Mz,c,Rd=21.83 L=21.56
  λ_Y=14.94 Ncr,y=464354.00 λ^*_y=0.17 Curva c: Φ_y=0.51 χ_y=1.00
  λ_Z=74.69 Ncr,z=18574.20 λ^*_z=0.86 Curva c: Φ_z=1.03 χ_z=0.62
  χ,min=0.62
  Verifica: 0.16+0.54+0.02=0.71

- Verifica Freccia massima per soli carichi accidentali - CC 21
  $f_{Z,L}$=0.00 (L/12919)

- Verifica Freccia massima carichi totali - CC 21
  $f_{Z,L}$=0.00 (L/7352)

- Verifica in termini tensionali [4.2.4] - CC 18 SLU Xl=0.00 - Classe 3
  Sollecitazioni: N=-833.15 T_z=528.56 M_y=62.47
  Tensioni: σ_N=-166.63 σ_M=-1499.23 τ=0.00 σ_{max}=-1665.86
  Tensioni: σ_N=-166.63 σ_M=-0.00 τ=158.57 τ_{max}=158.57
  Tensioni: σ_N=-166.63 σ_M=-1499.23 τ=0.00 $\sigma_{ID,max}$=1665.86

- Verifica a taglio dir. Z [4.2.16] - CC 7 SLV Xl=0.10
  Sollecitazioni: N=372.98 T_z=75.11
  V,Ed=75.11 Vc,Rd=7560.76 V,Ed/Vc,Rd=0.01

Asta n. 2424 (48 56) briglie 50x10 Crit. 1

- Verifica di stabilità aste inflesse (4.2.4.1.3.2) CC 18 SLU - Classe 3
  L_{cr}=0.22 Curva d: α_{imp}=0.76 k_c=0.94 ψ=3.10 M,cr=0.00 λ_{LT}=0.00
  $\lambda_{LT,0}$=0.20 β_{LT}=1.00 Φ_{LT}=0.00 β_{LT}=1.00 f=0.00 χ_{LT}=1.00
  CC 18 SLU My,Ed=-48.69 My,b,Rd=109.13 My,Ed/My,b,Rd=0.45

- Verifica di stabilità aste presso-inflesse (C4.2.4.1.3.3.1) - CC 19 SLU - Classe 3
  Sollecitazioni: N,Ed=-86.36 Myeq,Ed=46.53 Mzeq,Ed=-0.31
  Resistenze: Nc,Rd=13095.20 My,c,Rd=109.13 Mz,c,Rd=21.83 L=21.56
  λ_Y=14.94 Ncr,y=464354.00 λ^*_y=0.17 Curva c: Φ_y=0.51 χ_y=1.00
  λ_Z=74.69 Ncr,z=18574.20 λ^*_z=0.86 Curva c: Φ_z=1.03 χ_z=0.62
  χ,min=0.62
  Verifica: 0.01+0.43+0.01=0.45

- Verifica Freccia massima per soli carichi accidentali - CC 21
  $f_{Z,L}$=0.00 (L/20554)

- Verifica Freccia massima carichi totali - CC 21
  $f_{Z,L}$=0.00 (L/11745)

- Verifica in termini tensionali [4.2.4] - CC 18 SLU Xl=0.22 - Classe 3
  Sollecitazioni: N=457.21 T_z=450.64 M_y=-48.69
  Tensioni: σ_N=91.44 σ_M=1168.61 τ=0.00 σ_{max}=1260.05
  Tensioni: σ_N=91.44 σ_M=0.00 τ=135.19 τ_{max}=135.19
  Tensioni: σ_N=91.44 σ_M=1168.61 τ=0.00 $\sigma_{ID,max}$=1260.05

- Verifica a taglio dir. Z [4.2.16] - CC 1 SLV Xl=0.12
  Sollecitazioni: N=149.87 T_z=119.11
  V,Ed=119.11 Vc,Rd=7560.76 V,Ed/Vc,Rd=0.02

Asta n. 2424 (56 64) briglie 50x10 Crit. 1

- Verifica di stabilità aste inflesse (4.2.4.1.3.2) CC 18 SLU - Classe 3
  L_{cr}=0.22 Curva d: α_{imp}=0.76 k_c=0.94 ψ=2.85 M,cr=0.00 λ_{LT}=0.00
  $\lambda_{LT,0}$=0.20 β_{LT}=1.00 Φ_{LT}=0.00 β_{LT}=1.00 f=0.00 χ_{LT}=1.00
  CC 18 SLU My,Ed=-44.67 My,b,Rd=109.13 My,Ed/My,b,Rd=0.41

- Verifica di stabilità aste presso-inflesse (C4.2.4.1.3.3.1) - CC 5 SLV - Classe 3
  Sollecitazioni: N,Ed=-306.63 Myeq,Ed=14.62 Mzeq,Ed=0.01
  Resistenze: Nc,Rd=13095.20 My,c,Rd=109.13 Mz,c,Rd=21.83 L=21.56
  λ_Y=14.94 Ncr,y=464355.00 λ^*_y=0.17 Curva c: Φ_y=0.51 χ_y=1.00
  λ_Z=74.69 Ncr,z=18574.20 λ^*_z=0.86 Curva c: Φ_z=1.03 χ_z=0.62
  χ,min=0.62
  Verifica: 0.02+0.13+0.00=0.16

- Verifica Freccia massima carichi totali - CC 24
  $f_{Z,G}$=0.00 (L/15073)

- Verifica in termini tensionali [4.2.4] - CC 18 SLU Xl=0.22 - Classe 3
  Sollecitazioni: N=1456.45 T_z=380.93 M_y=-44.67
  Tensioni: σ_N=291.29 σ_M=1072.18 τ=0.00 σ_{max}=1363.47
  Tensioni: σ_N=291.29 σ_M=0.00 τ=114.28 τ_{max}=114.28
  Tensioni: σ_N=291.29 σ_M=1072.18 τ=0.00 $\sigma_{ID,max}$=1363.47

- Verifica a taglio dir. Z [4.2.16] - CC 18 SLU Xl=0.10
  Sollecitazioni: N=1456.45 T_z=381.53
  V,Ed=381.53 Vc,Rd=7560.76 V,Ed/Vc,Rd=0.05

Asta n. 2424 (64 72) briglie 50x10 Crit. 1

- Verifica di stabilità aste inflesse (4.2.4.1.3.2) CC 18 SLU - Classe 3
  L_{cr}=0.22 Curva d: α_{imp}=0.76 k_c=0.94 ψ=2.63 M,cr=0.00 λ_{LT}=0.00
  $\lambda_{LT,0}$=0.20 β_{LT}=1.00 Φ_{LT}=0.00 β_{LT}=1.00 f=0.00 χ_{LT}=1.00
  CC 18 SLU My,Ed=-35.37 My,b,Rd=109.13 My,Ed/My,b,Rd=0.32

- Verifica di stabilità aste presso-inflesse (C4.2.4.1.3.3.1) - CC 5 SLV - Classe 3
  Sollecitazioni: N,Ed=-58.20 Myeq,Ed=10.81 Mzeq,Ed=0.03
  Resistenze: Nc,Rd=13095.20 My,c,Rd=109.13 Mz,c,Rd=21.83 L=21.56
  λ_Y=14.94 Ncr,y=464355.00 λ^*_y=0.17 Curva c: Φ_y=0.51 χ_y=1.00
  λ_Z=74.69 Ncr,z=18574.20 λ^*_z=0.86 Curva c: Φ_z=1.03 χ_z=0.62
  χ,min=0.62
  Verifica: 0.00+0.10+0.00=0.10

- Verifica Freccia massima per soli carichi accidentali - CC 24
  $f_{Z,G}$=0.00 (L/21533)

- Verifica Freccia massima carichi totali - CC 24
  $f_{Z,L}$=0.00 (L/15328)

- Verifica in termini tensionali [4.2.4] - CC 18 SLU Xl=0.22 - Classe 3
  Sollecitazioni: N=2185.12 T_z=278.18 M_y=-35.37
  Tensioni: σ_N=437.02 σ_M=848.79 τ=0.00 σ_{max}=1285.82
  Tensioni: σ_N=437.02 σ_M=0.00 τ=83.46 τ_{max}=83.46
  Tensioni: σ_N=437.02 σ_M=848.79 τ=0.00 $\sigma_{ID,max}$=1285.82

- Verifica a taglio dir. Z [4.2.16] - CC 9 SLU Xl=0.10
  Sollecitazioni: N=1511.18 T_z=268.16
  V,Ed=268.16 Vc,Rd=7560.76 V,Ed/Vc,Rd=0.04

Asta n. 2424 (72 80) briglie 50x10 Crit. 1

- Verifica Freccia massima carichi totali - CC 24
  $f_{Z,G}$=0.00 (L/15593)

- Verifica in termini tensionali [4.2.4] - CC 18 SLU Xl=0.22 - Classe 3
  Sollecitazioni: N=2707.23 T_z=228.28 M_y=-30.33
  Tensioni: σ_N=541.45 σ_M=727.95 τ=0.00 σ_{max}=1269.40
  Tensioni: σ_N=541.45 σ_M=0.00 τ=68.48 τ_{max}=68.48
  Tensioni: σ_N=541.45 σ_M=727.95 τ=0.00 $\sigma_{ID,max}$=1269.40

- Verifica a taglio dir. Z [4.2.16] - CC 20 SLU Xl=0.08
  Sollecitazioni: N=2256.46 T_z=178.79
  V,Ed=178.79 Vc,Rd=7560.76 V,Ed/Vc,Rd=0.02

Asta n. 2424 (80 88) briglie 50x10 Crit. 1

- Verifica Freccia massima carichi totali - CC 24
  $f_{Z,G}$=0.00 (L/15593)

- Verifica in termini tensionali [4.2.4] - CC 18 SLU Xl=0.22 - Classe 3
  Sollecitazioni: N=3096.82 T_z=184.91 M_y=-26.29
  Tensioni: σ_N=619.36 σ_M=630.85 τ=0.00 σ_{max}=1250.22
  Tensioni: σ_N=619.36 σ_M=0.00 τ=55.47 τ_{max}=55.47
  Tensioni: σ_N=619.36 σ_M=630.85 τ=0.00 $\sigma_{ID,max}$=1250.22

- Verifica a taglio dir. Z [4.2.16] - CC 9 SLU Xl=0.08
  Sollecitazioni: N=2411.30 T_z=190.73
  V,Ed=190.73 Vc,Rd=7560.76 V,Ed/Vc,Rd=0.03

Asta n. 2424 (88 96) briglie 50x10 Crit. 1

- Verifica Freccia massima per soli carichi accidentali - CC 24
  $f_{Z,L}$=0.00 (L/21032)

- Verifica Freccia massima carichi totali - CC 24
  $f_{Z,L}$=0.00 (L/14826)

- Verifica in termini tensionali [4.2.4] - CC 18 SLU Xl=0.22 - Classe 3
  Sollecitazioni: N=3379.31 T_z=143.95 M_y=-23.01
  Tensioni: σ_N=675.86 σ_M=552.29 τ=0.00 σ_{max}=1228.15
  Tensioni: σ_N=675.86 σ_M=0.00 τ=43.18 τ_{max}=43.18
  Tensioni: σ_N=675.86 σ_M=552.29 τ=0.00 $\sigma_{ID,max}$=1228.15

- Verifica a taglio dir. Z [4.2.16] - CC 18 SLU Xl=0.06
  Sollecitazioni: N=3379.31 T_z=144.75
  V,Ed=144.75 Vc,Rd=7560.76 V,Ed/Vc,Rd=0.02

Asta n. 2424 (96 104) briglie 50x10 Crit. 1

- Verifica Freccia massima carichi totali - CC 24
  $f_{Z,G}$=0.00 (L/15593)

- Verifica in termini tensionali [4.2.4] - CC 18 SLU Xl=0.22 - Classe 3
  Sollecitazioni: N=3547.33 T_z=61.37 M_y=-14.30
  Tensioni: σ_N=709.47 σ_M=343.29 τ=0.00 σ_{max}=1052.75
  Tensioni: σ_N=709.47 σ_M=0.00 τ=18.41 τ_{max}=18.41
  Tensioni: σ_N=709.47 σ_M=343.29 τ=0.00 $\sigma_{ID,max}$=1052.75

- Verifica a taglio dir. Y [4.2.16] - CC 19 SLU Xl=0.04
  Sollecitazioni: N=2934.06 T_z=90.04 T_y=-4.22
  V,Ed=-4.22 Vc,Rd=7560.76 V,Ed/Vc,Rd=0.00

- Verifica a taglio dir. Z [4.2.16]
  V,Ed=90.04 Vc,Rd=7560.76 V,Ed/Vc,Rd=0.01

Asta n. 2424 (104 112) briglie 50x10 Crit. 1

- Verifica Freccia massima carichi totali - CC 24
  $f_{Z,L}$=0.00 (L/17392)

- Verifica in termini tensionali [4.2.4] - CC 18 SLU Xl=0.22 - Classe 3
  Sollecitazioni: N=3622.40 T_z=28.94 M_y=-10.03
  Tensioni: σ_N=724.48 σ_M=240.71 τ=0.00 σ_{max}=965.18
  Tensioni: σ_N=724.48 σ_M=0.00 τ=8.68 τ_{max}=8.68
  Tensioni: σ_N=724.48 σ_M=240.71 τ=0.00 $\sigma_{ID,max}$=965.18

- Verifica a taglio dir. Y [4.2.16] - CC 19 SLU Xl=0.02
  Sollecitazioni: N=3055.51 T_z=63.69 T_y=-3.11
  V,Ed=-3.11 Vc,Rd=7560.76 V,Ed/Vc,Rd=0.00

- Verifica a taglio dir. Z [4.2.16]
  V,Ed=63.69 Vc,Rd=7560.76 V,Ed/Vc,Rd=0.01

Asta n. 2424 (112 120) briglie 50x10 Crit. 1

- Verifica Freccia massima carichi totali - CC 24
  $f_{Z,L}$=0.00 (L/17064)

- Verifica in termini tensionali [4.2.4] - CC 18 SLU Xl=0.22 - Classe 3
  Sollecitazioni: N=3643.59 M_y=-6.93
  Tensioni: σ_N=728.72 σ_M=166.42 τ=0.00 σ_{max}=895.14
  Tensioni: σ_N=0.00 σ_M=0.00 τ=0.00 τ_{max}=0.00
  Tensioni: σ_N=728.72 σ_M=166.42 τ=0.00 $\sigma_{ID,max}$=895.14

- Verifica a taglio dir. Z [4.2.16] - CC 16 SLU Xl=0.22
  Sollecitazioni: N=2625.05 T_z=-41.61
  V,Ed=-41.61 Vc,Rd=7560.76 V,Ed/Vc,Rd=0.01

Asta n. 2424 (120 128) briglie 50x10 Crit. 1

- Verifica Freccia massima per soli carichi accidentali - CC 24
  $f_{Z,L}$=0.00 (L/21533)

- Verifica Freccia massima carichi totali - CC 24
  $f_{Z,L}$=0.00 (L/15073)

- Verifica in termini tensionali [4.2.4] - CC 18 SLU Xl=0.00 - Classe 3
  Sollecitazioni: N=3618.86 T_z=-27.44 M_y=-10.65
  Tensioni: σ_N=723.77 σ_M=255.67 τ=0.00 σ_{max}=979.44
  Tensioni: σ_N=723.77 σ_M=0.00 τ=8.23 τ_{max}=8.23
  Tensioni: σ_N=723.77 σ_M=255.67 τ=0.00 $\sigma_{ID,max}$=979.44

- Verifica a taglio dir. Z [4.2.16] - CC 16 SLU Xl=0.22
  Sollecitazioni: N=2548.96 T_z=-62.80
  V,Ed=-62.80 Vc,Rd=7560.76 V,Ed/Vc,Rd=0.01

Asta n. 2424 (128 136) briglie 50x10 Crit. 1

- Verifica Freccia massima per soli carichi accidentali - CC 24
  $f_{Z,L}$=0.00 (L/20097)

- Verifica Freccia massima carichi totali - CC 24
  $f_{Z,G}$=0.00 (L/13913)

- Verifica in termini tensionali [4.2.4] - CC 18 SLU Xl=0.00 - Classe 3
  Sollecitazioni: N=3534.58 T_z=-99.80 M_y=-18.36
  Tensioni: σ_N=706.91 σ_M=440.56 τ=0.00 σ_{max}=1147.47
  Tensioni: σ_N=706.91 σ_M=0.00 τ=29.94 τ_{max}=29.94
  Tensioni: σ_N=706.91 σ_M=440.56 τ=0.00 $\sigma_{ID,max}$=1147.47

- Verifica a taglio dir. Z [4.2.16] - CC 16 SLU Xl=0.16
  Sollecitazioni: N=2428.86 T_z=-121.77
  V,Ed=-121.77 Vc,Rd=7560.76 V,Ed/Vc,Rd=0.02

Asta n. 2424 (136 144) briglie 50x10 Crit. 1

- Verifica Freccia massima per soli carichi accidentali - CC 24
  $f_{Z,L}$=0.00 (L/20554)

- Verifica Freccia massima carichi totali - CC 24
  $f_{Z,L}$=0.00 (L/15593)

- Verifica in termini tensionali [4.2.4] - CC 18 SLU Xl=0.00 - Classe 3
  Sollecitazioni: N=3401.38 T_z=-123.93 M_y=-19.68
  Tensioni: σ_N=680.28 σ_M=472.35 τ=0.00 σ_{max}=1152.63
  Tensioni: σ_N=680.28 σ_M=0.00 τ=37.18 τ_{max}=37.18
  Tensioni: σ_N=680.28 σ_M=472.35 τ=0.00 $\sigma_{ID,max}$=1152.63

- Verifica a taglio dir. Z [4.2.16] - CC 16 SLU Xl=0.14
  Sollecitazioni: N=2272.65 T_z=-139.40
  V,Ed=-139.40 Vc,Rd=7560.76 V,Ed/Vc,Rd=0.02

Asta n. 2424 (144 152) briglie 50x10 Crit. 1

- Verifica Freccia massima carichi totali - CC 24
  $f_{Z,L}$=0.00 (L/18087)

- Verifica in termini tensionali [4.2.4] - CC 18 SLU Xl=0.00 - Classe 3
  Sollecitazioni: N=3248.29 T_z=-148.50 M_y=-20.67
  Tensioni: σ_N=649.66 σ_M=496.18 τ=0.00 σ_{max}=1145.83
  Tensioni: σ_N=649.66 σ_M=0.00 τ=44.55 τ_{max}=44.55
  Tensioni: σ_N=649.66 σ_M=496.18 τ=0.00 $\sigma_{ID,max}$=1145.83

- Verifica a taglio dir. Z [4.2.16] - CC 18 SLU Xl=0.14
  Sollecitazioni: N=3248.29 T_z=-149.20
  V,Ed=-149.20 Vc,Rd=7560.76 V,Ed/Vc,Rd=0.02

Asta n. 2424 (152 160) briglie 50x10 Crit. 1

- Verifica in termini tensionali [4.2.4] - CC 18 SLU Xl=0.22 - Classe 3
  Sollecitazioni: N=3098.27 T_z=-162.79 M_y=18.04
  Tensioni: σ_N=619.65 σ_M=432.88 τ=0.00 σ_{max}=1052.54
  Tensioni: σ_N=619.65 σ_M=-0.00 τ=48.84 τ_{max}=48.84
  Tensioni: σ_N=619.65 σ_M=432.88 τ=0.00 $\sigma_{ID,max}$=1052.54

- Verifica a taglio dir. Y [4.2.16] - CC 19 SLU Xl=0.10
  Sollecitazioni: N=2933.17 T_z=-90.50 T_y=1.59
  V,Ed=1.59 Vc,Rd=7560.76 V,Ed/Vc,Rd=0.00

- Verifica a taglio dir. Z [4.2.16]
  V,Ed=-90.50 Vc,Rd=7560.76 V,Ed/Vc,Rd=0.01

Asta n. 2424 (160 168) briglie 50x10 Crit. 1

- Verifica in termini tensionali [4.2.4] - CC 19 SLU Xl=0.00 - Classe 3
  Sollecitazioni: N=2933.20 T_z=91.15 M_y=10.67 T_y=-3.07
  Tensioni: σ_N=586.64 σ_M=256.01 τ=0.00 σ_{max}=842.65
  Tensioni: σ_N=586.64 σ_M=-0.00 τ=27.36 τ_{max}=27.36
  Tensioni: σ_N=586.64 σ_M=256.01 τ=0.92 $\sigma_{ID,max}$=842.65

- Verifica a taglio dir. Y [4.2.16] - CC 19 SLU Xl=0.12
  Sollecitazioni: N=2933.20 T_z=90.55 T_y=-1.59
  V,Ed=-1.59 Vc,Rd=7560.76 V,Ed/Vc,Rd=0.00

- Verifica a taglio dir. Z [4.2.16]
  V,Ed=90.55 Vc,Rd=7560.76 V,Ed/Vc,Rd=0.01

Asta n. 2424 (168 176) briglie 50x10 Crit. 1

- Verifica in termini tensionali [4.2.4] - CC 19 SLU Xl=0.22 - Classe 3
  Sollecitazioni: N=3007.96 T_z=81.54 M_y=-12.54
  Tensioni: σ_N=601.59 σ_M=300.97 τ=0.00 σ_{max}=902.57
  Tensioni: σ_N=601.59 σ_M=0.00 τ=24.46 τ_{max}=24.46
  Tensioni: σ_N=601.59 σ_M=300.97 τ=0.00 $\sigma_{ID,max}$=902.57

- Verifica a taglio dir. Y [4.2.16] - CC 19 SLU Xl=0.06
  Sollecitazioni: N=3007.96 T_z=82.34 T_y=-1.13
  V,Ed=-1.13 Vc,Rd=7560.76 V,Ed/Vc,Rd=0.00

- Verifica a taglio dir. Z [4.2.16]
  V,Ed=82.34 Vc,Rd=7560.76 V,Ed/Vc,Rd=0.01

Asta n. 2424 (176 184) briglie 50x10 Crit. 1

- Verifica Freccia massima carichi totali - CC 21
  $f_{Z,G}$=0.00 (L/20097)

- Verifica in termini tensionali [4.2.4] - CC 19 SLU Xl=0.22 - Classe 3
  Sollecitazioni: N=3085.67 T_z=61.49 M_y=-11.83 T_y=3.16
  Tensioni: σ_N=617.13 σ_M=284.02 τ=0.00 σ_{max}=901.16
  Tensioni: σ_N=617.13 σ_M=0.00 τ=18.47 τ_{max}=18.47
  Tensioni: σ_N=617.13 σ_M=284.02 τ=0.95 $\sigma_{ID,max}$=901.16

- Verifica a taglio dir. Z [4.2.16] - CC 19 SLU Xl=0.02
  Sollecitazioni: N=3085.67 T_z=62.50
  V,Ed=62.50 Vc,Rd=7560.76 V,Ed/Vc,Rd=0.01

Asta n. 2424 (184 192) briglie 50x10 Crit. 1

- Verifica Freccia massima carichi totali - CC 21
  $f_{Z,L}$=0.00 (L/17064)

- Verifica in termini tensionali [4.2.4] - CC 19 SLU Xl=0.22 - Classe 3
  Sollecitazioni: N=3145.72 T_z=42.28 M_y=-10.80 T_y=4.34
  Tensioni: σ_N=629.14 σ_M=259.10 τ=0.00 σ_{max}=888.24
  Tensioni: σ_N=629.14 σ_M=0.00 τ=12.75 τ_{max}=12.75
  Tensioni: σ_N=629.14 σ_M=259.10 τ=1.30 $\sigma_{ID,max}$=888.25

- Verifica a taglio dir. Z [4.2.16] - CC 16 SLU Xl=0.16
  Sollecitazioni: N=1605.34 T_z=-64.27
  V,Ed=-64.27 Vc,Rd=7560.76 V,Ed/Vc,Rd=0.01

Asta n. 2424 (192 200) briglie 50x10 Crit. 1

- Verifica Freccia massima carichi totali - CC 21
  $f_{Z,L}$=0.00 (L/16443)

- Verifica in termini tensionali [4.2.4] - CC 18 SLU Xl=0.00 - Classe 3
  Sollecitazioni: N=2994.06 T_z=-61.29 M_y=-12.07
  Tensioni: σ_N=598.81 σ_M=289.67 τ=0.00 σ_{max}=888.48
  Tensioni: σ_N=598.81 σ_M=0.00 τ=18.39 τ_{max}=18.39
  Tensioni: σ_N=598.81 σ_M=289.67 τ=0.00 $\sigma_{ID,max}$=888.48

- Verifica a taglio dir. Z [4.2.16] - CC 16 SLU Xl=0.14
  Sollecitazioni: N=1507.25 T_z=-87.69
  V,Ed=-87.69 Vc,Rd=7560.76 V,Ed/Vc,Rd=0.01

Asta n. 2424 (200 208) briglie 50x10 Crit. 1

- Verifica Freccia massima carichi totali - CC 21
  $f_{Z,L}$=0.00 (L/18087)

- Verifica in termini tensionali [4.2.4] - CC 18 SLU Xl=0.00 - Classe 3
  Sollecitazioni: N=2899.59 T_z=-81.99 M_y=-13.62
  Tensioni: σ_N=579.92 σ_M=326.91 τ=0.00 σ_{max}=906.83
  Tensioni: σ_N=579.92 σ_M=0.00 τ=24.60 τ_{max}=24.60
  Tensioni: σ_N=579.92 σ_M=326.91 τ=0.00 $\sigma_{ID,max}$=906.83

- Verifica a taglio dir. Z [4.2.16] - CC 16 SLU Xl=0.12
  Sollecitazioni: N=1384.59 T_z=-94.95
  V,Ed=-94.95 Vc,Rd=7560.76 V,Ed/Vc,Rd=0.01

Asta n. 2424 (208 216) briglie 50x10 Crit. 1

- Verifica Freccia massima carichi totali - CC 21
  $f_{Z,L}$=0.00 (L/17733)

- Verifica in termini tensionali [4.2.4] - CC 18 SLU Xl=0.00 - Classe 3
  Sollecitazioni: N=2765.76 T_z=-102.57 M_y=-15.71
  Tensioni: σ_N=553.15 σ_M=377.13 τ=0.00 σ_{max}=930.28
  Tensioni: σ_N=553.15 σ_M=0.00 τ=30.77 τ_{max}=30.77
  Tensioni: σ_N=553.15 σ_M=377.13 τ=0.00 $\sigma_{ID,max}$=930.28

- Verifica a taglio dir. Z [4.2.16] - CC 18 SLU Xl=0.16
  Sollecitazioni: N=2765.76 T_z=-103.37
  V,Ed=-103.37 Vc,Rd=7560.76 V,Ed/Vc,Rd=0.01

Asta n. 2424 (216 224) briglie 50x10 Crit. 1

- Verifica Freccia massima carichi totali - CC 21
  $f_{Z,L}$=0.00 (L/15073)

- Verifica in termini tensionali [4.2.4] - CC 18 SLU Xl=0.00 - Classe 3
  Sollecitazioni: N=2585.74 T_z=-126.14 M_y=-18.62
  Tensioni: σ_N=517.15 σ_M=446.86 τ=0.00 σ_{max}=964.01
  Tensioni: σ_N=517.15 σ_M=0.00 τ=37.84 τ_{max}=37.84
  Tensioni: σ_N=517.15 σ_M=446.86 τ=0.00 $\sigma_{ID,max}$=964.01

- Verifica a taglio dir. Z [4.2.16] - CC 16 SLU Xl=0.12
  Sollecitazioni: N=1076.63 T_z=-110.86
  V,Ed=-110.86 Vc,Rd=7560.76 V,Ed/Vc,Rd=0.01

Asta n. 2424 (224 232) briglie 50x10 Crit. 1

- Verifica Freccia massima carichi totali - CC 21
  $f_{Z,L}$=0.00 (L/13299)

- Verifica in termini tensionali [4.2.4] - CC 19 SLU Xl=0.00 - Classe 3
  Sollecitazioni: N=2733.98 T_z=-155.71 M_y=-22.60 T_y=-3.63
  Tensioni: σ_N=546.80 σ_M=542.48 τ=0.00 σ_{max}=1089.27
  Tensioni: σ_N=546.80 σ_M=0.00 τ=46.73 τ_{max}=46.73
  Tensioni: σ_N=546.80 σ_M=542.48 τ=1.09 $\sigma_{ID,max}$=1089.27

- Verifica a taglio dir. Z [4.2.16] - CC 18 SLU Xl=0.14
  Sollecitazioni: N=2330.91 T_z=-185.19
  V,Ed=-185.19 Vc,Rd=7560.76 V,Ed/Vc,Rd=0.02

Asta n. 2424 (232 240) briglie 50x10 Crit. 1

- Verifica Freccia massima carichi totali - CC 21
  $f_{Z,G}$=0.00 (L/14131)

- Verifica in termini tensionali [4.2.4] - CC 19 SLU Xl=0.00 - Classe 3
  Sollecitazioni: N=2435.85 T_z=-189.41 M_y=-25.20 T_y=-2.00
  Tensioni: σ_N=487.17 σ_M=604.90 τ=0.00 σ_{max}=1092.07
  Tensioni: σ_N=487.17 σ_M=0.00 τ=56.83 τ_{max}=56.83
  Tensioni: σ_N=487.17 σ_M=604.90 τ=0.60 $\sigma_{ID,max}$=1092.07

- Verifica a taglio dir. Z [4.2.16] - CC 9 SLU Xl=0.14
  Sollecitazioni: N=2412.39 T_z=-190.61
  V,Ed=-190.61 Vc,Rd=7560.76 V,Ed/Vc,Rd=0.03

Asta n. 2424 (240 248) briglie 50x10 Crit. 1

- Verifica Freccia massima carichi totali - CC 21
  $f_{Z,L}$=0.00 (L/13913)

- Verifica in termini tensionali [4.2.4] - CC 19 SLU Xl=0.00 - Classe 3
  Sollecitazioni: N=2044.59 T_z=-225.35 M_y=-28.43
  Tensioni: σ_N=408.92 σ_M=682.22 τ=0.00 σ_{max}=1091.13
  Tensioni: σ_N=408.92 σ_M=0.00 τ=67.60 τ_{max}=67.60
  Tensioni: σ_N=408.92 σ_M=682.22 τ=0.00 $\sigma_{ID,max}$=1091.13

- Verifica a taglio dir. Z [4.2.16] - CC 18 SLU Xl=0.12
  Sollecitazioni: N=1548.27 T_z=-248.29
  V,Ed=-248.29 Vc,Rd=7560.76 V,Ed/Vc,Rd=0.03

Asta n. 2424 (248 256) briglie 50x10 Crit. 1

- Verifica di stabilità aste inflesse (4.2.4.1.3.2) CC 18 SLU - Classe 3
  L_{cr}=0.22 Curva d: α_{imp}=0.76 k_c=0.94 ψ=2.89 M,cr=0.00 λ_{LT}=0.00
  $\lambda_{LT,0}$=0.20 β_{LT}=1.00 Φ_{LT}=0.00 β_{LT}=1.00 f=0.00 χ_{LT}=1.00
  CC 18 SLU My,Ed=-32.96 My,b,Rd=109.13 My,Ed/My,b,Rd=0.30

- Verifica di stabilità aste presso-inflesse (C4.2.4.1.3.3.1) - CC 16 SLU - Classe 3
  Sollecitazioni: N,Ed=-16.71 Myeq,Ed=19.60 Mzeq,Ed=0.02
  Resistenze: Nc,Rd=13095.20 My,c,Rd=109.13 Mz,c,Rd=21.83 L=21.56
  λ_Y=14.94 Ncr,y=464355.00 λ^*_y=0.17 Curva c: Φ_y=0.51 χ_y=1.00

λ_Z=74.69 Ncr,z=18574.20 λ^*_z=0.86 Curva c: Φ_z=1.03 χ_z=0.62
χ,min=0.62
Verifica: 0.00+0.18+0.00=0.18

- Verifica Freccia massima carichi totali - CC 21
$f_{Z,L}$=0.00 (L/13498)

- Verifica in termini tensionali [4.2.4] - CC 19 SLU Xl=0.00 - Classe 3
Sollecitazioni: N=1537.41 T_z=-266.81 M_y=-32.50 T_y=2.35
Tensioni: σ_N=307.48 σ_M=779.92 τ=0.00 σ_{max}=1087.40
Tensioni: σ_N=307.48 σ_M=0.00 τ=80.05 τ_{max}=80.05
Tensioni: σ_N=307.48 σ_M=779.92 τ=0.70 $\sigma_{ID,max}$=1087.40

- Verifica a taglio dir. Z [4.2.16] - CC 18 SLU Xl=0.12
Sollecitazioni: N=1000.86 T_z=-286.24
V,Ed=-286.24 Vc,Rd=7560.76 V,Ed/Vc,Rd=0.04

Asta n. 2424 (256 264) briglie 50x10 Crit. 1

- Verifica di stabilità aste inflesse (4.2.4.1.3.2) CC 19 SLU - Classe 3
L_{cr}=0.22 Curva d: α_{imp}=0.76 k_c=0.94 ψ=2.95 M,cr=0.00 λ_{LT}=0.00
$\lambda_{LT,0}$=0.20 β_{LT}=1.00 Φ_{LT}=0.00 β_{LT}=1.00 f=0.00 χ_{LT}=1.00
CC 19 SLU My,Ed=-40.56 My,b,Rd=109.13 My,Ed/My,b,Rd=0.37

- Verifica di stabilità aste presso-inflesse (C4.2.4.1.3.3.1) - CC 16 SLU - Classe 3
Sollecitazioni: N,Ed=-448.31 Myeq,Ed=24.53 Mzeq,Ed=-0.01
Resistenze: Nc,Rd=13095.20 My,c,Rd=109.13 Mz,c,Rd=21.83 L=21.56
λ_Y=14.94 Ncr,y=464355.00 λ^*_y=0.17 Curva c: Φ_y=0.51 χ_y=1.00
λ_Z=74.69 Ncr,z=18574.20 λ^*_z=0.86 Curva c: Φ_z=1.03 χ_z=0.62
χ,min=0.62
Verifica: 0.03+0.23+0.00=0.26

- Verifica Freccia massima carichi totali - CC 21
$f_{Z,L}$=0.00 (L/13107)

- Verifica in termini tensionali [4.2.4] - CC 19 SLU Xl=0.00 - Classe 3
Sollecitazioni: N=847.34 T_z=-357.81 M_y=-40.56 T_y=-3.82
Tensioni: σ_N=169.47 σ_M=973.48 τ=0.00 σ_{max}=1142.95
Tensioni: σ_N=169.47 σ_M=0.00 τ=107.35 τ_{max}=107.35
Tensioni: σ_N=169.47 σ_M=973.48 τ=1.14 $\sigma_{ID,max}$=1142.95

- Verifica a taglio dir. Y [4.2.16] - CC 17 SLU Xl=0.12
Sollecitazioni: N=486.65 T_z=-208.15 T_y=-4.00
V,Ed=-4.00 Vc,Rd=7560.76 V,Ed/Vc,Rd=0.00

- Verifica a taglio dir. Z [4.2.16]
V,Ed=-208.15 Vc,Rd=7560.76 V,Ed/Vc,Rd=0.03

Asta n. 2424 (264 272) briglie 50x10 Crit. 1

- Verifica di stabilità aste inflesse (4.2.4.1.3.2) CC 5 SLV - Classe 3
L_{cr}=0.22 Curva d: α_{imp}=0.76 k_c=0.94 ψ=2.72 M,cr=0.00 λ_{LT}=0.00
$\lambda_{LT,0}$=0.20 β_{LT}=1.00 Φ_{LT}=0.00 β_{LT}=1.00 f=0.00 χ_{LT}=1.00
CC 5 SLV My,Ed=17.75 My,b,Rd=109.13 My,Ed/My,b,Rd=0.16

- Verifica di stabilità aste presso-inflesse (C4.2.4.1.3.3.1) - CC 18 SLU - Classe 3
Sollecitazioni: N,Ed=-646.41 Myeq,Ed=47.82 Mzeq,Ed=-0.02
Resistenze: Nc,Rd=13095.20 My,c,Rd=109.13 Mz,c,Rd=21.83 L=21.56
λ_Y=14.94 Ncr,y=464353.00 λ^*_y=0.17 Curva c: Φ_y=0.51 χ_y=1.00

λ_Z=74.69 Ncr,z=18574.10 λ^*_z=0.86 Curva c: Φ_z=1.03 χ_z=0.62
χ,min=0.62
Verifica: 0.05+0.44+0.00=0.49

- Verifica Freccia massima carichi totali - CC 21
$f_{Z,L}$=0.00 (L/14826)

- Verifica in termini tensionali [4.2.4] - CC 18 SLU Xl=0.22 - Classe 3
Sollecitazioni: N=-646.41 T_z=-416.06 M_y=47.82
Tensioni: σ_N=-129.28 σ_M=-1147.58 τ=0.00 σ_{max}=-1276.87
Tensioni: σ_N=-129.28 σ_M=-0.00 τ=124.82 τ_{max}=124.82
Tensioni: σ_N=-129.28 σ_M=-1147.58 τ=0.00 $\sigma_{ID,max}$=1276.87

- Verifica a taglio dir. Z [4.2.16] - CC 1 SLV Xl=0.10
Sollecitazioni: N=150.73 T_z=-118.98
V,Ed=-118.98 Vc,Rd=7560.76 V,Ed/Vc,Rd=0.02

Asta n. 2424 (272 280) briglie 50x10 Crit. 1

- Verifica di stabilità aste inflesse (4.2.4.1.3.2) CC 5 SLV - Classe 3
L_{cr}=0.22 Curva d: α_{imp}=0.76 k_c=0.94 ψ=2.52 M,cr=0.00 λ_{LT}=0.00
$\lambda_{LT,0}$=0.20 β_{LT}=1.00 Φ_{LT}=0.00 β_{LT}=1.00 f=0.00 χ_{LT}=1.00
CC 5 SLV My,Ed=21.61 My,b,Rd=109.13 My,Ed/My,b,Rd=0.20

- Verifica di stabilità aste presso-inflesse (C4.2.4.1.3.3.1) - CC 18 SLU - Classe 3
Sollecitazioni: N,Ed=-1817.48 Myeq,Ed=59.43 Mzeq,Ed=0.02
Resistenze: Nc,Rd=13095.20 My,c,Rd=109.13 Mz,c,Rd=21.83 L=21.56
λ_Y=14.94 Ncr,y=464353.00 λ^*_y=0.17 Curva c: Φ_y=0.51 χ_y=1.00
λ_Z=74.69 Ncr,z=18574.10 λ^*_z=0.86 Curva c: Φ_z=1.03 χ_z=0.62
χ,min=0.62
Verifica: 0.22+0.55+0.00=0.77

- Verifica Freccia massima per soli carichi accidentali - CC 24
$f_{Z,L}$=0.00 (L/13913)

- Verifica Freccia massima carichi totali - CC 21
$f_{Z,L}$=0.00 (L/9043)

- Verifica in termini tensionali [4.2.4] - CC 18 SLU Xl=0.22 - Classe 3
Sollecitazioni: N=-1817.48 T_z=-474.75 M_y=59.43
Tensioni: σ_N=-363.50 σ_M=-1426.32 τ=0.00 σ_{max}=-1789.81
Tensioni: σ_N=-363.50 σ_M=-0.00 τ=142.42 τ_{max}=142.42
Tensioni: σ_N=-363.50 σ_M=-1426.32 τ=0.00 $\sigma_{ID,max}$=1789.81

- Verifica a taglio dir. Z [4.2.16] - CC 7 SLV Xl=0.12
Sollecitazioni: N=374.01 T_z=-75.00
V,Ed=-75.00 Vc,Rd=7560.76 V,Ed/Vc,Rd=0.01

Asta n. 2424 (280 2290) briglie 50x10 Crit. 1

- Verifica di stabilità aste inflesse (4.2.4.1.3.2) CC 5 SLV - Classe 3
L_{cr}=0.22 Curva d: α_{imp}=0.76 k_c=0.94 ψ=2.08 M,cr=0.00 λ_{LT}=0.00
$\lambda_{LT,0}$=0.20 β_{LT}=1.00 Φ_{LT}=0.00 β_{LT}=1.00 f=0.00 χ_{LT}=1.00
CC 5 SLV My,Ed=32.57 My,b,Rd=109.13 My,Ed/My,b,Rd=0.30

- Verifica di stabilità aste presso-inflesse (C4.2.4.1.3.3.1) - CC 18 SLU - Classe 3
Sollecitazioni: N,Ed=-3149.55 Myeq,Ed=79.53 Mzeq,Ed=0.11
Resistenze: Nc,Rd=13095.20 My,c,Rd=109.13 Mz,c,Rd=21.83 L=21.56
λ_Y=14.94 Ncr,y=464357.00 λ^*_y=0.17 Curva c: Φ_y=0.51 χ_y=1.00

λ_Z=74.69 Ncr,z=18574.30 λ^*_z=0.86 Curva c: Φ_z=1.03 χ_z=0.62
χ,min=0.62
Verifica: 0.39+0.73+0.01=1.12

- Verifica Freccia massima per soli carichi accidentali - CC 24
$f_{Z,L}$=0.00 (L/5797)

- Verifica Freccia massima carichi totali - CC 21
$f_{Z,L}$=0.01 (L/3603)

- Verifica in termini tensionali [4.2.4] - CC 19 SLU Xl=0.22 - Classe 3
Sollecitazioni: N=-2638.49 T_z=-580.85 M_y=89.28 T_y=7.19 M_z=1.14
Tensioni: σ_N=-527.70 σ_M=-2279.80 τ=0.00 σ_{max}=-2807.50
Tensioni: σ_N=-527.70 σ_M=-0.00 τ=174.27 τ_{max}=174.27
Tensioni: σ_N=-527.70 σ_M=-2279.80 τ=0.00 $\sigma_{ID,max}$=2807.50

- Verifica a taglio dir. Z [4.2.16] - CC 7 SLV Xl=0.10
Sollecitazioni: N=153.25 T_z=-86.78
V,Ed=-86.78 Vc,Rd=7560.76 V,Ed/Vc,Rd=0.01

Asta n. 2424 (2290 300) briglie 50x10 Crit. 1

- Verifica di stabilità aste presso-inflesse (C4.2.4.1.3.3.1) - CC 17 SLU - Classe 3
Sollecitazioni: N,Ed=-297.87 Myeq,Ed=3.43 Mzeq,Ed=0.43
Resistenze: Nc,Rd=13095.20 My,c,Rd=109.13 Mz,c,Rd=21.83 L=16.67
λ_Y=11.55 Ncr,y=777233.00 λ^*_y=0.13 Curva c: Φ_y=0.49 χ_y=1.00
λ_Z=57.73 Ncr,z=31089.30 λ^*_z=0.67 Curva c: Φ_z=0.84 χ_z=0.75
χ,min=0.75
Verifica: 0.02+0.03+0.02=0.07

- Verifica in termini tensionali [4.2.4] - CC 17 SLU Xl=0.00 - Classe 3
Sollecitazioni: N=-297.87 T_z=32.05 M_y=3.52 T_y=-5.70
Tensioni: σ_N=-59.57 σ_M=-84.58 τ=0.00 σ_{max}=-144.15
Tensioni: σ_N=-59.57 σ_M=-0.00 τ=9.76 τ_{max}=9.76
Tensioni: σ_N=-59.57 σ_M=-84.58 τ=1.71 $\sigma_{ID,max}$=144.18

Asta n. 2424 (300 308) briglie 50x10 Crit. 1

- Verifica di stabilità aste presso-inflesse (C4.2.4.1.3.3.1) - CC 19 SLU - Classe 3
Sollecitazioni: N,Ed=-211.59 Myeq,Ed=4.54 Mzeq,Ed=-0.04
Resistenze: Nc,Rd=13095.20 My,c,Rd=109.13 Mz,c,Rd=21.83 L=16.67
λ_Y=11.55 Ncr,y=777229.00 λ^*_y=0.13 Curva c: Φ_y=0.49 χ_y=1.00
λ_Z=57.74 Ncr,z=31089.10 λ^*_z=0.67 Curva c: Φ_z=0.84 χ_z=0.75
χ,min=0.75
Verifica: 0.02+0.04+0.00=0.06

- Verifica in termini tensionali [4.2.4] - CC 19 SLU Xl=0.00 - Classe 3
Sollecitazioni: N=-211.59 T_z=48.39 M_y=4.54 T_y=-1.26
Tensioni: σ_N=-42.32 σ_M=-108.93 τ=0.00 σ_{max}=-151.25
Tensioni: σ_N=-42.32 σ_M=-0.00 τ=14.52 τ_{max}=14.52
Tensioni: σ_N=-42.32 σ_M=-108.93 τ=0.38 $\sigma_{ID,max}$=151.25

Asta n. 2424 (308 2316) briglie 50x10 Crit. 1

- Verifica di stabilità aste presso-inflesse (C4.2.4.1.3.3.1) - CC 17 SLU - Classe 3
Sollecitazioni: N,Ed=-77.28 Myeq,Ed=-3.21 Mzeq,Ed=-0.07
Resistenze: Nc,Rd=13095.20 My,c,Rd=109.13 Mz,c,Rd=21.83 L=16.67
λ_Y=11.55 Ncr,y=777233.00 λ^*_y=0.13 Curva c: Φ_y=0.49 χ_y=1.00
λ_Z=57.73 Ncr,z=31089.30 λ^*_z=0.67 Curva c: Φ_z=0.84 χ_z=0.75

χ,min=0.75
Verifica: 0.01+0.03+0.00=0.04

- Verifica in termini tensionali [4.2.4] - CC 19 SLU Xl=0.17 - Classe 3
Sollecitazioni: N=-81.42 T_z=35.59 M_y=-3.34 T_y=1.18
Tensioni: σ_N=-16.28 σ_M=-80.22 τ=0.00 σ_{max}=-96.50
Tensioni: σ_N=-16.28 σ_M=0.00 τ=10.68 τ_{max}=10.68
Tensioni: σ_N=-16.28 σ_M=-80.22 τ=0.35 $\sigma_{ID,max}$=96.50

Asta n. 2462 (2006 14) briglie 50x10 Crit. 1

- Verifica di stabilità aste presso-inflesse (C4.2.4.1.3.3.1) - CC 19 SLU - Classe 3
Sollecitazioni: N,Ed=-93.70 Myeq,Ed=4.32 Mzeq,Ed=-0.16
Resistenze: Nc,Rd=13095.20 My,c,Rd=109.13 Mz,c,Rd=21.83 L=16.67
λ_Y=11.55 Ncr,y=777231.00 λ^*_y=0.13 Curva c: Φ_y=0.49 χ_y=1.00
λ_Z=57.73 Ncr,z=31089.20 λ^*_z=0.67 Curva c: Φ_z=0.84 χ_z=0.75
χ,min=0.75
Verifica: 0.01+0.04+0.01=0.05

- Verifica in termini tensionali [4.2.4] - CC 19 SLU Xl=0.17 - Classe 3
Sollecitazioni: N=-93.70 T_z=-49.61 M_y=4.32 T_y=2.72
Tensioni: σ_N=-18.74 σ_M=-103.70 τ=0.00 σ_{max}=-122.44
Tensioni: σ_N=-18.74 σ_M=-0.00 τ=14.91 τ_{max}=14.91
Tensioni: σ_N=-18.74 σ_M=-103.70 τ=0.82 $\sigma_{ID,max}$=122.45

Asta n. 2462 (14 22) briglie 50x10 Crit. 1

- Verifica di stabilità aste presso-inflesse (C4.2.4.1.3.3.1) - CC 19 SLU - Classe 3
Sollecitazioni: N,Ed=-168.23 Myeq,Ed=1.17 Mzeq,Ed=0.10
Resistenze: Nc,Rd=13095.20 My,c,Rd=109.13 Mz,c,Rd=21.83 L=16.67
λ_Y=11.55 Ncr,y=777232.00 λ^*_y=0.13 Curva c: Φ_y=0.49 χ_y=1.00
λ_Z=57.73 Ncr,z=31089.30 λ^*_z=0.67 Curva c: Φ_z=0.84 χ_z=0.75
χ,min=0.75
Verifica: 0.01+0.01+0.00=0.03

- Verifica in termini tensionali [4.2.4] - CC 18 SLU Xl=0.17 - Classe 3
Sollecitazioni: N=-163.06 T_z=-5.63 M_y=1.33
Tensioni: σ_N=-32.61 σ_M=-31.97 τ=0.00 σ_{max}=-64.58
Tensioni: σ_N=-32.61 σ_M=-0.00 τ=1.69 τ_{max}=1.69
Tensioni: σ_N=-32.61 σ_M=-31.97 τ=0.00 $\sigma_{ID,max}$=64.58

Asta n. 2462 (22 2033) briglie 50x10 Crit. 1

- Verifica di stabilità aste presso-inflesse (C4.2.4.1.3.3.1) - CC 17 SLU - Classe 3
Sollecitazioni: N,Ed=-378.93 Myeq,Ed=4.44 Mzeq,Ed=0.64
Resistenze: Nc,Rd=13095.20 My,c,Rd=109.13 Mz,c,Rd=21.83 L=16.67
λ_Y=11.55 Ncr,y=777232.00 λ^*_y=0.13 Curva c: Φ_y=0.49 χ_y=1.00
λ_Z=57.73 Ncr,z=31089.30 λ^*_z=0.67 Curva c: Φ_z=0.84 χ_z=0.75
χ,min=0.75
Verifica: 0.03+0.04+0.03=0.10

- Verifica in termini tensionali [4.2.4] - CC 16 SLU Xl=0.17 - Classe 3
Sollecitazioni: N=-365.54 T_z=-49.67 M_y=6.39
Tensioni: σ_N=-73.11 σ_M=-153.36 τ=0.00 σ_{max}=-226.47
Tensioni: σ_N=-73.11 σ_M=-0.00 τ=14.90 τ_{max}=14.90
Tensioni: σ_N=-73.11 σ_M=-153.36 τ=0.00 $\sigma_{ID,max}$=226.47

Asta n. 2462 (2033 42) briglie 50x10 Crit. 1

- Verifica di stabilità aste inflesse (4.2.4.1.3.2) CC 5 SLV - Classe 3
  L_{cr}=0.22 Curva d: α_{imp}=0.76 k_c=0.94 ψ=2.08 M,cr=0.00 λ_{LT}=0.00
  $\lambda_{LT,0}$=0.20 β_{LT}=1.00 Φ_{LT}=0.00 β_{LT}=1.00 f=0.00 χ_{LT}=1.00
  CC 5 SLV My,Ed=32.65 My,b,Rd=109.13 My,Ed/My,b,Rd=0.30

- Verifica di stabilità aste presso-inflesse (C4.2.4.1.3.3.1) - CC 19 SLU - Classe 3
  Sollecitazioni: N,Ed=-2598.74 Myeq,Ed=80.48 Mzeq,Ed=0.77
  Resistenze: Nc,Rd=13095.20 My,c,Rd=109.13 Mz,c,Rd=21.83 L=21.56
  λ_Y=14.94 Ncr,y=464354.00 λ^*_y=0.17 Curva c: Φ_y=0.51 χ_y=1.00
  λ_Z=74.69 Ncr,z=18574.20 λ^*_z=0.86 Curva c: Φ_z=1.03 χ_z=0.62
  χ,min=0.62
  Verifica: 0.32+0.74+0.04=1.10

- Verifica Freccia massima per soli carichi accidentali - CC 24
  $f_{Z,L}$=0.00 (L/5319)

- Verifica Freccia massima carichi totali - CC 21
  $f_{Z,L}$=0.01 (L/3173)

- Verifica in termini tensionali [4.2.4] - CC 19 SLU Xl=0.00 - Classe 3
  Sollecitazioni: N=-2598.74 T_z=574.74 M_y=88.32 T_y=-6.72 M_z=1.02
  Tensioni: σ_N=-519.75 σ_M=-2242.09 τ=0.00 σ_{max}=-2761.84
  Tensioni: σ_N=-519.75 σ_M=-0.00 τ=172.43 τ_{max}=172.43
  Tensioni: σ_N=-519.75 σ_M=-2242.09 τ=0.00 $\sigma_{ID,max}$=2761.84

- Verifica a taglio dir. Z [4.2.16] - CC 7 SLV Xl=0.12
  Sollecitazioni: N=154.20 T_z=87.07
  V,Ed=87.07 Vc,Rd=7560.76 V,Ed/Vc,Rd=0.01

Asta n. 2462 (42 50) briglie 50x10 Crit. 1

- Verifica di stabilità aste inflesse (4.2.4.1.3.2) CC 16 SLU - Classe 3
  L_{cr}=0.22 Curva d: α_{imp}=0.76 k_c=0.94 ψ=2.93 M,cr=0.00 λ_{LT}=0.00
  $\lambda_{LT,0}$=0.20 β_{LT}=1.00 Φ_{LT}=0.00 β_{LT}=1.00 f=0.00 χ_{LT}=1.00
  CC 16 SLU My,Ed=39.84 My,b,Rd=109.13 My,Ed/My,b,Rd=0.37

- Verifica di stabilità aste presso-inflesse (C4.2.4.1.3.3.1) - CC 19 SLU - Classe 3
  Sollecitazioni: N,Ed=-1242.98 Myeq,Ed=58.10 Mzeq,Ed=-0.32
  Resistenze: Nc,Rd=13095.20 My,c,Rd=109.13 Mz,c,Rd=21.83 L=21.56
  λ_Y=14.94 Ncr,y=464354.00 λ^*_y=0.17 Curva c: Φ_y=0.51 χ_y=1.00
  λ_Z=74.69 Ncr,z=18574.20 λ^*_z=0.86 Curva c: Φ_z=1.03 χ_z=0.62
  χ,min=0.62
  Verifica: 0.15+0.53+0.02=0.70

- Verifica Freccia massima per soli carichi accidentali - CC 21
  $f_{Z,L}$=0.00 (L/13107)

- Verifica Freccia massima carichi totali - CC 21
  $f_{Z,L}$=0.00 (L/7474)

- Verifica in termini tensionali [4.2.4] - CC 18 SLU Xl=0.00 - Classe 3
  Sollecitazioni: N=-808.64 T_z=525.93 M_y=62.18
  Tensioni: σ_N=-161.73 σ_M=-1492.40 τ=0.00 σ_{max}=-1654.12
  Tensioni: σ_N=-161.73 σ_M=-0.00 τ=157.78 τ_{max}=157.78
  Tensioni: σ_N=-161.73 σ_M=-1492.40 τ=0.00 $\sigma_{ID,max}$=1654.12

- Verifica a taglio dir. Z [4.2.16] - CC 7 SLV Xl=0.10
  Sollecitazioni: N=374.82 T_z=75.25
  V,Ed=75.25 Vc,Rd=7560.76 V,Ed/Vc,Rd=0.01

Asta n. 2462 (50 58) briglie 50x10 Crit. 1

- Verifica di stabilità aste inflesse (4.2.4.1.3.2) CC 18 SLU - Classe 3
  L_{cr}=0.22 Curva d: α_{imp}=0.76 k_c=0.94 ψ=3.10 M,cr=0.00 λ_{LT}=0.00
  $\lambda_{LT,0}$=0.20 β_{LT}=1.00 Φ_{LT}=0.00 β_{LT}=1.00 f=0.00 χ_{LT}=1.00
  CC 18 SLU My,Ed=-48.60 My,b,Rd=109.13 My,Ed/My,b,Rd=0.45

- Verifica di stabilità aste presso-inflesse (C4.2.4.1.3.3.1) - CC 19 SLU - Classe 3
  Sollecitazioni: N,Ed=-67.28 Myeq,Ed=46.16 Mzeq,Ed=-0.33
  Resistenze: Nc,Rd=13095.20 My,c,Rd=109.13 Mz,c,Rd=21.83 L=21.56
  λ_Y=14.94 Ncr,y=464354.00 λ^*_y=0.17 Curva c: Φ_y=0.51 χ_y=1.00
  λ_Z=74.69 Ncr,z=18574.20 λ^*_z=0.86 Curva c: Φ_z=1.03 χ_z=0.62
  χ,min=0.62
  Verifica: 0.01+0.42+0.02=0.44

- Verifica Freccia massima per soli carichi accidentali - CC 11
  $f_{Z,L}$=0.00 (L/21533)

- Verifica Freccia massima carichi totali - CC 21
  $f_{Z,L}$=0.00 (L/11899)

- Verifica in termini tensionali [4.2.4] - CC 18 SLU Xl=0.22 - Classe 3
  Sollecitazioni: N=477.24 T_z=449.91 M_y=-48.60
  Tensioni: σ_N=95.45 σ_M=1166.37 τ=0.00 σ_{max}=1261.82
  Tensioni: σ_N=95.45 σ_M=0.00 τ=134.97 τ_{max}=134.97
  Tensioni: σ_N=95.45 σ_M=1166.37 τ=0.00 $\sigma_{ID,max}$=1261.82

- Verifica a taglio dir. Z [4.2.16] - CC 3 SLV Xl=0.12
  Sollecitazioni: N=137.90 T_z=114.20
  V,Ed=114.20 Vc,Rd=7560.76 V,Ed/Vc,Rd=0.02

Asta n. 2462 (58 66) briglie 50x10 Crit. 1

- Verifica di stabilità aste inflesse (4.2.4.1.3.2) CC 18 SLU - Classe 3
  L_{cr}=0.22 Curva d: α_{imp}=0.76 k_c=0.94 ψ=2.84 M,cr=0.00 λ_{LT}=0.00
  $\lambda_{LT,0}$=0.20 β_{LT}=1.00 Φ_{LT}=0.00 β_{LT}=1.00 f=0.00 χ_{LT}=1.00
  CC 18 SLU My,Ed=-44.89 My,b,Rd=109.13 My,Ed/My,b,Rd=0.41

- Verifica di stabilità aste presso-inflesse (C4.2.4.1.3.3.1) - CC 5 SLV - Classe 3
  Sollecitazioni: N,Ed=-299.02 Myeq,Ed=14.62 Mzeq,Ed=-0.01
  Resistenze: Nc,Rd=13095.20 My,c,Rd=109.13 Mz,c,Rd=21.83 L=21.56
  λ_Y=14.94 Ncr,y=464355.00 λ^*_y=0.17 Curva c: Φ_y=0.51 χ_y=1.00
  λ_Z=74.69 Ncr,z=18574.20 λ^*_z=0.86 Curva c: Φ_z=1.03 χ_z=0.62
  χ,min=0.62
  Verifica: 0.02+0.13+0.00=0.16

- Verifica Freccia massima per soli carichi accidentali - CC 24
  $f_{Z,G}$=0.00 (L/21032)

- Verifica Freccia massima carichi totali - CC 24
  $f_{Z,L}$=0.00 (L/14587)

- Verifica in termini tensionali [4.2.4] - CC 18 SLU Xl=0.22 - Classe 3
  Sollecitazioni: N=1474.42 T_z=381.47 M_y=-44.89
  Tensioni: σ_N=294.88 σ_M=1077.29 τ=0.00 σ_{max}=1372.17
  Tensioni: σ_N=294.88 σ_M=0.00 τ=114.44 τ_{max}=114.44
  Tensioni: σ_N=294.88 σ_M=1077.29 τ=0.00 $\sigma_{ID,max}$=1372.17

- Verifica a taglio dir. Z [4.2.16] - CC 18 SLU Xl=0.10
  Sollecitazioni: N=1474.42 T_z=382.07
  V,Ed=382.07 Vc,Rd=7560.76 V,Ed/Vc,Rd=0.05

Asta n. 2462 (66 74) briglie 50x10 Crit. 1

- Verifica di stabilità aste inflesse (4.2.4.1.3.2) CC 18 SLU - Classe 3
  L_{cr}=0.22 Curva d: α_{imp}=0.76 k_c=0.94 ψ=2.61 M,cr=0.00 λ_{LT}=0.00
  $\lambda_{LT,0}$=0.20 β_{LT}=1.00 Φ_{LT}=0.00 β_{LT}=1.00 f=0.00 χ_{LT}=1.00
  CC 18 SLU My,Ed=-34.41 My,b,Rd=109.13 My,Ed/My,b,Rd=0.32

- Verifica di stabilità aste presso-inflesse (C4.2.4.1.3.3.1) - CC 5 SLV - Classe 3
  Sollecitazioni: N,Ed=-51.94 Myeq,Ed=10.52 Mzeq,Ed=-0.02
  Resistenze: Nc,Rd=13095.20 My,c,Rd=109.13 Mz,c,Rd=21.83 L=21.56
  λ_Y=14.94 Ncr,y=464355.00 λ^*_y=0.17 Curva c: Φ_y=0.51 χ_y=1.00
  λ_Z=74.69 Ncr,z=18574.20 λ^*_z=0.86 Curva c: Φ_z=1.03 χ_z=0.62
  χ,min=0.62
  Verifica: 0.00+0.10+0.00=0.10

- Verifica Freccia massima per soli carichi accidentali - CC 24
  $f_{Z,G}$=0.00 (L/21533)

- Verifica Freccia massima carichi totali - CC 24
  $f_{Z,G}$=0.00 (L/15073)

- Verifica in termini tensionali [4.2.4] - CC 18 SLU Xl=0.22 - Classe 3
  Sollecitazioni: N=2191.97 T_z=267.92 M_y=-34.41
  Tensioni: σ_N=438.39 σ_M=825.87 τ=0.00 σ_{max}=1264.26
  Tensioni: σ_N=438.39 σ_M=0.00 τ=80.38 τ_{max}=80.38
  Tensioni: σ_N=438.39 σ_M=825.87 τ=0.00 $\sigma_{ID,max}$=1264.26

- Verifica a taglio dir. Z [4.2.16] - CC 10 SLU Xl=0.10
  Sollecitazioni: N=1178.72 T_z=201.16
  V,Ed=201.16 Vc,Rd=7560.76 V,Ed/Vc,Rd=0.03

Asta n. 2462 (74 82) briglie 50x10 Crit. 1

- Verifica Freccia massima carichi totali - CC 24
  $f_{Z,G}$=0.00 (L/16443)

- Verifica in termini tensionali [4.2.4] - CC 18 SLU Xl=0.22 - Classe 3
  Sollecitazioni: N=2697.08 T_z=220.15 M_y=-29.39
  Tensioni: σ_N=539.42 σ_M=705.27 τ=0.00 σ_{max}=1244.69
  Tensioni: σ_N=539.42 σ_M=0.00 τ=66.05 τ_{max}=66.05
  Tensioni: σ_N=539.42 σ_M=705.27 τ=0.00 $\sigma_{ID,max}$=1244.69

- Verifica a taglio dir. Z [4.2.16] - CC 18 SLU Xl=0.08
  Sollecitazioni: N=2697.08 T_z=220.85
  V,Ed=220.85 Vc,Rd=7560.76 V,Ed/Vc,Rd=0.03

Asta n. 2462 (82 90) briglie 50x10 Crit. 1

- Verifica Freccia massima carichi totali - CC 24
  $f_{Z,L}$=0.00 (L/16748)

- Verifica in termini tensionali [4.2.4] - CC 18 SLU Xl=0.22 - Classe 3
  Sollecitazioni: N=3073.61 T_z=178.95 M_y=-25.53
  Tensioni: σ_N=614.72 σ_M=612.68 τ=0.00 σ_{max}=1227.40
  Tensioni: σ_N=614.72 σ_M=0.00 τ=53.68 τ_{max}=53.68
  Tensioni: σ_N=614.72 σ_M=612.68 τ=0.00 $\sigma_{ID,max}$=1227.40

- Verifica a taglio dir. Z [4.2.16] - CC 9 SLU Xl=0.08
  Sollecitazioni: N=2390.13 T_z=185.15
  V,Ed=185.15 Vc,Rd=7560.76 V,Ed/Vc,Rd=0.02

Asta n. 2462 (90 98) briglie 50x10 Crit. 1

- Verifica Freccia massima carichi totali - CC 24
  $f_{Z,L}$=0.00 (L/15328)

- Verifica in termini tensionali [4.2.4] - CC 18 SLU Xl=0.22 - Classe 3
  Sollecitazioni: N=3346.86 T_z=139.74 M_y=-22.48
  Tensioni: σ_N=669.37 σ_M=539.47 τ=0.00 σ_{max}=1208.84
  Tensioni: σ_N=669.37 σ_M=0.00 τ=41.92 τ_{max}=41.92
  Tensioni: σ_N=669.37 σ_M=539.47 τ=0.00 $\sigma_{ID,max}$=1208.84

- Verifica a taglio dir. Z [4.2.16] - CC 18 SLU Xl=0.06
  Sollecitazioni: N=3346.86 T_z=140.54
  V,Ed=140.54 Vc,Rd=7560.76 V,Ed/Vc,Rd=0.02

Asta n. 2462 (98 106) briglie 50x10 Crit. 1

- Verifica Freccia massima carichi totali - CC 24
  $f_{Z,L}$=0.00 (L/15866)

- Verifica in termini tensionali [4.2.4] - CC 18 SLU Xl=0.22 - Classe 3
  Sollecitazioni: N=3506.68 T_z=56.30 M_y=-13.74
  Tensioni: σ_N=701.34 σ_M=329.77 τ=0.00 σ_{max}=1031.11
  Tensioni: σ_N=701.34 σ_M=0.00 τ=16.89 τ_{max}=16.89
  Tensioni: σ_N=701.34 σ_M=329.77 τ=0.00 $\sigma_{ID,max}$=1031.11

- Verifica a taglio dir. Z [4.2.16] - CC 9 SLU Xl=0.04
  Sollecitazioni: N=2873.55 T_z=85.32
  V,Ed=85.32 Vc,Rd=7560.76 V,Ed/Vc,Rd=0.01

Asta n. 2462 (106 114) briglie 50x10 Crit. 1

- Verifica Freccia massima carichi totali - CC 24
  $f_{Z,L}$=0.00 (L/17733)

- Verifica in termini tensionali [4.2.4] - CC 18 SLU Xl=0.22 - Classe 3
  Sollecitazioni: N=3575.56 T_z=25.61 M_y=-9.60
  Tensioni: σ_N=715.11 σ_M=230.49 τ=0.00 σ_{max}=945.60
  Tensioni: σ_N=715.11 σ_M=0.00 τ=7.68 τ_{max}=7.68
  Tensioni: σ_N=715.11 σ_M=230.49 τ=0.00 $\sigma_{ID,max}$=945.60

- Verifica a taglio dir. Z [4.2.16] - CC 9 SLU Xl=0.02
  Sollecitazioni: N=2988.94 T_z=60.27
  V,Ed=60.27 Vc,Rd=7560.76 V,Ed/Vc,Rd=0.01

Asta n. 2462 (114 122) briglie 50x10 Crit. 1

- Verifica Freccia massima carichi totali - CC 24
  $f_{Z,L}$=0.00 (L/17392)

- Verifica in termini tensionali [4.2.4] - CC 18 SLU Xl=0.00 - Classe 3
  Sollecitazioni: N=3593.20 M_y=-6.81
  Tensioni: σ_N=718.64 σ_M=163.55 τ=0.00 σ_{max}=882.19
  Tensioni: σ_N=0.00 σ_M=0.00 τ=0.00 τ_{max}=0.00
  Tensioni: σ_N=718.64 σ_M=163.55 τ=0.00 $\sigma_{ID,max}$=882.19

- Verifica a taglio dir. Z [4.2.16] - CC 16 SLU Xl=0.22
  Sollecitazioni: N=2595.27 T_z=-42.03
  V,Ed=-42.03 Vc,Rd=7560.76 V,Ed/Vc,Rd=0.01

Asta n. 2462 (122 130) briglie 50x10 Crit. 1

- Verifica Freccia massima per soli carichi accidentali - CC 24
  $f_{Z,G}$=0.00 (L/21032)

- Verifica Freccia massima carichi totali - CC 24
  $f_{Z,L}$=0.00 (L/14826)

- Verifica in termini tensionali [4.2.4] - CC 18 SLU Xl=0.00 - Classe 3
  Sollecitazioni: N=3566.91 T_z=-27.47 M_y=-10.66
  Tensioni: σ_N=713.38 σ_M=255.73 τ=0.00 σ_{max}=969.11
  Tensioni: σ_N=713.38 σ_M=0.00 τ=8.24 τ_{max}=8.24
  Tensioni: σ_N=713.38 σ_M=255.73 τ=0.00 $\sigma_{ID,max}$=969.11

- Verifica a taglio dir. Z [4.2.16] - CC 16 SLU Xl=0.22
  Sollecitazioni: N=2518.91 T_z=-62.06
  V,Ed=-62.06 Vc,Rd=7560.76 V,Ed/Vc,Rd=0.01

Asta n. 2462 (130 138) briglie 50x10 Crit. 1

- Verifica Freccia massima per soli carichi accidentali - CC 24
  $f_{Z,G}$=0.00 (L/19660)

- Verifica Freccia massima carichi totali - CC 24
  $f_{Z,L}$=0.00 (L/13913)

- Verifica in termini tensionali [4.2.4] - CC 18 SLU Xl=0.00 - Classe 3
  Sollecitazioni: N=3480.99 T_z=-102.33 M_y=-18.62
  Tensioni: σ_N=696.20 σ_M=446.97 τ=0.00 σ_{max}=1143.17
  Tensioni: σ_N=696.20 σ_M=0.00 τ=30.70 τ_{max}=30.70
  Tensioni: σ_N=696.20 σ_M=446.97 τ=0.00 $\sigma_{ID,max}$=1143.17

- Verifica a taglio dir. Z [4.2.16] - CC 16 SLU Xl=0.16
  Sollecitazioni: N=2397.86 T_z=-124.00
  V,Ed=-124.00 Vc,Rd=7560.76 V,Ed/Vc,Rd=0.02

Asta n. 2462 (138 146) briglie 50x10 Crit. 1

- Verifica Freccia massima per soli carichi accidentali - CC 24
  $f_{Z,L}$=0.00 (L/21533)

- Verifica Freccia massima carichi totali - CC 24
  $f_{Z,L}$=0.00 (L/15866)

- Verifica in termini tensionali [4.2.4] - CC 18 SLU Xl=0.00 - Classe 3
  Sollecitazioni: N=3346.02 T_z=-125.01 M_y=-19.71
  Tensioni: σ_N=669.20 σ_M=472.98 τ=0.00 σ_{max}=1142.19
  Tensioni: σ_N=669.20 σ_M=0.00 τ=37.50 τ_{max}=37.50
  Tensioni: σ_N=669.20 σ_M=472.98 τ=0.00 $\sigma_{ID,max}$=1142.19

- Verifica a taglio dir. Z [4.2.16] - CC 16 SLU Xl=0.14
  Sollecitazioni: N=2240.05 T_z=-140.50
  V,Ed=-140.50 Vc,Rd=7560.76 V,Ed/Vc,Rd=0.02

Asta n. 2462 (146 154) briglie 50x10 Crit. 1

- Verifica Freccia massima carichi totali - CC 24
  $f_{Z,L}$=0.00 (L/18457)

- Verifica in termini tensionali [4.2.4] - CC 18 SLU Xl=0.00 - Classe 3
  Sollecitazioni: N=3192.64 T_z=-147.92 M_y=-20.52
  Tensioni: σ_N=638.53 σ_M=492.45 τ=0.00 σ_{max}=1130.98
  Tensioni: σ_N=638.53 σ_M=0.00 τ=44.38 τ_{max}=44.38
  Tensioni: σ_N=638.53 σ_M=492.45 τ=0.00 $\sigma_{ID,max}$=1130.98

- Verifica a taglio dir. Z [4.2.16] - CC 18 SLU Xl=0.14
  Sollecitazioni: N=3192.64 T_z=-148.62
  V,Ed=-148.62 Vc,Rd=7560.76 V,Ed/Vc,Rd=0.02

Asta n. 2462 (154 162) briglie 50x10 Crit. 1

- Verifica in termini tensionali [4.2.4] - CC 18 SLU Xl=0.22 - Classe 3
  Sollecitazioni: N=3043.56 T_z=-160.79 M_y=17.81
  Tensioni: σ_N=608.71 σ_M=427.53 τ=0.00 σ_{max}=1036.24
  Tensioni: σ_N=608.71 σ_M=-0.00 τ=48.24 τ_{max}=48.24
  Tensioni: σ_N=608.71 σ_M=427.53 τ=0.00 $\sigma_{ID,max}$=1036.24

- Verifica a taglio dir. Z [4.2.16] - CC 9 SLU Xl=0.10
  Sollecitazioni: N=2858.40 T_z=-88.92
  V,Ed=-88.92 Vc,Rd=7560.76 V,Ed/Vc,Rd=0.01

Asta n. 2462 (162 170) briglie 50x10 Crit. 1

- Verifica in termini tensionali [4.2.4] - CC 19 SLU Xl=0.00 - Classe 3
  Sollecitazioni: N=2862.33 T_z=89.46 M_y=10.47 T_y=-3.15
  Tensioni: σ_N=572.47 σ_M=251.38 τ=0.00 σ_{max}=823.85
  Tensioni: σ_N=572.47 σ_M=-0.00 τ=26.85 τ_{max}=26.85
  Tensioni: σ_N=572.47 σ_M=251.38 τ=0.94 $\sigma_{ID,max}$=823.85

- Verifica a taglio dir. Z [4.2.16] - CC 9 SLU Xl=0.12
  Sollecitazioni: N=2858.43 T_z=88.97
  V,Ed=88.97 Vc,Rd=7560.76 V,Ed/Vc,Rd=0.01

Asta n. 2462 (170 178) briglie 50x10 Crit. 1

- Verifica in termini tensionali [4.2.4] - CC 19 SLU Xl=0.22 - Classe 3
  Sollecitazioni: N=2936.19 T_z=80.76 M_y=-12.37
  Tensioni: σ_N=587.24 σ_M=296.89 τ=0.00 σ_{max}=884.13
  Tensioni: σ_N=587.24 σ_M=0.00 τ=24.23 τ_{max}=24.23
  Tensioni: σ_N=587.24 σ_M=296.89 τ=0.00 $\sigma_{ID,max}$=884.13

- Verifica a taglio dir. Z [4.2.16] - CC 9 SLU Xl=0.06
  Sollecitazioni: N=2932.40 T_z=81.69
  V,Ed=81.69 Vc,Rd=7560.76 V,Ed/Vc,Rd=0.01

Asta n. 2462 (178 186) briglie 50x10 Crit. 1

- Verifica Freccia massima carichi totali - CC 21
  $f_{Z,L}$=0.00 (L/20554)

- Verifica in termini tensionali [4.2.4] - CC 19 SLU Xl=0.22 - Classe 3
  Sollecitazioni: N=3013.73 T_z=61.88 M_y=-11.78 T_y=3.09
  Tensioni: σ_N=602.75 σ_M=282.68 τ=0.00 σ_{max}=885.42
  Tensioni: σ_N=602.75 σ_M=0.00 τ=18.59 τ_{max}=18.59

Tensioni: σ_N=602.75 σ_M=282.68 τ=0.93 $\sigma_{ID,max}$=885.42

- Verifica a taglio dir. Z [4.2.16] - CC 9 SLU Xl=0.02
Sollecitazioni: N=3010.09 T_z=63.02
V,Ed=63.02 Vc,Rd=7560.76 V,Ed/Vc,Rd=0.01

Asta n. 2462 (186 194) briglie 50x10 Crit. 1

- Verifica Freccia massima carichi totali - CC 21
$f_{Z,L}$=0.00 (L/17064)

- Verifica in termini tensionali [4.2.4] - CC 9 SLU Xl=0.22 - Classe 3
Sollecitazioni: N=3071.25 T_z=43.87 M_y=-10.92
Tensioni: σ_N=614.25 σ_M=262.07 τ=0.00 σ_{max}=876.32
Tensioni: σ_N=614.25 σ_M=0.00 τ=13.16 τ_{max}=13.16
Tensioni: σ_N=614.25 σ_M=262.07 τ=0.00 $\sigma_{ID,max}$=876.32

- Verifica a taglio dir. Z [4.2.16] - CC 16 SLU Xl=0.16
Sollecitazioni: N=1573.79 T_z=-64.27
V,Ed=-64.27 Vc,Rd=7560.76 V,Ed/Vc,Rd=0.01

Asta n. 2462 (194 202) briglie 50x10 Crit. 1

- Verifica Freccia massima carichi totali - CC 21
$f_{Z,L}$=0.00 (L/16443)

- Verifica in termini tensionali [4.2.4] - CC 18 SLU Xl=0.00 - Classe 3
Sollecitazioni: N=2941.82 T_z=-59.77 M_y=-11.86
Tensioni: σ_N=588.36 σ_M=284.75 τ=0.00 σ_{max}=873.12
Tensioni: σ_N=588.36 σ_M=0.00 τ=17.93 τ_{max}=17.93
Tensioni: σ_N=588.36 σ_M=284.75 τ=0.00 $\sigma_{ID,max}$=873.12

- Verifica a taglio dir. Z [4.2.16] - CC 16 SLU Xl=0.14
Sollecitazioni: N=1476.80 T_z=-85.94
V,Ed=-85.94 Vc,Rd=7560.76 V,Ed/Vc,Rd=0.01

Asta n. 2462 (202 210) briglie 50x10 Crit. 1

- Verifica Freccia massima carichi totali - CC 21
$f_{Z,L}$=0.00 (L/18457)

- Verifica in termini tensionali [4.2.4] - CC 18 SLU Xl=0.00 - Classe 3
Sollecitazioni: N=2850.10 T_z=-79.55 M_y=-13.32
Tensioni: σ_N=570.02 σ_M=319.58 τ=0.00 σ_{max}=889.60
Tensioni: σ_N=570.02 σ_M=0.00 τ=23.87 τ_{max}=23.87
Tensioni: σ_N=570.02 σ_M=319.58 τ=0.00 $\sigma_{ID,max}$=889.60

- Verifica a taglio dir. Z [4.2.16] - CC 16 SLU Xl=0.14
Sollecitazioni: N=1356.39 T_z=-93.18
V,Ed=-93.18 Vc,Rd=7560.76 V,Ed/Vc,Rd=0.01

Asta n. 2462 (210 218) briglie 50x10 Crit. 1

- Verifica Freccia massima carichi totali - CC 21
$f_{Z,L}$=0.00 (L/17733)

- Verifica in termini tensionali [4.2.4] - CC 18 SLU Xl=0.00 - Classe 3
Sollecitazioni: N=2720.49 T_z=-99.14 M_y=-15.31
Tensioni: σ_N=544.10 σ_M=367.49 τ=0.00 σ_{max}=911.59
Tensioni: σ_N=544.10 σ_M=0.00 τ=29.74 τ_{max}=29.74

Tensioni: σ_N=544.10 σ_M=367.49 τ=0.00 $\sigma_{ID,max}$=911.59

- Verifica a taglio dir. Z [4.2.16] - CC 16 SLU Xl=0.12
Sollecitazioni: N=1216.70 T_z=-100.22
V,Ed=-100.22 Vc,Rd=7560.76 V,Ed/Vc,Rd=0.01

Asta n. 2462 (218 226) briglie 50x10 Crit. 1

- Verifica Freccia massima carichi totali - CC 21
$f_{Z,L}$=0.00 (L/15328)

- Verifica in termini tensionali [4.2.4] - CC 18 SLU Xl=0.00 - Classe 3
Sollecitazioni: N=2546.50 T_z=-121.68 M_y=-18.12
Tensioni: σ_N=509.30 σ_M=434.98 τ=0.00 σ_{max}=944.28
Tensioni: σ_N=509.30 σ_M=0.00 τ=36.50 τ_{max}=36.50
Tensioni: σ_N=509.30 σ_M=434.98 τ=0.00 $\sigma_{ID,max}$=944.28

- Verifica a taglio dir. Z [4.2.16] - CC 16 SLU Xl=0.12
Sollecitazioni: N=1054.47 T_z=-108.75
V,Ed=-108.75 Vc,Rd=7560.76 V,Ed/Vc,Rd=0.01

Asta n. 2462 (226 234) briglie 50x10 Crit. 1

- Verifica Freccia massima carichi totali - CC 21
$f_{Z,L}$=0.00 (L/14131)

- Verifica in termini tensionali [4.2.4] - CC 9 SLU Xl=0.00 - Classe 3
Sollecitazioni: N=2681.10 T_z=-151.90 M_y=-22.10
Tensioni: σ_N=536.22 σ_M=530.31 τ=0.00 σ_{max}=1066.53
Tensioni: σ_N=536.22 σ_M=0.00 τ=45.57 τ_{max}=45.57
Tensioni: σ_N=536.22 σ_M=530.31 τ=0.00 $\sigma_{ID,max}$=1066.53

- Verifica a taglio dir. Z [4.2.16] - CC 18 SLU Xl=0.14
Sollecitazioni: N=2299.73 T_z=-180.53
V,Ed=-180.53 Vc,Rd=7560.76 V,Ed/Vc,Rd=0.02

Asta n. 2462 (234 242) briglie 50x10 Crit. 1

- Verifica Freccia massima carichi totali - CC 21
$f_{Z,L}$=0.00 (L/14826)

- Verifica in termini tensionali [4.2.4] - CC 9 SLU Xl=0.00 - Classe 3
Sollecitazioni: N=2391.09 T_z=-184.33 M_y=-24.53
Tensioni: σ_N=478.22 σ_M=588.60 τ=0.00 σ_{max}=1066.82
Tensioni: σ_N=478.22 σ_M=0.00 τ=55.30 τ_{max}=55.30
Tensioni: σ_N=478.22 σ_M=588.60 τ=0.00 $\sigma_{ID,max}$=1066.82

- Verifica a taglio dir. Z [4.2.16] - CC 9 SLU Xl=0.14
Sollecitazioni: N=2391.09 T_z=-185.03
V,Ed=-185.03 Vc,Rd=7560.76 V,Ed/Vc,Rd=0.02

Asta n. 2462 (242 250) briglie 50x10 Crit. 1

- Verifica Freccia massima carichi totali - CC 21
$f_{Z,L}$=0.00 (L/14826)

- Verifica in termini tensionali [4.2.4] - CC 9 SLU Xl=0.00 - Classe 3
Sollecitazioni: N=2010.88 T_z=-218.65 M_y=-27.59
Tensioni: σ_N=402.18 σ_M=662.22 τ=0.00 σ_{max}=1064.40
Tensioni: σ_N=402.18 σ_M=0.00 τ=65.59 τ_{max}=65.59

Tensioni: σ_N=402.18 σ_M=662.22 τ=0.00 $\sigma_{ID,max}$=1064.40

- Verifica a taglio dir. Z [4.2.16] - CC 18 SLU Xl=0.12
Sollecitazioni: N=1538.21 T_z=-241.22
V,Ed=-241.22 Vc,Rd=7560.76 V,Ed/Vc,Rd=0.03

Asta n. 2462 (250 258) briglie 50x10 Crit. 1

- Verifica di stabilità aste inflesse (4.2.4.1.3.2) CC 18 SLU - Classe 3
L_{cr}=0.22 Curva d: α_{imp}=0.76 k_c=0.94 ψ=2.88 M,cr=0.00 λ_{LT}=0.00
$\lambda_{LT,0}$=0.20 β_{LT}=1.00 Φ_{LT}=0.00 β_{LT}=1.00 f=0.00 χ_{LT}=1.00
CC 18 SLU My,Ed=-32.17 My,b,Rd=109.13 My,Ed/My,b,Rd=0.29

- Verifica di stabilità aste presso-inflesse (C4.2.4.1.3.3.1) - CC 16 SLU - Classe 3
Sollecitazioni: N,Ed=-13.37 Myeq,Ed=19.09 Mzeq,Ed=-0.02
Resistenze: Nc,Rd=13095.20 My,c,Rd=109.13 Mz,c,Rd=21.83 L=21.56
λ_Y=14.94 Ncr,y=464355.00 λ^*_y=0.17 Curva c: Φ_y=0.51 χ_y=1.00
λ_Z=74.69 Ncr,z=18574.20 λ^*_z=0.86 Curva c: Φ_z=1.03 χ_z=0.62
χ,min=0.62
Verifica: 0.00+0.17+0.00=0.18

- Verifica Freccia massima carichi totali - CC 21
$f_{Z,L}$=0.00 (L/13913)

- Verifica in termini tensionali [4.2.4] - CC 19 SLU Xl=0.00 - Classe 3
Sollecitazioni: N=1534.10 T_z=-256.38 M_y=-31.48 T_y=1.97
Tensioni: σ_N=306.82 σ_M=755.51 τ=0.00 σ_{max}=1062.33
Tensioni: σ_N=306.82 σ_M=0.00 τ=76.92 τ_{max}=76.92
Tensioni: σ_N=306.82 σ_M=755.51 τ=0.59 $\sigma_{ID,max}$=1062.33

- Verifica a taglio dir. Z [4.2.16] - CC 18 SLU Xl=0.12
Sollecitazioni: N=1005.34 T_z=-277.86
V,Ed=-277.86 Vc,Rd=7560.76 V,Ed/Vc,Rd=0.04

Asta n. 2462 (258 266) briglie 50x10 Crit. 1

- Verifica di stabilità aste inflesse (4.2.4.1.3.2) CC 19 SLU - Classe 3
L_{cr}=0.22 Curva d: α_{imp}=0.76 k_c=0.94 ψ=2.94 M,cr=0.00 λ_{LT}=0.00
$\lambda_{LT,0}$=0.20 β_{LT}=1.00 Φ_{LT}=0.00 β_{LT}=1.00 f=0.00 χ_{LT}=1.00
CC 19 SLU My,Ed=-40.45 My,b,Rd=109.13 My,Ed/My,b,Rd=0.37

- Verifica di stabilità aste presso-inflesse (C4.2.4.1.3.3.1) - CC 16 SLU - Classe 3
Sollecitazioni: N,Ed=-439.67 Myeq,Ed=24.40 Mzeq,Ed=0.00
Resistenze: Nc,Rd=13095.20 My,c,Rd=109.13 Mz,c,Rd=21.83 L=21.56
λ_Y=14.94 Ncr,y=464355.00 λ^*_y=0.17 Curva c: Φ_y=0.51 χ_y=1.00
λ_Z=74.69 Ncr,z=18574.20 λ^*_z=0.86 Curva c: Φ_z=1.03 χ_z=0.62
χ,min=0.62
Verifica: 0.03+0.22+0.00=0.26

- Verifica Freccia massima carichi totali - CC 21
$f_{Z,L}$=0.00 (L/12737)

- Verifica in termini tensionali [4.2.4] - CC 19 SLU Xl=0.00 - Classe 3
Sollecitazioni: N=858.24 T_z=-355.61 M_y=-40.45 T_y=-3.96
Tensioni: σ_N=171.65 σ_M=970.77 τ=0.00 σ_{max}=1142.42
Tensioni: σ_N=171.65 σ_M=0.00 τ=106.69 τ_{max}=106.69
Tensioni: σ_N=171.65 σ_M=970.77 τ=1.19 $\sigma_{ID,max}$=1142.42

- Verifica a taglio dir. Y [4.2.16] - CC 17 SLU Xl=0.12

Sollecitazioni: N=488.99 T_z=-205.05 T_y=-4.03
V,Ed=-4.03 Vc,Rd=7560.76 V,Ed/Vc,Rd=0.00

- Verifica a taglio dir. Z [4.2.16]
V,Ed=-205.05 Vc,Rd=7560.76 V,Ed/Vc,Rd=0.03

Asta n. 2462 (266 274) briglie 50x10 Crit. 1

- Verifica di stabilità aste inflesse (4.2.4.1.3.2) CC 5 SLV - Classe 3
L_{cr}=0.22 Curva d: α_{imp}=0.76 k_c=0.94 ψ=2.72 M,cr=0.00 λ_{LT}=0.00
$\lambda_{LT,0}$=0.20 β_{LT}=1.00 Φ_{LT}=0.00 β_{LT}=1.00 f=0.00 χ_{LT}=1.00
CC 5 SLV My,Ed=17.80 My,b,Rd=109.13 My,Ed/My,b,Rd=0.16

- Verifica di stabilità aste presso-inflesse (C4.2.4.1.3.3.1) - CC 18 SLU - Classe 3
Sollecitazioni: N,Ed=-627.96 Myeq,Ed=47.66 Mzeq,Ed=-0.02
Resistenze: Nc,Rd=13095.20 My,c,Rd=109.13 Mz,c,Rd=21.83 L=21.56
λ_Y=14.94 Ncr,y=464353.00 λ^*_y=0.17 Curva c: Φ_y=0.51 χ_y=1.00
λ_Z=74.69 Ncr,z=18574.10 λ^*_z=0.86 Curva c: Φ_z=1.03 χ_z=0.62
χ,min=0.62
Verifica: 0.05+0.44+0.00=0.49

- Verifica Freccia massima per soli carichi accidentali - CC 24
$f_{Z,L}$=0.00 (L/21533)

- Verifica Freccia massima carichi totali - CC 24
$f_{Z,L}$=0.00 (L/14826)

- Verifica in termini tensionali [4.2.4] - CC 18 SLU Xl=0.22 - Classe 3
Sollecitazioni: N=-627.96 T_z=-414.69 M_y=47.66
Tensioni: σ_N=-125.59 σ_M=-1143.83 τ=0.00 σ_{max}=-1269.43
Tensioni: σ_N=-125.59 σ_M=-0.00 τ=124.41 τ_{max}=124.41
Tensioni: σ_N=-125.59 σ_M=-1143.83 τ=0.00 $\sigma_{ID,max}$=1269.43

- Verifica a taglio dir. Z [4.2.16] - CC 3 SLV Xl=0.10
Sollecitazioni: N=138.75 T_z=-114.11
V,Ed=-114.11 Vc,Rd=7560.76 V,Ed/Vc,Rd=0.02

Asta n. 2462 (274 282) briglie 50x10 Crit. 1

- Verifica di stabilità aste inflesse (4.2.4.1.3.2) CC 5 SLV - Classe 3
L_{cr}=0.22 Curva d: α_{imp}=0.76 k_c=0.94 ψ=2.52 M,cr=0.00 λ_{LT}=0.00
$\lambda_{LT,0}$=0.20 β_{LT}=1.00 Φ_{LT}=0.00 β_{LT}=1.00 f=0.00 χ_{LT}=1.00
CC 5 SLV My,Ed=21.65 My,b,Rd=109.13 My,Ed/My,b,Rd=0.20

- Verifica di stabilità aste presso-inflesse (C4.2.4.1.3.3.1) - CC 18 SLU - Classe 3
Sollecitazioni: N,Ed=-1793.85 Myeq,Ed=59.13 Mzeq,Ed=-0.03
Resistenze: Nc,Rd=13095.20 My,c,Rd=109.13 Mz,c,Rd=21.83 L=21.56
λ_Y=14.94 Ncr,y=464353.00 λ^*_y=0.17 Curva c: Φ_y=0.51 χ_y=1.00
λ_Z=74.69 Ncr,z=18574.10 λ^*_z=0.86 Curva c: Φ_z=1.03 χ_z=0.62
χ,min=0.62
Verifica: 0.22+0.54+0.00=0.76

- Verifica Freccia massima per soli carichi accidentali - CC 24
$f_{Z,G}$=0.00 (L/14131)

- Verifica Freccia massima carichi totali - CC 21
$f_{Z,L}$=0.00 (L/9135)

- Verifica in termini tensionali [4.2.4] - CC 18 SLU Xl=0.22 - Classe 3
Sollecitazioni: N=-1793.85 T_z=-472.21 M_y=59.13

Tensioni: σ_N=-358.77 σ_M=-1419.13 τ=0.00 σ_{max}=-1777.90
Tensioni: σ_N=-358.77 σ_M=-0.00 τ=141.66 τ_{max}=141.66
Tensioni: σ_N=-358.77 σ_M=-1419.13 τ=0.00 $\sigma_{ID,max}$=1777.90

- Verifica a taglio dir. Z [4.2.16] - CC 7 SLV Xl=0.12
Sollecitazioni: N=375.91 T_z=-75.11
V,Ed=-75.11 Vc,Rd=7560.76 V,Ed/Vc,Rd=0.01

Asta n. 2462 (282 2293) briglie 50x10 Crit. 1

- Verifica di stabilità aste inflesse (4.2.4.1.3.2) CC 5 SLV - Classe 3
L_{cr}=0.22 Curva d: α_{imp}=0.76 k_c=0.94 ψ=2.08 M,cr=0.00 λ_{LT}=0.00
$\lambda_{LT,0}$=0.20 β_{LT}=1.00 Φ_{LT}=0.00 β_{LT}=1.00 f=0.00 χ_{LT}=1.00
CC 5 SLV My,Ed=32.62 My,b,Rd=109.13 My,Ed/My,b,Rd=0.30

- Verifica di stabilità aste presso-inflesse (C4.2.4.1.3.3.1) - CC 18 SLU - Classe 3
Sollecitazioni: N,Ed=-3118.41 Myeq,Ed=79.06 Mzeq,Ed=-0.03
Resistenze: Nc,Rd=13095.20 My,c,Rd=109.13 Mz,c,Rd=21.83 L=21.56
λ_Y=14.94 Ncr,y=464357.00 λ^*_y=0.17 Curva c: Φ_y=0.51 χ_y=1.00
λ_Z=74.69 Ncr,z=18574.30 λ^*_z=0.86 Curva c: Φ_z=1.03 χ_z=0.62
χ,min=0.62
Verifica: 0.38+0.73+0.00=1.11

- Verifica Freccia massima per soli carichi accidentali - CC 24
$f_{Z,L}$=0.00 (L/5872)

- Verifica Freccia massima carichi totali - CC 21
$f_{Z,L}$=0.01 (L/3632)

- Verifica in termini tensionali [4.2.4] - CC 18 SLU Xl=0.22 - Classe 3
Sollecitazioni: N=-3118.41 T_z=-564.65 M_y=89.36
Tensioni: σ_N=-623.68 σ_M=-2144.63 τ=0.00 σ_{max}=-2768.32
Tensioni: σ_N=-623.68 σ_M=-0.00 τ=169.40 τ_{max}=169.40
Tensioni: σ_N=-623.68 σ_M=-2144.63 τ=0.00 $\sigma_{ID,max}$=2768.32

- Verifica a taglio dir. Z [4.2.16] - CC 7 SLV Xl=0.10
Sollecitazioni: N=155.96 T_z=-86.91
V,Ed=-86.91 Vc,Rd=7560.76 V,Ed/Vc,Rd=0.01

Asta n. 2462 (2293 302) briglie 50x10 Crit. 1

- Verifica di stabilità aste presso-inflesse (C4.2.4.1.3.3.1) - CC 17 SLU - Classe 3
Sollecitazioni: N,Ed=-342.36 Myeq,Ed=4.11 Mzeq,Ed=0.57
Resistenze: Nc,Rd=13095.20 My,c,Rd=109.13 Mz,c,Rd=21.83 L=16.67
λ_Y=11.55 Ncr,y=777233.00 λ^*_y=0.13 Curva c: Φ_y=0.49 χ_y=1.00
λ_Z=57.73 Ncr,z=31089.30 λ^*_z=0.67 Curva c: Φ_z=0.84 χ_z=0.75
χ,min=0.75
Verifica: 0.03+0.04+0.03=0.09

- Verifica in termini tensionali [4.2.4] - CC 17 SLU Xl=0.00 - Classe 3
Sollecitazioni: N=-342.36 T_z=38.34 M_y=4.42 T_y=-7.02
Tensioni: σ_N=-68.47 σ_M=-105.99 τ=0.00 σ_{max}=-174.47
Tensioni: σ_N=-68.47 σ_M=-0.00 τ=11.69 τ_{max}=11.69
Tensioni: σ_N=-68.47 σ_M=-105.99 τ=2.11 $\sigma_{ID,max}$=174.50

Asta n. 2462 (302 310) briglie 50x10 Crit. 1

- Verifica di stabilità aste presso-inflesse (C4.2.4.1.3.3.1) - CC 19 SLU - Classe 3
Sollecitazioni: N,Ed=-257.78 Myeq,Ed=5.45 Mzeq,Ed=-0.14

Resistenze: Nc,Rd=13095.20 My,c,Rd=109.13 Mz,c,Rd=21.83 L=16.67
λ_Y=11.55 Ncr,y=777229.00 λ^*_y=0.13 Curva c: Φ_y=0.49 χ_y=1.00
λ_Z=57.74 Ncr,z=31089.10 λ^*_z=0.67 Curva c: Φ_z=0.84 χ_z=0.75
χ,min=0.75
Verifica: 0.02+0.05+0.01=0.08

- Verifica in termini tensionali [4.2.4] - CC 19 SLU Xl=0.00 - Classe 3
Sollecitazioni: N=-257.78 T_z=56.66 M_y=5.45 T_y=-2.72
Tensioni: σ_N=-51.56 σ_M=-130.79 τ=0.00 σ_{max}=-182.35
Tensioni: σ_N=-51.56 σ_M=-0.00 τ=17.02 τ_{max}=17.02
Tensioni: σ_N=-51.56 σ_M=-130.79 τ=0.82 $\sigma_{ID,max}$=182.35

Asta n. 2462 (310 2318) briglie 50x10 Crit. 1

- Verifica di stabilità aste presso-inflesse (C4.2.4.1.3.3.1) - CC 19 SLU - Classe 3
Sollecitazioni: N,Ed=-101.32 Myeq,Ed=-4.20 Mzeq,Ed=-0.15
Resistenze: Nc,Rd=13095.20 My,c,Rd=109.13 Mz,c,Rd=21.83 L=16.67
λ_Y=11.55 Ncr,y=777233.00 λ^*_y=0.13 Curva c: Φ_y=0.49 χ_y=1.00
λ_Z=57.73 Ncr,z=31089.30 λ^*_z=0.67 Curva c: Φ_z=0.84 χ_z=0.75
χ,min=0.75
Verifica: 0.01+0.04+0.01=0.05

- Verifica in termini tensionali [4.2.4] - CC 19 SLU Xl=0.17 - Classe 3
Sollecitazioni: N=-101.32 T_z=45.68 M_y=-4.20
Tensioni: σ_N=-20.26 σ_M=-100.82 τ=0.00 σ_{max}=-121.08
Tensioni: σ_N=-20.26 σ_M=0.00 τ=13.70 τ_{max}=13.70
Tensioni: σ_N=-20.26 σ_M=-100.82 τ=0.00 $\sigma_{ID,max}$=121.08

Asta n. 2500 (2008 16) briglie 50x10 Crit. 1

- Verifica di stabilità aste inflesse (4.2.4.1.3.2) CC 1 SLV - Classe 3
L_{cr}=0.17 Curva d: α_{imp}=0.76 k_c=0.94 ψ=2.90 M,cr=0.00 λ_{LT}=0.00
$\lambda_{LT,0}$=0.20 β_{LT}=1.00 Φ_{LT}=0.00 β_{LT}=1.00 f=0.00 χ_{LT}=1.00
CC 1 SLV My,Ed=0.78 My,b,Rd=109.13 My,Ed/My,b,Rd=0.01

- Verifica di stabilità aste presso-inflesse (C4.2.4.1.3.3.1) - CC 17 SLU - Classe 3
Sollecitazioni: N,Ed=-43.60 Myeq,Ed=2.12 Mzeq,Ed=-0.17
Resistenze: Nc,Rd=13095.20 My,c,Rd=109.13 Mz,c,Rd=21.83 L=16.67
λ_Y=11.55 Ncr,y=777231.00 λ^*_y=0.13 Curva c: Φ_y=0.49 χ_y=1.00
λ_Z=57.73 Ncr,z=31089.20 λ^*_z=0.67 Curva c: Φ_z=0.84 χ_z=0.75
χ,min=0.75
Verifica: 0.00+0.02+0.01=0.03

- Verifica in termini tensionali [4.2.4] - CC 17 SLU Xl=0.17 - Classe 3
Sollecitazioni: N=-43.60 T_z=-24.35 M_y=2.12 T_y=3.49
Tensioni: σ_N=-8.72 σ_M=-50.80 τ=0.00 σ_{max}=-59.52
Tensioni: σ_N=-8.72 σ_M=-0.00 τ=7.38 τ_{max}=7.38
Tensioni: σ_N=-8.72 σ_M=-50.80 τ=1.05 $\sigma_{ID,max}$=59.55

- Verifica a taglio dir. Y [4.2.16] - CC 1 SLV Xl=0.17
Sollecitazioni: N=2.00 T_z=-9.14 T_y=1.24
V,Ed=1.24 Vc,Rd=7560.76 V,Ed/Vc,Rd=0.00

- Verifica a taglio dir. Z [4.2.16]
V,Ed=-9.14 Vc,Rd=7560.76 V,Ed/Vc,Rd=0.00

Asta n. 2500 (16 24) briglie 50x10 Crit. 1

- Verifica di stabilità aste inflesse (4.2.4.1.3.2) CC 1 SLV - Classe 3

L_{cr}=0.17 Curva d: α_{imp}=0.76 k_c=0.94 ψ=1.30 M,cr=0.00 λ_{LT}=0.00
$\lambda_{LT,0}$=0.20 β_{LT}=1.00 Φ_{LT}=0.00 β_{LT}=1.00 f=0.00 χ_{LT}=1.00
CC 1 SLV My,Ed=0.27 My,b,Rd=109.13 My,Ed/My,b,Rd=0.00

- Verifica di stabilità aste presso-inflesse (C4.2.4.1.3.3.1) - CC 17 SLU - Classe 3
Sollecitazioni: N,Ed=-77.68 Myeq,Ed=0.60 Mzeq,Ed=-0.15
Resistenze: Nc,Rd=13095.20 My,c,Rd=109.13 Mz,c,Rd=21.83 L=16.67
λ_Y=11.55 Ncr,y=777232.00 λ^*_y=0.13 Curva c: Φ_y=0.49 χ_y=1.00
λ_Z=57.73 Ncr,z=31089.30 λ^*_z=0.67 Curva c: Φ_z=0.84 χ_z=0.75
χ,min=0.75
Verifica: 0.01+0.01+0.01=0.02

- Verifica a compressione [4.2.9] - CC 17 SLU Xl=0.00 - Classe 3
Sollecitazioni: N=-77.68
N,Ed=-77.68 Nc,Rd=-13095.20 N,Ed/Nc,Rd=0.01

- Verifica a taglio dir. Z [4.2.16] - CC 1 SLV Xl=0.17
Sollecitazioni: N=2.91 T_z=-1.13
V,Ed=-1.13 Vc,Rd=7560.76 V,Ed/Vc,Rd=0.00

Asta n. 2500 (24 2036) briglie 50x10 Crit. 1

- Verifica di stabilità aste inflesse (4.2.4.1.3.2) CC 1 SLV - Classe 3
L_{cr}=0.17 Curva d: α_{imp}=0.76 k_c=0.94 ψ=2.19 M,cr=0.00 λ_{LT}=0.00
$\lambda_{LT,0}$=0.20 β_{LT}=1.00 Φ_{LT}=0.00 β_{LT}=1.00 f=0.00 χ_{LT}=1.00
CC 1 SLV My,Ed=1.30 My,b,Rd=109.13 My,Ed/My,b,Rd=0.01

- Verifica di stabilità aste presso-inflesse (C4.2.4.1.3.3.1) - CC 17 SLU - Classe 3
Sollecitazioni: N,Ed=-192.83 Myeq,Ed=1.93 Mzeq,Ed=0.68
Resistenze: Nc,Rd=13095.20 My,c,Rd=109.13 Mz,c,Rd=21.83 L=16.67
λ_Y=11.55 Ncr,y=777232.00 λ^*_y=0.13 Curva c: Φ_y=0.49 χ_y=1.00
λ_Z=57.73 Ncr,z=31089.30 λ^*_z=0.67 Curva c: Φ_z=0.84 χ_z=0.75
χ,min=0.75
Verifica: 0.01+0.02+0.03=0.06

- Verifica in termini tensionali [4.2.4] - CC 17 SLU Xl=0.17 - Classe 3
Sollecitazioni: N=-192.83 T_z=-18.24 M_y=1.99 T_y=7.98
Tensioni: σ_N=-38.57 σ_M=-47.79 τ=0.00 σ_{max}=-86.36
Tensioni: σ_N=-38.57 σ_M=-0.00 τ=5.97 τ_{max}=5.97
Tensioni: σ_N=-38.57 σ_M=-47.79 τ=2.40 $\sigma_{ID,max}$=86.46

- Verifica a taglio dir. Y [4.2.16] - CC 1 SLV Xl=0.12
Sollecitazioni: N=3.28 T_z=-9.25 T_y=2.22
V,Ed=2.22 Vc,Rd=7560.76 V,Ed/Vc,Rd=0.00

- Verifica a taglio dir. Z [4.2.16]
V,Ed=-9.25 Vc,Rd=7560.76 V,Ed/Vc,Rd=0.00

Asta n. 2500 (2036 44) briglie 50x10 Crit. 1

- Verifica di stabilità aste inflesse (4.2.4.1.3.2) CC 5 SLV - Classe 3
L_{cr}=0.22 Curva d: α_{imp}=0.76 k_c=0.94 ψ=2.02 M,cr=0.00 λ_{LT}=0.00
$\lambda_{LT,0}$=0.20 β_{LT}=1.00 Φ_{LT}=0.00 β_{LT}=1.00 f=0.00 χ_{LT}=1.00
CC 5 SLV My,Ed=21.89 My,b,Rd=109.13 My,Ed/My,b,Rd=0.20

- Verifica di stabilità aste presso-inflesse (C4.2.4.1.3.3.1) - CC 19 SLU - Classe 3
Sollecitazioni: N,Ed=-1253.25 Myeq,Ed=38.30 Mzeq,Ed=0.56
Resistenze: Nc,Rd=13095.20 My,c,Rd=109.13 Mz,c,Rd=21.83 L=21.56
λ_Y=14.94 Ncr,y=464354.00 λ^*_y=0.17 Curva c: Φ_y=0.51 χ_y=1.00

λ_Z=74.69 Ncr,z=18574.20 λ^*_z=0.86 Curva c: Φ_z=1.03 χ_z=0.62
χ,min=0.62
Verifica: 0.15+0.35+0.03=0.53

- Verifica Freccia massima per soli carichi accidentali - CC 21
$f_{Z,L}$=0.00 (L/11448)

- Verifica Freccia massima carichi totali - CC 21
$f_{Z,G}$=0.00 (L/6459)

- Verifica in termini tensionali [4.2.4] - CC 19 SLU Xl=0.00 - Classe 3
Sollecitazioni: N=-1253.25 T_z=273.80 M_y=42.41 T_y=-5.30
Tensioni: σ_N=-250.65 σ_M=-1017.75 τ=0.00 σ_{max}=-1268.40
Tensioni: σ_N=-250.65 σ_M=-0.00 τ=82.15 τ_{max}=82.15
Tensioni: σ_N=-250.65 σ_M=-1017.75 τ=1.59 $\sigma_{ID,max}$=1268.41

- Verifica a taglio dir. Y [4.2.16] - CC 16 SLU Xl=0.14
Sollecitazioni: N=44.53 T_z=154.46 T_y=1.16
V,Ed=1.16 Vc,Rd=7560.76 V,Ed/Vc,Rd=0.00

- Verifica a taglio dir. Z [4.2.16]
V,Ed=154.46 Vc,Rd=7560.76 V,Ed/Vc,Rd=0.02

Asta n. 2500 (44 52) briglie 50x10 Crit. 1

- Verifica di stabilità aste inflesse (4.2.4.1.3.2) CC 20 SLU - Classe 3
L_{cr}=0.22 Curva d: α_{imp}=0.76 k_c=0.94 ψ=2.89 M,cr=0.00 λ_{LT}=0.00
$\lambda_{LT,0}$=0.20 β_{LT}=1.00 Φ_{LT}=0.00 β_{LT}=1.00 f=0.00 χ_{LT}=1.00
CC 20 SLU My,Ed=21.01 My,b,Rd=109.13 My,Ed/My,b,Rd=0.19

- Verifica di stabilità aste presso-inflesse (C4.2.4.1.3.3.1) - CC 19 SLU - Classe 3
Sollecitazioni: N,Ed=-597.76 Myeq,Ed=28.72 Mzeq,Ed=-0.33
Resistenze: Nc,Rd=13095.20 My,c,Rd=109.13 Mz,c,Rd=21.83 L=21.56
λ_Y=14.94 Ncr,y=464354.00 λ^*_y=0.17 Curva c: Φ_y=0.51 χ_y=1.00
λ_Z=74.69 Ncr,z=18574.20 λ^*_z=0.86 Curva c: Φ_z=1.03 χ_z=0.62
χ,min=0.62
Verifica: 0.05+0.26+0.02=0.32

- Verifica Freccia massima carichi totali - CC 21
$f_{Z,L}$=0.00 (L/14826)

- Verifica in termini tensionali [4.2.4] - CC 19 SLU Xl=0.00 - Classe 3
Sollecitazioni: N=-597.76 T_z=234.40 M_y=28.72 T_y=-2.65
Tensioni: σ_N=-119.55 σ_M=-689.17 τ=0.00 σ_{max}=-808.72
Tensioni: σ_N=-119.55 σ_M=-0.00 τ=70.32 τ_{max}=70.32
Tensioni: σ_N=-119.55 σ_M=-689.17 τ=0.80 $\sigma_{ID,max}$=808.72

- Verifica a taglio dir. Z [4.2.16] - CC 20 SLU Xl=0.12
Sollecitazioni: N=5.17 T_z=182.26
V,Ed=182.26 Vc,Rd=7560.76 V,Ed/Vc,Rd=0.02

Asta n. 2500 (52 60) briglie 50x10 Crit. 1

- Verifica di stabilità aste inflesse (4.2.4.1.3.2) CC 18 SLU - Classe 3
L_{cr}=0.22 Curva d: α_{imp}=0.76 k_c=0.94 ψ=3.06 M,cr=0.00 λ_{LT}=0.00
$\lambda_{LT,0}$=0.20 β_{LT}=1.00 Φ_{LT}=0.00 β_{LT}=1.00 f=0.00 χ_{LT}=1.00
CC 18 SLU My,Ed=-22.56 My,b,Rd=109.13 My,Ed/My,b,Rd=0.21

- Verifica di stabilità aste presso-inflesse (C4.2.4.1.3.3.1) - CC 19 SLU - Classe 3

Sollecitazioni: N,Ed=-12.74 Myeq,Ed=23.59 Mzeq,Ed=-0.30
Resistenze: Nc,Rd=13095.20 My,c,Rd=109.13 Mz,c,Rd=21.83 L=21.56
λ_Y=14.94 Ncr,y=464354.00 λ^*_y=0.17 Curva c: Φ_y=0.51 χ_y=1.00
λ_Z=74.69 Ncr,z=18574.20 λ^*_z=0.86 Curva c: Φ_z=1.03 χ_z=0.62
χ,min=0.62
Verifica: 0.00+0.22+0.01=0.23

- Verifica Freccia massima carichi totali - CC 21
$f_{Z,L}$=0.00 (L/21533)

- Verifica in termini tensionali [4.2.4] - CC 18 SLU Xl=0.22 - Classe 3
Sollecitazioni: N=461.03 T_z=206.03 M_y=-22.56 T_y=1.07
Tensioni: σ_N=92.21 σ_M=541.53 τ=0.00 σ_{max}=633.74
Tensioni: σ_N=92.21 σ_M=0.00 τ=61.81 τ_{max}=61.81
Tensioni: σ_N=92.21 σ_M=541.53 τ=0.32 $\sigma_{ID,max}$=633.74

- Verifica a taglio dir. Z [4.2.16] - CC 16 SLU Xl=0.10
Sollecitazioni: N=775.81 T_z=120.22
V,Ed=120.22 Vc,Rd=7560.76 V,Ed/Vc,Rd=0.02

Asta n. 2500 (60 68) briglie 50x10 Crit. 1

- Verifica di stabilità aste inflesse (4.2.4.1.3.2) CC 18 SLU - Classe 3
L_{cr}=0.22 Curva d: α_{imp}=0.76 k_c=0.94 ψ=2.77 M,cr=0.00 λ_{LT}=0.00
$\lambda_{LT,0}$=0.20 β_{LT}=1.00 Φ_{LT}=0.00 β_{LT}=1.00 f=0.00 χ_{LT}=1.00
CC 18 SLU My,Ed=-22.26 My,b,Rd=109.13 My,Ed/My,b,Rd=0.20

- Verifica di stabilità aste presso-inflesse (C4.2.4.1.3.3.1) - CC 5 SLV - Classe 3
Sollecitazioni: N,Ed=-374.78 Myeq,Ed=10.14 Mzeq,Ed=0.05
Resistenze: Nc,Rd=13095.20 My,c,Rd=109.13 Mz,c,Rd=21.83 L=21.56
λ_Y=14.94 Ncr,y=464355.00 λ^*_y=0.17 Curva c: Φ_y=0.51 χ_y=1.00
λ_Z=74.69 Ncr,z=18574.20 λ^*_z=0.86 Curva c: Φ_z=1.03 χ_z=0.62
χ,min=0.62
Verifica: 0.03+0.09+0.00=0.12

- Verifica in termini tensionali [4.2.4] - CC 18 SLU Xl=0.22 - Classe 3
Sollecitazioni: N=926.64 T_z=184.53 M_y=-22.26
Tensioni: σ_N=185.33 σ_M=534.24 τ=0.00 σ_{max}=719.56
Tensioni: σ_N=185.33 σ_M=0.00 τ=55.36 τ_{max}=55.36
Tensioni: σ_N=185.33 σ_M=534.24 τ=0.00 $\sigma_{ID,max}$=719.56

- Verifica a taglio dir. Y [4.2.16] - CC 19 SLU Xl=0.10
Sollecitazioni: N=460.95 T_z=188.13 T_y=3.13
V,Ed=3.13 Vc,Rd=7560.76 V,Ed/Vc,Rd=0.00

- Verifica a taglio dir. Z [4.2.16]
V,Ed=188.13 Vc,Rd=7560.76 V,Ed/Vc,Rd=0.02

Asta n. 2500 (68 76) briglie 50x10 Crit. 1

- Verifica di stabilità aste inflesse (4.2.4.1.3.2) CC 19 SLU - Classe 3
L_{cr}=0.22 Curva d: α_{imp}=0.76 k_c=0.94 ψ=2.70 M,cr=0.00 λ_{LT}=0.00
$\lambda_{LT,0}$=0.20 β_{LT}=1.00 Φ_{LT}=0.00 β_{LT}=1.00 f=0.00 χ_{LT}=1.00
CC 19 SLU My,Ed=-15.43 My,b,Rd=109.13 My,Ed/My,b,Rd=0.14

- Verifica di stabilità aste presso-inflesse (C4.2.4.1.3.3.1) - CC 5 SLV - Classe 3
Sollecitazioni: N,Ed=-207.48 Myeq,Ed=7.98 Mzeq,Ed=-0.04
Resistenze: Nc,Rd=13095.20 My,c,Rd=109.13 Mz,c,Rd=21.83 L=21.56
λ_Y=14.94 Ncr,y=464355.00 λ^*_y=0.17 Curva c: Φ_y=0.51 χ_y=1.00

λ_Z=74.69 Ncr,z=18574.20 λ^*_z=0.86 Curva c: Φ_z=1.03 χ_z=0.62
χ,min=0.62
Verifica: 0.02+0.07+0.00=0.09

- Verifica in termini tensionali [4.2.4] - CC 18 SLU Xl=0.22 - Classe 3
Sollecitazioni: N=1257.82 T_z=113.50 M_y=-15.39
Tensioni: σ_N=251.56 σ_M=369.32 τ=0.00 σ_{max}=620.88
Tensioni: σ_N=251.56 σ_M=0.00 τ=34.05 τ_{max}=34.05
Tensioni: σ_N=251.56 σ_M=369.32 τ=0.00 $\sigma_{ID,max}$=620.88

- Verifica a taglio dir. Z [4.2.16] - CC 9 SLU Xl=0.10
Sollecitazioni: N=791.43 T_z=126.27
V,Ed=126.27 Vc,Rd=7560.76 V,Ed/Vc,Rd=0.02

Asta n. 2500 (76 84) briglie 50x10 Crit. 1

- Verifica di stabilità aste inflesse (4.2.4.1.3.2) CC 9 SLU - Classe 3
L_{cr}=0.22 Curva d: α_{imp}=0.76 k_c=0.94 ψ=2.71 M,cr=0.00 λ_{LT}=0.00
$\lambda_{LT,0}$=0.20 β_{LT}=1.00 Φ_{LT}=0.00 β_{LT}=1.00 f=0.00 χ_{LT}=1.00
CC 9 SLU My,Ed=-13.84 My,b,Rd=109.13 My,Ed/My,b,Rd=0.13

- Verifica di stabilità aste presso-inflesse (C4.2.4.1.3.3.1) - CC 5 SLV - Classe 3
Sollecitazioni: N,Ed=-74.59 Myeq,Ed=6.97 Mzeq,Ed=-0.03
Resistenze: Nc,Rd=13095.20 My,c,Rd=109.13 Mz,c,Rd=21.83 L=21.56
λ_Y=14.94 Ncr,y=464354.00 λ^*_y=0.17 Curva c: Φ_y=0.51 χ_y=1.00
λ_Z=74.69 Ncr,z=18574.20 λ^*_z=0.86 Curva c: Φ_z=1.03 χ_z=0.62
χ,min=0.62
Verifica: 0.01+0.06+0.00=0.07

- Verifica in termini tensionali [4.2.4] - CC 18 SLU Xl=0.22 - Classe 3
Sollecitazioni: N=1483.25 T_z=99.88 M_y=-13.52
Tensioni: σ_N=296.65 σ_M=324.36 τ=0.00 σ_{max}=621.01
Tensioni: σ_N=296.65 σ_M=0.00 τ=29.96 τ_{max}=29.96
Tensioni: σ_N=296.65 σ_M=324.36 τ=0.00 $\sigma_{ID,max}$=621.01

- Verifica a taglio dir. Z [4.2.16] - CC 9 SLU Xl=0.10
Sollecitazioni: N=1039.31 T_z=112.44
V,Ed=112.44 Vc,Rd=7560.76 V,Ed/Vc,Rd=0.01

Asta n. 2500 (84 92) briglie 50x10 Crit. 1

- Verifica in termini tensionali [4.2.4] - CC 18 SLU Xl=0.22 - Classe 3
Sollecitazioni: N=1663.94 T_z=90.78 M_y=-12.78
Tensioni: σ_N=332.79 σ_M=306.63 τ=0.00 σ_{max}=639.42
Tensioni: σ_N=332.79 σ_M=0.00 τ=27.23 τ_{max}=27.23
Tensioni: σ_N=332.79 σ_M=306.63 τ=0.00 $\sigma_{ID,max}$=639.42

- Verifica a taglio dir. Z [4.2.16] - CC 9 SLU Xl=0.08
Sollecitazioni: N=1241.63 T_z=102.64
V,Ed=102.64 Vc,Rd=7560.76 V,Ed/Vc,Rd=0.01

Asta n. 2500 (92 100) briglie 50x10 Crit. 1

- Verifica in termini tensionali [4.2.4] - CC 18 SLU Xl=0.22 - Classe 3
Sollecitazioni: N=1806.80 T_z=81.01 M_y=-12.97
Tensioni: σ_N=361.36 σ_M=311.22 τ=0.00 σ_{max}=672.58
Tensioni: σ_N=361.36 σ_M=0.00 τ=24.30 τ_{max}=24.30
Tensioni: σ_N=361.36 σ_M=311.22 τ=0.00 $\sigma_{ID,max}$=672.58

- Verifica a taglio dir. Z [4.2.16] - CC 9 SLU Xl=0.08
  Sollecitazioni: N=1405.91 T_z=92.66
  V,Ed=92.66 Vc,Rd=7560.76 V,Ed/Vc,Rd=0.01

Asta n. 2500 (100 108) briglie 50x10 Crit. 1

- Verifica in termini tensionali [4.2.4] - CC 18 SLU Xl=0.22 - Classe 3
  Sollecitazioni: N=1880.51 T_z=8.84 M_y=-5.33
  Tensioni: σ_N=376.10 σ_M=127.89 τ=0.00 σ_{max}=504.00
  Tensioni: σ_N=376.10 σ_M=0.00 τ=2.65 τ_{max}=2.65
  Tensioni: σ_N=376.10 σ_M=127.89 τ=0.00 $\sigma_{ID,max}$=504.00

- Verifica a taglio dir. Z [4.2.16] - CC 9 SLU Xl=0.00
  Sollecitazioni: N=1510.58 T_z=36.57
  V,Ed=36.57 Vc,Rd=7560.76 V,Ed/Vc,Rd=0.00

Asta n. 2500 (108 116) briglie 50x10 Crit. 1

- Verifica in termini tensionali [4.2.4] - CC 18 SLU Xl=0.22 - Classe 3
  Sollecitazioni: N=1898.15 T_z=3.29 M_y=-3.57
  Tensioni: σ_N=379.63 σ_M=85.68 τ=0.00 σ_{max}=465.31
  Tensioni: σ_N=379.63 σ_M=0.00 τ=0.99 τ_{max}=0.99
  Tensioni: σ_N=379.63 σ_M=85.68 τ=0.00 $\sigma_{ID,max}$=465.31

- Verifica a taglio dir. Z [4.2.16] - CC 5 SLV Xl=0.12
  Sollecitazioni: N=577.57 T_z=31.45
  V,Ed=31.45 Vc,Rd=7560.76 V,Ed/Vc,Rd=0.00

Asta n. 2500 (116 124) briglie 50x10 Crit. 1

- Verifica in termini tensionali [4.2.4] - CC 18 SLU Xl=0.22 - Classe 3
  Sollecitazioni: N=1902.31 T_z=1.39 M_y=-3.28
  Tensioni: σ_N=380.46 σ_M=78.73 τ=0.00 σ_{max}=459.19
  Tensioni: σ_N=380.46 σ_M=0.00 τ=0.42 τ_{max}=0.42
  Tensioni: σ_N=380.46 σ_M=78.73 τ=0.00 $\sigma_{ID,max}$=459.19

- Verifica a taglio dir. Z [4.2.16] - CC 5 SLV Xl=0.12
  Sollecitazioni: N=555.66 T_z=28.36
  V,Ed=28.36 Vc,Rd=7560.76 V,Ed/Vc,Rd=0.00

Asta n. 2500 (124 132) briglie 50x10 Crit. 1

- Verifica in termini tensionali [4.2.4] - CC 18 SLU Xl=0.00 - Classe 3
  Sollecitazioni: N=1894.69 T_z=-1.90 M_y=-4.42
  Tensioni: σ_N=378.94 σ_M=106.03 τ=0.00 σ_{max}=484.97
  Tensioni: σ_N=378.94 σ_M=0.00 τ=0.57 τ_{max}=0.57
  Tensioni: σ_N=378.94 σ_M=106.03 τ=0.00 $\sigma_{ID,max}$=484.97

- Verifica a taglio dir. Z [4.2.16] - CC 16 SLU Xl=0.22
  Sollecitazioni: N=1365.36 T_z=-28.96
  V,Ed=-28.96 Vc,Rd=7560.76 V,Ed/Vc,Rd=0.00

Asta n. 2500 (132 140) briglie 50x10 Crit. 1

- Verifica in termini tensionali [4.2.4] - CC 18 SLU Xl=0.00 - Classe 3
  Sollecitazioni: N=1850.44 T_z=-64.31 M_y=-11.11
  Tensioni: σ_N=370.09 σ_M=266.68 τ=0.00 σ_{max}=636.77
  Tensioni: σ_N=370.09 σ_M=0.00 τ=19.29 τ_{max}=19.29
  Tensioni: σ_N=370.09 σ_M=266.68 τ=0.00 $\sigma_{ID,max}$=636.77

- Verifica a taglio dir. Z [4.2.16] - CC 16 SLU Xl=0.16
  Sollecitazioni: N=1296.46 T_z=-77.28
  V,Ed=-77.28 Vc,Rd=7560.76 V,Ed/Vc,Rd=0.01

Asta n. 2500 (140 148) briglie 50x10 Crit. 1

- Verifica in termini tensionali [4.2.4] - CC 18 SLU Xl=0.00 - Classe 3
  Sollecitazioni: N=1776.19 T_z=-66.12 M_y=-9.91
  Tensioni: σ_N=355.24 σ_M=237.90 τ=0.00 σ_{max}=593.14
  Tensioni: σ_N=355.24 σ_M=0.00 τ=19.83 τ_{max}=19.83
  Tensioni: σ_N=355.24 σ_M=237.90 τ=0.00 $\sigma_{ID,max}$=593.14

- Verifica a taglio dir. Z [4.2.16] - CC 16 SLU Xl=0.14
  Sollecitazioni: N=1206.58 T_z=-77.71
  V,Ed=-77.71 Vc,Rd=7560.76 V,Ed/Vc,Rd=0.01

Asta n. 2500 (148 156) briglie 50x10 Crit. 1

- Verifica in termini tensionali [4.2.4] - CC 18 SLU Xl=0.00 - Classe 3
  Sollecitazioni: N=1701.47 T_z=-66.33 M_y=-9.12
  Tensioni: σ_N=340.29 σ_M=218.87 τ=0.00 σ_{max}=559.16
  Tensioni: σ_N=340.29 σ_M=0.00 τ=19.90 τ_{max}=19.90
  Tensioni: σ_N=340.29 σ_M=218.87 τ=0.00 $\sigma_{ID,max}$=559.16

- Verifica a taglio dir. Z [4.2.16] - CC 16 SLU Xl=0.14
  Sollecitazioni: N=1118.55 T_z=-76.94
  V,Ed=-76.94 Vc,Rd=7560.76 V,Ed/Vc,Rd=0.01

Asta n. 2500 (156 164) briglie 50x10 Crit. 1

- Verifica in termini tensionali [4.2.4] - CC 18 SLU Xl=0.00 - Classe 3
  Sollecitazioni: N=1635.55 T_z=-63.69 M_y=-7.19
  Tensioni: σ_N=327.11 σ_M=172.62 τ=0.00 σ_{max}=499.73
  Tensioni: σ_N=327.11 σ_M=0.00 τ=19.11 τ_{max}=19.11
  Tensioni: σ_N=327.11 σ_M=172.62 τ=0.00 $\sigma_{ID,max}$=499.73

- Verifica a taglio dir. Z [4.2.16] - CC 16 SLU Xl=0.12
  Sollecitazioni: N=1038.70 T_z=-75.01
  V,Ed=-75.01 Vc,Rd=7560.76 V,Ed/Vc,Rd=0.01

Asta n. 2500 (164 172) briglie 50x10 Crit. 1

- Verifica in termini tensionali [4.2.4] - CC 19 SLU Xl=0.22 - Classe 3
  Sollecitazioni: N=1542.34 T_z=30.18 M_y=-3.41
  Tensioni: σ_N=308.47 σ_M=81.88 τ=0.00 σ_{max}=390.35
  Tensioni: σ_N=308.47 σ_M=0.00 τ=9.05 τ_{max}=9.05
  Tensioni: σ_N=308.47 σ_M=81.88 τ=0.00 $\sigma_{ID,max}$=390.35

- Verifica a taglio dir. Z [4.2.16] - CC 16 SLU Xl=0.12
  Sollecitazioni: N=981.98 T_z=-34.13
  V,Ed=-34.13 Vc,Rd=7560.76 V,Ed/Vc,Rd=0.00

Asta n. 2500 (172 180) briglie 50x10 Crit. 1

- Verifica in termini tensionali [4.2.4] - CC 19 SLU Xl=0.22 - Classe 3
  Sollecitazioni: N=1570.65 T_z=31.96 M_y=-5.12
  Tensioni: σ_N=314.13 σ_M=122.95 τ=0.00 σ_{max}=437.08
  Tensioni: σ_N=314.13 σ_M=0.00 τ=9.59 τ_{max}=9.59

Tensioni: σ_N=314.13 σ_M=122.95 τ=0.00 $\sigma_{ID,max}$=437.08

- Verifica a taglio dir. Z [4.2.16] - CC 16 SLU Xl=0.16
Sollecitazioni: N=938.99 T_z=-35.06
V,Ed=-35.06 Vc,Rd=7560.76 V,Ed/Vc,Rd=0.00

Asta n. 2500 (180 188) briglie 50x10 Crit. 1

- Verifica in termini tensionali [4.2.4] - CC 19 SLU Xl=0.22 - Classe 3
Sollecitazioni: N=1604.51 T_z=30.17 M_y=-5.62 T_y=3.04
Tensioni: σ_N=320.90 σ_M=134.83 τ=0.00 σ_{max}=455.73
Tensioni: σ_N=320.90 σ_M=0.00 τ=9.10 τ_{max}=9.10
Tensioni: σ_N=320.90 σ_M=134.83 τ=0.91 $\sigma_{ID,max}$=455.74

- Verifica a taglio dir. Z [4.2.16] - CC 16 SLU Xl=0.16
Sollecitazioni: N=893.90 T_z=-39.55
V,Ed=-39.55 Vc,Rd=7560.76 V,Ed/Vc,Rd=0.01

Asta n. 2500 (188 196) briglie 50x10 Crit. 1

- Verifica in termini tensionali [4.2.4] - CC 19 SLU Xl=0.22 - Classe 3
Sollecitazioni: N=1635.46 T_z=27.31 M_y=-6.35 T_y=4.35
Tensioni: σ_N=327.09 σ_M=152.35 τ=0.00 σ_{max}=479.44
Tensioni: σ_N=327.09 σ_M=0.00 τ=8.30 τ_{max}=8.30
Tensioni: σ_N=327.09 σ_M=152.35 τ=1.30 $\sigma_{ID,max}$=479.44

- Verifica a taglio dir. Z [4.2.16] - CC 16 SLU Xl=0.14
Sollecitazioni: N=841.98 T_z=-43.86
V,Ed=-43.86 Vc,Rd=7560.76 V,Ed/Vc,Rd=0.01

Asta n. 2500 (196 204) briglie 50x10 Crit. 1

- Verifica in termini tensionali [4.2.4] - CC 18 SLU Xl=0.00 - Classe 3
Sollecitazioni: N=1542.32 T_z=-46.95 M_y=-7.95
Tensioni: σ_N=308.46 σ_M=190.91 τ=0.00 σ_{max}=499.38
Tensioni: σ_N=308.46 σ_M=0.00 τ=14.08 τ_{max}=14.08
Tensioni: σ_N=308.46 σ_M=190.91 τ=0.00 $\sigma_{ID,max}$=499.38

- Verifica a taglio dir. Z [4.2.16] - CC 16 SLU Xl=0.14
Sollecitazioni: N=778.07 T_z=-55.00
V,Ed=-55.00 Vc,Rd=7560.76 V,Ed/Vc,Rd=0.01

Asta n. 2500 (204 212) briglie 50x10 Crit. 1

- Verifica in termini tensionali [4.2.4] - CC 18 SLU Xl=0.00 - Classe 3
Sollecitazioni: N=1477.66 T_z=-52.86 M_y=-7.87
Tensioni: σ_N=295.53 σ_M=188.90 τ=0.00 σ_{max}=484.43
Tensioni: σ_N=295.53 σ_M=0.00 τ=15.86 τ_{max}=15.86
Tensioni: σ_N=295.53 σ_M=188.90 τ=0.00 $\sigma_{ID,max}$=484.43

- Verifica a taglio dir. Z [4.2.16] - CC 16 SLU Xl=0.14
Sollecitazioni: N=700.51 T_z=-60.02
V,Ed=-60.02 Vc,Rd=7560.76 V,Ed/Vc,Rd=0.01

Asta n. 2500 (212 220) briglie 50x10 Crit. 1

- Verifica in termini tensionali [4.2.4] - CC 18 SLU Xl=0.00 - Classe 3
Sollecitazioni: N=1396.77 T_z=-57.87 M_y=-8.36
Tensioni: σ_N=279.35 σ_M=200.63 τ=0.00 σ_{max}=479.98

Tensioni: σ_N=279.35 σ_M=0.00 τ=17.36 τ_{max}=17.36
Tensioni: σ_N=279.35 σ_M=200.63 τ=0.00 $\sigma_{ID,max}$=479.98

- Verifica a taglio dir. Z [4.2.16] - CC 16 SLU Xl=0.12
Sollecitazioni: N=609.96 T_z=-65.32
V,Ed=-65.32 Vc,Rd=7560.76 V,Ed/Vc,Rd=0.01

Asta n. 2500 (220 228) briglie 50x10 Crit. 1

- Verifica in termini tensionali [4.2.4] - CC 18 SLU Xl=0.00 - Classe 3
Sollecitazioni: N=1296.85 T_z=-65.53 M_y=-9.72
Tensioni: σ_N=259.37 σ_M=233.39 τ=0.00 σ_{max}=492.76
Tensioni: σ_N=259.37 σ_M=0.00 τ=19.66 τ_{max}=19.66
Tensioni: σ_N=259.37 σ_M=233.39 τ=0.00 $\sigma_{ID,max}$=492.76

- Verifica a taglio dir. Z [4.2.16] - CC 16 SLU Xl=0.12
Sollecitazioni: N=503.93 T_z=-71.79
V,Ed=-71.79 Vc,Rd=7560.76 V,Ed/Vc,Rd=0.01

Asta n. 2500 (228 236) briglie 50x10 Crit. 1

- Verifica in termini tensionali [4.2.4] - CC 9 SLU Xl=0.00 - Classe 3
Sollecitazioni: N=1406.01 T_z=-91.95 M_y=-13.07
Tensioni: σ_N=281.20 σ_M=313.69 τ=0.00 σ_{max}=594.89
Tensioni: σ_N=281.20 σ_M=0.00 τ=27.58 τ_{max}=27.58
Tensioni: σ_N=281.20 σ_M=313.69 τ=0.00 $\sigma_{ID,max}$=594.89

- Verifica a taglio dir. Z [4.2.16] - CC 18 SLU Xl=0.14
Sollecitazioni: N=1150.62 T_z=-113.21
V,Ed=-113.21 Vc,Rd=7560.76 V,Ed/Vc,Rd=0.01

Asta n. 2500 (236 244) briglie 50x10 Crit. 1

- Verifica in termini tensionali [4.2.4] - CC 19 SLU Xl=0.00 - Classe 3
Sollecitazioni: N=1253.35 T_z=-100.84 M_y=-13.01 T_y=-2.77
Tensioni: σ_N=250.67 σ_M=312.35 τ=0.00 σ_{max}=563.02
Tensioni: σ_N=250.67 σ_M=0.00 τ=30.26 τ_{max}=30.26
Tensioni: σ_N=250.67 σ_M=312.35 τ=0.83 $\sigma_{ID,max}$=563.02

- Verifica a taglio dir. Z [4.2.16] - CC 18 SLU Xl=0.12
Sollecitazioni: N=948.08 T_z=-124.15
V,Ed=-124.15 Vc,Rd=7560.76 V,Ed/Vc,Rd=0.02

Asta n. 2500 (244 252) briglie 50x10 Crit. 1

- Verifica di stabilità aste inflesse (4.2.4.1.3.2) CC 18 SLU - Classe 3
L_{cr}=0.22 Curva d: α_{imp}=0.76 k_c=0.94 ψ=2.91 M,cr=0.00 λ_{LT}=0.00
$\lambda_{LT,0}$=0.20 β_{LT}=1.00 Φ_{LT}=0.00 β_{LT}=1.00 f=0.00 χ_{LT}=1.00
CC 18 SLU My,Ed=-15.56 My,b,Rd=109.13 My,Ed/My,b,Rd=0.14

- Verifica di stabilità aste presso-inflesse (C4.2.4.1.3.3.1) - CC 5 SLV - Classe 3
Sollecitazioni: N,Ed=-74.38 Myeq,Ed=6.97 Mzeq,Ed=-0.03
Resistenze: Nc,Rd=13095.20 My,c,Rd=109.13 Mz,c,Rd=21.83 L=21.56
λ_Y=14.94 Ncr,y=464353.00 λ^*_y=0.17 Curva c: Φ_y=0.51 χ_y=1.00
λ_Z=74.69 Ncr,z=18574.10 λ^*_z=0.86 Curva c: Φ_z=1.03 χ_z=0.62
χ,min=0.62
Verifica: 0.01+0.06+0.00=0.07

- Verifica in termini tensionali [4.2.4] - CC 19 SLU Xl=0.00 - Classe 3

Sollecitazioni: N=1053.06 T_z=-110.66 M_y=-13.76
Tensioni: σ_N=210.61 σ_M=330.32 τ=0.00 σ_{max}=540.93
Tensioni: σ_N=210.61 σ_M=0.00 τ=33.20 τ_{max}=33.20
Tensioni: σ_N=210.61 σ_M=330.32 τ=0.00 $\sigma_{ID,max}$=540.93

- Verifica a taglio dir. Z [4.2.16] - CC 18 SLU Xl=0.12
Sollecitazioni: N=703.64 T_z=-135.70
V,Ed=-135.70 Vc,Rd=7560.76 V,Ed/Vc,Rd=0.02

Asta n. 2500 (252 260) briglie 50x10 Crit. 1

- Verifica di stabilità aste inflesse (4.2.4.1.3.2) CC 18 SLU - Classe 3
L_{cr}=0.22 Curva d: α_{imp}=0.76 k_c=0.94 ψ=2.96 M,cr=0.00 λ_{LT}=0.00
$\lambda_{LT,0}$=0.20 β_{LT}=1.00 Φ_{LT}=0.00 β_{LT}=1.00 f=0.00 χ_{LT}=1.00
CC 18 SLU My,Ed=-17.02 My,b,Rd=109.13 My,Ed/My,b,Rd=0.16

- Verifica di stabilità aste presso-inflesse (C4.2.4.1.3.3.1) - CC 16 SLU - Classe 3
Sollecitazioni: N,Ed=-193.32 Myeq,Ed=13.21 Mzeq,Ed=-0.04
Resistenze: Nc,Rd=13095.20 My,c,Rd=109.13 Mz,c,Rd=21.83 L=21.56
λ_Y=14.94 Ncr,y=464355.00 λ^*_y=0.17 Curva c: Φ_y=0.51 χ_y=1.00
λ_Z=74.69 Ncr,z=18574.20 λ^*_z=0.86 Curva c: Φ_z=1.03 χ_z=0.62
χ,min=0.62
Verifica: 0.01+0.12+0.00=0.14

- Verifica in termini tensionali [4.2.4] - CC 19 SLU Xl=0.00 - Classe 3
Sollecitazioni: N=806.89 T_z=-124.34 M_y=-15.43 T_y=1.90
Tensioni: σ_N=161.38 σ_M=370.21 τ=0.00 σ_{max}=531.59
Tensioni: σ_N=161.38 σ_M=0.00 τ=37.31 τ_{max}=37.31
Tensioni: σ_N=161.38 σ_M=370.21 τ=0.57 $\sigma_{ID,max}$=531.59

- Verifica a taglio dir. Z [4.2.16] - CC 18 SLU Xl=0.12
Sollecitazioni: N=408.37 T_z=-151.01
V,Ed=-151.01 Vc,Rd=7560.76 V,Ed/Vc,Rd=0.02

Asta n. 2500 (260 268) briglie 50x10 Crit. 1

- Verifica di stabilità aste inflesse (4.2.4.1.3.2) CC 18 SLU - Classe 3
L_{cr}=0.22 Curva d: α_{imp}=0.76 k_c=0.94 ψ=3.06 M,cr=0.00 λ_{LT}=0.00
$\lambda_{LT,0}$=0.20 β_{LT}=1.00 Φ_{LT}=0.00 β_{LT}=1.00 f=0.00 χ_{LT}=1.00
CC 18 SLU My,Ed=21.84 My,b,Rd=109.13 My,Ed/My,b,Rd=0.20

- Verifica di stabilità aste presso-inflesse (C4.2.4.1.3.3.1) - CC 16 SLU - Classe 3
Sollecitazioni: N,Ed=-465.87 Myeq,Ed=15.78 Mzeq,Ed=0.04
Resistenze: Nc,Rd=13095.20 My,c,Rd=109.13 Mz,c,Rd=21.83 L=21.56
λ_Y=14.94 Ncr,y=464355.00 λ^*_y=0.17 Curva c: Φ_y=0.51 χ_y=1.00
λ_Z=74.69 Ncr,z=18574.20 λ^*_z=0.86 Curva c: Φ_z=1.03 χ_z=0.62
χ,min=0.62
Verifica: 0.04+0.14+0.00=0.18

- Verifica in termini tensionali [4.2.4] - CC 19 SLU Xl=0.00 - Classe 3
Sollecitazioni: N=461.22 T_z=-187.44 M_y=-21.34 T_y=-4.61
Tensioni: σ_N=92.24 σ_M=512.10 τ=0.00 σ_{max}=604.35
Tensioni: σ_N=92.24 σ_M=0.00 τ=56.25 τ_{max}=56.25
Tensioni: σ_N=92.24 σ_M=512.10 τ=1.38 $\sigma_{ID,max}$=604.35

- Verifica a taglio dir. Y [4.2.16] - CC 19 SLU Xl=0.12
Sollecitazioni: N=461.22 T_z=-188.04 T_y=-3.13
V,Ed=-3.13 Vc,Rd=7560.76 V,Ed/Vc,Rd=0.00

- Verifica a taglio dir. Z [4.2.16]
  V,Ed=-188.04 Vc,Rd=7560.76 V,Ed/Vc,Rd=0.02

Asta n. 2500 (268 276) briglie 50x10 Crit. 1

- Verifica di stabilità aste inflesse (4.2.4.1.3.2) CC 5 SLV - Classe 3
  L_{cr}=0.22 Curva d: α_{imp}=0.76 k_c=0.94 ψ=2.60 M,cr=0.00 λ_{LT}=0.00
  $\lambda_{LT,0}$=0.20 β_{LT}=1.00 Φ_{LT}=0.00 β_{LT}=1.00 f=0.00 χ_{LT}=1.00
  CC 5 SLV My,Ed=12.08 My,b,Rd=109.13 My,Ed/My,b,Rd=0.11

- Verifica di stabilità aste presso-inflesse (C4.2.4.1.3.3.1) - CC 18 SLU - Classe 3
  Sollecitazioni: N,Ed=-484.46 Myeq,Ed=26.28 Mzeq,Ed=-0.09
  Resistenze: Nc,Rd=13095.20 My,c,Rd=109.13 Mz,c,Rd=21.83 L=21.56
  λ_Y=14.94 Ncr,y=464353.00 λ^*_y=0.17 Curva c: Φ_y=0.51 χ_y=1.00
  λ_Z=74.69 Ncr,z=18574.10 λ^*_z=0.86 Curva c: Φ_z=1.03 χ_z=0.62
  χ,min=0.62
  Verifica: 0.04+0.24+0.00=0.28

- Verifica in termini tensionali [4.2.4] - CC 18 SLU Xl=0.22 - Classe 3
  Sollecitazioni: N=-484.46 T_z=-223.06 M_y=26.28
  Tensioni: σ_N=-96.89 σ_M=-630.78 τ=0.00 σ_{max}=-727.67
  Tensioni: σ_N=-96.89 σ_M=-0.00 τ=66.92 τ_{max}=66.92
  Tensioni: σ_N=-96.89 σ_M=-630.78 τ=0.00 $\sigma_{ID,max}$=727.67

- Verifica a taglio dir. Z [4.2.16] - CC 1 SLV Xl=0.10
  Sollecitazioni: N=167.69 T_z=-67.87
  V,Ed=-67.87 Vc,Rd=7560.76 V,Ed/Vc,Rd=0.01

Asta n. 2500 (276 284) briglie 50x10 Crit. 1

- Verifica di stabilità aste inflesse (4.2.4.1.3.2) CC 5 SLV - Classe 3
  L_{cr}=0.22 Curva d: α_{imp}=0.76 k_c=0.94 ψ=2.42 M,cr=0.00 λ_{LT}=0.00
  $\lambda_{LT,0}$=0.20 β_{LT}=1.00 Φ_{LT}=0.00 β_{LT}=1.00 f=0.00 χ_{LT}=1.00
  CC 5 SLV My,Ed=14.52 My,b,Rd=109.13 My,Ed/My,b,Rd=0.13

- Verifica di stabilità aste presso-inflesse (C4.2.4.1.3.3.1) - CC 18 SLU - Classe 3
  Sollecitazioni: N,Ed=-1102.89 Myeq,Ed=31.77 Mzeq,Ed=-0.12
  Resistenze: Nc,Rd=13095.20 My,c,Rd=109.13 Mz,c,Rd=21.83 L=21.56
  λ_Y=14.94 Ncr,y=464353.00 λ^*_y=0.17 Curva c: Φ_y=0.51 χ_y=1.00
  λ_Z=74.69 Ncr,z=18574.10 λ^*_z=0.86 Curva c: Φ_z=1.03 χ_z=0.62
  χ,min=0.62
  Verifica: 0.13+0.29+0.01=0.43

- Verifica Freccia massima carichi totali - CC 24
  $f_{Z,L}$=0.00 (L/16443)

- Verifica in termini tensionali [4.2.4] - CC 18 SLU Xl=0.22 - Classe 3
  Sollecitazioni: N=-1102.89 T_z=-247.85 M_y=31.77
  Tensioni: σ_N=-220.58 σ_M=-762.40 τ=0.00 σ_{max}=-982.98
  Tensioni: σ_N=-220.58 σ_M=-0.00 τ=74.35 τ_{max}=74.35
  Tensioni: σ_N=-220.58 σ_M=-762.40 τ=0.00 $\sigma_{ID,max}$=982.98

- Verifica a taglio dir. Z [4.2.16] - CC 1 SLV Xl=0.10
  Sollecitazioni: N=46.98 T_z=-75.98
  V,Ed=-75.98 Vc,Rd=7560.76 V,Ed/Vc,Rd=0.01

Asta n. 2500 (284 2296) briglie 50x10 Crit. 1

- Verifica di stabilità aste inflesse (4.2.4.1.3.2) CC 5 SLV - Classe 3

L_{cr}=0.22 Curva d: α_{imp}=0.76 k_c=0.94 ψ=2.02 M,cr=0.00 λ_{LT}=0.00
$\lambda_{LT,0}$=0.20 β_{LT}=1.00 Φ_{LT}=0.00 β_{LT}=1.00 f=0.00 χ_{LT}=1.00
CC 5 SLV My,Ed=21.88 My,b,Rd=109.13 My,Ed/My,b,Rd=0.20

- Verifica di stabilità aste presso-inflesse (C4.2.4.1.3.3.1) - CC 18 SLU - Classe 3
Sollecitazioni: N,Ed=-1788.35 Myeq,Ed=40.79 Mzeq,Ed=-0.17
Resistenze: Nc,Rd=13095.20 My,c,Rd=109.13 Mz,c,Rd=21.83 L=21.56
λ_Y=14.94 Ncr,y=464357.00 λ^*_y=0.17 Curva c: Φ_y=0.51 χ_y=1.00
λ_Z=74.69 Ncr,z=18574.30 λ^*_z=0.86 Curva c: Φ_z=1.03 χ_z=0.62
χ,min=0.62
Verifica: 0.22+0.38+0.01=0.60

- Verifica Freccia massima per soli carichi accidentali - CC 24
$f_{Z,L}$=0.00 (L/10277)

- Verifica Freccia massima carichi totali - CC 24
$f_{Z,L}$=0.00 (L/7065)

- Verifica in termini tensionali [4.2.4] - CC 18 SLU Xl=0.22 - Classe 3
Sollecitazioni: N=-1788.35 T_z=-291.57 M_y=47.22
Tensioni: σ_N=-357.67 σ_M=-1133.28 τ=0.00 σ_{max}=-1490.95
Tensioni: σ_N=-357.67 σ_M=-0.00 τ=87.47 τ_{max}=87.47
Tensioni: σ_N=-357.67 σ_M=-1133.28 τ=0.00 $\sigma_{ID,max}$=1490.95

- Verifica a taglio dir. Z [4.2.16] - CC 7 SLV Xl=0.22
Sollecitazioni: N=465.26 T_z=-18.53
V,Ed=-18.53 Vc,Rd=7560.76 V,Ed/Vc,Rd=0.00

Asta n. 2500 (2296 304) briglie 50x10 Crit. 1

- Verifica di stabilità aste inflesse (4.2.4.1.3.2) CC 1 SLV - Classe 3
L_{cr}=0.17 Curva d: α_{imp}=0.76 k_c=0.94 ψ=1.47 M,cr=0.00 λ_{LT}=0.00
$\lambda_{LT,0}$=0.20 β_{LT}=1.00 Φ_{LT}=0.00 β_{LT}=1.00 f=0.00 χ_{LT}=1.00
CC 1 SLV My,Ed=-1.30 My,b,Rd=109.13 My,Ed/My,b,Rd=0.01

- Verifica di stabilità aste presso-inflesse (C4.2.4.1.3.3.1) - CC 17 SLU - Classe 3
Sollecitazioni: N,Ed=-175.56 Myeq,Ed=1.75 Mzeq,Ed=0.62
Resistenze: Nc,Rd=13095.20 My,c,Rd=109.13 Mz,c,Rd=21.83 L=16.67
λ_Y=11.55 Ncr,y=777233.00 λ^*_y=0.13 Curva c: Φ_y=0.49 χ_y=1.00
λ_Z=57.73 Ncr,z=31089.30 λ^*_z=0.67 Curva c: Φ_z=0.84 χ_z=0.75
χ,min=0.75
Verifica: 0.01+0.02+0.03=0.06

- Verifica in termini tensionali [4.2.4] - CC 16 SLU Xl=0.00 - Classe 3
Sollecitazioni: N=-60.25 T_z=-13.91 M_y=-3.15
Tensioni: σ_N=-12.05 σ_M=-75.59 τ=0.00 σ_{max}=-87.64
Tensioni: σ_N=-12.05 σ_M=0.00 τ=4.17 τ_{max}=4.17
Tensioni: σ_N=-12.05 σ_M=-75.59 τ=0.00 $\sigma_{ID,max}$=87.64

- Verifica a taglio dir. Y [4.2.16] - CC 1 SLV Xl=0.05
Sollecitazioni: N=4.14 T_z=8.54 T_y=-2.01
V,Ed=-2.01 Vc,Rd=7560.76 V,Ed/Vc,Rd=0.00

- Verifica a taglio dir. Z [4.2.16]
V,Ed=8.54 Vc,Rd=7560.76 V,Ed/Vc,Rd=0.00

Asta n. 2500 (304 312) briglie 50x10 Crit. 1

- Verifica di stabilità aste inflesse (4.2.4.1.3.2) CC 1 SLV - Classe 3

L_{cr}=0.17 Curva d: α_{imp}=0.76 k_c=0.94 ψ=2.55 M,cr=0.00 λ_{LT}=0.00
$\lambda_{LT,0}$=0.20 β_{LT}=1.00 Φ_{LT}=0.00 β_{LT}=1.00 f=0.00 χ_{LT}=1.00
CC 1 SLV My,Ed=0.96 My,b,Rd=109.13 My,Ed/My,b,Rd=0.01

- Verifica di stabilità aste presso-inflesse (C4.2.4.1.3.3.1) - CC 17 SLU - Classe 3
Sollecitazioni: N,Ed=-116.02 Myeq,Ed=2.43 Mzeq,Ed=-0.20
Resistenze: Nc,Rd=13095.20 My,c,Rd=109.13 Mz,c,Rd=21.83 L=16.67
λ_Y=11.55 Ncr,y=777229.00 λ^*_y=0.13 Curva c: Φ_y=0.49 χ_y=1.00
λ_Z=57.74 Ncr,z=31089.10 λ^*_z=0.67 Curva c: Φ_z=0.84 χ_z=0.75
χ,min=0.75
Verifica: 0.01+0.02+0.01=0.04

- Verifica in termini tensionali [4.2.4] - CC 17 SLU Xl=0.00 - Classe 3
Sollecitazioni: N=-116.02 T_z=24.24 M_y=2.43 T_y=-3.98
Tensioni: σ_N=-23.20 σ_M=-58.29 τ=0.00 σ_{max}=-81.50
Tensioni: σ_N=-23.20 σ_M=-0.00 τ=7.37 τ_{max}=7.37
Tensioni: σ_N=-23.20 σ_M=-58.29 τ=1.19 $\sigma_{ID,max}$=81.52

- Verifica a taglio dir. Y [4.2.16] - CC 1 SLV Xl=0.00
Sollecitazioni: N=3.47 T_z=9.83 T_y=-1.15
V,Ed=-1.15 Vc,Rd=7560.76 V,Ed/Vc,Rd=0.00

- Verifica a taglio dir. Z [4.2.16]
V,Ed=9.83 Vc,Rd=7560.76 V,Ed/Vc,Rd=0.00

Asta n. 2500 (312 2320) briglie 50x10 Crit. 1

- Verifica di stabilità aste inflesse (4.2.4.1.3.2) CC 1 SLV - Classe 3
L_{cr}=0.17 Curva d: α_{imp}=0.76 k_c=0.94 ψ=2.93 M,cr=0.00 λ_{LT}=0.00
$\lambda_{LT,0}$=0.20 β_{LT}=1.00 Φ_{LT}=0.00 β_{LT}=1.00 f=0.00 χ_{LT}=1.00
CC 1 SLV My,Ed=-0.74 My,b,Rd=109.13 My,Ed/My,b,Rd=0.01

- Verifica di stabilità aste presso-inflesse (C4.2.4.1.3.3.1) - CC 17 SLU - Classe 3
Sollecitazioni: N,Ed=-47.03 Myeq,Ed=-2.02 Mzeq,Ed=-0.16
Resistenze: Nc,Rd=13095.20 My,c,Rd=109.13 Mz,c,Rd=21.83 L=16.67
λ_Y=11.55 Ncr,y=777233.00 λ^*_y=0.13 Curva c: Φ_y=0.49 χ_y=1.00
λ_Z=57.73 Ncr,z=31089.30 λ^*_z=0.67 Curva c: Φ_z=0.84 χ_z=0.75
χ,min=0.75
Verifica: 0.00+0.02+0.01=0.03

- Verifica in termini tensionali [4.2.4] - CC 17 SLU Xl=0.17 - Classe 3
Sollecitazioni: N=-47.03 T_z=22.31 M_y=-2.02
Tensioni: σ_N=-9.41 σ_M=-48.41 τ=0.00 σ_{max}=-57.82
Tensioni: σ_N=-9.41 σ_M=0.00 τ=6.69 τ_{max}=6.69
Tensioni: σ_N=-9.41 σ_M=-48.41 τ=0.00 $\sigma_{ID,max}$=57.82

- Verifica a taglio dir. Y [4.2.16] - CC 1 SLV Xl=0.00
Sollecitazioni: N=1.91 T_z=8.66 T_y=-1.14
V,Ed=-1.14 Vc,Rd=7560.76 V,Ed/Vc,Rd=0.00

- Verifica a taglio dir. Z [4.2.16]
V,Ed=8.66 Vc,Rd=7560.76 V,Ed/Vc,Rd=0.00

Asta n. 2580 (2031 2032) modellazione SHS50x50x5 Crit. 1

- Verifica di stabilità aste presso-inflesse (C4.2.4.1.3.3.2) - CC 9 SLU - Classe 3
Sollecitazioni: N,Ed=-3.30 My,Ed=3.97 Mz,Ed=-13.94
Resistenze: Nc,Rd=23571.40 My,c,Rd=322.14 Mz,c,Rd=322.14 L=6.00
αmy, αmz, αLT=0.95, 0.95, 0.95

λ_Y=3.25 Ncr,y=17703600.00 λ^*_y=0.04 Curva a: Φ_y=0.00 χ_y=1.00
λ_Z=3.25 Ncr,z=17703600.00 λ^*_z=0.04 Curva a: Φ_z=0.00 χ_z=1.00
Kyy, Kyz, Kzy, Kzz=0.95, 0.95, 0.76, 0.95
Verifica YY: 0.00+0.01+0.04=0.05
Verifica ZZ: 0.00+0.01+0.04=0.05

- Verifica in termini tensionali [4.2.4] - CC 19 SLU Xl=0.01 - Classe 3
Sollecitazioni: N=3.12 T_z=-488.49 M_y=2.87 T_y=-2325.67 M_z=-14.01 M_x=96.06
Tensioni: σ_N=0.35 σ_M=137.22 τ=474.39 σ_{max}=137.57
Tensioni: σ_N=0.35 σ_M=18.65 τ=1051.24 τ_{max}=1051.24
Tensioni: σ_N=0.35 σ_M=18.65 τ=1051.24 $\sigma_{ID,max}$=1820.90

- Verifica a taglio e torsione dir. Y [4.2.25] - CC 19 SLU Xl=0.00
Sollecitazioni: N=3.12 T_z=-488.43 T_y=-2325.67 M_x=96.06
V,Ed=-2325.67 Vc,Rd,Red=4669.91 V,Ed/Vc,Rd,Red=0.50

- Verifica a taglio e torsione dir. Z [4.2.25]
V,Ed=-488.43 Vc,Rd,Red=4669.91 V,Ed/Vc,Rd,Red=0.10

Asta n. 2580 (2032 2033) modellazione SHS50x50x5 Crit. 1

- Verifica di stabilità aste presso-inflesse (C4.2.4.1.3.3.2) - CC 19 SLU - Classe 3
Sollecitazioni: N,Ed=-20.37 My,Ed=5.46 Mz,Ed=-12.54
Resistenze: Nc,Rd=23571.40 My,c,Rd=322.14 Mz,c,Rd=322.14 L=6.00
αmy, αmz, αLT=0.95, 0.95, 0.95
λ_Y=3.25 Ncr,y=17703600.00 λ^*_y=0.04 Curva a: Φ_y=0.00 χ_y=1.00
λ_Z=3.25 Ncr,z=17703600.00 λ^*_z=0.04 Curva a: Φ_z=0.00 χ_z=1.00
Kyy, Kyz, Kzy, Kzz=0.95, 0.95, 0.76, 0.95
Verifica YY: 0.00+0.01+0.04=0.05
Verifica ZZ: 0.00+0.01+0.04=0.05

- Verifica in termini tensionali [4.2.4] - CC 9 SLU Xl=0.05 - Classe 3
Sollecitazioni: N=-5.83 T_z=703.45 M_y=4.23 T_y=2139.85 M_z=-13.48 M_x=-92.94
Tensioni: σ_N=-0.65 σ_M=-143.97 τ=458.94 σ_{max}=-144.62
Tensioni: σ_N=-0.65 σ_M=27.51 τ=989.90 τ_{max}=989.90
Tensioni: σ_N=-0.65 σ_M=27.51 τ=989.90 $\sigma_{ID,max}$=1714.76

- Verifica a taglio e torsione dir. Y [4.2.25] - CC 9 SLU Xl=0.06
Sollecitazioni: N=-5.83 T_z=703.39 T_y=2139.85 M_x=-92.94
V,Ed=2139.85 Vc,Rd,Red=4739.42 V,Ed/Vc,Rd,Red=0.45

- Verifica a taglio e torsione dir. Z [4.2.25]
V,Ed=703.39 Vc,Rd,Red=4739.42 V,Ed/Vc,Rd,Red=0.15

Asta n. 2624 (2291 2292) modellazione SHS50x50x5 Crit. 1

- Verifica di stabilità aste presso-inflesse (C4.2.4.1.3.3.2) - CC 18 SLU - Classe 3
Sollecitazioni: N,Ed=-2.51 My,Ed=3.73 Mz,Ed=16.87
Resistenze: Nc,Rd=23571.40 My,c,Rd=322.14 Mz,c,Rd=322.14 L=6.00
αmy, αmz, αLT=0.95, 0.95, 0.95
λ_Y=3.25 Ncr,y=17703600.00 λ^*_y=0.04 Curva a: Φ_y=0.00 χ_y=1.00
λ_Z=3.25 Ncr,z=17703600.00 λ^*_z=0.04 Curva a: Φ_z=0.00 χ_z=1.00
Kyy, Kyz, Kzy, Kzz=0.95, 0.95, 0.76, 0.95
Verifica YY: 0.00+0.01+0.05=0.06
Verifica ZZ: 0.00+0.01+0.05=0.06

- Verifica in termini tensionali [4.2.4] - CC 18 SLU Xl=0.01 - Classe 3
Sollecitazioni: N=-2.51 T_z=-619.69 M_y=3.73 T_y=2757.82 M_z=16.87 M_x=-104.96
Tensioni: σ_N=-0.28 σ_M=-167.42 τ=518.30 σ_{max}=-167.70

Tensioni: σ_N=-0.28 σ_M=24.24 τ=1202.36 τ_{max}=1202.36
Tensioni: σ_N=-0.28 σ_M=24.24 τ=1202.36 $\sigma_{ID,max}$=2082.69

- Verifica a taglio e torsione dir. Y [4.2.25] - CC 18 SLU Xl=0.00
Sollecitazioni: N=-2.51 T_z=-619.63 T_y=2757.82 M_x=-104.96
V,Ed=2757.82 Vc,Rd,Red=4472.33 V,Ed/Vc,Rd,Red=0.62

- Verifica a taglio e torsione dir. Z [4.2.25]
V,Ed=-619.63 Vc,Rd,Red=4472.33 V,Ed/Vc,Rd,Red=0.14

Asta n. 2624 (2292 2293) modellazione SHS50x50x5 Crit. 1

- Verifica di stabilità aste presso-inflesse (C4.2.4.1.3.3.2) - CC 18 SLU - Classe 3
Sollecitazioni: N,Ed=-5.20 My,Ed=3.95 Mz,Ed=16.75
Resistenze: Nc,Rd=23571.40 My,c,Rd=322.14 Mz,c,Rd=322.14 L=6.00
αmy, αmz, αLT=0.95, 0.95, 0.95
λ_Y=3.25 Ncr,y=17703600.00 λ^*_y=0.04 Curva a: Φ_y=0.00 χ_y=1.00
λ_Z=3.25 Ncr,z=17703600.00 λ^*_z=0.04 Curva a: Φ_z=0.00 χ_z=1.00
Kyy, Kyz, Kzy, Kzz=0.95, 0.95, 0.76, 0.95
Verifica YY: 0.00+0.01+0.05=0.06
Verifica ZZ: 0.00+0.01+0.05=0.06

- Verifica in termini tensionali [4.2.4] - CC 18 SLU Xl=0.05 - Classe 3
Sollecitazioni: N=-5.20 T_z=654.75 M_y=3.95 T_y=-2666.71 M_z=16.75 M_x=103.17
Tensioni: σ_N=-0.58 σ_M=-168.25 τ=509.48 σ_{max}=-168.83
Tensioni: σ_N=-0.58 σ_M=25.67 τ=1170.98 τ_{max}=1170.98
Tensioni: σ_N=-0.58 σ_M=25.67 τ=1170.98 $\sigma_{ID,max}$=2028.36

- Verifica a taglio e torsione dir. Y [4.2.25] - CC 18 SLU Xl=0.06
Sollecitazioni: N=-5.20 T_z=654.69 T_y=-2666.71 M_x=103.17
V,Ed=-2666.71 Vc,Rd,Red=4512.02 V,Ed/Vc,Rd,Red=0.59

- Verifica a taglio e torsione dir. Z [4.2.25]
V,Ed=654.69 Vc,Rd,Red=4512.02 V,Ed/Vc,Rd,Red=0.15

Asta n. 2859 (2034 2035) modellazione SHS50x50x5 Crit. 1

- Verifica di stabilità aste presso-inflesse (C4.2.4.1.3.3.2) - CC 9 SLU - Classe 3
Sollecitazioni: N,Ed=-1.39 My,Ed=2.82 Mz,Ed=-7.12
Resistenze: Nc,Rd=23571.40 My,c,Rd=322.14 Mz,c,Rd=322.14 L=6.00
αmy, αmz, αLT=0.95, 0.95, 0.95
λ_Y=3.25 Ncr,y=17703400.00 λ^*_y=0.04 Curva a: Φ_y=0.00 χ_y=1.00
λ_Z=3.25 Ncr,z=17703400.00 λ^*_z=0.04 Curva a: Φ_z=0.00 χ_z=1.00
Kyy, Kyz, Kzy, Kzz=0.95, 0.95, 0.76, 0.95
Verifica YY: 0.00+0.01+0.02=0.03
Verifica ZZ: 0.00+0.01+0.02=0.03

- Verifica in termini tensionali [4.2.4] - CC 19 SLU Xl=0.01 - Classe 3
Sollecitazioni: N=5.54 T_z=-302.46 M_y=2.06 T_y=-1280.19 M_z=-7.26 M_x=52.65
Tensioni: σ_N=0.62 σ_M=75.71 τ=259.99 σ_{max}=76.33
Tensioni: σ_N=0.62 σ_M=13.38 τ=577.54 τ_{max}=577.54
Tensioni: σ_N=0.62 σ_M=13.38 τ=577.54 $\sigma_{ID,max}$=1000.43

- Verifica a taglio e torsione dir. Y [4.2.25] - CC 19 SLU Xl=0.00
Sollecitazioni: N=5.54 T_z=-302.40 T_y=-1280.19 M_x=52.65
V,Ed=-1280.19 Vc,Rd,Red=5634.73 V,Ed/Vc,Rd,Red=0.23

- Verifica a taglio e torsione dir. Z [4.2.25]
V,Ed=-302.40 Vc,Rd,Red=5634.73 V,Ed/Vc,Rd,Red=0.05

Asta n. 2859 (2035 2036) modellazione SHS50x50x5 Crit. 1

- Verifica di stabilità aste presso-inflesse (C4.2.4.1.3.3.2) - CC 9 SLU - Classe 3
  Sollecitazioni: N,Ed=-0.79 My,Ed=1.26 Mz,Ed=-7.10
  Resistenze: Nc,Rd=23571.40 My,c,Rd=322.14 Mz,c,Rd=322.14 L=6.00
  αmy, αmz, αLT=0.95, 0.95, 0.95
  λ_Y=3.25 Ncr,y=17703900.00 λ^*_y=0.04 Curva a: Φ_y=0.00 χ_y=1.00
  λ_Z=3.25 Ncr,z=17703900.00 λ^*_z=0.04 Curva a: Φ_z=0.00 χ_z=1.00
  Kyy, Kyz, Kzy, Kzz=0.95, 0.95, 0.76, 0.95
  Verifica YY: 0.00+0.00+0.02=0.02
  Verifica ZZ: 0.00+0.00+0.02=0.02

- Verifica in termini tensionali [4.2.4] - CC 9 SLU Xl=0.05 - Classe 3
  Sollecitazioni: T_z=242.06 M_y=1.26 T_y=1065.14 M_z=-7.10 M_x=-46.35
  Tensioni: σ_N=0.00 σ_M=-67.96 τ=228.90 σ_{max}=-67.96
  Tensioni: σ_N=0.00 σ_M=8.18 τ=493.10 τ_{max}=493.10
  Tensioni: σ_N=0.00 σ_M=8.18 τ=493.10 $\sigma_{ID,max}$=854.12

- Verifica a taglio e torsione dir. Y [4.2.25] - CC 9 SLU Xl=0.06
  Sollecitazioni: T_z=242.00 T_y=1065.14 M_x=-46.35
  V,Ed=1065.14 Vc,Rd,Red=5774.62 V,Ed/Vc,Rd,Red=0.18

- Verifica a taglio e torsione dir. Z [4.2.25]
  V,Ed=242.00 Vc,Rd,Red=5774.62 V,Ed/Vc,Rd,Red=0.04

Asta n. 2903 (2294 2295) modellazione SHS50x50x5 Crit. 1

- Verifica di stabilità aste presso-inflesse (C4.2.4.1.3.3.2) - CC 18 SLU - Classe 3
  Sollecitazioni: N,Ed=-0.65 My,Ed=2.63 Mz,Ed=10.23
  Resistenze: Nc,Rd=23571.40 My,c,Rd=322.14 Mz,c,Rd=322.14 L=6.00
  αmy, αmz, αLT=0.95, 0.95, 0.95
  λ_Y=3.25 Ncr,y=17703400.00 λ^*_y=0.04 Curva a: Φ_y=0.00 χ_y=1.00
  λ_Z=3.25 Ncr,z=17703400.00 λ^*_z=0.04 Curva a: Φ_z=0.00 χ_z=1.00
  Kyy, Kyz, Kzy, Kzz=0.95, 0.95, 0.76, 0.95
  Verifica YY: 0.00+0.01+0.03=0.04
  Verifica ZZ: 0.00+0.01+0.03=0.04

- Verifica in termini tensionali [4.2.4] - CC 18 SLU Xl=0.01 - Classe 3
  Sollecitazioni: T_z=-399.77 M_y=2.63 T_y=1729.91 M_z=10.23 M_x=-63.40
  Tensioni: σ_N=0.00 σ_M=-104.61 τ=313.08 σ_{max}=-104.61
  Tensioni: σ_N=0.00 σ_M=17.13 τ=742.19 τ_{max}=742.19
  Tensioni: σ_N=0.00 σ_M=17.13 τ=742.19 $\sigma_{ID,max}$=1285.62

- Verifica a taglio e torsione dir. Y [4.2.25] - CC 18 SLU Xl=0.00
  Sollecitazioni: T_z=-399.71 T_y=1729.91 M_x=-63.40
  V,Ed=1729.91 Vc,Rd,Red=5395.81 V,Ed/Vc,Rd,Red=0.32

- Verifica a taglio e torsione dir. Z [4.2.25]
  V,Ed=-399.71 Vc,Rd,Red=5395.81 V,Ed/Vc,Rd,Red=0.07

Asta n. 2903 (2295 2296) modellazione SHS50x50x5 Crit. 1

- Verifica di stabilità aste presso-inflesse (C4.2.4.1.3.3.2) - CC 18 SLU - Classe 3
  Sollecitazioni: N,Ed=-0.99 My,Ed=1.38 Mz,Ed=10.29
  Resistenze: Nc,Rd=23571.40 My,c,Rd=322.14 Mz,c,Rd=322.14 L=6.00
  αmy, αmz, αLT=0.95, 0.95, 0.95
  λ_Y=3.25 Ncr,y=17703900.00 λ^*_y=0.04 Curva a: Φ_y=0.00 χ_y=1.00
  λ_Z=3.25 Ncr,z=17703900.00 λ^*_z=0.04 Curva a: Φ_z=0.00 χ_z=1.00
  Kyy, Kyz, Kzy, Kzz=0.95, 0.95, 0.76, 0.95

Verifica YY: 0.00+0.00+0.03=0.03
Verifica ZZ: 0.00+0.00+0.03=0.03

- Verifica in termini tensionali [4.2.4] - CC 18 SLU Xl=0.05 - Classe 3
Sollecitazioni: T_z=254.49 M_y=1.38 T_y=-1579.24 M_z=10.29 M_x=58.90
Tensioni: σ_N=0.00 σ_M=-94.81 τ=290.87 σ_{max}=-94.81
Tensioni: σ_N=0.00 σ_M=8.95 τ=682.54 τ_{max}=682.54
Tensioni: σ_N=0.00 σ_M=8.95 τ=682.54 $\sigma_{ID,max}$=1182.22

- Verifica a taglio e torsione dir. Y [4.2.25] - CC 18 SLU Xl=0.06
Sollecitazioni: T_z=254.44 T_y=-1579.24 M_x=58.90
V,Ed=-1579.24 Vc,Rd,Red=5495.75 V,Ed/Vc,Rd,Red=0.29

- Verifica a taglio e torsione dir. Z [4.2.25]
V,Ed=254.44 Vc,Rd,Red=5495.75 V,Ed/Vc,Rd,Red=0.05

Asta n. 3001 (3001 3002) arcarecci T 120x60x10 Crit. 1

- Verifica di stabilità aste inflesse (4.2.4.1.3.2) CC 17 SLU - Classe 3
L_{cr}=0.12 Curva d: α_{imp}=0.76 k_c=0.94 ψ=1.63 M,cr=0.00 λ_{LT}=0.00
$\lambda_{LT,0}$=0.00 β_{LT}=0.00 Φ_{LT}=0.00 β_{LT}=0.00 f=0.00 χ_{LT}=1.00
CC 17 SLU My,Ed=-4.05 My,b,Rd=862.52 My,Ed/My,b,Rd=0.00

- Verifica di stabilità aste presso-inflesse (C4.2.4.1.3.3.1) - CC 5 SLV - Classe 3
Sollecitazioni: N,Ed=-1.66 Myeq,Ed=0.81 Mzeq,Ed=-0.84
Resistenze: Nc,Rd=44512.60 My,c,Rd=862.52 Mz,c,Rd=164.81 L=12.00
λ_Y=3.12 Ncr,y=36117100.00 λ^*_y=0.04 Curva c: Φ_y=0.00 χ_y=1.00
λ_Z=11.39 Ncr,z=2717260.00 λ^*_z=0.13 Curva c: Φ_z=0.00 χ_z=1.00
χ,min=1.00
Verifica: 0.00+0.00+0.01=0.01

- Verifica in termini tensionali [4.2.4] - CC 17 SLU Xl=0.12 - Classe 3
Sollecitazioni: N=1.66 T_z=31.16 M_y=-4.05 T_y=-10.16 M_z=-1.14
Tensioni: σ_N=0.10 σ_M=-25.21 τ=0.00 σ_{max}=-25.11
Tensioni: σ_N=0.10 σ_M=-8.31 τ=3.62 τ_{max}=3.62
Tensioni: σ_N=0.10 σ_M=-25.21 τ=0.00 $\sigma_{ID,max}$=25.11

- Verifica a taglio dir. Y [4.2.16] - CC 17 SLU Xl=0.01
Sollecitazioni: N=1.66 T_z=28.62 T_y=-10.16
V,Ed=-10.16 Vc,Rd=9072.91 V,Ed/Vc,Rd=0.00

- Verifica a taglio dir. Z [4.2.16]
V,Ed=28.62 Vc,Rd=18145.80 V,Ed/Vc,Rd=0.00

Asta n. 3001 (3003 3004) arcarecci T 120x60x10 Crit. 1

- Verifica di stabilità aste inflesse (4.2.4.1.3.2) CC 18 SLU - Classe 3
L_{cr}=0.12 Curva d: α_{imp}=0.76 k_c=0.94 ψ=1.00 M,cr=0.00 λ_{LT}=0.00
$\lambda_{LT,0}$=0.00 β_{LT}=0.00 Φ_{LT}=0.00 β_{LT}=0.00 f=0.00 χ_{LT}=1.00
CC 18 SLU My,Ed=-41.63 My,b,Rd=862.52 My,Ed/My,b,Rd=0.05

- Verifica di stabilità aste presso-inflesse (C4.2.4.1.3.3.1) - CC 5 SLV - Classe 3
Sollecitazioni: N,Ed=-1.78 Myeq,Ed=-16.86 Mzeq,Ed=1.52
Resistenze: Nc,Rd=44512.60 My,c,Rd=862.52 Mz,c,Rd=164.81 L=12.00
λ_Y=3.12 Ncr,y=36117200.00 λ^*_y=0.04 Curva c: Φ_y=0.00 χ_y=1.00
λ_Z=11.39 Ncr,z=2717260.00 λ^*_z=0.13 Curva c: Φ_z=0.00 χ_z=1.00
χ,min=1.00
Verifica: 0.00+0.02+0.01=0.03

- Verifica in termini tensionali [4.2.4] - CC 18 SLU Xl=0.00 - Classe 3
  Sollecitazioni: N=14.92 T_z=-4.60 M_y=-41.63 T_y=-7.20
  Tensioni: σ_N=0.88 σ_M=126.42 τ=0.16 σ_{max}=127.30
  Tensioni: σ_N=0.88 σ_M=-56.09 τ=1.68 τ_{max}=1.68
  Tensioni: σ_N=0.88 σ_M=126.42 τ=0.19 $\sigma_{ID,max}$=127.30

Asta n. 3001 (3005 3006) arcarecci T 120x60x10 Crit. 1

- Verifica di stabilità aste inflesse (4.2.4.1.3.2) CC 18 SLU - Classe 3
  L_{cr}=0.12 Curva d: α_{imp}=0.76 k_c=0.94 ψ=1.02 M,cr=0.00 λ_{LT}=0.00
  $\lambda_{LT,0}$=0.00 β_{LT}=0.00 Φ_{LT}=0.00 β_{LT}=0.00 f=0.00 χ_{LT}=1.00
  CC 18 SLU My,Ed=-42.60 My,b,Rd=862.52 My,Ed/My,b,Rd=0.05

- Verifica di stabilità aste presso-inflesse (C4.2.4.1.3.3.1) - CC 5 SLV - Classe 3
  Sollecitazioni: N,Ed=-2.14 Myeq,Ed=-17.01 Mzeq,Ed=-1.46
  Resistenze: Nc,Rd=44512.60 My,c,Rd=862.52 Mz,c,Rd=164.81 L=12.00
  λ_Y=3.12 Ncr,y=36117200.00 λ^*_y=0.04 Curva c: Φ_y=0.00 χ_y=1.00
  λ_Z=11.39 Ncr,z=2717260.00 λ^*_z=0.13 Curva c: Φ_z=0.00 χ_z=1.00
  χ,min=1.00
  Verifica: 0.00+0.02+0.01=0.03

- Verifica in termini tensionali [4.2.4] - CC 18 SLU Xl=0.12 - Classe 3
  Sollecitazioni: N=15.66 T_z=20.05 M_y=-42.60 T_y=1.91
  Tensioni: σ_N=0.92 σ_M=129.36 τ=0.04 σ_{max}=130.28
  Tensioni: σ_N=0.92 σ_M=0.00 τ=2.31 τ_{max}=2.31
  Tensioni: σ_N=0.92 σ_M=129.36 τ=0.05 $\sigma_{ID,max}$=130.28

Asta n. 3001 (3007 3008) arcarecci T 120x60x10 Crit. 1

- Verifica di stabilità aste inflesse (4.2.4.1.3.2) CC 17 SLU - Classe 3
  L_{cr}=0.12 Curva d: α_{imp}=0.76 k_c=0.94 ψ=1.70 M,cr=0.00 λ_{LT}=0.00
  $\lambda_{LT,0}$=0.00 β_{LT}=0.00 Φ_{LT}=0.00 β_{LT}=0.00 f=0.00 χ_{LT}=1.00
  CC 17 SLU My,Ed=6.84 My,b,Rd=862.52 My,Ed/My,b,Rd=0.01

- Verifica di stabilità aste presso-inflesse (C4.2.4.1.3.3.1) - CC 5 SLV - Classe 3
  Sollecitazioni: N,Ed=-1.84 Myeq,Ed=0.98 Mzeq,Ed=-0.83
  Resistenze: Nc,Rd=44512.60 My,c,Rd=862.52 Mz,c,Rd=164.81 L=12.00
  λ_Y=3.12 Ncr,y=36117200.00 λ^*_y=0.04 Curva c: Φ_y=0.00 χ_y=1.00
  λ_Z=11.39 Ncr,z=2717260.00 λ^*_z=0.13 Curva c: Φ_z=0.00 χ_z=1.00
  χ,min=1.00
  Verifica: 0.00+0.00+0.01=0.01

- Verifica in termini tensionali [4.2.4] - CC 17 SLU Xl=0.00 - Classe 3
  Sollecitazioni: N=2.11 T_z=52.93 M_y=6.84
  Tensioni: σ_N=0.12 σ_M=-20.76 τ=0.00 σ_{max}=-20.63
  Tensioni: σ_N=0.12 σ_M=-0.00 τ=6.11 τ_{max}=6.11
  Tensioni: σ_N=0.12 σ_M=-20.76 τ=0.00 $\sigma_{ID,max}$=20.63

- Verifica a taglio dir. Z [4.2.16] - CC 17 SLU Xl=0.12
  Sollecitazioni: N=2.11 T_z=55.72
  V,Ed=55.72 Vc,Rd=18145.80 V,Ed/Vc,Rd=0.00

Asta n. 3087 (3313 3314) arcarecci T 120x60x10 Crit. 1

- Verifica di stabilità aste inflesse (4.2.4.1.3.2) CC 17 SLU - Classe 3
  L_{cr}=0.12 Curva d: α_{imp}=0.76 k_c=0.94 ψ=1.62 M,cr=0.00 λ_{LT}=0.00
  $\lambda_{LT,0}$=0.00 β_{LT}=0.00 Φ_{LT}=0.00 β_{LT}=0.00 f=0.00 χ_{LT}=1.00
  CC 17 SLU My,Ed=-3.47 My,b,Rd=862.52 My,Ed/My,b,Rd=0.00

- Verifica di stabilità aste presso-inflesse (C4.2.4.1.3.3.1) - CC 5 SLV - Classe 3
  Sollecitazioni: N,Ed=-1.89 Myeq,Ed=0.87 Mzeq,Ed=0.84
  Resistenze: Nc,Rd=44512.60 My,c,Rd=862.52 Mz,c,Rd=164.81 L=12.00
  λ_Y=3.12 Ncr,y=36117100.00 λ^*_y=0.04 Curva c: Φ_y=0.00 χ_y=1.00
  λ_Z=11.39 Ncr,z=2717260.00 λ^*_z=0.13 Curva c: Φ_z=0.00 χ_z=1.00
  χ,min=1.00
  Verifica: 0.00+0.00+0.01=0.01

- Verifica in termini tensionali [4.2.4] - CC 17 SLU Xl=0.12 - Classe 3
  Sollecitazioni: N=1.30 T_z=26.57 M_y=-3.47 T_y=8.98 M_z=1.03
  Tensioni: σ_N=0.08 σ_M=-22.41 τ=0.00 σ_{max}=-22.33
  Tensioni: σ_N=0.08 σ_M=-1.80 τ=3.13 τ_{max}=3.13
  Tensioni: σ_N=0.08 σ_M=-22.41 τ=0.00 $\sigma_{ID,max}$=22.33

- Verifica a taglio dir. Y [4.2.16] - CC 9 SLU Xl=0.00
  Sollecitazioni: N=6.12 T_z=-24.82 T_y=9.48
  V,Ed=9.48 Vc,Rd=9072.91 V,Ed/Vc,Rd=0.00

- Verifica a taglio dir. Z [4.2.16]
  V,Ed=-24.82 Vc,Rd=18145.80 V,Ed/Vc,Rd=0.00

Asta n. 3087 (3315 3316) arcarecci T 120x60x10 Crit. 1

- Verifica di stabilità aste inflesse (4.2.4.1.3.2) CC 19 SLU - Classe 3
  L_{cr}=0.12 Curva d: α_{imp}=0.76 k_c=0.94 ψ=1.02 M,cr=0.00 λ_{LT}=0.00
  $\lambda_{LT,0}$=0.00 β_{LT}=0.00 Φ_{LT}=0.00 β_{LT}=0.00 f=0.00 χ_{LT}=1.00
  CC 19 SLU My,Ed=-37.63 My,b,Rd=862.52 My,Ed/My,b,Rd=0.04

- Verifica di stabilità aste presso-inflesse (C4.2.4.1.3.3.1) - CC 5 SLV - Classe 3
  Sollecitazioni: N,Ed=-2.20 Myeq,Ed=-16.80 Mzeq,Ed=-1.46
  Resistenze: Nc,Rd=44512.60 My,c,Rd=862.52 Mz,c,Rd=164.81 L=12.00
  λ_Y=3.12 Ncr,y=36117200.00 λ^*_y=0.04 Curva c: Φ_y=0.00 χ_y=1.00
  λ_Z=11.39 Ncr,z=2717260.00 λ^*_z=0.13 Curva c: Φ_z=0.00 χ_z=1.00
  χ,min=1.00
  Verifica: 0.00+0.02+0.01=0.03

- Verifica in termini tensionali [4.2.4] - CC 19 SLU Xl=0.12 - Classe 3
  Sollecitazioni: N=13.66 T_z=15.71 M_y=-37.63 T_y=12.19
  Tensioni: σ_N=0.80 σ_M=114.26 τ=0.26 σ_{max}=115.06
  Tensioni: σ_N=0.80 σ_M=-50.69 τ=3.03 τ_{max}=3.03
  Tensioni: σ_N=0.80 σ_M=114.26 τ=0.32 $\sigma_{ID,max}$=115.06

Asta n. 3087 (3317 3318) arcarecci T 120x60x10 Crit. 1

- Verifica di stabilità aste inflesse (4.2.4.1.3.2) CC 19 SLU - Classe 3
  L_{cr}=0.12 Curva d: α_{imp}=0.76 k_c=0.94 ψ=1.05 M,cr=0.00 λ_{LT}=0.00
  $\lambda_{LT,0}$=0.00 β_{LT}=0.00 Φ_{LT}=0.00 β_{LT}=0.00 f=0.00 χ_{LT}=1.00
  CC 19 SLU My,Ed=-36.46 My,b,Rd=862.52 My,Ed/My,b,Rd=0.04

- Verifica di stabilità aste presso-inflesse (C4.2.4.1.3.3.1) - CC 5 SLV - Classe 3
  Sollecitazioni: N,Ed=-2.20 Myeq,Ed=-16.80 Mzeq,Ed=-1.46
  Resistenze: Nc,Rd=44512.60 My,c,Rd=862.52 Mz,c,Rd=164.81 L=12.00
  λ_Y=3.12 Ncr,y=36117200.00 λ^*_y=0.04 Curva c: Φ_y=0.00 χ_y=1.00
  λ_Z=11.39 Ncr,z=2717260.00 λ^*_z=0.13 Curva c: Φ_z=0.00 χ_z=1.00
  χ,min=1.00
  Verifica: 0.00+0.02+0.01=0.03

- Verifica in termini tensionali [4.2.4] - CC 19 SLU Xl=0.12 - Classe 3
  Sollecitazioni: N=14.26 T_z=31.86 M_y=-36.46 T_y=2.96

Tensioni: σ_N=0.84 σ_M=110.70 τ=0.06 σ_{max}=111.53
Tensioni: σ_N=0.84 σ_M=0.00 τ=3.68 τ_{max}=3.68
Tensioni: σ_N=0.84 σ_M=110.70 τ=0.08 $\sigma_{ID,max}$=111.53

Asta n. 3087 (3319 3320) arcarecci T 120x60x10 Crit. 1

- Verifica di stabilità aste inflesse (4.2.4.1.3.2) CC 17 SLU - Classe 3
L_{cr}=0.12 Curva d: α_{imp}=0.76 k_c=0.94 ψ=1.70 M,cr=0.00 λ_{LT}=0.00
$\lambda_{LT,0}$=0.00 β_{LT}=0.00 Φ_{LT}=0.00 β_{LT}=0.00 f=0.00 χ_{LT}=1.00
CC 17 SLU My,Ed=6.36 My,b,Rd=862.52 My,Ed/My,b,Rd=0.01

- Verifica di stabilità aste presso-inflesse (C4.2.4.1.3.3.1) - CC 5 SLV - Classe 3
Sollecitazioni: N,Ed=-1.88 Myeq,Ed=0.87 Mzeq,Ed=0.84
Resistenze: Nc,Rd=44512.60 My,c,Rd=862.52 Mz,c,Rd=164.81 L=12.00
λ_Y=3.12 Ncr,y=36117200.00 λ^*_y=0.04 Curva c: Φ_y=0.00 χ_y=1.00
λ_Z=11.39 Ncr,z=2717260.00 λ^*_z=0.13 Curva c: Φ_z=0.00 χ_z=1.00
χ,min=1.00
Verifica: 0.00+0.00+0.01=0.01

- Verifica in termini tensionali [4.2.4] - CC 17 SLU Xl=0.00 - Classe 3
Sollecitazioni: N=1.93 T_z=49.22 M_y=6.36 T_y=-1.31
Tensioni: σ_N=0.11 σ_M=-19.32 τ=0.03 σ_{max}=-19.21
Tensioni: σ_N=0.11 σ_M=-0.00 τ=5.68 τ_{max}=5.68
Tensioni: σ_N=0.11 σ_M=-19.32 τ=0.03 $\sigma_{ID,max}$=19.21

- Verifica a taglio dir. Y [4.2.16] - CC 17 SLU Xl=0.12
Sollecitazioni: N=1.93 T_z=52.01 T_y=-1.31
V,Ed=-1.31 Vc,Rd=9072.91 V,Ed/Vc,Rd=0.00

- Verifica a taglio dir. Z [4.2.16]
V,Ed=52.01 Vc,Rd=18145.80 V,Ed/Vc,Rd=0.00

Asta n. 4022 (4025 4026) modellazione SHS50x50x5 Crit. 1

- Verifica di stabilità aste presso-inflesse (C4.2.4.1.3.3.2) - CC 19 SLU - Classe 3
Sollecitazioni: N,Ed=-2.37 My,Ed=1.23 Mz,Ed=6.73
Resistenze: Nc,Rd=23571.40 My,c,Rd=322.14 Mz,c,Rd=322.14 L=6.00
αmy, αmz, αLT=0.95, 0.95, 0.95
λ_Y=3.25 Ncr,y=17703600.00 λ^*_y=0.04 Curva a: Φ_y=0.00 χ_y=1.00
λ_Z=3.25 Ncr,z=17703600.00 λ^*_z=0.04 Curva a: Φ_z=0.00 χ_z=1.00
Kyy, Kyz, Kzy, Kzz=0.95, 0.95, 0.76, 0.95
Verifica YY: 0.00+0.00+0.02=0.02
Verifica ZZ: 0.00+0.00+0.02=0.02

- Verifica in termini tensionali [4.2.4] - CC 19 SLU Xl=0.01 - Classe 3
Sollecitazioni: N=-2.37 T_z=-248.68 M_y=1.23 T_y=1105.98 M_z=6.73 M_x=36.24
Tensioni: σ_N=-0.26 σ_M=-64.70 τ=178.96 σ_{max}=-64.96
Tensioni: σ_N=-0.26 σ_M=-8.01 τ=453.30 τ_{max}=453.30
Tensioni: σ_N=-0.26 σ_M=-8.01 τ=453.30 $\sigma_{ID,max}$=785.17

- Verifica a taglio e torsione dir. Y [4.2.25] - CC 19 SLU Xl=0.00
Sollecitazioni: N=-2.37 T_z=-248.46 T_y=1105.98 M_x=36.24
V,Ed=1105.98 Vc,Rd,Red=5999.38 V,Ed/Vc,Rd,Red=0.18

- Verifica a taglio e torsione dir. Z [4.2.25]
V,Ed=-248.46 Vc,Rd,Red=5999.38 V,Ed/Vc,Rd,Red=0.04

Asta n. 4022 (4026 4027) modellazione SHS50x50x5 Crit. 1

- Verifica di stabilità aste presso-inflesse (C4.2.4.1.3.3.2) - CC 17 SLU - Classe 3
  Sollecitazioni: N,Ed=-87.53 My,Ed=78.60 Mz,Ed=5.11
  Resistenze: Nc,Rd=23571.40 My,c,Rd=322.14 Mz,c,Rd=322.14 L=6.00
  αmy, αmz, αLT=0.95, 0.95, 0.95
  λ_Y=3.25 Ncr,y=17703600.00 λ^*_y=0.04 Curva a: Φ_y=0.00 χ_y=1.00
  λ_Z=3.25 Ncr,z=17703600.00 λ^*_z=0.04 Curva a: Φ_z=0.00 χ_z=1.00
  Kyy, Kyz, Kzy, Kzz=0.95, 0.95, 0.76, 0.95
  Verifica YY: 0.00+0.19+0.02=0.21
  Verifica ZZ: 0.00+0.15+0.02=0.17

- Verifica in termini tensionali [4.2.4] - CC 19 SLU Xl=0.05 - Classe 3
  Sollecitazioni: N=-38.70 T_z=201.87 M_y=58.34 T_y=-1044.56 M_z=8.12 M_x=-40.33
  Tensioni: σ_N=-4.30 σ_M=-540.33 τ=199.17 σ_{max}=-544.63
  Tensioni: σ_N=-4.30 σ_M=-379.42 τ=458.25 τ_{max}=458.25
  Tensioni: σ_N=-4.30 σ_M=-474.28 τ=458.19 $\sigma_{ID,max}$=926.74

- Verifica a taglio e torsione dir. Y [4.2.25] - CC 9 SLU Xl=0.06
  Sollecitazioni: N=27.47 T_z=260.43 M_y=15.55 T_y=-1112.94 M_x=-41.02
  V,Ed=-1112.94 Vc,Rd,Red=5893.16 V,Ed/Vc,Rd,Red=0.19

- Verifica a taglio e torsione dir. Z [4.2.25]
  V,Ed=260.43 Vc,Rd,Red=5893.16 V,Ed/Vc,Rd,Red=0.04

Asta n. 4022 (4028 4029) modellazione SHS50x50x5 Crit. 1

- Verifica in termini tensionali [4.2.4] - CC 9 SLU Xl=0.01 - Classe 3
  Sollecitazioni: N=138.85 T_z=-438.45 M_y=46.19 T_y=2068.46 M_z=12.29 M_x=72.80
  Tensioni: σ_N=15.43 σ_M=475.46 τ=359.52 σ_{max}=490.89
  Tensioni: σ_N=15.43 σ_M=-300.45 τ=872.58 τ_{max}=872.58
  Tensioni: σ_N=15.43 σ_M=-375.56 τ=872.43 $\sigma_{ID,max}$=1553.42

- Verifica a taglio e torsione dir. Y [4.2.25] - CC 9 SLU Xl=0.00
  Sollecitazioni: N=138.85 T_z=-438.23 M_y=43.43 T_y=2068.46 M_x=72.80
  V,Ed=2068.46 Vc,Rd,Red=5186.84 V,Ed/Vc,Rd,Red=0.40

- Verifica a taglio e torsione dir. Z [4.2.25]
  V,Ed=-438.23 Vc,Rd,Red=5186.84 V,Ed/Vc,Rd,Red=0.08

Asta n. 4022 (4029 4030) modellazione SHS50x50x5 Crit. 1

- Verifica di stabilità aste presso-inflesse (C4.2.4.1.3.3.2) - CC 17 SLU - Classe 3
  Sollecitazioni: N,Ed=-12.98 My,Ed=88.78 Mz,Ed=8.21
  Resistenze: Nc,Rd=23571.40 My,c,Rd=322.14 Mz,c,Rd=322.14 L=6.00
  αmy, αmz, αLT=0.95, 0.95, 0.95
  λ_Y=3.25 Ncr,y=17703600.00 λ^*_y=0.04 Curva a: Φ_y=0.00 χ_y=1.00
  λ_Z=3.25 Ncr,z=17703600.00 λ^*_z=0.04 Curva a: Φ_z=0.00 χ_z=1.00
  Kyy, Kyz, Kzy, Kzz=0.95, 0.95, 0.76, 0.95
  Verifica YY: 0.00+0.21+0.02=0.24
  Verifica ZZ: 0.00+0.17+0.02=0.19

- Verifica in termini tensionali [4.2.4] - CC 19 SLU Xl=0.05 - Classe 3
  Sollecitazioni: N=90.89 T_z=356.62 M_y=76.88 T_y=-2025.58 M_z=13.69 M_x=-73.82
  Tensioni: σ_N=10.10 σ_M=736.36 τ=364.56 σ_{max}=746.45
  Tensioni: σ_N=10.10 σ_M=-500.04 τ=866.94 τ_{max}=866.94
  Tensioni: σ_N=10.10 σ_M=-625.05 τ=866.84 $\sigma_{ID,max}$=1622.47

- Verifica a taglio e torsione dir. Y [4.2.25] - CC 9 SLU Xl=0.06
  Sollecitazioni: N=149.12 T_z=462.91 M_y=35.99 T_y=-2090.57 M_x=-74.27
  V,Ed=-2090.57 Vc,Rd,Red=5154.15 V,Ed/Vc,Rd,Red=0.41

- Verifica a taglio e torsione dir. Z [4.2.25]
  V,Ed=462.91 Vc,Rd,Red=5154.15 V,Ed/Vc,Rd,Red=0.09

Asta n. 4022 (4031 4032) modellazione SHS50x50x5 Crit. 1

- Verifica di stabilità aste presso-inflesse (C4.2.4.1.3.3.2) - CC 1 SLV - Classe 3
  Sollecitazioni: N,Ed=-4.03 My,Ed=34.80 Mz,Ed=4.11
  Resistenze: Nc,Rd=23571.40 My,c,Rd=322.14 Mz,c,Rd=322.14 L=6.00
  αmy, αmz, αLT=0.95, 0.95, 0.95
  λ_Y=3.25 Ncr,y=17703600.00 λ^*_y=0.04 Curva a: Φ_y=0.00 χ_y=1.00
  λ_Z=3.25 Ncr,z=17703600.00 λ^*_z=0.04 Curva a: Φ_z=0.00 χ_z=1.00
  Kyy, Kyz, Kzy, Kzz=0.95, 0.95, 0.76, 0.95
  Verifica YY: 0.00+0.08+0.01=0.10
  Verifica ZZ: 0.00+0.07+0.01=0.08

- Verifica in termini tensionali [4.2.4] - CC 19 SLU Xl=0.01 - Classe 3
  Sollecitazioni: N=200.03 T_z=-560.91 M_y=1.28 T_y=2197.61 M_z=13.43 M_x=75.38
  Tensioni: σ_N=22.23 σ_M=119.58 τ=372.23 σ_{max}=141.80
  Tensioni: σ_N=22.23 σ_M=-8.29 τ=917.40 τ_{max}=917.40
  Tensioni: σ_N=22.23 σ_M=-8.29 τ=917.40 $\sigma_{ID,max}$=1589.04

- Verifica a taglio e torsione dir. Y [4.2.25] - CC 19 SLU Xl=0.00
  Sollecitazioni: N=200.03 T_z=-560.68 M_y=-2.26 T_y=2197.61 M_x=75.38
  V,Ed=2197.61 Vc,Rd,Red=5129.64 V,Ed/Vc,Rd,Red=0.43

- Verifica a taglio e torsione dir. Z [4.2.25]
  V,Ed=-560.68 Vc,Rd,Red=5129.64 V,Ed/Vc,Rd,Red=0.11

Asta n. 4022 (4032 4033) modellazione SHS50x50x5 Crit. 1

- Verifica in termini tensionali [4.2.4] - CC 19 SLU Xl=0.05 - Classe 3
  Sollecitazioni: N=96.75 T_z=340.19 M_y=84.21 T_y=-1946.74 M_z=12.61 M_x=-71.41
  Tensioni: σ_N=10.75 σ_M=787.12 τ=352.62 σ_{max}=797.87
  Tensioni: σ_N=10.75 σ_M=-547.71 τ=835.44 τ_{max}=835.44
  Tensioni: σ_N=10.75 σ_M=-684.64 τ=835.35 $\sigma_{ID,max}$=1596.10

- Verifica a taglio e torsione dir. Y [4.2.25] - CC 9 SLU Xl=0.06
  Sollecitazioni: N=138.09 T_z=447.12 M_y=43.12 T_y=-2024.03 M_x=-72.27
  V,Ed=-2024.03 Vc,Rd,Red=5198.59 V,Ed/Vc,Rd,Red=0.39

- Verifica a taglio e torsione dir. Z [4.2.25]
  V,Ed=447.12 Vc,Rd,Red=5198.59 V,Ed/Vc,Rd,Red=0.09

Asta n. 4022 (4034 4035) modellazione SHS50x50x5 Crit. 1

- Verifica di stabilità aste presso-inflesse (C4.2.4.1.3.3.2) - CC 1 SLV - Classe 3
  Sollecitazioni: N,Ed=-29.48 My,Ed=27.51 Mz,Ed=3.05
  Resistenze: Nc,Rd=23571.40 My,c,Rd=322.14 Mz,c,Rd=322.14 L=6.00
  αmy, αmz, αLT=0.95, 0.95, 0.95
  λ_Y=3.25 Ncr,y=17703400.00 λ^*_y=0.04 Curva a: Φ_y=0.00 χ_y=1.00
  λ_Z=3.25 Ncr,z=17703400.00 λ^*_z=0.04 Curva a: Φ_z=0.00 χ_z=1.00
  Kyy, Kyz, Kzy, Kzz=0.95, 0.95, 0.76, 0.95
  Verifica YY: 0.00+0.07+0.01=0.08
  Verifica ZZ: 0.00+0.05+0.01=0.06

- Verifica in termini tensionali [4.2.4] - CC 19 SLU Xl=0.01 - Classe 3
  Sollecitazioni: N=86.42 T_z=-315.76 M_y=-23.68 T_y=1203.43 M_z=7.83 M_x=41.98
  Tensioni: σ_N=9.60 σ_M=256.14 τ=207.30 σ_{max}=265.75
  Tensioni: σ_N=9.60 σ_M=154.01 τ=505.85 τ_{max}=505.85

Tensioni: σ_N=9.60 σ_M=192.51 τ=505.72 $\sigma_{ID,max}$=898.94

- Verifica a taglio e torsione dir. Y [4.2.25] - CC 19 SLU Xl=0.00
Sollecitazioni: N=86.42 T_z=-315.54 M_y=-25.67 T_y=1203.43 M_x=41.98
V,Ed=1203.43 Vc,Rd,Red=5871.81 V,Ed/Vc,Rd,Red=0.20

- Verifica a taglio e torsione dir. Z [4.2.25]
V,Ed=-315.54 Vc,Rd,Red=5871.81 V,Ed/Vc,Rd,Red=0.05

Asta n. 4022 (4035 4036) modellazione SHS50x50x5 Crit. 1

- Verifica di stabilità aste presso-inflesse (C4.2.4.1.3.3.2) - CC 19 SLU - Classe 3
Sollecitazioni: N,Ed=-13.75 My,Ed=1.11 Mz,Ed=6.20
Resistenze: Nc,Rd=23571.40 My,c,Rd=322.14 Mz,c,Rd=322.14 L=6.00
αmy, αmz, αLT=0.95, 0.95, 0.95
λ_Y=3.25 Ncr,y=17703900.00 λ^*_y=0.04 Curva a: Φ_y=0.00 χ_y=1.00
λ_Z=3.25 Ncr,z=17703900.00 λ^*_z=0.04 Curva a: Φ_z=0.00 χ_z=1.00
Kyy, Kyz, Kzy, Kzz=0.95, 0.95, 0.76, 0.95
Verifica YY: 0.00+0.00+0.02=0.02
Verifica ZZ: 0.00+0.00+0.02=0.02

- Verifica in termini tensionali [4.2.4] - CC 9 SLU Xl=0.05 - Classe 3
Sollecitazioni: N=-5.09 T_z=215.91 M_y=1.16 T_y=-1034.62 M_z=6.05 M_x=-35.41
Tensioni: σ_N=-0.57 σ_M=-58.59 τ=174.88 σ_{max}=-59.16
Tensioni: σ_N=-0.57 σ_M=-7.55 τ=431.50 τ_{max}=431.50
Tensioni: σ_N=-0.57 σ_M=-7.55 τ=431.50 $\sigma_{ID,max}$=747.43

- Verifica a taglio e torsione dir. Y [4.2.25] - CC 9 SLU Xl=0.06
Sollecitazioni: N=-5.09 T_z=215.69 T_y=-1034.62 M_x=-35.41
V,Ed=-1034.62 Vc,Rd,Red=6017.73 V,Ed/Vc,Rd,Red=0.17

- Verifica a taglio e torsione dir. Z [4.2.25]
V,Ed=215.69 Vc,Rd,Red=6017.73 V,Ed/Vc,Rd,Red=0.04

Asta n. 4066 (4285 4286) modellazione SHS50x50x5 Crit. 1

- Verifica di stabilità aste presso-inflesse (C4.2.4.1.3.3.2) - CC 18 SLU - Classe 3
Sollecitazioni: N,Ed=-5.18 My,Ed=1.05 Mz,Ed=-9.18
Resistenze: Nc,Rd=23571.40 My,c,Rd=322.14 Mz,c,Rd=322.14 L=6.00
αmy, αmz, αLT=0.95, 0.95, 0.95
λ_Y=3.25 Ncr,y=17703600.00 λ^*_y=0.04 Curva a: Φ_y=0.00 χ_y=1.00
λ_Z=3.25 Ncr,z=17703600.00 λ^*_z=0.04 Curva a: Φ_z=0.00 χ_z=1.00
Kyy, Kyz, Kzy, Kzz=0.95, 0.95, 0.76, 0.95
Verifica YY: 0.00+0.00+0.03=0.03
Verifica ZZ: 0.00+0.00+0.03=0.03

- Verifica in termini tensionali [4.2.4] - CC 18 SLU Xl=0.01 - Classe 3
Sollecitazioni: N=-5.18 T_z=-194.14 M_y=1.05 T_y=-1544.09 M_z=-9.18 M_x=-43.74
Tensioni: σ_N=-0.58 σ_M=-83.15 τ=216.01 σ_{max}=-83.72
Tensioni: σ_N=-0.58 σ_M=-6.83 τ=598.93 τ_{max}=598.93
Tensioni: σ_N=-0.58 σ_M=-6.83 τ=598.93 $\sigma_{ID,max}$=1037.41

- Verifica a taglio e torsione dir. Y [4.2.25] - CC 18 SLU Xl=0.00
Sollecitazioni: N=-5.18 T_z=-193.96 T_y=-1544.09 M_x=-43.74
V,Ed=-1544.09 Vc,Rd,Red=5832.65 V,Ed/Vc,Rd,Red=0.26

- Verifica a taglio e torsione dir. Z [4.2.25]
V,Ed=-193.96 Vc,Rd,Red=5832.65 V,Ed/Vc,Rd,Red=0.03

Asta n. 4066 (4286 4287) modellazione SHS50x50x5 Crit. 1

- Verifica di stabilità aste presso-inflesse (C4.2.4.1.3.3.2) - CC 17 SLU - Classe 3
  Sollecitazioni: N,Ed=-87.32 My,Ed=78.74 Mz,Ed=-5.24
  Resistenze: Nc,Rd=23571.40 My,c,Rd=322.14 Mz,c,Rd=322.14 L=6.00
  αmy, αmz, αLT=0.95, 0.95, 0.95
  λ_Y=3.25 Ncr,y=17703600.00 λ^*_y=0.04 Curva a: Φ_y=0.00 χ_y=1.00
  λ_Z=3.25 Ncr,z=17703600.00 λ^*_z=0.04 Curva a: Φ_z=0.00 χ_z=1.00
  Kyy, Kyz, Kzy, Kzz=0.95, 0.95, 0.76, 0.95
  Verifica YY: 0.00+0.19+0.02=0.21
  Verifica ZZ: 0.00+0.15+0.02=0.17

- Verifica in termini tensionali [4.2.4] - CC 18 SLU Xl=0.05 - Classe 3
  Sollecitazioni: N=28.61 T_z=231.11 M_y=12.63 T_y=1628.24 M_z=-10.74 M_x=48.59
  Tensioni: σ_N=3.18 σ_M=190.03 τ=239.94 σ_{max}=193.21
  Tensioni: σ_N=3.18 σ_M=-82.17 τ=643.75 τ_{max}=643.75
  Tensioni: σ_N=3.18 σ_M=-102.71 τ=643.69 $\sigma_{ID,max}$=1119.34

- Verifica a taglio e torsione dir. Y [4.2.25] - CC 18 SLU Xl=0.06
  Sollecitazioni: N=28.61 T_z=230.93 M_y=11.18 T_y=1628.24 M_x=48.59
  V,Ed=1628.24 Vc,Rd,Red=5724.96 V,Ed/Vc,Rd,Red=0.28

- Verifica a taglio e torsione dir. Z [4.2.25]
  V,Ed=230.93 Vc,Rd,Red=5724.96 V,Ed/Vc,Rd,Red=0.04

Asta n. 4066 (4288 4289) modellazione SHS50x50x5 Crit. 1

- Verifica in termini tensionali [4.2.4] - CC 18 SLU Xl=0.01 - Classe 3
  Sollecitazioni: N=167.14 T_z=-388.83 M_y=40.48 T_y=-2546.28 M_z=-15.19 M_x=-78.39
  Tensioni: σ_N=18.57 σ_M=452.64 τ=387.10 σ_{max}=471.21
  Tensioni: σ_N=18.57 σ_M=-263.32 τ=1018.60 τ_{max}=1018.60
  Tensioni: σ_N=18.57 σ_M=-329.15 τ=1018.50 $\sigma_{ID,max}$=1791.22

- Verifica a taglio e torsione dir. Y [4.2.25] - CC 18 SLU Xl=0.00
  Sollecitazioni: N=167.14 T_z=-388.65 M_y=38.04 T_y=-2546.28 M_x=-78.39
  V,Ed=-2546.28 Vc,Rd,Red=5062.71 V,Ed/Vc,Rd,Red=0.50

- Verifica a taglio e torsione dir. Z [4.2.25]
  V,Ed=-388.65 Vc,Rd,Red=5062.71 V,Ed/Vc,Rd,Red=0.08

Asta n. 4066 (4289 4290) modellazione SHS50x50x5 Crit. 1

- Verifica di stabilità aste presso-inflesse (C4.2.4.1.3.3.2) - CC 17 SLU - Classe 3
  Sollecitazioni: N,Ed=-12.50 My,Ed=88.94 Mz,Ed=-8.35
  Resistenze: Nc,Rd=23571.40 My,c,Rd=322.14 Mz,c,Rd=322.14 L=6.00
  αmy, αmz, αLT=0.95, 0.95, 0.95
  λ_Y=3.25 Ncr,y=17703600.00 λ^*_y=0.04 Curva a: Φ_y=0.00 χ_y=1.00
  λ_Z=3.25 Ncr,z=17703600.00 λ^*_z=0.04 Curva a: Φ_z=0.00 χ_z=1.00
  Kyy, Kyz, Kzy, Kzz=0.95, 0.95, 0.76, 0.95
  Verifica YY: 0.00+0.21+0.02=0.24
  Verifica ZZ: 0.00+0.17+0.02=0.19

- Verifica in termini tensionali [4.2.4] - CC 18 SLU Xl=0.05 - Classe 3
  Sollecitazioni: N=178.40 T_z=407.63 M_y=32.88 T_y=2601.08 M_z=-16.25 M_x=80.25
  Tensioni: σ_N=19.82 σ_M=399.46 τ=396.31 σ_{max}=419.29
  Tensioni: σ_N=19.82 σ_M=-213.86 τ=1041.40 τ_{max}=1041.40
  Tensioni: σ_N=19.82 σ_M=-267.32 τ=1041.30 $\sigma_{ID,max}$=1820.48

- Verifica a taglio e torsione dir. Y [4.2.25] - CC 18 SLU Xl=0.06
  Sollecitazioni: N=178.40 T_z=407.45 M_y=30.31 T_y=2601.08 M_x=80.25

V,Ed=2601.08 Vc,Rd,Red=5021.28 V,Ed/Vc,Rd,Red=0.52

- Verifica a taglio e torsione dir. Z [4.2.25]
V,Ed=407.45 Vc,Rd,Red=5021.28 V,Ed/Vc,Rd,Red=0.08

Asta n. 4066 (4291 4292) modellazione SHS50x50x5 Crit. 1

- Verifica di stabilità aste presso-inflesse (C4.2.4.1.3.3.2) - CC 1 SLV - Classe 3
Sollecitazioni: N,Ed=-4.46 My,Ed=34.73 Mz,Ed=-4.06
Resistenze: Nc,Rd=23571.40 My,c,Rd=322.14 Mz,c,Rd=322.14 L=6.00
αmy, αmz, αLT=0.95, 0.95, 0.95
λ_Y=3.25 Ncr,y=17703600.00 λ^*_y=0.04 Curva a: Φ_y=0.00 χ_y=1.00
λ_Z=3.25 Ncr,z=17703600.00 λ^*_z=0.04 Curva a: Φ_z=0.00 χ_z=1.00
Kyy, Kyz, Kzy, Kzz=0.95, 0.95, 0.76, 0.95
Verifica YY: 0.00+0.08+0.01=0.09
Verifica ZZ: 0.00+0.07+0.01=0.08

- Verifica in termini tensionali [4.2.4] - CC 18 SLU Xl=0.01 - Classe 3
Sollecitazioni: N=178.42 T_z=-407.54 M_y=32.91 T_y=-2601.36 M_z=-16.24 M_x=-80.27
Tensioni: σ_N=19.82 σ_M=399.64 τ=396.41 σ_{max}=419.46
Tensioni: σ_N=19.82 σ_M=-214.07 τ=1041.57 τ_{max}=1041.57
Tensioni: σ_N=19.82 σ_M=-267.58 τ=1041.46 $\sigma_{ID,max}$=1820.80

- Verifica a taglio e torsione dir. Y [4.2.25] - CC 18 SLU Xl=0.00
Sollecitazioni: N=178.42 T_z=-407.36 M_y=30.35 T_y=-2601.36 M_x=-80.27
V,Ed=-2601.36 Vc,Rd,Red=5020.84 V,Ed/Vc,Rd,Red=0.52

- Verifica a taglio e torsione dir. Z [4.2.25]
V,Ed=-407.36 Vc,Rd,Red=5020.84 V,Ed/Vc,Rd,Red=0.08

Asta n. 4066 (4292 4293) modellazione SHS50x50x5 Crit. 1

- Verifica in termini tensionali [4.2.4] - CC 18 SLU Xl=0.05 - Classe 3
Sollecitazioni: N=167.27 T_z=388.91 M_y=40.45 T_y=2546.31 M_z=-15.20 M_x=78.38
Tensioni: σ_N=18.59 σ_M=452.41 τ=387.05 σ_{max}=471.00
Tensioni: σ_N=18.59 σ_M=-263.10 τ=1018.55 τ_{max}=1018.55
Tensioni: σ_N=18.59 σ_M=-328.87 τ=1018.45 $\sigma_{ID,max}$=1791.10

- Verifica a taglio e torsione dir. Y [4.2.25] - CC 18 SLU Xl=0.06
Sollecitazioni: N=167.27 T_z=388.73 M_y=38.00 T_y=2546.31 M_x=78.38
V,Ed=2546.31 Vc,Rd,Red=5062.95 V,Ed/Vc,Rd,Red=0.50

- Verifica a taglio e torsione dir. Z [4.2.25]
V,Ed=388.73 Vc,Rd,Red=5062.95 V,Ed/Vc,Rd,Red=0.08

Asta n. 4066 (4294 4295) modellazione SHS50x50x5 Crit. 1

- Verifica di stabilità aste presso-inflesse (C4.2.4.1.3.3.2) - CC 1 SLV - Classe 3
Sollecitazioni: N,Ed=-29.65 My,Ed=27.45 Mz,Ed=-3.04
Resistenze: Nc,Rd=23571.40 My,c,Rd=322.14 Mz,c,Rd=322.14 L=6.00
αmy, αmz, αLT=0.95, 0.95, 0.95
λ_Y=3.25 Ncr,y=17703400.00 λ^*_y=0.04 Curva a: Φ_y=0.00 χ_y=1.00
λ_Z=3.25 Ncr,z=17703400.00 λ^*_z=0.04 Curva a: Φ_z=0.00 χ_z=1.00
Kyy, Kyz, Kzy, Kzz=0.95, 0.95, 0.76, 0.95
Verifica YY: 0.00+0.07+0.01=0.08
Verifica ZZ: 0.00+0.05+0.01=0.06

- Verifica in termini tensionali [4.2.4] - CC 18 SLU Xl=0.01 - Classe 3
Sollecitazioni: N=28.43 T_z=-231.09 M_y=12.67 T_y=-1628.57 M_z=-10.75 M_x=-48.61
Tensioni: σ_N=3.16 σ_M=190.41 τ=240.04 σ_{max}=193.56

Tensioni: σ_N=3.16 σ_M=-82.39 τ=643.93 τ_{max}=643.93
Tensioni: σ_N=3.16 σ_M=-102.99 τ=643.87 $\sigma_{ID,max}$=1119.68

- Verifica a taglio e torsione dir. Y [4.2.25] - CC 18 SLU Xl=0.00
Sollecitazioni: N=28.43 T_z=-230.91 M_y=11.21 T_y=-1628.57 M_x=-48.61
V,Ed=-1628.57 Vc,Rd,Red=5724.50 V,Ed/Vc,Rd,Red=0.28

- Verifica a taglio e torsione dir. Z [4.2.25]
V,Ed=-230.91 Vc,Rd,Red=5724.50 V,Ed/Vc,Rd,Red=0.04

Asta n. 4066 (4295 4296) modellazione SHS50x50x5 Crit. 1

- Verifica di stabilità aste presso-inflesse (C4.2.4.1.3.3.2) - CC 18 SLU - Classe 3
Sollecitazioni: N,Ed=-5.22 My,Ed=1.05 Mz,Ed=-9.17
Resistenze: Nc,Rd=23571.40 My,c,Rd=322.14 Mz,c,Rd=322.14 L=6.00
αmy, αmz, αLT=0.95, 0.95, 0.95
λ_Y=3.25 Ncr,y=17703900.00 λ^*_y=0.04 Curva a: Φ_y=0.00 χ_y=1.00
λ_Z=3.25 Ncr,z=17703900.00 λ^*_z=0.04 Curva a: Φ_z=0.00 χ_z=1.00
Kyy, Kyz, Kzy, Kzz=0.95, 0.95, 0.76, 0.95
Verifica YY: 0.00+0.00+0.03=0.03
Verifica ZZ: 0.00+0.00+0.03=0.03

- Verifica in termini tensionali [4.2.4] - CC 18 SLU Xl=0.05 - Classe 3
Sollecitazioni: N=-5.22 T_z=194.16 M_y=1.05 T_y=1544.52 M_z=-9.17 M_x=43.75
Tensioni: σ_N=-0.58 σ_M=-83.13 τ=216.05 σ_{max}=-83.71
Tensioni: σ_N=-0.58 σ_M=-6.84 τ=599.09 τ_{max}=599.09
Tensioni: σ_N=-0.58 σ_M=-6.84 τ=599.09 $\sigma_{ID,max}$=1037.67

- Verifica a taglio e torsione dir. Y [4.2.25] - CC 18 SLU Xl=0.06
Sollecitazioni: N=-5.22 T_z=193.98 T_y=1544.52 M_x=43.75
V,Ed=1544.52 Vc,Rd,Red=5832.45 V,Ed/Vc,Rd,Red=0.26

- Verifica a taglio e torsione dir. Z [4.2.25]
V,Ed=193.98 Vc,Rd,Red=5832.45 V,Ed/Vc,Rd,Red=0.03

Asta n. 4106 (3001 -513) briglie 50x10 Crit. 1

- Verifica di stabilità aste inflesse (4.2.4.1.3.2) CC 18 SLU - Classe 3
L_{cr}=0.17 Curva d: α_{imp}=0.76 k_c=0.94 ψ=3.09 M,cr=0.00 λ_{LT}=0.00
$\lambda_{LT,0}$=0.20 β_{LT}=1.00 Φ_{LT}=0.00 β_{LT}=1.00 f=0.00 χ_{LT}=1.00
CC 18 SLU My,Ed=-1.12 My,b,Rd=109.13 My,Ed/My,b,Rd=0.01

- Verifica di stabilità aste presso-inflesse (C4.2.4.1.3.3.1) - CC 17 SLU - Classe 3
Sollecitazioni: N,Ed=-11.65 Myeq,Ed=1.37 Mzeq,Ed=0.18
Resistenze: Nc,Rd=13095.20 My,c,Rd=109.13 Mz,c,Rd=21.83 L=16.72
λ_Y=11.59 Ncr,y=772145.00 λ^*_y=0.13 Curva c: Φ_y=0.49 χ_y=1.00
λ_Z=57.92 Ncr,z=30885.80 λ^*_z=0.67 Curva c: Φ_z=0.84 χ_z=0.74
χ,min=0.74
Verifica: 0.00+0.01+0.01=0.02

- Verifica in termini tensionali [4.2.4] - CC 17 SLU Xl=0.00 - Classe 3
Sollecitazioni: N=-11.65 T_z=15.59 M_y=1.37 T_y=-2.15
Tensioni: σ_N=-2.33 σ_M=-32.89 τ=0.00 σ_{max}=-35.22
Tensioni: σ_N=-2.33 σ_M=-0.00 τ=4.72 τ_{max}=4.72
Tensioni: σ_N=-2.33 σ_M=-32.89 τ=0.64 $\sigma_{ID,max}$=35.24

- Verifica a taglio dir. Y [4.2.16] - CC 18 SLU Xl=0.15
Sollecitazioni: N=39.76 T_z=-14.16 T_y=-4.99
V,Ed=-4.99 Vc,Rd=7560.76 V,Ed/Vc,Rd=0.00

- Verifica a taglio dir. Z [4.2.16]
  V,Ed=-14.16 Vc,Rd=7560.76 V,Ed/Vc,Rd=0.00

Asta n. 4106 (-513 -529) briglie 50x10 Crit. 1

- Verifica di stabilità aste inflesse (4.2.4.1.3.2) CC 18 SLU - Classe 3
  L_{cr}=0.17 Curva d: α_{imp}=0.76 k_c=0.94 ψ=2.46 M,cr=0.00 λ_{LT}=0.00
  $\lambda_{LT,0}$=0.20 β_{LT}=1.00 Φ_{LT}=0.00 β_{LT}=1.00 f=0.00 χ_{LT}=1.00
  CC 18 SLU My,Ed=1.20 My,b,Rd=109.13 My,Ed/My,b,Rd=0.01

- Verifica di stabilità aste presso-inflesse (C4.2.4.1.3.3.1) - CC 1 SLV - Classe 3
  Sollecitazioni: N,Ed=-12.33 Myeq,Ed=0.91 Mzeq,Ed=0.35
  Resistenze: Nc,Rd=13095.20 My,c,Rd=109.13 Mz,c,Rd=21.83 L=16.72
  λ_Y=11.59 Ncr,y=772146.00 λ^*_y=0.13 Curva c: Φ_y=0.49 χ_y=1.00
  λ_Z=57.92 Ncr,z=30885.80 λ^*_z=0.67 Curva c: Φ_z=0.84 χ_z=0.74
  χ,min=0.74
  Verifica: 0.00+0.01+0.02=0.03

- Verifica in termini tensionali [4.2.4] - CC 18 SLU Xl=0.17 - Classe 3
  Sollecitazioni: N=97.78 T_z=-12.33 M_y=1.20 T_y=-4.19
  Tensioni: σ_N=19.56 σ_M=28.86 τ=0.00 σ_{max}=48.42
  Tensioni: σ_N=19.56 σ_M=-0.00 τ=3.91 τ_{max}=3.91
  Tensioni: σ_N=19.56 σ_M=28.86 τ=1.26 $\sigma_{ID,max}$=48.47

- Verifica a taglio dir. Y [4.2.16] - CC 18 SLU Xl=0.14
  Sollecitazioni: N=97.76 T_z=-11.97 T_y=-4.19
  V,Ed=-4.19 Vc,Rd=7560.76 V,Ed/Vc,Rd=0.00

- Verifica a taglio dir. Z [4.2.16]
  V,Ed=-11.97 Vc,Rd=7560.76 V,Ed/Vc,Rd=0.00

Asta n. 4106 (-529 4025) briglie 50x10 Crit. 1

- Verifica di stabilità aste inflesse (4.2.4.1.3.2) CC 18 SLU - Classe 3
  L_{cr}=0.17 Curva d: α_{imp}=0.76 k_c=0.94 ψ=1.94 M,cr=0.00 λ_{LT}=0.00
  $\lambda_{LT,0}$=0.20 β_{LT}=1.00 Φ_{LT}=0.00 β_{LT}=1.00 f=0.00 χ_{LT}=1.00
  CC 18 SLU My,Ed=3.61 My,b,Rd=109.13 My,Ed/My,b,Rd=0.03

- Verifica di stabilità aste presso-inflesse (C4.2.4.1.3.3.1) - CC 1 SLV - Classe 3
  Sollecitazioni: N,Ed=-20.49 Myeq,Ed=1.60 Mzeq,Ed=-0.37
  Resistenze: Nc,Rd=13095.20 My,c,Rd=109.13 Mz,c,Rd=21.83 L=16.72
  λ_Y=11.59 Ncr,y=772145.00 λ^*_y=0.13 Curva c: Φ_y=0.49 χ_y=1.00
  λ_Z=57.92 Ncr,z=30885.80 λ^*_z=0.67 Curva c: Φ_z=0.84 χ_z=0.74
  χ,min=0.74
  Verifica: 0.00+0.01+0.02=0.03

- Verifica in termini tensionali [4.2.4] - CC 18 SLU Xl=0.17 - Classe 3
  Sollecitazioni: N=139.85 T_z=-26.28 M_y=3.61 T_y=-4.36
  Tensioni: σ_N=27.97 σ_M=86.60 τ=0.00 σ_{max}=114.57
  Tensioni: σ_N=27.97 σ_M=-0.00 τ=7.99 τ_{max}=7.99
  Tensioni: σ_N=27.97 σ_M=86.60 τ=1.31 $\sigma_{ID,max}$=114.59

- Verifica a taglio dir. Y [4.2.16] - CC 9 SLU Xl=0.08
  Sollecitazioni: N=129.14 T_z=-26.89 T_y=-4.14
  V,Ed=-4.14 Vc,Rd=7560.76 V,Ed/Vc,Rd=0.00

- Verifica a taglio dir. Z [4.2.16]
  V,Ed=-26.89 Vc,Rd=7560.76 V,Ed/Vc,Rd=0.00

Asta n. 4106 (4025 -545) briglie 50x10 Crit. 1

- Verifica di stabilità aste inflesse (4.2.4.1.3.2) CC 9 SLU - Classe 3
  L_{cr}=0.22 Curva d: α_{imp}=0.76 k_c=0.94 ψ=2.22 M,cr=0.00 λ_{LT}=0.00
  $\lambda_{LT,0}$=0.20 β_{LT}=1.00 Φ_{LT}=0.00 β_{LT}=1.00 f=0.00 χ_{LT}=1.00
  CC 9 SLU My,Ed=38.24 My,b,Rd=109.13 My,Ed/My,b,Rd=0.35

- Verifica di stabilità aste presso-inflesse (C4.2.4.1.3.3.1) - CC 16 SLU - Classe 3
  Sollecitazioni: N,Ed=-49.99 Myeq,Ed=20.41 Mzeq,Ed=0.12
  Resistenze: Nc,Rd=13095.20 My,c,Rd=109.13 Mz,c,Rd=21.83 L=21.63
  λ_Y=14.99 Ncr,y=461316.00 λ^*_y=0.17 Curva c: Φ_y=0.51 χ_y=1.00
  λ_Z=74.94 Ncr,z=18452.60 λ^*_z=0.86 Curva c: Φ_z=1.04 χ_z=0.62
  χ,min=0.62
  Verifica: 0.00+0.19+0.01=0.20

- Verifica Freccia massima per soli carichi accidentali - CC 11
  $f_{Z,G}$=0.00 (L/13150)

- Verifica Freccia massima carichi totali - CC 21
  $f_{Z,G}$=0.00 (L/7376)

- Verifica in termini tensionali [4.2.4] - CC 9 SLU Xl=0.00 - Classe 3
  Sollecitazioni: N=1209.29 T_z=248.55 M_y=38.24
  Tensioni: σ_N=241.86 σ_M=917.88 τ=0.00 σ_{max}=1159.73
  Tensioni: σ_N=241.86 σ_M=-0.00 τ=74.57 τ_{max}=74.57
  Tensioni: σ_N=241.86 σ_M=917.88 τ=0.00 $\sigma_{ID,max}$=1159.73

- Verifica a taglio dir. Z [4.2.16] - CC 9 SLU Xl=0.16
  Sollecitazioni: N=1209.44 T_z=246.78
  V,Ed=246.78 Vc,Rd=7560.76 V,Ed/Vc,Rd=0.03

Asta n. 4106 (-545 -561) briglie 50x10 Crit. 1

- Verifica di stabilità aste inflesse (4.2.4.1.3.2) CC 9 SLU - Classe 3
  L_{cr}=0.22 Curva d: α_{imp}=0.76 k_c=0.94 ψ=2.71 M,cr=0.00 λ_{LT}=0.00
  $\lambda_{LT,0}$=0.20 β_{LT}=1.00 Φ_{LT}=0.00 β_{LT}=1.00 f=0.00 χ_{LT}=1.00
  CC 9 SLU My,Ed=28.36 My,b,Rd=109.13 My,Ed/My,b,Rd=0.26

- Verifica di stabilità aste presso-inflesse (C4.2.4.1.3.3.1) - CC 20 SLU - Classe 3
  Sollecitazioni: N,Ed=-11.68 Myeq,Ed=21.16 Mzeq,Ed=0.07
  Resistenze: Nc,Rd=13095.20 My,c,Rd=109.13 Mz,c,Rd=21.83 L=21.63
  λ_Y=14.99 Ncr,y=461316.00 λ^*_y=0.17 Curva c: Φ_y=0.51 χ_y=1.00
  λ_Z=74.94 Ncr,z=18452.60 λ^*_z=0.86 Curva c: Φ_z=1.04 χ_z=0.62
  χ,min=0.62
  Verifica: 0.00+0.19+0.00=0.20

- Verifica Freccia massima carichi totali - CC 21
  $f_{Z,G}$=0.00 (L/14402)

- Verifica in termini tensionali [4.2.4] - CC 9 SLU Xl=0.00 - Classe 3
  Sollecitazioni: N=572.19 T_z=230.58 M_y=28.36
  Tensioni: σ_N=114.44 σ_M=680.53 τ=0.00 σ_{max}=794.97
  Tensioni: σ_N=114.44 σ_M=-0.00 τ=69.18 τ_{max}=69.18
  Tensioni: σ_N=114.44 σ_M=680.53 τ=0.00 $\sigma_{ID,max}$=794.97

- Verifica a taglio dir. Z [4.2.16] - CC 18 SLU Xl=0.12
  Sollecitazioni: N=109.95 T_z=231.69
  V,Ed=231.69 Vc,Rd=7560.76 V,Ed/Vc,Rd=0.03

Asta n. 4106 (-561 -577) briglie 50x10 Crit. 1

- Verifica di stabilità aste inflesse (4.2.4.1.3.2) CC 9 SLU - Classe 3
  L_{cr}=0.22 Curva d: α_{imp}=0.76 k_c=0.94 ψ=2.97 M,cr=0.00 λ_{LT}=0.00
  $\lambda_{LT,0}$=0.20 β_{LT}=1.00 Φ_{LT}=0.00 β_{LT}=1.00 f=0.00 χ_{LT}=1.00
  CC 9 SLU My,Ed=22.83 My,b,Rd=109.13 My,Ed/My,b,Rd=0.21

- Verifica di stabilità aste presso-inflesse (C4.2.4.1.3.3.1) - CC 18 SLU - Classe 3
  Sollecitazioni: N,Ed=-467.45 Myeq,Ed=-22.44 Mzeq,Ed=-0.08
  Resistenze: Nc,Rd=13095.20 My,c,Rd=109.13 Mz,c,Rd=21.83 L=21.63
  λ_Y=14.99 Ncr,y=461316.00 λ^*_y=0.17 Curva c: Φ_y=0.51 χ_y=1.00
  λ_Z=74.94 Ncr,z=18452.60 λ^*_z=0.86 Curva c: Φ_z=1.04 χ_z=0.62
  χ,min=0.62
  Verifica: 0.04+0.21+0.00=0.25

- Verifica in termini tensionali [4.2.4] - CC 18 SLU Xl=0.22 - Classe 3
  Sollecitazioni: N=-467.21 T_z=203.25 M_y=-22.44
  Tensioni: σ_N=-93.44 σ_M=-538.56 τ=0.00 σ_{max}=-632.00
  Tensioni: σ_N=-93.44 σ_M=0.00 τ=60.97 τ_{max}=60.97
  Tensioni: σ_N=-93.44 σ_M=-538.56 τ=0.00 $\sigma_{ID,max}$=632.00

- Verifica a taglio dir. Z [4.2.16] - CC 10 SLU Xl=0.12
  Sollecitazioni: N=4.96 T_z=158.69
  V,Ed=158.69 Vc,Rd=7560.76 V,Ed/Vc,Rd=0.02

Asta n. 4106 (-577 -593) briglie 50x10 Crit. 1

- Verifica di stabilità aste inflesse (4.2.4.1.3.2) CC 5 SLV - Classe 3
  L_{cr}=0.22 Curva d: α_{imp}=0.76 k_c=0.94 ψ=2.77 M,cr=0.00 λ_{LT}=0.00
  $\lambda_{LT,0}$=0.20 β_{LT}=1.00 Φ_{LT}=0.00 β_{LT}=1.00 f=0.00 χ_{LT}=1.00
  CC 5 SLV My,Ed=10.15 My,b,Rd=109.13 My,Ed/My,b,Rd=0.09

- Verifica di stabilità aste presso-inflesse (C4.2.4.1.3.3.1) - CC 18 SLU - Classe 3
  Sollecitazioni: N,Ed=-932.50 Myeq,Ed=-22.08 Mzeq,Ed=-0.10
  Resistenze: Nc,Rd=13095.20 My,c,Rd=109.13 Mz,c,Rd=21.83 L=21.63
  λ_Y=14.99 Ncr,y=461316.00 λ^*_y=0.17 Curva c: Φ_y=0.51 χ_y=1.00
  λ_Z=74.94 Ncr,z=18452.60 λ^*_z=0.86 Curva c: Φ_z=1.04 χ_z=0.62
  χ,min=0.62
  Verifica: 0.11+0.20+0.00=0.32

- Verifica in termini tensionali [4.2.4] - CC 18 SLU Xl=0.22 - Classe 3
  Sollecitazioni: N=-932.26 T_z=182.09 M_y=-22.08
  Tensioni: σ_N=-186.45 σ_M=-529.91 τ=0.00 σ_{max}=-716.36
  Tensioni: σ_N=-186.45 σ_M=0.00 τ=54.63 τ_{max}=54.63
  Tensioni: σ_N=-186.45 σ_M=-529.91 τ=0.00 $\sigma_{ID,max}$=716.36

- Verifica a taglio dir. Z [4.2.16] - CC 1 SLV Xl=0.10
  Sollecitazioni: N=26.84 T_z=60.30
  V,Ed=60.30 Vc,Rd=7560.76 V,Ed/Vc,Rd=0.01

Asta n. 4106 (-593 -609) briglie 50x10 Crit. 1

- Verifica di stabilità aste inflesse (4.2.4.1.3.2) CC 5 SLV - Classe 3
  L_{cr}=0.22 Curva d: α_{imp}=0.76 k_c=0.94 ψ=2.87 M,cr=0.00 λ_{LT}=0.00
  $\lambda_{LT,0}$=0.20 β_{LT}=1.00 Φ_{LT}=0.00 β_{LT}=1.00 f=0.00 χ_{LT}=1.00
  CC 5 SLV My,Ed=7.90 My,b,Rd=109.13 My,Ed/My,b,Rd=0.07

- Verifica di stabilità aste presso-inflesse (C4.2.4.1.3.3.1) - CC 18 SLU - Classe 3

Sollecitazioni: N,Ed=-1254.10 Myeq,Ed=-15.05 Mzeq,Ed=0.11
Resistenze: Nc,Rd=13095.20 My,c,Rd=109.13 Mz,c,Rd=21.83 L=21.63
λ_Y=14.99 Ncr,y=461316.00 λ^*_y=0.17 Curva c: Φ_y=0.51 χ_y=1.00
λ_Z=74.94 Ncr,z=18452.60 λ^*_z=0.86 Curva c: Φ_z=1.04 χ_z=0.62
χ,min=0.62
Verifica: 0.15+0.14+0.01=0.30

- Verifica in termini tensionali [4.2.4] - CC 18 SLU Xl=0.22 - Classe 3
Sollecitazioni: N=-1253.86 T_z=108.25 M_y=-15.05
Tensioni: σ_N=-250.77 σ_M=-361.17 τ=0.00 σ_{max}=-611.95
Tensioni: σ_N=-250.77 σ_M=0.00 τ=32.48 τ_{max}=32.48
Tensioni: σ_N=-250.77 σ_M=-361.17 τ=0.00 $\sigma_{ID,max}$=611.95

- Verifica a taglio dir. Z [4.2.16] - CC 7 SLV Xl=0.12
Sollecitazioni: N=192.08 T_z=1.98
V,Ed=1.98 Vc,Rd=7560.76 V,Ed/Vc,Rd=0.00

Asta n. 4106 (-609 -625) briglie 50x10 Crit. 1

- Verifica di stabilità aste inflesse (4.2.4.1.3.2) CC 5 SLV - Classe 3
L_{cr}=0.22 Curva d: α_{imp}=0.76 k_c=0.94 ψ=2.94 M,cr=0.00 λ_{LT}=0.00
$\lambda_{LT,0}$=0.20 β_{LT}=1.00 Φ_{LT}=0.00 β_{LT}=1.00 f=0.00 χ_{LT}=1.00
CC 5 SLV My,Ed=6.99 My,b,Rd=109.13 My,Ed/My,b,Rd=0.06

- Verifica di stabilità aste presso-inflesse (C4.2.4.1.3.3.1) - CC 18 SLU - Classe 3
Sollecitazioni: N,Ed=-1479.43 Myeq,Ed=-13.43 Mzeq,Ed=0.02
Resistenze: Nc,Rd=13095.20 My,c,Rd=109.13 Mz,c,Rd=21.83 L=21.63
λ_Y=14.99 Ncr,y=461316.00 λ^*_y=0.17 Curva c: Φ_y=0.51 χ_y=1.00
λ_Z=74.94 Ncr,z=18452.60 λ^*_z=0.86 Curva c: Φ_z=1.04 χ_z=0.62
χ,min=0.62
Verifica: 0.18+0.12+0.00=0.31

- Verifica in termini tensionali [4.2.4] - CC 18 SLU Xl=0.22 - Classe 3
Sollecitazioni: N=-1479.19 T_z=98.48 M_y=-13.43
Tensioni: σ_N=-295.84 σ_M=-322.35 τ=0.00 σ_{max}=-618.19
Tensioni: σ_N=-295.84 σ_M=0.00 τ=29.54 τ_{max}=29.54
Tensioni: σ_N=-295.84 σ_M=-322.35 τ=0.00 $\sigma_{ID,max}$=618.19

Asta n. 4106 (-625 -641) briglie 50x10 Crit. 1

- Verifica di stabilità aste presso-inflesse (C4.2.4.1.3.3.1) - CC 18 SLU - Classe 3
Sollecitazioni: N,Ed=-1659.82 Myeq,Ed=-12.51 Mzeq,Ed=-0.05
Resistenze: Nc,Rd=13095.20 My,c,Rd=109.13 Mz,c,Rd=21.83 L=21.63
λ_Y=14.99 Ncr,y=461316.00 λ^*_y=0.17 Curva c: Φ_y=0.51 χ_y=1.00
λ_Z=74.94 Ncr,z=18452.60 λ^*_z=0.86 Curva c: Φ_z=1.04 χ_z=0.62
χ,min=0.62
Verifica: 0.20+0.12+0.00=0.32

- Verifica in termini tensionali [4.2.4] - CC 18 SLU Xl=0.22 - Classe 3
Sollecitazioni: N=-1659.58 T_z=87.73 M_y=-12.51
Tensioni: σ_N=-331.92 σ_M=-300.23 τ=0.00 σ_{max}=-632.15
Tensioni: σ_N=-331.92 σ_M=0.00 τ=26.32 τ_{max}=26.32
Tensioni: σ_N=-331.92 σ_M=-300.23 τ=0.00 $\sigma_{ID,max}$=632.15

Asta n. 4106 (-641 -657) briglie 50x10 Crit. 1

- Verifica di stabilità aste presso-inflesse (C4.2.4.1.3.3.1) - CC 18 SLU - Classe 3
Sollecitazioni: N,Ed=-1802.56 Myeq,Ed=-11.54 Mzeq,Ed=-0.12
Resistenze: Nc,Rd=13095.20 My,c,Rd=109.13 Mz,c,Rd=21.83 L=21.63

λ_Y=14.99 Ncr,y=461316.00 λ^*_y=0.17 Curva c: Φ_y=0.51 χ_y=1.00
λ_Z=74.94 Ncr,z=18452.60 λ^*_z=0.86 Curva c: Φ_z=1.04 χ_z=0.62
χ,min=0.62
Verifica: 0.22+0.11+0.01=0.33

- Verifica in termini tensionali [4.2.4] - CC 18 SLU Xl=0.22 - Classe 3
Sollecitazioni: N=-1802.32 T_z=80.62 M_y=-13.02
Tensioni: σ_N=-360.46 σ_M=-312.56 τ=0.00 σ_{max}=-673.03
Tensioni: σ_N=-360.46 σ_M=0.00 τ=24.19 τ_{max}=24.19
Tensioni: σ_N=-360.46 σ_M=-312.56 τ=0.00 $\sigma_{ID,max}$=673.03

Asta n. 4106 (-657 -673) briglie 50x10 Crit. 1

- Verifica di stabilità aste presso-inflesse (C4.2.4.1.3.3.1) - CC 18 SLU - Classe 3
Sollecitazioni: N,Ed=-1858.97 Myeq,Ed=-4.93 Mzeq,Ed=0.14
Resistenze: Nc,Rd=13095.20 My,c,Rd=109.13 Mz,c,Rd=21.83 L=21.63
λ_Y=14.99 Ncr,y=461316.00 λ^*_y=0.17 Curva c: Φ_y=0.51 χ_y=1.00
λ_Z=74.94 Ncr,z=18452.60 λ^*_z=0.86 Curva c: Φ_z=1.04 χ_z=0.62
χ,min=0.62
Verifica: 0.23+0.05+0.01=0.28

- Verifica in termini tensionali [4.2.4] - CC 18 SLU Xl=0.22 - Classe 3
Sollecitazioni: N=-1858.73 T_z=3.91 M_y=-4.93
Tensioni: σ_N=-371.75 σ_M=-118.44 τ=0.00 σ_{max}=-490.18
Tensioni: σ_N=-371.75 σ_M=0.00 τ=1.17 τ_{max}=1.17
Tensioni: σ_N=-371.75 σ_M=-118.44 τ=0.00 $\sigma_{ID,max}$=490.18

Asta n. 4106 (-673 -689) briglie 50x10 Crit. 1

- Verifica di stabilità aste presso-inflesse (C4.2.4.1.3.3.1) - CC 18 SLU - Classe 3
Sollecitazioni: N,Ed=-1876.58 Myeq,Ed=-3.49 Mzeq,Ed=0.03
Resistenze: Nc,Rd=13095.20 My,c,Rd=109.13 Mz,c,Rd=21.83 L=21.63
λ_Y=14.99 Ncr,y=461316.00 λ^*_y=0.17 Curva c: Φ_y=0.51 χ_y=1.00
λ_Z=74.94 Ncr,z=18452.60 λ^*_z=0.86 Curva c: Φ_z=1.04 χ_z=0.62
χ,min=0.62
Verifica: 0.23+0.03+0.00=0.26

- Verifica in termini tensionali [4.2.4] - CC 18 SLU Xl=0.22 - Classe 3
Sollecitazioni: N=-1876.34 T_z=2.54 M_y=-3.49
Tensioni: σ_N=-375.27 σ_M=-83.87 τ=0.00 σ_{max}=-459.14
Tensioni: σ_N=-375.27 σ_M=0.00 τ=0.76 τ_{max}=0.76
Tensioni: σ_N=-375.27 σ_M=-83.87 τ=0.00 $\sigma_{ID,max}$=459.14

Asta n. 4106 (-689 -705) briglie 50x10 Crit. 1

- Verifica di stabilità aste presso-inflesse (C4.2.4.1.3.3.1) - CC 18 SLU - Classe 3
Sollecitazioni: N,Ed=-1880.45 Myeq,Ed=-2.98 Mzeq,Ed=-0.04
Resistenze: Nc,Rd=13095.20 My,c,Rd=109.13 Mz,c,Rd=21.83 L=21.63
λ_Y=14.99 Ncr,y=461315.00 λ^*_y=0.17 Curva c: Φ_y=0.51 χ_y=1.00
λ_Z=74.94 Ncr,z=18452.60 λ^*_z=0.86 Curva c: Φ_z=1.04 χ_z=0.62
χ,min=0.62
Verifica: 0.23+0.03+0.00=0.26

- Verifica in termini tensionali [4.2.4] - CC 18 SLU Xl=0.11 - Classe 3
Sollecitazioni: N=-1880.33 M_y=-3.06
Tensioni: σ_N=-376.07 σ_M=-73.32 τ=0.00 σ_{max}=-449.39
Tensioni: σ_N=0.00 σ_M=0.00 τ=0.00 τ_{max}=0.00
Tensioni: σ_N=-376.07 σ_M=-73.32 τ=0.00 $\sigma_{ID,max}$=449.39

Asta n. 4106 (-705 -721) briglie 50x10 Crit. 1

- Verifica di stabilità aste presso-inflesse (C4.2.4.1.3.3.1) - CC 18 SLU - Classe 3
  Sollecitazioni: N,Ed=-1872.77 Myeq,Ed=-4.22 Mzeq,Ed=-0.12
  Resistenze: Nc,Rd=13095.20 My,c,Rd=109.13 Mz,c,Rd=21.83 L=21.63
  λ_Y=14.99 Ncr,y=461317.00 λ^*_y=0.17 Curva c: Φ_y=0.51 χ_y=1.00
  λ_Z=74.94 Ncr,z=18452.70 λ^*_z=0.86 Curva c: Φ_z=1.04 χ_z=0.62
  χ,min=0.62
  Verifica: 0.23+0.04+0.01=0.27

- Verifica in termini tensionali [4.2.4] - CC 18 SLU Xl=0.06 - Classe 3
  Sollecitazioni: N=-1872.71 M_y=-4.24
  Tensioni: σ_N=-374.54 σ_M=-101.86 τ=0.00 σ_{max}=-476.40
  Tensioni: σ_N=0.00 σ_M=0.00 τ=0.00 τ_{max}=0.00
  Tensioni: σ_N=-374.54 σ_M=-101.86 τ=0.00 $\sigma_{ID,max}$=476.40

Asta n. 4106 (-721 -737) briglie 50x10 Crit. 1

- Verifica di stabilità aste presso-inflesse (C4.2.4.1.3.3.1) - CC 18 SLU - Classe 3
  Sollecitazioni: N,Ed=-1810.05 Myeq,Ed=-9.60 Mzeq,Ed=0.13
  Resistenze: Nc,Rd=13095.20 My,c,Rd=109.13 Mz,c,Rd=21.83 L=21.63
  λ_Y=14.99 Ncr,y=461317.00 λ^*_y=0.17 Curva c: Φ_y=0.51 χ_y=1.00
  λ_Z=74.94 Ncr,z=18452.70 λ^*_z=0.86 Curva c: Φ_z=1.04 χ_z=0.62
  χ,min=0.62
  Verifica: 0.22+0.09+0.01=0.32

- Verifica in termini tensionali [4.2.4] - CC 18 SLU Xl=0.00 - Classe 3
  Sollecitazioni: N=-1810.05 T_z=-66.78 M_y=-11.52
  Tensioni: σ_N=-362.01 σ_M=-276.44 τ=0.00 σ_{max}=-638.45
  Tensioni: σ_N=-362.01 σ_M=0.00 τ=20.03 τ_{max}=20.03
  Tensioni: σ_N=-362.01 σ_M=-276.44 τ=0.00 $\sigma_{ID,max}$=638.45

Asta n. 4106 (-737 -753) briglie 50x10 Crit. 1

- Verifica di stabilità aste presso-inflesse (C4.2.4.1.3.3.1) - CC 18 SLU - Classe 3
  Sollecitazioni: N,Ed=-1735.75 Myeq,Ed=-9.32 Mzeq,Ed=0.06
  Resistenze: Nc,Rd=13095.20 My,c,Rd=109.13 Mz,c,Rd=21.83 L=21.63
  λ_Y=14.99 Ncr,y=461316.00 λ^*_y=0.17 Curva c: Φ_y=0.51 χ_y=1.00
  λ_Z=74.94 Ncr,z=18452.60 λ^*_z=0.86 Curva c: Φ_z=1.04 χ_z=0.62
  χ,min=0.62
  Verifica: 0.21+0.09+0.00=0.30

- Verifica in termini tensionali [4.2.4] - CC 18 SLU Xl=0.00 - Classe 3
  Sollecitazioni: N=-1735.75 T_z=-64.80 M_y=-9.76
  Tensioni: σ_N=-347.15 σ_M=-234.27 τ=0.00 σ_{max}=-581.42
  Tensioni: σ_N=-347.15 σ_M=0.00 τ=19.44 τ_{max}=19.44
  Tensioni: σ_N=-347.15 σ_M=-234.27 τ=0.00 $\sigma_{ID,max}$=581.42

Asta n. 4106 (-753 -769) briglie 50x10 Crit. 1

- Verifica di stabilità aste presso-inflesse (C4.2.4.1.3.3.1) - CC 18 SLU - Classe 3
  Sollecitazioni: N,Ed=-1660.83 Myeq,Ed=-9.11 Mzeq,Ed=-0.06
  Resistenze: Nc,Rd=13095.20 My,c,Rd=109.13 Mz,c,Rd=21.83 L=21.63
  λ_Y=14.99 Ncr,y=461317.00 λ^*_y=0.17 Curva c: Φ_y=0.51 χ_y=1.00
  λ_Z=74.94 Ncr,z=18452.70 λ^*_z=0.86 Curva c: Φ_z=1.04 χ_z=0.62
  χ,min=0.62
  Verifica: 0.20+0.08+0.00=0.29

- Verifica in termini tensionali [4.2.4] - CC 18 SLU Xl=0.00 - Classe 3

Sollecitazioni: N=-1660.83 T_z=-64.47 M_y=-9.11
Tensioni: σ_N=-332.17 σ_M=-218.64 τ=0.00 σ_{max}=-550.80
Tensioni: σ_N=-332.17 σ_M=0.00 τ=19.34 τ_{max}=19.34
Tensioni: σ_N=-332.17 σ_M=-218.64 τ=0.00 $\sigma_{ID,max}$=550.80

Asta n. 4106 (-769 -785) briglie 50x10 Crit. 1

- Verifica di stabilità aste presso-inflesse (C4.2.4.1.3.3.1) - CC 18 SLU - Classe 3
Sollecitazioni: N,Ed=-1594.45 Myeq,Ed=-7.56 Mzeq,Ed=-0.11
Resistenze: Nc,Rd=13095.20 My,c,Rd=109.13 Mz,c,Rd=21.83 L=21.63
λ_Y=14.99 Ncr,y=461315.00 λ^*_y=0.17 Curva c: Φ_y=0.51 χ_y=1.00
λ_Z=74.94 Ncr,z=18452.60 λ^*_z=0.86 Curva c: Φ_z=1.04 χ_z=0.62
χ,min=0.62
Verifica: 0.20+0.07+0.01=0.27

- Verifica in termini tensionali [4.2.4] - CC 18 SLU Xl=0.00 - Classe 3
Sollecitazioni: N=-1594.45 T_z=-67.76 M_y=-7.56
Tensioni: σ_N=-318.89 σ_M=-181.43 τ=0.00 σ_{max}=-500.31
Tensioni: σ_N=-318.89 σ_M=0.00 τ=20.33 τ_{max}=20.33
Tensioni: σ_N=-318.89 σ_M=-181.43 τ=0.00 $\sigma_{ID,max}$=500.31

Asta n. 4107 (3002 -514) briglie 50x10 Crit. 1

- Verifica in termini tensionali [4.2.4] - CC 17 SLU Xl=0.17 - Classe 3
Sollecitazioni: N=43.33 T_z=-39.96 M_y=3.16
Tensioni: σ_N=8.67 σ_M=75.77 τ=0.00 σ_{max}=84.44
Tensioni: σ_N=8.67 σ_M=-0.00 τ=11.99 τ_{max}=11.99
Tensioni: σ_N=8.67 σ_M=75.77 τ=0.00 $\sigma_{ID,max}$=84.44

- Verifica a taglio dir. Y [4.2.16] - CC 17 SLU Xl=0.11
Sollecitazioni: N=43.02 T_z=-36.22 T_y=-1.41
V,Ed=-1.41 Vc,Rd=7560.76 V,Ed/Vc,Rd=0.00

- Verifica a taglio dir. Z [4.2.16]
V,Ed=-36.22 Vc,Rd=7560.76 V,Ed/Vc,Rd=0.00

Asta n. 4107 (-514 -530) briglie 50x10 Crit. 1

- Verifica a trazione [4.2.5] - CC 17 SLU Xl=0.17 - Classe 1
Sollecitazioni: N=194.53 T_z=-9.12 T_y=2.29
N,Ed=194.53 Npl,Rd=13095.20 Nu,Rd=15480.00 N,Ed/Nt,Rd=0.01

- Verifica a taglio dir. Y [4.2.16] - CC 18 SLU Xl=0.17
Sollecitazioni: N=125.98 T_z=-16.84 T_y=-4.15
V,Ed=-4.15 Vc,Rd=7560.76 V,Ed/Vc,Rd=0.00

- Verifica a taglio dir. Z [4.2.16]
V,Ed=-16.84 Vc,Rd=7560.76 V,Ed/Vc,Rd=0.00

Asta n. 4107 (-530 4027) briglie 50x10 Crit. 1

- Verifica in termini tensionali [4.2.4] - CC 19 SLU Xl=0.17 - Classe 3
Sollecitazioni: N=228.35 T_z=-66.25 M_y=6.67
Tensioni: σ_N=45.67 σ_M=160.14 τ=0.00 σ_{max}=205.81
Tensioni: σ_N=45.67 σ_M=-0.00 τ=19.87 τ_{max}=19.87
Tensioni: σ_N=45.67 σ_M=160.14 τ=0.00 $\sigma_{ID,max}$=205.81

- Verifica a taglio dir. Y [4.2.16] - CC 19 SLU Xl=0.06
Sollecitazioni: N=227.20 T_z=-52.10 T_y=-1.55

V,Ed=-1.55 Vc,Rd=7560.76 V,Ed/Vc,Rd=0.00

- Verifica a taglio dir. Z [4.2.16]
V,Ed=-52.10 Vc,Rd=7560.76 V,Ed/Vc,Rd=0.01

Asta n. 4107 (4027 -546) briglie 50x10 Crit. 1

- Verifica di stabilità aste inflesse (4.2.4.1.3.2) CC 18 SLU - Classe 3
L_{cr}=0.22 Curva d: α_{imp}=0.76 k_c=0.94 ψ=2.30 M,cr=0.00 λ_{LT}=0.00
$\lambda_{LT,0}$=0.20 β_{LT}=1.00 Φ_{LT}=0.00 β_{LT}=1.00 f=0.00 χ_{LT}=1.00
CC 18 SLU My,Ed=48.20 My,b,Rd=109.13 My,Ed/My,b,Rd=0.44

- Verifica di stabilità aste presso-inflesse (C4.2.4.1.3.3.1) - CC 5 SLV - Classe 3
Sollecitazioni: N,Ed=-415.80 Myeq,Ed=17.26 Mzeq,Ed=-0.09
Resistenze: Nc,Rd=13095.20 My,c,Rd=109.13 Mz,c,Rd=21.83 L=21.63
λ_Y=14.99 Ncr,y=461316.00 λ^*_y=0.17 Curva c: Φ_y=0.51 χ_y=1.00
λ_Z=74.94 Ncr,z=18452.60 λ^*_z=0.86 Curva c: Φ_z=1.04 χ_z=0.62
χ,min=0.62
Verifica: 0.03+0.16+0.00=0.19

- Verifica Freccia massima per soli carichi accidentali - CC 21
$f_{Z,G}$=0.00 (L/10550)

- Verifica Freccia massima carichi totali - CC 21
$f_{Z,G}$=0.00 (L/5969)

- Verifica in termini tensionali [4.2.4] - CC 19 SLU Xl=0.00 - Classe 3
Sollecitazioni: N=1354.24 T_z=326.04 M_y=47.39 T_y=-3.63
Tensioni: σ_N=270.85 σ_M=1137.29 τ=0.00 σ_{max}=1408.14
Tensioni: σ_N=270.85 σ_M=-0.00 τ=97.82 τ_{max}=97.82
Tensioni: σ_N=270.85 σ_M=1137.29 τ=1.09 $\sigma_{ID,max}$=1408.14

- Verifica a taglio dir. Z [4.2.16] - CC 16 SLU Xl=0.14
Sollecitazioni: N=78.56 T_z=203.37
V,Ed=203.37 Vc,Rd=7560.76 V,Ed/Vc,Rd=0.03

Asta n. 4107 (-546 -562) briglie 50x10 Crit. 1

- Verifica di stabilità aste inflesse (4.2.4.1.3.2) CC 19 SLU - Classe 3
L_{cr}=0.22 Curva d: α_{imp}=0.76 k_c=0.94 ψ=2.71 M,cr=0.00 λ_{LT}=0.00
$\lambda_{LT,0}$=0.20 β_{LT}=1.00 Φ_{LT}=0.00 β_{LT}=1.00 f=0.00 χ_{LT}=1.00
CC 19 SLU My,Ed=33.35 My,b,Rd=109.13 My,Ed/My,b,Rd=0.31

- Verifica di stabilità aste presso-inflesse (C4.2.4.1.3.3.1) - CC 20 SLU - Classe 3
Sollecitazioni: N,Ed=-9.01 Myeq,Ed=25.58 Mzeq,Ed=0.06
Resistenze: Nc,Rd=13095.20 My,c,Rd=109.13 Mz,c,Rd=21.83 L=21.63
λ_Y=14.99 Ncr,y=461316.00 λ^*_y=0.17 Curva c: Φ_y=0.51 χ_y=1.00
λ_Z=74.94 Ncr,z=18452.60 λ^*_z=0.86 Curva c: Φ_z=1.04 χ_z=0.62
χ,min=0.62
Verifica: 0.00+0.23+0.00=0.24

- Verifica Freccia massima carichi totali - CC 21
$f_{Z,L}$=0.00 (L/12602)

- Verifica in termini tensionali [4.2.4] - CC 19 SLU Xl=0.00 - Classe 3
Sollecitazioni: N=587.30 T_z=288.06 M_y=33.35 T_y=-1.85
Tensioni: σ_N=117.46 σ_M=800.41 τ=0.00 σ_{max}=917.87
Tensioni: σ_N=117.46 σ_M=-0.00 τ=86.42 τ_{max}=86.42
Tensioni: σ_N=117.46 σ_M=800.41 τ=0.56 $\sigma_{ID,max}$=917.87

- Verifica a taglio dir. Z [4.2.16] - CC 19 SLU Xl=0.12
  Sollecitazioni: N=588.92 T_z=268.15
  V,Ed=268.15 Vc,Rd=7560.76 V,Ed/Vc,Rd=0.04

Asta n. 4107 (-562 -578) briglie 50x10 Crit. 1

- Verifica di stabilità aste inflesse (4.2.4.1.3.2) CC 5 SLV - Classe 3
  L_{cr}=0.22 Curva d: α_{imp}=0.76 k_c=0.94 ψ=2.63 M,cr=0.00 λ_{LT}=0.00
  $\lambda_{LT,0}$=0.20 β_{LT}=1.00 Φ_{LT}=0.00 β_{LT}=1.00 f=0.00 χ_{LT}=1.00
  CC 5 SLV My,Ed=12.70 My,b,Rd=109.13 My,Ed/My,b,Rd=0.12

- Verifica di stabilità aste presso-inflesse (C4.2.4.1.3.3.1) - CC 18 SLU - Classe 3
  Sollecitazioni: N,Ed=-543.97 Myeq,Ed=-24.02 Mzeq,Ed=-0.08
  Resistenze: Nc,Rd=13095.20 My,c,Rd=109.13 Mz,c,Rd=21.83 L=21.63
  λ_Y=14.99 Ncr,y=461316.00 λ^*_y=0.17 Curva c: Φ_y=0.51 χ_y=1.00
  λ_Z=74.94 Ncr,z=18452.60 λ^*_z=0.86 Curva c: Φ_z=1.04 χ_z=0.62
  χ,min=0.62
  Verifica: 0.04+0.22+0.00=0.27

- Verifica in termini tensionali [4.2.4] - CC 18 SLU Xl=0.22 - Classe 3
  Sollecitazioni: N=-539.85 T_z=195.57 M_y=-24.02
  Tensioni: σ_N=-107.97 σ_M=-576.38 τ=0.00 σ_{max}=-684.34
  Tensioni: σ_N=-107.97 σ_M=0.00 τ=58.67 τ_{max}=58.67
  Tensioni: σ_N=-107.97 σ_M=-576.38 τ=0.00 $\sigma_{ID,max}$=684.34

- Verifica a taglio dir. Z [4.2.16] - CC 1 SLV Xl=0.12
  Sollecitazioni: N=162.32 T_z=73.71
  V,Ed=73.71 Vc,Rd=7560.76 V,Ed/Vc,Rd=0.01

Asta n. 4107 (-578 -594) briglie 50x10 Crit. 1

- Verifica di stabilità aste inflesse (4.2.4.1.3.2) CC 5 SLV - Classe 3
  L_{cr}=0.22 Curva d: α_{imp}=0.76 k_c=0.94 ψ=2.78 M,cr=0.00 λ_{LT}=0.00
  $\lambda_{LT,0}$=0.20 β_{LT}=1.00 Φ_{LT}=0.00 β_{LT}=1.00 f=0.00 χ_{LT}=1.00
  CC 5 SLV My,Ed=10.54 My,b,Rd=109.13 My,Ed/My,b,Rd=0.10

- Verifica di stabilità aste presso-inflesse (C4.2.4.1.3.3.1) - CC 18 SLU - Classe 3
  Sollecitazioni: N,Ed=-1026.28 Myeq,Ed=-20.19 Mzeq,Ed=-0.10
  Resistenze: Nc,Rd=13095.20 My,c,Rd=109.13 Mz,c,Rd=21.83 L=21.63
  λ_Y=14.99 Ncr,y=461316.00 λ^*_y=0.17 Curva c: Φ_y=0.51 χ_y=1.00
  λ_Z=74.94 Ncr,z=18452.60 λ^*_z=0.86 Curva c: Φ_z=1.04 χ_z=0.62
  χ,min=0.62
  Verifica: 0.13+0.19+0.01=0.32

- Verifica in termini tensionali [4.2.4] - CC 18 SLU Xl=0.22 - Classe 3
  Sollecitazioni: N=-1022.15 T_z=149.69 M_y=-20.19
  Tensioni: σ_N=-204.43 σ_M=-484.51 τ=0.00 σ_{max}=-688.95
  Tensioni: σ_N=-204.43 σ_M=0.00 τ=44.91 τ_{max}=44.91
  Tensioni: σ_N=-204.43 σ_M=-484.51 τ=0.00 $\sigma_{ID,max}$=688.95

- Verifica a taglio dir. Z [4.2.16] - CC 7 SLV Xl=0.00
  Sollecitazioni: N=303.44 T_z=17.42
  V,Ed=17.42 Vc,Rd=7560.76 V,Ed/Vc,Rd=0.00

Asta n. 4107 (-594 -610) briglie 50x10 Crit. 1

- Verifica di stabilità aste inflesse (4.2.4.1.3.2) CC 5 SLV - Classe 3
  L_{cr}=0.22 Curva d: α_{imp}=0.76 k_c=0.94 ψ=2.88 M,cr=0.00 λ_{LT}=0.00

$\lambda_{LT,0}$=0.20 β_{LT}=1.00 Φ_{LT}=0.00 β_{LT}=1.00 f=0.00 χ_{LT}=1.00
CC 5 SLV My,Ed=8.34 My,b,Rd=109.13 My,Ed/My,b,Rd=0.08

- Verifica di stabilità aste presso-inflesse (C4.2.4.1.3.3.1) - CC 18 SLU - Classe 3
Sollecitazioni: N,Ed=-1393.41 Myeq,Ed=-18.42 Mzeq,Ed=0.11
Resistenze: Nc,Rd=13095.20 My,c,Rd=109.13 Mz,c,Rd=21.83 L=21.63
λ_Y=14.99 Ncr,y=461316.00 λ^*_y=0.17 Curva c: Φ_y=0.51 χ_y=1.00
λ_Z=74.94 Ncr,z=18452.60 λ^*_z=0.86 Curva c: Φ_z=1.04 χ_z=0.62
χ,min=0.62
Verifica: 0.17+0.17+0.01=0.35

- Verifica in termini tensionali [4.2.4] - CC 18 SLU Xl=0.22 - Classe 3
Sollecitazioni: N=-1389.28 T_z=126.64 M_y=-18.42
Tensioni: σ_N=-277.86 σ_M=-441.98 τ=0.00 σ_{max}=-719.84
Tensioni: σ_N=-277.86 σ_M=0.00 τ=37.99 τ_{max}=37.99
Tensioni: σ_N=-277.86 σ_M=-441.98 τ=0.00 $\sigma_{ID,max}$=719.84

- Verifica a taglio dir. Z [4.2.16] - CC 7 SLV Xl=0.00
Sollecitazioni: N=125.05 T_z=6.24
V,Ed=6.24 Vc,Rd=7560.76 V,Ed/Vc,Rd=0.00

Asta n. 4107 (-610 -626) briglie 50x10 Crit. 1

- Verifica di stabilità aste presso-inflesse (C4.2.4.1.3.3.1) - CC 18 SLU - Classe 3
Sollecitazioni: N,Ed=-1661.68 Myeq,Ed=-15.09 Mzeq,Ed=0.02
Resistenze: Nc,Rd=13095.20 My,c,Rd=109.13 Mz,c,Rd=21.83 L=21.63
λ_Y=14.99 Ncr,y=461316.00 λ^*_y=0.17 Curva c: Φ_y=0.51 χ_y=1.00
λ_Z=74.94 Ncr,z=18452.60 λ^*_z=0.86 Curva c: Φ_z=1.04 χ_z=0.62
χ,min=0.62
Verifica: 0.20+0.14+0.00=0.34

- Verifica in termini tensionali [4.2.4] - CC 18 SLU Xl=0.22 - Classe 3
Sollecitazioni: N=-1657.55 T_z=88.52 M_y=-15.09
Tensioni: σ_N=-331.51 σ_M=-362.27 τ=0.00 σ_{max}=-693.78
Tensioni: σ_N=-331.51 σ_M=0.00 τ=26.56 τ_{max}=26.56
Tensioni: σ_N=-331.51 σ_M=-362.27 τ=0.00 $\sigma_{ID,max}$=693.78

Asta n. 4107 (-626 -642) briglie 50x10 Crit. 1

- Verifica di stabilità aste presso-inflesse (C4.2.4.1.3.3.1) - CC 18 SLU - Classe 3
Sollecitazioni: N,Ed=-1844.83 Myeq,Ed=-11.29 Mzeq,Ed=-0.05
Resistenze: Nc,Rd=13095.20 My,c,Rd=109.13 Mz,c,Rd=21.83 L=21.63
λ_Y=14.99 Ncr,y=461316.00 λ^*_y=0.17 Curva c: Φ_y=0.51 χ_y=1.00
λ_Z=74.94 Ncr,z=18452.60 λ^*_z=0.86 Curva c: Φ_z=1.04 χ_z=0.62
χ,min=0.62
Verifica: 0.23+0.10+0.00=0.33

- Verifica in termini tensionali [4.2.4] - CC 18 SLU Xl=0.22 - Classe 3
Sollecitazioni: N=-1840.71 T_z=54.86 M_y=-11.73
Tensioni: σ_N=-368.14 σ_M=-281.44 τ=0.00 σ_{max}=-649.58
Tensioni: σ_N=-368.14 σ_M=0.00 τ=16.46 τ_{max}=16.46
Tensioni: σ_N=-368.14 σ_M=-281.44 τ=0.00 $\sigma_{ID,max}$=649.58

Asta n. 4107 (-642 -658) briglie 50x10 Crit. 1

- Verifica di stabilità aste presso-inflesse (C4.2.4.1.3.3.1) - CC 19 SLU - Classe 3
Sollecitazioni: N,Ed=-1554.52 Myeq,Ed=-9.42 Mzeq,Ed=0.77
Resistenze: Nc,Rd=13095.20 My,c,Rd=109.13 Mz,c,Rd=21.83 L=21.63
λ_Y=14.99 Ncr,y=461316.00 λ^*_y=0.17 Curva c: Φ_y=0.51 χ_y=1.00

λ_Z=74.94 Ncr,z=18452.60 λ^*_z=0.86 Curva c: Φ_z=1.04 χ_z=0.62
χ,min=0.62
Verifica: 0.19+0.09+0.04=0.32

- Verifica in termini tensionali [4.2.4] - CC 18 SLU Xl=0.22 - Classe 3
Sollecitazioni: N=-1957.15 T_z=22.73 M_y=-7.88
Tensioni: σ_N=-391.43 σ_M=-189.21 τ=0.00 σ_{max}=-580.63
Tensioni: σ_N=-391.43 σ_M=0.00 τ=6.82 τ_{max}=6.82
Tensioni: σ_N=-391.43 σ_M=-189.21 τ=0.00 $\sigma_{ID,max}$=580.63

Asta n. 4107 (-658 -674) briglie 50x10 Crit. 1

- Verifica di stabilità aste presso-inflesse (C4.2.4.1.3.3.1) - CC 19 SLU - Classe 3
Sollecitazioni: N,Ed=-1430.92 Myeq,Ed=-9.04 Mzeq,Ed=0.81
Resistenze: Nc,Rd=13095.20 My,c,Rd=109.13 Mz,c,Rd=21.83 L=21.63
λ_Y=14.99 Ncr,y=461316.00 λ^*_y=0.17 Curva c: Φ_y=0.51 χ_y=1.00
λ_Z=74.94 Ncr,z=18452.60 λ^*_z=0.86 Curva c: Φ_z=1.04 χ_z=0.62
χ,min=0.62
Verifica: 0.18+0.08+0.04=0.30

- Verifica in termini tensionali [4.2.4] - CC 18 SLU Xl=0.22 - Classe 3
Sollecitazioni: N=-1833.18 T_z=22.55 M_y=-7.79
Tensioni: σ_N=-366.64 σ_M=-186.95 τ=0.00 σ_{max}=-553.59
Tensioni: σ_N=-366.64 σ_M=0.00 τ=6.77 τ_{max}=6.77
Tensioni: σ_N=-366.64 σ_M=-186.95 τ=0.00 $\sigma_{ID,max}$=553.59

Asta n. 4107 (-674 -690) briglie 50x10 Crit. 1

- Verifica di stabilità aste presso-inflesse (C4.2.4.1.3.3.1) - CC 18 SLU - Classe 3
Sollecitazioni: N,Ed=-1883.73 Myeq,Ed=-4.99 Mzeq,Ed=0.03
Resistenze: Nc,Rd=13095.20 My,c,Rd=109.13 Mz,c,Rd=21.83 L=21.63
λ_Y=14.99 Ncr,y=461316.00 λ^*_y=0.17 Curva c: Φ_y=0.51 χ_y=1.00
λ_Z=74.94 Ncr,z=18452.60 λ^*_z=0.86 Curva c: Φ_z=1.04 χ_z=0.62
χ,min=0.62
Verifica: 0.23+0.05+0.00=0.28

- Verifica in termini tensionali [4.2.4] - CC 18 SLU Xl=0.19 - Classe 3
Sollecitazioni: N=-1880.16 M_y=-5.24
Tensioni: σ_N=-376.03 σ_M=-125.87 τ=0.00 σ_{max}=-501.90
Tensioni: σ_N=0.00 σ_M=0.00 τ=0.00 τ_{max}=0.00
Tensioni: σ_N=-376.03 σ_M=-125.87 τ=0.00 $\sigma_{ID,max}$=501.90

Asta n. 4107 (-690 -706) briglie 50x10 Crit. 1

- Verifica di stabilità aste presso-inflesse (C4.2.4.1.3.3.1) - CC 18 SLU - Classe 3
Sollecitazioni: N,Ed=-1889.89 Myeq,Ed=-4.66 Mzeq,Ed=-0.04
Resistenze: Nc,Rd=13095.20 My,c,Rd=109.13 Mz,c,Rd=21.83 L=21.63
λ_Y=14.99 Ncr,y=461315.00 λ^*_y=0.17 Curva c: Φ_y=0.51 χ_y=1.00
λ_Z=74.94 Ncr,z=18452.60 λ^*_z=0.86 Curva c: Φ_z=1.04 χ_z=0.62
χ,min=0.62
Verifica: 0.23+0.04+0.00=0.28

- Verifica in termini tensionali [4.2.4] - CC 18 SLU Xl=0.08 - Classe 3
Sollecitazioni: N=-1888.46 M_y=-4.66
Tensioni: σ_N=-377.69 σ_M=-111.88 τ=0.00 σ_{max}=-489.57
Tensioni: σ_N=0.00 σ_M=0.00 τ=0.00 τ_{max}=0.00
Tensioni: σ_N=-377.69 σ_M=-111.88 τ=0.00 $\sigma_{ID,max}$=489.57

Asta n. 4107 (-706 -722) briglie 50x10 Crit. 1

- Verifica di stabilità aste presso-inflesse (C4.2.4.1.3.3.1) - CC 18 SLU - Classe 3
  Sollecitazioni: N,Ed=-1862.00 Myeq,Ed=-4.83 Mzeq,Ed=-0.11
  Resistenze: Nc,Rd=13095.20 My,c,Rd=109.13 Mz,c,Rd=21.83 L=21.63
  λ_Y=14.99 Ncr,y=461317.00 λ^*_y=0.17 Curva c: Φ_y=0.51 χ_y=1.00
  λ_Z=74.94 Ncr,z=18452.70 λ^*_z=0.86 Curva c: Φ_z=1.04 χ_z=0.62
  χ,min=0.62
  Verifica: 0.23+0.04+0.01=0.28

- Verifica in termini tensionali [4.2.4] - CC 18 SLU Xl=0.00 - Classe 3
  Sollecitazioni: N=-1862.00 T_z=-8.95 M_y=-6.40
  Tensioni: σ_N=-372.40 σ_M=-153.57 τ=0.00 σ_{max}=-525.97
  Tensioni: σ_N=-372.40 σ_M=0.00 τ=2.69 τ_{max}=2.69
  Tensioni: σ_N=-372.40 σ_M=-153.57 τ=0.00 $\sigma_{ID,max}$=525.97

Asta n. 4107 (-722 -738) briglie 50x10 Crit. 1

- Verifica di stabilità aste presso-inflesse (C4.2.4.1.3.3.1) - CC 18 SLU - Classe 3
  Sollecitazioni: N,Ed=-1830.61 Myeq,Ed=-5.07 Mzeq,Ed=0.12
  Resistenze: Nc,Rd=13095.20 My,c,Rd=109.13 Mz,c,Rd=21.83 L=21.63
  λ_Y=14.99 Ncr,y=461317.00 λ^*_y=0.17 Curva c: Φ_y=0.51 χ_y=1.00
  λ_Z=74.94 Ncr,z=18452.70 λ^*_z=0.86 Curva c: Φ_z=1.04 χ_z=0.62
  χ,min=0.62
  Verifica: 0.22+0.05+0.01=0.28

- Verifica in termini tensionali [4.2.4] - CC 18 SLU Xl=0.00 - Classe 3
  Sollecitazioni: N=-1830.61 T_z=-10.65 M_y=-6.50
  Tensioni: σ_N=-366.12 σ_M=-155.89 τ=0.00 σ_{max}=-522.01
  Tensioni: σ_N=-366.12 σ_M=0.00 τ=3.20 τ_{max}=3.20
  Tensioni: σ_N=-366.12 σ_M=-155.89 τ=0.00 $\sigma_{ID,max}$=522.01

Asta n. 4107 (-738 -754) briglie 50x10 Crit. 1

- Verifica di stabilità aste presso-inflesse (C4.2.4.1.3.3.1) - CC 18 SLU - Classe 3
  Sollecitazioni: N,Ed=-1766.66 Myeq,Ed=-8.61 Mzeq,Ed=0.06
  Resistenze: Nc,Rd=13095.20 My,c,Rd=109.13 Mz,c,Rd=21.83 L=21.63
  λ_Y=14.99 Ncr,y=461316.00 λ^*_y=0.17 Curva c: Φ_y=0.51 χ_y=1.00
  λ_Z=74.94 Ncr,z=18452.60 λ^*_z=0.86 Curva c: Φ_z=1.04 χ_z=0.62
  χ,min=0.62
  Verifica: 0.22+0.08+0.00=0.30

- Verifica in termini tensionali [4.2.4] - CC 18 SLU Xl=0.00 - Classe 3
  Sollecitazioni: N=-1766.66 T_z=-35.83 M_y=-9.48
  Tensioni: σ_N=-353.33 σ_M=-227.63 τ=0.00 σ_{max}=-580.96
  Tensioni: σ_N=-353.33 σ_M=0.00 τ=10.75 τ_{max}=10.75
  Tensioni: σ_N=-353.33 σ_M=-227.63 τ=0.00 $\sigma_{ID,max}$=580.96

Asta n. 4107 (-754 -770) briglie 50x10 Crit. 1

- Verifica di stabilità aste presso-inflesse (C4.2.4.1.3.3.1) - CC 18 SLU - Classe 3
  Sollecitazioni: N,Ed=-1682.62 Myeq,Ed=-11.26 Mzeq,Ed=-0.06
  Resistenze: Nc,Rd=13095.20 My,c,Rd=109.13 Mz,c,Rd=21.83 L=21.63
  λ_Y=14.99 Ncr,y=461317.00 λ^*_y=0.17 Curva c: Φ_y=0.51 χ_y=1.00
  λ_Z=74.94 Ncr,z=18452.70 λ^*_z=0.86 Curva c: Φ_z=1.04 χ_z=0.62
  χ,min=0.62
  Verifica: 0.21+0.10+0.00=0.31

- Verifica in termini tensionali [4.2.4] - CC 18 SLU Xl=0.00 - Classe 3
  Sollecitazioni: N=-1682.62 T_z=-57.45 M_y=-11.26

Tensioni: σ_N=-336.52 σ_M=-270.30 τ=0.00 σ_{max}=-606.82
Tensioni: σ_N=-336.52 σ_M=0.00 τ=17.24 τ_{max}=17.24
Tensioni: σ_N=-336.52 σ_M=-270.30 τ=0.00 $\sigma_{ID,max}$=606.82

Asta n. 4107 (-770 -786) briglie 50x10 Crit. 1

- Verifica di stabilità aste presso-inflesse (C4.2.4.1.3.3.1) - CC 18 SLU - Classe 3
Sollecitazioni: N,Ed=-1590.38 Myeq,Ed=13.62 Mzeq,Ed=-0.11
Resistenze: Nc,Rd=13095.20 My,c,Rd=109.13 Mz,c,Rd=21.83 L=21.63
λ_Y=14.99 Ncr,y=461315.00 λ^*_y=0.17 Curva c: Φ_y=0.51 χ_y=1.00
λ_Z=74.94 Ncr,z=18452.60 λ^*_z=0.86 Curva c: Φ_z=1.04 χ_z=0.62
χ,min=0.62
Verifica: 0.20+0.13+0.01=0.33

- Verifica in termini tensionali [4.2.4] - CC 18 SLU Xl=0.22 - Classe 3
Sollecitazioni: N=-1586.26 T_z=-137.52 M_y=13.62
Tensioni: σ_N=-317.25 σ_M=-326.91 τ=0.00 σ_{max}=-644.16
Tensioni: σ_N=-317.25 σ_M=-0.00 τ=41.26 τ_{max}=41.26
Tensioni: σ_N=-317.25 σ_M=-326.91 τ=0.00 $\sigma_{ID,max}$=644.16

Asta n. 4144 (3003 -515) briglie 50x10 Crit. 1

- Verifica in termini tensionali [4.2.4] - CC 18 SLU Xl=0.17 - Classe 3
Sollecitazioni: N=103.28 T_z=-58.17 M_y=3.68 T_y=-2.27
Tensioni: σ_N=20.66 σ_M=88.28 τ=0.00 σ_{max}=108.94
Tensioni: σ_N=20.66 σ_M=-0.00 τ=17.46 τ_{max}=17.46
Tensioni: σ_N=20.66 σ_M=88.28 τ=0.68 $\sigma_{ID,max}$=108.95

- Verifica a taglio dir. Y [4.2.16] - CC 18 SLU Xl=0.11
Sollecitazioni: N=102.38 T_z=-46.95 T_y=-2.27
V,Ed=-2.27 Vc,Rd=7560.76 V,Ed/Vc,Rd=0.00

- Verifica a taglio dir. Z [4.2.16]
V,Ed=-46.95 Vc,Rd=7560.76 V,Ed/Vc,Rd=0.01

Asta n. 4144 (-515 -531) briglie 50x10 Crit. 1

- Verifica in termini tensionali [4.2.4] - CC 18 SLU Xl=0.17 - Classe 3
Sollecitazioni: N=256.53 T_z=-63.51 M_y=4.89 T_y=-1.69
Tensioni: σ_N=51.31 σ_M=117.44 τ=0.00 σ_{max}=168.74
Tensioni: σ_N=51.31 σ_M=-0.00 τ=19.06 τ_{max}=19.06
Tensioni: σ_N=51.31 σ_M=117.44 τ=0.51 $\sigma_{ID,max}$=168.74

- Verifica a taglio dir. Y [4.2.16] - CC 18 SLU Xl=0.09
Sollecitazioni: N=255.39 T_z=-49.49 T_y=-1.69
V,Ed=-1.69 Vc,Rd=7560.76 V,Ed/Vc,Rd=0.00

- Verifica a taglio dir. Z [4.2.16]
V,Ed=-49.49 Vc,Rd=7560.76 V,Ed/Vc,Rd=0.01

Asta n. 4144 (-531 4028) briglie 50x10 Crit. 1

- Verifica in termini tensionali [4.2.4] - CC 18 SLU Xl=0.17 - Classe 3
Sollecitazioni: N=405.48 T_z=-103.33 M_y=11.64 T_y=-2.21
Tensioni: σ_N=81.10 σ_M=279.25 τ=0.00 σ_{max}=360.35
Tensioni: σ_N=81.10 σ_M=-0.00 τ=31.00 τ_{max}=31.00
Tensioni: σ_N=81.10 σ_M=279.25 τ=0.66 $\sigma_{ID,max}$=360.35

- Verifica a taglio dir. Y [4.2.16] - CC 18 SLU Xl=0.05

Sollecitazioni: N=403.66 T_z=-80.89 T_y=-2.21
V,Ed=-2.21 Vc,Rd=7560.76 V,Ed/Vc,Rd=0.00

- Verifica a taglio dir. Z [4.2.16]
V,Ed=-80.89 Vc,Rd=7560.76 V,Ed/Vc,Rd=0.01

Asta n. 4144 (4028 -547) briglie 50x10 Crit. 1

- Verifica di stabilità aste inflesse (4.2.4.1.3.2) CC 18 SLU - Classe 3
L_{cr}=0.22 Curva d: α_{imp}=0.76 k_c=0.94 ψ=2.26 M,cr=0.00 λ_{LT}=0.00
$\lambda_{LT,0}$=0.20 β_{LT}=1.00 Φ_{LT}=0.00 β_{LT}=1.00 f=0.00 χ_{LT}=1.00
CC 18 SLU My,Ed=89.90 My,b,Rd=109.13 My,Ed/My,b,Rd=0.82

- Verifica di stabilità aste presso-inflesse (C4.2.4.1.3.3.1) - CC 5 SLV - Classe 3
Sollecitazioni: N,Ed=-151.36 Myeq,Ed=24.81 Mzeq,Ed=0.06
Resistenze: Nc,Rd=13095.20 My,c,Rd=109.13 Mz,c,Rd=21.83 L=21.63
λ_Y=14.99 Ncr,y=461316.00 λ^*_y=0.17 Curva c: Φ_y=0.51 χ_y=1.00
λ_Z=74.94 Ncr,z=18452.60 λ^*_z=0.86 Curva c: Φ_z=1.04 χ_z=0.62
χ,min=0.62
Verifica: 0.01+0.23+0.00=0.24

- Verifica Freccia massima per soli carichi accidentali - CC 24
$f_{Z,G}$=0.00 (L/5706)

- Verifica Freccia massima carichi totali - CC 21
$f_{Z,G}$=0.01 (L/3463)

- Verifica in termini tensionali [4.2.4] - CC 18 SLU Xl=0.00 - Classe 3
Sollecitazioni: N=2179.04 T_z=621.57 M_y=89.90
Tensioni: σ_N=435.81 σ_M=2157.65 τ=0.00 σ_{max}=2593.46
Tensioni: σ_N=435.81 σ_M=-0.00 τ=186.47 τ_{max}=186.47
Tensioni: σ_N=435.81 σ_M=2157.65 τ=0.00 $\sigma_{ID,max}$=2593.46

- Verifica a taglio dir. Z [4.2.16] - CC 3 SLV Xl=0.16
Sollecitazioni: N=415.52 T_z=118.57
V,Ed=118.57 Vc,Rd=7560.76 V,Ed/Vc,Rd=0.02

Asta n. 4144 (-547 -563) briglie 50x10 Crit. 1

- Verifica di stabilità aste inflesse (4.2.4.1.3.2) CC 18 SLU - Classe 3
L_{cr}=0.22 Curva d: α_{imp}=0.76 k_c=0.94 ψ=2.77 M,cr=0.00 λ_{LT}=0.00
$\lambda_{LT,0}$=0.20 β_{LT}=1.00 Φ_{LT}=0.00 β_{LT}=1.00 f=0.00 χ_{LT}=1.00
CC 18 SLU My,Ed=63.77 My,b,Rd=109.13 My,Ed/My,b,Rd=0.58

- Verifica di stabilità aste presso-inflesse (C4.2.4.1.3.3.1) - CC 16 SLU - Classe 3
Sollecitazioni: N,Ed=-68.08 Myeq,Ed=40.80 Mzeq,Ed=0.01
Resistenze: Nc,Rd=13095.20 My,c,Rd=109.13 Mz,c,Rd=21.83 L=21.63
λ_Y=14.99 Ncr,y=461316.00 λ^*_y=0.17 Curva c: Φ_y=0.51 χ_y=1.00
λ_Z=74.94 Ncr,z=18452.60 λ^*_z=0.86 Curva c: Φ_z=1.04 χ_z=0.62
χ,min=0.62
Verifica: 0.01+0.37+0.00=0.38

- Verifica Freccia massima per soli carichi accidentali - CC 11
$f_{Z,L}$=0.00 (L/13150)

- Verifica Freccia massima carichi totali - CC 21
$f_{Z,G}$=0.00 (L/7317)

- Verifica in termini tensionali [4.2.4] - CC 18 SLU Xl=0.00 - Classe 3
Sollecitazioni: N=679.06 T_z=553.63 M_y=63.77

Tensioni: σ_N=135.81 σ_M=1530.41 τ=0.00 σ_{max}=1666.22
Tensioni: σ_N=135.81 σ_M=-0.00 τ=166.09 τ_{max}=166.09
Tensioni: σ_N=135.81 σ_M=1530.41 τ=0.00 $\sigma_{ID,max}$=1666.22

- Verifica a taglio dir. Z [4.2.16] - CC 18 SLU Xl=0.12
Sollecitazioni: N=681.30 T_z=525.93
V,Ed=525.93 Vc,Rd=7560.76 V,Ed/Vc,Rd=0.07

Asta n. 4144 (-563 -579) briglie 50x10 Crit. 1

- Verifica di stabilità aste inflesse (4.2.4.1.3.2) CC 5 SLV - Classe 3
L_{cr}=0.22 Curva d: α_{imp}=0.76 k_c=0.94 ψ=2.72 M,cr=0.00 λ_{LT}=0.00
$\lambda_{LT,0}$=0.20 β_{LT}=1.00 Φ_{LT}=0.00 β_{LT}=1.00 f=0.00 χ_{LT}=1.00
CC 5 SLV My,Ed=17.79 My,b,Rd=109.13 My,Ed/My,b,Rd=0.16

- Verifica di stabilità aste presso-inflesse (C4.2.4.1.3.3.1) - CC 18 SLU - Classe 3
Sollecitazioni: N,Ed=-602.84 Myeq,Ed=49.05 Mzeq,Ed=-0.01
Resistenze: Nc,Rd=13095.20 My,c,Rd=109.13 Mz,c,Rd=21.83 L=21.63
λ_Y=14.99 Ncr,y=461316.00 λ^*_y=0.17 Curva c: Φ_y=0.51 χ_y=1.00
λ_Z=74.94 Ncr,z=18452.60 λ^*_z=0.86 Curva c: Φ_z=1.04 χ_z=0.62
χ,min=0.62
Verifica: 0.05+0.45+0.00=0.50

- Verifica Freccia massima per soli carichi accidentali - CC 11
$f_{Z,L}$=0.00 (L/21604)

- Verifica Freccia massima carichi totali - CC 21
$f_{Z,L}$=0.00 (L/12429)

- Verifica in termini tensionali [4.2.4] - CC 18 SLU Xl=0.00 - Classe 3
Sollecitazioni: N=-602.84 T_z=471.69 M_y=49.05
Tensioni: σ_N=-120.57 σ_M=-1177.20 τ=0.00 σ_{max}=-1297.76
Tensioni: σ_N=-120.57 σ_M=-0.00 τ=141.51 τ_{max}=141.51
Tensioni: σ_N=-120.57 σ_M=-1177.20 τ=0.00 $\sigma_{ID,max}$=1297.76

- Verifica a taglio dir. Z [4.2.16] - CC 3 SLV Xl=0.10
Sollecitazioni: N=153.81 T_z=93.77
V,Ed=93.77 Vc,Rd=7560.76 V,Ed/Vc,Rd=0.01

Asta n. 4144 (-579 -595) briglie 50x10 Crit. 1

- Verifica di stabilità aste inflesse (4.2.4.1.3.2) CC 5 SLV - Classe 3
L_{cr}=0.22 Curva d: α_{imp}=0.76 k_c=0.94 ψ=2.93 M,cr=0.00 λ_{LT}=0.00
$\lambda_{LT,0}$=0.20 β_{LT}=1.00 Φ_{LT}=0.00 β_{LT}=1.00 f=0.00 χ_{LT}=1.00
CC 5 SLV My,Ed=14.73 My,b,Rd=109.13 My,Ed/My,b,Rd=0.13

- Verifica di stabilità aste presso-inflesse (C4.2.4.1.3.3.1) - CC 18 SLU - Classe 3
Sollecitazioni: N,Ed=-1596.78 Myeq,Ed=-44.13 Mzeq,Ed=-0.02
Resistenze: Nc,Rd=13095.20 My,c,Rd=109.13 Mz,c,Rd=21.83 L=21.63
λ_Y=14.99 Ncr,y=461316.00 λ^*_y=0.17 Curva c: Φ_y=0.51 χ_y=1.00
λ_Z=74.94 Ncr,z=18452.60 λ^*_z=0.86 Curva c: Φ_z=1.04 χ_z=0.62
χ,min=0.62
Verifica: 0.20+0.41+0.00=0.60

- Verifica Freccia massima per soli carichi accidentali - CC 24
$f_{Z,G}$=0.00 (L/18903)

- Verifica Freccia massima carichi totali - CC 24
$f_{Z,G}$=0.00 (L/13748)

- Verifica in termini tensionali [4.2.4] - CC 18 SLU Xl=0.22 - Classe 3
  Sollecitazioni: N=-1592.65 T_z=355.75 M_y=-44.13
  Tensioni: σ_N=-318.53 σ_M=-1059.12 τ=0.00 σ_{max}=-1377.66
  Tensioni: σ_N=-318.53 σ_M=0.00 τ=106.72 τ_{max}=106.72
  Tensioni: σ_N=-318.53 σ_M=-1059.12 τ=0.00 $\sigma_{ID,max}$=1377.66

- Verifica a taglio dir. Z [4.2.16] - CC 7 SLV Xl=0.06
  Sollecitazioni: N=217.82 T_z=56.26
  V,Ed=56.26 Vc,Rd=7560.76 V,Ed/Vc,Rd=0.01

Asta n. 4144 (-595 -611) briglie 50x10 Crit. 1

- Verifica di stabilità aste presso-inflesse (C4.2.4.1.3.3.1) - CC 18 SLU - Classe 3
  Sollecitazioni: N,Ed=-2299.93 Myeq,Ed=-33.21 Mzeq,Ed=0.03
  Resistenze: Nc,Rd=13095.20 My,c,Rd=109.13 Mz,c,Rd=21.83 L=21.63
  λ_Y=14.99 Ncr,y=461316.00 λ^*_y=0.17 Curva c: Φ_y=0.51 χ_y=1.00
  λ_Z=74.94 Ncr,z=18452.60 λ^*_z=0.86 Curva c: Φ_z=1.04 χ_z=0.62
  χ,min=0.62
  Verifica: 0.28+0.31+0.00=0.59

- Verifica Freccia massima per soli carichi accidentali - CC 24
  $f_{Z,G}$=0.00 (L/18903)

- Verifica Freccia massima carichi totali - CC 24
  $f_{Z,G}$=0.00 (L/13959)

- Verifica in termini tensionali [4.2.4] - CC 18 SLU Xl=0.22 - Classe 3
  Sollecitazioni: N=-2295.81 T_z=239.26 M_y=-33.21
  Tensioni: σ_N=-459.16 σ_M=-796.95 τ=0.00 σ_{max}=-1256.11
  Tensioni: σ_N=-459.16 σ_M=0.00 τ=71.78 τ_{max}=71.78
  Tensioni: σ_N=-459.16 σ_M=-796.95 τ=0.00 $\sigma_{ID,max}$=1256.11

Asta n. 4144 (-611 -627) briglie 50x10 Crit. 1

- Verifica di stabilità aste presso-inflesse (C4.2.4.1.3.3.1) - CC 18 SLU - Classe 3
  Sollecitazioni: N,Ed=-2802.53 Myeq,Ed=-28.32 Mzeq,Ed=0.01
  Resistenze: Nc,Rd=13095.20 My,c,Rd=109.13 Mz,c,Rd=21.83 L=21.63
  λ_Y=14.99 Ncr,y=461316.00 λ^*_y=0.17 Curva c: Φ_y=0.51 χ_y=1.00
  λ_Z=74.94 Ncr,z=18452.60 λ^*_z=0.86 Curva c: Φ_z=1.04 χ_z=0.62
  χ,min=0.62
  Verifica: 0.34+0.26+0.00=0.61

- Verifica Freccia massima per soli carichi accidentali - CC 24
  $f_{Z,G}$=0.00 (L/19305)

- Verifica Freccia massima carichi totali - CC 24
  $f_{Z,G}$=0.00 (L/14177)

- Verifica in termini tensionali [4.2.4] - CC 18 SLU Xl=0.22 - Classe 3
  Sollecitazioni: N=-2798.41 T_z=193.08 M_y=-28.32
  Tensioni: σ_N=-559.68 σ_M=-679.66 τ=0.00 σ_{max}=-1239.34
  Tensioni: σ_N=-559.68 σ_M=0.00 τ=57.92 τ_{max}=57.92
  Tensioni: σ_N=-559.68 σ_M=-679.66 τ=0.00 $\sigma_{ID,max}$=1239.34

Asta n. 4144 (-627 -643) briglie 50x10 Crit. 1

- Verifica di stabilità aste presso-inflesse (C4.2.4.1.3.3.1) - CC 18 SLU - Classe 3
  Sollecitazioni: N,Ed=-3176.52 Myeq,Ed=-24.29 Mzeq,Ed=-0.02

Resistenze: Nc,Rd=13095.20 My,c,Rd=109.13 Mz,c,Rd=21.83 L=21.63
λ_Y=14.99 Ncr,y=461316.00 λ^*_y=0.17 Curva c: Φ_y=0.51 χ_y=1.00
λ_Z=74.94 Ncr,z=18452.60 λ^*_z=0.86 Curva c: Φ_z=1.04 χ_z=0.62
χ,min=0.62
Verifica: 0.39+0.22+0.00=0.61

- Verifica Freccia massima per soli carichi accidentali - CC 24
$f_{Z,G}$=0.00 (L/19305)

- Verifica Freccia massima carichi totali - CC 24
$f_{Z,G}$=0.00 (L/13748)

- Verifica in termini tensionali [4.2.4] - CC 18 SLU Xl=0.22 - Classe 3
Sollecitazioni: N=-3172.40 T_z=150.70 M_y=-24.29
Tensioni: σ_N=-634.48 σ_M=-582.99 τ=0.00 σ_{max}=-1217.47
Tensioni: σ_N=-634.48 σ_M=0.00 τ=45.21 τ_{max}=45.21
Tensioni: σ_N=-634.48 σ_M=-582.99 τ=0.00 $\sigma_{ID,max}$=1217.47

Asta n. 4144 (-643 -659) briglie 50x10 Crit. 1

- Verifica di stabilità aste presso-inflesse (C4.2.4.1.3.3.1) - CC 18 SLU - Classe 3
Sollecitazioni: N,Ed=-3447.44 Myeq,Ed=-19.68 Mzeq,Ed=-0.05
Resistenze: Nc,Rd=13095.20 My,c,Rd=109.13 Mz,c,Rd=21.83 L=21.63
λ_Y=14.99 Ncr,y=461316.00 λ^*_y=0.17 Curva c: Φ_y=0.51 χ_y=1.00
λ_Z=74.94 Ncr,z=18452.60 λ^*_z=0.86 Curva c: Φ_z=1.04 χ_z=0.62
χ,min=0.62
Verifica: 0.42+0.18+0.00=0.61

- Verifica Freccia massima per soli carichi accidentali - CC 24
$f_{Z,G}$=0.00 (L/18517)

- Verifica Freccia massima carichi totali - CC 24
$f_{Z,G}$=0.00 (L/12962)

- Verifica in termini tensionali [4.2.4] - CC 18 SLU Xl=0.22 - Classe 3
Sollecitazioni: N=-3443.32 T_z=114.57 M_y=-21.64
Tensioni: σ_N=-688.66 σ_M=-519.48 τ=0.00 σ_{max}=-1208.14
Tensioni: σ_N=-688.66 σ_M=0.00 τ=34.37 τ_{max}=34.37
Tensioni: σ_N=-688.66 σ_M=-519.48 τ=0.00 $\sigma_{ID,max}$=1208.14

Asta n. 4144 (-659 -675) briglie 50x10 Crit. 1

- Verifica di stabilità aste presso-inflesse (C4.2.4.1.3.3.1) - CC 18 SLU - Classe 3
Sollecitazioni: N,Ed=-3625.31 Myeq,Ed=-9.35 Mzeq,Ed=0.05
Resistenze: Nc,Rd=13095.20 My,c,Rd=109.13 Mz,c,Rd=21.83 L=21.63
λ_Y=14.99 Ncr,y=461316.00 λ^*_y=0.17 Curva c: Φ_y=0.51 χ_y=1.00
λ_Z=74.94 Ncr,z=18452.60 λ^*_z=0.86 Curva c: Φ_z=1.04 χ_z=0.62
χ,min=0.62
Verifica: 0.44+0.09+0.00=0.53

- Verifica Freccia massima per soli carichi accidentali - CC 24
$f_{Z,G}$=0.00 (L/18903)

- Verifica Freccia massima carichi totali - CC 24
$f_{Z,G}$=0.00 (L/13343)

- Verifica in termini tensionali [4.2.4] - CC 18 SLU Xl=0.22 - Classe 3
Sollecitazioni: N=-3621.19 T_z=27.80 M_y=-12.46
Tensioni: σ_N=-724.24 σ_M=-299.07 τ=0.00 σ_{max}=-1023.31

Tensioni: σ_N=-724.24 σ_M=0.00 τ=8.34 τ_{max}=8.34
Tensioni: σ_N=-724.24 σ_M=-299.07 τ=0.00 $\sigma_{ID,max}$=1023.31

Asta n. 4144 (-675 -691) briglie 50x10 Crit. 1

- Verifica di stabilità aste presso-inflesse (C4.2.4.1.3.3.1) - CC 18 SLU - Classe 3
Sollecitazioni: N,Ed=-3691.97 Myeq,Ed=-7.59 Mzeq,Ed=0.01
Resistenze: Nc,Rd=13095.20 My,c,Rd=109.13 Mz,c,Rd=21.83 L=21.63
λ_Y=14.99 Ncr,y=461316.00 λ^*_y=0.17 Curva c: Φ_y=0.51 χ_y=1.00
λ_Z=74.94 Ncr,z=18452.60 λ^*_z=0.86 Curva c: Φ_z=1.04 χ_z=0.62
χ,min=0.62
Verifica: 0.45+0.07+0.00=0.52

- Verifica Freccia massima per soli carichi accidentali - CC 24
$f_{Z,G}$=0.00 (L/19725)

- Verifica Freccia massima carichi totali - CC 24
$f_{Z,G}$=0.00 (L/14635)

- Verifica in termini tensionali [4.2.4] - CC 18 SLU Xl=0.22 - Classe 3
Sollecitazioni: N=-3687.85 M_y=-8.53
Tensioni: σ_N=-737.57 σ_M=-204.76 τ=0.00 σ_{max}=-942.33
Tensioni: σ_N=0.00 σ_M=0.00 τ=0.00 τ_{max}=0.00
Tensioni: σ_N=-737.57 σ_M=-204.76 τ=0.00 $\sigma_{ID,max}$=942.33

Asta n. 4144 (-691 -707) briglie 50x10 Crit. 1

- Verifica di stabilità aste presso-inflesse (C4.2.4.1.3.3.1) - CC 18 SLU - Classe 3
Sollecitazioni: N,Ed=-3707.25 Myeq,Ed=-7.18 Mzeq,Ed=-0.01
Resistenze: Nc,Rd=13095.20 My,c,Rd=109.13 Mz,c,Rd=21.83 L=21.63
λ_Y=14.99 Ncr,y=461315.00 λ^*_y=0.17 Curva c: Φ_y=0.51 χ_y=1.00
λ_Z=74.94 Ncr,z=18452.60 λ^*_z=0.86 Curva c: Φ_z=1.04 χ_z=0.62
χ,min=0.62
Verifica: 0.45+0.07+0.00=0.52

- Verifica Freccia massima per soli carichi accidentali - CC 24
$f_{Z,G}$=0.00 (L/19725)

- Verifica Freccia massima carichi totali - CC 24
$f_{Z,G}$=0.00 (L/14874)

- Verifica in termini tensionali [4.2.4] - CC 18 SLU Xl=0.09 - Classe 3
Sollecitazioni: N=-3705.49 M_y=-7.18
Tensioni: σ_N=-741.10 σ_M=-172.37 τ=0.00 σ_{max}=-913.47
Tensioni: σ_N=0.00 σ_M=0.00 τ=0.00 τ_{max}=0.00
Tensioni: σ_N=-741.10 σ_M=-172.37 τ=0.00 $\sigma_{ID,max}$=913.47

Asta n. 4144 (-707 -723) briglie 50x10 Crit. 1

- Verifica di stabilità aste presso-inflesse (C4.2.4.1.3.3.1) - CC 18 SLU - Classe 3
Sollecitazioni: N,Ed=-3678.82 Myeq,Ed=-8.79 Mzeq,Ed=-0.04
Resistenze: Nc,Rd=13095.20 My,c,Rd=109.13 Mz,c,Rd=21.83 L=21.63
λ_Y=14.99 Ncr,y=461317.00 λ^*_y=0.17 Curva c: Φ_y=0.51 χ_y=1.00
λ_Z=74.94 Ncr,z=18452.70 λ^*_z=0.86 Curva c: Φ_z=1.04 χ_z=0.62
χ,min=0.62
Verifica: 0.45+0.08+0.00=0.53

- Verifica Freccia massima per soli carichi accidentali - CC 24
$f_{Z,G}$=0.00 (L/18517)

- Verifica Freccia massima carichi totali - CC 24
  $f_{Z,G}$=0.00 (L/12779)

- Verifica in termini tensionali [4.2.4] - CC 18 SLU Xl=0.00 - Classe 3
  Sollecitazioni: N=-3678.82 T_z=-1.84 M_y=-9.70
  Tensioni: σ_N=-735.76 σ_M=-232.90 τ=0.00 σ_{max}=-968.67
  Tensioni: σ_N=-735.76 σ_M=0.00 τ=0.55 τ_{max}=0.55
  Tensioni: σ_N=-735.76 σ_M=-232.90 τ=0.00 $\sigma_{ID,max}$=968.67

Asta n. 4144 (-723 -739) briglie 50x10 Crit. 1

- Verifica di stabilità aste presso-inflesse (C4.2.4.1.3.3.1) - CC 18 SLU - Classe 3
  Sollecitazioni: N,Ed=-3583.02 Myeq,Ed=-14.94 Mzeq,Ed=0.03
  Resistenze: Nc,Rd=13095.20 My,c,Rd=109.13 Mz,c,Rd=21.83 L=21.63
  λ_Y=14.99 Ncr,y=461317.00 λ^*_y=0.17 Curva c: Φ_y=0.51 χ_y=1.00
  λ_Z=74.94 Ncr,z=18452.70 λ^*_z=0.86 Curva c: Φ_z=1.04 χ_z=0.62
  χ,min=0.62
  Verifica: 0.44+0.14+0.00=0.58

- Verifica Freccia massima per soli carichi accidentali - CC 24
  $f_{Z,G}$=0.00 (L/17120)

- Verifica Freccia massima carichi totali - CC 24
  $f_{Z,G}$=0.00 (L/12261)

- Verifica in termini tensionali [4.2.4] - CC 18 SLU Xl=0.00 - Classe 3
  Sollecitazioni: N=-3583.02 T_z=-80.85 M_y=-18.14
  Tensioni: σ_N=-716.60 σ_M=-435.45 τ=0.00 σ_{max}=-1152.05
  Tensioni: σ_N=-716.60 σ_M=0.00 τ=24.25 τ_{max}=24.25
  Tensioni: σ_N=-716.60 σ_M=-435.45 τ=0.00 $\sigma_{ID,max}$=1152.05

Asta n. 4144 (-739 -755) briglie 50x10 Crit. 1

- Verifica di stabilità aste presso-inflesse (C4.2.4.1.3.3.1) - CC 18 SLU - Classe 3
  Sollecitazioni: N,Ed=-3445.91 Myeq,Ed=-17.77 Mzeq,Ed=0.01
  Resistenze: Nc,Rd=13095.20 My,c,Rd=109.13 Mz,c,Rd=21.83 L=21.63
  λ_Y=14.99 Ncr,y=461316.00 λ^*_y=0.17 Curva c: Φ_y=0.51 χ_y=1.00
  λ_Z=74.94 Ncr,z=18452.60 λ^*_z=0.86 Curva c: Φ_z=1.04 χ_z=0.62
  χ,min=0.62
  Verifica: 0.42+0.16+0.00=0.59

- Verifica Freccia massima per soli carichi accidentali - CC 24
  $f_{Z,G}$=0.00 (L/19305)

- Verifica Freccia massima carichi totali - CC 24
  $f_{Z,G}$=0.00 (L/14177)

- Verifica in termini tensionali [4.2.4] - CC 18 SLU Xl=0.00 - Classe 3
  Sollecitazioni: N=-3445.91 T_z=-100.95 M_y=-18.81
  Tensioni: σ_N=-689.18 σ_M=-451.34 τ=0.00 σ_{max}=-1140.52
  Tensioni: σ_N=-689.18 σ_M=0.00 τ=30.28 τ_{max}=30.28
  Tensioni: σ_N=-689.18 σ_M=-451.34 τ=0.00 $\sigma_{ID,max}$=1140.52

Asta n. 4144 (-755 -771) briglie 50x10 Crit. 1

- Verifica di stabilità aste presso-inflesse (C4.2.4.1.3.3.1) - CC 18 SLU - Classe 3
  Sollecitazioni: N,Ed=-3290.48 Myeq,Ed=-19.58 Mzeq,Ed=-0.01
  Resistenze: Nc,Rd=13095.20 My,c,Rd=109.13 Mz,c,Rd=21.83 L=21.63

λ_Y=14.99 Ncr,y=461317.00 λ^*_y=0.17 Curva c: Φ_y=0.51 χ_y=1.00
λ_Z=74.94 Ncr,z=18452.70 λ^*_z=0.86 Curva c: Φ_z=1.04 χ_z=0.62
χ,min=0.62
Verifica: 0.40+0.18+0.00=0.58

- Verifica Freccia massima per soli carichi accidentali - CC 24
$f_{Z,G}$=0.00 (L/21101)

- Verifica Freccia massima carichi totali - CC 24
$f_{Z,G}$=0.00 (L/15644)

- Verifica in termini tensionali [4.2.4] - CC 18 SLU Xl=0.00 - Classe 3
Sollecitazioni: N=-3290.48 T_z=-119.45 M_y=-19.58
Tensioni: σ_N=-658.10 σ_M=-469.94 τ=0.00 σ_{max}=-1128.03
Tensioni: σ_N=-658.10 σ_M=0.00 τ=35.83 τ_{max}=35.83
Tensioni: σ_N=-658.10 σ_M=-469.94 τ=0.00 $\sigma_{ID,max}$=1128.03

Asta n. 4144 (-771 -787) briglie 50x10 Crit. 1

- Verifica di stabilità aste presso-inflesse (C4.2.4.1.3.3.1) - CC 18 SLU - Classe 3
Sollecitazioni: N,Ed=-3138.41 Myeq,Ed=20.78 Mzeq,Ed=-0.02
Resistenze: Nc,Rd=13095.20 My,c,Rd=109.13 Mz,c,Rd=21.83 L=21.63
λ_Y=14.99 Ncr,y=461315.00 λ^*_y=0.17 Curva c: Φ_y=0.51 χ_y=1.00
λ_Z=74.94 Ncr,z=18452.60 λ^*_z=0.86 Curva c: Φ_z=1.04 χ_z=0.62
χ,min=0.62
Verifica: 0.38+0.19+0.00=0.58

- Verifica in termini tensionali [4.2.4] - CC 18 SLU Xl=0.22 - Classe 3
Sollecitazioni: N=-3134.29 T_z=-200.25 M_y=20.78
Tensioni: σ_N=-626.86 σ_M=-498.74 τ=0.00 σ_{max}=-1125.59
Tensioni: σ_N=-626.86 σ_M=-0.00 τ=60.08 τ_{max}=60.08
Tensioni: σ_N=-626.86 σ_M=-498.74 τ=0.00 $\sigma_{ID,max}$=1125.59

Asta n. 4145 (3004 -516) briglie 50x10 Crit. 1

- Verifica in termini tensionali [4.2.4] - CC 19 SLU Xl=0.17 - Classe 3
Sollecitazioni: N=64.32 T_z=-56.20 M_y=4.23
Tensioni: σ_N=12.86 σ_M=101.49 τ=0.00 σ_{max}=114.36
Tensioni: σ_N=12.86 σ_M=-0.00 τ=16.86 τ_{max}=16.86
Tensioni: σ_N=12.86 σ_M=101.49 τ=0.00 $\sigma_{ID,max}$=114.36

- Verifica a taglio dir. Y [4.2.16] - CC 19 SLU Xl=0.09
Sollecitazioni: N=63.45 T_z=-45.48 T_y=-1.90
V,Ed=-1.90 Vc,Rd=7560.76 V,Ed/Vc,Rd=0.00

- Verifica a taglio dir. Z [4.2.16]
V,Ed=-45.48 Vc,Rd=7560.76 V,Ed/Vc,Rd=0.01

Asta n. 4145 (-516 -532) briglie 50x10 Crit. 1

- Verifica in termini tensionali [4.2.4] - CC 17 SLU Xl=0.17 - Classe 3
Sollecitazioni: N=258.28 T_z=-9.48 M_y=1.04 T_y=4.02
Tensioni: σ_N=51.66 σ_M=25.04 τ=0.00 σ_{max}=76.69
Tensioni: σ_N=51.66 σ_M=-0.00 τ=3.09 τ_{max}=3.09
Tensioni: σ_N=51.66 σ_M=25.04 τ=1.21 $\sigma_{ID,max}$=76.72

- Verifica a taglio dir. Y [4.2.16] - CC 18 SLU Xl=0.00
Sollecitazioni: N=268.69 T_z=16.47 T_y=-1.67
V,Ed=-1.67 Vc,Rd=7560.76 V,Ed/Vc,Rd=0.00

- Verifica a taglio dir. Z [4.2.16]
  V,Ed=16.47 Vc,Rd=7560.76 V,Ed/Vc,Rd=0.00

Asta n. 4145 (-532 4030) briglie 50x10 Crit. 1

- Verifica in termini tensionali [4.2.4] - CC 18 SLU Xl=0.17 - Classe 3
  Sollecitazioni: N=348.85 T_z=-101.69 M_y=10.81 T_y=-1.11
  Tensioni: σ_N=69.77 σ_M=259.39 τ=0.00 σ_{max}=329.16
  Tensioni: σ_N=69.77 σ_M=-0.00 τ=30.51 τ_{max}=30.51
  Tensioni: σ_N=69.77 σ_M=259.39 τ=0.33 $\sigma_{ID,max}$=329.16

- Verifica a taglio dir. Y [4.2.16] - CC 19 SLU Xl=0.06
  Sollecitazioni: N=373.41 T_z=-79.42 T_y=1.14
  V,Ed=1.14 Vc,Rd=7560.76 V,Ed/Vc,Rd=0.00

- Verifica a taglio dir. Z [4.2.16]
  V,Ed=-79.42 Vc,Rd=7560.76 V,Ed/Vc,Rd=0.01

Asta n. 4145 (4030 -548) briglie 50x10 Crit. 1

- Verifica di stabilità aste inflesse (4.2.4.1.3.2) CC 18 SLU - Classe 3
  L_{cr}=0.22 Curva d: α_{imp}=0.76 k_c=0.94 ψ=2.26 M,cr=0.00 λ_{LT}=0.00
  $\lambda_{LT,0}$=0.20 β_{LT}=1.00 Φ_{LT}=0.00 β_{LT}=1.00 f=0.00 χ_{LT}=1.00
  CC 18 SLU My,Ed=90.71 My,b,Rd=109.13 My,Ed/My,b,Rd=0.83

- Verifica di stabilità aste presso-inflesse (C4.2.4.1.3.3.1) - CC 5 SLV - Classe 3
  Sollecitazioni: N,Ed=-156.42 Myeq,Ed=24.82 Mzeq,Ed=-0.05
  Resistenze: Nc,Rd=13095.20 My,c,Rd=109.13 Mz,c,Rd=21.83 L=21.63
  λ_Y=14.99 Ncr,y=461316.00 λ^*_y=0.17 Curva c: Φ_y=0.51 χ_y=1.00
  λ_Z=74.94 Ncr,z=18452.60 λ^*_z=0.86 Curva c: Φ_z=1.04 χ_z=0.62
  χ,min=0.62
  Verifica: 0.01+0.23+0.00=0.24

- Verifica Freccia massima per soli carichi accidentali - CC 24
  $f_{Z,G}$=0.00 (L/5566)

- Verifica Freccia massima carichi totali - CC 21
  $f_{Z,G}$=0.01 (L/3360)

- Verifica in termini tensionali [4.2.4] - CC 18 SLU Xl=0.00 - Classe 3
  Sollecitazioni: N=2175.44 T_z=628.42 M_y=90.71
  Tensioni: σ_N=435.09 σ_M=2176.93 τ=0.00 σ_{max}=2612.02
  Tensioni: σ_N=435.09 σ_M=-0.00 τ=188.53 τ_{max}=188.53
  Tensioni: σ_N=435.09 σ_M=2176.93 τ=0.00 $\sigma_{ID,max}$=2612.02

- Verifica a taglio dir. Z [4.2.16] - CC 3 SLV Xl=0.16
  Sollecitazioni: N=417.40 T_z=119.50
  V,Ed=119.50 Vc,Rd=7560.76 V,Ed/Vc,Rd=0.02

Asta n. 4145 (-548 -564) briglie 50x10 Crit. 1

- Verifica di stabilità aste inflesse (4.2.4.1.3.2) CC 18 SLU - Classe 3
  L_{cr}=0.22 Curva d: α_{imp}=0.76 k_c=0.94 ψ=2.77 M,cr=0.00 λ_{LT}=0.00
  $\lambda_{LT,0}$=0.20 β_{LT}=1.00 Φ_{LT}=0.00 β_{LT}=1.00 f=0.00 χ_{LT}=1.00
  CC 18 SLU My,Ed=64.16 My,b,Rd=109.13 My,Ed/My,b,Rd=0.59

- Verifica di stabilità aste presso-inflesse (C4.2.4.1.3.3.1) - CC 16 SLU - Classe 3
  Sollecitazioni: N,Ed=-79.72 Myeq,Ed=40.96 Mzeq,Ed=0.01
  Resistenze: Nc,Rd=13095.20 My,c,Rd=109.13 Mz,c,Rd=21.83 L=21.63

λ_Y=14.99 Ncr,y=461316.00 λ^*_y=0.17 Curva c: Φ_y=0.51 χ_y=1.00
λ_Z=74.94 Ncr,z=18452.60 λ^*_z=0.86 Curva c: Φ_z=1.04 χ_z=0.62
χ,min=0.62
Verifica: 0.01+0.38+0.00=0.38

- Verifica Freccia massima per soli carichi accidentali - CC 21
$f_{Z,G}$=0.00 (L/12261)

- Verifica Freccia massima carichi totali - CC 21
$f_{Z,G}$=0.00 (L/7033)

- Verifica in termini tensionali [4.2.4] - CC 18 SLU Xl=0.00 - Classe 3
Sollecitazioni: N=665.02 T_z=558.25 M_y=64.16
Tensioni: σ_N=133.00 σ_M=1539.86 τ=0.00 σ_{max}=1672.86
Tensioni: σ_N=133.00 σ_M=-0.00 τ=167.47 τ_{max}=167.47
Tensioni: σ_N=133.00 σ_M=1539.86 τ=0.00 $\sigma_{ID,max}$=1672.86

- Verifica a taglio dir. Z [4.2.16] - CC 18 SLU Xl=0.12
Sollecitazioni: N=667.41 T_z=528.85
V,Ed=528.85 Vc,Rd=7560.76 V,Ed/Vc,Rd=0.07

Asta n. 4145 (-564 -580) briglie 50x10 Crit. 1

- Verifica di stabilità aste inflesse (4.2.4.1.3.2) CC 5 SLV - Classe 3
L_{cr}=0.22 Curva d: α_{imp}=0.76 k_c=0.94 ψ=2.72 M,cr=0.00 λ_{LT}=0.00
$\lambda_{LT,0}$=0.20 β_{LT}=1.00 Φ_{LT}=0.00 β_{LT}=1.00 f=0.00 χ_{LT}=1.00
CC 5 SLV My,Ed=17.77 My,b,Rd=109.13 My,Ed/My,b,Rd=0.16

- Verifica di stabilità aste presso-inflesse (C4.2.4.1.3.3.1) - CC 18 SLU - Classe 3
Sollecitazioni: N,Ed=-622.79 Myeq,Ed=49.25 Mzeq,Ed=-0.01
Resistenze: Nc,Rd=13095.20 My,c,Rd=109.13 Mz,c,Rd=21.83 L=21.63
λ_Y=14.99 Ncr,y=461316.00 λ^*_y=0.17 Curva c: Φ_y=0.51 χ_y=1.00
λ_Z=74.94 Ncr,z=18452.60 λ^*_z=0.86 Curva c: Φ_z=1.04 χ_z=0.62
χ,min=0.62
Verifica: 0.05+0.45+0.00=0.50

- Verifica Freccia massima per soli carichi accidentali - CC 21
$f_{Z,G}$=0.00 (L/21604)

- Verifica Freccia massima carichi totali - CC 21
$f_{Z,L}$=0.00 (L/12429)

- Verifica in termini tensionali [4.2.4] - CC 18 SLU Xl=0.00 - Classe 3
Sollecitazioni: N=-622.79 T_z=474.66 M_y=49.25
Tensioni: σ_N=-124.56 σ_M=-1181.90 τ=0.00 σ_{max}=-1306.46
Tensioni: σ_N=-124.56 σ_M=-0.00 τ=142.40 τ_{max}=142.40
Tensioni: σ_N=-124.56 σ_M=-1181.90 τ=0.00 $\sigma_{ID,max}$=1306.46

- Verifica a taglio dir. Z [4.2.16] - CC 3 SLV Xl=0.12
Sollecitazioni: N=151.22 T_z=111.69
V,Ed=111.69 Vc,Rd=7560.76 V,Ed/Vc,Rd=0.01

Asta n. 4145 (-580 -596) briglie 50x10 Crit. 1

- Verifica di stabilità aste inflesse (4.2.4.1.3.2) CC 5 SLV - Classe 3
L_{cr}=0.22 Curva d: α_{imp}=0.76 k_c=0.94 ψ=2.91 M,cr=0.00 λ_{LT}=0.00
$\lambda_{LT,0}$=0.20 β_{LT}=1.00 Φ_{LT}=0.00 β_{LT}=1.00 f=0.00 χ_{LT}=1.00
CC 5 SLV My,Ed=14.74 My,b,Rd=109.13 My,Ed/My,b,Rd=0.14

- Verifica di stabilità aste presso-inflesse (C4.2.4.1.3.3.1) - CC 18 SLU - Classe 3
  Sollecitazioni: N,Ed=-1619.86 Myeq,Ed=-43.83 Mzeq,Ed=-0.04
  Resistenze: Nc,Rd=13095.20 My,c,Rd=109.13 Mz,c,Rd=21.83 L=21.63
  λ_Y=14.99 Ncr,y=461316.00 λ^*_y=0.17 Curva c: Φ_y=0.51 χ_y=1.00
  λ_Z=74.94 Ncr,z=18452.60 λ^*_z=0.86 Curva c: Φ_z=1.04 χ_z=0.62
  χ,min=0.62
  Verifica: 0.20+0.40+0.00=0.60

- Verifica Freccia massima per soli carichi accidentali - CC 24
  $f_{Z,G}$=0.00 (L/19305)

- Verifica Freccia massima carichi totali - CC 24
  $f_{Z,G}$=0.00 (L/13748)

- Verifica in termini tensionali [4.2.4] - CC 18 SLU Xl=0.22 - Classe 3
  Sollecitazioni: N=-1615.49 T_z=353.57 M_y=-43.83
  Tensioni: σ_N=-323.10 σ_M=-1052.02 τ=0.00 σ_{max}=-1375.11
  Tensioni: σ_N=-323.10 σ_M=0.00 τ=106.07 τ_{max}=106.07
  Tensioni: σ_N=-323.10 σ_M=-1052.02 τ=0.00 $\sigma_{ID,max}$=1375.11

- Verifica a taglio dir. Z [4.2.16] - CC 7 SLV Xl=0.06
  Sollecitazioni: N=216.50 T_z=55.98
  V,Ed=55.98 Vc,Rd=7560.76 V,Ed/Vc,Rd=0.01

Asta n. 4145 (-596 -612) briglie 50x10 Crit. 1

- Verifica di stabilità aste presso-inflesse (C4.2.4.1.3.3.1) - CC 18 SLU - Classe 3
  Sollecitazioni: N,Ed=-2347.69 Myeq,Ed=-34.15 Mzeq,Ed=0.04
  Resistenze: Nc,Rd=13095.20 My,c,Rd=109.13 Mz,c,Rd=21.83 L=21.63
  λ_Y=14.99 Ncr,y=461316.00 λ^*_y=0.17 Curva c: Φ_y=0.51 χ_y=1.00
  λ_Z=74.94 Ncr,z=18452.60 λ^*_z=0.86 Curva c: Φ_z=1.04 χ_z=0.62
  χ,min=0.62
  Verifica: 0.29+0.31+0.00=0.60

- Verifica Freccia massima per soli carichi accidentali - CC 24
  $f_{Z,G}$=0.00 (L/19305)

- Verifica Freccia massima carichi totali - CC 24
  $f_{Z,G}$=0.00 (L/13959)

- Verifica in termini tensionali [4.2.4] - CC 18 SLU Xl=0.22 - Classe 3
  Sollecitazioni: N=-2343.32 T_z=248.23 M_y=-34.15
  Tensioni: σ_N=-468.66 σ_M=-819.55 τ=0.00 σ_{max}=-1288.22
  Tensioni: σ_N=-468.66 σ_M=0.00 τ=74.47 τ_{max}=74.47
  Tensioni: σ_N=-468.66 σ_M=-819.55 τ=0.00 $\sigma_{ID,max}$=1288.22

Asta n. 4145 (-612 -628) briglie 50x10 Crit. 1

- Verifica di stabilità aste presso-inflesse (C4.2.4.1.3.3.1) - CC 18 SLU - Classe 3
  Sollecitazioni: N,Ed=-2867.58 Myeq,Ed=-29.22 Mzeq,Ed=0.01
  Resistenze: Nc,Rd=13095.20 My,c,Rd=109.13 Mz,c,Rd=21.83 L=21.63
  λ_Y=14.99 Ncr,y=461316.00 λ^*_y=0.17 Curva c: Φ_y=0.51 χ_y=1.00
  λ_Z=74.94 Ncr,z=18452.60 λ^*_z=0.86 Curva c: Φ_z=1.04 χ_z=0.62
  χ,min=0.62
  Verifica: 0.35+0.27+0.00=0.62

- Verifica Freccia massima per soli carichi accidentali - CC 24
  $f_{Z,G}$=0.00 (L/18903)

- Verifica Freccia massima carichi totali - CC 24
  $f_{Z,G}$=0.00 (L/13748)

- Verifica in termini tensionali [4.2.4] - CC 18 SLU Xl=0.22 - Classe 3
  Sollecitazioni: N=-2863.21 T_z=199.69 M_y=-29.22
  Tensioni: σ_N=-572.64 σ_M=-701.22 τ=0.00 σ_{max}=-1273.86
  Tensioni: σ_N=-572.64 σ_M=0.00 τ=59.91 τ_{max}=59.91
  Tensioni: σ_N=-572.64 σ_M=-701.22 τ=0.00 $\sigma_{ID,max}$=1273.86

Asta n. 4145 (-628 -644) briglie 50x10 Crit. 1

- Verifica di stabilità aste presso-inflesse (C4.2.4.1.3.3.1) - CC 18 SLU - Classe 3
  Sollecitazioni: N,Ed=-3254.84 Myeq,Ed=-25.02 Mzeq,Ed=-0.02
  Resistenze: Nc,Rd=13095.20 My,c,Rd=109.13 Mz,c,Rd=21.83 L=21.63
  λ_Y=14.99 Ncr,y=461316.00 λ^*_y=0.17 Curva c: Φ_y=0.51 χ_y=1.00
  λ_Z=74.94 Ncr,z=18452.60 λ^*_z=0.86 Curva c: Φ_z=1.04 χ_z=0.62
  χ,min=0.62
  Verifica: 0.40+0.23+0.00=0.63

- Verifica Freccia massima per soli carichi accidentali - CC 24
  $f_{Z,G}$=0.00 (L/18517)

- Verifica Freccia massima carichi totali - CC 24
  $f_{Z,G}$=0.00 (L/13542)

- Verifica in termini tensionali [4.2.4] - CC 18 SLU Xl=0.22 - Classe 3
  Sollecitazioni: N=-3250.47 T_z=155.29 M_y=-25.02
  Tensioni: σ_N=-650.09 σ_M=-600.40 τ=0.00 σ_{max}=-1250.49
  Tensioni: σ_N=-650.09 σ_M=0.00 τ=46.59 τ_{max}=46.59
  Tensioni: σ_N=-650.09 σ_M=-600.40 τ=0.00 $\sigma_{ID,max}$=1250.49

Asta n. 4145 (-644 -660) briglie 50x10 Crit. 1

- Verifica di stabilità aste presso-inflesse (C4.2.4.1.3.3.1) - CC 18 SLU - Classe 3
  Sollecitazioni: N,Ed=-3535.17 Myeq,Ed=-20.25 Mzeq,Ed=-0.05
  Resistenze: Nc,Rd=13095.20 My,c,Rd=109.13 Mz,c,Rd=21.83 L=21.63
  λ_Y=14.99 Ncr,y=461316.00 λ^*_y=0.17 Curva c: Φ_y=0.51 χ_y=1.00
  λ_Z=74.94 Ncr,z=18452.60 λ^*_z=0.86 Curva c: Φ_z=1.04 χ_z=0.62
  χ,min=0.62
  Verifica: 0.43+0.19+0.00=0.62

- Verifica Freccia massima per soli carichi accidentali - CC 24
  $f_{Z,G}$=0.00 (L/17791)

- Verifica Freccia massima carichi totali - CC 24
  $f_{Z,G}$=0.00 (L/12429)

- Verifica in termini tensionali [4.2.4] - CC 18 SLU Xl=0.22 - Classe 3
  Sollecitazioni: N=-3530.79 T_z=117.03 M_y=-22.09
  Tensioni: σ_N=-706.16 σ_M=-530.17 τ=0.00 σ_{max}=-1236.33
  Tensioni: σ_N=-706.16 σ_M=0.00 τ=35.11 τ_{max}=35.11
  Tensioni: σ_N=-706.16 σ_M=-530.17 τ=0.00 $\sigma_{ID,max}$=1236.33

Asta n. 4145 (-660 -676) briglie 50x10 Crit. 1

- Verifica di stabilità aste presso-inflesse (C4.2.4.1.3.3.1) - CC 18 SLU - Classe 3
  Sollecitazioni: N,Ed=-3588.43 Myeq,Ed=-9.74 Mzeq,Ed=0.06
  Resistenze: Nc,Rd=13095.20 My,c,Rd=109.13 Mz,c,Rd=21.83 L=21.63
  λ_Y=14.99 Ncr,y=461316.00 λ^*_y=0.17 Curva c: Φ_y=0.51 χ_y=1.00

λ_Z=74.94 Ncr,z=18452.60 λ^*_z=0.86 Curva c: Φ_z=1.04 χ_z=0.62
χ,min=0.62
Verifica: 0.44+0.09+0.00=0.53

- Verifica Freccia massima per soli carichi accidentali - CC 24
$f_{Z,G}$=0.00 (L/18517)

- Verifica Freccia massima carichi totali - CC 24
$f_{Z,G}$=0.00 (L/13343)

- Verifica in termini tensionali [4.2.4] - CC 18 SLU Xl=0.22 - Classe 3
Sollecitazioni: N=-3584.06 T_z=31.49 M_y=-12.99
Tensioni: σ_N=-716.81 σ_M=-311.76 τ=0.00 σ_{max}=-1028.57
Tensioni: σ_N=-716.81 σ_M=0.00 τ=9.45 τ_{max}=9.45
Tensioni: σ_N=-716.81 σ_M=-311.76 τ=0.00 $\sigma_{ID,max}$=1028.57

Asta n. 4145 (-676 -692) briglie 50x10 Crit. 1

- Verifica di stabilità aste presso-inflesse (C4.2.4.1.3.3.1) - CC 18 SLU - Classe 3
Sollecitazioni: N,Ed=-3661.30 Myeq,Ed=-7.61 Mzeq,Ed=0.01
Resistenze: Nc,Rd=13095.20 My,c,Rd=109.13 Mz,c,Rd=21.83 L=21.63
λ_Y=14.99 Ncr,y=461316.00 λ^*_y=0.17 Curva c: Φ_y=0.51 χ_y=1.00
λ_Z=74.94 Ncr,z=18452.60 λ^*_z=0.86 Curva c: Φ_z=1.04 χ_z=0.62
χ,min=0.62
Verifica: 0.45+0.07+0.00=0.52

- Verifica Freccia massima per soli carichi accidentali - CC 24
$f_{Z,G}$=0.00 (L/19725)

- Verifica Freccia massima carichi totali - CC 24
$f_{Z,G}$=0.00 (L/14177)

- Verifica in termini tensionali [4.2.4] - CC 18 SLU Xl=0.22 - Classe 3
Sollecitazioni: N=-3656.93 T_z=1.33 M_y=-8.91
Tensioni: σ_N=-731.38 σ_M=-213.83 τ=0.00 σ_{max}=-945.22
Tensioni: σ_N=-731.38 σ_M=0.00 τ=0.40 τ_{max}=0.40
Tensioni: σ_N=-731.38 σ_M=-213.83 τ=0.00 $\sigma_{ID,max}$=945.22

Asta n. 4145 (-692 -708) briglie 50x10 Crit. 1

- Verifica di stabilità aste presso-inflesse (C4.2.4.1.3.3.1) - CC 18 SLU - Classe 3
Sollecitazioni: N,Ed=-3680.14 Myeq,Ed=-7.27 Mzeq,Ed=-0.01
Resistenze: Nc,Rd=13095.20 My,c,Rd=109.13 Mz,c,Rd=21.83 L=21.63
λ_Y=14.99 Ncr,y=461315.00 λ^*_y=0.17 Curva c: Φ_y=0.51 χ_y=1.00
λ_Z=74.94 Ncr,z=18452.60 λ^*_z=0.86 Curva c: Φ_z=1.04 χ_z=0.62
χ,min=0.62
Verifica: 0.45+0.07+0.00=0.52

- Verifica Freccia massima per soli carichi accidentali - CC 24
$f_{Z,G}$=0.00 (L/19305)

- Verifica Freccia massima carichi totali - CC 24
$f_{Z,G}$=0.00 (L/14402)

- Verifica in termini tensionali [4.2.4] - CC 18 SLU Xl=0.10 - Classe 3
Sollecitazioni: N=-3678.12 M_y=-7.27
Tensioni: σ_N=-735.63 σ_M=-174.41 τ=0.00 σ_{max}=-910.03
Tensioni: σ_N=0.00 σ_M=0.00 τ=0.00 τ_{max}=0.00
Tensioni: σ_N=-735.63 σ_M=-174.41 τ=0.00 $\sigma_{ID,max}$=910.03

Asta n. 4145 (-708 -724) briglie 50x10 Crit. 1

- Verifica di stabilità aste presso-inflesse (C4.2.4.1.3.3.1) - CC 18 SLU - Classe 3
  Sollecitazioni: N,Ed=-3653.26 Myeq,Ed=-8.72 Mzeq,Ed=-0.04
  Resistenze: Nc,Rd=13095.20 My,c,Rd=109.13 Mz,c,Rd=21.83 L=21.63
  λ_Y=14.99 Ncr,y=461317.00 λ^*_y=0.17 Curva c: Φ_y=0.51 χ_y=1.00
  λ_Z=74.94 Ncr,z=18452.70 λ^*_z=0.86 Curva c: Φ_z=1.04 χ_z=0.62
  χ,min=0.62
  Verifica: 0.45+0.08+0.00=0.53

- Verifica Freccia massima per soli carichi accidentali - CC 24
  $f_{Z,G}$=0.00 (L/17791)

- Verifica Freccia massima carichi totali - CC 24
  $f_{Z,G}$=0.00 (L/12602)

- Verifica in termini tensionali [4.2.4] - CC 18 SLU Xl=0.00 - Classe 3
  Sollecitazioni: N=-3653.26 M_y=-9.65
  Tensioni: σ_N=-730.65 σ_M=-231.57 τ=0.00 σ_{max}=-962.22
  Tensioni: σ_N=0.00 σ_M=0.00 τ=0.00 τ_{max}=0.00
  Tensioni: σ_N=-730.65 σ_M=-231.57 τ=0.00 $\sigma_{ID,max}$=962.22

Asta n. 4145 (-724 -740) briglie 50x10 Crit. 1

- Verifica di stabilità aste presso-inflesse (C4.2.4.1.3.3.1) - CC 18 SLU - Classe 3
  Sollecitazioni: N,Ed=-3567.21 Myeq,Ed=-14.54 Mzeq,Ed=0.03
  Resistenze: Nc,Rd=13095.20 My,c,Rd=109.13 Mz,c,Rd=21.83 L=21.63
  λ_Y=14.99 Ncr,y=461317.00 λ^*_y=0.17 Curva c: Φ_y=0.51 χ_y=1.00
  λ_Z=74.94 Ncr,z=18452.70 λ^*_z=0.86 Curva c: Φ_z=1.04 χ_z=0.62
  χ,min=0.62
  Verifica: 0.44+0.13+0.00=0.57

- Verifica Freccia massima per soli carichi accidentali - CC 24
  $f_{Z,G}$=0.00 (L/17791)

- Verifica Freccia massima carichi totali - CC 24
  $f_{Z,G}$=0.00 (L/12429)

- Verifica in termini tensionali [4.2.4] - CC 18 SLU Xl=0.00 - Classe 3
  Sollecitazioni: N=-3567.21 T_z=-76.45 M_y=-17.78
  Tensioni: σ_N=-713.44 σ_M=-426.62 τ=0.00 σ_{max}=-1140.07
  Tensioni: σ_N=-713.44 σ_M=0.00 τ=22.93 τ_{max}=22.93
  Tensioni: σ_N=-713.44 σ_M=-426.62 τ=0.00 $\sigma_{ID,max}$=1140.07

Asta n. 4145 (-740 -756) briglie 50x10 Crit. 1

- Verifica di stabilità aste presso-inflesse (C4.2.4.1.3.3.1) - CC 18 SLU - Classe 3
  Sollecitazioni: N,Ed=-3431.79 Myeq,Ed=-17.62 Mzeq,Ed=0.01
  Resistenze: Nc,Rd=13095.20 My,c,Rd=109.13 Mz,c,Rd=21.83 L=21.63
  λ_Y=14.99 Ncr,y=461316.00 λ^*_y=0.17 Curva c: Φ_y=0.51 χ_y=1.00
  λ_Z=74.94 Ncr,z=18452.60 λ^*_z=0.86 Curva c: Φ_z=1.04 χ_z=0.62
  χ,min=0.62
  Verifica: 0.42+0.16+0.00=0.58

- Verifica Freccia massima per soli carichi accidentali - CC 24
  $f_{Z,G}$=0.00 (L/19305)

- Verifica Freccia massima carichi totali - CC 24

$f_{Z,G}$=0.00 (L/13959)

- Verifica in termini tensionali [4.2.4] - CC 18 SLU Xl=0.00 - Classe 3
  Sollecitazioni: N=-3431.79 T_z=-98.36 M_y=-18.73
  Tensioni: σ_N=-686.36 σ_M=-449.55 τ=0.00 σ_{max}=-1135.91
  Tensioni: σ_N=-686.36 σ_M=0.00 τ=29.51 τ_{max}=29.51
  Tensioni: σ_N=-686.36 σ_M=-449.55 τ=0.00 $\sigma_{ID,max}$=1135.91

Asta n. 4145 (-756 -772) briglie 50x10 Crit. 1

- Verifica di stabilità aste presso-inflesse (C4.2.4.1.3.3.1) - CC 18 SLU - Classe 3
  Sollecitazioni: N,Ed=-3276.58 Myeq,Ed=-19.67 Mzeq,Ed=-0.01
  Resistenze: Nc,Rd=13095.20 My,c,Rd=109.13 Mz,c,Rd=21.83 L=21.63
  λ_Y=14.99 Ncr,y=461317.00 λ^*_y=0.17 Curva c: Φ_y=0.51 χ_y=1.00
  λ_Z=74.94 Ncr,z=18452.70 λ^*_z=0.86 Curva c: Φ_z=1.04 χ_z=0.62
  χ,min=0.62
  Verifica: 0.40+0.18+0.00=0.58

- Verifica Freccia massima per soli carichi accidentali - CC 24
  $f_{Z,G}$=0.00 (L/20622)

- Verifica Freccia massima carichi totali - CC 24
  $f_{Z,G}$=0.00 (L/15122)

- Verifica in termini tensionali [4.2.4] - CC 18 SLU Xl=0.00 - Classe 3
  Sollecitazioni: N=-3276.58 T_z=-118.34 M_y=-19.67
  Tensioni: σ_N=-655.32 σ_M=-472.05 τ=0.00 σ_{max}=-1127.36
  Tensioni: σ_N=-655.32 σ_M=0.00 τ=35.50 τ_{max}=35.50
  Tensioni: σ_N=-655.32 σ_M=-472.05 τ=0.00 $\sigma_{ID,max}$=1127.36

Asta n. 4145 (-772 -788) briglie 50x10 Crit. 1

- Verifica di stabilità aste presso-inflesse (C4.2.4.1.3.3.1) - CC 18 SLU - Classe 3
  Sollecitazioni: N,Ed=-3123.50 Myeq,Ed=21.06 Mzeq,Ed=-0.02
  Resistenze: Nc,Rd=13095.20 My,c,Rd=109.13 Mz,c,Rd=21.83 L=21.63
  λ_Y=14.99 Ncr,y=461315.00 λ^*_y=0.17 Curva c: Φ_y=0.51 χ_y=1.00
  λ_Z=74.94 Ncr,z=18452.60 λ^*_z=0.86 Curva c: Φ_z=1.04 χ_z=0.62
  χ,min=0.62
  Verifica: 0.38+0.19+0.00=0.58

- Verifica in termini tensionali [4.2.4] - CC 18 SLU Xl=0.22 - Classe 3
  Sollecitazioni: N=-3119.13 T_z=-203.86 M_y=21.06
  Tensioni: σ_N=-623.83 σ_M=-505.52 τ=0.00 σ_{max}=-1129.35
  Tensioni: σ_N=-623.83 σ_M=-0.00 τ=61.16 τ_{max}=61.16
  Tensioni: σ_N=-623.83 σ_M=-505.52 τ=0.00 $\sigma_{ID,max}$=1129.35

Asta n. 4182 (3005 -517) briglie 50x10 Crit. 1

- Verifica in termini tensionali [4.2.4] - CC 18 SLU Xl=0.17 - Classe 3
  Sollecitazioni: N=67.84 T_z=-43.91 M_y=2.45 T_y=1.33
  Tensioni: σ_N=13.57 σ_M=58.90 τ=0.00 σ_{max}=72.47
  Tensioni: σ_N=13.57 σ_M=-0.00 τ=13.18 τ_{max}=13.18
  Tensioni: σ_N=13.57 σ_M=58.90 τ=0.40 $\sigma_{ID,max}$=72.47

- Verifica a taglio dir. Y [4.2.16] - CC 18 SLU Xl=0.12
  Sollecitazioni: N=67.12 T_z=-34.98 T_y=1.33
  V,Ed=1.33 Vc,Rd=7560.76 V,Ed/Vc,Rd=0.00

- Verifica a taglio dir. Z [4.2.16]

V,Ed=-34.98 Vc,Rd=7560.76 V,Ed/Vc,Rd=0.00

Asta n. 4182 (-517 -533) briglie 50x10 Crit. 1

- Verifica in termini tensionali [4.2.4] - CC 18 SLU Xl=0.17 - Classe 3
Sollecitazioni: N=173.53 T_z=-52.06 M_y=3.60 T_y=1.74
Tensioni: σ_N=34.71 σ_M=86.32 τ=0.00 σ_{max}=121.02
Tensioni: σ_N=34.71 σ_M=-0.00 τ=15.63 τ_{max}=15.63
Tensioni: σ_N=34.71 σ_M=86.32 τ=0.52 $\sigma_{ID,max}$=121.03

- Verifica a taglio dir. Y [4.2.16] - CC 18 SLU Xl=0.11
Sollecitazioni: N=172.57 T_z=-40.16 T_y=1.74
V,Ed=1.74 Vc,Rd=7560.76 V,Ed/Vc,Rd=0.00

- Verifica a taglio dir. Z [4.2.16]
V,Ed=-40.16 Vc,Rd=7560.76 V,Ed/Vc,Rd=0.01

Asta n. 4182 (-533 4031) briglie 50x10 Crit. 1

- Verifica in termini tensionali [4.2.4] - CC 18 SLU Xl=0.17 - Classe 3
Sollecitazioni: N=287.49 T_z=-95.07 M_y=10.34
Tensioni: σ_N=57.50 σ_M=248.11 τ=0.00 σ_{max}=305.61
Tensioni: σ_N=57.50 σ_M=-0.00 τ=28.52 τ_{max}=28.52
Tensioni: σ_N=57.50 σ_M=248.11 τ=0.00 $\sigma_{ID,max}$=305.61

- Verifica a taglio dir. Z [4.2.16] - CC 18 SLU Xl=0.05
Sollecitazioni: N=285.56 T_z=-71.27
V,Ed=-71.27 Vc,Rd=7560.76 V,Ed/Vc,Rd=0.01

Asta n. 4182 (4031 -549) briglie 50x10 Crit. 1

- Verifica di stabilità aste inflesse (4.2.4.1.3.2) CC 18 SLU - Classe 3
L_{cr}=0.22 Curva d: α_{imp}=0.76 k_c=0.94 ψ=2.26 M,cr=0.00 λ_{LT}=0.00
$\lambda_{LT,0}$=0.20 β_{LT}=1.00 Φ_{LT}=0.00 β_{LT}=1.00 f=0.00 χ_{LT}=1.00
CC 18 SLU My,Ed=90.63 My,b,Rd=109.13 My,Ed/My,b,Rd=0.83

- Verifica di stabilità aste presso-inflesse (C4.2.4.1.3.3.1) - CC 5 SLV - Classe 3
Sollecitazioni: N,Ed=-157.94 Myeq,Ed=24.78 Mzeq,Ed=0.05
Resistenze: Nc,Rd=13095.20 My,c,Rd=109.13 Mz,c,Rd=21.83 L=21.63
λ_Y=14.99 Ncr,y=461316.00 λ^*_y=0.17 Curva c: Φ_y=0.51 χ_y=1.00
λ_Z=74.94 Ncr,z=18452.60 λ^*_z=0.86 Curva c: Φ_z=1.04 χ_z=0.62
χ,min=0.62
Verifica: 0.01+0.23+0.00=0.24

- Verifica Freccia massima per soli carichi accidentali - CC 24
$f_{Z,G}$=0.00 (L/5635)

- Verifica Freccia massima carichi totali - CC 21
$f_{Z,G}$=0.01 (L/3503)

- Verifica in termini tensionali [4.2.4] - CC 18 SLU Xl=0.00 - Classe 3
Sollecitazioni: N=2172.02 T_z=627.74 M_y=90.63
Tensioni: σ_N=434.40 σ_M=2175.00 τ=0.00 σ_{max}=2609.41
Tensioni: σ_N=434.40 σ_M=-0.00 τ=188.32 τ_{max}=188.32
Tensioni: σ_N=434.40 σ_M=2175.00 τ=0.00 $\sigma_{ID,max}$=2609.41

- Verifica a taglio dir. Z [4.2.16] - CC 3 SLV Xl=0.16
Sollecitazioni: N=416.01 T_z=119.31
V,Ed=119.31 Vc,Rd=7560.76 V,Ed/Vc,Rd=0.02

Asta n. 4182 (-549 -565) briglie 50x10 Crit. 1

- Verifica di stabilità aste inflesse (4.2.4.1.3.2) CC 18 SLU - Classe 3
  L_{cr}=0.22 Curva d: α_{imp}=0.76 k_c=0.94 ψ=2.77 M,cr=0.00 λ_{LT}=0.00
  $\lambda_{LT,0}$=0.20 β_{LT}=1.00 Φ_{LT}=0.00 β_{LT}=1.00 f=0.00 χ_{LT}=1.00
  CC 18 SLU My,Ed=64.08 My,b,Rd=109.13 My,Ed/My,b,Rd=0.59

- Verifica di stabilità aste presso-inflesse (C4.2.4.1.3.3.1) - CC 16 SLU - Classe 3
  Sollecitazioni: N,Ed=-81.01 Myeq,Ed=40.89 Mzeq,Ed=-0.01
  Resistenze: Nc,Rd=13095.20 My,c,Rd=109.13 Mz,c,Rd=21.83 L=21.63
  λ_Y=14.99 Ncr,y=461316.00 λ^*_y=0.17 Curva c: Φ_y=0.51 χ_y=1.00
  λ_Z=74.94 Ncr,z=18452.60 λ^*_z=0.86 Curva c: Φ_z=1.04 χ_z=0.62
  χ,min=0.62
  Verifica: 0.01+0.37+0.00=0.38

- Verifica Freccia massima per soli carichi accidentali - CC 11
  $f_{Z,L}$=0.00 (L/12962)

- Verifica Freccia massima carichi totali - CC 21
  $f_{Z,G}$=0.00 (L/7317)

- Verifica in termini tensionali [4.2.4] - CC 18 SLU Xl=0.00 - Classe 3
  Sollecitazioni: N=663.80 T_z=557.61 M_y=64.08
  Tensioni: σ_N=132.76 σ_M=1537.86 τ=0.00 σ_{max}=1670.62
  Tensioni: σ_N=132.76 σ_M=-0.00 τ=167.28 τ_{max}=167.28
  Tensioni: σ_N=132.76 σ_M=1537.86 τ=0.00 $\sigma_{ID,max}$=1670.62

- Verifica a taglio dir. Z [4.2.16] - CC 18 SLU Xl=0.12
  Sollecitazioni: N=666.19 T_z=528.22
  V,Ed=528.22 Vc,Rd=7560.76 V,Ed/Vc,Rd=0.07

Asta n. 4182 (-565 -581) briglie 50x10 Crit. 1

- Verifica di stabilità aste inflesse (4.2.4.1.3.2) CC 5 SLV - Classe 3
  L_{cr}=0.22 Curva d: α_{imp}=0.76 k_c=0.94 ψ=2.72 M,cr=0.00 λ_{LT}=0.00
  $\lambda_{LT,0}$=0.20 β_{LT}=1.00 Φ_{LT}=0.00 β_{LT}=1.00 f=0.00 χ_{LT}=1.00
  CC 5 SLV My,Ed=17.75 My,b,Rd=109.13 My,Ed/My,b,Rd=0.16

- Verifica di stabilità aste presso-inflesse (C4.2.4.1.3.3.1) - CC 18 SLU - Classe 3
  Sollecitazioni: N,Ed=-622.41 Myeq,Ed=49.18 Mzeq,Ed=0.01
  Resistenze: Nc,Rd=13095.20 My,c,Rd=109.13 Mz,c,Rd=21.83 L=21.63
  λ_Y=14.99 Ncr,y=461316.00 λ^*_y=0.17 Curva c: Φ_y=0.51 χ_y=1.00
  λ_Z=74.94 Ncr,z=18452.60 λ^*_z=0.86 Curva c: Φ_z=1.04 χ_z=0.62
  χ,min=0.62
  Verifica: 0.05+0.45+0.00=0.50

- Verifica Freccia massima carichi totali - CC 21
  $f_{Z,L}$=0.00 (L/12602)

- Verifica in termini tensionali [4.2.4] - CC 18 SLU Xl=0.00 - Classe 3
  Sollecitazioni: N=-622.41 T_z=474.10 M_y=49.18
  Tensioni: σ_N=-124.48 σ_M=-1180.22 τ=0.00 σ_{max}=-1304.71
  Tensioni: σ_N=-124.48 σ_M=-0.00 τ=142.23 τ_{max}=142.23
  Tensioni: σ_N=-124.48 σ_M=-1180.22 τ=0.00 $\sigma_{ID,max}$=1304.71

- Verifica a taglio dir. Z [4.2.16] - CC 3 SLV Xl=0.12
  Sollecitazioni: N=151.49 T_z=111.52
  V,Ed=111.52 Vc,Rd=7560.76 V,Ed/Vc,Rd=0.01

Asta n. 4182 (-581 -597) briglie 50x10 Crit. 1

- Verifica di stabilità aste inflesse (4.2.4.1.3.2) CC 5 SLV - Classe 3
  L_{cr}=0.22 Curva d: α_{imp}=0.76 k_c=0.94 ψ=2.91 M,cr=0.00 λ_{LT}=0.00
  $\lambda_{LT,0}$=0.20 β_{LT}=1.00 Φ_{LT}=0.00 β_{LT}=1.00 f=0.00 χ_{LT}=1.00
  CC 5 SLV My,Ed=14.72 My,b,Rd=109.13 My,Ed/My,b,Rd=0.13

- Verifica di stabilità aste presso-inflesse (C4.2.4.1.3.3.1) - CC 18 SLU - Classe 3
  Sollecitazioni: N,Ed=-1618.20 Myeq,Ed=-43.78 Mzeq,Ed=0.05
  Resistenze: Nc,Rd=13095.20 My,c,Rd=109.13 Mz,c,Rd=21.83 L=21.63
  λ_Y=14.99 Ncr,y=461316.00 λ^*_y=0.17 Curva c: Φ_y=0.51 χ_y=1.00
  λ_Z=74.94 Ncr,z=18452.60 λ^*_z=0.86 Curva c: Φ_z=1.04 χ_z=0.62
  χ,min=0.62
  Verifica: 0.20+0.40+0.00=0.60

- Verifica Freccia massima per soli carichi accidentali - CC 24
  $f_{Z,G}$=0.00 (L/18903)

- Verifica Freccia massima carichi totali - CC 24
  $f_{Z,G}$=0.00 (L/13748)

- Verifica in termini tensionali [4.2.4] - CC 18 SLU Xl=0.22 - Classe 3
  Sollecitazioni: N=-1613.83 T_z=353.06 M_y=-43.78
  Tensioni: σ_N=-322.77 σ_M=-1050.73 τ=0.00 σ_{max}=-1373.49
  Tensioni: σ_N=-322.77 σ_M=0.00 τ=105.92 τ_{max}=105.92
  Tensioni: σ_N=-322.77 σ_M=-1050.73 τ=0.00 $\sigma_{ID,max}$=1373.49

- Verifica a taglio dir. Z [4.2.16] - CC 7 SLV Xl=0.06
  Sollecitazioni: N=217.50 T_z=55.84
  V,Ed=55.84 Vc,Rd=7560.76 V,Ed/Vc,Rd=0.01

Asta n. 4182 (-597 -613) briglie 50x10 Crit. 1

- Verifica di stabilità aste presso-inflesse (C4.2.4.1.3.3.1) - CC 18 SLU - Classe 3
  Sollecitazioni: N,Ed=-2346.90 Myeq,Ed=-34.12 Mzeq,Ed=-0.05
  Resistenze: Nc,Rd=13095.20 My,c,Rd=109.13 Mz,c,Rd=21.83 L=21.63
  λ_Y=14.99 Ncr,y=461316.00 λ^*_y=0.17 Curva c: Φ_y=0.51 χ_y=1.00
  λ_Z=74.94 Ncr,z=18452.60 λ^*_z=0.86 Curva c: Φ_z=1.04 χ_z=0.62
  χ,min=0.62
  Verifica: 0.29+0.31+0.00=0.60

- Verifica Freccia massima per soli carichi accidentali - CC 24
  $f_{Z,G}$=0.00 (L/19305)

- Verifica Freccia massima carichi totali - CC 24
  $f_{Z,G}$=0.00 (L/13959)

- Verifica in termini tensionali [4.2.4] - CC 18 SLU Xl=0.22 - Classe 3
  Sollecitazioni: N=-2342.53 T_z=248.02 M_y=-34.12
  Tensioni: σ_N=-468.51 σ_M=-818.97 τ=0.00 σ_{max}=-1287.47
  Tensioni: σ_N=-468.51 σ_M=0.00 τ=74.41 τ_{max}=74.41
  Tensioni: σ_N=-468.51 σ_M=-818.97 τ=0.00 $\sigma_{ID,max}$=1287.47

Asta n. 4182 (-613 -629) briglie 50x10 Crit. 1

- Verifica di stabilità aste presso-inflesse (C4.2.4.1.3.3.1) - CC 18 SLU - Classe 3
  Sollecitazioni: N,Ed=-2866.32 Myeq,Ed=-29.20 Mzeq,Ed=-0.01
  Resistenze: Nc,Rd=13095.20 My,c,Rd=109.13 Mz,c,Rd=21.83 L=21.63
  λ_Y=14.99 Ncr,y=461316.00 λ^*_y=0.17 Curva c: Φ_y=0.51 χ_y=1.00

λ_Z=74.94 Ncr,z=18452.60 λ^*_z=0.86 Curva c: Φ_z=1.04 χ_z=0.62
χ,min=0.62
Verifica: 0.35+0.27+0.00=0.62

- Verifica Freccia massima per soli carichi accidentali - CC 24
$f_{Z,G}$=0.00 (L/18903)

- Verifica Freccia massima carichi totali - CC 24
$f_{Z,G}$=0.00 (L/13748)

- Verifica in termini tensionali [4.2.4] - CC 18 SLU Xl=0.22 - Classe 3
Sollecitazioni: N=-2861.95 T_z=199.48 M_y=-29.20
Tensioni: σ_N=-572.39 σ_M=-700.73 τ=0.00 σ_{max}=-1273.12
Tensioni: σ_N=-572.39 σ_M=0.00 τ=59.84 τ_{max}=59.84
Tensioni: σ_N=-572.39 σ_M=-700.73 τ=0.00 $\sigma_{ID,max}$=1273.12

Asta n. 4182 (-629 -645) briglie 50x10 Crit. 1

- Verifica di stabilità aste presso-inflesse (C4.2.4.1.3.3.1) - CC 18 SLU - Classe 3
Sollecitazioni: N,Ed=-3253.20 Myeq,Ed=-25.00 Mzeq,Ed=0.02
Resistenze: Nc,Rd=13095.20 My,c,Rd=109.13 Mz,c,Rd=21.83 L=21.63
λ_Y=14.99 Ncr,y=461316.00 λ^*_y=0.17 Curva c: Φ_y=0.51 χ_y=1.00
λ_Z=74.94 Ncr,z=18452.60 λ^*_z=0.86 Curva c: Φ_z=1.04 χ_z=0.62
χ,min=0.62
Verifica: 0.40+0.23+0.00=0.63

- Verifica Freccia massima per soli carichi accidentali - CC 24
$f_{Z,G}$=0.00 (L/18517)

- Verifica Freccia massima carichi totali - CC 24
$f_{Z,G}$=0.00 (L/13748)

- Verifica in termini tensionali [4.2.4] - CC 18 SLU Xl=0.22 - Classe 3
Sollecitazioni: N=-3248.83 T_z=155.10 M_y=-25.00
Tensioni: σ_N=-649.77 σ_M=-599.94 τ=0.00 σ_{max}=-1249.71
Tensioni: σ_N=-649.77 σ_M=0.00 τ=46.53 τ_{max}=46.53
Tensioni: σ_N=-649.77 σ_M=-599.94 τ=0.00 $\sigma_{ID,max}$=1249.71

Asta n. 4182 (-645 -661) briglie 50x10 Crit. 1

- Verifica di stabilità aste presso-inflesse (C4.2.4.1.3.3.1) - CC 18 SLU - Classe 3
Sollecitazioni: N,Ed=-3533.21 Myeq,Ed=-20.22 Mzeq,Ed=0.06
Resistenze: Nc,Rd=13095.20 My,c,Rd=109.13 Mz,c,Rd=21.83 L=21.63
λ_Y=14.99 Ncr,y=461316.00 λ^*_y=0.17 Curva c: Φ_y=0.51 χ_y=1.00
λ_Z=74.94 Ncr,z=18452.60 λ^*_z=0.86 Curva c: Φ_z=1.04 χ_z=0.62
χ,min=0.62
Verifica: 0.43+0.19+0.00=0.62

- Verifica Freccia massima per soli carichi accidentali - CC 24
$f_{Z,G}$=0.00 (L/17791)

- Verifica Freccia massima carichi totali - CC 24
$f_{Z,G}$=0.00 (L/12602)

- Verifica in termini tensionali [4.2.4] - CC 18 SLU Xl=0.22 - Classe 3
Sollecitazioni: N=-3528.83 T_z=116.86 M_y=-22.07
Tensioni: σ_N=-705.77 σ_M=-529.74 τ=0.00 σ_{max}=-1235.51
Tensioni: σ_N=-705.77 σ_M=0.00 τ=35.06 τ_{max}=35.06
Tensioni: σ_N=-705.77 σ_M=-529.74 τ=0.00 $\sigma_{ID,max}$=1235.51

Asta n. 4182 (-661 -677) briglie 50x10 Crit. 1

- Verifica di stabilità aste presso-inflesse (C4.2.4.1.3.3.1) - CC 18 SLU - Classe 3
  Sollecitazioni: N,Ed=-3587.23 Myeq,Ed=-9.73 Mzeq,Ed=-0.06
  Resistenze: Nc,Rd=13095.20 My,c,Rd=109.13 Mz,c,Rd=21.83 L=21.63
  λ_Y=14.99 Ncr,y=461316.00 λ^*_y=0.17 Curva c: Φ_y=0.51 χ_y=1.00
  λ_Z=74.94 Ncr,z=18452.60 λ^*_z=0.86 Curva c: Φ_z=1.04 χ_z=0.62
  χ,min=0.62
  Verifica: 0.44+0.09+0.00=0.53

- Verifica Freccia massima per soli carichi accidentali - CC 24
  $f_{Z,G}$=0.00 (L/18517)

- Verifica Freccia massima carichi totali - CC 24
  $f_{Z,G}$=0.00 (L/13150)

- Verifica in termini tensionali [4.2.4] - CC 18 SLU Xl=0.22 - Classe 3
  Sollecitazioni: N=-3582.86 T_z=31.38 M_y=-12.98
  Tensioni: σ_N=-716.57 σ_M=-311.46 τ=0.00 σ_{max}=-1028.04
  Tensioni: σ_N=-716.57 σ_M=0.00 τ=9.41 τ_{max}=9.41
  Tensioni: σ_N=-716.57 σ_M=-311.46 τ=0.00 $\sigma_{ID,max}$=1028.04

Asta n. 4182 (-677 -693) briglie 50x10 Crit. 1

- Verifica di stabilità aste presso-inflesse (C4.2.4.1.3.3.1) - CC 18 SLU - Classe 3
  Sollecitazioni: N,Ed=-3659.91 Myeq,Ed=-7.61 Mzeq,Ed=-0.02
  Resistenze: Nc,Rd=13095.20 My,c,Rd=109.13 Mz,c,Rd=21.83 L=21.63
  λ_Y=14.99 Ncr,y=461316.00 λ^*_y=0.17 Curva c: Φ_y=0.51 χ_y=1.00
  λ_Z=74.94 Ncr,z=18452.60 λ^*_z=0.86 Curva c: Φ_z=1.04 χ_z=0.62
  χ,min=0.62
  Verifica: 0.45+0.07+0.00=0.52

- Verifica Freccia massima per soli carichi accidentali - CC 24
  $f_{Z,G}$=0.00 (L/19725)

- Verifica Freccia massima carichi totali - CC 24
  $f_{Z,G}$=0.00 (L/14177)

- Verifica in termini tensionali [4.2.4] - CC 18 SLU Xl=0.22 - Classe 3
  Sollecitazioni: N=-3655.54 T_z=1.22 M_y=-8.90
  Tensioni: σ_N=-731.11 σ_M=-213.57 τ=0.00 σ_{max}=-944.67
  Tensioni: σ_N=-731.11 σ_M=0.00 τ=0.37 τ_{max}=0.37
  Tensioni: σ_N=-731.11 σ_M=-213.57 τ=0.00 $\sigma_{ID,max}$=944.67

Asta n. 4182 (-693 -709) briglie 50x10 Crit. 1

- Verifica di stabilità aste presso-inflesse (C4.2.4.1.3.3.1) - CC 18 SLU - Classe 3
  Sollecitazioni: N,Ed=-3678.60 Myeq,Ed=-7.27 Mzeq,Ed=0.01
  Resistenze: Nc,Rd=13095.20 My,c,Rd=109.13 Mz,c,Rd=21.83 L=21.63
  λ_Y=14.99 Ncr,y=461315.00 λ^*_y=0.17 Curva c: Φ_y=0.51 χ_y=1.00
  λ_Z=74.94 Ncr,z=18452.60 λ^*_z=0.86 Curva c: Φ_z=1.04 χ_z=0.62
  χ,min=0.62
  Verifica: 0.45+0.07+0.00=0.52

- Verifica Freccia massima per soli carichi accidentali - CC 24
  $f_{Z,G}$=0.00 (L/19305)

- Verifica Freccia massima carichi totali - CC 24

$f_{Z,G}$=0.00 (L/14402)

- Verifica in termini tensionali [4.2.4] - CC 18 SLU Xl=0.10 - Classe 3
  Sollecitazioni: N=-3676.58 M_y=-7.27
  Tensioni: σ_N=-735.32 σ_M=-174.44 τ=0.00 σ_{max}=-909.76
  Tensioni: σ_N=0.00 σ_M=0.00 τ=0.00 τ_{max}=0.00
  Tensioni: σ_N=-735.32 σ_M=-174.44 τ=0.00 $\sigma_{ID,max}$=909.76

Asta n. 4182 (-709 -725) briglie 50x10 Crit. 1

- Verifica di stabilità aste presso-inflesse (C4.2.4.1.3.3.1) - CC 18 SLU - Classe 3
  Sollecitazioni: N,Ed=-3651.58 Myeq,Ed=-8.72 Mzeq,Ed=0.04
  Resistenze: Nc,Rd=13095.20 My,c,Rd=109.13 Mz,c,Rd=21.83 L=21.63
  λ_Y=14.99 Ncr,y=461317.00 λ^*_y=0.17 Curva c: Φ_y=0.51 χ_y=1.00
  λ_Z=74.94 Ncr,z=18452.70 λ^*_z=0.86 Curva c: Φ_z=1.04 χ_z=0.62
  χ,min=0.62
  Verifica: 0.45+0.08+0.00=0.53

- Verifica Freccia massima per soli carichi accidentali - CC 24
  $f_{Z,G}$=0.00 (L/18147)

- Verifica Freccia massima carichi totali - CC 24
  $f_{Z,G}$=0.00 (L/12429)

- Verifica in termini tensionali [4.2.4] - CC 18 SLU Xl=0.00 - Classe 3
  Sollecitazioni: N=-3651.58 M_y=-9.66
  Tensioni: σ_N=-730.32 σ_M=-231.82 τ=0.00 σ_{max}=-962.13
  Tensioni: σ_N=0.00 σ_M=0.00 τ=0.00 τ_{max}=0.00
  Tensioni: σ_N=-730.32 σ_M=-231.82 τ=0.00 $\sigma_{ID,max}$=962.13

Asta n. 4182 (-725 -741) briglie 50x10 Crit. 1

- Verifica di stabilità aste presso-inflesse (C4.2.4.1.3.3.1) - CC 18 SLU - Classe 3
  Sollecitazioni: N,Ed=-3566.36 Myeq,Ed=-14.55 Mzeq,Ed=-0.03
  Resistenze: Nc,Rd=13095.20 My,c,Rd=109.13 Mz,c,Rd=21.83 L=21.63
  λ_Y=14.99 Ncr,y=461317.00 λ^*_y=0.17 Curva c: Φ_y=0.51 χ_y=1.00
  λ_Z=74.94 Ncr,z=18452.70 λ^*_z=0.86 Curva c: Φ_z=1.04 χ_z=0.62
  χ,min=0.62
  Verifica: 0.44+0.13+0.00=0.57

- Verifica Freccia massima per soli carichi accidentali - CC 24
  $f_{Z,G}$=0.00 (L/17449)

- Verifica Freccia massima carichi totali - CC 24
  $f_{Z,G}$=0.00 (L/12261)

- Verifica in termini tensionali [4.2.4] - CC 18 SLU Xl=0.00 - Classe 3
  Sollecitazioni: N=-3566.36 T_z=-76.52 M_y=-17.78
  Tensioni: σ_N=-713.27 σ_M=-426.80 τ=0.00 σ_{max}=-1140.07
  Tensioni: σ_N=-713.27 σ_M=0.00 τ=22.96 τ_{max}=22.96
  Tensioni: σ_N=-713.27 σ_M=-426.80 τ=0.00 $\sigma_{ID,max}$=1140.07

Asta n. 4182 (-741 -757) briglie 50x10 Crit. 1

- Verifica di stabilità aste presso-inflesse (C4.2.4.1.3.3.1) - CC 18 SLU - Classe 3
  Sollecitazioni: N,Ed=-3430.86 Myeq,Ed=-17.63 Mzeq,Ed=-0.01
  Resistenze: Nc,Rd=13095.20 My,c,Rd=109.13 Mz,c,Rd=21.83 L=21.63
  λ_Y=14.99 Ncr,y=461316.00 λ^*_y=0.17 Curva c: Φ_y=0.51 χ_y=1.00
  λ_Z=74.94 Ncr,z=18452.60 λ^*_z=0.86 Curva c: Φ_z=1.04 χ_z=0.62

χ,min=0.62
Verifica: 0.42+0.16+0.00=0.58

- Verifica Freccia massima per soli carichi accidentali - CC 24
$f_{Z,G}$=0.00 (L/18903)

- Verifica Freccia massima carichi totali - CC 24
$f_{Z,G}$=0.00 (L/13959)

- Verifica in termini tensionali [4.2.4] - CC 18 SLU Xl=0.00 - Classe 3
Sollecitazioni: N=-3430.86 T_z=-98.42 M_y=-18.74
Tensioni: σ_N=-686.17 σ_M=-449.74 τ=0.00 σ_{max}=-1135.91
Tensioni: σ_N=-686.17 σ_M=0.00 τ=29.53 τ_{max}=29.53
Tensioni: σ_N=-686.17 σ_M=-449.74 τ=0.00 $\sigma_{ID,max}$=1135.91

Asta n. 4182 (-757 -773) briglie 50x10 Crit. 1

- Verifica di stabilità aste presso-inflesse (C4.2.4.1.3.3.1) - CC 18 SLU - Classe 3
Sollecitazioni: N,Ed=-3275.57 Myeq,Ed=-19.68 Mzeq,Ed=0.01
Resistenze: Nc,Rd=13095.20 My,c,Rd=109.13 Mz,c,Rd=21.83 L=21.63
λ_Y=14.99 Ncr,y=461317.00 λ^*_y=0.17 Curva c: Φ_y=0.51 χ_y=1.00
λ_Z=74.94 Ncr,z=18452.70 λ^*_z=0.86 Curva c: Φ_z=1.04 χ_z=0.62
χ,min=0.62
Verifica: 0.40+0.18+0.00=0.58

- Verifica Freccia massima per soli carichi accidentali - CC 24
$f_{Z,G}$=0.00 (L/20163)

- Verifica Freccia massima carichi totali - CC 24
$f_{Z,G}$=0.00 (L/15122)

- Verifica in termini tensionali [4.2.4] - CC 18 SLU Xl=0.00 - Classe 3
Sollecitazioni: N=-3275.57 T_z=-118.40 M_y=-19.68
Tensioni: σ_N=-655.11 σ_M=-472.22 τ=0.00 σ_{max}=-1127.33
Tensioni: σ_N=-655.11 σ_M=0.00 τ=35.52 τ_{max}=35.52
Tensioni: σ_N=-655.11 σ_M=-472.22 τ=0.00 $\sigma_{ID,max}$=1127.33

Asta n. 4182 (-773 -789) briglie 50x10 Crit. 1

- Verifica di stabilità aste presso-inflesse (C4.2.4.1.3.3.1) - CC 18 SLU - Classe 3
Sollecitazioni: N,Ed=-3122.42 Myeq,Ed=21.07 Mzeq,Ed=0.03
Resistenze: Nc,Rd=13095.20 My,c,Rd=109.13 Mz,c,Rd=21.83 L=21.63
λ_Y=14.99 Ncr,y=461315.00 λ^*_y=0.17 Curva c: Φ_y=0.51 χ_y=1.00
λ_Z=74.94 Ncr,z=18452.60 λ^*_z=0.86 Curva c: Φ_z=1.04 χ_z=0.62
χ,min=0.62
Verifica: 0.38+0.19+0.00=0.58

- Verifica in termini tensionali [4.2.4] - CC 18 SLU Xl=0.22 - Classe 3
Sollecitazioni: N=-3118.05 T_z=-203.93 M_y=21.07
Tensioni: σ_N=-623.61 σ_M=-505.70 τ=0.00 σ_{max}=-1129.31
Tensioni: σ_N=-623.61 σ_M=-0.00 τ=61.18 τ_{max}=61.18
Tensioni: σ_N=-623.61 σ_M=-505.70 τ=0.00 $\sigma_{ID,max}$=1129.31

Asta n. 4183 (3006 -518) briglie 50x10 Crit. 1

- Verifica in termini tensionali [4.2.4] - CC 19 SLU Xl=0.17 - Classe 3
Sollecitazioni: N=93.45 T_z=-69.00 M_y=5.43 T_y=2.66
Tensioni: σ_N=18.69 σ_M=130.24 τ=0.00 σ_{max}=148.93
Tensioni: σ_N=18.69 σ_M=-0.00 τ=20.71 τ_{max}=20.71

Tensioni: σ_N=18.69 σ_M=130.24 τ=0.80 $\sigma_{ID,max}$=148.94

- Verifica a taglio dir. Y [4.2.16] - CC 19 SLU Xl=0.09
Sollecitazioni: N=92.63 T_z=-58.89 T_y=1.70
V,Ed=1.70 Vc,Rd=7560.76 V,Ed/Vc,Rd=0.00

- Verifica a taglio dir. Z [4.2.16]
V,Ed=-58.89 Vc,Rd=7560.76 V,Ed/Vc,Rd=0.01

Asta n. 4183 (-518 -534) briglie 50x10 Crit. 1

- Verifica in termini tensionali [4.2.4] - CC 18 SLU Xl=0.17 - Classe 3
Sollecitazioni: N=366.86 T_z=-18.64 M_y=1.32 T_y=1.71
Tensioni: σ_N=73.37 σ_M=31.61 τ=0.00 σ_{max}=104.99
Tensioni: σ_N=73.37 σ_M=-0.00 τ=5.62 τ_{max}=5.62
Tensioni: σ_N=73.37 σ_M=31.61 τ=0.51 $\sigma_{ID,max}$=104.99

- Verifica a taglio dir. Y [4.2.16] - CC 20 SLU Xl=0.15
Sollecitazioni: N=315.86 T_z=-13.61 T_y=1.27
V,Ed=1.27 Vc,Rd=7560.76 V,Ed/Vc,Rd=0.00

- Verifica a taglio dir. Z [4.2.16]
V,Ed=-13.61 Vc,Rd=7560.76 V,Ed/Vc,Rd=0.00

Asta n. 4183 (-534 4033) briglie 50x10 Crit. 1

- Verifica in termini tensionali [4.2.4] - CC 18 SLU Xl=0.17 - Classe 3
Sollecitazioni: N=468.43 T_z=-109.97 M_y=12.01 T_y=1.60
Tensioni: σ_N=93.69 σ_M=288.14 τ=0.00 σ_{max}=381.83
Tensioni: σ_N=93.69 σ_M=-0.00 τ=32.99 τ_{max}=32.99
Tensioni: σ_N=93.69 σ_M=288.14 τ=0.48 $\sigma_{ID,max}$=381.83

- Verifica a taglio dir. Y [4.2.16] - CC 18 SLU Xl=0.05
Sollecitazioni: N=466.61 T_z=-87.53 T_y=1.60
V,Ed=1.60 Vc,Rd=7560.76 V,Ed/Vc,Rd=0.00

- Verifica a taglio dir. Z [4.2.16]
V,Ed=-87.53 Vc,Rd=7560.76 V,Ed/Vc,Rd=0.01

Asta n. 4183 (4033 -550) briglie 50x10 Crit. 1

- Verifica di stabilità aste inflesse (4.2.4.1.3.2) CC 18 SLU - Classe 3
L_{cr}=0.22 Curva d: α_{imp}=0.76 k_c=0.94 ψ=2.26 M,cr=0.00 λ_{LT}=0.00
$\lambda_{LT,0}$=0.20 β_{LT}=1.00 Φ_{LT}=0.00 β_{LT}=1.00 f=0.00 χ_{LT}=1.00
CC 18 SLU My,Ed=89.97 My,b,Rd=109.13 My,Ed/My,b,Rd=0.82

- Verifica di stabilità aste presso-inflesse (C4.2.4.1.3.3.1) - CC 5 SLV - Classe 3
Sollecitazioni: N,Ed=-149.88 Myeq,Ed=24.84 Mzeq,Ed=-0.06
Resistenze: Nc,Rd=13095.20 My,c,Rd=109.13 Mz,c,Rd=21.83 L=21.63
λ_Y=14.99 Ncr,y=461316.00 λ^*_y=0.17 Curva c: Φ_y=0.51 χ_y=1.00
λ_Z=74.94 Ncr,z=18452.60 λ^*_z=0.86 Curva c: Φ_z=1.04 χ_z=0.62
χ,min=0.62
Verifica: 0.01+0.23+0.00=0.24

- Verifica Freccia massima per soli carichi accidentali - CC 24
$f_{Z,G}$=0.00 (L/5671)

- Verifica Freccia massima carichi totali - CC 21
$f_{Z,G}$=0.01 (L/3398)

- Verifica in termini tensionali [4.2.4] - CC 18 SLU Xl=0.00 - Classe 3
  Sollecitazioni: N=2182.05 T_z=622.22 M_y=89.97
  Tensioni: σ_N=436.41 σ_M=2159.37 τ=0.00 σ_{max}=2595.77
  Tensioni: σ_N=436.41 σ_M=-0.00 τ=186.67 τ_{max}=186.67
  Tensioni: σ_N=436.41 σ_M=2159.37 τ=0.00 $\sigma_{ID,max}$=2595.77

- Verifica a taglio dir. Z [4.2.16] - CC 3 SLV Xl=0.16
  Sollecitazioni: N=416.60 T_z=118.76
  V,Ed=118.76 Vc,Rd=7560.76 V,Ed/Vc,Rd=0.02

Asta n. 4183 (-550 -566) briglie 50x10 Crit. 1

- Verifica di stabilità aste inflesse (4.2.4.1.3.2) CC 18 SLU - Classe 3
  L_{cr}=0.22 Curva d: α_{imp}=0.76 k_c=0.94 ψ=2.77 M,cr=0.00 λ_{LT}=0.00
  $\lambda_{LT,0}$=0.20 β_{LT}=1.00 Φ_{LT}=0.00 β_{LT}=1.00 f=0.00 χ_{LT}=1.00
  CC 18 SLU My,Ed=63.85 My,b,Rd=109.13 My,Ed/My,b,Rd=0.59

- Verifica di stabilità aste presso-inflesse (C4.2.4.1.3.3.1) - CC 16 SLU - Classe 3
  Sollecitazioni: N,Ed=-67.10 Myeq,Ed=40.86 Mzeq,Ed=-0.01
  Resistenze: Nc,Rd=13095.20 My,c,Rd=109.13 Mz,c,Rd=21.83 L=21.63
  λ_Y=14.99 Ncr,y=461316.00 λ^*_y=0.17 Curva c: Φ_y=0.51 χ_y=1.00
  λ_Z=74.94 Ncr,z=18452.60 λ^*_z=0.86 Curva c: Φ_z=1.04 χ_z=0.62
  χ,min=0.62
  Verifica: 0.01+0.37+0.00=0.38

- Verifica Freccia massima per soli carichi accidentali - CC 21
  $f_{Z,G}$=0.00 (L/12779)

- Verifica Freccia massima carichi totali - CC 21
  $f_{Z,G}$=0.00 (L/7088)

- Verifica in termini tensionali [4.2.4] - CC 18 SLU Xl=0.00 - Classe 3
  Sollecitazioni: N=679.88 T_z=554.24 M_y=63.85
  Tensioni: σ_N=135.97 σ_M=1532.30 τ=0.00 σ_{max}=1668.28
  Tensioni: σ_N=135.97 σ_M=-0.00 τ=166.27 τ_{max}=166.27
  Tensioni: σ_N=135.97 σ_M=1532.30 τ=0.00 $\sigma_{ID,max}$=1668.28

- Verifica a taglio dir. Z [4.2.16] - CC 18 SLU Xl=0.12
  Sollecitazioni: N=682.13 T_z=526.54
  V,Ed=526.54 Vc,Rd=7560.76 V,Ed/Vc,Rd=0.07

Asta n. 4183 (-566 -582) briglie 50x10 Crit. 1

- Verifica di stabilità aste inflesse (4.2.4.1.3.2) CC 5 SLV - Classe 3
  L_{cr}=0.22 Curva d: α_{imp}=0.76 k_c=0.94 ψ=2.72 M,cr=0.00 λ_{LT}=0.00
  $\lambda_{LT,0}$=0.20 β_{LT}=1.00 Φ_{LT}=0.00 β_{LT}=1.00 f=0.00 χ_{LT}=1.00
  CC 5 SLV My,Ed=17.81 My,b,Rd=109.13 My,Ed/My,b,Rd=0.16

- Verifica di stabilità aste presso-inflesse (C4.2.4.1.3.3.1) - CC 18 SLU - Classe 3
  Sollecitazioni: N,Ed=-603.58 Myeq,Ed=49.12 Mzeq,Ed=0.01
  Resistenze: Nc,Rd=13095.20 My,c,Rd=109.13 Mz,c,Rd=21.83 L=21.63
  λ_Y=14.99 Ncr,y=461316.00 λ^*_y=0.17 Curva c: Φ_y=0.51 χ_y=1.00
  λ_Z=74.94 Ncr,z=18452.60 λ^*_z=0.86 Curva c: Φ_z=1.04 χ_z=0.62
  χ,min=0.62
  Verifica: 0.05+0.45+0.00=0.50

- Verifica Freccia massima per soli carichi accidentali - CC 21
  $f_{Z,L}$=0.00 (L/21604)

- Verifica Freccia massima carichi totali - CC 21
  $f_{Z,L}$=0.00 (L/11939)

- Verifica in termini tensionali [4.2.4] - CC 18 SLU Xl=0.00 - Classe 3
  Sollecitazioni: N=-603.58 T_z=472.23 M_y=49.12
  Tensioni: σ_N=-120.72 σ_M=-1178.79 τ=0.00 σ_{max}=-1299.51
  Tensioni: σ_N=-120.72 σ_M=-0.00 τ=141.67 τ_{max}=141.67
  Tensioni: σ_N=-120.72 σ_M=-1178.79 τ=0.00 $\sigma_{ID,max}$=1299.51

- Verifica a taglio dir. Z [4.2.16] - CC 3 SLV Xl=0.10
  Sollecitazioni: N=153.68 T_z=93.93
  V,Ed=93.93 Vc,Rd=7560.76 V,Ed/Vc,Rd=0.01

Asta n. 4183 (-582 -598) briglie 50x10 Crit. 1

- Verifica di stabilità aste inflesse (4.2.4.1.3.2) CC 5 SLV - Classe 3
  L_{cr}=0.22 Curva d: α_{imp}=0.76 k_c=0.94 ψ=2.93 M,cr=0.00 λ_{LT}=0.00
  $\lambda_{LT,0}$=0.20 β_{LT}=1.00 Φ_{LT}=0.00 β_{LT}=1.00 f=0.00 χ_{LT}=1.00
  CC 5 SLV My,Ed=14.74 My,b,Rd=109.13 My,Ed/My,b,Rd=0.14

- Verifica di stabilità aste presso-inflesse (C4.2.4.1.3.3.1) - CC 18 SLU - Classe 3
  Sollecitazioni: N,Ed=-1598.74 Myeq,Ed=-44.18 Mzeq,Ed=0.03
  Resistenze: Nc,Rd=13095.20 My,c,Rd=109.13 Mz,c,Rd=21.83 L=21.63
  λ_Y=14.99 Ncr,y=461316.00 λ^*_y=0.17 Curva c: Φ_y=0.51 χ_y=1.00
  λ_Z=74.94 Ncr,z=18452.60 λ^*_z=0.86 Curva c: Φ_z=1.04 χ_z=0.62
  χ,min=0.62
  Verifica: 0.20+0.41+0.00=0.60

- Verifica Freccia massima per soli carichi accidentali - CC 24
  $f_{Z,G}$=0.00 (L/18903)

- Verifica Freccia massima carichi totali - CC 24
  $f_{Z,G}$=0.00 (L/13542)

- Verifica in termini tensionali [4.2.4] - CC 18 SLU Xl=0.22 - Classe 3
  Sollecitazioni: N=-1594.62 T_z=356.24 M_y=-44.18
  Tensioni: σ_N=-318.92 σ_M=-1060.40 τ=0.00 σ_{max}=-1379.33
  Tensioni: σ_N=-318.92 σ_M=0.00 τ=106.87 τ_{max}=106.87
  Tensioni: σ_N=-318.92 σ_M=-1060.40 τ=0.00 $\sigma_{ID,max}$=1379.33

- Verifica a taglio dir. Z [4.2.16] - CC 7 SLV Xl=0.06
  Sollecitazioni: N=216.80 T_z=56.39
  V,Ed=56.39 Vc,Rd=7560.76 V,Ed/Vc,Rd=0.01

Asta n. 4183 (-598 -614) briglie 50x10 Crit. 1

- Verifica di stabilità aste presso-inflesse (C4.2.4.1.3.3.1) - CC 18 SLU - Classe 3
  Sollecitazioni: N,Ed=-2300.93 Myeq,Ed=-33.23 Mzeq,Ed=-0.04
  Resistenze: Nc,Rd=13095.20 My,c,Rd=109.13 Mz,c,Rd=21.83 L=21.63
  λ_Y=14.99 Ncr,y=461316.00 λ^*_y=0.17 Curva c: Φ_y=0.51 χ_y=1.00
  λ_Z=74.94 Ncr,z=18452.60 λ^*_z=0.86 Curva c: Φ_z=1.04 χ_z=0.62
  χ,min=0.62
  Verifica: 0.28+0.31+0.00=0.59

- Verifica Freccia massima per soli carichi accidentali - CC 24
  $f_{Z,G}$=0.00 (L/18903)

- Verifica Freccia massima carichi totali - CC 24
  $f_{Z,G}$=0.00 (L/13959)

- Verifica in termini tensionali [4.2.4] - CC 18 SLU Xl=0.22 - Classe 3
  Sollecitazioni: N=-2296.81 T_z=239.46 M_y=-33.23
  Tensioni: σ_N=-459.36 σ_M=-797.49 τ=0.00 σ_{max}=-1256.85
  Tensioni: σ_N=-459.36 σ_M=0.00 τ=71.84 τ_{max}=71.84
  Tensioni: σ_N=-459.36 σ_M=-797.49 τ=0.00 $\sigma_{ID,max}$=1256.85

Asta n. 4183 (-614 -630) briglie 50x10 Crit. 1

- Verifica di stabilità aste presso-inflesse (C4.2.4.1.3.3.1) - CC 18 SLU - Classe 3
  Sollecitazioni: N,Ed=-2803.95 Myeq,Ed=-28.34 Mzeq,Ed=-0.01
  Resistenze: Nc,Rd=13095.20 My,c,Rd=109.13 Mz,c,Rd=21.83 L=21.63
  λ_Y=14.99 Ncr,y=461316.00 λ^*_y=0.17 Curva c: Φ_y=0.51 χ_y=1.00
  λ_Z=74.94 Ncr,z=18452.60 λ^*_z=0.86 Curva c: Φ_z=1.04 χ_z=0.62
  χ,min=0.62
  Verifica: 0.34+0.26+0.00=0.61

- Verifica Freccia massima per soli carichi accidentali - CC 24
  $f_{Z,G}$=0.00 (L/19725)

- Verifica Freccia massima carichi totali - CC 24
  $f_{Z,G}$=0.00 (L/14177)

- Verifica in termini tensionali [4.2.4] - CC 18 SLU Xl=0.22 - Classe 3
  Sollecitazioni: N=-2799.83 T_z=193.27 M_y=-28.34
  Tensioni: σ_N=-559.97 σ_M=-680.10 τ=0.00 σ_{max}=-1240.06
  Tensioni: σ_N=-559.97 σ_M=0.00 τ=57.98 τ_{max}=57.98
  Tensioni: σ_N=-559.97 σ_M=-680.10 τ=0.00 $\sigma_{ID,max}$=1240.06

Asta n. 4183 (-630 -646) briglie 50x10 Crit. 1

- Verifica di stabilità aste presso-inflesse (C4.2.4.1.3.3.1) - CC 18 SLU - Classe 3
  Sollecitazioni: N,Ed=-3178.28 Myeq,Ed=-24.31 Mzeq,Ed=0.02
  Resistenze: Nc,Rd=13095.20 My,c,Rd=109.13 Mz,c,Rd=21.83 L=21.63
  λ_Y=14.99 Ncr,y=461316.00 λ^*_y=0.17 Curva c: Φ_y=0.51 χ_y=1.00
  λ_Z=74.94 Ncr,z=18452.60 λ^*_z=0.86 Curva c: Φ_z=1.04 χ_z=0.62
  χ,min=0.62
  Verifica: 0.39+0.22+0.00=0.62

- Verifica Freccia massima per soli carichi accidentali - CC 24
  $f_{Z,G}$=0.00 (L/18903)

- Verifica Freccia massima carichi totali - CC 24
  $f_{Z,G}$=0.00 (L/13748)

- Verifica in termini tensionali [4.2.4] - CC 18 SLU Xl=0.22 - Classe 3
  Sollecitazioni: N=-3174.16 T_z=150.87 M_y=-24.31
  Tensioni: σ_N=-634.83 σ_M=-583.41 τ=0.00 σ_{max}=-1218.24
  Tensioni: σ_N=-634.83 σ_M=0.00 τ=45.26 τ_{max}=45.26
  Tensioni: σ_N=-634.83 σ_M=-583.41 τ=0.00 $\sigma_{ID,max}$=1218.24

Asta n. 4183 (-646 -662) briglie 50x10 Crit. 1

- Verifica di stabilità aste presso-inflesse (C4.2.4.1.3.3.1) - CC 18 SLU - Classe 3
  Sollecitazioni: N,Ed=-3449.49 Myeq,Ed=-19.70 Mzeq,Ed=0.05
  Resistenze: Nc,Rd=13095.20 My,c,Rd=109.13 Mz,c,Rd=21.83 L=21.63
  λ_Y=14.99 Ncr,y=461316.00 λ^*_y=0.17 Curva c: Φ_y=0.51 χ_y=1.00
  λ_Z=74.94 Ncr,z=18452.60 λ^*_z=0.86 Curva c: Φ_z=1.04 χ_z=0.62
  χ,min=0.62
  Verifica: 0.42+0.18+0.00=0.61

- Verifica Freccia massima per soli carichi accidentali - CC 24
  $f_{Z,G}$=0.00 (L/17791)

- Verifica Freccia massima carichi totali - CC 24
  $f_{Z,G}$=0.00 (L/12779)

- Verifica in termini tensionali [4.2.4] - CC 18 SLU Xl=0.22 - Classe 3
  Sollecitazioni: N=-3445.37 T_z=114.72 M_y=-21.66
  Tensioni: σ_N=-689.08 σ_M=-519.83 τ=0.00 σ_{max}=-1208.90
  Tensioni: σ_N=-689.08 σ_M=0.00 τ=34.41 τ_{max}=34.41
  Tensioni: σ_N=-689.08 σ_M=-519.83 τ=0.00 $\sigma_{ID,max}$=1208.90

Asta n. 4183 (-662 -678) briglie 50x10 Crit. 1

- Verifica di stabilità aste presso-inflesse (C4.2.4.1.3.3.1) - CC 18 SLU - Classe 3
  Sollecitazioni: N,Ed=-3626.82 Myeq,Ed=-9.35 Mzeq,Ed=-0.06
  Resistenze: Nc,Rd=13095.20 My,c,Rd=109.13 Mz,c,Rd=21.83 L=21.63
  λ_Y=14.99 Ncr,y=461316.00 λ^*_y=0.17 Curva c: Φ_y=0.51 χ_y=1.00
  λ_Z=74.94 Ncr,z=18452.60 λ^*_z=0.86 Curva c: Φ_z=1.04 χ_z=0.62
  χ,min=0.62
  Verifica: 0.44+0.09+0.00=0.53

- Verifica Freccia massima per soli carichi accidentali - CC 24
  $f_{Z,G}$=0.00 (L/18517)

- Verifica Freccia massima carichi totali - CC 24
  $f_{Z,G}$=0.00 (L/13150)

- Verifica in termini tensionali [4.2.4] - CC 18 SLU Xl=0.22 - Classe 3
  Sollecitazioni: N=-3622.70 T_z=27.88 M_y=-12.47
  Tensioni: σ_N=-724.54 σ_M=-299.33 τ=0.00 σ_{max}=-1023.87
  Tensioni: σ_N=-724.54 σ_M=0.00 τ=8.36 τ_{max}=8.36
  Tensioni: σ_N=-724.54 σ_M=-299.33 τ=0.00 $\sigma_{ID,max}$=1023.87

Asta n. 4183 (-678 -694) briglie 50x10 Crit. 1

- Verifica di stabilità aste presso-inflesse (C4.2.4.1.3.3.1) - CC 18 SLU - Classe 3
  Sollecitazioni: N,Ed=-3693.63 Myeq,Ed=-7.59 Mzeq,Ed=-0.01
  Resistenze: Nc,Rd=13095.20 My,c,Rd=109.13 Mz,c,Rd=21.83 L=21.63
  λ_Y=14.99 Ncr,y=461316.00 λ^*_y=0.17 Curva c: Φ_y=0.51 χ_y=1.00
  λ_Z=74.94 Ncr,z=18452.60 λ^*_z=0.86 Curva c: Φ_z=1.04 χ_z=0.62
  χ,min=0.62
  Verifica: 0.45+0.07+0.00=0.52

- Verifica Freccia massima per soli carichi accidentali - CC 24
  $f_{Z,G}$=0.00 (L/19725)

- Verifica Freccia massima carichi totali - CC 24
  $f_{Z,G}$=0.00 (L/14177)

- Verifica in termini tensionali [4.2.4] - CC 18 SLU Xl=0.22 - Classe 3
  Sollecitazioni: N=-3689.51 M_y=-8.54
  Tensioni: σ_N=-737.90 σ_M=-204.98 τ=0.00 σ_{max}=-942.89
  Tensioni: σ_N=0.00 σ_M=0.00 τ=0.00 τ_{max}=0.00
  Tensioni: σ_N=-737.90 σ_M=-204.98 τ=0.00 $\sigma_{ID,max}$=942.89

Asta n. 4183 (-694 -710) briglie 50x10 Crit. 1

- Verifica di stabilità aste presso-inflesse (C4.2.4.1.3.3.1) - CC 18 SLU - Classe 3
  Sollecitazioni: N,Ed=-3709.04 Myeq,Ed=-7.18 Mzeq,Ed=0.01
  Resistenze: Nc,Rd=13095.20 My,c,Rd=109.13 Mz,c,Rd=21.83 L=21.63
  λ_Y=14.99 Ncr,y=461315.00 λ^*_y=0.17 Curva c: Φ_y=0.51 χ_y=1.00
  λ_Z=74.94 Ncr,z=18452.60 λ^*_z=0.86 Curva c: Φ_z=1.04 χ_z=0.62
  χ,min=0.62
  Verifica: 0.45+0.07+0.00=0.52

- Verifica Freccia massima per soli carichi accidentali - CC 24
  $f_{Z,G}$=0.00 (L/19725)

- Verifica Freccia massima carichi totali - CC 24
  $f_{Z,G}$=0.00 (L/14635)

- Verifica in termini tensionali [4.2.4] - CC 18 SLU Xl=0.09 - Classe 3
  Sollecitazioni: N=-3707.28 M_y=-7.18
  Tensioni: σ_N=-741.46 σ_M=-172.33 τ=0.00 σ_{max}=-913.79
  Tensioni: σ_N=0.00 σ_M=0.00 τ=0.00 τ_{max}=0.00
  Tensioni: σ_N=-741.46 σ_M=-172.33 τ=0.00 $\sigma_{ID,max}$=913.79

Asta n. 4183 (-710 -726) briglie 50x10 Crit. 1

- Verifica di stabilità aste presso-inflesse (C4.2.4.1.3.3.1) - CC 18 SLU - Classe 3
  Sollecitazioni: N,Ed=-3680.72 Myeq,Ed=-8.79 Mzeq,Ed=0.05
  Resistenze: Nc,Rd=13095.20 My,c,Rd=109.13 Mz,c,Rd=21.83 L=21.63
  λ_Y=14.99 Ncr,y=461317.00 λ^*_y=0.17 Curva c: Φ_y=0.51 χ_y=1.00
  λ_Z=74.94 Ncr,z=18452.70 λ^*_z=0.86 Curva c: Φ_z=1.04 χ_z=0.62
  χ,min=0.62
  Verifica: 0.45+0.08+0.00=0.54

- Verifica Freccia massima per soli carichi accidentali - CC 24
  $f_{Z,G}$=0.00 (L/18517)

- Verifica Freccia massima carichi totali - CC 24
  $f_{Z,G}$=0.00 (L/12779)

- Verifica in termini tensionali [4.2.4] - CC 18 SLU Xl=0.00 - Classe 3
  Sollecitazioni: N=-3680.72 T_z=-1.76 M_y=-9.70
  Tensioni: σ_N=-736.14 σ_M=-232.70 τ=0.00 σ_{max}=-968.85
  Tensioni: σ_N=-736.14 σ_M=0.00 τ=0.53 τ_{max}=0.53
  Tensioni: σ_N=-736.14 σ_M=-232.70 τ=0.00 $\sigma_{ID,max}$=968.85

Asta n. 4183 (-726 -742) briglie 50x10 Crit. 1

- Verifica di stabilità aste presso-inflesse (C4.2.4.1.3.3.1) - CC 18 SLU - Classe 3
  Sollecitazioni: N,Ed=-3584.04 Myeq,Ed=-14.93 Mzeq,Ed=-0.04
  Resistenze: Nc,Rd=13095.20 My,c,Rd=109.13 Mz,c,Rd=21.83 L=21.63
  λ_Y=14.99 Ncr,y=461317.00 λ^*_y=0.17 Curva c: Φ_y=0.51 χ_y=1.00
  λ_Z=74.94 Ncr,z=18452.70 λ^*_z=0.86 Curva c: Φ_z=1.04 χ_z=0.62
  χ,min=0.62
  Verifica: 0.44+0.14+0.00=0.58

- Verifica Freccia massima per soli carichi accidentali - CC 24
  $f_{Z,G}$=0.00 (L/17120)

- Verifica Freccia massima carichi totali - CC 24
  $f_{Z,G}$=0.00 (L/12261)

- Verifica in termini tensionali [4.2.4] - CC 18 SLU Xl=0.00 - Classe 3

Sollecitazioni: N=-3584.04 T_z=-80.80 M_y=-18.14
Tensioni: σ_N=-716.81 σ_M=-435.30 τ=0.00 σ_{max}=-1152.11
Tensioni: σ_N=-716.81 σ_M=0.00 τ=24.24 τ_{max}=24.24
Tensioni: σ_N=-716.81 σ_M=-435.30 τ=0.00 $\sigma_{ID,max}$=1152.11

Asta n. 4183 (-742 -758) briglie 50x10 Crit. 1

- Verifica di stabilità aste presso-inflesse (C4.2.4.1.3.3.1) - CC 18 SLU - Classe 3
Sollecitazioni: N,Ed=-3447.00 Myeq,Ed=-17.76 Mzeq,Ed=-0.01
Resistenze: Nc,Rd=13095.20 My,c,Rd=109.13 Mz,c,Rd=21.83 L=21.63
λ_Y=14.99 Ncr,y=461316.00 λ^*_y=0.17 Curva c: Φ_y=0.51 χ_y=1.00
λ_Z=74.94 Ncr,z=18452.60 λ^*_z=0.86 Curva c: Φ_z=1.04 χ_z=0.62
χ,min=0.62
Verifica: 0.42+0.16+0.00=0.59

- Verifica Freccia massima per soli carichi accidentali - CC 24
$f_{Z,G}$=0.00 (L/19305)

- Verifica Freccia massima carichi totali - CC 24
$f_{Z,G}$=0.00 (L/14402)

- Verifica in termini tensionali [4.2.4] - CC 18 SLU Xl=0.00 - Classe 3
Sollecitazioni: N=-3447.00 T_z=-100.90 M_y=-18.80
Tensioni: σ_N=-689.40 σ_M=-451.20 τ=0.00 σ_{max}=-1140.60
Tensioni: σ_N=-689.40 σ_M=0.00 τ=30.27 τ_{max}=30.27
Tensioni: σ_N=-689.40 σ_M=-451.20 τ=0.00 $\sigma_{ID,max}$=1140.60

Asta n. 4183 (-758 -774) briglie 50x10 Crit. 1

- Verifica di stabilità aste presso-inflesse (C4.2.4.1.3.3.1) - CC 18 SLU - Classe 3
Sollecitazioni: N,Ed=-3291.62 Myeq,Ed=-19.58 Mzeq,Ed=0.01
Resistenze: Nc,Rd=13095.20 My,c,Rd=109.13 Mz,c,Rd=21.83 L=21.63
λ_Y=14.99 Ncr,y=461317.00 λ^*_y=0.17 Curva c: Φ_y=0.51 χ_y=1.00
λ_Z=74.94 Ncr,z=18452.70 λ^*_z=0.86 Curva c: Φ_z=1.04 χ_z=0.62
χ,min=0.62
Verifica: 0.40+0.18+0.00=0.58

- Verifica Freccia massima per soli carichi accidentali - CC 24
$f_{Z,G}$=0.00 (L/21101)

- Verifica Freccia massima carichi totali - CC 24
$f_{Z,G}$=0.00 (L/15644)

- Verifica in termini tensionali [4.2.4] - CC 18 SLU Xl=0.00 - Classe 3
Sollecitazioni: N=-3291.62 T_z=-119.40 M_y=-19.58
Tensioni: σ_N=-658.32 σ_M=-469.81 τ=0.00 σ_{max}=-1128.13
Tensioni: σ_N=-658.32 σ_M=0.00 τ=35.82 τ_{max}=35.82
Tensioni: σ_N=-658.32 σ_M=-469.81 τ=0.00 $\sigma_{ID,max}$=1128.13

Asta n. 4183 (-774 -790) briglie 50x10 Crit. 1

- Verifica di stabilità aste presso-inflesse (C4.2.4.1.3.3.1) - CC 18 SLU - Classe 3
Sollecitazioni: N,Ed=-3139.60 Myeq,Ed=20.78 Mzeq,Ed=0.03
Resistenze: Nc,Rd=13095.20 My,c,Rd=109.13 Mz,c,Rd=21.83 L=21.63
λ_Y=14.99 Ncr,y=461315.00 λ^*_y=0.17 Curva c: Φ_y=0.51 χ_y=1.00
λ_Z=74.94 Ncr,z=18452.60 λ^*_z=0.86 Curva c: Φ_z=1.04 χ_z=0.62
χ,min=0.62
Verifica: 0.39+0.19+0.00=0.58

- Verifica in termini tensionali [4.2.4] - CC 18 SLU Xl=0.22 - Classe 3
  Sollecitazioni: N=-3135.48 T_z=-200.21 M_y=20.78
  Tensioni: σ_N=-627.10 σ_M=-498.60 τ=0.00 σ_{max}=-1125.70
  Tensioni: σ_N=-627.10 σ_M=-0.00 τ=60.06 τ_{max}=60.06
  Tensioni: σ_N=-627.10 σ_M=-498.60 τ=0.00 $\sigma_{ID,max}$=1125.70

Asta n. 4220 (3007 -519) briglie 50x10 Crit. 1

- Verifica di stabilità aste inflesse (4.2.4.1.3.2) CC 18 SLU - Classe 3
  L_{cr}=0.17 Curva d: α_{imp}=0.76 k_c=0.94 ψ=2.84 M,cr=0.00 λ_{LT}=0.00
  $\lambda_{LT,0}$=0.20 β_{LT}=1.00 Φ_{LT}=0.00 β_{LT}=1.00 f=0.00 χ_{LT}=1.00
  CC 18 SLU My,Ed=1.26 My,b,Rd=109.13 My,Ed/My,b,Rd=0.01

- Verifica di stabilità aste presso-inflesse (C4.2.4.1.3.3.1) - CC 17 SLU - Classe 3
  Sollecitazioni: N,Ed=-16.46 Myeq,Ed=1.16 Mzeq,Ed=-0.35
  Resistenze: Nc,Rd=13095.20 My,c,Rd=109.13 Mz,c,Rd=21.83 L=16.72
  λ_Y=11.59 Ncr,y=772145.00 λ^*_y=0.13 Curva c: Φ_y=0.49 χ_y=1.00
  λ_Z=57.92 Ncr,z=30885.80 λ^*_z=0.67 Curva c: Φ_z=0.84 χ_z=0.74
  χ,min=0.74
  Verifica: 0.00+0.01+0.02=0.03

- Verifica in termini tensionali [4.2.4] - CC 18 SLU Xl=0.17 - Classe 3
  Sollecitazioni: N=22.82 T_z=-29.31 M_y=1.26 T_y=5.26
  Tensioni: σ_N=4.56 σ_M=30.34 τ=0.00 σ_{max}=34.90
  Tensioni: σ_N=4.56 σ_M=-0.00 τ=8.93 τ_{max}=8.93
  Tensioni: σ_N=4.56 σ_M=30.34 τ=1.58 $\sigma_{ID,max}$=35.01

- Verifica a taglio dir. Y [4.2.16] - CC 18 SLU Xl=0.15
  Sollecitazioni: N=22.59 T_z=-26.51 T_y=5.26
  V,Ed=5.26 Vc,Rd=7560.76 V,Ed/Vc,Rd=0.00

- Verifica a taglio dir. Z [4.2.16]
  V,Ed=-26.51 Vc,Rd=7560.76 V,Ed/Vc,Rd=0.00

Asta n. 4220 (-519 -535) briglie 50x10 Crit. 1

- Verifica di stabilità aste inflesse (4.2.4.1.3.2) CC 18 SLU - Classe 3
  L_{cr}=0.17 Curva d: α_{imp}=0.76 k_c=0.94 ψ=2.61 M,cr=0.00 λ_{LT}=0.00
  $\lambda_{LT,0}$=0.20 β_{LT}=1.00 Φ_{LT}=0.00 β_{LT}=1.00 f=0.00 χ_{LT}=1.00
  CC 18 SLU My,Ed=2.53 My,b,Rd=109.13 My,Ed/My,b,Rd=0.02

- Verifica di stabilità aste presso-inflesse (C4.2.4.1.3.3.1) - CC 17 SLU - Classe 3
  Sollecitazioni: N,Ed=-51.59 Myeq,Ed=-0.79 Mzeq,Ed=0.57
  Resistenze: Nc,Rd=13095.20 My,c,Rd=109.13 Mz,c,Rd=21.83 L=16.72
  λ_Y=11.59 Ncr,y=772146.00 λ^*_y=0.13 Curva c: Φ_y=0.49 χ_y=1.00
  λ_Z=57.92 Ncr,z=30885.80 λ^*_z=0.67 Curva c: Φ_z=0.84 χ_z=0.74
  χ,min=0.74
  Verifica: 0.00+0.01+0.03=0.04

- Verifica in termini tensionali [4.2.4] - CC 18 SLU Xl=0.17 - Classe 3
  Sollecitazioni: N=70.54 T_z=-40.84 M_y=2.53 T_y=5.35
  Tensioni: σ_N=14.11 σ_M=60.61 τ=0.00 σ_{max}=74.71
  Tensioni: σ_N=14.11 σ_M=-0.00 τ=12.36 τ_{max}=12.36
  Tensioni: σ_N=14.11 σ_M=60.61 τ=1.60 $\sigma_{ID,max}$=74.77

- Verifica a taglio dir. Y [4.2.16] - CC 18 SLU Xl=0.12
  Sollecitazioni: N=69.86 T_z=-32.43 T_y=5.35
  V,Ed=5.35 Vc,Rd=7560.76 V,Ed/Vc,Rd=0.00

- Verifica a taglio dir. Z [4.2.16]
  V,Ed=-32.43 Vc,Rd=7560.76 V,Ed/Vc,Rd=0.00

Asta n. 4220 (-535 4034) briglie 50x10 Crit. 1

- Verifica di stabilità aste inflesse (4.2.4.1.3.2) CC 18 SLU - Classe 3
  L_{cr}=0.17 Curva d: α_{imp}=0.76 k_c=0.94 ψ=2.03 M,cr=0.00 λ_{LT}=0.00
  $\lambda_{LT,0}$=0.20 β_{LT}=1.00 Φ_{LT}=0.00 β_{LT}=1.00 f=0.00 χ_{LT}=1.00
  CC 18 SLU My,Ed=6.75 My,b,Rd=109.13 My,Ed/My,b,Rd=0.06

- Verifica di stabilità aste presso-inflesse (C4.2.4.1.3.3.1) - CC 17 SLU - Classe 3
  Sollecitazioni: N,Ed=-71.55 Myeq,Ed=1.21 Mzeq,Ed=0.60
  Resistenze: Nc,Rd=13095.20 My,c,Rd=109.13 Mz,c,Rd=21.83 L=16.72
  λ_Y=11.59 Ncr,y=772145.00 λ^*_y=0.13 Curva c: Φ_y=0.49 χ_y=1.00
  λ_Z=57.92 Ncr,z=30885.80 λ^*_z=0.67 Curva c: Φ_z=0.84 χ_z=0.74
  χ,min=0.74
  Verifica: 0.01+0.01+0.03=0.04

- Verifica in termini tensionali [4.2.4] - CC 18 SLU Xl=0.17 - Classe 3
  Sollecitazioni: N=131.48 T_z=-65.66 M_y=6.75 T_y=4.76
  Tensioni: σ_N=26.30 σ_M=161.92 τ=0.00 σ_{max}=188.21
  Tensioni: σ_N=26.30 σ_M=-0.00 τ=19.75 τ_{max}=19.75
  Tensioni: σ_N=26.30 σ_M=161.92 τ=1.43 $\sigma_{ID,max}$=188.23

- Verifica a taglio dir. Y [4.2.16] - CC 18 SLU Xl=0.06
  Sollecitazioni: N=129.88 T_z=-46.02 T_y=4.76
  V,Ed=4.76 Vc,Rd=7560.76 V,Ed/Vc,Rd=0.00

- Verifica a taglio dir. Z [4.2.16]
  V,Ed=-46.02 Vc,Rd=7560.76 V,Ed/Vc,Rd=0.01

Asta n. 4220 (4034 -551) briglie 50x10 Crit. 1

- Verifica di stabilità aste inflesse (4.2.4.1.3.2) CC 18 SLU - Classe 3
  L_{cr}=0.22 Curva d: α_{imp}=0.76 k_c=0.94 ψ=2.30 M,cr=0.00 λ_{LT}=0.00
  $\lambda_{LT,0}$=0.20 β_{LT}=1.00 Φ_{LT}=0.00 β_{LT}=1.00 f=0.00 χ_{LT}=1.00
  CC 18 SLU My,Ed=48.16 My,b,Rd=109.13 My,Ed/My,b,Rd=0.44

- Verifica di stabilità aste presso-inflesse (C4.2.4.1.3.3.1) - CC 5 SLV - Classe 3
  Sollecitazioni: N,Ed=-416.90 Myeq,Ed=17.25 Mzeq,Ed=0.09
  Resistenze: Nc,Rd=13095.20 My,c,Rd=109.13 Mz,c,Rd=21.83 L=21.63
  λ_Y=14.99 Ncr,y=461316.00 λ^*_y=0.17 Curva c: Φ_y=0.51 χ_y=1.00
  λ_Z=74.94 Ncr,z=18452.60 λ^*_z=0.86 Curva c: Φ_z=1.04 χ_z=0.62
  χ,min=0.62
  Verifica: 0.03+0.16+0.00=0.19

- Verifica Freccia massima per soli carichi accidentali - CC 11
  $f_{Z,G}$=0.00 (L/11202)

- Verifica Freccia massima carichi totali - CC 21
  $f_{Z,G}$=0.00 (L/6301)

- Verifica in termini tensionali [4.2.4] - CC 9 SLU Xl=0.00 - Classe 3
  Sollecitazioni: N=1308.64 T_z=320.31 M_y=46.53 T_y=-1.07
  Tensioni: σ_N=261.73 σ_M=1116.83 τ=0.00 σ_{max}=1378.56
  Tensioni: σ_N=261.73 σ_M=-0.00 τ=96.09 τ_{max}=96.09
  Tensioni: σ_N=261.73 σ_M=1116.83 τ=0.18 $\sigma_{ID,max}$=1378.56

- Verifica a taglio dir. Z [4.2.16] - CC 16 SLU Xl=0.14

Sollecitazioni: N=74.64 T_z=203.14
V,Ed=203.14 Vc,Rd=7560.76 V,Ed/Vc,Rd=0.03

Asta n. 4220 (-551 -567) briglie 50x10 Crit. 1

- Verifica di stabilità aste inflesse (4.2.4.1.3.2) CC 18 SLU - Classe 3
L_{cr}=0.22 Curva d: α_{imp}=0.76 k_c=0.94 ψ=2.82 M,cr=0.00 λ_{LT}=0.00
$\lambda_{LT,0}$=0.20 β_{LT}=1.00 Φ_{LT}=0.00 β_{LT}=1.00 f=0.00 χ_{LT}=1.00
CC 18 SLU My,Ed=32.58 My,b,Rd=109.13 My,Ed/My,b,Rd=0.30

- Verifica di stabilità aste presso-inflesse (C4.2.4.1.3.3.1) - CC 20 SLU - Classe 3
Sollecitazioni: N,Ed=-12.43 Myeq,Ed=25.55 Mzeq,Ed=-0.07
Resistenze: Nc,Rd=13095.20 My,c,Rd=109.13 Mz,c,Rd=21.83 L=21.63
λ_Y=14.99 Ncr,y=461316.00 λ^*_y=0.17 Curva c: Φ_y=0.51 χ_y=1.00
λ_Z=74.94 Ncr,z=18452.60 λ^*_z=0.86 Curva c: Φ_z=1.04 χ_z=0.62
χ,min=0.62
Verifica: 0.00+0.23+0.00=0.24

- Verifica Freccia massima carichi totali - CC 21
$f_{Z,L}$=0.00 (L/13542)

- Verifica in termini tensionali [4.2.4] - CC 9 SLU Xl=0.00 - Classe 3
Sollecitazioni: N=559.33 T_z=281.82 M_y=32.57
Tensioni: σ_N=111.87 σ_M=781.78 τ=0.00 σ_{max}=893.65
Tensioni: σ_N=111.87 σ_M=-0.00 τ=84.55 τ_{max}=84.55
Tensioni: σ_N=111.87 σ_M=781.78 τ=0.00 $\sigma_{ID,max}$=893.65

- Verifica a taglio dir. Z [4.2.16] - CC 9 SLU Xl=0.12
Sollecitazioni: N=560.95 T_z=261.90
V,Ed=261.90 Vc,Rd=7560.76 V,Ed/Vc,Rd=0.03

Asta n. 4220 (-567 -583) briglie 50x10 Crit. 1

- Verifica di stabilità aste inflesse (4.2.4.1.3.2) CC 5 SLV - Classe 3
L_{cr}=0.22 Curva d: α_{imp}=0.76 k_c=0.94 ψ=2.63 M,cr=0.00 λ_{LT}=0.00
$\lambda_{LT,0}$=0.20 β_{LT}=1.00 Φ_{LT}=0.00 β_{LT}=1.00 f=0.00 χ_{LT}=1.00
CC 5 SLV My,Ed=12.69 My,b,Rd=109.13 My,Ed/My,b,Rd=0.12

- Verifica di stabilità aste presso-inflesse (C4.2.4.1.3.3.1) - CC 18 SLU - Classe 3
Sollecitazioni: N,Ed=-547.40 Myeq,Ed=-23.99 Mzeq,Ed=0.08
Resistenze: Nc,Rd=13095.20 My,c,Rd=109.13 Mz,c,Rd=21.83 L=21.63
λ_Y=14.99 Ncr,y=461316.00 λ^*_y=0.17 Curva c: Φ_y=0.51 χ_y=1.00
λ_Z=74.94 Ncr,z=18452.60 λ^*_z=0.86 Curva c: Φ_z=1.04 χ_z=0.62
χ,min=0.62
Verifica: 0.04+0.22+0.00=0.27

- Verifica in termini tensionali [4.2.4] - CC 18 SLU Xl=0.22 - Classe 3
Sollecitazioni: N=-543.28 T_z=195.32 M_y=-23.99
Tensioni: σ_N=-108.66 σ_M=-575.87 τ=0.00 σ_{max}=-684.53
Tensioni: σ_N=-108.66 σ_M=0.00 τ=58.60 τ_{max}=58.60
Tensioni: σ_N=-108.66 σ_M=-575.87 τ=0.00 $\sigma_{ID,max}$=684.53

- Verifica a taglio dir. Z [4.2.16] - CC 1 SLV Xl=0.12
Sollecitazioni: N=162.68 T_z=73.62
V,Ed=73.62 Vc,Rd=7560.76 V,Ed/Vc,Rd=0.01

Asta n. 4220 (-583 -599) briglie 50x10 Crit. 1

- Verifica di stabilità aste inflesse (4.2.4.1.3.2) CC 5 SLV - Classe 3

L_{cr}=0.22 Curva d: α_{imp}=0.76 k_c=0.94 ψ=2.78 M,cr=0.00 λ_{LT}=0.00
$\lambda_{LT,0}$=0.20 β_{LT}=1.00 Φ_{LT}=0.00 β_{LT}=1.00 f=0.00 χ_{LT}=1.00
CC 5 SLV My,Ed=10.53 My,b,Rd=109.13 My,Ed/My,b,Rd=0.10

- Verifica di stabilità aste presso-inflesse (C4.2.4.1.3.3.1) - CC 18 SLU - Classe 3
Sollecitazioni: N,Ed=-1029.16 Myeq,Ed=-20.17 Mzeq,Ed=0.10
Resistenze: Nc,Rd=13095.20 My,c,Rd=109.13 Mz,c,Rd=21.83 L=21.63
λ_Y=14.99 Ncr,y=461316.00 λ^*_y=0.17 Curva c: Φ_y=0.51 χ_y=1.00
λ_Z=74.94 Ncr,z=18452.60 λ^*_z=0.86 Curva c: Φ_z=1.04 χ_z=0.62
χ,min=0.62
Verifica: 0.13+0.19+0.00=0.32

- Verifica in termini tensionali [4.2.4] - CC 18 SLU Xl=0.22 - Classe 3
Sollecitazioni: N=-1025.04 T_z=149.46 M_y=-20.17
Tensioni: σ_N=-205.01 σ_M=-483.99 τ=0.00 σ_{max}=-688.99
Tensioni: σ_N=-205.01 σ_M=0.00 τ=44.84 τ_{max}=44.84
Tensioni: σ_N=-205.01 σ_M=-483.99 τ=0.00 $\sigma_{ID,max}$=688.99

- Verifica a taglio dir. Z [4.2.16] - CC 7 SLV Xl=0.00
Sollecitazioni: N=301.71 T_z=17.35
V,Ed=17.35 Vc,Rd=7560.76 V,Ed/Vc,Rd=0.00

Asta n. 4220 (-599 -615) briglie 50x10 Crit. 1

- Verifica di stabilità aste inflesse (4.2.4.1.3.2) CC 5 SLV - Classe 3
L_{cr}=0.22 Curva d: α_{imp}=0.76 k_c=0.94 ψ=2.88 M,cr=0.00 λ_{LT}=0.00
$\lambda_{LT,0}$=0.20 β_{LT}=1.00 Φ_{LT}=0.00 β_{LT}=1.00 f=0.00 χ_{LT}=1.00
CC 5 SLV My,Ed=8.34 My,b,Rd=109.13 My,Ed/My,b,Rd=0.08

- Verifica di stabilità aste presso-inflesse (C4.2.4.1.3.3.1) - CC 18 SLU - Classe 3
Sollecitazioni: N,Ed=-1395.03 Myeq,Ed=-18.41 Mzeq,Ed=-0.10
Resistenze: Nc,Rd=13095.20 My,c,Rd=109.13 Mz,c,Rd=21.83 L=21.63
λ_Y=14.99 Ncr,y=461316.00 λ^*_y=0.17 Curva c: Φ_y=0.51 χ_y=1.00
λ_Z=74.94 Ncr,z=18452.60 λ^*_z=0.86 Curva c: Φ_z=1.04 χ_z=0.62
χ,min=0.62
Verifica: 0.17+0.17+0.01=0.35

- Verifica in termini tensionali [4.2.4] - CC 18 SLU Xl=0.22 - Classe 3
Sollecitazioni: N=-1390.91 T_z=126.58 M_y=-18.41
Tensioni: σ_N=-278.18 σ_M=-441.81 τ=0.00 σ_{max}=-719.99
Tensioni: σ_N=-278.18 σ_M=0.00 τ=37.98 τ_{max}=37.98
Tensioni: σ_N=-278.18 σ_M=-441.81 τ=0.00 $\sigma_{ID,max}$=719.99

- Verifica a taglio dir. Z [4.2.16] - CC 7 SLV Xl=0.00
Sollecitazioni: N=124.14 T_z=6.22
V,Ed=6.22 Vc,Rd=7560.76 V,Ed/Vc,Rd=0.00

Asta n. 4220 (-615 -631) briglie 50x10 Crit. 1

- Verifica di stabilità aste presso-inflesse (C4.2.4.1.3.3.1) - CC 18 SLU - Classe 3
Sollecitazioni: N,Ed=-1663.15 Myeq,Ed=-15.09 Mzeq,Ed=-0.02
Resistenze: Nc,Rd=13095.20 My,c,Rd=109.13 Mz,c,Rd=21.83 L=21.63
λ_Y=14.99 Ncr,y=461316.00 λ^*_y=0.17 Curva c: Φ_y=0.51 χ_y=1.00
λ_Z=74.94 Ncr,z=18452.60 λ^*_z=0.86 Curva c: Φ_z=1.04 χ_z=0.62
χ,min=0.62
Verifica: 0.20+0.14+0.00=0.34

- Verifica in termini tensionali [4.2.4] - CC 18 SLU Xl=0.22 - Classe 3
Sollecitazioni: N=-1659.03 T_z=88.46 M_y=-15.09

Tensioni: σ_N=-331.81 σ_M=-362.14 τ=0.00 σ_{max}=-693.95
Tensioni: σ_N=-331.81 σ_M=0.00 τ=26.54 τ_{max}=26.54
Tensioni: σ_N=-331.81 σ_M=-362.14 τ=0.00 $\sigma_{ID,max}$=693.95

Asta n. 4220 (-631 -647) briglie 50x10 Crit. 1

- Verifica di stabilità aste presso-inflesse (C4.2.4.1.3.3.1) - CC 18 SLU - Classe 3
Sollecitazioni: N,Ed=-1846.20 Myeq,Ed=-11.28 Mzeq,Ed=0.05
Resistenze: Nc,Rd=13095.20 My,c,Rd=109.13 Mz,c,Rd=21.83 L=21.63
λ_Y=14.99 Ncr,y=461316.00 λ^*_y=0.17 Curva c: Φ_y=0.51 χ_y=1.00
λ_Z=74.94 Ncr,z=18452.60 λ^*_z=0.86 Curva c: Φ_z=1.04 χ_z=0.62
χ,min=0.62
Verifica: 0.23+0.10+0.00=0.33

- Verifica in termini tensionali [4.2.4] - CC 18 SLU Xl=0.22 - Classe 3
Sollecitazioni: N=-1842.08 T_z=54.81 M_y=-11.72
Tensioni: σ_N=-368.42 σ_M=-281.33 τ=0.00 σ_{max}=-649.74
Tensioni: σ_N=-368.42 σ_M=0.00 τ=16.44 τ_{max}=16.44
Tensioni: σ_N=-368.42 σ_M=-281.33 τ=0.00 $\sigma_{ID,max}$=649.74

Asta n. 4220 (-647 -663) briglie 50x10 Crit. 1

- Verifica di stabilità aste presso-inflesse (C4.2.4.1.3.3.1) - CC 18 SLU - Classe 3
Sollecitazioni: N,Ed=-1962.55 Myeq,Ed=-6.76 Mzeq,Ed=0.11
Resistenze: Nc,Rd=13095.20 My,c,Rd=109.13 Mz,c,Rd=21.83 L=21.63
λ_Y=14.99 Ncr,y=461316.00 λ^*_y=0.17 Curva c: Φ_y=0.51 χ_y=1.00
λ_Z=74.94 Ncr,z=18452.60 λ^*_z=0.86 Curva c: Φ_z=1.04 χ_z=0.62
χ,min=0.62
Verifica: 0.24+0.06+0.01=0.31

- Verifica in termini tensionali [4.2.4] - CC 18 SLU Xl=0.22 - Classe 3
Sollecitazioni: N=-1958.43 T_z=22.67 M_y=-7.88
Tensioni: σ_N=-391.69 σ_M=-189.04 τ=0.00 σ_{max}=-580.73
Tensioni: σ_N=-391.69 σ_M=0.00 τ=6.80 τ_{max}=6.80
Tensioni: σ_N=-391.69 σ_M=-189.04 τ=0.00 $\sigma_{ID,max}$=580.73

Asta n. 4220 (-663 -679) briglie 50x10 Crit. 1

- Verifica di stabilità aste presso-inflesse (C4.2.4.1.3.3.1) - CC 18 SLU - Classe 3
Sollecitazioni: N,Ed=-1838.50 Myeq,Ed=-6.74 Mzeq,Ed=-0.13
Resistenze: Nc,Rd=13095.20 My,c,Rd=109.13 Mz,c,Rd=21.83 L=21.63
λ_Y=14.99 Ncr,y=461316.00 λ^*_y=0.17 Curva c: Φ_y=0.51 χ_y=1.00
λ_Z=74.94 Ncr,z=18452.60 λ^*_z=0.86 Curva c: Φ_z=1.04 χ_z=0.62
χ,min=0.62
Verifica: 0.23+0.06+0.01=0.29

- Verifica in termini tensionali [4.2.4] - CC 18 SLU Xl=0.22 - Classe 3
Sollecitazioni: N=-1834.37 T_z=22.53 M_y=-7.79
Tensioni: σ_N=-366.88 σ_M=-186.91 τ=0.00 σ_{max}=-553.79
Tensioni: σ_N=-366.88 σ_M=0.00 τ=6.76 τ_{max}=6.76
Tensioni: σ_N=-366.88 σ_M=-186.91 τ=0.00 $\sigma_{ID,max}$=553.79

Asta n. 4220 (-679 -695) briglie 50x10 Crit. 1

- Verifica di stabilità aste presso-inflesse (C4.2.4.1.3.3.1) - CC 18 SLU - Classe 3
Sollecitazioni: N,Ed=-1884.90 Myeq,Ed=-4.99 Mzeq,Ed=-0.03
Resistenze: Nc,Rd=13095.20 My,c,Rd=109.13 Mz,c,Rd=21.83 L=21.63
λ_Y=14.99 Ncr,y=461316.00 λ^*_y=0.17 Curva c: Φ_y=0.51 χ_y=1.00
λ_Z=74.94 Ncr,z=18452.60 λ^*_z=0.86 Curva c: Φ_z=1.04 χ_z=0.62

χ,min=0.62
Verifica: 0.23+0.05+0.00=0.28

- Verifica in termini tensionali [4.2.4] - CC 18 SLU Xl=0.19 - Classe 3
Sollecitazioni: N=-1881.33 M_y=-5.24
Tensioni: σ_N=-376.26 σ_M=-125.86 τ=0.00 σ_{max}=-502.13
Tensioni: σ_N=0.00 σ_M=0.00 τ=0.00 τ_{max}=0.00
Tensioni: σ_N=-376.26 σ_M=-125.86 τ=0.00 $\sigma_{ID,max}$=502.13

Asta n. 4220 (-695 -711) briglie 50x10 Crit. 1

- Verifica di stabilità aste presso-inflesse (C4.2.4.1.3.3.1) - CC 18 SLU - Classe 3
Sollecitazioni: N,Ed=-1891.04 Myeq,Ed=-4.66 Mzeq,Ed=0.04
Resistenze: Nc,Rd=13095.20 My,c,Rd=109.13 Mz,c,Rd=21.83 L=21.63
λ_Y=14.99 Ncr,y=461315.00 λ^*_y=0.17 Curva c: Φ_y=0.51 χ_y=1.00
λ_Z=74.94 Ncr,z=18452.60 λ^*_z=0.86 Curva c: Φ_z=1.04 χ_z=0.62
χ,min=0.62
Verifica: 0.23+0.04+0.00=0.28

- Verifica in termini tensionali [4.2.4] - CC 18 SLU Xl=0.08 - Classe 3
Sollecitazioni: N=-1889.61 M_y=-4.66
Tensioni: σ_N=-377.92 σ_M=-111.91 τ=0.00 σ_{max}=-489.83
Tensioni: σ_N=0.00 σ_M=0.00 τ=0.00 τ_{max}=0.00
Tensioni: σ_N=-377.92 σ_M=-111.91 τ=0.00 $\sigma_{ID,max}$=489.83

Asta n. 4220 (-711 -727) briglie 50x10 Crit. 1

- Verifica di stabilità aste presso-inflesse (C4.2.4.1.3.3.1) - CC 18 SLU - Classe 3
Sollecitazioni: N,Ed=-1863.13 Myeq,Ed=-4.83 Mzeq,Ed=0.11
Resistenze: Nc,Rd=13095.20 My,c,Rd=109.13 Mz,c,Rd=21.83 L=21.63
λ_Y=14.99 Ncr,y=461317.00 λ^*_y=0.17 Curva c: Φ_y=0.51 χ_y=1.00
λ_Z=74.94 Ncr,z=18452.70 λ^*_z=0.86 Curva c: Φ_z=1.04 χ_z=0.62
χ,min=0.62
Verifica: 0.23+0.04+0.01=0.28

- Verifica in termini tensionali [4.2.4] - CC 18 SLU Xl=0.00 - Classe 3
Sollecitazioni: N=-1863.13 T_z=-8.96 M_y=-6.40
Tensioni: σ_N=-372.63 σ_M=-153.61 τ=0.00 σ_{max}=-526.24
Tensioni: σ_N=-372.63 σ_M=0.00 τ=2.69 τ_{max}=2.69
Tensioni: σ_N=-372.63 σ_M=-153.61 τ=0.00 $\sigma_{ID,max}$=526.24

Asta n. 4220 (-727 -743) briglie 50x10 Crit. 1

- Verifica di stabilità aste presso-inflesse (C4.2.4.1.3.3.1) - CC 18 SLU - Classe 3
Sollecitazioni: N,Ed=-1831.19 Myeq,Ed=-5.07 Mzeq,Ed=-0.12
Resistenze: Nc,Rd=13095.20 My,c,Rd=109.13 Mz,c,Rd=21.83 L=21.63
λ_Y=14.99 Ncr,y=461317.00 λ^*_y=0.17 Curva c: Φ_y=0.51 χ_y=1.00
λ_Z=74.94 Ncr,z=18452.70 λ^*_z=0.86 Curva c: Φ_z=1.04 χ_z=0.62
χ,min=0.62
Verifica: 0.22+0.05+0.01=0.28

- Verifica in termini tensionali [4.2.4] - CC 18 SLU Xl=0.00 - Classe 3
Sollecitazioni: N=-1831.19 T_z=-10.65 M_y=-6.50
Tensioni: σ_N=-366.24 σ_M=-155.88 τ=0.00 σ_{max}=-522.12
Tensioni: σ_N=-366.24 σ_M=0.00 τ=3.20 τ_{max}=3.20
Tensioni: σ_N=-366.24 σ_M=-155.88 τ=0.00 $\sigma_{ID,max}$=522.12

Asta n. 4220 (-743 -759) briglie 50x10 Crit. 1

- Verifica di stabilità aste presso-inflesse (C4.2.4.1.3.3.1) - CC 18 SLU - Classe 3
  Sollecitazioni: N,Ed=-1767.23 Myeq,Ed=-8.61 Mzeq,Ed=-0.06
  Resistenze: Nc,Rd=13095.20 My,c,Rd=109.13 Mz,c,Rd=21.83 L=21.63
  λ_Y=14.99 Ncr,y=461316.00 λ^*_y=0.17 Curva c: Φ_y=0.51 χ_y=1.00
  λ_Z=74.94 Ncr,z=18452.60 λ^*_z=0.86 Curva c: Φ_z=1.04 χ_z=0.62
  χ,min=0.62
  Verifica: 0.22+0.08+0.00=0.30

- Verifica in termini tensionali [4.2.4] - CC 18 SLU Xl=0.00 - Classe 3
  Sollecitazioni: N=-1767.23 T_z=-35.84 M_y=-9.49
  Tensioni: σ_N=-353.45 σ_M=-227.65 τ=0.00 σ_{max}=-581.10
  Tensioni: σ_N=-353.45 σ_M=0.00 τ=10.75 τ_{max}=10.75
  Tensioni: σ_N=-353.45 σ_M=-227.65 τ=0.00 $\sigma_{ID,max}$=581.10

Asta n. 4220 (-759 -775) briglie 50x10 Crit. 1

- Verifica di stabilità aste presso-inflesse (C4.2.4.1.3.3.1) - CC 18 SLU - Classe 3
  Sollecitazioni: N,Ed=-1683.19 Myeq,Ed=-11.26 Mzeq,Ed=0.05
  Resistenze: Nc,Rd=13095.20 My,c,Rd=109.13 Mz,c,Rd=21.83 L=21.63
  λ_Y=14.99 Ncr,y=461317.00 λ^*_y=0.17 Curva c: Φ_y=0.51 χ_y=1.00
  λ_Z=74.94 Ncr,z=18452.70 λ^*_z=0.86 Curva c: Φ_z=1.04 χ_z=0.62
  χ,min=0.62
  Verifica: 0.21+0.10+0.00=0.31

- Verifica in termini tensionali [4.2.4] - CC 18 SLU Xl=0.00 - Classe 3
  Sollecitazioni: N=-1683.19 T_z=-57.46 M_y=-11.26
  Tensioni: σ_N=-336.64 σ_M=-270.31 τ=0.00 σ_{max}=-606.95
  Tensioni: σ_N=-336.64 σ_M=0.00 τ=17.24 τ_{max}=17.24
  Tensioni: σ_N=-336.64 σ_M=-270.31 τ=0.00 $\sigma_{ID,max}$=606.95

Asta n. 4220 (-775 -791) briglie 50x10 Crit. 1

- Verifica di stabilità aste presso-inflesse (C4.2.4.1.3.3.1) - CC 18 SLU - Classe 3
  Sollecitazioni: N,Ed=-1590.94 Myeq,Ed=13.62 Mzeq,Ed=0.10
  Resistenze: Nc,Rd=13095.20 My,c,Rd=109.13 Mz,c,Rd=21.83 L=21.63
  λ_Y=14.99 Ncr,y=461315.00 λ^*_y=0.17 Curva c: Φ_y=0.51 χ_y=1.00
  λ_Z=74.94 Ncr,z=18452.60 λ^*_z=0.86 Curva c: Φ_z=1.04 χ_z=0.62
  χ,min=0.62
  Verifica: 0.20+0.13+0.01=0.33

- Verifica in termini tensionali [4.2.4] - CC 18 SLU Xl=0.22 - Classe 3
  Sollecitazioni: N=-1586.81 T_z=-137.53 M_y=13.62
  Tensioni: σ_N=-317.36 σ_M=-326.94 τ=0.00 σ_{max}=-644.30
  Tensioni: σ_N=-317.36 σ_M=-0.00 τ=41.26 τ_{max}=41.26
  Tensioni: σ_N=-317.36 σ_M=-326.94 τ=0.00 $\sigma_{ID,max}$=644.30

Asta n. 4221 (3008 -520) briglie 50x10 Crit. 1

- Verifica di stabilità aste inflesse (4.2.4.1.3.2) CC 17 SLU - Classe 3
  L_{cr}=0.17 Curva d: α_{imp}=0.76 k_c=0.94 ψ=2.92 M,cr=0.00 λ_{LT}=0.00
  $\lambda_{LT,0}$=0.20 β_{LT}=1.00 Φ_{LT}=0.00 β_{LT}=1.00 f=0.00 χ_{LT}=1.00
  CC 17 SLU My,Ed=2.62 My,b,Rd=109.13 My,Ed/My,b,Rd=0.02

- Verifica di stabilità aste presso-inflesse (C4.2.4.1.3.3.1) - CC 1 SLV - Classe 3
  Sollecitazioni: N,Ed=-1.45 Myeq,Ed=0.96 Mzeq,Ed=-0.34
  Resistenze: Nc,Rd=13095.20 My,c,Rd=109.13 Mz,c,Rd=21.83 L=16.72
  λ_Y=11.59 Ncr,y=772145.00 λ^*_y=0.13 Curva c: Φ_y=0.49 χ_y=1.00
  λ_Z=57.92 Ncr,z=30885.80 λ^*_z=0.67 Curva c: Φ_z=0.84 χ_z=0.74
  χ,min=0.74

Verifica: 0.00+0.01+0.02=0.02

- Verifica in termini tensionali [4.2.4] - CC 17 SLU Xl=0.17 - Classe 3
Sollecitazioni: N=46.65 T_z=-30.16 M_y=2.62 T_y=5.63
Tensioni: σ_N=9.33 σ_M=62.91 τ=0.00 σ_{max}=72.24
Tensioni: σ_N=9.33 σ_M=-0.00 τ=9.20 τ_{max}=9.20
Tensioni: σ_N=9.33 σ_M=62.91 τ=1.69 $\sigma_{ID,max}$=72.30

- Verifica a taglio dir. Y [4.2.16] - CC 17 SLU Xl=0.11
Sollecitazioni: N=46.61 T_z=-29.72 T_y=4.36
V,Ed=4.36 Vc,Rd=7560.76 V,Ed/Vc,Rd=0.00

- Verifica a taglio dir. Z [4.2.16]
V,Ed=-29.72 Vc,Rd=7560.76 V,Ed/Vc,Rd=0.00

Asta n. 4221 (-520 -536) briglie 50x10 Crit. 1

- Verifica di stabilità aste inflesse (4.2.4.1.3.2) CC 17 SLU - Classe 3
L_{cr}=0.17 Curva d: α_{imp}=0.76 k_c=0.94 ψ=1.61 M,cr=0.00 λ_{LT}=0.00
$\lambda_{LT,0}$=0.20 β_{LT}=1.00 Φ_{LT}=0.00 β_{LT}=1.00 f=0.00 χ_{LT}=1.00
CC 17 SLU My,Ed=0.74 My,b,Rd=109.13 My,Ed/My,b,Rd=0.01

- Verifica di stabilità aste presso-inflesse (C4.2.4.1.3.3.1) - CC 1 SLV - Classe 3
Sollecitazioni: N,Ed=-8.94 Myeq,Ed=0.30 Mzeq,Ed=0.37
Resistenze: Nc,Rd=13095.20 My,c,Rd=109.13 Mz,c,Rd=21.83 L=16.72
λ_Y=11.59 Ncr,y=772146.00 λ^*_y=0.13 Curva c: Φ_y=0.49 χ_y=1.00
λ_Z=57.92 Ncr,z=30885.80 λ^*_z=0.67 Curva c: Φ_z=0.84 χ_z=0.74
χ,min=0.74
Verifica: 0.00+0.00+0.02=0.02

- Verifica a trazione [4.2.5] - CC 17 SLU Xl=0.17 - Classe 1
Sollecitazioni: N=181.29 T_z=-4.41 T_y=8.28
N,Ed=181.29 Npl,Rd=13095.20 Nu,Rd=15480.00 N,Ed/Nt,Rd=0.01

- Verifica a taglio dir. Y [4.2.16] - CC 17 SLU Xl=0.17
Sollecitazioni: N=181.29 T_z=-4.41 T_y=8.28
V,Ed=8.28 Vc,Rd=7560.76 V,Ed/Vc,Rd=0.00

- Verifica a taglio dir. Z [4.2.16]
V,Ed=-4.41 Vc,Rd=7560.76 V,Ed/Vc,Rd=0.00

Asta n. 4221 (-536 4036) briglie 50x10 Crit. 1

- Verifica di stabilità aste inflesse (4.2.4.1.3.2) CC 19 SLU - Classe 3
L_{cr}=0.17 Curva d: α_{imp}=0.76 k_c=0.94 ψ=2.22 M,cr=0.00 λ_{LT}=0.00
$\lambda_{LT,0}$=0.20 β_{LT}=1.00 Φ_{LT}=0.00 β_{LT}=1.00 f=0.00 χ_{LT}=1.00
CC 19 SLU My,Ed=4.63 My,b,Rd=109.13 My,Ed/My,b,Rd=0.04

- Verifica di stabilità aste presso-inflesse (C4.2.4.1.3.3.1) - CC 1 SLV - Classe 3
Sollecitazioni: N,Ed=-15.48 Myeq,Ed=1.75 Mzeq,Ed=0.39
Resistenze: Nc,Rd=13095.20 My,c,Rd=109.13 Mz,c,Rd=21.83 L=16.72
λ_Y=11.59 Ncr,y=772145.00 λ^*_y=0.13 Curva c: Φ_y=0.49 χ_y=1.00
λ_Z=57.92 Ncr,z=30885.80 λ^*_z=0.67 Curva c: Φ_z=0.84 χ_z=0.74
χ,min=0.74
Verifica: 0.00+0.02+0.02=0.03

- Verifica in termini tensionali [4.2.4] - CC 19 SLU Xl=0.17 - Classe 3
Sollecitazioni: N=245.18 T_z=-39.73 M_y=4.63 T_y=8.98
Tensioni: σ_N=49.04 σ_M=111.18 τ=0.00 σ_{max}=160.22

Tensioni: σ_N=49.04 σ_M=-0.00 τ=12.22 τ_{max}=12.22
Tensioni: σ_N=49.04 σ_M=111.18 τ=2.69 $\sigma_{ID,max}$=160.28

- Verifica a taglio dir. Y [4.2.16] - CC 19 SLU Xl=0.06
Sollecitazioni: N=245.10 T_z=-38.68 T_y=7.64
V,Ed=7.64 Vc,Rd=7560.76 V,Ed/Vc,Rd=0.00

- Verifica a taglio dir. Z [4.2.16]
V,Ed=-38.68 Vc,Rd=7560.76 V,Ed/Vc,Rd=0.01

Asta n. 4221 (4036 -552) briglie 50x10 Crit. 1

- Verifica di stabilità aste inflesse (4.2.4.1.3.2) CC 19 SLU - Classe 3
L_{cr}=0.22 Curva d: α_{imp}=0.76 k_c=0.94 ψ=2.22 M,cr=0.00 λ_{LT}=0.00
$\lambda_{LT,0}$=0.20 β_{LT}=1.00 Φ_{LT}=0.00 β_{LT}=1.00 f=0.00 χ_{LT}=1.00
CC 19 SLU My,Ed=39.26 My,b,Rd=109.13 My,Ed/My,b,Rd=0.36

- Verifica di stabilità aste presso-inflesse (C4.2.4.1.3.3.1) - CC 16 SLU - Classe 3
Sollecitazioni: N,Ed=-46.99 Myeq,Ed=20.44 Mzeq,Ed=-0.12
Resistenze: Nc,Rd=13095.20 My,c,Rd=109.13 Mz,c,Rd=21.83 L=21.63
λ_Y=14.99 Ncr,y=461316.00 λ^*_y=0.17 Curva c: Φ_y=0.51 χ_y=1.00
λ_Z=74.94 Ncr,z=18452.60 λ^*_z=0.86 Curva c: Φ_z=1.04 χ_z=0.62
χ,min=0.62
Verifica: 0.00+0.19+0.01=0.20

- Verifica Freccia massima per soli carichi accidentali - CC 21
$f_{Z,G}$=0.00 (L/12602)

- Verifica Freccia massima carichi totali - CC 21
$f_{Z,G}$=0.00 (L/6926)

- Verifica in termini tensionali [4.2.4] - CC 19 SLU Xl=0.00 - Classe 3
Sollecitazioni: N=1244.64 T_z=255.34 M_y=39.26 T_y=-5.51
Tensioni: σ_N=248.93 σ_M=942.33 τ=0.00 σ_{max}=1191.25
Tensioni: σ_N=248.93 σ_M=-0.00 τ=76.62 τ_{max}=76.62
Tensioni: σ_N=248.93 σ_M=942.33 τ=1.65 $\sigma_{ID,max}$=1191.26

- Verifica a taglio dir. Y [4.2.16] - CC 19 SLU Xl=0.16
Sollecitazioni: N=1244.78 T_z=253.57 T_y=-3.53
V,Ed=-3.53 Vc,Rd=7560.76 V,Ed/Vc,Rd=0.00

- Verifica a taglio dir. Z [4.2.16]
V,Ed=253.57 Vc,Rd=7560.76 V,Ed/Vc,Rd=0.03

Asta n. 4221 (-552 -568) briglie 50x10 Crit. 1

- Verifica di stabilità aste inflesse (4.2.4.1.3.2) CC 19 SLU - Classe 3
L_{cr}=0.22 Curva d: α_{imp}=0.76 k_c=0.94 ψ=2.71 M,cr=0.00 λ_{LT}=0.00
$\lambda_{LT,0}$=0.20 β_{LT}=1.00 Φ_{LT}=0.00 β_{LT}=1.00 f=0.00 χ_{LT}=1.00
CC 19 SLU My,Ed=29.19 My,b,Rd=109.13 My,Ed/My,b,Rd=0.27

- Verifica di stabilità aste presso-inflesse (C4.2.4.1.3.3.1) - CC 20 SLU - Classe 3
Sollecitazioni: N,Ed=-8.93 Myeq,Ed=21.19 Mzeq,Ed=-0.07
Resistenze: Nc,Rd=13095.20 My,c,Rd=109.13 Mz,c,Rd=21.83 L=21.63
λ_Y=14.99 Ncr,y=461316.00 λ^*_y=0.17 Curva c: Φ_y=0.51 χ_y=1.00
λ_Z=74.94 Ncr,z=18452.60 λ^*_z=0.86 Curva c: Φ_z=1.04 χ_z=0.62
χ,min=0.62
Verifica: 0.00+0.19+0.00=0.20

- Verifica Freccia massima carichi totali - CC 21
  $f_{Z,G}$=0.00 (L/13748)

- Verifica in termini tensionali [4.2.4] - CC 19 SLU Xl=0.00 - Classe 3
  Sollecitazioni: N=588.45 T_z=237.36 M_y=29.19 T_y=-2.72
  Tensioni: σ_N=117.69 σ_M=700.58 τ=0.00 σ_{max}=818.27
  Tensioni: σ_N=117.69 σ_M=-0.00 τ=71.21 τ_{max}=71.21
  Tensioni: σ_N=117.69 σ_M=700.58 τ=0.81 $\sigma_{ID,max}$=818.27

- Verifica a taglio dir. Z [4.2.16] - CC 18 SLU Xl=0.12
  Sollecitazioni: N=113.26 T_z=231.88
  V,Ed=231.88 Vc,Rd=7560.76 V,Ed/Vc,Rd=0.03

Asta n. 4221 (-568 -584) briglie 50x10 Crit. 1

- Verifica di stabilità aste inflesse (4.2.4.1.3.2) CC 19 SLU - Classe 3
  L_{cr}=0.22 Curva d: α_{imp}=0.76 k_c=0.94 ψ=2.97 M,cr=0.00 λ_{LT}=0.00
  $\lambda_{LT,0}$=0.20 β_{LT}=1.00 Φ_{LT}=0.00 β_{LT}=1.00 f=0.00 χ_{LT}=1.00
  CC 19 SLU My,Ed=23.48 My,b,Rd=109.13 My,Ed/My,b,Rd=0.22

- Verifica di stabilità aste presso-inflesse (C4.2.4.1.3.3.1) - CC 18 SLU - Classe 3
  Sollecitazioni: N,Ed=-464.64 Myeq,Ed=-22.45 Mzeq,Ed=0.08
  Resistenze: Nc,Rd=13095.20 My,c,Rd=109.13 Mz,c,Rd=21.83 L=21.63
  λ_Y=14.99 Ncr,y=461316.00 λ^*_y=0.17 Curva c: Φ_y=0.51 χ_y=1.00
  λ_Z=74.94 Ncr,z=18452.60 λ^*_z=0.86 Curva c: Φ_z=1.04 χ_z=0.62
  χ,min=0.62
  Verifica: 0.04+0.21+0.00=0.25

- Verifica in termini tensionali [4.2.4] - CC 18 SLU Xl=0.22 - Classe 3
  Sollecitazioni: N=-464.40 T_z=203.42 M_y=-22.45
  Tensioni: σ_N=-92.88 σ_M=-538.92 τ=0.00 σ_{max}=-631.80
  Tensioni: σ_N=-92.88 σ_M=0.00 τ=61.03 τ_{max}=61.03
  Tensioni: σ_N=-92.88 σ_M=-538.92 τ=0.00 $\sigma_{ID,max}$=631.80

- Verifica a taglio dir. Z [4.2.16] - CC 10 SLU Xl=0.12
  Sollecitazioni: N=7.00 T_z=158.81
  V,Ed=158.81 Vc,Rd=7560.76 V,Ed/Vc,Rd=0.02

Asta n. 4221 (-584 -600) briglie 50x10 Crit. 1

- Verifica di stabilità aste inflesse (4.2.4.1.3.2) CC 5 SLV - Classe 3
  L_{cr}=0.22 Curva d: α_{imp}=0.76 k_c=0.94 ψ=2.77 M,cr=0.00 λ_{LT}=0.00
  $\lambda_{LT,0}$=0.20 β_{LT}=1.00 Φ_{LT}=0.00 β_{LT}=1.00 f=0.00 χ_{LT}=1.00
  CC 5 SLV My,Ed=10.16 My,b,Rd=109.13 My,Ed/My,b,Rd=0.09

- Verifica di stabilità aste presso-inflesse (C4.2.4.1.3.3.1) - CC 18 SLU - Classe 3
  Sollecitazioni: N,Ed=-930.06 Myeq,Ed=-22.10 Mzeq,Ed=0.10
  Resistenze: Nc,Rd=13095.20 My,c,Rd=109.13 Mz,c,Rd=21.83 L=21.63
  λ_Y=14.99 Ncr,y=461316.00 λ^*_y=0.17 Curva c: Φ_y=0.51 χ_y=1.00
  λ_Z=74.94 Ncr,z=18452.60 λ^*_z=0.86 Curva c: Φ_z=1.04 χ_z=0.62
  χ,min=0.62
  Verifica: 0.11+0.20+0.00=0.32

- Verifica in termini tensionali [4.2.4] - CC 18 SLU Xl=0.22 - Classe 3
  Sollecitazioni: N=-929.82 T_z=182.25 M_y=-22.10
  Tensioni: σ_N=-185.96 σ_M=-530.32 τ=0.00 σ_{max}=-716.28
  Tensioni: σ_N=-185.96 σ_M=0.00 τ=54.67 τ_{max}=54.67
  Tensioni: σ_N=-185.96 σ_M=-530.32 τ=0.00 $\sigma_{ID,max}$=716.28

- Verifica a taglio dir. Z [4.2.16] - CC 1 SLV Xl=0.10
  Sollecitazioni: N=26.10 T_z=60.36
  V,Ed=60.36 Vc,Rd=7560.76 V,Ed/Vc,Rd=0.01

Asta n. 4221 (-600 -616) briglie 50x10 Crit. 1

- Verifica di stabilità aste inflesse (4.2.4.1.3.2) CC 5 SLV - Classe 3
  L_{cr}=0.22 Curva d: α_{imp}=0.76 k_c=0.94 ψ=2.87 M,cr=0.00 λ_{LT}=0.00
  $\lambda_{LT,0}$=0.20 β_{LT}=1.00 Φ_{LT}=0.00 β_{LT}=1.00 f=0.00 χ_{LT}=1.00
  CC 5 SLV My,Ed=7.90 My,b,Rd=109.13 My,Ed/My,b,Rd=0.07

- Verifica di stabilità aste presso-inflesse (C4.2.4.1.3.3.1) - CC 18 SLU - Classe 3
  Sollecitazioni: N,Ed=-1252.70 Myeq,Ed=-15.05 Mzeq,Ed=-0.10
  Resistenze: Nc,Rd=13095.20 My,c,Rd=109.13 Mz,c,Rd=21.83 L=21.63
  λ_Y=14.99 Ncr,y=461316.00 λ^*_y=0.17 Curva c: Φ_y=0.51 χ_y=1.00
  λ_Z=74.94 Ncr,z=18452.60 λ^*_z=0.86 Curva c: Φ_z=1.04 χ_z=0.62
  χ,min=0.62
  Verifica: 0.15+0.14+0.01=0.30

- Verifica in termini tensionali [4.2.4] - CC 18 SLU Xl=0.22 - Classe 3
  Sollecitazioni: N=-1252.46 T_z=108.26 M_y=-15.05
  Tensioni: σ_N=-250.49 σ_M=-361.24 τ=0.00 σ_{max}=-611.73
  Tensioni: σ_N=-250.49 σ_M=0.00 τ=32.48 τ_{max}=32.48
  Tensioni: σ_N=-250.49 σ_M=-361.24 τ=0.00 $\sigma_{ID,max}$=611.73

- Verifica a taglio dir. Z [4.2.16] - CC 7 SLV Xl=0.12
  Sollecitazioni: N=193.32 T_z=1.99
  V,Ed=1.99 Vc,Rd=7560.76 V,Ed/Vc,Rd=0.00

Asta n. 4221 (-616 -632) briglie 50x10 Crit. 1

- Verifica di stabilità aste inflesse (4.2.4.1.3.2) CC 5 SLV - Classe 3
  L_{cr}=0.22 Curva d: α_{imp}=0.76 k_c=0.94 ψ=2.94 M,cr=0.00 λ_{LT}=0.00
  $\lambda_{LT,0}$=0.20 β_{LT}=1.00 Φ_{LT}=0.00 β_{LT}=1.00 f=0.00 χ_{LT}=1.00
  CC 5 SLV My,Ed=6.99 My,b,Rd=109.13 My,Ed/My,b,Rd=0.06

- Verifica di stabilità aste presso-inflesse (C4.2.4.1.3.3.1) - CC 18 SLU - Classe 3
  Sollecitazioni: N,Ed=-1478.08 Myeq,Ed=-13.43 Mzeq,Ed=-0.02
  Resistenze: Nc,Rd=13095.20 My,c,Rd=109.13 Mz,c,Rd=21.83 L=21.63
  λ_Y=14.99 Ncr,y=461316.00 λ^*_y=0.17 Curva c: Φ_y=0.51 χ_y=1.00
  λ_Z=74.94 Ncr,z=18452.60 λ^*_z=0.86 Curva c: Φ_z=1.04 χ_z=0.62
  χ,min=0.62
  Verifica: 0.18+0.12+0.00=0.31

- Verifica in termini tensionali [4.2.4] - CC 18 SLU Xl=0.22 - Classe 3
  Sollecitazioni: N=-1477.84 T_z=98.49 M_y=-13.43
  Tensioni: σ_N=-295.57 σ_M=-322.38 τ=0.00 σ_{max}=-617.95
  Tensioni: σ_N=-295.57 σ_M=0.00 τ=29.55 τ_{max}=29.55
  Tensioni: σ_N=-295.57 σ_M=-322.38 τ=0.00 $\sigma_{ID,max}$=617.95

Asta n. 4221 (-632 -648) briglie 50x10 Crit. 1

- Verifica di stabilità aste presso-inflesse (C4.2.4.1.3.3.1) - CC 18 SLU - Classe 3
  Sollecitazioni: N,Ed=-1658.49 Myeq,Ed=-12.51 Mzeq,Ed=0.05
  Resistenze: Nc,Rd=13095.20 My,c,Rd=109.13 Mz,c,Rd=21.83 L=21.63
  λ_Y=14.99 Ncr,y=461316.00 λ^*_y=0.17 Curva c: Φ_y=0.51 χ_y=1.00
  λ_Z=74.94 Ncr,z=18452.60 λ^*_z=0.86 Curva c: Φ_z=1.04 χ_z=0.62
  χ,min=0.62
  Verifica: 0.20+0.12+0.00=0.32

- Verifica in termini tensionali [4.2.4] - CC 18 SLU Xl=0.22 - Classe 3
  Sollecitazioni: N=-1658.24 T_z=87.74 M_y=-12.51
  Tensioni: σ_N=-331.65 σ_M=-300.25 τ=0.00 σ_{max}=-631.90
  Tensioni: σ_N=-331.65 σ_M=0.00 τ=26.32 τ_{max}=26.32
  Tensioni: σ_N=-331.65 σ_M=-300.25 τ=0.00 $\sigma_{ID,max}$=631.90

Asta n. 4221 (-648 -664) briglie 50x10 Crit. 1

- Verifica di stabilità aste presso-inflesse (C4.2.4.1.3.3.1) - CC 18 SLU - Classe 3
  Sollecitazioni: N,Ed=-1801.24 Myeq,Ed=-11.55 Mzeq,Ed=0.11
  Resistenze: Nc,Rd=13095.20 My,c,Rd=109.13 Mz,c,Rd=21.83 L=21.63
  λ_Y=14.99 Ncr,y=461316.00 λ^*_y=0.17 Curva c: Φ_y=0.51 χ_y=1.00
  λ_Z=74.94 Ncr,z=18452.60 λ^*_z=0.86 Curva c: Φ_z=1.04 χ_z=0.62
  χ,min=0.62
  Verifica: 0.22+0.11+0.01=0.33

- Verifica in termini tensionali [4.2.4] - CC 19 SLU Xl=0.22 - Classe 3
  Sollecitazioni: N=-1418.43 T_z=90.46 M_y=-13.01 T_y=6.94 M_z=1.06
  Tensioni: σ_N=-283.69 σ_M=-439.64 τ=0.00 σ_{max}=-723.33
  Tensioni: σ_N=-283.69 σ_M=0.00 τ=27.22 τ_{max}=27.22
  Tensioni: σ_N=-283.69 σ_M=-439.64 τ=0.00 $\sigma_{ID,max}$=723.33

Asta n. 4221 (-664 -680) briglie 50x10 Crit. 1

- Verifica di stabilità aste presso-inflesse (C4.2.4.1.3.3.1) - CC 18 SLU - Classe 3
  Sollecitazioni: N,Ed=-1857.91 Myeq,Ed=-4.93 Mzeq,Ed=-0.13
  Resistenze: Nc,Rd=13095.20 My,c,Rd=109.13 Mz,c,Rd=21.83 L=21.63
  λ_Y=14.99 Ncr,y=461316.00 λ^*_y=0.17 Curva c: Φ_y=0.51 χ_y=1.00
  λ_Z=74.94 Ncr,z=18452.60 λ^*_z=0.86 Curva c: Φ_z=1.04 χ_z=0.62
  χ,min=0.62
  Verifica: 0.23+0.05+0.01=0.28

- Verifica in termini tensionali [4.2.4] - CC 18 SLU Xl=0.22 - Classe 3
  Sollecitazioni: N=-1857.67 T_z=3.89 M_y=-4.93
  Tensioni: σ_N=-371.53 σ_M=-118.40 τ=0.00 σ_{max}=-489.93
  Tensioni: σ_N=-371.53 σ_M=0.00 τ=1.17 τ_{max}=1.17
  Tensioni: σ_N=-371.53 σ_M=-118.40 τ=0.00 $\sigma_{ID,max}$=489.93

Asta n. 4221 (-680 -696) briglie 50x10 Crit. 1

- Verifica di stabilità aste presso-inflesse (C4.2.4.1.3.3.1) - CC 18 SLU - Classe 3
  Sollecitazioni: N,Ed=-1875.49 Myeq,Ed=-3.49 Mzeq,Ed=-0.03
  Resistenze: Nc,Rd=13095.20 My,c,Rd=109.13 Mz,c,Rd=21.83 L=21.63
  λ_Y=14.99 Ncr,y=461316.00 λ^*_y=0.17 Curva c: Φ_y=0.51 χ_y=1.00
  λ_Z=74.94 Ncr,z=18452.60 λ^*_z=0.86 Curva c: Φ_z=1.04 χ_z=0.62
  χ,min=0.62
  Verifica: 0.23+0.03+0.00=0.26

- Verifica in termini tensionali [4.2.4] - CC 18 SLU Xl=0.22 - Classe 3
  Sollecitazioni: N=-1875.25 T_z=2.52 M_y=-3.49
  Tensioni: σ_N=-375.05 σ_M=-83.83 τ=0.00 σ_{max}=-458.88
  Tensioni: σ_N=-375.05 σ_M=0.00 τ=0.76 τ_{max}=0.76
  Tensioni: σ_N=-375.05 σ_M=-83.83 τ=0.00 $\sigma_{ID,max}$=458.88

Asta n. 4221 (-696 -712) briglie 50x10 Crit. 1

- Verifica di stabilità aste presso-inflesse (C4.2.4.1.3.3.1) - CC 18 SLU - Classe 3
  Sollecitazioni: N,Ed=-1879.34 Myeq,Ed=-2.98 Mzeq,Ed=0.04

Resistenze: Nc,Rd=13095.20 My,c,Rd=109.13 Mz,c,Rd=21.83 L=21.63
λ_Y=14.99 Ncr,y=461315.00 λ^*_y=0.17 Curva c: Φ_y=0.51 χ_y=1.00
λ_Z=74.94 Ncr,z=18452.60 λ^*_z=0.86 Curva c: Φ_z=1.04 χ_z=0.62
χ,min=0.62
Verifica: 0.23+0.03+0.00=0.26

- Verifica in termini tensionali [4.2.4] - CC 18 SLU Xl=0.11 - Classe 3
Sollecitazioni: N=-1879.22 M_y=-3.06
Tensioni: σ_N=-375.84 σ_M=-73.32 τ=0.00 σ_{max}=-449.17
Tensioni: σ_N=0.00 σ_M=0.00 τ=0.00 τ_{max}=0.00
Tensioni: σ_N=-375.84 σ_M=-73.32 τ=0.00 $\sigma_{ID,max}$=449.17

Asta n. 4221 (-712 -728) briglie 50x10 Crit. 1

- Verifica di stabilità aste presso-inflesse (C4.2.4.1.3.3.1) - CC 19 SLU - Classe 3
Sollecitazioni: N,Ed=-1630.52 Myeq,Ed=-4.33 Mzeq,Ed=0.85
Resistenze: Nc,Rd=13095.20 My,c,Rd=109.13 Mz,c,Rd=21.83 L=21.63
λ_Y=14.99 Ncr,y=461317.00 λ^*_y=0.17 Curva c: Φ_y=0.51 χ_y=1.00
λ_Z=74.94 Ncr,z=18452.70 λ^*_z=0.86 Curva c: Φ_z=1.04 χ_z=0.62
χ,min=0.62
Verifica: 0.20+0.04+0.04=0.28

- Verifica in termini tensionali [4.2.4] - CC 19 SLU Xl=0.22 - Classe 3
Sollecitazioni: N=-1630.32 T_z=20.68 M_y=-5.70 T_y=7.40 M_z=1.12
Tensioni: σ_N=-326.06 σ_M=-270.90 τ=0.00 σ_{max}=-596.96
Tensioni: σ_N=-326.06 σ_M=0.00 τ=6.59 τ_{max}=6.59
Tensioni: σ_N=-326.06 σ_M=-270.90 τ=0.00 $\sigma_{ID,max}$=596.96

Asta n. 4221 (-728 -744) briglie 50x10 Crit. 1

- Verifica di stabilità aste presso-inflesse (C4.2.4.1.3.3.1) - CC 18 SLU - Classe 3
Sollecitazioni: N,Ed=-1809.38 Myeq,Ed=-9.60 Mzeq,Ed=-0.12
Resistenze: Nc,Rd=13095.20 My,c,Rd=109.13 Mz,c,Rd=21.83 L=21.63
λ_Y=14.99 Ncr,y=461317.00 λ^*_y=0.17 Curva c: Φ_y=0.51 χ_y=1.00
λ_Z=74.94 Ncr,z=18452.70 λ^*_z=0.86 Curva c: Φ_z=1.04 χ_z=0.62
χ,min=0.62
Verifica: 0.22+0.09+0.01=0.32

- Verifica in termini tensionali [4.2.4] - CC 18 SLU Xl=0.00 - Classe 3
Sollecitazioni: N=-1809.38 T_z=-66.80 M_y=-11.52
Tensioni: σ_N=-361.88 σ_M=-276.49 τ=0.00 σ_{max}=-638.37
Tensioni: σ_N=-361.88 σ_M=0.00 τ=20.04 τ_{max}=20.04
Tensioni: σ_N=-361.88 σ_M=-276.49 τ=0.00 $\sigma_{ID,max}$=638.37

Asta n. 4221 (-744 -760) briglie 50x10 Crit. 1

- Verifica di stabilità aste presso-inflesse (C4.2.4.1.3.3.1) - CC 18 SLU - Classe 3
Sollecitazioni: N,Ed=-1735.05 Myeq,Ed=-9.32 Mzeq,Ed=-0.06
Resistenze: Nc,Rd=13095.20 My,c,Rd=109.13 Mz,c,Rd=21.83 L=21.63
λ_Y=14.99 Ncr,y=461316.00 λ^*_y=0.17 Curva c: Φ_y=0.51 χ_y=1.00
λ_Z=74.94 Ncr,z=18452.60 λ^*_z=0.86 Curva c: Φ_z=1.04 χ_z=0.62
χ,min=0.62
Verifica: 0.21+0.09+0.00=0.30

- Verifica in termini tensionali [4.2.4] - CC 18 SLU Xl=0.00 - Classe 3
Sollecitazioni: N=-1735.05 T_z=-64.82 M_y=-9.76
Tensioni: σ_N=-347.01 σ_M=-234.33 τ=0.00 σ_{max}=-581.34
Tensioni: σ_N=-347.01 σ_M=0.00 τ=19.44 τ_{max}=19.44
Tensioni: σ_N=-347.01 σ_M=-234.33 τ=0.00 $\sigma_{ID,max}$=581.34

Asta n. 4221 (-760 -776) briglie 50x10 Crit. 1

- Verifica di stabilità aste presso-inflesse (C4.2.4.1.3.3.1) - CC 18 SLU - Classe 3
  Sollecitazioni: N,Ed=-1660.12 Myeq,Ed=-9.11 Mzeq,Ed=0.06
  Resistenze: Nc,Rd=13095.20 My,c,Rd=109.13 Mz,c,Rd=21.83 L=21.63
  λ_Y=14.99 Ncr,y=461317.00 λ^*_y=0.17 Curva c: Φ_y=0.51 χ_y=1.00
  λ_Z=74.94 Ncr,z=18452.70 λ^*_z=0.86 Curva c: Φ_z=1.04 χ_z=0.62
  χ,min=0.62
  Verifica: 0.20+0.08+0.00=0.29

- Verifica in termini tensionali [4.2.4] - CC 18 SLU Xl=0.00 - Classe 3
  Sollecitazioni: N=-1660.12 T_z=-64.48 M_y=-9.11
  Tensioni: σ_N=-332.02 σ_M=-218.69 τ=0.00 σ_{max}=-550.71
  Tensioni: σ_N=-332.02 σ_M=0.00 τ=19.35 τ_{max}=19.35
  Tensioni: σ_N=-332.02 σ_M=-218.69 τ=0.00 $\sigma_{ID,max}$=550.71

Asta n. 4221 (-776 -792) briglie 50x10 Crit. 1

- Verifica di stabilità aste presso-inflesse (C4.2.4.1.3.3.1) - CC 18 SLU - Classe 3
  Sollecitazioni: N,Ed=-1593.72 Myeq,Ed=-7.56 Mzeq,Ed=0.11
  Resistenze: Nc,Rd=13095.20 My,c,Rd=109.13 Mz,c,Rd=21.83 L=21.63
  λ_Y=14.99 Ncr,y=461315.00 λ^*_y=0.17 Curva c: Φ_y=0.51 χ_y=1.00
  λ_Z=74.94 Ncr,z=18452.60 λ^*_z=0.86 Curva c: Φ_z=1.04 χ_z=0.62
  χ,min=0.62
  Verifica: 0.20+0.07+0.01=0.27

- Verifica in termini tensionali [4.2.4] - CC 19 SLU Xl=0.22 - Classe 3
  Sollecitazioni: N=-1518.09 T_z=-37.70 M_y=4.07 T_y=7.62 M_z=1.17
  Tensioni: σ_N=-303.62 σ_M=-237.74 τ=0.00 σ_{max}=-541.36
  Tensioni: σ_N=-303.62 σ_M=-0.00 τ=11.54 τ_{max}=11.54
  Tensioni: σ_N=-303.62 σ_M=-237.74 τ=0.00 $\sigma_{ID,max}$=541.36

Asta n. 4385 (-785 -777) briglie 50x10 Crit. 1

- Verifica di stabilità aste presso-inflesse (C4.2.4.1.3.3.1) - CC 9 SLU - Classe 3
  Sollecitazioni: N,Ed=-1502.82 Myeq,Ed=3.97 Mzeq,Ed=-0.10
  Resistenze: Nc,Rd=13095.20 My,c,Rd=109.13 Mz,c,Rd=21.83 L=21.63
  λ_Y=14.99 Ncr,y=461316.00 λ^*_y=0.17 Curva c: Φ_y=0.51 χ_y=1.00
  λ_Z=74.94 Ncr,z=18452.60 λ^*_z=0.86 Curva c: Φ_z=1.04 χ_z=0.62
  χ,min=0.62
  Verifica: 0.18+0.04+0.01=0.23

- Verifica in termini tensionali [4.2.4] - CC 9 SLU Xl=0.00 - Classe 3
  Sollecitazioni: N=-1502.63 T_z=36.99 M_y=3.97
  Tensioni: σ_N=-300.52 σ_M=-95.28 τ=0.00 σ_{max}=-395.81
  Tensioni: σ_N=-300.52 σ_M=-0.00 τ=11.10 τ_{max}=11.10
  Tensioni: σ_N=-300.52 σ_M=-95.28 τ=0.00 $\sigma_{ID,max}$=395.81

Asta n. 4385 (-777 -761) briglie 50x10 Crit. 1

- Verifica di stabilità aste presso-inflesse (C4.2.4.1.3.3.1) - CC 9 SLU - Classe 3
  Sollecitazioni: N,Ed=-1531.02 Myeq,Ed=-4.34 Mzeq,Ed=-0.04
  Resistenze: Nc,Rd=13095.20 My,c,Rd=109.13 Mz,c,Rd=21.83 L=21.63
  λ_Y=14.99 Ncr,y=461316.00 λ^*_y=0.17 Curva c: Φ_y=0.51 χ_y=1.00
  λ_Z=74.94 Ncr,z=18452.60 λ^*_z=0.86 Curva c: Φ_z=1.04 χ_z=0.62
  χ,min=0.62
  Verifica: 0.19+0.04+0.00=0.23

- Verifica in termini tensionali [4.2.4] - CC 9 SLU Xl=0.22 - Classe 3
  Sollecitazioni: N=-1531.02 T_z=29.64 M_y=-5.03
  Tensioni: σ_N=-306.20 σ_M=-120.81 τ=0.00 σ_{max}=-427.01
  Tensioni: σ_N=-306.20 σ_M=0.00 τ=8.89 τ_{max}=8.89
  Tensioni: σ_N=-306.20 σ_M=-120.81 τ=0.00 $\sigma_{ID,max}$=427.01

Asta n. 4385 (-761 -745) briglie 50x10 Crit. 1

- Verifica di stabilità aste presso-inflesse (C4.2.4.1.3.3.1) - CC 9 SLU - Classe 3
  Sollecitazioni: N,Ed=-1564.28 Myeq,Ed=-4.21 Mzeq,Ed=0.04
  Resistenze: Nc,Rd=13095.20 My,c,Rd=109.13 Mz,c,Rd=21.83 L=21.63
  λ_Y=14.99 Ncr,y=461316.00 λ^*_y=0.17 Curva c: Φ_y=0.51 χ_y=1.00
  λ_Z=74.94 Ncr,z=18452.60 λ^*_z=0.86 Curva c: Φ_z=1.04 χ_z=0.62
  χ,min=0.62
  Verifica: 0.19+0.04+0.00=0.23

- Verifica in termini tensionali [4.2.4] - CC 9 SLU Xl=0.22 - Classe 3
  Sollecitazioni: N=-1564.28 T_z=28.73 M_y=-5.43
  Tensioni: σ_N=-312.86 σ_M=-130.21 τ=0.00 σ_{max}=-443.06
  Tensioni: σ_N=-312.86 σ_M=0.00 τ=8.62 τ_{max}=8.62
  Tensioni: σ_N=-312.86 σ_M=-130.21 τ=0.00 $\sigma_{ID,max}$=443.06

Asta n. 4385 (-745 -729) briglie 50x10 Crit. 1

- Verifica di stabilità aste presso-inflesse (C4.2.4.1.3.3.1) - CC 9 SLU - Classe 3
  Sollecitazioni: N,Ed=-1594.46 Myeq,Ed=-4.94 Mzeq,Ed=0.12
  Resistenze: Nc,Rd=13095.20 My,c,Rd=109.13 Mz,c,Rd=21.83 L=21.63
  λ_Y=14.99 Ncr,y=461317.00 λ^*_y=0.17 Curva c: Φ_y=0.51 χ_y=1.00
  λ_Z=74.94 Ncr,z=18452.70 λ^*_z=0.86 Curva c: Φ_z=1.04 χ_z=0.62
  χ,min=0.62
  Verifica: 0.20+0.05+0.01=0.25

- Verifica in termini tensionali [4.2.4] - CC 9 SLU Xl=0.22 - Classe 3
  Sollecitazioni: N=-1594.46 T_z=28.77 M_y=-6.59
  Tensioni: σ_N=-318.89 σ_M=-158.07 τ=0.00 σ_{max}=-476.96
  Tensioni: σ_N=-318.89 σ_M=0.00 τ=8.63 τ_{max}=8.63
  Tensioni: σ_N=-318.89 σ_M=-158.07 τ=0.00 $\sigma_{ID,max}$=476.96

Asta n. 4385 (-729 -713) briglie 50x10 Crit. 1

- Verifica di stabilità aste presso-inflesse (C4.2.4.1.3.3.1) - CC 18 SLU - Classe 3
  Sollecitazioni: N,Ed=-1523.66 Myeq,Ed=-6.73 Mzeq,Ed=-0.13
  Resistenze: Nc,Rd=13095.20 My,c,Rd=109.13 Mz,c,Rd=21.83 L=21.63
  λ_Y=14.99 Ncr,y=461317.00 λ^*_y=0.17 Curva c: Φ_y=0.51 χ_y=1.00
  λ_Z=74.94 Ncr,z=18452.70 λ^*_z=0.86 Curva c: Φ_z=1.04 χ_z=0.62
  χ,min=0.62
  Verifica: 0.19+0.06+0.01=0.25

- Verifica in termini tensionali [4.2.4] - CC 18 SLU Xl=0.00 - Classe 3
  Sollecitazioni: N=-1523.49 T_z=-46.80 M_y=-7.99
  Tensioni: σ_N=-304.70 σ_M=-191.77 τ=0.00 σ_{max}=-496.47
  Tensioni: σ_N=-304.70 σ_M=0.00 τ=14.04 τ_{max}=14.04
  Tensioni: σ_N=-304.70 σ_M=-191.77 τ=0.00 $\sigma_{ID,max}$=496.47

Asta n. 4385 (-713 -697) briglie 50x10 Crit. 1

- Verifica di stabilità aste presso-inflesse (C4.2.4.1.3.3.1) - CC 18 SLU - Classe 3
  Sollecitazioni: N,Ed=-1459.15 Myeq,Ed=-7.30 Mzeq,Ed=-0.03
  Resistenze: Nc,Rd=13095.20 My,c,Rd=109.13 Mz,c,Rd=21.83 L=21.63

λ_Y=14.99 Ncr,y=461315.00 λ^*_y=0.17 Curva c: Φ_y=0.51 χ_y=1.00
λ_Z=74.94 Ncr,z=18452.60 λ^*_z=0.86 Curva c: Φ_z=1.04 χ_z=0.62
χ,min=0.62
Verifica: 0.18+0.07+0.00=0.25

- Verifica in termini tensionali [4.2.4] - CC 18 SLU Xl=0.00 - Classe 3
Sollecitazioni: N=-1458.99 T_z=-50.91 M_y=-7.68
Tensioni: σ_N=-291.80 σ_M=-184.44 τ=0.00 σ_{max}=-476.24
Tensioni: σ_N=-291.80 σ_M=0.00 τ=15.27 τ_{max}=15.27
Tensioni: σ_N=-291.80 σ_M=-184.44 τ=0.00 $\sigma_{ID,max}$=476.24

Asta n. 4385 (-697 -681) briglie 50x10 Crit. 1

- Verifica di stabilità aste presso-inflesse (C4.2.4.1.3.3.1) - CC 18 SLU - Classe 3
Sollecitazioni: N,Ed=-1378.54 Myeq,Ed=-8.18 Mzeq,Ed=0.04
Resistenze: Nc,Rd=13095.20 My,c,Rd=109.13 Mz,c,Rd=21.83 L=21.63
λ_Y=14.99 Ncr,y=461315.00 λ^*_y=0.17 Curva c: Φ_y=0.51 χ_y=1.00
λ_Z=74.94 Ncr,z=18452.60 λ^*_z=0.86 Curva c: Φ_z=1.04 χ_z=0.62
χ,min=0.62
Verifica: 0.17+0.08+0.00=0.25

- Verifica in termini tensionali [4.2.4] - CC 18 SLU Xl=0.00 - Classe 3
Sollecitazioni: N=-1378.37 T_z=-57.13 M_y=-8.30
Tensioni: σ_N=-275.67 σ_M=-199.23 τ=0.00 σ_{max}=-474.90
Tensioni: σ_N=-275.67 σ_M=0.00 τ=17.14 τ_{max}=17.14
Tensioni: σ_N=-275.67 σ_M=-199.23 τ=0.00 $\sigma_{ID,max}$=474.90

Asta n. 4385 (-681 -665) briglie 50x10 Crit. 1

- Verifica di stabilità aste presso-inflesse (C4.2.4.1.3.3.1) - CC 18 SLU - Classe 3
Sollecitazioni: N,Ed=-1278.75 Myeq,Ed=-8.88 Mzeq,Ed=0.14
Resistenze: Nc,Rd=13095.20 My,c,Rd=109.13 Mz,c,Rd=21.83 L=21.63
λ_Y=14.99 Ncr,y=461317.00 λ^*_y=0.17 Curva c: Φ_y=0.51 χ_y=1.00
λ_Z=74.94 Ncr,z=18452.70 λ^*_z=0.86 Curva c: Φ_z=1.04 χ_z=0.62
χ,min=0.62
Verifica: 0.16+0.08+0.01=0.25

- Verifica in termini tensionali [4.2.4] - CC 18 SLU Xl=0.00 - Classe 3
Sollecitazioni: N=-1278.59 T_z=-62.14 M_y=-9.48
Tensioni: σ_N=-255.72 σ_M=-227.43 τ=0.00 σ_{max}=-483.15
Tensioni: σ_N=-255.72 σ_M=0.00 τ=18.64 τ_{max}=18.64
Tensioni: σ_N=-255.72 σ_M=-227.43 τ=0.00 $\sigma_{ID,max}$=483.15

Asta n. 4385 (-665 -649) briglie 50x10 Crit. 1

- Verifica di stabilità aste presso-inflesse (C4.2.4.1.3.3.1) - CC 19 SLU - Classe 3
Sollecitazioni: N,Ed=-1387.37 Myeq,Ed=-13.17 Mzeq,Ed=-0.13
Resistenze: Nc,Rd=13095.20 My,c,Rd=109.13 Mz,c,Rd=21.83 L=21.63
λ_Y=14.99 Ncr,y=461317.00 λ^*_y=0.17 Curva c: Φ_y=0.51 χ_y=1.00
λ_Z=74.94 Ncr,z=18452.70 λ^*_z=0.86 Curva c: Φ_z=1.04 χ_z=0.62
χ,min=0.62
Verifica: 0.17+0.12+0.01=0.30

- Verifica in termini tensionali [4.2.4] - CC 9 SLU Xl=0.00 - Classe 3
Sollecitazioni: N=-1403.12 T_z=-91.43 M_y=-13.09
Tensioni: σ_N=-280.62 σ_M=-314.25 τ=0.00 σ_{max}=-594.87
Tensioni: σ_N=-280.62 σ_M=0.00 τ=27.43 τ_{max}=27.43
Tensioni: σ_N=-280.62 σ_M=-314.25 τ=0.00 $\sigma_{ID,max}$=594.87

Asta n. 4385 (-649 -633) briglie 50x10 Crit. 1

- Verifica di stabilità aste presso-inflesse (C4.2.4.1.3.3.1) - CC 9 SLU - Classe 3
  Sollecitazioni: N,Ed=-1239.22 Myeq,Ed=-12.90 Mzeq,Ed=-0.05
  Resistenze: Nc,Rd=13095.20 My,c,Rd=109.13 Mz,c,Rd=21.83 L=21.63
  λ_Y=14.99 Ncr,y=461317.00 λ^*_y=0.17 Curva c: Φ_y=0.51 χ_y=1.00
  λ_Z=74.94 Ncr,z=18452.70 λ^*_z=0.86 Curva c: Φ_z=1.04 χ_z=0.62
  χ,min=0.62
  Verifica: 0.15+0.12+0.00=0.27

- Verifica in termini tensionali [4.2.4] - CC 9 SLU Xl=0.00 - Classe 3
  Sollecitazioni: N=-1239.03 T_z=-99.53 M_y=-12.90
  Tensioni: σ_N=-247.81 σ_M=-309.69 τ=0.00 σ_{max}=-557.50
  Tensioni: σ_N=-247.81 σ_M=0.00 τ=29.86 τ_{max}=29.86
  Tensioni: σ_N=-247.81 σ_M=-309.69 τ=0.00 $\sigma_{ID,max}$=557.50

Asta n. 4385 (-633 -617) briglie 50x10 Crit. 1

- Verifica di stabilità aste inflesse (4.2.4.1.3.2) CC 5 SLV - Classe 3
  L_{cr}=0.22 Curva d: α_{imp}=0.76 k_c=0.94 ψ=2.94 M,cr=0.00 λ_{LT}=0.00
  $\lambda_{LT,0}$=0.20 β_{LT}=1.00 Φ_{LT}=0.00 β_{LT}=1.00 f=0.00 χ_{LT}=1.00
  CC 5 SLV My,Ed=6.99 My,b,Rd=109.13 My,Ed/My,b,Rd=0.06

- Verifica di stabilità aste presso-inflesse (C4.2.4.1.3.3.1) - CC 9 SLU - Classe 3
  Sollecitazioni: N,Ed=-1037.24 Myeq,Ed=-13.78 Mzeq,Ed=0.02
  Resistenze: Nc,Rd=13095.20 My,c,Rd=109.13 Mz,c,Rd=21.83 L=21.63
  λ_Y=14.99 Ncr,y=461313.00 λ^*_y=0.17 Curva c: Φ_y=0.51 χ_y=1.00
  λ_Z=74.94 Ncr,z=18452.50 λ^*_z=0.86 Curva c: Φ_z=1.04 χ_z=0.62
  χ,min=0.62
  Verifica: 0.13+0.13+0.00=0.25

- Verifica in termini tensionali [4.2.4] - CC 9 SLU Xl=0.00 - Classe 3
  Sollecitazioni: N=-1037.04 T_z=-110.70 M_y=-13.78
  Tensioni: σ_N=-207.41 σ_M=-330.79 τ=0.00 σ_{max}=-538.20
  Tensioni: σ_N=-207.41 σ_M=0.00 τ=33.21 τ_{max}=33.21
  Tensioni: σ_N=-207.41 σ_M=-330.79 τ=0.00 $\sigma_{ID,max}$=538.20

Asta n. 4385 (-617 -601) briglie 50x10 Crit. 1

- Verifica di stabilità aste inflesse (4.2.4.1.3.2) CC 16 SLU - Classe 3
  L_{cr}=0.22 Curva d: α_{imp}=0.76 k_c=0.94 ψ=2.91 M,cr=0.00 λ_{LT}=0.00
  $\lambda_{LT,0}$=0.20 β_{LT}=1.00 Φ_{LT}=0.00 β_{LT}=1.00 f=0.00 χ_{LT}=1.00
  CC 16 SLU My,Ed=13.08 My,b,Rd=109.13 My,Ed/My,b,Rd=0.12

- Verifica di stabilità aste presso-inflesse (C4.2.4.1.3.3.1) - CC 9 SLU - Classe 3
  Sollecitazioni: N,Ed=-789.53 Myeq,Ed=-15.18 Mzeq,Ed=0.10
  Resistenze: Nc,Rd=13095.20 My,c,Rd=109.13 Mz,c,Rd=21.83 L=21.63
  λ_Y=14.99 Ncr,y=461317.00 λ^*_y=0.17 Curva c: Φ_y=0.51 χ_y=1.00
  λ_Z=74.94 Ncr,z=18452.70 λ^*_z=0.86 Curva c: Φ_z=1.04 χ_z=0.62
  χ,min=0.62
  Verifica: 0.10+0.14+0.00=0.24

- Verifica in termini tensionali [4.2.4] - CC 9 SLU Xl=0.00 - Classe 3
  Sollecitazioni: N=-789.34 T_z=-121.53 M_y=-15.18
  Tensioni: σ_N=-157.87 σ_M=-364.27 τ=0.00 σ_{max}=-522.13
  Tensioni: σ_N=-157.87 σ_M=0.00 τ=36.46 τ_{max}=36.46
  Tensioni: σ_N=-157.87 σ_M=-364.27 τ=0.00 $\sigma_{ID,max}$=522.13

- Verifica a taglio dir. Z [4.2.16] - CC 16 SLU Xl=0.10

Sollecitazioni: N=189.20 T_z=-113.92
V,Ed=-113.92 Vc,Rd=7560.76 V,Ed/Vc,Rd=0.02

Asta n. 4385 (-601 -585) briglie 50x10 Crit. 1

- Verifica di stabilità aste inflesse (4.2.4.1.3.2) CC 20 SLU - Classe 3
L_{cr}=0.22 Curva d: α_{imp}=0.76 k_c=0.94 ψ=3.00 M,cr=0.00 λ_{LT}=0.00
$\lambda_{LT,0}$=0.20 β_{LT}=1.00 Φ_{LT}=0.00 β_{LT}=1.00 f=0.00 χ_{LT}=1.00
CC 20 SLU My,Ed=17.78 My,b,Rd=109.13 My,Ed/My,b,Rd=0.16

- Verifica di stabilità aste presso-inflesse (C4.2.4.1.3.3.1) - CC 9 SLU - Classe 3
Sollecitazioni: N,Ed=-455.37 Myeq,Ed=-20.56 Mzeq,Ed=-0.10
Resistenze: Nc,Rd=13095.20 My,c,Rd=109.13 Mz,c,Rd=21.83 L=21.63
λ_Y=14.99 Ncr,y=461317.00 λ^*_y=0.17 Curva c: Φ_y=0.51 χ_y=1.00
λ_Z=74.94 Ncr,z=18452.70 λ^*_z=0.86 Curva c: Φ_z=1.04 χ_z=0.62
χ,min=0.62
Verifica: 0.03+0.19+0.00=0.23

- Verifica in termini tensionali [4.2.4] - CC 9 SLU Xl=0.00 - Classe 3
Sollecitazioni: N=-455.18 T_z=-180.56 M_y=-20.56
Tensioni: σ_N=-91.04 σ_M=-493.41 τ=0.00 σ_{max}=-584.45
Tensioni: σ_N=-91.04 σ_M=0.00 τ=54.17 τ_{max}=54.17
Tensioni: σ_N=-91.04 σ_M=-493.41 τ=0.00 $\sigma_{ID,max}$=584.45

- Verifica a taglio dir. Z [4.2.16] - CC 16 SLU Xl=0.10
Sollecitazioni: N=457.26 T_z=-131.14
V,Ed=-131.14 Vc,Rd=7560.76 V,Ed/Vc,Rd=0.02

Asta n. 4385 (-585 -569) briglie 50x10 Crit. 1

- Verifica di stabilità aste inflesse (4.2.4.1.3.2) CC 18 SLU - Classe 3
L_{cr}=0.22 Curva d: α_{imp}=0.76 k_c=0.94 ψ=2.83 M,cr=0.00 λ_{LT}=0.00
$\lambda_{LT,0}$=0.20 β_{LT}=1.00 Φ_{LT}=0.00 β_{LT}=1.00 f=0.00 χ_{LT}=1.00
CC 18 SLU My,Ed=26.19 My,b,Rd=109.13 My,Ed/My,b,Rd=0.24

- Verifica di stabilità aste presso-inflesse (C4.2.4.1.3.3.1) - CC 5 SLV - Classe 3
Sollecitazioni: N,Ed=-554.48 Myeq,Ed=12.05 Mzeq,Ed=0.04
Resistenze: Nc,Rd=13095.20 My,c,Rd=109.13 Mz,c,Rd=21.83 L=21.63
λ_Y=14.99 Ncr,y=461317.00 λ^*_y=0.17 Curva c: Φ_y=0.51 χ_y=1.00
λ_Z=74.94 Ncr,z=18452.70 λ^*_z=0.86 Curva c: Φ_z=1.04 χ_z=0.62
χ,min=0.62
Verifica: 0.04+0.11+0.00=0.15

- Verifica in termini tensionali [4.2.4] - CC 18 SLU Xl=0.22 - Classe 3
Sollecitazioni: N=476.59 T_z=-222.39 M_y=26.19
Tensioni: σ_N=95.32 σ_M=628.47 τ=0.00 σ_{max}=723.78
Tensioni: σ_N=95.32 σ_M=-0.00 τ=66.72 τ_{max}=66.72
Tensioni: σ_N=95.32 σ_M=628.47 τ=0.00 $\sigma_{ID,max}$=723.78

- Verifica a taglio dir. Z [4.2.16] - CC 18 SLU Xl=0.10
Sollecitazioni: N=476.68 T_z=-221.26
V,Ed=-221.26 Vc,Rd=7560.76 V,Ed/Vc,Rd=0.03

Asta n. 4385 (-569 -553) briglie 50x10 Crit. 1

- Verifica di stabilità aste inflesse (4.2.4.1.3.2) CC 18 SLU - Classe 3
L_{cr}=0.22 Curva d: α_{imp}=0.76 k_c=0.94 ψ=2.59 M,cr=0.00 λ_{LT}=0.00
$\lambda_{LT,0}$=0.20 β_{LT}=1.00 Φ_{LT}=0.00 β_{LT}=1.00 f=0.00 χ_{LT}=1.00
CC 18 SLU My,Ed=32.39 My,b,Rd=109.13 My,Ed/My,b,Rd=0.30

- Verifica di stabilità aste presso-inflesse (C4.2.4.1.3.3.1) - CC 5 SLV - Classe 3
  Sollecitazioni: N,Ed=-515.57 Myeq,Ed=14.91 Mzeq,Ed=-0.03
  Resistenze: Nc,Rd=13095.20 My,c,Rd=109.13 Mz,c,Rd=21.83 L=21.63
  λ_Y=14.99 Ncr,y=461317.00 λ^*_y=0.17 Curva c: Φ_y=0.51 χ_y=1.00
  λ_Z=74.94 Ncr,z=18452.70 λ^*_z=0.86 Curva c: Φ_z=1.04 χ_z=0.62
  χ,min=0.62
  Verifica: 0.04+0.14+0.00=0.18

- Verifica Freccia massima carichi totali - CC 24
  $f_{Z,L}$=0.00 (L/15918)

- Verifica in termini tensionali [4.2.4] - CC 18 SLU Xl=0.22 - Classe 3
  Sollecitazioni: N=1094.60 T_z=-251.66 M_y=32.39
  Tensioni: σ_N=218.92 σ_M=777.40 τ=0.00 σ_{max}=996.32
  Tensioni: σ_N=218.92 σ_M=-0.00 τ=75.50 τ_{max}=75.50
  Tensioni: σ_N=218.92 σ_M=777.40 τ=0.00 $\sigma_{ID,max}$=996.32

- Verifica a taglio dir. Z [4.2.16] - CC 10 SLU Xl=0.10
  Sollecitazioni: N=452.11 T_z=-180.08
  V,Ed=-180.08 Vc,Rd=7560.76 V,Ed/Vc,Rd=0.02

Asta n. 4385 (-553 4285) briglie 50x10 Crit. 1

- Verifica di stabilità aste inflesse (4.2.4.1.3.2) CC 18 SLU - Classe 3
  L_{cr}=0.22 Curva d: α_{imp}=0.76 k_c=0.94 ψ=2.14 M,cr=0.00 λ_{LT}=0.00
  $\lambda_{LT,0}$=0.20 β_{LT}=1.00 Φ_{LT}=0.00 β_{LT}=1.00 f=0.00 χ_{LT}=1.00
  CC 18 SLU My,Ed=43.07 My,b,Rd=109.13 My,Ed/My,b,Rd=0.39

- Verifica di stabilità aste presso-inflesse (C4.2.4.1.3.3.1) - CC 5 SLV - Classe 3
  Sollecitazioni: N,Ed=-462.85 Myeq,Ed=15.69 Mzeq,Ed=-0.09
  Resistenze: Nc,Rd=13095.20 My,c,Rd=109.13 Mz,c,Rd=21.83 L=21.63
  λ_Y=14.99 Ncr,y=461315.00 λ^*_y=0.17 Curva c: Φ_y=0.51 χ_y=1.00
  λ_Z=74.94 Ncr,z=18452.60 λ^*_z=0.86 Curva c: Φ_z=1.04 χ_z=0.62
  χ,min=0.62
  Verifica: 0.04+0.14+0.00=0.18

- Verifica Freccia massima per soli carichi accidentali - CC 24
  $f_{Z,L}$=0.00 (L/11632)

- Verifica Freccia massima carichi totali - CC 24
  $f_{Z,L}$=0.00 (L/7890)

- Verifica in termini tensionali [4.2.4] - CC 18 SLU Xl=0.22 - Classe 3
  Sollecitazioni: N=1780.95 T_z=-267.39 M_y=43.07
  Tensioni: σ_N=356.19 σ_M=1033.62 τ=0.00 σ_{max}=1389.81
  Tensioni: σ_N=356.19 σ_M=-0.00 τ=80.22 τ_{max}=80.22
  Tensioni: σ_N=356.19 σ_M=1033.62 τ=0.00 $\sigma_{ID,max}$=1389.81

- Verifica a taglio dir. Z [4.2.16] - CC 9 SLU Xl=0.06
  Sollecitazioni: N=1211.44 T_z=-246.83
  V,Ed=-246.83 Vc,Rd=7560.76 V,Ed/Vc,Rd=0.03

Asta n. 4385 (4285 -537) briglie 50x10 Crit. 1

- Verifica di stabilità aste inflesse (4.2.4.1.3.2) CC 9 SLU - Classe 3
  L_{cr}=0.17 Curva d: α_{imp}=0.76 k_c=0.94 ψ=2.20 M,cr=0.00 λ_{LT}=0.00
  $\lambda_{LT,0}$=0.20 β_{LT}=1.00 Φ_{LT}=0.00 β_{LT}=1.00 f=0.00 χ_{LT}=1.00
  CC 9 SLU My,Ed=3.44 My,b,Rd=109.13 My,Ed/My,b,Rd=0.03

- Verifica di stabilità aste presso-inflesse (C4.2.4.1.3.3.1) - CC 1 SLV - Classe 3
  Sollecitazioni: N,Ed=-15.42 Myeq,Ed=1.66 Mzeq,Ed=-0.38
  Resistenze: Nc,Rd=13095.20 My,c,Rd=109.13 Mz,c,Rd=21.83 L=16.72
  λ_Y=11.59 Ncr,y=772147.00 λ^*_y=0.13 Curva c: Φ_y=0.49 χ_y=1.00
  λ_Z=57.92 Ncr,z=30885.90 λ^*_z=0.67 Curva c: Φ_z=0.84 χ_z=0.74
  χ,min=0.74
  Verifica: 0.00+0.02+0.02=0.03

- Verifica in termini tensionali [4.2.4] - CC 9 SLU Xl=0.00 - Classe 3
  Sollecitazioni: N=145.53 T_z=29.31 M_y=3.44 T_y=4.96
  Tensioni: σ_N=29.11 σ_M=82.58 τ=0.00 σ_{max}=111.68
  Tensioni: σ_N=29.11 σ_M=-0.00 τ=8.92 τ_{max}=8.92
  Tensioni: σ_N=29.11 σ_M=82.58 τ=1.49 $\sigma_{ID,max}$=111.71

- Verifica a taglio dir. Y [4.2.16] - CC 18 SLU Xl=0.08
  Sollecitazioni: N=145.83 T_z=32.67 T_y=5.24
  V,Ed=5.24 Vc,Rd=7560.76 V,Ed/Vc,Rd=0.00

- Verifica a taglio dir. Z [4.2.16]
  V,Ed=32.67 Vc,Rd=7560.76 V,Ed/Vc,Rd=0.00

Asta n. 4385 (-537 -521) briglie 50x10 Crit. 1

- Verifica di stabilità aste inflesse (4.2.4.1.3.2) CC 9 SLU - Classe 3
  L_{cr}=0.17 Curva d: α_{imp}=0.76 k_c=0.94 ψ=2.76 M,cr=0.00 λ_{LT}=0.00
  $\lambda_{LT,0}$=0.20 β_{LT}=1.00 Φ_{LT}=0.00 β_{LT}=1.00 f=0.00 χ_{LT}=1.00
  CC 9 SLU My,Ed=0.98 My,b,Rd=109.13 My,Ed/My,b,Rd=0.01

- Verifica di stabilità aste presso-inflesse (C4.2.4.1.3.3.1) - CC 1 SLV - Classe 3
  Sollecitazioni: N,Ed=-7.80 Myeq,Ed=0.97 Mzeq,Ed=-0.39
  Resistenze: Nc,Rd=13095.20 My,c,Rd=109.13 Mz,c,Rd=21.83 L=16.72
  λ_Y=11.59 Ncr,y=772142.00 λ^*_y=0.13 Curva c: Φ_y=0.49 χ_y=1.00
  λ_Z=57.92 Ncr,z=30885.70 λ^*_z=0.67 Curva c: Φ_z=0.84 χ_z=0.74
  χ,min=0.74
  Verifica: 0.00+0.01+0.02=0.03

- Verifica in termini tensionali [4.2.4] - CC 17 SLU Xl=0.00 - Classe 3
  Sollecitazioni: N=-31.69 T_z=-10.70 M_y=-1.19
  Tensioni: σ_N=-6.34 σ_M=-28.54 τ=0.00 σ_{max}=-34.88
  Tensioni: σ_N=-6.34 σ_M=0.00 τ=3.21 τ_{max}=3.21
  Tensioni: σ_N=-6.34 σ_M=-28.54 τ=0.00 $\sigma_{ID,max}$=34.88

- Verifica a taglio dir. Y [4.2.16] - CC 9 SLU Xl=0.00
  Sollecitazioni: N=90.01 T_z=11.31 T_y=5.22
  V,Ed=5.22 Vc,Rd=7560.76 V,Ed/Vc,Rd=0.00

- Verifica a taglio dir. Z [4.2.16]
  V,Ed=11.31 Vc,Rd=7560.76 V,Ed/Vc,Rd=0.00

Asta n. 4385 (-521 3313) briglie 50x10 Crit. 1

- Verifica di stabilità aste inflesse (4.2.4.1.3.2) CC 9 SLU - Classe 3
  L_{cr}=0.17 Curva d: α_{imp}=0.76 k_c=0.94 ψ=2.99 M,cr=0.00 λ_{LT}=0.00
  $\lambda_{LT,0}$=0.20 β_{LT}=1.00 Φ_{LT}=0.00 β_{LT}=1.00 f=0.00 χ_{LT}=1.00
  CC 9 SLU My,Ed=-1.06 My,b,Rd=109.13 My,Ed/My,b,Rd=0.01

- Verifica di stabilità aste presso-inflesse (C4.2.4.1.3.3.1) - CC 1 SLV - Classe 3
  Sollecitazioni: N,Ed=-1.12 Myeq,Ed=-0.85 Mzeq,Ed=-0.33

Resistenze: Nc,Rd=13095.20 My,c,Rd=109.13 Mz,c,Rd=21.83 L=16.72
λ_Y=11.59 Ncr,y=772147.00 λ^*_y=0.13 Curva c: Φ_y=0.49 χ_y=1.00
λ_Z=57.92 Ncr,z=30885.90 λ^*_z=0.67 Curva c: Φ_z=0.84 χ_z=0.74
χ,min=0.74
Verifica: 0.00+0.01+0.02=0.02

- Verifica in termini tensionali [4.2.4] - CC 9 SLU Xl=0.17 - Classe 3
Sollecitazioni: N=35.32 T_z=11.47 M_y=-1.06 T_y=4.93
Tensioni: σ_N=7.06 σ_M=25.50 τ=0.00 σ_{max}=32.57
Tensioni: σ_N=7.06 σ_M=0.00 τ=3.74 τ_{max}=3.74
Tensioni: σ_N=7.06 σ_M=25.50 τ=1.48 $\sigma_{ID,max}$=32.67

- Verifica a taglio dir. Y [4.2.16] - CC 9 SLU Xl=0.00
Sollecitazioni: N=35.46 T_z=13.12 T_y=4.93
V,Ed=4.93 Vc,Rd=7560.76 V,Ed/Vc,Rd=0.00

- Verifica a taglio dir. Z [4.2.16]
V,Ed=13.12 Vc,Rd=7560.76 V,Ed/Vc,Rd=0.00

Asta n. 4386 (-786 -778) briglie 50x10 Crit. 1

- Verifica di stabilità aste presso-inflesse (C4.2.4.1.3.3.1) - CC 19 SLU - Classe 3
Sollecitazioni: N,Ed=-1479.06 Myeq,Ed=8.54 Mzeq,Ed=0.80
Resistenze: Nc,Rd=13095.20 My,c,Rd=109.13 Mz,c,Rd=21.83 L=21.63
λ_Y=14.99 Ncr,y=461316.00 λ^*_y=0.17 Curva c: Φ_y=0.51 χ_y=1.00
λ_Z=74.94 Ncr,z=18452.60 λ^*_z=0.86 Curva c: Φ_z=1.04 χ_z=0.62
χ,min=0.62
Verifica: 0.18+0.08+0.04=0.30

- Verifica in termini tensionali [4.2.4] - CC 9 SLU Xl=0.00 - Classe 3
Sollecitazioni: N=-1499.94 T_z=84.00 M_y=8.64
Tensioni: σ_N=-299.99 σ_M=-207.28 τ=0.00 σ_{max}=-507.27
Tensioni: σ_N=-299.99 σ_M=-0.00 τ=25.20 τ_{max}=25.20
Tensioni: σ_N=-299.99 σ_M=-207.28 τ=0.00 $\sigma_{ID,max}$=507.27

Asta n. 4386 (-778 -762) briglie 50x10 Crit. 1

- Verifica di stabilità aste presso-inflesse (C4.2.4.1.3.3.1) - CC 19 SLU - Classe 3
Sollecitazioni: N,Ed=-1522.85 Myeq,Ed=-5.80 Mzeq,Ed=-0.46
Resistenze: Nc,Rd=13095.20 My,c,Rd=109.13 Mz,c,Rd=21.83 L=21.63
λ_Y=14.99 Ncr,y=461316.00 λ^*_y=0.17 Curva c: Φ_y=0.51 χ_y=1.00
λ_Z=74.94 Ncr,z=18452.60 λ^*_z=0.86 Curva c: Φ_z=1.04 χ_z=0.62
χ,min=0.62
Verifica: 0.19+0.05+0.02=0.26

- Verifica in termini tensionali [4.2.4] - CC 9 SLU Xl=0.22 - Classe 3
Sollecitazioni: N=-1547.19 T_z=23.52 M_y=-6.40
Tensioni: σ_N=-309.44 σ_M=-153.50 τ=0.00 σ_{max}=-462.94
Tensioni: σ_N=-309.44 σ_M=0.00 τ=7.06 τ_{max}=7.06
Tensioni: σ_N=-309.44 σ_M=-153.50 τ=0.00 $\sigma_{ID,max}$=462.94

Asta n. 4386 (-762 -746) briglie 50x10 Crit. 1

- Verifica di stabilità aste presso-inflesse (C4.2.4.1.3.3.1) - CC 19 SLU - Classe 3
Sollecitazioni: N,Ed=-1560.48 Myeq,Ed=-3.78 Mzeq,Ed=-0.37
Resistenze: Nc,Rd=13095.20 My,c,Rd=109.13 Mz,c,Rd=21.83 L=21.63
λ_Y=14.99 Ncr,y=461316.00 λ^*_y=0.17 Curva c: Φ_y=0.51 χ_y=1.00
λ_Z=74.94 Ncr,z=18452.60 λ^*_z=0.86 Curva c: Φ_z=1.04 χ_z=0.62
χ,min=0.62

Verifica: 0.19+0.03+0.02=0.24

- Verifica in termini tensionali [4.2.4] - CC 9 SLU Xl=0.22 - Classe 3
Sollecitazioni: N=-1585.45 T_z=7.06 M_y=-5.11
Tensioni: σ_N=-317.09 σ_M=-122.56 τ=0.00 σ_{max}=-439.65
Tensioni: σ_N=-317.09 σ_M=0.00 τ=2.12 τ_{max}=2.12
Tensioni: σ_N=-317.09 σ_M=-122.56 τ=0.00 $\sigma_{ID,max}$=439.65

Asta n. 4386 (-746 -730) briglie 50x10 Crit. 1

- Verifica di stabilità aste presso-inflesse (C4.2.4.1.3.3.1) - CC 19 SLU - Classe 3
Sollecitazioni: N,Ed=-1581.22 Myeq,Ed=-3.28 Mzeq,Ed=0.87
Resistenze: Nc,Rd=13095.20 My,c,Rd=109.13 Mz,c,Rd=21.83 L=21.63
λ_Y=14.99 Ncr,y=461317.00 λ^*_y=0.17 Curva c: Φ_y=0.51 χ_y=1.00
λ_Z=74.94 Ncr,z=18452.70 λ^*_z=0.86 Curva c: Φ_z=1.04 χ_z=0.62
χ,min=0.62
Verifica: 0.19+0.03+0.04=0.27

- Verifica in termini tensionali [4.2.4] - CC 19 SLU Xl=0.22 - Classe 3
Sollecitazioni: N=-1581.22 T_z=-13.11 M_y=-2.77 T_y=7.39 M_z=1.16
Tensioni: σ_N=-316.24 σ_M=-205.18 τ=0.00 σ_{max}=-521.42
Tensioni: σ_N=-316.24 σ_M=0.00 τ=4.51 τ_{max}=4.51
Tensioni: σ_N=-316.24 σ_M=-205.18 τ=0.00 $\sigma_{ID,max}$=521.42

Asta n. 4386 (-730 -714) briglie 50x10 Crit. 1

- Verifica di stabilità aste presso-inflesse (C4.2.4.1.3.3.1) - CC 19 SLU - Classe 3
Sollecitazioni: N,Ed=-1568.67 Myeq,Ed=-3.24 Mzeq,Ed=0.80
Resistenze: Nc,Rd=13095.20 My,c,Rd=109.13 Mz,c,Rd=21.83 L=21.63
λ_Y=14.99 Ncr,y=461317.00 λ^*_y=0.17 Curva c: Φ_y=0.51 χ_y=1.00
λ_Z=74.94 Ncr,z=18452.70 λ^*_z=0.86 Curva c: Φ_z=1.04 χ_z=0.62
χ,min=0.62
Verifica: 0.19+0.03+0.04=0.26

- Verifica in termini tensionali [4.2.4] - CC 18 SLU Xl=0.00 - Classe 3
Sollecitazioni: N=-1493.75 T_z=-19.70 M_y=-5.66
Tensioni: σ_N=-298.75 σ_M=-135.84 τ=0.00 σ_{max}=-434.59
Tensioni: σ_N=-298.75 σ_M=0.00 τ=5.91 τ_{max}=5.91
Tensioni: σ_N=-298.75 σ_M=-135.84 τ=0.00 $\sigma_{ID,max}$=434.59

Asta n. 4386 (-714 -698) briglie 50x10 Crit. 1

- Verifica di stabilità aste presso-inflesse (C4.2.4.1.3.3.1) - CC 19 SLU - Classe 3
Sollecitazioni: N,Ed=-1554.14 Myeq,Ed=-3.54 Mzeq,Ed=-0.42
Resistenze: Nc,Rd=13095.20 My,c,Rd=109.13 Mz,c,Rd=21.83 L=21.63
λ_Y=14.99 Ncr,y=461315.00 λ^*_y=0.17 Curva c: Φ_y=0.51 χ_y=1.00
λ_Z=74.94 Ncr,z=18452.60 λ^*_z=0.86 Curva c: Φ_z=1.04 χ_z=0.62
χ,min=0.62
Verifica: 0.19+0.03+0.02=0.24

- Verifica in termini tensionali [4.2.4] - CC 18 SLU Xl=0.00 - Classe 3
Sollecitazioni: N=-1436.03 T_z=-37.08 M_y=-7.61
Tensioni: σ_N=-287.21 σ_M=-182.66 τ=0.00 σ_{max}=-469.86
Tensioni: σ_N=-287.21 σ_M=0.00 τ=11.12 τ_{max}=11.12
Tensioni: σ_N=-287.21 σ_M=-182.66 τ=0.00 $\sigma_{ID,max}$=469.86

Asta n. 4386 (-698 -682) briglie 50x10 Crit. 1

- Verifica di stabilità aste presso-inflesse (C4.2.4.1.3.3.1) - CC 19 SLU - Classe 3

Sollecitazioni: N,Ed=-1510.15 Myeq,Ed=-5.84 Mzeq,Ed=-0.33
Resistenze: Nc,Rd=13095.20 My,c,Rd=109.13 Mz,c,Rd=21.83 L=21.63
λ_Y=14.99 Ncr,y=461315.00 λ^*_y=0.17 Curva c: Φ_y=0.51 χ_y=1.00
λ_Z=74.94 Ncr,z=18452.60 λ^*_z=0.86 Curva c: Φ_z=1.04 χ_z=0.62
χ,min=0.62
Verifica: 0.19+0.05+0.02=0.26

- Verifica in termini tensionali [4.2.4] - CC 18 SLU Xl=0.00 - Classe 3
Sollecitazioni: N=-1349.99 T_z=-55.27 M_y=-9.46
Tensioni: σ_N=-270.00 σ_M=-227.11 τ=0.00 σ_{max}=-497.11
Tensioni: σ_N=-270.00 σ_M=0.00 τ=16.58 τ_{max}=16.58
Tensioni: σ_N=-270.00 σ_M=-227.11 τ=0.00 $\sigma_{ID,max}$=497.11

Asta n. 4386 (-682 -666) briglie 50x10 Crit. 1

- Verifica di stabilità aste presso-inflesse (C4.2.4.1.3.3.1) - CC 19 SLU - Classe 3
Sollecitazioni: N,Ed=-1431.40 Myeq,Ed=-9.03 Mzeq,Ed=0.81
Resistenze: Nc,Rd=13095.20 My,c,Rd=109.13 Mz,c,Rd=21.83 L=21.63
λ_Y=14.99 Ncr,y=461317.00 λ^*_y=0.17 Curva c: Φ_y=0.51 χ_y=1.00
λ_Z=74.94 Ncr,z=18452.70 λ^*_z=0.86 Curva c: Φ_z=1.04 χ_z=0.62
χ,min=0.62
Verifica: 0.18+0.08+0.04=0.30

- Verifica in termini tensionali [4.2.4] - CC 19 SLU Xl=0.22 - Classe 3
Sollecitazioni: N=-1431.40 T_z=-83.12 M_y=5.00 T_y=6.76 M_z=1.08
Tensioni: σ_N=-286.28 σ_M=-249.98 τ=0.00 σ_{max}=-536.26
Tensioni: σ_N=-286.28 σ_M=-0.00 τ=25.02 τ_{max}=25.02
Tensioni: σ_N=-286.28 σ_M=-249.98 τ=0.00 $\sigma_{ID,max}$=536.26

Asta n. 4386 (-666 -650) briglie 50x10 Crit. 1

- Verifica di stabilità aste presso-inflesse (C4.2.4.1.3.3.1) - CC 19 SLU - Classe 3
Sollecitazioni: N,Ed=-1554.96 Myeq,Ed=-9.41 Mzeq,Ed=0.77
Resistenze: Nc,Rd=13095.20 My,c,Rd=109.13 Mz,c,Rd=21.83 L=21.63
λ_Y=14.99 Ncr,y=461317.00 λ^*_y=0.17 Curva c: Φ_y=0.51 χ_y=1.00
λ_Z=74.94 Ncr,z=18452.70 λ^*_z=0.86 Curva c: Φ_z=1.04 χ_z=0.62
χ,min=0.62
Verifica: 0.19+0.09+0.04=0.32

- Verifica in termini tensionali [4.2.4] - CC 18 SLU Xl=0.00 - Classe 3
Sollecitazioni: N=-1311.42 T_z=-84.15 M_y=-12.16
Tensioni: σ_N=-262.28 σ_M=-291.81 τ=0.00 σ_{max}=-554.10
Tensioni: σ_N=-262.28 σ_M=0.00 τ=25.24 τ_{max}=25.24
Tensioni: σ_N=-262.28 σ_M=-291.81 τ=0.00 $\sigma_{ID,max}$=554.10

Asta n. 4386 (-650 -634) briglie 50x10 Crit. 1

- Verifica di stabilità aste presso-inflesse (C4.2.4.1.3.3.1) - CC 19 SLU - Classe 3
Sollecitazioni: N,Ed=-1409.54 Myeq,Ed=-12.38 Mzeq,Ed=-0.42
Resistenze: Nc,Rd=13095.20 My,c,Rd=109.13 Mz,c,Rd=21.83 L=21.63
λ_Y=14.99 Ncr,y=461317.00 λ^*_y=0.17 Curva c: Φ_y=0.51 χ_y=1.00
λ_Z=74.94 Ncr,z=18452.70 λ^*_z=0.86 Curva c: Φ_z=1.04 χ_z=0.62
χ,min=0.62
Verifica: 0.17+0.11+0.02=0.31

- Verifica in termini tensionali [4.2.4] - CC 9 SLU Xl=0.00 - Classe 3
Sollecitazioni: N=-1406.74 T_z=-77.30 M_y=-12.50
Tensioni: σ_N=-281.35 σ_M=-300.03 τ=0.00 σ_{max}=-581.37
Tensioni: σ_N=-281.35 σ_M=0.00 τ=23.19 τ_{max}=23.19

Tensioni: σ_N=-281.35 σ_M=-300.03 τ=0.00 $\sigma_{ID,max}$=581.37

Asta n. 4386 (-634 -618) briglie 50x10 Crit. 1

- Verifica di stabilità aste presso-inflesse (C4.2.4.1.3.3.1) - CC 19 SLU - Classe 3
Sollecitazioni: N,Ed=-1205.70 Myeq,Ed=-15.02 Mzeq,Ed=-0.36
Resistenze: Nc,Rd=13095.20 My,c,Rd=109.13 Mz,c,Rd=21.83 L=21.63
λ_Y=14.99 Ncr,y=461313.00 λ^*_y=0.17 Curva c: Φ_y=0.51 χ_y=1.00
λ_Z=74.94 Ncr,z=18452.50 λ^*_z=0.86 Curva c: Φ_z=1.04 χ_z=0.62
χ,min=0.62
Verifica: 0.15+0.14+0.02=0.30

- Verifica in termini tensionali [4.2.4] - CC 9 SLU Xl=0.00 - Classe 3
Sollecitazioni: N=-1200.35 T_z=-104.89 M_y=-15.14
Tensioni: σ_N=-240.07 σ_M=-363.25 τ=0.00 σ_{max}=-603.32
Tensioni: σ_N=-240.07 σ_M=0.00 τ=31.47 τ_{max}=31.47
Tensioni: σ_N=-240.07 σ_M=-363.25 τ=0.00 $\sigma_{ID,max}$=603.32

Asta n. 4386 (-618 -602) briglie 50x10 Crit. 1

- Verifica di stabilità aste inflesse (4.2.4.1.3.2) CC 16 SLU - Classe 3
L_{cr}=0.22 Curva d: α_{imp}=0.76 k_c=0.94 ψ=2.94 M,cr=0.00 λ_{LT}=0.00
$\lambda_{LT,0}$=0.20 β_{LT}=1.00 Φ_{LT}=0.00 β_{LT}=1.00 f=0.00 χ_{LT}=1.00
CC 16 SLU My,Ed=13.30 My,b,Rd=109.13 My,Ed/My,b,Rd=0.12

- Verifica di stabilità aste presso-inflesse (C4.2.4.1.3.3.1) - CC 19 SLU - Classe 3
Sollecitazioni: N,Ed=-926.87 Myeq,Ed=-17.72 Mzeq,Ed=0.76
Resistenze: Nc,Rd=13095.20 My,c,Rd=109.13 Mz,c,Rd=21.83 L=21.63
λ_Y=14.99 Ncr,y=461317.00 λ^*_y=0.17 Curva c: Φ_y=0.51 χ_y=1.00
λ_Z=74.94 Ncr,z=18452.70 λ^*_z=0.86 Curva c: Φ_z=1.04 χ_z=0.62
χ,min=0.62
Verifica: 0.11+0.16+0.04=0.31

- Verifica in termini tensionali [4.2.4] - CC 19 SLU Xl=0.22 - Classe 3
Sollecitazioni: N=-926.87 T_z=-171.19 M_y=15.36 T_y=6.30 M_z=1.01
Tensioni: σ_N=-185.37 σ_M=-490.01 τ=0.00 σ_{max}=-675.38
Tensioni: σ_N=-185.37 σ_M=-0.00 τ=51.39 τ_{max}=51.39
Tensioni: σ_N=-185.37 σ_M=-490.01 τ=0.00 $\sigma_{ID,max}$=675.38

- Verifica a taglio dir. Z [4.2.16] - CC 16 SLU Xl=0.10
Sollecitazioni: N=105.20 T_z=-116.97
V,Ed=-116.97 Vc,Rd=7560.76 V,Ed/Vc,Rd=0.02

Asta n. 4386 (-602 -586) briglie 50x10 Crit. 1

- Verifica di stabilità aste inflesse (4.2.4.1.3.2) CC 16 SLU - Classe 3
L_{cr}=0.22 Curva d: α_{imp}=0.76 k_c=0.94 ψ=2.82 M,cr=0.00 λ_{LT}=0.00
$\lambda_{LT,0}$=0.20 β_{LT}=1.00 Φ_{LT}=0.00 β_{LT}=1.00 f=0.00 χ_{LT}=1.00
CC 16 SLU My,Ed=16.58 My,b,Rd=109.13 My,Ed/My,b,Rd=0.15

- Verifica di stabilità aste presso-inflesse (C4.2.4.1.3.3.1) - CC 19 SLU - Classe 3
Sollecitazioni: N,Ed=-549.75 Myeq,Ed=-20.20 Mzeq,Ed=0.79
Resistenze: Nc,Rd=13095.20 My,c,Rd=109.13 Mz,c,Rd=21.83 L=21.63
λ_Y=14.99 Ncr,y=461317.00 λ^*_y=0.17 Curva c: Φ_y=0.51 χ_y=1.00
λ_Z=74.94 Ncr,z=18452.70 λ^*_z=0.86 Curva c: Φ_z=1.04 χ_z=0.62
χ,min=0.62
Verifica: 0.04+0.19+0.04=0.26

- Verifica in termini tensionali [4.2.4] - CC 19 SLU Xl=0.00 - Classe 3

Sollecitazioni: N=-546.78 T_z=-165.10 M_y=-20.20 T_y=-6.96
Tensioni: σ_N=-109.36 σ_M=-484.91 τ=0.00 σ_{max}=-594.27
Tensioni: σ_N=-109.36 σ_M=0.00 τ=49.57 τ_{max}=49.57
Tensioni: σ_N=-109.36 σ_M=-484.91 τ=2.09 $\sigma_{ID,max}$=594.28

- Verifica a taglio dir. Z [4.2.16] - CC 16 SLU Xl=0.10
Sollecitazioni: N=391.73 T_z=-139.94
V,Ed=-139.94 Vc,Rd=7560.76 V,Ed/Vc,Rd=0.02

Asta n. 4386 (-586 -570) briglie 50x10 Crit. 1

- Verifica di stabilità aste inflesse (4.2.4.1.3.2) CC 18 SLU - Classe 3
L_{cr}=0.22 Curva d: α_{imp}=0.76 k_c=0.94 ψ=2.83 M,cr=0.00 λ_{LT}=0.00
$\lambda_{LT,0}$=0.20 β_{LT}=1.00 Φ_{LT}=0.00 β_{LT}=1.00 f=0.00 χ_{LT}=1.00
CC 18 SLU My,Ed=27.81 My,b,Rd=109.13 My,Ed/My,b,Rd=0.25

- Verifica di stabilità aste presso-inflesse (C4.2.4.1.3.3.1) - CC 19 SLU - Classe 3
Sollecitazioni: N,Ed=-59.26 Myeq,Ed=25.09 Mzeq,Ed=-0.39
Resistenze: Nc,Rd=13095.20 My,c,Rd=109.13 Mz,c,Rd=21.83 L=21.63
λ_Y=14.99 Ncr,y=461317.00 λ^*_y=0.17 Curva c: Φ_y=0.51 χ_y=1.00
λ_Z=74.94 Ncr,z=18452.70 λ^*_z=0.86 Curva c: Φ_z=1.04 χ_z=0.62
χ,min=0.62
Verifica: 0.00+0.23+0.02=0.25

- Verifica in termini tensionali [4.2.4] - CC 18 SLU Xl=0.22 - Classe 3
Sollecitazioni: N=398.18 T_z=-248.81 M_y=27.81
Tensioni: σ_N=79.64 σ_M=667.48 τ=0.00 σ_{max}=747.12
Tensioni: σ_N=79.64 σ_M=-0.00 τ=74.64 τ_{max}=74.64
Tensioni: σ_N=79.64 σ_M=667.48 τ=0.00 $\sigma_{ID,max}$=747.12

- Verifica a taglio dir. Z [4.2.16] - CC 18 SLU Xl=0.10
Sollecitazioni: N=399.38 T_z=-234.07
V,Ed=-234.07 Vc,Rd=7560.76 V,Ed/Vc,Rd=0.03

Asta n. 4386 (-570 -554) briglie 50x10 Crit. 1

- Verifica di stabilità aste inflesse (4.2.4.1.3.2) CC 18 SLU - Classe 3
L_{cr}=0.22 Curva d: α_{imp}=0.76 k_c=0.94 ψ=2.61 M,cr=0.00 λ_{LT}=0.00
$\lambda_{LT,0}$=0.20 β_{LT}=1.00 Φ_{LT}=0.00 β_{LT}=1.00 f=0.00 χ_{LT}=1.00
CC 18 SLU My,Ed=35.95 My,b,Rd=109.13 My,Ed/My,b,Rd=0.33

- Verifica di stabilità aste presso-inflesse (C4.2.4.1.3.3.1) - CC 5 SLV - Classe 3
Sollecitazioni: N,Ed=-494.91 Myeq,Ed=15.95 Mzeq,Ed=0.03
Resistenze: Nc,Rd=13095.20 My,c,Rd=109.13 Mz,c,Rd=21.83 L=21.63
λ_Y=14.99 Ncr,y=461317.00 λ^*_y=0.17 Curva c: Φ_y=0.51 χ_y=1.00
λ_Z=74.94 Ncr,z=18452.70 λ^*_z=0.86 Curva c: Φ_z=1.04 χ_z=0.62
χ,min=0.62
Verifica: 0.04+0.15+0.00=0.19

- Verifica Freccia massima per soli carichi accidentali - CC 24
$f_{Z,L}$=0.00 (L/21604)

- Verifica Freccia massima carichi totali - CC 24
$f_{Z,L}$=0.00 (L/14874)

- Verifica in termini tensionali [4.2.4] - CC 18 SLU Xl=0.22 - Classe 3
Sollecitazioni: N=1070.74 T_z=-292.98 M_y=35.95
Tensioni: σ_N=214.15 σ_M=862.83 τ=0.00 σ_{max}=1076.98
Tensioni: σ_N=214.15 σ_M=-0.00 τ=87.89 τ_{max}=87.89

Tensioni: σ_N=214.15 σ_M=862.83 τ=0.00 $\sigma_{ID,max}$=1076.98

- Verifica a taglio dir. Z [4.2.16] - CC 19 SLU Xl=0.10
Sollecitazioni: N=586.25 T_z=-267.91
V,Ed=-267.91 Vc,Rd=7560.76 V,Ed/Vc,Rd=0.04

Asta n. 4386 (-554 4287) briglie 50x10 Crit. 1

- Verifica di stabilità aste inflesse (4.2.4.1.3.2) CC 18 SLU - Classe 3
L_{cr}=0.22 Curva d: α_{imp}=0.76 k_c=0.94 ψ=2.15 M,cr=0.00 λ_{LT}=0.00
$\lambda_{LT,0}$=0.20 β_{LT}=1.00 Φ_{LT}=0.00 β_{LT}=1.00 f=0.00 χ_{LT}=1.00
CC 18 SLU My,Ed=49.79 My,b,Rd=109.13 My,Ed/My,b,Rd=0.46

- Verifica di stabilità aste presso-inflesse (C4.2.4.1.3.3.1) - CC 5 SLV - Classe 3
Sollecitazioni: N,Ed=-416.61 Myeq,Ed=17.25 Mzeq,Ed=-0.09
Resistenze: Nc,Rd=13095.20 My,c,Rd=109.13 Mz,c,Rd=21.83 L=21.63
λ_Y=14.99 Ncr,y=461315.00 λ^*_y=0.17 Curva c: Φ_y=0.51 χ_y=1.00
λ_Z=74.94 Ncr,z=18452.60 λ^*_z=0.86 Curva c: Φ_z=1.04 χ_z=0.62
χ,min=0.62
Verifica: 0.03+0.16+0.00=0.19

- Verifica Freccia massima per soli carichi accidentali - CC 24
$f_{Z,L}$=0.00 (L/10429)

- Verifica Freccia massima carichi totali - CC 24
$f_{Z,L}$=0.00 (L/7033)

- Verifica in termini tensionali [4.2.4] - CC 18 SLU Xl=0.22 - Classe 3
Sollecitazioni: N=1849.81 T_z=-324.10 M_y=49.79
Tensioni: σ_N=369.96 σ_M=1194.94 τ=0.00 σ_{max}=1564.90
Tensioni: σ_N=369.96 σ_M=-0.00 τ=97.23 τ_{max}=97.23
Tensioni: σ_N=369.96 σ_M=1194.94 τ=0.00 $\sigma_{ID,max}$=1564.90

- Verifica a taglio dir. Z [4.2.16] - CC 18 SLU Xl=0.06
Sollecitazioni: N=1851.41 T_z=-304.46
V,Ed=-304.46 Vc,Rd=7560.76 V,Ed/Vc,Rd=0.04

Asta n. 4386 (4287 -538) briglie 50x10 Crit. 1

- Verifica di stabilità aste inflesse (4.2.4.1.3.2) CC 19 SLU - Classe 3
L_{cr}=0.17 Curva d: α_{imp}=0.76 k_c=0.94 ψ=2.14 M,cr=0.00 λ_{LT}=0.00
$\lambda_{LT,0}$=0.20 β_{LT}=1.00 Φ_{LT}=0.00 β_{LT}=1.00 f=0.00 χ_{LT}=1.00
CC 19 SLU My,Ed=6.79 My,b,Rd=109.13 My,Ed/My,b,Rd=0.06

- Verifica di stabilità aste presso-inflesse (C4.2.4.1.3.3.1) - CC 1 SLV - Classe 3
Sollecitazioni: N,Ed=-2.23 Myeq,Ed=2.16 Mzeq,Ed=-0.33
Resistenze: Nc,Rd=13095.20 My,c,Rd=109.13 Mz,c,Rd=21.83 L=16.72
λ_Y=11.59 Ncr,y=772147.00 λ^*_y=0.13 Curva c: Φ_y=0.49 χ_y=1.00
λ_Z=57.92 Ncr,z=30885.90 λ^*_z=0.67 Curva c: Φ_z=0.84 χ_z=0.74
χ,min=0.74
Verifica: 0.00+0.02+0.02=0.04

- Verifica in termini tensionali [4.2.4] - CC 19 SLU Xl=0.00 - Classe 3
Sollecitazioni: N=201.90 T_z=65.40 M_y=6.79
Tensioni: σ_N=40.38 σ_M=163.08 τ=0.00 σ_{max}=203.46
Tensioni: σ_N=40.38 σ_M=-0.00 τ=19.62 τ_{max}=19.62
Tensioni: σ_N=40.38 σ_M=163.08 τ=0.00 $\sigma_{ID,max}$=203.46

- Verifica a taglio dir. Y [4.2.16] - CC 19 SLU Xl=0.11

Sollecitazioni: N=200.75 T_z=51.25 T_y=1.65
V,Ed=1.65 Vc,Rd=7560.76 V,Ed/Vc,Rd=0.00

- Verifica a taglio dir. Z [4.2.16]
V,Ed=51.25 Vc,Rd=7560.76 V,Ed/Vc,Rd=0.01

Asta n. 4386 (-538 -522) briglie 50x10 Crit. 1

- Verifica di stabilità aste inflesse (4.2.4.1.3.2) CC 17 SLU - Classe 3
L_{cr}=0.17 Curva d: α_{imp}=0.76 k_c=0.94 ψ=2.62 M,cr=0.00 λ_{LT}=0.00
$\lambda_{LT,0}$=0.20 β_{LT}=1.00 Φ_{LT}=0.00 β_{LT}=1.00 f=0.00 χ_{LT}=1.00
CC 17 SLU My,Ed=3.24 My,b,Rd=109.13 My,Ed/My,b,Rd=0.03

- Verifica di stabilità aste presso-inflesse (C4.2.4.1.3.3.1) - CC 1 SLV - Classe 3
Sollecitazioni: N,Ed=-1.23 Myeq,Ed=1.45 Mzeq,Ed=-0.39
Resistenze: Nc,Rd=13095.20 My,c,Rd=109.13 Mz,c,Rd=21.83 L=16.72
λ_Y=11.59 Ncr,y=772142.00 λ^*_y=0.13 Curva c: Φ_y=0.49 χ_y=1.00
λ_Z=57.92 Ncr,z=30885.70 λ^*_z=0.67 Curva c: Φ_z=0.84 χ_z=0.74
χ,min=0.74
Verifica: 0.00+0.01+0.02=0.03

- Verifica in termini tensionali [4.2.4] - CC 17 SLU Xl=0.00 - Classe 3
Sollecitazioni: N=138.30 T_z=37.94 M_y=3.24 T_y=-2.63
Tensioni: σ_N=27.66 σ_M=77.77 τ=0.00 σ_{max}=105.43
Tensioni: σ_N=27.66 σ_M=-0.00 τ=11.41 τ_{max}=11.41
Tensioni: σ_N=27.66 σ_M=77.77 τ=0.79 $\sigma_{ID,max}$=105.44

- Verifica a taglio dir. Y [4.2.16] - CC 19 SLU Xl=0.06
Sollecitazioni: N=112.94 T_z=34.52 T_y=2.67
V,Ed=2.67 Vc,Rd=7560.76 V,Ed/Vc,Rd=0.00

- Verifica a taglio dir. Z [4.2.16]
V,Ed=34.52 Vc,Rd=7560.76 V,Ed/Vc,Rd=0.00

Asta n. 4386 (-522 3314) briglie 50x10 Crit. 1

- Verifica in termini tensionali [4.2.4] - CC 17 SLU Xl=0.17 - Classe 3
Sollecitazioni: N=48.04 T_z=25.83 M_y=-2.72 T_y=3.26
Tensioni: σ_N=9.61 σ_M=65.23 τ=0.00 σ_{max}=74.84
Tensioni: σ_N=9.61 σ_M=0.00 τ=7.81 τ_{max}=7.81
Tensioni: σ_N=9.61 σ_M=65.23 τ=0.98 $\sigma_{ID,max}$=74.86

- Verifica a taglio dir. Z [4.2.16] - CC 17 SLU Xl=0.05
Sollecitazioni: N=48.64 T_z=33.31
V,Ed=33.31 Vc,Rd=7560.76 V,Ed/Vc,Rd=0.00

Asta n. 4423 (-787 -779) briglie 50x10 Crit. 1

- Verifica di stabilità aste presso-inflesse (C4.2.4.1.3.3.1) - CC 19 SLU - Classe 3
Sollecitazioni: N,Ed=-2984.34 Myeq,Ed=13.25 Mzeq,Ed=-0.03
Resistenze: Nc,Rd=13095.20 My,c,Rd=109.13 Mz,c,Rd=21.83 L=21.63
λ_Y=14.99 Ncr,y=461316.00 λ^*_y=0.17 Curva c: Φ_y=0.51 χ_y=1.00
λ_Z=74.94 Ncr,z=18452.60 λ^*_z=0.86 Curva c: Φ_z=1.04 χ_z=0.62
χ,min=0.62
Verifica: 0.37+0.12+0.00=0.49

- Verifica in termini tensionali [4.2.4] - CC 19 SLU Xl=0.00 - Classe 3
Sollecitazioni: N=-2981.37 T_z=122.36 M_y=13.25
Tensioni: σ_N=-596.27 σ_M=-318.10 τ=0.00 σ_{max}=-914.37

Tensioni: σ_N=-596.27 σ_M=-0.00 τ=36.71 τ_{max}=36.71
Tensioni: σ_N=-596.27 σ_M=-318.10 τ=0.00 $\sigma_{ID,max}$=914.37

Asta n. 4423 (-779 -763) briglie 50x10 Crit. 1

- Verifica di stabilità aste presso-inflesse (C4.2.4.1.3.3.1) - CC 19 SLU - Classe 3
Sollecitazioni: N,Ed=-3060.74 Myeq,Ed=-10.98 Mzeq,Ed=-0.01
Resistenze: Nc,Rd=13095.20 My,c,Rd=109.13 Mz,c,Rd=21.83 L=21.63
λ_Y=14.99 Ncr,y=461316.00 λ^*_y=0.17 Curva c: Φ_y=0.51 χ_y=1.00
λ_Z=74.94 Ncr,z=18452.60 λ^*_z=0.86 Curva c: Φ_z=1.04 χ_z=0.62
χ,min=0.62
Verifica: 0.38+0.10+0.00=0.48

- Verifica in termini tensionali [4.2.4] - CC 19 SLU Xl=0.22 - Classe 3
Sollecitazioni: N=-3060.74 T_z=59.80 M_y=-11.72
Tensioni: σ_N=-612.15 σ_M=-281.38 τ=0.00 σ_{max}=-893.53
Tensioni: σ_N=-612.15 σ_M=0.00 τ=17.94 τ_{max}=17.94
Tensioni: σ_N=-612.15 σ_M=-281.38 τ=0.00 $\sigma_{ID,max}$=893.53

Asta n. 4423 (-763 -747) briglie 50x10 Crit. 1

- Verifica di stabilità aste presso-inflesse (C4.2.4.1.3.3.1) - CC 19 SLU - Classe 3
Sollecitazioni: N,Ed=-3139.94 Myeq,Ed=-8.95 Mzeq,Ed=0.01
Resistenze: Nc,Rd=13095.20 My,c,Rd=109.13 Mz,c,Rd=21.83 L=21.63
λ_Y=14.99 Ncr,y=461316.00 λ^*_y=0.17 Curva c: Φ_y=0.51 χ_y=1.00
λ_Z=74.94 Ncr,z=18452.60 λ^*_z=0.86 Curva c: Φ_z=1.04 χ_z=0.62
χ,min=0.62
Verifica: 0.39+0.08+0.00=0.47

- Verifica Freccia massima carichi totali - CC 21
$f_{Z,L}$=0.00 (L/21101)

- Verifica in termini tensionali [4.2.4] - CC 19 SLU Xl=0.22 - Classe 3
Sollecitazioni: N=-3139.94 T_z=45.42 M_y=-11.21
Tensioni: σ_N=-627.99 σ_M=-268.93 τ=0.00 σ_{max}=-896.92
Tensioni: σ_N=-627.99 σ_M=0.00 τ=13.63 τ_{max}=13.63
Tensioni: σ_N=-627.99 σ_M=-268.93 τ=0.00 $\sigma_{ID,max}$=896.92

Asta n. 4423 (-747 -731) briglie 50x10 Crit. 1

- Verifica di stabilità aste presso-inflesse (C4.2.4.1.3.3.1) - CC 19 SLU - Classe 3
Sollecitazioni: N,Ed=-3202.71 Myeq,Ed=-7.99 Mzeq,Ed=0.04
Resistenze: Nc,Rd=13095.20 My,c,Rd=109.13 Mz,c,Rd=21.83 L=21.63
λ_Y=14.99 Ncr,y=461317.00 λ^*_y=0.17 Curva c: Φ_y=0.51 χ_y=1.00
λ_Z=74.94 Ncr,z=18452.70 λ^*_z=0.86 Curva c: Φ_z=1.04 χ_z=0.62
χ,min=0.62
Verifica: 0.39+0.07+0.00=0.47

- Verifica Freccia massima carichi totali - CC 21
$f_{Z,L}$=0.00 (L/16203)

- Verifica in termini tensionali [4.2.4] - CC 19 SLU Xl=0.22 - Classe 3
Sollecitazioni: N=-3202.71 T_z=29.11 M_y=-10.65
Tensioni: σ_N=-640.54 σ_M=-255.55 τ=0.00 σ_{max}=-896.09
Tensioni: σ_N=-640.54 σ_M=0.00 τ=8.73 τ_{max}=8.73
Tensioni: σ_N=-640.54 σ_M=-255.55 τ=0.00 $\sigma_{ID,max}$=896.09

Asta n. 4423 (-731 -715) briglie 50x10 Crit. 1

- Verifica di stabilità aste presso-inflesse (C4.2.4.1.3.3.1) - CC 19 SLU - Classe 3
  Sollecitazioni: N,Ed=-3235.94 Myeq,Ed=-7.25 Mzeq,Ed=-0.07
  Resistenze: Nc,Rd=13095.20 My,c,Rd=109.13 Mz,c,Rd=21.83 L=21.63
  λ_Y=14.99 Ncr,y=461317.00 λ^*_y=0.17 Curva c: Φ_y=0.51 χ_y=1.00
  λ_Z=74.94 Ncr,z=18452.70 λ^*_z=0.86 Curva c: Φ_z=1.04 χ_z=0.62
  χ,min=0.62
  Verifica: 0.40+0.07+0.00=0.47

- Verifica Freccia massima carichi totali - CC 21
  $f_{Z,L}$=0.00 (L/15918)

- Verifica in termini tensionali [4.2.4] - CC 18 SLU Xl=0.00 - Classe 3
  Sollecitazioni: N=-3082.81 T_z=-46.95 M_y=-11.46
  Tensioni: σ_N=-616.56 σ_M=-275.03 τ=0.00 σ_{max}=-891.60
  Tensioni: σ_N=-616.56 σ_M=0.00 τ=14.08 τ_{max}=14.08
  Tensioni: σ_N=-616.56 σ_M=-275.03 τ=0.00 $\sigma_{ID,max}$=891.60

Asta n. 4423 (-715 -699) briglie 50x10 Crit. 1

- Verifica di stabilità aste presso-inflesse (C4.2.4.1.3.3.1) - CC 18 SLU - Classe 3
  Sollecitazioni: N,Ed=-2994.34 Myeq,Ed=-10.95 Mzeq,Ed=-0.01
  Resistenze: Nc,Rd=13095.20 My,c,Rd=109.13 Mz,c,Rd=21.83 L=21.63
  λ_Y=14.99 Ncr,y=461315.00 λ^*_y=0.17 Curva c: Φ_y=0.51 χ_y=1.00
  λ_Z=74.94 Ncr,z=18452.60 λ^*_z=0.86 Curva c: Φ_z=1.04 χ_z=0.62
  χ,min=0.62
  Verifica: 0.37+0.10+0.00=0.47

- Verifica Freccia massima carichi totali - CC 21
  $f_{Z,L}$=0.00 (L/17120)

- Verifica in termini tensionali [4.2.4] - CC 18 SLU Xl=0.00 - Classe 3
  Sollecitazioni: N=-2992.15 T_z=-64.37 M_y=-12.60
  Tensioni: σ_N=-598.43 σ_M=-302.30 τ=0.00 σ_{max}=-900.73
  Tensioni: σ_N=-598.43 σ_M=0.00 τ=19.31 τ_{max}=19.31
  Tensioni: σ_N=-598.43 σ_M=-302.30 τ=0.00 $\sigma_{ID,max}$=900.73

Asta n. 4423 (-699 -683) briglie 50x10 Crit. 1

- Verifica di stabilità aste presso-inflesse (C4.2.4.1.3.3.1) - CC 18 SLU - Classe 3
  Sollecitazioni: N,Ed=-2865.93 Myeq,Ed=-13.84 Mzeq,Ed=0.01
  Resistenze: Nc,Rd=13095.20 My,c,Rd=109.13 Mz,c,Rd=21.83 L=21.63
  λ_Y=14.99 Ncr,y=461315.00 λ^*_y=0.17 Curva c: Φ_y=0.51 χ_y=1.00
  λ_Z=74.94 Ncr,z=18452.60 λ^*_z=0.86 Curva c: Φ_z=1.04 χ_z=0.62
  χ,min=0.62
  Verifica: 0.35+0.13+0.00=0.48

- Verifica Freccia massima carichi totali - CC 21
  $f_{Z,L}$=0.00 (L/16803)

- Verifica in termini tensionali [4.2.4] - CC 18 SLU Xl=0.00 - Classe 3
  Sollecitazioni: N=-2863.74 T_z=-84.93 M_y=-14.72
  Tensioni: σ_N=-572.75 σ_M=-353.31 τ=0.00 σ_{max}=-926.06
  Tensioni: σ_N=-572.75 σ_M=0.00 τ=25.48 τ_{max}=25.48
  Tensioni: σ_N=-572.75 σ_M=-353.31 τ=0.00 $\sigma_{ID,max}$=926.06

Asta n. 4423 (-683 -667) briglie 50x10 Crit. 1

- Verifica di stabilità aste presso-inflesse (C4.2.4.1.3.3.1) - CC 18 SLU - Classe 3
  Sollecitazioni: N,Ed=-2693.02 Myeq,Ed=-16.81 Mzeq,Ed=0.06

Resistenze: Nc,Rd=13095.20 My,c,Rd=109.13 Mz,c,Rd=21.83 L=21.63
λ_Y=14.99 Ncr,y=461317.00 λ^*_y=0.17 Curva c: Φ_y=0.51 χ_y=1.00
λ_Z=74.94 Ncr,z=18452.70 λ^*_z=0.86 Curva c: Φ_z=1.04 χ_z=0.62
χ,min=0.62
Verifica: 0.33+0.15+0.00=0.49

- Verifica Freccia massima carichi totali - CC 21
$f_{Z,L}$=0.00 (L/15644)

- Verifica in termini tensionali [4.2.4] - CC 18 SLU Xl=0.00 - Classe 3
Sollecitazioni: N=-2690.83 T_z=-106.06 M_y=-17.41
Tensioni: σ_N=-538.17 σ_M=-417.81 τ=0.00 σ_{max}=-955.98
Tensioni: σ_N=-538.17 σ_M=0.00 τ=31.82 τ_{max}=31.82
Tensioni: σ_N=-538.17 σ_M=-417.81 τ=0.00 $\sigma_{ID,max}$=955.98

Asta n. 4423 (-667 -651) briglie 50x10 Crit. 1

- Verifica di stabilità aste presso-inflesse (C4.2.4.1.3.3.1) - CC 19 SLU - Classe 3
Sollecitazioni: N,Ed=-2799.18 Myeq,Ed=-21.65 Mzeq,Ed=-0.07
Resistenze: Nc,Rd=13095.20 My,c,Rd=109.13 Mz,c,Rd=21.83 L=21.63
λ_Y=14.99 Ncr,y=461317.00 λ^*_y=0.17 Curva c: Φ_y=0.51 χ_y=1.00
λ_Z=74.94 Ncr,z=18452.70 λ^*_z=0.86 Curva c: Φ_z=1.04 χ_z=0.62
χ,min=0.62
Verifica: 0.34+0.20+0.00=0.55

- Verifica Freccia massima carichi totali - CC 21
$f_{Z,L}$=0.00 (L/13343)

- Verifica in termini tensionali [4.2.4] - CC 19 SLU Xl=0.00 - Classe 3
Sollecitazioni: N=-2796.22 T_z=-135.69 M_y=-21.74
Tensioni: σ_N=-559.24 σ_M=-521.85 τ=0.00 σ_{max}=-1081.09
Tensioni: σ_N=-559.24 σ_M=0.00 τ=40.71 τ_{max}=40.71
Tensioni: σ_N=-559.24 σ_M=-521.85 τ=0.00 $\sigma_{ID,max}$=1081.09

Asta n. 4423 (-651 -635) briglie 50x10 Crit. 1

- Verifica di stabilità aste presso-inflesse (C4.2.4.1.3.3.1) - CC 19 SLU - Classe 3
Sollecitazioni: N,Ed=-2507.79 Myeq,Ed=-23.81 Mzeq,Ed=-0.03
Resistenze: Nc,Rd=13095.20 My,c,Rd=109.13 Mz,c,Rd=21.83 L=21.63
λ_Y=14.99 Ncr,y=461317.00 λ^*_y=0.17 Curva c: Φ_y=0.51 χ_y=1.00
λ_Z=74.94 Ncr,z=18452.70 λ^*_z=0.86 Curva c: Φ_z=1.04 χ_z=0.62
χ,min=0.62
Verifica: 0.31+0.22+0.00=0.53

- Verifica Freccia massima carichi totali - CC 21
$f_{Z,L}$=0.00 (L/15122)

- Verifica in termini tensionali [4.2.4] - CC 19 SLU Xl=0.00 - Classe 3
Sollecitazioni: N=-2504.82 T_z=-165.70 M_y=-23.81
Tensioni: σ_N=-500.96 σ_M=-571.47 τ=0.00 σ_{max}=-1072.44
Tensioni: σ_N=-500.96 σ_M=0.00 τ=49.71 τ_{max}=49.71
Tensioni: σ_N=-500.96 σ_M=-571.47 τ=0.00 $\sigma_{ID,max}$=1072.44

Asta n. 4423 (-635 -619) briglie 50x10 Crit. 1

- Verifica di stabilità aste presso-inflesse (C4.2.4.1.3.3.1) - CC 19 SLU - Classe 3
Sollecitazioni: N,Ed=-2125.74 Myeq,Ed=-27.02 Mzeq,Ed=0.01
Resistenze: Nc,Rd=13095.20 My,c,Rd=109.13 Mz,c,Rd=21.83 L=21.63
λ_Y=14.99 Ncr,y=461313.00 λ^*_y=0.17 Curva c: Φ_y=0.51 χ_y=1.00

λ_Z=74.94 Ncr,z=18452.50 λ^*_z=0.86 Curva c: Φ_z=1.04 χ_z=0.62
χ,min=0.62
Verifica: 0.26+0.25+0.00=0.51

- Verifica Freccia massima carichi totali - CC 21
$f_{Z,L}$=0.00 (L/14874)

- Verifica in termini tensionali [4.2.4] - CC 19 SLU Xl=0.00 - Classe 3
Sollecitazioni: N=-2122.78 T_z=-201.18 M_y=-27.02
Tensioni: σ_N=-424.56 σ_M=-648.45 τ=0.00 σ_{max}=-1073.00
Tensioni: σ_N=-424.56 σ_M=0.00 τ=60.35 τ_{max}=60.35
Tensioni: σ_N=-424.56 σ_M=-648.45 τ=0.00 $\sigma_{ID,max}$=1073.00

Asta n. 4423 (-619 -603) briglie 50x10 Crit. 1

- Verifica di stabilità aste presso-inflesse (C4.2.4.1.3.3.1) - CC 19 SLU - Classe 3
Sollecitazioni: N,Ed=-1631.23 Myeq,Ed=-30.85 Mzeq,Ed=0.06
Resistenze: Nc,Rd=13095.20 My,c,Rd=109.13 Mz,c,Rd=21.83 L=21.63
λ_Y=14.99 Ncr,y=461317.00 λ^*_y=0.17 Curva c: Φ_y=0.51 χ_y=1.00
λ_Z=74.94 Ncr,z=18452.70 λ^*_z=0.86 Curva c: Φ_z=1.04 χ_z=0.62
χ,min=0.62
Verifica: 0.20+0.28+0.00=0.49

- Verifica Freccia massima carichi totali - CC 21
$f_{Z,L}$=0.00 (L/13542)

- Verifica in termini tensionali [4.2.4] - CC 19 SLU Xl=0.00 - Classe 3
Sollecitazioni: N=-1628.27 T_z=-239.98 M_y=-30.85
Tensioni: σ_N=-325.65 σ_M=-740.39 τ=0.00 σ_{max}=-1066.05
Tensioni: σ_N=-325.65 σ_M=0.00 τ=71.99 τ_{max}=71.99
Tensioni: σ_N=-325.65 σ_M=-740.39 τ=0.00 $\sigma_{ID,max}$=1066.05

Asta n. 4423 (-603 -587) briglie 50x10 Crit. 1

- Verifica di stabilità aste inflesse (4.2.4.1.3.2) CC 16 SLU - Classe 3
L_{cr}=0.22 Curva d: α_{imp}=0.76 k_c=0.94 ψ=2.91 M,cr=0.00 λ_{LT}=0.00
$\lambda_{LT,0}$=0.20 β_{LT}=1.00 Φ_{LT}=0.00 β_{LT}=1.00 f=0.00 χ_{LT}=1.00
CC 16 SLU My,Ed=24.45 My,b,Rd=109.13 My,Ed/My,b,Rd=0.22

- Verifica di stabilità aste presso-inflesse (C4.2.4.1.3.3.1) - CC 9 SLU - Classe 3
Sollecitazioni: N,Ed=-980.79 Myeq,Ed=-39.54 Mzeq,Ed=-0.03
Resistenze: Nc,Rd=13095.20 My,c,Rd=109.13 Mz,c,Rd=21.83 L=21.63
λ_Y=14.99 Ncr,y=461317.00 λ^*_y=0.17 Curva c: Φ_y=0.51 χ_y=1.00
λ_Z=74.94 Ncr,z=18452.70 λ^*_z=0.86 Curva c: Φ_z=1.04 χ_z=0.62
χ,min=0.62
Verifica: 0.12+0.36+0.00=0.48

- Verifica Freccia massima carichi totali - CC 21
$f_{Z,L}$=0.00 (L/12962)

- Verifica in termini tensionali [4.2.4] - CC 9 SLU Xl=0.00 - Classe 3
Sollecitazioni: N=-977.83 T_z=-334.34 M_y=-39.54
Tensioni: σ_N=-195.56 σ_M=-948.93 τ=0.00 σ_{max}=-1144.49
Tensioni: σ_N=-195.56 σ_M=0.00 τ=100.30 τ_{max}=100.30
Tensioni: σ_N=-195.56 σ_M=-948.93 τ=0.00 $\sigma_{ID,max}$=1144.49

- Verifica a taglio dir. Z [4.2.16] - CC 16 SLU Xl=0.10
Sollecitazioni: N=313.36 T_z=-212.77
V,Ed=-212.77 Vc,Rd=7560.76 V,Ed/Vc,Rd=0.03

Asta n. 4423 (-587 -571) briglie 50x10 Crit. 1

- Verifica di stabilità aste inflesse (4.2.4.1.3.2) CC 18 SLU - Classe 3
  L_{cr}=0.22 Curva d: α_{imp}=0.76 k_c=0.94 ψ=2.87 M,cr=0.00 λ_{LT}=0.00
  $\lambda_{LT,0}$=0.20 β_{LT}=1.00 Φ_{LT}=0.00 β_{LT}=1.00 f=0.00 χ_{LT}=1.00
  CC 18 SLU My,Ed=47.88 My,b,Rd=109.13 My,Ed/My,b,Rd=0.44

- Verifica di stabilità aste presso-inflesse (C4.2.4.1.3.3.1) - CC 9 SLU - Classe 3
  Sollecitazioni: N,Ed=-67.54 Myeq,Ed=46.05 Mzeq,Ed=-0.00
  Resistenze: Nc,Rd=13095.20 My,c,Rd=109.13 Mz,c,Rd=21.83 L=21.63
  λ_Y=14.99 Ncr,y=461317.00 λ^*_y=0.17 Curva c: Φ_y=0.51 χ_y=1.00
  λ_Z=74.94 Ncr,z=18452.70 λ^*_z=0.86 Curva c: Φ_z=1.04 χ_z=0.62
  χ,min=0.62
  Verifica: 0.01+0.42+0.00=0.43

- Verifica Freccia massima carichi totali - CC 24
  $f_{Z,L}$=0.00 (L/15122)

- Verifica in termini tensionali [4.2.4] - CC 18 SLU Xl=0.22 - Classe 3
  Sollecitazioni: N=458.74 T_z=-425.00 M_y=47.88
  Tensioni: σ_N=91.75 σ_M=1149.20 τ=0.00 σ_{max}=1240.95
  Tensioni: σ_N=91.75 σ_M=-0.00 τ=127.50 τ_{max}=127.50
  Tensioni: σ_N=91.75 σ_M=1149.20 τ=0.00 $\sigma_{ID,max}$=1240.95

- Verifica a taglio dir. Z [4.2.16] - CC 20 SLU Xl=0.10
  Sollecitazioni: N=480.46 T_z=-321.32
  V,Ed=-321.32 Vc,Rd=7560.76 V,Ed/Vc,Rd=0.04

Asta n. 4423 (-571 -555) briglie 50x10 Crit. 1

- Verifica di stabilità aste inflesse (4.2.4.1.3.2) CC 18 SLU - Classe 3
  L_{cr}=0.22 Curva d: α_{imp}=0.76 k_c=0.94 ψ=2.64 M,cr=0.00 λ_{LT}=0.00
  $\lambda_{LT,0}$=0.20 β_{LT}=1.00 Φ_{LT}=0.00 β_{LT}=1.00 f=0.00 χ_{LT}=1.00
  CC 18 SLU My,Ed=60.67 My,b,Rd=109.13 My,Ed/My,b,Rd=0.56

- Verifica di stabilità aste presso-inflesse (C4.2.4.1.3.3.1) - CC 5 SLV - Classe 3
  Sollecitazioni: N,Ed=-368.07 Myeq,Ed=22.24 Mzeq,Ed=0.01
  Resistenze: Nc,Rd=13095.20 My,c,Rd=109.13 Mz,c,Rd=21.83 L=21.63
  λ_Y=14.99 Ncr,y=461317.00 λ^*_y=0.17 Curva c: Φ_y=0.51 χ_y=1.00
  λ_Z=74.94 Ncr,z=18452.70 λ^*_z=0.86 Curva c: Φ_z=1.04 χ_z=0.62
  χ,min=0.62
  Verifica: 0.03+0.20+0.00=0.23

- Verifica Freccia massima per soli carichi accidentali - CC 24
  $f_{Z,L}$=0.00 (L/13959)

- Verifica Freccia massima carichi totali - CC 21
  $f_{Z,L}$=0.00 (L/9073)

- Verifica in termini tensionali [4.2.4] - CC 18 SLU Xl=0.22 - Classe 3
  Sollecitazioni: N=1623.15 T_z=-490.88 M_y=60.67
  Tensioni: σ_N=324.63 σ_M=1456.00 τ=0.00 σ_{max}=1780.63
  Tensioni: σ_N=324.63 σ_M=-0.00 τ=147.26 τ_{max}=147.26
  Tensioni: σ_N=324.63 σ_M=1456.00 τ=0.00 $\sigma_{ID,max}$=1780.63

- Verifica a taglio dir. Z [4.2.16] - CC 3 SLV Xl=0.10
  Sollecitazioni: N=107.48 T_z=-108.28
  V,Ed=-108.28 Vc,Rd=7560.76 V,Ed/Vc,Rd=0.01

Asta n. 4423 (-555 4288) briglie 50x10 Crit. 1

- Verifica di stabilità aste inflesse (4.2.4.1.3.2) CC 18 SLU - Classe 3
  L_{cr}=0.22 Curva d: α_{imp}=0.76 k_c=0.94 ψ=2.17 M,cr=0.00 λ_{LT}=0.00
  $\lambda_{LT,0}$=0.20 β_{LT}=1.00 Φ_{LT}=0.00 β_{LT}=1.00 f=0.00 χ_{LT}=1.00
  CC 18 SLU My,Ed=82.69 My,b,Rd=109.13 My,Ed/My,b,Rd=0.76

- Verifica di stabilità aste presso-inflesse (C4.2.4.1.3.3.1) - CC 5 SLV - Classe 3
  Sollecitazioni: N,Ed=-150.88 Myeq,Ed=24.81 Mzeq,Ed=0.06
  Resistenze: Nc,Rd=13095.20 My,c,Rd=109.13 Mz,c,Rd=21.83 L=21.63
  λ_Y=14.99 Ncr,y=461315.00 λ^*_y=0.17 Curva c: Φ_y=0.51 χ_y=1.00
  λ_Z=74.94 Ncr,z=18452.60 λ^*_z=0.86 Curva c: Φ_z=1.04 χ_z=0.62
  χ,min=0.62
  Verifica: 0.01+0.23+0.00=0.24

- Verifica Freccia massima per soli carichi accidentali - CC 24
  $f_{Z,L}$=0.00 (L/6527)

- Verifica Freccia massima carichi totali - CC 21
  $f_{Z,L}$=0.01 (L/4087)

- Verifica in termini tensionali [4.2.4] - CC 18 SLU Xl=0.22 - Classe 3
  Sollecitazioni: N=2948.56 T_z=-534.68 M_y=82.69
  Tensioni: σ_N=589.71 σ_M=1984.56 τ=0.00 σ_{max}=2574.27
  Tensioni: σ_N=589.71 σ_M=-0.00 τ=160.40 τ_{max}=160.40
  Tensioni: σ_N=589.71 σ_M=1984.56 τ=0.00 $\sigma_{ID,max}$=2574.27

- Verifica a taglio dir. Z [4.2.16] - CC 18 SLU Xl=0.06
  Sollecitazioni: N=2950.15 T_z=-515.03
  V,Ed=-515.03 Vc,Rd=7560.76 V,Ed/Vc,Rd=0.07

Asta n. 4423 (4288 -539) briglie 50x10 Crit. 1

- Verifica in termini tensionali [4.2.4] - CC 9 SLU Xl=0.00 - Classe 3
  Sollecitazioni: N=364.87 T_z=90.90 M_y=9.94 T_y=2.15
  Tensioni: σ_N=72.97 σ_M=238.58 τ=0.00 σ_{max}=311.56
  Tensioni: σ_N=72.97 σ_M=-0.00 τ=27.28 τ_{max}=27.28
  Tensioni: σ_N=72.97 σ_M=238.58 τ=0.65 $\sigma_{ID,max}$=311.56

- Verifica a taglio dir. Y [4.2.16] - CC 9 SLU Xl=0.12
  Sollecitazioni: N=363.56 T_z=74.72 T_y=2.15
  V,Ed=2.15 Vc,Rd=7560.76 V,Ed/Vc,Rd=0.00

- Verifica a taglio dir. Z [4.2.16]
  V,Ed=74.72 Vc,Rd=7560.76 V,Ed/Vc,Rd=0.01

Asta n. 4423 (-539 -523) briglie 50x10 Crit. 1

- Verifica in termini tensionali [4.2.4] - CC 9 SLU Xl=0.00 - Classe 3
  Sollecitazioni: N=225.98 T_z=52.55 M_y=4.07 T_y=1.89
  Tensioni: σ_N=45.20 σ_M=97.75 τ=0.00 σ_{max}=142.95
  Tensioni: σ_N=45.20 σ_M=-0.00 τ=15.78 τ_{max}=15.78
  Tensioni: σ_N=45.20 σ_M=97.75 τ=0.57 $\sigma_{ID,max}$=142.95

- Verifica a taglio dir. Y [4.2.16] - CC 9 SLU Xl=0.08
  Sollecitazioni: N=225.16 T_z=42.44 T_y=1.89
  V,Ed=1.89 Vc,Rd=7560.76 V,Ed/Vc,Rd=0.00

- Verifica a taglio dir. Z [4.2.16]

V,Ed=42.44 Vc,Rd=7560.76 V,Ed/Vc,Rd=0.01

Asta n. 4423 (-523 3315) briglie 50x10 Crit. 1

- Verifica in termini tensionali [4.2.4] - CC 9 SLU Xl=0.00 - Classe 3
Sollecitazioni: N=90.22 T_z=49.88 M_y=3.25 T_y=1.79
Tensioni: σ_N=18.04 σ_M=78.08 τ=0.00 σ_{max}=96.12
Tensioni: σ_N=18.04 σ_M=-0.00 τ=14.97 τ_{max}=14.97
Tensioni: σ_N=18.04 σ_M=78.08 τ=0.54 $\sigma_{ID,max}$=96.12

- Verifica a taglio dir. Y [4.2.16] - CC 9 SLU Xl=0.06
Sollecitazioni: N=89.56 T_z=41.80 T_y=1.79
V,Ed=1.79 Vc,Rd=7560.76 V,Ed/Vc,Rd=0.00

- Verifica a taglio dir. Z [4.2.16]
V,Ed=41.80 Vc,Rd=7560.76 V,Ed/Vc,Rd=0.01

Asta n. 4424 (-788 -780) briglie 50x10 Crit. 1

- Verifica di stabilità aste presso-inflesse (C4.2.4.1.3.3.1) - CC 19 SLU - Classe 3
Sollecitazioni: N,Ed=-2945.73 Myeq,Ed=13.49 Mzeq,Ed=0.83
Resistenze: Nc,Rd=13095.20 My,c,Rd=109.13 Mz,c,Rd=21.83 L=21.63
λ_Y=14.99 Ncr,y=461316.00 λ^*_y=0.17 Curva c: Φ_y=0.51 χ_y=1.00
λ_Z=74.94 Ncr,z=18452.60 λ^*_z=0.86 Curva c: Φ_z=1.04 χ_z=0.62
χ,min=0.62
Verifica: 0.36+0.12+0.05=0.53

- Verifica in termini tensionali [4.2.4] - CC 19 SLU Xl=0.00 - Classe 3
Sollecitazioni: N=-2942.59 T_z=125.12 M_y=13.49 T_y=-7.27 M_z=1.03
Tensioni: σ_N=-588.52 σ_M=-447.01 τ=0.00 σ_{max}=-1035.52
Tensioni: σ_N=-588.52 σ_M=-0.00 τ=37.60 τ_{max}=37.60
Tensioni: σ_N=-588.52 σ_M=-447.01 τ=0.00 $\sigma_{ID,max}$=1035.52

Asta n. 4424 (-780 -764) briglie 50x10 Crit. 1

- Verifica di stabilità aste presso-inflesse (C4.2.4.1.3.3.1) - CC 19 SLU - Classe 3
Sollecitazioni: N,Ed=-3022.95 Myeq,Ed=-11.04 Mzeq,Ed=-0.43
Resistenze: Nc,Rd=13095.20 My,c,Rd=109.13 Mz,c,Rd=21.83 L=21.63
λ_Y=14.99 Ncr,y=461316.00 λ^*_y=0.17 Curva c: Φ_y=0.51 χ_y=1.00
λ_Z=74.94 Ncr,z=18452.60 λ^*_z=0.86 Curva c: Φ_z=1.04 χ_z=0.62
χ,min=0.62
Verifica: 0.37+0.10+0.02=0.50

- Verifica in termini tensionali [4.2.4] - CC 19 SLU Xl=0.22 - Classe 3
Sollecitazioni: N=-3022.95 T_z=59.16 M_y=-11.81
Tensioni: σ_N=-604.59 σ_M=-283.38 τ=0.00 σ_{max}=-887.97
Tensioni: σ_N=-604.59 σ_M=0.00 τ=17.75 τ_{max}=17.75
Tensioni: σ_N=-604.59 σ_M=-283.38 τ=0.00 $\sigma_{ID,max}$=887.97

Asta n. 4424 (-764 -748) briglie 50x10 Crit. 1

- Verifica di stabilità aste presso-inflesse (C4.2.4.1.3.3.1) - CC 19 SLU - Classe 3
Sollecitazioni: N,Ed=-3102.16 Myeq,Ed=-8.87 Mzeq,Ed=-0.39
Resistenze: Nc,Rd=13095.20 My,c,Rd=109.13 Mz,c,Rd=21.83 L=21.63
λ_Y=14.99 Ncr,y=461316.00 λ^*_y=0.17 Curva c: Φ_y=0.51 χ_y=1.00
λ_Z=74.94 Ncr,z=18452.60 λ^*_z=0.86 Curva c: Φ_z=1.04 χ_z=0.62
χ,min=0.62
Verifica: 0.38+0.08+0.02=0.48

- Verifica Freccia massima carichi totali - CC 21
  $f_{Z,L}$=0.00 (L/20622)

- Verifica in termini tensionali [4.2.4] - CC 19 SLU Xl=0.22 - Classe 3
  Sollecitazioni: N=-3102.16 T_z=43.73 M_y=-11.18 T_y=2.83
  Tensioni: σ_N=-620.43 σ_M=-268.31 τ=0.00 σ_{max}=-888.74
  Tensioni: σ_N=-620.43 σ_M=0.00 τ=13.15 τ_{max}=13.15
  Tensioni: σ_N=-620.43 σ_M=-268.31 τ=0.85 $\sigma_{ID,max}$=888.74

Asta n. 4424 (-748 -732) briglie 50x10 Crit. 1

- Verifica di stabilità aste presso-inflesse (C4.2.4.1.3.3.1) - CC 19 SLU - Classe 3
  Sollecitazioni: N,Ed=-3163.84 Myeq,Ed=-7.82 Mzeq,Ed=0.81
  Resistenze: Nc,Rd=13095.20 My,c,Rd=109.13 Mz,c,Rd=21.83 L=21.63
  λ_Y=14.99 Ncr,y=461317.00 λ^*_y=0.17 Curva c: Φ_y=0.51 χ_y=1.00
  λ_Z=74.94 Ncr,z=18452.70 λ^*_z=0.86 Curva c: Φ_z=1.04 χ_z=0.62
  χ,min=0.62
  Verifica: 0.39+0.07+0.04=0.50

- Verifica Freccia massima carichi totali - CC 21
  $f_{Z,L}$=0.00 (L/16203)

- Verifica in termini tensionali [4.2.4] - CC 19 SLU Xl=0.22 - Classe 3
  Sollecitazioni: N=-3163.84 T_z=26.15 M_y=-10.43 T_y=7.10 M_z=1.06
  Tensioni: σ_N=-632.77 σ_M=-378.00 τ=0.00 σ_{max}=-1010.77
  Tensioni: σ_N=-632.77 σ_M=0.00 τ=8.13 τ_{max}=8.13
  Tensioni: σ_N=-632.77 σ_M=-378.00 τ=0.00 $\sigma_{ID,max}$=1010.77

Asta n. 4424 (-732 -716) briglie 50x10 Crit. 1

- Verifica di stabilità aste presso-inflesse (C4.2.4.1.3.3.1) - CC 19 SLU - Classe 3
  Sollecitazioni: N,Ed=-3177.05 Myeq,Ed=-7.23 Mzeq,Ed=0.81
  Resistenze: Nc,Rd=13095.20 My,c,Rd=109.13 Mz,c,Rd=21.83 L=21.63
  λ_Y=14.99 Ncr,y=461317.00 λ^*_y=0.17 Curva c: Φ_y=0.51 χ_y=1.00
  λ_Z=74.94 Ncr,z=18452.70 λ^*_z=0.86 Curva c: Φ_z=1.04 χ_z=0.62
  χ,min=0.62
  Verifica: 0.39+0.07+0.04=0.50

- Verifica Freccia massima carichi totali - CC 21
  $f_{Z,L}$=0.00 (L/16203)

- Verifica in termini tensionali [4.2.4] - CC 18 SLU Xl=0.00 - Classe 3
  Sollecitazioni: N=-3052.25 T_z=-47.63 M_y=-11.63
  Tensioni: σ_N=-610.45 σ_M=-279.24 τ=0.00 σ_{max}=-889.69
  Tensioni: σ_N=-610.45 σ_M=0.00 τ=14.29 τ_{max}=14.29
  Tensioni: σ_N=-610.45 σ_M=-279.24 τ=0.00 $\sigma_{ID,max}$=889.69

Asta n. 4424 (-716 -700) briglie 50x10 Crit. 1

- Verifica di stabilità aste presso-inflesse (C4.2.4.1.3.3.1) - CC 19 SLU - Classe 3
  Sollecitazioni: N,Ed=-3145.07 Myeq,Ed=-6.63 Mzeq,Ed=-0.40
  Resistenze: Nc,Rd=13095.20 My,c,Rd=109.13 Mz,c,Rd=21.83 L=21.63
  λ_Y=14.99 Ncr,y=461315.00 λ^*_y=0.17 Curva c: Φ_y=0.51 χ_y=1.00
  λ_Z=74.94 Ncr,z=18452.60 λ^*_z=0.86 Curva c: Φ_z=1.04 χ_z=0.62
  χ,min=0.62
  Verifica: 0.39+0.06+0.02=0.47

- Verifica Freccia massima carichi totali - CC 21
  $f_{Z,L}$=0.00 (L/16803)

- Verifica in termini tensionali [4.2.4] - CC 18 SLU Xl=0.00 - Classe 3
  Sollecitazioni: N=-2958.96 T_z=-65.97 M_y=-12.87
  Tensioni: σ_N=-591.79 σ_M=-308.88 τ=0.00 σ_{max}=-900.67
  Tensioni: σ_N=-591.79 σ_M=0.00 τ=19.79 τ_{max}=19.79
  Tensioni: σ_N=-591.79 σ_M=-308.88 τ=0.00 $\sigma_{ID,max}$=900.67

Asta n. 4424 (-700 -684) briglie 50x10 Crit. 1

- Verifica di stabilità aste presso-inflesse (C4.2.4.1.3.3.1) - CC 18 SLU - Classe 3
  Sollecitazioni: N,Ed=-2828.76 Myeq,Ed=-14.32 Mzeq,Ed=0.02
  Resistenze: Nc,Rd=13095.20 My,c,Rd=109.13 Mz,c,Rd=21.83 L=21.63
  λ_Y=14.99 Ncr,y=461315.00 λ^*_y=0.17 Curva c: Φ_y=0.51 χ_y=1.00
  λ_Z=74.94 Ncr,z=18452.60 λ^*_z=0.86 Curva c: Φ_z=1.04 χ_z=0.62
  χ,min=0.62
  Verifica: 0.35+0.13+0.00=0.48

- Verifica Freccia massima carichi totali - CC 21
  $f_{Z,L}$=0.00 (L/16497)

- Verifica in termini tensionali [4.2.4] - CC 18 SLU Xl=0.00 - Classe 3
  Sollecitazioni: N=-2826.44 T_z=-87.50 M_y=-15.09
  Tensioni: σ_N=-565.29 σ_M=-362.19 τ=0.00 σ_{max}=-927.47
  Tensioni: σ_N=-565.29 σ_M=0.00 τ=26.25 τ_{max}=26.25
  Tensioni: σ_N=-565.29 σ_M=-362.19 τ=0.00 $\sigma_{ID,max}$=927.47

Asta n. 4424 (-684 -668) briglie 50x10 Crit. 1

- Verifica di stabilità aste presso-inflesse (C4.2.4.1.3.3.1) - CC 19 SLU - Classe 3
  Sollecitazioni: N,Ed=-2953.11 Myeq,Ed=-12.19 Mzeq,Ed=0.77
  Resistenze: Nc,Rd=13095.20 My,c,Rd=109.13 Mz,c,Rd=21.83 L=21.63
  λ_Y=14.99 Ncr,y=461317.00 λ^*_y=0.17 Curva c: Φ_y=0.51 χ_y=1.00
  λ_Z=74.94 Ncr,z=18452.70 λ^*_z=0.86 Curva c: Φ_z=1.04 χ_z=0.62
  χ,min=0.62
  Verifica: 0.36+0.11+0.04=0.52

- Verifica Freccia massima carichi totali - CC 21
  $f_{Z,L}$=0.00 (L/15918)

- Verifica in termini tensionali [4.2.4] - CC 18 SLU Xl=0.00 - Classe 3
  Sollecitazioni: N=-2647.63 T_z=-109.70 M_y=-17.88
  Tensioni: σ_N=-529.53 σ_M=-429.02 τ=0.00 σ_{max}=-958.55
  Tensioni: σ_N=-529.53 σ_M=0.00 τ=32.91 τ_{max}=32.91
  Tensioni: σ_N=-529.53 σ_M=-429.02 τ=0.00 $\sigma_{ID,max}$=958.55

Asta n. 4424 (-668 -652) briglie 50x10 Crit. 1

- Verifica di stabilità aste presso-inflesse (C4.2.4.1.3.3.1) - CC 19 SLU - Classe 3
  Sollecitazioni: N,Ed=-2897.86 Myeq,Ed=-21.88 Mzeq,Ed=0.76
  Resistenze: Nc,Rd=13095.20 My,c,Rd=109.13 Mz,c,Rd=21.83 L=21.63
  λ_Y=14.99 Ncr,y=461317.00 λ^*_y=0.17 Curva c: Φ_y=0.51 χ_y=1.00
  λ_Z=74.94 Ncr,z=18452.70 λ^*_z=0.86 Curva c: Φ_z=1.04 χ_z=0.62
  χ,min=0.62
  Verifica: 0.36+0.20+0.04=0.60

- Verifica Freccia massima carichi totali - CC 21
  $f_{Z,L}$=0.00 (L/13542)

- Verifica in termini tensionali [4.2.4] - CC 19 SLU Xl=0.00 - Classe 3

Sollecitazioni: N=-2894.72 T_z=-136.27 M_y=-21.94 T_y=-6.79
Tensioni: σ_N=-578.94 σ_M=-526.66 τ=0.00 σ_{max}=-1105.60
Tensioni: σ_N=-578.94 σ_M=0.00 τ=40.93 τ_{max}=40.93
Tensioni: σ_N=-578.94 σ_M=-526.66 τ=2.04 $\sigma_{ID,max}$=1105.61

Asta n. 4424 (-652 -636) briglie 50x10 Crit. 1

- Verifica di stabilità aste presso-inflesse (C4.2.4.1.3.3.1) - CC 19 SLU - Classe 3
Sollecitazioni: N,Ed=-2601.31 Myeq,Ed=-24.28 Mzeq,Ed=-0.39
Resistenze: Nc,Rd=13095.20 My,c,Rd=109.13 Mz,c,Rd=21.83 L=21.63
λ_Y=14.99 Ncr,y=461317.00 λ^*_y=0.17 Curva c: Φ_y=0.51 χ_y=1.00
λ_Z=74.94 Ncr,z=18452.70 λ^*_z=0.86 Curva c: Φ_z=1.04 χ_z=0.62
χ,min=0.62
Verifica: 0.32+0.22+0.02=0.56

- Verifica Freccia massima carichi totali - CC 21
$f_{Z,L}$=0.00 (L/14402)

- Verifica in termini tensionali [4.2.4] - CC 19 SLU Xl=0.00 - Classe 3
Sollecitazioni: N=-2598.17 T_z=-167.85 M_y=-24.28 T_y=-2.98
Tensioni: σ_N=-519.63 σ_M=-582.63 τ=0.00 σ_{max}=-1102.26
Tensioni: σ_N=-519.63 σ_M=0.00 τ=50.36 τ_{max}=50.36
Tensioni: σ_N=-519.63 σ_M=-582.63 τ=0.90 $\sigma_{ID,max}$=1102.26

Asta n. 4424 (-636 -620) briglie 50x10 Crit. 1

- Verifica di stabilità aste presso-inflesse (C4.2.4.1.3.3.1) - CC 19 SLU - Classe 3
Sollecitazioni: N,Ed=-2211.76 Myeq,Ed=-27.63 Mzeq,Ed=-0.37
Resistenze: Nc,Rd=13095.20 My,c,Rd=109.13 Mz,c,Rd=21.83 L=21.63
λ_Y=14.99 Ncr,y=461313.00 λ^*_y=0.17 Curva c: Φ_y=0.51 χ_y=1.00
λ_Z=74.94 Ncr,z=18452.50 λ^*_z=0.86 Curva c: Φ_z=1.04 χ_z=0.62
χ,min=0.62
Verifica: 0.27+0.25+0.02=0.54

- Verifica Freccia massima carichi totali - CC 21
$f_{Z,L}$=0.00 (L/14177)

- Verifica in termini tensionali [4.2.4] - CC 19 SLU Xl=0.00 - Classe 3
Sollecitazioni: N=-2208.61 T_z=-204.66 M_y=-27.63
Tensioni: σ_N=-441.72 σ_M=-663.06 τ=0.00 σ_{max}=-1104.78
Tensioni: σ_N=-441.72 σ_M=0.00 τ=61.40 τ_{max}=61.40
Tensioni: σ_N=-441.72 σ_M=-663.06 τ=0.00 $\sigma_{ID,max}$=1104.78

Asta n. 4424 (-620 -604) briglie 50x10 Crit. 1

- Verifica di stabilità aste presso-inflesse (C4.2.4.1.3.3.1) - CC 19 SLU - Classe 3
Sollecitazioni: N,Ed=-1706.20 Myeq,Ed=-31.62 Mzeq,Ed=0.73
Resistenze: Nc,Rd=13095.20 My,c,Rd=109.13 Mz,c,Rd=21.83 L=21.63
λ_Y=14.99 Ncr,y=461317.00 λ^*_y=0.17 Curva c: Φ_y=0.51 χ_y=1.00
λ_Z=74.94 Ncr,z=18452.70 λ^*_z=0.86 Curva c: Φ_z=1.04 χ_z=0.62
χ,min=0.62
Verifica: 0.21+0.29+0.04=0.54

- Verifica Freccia massima carichi totali - CC 21
$f_{Z,L}$=0.00 (L/13343)

- Verifica in termini tensionali [4.2.4] - CC 19 SLU Xl=0.00 - Classe 3
Sollecitazioni: N=-1703.06 T_z=-245.25 M_y=-31.62 T_y=3.55
Tensioni: σ_N=-340.61 σ_M=-758.90 τ=0.00 σ_{max}=-1099.51

Tensioni: σ_N=-340.61 σ_M=0.00 τ=73.58 τ_{max}=73.58
Tensioni: σ_N=-340.61 σ_M=-758.90 τ=1.07 $\sigma_{ID,max}$=1099.51

Asta n. 4424 (-604 -588) briglie 50x10 Crit. 1

- Verifica di stabilità aste inflesse (4.2.4.1.3.2) CC 16 SLU - Classe 3
L_{cr}=0.22 Curva d: α_{imp}=0.76 k_c=0.94 ψ=2.90 M,cr=0.00 λ_{LT}=0.00
$\lambda_{LT,0}$=0.20 β_{LT}=1.00 Φ_{LT}=0.00 β_{LT}=1.00 f=0.00 χ_{LT}=1.00
CC 16 SLU My,Ed=24.56 My,b,Rd=109.13 My,Ed/My,b,Rd=0.23

- Verifica di stabilità aste presso-inflesse (C4.2.4.1.3.3.1) - CC 19 SLU - Classe 3
Sollecitazioni: N,Ed=-1009.81 Myeq,Ed=-40.09 Mzeq,Ed=0.73
Resistenze: Nc,Rd=13095.20 My,c,Rd=109.13 Mz,c,Rd=21.83 L=21.63
λ_Y=14.99 Ncr,y=461317.00 λ^*_y=0.17 Curva c: Φ_y=0.51 χ_y=1.00
λ_Z=74.94 Ncr,z=18452.70 λ^*_z=0.86 Curva c: Φ_z=1.04 χ_z=0.62
χ,min=0.62
Verifica: 0.12+0.37+0.04=0.53

- Verifica Freccia massima per soli carichi accidentali - CC 21
$f_{Z,L}$=0.00 (L/21101)

- Verifica Freccia massima carichi totali - CC 21
$f_{Z,L}$=0.00 (L/12429)

- Verifica in termini tensionali [4.2.4] - CC 19 SLU Xl=0.00 - Classe 3
Sollecitazioni: N=-1006.66 T_z=-338.79 M_y=-40.09 T_y=-6.52
Tensioni: σ_N=-201.33 σ_M=-962.05 τ=0.00 σ_{max}=-1163.38
Tensioni: σ_N=-201.33 σ_M=0.00 τ=101.65 τ_{max}=101.65
Tensioni: σ_N=-201.33 σ_M=-962.05 τ=1.96 $\sigma_{ID,max}$=1163.39

- Verifica a taglio dir. Z [4.2.16] - CC 16 SLU Xl=0.10
Sollecitazioni: N=306.48 T_z=-213.12
V,Ed=-213.12 Vc,Rd=7560.76 V,Ed/Vc,Rd=0.03

Asta n. 4424 (-588 -572) briglie 50x10 Crit. 1

- Verifica di stabilità aste inflesse (4.2.4.1.3.2) CC 18 SLU - Classe 3
L_{cr}=0.22 Curva d: α_{imp}=0.76 k_c=0.94 ψ=2.87 M,cr=0.00 λ_{LT}=0.00
$\lambda_{LT,0}$=0.20 β_{LT}=1.00 Φ_{LT}=0.00 β_{LT}=1.00 f=0.00 χ_{LT}=1.00
CC 18 SLU My,Ed=48.07 My,b,Rd=109.13 My,Ed/My,b,Rd=0.44

- Verifica di stabilità aste presso-inflesse (C4.2.4.1.3.3.1) - CC 19 SLU - Classe 3
Sollecitazioni: N,Ed=-80.44 Myeq,Ed=46.88 Mzeq,Ed=-0.36
Resistenze: Nc,Rd=13095.20 My,c,Rd=109.13 Mz,c,Rd=21.83 L=21.63
λ_Y=14.99 Ncr,y=461317.00 λ^*_y=0.17 Curva c: Φ_y=0.51 χ_y=1.00
λ_Z=74.94 Ncr,z=18452.70 λ^*_z=0.86 Curva c: Φ_z=1.04 χ_z=0.62
χ,min=0.62
Verifica: 0.01+0.43+0.02=0.45

- Verifica Freccia massima carichi totali - CC 21
$f_{Z,L}$=0.00 (L/14874)

- Verifica in termini tensionali [4.2.4] - CC 18 SLU Xl=0.22 - Classe 3
Sollecitazioni: N=444.26 T_z=-427.27 M_y=48.07
Tensioni: σ_N=88.85 σ_M=1153.80 τ=0.00 σ_{max}=1242.65
Tensioni: σ_N=88.85 σ_M=-0.00 τ=128.18 τ_{max}=128.18
Tensioni: σ_N=88.85 σ_M=1153.80 τ=0.00 $\sigma_{ID,max}$=1242.65

- Verifica a taglio dir. Z [4.2.16] - CC 20 SLU Xl=0.10

Sollecitazioni: N=470.28 T_z=-322.13
V,Ed=-322.13 Vc,Rd=7560.76 V,Ed/Vc,Rd=0.04

Asta n. 4424 (-572 -556) briglie 50x10 Crit. 1

- Verifica di stabilità aste inflesse (4.2.4.1.3.2) CC 18 SLU - Classe 3
L_{cr}=0.22 Curva d: α_{imp}=0.76 k_c=0.94 ψ=2.64 M,cr=0.00 λ_{LT}=0.00
$\lambda_{LT,0}$=0.20 β_{LT}=1.00 Φ_{LT}=0.00 β_{LT}=1.00 f=0.00 χ_{LT}=1.00
CC 18 SLU My,Ed=60.97 My,b,Rd=109.13 My,Ed/My,b,Rd=0.56

- Verifica di stabilità aste presso-inflesse (C4.2.4.1.3.3.1) - CC 5 SLV - Classe 3
Sollecitazioni: N,Ed=-372.53 Myeq,Ed=22.19 Mzeq,Ed=0.02
Resistenze: Nc,Rd=13095.20 My,c,Rd=109.13 Mz,c,Rd=21.83 L=21.63
λ_Y=14.99 Ncr,y=461317.00 λ^*_y=0.17 Curva c: Φ_y=0.51 χ_y=1.00
λ_Z=74.94 Ncr,z=18452.70 λ^*_z=0.86 Curva c: Φ_z=1.04 χ_z=0.62
χ,min=0.62
Verifica: 0.03+0.20+0.00=0.23

- Verifica Freccia massima per soli carichi accidentali - CC 24
$f_{Z,L}$=0.00 (L/13542)

- Verifica Freccia massima carichi totali - CC 21
$f_{Z,L}$=0.00 (L/8641)

- Verifica in termini tensionali [4.2.4] - CC 18 SLU Xl=0.22 - Classe 3
Sollecitazioni: N=1613.77 T_z=-494.03 M_y=60.97
Tensioni: σ_N=322.75 σ_M=1463.21 τ=0.00 σ_{max}=1785.96
Tensioni: σ_N=322.75 σ_M=-0.00 τ=148.21 τ_{max}=148.21
Tensioni: σ_N=322.75 σ_M=1463.21 τ=0.00 $\sigma_{ID,max}$=1785.96

- Verifica a taglio dir. Z [4.2.16] - CC 3 SLV Xl=0.10
Sollecitazioni: N=106.99 T_z=-108.77
V,Ed=-108.77 Vc,Rd=7560.76 V,Ed/Vc,Rd=0.01

Asta n. 4424 (-556 4290) briglie 50x10 Crit. 1

- Verifica di stabilità aste inflesse (4.2.4.1.3.2) CC 19 SLU - Classe 3
L_{cr}=0.22 Curva d: α_{imp}=0.76 k_c=0.94 ψ=2.22 M,cr=0.00 λ_{LT}=0.00
$\lambda_{LT,0}$=0.20 β_{LT}=1.00 Φ_{LT}=0.00 β_{LT}=1.00 f=0.00 χ_{LT}=1.00
CC 19 SLU My,Ed=83.54 My,b,Rd=109.13 My,Ed/My,b,Rd=0.77

- Verifica di stabilità aste presso-inflesse (C4.2.4.1.3.3.1) - CC 5 SLV - Classe 3
Sollecitazioni: N,Ed=-157.62 Myeq,Ed=24.79 Mzeq,Ed=-0.05
Resistenze: Nc,Rd=13095.20 My,c,Rd=109.13 Mz,c,Rd=21.83 L=21.63
λ_Y=14.99 Ncr,y=461315.00 λ^*_y=0.17 Curva c: Φ_y=0.51 χ_y=1.00
λ_Z=74.94 Ncr,z=18452.60 λ^*_z=0.86 Curva c: Φ_z=1.04 χ_z=0.62
χ,min=0.62
Verifica: 0.01+0.23+0.00=0.24

- Verifica Freccia massima per soli carichi accidentali - CC 24
$f_{Z,L}$=0.00 (L/6435)

- Verifica Freccia massima carichi totali - CC 21
$f_{Z,L}$=0.01 (L/3945)

- Verifica in termini tensionali [4.2.4] - CC 18 SLU Xl=0.22 - Classe 3
Sollecitazioni: N=2946.55 T_z=-539.28 M_y=83.29
Tensioni: σ_N=589.31 σ_M=1998.88 τ=0.00 σ_{max}=2588.19
Tensioni: σ_N=589.31 σ_M=-0.00 τ=161.78 τ_{max}=161.78

Tensioni: σ_N=589.31 σ_M=1998.88 τ=0.00 $\sigma_{ID,max}$=2588.19

- Verifica a taglio dir. Z [4.2.16] - CC 18 SLU Xl=0.06
Sollecitazioni: N=2948.24 T_z=-518.46
V,Ed=-518.46 Vc,Rd=7560.76 V,Ed/Vc,Rd=0.07

Asta n. 4424 (4290 -540) briglie 50x10 Crit. 1

- Verifica in termini tensionali [4.2.4] - CC 19 SLU Xl=0.00 - Classe 3
Sollecitazioni: N=340.02 T_z=91.59 M_y=9.98 T_y=-2.71
Tensioni: σ_N=68.00 σ_M=239.40 τ=0.00 σ_{max}=307.40
Tensioni: σ_N=68.00 σ_M=-0.00 τ=27.49 τ_{max}=27.49
Tensioni: σ_N=68.00 σ_M=239.40 τ=0.81 $\sigma_{ID,max}$=307.41

- Verifica a taglio dir. Y [4.2.16] - CC 19 SLU Xl=0.12
Sollecitazioni: N=338.63 T_z=74.44 T_y=-1.18
V,Ed=-1.18 Vc,Rd=7560.76 V,Ed/Vc,Rd=0.00

- Verifica a taglio dir. Z [4.2.16]
V,Ed=74.44 Vc,Rd=7560.76 V,Ed/Vc,Rd=0.01

Asta n. 4424 (-540 -524) briglie 50x10 Crit. 1

- Verifica in termini tensionali [4.2.4] - CC 19 SLU Xl=0.00 - Classe 3
Sollecitazioni: N=202.04 T_z=54.41 M_y=4.16
Tensioni: σ_N=40.41 σ_M=99.76 τ=0.00 σ_{max}=140.17
Tensioni: σ_N=40.41 σ_M=-0.00 τ=16.32 τ_{max}=16.32
Tensioni: σ_N=40.41 σ_M=99.76 τ=0.00 $\sigma_{ID,max}$=140.17

- Verifica a taglio dir. Z [4.2.16] - CC 19 SLU Xl=0.08
Sollecitazioni: N=201.18 T_z=43.70
V,Ed=43.70 Vc,Rd=7560.76 V,Ed/Vc,Rd=0.01

Asta n. 4424 (-524 3316) briglie 50x10 Crit. 1

- Verifica in termini tensionali [4.2.4] - CC 17 SLU Xl=0.17 - Classe 3
Sollecitazioni: N=64.94 T_z=33.68 M_y=-3.41 T_y=2.23
Tensioni: σ_N=12.99 σ_M=81.89 τ=0.00 σ_{max}=94.88
Tensioni: σ_N=12.99 σ_M=0.00 τ=10.13 τ_{max}=10.13
Tensioni: σ_N=12.99 σ_M=81.89 τ=0.67 $\sigma_{ID,max}$=94.89

- Verifica a taglio dir. Y [4.2.16] - CC 19 SLU Xl=0.06
Sollecitazioni: N=72.53 T_z=41.86 T_y=1.35
V,Ed=1.35 Vc,Rd=7560.76 V,Ed/Vc,Rd=0.00

- Verifica a taglio dir. Z [4.2.16]
V,Ed=41.86 Vc,Rd=7560.76 V,Ed/Vc,Rd=0.01

Asta n. 4461 (-789 -781) briglie 50x10 Crit. 1

- Verifica di stabilità aste presso-inflesse (C4.2.4.1.3.3.1) - CC 9 SLU - Classe 3
Sollecitazioni: N,Ed=-2948.03 Myeq,Ed=13.47 Mzeq,Ed=0.02
Resistenze: Nc,Rd=13095.20 My,c,Rd=109.13 Mz,c,Rd=21.83 L=21.63
λ_Y=14.99 Ncr,y=461316.00 λ^*_y=0.17 Curva c: Φ_y=0.51 χ_y=1.00
λ_Z=74.94 Ncr,z=18452.60 λ^*_z=0.86 Curva c: Φ_z=1.04 χ_z=0.62
χ,min=0.62
Verifica: 0.36+0.12+0.00=0.49

- Verifica in termini tensionali [4.2.4] - CC 19 SLU Xl=0.00 - Classe 3
Sollecitazioni: N=-2947.48 T_z=124.78 M_y=13.46

Tensioni: σ_N=-589.50 σ_M=-323.06 τ=0.00 σ_{max}=-912.55
Tensioni: σ_N=-589.50 σ_M=-0.00 τ=37.43 τ_{max}=37.43
Tensioni: σ_N=-589.50 σ_M=-323.06 τ=0.00 $\sigma_{ID,max}$=912.55

Asta n. 4461 (-781 -765) briglie 50x10 Crit. 1

- Verifica di stabilità aste presso-inflesse (C4.2.4.1.3.3.1) - CC 19 SLU - Classe 3
Sollecitazioni: N,Ed=-3027.53 Myeq,Ed=-10.99 Mzeq,Ed=0.01
Resistenze: Nc,Rd=13095.20 My,c,Rd=109.13 Mz,c,Rd=21.83 L=21.63
λ_Y=14.99 Ncr,y=461316.00 λ^*_y=0.17 Curva c: Φ_y=0.51 χ_y=1.00
λ_Z=74.94 Ncr,z=18452.60 λ^*_z=0.86 Curva c: Φ_z=1.04 χ_z=0.62
χ,min=0.62
Verifica: 0.37+0.10+0.00=0.47

- Verifica in termini tensionali [4.2.4] - CC 9 SLU Xl=0.22 - Classe 3
Sollecitazioni: N=-3025.08 T_z=58.97 M_y=-11.78
Tensioni: σ_N=-605.02 σ_M=-282.64 τ=0.00 σ_{max}=-887.65
Tensioni: σ_N=-605.02 σ_M=0.00 τ=17.69 τ_{max}=17.69
Tensioni: σ_N=-605.02 σ_M=-282.64 τ=0.00 $\sigma_{ID,max}$=887.65

Asta n. 4461 (-765 -749) briglie 50x10 Crit. 1

- Verifica di stabilità aste presso-inflesse (C4.2.4.1.3.3.1) - CC 9 SLU - Classe 3
Sollecitazioni: N,Ed=-3104.08 Myeq,Ed=-8.84 Mzeq,Ed=-0.01
Resistenze: Nc,Rd=13095.20 My,c,Rd=109.13 Mz,c,Rd=21.83 L=21.63
λ_Y=14.99 Ncr,y=461316.00 λ^*_y=0.17 Curva c: Φ_y=0.51 χ_y=1.00
λ_Z=74.94 Ncr,z=18452.60 λ^*_z=0.86 Curva c: Φ_z=1.04 χ_z=0.62
χ,min=0.62
Verifica: 0.38+0.08+0.00=0.46

- Verifica Freccia massima carichi totali - CC 21
$f_{Z,L}$=0.00 (L/20622)

- Verifica in termini tensionali [4.2.4] - CC 9 SLU Xl=0.22 - Classe 3
Sollecitazioni: N=-3104.08 T_z=43.53 M_y=-11.14
Tensioni: σ_N=-620.82 σ_M=-267.47 τ=0.00 σ_{max}=-888.29
Tensioni: σ_N=-620.82 σ_M=0.00 τ=13.06 τ_{max}=13.06
Tensioni: σ_N=-620.82 σ_M=-267.47 τ=0.00 $\sigma_{ID,max}$=888.29

Asta n. 4461 (-749 -733) briglie 50x10 Crit. 1

- Verifica di stabilità aste presso-inflesse (C4.2.4.1.3.3.1) - CC 9 SLU - Classe 3
Sollecitazioni: N,Ed=-3165.56 Myeq,Ed=-7.79 Mzeq,Ed=-0.03
Resistenze: Nc,Rd=13095.20 My,c,Rd=109.13 Mz,c,Rd=21.83 L=21.63
λ_Y=14.99 Ncr,y=461317.00 λ^*_y=0.17 Curva c: Φ_y=0.51 χ_y=1.00
λ_Z=74.94 Ncr,z=18452.70 λ^*_z=0.86 Curva c: Φ_z=1.04 χ_z=0.62
χ,min=0.62
Verifica: 0.39+0.07+0.00=0.46

- Verifica Freccia massima carichi totali - CC 21
$f_{Z,L}$=0.00 (L/16203)

- Verifica in termini tensionali [4.2.4] - CC 9 SLU Xl=0.22 - Classe 3
Sollecitazioni: N=-3165.56 T_z=25.94 M_y=-10.39
Tensioni: σ_N=-633.11 σ_M=-249.30 τ=0.00 σ_{max}=-882.41
Tensioni: σ_N=-633.11 σ_M=0.00 τ=7.78 τ_{max}=7.78
Tensioni: σ_N=-633.11 σ_M=-249.30 τ=0.00 $\sigma_{ID,max}$=882.41

Asta n. 4461 (-733 -717) briglie 50x10 Crit. 1

- Verifica di stabilità aste presso-inflesse (C4.2.4.1.3.3.1) - CC 9 SLU - Classe 3
  Sollecitazioni: N,Ed=-3183.74 Myeq,Ed=-7.20 Mzeq,Ed=0.04
  Resistenze: Nc,Rd=13095.20 My,c,Rd=109.13 Mz,c,Rd=21.83 L=21.63
  λ_Y=14.99 Ncr,y=461317.00 λ^*_y=0.17 Curva c: Φ_y=0.51 χ_y=1.00
  λ_Z=74.94 Ncr,z=18452.70 λ^*_z=0.86 Curva c: Φ_z=1.04 χ_z=0.62
  χ,min=0.62
  Verifica: 0.39+0.07+0.00=0.46

- Verifica Freccia massima carichi totali - CC 21
  $f_{Z,L}$=0.00 (L/15918)

- Verifica in termini tensionali [4.2.4] - CC 18 SLU Xl=0.00 - Classe 3
  Sollecitazioni: N=-3051.86 T_z=-47.67 M_y=-11.64
  Tensioni: σ_N=-610.37 σ_M=-279.33 τ=0.00 σ_{max}=-889.70
  Tensioni: σ_N=-610.37 σ_M=0.00 τ=14.30 τ_{max}=14.30
  Tensioni: σ_N=-610.37 σ_M=-279.33 τ=0.00 $\sigma_{ID,max}$=889.70

Asta n. 4461 (-717 -701) briglie 50x10 Crit. 1

- Verifica di stabilità aste presso-inflesse (C4.2.4.1.3.3.1) - CC 18 SLU - Classe 3
  Sollecitazioni: N,Ed=-2960.84 Myeq,Ed=-11.30 Mzeq,Ed=0.01
  Resistenze: Nc,Rd=13095.20 My,c,Rd=109.13 Mz,c,Rd=21.83 L=21.63
  λ_Y=14.99 Ncr,y=461315.00 λ^*_y=0.17 Curva c: Φ_y=0.51 χ_y=1.00
  λ_Z=74.94 Ncr,z=18452.60 λ^*_z=0.86 Curva c: Φ_z=1.04 χ_z=0.62
  χ,min=0.62
  Verifica: 0.36+0.10+0.00=0.47

- Verifica Freccia massima carichi totali - CC 21
  $f_{Z,L}$=0.00 (L/17449)

- Verifica in termini tensionali [4.2.4] - CC 18 SLU Xl=0.00 - Classe 3
  Sollecitazioni: N=-2958.51 T_z=-66.01 M_y=-12.87
  Tensioni: σ_N=-591.70 σ_M=-308.99 τ=0.00 σ_{max}=-900.70
  Tensioni: σ_N=-591.70 σ_M=0.00 τ=19.80 τ_{max}=19.80
  Tensioni: σ_N=-591.70 σ_M=-308.99 τ=0.00 $\sigma_{ID,max}$=900.70

Asta n. 4461 (-701 -685) briglie 50x10 Crit. 1

- Verifica di stabilità aste presso-inflesse (C4.2.4.1.3.3.1) - CC 18 SLU - Classe 3
  Sollecitazioni: N,Ed=-2828.25 Myeq,Ed=-14.32 Mzeq,Ed=-0.02
  Resistenze: Nc,Rd=13095.20 My,c,Rd=109.13 Mz,c,Rd=21.83 L=21.63
  λ_Y=14.99 Ncr,y=461315.00 λ^*_y=0.17 Curva c: Φ_y=0.51 χ_y=1.00
  λ_Z=74.94 Ncr,z=18452.60 λ^*_z=0.86 Curva c: Φ_z=1.04 χ_z=0.62
  χ,min=0.62
  Verifica: 0.35+0.13+0.00=0.48

- Verifica Freccia massima carichi totali - CC 21
  $f_{Z,L}$=0.00 (L/16803)

- Verifica in termini tensionali [4.2.4] - CC 18 SLU Xl=0.00 - Classe 3
  Sollecitazioni: N=-2825.93 T_z=-87.55 M_y=-15.10
  Tensioni: σ_N=-565.19 σ_M=-362.30 τ=0.00 σ_{max}=-927.48
  Tensioni: σ_N=-565.19 σ_M=0.00 τ=26.26 τ_{max}=26.26
  Tensioni: σ_N=-565.19 σ_M=-362.30 τ=0.00 $\sigma_{ID,max}$=927.48

Asta n. 4461 (-685 -669) briglie 50x10 Crit. 1

- Verifica di stabilità aste presso-inflesse (C4.2.4.1.3.3.1) - CC 18 SLU - Classe 3

Sollecitazioni: N,Ed=-2649.39 Myeq,Ed=-17.45 Mzeq,Ed=-0.06
Resistenze: Nc,Rd=13095.20 My,c,Rd=109.13 Mz,c,Rd=21.83 L=21.63
λ_Y=14.99 Ncr,y=461317.00 λ^*_y=0.17 Curva c: Φ_y=0.51 χ_y=1.00
λ_Z=74.94 Ncr,z=18452.70 λ^*_z=0.86 Curva c: Φ_z=1.04 χ_z=0.62
χ,min=0.62
Verifica: 0.32+0.16+0.00=0.49

- Verifica Freccia massima carichi totali - CC 21
$f_{Z,L}$=0.00 (L/15379)

- Verifica in termini tensionali [4.2.4] - CC 18 SLU Xl=0.00 - Classe 3
Sollecitazioni: N=-2647.06 T_z=-109.75 M_y=-17.88
Tensioni: σ_N=-529.41 σ_M=-429.14 τ=0.00 σ_{max}=-958.55
Tensioni: σ_N=-529.41 σ_M=0.00 τ=32.93 τ_{max}=32.93
Tensioni: σ_N=-529.41 σ_M=-429.14 τ=0.00 $\sigma_{ID,max}$=958.55

Asta n. 4461 (-669 -653) briglie 50x10 Crit. 1

- Verifica di stabilità aste presso-inflesse (C4.2.4.1.3.3.1) - CC 9 SLU - Classe 3
Sollecitazioni: N,Ed=-2878.78 Myeq,Ed=-21.96 Mzeq,Ed=0.05
Resistenze: Nc,Rd=13095.20 My,c,Rd=109.13 Mz,c,Rd=21.83 L=21.63
λ_Y=14.99 Ncr,y=461317.00 λ^*_y=0.17 Curva c: Φ_y=0.51 χ_y=1.00
λ_Z=74.94 Ncr,z=18452.70 λ^*_z=0.86 Curva c: Φ_z=1.04 χ_z=0.62
χ,min=0.62
Verifica: 0.35+0.20+0.00=0.56

- Verifica Freccia massima carichi totali - CC 21
$f_{Z,L}$=0.00 (L/13343)

- Verifica in termini tensionali [4.2.4] - CC 9 SLU Xl=0.00 - Classe 3
Sollecitazioni: N=-2875.63 T_z=-136.80 M_y=-21.99
Tensioni: σ_N=-575.13 σ_M=-527.66 τ=0.00 σ_{max}=-1102.79
Tensioni: σ_N=-575.13 σ_M=0.00 τ=41.04 τ_{max}=41.04
Tensioni: σ_N=-575.13 σ_M=-527.66 τ=0.00 $\sigma_{ID,max}$=1102.79

Asta n. 4461 (-653 -637) briglie 50x10 Crit. 1

- Verifica di stabilità aste presso-inflesse (C4.2.4.1.3.3.1) - CC 9 SLU - Classe 3
Sollecitazioni: N,Ed=-2581.49 Myeq,Ed=-24.29 Mzeq,Ed=0.02
Resistenze: Nc,Rd=13095.20 My,c,Rd=109.13 Mz,c,Rd=21.83 L=21.63
λ_Y=14.99 Ncr,y=461317.00 λ^*_y=0.17 Curva c: Φ_y=0.51 χ_y=1.00
λ_Z=74.94 Ncr,z=18452.70 λ^*_z=0.86 Curva c: Φ_z=1.04 χ_z=0.62
χ,min=0.62
Verifica: 0.32+0.22+0.00=0.54

- Verifica Freccia massima carichi totali - CC 21
$f_{Z,L}$=0.00 (L/14874)

- Verifica in termini tensionali [4.2.4] - CC 9 SLU Xl=0.00 - Classe 3
Sollecitazioni: N=-2578.34 T_z=-168.38 M_y=-24.29
Tensioni: σ_N=-515.67 σ_M=-583.03 τ=0.00 σ_{max}=-1098.70
Tensioni: σ_N=-515.67 σ_M=0.00 τ=50.51 τ_{max}=50.51
Tensioni: σ_N=-515.67 σ_M=-583.03 τ=0.00 $\sigma_{ID,max}$=1098.70

Asta n. 4461 (-637 -621) briglie 50x10 Crit. 1

- Verifica di stabilità aste presso-inflesse (C4.2.4.1.3.3.1) - CC 9 SLU - Classe 3
Sollecitazioni: N,Ed=-2191.05 Myeq,Ed=-27.63 Mzeq,Ed=-0.01
Resistenze: Nc,Rd=13095.20 My,c,Rd=109.13 Mz,c,Rd=21.83 L=21.63

λ_Y=14.99 Ncr,y=461313.00 λ^*_y=0.17 Curva c: Φ_y=0.51 χ_y=1.00
λ_Z=74.94 Ncr,z=18452.50 λ^*_z=0.86 Curva c: Φ_z=1.04 χ_z=0.62
χ,min=0.62
Verifica: 0.27+0.25+0.00=0.52

- Verifica Freccia massima carichi totali - CC 21
$f_{Z,L}$=0.00 (L/13959)

- Verifica in termini tensionali [4.2.4] - CC 9 SLU Xl=0.00 - Classe 3
Sollecitazioni: N=-2187.91 T_z=-205.22 M_y=-27.63
Tensioni: σ_N=-437.58 σ_M=-663.16 τ=0.00 σ_{max}=-1100.74
Tensioni: σ_N=-437.58 σ_M=0.00 τ=61.57 τ_{max}=61.57
Tensioni: σ_N=-437.58 σ_M=-663.16 τ=0.00 $\sigma_{ID,max}$=1100.74

Asta n. 4461 (-621 -605) briglie 50x10 Crit. 1

- Verifica di stabilità aste presso-inflesse (C4.2.4.1.3.3.1) - CC 9 SLU - Classe 3
Sollecitazioni: N,Ed=-1685.08 Myeq,Ed=-31.55 Mzeq,Ed=-0.04
Resistenze: Nc,Rd=13095.20 My,c,Rd=109.13 Mz,c,Rd=21.83 L=21.63
λ_Y=14.99 Ncr,y=461317.00 λ^*_y=0.17 Curva c: Φ_y=0.51 χ_y=1.00
λ_Z=74.94 Ncr,z=18452.70 λ^*_z=0.86 Curva c: Φ_z=1.04 χ_z=0.62
χ,min=0.62
Verifica: 0.21+0.29+0.00=0.50

- Verifica Freccia massima carichi totali - CC 21
$f_{Z,L}$=0.00 (L/13542)

- Verifica in termini tensionali [4.2.4] - CC 9 SLU Xl=0.00 - Classe 3
Sollecitazioni: N=-1681.94 T_z=-245.76 M_y=-31.55
Tensioni: σ_N=-336.39 σ_M=-757.13 τ=0.00 σ_{max}=-1093.51
Tensioni: σ_N=-336.39 σ_M=0.00 τ=73.73 τ_{max}=73.73
Tensioni: σ_N=-336.39 σ_M=-757.13 τ=0.00 $\sigma_{ID,max}$=1093.51

Asta n. 4461 (-605 -589) briglie 50x10 Crit. 1

- Verifica di stabilità aste inflesse (4.2.4.1.3.2) CC 16 SLU - Classe 3
L_{cr}=0.22 Curva d: α_{imp}=0.76 k_c=0.94 ψ=2.90 M,cr=0.00 λ_{LT}=0.00
$\lambda_{LT,0}$=0.20 β_{LT}=1.00 Φ_{LT}=0.00 β_{LT}=1.00 f=0.00 χ_{LT}=1.00
CC 16 SLU My,Ed=24.56 My,b,Rd=109.13 My,Ed/My,b,Rd=0.23

- Verifica di stabilità aste presso-inflesse (C4.2.4.1.3.3.1) - CC 9 SLU - Classe 3
Sollecitazioni: N,Ed=-998.72 Myeq,Ed=-39.30 Mzeq,Ed=0.04
Resistenze: Nc,Rd=13095.20 My,c,Rd=109.13 Mz,c,Rd=21.83 L=21.63
λ_Y=14.99 Ncr,y=461317.00 λ^*_y=0.17 Curva c: Φ_y=0.51 χ_y=1.00
λ_Z=74.94 Ncr,z=18452.70 λ^*_z=0.86 Curva c: Φ_z=1.04 χ_z=0.62
χ,min=0.62
Verifica: 0.12+0.36+0.00=0.49

- Verifica Freccia massima carichi totali - CC 21
$f_{Z,L}$=0.00 (L/12962)

- Verifica in termini tensionali [4.2.4] - CC 9 SLU Xl=0.00 - Classe 3
Sollecitazioni: N=-995.58 T_z=-332.78 M_y=-39.30
Tensioni: σ_N=-199.12 σ_M=-943.29 τ=0.00 σ_{max}=-1142.41
Tensioni: σ_N=-199.12 σ_M=0.00 τ=99.83 τ_{max}=99.83
Tensioni: σ_N=-199.12 σ_M=-943.29 τ=0.00 $\sigma_{ID,max}$=1142.41

- Verifica a taglio dir. Z [4.2.16] - CC 16 SLU Xl=0.10
Sollecitazioni: N=306.78 T_z=-213.14

V,Ed=-213.14 Vc,Rd=7560.76 V,Ed/Vc,Rd=0.03

Asta n. 4461 (-589 -573) briglie 50x10 Crit. 1

- Verifica di stabilità aste inflesse (4.2.4.1.3.2) CC 18 SLU - Classe 3
L_{cr}=0.22 Curva d: α_{imp}=0.76 k_c=0.94 ψ=2.87 M,cr=0.00 λ_{LT}=0.00
$\lambda_{LT,0}$=0.20 β_{LT}=1.00 Φ_{LT}=0.00 β_{LT}=1.00 f=0.00 χ_{LT}=1.00
CC 18 SLU My,Ed=48.08 My,b,Rd=109.13 My,Ed/My,b,Rd=0.44

- Verifica di stabilità aste presso-inflesse (C4.2.4.1.3.3.1) - CC 9 SLU - Classe 3
Sollecitazioni: N,Ed=-82.96 Myeq,Ed=46.20 Mzeq,Ed=0.01
Resistenze: Nc,Rd=13095.20 My,c,Rd=109.13 Mz,c,Rd=21.83 L=21.63
λ_Y=14.99 Ncr,y=461317.00 λ^*_y=0.17 Curva c: Φ_y=0.51 χ_y=1.00
λ_Z=74.94 Ncr,z=18452.70 λ^*_z=0.86 Curva c: Φ_z=1.04 χ_z=0.62
χ,min=0.62
Verifica: 0.01+0.42+0.00=0.43

- Verifica Freccia massima carichi totali - CC 24
$f_{Z,L}$=0.00 (L/15122)

- Verifica in termini tensionali [4.2.4] - CC 18 SLU Xl=0.22 - Classe 3
Sollecitazioni: N=444.72 T_z=-427.30 M_y=48.08
Tensioni: σ_N=88.94 σ_M=1153.85 τ=0.00 σ_{max}=1242.80
Tensioni: σ_N=88.94 σ_M=-0.00 τ=128.19 τ_{max}=128.19
Tensioni: σ_N=88.94 σ_M=1153.85 τ=0.00 $\sigma_{ID,max}$=1242.80

- Verifica a taglio dir. Z [4.2.16] - CC 20 SLU Xl=0.10
Sollecitazioni: N=470.66 T_z=-322.15
V,Ed=-322.15 Vc,Rd=7560.76 V,Ed/Vc,Rd=0.04

Asta n. 4461 (-573 -557) briglie 50x10 Crit. 1

- Verifica di stabilità aste inflesse (4.2.4.1.3.2) CC 18 SLU - Classe 3
L_{cr}=0.22 Curva d: α_{imp}=0.76 k_c=0.94 ψ=2.64 M,cr=0.00 λ_{LT}=0.00
$\lambda_{LT,0}$=0.20 β_{LT}=1.00 Φ_{LT}=0.00 β_{LT}=1.00 f=0.00 χ_{LT}=1.00
CC 18 SLU My,Ed=60.97 My,b,Rd=109.13 My,Ed/My,b,Rd=0.56

- Verifica di stabilità aste presso-inflesse (C4.2.4.1.3.3.1) - CC 5 SLV - Classe 3
Sollecitazioni: N,Ed=-372.34 Myeq,Ed=22.20 Mzeq,Ed=-0.02
Resistenze: Nc,Rd=13095.20 My,c,Rd=109.13 Mz,c,Rd=21.83 L=21.63
λ_Y=14.99 Ncr,y=461317.00 λ^*_y=0.17 Curva c: Φ_y=0.51 χ_y=1.00
λ_Z=74.94 Ncr,z=18452.70 λ^*_z=0.86 Curva c: Φ_z=1.04 χ_z=0.62
χ,min=0.62
Verifica: 0.03+0.20+0.00=0.23

- Verifica Freccia massima per soli carichi accidentali - CC 24
$f_{Z,L}$=0.00 (L/13542)

- Verifica Freccia massima carichi totali - CC 24
$f_{Z,L}$=0.00 (L/8983)

- Verifica in termini tensionali [4.2.4] - CC 18 SLU Xl=0.22 - Classe 3
Sollecitazioni: N=1614.28 T_z=-494.05 M_y=60.97
Tensioni: σ_N=322.86 σ_M=1463.28 τ=0.00 σ_{max}=1786.14
Tensioni: σ_N=322.86 σ_M=-0.00 τ=148.22 τ_{max}=148.22
Tensioni: σ_N=322.86 σ_M=1463.28 τ=0.00 $\sigma_{ID,max}$=1786.14

- Verifica a taglio dir. Z [4.2.16] - CC 17 SLU Xl=0.10
Sollecitazioni: N=584.48 T_z=-253.50

V,Ed=-253.50 Vc,Rd=7560.76 V,Ed/Vc,Rd=0.03

Asta n. 4461 (-557 4291) briglie 50x10 Crit. 1

- Verifica di stabilità aste inflesse (4.2.4.1.3.2) CC 18 SLU - Classe 3
L_{cr}=0.22 Curva d: α_{imp}=0.76 k_c=0.94 ψ=2.17 M,cr=0.00 λ_{LT}=0.00
$\lambda_{LT,0}$=0.20 β_{LT}=1.00 Φ_{LT}=0.00 β_{LT}=1.00 f=0.00 χ_{LT}=1.00
CC 18 SLU My,Ed=83.29 My,b,Rd=109.13 My,Ed/My,b,Rd=0.76

- Verifica di stabilità aste presso-inflesse (C4.2.4.1.3.3.1) - CC 5 SLV - Classe 3
Sollecitazioni: N,Ed=-157.41 Myeq,Ed=24.79 Mzeq,Ed=0.05
Resistenze: Nc,Rd=13095.20 My,c,Rd=109.13 Mz,c,Rd=21.83 L=21.63
λ_Y=14.99 Ncr,y=461315.00 λ^*_y=0.17 Curva c: Φ_y=0.51 χ_y=1.00
λ_Z=74.94 Ncr,z=18452.60 λ^*_z=0.86 Curva c: Φ_z=1.04 χ_z=0.62
χ,min=0.62
Verifica: 0.01+0.23+0.00=0.24

- Verifica Freccia massima per soli carichi accidentali - CC 24
$f_{Z,L}$=0.00 (L/6389)

- Verifica Freccia massima carichi totali - CC 21
$f_{Z,L}$=0.01 (L/4087)

- Verifica in termini tensionali [4.2.4] - CC 18 SLU Xl=0.22 - Classe 3
Sollecitazioni: N=2947.13 T_z=-539.30 M_y=83.29
Tensioni: σ_N=589.43 σ_M=1998.93 τ=0.00 σ_{max}=2588.35
Tensioni: σ_N=589.43 σ_M=-0.00 τ=161.79 τ_{max}=161.79
Tensioni: σ_N=589.43 σ_M=1998.93 τ=0.00 $\sigma_{ID,max}$=2588.35

- Verifica a taglio dir. Z [4.2.16] - CC 18 SLU Xl=0.06
Sollecitazioni: N=2948.82 T_z=-518.48
V,Ed=-518.48 Vc,Rd=7560.76 V,Ed/Vc,Rd=0.07

Asta n. 4461 (4291 -541) briglie 50x10 Crit. 1

- Verifica in termini tensionali [4.2.4] - CC 9 SLU Xl=0.00 - Classe 3
Sollecitazioni: N=262.15 T_z=83.91 M_y=8.86
Tensioni: σ_N=52.43 σ_M=212.56 τ=0.00 σ_{max}=264.99
Tensioni: σ_N=52.43 σ_M=-0.00 τ=25.17 τ_{max}=25.17
Tensioni: σ_N=52.43 σ_M=212.56 τ=0.00 $\sigma_{ID,max}$=264.99

- Verifica a taglio dir. Z [4.2.16] - CC 9 SLU Xl=0.11
Sollecitazioni: N=260.94 T_z=68.91
V,Ed=68.91 Vc,Rd=7560.76 V,Ed/Vc,Rd=0.01

Asta n. 4461 (-541 -525) briglie 50x10 Crit. 1

- Verifica in termini tensionali [4.2.4] - CC 9 SLU Xl=0.00 - Classe 3
Sollecitazioni: N=154.76 T_z=42.75 M_y=2.98 T_y=-1.86
Tensioni: σ_N=30.95 σ_M=71.45 τ=0.00 σ_{max}=102.40
Tensioni: σ_N=30.95 σ_M=-0.00 τ=12.84 τ_{max}=12.84
Tensioni: σ_N=30.95 σ_M=71.45 τ=0.56 $\sigma_{ID,max}$=102.40

- Verifica a taglio dir. Y [4.2.16] - CC 9 SLU Xl=0.06
Sollecitazioni: N=154.07 T_z=34.18 T_y=-1.86
V,Ed=-1.86 Vc,Rd=7560.76 V,Ed/Vc,Rd=0.00

- Verifica a taglio dir. Z [4.2.16]
V,Ed=34.18 Vc,Rd=7560.76 V,Ed/Vc,Rd=0.00

Asta n. 4461 (-525 3317) briglie 50x10 Crit. 1

- Verifica in termini tensionali [4.2.4] - CC 9 SLU Xl=0.00 - Classe 3
  Sollecitazioni: N=59.57 T_z=38.12 M_y=2.24 T_y=-1.85
  Tensioni: σ_N=11.91 σ_M=53.85 τ=0.00 σ_{max}=65.77
  Tensioni: σ_N=11.91 σ_M=-0.00 τ=11.45 τ_{max}=11.45
  Tensioni: σ_N=11.91 σ_M=53.85 τ=0.56 $\sigma_{ID,max}$=65.78

- Verifica a taglio dir. Y [4.2.16] - CC 9 SLU Xl=0.05
  Sollecitazioni: N=59.05 T_z=31.69 T_y=-1.85
  V,Ed=-1.85 Vc,Rd=7560.76 V,Ed/Vc,Rd=0.00

- Verifica a taglio dir. Z [4.2.16]
  V,Ed=31.69 Vc,Rd=7560.76 V,Ed/Vc,Rd=0.00

Asta n. 4462 (-790 -782) briglie 50x10 Crit. 1

- Verifica di stabilità aste presso-inflesse (C4.2.4.1.3.3.1) - CC 19 SLU - Classe 3
  Sollecitazioni: N,Ed=-2945.28 Myeq,Ed=13.23 Mzeq,Ed=0.84
  Resistenze: Nc,Rd=13095.20 My,c,Rd=109.13 Mz,c,Rd=21.83 L=21.63
  λ_Y=14.99 Ncr,y=461316.00 λ^*_y=0.17 Curva c: Φ_y=0.51 χ_y=1.00
  λ_Z=74.94 Ncr,z=18452.60 λ^*_z=0.86 Curva c: Φ_z=1.04 χ_z=0.62
  χ,min=0.62
  Verifica: 0.36+0.12+0.05=0.53

- Verifica in termini tensionali [4.2.4] - CC 19 SLU Xl=0.00 - Classe 3
  Sollecitazioni: N=-2942.31 T_z=122.09 M_y=13.23 T_y=-7.37 M_z=1.07
  Tensioni: σ_N=-588.46 σ_M=-446.44 τ=0.00 σ_{max}=-1034.90
  Tensioni: σ_N=-588.46 σ_M=-0.00 τ=36.69 τ_{max}=36.69
  Tensioni: σ_N=-588.46 σ_M=-446.44 τ=0.00 $\sigma_{ID,max}$=1034.90

Asta n. 4462 (-782 -766) briglie 50x10 Crit. 1

- Verifica di stabilità aste presso-inflesse (C4.2.4.1.3.3.1) - CC 19 SLU - Classe 3
  Sollecitazioni: N,Ed=-3021.49 Myeq,Ed=-10.95 Mzeq,Ed=-0.41
  Resistenze: Nc,Rd=13095.20 My,c,Rd=109.13 Mz,c,Rd=21.83 L=21.63
  λ_Y=14.99 Ncr,y=461316.00 λ^*_y=0.17 Curva c: Φ_y=0.51 χ_y=1.00
  λ_Z=74.94 Ncr,z=18452.60 λ^*_z=0.86 Curva c: Φ_z=1.04 χ_z=0.62
  χ,min=0.62
  Verifica: 0.37+0.10+0.02=0.49

- Verifica in termini tensionali [4.2.4] - CC 9 SLU Xl=0.22 - Classe 3
  Sollecitazioni: N=-3041.59 T_z=59.71 M_y=-11.71
  Tensioni: σ_N=-608.32 σ_M=-280.93 τ=0.00 σ_{max}=-889.25
  Tensioni: σ_N=-608.32 σ_M=0.00 τ=17.91 τ_{max}=17.91
  Tensioni: σ_N=-608.32 σ_M=-280.93 τ=0.00 $\sigma_{ID,max}$=889.25

Asta n. 4462 (-766 -750) briglie 50x10 Crit. 1

- Verifica di stabilità aste presso-inflesse (C4.2.4.1.3.3.1) - CC 19 SLU - Classe 3
  Sollecitazioni: N,Ed=-3100.45 Myeq,Ed=-8.92 Mzeq,Ed=-0.40
  Resistenze: Nc,Rd=13095.20 My,c,Rd=109.13 Mz,c,Rd=21.83 L=21.63
  λ_Y=14.99 Ncr,y=461316.00 λ^*_y=0.17 Curva c: Φ_y=0.51 χ_y=1.00
  λ_Z=74.94 Ncr,z=18452.60 λ^*_z=0.86 Curva c: Φ_z=1.04 χ_z=0.62
  χ,min=0.62
  Verifica: 0.38+0.08+0.02=0.48

- Verifica Freccia massima carichi totali - CC 21
  $f_{Z,L}$=0.00 (L/21604)

- Verifica in termini tensionali [4.2.4] - CC 9 SLU Xl=0.22 - Classe 3
  Sollecitazioni: N=-3120.70 T_z=45.32 M_y=-11.18
  Tensioni: σ_N=-624.14 σ_M=-268.41 τ=0.00 σ_{max}=-892.55
  Tensioni: σ_N=-624.14 σ_M=0.00 τ=13.60 τ_{max}=13.60
  Tensioni: σ_N=-624.14 σ_M=-268.41 τ=0.00 $\sigma_{ID,max}$=892.55

Asta n. 4462 (-750 -734) briglie 50x10 Crit. 1

- Verifica di stabilità aste presso-inflesse (C4.2.4.1.3.3.1) - CC 19 SLU - Classe 3
  Sollecitazioni: N,Ed=-3163.01 Myeq,Ed=-7.93 Mzeq,Ed=0.78
  Resistenze: Nc,Rd=13095.20 My,c,Rd=109.13 Mz,c,Rd=21.83 L=21.63
  λ_Y=14.99 Ncr,y=461317.00 λ^*_y=0.17 Curva c: Φ_y=0.51 χ_y=1.00
  λ_Z=74.94 Ncr,z=18452.70 λ^*_z=0.86 Curva c: Φ_z=1.04 χ_z=0.62
  χ,min=0.62
  Verifica: 0.39+0.07+0.04=0.50

- Verifica Freccia massima carichi totali - CC 21
  $f_{Z,L}$=0.00 (L/16803)

- Verifica in termini tensionali [4.2.4] - CC 9 SLU Xl=0.22 - Classe 3
  Sollecitazioni: N=-3183.39 T_z=28.99 M_y=-10.62
  Tensioni: σ_N=-636.68 σ_M=-254.77 τ=0.00 σ_{max}=-891.45
  Tensioni: σ_N=-636.68 σ_M=0.00 τ=8.70 τ_{max}=8.70
  Tensioni: σ_N=-636.68 σ_M=-254.77 τ=0.00 $\sigma_{ID,max}$=891.45

Asta n. 4462 (-734 -718) briglie 50x10 Crit. 1

- Verifica di stabilità aste presso-inflesse (C4.2.4.1.3.3.1) - CC 19 SLU - Classe 3
  Sollecitazioni: N,Ed=-3186.55 Myeq,Ed=-7.20 Mzeq,Ed=0.83
  Resistenze: Nc,Rd=13095.20 My,c,Rd=109.13 Mz,c,Rd=21.83 L=21.63
  λ_Y=14.99 Ncr,y=461317.00 λ^*_y=0.17 Curva c: Φ_y=0.51 χ_y=1.00
  λ_Z=74.94 Ncr,z=18452.70 λ^*_z=0.86 Curva c: Φ_z=1.04 χ_z=0.62
  χ,min=0.62
  Verifica: 0.39+0.07+0.05=0.50

- Verifica Freccia massima carichi totali - CC 21
  $f_{Z,L}$=0.00 (L/16203)

- Verifica in termini tensionali [4.2.4] - CC 19 SLU Xl=0.00 - Classe 3
  Sollecitazioni: N=-3183.58 T_z=2.36 M_y=-7.26 T_y=-7.24 M_z=1.04
  Tensioni: σ_N=-636.72 σ_M=-298.75 τ=0.00 σ_{max}=-935.47
  Tensioni: σ_N=-636.72 σ_M=0.00 τ=2.28 τ_{max}=2.28
  Tensioni: σ_N=-636.72 σ_M=-298.75 τ=0.00 $\sigma_{ID,max}$=935.47

Asta n. 4462 (-718 -702) briglie 50x10 Crit. 1

- Verifica di stabilità aste presso-inflesse (C4.2.4.1.3.3.1) - CC 18 SLU - Classe 3
  Sollecitazioni: N,Ed=-2994.85 Myeq,Ed=-10.95 Mzeq,Ed=0.01
  Resistenze: Nc,Rd=13095.20 My,c,Rd=109.13 Mz,c,Rd=21.83 L=21.63
  λ_Y=14.99 Ncr,y=461315.00 λ^*_y=0.17 Curva c: Φ_y=0.51 χ_y=1.00
  λ_Z=74.94 Ncr,z=18452.60 λ^*_z=0.86 Curva c: Φ_z=1.04 χ_z=0.62
  χ,min=0.62
  Verifica: 0.37+0.10+0.00=0.47

- Verifica Freccia massima carichi totali - CC 21
  $f_{Z,L}$=0.00 (L/17449)

- Verifica in termini tensionali [4.2.4] - CC 18 SLU Xl=0.00 - Classe 3

Sollecitazioni: N=-2992.66 T_z=-64.33 M_y=-12.59
Tensioni: σ_N=-598.53 σ_M=-302.19 τ=0.00 σ_{max}=-900.72
Tensioni: σ_N=-598.53 σ_M=0.00 τ=19.30 τ_{max}=19.30
Tensioni: σ_N=-598.53 σ_M=-302.19 τ=0.00 $\sigma_{ID,max}$=900.72

Asta n. 4462 (-702 -686) briglie 50x10 Crit. 1

- Verifica di stabilità aste presso-inflesse (C4.2.4.1.3.3.1) - CC 18 SLU - Classe 3
Sollecitazioni: N,Ed=-2866.49 Myeq,Ed=-13.84 Mzeq,Ed=-0.01
Resistenze: Nc,Rd=13095.20 My,c,Rd=109.13 Mz,c,Rd=21.83 L=21.63
λ_Y=14.99 Ncr,y=461315.00 λ^*_y=0.17 Curva c: Φ_y=0.51 χ_y=1.00
λ_Z=74.94 Ncr,z=18452.60 λ^*_z=0.86 Curva c: Φ_z=1.04 χ_z=0.62
χ,min=0.62
Verifica: 0.35+0.13+0.00=0.48

- Verifica Freccia massima carichi totali - CC 21
$f_{Z,L}$=0.00 (L/17120)

- Verifica in termini tensionali [4.2.4] - CC 18 SLU Xl=0.00 - Classe 3
Sollecitazioni: N=-2864.30 T_z=-84.89 M_y=-14.72
Tensioni: σ_N=-572.86 σ_M=-353.21 τ=0.00 σ_{max}=-926.07
Tensioni: σ_N=-572.86 σ_M=0.00 τ=25.47 τ_{max}=25.47
Tensioni: σ_N=-572.86 σ_M=-353.21 τ=0.00 $\sigma_{ID,max}$=926.07

Asta n. 4462 (-686 -670) briglie 50x10 Crit. 1

- Verifica di stabilità aste presso-inflesse (C4.2.4.1.3.3.1) - CC 19 SLU - Classe 3
Sollecitazioni: N,Ed=-2975.66 Myeq,Ed=-11.48 Mzeq,Ed=0.72
Resistenze: Nc,Rd=13095.20 My,c,Rd=109.13 Mz,c,Rd=21.83 L=21.63
λ_Y=14.99 Ncr,y=461317.00 λ^*_y=0.17 Curva c: Φ_y=0.51 χ_y=1.00
λ_Z=74.94 Ncr,z=18452.70 λ^*_z=0.86 Curva c: Φ_z=1.04 χ_z=0.62
χ,min=0.62
Verifica: 0.36+0.11+0.04=0.51

- Verifica Freccia massima carichi totali - CC 21
$f_{Z,L}$=0.00 (L/15918)

- Verifica in termini tensionali [4.2.4] - CC 18 SLU Xl=0.00 - Classe 3
Sollecitazioni: N=-2691.44 T_z=-106.01 M_y=-17.40
Tensioni: σ_N=-538.29 σ_M=-417.71 τ=0.00 σ_{max}=-956.00
Tensioni: σ_N=-538.29 σ_M=0.00 τ=31.80 τ_{max}=31.80
Tensioni: σ_N=-538.29 σ_M=-417.71 τ=0.00 $\sigma_{ID,max}$=956.00

Asta n. 4462 (-670 -654) briglie 50x10 Crit. 1

- Verifica di stabilità aste presso-inflesse (C4.2.4.1.3.3.1) - CC 19 SLU - Classe 3
Sollecitazioni: N,Ed=-2802.66 Myeq,Ed=-21.15 Mzeq,Ed=0.77
Resistenze: Nc,Rd=13095.20 My,c,Rd=109.13 Mz,c,Rd=21.83 L=21.63
λ_Y=14.99 Ncr,y=461317.00 λ^*_y=0.17 Curva c: Φ_y=0.51 χ_y=1.00
λ_Z=74.94 Ncr,z=18452.70 λ^*_z=0.86 Curva c: Φ_z=1.04 χ_z=0.62
χ,min=0.62
Verifica: 0.34+0.20+0.04=0.58

- Verifica Freccia massima carichi totali - CC 21
$f_{Z,L}$=0.00 (L/13748)

- Verifica in termini tensionali [4.2.4] - CC 9 SLU Xl=0.00 - Classe 3
Sollecitazioni: N=-2798.22 T_z=-133.91 M_y=-21.53
Tensioni: σ_N=-559.64 σ_M=-516.68 τ=0.00 σ_{max}=-1076.33

Tensioni: σ_N=-559.64 σ_M=0.00 τ=40.17 τ_{max}=40.17
Tensioni: σ_N=-559.64 σ_M=-516.68 τ=0.00 $\sigma_{ID,max}$=1076.33

Asta n. 4462 (-654 -638) briglie 50x10 Crit. 1

- Verifica di stabilità aste presso-inflesse (C4.2.4.1.3.3.1) - CC 19 SLU - Classe 3
Sollecitazioni: N,Ed=-2517.00 Myeq,Ed=-23.45 Mzeq,Ed=-0.36
Resistenze: Nc,Rd=13095.20 My,c,Rd=109.13 Mz,c,Rd=21.83 L=21.63
λ_Y=14.99 Ncr,y=461317.00 λ^*_y=0.17 Curva c: Φ_y=0.51 χ_y=1.00
λ_Z=74.94 Ncr,z=18452.70 λ^*_z=0.86 Curva c: Φ_z=1.04 χ_z=0.62
χ,min=0.62
Verifica: 0.31+0.22+0.02=0.54

- Verifica Freccia massima carichi totali - CC 21
$f_{Z,L}$=0.00 (L/15122)

- Verifica in termini tensionali [4.2.4] - CC 9 SLU Xl=0.00 - Classe 3
Sollecitazioni: N=-2509.70 T_z=-163.89 M_y=-23.63
Tensioni: σ_N=-501.94 σ_M=-567.16 τ=0.00 σ_{max}=-1069.10
Tensioni: σ_N=-501.94 σ_M=0.00 τ=49.17 τ_{max}=49.17
Tensioni: σ_N=-501.94 σ_M=-567.16 τ=0.00 $\sigma_{ID,max}$=1069.10

Asta n. 4462 (-638 -622) briglie 50x10 Crit. 1

- Verifica di stabilità aste presso-inflesse (C4.2.4.1.3.3.1) - CC 19 SLU - Classe 3
Sollecitazioni: N,Ed=-2141.85 Myeq,Ed=-26.67 Mzeq,Ed=-0.35
Resistenze: Nc,Rd=13095.20 My,c,Rd=109.13 Mz,c,Rd=21.83 L=21.63
λ_Y=14.99 Ncr,y=461313.00 λ^*_y=0.17 Curva c: Φ_y=0.51 χ_y=1.00
λ_Z=74.94 Ncr,z=18452.50 λ^*_z=0.86 Curva c: Φ_z=1.04 χ_z=0.62
χ,min=0.62
Verifica: 0.26+0.25+0.02=0.53

- Verifica Freccia massima carichi totali - CC 21
$f_{Z,L}$=0.00 (L/14635)

- Verifica in termini tensionali [4.2.4] - CC 9 SLU Xl=0.00 - Classe 3
Sollecitazioni: N=-2131.11 T_z=-199.21 M_y=-26.84
Tensioni: σ_N=-426.22 σ_M=-644.24 τ=0.00 σ_{max}=-1070.46
Tensioni: σ_N=-426.22 σ_M=0.00 τ=59.76 τ_{max}=59.76
Tensioni: σ_N=-426.22 σ_M=-644.24 τ=0.00 $\sigma_{ID,max}$=1070.46

Asta n. 4462 (-622 -606) briglie 50x10 Crit. 1

- Verifica di stabilità aste presso-inflesse (C4.2.4.1.3.3.1) - CC 19 SLU - Classe 3
Sollecitazioni: N,Ed=-1654.30 Myeq,Ed=-30.63 Mzeq,Ed=0.69
Resistenze: Nc,Rd=13095.20 My,c,Rd=109.13 Mz,c,Rd=21.83 L=21.63
λ_Y=14.99 Ncr,y=461317.00 λ^*_y=0.17 Curva c: Φ_y=0.51 χ_y=1.00
λ_Z=74.94 Ncr,z=18452.70 λ^*_z=0.86 Curva c: Φ_z=1.04 χ_z=0.62
χ,min=0.62
Verifica: 0.20+0.28+0.03=0.52

- Verifica Freccia massima carichi totali - CC 21
$f_{Z,L}$=0.00 (L/13150)

- Verifica in termini tensionali [4.2.4] - CC 9 SLU Xl=0.00 - Classe 3
Sollecitazioni: N=-1640.09 T_z=-237.93 M_y=-30.74
Tensioni: σ_N=-328.02 σ_M=-737.74 τ=0.00 σ_{max}=-1065.75
Tensioni: σ_N=-328.02 σ_M=0.00 τ=71.38 τ_{max}=71.38
Tensioni: σ_N=-328.02 σ_M=-737.74 τ=0.00 $\sigma_{ID,max}$=1065.75

Asta n. 4462 (-606 -590) briglie 50x10 Crit. 1

- Verifica di stabilità aste inflesse (4.2.4.1.3.2) CC 16 SLU - Classe 3
  L_{cr}=0.22 Curva d: α_{imp}=0.76 k_c=0.94 ψ=2.91 M,cr=0.00 λ_{LT}=0.00
  $\lambda_{LT,0}$=0.20 β_{LT}=1.00 Φ_{LT}=0.00 β_{LT}=1.00 f=0.00 χ_{LT}=1.00
  CC 16 SLU My,Ed=24.45 My,b,Rd=109.13 My,Ed/My,b,Rd=0.22

- Verifica di stabilità aste presso-inflesse (C4.2.4.1.3.3.1) - CC 19 SLU - Classe 3
  Sollecitazioni: N,Ed=-986.43 Myeq,Ed=-40.07 Mzeq,Ed=0.74
  Resistenze: Nc,Rd=13095.20 My,c,Rd=109.13 Mz,c,Rd=21.83 L=21.63
  λ_Y=14.99 Ncr,y=461317.00 λ^*_y=0.17 Curva c: Φ_y=0.51 χ_y=1.00
  λ_Z=74.94 Ncr,z=18452.70 λ^*_z=0.86 Curva c: Φ_z=1.04 χ_z=0.62
  χ,min=0.62
  Verifica: 0.12+0.37+0.04=0.52

- Verifica Freccia massima per soli carichi accidentali - CC 21
  $f_{Z,L}$=0.00 (L/21604)

- Verifica Freccia massima carichi totali - CC 21
  $f_{Z,L}$=0.00 (L/12098)

- Verifica in termini tensionali [4.2.4] - CC 19 SLU Xl=0.00 - Classe 3
  Sollecitazioni: N=-983.47 T_z=-338.15 M_y=-40.07 T_y=-6.64
  Tensioni: σ_N=-196.69 σ_M=-961.73 τ=0.00 σ_{max}=-1158.43
  Tensioni: σ_N=-196.69 σ_M=0.00 τ=101.46 τ_{max}=101.46
  Tensioni: σ_N=-196.69 σ_M=-961.73 τ=1.99 $\sigma_{ID,max}$=1158.43

- Verifica a taglio dir. Z [4.2.16] - CC 16 SLU Xl=0.10
  Sollecitazioni: N=313.21 T_z=-212.76
  V,Ed=-212.76 Vc,Rd=7560.76 V,Ed/Vc,Rd=0.03

Asta n. 4462 (-590 -574) briglie 50x10 Crit. 1

- Verifica di stabilità aste inflesse (4.2.4.1.3.2) CC 18 SLU - Classe 3
  L_{cr}=0.22 Curva d: α_{imp}=0.76 k_c=0.94 ψ=2.87 M,cr=0.00 λ_{LT}=0.00
  $\lambda_{LT,0}$=0.20 β_{LT}=1.00 Φ_{LT}=0.00 β_{LT}=1.00 f=0.00 χ_{LT}=1.00
  CC 18 SLU My,Ed=47.88 My,b,Rd=109.13 My,Ed/My,b,Rd=0.44

- Verifica di stabilità aste presso-inflesse (C4.2.4.1.3.3.1) - CC 19 SLU - Classe 3
  Sollecitazioni: N,Ed=-65.10 Myeq,Ed=46.47 Mzeq,Ed=-0.35
  Resistenze: Nc,Rd=13095.20 My,c,Rd=109.13 Mz,c,Rd=21.83 L=21.63
  λ_Y=14.99 Ncr,y=461317.00 λ^*_y=0.17 Curva c: Φ_y=0.51 χ_y=1.00
  λ_Z=74.94 Ncr,z=18452.70 λ^*_z=0.86 Curva c: Φ_z=1.04 χ_z=0.62
  χ,min=0.62
  Verifica: 0.00+0.43+0.02=0.45

- Verifica Freccia massima carichi totali - CC 21
  $f_{Z,L}$=0.00 (L/14874)

- Verifica in termini tensionali [4.2.4] - CC 18 SLU Xl=0.22 - Classe 3
  Sollecitazioni: N=458.48 T_z=-424.99 M_y=47.88
  Tensioni: σ_N=91.70 σ_M=1149.19 τ=0.00 σ_{max}=1240.89
  Tensioni: σ_N=91.70 σ_M=-0.00 τ=127.50 τ_{max}=127.50
  Tensioni: σ_N=91.70 σ_M=1149.19 τ=0.00 $\sigma_{ID,max}$=1240.89

- Verifica a taglio dir. Z [4.2.16] - CC 20 SLU Xl=0.10
  Sollecitazioni: N=480.25 T_z=-321.31
  V,Ed=-321.31 Vc,Rd=7560.76 V,Ed/Vc,Rd=0.04

Asta n. 4462 (-574 -558) briglie 50x10 Crit. 1

- Verifica di stabilità aste inflesse (4.2.4.1.3.2) CC 18 SLU - Classe 3
  L_{cr}=0.22 Curva d: α_{imp}=0.76 k_c=0.94 ψ=2.64 M,cr=0.00 λ_{LT}=0.00
  $\lambda_{LT,0}$=0.20 β_{LT}=1.00 Φ_{LT}=0.00 β_{LT}=1.00 f=0.00 χ_{LT}=1.00
  CC 18 SLU My,Ed=60.67 My,b,Rd=109.13 My,Ed/My,b,Rd=0.56

- Verifica di stabilità aste presso-inflesse (C4.2.4.1.3.3.1) - CC 5 SLV - Classe 3
  Sollecitazioni: N,Ed=-368.22 Myeq,Ed=22.24 Mzeq,Ed=-0.01
  Resistenze: Nc,Rd=13095.20 My,c,Rd=109.13 Mz,c,Rd=21.83 L=21.63
  λ_Y=14.99 Ncr,y=461317.00 λ^*_y=0.17 Curva c: Φ_y=0.51 χ_y=1.00
  λ_Z=74.94 Ncr,z=18452.70 λ^*_z=0.86 Curva c: Φ_z=1.04 χ_z=0.62
  χ,min=0.62
  Verifica: 0.03+0.20+0.00=0.23

- Verifica Freccia massima per soli carichi accidentali - CC 24
  $f_{Z,L}$=0.00 (L/14177)

- Verifica Freccia massima carichi totali - CC 21
  $f_{Z,L}$=0.00 (L/8724)

- Verifica in termini tensionali [4.2.4] - CC 18 SLU Xl=0.22 - Classe 3
  Sollecitazioni: N=1622.86 T_z=-490.86 M_y=60.67
  Tensioni: σ_N=324.57 σ_M=1455.98 τ=0.00 σ_{max}=1780.56
  Tensioni: σ_N=324.57 σ_M=-0.00 τ=147.26 τ_{max}=147.26
  Tensioni: σ_N=324.57 σ_M=1455.98 τ=0.00 $\sigma_{ID,max}$=1780.56

- Verifica a taglio dir. Z [4.2.16] - CC 3 SLV Xl=0.10
  Sollecitazioni: N=107.33 T_z=-108.26
  V,Ed=-108.26 Vc,Rd=7560.76 V,Ed/Vc,Rd=0.01

Asta n. 4462 (-558 4293) briglie 50x10 Crit. 1

- Verifica di stabilità aste inflesse (4.2.4.1.3.2) CC 18 SLU - Classe 3
  L_{cr}=0.22 Curva d: α_{imp}=0.76 k_c=0.94 ψ=2.17 M,cr=0.00 λ_{LT}=0.00
  $\lambda_{LT,0}$=0.20 β_{LT}=1.00 Φ_{LT}=0.00 β_{LT}=1.00 f=0.00 χ_{LT}=1.00
  CC 18 SLU My,Ed=82.69 My,b,Rd=109.13 My,Ed/My,b,Rd=0.76

- Verifica di stabilità aste presso-inflesse (C4.2.4.1.3.3.1) - CC 5 SLV - Classe 3
  Sollecitazioni: N,Ed=-151.05 Myeq,Ed=24.81 Mzeq,Ed=-0.06
  Resistenze: Nc,Rd=13095.20 My,c,Rd=109.13 Mz,c,Rd=21.83 L=21.63
  λ_Y=14.99 Ncr,y=461315.00 λ^*_y=0.17 Curva c: Φ_y=0.51 χ_y=1.00
  λ_Z=74.94 Ncr,z=18452.60 λ^*_z=0.86 Curva c: Φ_z=1.04 χ_z=0.62
  χ,min=0.62
  Verifica: 0.01+0.23+0.00=0.24

- Verifica Freccia massima per soli carichi accidentali - CC 24
  $f_{Z,L}$=0.00 (L/6575)

- Verifica Freccia massima carichi totali - CC 21
  $f_{Z,L}$=0.01 (L/4014)

- Verifica in termini tensionali [4.2.4] - CC 18 SLU Xl=0.22 - Classe 3
  Sollecitazioni: N=2948.22 T_z=-534.67 M_y=82.69
  Tensioni: σ_N=589.64 σ_M=1984.56 τ=0.00 σ_{max}=2574.21
  Tensioni: σ_N=589.64 σ_M=-0.00 τ=160.40 τ_{max}=160.40
  Tensioni: σ_N=589.64 σ_M=1984.56 τ=0.00 $\sigma_{ID,max}$=2574.21

- Verifica a taglio dir. Z [4.2.16] - CC 18 SLU Xl=0.06
  Sollecitazioni: N=2949.81 T_z=-515.03
  V,Ed=-515.03 Vc,Rd=7560.76 V,Ed/Vc,Rd=0.07

Asta n. 4462 (4293 -542) briglie 50x10 Crit. 1

- Verifica in termini tensionali [4.2.4] - CC 19 SLU Xl=0.00 - Classe 3
  Sollecitazioni: N=441.18 T_z=98.25 M_y=11.02 T_y=-5.59
  Tensioni: σ_N=88.24 σ_M=264.47 τ=0.00 σ_{max}=352.71
  Tensioni: σ_N=88.24 σ_M=-0.00 τ=29.52 τ_{max}=29.52
  Tensioni: σ_N=88.24 σ_M=264.47 τ=1.68 $\sigma_{ID,max}$=352.72

- Verifica a taglio dir. Y [4.2.16] - CC 19 SLU Xl=0.12
  Sollecitazioni: N=439.86 T_z=82.07 T_y=-4.06
  V,Ed=-4.06 Vc,Rd=7560.76 V,Ed/Vc,Rd=0.00

- Verifica a taglio dir. Z [4.2.16]
  V,Ed=82.07 Vc,Rd=7560.76 V,Ed/Vc,Rd=0.01

Asta n. 4462 (-542 -526) briglie 50x10 Crit. 1

- Verifica in termini tensionali [4.2.4] - CC 19 SLU Xl=0.00 - Classe 3
  Sollecitazioni: N=272.19 T_z=64.07 M_y=5.24 T_y=-4.72
  Tensioni: σ_N=54.44 σ_M=125.74 τ=0.00 σ_{max}=180.18
  Tensioni: σ_N=54.44 σ_M=-0.00 τ=19.27 τ_{max}=19.27
  Tensioni: σ_N=54.44 σ_M=125.74 τ=1.42 $\sigma_{ID,max}$=180.20

- Verifica a taglio dir. Y [4.2.16] - CC 19 SLU Xl=0.08
  Sollecitazioni: N=271.37 T_z=53.97 T_y=-3.76
  V,Ed=-3.76 Vc,Rd=7560.76 V,Ed/Vc,Rd=0.00

- Verifica a taglio dir. Z [4.2.16]
  V,Ed=53.97 Vc,Rd=7560.76 V,Ed/Vc,Rd=0.01

Asta n. 4462 (-526 3318) briglie 50x10 Crit. 1

- Verifica in termini tensionali [4.2.4] - CC 19 SLU Xl=0.17 - Classe 3
  Sollecitazioni: N=101.57 T_z=39.78 M_y=-4.32
  Tensioni: σ_N=20.31 σ_M=103.79 τ=0.00 σ_{max}=124.11
  Tensioni: σ_N=20.31 σ_M=0.00 τ=11.93 τ_{max}=11.93
  Tensioni: σ_N=20.31 σ_M=103.79 τ=0.00 $\sigma_{ID,max}$=124.11

- Verifica a taglio dir. Y [4.2.16] - CC 19 SLU Xl=0.06
  Sollecitazioni: N=102.72 T_z=53.93 T_y=-2.30
  V,Ed=-2.30 Vc,Rd=7560.76 V,Ed/Vc,Rd=0.00

- Verifica a taglio dir. Z [4.2.16]
  V,Ed=53.93 Vc,Rd=7560.76 V,Ed/Vc,Rd=0.01

Asta n. 4499 (-791 -783) briglie 50x10 Crit. 1

- Verifica di stabilità aste presso-inflesse (C4.2.4.1.3.3.1) - CC 19 SLU - Classe 3
  Sollecitazioni: N,Ed=-1527.74 Myeq,Ed=8.73 Mzeq,Ed=0.10
  Resistenze: Nc,Rd=13095.20 My,c,Rd=109.13 Mz,c,Rd=21.83 L=21.63
  λ_Y=14.99 Ncr,y=461316.00 λ^*_y=0.17 Curva c: Φ_y=0.51 χ_y=1.00
  λ_Z=74.94 Ncr,z=18452.60 λ^*_z=0.86 Curva c: Φ_z=1.04 χ_z=0.62
  χ,min=0.62
  Verifica: 0.19+0.08+0.01=0.27

- Verifica in termini tensionali [4.2.4] - CC 19 SLU Xl=0.00 - Classe 3

Sollecitazioni: N=-1524.77 T_z=84.61 M_y=8.73
Tensioni: σ_N=-304.95 σ_M=-209.54 τ=0.00 σ_{max}=-514.50
Tensioni: σ_N=-304.95 σ_M=-0.00 τ=25.38 τ_{max}=25.38
Tensioni: σ_N=-304.95 σ_M=-209.54 τ=0.00 $\sigma_{ID,max}$=514.50

Asta n. 4499 (-783 -767) briglie 50x10 Crit. 1

- Verifica di stabilità aste presso-inflesse (C4.2.4.1.3.3.1) - CC 19 SLU - Classe 3
Sollecitazioni: N,Ed=-1572.53 Myeq,Ed=-5.96 Mzeq,Ed=0.04
Resistenze: Nc,Rd=13095.20 My,c,Rd=109.13 Mz,c,Rd=21.83 L=21.63
λ_Y=14.99 Ncr,y=461316.00 λ^*_y=0.17 Curva c: Φ_y=0.51 χ_y=1.00
λ_Z=74.94 Ncr,z=18452.60 λ^*_z=0.86 Curva c: Φ_z=1.04 χ_z=0.62
χ,min=0.62
Verifica: 0.19+0.05+0.00=0.25

- Verifica in termini tensionali [4.2.4] - CC 19 SLU Xl=0.22 - Classe 3
Sollecitazioni: N=-1572.53 T_z=24.09 M_y=-6.46
Tensioni: σ_N=-314.51 σ_M=-155.00 τ=0.00 σ_{max}=-469.51
Tensioni: σ_N=-314.51 σ_M=0.00 τ=7.23 τ_{max}=7.23
Tensioni: σ_N=-314.51 σ_M=-155.00 τ=0.00 $\sigma_{ID,max}$=469.51

Asta n. 4499 (-767 -751) briglie 50x10 Crit. 1

- Verifica di stabilità aste presso-inflesse (C4.2.4.1.3.3.1) - CC 19 SLU - Classe 3
Sollecitazioni: N,Ed=-1611.45 Myeq,Ed=-3.88 Mzeq,Ed=-0.04
Resistenze: Nc,Rd=13095.20 My,c,Rd=109.13 Mz,c,Rd=21.83 L=21.63
λ_Y=14.99 Ncr,y=461316.00 λ^*_y=0.17 Curva c: Φ_y=0.51 χ_y=1.00
λ_Z=74.94 Ncr,z=18452.60 λ^*_z=0.86 Curva c: Φ_z=1.04 χ_z=0.62
χ,min=0.62
Verifica: 0.20+0.04+0.00=0.24

- Verifica in termini tensionali [4.2.4] - CC 19 SLU Xl=0.22 - Classe 3
Sollecitazioni: N=-1611.45 T_z=7.66 M_y=-5.18
Tensioni: σ_N=-322.29 σ_M=-124.31 τ=0.00 σ_{max}=-446.60
Tensioni: σ_N=-322.29 σ_M=0.00 τ=2.30 τ_{max}=2.30
Tensioni: σ_N=-322.29 σ_M=-124.31 τ=0.00 $\sigma_{ID,max}$=446.60

Asta n. 4499 (-751 -735) briglie 50x10 Crit. 1

- Verifica di stabilità aste presso-inflesse (C4.2.4.1.3.3.1) - CC 19 SLU - Classe 3
Sollecitazioni: N,Ed=-1633.55 Myeq,Ed=-3.37 Mzeq,Ed=-0.11
Resistenze: Nc,Rd=13095.20 My,c,Rd=109.13 Mz,c,Rd=21.83 L=21.63
λ_Y=14.99 Ncr,y=461317.00 λ^*_y=0.17 Curva c: Φ_y=0.51 χ_y=1.00
λ_Z=74.94 Ncr,z=18452.70 λ^*_z=0.86 Curva c: Φ_z=1.04 χ_z=0.62
χ,min=0.62
Verifica: 0.20+0.03+0.01=0.24

- Verifica in termini tensionali [4.2.4] - CC 18 SLU Xl=0.00 - Classe 3
Sollecitazioni: N=-1545.66 T_z=-11.00 M_y=-4.72
Tensioni: σ_N=-309.13 σ_M=-113.26 τ=0.00 σ_{max}=-422.39
Tensioni: σ_N=-309.13 σ_M=0.00 τ=3.30 τ_{max}=3.30
Tensioni: σ_N=-309.13 σ_M=-113.26 τ=0.00 $\sigma_{ID,max}$=422.39

Asta n. 4499 (-735 -719) briglie 50x10 Crit. 1

- Verifica di stabilità aste presso-inflesse (C4.2.4.1.3.3.1) - CC 19 SLU - Classe 3
Sollecitazioni: N,Ed=-1627.73 Myeq,Ed=-3.29 Mzeq,Ed=0.09
Resistenze: Nc,Rd=13095.20 My,c,Rd=109.13 Mz,c,Rd=21.83 L=21.63
λ_Y=14.99 Ncr,y=461317.00 λ^*_y=0.17 Curva c: Φ_y=0.51 χ_y=1.00

λ_Z=74.94 Ncr,z=18452.70 λ^*_z=0.86 Curva c: Φ_z=1.04 χ_z=0.62
χ,min=0.62
Verifica: 0.20+0.03+0.00=0.23

- Verifica in termini tensionali [4.2.4] - CC 18 SLU Xl=0.00 - Classe 3
Sollecitazioni: N=-1494.00 T_z=-19.71 M_y=-5.66
Tensioni: σ_N=-298.80 σ_M=-135.89 τ=0.00 σ_{max}=-434.69
Tensioni: σ_N=-298.80 σ_M=0.00 τ=5.91 τ_{max}=5.91
Tensioni: σ_N=-298.80 σ_M=-135.89 τ=0.00 $\sigma_{ID,max}$=434.69

Asta n. 4499 (-719 -703) briglie 50x10 Crit. 1

- Verifica di stabilità aste presso-inflesse (C4.2.4.1.3.3.1) - CC 18 SLU - Classe 3
Sollecitazioni: N,Ed=-1438.47 Myeq,Ed=-7.11 Mzeq,Ed=0.03
Resistenze: Nc,Rd=13095.20 My,c,Rd=109.13 Mz,c,Rd=21.83 L=21.63
λ_Y=14.99 Ncr,y=461315.00 λ^*_y=0.17 Curva c: Φ_y=0.51 χ_y=1.00
λ_Z=74.94 Ncr,z=18452.60 λ^*_z=0.86 Curva c: Φ_z=1.04 χ_z=0.62
χ,min=0.62
Verifica: 0.18+0.07+0.00=0.24

- Verifica in termini tensionali [4.2.4] - CC 18 SLU Xl=0.00 - Classe 3
Sollecitazioni: N=-1436.28 T_z=-37.08 M_y=-7.61
Tensioni: σ_N=-287.25 σ_M=-182.66 τ=0.00 σ_{max}=-469.92
Tensioni: σ_N=-287.25 σ_M=0.00 τ=11.12 τ_{max}=11.12
Tensioni: σ_N=-287.25 σ_M=-182.66 τ=0.00 $\sigma_{ID,max}$=469.92

Asta n. 4499 (-703 -687) briglie 50x10 Crit. 1

- Verifica di stabilità aste presso-inflesse (C4.2.4.1.3.3.1) - CC 18 SLU - Classe 3
Sollecitazioni: N,Ed=-1352.41 Myeq,Ed=-9.46 Mzeq,Ed=-0.03
Resistenze: Nc,Rd=13095.20 My,c,Rd=109.13 Mz,c,Rd=21.83 L=21.63
λ_Y=14.99 Ncr,y=461315.00 λ^*_y=0.17 Curva c: Φ_y=0.51 χ_y=1.00
λ_Z=74.94 Ncr,z=18452.60 λ^*_z=0.86 Curva c: Φ_z=1.04 χ_z=0.62
χ,min=0.62
Verifica: 0.17+0.09+0.00=0.25

- Verifica in termini tensionali [4.2.4] - CC 18 SLU Xl=0.00 - Classe 3
Sollecitazioni: N=-1350.22 T_z=-55.27 M_y=-9.46
Tensioni: σ_N=-270.04 σ_M=-227.12 τ=0.00 σ_{max}=-497.17
Tensioni: σ_N=-270.04 σ_M=0.00 τ=16.58 τ_{max}=16.58
Tensioni: σ_N=-270.04 σ_M=-227.12 τ=0.00 $\sigma_{ID,max}$=497.17

Asta n. 4499 (-687 -671) briglie 50x10 Crit. 1

- Verifica di stabilità aste presso-inflesse (C4.2.4.1.3.3.1) - CC 19 SLU - Classe 3
Sollecitazioni: N,Ed=-1490.63 Myeq,Ed=-9.08 Mzeq,Ed=-0.10
Resistenze: Nc,Rd=13095.20 My,c,Rd=109.13 Mz,c,Rd=21.83 L=21.63
λ_Y=14.99 Ncr,y=461317.00 λ^*_y=0.17 Curva c: Φ_y=0.51 χ_y=1.00
λ_Z=74.94 Ncr,z=18452.70 λ^*_z=0.86 Curva c: Φ_z=1.04 χ_z=0.62
χ,min=0.62
Verifica: 0.18+0.08+0.01=0.27

- Verifica in termini tensionali [4.2.4] - CC 18 SLU Xl=0.00 - Classe 3
Sollecitazioni: N=-1230.67 T_z=-75.24 M_y=-11.28
Tensioni: σ_N=-246.13 σ_M=-270.63 τ=0.00 σ_{max}=-516.77
Tensioni: σ_N=-246.13 σ_M=0.00 τ=22.57 τ_{max}=22.57
Tensioni: σ_N=-246.13 σ_M=-270.63 τ=0.00 $\sigma_{ID,max}$=516.77

Asta n. 4499 (-671 -655) briglie 50x10 Crit. 1

- Verifica di stabilità aste presso-inflesse (C4.2.4.1.3.3.1) - CC 19 SLU - Classe 3
  Sollecitazioni: N,Ed=-1560.22 Myeq,Ed=-9.72 Mzeq,Ed=0.09
  Resistenze: Nc,Rd=13095.20 My,c,Rd=109.13 Mz,c,Rd=21.83 L=21.63
  λ_Y=14.99 Ncr,y=461317.00 λ^*_y=0.17 Curva c: Φ_y=0.51 χ_y=1.00
  λ_Z=74.94 Ncr,z=18452.70 λ^*_z=0.86 Curva c: Φ_z=1.04 χ_z=0.62
  χ,min=0.62
  Verifica: 0.19+0.09+0.00=0.29

- Verifica in termini tensionali [4.2.4] - CC 18 SLU Xl=0.00 - Classe 3
  Sollecitazioni: N=-1311.68 T_z=-84.15 M_y=-12.16
  Tensioni: σ_N=-262.34 σ_M=-291.80 τ=0.00 σ_{max}=-554.14
  Tensioni: σ_N=-262.34 σ_M=0.00 τ=25.25 τ_{max}=25.25
  Tensioni: σ_N=-262.34 σ_M=-291.80 τ=0.00 $\sigma_{ID,max}$=554.14

Asta n. 4499 (-655 -639) briglie 50x10 Crit. 1

- Verifica di stabilità aste presso-inflesse (C4.2.4.1.3.3.1) - CC 19 SLU - Classe 3
  Sollecitazioni: N,Ed=-1410.55 Myeq,Ed=-12.63 Mzeq,Ed=0.04
  Resistenze: Nc,Rd=13095.20 My,c,Rd=109.13 Mz,c,Rd=21.83 L=21.63
  λ_Y=14.99 Ncr,y=461317.00 λ^*_y=0.17 Curva c: Φ_y=0.51 χ_y=1.00
  λ_Z=74.94 Ncr,z=18452.70 λ^*_z=0.86 Curva c: Φ_z=1.04 χ_z=0.62
  χ,min=0.62
  Verifica: 0.17+0.12+0.00=0.29

- Verifica in termini tensionali [4.2.4] - CC 19 SLU Xl=0.00 - Classe 3
  Sollecitazioni: N=-1407.59 T_z=-78.68 M_y=-12.63
  Tensioni: σ_N=-281.52 σ_M=-303.09 τ=0.00 σ_{max}=-584.61
  Tensioni: σ_N=-281.52 σ_M=0.00 τ=23.60 τ_{max}=23.60
  Tensioni: σ_N=-281.52 σ_M=-303.09 τ=0.00 $\sigma_{ID,max}$=584.61

Asta n. 4499 (-639 -623) briglie 50x10 Crit. 1

- Verifica di stabilità aste presso-inflesse (C4.2.4.1.3.3.1) - CC 19 SLU - Classe 3
  Sollecitazioni: N,Ed=-1201.58 Myeq,Ed=-15.25 Mzeq,Ed=-0.02
  Resistenze: Nc,Rd=13095.20 My,c,Rd=109.13 Mz,c,Rd=21.83 L=21.63
  λ_Y=14.99 Ncr,y=461313.00 λ^*_y=0.17 Curva c: Φ_y=0.51 χ_y=1.00
  λ_Z=74.94 Ncr,z=18452.50 λ^*_z=0.86 Curva c: Φ_z=1.04 χ_z=0.62
  χ,min=0.62
  Verifica: 0.15+0.14+0.00=0.29

- Verifica in termini tensionali [4.2.4] - CC 19 SLU Xl=0.00 - Classe 3
  Sollecitazioni: N=-1198.61 T_z=-106.38 M_y=-15.25
  Tensioni: σ_N=-239.72 σ_M=-366.11 τ=0.00 σ_{max}=-605.83
  Tensioni: σ_N=-239.72 σ_M=0.00 τ=31.91 τ_{max}=31.91
  Tensioni: σ_N=-239.72 σ_M=-366.11 τ=0.00 $\sigma_{ID,max}$=605.83

Asta n. 4499 (-623 -607) briglie 50x10 Crit. 1

- Verifica di stabilità aste inflesse (4.2.4.1.3.2) CC 16 SLU - Classe 3
  L_{cr}=0.22 Curva d: α_{imp}=0.76 k_c=0.94 ψ=2.94 M,cr=0.00 λ_{LT}=0.00
  $\lambda_{LT,0}$=0.20 β_{LT}=1.00 Φ_{LT}=0.00 β_{LT}=1.00 f=0.00 χ_{LT}=1.00
  CC 16 SLU My,Ed=13.31 My,b,Rd=109.13 My,Ed/My,b,Rd=0.12

- Verifica di stabilità aste presso-inflesse (C4.2.4.1.3.3.1) - CC 9 SLU - Classe 3
  Sollecitazioni: N,Ed=-922.29 Myeq,Ed=-17.77 Mzeq,Ed=-0.10
  Resistenze: Nc,Rd=13095.20 My,c,Rd=109.13 Mz,c,Rd=21.83 L=21.63
  λ_Y=14.99 Ncr,y=461317.00 λ^*_y=0.17 Curva c: Φ_y=0.51 χ_y=1.00
  λ_Z=74.94 Ncr,z=18452.70 λ^*_z=0.86 Curva c: Φ_z=1.04 χ_z=0.62

χ,min=0.62
Verifica: 0.11+0.16+0.00=0.28

- Verifica in termini tensionali [4.2.4] - CC 19 SLU Xl=0.00 - Classe 3
Sollecitazioni: N=-914.98 T_z=-137.67 M_y=-17.81
Tensioni: σ_N=-183.00 σ_M=-427.51 τ=0.00 σ_{max}=-610.50
Tensioni: σ_N=-183.00 σ_M=0.00 τ=41.30 τ_{max}=41.30
Tensioni: σ_N=-183.00 σ_M=-427.51 τ=0.00 $\sigma_{ID,max}$=610.50

- Verifica a taglio dir. Z [4.2.16] - CC 16 SLU Xl=0.10
Sollecitazioni: N=105.10 T_z=-116.98
V,Ed=-116.98 Vc,Rd=7560.76 V,Ed/Vc,Rd=0.02

Asta n. 4499 (-607 -591) briglie 50x10 Crit. 1

- Verifica di stabilità aste inflesse (4.2.4.1.3.2) CC 16 SLU - Classe 3
L_{cr}=0.22 Curva d: α_{imp}=0.76 k_c=0.94 ψ=2.82 M,cr=0.00 λ_{LT}=0.00
$\lambda_{LT,0}$=0.20 β_{LT}=1.00 Φ_{LT}=0.00 β_{LT}=1.00 f=0.00 χ_{LT}=1.00
CC 16 SLU My,Ed=16.58 My,b,Rd=109.13 My,Ed/My,b,Rd=0.15

- Verifica di stabilità aste presso-inflesse (C4.2.4.1.3.3.1) - CC 9 SLU - Classe 3
Sollecitazioni: N,Ed=-549.79 Myeq,Ed=-19.55 Mzeq,Ed=0.10
Resistenze: Nc,Rd=13095.20 My,c,Rd=109.13 Mz,c,Rd=21.83 L=21.63
λ_Y=14.99 Ncr,y=461317.00 λ^*_y=0.17 Curva c: Φ_y=0.51 χ_y=1.00
λ_Z=74.94 Ncr,z=18452.70 λ^*_z=0.86 Curva c: Φ_z=1.04 χ_z=0.62
χ,min=0.62
Verifica: 0.04+0.18+0.00=0.23

- Verifica in termini tensionali [4.2.4] - CC 9 SLU Xl=0.00 - Classe 3
Sollecitazioni: N=-546.83 T_z=-160.21 M_y=-19.55
Tensioni: σ_N=-109.36 σ_M=-469.10 τ=0.00 σ_{max}=-578.46
Tensioni: σ_N=-109.36 σ_M=0.00 τ=48.06 τ_{max}=48.06
Tensioni: σ_N=-109.36 σ_M=-469.10 τ=0.00 $\sigma_{ID,max}$=578.46

- Verifica a taglio dir. Z [4.2.16] - CC 16 SLU Xl=0.10
Sollecitazioni: N=391.81 T_z=-139.97
V,Ed=-139.97 Vc,Rd=7560.76 V,Ed/Vc,Rd=0.02

Asta n. 4499 (-591 -575) briglie 50x10 Crit. 1

- Verifica di stabilità aste inflesse (4.2.4.1.3.2) CC 18 SLU - Classe 3
L_{cr}=0.22 Curva d: α_{imp}=0.76 k_c=0.94 ψ=2.83 M,cr=0.00 λ_{LT}=0.00
$\lambda_{LT,0}$=0.20 β_{LT}=1.00 Φ_{LT}=0.00 β_{LT}=1.00 f=0.00 χ_{LT}=1.00
CC 18 SLU My,Ed=27.82 My,b,Rd=109.13 My,Ed/My,b,Rd=0.25

- Verifica di stabilità aste presso-inflesse (C4.2.4.1.3.3.1) - CC 9 SLU - Classe 3
Sollecitazioni: N,Ed=-70.02 Myeq,Ed=24.54 Mzeq,Ed=0.06
Resistenze: Nc,Rd=13095.20 My,c,Rd=109.13 Mz,c,Rd=21.83 L=21.63
λ_Y=14.99 Ncr,y=461317.00 λ^*_y=0.17 Curva c: Φ_y=0.51 χ_y=1.00
λ_Z=74.94 Ncr,z=18452.70 λ^*_z=0.86 Curva c: Φ_z=1.04 χ_z=0.62
χ,min=0.62
Verifica: 0.01+0.22+0.00=0.23

- Verifica in termini tensionali [4.2.4] - CC 18 SLU Xl=0.22 - Classe 3
Sollecitazioni: N=398.27 T_z=-248.83 M_y=27.82
Tensioni: σ_N=79.65 σ_M=667.57 τ=0.00 σ_{max}=747.22
Tensioni: σ_N=79.65 σ_M=-0.00 τ=74.65 τ_{max}=74.65
Tensioni: σ_N=79.65 σ_M=667.57 τ=0.00 $\sigma_{ID,max}$=747.22

- Verifica a taglio dir. Z [4.2.16] - CC 18 SLU Xl=0.10
  Sollecitazioni: N=399.47 T_z=-234.10
  V,Ed=-234.10 Vc,Rd=7560.76 V,Ed/Vc,Rd=0.03

Asta n. 4499 (-575 -559) briglie 50x10 Crit. 1

- Verifica di stabilità aste inflesse (4.2.4.1.3.2) CC 18 SLU - Classe 3
  L_{cr}=0.22 Curva d: α_{imp}=0.76 k_c=0.94 ψ=2.61 M,cr=0.00 λ_{LT}=0.00
  $\lambda_{LT,0}$=0.20 β_{LT}=1.00 Φ_{LT}=0.00 β_{LT}=1.00 f=0.00 χ_{LT}=1.00
  CC 18 SLU My,Ed=35.96 My,b,Rd=109.13 My,Ed/My,b,Rd=0.33

- Verifica di stabilità aste presso-inflesse (C4.2.4.1.3.3.1) - CC 5 SLV - Classe 3
  Sollecitazioni: N,Ed=-495.04 Myeq,Ed=15.95 Mzeq,Ed=-0.03
  Resistenze: Nc,Rd=13095.20 My,c,Rd=109.13 Mz,c,Rd=21.83 L=21.63
  λ_Y=14.99 Ncr,y=461317.00 λ^*_y=0.17 Curva c: Φ_y=0.51 χ_y=1.00
  λ_Z=74.94 Ncr,z=18452.70 λ^*_z=0.86 Curva c: Φ_z=1.04 χ_z=0.62
  χ,min=0.62
  Verifica: 0.04+0.15+0.00=0.19

- Verifica Freccia massima carichi totali - CC 24
  $f_{Z,L}$=0.00 (L/14874)

- Verifica in termini tensionali [4.2.4] - CC 18 SLU Xl=0.22 - Classe 3
  Sollecitazioni: N=1070.89 T_z=-293.01 M_y=35.96
  Tensioni: σ_N=214.18 σ_M=862.95 τ=0.00 σ_{max}=1077.12
  Tensioni: σ_N=214.18 σ_M=-0.00 τ=87.90 τ_{max}=87.90
  Tensioni: σ_N=214.18 σ_M=862.95 τ=0.00 $\sigma_{ID,max}$=1077.12

- Verifica a taglio dir. Z [4.2.16] - CC 9 SLU Xl=0.10
  Sollecitazioni: N=561.47 T_z=-262.00
  V,Ed=-262.00 Vc,Rd=7560.76 V,Ed/Vc,Rd=0.03

Asta n. 4499 (-559 4294) briglie 50x10 Crit. 1

- Verifica di stabilità aste inflesse (4.2.4.1.3.2) CC 18 SLU - Classe 3
  L_{cr}=0.22 Curva d: α_{imp}=0.76 k_c=0.94 ψ=2.15 M,cr=0.00 λ_{LT}=0.00
  $\lambda_{LT,0}$=0.20 β_{LT}=1.00 Φ_{LT}=0.00 β_{LT}=1.00 f=0.00 χ_{LT}=1.00
  CC 18 SLU My,Ed=49.79 My,b,Rd=109.13 My,Ed/My,b,Rd=0.46

- Verifica di stabilità aste presso-inflesse (C4.2.4.1.3.3.1) - CC 5 SLV - Classe 3
  Sollecitazioni: N,Ed=-416.73 Myeq,Ed=17.25 Mzeq,Ed=0.09
  Resistenze: Nc,Rd=13095.20 My,c,Rd=109.13 Mz,c,Rd=21.83 L=21.63
  λ_Y=14.99 Ncr,y=461315.00 λ^*_y=0.17 Curva c: Φ_y=0.51 χ_y=1.00
  λ_Z=74.94 Ncr,z=18452.60 λ^*_z=0.86 Curva c: Φ_z=1.04 χ_z=0.62
  χ,min=0.62
  Verifica: 0.03+0.16+0.00=0.19

- Verifica Freccia massima per soli carichi accidentali - CC 24
  $f_{Z,L}$=0.00 (L/10550)

- Verifica Freccia massima carichi totali - CC 24
  $f_{Z,L}$=0.00 (L/7088)

- Verifica in termini tensionali [4.2.4] - CC 18 SLU Xl=0.22 - Classe 3
  Sollecitazioni: N=1850.04 T_z=-324.12 M_y=49.79
  Tensioni: σ_N=370.01 σ_M=1195.04 τ=0.00 σ_{max}=1565.05
  Tensioni: σ_N=370.01 σ_M=-0.00 τ=97.24 τ_{max}=97.24
  Tensioni: σ_N=370.01 σ_M=1195.04 τ=0.00 $\sigma_{ID,max}$=1565.05

- Verifica a taglio dir. Z [4.2.16] - CC 18 SLU Xl=0.06
  Sollecitazioni: N=1851.63 T_z=-304.48
  V,Ed=-304.48 Vc,Rd=7560.76 V,Ed/Vc,Rd=0.04

Asta n. 4499 (4294 -543) briglie 50x10 Crit. 1

- Verifica di stabilità aste inflesse (4.2.4.1.3.2) CC 9 SLU - Classe 3
  L_{cr}=0.17 Curva d: α_{imp}=0.76 k_c=0.94 ψ=2.18 M,cr=0.00 λ_{LT}=0.00
  $\lambda_{LT,0}$=0.20 β_{LT}=1.00 Φ_{LT}=0.00 β_{LT}=1.00 f=0.00 χ_{LT}=1.00
  CC 9 SLU My,Ed=5.63 My,b,Rd=109.13 My,Ed/My,b,Rd=0.05

- Verifica di stabilità aste presso-inflesse (C4.2.4.1.3.3.1) - CC 17 SLU - Classe 3
  Sollecitazioni: N,Ed=-57.88 Myeq,Ed=1.42 Mzeq,Ed=0.60
  Resistenze: Nc,Rd=13095.20 My,c,Rd=109.13 Mz,c,Rd=21.83 L=16.72
  λ_Y=11.59 Ncr,y=772147.00 λ^*_y=0.13 Curva c: Φ_y=0.49 χ_y=1.00
  λ_Z=57.92 Ncr,z=30885.90 λ^*_z=0.67 Curva c: Φ_z=0.84 χ_z=0.74
  χ,min=0.74
  Verifica: 0.00+0.01+0.03=0.04

- Verifica in termini tensionali [4.2.4] - CC 9 SLU Xl=0.00 - Classe 3
  Sollecitazioni: N=116.32 T_z=57.35 M_y=5.63 T_y=-4.18
  Tensioni: σ_N=23.26 σ_M=135.04 τ=0.00 σ_{max}=158.30
  Tensioni: σ_N=23.26 σ_M=-0.00 τ=17.25 τ_{max}=17.25
  Tensioni: σ_N=23.26 σ_M=135.04 τ=1.25 $\sigma_{ID,max}$=158.32

- Verifica a taglio dir. Y [4.2.16] - CC 9 SLU Xl=0.09
  Sollecitazioni: N=115.33 T_z=45.22 T_y=-4.18
  V,Ed=-4.18 Vc,Rd=7560.76 V,Ed/Vc,Rd=0.00

- Verifica a taglio dir. Z [4.2.16]
  V,Ed=45.22 Vc,Rd=7560.76 V,Ed/Vc,Rd=0.01

Asta n. 4499 (-543 -527) briglie 50x10 Crit. 1

- Verifica di stabilità aste inflesse (4.2.4.1.3.2) CC 9 SLU - Classe 3
  L_{cr}=0.17 Curva d: α_{imp}=0.76 k_c=0.94 ψ=2.77 M,cr=0.00 λ_{LT}=0.00
  $\lambda_{LT,0}$=0.20 β_{LT}=1.00 Φ_{LT}=0.00 β_{LT}=1.00 f=0.00 χ_{LT}=1.00
  CC 9 SLU My,Ed=1.87 My,b,Rd=109.13 My,Ed/My,b,Rd=0.02

- Verifica di stabilità aste presso-inflesse (C4.2.4.1.3.3.1) - CC 17 SLU - Classe 3
  Sollecitazioni: N,Ed=-41.65 Myeq,Ed=-0.60 Mzeq,Ed=0.58
  Resistenze: Nc,Rd=13095.20 My,c,Rd=109.13 Mz,c,Rd=21.83 L=16.72
  λ_Y=11.59 Ncr,y=772142.00 λ^*_y=0.13 Curva c: Φ_y=0.49 χ_y=1.00
  λ_Z=57.92 Ncr,z=30885.70 λ^*_z=0.67 Curva c: Φ_z=0.84 χ_z=0.74
  χ,min=0.74
  Verifica: 0.00+0.01+0.03=0.04

- Verifica in termini tensionali [4.2.4] - CC 9 SLU Xl=0.00 - Classe 3
  Sollecitazioni: N=59.85 T_z=31.12 M_y=1.87 T_y=-5.28
  Tensioni: σ_N=11.97 σ_M=44.84 τ=0.00 σ_{max}=56.81
  Tensioni: σ_N=11.97 σ_M=-0.00 τ=9.47 τ_{max}=9.47
  Tensioni: σ_N=11.97 σ_M=44.84 τ=1.58 $\sigma_{ID,max}$=56.88

- Verifica a taglio dir. Y [4.2.16] - CC 9 SLU Xl=0.03
  Sollecitazioni: N=59.52 T_z=27.08 T_y=-5.28
  V,Ed=-5.28 Vc,Rd=7560.76 V,Ed/Vc,Rd=0.00

- Verifica a taglio dir. Z [4.2.16]
  V,Ed=27.08 Vc,Rd=7560.76 V,Ed/Vc,Rd=0.00

Asta n. 4499 (-527 3319) briglie 50x10 Crit. 1

- Verifica di stabilità aste inflesse (4.2.4.1.3.2) CC 1 SLV - Classe 3
  L_{cr}=0.17 Curva d: α_{imp}=0.76 k_c=0.94 ψ=2.94 M,cr=0.00 λ_{LT}=0.00
  $\lambda_{LT,0}$=0.20 β_{LT}=1.00 Φ_{LT}=0.00 β_{LT}=1.00 f=0.00 χ_{LT}=1.00
  CC 1 SLV My,Ed=-1.21 My,b,Rd=109.13 My,Ed/My,b,Rd=0.01

- Verifica di stabilità aste presso-inflesse (C4.2.4.1.3.3.1) - CC 17 SLU - Classe 3
  Sollecitazioni: N,Ed=-13.86 Myeq,Ed=0.96 Mzeq,Ed=-0.34
  Resistenze: Nc,Rd=13095.20 My,c,Rd=109.13 Mz,c,Rd=21.83 L=16.72
  λ_Y=11.59 Ncr,y=772147.00 λ^*_y=0.13 Curva c: Φ_y=0.49 χ_y=1.00
  λ_Z=57.92 Ncr,z=30885.90 λ^*_z=0.67 Curva c: Φ_z=0.84 χ_z=0.74
  χ,min=0.74
  Verifica: 0.00+0.01+0.02=0.03

- Verifica in termini tensionali [4.2.4] - CC 1 SLV Xl=0.17 - Classe 3
  Sollecitazioni: N=25.86 T_z=12.16 M_y=-1.21 T_y=-4.25
  Tensioni: σ_N=5.17 σ_M=28.93 τ=0.00 σ_{max}=34.10
  Tensioni: σ_N=5.17 σ_M=0.00 τ=3.86 τ_{max}=3.86
  Tensioni: σ_N=5.17 σ_M=28.93 τ=1.27 $\sigma_{ID,max}$=34.17

- Verifica a taglio dir. Y [4.2.16] - CC 9 SLU Xl=0.02
  Sollecitazioni: N=19.10 T_z=21.77 T_y=-4.96
  V,Ed=-4.96 Vc,Rd=7560.76 V,Ed/Vc,Rd=0.00

- Verifica a taglio dir. Z [4.2.16]
  V,Ed=21.77 Vc,Rd=7560.76 V,Ed/Vc,Rd=0.00

Asta n. 4500 (-792 -784) briglie 50x10 Crit. 1

- Verifica di stabilità aste presso-inflesse (C4.2.4.1.3.3.1) - CC 19 SLU - Classe 3
  Sollecitazioni: N,Ed=-1518.30 Myeq,Ed=4.07 Mzeq,Ed=0.88
  Resistenze: Nc,Rd=13095.20 My,c,Rd=109.13 Mz,c,Rd=21.83 L=21.63
  λ_Y=14.99 Ncr,y=461316.00 λ^*_y=0.17 Curva c: Φ_y=0.51 χ_y=1.00
  λ_Z=74.94 Ncr,z=18452.60 λ^*_z=0.86 Curva c: Φ_z=1.04 χ_z=0.62
  χ,min=0.62
  Verifica: 0.19+0.04+0.04=0.27

- Verifica in termini tensionali [4.2.4] - CC 19 SLU Xl=0.00 - Classe 3
  Sollecitazioni: N=-1518.10 T_z=37.70 M_y=4.07 T_y=-7.63 M_z=1.17
  Tensioni: σ_N=-303.62 σ_M=-237.85 τ=0.00 σ_{max}=-541.47
  Tensioni: σ_N=-303.62 σ_M=-0.00 τ=11.54 τ_{max}=11.54
  Tensioni: σ_N=-303.62 σ_M=-237.85 τ=0.00 $\sigma_{ID,max}$=541.47

Asta n. 4500 (-784 -768) briglie 50x10 Crit. 1

- Verifica di stabilità aste presso-inflesse (C4.2.4.1.3.3.1) - CC 19 SLU - Classe 3
  Sollecitazioni: N,Ed=-1547.10 Myeq,Ed=-4.43 Mzeq,Ed=-0.38
  Resistenze: Nc,Rd=13095.20 My,c,Rd=109.13 Mz,c,Rd=21.83 L=21.63
  λ_Y=14.99 Ncr,y=461316.00 λ^*_y=0.17 Curva c: Φ_y=0.51 χ_y=1.00
  λ_Z=74.94 Ncr,z=18452.60 λ^*_z=0.86 Curva c: Φ_z=1.04 χ_z=0.62
  χ,min=0.62
  Verifica: 0.19+0.04+0.02=0.25

- Verifica in termini tensionali [4.2.4] - CC 19 SLU Xl=0.22 - Classe 3
  Sollecitazioni: N=-1547.10 T_z=30.32 M_y=-5.11
  Tensioni: σ_N=-309.42 σ_M=-122.75 τ=0.00 σ_{max}=-432.17
  Tensioni: σ_N=-309.42 σ_M=0.00 τ=9.10 τ_{max}=9.10

Tensioni: σ_N=-309.42 σ_M=-122.75 τ=0.00 $\sigma_{ID,max}$=432.17

Asta n. 4500 (-768 -752) briglie 50x10 Crit. 1

- Verifica di stabilità aste presso-inflesse (C4.2.4.1.3.3.1) - CC 19 SLU - Classe 3
Sollecitazioni: N,Ed=-1581.15 Myeq,Ed=-4.31 Mzeq,Ed=-0.44
Resistenze: Nc,Rd=13095.20 My,c,Rd=109.13 Mz,c,Rd=21.83 L=21.63
λ_Y=14.99 Ncr,y=461316.00 λ^*_y=0.17 Curva c: Φ_y=0.51 χ_y=1.00
λ_Z=74.94 Ncr,z=18452.60 λ^*_z=0.86 Curva c: Φ_z=1.04 χ_z=0.62
χ,min=0.62
Verifica: 0.19+0.04+0.02=0.26

- Verifica in termini tensionali [4.2.4] - CC 19 SLU Xl=0.22 - Classe 3
Sollecitazioni: N=-1581.15 T_z=29.46 M_y=-5.52 T_y=2.48
Tensioni: σ_N=-316.23 σ_M=-132.46 τ=0.00 σ_{max}=-448.69
Tensioni: σ_N=-316.23 σ_M=0.00 τ=8.87 τ_{max}=8.87
Tensioni: σ_N=-316.23 σ_M=-132.46 τ=0.74 $\sigma_{ID,max}$=448.69

Asta n. 4500 (-752 -736) briglie 50x10 Crit. 1

- Verifica di stabilità aste presso-inflesse (C4.2.4.1.3.3.1) - CC 19 SLU - Classe 3
Sollecitazioni: N,Ed=-1612.19 Myeq,Ed=-5.02 Mzeq,Ed=0.74
Resistenze: Nc,Rd=13095.20 My,c,Rd=109.13 Mz,c,Rd=21.83 L=21.63
λ_Y=14.99 Ncr,y=461317.00 λ^*_y=0.17 Curva c: Φ_y=0.51 χ_y=1.00
λ_Z=74.94 Ncr,z=18452.70 λ^*_z=0.86 Curva c: Φ_z=1.04 χ_z=0.62
χ,min=0.62
Verifica: 0.20+0.05+0.04=0.28

- Verifica in termini tensionali [4.2.4] - CC 17 SLU Xl=0.22 - Classe 3
Sollecitazioni: N=-942.23 T_z=16.03 M_y=-3.73 T_y=11.45 M_z=1.63 M_x=-1.34
Tensioni: σ_N=-188.45 σ_M=-285.64 τ=79.38 σ_{max}=-474.08
Tensioni: σ_N=-188.45 σ_M=196.09 τ=94.94 τ_{max}=94.94
Tensioni: σ_N=-188.45 σ_M=-285.64 τ=79.38 $\sigma_{ID,max}$=493.62

Asta n. 4500 (-736 -720) briglie 50x10 Crit. 1

- Verifica di stabilità aste presso-inflesse (C4.2.4.1.3.3.1) - CC 19 SLU - Classe 3
Sollecitazioni: N,Ed=-1630.66 Myeq,Ed=-4.33 Mzeq,Ed=0.85
Resistenze: Nc,Rd=13095.20 My,c,Rd=109.13 Mz,c,Rd=21.83 L=21.63
λ_Y=14.99 Ncr,y=461317.00 λ^*_y=0.17 Curva c: Φ_y=0.51 χ_y=1.00
λ_Z=74.94 Ncr,z=18452.70 λ^*_z=0.86 Curva c: Φ_z=1.04 χ_z=0.62
χ,min=0.62
Verifica: 0.20+0.04+0.04=0.28

- Verifica in termini tensionali [4.2.4] - CC 19 SLU Xl=0.00 - Classe 3
Sollecitazioni: N=-1630.47 T_z=-20.67 M_y=-5.70 T_y=-7.40 M_z=1.12
Tensioni: σ_N=-326.09 σ_M=-270.99 τ=0.00 σ_{max}=-597.08
Tensioni: σ_N=-326.09 σ_M=0.00 τ=6.59 τ_{max}=6.59
Tensioni: σ_N=-326.09 σ_M=-270.99 τ=0.00 $\sigma_{ID,max}$=597.08

Asta n. 4500 (-720 -704) briglie 50x10 Crit. 1

- Verifica di stabilità aste presso-inflesse (C4.2.4.1.3.3.1) - CC 19 SLU - Classe 3
Sollecitazioni: N,Ed=-1604.39 Myeq,Ed=-3.78 Mzeq,Ed=-0.35
Resistenze: Nc,Rd=13095.20 My,c,Rd=109.13 Mz,c,Rd=21.83 L=21.63
λ_Y=14.99 Ncr,y=461315.00 λ^*_y=0.17 Curva c: Φ_y=0.51 χ_y=1.00
λ_Z=74.94 Ncr,z=18452.60 λ^*_z=0.86 Curva c: Φ_z=1.04 χ_z=0.62
χ,min=0.62
Verifica: 0.20+0.03+0.02=0.25

- Verifica in termini tensionali [4.2.4] - CC 18 SLU Xl=0.00 - Classe 3
  Sollecitazioni: N=-1458.55 T_z=-50.93 M_y=-7.69
  Tensioni: σ_N=-291.71 σ_M=-184.51 τ=0.00 σ_{max}=-476.22
  Tensioni: σ_N=-291.71 σ_M=0.00 τ=15.28 τ_{max}=15.28
  Tensioni: σ_N=-291.71 σ_M=-184.51 τ=0.00 $\sigma_{ID,max}$=476.22

Asta n. 4500 (-704 -688) briglie 50x10 Crit. 1

- Verifica di stabilità aste presso-inflesse (C4.2.4.1.3.3.1) - CC 19 SLU - Classe 3
  Sollecitazioni: N,Ed=-1564.94 Myeq,Ed=-4.19 Mzeq,Ed=-0.42
  Resistenze: Nc,Rd=13095.20 My,c,Rd=109.13 Mz,c,Rd=21.83 L=21.63
  λ_Y=14.99 Ncr,y=461315.00 λ^*_y=0.17 Curva c: Φ_y=0.51 χ_y=1.00
  λ_Z=74.94 Ncr,z=18452.60 λ^*_z=0.86 Curva c: Φ_z=1.04 χ_z=0.62
  χ,min=0.62
  Verifica: 0.19+0.04+0.02=0.25

- Verifica in termini tensionali [4.2.4] - CC 18 SLU Xl=0.00 - Classe 3
  Sollecitazioni: N=-1377.89 T_z=-57.15 M_y=-8.30
  Tensioni: σ_N=-275.58 σ_M=-199.30 τ=0.00 σ_{max}=-474.88
  Tensioni: σ_N=-275.58 σ_M=0.00 τ=17.15 τ_{max}=17.15
  Tensioni: σ_N=-275.58 σ_M=-199.30 τ=0.00 $\sigma_{ID,max}$=474.88

Asta n. 4500 (-688 -672) briglie 50x10 Crit. 1

- Verifica di stabilità aste presso-inflesse (C4.2.4.1.3.3.1) - CC 19 SLU - Classe 3
  Sollecitazioni: N,Ed=-1509.87 Myeq,Ed=-5.12 Mzeq,Ed=0.69
  Resistenze: Nc,Rd=13095.20 My,c,Rd=109.13 Mz,c,Rd=21.83 L=21.63
  λ_Y=14.99 Ncr,y=461317.00 λ^*_y=0.17 Curva c: Φ_y=0.51 χ_y=1.00
  λ_Z=74.94 Ncr,z=18452.70 λ^*_z=0.86 Curva c: Φ_z=1.04 χ_z=0.62
  χ,min=0.62
  Verifica: 0.19+0.05+0.03=0.27

- Verifica in termini tensionali [4.2.4] - CC 18 SLU Xl=0.00 - Classe 3
  Sollecitazioni: N=-1278.06 T_z=-62.17 M_y=-9.48
  Tensioni: σ_N=-255.61 σ_M=-227.50 τ=0.00 σ_{max}=-483.12
  Tensioni: σ_N=-255.61 σ_M=0.00 τ=18.65 τ_{max}=18.65
  Tensioni: σ_N=-255.61 σ_M=-227.50 τ=0.00 $\sigma_{ID,max}$=483.12

Asta n. 4500 (-672 -656) briglie 50x10 Crit. 1

- Verifica di stabilità aste presso-inflesse (C4.2.4.1.3.3.1) - CC 19 SLU - Classe 3
  Sollecitazioni: N,Ed=-1418.83 Myeq,Ed=-12.89 Mzeq,Ed=0.80
  Resistenze: Nc,Rd=13095.20 My,c,Rd=109.13 Mz,c,Rd=21.83 L=21.63
  λ_Y=14.99 Ncr,y=461317.00 λ^*_y=0.17 Curva c: Φ_y=0.51 χ_y=1.00
  λ_Z=74.94 Ncr,z=18452.70 λ^*_z=0.86 Curva c: Φ_z=1.04 χ_z=0.62
  χ,min=0.62
  Verifica: 0.17+0.12+0.04=0.33

- Verifica in termini tensionali [4.2.4] - CC 19 SLU Xl=0.00 - Classe 3
  Sollecitazioni: N=-1418.63 T_z=-90.44 M_y=-13.01 T_y=-6.95 M_z=1.06
  Tensioni: σ_N=-283.73 σ_M=-439.72 τ=0.00 σ_{max}=-723.45
  Tensioni: σ_N=-283.73 σ_M=0.00 τ=27.21 τ_{max}=27.21
  Tensioni: σ_N=-283.73 σ_M=-439.72 τ=0.00 $\sigma_{ID,max}$=723.45

Asta n. 4500 (-656 -640) briglie 50x10 Crit. 1

- Verifica di stabilità aste presso-inflesse (C4.2.4.1.3.3.1) - CC 19 SLU - Classe 3
  Sollecitazioni: N,Ed=-1256.44 Myeq,Ed=-12.82 Mzeq,Ed=-0.32

Resistenze: Nc,Rd=13095.20 My,c,Rd=109.13 Mz,c,Rd=21.83 L=21.63
λ_Y=14.99 Ncr,y=461317.00 λ^*_y=0.17 Curva c: Φ_y=0.51 χ_y=1.00
λ_Z=74.94 Ncr,z=18452.70 λ^*_z=0.86 Curva c: Φ_z=1.04 χ_z=0.62
χ,min=0.62
Verifica: 0.15+0.12+0.02=0.29

- Verifica in termini tensionali [4.2.4] - CC 19 SLU Xl=0.00 - Classe 3
Sollecitazioni: N=-1256.25 T_z=-98.48 M_y=-12.82 T_y=-2.88
Tensioni: σ_N=-251.25 σ_M=-307.70 τ=0.00 σ_{max}=-558.95
Tensioni: σ_N=-251.25 σ_M=0.00 τ=29.56 τ_{max}=29.56
Tensioni: σ_N=-251.25 σ_M=-307.70 τ=0.86 $\sigma_{ID,max}$=558.95

Asta n. 4500 (-640 -624) briglie 50x10 Crit. 1

- Verifica di stabilità aste inflesse (4.2.4.1.3.2) CC 5 SLV - Classe 3
L_{cr}=0.22 Curva d: α_{imp}=0.76 k_c=0.94 ψ=2.94 M,cr=0.00 λ_{LT}=0.00
$\lambda_{LT,0}$=0.20 β_{LT}=1.00 Φ_{LT}=0.00 β_{LT}=1.00 f=0.00 χ_{LT}=1.00
CC 5 SLV My,Ed=6.99 My,b,Rd=109.13 My,Ed/My,b,Rd=0.06

- Verifica di stabilità aste presso-inflesse (C4.2.4.1.3.3.1) - CC 19 SLU - Classe 3
Sollecitazioni: N,Ed=-1056.40 Myeq,Ed=-13.71 Mzeq,Ed=-0.36
Resistenze: Nc,Rd=13095.20 My,c,Rd=109.13 Mz,c,Rd=21.83 L=21.63
λ_Y=14.99 Ncr,y=461313.00 λ^*_y=0.17 Curva c: Φ_y=0.51 χ_y=1.00
λ_Z=74.94 Ncr,z=18452.50 λ^*_z=0.86 Curva c: Φ_z=1.04 χ_z=0.62
χ,min=0.62
Verifica: 0.13+0.13+0.02=0.27

- Verifica in termini tensionali [4.2.4] - CC 19 SLU Xl=0.00 - Classe 3
Sollecitazioni: N=-1056.20 T_z=-109.56 M_y=-13.71
Tensioni: σ_N=-211.24 σ_M=-329.02 τ=0.00 σ_{max}=-540.26
Tensioni: σ_N=-211.24 σ_M=0.00 τ=32.87 τ_{max}=32.87
Tensioni: σ_N=-211.24 σ_M=-329.02 τ=0.00 $\sigma_{ID,max}$=540.26

Asta n. 4500 (-624 -608) briglie 50x10 Crit. 1

- Verifica di stabilità aste inflesse (4.2.4.1.3.2) CC 16 SLU - Classe 3
L_{cr}=0.22 Curva d: α_{imp}=0.76 k_c=0.94 ψ=2.91 M,cr=0.00 λ_{LT}=0.00
$\lambda_{LT,0}$=0.20 β_{LT}=1.00 Φ_{LT}=0.00 β_{LT}=1.00 f=0.00 χ_{LT}=1.00
CC 16 SLU My,Ed=13.09 My,b,Rd=109.13 My,Ed/My,b,Rd=0.12

- Verifica di stabilità aste presso-inflesse (C4.2.4.1.3.3.1) - CC 19 SLU - Classe 3
Sollecitazioni: N,Ed=-810.30 Myeq,Ed=-15.18 Mzeq,Ed=0.66
Resistenze: Nc,Rd=13095.20 My,c,Rd=109.13 Mz,c,Rd=21.83 L=21.63
λ_Y=14.99 Ncr,y=461317.00 λ^*_y=0.17 Curva c: Φ_y=0.51 χ_y=1.00
λ_Z=74.94 Ncr,z=18452.70 λ^*_z=0.86 Curva c: Φ_z=1.04 χ_z=0.62
χ,min=0.62
Verifica: 0.10+0.14+0.03=0.27

- Verifica in termini tensionali [4.2.4] - CC 19 SLU Xl=0.00 - Classe 3
Sollecitazioni: N=-810.10 T_z=-120.42 M_y=-15.18 T_y=3.33
Tensioni: σ_N=-162.02 σ_M=-364.36 τ=0.00 σ_{max}=-526.38
Tensioni: σ_N=-162.02 σ_M=0.00 τ=36.14 τ_{max}=36.14
Tensioni: σ_N=-162.02 σ_M=-364.36 τ=1.00 $\sigma_{ID,max}$=526.38

- Verifica a taglio dir. Z [4.2.16] - CC 16 SLU Xl=0.10
Sollecitazioni: N=189.66 T_z=-113.94
V,Ed=-113.94 Vc,Rd=7560.76 V,Ed/Vc,Rd=0.02

Asta n. 4500 (-608 -592) briglie 50x10 Crit. 1

- Verifica di stabilità aste inflesse (4.2.4.1.3.2) CC 20 SLU - Classe 3
  L_{cr}=0.22 Curva d: α_{imp}=0.76 k_c=0.94 ψ=3.00 M,cr=0.00 λ_{LT}=0.00
  $\lambda_{LT,0}$=0.20 β_{LT}=1.00 Φ_{LT}=0.00 β_{LT}=1.00 f=0.00 χ_{LT}=1.00
  CC 20 SLU My,Ed=17.78 My,b,Rd=109.13 My,Ed/My,b,Rd=0.16

- Verifica di stabilità aste presso-inflesse (C4.2.4.1.3.3.1) - CC 19 SLU - Classe 3
  Sollecitazioni: N,Ed=-470.41 Myeq,Ed=-21.29 Mzeq,Ed=0.70
  Resistenze: Nc,Rd=13095.20 My,c,Rd=109.13 Mz,c,Rd=21.83 L=21.63
  λ_Y=14.99 Ncr,y=461317.00 λ^*_y=0.17 Curva c: Φ_y=0.51 χ_y=1.00
  λ_Z=74.94 Ncr,z=18452.70 λ^*_z=0.86 Curva c: Φ_z=1.04 χ_z=0.62
  χ,min=0.62
  Verifica: 0.04+0.20+0.03=0.26

- Verifica in termini tensionali [4.2.4] - CC 19 SLU Xl=0.00 - Classe 3
  Sollecitazioni: N=-470.21 T_z=-186.10 M_y=-21.29 T_y=-6.35
  Tensioni: σ_N=-94.04 σ_M=-511.04 τ=0.00 σ_{max}=-605.09
  Tensioni: σ_N=-94.04 σ_M=0.00 τ=55.86 τ_{max}=55.86
  Tensioni: σ_N=-94.04 σ_M=-511.04 τ=1.91 $\sigma_{ID,max}$=605.10

- Verifica a taglio dir. Z [4.2.16] - CC 16 SLU Xl=0.10
  Sollecitazioni: N=457.63 T_z=-131.16
  V,Ed=-131.16 Vc,Rd=7560.76 V,Ed/Vc,Rd=0.02

Asta n. 4500 (-592 -576) briglie 50x10 Crit. 1

- Verifica di stabilità aste inflesse (4.2.4.1.3.2) CC 18 SLU - Classe 3
  L_{cr}=0.22 Curva d: α_{imp}=0.76 k_c=0.94 ψ=2.83 M,cr=0.00 λ_{LT}=0.00
  $\lambda_{LT,0}$=0.20 β_{LT}=1.00 Φ_{LT}=0.00 β_{LT}=1.00 f=0.00 χ_{LT}=1.00
  CC 18 SLU My,Ed=26.19 My,b,Rd=109.13 My,Ed/My,b,Rd=0.24

- Verifica di stabilità aste presso-inflesse (C4.2.4.1.3.3.1) - CC 5 SLV - Classe 3
  Sollecitazioni: N,Ed=-554.34 Myeq,Ed=12.05 Mzeq,Ed=-0.04
  Resistenze: Nc,Rd=13095.20 My,c,Rd=109.13 Mz,c,Rd=21.83 L=21.63
  λ_Y=14.99 Ncr,y=461317.00 λ^*_y=0.17 Curva c: Φ_y=0.51 χ_y=1.00
  λ_Z=74.94 Ncr,z=18452.70 λ^*_z=0.86 Curva c: Φ_z=1.04 χ_z=0.62
  χ,min=0.62
  Verifica: 0.04+0.11+0.00=0.15

- Verifica in termini tensionali [4.2.4] - CC 18 SLU Xl=0.22 - Classe 3
  Sollecitazioni: N=477.13 T_z=-222.42 M_y=26.19
  Tensioni: σ_N=95.43 σ_M=628.56 τ=0.00 σ_{max}=723.98
  Tensioni: σ_N=95.43 σ_M=-0.00 τ=66.73 τ_{max}=66.73
  Tensioni: σ_N=95.43 σ_M=628.56 τ=0.00 $\sigma_{ID,max}$=723.98

- Verifica a taglio dir. Z [4.2.16] - CC 18 SLU Xl=0.10
  Sollecitazioni: N=477.22 T_z=-221.29
  V,Ed=-221.29 Vc,Rd=7560.76 V,Ed/Vc,Rd=0.03

Asta n. 4500 (-576 -560) briglie 50x10 Crit. 1

- Verifica di stabilità aste inflesse (4.2.4.1.3.2) CC 18 SLU - Classe 3
  L_{cr}=0.22 Curva d: α_{imp}=0.76 k_c=0.94 ψ=2.59 M,cr=0.00 λ_{LT}=0.00
  $\lambda_{LT,0}$=0.20 β_{LT}=1.00 Φ_{LT}=0.00 β_{LT}=1.00 f=0.00 χ_{LT}=1.00
  CC 18 SLU My,Ed=32.40 My,b,Rd=109.13 My,Ed/My,b,Rd=0.30

- Verifica di stabilità aste presso-inflesse (C4.2.4.1.3.3.1) - CC 5 SLV - Classe 3
  Sollecitazioni: N,Ed=-515.40 Myeq,Ed=14.91 Mzeq,Ed=0.03
  Resistenze: Nc,Rd=13095.20 My,c,Rd=109.13 Mz,c,Rd=21.83 L=21.63

λ_Y=14.99 Ncr,y=461317.00 λ^*_y=0.17 Curva c: Φ_y=0.51 χ_y=1.00
λ_Z=74.94 Ncr,z=18452.70 λ^*_z=0.86 Curva c: Φ_z=1.04 χ_z=0.62
χ,min=0.62
Verifica: 0.04+0.14+0.00=0.18

- Verifica Freccia massima carichi totali - CC 24
$f_{Z,L}$=0.00 (L/15918)

- Verifica in termini tensionali [4.2.4] - CC 18 SLU Xl=0.22 - Classe 3
Sollecitazioni: N=1095.22 T_z=-251.70 M_y=32.40
Tensioni: σ_N=219.04 σ_M=777.51 τ=0.00 σ_{max}=996.55
Tensioni: σ_N=219.04 σ_M=-0.00 τ=75.51 τ_{max}=75.51
Tensioni: σ_N=219.04 σ_M=777.51 τ=0.00 $\sigma_{ID,max}$=996.55

- Verifica a taglio dir. Z [4.2.16] - CC 10 SLU Xl=0.10
Sollecitazioni: N=452.56 T_z=-180.10
V,Ed=-180.10 Vc,Rd=7560.76 V,Ed/Vc,Rd=0.02

Asta n. 4500 (-560 4296) briglie 50x10 Crit. 1

- Verifica di stabilità aste inflesse (4.2.4.1.3.2) CC 18 SLU - Classe 3
L_{cr}=0.22 Curva d: α_{imp}=0.76 k_c=0.94 ψ=2.14 M,cr=0.00 λ_{LT}=0.00
$\lambda_{LT,0}$=0.20 β_{LT}=1.00 Φ_{LT}=0.00 β_{LT}=1.00 f=0.00 χ_{LT}=1.00
CC 18 SLU My,Ed=43.07 My,b,Rd=109.13 My,Ed/My,b,Rd=0.39

- Verifica di stabilità aste presso-inflesse (C4.2.4.1.3.3.1) - CC 5 SLV - Classe 3
Sollecitazioni: N,Ed=-462.67 Myeq,Ed=15.69 Mzeq,Ed=0.09
Resistenze: Nc,Rd=13095.20 My,c,Rd=109.13 Mz,c,Rd=21.83 L=21.63
λ_Y=14.99 Ncr,y=461315.00 λ^*_y=0.17 Curva c: Φ_y=0.51 χ_y=1.00
λ_Z=74.94 Ncr,z=18452.60 λ^*_z=0.86 Curva c: Φ_z=1.04 χ_z=0.62
χ,min=0.62
Verifica: 0.04+0.14+0.00=0.18

- Verifica Freccia massima per soli carichi accidentali - CC 24
$f_{Z,L}$=0.00 (L/11632)

- Verifica Freccia massima carichi totali - CC 24
$f_{Z,L}$=0.00 (L/7959)

- Verifica in termini tensionali [4.2.4] - CC 18 SLU Xl=0.22 - Classe 3
Sollecitazioni: N=1781.65 T_z=-267.42 M_y=43.07
Tensioni: σ_N=356.33 σ_M=1033.76 τ=0.00 σ_{max}=1390.09
Tensioni: σ_N=356.33 σ_M=-0.00 τ=80.23 τ_{max}=80.23
Tensioni: σ_N=356.33 σ_M=1033.76 τ=0.00 $\sigma_{ID,max}$=1390.09

- Verifica a taglio dir. Y [4.2.16] - CC 19 SLU Xl=0.06
Sollecitazioni: N=1243.18 T_z=-253.43 T_y=3.52
V,Ed=3.52 Vc,Rd=7560.76 V,Ed/Vc,Rd=0.00

- Verifica a taglio dir. Z [4.2.16]
V,Ed=-253.43 Vc,Rd=7560.76 V,Ed/Vc,Rd=0.03

Asta n. 4500 (4296 -544) briglie 50x10 Crit. 1

- Verifica di stabilità aste inflesse (4.2.4.1.3.2) CC 19 SLU - Classe 3
L_{cr}=0.17 Curva d: α_{imp}=0.76 k_c=0.94 ψ=2.14 M,cr=0.00 λ_{LT}=0.00
$\lambda_{LT,0}$=0.20 β_{LT}=1.00 Φ_{LT}=0.00 β_{LT}=1.00 f=0.00 χ_{LT}=1.00
CC 19 SLU My,Ed=4.63 My,b,Rd=109.13 My,Ed/My,b,Rd=0.04

- Verifica di stabilità aste presso-inflesse (C4.2.4.1.3.3.1) - CC 1 SLV - Classe 3
  Sollecitazioni: N,Ed=-15.60 Myeq,Ed=1.66 Mzeq,Ed=0.38
  Resistenze: Nc,Rd=13095.20 My,c,Rd=109.13 Mz,c,Rd=21.83 L=16.72
  λ_Y=11.59 Ncr,y=772147.00 λ^*_y=0.13 Curva c: Φ_y=0.49 χ_y=1.00
  λ_Z=57.92 Ncr,z=30885.90 λ^*_z=0.67 Curva c: Φ_z=0.84 χ_z=0.74
  χ,min=0.74
  Verifica: 0.00+0.02+0.02=0.03

- Verifica in termini tensionali [4.2.4] - CC 19 SLU Xl=0.00 - Classe 3
  Sollecitazioni: N=228.36 T_z=37.98 M_y=4.63 T_y=-9.03
  Tensioni: σ_N=45.67 σ_M=111.19 τ=0.00 σ_{max}=156.86
  Tensioni: σ_N=45.67 σ_M=-0.00 τ=11.71 τ_{max}=11.71
  Tensioni: σ_N=45.67 σ_M=111.19 τ=2.71 $\sigma_{ID,max}$=156.93

- Verifica a taglio dir. Y [4.2.16] - CC 19 SLU Xl=0.11
  Sollecitazioni: N=228.28 T_z=36.93 T_y=-7.69
  V,Ed=-7.69 Vc,Rd=7560.76 V,Ed/Vc,Rd=0.00

- Verifica a taglio dir. Z [4.2.16]
  V,Ed=36.93 Vc,Rd=7560.76 V,Ed/Vc,Rd=0.00

Asta n. 4500 (-544 -528) briglie 50x10 Crit. 1

- Verifica di stabilità aste inflesse (4.2.4.1.3.2) CC 17 SLU - Classe 3
  L_{cr}=0.17 Curva d: α_{imp}=0.76 k_c=0.94 ψ=2.62 M,cr=0.00 λ_{LT}=0.00
  $\lambda_{LT,0}$=0.20 β_{LT}=1.00 Φ_{LT}=0.00 β_{LT}=1.00 f=0.00 χ_{LT}=1.00
  CC 17 SLU My,Ed=2.43 My,b,Rd=109.13 My,Ed/My,b,Rd=0.02

- Verifica di stabilità aste presso-inflesse (C4.2.4.1.3.3.1) - CC 1 SLV - Classe 3
  Sollecitazioni: N,Ed=-7.92 Myeq,Ed=0.97 Mzeq,Ed=0.39
  Resistenze: Nc,Rd=13095.20 My,c,Rd=109.13 Mz,c,Rd=21.83 L=16.72
  λ_Y=11.59 Ncr,y=772142.00 λ^*_y=0.13 Curva c: Φ_y=0.49 χ_y=1.00
  λ_Z=57.92 Ncr,z=30885.70 λ^*_z=0.67 Curva c: Φ_z=0.84 χ_z=0.74
  χ,min=0.74
  Verifica: 0.00+0.01+0.02=0.03

- Verifica in termini tensionali [4.2.4] - CC 17 SLU Xl=0.00 - Classe 3
  Sollecitazioni: N=139.67 T_z=25.14 M_y=2.43 T_y=-8.56
  Tensioni: σ_N=27.93 σ_M=58.25 τ=0.00 σ_{max}=86.18
  Tensioni: σ_N=27.93 σ_M=-0.00 τ=7.97 τ_{max}=7.97
  Tensioni: σ_N=27.93 σ_M=58.25 τ=2.57 $\sigma_{ID,max}$=86.30

- Verifica a taglio dir. Y [4.2.16] - CC 17 SLU Xl=0.06
  Sollecitazioni: N=139.63 T_z=24.70 T_y=-7.28
  V,Ed=-7.28 Vc,Rd=7560.76 V,Ed/Vc,Rd=0.00

- Verifica a taglio dir. Z [4.2.16]
  V,Ed=24.70 Vc,Rd=7560.76 V,Ed/Vc,Rd=0.00

Asta n. 4500 (-528 3320) briglie 50x10 Crit. 1

- Verifica di stabilità aste inflesse (4.2.4.1.3.2) CC 17 SLU - Classe 3
  L_{cr}=0.17 Curva d: α_{imp}=0.76 k_c=0.94 ψ=2.92 M,cr=0.00 λ_{LT}=0.00
  $\lambda_{LT,0}$=0.20 β_{LT}=1.00 Φ_{LT}=0.00 β_{LT}=1.00 f=0.00 χ_{LT}=1.00
  CC 17 SLU My,Ed=-2.36 My,b,Rd=109.13 My,Ed/My,b,Rd=0.02

- Verifica di stabilità aste presso-inflesse (C4.2.4.1.3.3.1) - CC 1 SLV - Classe 3
  Sollecitazioni: N,Ed=-1.18 Myeq,Ed=-0.85 Mzeq,Ed=0.34
  Resistenze: Nc,Rd=13095.20 My,c,Rd=109.13 Mz,c,Rd=21.83 L=16.72

λ_Y=11.59 Ncr,y=772147.00 λ^*_y=0.13 Curva c: Φ_y=0.49 χ_y=1.00
λ_Z=57.92 Ncr,z=30885.90 λ^*_z=0.67 Curva c: Φ_z=0.84 χ_z=0.74
χ,min=0.74
Verifica: 0.00+0.01+0.02=0.02

- Verifica in termini tensionali [4.2.4] - CC 17 SLU Xl=0.17 - Classe 3
Sollecitazioni: N=50.62 T_z=26.09 M_y=-2.36 T_y=-2.13
Tensioni: σ_N=10.12 σ_M=56.68 τ=0.00 σ_{max}=66.80
Tensioni: σ_N=10.12 σ_M=0.00 τ=7.85 τ_{max}=7.85
Tensioni: σ_N=10.12 σ_M=56.68 τ=0.64 $\sigma_{ID,max}$=66.81

- Verifica a taglio dir. Y [4.2.16] - CC 17 SLU Xl=0.05
Sollecitazioni: N=50.69 T_z=26.97 T_y=-4.68
V,Ed=-4.68 Vc,Rd=7560.76 V,Ed/Vc,Rd=0.00

- Verifica a taglio dir. Z [4.2.16]
V,Ed=26.97 Vc,Rd=7560.76 V,Ed/Vc,Rd=0.00

Asta n. 6002 (-513 -514) arcarecci T 120x60x10 Crit. 1

- Verifica di stabilità aste presso-inflesse (C4.2.4.1.3.3.1) - CC 18 SLU - Classe 3
Sollecitazioni: N,Ed=-0.80 Myeq,Ed=-0.04 Mzeq,Ed=-1.24
Resistenze: Nc,Rd=44512.60 My,c,Rd=862.52 Mz,c,Rd=164.81 L=12.00
λ_Y=3.12 Ncr,y=36117100.00 λ^*_y=0.04 Curva c: Φ_y=0.00 χ_y=1.00
λ_Z=11.39 Ncr,z=2717260.00 λ^*_z=0.13 Curva c: Φ_z=0.00 χ_z=1.00
χ,min=1.00
Verifica: 0.00+0.00+0.01=0.01

- Verifica a flessione [4.2.13] - CC 18 SLU Xl=0.12 - Classe 3
Sollecitazioni: T_y=-18.65 M_z=-1.24
Mz,Ed=-1.24 Mz,c,Rd=164.81 Mz,Ed/Mz,c,Rd=0.01

- Verifica a taglio dir. Y [4.2.16] - CC 18 SLU Xl=0.01
Sollecitazioni: T_y=-18.65
V,Ed=-18.65 Vc,Rd=9072.91 V,Ed/Vc,Rd=0.00

Asta n. 6003 (-529 -530) collegamenti 50x10 Crit. 1

- Verifica di stabilità aste inflesse (4.2.4.1.3.2) CC 1 SLV - Classe 3
L_{cr}=0.12 Curva d: α_{imp}=0.76 k_c=0.94 ψ=2.01 M,cr=0.00 λ_{LT}=0.00
$\lambda_{LT,0}$=0.20 β_{LT}=1.00 Φ_{LT}=0.00 β_{LT}=1.00 f=0.00 χ_{LT}=1.00
CC 1 SLV My,Ed=0.09 My,b,Rd=109.13 My,Ed/My,b,Rd=0.00

- Verifica di stabilità aste presso-inflesse (C4.2.4.1.3.3.1) - CC 17 SLU - Classe 3
Sollecitazioni: N,Ed=-2.57 Myeq,Ed=-0.22 Mzeq,Ed=0.28
Resistenze: Nc,Rd=13095.20 My,c,Rd=109.13 Mz,c,Rd=21.83 L=12.00
λ_Y=8.31 Ncr,y=1499290.00 λ^*_y=0.10 Curva c: Φ_y=0.48 χ_y=1.00
λ_Z=41.57 Ncr,z=59971.60 λ^*_z=0.48 Curva c: Φ_z=0.68 χ_z=0.85
χ,min=0.85
Verifica: 0.00+0.00+0.01=0.02

- Verifica a compressione [4.2.9] - CC 17 SLU Xl=0.00 - Classe 3
Sollecitazioni: N=-2.57 T_z=1.57 T_y=4.66
N,Ed=-2.57 Nc,Rd=-13095.20 N,Ed/Nc,Rd=0.00

- Verifica a taglio dir. Y [4.2.16] - CC 18 SLU Xl=0.00
Sollecitazioni: T_z=-1.53 T_y=-10.30
V,Ed=-10.30 Vc,Rd=7560.76 V,Ed/Vc,Rd=0.00

- Verifica a taglio dir. Z [4.2.16]

V,Ed=-1.53 Vc,Rd=7560.76 V,Ed/Vc,Rd=0.00

Asta n. 6004 (313 314) angolari L50x10 Crit. 1

- Verifica di stabilità aste presso-inflesse (C4.2.4.1.3.3.1) - CC 17 SLU - Classe 3
Sollecitazioni: N,Ed=-11.05 Myeq,Ed=0.95 Mzeq,Ed=0.31
Resistenze: Nc,Rd=23709.20 My,c,Rd=149.05 Mz,c,Rd=149.05 L=15.00
λ_c=8.19 Ncr,y=2794040.00 λ^*_y=0.09 Curva b: Φ_y=0.00 χ_y=1.00
λ_e=15.58 Ncr,z=772688.00 λ^*_z=0.18 Curva b: Φ_z=0.00 χ_z=1.00
χ,min=1.00
Verifica: 0.00+0.01+0.00=0.01

- Verifica in termini tensionali [4.2.4] - CC 17 SLU Xl=0.02 - Classe 3
Sollecitazioni: N=-11.05 T_z=6.61 M_y=1.13 T_y=-3.05
Tensioni: σ_N=-1.22 σ_M=24.65 τ=0.32 σ_{max}=23.43
Tensioni: σ_N=-1.22 σ_M=-4.65 τ=1.97 τ_{max}=1.97
Tensioni: σ_N=-1.22 σ_M=24.65 τ=0.32 $\sigma_{ID,max}$=23.44

- Verifica a taglio dir. Y [4.2.16] - CC 17 SLU Xl=0.04
Sollecitazioni: N=-11.05 T_z=6.38 T_y=-3.05
V,Ed=-3.05 Vc,Rd=7560.76 V,Ed/Vc,Rd=0.00

- Verifica a taglio dir. Z [4.2.16]
V,Ed=6.38 Vc,Rd=7560.76 V,Ed/Vc,Rd=0.00

Asta n. 6004 (314 315) angolari L50x10 Crit. 1

- Verifica di stabilità aste presso-inflesse (C4.2.4.1.3.3.1) - CC 18 SLU - Classe 3
Sollecitazioni: N,Ed=-12.91 Myeq,Ed=0.56 Mzeq,Ed=0.07
Resistenze: Nc,Rd=23709.20 My,c,Rd=149.05 Mz,c,Rd=149.05 L=15.00
λ_c=8.19 Ncr,y=2794040.00 λ^*_y=0.09 Curva b: Φ_y=0.00 χ_y=1.00
λ_e=15.58 Ncr,z=772688.00 λ^*_z=0.18 Curva b: Φ_z=0.00 χ_z=1.00
χ,min=1.00
Verifica: 0.00+0.00+0.00=0.00

- Verifica a compressione [4.2.9] - CC 19 SLU Xl=0.00 - Classe 1
Sollecitazioni: N=-14.62 T_z=3.63 T_y=-1.70
N,Ed=-14.62 Nc,Rd=-23709.20 N,Ed/Nc,Rd=0.00
Verifiche di duttilità [7.5.3]:
q_0=4.00 N,Ed=-14.62 Npl,Rd=23709.20 N,Ed/Npl,Rd=0.000616

- Verifica a taglio dir. Y [4.2.16] - CC 17 SLU Xl=0.00
Sollecitazioni: N=-11.05 T_z=5.38 T_y=-3.05
V,Ed=-3.05 Vc,Rd=7560.76 V,Ed/Vc,Rd=0.00

- Verifica a taglio dir. Z [4.2.16]
V,Ed=5.38 Vc,Rd=7560.76 V,Ed/Vc,Rd=0.00

Asta n. 6005 (-1 -2) calastrelli 100x5 Crit. 1

- Verifica in termini tensionali [4.2.4] - CC 17 SLU Xl=0.26 - Classe 3
Sollecitazioni: N=37.91 T_z=35.64 M_y=-4.37
Tensioni: σ_N=3.79 σ_M=26.22 τ=0.00 σ_{max}=30.01
Tensioni: σ_N=3.79 σ_M=0.00 τ=5.35 τ_{max}=5.35
Tensioni: σ_N=3.79 σ_M=26.22 τ=0.00 $\sigma_{ID,max}$=30.01

- Verifica a taglio dir. Z [4.2.16] - CC 17 SLU Xl=0.13
Sollecitazioni: N=37.91 T_z=36.94
V,Ed=36.94 Vc,Rd=15121.50 V,Ed/Vc,Rd=0.00

Asta n. 6006 (-33 -34) calastrelli 100x5 Crit. 1

- Verifica in termini tensionali [4.2.4] - CC 17 SLU Xl=0.26 - Classe 3
  Sollecitazioni: N=8.39 T_z=56.65 M_y=-6.79
  Tensioni: σ_N=0.84 σ_M=40.73 τ=0.00 σ_{max}=41.57
  Tensioni: σ_N=0.84 σ_M=0.00 τ=8.50 τ_{max}=8.50
  Tensioni: σ_N=0.84 σ_M=40.73 τ=0.00 $\sigma_{ID,max}$=41.57

- Verifica a taglio dir. Z [4.2.16] - CC 17 SLU Xl=0.13
  Sollecitazioni: N=8.39 T_z=57.93
  V,Ed=57.93 Vc,Rd=15121.50 V,Ed/Vc,Rd=0.00

Asta n. 6007 (-65 -66) calastrelli 50x10 Crit. 1

- Verifica di stabilità aste presso-inflesse (C4.2.4.1.3.3.1) - CC 17 SLU - Classe 3
  Sollecitazioni: N,Ed=-3.14 Myeq,Ed=5.55 Mzeq,Ed=0.07
  Resistenze: Nc,Rd=13095.20 My,c,Rd=109.13 Mz,c,Rd=21.83 L=28.75
  λ_Y=19.92 Ncr,y=261199.00 λ^*_y=0.23 Curva c: Φ_y=0.53 χ_y=0.99
  λ_Z=99.59 Ncr,z=10448.00 λ^*_z=1.15 Curva c: Φ_z=1.39 χ_z=0.46
  χ,min=0.46
  Verifica: 0.00+0.05+0.00=0.05

- Verifica in termini tensionali [4.2.4] - CC 17 SLU Xl=0.03 - Classe 3
  Sollecitazioni: N=-3.14 T_z=49.61 M_y=5.55
  Tensioni: σ_N=-0.63 σ_M=-133.27 τ=0.00 σ_{max}=-133.90
  Tensioni: σ_N=-0.63 σ_M=-0.00 τ=14.88 τ_{max}=14.88
  Tensioni: σ_N=-0.63 σ_M=-133.27 τ=0.00 $\sigma_{ID,max}$=133.90

- Verifica a taglio dir. Z [4.2.16] - CC 1 SLV Xl=0.19
  Sollecitazioni: T_z=-15.39
  V,Ed=-15.39 Vc,Rd=7560.76 V,Ed/Vc,Rd=0.00

Asta n. 6008 (-97 -98) calastrelli 50x10 Crit. 1

- Verifica di stabilità aste inflesse (4.2.4.1.3.2) CC 18 SLU - Classe 3
  L_{cr}=0.28 Curva d: α_{imp}=0.76 k_c=0.94 ψ=2.97 M,cr=0.00 λ_{LT}=0.00
  $\lambda_{LT,0}$=0.20 β_{LT}=1.00 Φ_{LT}=0.00 β_{LT}=1.00 f=0.00 χ_{LT}=1.00
  CC 18 SLU My,Ed=0.35 My,b,Rd=109.13 My,Ed/My,b,Rd=0.00

- Verifica di stabilità aste presso-inflesse (C4.2.4.1.3.3.1) - CC 17 SLU - Classe 3
  Sollecitazioni: N,Ed=-2.23 Myeq,Ed=6.78 Mzeq,Ed=0.09
  Resistenze: Nc,Rd=13095.20 My,c,Rd=109.13 Mz,c,Rd=21.83 L=28.13
  λ_Y=19.49 Ncr,y=272937.00 λ^*_y=0.22 Curva c: Φ_y=0.53 χ_y=0.99
  λ_Z=97.43 Ncr,z=10917.50 λ^*_z=1.12 Curva c: Φ_z=1.36 χ_z=0.47
  χ,min=0.47
  Verifica: 0.00+0.06+0.00=0.07

- Verifica in termini tensionali [4.2.4] - CC 17 SLU Xl=0.03 - Classe 3
  Sollecitazioni: N=-2.23 T_z=62.18 M_y=6.78
  Tensioni: σ_N=-0.45 σ_M=-162.66 τ=0.00 σ_{max}=-163.10
  Tensioni: σ_N=-0.45 σ_M=-0.00 τ=18.65 τ_{max}=18.65
  Tensioni: σ_N=-0.45 σ_M=-162.66 τ=0.00 $\sigma_{ID,max}$=163.10

- Verifica a taglio dir. Z [4.2.16] - CC 1 SLV Xl=0.19
  Sollecitazioni: T_z=-19.93
  V,Ed=-19.93 Vc,Rd=7560.76 V,Ed/Vc,Rd=0.00

Asta n. 6009 (-129 -130) calastrelli 50x10 Crit. 1

- Verifica di stabilità aste presso-inflesse (C4.2.4.1.3.3.1) - CC 17 SLU - Classe 3
  Sollecitazioni: N,Ed=-2.19 Myeq,Ed=6.90 Mzeq,Ed=0.10
  Resistenze: Nc,Rd=13095.20 My,c,Rd=109.13 Mz,c,Rd=21.83 L=27.50
  λ_Y=19.05 Ncr,y=285484.00 λ^*_y=0.22 Curva c: Φ_y=0.53 χ_y=0.99
  λ_Z=95.26 Ncr,z=11419.40 λ^*_z=1.10 Curva c: Φ_z=1.32 χ_z=0.49
  χ,min=0.49
  Verifica: 0.00+0.06+0.00=0.07

- Verifica in termini tensionali [4.2.4] - CC 17 SLU Xl=0.03 - Classe 3
  Sollecitazioni: N=-2.19 T_z=65.11 M_y=6.90
  Tensioni: σ_N=-0.44 σ_M=-165.56 τ=0.00 σ_{max}=-166.00
  Tensioni: σ_N=-0.44 σ_M=-0.00 τ=19.53 τ_{max}=19.53
  Tensioni: σ_N=-0.44 σ_M=-165.56 τ=0.00 $\sigma_{ID,max}$=166.00

- Verifica a taglio dir. Z [4.2.16] - CC 1 SLV Xl=0.16
  Sollecitazioni: T_z=-21.57
  V,Ed=-21.57 Vc,Rd=7560.76 V,Ed/Vc,Rd=0.00

Asta n. 6010 (-161 -162) calastrelli 50x10 Crit. 1

- Verifica di stabilità aste presso-inflesse (C4.2.4.1.3.3.1) - CC 17 SLU - Classe 3
  Sollecitazioni: N,Ed=-2.18 Myeq,Ed=6.77 Mzeq,Ed=0.10
  Resistenze: Nc,Rd=13095.20 My,c,Rd=109.13 Mz,c,Rd=21.83 L=26.88
  λ_Y=18.62 Ncr,y=298917.00 λ^*_y=0.21 Curva c: Φ_y=0.53 χ_y=0.99
  λ_Z=93.10 Ncr,z=11956.70 λ^*_z=1.07 Curva c: Φ_z=1.29 χ_z=0.50
  χ,min=0.50
  Verifica: 0.00+0.06+0.00=0.07

- Verifica in termini tensionali [4.2.4] - CC 17 SLU Xl=0.03 - Classe 3
  Sollecitazioni: N=-2.18 T_z=65.82 M_y=6.77
  Tensioni: σ_N=-0.44 σ_M=-162.52 τ=0.00 σ_{max}=-162.96
  Tensioni: σ_N=-0.44 σ_M=-0.00 τ=19.75 τ_{max}=19.75
  Tensioni: σ_N=-0.44 σ_M=-162.52 τ=0.00 $\sigma_{ID,max}$=162.96

- Verifica a taglio dir. Z [4.2.16] - CC 1 SLV Xl=0.16
  Sollecitazioni: T_z=-22.66
  V,Ed=-22.66 Vc,Rd=7560.76 V,Ed/Vc,Rd=0.00

Asta n. 6011 (-193 -194) calastrelli 50x10 Crit. 1

- Verifica di stabilità aste presso-inflesse (C4.2.4.1.3.3.1) - CC 17 SLU - Classe 3
  Sollecitazioni: N,Ed=-2.18 Myeq,Ed=6.59 Mzeq,Ed=0.10
  Resistenze: Nc,Rd=13095.20 My,c,Rd=109.13 Mz,c,Rd=21.83 L=26.25
  λ_Y=18.19 Ncr,y=313321.00 λ^*_y=0.21 Curva c: Φ_y=0.52 χ_y=1.00
  λ_Z=90.93 Ncr,z=12532.80 λ^*_z=1.05 Curva c: Φ_z=1.26 χ_z=0.51
  χ,min=0.51
  Verifica: 0.00+0.06+0.00=0.07

- Verifica in termini tensionali [4.2.4] - CC 17 SLU Xl=0.03 - Classe 3
  Sollecitazioni: N=-2.18 T_z=66.03 M_y=6.59
  Tensioni: σ_N=-0.44 σ_M=-158.16 τ=0.00 σ_{max}=-158.60
  Tensioni: σ_N=-0.44 σ_M=-0.00 τ=19.81 τ_{max}=19.81
  Tensioni: σ_N=-0.44 σ_M=-158.16 τ=0.00 $\sigma_{ID,max}$=158.60

- Verifica a taglio dir. Z [4.2.16] - CC 1 SLV Xl=0.15
  Sollecitazioni: T_z=-23.64
  V,Ed=-23.64 Vc,Rd=7560.76 V,Ed/Vc,Rd=0.00

Asta n. 6012 (-225 -226) calastrelli 50x10 Crit. 1

- Verifica di stabilità aste presso-inflesse (C4.2.4.1.3.3.1) - CC 17 SLU - Classe 3
  Sollecitazioni: N,Ed=-2.18 Myeq,Ed=6.40 Mzeq,Ed=0.10
  Resistenze: Nc,Rd=13095.20 My,c,Rd=109.13 Mz,c,Rd=21.83 L=25.63
  λ_Y=17.75 Ncr,y=328791.00 λ^*_y=0.20 Curva c: Φ_y=0.52 χ_y=1.00
  λ_Z=88.77 Ncr,z=13151.60 λ^*_z=1.02 Curva c: Φ_z=1.22 χ_z=0.53
  χ,min=0.53
  Verifica: 0.00+0.06+0.00=0.06

- Verifica in termini tensionali [4.2.4] - CC 17 SLU Xl=0.03 - Classe 3
  Sollecitazioni: N=-2.18 T_z=66.13 M_y=6.40
  Tensioni: σ_N=-0.44 σ_M=-153.52 τ=0.00 σ_{max}=-153.96
  Tensioni: σ_N=-0.44 σ_M=-0.00 τ=19.84 τ_{max}=19.84
  Tensioni: σ_N=-0.44 σ_M=-153.52 τ=0.00 $\sigma_{ID,max}$=153.96

- Verifica a taglio dir. Z [4.2.16] - CC 1 SLV Xl=0.15
  Sollecitazioni: T_z=-24.63
  V,Ed=-24.63 Vc,Rd=7560.76 V,Ed/Vc,Rd=0.00

Asta n. 6013 (-257 -258) calastrelli 50x10 Crit. 1

- Verifica di stabilità aste presso-inflesse (C4.2.4.1.3.3.1) - CC 17 SLU - Classe 3
  Sollecitazioni: N,Ed=-2.18 Myeq,Ed=6.20 Mzeq,Ed=0.09
  Resistenze: Nc,Rd=13095.20 My,c,Rd=109.13 Mz,c,Rd=21.83 L=25.00
  λ_Y=17.32 Ncr,y=345436.00 λ^*_y=0.20 Curva c: Φ_y=0.52 χ_y=1.00
  λ_Z=86.60 Ncr,z=13817.40 λ^*_z=1.00 Curva c: Φ_z=1.19 χ_z=0.54
  χ,min=0.54
  Verifica: 0.00+0.06+0.00=0.06

- Verifica in termini tensionali [4.2.4] - CC 17 SLU Xl=0.03 - Classe 3
  Sollecitazioni: N=-2.18 T_z=66.21 M_y=6.20
  Tensioni: σ_N=-0.44 σ_M=-148.81 τ=0.00 σ_{max}=-149.25
  Tensioni: σ_N=-0.44 σ_M=-0.00 τ=19.86 τ_{max}=19.86
  Tensioni: σ_N=-0.44 σ_M=-148.81 τ=0.00 $\sigma_{ID,max}$=149.25

- Verifica a taglio dir. Z [4.2.16] - CC 1 SLV Xl=0.15
  Sollecitazioni: T_z=-25.65
  V,Ed=-25.65 Vc,Rd=7560.76 V,Ed/Vc,Rd=0.00

Asta n. 6014 (-289 -290) calastrelli 50x10 Crit. 1

- Verifica di stabilità aste presso-inflesse (C4.2.4.1.3.3.1) - CC 17 SLU - Classe 3
  Sollecitazioni: N,Ed=-2.18 Myeq,Ed=6.00 Mzeq,Ed=0.09
  Resistenze: Nc,Rd=13095.20 My,c,Rd=109.13 Mz,c,Rd=21.83 L=24.38
  λ_Y=16.89 Ncr,y=363378.00 λ^*_y=0.19 Curva c: Φ_y=0.52 χ_y=1.00
  λ_Z=84.44 Ncr,z=14535.10 λ^*_z=0.97 Curva c: Φ_z=1.16 χ_z=0.56
  χ,min=0.56
  Verifica: 0.00+0.06+0.00=0.06

- Verifica in termini tensionali [4.2.4] - CC 17 SLU Xl=0.03 - Classe 3
  Sollecitazioni: N=-2.18 T_z=66.29 M_y=6.00
  Tensioni: σ_N=-0.44 σ_M=-144.09 τ=0.00 σ_{max}=-144.53
  Tensioni: σ_N=-0.44 σ_M=-0.00 τ=19.89 τ_{max}=19.89
  Tensioni: σ_N=-0.44 σ_M=-144.09 τ=0.00 $\sigma_{ID,max}$=144.53

- Verifica a taglio dir. Z [4.2.16] - CC 1 SLV Xl=0.14
  Sollecitazioni: T_z=-26.73
  V,Ed=-26.73 Vc,Rd=7560.76 V,Ed/Vc,Rd=0.00

Asta n. 6015 (-321 -322) calastrelli 50x10 Crit. 1

- Verifica di stabilità aste presso-inflesse (C4.2.4.1.3.3.1) - CC 17 SLU - Classe 3
  Sollecitazioni: N,Ed=-2.19 Myeq,Ed=5.81 Mzeq,Ed=0.09
  Resistenze: Nc,Rd=13095.20 My,c,Rd=109.13 Mz,c,Rd=21.83 L=23.75
  λ_Y=16.45 Ncr,y=382755.00 λ^*_y=0.19 Curva c: Φ_y=0.52 χ_y=1.00
  λ_Z=82.27 Ncr,z=15310.20 λ^*_z=0.95 Curva c: Φ_z=1.13 χ_z=0.57
  χ,min=0.57
  Verifica: 0.00+0.05+0.00=0.06

- Verifica in termini tensionali [4.2.4] - CC 17 SLU Xl=0.03 - Classe 3
  Sollecitazioni: N=-2.19 T_z=66.38 M_y=5.81
  Tensioni: σ_N=-0.44 σ_M=-139.37 τ=0.00 σ_{max}=-139.80
  Tensioni: σ_N=-0.44 σ_M=-0.00 τ=19.91 τ_{max}=19.91
  Tensioni: σ_N=-0.44 σ_M=-139.37 τ=0.00 $\sigma_{ID,max}$=139.80

- Verifica a taglio dir. Z [4.2.16] - CC 1 SLV Xl=0.14
  Sollecitazioni: T_z=-27.85
  V,Ed=-27.85 Vc,Rd=7560.76 V,Ed/Vc,Rd=0.00

Asta n. 6016 (-353 -354) calastrelli 50x10 Crit. 1

- Verifica di stabilità aste presso-inflesse (C4.2.4.1.3.3.1) - CC 17 SLU - Classe 3
  Sollecitazioni: N,Ed=-2.20 Myeq,Ed=5.61 Mzeq,Ed=0.09
  Resistenze: Nc,Rd=13095.20 My,c,Rd=109.13 Mz,c,Rd=21.83 L=23.13
  λ_Y=16.02 Ncr,y=403724.00 λ^*_y=0.18 Curva c: Φ_y=0.51 χ_y=1.00
  λ_Z=80.11 Ncr,z=16149.00 λ^*_z=0.92 Curva c: Φ_z=1.10 χ_z=0.59
  χ,min=0.59
  Verifica: 0.00+0.05+0.00=0.06

- Verifica in termini tensionali [4.2.4] - CC 17 SLU Xl=0.03 - Classe 3
  Sollecitazioni: N=-2.20 T_z=66.46 M_y=5.61
  Tensioni: σ_N=-0.44 σ_M=-134.62 τ=0.00 σ_{max}=-135.06
  Tensioni: σ_N=-0.44 σ_M=-0.00 τ=19.94 τ_{max}=19.94
  Tensioni: σ_N=-0.44 σ_M=-134.62 τ=0.00 $\sigma_{ID,max}$=135.06

- Verifica a taglio dir. Z [4.2.16] - CC 1 SLV Xl=0.13
  Sollecitazioni: T_z=-29.03
  V,Ed=-29.03 Vc,Rd=7560.76 V,Ed/Vc,Rd=0.00

Asta n. 6017 (-385 -386) calastrelli 50x10 Crit. 1

- Verifica di stabilità aste presso-inflesse (C4.2.4.1.3.3.1) - CC 17 SLU - Classe 3
  Sollecitazioni: N,Ed=-2.10 Myeq,Ed=5.41 Mzeq,Ed=0.08
  Resistenze: Nc,Rd=13095.20 My,c,Rd=109.13 Mz,c,Rd=21.83 L=22.50
  λ_Y=15.59 Ncr,y=426465.00 λ^*_y=0.18 Curva c: Φ_y=0.51 χ_y=1.00
  λ_Z=77.94 Ncr,z=17058.60 λ^*_z=0.90 Curva c: Φ_z=1.07 χ_z=0.60
  χ,min=0.60
  Verifica: 0.00+0.05+0.00=0.05

- Verifica in termini tensionali [4.2.4] - CC 17 SLU Xl=0.03 - Classe 3
  Sollecitazioni: N=-2.10 T_z=66.52 M_y=5.41
  Tensioni: σ_N=-0.42 σ_M=-129.84 τ=0.00 σ_{max}=-130.26
  Tensioni: σ_N=-0.42 σ_M=-0.00 τ=19.95 τ_{max}=19.95
  Tensioni: σ_N=-0.42 σ_M=-129.84 τ=0.00 $\sigma_{ID,max}$=130.26

- Verifica a taglio dir. Z [4.2.16] - CC 1 SLV Xl=0.13
  Sollecitazioni: T_z=-30.26

V,Ed=-30.26 Vc,Rd=7560.76 V,Ed/Vc,Rd=0.00

Asta n. 6018 (-417 -418) calastrelli 50x10 Crit. 1

- Verifica di stabilità aste inflesse (4.2.4.1.3.2) CC 16 SLU - Classe 3
L_{cr}=0.22 Curva d: α_{imp}=0.76 k_c=0.94 ψ=3.05 M,cr=0.00 λ_{LT}=0.00
$\lambda_{LT,0}$=0.20 β_{LT}=1.00 Φ_{LT}=0.00 β_{LT}=1.00 f=0.00 χ_{LT}=1.00
CC 16 SLU My,Ed=0.37 My,b,Rd=109.13 My,Ed/My,b,Rd=0.00

- Verifica di stabilità aste presso-inflesse (C4.2.4.1.3.3.1) - CC 17 SLU - Classe 3
Sollecitazioni: N,Ed=-2.91 Myeq,Ed=5.19 Mzeq,Ed=0.08
Resistenze: Nc,Rd=13095.20 My,c,Rd=109.13 Mz,c,Rd=21.83 L=21.88
λ_Y=15.16 Ncr,y=451182.00 λ^*_y=0.17 Curva c: Φ_y=0.51 χ_y=1.00
λ_Z=75.78 Ncr,z=18047.30 λ^*_z=0.87 Curva c: Φ_z=1.05 χ_z=0.62
χ,min=0.62
Verifica: 0.00+0.05+0.00=0.05

- Verifica in termini tensionali [4.2.4] - CC 17 SLU Xl=0.03 - Classe 3
Sollecitazioni: N=-2.91 T_z=66.41 M_y=5.19
Tensioni: σ_N=-0.58 σ_M=-124.60 τ=0.00 σ_{max}=-125.18
Tensioni: σ_N=-0.58 σ_M=-0.00 τ=19.92 τ_{max}=19.92
Tensioni: σ_N=-0.58 σ_M=-124.60 τ=0.00 $\sigma_{ID,max}$=125.18

- Verifica a taglio dir. Z [4.2.16] - CC 1 SLV Xl=0.13
Sollecitazioni: T_z=-31.46
V,Ed=-31.46 Vc,Rd=7560.76 V,Ed/Vc,Rd=0.00

Asta n. 6019 (-449 -450) calastrelli 50x10 Crit. 1

- Verifica di stabilità aste inflesse (4.2.4.1.3.2) CC 17 SLU - Classe 3
L_{cr}=0.21 Curva d: α_{imp}=0.76 k_c=0.94 ψ=3.03 M,cr=0.00 λ_{LT}=0.00
$\lambda_{LT,0}$=0.20 β_{LT}=1.00 Φ_{LT}=0.00 β_{LT}=1.00 f=0.00 χ_{LT}=1.00
CC 17 SLU My,Ed=4.94 My,b,Rd=109.13 My,Ed/My,b,Rd=0.05

- Verifica di stabilità aste presso-inflesse (C4.2.4.1.3.3.1) - CC 1 SLV - Classe 3
Sollecitazioni: N,Ed=-0.11 Myeq,Ed=-2.41 Mzeq,Ed=0.04
Resistenze: Nc,Rd=13095.20 My,c,Rd=109.13 Mz,c,Rd=21.83 L=21.25
λ_Y=14.72 Ncr,y=478113.00 λ^*_y=0.17 Curva c: Φ_y=0.51 χ_y=1.00
λ_Z=73.61 Ncr,z=19124.50 λ^*_z=0.85 Curva c: Φ_z=1.02 χ_z=0.63
χ,min=0.63
Verifica: 0.00+0.02+0.00=0.02

- Verifica in termini tensionali [4.2.4] - CC 17 SLU Xl=0.03 - Classe 3
Sollecitazioni: N=2.72 T_z=65.23 M_y=4.94
Tensioni: σ_N=0.54 σ_M=118.56 τ=0.00 σ_{max}=119.11
Tensioni: σ_N=0.54 σ_M=-0.00 τ=19.57 τ_{max}=19.57
Tensioni: σ_N=0.54 σ_M=118.56 τ=0.00 $\sigma_{ID,max}$=119.11

- Verifica a taglio dir. Z [4.2.16] - CC 17 SLU Xl=0.10
Sollecitazioni: N=2.72 T_z=64.88
V,Ed=64.88 Vc,Rd=7560.76 V,Ed/Vc,Rd=0.01

Asta n. 6020 (-481 -482) calastrelli 50x10 Crit. 1

- Verifica di stabilità aste inflesse (4.2.4.1.3.2) CC 1 SLV - Classe 3
L_{cr}=0.21 Curva d: α_{imp}=0.76 k_c=0.94 ψ=2.92 M,cr=0.00 λ_{LT}=0.00
$\lambda_{LT,0}$=0.20 β_{LT}=1.00 Φ_{LT}=0.00 β_{LT}=1.00 f=0.00 χ_{LT}=1.00
CC 1 SLV My,Ed=-2.27 My,b,Rd=109.13 My,Ed/My,b,Rd=0.02

- Verifica di stabilità aste presso-inflesse (C4.2.4.1.3.3.1) - CC 17 SLU - Classe 3
  Sollecitazioni: N,Ed=-31.15 Myeq,Ed=-4.25 Mzeq,Ed=0.06
  Resistenze: Nc,Rd=13095.20 My,c,Rd=109.13 Mz,c,Rd=21.83 L=20.63
  λ_Y=14.29 Ncr,y=507528.00 λ^*_y=0.16 Curva c: Φ_y=0.50 χ_y=1.00
  λ_Z=71.45 Ncr,z=20301.10 λ^*_z=0.82 Curva c: Φ_z=0.99 χ_z=0.65
  χ,min=0.65
  Verifica: 0.00+0.04+0.00=0.04

- Verifica in termini tensionali [4.2.4] - CC 17 SLU Xl=0.17 - Classe 3
  Sollecitazioni: N=-31.15 T_z=56.68 M_y=-4.25
  Tensioni: σ_N=-6.23 σ_M=-102.04 τ=0.00 σ_{max}=-108.27
  Tensioni: σ_N=-6.23 σ_M=0.00 τ=17.00 τ_{max}=17.00
  Tensioni: σ_N=-6.23 σ_M=-102.04 τ=0.00 $\sigma_{ID,max}$=108.27

- Verifica a taglio dir. Z [4.2.16] - CC 1 SLV Xl=0.13
  Sollecitazioni: T_z=-28.95
  V,Ed=-28.95 Vc,Rd=7560.76 V,Ed/Vc,Rd=0.00

Asta n. 6024 (-489 -490) calastrelli 50x10 Crit. 1

- Verifica di stabilità aste inflesse (4.2.4.1.3.2) CC 17 SLU - Classe 3
  L_{cr}=0.21 Curva d: α_{imp}=0.76 k_c=0.94 ψ=2.67 M,cr=0.00 λ_{LT}=0.00
  $\lambda_{LT,0}$=0.20 β_{LT}=1.00 Φ_{LT}=0.00 β_{LT}=1.00 f=0.00 χ_{LT}=1.00
  CC 17 SLU My,Ed=4.04 My,b,Rd=109.13 My,Ed/My,b,Rd=0.04

- Verifica di stabilità aste presso-inflesse (C4.2.4.1.3.3.1) - CC 5 SLV - Classe 3
  Sollecitazioni: N,Ed=-16.55 Myeq,Ed=1.67 Mzeq,Ed=0.02
  Resistenze: Nc,Rd=13095.20 My,c,Rd=109.13 Mz,c,Rd=21.83 L=20.63
  λ_Y=14.29 Ncr,y=507528.00 λ^*_y=0.16 Curva c: Φ_y=0.50 χ_y=1.00
  λ_Z=71.45 Ncr,z=20301.10 λ^*_z=0.82 Curva c: Φ_z=0.99 χ_z=0.65
  χ,min=0.65
  Verifica: 0.00+0.02+0.00=0.02

- Verifica in termini tensionali [4.2.4] - CC 17 SLU Xl=0.04 - Classe 3
  Sollecitazioni: N=67.14 T_z=49.20 M_y=4.04
  Tensioni: σ_N=13.43 σ_M=97.01 τ=0.00 σ_{max}=110.44
  Tensioni: σ_N=13.43 σ_M=-0.00 τ=14.76 τ_{max}=14.76
  Tensioni: σ_N=13.43 σ_M=97.01 τ=0.00 $\sigma_{ID,max}$=110.44

- Verifica a taglio dir. Z [4.2.16] - CC 17 SLU Xl=0.10
  Sollecitazioni: N=67.14 T_z=48.87
  V,Ed=48.87 Vc,Rd=7560.76 V,Ed/Vc,Rd=0.01

Asta n. 6025 (-457 -458) calastrelli 50x10 Crit. 1

- Verifica di stabilità aste inflesse (4.2.4.1.3.2) CC 5 SLV - Classe 3
  L_{cr}=0.21 Curva d: α_{imp}=0.76 k_c=0.94 ψ=2.87 M,cr=0.00 λ_{LT}=0.00
  $\lambda_{LT,0}$=0.20 β_{LT}=1.00 Φ_{LT}=0.00 β_{LT}=1.00 f=0.00 χ_{LT}=1.00
  CC 5 SLV My,Ed=-1.42 My,b,Rd=109.13 My,Ed/My,b,Rd=0.01

- Verifica di stabilità aste presso-inflesse (C4.2.4.1.3.3.1) - CC 17 SLU - Classe 3
  Sollecitazioni: N,Ed=-14.00 Myeq,Ed=-4.31 Mzeq,Ed=0.06
  Resistenze: Nc,Rd=13095.20 My,c,Rd=109.13 Mz,c,Rd=21.83 L=21.25
  λ_Y=14.72 Ncr,y=478113.00 λ^*_y=0.17 Curva c: Φ_y=0.51 χ_y=1.00
  λ_Z=73.61 Ncr,z=19124.50 λ^*_z=0.85 Curva c: Φ_z=1.02 χ_z=0.63
  χ,min=0.63
  Verifica: 0.00+0.04+0.00=0.04

- Verifica in termini tensionali [4.2.4] - CC 17 SLU Xl=0.18 - Classe 3

Sollecitazioni: N=-14.00 T_z=55.43 M_y=-4.31
Tensioni: σ_N=-2.80 σ_M=-103.34 τ=0.00 σ_{max}=-106.14
Tensioni: σ_N=-2.80 σ_M=0.00 τ=16.63 τ_{max}=16.63
Tensioni: σ_N=-2.80 σ_M=-103.34 τ=0.00 $\sigma_{ID,max}$=106.14

- Verifica a taglio dir. Z [4.2.16] - CC 5 SLV Xl=0.17
Sollecitazioni: N=2.70 T_z=-17.89
V,Ed=-17.89 Vc,Rd=7560.76 V,Ed/Vc,Rd=0.00

Asta n. 6026 (-425 -426) calastrelli 50x10 Crit. 1

- Verifica a flessione [4.2.13] - CC 17 SLU Xl=0.19 - Classe 3
Sollecitazioni: T_z=56.96 M_y=-4.50
My,Ed=-4.50 My,c,Rd=109.13 My,Ed/My,c,Rd=0.04

- Verifica a taglio dir. Z [4.2.16] - CC 17 SLU Xl=0.11
Sollecitazioni: T_z=57.40
V,Ed=57.40 Vc,Rd=7560.76 V,Ed/Vc,Rd=0.01

Asta n. 6027 (-393 -394) calastrelli 50x10 Crit. 1

- Verifica di stabilità aste presso-inflesse (C4.2.4.1.3.3.1) - CC 17 SLU - Classe 3
Sollecitazioni: N,Ed=-2.23 Myeq,Ed=-4.73 Mzeq,Ed=0.07
Resistenze: Nc,Rd=13095.20 My,c,Rd=109.13 Mz,c,Rd=21.83 L=22.50
λ_Y=15.59 Ncr,y=426465.00 λ^*_y=0.18 Curva c: Φ_y=0.51 χ_y=1.00
λ_Z=77.94 Ncr,z=17058.60 λ^*_z=0.90 Curva c: Φ_z=1.07 χ_z=0.60
χ,min=0.60
Verifica: 0.00+0.04+0.00=0.05

- Verifica in termini tensionali [4.2.4] - CC 17 SLU Xl=0.20 - Classe 3
Sollecitazioni: N=-2.23 T_z=57.47 M_y=-4.73
Tensioni: σ_N=-0.45 σ_M=-113.50 τ=0.00 σ_{max}=-113.95
Tensioni: σ_N=-0.45 σ_M=0.00 τ=17.24 τ_{max}=17.24
Tensioni: σ_N=-0.45 σ_M=-113.50 τ=0.00 $\sigma_{ID,max}$=113.95

- Verifica a taglio dir. Z [4.2.16] - CC 1 SLV Xl=0.14
Sollecitazioni: T_z=-29.46
V,Ed=-29.46 Vc,Rd=7560.76 V,Ed/Vc,Rd=0.00

Asta n. 6028 (-361 -362) calastrelli 50x10 Crit. 1

- Verifica di stabilità aste inflesse (4.2.4.1.3.2) CC 1 SLV - Classe 3
L_{cr}=0.23 Curva d: α_{imp}=0.76 k_c=0.94 ψ=3.07 M,cr=0.00 λ_{LT}=0.00
$\lambda_{LT,0}$=0.20 β_{LT}=1.00 Φ_{LT}=0.00 β_{LT}=1.00 f=0.00 χ_{LT}=1.00
CC 1 SLV My,Ed=2.39 My,b,Rd=109.13 My,Ed/My,b,Rd=0.02

- Verifica di stabilità aste presso-inflesse (C4.2.4.1.3.3.1) - CC 17 SLU - Classe 3
Sollecitazioni: N,Ed=-1.96 Myeq,Ed=-4.94 Mzeq,Ed=0.08
Resistenze: Nc,Rd=13095.20 My,c,Rd=109.13 Mz,c,Rd=21.83 L=23.13
λ_Y=16.02 Ncr,y=403724.00 λ^*_y=0.18 Curva c: Φ_y=0.51 χ_y=1.00
λ_Z=80.11 Ncr,z=16149.00 λ^*_z=0.92 Curva c: Φ_z=1.10 χ_z=0.59
χ,min=0.59
Verifica: 0.00+0.05+0.00=0.05

- Verifica in termini tensionali [4.2.4] - CC 17 SLU Xl=0.20 - Classe 3
Sollecitazioni: N=-1.96 T_z=57.80 M_y=-4.94
Tensioni: σ_N=-0.39 σ_M=-118.47 τ=0.00 σ_{max}=-118.86
Tensioni: σ_N=-0.39 σ_M=0.00 τ=17.34 τ_{max}=17.34
Tensioni: σ_N=-0.39 σ_M=-118.47 τ=0.00 $\sigma_{ID,max}$=118.86

- Verifica a taglio dir. Z [4.2.16] - CC 1 SLV Xl=0.14
  Sollecitazioni: T_z=-28.27
  V,Ed=-28.27 Vc,Rd=7560.76 V,Ed/Vc,Rd=0.00

Asta n. 6029 (-329 -330) calastrelli 50x10 Crit. 1

- Verifica di stabilità aste inflesse (4.2.4.1.3.2) CC 3 SLV - Classe 3
  L_{cr}=0.24 Curva d: α_{imp}=0.76 k_c=0.94 ψ=3.06 M,cr=0.00 λ_{LT}=0.00
  $\lambda_{LT,0}$=0.20 β_{LT}=1.00 Φ_{LT}=0.00 β_{LT}=1.00 f=0.00 χ_{LT}=1.00
  CC 3 SLV My,Ed=2.21 My,b,Rd=109.13 My,Ed/My,b,Rd=0.02

- Verifica di stabilità aste presso-inflesse (C4.2.4.1.3.3.1) - CC 17 SLU - Classe 3
  Sollecitazioni: N,Ed=-2.00 Myeq,Ed=-5.14 Mzeq,Ed=0.08
  Resistenze: Nc,Rd=13095.20 My,c,Rd=109.13 Mz,c,Rd=21.83 L=23.75
  λ_Y=16.45 Ncr,y=382755.00 λ^*_y=0.19 Curva c: Φ_y=0.52 χ_y=1.00
  λ_Z=82.27 Ncr,z=15310.20 λ^*_z=0.95 Curva c: Φ_z=1.13 χ_z=0.57
  χ,min=0.57
  Verifica: 0.00+0.05+0.00=0.05

- Verifica in termini tensionali [4.2.4] - CC 17 SLU Xl=0.21 - Classe 3
  Sollecitazioni: N=-2.00 T_z=58.08 M_y=-5.14
  Tensioni: σ_N=-0.40 σ_M=-123.42 τ=0.00 σ_{max}=-123.82
  Tensioni: σ_N=-0.40 σ_M=0.00 τ=17.43 τ_{max}=17.43
  Tensioni: σ_N=-0.40 σ_M=-123.42 τ=0.00 $\sigma_{ID,max}$=123.82

- Verifica a taglio dir. Z [4.2.16] - CC 1 SLV Xl=0.15
  Sollecitazioni: T_z=-27.12
  V,Ed=-27.12 Vc,Rd=7560.76 V,Ed/Vc,Rd=0.00

Asta n. 6030 (-297 -298) calastrelli 50x10 Crit. 1

- Verifica di stabilità aste inflesse (4.2.4.1.3.2) CC 3 SLV - Classe 3
  L_{cr}=0.24 Curva d: α_{imp}=0.76 k_c=0.94 ψ=3.06 M,cr=0.00 λ_{LT}=0.00
  $\lambda_{LT,0}$=0.20 β_{LT}=1.00 Φ_{LT}=0.00 β_{LT}=1.00 f=0.00 χ_{LT}=1.00
  CC 3 SLV My,Ed=2.20 My,b,Rd=109.13 My,Ed/My,b,Rd=0.02

- Verifica di stabilità aste presso-inflesse (C4.2.4.1.3.3.1) - CC 17 SLU - Classe 3
  Sollecitazioni: N,Ed=-2.00 Myeq,Ed=-5.35 Mzeq,Ed=0.08
  Resistenze: Nc,Rd=13095.20 My,c,Rd=109.13 Mz,c,Rd=21.83 L=24.38
  λ_Y=16.89 Ncr,y=363378.00 λ^*_y=0.19 Curva c: Φ_y=0.52 χ_y=1.00
  λ_Z=84.44 Ncr,z=14535.10 λ^*_z=0.97 Curva c: Φ_z=1.16 χ_z=0.56
  χ,min=0.56
  Verifica: 0.00+0.05+0.00=0.05

- Verifica in termini tensionali [4.2.4] - CC 17 SLU Xl=0.22 - Classe 3
  Sollecitazioni: N=-2.00 T_z=58.34 M_y=-5.35
  Tensioni: σ_N=-0.40 σ_M=-128.34 τ=0.00 σ_{max}=-128.75
  Tensioni: σ_N=-0.40 σ_M=0.00 τ=17.50 τ_{max}=17.50
  Tensioni: σ_N=-0.40 σ_M=-128.34 τ=0.00 $\sigma_{ID,max}$=128.75

- Verifica a taglio dir. Z [4.2.16] - CC 1 SLV Xl=0.15
  Sollecitazioni: T_z=-26.04
  V,Ed=-26.04 Vc,Rd=7560.76 V,Ed/Vc,Rd=0.00

Asta n. 6031 (-265 -266) calastrelli 50x10 Crit. 1

- Verifica di stabilità aste inflesse (4.2.4.1.3.2) CC 3 SLV - Classe 3
  L_{cr}=0.25 Curva d: α_{imp}=0.76 k_c=0.94 ψ=3.06 M,cr=0.00 λ_{LT}=0.00

$\lambda_{LT,0}$=0.20 β_{LT}=1.00 Φ_{LT}=0.00 β_{LT}=1.00 f=0.00 χ_{LT}=1.00
CC 3 SLV My,Ed=2.19 My,b,Rd=109.13 My,Ed/My,b,Rd=0.02

- Verifica di stabilità aste presso-inflesse (C4.2.4.1.3.3.1) - CC 17 SLU - Classe 3
Sollecitazioni: N,Ed=-2.01 Myeq,Ed=-5.55 Mzeq,Ed=0.08
Resistenze: Nc,Rd=13095.20 My,c,Rd=109.13 Mz,c,Rd=21.83 L=25.00
λ_Y=17.32 Ncr,y=345436.00 λ^*_y=0.20 Curva c: Φ_y=0.52 χ_y=1.00
λ_Z=86.60 Ncr,z=13817.40 λ^*_z=1.00 Curva c: Φ_z=1.19 χ_z=0.54
χ,min=0.54
Verifica: 0.00+0.05+0.00=0.05

- Verifica in termini tensionali [4.2.4] - CC 17 SLU Xl=0.22 - Classe 3
Sollecitazioni: N=-2.01 T_z=58.56 M_y=-5.55
Tensioni: σ_N=-0.40 σ_M=-133.26 τ=0.00 σ_{max}=-133.66
Tensioni: σ_N=-0.40 σ_M=0.00 τ=17.57 τ_{max}=17.57
Tensioni: σ_N=-0.40 σ_M=-133.26 τ=0.00 $\sigma_{ID,max}$=133.66

- Verifica a taglio dir. Z [4.2.16] - CC 1 SLV Xl=0.15
Sollecitazioni: T_z=-25.00
V,Ed=-25.00 Vc,Rd=7560.76 V,Ed/Vc,Rd=0.00

Asta n. 6032 (-233 -234) calastrelli 50x10 Crit. 1

- Verifica di stabilità aste inflesse (4.2.4.1.3.2) CC 3 SLV - Classe 3
L_{cr}=0.26 Curva d: α_{imp}=0.76 k_c=0.94 ψ=3.06 M,cr=0.00 λ_{LT}=0.00
$\lambda_{LT,0}$=0.20 β_{LT}=1.00 Φ_{LT}=0.00 β_{LT}=1.00 f=0.00 χ_{LT}=1.00
CC 3 SLV My,Ed=2.17 My,b,Rd=109.13 My,Ed/My,b,Rd=0.02

- Verifica di stabilità aste presso-inflesse (C4.2.4.1.3.3.1) - CC 17 SLU - Classe 3
Sollecitazioni: N,Ed=-2.01 Myeq,Ed=-5.76 Mzeq,Ed=0.09
Resistenze: Nc,Rd=13095.20 My,c,Rd=109.13 Mz,c,Rd=21.83 L=25.63
λ_Y=17.75 Ncr,y=328791.00 λ^*_y=0.20 Curva c: Φ_y=0.52 χ_y=1.00
λ_Z=88.77 Ncr,z=13151.60 λ^*_z=1.02 Curva c: Φ_z=1.22 χ_z=0.53
χ,min=0.53
Verifica: 0.00+0.05+0.00=0.06

- Verifica in termini tensionali [4.2.4] - CC 17 SLU Xl=0.23 - Classe 3
Sollecitazioni: N=-2.01 T_z=58.77 M_y=-5.76
Tensioni: σ_N=-0.40 σ_M=-138.15 τ=0.00 σ_{max}=-138.55
Tensioni: σ_N=-0.40 σ_M=0.00 τ=17.63 τ_{max}=17.63
Tensioni: σ_N=-0.40 σ_M=-138.15 τ=0.00 $\sigma_{ID,max}$=138.55

- Verifica a taglio dir. Z [4.2.16] - CC 1 SLV Xl=0.16
Sollecitazioni: T_z=-24.00
V,Ed=-24.00 Vc,Rd=7560.76 V,Ed/Vc,Rd=0.00

Asta n. 6033 (-201 -202) calastrelli 50x10 Crit. 1

- Verifica di stabilità aste inflesse (4.2.4.1.3.2) CC 3 SLV - Classe 3
L_{cr}=0.26 Curva d: α_{imp}=0.76 k_c=0.94 ψ=3.06 M,cr=0.00 λ_{LT}=0.00
$\lambda_{LT,0}$=0.20 β_{LT}=1.00 Φ_{LT}=0.00 β_{LT}=1.00 f=0.00 χ_{LT}=1.00
CC 3 SLV My,Ed=2.15 My,b,Rd=109.13 My,Ed/My,b,Rd=0.02

- Verifica di stabilità aste presso-inflesse (C4.2.4.1.3.3.1) - CC 17 SLU - Classe 3
Sollecitazioni: N,Ed=-2.01 Myeq,Ed=-5.96 Mzeq,Ed=0.09
Resistenze: Nc,Rd=13095.20 My,c,Rd=109.13 Mz,c,Rd=21.83 L=26.25
λ_Y=18.19 Ncr,y=313321.00 λ^*_y=0.21 Curva c: Φ_y=0.52 χ_y=1.00
λ_Z=90.93 Ncr,z=12532.80 λ^*_z=1.05 Curva c: Φ_z=1.26 χ_z=0.51
χ,min=0.51

Verifica: 0.00+0.05+0.00=0.06

- Verifica in termini tensionali [4.2.4] - CC 17 SLU Xl=0.23 - Classe 3
Sollecitazioni: N=-2.01 T_z=58.93 M_y=-5.96
Tensioni: σ_N=-0.40 σ_M=-142.98 τ=0.00 σ_{max}=-143.38
Tensioni: σ_N=-0.40 σ_M=0.00 τ=17.68 τ_{max}=17.68
Tensioni: σ_N=-0.40 σ_M=-142.98 τ=0.00 $\sigma_{ID,max}$=143.38

- Verifica a taglio dir. Z [4.2.16] - CC 1 SLV Xl=0.16
Sollecitazioni: T_z=-23.05
V,Ed=-23.05 Vc,Rd=7560.76 V,Ed/Vc,Rd=0.00

Asta n. 6034 (-169 -170) calastrelli 50x10 Crit. 1

- Verifica di stabilità aste inflesse (4.2.4.1.3.2) CC 3 SLV - Classe 3
L_{cr}=0.27 Curva d: α_{imp}=0.76 k_c=0.94 ψ=3.06 M,cr=0.00 λ_{LT}=0.00
$\lambda_{LT,0}$=0.20 β_{LT}=1.00 Φ_{LT}=0.00 β_{LT}=1.00 f=0.00 χ_{LT}=1.00
CC 3 SLV My,Ed=2.13 My,b,Rd=109.13 My,Ed/My,b,Rd=0.02

- Verifica di stabilità aste presso-inflesse (C4.2.4.1.3.3.1) - CC 17 SLU - Classe 3
Sollecitazioni: N,Ed=-2.01 Myeq,Ed=-6.15 Mzeq,Ed=0.09
Resistenze: Nc,Rd=13095.20 My,c,Rd=109.13 Mz,c,Rd=21.83 L=26.88
λ_Y=18.62 Ncr,y=298917.00 λ^*_y=0.21 Curva c: Φ_y=0.53 χ_y=0.99
λ_Z=93.10 Ncr,z=11956.70 λ^*_z=1.07 Curva c: Φ_z=1.29 χ_z=0.50
χ,min=0.50
Verifica: 0.00+0.06+0.00=0.06

- Verifica in termini tensionali [4.2.4] - CC 17 SLU Xl=0.24 - Classe 3
Sollecitazioni: N=-2.01 T_z=58.97 M_y=-6.15
Tensioni: σ_N=-0.40 σ_M=-147.53 τ=0.00 σ_{max}=-147.94
Tensioni: σ_N=-0.40 σ_M=0.00 τ=17.69 τ_{max}=17.69
Tensioni: σ_N=-0.40 σ_M=-147.53 τ=0.00 $\sigma_{ID,max}$=147.94

- Verifica a taglio dir. Z [4.2.16] - CC 1 SLV Xl=0.17
Sollecitazioni: T_z=-22.09
V,Ed=-22.09 Vc,Rd=7560.76 V,Ed/Vc,Rd=0.00

Asta n. 6035 (-137 -138) calastrelli 50x10 Crit. 1

- Verifica di stabilità aste inflesse (4.2.4.1.3.2) CC 9 SLU - Classe 3
L_{cr}=0.28 Curva d: α_{imp}=0.76 k_c=0.94 ψ=3.07 M,cr=0.00 λ_{LT}=0.00
$\lambda_{LT,0}$=0.20 β_{LT}=1.00 Φ_{LT}=0.00 β_{LT}=1.00 f=0.00 χ_{LT}=1.00
CC 9 SLU My,Ed=0.93 My,b,Rd=109.13 My,Ed/My,b,Rd=0.01

- Verifica di stabilità aste presso-inflesse (C4.2.4.1.3.3.1) - CC 17 SLU - Classe 3
Sollecitazioni: N,Ed=-2.01 Myeq,Ed=-6.29 Mzeq,Ed=0.09
Resistenze: Nc,Rd=13095.20 My,c,Rd=109.13 Mz,c,Rd=21.83 L=27.50
λ_Y=19.05 Ncr,y=285484.00 λ^*_y=0.22 Curva c: Φ_y=0.53 χ_y=0.99
λ_Z=95.26 Ncr,z=11419.40 λ^*_z=1.10 Curva c: Φ_z=1.32 χ_z=0.49
χ,min=0.49
Verifica: 0.00+0.06+0.00=0.06

- Verifica in termini tensionali [4.2.4] - CC 17 SLU Xl=0.25 - Classe 3
Sollecitazioni: N=-2.01 T_z=58.52 M_y=-6.29
Tensioni: σ_N=-0.40 σ_M=-150.85 τ=0.00 σ_{max}=-151.26
Tensioni: σ_N=-0.40 σ_M=0.00 τ=17.56 τ_{max}=17.56
Tensioni: σ_N=-0.40 σ_M=-150.85 τ=0.00 $\sigma_{ID,max}$=151.26

- Verifica a taglio dir. Z [4.2.16] - CC 1 SLV Xl=0.17

Sollecitazioni: T_z=-21.03
V,Ed=-21.03 Vc,Rd=7560.76 V,Ed/Vc,Rd=0.00

Asta n. 6036 (-105 -106) calastrelli 50x10 Crit. 1

- Verifica di stabilità aste inflesse (4.2.4.1.3.2) CC 1 SLV - Classe 3
L_{cr}=0.28 Curva d: α_{imp}=0.76 k_c=0.94 ψ=3.06 M,cr=0.00 λ_{LT}=0.00
$\lambda_{LT,0}$=0.20 β_{LT}=1.00 Φ_{LT}=0.00 β_{LT}=1.00 f=0.00 χ_{LT}=1.00
CC 1 SLV My,Ed=2.12 My,b,Rd=109.13 My,Ed/My,b,Rd=0.02

- Verifica di stabilità aste presso-inflesse (C4.2.4.1.3.3.1) - CC 17 SLU - Classe 3
Sollecitazioni: N,Ed=-1.80 Myeq,Ed=-6.19 Mzeq,Ed=0.08
Resistenze: Nc,Rd=13095.20 My,c,Rd=109.13 Mz,c,Rd=21.83 L=28.13
λ_Y=19.49 Ncr,y=272937.00 λ^*_y=0.22 Curva c: Φ_y=0.53 χ_y=0.99
λ_Z=97.43 Ncr,z=10917.50 λ^*_z=1.12 Curva c: Φ_z=1.36 χ_z=0.47
χ,min=0.47
Verifica: 0.00+0.06+0.00=0.06

- Verifica in termini tensionali [4.2.4] - CC 17 SLU Xl=0.25 - Classe 3
Sollecitazioni: N=-1.80 T_z=56.00 M_y=-6.19
Tensioni: σ_N=-0.36 σ_M=-148.66 τ=0.00 σ_{max}=-149.02
Tensioni: σ_N=-0.36 σ_M=0.00 τ=16.80 τ_{max}=16.80
Tensioni: σ_N=-0.36 σ_M=-148.66 τ=0.00 $\sigma_{ID,max}$=149.02

- Verifica a taglio dir. Z [4.2.16] - CC 19 SLU Xl=0.11
Sollecitazioni: T_z=29.69
V,Ed=29.69 Vc,Rd=7560.76 V,Ed/Vc,Rd=0.00

Asta n. 6037 (-73 -74) calastrelli 50x10 Crit. 1

- Verifica di stabilità aste presso-inflesse (C4.2.4.1.3.3.1) - CC 17 SLU - Classe 3
Sollecitazioni: N,Ed=-3.01 Myeq,Ed=-5.07 Mzeq,Ed=0.07
Resistenze: Nc,Rd=13095.20 My,c,Rd=109.13 Mz,c,Rd=21.83 L=28.75
λ_Y=19.92 Ncr,y=261199.00 λ^*_y=0.23 Curva c: Φ_y=0.53 χ_y=0.99
λ_Z=99.59 Ncr,z=10448.00 λ^*_z=1.15 Curva c: Φ_z=1.39 χ_z=0.46
χ,min=0.46
Verifica: 0.00+0.05+0.00=0.05

- Verifica in termini tensionali [4.2.4] - CC 17 SLU Xl=0.26 - Classe 3
Sollecitazioni: N=-3.01 T_z=44.55 M_y=-5.07
Tensioni: σ_N=-0.60 σ_M=-121.75 τ=0.00 σ_{max}=-122.35
Tensioni: σ_N=-0.60 σ_M=0.00 τ=13.37 τ_{max}=13.37
Tensioni: σ_N=-0.60 σ_M=-121.75 τ=0.00 $\sigma_{ID,max}$=122.35

- Verifica a taglio dir. Z [4.2.16] - CC 1 SLV Xl=0.20
Sollecitazioni: T_z=-15.00
V,Ed=-15.00 Vc,Rd=7560.76 V,Ed/Vc,Rd=0.00

Asta n. 6038 (-41 -42) calastrelli 100x5 Crit. 1

- Verifica in termini tensionali [4.2.4] - CC 17 SLU Xl=0.27 - Classe 3
Sollecitazioni: N=11.20 T_z=51.92 M_y=-6.46
Tensioni: σ_N=1.12 σ_M=38.76 τ=0.00 σ_{max}=39.88
Tensioni: σ_N=1.12 σ_M=0.00 τ=7.79 τ_{max}=7.79
Tensioni: σ_N=1.12 σ_M=38.76 τ=0.00 $\sigma_{ID,max}$=39.88

- Verifica a taglio dir. Z [4.2.16] - CC 17 SLU Xl=0.14
Sollecitazioni: N=11.20 T_z=53.20
V,Ed=53.20 Vc,Rd=15121.50 V,Ed/Vc,Rd=0.00

Asta n. 6039 (-9 -10) calastrelli 100x5 Crit. 1

- Verifica in termini tensionali [4.2.4] - CC 17 SLU Xl=0.27 - Classe 3
  Sollecitazioni: N=51.85 T_z=32.30 M_y=-4.11
  Tensioni: σ_N=5.18 σ_M=24.65 τ=0.00 σ_{max}=29.83
  Tensioni: σ_N=5.18 σ_M=0.00 τ=4.85 τ_{max}=4.85
  Tensioni: σ_N=5.18 σ_M=24.65 τ=0.00 $\sigma_{ID,max}$=29.83

- Verifica a taglio dir. Z [4.2.16] - CC 17 SLU Xl=0.12
  Sollecitazioni: N=51.85 T_z=33.82
  V,Ed=33.82 Vc,Rd=15121.50 V,Ed/Vc,Rd=0.00

Asta n. 6040 (337 338) angolari L50x10 Crit. 1

- Verifica di stabilità aste presso-inflesse (C4.2.4.1.3.3.1) - CC 19 SLU - Classe 3
  Sollecitazioni: N,Ed=-22.23 Myeq,Ed=-0.16 Mzeq,Ed=-1.16
  Resistenze: Nc,Rd=23709.20 My,c,Rd=149.05 Mz,c,Rd=149.05 L=15.00
  λ_c=8.19 Ncr,y=2794040.00 λ^*_y=0.09 Curva b: Φ_y=0.00 χ_y=1.00
  λ_e=15.58 Ncr,z=772688.00 λ^*_z=0.18 Curva b: Φ_z=0.00 χ_z=1.00
  χ,min=1.00
  Verifica: 0.00+0.00+0.01=0.01

- Verifica in termini tensionali [4.2.4] - CC 19 SLU Xl=0.02 - Classe 3
  Sollecitazioni: N=-22.23 T_z=-1.44 T_y=3.90 M_z=-1.16
  Tensioni: σ_N=-2.46 σ_M=-25.22 τ=0.17 σ_{max}=-27.68
  Tensioni: σ_N=-2.46 σ_M=4.76 τ=1.14 τ_{max}=1.14
  Tensioni: σ_N=-2.46 σ_M=-25.22 τ=0.17 $\sigma_{ID,max}$=27.68

- Verifica a taglio dir. Y [4.2.16] - CC 17 SLU Xl=0.05
  Sollecitazioni: N=-14.40 T_z=-2.83 T_y=5.46
  V,Ed=5.46 Vc,Rd=7560.76 V,Ed/Vc,Rd=0.00

- Verifica a taglio dir. Z [4.2.16]
  V,Ed=-2.83 Vc,Rd=7560.76 V,Ed/Vc,Rd=0.00

Asta n. 6040 (338 339) angolari L50x10 Crit. 1

- Verifica di stabilità aste presso-inflesse (C4.2.4.1.3.3.1) - CC 18 SLU - Classe 3
  Sollecitazioni: N,Ed=-26.55 Myeq,Ed=-0.06 Mzeq,Ed=-0.86
  Resistenze: Nc,Rd=23709.20 My,c,Rd=149.05 Mz,c,Rd=149.05 L=15.00
  λ_c=8.19 Ncr,y=2794040.00 λ^*_y=0.09 Curva b: Φ_y=0.00 χ_y=1.00
  λ_e=15.58 Ncr,z=772688.00 λ^*_z=0.18 Curva b: Φ_z=0.00 χ_z=1.00
  χ,min=1.00
  Verifica: 0.00+0.00+0.01=0.01

- Verifica a compressione [4.2.9] - CC 18 SLU Xl=0.00 - Classe 1
  Sollecitazioni: N=-26.55
  N,Ed=-26.55 Nc,Rd=-23709.20 N,Ed/Nc,Rd=0.00
  Verifiche di duttilità [7.5.3]:
  q_0=4.00 N,Ed=-26.55 Npl,Rd=23709.20 N,Ed/Npl,Rd=0.001120

- Verifica a taglio dir. Y [4.2.16] - CC 17 SLU Xl=0.00
  Sollecitazioni: N=-14.40 T_z=-2.83 T_y=4.57
  V,Ed=4.57 Vc,Rd=7560.76 V,Ed/Vc,Rd=0.00

- Verifica a taglio dir. Z [4.2.16]
  V,Ed=-2.83 Vc,Rd=7560.76 V,Ed/Vc,Rd=0.00

Asta n. 6041 (-593 -594) arcarecci T 120x60x10 Crit. 1

- Verifica di stabilità aste inflesse (4.2.4.1.3.2) CC 1 SLV - Classe 3
  L_{cr}=0.12 Curva d: α_{imp}=0.76 k_c=0.94 ψ=1.81 M,cr=0.00 λ_{LT}=0.00
  $\lambda_{LT,0}$=0.00 β_{LT}=0.00 Φ_{LT}=0.00 β_{LT}=0.00 f=0.00 χ_{LT}=1.00
  CC 1 SLV My,Ed=2.28 My,b,Rd=862.52 My,Ed/My,b,Rd=0.00

- Verifica di stabilità aste presso-inflesse (C4.2.4.1.3.3.1) - CC 18 SLU - Classe 3
  Sollecitazioni: N,Ed=-0.04 Myeq,Ed=9.67 Mzeq,Ed=0.33
  Resistenze: Nc,Rd=44512.60 My,c,Rd=862.52 Mz,c,Rd=164.81 L=12.00
  λ_Y=3.12 Ncr,y=36117100.00 λ^*_y=0.04 Curva c: Φ_y=0.00 χ_y=1.00
  λ_Z=11.39 Ncr,z=2717260.00 λ^*_z=0.13 Curva c: Φ_z=0.00 χ_z=1.00
  χ,min=1.00
  Verifica: 0.00+0.01+0.00=0.01

- Verifica a flessione [4.2.13] - CC 18 SLU Xl=0.12 - Classe 3
  Sollecitazioni: T_z=-106.83 M_y=12.89 T_y=-4.48
  My,Ed=12.89 My,c,Rd=862.52 My,Ed/My,c,Rd=0.01

- Verifica a taglio dir. Y [4.2.16] - CC 18 SLU Xl=0.00
  Sollecitazioni: T_z=-113.42 T_y=-4.48
  V,Ed=-4.48 Vc,Rd=9072.91 V,Ed/Vc,Rd=0.00

- Verifica a taglio dir. Z [4.2.16]
  V,Ed=-113.42 Vc,Rd=18145.80 V,Ed/Vc,Rd=0.01

Asta n. 6041 (-595 -596) arcarecci T 120x60x10 Crit. 1

- Verifica in termini tensionali [4.2.4] - CC 18 SLU Xl=0.00 - Classe 3
  Sollecitazioni: N=168.66 T_z=-9.91 M_y=-46.80 T_y=-5.78
  Tensioni: σ_N=9.92 σ_M=142.10 τ=0.12 σ_{max}=152.02
  Tensioni: σ_N=9.92 σ_M=-61.18 τ=1.53 τ_{max}=1.53
  Tensioni: σ_N=9.92 σ_M=142.10 τ=0.15 $\sigma_{ID,max}$=152.02

Asta n. 6041 (-597 -598) arcarecci T 120x60x10 Crit. 1

- Verifica in termini tensionali [4.2.4] - CC 18 SLU Xl=0.12 - Classe 3
  Sollecitazioni: N=168.47 T_z=10.54 M_y=-46.84 T_y=7.41
  Tensioni: σ_N=9.91 σ_M=142.24 τ=0.16 σ_{max}=152.15
  Tensioni: σ_N=9.91 σ_M=-63.10 τ=1.88 τ_{max}=1.88
  Tensioni: σ_N=9.91 σ_M=142.24 τ=0.19 $\sigma_{ID,max}$=152.15

Asta n. 6041 (-599 -600) arcarecci T 120x60x10 Crit. 1

- Verifica di stabilità aste inflesse (4.2.4.1.3.2) CC 1 SLV - Classe 3
  L_{cr}=0.12 Curva d: α_{imp}=0.76 k_c=0.94 ψ=1.81 M,cr=0.00 λ_{LT}=0.00
  $\lambda_{LT,0}$=0.00 β_{LT}=0.00 Φ_{LT}=0.00 β_{LT}=0.00 f=0.00 χ_{LT}=1.00
  CC 1 SLV My,Ed=2.28 My,b,Rd=862.52 My,Ed/My,b,Rd=0.00

- Verifica di stabilità aste presso-inflesse (C4.2.4.1.3.3.1) - CC 18 SLU - Classe 3
  Sollecitazioni: N,Ed=-0.04 Myeq,Ed=9.69 Mzeq,Ed=0.28
  Resistenze: Nc,Rd=44512.60 My,c,Rd=862.52 Mz,c,Rd=164.81 L=12.00
  λ_Y=3.12 Ncr,y=36117200.00 λ^*_y=0.04 Curva c: Φ_y=0.00 χ_y=1.00
  λ_Z=11.39 Ncr,z=2717260.00 λ^*_z=0.13 Curva c: Φ_z=0.00 χ_z=1.00
  χ,min=1.00
  Verifica: 0.00+0.01+0.00=0.01

- Verifica a flessione [4.2.13] - CC 18 SLU Xl=0.00 - Classe 3
  Sollecitazioni: T_z=107.04 M_y=12.92 T_y=3.62

My,Ed=12.92 My,c,Rd=862.52 My,Ed/My,c,Rd=0.01

- Verifica a taglio dir. Y [4.2.16] - CC 18 SLU Xl=0.12
Sollecitazioni: T_z=113.63 T_y=3.62
V,Ed=3.62 Vc,Rd=9072.91 V,Ed/Vc,Rd=0.00

- Verifica a taglio dir. Z [4.2.16]
V,Ed=113.63 Vc,Rd=18145.80 V,Ed/Vc,Rd=0.01

Asta n. 6042 (-657 -658) arcarecci T 120x60x10 Crit. 1

- Verifica di stabilità aste inflesse (4.2.4.1.3.2) CC 17 SLU - Classe 3
L_{cr}=0.12 Curva d: α_{imp}=0.76 k_c=0.94 ψ=1.77 M,cr=0.00 λ_{LT}=0.00
$\lambda_{LT,0}$=0.00 β_{LT}=0.00 Φ_{LT}=0.00 β_{LT}=0.00 f=0.00 χ_{LT}=1.00
CC 17 SLU My,Ed=6.53 My,b,Rd=862.52 My,Ed/My,b,Rd=0.01

- Verifica di stabilità aste presso-inflesse (C4.2.4.1.3.3.1) - CC 18 SLU - Classe 3
Sollecitazioni: N,Ed=-0.03 Myeq,Ed=12.03 Mzeq,Ed=-0.88
Resistenze: Nc,Rd=44512.60 My,c,Rd=862.52 Mz,c,Rd=164.81 L=12.00
λ_Y=3.12 Ncr,y=36117100.00 λ^*_y=0.04 Curva c: Φ_y=0.00 χ_y=1.00
λ_Z=11.39 Ncr,z=2717260.00 λ^*_z=0.13 Curva c: Φ_z=0.00 χ_z=1.00
χ,min=1.00
Verifica: 0.00+0.01+0.01=0.02

- Verifica a flessione [4.2.13] - CC 18 SLU Xl=0.12 - Classe 3
Sollecitazioni: T_z=-132.04 M_y=16.04 T_y=-11.30
My,Ed=16.04 My,c,Rd=862.52 My,Ed/My,c,Rd=0.02

- Verifica a taglio dir. Y [4.2.16] - CC 18 SLU Xl=0.00
Sollecitazioni: T_z=-138.63 T_y=-11.30
V,Ed=-11.30 Vc,Rd=9072.91 V,Ed/Vc,Rd=0.00

- Verifica a taglio dir. Z [4.2.16]
V,Ed=-138.63 Vc,Rd=18145.80 V,Ed/Vc,Rd=0.01

Asta n. 6042 (-659 -660) arcarecci T 120x60x10 Crit. 1

- Verifica di stabilità aste inflesse (4.2.4.1.3.2) CC 5 SLV - Classe 3
L_{cr}=0.12 Curva d: α_{imp}=0.76 k_c=0.94 ψ=1.01 M,cr=0.00 λ_{LT}=0.00
$\lambda_{LT,0}$=0.00 β_{LT}=0.00 Φ_{LT}=0.00 β_{LT}=0.00 f=0.00 χ_{LT}=1.00
CC 5 SLV My,Ed=-11.63 My,b,Rd=862.52 My,Ed/My,b,Rd=0.01

- Verifica di stabilità aste presso-inflesse (C4.2.4.1.3.3.1) - CC 18 SLU - Classe 3
Sollecitazioni: N,Ed=-91.10 Myeq,Ed=-27.93 Mzeq,Ed=0.73
Resistenze: Nc,Rd=44512.60 My,c,Rd=862.52 Mz,c,Rd=164.81 L=12.00
λ_Y=3.12 Ncr,y=36117200.00 λ^*_y=0.04 Curva c: Φ_y=0.00 χ_y=1.00
λ_Z=11.39 Ncr,z=2717260.00 λ^*_z=0.13 Curva c: Φ_z=0.00 χ_z=1.00
χ,min=1.00
Verifica: 0.00+0.03+0.00=0.04

- Verifica in termini tensionali [4.2.4] - CC 16 SLU Xl=0.12 - Classe 3
Sollecitazioni: N=-76.72 T_z=4.79 M_y=-29.41 T_y=-4.92
Tensioni: σ_N=-4.51 σ_M=89.29 τ=0.11 σ_{max}=84.78
Tensioni: σ_N=-4.51 σ_M=-39.62 τ=1.18 τ_{max}=1.18
Tensioni: σ_N=-4.51 σ_M=89.29 τ=0.13 $\sigma_{ID,max}$=84.78

Asta n. 6042 (-661 -662) arcarecci T 120x60x10 Crit. 1

- Verifica di stabilità aste inflesse (4.2.4.1.3.2) CC 5 SLV - Classe 3
L_{cr}=0.12 Curva d: α_{imp}=0.76 k_c=0.94 ψ=1.01 M,cr=0.00 λ_{LT}=0.00

$\lambda_{LT,0}$=0.00 β_{LT}=0.00 Φ_{LT}=0.00 β_{LT}=0.00 f=0.00 χ_{LT}=1.00
CC 5 SLV My,Ed=-11.63 My,b,Rd=862.52 My,Ed/My,b,Rd=0.01

- Verifica di stabilità aste presso-inflesse (C4.2.4.1.3.3.1) - CC 18 SLU - Classe 3
Sollecitazioni: N,Ed=-91.17 Myeq,Ed=-27.92 Mzeq,Ed=0.80
Resistenze: Nc,Rd=44512.60 My,c,Rd=862.52 Mz,c,Rd=164.81 L=12.00
λ_Y=3.12 Ncr,y=36117200.00 λ^*_y=0.04 Curva c: Φ_y=0.00 χ_y=1.00
λ_Z=11.39 Ncr,z=2717260.00 λ^*_z=0.13 Curva c: Φ_z=0.00 χ_z=1.00
χ,min=1.00
Verifica: 0.00+0.03+0.00=0.04

- Verifica in termini tensionali [4.2.4] - CC 16 SLU Xl=0.00 - Classe 3
Sollecitazioni: N=-76.77 T_z=-4.66 M_y=-29.40 T_y=5.55
Tensioni: σ_N=-4.52 σ_M=89.28 τ=0.12 σ_{max}=84.77
Tensioni: σ_N=-4.52 σ_M=-39.61 τ=1.32 τ_{max}=1.32
Tensioni: σ_N=-4.52 σ_M=89.28 τ=0.14 $\sigma_{ID,max}$=84.77

Asta n. 6042 (-663 -664) arcarecci T 120x60x10 Crit. 1

- Verifica di stabilità aste inflesse (4.2.4.1.3.2) CC 1 SLV - Classe 3
L_{cr}=0.12 Curva d: α_{imp}=0.76 k_c=0.94 ψ=1.83 M,cr=0.00 λ_{LT}=0.00
$\lambda_{LT,0}$=0.00 β_{LT}=0.00 Φ_{LT}=0.00 β_{LT}=0.00 f=0.00 χ_{LT}=1.00
CC 1 SLV My,Ed=2.90 My,b,Rd=862.52 My,Ed/My,b,Rd=0.00

- Verifica di stabilità aste presso-inflesse (C4.2.4.1.3.3.1) - CC 18 SLU - Classe 3
Sollecitazioni: N,Ed=-0.02 Myeq,Ed=12.03 Mzeq,Ed=-0.86
Resistenze: Nc,Rd=44512.60 My,c,Rd=862.52 Mz,c,Rd=164.81 L=12.00
λ_Y=3.12 Ncr,y=36117200.00 λ^*_y=0.04 Curva c: Φ_y=0.00 χ_y=1.00
λ_Z=11.39 Ncr,z=2717260.00 λ^*_z=0.13 Curva c: Φ_z=0.00 χ_z=1.00
χ,min=1.00
Verifica: 0.00+0.01+0.01=0.02

- Verifica a flessione [4.2.13] - CC 18 SLU Xl=0.00 - Classe 3
Sollecitazioni: T_z=132.08 M_y=16.05 T_y=11.03
My,Ed=16.05 My,c,Rd=862.52 My,Ed/My,c,Rd=0.02

- Verifica a taglio dir. Y [4.2.16] - CC 18 SLU Xl=0.12
Sollecitazioni: T_z=138.67 T_y=11.03
V,Ed=11.03 Vc,Rd=9072.91 V,Ed/Vc,Rd=0.00

- Verifica a taglio dir. Z [4.2.16]
V,Ed=138.67 Vc,Rd=18145.80 V,Ed/Vc,Rd=0.01

Asta n. 6043 (-721 -722) arcarecci T 120x60x10 Crit. 1

- Verifica di stabilità aste inflesse (4.2.4.1.3.2) CC 1 SLV - Classe 3
L_{cr}=0.12 Curva d: α_{imp}=0.76 k_c=0.94 ψ=1.92 M,cr=0.00 λ_{LT}=0.00
$\lambda_{LT,0}$=0.00 β_{LT}=0.00 Φ_{LT}=0.00 β_{LT}=0.00 f=0.00 χ_{LT}=1.00
CC 1 SLV My,Ed=2.29 My,b,Rd=862.52 My,Ed/My,b,Rd=0.00

- Verifica di stabilità aste presso-inflesse (C4.2.4.1.3.3.1) - CC 18 SLU - Classe 3
Sollecitazioni: N,Ed=-0.04 Myeq,Ed=11.11 Mzeq,Ed=-1.00
Resistenze: Nc,Rd=44512.60 My,c,Rd=862.52 Mz,c,Rd=164.81 L=12.00
λ_Y=3.12 Ncr,y=36117100.00 λ^*_y=0.04 Curva c: Φ_y=0.00 χ_y=1.00
λ_Z=11.39 Ncr,z=2717260.00 λ^*_z=0.13 Curva c: Φ_z=0.00 χ_z=1.00
χ,min=1.00
Verifica: 0.00+0.01+0.01=0.02

- Verifica in termini tensionali [4.2.4] - CC 18 SLU Xl=0.12 - Classe 3

Sollecitazioni: T_z=-122.53 M_y=14.81 T_y=-12.82 M_z=-1.22
Tensioni: σ_N=0.00 σ_M=-47.61 τ=0.42 σ_{max}=-47.61
Tensioni: σ_N=0.00 σ_M=-3.23 τ=14.14 τ_{max}=14.14
Tensioni: σ_N=0.00 σ_M=-47.61 τ=0.42 $\sigma_{ID,max}$=47.61

- Verifica a taglio dir. Y [4.2.16] - CC 18 SLU Xl=0.00
Sollecitazioni: T_z=-129.12 T_y=-12.82
V,Ed=-12.82 Vc,Rd=9072.91 V,Ed/Vc,Rd=0.00

- Verifica a taglio dir. Z [4.2.16]
V,Ed=-129.12 Vc,Rd=18145.80 V,Ed/Vc,Rd=0.01

Asta n. 6043 (-723 -724) arcarecci T 120x60x10 Crit. 1

- Verifica in termini tensionali [4.2.4] - CC 16 SLU Xl=0.00 - Classe 3
Sollecitazioni: N=172.21 T_z=-2.99 M_y=-31.10 T_y=-1.71
Tensioni: σ_N=10.13 σ_M=94.43 τ=0.04 σ_{max}=104.56
Tensioni: σ_N=10.13 σ_M=-40.65 τ=0.46 τ_{max}=0.46
Tensioni: σ_N=10.13 σ_M=94.43 τ=0.04 $\sigma_{ID,max}$=104.56

Asta n. 6043 (-725 -726) arcarecci T 120x60x10 Crit. 1

- Verifica in termini tensionali [4.2.4] - CC 16 SLU Xl=0.12 - Classe 3
Sollecitazioni: N=172.16 T_z=3.08 M_y=-31.11 T_y=2.38
Tensioni: σ_N=10.13 σ_M=94.46 τ=0.05 σ_{max}=104.59
Tensioni: σ_N=10.13 σ_M=-41.91 τ=0.59 τ_{max}=0.59
Tensioni: σ_N=10.13 σ_M=94.46 τ=0.06 $\sigma_{ID,max}$=104.59

Asta n. 6043 (-727 -728) arcarecci T 120x60x10 Crit. 1

- Verifica di stabilità aste inflesse (4.2.4.1.3.2) CC 1 SLV - Classe 3
L_{cr}=0.12 Curva d: α_{imp}=0.76 k_c=0.94 ψ=1.92 M,cr=0.00 λ_{LT}=0.00
$\lambda_{LT,0}$=0.00 β_{LT}=0.00 Φ_{LT}=0.00 β_{LT}=0.00 f=0.00 χ_{LT}=1.00
CC 1 SLV My,Ed=2.29 My,b,Rd=862.52 My,Ed/My,b,Rd=0.00

- Verifica di stabilità aste presso-inflesse (C4.2.4.1.3.3.1) - CC 18 SLU - Classe 3
Sollecitazioni: N,Ed=-0.04 Myeq,Ed=11.10 Mzeq,Ed=-0.96
Resistenze: Nc,Rd=44512.60 My,c,Rd=862.52 Mz,c,Rd=164.81 L=12.00
λ_Y=3.12 Ncr,y=36117200.00 λ^*_y=0.04 Curva c: Φ_y=0.00 χ_y=1.00
λ_Z=11.39 Ncr,z=2717260.00 λ^*_z=0.13 Curva c: Φ_z=0.00 χ_z=1.00
χ,min=1.00
Verifica: 0.00+0.01+0.01=0.02

- Verifica in termini tensionali [4.2.4] - CC 18 SLU Xl=0.00 - Classe 3
Sollecitazioni: T_z=122.50 M_y=14.81 T_y=12.33 M_z=-1.17
Tensioni: σ_N=0.00 σ_M=-47.47 τ=0.41 σ_{max}=-47.47
Tensioni: σ_N=0.00 σ_M=-3.10 τ=14.14 τ_{max}=14.14
Tensioni: σ_N=0.00 σ_M=-47.47 τ=0.41 $\sigma_{ID,max}$=47.47

- Verifica a taglio dir. Y [4.2.16] - CC 18 SLU Xl=0.12
Sollecitazioni: T_z=129.09 T_y=12.33
V,Ed=12.33 Vc,Rd=9072.91 V,Ed/Vc,Rd=0.00

- Verifica a taglio dir. Z [4.2.16]
V,Ed=129.09 Vc,Rd=18145.80 V,Ed/Vc,Rd=0.01

Asta n. 6044 (-785 -786) arcarecci T 120x60x10 Crit. 1

- Verifica di stabilità aste inflesse (4.2.4.1.3.2) CC 1 SLV - Classe 3

L_{cr}=0.12 Curva d: α_{imp}=0.76 k_c=0.94 ψ=1.87 M,cr=0.00 λ_{LT}=0.00
$\lambda_{LT,0}$=0.00 β_{LT}=0.00 Φ_{LT}=0.00 β_{LT}=0.00 f=0.00 χ_{LT}=1.00
CC 1 SLV My,Ed=3.02 My,b,Rd=862.52 My,Ed/My,b,Rd=0.00

- Verifica di stabilità aste presso-inflesse (C4.2.4.1.3.3.1) - CC 18 SLU - Classe 3
Sollecitazioni: N,Ed=-0.81 Myeq,Ed=9.78 Mzeq,Ed=0.01
Resistenze: Nc,Rd=44512.60 My,c,Rd=862.52 Mz,c,Rd=164.81 L=12.00
λ_Y=3.12 Ncr,y=36117100.00 λ^*_y=0.04 Curva c: Φ_y=0.00 χ_y=1.00
λ_Z=11.39 Ncr,z=2717260.00 λ^*_z=0.13 Curva c: Φ_z=0.00 χ_z=1.00
χ,min=1.00
Verifica: 0.00+0.01+0.00=0.01

- Verifica a flessione [4.2.13] - CC 18 SLU Xl=0.12 - Classe 3
Sollecitazioni: T_z=-106.65 M_y=13.03
My,Ed=13.03 My,c,Rd=862.52 My,Ed/My,c,Rd=0.02

- Verifica a taglio dir. Z [4.2.16] - CC 18 SLU Xl=0.00
Sollecitazioni: T_z=-112.16
V,Ed=-112.16 Vc,Rd=18145.80 V,Ed/Vc,Rd=0.01

Asta n. 6044 (-787 -788) arcarecci T 120x60x10 Crit. 1

- Verifica di stabilità aste presso-inflesse (C4.2.4.1.3.3.1) - CC 19 SLU - Classe 3
Sollecitazioni: N,Ed=-791.12 Myeq,Ed=-17.04 Mzeq,Ed=0.01
Resistenze: Nc,Rd=44512.60 My,c,Rd=862.52 Mz,c,Rd=164.81 L=12.00
λ_Y=3.12 Ncr,y=36117200.00 λ^*_y=0.04 Curva c: Φ_y=0.00 χ_y=1.00
λ_Z=11.39 Ncr,z=2717260.00 λ^*_z=0.13 Curva c: Φ_z=0.00 χ_z=1.00
χ,min=1.00
Verifica: 0.02+0.02+0.00=0.04

- Verifica in termini tensionali [4.2.4] - CC 19 SLU Xl=0.00 - Classe 3
Sollecitazioni: N=-791.12 T_z=-13.97 M_y=-17.04
Tensioni: σ_N=-46.55 σ_M=-29.75 τ=0.00 σ_{max}=-76.30
Tensioni: σ_N=-46.55 σ_M=0.00 τ=1.61 τ_{max}=1.61
Tensioni: σ_N=-46.55 σ_M=-29.75 τ=0.00 $\sigma_{ID,max}$=76.30

Asta n. 6044 (-789 -790) arcarecci T 120x60x10 Crit. 1

- Verifica di stabilità aste presso-inflesse (C4.2.4.1.3.3.1) - CC 19 SLU - Classe 3
Sollecitazioni: N,Ed=-802.55 Myeq,Ed=-15.22 Mzeq,Ed=-0.01
Resistenze: Nc,Rd=44512.60 My,c,Rd=862.52 Mz,c,Rd=164.81 L=12.00
λ_Y=3.12 Ncr,y=36117200.00 λ^*_y=0.04 Curva c: Φ_y=0.00 χ_y=1.00
λ_Z=11.39 Ncr,z=2717260.00 λ^*_z=0.13 Curva c: Φ_z=0.00 χ_z=1.00
χ,min=1.00
Verifica: 0.02+0.02+0.00=0.04

- Verifica in termini tensionali [4.2.4] - CC 18 SLU Xl=0.12 - Classe 3
Sollecitazioni: N=-831.00 T_z=13.92 M_y=-14.43
Tensioni: σ_N=-48.89 σ_M=-25.19 τ=0.00 σ_{max}=-74.08
Tensioni: σ_N=-48.89 σ_M=0.00 τ=1.61 τ_{max}=1.61
Tensioni: σ_N=-48.89 σ_M=-25.19 τ=0.00 $\sigma_{ID,max}$=74.08

Asta n. 6044 (-791 -792) arcarecci T 120x60x10 Crit. 1

- Verifica di stabilità aste inflesse (4.2.4.1.3.2) CC 1 SLV - Classe 3
L_{cr}=0.12 Curva d: α_{imp}=0.76 k_c=0.94 ψ=1.87 M,cr=0.00 λ_{LT}=0.00
$\lambda_{LT,0}$=0.00 β_{LT}=0.00 Φ_{LT}=0.00 β_{LT}=0.00 f=0.00 χ_{LT}=1.00
CC 1 SLV My,Ed=3.03 My,b,Rd=862.52 My,Ed/My,b,Rd=0.00

- Verifica di stabilità aste presso-inflesse (C4.2.4.1.3.3.1) - CC 18 SLU - Classe 3
  Sollecitazioni: N,Ed=-0.81 Myeq,Ed=9.77 Mzeq,Ed=0.02
  Resistenze: Nc,Rd=44512.60 My,c,Rd=862.52 Mz,c,Rd=164.81 L=12.00
  λ_Y=3.12 Ncr,y=36117200.00 λ^*_y=0.04 Curva c: Φ_y=0.00 χ_y=1.00
  λ_Z=11.39 Ncr,z=2717260.00 λ^*_z=0.13 Curva c: Φ_z=0.00 χ_z=1.00
  χ,min=1.00
  Verifica: 0.00+0.01+0.00=0.01

- Verifica a flessione [4.2.13] - CC 18 SLU Xl=0.00 - Classe 3
  Sollecitazioni: T_z=106.55 M_y=13.02
  My,Ed=13.02 My,c,Rd=862.52 My,Ed/My,c,Rd=0.02

- Verifica a taglio dir. Z [4.2.16] - CC 18 SLU Xl=0.12
  Sollecitazioni: T_z=112.07
  V,Ed=112.07 Vc,Rd=18145.80 V,Ed/Vc,Rd=0.01

Asta n. 6045 (-729 -730) arcarecci T 120x60x10 Crit. 1

- Verifica di stabilità aste inflesse (4.2.4.1.3.2) CC 1 SLV - Classe 3
  L_{cr}=0.12 Curva d: α_{imp}=0.76 k_c=0.94 ψ=1.92 M,cr=0.00 λ_{LT}=0.00
  $\lambda_{LT,0}$=0.00 β_{LT}=0.00 Φ_{LT}=0.00 β_{LT}=0.00 f=0.00 χ_{LT}=1.00
  CC 1 SLV My,Ed=2.29 My,b,Rd=862.52 My,Ed/My,b,Rd=0.00

- Verifica di stabilità aste presso-inflesse (C4.2.4.1.3.3.1) - CC 19 SLU - Classe 3
  Sollecitazioni: N,Ed=-0.07 Myeq,Ed=8.29 Mzeq,Ed=1.16
  Resistenze: Nc,Rd=44512.60 My,c,Rd=862.52 Mz,c,Rd=164.81 L=12.00
  λ_Y=3.12 Ncr,y=36117100.00 λ^*_y=0.04 Curva c: Φ_y=0.00 χ_y=1.00
  λ_Z=11.39 Ncr,z=2717260.00 λ^*_z=0.13 Curva c: Φ_z=0.00 χ_z=1.00
  χ,min=1.00
  Verifica: 0.00+0.01+0.01=0.02

- Verifica in termini tensionali [4.2.4] - CC 19 SLU Xl=0.12 - Classe 3
  Sollecitazioni: T_z=-91.14 M_y=11.06 T_y=14.91 M_z=1.44
  Tensioni: σ_N=0.00 σ_M=42.22 τ=0.00 σ_{max}=42.22
  Tensioni: σ_N=0.00 σ_M=3.82 τ=10.52 τ_{max}=10.52
  Tensioni: σ_N=0.00 σ_M=42.22 τ=0.00 $\sigma_{ID,max}$=42.22

- Verifica a taglio dir. Y [4.2.16] - CC 9 SLU Xl=0.00
  Sollecitazioni: T_z=-96.92 T_y=11.90
  V,Ed=11.90 Vc,Rd=9072.91 V,Ed/Vc,Rd=0.00

- Verifica a taglio dir. Z [4.2.16]
  V,Ed=-96.92 Vc,Rd=18145.80 V,Ed/Vc,Rd=0.01

Asta n. 6045 (-731 -732) arcarecci T 120x60x10 Crit. 1

- Verifica in termini tensionali [4.2.4] - CC 19 SLU Xl=0.12 - Classe 3
  Sollecitazioni: N=205.50 T_z=3.41 M_y=-21.51 T_y=9.05 M_z=1.05
  Tensioni: σ_N=12.09 σ_M=67.53 τ=0.20 σ_{max}=79.62
  Tensioni: σ_N=12.09 σ_M=-25.64 τ=2.08 τ_{max}=2.08
  Tensioni: σ_N=12.09 σ_M=67.53 τ=0.20 $\sigma_{ID,max}$=79.62

Asta n. 6045 (-733 -734) arcarecci T 120x60x10 Crit. 1

- Verifica in termini tensionali [4.2.4] - CC 19 SLU Xl=0.12 - Classe 3
  Sollecitazioni: N=194.47 T_z=3.73 M_y=-19.88
  Tensioni: σ_N=11.44 σ_M=60.37 τ=0.00 σ_{max}=71.81
  Tensioni: σ_N=11.44 σ_M=0.00 τ=0.43 τ_{max}=0.43
  Tensioni: σ_N=11.44 σ_M=60.37 τ=0.00 $\sigma_{ID,max}$=71.81

Asta n. 6045 (-735 -736) arcarecci T 120x60x10 Crit. 1

- Verifica di stabilità aste inflesse (4.2.4.1.3.2) CC 1 SLV - Classe 3
  L_{cr}=0.12 Curva d: α_{imp}=0.76 k_c=0.94 ψ=1.92 M,cr=0.00 λ_{LT}=0.00
  $\lambda_{LT,0}$=0.00 β_{LT}=0.00 Φ_{LT}=0.00 β_{LT}=0.00 f=0.00 χ_{LT}=1.00
  CC 1 SLV My,Ed=2.29 My,b,Rd=862.52 My,Ed/My,b,Rd=0.00

- Verifica di stabilità aste presso-inflesse (C4.2.4.1.3.3.1) - CC 9 SLU - Classe 3
  Sollecitazioni: N,Ed=-0.03 Myeq,Ed=8.34 Mzeq,Ed=0.95
  Resistenze: Nc,Rd=44512.60 My,c,Rd=862.52 Mz,c,Rd=164.81 L=12.00
  λ_Y=3.12 Ncr,y=36117200.00 λ^*_y=0.04 Curva c: Φ_y=0.00 χ_y=1.00
  λ_Z=11.39 Ncr,z=2717260.00 λ^*_z=0.13 Curva c: Φ_z=0.00 χ_z=1.00
  χ,min=1.00
  Verifica: 0.00+0.01+0.01=0.02

- Verifica in termini tensionali [4.2.4] - CC 9 SLU Xl=0.00 - Classe 3
  Sollecitazioni: T_z=91.64 M_y=11.12 T_y=-12.18 M_z=1.14
  Tensioni: σ_N=0.00 σ_M=37.60 τ=0.00 σ_{max}=37.60
  Tensioni: σ_N=0.00 σ_M=3.03 τ=10.58 τ_{max}=10.58
  Tensioni: σ_N=0.00 σ_M=37.60 τ=0.00 $\sigma_{ID,max}$=37.60

- Verifica a taglio dir. Y [4.2.16] - CC 9 SLU Xl=0.12
  Sollecitazioni: T_z=96.94 T_y=-12.18
  V,Ed=-12.18 Vc,Rd=9072.91 V,Ed/Vc,Rd=0.00

- Verifica a taglio dir. Z [4.2.16]
  V,Ed=96.94 Vc,Rd=18145.80 V,Ed/Vc,Rd=0.01

Asta n. 6046 (-665 -666) arcarecci T 120x60x10 Crit. 1

- Verifica di stabilità aste inflesse (4.2.4.1.3.2) CC 20 SLU - Classe 3
  L_{cr}=0.12 Curva d: α_{imp}=0.76 k_c=0.94 ψ=1.76 M,cr=0.00 λ_{LT}=0.00
  $\lambda_{LT,0}$=0.00 β_{LT}=0.00 Φ_{LT}=0.00 β_{LT}=0.00 f=0.00 χ_{LT}=1.00
  CC 20 SLU My,Ed=6.56 My,b,Rd=862.52 My,Ed/My,b,Rd=0.01

- Verifica di stabilità aste presso-inflesse (C4.2.4.1.3.3.1) - CC 19 SLU - Classe 3
  Sollecitazioni: N,Ed=-0.00 Myeq,Ed=9.12 Mzeq,Ed=1.19
  Resistenze: Nc,Rd=44512.60 My,c,Rd=862.52 Mz,c,Rd=164.81 L=12.00
  λ_Y=3.12 Ncr,y=36117100.00 λ^*_y=0.04 Curva c: Φ_y=0.00 χ_y=1.00
  λ_Z=11.39 Ncr,z=2717260.00 λ^*_z=0.13 Curva c: Φ_z=0.00 χ_z=1.00
  χ,min=1.00
  Verifica: 0.00+0.01+0.01=0.02

- Verifica in termini tensionali [4.2.4] - CC 19 SLU Xl=0.12 - Classe 3
  Sollecitazioni: T_z=-100.05 M_y=12.16 T_y=15.29 M_z=1.41
  Tensioni: σ_N=0.00 σ_M=43.70 τ=0.00 σ_{max}=43.70
  Tensioni: σ_N=0.00 σ_M=3.75 τ=11.55 τ_{max}=11.55
  Tensioni: σ_N=0.00 σ_M=43.70 τ=0.00 $\sigma_{ID,max}$=43.70

- Verifica a taglio dir. Y [4.2.16] - CC 19 SLU Xl=0.00
  Sollecitazioni: T_z=-105.35 T_y=15.29
  V,Ed=15.29 Vc,Rd=9072.91 V,Ed/Vc,Rd=0.00

- Verifica a taglio dir. Z [4.2.16]
  V,Ed=-105.35 Vc,Rd=18145.80 V,Ed/Vc,Rd=0.01

Asta n. 6046 (-667 -668) arcarecci T 120x60x10 Crit. 1

- Verifica di stabilità aste inflesse (4.2.4.1.3.2) CC 5 SLV - Classe 3
  L_{cr}=0.12 Curva d: α_{imp}=0.76 k_c=0.94 ψ=1.01 M,cr=0.00 λ_{LT}=0.00
  $\lambda_{LT,0}$=0.00 β_{LT}=0.00 Φ_{LT}=0.00 β_{LT}=0.00 f=0.00 χ_{LT}=1.00
  CC 5 SLV My,Ed=-11.63 My,b,Rd=862.52 My,Ed/My,b,Rd=0.01

- Verifica di stabilità aste presso-inflesse (C4.2.4.1.3.3.1) - CC 19 SLU - Classe 3
  Sollecitazioni: N,Ed=-74.60 Myeq,Ed=-22.71 Mzeq,Ed=-1.16
  Resistenze: Nc,Rd=44512.60 My,c,Rd=862.52 Mz,c,Rd=164.81 L=12.00
  λ_Y=3.12 Ncr,y=36117200.00 λ^*_y=0.04 Curva c: Φ_y=0.00 χ_y=1.00
  λ_Z=11.39 Ncr,z=2717260.00 λ^*_z=0.13 Curva c: Φ_z=0.00 χ_z=1.00
  χ,min=1.00
  Verifica: 0.00+0.03+0.01=0.04

- Verifica in termini tensionali [4.2.4] - CC 19 SLU Xl=0.00 - Classe 3
  Sollecitazioni: N=-74.60 T_z=-3.99 M_y=-22.71 T_y=16.40 M_z=-1.16
  Tensioni: σ_N=-4.39 σ_M=71.44 τ=0.35 σ_{max}=67.05
  Tensioni: σ_N=-4.39 σ_M=-34.30 τ=3.75 τ_{max}=3.75
  Tensioni: σ_N=-4.39 σ_M=71.44 τ=0.35 $\sigma_{ID,max}$=67.05

Asta n. 6046 (-669 -670) arcarecci T 120x60x10 Crit. 1

- Verifica di stabilità aste inflesse (4.2.4.1.3.2) CC 5 SLV - Classe 3
  L_{cr}=0.12 Curva d: α_{imp}=0.76 k_c=0.94 ψ=1.01 M,cr=0.00 λ_{LT}=0.00
  $\lambda_{LT,0}$=0.00 β_{LT}=0.00 Φ_{LT}=0.00 β_{LT}=0.00 f=0.00 χ_{LT}=1.00
  CC 5 SLV My,Ed=-11.63 My,b,Rd=862.52 My,Ed/My,b,Rd=0.01

- Verifica di stabilità aste presso-inflesse (C4.2.4.1.3.3.1) - CC 9 SLU - Classe 3
  Sollecitazioni: N,Ed=-67.57 Myeq,Ed=-20.30 Mzeq,Ed=-0.74
  Resistenze: Nc,Rd=44512.60 My,c,Rd=862.52 Mz,c,Rd=164.81 L=12.00
  λ_Y=3.12 Ncr,y=36117200.00 λ^*_y=0.04 Curva c: Φ_y=0.00 χ_y=1.00
  λ_Z=11.39 Ncr,z=2717260.00 λ^*_z=0.13 Curva c: Φ_z=0.00 χ_z=1.00
  χ,min=1.00
  Verifica: 0.00+0.02+0.00=0.03

- Verifica in termini tensionali [4.2.4] - CC 19 SLU Xl=0.00 - Classe 3
  Sollecitazioni: N=-82.37 T_z=-4.57 M_y=-20.82 T_y=-2.71
  Tensioni: σ_N=-4.85 σ_M=63.22 τ=0.06 σ_{max}=58.38
  Tensioni: σ_N=-4.85 σ_M=-27.22 τ=0.71 τ_{max}=0.71
  Tensioni: σ_N=-4.85 σ_M=63.22 τ=0.07 $\sigma_{ID,max}$=58.38

Asta n. 6046 (-671 -672) arcarecci T 120x60x10 Crit. 1

- Verifica di stabilità aste inflesse (4.2.4.1.3.2) CC 20 SLU - Classe 3
  L_{cr}=0.12 Curva d: α_{imp}=0.76 k_c=0.94 ψ=1.76 M,cr=0.00 λ_{LT}=0.00
  $\lambda_{LT,0}$=0.00 β_{LT}=0.00 Φ_{LT}=0.00 β_{LT}=0.00 f=0.00 χ_{LT}=1.00
  CC 20 SLU My,Ed=6.56 My,b,Rd=862.52 My,Ed/My,b,Rd=0.01

- Verifica di stabilità aste presso-inflesse (C4.2.4.1.3.3.1) - CC 9 SLU - Classe 3
  Sollecitazioni: N,Ed=-0.01 Myeq,Ed=9.03 Mzeq,Ed=0.90
  Resistenze: Nc,Rd=44512.60 My,c,Rd=862.52 Mz,c,Rd=164.81 L=12.00
  λ_Y=3.12 Ncr,y=36117200.00 λ^*_y=0.04 Curva c: Φ_y=0.00 χ_y=1.00
  λ_Z=11.39 Ncr,z=2717260.00 λ^*_z=0.13 Curva c: Φ_z=0.00 χ_z=1.00
  χ,min=1.00
  Verifica: 0.00+0.01+0.01=0.02

- Verifica in termini tensionali [4.2.4] - CC 9 SLU Xl=0.00 - Classe 3
  Sollecitazioni: T_z=98.90 M_y=12.04 T_y=-11.56 M_z=1.02
  Tensioni: σ_N=0.00 σ_M=-38.78 τ=0.35 σ_{max}=-38.78
  Tensioni: σ_N=0.00 σ_M=2.69 τ=11.41 τ_{max}=11.41

Tensioni: σ_N=0.00 σ_M=-38.78 τ=0.35 $\sigma_{ID,max}$=38.78

- Verifica a taglio dir. Y [4.2.16] - CC 9 SLU Xl=0.12
Sollecitazioni: T_z=104.20 T_y=-11.56
V,Ed=-11.56 Vc,Rd=9072.91 V,Ed/Vc,Rd=0.00

- Verifica a taglio dir. Z [4.2.16]
V,Ed=104.20 Vc,Rd=18145.80 V,Ed/Vc,Rd=0.01

Asta n. 6047 (-601 -602) arcarecci T 120x60x10 Crit. 1

- Verifica di stabilità aste inflesse (4.2.4.1.3.2) CC 18 SLU - Classe 3
L_{cr}=0.12 Curva d: α_{imp}=0.76 k_c=0.94 ψ=1.78 M,cr=0.00 λ_{LT}=0.00
$\lambda_{LT,0}$=0.00 β_{LT}=0.00 Φ_{LT}=0.00 β_{LT}=0.00 f=0.00 χ_{LT}=1.00
CC 18 SLU My,Ed=7.32 My,b,Rd=862.52 My,Ed/My,b,Rd=0.01

- Verifica di stabilità aste presso-inflesse (C4.2.4.1.3.3.1) - CC 9 SLU - Classe 3
Sollecitazioni: N,Ed=-0.02 Myeq,Ed=7.14 Mzeq,Ed=-0.31
Resistenze: Nc,Rd=44512.60 My,c,Rd=862.52 Mz,c,Rd=164.81 L=12.00
λ_Y=3.12 Ncr,y=36117100.00 λ^*_y=0.04 Curva c: Φ_y=0.00 χ_y=1.00
λ_Z=11.39 Ncr,z=2717260.00 λ^*_z=0.13 Curva c: Φ_z=0.00 χ_z=1.00
χ,min=1.00
Verifica: 0.00+0.01+0.00=0.01

- Verifica a flessione [4.2.13] - CC 9 SLU Xl=0.12 - Classe 3
Sollecitazioni: T_z=-78.77 M_y=9.52 T_y=4.09
My,Ed=9.52 My,c,Rd=862.52 My,Ed/My,c,Rd=0.01

- Verifica a taglio dir. Y [4.2.16] - CC 9 SLU Xl=0.00
Sollecitazioni: T_z=-84.06 T_y=4.09
V,Ed=4.09 Vc,Rd=9072.91 V,Ed/Vc,Rd=0.00

- Verifica a taglio dir. Z [4.2.16]
V,Ed=-84.06 Vc,Rd=18145.80 V,Ed/Vc,Rd=0.00

Asta n. 6047 (-603 -604) arcarecci T 120x60x10 Crit. 1

- Verifica in termini tensionali [4.2.4] - CC 19 SLU Xl=0.00 - Classe 3
Sollecitazioni: N=126.33 T_z=2.85 M_y=-39.18 T_y=11.96 M_z=-1.16
Tensioni: σ_N=7.43 σ_M=121.43 τ=0.26 σ_{max}=128.86
Tensioni: σ_N=7.43 σ_M=-56.47 τ=2.74 τ_{max}=2.74
Tensioni: σ_N=7.43 σ_M=121.43 τ=0.26 $\sigma_{ID,max}$=128.87

Asta n. 6047 (-605 -606) arcarecci T 120x60x10 Crit. 1

- Verifica in termini tensionali [4.2.4] - CC 19 SLU Xl=0.12 - Classe 3
Sollecitazioni: N=119.93 T_z=19.89 M_y=-38.60 T_y=-1.25
Tensioni: σ_N=7.06 σ_M=117.22 τ=0.03 σ_{max}=124.28
Tensioni: σ_N=7.06 σ_M=0.00 τ=2.29 τ_{max}=2.29
Tensioni: σ_N=7.06 σ_M=117.22 τ=0.03 $\sigma_{ID,max}$=124.28

Asta n. 6047 (-607 -608) arcarecci T 120x60x10 Crit. 1

- Verifica di stabilità aste inflesse (4.2.4.1.3.2) CC 18 SLU - Classe 3
L_{cr}=0.12 Curva d: α_{imp}=0.76 k_c=0.94 ψ=1.78 M,cr=0.00 λ_{LT}=0.00
$\lambda_{LT,0}$=0.00 β_{LT}=0.00 Φ_{LT}=0.00 β_{LT}=0.00 f=0.00 χ_{LT}=1.00
CC 18 SLU My,Ed=7.32 My,b,Rd=862.52 My,Ed/My,b,Rd=0.01

- Verifica di stabilità aste presso-inflesse (C4.2.4.1.3.3.1) - CC 9 SLU - Classe 3
Sollecitazioni: N,Ed=-0.02 Myeq,Ed=7.14 Mzeq,Ed=-0.31

Resistenze: Nc,Rd=44512.60 My,c,Rd=862.52 Mz,c,Rd=164.81 L=12.00
λ_Y=3.12 Ncr,y=36117200.00 λ^*_y=0.04 Curva c: Φ_y=0.00 χ_y=1.00
λ_Z=11.39 Ncr,z=2717260.00 λ^*_z=0.13 Curva c: Φ_z=0.00 χ_z=1.00
χ,min=1.00
Verifica: 0.00+0.01+0.00=0.01

- Verifica in termini tensionali [4.2.4] - CC 19 SLU Xl=0.00 - Classe 3
Sollecitazioni: N=-21.64 T_z=91.26 M_y=9.16 T_y=-1.58
Tensioni: σ_N=-1.27 σ_M=-27.80 τ=0.03 σ_{max}=-29.07
Tensioni: σ_N=-1.27 σ_M=-0.00 τ=10.53 τ_{max}=10.53
Tensioni: σ_N=-1.27 σ_M=-27.80 τ=0.04 $\sigma_{ID,max}$=29.07

- Verifica a taglio dir. Y [4.2.16] - CC 9 SLU Xl=0.12
Sollecitazioni: T_z=84.06 T_y=-4.29
V,Ed=-4.29 Vc,Rd=9072.91 V,Ed/Vc,Rd=0.00

- Verifica a taglio dir. Z [4.2.16]
V,Ed=84.06 Vc,Rd=18145.80 V,Ed/Vc,Rd=0.00

Asta n. 6048 (349 350) angolari L50x10 Crit. 1

- Verifica di stabilità aste presso-inflesse (C4.2.4.1.3.3.1) - CC 19 SLU - Classe 3
Sollecitazioni: N,Ed=-22.73 Myeq,Ed=1.15 Mzeq,Ed=0.16
Resistenze: Nc,Rd=23709.20 My,c,Rd=149.05 Mz,c,Rd=149.05 L=15.00
λ_c=8.19 Ncr,y=2794040.00 λ^*_y=0.09 Curva b: Φ_y=0.00 χ_y=1.00
λ_e=15.58 Ncr,z=772688.00 λ^*_z=0.18 Curva b: Φ_z=0.00 χ_z=1.00
χ,min=1.00
Verifica: 0.00+0.01+0.00=0.01

- Verifica in termini tensionali [4.2.4] - CC 19 SLU Xl=0.02 - Classe 3
Sollecitazioni: N=-22.73 T_z=3.87 M_y=1.15 T_y=-1.43
Tensioni: σ_N=-2.51 σ_M=-21.97 τ=0.00 σ_{max}=-24.48
Tensioni: σ_N=-2.51 σ_M=-4.74 τ=1.14 τ_{max}=1.14
Tensioni: σ_N=-2.51 σ_M=-21.97 τ=0.00 $\sigma_{ID,max}$=24.48

- Verifica a taglio dir. Y [4.2.16] - CC 17 SLU Xl=0.05
Sollecitazioni: N=-15.26 T_z=5.40 T_y=-2.82
V,Ed=-2.82 Vc,Rd=7560.76 V,Ed/Vc,Rd=0.00

- Verifica a taglio dir. Z [4.2.16]
V,Ed=5.40 Vc,Rd=7560.76 V,Ed/Vc,Rd=0.00

Asta n. 6048 (350 351) angolari L50x10 Crit. 1

- Verifica di stabilità aste presso-inflesse (C4.2.4.1.3.3.1) - CC 9 SLU - Classe 3
Sollecitazioni: N,Ed=-21.45 Myeq,Ed=0.80 Mzeq,Ed=0.07
Resistenze: Nc,Rd=23709.20 My,c,Rd=149.05 Mz,c,Rd=149.05 L=15.00
λ_c=8.19 Ncr,y=2794040.00 λ^*_y=0.09 Curva b: Φ_y=0.00 χ_y=1.00
λ_e=15.58 Ncr,z=772688.00 λ^*_z=0.18 Curva b: Φ_z=0.00 χ_z=1.00
χ,min=1.00
Verifica: 0.00+0.01+0.00=0.01

- Verifica a compressione [4.2.9] - CC 19 SLU Xl=0.00 - Classe 1
Sollecitazioni: N=-22.73 T_z=2.65 T_y=-1.43
N,Ed=-22.73 Nc,Rd=-23709.20 N,Ed/Nc,Rd=0.00
Verifiche di duttilità [7.5.3]:
q_0=4.00 N,Ed=-22.73 Npl,Rd=23709.20 N,Ed/Npl,Rd=0.000959

- Verifica a taglio dir. Y [4.2.16] - CC 17 SLU Xl=0.00
  Sollecitazioni: N=-15.26 T_z=4.51 T_y=-2.82
  V,Ed=-2.82 Vc,Rd=7560.76 V,Ed/Vc,Rd=0.00

- Verifica a taglio dir. Z [4.2.16]
  V,Ed=4.51 Vc,Rd=7560.76 V,Ed/Vc,Rd=0.00

Asta n. 6049 (-17 -18) calastrelli 100x5 Crit. 1

- Verifica in termini tensionali [4.2.4] - CC 17 SLU Xl=0.26 - Classe 3
  Sollecitazioni: N=50.84 T_z=32.22 M_y=-4.03
  Tensioni: σ_N=5.08 σ_M=24.17 τ=0.00 σ_{max}=29.25
  Tensioni: σ_N=5.08 σ_M=0.00 τ=4.83 τ_{max}=4.83
  Tensioni: σ_N=5.08 σ_M=24.17 τ=0.00 $\sigma_{ID,max}$=29.25

- Verifica a taglio dir. Z [4.2.16] - CC 17 SLU Xl=0.11
  Sollecitazioni: N=50.84 T_z=33.73
  V,Ed=33.73 Vc,Rd=15121.50 V,Ed/Vc,Rd=0.00

Asta n. 6050 (-49 -50) calastrelli 100x5 Crit. 1

- Verifica in termini tensionali [4.2.4] - CC 17 SLU Xl=0.26 - Classe 3
  Sollecitazioni: N=12.18 T_z=51.81 M_y=-6.33
  Tensioni: σ_N=1.22 σ_M=37.96 τ=0.00 σ_{max}=39.18
  Tensioni: σ_N=1.22 σ_M=0.00 τ=7.77 τ_{max}=7.77
  Tensioni: σ_N=1.22 σ_M=37.96 τ=0.00 $\sigma_{ID,max}$=39.18

- Verifica a taglio dir. Z [4.2.16] - CC 17 SLU Xl=0.13
  Sollecitazioni: N=12.18 T_z=53.09
  V,Ed=53.09 Vc,Rd=15121.50 V,Ed/Vc,Rd=0.00

Asta n. 6051 (-81 -82) calastrelli 50x10 Crit. 1

- Verifica di stabilità aste presso-inflesse (C4.2.4.1.3.3.1) - CC 17 SLU - Classe 3
  Sollecitazioni: N,Ed=-3.21 Myeq,Ed=5.09 Mzeq,Ed=-0.07
  Resistenze: Nc,Rd=13095.20 My,c,Rd=109.13 Mz,c,Rd=21.83 L=28.75
  λ_Y=19.92 Ncr,y=261199.00 λ^*_y=0.23 Curva c: Φ_y=0.53 χ_y=0.99
  λ_Z=99.59 Ncr,z=10448.00 λ^*_z=1.15 Curva c: Φ_z=1.39 χ_z=0.46
  χ,min=0.46
  Verifica: 0.00+0.05+0.00=0.05

- Verifica in termini tensionali [4.2.4] - CC 17 SLU Xl=0.03 - Classe 3
  Sollecitazioni: N=-3.21 T_z=45.52 M_y=5.09
  Tensioni: σ_N=-0.64 σ_M=-122.07 τ=0.00 σ_{max}=-122.71
  Tensioni: σ_N=-0.64 σ_M=-0.00 τ=13.66 τ_{max}=13.66
  Tensioni: σ_N=-0.64 σ_M=-122.07 τ=0.00 $\sigma_{ID,max}$=122.71

- Verifica a taglio dir. Z [4.2.16] - CC 1 SLV Xl=0.19
  Sollecitazioni: T_z=-14.83
  V,Ed=-14.83 Vc,Rd=7560.76 V,Ed/Vc,Rd=0.00

Asta n. 6052 (-113 -114) calastrelli 50x10 Crit. 1

- Verifica di stabilità aste inflesse (4.2.4.1.3.2) CC 1 SLV - Classe 3
  L_{cr}=0.28 Curva d: α_{imp}=0.76 k_c=0.94 ψ=3.09 M,cr=0.00 λ_{LT}=0.00
  $\lambda_{LT,0}$=0.20 β_{LT}=1.00 Φ_{LT}=0.00 β_{LT}=1.00 f=0.00 χ_{LT}=1.00
  CC 1 SLV My,Ed=-2.08 My,b,Rd=109.13 My,Ed/My,b,Rd=0.02

- Verifica di stabilità aste presso-inflesse (C4.2.4.1.3.3.1) - CC 17 SLU - Classe 3
  Sollecitazioni: N,Ed=-2.03 Myeq,Ed=6.19 Mzeq,Ed=-0.08

Resistenze: Nc,Rd=13095.20 My,c,Rd=109.13 Mz,c,Rd=21.83 L=28.13
λ_Y=19.49 Ncr,y=272937.00 λ^*_y=0.22 Curva c: Φ_y=0.53 χ_y=0.99
λ_Z=97.43 Ncr,z=10917.50 λ^*_z=1.12 Curva c: Φ_z=1.36 χ_z=0.47
χ,min=0.47
Verifica: 0.00+0.06+0.00=0.06

- Verifica in termini tensionali [4.2.4] - CC 17 SLU Xl=0.03 - Classe 3
Sollecitazioni: N=-2.03 T_z=56.90 M_y=6.19
Tensioni: σ_N=-0.41 σ_M=-148.53 τ=0.00 σ_{max}=-148.93
Tensioni: σ_N=-0.41 σ_M=-0.00 τ=17.07 τ_{max}=17.07
Tensioni: σ_N=-0.41 σ_M=-148.53 τ=0.00 $\sigma_{ID,max}$=148.93

- Verifica a taglio dir. Z [4.2.16] - CC 1 SLV Xl=0.19
Sollecitazioni: T_z=-19.21
V,Ed=-19.21 Vc,Rd=7560.76 V,Ed/Vc,Rd=0.00

Asta n. 6053 (-145 -146) calastrelli 50x10 Crit. 1

- Verifica di stabilità aste inflesse (4.2.4.1.3.2) CC 3 SLV - Classe 3
L_{cr}=0.28 Curva d: α_{imp}=0.76 k_c=0.94 ψ=3.09 M,cr=0.00 λ_{LT}=0.00
$\lambda_{LT,0}$=0.20 β_{LT}=1.00 Φ_{LT}=0.00 β_{LT}=1.00 f=0.00 χ_{LT}=1.00
CC 3 SLV My,Ed=-2.05 My,b,Rd=109.13 My,Ed/My,b,Rd=0.02

- Verifica di stabilità aste presso-inflesse (C4.2.4.1.3.3.1) - CC 17 SLU - Classe 3
Sollecitazioni: N,Ed=-2.02 Myeq,Ed=6.28 Mzeq,Ed=-0.09
Resistenze: Nc,Rd=13095.20 My,c,Rd=109.13 Mz,c,Rd=21.83 L=27.50
λ_Y=19.05 Ncr,y=285484.00 λ^*_y=0.22 Curva c: Φ_y=0.53 χ_y=0.99
λ_Z=95.26 Ncr,z=11419.40 λ^*_z=1.10 Curva c: Φ_z=1.32 χ_z=0.49
χ,min=0.49
Verifica: 0.00+0.06+0.00=0.06

- Verifica in termini tensionali [4.2.4] - CC 17 SLU Xl=0.03 - Classe 3
Sollecitazioni: N=-2.02 T_z=59.37 M_y=6.28
Tensioni: σ_N=-0.40 σ_M=-150.62 τ=0.00 σ_{max}=-151.02
Tensioni: σ_N=-0.40 σ_M=-0.00 τ=17.81 τ_{max}=17.81
Tensioni: σ_N=-0.40 σ_M=-150.62 τ=0.00 $\sigma_{ID,max}$=151.02

- Verifica a taglio dir. Z [4.2.16] - CC 1 SLV Xl=0.18
Sollecitazioni: T_z=-20.87
V,Ed=-20.87 Vc,Rd=7560.76 V,Ed/Vc,Rd=0.00

Asta n. 6054 (-177 -178) calastrelli 50x10 Crit. 1

- Verifica di stabilità aste inflesse (4.2.4.1.3.2) CC 3 SLV - Classe 3
L_{cr}=0.27 Curva d: α_{imp}=0.76 k_c=0.94 ψ=3.09 M,cr=0.00 λ_{LT}=0.00
$\lambda_{LT,0}$=0.20 β_{LT}=1.00 Φ_{LT}=0.00 β_{LT}=1.00 f=0.00 χ_{LT}=1.00
CC 3 SLV My,Ed=-2.09 My,b,Rd=109.13 My,Ed/My,b,Rd=0.02

- Verifica di stabilità aste presso-inflesse (C4.2.4.1.3.3.1) - CC 17 SLU - Classe 3
Sollecitazioni: N,Ed=-2.01 Myeq,Ed=6.13 Mzeq,Ed=-0.09
Resistenze: Nc,Rd=13095.20 My,c,Rd=109.13 Mz,c,Rd=21.83 L=26.88
λ_Y=18.62 Ncr,y=298917.00 λ^*_y=0.21 Curva c: Φ_y=0.53 χ_y=0.99
λ_Z=93.10 Ncr,z=11956.70 λ^*_z=1.07 Curva c: Φ_z=1.29 χ_z=0.50
χ,min=0.50
Verifica: 0.00+0.06+0.00=0.06

- Verifica in termini tensionali [4.2.4] - CC 17 SLU Xl=0.03 - Classe 3
Sollecitazioni: N=-2.01 T_z=59.77 M_y=6.13
Tensioni: σ_N=-0.40 σ_M=-147.20 τ=0.00 σ_{max}=-147.60

Tensioni: σ_N=-0.40 σ_M=-0.00 τ=17.93 τ_{max}=17.93
Tensioni: σ_N=-0.40 σ_M=-147.20 τ=0.00 $\sigma_{ID,max}$=147.60

- Verifica a taglio dir. Z [4.2.16] - CC 1 SLV Xl=0.18
Sollecitazioni: T_z=-21.92
V,Ed=-21.92 Vc,Rd=7560.76 V,Ed/Vc,Rd=0.00

Asta n. 6055 (-209 -210) calastrelli 50x10 Crit. 1

- Verifica di stabilità aste inflesse (4.2.4.1.3.2) CC 3 SLV - Classe 3
L_{cr}=0.26 Curva d: α_{imp}=0.76 k_c=0.94 ψ=3.08 M,cr=0.00 λ_{LT}=0.00
$\lambda_{LT,0}$=0.20 β_{LT}=1.00 Φ_{LT}=0.00 β_{LT}=1.00 f=0.00 χ_{LT}=1.00
CC 3 SLV My,Ed=-2.11 My,b,Rd=109.13 My,Ed/My,b,Rd=0.02

- Verifica di stabilità aste presso-inflesse (C4.2.4.1.3.3.1) - CC 17 SLU - Classe 3
Sollecitazioni: N,Ed=-2.01 Myeq,Ed=5.94 Mzeq,Ed=-0.09
Resistenze: Nc,Rd=13095.20 My,c,Rd=109.13 Mz,c,Rd=21.83 L=26.25
λ_Y=18.19 Ncr,y=313321.00 λ^*_y=0.21 Curva c: Φ_y=0.52 χ_y=1.00
λ_Z=90.93 Ncr,z=12532.80 λ^*_z=1.05 Curva c: Φ_z=1.26 χ_z=0.51
χ,min=0.51
Verifica: 0.00+0.05+0.00=0.06

- Verifica in termini tensionali [4.2.4] - CC 17 SLU Xl=0.03 - Classe 3
Sollecitazioni: N=-2.01 T_z=59.68 M_y=5.94
Tensioni: σ_N=-0.40 σ_M=-142.56 τ=0.00 σ_{max}=-142.96
Tensioni: σ_N=-0.40 σ_M=-0.00 τ=17.90 τ_{max}=17.90
Tensioni: σ_N=-0.40 σ_M=-142.56 τ=0.00 $\sigma_{ID,max}$=142.96

- Verifica a taglio dir. Z [4.2.16] - CC 1 SLV Xl=0.17
Sollecitazioni: T_z=-22.85
V,Ed=-22.85 Vc,Rd=7560.76 V,Ed/Vc,Rd=0.00

Asta n. 6056 (-241 -242) calastrelli 50x10 Crit. 1

- Verifica di stabilità aste inflesse (4.2.4.1.3.2) CC 3 SLV - Classe 3
L_{cr}=0.26 Curva d: α_{imp}=0.76 k_c=0.94 ψ=3.08 M,cr=0.00 λ_{LT}=0.00
$\lambda_{LT,0}$=0.20 β_{LT}=1.00 Φ_{LT}=0.00 β_{LT}=1.00 f=0.00 χ_{LT}=1.00
CC 3 SLV My,Ed=-2.13 My,b,Rd=109.13 My,Ed/My,b,Rd=0.02

- Verifica di stabilità aste presso-inflesse (C4.2.4.1.3.3.1) - CC 17 SLU - Classe 3
Sollecitazioni: N,Ed=-2.00 Myeq,Ed=5.73 Mzeq,Ed=-0.09
Resistenze: Nc,Rd=13095.20 My,c,Rd=109.13 Mz,c,Rd=21.83 L=25.63
λ_Y=17.75 Ncr,y=328791.00 λ^*_y=0.20 Curva c: Φ_y=0.52 χ_y=1.00
λ_Z=88.77 Ncr,z=13151.60 λ^*_z=1.02 Curva c: Φ_z=1.22 χ_z=0.53
χ,min=0.53
Verifica: 0.00+0.05+0.00=0.06

- Verifica in termini tensionali [4.2.4] - CC 17 SLU Xl=0.03 - Classe 3
Sollecitazioni: N=-2.00 T_z=59.47 M_y=5.73
Tensioni: σ_N=-0.40 σ_M=-137.64 τ=0.00 σ_{max}=-138.04
Tensioni: σ_N=-0.40 σ_M=-0.00 τ=17.84 τ_{max}=17.84
Tensioni: σ_N=-0.40 σ_M=-137.64 τ=0.00 $\sigma_{ID,max}$=138.04

- Verifica a taglio dir. Z [4.2.16] - CC 1 SLV Xl=0.15
Sollecitazioni: T_z=-23.73
V,Ed=-23.73 Vc,Rd=7560.76 V,Ed/Vc,Rd=0.00

Asta n. 6057 (-273 -274) calastrelli 50x10 Crit. 1

- Verifica di stabilità aste inflesse (4.2.4.1.3.2) CC 1 SLV - Classe 3
  L_{cr}=0.25 Curva d: α_{imp}=0.76 k_c=0.94 ψ=3.07 M,cr=0.00 λ_{LT}=0.00
  $\lambda_{LT,0}$=0.20 β_{LT}=1.00 Φ_{LT}=0.00 β_{LT}=1.00 f=0.00 χ_{LT}=1.00
  CC 1 SLV My,Ed=-2.31 My,b,Rd=109.13 My,Ed/My,b,Rd=0.02

- Verifica di stabilità aste presso-inflesse (C4.2.4.1.3.3.1) - CC 17 SLU - Classe 3
  Sollecitazioni: N,Ed=-2.00 Myeq,Ed=5.53 Mzeq,Ed=-0.08
  Resistenze: Nc,Rd=13095.20 My,c,Rd=109.13 Mz,c,Rd=21.83 L=25.00
  λ_Y=17.32 Ncr,y=345436.00 λ^*_y=0.20 Curva c: Φ_y=0.52 χ_y=1.00
  λ_Z=86.60 Ncr,z=13817.40 λ^*_z=1.00 Curva c: Φ_z=1.19 χ_z=0.54
  χ,min=0.54
  Verifica: 0.00+0.05+0.00=0.05

- Verifica in termini tensionali [4.2.4] - CC 17 SLU Xl=0.03 - Classe 3
  Sollecitazioni: N=-2.00 T_z=59.22 M_y=5.53
  Tensioni: σ_N=-0.40 σ_M=-132.66 τ=0.00 σ_{max}=-133.06
  Tensioni: σ_N=-0.40 σ_M=-0.00 τ=17.77 τ_{max}=17.77
  Tensioni: σ_N=-0.40 σ_M=-132.66 τ=0.00 $\sigma_{ID,max}$=133.06

- Verifica a taglio dir. Z [4.2.16] - CC 1 SLV Xl=0.15
  Sollecitazioni: T_z=-24.71
  V,Ed=-24.71 Vc,Rd=7560.76 V,Ed/Vc,Rd=0.00

Asta n. 6058 (-305 -306) calastrelli 50x10 Crit. 1

- Verifica di stabilità aste inflesse (4.2.4.1.3.2) CC 1 SLV - Classe 3
  L_{cr}=0.24 Curva d: α_{imp}=0.76 k_c=0.94 ψ=3.07 M,cr=0.00 λ_{LT}=0.00
  $\lambda_{LT,0}$=0.20 β_{LT}=1.00 Φ_{LT}=0.00 β_{LT}=1.00 f=0.00 χ_{LT}=1.00
  CC 1 SLV My,Ed=-2.33 My,b,Rd=109.13 My,Ed/My,b,Rd=0.02

- Verifica di stabilità aste presso-inflesse (C4.2.4.1.3.3.1) - CC 17 SLU - Classe 3
  Sollecitazioni: N,Ed=-1.99 Myeq,Ed=5.32 Mzeq,Ed=-0.08
  Resistenze: Nc,Rd=13095.20 My,c,Rd=109.13 Mz,c,Rd=21.83 L=24.38
  λ_Y=16.89 Ncr,y=363378.00 λ^*_y=0.19 Curva c: Φ_y=0.52 χ_y=1.00
  λ_Z=84.44 Ncr,z=14535.10 λ^*_z=0.97 Curva c: Φ_z=1.16 χ_z=0.56
  χ,min=0.56
  Verifica: 0.00+0.05+0.00=0.05

- Verifica in termini tensionali [4.2.4] - CC 17 SLU Xl=0.03 - Classe 3
  Sollecitazioni: N=-1.99 T_z=58.95 M_y=5.32
  Tensioni: σ_N=-0.40 σ_M=-127.66 τ=0.00 σ_{max}=-128.05
  Tensioni: σ_N=-0.40 σ_M=-0.00 τ=17.68 τ_{max}=17.68
  Tensioni: σ_N=-0.40 σ_M=-127.66 τ=0.00 $\sigma_{ID,max}$=128.05

- Verifica a taglio dir. Z [4.2.16] - CC 1 SLV Xl=0.14
  Sollecitazioni: T_z=-25.74
  V,Ed=-25.74 Vc,Rd=7560.76 V,Ed/Vc,Rd=0.00

Asta n. 6059 (-337 -338) calastrelli 50x10 Crit. 1

- Verifica di stabilità aste inflesse (4.2.4.1.3.2) CC 1 SLV - Classe 3
  L_{cr}=0.24 Curva d: α_{imp}=0.76 k_c=0.94 ψ=3.07 M,cr=0.00 λ_{LT}=0.00
  $\lambda_{LT,0}$=0.20 β_{LT}=1.00 Φ_{LT}=0.00 β_{LT}=1.00 f=0.00 χ_{LT}=1.00
  CC 1 SLV My,Ed=-2.35 My,b,Rd=109.13 My,Ed/My,b,Rd=0.02

- Verifica di stabilità aste presso-inflesse (C4.2.4.1.3.3.1) - CC 17 SLU - Classe 3
  Sollecitazioni: N,Ed=-2.00 Myeq,Ed=5.11 Mzeq,Ed=-0.08
  Resistenze: Nc,Rd=13095.20 My,c,Rd=109.13 Mz,c,Rd=21.83 L=23.75
  λ_Y=16.45 Ncr,y=382755.00 λ^*_y=0.19 Curva c: Φ_y=0.52 χ_y=1.00

λ_Z=82.27 Ncr,z=15310.20 λ^*_z=0.95 Curva c: Φ_z=1.13 χ_z=0.57
χ,min=0.57
Verifica: 0.00+0.05+0.00=0.05

- Verifica in termini tensionali [4.2.4] - CC 17 SLU Xl=0.03 - Classe 3
Sollecitazioni: N=-2.00 T_z=58.64 M_y=5.11
Tensioni: σ_N=-0.40 σ_M=-122.64 τ=0.00 σ_{max}=-123.03
Tensioni: σ_N=-0.40 σ_M=-0.00 τ=17.59 τ_{max}=17.59
Tensioni: σ_N=-0.40 σ_M=-122.64 τ=0.00 $\sigma_{ID,max}$=123.03

- Verifica a taglio dir. Z [4.2.16] - CC 1 SLV Xl=0.14
Sollecitazioni: T_z=-26.81
V,Ed=-26.81 Vc,Rd=7560.76 V,Ed/Vc,Rd=0.00

Asta n. 6060 (-369 -370) calastrelli 50x10 Crit. 1

- Verifica di stabilità aste inflesse (4.2.4.1.3.2) CC 1 SLV - Classe 3
L_{cr}=0.23 Curva d: α_{imp}=0.76 k_c=0.94 ψ=3.06 M,cr=0.00 λ_{LT}=0.00
$\lambda_{LT,0}$=0.20 β_{LT}=1.00 Φ_{LT}=0.00 β_{LT}=1.00 f=0.00 χ_{LT}=1.00
CC 1 SLV My,Ed=-2.36 My,b,Rd=109.13 My,Ed/My,b,Rd=0.02

- Verifica di stabilità aste presso-inflesse (C4.2.4.1.3.3.1) - CC 17 SLU - Classe 3
Sollecitazioni: N,Ed=-1.95 Myeq,Ed=4.90 Mzeq,Ed=-0.08
Resistenze: Nc,Rd=13095.20 My,c,Rd=109.13 Mz,c,Rd=21.83 L=23.13
λ_Y=16.02 Ncr,y=403724.00 λ^*_y=0.18 Curva c: Φ_y=0.51 χ_y=1.00
λ_Z=80.11 Ncr,z=16149.00 λ^*_z=0.92 Curva c: Φ_z=1.10 χ_z=0.59
χ,min=0.59
Verifica: 0.00+0.04+0.00=0.05

- Verifica in termini tensionali [4.2.4] - CC 17 SLU Xl=0.03 - Classe 3
Sollecitazioni: N=-1.95 T_z=58.31 M_y=4.90
Tensioni: σ_N=-0.39 σ_M=-117.60 τ=0.00 σ_{max}=-117.99
Tensioni: σ_N=-0.39 σ_M=-0.00 τ=17.49 τ_{max}=17.49
Tensioni: σ_N=-0.39 σ_M=-117.60 τ=0.00 $\sigma_{ID,max}$=117.99

- Verifica a taglio dir. Z [4.2.16] - CC 1 SLV Xl=0.13
Sollecitazioni: T_z=-27.94
V,Ed=-27.94 Vc,Rd=7560.76 V,Ed/Vc,Rd=0.00

Asta n. 6061 (-401 -402) calastrelli 50x10 Crit. 1

- Verifica di stabilità aste presso-inflesse (C4.2.4.1.3.3.1) - CC 17 SLU - Classe 3
Sollecitazioni: N,Ed=-2.22 Myeq,Ed=4.69 Mzeq,Ed=-0.07
Resistenze: Nc,Rd=13095.20 My,c,Rd=109.13 Mz,c,Rd=21.83 L=22.50
λ_Y=15.59 Ncr,y=426465.00 λ^*_y=0.18 Curva c: Φ_y=0.51 χ_y=1.00
λ_Z=77.94 Ncr,z=17058.60 λ^*_z=0.90 Curva c: Φ_z=1.07 χ_z=0.60
χ,min=0.60
Verifica: 0.00+0.04+0.00=0.05

- Verifica in termini tensionali [4.2.4] - CC 17 SLU Xl=0.03 - Classe 3
Sollecitazioni: N=-2.22 T_z=57.93 M_y=4.69
Tensioni: σ_N=-0.44 σ_M=-112.46 τ=0.00 σ_{max}=-112.91
Tensioni: σ_N=-0.44 σ_M=-0.00 τ=17.38 τ_{max}=17.38
Tensioni: σ_N=-0.44 σ_M=-112.46 τ=0.00 $\sigma_{ID,max}$=112.91

- Verifica a taglio dir. Z [4.2.16] - CC 1 SLV Xl=0.13
Sollecitazioni: T_z=-29.11
V,Ed=-29.11 Vc,Rd=7560.76 V,Ed/Vc,Rd=0.00

Asta n. 6062 (-433 -434) calastrelli 50x10 Crit. 1

- Verifica a flessione [4.2.13] - CC 17 SLU Xl=0.03 - Classe 3
  Sollecitazioni: T_z=57.36 M_y=4.48
  My,Ed=4.48 My,c,Rd=109.13 My,Ed/My,c,Rd=0.04

- Verifica a taglio dir. Z [4.2.16] - CC 17 SLU Xl=0.10
  Sollecitazioni: T_z=57.00
  V,Ed=57.00 Vc,Rd=7560.76 V,Ed/Vc,Rd=0.01

Asta n. 6063 (-465 -466) calastrelli 50x10 Crit. 1

- Verifica di stabilità aste inflesse (4.2.4.1.3.2) CC 5 SLV - Classe 3
  L_{cr}=0.21 Curva d: α_{imp}=0.76 k_c=0.94 ψ=2.80 M,cr=0.00 λ_{LT}=0.00
  $\lambda_{LT,0}$=0.20 β_{LT}=1.00 Φ_{LT}=0.00 β_{LT}=1.00 f=0.00 χ_{LT}=1.00
  CC 5 SLV My,Ed=-1.41 My,b,Rd=109.13 My,Ed/My,b,Rd=0.01

- Verifica di stabilità aste presso-inflesse (C4.2.4.1.3.3.1) - CC 17 SLU - Classe 3
  Sollecitazioni: N,Ed=-13.99 Myeq,Ed=-4.19 Mzeq,Ed=-0.06
  Resistenze: Nc,Rd=13095.20 My,c,Rd=109.13 Mz,c,Rd=21.83 L=21.25
  λ_Y=14.72 Ncr,y=478113.00 λ^*_y=0.17 Curva c: Φ_y=0.51 χ_y=1.00
  λ_Z=73.61 Ncr,z=19124.50 λ^*_z=0.85 Curva c: Φ_z=1.02 χ_z=0.63
  χ,min=0.63
  Verifica: 0.00+0.04+0.00=0.04

- Verifica in termini tensionali [4.2.4] - CC 17 SLU Xl=0.18 - Classe 3
  Sollecitazioni: N=-13.99 T_z=55.22 M_y=-4.19
  Tensioni: σ_N=-2.80 σ_M=-100.51 τ=0.00 σ_{max}=-103.31
  Tensioni: σ_N=-2.80 σ_M=0.00 τ=16.57 τ_{max}=16.57
  Tensioni: σ_N=-2.80 σ_M=-100.51 τ=0.00 $\sigma_{ID,max}$=103.31

- Verifica a taglio dir. Z [4.2.16] - CC 5 SLV Xl=0.16
  Sollecitazioni: N=2.71 T_z=-17.42
  V,Ed=-17.42 Vc,Rd=7560.76 V,Ed/Vc,Rd=0.00

Asta n. 6064 (-497 -498) calastrelli 50x10 Crit. 1

- Verifica di stabilità aste inflesse (4.2.4.1.3.2) CC 17 SLU - Classe 3
  L_{cr}=0.21 Curva d: α_{imp}=0.76 k_c=0.94 ψ=2.60 M,cr=0.00 λ_{LT}=0.00
  $\lambda_{LT,0}$=0.20 β_{LT}=1.00 Φ_{LT}=0.00 β_{LT}=1.00 f=0.00 χ_{LT}=1.00
  CC 17 SLU My,Ed=4.08 My,b,Rd=109.13 My,Ed/My,b,Rd=0.04

- Verifica di stabilità aste presso-inflesse (C4.2.4.1.3.3.1) - CC 5 SLV - Classe 3
  Sollecitazioni: N,Ed=-16.70 Myeq,Ed=1.67 Mzeq,Ed=-0.02
  Resistenze: Nc,Rd=13095.20 My,c,Rd=109.13 Mz,c,Rd=21.83 L=20.63
  λ_Y=14.29 Ncr,y=507528.00 λ^*_y=0.16 Curva c: Φ_y=0.50 χ_y=1.00
  λ_Z=71.45 Ncr,z=20301.10 λ^*_z=0.82 Curva c: Φ_z=0.99 χ_z=0.65
  χ,min=0.65
  Verifica: 0.00+0.02+0.00=0.02

- Verifica in termini tensionali [4.2.4] - CC 17 SLU Xl=0.03 - Classe 3
  Sollecitazioni: N=67.90 T_z=48.42 M_y=4.08
  Tensioni: σ_N=13.58 σ_M=97.95 τ=0.00 σ_{max}=111.53
  Tensioni: σ_N=13.58 σ_M=-0.00 τ=14.53 τ_{max}=14.53
  Tensioni: σ_N=13.58 σ_M=97.95 τ=0.00 $\sigma_{ID,max}$=111.53

- Verifica a taglio dir. Z [4.2.16] - CC 17 SLU Xl=0.09
  Sollecitazioni: N=67.90 T_z=48.09
  V,Ed=48.09 Vc,Rd=7560.76 V,Ed/Vc,Rd=0.01

Asta n. 6068 (-505 -506) calastrelli 50x10 Crit. 1

- Verifica di stabilità aste inflesse (4.2.4.1.3.2) CC 5 SLV - Classe 3
  L_{cr}=0.21 Curva d: α_{imp}=0.76 k_c=0.94 ψ=2.95 M,cr=0.00 λ_{LT}=0.00
  $\lambda_{LT,0}$=0.20 β_{LT}=1.00 Φ_{LT}=0.00 β_{LT}=1.00 f=0.00 χ_{LT}=1.00
  CC 5 SLV My,Ed=-1.29 My,b,Rd=109.13 My,Ed/My,b,Rd=0.01

- Verifica di stabilità aste presso-inflesse (C4.2.4.1.3.3.1) - CC 17 SLU - Classe 3
  Sollecitazioni: N,Ed=-32.04 Myeq,Ed=-4.37 Mzeq,Ed=-0.06
  Resistenze: Nc,Rd=13095.20 My,c,Rd=109.13 Mz,c,Rd=21.83 L=20.63
  λ_Y=14.29 Ncr,y=507528.00 λ^*_y=0.16 Curva c: Φ_y=0.50 χ_y=1.00
  λ_Z=71.45 Ncr,z=20301.10 λ^*_z=0.82 Curva c: Φ_z=0.99 χ_z=0.65
  χ,min=0.65
  Verifica: 0.00+0.04+0.00=0.05

- Verifica in termini tensionali [4.2.4] - CC 17 SLU Xl=0.18 - Classe 3
  Sollecitazioni: N=-32.04 T_z=56.75 M_y=-4.37
  Tensioni: σ_N=-6.41 σ_M=-104.86 τ=0.00 σ_{max}=-111.26
  Tensioni: σ_N=-6.41 σ_M=0.00 τ=17.03 τ_{max}=17.03
  Tensioni: σ_N=-6.41 σ_M=-104.86 τ=0.00 $\sigma_{ID,max}$=111.26

- Verifica a taglio dir. Z [4.2.16] - CC 1 SLV Xl=0.14
  Sollecitazioni: T_z=-29.18
  V,Ed=-29.18 Vc,Rd=7560.76 V,Ed/Vc,Rd=0.00

Asta n. 6069 (-473 -474) calastrelli 50x10 Crit. 1

- Verifica di stabilità aste inflesse (4.2.4.1.3.2) CC 17 SLU - Classe 3
  L_{cr}=0.21 Curva d: α_{imp}=0.76 k_c=0.94 ψ=3.10 M,cr=0.00 λ_{LT}=0.00
  $\lambda_{LT,0}$=0.20 β_{LT}=1.00 Φ_{LT}=0.00 β_{LT}=1.00 f=0.00 χ_{LT}=1.00
  CC 17 SLU My,Ed=-4.86 My,b,Rd=109.13 My,Ed/My,b,Rd=0.04

- Verifica di stabilità aste presso-inflesse (C4.2.4.1.3.3.1) - CC 1 SLV - Classe 3
  Sollecitazioni: N,Ed=-0.09 Myeq,Ed=2.44 Mzeq,Ed=-0.04
  Resistenze: Nc,Rd=13095.20 My,c,Rd=109.13 Mz,c,Rd=21.83 L=21.25
  λ_Y=14.72 Ncr,y=478113.00 λ^*_y=0.17 Curva c: Φ_y=0.51 χ_y=1.00
  λ_Z=73.61 Ncr,z=19124.50 λ^*_z=0.85 Curva c: Φ_z=1.02 χ_z=0.63
  χ,min=0.63
  Verifica: 0.00+0.02+0.00=0.02

- Verifica in termini tensionali [4.2.4] - CC 17 SLU Xl=0.18 - Classe 3
  Sollecitazioni: N=2.72 T_z=64.80 M_y=-4.86
  Tensioni: σ_N=0.54 σ_M=116.59 τ=0.00 σ_{max}=117.14
  Tensioni: σ_N=0.54 σ_M=0.00 τ=19.44 τ_{max}=19.44
  Tensioni: σ_N=0.54 σ_M=116.59 τ=0.00 $\sigma_{ID,max}$=117.14

- Verifica a taglio dir. Z [4.2.16] - CC 17 SLU Xl=0.10
  Sollecitazioni: N=2.72 T_z=65.22
  V,Ed=65.22 Vc,Rd=7560.76 V,Ed/Vc,Rd=0.01

Asta n. 6070 (-441 -442) calastrelli 50x10 Crit. 1

- Verifica di stabilità aste presso-inflesse (C4.2.4.1.3.3.1) - CC 17 SLU - Classe 3
  Sollecitazioni: N,Ed=-2.92 Myeq,Ed=-5.19 Mzeq,Ed=-0.08
  Resistenze: Nc,Rd=13095.20 My,c,Rd=109.13 Mz,c,Rd=21.83 L=21.88
  λ_Y=15.16 Ncr,y=451182.00 λ^*_y=0.17 Curva c: Φ_y=0.51 χ_y=1.00
  λ_Z=75.78 Ncr,z=18047.30 λ^*_z=0.87 Curva c: Φ_z=1.05 χ_z=0.62
  χ,min=0.62

Verifica: 0.00+0.05+0.00=0.05

- Verifica in termini tensionali [4.2.4] - CC 17 SLU Xl=0.19 - Classe 3
Sollecitazioni: N=-2.92 T_z=65.86 M_y=-5.19
Tensioni: σ_N=-0.58 σ_M=-124.52 τ=0.00 σ_{max}=-125.10
Tensioni: σ_N=-0.58 σ_M=0.00 τ=19.76 τ_{max}=19.76
Tensioni: σ_N=-0.58 σ_M=-124.52 τ=0.00 $\sigma_{ID,max}$=125.10

- Verifica a taglio dir. Z [4.2.16] - CC 1 SLV Xl=0.13
Sollecitazioni: T_z=-31.69
V,Ed=-31.69 Vc,Rd=7560.76 V,Ed/Vc,Rd=0.00

Asta n. 6071 (-409 -410) calastrelli 50x10 Crit. 1

- Verifica di stabilità aste inflesse (4.2.4.1.3.2) CC 16 SLU - Classe 3
L_{cr}=0.23 Curva d: α_{imp}=0.76 k_c=0.94 ψ=2.92 M,cr=0.00 λ_{LT}=0.00
$\lambda_{LT,0}$=0.20 β_{LT}=1.00 Φ_{LT}=0.00 β_{LT}=1.00 f=0.00 χ_{LT}=1.00
CC 16 SLU My,Ed=0.69 My,b,Rd=109.13 My,Ed/My,b,Rd=0.01

- Verifica di stabilità aste presso-inflesse (C4.2.4.1.3.3.1) - CC 17 SLU - Classe 3
Sollecitazioni: N,Ed=-2.10 Myeq,Ed=-5.40 Mzeq,Ed=-0.08
Resistenze: Nc,Rd=13095.20 My,c,Rd=109.13 Mz,c,Rd=21.83 L=22.50
λ_Y=15.59 Ncr,y=426465.00 λ^*_y=0.18 Curva c: Φ_y=0.51 χ_y=1.00
λ_Z=77.94 Ncr,z=17058.60 λ^*_z=0.90 Curva c: Φ_z=1.07 χ_z=0.60
χ,min=0.60
Verifica: 0.00+0.05+0.00=0.05

- Verifica in termini tensionali [4.2.4] - CC 17 SLU Xl=0.20 - Classe 3
Sollecitazioni: N=-2.10 T_z=65.92 M_y=-5.40
Tensioni: σ_N=-0.42 σ_M=-129.48 τ=0.00 σ_{max}=-129.90
Tensioni: σ_N=-0.42 σ_M=0.00 τ=19.77 τ_{max}=19.77
Tensioni: σ_N=-0.42 σ_M=-129.48 τ=0.00 $\sigma_{ID,max}$=129.90

- Verifica a taglio dir. Z [4.2.16] - CC 1 SLV Xl=0.14
Sollecitazioni: T_z=-30.48
V,Ed=-30.48 Vc,Rd=7560.76 V,Ed/Vc,Rd=0.00

Asta n. 6072 (-377 -378) calastrelli 50x10 Crit. 1

- Verifica di stabilità aste presso-inflesse (C4.2.4.1.3.3.1) - CC 17 SLU - Classe 3
Sollecitazioni: N,Ed=-2.20 Myeq,Ed=-5.60 Mzeq,Ed=-0.09
Resistenze: Nc,Rd=13095.20 My,c,Rd=109.13 Mz,c,Rd=21.83 L=23.13
λ_Y=16.02 Ncr,y=403724.00 λ^*_y=0.18 Curva c: Φ_y=0.51 χ_y=1.00
λ_Z=80.11 Ncr,z=16149.00 λ^*_z=0.92 Curva c: Φ_z=1.10 χ_z=0.59
χ,min=0.59
Verifica: 0.00+0.05+0.00=0.06

- Verifica in termini tensionali [4.2.4] - CC 17 SLU Xl=0.20 - Classe 3
Sollecitazioni: N=-2.20 T_z=65.81 M_y=-5.60
Tensioni: σ_N=-0.44 σ_M=-134.28 τ=0.00 σ_{max}=-134.72
Tensioni: σ_N=-0.44 σ_M=0.00 τ=19.74 τ_{max}=19.74
Tensioni: σ_N=-0.44 σ_M=-134.28 τ=0.00 $\sigma_{ID,max}$=134.72

- Verifica a taglio dir. Z [4.2.16] - CC 1 SLV Xl=0.14
Sollecitazioni: T_z=-29.24
V,Ed=-29.24 Vc,Rd=7560.76 V,Ed/Vc,Rd=0.00

Asta n. 6073 (-345 -346) calastrelli 50x10 Crit. 1

- Verifica di stabilità aste presso-inflesse (C4.2.4.1.3.3.1) - CC 17 SLU - Classe 3
  Sollecitazioni: N,Ed=-2.18 Myeq,Ed=-5.79 Mzeq,Ed=-0.09
  Resistenze: Nc,Rd=13095.20 My,c,Rd=109.13 Mz,c,Rd=21.83 L=23.75
  λ_Y=16.45 Ncr,y=382755.00 λ^*_y=0.19 Curva c: Φ_y=0.52 χ_y=1.00
  λ_Z=82.27 Ncr,z=15310.20 λ^*_z=0.95 Curva c: Φ_z=1.13 χ_z=0.57
  χ,min=0.57
  Verifica: 0.00+0.05+0.00=0.06

- Verifica in termini tensionali [4.2.4] - CC 17 SLU Xl=0.21 - Classe 3
  Sollecitazioni: N=-2.18 T_z=65.69 M_y=-5.79
  Tensioni: σ_N=-0.44 σ_M=-139.00 τ=0.00 σ_{max}=-139.44
  Tensioni: σ_N=-0.44 σ_M=0.00 τ=19.71 τ_{max}=19.71
  Tensioni: σ_N=-0.44 σ_M=-139.00 τ=0.00 $\sigma_{ID,max}$=139.44

- Verifica a taglio dir. Z [4.2.16] - CC 1 SLV Xl=0.15
  Sollecitazioni: T_z=-28.05
  V,Ed=-28.05 Vc,Rd=7560.76 V,Ed/Vc,Rd=0.00

Asta n. 6074 (-313 -314) calastrelli 50x10 Crit. 1

- Verifica di stabilità aste presso-inflesse (C4.2.4.1.3.3.1) - CC 17 SLU - Classe 3
  Sollecitazioni: N,Ed=-2.18 Myeq,Ed=-5.99 Mzeq,Ed=-0.09
  Resistenze: Nc,Rd=13095.20 My,c,Rd=109.13 Mz,c,Rd=21.83 L=24.38
  λ_Y=16.89 Ncr,y=363378.00 λ^*_y=0.19 Curva c: Φ_y=0.52 χ_y=1.00
  λ_Z=84.44 Ncr,z=14535.10 λ^*_z=0.97 Curva c: Φ_z=1.16 χ_z=0.56
  χ,min=0.56
  Verifica: 0.00+0.05+0.00=0.06

- Verifica in termini tensionali [4.2.4] - CC 17 SLU Xl=0.22 - Classe 3
  Sollecitazioni: N=-2.18 T_z=65.56 M_y=-5.99
  Tensioni: σ_N=-0.44 σ_M=-143.71 τ=0.00 σ_{max}=-144.15
  Tensioni: σ_N=-0.44 σ_M=0.00 τ=19.67 τ_{max}=19.67
  Tensioni: σ_N=-0.44 σ_M=-143.71 τ=0.00 $\sigma_{ID,max}$=144.15

- Verifica a taglio dir. Z [4.2.16] - CC 1 SLV Xl=0.15
  Sollecitazioni: T_z=-26.92
  V,Ed=-26.92 Vc,Rd=7560.76 V,Ed/Vc,Rd=0.00

Asta n. 6075 (-281 -282) calastrelli 50x10 Crit. 1

- Verifica di stabilità aste presso-inflesse (C4.2.4.1.3.3.1) - CC 17 SLU - Classe 3
  Sollecitazioni: N,Ed=-2.18 Myeq,Ed=-6.18 Mzeq,Ed=-0.09
  Resistenze: Nc,Rd=13095.20 My,c,Rd=109.13 Mz,c,Rd=21.83 L=25.00
  λ_Y=17.32 Ncr,y=345436.00 λ^*_y=0.20 Curva c: Φ_y=0.52 χ_y=1.00
  λ_Z=86.60 Ncr,z=13817.40 λ^*_z=1.00 Curva c: Φ_z=1.19 χ_z=0.54
  χ,min=0.54
  Verifica: 0.00+0.06+0.00=0.06

- Verifica in termini tensionali [4.2.4] - CC 17 SLU Xl=0.22 - Classe 3
  Sollecitazioni: N=-2.18 T_z=65.44 M_y=-6.18
  Tensioni: σ_N=-0.44 σ_M=-148.41 τ=0.00 σ_{max}=-148.84
  Tensioni: σ_N=-0.44 σ_M=0.00 τ=19.63 τ_{max}=19.63
  Tensioni: σ_N=-0.44 σ_M=-148.41 τ=0.00 $\sigma_{ID,max}$=148.84

- Verifica a taglio dir. Z [4.2.16] - CC 1 SLV Xl=0.15
  Sollecitazioni: T_z=-25.84
  V,Ed=-25.84 Vc,Rd=7560.76 V,Ed/Vc,Rd=0.00

Asta n. 6076 (-249 -250) calastrelli 50x10 Crit. 1

- Verifica di stabilità aste presso-inflesse (C4.2.4.1.3.3.1) - CC 17 SLU - Classe 3
  Sollecitazioni: N,Ed=-2.18 Myeq,Ed=-6.38 Mzeq,Ed=-0.10
  Resistenze: Nc,Rd=13095.20 My,c,Rd=109.13 Mz,c,Rd=21.83 L=25.63
  λ_Y=17.75 Ncr,y=328791.00 λ^*_y=0.20 Curva c: Φ_y=0.52 χ_y=1.00
  λ_Z=88.77 Ncr,z=13151.60 λ^*_z=1.02 Curva c: Φ_z=1.22 χ_z=0.53
  χ,min=0.53
  Verifica: 0.00+0.06+0.00=0.06

- Verifica in termini tensionali [4.2.4] - CC 17 SLU Xl=0.23 - Classe 3
  Sollecitazioni: N=-2.18 T_z=65.32 M_y=-6.38
  Tensioni: σ_N=-0.44 σ_M=-153.08 τ=0.00 σ_{max}=-153.52
  Tensioni: σ_N=-0.44 σ_M=0.00 τ=19.59 τ_{max}=19.59
  Tensioni: σ_N=-0.44 σ_M=-153.08 τ=0.00 $\sigma_{ID,max}$=153.52

- Verifica a taglio dir. Z [4.2.16] - CC 1 SLV Xl=0.16
  Sollecitazioni: T_z=-24.81
  V,Ed=-24.81 Vc,Rd=7560.76 V,Ed/Vc,Rd=0.00

Asta n. 6077 (-217 -218) calastrelli 50x10 Crit. 1

- Verifica di stabilità aste presso-inflesse (C4.2.4.1.3.3.1) - CC 17 SLU - Classe 3
  Sollecitazioni: N,Ed=-2.18 Myeq,Ed=-6.57 Mzeq,Ed=-0.10
  Resistenze: Nc,Rd=13095.20 My,c,Rd=109.13 Mz,c,Rd=21.83 L=26.25
  λ_Y=18.19 Ncr,y=313321.00 λ^*_y=0.21 Curva c: Φ_y=0.52 χ_y=1.00
  λ_Z=90.93 Ncr,z=12532.80 λ^*_z=1.05 Curva c: Φ_z=1.26 χ_z=0.51
  χ,min=0.51
  Verifica: 0.00+0.06+0.00=0.06

- Verifica in termini tensionali [4.2.4] - CC 17 SLU Xl=0.23 - Classe 3
  Sollecitazioni: N=-2.18 T_z=65.17 M_y=-6.57
  Tensioni: σ_N=-0.44 σ_M=-157.69 τ=0.00 σ_{max}=-158.13
  Tensioni: σ_N=-0.44 σ_M=0.00 τ=19.55 τ_{max}=19.55
  Tensioni: σ_N=-0.44 σ_M=-157.69 τ=0.00 $\sigma_{ID,max}$=158.13

- Verifica a taglio dir. Z [4.2.16] - CC 1 SLV Xl=0.16
  Sollecitazioni: T_z=-23.81
  V,Ed=-23.81 Vc,Rd=7560.76 V,Ed/Vc,Rd=0.00

Asta n. 6078 (-185 -186) calastrelli 50x10 Crit. 1

- Verifica di stabilità aste presso-inflesse (C4.2.4.1.3.3.1) - CC 17 SLU - Classe 3
  Sollecitazioni: N,Ed=-2.17 Myeq,Ed=-6.75 Mzeq,Ed=-0.10
  Resistenze: Nc,Rd=13095.20 My,c,Rd=109.13 Mz,c,Rd=21.83 L=26.88
  λ_Y=18.62 Ncr,y=298917.00 λ^*_y=0.21 Curva c: Φ_y=0.53 χ_y=0.99
  λ_Z=93.10 Ncr,z=11956.70 λ^*_z=1.07 Curva c: Φ_z=1.29 χ_z=0.50
  χ,min=0.50
  Verifica: 0.00+0.06+0.00=0.07

- Verifica in termini tensionali [4.2.4] - CC 17 SLU Xl=0.24 - Classe 3
  Sollecitazioni: N=-2.17 T_z=64.92 M_y=-6.75
  Tensioni: σ_N=-0.43 σ_M=-162.02 τ=0.00 σ_{max}=-162.45
  Tensioni: σ_N=-0.43 σ_M=0.00 τ=19.48 τ_{max}=19.48
  Tensioni: σ_N=-0.43 σ_M=-162.02 τ=0.00 $\sigma_{ID,max}$=162.45

- Verifica a taglio dir. Z [4.2.16] - CC 1 SLV Xl=0.17
  Sollecitazioni: T_z=-22.83
  V,Ed=-22.83 Vc,Rd=7560.76 V,Ed/Vc,Rd=0.00

Asta n. 6079 (-153 -154) calastrelli 50x10 Crit. 1

- Verifica di stabilità aste presso-inflesse (C4.2.4.1.3.3.1) - CC 17 SLU - Classe 3
  Sollecitazioni: N,Ed=-2.17 Myeq,Ed=-6.88 Mzeq,Ed=-0.10
  Resistenze: Nc,Rd=13095.20 My,c,Rd=109.13 Mz,c,Rd=21.83 L=27.50
  λ_Y=19.05 Ncr,y=285484.00 λ^*_y=0.22 Curva c: Φ_y=0.53 χ_y=0.99
  λ_Z=95.26 Ncr,z=11419.40 λ^*_z=1.10 Curva c: Φ_z=1.32 χ_z=0.49
  χ,min=0.49
  Verifica: 0.00+0.06+0.00=0.07

- Verifica in termini tensionali [4.2.4] - CC 17 SLU Xl=0.25 - Classe 3
  Sollecitazioni: N=-2.17 T_z=64.17 M_y=-6.88
  Tensioni: σ_N=-0.43 σ_M=-165.02 τ=0.00 σ_{max}=-165.46
  Tensioni: σ_N=-0.43 σ_M=0.00 τ=19.25 τ_{max}=19.25
  Tensioni: σ_N=-0.43 σ_M=-165.02 τ=0.00 $\sigma_{ID,max}$=165.46

- Verifica a taglio dir. Z [4.2.16] - CC 1 SLV Xl=0.17
  Sollecitazioni: T_z=-21.73
  V,Ed=-21.73 Vc,Rd=7560.76 V,Ed/Vc,Rd=0.00

Asta n. 6080 (-121 -122) calastrelli 50x10 Crit. 1

- Verifica di stabilità aste presso-inflesse (C4.2.4.1.3.3.1) - CC 17 SLU - Classe 3
  Sollecitazioni: N,Ed=-1.98 Myeq,Ed=-6.75 Mzeq,Ed=-0.09
  Resistenze: Nc,Rd=13095.20 My,c,Rd=109.13 Mz,c,Rd=21.83 L=28.13
  λ_Y=19.49 Ncr,y=272937.00 λ^*_y=0.22 Curva c: Φ_y=0.53 χ_y=0.99
  λ_Z=97.43 Ncr,z=10917.50 λ^*_z=1.12 Curva c: Φ_z=1.36 χ_z=0.47
  χ,min=0.47
  Verifica: 0.00+0.06+0.00=0.07

- Verifica in termini tensionali [4.2.4] - CC 17 SLU Xl=0.25 - Classe 3
  Sollecitazioni: N=-1.98 T_z=61.19 M_y=-6.75
  Tensioni: σ_N=-0.40 σ_M=-162.09 τ=0.00 σ_{max}=-162.48
  Tensioni: σ_N=-0.40 σ_M=0.00 τ=18.36 τ_{max}=18.36
  Tensioni: σ_N=-0.40 σ_M=-162.09 τ=0.00 $\sigma_{ID,max}$=162.48

- Verifica a taglio dir. Z [4.2.16] - CC 1 SLV Xl=0.19
  Sollecitazioni: T_z=-20.08
  V,Ed=-20.08 Vc,Rd=7560.76 V,Ed/Vc,Rd=0.00

Asta n. 6081 (-89 -90) calastrelli 50x10 Crit. 1

- Verifica di stabilità aste presso-inflesse (C4.2.4.1.3.3.1) - CC 17 SLU - Classe 3
  Sollecitazioni: N,Ed=-2.92 Myeq,Ed=-5.52 Mzeq,Ed=-0.07
  Resistenze: Nc,Rd=13095.20 My,c,Rd=109.13 Mz,c,Rd=21.83 L=28.75
  λ_Y=19.92 Ncr,y=261199.00 λ^*_y=0.23 Curva c: Φ_y=0.53 χ_y=0.99
  λ_Z=99.59 Ncr,z=10448.00 λ^*_z=1.15 Curva c: Φ_z=1.39 χ_z=0.46
  χ,min=0.46
  Verifica: 0.00+0.05+0.00=0.05

- Verifica in termini tensionali [4.2.4] - CC 17 SLU Xl=0.26 - Classe 3
  Sollecitazioni: N=-2.92 T_z=48.57 M_y=-5.52
  Tensioni: σ_N=-0.58 σ_M=-132.46 τ=0.00 σ_{max}=-133.04
  Tensioni: σ_N=-0.58 σ_M=0.00 τ=14.57 τ_{max}=14.57
  Tensioni: σ_N=-0.58 σ_M=-132.46 τ=0.00 $\sigma_{ID,max}$=133.04

- Verifica a taglio dir. Z [4.2.16] - CC 1 SLV Xl=0.20
  Sollecitazioni: T_z=-15.50
  V,Ed=-15.50 Vc,Rd=7560.76 V,Ed/Vc,Rd=0.00

Asta n. 6082 (-57 -58) calastrelli 100x5 Crit. 1

- Verifica in termini tensionali [4.2.4] - CC 17 SLU Xl=0.27 - Classe 3
  Sollecitazioni: N=7.32 T_z=56.70 M_y=-6.93
  Tensioni: σ_N=0.73 σ_M=41.55 τ=0.00 σ_{max}=42.29
  Tensioni: σ_N=0.73 σ_M=0.00 τ=8.50 τ_{max}=8.50
  Tensioni: σ_N=0.73 σ_M=41.55 τ=0.00 $\sigma_{ID,max}$=42.29

- Verifica a taglio dir. Z [4.2.16] - CC 17 SLU Xl=0.14
  Sollecitazioni: N=7.32 T_z=57.98
  V,Ed=57.98 Vc,Rd=15121.50 V,Ed/Vc,Rd=0.00

Asta n. 6083 (-25 -26) calastrelli 100x5 Crit. 1

- Verifica in termini tensionali [4.2.4] - CC 17 SLU Xl=0.27 - Classe 3
  Sollecitazioni: N=39.03 T_z=35.68 M_y=-4.45
  Tensioni: σ_N=3.90 σ_M=26.71 τ=0.00 σ_{max}=30.61
  Tensioni: σ_N=3.90 σ_M=0.00 τ=5.35 τ_{max}=5.35
  Tensioni: σ_N=3.90 σ_M=26.71 τ=0.00 $\sigma_{ID,max}$=30.61

- Verifica a taglio dir. Z [4.2.16] - CC 17 SLU Xl=0.12
  Sollecitazioni: N=39.03 T_z=37.20
  V,Ed=37.20 Vc,Rd=15121.50 V,Ed/Vc,Rd=0.00

Asta n. 6084 (373 374) angolari L50x10 Crit. 1

- Verifica di stabilità aste presso-inflesse (C4.2.4.1.3.3.1) - CC 17 SLU - Classe 3
  Sollecitazioni: N,Ed=-10.13 Myeq,Ed=-0.32 Mzeq,Ed=-0.96
  Resistenze: Nc,Rd=23709.20 My,c,Rd=149.05 Mz,c,Rd=149.05 L=15.00
  λ_c=8.19 Ncr,y=2794040.00 λ^*_y=0.09 Curva b: Φ_y=0.00 χ_y=1.00
  λ_e=15.58 Ncr,z=772688.00 λ^*_z=0.18 Curva b: Φ_z=0.00 χ_z=1.00
  χ,min=1.00
  Verifica: 0.00+0.00+0.01=0.01

- Verifica in termini tensionali [4.2.4] - CC 17 SLU Xl=0.02 - Classe 3
  Sollecitazioni: N=-10.13 T_z=-3.06 T_y=6.64 M_z=-1.14
  Tensioni: σ_N=-1.12 σ_M=-24.79 τ=0.28 σ_{max}=-25.91
  Tensioni: σ_N=-1.12 σ_M=4.68 τ=1.96 τ_{max}=1.96
  Tensioni: σ_N=-1.12 σ_M=-24.79 τ=0.28 $\sigma_{ID,max}$=25.91

- Verifica a taglio dir. Y [4.2.16] - CC 17 SLU Xl=0.04
  Sollecitazioni: N=-10.13 T_z=-3.06 T_y=6.42
  V,Ed=6.42 Vc,Rd=7560.76 V,Ed/Vc,Rd=0.00

- Verifica a taglio dir. Z [4.2.16]
  V,Ed=-3.06 Vc,Rd=7560.76 V,Ed/Vc,Rd=0.00

Asta n. 6084 (374 375) angolari L50x10 Crit. 1

- Verifica di stabilità aste presso-inflesse (C4.2.4.1.3.3.1) - CC 17 SLU - Classe 3
  Sollecitazioni: N,Ed=-10.13 Myeq,Ed=0.29 Mzeq,Ed=-0.34
  Resistenze: Nc,Rd=23709.20 My,c,Rd=149.05 Mz,c,Rd=149.05 L=15.00
  λ_c=8.19 Ncr,y=2794040.00 λ^*_y=0.09 Curva b: Φ_y=0.00 χ_y=1.00
  λ_e=15.58 Ncr,z=772688.00 λ^*_z=0.18 Curva b: Φ_z=0.00 χ_z=1.00
  χ,min=1.00
  Verifica: 0.00+0.00+0.00=0.00

- Verifica a compressione [4.2.9] - CC 18 SLU Xl=0.00 - Classe 1

Sollecitazioni: N=-14.79
N,Ed=-14.79 Nc,Rd=-23709.20 N,Ed/Nc,Rd=0.00
Verifiche di duttilità [7.5.3]:
q_0=4.00 N,Ed=-14.79 Npl,Rd=23709.20 N,Ed/Npl,Rd=0.000624

- Verifica a taglio dir. Y [4.2.16] - CC 17 SLU Xl=0.00
Sollecitazioni: N=-10.13 T_z=-3.06 T_y=5.42
V,Ed=5.42 Vc,Rd=7560.76 V,Ed/Vc,Rd=0.00

- Verifica a taglio dir. Z [4.2.16]
V,Ed=-3.06 Vc,Rd=7560.76 V,Ed/Vc,Rd=0.00

Asta n. 6085 (-537 -538) arcarecci T 120x60x10 Crit. 1

- Verifica di stabilità aste inflesse (4.2.4.1.3.2) CC 1 SLV - Classe 3
L_{cr}=0.12 Curva d: α_{imp}=0.76 k_c=0.94 ψ=1.35 M,cr=0.00 λ_{LT}=0.00
$\lambda_{LT,0}$=0.00 β_{LT}=0.00 Φ_{LT}=0.00 β_{LT}=0.00 f=0.00 χ_{LT}=1.00
CC 1 SLV My,Ed=-0.08 My,b,Rd=862.52 My,Ed/My,b,Rd=0.00

- Verifica di stabilità aste presso-inflesse (C4.2.4.1.3.3.1) - CC 17 SLU - Classe 3
Sollecitazioni: N,Ed=-2.84 Myeq,Ed=-0.27 Mzeq,Ed=-0.48
Resistenze: Nc,Rd=44512.60 My,c,Rd=862.52 Mz,c,Rd=164.81 L=12.00
λ_Y=3.12 Ncr,y=36117100.00 λ^*_y=0.04 Curva c: Φ_y=0.00 χ_y=1.00
λ_Z=11.39 Ncr,z=2717260.00 λ^*_z=0.13 Curva c: Φ_z=0.00 χ_z=1.00
χ,min=1.00
Verifica: 0.00+0.00+0.00=0.00

- Verifica a compressione [4.2.9] - CC 17 SLU Xl=0.00 - Classe 3
Sollecitazioni: N=-2.84 T_z=1.89 T_y=-7.81
N,Ed=-2.84 Nc,Rd=-44512.60 N,Ed/Nc,Rd=0.00

- Verifica a taglio dir. Y [4.2.16] - CC 18 SLU Xl=0.11
Sollecitazioni: T_y=16.18
V,Ed=16.18 Vc,Rd=9072.91 V,Ed/Vc,Rd=0.00

Asta n. 6086 (-521 -522) arcarecci T 120x60x10 Crit. 1

- Verifica di stabilità aste presso-inflesse (C4.2.4.1.3.3.1) - CC 18 SLU - Classe 3
Sollecitazioni: N,Ed=-0.05 Myeq,Ed=-0.11 Mzeq,Ed=1.03
Resistenze: Nc,Rd=44512.60 My,c,Rd=862.52 Mz,c,Rd=164.81 L=12.00
λ_Y=3.12 Ncr,y=36117100.00 λ^*_y=0.04 Curva c: Φ_y=0.00 χ_y=1.00
λ_Z=11.39 Ncr,z=2717260.00 λ^*_z=0.13 Curva c: Φ_z=0.00 χ_z=1.00
χ,min=1.00
Verifica: 0.00+0.00+0.01=0.01

- Verifica a flessione [4.2.13] - CC 18 SLU Xl=0.12 - Classe 3
Sollecitazioni: T_y=17.12 M_z=1.03
Mz,Ed=1.03 Mz,c,Rd=164.81 Mz,Ed/Mz,c,Rd=0.01

- Verifica a taglio dir. Y [4.2.16] - CC 18 SLU Xl=0.01
Sollecitazioni: T_z=-2.62 T_y=17.12
V,Ed=17.12 Vc,Rd=9072.91 V,Ed/Vc,Rd=0.00

- Verifica a taglio dir. Z [4.2.16]
V,Ed=-2.62 Vc,Rd=18145.80 V,Ed/Vc,Rd=0.00

Asta n. 6088 (313 325) angolari L50x10 Crit. 1

- Verifica di stabilità aste inflesse (4.2.4.1.3.2) CC 1 SLV - Classe 3

L_{cr}=0.15 Curva d: α_{imp}=0.76 k_c=0.94 ψ=2.02 M,cr=0.00 λ_{LT}=0.00
$\lambda_{LT,0}$=0.00 β_{LT}=0.00 Φ_{LT}=0.00 β_{LT}=0.00 f=0.00 χ_{LT}=1.00
CC 1 SLV My,Ed=-1.00 My,b,Rd=149.05 My,Ed/My,b,Rd=0.01

- Verifica di stabilità aste presso-inflesse (C4.2.4.1.3.3.1) - CC 17 SLU - Classe 3
Sollecitazioni: N,Ed=-561.07 Myeq,Ed=1.67 Mzeq,Ed=-59.33
Resistenze: Nc,Rd=23709.20 My,c,Rd=149.05 Mz,c,Rd=149.05 L=15.00
λ_c=8.19 Ncr,y=2794040.00 λ^*_y=0.09 Curva b: Φ_y=0.00 χ_y=1.00
λ_e=15.58 Ncr,z=772688.00 λ^*_z=0.18 Curva b: Φ_z=0.00 χ_z=1.00
χ,min=1.00
Verifica: 0.02+0.01+0.40=0.43

- Verifica in termini tensionali [4.2.4] - CC 17 SLU Xl=0.15 - Classe 3
Sollecitazioni: N=-561.07 T_z=-19.41 M_y=2.15 T_y=-800.01 M_z=-59.33 (M_c=43.47 M_e=-40.43)
Tensioni: σ_N=-61.98 σ_M=-1277.03 τ=34.20 σ_{max}=-1339.01
Tensioni: σ_N=-61.98 σ_M=240.12 τ=230.59 τ_{max}=230.59
Tensioni: σ_N=-61.98 σ_M=-1277.03 τ=34.20 $\sigma_{ID,max}$=1340.32

- Verifica a taglio dir. Y [4.2.16] - CC 19 SLU Xl=0.08
Sollecitazioni: N=-348.69 T_z=-8.37 T_y=-481.11
V,Ed=-481.11 Vc,Rd=7560.76 V,Ed/Vc,Rd=0.06

- Verifica a taglio dir. Z [4.2.16]
V,Ed=-8.37 Vc,Rd=7560.76 V,Ed/Vc,Rd=0.00

Asta n. 6088 (325 337) angolari L50x10 Crit. 1

- Verifica di stabilità aste inflesse (4.2.4.1.3.2) CC 1 SLV - Classe 3
L_{cr}=0.15 Curva d: α_{imp}=0.76 k_c=0.94 ψ=2.03 M,cr=0.00 λ_{LT}=0.00
$\lambda_{LT,0}$=0.00 β_{LT}=0.00 Φ_{LT}=0.00 β_{LT}=0.00 f=0.00 χ_{LT}=1.00
CC 1 SLV My,Ed=-1.01 My,b,Rd=149.05 My,Ed/My,b,Rd=0.01

- Verifica di stabilità aste presso-inflesse (C4.2.4.1.3.3.1) - CC 17 SLU - Classe 3
Sollecitazioni: N,Ed=-577.54 Myeq,Ed=1.59 Mzeq,Ed=-64.48
Resistenze: Nc,Rd=23709.20 My,c,Rd=149.05 Mz,c,Rd=149.05 L=15.00
λ_c=8.19 Ncr,y=2794040.00 λ^*_y=0.09 Curva b: Φ_y=0.00 χ_y=1.00
λ_e=15.58 Ncr,z=772688.00 λ^*_z=0.18 Curva b: Φ_z=0.00 χ_z=1.00
χ,min=1.00
Verifica: 0.02+0.01+0.43=0.47

- Verifica in termini tensionali [4.2.4] - CC 17 SLU Xl=0.00 - Classe 3
Sollecitazioni: N=-577.54 T_z=18.51 M_y=2.07 T_y=848.90 M_z=-64.48 (M_c=47.05 M_e=-44.13)
Tensioni: σ_N=-63.80 σ_M=-1389.91 τ=36.29 σ_{max}=-1453.71
Tensioni: σ_N=-63.80 σ_M=261.46 τ=244.68 τ_{max}=244.68
Tensioni: σ_N=-63.80 σ_M=-1389.91 τ=36.29 $\sigma_{ID,max}$=1455.07

- Verifica a taglio dir. Y [4.2.16] - CC 1 SLV Xl=0.07
Sollecitazioni: N=167.94 T_z=-9.50 T_y=-243.39
V,Ed=-243.39 Vc,Rd=7560.76 V,Ed/Vc,Rd=0.03

- Verifica a taglio dir. Z [4.2.16]
V,Ed=-9.50 Vc,Rd=7560.76 V,Ed/Vc,Rd=0.00

Asta n. 6089 (-1 -9) calastrelli 100x5 Crit. 1

- Verifica di stabilità aste inflesse (4.2.4.1.3.2) CC 9 SLU - Classe 3
L_{cr}=0.30 Curva d: α_{imp}=0.76 k_c=0.94 ψ=2.81 M,cr=0.00 λ_{LT}=0.00
$\lambda_{LT,0}$=0.20 β_{LT}=1.00 Φ_{LT}=0.00 β_{LT}=1.00 f=0.00 χ_{LT}=1.00
CC 9 SLU My,Ed=-2.40 My,b,Rd=436.51 My,Ed/My,b,Rd=0.01

- Verifica di stabilità aste presso-inflesse (C4.2.4.1.3.3.1) - CC 1 SLV - Classe 3
  Sollecitazioni: N,Ed=-106.94 Myeq,Ed=-1.32 Mzeq,Ed=-0.01
  Resistenze: Nc,Rd=26190.50 My,c,Rd=436.51 Mz,c,Rd=43.65 L=29.69
  λ_Y=10.28 Ncr,y=1959700.00 λ^*_y=0.12 Curva c: Φ_y=0.49 χ_y=1.00
  λ_Z=102.84 Ncr,z=19597.00 λ^*_z=1.18 Curva c: Φ_z=1.44 χ_z=0.44
  χ,min=0.44
  Verifica: 0.00+0.00+0.00=0.01

- Verifica in termini tensionali [4.2.4] - CC 17 SLU Xl=0.04 - Classe 3
  Sollecitazioni: N=441.96 T_z=11.06 M_y=1.33
  Tensioni: σ_N=44.20 σ_M=8.00 τ=0.00 σ_{max}=52.19
  Tensioni: σ_N=44.20 σ_M=-0.00 τ=1.66 τ_{max}=1.66
  Tensioni: σ_N=44.20 σ_M=8.00 τ=0.00 $\sigma_{ID,max}$=52.19

- Verifica a taglio dir. Z [4.2.16] - CC 5 SLV Xl=0.10
  Sollecitazioni: N=54.86 T_z=19.86
  V,Ed=19.86 Vc,Rd=15121.50 V,Ed/Vc,Rd=0.00

Asta n. 6090 (-33 -41) calastrelli 100x5 Crit. 1

- Verifica di stabilità aste inflesse (4.2.4.1.3.2) CC 19 SLU - Classe 3
  L_{cr}=0.29 Curva d: α_{imp}=0.76 k_c=0.94 ψ=2.18 M,cr=0.00 λ_{LT}=0.00
  $\lambda_{LT,0}$=0.20 β_{LT}=1.00 Φ_{LT}=0.00 β_{LT}=1.00 f=0.00 χ_{LT}=1.00
  CC 19 SLU My,Ed=-5.72 My,b,Rd=436.51 My,Ed/My,b,Rd=0.01

- Verifica di stabilità aste presso-inflesse (C4.2.4.1.3.3.1) - CC 5 SLV - Classe 3
  Sollecitazioni: N,Ed=-11.83 Myeq,Ed=-3.79 Mzeq,Ed=0.03
  Resistenze: Nc,Rd=26190.50 My,c,Rd=436.51 Mz,c,Rd=43.65 L=29.38
  λ_Y=10.18 Ncr,y=2001620.00 λ^*_y=0.12 Curva c: Φ_y=0.49 χ_y=1.00
  λ_Z=101.76 Ncr,z=20016.20 λ^*_z=1.17 Curva c: Φ_z=1.43 χ_z=0.45
  χ,min=0.45
  Verifica: 0.00+0.01+0.00=0.01

- Verifica in termini tensionali [4.2.4] - CC 19 SLU Xl=0.27 - Classe 3
  Sollecitazioni: N=115.75 T_z=32.79 M_y=-5.72
  Tensioni: σ_N=11.57 σ_M=34.30 τ=0.00 σ_{max}=45.88
  Tensioni: σ_N=11.57 σ_M=0.00 τ=4.92 τ_{max}=4.92
  Tensioni: σ_N=11.57 σ_M=34.30 τ=0.00 $\sigma_{ID,max}$=45.88

- Verifica a taglio dir. Z [4.2.16] - CC 9 SLU Xl=0.12
  Sollecitazioni: N=19.67 T_z=35.50
  V,Ed=35.50 Vc,Rd=15121.50 V,Ed/Vc,Rd=0.00

Asta n. 6091 (-65 -73) calastrelli 50x10 Crit. 1

- Verifica di stabilità aste inflesse (4.2.4.1.3.2) CC 5 SLV - Classe 3
  L_{cr}=0.29 Curva d: α_{imp}=0.76 k_c=0.94 ψ=3.09 M,cr=0.00 λ_{LT}=0.00
  $\lambda_{LT,0}$=0.20 β_{LT}=1.00 Φ_{LT}=0.00 β_{LT}=1.00 f=0.00 χ_{LT}=1.00
  CC 5 SLV My,Ed=-3.02 My,b,Rd=109.13 My,Ed/My,b,Rd=0.03

- Verifica di stabilità aste presso-inflesse (C4.2.4.1.3.3.1) - CC 9 SLU - Classe 3
  Sollecitazioni: N,Ed=-1.67 Myeq,Ed=-3.59 Mzeq,Ed=0.04
  Resistenze: Nc,Rd=13095.20 My,c,Rd=109.13 Mz,c,Rd=21.83 L=28.75
  λ_Y=19.92 Ncr,y=261199.00 λ^*_y=0.23 Curva c: Φ_y=0.53 χ_y=0.99
  λ_Z=99.59 Ncr,z=10448.00 λ^*_z=1.15 Curva c: Φ_z=1.39 χ_z=0.46
  χ,min=0.46
  Verifica: 0.00+0.03+0.00=0.04

- Verifica in termini tensionali [4.2.4] - CC 9 SLU Xl=0.26 - Classe 3
  Sollecitazioni: N=-1.67 T_z=31.50 M_y=-3.59
  Tensioni: σ_N=-0.33 σ_M=-86.23 τ=0.00 σ_{max}=-86.56
  Tensioni: σ_N=-0.33 σ_M=0.00 τ=9.45 τ_{max}=9.45
  Tensioni: σ_N=-0.33 σ_M=-86.23 τ=0.00 $\sigma_{ID,max}$=86.56

- Verifica a taglio dir. Z [4.2.16] - CC 5 SLV Xl=0.12
  Sollecitazioni: T_z=27.00
  V,Ed=27.00 Vc,Rd=7560.76 V,Ed/Vc,Rd=0.00

Asta n. 6092 (-97 -105) calastrelli 50x10 Crit. 1

- Verifica di stabilità aste inflesse (4.2.4.1.3.2) CC 9 SLU - Classe 3
  L_{cr}=0.28 Curva d: α_{imp}=0.76 k_c=0.94 ψ=3.08 M,cr=0.00 λ_{LT}=0.00
  $\lambda_{LT,0}$=0.20 β_{LT}=1.00 Φ_{LT}=0.00 β_{LT}=1.00 f=0.00 χ_{LT}=1.00
  CC 9 SLU My,Ed=-4.57 My,b,Rd=109.13 My,Ed/My,b,Rd=0.04

- Verifica di stabilità aste presso-inflesse (C4.2.4.1.3.3.1) - CC 18 SLU - Classe 3
  Sollecitazioni: N,Ed=-1.01 Myeq,Ed=-2.23 Mzeq,Ed=0.03
  Resistenze: Nc,Rd=13095.20 My,c,Rd=109.13 Mz,c,Rd=21.83 L=28.13
  λ_Y=19.49 Ncr,y=272937.00 λ^*_y=0.22 Curva c: Φ_y=0.53 χ_y=0.99
  λ_Z=97.43 Ncr,z=10917.50 λ^*_z=1.12 Curva c: Φ_z=1.36 χ_z=0.47
  χ,min=0.47
  Verifica: 0.00+0.02+0.00=0.02

- Verifica a flessione [4.2.13] - CC 9 SLU Xl=0.25 - Classe 3
  Sollecitazioni: T_z=41.23 M_y=-4.57
  My,Ed=-4.57 My,c,Rd=109.13 My,Ed/My,c,Rd=0.04

- Verifica a taglio dir. Z [4.2.16] - CC 9 SLU Xl=0.13
  Sollecitazioni: T_z=41.83
  V,Ed=41.83 Vc,Rd=7560.76 V,Ed/Vc,Rd=0.01

Asta n. 6093 (-129 -137) calastrelli 50x10 Crit. 1

- Verifica di stabilità aste presso-inflesse (C4.2.4.1.3.3.1) - CC 9 SLU - Classe 3
  Sollecitazioni: N,Ed=-0.02 Myeq,Ed=-4.84 Mzeq,Ed=0.06
  Resistenze: Nc,Rd=13095.20 My,c,Rd=109.13 Mz,c,Rd=21.83 L=27.50
  λ_Y=19.05 Ncr,y=285484.00 λ^*_y=0.22 Curva c: Φ_y=0.53 χ_y=0.99
  λ_Z=95.26 Ncr,z=11419.40 λ^*_z=1.10 Curva c: Φ_z=1.32 χ_z=0.49
  χ,min=0.49
  Verifica: 0.00+0.04+0.00=0.05

- Verifica a flessione [4.2.13] - CC 9 SLU Xl=0.25 - Classe 3
  Sollecitazioni: T_z=45.04 M_y=-4.84
  My,Ed=-4.84 My,c,Rd=109.13 My,Ed/My,c,Rd=0.04

- Verifica a taglio dir. Z [4.2.16] - CC 9 SLU Xl=0.13
  Sollecitazioni: T_z=45.62
  V,Ed=45.62 Vc,Rd=7560.76 V,Ed/Vc,Rd=0.01

Asta n. 6094 (-161 -169) calastrelli 50x10 Crit. 1

- Verifica di stabilità aste presso-inflesse (C4.2.4.1.3.3.1) - CC 9 SLU - Classe 3
  Sollecitazioni: N,Ed=-0.01 Myeq,Ed=-4.96 Mzeq,Ed=0.07
  Resistenze: Nc,Rd=13095.20 My,c,Rd=109.13 Mz,c,Rd=21.83 L=26.88
  λ_Y=18.62 Ncr,y=298917.00 λ^*_y=0.21 Curva c: Φ_y=0.53 χ_y=0.99
  λ_Z=93.10 Ncr,z=11956.70 λ^*_z=1.07 Curva c: Φ_z=1.29 χ_z=0.50
  χ,min=0.50
  Verifica: 0.00+0.05+0.00=0.05

- Verifica a flessione [4.2.13] - CC 9 SLU Xl=0.24 - Classe 3
  Sollecitazioni: T_z=47.58 M_y=-4.96
  My,Ed=-4.96 My,c,Rd=109.13 My,Ed/My,c,Rd=0.05

- Verifica a taglio dir. Z [4.2.16] - CC 9 SLU Xl=0.13
  Sollecitazioni: T_z=48.15
  V,Ed=48.15 Vc,Rd=7560.76 V,Ed/Vc,Rd=0.01

Asta n. 6095 (-193 -201) calastrelli 50x10 Crit. 1

- Verifica di stabilità aste presso-inflesse (C4.2.4.1.3.3.1) - CC 9 SLU - Classe 3
  Sollecitazioni: N,Ed=-0.01 Myeq,Ed=-5.05 Mzeq,Ed=0.07
  Resistenze: Nc,Rd=13095.20 My,c,Rd=109.13 Mz,c,Rd=21.83 L=26.25
  λ_Y=18.19 Ncr,y=313321.00 λ^*_y=0.21 Curva c: Φ_y=0.52 χ_y=1.00
  λ_Z=90.93 Ncr,z=12532.80 λ^*_z=1.05 Curva c: Φ_z=1.26 χ_z=0.51
  χ,min=0.51
  Verifica: 0.00+0.05+0.00=0.05

- Verifica a flessione [4.2.13] - CC 9 SLU Xl=0.23 - Classe 3
  Sollecitazioni: T_z=49.94 M_y=-5.05
  My,Ed=-5.05 My,c,Rd=109.13 My,Ed/My,c,Rd=0.05

- Verifica a taglio dir. Z [4.2.16] - CC 9 SLU Xl=0.13
  Sollecitazioni: T_z=50.50
  V,Ed=50.50 Vc,Rd=7560.76 V,Ed/Vc,Rd=0.01

Asta n. 6096 (-225 -233) calastrelli 50x10 Crit. 1

- Verifica di stabilità aste presso-inflesse (C4.2.4.1.3.3.1) - CC 9 SLU - Classe 3
  Sollecitazioni: N,Ed=-0.00 Myeq,Ed=-5.13 Mzeq,Ed=0.07
  Resistenze: Nc,Rd=13095.20 My,c,Rd=109.13 Mz,c,Rd=21.83 L=25.63
  λ_Y=17.75 Ncr,y=328791.00 λ^*_y=0.20 Curva c: Φ_y=0.52 χ_y=1.00
  λ_Z=88.77 Ncr,z=13151.60 λ^*_z=1.02 Curva c: Φ_z=1.22 χ_z=0.53
  χ,min=0.53
  Verifica: 0.00+0.05+0.00=0.05

- Verifica a flessione [4.2.13] - CC 9 SLU Xl=0.23 - Classe 3
  Sollecitazioni: T_z=52.40 M_y=-5.13
  My,Ed=-5.13 My,c,Rd=109.13 My,Ed/My,c,Rd=0.05

- Verifica a taglio dir. Z [4.2.16] - CC 9 SLU Xl=0.12
  Sollecitazioni: T_z=52.94
  V,Ed=52.94 Vc,Rd=7560.76 V,Ed/Vc,Rd=0.01

Asta n. 6097 (-257 -265) calastrelli 50x10 Crit. 1

- Verifica di stabilità aste inflesse (4.2.4.1.3.2) CC 9 SLU - Classe 3
  L_{cr}=0.25 Curva d: α_{imp}=0.76 k_c=0.94 ψ=3.07 M,cr=0.00 λ_{LT}=0.00
  $\lambda_{LT,0}$=0.20 β_{LT}=1.00 Φ_{LT}=0.00 β_{LT}=1.00 f=0.00 χ_{LT}=1.00
  CC 9 SLU My,Ed=-5.21 My,b,Rd=109.13 My,Ed/My,b,Rd=0.05

- Verifica di stabilità aste presso-inflesse (C4.2.4.1.3.3.1) - CC 19 SLU - Classe 3
  Sollecitazioni: N,Ed=-0.12 Myeq,Ed=-5.07 Mzeq,Ed=-0.08
  Resistenze: Nc,Rd=13095.20 My,c,Rd=109.13 Mz,c,Rd=21.83 L=25.00
  λ_Y=17.32 Ncr,y=345436.00 λ^*_y=0.20 Curva c: Φ_y=0.52 χ_y=1.00
  λ_Z=86.60 Ncr,z=13817.40 λ^*_z=1.00 Curva c: Φ_z=1.19 χ_z=0.54
  χ,min=0.54
  Verifica: 0.00+0.05+0.00=0.05

- Verifica a flessione [4.2.13] - CC 9 SLU Xl=0.22 - Classe 3
  Sollecitazioni: T_z=55.02 M_y=-5.21
  My,Ed=-5.21 My,c,Rd=109.13 My,Ed/My,c,Rd=0.05

- Verifica a taglio dir. Z [4.2.16] - CC 9 SLU Xl=0.12
  Sollecitazioni: T_z=55.53
  V,Ed=55.53 Vc,Rd=7560.76 V,Ed/Vc,Rd=0.01

Asta n. 6098 (-289 -297) calastrelli 50x10 Crit. 1

- Verifica di stabilità aste inflesse (4.2.4.1.3.2) CC 9 SLU - Classe 3
  L_{cr}=0.24 Curva d: α_{imp}=0.76 k_c=0.94 ψ=3.07 M,cr=0.00 λ_{LT}=0.00
  $\lambda_{LT,0}$=0.20 β_{LT}=1.00 Φ_{LT}=0.00 β_{LT}=1.00 f=0.00 χ_{LT}=1.00
  CC 9 SLU My,Ed=-5.29 My,b,Rd=109.13 My,Ed/My,b,Rd=0.05

- Verifica di stabilità aste presso-inflesse (C4.2.4.1.3.3.1) - CC 19 SLU - Classe 3
  Sollecitazioni: N,Ed=-0.11 Myeq,Ed=-5.14 Mzeq,Ed=-0.08
  Resistenze: Nc,Rd=13095.20 My,c,Rd=109.13 Mz,c,Rd=21.83 L=24.38
  λ_Y=16.89 Ncr,y=363378.00 λ^*_y=0.19 Curva c: Φ_y=0.52 χ_y=1.00
  λ_Z=84.44 Ncr,z=14535.10 λ^*_z=0.97 Curva c: Φ_z=1.16 χ_z=0.56
  χ,min=0.56
  Verifica: 0.00+0.05+0.00=0.05

- Verifica a flessione [4.2.13] - CC 9 SLU Xl=0.22 - Classe 3
  Sollecitazioni: T_z=57.82 M_y=-5.29
  My,Ed=-5.29 My,c,Rd=109.13 My,Ed/My,c,Rd=0.05

- Verifica a taglio dir. Z [4.2.16] - CC 9 SLU Xl=0.12
  Sollecitazioni: T_z=58.32
  V,Ed=58.32 Vc,Rd=7560.76 V,Ed/Vc,Rd=0.01

Asta n. 6099 (-321 -329) calastrelli 50x10 Crit. 1

- Verifica di stabilità aste inflesse (4.2.4.1.3.2) CC 9 SLU - Classe 3
  L_{cr}=0.24 Curva d: α_{imp}=0.76 k_c=0.94 ψ=3.07 M,cr=0.00 λ_{LT}=0.00
  $\lambda_{LT,0}$=0.20 β_{LT}=1.00 Φ_{LT}=0.00 β_{LT}=1.00 f=0.00 χ_{LT}=1.00
  CC 9 SLU My,Ed=-5.38 My,b,Rd=109.13 My,Ed/My,b,Rd=0.05

- Verifica di stabilità aste presso-inflesse (C4.2.4.1.3.3.1) - CC 19 SLU - Classe 3
  Sollecitazioni: N,Ed=-0.11 Myeq,Ed=-5.22 Mzeq,Ed=-0.08
  Resistenze: Nc,Rd=13095.20 My,c,Rd=109.13 Mz,c,Rd=21.83 L=23.75
  λ_Y=16.45 Ncr,y=382755.00 λ^*_y=0.19 Curva c: Φ_y=0.52 χ_y=1.00
  λ_Z=82.27 Ncr,z=15310.20 λ^*_z=0.95 Curva c: Φ_z=1.13 χ_z=0.57
  χ,min=0.57
  Verifica: 0.00+0.05+0.00=0.05

- Verifica a flessione [4.2.13] - CC 9 SLU Xl=0.21 - Classe 3
  Sollecitazioni: T_z=60.84 M_y=-5.38
  My,Ed=-5.38 My,c,Rd=109.13 My,Ed/My,c,Rd=0.05

- Verifica a taglio dir. Z [4.2.16] - CC 9 SLU Xl=0.11
  Sollecitazioni: T_z=61.32
  V,Ed=61.32 Vc,Rd=7560.76 V,Ed/Vc,Rd=0.01

Asta n. 6100 (-353 -361) calastrelli 50x10 Crit. 1

- Verifica di stabilità aste inflesse (4.2.4.1.3.2) CC 9 SLU - Classe 3
  L_{cr}=0.23 Curva d: α_{imp}=0.76 k_c=0.94 ψ=3.07 M,cr=0.00 λ_{LT}=0.00
  $\lambda_{LT,0}$=0.20 β_{LT}=1.00 Φ_{LT}=0.00 β_{LT}=1.00 f=0.00 χ_{LT}=1.00
  CC 9 SLU My,Ed=-5.46 My,b,Rd=109.13 My,Ed/My,b,Rd=0.05

- Verifica di stabilità aste presso-inflesse (C4.2.4.1.3.3.1) - CC 19 SLU - Classe 3
  Sollecitazioni: N,Ed=-0.09 Myeq,Ed=-5.31 Mzeq,Ed=-0.08
  Resistenze: Nc,Rd=13095.20 My,c,Rd=109.13 Mz,c,Rd=21.83 L=23.13
  λ_Y=16.02 Ncr,y=403724.00 λ^*_y=0.18 Curva c: Φ_y=0.51 χ_y=1.00
  λ_Z=80.11 Ncr,z=16149.00 λ^*_z=0.92 Curva c: Φ_z=1.10 χ_z=0.59
  χ,min=0.59
  Verifica: 0.00+0.05+0.00=0.05

- Verifica a flessione [4.2.13] - CC 9 SLU Xl=0.20 - Classe 3
  Sollecitazioni: T_z=64.08 M_y=-5.46
  My,Ed=-5.46 My,c,Rd=109.13 My,Ed/My,c,Rd=0.05

- Verifica a taglio dir. Z [4.2.16] - CC 9 SLU Xl=0.11
  Sollecitazioni: T_z=64.55
  V,Ed=64.55 Vc,Rd=7560.76 V,Ed/Vc,Rd=0.01

Asta n. 6101 (-385 -393) calastrelli 50x10 Crit. 1

- Verifica di stabilità aste presso-inflesse (C4.2.4.1.3.3.1) - CC 9 SLU - Classe 3
  Sollecitazioni: N,Ed=-0.06 Myeq,Ed=-5.54 Mzeq,Ed=0.08
  Resistenze: Nc,Rd=13095.20 My,c,Rd=109.13 Mz,c,Rd=21.83 L=22.50
  λ_Y=15.59 Ncr,y=426465.00 λ^*_y=0.18 Curva c: Φ_y=0.51 χ_y=1.00
  λ_Z=77.94 Ncr,z=17058.60 λ^*_z=0.90 Curva c: Φ_z=1.07 χ_z=0.60
  χ,min=0.60
  Verifica: 0.00+0.05+0.00=0.05

- Verifica a flessione [4.2.13] - CC 9 SLU Xl=0.20 - Classe 3
  Sollecitazioni: T_z=67.56 M_y=-5.54
  My,Ed=-5.54 My,c,Rd=109.13 My,Ed/My,c,Rd=0.05

- Verifica a taglio dir. Z [4.2.16] - CC 9 SLU Xl=0.11
  Sollecitazioni: T_z=68.01
  V,Ed=68.01 Vc,Rd=7560.76 V,Ed/Vc,Rd=0.01

Asta n. 6102 (-417 -425) calastrelli 50x10 Crit. 1

- Verifica di stabilità aste inflesse (4.2.4.1.3.2) CC 9 SLU - Classe 3
  L_{cr}=0.22 Curva d: α_{imp}=0.76 k_c=0.94 ψ=3.07 M,cr=0.00 λ_{LT}=0.00
  $\lambda_{LT,0}$=0.20 β_{LT}=1.00 Φ_{LT}=0.00 β_{LT}=1.00 f=0.00 χ_{LT}=1.00
  CC 9 SLU My,Ed=-5.61 My,b,Rd=109.13 My,Ed/My,b,Rd=0.05

- Verifica di stabilità aste presso-inflesse (C4.2.4.1.3.3.1) - CC 18 SLU - Classe 3
  Sollecitazioni: N,Ed=-0.53 Myeq,Ed=-4.60 Mzeq,Ed=0.06
  Resistenze: Nc,Rd=13095.20 My,c,Rd=109.13 Mz,c,Rd=21.83 L=21.88
  λ_Y=15.16 Ncr,y=451182.00 λ^*_y=0.17 Curva c: Φ_y=0.51 χ_y=1.00
  λ_Z=75.78 Ncr,z=18047.30 λ^*_z=0.87 Curva c: Φ_z=1.05 χ_z=0.62
  χ,min=0.62
  Verifica: 0.00+0.04+0.00=0.05

- Verifica a flessione [4.2.13] - CC 9 SLU Xl=0.19 - Classe 3
  Sollecitazioni: T_z=71.18 M_y=-5.61
  My,Ed=-5.61 My,c,Rd=109.13 My,Ed/My,c,Rd=0.05

- Verifica a taglio dir. Z [4.2.16] - CC 9 SLU Xl=0.11
  Sollecitazioni: T_z=71.61
  V,Ed=71.61 Vc,Rd=7560.76 V,Ed/Vc,Rd=0.01

Asta n. 6103 (-449 -457) calastrelli 50x10 Crit. 1

- Verifica di stabilità aste presso-inflesse (C4.2.4.1.3.3.1) - CC 9 SLU - Classe 3
  Sollecitazioni: N,Ed=-3.90 Myeq,Ed=-5.64 Mzeq,Ed=0.07
  Resistenze: Nc,Rd=13095.20 My,c,Rd=109.13 Mz,c,Rd=21.83 L=21.25
  λ_Y=14.72 Ncr,y=478113.00 λ^*_y=0.17 Curva c: Φ_y=0.51 χ_y=1.00
  λ_Z=73.61 Ncr,z=19124.50 λ^*_z=0.85 Curva c: Φ_z=1.02 χ_z=0.63
  χ,min=0.63
  Verifica: 0.00+0.05+0.00=0.06

- Verifica in termini tensionali [4.2.4] - CC 9 SLU Xl=0.18 - Classe 3
  Sollecitazioni: N=-3.90 T_z=74.14 M_y=-5.64
  Tensioni: σ_N=-0.78 σ_M=-135.44 τ=0.00 σ_{max}=-136.22
  Tensioni: σ_N=-0.78 σ_M=0.00 τ=22.24 τ_{max}=22.24
  Tensioni: σ_N=-0.78 σ_M=-135.44 τ=0.00 $\sigma_{ID,max}$=136.22

- Verifica a taglio dir. Z [4.2.16] - CC 5 SLV Xl=0.10
  Sollecitazioni: T_z=58.77
  V,Ed=58.77 Vc,Rd=7560.76 V,Ed/Vc,Rd=0.01

Asta n. 6104 (-481 -489) calastrelli 50x10 Crit. 1

- Verifica in termini tensionali [4.2.4] - CC 9 SLU Xl=0.04 - Classe 3
  Sollecitazioni: N=21.94 T_z=72.15 M_y=5.25 T_y=-1.12
  Tensioni: σ_N=4.39 σ_M=126.05 τ=0.00 σ_{max}=130.44
  Tensioni: σ_N=4.39 σ_M=-0.00 τ=21.65 τ_{max}=21.65
  Tensioni: σ_N=4.39 σ_M=126.05 τ=0.33 $\sigma_{ID,max}$=130.44

- Verifica a taglio dir. Y [4.2.16] - CC 9 SLU Xl=0.10
  Sollecitazioni: N=21.94 T_z=71.82 T_y=-1.12
  V,Ed=-1.12 Vc,Rd=7560.76 V,Ed/Vc,Rd=0.00

- Verifica a taglio dir. Z [4.2.16]
  V,Ed=71.82 Vc,Rd=7560.76 V,Ed/Vc,Rd=0.01

Asta n. 6109 (-482 -490) calastrelli 50x10 Crit. 1

- Verifica in termini tensionali [4.2.4] - CC 19 SLU Xl=0.03 - Classe 3
  Sollecitazioni: N=46.66 T_z=79.79 M_y=6.15 T_y=1.26
  Tensioni: σ_N=9.33 σ_M=147.57 τ=0.00 σ_{max}=156.91
  Tensioni: σ_N=9.33 σ_M=-0.00 τ=23.94 τ_{max}=23.94
  Tensioni: σ_N=9.33 σ_M=147.57 τ=0.38 $\sigma_{ID,max}$=156.91

- Verifica a taglio dir. Y [4.2.16] - CC 19 SLU Xl=0.09
  Sollecitazioni: N=46.66 T_z=79.46 T_y=1.26
  V,Ed=1.26 Vc,Rd=7560.76 V,Ed/Vc,Rd=0.00

- Verifica a taglio dir. Z [4.2.16]
  V,Ed=79.46 Vc,Rd=7560.76 V,Ed/Vc,Rd=0.01

Asta n. 6110 (-450 -458) calastrelli 50x10 Crit. 1

- Verifica di stabilità aste presso-inflesse (C4.2.4.1.3.3.1) - CC 19 SLU - Classe 3
  Sollecitazioni: N,Ed=-8.09 Myeq,Ed=6.20 Mzeq,Ed=-0.09
  Resistenze: Nc,Rd=13095.20 My,c,Rd=109.13 Mz,c,Rd=21.83 L=21.25
  λ_Y=14.72 Ncr,y=478113.00 λ^*_y=0.17 Curva c: Φ_y=0.51 χ_y=1.00
  λ_Z=73.61 Ncr,z=19124.50 λ^*_z=0.85 Curva c: Φ_z=1.02 χ_z=0.63
  χ,min=0.63
  Verifica: 0.00+0.06+0.00=0.06

- Verifica in termini tensionali [4.2.4] - CC 19 SLU Xl=0.03 - Classe 3

Sollecitazioni: N=-8.09 T_z=83.48 M_y=6.20 T_y=1.05
Tensioni: σ_N=-1.62 σ_M=-148.73 τ=0.00 σ_{max}=-150.35
Tensioni: σ_N=-1.62 σ_M=-0.00 τ=25.05 τ_{max}=25.05
Tensioni: σ_N=-1.62 σ_M=-148.73 τ=0.31 $\sigma_{ID,max}$=150.35

Asta n. 6111 (-418 -426) calastrelli 50x10 Crit. 1

- Verifica di stabilità aste inflesse (4.2.4.1.3.2) CC 19 SLU - Classe 3
L_{cr}=0.22 Curva d: α_{imp}=0.76 k_c=0.94 ψ=3.06 M,cr=0.00 λ_{LT}=0.00
$\lambda_{LT,0}$=0.20 β_{LT}=1.00 Φ_{LT}=0.00 β_{LT}=1.00 f=0.00 χ_{LT}=1.00
CC 19 SLU My,Ed=6.26 My,b,Rd=109.13 My,Ed/My,b,Rd=0.06

- Verifica di stabilità aste presso-inflesse (C4.2.4.1.3.3.1) - CC 18 SLU - Classe 3
Sollecitazioni: N,Ed=-0.07 Myeq,Ed=5.18 Mzeq,Ed=0.07
Resistenze: Nc,Rd=13095.20 My,c,Rd=109.13 Mz,c,Rd=21.83 L=21.88
λ_Y=15.16 Ncr,y=451182.00 λ^*_y=0.17 Curva c: Φ_y=0.51 χ_y=1.00
λ_Z=75.78 Ncr,z=18047.30 λ^*_z=0.87 Curva c: Φ_z=1.05 χ_z=0.62
χ,min=0.62
Verifica: 0.00+0.05+0.00=0.05

- Verifica in termini tensionali [4.2.4] - CC 19 SLU Xl=0.03 - Classe 3
Sollecitazioni: N=1.18 T_z=80.14 M_y=6.26 T_y=1.08
Tensioni: σ_N=0.24 σ_M=150.34 τ=0.00 σ_{max}=150.57
Tensioni: σ_N=0.24 σ_M=-0.00 τ=24.04 τ_{max}=24.04
Tensioni: σ_N=0.24 σ_M=150.34 τ=0.32 $\sigma_{ID,max}$=150.57

- Verifica a taglio dir. Y [4.2.16] - CC 19 SLU Xl=0.10
Sollecitazioni: N=1.18 T_z=79.78 T_y=1.08
V,Ed=1.08 Vc,Rd=7560.76 V,Ed/Vc,Rd=0.00

- Verifica a taglio dir. Z [4.2.16]
V,Ed=79.78 Vc,Rd=7560.76 V,Ed/Vc,Rd=0.01

Asta n. 6112 (-386 -394) calastrelli 50x10 Crit. 1

- Verifica di stabilità aste presso-inflesse (C4.2.4.1.3.3.1) - CC 19 SLU - Classe 3
Sollecitazioni: N,Ed=-0.19 Myeq,Ed=6.18 Mzeq,Ed=-0.09
Resistenze: Nc,Rd=13095.20 My,c,Rd=109.13 Mz,c,Rd=21.83 L=22.50
λ_Y=15.59 Ncr,y=426465.00 λ^*_y=0.18 Curva c: Φ_y=0.51 χ_y=1.00
λ_Z=77.94 Ncr,z=17058.60 λ^*_z=0.90 Curva c: Φ_z=1.07 χ_z=0.60
χ,min=0.60
Verifica: 0.00+0.06+0.00=0.06

- Verifica a flessione [4.2.13] - CC 19 SLU Xl=0.03 - Classe 3
Sollecitazioni: T_z=76.14 M_y=6.18 T_y=1.02
My,Ed=6.18 My,c,Rd=109.13 My,Ed/My,c,Rd=0.06

- Verifica a taglio dir. Y [4.2.16] - CC 19 SLU Xl=0.10
Sollecitazioni: T_z=75.77 T_y=1.02
V,Ed=1.02 Vc,Rd=7560.76 V,Ed/Vc,Rd=0.00

- Verifica a taglio dir. Z [4.2.16]
V,Ed=75.77 Vc,Rd=7560.76 V,Ed/Vc,Rd=0.01

Asta n. 6113 (-354 -362) calastrelli 50x10 Crit. 1

- Verifica di stabilità aste inflesse (4.2.4.1.3.2) CC 19 SLU - Classe 3
L_{cr}=0.23 Curva d: α_{imp}=0.76 k_c=0.94 ψ=3.06 M,cr=0.00 λ_{LT}=0.00
$\lambda_{LT,0}$=0.20 β_{LT}=1.00 Φ_{LT}=0.00 β_{LT}=1.00 f=0.00 χ_{LT}=1.00

CC 19 SLU My,Ed=6.09 My,b,Rd=109.13 My,Ed/My,b,Rd=0.06

- Verifica di stabilità aste presso-inflesse (C4.2.4.1.3.3.1) - CC 9 SLU - Classe 3
Sollecitazioni: N,Ed=-0.11 Myeq,Ed=6.02 Mzeq,Ed=0.08
Resistenze: Nc,Rd=13095.20 My,c,Rd=109.13 Mz,c,Rd=21.83 L=23.13
λ_Y=16.02 Ncr,y=403724.00 λ^*_y=0.18 Curva c: Φ_y=0.51 χ_y=1.00
λ_Z=80.11 Ncr,z=16149.00 λ^*_z=0.92 Curva c: Φ_z=1.10 χ_z=0.59
χ,min=0.59
Verifica: 0.00+0.06+0.00=0.06

- Verifica a flessione [4.2.13] - CC 19 SLU Xl=0.03 - Classe 3
Sollecitazioni: T_z=72.29 M_y=6.09
My,Ed=6.09 My,c,Rd=109.13 My,Ed/My,c,Rd=0.06

- Verifica a taglio dir. Z [4.2.16] - CC 19 SLU Xl=0.10
Sollecitazioni: T_z=71.90
V,Ed=71.90 Vc,Rd=7560.76 V,Ed/Vc,Rd=0.01

Asta n. 6114 (-322 -330) calastrelli 50x10 Crit. 1

- Verifica di stabilità aste inflesse (4.2.4.1.3.2) CC 17 SLU - Classe 3
L_{cr}=0.24 Curva d: α_{imp}=0.76 k_c=0.94 ψ=3.06 M,cr=0.00 λ_{LT}=0.00
$\lambda_{LT,0}$=0.20 β_{LT}=1.00 Φ_{LT}=0.00 β_{LT}=1.00 f=0.00 χ_{LT}=1.00
CC 17 SLU My,Ed=3.46 My,b,Rd=109.13 My,Ed/My,b,Rd=0.03

- Verifica di stabilità aste presso-inflesse (C4.2.4.1.3.3.1) - CC 19 SLU - Classe 3
Sollecitazioni: N,Ed=-0.02 Myeq,Ed=6.00 Mzeq,Ed=-0.09
Resistenze: Nc,Rd=13095.20 My,c,Rd=109.13 Mz,c,Rd=21.83 L=23.75
λ_Y=16.45 Ncr,y=382755.00 λ^*_y=0.19 Curva c: Φ_y=0.52 χ_y=1.00
λ_Z=82.27 Ncr,z=15310.20 λ^*_z=0.95 Curva c: Φ_z=1.13 χ_z=0.57
χ,min=0.57
Verifica: 0.00+0.05+0.00=0.06

- Verifica a flessione [4.2.13] - CC 19 SLU Xl=0.03 - Classe 3
Sollecitazioni: T_z=68.70 M_y=6.00
My,Ed=6.00 My,c,Rd=109.13 My,Ed/My,c,Rd=0.05

- Verifica a taglio dir. Z [4.2.16] - CC 19 SLU Xl=0.11
Sollecitazioni: T_z=68.30
V,Ed=68.30 Vc,Rd=7560.76 V,Ed/Vc,Rd=0.01

Asta n. 6115 (-290 -298) calastrelli 50x10 Crit. 1

- Verifica di stabilità aste inflesse (4.2.4.1.3.2) CC 17 SLU - Classe 3
L_{cr}=0.24 Curva d: α_{imp}=0.76 k_c=0.94 ψ=3.06 M,cr=0.00 λ_{LT}=0.00
$\lambda_{LT,0}$=0.20 β_{LT}=1.00 Φ_{LT}=0.00 β_{LT}=1.00 f=0.00 χ_{LT}=1.00
CC 17 SLU My,Ed=3.41 My,b,Rd=109.13 My,Ed/My,b,Rd=0.03

- Verifica di stabilità aste presso-inflesse (C4.2.4.1.3.3.1) - CC 19 SLU - Classe 3
Sollecitazioni: N,Ed=-0.01 Myeq,Ed=5.91 Mzeq,Ed=-0.09
Resistenze: Nc,Rd=13095.20 My,c,Rd=109.13 Mz,c,Rd=21.83 L=24.38
λ_Y=16.89 Ncr,y=363378.00 λ^*_y=0.19 Curva c: Φ_y=0.52 χ_y=1.00
λ_Z=84.44 Ncr,z=14535.10 λ^*_z=0.97 Curva c: Φ_z=1.16 χ_z=0.56
χ,min=0.56
Verifica: 0.00+0.05+0.00=0.06

- Verifica a flessione [4.2.13] - CC 19 SLU Xl=0.03 - Classe 3
Sollecitazioni: T_z=65.37 M_y=5.91
My,Ed=5.91 My,c,Rd=109.13 My,Ed/My,c,Rd=0.05

- Verifica a taglio dir. Z [4.2.16] - CC 19 SLU Xl=0.11
  Sollecitazioni: T_z=64.95
  V,Ed=64.95 Vc,Rd=7560.76 V,Ed/Vc,Rd=0.01

Asta n. 6116 (-258 -266) calastrelli 50x10 Crit. 1

- Verifica di stabilità aste inflesse (4.2.4.1.3.2) CC 17 SLU - Classe 3
  L_{cr}=0.25 Curva d: α_{imp}=0.76 k_c=0.94 ψ=3.06 M,cr=0.00 λ_{LT}=0.00
  $\lambda_{LT,0}$=0.20 β_{LT}=1.00 Φ_{LT}=0.00 β_{LT}=1.00 f=0.00 χ_{LT}=1.00
  CC 17 SLU My,Ed=3.36 My,b,Rd=109.13 My,Ed/My,b,Rd=0.03

- Verifica di stabilità aste presso-inflesse (C4.2.4.1.3.3.1) - CC 19 SLU - Classe 3
  Sollecitazioni: N,Ed=-0.00 Myeq,Ed=5.82 Mzeq,Ed=-0.09
  Resistenze: Nc,Rd=13095.20 My,c,Rd=109.13 Mz,c,Rd=21.83 L=25.00
  λ_Y=17.32 Ncr,y=345436.00 λ^*_y=0.20 Curva c: Φ_y=0.52 χ_y=1.00
  λ_Z=86.60 Ncr,z=13817.40 λ^*_z=1.00 Curva c: Φ_z=1.19 χ_z=0.54
  χ,min=0.54
  Verifica: 0.00+0.05+0.00=0.06

- Verifica a flessione [4.2.13] - CC 19 SLU Xl=0.03 - Classe 3
  Sollecitazioni: T_z=62.27 M_y=5.82
  My,Ed=5.82 My,c,Rd=109.13 My,Ed/My,c,Rd=0.05

- Verifica a taglio dir. Z [4.2.16] - CC 19 SLU Xl=0.11
  Sollecitazioni: T_z=61.84
  V,Ed=61.84 Vc,Rd=7560.76 V,Ed/Vc,Rd=0.01

Asta n. 6117 (-226 -234) calastrelli 50x10 Crit. 1

- Verifica di stabilità aste inflesse (4.2.4.1.3.2) CC 17 SLU - Classe 3
  L_{cr}=0.26 Curva d: α_{imp}=0.76 k_c=0.94 ψ=3.06 M,cr=0.00 λ_{LT}=0.00
  $\lambda_{LT,0}$=0.20 β_{LT}=1.00 Φ_{LT}=0.00 β_{LT}=1.00 f=0.00 χ_{LT}=1.00
  CC 17 SLU My,Ed=3.31 My,b,Rd=109.13 My,Ed/My,b,Rd=0.03

- Verifica di stabilità aste presso-inflesse (C4.2.4.1.3.3.1) - CC 19 SLU - Classe 3
  Sollecitazioni: N,Ed=-0.00 Myeq,Ed=5.73 Mzeq,Ed=-0.09
  Resistenze: Nc,Rd=13095.20 My,c,Rd=109.13 Mz,c,Rd=21.83 L=25.63
  λ_Y=17.75 Ncr,y=328791.00 λ^*_y=0.20 Curva c: Φ_y=0.52 χ_y=1.00
  λ_Z=88.77 Ncr,z=13151.60 λ^*_z=1.02 Curva c: Φ_z=1.22 χ_z=0.53
  χ,min=0.53
  Verifica: 0.00+0.05+0.00=0.06

- Verifica a flessione [4.2.13] - CC 19 SLU Xl=0.03 - Classe 3
  Sollecitazioni: T_z=59.38 M_y=5.73
  My,Ed=5.73 My,c,Rd=109.13 My,Ed/My,c,Rd=0.05

- Verifica a taglio dir. Z [4.2.16] - CC 19 SLU Xl=0.12
  Sollecitazioni: T_z=58.93
  V,Ed=58.93 Vc,Rd=7560.76 V,Ed/Vc,Rd=0.01

Asta n. 6118 (-194 -202) calastrelli 50x10 Crit. 1

- Verifica di stabilità aste inflesse (4.2.4.1.3.2) CC 19 SLU - Classe 3
  L_{cr}=0.26 Curva d: α_{imp}=0.76 k_c=0.94 ψ=3.07 M,cr=0.00 λ_{LT}=0.00
  $\lambda_{LT,0}$=0.20 β_{LT}=1.00 Φ_{LT}=0.00 β_{LT}=1.00 f=0.00 χ_{LT}=1.00
  CC 19 SLU My,Ed=5.64 My,b,Rd=109.13 My,Ed/My,b,Rd=0.05

- Verifica di stabilità aste presso-inflesse (C4.2.4.1.3.3.1) - CC 9 SLU - Classe 3
  Sollecitazioni: N,Ed=-0.11 Myeq,Ed=5.57 Mzeq,Ed=0.08
  Resistenze: Nc,Rd=13095.20 My,c,Rd=109.13 Mz,c,Rd=21.83 L=26.25

λ_Y=18.19 Ncr,y=313321.00 λ^*_y=0.21 Curva c: Φ_y=0.52 χ_y=1.00
λ_Z=90.93 Ncr,z=12532.80 λ^*_z=1.05 Curva c: Φ_z=1.26 χ_z=0.51
χ,min=0.51
Verifica: 0.00+0.05+0.00=0.05

- Verifica a flessione [4.2.13] - CC 19 SLU Xl=0.03 - Classe 3
Sollecitazioni: T_z=56.67 M_y=5.64
My,Ed=5.64 My,c,Rd=109.13 My,Ed/My,c,Rd=0.05

- Verifica a taglio dir. Z [4.2.16] - CC 19 SLU Xl=0.12
Sollecitazioni: T_z=56.21
V,Ed=56.21 Vc,Rd=7560.76 V,Ed/Vc,Rd=0.01

Asta n. 6119 (-162 -170) calastrelli 50x10 Crit. 1

- Verifica di stabilità aste inflesse (4.2.4.1.3.2) CC 19 SLU - Classe 3
L_{cr}=0.27 Curva d: α_{imp}=0.76 k_c=0.94 ψ=3.07 M,cr=0.00 λ_{LT}=0.00
$\lambda_{LT,0}$=0.20 β_{LT}=1.00 Φ_{LT}=0.00 β_{LT}=1.00 f=0.00 χ_{LT}=1.00
CC 19 SLU My,Ed=5.55 My,b,Rd=109.13 My,Ed/My,b,Rd=0.05

- Verifica di stabilità aste presso-inflesse (C4.2.4.1.3.3.1) - CC 9 SLU - Classe 3
Sollecitazioni: N,Ed=-0.12 Myeq,Ed=5.48 Mzeq,Ed=0.07
Resistenze: Nc,Rd=13095.20 My,c,Rd=109.13 Mz,c,Rd=21.83 L=26.88
λ_Y=18.62 Ncr,y=298917.00 λ^*_y=0.21 Curva c: Φ_y=0.53 χ_y=0.99
λ_Z=93.10 Ncr,z=11956.70 λ^*_z=1.07 Curva c: Φ_z=1.29 χ_z=0.50
χ,min=0.50
Verifica: 0.00+0.05+0.00=0.05

- Verifica a flessione [4.2.13] - CC 19 SLU Xl=0.03 - Classe 3
Sollecitazioni: T_z=54.07 M_y=5.55
My,Ed=5.55 My,c,Rd=109.13 My,Ed/My,c,Rd=0.05

- Verifica a taglio dir. Z [4.2.16] - CC 19 SLU Xl=0.12
Sollecitazioni: T_z=53.59
V,Ed=53.59 Vc,Rd=7560.76 V,Ed/Vc,Rd=0.01

Asta n. 6120 (-130 -138) calastrelli 50x10 Crit. 1

- Verifica di stabilità aste inflesse (4.2.4.1.3.2) CC 17 SLU - Classe 3
L_{cr}=0.28 Curva d: α_{imp}=0.76 k_c=0.94 ψ=3.06 M,cr=0.00 λ_{LT}=0.00
$\lambda_{LT,0}$=0.20 β_{LT}=1.00 Φ_{LT}=0.00 β_{LT}=1.00 f=0.00 χ_{LT}=1.00
CC 17 SLU My,Ed=3.13 My,b,Rd=109.13 My,Ed/My,b,Rd=0.03

- Verifica di stabilità aste presso-inflesse (C4.2.4.1.3.3.1) - CC 19 SLU - Classe 3
Sollecitazioni: N,Ed=-0.01 Myeq,Ed=5.42 Mzeq,Ed=-0.08
Resistenze: Nc,Rd=13095.20 My,c,Rd=109.13 Mz,c,Rd=21.83 L=27.50
λ_Y=19.05 Ncr,y=285484.00 λ^*_y=0.22 Curva c: Φ_y=0.53 χ_y=0.99
λ_Z=95.26 Ncr,z=11419.40 λ^*_z=1.10 Curva c: Φ_z=1.32 χ_z=0.49
χ,min=0.49
Verifica: 0.00+0.05+0.00=0.05

- Verifica a flessione [4.2.13] - CC 19 SLU Xl=0.03 - Classe 3
Sollecitazioni: T_z=51.28 M_y=5.42
My,Ed=5.42 My,c,Rd=109.13 My,Ed/My,c,Rd=0.05

- Verifica a taglio dir. Z [4.2.16] - CC 19 SLU Xl=0.12
Sollecitazioni: T_z=50.79
V,Ed=50.79 Vc,Rd=7560.76 V,Ed/Vc,Rd=0.01

Asta n. 6121 (-98 -106) calastrelli 50x10 Crit. 1

- Verifica di stabilità aste inflesse (4.2.4.1.3.2) CC 19 SLU - Classe 3
  L_{cr}=0.28 Curva d: α_{imp}=0.76 k_c=0.94 ψ=3.07 M,cr=0.00 λ_{LT}=0.00
  $\lambda_{LT,0}$=0.20 β_{LT}=1.00 Φ_{LT}=0.00 β_{LT}=1.00 f=0.00 χ_{LT}=1.00
  CC 19 SLU My,Ed=5.11 My,b,Rd=109.13 My,Ed/My,b,Rd=0.05

- Verifica di stabilità aste presso-inflesse (C4.2.4.1.3.3.1) - CC 18 SLU - Classe 3
  Sollecitazioni: N,Ed=-1.04 Myeq,Ed=2.71 Mzeq,Ed=0.04
  Resistenze: Nc,Rd=13095.20 My,c,Rd=109.13 Mz,c,Rd=21.83 L=28.13
  λ_Y=19.49 Ncr,y=272937.00 λ^*_y=0.22 Curva c: Φ_y=0.53 χ_y=0.99
  λ_Z=97.43 Ncr,z=10917.50 λ^*_z=1.12 Curva c: Φ_z=1.36 χ_z=0.47
  χ,min=0.47
  Verifica: 0.00+0.02+0.00=0.03

- Verifica a flessione [4.2.13] - CC 19 SLU Xl=0.03 - Classe 3
  Sollecitazioni: T_z=47.09 M_y=5.11
  My,Ed=5.11 My,c,Rd=109.13 My,Ed/My,c,Rd=0.05

- Verifica a taglio dir. Z [4.2.16] - CC 19 SLU Xl=0.13
  Sollecitazioni: T_z=46.58
  V,Ed=46.58 Vc,Rd=7560.76 V,Ed/Vc,Rd=0.01

Asta n. 6122 (-66 -74) calastrelli 50x10 Crit. 1

- Verifica di stabilità aste inflesse (4.2.4.1.3.2) CC 17 SLU - Classe 3
  L_{cr}=0.29 Curva d: α_{imp}=0.76 k_c=0.94 ψ=3.06 M,cr=0.00 λ_{LT}=0.00
  $\lambda_{LT,0}$=0.20 β_{LT}=1.00 Φ_{LT}=0.00 β_{LT}=1.00 f=0.00 χ_{LT}=1.00
  CC 17 SLU My,Ed=2.34 My,b,Rd=109.13 My,Ed/My,b,Rd=0.02

- Verifica di stabilità aste presso-inflesse (C4.2.4.1.3.3.1) - CC 19 SLU - Classe 3
  Sollecitazioni: N,Ed=-0.93 Myeq,Ed=4.05 Mzeq,Ed=-0.06
  Resistenze: Nc,Rd=13095.20 My,c,Rd=109.13 Mz,c,Rd=21.83 L=28.75
  λ_Y=19.92 Ncr,y=261199.00 λ^*_y=0.23 Curva c: Φ_y=0.53 χ_y=0.99
  λ_Z=99.59 Ncr,z=10448.00 λ^*_z=1.15 Curva c: Φ_z=1.39 χ_z=0.46
  χ,min=0.46
  Verifica: 0.00+0.04+0.00=0.04

- Verifica in termini tensionali [4.2.4] - CC 9 SLU Xl=0.03 - Classe 3
  Sollecitazioni: N=-5.25 T_z=35.85 M_y=4.01
  Tensioni: σ_N=-1.05 σ_M=-96.25 τ=0.00 σ_{max}=-97.30
  Tensioni: σ_N=-1.05 σ_M=-0.00 τ=10.76 τ_{max}=10.76
  Tensioni: σ_N=-1.05 σ_M=-96.25 τ=0.00 $\sigma_{ID,max}$=97.30

- Verifica a taglio dir. Z [4.2.16] - CC 19 SLU Xl=0.13
  Sollecitazioni: T_z=35.79
  V,Ed=35.79 Vc,Rd=7560.76 V,Ed/Vc,Rd=0.00

Asta n. 6123 (-34 -42) calastrelli 100x5 Crit. 1

- Verifica di stabilità aste inflesse (4.2.4.1.3.2) CC 9 SLU - Classe 3
  L_{cr}=0.29 Curva d: α_{imp}=0.76 k_c=0.94 ψ=2.39 M,cr=0.00 λ_{LT}=0.00
  $\lambda_{LT,0}$=0.20 β_{LT}=1.00 Φ_{LT}=0.00 β_{LT}=1.00 f=0.00 χ_{LT}=1.00
  CC 9 SLU My,Ed=-5.91 My,b,Rd=436.51 My,Ed/My,b,Rd=0.01

- Verifica di stabilità aste presso-inflesse (C4.2.4.1.3.3.1) - CC 17 SLU - Classe 3
  Sollecitazioni: N,Ed=-93.59 Myeq,Ed=3.41 Mzeq,Ed=-0.03
  Resistenze: Nc,Rd=26190.50 My,c,Rd=436.51 Mz,c,Rd=43.65 L=29.38
  λ_Y=10.18 Ncr,y=2001620.00 λ^*_y=0.12 Curva c: Φ_y=0.49 χ_y=1.00
  λ_Z=101.76 Ncr,z=20016.20 λ^*_z=1.17 Curva c: Φ_z=1.43 χ_z=0.45

χ,min=0.45
Verifica: 0.00+0.01+0.00=0.01

- Verifica in termini tensionali [4.2.4] - CC 9 SLU Xl=0.26 - Classe 3
Sollecitazioni: N=92.02 T_z=38.05 M_y=-5.91
Tensioni: σ_N=9.20 σ_M=35.48 τ=0.00 σ_{max}=44.68
Tensioni: σ_N=9.20 σ_M=0.00 τ=5.71 τ_{max}=5.71
Tensioni: σ_N=9.20 σ_M=35.48 τ=0.00 $\sigma_{ID,max}$=44.68

- Verifica a taglio dir. Z [4.2.16] - CC 9 SLU Xl=0.09
Sollecitazioni: N=92.02 T_z=39.76
V,Ed=39.76 Vc,Rd=15121.50 V,Ed/Vc,Rd=0.00

Asta n. 6124 (-2 -10) calastrelli 100x5 Crit. 1

- Verifica di stabilità aste inflesse (4.2.4.1.3.2) CC 19 SLU - Classe 3
L_{cr}=0.30 Curva d: α_{imp}=0.76 k_c=0.94 ψ=2.78 M,cr=0.00 λ_{LT}=0.00
$\lambda_{LT,0}$=0.20 β_{LT}=1.00 Φ_{LT}=0.00 β_{LT}=1.00 f=0.00 χ_{LT}=1.00
CC 19 SLU My,Ed=-2.83 My,b,Rd=436.51 My,Ed/My,b,Rd=0.01

- Verifica di stabilità aste presso-inflesse (C4.2.4.1.3.3.1) - CC 17 SLU - Classe 3
Sollecitazioni: N,Ed=-215.99 Myeq,Ed=-1.89 Mzeq,Ed=0.02
Resistenze: Nc,Rd=26190.50 My,c,Rd=436.51 Mz,c,Rd=43.65 L=29.69
λ_Y=10.28 Ncr,y=1959700.00 λ^*_y=0.12 Curva c: Φ_y=0.49 χ_y=1.00
λ_Z=102.84 Ncr,z=19597.00 λ^*_z=1.18 Curva c: Φ_z=1.44 χ_z=0.44
χ,min=0.44
Verifica: 0.01+0.00+0.00=0.01

- Verifica in termini tensionali [4.2.4] - CC 9 SLU Xl=0.26 - Classe 3
Sollecitazioni: N=257.05 T_z=20.17 M_y=-2.58
Tensioni: σ_N=25.71 σ_M=15.46 τ=0.00 σ_{max}=41.17
Tensioni: σ_N=25.71 σ_M=0.00 τ=3.03 τ_{max}=3.03
Tensioni: σ_N=25.71 σ_M=15.46 τ=0.00 $\sigma_{ID,max}$=41.17

- Verifica a taglio dir. Z [4.2.16] - CC 19 SLU Xl=0.09
Sollecitazioni: N=22.22 T_z=22.41
V,Ed=22.41 Vc,Rd=15121.50 V,Ed/Vc,Rd=0.00

Asta n. 6125 (315 327) angolari L50x10 Crit. 1

- Verifica di stabilità aste inflesse (4.2.4.1.3.2) CC 17 SLU - Classe 3
L_{cr}=0.15 Curva d: α_{imp}=0.76 k_c=0.94 ψ=2.71 M,cr=0.00 λ_{LT}=0.00
$\lambda_{LT,0}$=0.00 β_{LT}=0.00 Φ_{LT}=0.00 β_{LT}=0.00 f=0.00 χ_{LT}=1.00
CC 17 SLU My,Ed=-41.53 My,b,Rd=149.05 My,Ed/My,b,Rd=0.28

- Verifica di stabilità aste presso-inflesse (C4.2.4.1.3.3.1) - CC 1 SLV - Classe 3
Sollecitazioni: N,Ed=-270.91 Myeq,Ed=30.03 Mzeq,Ed=-0.71
Resistenze: Nc,Rd=23709.20 My,c,Rd=149.05 Mz,c,Rd=149.05 L=15.00
λ_c=8.19 Ncr,y=2794040.00 λ^*_y=0.09 Curva b: Φ_y=0.00 χ_y=1.00
λ_e=15.58 Ncr,z=772688.00 λ^*_z=0.18 Curva b: Φ_z=0.00 χ_z=1.00
χ,min=1.00
Verifica: 0.01+0.20+0.00=0.22

- Verifica in termini tensionali [4.2.4] - CC 17 SLU Xl=0.15 - Classe 3
Sollecitazioni: N=380.27 T_z=550.35 M_y=-41.53 T_y=22.16 M_z=2.31 (M_c=-31.00 M_e=-27.74)
Tensioni: σ_N=42.01 σ_M=-888.02 τ=26.92 σ_{max}=-846.01
Tensioni: σ_N=42.01 σ_M=166.65 τ=158.66 τ_{max}=158.66
Tensioni: σ_N=42.01 σ_M=-888.02 τ=26.92 $\sigma_{ID,max}$=847.30

- Verifica a taglio dir. Y [4.2.16] - CC 1 SLV Xl=0.08
  Sollecitazioni: N=61.68 T_z=-402.76 T_y=5.41
  V,Ed=5.41 Vc,Rd=7560.76 V,Ed/Vc,Rd=0.00

- Verifica a taglio dir. Z [4.2.16]
  V,Ed=-402.76 Vc,Rd=7560.76 V,Ed/Vc,Rd=0.05

Asta n. 6125 (327 339) angolari L50x10 Crit. 1

- Verifica di stabilità aste inflesse (4.2.4.1.3.2) CC 17 SLU - Classe 3
  L_{cr}=0.15 Curva d: α_{imp}=0.76 k_c=0.94 ψ=2.82 M,cr=0.00 λ_{LT}=0.00
  $\lambda_{LT,0}$=0.00 β_{LT}=0.00 Φ_{LT}=0.00 β_{LT}=0.00 f=0.00 χ_{LT}=1.00
  CC 17 SLU My,Ed=-36.27 My,b,Rd=149.05 My,Ed/My,b,Rd=0.24

- Verifica di stabilità aste presso-inflesse (C4.2.4.1.3.3.1) - CC 18 SLU - Classe 3
  Sollecitazioni: N,Ed=-306.91 Myeq,Ed=38.91 Mzeq,Ed=-0.30
  Resistenze: Nc,Rd=23709.20 My,c,Rd=149.05 Mz,c,Rd=149.05 L=15.00
  λ_c=8.19 Ncr,y=2794040.00 λ^*_y=0.09 Curva b: Φ_y=0.00 χ_y=1.00
  λ_e=15.58 Ncr,z=772688.00 λ^*_z=0.18 Curva b: Φ_z=0.00 χ_z=1.00
  χ,min=1.00
  Verifica: 0.01+0.26+0.00=0.28

- Verifica in termini tensionali [4.2.4] - CC 18 SLU Xl=0.00 - Classe 3
  Sollecitazioni: N=-306.91 T_z=490.38 M_y=38.91 T_y=1.89
  Tensioni: σ_N=-33.90 σ_M=848.06 τ=23.99 σ_{max}=814.16
  Tensioni: σ_N=-33.90 σ_M=-160.03 τ=141.33 τ_{max}=141.33
  Tensioni: σ_N=-33.90 σ_M=848.06 τ=23.99 $\sigma_{ID,max}$=815.22

- Verifica a taglio dir. Y [4.2.16] - CC 17 SLU Xl=0.07
  Sollecitazioni: N=350.38 T_z=-499.58 T_y=-21.79
  V,Ed=-21.79 Vc,Rd=7560.76 V,Ed/Vc,Rd=0.00

- Verifica a taglio dir. Z [4.2.16]
  V,Ed=-499.58 Vc,Rd=7560.76 V,Ed/Vc,Rd=0.07

Asta n. 6126 (316 328) angolari L50x10 Crit. 1

- Verifica di stabilità aste inflesse (4.2.4.1.3.2) CC 1 SLV - Classe 3
  L_{cr}=0.15 Curva d: α_{imp}=0.76 k_c=0.94 ψ=2.07 M,cr=0.00 λ_{LT}=0.00
  $\lambda_{LT,0}$=0.00 β_{LT}=0.00 Φ_{LT}=0.00 β_{LT}=0.00 f=0.00 χ_{LT}=1.00
  CC 1 SLV My,Ed=-1.02 My,b,Rd=149.05 My,Ed/My,b,Rd=0.01

- Verifica di stabilità aste presso-inflesse (C4.2.4.1.3.3.1) - CC 17 SLU - Classe 3
  Sollecitazioni: N,Ed=-755.53 Myeq,Ed=2.06 Mzeq,Ed=-88.02
  Resistenze: Nc,Rd=23709.20 My,c,Rd=149.05 Mz,c,Rd=149.05 L=15.00
  λ_c=8.19 Ncr,y=2794040.00 λ^*_y=0.09 Curva b: Φ_y=0.00 χ_y=1.00
  λ_e=15.58 Ncr,z=772688.00 λ^*_z=0.18 Curva b: Φ_z=0.00 χ_z=1.00
  χ,min=1.00
  Verifica: 0.03+0.01+0.59=0.64

- Verifica Freccia massima carichi totali - CC 21
  $f_{Z,G}$=0.00 (L/12969)

- Verifica in termini tensionali [4.2.4] - CC 17 SLU Xl=0.15 - Classe 3
  Sollecitazioni: N=-755.53 T_z=-23.93 M_y=2.70 T_y=-1151.69 M_z=-88.02 M_x=1.24 (M_c=64.15 M_e=-60.33)
  Tensioni: σ_N=-83.46 σ_M=-1898.45 τ=62.40 σ_{max}=-1981.91
  Tensioni: σ_N=-83.46 σ_M=1015.33 τ=370.27 τ_{max}=370.27
  Tensioni: σ_N=-83.46 σ_M=-1898.45 τ=62.40 $\sigma_{ID,max}$=1984.86

- Verifica a taglio dir. Y [4.2.16] - CC 18 SLU Xl=0.07
  Sollecitazioni: N=-246.07 T_z=6.22 T_y=-454.32
  V,Ed=-454.32 Vc,Rd=7560.76 V,Ed/Vc,Rd=0.06

- Verifica a taglio dir. Z [4.2.16]
  V,Ed=6.22 Vc,Rd=7560.76 V,Ed/Vc,Rd=0.00

Asta n. 6126 (328 340) angolari L50x10 Crit. 1

- Verifica di stabilità aste inflesse (4.2.4.1.3.2) CC 1 SLV - Classe 3
  L_{cr}=0.15 Curva d: α_{imp}=0.76 k_c=0.94 ψ=2.08 M,cr=0.00 λ_{LT}=0.00
  $\lambda_{LT,0}$=0.00 β_{LT}=0.00 Φ_{LT}=0.00 β_{LT}=0.00 f=0.00 χ_{LT}=1.00
  CC 1 SLV My,Ed=-0.97 My,b,Rd=149.05 My,Ed/My,b,Rd=0.01

- Verifica di stabilità aste presso-inflesse (C4.2.4.1.3.3.1) - CC 17 SLU - Classe 3
  Sollecitazioni: N,Ed=-805.32 Myeq,Ed=2.05 Mzeq,Ed=-82.77
  Resistenze: Nc,Rd=23709.20 My,c,Rd=149.05 Mz,c,Rd=149.05 L=15.00
  λ_c=8.19 Ncr,y=2794040.00 λ^*_y=0.09 Curva b: Φ_y=0.00 χ_y=1.00
  λ_e=15.58 Ncr,z=772688.00 λ^*_z=0.18 Curva b: Φ_z=0.00 χ_z=1.00
  χ,min=1.00
  Verifica: 0.03+0.01+0.56=0.60

- Verifica in termini tensionali [4.2.4] - CC 17 SLU Xl=0.00 - Classe 3
  Sollecitazioni: N=-805.32 T_z=23.87 M_y=2.70 T_y=1120.84 M_z=-82.77 M_x=-1.24 (M_c=60.43 M_e=-56.62)
  Tensioni: σ_N=-88.96 σ_M=-1783.84 τ=61.25 σ_{max}=-1872.80
  Tensioni: σ_N=-88.96 σ_M=953.68 τ=361.19 τ_{max}=361.19
  Tensioni: σ_N=-88.96 σ_M=-1783.84 τ=61.25 $\sigma_{ID,max}$=1875.80

- Verifica a taglio dir. Y [4.2.16] - CC 19 SLU Xl=0.07
  Sollecitazioni: N=-671.24 T_z=11.35 T_y=883.52
  V,Ed=883.52 Vc,Rd=7560.76 V,Ed/Vc,Rd=0.12

- Verifica a taglio dir. Z [4.2.16]
  V,Ed=11.35 Vc,Rd=7560.76 V,Ed/Vc,Rd=0.00

Asta n. 6127 (-3 -11) calastrelli 100x5 Crit. 1

- Verifica di stabilità aste inflesse (4.2.4.1.3.2) CC 9 SLU - Classe 3
  L_{cr}=0.30 Curva d: α_{imp}=0.76 k_c=0.94 ψ=2.93 M,cr=0.00 λ_{LT}=0.00
  $\lambda_{LT,0}$=0.20 β_{LT}=1.00 Φ_{LT}=0.00 β_{LT}=1.00 f=0.00 χ_{LT}=1.00
  CC 9 SLU My,Ed=-7.51 My,b,Rd=436.51 My,Ed/My,b,Rd=0.02

- Verifica di stabilità aste presso-inflesse (C4.2.4.1.3.3.1) - CC 1 SLV - Classe 3
  Sollecitazioni: N,Ed=-61.99 Myeq,Ed=-2.51 Mzeq,Ed=-0.02
  Resistenze: Nc,Rd=26190.50 My,c,Rd=436.51 Mz,c,Rd=43.65 L=29.69
  λ_Y=10.28 Ncr,y=1959700.00 λ^*_y=0.12 Curva c: Φ_y=0.49 χ_y=1.00
  λ_Z=102.84 Ncr,z=19597.00 λ^*_z=1.18 Curva c: Φ_z=1.44 χ_z=0.44
  χ,min=0.44
  Verifica: 0.00+0.01+0.00=0.01

- Verifica in termini tensionali [4.2.4] - CC 19 SLU Xl=0.27 - Classe 3
  Sollecitazioni: N=550.23 T_z=59.60 M_y=-7.25
  Tensioni: σ_N=55.02 σ_M=43.50 τ=0.00 σ_{max}=98.52
  Tensioni: σ_N=55.02 σ_M=0.00 τ=8.94 τ_{max}=8.94
  Tensioni: σ_N=55.02 σ_M=43.50 τ=0.00 $\sigma_{ID,max}$=98.52

- Verifica a taglio dir. Z [4.2.16] - CC 9 SLU Xl=0.14
  Sollecitazioni: N=276.19 T_z=61.21
  V,Ed=61.21 Vc,Rd=15121.50 V,Ed/Vc,Rd=0.00

Asta n. 6128 (-35 -43) calastrelli 100x5 Crit. 1

- Verifica di stabilità aste inflesse (4.2.4.1.3.2) CC 19 SLU - Classe 3
  L_{cr}=0.29 Curva d: α_{imp}=0.76 k_c=0.94 ψ=2.34 M,cr=0.00 λ_{LT}=0.00
  $\lambda_{LT,0}$=0.20 β_{LT}=1.00 Φ_{LT}=0.00 β_{LT}=1.00 f=0.00 χ_{LT}=1.00
  CC 19 SLU My,Ed=-12.59 My,b,Rd=436.51 My,Ed/My,b,Rd=0.03

- Verifica di stabilità aste presso-inflesse (C4.2.4.1.3.3.1) - CC 1 SLV - Classe 3
  Sollecitazioni: N,Ed=-30.13 Myeq,Ed=-4.21 Mzeq,Ed=0.03
  Resistenze: Nc,Rd=26190.50 My,c,Rd=436.51 Mz,c,Rd=43.65 L=29.38
  λ_Y=10.18 Ncr,y=2001620.00 λ^*_y=0.12 Curva c: Φ_y=0.49 χ_y=1.00
  λ_Z=101.76 Ncr,z=20016.20 λ^*_z=1.17 Curva c: Φ_z=1.43 χ_z=0.45
  χ,min=0.45
  Verifica: 0.00+0.01+0.00=0.01

- Verifica in termini tensionali [4.2.4] - CC 19 SLU Xl=0.27 - Classe 3
  Sollecitazioni: N=200.54 T_z=80.41 M_y=-12.59
  Tensioni: σ_N=20.05 σ_M=75.56 τ=0.00 σ_{max}=95.62
  Tensioni: σ_N=20.05 σ_M=0.00 τ=12.06 τ_{max}=12.06
  Tensioni: σ_N=20.05 σ_M=75.56 τ=0.00 $\sigma_{ID,max}$=95.62

- Verifica a taglio dir. Z [4.2.16] - CC 9 SLU Xl=0.12
  Sollecitazioni: N=91.21 T_z=82.84
  V,Ed=82.84 Vc,Rd=15121.50 V,Ed/Vc,Rd=0.01

Asta n. 6129 (-67 -75) calastrelli 50x10 Crit. 1

- Verifica di stabilità aste presso-inflesse (C4.2.4.1.3.3.1) - CC 19 SLU - Classe 3
  Sollecitazioni: N,Ed=-10.60 Myeq,Ed=-7.71 Mzeq,Ed=-0.10
  Resistenze: Nc,Rd=13095.20 My,c,Rd=109.13 Mz,c,Rd=21.83 L=28.75
  λ_Y=19.92 Ncr,y=261199.00 λ^*_y=0.23 Curva c: Φ_y=0.53 χ_y=0.99
  λ_Z=99.59 Ncr,z=10448.00 λ^*_z=1.15 Curva c: Φ_z=1.39 χ_z=0.46
  χ,min=0.46
  Verifica: 0.00+0.07+0.00=0.08

- Verifica in termini tensionali [4.2.4] - CC 9 SLU Xl=0.26 - Classe 3
  Sollecitazioni: N=-5.55 T_z=68.81 M_y=-7.79
  Tensioni: σ_N=-1.11 σ_M=-186.96 τ=0.00 σ_{max}=-188.07
  Tensioni: σ_N=-1.11 σ_M=0.00 τ=20.64 τ_{max}=20.64
  Tensioni: σ_N=-1.11 σ_M=-186.96 τ=0.00 $\sigma_{ID,max}$=188.07

- Verifica a taglio dir. Z [4.2.16] - CC 5 SLV Xl=0.14
  Sollecitazioni: T_z=36.37
  V,Ed=36.37 Vc,Rd=7560.76 V,Ed/Vc,Rd=0.00

Asta n. 6130 (-99 -107) calastrelli 50x10 Crit. 1

- Verifica di stabilità aste inflesse (4.2.4.1.3.2) CC 9 SLU - Classe 3
  L_{cr}=0.28 Curva d: α_{imp}=0.76 k_c=0.94 ψ=3.08 M,cr=0.00 λ_{LT}=0.00
  $\lambda_{LT,0}$=0.20 β_{LT}=1.00 Φ_{LT}=0.00 β_{LT}=1.00 f=0.00 χ_{LT}=1.00
  CC 9 SLU My,Ed=-9.87 My,b,Rd=109.13 My,Ed/My,b,Rd=0.09

- Verifica di stabilità aste presso-inflesse (C4.2.4.1.3.3.1) - CC 18 SLU - Classe 3
  Sollecitazioni: N,Ed=-0.58 Myeq,Ed=-8.22 Mzeq,Ed=0.10
  Resistenze: Nc,Rd=13095.20 My,c,Rd=109.13 Mz,c,Rd=21.83 L=28.13
  λ_Y=19.49 Ncr,y=272937.00 λ^*_y=0.22 Curva c: Φ_y=0.53 χ_y=0.99
  λ_Z=97.43 Ncr,z=10917.50 λ^*_z=1.12 Curva c: Φ_z=1.36 χ_z=0.47
  χ,min=0.47

Verifica: 0.00+0.08+0.00=0.08

- Verifica a flessione [4.2.13] - CC 9 SLU Xl=0.25 - Classe 3
Sollecitazioni: T_z=89.49 M_y=-9.87 T_y=-1.12
My,Ed=-9.87 My,c,Rd=109.13 My,Ed/My,c,Rd=0.09

- Verifica a taglio dir. Y [4.2.16] - CC 9 SLU Xl=0.13
Sollecitazioni: T_z=90.09 T_y=-1.12
V,Ed=-1.12 Vc,Rd=7560.76 V,Ed/Vc,Rd=0.00

- Verifica a taglio dir. Z [4.2.16]
V,Ed=90.09 Vc,Rd=7560.76 V,Ed/Vc,Rd=0.01

Asta n. 6131 (-131 -139) calastrelli 50x10 Crit. 1

- Verifica di stabilità aste inflesse (4.2.4.1.3.2) CC 9 SLU - Classe 3
L_{cr}=0.28 Curva d: α_{imp}=0.76 k_c=0.94 ψ=3.08 M,cr=0.00 λ_{LT}=0.00
$\lambda_{LT,0}$=0.20 β_{LT}=1.00 Φ_{LT}=0.00 β_{LT}=1.00 f=0.00 χ_{LT}=1.00
CC 9 SLU My,Ed=-10.45 My,b,Rd=109.13 My,Ed/My,b,Rd=0.10

- Verifica di stabilità aste presso-inflesse (C4.2.4.1.3.3.1) - CC 19 SLU - Classe 3
Sollecitazioni: N,Ed=-0.13 Myeq,Ed=-10.35 Mzeq,Ed=-0.15
Resistenze: Nc,Rd=13095.20 My,c,Rd=109.13 Mz,c,Rd=21.83 L=27.50
λ_Y=19.05 Ncr,y=285484.00 λ^*_y=0.22 Curva c: Φ_y=0.53 χ_y=0.99
λ_Z=95.26 Ncr,z=11419.40 λ^*_z=1.10 Curva c: Φ_z=1.32 χ_z=0.49
χ,min=0.49
Verifica: 0.00+0.09+0.01=0.10

- Verifica a flessione [4.2.13] - CC 9 SLU Xl=0.25 - Classe 3
Sollecitazioni: T_z=97.60 M_y=-10.45 T_y=-1.26
My,Ed=-10.45 My,c,Rd=109.13 My,Ed/My,c,Rd=0.10

- Verifica a taglio dir. Y [4.2.16] - CC 9 SLU Xl=0.13
Sollecitazioni: T_z=98.19 T_y=-1.26
V,Ed=-1.26 Vc,Rd=7560.76 V,Ed/Vc,Rd=0.00

- Verifica a taglio dir. Z [4.2.16]
V,Ed=98.19 Vc,Rd=7560.76 V,Ed/Vc,Rd=0.01

Asta n. 6132 (-163 -171) calastrelli 50x10 Crit. 1

- Verifica di stabilità aste inflesse (4.2.4.1.3.2) CC 9 SLU - Classe 3
L_{cr}=0.27 Curva d: α_{imp}=0.76 k_c=0.94 ψ=3.07 M,cr=0.00 λ_{LT}=0.00
$\lambda_{LT,0}$=0.20 β_{LT}=1.00 Φ_{LT}=0.00 β_{LT}=1.00 f=0.00 χ_{LT}=1.00
CC 9 SLU My,Ed=-10.70 My,b,Rd=109.13 My,Ed/My,b,Rd=0.10

- Verifica di stabilità aste presso-inflesse (C4.2.4.1.3.3.1) - CC 19 SLU - Classe 3
Sollecitazioni: N,Ed=-0.13 Myeq,Ed=-10.60 Mzeq,Ed=-0.16
Resistenze: Nc,Rd=13095.20 My,c,Rd=109.13 Mz,c,Rd=21.83 L=26.88
λ_Y=18.62 Ncr,y=298917.00 λ^*_y=0.21 Curva c: Φ_y=0.53 χ_y=0.99
λ_Z=93.10 Ncr,z=11956.70 λ^*_z=1.07 Curva c: Φ_z=1.29 χ_z=0.50
χ,min=0.50
Verifica: 0.00+0.10+0.01=0.10

- Verifica a flessione [4.2.13] - CC 9 SLU Xl=0.24 - Classe 3
Sollecitazioni: T_z=103.04 M_y=-10.70 T_y=-1.36
My,Ed=-10.70 My,c,Rd=109.13 My,Ed/My,c,Rd=0.10

- Verifica a taglio dir. Y [4.2.16] - CC 9 SLU Xl=0.13
Sollecitazioni: T_z=103.61 T_y=-1.36

V,Ed=-1.36 Vc,Rd=7560.76 V,Ed/Vc,Rd=0.00

- Verifica a taglio dir. Z [4.2.16]
V,Ed=103.61 Vc,Rd=7560.76 V,Ed/Vc,Rd=0.01

Asta n. 6133 (-195 -203) calastrelli 50x10 Crit. 1

- Verifica di stabilità aste inflesse (4.2.4.1.3.2) CC 9 SLU - Classe 3
L_{cr}=0.26 Curva d: α_{imp}=0.76 k_c=0.94 ψ=3.07 M,cr=0.00 λ_{LT}=0.00
$\lambda_{LT,0}$=0.20 β_{LT}=1.00 Φ_{LT}=0.00 β_{LT}=1.00 f=0.00 χ_{LT}=1.00
CC 9 SLU My,Ed=-10.89 My,b,Rd=109.13 My,Ed/My,b,Rd=0.10

- Verifica di stabilità aste presso-inflesse (C4.2.4.1.3.3.1) - CC 19 SLU - Classe 3
Sollecitazioni: N,Ed=-0.12 Myeq,Ed=-10.79 Mzeq,Ed=-0.16
Resistenze: Nc,Rd=13095.20 My,c,Rd=109.13 Mz,c,Rd=21.83 L=26.25
λ_Y=18.19 Ncr,y=313321.00 λ^*_y=0.21 Curva c: Φ_y=0.52 χ_y=1.00
λ_Z=90.93 Ncr,z=12532.80 λ^*_z=1.05 Curva c: Φ_z=1.26 χ_z=0.51
χ,min=0.51
Verifica: 0.00+0.10+0.01=0.11

- Verifica a flessione [4.2.13] - CC 9 SLU Xl=0.23 - Classe 3
Sollecitazioni: T_z=108.12 M_y=-10.89 T_y=-1.43
My,Ed=-10.89 My,c,Rd=109.13 My,Ed/My,c,Rd=0.10

- Verifica a taglio dir. Y [4.2.16] - CC 9 SLU Xl=0.13
Sollecitazioni: T_z=108.68 T_y=-1.43
V,Ed=-1.43 Vc,Rd=7560.76 V,Ed/Vc,Rd=0.00

- Verifica a taglio dir. Z [4.2.16]
V,Ed=108.68 Vc,Rd=7560.76 V,Ed/Vc,Rd=0.01

Asta n. 6134 (-227 -235) calastrelli 50x10 Crit. 1

- Verifica di stabilità aste inflesse (4.2.4.1.3.2) CC 9 SLU - Classe 3
L_{cr}=0.26 Curva d: α_{imp}=0.76 k_c=0.94 ψ=3.07 M,cr=0.00 λ_{LT}=0.00
$\lambda_{LT,0}$=0.20 β_{LT}=1.00 Φ_{LT}=0.00 β_{LT}=1.00 f=0.00 χ_{LT}=1.00
CC 9 SLU My,Ed=-11.06 My,b,Rd=109.13 My,Ed/My,b,Rd=0.10

- Verifica di stabilità aste presso-inflesse (C4.2.4.1.3.3.1) - CC 19 SLU - Classe 3
Sollecitazioni: N,Ed=-0.12 Myeq,Ed=-10.96 Mzeq,Ed=-0.16
Resistenze: Nc,Rd=13095.20 My,c,Rd=109.13 Mz,c,Rd=21.83 L=25.63
λ_Y=17.75 Ncr,y=328791.00 λ^*_y=0.20 Curva c: Φ_y=0.52 χ_y=1.00
λ_Z=88.77 Ncr,z=13151.60 λ^*_z=1.02 Curva c: Φ_z=1.22 χ_z=0.53
χ,min=0.53
Verifica: 0.00+0.10+0.01=0.11

- Verifica a flessione [4.2.13] - CC 9 SLU Xl=0.23 - Classe 3
Sollecitazioni: T_z=113.40 M_y=-11.06 T_y=-1.51
My,Ed=-11.06 My,c,Rd=109.13 My,Ed/My,c,Rd=0.10

- Verifica a taglio dir. Y [4.2.16] - CC 9 SLU Xl=0.12
Sollecitazioni: T_z=113.94 T_y=-1.51
V,Ed=-1.51 Vc,Rd=7560.76 V,Ed/Vc,Rd=0.00

- Verifica a taglio dir. Z [4.2.16]
V,Ed=113.94 Vc,Rd=7560.76 V,Ed/Vc,Rd=0.02

Asta n. 6135 (-259 -267) calastrelli 50x10 Crit. 1

- Verifica di stabilità aste inflesse (4.2.4.1.3.2) CC 9 SLU - Classe 3

L_{cr}=0.25 Curva d: α_{imp}=0.76 k_c=0.94 ψ=3.07 M,cr=0.00 λ_{LT}=0.00
$\lambda_{LT,0}$=0.20 β_{LT}=1.00 Φ_{LT}=0.00 β_{LT}=1.00 f=0.00 χ_{LT}=1.00
CC 9 SLU My,Ed=-11.24 My,b,Rd=109.13 My,Ed/My,b,Rd=0.10

- Verifica di stabilità aste presso-inflesse (C4.2.4.1.3.3.1) - CC 19 SLU - Classe 3
Sollecitazioni: N,Ed=-0.11 Myeq,Ed=-11.13 Mzeq,Ed=-0.16
Resistenze: Nc,Rd=13095.20 My,c,Rd=109.13 Mz,c,Rd=21.83 L=25.00
λ_Y=17.32 Ncr,y=345436.00 λ^*_y=0.20 Curva c: Φ_y=0.52 χ_y=1.00
λ_Z=86.60 Ncr,z=13817.40 λ^*_z=1.00 Curva c: Φ_z=1.19 χ_z=0.54
χ,min=0.54
Verifica: 0.00+0.10+0.01=0.11

- Verifica a flessione [4.2.13] - CC 9 SLU Xl=0.22 - Classe 3
Sollecitazioni: T_z=119.02 M_y=-11.24 T_y=-1.59
My,Ed=-11.24 My,c,Rd=109.13 My,Ed/My,c,Rd=0.10

- Verifica a taglio dir. Y [4.2.16] - CC 9 SLU Xl=0.12
Sollecitazioni: T_z=119.54 T_y=-1.59
V,Ed=-1.59 Vc,Rd=7560.76 V,Ed/Vc,Rd=0.00

- Verifica a taglio dir. Z [4.2.16]
V,Ed=119.54 Vc,Rd=7560.76 V,Ed/Vc,Rd=0.02

Asta n. 6136 (-291 -299) calastrelli 50x10 Crit. 1

- Verifica di stabilità aste inflesse (4.2.4.1.3.2) CC 9 SLU - Classe 3
L_{cr}=0.24 Curva d: α_{imp}=0.76 k_c=0.94 ψ=3.07 M,cr=0.00 λ_{LT}=0.00
$\lambda_{LT,0}$=0.20 β_{LT}=1.00 Φ_{LT}=0.00 β_{LT}=1.00 f=0.00 χ_{LT}=1.00
CC 9 SLU My,Ed=-11.41 My,b,Rd=109.13 My,Ed/My,b,Rd=0.10

- Verifica di stabilità aste presso-inflesse (C4.2.4.1.3.3.1) - CC 19 SLU - Classe 3
Sollecitazioni: N,Ed=-0.11 Myeq,Ed=-11.30 Mzeq,Ed=-0.16
Resistenze: Nc,Rd=13095.20 My,c,Rd=109.13 Mz,c,Rd=21.83 L=24.38
λ_Y=16.89 Ncr,y=363378.00 λ^*_y=0.19 Curva c: Φ_y=0.52 χ_y=1.00
λ_Z=84.44 Ncr,z=14535.10 λ^*_z=0.97 Curva c: Φ_z=1.16 χ_z=0.56
χ,min=0.56
Verifica: 0.00+0.10+0.01=0.11

- Verifica a flessione [4.2.13] - CC 9 SLU Xl=0.22 - Classe 3
Sollecitazioni: T_z=125.06 M_y=-11.41 T_y=-1.67
My,Ed=-11.41 My,c,Rd=109.13 My,Ed/My,c,Rd=0.10

- Verifica a taglio dir. Y [4.2.16] - CC 9 SLU Xl=0.12
Sollecitazioni: T_z=125.56 T_y=-1.67
V,Ed=-1.67 Vc,Rd=7560.76 V,Ed/Vc,Rd=0.00

- Verifica a taglio dir. Z [4.2.16]
V,Ed=125.56 Vc,Rd=7560.76 V,Ed/Vc,Rd=0.02

Asta n. 6137 (-323 -331) calastrelli 50x10 Crit. 1

- Verifica di stabilità aste inflesse (4.2.4.1.3.2) CC 9 SLU - Classe 3
L_{cr}=0.24 Curva d: α_{imp}=0.76 k_c=0.94 ψ=3.07 M,cr=0.00 λ_{LT}=0.00
$\lambda_{LT,0}$=0.20 β_{LT}=1.00 Φ_{LT}=0.00 β_{LT}=1.00 f=0.00 χ_{LT}=1.00
CC 9 SLU My,Ed=-11.59 My,b,Rd=109.13 My,Ed/My,b,Rd=0.11

- Verifica di stabilità aste presso-inflesse (C4.2.4.1.3.3.1) - CC 19 SLU - Classe 3
Sollecitazioni: N,Ed=-0.10 Myeq,Ed=-11.48 Mzeq,Ed=-0.17
Resistenze: Nc,Rd=13095.20 My,c,Rd=109.13 Mz,c,Rd=21.83 L=23.75
λ_Y=16.45 Ncr,y=382755.00 λ^*_y=0.19 Curva c: Φ_y=0.52 χ_y=1.00

λ_Z=82.27 Ncr,z=15310.20 λ^*_z=0.95 Curva c: Φ_z=1.13 χ_z=0.57
χ,min=0.57
Verifica: 0.00+0.11+0.01=0.11

- Verifica a flessione [4.2.13] - CC 9 SLU Xl=0.21 - Classe 3
Sollecitazioni: T_z=131.54 M_y=-11.59 T_y=-1.76
My,Ed=-11.59 My,c,Rd=109.13 My,Ed/My,c,Rd=0.11

- Verifica a taglio dir. Y [4.2.16] - CC 9 SLU Xl=0.11
Sollecitazioni: T_z=132.03 T_y=-1.76
V,Ed=-1.76 Vc,Rd=7560.76 V,Ed/Vc,Rd=0.00

- Verifica a taglio dir. Z [4.2.16]
V,Ed=132.03 Vc,Rd=7560.76 V,Ed/Vc,Rd=0.02

Asta n. 6138 (-355 -363) calastrelli 50x10 Crit. 1

- Verifica di stabilità aste inflesse (4.2.4.1.3.2) CC 9 SLU - Classe 3
L_{cr}=0.23 Curva d: α_{imp}=0.76 k_c=0.94 ψ=3.07 M,cr=0.00 λ_{LT}=0.00
$\lambda_{LT,0}$=0.20 β_{LT}=1.00 Φ_{LT}=0.00 β_{LT}=1.00 f=0.00 χ_{LT}=1.00
CC 9 SLU My,Ed=-11.77 My,b,Rd=109.13 My,Ed/My,b,Rd=0.11

- Verifica di stabilità aste presso-inflesse (C4.2.4.1.3.3.1) - CC 19 SLU - Classe 3
Sollecitazioni: N,Ed=-0.06 Myeq,Ed=-11.66 Mzeq,Ed=-0.17
Resistenze: Nc,Rd=13095.20 My,c,Rd=109.13 Mz,c,Rd=21.83 L=23.13
λ_Y=16.02 Ncr,y=403724.00 λ^*_y=0.18 Curva c: Φ_y=0.51 χ_y=1.00
λ_Z=80.11 Ncr,z=16149.00 λ^*_z=0.92 Curva c: Φ_z=1.10 χ_z=0.59
χ,min=0.59
Verifica: 0.00+0.11+0.01=0.11

- Verifica a flessione [4.2.13] - CC 9 SLU Xl=0.20 - Classe 3
Sollecitazioni: T_z=138.52 M_y=-11.77 T_y=-1.86
My,Ed=-11.77 My,c,Rd=109.13 My,Ed/My,c,Rd=0.11

- Verifica a taglio dir. Y [4.2.16] - CC 9 SLU Xl=0.11
Sollecitazioni: T_z=138.99 T_y=-1.86
V,Ed=-1.86 Vc,Rd=7560.76 V,Ed/Vc,Rd=0.00

- Verifica a taglio dir. Z [4.2.16]
V,Ed=138.99 Vc,Rd=7560.76 V,Ed/Vc,Rd=0.02

Asta n. 6139 (-387 -395) calastrelli 50x10 Crit. 1

- Verifica di stabilità aste presso-inflesse (C4.2.4.1.3.3.1) - CC 9 SLU - Classe 3
Sollecitazioni: N,Ed=-0.17 Myeq,Ed=-11.95 Mzeq,Ed=0.16
Resistenze: Nc,Rd=13095.20 My,c,Rd=109.13 Mz,c,Rd=21.83 L=22.50
λ_Y=15.59 Ncr,y=426465.00 λ^*_y=0.18 Curva c: Φ_y=0.51 χ_y=1.00
λ_Z=77.94 Ncr,z=17058.60 λ^*_z=0.90 Curva c: Φ_z=1.07 χ_z=0.60
χ,min=0.60
Verifica: 0.00+0.11+0.01=0.12

- Verifica a flessione [4.2.13] - CC 9 SLU Xl=0.20 - Classe 3
Sollecitazioni: T_z=146.01 M_y=-11.95 T_y=-1.95
My,Ed=-11.95 My,c,Rd=109.13 My,Ed/My,c,Rd=0.11

- Verifica a taglio dir. Y [4.2.16] - CC 9 SLU Xl=0.11
Sollecitazioni: T_z=146.46 T_y=-1.95
V,Ed=-1.95 Vc,Rd=7560.76 V,Ed/Vc,Rd=0.00

- Verifica a taglio dir. Z [4.2.16]

V,Ed=146.46 Vc,Rd=7560.76 V,Ed/Vc,Rd=0.02

Asta n. 6140 (-419 -427) calastrelli 50x10 Crit. 1

- Verifica in termini tensionali [4.2.4] - CC 9 SLU Xl=0.19 - Classe 3
Sollecitazioni: N=1.72 T_z=153.77 M_y=-12.09 T_y=-2.06
Tensioni: σ_N=0.34 σ_M=290.12 τ=0.00 σ_{max}=290.46
Tensioni: σ_N=0.34 σ_M=0.00 τ=46.13 τ_{max}=46.13
Tensioni: σ_N=0.34 σ_M=290.12 τ=0.62 $\sigma_{ID,max}$=290.46

- Verifica a taglio dir. Y [4.2.16] - CC 9 SLU Xl=0.11
Sollecitazioni: N=1.72 T_z=154.20 T_y=-2.06
V,Ed=-2.06 Vc,Rd=7560.76 V,Ed/Vc,Rd=0.00

- Verifica a taglio dir. Z [4.2.16]
V,Ed=154.20 Vc,Rd=7560.76 V,Ed/Vc,Rd=0.02

Asta n. 6141 (-451 -459) calastrelli 50x10 Crit. 1

- Verifica di stabilità aste presso-inflesse (C4.2.4.1.3.3.1) - CC 18 SLU - Classe 3
Sollecitazioni: N,Ed=-14.48 Myeq,Ed=-12.18 Mzeq,Ed=0.15
Resistenze: Nc,Rd=13095.20 My,c,Rd=109.13 Mz,c,Rd=21.83 L=21.25
λ_Y=14.72 Ncr,y=478113.00 λ^*_y=0.17 Curva c: Φ_y=0.51 χ_y=1.00
λ_Z=73.61 Ncr,z=19124.50 λ^*_z=0.85 Curva c: Φ_z=1.02 χ_z=0.63
χ,min=0.63
Verifica: 0.00+0.11+0.01=0.12

- Verifica in termini tensionali [4.2.4] - CC 18 SLU Xl=0.18 - Classe 3
Sollecitazioni: N=-14.48 T_z=159.89 M_y=-12.18 T_y=-1.99
Tensioni: σ_N=-2.90 σ_M=-292.43 τ=0.00 σ_{max}=-295.33
Tensioni: σ_N=-2.90 σ_M=0.00 τ=47.97 τ_{max}=47.97
Tensioni: σ_N=-2.90 σ_M=-292.43 τ=0.60 $\sigma_{ID,max}$=295.33

Asta n. 6142 (-483 -491) calastrelli 50x10 Crit. 1

- Verifica in termini tensionali [4.2.4] - CC 18 SLU Xl=0.04 - Classe 3
Sollecitazioni: N=73.81 T_z=155.07 M_y=11.56 T_y=-2.32
Tensioni: σ_N=14.76 σ_M=277.37 τ=0.00 σ_{max}=292.13
Tensioni: σ_N=14.76 σ_M=-0.00 τ=46.53 τ_{max}=46.53
Tensioni: σ_N=14.76 σ_M=277.37 τ=0.70 $\sigma_{ID,max}$=292.13

- Verifica a taglio dir. Y [4.2.16] - CC 18 SLU Xl=0.11
Sollecitazioni: N=73.81 T_z=154.67 T_y=-2.32
V,Ed=-2.32 Vc,Rd=7560.76 V,Ed/Vc,Rd=0.00

- Verifica a taglio dir. Z [4.2.16]
V,Ed=154.67 Vc,Rd=7560.76 V,Ed/Vc,Rd=0.02

Asta n. 6147 (-484 -492) calastrelli 50x10 Crit. 1

- Verifica in termini tensionali [4.2.4] - CC 19 SLU Xl=0.03 - Classe 3
Sollecitazioni: N=73.51 T_z=158.78 M_y=12.09 T_y=2.44
Tensioni: σ_N=14.70 σ_M=290.13 τ=0.00 σ_{max}=304.83
Tensioni: σ_N=14.70 σ_M=-0.00 τ=47.64 τ_{max}=47.64
Tensioni: σ_N=14.70 σ_M=290.13 τ=0.73 $\sigma_{ID,max}$=304.84

- Verifica a taglio dir. Y [4.2.16] - CC 19 SLU Xl=0.11
Sollecitazioni: N=73.51 T_z=158.38 T_y=2.44
V,Ed=2.44 Vc,Rd=7560.76 V,Ed/Vc,Rd=0.00

- Verifica a taglio dir. Z [4.2.16]
  V,Ed=158.38 Vc,Rd=7560.76 V,Ed/Vc,Rd=0.02

Asta n. 6148 (-452 -460) calastrelli 50x10 Crit. 1

- Verifica di stabilità aste presso-inflesse (C4.2.4.1.3.3.1) - CC 19 SLU - Classe 3
  Sollecitazioni: N,Ed=-12.73 Myeq,Ed=12.41 Mzeq,Ed=-0.17
  Resistenze: Nc,Rd=13095.20 My,c,Rd=109.13 Mz,c,Rd=21.83 L=21.25
  λ_Y=14.72 Ncr,y=478113.00 λ^*_y=0.17 Curva c: Φ_y=0.51 χ_y=1.00
  λ_Z=73.61 Ncr,z=19124.50 λ^*_z=0.85 Curva c: Φ_z=1.02 χ_z=0.63
  χ,min=0.63
  Verifica: 0.00+0.11+0.01=0.12

- Verifica in termini tensionali [4.2.4] - CC 19 SLU Xl=0.03 - Classe 3
  Sollecitazioni: N=-12.73 T_z=166.48 M_y=12.41 T_y=2.07
  Tensioni: σ_N=-2.55 σ_M=-297.85 τ=0.00 σ_{max}=-300.39
  Tensioni: σ_N=-2.55 σ_M=-0.00 τ=49.95 τ_{max}=49.95
  Tensioni: σ_N=-2.55 σ_M=-297.85 τ=0.62 $\sigma_{ID,max}$=300.40

Asta n. 6149 (-420 -428) calastrelli 50x10 Crit. 1

- Verifica in termini tensionali [4.2.4] - CC 19 SLU Xl=0.03 - Classe 3
  Sollecitazioni: N=1.86 T_z=159.88 M_y=12.52 T_y=2.15
  Tensioni: σ_N=0.37 σ_M=300.51 τ=0.00 σ_{max}=300.89
  Tensioni: σ_N=0.37 σ_M=-0.00 τ=47.97 τ_{max}=47.97
  Tensioni: σ_N=0.37 σ_M=300.51 τ=0.64 $\sigma_{ID,max}$=300.89

- Verifica a taglio dir. Y [4.2.16] - CC 19 SLU Xl=0.11
  Sollecitazioni: N=1.86 T_z=159.45 T_y=2.15
  V,Ed=2.15 Vc,Rd=7560.76 V,Ed/Vc,Rd=0.00

- Verifica a taglio dir. Z [4.2.16]
  V,Ed=159.45 Vc,Rd=7560.76 V,Ed/Vc,Rd=0.02

Asta n. 6150 (-388 -396) calastrelli 50x10 Crit. 1

- Verifica di stabilità aste presso-inflesse (C4.2.4.1.3.3.1) - CC 19 SLU - Classe 3
  Sollecitazioni: N,Ed=-0.29 Myeq,Ed=12.35 Mzeq,Ed=-0.18
  Resistenze: Nc,Rd=13095.20 My,c,Rd=109.13 Mz,c,Rd=21.83 L=22.50
  λ_Y=15.59 Ncr,y=426465.00 λ^*_y=0.18 Curva c: Φ_y=0.51 χ_y=1.00
  λ_Z=77.94 Ncr,z=17058.60 λ^*_z=0.90 Curva c: Φ_z=1.07 χ_z=0.60
  χ,min=0.60
  Verifica: 0.00+0.11+0.01=0.12

- Verifica a flessione [4.2.13] - CC 19 SLU Xl=0.03 - Classe 3
  Sollecitazioni: T_z=151.89 M_y=12.35 T_y=2.03
  My,Ed=12.35 My,c,Rd=109.13 My,Ed/My,c,Rd=0.11

- Verifica a taglio dir. Y [4.2.16] - CC 19 SLU Xl=0.12
  Sollecitazioni: T_z=151.44 T_y=2.03
  V,Ed=2.03 Vc,Rd=7560.76 V,Ed/Vc,Rd=0.00

- Verifica a taglio dir. Z [4.2.16]
  V,Ed=151.44 Vc,Rd=7560.76 V,Ed/Vc,Rd=0.02

Asta n. 6151 (-356 -364) calastrelli 50x10 Crit. 1

- Verifica di stabilità aste inflesse (4.2.4.1.3.2) CC 19 SLU - Classe 3
  L_{cr}=0.23 Curva d: α_{imp}=0.76 k_c=0.94 ψ=3.07 M,cr=0.00 λ_{LT}=0.00

$\lambda_{LT,0}$=0.20 β_{LT}=1.00 Φ_{LT}=0.00 β_{LT}=1.00 f=0.00 χ_{LT}=1.00
CC 19 SLU My,Ed=12.17 My,b,Rd=109.13 My,Ed/My,b,Rd=0.11

- Verifica di stabilità aste presso-inflesse (C4.2.4.1.3.3.1) - CC 9 SLU - Classe 3
Sollecitazioni: N,Ed=-0.14 Myeq,Ed=11.99 Mzeq,Ed=0.16
Resistenze: Nc,Rd=13095.20 My,c,Rd=109.13 Mz,c,Rd=21.83 L=23.13
λ_Y=16.02 Ncr,y=403724.00 λ^*_y=0.18 Curva c: Φ_y=0.51 χ_y=1.00
λ_Z=80.11 Ncr,z=16149.00 λ^*_z=0.92 Curva c: Φ_z=1.10 χ_z=0.59
χ,min=0.59
Verifica: 0.00+0.11+0.01=0.12

- Verifica a flessione [4.2.13] - CC 19 SLU Xl=0.03 - Classe 3
Sollecitazioni: T_z=144.18 M_y=12.17 T_y=1.93
My,Ed=12.17 My,c,Rd=109.13 My,Ed/My,c,Rd=0.11

- Verifica a taglio dir. Y [4.2.16] - CC 19 SLU Xl=0.12
Sollecitazioni: T_z=143.71 T_y=1.93
V,Ed=1.93 Vc,Rd=7560.76 V,Ed/Vc,Rd=0.00

- Verifica a taglio dir. Z [4.2.16]
V,Ed=143.71 Vc,Rd=7560.76 V,Ed/Vc,Rd=0.02

Asta n. 6152 (-324 -332) calastrelli 50x10 Crit. 1

- Verifica di stabilità aste inflesse (4.2.4.1.3.2) CC 17 SLU - Classe 3
L_{cr}=0.24 Curva d: α_{imp}=0.76 k_c=0.94 ψ=3.07 M,cr=0.00 λ_{LT}=0.00
$\lambda_{LT,0}$=0.20 β_{LT}=1.00 Φ_{LT}=0.00 β_{LT}=1.00 f=0.00 χ_{LT}=1.00
CC 17 SLU My,Ed=6.77 My,b,Rd=109.13 My,Ed/My,b,Rd=0.06

- Verifica di stabilità aste presso-inflesse (C4.2.4.1.3.3.1) - CC 19 SLU - Classe 3
Sollecitazioni: N,Ed=-0.02 Myeq,Ed=11.99 Mzeq,Ed=-0.17
Resistenze: Nc,Rd=13095.20 My,c,Rd=109.13 Mz,c,Rd=21.83 L=23.75
λ_Y=16.45 Ncr,y=382755.00 λ^*_y=0.19 Curva c: Φ_y=0.52 χ_y=1.00
λ_Z=82.27 Ncr,z=15310.20 λ^*_z=0.95 Curva c: Φ_z=1.13 χ_z=0.57
χ,min=0.57
Verifica: 0.00+0.11+0.01=0.12

- Verifica a flessione [4.2.13] - CC 19 SLU Xl=0.03 - Classe 3
Sollecitazioni: T_z=136.98 M_y=11.99 T_y=1.83
My,Ed=11.99 My,c,Rd=109.13 My,Ed/My,c,Rd=0.11

- Verifica a taglio dir. Y [4.2.16] - CC 19 SLU Xl=0.12
Sollecitazioni: T_z=136.50 T_y=1.83
V,Ed=1.83 Vc,Rd=7560.76 V,Ed/Vc,Rd=0.00

- Verifica a taglio dir. Z [4.2.16]
V,Ed=136.50 Vc,Rd=7560.76 V,Ed/Vc,Rd=0.02

Asta n. 6153 (-292 -300) calastrelli 50x10 Crit. 1

- Verifica di stabilità aste inflesse (4.2.4.1.3.2) CC 17 SLU - Classe 3
L_{cr}=0.24 Curva d: α_{imp}=0.76 k_c=0.94 ψ=3.07 M,cr=0.00 λ_{LT}=0.00
$\lambda_{LT,0}$=0.20 β_{LT}=1.00 Φ_{LT}=0.00 β_{LT}=1.00 f=0.00 χ_{LT}=1.00
CC 17 SLU My,Ed=6.67 My,b,Rd=109.13 My,Ed/My,b,Rd=0.06

- Verifica di stabilità aste presso-inflesse (C4.2.4.1.3.3.1) - CC 19 SLU - Classe 3
Sollecitazioni: N,Ed=-0.01 Myeq,Ed=11.81 Mzeq,Ed=-0.17
Resistenze: Nc,Rd=13095.20 My,c,Rd=109.13 Mz,c,Rd=21.83 L=24.38
λ_Y=16.89 Ncr,y=363378.00 λ^*_y=0.19 Curva c: Φ_y=0.52 χ_y=1.00
λ_Z=84.44 Ncr,z=14535.10 λ^*_z=0.97 Curva c: Φ_z=1.16 χ_z=0.56

χ,min=0.56
Verifica: 0.00+0.11+0.01=0.12

- Verifica a flessione [4.2.13] - CC 19 SLU Xl=0.03 - Classe 3
Sollecitazioni: T_z=130.30 M_y=11.81 T_y=1.73
My,Ed=11.81 My,c,Rd=109.13 My,Ed/My,c,Rd=0.11

- Verifica a taglio dir. Y [4.2.16] - CC 19 SLU Xl=0.13
Sollecitazioni: T_z=129.80 T_y=1.73
V,Ed=1.73 Vc,Rd=7560.76 V,Ed/Vc,Rd=0.00

- Verifica a taglio dir. Z [4.2.16]
V,Ed=129.80 Vc,Rd=7560.76 V,Ed/Vc,Rd=0.02

Asta n. 6154 (-260 -268) calastrelli 50x10 Crit. 1

- Verifica di stabilità aste inflesse (4.2.4.1.3.2) CC 17 SLU - Classe 3
L_{cr}=0.25 Curva d: α_{imp}=0.76 k_c=0.94 ψ=3.07 M,cr=0.00 λ_{LT}=0.00
$\lambda_{LT,0}$=0.20 β_{LT}=1.00 Φ_{LT}=0.00 β_{LT}=1.00 f=0.00 χ_{LT}=1.00
CC 17 SLU My,Ed=6.57 My,b,Rd=109.13 My,Ed/My,b,Rd=0.06

- Verifica di stabilità aste presso-inflesse (C4.2.4.1.3.3.1) - CC 19 SLU - Classe 3
Sollecitazioni: N,Ed=-0.01 Myeq,Ed=11.63 Mzeq,Ed=-0.17
Resistenze: Nc,Rd=13095.20 My,c,Rd=109.13 Mz,c,Rd=21.83 L=25.00
λ_Y=17.32 Ncr,y=345436.00 λ^*_y=0.20 Curva c: Φ_y=0.52 χ_y=1.00
λ_Z=86.60 Ncr,z=13817.40 λ^*_z=1.00 Curva c: Φ_z=1.19 χ_z=0.54
χ,min=0.54
Verifica: 0.00+0.11+0.01=0.11

- Verifica a flessione [4.2.13] - CC 19 SLU Xl=0.03 - Classe 3
Sollecitazioni: T_z=124.09 M_y=11.63 T_y=1.65
My,Ed=11.63 My,c,Rd=109.13 My,Ed/My,c,Rd=0.11

- Verifica a taglio dir. Y [4.2.16] - CC 19 SLU Xl=0.13
Sollecitazioni: T_z=123.57 T_y=1.65
V,Ed=1.65 Vc,Rd=7560.76 V,Ed/Vc,Rd=0.00

- Verifica a taglio dir. Z [4.2.16]
V,Ed=123.57 Vc,Rd=7560.76 V,Ed/Vc,Rd=0.02

Asta n. 6155 (-228 -236) calastrelli 50x10 Crit. 1

- Verifica di stabilità aste inflesse (4.2.4.1.3.2) CC 17 SLU - Classe 3
L_{cr}=0.26 Curva d: α_{imp}=0.76 k_c=0.94 ψ=3.07 M,cr=0.00 λ_{LT}=0.00
$\lambda_{LT,0}$=0.20 β_{LT}=1.00 Φ_{LT}=0.00 β_{LT}=1.00 f=0.00 χ_{LT}=1.00
CC 17 SLU My,Ed=6.47 My,b,Rd=109.13 My,Ed/My,b,Rd=0.06

- Verifica di stabilità aste presso-inflesse (C4.2.4.1.3.3.1) - CC 19 SLU - Classe 3
Sollecitazioni: N,Ed=-0.00 Myeq,Ed=11.45 Mzeq,Ed=-0.17
Resistenze: Nc,Rd=13095.20 My,c,Rd=109.13 Mz,c,Rd=21.83 L=25.63
λ_Y=17.75 Ncr,y=328791.00 λ^*_y=0.20 Curva c: Φ_y=0.52 χ_y=1.00
λ_Z=88.77 Ncr,z=13151.60 λ^*_z=1.02 Curva c: Φ_z=1.22 χ_z=0.53
χ,min=0.53
Verifica: 0.00+0.10+0.01=0.11

- Verifica a flessione [4.2.13] - CC 19 SLU Xl=0.03 - Classe 3
Sollecitazioni: T_z=118.30 M_y=11.45 T_y=1.57
My,Ed=11.45 My,c,Rd=109.13 My,Ed/My,c,Rd=0.10

- Verifica a taglio dir. Y [4.2.16] - CC 19 SLU Xl=0.13

Sollecitazioni: T_z=117.76 T_y=1.57
V,Ed=1.57 Vc,Rd=7560.76 V,Ed/Vc,Rd=0.00

- Verifica a taglio dir. Z [4.2.16]
V,Ed=117.76 Vc,Rd=7560.76 V,Ed/Vc,Rd=0.02

Asta n. 6156 (-196 -204) calastrelli 50x10 Crit. 1

- Verifica di stabilità aste inflesse (4.2.4.1.3.2) CC 19 SLU - Classe 3
L_{cr}=0.26 Curva d: α_{imp}=0.76 k_c=0.94 ψ=3.07 M,cr=0.00 λ_{LT}=0.00
$\lambda_{LT,0}$=0.20 β_{LT}=1.00 Φ_{LT}=0.00 β_{LT}=1.00 f=0.00 χ_{LT}=1.00
CC 19 SLU My,Ed=11.27 My,b,Rd=109.13 My,Ed/My,b,Rd=0.10

- Verifica di stabilità aste presso-inflesse (C4.2.4.1.3.3.1) - CC 9 SLU - Classe 3
Sollecitazioni: N,Ed=-0.14 Myeq,Ed=11.11 Mzeq,Ed=0.15
Resistenze: Nc,Rd=13095.20 My,c,Rd=109.13 Mz,c,Rd=21.83 L=26.25
λ_Y=18.19 Ncr,y=313321.00 λ^*_y=0.21 Curva c: Φ_y=0.52 χ_y=1.00
λ_Z=90.93 Ncr,z=12532.80 λ^*_z=1.05 Curva c: Φ_z=1.26 χ_z=0.51
χ,min=0.51
Verifica: 0.00+0.10+0.01=0.11

- Verifica a flessione [4.2.13] - CC 19 SLU Xl=0.03 - Classe 3
Sollecitazioni: T_z=112.87 M_y=11.27 T_y=1.49
My,Ed=11.27 My,c,Rd=109.13 My,Ed/My,c,Rd=0.10

- Verifica a taglio dir. Y [4.2.16] - CC 19 SLU Xl=0.14
Sollecitazioni: T_z=112.32 T_y=1.49
V,Ed=1.49 Vc,Rd=7560.76 V,Ed/Vc,Rd=0.00

- Verifica a taglio dir. Z [4.2.16]
V,Ed=112.32 Vc,Rd=7560.76 V,Ed/Vc,Rd=0.01

Asta n. 6157 (-164 -172) calastrelli 50x10 Crit. 1

- Verifica di stabilità aste inflesse (4.2.4.1.3.2) CC 19 SLU - Classe 3
L_{cr}=0.27 Curva d: α_{imp}=0.76 k_c=0.94 ψ=3.07 M,cr=0.00 λ_{LT}=0.00
$\lambda_{LT,0}$=0.20 β_{LT}=1.00 Φ_{LT}=0.00 β_{LT}=1.00 f=0.00 χ_{LT}=1.00
CC 19 SLU My,Ed=11.09 My,b,Rd=109.13 My,Ed/My,b,Rd=0.10

- Verifica di stabilità aste presso-inflesse (C4.2.4.1.3.3.1) - CC 9 SLU - Classe 3
Sollecitazioni: N,Ed=-0.14 Myeq,Ed=10.92 Mzeq,Ed=0.14
Resistenze: Nc,Rd=13095.20 My,c,Rd=109.13 Mz,c,Rd=21.83 L=26.88
λ_Y=18.62 Ncr,y=298917.00 λ^*_y=0.21 Curva c: Φ_y=0.53 χ_y=0.99
λ_Z=93.10 Ncr,z=11956.70 λ^*_z=1.07 Curva c: Φ_z=1.29 χ_z=0.50
χ,min=0.50
Verifica: 0.00+0.10+0.01=0.11

- Verifica a flessione [4.2.13] - CC 19 SLU Xl=0.03 - Classe 3
Sollecitazioni: T_z=107.65 M_y=11.09 T_y=1.41
My,Ed=11.09 My,c,Rd=109.13 My,Ed/My,c,Rd=0.10

- Verifica a taglio dir. Y [4.2.16] - CC 19 SLU Xl=0.14
Sollecitazioni: T_z=107.08 T_y=1.41
V,Ed=1.41 Vc,Rd=7560.76 V,Ed/Vc,Rd=0.00

- Verifica a taglio dir. Z [4.2.16]
V,Ed=107.08 Vc,Rd=7560.76 V,Ed/Vc,Rd=0.01

Asta n. 6158 (-132 -140) calastrelli 50x10 Crit. 1

- Verifica di stabilità aste inflesse (4.2.4.1.3.2) CC 17 SLU - Classe 3
  L_{cr}=0.28 Curva d: α_{imp}=0.76 k_c=0.94 ψ=3.07 M,cr=0.00 λ_{LT}=0.00
  $\lambda_{LT,0}$=0.20 β_{LT}=1.00 Φ_{LT}=0.00 β_{LT}=1.00 f=0.00 χ_{LT}=1.00
  CC 17 SLU My,Ed=6.12 My,b,Rd=109.13 My,Ed/My,b,Rd=0.06

- Verifica di stabilità aste presso-inflesse (C4.2.4.1.3.3.1) - CC 19 SLU - Classe 3
  Sollecitazioni: N,Ed=-0.02 Myeq,Ed=10.82 Mzeq,Ed=-0.16
  Resistenze: Nc,Rd=13095.20 My,c,Rd=109.13 Mz,c,Rd=21.83 L=27.50
  λ_Y=19.05 Ncr,y=285484.00 λ^*_y=0.22 Curva c: Φ_y=0.53 χ_y=0.99
  λ_Z=95.26 Ncr,z=11419.40 λ^*_z=1.10 Curva c: Φ_z=1.32 χ_z=0.49
  χ,min=0.49
  Verifica: 0.00+0.10+0.01=0.11

- Verifica a flessione [4.2.13] - CC 19 SLU Xl=0.03 - Classe 3
  Sollecitazioni: T_z=102.06 M_y=10.82 T_y=1.31
  My,Ed=10.82 My,c,Rd=109.13 My,Ed/My,c,Rd=0.10

- Verifica a taglio dir. Y [4.2.16] - CC 19 SLU Xl=0.14
  Sollecitazioni: T_z=101.47 T_y=1.31
  V,Ed=1.31 Vc,Rd=7560.76 V,Ed/Vc,Rd=0.00

- Verifica a taglio dir. Z [4.2.16]
  V,Ed=101.47 Vc,Rd=7560.76 V,Ed/Vc,Rd=0.01

Asta n. 6159 (-100 -108) calastrelli 50x10 Crit. 1

- Verifica di stabilità aste inflesse (4.2.4.1.3.2) CC 19 SLU - Classe 3
  L_{cr}=0.28 Curva d: α_{imp}=0.76 k_c=0.94 ψ=3.07 M,cr=0.00 λ_{LT}=0.00
  $\lambda_{LT,0}$=0.20 β_{LT}=1.00 Φ_{LT}=0.00 β_{LT}=1.00 f=0.00 χ_{LT}=1.00
  CC 19 SLU My,Ed=10.22 My,b,Rd=109.13 My,Ed/My,b,Rd=0.09

- Verifica di stabilità aste presso-inflesse (C4.2.4.1.3.3.1) - CC 18 SLU - Classe 3
  Sollecitazioni: N,Ed=-0.99 Myeq,Ed=8.41 Mzeq,Ed=0.11
  Resistenze: Nc,Rd=13095.20 My,c,Rd=109.13 Mz,c,Rd=21.83 L=28.13
  λ_Y=19.49 Ncr,y=272937.00 λ^*_y=0.22 Curva c: Φ_y=0.53 χ_y=0.99
  λ_Z=97.43 Ncr,z=10917.50 λ^*_z=1.12 Curva c: Φ_z=1.36 χ_z=0.47
  χ,min=0.47
  Verifica: 0.00+0.08+0.00=0.08

- Verifica a flessione [4.2.13] - CC 19 SLU Xl=0.03 - Classe 3
  Sollecitazioni: T_z=93.70 M_y=10.22 T_y=1.16
  My,Ed=10.22 My,c,Rd=109.13 My,Ed/My,c,Rd=0.09

- Verifica a taglio dir. Y [4.2.16] - CC 19 SLU Xl=0.13
  Sollecitazioni: T_z=93.19 T_y=1.16
  V,Ed=1.16 Vc,Rd=7560.76 V,Ed/Vc,Rd=0.00

- Verifica a taglio dir. Z [4.2.16]
  V,Ed=93.19 Vc,Rd=7560.76 V,Ed/Vc,Rd=0.01

Asta n. 6160 (-68 -76) calastrelli 50x10 Crit. 1

- Verifica di stabilità aste inflesse (4.2.4.1.3.2) CC 17 SLU - Classe 3
  L_{cr}=0.29 Curva d: α_{imp}=0.76 k_c=0.94 ψ=3.07 M,cr=0.00 λ_{LT}=0.00
  $\lambda_{LT,0}$=0.20 β_{LT}=1.00 Φ_{LT}=0.00 β_{LT}=1.00 f=0.00 χ_{LT}=1.00
  CC 17 SLU My,Ed=4.58 My,b,Rd=109.13 My,Ed/My,b,Rd=0.04

- Verifica di stabilità aste presso-inflesse (C4.2.4.1.3.3.1) - CC 19 SLU - Classe 3
  Sollecitazioni: N,Ed=-1.74 Myeq,Ed=8.11 Mzeq,Ed=-0.11
  Resistenze: Nc,Rd=13095.20 My,c,Rd=109.13 Mz,c,Rd=21.83 L=28.75

λ_Y=19.92 Ncr,y=261199.00 λ^*_y=0.23 Curva c: Φ_y=0.53 χ_y=0.99
λ_Z=99.59 Ncr,z=10448.00 λ^*_z=1.15 Curva c: Φ_z=1.39 χ_z=0.46
χ,min=0.46
Verifica: 0.00+0.07+0.00=0.08

- Verifica in termini tensionali [4.2.4] - CC 19 SLU Xl=0.03 - Classe 3
Sollecitazioni: N=-1.74 T_z=72.32 M_y=8.11
Tensioni: σ_N=-0.35 σ_M=-194.75 τ=0.00 σ_{max}=-195.10
Tensioni: σ_N=-0.35 σ_M=-0.00 τ=21.70 τ_{max}=21.70
Tensioni: σ_N=-0.35 σ_M=-194.75 τ=0.00 $\sigma_{ID,max}$=195.10

- Verifica a taglio dir. Z [4.2.16] - CC 17 SLU Xl=0.13
Sollecitazioni: N=4.14 T_z=40.58
V,Ed=40.58 Vc,Rd=7560.76 V,Ed/Vc,Rd=0.01

Asta n. 6161 (-36 -44) calastrelli 100x5 Crit. 1

- Verifica di stabilità aste inflesse (4.2.4.1.3.2) CC 9 SLU - Classe 3
L_{cr}=0.29 Curva d: α_{imp}=0.76 k_c=0.94 ψ=2.63 M,cr=0.00 λ_{LT}=0.00
$\lambda_{LT,0}$=0.20 β_{LT}=1.00 Φ_{LT}=0.00 β_{LT}=1.00 f=0.00 χ_{LT}=1.00
CC 9 SLU My,Ed=-11.44 My,b,Rd=436.51 My,Ed/My,b,Rd=0.03

- Verifica di stabilità aste presso-inflesse (C4.2.4.1.3.3.1) - CC 17 SLU - Classe 3
Sollecitazioni: N,Ed=-111.96 Myeq,Ed=7.08 Mzeq,Ed=-0.07
Resistenze: Nc,Rd=26190.50 My,c,Rd=436.51 Mz,c,Rd=43.65 L=29.38
λ_Y=10.18 Ncr,y=2001620.00 λ^*_y=0.12 Curva c: Φ_y=0.49 χ_y=1.00
λ_Z=101.76 Ncr,z=20016.20 λ^*_z=1.17 Curva c: Φ_z=1.43 χ_z=0.45
χ,min=0.45
Verifica: 0.00+0.02+0.00=0.02

- Verifica in termini tensionali [4.2.4] - CC 9 SLU Xl=0.26 - Classe 3
Sollecitazioni: N=112.15 T_z=83.26 M_y=-11.44
Tensioni: σ_N=11.21 σ_M=68.62 τ=0.00 σ_{max}=79.84
Tensioni: σ_N=11.21 σ_M=0.00 τ=12.49 τ_{max}=12.49
Tensioni: σ_N=11.21 σ_M=68.62 τ=0.00 $\sigma_{ID,max}$=79.84

- Verifica a taglio dir. Z [4.2.16] - CC 19 SLU Xl=0.13
Sollecitazioni: N=3.03 T_z=85.66
V,Ed=85.66 Vc,Rd=15121.50 V,Ed/Vc,Rd=0.01

Asta n. 6162 (-4 -12) calastrelli 100x5 Crit. 1

- Verifica di stabilità aste inflesse (4.2.4.1.3.2) CC 19 SLU - Classe 3
L_{cr}=0.30 Curva d: α_{imp}=0.76 k_c=0.94 ψ=2.92 M,cr=0.00 λ_{LT}=0.00
$\lambda_{LT,0}$=0.20 β_{LT}=1.00 Φ_{LT}=0.00 β_{LT}=1.00 f=0.00 χ_{LT}=1.00
CC 19 SLU My,Ed=-7.81 My,b,Rd=436.51 My,Ed/My,b,Rd=0.02

- Verifica di stabilità aste presso-inflesse (C4.2.4.1.3.3.1) - CC 17 SLU - Classe 3
Sollecitazioni: N,Ed=-254.05 Myeq,Ed=-4.67 Mzeq,Ed=0.04
Resistenze: Nc,Rd=26190.50 My,c,Rd=436.51 Mz,c,Rd=43.65 L=29.69
λ_Y=10.28 Ncr,y=1959700.00 λ^*_y=0.12 Curva c: Φ_y=0.49 χ_y=1.00
λ_Z=102.84 Ncr,z=19597.00 λ^*_z=1.18 Curva c: Φ_z=1.44 χ_z=0.44
χ,min=0.44
Verifica: 0.01+0.01+0.00=0.02

- Verifica in termini tensionali [4.2.4] - CC 9 SLU Xl=0.26 - Classe 3
Sollecitazioni: N=323.00 T_z=60.85 M_y=-7.46
Tensioni: σ_N=32.30 σ_M=44.73 τ=0.00 σ_{max}=77.03
Tensioni: σ_N=32.30 σ_M=0.00 τ=9.13 τ_{max}=9.13

Tensioni: σ_N=32.30 σ_M=44.73 τ=0.00 $\sigma_{ID,max}$=77.03

- Verifica a taglio dir. Z [4.2.16] - CC 19 SLU Xl=0.13
Sollecitazioni: N=49.61 T_z=63.27
V,Ed=63.27 Vc,Rd=15121.50 V,Ed/Vc,Rd=0.00

Asta n. 6163 (318 330) angolari L50x10 Crit. 1

- Verifica di stabilità aste inflesse (4.2.4.1.3.2) CC 17 SLU - Classe 3
L_{cr}=0.15 Curva d: α_{imp}=0.76 k_c=0.94 ψ=2.86 M,cr=0.00 λ_{LT}=0.00
$\lambda_{LT,0}$=0.00 β_{LT}=0.00 Φ_{LT}=0.00 β_{LT}=0.00 f=0.00 χ_{LT}=1.00
CC 17 SLU My,Ed=-45.39 My,b,Rd=149.05 My,Ed/My,b,Rd=0.30

- Verifica di stabilità aste presso-inflesse (C4.2.4.1.3.3.1) - CC 18 SLU - Classe 3
Sollecitazioni: N,Ed=-311.91 Myeq,Ed=44.92 Mzeq,Ed=-0.32
Resistenze: Nc,Rd=23709.20 My,c,Rd=149.05 Mz,c,Rd=149.05 L=15.00
λ_c=8.19 Ncr,y=2794040.00 λ^*_y=0.09 Curva b: Φ_y=0.00 χ_y=1.00
λ_e=15.58 Ncr,z=772688.00 λ^*_z=0.18 Curva b: Φ_z=0.00 χ_z=1.00
χ,min=1.00
Verifica: 0.01+0.30+0.00=0.32

- Verifica in termini tensionali [4.2.4] - CC 18 SLU Xl=0.15 - Classe 3
Sollecitazioni: N=-311.91 T_z=-552.84 M_y=44.92 T_y=3.77
Tensioni: σ_N=-34.46 σ_M=979.09 τ=27.04 σ_{max}=944.64
Tensioni: σ_N=-34.46 σ_M=-184.76 τ=159.33 τ_{max}=159.33
Tensioni: σ_N=-34.46 σ_M=979.09 τ=27.04 $\sigma_{ID,max}$=945.80

- Verifica a taglio e torsione dir. Y [4.2.26] - CC 17 SLU Xl=0.08
Sollecitazioni: N=480.38 T_z=634.92 T_y=29.28 M_x=1.16
V,Ed=29.28
τ,Ed=218.73 τ,Rd=1512.15 τ,Ed/τ,Rd=0.14

Asta n. 6163 (330 342) angolari L50x10 Crit. 1

- Verifica di stabilità aste inflesse (4.2.4.1.3.2) CC 17 SLU - Classe 3
L_{cr}=0.15 Curva d: α_{imp}=0.76 k_c=0.94 ψ=2.69 M,cr=0.00 λ_{LT}=0.00
$\lambda_{LT,0}$=0.00 β_{LT}=0.00 Φ_{LT}=0.00 β_{LT}=0.00 f=0.00 χ_{LT}=1.00
CC 17 SLU My,Ed=-50.55 My,b,Rd=149.05 My,Ed/My,b,Rd=0.34

- Verifica di stabilità aste presso-inflesse (C4.2.4.1.3.3.1) - CC 18 SLU - Classe 3
Sollecitazioni: N,Ed=-393.76 Myeq,Ed=34.72 Mzeq,Ed=-0.23
Resistenze: Nc,Rd=23709.20 My,c,Rd=149.05 Mz,c,Rd=149.05 L=15.00
λ_c=8.19 Ncr,y=2794040.00 λ^*_y=0.09 Curva b: Φ_y=0.00 χ_y=1.00
λ_e=15.58 Ncr,z=772688.00 λ^*_z=0.18 Curva b: Φ_z=0.00 χ_z=1.00
χ,min=1.00
Verifica: 0.02+0.23+0.00=0.25

- Verifica in termini tensionali [4.2.4] - CC 17 SLU Xl=0.00 - Classe 3
Sollecitazioni: N=418.44 T_z=-662.83 M_y=-50.55 T_y=-28.19 M_z=2.92 M_x=-1.16 (M_c=-37.81 M_e=-33.68)
Tensioni: σ_N=46.22 σ_M=-1079.93 τ=48.30 σ_{max}=-1033.71
Tensioni: σ_N=46.22 σ_M=574.64 τ=226.84 τ_{max}=226.84
Tensioni: σ_N=46.22 σ_M=-1079.93 τ=48.30 $\sigma_{ID,max}$=1037.09

- Verifica a taglio dir. Y [4.2.16] - CC 18 SLU Xl=0.07
Sollecitazioni: N=-393.76 T_z=486.73 T_y=-2.71
V,Ed=-2.71 Vc,Rd=7560.76 V,Ed/Vc,Rd=0.00

- Verifica a taglio dir. Z [4.2.16]
V,Ed=486.73 Vc,Rd=7560.76 V,Ed/Vc,Rd=0.06

Asta n. 6164 (319 331) angolari L50x10 Crit. 1

- Verifica di stabilità aste inflesse (4.2.4.1.3.2) CC 1 SLV - Classe 3
  L_{cr}=0.15 Curva d: α_{imp}=0.76 k_c=0.94 ψ=2.09 M,cr=0.00 λ_{LT}=0.00
  $\lambda_{LT,0}$=0.00 β_{LT}=0.00 Φ_{LT}=0.00 β_{LT}=0.00 f=0.00 χ_{LT}=1.00
  CC 1 SLV My,Ed=-0.86 My,b,Rd=149.05 My,Ed/My,b,Rd=0.01

- Verifica di stabilità aste presso-inflesse (C4.2.4.1.3.3.1) - CC 17 SLU - Classe 3
  Sollecitazioni: N,Ed=-808.19 Myeq,Ed=2.24 Mzeq,Ed=-93.80
  Resistenze: Nc,Rd=23709.20 My,c,Rd=149.05 Mz,c,Rd=149.05 L=15.00
  λ_c=8.19 Ncr,y=2794040.00 λ^*_y=0.09 Curva b: Φ_y=0.00 χ_y=1.00
  λ_e=15.58 Ncr,z=772688.00 λ^*_z=0.18 Curva b: Φ_z=0.00 χ_z=1.00
  χ,min=1.00
  Verifica: 0.03+0.02+0.63=0.68

- Verifica Freccia massima carichi totali - CC 21
  $f_{Z,G}$=0.00 (L/11555)

- Verifica in termini tensionali [4.2.4] - CC 17 SLU Xl=0.15 - Classe 3
  Sollecitazioni: N=-808.19 T_z=-26.03 M_y=2.93 T_y=-1230.41 M_z=-93.80 M_x=1.36 (M_c=68.39 M_e=-64.25)
  Tensioni: σ_N=-89.28 σ_M=-2022.56 τ=67.27 σ_{max}=-2111.84
  Tensioni: σ_N=-89.28 σ_M=1081.59 τ=396.55 τ_{max}=396.55
  Tensioni: σ_N=-89.28 σ_M=-2022.56 τ=67.27 $\sigma_{ID,max}$=2115.05

- Verifica a taglio dir. Y [4.2.16] - CC 9 SLU Xl=0.07
  Sollecitazioni: N=-252.06 T_z=3.17 T_y=-475.40
  V,Ed=-475.40 Vc,Rd=7560.76 V,Ed/Vc,Rd=0.06

- Verifica a taglio dir. Z [4.2.16]
  V,Ed=3.17 Vc,Rd=7560.76 V,Ed/Vc,Rd=0.00

Asta n. 6164 (331 343) angolari L50x10 Crit. 1

- Verifica di stabilità aste inflesse (4.2.4.1.3.2) CC 1 SLV - Classe 3
  L_{cr}=0.15 Curva d: α_{imp}=0.76 k_c=0.94 ψ=1.47 M,cr=0.00 λ_{LT}=0.00
  $\lambda_{LT,0}$=0.00 β_{LT}=0.00 Φ_{LT}=0.00 β_{LT}=0.00 f=0.00 χ_{LT}=1.00
  CC 1 SLV My,Ed=0.86 My,b,Rd=149.05 My,Ed/My,b,Rd=0.01

- Verifica di stabilità aste presso-inflesse (C4.2.4.1.3.3.1) - CC 17 SLU - Classe 3
  Sollecitazioni: N,Ed=-859.55 Myeq,Ed=2.25 Mzeq,Ed=-89.03
  Resistenze: Nc,Rd=23709.20 My,c,Rd=149.05 Mz,c,Rd=149.05 L=15.00
  λ_c=8.19 Ncr,y=2794040.00 λ^*_y=0.09 Curva b: Φ_y=0.00 χ_y=1.00
  λ_e=15.58 Ncr,z=772688.00 λ^*_z=0.18 Curva b: Φ_z=0.00 χ_z=1.00
  χ,min=1.00
  Verifica: 0.04+0.02+0.60=0.65

- Verifica Freccia massima carichi totali - CC 21
  $f_{Z,G}$=0.00 (L/11965)

- Verifica in termini tensionali [4.2.4] - CC 17 SLU Xl=0.00 - Classe 3
  Sollecitazioni: N=-859.55 T_z=26.21 M_y=2.95 T_y=1203.78 M_z=-89.03 M_x=-1.36 (M_c=65.04 M_e=-60.87)
  Tensioni: σ_N=-94.95 σ_M=-1918.53 τ=66.29 σ_{max}=-2013.48
  Tensioni: σ_N=-94.95 σ_M=1025.59 τ=388.73 τ_{max}=388.73
  Tensioni: σ_N=-94.95 σ_M=-1918.53 τ=66.29 $\sigma_{ID,max}$=2016.76

- Verifica a taglio dir. Y [4.2.16] - CC 19 SLU Xl=0.07
  Sollecitazioni: N=-739.43 T_z=14.27 T_y=983.68
  V,Ed=983.68 Vc,Rd=7560.76 V,Ed/Vc,Rd=0.13

- Verifica a taglio dir. Z [4.2.16]
  V,Ed=14.27 Vc,Rd=7560.76 V,Ed/Vc,Rd=0.00

Asta n. 6165 (-5 -13) calastrelli 100x5 Crit. 1

- Verifica di stabilità aste inflesse (4.2.4.1.3.2) CC 9 SLU - Classe 3
  L_{cr}=0.30 Curva d: α_{imp}=0.76 k_c=0.94 ψ=2.95 M,cr=0.00 λ_{LT}=0.00
  $\lambda_{LT,0}$=0.20 β_{LT}=1.00 Φ_{LT}=0.00 β_{LT}=1.00 f=0.00 χ_{LT}=1.00
  CC 9 SLU My,Ed=-7.62 My,b,Rd=436.51 My,Ed/My,b,Rd=0.02

- Verifica di stabilità aste presso-inflesse (C4.2.4.1.3.3.1) - CC 1 SLV - Classe 3
  Sollecitazioni: N,Ed=-36.68 Myeq,Ed=-2.55 Mzeq,Ed=-0.02
  Resistenze: Nc,Rd=26190.50 My,c,Rd=436.51 Mz,c,Rd=43.65 L=29.69
  λ_Y=10.28 Ncr,y=1959700.00 λ^*_y=0.12 Curva c: Φ_y=0.49 χ_y=1.00
  λ_Z=102.84 Ncr,z=19597.00 λ^*_z=1.18 Curva c: Φ_z=1.44 χ_z=0.44
  χ,min=0.44
  Verifica: 0.00+0.01+0.00=0.01

- Verifica in termini tensionali [4.2.4] - CC 19 SLU Xl=0.27 - Classe 3
  Sollecitazioni: N=597.80 T_z=60.34 M_y=-7.30
  Tensioni: σ_N=59.78 σ_M=43.81 τ=0.00 σ_{max}=103.59
  Tensioni: σ_N=59.78 σ_M=0.00 τ=9.05 τ_{max}=9.05
  Tensioni: σ_N=59.78 σ_M=43.81 τ=0.00 $\sigma_{ID,max}$=103.59

- Verifica a taglio dir. Z [4.2.16] - CC 9 SLU Xl=0.14
  Sollecitazioni: N=324.40 T_z=62.47
  V,Ed=62.47 Vc,Rd=15121.50 V,Ed/Vc,Rd=0.00

Asta n. 6166 (-37 -45) calastrelli 100x5 Crit. 1

- Verifica di stabilità aste inflesse (4.2.4.1.3.2) CC 19 SLU - Classe 3
  L_{cr}=0.29 Curva d: α_{imp}=0.76 k_c=0.94 ψ=2.30 M,cr=0.00 λ_{LT}=0.00
  $\lambda_{LT,0}$=0.20 β_{LT}=1.00 Φ_{LT}=0.00 β_{LT}=1.00 f=0.00 χ_{LT}=1.00
  CC 19 SLU My,Ed=-13.01 My,b,Rd=436.51 My,Ed/My,b,Rd=0.03

- Verifica di stabilità aste presso-inflesse (C4.2.4.1.3.3.1) - CC 1 SLV - Classe 3
  Sollecitazioni: N,Ed=-20.14 Myeq,Ed=-4.40 Mzeq,Ed=0.03
  Resistenze: Nc,Rd=26190.50 My,c,Rd=436.51 Mz,c,Rd=43.65 L=29.38
  λ_Y=10.18 Ncr,y=2001620.00 λ^*_y=0.12 Curva c: Φ_y=0.49 χ_y=1.00
  λ_Z=101.76 Ncr,z=20016.20 λ^*_z=1.17 Curva c: Φ_z=1.43 χ_z=0.45
  χ,min=0.45
  Verifica: 0.00+0.01+0.00=0.01

- Verifica in termini tensionali [4.2.4] - CC 19 SLU Xl=0.27 - Classe 3
  Sollecitazioni: N=219.39 T_z=81.63 M_y=-13.01
  Tensioni: σ_N=21.94 σ_M=78.05 τ=0.00 σ_{max}=99.99
  Tensioni: σ_N=21.94 σ_M=0.00 τ=12.24 τ_{max}=12.24
  Tensioni: σ_N=21.94 σ_M=78.05 τ=0.00 $\sigma_{ID,max}$=99.99

- Verifica a taglio dir. Z [4.2.16] - CC 9 SLU Xl=0.12
  Sollecitazioni: N=110.25 T_z=84.62
  V,Ed=84.62 Vc,Rd=15121.50 V,Ed/Vc,Rd=0.01

Asta n. 6167 (-69 -77) calastrelli 50x10 Crit. 1

- Verifica di stabilità aste presso-inflesse (C4.2.4.1.3.3.1) - CC 9 SLU - Classe 3
  Sollecitazioni: N,Ed=-6.43 Myeq,Ed=-7.96 Mzeq,Ed=-0.10
  Resistenze: Nc,Rd=13095.20 My,c,Rd=109.13 Mz,c,Rd=21.83 L=28.75

λ_Y=19.92 Ncr,y=261199.00 λ^*_y=0.23 Curva c: Φ_y=0.53 χ_y=0.99
λ_Z=99.59 Ncr,z=10448.00 λ^*_z=1.15 Curva c: Φ_z=1.39 χ_z=0.46
χ,min=0.46
Verifica: 0.00+0.07+0.00=0.08

- Verifica in termini tensionali [4.2.4] - CC 9 SLU Xl=0.26 - Classe 3
Sollecitazioni: N=-6.43 T_z=70.36 M_y=-7.96
Tensioni: σ_N=-1.29 σ_M=-191.10 τ=0.00 σ_{max}=-192.39
Tensioni: σ_N=-1.29 σ_M=0.00 τ=21.11 τ_{max}=21.11
Tensioni: σ_N=-1.29 σ_M=-191.10 τ=0.00 $\sigma_{ID,max}$=192.39

- Verifica a taglio dir. Z [4.2.16] - CC 1 SLV Xl=0.12
Sollecitazioni: T_z=23.85
V,Ed=23.85 Vc,Rd=7560.76 V,Ed/Vc,Rd=0.00

Asta n. 6168 (-101 -109) calastrelli 50x10 Crit. 1

- Verifica di stabilità aste inflesse (4.2.4.1.3.2) CC 9 SLU - Classe 3
L_{cr}=0.28 Curva d: α_{imp}=0.76 k_c=0.94 ψ=3.08 M,cr=0.00 λ_{LT}=0.00
$\lambda_{LT,0}$=0.20 β_{LT}=1.00 Φ_{LT}=0.00 β_{LT}=1.00 f=0.00 χ_{LT}=1.00
CC 9 SLU My,Ed=-10.09 My,b,Rd=109.13 My,Ed/My,b,Rd=0.09

- Verifica di stabilità aste presso-inflesse (C4.2.4.1.3.3.1) - CC 18 SLU - Classe 3
Sollecitazioni: N,Ed=-0.57 Myeq,Ed=-8.44 Mzeq,Ed=-0.11
Resistenze: Nc,Rd=13095.20 My,c,Rd=109.13 Mz,c,Rd=21.83 L=28.13
λ_Y=19.49 Ncr,y=272937.00 λ^*_y=0.22 Curva c: Φ_y=0.53 χ_y=0.99
λ_Z=97.43 Ncr,z=10917.50 λ^*_z=1.12 Curva c: Φ_z=1.36 χ_z=0.47
χ,min=0.47
Verifica: 0.00+0.08+0.00=0.08

- Verifica a flessione [4.2.13] - CC 9 SLU Xl=0.25 - Classe 3
Sollecitazioni: T_z=91.49 M_y=-10.09 T_y=-1.14
My,Ed=-10.09 My,c,Rd=109.13 My,Ed/My,c,Rd=0.09

- Verifica a taglio dir. Y [4.2.16] - CC 9 SLU Xl=0.13
Sollecitazioni: T_z=92.09 T_y=-1.14
V,Ed=-1.14 Vc,Rd=7560.76 V,Ed/Vc,Rd=0.00

- Verifica a taglio dir. Z [4.2.16]
V,Ed=92.09 Vc,Rd=7560.76 V,Ed/Vc,Rd=0.01

Asta n. 6169 (-133 -141) calastrelli 50x10 Crit. 1

- Verifica di stabilità aste presso-inflesse (C4.2.4.1.3.3.1) - CC 9 SLU - Classe 3
Sollecitazioni: N,Ed=-0.01 Myeq,Ed=-10.68 Mzeq,Ed=-0.14
Resistenze: Nc,Rd=13095.20 My,c,Rd=109.13 Mz,c,Rd=21.83 L=27.50
λ_Y=19.05 Ncr,y=285484.00 λ^*_y=0.22 Curva c: Φ_y=0.53 χ_y=0.99
λ_Z=95.26 Ncr,z=11419.40 λ^*_z=1.10 Curva c: Φ_z=1.32 χ_z=0.49
χ,min=0.49
Verifica: 0.00+0.10+0.01=0.10

- Verifica a flessione [4.2.13] - CC 9 SLU Xl=0.25 - Classe 3
Sollecitazioni: T_z=99.78 M_y=-10.68 T_y=-1.30
My,Ed=-10.68 My,c,Rd=109.13 My,Ed/My,c,Rd=0.10

- Verifica a taglio dir. Y [4.2.16] - CC 9 SLU Xl=0.13
Sollecitazioni: T_z=100.37 T_y=-1.30
V,Ed=-1.30 Vc,Rd=7560.76 V,Ed/Vc,Rd=0.00

- Verifica a taglio dir. Z [4.2.16]

V,Ed=100.37 Vc,Rd=7560.76 V,Ed/Vc,Rd=0.01

Asta n. 6170 (-165 -173) calastrelli 50x10 Crit. 1

- Verifica di stabilità aste presso-inflesse (C4.2.4.1.3.3.1) - CC 9 SLU - Classe 3
Sollecitazioni: N,Ed=-0.00 Myeq,Ed=-10.94 Mzeq,Ed=-0.14
Resistenze: Nc,Rd=13095.20 My,c,Rd=109.13 Mz,c,Rd=21.83 L=26.88
λ_Y=18.62 Ncr,y=298917.00 λ^*_y=0.21 Curva c: Φ_y=0.53 χ_y=0.99
λ_Z=93.10 Ncr,z=11956.70 λ^*_z=1.07 Curva c: Φ_z=1.29 χ_z=0.50
χ,min=0.50
Verifica: 0.00+0.10+0.01=0.11

- Verifica a flessione [4.2.13] - CC 9 SLU Xl=0.24 - Classe 3
Sollecitazioni: T_z=105.35 M_y=-10.94 T_y=-1.39
My,Ed=-10.94 My,c,Rd=109.13 My,Ed/My,c,Rd=0.10

- Verifica a taglio dir. Y [4.2.16] - CC 9 SLU Xl=0.13
Sollecitazioni: T_z=105.92 T_y=-1.39
V,Ed=-1.39 Vc,Rd=7560.76 V,Ed/Vc,Rd=0.00

- Verifica a taglio dir. Z [4.2.16]
V,Ed=105.92 Vc,Rd=7560.76 V,Ed/Vc,Rd=0.01

Asta n. 6171 (-197 -205) calastrelli 50x10 Crit. 1

- Verifica di stabilità aste inflesse (4.2.4.1.3.2) CC 9 SLU - Classe 3
L_{cr}=0.26 Curva d: α_{imp}=0.76 k_c=0.94 ψ=3.07 M,cr=0.00 λ_{LT}=0.00
$\lambda_{LT,0}$=0.20 β_{LT}=1.00 Φ_{LT}=0.00 β_{LT}=1.00 f=0.00 χ_{LT}=1.00
CC 9 SLU My,Ed=-11.13 My,b,Rd=109.13 My,Ed/My,b,Rd=0.10

- Verifica di stabilità aste presso-inflesse (C4.2.4.1.3.3.1) - CC 19 SLU - Classe 3
Sollecitazioni: N,Ed=-0.14 Myeq,Ed=-10.96 Mzeq,Ed=-0.16
Resistenze: Nc,Rd=13095.20 My,c,Rd=109.13 Mz,c,Rd=21.83 L=26.25
λ_Y=18.19 Ncr,y=313321.00 λ^*_y=0.21 Curva c: Φ_y=0.52 χ_y=1.00
λ_Z=90.93 Ncr,z=12532.80 λ^*_z=1.05 Curva c: Φ_z=1.26 χ_z=0.51
χ,min=0.51
Verifica: 0.00+0.10+0.01=0.11

- Verifica a flessione [4.2.13] - CC 9 SLU Xl=0.23 - Classe 3
Sollecitazioni: T_z=110.54 M_y=-11.13 T_y=-1.47
My,Ed=-11.13 My,c,Rd=109.13 My,Ed/My,c,Rd=0.10

- Verifica a taglio dir. Y [4.2.16] - CC 9 SLU Xl=0.13
Sollecitazioni: T_z=111.10 T_y=-1.47
V,Ed=-1.47 Vc,Rd=7560.76 V,Ed/Vc,Rd=0.00

- Verifica a taglio dir. Z [4.2.16]
V,Ed=111.10 Vc,Rd=7560.76 V,Ed/Vc,Rd=0.01

Asta n. 6172 (-229 -237) calastrelli 50x10 Crit. 1

- Verifica di stabilità aste inflesse (4.2.4.1.3.2) CC 9 SLU - Classe 3
L_{cr}=0.26 Curva d: α_{imp}=0.76 k_c=0.94 ψ=3.07 M,cr=0.00 λ_{LT}=0.00
$\lambda_{LT,0}$=0.20 β_{LT}=1.00 Φ_{LT}=0.00 β_{LT}=1.00 f=0.00 χ_{LT}=1.00
CC 9 SLU My,Ed=-11.31 My,b,Rd=109.13 My,Ed/My,b,Rd=0.10

- Verifica di stabilità aste presso-inflesse (C4.2.4.1.3.3.1) - CC 19 SLU - Classe 3
Sollecitazioni: N,Ed=-0.14 Myeq,Ed=-11.14 Mzeq,Ed=-0.17
Resistenze: Nc,Rd=13095.20 My,c,Rd=109.13 Mz,c,Rd=21.83 L=25.63
λ_Y=17.75 Ncr,y=328791.00 λ^*_y=0.20 Curva c: Φ_y=0.52 χ_y=1.00

λ_Z=88.77 Ncr,z=13151.60 λ^*_z=1.02 Curva c: Φ_z=1.22 χ_z=0.53
χ,min=0.53
Verifica: 0.00+0.10+0.01=0.11

- Verifica a flessione [4.2.13] - CC 9 SLU Xl=0.23 - Classe 3
Sollecitazioni: T_z=115.94 M_y=-11.31 T_y=-1.55
My,Ed=-11.31 My,c,Rd=109.13 My,Ed/My,c,Rd=0.10

- Verifica a taglio dir. Y [4.2.16] - CC 9 SLU Xl=0.12
Sollecitazioni: T_z=116.48 T_y=-1.55
V,Ed=-1.55 Vc,Rd=7560.76 V,Ed/Vc,Rd=0.00

- Verifica a taglio dir. Z [4.2.16]
V,Ed=116.48 Vc,Rd=7560.76 V,Ed/Vc,Rd=0.02

Asta n. 6173 (-261 -269) calastrelli 50x10 Crit. 1

- Verifica di stabilità aste inflesse (4.2.4.1.3.2) CC 9 SLU - Classe 3
L_{cr}=0.25 Curva d: α_{imp}=0.76 k_c=0.94 ψ=3.07 M,cr=0.00 λ_{LT}=0.00
$\lambda_{LT,0}$=0.20 β_{LT}=1.00 Φ_{LT}=0.00 β_{LT}=1.00 f=0.00 χ_{LT}=1.00
CC 9 SLU My,Ed=-11.49 My,b,Rd=109.13 My,Ed/My,b,Rd=0.11

- Verifica di stabilità aste presso-inflesse (C4.2.4.1.3.3.1) - CC 19 SLU - Classe 3
Sollecitazioni: N,Ed=-0.13 Myeq,Ed=-11.31 Mzeq,Ed=-0.17
Resistenze: Nc,Rd=13095.20 My,c,Rd=109.13 Mz,c,Rd=21.83 L=25.00
λ_Y=17.32 Ncr,y=345436.00 λ^*_y=0.20 Curva c: Φ_y=0.52 χ_y=1.00
λ_Z=86.60 Ncr,z=13817.40 λ^*_z=1.00 Curva c: Φ_z=1.19 χ_z=0.54
χ,min=0.54
Verifica: 0.00+0.10+0.01=0.11

- Verifica a flessione [4.2.13] - CC 9 SLU Xl=0.22 - Classe 3
Sollecitazioni: T_z=121.69 M_y=-11.49 T_y=-1.63
My,Ed=-11.49 My,c,Rd=109.13 My,Ed/My,c,Rd=0.11

- Verifica a taglio dir. Y [4.2.16] - CC 9 SLU Xl=0.12
Sollecitazioni: T_z=122.21 T_y=-1.63
V,Ed=-1.63 Vc,Rd=7560.76 V,Ed/Vc,Rd=0.00

- Verifica a taglio dir. Z [4.2.16]
V,Ed=122.21 Vc,Rd=7560.76 V,Ed/Vc,Rd=0.02

Asta n. 6174 (-293 -301) calastrelli 50x10 Crit. 1

- Verifica di stabilità aste inflesse (4.2.4.1.3.2) CC 9 SLU - Classe 3
L_{cr}=0.24 Curva d: α_{imp}=0.76 k_c=0.94 ψ=3.07 M,cr=0.00 λ_{LT}=0.00
$\lambda_{LT,0}$=0.20 β_{LT}=1.00 Φ_{LT}=0.00 β_{LT}=1.00 f=0.00 χ_{LT}=1.00
CC 9 SLU My,Ed=-11.67 My,b,Rd=109.13 My,Ed/My,b,Rd=0.11

- Verifica di stabilità aste presso-inflesse (C4.2.4.1.3.3.1) - CC 19 SLU - Classe 3
Sollecitazioni: N,Ed=-0.13 Myeq,Ed=-11.49 Mzeq,Ed=-0.17
Resistenze: Nc,Rd=13095.20 My,c,Rd=109.13 Mz,c,Rd=21.83 L=24.38
λ_Y=16.89 Ncr,y=363378.00 λ^*_y=0.19 Curva c: Φ_y=0.52 χ_y=1.00
λ_Z=84.44 Ncr,z=14535.10 λ^*_z=0.97 Curva c: Φ_z=1.16 χ_z=0.56
χ,min=0.56
Verifica: 0.00+0.11+0.01=0.11

- Verifica a flessione [4.2.13] - CC 9 SLU Xl=0.22 - Classe 3
Sollecitazioni: T_z=127.86 M_y=-11.67 T_y=-1.71
My,Ed=-11.67 My,c,Rd=109.13 My,Ed/My,c,Rd=0.11

- Verifica a taglio dir. Y [4.2.16] - CC 9 SLU Xl=0.12
  Sollecitazioni: T_z=128.37 T_y=-1.71
  V,Ed=-1.71 Vc,Rd=7560.76 V,Ed/Vc,Rd=0.00

- Verifica a taglio dir. Z [4.2.16]
  V,Ed=128.37 Vc,Rd=7560.76 V,Ed/Vc,Rd=0.02

Asta n. 6175 (-325 -333) calastrelli 50x10 Crit. 1

- Verifica di stabilità aste inflesse (4.2.4.1.3.2) CC 9 SLU - Classe 3
  L_{cr}=0.24 Curva d: α_{imp}=0.76 k_c=0.94 ψ=3.07 M,cr=0.00 λ_{LT}=0.00
  $\lambda_{LT,0}$=0.20 β_{LT}=1.00 Φ_{LT}=0.00 β_{LT}=1.00 f=0.00 χ_{LT}=1.00
  CC 9 SLU My,Ed=-11.85 My,b,Rd=109.13 My,Ed/My,b,Rd=0.11

- Verifica di stabilità aste presso-inflesse (C4.2.4.1.3.3.1) - CC 19 SLU - Classe 3
  Sollecitazioni: N,Ed=-0.12 Myeq,Ed=-11.67 Mzeq,Ed=-0.17
  Resistenze: Nc,Rd=13095.20 My,c,Rd=109.13 Mz,c,Rd=21.83 L=23.75
  λ_Y=16.45 Ncr,y=382755.00 λ^*_y=0.19 Curva c: Φ_y=0.52 χ_y=1.00
  λ_Z=82.27 Ncr,z=15310.20 λ^*_z=0.95 Curva c: Φ_z=1.13 χ_z=0.57
  χ,min=0.57
  Verifica: 0.00+0.11+0.01=0.11

- Verifica a flessione [4.2.13] - CC 9 SLU Xl=0.21 - Classe 3
  Sollecitazioni: T_z=134.50 M_y=-11.85 T_y=-1.80
  My,Ed=-11.85 My,c,Rd=109.13 My,Ed/My,c,Rd=0.11

- Verifica a taglio dir. Y [4.2.16] - CC 9 SLU Xl=0.11
  Sollecitazioni: T_z=134.99 T_y=-1.80
  V,Ed=-1.80 Vc,Rd=7560.76 V,Ed/Vc,Rd=0.00

- Verifica a taglio dir. Z [4.2.16]
  V,Ed=134.99 Vc,Rd=7560.76 V,Ed/Vc,Rd=0.02

Asta n. 6176 (-357 -365) calastrelli 50x10 Crit. 1

- Verifica di stabilità aste inflesse (4.2.4.1.3.2) CC 9 SLU - Classe 3
  L_{cr}=0.23 Curva d: α_{imp}=0.76 k_c=0.94 ψ=3.07 M,cr=0.00 λ_{LT}=0.00
  $\lambda_{LT,0}$=0.20 β_{LT}=1.00 Φ_{LT}=0.00 β_{LT}=1.00 f=0.00 χ_{LT}=1.00
  CC 9 SLU My,Ed=-12.03 My,b,Rd=109.13 My,Ed/My,b,Rd=0.11

- Verifica di stabilità aste presso-inflesse (C4.2.4.1.3.3.1) - CC 19 SLU - Classe 3
  Sollecitazioni: N,Ed=-0.09 Myeq,Ed=-11.85 Mzeq,Ed=-0.18
  Resistenze: Nc,Rd=13095.20 My,c,Rd=109.13 Mz,c,Rd=21.83 L=23.13
  λ_Y=16.02 Ncr,y=403724.00 λ^*_y=0.18 Curva c: Φ_y=0.51 χ_y=1.00
  λ_Z=80.11 Ncr,z=16149.00 λ^*_z=0.92 Curva c: Φ_z=1.10 χ_z=0.59
  χ,min=0.59
  Verifica: 0.00+0.11+0.01=0.12

- Verifica a flessione [4.2.13] - CC 9 SLU Xl=0.20 - Classe 3
  Sollecitazioni: T_z=141.64 M_y=-12.03 T_y=-1.90
  My,Ed=-12.03 My,c,Rd=109.13 My,Ed/My,c,Rd=0.11

- Verifica a taglio dir. Y [4.2.16] - CC 9 SLU Xl=0.11
  Sollecitazioni: T_z=142.11 T_y=-1.90
  V,Ed=-1.90 Vc,Rd=7560.76 V,Ed/Vc,Rd=0.00

- Verifica a taglio dir. Z [4.2.16]
  V,Ed=142.11 Vc,Rd=7560.76 V,Ed/Vc,Rd=0.02

Asta n. 6177 (-389 -397) calastrelli 50x10 Crit. 1

- Verifica di stabilità aste presso-inflesse (C4.2.4.1.3.3.1) - CC 9 SLU - Classe 3
  Sollecitazioni: N,Ed=-0.19 Myeq,Ed=-12.22 Mzeq,Ed=-0.16
  Resistenze: Nc,Rd=13095.20 My,c,Rd=109.13 Mz,c,Rd=21.83 L=22.50
  λ_Y=15.59 Ncr,y=426465.00 λ^*_y=0.18 Curva c: Φ_y=0.51 χ_y=1.00
  λ_Z=77.94 Ncr,z=17058.60 λ^*_z=0.90 Curva c: Φ_z=1.07 χ_z=0.60
  χ,min=0.60
  Verifica: 0.00+0.11+0.01=0.12

- Verifica a flessione [4.2.13] - CC 9 SLU Xl=0.20 - Classe 3
  Sollecitazioni: T_z=149.30 M_y=-12.22 T_y=-2.00
  My,Ed=-12.22 My,c,Rd=109.13 My,Ed/My,c,Rd=0.11

- Verifica a taglio dir. Y [4.2.16] - CC 9 SLU Xl=0.11
  Sollecitazioni: T_z=149.75 T_y=-2.00
  V,Ed=-2.00 Vc,Rd=7560.76 V,Ed/Vc,Rd=0.00

- Verifica a taglio dir. Z [4.2.16]
  V,Ed=149.75 Vc,Rd=7560.76 V,Ed/Vc,Rd=0.02

Asta n. 6178 (-421 -429) calastrelli 50x10 Crit. 1

- Verifica in termini tensionali [4.2.4] - CC 9 SLU Xl=0.19 - Classe 3
  Sollecitazioni: N=1.66 T_z=157.24 M_y=-12.36 T_y=-2.12
  Tensioni: σ_N=0.33 σ_M=296.62 τ=0.00 σ_{max}=296.96
  Tensioni: σ_N=0.33 σ_M=0.00 τ=47.17 τ_{max}=47.17
  Tensioni: σ_N=0.33 σ_M=296.62 τ=0.64 $\sigma_{ID,max}$=296.96

- Verifica a taglio dir. Y [4.2.16] - CC 9 SLU Xl=0.11
  Sollecitazioni: N=1.66 T_z=157.67 T_y=-2.12
  V,Ed=-2.12 Vc,Rd=7560.76 V,Ed/Vc,Rd=0.00

- Verifica a taglio dir. Z [4.2.16]
  V,Ed=157.67 Vc,Rd=7560.76 V,Ed/Vc,Rd=0.02

Asta n. 6179 (-453 -461) calastrelli 50x10 Crit. 1

- Verifica di stabilità aste presso-inflesse (C4.2.4.1.3.3.1) - CC 18 SLU - Classe 3
  Sollecitazioni: N,Ed=-14.32 Myeq,Ed=-12.45 Mzeq,Ed=-0.15
  Resistenze: Nc,Rd=13095.20 My,c,Rd=109.13 Mz,c,Rd=21.83 L=21.25
  λ_Y=14.72 Ncr,y=478113.00 λ^*_y=0.17 Curva c: Φ_y=0.51 χ_y=1.00
  λ_Z=73.61 Ncr,z=19124.50 λ^*_z=0.85 Curva c: Φ_z=1.02 χ_z=0.63
  χ,min=0.63
  Verifica: 0.00+0.11+0.01=0.12

- Verifica in termini tensionali [4.2.4] - CC 18 SLU Xl=0.18 - Classe 3
  Sollecitazioni: N=-14.32 T_z=163.45 M_y=-12.45 T_y=-2.05
  Tensioni: σ_N=-2.86 σ_M=-298.82 τ=0.00 σ_{max}=-301.68
  Tensioni: σ_N=-2.86 σ_M=0.00 τ=49.04 τ_{max}=49.04
  Tensioni: σ_N=-2.86 σ_M=-298.82 τ=0.62 $\sigma_{ID,max}$=301.68

Asta n. 6180 (-485 -493) calastrelli 50x10 Crit. 1

- Verifica in termini tensionali [4.2.4] - CC 18 SLU Xl=0.04 - Classe 3
  Sollecitazioni: N=72.51 T_z=158.37 M_y=11.78 T_y=-2.38
  Tensioni: σ_N=14.50 σ_M=282.72 τ=0.00 σ_{max}=297.22
  Tensioni: σ_N=14.50 σ_M=-0.00 τ=47.52 τ_{max}=47.52
  Tensioni: σ_N=14.50 σ_M=282.72 τ=0.71 $\sigma_{ID,max}$=297.23

- Verifica a taglio dir. Y [4.2.16] - CC 18 SLU Xl=0.11
  Sollecitazioni: N=72.51 T_z=157.97 T_y=-2.38
  V,Ed=-2.38 Vc,Rd=7560.76 V,Ed/Vc,Rd=0.00

- Verifica a taglio dir. Z [4.2.16]
  V,Ed=157.97 Vc,Rd=7560.76 V,Ed/Vc,Rd=0.02

Asta n. 6185 (-486 -494) calastrelli 50x10 Crit. 1

- Verifica in termini tensionali [4.2.4] - CC 18 SLU Xl=0.03 - Classe 3
  Sollecitazioni: N=76.40 T_z=153.93 M_y=11.78 T_y=2.30
  Tensioni: σ_N=15.28 σ_M=282.81 τ=0.00 σ_{max}=298.09
  Tensioni: σ_N=15.28 σ_M=-0.00 τ=46.18 τ_{max}=46.18
  Tensioni: σ_N=15.28 σ_M=282.81 τ=0.69 $\sigma_{ID,max}$=298.09

- Verifica a taglio dir. Y [4.2.16] - CC 19 SLU Xl=0.11
  Sollecitazioni: N=74.68 T_z=154.01 T_y=2.36
  V,Ed=2.36 Vc,Rd=7560.76 V,Ed/Vc,Rd=0.00

- Verifica a taglio dir. Z [4.2.16]
  V,Ed=154.01 Vc,Rd=7560.76 V,Ed/Vc,Rd=0.02

Asta n. 6186 (-454 -462) calastrelli 50x10 Crit. 1

- Verifica di stabilità aste presso-inflesse (C4.2.4.1.3.3.1) - CC 19 SLU - Classe 3
  Sollecitazioni: N,Ed=-12.87 Myeq,Ed=12.06 Mzeq,Ed=-0.17
  Resistenze: Nc,Rd=13095.20 My,c,Rd=109.13 Mz,c,Rd=21.83 L=21.25
  λ_Y=14.72 Ncr,y=478113.00 λ^*_y=0.17 Curva c: Φ_y=0.51 χ_y=1.00
  λ_Z=73.61 Ncr,z=19124.50 λ^*_z=0.85 Curva c: Φ_z=1.02 χ_z=0.63
  χ,min=0.63
  Verifica: 0.00+0.11+0.01=0.12

- Verifica in termini tensionali [4.2.4] - CC 19 SLU Xl=0.03 - Classe 3
  Sollecitazioni: N=-12.87 T_z=161.80 M_y=12.06 T_y=2.00
  Tensioni: σ_N=-2.57 σ_M=-289.33 τ=0.00 σ_{max}=-291.90
  Tensioni: σ_N=-2.57 σ_M=-0.00 τ=48.54 τ_{max}=48.54
  Tensioni: σ_N=-2.57 σ_M=-289.33 τ=0.60 $\sigma_{ID,max}$=291.91

Asta n. 6187 (-422 -430) calastrelli 50x10 Crit. 1

- Verifica in termini tensionali [4.2.4] - CC 19 SLU Xl=0.03 - Classe 3
  Sollecitazioni: N=1.92 T_z=155.37 M_y=12.17 T_y=2.07
  Tensioni: σ_N=0.38 σ_M=292.00 τ=0.00 σ_{max}=292.39
  Tensioni: σ_N=0.38 σ_M=-0.00 τ=46.62 τ_{max}=46.62
  Tensioni: σ_N=0.38 σ_M=292.00 τ=0.62 $\sigma_{ID,max}$=292.39

- Verifica a taglio dir. Y [4.2.16] - CC 19 SLU Xl=0.11
  Sollecitazioni: N=1.92 T_z=154.94 T_y=2.07
  V,Ed=2.07 Vc,Rd=7560.76 V,Ed/Vc,Rd=0.00

- Verifica a taglio dir. Z [4.2.16]
  V,Ed=154.94 Vc,Rd=7560.76 V,Ed/Vc,Rd=0.02

Asta n. 6188 (-390 -398) calastrelli 50x10 Crit. 1

- Verifica di stabilità aste presso-inflesse (C4.2.4.1.3.3.1) - CC 19 SLU - Classe 3
  Sollecitazioni: N,Ed=-0.26 Myeq,Ed=12.00 Mzeq,Ed=-0.18
  Resistenze: Nc,Rd=13095.20 My,c,Rd=109.13 Mz,c,Rd=21.83 L=22.50
  λ_Y=15.59 Ncr,y=426465.00 λ^*_y=0.18 Curva c: Φ_y=0.51 χ_y=1.00
  λ_Z=77.94 Ncr,z=17058.60 λ^*_z=0.90 Curva c: Φ_z=1.07 χ_z=0.60

χ,min=0.60
Verifica: 0.00+0.11+0.01=0.12

- Verifica a flessione [4.2.13] - CC 19 SLU Xl=0.03 - Classe 3
Sollecitazioni: T_z=147.61 M_y=12.00 T_y=1.97
My,Ed=12.00 My,c,Rd=109.13 My,Ed/My,c,Rd=0.11

- Verifica a taglio dir. Y [4.2.16] - CC 19 SLU Xl=0.12
Sollecitazioni: T_z=147.16 T_y=1.97
V,Ed=1.97 Vc,Rd=7560.76 V,Ed/Vc,Rd=0.00

- Verifica a taglio dir. Z [4.2.16]
V,Ed=147.16 Vc,Rd=7560.76 V,Ed/Vc,Rd=0.02

Asta n. 6189 (-358 -366) calastrelli 50x10 Crit. 1

- Verifica di stabilità aste inflesse (4.2.4.1.3.2) CC 19 SLU - Classe 3
L_{cr}=0.23 Curva d: α_{imp}=0.76 k_c=0.94 ψ=3.07 M,cr=0.00 λ_{LT}=0.00
$\lambda_{LT,0}$=0.20 β_{LT}=1.00 Φ_{LT}=0.00 β_{LT}=1.00 f=0.00 χ_{LT}=1.00
CC 19 SLU My,Ed=11.83 My,b,Rd=109.13 My,Ed/My,b,Rd=0.11

- Verifica di stabilità aste presso-inflesse (C4.2.4.1.3.3.1) - CC 9 SLU - Classe 3
Sollecitazioni: N,Ed=-0.11 Myeq,Ed=11.73 Mzeq,Ed=-0.16
Resistenze: Nc,Rd=13095.20 My,c,Rd=109.13 Mz,c,Rd=21.83 L=23.13
λ_Y=16.02 Ncr,y=403724.00 λ^*_y=0.18 Curva c: Φ_y=0.51 χ_y=1.00
λ_Z=80.11 Ncr,z=16149.00 λ^*_z=0.92 Curva c: Φ_z=1.10 χ_z=0.59
χ,min=0.59
Verifica: 0.00+0.11+0.01=0.11

- Verifica a flessione [4.2.13] - CC 19 SLU Xl=0.03 - Classe 3
Sollecitazioni: T_z=140.12 M_y=11.83 T_y=1.87
My,Ed=11.83 My,c,Rd=109.13 My,Ed/My,c,Rd=0.11

- Verifica a taglio dir. Y [4.2.16] - CC 19 SLU Xl=0.12
Sollecitazioni: T_z=139.65 T_y=1.87
V,Ed=1.87 Vc,Rd=7560.76 V,Ed/Vc,Rd=0.00

- Verifica a taglio dir. Z [4.2.16]
V,Ed=139.65 Vc,Rd=7560.76 V,Ed/Vc,Rd=0.02

Asta n. 6190 (-326 -334) calastrelli 50x10 Crit. 1

- Verifica di stabilità aste inflesse (4.2.4.1.3.2) CC 19 SLU - Classe 3
L_{cr}=0.24 Curva d: α_{imp}=0.76 k_c=0.94 ψ=3.07 M,cr=0.00 λ_{LT}=0.00
$\lambda_{LT,0}$=0.20 β_{LT}=1.00 Φ_{LT}=0.00 β_{LT}=1.00 f=0.00 χ_{LT}=1.00
CC 19 SLU My,Ed=11.65 My,b,Rd=109.13 My,Ed/My,b,Rd=0.11

- Verifica di stabilità aste presso-inflesse (C4.2.4.1.3.3.1) - CC 9 SLU - Classe 3
Sollecitazioni: N,Ed=-0.14 Myeq,Ed=11.55 Mzeq,Ed=-0.15
Resistenze: Nc,Rd=13095.20 My,c,Rd=109.13 Mz,c,Rd=21.83 L=23.75
λ_Y=16.45 Ncr,y=382755.00 λ^*_y=0.19 Curva c: Φ_y=0.52 χ_y=1.00
λ_Z=82.27 Ncr,z=15310.20 λ^*_z=0.95 Curva c: Φ_z=1.13 χ_z=0.57
χ,min=0.57
Verifica: 0.00+0.11+0.01=0.11

- Verifica a flessione [4.2.13] - CC 19 SLU Xl=0.03 - Classe 3
Sollecitazioni: T_z=133.13 M_y=11.65 T_y=1.77
My,Ed=11.65 My,c,Rd=109.13 My,Ed/My,c,Rd=0.11

- Verifica a taglio dir. Y [4.2.16] - CC 19 SLU Xl=0.12

Sollecitazioni: T_z=132.64 T_y=1.77
V,Ed=1.77 Vc,Rd=7560.76 V,Ed/Vc,Rd=0.00

- Verifica a taglio dir. Z [4.2.16]
V,Ed=132.64 Vc,Rd=7560.76 V,Ed/Vc,Rd=0.02

Asta n. 6191 (-294 -302) calastrelli 50x10 Crit. 1

- Verifica di stabilità aste inflesse (4.2.4.1.3.2) CC 19 SLU - Classe 3
L_{cr}=0.24 Curva d: α_{imp}=0.76 k_c=0.94 ψ=3.07 M,cr=0.00 λ_{LT}=0.00
$\lambda_{LT,0}$=0.20 β_{LT}=1.00 Φ_{LT}=0.00 β_{LT}=1.00 f=0.00 χ_{LT}=1.00
CC 19 SLU My,Ed=11.47 My,b,Rd=109.13 My,Ed/My,b,Rd=0.11

- Verifica di stabilità aste presso-inflesse (C4.2.4.1.3.3.1) - CC 9 SLU - Classe 3
Sollecitazioni: N,Ed=-0.13 Myeq,Ed=11.37 Mzeq,Ed=-0.15
Resistenze: Nc,Rd=13095.20 My,c,Rd=109.13 Mz,c,Rd=21.83 L=24.38
λ_Y=16.89 Ncr,y=363378.00 λ^*_y=0.19 Curva c: Φ_y=0.52 χ_y=1.00
λ_Z=84.44 Ncr,z=14535.10 λ^*_z=0.97 Curva c: Φ_z=1.16 χ_z=0.56
χ,min=0.56
Verifica: 0.00+0.10+0.01=0.11

- Verifica a flessione [4.2.13] - CC 19 SLU Xl=0.03 - Classe 3
Sollecitazioni: T_z=126.64 M_y=11.47 T_y=1.68
My,Ed=11.47 My,c,Rd=109.13 My,Ed/My,c,Rd=0.11

- Verifica a taglio dir. Y [4.2.16] - CC 19 SLU Xl=0.13
Sollecitazioni: T_z=126.14 T_y=1.68
V,Ed=1.68 Vc,Rd=7560.76 V,Ed/Vc,Rd=0.00

- Verifica a taglio dir. Z [4.2.16]
V,Ed=126.14 Vc,Rd=7560.76 V,Ed/Vc,Rd=0.02

Asta n. 6192 (-262 -270) calastrelli 50x10 Crit. 1

- Verifica di stabilità aste inflesse (4.2.4.1.3.2) CC 19 SLU - Classe 3
L_{cr}=0.25 Curva d: α_{imp}=0.76 k_c=0.94 ψ=3.07 M,cr=0.00 λ_{LT}=0.00
$\lambda_{LT,0}$=0.20 β_{LT}=1.00 Φ_{LT}=0.00 β_{LT}=1.00 f=0.00 χ_{LT}=1.00
CC 19 SLU My,Ed=11.30 My,b,Rd=109.13 My,Ed/My,b,Rd=0.10

- Verifica di stabilità aste presso-inflesse (C4.2.4.1.3.3.1) - CC 9 SLU - Classe 3
Sollecitazioni: N,Ed=-0.12 Myeq,Ed=11.20 Mzeq,Ed=-0.15
Resistenze: Nc,Rd=13095.20 My,c,Rd=109.13 Mz,c,Rd=21.83 L=25.00
λ_Y=17.32 Ncr,y=345436.00 λ^*_y=0.20 Curva c: Φ_y=0.52 χ_y=1.00
λ_Z=86.60 Ncr,z=13817.40 λ^*_z=1.00 Curva c: Φ_z=1.19 χ_z=0.54
χ,min=0.54
Verifica: 0.00+0.10+0.01=0.11

- Verifica a flessione [4.2.13] - CC 19 SLU Xl=0.03 - Classe 3
Sollecitazioni: T_z=120.61 M_y=11.30 T_y=1.60
My,Ed=11.30 My,c,Rd=109.13 My,Ed/My,c,Rd=0.10

- Verifica a taglio dir. Y [4.2.16] - CC 19 SLU Xl=0.13
Sollecitazioni: T_z=120.09 T_y=1.60
V,Ed=1.60 Vc,Rd=7560.76 V,Ed/Vc,Rd=0.00

- Verifica a taglio dir. Z [4.2.16]
V,Ed=120.09 Vc,Rd=7560.76 V,Ed/Vc,Rd=0.02

Asta n. 6193 (-230 -238) calastrelli 50x10 Crit. 1

- Verifica di stabilità aste inflesse (4.2.4.1.3.2) CC 19 SLU - Classe 3
  L_{cr}=0.26 Curva d: α_{imp}=0.76 k_c=0.94 ψ=3.07 M,cr=0.00 λ_{LT}=0.00
  $\lambda_{LT,0}$=0.20 β_{LT}=1.00 Φ_{LT}=0.00 β_{LT}=1.00 f=0.00 χ_{LT}=1.00
  CC 19 SLU My,Ed=11.13 My,b,Rd=109.13 My,Ed/My,b,Rd=0.10

- Verifica di stabilità aste presso-inflesse (C4.2.4.1.3.3.1) - CC 9 SLU - Classe 3
  Sollecitazioni: N,Ed=-0.12 Myeq,Ed=11.03 Mzeq,Ed=-0.15
  Resistenze: Nc,Rd=13095.20 My,c,Rd=109.13 Mz,c,Rd=21.83 L=25.63
  λ_Y=17.75 Ncr,y=328791.00 λ^*_y=0.20 Curva c: Φ_y=0.52 χ_y=1.00
  λ_Z=88.77 Ncr,z=13151.60 λ^*_z=1.02 Curva c: Φ_z=1.22 χ_z=0.53
  χ,min=0.53
  Verifica: 0.00+0.10+0.01=0.11

- Verifica a flessione [4.2.13] - CC 19 SLU Xl=0.03 - Classe 3
  Sollecitazioni: T_z=114.99 M_y=11.13 T_y=1.52
  My,Ed=11.13 My,c,Rd=109.13 My,Ed/My,c,Rd=0.10

- Verifica a taglio dir. Y [4.2.16] - CC 19 SLU Xl=0.13
  Sollecitazioni: T_z=114.45 T_y=1.52
  V,Ed=1.52 Vc,Rd=7560.76 V,Ed/Vc,Rd=0.00

- Verifica a taglio dir. Z [4.2.16]
  V,Ed=114.45 Vc,Rd=7560.76 V,Ed/Vc,Rd=0.02

Asta n. 6194 (-198 -206) calastrelli 50x10 Crit. 1

- Verifica di stabilità aste inflesse (4.2.4.1.3.2) CC 19 SLU - Classe 3
  L_{cr}=0.26 Curva d: α_{imp}=0.76 k_c=0.94 ψ=3.07 M,cr=0.00 λ_{LT}=0.00
  $\lambda_{LT,0}$=0.20 β_{LT}=1.00 Φ_{LT}=0.00 β_{LT}=1.00 f=0.00 χ_{LT}=1.00
  CC 19 SLU My,Ed=10.96 My,b,Rd=109.13 My,Ed/My,b,Rd=0.10

- Verifica di stabilità aste presso-inflesse (C4.2.4.1.3.3.1) - CC 9 SLU - Classe 3
  Sollecitazioni: N,Ed=-0.12 Myeq,Ed=10.86 Mzeq,Ed=-0.14
  Resistenze: Nc,Rd=13095.20 My,c,Rd=109.13 Mz,c,Rd=21.83 L=26.25
  λ_Y=18.19 Ncr,y=313321.00 λ^*_y=0.21 Curva c: Φ_y=0.52 χ_y=1.00
  λ_Z=90.93 Ncr,z=12532.80 λ^*_z=1.05 Curva c: Φ_z=1.26 χ_z=0.51
  χ,min=0.51
  Verifica: 0.00+0.10+0.01=0.11

- Verifica a flessione [4.2.13] - CC 19 SLU Xl=0.03 - Classe 3
  Sollecitazioni: T_z=109.72 M_y=10.96 T_y=1.44
  My,Ed=10.96 My,c,Rd=109.13 My,Ed/My,c,Rd=0.10

- Verifica a taglio dir. Y [4.2.16] - CC 19 SLU Xl=0.14
  Sollecitazioni: T_z=109.16 T_y=1.44
  V,Ed=1.44 Vc,Rd=7560.76 V,Ed/Vc,Rd=0.00

- Verifica a taglio dir. Z [4.2.16]
  V,Ed=109.16 Vc,Rd=7560.76 V,Ed/Vc,Rd=0.01

Asta n. 6195 (-166 -174) calastrelli 50x10 Crit. 1

- Verifica di stabilità aste inflesse (4.2.4.1.3.2) CC 19 SLU - Classe 3
  L_{cr}=0.27 Curva d: α_{imp}=0.76 k_c=0.94 ψ=3.07 M,cr=0.00 λ_{LT}=0.00
  $\lambda_{LT,0}$=0.20 β_{LT}=1.00 Φ_{LT}=0.00 β_{LT}=1.00 f=0.00 χ_{LT}=1.00
  CC 19 SLU My,Ed=10.77 My,b,Rd=109.13 My,Ed/My,b,Rd=0.10

- Verifica di stabilità aste presso-inflesse (C4.2.4.1.3.3.1) - CC 9 SLU - Classe 3
  Sollecitazioni: N,Ed=-0.12 Myeq,Ed=10.68 Mzeq,Ed=-0.14
  Resistenze: Nc,Rd=13095.20 My,c,Rd=109.13 Mz,c,Rd=21.83 L=26.88

λ_Y=18.62 Ncr,y=298917.00 λ^*_y=0.21 Curva c: Φ_y=0.53 χ_y=0.99
λ_Z=93.10 Ncr,z=11956.70 λ^*_z=1.07 Curva c: Φ_z=1.29 χ_z=0.50
χ,min=0.50
Verifica: 0.00+0.10+0.01=0.10

- Verifica a flessione [4.2.13] - CC 19 SLU Xl=0.03 - Classe 3
Sollecitazioni: T_z=104.64 M_y=10.77 T_y=1.37
My,Ed=10.77 My,c,Rd=109.13 My,Ed/My,c,Rd=0.10

- Verifica a taglio dir. Y [4.2.16] - CC 19 SLU Xl=0.14
Sollecitazioni: T_z=104.07 T_y=1.37
V,Ed=1.37 Vc,Rd=7560.76 V,Ed/Vc,Rd=0.00

- Verifica a taglio dir. Z [4.2.16]
V,Ed=104.07 Vc,Rd=7560.76 V,Ed/Vc,Rd=0.01

Asta n. 6196 (-134 -142) calastrelli 50x10 Crit. 1

- Verifica di stabilità aste inflesse (4.2.4.1.3.2) CC 19 SLU - Classe 3
L_{cr}=0.28 Curva d: α_{imp}=0.76 k_c=0.94 ψ=3.07 M,cr=0.00 λ_{LT}=0.00
$\lambda_{LT,0}$=0.20 β_{LT}=1.00 Φ_{LT}=0.00 β_{LT}=1.00 f=0.00 χ_{LT}=1.00
CC 19 SLU My,Ed=10.52 My,b,Rd=109.13 My,Ed/My,b,Rd=0.10

- Verifica di stabilità aste presso-inflesse (C4.2.4.1.3.3.1) - CC 9 SLU - Classe 3
Sollecitazioni: N,Ed=-0.14 Myeq,Ed=10.43 Mzeq,Ed=-0.13
Resistenze: Nc,Rd=13095.20 My,c,Rd=109.13 Mz,c,Rd=21.83 L=27.50
λ_Y=19.05 Ncr,y=285484.00 λ^*_y=0.22 Curva c: Φ_y=0.53 χ_y=0.99
λ_Z=95.26 Ncr,z=11419.40 λ^*_z=1.10 Curva c: Φ_z=1.32 χ_z=0.49
χ,min=0.49
Verifica: 0.00+0.10+0.01=0.10

- Verifica a flessione [4.2.13] - CC 19 SLU Xl=0.03 - Classe 3
Sollecitazioni: T_z=99.21 M_y=10.52 T_y=1.27
My,Ed=10.52 My,c,Rd=109.13 My,Ed/My,c,Rd=0.10

- Verifica a taglio dir. Y [4.2.16] - CC 19 SLU Xl=0.14
Sollecitazioni: T_z=98.62 T_y=1.27
V,Ed=1.27 Vc,Rd=7560.76 V,Ed/Vc,Rd=0.00

- Verifica a taglio dir. Z [4.2.16]
V,Ed=98.62 Vc,Rd=7560.76 V,Ed/Vc,Rd=0.01

Asta n. 6197 (-102 -110) calastrelli 50x10 Crit. 1

- Verifica di stabilità aste inflesse (4.2.4.1.3.2) CC 19 SLU - Classe 3
L_{cr}=0.28 Curva d: α_{imp}=0.76 k_c=0.94 ψ=3.07 M,cr=0.00 λ_{LT}=0.00
$\lambda_{LT,0}$=0.20 β_{LT}=1.00 Φ_{LT}=0.00 β_{LT}=1.00 f=0.00 χ_{LT}=1.00
CC 19 SLU My,Ed=9.94 My,b,Rd=109.13 My,Ed/My,b,Rd=0.09

- Verifica di stabilità aste presso-inflesse (C4.2.4.1.3.3.1) - CC 18 SLU - Classe 3
Sollecitazioni: N,Ed=-1.00 Myeq,Ed=8.19 Mzeq,Ed=-0.10
Resistenze: Nc,Rd=13095.20 My,c,Rd=109.13 Mz,c,Rd=21.83 L=28.13
λ_Y=19.49 Ncr,y=272937.00 λ^*_y=0.22 Curva c: Φ_y=0.53 χ_y=0.99
λ_Z=97.43 Ncr,z=10917.50 λ^*_z=1.12 Curva c: Φ_z=1.36 χ_z=0.47
χ,min=0.47
Verifica: 0.00+0.08+0.00=0.08

- Verifica a flessione [4.2.13] - CC 19 SLU Xl=0.03 - Classe 3
Sollecitazioni: T_z=91.09 M_y=9.94 T_y=1.12
My,Ed=9.94 My,c,Rd=109.13 My,Ed/My,c,Rd=0.09

- Verifica a taglio dir. Y [4.2.16] - CC 19 SLU Xl=0.13
  Sollecitazioni: T_z=90.58 T_y=1.12
  V,Ed=1.12 Vc,Rd=7560.76 V,Ed/Vc,Rd=0.00

- Verifica a taglio dir. Z [4.2.16]
  V,Ed=90.58 Vc,Rd=7560.76 V,Ed/Vc,Rd=0.01

Asta n. 6198 (-70 -78) calastrelli 50x10 Crit. 1

- Verifica di stabilità aste inflesse (4.2.4.1.3.2) CC 17 SLU - Classe 3
  L_{cr}=0.29 Curva d: α_{imp}=0.76 k_c=0.94 ψ=3.07 M,cr=0.00 λ_{LT}=0.00
  $\lambda_{LT,0}$=0.20 β_{LT}=1.00 Φ_{LT}=0.00 β_{LT}=1.00 f=0.00 χ_{LT}=1.00
  CC 17 SLU My,Ed=4.40 My,b,Rd=109.13 My,Ed/My,b,Rd=0.04

- Verifica di stabilità aste presso-inflesse (C4.2.4.1.3.3.1) - CC 19 SLU - Classe 3
  Sollecitazioni: N,Ed=-0.83 Myeq,Ed=7.89 Mzeq,Ed=-0.11
  Resistenze: Nc,Rd=13095.20 My,c,Rd=109.13 Mz,c,Rd=21.83 L=28.75
  λ_Y=19.92 Ncr,y=261199.00 λ^*_y=0.23 Curva c: Φ_y=0.53 χ_y=0.99
  λ_Z=99.59 Ncr,z=10448.00 λ^*_z=1.15 Curva c: Φ_z=1.39 χ_z=0.46
  χ,min=0.46
  Verifica: 0.00+0.07+0.00=0.08

- Verifica a flessione [4.2.13] - CC 19 SLU Xl=0.03 - Classe 3
  Sollecitazioni: T_z=70.31 M_y=7.89
  My,Ed=7.89 My,c,Rd=109.13 My,Ed/My,c,Rd=0.07

- Verifica a taglio dir. Z [4.2.16] - CC 19 SLU Xl=0.13
  Sollecitazioni: T_z=69.79
  V,Ed=69.79 Vc,Rd=7560.76 V,Ed/Vc,Rd=0.01

Asta n. 6199 (-38 -46) calastrelli 100x5 Crit. 1

- Verifica di stabilità aste inflesse (4.2.4.1.3.2) CC 9 SLU - Classe 3
  L_{cr}=0.29 Curva d: α_{imp}=0.76 k_c=0.94 ψ=2.68 M,cr=0.00 λ_{LT}=0.00
  $\lambda_{LT,0}$=0.20 β_{LT}=1.00 Φ_{LT}=0.00 β_{LT}=1.00 f=0.00 χ_{LT}=1.00
  CC 9 SLU My,Ed=-10.95 My,b,Rd=436.51 My,Ed/My,b,Rd=0.03

- Verifica di stabilità aste presso-inflesse (C4.2.4.1.3.3.1) - CC 19 SLU - Classe 3
  Sollecitazioni: N,Ed=-16.25 Myeq,Ed=9.69 Mzeq,Ed=-0.10
  Resistenze: Nc,Rd=26190.50 My,c,Rd=436.51 Mz,c,Rd=43.65 L=29.38
  λ_Y=10.18 Ncr,y=2001620.00 λ^*_y=0.12 Curva c: Φ_y=0.49 χ_y=1.00
  λ_Z=101.76 Ncr,z=20016.20 λ^*_z=1.17 Curva c: Φ_z=1.43 χ_z=0.45
  χ,min=0.45
  Verifica: 0.00+0.02+0.00=0.03

- Verifica in termini tensionali [4.2.4] - CC 9 SLU Xl=0.26 - Classe 3
  Sollecitazioni: N=93.08 T_z=81.38 M_y=-10.95
  Tensioni: σ_N=9.31 σ_M=65.67 τ=0.00 σ_{max}=74.98
  Tensioni: σ_N=9.31 σ_M=0.00 τ=12.21 τ_{max}=12.21
  Tensioni: σ_N=9.31 σ_M=65.67 τ=0.00 $\sigma_{ID,max}$=74.98

- Verifica a taglio dir. Z [4.2.16] - CC 9 SLU Xl=0.13
  Sollecitazioni: N=93.08 T_z=82.66
  V,Ed=82.66 Vc,Rd=15121.50 V,Ed/Vc,Rd=0.01

Asta n. 6200 (-6 -14) calastrelli 100x5 Crit. 1

- Verifica di stabilità aste inflesse (4.2.4.1.3.2) CC 19 SLU - Classe 3
  L_{cr}=0.30 Curva d: α_{imp}=0.76 k_c=0.94 ψ=2.90 M,cr=0.00 λ_{LT}=0.00

$\lambda_{LT,0}$=0.20 β_{LT}=1.00 Φ_{LT}=0.00 β_{LT}=1.00 f=0.00 χ_{LT}=1.00
CC 19 SLU My,Ed=-7.64 My,b,Rd=436.51 My,Ed/My,b,Rd=0.02

- Verifica di stabilità aste presso-inflesse (C4.2.4.1.3.3.1) - CC 17 SLU - Classe 3
Sollecitazioni: N,Ed=-294.48 Myeq,Ed=-4.52 Mzeq,Ed=0.03
Resistenze: Nc,Rd=26190.50 My,c,Rd=436.51 Mz,c,Rd=43.65 L=29.69
λ_Y=10.28 Ncr,y=1959700.00 λ^*_y=0.12 Curva c: Φ_y=0.49 χ_y=1.00
λ_Z=102.84 Ncr,z=19597.00 λ^*_z=1.18 Curva c: Φ_z=1.44 χ_z=0.44
χ,min=0.44
Verifica: 0.01+0.01+0.00=0.02

- Verifica in termini tensionali [4.2.4] - CC 9 SLU Xl=0.26 - Classe 3
Sollecitazioni: N=274.82 T_z=59.59 M_y=-7.34
Tensioni: σ_N=27.48 σ_M=44.05 τ=0.00 σ_{max}=71.54
Tensioni: σ_N=27.48 σ_M=0.00 τ=8.94 τ_{max}=8.94
Tensioni: σ_N=27.48 σ_M=44.05 τ=0.00 $\sigma_{ID,max}$=71.54

- Verifica a taglio dir. Z [4.2.16] - CC 19 SLU Xl=0.13
Sollecitazioni: T_z=61.48
V,Ed=61.48 Vc,Rd=15121.50 V,Ed/Vc,Rd=0.00

Asta n. 6201 (321 333) angolari L50x10 Crit. 1

- Verifica di stabilità aste inflesse (4.2.4.1.3.2) CC 17 SLU - Classe 3
L_{cr}=0.15 Curva d: α_{imp}=0.76 k_c=0.94 ψ=2.84 M,cr=0.00 λ_{LT}=0.00
$\lambda_{LT,0}$=0.00 β_{LT}=0.00 Φ_{LT}=0.00 β_{LT}=0.00 f=0.00 χ_{LT}=1.00
CC 17 SLU My,Ed=-51.47 My,b,Rd=149.05 My,Ed/My,b,Rd=0.35

- Verifica di stabilità aste presso-inflesse (C4.2.4.1.3.3.1) - CC 18 SLU - Classe 3
Sollecitazioni: N,Ed=-248.54 Myeq,Ed=37.68 Mzeq,Ed=0.44
Resistenze: Nc,Rd=23709.20 My,c,Rd=149.05 Mz,c,Rd=149.05 L=15.00
λ_c=8.19 Ncr,y=2794040.00 λ^*_y=0.09 Curva b: Φ_y=0.00 χ_y=1.00
λ_e=15.58 Ncr,z=772688.00 λ^*_z=0.18 Curva b: Φ_z=0.00 χ_z=1.00
χ,min=1.00
Verifica: 0.01+0.25+0.00=0.27

- Verifica in termini tensionali [4.2.4] - CC 17 SLU Xl=0.15 - Classe 3
Sollecitazioni: N=533.12 T_z=714.15 M_y=-51.47 T_y=31.20 M_z=3.25 M_x=1.26 (M_c=-38.70 M_e=-34.10)
Tensioni: σ_N=58.89 σ_M=-1097.63 τ=52.13 σ_{max}=-1038.74
Tensioni: σ_N=58.89 σ_M=583.46 τ=244.51 τ_{max}=244.51
Tensioni: σ_N=58.89 σ_M=-1097.63 τ=52.13 $\sigma_{ID,max}$=1042.65

- Verifica a taglio dir. Y [4.2.16] - CC 18 SLU Xl=0.07
Sollecitazioni: N=-248.54 T_z=-455.27 T_y=6.12
V,Ed=6.12 Vc,Rd=7560.76 V,Ed/Vc,Rd=0.00

- Verifica a taglio dir. Z [4.2.16]
V,Ed=-455.27 Vc,Rd=7560.76 V,Ed/Vc,Rd=0.06

Asta n. 6201 (333 345) angolari L50x10 Crit. 1

- Verifica di stabilità aste inflesse (4.2.4.1.3.2) CC 17 SLU - Classe 3
L_{cr}=0.15 Curva d: α_{imp}=0.76 k_c=0.94 ψ=2.70 M,cr=0.00 λ_{LT}=0.00
$\lambda_{LT,0}$=0.00 β_{LT}=0.00 Φ_{LT}=0.00 β_{LT}=0.00 f=0.00 χ_{LT}=1.00
CC 17 SLU My,Ed=-56.24 My,b,Rd=149.05 My,Ed/My,b,Rd=0.38

- Verifica di stabilità aste presso-inflesse (C4.2.4.1.3.3.1) - CC 1 SLV - Classe 3
Sollecitazioni: N,Ed=-273.84 Myeq,Ed=27.67 Mzeq,Ed=0.82
Resistenze: Nc,Rd=23709.20 My,c,Rd=149.05 Mz,c,Rd=149.05 L=15.00

λ_c=8.19 Ncr,y=2794040.00 λ^*_y=0.09 Curva b: Φ_y=0.00 χ_y=1.00
λ_e=15.58 Ncr,z=772688.00 λ^*_z=0.18 Curva b: Φ_z=0.00 χ_z=1.00
χ,min=1.00
Verifica: 0.01+0.19+0.01=0.20

- Verifica in termini tensionali [4.2.4] - CC 17 SLU Xl=0.00 - Classe 3
Sollecitazioni: N=475.22 T_z=-740.07 M_y=-56.24 T_y=-30.40 M_z=3.16 M_x=-1.26 (M_c=-42.01 M_e=-37.53)
Tensioni: σ_N=52.50 σ_M=-1202.21 τ=53.04 σ_{max}=-1149.72
Tensioni: σ_N=52.50 σ_M=639.89 τ=252.06 τ_{max}=252.06
Tensioni: σ_N=52.50 σ_M=-1202.21 τ=53.04 $\sigma_{ID,max}$=1153.38

- Verifica a taglio dir. Y [4.2.16] - CC 18 SLU Xl=0.07
Sollecitazioni: N=-325.00 T_z=388.72 T_y=-5.58
V,Ed=-5.58 Vc,Rd=7560.76 V,Ed/Vc,Rd=0.00

- Verifica a taglio dir. Z [4.2.16]
V,Ed=388.72 Vc,Rd=7560.76 V,Ed/Vc,Rd=0.05

Asta n. 6202 (322 334) angolari L50x10 Crit. 1

- Verifica di stabilità aste inflesse (4.2.4.1.3.2) CC 1 SLV - Classe 3
L_{cr}=0.15 Curva d: α_{imp}=0.76 k_c=0.94 ψ=1.57 M,cr=0.00 λ_{LT}=0.00
$\lambda_{LT,0}$=0.00 β_{LT}=0.00 Φ_{LT}=0.00 β_{LT}=0.00 f=0.00 χ_{LT}=1.00
CC 1 SLV My,Ed=0.92 My,b,Rd=149.05 My,Ed/My,b,Rd=0.01

- Verifica di stabilità aste presso-inflesse (C4.2.4.1.3.3.1) - CC 17 SLU - Classe 3
Sollecitazioni: N,Ed=-729.81 Myeq,Ed=2.22 Mzeq,Ed=-78.70
Resistenze: Nc,Rd=23709.20 My,c,Rd=149.05 Mz,c,Rd=149.05 L=15.00
λ_c=8.19 Ncr,y=2794040.00 λ^*_y=0.09 Curva b: Φ_y=0.00 χ_y=1.00
λ_e=15.58 Ncr,z=772688.00 λ^*_z=0.18 Curva b: Φ_z=0.00 χ_z=1.00
χ,min=1.00
Verifica: 0.03+0.01+0.53=0.57

- Verifica Freccia massima carichi totali - CC 21
$f_{Z,G}$=0.00 (L/11838)

- Verifica in termini tensionali [4.2.4] - CC 17 SLU Xl=0.15 - Classe 3
Sollecitazioni: N=-729.81 T_z=-25.81 M_y=2.87 T_y=-1059.88 M_z=-78.70 M_x=1.30 (M_c=57.68 M_e=-53.63)
Tensioni: σ_N=-80.62 σ_M=-1694.04 τ=60.42 σ_{max}=-1774.66
Tensioni: σ_N=-80.62 σ_M=905.03 τ=345.44 τ_{max}=345.44
Tensioni: σ_N=-80.62 σ_M=-1694.04 τ=60.42 $\sigma_{ID,max}$=1777.74

- Verifica a taglio dir. Y [4.2.16] - CC 1 SLV Xl=0.08
Sollecitazioni: N=61.90 T_z=5.43 T_y=-402.76
V,Ed=-402.76 Vc,Rd=7560.76 V,Ed/Vc,Rd=0.05

- Verifica a taglio dir. Z [4.2.16]
V,Ed=5.43 Vc,Rd=7560.76 V,Ed/Vc,Rd=0.00

Asta n. 6202 (334 346) angolari L50x10 Crit. 1

- Verifica di stabilità aste inflesse (4.2.4.1.3.2) CC 1 SLV - Classe 3
L_{cr}=0.15 Curva d: α_{imp}=0.76 k_c=0.94 ψ=1.57 M,cr=0.00 λ_{LT}=0.00
$\lambda_{LT,0}$=0.00 β_{LT}=0.00 Φ_{LT}=0.00 β_{LT}=0.00 f=0.00 χ_{LT}=1.00
CC 1 SLV My,Ed=0.91 My,b,Rd=149.05 My,Ed/My,b,Rd=0.01

- Verifica di stabilità aste presso-inflesse (C4.2.4.1.3.3.1) - CC 17 SLU - Classe 3
Sollecitazioni: N,Ed=-752.17 Myeq,Ed=2.18 Mzeq,Ed=-83.97
Resistenze: Nc,Rd=23709.20 My,c,Rd=149.05 Mz,c,Rd=149.05 L=15.00

λ_c=8.19 Ncr,y=2794040.00 λ^*_y=0.09 Curva b: Φ_y=0.00 χ_y=1.00
λ_e=15.58 Ncr,z=772688.00 λ^*_z=0.18 Curva b: Φ_z=0.00 χ_z=1.00
χ,min=1.00
Verifica: 0.03+0.01+0.56=0.61

- Verifica Freccia massima carichi totali - CC 21
$f_{Z,G}$=0.00 (L/11113)

- Verifica in termini tensionali [4.2.4] - CC 17 SLU Xl=0.00 - Classe 3
Sollecitazioni: N=-752.17 T_z=25.38 M_y=2.83 T_y=1110.68 M_z=-83.97 M_x=-1.30 (M_c=61.38 M_e=-57.38)
Tensioni: σ_N=-83.09 σ_M=-1809.23 τ=62.21 σ_{max}=-1892.32
Tensioni: σ_N=-83.09 σ_M=967.07 τ=360.31 τ_{max}=360.31
Tensioni: σ_N=-83.09 σ_M=-1809.23 τ=62.21 $\sigma_{ID,max}$=1895.39

- Verifica a taglio dir. Y [4.2.16] - CC 7 SLV Xl=0.07
Sollecitazioni: N=-133.33 T_z=2.77 T_y=133.85
V,Ed=133.85 Vc,Rd=7560.76 V,Ed/Vc,Rd=0.02

- Verifica a taglio dir. Z [4.2.16]
V,Ed=2.77 Vc,Rd=7560.76 V,Ed/Vc,Rd=0.00

Asta n. 6203 (-7 -15) calastrelli 100x5 Crit. 1

- Verifica di stabilità aste inflesse (4.2.4.1.3.2) CC 9 SLU - Classe 3
L_{cr}=0.30 Curva d: α_{imp}=0.76 k_c=0.94 ψ=2.94 M,cr=0.00 λ_{LT}=0.00
$\lambda_{LT,0}$=0.20 β_{LT}=1.00 Φ_{LT}=0.00 β_{LT}=1.00 f=0.00 χ_{LT}=1.00
CC 9 SLU My,Ed=-2.62 My,b,Rd=436.51 My,Ed/My,b,Rd=0.01

- Verifica di stabilità aste presso-inflesse (C4.2.4.1.3.3.1) - CC 1 SLV - Classe 3
Sollecitazioni: N,Ed=-21.76 Myeq,Ed=-1.40 Mzeq,Ed=-0.01
Resistenze: Nc,Rd=26190.50 My,c,Rd=436.51 Mz,c,Rd=43.65 L=29.69
λ_Y=10.28 Ncr,y=1959700.00 λ^*_y=0.12 Curva c: Φ_y=0.49 χ_y=1.00
λ_Z=102.84 Ncr,z=19597.00 λ^*_z=1.18 Curva c: Φ_z=1.44 χ_z=0.44
χ,min=0.44
Verifica: 0.00+0.00+0.00=0.00

- Verifica in termini tensionali [4.2.4] - CC 17 SLU Xl=0.04 - Classe 3
Sollecitazioni: N=567.33 T_z=12.82 M_y=1.62
Tensioni: σ_N=56.73 σ_M=9.71 τ=0.00 σ_{max}=66.45
Tensioni: σ_N=56.73 σ_M=-0.00 τ=1.92 τ_{max}=1.92
Tensioni: σ_N=56.73 σ_M=9.71 τ=0.00 $\sigma_{ID,max}$=66.45

- Verifica a taglio dir. Z [4.2.16] - CC 5 SLV Xl=0.12
Sollecitazioni: N=153.55 T_z=21.92
V,Ed=21.92 Vc,Rd=15121.50 V,Ed/Vc,Rd=0.00

Asta n. 6204 (-39 -47) calastrelli 100x5 Crit. 1

- Verifica di stabilità aste inflesse (4.2.4.1.3.2) CC 19 SLU - Classe 3
L_{cr}=0.29 Curva d: α_{imp}=0.76 k_c=0.94 ψ=1.99 M,cr=0.00 λ_{LT}=0.00
$\lambda_{LT,0}$=0.20 β_{LT}=1.00 Φ_{LT}=0.00 β_{LT}=1.00 f=0.00 χ_{LT}=1.00
CC 19 SLU My,Ed=-7.19 My,b,Rd=436.51 My,Ed/My,b,Rd=0.02

- Verifica di stabilità aste presso-inflesse (C4.2.4.1.3.3.1) - CC 1 SLV - Classe 3
Sollecitazioni: N,Ed=-12.45 Myeq,Ed=-3.13 Mzeq,Ed=-0.02
Resistenze: Nc,Rd=26190.50 My,c,Rd=436.51 Mz,c,Rd=43.65 L=29.38
λ_Y=10.18 Ncr,y=2001620.00 λ^*_y=0.12 Curva c: Φ_y=0.49 χ_y=1.00
λ_Z=101.76 Ncr,z=20016.20 λ^*_z=1.17 Curva c: Φ_z=1.43 χ_z=0.45
χ,min=0.45

Verifica: 0.00+0.01+0.00=0.01

- Verifica in termini tensionali [4.2.4] - CC 19 SLU Xl=0.27 - Classe 3
Sollecitazioni: N=185.25 T_z=36.70 M_y=-7.19
Tensioni: σ_N=18.52 σ_M=43.17 τ=0.00 σ_{max}=61.69
Tensioni: σ_N=18.52 σ_M=0.00 τ=5.51 τ_{max}=5.51
Tensioni: σ_N=18.52 σ_M=43.17 τ=0.00 $\sigma_{ID,max}$=61.69

- Verifica a taglio dir. Z [4.2.16] - CC 9 SLU Xl=0.10
Sollecitazioni: N=91.36 T_z=39.24
V,Ed=39.24 Vc,Rd=15121.50 V,Ed/Vc,Rd=0.00

Asta n. 6205 (-71 -79) calastrelli 50x10 Crit. 1

- Verifica di stabilità aste presso-inflesse (C4.2.4.1.3.3.1) - CC 19 SLU - Classe 3
Sollecitazioni: N,Ed=-9.36 Myeq,Ed=3.89 Mzeq,Ed=-0.06
Resistenze: Nc,Rd=13095.20 My,c,Rd=109.13 Mz,c,Rd=21.83 L=28.75
λ_Y=19.92 Ncr,y=261199.00 λ^*_y=0.23 Curva c: Φ_y=0.53 χ_y=0.99
λ_Z=99.59 Ncr,z=10448.00 λ^*_z=1.15 Curva c: Φ_z=1.39 χ_z=0.46
χ,min=0.46
Verifica: 0.00+0.04+0.00=0.04

- Verifica in termini tensionali [4.2.4] - CC 9 SLU Xl=0.04 - Classe 3
Sollecitazioni: N=-5.04 T_z=35.76 M_y=3.94
Tensioni: σ_N=-1.01 σ_M=-94.56 τ=0.00 σ_{max}=-95.57
Tensioni: σ_N=-1.01 σ_M=-0.00 τ=10.73 τ_{max}=10.73
Tensioni: σ_N=-1.01 σ_M=-94.56 τ=0.00 $\sigma_{ID,max}$=95.57

- Verifica a taglio dir. Z [4.2.16] - CC 1 SLV Xl=0.10
Sollecitazioni: T_z=16.08
V,Ed=16.08 Vc,Rd=7560.76 V,Ed/Vc,Rd=0.00

Asta n. 6206 (-103 -111) calastrelli 50x10 Crit. 1

- Verifica di stabilità aste inflesse (4.2.4.1.3.2) CC 9 SLU - Classe 3
L_{cr}=0.28 Curva d: α_{imp}=0.76 k_c=0.94 ψ=3.08 M,cr=0.00 λ_{LT}=0.00
$\lambda_{LT,0}$=0.20 β_{LT}=1.00 Φ_{LT}=0.00 β_{LT}=1.00 f=0.00 χ_{LT}=1.00
CC 9 SLU My,Ed=-5.01 My,b,Rd=109.13 My,Ed/My,b,Rd=0.05

- Verifica di stabilità aste presso-inflesse (C4.2.4.1.3.3.1) - CC 18 SLU - Classe 3
Sollecitazioni: N,Ed=-0.88 Myeq,Ed=-2.67 Mzeq,Ed=-0.04
Resistenze: Nc,Rd=13095.20 My,c,Rd=109.13 Mz,c,Rd=21.83 L=28.13
λ_Y=19.49 Ncr,y=272937.00 λ^*_y=0.22 Curva c: Φ_y=0.53 χ_y=0.99
λ_Z=97.43 Ncr,z=10917.50 λ^*_z=1.12 Curva c: Φ_z=1.36 χ_z=0.47
χ,min=0.47
Verifica: 0.00+0.02+0.00=0.03

- Verifica a flessione [4.2.13] - CC 9 SLU Xl=0.25 - Classe 3
Sollecitazioni: T_z=45.24 M_y=-5.01
My,Ed=-5.01 My,c,Rd=109.13 My,Ed/My,c,Rd=0.05

- Verifica a taglio dir. Z [4.2.16] - CC 9 SLU Xl=0.13
Sollecitazioni: T_z=45.85
V,Ed=45.85 Vc,Rd=7560.76 V,Ed/Vc,Rd=0.01

Asta n. 6207 (-135 -143) calastrelli 50x10 Crit. 1

- Verifica di stabilità aste presso-inflesse (C4.2.4.1.3.3.1) - CC 9 SLU - Classe 3
Sollecitazioni: N,Ed=-0.05 Myeq,Ed=-5.31 Mzeq,Ed=-0.07
Resistenze: Nc,Rd=13095.20 My,c,Rd=109.13 Mz,c,Rd=21.83 L=27.50

λ_Y=19.05 Ncr,y=285484.00 λ^*_y=0.22 Curva c: Φ_y=0.53 χ_y=0.99
λ_Z=95.26 Ncr,z=11419.40 λ^*_z=1.10 Curva c: Φ_z=1.32 χ_z=0.49
χ,min=0.49
Verifica: 0.00+0.05+0.00=0.05

- Verifica a flessione [4.2.13] - CC 9 SLU Xl=0.25 - Classe 3
Sollecitazioni: T_z=49.40 M_y=-5.31
My,Ed=-5.31 My,c,Rd=109.13 My,Ed/My,c,Rd=0.05

- Verifica a taglio dir. Z [4.2.16] - CC 9 SLU Xl=0.13
Sollecitazioni: T_z=49.99
V,Ed=49.99 Vc,Rd=7560.76 V,Ed/Vc,Rd=0.01

Asta n. 6208 (-167 -175) calastrelli 50x10 Crit. 1

- Verifica di stabilità aste presso-inflesse (C4.2.4.1.3.3.1) - CC 9 SLU - Classe 3
Sollecitazioni: N,Ed=-0.05 Myeq,Ed=-5.44 Mzeq,Ed=-0.07
Resistenze: Nc,Rd=13095.20 My,c,Rd=109.13 Mz,c,Rd=21.83 L=26.88
λ_Y=18.62 Ncr,y=298917.00 λ^*_y=0.21 Curva c: Φ_y=0.53 χ_y=0.99
λ_Z=93.10 Ncr,z=11956.70 λ^*_z=1.07 Curva c: Φ_z=1.29 χ_z=0.50
χ,min=0.50
Verifica: 0.00+0.05+0.00=0.05

- Verifica a flessione [4.2.13] - CC 9 SLU Xl=0.24 - Classe 3
Sollecitazioni: T_z=52.18 M_y=-5.44
My,Ed=-5.44 My,c,Rd=109.13 My,Ed/My,c,Rd=0.05

- Verifica a taglio dir. Z [4.2.16] - CC 9 SLU Xl=0.13
Sollecitazioni: T_z=52.75
V,Ed=52.75 Vc,Rd=7560.76 V,Ed/Vc,Rd=0.01

Asta n. 6209 (-199 -207) calastrelli 50x10 Crit. 1

- Verifica di stabilità aste presso-inflesse (C4.2.4.1.3.3.1) - CC 9 SLU - Classe 3
Sollecitazioni: N,Ed=-0.04 Myeq,Ed=-5.54 Mzeq,Ed=-0.08
Resistenze: Nc,Rd=13095.20 My,c,Rd=109.13 Mz,c,Rd=21.83 L=26.25
λ_Y=18.19 Ncr,y=313321.00 λ^*_y=0.21 Curva c: Φ_y=0.52 χ_y=1.00
λ_Z=90.93 Ncr,z=12532.80 λ^*_z=1.05 Curva c: Φ_z=1.26 χ_z=0.51
χ,min=0.51
Verifica: 0.00+0.05+0.00=0.05

- Verifica a flessione [4.2.13] - CC 9 SLU Xl=0.23 - Classe 3
Sollecitazioni: T_z=54.78 M_y=-5.54
My,Ed=-5.54 My,c,Rd=109.13 My,Ed/My,c,Rd=0.05

- Verifica a taglio dir. Z [4.2.16] - CC 9 SLU Xl=0.13
Sollecitazioni: T_z=55.34
V,Ed=55.34 Vc,Rd=7560.76 V,Ed/Vc,Rd=0.01

Asta n. 6210 (-231 -239) calastrelli 50x10 Crit. 1

- Verifica di stabilità aste presso-inflesse (C4.2.4.1.3.3.1) - CC 9 SLU - Classe 3
Sollecitazioni: N,Ed=-0.04 Myeq,Ed=-5.63 Mzeq,Ed=-0.08
Resistenze: Nc,Rd=13095.20 My,c,Rd=109.13 Mz,c,Rd=21.83 L=25.63
λ_Y=17.75 Ncr,y=328791.00 λ^*_y=0.20 Curva c: Φ_y=0.52 χ_y=1.00
λ_Z=88.77 Ncr,z=13151.60 λ^*_z=1.02 Curva c: Φ_z=1.22 χ_z=0.53
χ,min=0.53
Verifica: 0.00+0.05+0.00=0.06

- Verifica a flessione [4.2.13] - CC 9 SLU Xl=0.23 - Classe 3

Sollecitazioni: T_z=57.48 M_y=-5.63
My,Ed=-5.63 My,c,Rd=109.13 My,Ed/My,c,Rd=0.05

- Verifica a taglio dir. Z [4.2.16] - CC 9 SLU Xl=0.12
Sollecitazioni: T_z=58.02
V,Ed=58.02 Vc,Rd=7560.76 V,Ed/Vc,Rd=0.01

Asta n. 6211 (-263 -271) calastrelli 50x10 Crit. 1

- Verifica di stabilità aste presso-inflesse (C4.2.4.1.3.3.1) - CC 9 SLU - Classe 3
Sollecitazioni: N,Ed=-0.04 Myeq,Ed=-5.72 Mzeq,Ed=-0.08
Resistenze: Nc,Rd=13095.20 My,c,Rd=109.13 Mz,c,Rd=21.83 L=25.00
λ_Y=17.32 Ncr,y=345436.00 λ^*_y=0.20 Curva c: Φ_y=0.52 χ_y=1.00
λ_Z=86.60 Ncr,z=13817.40 λ^*_z=1.00 Curva c: Φ_z=1.19 χ_z=0.54
χ,min=0.54
Verifica: 0.00+0.05+0.00=0.06

- Verifica a flessione [4.2.13] - CC 9 SLU Xl=0.22 - Classe 3
Sollecitazioni: T_z=60.35 M_y=-5.72
My,Ed=-5.72 My,c,Rd=109.13 My,Ed/My,c,Rd=0.05

- Verifica a taglio dir. Z [4.2.16] - CC 9 SLU Xl=0.12
Sollecitazioni: T_z=60.87
V,Ed=60.87 Vc,Rd=7560.76 V,Ed/Vc,Rd=0.01

Asta n. 6212 (-295 -303) calastrelli 50x10 Crit. 1

- Verifica di stabilità aste presso-inflesse (C4.2.4.1.3.3.1) - CC 9 SLU - Classe 3
Sollecitazioni: N,Ed=-0.04 Myeq,Ed=-5.81 Mzeq,Ed=-0.08
Resistenze: Nc,Rd=13095.20 My,c,Rd=109.13 Mz,c,Rd=21.83 L=24.38
λ_Y=16.89 Ncr,y=363378.00 λ^*_y=0.19 Curva c: Φ_y=0.52 χ_y=1.00
λ_Z=84.44 Ncr,z=14535.10 λ^*_z=0.97 Curva c: Φ_z=1.16 χ_z=0.56
χ,min=0.56
Verifica: 0.00+0.05+0.00=0.06

- Verifica a flessione [4.2.13] - CC 9 SLU Xl=0.22 - Classe 3
Sollecitazioni: T_z=63.43 M_y=-5.81
My,Ed=-5.81 My,c,Rd=109.13 My,Ed/My,c,Rd=0.05

- Verifica a taglio dir. Z [4.2.16] - CC 9 SLU Xl=0.12
Sollecitazioni: T_z=63.94
V,Ed=63.94 Vc,Rd=7560.76 V,Ed/Vc,Rd=0.01

Asta n. 6213 (-327 -335) calastrelli 50x10 Crit. 1

- Verifica di stabilità aste presso-inflesse (C4.2.4.1.3.3.1) - CC 9 SLU - Classe 3
Sollecitazioni: N,Ed=-0.04 Myeq,Ed=-5.90 Mzeq,Ed=-0.08
Resistenze: Nc,Rd=13095.20 My,c,Rd=109.13 Mz,c,Rd=21.83 L=23.75
λ_Y=16.45 Ncr,y=382755.00 λ^*_y=0.19 Curva c: Φ_y=0.52 χ_y=1.00
λ_Z=82.27 Ncr,z=15310.20 λ^*_z=0.95 Curva c: Φ_z=1.13 χ_z=0.57
χ,min=0.57
Verifica: 0.00+0.05+0.00=0.06

- Verifica a flessione [4.2.13] - CC 9 SLU Xl=0.21 - Classe 3
Sollecitazioni: T_z=66.75 M_y=-5.90
My,Ed=-5.90 My,c,Rd=109.13 My,Ed/My,c,Rd=0.05

- Verifica a taglio dir. Z [4.2.16] - CC 9 SLU Xl=0.11
Sollecitazioni: T_z=67.23
V,Ed=67.23 Vc,Rd=7560.76 V,Ed/Vc,Rd=0.01

Asta n. 6214 (-359 -367) calastrelli 50x10 Crit. 1

- Verifica di stabilità aste presso-inflesse (C4.2.4.1.3.3.1) - CC 9 SLU - Classe 3
  Sollecitazioni: N,Ed=-0.01 Myeq,Ed=-5.99 Mzeq,Ed=-0.08
  Resistenze: Nc,Rd=13095.20 My,c,Rd=109.13 Mz,c,Rd=21.83 L=23.13
  λ_Y=16.02 Ncr,y=403724.00 λ^*_y=0.18 Curva c: Φ_y=0.51 χ_y=1.00
  λ_Z=80.11 Ncr,z=16149.00 λ^*_z=0.92 Curva c: Φ_z=1.10 χ_z=0.59
  χ,min=0.59
  Verifica: 0.00+0.05+0.00=0.06

- Verifica a flessione [4.2.13] - CC 9 SLU Xl=0.20 - Classe 3
  Sollecitazioni: T_z=70.31 M_y=-5.99
  My,Ed=-5.99 My,c,Rd=109.13 My,Ed/My,c,Rd=0.05

- Verifica a taglio dir. Z [4.2.16] - CC 9 SLU Xl=0.11
  Sollecitazioni: T_z=70.78
  V,Ed=70.78 Vc,Rd=7560.76 V,Ed/Vc,Rd=0.01

Asta n. 6215 (-391 -399) calastrelli 50x10 Crit. 1

- Verifica di stabilità aste presso-inflesse (C4.2.4.1.3.3.1) - CC 9 SLU - Classe 3
  Sollecitazioni: N,Ed=-0.18 Myeq,Ed=-6.08 Mzeq,Ed=-0.08
  Resistenze: Nc,Rd=13095.20 My,c,Rd=109.13 Mz,c,Rd=21.83 L=22.50
  λ_Y=15.59 Ncr,y=426465.00 λ^*_y=0.18 Curva c: Φ_y=0.51 χ_y=1.00
  λ_Z=77.94 Ncr,z=17058.60 λ^*_z=0.90 Curva c: Φ_z=1.07 χ_z=0.60
  χ,min=0.60
  Verifica: 0.00+0.06+0.00=0.06

- Verifica a flessione [4.2.13] - CC 9 SLU Xl=0.20 - Classe 3
  Sollecitazioni: T_z=74.14 M_y=-6.08 T_y=-1.00
  My,Ed=-6.08 My,c,Rd=109.13 My,Ed/My,c,Rd=0.06

- Verifica a taglio dir. Y [4.2.16] - CC 9 SLU Xl=0.11
  Sollecitazioni: T_z=74.59 T_y=-1.00
  V,Ed=-1.00 Vc,Rd=7560.76 V,Ed/Vc,Rd=0.00

- Verifica a taglio dir. Z [4.2.16]
  V,Ed=74.59 Vc,Rd=7560.76 V,Ed/Vc,Rd=0.01

Asta n. 6216 (-423 -431) calastrelli 50x10 Crit. 1

- Verifica di stabilità aste inflesse (4.2.4.1.3.2) CC 9 SLU - Classe 3
  L_{cr}=0.22 Curva d: α_{imp}=0.76 k_c=0.94 ψ=3.07 M,cr=0.00 λ_{LT}=0.00
  $\lambda_{LT,0}$=0.20 β_{LT}=1.00 Φ_{LT}=0.00 β_{LT}=1.00 f=0.00 χ_{LT}=1.00
  CC 9 SLU My,Ed=-6.15 My,b,Rd=109.13 My,Ed/My,b,Rd=0.06

- Verifica di stabilità aste presso-inflesse (C4.2.4.1.3.3.1) - CC 20 SLU - Classe 3
  Sollecitazioni: N,Ed=-0.18 Myeq,Ed=-3.80 Mzeq,Ed=-0.05
  Resistenze: Nc,Rd=13095.20 My,c,Rd=109.13 Mz,c,Rd=21.83 L=21.88
  λ_Y=15.16 Ncr,y=451182.00 λ^*_y=0.17 Curva c: Φ_y=0.51 χ_y=1.00
  λ_Z=75.78 Ncr,z=18047.30 λ^*_z=0.87 Curva c: Φ_z=1.05 χ_z=0.62
  χ,min=0.62
  Verifica: 0.00+0.03+0.00=0.04

- Verifica in termini tensionali [4.2.4] - CC 9 SLU Xl=0.19 - Classe 3
  Sollecitazioni: N=1.06 T_z=78.11 M_y=-6.15 T_y=-1.06
  Tensioni: σ_N=0.21 σ_M=147.62 τ=0.00 σ_{max}=147.83
  Tensioni: σ_N=0.21 σ_M=0.00 τ=23.43 τ_{max}=23.43
  Tensioni: σ_N=0.21 σ_M=147.62 τ=0.32 $\sigma_{ID,max}$=147.83

- Verifica a taglio dir. Y [4.2.16] - CC 9 SLU Xl=0.11
  Sollecitazioni: N=1.06 T_z=78.54 T_y=-1.06
  V,Ed=-1.06 Vc,Rd=7560.76 V,Ed/Vc,Rd=0.00

- Verifica a taglio dir. Z [4.2.16]
  V,Ed=78.54 Vc,Rd=7560.76 V,Ed/Vc,Rd=0.01

Asta n. 6217 (-455 -463) calastrelli 50x10 Crit. 1

- Verifica di stabilità aste presso-inflesse (C4.2.4.1.3.3.1) - CC 9 SLU - Classe 3
  Sollecitazioni: N,Ed=-7.40 Myeq,Ed=-6.21 Mzeq,Ed=-0.08
  Resistenze: Nc,Rd=13095.20 My,c,Rd=109.13 Mz,c,Rd=21.83 L=21.25
  λ_Y=14.72 Ncr,y=478113.00 λ^*_y=0.17 Curva c: Φ_y=0.51 χ_y=1.00
  λ_Z=73.61 Ncr,z=19124.50 λ^*_z=0.85 Curva c: Φ_z=1.02 χ_z=0.63
  χ,min=0.63
  Verifica: 0.00+0.06+0.00=0.06

- Verifica in termini tensionali [4.2.4] - CC 9 SLU Xl=0.18 - Classe 3
  Sollecitazioni: N=-7.40 T_z=81.31 M_y=-6.21 T_y=-1.03
  Tensioni: σ_N=-1.48 σ_M=-149.08 τ=0.00 σ_{max}=-150.56
  Tensioni: σ_N=-1.48 σ_M=0.00 τ=24.40 τ_{max}=24.40
  Tensioni: σ_N=-1.48 σ_M=-149.08 τ=0.31 $\sigma_{ID,max}$=150.56

Asta n. 6218 (-487 -495) calastrelli 50x10 Crit. 1

- Verifica in termini tensionali [4.2.4] - CC 9 SLU Xl=0.04 - Classe 3
  Sollecitazioni: N=41.42 T_z=78.88 M_y=5.90 T_y=-1.24
  Tensioni: σ_N=8.28 σ_M=141.58 τ=0.00 σ_{max}=149.87
  Tensioni: σ_N=8.28 σ_M=-0.00 τ=23.67 τ_{max}=23.67
  Tensioni: σ_N=8.28 σ_M=141.58 τ=0.37 $\sigma_{ID,max}$=149.87

- Verifica a taglio dir. Y [4.2.16] - CC 9 SLU Xl=0.10
  Sollecitazioni: N=41.42 T_z=78.55 T_y=-1.24
  V,Ed=-1.24 Vc,Rd=7560.76 V,Ed/Vc,Rd=0.00

- Verifica a taglio dir. Z [4.2.16]
  V,Ed=78.55 Vc,Rd=7560.76 V,Ed/Vc,Rd=0.01

Asta n. 6223 (-488 -496) calastrelli 50x10 Crit. 1

- Verifica in termini tensionali [4.2.4] - CC 19 SLU Xl=0.03 - Classe 3
  Sollecitazioni: N=25.62 T_z=74.37 M_y=5.57 T_y=1.15
  Tensioni: σ_N=5.12 σ_M=133.69 τ=0.00 σ_{max}=138.81
  Tensioni: σ_N=5.12 σ_M=-0.00 τ=22.31 τ_{max}=22.31
  Tensioni: σ_N=5.12 σ_M=133.69 τ=0.35 $\sigma_{ID,max}$=138.81

- Verifica a taglio dir. Y [4.2.16] - CC 19 SLU Xl=0.09
  Sollecitazioni: N=25.62 T_z=74.04 T_y=1.15
  V,Ed=1.15 Vc,Rd=7560.76 V,Ed/Vc,Rd=0.00

- Verifica a taglio dir. Z [4.2.16]
  V,Ed=74.04 Vc,Rd=7560.76 V,Ed/Vc,Rd=0.01

Asta n. 6224 (-456 -464) calastrelli 50x10 Crit. 1

- Verifica di stabilità aste presso-inflesse (C4.2.4.1.3.3.1) - CC 19 SLU - Classe 3
  Sollecitazioni: N,Ed=-4.32 Myeq,Ed=5.78 Mzeq,Ed=-0.08
  Resistenze: Nc,Rd=13095.20 My,c,Rd=109.13 Mz,c,Rd=21.83 L=21.25
  λ_Y=14.72 Ncr,y=478113.00 λ^*_y=0.17 Curva c: Φ_y=0.51 χ_y=1.00

λ_Z=73.61 Ncr,z=19124.50 λ^*_z=0.85 Curva c: Φ_z=1.02 χ_z=0.63
χ,min=0.63
Verifica: 0.00+0.05+0.00=0.06

- Verifica in termini tensionali [4.2.4] - CC 19 SLU Xl=0.03 - Classe 3
Sollecitazioni: N=-4.32 T_z=77.49 M_y=5.78
Tensioni: σ_N=-0.86 σ_M=-138.63 τ=0.00 σ_{max}=-139.49
Tensioni: σ_N=-0.86 σ_M=-0.00 τ=23.25 τ_{max}=23.25
Tensioni: σ_N=-0.86 σ_M=-138.63 τ=0.00 $\sigma_{ID,max}$=139.49

- Verifica a taglio dir. Z [4.2.16] - CC 5 SLV Xl=0.10
Sollecitazioni: T_z=59.01
V,Ed=59.01 Vc,Rd=7560.76 V,Ed/Vc,Rd=0.01

Asta n. 6225 (-424 -432) calastrelli 50x10 Crit. 1

- Verifica di stabilità aste inflesse (4.2.4.1.3.2) CC 19 SLU - Classe 3
L_{cr}=0.22 Curva d: α_{imp}=0.76 k_c=0.94 ψ=3.06 M,cr=0.00 λ_{LT}=0.00
$\lambda_{LT,0}$=0.20 β_{LT}=1.00 Φ_{LT}=0.00 β_{LT}=1.00 f=0.00 χ_{LT}=1.00
CC 19 SLU My,Ed=5.81 My,b,Rd=109.13 My,Ed/My,b,Rd=0.05

- Verifica di stabilità aste presso-inflesse (C4.2.4.1.3.3.1) - CC 18 SLU - Classe 3
Sollecitazioni: N,Ed=-0.64 Myeq,Ed=4.63 Mzeq,Ed=-0.06
Resistenze: Nc,Rd=13095.20 My,c,Rd=109.13 Mz,c,Rd=21.83 L=21.88
λ_Y=15.16 Ncr,y=451182.00 λ^*_y=0.17 Curva c: Φ_y=0.51 χ_y=1.00
λ_Z=75.78 Ncr,z=18047.30 λ^*_z=0.87 Curva c: Φ_z=1.05 χ_z=0.62
χ,min=0.62
Verifica: 0.00+0.04+0.00=0.05

- Verifica a flessione [4.2.13] - CC 19 SLU Xl=0.03 - Classe 3
Sollecitazioni: T_z=74.40 M_y=5.81
My,Ed=5.81 My,c,Rd=109.13 My,Ed/My,c,Rd=0.05

- Verifica a taglio dir. Z [4.2.16] - CC 19 SLU Xl=0.10
Sollecitazioni: T_z=74.04
V,Ed=74.04 Vc,Rd=7560.76 V,Ed/Vc,Rd=0.01

Asta n. 6226 (-392 -400) calastrelli 50x10 Crit. 1

- Verifica di stabilità aste inflesse (4.2.4.1.3.2) CC 17 SLU - Classe 3
L_{cr}=0.23 Curva d: α_{imp}=0.76 k_c=0.94 ψ=3.06 M,cr=0.00 λ_{LT}=0.00
$\lambda_{LT,0}$=0.20 β_{LT}=1.00 Φ_{LT}=0.00 β_{LT}=1.00 f=0.00 χ_{LT}=1.00
CC 17 SLU My,Ed=3.45 My,b,Rd=109.13 My,Ed/My,b,Rd=0.03

- Verifica di stabilità aste presso-inflesse (C4.2.4.1.3.3.1) - CC 19 SLU - Classe 3
Sollecitazioni: N,Ed=-0.06 Myeq,Ed=5.74 Mzeq,Ed=-0.09
Resistenze: Nc,Rd=13095.20 My,c,Rd=109.13 Mz,c,Rd=21.83 L=22.50
λ_Y=15.59 Ncr,y=426465.00 λ^*_y=0.18 Curva c: Φ_y=0.51 χ_y=1.00
λ_Z=77.94 Ncr,z=17058.60 λ^*_z=0.90 Curva c: Φ_z=1.07 χ_z=0.60
χ,min=0.60
Verifica: 0.00+0.05+0.00=0.06

- Verifica a flessione [4.2.13] - CC 19 SLU Xl=0.03 - Classe 3
Sollecitazioni: T_z=70.70 M_y=5.74
My,Ed=5.74 My,c,Rd=109.13 My,Ed/My,c,Rd=0.05

- Verifica a taglio dir. Z [4.2.16] - CC 19 SLU Xl=0.10
Sollecitazioni: T_z=70.32
V,Ed=70.32 Vc,Rd=7560.76 V,Ed/Vc,Rd=0.01

Asta n. 6227 (-360 -368) calastrelli 50x10 Crit. 1

- Verifica di stabilità aste inflesse (4.2.4.1.3.2) CC 19 SLU - Classe 3
  L_{cr}=0.23 Curva d: α_{imp}=0.76 k_c=0.94 ψ=3.06 M,cr=0.00 λ_{LT}=0.00
  $\lambda_{LT,0}$=0.20 β_{LT}=1.00 Φ_{LT}=0.00 β_{LT}=1.00 f=0.00 χ_{LT}=1.00
  CC 19 SLU My,Ed=5.65 My,b,Rd=109.13 My,Ed/My,b,Rd=0.05

- Verifica di stabilità aste presso-inflesse (C4.2.4.1.3.3.1) - CC 9 SLU - Classe 3
  Sollecitazioni: N,Ed=-0.06 Myeq,Ed=5.48 Mzeq,Ed=-0.07
  Resistenze: Nc,Rd=13095.20 My,c,Rd=109.13 Mz,c,Rd=21.83 L=23.13
  λ_Y=16.02 Ncr,y=403724.00 λ^*_y=0.18 Curva c: Φ_y=0.51 χ_y=1.00
  λ_Z=80.11 Ncr,z=16149.00 λ^*_z=0.92 Curva c: Φ_z=1.10 χ_z=0.59
  χ,min=0.59
  Verifica: 0.00+0.05+0.00=0.05

- Verifica a flessione [4.2.13] - CC 19 SLU Xl=0.03 - Classe 3
  Sollecitazioni: T_z=67.13 M_y=5.65
  My,Ed=5.65 My,c,Rd=109.13 My,Ed/My,c,Rd=0.05

- Verifica a taglio dir. Z [4.2.16] - CC 19 SLU Xl=0.10
  Sollecitazioni: T_z=66.74
  V,Ed=66.74 Vc,Rd=7560.76 V,Ed/Vc,Rd=0.01

Asta n. 6228 (-328 -336) calastrelli 50x10 Crit. 1

- Verifica di stabilità aste inflesse (4.2.4.1.3.2) CC 19 SLU - Classe 3
  L_{cr}=0.24 Curva d: α_{imp}=0.76 k_c=0.94 ψ=3.06 M,cr=0.00 λ_{LT}=0.00
  $\lambda_{LT,0}$=0.20 β_{LT}=1.00 Φ_{LT}=0.00 β_{LT}=1.00 f=0.00 χ_{LT}=1.00
  CC 19 SLU My,Ed=5.57 My,b,Rd=109.13 My,Ed/My,b,Rd=0.05

- Verifica di stabilità aste presso-inflesse (C4.2.4.1.3.3.1) - CC 9 SLU - Classe 3
  Sollecitazioni: N,Ed=-0.08 Myeq,Ed=5.40 Mzeq,Ed=-0.07
  Resistenze: Nc,Rd=13095.20 My,c,Rd=109.13 Mz,c,Rd=21.83 L=23.75
  λ_Y=16.45 Ncr,y=382755.00 λ^*_y=0.19 Curva c: Φ_y=0.52 χ_y=1.00
  λ_Z=82.27 Ncr,z=15310.20 λ^*_z=0.95 Curva c: Φ_z=1.13 χ_z=0.57
  χ,min=0.57
  Verifica: 0.00+0.05+0.00=0.05

- Verifica a flessione [4.2.13] - CC 19 SLU Xl=0.03 - Classe 3
  Sollecitazioni: T_z=63.81 M_y=5.57
  My,Ed=5.57 My,c,Rd=109.13 My,Ed/My,c,Rd=0.05

- Verifica a taglio dir. Z [4.2.16] - CC 19 SLU Xl=0.11
  Sollecitazioni: T_z=63.40
  V,Ed=63.40 Vc,Rd=7560.76 V,Ed/Vc,Rd=0.01

Asta n. 6229 (-296 -304) calastrelli 50x10 Crit. 1

- Verifica di stabilità aste inflesse (4.2.4.1.3.2) CC 19 SLU - Classe 3
  L_{cr}=0.24 Curva d: α_{imp}=0.76 k_c=0.94 ψ=3.06 M,cr=0.00 λ_{LT}=0.00
  $\lambda_{LT,0}$=0.20 β_{LT}=1.00 Φ_{LT}=0.00 β_{LT}=1.00 f=0.00 χ_{LT}=1.00
  CC 19 SLU My,Ed=5.49 My,b,Rd=109.13 My,Ed/My,b,Rd=0.05

- Verifica di stabilità aste presso-inflesse (C4.2.4.1.3.3.1) - CC 9 SLU - Classe 3
  Sollecitazioni: N,Ed=-0.07 Myeq,Ed=5.32 Mzeq,Ed=-0.07
  Resistenze: Nc,Rd=13095.20 My,c,Rd=109.13 Mz,c,Rd=21.83 L=24.38
  λ_Y=16.89 Ncr,y=363378.00 λ^*_y=0.19 Curva c: Φ_y=0.52 χ_y=1.00
  λ_Z=84.44 Ncr,z=14535.10 λ^*_z=0.97 Curva c: Φ_z=1.16 χ_z=0.56

χ,min=0.56
Verifica: 0.00+0.05+0.00=0.05

- Verifica a flessione [4.2.13] - CC 19 SLU Xl=0.03 - Classe 3
Sollecitazioni: T_z=60.72 M_y=5.49
My,Ed=5.49 My,c,Rd=109.13 My,Ed/My,c,Rd=0.05

- Verifica a taglio dir. Z [4.2.16] - CC 19 SLU Xl=0.11
Sollecitazioni: T_z=60.30
V,Ed=60.30 Vc,Rd=7560.76 V,Ed/Vc,Rd=0.01

Asta n. 6230 (-264 -272) calastrelli 50x10 Crit. 1

- Verifica di stabilità aste inflesse (4.2.4.1.3.2) CC 19 SLU - Classe 3
L_{cr}=0.25 Curva d: α_{imp}=0.76 k_c=0.94 ψ=3.06 M,cr=0.00 λ_{LT}=0.00
$\lambda_{LT,0}$=0.20 β_{LT}=1.00 Φ_{LT}=0.00 β_{LT}=1.00 f=0.00 χ_{LT}=1.00
CC 19 SLU My,Ed=5.40 My,b,Rd=109.13 My,Ed/My,b,Rd=0.05

- Verifica di stabilità aste presso-inflesse (C4.2.4.1.3.3.1) - CC 9 SLU - Classe 3
Sollecitazioni: N,Ed=-0.07 Myeq,Ed=5.24 Mzeq,Ed=-0.07
Resistenze: Nc,Rd=13095.20 My,c,Rd=109.13 Mz,c,Rd=21.83 L=25.00
λ_Y=17.32 Ncr,y=345436.00 λ^*_y=0.20 Curva c: Φ_y=0.52 χ_y=1.00
λ_Z=86.60 Ncr,z=13817.40 λ^*_z=1.00 Curva c: Φ_z=1.19 χ_z=0.54
χ,min=0.54
Verifica: 0.00+0.05+0.00=0.05

- Verifica a flessione [4.2.13] - CC 19 SLU Xl=0.03 - Classe 3
Sollecitazioni: T_z=57.85 M_y=5.40
My,Ed=5.40 My,c,Rd=109.13 My,Ed/My,c,Rd=0.05

- Verifica a taglio dir. Z [4.2.16] - CC 19 SLU Xl=0.11
Sollecitazioni: T_z=57.42
V,Ed=57.42 Vc,Rd=7560.76 V,Ed/Vc,Rd=0.01

Asta n. 6231 (-232 -240) calastrelli 50x10 Crit. 1

- Verifica di stabilità aste inflesse (4.2.4.1.3.2) CC 19 SLU - Classe 3
L_{cr}=0.26 Curva d: α_{imp}=0.76 k_c=0.94 ψ=3.07 M,cr=0.00 λ_{LT}=0.00
$\lambda_{LT,0}$=0.20 β_{LT}=1.00 Φ_{LT}=0.00 β_{LT}=1.00 f=0.00 χ_{LT}=1.00
CC 19 SLU My,Ed=5.32 My,b,Rd=109.13 My,Ed/My,b,Rd=0.05

- Verifica di stabilità aste presso-inflesse (C4.2.4.1.3.3.1) - CC 9 SLU - Classe 3
Sollecitazioni: N,Ed=-0.07 Myeq,Ed=5.16 Mzeq,Ed=-0.07
Resistenze: Nc,Rd=13095.20 My,c,Rd=109.13 Mz,c,Rd=21.83 L=25.63
λ_Y=17.75 Ncr,y=328791.00 λ^*_y=0.20 Curva c: Φ_y=0.52 χ_y=1.00
λ_Z=88.77 Ncr,z=13151.60 λ^*_z=1.02 Curva c: Φ_z=1.22 χ_z=0.53
χ,min=0.53
Verifica: 0.00+0.05+0.00=0.05

- Verifica a flessione [4.2.13] - CC 19 SLU Xl=0.03 - Classe 3
Sollecitazioni: T_z=55.18 M_y=5.32
My,Ed=5.32 My,c,Rd=109.13 My,Ed/My,c,Rd=0.05

- Verifica a taglio dir. Z [4.2.16] - CC 19 SLU Xl=0.12
Sollecitazioni: T_z=54.73
V,Ed=54.73 Vc,Rd=7560.76 V,Ed/Vc,Rd=0.01

Asta n. 6232 (-200 -208) calastrelli 50x10 Crit. 1

- Verifica di stabilità aste inflesse (4.2.4.1.3.2) CC 19 SLU - Classe 3

L_{cr}=0.26 Curva d: α_{imp}=0.76 k_c=0.94 ψ=3.07 M,cr=0.00 λ_{LT}=0.00
$\lambda_{LT,0}$=0.20 β_{LT}=1.00 Φ_{LT}=0.00 β_{LT}=1.00 f=0.00 χ_{LT}=1.00
CC 19 SLU My,Ed=5.24 My,b,Rd=109.13 My,Ed/My,b,Rd=0.05

- Verifica di stabilità aste presso-inflesse (C4.2.4.1.3.3.1) - CC 9 SLU - Classe 3
Sollecitazioni: N,Ed=-0.07 Myeq,Ed=5.08 Mzeq,Ed=-0.07
Resistenze: Nc,Rd=13095.20 My,c,Rd=109.13 Mz,c,Rd=21.83 L=26.25
λ_Y=18.19 Ncr,y=313321.00 λ^*_y=0.21 Curva c: Φ_y=0.52 χ_y=1.00
λ_Z=90.93 Ncr,z=12532.80 λ^*_z=1.05 Curva c: Φ_z=1.26 χ_z=0.51
χ,min=0.51
Verifica: 0.00+0.05+0.00=0.05

- Verifica a flessione [4.2.13] - CC 19 SLU Xl=0.03 - Classe 3
Sollecitazioni: T_z=52.67 M_y=5.24
My,Ed=5.24 My,c,Rd=109.13 My,Ed/My,c,Rd=0.05

- Verifica a taglio dir. Z [4.2.16] - CC 19 SLU Xl=0.12
Sollecitazioni: T_z=52.21
V,Ed=52.21 Vc,Rd=7560.76 V,Ed/Vc,Rd=0.01

Asta n. 6233 (-168 -176) calastrelli 50x10 Crit. 1

- Verifica di stabilità aste inflesse (4.2.4.1.3.2) CC 19 SLU - Classe 3
L_{cr}=0.27 Curva d: α_{imp}=0.76 k_c=0.94 ψ=3.07 M,cr=0.00 λ_{LT}=0.00
$\lambda_{LT,0}$=0.20 β_{LT}=1.00 Φ_{LT}=0.00 β_{LT}=1.00 f=0.00 χ_{LT}=1.00
CC 19 SLU My,Ed=5.15 My,b,Rd=109.13 My,Ed/My,b,Rd=0.05

- Verifica di stabilità aste presso-inflesse (C4.2.4.1.3.3.1) - CC 9 SLU - Classe 3
Sollecitazioni: N,Ed=-0.07 Myeq,Ed=5.00 Mzeq,Ed=-0.07
Resistenze: Nc,Rd=13095.20 My,c,Rd=109.13 Mz,c,Rd=21.83 L=26.88
λ_Y=18.62 Ncr,y=298917.00 λ^*_y=0.21 Curva c: Φ_y=0.53 χ_y=0.99
λ_Z=93.10 Ncr,z=11956.70 λ^*_z=1.07 Curva c: Φ_z=1.29 χ_z=0.50
χ,min=0.50
Verifica: 0.00+0.05+0.00=0.05

- Verifica a flessione [4.2.13] - CC 19 SLU Xl=0.03 - Classe 3
Sollecitazioni: T_z=50.26 M_y=5.15
My,Ed=5.15 My,c,Rd=109.13 My,Ed/My,c,Rd=0.05

- Verifica a taglio dir. Z [4.2.16] - CC 19 SLU Xl=0.12
Sollecitazioni: T_z=49.78
V,Ed=49.78 Vc,Rd=7560.76 V,Ed/Vc,Rd=0.01

Asta n. 6234 (-136 -144) calastrelli 50x10 Crit. 1

- Verifica di stabilità aste inflesse (4.2.4.1.3.2) CC 19 SLU - Classe 3
L_{cr}=0.28 Curva d: α_{imp}=0.76 k_c=0.94 ψ=3.07 M,cr=0.00 λ_{LT}=0.00
$\lambda_{LT,0}$=0.20 β_{LT}=1.00 Φ_{LT}=0.00 β_{LT}=1.00 f=0.00 χ_{LT}=1.00
CC 19 SLU My,Ed=5.03 My,b,Rd=109.13 My,Ed/My,b,Rd=0.05

- Verifica di stabilità aste presso-inflesse (C4.2.4.1.3.3.1) - CC 9 SLU - Classe 3
Sollecitazioni: N,Ed=-0.09 Myeq,Ed=4.88 Mzeq,Ed=-0.06
Resistenze: Nc,Rd=13095.20 My,c,Rd=109.13 Mz,c,Rd=21.83 L=27.50
λ_Y=19.05 Ncr,y=285484.00 λ^*_y=0.22 Curva c: Φ_y=0.53 χ_y=0.99
λ_Z=95.26 Ncr,z=11419.40 λ^*_z=1.10 Curva c: Φ_z=1.32 χ_z=0.49
χ,min=0.49
Verifica: 0.00+0.04+0.00=0.05

- Verifica a flessione [4.2.13] - CC 19 SLU Xl=0.03 - Classe 3

Sollecitazioni: T_z=47.67 M_y=5.03
My,Ed=5.03 My,c,Rd=109.13 My,Ed/My,c,Rd=0.05

- Verifica a taglio dir. Z [4.2.16] - CC 19 SLU Xl=0.12
Sollecitazioni: T_z=47.18
V,Ed=47.18 Vc,Rd=7560.76 V,Ed/Vc,Rd=0.01

Asta n. 6235 (-104 -112) calastrelli 50x10 Crit. 1

- Verifica di stabilità aste inflesse (4.2.4.1.3.2) CC 9 SLU - Classe 3
L_{cr}=0.28 Curva d: α_{imp}=0.76 k_c=0.94 ψ=3.06 M,cr=0.00 λ_{LT}=0.00
$\lambda_{LT,0}$=0.20 β_{LT}=1.00 Φ_{LT}=0.00 β_{LT}=1.00 f=0.00 χ_{LT}=1.00
CC 9 SLU My,Ed=4.61 My,b,Rd=109.13 My,Ed/My,b,Rd=0.04

- Verifica di stabilità aste presso-inflesse (C4.2.4.1.3.3.1) - CC 19 SLU - Classe 3
Sollecitazioni: N,Ed=-0.01 Myeq,Ed=4.75 Mzeq,Ed=-0.08
Resistenze: Nc,Rd=13095.20 My,c,Rd=109.13 Mz,c,Rd=21.83 L=28.13
λ_Y=19.49 Ncr,y=272937.00 λ^*_y=0.22 Curva c: Φ_y=0.53 χ_y=0.99
λ_Z=97.43 Ncr,z=10917.50 λ^*_z=1.12 Curva c: Φ_z=1.36 χ_z=0.47
χ,min=0.47
Verifica: 0.00+0.04+0.00=0.05

- Verifica a flessione [4.2.13] - CC 19 SLU Xl=0.03 - Classe 3
Sollecitazioni: T_z=43.77 M_y=4.75
My,Ed=4.75 My,c,Rd=109.13 My,Ed/My,c,Rd=0.04

- Verifica a taglio dir. Z [4.2.16] - CC 19 SLU Xl=0.13
Sollecitazioni: T_z=43.27
V,Ed=43.27 Vc,Rd=7560.76 V,Ed/Vc,Rd=0.01

Asta n. 6236 (-72 -80) calastrelli 50x10 Crit. 1

- Verifica di stabilità aste inflesse (4.2.4.1.3.2) CC 19 SLU - Classe 3
L_{cr}=0.29 Curva d: α_{imp}=0.76 k_c=0.94 ψ=3.06 M,cr=0.00 λ_{LT}=0.00
$\lambda_{LT,0}$=0.20 β_{LT}=1.00 Φ_{LT}=0.00 β_{LT}=1.00 f=0.00 χ_{LT}=1.00
CC 19 SLU My,Ed=3.75 My,b,Rd=109.13 My,Ed/My,b,Rd=0.03

- Verifica di stabilità aste presso-inflesse (C4.2.4.1.3.3.1) - CC 9 SLU - Classe 3
Sollecitazioni: N,Ed=-1.87 Myeq,Ed=3.65 Mzeq,Ed=-0.04
Resistenze: Nc,Rd=13095.20 My,c,Rd=109.13 Mz,c,Rd=21.83 L=28.75
λ_Y=19.92 Ncr,y=261199.00 λ^*_y=0.23 Curva c: Φ_y=0.53 χ_y=0.99
λ_Z=99.59 Ncr,z=10448.00 λ^*_z=1.15 Curva c: Φ_z=1.39 χ_z=0.46
χ,min=0.46
Verifica: 0.00+0.03+0.00=0.04

- Verifica in termini tensionali [4.2.4] - CC 19 SLU Xl=0.03 - Classe 3
Sollecitazioni: N=2.58 T_z=33.75 M_y=3.75
Tensioni: σ_N=0.52 σ_M=90.12 τ=0.00 σ_{max}=90.63
Tensioni: σ_N=0.52 σ_M=-0.00 τ=10.13 τ_{max}=10.13
Tensioni: σ_N=0.52 σ_M=90.12 τ=0.00 $\sigma_{ID,max}$=90.63

- Verifica a taglio dir. Z [4.2.16] - CC 19 SLU Xl=0.13
Sollecitazioni: N=2.58 T_z=33.24
V,Ed=33.24 Vc,Rd=7560.76 V,Ed/Vc,Rd=0.00

Asta n. 6237 (-40 -48) calastrelli 100x5 Crit. 1

- Verifica di stabilità aste inflesse (4.2.4.1.3.2) CC 9 SLU - Classe 3
L_{cr}=0.29 Curva d: α_{imp}=0.76 k_c=0.94 ψ=2.85 M,cr=0.00 λ_{LT}=0.00

$\lambda_{LT,0}$=0.20 β_{LT}=1.00 Φ_{LT}=0.00 β_{LT}=1.00 f=0.00 χ_{LT}=1.00
CC 9 SLU My,Ed=-4.41 My,b,Rd=436.51 My,Ed/My,b,Rd=0.01

- Verifica di stabilità aste presso-inflesse (C4.2.4.1.3.3.1) - CC 19 SLU - Classe 3
Sollecitazioni: N,Ed=-75.74 Myeq,Ed=5.23 Mzeq,Ed=-0.05
Resistenze: Nc,Rd=26190.50 My,c,Rd=436.51 Mz,c,Rd=43.65 L=29.38
λ_Y=10.18 Ncr,y=2001620.00 λ^*_y=0.12 Curva c: Φ_y=0.49 χ_y=1.00
λ_Z=101.76 Ncr,z=20016.20 λ^*_z=1.17 Curva c: Φ_z=1.43 χ_z=0.45
χ,min=0.45
Verifica: 0.00+0.01+0.00=0.02

- Verifica in termini tensionali [4.2.4] - CC 17 SLU Xl=0.03 - Classe 3
Sollecitazioni: N=-150.42 T_z=23.07 M_y=4.66
Tensioni: σ_N=-15.04 σ_M=-27.98 τ=0.00 σ_{max}=-43.02
Tensioni: σ_N=-15.04 σ_M=-0.00 τ=3.46 τ_{max}=3.46
Tensioni: σ_N=-15.04 σ_M=-27.98 τ=0.00 $\sigma_{ID,max}$=43.02

- Verifica a taglio dir. Z [4.2.16] - CC 9 SLU Xl=0.11
Sollecitazioni: N=20.34 T_z=35.68
V,Ed=35.68 Vc,Rd=15121.50 V,Ed/Vc,Rd=0.00

Asta n. 6238 (-8 -16) calastrelli 100x5 Crit. 1

- Verifica di stabilità aste inflesse (4.2.4.1.3.2) CC 9 SLU - Classe 3
L_{cr}=0.30 Curva d: α_{imp}=0.76 k_c=0.94 ψ=2.86 M,cr=0.00 λ_{LT}=0.00
$\lambda_{LT,0}$=0.20 β_{LT}=1.00 Φ_{LT}=0.00 β_{LT}=1.00 f=0.00 χ_{LT}=1.00
CC 9 SLU My,Ed=-2.37 My,b,Rd=436.51 My,Ed/My,b,Rd=0.01

- Verifica di stabilità aste presso-inflesse (C4.2.4.1.3.3.1) - CC 17 SLU - Classe 3
Sollecitazioni: N,Ed=-362.91 Myeq,Ed=-1.89 Mzeq,Ed=0.02
Resistenze: Nc,Rd=26190.50 My,c,Rd=436.51 Mz,c,Rd=43.65 L=29.69
λ_Y=10.28 Ncr,y=1959700.00 λ^*_y=0.12 Curva c: Φ_y=0.49 χ_y=1.00
λ_Z=102.84 Ncr,z=19597.00 λ^*_z=1.18 Curva c: Φ_z=1.44 χ_z=0.44
χ,min=0.44
Verifica: 0.01+0.00+0.00=0.02

- Verifica in termini tensionali [4.2.4] - CC 17 SLU Xl=0.26 - Classe 3
Sollecitazioni: N=-362.91 T_z=11.34 M_y=-1.89
Tensioni: σ_N=-36.29 σ_M=-11.31 τ=0.00 σ_{max}=-47.60
Tensioni: σ_N=-36.29 σ_M=0.00 τ=1.70 τ_{max}=1.70
Tensioni: σ_N=-36.29 σ_M=-11.31 τ=0.00 $\sigma_{ID,max}$=47.60

- Verifica a taglio dir. Z [4.2.16] - CC 5 SLV Xl=0.09
Sollecitazioni: N=54.38 T_z=20.03
V,Ed=20.03 Vc,Rd=15121.50 V,Ed/Vc,Rd=0.00

Asta n. 6239 (324 336) angolari L50x10 Crit. 1

- Verifica di stabilità aste inflesse (4.2.4.1.3.2) CC 17 SLU - Classe 3
L_{cr}=0.15 Curva d: α_{imp}=0.76 k_c=0.94 ψ=2.72 M,cr=0.00 λ_{LT}=0.00
$\lambda_{LT,0}$=0.00 β_{LT}=0.00 Φ_{LT}=0.00 β_{LT}=0.00 f=0.00 χ_{LT}=1.00
CC 17 SLU My,Ed=-62.76 My,b,Rd=149.05 My,Ed/My,b,Rd=0.42

- Verifica di stabilità aste presso-inflesse (C4.2.4.1.3.3.1) - CC 1 SLV - Classe 3
Sollecitazioni: N,Ed=-165.40 Myeq,Ed=-20.01 Mzeq,Ed=0.81
Resistenze: Nc,Rd=23709.20 My,c,Rd=149.05 Mz,c,Rd=149.05 L=15.00
λ_c=8.19 Ncr,y=2794040.00 λ^*_y=0.09 Curva b: Φ_y=0.00 χ_y=1.00
λ_e=15.58 Ncr,z=772688.00 λ^*_z=0.18 Curva b: Φ_z=0.00 χ_z=1.00
χ,min=1.00

Verifica: 0.01+0.13+0.01=0.15

- Verifica in termini tensionali [4.2.4] - CC 17 SLU Xl=0.15 - Classe 3
Sollecitazioni: N=568.80 T_z=833.61 M_y=-62.76 T_y=28.14 M_z=2.99 M_x=1.24 (M_c=-46.49 M_e=-42.26)
Tensioni: σ_N=62.83 σ_M=-1345.57 τ=55.96 σ_{max}=-1282.74
Tensioni: σ_N=62.83 σ_M=717.36 τ=278.58 τ_{max}=278.58
Tensioni: σ_N=62.83 σ_M=-1345.57 τ=55.96 $\sigma_{ID,max}$=1286.40

- Verifica a taglio dir. Y [4.2.16] - CC 1 SLV Xl=0.08
Sollecitazioni: N=181.54 T_z=266.94 T_y=9.42
V,Ed=9.42 Vc,Rd=7560.76 V,Ed/Vc,Rd=0.00

- Verifica a taglio dir. Z [4.2.16]
V,Ed=266.94 Vc,Rd=7560.76 V,Ed/Vc,Rd=0.04

Asta n. 6239 (336 348) angolari L50x10 Crit. 1

- Verifica di stabilità aste inflesse (4.2.4.1.3.2) CC 17 SLU - Classe 3
L_{cr}=0.15 Curva d: α_{imp}=0.76 k_c=0.94 ψ=2.79 M,cr=0.00 λ_{LT}=0.00
$\lambda_{LT,0}$=0.00 β_{LT}=0.00 Φ_{LT}=0.00 β_{LT}=0.00 f=0.00 χ_{LT}=1.00
CC 17 SLU My,Ed=-57.50 My,b,Rd=149.05 My,Ed/My,b,Rd=0.39

- Verifica di stabilità aste presso-inflesse (C4.2.4.1.3.3.1) - CC 1 SLV - Classe 3
Sollecitazioni: N,Ed=-170.86 Myeq,Ed=19.32 Mzeq,Ed=0.81
Resistenze: Nc,Rd=23709.20 My,c,Rd=149.05 Mz,c,Rd=149.05 L=15.00
λ_c=8.19 Ncr,y=2794040.00 λ^*_y=0.09 Curva b: Φ_y=0.00 χ_y=1.00
λ_e=15.58 Ncr,z=772688.00 λ^*_z=0.18 Curva b: Φ_z=0.00 χ_z=1.00
χ,min=1.00
Verifica: 0.01+0.13+0.01=0.14

- Verifica in termini tensionali [4.2.4] - CC 17 SLU Xl=0.00 - Classe 3
Sollecitazioni: N=542.81 T_z=-782.53 M_y=-57.50 T_y=-28.23 M_z=3.00 M_x=-1.24 (M_c=-42.78 M_e=-38.54)
Tensioni: σ_N=59.96 σ_M=-1231.00 τ=53.98 σ_{max}=-1171.03
Tensioni: σ_N=59.96 σ_M=655.73 τ=263.59 τ_{max}=263.59
Tensioni: σ_N=59.96 σ_M=-1231.00 τ=53.98 $\sigma_{ID,max}$=1174.76

- Verifica a taglio e torsione dir. Y [4.2.26] - CC 17 SLU Xl=0.07
Sollecitazioni: N=542.81 T_z=-783.20 T_y=-28.23 M_x=-1.24
V,Ed=-28.23
τ,Ed=263.78 τ,Rd=1512.15 τ,Ed/τ,Rd=0.17

Asta n. 6240 (319 332) modellazione SHS50x50x5 Crit. 1

- Verifica di stabilità aste presso-inflesse (C4.2.4.1.3.3.2) - CC 17 SLU - Classe 3
Sollecitazioni: N,Ed=-24.43 My,Ed=57.17 Mz,Ed=3.66
Resistenze: Nc,Rd=23571.40 My,c,Rd=322.14 Mz,c,Rd=322.14 L=21.21
αmy, αmz, αLT=0.95, 0.95, 0.95
λ_Y=11.48 Ncr,y=1416290.00 λ^*_y=0.13 Curva a: Φ_y=0.00 χ_y=1.00
λ_Z=11.48 Ncr,z=1416290.00 λ^*_z=0.13 Curva a: Φ_z=0.00 χ_z=1.00
Kyy, Kyz, Kzy, Kzz=0.95, 0.95, 0.76, 0.95
Verifica YY: 0.00+0.14+0.01=0.15
Verifica ZZ: 0.00+0.11+0.01=0.12

- Verifica Freccia massima per soli carichi accidentali - CC 21
$f_{Z,G}$=0.00 (L/17407)

- Verifica Freccia massima carichi totali - CC 21
$f_{Z,G}$=0.00 (L/14642)

- Verifica in termini tensionali [4.2.4] - CC 17 SLU Xl=0.21 - Classe 3
  Sollecitazioni: N=-24.43 T_z=-337.42 M_y=57.17 T_y=24.75 M_z=3.66 M_x=4.94
  Tensioni: σ_N=-2.71 σ_M=-494.61 τ=24.41 σ_{max}=-497.32
  Tensioni: σ_N=-2.71 σ_M=-23.82 τ=108.08 τ_{max}=108.08
  Tensioni: σ_N=-2.71 σ_M=-494.61 τ=24.41 $\sigma_{ID,max}$=499.12

- Verifica a taglio e torsione dir. Y [4.2.25] - CC 19 SLU Xl=0.11
  Sollecitazioni: N=-97.02 T_z=-361.03 M_y=17.68 T_y=18.93 M_x=1.55
  V,Ed=18.93 Vc,Rd,Red=6770.24 V,Ed/Vc,Rd,Red=0.00

- Verifica a taglio e torsione dir. Z [4.2.25]
  V,Ed=-361.03 Vc,Rd,Red=6770.24 V,Ed/Vc,Rd,Red=0.05

Asta n. 6240 (332 345) modellazione SHS50x50x5 Crit. 1

- Verifica di stabilità aste presso-inflesse (C4.2.4.1.3.3.2) - CC 17 SLU - Classe 3
  Sollecitazioni: N,Ed=-158.54 My,Ed=-26.59 Mz,Ed=2.68
  Resistenze: Nc,Rd=23571.40 My,c,Rd=322.14 Mz,c,Rd=322.14 L=21.21
  αmy, αmz, αLT=0.95, 0.95, 0.95
  λ_Y=11.48 Ncr,y=1416290.00 λ^*_y=0.13 Curva a: Φ_y=0.00 χ_y=1.00
  λ_Z=11.48 Ncr,z=1416290.00 λ^*_z=0.13 Curva a: Φ_z=0.00 χ_z=1.00
  Kyy, Kyz, Kzy, Kzz=0.95, 0.95, 0.76, 0.95
  Verifica YY: 0.01+0.06+0.01=0.08
  Verifica ZZ: 0.01+0.05+0.01=0.07

- Verifica Freccia massima per soli carichi accidentali - CC 23
  $f_{Z,G}$=0.00 (L/15449)

- Verifica Freccia massima carichi totali - CC 23
  $f_{Z,G}$=0.00 (L/15713)

- Verifica in termini tensionali [4.2.4] - CC 17 SLU Xl=0.00 - Classe 3
  Sollecitazioni: N=-158.54 T_z=-61.63 M_y=-26.59 T_y=-15.11 M_z=2.68 M_x=-6.29
  Tensioni: σ_N=-17.62 σ_M=-237.98 τ=31.05 σ_{max}=-255.60
  Tensioni: σ_N=-17.62 σ_M=17.45 τ=46.34 τ_{max}=46.34
  Tensioni: σ_N=-17.62 σ_M=-237.98 τ=31.05 $\sigma_{ID,max}$=261.20

- Verifica a taglio dir. Y [4.2.16] - CC 18 SLU Xl=0.00
  Sollecitazioni: N=-198.27 T_z=238.81 M_y=23.55 T_y=9.74
  V,Ed=9.74 Vc,Rd=6804.69 V,Ed/Vc,Rd=0.00

- Verifica a taglio dir. Z [4.2.16]
  V,Ed=238.81 Vc,Rd=6804.69 V,Ed/Vc,Rd=0.04

Asta n. 6241 (329 340) modellazione SHS50x50x5 Crit. 1

- Verifica di stabilità aste presso-inflesse (C4.2.4.1.3.3.2) - CC 17 SLU - Classe 3
  Sollecitazioni: N,Ed=-54.70 My,Ed=50.21 Mz,Ed=3.61
  Resistenze: Nc,Rd=23571.40 My,c,Rd=322.14 Mz,c,Rd=322.14 L=21.21
  αmy, αmz, αLT=0.95, 0.95, 0.95
  λ_Y=11.48 Ncr,y=1416290.00 λ^*_y=0.13 Curva a: Φ_y=0.00 χ_y=1.00
  λ_Z=11.48 Ncr,z=1416290.00 λ^*_z=0.13 Curva a: Φ_z=0.00 χ_z=1.00
  Kyy, Kyz, Kzy, Kzz=0.95, 0.95, 0.76, 0.95
  Verifica YY: 0.00+0.12+0.01=0.13
  Verifica ZZ: 0.00+0.10+0.01=0.11

- Verifica Freccia massima per soli carichi accidentali - CC 23
  $f_{Z,L}$=0.00 (L/14910)

- Verifica Freccia massima carichi totali - CC 23

$f_{Z,G}$=0.00 (L/14282)

- Verifica in termini tensionali [4.2.4] - CC 17 SLU Xl=0.00 - Classe 3
Sollecitazioni: N=-54.70 T_z=309.06 M_y=50.21 T_y=-25.13 M_z=3.61 M_x=-5.79
Tensioni: σ_N=-6.08 σ_M=-437.56 τ=28.59 σ_{max}=-443.64
Tensioni: σ_N=-6.08 σ_M=-23.47 τ=105.23 τ_{max}=105.23
Tensioni: σ_N=-6.08 σ_M=-437.56 τ=28.59 $\sigma_{ID,max}$=446.40

- Verifica a taglio e torsione dir. Y [4.2.25] - CC 19 SLU Xl=0.08
Sollecitazioni: N=-145.81 T_z=313.95 M_y=16.34 T_y=-20.82 M_x=-3.46
V,Ed=-20.82 Vc,Rd,Red=6727.74 V,Ed/Vc,Rd,Red=0.00

- Verifica a taglio e torsione dir. Z [4.2.25]
V,Ed=313.95 Vc,Rd,Red=6727.74 V,Ed/Vc,Rd,Red=0.05

Asta n. 6241 (318 329) modellazione SHS50x50x5 Crit. 1

- Verifica di stabilità aste presso-inflesse (C4.2.4.1.3.3.2) - CC 18 SLU - Classe 3
Sollecitazioni: N,Ed=-162.12 My,Ed=35.83 Mz,Ed=-0.90
Resistenze: Nc,Rd=23571.40 My,c,Rd=322.14 Mz,c,Rd=322.14 L=21.21
αmy, αmz, αLT=0.95, 0.95, 0.95
λ_Y=11.48 Ncr,y=1416290.00 λ^*_y=0.13 Curva a: Φ_y=0.00 χ_y=1.00
λ_Z=11.48 Ncr,z=1416290.00 λ^*_z=0.13 Curva a: Φ_z=0.00 χ_z=1.00
Kyy, Kyz, Kzy, Kzz=0.95, 0.95, 0.76, 0.95
Verifica YY: 0.01+0.09+0.00=0.09
Verifica ZZ: 0.01+0.07+0.00=0.08

- Verifica a pressoflessione retta - CC 18 SLU Xl=0.21 - Classe 1
Sollecitazioni: N=-162.12 T_z=-295.44 M_y=35.83 T_y=-8.58 M_x=2.27
My,Ed=35.83 My,c,Rd=399.40
N,Ed=-162.12 Nc,Rd=23571.40 n=N,Ed/Nc,Rd=0.01
MNy,c,Rd=399.40 My,Ed/MNy,c,Rd=0.09

- Verifica a taglio e torsione dir. Y [4.2.25] - CC 18 SLU Xl=0.21
Sollecitazioni: N=-162.12 T_z=-295.44 M_y=35.83 T_y=-8.58 M_x=2.27
V,Ed=-8.58 Vc,Rd,Red=6754.22 V,Ed/Vc,Rd,Red=0.00

- Verifica a taglio e torsione dir. Z [4.2.25]
V,Ed=-295.44 Vc,Rd,Red=6754.22 V,Ed/Vc,Rd,Red=0.04

Asta n. 6242 (316 329) modellazione SHS50x50x5 Crit. 1

- Verifica di stabilità aste presso-inflesse (C4.2.4.1.3.3.2) - CC 17 SLU - Classe 3
Sollecitazioni: N,Ed=-27.42 My,Ed=54.40 Mz,Ed=3.41
Resistenze: Nc,Rd=23571.40 My,c,Rd=322.14 Mz,c,Rd=322.14 L=21.21
αmy, αmz, αLT=0.95, 0.95, 0.95
λ_Y=11.48 Ncr,y=1416290.00 λ^*_y=0.13 Curva a: Φ_y=0.00 χ_y=1.00
λ_Z=11.48 Ncr,z=1416290.00 λ^*_z=0.13 Curva a: Φ_z=0.00 χ_z=1.00
Kyy, Kyz, Kzy, Kzz=0.95, 0.95, 0.76, 0.95
Verifica YY: 0.00+0.13+0.01=0.14
Verifica ZZ: 0.00+0.10+0.01=0.11

- Verifica Freccia massima per soli carichi accidentali - CC 23
$f_{Z,G}$=0.00 (L/17660)

- Verifica Freccia massima carichi totali - CC 21
$f_{Z,L}$=0.00 (L/16322)

- Verifica in termini tensionali [4.2.4] - CC 17 SLU Xl=0.21 - Classe 3
Sollecitazioni: N=-27.42 T_z=-325.72 M_y=54.40 T_y=23.11 M_z=3.41 M_x=4.40

Tensioni: σ_N=-3.05 σ_M=-470.03 τ=21.72 σ_{max}=-473.07
Tensioni: σ_N=-3.05 σ_M=-22.17 τ=102.49 τ_{max}=102.49
Tensioni: σ_N=-3.05 σ_M=-470.03 τ=21.72 $\sigma_{ID,max}$=474.57

- Verifica a taglio dir. Y [4.2.16] - CC 19 SLU Xl=0.13
Sollecitazioni: N=-99.49 T_z=-344.21 M_y=21.42 T_y=16.99
V,Ed=16.99 Vc,Rd=6804.69 V,Ed/Vc,Rd=0.00

- Verifica a taglio dir. Z [4.2.16]
V,Ed=-344.21 Vc,Rd=6804.69 V,Ed/Vc,Rd=0.05

Asta n. 6242 (329 342) modellazione SHS50x50x5 Crit. 1

- Verifica di stabilità aste presso-inflesse (C4.2.4.1.3.3.2) - CC 18 SLU - Classe 3
Sollecitazioni: N,Ed=-193.01 My,Ed=27.54 Mz,Ed=-1.27
Resistenze: Nc,Rd=23571.40 My,c,Rd=322.14 Mz,c,Rd=322.14 L=21.21
αmy, αmz, αLT=0.95, 0.95, 0.95
λ_Y=11.48 Ncr,y=1416290.00 λ^*_y=0.13 Curva a: Φ_y=0.00 χ_y=1.00
λ_Z=11.48 Ncr,z=1416290.00 λ^*_z=0.13 Curva a: Φ_z=0.00 χ_z=1.00
Kyy, Kyz, Kzy, Kzz=0.95, 0.95, 0.76, 0.95
Verifica YY: 0.01+0.07+0.00=0.08
Verifica ZZ: 0.01+0.05+0.00=0.06

- Verifica Freccia massima per soli carichi accidentali - CC 23
$f_{Z,G}$=0.00 (L/15561)

- Verifica Freccia massima carichi totali - CC 23
$f_{Z,G}$=0.00 (L/17351)

- Verifica in termini tensionali [4.2.4] - CC 18 SLU Xl=0.00 - Classe 3
Sollecitazioni: N=-193.01 T_z=258.18 M_y=27.54 T_y=11.88 M_z=-1.27
Tensioni: σ_N=-21.45 σ_M=-234.27 τ=0.00 σ_{max}=-255.71
Tensioni: σ_N=-21.45 σ_M=-8.26 τ=64.02 τ_{max}=64.02
Tensioni: σ_N=-21.45 σ_M=-234.27 τ=0.00 $\sigma_{ID,max}$=255.71

- Verifica a taglio dir. Y [4.2.16] - CC 18 SLU Xl=0.03
Sollecitazioni: N=-193.01 T_z=257.88 M_y=18.92 T_y=11.88
V,Ed=11.88 Vc,Rd=6804.69 V,Ed/Vc,Rd=0.00

- Verifica a taglio dir. Z [4.2.16]
V,Ed=257.88 Vc,Rd=6804.69 V,Ed/Vc,Rd=0.04

Asta n. 6243 (335 348) modellazione SHS50x50x5 Crit. 1

- Verifica di stabilità aste presso-inflesse (C4.2.4.1.3.3.2) - CC 17 SLU - Classe 3
Sollecitazioni: N,Ed=-106.23 My,Ed=-28.26 Mz,Ed=2.84
Resistenze: Nc,Rd=23571.40 My,c,Rd=322.14 Mz,c,Rd=322.14 L=21.21
αmy, αmz, αLT=0.95, 0.95, 0.95
λ_Y=11.48 Ncr,y=1416290.00 λ^*_y=0.13 Curva a: Φ_y=0.00 χ_y=1.00
λ_Z=11.48 Ncr,z=1416290.00 λ^*_z=0.13 Curva a: Φ_z=0.00 χ_z=1.00
Kyy, Kyz, Kzy, Kzz=0.95, 0.95, 0.76, 0.95
Verifica YY: 0.00+0.07+0.01=0.08
Verifica ZZ: 0.00+0.05+0.01=0.07

- Verifica Freccia massima per soli carichi accidentali - CC 23
$f_{Z,G}$=0.00 (L/17701)

- Verifica Freccia massima carichi totali - CC 23
$f_{Z,G}$=0.00 (L/16826)

- Verifica in termini tensionali [4.2.4] - CC 17 SLU Xl=0.00 - Classe 3
  Sollecitazioni: N=-106.23 T_z=-96.14 M_y=-28.26 T_y=-17.06 M_z=2.84 M_x=-6.86
  Tensioni: σ_N=-11.80 σ_M=-252.85 τ=33.85 σ_{max}=-264.66
  Tensioni: σ_N=-11.80 σ_M=18.49 τ=57.69 τ_{max}=57.69
  Tensioni: σ_N=-11.80 σ_M=-252.85 τ=33.85 $\sigma_{ID,max}$=271.08

- Verifica a taglio e torsione dir. Y [4.2.25] - CC 18 SLU Xl=0.00
  Sollecitazioni: N=-104.96 T_z=130.44 M_y=12.19 T_y=1.22 M_x=-2.83
  V,Ed=1.22 Vc,Rd,Red=6741.78 V,Ed/Vc,Rd,Red=0.00

- Verifica a taglio e torsione dir. Z [4.2.25]
  V,Ed=130.44 Vc,Rd,Red=6741.78 V,Ed/Vc,Rd,Red=0.02

Asta n. 6243 (322 335) modellazione SHS50x50x5 Crit. 1

- Verifica di stabilità aste presso-inflesse (C4.2.4.1.3.3.2) - CC 19 SLU - Classe 3
  Sollecitazioni: N,Ed=-40.54 My,Ed=37.33 Mz,Ed=2.55
  Resistenze: Nc,Rd=23571.40 My,c,Rd=322.14 Mz,c,Rd=322.14 L=21.21
  αmy, αmz, αLT=0.95, 0.95, 0.95
  λ_Y=11.48 Ncr,y=1416280.00 λ^*_y=0.13 Curva a: Φ_y=0.00 χ_y=1.00
  λ_Z=11.48 Ncr,z=1416280.00 λ^*_z=0.13 Curva a: Φ_z=0.00 χ_z=1.00
  Kyy, Kyz, Kzy, Kzz=0.95, 0.95, 0.76, 0.95
  Verifica YY: 0.00+0.09+0.01=0.10
  Verifica ZZ: 0.00+0.07+0.01=0.08

- Verifica Freccia massima carichi totali - CC 21
  $f_{Z,L}$=0.00 (L/17726)

- Verifica in termini tensionali [4.2.4] - CC 17 SLU Xl=0.21 - Classe 3
  Sollecitazioni: N=3.88 T_z=-251.11 M_y=45.39 T_y=22.47 M_z=3.40 M_x=6.09
  Tensioni: σ_N=0.43 σ_M=396.60 τ=30.09 σ_{max}=397.03
  Tensioni: σ_N=0.43 σ_M=-22.08 τ=92.36 τ_{max}=92.36
  Tensioni: σ_N=0.43 σ_M=396.60 τ=30.09 $\sigma_{ID,max}$=400.44

- Verifica a taglio e torsione dir. Y [4.2.25] - CC 17 SLU Xl=0.10
  Sollecitazioni: N=3.88 T_z=-250.03 M_y=16.07 T_y=22.47 M_x=6.09
  V,Ed=22.47 Vc,Rd,Red=6669.27 V,Ed/Vc,Rd,Red=0.00

- Verifica a taglio e torsione dir. Z [4.2.25]
  V,Ed=-250.03 Vc,Rd,Red=6669.27 V,Ed/Vc,Rd,Red=0.04

Asta n. 6244 (326 339) modellazione SHS50x50x5 Crit. 1

- Verifica di stabilità aste presso-inflesse (C4.2.4.1.3.3.2) - CC 18 SLU - Classe 3
  Sollecitazioni: N,Ed=-100.14 My,Ed=28.23 Mz,Ed=-1.12
  Resistenze: Nc,Rd=23571.40 My,c,Rd=322.14 Mz,c,Rd=322.14 L=21.21
  αmy, αmz, αLT=0.95, 0.95, 0.95
  λ_Y=11.48 Ncr,y=1416290.00 λ^*_y=0.13 Curva a: Φ_y=0.00 χ_y=1.00
  λ_Z=11.48 Ncr,z=1416290.00 λ^*_z=0.13 Curva a: Φ_z=0.00 χ_z=1.00
  Kyy, Kyz, Kzy, Kzz=0.95, 0.95, 0.76, 0.95
  Verifica YY: 0.00+0.07+0.00=0.07
  Verifica ZZ: 0.00+0.05+0.00=0.06

- Verifica in termini tensionali [4.2.4] - CC 18 SLU Xl=0.00 - Classe 3
  Sollecitazioni: N=-100.14 T_z=209.76 M_y=28.23 T_y=9.06 M_z=-1.12
  Tensioni: σ_N=-11.13 σ_M=-238.56 τ=0.00 σ_{max}=-249.68
  Tensioni: σ_N=-11.13 σ_M=-7.26 τ=52.01 τ_{max}=52.01
  Tensioni: σ_N=-11.13 σ_M=-238.56 τ=0.00 $\sigma_{ID,max}$=249.68

- Verifica a taglio dir. Y [4.2.16] - CC 18 SLU Xl=0.02
  Sollecitazioni: N=-100.14 T_z=209.61 M_y=24.72 T_y=9.06
  V,Ed=9.06 Vc,Rd=6804.69 V,Ed/Vc,Rd=0.00

- Verifica a taglio dir. Z [4.2.16]
  V,Ed=209.61 Vc,Rd=6804.69 V,Ed/Vc,Rd=0.03

Asta n. 6244 (313 326) modellazione SHS50x50x5 Crit. 1

- Verifica di stabilità aste presso-inflesse (C4.2.4.1.3.3.2) - CC 17 SLU - Classe 3
  Sollecitazioni: N,Ed=-3.97 My,Ed=35.31 Mz,Ed=2.60
  Resistenze: Nc,Rd=23571.40 My,c,Rd=322.14 Mz,c,Rd=322.14 L=21.21
  αmy, αmz, αLT=0.95, 0.95, 0.95
  λ_Y=11.48 Ncr,y=1416290.00 λ^*_y=0.13 Curva a: Φ_y=0.00 χ_y=1.00
  λ_Z=11.48 Ncr,z=1416290.00 λ^*_z=0.13 Curva a: Φ_z=0.00 χ_z=1.00
  Kyy, Kyz, Kzy, Kzz=0.95, 0.95, 0.76, 0.95
  Verifica YY: 0.00+0.08+0.01=0.09
  Verifica ZZ: 0.00+0.07+0.01=0.08

- Verifica in termini tensionali [4.2.4] - CC 17 SLU Xl=0.21 - Classe 3
  Sollecitazioni: N=-3.97 T_z=-206.71 M_y=35.31 T_y=17.41 M_z=2.60 M_x=4.35
  Tensioni: σ_N=-0.44 σ_M=-308.18 τ=21.50 σ_{max}=-308.62
  Tensioni: σ_N=-0.44 σ_M=-16.90 τ=72.76 τ_{max}=72.76
  Tensioni: σ_N=-0.44 σ_M=-308.18 τ=21.50 $\sigma_{ID,max}$=310.86

- Verifica a taglio e torsione dir. Y [4.2.25] - CC 17 SLU Xl=0.11
  Sollecitazioni: N=-3.97 T_z=-205.79 M_y=14.63 T_y=17.41 M_x=4.35
  V,Ed=17.41 Vc,Rd,Red=6707.95 V,Ed/Vc,Rd,Red=0.00

- Verifica a taglio e torsione dir. Z [4.2.25]
  V,Ed=-205.79 Vc,Rd,Red=6707.95 V,Ed/Vc,Rd,Red=0.03

Asta n. 6245 (315 326) modellazione SHS50x50x5 Crit. 1

- Verifica di stabilità aste presso-inflesse (C4.2.4.1.3.3.2) - CC 17 SLU - Classe 3
  Sollecitazioni: N,Ed=-96.58 My,Ed=-20.02 Mz,Ed=2.09
  Resistenze: Nc,Rd=23571.40 My,c,Rd=322.14 Mz,c,Rd=322.14 L=21.21
  αmy, αmz, αLT=0.95, 0.95, 0.95
  λ_Y=11.48 Ncr,y=1416290.00 λ^*_y=0.13 Curva a: Φ_y=0.00 χ_y=1.00
  λ_Z=11.48 Ncr,z=1416290.00 λ^*_z=0.13 Curva a: Φ_z=0.00 χ_z=1.00
  Kyy, Kyz, Kzy, Kzz=0.95, 0.95, 0.76, 0.95
  Verifica YY: 0.00+0.05+0.01=0.06
  Verifica ZZ: 0.00+0.04+0.01=0.05

- Verifica in termini tensionali [4.2.4] - CC 17 SLU Xl=0.21 - Classe 3
  Sollecitazioni: N=-96.58 T_z=58.06 M_y=-20.02 T_y=12.46 M_z=2.09 M_x=4.43
  Tensioni: σ_N=-10.73 σ_M=-179.82 τ=21.86 σ_{max}=-190.55
  Tensioni: σ_N=-10.73 σ_M=13.62 τ=36.26 τ_{max}=36.26
  Tensioni: σ_N=-10.73 σ_M=-179.82 τ=21.86 $\sigma_{ID,max}$=194.28

- Verifica a taglio e torsione dir. Y [4.2.25] - CC 18 SLU Xl=0.20
  Sollecitazioni: N=-89.15 T_z=-156.85 M_y=17.06 T_y=-8.35 M_x=-1.41
  V,Ed=-8.35 Vc,Rd,Red=6773.24 V,Ed/Vc,Rd,Red=0.00

- Verifica a taglio e torsione dir. Z [4.2.25]
  V,Ed=-156.85 Vc,Rd,Red=6773.24 V,Ed/Vc,Rd,Red=0.02

Asta n. 6245 (326 337) modellazione SHS50x50x5 Crit. 1

- Verifica di stabilità aste presso-inflesse (C4.2.4.1.3.3.2) - CC 17 SLU - Classe 3

Sollecitazioni: N,Ed=-23.19 My,Ed=39.58 Mz,Ed=2.63
Resistenze: Nc,Rd=23571.40 My,c,Rd=322.14 Mz,c,Rd=322.14 L=21.21
αmy, αmz, αLT=0.95, 0.95, 0.95
λ_Y=11.48 Ncr,y=1416290.00 λ^*_y=0.13 Curva a: Φ_y=0.00 χ_y=1.00
λ_Z=11.48 Ncr,z=1416290.00 λ^*_z=0.13 Curva a: Φ_z=0.00 χ_z=1.00
Kyy, Kyz, Kzy, Kzz=0.95, 0.95, 0.76, 0.95
Verifica YY: 0.00+0.09+0.01=0.10
Verifica ZZ: 0.00+0.08+0.01=0.08

- Verifica Freccia massima per soli carichi accidentali - CC 23
$f_{Z,L}$=0.00 (L/17045)

- Verifica Freccia massima carichi totali - CC 23
$f_{Z,L}$=0.00 (L/17670)

- Verifica in termini tensionali [4.2.4] - CC 17 SLU Xl=0.00 - Classe 3
Sollecitazioni: N=-23.19 T_z=235.42 M_y=39.58 T_y=-18.06 M_z=2.63 M_x=-3.56
Tensioni: σ_N=-2.58 σ_M=-343.16 τ=17.58 σ_{max}=-345.74
Tensioni: σ_N=-2.58 σ_M=-17.12 τ=75.96 τ_{max}=75.96
Tensioni: σ_N=-2.58 σ_M=-343.16 τ=17.58 $\sigma_{ID,max}$=347.07

- Verifica a taglio e torsione dir. Y [4.2.25] - CC 17 SLU Xl=0.10
Sollecitazioni: N=-23.19 T_z=234.50 M_y=16.01 T_y=-18.06 M_x=-3.56
V,Ed=-18.06 Vc,Rd,Red=6725.57 V,Ed/Vc,Rd,Red=0.00

- Verifica a taglio e torsione dir. Z [4.2.25]
V,Ed=234.50 Vc,Rd,Red=6725.57 V,Ed/Vc,Rd,Red=0.03

Asta n. 6246 (321 332) modellazione SHS50x50x5 Crit. 1

- Verifica di stabilità aste presso-inflesse (C4.2.4.1.3.3.2) - CC 18 SLU - Classe 3
Sollecitazioni: N,Ed=-164.04 My,Ed=31.80 Mz,Ed=0.62
Resistenze: Nc,Rd=23571.40 My,c,Rd=322.14 Mz,c,Rd=322.14 L=21.21
αmy, αmz, αLT=0.95, 0.95, 0.95
λ_Y=11.48 Ncr,y=1416290.00 λ^*_y=0.13 Curva a: Φ_y=0.00 χ_y=1.00
λ_Z=11.48 Ncr,z=1416290.00 λ^*_z=0.13 Curva a: Φ_z=0.00 χ_z=1.00
Kyy, Kyz, Kzy, Kzz=0.95, 0.95, 0.76, 0.95
Verifica YY: 0.01+0.08+0.00=0.08
Verifica ZZ: 0.01+0.06+0.00=0.07

- Verifica in termini tensionali [4.2.4] - CC 17 SLU Xl=0.21 - Classe 3
Sollecitazioni: N=-137.33 T_z=46.87 M_y=-22.75 T_y=17.44 M_z=2.94 M_x=7.63
Tensioni: σ_N=-15.26 σ_M=-208.89 τ=37.70 σ_{max}=-224.15
Tensioni: σ_N=-15.26 σ_M=19.15 τ=49.32 τ_{max}=49.32
Tensioni: σ_N=-15.26 σ_M=-208.89 τ=37.70 $\sigma_{ID,max}$=233.46

- Verifica a taglio e torsione dir. Y [4.2.25] - CC 18 SLU Xl=0.21
Sollecitazioni: N=-164.04 T_z=-275.82 M_y=31.80 T_y=-6.65 M_x=2.88
V,Ed=-6.65 Vc,Rd,Red=6740.76 V,Ed/Vc,Rd,Red=0.00

- Verifica a taglio e torsione dir. Z [4.2.25]
V,Ed=-275.82 Vc,Rd,Red=6740.76 V,Ed/Vc,Rd,Red=0.04

Asta n. 6246 (332 343) modellazione SHS50x50x5 Crit. 1

- Verifica di stabilità aste presso-inflesse (C4.2.4.1.3.3.2) - CC 17 SLU - Classe 3
Sollecitazioni: N,Ed=-49.63 My,Ed=53.34 Mz,Ed=3.88
Resistenze: Nc,Rd=23571.40 My,c,Rd=322.14 Mz,c,Rd=322.14 L=21.21
αmy, αmz, αLT=0.95, 0.95, 0.95
λ_Y=11.48 Ncr,y=1416290.00 λ^*_y=0.13 Curva a: Φ_y=0.00 χ_y=1.00

λ_Z=11.48 Ncr,z=1416290.00 λ^*_z=0.13 Curva a: Φ_z=0.00 χ_z=1.00
Kyy, Kyz, Kzy, Kzz=0.95, 0.95, 0.76, 0.95
Verifica YY: 0.00+0.13+0.01=0.14
Verifica ZZ: 0.00+0.10+0.01=0.12

- Verifica Freccia massima per soli carichi accidentali - CC 23
$f_{Z,L}$=0.00 (L/14748)

- Verifica Freccia massima carichi totali - CC 21
$f_{Z,G}$=0.00 (L/12946)

- Verifica in termini tensionali [4.2.4] - CC 17 SLU Xl=0.00 - Classe 3
Sollecitazioni: N=-49.63 T_z=322.67 M_y=53.34 T_y=-26.82 M_z=3.88 M_x=-6.26
Tensioni: σ_N=-5.51 σ_M=-465.15 τ=30.89 σ_{max}=-470.66
Tensioni: σ_N=-5.51 σ_M=-25.22 τ=110.91 τ_{max}=110.91
Tensioni: σ_N=-5.51 σ_M=-465.15 τ=30.89 $\sigma_{ID,max}$=473.69

- Verifica a taglio e torsione dir. Y [4.2.25] - CC 19 SLU Xl=0.10
Sollecitazioni: N=-139.74 T_z=331.95 M_y=13.20 T_y=-22.95 M_x=-4.07
V,Ed=-22.95 Vc,Rd,Red=6714.26 V,Ed/Vc,Rd,Red=0.00

- Verifica a taglio e torsione dir. Z [4.2.25]
V,Ed=331.95 Vc,Rd,Red=6714.26 V,Ed/Vc,Rd,Red=0.05

Asta n. 6247 (324 335) modellazione SHS50x50x5 Crit. 1

- Verifica di stabilità aste presso-inflesse (C4.2.4.1.3.3.2) - CC 17 SLU - Classe 3
Sollecitazioni: N,Ed=-91.76 My,Ed=-32.57 Mz,Ed=2.95
Resistenze: Nc,Rd=23571.40 My,c,Rd=322.14 Mz,c,Rd=322.14 L=21.21
αmy, αmz, αLT=0.95, 0.95, 0.95
λ_Y=11.48 Ncr,y=1416290.00 λ^*_y=0.13 Curva a: Φ_y=0.00 χ_y=1.00
λ_Z=11.48 Ncr,z=1416290.00 λ^*_z=0.13 Curva a: Φ_z=0.00 χ_z=1.00
Kyy, Kyz, Kzy, Kzz=0.95, 0.95, 0.76, 0.95
Verifica YY: 0.00+0.08+0.01=0.09
Verifica ZZ: 0.00+0.06+0.01=0.07

- Verifica Freccia massima carichi totali - CC 21
$f_{Z,L}$=0.00 (L/16760)

- Verifica in termini tensionali [4.2.4] - CC 17 SLU Xl=0.21 - Classe 3
Sollecitazioni: N=-91.76 T_z=125.24 M_y=-32.57 T_y=18.08 M_z=2.95 M_x=6.10
Tensioni: σ_N=-10.20 σ_M=-288.72 τ=30.14 σ_{max}=-298.92
Tensioni: σ_N=-10.20 σ_M=19.16 τ=61.20 τ_{max}=61.20
Tensioni: σ_N=-10.20 σ_M=-288.72 τ=30.14 $\sigma_{ID,max}$=303.44

- Verifica a taglio e torsione dir. Y [4.2.25] - CC 17 SLU Xl=0.03
Sollecitazioni: N=-91.76 T_z=126.93 M_y=-9.39 T_y=18.08 M_x=6.10
V,Ed=18.08 Vc,Rd,Red=6669.05 V,Ed/Vc,Rd,Red=0.00

- Verifica a taglio e torsione dir. Z [4.2.25]
V,Ed=126.93 Vc,Rd,Red=6669.05 V,Ed/Vc,Rd,Red=0.02

Asta n. 6247 (335 346) modellazione SHS50x50x5 Crit. 1

- Verifica di stabilità aste presso-inflesse (C4.2.4.1.3.3.2) - CC 17 SLU - Classe 3
Sollecitazioni: N,Ed=-12.81 My,Ed=49.70 Mz,Ed=3.47
Resistenze: Nc,Rd=23571.40 My,c,Rd=322.14 Mz,c,Rd=322.14 L=21.21
αmy, αmz, αLT=0.95, 0.95, 0.95
λ_Y=11.48 Ncr,y=1416280.00 λ^*_y=0.13 Curva a: Φ_y=0.00 χ_y=1.00
λ_Z=11.48 Ncr,z=1416280.00 λ^*_z=0.13 Curva a: Φ_z=0.00 χ_z=1.00

Kyy, Kyz, Kzy, Kzz=0.95, 0.95, 0.76, 0.95
Verifica YY: 0.00+0.12+0.01=0.13
Verifica ZZ: 0.00+0.09+0.01=0.11

- Verifica Freccia massima per soli carichi accidentali - CC 21
$f_{Z,L}$=0.00 (L/15467)

- Verifica Freccia massima carichi totali - CC 21
$f_{Z,G}$=0.00 (L/11658)

- Verifica in termini tensionali [4.2.4] - CC 17 SLU Xl=0.00 - Classe 3
Sollecitazioni: N=-12.81 T_z=280.20 M_y=49.70 T_y=-23.35 M_z=3.47 M_x=-5.32
Tensioni: σ_N=-1.42 σ_M=-432.25 τ=26.29 σ_{max}=-433.67
Tensioni: σ_N=-1.42 σ_M=-22.57 τ=95.77 τ_{max}=95.77
Tensioni: σ_N=-1.42 σ_M=-432.25 τ=26.29 $\sigma_{ID,max}$=436.06

- Verifica a taglio e torsione dir. Y [4.2.25] - CC 19 SLU Xl=0.10
Sollecitazioni: N=-66.80 T_z=283.61 M_y=16.86 T_y=-19.24 M_x=-2.98
V,Ed=-19.24 Vc,Rd,Red=6738.55 V,Ed/Vc,Rd,Red=0.00

- Verifica a taglio e torsione dir. Z [4.2.25]
V,Ed=283.61 Vc,Rd,Red=6738.55 V,Ed/Vc,Rd,Red=0.04

Asta n. 6272 (351 362) modellazione SHS50x50x5 Crit. 1

- Verifica di stabilità aste presso-inflesse (C4.2.4.1.3.3.2) - CC 9 SLU - Classe 3
Sollecitazioni: N,Ed=-95.16 My,Ed=25.72 Mz,Ed=-1.09
Resistenze: Nc,Rd=23571.40 My,c,Rd=322.14 Mz,c,Rd=322.14 L=21.21
αmy, αmz, αLT=0.95, 0.95, 0.95
λ_Y=11.48 Ncr,y=1416290.00 λ^*_y=0.13 Curva a: Φ_y=0.00 χ_y=1.00
λ_Z=11.48 Ncr,z=1416290.00 λ^*_z=0.13 Curva a: Φ_z=0.00 χ_z=1.00
Kyy, Kyz, Kzy, Kzz=0.95, 0.95, 0.76, 0.95
Verifica YY: 0.00+0.06+0.00=0.07
Verifica ZZ: 0.00+0.05+0.00=0.06

- Verifica in termini tensionali [4.2.4] - CC 9 SLU Xl=0.21 - Classe 3
Sollecitazioni: N=-95.16 T_z=-191.70 M_y=25.72 T_y=-8.86 M_z=-1.09
Tensioni: σ_N=-10.57 σ_M=-217.98 τ=0.00 σ_{max}=-228.55
Tensioni: σ_N=-10.57 σ_M=-7.08 τ=47.54 τ_{max}=47.54
Tensioni: σ_N=-10.57 σ_M=-217.98 τ=0.00 $\sigma_{ID,max}$=228.55

- Verifica a taglio dir. Y [4.2.16] - CC 9 SLU Xl=0.20
Sollecitazioni: N=-95.16 T_z=-191.55 M_y=22.52 T_y=-8.86
V,Ed=-8.86 Vc,Rd=6804.69 V,Ed/Vc,Rd=0.00

- Verifica a taglio dir. Z [4.2.16]
V,Ed=-191.55 Vc,Rd=6804.69 V,Ed/Vc,Rd=0.03

Asta n. 6272 (362 373) modellazione SHS50x50x5 Crit. 1

- Verifica di stabilità aste presso-inflesse (C4.2.4.1.3.3.2) - CC 17 SLU - Classe 3
Sollecitazioni: N,Ed=-3.53 My,Ed=35.28 Mz,Ed=2.60
Resistenze: Nc,Rd=23571.40 My,c,Rd=322.14 Mz,c,Rd=322.14 L=21.21
αmy, αmz, αLT=0.95, 0.95, 0.95
λ_Y=11.48 Ncr,y=1416290.00 λ^*_y=0.13 Curva a: Φ_y=0.00 χ_y=1.00
λ_Z=11.48 Ncr,z=1416290.00 λ^*_z=0.13 Curva a: Φ_z=0.00 χ_z=1.00
Kyy, Kyz, Kzy, Kzz=0.95, 0.95, 0.76, 0.95
Verifica YY: 0.00+0.08+0.01=0.09
Verifica ZZ: 0.00+0.07+0.01=0.07

- Verifica Freccia massima per soli carichi accidentali - CC 23
  $f_{Z,L}$=0.00 (L/17753)

- Verifica in termini tensionali [4.2.4] - CC 17 SLU Xl=0.00 - Classe 3
  Sollecitazioni: N=-3.53 T_z=206.55 M_y=35.28 T_y=-17.46 M_z=2.60 M_x=-4.37
  Tensioni: σ_N=-0.39 σ_M=-308.01 τ=21.56 σ_{max}=-308.40
  Tensioni: σ_N=-0.39 σ_M=-16.94 τ=72.78 τ_{max}=72.78
  Tensioni: σ_N=-0.39 σ_M=-308.01 τ=21.56 $\sigma_{ID,max}$=310.65

- Verifica a taglio e torsione dir. Y [4.2.25] - CC 17 SLU Xl=0.10
  Sollecitazioni: N=-3.53 T_z=205.63 M_y=14.61 T_y=-17.46 M_x=-4.37
  V,Ed=-17.46 Vc,Rd,Red=6707.64 V,Ed/Vc,Rd,Red=0.00

- Verifica a taglio e torsione dir. Z [4.2.25]
  V,Ed=205.63 Vc,Rd,Red=6707.64 V,Ed/Vc,Rd,Red=0.03

Asta n. 6273 (357 368) modellazione SHS50x50x5 Crit. 1

- Verifica di stabilità aste presso-inflesse (C4.2.4.1.3.3.2) - CC 17 SLU - Classe 3
  Sollecitazioni: N,Ed=-158.61 My,Ed=-26.62 Mz,Ed=2.69
  Resistenze: Nc,Rd=23571.40 My,c,Rd=322.14 Mz,c,Rd=322.14 L=21.21
  αmy, αmz, αLT=0.95, 0.95, 0.95
  λ_Y=11.48 Ncr,y=1416290.00 λ^*_y=0.13 Curva a: Φ_y=0.00 χ_y=1.00
  λ_Z=11.48 Ncr,z=1416290.00 λ^*_z=0.13 Curva a: Φ_z=0.00 χ_z=1.00
  Kyy, Kyz, Kzy, Kzz=0.95, 0.95, 0.76, 0.95
  Verifica YY: 0.01+0.06+0.01=0.08
  Verifica ZZ: 0.01+0.05+0.01=0.07

- Verifica Freccia massima per soli carichi accidentali - CC 23
  $f_{Z,L}$=0.00 (L/17984)

- Verifica Freccia massima carichi totali - CC 21
  $f_{Z,L}$=0.00 (L/15882)

- Verifica in termini tensionali [4.2.4] - CC 17 SLU Xl=0.21 - Classe 3
  Sollecitazioni: N=-158.61 T_z=61.87 M_y=-26.62 T_y=15.17 M_z=2.69 M_x=6.29
  Tensioni: σ_N=-17.62 σ_M=-238.32 τ=31.04 σ_{max}=-255.94
  Tensioni: σ_N=-17.62 σ_M=17.49 τ=46.38 τ_{max}=46.38
  Tensioni: σ_N=-17.62 σ_M=-238.32 τ=31.04 $\sigma_{ID,max}$=261.53

- Verifica a taglio dir. Y [4.2.16] - CC 9 SLU Xl=0.21
  Sollecitazioni: N=-177.00 T_z=-203.51 M_y=19.57 T_y=-8.74
  V,Ed=-8.74 Vc,Rd=6804.69 V,Ed/Vc,Rd=0.00

- Verifica a taglio dir. Z [4.2.16]
  V,Ed=-203.51 Vc,Rd=6804.69 V,Ed/Vc,Rd=0.03

Asta n. 6273 (368 379) modellazione SHS50x50x5 Crit. 1

- Verifica di stabilità aste presso-inflesse (C4.2.4.1.3.3.2) - CC 17 SLU - Classe 3
  Sollecitazioni: N,Ed=-23.99 My,Ed=57.19 Mz,Ed=3.67
  Resistenze: Nc,Rd=23571.40 My,c,Rd=322.14 Mz,c,Rd=322.14 L=21.21
  αmy, αmz, αLT=0.95, 0.95, 0.95
  λ_Y=11.48 Ncr,y=1416290.00 λ^*_y=0.13 Curva a: Φ_y=0.00 χ_y=1.00
  λ_Z=11.48 Ncr,z=1416290.00 λ^*_z=0.13 Curva a: Φ_z=0.00 χ_z=1.00
  Kyy, Kyz, Kzy, Kzz=0.95, 0.95, 0.76, 0.95
  Verifica YY: 0.00+0.14+0.01=0.15
  Verifica ZZ: 0.00+0.11+0.01=0.12

- Verifica Freccia massima per soli carichi accidentali - CC 21

$f_{Z,L}$=0.00 (L/13307)

- Verifica Freccia massima carichi totali - CC 21
$f_{Z,L}$=0.00 (L/10748)

- Verifica in termini tensionali [4.2.4] - CC 17 SLU Xl=0.00 - Classe 3
Sollecitazioni: N=-23.99 T_z=337.45 M_y=57.19 T_y=-24.81 M_z=3.67 M_x=-4.95
Tensioni: σ_N=-2.67 σ_M=-494.78 τ=24.42 σ_{max}=-497.45
Tensioni: σ_N=-2.67 σ_M=-23.88 τ=108.11 τ_{max}=108.11
Tensioni: σ_N=-2.67 σ_M=-494.78 τ=24.42 $\sigma_{ID,max}$=499.24

- Verifica a taglio e torsione dir. Y [4.2.25] - CC 19 SLU Xl=0.10
Sollecitazioni: N=-96.75 T_z=361.09 M_y=17.69 T_y=-19.01 M_x=-1.55
V,Ed=-19.01 Vc,Rd,Red=6770.16 V,Ed/Vc,Rd,Red=0.00

- Verifica a taglio e torsione dir. Z [4.2.25]
V,Ed=361.09 Vc,Rd,Red=6770.16 V,Ed/Vc,Rd,Red=0.05

Asta n. 6274 (362 375) modellazione SHS50x50x5 Crit. 1

- Verifica di stabilità aste presso-inflesse (C4.2.4.1.3.3.2) - CC 17 SLU - Classe 3
Sollecitazioni: N,Ed=-96.36 My,Ed=-20.07 Mz,Ed=2.10
Resistenze: Nc,Rd=23571.40 My,c,Rd=322.14 Mz,c,Rd=322.14 L=21.21
αmy, αmz, αLT=0.95, 0.95, 0.95
λ_Y=11.48 Ncr,y=1416290.00 λ^*_y=0.13 Curva a: Φ_y=0.00 χ_y=1.00
λ_Z=11.48 Ncr,z=1416290.00 λ^*_z=0.13 Curva a: Φ_z=0.00 χ_z=1.00
Kyy, Kyz, Kzy, Kzz=0.95, 0.95, 0.76, 0.95
Verifica YY: 0.00+0.05+0.01=0.06
Verifica ZZ: 0.00+0.04+0.01=0.05

- Verifica Freccia massima per soli carichi accidentali - CC 23
$f_{Z,G}$=0.00 (L/18204)

- Verifica in termini tensionali [4.2.4] - CC 17 SLU Xl=0.00 - Classe 3
Sollecitazioni: N=-96.36 T_z=-58.34 M_y=-20.07 T_y=-12.45 M_z=2.10 M_x=-4.42
Tensioni: σ_N=-10.71 σ_M=-180.20 τ=21.83 σ_{max}=-190.91
Tensioni: σ_N=-10.71 σ_M=13.63 τ=36.30 τ_{max}=36.30
Tensioni: σ_N=-10.71 σ_M=-180.20 τ=21.83 $\sigma_{ID,max}$=194.62

- Verifica a taglio e torsione dir. Y [4.2.25] - CC 9 SLU Xl=0.00
Sollecitazioni: N=-70.50 T_z=138.09 M_y=17.71 T_y=7.07 M_x=1.26
V,Ed=7.07 Vc,Rd,Red=6776.79 V,Ed/Vc,Rd,Red=0.00

- Verifica a taglio e torsione dir. Z [4.2.25]
V,Ed=138.09 Vc,Rd,Red=6776.79 V,Ed/Vc,Rd,Red=0.02

Asta n. 6274 (349 362) modellazione SHS50x50x5 Crit. 1

- Verifica di stabilità aste presso-inflesse (C4.2.4.1.3.3.2) - CC 17 SLU - Classe 3
Sollecitazioni: N,Ed=-23.71 My,Ed=39.62 Mz,Ed=2.63
Resistenze: Nc,Rd=23571.40 My,c,Rd=322.14 Mz,c,Rd=322.14 L=21.21
αmy, αmz, αLT=0.95, 0.95, 0.95
λ_Y=11.48 Ncr,y=1416290.00 λ^*_y=0.13 Curva a: Φ_y=0.00 χ_y=1.00
λ_Z=11.48 Ncr,z=1416290.00 λ^*_z=0.13 Curva a: Φ_z=0.00 χ_z=1.00
Kyy, Kyz, Kzy, Kzz=0.95, 0.95, 0.76, 0.95
Verifica YY: 0.00+0.09+0.01=0.10
Verifica ZZ: 0.00+0.08+0.01=0.08

- Verifica in termini tensionali [4.2.4] - CC 17 SLU Xl=0.21 - Classe 3
Sollecitazioni: N=-23.71 T_z=-235.72 M_y=39.62 T_y=18.04 M_z=2.63 M_x=3.55

Tensioni: σ_N=-2.63 σ_M=-343.53 τ=17.53 σ_{max}=-346.16
Tensioni: σ_N=-2.63 σ_M=-17.10 τ=75.98 τ_{max}=75.98
Tensioni: σ_N=-2.63 σ_M=-343.53 τ=17.53 $\sigma_{ID,max}$=347.49

- Verifica a taglio e torsione dir. Y [4.2.25] - CC 17 SLU Xl=0.11
Sollecitazioni: N=-23.71 T_z=-234.79 M_y=16.03 T_y=18.04 M_x=3.55
V,Ed=18.04 Vc,Rd,Red=6725.82 V,Ed/Vc,Rd,Red=0.00

- Verifica a taglio e torsione dir. Z [4.2.25]
V,Ed=-234.79 Vc,Rd,Red=6725.82 V,Ed/Vc,Rd,Red=0.03

Asta n. 6275 (358 371) modellazione SHS50x50x5 Crit. 1

- Verifica di stabilità aste presso-inflesse (C4.2.4.1.3.3.2) - CC 17 SLU - Classe 3
Sollecitazioni: N,Ed=-13.14 My,Ed=49.67 Mz,Ed=3.47
Resistenze: Nc,Rd=23571.40 My,c,Rd=322.14 Mz,c,Rd=322.14 L=21.21
αmy, αmz, αLT=0.95, 0.95, 0.95
λ_Y=11.48 Ncr,y=1416280.00 λ^*_y=0.13 Curva a: Φ_y=0.00 χ_y=1.00
λ_Z=11.48 Ncr,z=1416280.00 λ^*_z=0.13 Curva a: Φ_z=0.00 χ_z=1.00
Kyy, Kyz, Kzy, Kzz=0.95, 0.95, 0.76, 0.95
Verifica YY: 0.00+0.12+0.01=0.13
Verifica ZZ: 0.00+0.09+0.01=0.11

- Verifica Freccia massima carichi totali - CC 21
$f_{Z,G}$=0.00 (L/15512)

- Verifica in termini tensionali [4.2.4] - CC 17 SLU Xl=0.21 - Classe 3
Sollecitazioni: N=-13.14 T_z=-280.02 M_y=49.67 T_y=23.34 M_z=3.47 M_x=5.33
Tensioni: σ_N=-1.46 σ_M=-432.00 τ=26.32 σ_{max}=-433.46
Tensioni: σ_N=-1.46 σ_M=-22.57 τ=95.76 τ_{max}=95.76
Tensioni: σ_N=-1.46 σ_M=-432.00 τ=26.32 $\sigma_{ID,max}$=435.86

- Verifica a taglio e torsione dir. Y [4.2.25] - CC 19 SLU Xl=0.11
Sollecitazioni: N=-67.06 T_z=-283.41 M_y=16.84 T_y=19.25 M_x=2.98
V,Ed=19.25 Vc,Rd,Red=6738.36 V,Ed/Vc,Rd,Red=0.00

- Verifica a taglio e torsione dir. Z [4.2.25]
V,Ed=-283.41 Vc,Rd,Red=6738.36 V,Ed/Vc,Rd,Red=0.04

Asta n. 6275 (371 384) modellazione SHS50x50x5 Crit. 1

- Verifica di stabilità aste presso-inflesse (C4.2.4.1.3.3.2) - CC 17 SLU - Classe 3
Sollecitazioni: N,Ed=-91.32 My,Ed=-32.55 Mz,Ed=2.94
Resistenze: Nc,Rd=23571.40 My,c,Rd=322.14 Mz,c,Rd=322.14 L=21.21
αmy, αmz, αLT=0.95, 0.95, 0.95
λ_Y=11.48 Ncr,y=1416290.00 λ^*_y=0.13 Curva a: Φ_y=0.00 χ_y=1.00
λ_Z=11.48 Ncr,z=1416290.00 λ^*_z=0.13 Curva a: Φ_z=0.00 χ_z=1.00
Kyy, Kyz, Kzy, Kzz=0.95, 0.95, 0.76, 0.95
Verifica YY: 0.00+0.08+0.01=0.09
Verifica ZZ: 0.00+0.06+0.01=0.07

- Verifica Freccia massima per soli carichi accidentali - CC 23
$f_{Z,G}$=0.00 (L/16990)

- Verifica Freccia massima carichi totali - CC 23
$f_{Z,L}$=0.00 (L/15413)

- Verifica in termini tensionali [4.2.4] - CC 17 SLU Xl=0.00 - Classe 3
Sollecitazioni: N=-91.32 T_z=-125.20 M_y=-32.55 T_y=-18.07 M_z=2.94 M_x=-6.11
Tensioni: σ_N=-10.15 σ_M=-288.60 τ=30.17 σ_{max}=-298.75

Tensioni: σ_N=-10.15 σ_M=19.15 τ=61.22 τ_{max}=61.22
Tensioni: σ_N=-10.15 σ_M=-288.60 τ=30.17 $\sigma_{ID,max}$=303.28

- Verifica a taglio e torsione dir. Y [4.2.25] - CC 17 SLU Xl=0.18
Sollecitazioni: N=-91.32 T_z=-126.89 M_y=-9.38 T_y=-18.07 M_x=-6.11
V,Ed=-18.07 Vc,Rd,Red=6668.90 V,Ed/Vc,Rd,Red=0.00

- Verifica a taglio e torsione dir. Z [4.2.25]
V,Ed=-126.89 Vc,Rd,Red=6668.90 V,Ed/Vc,Rd,Red=0.02

Asta n. 6276 (352 365) modellazione SHS50x50x5 Crit. 1

- Verifica di stabilità aste presso-inflesse (C4.2.4.1.3.3.2) - CC 17 SLU - Classe 3
Sollecitazioni: N,Ed=-55.19 My,Ed=50.22 Mz,Ed=3.61
Resistenze: Nc,Rd=23571.40 My,c,Rd=322.14 Mz,c,Rd=322.14 L=21.21
αmy, αmz, αLT=0.95, 0.95, 0.95
λ_Y=11.48 Ncr,y=1416290.00 λ^*_y=0.13 Curva a: Φ_y=0.00 χ_y=1.00
λ_Z=11.48 Ncr,z=1416290.00 λ^*_z=0.13 Curva a: Φ_z=0.00 χ_z=1.00
Kyy, Kyz, Kzy, Kzz=0.95, 0.95, 0.76, 0.95
Verifica YY: 0.00+0.12+0.01=0.13
Verifica ZZ: 0.00+0.10+0.01=0.11

- Verifica in termini tensionali [4.2.4] - CC 17 SLU Xl=0.21 - Classe 3
Sollecitazioni: N=-55.19 T_z=-309.11 M_y=50.22 T_y=25.12 M_z=3.61 M_x=5.79
Tensioni: σ_N=-6.13 σ_M=-437.64 τ=28.57 σ_{max}=-443.77
Tensioni: σ_N=-6.13 σ_M=-23.47 τ=105.22 τ_{max}=105.22
Tensioni: σ_N=-6.13 σ_M=-437.64 τ=28.57 $\sigma_{ID,max}$=446.52

- Verifica a taglio e torsione dir. Y [4.2.25] - CC 19 SLU Xl=0.13
Sollecitazioni: N=-146.29 T_z=-314.04 M_y=16.35 T_y=20.85 M_x=3.46
V,Ed=20.85 Vc,Rd,Red=6727.85 V,Ed/Vc,Rd,Red=0.00

- Verifica a taglio e torsione dir. Z [4.2.25]
V,Ed=-314.04 Vc,Rd,Red=6727.85 V,Ed/Vc,Rd,Red=0.05

Asta n. 6276 (365 378) modellazione SHS50x50x5 Crit. 1

- Verifica di stabilità aste presso-inflesse (C4.2.4.1.3.3.2) - CC 9 SLU - Classe 3
Sollecitazioni: N,Ed=-130.21 My,Ed=31.10 Mz,Ed=-0.72
Resistenze: Nc,Rd=23571.40 My,c,Rd=322.14 Mz,c,Rd=322.14 L=21.21
αmy, αmz, αLT=0.95, 0.95, 0.95
λ_Y=11.48 Ncr,y=1416290.00 λ^*_y=0.13 Curva a: Φ_y=0.00 χ_y=1.00
λ_Z=11.48 Ncr,z=1416290.00 λ^*_z=0.13 Curva a: Φ_z=0.00 χ_z=1.00
Kyy, Kyz, Kzy, Kzz=0.95, 0.95, 0.76, 0.95
Verifica YY: 0.01+0.07+0.00=0.08
Verifica ZZ: 0.01+0.06+0.00=0.07

- Verifica Freccia massima per soli carichi accidentali - CC 23
$f_{Z,L}$=0.00 (L/16475)

- Verifica a pressoflessione retta - CC 9 SLU Xl=0.00 - Classe 1
Sollecitazioni: N=-130.21 T_z=252.72 M_y=31.10 T_y=6.77 M_x=-2.08
My,Ed=31.10 My,c,Rd=399.40
N,Ed=-130.21 Nc,Rd=23571.40 n=N,Ed/Nc,Rd=0.01
MNy,c,Rd=399.40 My,Ed/MNy,c,Rd=0.08

- Verifica a taglio e torsione dir. Y [4.2.25] - CC 9 SLU Xl=0.00
Sollecitazioni: N=-130.21 T_z=252.72 M_y=31.10 T_y=6.77 M_x=-2.08
V,Ed=6.77 Vc,Rd,Red=6758.46 V,Ed/Vc,Rd,Red=0.00

- Verifica a taglio e torsione dir. Z [4.2.25]
  V,Ed=252.72 Vc,Rd,Red=6758.46 V,Ed/Vc,Rd,Red=0.04

Asta n. 6277 (365 376) modellazione SHS50x50x5 Crit. 1

- Verifica di stabilità aste presso-inflesse (C4.2.4.1.3.3.2) - CC 17 SLU - Classe 3
  Sollecitazioni: N,Ed=-27.00 My,Ed=54.40 Mz,Ed=3.42
  Resistenze: Nc,Rd=23571.40 My,c,Rd=322.14 Mz,c,Rd=322.14 L=21.21
  αmy, αmz, αLT=0.95, 0.95, 0.95
  λ_Y=11.48 Ncr,y=1416290.00 λ^*_y=0.13 Curva a: Φ_y=0.00 χ_y=1.00
  λ_Z=11.48 Ncr,z=1416290.00 λ^*_z=0.13 Curva a: Φ_z=0.00 χ_z=1.00
  Kyy, Kyz, Kzy, Kzz=0.95, 0.95, 0.76, 0.95
  Verifica YY: 0.00+0.13+0.01=0.14
  Verifica ZZ: 0.00+0.10+0.01=0.11

- Verifica Freccia massima per soli carichi accidentali - CC 21
  $f_{Z,G}$=0.00 (L/13579)

- Verifica Freccia massima carichi totali - CC 21
  $f_{Z,G}$=0.00 (L/11806)

- Verifica in termini tensionali [4.2.4] - CC 17 SLU Xl=0.00 - Classe 3
  Sollecitazioni: N=-27.00 T_z=325.65 M_y=54.40 T_y=-23.18 M_z=3.42 M_x=-4.41
  Tensioni: σ_N=-3.00 σ_M=-470.04 τ=21.76 σ_{max}=-473.04
  Tensioni: σ_N=-3.00 σ_M=-22.23 τ=102.51 τ_{max}=102.51
  Tensioni: σ_N=-3.00 σ_M=-470.04 τ=21.76 $\sigma_{ID,max}$=474.54

- Verifica a taglio dir. Y [4.2.16] - CC 19 SLU Xl=0.08
  Sollecitazioni: N=-99.20 T_z=344.12 M_y=21.42 T_y=-17.07
  V,Ed=-17.07 Vc,Rd=6804.69 V,Ed/Vc,Rd=0.00

- Verifica a taglio dir. Z [4.2.16]
  V,Ed=344.12 Vc,Rd=6804.69 V,Ed/Vc,Rd=0.05

Asta n. 6277 (354 365) modellazione SHS50x50x5 Crit. 1

- Verifica di stabilità aste presso-inflesse (C4.2.4.1.3.3.2) - CC 17 SLU - Classe 3
  Sollecitazioni: N,Ed=-155.91 My,Ed=-23.16 Mz,Ed=2.42
  Resistenze: Nc,Rd=23571.40 My,c,Rd=322.14 Mz,c,Rd=322.14 L=21.21
  αmy, αmz, αLT=0.95, 0.95, 0.95
  λ_Y=11.48 Ncr,y=1416290.00 λ^*_y=0.13 Curva a: Φ_y=0.00 χ_y=1.00
  λ_Z=11.48 Ncr,z=1416290.00 λ^*_z=0.13 Curva a: Φ_z=0.00 χ_z=1.00
  Kyy, Kyz, Kzy, Kzz=0.95, 0.95, 0.76, 0.95
  Verifica YY: 0.01+0.06+0.01=0.07
  Verifica ZZ: 0.01+0.04+0.01=0.06

- Verifica Freccia massima per soli carichi accidentali - CC 23
  $f_{Z,L}$=0.00 (L/18075)

- Verifica Freccia massima carichi totali - CC 21
  $f_{Z,L}$=0.00 (L/17763)

- Verifica in termini tensionali [4.2.4] - CC 17 SLU Xl=0.21 - Classe 3
  Sollecitazioni: N=-155.91 T_z=43.45 M_y=-23.16 T_y=13.41 M_z=2.42 M_x=5.73
  Tensioni: σ_N=-17.32 σ_M=-207.93 τ=28.27 σ_{max}=-225.25
  Tensioni: σ_N=-17.32 σ_M=15.72 τ=39.05 τ_{max}=39.05
  Tensioni: σ_N=-17.32 σ_M=-207.93 τ=28.27 $\sigma_{ID,max}$=230.51

- Verifica a taglio dir. Y [4.2.16] - CC 9 SLU Xl=0.20
  Sollecitazioni: N=-171.65 T_z=-222.93 M_y=19.88 T_y=-10.89

V,Ed=-10.89 Vc,Rd=6804.69 V,Ed/Vc,Rd=0.00

- Verifica a taglio dir. Z [4.2.16]
V,Ed=-222.93 Vc,Rd=6804.69 V,Ed/Vc,Rd=0.03

Asta n. 6278 (371 382) modellazione SHS50x50x5 Crit. 1

- Verifica di stabilità aste presso-inflesse (C4.2.4.1.3.3.2) - CC 19 SLU - Classe 3
Sollecitazioni: N,Ed=-40.37 My,Ed=37.37 Mz,Ed=2.56
Resistenze: Nc,Rd=23571.40 My,c,Rd=322.14 Mz,c,Rd=322.14 L=21.21
αmy, αmz, αLT=0.95, 0.95, 0.95
λ_Y=11.48 Ncr,y=1416280.00 λ^*_y=0.13 Curva a: Φ_y=0.00 χ_y=1.00
λ_Z=11.48 Ncr,z=1416280.00 λ^*_z=0.13 Curva a: Φ_z=0.00 χ_z=1.00
Kyy, Kyz, Kzy, Kzz=0.95, 0.95, 0.76, 0.95
Verifica YY: 0.00+0.09+0.01=0.10
Verifica ZZ: 0.00+0.07+0.01=0.08

- Verifica Freccia massima per soli carichi accidentali - CC 23
$f_{Z,L}$=0.00 (L/16926)

- Verifica Freccia massima carichi totali - CC 21
$f_{Z,L}$=0.00 (L/13418)

- Verifica in termini tensionali [4.2.4] - CC 17 SLU Xl=0.00 - Classe 3
Sollecitazioni: N=4.19 T_z=251.27 M_y=45.42 T_y=-22.51 M_z=3.40 M_x=-6.09
Tensioni: σ_N=0.47 σ_M=396.91 τ=30.08 σ_{max}=397.37
Tensioni: σ_N=0.47 σ_M=-22.11 τ=92.39 τ_{max}=92.39
Tensioni: σ_N=0.47 σ_M=396.91 τ=30.08 $\sigma_{ID,max}$=400.77

- Verifica a taglio e torsione dir. Y [4.2.25] - CC 17 SLU Xl=0.12
Sollecitazioni: N=4.19 T_z=250.20 M_y=16.09 T_y=-22.51 M_x=-6.09
V,Ed=-22.51 Vc,Rd,Red=6669.34 V,Ed/Vc,Rd,Red=0.00

- Verifica a taglio e torsione dir. Z [4.2.25]
V,Ed=250.20 Vc,Rd,Red=6669.34 V,Ed/Vc,Rd,Red=0.04

Asta n. 6278 (360 371) modellazione SHS50x50x5 Crit. 1

- Verifica di stabilità aste presso-inflesse (C4.2.4.1.3.3.2) - CC 17 SLU - Classe 3
Sollecitazioni: N,Ed=-106.45 My,Ed=-28.30 Mz,Ed=2.85
Resistenze: Nc,Rd=23571.40 My,c,Rd=322.14 Mz,c,Rd=322.14 L=21.21
αmy, αmz, αLT=0.95, 0.95, 0.95
λ_Y=11.48 Ncr,y=1416290.00 λ^*_y=0.13 Curva a: Φ_y=0.00 χ_y=1.00
λ_Z=11.48 Ncr,z=1416290.00 λ^*_z=0.13 Curva a: Φ_z=0.00 χ_z=1.00
Kyy, Kyz, Kzy, Kzz=0.95, 0.95, 0.76, 0.95
Verifica YY: 0.00+0.07+0.01=0.08
Verifica ZZ: 0.00+0.05+0.01=0.07

- Verifica in termini tensionali [4.2.4] - CC 17 SLU Xl=0.21 - Classe 3
Sollecitazioni: N=-106.45 T_z=96.43 M_y=-28.30 T_y=17.11 M_z=2.85 M_x=6.85
Tensioni: σ_N=-11.83 σ_M=-253.28 τ=33.83 σ_{max}=-265.11
Tensioni: σ_N=-11.83 σ_M=18.53 τ=57.74 τ_{max}=57.74
Tensioni: σ_N=-11.83 σ_M=-253.28 τ=33.83 $\sigma_{ID,max}$=271.50

- Verifica a taglio e torsione dir. Y [4.2.25] - CC 9 SLU Xl=0.21
Sollecitazioni: N=-101.30 T_z=-116.20 M_y=10.44 T_y=-1.35 M_x=2.50
V,Ed=-1.35 Vc,Rd,Red=6749.10 V,Ed/Vc,Rd,Red=0.00

- Verifica a taglio e torsione dir. Z [4.2.25]
V,Ed=-116.20 Vc,Rd,Red=6749.10 V,Ed/Vc,Rd,Red=0.02

Asta n. 6279 (355 368) modellazione SHS50x50x5 Crit. 1

- Verifica di stabilità aste presso-inflesse (C4.2.4.1.3.3.2) - CC 17 SLU - Classe 3
  Sollecitazioni: N,Ed=-50.16 My,Ed=53.32 Mz,Ed=3.88
  Resistenze: Nc,Rd=23571.40 My,c,Rd=322.14 Mz,c,Rd=322.14 L=21.21
  αmy, αmz, αLT=0.95, 0.95, 0.95
  λ_Y=11.48 Ncr,y=1416290.00 λ^*_y=0.13 Curva a: Φ_y=0.00 χ_y=1.00
  λ_Z=11.48 Ncr,z=1416290.00 λ^*_z=0.13 Curva a: Φ_z=0.00 χ_z=1.00
  Kyy, Kyz, Kzy, Kzz=0.95, 0.95, 0.76, 0.95
  Verifica YY: 0.00+0.13+0.01=0.14
  Verifica ZZ: 0.00+0.10+0.01=0.12

- Verifica Freccia massima carichi totali - CC 23
  $f_{Z,G}$=0.00 (L/17382)

- Verifica in termini tensionali [4.2.4] - CC 17 SLU Xl=0.21 - Classe 3
  Sollecitazioni: N=-50.16 T_z=-322.56 M_y=53.32 T_y=26.81 M_z=3.88 M_x=6.26
  Tensioni: σ_N=-5.57 σ_M=-465.02 τ=30.90 σ_{max}=-470.59
  Tensioni: σ_N=-5.57 σ_M=-25.21 τ=110.89 τ_{max}=110.89
  Tensioni: σ_N=-5.57 σ_M=-465.02 τ=30.90 $\sigma_{ID,max}$=473.63

- Verifica a taglio e torsione dir. Y [4.2.25] - CC 19 SLU Xl=0.11
  Sollecitazioni: N=-140.27 T_z=-331.86 M_y=13.20 T_y=22.98 M_x=4.07
  V,Ed=22.98 Vc,Rd,Red=6714.23 V,Ed/Vc,Rd,Red=0.00

- Verifica a taglio e torsione dir. Z [4.2.25]
  V,Ed=-331.86 Vc,Rd,Red=6714.23 V,Ed/Vc,Rd,Red=0.05

Asta n. 6279 (368 381) modellazione SHS50x50x5 Crit. 1

- Verifica di stabilità aste presso-inflesse (C4.2.4.1.3.3.2) - CC 9 SLU - Classe 3
  Sollecitazioni: N,Ed=-132.13 My,Ed=27.09 Mz,Ed=0.47
  Resistenze: Nc,Rd=23571.40 My,c,Rd=322.14 Mz,c,Rd=322.14 L=21.21
  αmy, αmz, αLT=0.95, 0.95, 0.95
  λ_Y=11.48 Ncr,y=1416290.00 λ^*_y=0.13 Curva a: Φ_y=0.00 χ_y=1.00
  λ_Z=11.48 Ncr,z=1416290.00 λ^*_z=0.13 Curva a: Φ_z=0.00 χ_z=1.00
  Kyy, Kyz, Kzy, Kzz=0.95, 0.95, 0.76, 0.95
  Verifica YY: 0.01+0.06+0.00=0.07
  Verifica ZZ: 0.01+0.05+0.00=0.06

- Verifica Freccia massima per soli carichi accidentali - CC 23
  $f_{Z,G}$=0.00 (L/16206)

- Verifica Freccia massima carichi totali - CC 23
  $f_{Z,G}$=0.00 (L/17981)

- Verifica in termini tensionali [4.2.4] - CC 17 SLU Xl=0.00 - Classe 3
  Sollecitazioni: N=-136.84 T_z=-46.98 M_y=-22.76 T_y=-17.44 M_z=2.95 M_x=-7.64
  Tensioni: σ_N=-15.20 σ_M=-208.97 τ=37.72 σ_{max}=-224.18
  Tensioni: σ_N=-15.20 σ_M=19.16 τ=49.37 τ_{max}=49.37
  Tensioni: σ_N=-15.20 σ_M=-208.97 τ=37.72 $\sigma_{ID,max}$=233.50

- Verifica a taglio e torsione dir. Y [4.2.25] - CC 9 SLU Xl=0.00
  Sollecitazioni: N=-132.13 T_z=233.21 M_y=27.09 T_y=4.84 M_x=-2.69
  V,Ed=4.84 Vc,Rd,Red=6744.85 V,Ed/Vc,Rd,Red=0.00

- Verifica a taglio e torsione dir. Z [4.2.25]
  V,Ed=233.21 Vc,Rd,Red=6744.85 V,Ed/Vc,Rd,Red=0.03

Asta n. 6281 (-515 -516) arcarecci T 120x60x10 Crit. 1

- Verifica di stabilità aste presso-inflesse (C4.2.4.1.3.3.1) - CC 1 SLV - Classe 3
  Sollecitazioni: N,Ed=-0.55 Myeq,Ed=-0.10 Mzeq,Ed=-0.74
  Resistenze: Nc,Rd=44512.60 My,c,Rd=862.52 Mz,c,Rd=164.81 L=12.00
  λ_Y=3.12 Ncr,y=36117200.00 λ^*_y=0.04 Curva c: Φ_y=0.00 χ_y=1.00
  λ_Z=11.39 Ncr,z=2717260.00 λ^*_z=0.13 Curva c: Φ_z=0.00 χ_z=1.00
  χ,min=1.00
  Verifica: 0.00+0.00+0.00=0.00

- Verifica a compressione [4.2.9] - CC 17 SLU Xl=0.00 - Classe 3
  Sollecitazioni: N=-3.51 T_z=1.58 T_y=5.15
  N,Ed=-3.51 Nc,Rd=-44512.60 N,Ed/Nc,Rd=0.00

- Verifica a taglio dir. Y [4.2.16] - CC 1 SLV Xl=0.00
  Sollecitazioni: T_y=-11.10
  V,Ed=-11.10 Vc,Rd=9072.91 V,Ed/Vc,Rd=0.00

Asta n. 6282 (-531 -532) arcarecci T 120x60x10 Crit. 1

- Verifica di stabilità aste inflesse (4.2.4.1.3.2) CC 18 SLU - Classe 3
  L_{cr}=0.12 Curva d: α_{imp}=0.76 k_c=0.94 ψ=1.87 M,cr=0.00 λ_{LT}=0.00
  $\lambda_{LT,0}$=0.00 β_{LT}=0.00 Φ_{LT}=0.00 β_{LT}=0.00 f=0.00 χ_{LT}=1.00
  CC 18 SLU My,Ed=-0.25 My,b,Rd=862.52 My,Ed/My,b,Rd=0.00

- Verifica di stabilità aste presso-inflesse (C4.2.4.1.3.3.1) - CC 17 SLU - Classe 3
  Sollecitazioni: N,Ed=-2.60 Myeq,Ed=-0.23 Mzeq,Ed=0.68
  Resistenze: Nc,Rd=44512.60 My,c,Rd=862.52 Mz,c,Rd=164.81 L=12.00
  λ_Y=3.12 Ncr,y=36117200.00 λ^*_y=0.04 Curva c: Φ_y=0.00 χ_y=1.00
  λ_Z=11.39 Ncr,z=2717260.00 λ^*_z=0.13 Curva c: Φ_z=0.00 χ_z=1.00
  χ,min=1.00
  Verifica: 0.00+0.00+0.00=0.00

- Verifica a compressione [4.2.9] - CC 17 SLU Xl=0.00 - Classe 3
  Sollecitazioni: N=-2.60 T_z=1.05 T_y=10.89
  N,Ed=-2.60 Nc,Rd=-44512.60 N,Ed/Nc,Rd=0.00

- Verifica a taglio dir. Y [4.2.16] - CC 1 SLV Xl=0.00
  Sollecitazioni: T_z=-2.59 T_y=-10.10
  V,Ed=-10.10 Vc,Rd=9072.91 V,Ed/Vc,Rd=0.00

- Verifica a taglio dir. Z [4.2.16]
  V,Ed=-2.59 Vc,Rd=18145.80 V,Ed/Vc,Rd=0.00

Asta n. 6283 (316 317) angolari L50x10 Crit. 1

- Verifica di stabilità aste presso-inflesse (C4.2.4.1.3.3.1) - CC 19 SLU - Classe 3
  Sollecitazioni: N,Ed=-47.08 Myeq,Ed=1.72 Mzeq,Ed=0.23
  Resistenze: Nc,Rd=23709.20 My,c,Rd=149.05 Mz,c,Rd=149.05 L=15.00
  λ_c=8.19 Ncr,y=2794040.00 λ^*_y=0.09 Curva b: Φ_y=0.00 χ_y=1.00
  λ_e=15.58 Ncr,z=772687.00 λ^*_z=0.18 Curva b: Φ_z=0.00 χ_z=1.00
  χ,min=1.00
  Verifica: 0.00+0.01+0.00=0.02

- Verifica in termini tensionali [4.2.4] - CC 19 SLU Xl=0.02 - Classe 3
  Sollecitazioni: N=-47.08 T_z=4.87 M_y=1.72 T_y=-2.20
  Tensioni: σ_N=-5.20 σ_M=-32.70 τ=0.00 σ_{max}=-37.90
  Tensioni: σ_N=-5.20 σ_M=-7.06 τ=1.45 τ_{max}=1.45
  Tensioni: σ_N=-5.20 σ_M=-32.70 τ=0.00 $\sigma_{ID,max}$=37.90

- Verifica a taglio dir. Y [4.2.16] - CC 17 SLU Xl=0.10
  Sollecitazioni: N=-28.63 T_z=6.51 T_y=-3.75
  V,Ed=-3.75 Vc,Rd=7560.76 V,Ed/Vc,Rd=0.00

- Verifica a taglio dir. Z [4.2.16]
  V,Ed=6.51 Vc,Rd=7560.76 V,Ed/Vc,Rd=0.00

Asta n. 6283 (317 318) angolari L50x10 Crit. 1

- Verifica di stabilità aste presso-inflesse (C4.2.4.1.3.3.1) - CC 18 SLU - Classe 3
  Sollecitazioni: N,Ed=-50.45 Myeq,Ed=1.44 Mzeq,Ed=0.04
  Resistenze: Nc,Rd=23709.20 My,c,Rd=149.05 Mz,c,Rd=149.05 L=15.00
  λ_c=8.19 Ncr,y=2794040.00 λ^*_y=0.09 Curva b: Φ_y=0.00 χ_y=1.00
  λ_e=15.58 Ncr,z=772687.00 λ^*_z=0.18 Curva b: Φ_z=0.00 χ_z=1.00
  χ,min=1.00
  Verifica: 0.00+0.01+0.00=0.01

- Verifica in termini tensionali [4.2.4] - CC 18 SLU Xl=0.13 - Classe 3
  Sollecitazioni: N=-50.45 T_z=-1.26 M_y=1.44
  Tensioni: σ_N=-5.57 σ_M=-27.46 τ=0.00 σ_{max}=-33.03
  Tensioni: σ_N=-5.57 σ_M=-5.93 τ=0.36 τ_{max}=0.36
  Tensioni: σ_N=-5.57 σ_M=-27.46 τ=0.00 $\sigma_{ID,max}$=33.03

- Verifica a taglio dir. Y [4.2.16] - CC 17 SLU Xl=0.00
  Sollecitazioni: N=-28.63 T_z=6.07 T_y=-3.75
  V,Ed=-3.75 Vc,Rd=7560.76 V,Ed/Vc,Rd=0.00

- Verifica a taglio dir. Z [4.2.16]
  V,Ed=6.07 Vc,Rd=7560.76 V,Ed/Vc,Rd=0.00

Asta n. 6284 (-3 -4) calastrelli 100x5 Crit. 1

- Verifica in termini tensionali [4.2.4] - CC 17 SLU Xl=0.26 - Classe 3
  Sollecitazioni: N=71.86 T_z=42.95 M_y=-5.30
  Tensioni: σ_N=7.19 σ_M=31.82 τ=0.00 σ_{max}=39.01
  Tensioni: σ_N=7.19 σ_M=0.00 τ=6.44 τ_{max}=6.44
  Tensioni: σ_N=7.19 σ_M=31.82 τ=0.00 $\sigma_{ID,max}$=39.01

- Verifica a taglio dir. Z [4.2.16] - CC 17 SLU Xl=0.13
  Sollecitazioni: N=71.86 T_z=44.25
  V,Ed=44.25 Vc,Rd=15121.50 V,Ed/Vc,Rd=0.00

Asta n. 6285 (-35 -36) calastrelli 100x5 Crit. 1

- Verifica in termini tensionali [4.2.4] - CC 17 SLU Xl=0.26 - Classe 3
  Sollecitazioni: N=18.25 T_z=69.01 M_y=-8.38
  Tensioni: σ_N=1.83 σ_M=50.30 τ=0.00 σ_{max}=52.12
  Tensioni: σ_N=1.83 σ_M=0.00 τ=10.35 τ_{max}=10.35
  Tensioni: σ_N=1.83 σ_M=50.30 τ=0.00 $\sigma_{ID,max}$=52.12

- Verifica a taglio dir. Z [4.2.16] - CC 17 SLU Xl=0.13
  Sollecitazioni: N=18.25 T_z=70.29
  V,Ed=70.29 Vc,Rd=15121.50 V,Ed/Vc,Rd=0.00

Asta n. 6286 (-67 -68) calastrelli 50x10 Crit. 1

- Verifica di stabilità aste presso-inflesse (C4.2.4.1.3.3.1) - CC 17 SLU - Classe 3
  Sollecitazioni: N,Ed=-3.97 Myeq,Ed=6.80 Mzeq,Ed=0.09
  Resistenze: Nc,Rd=13095.20 My,c,Rd=109.13 Mz,c,Rd=21.83 L=28.75
  λ_Y=19.92 Ncr,y=261200.00 λ^*_y=0.23 Curva c: Φ_y=0.53 χ_y=0.99

λ_Z=99.59 Ncr,z=10448.00 λ^*_z=1.15 Curva c: Φ_z=1.39 χ_z=0.46
χ,min=0.46
Verifica: 0.00+0.06+0.00=0.07

- Verifica in termini tensionali [4.2.4] - CC 17 SLU Xl=0.03 - Classe 3
Sollecitazioni: N=-3.97 T_z=60.64 M_y=6.80
Tensioni: σ_N=-0.79 σ_M=-163.25 τ=0.00 σ_{max}=-164.05
Tensioni: σ_N=-0.79 σ_M=-0.00 τ=18.19 τ_{max}=18.19
Tensioni: σ_N=-0.79 σ_M=-163.25 τ=0.00 $\sigma_{ID,max}$=164.05

- Verifica a taglio dir. Z [4.2.16] - CC 1 SLV Xl=0.19
Sollecitazioni: T_z=-17.51
V,Ed=-17.51 Vc,Rd=7560.76 V,Ed/Vc,Rd=0.00

Asta n. 6287 (-99 -100) calastrelli 50x10 Crit. 1

- Verifica di stabilità aste inflesse (4.2.4.1.3.2) CC 18 SLU - Classe 3
L_{cr}=0.28 Curva d: α_{imp}=0.76 k_c=0.94 ψ=2.89 M,cr=0.00 λ_{LT}=0.00
$\lambda_{LT,0}$=0.20 β_{LT}=1.00 Φ_{LT}=0.00 β_{LT}=1.00 f=0.00 χ_{LT}=1.00
CC 18 SLU My,Ed=0.27 My,b,Rd=109.13 My,Ed/My,b,Rd=0.00

- Verifica di stabilità aste presso-inflesse (C4.2.4.1.3.3.1) - CC 17 SLU - Classe 3
Sollecitazioni: N,Ed=-2.33 Myeq,Ed=8.36 Mzeq,Ed=0.12
Resistenze: Nc,Rd=13095.20 My,c,Rd=109.13 Mz,c,Rd=21.83 L=28.13
λ_Y=19.49 Ncr,y=272937.00 λ^*_y=0.22 Curva c: Φ_y=0.53 χ_y=0.99
λ_Z=97.43 Ncr,z=10917.50 λ^*_z=1.12 Curva c: Φ_z=1.36 χ_z=0.47
χ,min=0.47
Verifica: 0.00+0.08+0.01=0.08

- Verifica in termini tensionali [4.2.4] - CC 17 SLU Xl=0.03 - Classe 3
Sollecitazioni: N=-2.33 T_z=76.55 M_y=8.36
Tensioni: σ_N=-0.47 σ_M=-200.54 τ=0.00 σ_{max}=-201.01
Tensioni: σ_N=-0.47 σ_M=-0.00 τ=22.96 τ_{max}=22.96
Tensioni: σ_N=-0.47 σ_M=-200.54 τ=0.00 $\sigma_{ID,max}$=201.01

- Verifica a taglio dir. Z [4.2.16] - CC 1 SLV Xl=0.17
Sollecitazioni: T_z=-22.60
V,Ed=-22.60 Vc,Rd=7560.76 V,Ed/Vc,Rd=0.00

Asta n. 6288 (-131 -132) calastrelli 50x10 Crit. 1

- Verifica di stabilità aste presso-inflesse (C4.2.4.1.3.3.1) - CC 17 SLU - Classe 3
Sollecitazioni: N,Ed=-2.28 Myeq,Ed=8.57 Mzeq,Ed=0.13
Resistenze: Nc,Rd=13095.20 My,c,Rd=109.13 Mz,c,Rd=21.83 L=27.50
λ_Y=19.05 Ncr,y=285484.00 λ^*_y=0.22 Curva c: Φ_y=0.53 χ_y=0.99
λ_Z=95.26 Ncr,z=11419.40 λ^*_z=1.10 Curva c: Φ_z=1.32 χ_z=0.49
χ,min=0.49
Verifica: 0.00+0.08+0.01=0.08

- Verifica in termini tensionali [4.2.4] - CC 17 SLU Xl=0.03 - Classe 3
Sollecitazioni: N=-2.28 T_z=80.80 M_y=8.57 T_y=1.04
Tensioni: σ_N=-0.46 σ_M=-205.75 τ=0.00 σ_{max}=-206.21
Tensioni: σ_N=-0.46 σ_M=-0.00 τ=24.24 τ_{max}=24.24
Tensioni: σ_N=-0.46 σ_M=-205.75 τ=0.31 $\sigma_{ID,max}$=206.21

- Verifica a taglio dir. Z [4.2.16] - CC 1 SLV Xl=0.16
Sollecitazioni: T_z=-24.56
V,Ed=-24.56 Vc,Rd=7560.76 V,Ed/Vc,Rd=0.00

Asta n. 6289 (-163 -164) calastrelli 50x10 Crit. 1

- Verifica di stabilità aste presso-inflesse (C4.2.4.1.3.3.1) - CC 17 SLU - Classe 3
  Sollecitazioni: N,Ed=-2.27 Myeq,Ed=8.49 Mzeq,Ed=0.13
  Resistenze: Nc,Rd=13095.20 My,c,Rd=109.13 Mz,c,Rd=21.83 L=26.88
  λ_Y=18.62 Ncr,y=298917.00 λ^*_y=0.21 Curva c: Φ_y=0.53 χ_y=0.99
  λ_Z=93.10 Ncr,z=11956.70 λ^*_z=1.07 Curva c: Φ_z=1.29 χ_z=0.50
  χ,min=0.50
  Verifica: 0.00+0.08+0.01=0.08

- Verifica in termini tensionali [4.2.4] - CC 17 SLU Xl=0.03 - Classe 3
  Sollecitazioni: N=-2.27 T_z=82.36 M_y=8.49 T_y=1.08
  Tensioni: σ_N=-0.45 σ_M=-203.68 τ=0.00 σ_{max}=-204.14
  Tensioni: σ_N=-0.45 σ_M=-0.00 τ=24.71 τ_{max}=24.71
  Tensioni: σ_N=-0.45 σ_M=-203.68 τ=0.32 $\sigma_{ID,max}$=204.14

- Verifica a taglio dir. Z [4.2.16] - CC 1 SLV Xl=0.16
  Sollecitazioni: T_z=-25.82
  V,Ed=-25.82 Vc,Rd=7560.76 V,Ed/Vc,Rd=0.00

Asta n. 6290 (-195 -196) calastrelli 50x10 Crit. 1

- Verifica di stabilità aste presso-inflesse (C4.2.4.1.3.3.1) - CC 17 SLU - Classe 3
  Sollecitazioni: N,Ed=-2.27 Myeq,Ed=8.33 Mzeq,Ed=0.13
  Resistenze: Nc,Rd=13095.20 My,c,Rd=109.13 Mz,c,Rd=21.83 L=26.25
  λ_Y=18.19 Ncr,y=313321.00 λ^*_y=0.21 Curva c: Φ_y=0.52 χ_y=1.00
  λ_Z=90.93 Ncr,z=12532.80 λ^*_z=1.05 Curva c: Φ_z=1.26 χ_z=0.51
  χ,min=0.51
  Verifica: 0.00+0.08+0.01=0.08

- Verifica in termini tensionali [4.2.4] - CC 17 SLU Xl=0.03 - Classe 3
  Sollecitazioni: N=-2.27 T_z=83.38 M_y=8.33 T_y=1.10
  Tensioni: σ_N=-0.45 σ_M=-200.04 τ=0.00 σ_{max}=-200.49
  Tensioni: σ_N=-0.45 σ_M=-0.00 τ=25.02 τ_{max}=25.02
  Tensioni: σ_N=-0.45 σ_M=-200.04 τ=0.33 $\sigma_{ID,max}$=200.49

- Verifica a taglio dir. Z [4.2.16] - CC 1 SLV Xl=0.15
  Sollecitazioni: T_z=-26.95
  V,Ed=-26.95 Vc,Rd=7560.76 V,Ed/Vc,Rd=0.00

Asta n. 6291 (-227 -228) calastrelli 50x10 Crit. 1

- Verifica di stabilità aste presso-inflesse (C4.2.4.1.3.3.1) - CC 17 SLU - Classe 3
  Sollecitazioni: N,Ed=-2.31 Myeq,Ed=8.17 Mzeq,Ed=0.13
  Resistenze: Nc,Rd=13095.20 My,c,Rd=109.13 Mz,c,Rd=21.83 L=25.63
  λ_Y=17.75 Ncr,y=328791.00 λ^*_y=0.20 Curva c: Φ_y=0.52 χ_y=1.00
  λ_Z=88.77 Ncr,z=13151.70 λ^*_z=1.02 Curva c: Φ_z=1.22 χ_z=0.53
  χ,min=0.53
  Verifica: 0.00+0.07+0.01=0.08

- Verifica in termini tensionali [4.2.4] - CC 17 SLU Xl=0.03 - Classe 3
  Sollecitazioni: N=-2.31 T_z=84.34 M_y=8.17 T_y=1.12
  Tensioni: σ_N=-0.46 σ_M=-196.09 τ=0.00 σ_{max}=-196.55
  Tensioni: σ_N=-0.46 σ_M=-0.00 τ=25.30 τ_{max}=25.30
  Tensioni: σ_N=-0.46 σ_M=-196.09 τ=0.34 $\sigma_{ID,max}$=196.55

- Verifica a taglio dir. Z [4.2.16] - CC 1 SLV Xl=0.15
  Sollecitazioni: T_z=-28.10
  V,Ed=-28.10 Vc,Rd=7560.76 V,Ed/Vc,Rd=0.00

Asta n. 6292 (-259 -260) calastrelli 50x10 Crit. 1

- Verifica di stabilità aste presso-inflesse (C4.2.4.1.3.3.1) - CC 17 SLU - Classe 3
  Sollecitazioni: N,Ed=-2.27 Myeq,Ed=8.00 Mzeq,Ed=0.13
  Resistenze: Nc,Rd=13095.20 My,c,Rd=109.13 Mz,c,Rd=21.83 L=25.00
  λ_Y=17.32 Ncr,y=345436.00 λ^*_y=0.20 Curva c: Φ_y=0.52 χ_y=1.00
  λ_Z=86.60 Ncr,z=13817.40 λ^*_z=1.00 Curva c: Φ_z=1.19 χ_z=0.54
  χ,min=0.54
  Verifica: 0.00+0.07+0.01=0.08

- Verifica in termini tensionali [4.2.4] - CC 17 SLU Xl=0.03 - Classe 3
  Sollecitazioni: N=-2.27 T_z=85.32 M_y=8.00 T_y=1.14
  Tensioni: σ_N=-0.45 σ_M=-192.07 τ=0.00 σ_{max}=-192.52
  Tensioni: σ_N=-0.45 σ_M=-0.00 τ=25.60 τ_{max}=25.60
  Tensioni: σ_N=-0.45 σ_M=-192.07 τ=0.34 $\sigma_{ID,max}$=192.52

- Verifica a taglio dir. Z [4.2.16] - CC 1 SLV Xl=0.15
  Sollecitazioni: T_z=-29.29
  V,Ed=-29.29 Vc,Rd=7560.76 V,Ed/Vc,Rd=0.00

Asta n. 6293 (-291 -292) calastrelli 50x10 Crit. 1

- Verifica di stabilità aste presso-inflesse (C4.2.4.1.3.3.1) - CC 17 SLU - Classe 3
  Sollecitazioni: N,Ed=-2.31 Myeq,Ed=7.83 Mzeq,Ed=0.13
  Resistenze: Nc,Rd=13095.20 My,c,Rd=109.13 Mz,c,Rd=21.83 L=24.38
  λ_Y=16.89 Ncr,y=363378.00 λ^*_y=0.19 Curva c: Φ_y=0.52 χ_y=1.00
  λ_Z=84.44 Ncr,z=14535.10 λ^*_z=0.97 Curva c: Φ_z=1.16 χ_z=0.56
  χ,min=0.56
  Verifica: 0.00+0.07+0.01=0.08

- Verifica in termini tensionali [4.2.4] - CC 17 SLU Xl=0.03 - Classe 3
  Sollecitazioni: N=-2.31 T_z=86.36 M_y=7.83 T_y=1.16
  Tensioni: σ_N=-0.46 σ_M=-188.03 τ=0.00 σ_{max}=-188.50
  Tensioni: σ_N=-0.46 σ_M=-0.00 τ=25.91 τ_{max}=25.91
  Tensioni: σ_N=-0.46 σ_M=-188.03 τ=0.35 $\sigma_{ID,max}$=188.50

- Verifica a taglio dir. Z [4.2.16] - CC 1 SLV Xl=0.14
  Sollecitazioni: T_z=-30.55
  V,Ed=-30.55 Vc,Rd=7560.76 V,Ed/Vc,Rd=0.00

Asta n. 6294 (-323 -324) calastrelli 50x10 Crit. 1

- Verifica di stabilità aste presso-inflesse (C4.2.4.1.3.3.1) - CC 17 SLU - Classe 3
  Sollecitazioni: N,Ed=-2.30 Myeq,Ed=7.67 Mzeq,Ed=0.13
  Resistenze: Nc,Rd=13095.20 My,c,Rd=109.13 Mz,c,Rd=21.83 L=23.75
  λ_Y=16.45 Ncr,y=382754.00 λ^*_y=0.19 Curva c: Φ_y=0.52 χ_y=1.00
  λ_Z=82.27 Ncr,z=15310.20 λ^*_z=0.95 Curva c: Φ_z=1.13 χ_z=0.57
  χ,min=0.57
  Verifica: 0.00+0.07+0.01=0.08

- Verifica in termini tensionali [4.2.4] - CC 17 SLU Xl=0.03 - Classe 3
  Sollecitazioni: N=-2.30 T_z=87.48 M_y=7.67 T_y=1.17
  Tensioni: σ_N=-0.46 σ_M=-184.00 τ=0.00 σ_{max}=-184.46
  Tensioni: σ_N=-0.46 σ_M=-0.00 τ=26.25 τ_{max}=26.25
  Tensioni: σ_N=-0.46 σ_M=-184.00 τ=0.35 $\sigma_{ID,max}$=184.46

- Verifica a taglio dir. Z [4.2.16] - CC 1 SLV Xl=0.13
  Sollecitazioni: T_z=-31.84

V,Ed=-31.84 Vc,Rd=7560.76 V,Ed/Vc,Rd=0.00

Asta n. 6295 (-355 -356) calastrelli 50x10 Crit. 1

- Verifica di stabilità aste presso-inflesse (C4.2.4.1.3.3.1) - CC 17 SLU - Classe 3
Sollecitazioni: N,Ed=-2.32 Myeq,Ed=7.50 Mzeq,Ed=0.12
Resistenze: Nc,Rd=13095.20 My,c,Rd=109.13 Mz,c,Rd=21.83 L=23.13
λ_Y=16.02 Ncr,y=403725.00 λ^*_y=0.18 Curva c: Φ_y=0.51 χ_y=1.00
λ_Z=80.11 Ncr,z=16149.00 λ^*_z=0.92 Curva c: Φ_z=1.10 χ_z=0.59
χ,min=0.59
Verifica: 0.00+0.07+0.01=0.07

- Verifica in termini tensionali [4.2.4] - CC 17 SLU Xl=0.03 - Classe 3
Sollecitazioni: N=-2.32 T_z=88.69 M_y=7.50 T_y=1.19
Tensioni: σ_N=-0.46 σ_M=-179.98 τ=0.00 σ_{max}=-180.45
Tensioni: σ_N=-0.46 σ_M=-0.00 τ=26.61 τ_{max}=26.61
Tensioni: σ_N=-0.46 σ_M=-179.98 τ=0.36 $\sigma_{ID,max}$=180.45

- Verifica a taglio dir. Z [4.2.16] - CC 1 SLV Xl=0.13
Sollecitazioni: T_z=-33.26
V,Ed=-33.26 Vc,Rd=7560.76 V,Ed/Vc,Rd=0.00

Asta n. 6296 (-387 -388) calastrelli 50x10 Crit. 1

- Verifica di stabilità aste presso-inflesse (C4.2.4.1.3.3.1) - CC 17 SLU - Classe 3
Sollecitazioni: N,Ed=-2.14 Myeq,Ed=7.33 Mzeq,Ed=0.12
Resistenze: Nc,Rd=13095.20 My,c,Rd=109.13 Mz,c,Rd=21.83 L=22.50
λ_Y=15.59 Ncr,y=426465.00 λ^*_y=0.18 Curva c: Φ_y=0.51 χ_y=1.00
λ_Z=77.94 Ncr,z=17058.60 λ^*_z=0.90 Curva c: Φ_z=1.07 χ_z=0.60
χ,min=0.60
Verifica: 0.00+0.07+0.01=0.07

- Verifica in termini tensionali [4.2.4] - CC 17 SLU Xl=0.03 - Classe 3
Sollecitazioni: N=-2.14 T_z=89.95 M_y=7.33 T_y=1.21
Tensioni: σ_N=-0.43 σ_M=-175.93 τ=0.00 σ_{max}=-176.35
Tensioni: σ_N=-0.43 σ_M=-0.00 τ=26.99 τ_{max}=26.99
Tensioni: σ_N=-0.43 σ_M=-175.93 τ=0.36 $\sigma_{ID,max}$=176.36

- Verifica a taglio dir. Z [4.2.16] - CC 1 SLV Xl=0.13
Sollecitazioni: T_z=-34.70
V,Ed=-34.70 Vc,Rd=7560.76 V,Ed/Vc,Rd=0.00

Asta n. 6297 (-419 -420) calastrelli 50x10 Crit. 1

- Verifica di stabilità aste presso-inflesse (C4.2.4.1.3.3.1) - CC 17 SLU - Classe 3
Sollecitazioni: N,Ed=-3.72 Myeq,Ed=7.13 Mzeq,Ed=0.12
Resistenze: Nc,Rd=13095.20 My,c,Rd=109.13 Mz,c,Rd=21.83 L=21.88
λ_Y=15.16 Ncr,y=451182.00 λ^*_y=0.17 Curva c: Φ_y=0.51 χ_y=1.00
λ_Z=75.78 Ncr,z=18047.30 λ^*_z=0.87 Curva c: Φ_z=1.05 χ_z=0.62
χ,min=0.62
Verifica: 0.00+0.07+0.01=0.07

- Verifica in termini tensionali [4.2.4] - CC 17 SLU Xl=0.03 - Classe 3
Sollecitazioni: N=-3.72 T_z=91.06 M_y=7.13 T_y=1.22
Tensioni: σ_N=-0.74 σ_M=-171.11 τ=0.00 σ_{max}=-171.85
Tensioni: σ_N=-0.74 σ_M=-0.00 τ=27.32 τ_{max}=27.32
Tensioni: σ_N=-0.74 σ_M=-171.11 τ=0.37 $\sigma_{ID,max}$=171.85

- Verifica a taglio dir. Z [4.2.16] - CC 1 SLV Xl=0.13

Sollecitazioni: T_z=-36.14
V,Ed=-36.14 Vc,Rd=7560.76 V,Ed/Vc,Rd=0.00

Asta n. 6298 (-451 -452) calastrelli 50x10 Crit. 1

- Verifica di stabilità aste inflesse (4.2.4.1.3.2) CC 17 SLU - Classe 3
L_{cr}=0.21 Curva d: α_{imp}=0.76 k_c=0.94 ψ=3.01 M,cr=0.00 λ_{LT}=0.00
$\lambda_{LT,0}$=0.20 β_{LT}=1.00 Φ_{LT}=0.00 β_{LT}=1.00 f=0.00 χ_{LT}=1.00
CC 17 SLU My,Ed=6.90 My,b,Rd=109.13 My,Ed/My,b,Rd=0.06

- Verifica di stabilità aste presso-inflesse (C4.2.4.1.3.3.1) - CC 5 SLV - Classe 3
Sollecitazioni: N,Ed=-3.77 Myeq,Ed=1.11 Mzeq,Ed=0.03
Resistenze: Nc,Rd=13095.20 My,c,Rd=109.13 Mz,c,Rd=21.83 L=21.25
λ_Y=14.72 Ncr,y=478112.00 λ^*_y=0.17 Curva c: Φ_y=0.51 χ_y=1.00
λ_Z=73.61 Ncr,z=19124.50 λ^*_z=0.85 Curva c: Φ_z=1.02 χ_z=0.63
χ,min=0.63
Verifica: 0.00+0.01+0.00=0.01

- Verifica in termini tensionali [4.2.4] - CC 17 SLU Xl=0.03 - Classe 3
Sollecitazioni: N=7.28 T_z=90.69 M_y=6.90 T_y=1.19
Tensioni: σ_N=1.46 σ_M=165.68 τ=0.00 σ_{max}=167.13
Tensioni: σ_N=1.46 σ_M=-0.00 τ=27.21 τ_{max}=27.21
Tensioni: σ_N=1.46 σ_M=165.68 τ=0.36 $\sigma_{ID,max}$=167.13

- Verifica a taglio dir. Y [4.2.16] - CC 17 SLU Xl=0.10
Sollecitazioni: N=7.28 T_z=90.34 T_y=1.19
V,Ed=1.19 Vc,Rd=7560.76 V,Ed/Vc,Rd=0.00

- Verifica a taglio dir. Z [4.2.16]
V,Ed=90.34 Vc,Rd=7560.76 V,Ed/Vc,Rd=0.01

Asta n. 6299 (-483 -484) calastrelli 50x10 Crit. 1

- Verifica di stabilità aste inflesse (4.2.4.1.3.2) CC 5 SLV - Classe 3
L_{cr}=0.21 Curva d: α_{imp}=0.76 k_c=0.94 ψ=1.15 M,cr=0.00 λ_{LT}=0.00
$\lambda_{LT,0}$=0.20 β_{LT}=1.00 Φ_{LT}=0.00 β_{LT}=1.00 f=0.00 χ_{LT}=1.00
CC 5 SLV My,Ed=-1.45 My,b,Rd=109.13 My,Ed/My,b,Rd=0.01

- Verifica di stabilità aste presso-inflesse (C4.2.4.1.3.3.1) - CC 17 SLU - Classe 3
Sollecitazioni: N,Ed=-59.02 Myeq,Ed=-6.13 Mzeq,Ed=0.09
Resistenze: Nc,Rd=13095.20 My,c,Rd=109.13 Mz,c,Rd=21.83 L=20.63
λ_Y=14.29 Ncr,y=507527.00 λ^*_y=0.16 Curva c: Φ_y=0.50 χ_y=1.00
λ_Z=71.45 Ncr,z=20301.10 λ^*_z=0.82 Curva c: Φ_z=0.99 χ_z=0.65
χ,min=0.65
Verifica: 0.00+0.06+0.00=0.06

- Verifica in termini tensionali [4.2.4] - CC 17 SLU Xl=0.17 - Classe 3
Sollecitazioni: N=-59.02 T_z=80.14 M_y=-6.13 T_y=1.04
Tensioni: σ_N=-11.80 σ_M=-147.23 τ=0.00 σ_{max}=-159.04
Tensioni: σ_N=-11.80 σ_M=0.00 τ=24.04 τ_{max}=24.04
Tensioni: σ_N=-11.80 σ_M=-147.23 τ=0.31 $\sigma_{ID,max}$=159.04

- Verifica a taglio dir. Z [4.2.16] - CC 5 SLV Xl=0.16
Sollecitazioni: N=21.30 T_z=-12.26
V,Ed=-12.26 Vc,Rd=7560.76 V,Ed/Vc,Rd=0.00

Asta n. 6303 (-491 -492) calastrelli 50x10 Crit. 1

- Verifica in termini tensionali [4.2.4] - CC 17 SLU Xl=0.04 - Classe 3

Sollecitazioni: N=127.71 T_z=73.55 M_y=6.28
Tensioni: σ_N=25.54 σ_M=150.63 τ=0.00 σ_{max}=176.17
Tensioni: σ_N=25.54 σ_M=-0.00 τ=22.06 τ_{max}=22.06
Tensioni: σ_N=25.54 σ_M=150.63 τ=0.00 $\sigma_{ID,max}$=176.17

- Verifica a taglio dir. Z [4.2.16] - CC 17 SLU Xl=0.11
Sollecitazioni: N=127.71 T_z=73.15
V,Ed=73.15 Vc,Rd=7560.76 V,Ed/Vc,Rd=0.01

Asta n. 6304 (-459 -460) calastrelli 50x10 Crit. 1

- Verifica di stabilità aste presso-inflesse (C4.2.4.1.3.3.1) - CC 17 SLU - Classe 3
Sollecitazioni: N,Ed=-24.34 Myeq,Ed=-6.38 Mzeq,Ed=0.10
Resistenze: Nc,Rd=13095.20 My,c,Rd=109.13 Mz,c,Rd=21.83 L=21.25
λ_Y=14.72 Ncr,y=478112.00 λ^*_y=0.17 Curva c: Φ_y=0.51 χ_y=1.00
λ_Z=73.61 Ncr,z=19124.50 λ^*_z=0.85 Curva c: Φ_z=1.02 χ_z=0.63
χ,min=0.63
Verifica: 0.00+0.06+0.00=0.06

- Verifica in termini tensionali [4.2.4] - CC 17 SLU Xl=0.18 - Classe 3
Sollecitazioni: N=-24.34 T_z=81.70 M_y=-6.38 T_y=-1.05
Tensioni: σ_N=-4.87 σ_M=-153.11 τ=0.00 σ_{max}=-157.98
Tensioni: σ_N=-4.87 σ_M=0.00 τ=24.51 τ_{max}=24.51
Tensioni: σ_N=-4.87 σ_M=-153.11 τ=0.32 $\sigma_{ID,max}$=157.98

Asta n. 6305 (-427 -428) calastrelli 50x10 Crit. 1

- Verifica in termini tensionali [4.2.4] - CC 17 SLU Xl=0.19 - Classe 3
Sollecitazioni: N=1.44 T_z=82.42 M_y=-6.50 T_y=-1.10
Tensioni: σ_N=0.29 σ_M=155.90 τ=0.00 σ_{max}=156.19
Tensioni: σ_N=0.29 σ_M=0.00 τ=24.73 τ_{max}=24.73
Tensioni: σ_N=0.29 σ_M=155.90 τ=0.33 $\sigma_{ID,max}$=156.19

- Verifica a taglio dir. Y [4.2.16] - CC 17 SLU Xl=0.11
Sollecitazioni: N=1.44 T_z=82.86 T_y=-1.10
V,Ed=-1.10 Vc,Rd=7560.76 V,Ed/Vc,Rd=0.00

- Verifica a taglio dir. Z [4.2.16]
V,Ed=82.86 Vc,Rd=7560.76 V,Ed/Vc,Rd=0.01

Asta n. 6306 (-395 -396) calastrelli 50x10 Crit. 1

- Verifica di stabilità aste presso-inflesse (C4.2.4.1.3.3.1) - CC 17 SLU - Classe 3
Sollecitazioni: N,Ed=-2.29 Myeq,Ed=-6.72 Mzeq,Ed=0.11
Resistenze: Nc,Rd=13095.20 My,c,Rd=109.13 Mz,c,Rd=21.83 L=22.50
λ_Y=15.59 Ncr,y=426465.00 λ^*_y=0.18 Curva c: Φ_y=0.51 χ_y=1.00
λ_Z=77.94 Ncr,z=17058.60 λ^*_z=0.90 Curva c: Φ_z=1.07 χ_z=0.60
χ,min=0.60
Verifica: 0.00+0.06+0.01=0.07

- Verifica in termini tensionali [4.2.4] - CC 17 SLU Xl=0.20 - Classe 3
Sollecitazioni: N=-2.29 T_z=81.65 M_y=-6.72 T_y=-1.09
Tensioni: σ_N=-0.46 σ_M=-161.18 τ=0.00 σ_{max}=-161.63
Tensioni: σ_N=-0.46 σ_M=0.00 τ=24.50 τ_{max}=24.50
Tensioni: σ_N=-0.46 σ_M=-161.18 τ=0.33 $\sigma_{ID,max}$=161.64

- Verifica a taglio dir. Z [4.2.16] - CC 1 SLV Xl=0.14
Sollecitazioni: T_z=-31.91
V,Ed=-31.91 Vc,Rd=7560.76 V,Ed/Vc,Rd=0.00

Asta n. 6307 (-363 -364) calastrelli 50x10 Crit. 1

- Verifica di stabilità aste inflesse (4.2.4.1.3.2) CC 1 SLV - Classe 3
  L_{cr}=0.23 Curva d: α_{imp}=0.76 k_c=0.94 ψ=3.07 M,cr=0.00 λ_{LT}=0.00
  $\lambda_{LT,0}$=0.20 β_{LT}=1.00 Φ_{LT}=0.00 β_{LT}=1.00 f=0.00 χ_{LT}=1.00
  CC 1 SLV My,Ed=2.58 My,b,Rd=109.13 My,Ed/My,b,Rd=0.02

- Verifica di stabilità aste presso-inflesse (C4.2.4.1.3.3.1) - CC 17 SLU - Classe 3
  Sollecitazioni: N,Ed=-1.86 Myeq,Ed=-6.89 Mzeq,Ed=0.11
  Resistenze: Nc,Rd=13095.20 My,c,Rd=109.13 Mz,c,Rd=21.83 L=23.13
  λ_Y=16.02 Ncr,y=403725.00 λ^*_y=0.18 Curva c: Φ_y=0.51 χ_y=1.00
  λ_Z=80.11 Ncr,z=16149.00 λ^*_z=0.92 Curva c: Φ_z=1.10 χ_z=0.59
  χ,min=0.59
  Verifica: 0.00+0.06+0.01=0.07

- Verifica in termini tensionali [4.2.4] - CC 17 SLU Xl=0.20 - Classe 3
  Sollecitazioni: N=-1.86 T_z=80.77 M_y=-6.89 T_y=-1.08
  Tensioni: σ_N=-0.37 σ_M=-165.43 τ=0.00 σ_{max}=-165.80
  Tensioni: σ_N=-0.37 σ_M=0.00 τ=24.23 τ_{max}=24.23
  Tensioni: σ_N=-0.37 σ_M=-165.43 τ=0.32 $\sigma_{ID,max}$=165.80

- Verifica a taglio dir. Z [4.2.16] - CC 19 SLU Xl=0.10
  Sollecitazioni: T_z=45.39
  V,Ed=45.39 Vc,Rd=7560.76 V,Ed/Vc,Rd=0.01

Asta n. 6308 (-331 -332) calastrelli 50x10 Crit. 1

- Verifica di stabilità aste inflesse (4.2.4.1.3.2) CC 1 SLV - Classe 3
  L_{cr}=0.24 Curva d: α_{imp}=0.76 k_c=0.94 ψ=3.07 M,cr=0.00 λ_{LT}=0.00
  $\lambda_{LT,0}$=0.20 β_{LT}=1.00 Φ_{LT}=0.00 β_{LT}=1.00 f=0.00 χ_{LT}=1.00
  CC 1 SLV My,Ed=2.56 My,b,Rd=109.13 My,Ed/My,b,Rd=0.02

- Verifica di stabilità aste presso-inflesse (C4.2.4.1.3.3.1) - CC 17 SLU - Classe 3
  Sollecitazioni: N,Ed=-1.86 Myeq,Ed=-7.07 Mzeq,Ed=0.12
  Resistenze: Nc,Rd=13095.20 My,c,Rd=109.13 Mz,c,Rd=21.83 L=23.75
  λ_Y=16.45 Ncr,y=382754.00 λ^*_y=0.19 Curva c: Φ_y=0.52 χ_y=1.00
  λ_Z=82.27 Ncr,z=15310.20 λ^*_z=0.95 Curva c: Φ_z=1.13 χ_z=0.57
  χ,min=0.57
  Verifica: 0.00+0.06+0.01=0.07

- Verifica in termini tensionali [4.2.4] - CC 17 SLU Xl=0.21 - Classe 3
  Sollecitazioni: N=-1.86 T_z=79.89 M_y=-7.07 T_y=-1.07
  Tensioni: σ_N=-0.37 σ_M=-169.64 τ=0.00 σ_{max}=-170.01
  Tensioni: σ_N=-0.37 σ_M=0.00 τ=23.97 τ_{max}=23.97
  Tensioni: σ_N=-0.37 σ_M=-169.64 τ=0.32 $\sigma_{ID,max}$=170.02

- Verifica a taglio dir. Z [4.2.16] - CC 19 SLU Xl=0.10
  Sollecitazioni: T_z=45.04
  V,Ed=45.04 Vc,Rd=7560.76 V,Ed/Vc,Rd=0.01

Asta n. 6309 (-299 -300) calastrelli 50x10 Crit. 1

- Verifica di stabilità aste inflesse (4.2.4.1.3.2) CC 1 SLV - Classe 3
  L_{cr}=0.24 Curva d: α_{imp}=0.76 k_c=0.94 ψ=3.07 M,cr=0.00 λ_{LT}=0.00
  $\lambda_{LT,0}$=0.20 β_{LT}=1.00 Φ_{LT}=0.00 β_{LT}=1.00 f=0.00 χ_{LT}=1.00
  CC 1 SLV My,Ed=2.55 My,b,Rd=109.13 My,Ed/My,b,Rd=0.02

- Verifica di stabilità aste presso-inflesse (C4.2.4.1.3.3.1) - CC 17 SLU - Classe 3

Sollecitazioni: N,Ed=-1.91 Myeq,Ed=-7.24 Mzeq,Ed=0.12
Resistenze: Nc,Rd=13095.20 My,c,Rd=109.13 Mz,c,Rd=21.83 L=24.38
λ_Y=16.89 Ncr,y=363378.00 λ^*_y=0.19 Curva c: Φ_y=0.52 χ_y=1.00
λ_Z=84.44 Ncr,z=14535.10 λ^*_z=0.97 Curva c: Φ_z=1.16 χ_z=0.56
χ,min=0.56
Verifica: 0.00+0.07+0.01=0.07

- Verifica in termini tensionali [4.2.4] - CC 17 SLU Xl=0.22 - Classe 3
Sollecitazioni: N=-1.91 T_z=79.07 M_y=-7.24 T_y=-1.05
Tensioni: σ_N=-0.38 σ_M=-173.83 τ=0.00 σ_{max}=-174.21
Tensioni: σ_N=-0.38 σ_M=0.00 τ=23.72 τ_{max}=23.72
Tensioni: σ_N=-0.38 σ_M=-173.83 τ=0.32 $\sigma_{ID,max}$=174.21

- Verifica a taglio dir. Z [4.2.16] - CC 19 SLU Xl=0.12
Sollecitazioni: T_z=44.65
V,Ed=44.65 Vc,Rd=7560.76 V,Ed/Vc,Rd=0.01

Asta n. 6310 (-267 -268) calastrelli 50x10 Crit. 1

- Verifica di stabilità aste inflesse (4.2.4.1.3.2) CC 1 SLV - Classe 3
L_{cr}=0.25 Curva d: α_{imp}=0.76 k_c=0.94 ψ=3.07 M,cr=0.00 λ_{LT}=0.00
$\lambda_{LT,0}$=0.20 β_{LT}=1.00 Φ_{LT}=0.00 β_{LT}=1.00 f=0.00 χ_{LT}=1.00
CC 1 SLV My,Ed=2.53 My,b,Rd=109.13 My,Ed/My,b,Rd=0.02

- Verifica di stabilità aste presso-inflesse (C4.2.4.1.3.3.1) - CC 17 SLU - Classe 3
Sollecitazioni: N,Ed=-1.88 Myeq,Ed=-7.42 Mzeq,Ed=0.12
Resistenze: Nc,Rd=13095.20 My,c,Rd=109.13 Mz,c,Rd=21.83 L=25.00
λ_Y=17.32 Ncr,y=345436.00 λ^*_y=0.20 Curva c: Φ_y=0.52 χ_y=1.00
λ_Z=86.60 Ncr,z=13817.40 λ^*_z=1.00 Curva c: Φ_z=1.19 χ_z=0.54
χ,min=0.54
Verifica: 0.00+0.07+0.01=0.07

- Verifica in termini tensionali [4.2.4] - CC 17 SLU Xl=0.22 - Classe 3
Sollecitazioni: N=-1.88 T_z=78.29 M_y=-7.42 T_y=-1.04
Tensioni: σ_N=-0.38 σ_M=-178.02 τ=0.00 σ_{max}=-178.39
Tensioni: σ_N=-0.38 σ_M=0.00 τ=23.49 τ_{max}=23.49
Tensioni: σ_N=-0.38 σ_M=-178.02 τ=0.31 $\sigma_{ID,max}$=178.39

- Verifica a taglio dir. Z [4.2.16] - CC 19 SLU Xl=0.12
Sollecitazioni: T_z=44.34
V,Ed=44.34 Vc,Rd=7560.76 V,Ed/Vc,Rd=0.01

Asta n. 6311 (-235 -236) calastrelli 50x10 Crit. 1

- Verifica di stabilità aste inflesse (4.2.4.1.3.2) CC 1 SLV - Classe 3
L_{cr}=0.26 Curva d: α_{imp}=0.76 k_c=0.94 ψ=3.07 M,cr=0.00 λ_{LT}=0.00
$\lambda_{LT,0}$=0.20 β_{LT}=1.00 Φ_{LT}=0.00 β_{LT}=1.00 f=0.00 χ_{LT}=1.00
CC 1 SLV My,Ed=2.51 My,b,Rd=109.13 My,Ed/My,b,Rd=0.02

- Verifica di stabilità aste presso-inflesse (C4.2.4.1.3.3.1) - CC 17 SLU - Classe 3
Sollecitazioni: N,Ed=-1.93 Myeq,Ed=-7.59 Mzeq,Ed=0.12
Resistenze: Nc,Rd=13095.20 My,c,Rd=109.13 Mz,c,Rd=21.83 L=25.63
λ_Y=17.75 Ncr,y=328791.00 λ^*_y=0.20 Curva c: Φ_y=0.52 χ_y=1.00
λ_Z=88.77 Ncr,z=13151.70 λ^*_z=1.02 Curva c: Φ_z=1.22 χ_z=0.53
χ,min=0.53
Verifica: 0.00+0.07+0.01=0.08

- Verifica in termini tensionali [4.2.4] - CC 17 SLU Xl=0.23 - Classe 3
Sollecitazioni: N=-1.93 T_z=77.56 M_y=-7.59 T_y=-1.03

Tensioni: σ_N=-0.39 σ_M=-182.20 τ=0.00 σ_{max}=-182.59
Tensioni: σ_N=-0.39 σ_M=0.00 τ=23.27 τ_{max}=23.27
Tensioni: σ_N=-0.39 σ_M=-182.20 τ=0.31 $\sigma_{ID,max}$=182.59

- Verifica a taglio dir. Z [4.2.16] - CC 19 SLU Xl=0.12
Sollecitazioni: T_z=44.06
V,Ed=44.06 Vc,Rd=7560.76 V,Ed/Vc,Rd=0.01

Asta n. 6312 (-203 -204) calastrelli 50x10 Crit. 1

- Verifica di stabilità aste inflesse (4.2.4.1.3.2) CC 1 SLV - Classe 3
L_{cr}=0.26 Curva d: α_{imp}=0.76 k_c=0.94 ψ=3.07 M,cr=0.00 λ_{LT}=0.00
$\lambda_{LT,0}$=0.20 β_{LT}=1.00 Φ_{LT}=0.00 β_{LT}=1.00 f=0.00 χ_{LT}=1.00
CC 1 SLV My,Ed=2.48 My,b,Rd=109.13 My,Ed/My,b,Rd=0.02

- Verifica di stabilità aste presso-inflesse (C4.2.4.1.3.3.1) - CC 17 SLU - Classe 3
Sollecitazioni: N,Ed=-1.91 Myeq,Ed=-7.76 Mzeq,Ed=0.12
Resistenze: Nc,Rd=13095.20 My,c,Rd=109.13 Mz,c,Rd=21.83 L=26.25
λ_Y=18.19 Ncr,y=313321.00 λ^*_y=0.21 Curva c: Φ_y=0.52 χ_y=1.00
λ_Z=90.93 Ncr,z=12532.80 λ^*_z=1.05 Curva c: Φ_z=1.26 χ_z=0.51
χ,min=0.51
Verifica: 0.00+0.07+0.01=0.08

- Verifica in termini tensionali [4.2.4] - CC 17 SLU Xl=0.23 - Classe 3
Sollecitazioni: N=-1.91 T_z=76.84 M_y=-7.76 T_y=-1.02
Tensioni: σ_N=-0.38 σ_M=-186.29 τ=0.00 σ_{max}=-186.68
Tensioni: σ_N=-0.38 σ_M=0.00 τ=23.05 τ_{max}=23.05
Tensioni: σ_N=-0.38 σ_M=-186.29 τ=0.30 $\sigma_{ID,max}$=186.68

- Verifica a taglio dir. Z [4.2.16] - CC 19 SLU Xl=0.13
Sollecitazioni: T_z=43.76
V,Ed=43.76 Vc,Rd=7560.76 V,Ed/Vc,Rd=0.01

Asta n. 6313 (-171 -172) calastrelli 50x10 Crit. 1

- Verifica di stabilità aste inflesse (4.2.4.1.3.2) CC 1 SLV - Classe 3
L_{cr}=0.27 Curva d: α_{imp}=0.76 k_c=0.94 ψ=3.07 M,cr=0.00 λ_{LT}=0.00
$\lambda_{LT,0}$=0.20 β_{LT}=1.00 Φ_{LT}=0.00 β_{LT}=1.00 f=0.00 χ_{LT}=1.00
CC 1 SLV My,Ed=2.46 My,b,Rd=109.13 My,Ed/My,b,Rd=0.02

- Verifica di stabilità aste presso-inflesse (C4.2.4.1.3.3.1) - CC 17 SLU - Classe 3
Sollecitazioni: N,Ed=-1.88 Myeq,Ed=-7.92 Mzeq,Ed=0.12
Resistenze: Nc,Rd=13095.20 My,c,Rd=109.13 Mz,c,Rd=21.83 L=26.88
λ_Y=18.62 Ncr,y=298917.00 λ^*_y=0.21 Curva c: Φ_y=0.53 χ_y=0.99
λ_Z=93.10 Ncr,z=11956.70 λ^*_z=1.07 Curva c: Φ_z=1.29 χ_z=0.50
χ,min=0.50
Verifica: 0.00+0.07+0.01=0.08

- Verifica in termini tensionali [4.2.4] - CC 17 SLU Xl=0.24 - Classe 3
Sollecitazioni: N=-1.88 T_z=76.05 M_y=-7.92
Tensioni: σ_N=-0.38 σ_M=-190.11 τ=0.00 σ_{max}=-190.48
Tensioni: σ_N=-0.38 σ_M=0.00 τ=22.82 τ_{max}=22.82
Tensioni: σ_N=-0.38 σ_M=-190.11 τ=0.00 $\sigma_{ID,max}$=190.48

- Verifica a taglio dir. Z [4.2.16] - CC 19 SLU Xl=0.13
Sollecitazioni: T_z=43.43
V,Ed=43.43 Vc,Rd=7560.76 V,Ed/Vc,Rd=0.01

Asta n. 6314 (-139 -140) calastrelli 50x10 Crit. 1

- Verifica di stabilità aste inflesse (4.2.4.1.3.2) CC 1 SLV - Classe 3
  L_{cr}=0.28 Curva d: α_{imp}=0.76 k_c=0.94 ψ=3.07 M,cr=0.00 λ_{LT}=0.00
  $\lambda_{LT,0}$=0.20 β_{LT}=1.00 Φ_{LT}=0.00 β_{LT}=1.00 f=0.00 χ_{LT}=1.00
  CC 1 SLV My,Ed=2.41 My,b,Rd=109.13 My,Ed/My,b,Rd=0.02

- Verifica di stabilità aste presso-inflesse (C4.2.4.1.3.3.1) - CC 17 SLU - Classe 3
  Sollecitazioni: N,Ed=-1.91 Myeq,Ed=-8.02 Mzeq,Ed=0.12
  Resistenze: Nc,Rd=13095.20 My,c,Rd=109.13 Mz,c,Rd=21.83 L=27.50
  λ_Y=19.05 Ncr,y=285484.00 λ^*_y=0.22 Curva c: Φ_y=0.53 χ_y=0.99
  λ_Z=95.26 Ncr,z=11419.40 λ^*_z=1.10 Curva c: Φ_z=1.32 χ_z=0.49
  χ,min=0.49
  Verifica: 0.00+0.07+0.01=0.08

- Verifica in termini tensionali [4.2.4] - CC 17 SLU Xl=0.25 - Classe 3
  Sollecitazioni: N=-1.91 T_z=74.73 M_y=-8.02
  Tensioni: σ_N=-0.38 σ_M=-192.46 τ=0.00 σ_{max}=-192.84
  Tensioni: σ_N=-0.38 σ_M=0.00 τ=22.42 τ_{max}=22.42
  Tensioni: σ_N=-0.38 σ_M=-192.46 τ=0.00 $\sigma_{ID,max}$=192.84

- Verifica a taglio dir. Z [4.2.16] - CC 19 SLU Xl=0.13
  Sollecitazioni: T_z=42.79
  V,Ed=42.79 Vc,Rd=7560.76 V,Ed/Vc,Rd=0.01

Asta n. 6315 (-107 -108) calastrelli 50x10 Crit. 1

- Verifica di stabilità aste inflesse (4.2.4.1.3.2) CC 1 SLV - Classe 3
  L_{cr}=0.28 Curva d: α_{imp}=0.76 k_c=0.94 ψ=3.07 M,cr=0.00 λ_{LT}=0.00
  $\lambda_{LT,0}$=0.20 β_{LT}=1.00 Φ_{LT}=0.00 β_{LT}=1.00 f=0.00 χ_{LT}=1.00
  CC 1 SLV My,Ed=2.28 My,b,Rd=109.13 My,Ed/My,b,Rd=0.02

- Verifica di stabilità aste presso-inflesse (C4.2.4.1.3.3.1) - CC 17 SLU - Classe 3
  Sollecitazioni: N,Ed=-1.66 Myeq,Ed=-7.83 Mzeq,Ed=0.12
  Resistenze: Nc,Rd=13095.20 My,c,Rd=109.13 Mz,c,Rd=21.83 L=28.13
  λ_Y=19.49 Ncr,y=272937.00 λ^*_y=0.22 Curva c: Φ_y=0.53 χ_y=0.99
  λ_Z=97.43 Ncr,z=10917.50 λ^*_z=1.12 Curva c: Φ_z=1.36 χ_z=0.47
  χ,min=0.47
  Verifica: 0.00+0.07+0.01=0.08

- Verifica in termini tensionali [4.2.4] - CC 17 SLU Xl=0.25 - Classe 3
  Sollecitazioni: N=-1.66 T_z=70.85 M_y=-7.83
  Tensioni: σ_N=-0.33 σ_M=-187.90 τ=0.00 σ_{max}=-188.23
  Tensioni: σ_N=-0.33 σ_M=0.00 τ=21.26 τ_{max}=21.26
  Tensioni: σ_N=-0.33 σ_M=-187.90 τ=0.00 $\sigma_{ID,max}$=188.23

- Verifica a taglio dir. Z [4.2.16] - CC 19 SLU Xl=0.13
  Sollecitazioni: T_z=40.66
  V,Ed=40.66 Vc,Rd=7560.76 V,Ed/Vc,Rd=0.01

Asta n. 6316 (-75 -76) calastrelli 50x10 Crit. 1

- Verifica di stabilità aste presso-inflesse (C4.2.4.1.3.3.1) - CC 17 SLU - Classe 3
  Sollecitazioni: N,Ed=-3.36 Myeq,Ed=-6.36 Mzeq,Ed=0.09
  Resistenze: Nc,Rd=13095.20 My,c,Rd=109.13 Mz,c,Rd=21.83 L=28.75
  λ_Y=19.92 Ncr,y=261200.00 λ^*_y=0.23 Curva c: Φ_y=0.53 χ_y=0.99
  λ_Z=99.59 Ncr,z=10448.00 λ^*_z=1.15 Curva c: Φ_z=1.39 χ_z=0.46
  χ,min=0.46
  Verifica: 0.00+0.06+0.00=0.06

- Verifica in termini tensionali [4.2.4] - CC 17 SLU Xl=0.26 - Classe 3
  Sollecitazioni: N=-3.36 T_z=55.96 M_y=-6.36
  Tensioni: σ_N=-0.67 σ_M=-152.67 τ=0.00 σ_{max}=-153.34
  Tensioni: σ_N=-0.67 σ_M=0.00 τ=16.79 τ_{max}=16.79
  Tensioni: σ_N=-0.67 σ_M=-152.67 τ=0.00 $\sigma_{ID,max}$=153.34

- Verifica a taglio dir. Z [4.2.16] - CC 1 SLV Xl=0.20
  Sollecitazioni: T_z=-16.17
  V,Ed=-16.17 Vc,Rd=7560.76 V,Ed/Vc,Rd=0.00

Asta n. 6317 (-43 -44) calastrelli 100x5 Crit. 1

- Verifica in termini tensionali [4.2.4] - CC 17 SLU Xl=0.27 - Classe 3
  Sollecitazioni: N=15.95 T_z=64.70 M_y=-8.08
  Tensioni: σ_N=1.60 σ_M=48.46 τ=0.00 σ_{max}=50.05
  Tensioni: σ_N=1.60 σ_M=0.00 τ=9.70 τ_{max}=9.70
  Tensioni: σ_N=1.60 σ_M=48.46 τ=0.00 $\sigma_{ID,max}$=50.05

- Verifica a taglio dir. Z [4.2.16] - CC 17 SLU Xl=0.14
  Sollecitazioni: N=15.95 T_z=65.98
  V,Ed=65.98 Vc,Rd=15121.50 V,Ed/Vc,Rd=0.00

Asta n. 6318 (-11 -12) calastrelli 100x5 Crit. 1

- Verifica in termini tensionali [4.2.4] - CC 17 SLU Xl=0.27 - Classe 3
  Sollecitazioni: N=73.41 T_z=39.92 M_y=-5.12
  Tensioni: σ_N=7.34 σ_M=30.75 τ=0.00 σ_{max}=38.09
  Tensioni: σ_N=7.34 σ_M=0.00 τ=5.99 τ_{max}=5.99
  Tensioni: σ_N=7.34 σ_M=30.75 τ=0.00 $\sigma_{ID,max}$=38.09

- Verifica a taglio dir. Z [4.2.16] - CC 17 SLU Xl=0.12
  Sollecitazioni: N=73.41 T_z=41.43
  V,Ed=41.43 Vc,Rd=15121.50 V,Ed/Vc,Rd=0.00

Asta n. 6319 (340 341) angolari L50x10 Crit. 1

- Verifica di stabilità aste presso-inflesse (C4.2.4.1.3.3.1) - CC 19 SLU - Classe 3
  Sollecitazioni: N,Ed=-17.09 Myeq,Ed=-0.26 Mzeq,Ed=-1.52
  Resistenze: Nc,Rd=23709.20 My,c,Rd=149.05 Mz,c,Rd=149.05 L=15.00
  λ_c=8.19 Ncr,y=2794040.00 λ^*_y=0.09 Curva b: Φ_y=0.00 χ_y=1.00
  λ_e=15.58 Ncr,z=772687.00 λ^*_z=0.18 Curva b: Φ_z=0.00 χ_z=1.00
  χ,min=1.00
  Verifica: 0.00+0.00+0.01=0.01

- Verifica in termini tensionali [4.2.4] - CC 19 SLU Xl=0.02 - Classe 3
  Sollecitazioni: N=-17.09 T_z=-2.03 T_y=4.27 M_z=-1.52
  Tensioni: σ_N=-1.89 σ_M=-33.13 τ=0.18 σ_{max}=-35.02
  Tensioni: σ_N=-1.89 σ_M=6.25 τ=1.26 τ_{max}=1.26
  Tensioni: σ_N=-1.89 σ_M=-33.13 τ=0.18 $\sigma_{ID,max}$=35.02

- Verifica a taglio dir. Y [4.2.16] - CC 17 SLU Xl=0.09
  Sollecitazioni: N=-11.42 T_z=-3.55 T_y=5.90
  V,Ed=5.90 Vc,Rd=7560.76 V,Ed/Vc,Rd=0.00

- Verifica a taglio dir. Z [4.2.16]
  V,Ed=-3.55 Vc,Rd=7560.76 V,Ed/Vc,Rd=0.00

Asta n. 6319 (341 342) angolari L50x10 Crit. 1

- Verifica di stabilità aste presso-inflesse (C4.2.4.1.3.3.1) - CC 18 SLU - Classe 3
  Sollecitazioni: N,Ed=-23.24 Myeq,Ed=-0.09 Mzeq,Ed=-1.32
  Resistenze: Nc,Rd=23709.20 My,c,Rd=149.05 Mz,c,Rd=149.05 L=15.00
  λ_c=8.19 Ncr,y=2794040.00 λ^*_y=0.09 Curva b: Φ_y=0.00 χ_y=1.00
  λ_e=15.58 Ncr,z=772687.00 λ^*_z=0.18 Curva b: Φ_z=0.00 χ_z=1.00
  χ,min=1.00
  Verifica: 0.00+0.00+0.01=0.01

- Verifica in termini tensionali [4.2.4] - CC 18 SLU Xl=0.13 - Classe 3
  Sollecitazioni: N=-23.24 T_y=-1.48 M_z=-1.32
  Tensioni: σ_N=-2.57 σ_M=-28.82 τ=0.06 σ_{max}=-31.38
  Tensioni: σ_N=-2.57 σ_M=5.44 τ=0.43 τ_{max}=0.43
  Tensioni: σ_N=-2.57 σ_M=-28.82 τ=0.06 $\sigma_{ID,max}$=31.38

- Verifica a taglio dir. Y [4.2.16] - CC 17 SLU Xl=0.00
  Sollecitazioni: N=-11.42 T_z=-3.55 T_y=5.34
  V,Ed=5.34 Vc,Rd=7560.76 V,Ed/Vc,Rd=0.00

- Verifica a taglio dir. Z [4.2.16]
  V,Ed=-3.55 Vc,Rd=7560.76 V,Ed/Vc,Rd=0.00

Asta n. 6327 (352 353) angolari L50x10 Crit. 1

- Verifica di stabilità aste presso-inflesse (C4.2.4.1.3.3.1) - CC 19 SLU - Classe 3
  Sollecitazioni: N,Ed=-17.65 Myeq,Ed=1.51 Mzeq,Ed=0.25
  Resistenze: Nc,Rd=23709.20 My,c,Rd=149.05 Mz,c,Rd=149.05 L=15.00
  λ_c=8.19 Ncr,y=2794040.00 λ^*_y=0.09 Curva b: Φ_y=0.00 χ_y=1.00
  λ_e=15.58 Ncr,z=772687.00 λ^*_z=0.18 Curva b: Φ_z=0.00 χ_z=1.00
  χ,min=1.00
  Verifica: 0.00+0.01+0.00=0.01

- Verifica in termini tensionali [4.2.4] - CC 19 SLU Xl=0.02 - Classe 3
  Sollecitazioni: N=-17.65 T_z=4.19 M_y=1.51 T_y=-2.01
  Tensioni: σ_N=-1.95 σ_M=32.87 τ=0.20 σ_{max}=30.92
  Tensioni: σ_N=-1.95 σ_M=-6.20 τ=1.25 τ_{max}=1.25
  Tensioni: σ_N=-1.95 σ_M=32.87 τ=0.20 $\sigma_{ID,max}$=30.93

- Verifica a taglio dir. Y [4.2.16] - CC 17 SLU Xl=0.09
  Sollecitazioni: N=-12.38 T_z=5.85 T_y=-3.54
  V,Ed=-3.54 Vc,Rd=7560.76 V,Ed/Vc,Rd=0.00

- Verifica a taglio dir. Z [4.2.16]
  V,Ed=5.85 Vc,Rd=7560.76 V,Ed/Vc,Rd=0.00

Asta n. 6327 (353 354) angolari L50x10 Crit. 1

- Verifica di stabilità aste presso-inflesse (C4.2.4.1.3.3.1) - CC 9 SLU - Classe 3
  Sollecitazioni: N,Ed=-16.87 Myeq,Ed=1.16 Mzeq,Ed=0.09
  Resistenze: Nc,Rd=23709.20 My,c,Rd=149.05 Mz,c,Rd=149.05 L=15.00
  λ_c=8.19 Ncr,y=2794040.00 λ^*_y=0.09 Curva b: Φ_y=0.00 χ_y=1.00
  λ_e=15.58 Ncr,z=772687.00 λ^*_z=0.18 Curva b: Φ_z=0.00 χ_z=1.00
  χ,min=1.00
  Verifica: 0.00+0.01+0.00=0.01

- Verifica in termini tensionali [4.2.4] - CC 9 SLU Xl=0.13 - Classe 3
  Sollecitazioni: N=-16.87 T_z=-1.57 M_y=1.16
  Tensioni: σ_N=-1.86 σ_M=-22.09 τ=0.00 σ_{max}=-23.95
  Tensioni: σ_N=-1.86 σ_M=-4.77 τ=0.45 τ_{max}=0.45
  Tensioni: σ_N=-1.86 σ_M=-22.09 τ=0.00 $\sigma_{ID,max}$=23.95

- Verifica a taglio dir. Y [4.2.16] - CC 17 SLU Xl=0.00
  Sollecitazioni: N=-12.38 T_z=5.29 T_y=-3.54
  V,Ed=-3.54 Vc,Rd=7560.76 V,Ed/Vc,Rd=0.00

- Verifica a taglio dir. Z [4.2.16]
  V,Ed=5.29 Vc,Rd=7560.76 V,Ed/Vc,Rd=0.00

Asta n. 6328 (-19 -20) calastrelli 100x5 Crit. 1

- Verifica in termini tensionali [4.2.4] - CC 17 SLU Xl=0.26 - Classe 3
  Sollecitazioni: N=72.03 T_z=39.90 M_y=-5.04
  Tensioni: σ_N=7.20 σ_M=30.22 τ=0.00 σ_{max}=37.42
  Tensioni: σ_N=7.20 σ_M=0.00 τ=5.99 τ_{max}=5.99
  Tensioni: σ_N=7.20 σ_M=30.22 τ=0.00 $\sigma_{ID,max}$=37.42

- Verifica a taglio dir. Z [4.2.16] - CC 17 SLU Xl=0.11
  Sollecitazioni: N=72.03 T_z=41.42
  V,Ed=41.42 Vc,Rd=15121.50 V,Ed/Vc,Rd=0.00

Asta n. 6329 (-51 -52) calastrelli 100x5 Crit. 1

- Verifica in termini tensionali [4.2.4] - CC 17 SLU Xl=0.26 - Classe 3
  Sollecitazioni: N=17.11 T_z=64.67 M_y=-7.92
  Tensioni: σ_N=1.71 σ_M=47.54 τ=0.00 σ_{max}=49.25
  Tensioni: σ_N=1.71 σ_M=0.00 τ=9.70 τ_{max}=9.70
  Tensioni: σ_N=1.71 σ_M=47.54 τ=0.00 $\sigma_{ID,max}$=49.25

- Verifica a taglio dir. Z [4.2.16] - CC 17 SLU Xl=0.13
  Sollecitazioni: N=17.11 T_z=65.95
  V,Ed=65.95 Vc,Rd=15121.50 V,Ed/Vc,Rd=0.00

Asta n. 6330 (-83 -84) calastrelli 50x10 Crit. 1

- Verifica di stabilità aste presso-inflesse (C4.2.4.1.3.3.1) - CC 17 SLU - Classe 3
  Sollecitazioni: N,Ed=-3.62 Myeq,Ed=6.38 Mzeq,Ed=-0.09
  Resistenze: Nc,Rd=13095.20 My,c,Rd=109.13 Mz,c,Rd=21.83 L=28.75
  λ_Y=19.92 Ncr,y=261200.00 λ^*_y=0.23 Curva c: Φ_y=0.53 χ_y=0.99
  λ_Z=99.59 Ncr,z=10448.00 λ^*_z=1.15 Curva c: Φ_z=1.39 χ_z=0.46
  χ,min=0.46
  Verifica: 0.00+0.06+0.00=0.06

- Verifica in termini tensionali [4.2.4] - CC 17 SLU Xl=0.03 - Classe 3
  Sollecitazioni: N=-3.62 T_z=57.00 M_y=6.38
  Tensioni: σ_N=-0.72 σ_M=-153.07 τ=0.00 σ_{max}=-153.79
  Tensioni: σ_N=-0.72 σ_M=-0.00 τ=17.10 τ_{max}=17.10
  Tensioni: σ_N=-0.72 σ_M=-153.07 τ=0.00 $\sigma_{ID,max}$=153.79

- Verifica a taglio dir. Z [4.2.16] - CC 1 SLV Xl=0.19
  Sollecitazioni: T_z=-16.22
  V,Ed=-16.22 Vc,Rd=7560.76 V,Ed/Vc,Rd=0.00

Asta n. 6331 (-115 -116) calastrelli 50x10 Crit. 1

- Verifica di stabilità aste inflesse (4.2.4.1.3.2) CC 1 SLV - Classe 3
  L_{cr}=0.28 Curva d: α_{imp}=0.76 k_c=0.94 ψ=3.08 M,cr=0.00 λ_{LT}=0.00
  $\lambda_{LT,0}$=0.20 β_{LT}=1.00 Φ_{LT}=0.00 β_{LT}=1.00 f=0.00 χ_{LT}=1.00
  CC 1 SLV My,Ed=-2.28 My,b,Rd=109.13 My,Ed/My,b,Rd=0.02

- Verifica di stabilità aste presso-inflesse (C4.2.4.1.3.3.1) - CC 17 SLU - Classe 3

Sollecitazioni: N,Ed=-1.96 Myeq,Ed=7.82 Mzeq,Ed=-0.11
Resistenze: Nc,Rd=13095.20 My,c,Rd=109.13 Mz,c,Rd=21.83 L=28.13
λ_Y=19.49 Ncr,y=272937.00 λ^*_y=0.22 Curva c: Φ_y=0.53 χ_y=0.99
λ_Z=97.43 Ncr,z=10917.50 λ^*_z=1.12 Curva c: Φ_z=1.36 χ_z=0.47
χ,min=0.47
Verifica: 0.00+0.07+0.01=0.08

- Verifica in termini tensionali [4.2.4] - CC 17 SLU Xl=0.03 - Classe 3
Sollecitazioni: N=-1.96 T_z=71.84 M_y=7.82
Tensioni: σ_N=-0.39 σ_M=-187.70 τ=0.00 σ_{max}=-188.09
Tensioni: σ_N=-0.39 σ_M=-0.00 τ=21.55 τ_{max}=21.55
Tensioni: σ_N=-0.39 σ_M=-187.70 τ=0.00 $\sigma_{ID,max}$=188.09

- Verifica a taglio dir. Z [4.2.16] - CC 19 SLU Xl=0.13
Sollecitazioni: T_z=40.44
V,Ed=40.44 Vc,Rd=7560.76 V,Ed/Vc,Rd=0.01

Asta n. 6332 (-147 -148) calastrelli 50x10 Crit. 1

- Verifica di stabilità aste inflesse (4.2.4.1.3.2) CC 1 SLV - Classe 3
L_{cr}=0.28 Curva d: α_{imp}=0.76 k_c=0.94 ψ=3.08 M,cr=0.00 λ_{LT}=0.00
$\lambda_{LT,0}$=0.20 β_{LT}=1.00 Φ_{LT}=0.00 β_{LT}=1.00 f=0.00 χ_{LT}=1.00
CC 1 SLV My,Ed=-2.41 My,b,Rd=109.13 My,Ed/My,b,Rd=0.02

- Verifica di stabilità aste presso-inflesse (C4.2.4.1.3.3.1) - CC 17 SLU - Classe 3
Sollecitazioni: N,Ed=-1.95 Myeq,Ed=8.01 Mzeq,Ed=-0.12
Resistenze: Nc,Rd=13095.20 My,c,Rd=109.13 Mz,c,Rd=21.83 L=27.50
λ_Y=19.05 Ncr,y=285484.00 λ^*_y=0.22 Curva c: Φ_y=0.53 χ_y=0.99
λ_Z=95.26 Ncr,z=11419.40 λ^*_z=1.10 Curva c: Φ_z=1.32 χ_z=0.49
χ,min=0.49
Verifica: 0.00+0.07+0.01=0.08

- Verifica in termini tensionali [4.2.4] - CC 17 SLU Xl=0.03 - Classe 3
Sollecitazioni: N=-1.95 T_z=75.67 M_y=8.01
Tensioni: σ_N=-0.39 σ_M=-192.15 τ=0.00 σ_{max}=-192.54
Tensioni: σ_N=-0.39 σ_M=-0.00 τ=22.70 τ_{max}=22.70
Tensioni: σ_N=-0.39 σ_M=-192.15 τ=0.00 $\sigma_{ID,max}$=192.54

- Verifica a taglio dir. Z [4.2.16] - CC 1 SLV Xl=0.18
Sollecitazioni: T_z=-22.81
V,Ed=-22.81 Vc,Rd=7560.76 V,Ed/Vc,Rd=0.00

Asta n. 6333 (-179 -180) calastrelli 50x10 Crit. 1

- Verifica di stabilità aste inflesse (4.2.4.1.3.2) CC 1 SLV - Classe 3
L_{cr}=0.27 Curva d: α_{imp}=0.76 k_c=0.94 ψ=3.08 M,cr=0.00 λ_{LT}=0.00
$\lambda_{LT,0}$=0.20 β_{LT}=1.00 Φ_{LT}=0.00 β_{LT}=1.00 f=0.00 χ_{LT}=1.00
CC 1 SLV My,Ed=-2.46 My,b,Rd=109.13 My,Ed/My,b,Rd=0.02

- Verifica di stabilità aste presso-inflesse (C4.2.4.1.3.3.1) - CC 17 SLU - Classe 3
Sollecitazioni: N,Ed=-1.91 Myeq,Ed=7.90 Mzeq,Ed=-0.12
Resistenze: Nc,Rd=13095.20 My,c,Rd=109.13 Mz,c,Rd=21.83 L=26.88
λ_Y=18.62 Ncr,y=298917.00 λ^*_y=0.21 Curva c: Φ_y=0.53 χ_y=0.99
λ_Z=93.10 Ncr,z=11956.70 λ^*_z=1.07 Curva c: Φ_z=1.29 χ_z=0.50
χ,min=0.50
Verifica: 0.00+0.07+0.01=0.08

- Verifica in termini tensionali [4.2.4] - CC 17 SLU Xl=0.03 - Classe 3
Sollecitazioni: N=-1.91 T_z=76.95 M_y=7.90

Tensioni: σ_N=-0.38 σ_M=-189.70 τ=0.00 σ_{max}=-190.08
Tensioni: σ_N=-0.38 σ_M=-0.00 τ=23.09 τ_{max}=23.09
Tensioni: σ_N=-0.38 σ_M=-189.70 τ=0.00 $\sigma_{ID,max}$=190.08

- Verifica a taglio dir. Z [4.2.16] - CC 19 SLU Xl=0.12
Sollecitazioni: T_z=43.17
V,Ed=43.17 Vc,Rd=7560.76 V,Ed/Vc,Rd=0.01

Asta n. 6334 (-211 -212) calastrelli 50x10 Crit. 1

- Verifica di stabilità aste inflesse (4.2.4.1.3.2) CC 1 SLV - Classe 3
L_{cr}=0.26 Curva d: α_{imp}=0.76 k_c=0.94 ψ=3.07 M,cr=0.00 λ_{LT}=0.00
$\lambda_{LT,0}$=0.20 β_{LT}=1.00 Φ_{LT}=0.00 β_{LT}=1.00 f=0.00 χ_{LT}=1.00
CC 1 SLV My,Ed=-2.49 My,b,Rd=109.13 My,Ed/My,b,Rd=0.02

- Verifica di stabilità aste presso-inflesse (C4.2.4.1.3.3.1) - CC 17 SLU - Classe 3
Sollecitazioni: N,Ed=-1.93 Myeq,Ed=7.74 Mzeq,Ed=-0.12
Resistenze: Nc,Rd=13095.20 My,c,Rd=109.13 Mz,c,Rd=21.83 L=26.25
λ_Y=18.19 Ncr,y=313321.00 λ^*_y=0.21 Curva c: Φ_y=0.52 χ_y=1.00
λ_Z=90.93 Ncr,z=12532.80 λ^*_z=1.05 Curva c: Φ_z=1.26 χ_z=0.51
χ,min=0.51
Verifica: 0.00+0.07+0.01=0.08

- Verifica in termini tensionali [4.2.4] - CC 17 SLU Xl=0.03 - Classe 3
Sollecitazioni: N=-1.93 T_z=77.70 M_y=7.74 T_y=1.01
Tensioni: σ_N=-0.39 σ_M=-185.76 τ=0.00 σ_{max}=-186.15
Tensioni: σ_N=-0.39 σ_M=-0.00 τ=23.31 τ_{max}=23.31
Tensioni: σ_N=-0.39 σ_M=-185.76 τ=0.30 $\sigma_{ID,max}$=186.15

- Verifica a taglio dir. Z [4.2.16] - CC 19 SLU Xl=0.12
Sollecitazioni: T_z=43.49
V,Ed=43.49 Vc,Rd=7560.76 V,Ed/Vc,Rd=0.01

Asta n. 6335 (-243 -244) calastrelli 50x10 Crit. 1

- Verifica di stabilità aste inflesse (4.2.4.1.3.2) CC 1 SLV - Classe 3
L_{cr}=0.26 Curva d: α_{imp}=0.76 k_c=0.94 ψ=3.07 M,cr=0.00 λ_{LT}=0.00
$\lambda_{LT,0}$=0.20 β_{LT}=1.00 Φ_{LT}=0.00 β_{LT}=1.00 f=0.00 χ_{LT}=1.00
CC 1 SLV My,Ed=-2.52 My,b,Rd=109.13 My,Ed/My,b,Rd=0.02

- Verifica di stabilità aste presso-inflesse (C4.2.4.1.3.3.1) - CC 17 SLU - Classe 3
Sollecitazioni: N,Ed=-1.95 Myeq,Ed=7.56 Mzeq,Ed=-0.12
Resistenze: Nc,Rd=13095.20 My,c,Rd=109.13 Mz,c,Rd=21.83 L=25.63
λ_Y=17.75 Ncr,y=328791.00 λ^*_y=0.20 Curva c: Φ_y=0.52 χ_y=1.00
λ_Z=88.77 Ncr,z=13151.70 λ^*_z=1.02 Curva c: Φ_z=1.22 χ_z=0.53
χ,min=0.53
Verifica: 0.00+0.07+0.01=0.08

- Verifica in termini tensionali [4.2.4] - CC 17 SLU Xl=0.03 - Classe 3
Sollecitazioni: N=-1.95 T_z=78.38 M_y=7.56 T_y=1.02
Tensioni: σ_N=-0.39 σ_M=-181.55 τ=0.00 σ_{max}=-181.94
Tensioni: σ_N=-0.39 σ_M=-0.00 τ=23.52 τ_{max}=23.52
Tensioni: σ_N=-0.39 σ_M=-181.55 τ=0.31 $\sigma_{ID,max}$=181.95

- Verifica a taglio dir. Z [4.2.16] - CC 19 SLU Xl=0.12
Sollecitazioni: T_z=43.77
V,Ed=43.77 Vc,Rd=7560.76 V,Ed/Vc,Rd=0.01

Asta n. 6336 (-275 -276) calastrelli 50x10 Crit. 1

- Verifica di stabilità aste inflesse (4.2.4.1.3.2) CC 1 SLV - Classe 3
  L_{cr}=0.25 Curva d: α_{imp}=0.76 k_c=0.94 ψ=3.07 M,cr=0.00 λ_{LT}=0.00
  $\lambda_{LT,0}$=0.20 β_{LT}=1.00 Φ_{LT}=0.00 β_{LT}=1.00 f=0.00 χ_{LT}=1.00
  CC 1 SLV My,Ed=-2.54 My,b,Rd=109.13 My,Ed/My,b,Rd=0.02

- Verifica di stabilità aste presso-inflesse (C4.2.4.1.3.3.1) - CC 17 SLU - Classe 3
  Sollecitazioni: N,Ed=-1.90 Myeq,Ed=7.39 Mzeq,Ed=-0.12
  Resistenze: Nc,Rd=13095.20 My,c,Rd=109.13 Mz,c,Rd=21.83 L=25.00
  λ_Y=17.32 Ncr,y=345436.00 λ^*_y=0.20 Curva c: Φ_y=0.52 χ_y=1.00
  λ_Z=86.60 Ncr,z=13817.40 λ^*_z=1.00 Curva c: Φ_z=1.19 χ_z=0.54
  χ,min=0.54
  Verifica: 0.00+0.07+0.01=0.07

- Verifica in termini tensionali [4.2.4] - CC 17 SLU Xl=0.03 - Classe 3
  Sollecitazioni: N=-1.90 T_z=79.07 M_y=7.39 T_y=1.04
  Tensioni: σ_N=-0.38 σ_M=-177.26 τ=0.00 σ_{max}=-177.63
  Tensioni: σ_N=-0.38 σ_M=-0.00 τ=23.72 τ_{max}=23.72
  Tensioni: σ_N=-0.38 σ_M=-177.26 τ=0.31 $\sigma_{ID,max}$=177.64

- Verifica a taglio dir. Z [4.2.16] - CC 19 SLU Xl=0.11
  Sollecitazioni: T_z=44.04
  V,Ed=44.04 Vc,Rd=7560.76 V,Ed/Vc,Rd=0.01

Asta n. 6337 (-307 -308) calastrelli 50x10 Crit. 1

- Verifica di stabilità aste inflesse (4.2.4.1.3.2) CC 1 SLV - Classe 3
  L_{cr}=0.24 Curva d: α_{imp}=0.76 k_c=0.94 ψ=3.06 M,cr=0.00 λ_{LT}=0.00
  $\lambda_{LT,0}$=0.20 β_{LT}=1.00 Φ_{LT}=0.00 β_{LT}=1.00 f=0.00 χ_{LT}=1.00
  CC 1 SLV My,Ed=-2.56 My,b,Rd=109.13 My,Ed/My,b,Rd=0.02

- Verifica di stabilità aste presso-inflesse (C4.2.4.1.3.3.1) - CC 17 SLU - Classe 3
  Sollecitazioni: N,Ed=-1.93 Myeq,Ed=7.21 Mzeq,Ed=-0.12
  Resistenze: Nc,Rd=13095.20 My,c,Rd=109.13 Mz,c,Rd=21.83 L=24.38
  λ_Y=16.89 Ncr,y=363378.00 λ^*_y=0.19 Curva c: Φ_y=0.52 χ_y=1.00
  λ_Z=84.44 Ncr,z=14535.10 λ^*_z=0.97 Curva c: Φ_z=1.16 χ_z=0.56
  χ,min=0.56
  Verifica: 0.00+0.07+0.01=0.07

- Verifica in termini tensionali [4.2.4] - CC 17 SLU Xl=0.03 - Classe 3
  Sollecitazioni: N=-1.93 T_z=79.80 M_y=7.21 T_y=1.05
  Tensioni: σ_N=-0.39 σ_M=-172.95 τ=0.00 σ_{max}=-173.33
  Tensioni: σ_N=-0.39 σ_M=-0.00 τ=23.94 τ_{max}=23.94
  Tensioni: σ_N=-0.39 σ_M=-172.95 τ=0.31 $\sigma_{ID,max}$=173.34

- Verifica a taglio dir. Z [4.2.16] - CC 19 SLU Xl=0.11
  Sollecitazioni: T_z=44.33
  V,Ed=44.33 Vc,Rd=7560.76 V,Ed/Vc,Rd=0.01

Asta n. 6338 (-339 -340) calastrelli 50x10 Crit. 1

- Verifica di stabilità aste inflesse (4.2.4.1.3.2) CC 1 SLV - Classe 3
  L_{cr}=0.24 Curva d: α_{imp}=0.76 k_c=0.94 ψ=3.06 M,cr=0.00 λ_{LT}=0.00
  $\lambda_{LT,0}$=0.20 β_{LT}=1.00 Φ_{LT}=0.00 β_{LT}=1.00 f=0.00 χ_{LT}=1.00
  CC 1 SLV My,Ed=-2.58 My,b,Rd=109.13 My,Ed/My,b,Rd=0.02

- Verifica di stabilità aste presso-inflesse (C4.2.4.1.3.3.1) - CC 17 SLU - Classe 3
  Sollecitazioni: N,Ed=-1.88 Myeq,Ed=7.03 Mzeq,Ed=-0.12
  Resistenze: Nc,Rd=13095.20 My,c,Rd=109.13 Mz,c,Rd=21.83 L=23.75

λ_Y=16.45 Ncr,y=382754.00 λ^*_y=0.19 Curva c: Φ_y=0.52 χ_y=1.00
λ_Z=82.27 Ncr,z=15310.20 λ^*_z=0.95 Curva c: Φ_z=1.13 χ_z=0.57
χ,min=0.57
Verifica: 0.00+0.06+0.01=0.07

- Verifica in termini tensionali [4.2.4] - CC 17 SLU Xl=0.03 - Classe 3
Sollecitazioni: N=-1.88 T_z=80.59 M_y=7.03 T_y=1.06
Tensioni: σ_N=-0.38 σ_M=-168.64 τ=0.00 σ_{max}=-169.02
Tensioni: σ_N=-0.38 σ_M=-0.00 τ=24.18 τ_{max}=24.18
Tensioni: σ_N=-0.38 σ_M=-168.64 τ=0.32 $\sigma_{ID,max}$=169.02

- Verifica a taglio dir. Z [4.2.16] - CC 19 SLU Xl=0.10
Sollecitazioni: T_z=44.70
V,Ed=44.70 Vc,Rd=7560.76 V,Ed/Vc,Rd=0.01

Asta n. 6339 (-371 -372) calastrelli 50x10 Crit. 1

- Verifica di stabilità aste inflesse (4.2.4.1.3.2) CC 1 SLV - Classe 3
L_{cr}=0.23 Curva d: α_{imp}=0.76 k_c=0.94 ψ=3.06 M,cr=0.00 λ_{LT}=0.00
$\lambda_{LT,0}$=0.20 β_{LT}=1.00 Φ_{LT}=0.00 β_{LT}=1.00 f=0.00 χ_{LT}=1.00
CC 1 SLV My,Ed=-2.60 My,b,Rd=109.13 My,Ed/My,b,Rd=0.02

- Verifica di stabilità aste presso-inflesse (C4.2.4.1.3.3.1) - CC 17 SLU - Classe 3
Sollecitazioni: N,Ed=-1.88 Myeq,Ed=6.85 Mzeq,Ed=-0.11
Resistenze: Nc,Rd=13095.20 My,c,Rd=109.13 Mz,c,Rd=21.83 L=23.13
λ_Y=16.02 Ncr,y=403725.00 λ^*_y=0.18 Curva c: Φ_y=0.51 χ_y=1.00
λ_Z=80.11 Ncr,z=16149.00 λ^*_z=0.92 Curva c: Φ_z=1.10 χ_z=0.59
χ,min=0.59
Verifica: 0.00+0.06+0.01=0.07

- Verifica in termini tensionali [4.2.4] - CC 17 SLU Xl=0.03 - Classe 3
Sollecitazioni: N=-1.88 T_z=81.42 M_y=6.85 T_y=1.07
Tensioni: σ_N=-0.38 σ_M=-164.30 τ=0.00 σ_{max}=-164.67
Tensioni: σ_N=-0.38 σ_M=-0.00 τ=24.43 τ_{max}=24.43
Tensioni: σ_N=-0.38 σ_M=-164.30 τ=0.32 $\sigma_{ID,max}$=164.68

- Verifica a taglio dir. Z [4.2.16] - CC 19 SLU Xl=0.10
Sollecitazioni: T_z=44.96
V,Ed=44.96 Vc,Rd=7560.76 V,Ed/Vc,Rd=0.01

Asta n. 6340 (-403 -404) calastrelli 50x10 Crit. 1

- Verifica di stabilità aste presso-inflesse (C4.2.4.1.3.3.1) - CC 17 SLU - Classe 3
Sollecitazioni: N,Ed=-2.31 Myeq,Ed=6.66 Mzeq,Ed=-0.11
Resistenze: Nc,Rd=13095.20 My,c,Rd=109.13 Mz,c,Rd=21.83 L=22.50
λ_Y=15.59 Ncr,y=426465.00 λ^*_y=0.18 Curva c: Φ_y=0.51 χ_y=1.00
λ_Z=77.94 Ncr,z=17058.60 λ^*_z=0.90 Curva c: Φ_z=1.07 χ_z=0.60
χ,min=0.60
Verifica: 0.00+0.06+0.01=0.07

- Verifica in termini tensionali [4.2.4] - CC 17 SLU Xl=0.03 - Classe 3
Sollecitazioni: N=-2.31 T_z=82.26 M_y=6.66 T_y=1.09
Tensioni: σ_N=-0.46 σ_M=-159.78 τ=0.00 σ_{max}=-160.25
Tensioni: σ_N=-0.46 σ_M=-0.00 τ=24.68 τ_{max}=24.68
Tensioni: σ_N=-0.46 σ_M=-159.78 τ=0.33 $\sigma_{ID,max}$=160.25

- Verifica a taglio dir. Z [4.2.16] - CC 1 SLV Xl=0.13
Sollecitazioni: T_z=-32.03
V,Ed=-32.03 Vc,Rd=7560.76 V,Ed/Vc,Rd=0.00

Asta n. 6341 (-435 -436) calastrelli 50x10 Crit. 1

- Verifica in termini tensionali [4.2.4] - CC 17 SLU Xl=0.03 - Classe 3
  Sollecitazioni: N=1.45 T_z=82.97 M_y=6.48 T_y=1.09
  Tensioni: σ_N=0.29 σ_M=155.60 τ=0.00 σ_{max}=155.89
  Tensioni: σ_N=0.29 σ_M=-0.00 τ=24.89 τ_{max}=24.89
  Tensioni: σ_N=0.29 σ_M=155.60 τ=0.33 $\sigma_{ID,max}$=155.89

- Verifica a taglio dir. Y [4.2.16] - CC 17 SLU Xl=0.10
  Sollecitazioni: N=1.45 T_z=82.61 T_y=1.09
  V,Ed=1.09 Vc,Rd=7560.76 V,Ed/Vc,Rd=0.00

- Verifica a taglio dir. Z [4.2.16]
  V,Ed=82.61 Vc,Rd=7560.76 V,Ed/Vc,Rd=0.01

Asta n. 6342 (-467 -468) calastrelli 50x10 Crit. 1

- Verifica di stabilità aste presso-inflesse (C4.2.4.1.3.3.1) - CC 17 SLU - Classe 3
  Sollecitazioni: N,Ed=-24.36 Myeq,Ed=-6.24 Mzeq,Ed=-0.10
  Resistenze: Nc,Rd=13095.20 My,c,Rd=109.13 Mz,c,Rd=21.83 L=21.25
  λ_Y=14.72 Ncr,y=478112.00 λ^*_y=0.17 Curva c: Φ_y=0.51 χ_y=1.00
  λ_Z=73.61 Ncr,z=19124.50 λ^*_z=0.85 Curva c: Φ_z=1.02 χ_z=0.63
  χ,min=0.63
  Verifica: 0.00+0.06+0.00=0.06

- Verifica in termini tensionali [4.2.4] - CC 17 SLU Xl=0.18 - Classe 3
  Sollecitazioni: N=-24.36 T_z=81.83 M_y=-6.24 T_y=1.04
  Tensioni: σ_N=-4.87 σ_M=-149.72 τ=0.00 σ_{max}=-154.59
  Tensioni: σ_N=-4.87 σ_M=0.00 τ=24.55 τ_{max}=24.55
  Tensioni: σ_N=-4.87 σ_M=-149.72 τ=0.31 $\sigma_{ID,max}$=154.59

Asta n. 6343 (-499 -500) calastrelli 50x10 Crit. 1

- Verifica in termini tensionali [4.2.4] - CC 17 SLU Xl=0.03 - Classe 3
  Sollecitazioni: N=128.84 T_z=72.56 M_y=6.35
  Tensioni: σ_N=25.77 σ_M=152.38 τ=0.00 σ_{max}=178.15
  Tensioni: σ_N=25.77 σ_M=-0.00 τ=21.77 τ_{max}=21.77
  Tensioni: σ_N=25.77 σ_M=152.38 τ=0.00 $\sigma_{ID,max}$=178.15

- Verifica a taglio dir. Z [4.2.16] - CC 17 SLU Xl=0.11
  Sollecitazioni: N=128.84 T_z=72.17
  V,Ed=72.17 Vc,Rd=7560.76 V,Ed/Vc,Rd=0.01

Asta n. 6347 (-507 -508) calastrelli 50x10 Crit. 1

- Verifica di stabilità aste inflesse (4.2.4.1.3.2) CC 5 SLV - Classe 3
  L_{cr}=0.21 Curva d: α_{imp}=0.76 k_c=0.94 ψ=2.65 M,cr=0.00 λ_{LT}=0.00
  $\lambda_{LT,0}$=0.20 β_{LT}=1.00 Φ_{LT}=0.00 β_{LT}=1.00 f=0.00 χ_{LT}=1.00
  CC 5 SLV My,Ed=-1.44 My,b,Rd=109.13 My,Ed/My,b,Rd=0.01

- Verifica di stabilità aste presso-inflesse (C4.2.4.1.3.3.1) - CC 17 SLU - Classe 3
  Sollecitazioni: N,Ed=-60.32 Myeq,Ed=-6.28 Mzeq,Ed=-0.09
  Resistenze: Nc,Rd=13095.20 My,c,Rd=109.13 Mz,c,Rd=21.83 L=20.63
  λ_Y=14.29 Ncr,y=507527.00 λ^*_y=0.16 Curva c: Φ_y=0.50 χ_y=1.00
  λ_Z=71.45 Ncr,z=20301.10 λ^*_z=0.82 Curva c: Φ_z=0.99 χ_z=0.65
  χ,min=0.65
  Verifica: 0.00+0.06+0.00=0.07

- Verifica in termini tensionali [4.2.4] - CC 17 SLU Xl=0.18 - Classe 3
  Sollecitazioni: N=-60.32 T_z=79.88 M_y=-6.28 T_y=-1.03
  Tensioni: σ_N=-12.06 σ_M=-150.60 τ=0.00 σ_{max}=-162.67
  Tensioni: σ_N=-12.06 σ_M=0.00 τ=23.97 τ_{max}=23.97
  Tensioni: σ_N=-12.06 σ_M=-150.60 τ=0.31 $\sigma_{ID,max}$=162.67

- Verifica a taglio dir. Z [4.2.16] - CC 5 SLV Xl=0.17
  Sollecitazioni: N=21.42 T_z=-12.49
  V,Ed=-12.49 Vc,Rd=7560.76 V,Ed/Vc,Rd=0.00

Asta n. 6348 (-475 -476) calastrelli 50x10 Crit. 1

- Verifica di stabilità aste inflesse (4.2.4.1.3.2) CC 17 SLU - Classe 3
  L_{cr}=0.21 Curva d: α_{imp}=0.76 k_c=0.94 ψ=3.09 M,cr=0.00 λ_{LT}=0.00
  $\lambda_{LT,0}$=0.20 β_{LT}=1.00 Φ_{LT}=0.00 β_{LT}=1.00 f=0.00 χ_{LT}=1.00
  CC 17 SLU My,Ed=6.75 My,b,Rd=109.13 My,Ed/My,b,Rd=0.06

- Verifica di stabilità aste presso-inflesse (C4.2.4.1.3.3.1) - CC 5 SLV - Classe 3
  Sollecitazioni: N,Ed=-3.79 Myeq,Ed=1.11 Mzeq,Ed=-0.03
  Resistenze: Nc,Rd=13095.20 My,c,Rd=109.13 Mz,c,Rd=21.83 L=21.25
  λ_Y=14.72 Ncr,y=478112.00 λ^*_y=0.17 Curva c: Φ_y=0.51 χ_y=1.00
  λ_Z=73.61 Ncr,z=19124.50 λ^*_z=0.85 Curva c: Φ_z=1.02 χ_z=0.63
  χ,min=0.63
  Verifica: 0.00+0.01+0.00=0.01

- Verifica in termini tensionali [4.2.4] - CC 17 SLU Xl=0.04 - Classe 3
  Sollecitazioni: N=7.32 T_z=90.90 M_y=6.75 T_y=-1.19
  Tensioni: σ_N=1.46 σ_M=162.08 τ=0.00 σ_{max}=163.54
  Tensioni: σ_N=1.46 σ_M=-0.00 τ=27.27 τ_{max}=27.27
  Tensioni: σ_N=1.46 σ_M=162.08 τ=0.36 $\sigma_{ID,max}$=163.54

- Verifica a taglio dir. Y [4.2.16] - CC 17 SLU Xl=0.10
  Sollecitazioni: N=7.32 T_z=90.56 T_y=-1.19
  V,Ed=-1.19 Vc,Rd=7560.76 V,Ed/Vc,Rd=0.00

- Verifica a taglio dir. Z [4.2.16]
  V,Ed=90.56 Vc,Rd=7560.76 V,Ed/Vc,Rd=0.01

Asta n. 6349 (-443 -444) calastrelli 50x10 Crit. 1

- Verifica di stabilità aste presso-inflesse (C4.2.4.1.3.3.1) - CC 17 SLU - Classe 3
  Sollecitazioni: N,Ed=-3.71 Myeq,Ed=-7.10 Mzeq,Ed=-0.12
  Resistenze: Nc,Rd=13095.20 My,c,Rd=109.13 Mz,c,Rd=21.83 L=21.88
  λ_Y=15.16 Ncr,y=451182.00 λ^*_y=0.17 Curva c: Φ_y=0.51 χ_y=1.00
  λ_Z=75.78 Ncr,z=18047.30 λ^*_z=0.87 Curva c: Φ_z=1.05 χ_z=0.62
  χ,min=0.62
  Verifica: 0.00+0.07+0.01=0.07

- Verifica in termini tensionali [4.2.4] - CC 17 SLU Xl=0.19 - Classe 3
  Sollecitazioni: N=-3.71 T_z=90.32 M_y=-7.10 T_y=-1.22
  Tensioni: σ_N=-0.74 σ_M=-170.49 τ=0.00 σ_{max}=-171.24
  Tensioni: σ_N=-0.74 σ_M=0.00 τ=27.10 τ_{max}=27.10
  Tensioni: σ_N=-0.74 σ_M=-170.49 τ=0.37 $\sigma_{ID,max}$=171.24

- Verifica a taglio dir. Z [4.2.16] - CC 1 SLV Xl=0.13
  Sollecitazioni: T_z=-35.92
  V,Ed=-35.92 Vc,Rd=7560.76 V,Ed/Vc,Rd=0.00

Asta n. 6350 (-411 -412) calastrelli 50x10 Crit. 1

- Verifica di stabilità aste inflesse (4.2.4.1.3.2) CC 16 SLU - Classe 3
  L_{cr}=0.23 Curva d: α_{imp}=0.76 k_c=0.94 ψ=2.70 M,cr=0.00 λ_{LT}=0.00
  $\lambda_{LT,0}$=0.20 β_{LT}=1.00 Φ_{LT}=0.00 β_{LT}=1.00 f=0.00 χ_{LT}=1.00
  CC 16 SLU My,Ed=0.33 My,b,Rd=109.13 My,Ed/My,b,Rd=0.00

- Verifica di stabilità aste presso-inflesse (C4.2.4.1.3.3.1) - CC 17 SLU - Classe 3
  Sollecitazioni: N,Ed=-2.11 Myeq,Ed=-7.28 Mzeq,Ed=-0.12
  Resistenze: Nc,Rd=13095.20 My,c,Rd=109.13 Mz,c,Rd=21.83 L=22.50
  λ_Y=15.59 Ncr,y=426465.00 λ^*_y=0.18 Curva c: Φ_y=0.51 χ_y=1.00
  λ_Z=77.94 Ncr,z=17058.60 λ^*_z=0.90 Curva c: Φ_z=1.07 χ_z=0.60
  χ,min=0.60
  Verifica: 0.00+0.07+0.01=0.07

- Verifica in termini tensionali [4.2.4] - CC 17 SLU Xl=0.20 - Classe 3
  Sollecitazioni: N=-2.11 T_z=89.17 M_y=-7.28 T_y=-1.21
  Tensioni: σ_N=-0.42 σ_M=-174.83 τ=0.00 σ_{max}=-175.25
  Tensioni: σ_N=-0.42 σ_M=0.00 τ=26.75 τ_{max}=26.75
  Tensioni: σ_N=-0.42 σ_M=-174.83 τ=0.36 $\sigma_{ID,max}$=175.25

- Verifica a taglio dir. Z [4.2.16] - CC 1 SLV Xl=0.14
  Sollecitazioni: T_z=-34.49
  V,Ed=-34.49 Vc,Rd=7560.76 V,Ed/Vc,Rd=0.00

Asta n. 6351 (-379 -380) calastrelli 50x10 Crit. 1

- Verifica di stabilità aste presso-inflesse (C4.2.4.1.3.3.1) - CC 17 SLU - Classe 3
  Sollecitazioni: N,Ed=-2.29 Myeq,Ed=-7.46 Mzeq,Ed=-0.12
  Resistenze: Nc,Rd=13095.20 My,c,Rd=109.13 Mz,c,Rd=21.83 L=23.13
  λ_Y=16.02 Ncr,y=403725.00 λ^*_y=0.18 Curva c: Φ_y=0.51 χ_y=1.00
  λ_Z=80.11 Ncr,z=16149.00 λ^*_z=0.92 Curva c: Φ_z=1.10 χ_z=0.59
  χ,min=0.59
  Verifica: 0.00+0.07+0.01=0.07

- Verifica in termini tensionali [4.2.4] - CC 17 SLU Xl=0.20 - Classe 3
  Sollecitazioni: N=-2.29 T_z=87.88 M_y=-7.46 T_y=-1.19
  Tensioni: σ_N=-0.46 σ_M=-178.99 τ=0.00 σ_{max}=-179.45
  Tensioni: σ_N=-0.46 σ_M=0.00 τ=26.37 τ_{max}=26.37
  Tensioni: σ_N=-0.46 σ_M=-178.99 τ=0.36 $\sigma_{ID,max}$=179.45

- Verifica a taglio dir. Z [4.2.16] - CC 1 SLV Xl=0.14
  Sollecitazioni: T_z=-33.06
  V,Ed=-33.06 Vc,Rd=7560.76 V,Ed/Vc,Rd=0.00

Asta n. 6352 (-347 -348) calastrelli 50x10 Crit. 1

- Verifica di stabilità aste presso-inflesse (C4.2.4.1.3.3.1) - CC 17 SLU - Classe 3
  Sollecitazioni: N,Ed=-2.27 Myeq,Ed=-7.63 Mzeq,Ed=-0.13
  Resistenze: Nc,Rd=13095.20 My,c,Rd=109.13 Mz,c,Rd=21.83 L=23.75
  λ_Y=16.45 Ncr,y=382754.00 λ^*_y=0.19 Curva c: Φ_y=0.52 χ_y=1.00
  λ_Z=82.27 Ncr,z=15310.20 λ^*_z=0.95 Curva c: Φ_z=1.13 χ_z=0.57
  χ,min=0.57
  Verifica: 0.00+0.07+0.01=0.08

- Verifica in termini tensionali [4.2.4] - CC 17 SLU Xl=0.21 - Classe 3
  Sollecitazioni: N=-2.27 T_z=86.63 M_y=-7.63 T_y=-1.17
  Tensioni: σ_N=-0.45 σ_M=-183.00 τ=0.00 σ_{max}=-183.46
  Tensioni: σ_N=-0.45 σ_M=0.00 τ=25.99 τ_{max}=25.99
  Tensioni: σ_N=-0.45 σ_M=-183.00 τ=0.35 $\sigma_{ID,max}$=183.46

- Verifica a taglio dir. Z [4.2.16] - CC 1 SLV Xl=0.14
  Sollecitazioni: T_z=-31.65
  V,Ed=-31.65 Vc,Rd=7560.76 V,Ed/Vc,Rd=0.00

Asta n. 6353 (-315 -316) calastrelli 50x10 Crit. 1

- Verifica di stabilità aste presso-inflesse (C4.2.4.1.3.3.1) - CC 17 SLU - Classe 3
  Sollecitazioni: N,Ed=-2.29 Myeq,Ed=-7.79 Mzeq,Ed=-0.13
  Resistenze: Nc,Rd=13095.20 My,c,Rd=109.13 Mz,c,Rd=21.83 L=24.38
  λ_Y=16.89 Ncr,y=363378.00 λ^*_y=0.19 Curva c: Φ_y=0.52 χ_y=1.00
  λ_Z=84.44 Ncr,z=14535.10 λ^*_z=0.97 Curva c: Φ_z=1.16 χ_z=0.56
  χ,min=0.56
  Verifica: 0.00+0.07+0.01=0.08

- Verifica in termini tensionali [4.2.4] - CC 17 SLU Xl=0.22 - Classe 3
  Sollecitazioni: N=-2.29 T_z=85.48 M_y=-7.79 T_y=-1.15
  Tensioni: σ_N=-0.46 σ_M=-187.05 τ=0.00 σ_{max}=-187.51
  Tensioni: σ_N=-0.46 σ_M=0.00 τ=25.65 τ_{max}=25.65
  Tensioni: σ_N=-0.46 σ_M=-187.05 τ=0.35 $\sigma_{ID,max}$=187.51

- Verifica a taglio dir. Z [4.2.16] - CC 1 SLV Xl=0.15
  Sollecitazioni: T_z=-30.37
  V,Ed=-30.37 Vc,Rd=7560.76 V,Ed/Vc,Rd=0.00

Asta n. 6354 (-283 -284) calastrelli 50x10 Crit. 1

- Verifica di stabilità aste presso-inflesse (C4.2.4.1.3.3.1) - CC 17 SLU - Classe 3
  Sollecitazioni: N,Ed=-2.24 Myeq,Ed=-7.96 Mzeq,Ed=-0.13
  Resistenze: Nc,Rd=13095.20 My,c,Rd=109.13 Mz,c,Rd=21.83 L=25.00
  λ_Y=17.32 Ncr,y=345436.00 λ^*_y=0.20 Curva c: Φ_y=0.52 χ_y=1.00
  λ_Z=86.60 Ncr,z=13817.40 λ^*_z=1.00 Curva c: Φ_z=1.19 χ_z=0.54
  χ,min=0.54
  Verifica: 0.00+0.07+0.01=0.08

- Verifica in termini tensionali [4.2.4] - CC 17 SLU Xl=0.22 - Classe 3
  Sollecitazioni: N=-2.24 T_z=84.40 M_y=-7.96 T_y=-1.14
  Tensioni: σ_N=-0.45 σ_M=-191.09 τ=0.00 σ_{max}=-191.54
  Tensioni: σ_N=-0.45 σ_M=0.00 τ=25.32 τ_{max}=25.32
  Tensioni: σ_N=-0.45 σ_M=-191.09 τ=0.34 $\sigma_{ID,max}$=191.54

- Verifica a taglio dir. Z [4.2.16] - CC 1 SLV Xl=0.15
  Sollecitazioni: T_z=-29.13
  V,Ed=-29.13 Vc,Rd=7560.76 V,Ed/Vc,Rd=0.00

Asta n. 6355 (-251 -252) calastrelli 50x10 Crit. 1

- Verifica di stabilità aste presso-inflesse (C4.2.4.1.3.3.1) - CC 17 SLU - Classe 3
  Sollecitazioni: N,Ed=-2.28 Myeq,Ed=-8.13 Mzeq,Ed=-0.13
  Resistenze: Nc,Rd=13095.20 My,c,Rd=109.13 Mz,c,Rd=21.83 L=25.63
  λ_Y=17.75 Ncr,y=328791.00 λ^*_y=0.20 Curva c: Φ_y=0.52 χ_y=1.00
  λ_Z=88.77 Ncr,z=13151.70 λ^*_z=1.02 Curva c: Φ_z=1.22 χ_z=0.53
  χ,min=0.53
  Verifica: 0.00+0.07+0.01=0.08

- Verifica in termini tensionali [4.2.4] - CC 17 SLU Xl=0.23 - Classe 3
  Sollecitazioni: N=-2.28 T_z=83.38 M_y=-8.13 T_y=-1.12
  Tensioni: σ_N=-0.46 σ_M=-195.11 τ=0.00 σ_{max}=-195.57
  Tensioni: σ_N=-0.46 σ_M=0.00 τ=25.02 τ_{max}=25.02

Tensioni: σ_N=-0.46 σ_M=-195.11 τ=0.34 $\sigma_{ID,max}$=195.57

- Verifica a taglio dir. Z [4.2.16] - CC 1 SLV Xl=0.16
Sollecitazioni: T_z=-27.94
V,Ed=-27.94 Vc,Rd=7560.76 V,Ed/Vc,Rd=0.00

Asta n. 6356 (-219 -220) calastrelli 50x10 Crit. 1

- Verifica di stabilità aste presso-inflesse (C4.2.4.1.3.3.1) - CC 17 SLU - Classe 3
Sollecitazioni: N,Ed=-2.24 Myeq,Ed=-8.29 Mzeq,Ed=-0.13
Resistenze: Nc,Rd=13095.20 My,c,Rd=109.13 Mz,c,Rd=21.83 L=26.25
λ_Y=18.19 Ncr,y=313321.00 λ^*_y=0.21 Curva c: Φ_y=0.52 χ_y=1.00
λ_Z=90.93 Ncr,z=12532.80 λ^*_z=1.05 Curva c: Φ_z=1.26 χ_z=0.51
χ,min=0.51
Verifica: 0.00+0.08+0.01=0.08

- Verifica in termini tensionali [4.2.4] - CC 17 SLU Xl=0.23 - Classe 3
Sollecitazioni: N=-2.24 T_z=82.39 M_y=-8.29 T_y=-1.10
Tensioni: σ_N=-0.45 σ_M=-199.06 τ=0.00 σ_{max}=-199.51
Tensioni: σ_N=-0.45 σ_M=0.00 τ=24.72 τ_{max}=24.72
Tensioni: σ_N=-0.45 σ_M=-199.06 τ=0.33 $\sigma_{ID,max}$=199.51

- Verifica a taglio dir. Z [4.2.16] - CC 1 SLV Xl=0.16
Sollecitazioni: T_z=-26.80
V,Ed=-26.80 Vc,Rd=7560.76 V,Ed/Vc,Rd=0.00

Asta n. 6357 (-187 -188) calastrelli 50x10 Crit. 1

- Verifica di stabilità aste presso-inflesse (C4.2.4.1.3.3.1) - CC 17 SLU - Classe 3
Sollecitazioni: N,Ed=-2.24 Myeq,Ed=-8.44 Mzeq,Ed=-0.13
Resistenze: Nc,Rd=13095.20 My,c,Rd=109.13 Mz,c,Rd=21.83 L=26.88
λ_Y=18.62 Ncr,y=298917.00 λ^*_y=0.21 Curva c: Φ_y=0.53 χ_y=0.99
λ_Z=93.10 Ncr,z=11956.70 λ^*_z=1.07 Curva c: Φ_z=1.29 χ_z=0.50
χ,min=0.50
Verifica: 0.00+0.08+0.01=0.08

- Verifica in termini tensionali [4.2.4] - CC 17 SLU Xl=0.24 - Classe 3
Sollecitazioni: N=-2.24 T_z=81.34 M_y=-8.44 T_y=-1.08
Tensioni: σ_N=-0.45 σ_M=-202.68 τ=0.00 σ_{max}=-203.12
Tensioni: σ_N=-0.45 σ_M=0.00 τ=24.40 τ_{max}=24.40
Tensioni: σ_N=-0.45 σ_M=-202.68 τ=0.32 $\sigma_{ID,max}$=203.12

- Verifica a taglio dir. Z [4.2.16] - CC 1 SLV Xl=0.17
Sollecitazioni: T_z=-25.67
V,Ed=-25.67 Vc,Rd=7560.76 V,Ed/Vc,Rd=0.00

Asta n. 6358 (-155 -156) calastrelli 50x10 Crit. 1

- Verifica di stabilità aste presso-inflesse (C4.2.4.1.3.3.1) - CC 17 SLU - Classe 3
Sollecitazioni: N,Ed=-2.24 Myeq,Ed=-8.53 Mzeq,Ed=-0.13
Resistenze: Nc,Rd=13095.20 My,c,Rd=109.13 Mz,c,Rd=21.83 L=27.50
λ_Y=19.05 Ncr,y=285484.00 λ^*_y=0.22 Curva c: Φ_y=0.53 χ_y=0.99
λ_Z=95.26 Ncr,z=11419.40 λ^*_z=1.10 Curva c: Φ_z=1.32 χ_z=0.49
χ,min=0.49
Verifica: 0.00+0.08+0.01=0.08

- Verifica in termini tensionali [4.2.4] - CC 17 SLU Xl=0.25 - Classe 3
Sollecitazioni: N=-2.24 T_z=79.74 M_y=-8.53 T_y=-1.04
Tensioni: σ_N=-0.45 σ_M=-204.76 τ=0.00 σ_{max}=-205.21

Tensioni: σ_N=-0.45 σ_M=0.00 τ=23.92 τ_{max}=23.92
Tensioni: σ_N=-0.45 σ_M=-204.76 τ=0.31 $\sigma_{ID,max}$=205.21

- Verifica a taglio dir. Z [4.2.16] - CC 1 SLV Xl=0.16
Sollecitazioni: T_z=-24.40
V,Ed=-24.40 Vc,Rd=7560.76 V,Ed/Vc,Rd=0.00

Asta n. 6359 (-123 -124) calastrelli 50x10 Crit. 1

- Verifica di stabilità aste presso-inflesse (C4.2.4.1.3.3.1) - CC 17 SLU - Classe 3
Sollecitazioni: N,Ed=-2.01 Myeq,Ed=-8.32 Mzeq,Ed=-0.12
Resistenze: Nc,Rd=13095.20 My,c,Rd=109.13 Mz,c,Rd=21.83 L=28.13
λ_Y=19.49 Ncr,y=272937.00 λ^*_y=0.22 Curva c: Φ_y=0.53 χ_y=0.99
λ_Z=97.43 Ncr,z=10917.50 λ^*_z=1.12 Curva c: Φ_z=1.36 χ_z=0.47
χ,min=0.47
Verifica: 0.00+0.08+0.01=0.08

- Verifica in termini tensionali [4.2.4] - CC 17 SLU Xl=0.25 - Classe 3
Sollecitazioni: N=-2.01 T_z=75.46 M_y=-8.32
Tensioni: σ_N=-0.40 σ_M=-199.59 τ=0.00 σ_{max}=-199.99
Tensioni: σ_N=-0.40 σ_M=0.00 τ=22.64 τ_{max}=22.64
Tensioni: σ_N=-0.40 σ_M=-199.59 τ=0.00 $\sigma_{ID,max}$=199.99

- Verifica a taglio dir. Z [4.2.16] - CC 1 SLV Xl=0.17
Sollecitazioni: T_z=-22.47
V,Ed=-22.47 Vc,Rd=7560.76 V,Ed/Vc,Rd=0.00

Asta n. 6360 (-91 -92) calastrelli 50x10 Crit. 1

- Verifica di stabilità aste presso-inflesse (C4.2.4.1.3.3.1) - CC 17 SLU - Classe 3
Sollecitazioni: N,Ed=-3.69 Myeq,Ed=-6.75 Mzeq,Ed=-0.09
Resistenze: Nc,Rd=13095.20 My,c,Rd=109.13 Mz,c,Rd=21.83 L=28.75
λ_Y=19.92 Ncr,y=261200.00 λ^*_y=0.23 Curva c: Φ_y=0.53 χ_y=0.99
λ_Z=99.59 Ncr,z=10448.00 λ^*_z=1.15 Curva c: Φ_z=1.39 χ_z=0.46
χ,min=0.46
Verifica: 0.00+0.06+0.00=0.07

- Verifica in termini tensionali [4.2.4] - CC 17 SLU Xl=0.26 - Classe 3
Sollecitazioni: N=-3.69 T_z=59.52 M_y=-6.75
Tensioni: σ_N=-0.74 σ_M=-162.01 τ=0.00 σ_{max}=-162.75
Tensioni: σ_N=-0.74 σ_M=0.00 τ=17.86 τ_{max}=17.86
Tensioni: σ_N=-0.74 σ_M=-162.01 τ=0.00 $\sigma_{ID,max}$=162.75

- Verifica a taglio dir. Z [4.2.16] - CC 1 SLV Xl=0.20
Sollecitazioni: T_z=-17.41
V,Ed=-17.41 Vc,Rd=7560.76 V,Ed/Vc,Rd=0.00

Asta n. 6361 (-59 -60) calastrelli 100x5 Crit. 1

- Verifica in termini tensionali [4.2.4] - CC 17 SLU Xl=0.27 - Classe 3
Sollecitazioni: N=17.00 T_z=68.93 M_y=-8.53
Tensioni: σ_N=1.70 σ_M=51.20 τ=0.00 σ_{max}=52.90
Tensioni: σ_N=1.70 σ_M=0.00 τ=10.34 τ_{max}=10.34
Tensioni: σ_N=1.70 σ_M=51.20 τ=0.00 $\sigma_{ID,max}$=52.90

- Verifica a taglio dir. Z [4.2.16] - CC 17 SLU Xl=0.14
Sollecitazioni: N=17.00 T_z=70.21
V,Ed=70.21 Vc,Rd=15121.50 V,Ed/Vc,Rd=0.00

Asta n. 6362 (-27 -28) calastrelli 100x5 Crit. 1

- Verifica in termini tensionali [4.2.4] - CC 17 SLU Xl=0.27 - Classe 3
  Sollecitazioni: N=73.24 T_z=42.93 M_y=-5.39
  Tensioni: σ_N=7.32 σ_M=32.36 τ=0.00 σ_{max}=39.68
  Tensioni: σ_N=7.32 σ_M=0.00 τ=6.44 τ_{max}=6.44
  Tensioni: σ_N=7.32 σ_M=32.36 τ=0.00 $\sigma_{ID,max}$=39.68

- Verifica a taglio dir. Z [4.2.16] - CC 17 SLU Xl=0.14
  Sollecitazioni: N=73.24 T_z=44.23
  V,Ed=44.23 Vc,Rd=15121.50 V,Ed/Vc,Rd=0.00

Asta n. 6363 (376 377) angolari L50x10 Crit. 1

- Verifica di stabilità aste presso-inflesse (C4.2.4.1.3.3.1) - CC 19 SLU - Classe 3
  Sollecitazioni: N,Ed=-46.45 Myeq,Ed=-0.23 Mzeq,Ed=-1.73
  Resistenze: Nc,Rd=23709.20 My,c,Rd=149.05 Mz,c,Rd=149.05 L=15.00
  λ_c=8.19 Ncr,y=2794040.00 λ^*_y=0.09 Curva b: Φ_y=0.00 χ_y=1.00
  λ_e=15.58 Ncr,z=772687.00 λ^*_z=0.18 Curva b: Φ_z=0.00 χ_z=1.00
  χ,min=1.00
  Verifica: 0.00+0.00+0.01=0.02

- Verifica in termini tensionali [4.2.4] - CC 19 SLU Xl=0.02 - Classe 3
  Sollecitazioni: N=-46.45 T_z=-2.20 T_y=4.94 M_z=-1.73
  Tensioni: σ_N=-5.13 σ_M=-37.62 τ=0.21 σ_{max}=-42.75
  Tensioni: σ_N=-5.13 σ_M=7.10 τ=1.46 τ_{max}=1.46
  Tensioni: σ_N=-5.13 σ_M=-37.62 τ=0.21 $\sigma_{ID,max}$=42.75

- Verifica a taglio dir. Y [4.2.16] - CC 17 SLU Xl=0.10
  Sollecitazioni: N=-27.59 T_z=-3.75 T_y=6.55
  V,Ed=6.55 Vc,Rd=7560.76 V,Ed/Vc,Rd=0.00

- Verifica a taglio dir. Z [4.2.16]
  V,Ed=-3.75 Vc,Rd=7560.76 V,Ed/Vc,Rd=0.00

Asta n. 6363 (377 378) angolari L50x10 Crit. 1

- Verifica di stabilità aste presso-inflesse (C4.2.4.1.3.3.1) - CC 19 SLU - Classe 3
  Sollecitazioni: N,Ed=-46.45 Myeq,Ed=0.21 Mzeq,Ed=-1.15
  Resistenze: Nc,Rd=23709.20 My,c,Rd=149.05 Mz,c,Rd=149.05 L=15.00
  λ_c=8.19 Ncr,y=2794040.00 λ^*_y=0.09 Curva b: Φ_y=0.00 χ_y=1.00
  λ_e=15.58 Ncr,z=772687.00 λ^*_z=0.18 Curva b: Φ_z=0.00 χ_z=1.00
  χ,min=1.00
  Verifica: 0.00+0.00+0.01=0.01

- Verifica in termini tensionali [4.2.4] - CC 9 SLU Xl=0.13 - Classe 3
  Sollecitazioni: N=-46.04 T_y=-1.18 M_z=-1.22
  Tensioni: σ_N=-5.09 σ_M=-26.64 τ=0.05 σ_{max}=-31.72
  Tensioni: σ_N=-5.09 σ_M=5.03 τ=0.34 τ_{max}=0.34
  Tensioni: σ_N=-5.09 σ_M=-26.64 τ=0.05 $\sigma_{ID,max}$=31.72

- Verifica a taglio dir. Y [4.2.16] - CC 17 SLU Xl=0.00
  Sollecitazioni: N=-27.59 T_z=-3.75 T_y=6.10
  V,Ed=6.10 Vc,Rd=7560.76 V,Ed/Vc,Rd=0.00

- Verifica a taglio dir. Z [4.2.16]
  V,Ed=-3.75 Vc,Rd=7560.76 V,Ed/Vc,Rd=0.00

Asta n. 6364 (-539 -540) arcarecci T 120x60x10 Crit. 1

- Verifica di stabilità aste inflesse (4.2.4.1.3.2) CC 9 SLU - Classe 3
  L_{cr}=0.12 Curva d: α_{imp}=0.76 k_c=0.94 ψ=1.24 M,cr=0.00 λ_{LT}=0.00
  $\lambda_{LT,0}$=0.00 β_{LT}=0.00 Φ_{LT}=0.00 β_{LT}=0.00 f=0.00 χ_{LT}=1.00
  CC 9 SLU My,Ed=-0.15 My,b,Rd=862.52 My,Ed/My,b,Rd=0.00

- Verifica di stabilità aste presso-inflesse (C4.2.4.1.3.3.1) - CC 17 SLU - Classe 3
  Sollecitazioni: N,Ed=-2.67 Myeq,Ed=-0.28 Mzeq,Ed=-0.70
  Resistenze: Nc,Rd=44512.60 My,c,Rd=862.52 Mz,c,Rd=164.81 L=12.00
  λ_Y=3.12 Ncr,y=36117200.00 λ^*_y=0.04 Curva c: Φ_y=0.00 χ_y=1.00
  λ_Z=11.39 Ncr,z=2717260.00 λ^*_z=0.13 Curva c: Φ_z=0.00 χ_z=1.00
  χ,min=1.00
  Verifica: 0.00+0.00+0.00=0.00

- Verifica a compressione [4.2.9] - CC 17 SLU Xl=0.00 - Classe 3
  Sollecitazioni: N=-2.67 T_z=2.23 T_y=-11.14
  N,Ed=-2.67 Nc,Rd=-44512.60 N,Ed/Nc,Rd=0.00

- Verifica a taglio dir. Y [4.2.16] - CC 1 SLV Xl=0.00
  Sollecitazioni: T_z=-1.97 T_y=10.05
  V,Ed=10.05 Vc,Rd=9072.91 V,Ed/Vc,Rd=0.00

- Verifica a taglio dir. Z [4.2.16]
  V,Ed=-1.97 Vc,Rd=18145.80 V,Ed/Vc,Rd=0.00

Asta n. 6365 (-523 -524) arcarecci T 120x60x10 Crit. 1

- Verifica di stabilità aste inflesse (4.2.4.1.3.2) CC 3 SLV - Classe 3
  L_{cr}=0.12 Curva d: α_{imp}=0.76 k_c=0.94 ψ=1.07 M,cr=0.00 λ_{LT}=0.00
  $\lambda_{LT,0}$=0.00 β_{LT}=0.00 Φ_{LT}=0.00 β_{LT}=0.00 f=0.00 χ_{LT}=1.00
  CC 3 SLV My,Ed=-0.05 My,b,Rd=862.52 My,Ed/My,b,Rd=0.00

- Verifica di stabilità aste presso-inflesse (C4.2.4.1.3.3.1) - CC 1 SLV - Classe 3
  Sollecitazioni: N,Ed=-0.21 Myeq,Ed=-0.05 Mzeq,Ed=0.59
  Resistenze: Nc,Rd=44512.60 My,c,Rd=862.52 Mz,c,Rd=164.81 L=12.00
  λ_Y=3.12 Ncr,y=36117200.00 λ^*_y=0.04 Curva c: Φ_y=0.00 χ_y=1.00
  λ_Z=11.39 Ncr,z=2717260.00 λ^*_z=0.13 Curva c: Φ_z=0.00 χ_z=1.00
  χ,min=1.00
  Verifica: 0.00+0.00+0.00=0.00

- Verifica a compressione [4.2.9] - CC 17 SLU Xl=0.00 - Classe 3
  Sollecitazioni: N=-3.67 T_y=-4.67
  N,Ed=-3.67 Nc,Rd=-44512.60 N,Ed/Nc,Rd=0.00

- Verifica a taglio dir. Y [4.2.16] - CC 1 SLV Xl=0.00
  Sollecitazioni: T_z=-1.21 T_y=9.70
  V,Ed=9.70 Vc,Rd=9072.91 V,Ed/Vc,Rd=0.00

- Verifica a taglio dir. Z [4.2.16]
  V,Ed=-1.21 Vc,Rd=18145.80 V,Ed/Vc,Rd=0.00

Asta n. 6367 (349 361) angolari L50x10 Crit. 1

- Verifica di stabilità aste inflesse (4.2.4.1.3.2) CC 1 SLV - Classe 3
  L_{cr}=0.15 Curva d: α_{imp}=0.76 k_c=0.94 ψ=2.03 M,cr=0.00 λ_{LT}=0.00
  $\lambda_{LT,0}$=0.00 β_{LT}=0.00 Φ_{LT}=0.00 β_{LT}=0.00 f=0.00 χ_{LT}=1.00
  CC 1 SLV My,Ed=-1.00 My,b,Rd=149.05 My,Ed/My,b,Rd=0.01

- Verifica di stabilità aste presso-inflesse (C4.2.4.1.3.3.1) - CC 17 SLU - Classe 3
  Sollecitazioni: N,Ed=-577.47 Myeq,Ed=1.59 Mzeq,Ed=-64.53

Resistenze: Nc,Rd=23709.20 My,c,Rd=149.05 Mz,c,Rd=149.05 L=15.00
λ_c=8.19 Ncr,y=2794040.00 λ^*_y=0.09 Curva b: Φ_y=0.00 χ_y=1.00
λ_e=15.58 Ncr,z=772687.00 λ^*_z=0.18 Curva b: Φ_z=0.00 χ_z=1.00
χ,min=1.00
Verifica: 0.02+0.01+0.43=0.47

- Verifica in termini tensionali [4.2.4] - CC 17 SLU Xl=0.15 - Classe 3
Sollecitazioni: N=-577.47 T_z=-18.44 M_y=2.06 T_y=-849.40 M_z=-64.53 (M_c=47.09 M_e=-44.18)
Tensioni: σ_N=-63.79 σ_M=-1391.22 τ=36.31 σ_{max}=-1455.01
Tensioni: σ_N=-63.79 σ_M=261.70 τ=244.82 τ_{max}=244.82
Tensioni: σ_N=-63.79 σ_M=-1391.22 τ=36.31 $\sigma_{ID,max}$=1456.37

- Verifica a taglio dir. Y [4.2.16] - CC 1 SLV Xl=0.08
Sollecitazioni: N=167.42 T_z=9.45 T_y=242.42
V,Ed=242.42 Vc,Rd=7560.76 V,Ed/Vc,Rd=0.03

- Verifica a taglio dir. Z [4.2.16]
V,Ed=9.45 Vc,Rd=7560.76 V,Ed/Vc,Rd=0.00

Asta n. 6367 (361 373) angolari L50x10 Crit. 1

- Verifica di stabilità aste inflesse (4.2.4.1.3.2) CC 1 SLV - Classe 3
L_{cr}=0.15 Curva d: α_{imp}=0.76 k_c=0.94 ψ=2.02 M,cr=0.00 λ_{LT}=0.00
$\lambda_{LT,0}$=0.00 β_{LT}=0.00 Φ_{LT}=0.00 β_{LT}=0.00 f=0.00 χ_{LT}=1.00
CC 1 SLV My,Ed=-1.00 My,b,Rd=149.05 My,Ed/My,b,Rd=0.01

- Verifica di stabilità aste presso-inflesse (C4.2.4.1.3.3.1) - CC 17 SLU - Classe 3
Sollecitazioni: N,Ed=-562.02 Myeq,Ed=1.68 Mzeq,Ed=-59.30
Resistenze: Nc,Rd=23709.20 My,c,Rd=149.05 Mz,c,Rd=149.05 L=15.00
λ_c=8.19 Ncr,y=2794040.00 λ^*_y=0.09 Curva b: Φ_y=0.00 χ_y=1.00
λ_e=15.58 Ncr,z=772687.00 λ^*_z=0.18 Curva b: Φ_z=0.00 χ_z=1.00
χ,min=1.00
Verifica: 0.02+0.01+0.40=0.43

- Verifica in termini tensionali [4.2.4] - CC 17 SLU Xl=0.00 - Classe 3
Sollecitazioni: N=-562.02 T_z=19.50 M_y=2.16 T_y=799.98 M_z=-59.30 (M_c=43.46 M_e=-40.41)
Tensioni: σ_N=-62.08 σ_M=-1276.42 τ=34.20 σ_{max}=-1338.51
Tensioni: σ_N=-62.08 σ_M=240.00 τ=230.58 τ_{max}=230.58
Tensioni: σ_N=-62.08 σ_M=-1276.42 τ=34.20 $\sigma_{ID,max}$=1339.82

- Verifica a taglio dir. Y [4.2.16] - CC 19 SLU Xl=0.07
Sollecitazioni: N=-349.56 T_z=8.42 T_y=481.02
V,Ed=481.02 Vc,Rd=7560.76 V,Ed/Vc,Rd=0.06

- Verifica a taglio dir. Z [4.2.16]
V,Ed=8.42 Vc,Rd=7560.76 V,Ed/Vc,Rd=0.00

Asta n. 6368 (-17 -25) calastrelli 100x5 Crit. 1

- Verifica di stabilità aste inflesse (4.2.4.1.3.2) CC 16 SLU - Classe 3
L_{cr}=0.30 Curva d: α_{imp}=0.76 k_c=0.94 ψ=3.05 M,cr=0.00 λ_{LT}=0.00
$\lambda_{LT,0}$=0.20 β_{LT}=1.00 Φ_{LT}=0.00 β_{LT}=1.00 f=0.00 χ_{LT}=1.00
CC 16 SLU My,Ed=-4.78 My,b,Rd=436.51 My,Ed/My,b,Rd=0.01

- Verifica di stabilità aste presso-inflesse (C4.2.4.1.3.3.1) - CC 1 SLV - Classe 3
Sollecitazioni: N,Ed=-106.78 Myeq,Ed=-1.32 Mzeq,Ed=-0.01
Resistenze: Nc,Rd=26190.50 My,c,Rd=436.51 Mz,c,Rd=43.65 L=29.69
λ_Y=10.28 Ncr,y=1959700.00 λ^*_y=0.12 Curva c: Φ_y=0.49 χ_y=1.00
λ_Z=102.84 Ncr,z=19597.00 λ^*_z=1.18 Curva c: Φ_z=1.44 χ_z=0.44

χ,min=0.44
Verifica: 0.00+0.00+0.00=0.01

- Verifica in termini tensionali [4.2.4] - CC 17 SLU Xl=0.27 - Classe 3
Sollecitazioni: N=441.74 T_z=-10.48 M_y=1.29
Tensioni: σ_N=44.17 σ_M=7.72 τ=0.00 σ_{max}=51.89
Tensioni: σ_N=44.17 σ_M=-0.00 τ=1.57 τ_{max}=1.57
Tensioni: σ_N=44.17 σ_M=7.72 τ=0.00 $\sigma_{ID,max}$=51.89

- Verifica a taglio dir. Z [4.2.16] - CC 16 SLU Xl=0.16
Sollecitazioni: N=24.35 T_z=-40.44
V,Ed=-40.44 Vc,Rd=15121.50 V,Ed/Vc,Rd=0.00

Asta n. 6369 (-49 -57) calastrelli 100x5 Crit. 1

- Verifica di stabilità aste inflesse (4.2.4.1.3.2) CC 18 SLU - Classe 3
L_{cr}=0.29 Curva d: α_{imp}=0.76 k_c=0.94 ψ=2.98 M,cr=0.00 λ_{LT}=0.00
$\lambda_{LT,0}$=0.20 β_{LT}=1.00 Φ_{LT}=0.00 β_{LT}=1.00 f=0.00 χ_{LT}=1.00
CC 18 SLU My,Ed=-7.28 My,b,Rd=436.51 My,Ed/My,b,Rd=0.02

- Verifica di stabilità aste presso-inflesse (C4.2.4.1.3.3.1) - CC 5 SLV - Classe 3
Sollecitazioni: N,Ed=-11.62 Myeq,Ed=-3.74 Mzeq,Ed=0.03
Resistenze: Nc,Rd=26190.50 My,c,Rd=436.51 Mz,c,Rd=43.65 L=29.38
λ_Y=10.18 Ncr,y=2001620.00 λ^*_y=0.12 Curva c: Φ_y=0.49 χ_y=1.00
λ_Z=101.76 Ncr,z=20016.20 λ^*_z=1.17 Curva c: Φ_z=1.43 χ_z=0.45
χ,min=0.45
Verifica: 0.00+0.01+0.00=0.01

- Verifica in termini tensionali [4.2.4] - CC 19 SLU Xl=0.04 - Classe 3
Sollecitazioni: N=116.27 T_z=-33.19 M_y=-5.69
Tensioni: σ_N=11.63 σ_M=34.12 τ=0.00 σ_{max}=45.74
Tensioni: σ_N=11.63 σ_M=0.00 τ=4.98 τ_{max}=4.98
Tensioni: σ_N=11.63 σ_M=34.12 τ=0.00 $\sigma_{ID,max}$=45.74

- Verifica a taglio dir. Z [4.2.16] - CC 16 SLU Xl=0.16
Sollecitazioni: N=3.49 T_z=-62.72
V,Ed=-62.72 Vc,Rd=15121.50 V,Ed/Vc,Rd=0.00

Asta n. 6370 (-81 -89) calastrelli 50x10 Crit. 1

- Verifica di stabilità aste inflesse (4.2.4.1.3.2) CC 5 SLV - Classe 3
L_{cr}=0.29 Curva d: α_{imp}=0.76 k_c=0.94 ψ=3.06 M,cr=0.00 λ_{LT}=0.00
$\lambda_{LT,0}$=0.20 β_{LT}=1.00 Φ_{LT}=0.00 β_{LT}=1.00 f=0.00 χ_{LT}=1.00
CC 5 SLV My,Ed=3.06 My,b,Rd=109.13 My,Ed/My,b,Rd=0.03

- Verifica di stabilità aste presso-inflesse (C4.2.4.1.3.3.1) - CC 18 SLU - Classe 3
Sollecitazioni: N,Ed=-2.89 Myeq,Ed=6.00 Mzeq,Ed=0.07
Resistenze: Nc,Rd=13095.20 My,c,Rd=109.13 Mz,c,Rd=21.83 L=28.75
λ_Y=19.92 Ncr,y=261199.00 λ^*_y=0.23 Curva c: Φ_y=0.53 χ_y=0.99
λ_Z=99.59 Ncr,z=10447.90 λ^*_z=1.15 Curva c: Φ_z=1.39 χ_z=0.46
χ,min=0.46
Verifica: 0.00+0.05+0.00=0.06

- Verifica in termini tensionali [4.2.4] - CC 18 SLU Xl=0.26 - Classe 3
Sollecitazioni: N=-2.89 T_z=-53.53 M_y=6.00
Tensioni: σ_N=-0.58 σ_M=-143.91 τ=0.00 σ_{max}=-144.49
Tensioni: σ_N=-0.58 σ_M=-0.00 τ=16.06 τ_{max}=16.06
Tensioni: σ_N=-0.58 σ_M=-143.91 τ=0.00 $\sigma_{ID,max}$=144.49

- Verifica a taglio dir. Z [4.2.16] - CC 5 SLV Xl=0.18
  Sollecitazioni: T_z=-27.10
  V,Ed=-27.10 Vc,Rd=7560.76 V,Ed/Vc,Rd=0.00

Asta n. 6371 (-113 -121) calastrelli 50x10 Crit. 1

- Verifica di stabilità aste inflesse (4.2.4.1.3.2) CC 9 SLU - Classe 3
  L_{cr}=0.28 Curva d: α_{imp}=0.76 k_c=0.94 ψ=3.06 M,cr=0.00 λ_{LT}=0.00
  $\lambda_{LT,0}$=0.20 β_{LT}=1.00 Φ_{LT}=0.00 β_{LT}=1.00 f=0.00 χ_{LT}=1.00
  CC 9 SLU My,Ed=4.61 My,b,Rd=109.13 My,Ed/My,b,Rd=0.04

- Verifica di stabilità aste presso-inflesse (C4.2.4.1.3.3.1) - CC 18 SLU - Classe 3
  Sollecitazioni: N,Ed=-1.27 Myeq,Ed=7.43 Mzeq,Ed=0.09
  Resistenze: Nc,Rd=13095.20 My,c,Rd=109.13 Mz,c,Rd=21.83 L=28.13
  λ_Y=19.49 Ncr,y=272937.00 λ^*_y=0.22 Curva c: Φ_y=0.53 χ_y=0.99
  λ_Z=97.43 Ncr,z=10917.50 λ^*_z=1.12 Curva c: Φ_z=1.36 χ_z=0.47
  χ,min=0.47
  Verifica: 0.00+0.07+0.00=0.07

- Verifica in termini tensionali [4.2.4] - CC 18 SLU Xl=0.25 - Classe 3
  Sollecitazioni: N=-1.27 T_z=-68.19 M_y=7.43
  Tensioni: σ_N=-0.25 σ_M=-178.37 τ=0.00 σ_{max}=-178.62
  Tensioni: σ_N=-0.25 σ_M=-0.00 τ=20.46 τ_{max}=20.46
  Tensioni: σ_N=-0.25 σ_M=-178.37 τ=0.00 $\sigma_{ID,max}$=178.62

- Verifica a taglio dir. Z [4.2.16] - CC 9 SLU Xl=0.15
  Sollecitazioni: T_z=-41.98
  V,Ed=-41.98 Vc,Rd=7560.76 V,Ed/Vc,Rd=0.01

Asta n. 6372 (-145 -153) calastrelli 50x10 Crit. 1

- Verifica di stabilità aste presso-inflesse (C4.2.4.1.3.3.1) - CC 18 SLU - Classe 3
  Sollecitazioni: N,Ed=-1.28 Myeq,Ed=7.70 Mzeq,Ed=0.10
  Resistenze: Nc,Rd=13095.20 My,c,Rd=109.13 Mz,c,Rd=21.83 L=27.50
  λ_Y=19.05 Ncr,y=285485.00 λ^*_y=0.22 Curva c: Φ_y=0.53 χ_y=0.99
  λ_Z=95.26 Ncr,z=11419.40 λ^*_z=1.10 Curva c: Φ_z=1.32 χ_z=0.49
  χ,min=0.49
  Verifica: 0.00+0.07+0.00=0.08

- Verifica in termini tensionali [4.2.4] - CC 18 SLU Xl=0.25 - Classe 3
  Sollecitazioni: N=-1.28 T_z=-72.71 M_y=7.70
  Tensioni: σ_N=-0.26 σ_M=-184.89 τ=0.00 σ_{max}=-185.14
  Tensioni: σ_N=-0.26 σ_M=-0.00 τ=21.81 τ_{max}=21.81
  Tensioni: σ_N=-0.26 σ_M=-184.89 τ=0.00 $\sigma_{ID,max}$=185.14

- Verifica a taglio dir. Z [4.2.16] - CC 9 SLU Xl=0.15
  Sollecitazioni: T_z=-45.78
  V,Ed=-45.78 Vc,Rd=7560.76 V,Ed/Vc,Rd=0.01

Asta n. 6373 (-177 -185) calastrelli 50x10 Crit. 1

- Verifica di stabilità aste presso-inflesse (C4.2.4.1.3.3.1) - CC 18 SLU - Classe 3
  Sollecitazioni: N,Ed=-1.30 Myeq,Ed=7.71 Mzeq,Ed=0.10
  Resistenze: Nc,Rd=13095.20 My,c,Rd=109.13 Mz,c,Rd=21.83 L=26.88
  λ_Y=18.62 Ncr,y=298917.00 λ^*_y=0.21 Curva c: Φ_y=0.53 χ_y=0.99
  λ_Z=93.10 Ncr,z=11956.70 λ^*_z=1.07 Curva c: Φ_z=1.29 χ_z=0.50
  χ,min=0.50
  Verifica: 0.00+0.07+0.00=0.08

- Verifica in termini tensionali [4.2.4] - CC 18 SLU Xl=0.24 - Classe 3
  Sollecitazioni: N=-1.30 T_z=-74.98 M_y=7.71
  Tensioni: σ_N=-0.26 σ_M=-185.11 τ=0.00 σ_{max}=-185.37
  Tensioni: σ_N=-0.26 σ_M=-0.00 τ=22.49 τ_{max}=22.49
  Tensioni: σ_N=-0.26 σ_M=-185.11 τ=0.00 $\sigma_{ID,max}$=185.37

- Verifica a taglio dir. Z [4.2.16] - CC 9 SLU Xl=0.15
  Sollecitazioni: T_z=-48.31
  V,Ed=-48.31 Vc,Rd=7560.76 V,Ed/Vc,Rd=0.01

Asta n. 6374 (-209 -217) calastrelli 50x10 Crit. 1

- Verifica di stabilità aste presso-inflesse (C4.2.4.1.3.3.1) - CC 18 SLU - Classe 3
  Sollecitazioni: N,Ed=-1.27 Myeq,Ed=7.66 Mzeq,Ed=0.10
  Resistenze: Nc,Rd=13095.20 My,c,Rd=109.13 Mz,c,Rd=21.83 L=26.25
  λ_Y=18.19 Ncr,y=313321.00 λ^*_y=0.21 Curva c: Φ_y=0.52 χ_y=1.00
  λ_Z=90.93 Ncr,z=12532.80 λ^*_z=1.05 Curva c: Φ_z=1.26 χ_z=0.51
  χ,min=0.51
  Verifica: 0.00+0.07+0.00=0.08

- Verifica in termini tensionali [4.2.4] - CC 18 SLU Xl=0.23 - Classe 3
  Sollecitazioni: N=-1.27 T_z=-76.81 M_y=7.66 T_y=1.00
  Tensioni: σ_N=-0.25 σ_M=-183.95 τ=0.00 σ_{max}=-184.21
  Tensioni: σ_N=-0.25 σ_M=-0.00 τ=23.04 τ_{max}=23.04
  Tensioni: σ_N=-0.25 σ_M=-183.95 τ=0.30 $\sigma_{ID,max}$=184.21

- Verifica a taglio dir. Z [4.2.16] - CC 9 SLU Xl=0.14
  Sollecitazioni: T_z=-50.66
  V,Ed=-50.66 Vc,Rd=7560.76 V,Ed/Vc,Rd=0.01

Asta n. 6375 (-241 -249) calastrelli 50x10 Crit. 1

- Verifica di stabilità aste presso-inflesse (C4.2.4.1.3.3.1) - CC 18 SLU - Classe 3
  Sollecitazioni: N,Ed=-1.27 Myeq,Ed=7.61 Mzeq,Ed=0.10
  Resistenze: Nc,Rd=13095.20 My,c,Rd=109.13 Mz,c,Rd=21.83 L=25.63
  λ_Y=17.75 Ncr,y=328790.00 λ^*_y=0.20 Curva c: Φ_y=0.52 χ_y=1.00
  λ_Z=88.77 Ncr,z=13151.60 λ^*_z=1.02 Curva c: Φ_z=1.22 χ_z=0.53
  χ,min=0.53
  Verifica: 0.00+0.07+0.00=0.07

- Verifica in termini tensionali [4.2.4] - CC 18 SLU Xl=0.23 - Classe 3
  Sollecitazioni: N=-1.27 T_z=-78.64 M_y=7.61 T_y=1.03
  Tensioni: σ_N=-0.25 σ_M=-182.52 τ=0.00 σ_{max}=-182.78
  Tensioni: σ_N=-0.25 σ_M=-0.00 τ=23.60 τ_{max}=23.60
  Tensioni: σ_N=-0.25 σ_M=-182.52 τ=0.31 $\sigma_{ID,max}$=182.78

- Verifica a taglio dir. Z [4.2.16] - CC 9 SLU Xl=0.14
  Sollecitazioni: T_z=-53.11
  V,Ed=-53.11 Vc,Rd=7560.76 V,Ed/Vc,Rd=0.01

Asta n. 6376 (-273 -281) calastrelli 50x10 Crit. 1

- Verifica di stabilità aste presso-inflesse (C4.2.4.1.3.3.1) - CC 18 SLU - Classe 3
  Sollecitazioni: N,Ed=-1.28 Myeq,Ed=7.55 Mzeq,Ed=0.10
  Resistenze: Nc,Rd=13095.20 My,c,Rd=109.13 Mz,c,Rd=21.83 L=25.00
  λ_Y=17.32 Ncr,y=345436.00 λ^*_y=0.20 Curva c: Φ_y=0.52 χ_y=1.00
  λ_Z=86.60 Ncr,z=13817.40 λ^*_z=1.00 Curva c: Φ_z=1.19 χ_z=0.54
  χ,min=0.54
  Verifica: 0.00+0.07+0.00=0.07

- Verifica in termini tensionali [4.2.4] - CC 18 SLU Xl=0.22 - Classe 3
  Sollecitazioni: N=-1.28 T_z=-80.60 M_y=7.55 T_y=1.06
  Tensioni: σ_N=-0.26 σ_M=-181.11 τ=0.00 σ_{max}=-181.36
  Tensioni: σ_N=-0.26 σ_M=-0.00 τ=24.18 τ_{max}=24.18
  Tensioni: σ_N=-0.26 σ_M=-181.11 τ=0.32 $\sigma_{ID,max}$=181.37

- Verifica a taglio dir. Z [4.2.16] - CC 9 SLU Xl=0.14
  Sollecitazioni: T_z=-55.73
  V,Ed=-55.73 Vc,Rd=7560.76 V,Ed/Vc,Rd=0.01

Asta n. 6377 (-305 -313) calastrelli 50x10 Crit. 1

- Verifica di stabilità aste presso-inflesse (C4.2.4.1.3.3.1) - CC 18 SLU - Classe 3
  Sollecitazioni: N,Ed=-1.29 Myeq,Ed=7.48 Mzeq,Ed=0.10
  Resistenze: Nc,Rd=13095.20 My,c,Rd=109.13 Mz,c,Rd=21.83 L=24.38
  λ_Y=16.89 Ncr,y=363379.00 λ^*_y=0.19 Curva c: Φ_y=0.52 χ_y=1.00
  λ_Z=84.44 Ncr,z=14535.20 λ^*_z=0.97 Curva c: Φ_z=1.16 χ_z=0.56
  χ,min=0.56
  Verifica: 0.00+0.07+0.00=0.07

- Verifica in termini tensionali [4.2.4] - CC 18 SLU Xl=0.22 - Classe 3
  Sollecitazioni: N=-1.29 T_z=-82.67 M_y=7.48 T_y=1.09
  Tensioni: σ_N=-0.26 σ_M=-179.63 τ=0.00 σ_{max}=-179.89
  Tensioni: σ_N=-0.26 σ_M=-0.00 τ=24.80 τ_{max}=24.80
  Tensioni: σ_N=-0.26 σ_M=-179.63 τ=0.33 $\sigma_{ID,max}$=179.89

- Verifica a taglio dir. Z [4.2.16] - CC 9 SLU Xl=0.13
  Sollecitazioni: T_z=-58.52
  V,Ed=-58.52 Vc,Rd=7560.76 V,Ed/Vc,Rd=0.01

Asta n. 6378 (-337 -345) calastrelli 50x10 Crit. 1

- Verifica di stabilità aste presso-inflesse (C4.2.4.1.3.3.1) - CC 18 SLU - Classe 3
  Sollecitazioni: N,Ed=-1.26 Myeq,Ed=7.42 Mzeq,Ed=0.10
  Resistenze: Nc,Rd=13095.20 My,c,Rd=109.13 Mz,c,Rd=21.83 L=23.75
  λ_Y=16.45 Ncr,y=382754.00 λ^*_y=0.19 Curva c: Φ_y=0.52 χ_y=1.00
  λ_Z=82.27 Ncr,z=15310.20 λ^*_z=0.95 Curva c: Φ_z=1.13 χ_z=0.57
  χ,min=0.57
  Verifica: 0.00+0.07+0.00=0.07

- Verifica in termini tensionali [4.2.4] - CC 18 SLU Xl=0.21 - Classe 3
  Sollecitazioni: N=-1.26 T_z=-84.88 M_y=7.42 T_y=1.12
  Tensioni: σ_N=-0.25 σ_M=-178.14 τ=0.00 σ_{max}=-178.39
  Tensioni: σ_N=-0.25 σ_M=-0.00 τ=25.47 τ_{max}=25.47
  Tensioni: σ_N=-0.25 σ_M=-178.14 τ=0.34 $\sigma_{ID,max}$=178.39

- Verifica a taglio dir. Z [4.2.16] - CC 9 SLU Xl=0.13
  Sollecitazioni: T_z=-61.52
  V,Ed=-61.52 Vc,Rd=7560.76 V,Ed/Vc,Rd=0.01

Asta n. 6379 (-369 -377) calastrelli 50x10 Crit. 1

- Verifica di stabilità aste presso-inflesse (C4.2.4.1.3.3.1) - CC 18 SLU - Classe 3
  Sollecitazioni: N,Ed=-1.31 Myeq,Ed=7.36 Mzeq,Ed=0.10
  Resistenze: Nc,Rd=13095.20 My,c,Rd=109.13 Mz,c,Rd=21.83 L=23.13
  λ_Y=16.02 Ncr,y=403725.00 λ^*_y=0.18 Curva c: Φ_y=0.51 χ_y=1.00
  λ_Z=80.11 Ncr,z=16149.00 λ^*_z=0.92 Curva c: Φ_z=1.10 χ_z=0.59
  χ,min=0.59

Verifica: 0.00+0.07+0.00=0.07

- Verifica in termini tensionali [4.2.4] - CC 18 SLU Xl=0.20 - Classe 3
Sollecitazioni: N=-1.31 T_z=-87.28 M_y=7.36 T_y=1.15
Tensioni: σ_N=-0.26 σ_M=-176.71 τ=0.00 σ_{max}=-176.97
Tensioni: σ_N=-0.26 σ_M=-0.00 τ=26.19 τ_{max}=26.19
Tensioni: σ_N=-0.26 σ_M=-176.71 τ=0.35 $\sigma_{ID,max}$=176.97

- Verifica a taglio dir. Z [4.2.16] - CC 9 SLU Xl=0.13
Sollecitazioni: T_z=-64.76
V,Ed=-64.76 Vc,Rd=7560.76 V,Ed/Vc,Rd=0.01

Asta n. 6380 (-401 -409) calastrelli 50x10 Crit. 1

- Verifica di stabilità aste presso-inflesse (C4.2.4.1.3.3.1) - CC 18 SLU - Classe 3
Sollecitazioni: N,Ed=-1.32 Myeq,Ed=7.30 Mzeq,Ed=0.10
Resistenze: Nc,Rd=13095.20 My,c,Rd=109.13 Mz,c,Rd=21.83 L=22.50
λ_Y=15.59 Ncr,y=426463.00 λ^*_y=0.18 Curva c: Φ_y=0.51 χ_y=1.00
λ_Z=77.94 Ncr,z=17058.50 λ^*_z=0.90 Curva c: Φ_z=1.07 χ_z=0.60
χ,min=0.60
Verifica: 0.00+0.07+0.00=0.07

- Verifica in termini tensionali [4.2.4] - CC 18 SLU Xl=0.20 - Classe 3
Sollecitazioni: N=-1.32 T_z=-89.84 M_y=7.30 T_y=1.19
Tensioni: σ_N=-0.26 σ_M=-175.21 τ=0.00 σ_{max}=-175.47
Tensioni: σ_N=-0.26 σ_M=-0.00 τ=26.95 τ_{max}=26.95
Tensioni: σ_N=-0.26 σ_M=-175.21 τ=0.36 $\sigma_{ID,max}$=175.47

- Verifica a taglio dir. Z [4.2.16] - CC 9 SLU Xl=0.12
Sollecitazioni: T_z=-68.23
V,Ed=-68.23 Vc,Rd=7560.76 V,Ed/Vc,Rd=0.01

Asta n. 6381 (-433 -441) calastrelli 50x10 Crit. 1

- Verifica di stabilità aste inflesse (4.2.4.1.3.2) CC 9 SLU - Classe 3
L_{cr}=0.22 Curva d: α_{imp}=0.76 k_c=0.94 ψ=3.06 M,cr=0.00 λ_{LT}=0.00
$\lambda_{LT,0}$=0.20 β_{LT}=1.00 Φ_{LT}=0.00 β_{LT}=1.00 f=0.00 χ_{LT}=1.00
CC 9 SLU My,Ed=5.64 My,b,Rd=109.13 My,Ed/My,b,Rd=0.05

- Verifica di stabilità aste presso-inflesse (C4.2.4.1.3.3.1) - CC 18 SLU - Classe 3
Sollecitazioni: N,Ed=-0.73 Myeq,Ed=7.23 Mzeq,Ed=0.10
Resistenze: Nc,Rd=13095.20 My,c,Rd=109.13 Mz,c,Rd=21.83 L=21.88
λ_Y=15.16 Ncr,y=451182.00 λ^*_y=0.17 Curva c: Φ_y=0.51 χ_y=1.00
λ_Z=75.78 Ncr,z=18047.30 λ^*_z=0.87 Curva c: Φ_z=1.05 χ_z=0.62
χ,min=0.62
Verifica: 0.00+0.07+0.00=0.07

- Verifica a flessione [4.2.13] - CC 18 SLU Xl=0.19 - Classe 3
Sollecitazioni: T_z=-92.43 M_y=7.23 T_y=1.23
My,Ed=7.23 My,c,Rd=109.13 My,Ed/My,c,Rd=0.07

- Verifica a taglio dir. Y [4.2.16] - CC 18 SLU Xl=0.12
Sollecitazioni: T_z=-92.07 T_y=1.23
V,Ed=1.23 Vc,Rd=7560.76 V,Ed/Vc,Rd=0.00

- Verifica a taglio dir. Z [4.2.16]
V,Ed=-92.07 Vc,Rd=7560.76 V,Ed/Vc,Rd=0.01

Asta n. 6382 (-465 -473) calastrelli 50x10 Crit. 1

- Verifica di stabilità aste presso-inflesse (C4.2.4.1.3.3.1) - CC 18 SLU - Classe 3
  Sollecitazioni: N,Ed=-5.21 Myeq,Ed=7.05 Mzeq,Ed=0.09
  Resistenze: Nc,Rd=13095.20 My,c,Rd=109.13 Mz,c,Rd=21.83 L=21.25
  λ_Y=14.72 Ncr,y=478114.00 λ^*_y=0.17 Curva c: Φ_y=0.51 χ_y=1.00
  λ_Z=73.61 Ncr,z=19124.60 λ^*_z=0.85 Curva c: Φ_z=1.02 χ_z=0.63
  χ,min=0.63
  Verifica: 0.00+0.06+0.00=0.07

- Verifica in termini tensionali [4.2.4] - CC 18 SLU Xl=0.18 - Classe 3
  Sollecitazioni: N=-5.21 T_z=-94.27 M_y=7.05 T_y=1.14
  Tensioni: σ_N=-1.04 σ_M=-169.13 τ=0.00 σ_{max}=-170.18
  Tensioni: σ_N=-1.04 σ_M=-0.00 τ=28.28 τ_{max}=28.28
  Tensioni: σ_N=-1.04 σ_M=-169.13 τ=0.34 $\sigma_{ID,max}$=170.18

- Verifica a taglio dir. Z [4.2.16] - CC 5 SLV Xl=0.12
  Sollecitazioni: T_z=-58.99
  V,Ed=-58.99 Vc,Rd=7560.76 V,Ed/Vc,Rd=0.01

Asta n. 6383 (-497 -505) calastrelli 50x10 Crit. 1

- Verifica in termini tensionali [4.2.4] - CC 18 SLU Xl=0.18 - Classe 3
  Sollecitazioni: N=21.66 T_z=-89.42 M_y=6.64 T_y=1.43
  Tensioni: σ_N=4.33 σ_M=159.39 τ=0.00 σ_{max}=163.72
  Tensioni: σ_N=4.33 σ_M=-0.00 τ=26.83 τ_{max}=26.83
  Tensioni: σ_N=4.33 σ_M=159.39 τ=0.43 $\sigma_{ID,max}$=163.72

- Verifica a taglio dir. Y [4.2.16] - CC 18 SLU Xl=0.11
  Sollecitazioni: N=21.66 T_z=-89.09 T_y=1.43
  V,Ed=1.43 Vc,Rd=7560.76 V,Ed/Vc,Rd=0.00

- Verifica a taglio dir. Z [4.2.16]
  V,Ed=-89.09 Vc,Rd=7560.76 V,Ed/Vc,Rd=0.01

Asta n. 6388 (-498 -506) calastrelli 50x10 Crit. 1

- Verifica in termini tensionali [4.2.4] - CC 18 SLU Xl=0.17 - Classe 3
  Sollecitazioni: N=36.78 T_z=-96.78 M_y=7.13 T_y=-1.57
  Tensioni: σ_N=7.36 σ_M=171.13 τ=0.00 σ_{max}=178.48
  Tensioni: σ_N=7.36 σ_M=-0.00 τ=29.04 τ_{max}=29.04
  Tensioni: σ_N=7.36 σ_M=171.13 τ=0.47 $\sigma_{ID,max}$=178.49

- Verifica a taglio dir. Y [4.2.16] - CC 18 SLU Xl=0.11
  Sollecitazioni: N=36.78 T_z=-96.45 T_y=-1.57
  V,Ed=-1.57 Vc,Rd=7560.76 V,Ed/Vc,Rd=0.00

- Verifica a taglio dir. Z [4.2.16]
  V,Ed=-96.45 Vc,Rd=7560.76 V,Ed/Vc,Rd=0.01

Asta n. 6389 (-466 -474) calastrelli 50x10 Crit. 1

- Verifica di stabilità aste presso-inflesse (C4.2.4.1.3.3.1) - CC 18 SLU - Classe 3
  Sollecitazioni: N,Ed=-8.02 Myeq,Ed=-7.70 Mzeq,Ed=0.10
  Resistenze: Nc,Rd=13095.20 My,c,Rd=109.13 Mz,c,Rd=21.83 L=21.25
  λ_Y=14.72 Ncr,y=478114.00 λ^*_y=0.17 Curva c: Φ_y=0.51 χ_y=1.00
  λ_Z=73.61 Ncr,z=19124.60 λ^*_z=0.85 Curva c: Φ_z=1.02 χ_z=0.63
  χ,min=0.63
  Verifica: 0.00+0.07+0.00=0.08

- Verifica in termini tensionali [4.2.4] - CC 18 SLU Xl=0.03 - Classe 3

Sollecitazioni: N=-8.02 T_z=-101.16 M_y=-7.70 T_y=-1.27
Tensioni: σ_N=-1.60 σ_M=-184.85 τ=0.00 σ_{max}=-186.45
Tensioni: σ_N=-1.60 σ_M=0.00 τ=30.35 τ_{max}=30.35
Tensioni: σ_N=-1.60 σ_M=-184.85 τ=0.38 $\sigma_{ID,max}$=186.45

Asta n. 6390 (-434 -442) calastrelli 50x10 Crit. 1

- Verifica di stabilità aste inflesse (4.2.4.1.3.2) CC 19 SLU - Classe 3
L_{cr}=0.22 Curva d: α_{imp}=0.76 k_c=0.94 ψ=3.07 M,cr=0.00 λ_{LT}=0.00
$\lambda_{LT,0}$=0.20 β_{LT}=1.00 Φ_{LT}=0.00 β_{LT}=1.00 f=0.00 χ_{LT}=1.00
CC 19 SLU My,Ed=-6.25 My,b,Rd=109.13 My,Ed/My,b,Rd=0.06

- Verifica di stabilità aste presso-inflesse (C4.2.4.1.3.3.1) - CC 18 SLU - Classe 3
Sollecitazioni: N,Ed=-0.32 Myeq,Ed=-7.80 Mzeq,Ed=0.11
Resistenze: Nc,Rd=13095.20 My,c,Rd=109.13 Mz,c,Rd=21.83 L=21.88
λ_Y=15.16 Ncr,y=451182.00 λ^*_y=0.17 Curva c: Φ_y=0.51 χ_y=1.00
λ_Z=75.78 Ncr,z=18047.30 λ^*_z=0.87 Curva c: Φ_z=1.05 χ_z=0.62
χ,min=0.62
Verifica: 0.00+0.07+0.00=0.08

- Verifica a flessione [4.2.13] - CC 18 SLU Xl=0.03 - Classe 3
Sollecitazioni: T_z=-99.09 M_y=-7.80 T_y=-1.35
My,Ed=-7.80 My,c,Rd=109.13 My,Ed/My,c,Rd=0.07

- Verifica a taglio dir. Y [4.2.16] - CC 18 SLU Xl=0.11
Sollecitazioni: T_z=-99.52 T_y=-1.35
V,Ed=-1.35 Vc,Rd=7560.76 V,Ed/Vc,Rd=0.00

- Verifica a taglio dir. Z [4.2.16]
V,Ed=-99.52 Vc,Rd=7560.76 V,Ed/Vc,Rd=0.01

Asta n. 6391 (-402 -410) calastrelli 50x10 Crit. 1

- Verifica di stabilità aste inflesse (4.2.4.1.3.2) CC 17 SLU - Classe 3
L_{cr}=0.23 Curva d: α_{imp}=0.76 k_c=0.94 ψ=3.06 M,cr=0.00 λ_{LT}=0.00
$\lambda_{LT,0}$=0.20 β_{LT}=1.00 Φ_{LT}=0.00 β_{LT}=1.00 f=0.00 χ_{LT}=1.00
CC 17 SLU My,Ed=-3.59 My,b,Rd=109.13 My,Ed/My,b,Rd=0.03

- Verifica di stabilità aste presso-inflesse (C4.2.4.1.3.3.1) - CC 18 SLU - Classe 3
Sollecitazioni: N,Ed=-1.36 Myeq,Ed=-7.87 Mzeq,Ed=0.11
Resistenze: Nc,Rd=13095.20 My,c,Rd=109.13 Mz,c,Rd=21.83 L=22.50
λ_Y=15.59 Ncr,y=426463.00 λ^*_y=0.18 Curva c: Φ_y=0.51 χ_y=1.00
λ_Z=77.94 Ncr,z=17058.50 λ^*_z=0.90 Curva c: Φ_z=1.07 χ_z=0.60
χ,min=0.60
Verifica: 0.00+0.07+0.00=0.08

- Verifica in termini tensionali [4.2.4] - CC 18 SLU Xl=0.03 - Classe 3
Sollecitazioni: N=-1.36 T_z=-96.07 M_y=-7.87 T_y=-1.30
Tensioni: σ_N=-0.27 σ_M=-188.88 τ=0.00 σ_{max}=-189.15
Tensioni: σ_N=-0.27 σ_M=0.00 τ=28.82 τ_{max}=28.82
Tensioni: σ_N=-0.27 σ_M=-188.88 τ=0.39 $\sigma_{ID,max}$=189.16

- Verifica a taglio dir. Y [4.2.16] - CC 19 SLU Xl=0.12
Sollecitazioni: T_z=-75.70 T_y=-1.02
V,Ed=-1.02 Vc,Rd=7560.76 V,Ed/Vc,Rd=0.00

- Verifica a taglio dir. Z [4.2.16]
V,Ed=-75.70 Vc,Rd=7560.76 V,Ed/Vc,Rd=0.01

Asta n. 6392 (-370 -378) calastrelli 50x10 Crit. 1

- Verifica di stabilità aste inflesse (4.2.4.1.3.2) CC 19 SLU - Classe 3
  L_{cr}=0.23 Curva d: α_{imp}=0.76 k_c=0.94 ψ=3.07 M,cr=0.00 λ_{LT}=0.00
  $\lambda_{LT,0}$=0.20 β_{LT}=1.00 Φ_{LT}=0.00 β_{LT}=1.00 f=0.00 χ_{LT}=1.00
  CC 19 SLU My,Ed=-6.08 My,b,Rd=109.13 My,Ed/My,b,Rd=0.06

- Verifica di stabilità aste presso-inflesse (C4.2.4.1.3.3.1) - CC 18 SLU - Classe 3
  Sollecitazioni: N,Ed=-1.29 Myeq,Ed=-7.92 Mzeq,Ed=0.11
  Resistenze: Nc,Rd=13095.20 My,c,Rd=109.13 Mz,c,Rd=21.83 L=23.13
  λ_Y=16.02 Ncr,y=403725.00 λ^*_y=0.18 Curva c: Φ_y=0.51 χ_y=1.00
  λ_Z=80.11 Ncr,z=16149.00 λ^*_z=0.92 Curva c: Φ_z=1.10 χ_z=0.59
  χ,min=0.59
  Verifica: 0.00+0.07+0.00=0.08

- Verifica in termini tensionali [4.2.4] - CC 18 SLU Xl=0.03 - Classe 3
  Sollecitazioni: N=-1.29 T_z=-93.12 M_y=-7.92 T_y=-1.26
  Tensioni: σ_N=-0.26 σ_M=-190.08 τ=0.00 σ_{max}=-190.34
  Tensioni: σ_N=-0.26 σ_M=0.00 τ=27.94 τ_{max}=27.94
  Tensioni: σ_N=-0.26 σ_M=-190.08 τ=0.38 $\sigma_{ID,max}$=190.34

- Verifica a taglio dir. Z [4.2.16] - CC 19 SLU Xl=0.12
  Sollecitazioni: T_z=-71.83
  V,Ed=-71.83 Vc,Rd=7560.76 V,Ed/Vc,Rd=0.01

Asta n. 6393 (-338 -346) calastrelli 50x10 Crit. 1

- Verifica di stabilità aste inflesse (4.2.4.1.3.2) CC 19 SLU - Classe 3
  L_{cr}=0.24 Curva d: α_{imp}=0.76 k_c=0.94 ψ=3.07 M,cr=0.00 λ_{LT}=0.00
  $\lambda_{LT,0}$=0.20 β_{LT}=1.00 Φ_{LT}=0.00 β_{LT}=1.00 f=0.00 χ_{LT}=1.00
  CC 19 SLU My,Ed=-5.99 My,b,Rd=109.13 My,Ed/My,b,Rd=0.05

- Verifica di stabilità aste presso-inflesse (C4.2.4.1.3.3.1) - CC 18 SLU - Classe 3
  Sollecitazioni: N,Ed=-1.24 Myeq,Ed=-7.97 Mzeq,Ed=0.11
  Resistenze: Nc,Rd=13095.20 My,c,Rd=109.13 Mz,c,Rd=21.83 L=23.75
  λ_Y=16.45 Ncr,y=382754.00 λ^*_y=0.19 Curva c: Φ_y=0.52 χ_y=1.00
  λ_Z=82.27 Ncr,z=15310.20 λ^*_z=0.95 Curva c: Φ_z=1.13 χ_z=0.57
  χ,min=0.57
  Verifica: 0.00+0.07+0.01=0.08

- Verifica in termini tensionali [4.2.4] - CC 18 SLU Xl=0.03 - Classe 3
  Sollecitazioni: N=-1.24 T_z=-90.34 M_y=-7.97 T_y=-1.22
  Tensioni: σ_N=-0.25 σ_M=-191.24 τ=0.00 σ_{max}=-191.49
  Tensioni: σ_N=-0.25 σ_M=0.00 τ=27.10 τ_{max}=27.10
  Tensioni: σ_N=-0.25 σ_M=-191.24 τ=0.37 $\sigma_{ID,max}$=191.49

- Verifica a taglio dir. Z [4.2.16] - CC 19 SLU Xl=0.12
  Sollecitazioni: T_z=-68.23
  V,Ed=-68.23 Vc,Rd=7560.76 V,Ed/Vc,Rd=0.01

Asta n. 6394 (-306 -314) calastrelli 50x10 Crit. 1

- Verifica di stabilità aste inflesse (4.2.4.1.3.2) CC 19 SLU - Classe 3
  L_{cr}=0.24 Curva d: α_{imp}=0.76 k_c=0.94 ψ=3.07 M,cr=0.00 λ_{LT}=0.00
  $\lambda_{LT,0}$=0.20 β_{LT}=1.00 Φ_{LT}=0.00 β_{LT}=1.00 f=0.00 χ_{LT}=1.00
  CC 19 SLU My,Ed=-5.89 My,b,Rd=109.13 My,Ed/My,b,Rd=0.05

- Verifica di stabilità aste presso-inflesse (C4.2.4.1.3.3.1) - CC 18 SLU - Classe 3
  Sollecitazioni: N,Ed=-1.29 Myeq,Ed=-8.02 Mzeq,Ed=0.11

Resistenze: Nc,Rd=13095.20 My,c,Rd=109.13 Mz,c,Rd=21.83 L=24.38
λ_Y=16.89 Ncr,y=363379.00 λ^*_y=0.19 Curva c: Φ_y=0.52 χ_y=1.00
λ_Z=84.44 Ncr,z=14535.20 λ^*_z=0.97 Curva c: Φ_z=1.16 χ_z=0.56
χ,min=0.56
Verifica: 0.00+0.07+0.01=0.08

- Verifica in termini tensionali [4.2.4] - CC 18 SLU Xl=0.03 - Classe 3
Sollecitazioni: N=-1.29 T_z=-87.77 M_y=-8.02 T_y=-1.18
Tensioni: σ_N=-0.26 σ_M=-192.44 τ=0.00 σ_{max}=-192.70
Tensioni: σ_N=-0.26 σ_M=0.00 τ=26.33 τ_{max}=26.33
Tensioni: σ_N=-0.26 σ_M=-192.44 τ=0.35 $\sigma_{ID,max}$=192.70

- Verifica a taglio dir. Z [4.2.16] - CC 19 SLU Xl=0.13
Sollecitazioni: T_z=-64.89
V,Ed=-64.89 Vc,Rd=7560.76 V,Ed/Vc,Rd=0.01

Asta n. 6395 (-274 -282) calastrelli 50x10 Crit. 1

- Verifica di stabilità aste inflesse (4.2.4.1.3.2) CC 19 SLU - Classe 3
L_{cr}=0.25 Curva d: α_{imp}=0.76 k_c=0.94 ψ=3.07 M,cr=0.00 λ_{LT}=0.00
$\lambda_{LT,0}$=0.20 β_{LT}=1.00 Φ_{LT}=0.00 β_{LT}=1.00 f=0.00 χ_{LT}=1.00
CC 19 SLU My,Ed=-5.80 My,b,Rd=109.13 My,Ed/My,b,Rd=0.05

- Verifica di stabilità aste presso-inflesse (C4.2.4.1.3.3.1) - CC 18 SLU - Classe 3
Sollecitazioni: N,Ed=-1.27 Myeq,Ed=-8.07 Mzeq,Ed=0.11
Resistenze: Nc,Rd=13095.20 My,c,Rd=109.13 Mz,c,Rd=21.83 L=25.00
λ_Y=17.32 Ncr,y=345436.00 λ^*_y=0.20 Curva c: Φ_y=0.52 χ_y=1.00
λ_Z=86.60 Ncr,z=13817.40 λ^*_z=1.00 Curva c: Φ_z=1.19 χ_z=0.54
χ,min=0.54
Verifica: 0.00+0.07+0.01=0.08

- Verifica in termini tensionali [4.2.4] - CC 18 SLU Xl=0.03 - Classe 3
Sollecitazioni: N=-1.27 T_z=-85.38 M_y=-8.07 T_y=-1.15
Tensioni: σ_N=-0.25 σ_M=-193.66 τ=0.00 σ_{max}=-193.92
Tensioni: σ_N=-0.25 σ_M=0.00 τ=25.62 τ_{max}=25.62
Tensioni: σ_N=-0.25 σ_M=-193.66 τ=0.34 $\sigma_{ID,max}$=193.92

- Verifica a taglio dir. Z [4.2.16] - CC 19 SLU Xl=0.13
Sollecitazioni: T_z=-61.78
V,Ed=-61.78 Vc,Rd=7560.76 V,Ed/Vc,Rd=0.01

Asta n. 6396 (-242 -250) calastrelli 50x10 Crit. 1

- Verifica di stabilità aste inflesse (4.2.4.1.3.2) CC 19 SLU - Classe 3
L_{cr}=0.26 Curva d: α_{imp}=0.76 k_c=0.94 ψ=3.07 M,cr=0.00 λ_{LT}=0.00
$\lambda_{LT,0}$=0.20 β_{LT}=1.00 Φ_{LT}=0.00 β_{LT}=1.00 f=0.00 χ_{LT}=1.00
CC 19 SLU My,Ed=-5.71 My,b,Rd=109.13 My,Ed/My,b,Rd=0.05

- Verifica di stabilità aste presso-inflesse (C4.2.4.1.3.3.1) - CC 18 SLU - Classe 3
Sollecitazioni: N,Ed=-1.25 Myeq,Ed=-8.12 Mzeq,Ed=0.11
Resistenze: Nc,Rd=13095.20 My,c,Rd=109.13 Mz,c,Rd=21.83 L=25.63
λ_Y=17.75 Ncr,y=328790.00 λ^*_y=0.20 Curva c: Φ_y=0.52 χ_y=1.00
λ_Z=88.77 Ncr,z=13151.60 λ^*_z=1.02 Curva c: Φ_z=1.22 χ_z=0.53
χ,min=0.53
Verifica: 0.00+0.07+0.01=0.08

- Verifica in termini tensionali [4.2.4] - CC 18 SLU Xl=0.03 - Classe 3
Sollecitazioni: N=-1.25 T_z=-83.11 M_y=-8.12 T_y=-1.11
Tensioni: σ_N=-0.25 σ_M=-194.83 τ=0.00 σ_{max}=-195.08

Tensioni: σ_N=-0.25 σ_M=0.00 τ=24.93 τ_{max}=24.93
Tensioni: σ_N=-0.25 σ_M=-194.83 τ=0.33 $\sigma_{ID,max}$=195.08

- Verifica a taglio dir. Z [4.2.16] - CC 19 SLU Xl=0.13
Sollecitazioni: T_z=-58.87
V,Ed=-58.87 Vc,Rd=7560.76 V,Ed/Vc,Rd=0.01

Asta n. 6397 (-210 -218) calastrelli 50x10 Crit. 1

- Verifica di stabilità aste inflesse (4.2.4.1.3.2) CC 19 SLU - Classe 3
L_{cr}=0.26 Curva d: α_{imp}=0.76 k_c=0.94 ψ=3.08 M,cr=0.00 λ_{LT}=0.00
$\lambda_{LT,0}$=0.20 β_{LT}=1.00 Φ_{LT}=0.00 β_{LT}=1.00 f=0.00 χ_{LT}=1.00
CC 19 SLU My,Ed=-5.62 My,b,Rd=109.13 My,Ed/My,b,Rd=0.05

- Verifica di stabilità aste presso-inflesse (C4.2.4.1.3.3.1) - CC 18 SLU - Classe 3
Sollecitazioni: N,Ed=-1.28 Myeq,Ed=-8.17 Mzeq,Ed=0.11
Resistenze: Nc,Rd=13095.20 My,c,Rd=109.13 Mz,c,Rd=21.83 L=26.25
λ_Y=18.19 Ncr,y=313321.00 λ^*_y=0.21 Curva c: Φ_y=0.52 χ_y=1.00
λ_Z=90.93 Ncr,z=12532.80 λ^*_z=1.05 Curva c: Φ_z=1.26 χ_z=0.51
χ,min=0.51
Verifica: 0.00+0.07+0.01=0.08

- Verifica in termini tensionali [4.2.4] - CC 18 SLU Xl=0.03 - Classe 3
Sollecitazioni: N=-1.28 T_z=-80.98 M_y=-8.17 T_y=-1.08
Tensioni: σ_N=-0.26 σ_M=-195.96 τ=0.00 σ_{max}=-196.22
Tensioni: σ_N=-0.26 σ_M=0.00 τ=24.30 τ_{max}=24.30
Tensioni: σ_N=-0.26 σ_M=-195.96 τ=0.32 $\sigma_{ID,max}$=196.22

- Verifica a taglio dir. Z [4.2.16] - CC 19 SLU Xl=0.14
Sollecitazioni: T_z=-56.15
V,Ed=-56.15 Vc,Rd=7560.76 V,Ed/Vc,Rd=0.01

Asta n. 6398 (-178 -186) calastrelli 50x10 Crit. 1

- Verifica di stabilità aste inflesse (4.2.4.1.3.2) CC 19 SLU - Classe 3
L_{cr}=0.27 Curva d: α_{imp}=0.76 k_c=0.94 ψ=3.08 M,cr=0.00 λ_{LT}=0.00
$\lambda_{LT,0}$=0.20 β_{LT}=1.00 Φ_{LT}=0.00 β_{LT}=1.00 f=0.00 χ_{LT}=1.00
CC 19 SLU My,Ed=-5.52 My,b,Rd=109.13 My,Ed/My,b,Rd=0.05

- Verifica di stabilità aste presso-inflesse (C4.2.4.1.3.3.1) - CC 18 SLU - Classe 3
Sollecitazioni: N,Ed=-1.30 Myeq,Ed=-8.20 Mzeq,Ed=0.11
Resistenze: Nc,Rd=13095.20 My,c,Rd=109.13 Mz,c,Rd=21.83 L=26.88
λ_Y=18.62 Ncr,y=298917.00 λ^*_y=0.21 Curva c: Φ_y=0.53 χ_y=0.99
λ_Z=93.10 Ncr,z=11956.70 λ^*_z=1.07 Curva c: Φ_z=1.29 χ_z=0.50
χ,min=0.50
Verifica: 0.00+0.08+0.01=0.08

- Verifica in termini tensionali [4.2.4] - CC 18 SLU Xl=0.03 - Classe 3
Sollecitazioni: N=-1.30 T_z=-78.87 M_y=-8.20 T_y=-1.05
Tensioni: σ_N=-0.26 σ_M=-196.85 τ=0.00 σ_{max}=-197.11
Tensioni: σ_N=-0.26 σ_M=0.00 τ=23.66 τ_{max}=23.66
Tensioni: σ_N=-0.26 σ_M=-196.85 τ=0.31 $\sigma_{ID,max}$=197.11

- Verifica a taglio dir. Z [4.2.16] - CC 19 SLU Xl=0.14
Sollecitazioni: T_z=-53.53
V,Ed=-53.53 Vc,Rd=7560.76 V,Ed/Vc,Rd=0.01

Asta n. 6399 (-146 -154) calastrelli 50x10 Crit. 1

- Verifica di stabilità aste inflesse (4.2.4.1.3.2) CC 19 SLU - Classe 3
  L_{cr}=0.28 Curva d: α_{imp}=0.76 k_c=0.94 ψ=3.08 M,cr=0.00 λ_{LT}=0.00
  $\lambda_{LT,0}$=0.20 β_{LT}=1.00 Φ_{LT}=0.00 β_{LT}=1.00 f=0.00 χ_{LT}=1.00
  CC 19 SLU My,Ed=-5.39 My,b,Rd=109.13 My,Ed/My,b,Rd=0.05

- Verifica di stabilità aste presso-inflesse (C4.2.4.1.3.3.1) - CC 18 SLU - Classe 3
  Sollecitazioni: N,Ed=-1.26 Myeq,Ed=-8.18 Mzeq,Ed=0.11
  Resistenze: Nc,Rd=13095.20 My,c,Rd=109.13 Mz,c,Rd=21.83 L=27.50
  λ_Y=19.05 Ncr,y=285485.00 λ^*_y=0.22 Curva c: Φ_y=0.53 χ_y=0.99
  λ_Z=95.26 Ncr,z=11419.40 λ^*_z=1.10 Curva c: Φ_z=1.32 χ_z=0.49
  χ,min=0.49
  Verifica: 0.00+0.07+0.00=0.08

- Verifica in termini tensionali [4.2.4] - CC 18 SLU Xl=0.03 - Classe 3
  Sollecitazioni: N=-1.26 T_z=-76.31 M_y=-8.18
  Tensioni: σ_N=-0.25 σ_M=-196.28 τ=0.00 σ_{max}=-196.53
  Tensioni: σ_N=-0.25 σ_M=0.00 τ=22.89 τ_{max}=22.89
  Tensioni: σ_N=-0.25 σ_M=-196.28 τ=0.00 $\sigma_{ID,max}$=196.53

- Verifica a taglio dir. Z [4.2.16] - CC 19 SLU Xl=0.14
  Sollecitazioni: T_z=-50.73
  V,Ed=-50.73 Vc,Rd=7560.76 V,Ed/Vc,Rd=0.01

Asta n. 6400 (-114 -122) calastrelli 50x10 Crit. 1

- Verifica di stabilità aste inflesse (4.2.4.1.3.2) CC 19 SLU - Classe 3
  L_{cr}=0.28 Curva d: α_{imp}=0.76 k_c=0.94 ψ=3.08 M,cr=0.00 λ_{LT}=0.00
  $\lambda_{LT,0}$=0.20 β_{LT}=1.00 Φ_{LT}=0.00 β_{LT}=1.00 f=0.00 χ_{LT}=1.00
  CC 19 SLU My,Ed=-5.09 My,b,Rd=109.13 My,Ed/My,b,Rd=0.05

- Verifica di stabilità aste presso-inflesse (C4.2.4.1.3.3.1) - CC 18 SLU - Classe 3
  Sollecitazioni: N,Ed=-0.86 Myeq,Ed=-7.88 Mzeq,Ed=0.10
  Resistenze: Nc,Rd=13095.20 My,c,Rd=109.13 Mz,c,Rd=21.83 L=28.13
  λ_Y=19.49 Ncr,y=272937.00 λ^*_y=0.22 Curva c: Φ_y=0.53 χ_y=0.99
  λ_Z=97.43 Ncr,z=10917.50 λ^*_z=1.12 Curva c: Φ_z=1.36 χ_z=0.47
  χ,min=0.47
  Verifica: 0.00+0.07+0.00=0.08

- Verifica a flessione [4.2.13] - CC 18 SLU Xl=0.03 - Classe 3
  Sollecitazioni: T_z=-71.37 M_y=-7.88
  My,Ed=-7.88 My,c,Rd=109.13 My,Ed/My,c,Rd=0.07

- Verifica a taglio dir. Z [4.2.16] - CC 18 SLU Xl=0.15
  Sollecitazioni: T_z=-71.98
  V,Ed=-71.98 Vc,Rd=7560.76 V,Ed/Vc,Rd=0.01

Asta n. 6401 (-82 -90) calastrelli 50x10 Crit. 1

- Verifica di stabilità aste inflesse (4.2.4.1.3.2) CC 17 SLU - Classe 3
  L_{cr}=0.29 Curva d: α_{imp}=0.76 k_c=0.94 ψ=3.09 M,cr=0.00 λ_{LT}=0.00
  $\lambda_{LT,0}$=0.20 β_{LT}=1.00 Φ_{LT}=0.00 β_{LT}=1.00 f=0.00 χ_{LT}=1.00
  CC 17 SLU My,Ed=-2.33 My,b,Rd=109.13 My,Ed/My,b,Rd=0.02

- Verifica di stabilità aste presso-inflesse (C4.2.4.1.3.3.1) - CC 18 SLU - Classe 3
  Sollecitazioni: N,Ed=-6.02 Myeq,Ed=-6.32 Mzeq,Ed=0.08
  Resistenze: Nc,Rd=13095.20 My,c,Rd=109.13 Mz,c,Rd=21.83 L=28.75
  λ_Y=19.92 Ncr,y=261199.00 λ^*_y=0.23 Curva c: Φ_y=0.53 χ_y=0.99
  λ_Z=99.59 Ncr,z=10447.90 λ^*_z=1.15 Curva c: Φ_z=1.39 χ_z=0.46
  χ,min=0.46

Verifica: 0.00+0.06+0.00=0.06

- Verifica in termini tensionali [4.2.4] - CC 18 SLU Xl=0.03 - Classe 3
Sollecitazioni: N=-6.02 T_z=-55.73 M_y=-6.32
Tensioni: σ_N=-1.20 σ_M=-151.67 τ=0.00 σ_{max}=-152.87
Tensioni: σ_N=-1.20 σ_M=0.00 τ=16.72 τ_{max}=16.72
Tensioni: σ_N=-1.20 σ_M=-151.67 τ=0.00 $\sigma_{ID,max}$=152.87

- Verifica a taglio dir. Z [4.2.16] - CC 19 SLU Xl=0.15
Sollecitazioni: T_z=-35.75
V,Ed=-35.75 Vc,Rd=7560.76 V,Ed/Vc,Rd=0.00

Asta n. 6402 (-50 -58) calastrelli 100x5 Crit. 1

- Verifica di stabilità aste inflesse (4.2.4.1.3.2) CC 18 SLU - Classe 3
L_{cr}=0.29 Curva d: α_{imp}=0.76 k_c=0.94 ψ=2.58 M,cr=0.00 λ_{LT}=0.00
$\lambda_{LT,0}$=0.20 β_{LT}=1.00 Φ_{LT}=0.00 β_{LT}=1.00 f=0.00 χ_{LT}=1.00
CC 18 SLU My,Ed=-8.92 My,b,Rd=436.51 My,Ed/My,b,Rd=0.02

- Verifica di stabilità aste presso-inflesse (C4.2.4.1.3.3.1) - CC 17 SLU - Classe 3
Sollecitazioni: N,Ed=-93.98 Myeq,Ed=3.47 Mzeq,Ed=-0.03
Resistenze: Nc,Rd=26190.50 My,c,Rd=436.51 Mz,c,Rd=43.65 L=29.38
λ_Y=10.18 Ncr,y=2001620.00 λ^*_y=0.12 Curva c: Φ_y=0.49 χ_y=1.00
λ_Z=101.76 Ncr,z=20016.20 λ^*_z=1.17 Curva c: Φ_z=1.43 χ_z=0.45
χ,min=0.45
Verifica: 0.00+0.01+0.00=0.01

- Verifica in termini tensionali [4.2.4] - CC 18 SLU Xl=0.03 - Classe 3
Sollecitazioni: N=87.85 T_z=-63.40 M_y=-8.92
Tensioni: σ_N=8.78 σ_M=53.49 τ=0.00 σ_{max}=62.28
Tensioni: σ_N=8.78 σ_M=0.00 τ=9.51 τ_{max}=9.51
Tensioni: σ_N=8.78 σ_M=53.49 τ=0.00 $\sigma_{ID,max}$=62.28

- Verifica a taglio dir. Z [4.2.16] - CC 16 SLU Xl=0.17
Sollecitazioni: N=56.55 T_z=-65.30
V,Ed=-65.30 Vc,Rd=15121.50 V,Ed/Vc,Rd=0.00

Asta n. 6403 (-18 -26) calastrelli 100x5 Crit. 1

- Verifica di stabilità aste inflesse (4.2.4.1.3.2) CC 16 SLU - Classe 3
L_{cr}=0.30 Curva d: α_{imp}=0.76 k_c=0.94 ψ=3.05 M,cr=0.00 λ_{LT}=0.00
$\lambda_{LT,0}$=0.20 β_{LT}=1.00 Φ_{LT}=0.00 β_{LT}=1.00 f=0.00 χ_{LT}=1.00
CC 16 SLU My,Ed=-4.99 My,b,Rd=436.51 My,Ed/My,b,Rd=0.01

- Verifica di stabilità aste presso-inflesse (C4.2.4.1.3.3.1) - CC 17 SLU - Classe 3
Sollecitazioni: N,Ed=-215.62 Myeq,Ed=-1.88 Mzeq,Ed=0.02
Resistenze: Nc,Rd=26190.50 My,c,Rd=436.51 Mz,c,Rd=43.65 L=29.69
λ_Y=10.28 Ncr,y=1959700.00 λ^*_y=0.12 Curva c: Φ_y=0.49 χ_y=1.00
λ_Z=102.84 Ncr,z=19597.00 λ^*_z=1.18 Curva c: Φ_z=1.44 χ_z=0.44
χ,min=0.44
Verifica: 0.01+0.00+0.00=0.01

- Verifica in termini tensionali [4.2.4] - CC 18 SLU Xl=0.03 - Classe 3
Sollecitazioni: N=250.75 T_z=-38.08 M_y=-4.72
Tensioni: σ_N=25.08 σ_M=28.32 τ=0.00 σ_{max}=53.40
Tensioni: σ_N=25.08 σ_M=0.00 τ=5.71 τ_{max}=5.71
Tensioni: σ_N=25.08 σ_M=28.32 τ=0.00 $\sigma_{ID,max}$=53.40

- Verifica a taglio dir. Z [4.2.16] - CC 16 SLU Xl=0.16

Sollecitazioni: N=164.04 T_z=-42.20
V,Ed=-42.20 Vc,Rd=15121.50 V,Ed/Vc,Rd=0.00

Asta n. 6404 (351 363) angolari L50x10 Crit. 1

- Verifica di stabilità aste inflesse (4.2.4.1.3.2) CC 17 SLU - Classe 3
L_{cr}=0.15 Curva d: α_{imp}=0.76 k_c=0.94 ψ=2.82 M,cr=0.00 λ_{LT}=0.00
$\lambda_{LT,0}$=0.00 β_{LT}=0.00 Φ_{LT}=0.00 β_{LT}=0.00 f=0.00 χ_{LT}=1.00
CC 17 SLU My,Ed=-36.24 My,b,Rd=149.05 My,Ed/My,b,Rd=0.24

- Verifica di stabilità aste presso-inflesse (C4.2.4.1.3.3.1) - CC 9 SLU - Classe 3
Sollecitazioni: N,Ed=-294.65 Myeq,Ed=35.63 Mzeq,Ed=-0.29
Resistenze: Nc,Rd=23709.20 My,c,Rd=149.05 Mz,c,Rd=149.05 L=15.00
λ_c=8.19 Ncr,y=2794040.00 λ^*_y=0.09 Curva b: Φ_y=0.00 χ_y=1.00
λ_e=15.58 Ncr,z=772687.00 λ^*_z=0.18 Curva b: Φ_z=0.00 χ_z=1.00
χ,min=1.00
Verifica: 0.01+0.24+0.00=0.25

- Verifica in termini tensionali [4.2.4] - CC 9 SLU Xl=0.15 - Classe 3
Sollecitazioni: N=-294.65 T_z=-452.56 M_y=35.63 T_y=-2.06
Tensioni: σ_N=-32.55 σ_M=776.63 τ=22.14 σ_{max}=744.08
Tensioni: σ_N=-32.55 σ_M=-146.55 τ=130.43 τ_{max}=130.43
Tensioni: σ_N=-32.55 σ_M=776.63 τ=22.14 $\sigma_{ID,max}$=745.07

- Verifica a taglio dir. Y [4.2.16] - CC 17 SLU Xl=0.08
Sollecitazioni: N=350.81 T_z=499.35 T_y=21.82
V,Ed=21.82 Vc,Rd=7560.76 V,Ed/Vc,Rd=0.00

- Verifica a taglio dir. Z [4.2.16]
V,Ed=499.35 Vc,Rd=7560.76 V,Ed/Vc,Rd=0.07

Asta n. 6404 (363 375) angolari L50x10 Crit. 1

- Verifica di stabilità aste inflesse (4.2.4.1.3.2) CC 17 SLU - Classe 3
L_{cr}=0.15 Curva d: α_{imp}=0.76 k_c=0.94 ψ=2.71 M,cr=0.00 λ_{LT}=0.00
$\lambda_{LT,0}$=0.00 β_{LT}=0.00 Φ_{LT}=0.00 β_{LT}=0.00 f=0.00 χ_{LT}=1.00
CC 17 SLU My,Ed=-41.59 My,b,Rd=149.05 My,Ed/My,b,Rd=0.28

- Verifica di stabilità aste presso-inflesse (C4.2.4.1.3.3.1) - CC 1 SLV - Classe 3
Sollecitazioni: N,Ed=-270.63 Myeq,Ed=29.94 Mzeq,Ed=-0.71
Resistenze: Nc,Rd=23709.20 My,c,Rd=149.05 Mz,c,Rd=149.05 L=15.00
λ_c=8.19 Ncr,y=2794040.00 λ^*_y=0.09 Curva b: Φ_y=0.00 χ_y=1.00
λ_e=15.58 Ncr,z=772687.00 λ^*_z=0.18 Curva b: Φ_z=0.00 χ_z=1.00
χ,min=1.00
Verifica: 0.01+0.20+0.00=0.22

- Verifica in termini tensionali [4.2.4] - CC 17 SLU Xl=0.00 - Classe 3
Sollecitazioni: N=380.77 T_z=-550.95 M_y=-41.59 T_y=-22.14 M_z=2.31 (M_c=-31.04 M_e=-27.78)
Tensioni: σ_N=42.06 σ_M=-889.35 τ=26.95 σ_{max}=-847.29
Tensioni: σ_N=42.06 σ_M=166.90 τ=158.83 τ_{max}=158.83
Tensioni: σ_N=42.06 σ_M=-889.35 τ=26.95 $\sigma_{ID,max}$=848.58

- Verifica a taglio dir. Y [4.2.16] - CC 1 SLV Xl=0.07
Sollecitazioni: N=61.50 T_z=401.92 T_y=-5.40
V,Ed=-5.40 Vc,Rd=7560.76 V,Ed/Vc,Rd=0.00

- Verifica a taglio dir. Z [4.2.16]
V,Ed=401.92 Vc,Rd=7560.76 V,Ed/Vc,Rd=0.05

Asta n. 6405 (352 364) angolari L50x10 Crit. 1

- Verifica di stabilità aste inflesse (4.2.4.1.3.2) CC 1 SLV - Classe 3
  L_{cr}=0.15 Curva d: α_{imp}=0.76 k_c=0.94 ψ=2.08 M,cr=0.00 λ_{LT}=0.00
  $\lambda_{LT,0}$=0.00 β_{LT}=0.00 Φ_{LT}=0.00 β_{LT}=0.00 f=0.00 χ_{LT}=1.00
  CC 1 SLV My,Ed=-0.97 My,b,Rd=149.05 My,Ed/My,b,Rd=0.01

- Verifica di stabilità aste presso-inflesse (C4.2.4.1.3.3.1) - CC 17 SLU - Classe 3
  Sollecitazioni: N,Ed=-805.90 Myeq,Ed=2.05 Mzeq,Ed=-82.78
  Resistenze: Nc,Rd=23709.20 My,c,Rd=149.05 Mz,c,Rd=149.05 L=15.00
  λ_c=8.19 Ncr,y=2794040.00 λ^*_y=0.09 Curva b: Φ_y=0.00 χ_y=1.00
  λ_e=15.58 Ncr,z=772687.00 λ^*_z=0.18 Curva b: Φ_z=0.00 χ_z=1.00
  χ,min=1.00
  Verifica: 0.03+0.01+0.56=0.60

- Verifica Freccia massima per soli carichi accidentali - CC 21
  $f_{Z,G}$=0.00 (L/13198)

- Verifica Freccia massima carichi totali - CC 21
  $f_{Z,G}$=0.00 (L/11071)

- Verifica in termini tensionali [4.2.4] - CC 17 SLU Xl=0.15 - Classe 3
  Sollecitazioni: N=-805.90 T_z=-23.82 M_y=2.70 T_y=-1120.89 M_z=-82.78 M_x=1.24 (M_c=60.44 M_e=-56.62)
  Tensioni: σ_N=-89.02 σ_M=-1784.07 τ=61.25 σ_{max}=-1873.10
  Tensioni: σ_N=-89.02 σ_M=953.81 τ=361.20 τ_{max}=361.20
  Tensioni: σ_N=-89.02 σ_M=-1784.07 τ=61.25 $\sigma_{ID,max}$=1876.10

- Verifica a taglio dir. Y [4.2.16] - CC 19 SLU Xl=0.08
  Sollecitazioni: N=-672.55 T_z=-11.34 T_y=-883.58
  V,Ed=-883.58 Vc,Rd=7560.76 V,Ed/Vc,Rd=0.12

- Verifica a taglio dir. Z [4.2.16]
  V,Ed=-11.34 Vc,Rd=7560.76 V,Ed/Vc,Rd=0.00

Asta n. 6405 (364 376) angolari L50x10 Crit. 1

- Verifica di stabilità aste inflesse (4.2.4.1.3.2) CC 1 SLV - Classe 3
  L_{cr}=0.15 Curva d: α_{imp}=0.76 k_c=0.94 ψ=2.07 M,cr=0.00 λ_{LT}=0.00
  $\lambda_{LT,0}$=0.00 β_{LT}=0.00 Φ_{LT}=0.00 β_{LT}=0.00 f=0.00 χ_{LT}=1.00
  CC 1 SLV My,Ed=-1.02 My,b,Rd=149.05 My,Ed/My,b,Rd=0.01

- Verifica di stabilità aste presso-inflesse (C4.2.4.1.3.3.1) - CC 17 SLU - Classe 3
  Sollecitazioni: N,Ed=-756.88 Myeq,Ed=2.07 Mzeq,Ed=-88.02
  Resistenze: Nc,Rd=23709.20 My,c,Rd=149.05 Mz,c,Rd=149.05 L=15.00
  λ_c=8.19 Ncr,y=2794040.00 λ^*_y=0.09 Curva b: Φ_y=0.00 χ_y=1.00
  λ_e=15.58 Ncr,z=772687.00 λ^*_z=0.18 Curva b: Φ_z=0.00 χ_z=1.00
  χ,min=1.00
  Verifica: 0.03+0.01+0.59=0.64

- Verifica Freccia massima per soli carichi accidentali - CC 21
  $f_{Z,G}$=0.00 (L/13039)

- Verifica Freccia massima carichi totali - CC 21
  $f_{Z,G}$=0.00 (L/10560)

- Verifica in termini tensionali [4.2.4] - CC 17 SLU Xl=0.00 - Classe 3
  Sollecitazioni: N=-756.88 T_z=24.04 M_y=2.71 T_y=1151.83 M_z=-88.02 M_x=-1.25 (M_c=64.16 M_e=-60.33)
  Tensioni: σ_N=-83.61 σ_M=-1898.40 τ=62.41 σ_{max}=-1982.01
  Tensioni: σ_N=-83.61 σ_M=1015.27 τ=370.32 τ_{max}=370.32

Tensioni: σ_N=-83.61 σ_M=-1898.40 τ=62.41 $\sigma_{ID,max}$=1984.95

- Verifica a taglio dir. Y [4.2.16] - CC 9 SLU Xl=0.08
Sollecitazioni: N=-190.50 T_z=-5.46 T_y=378.65
V,Ed=378.65 Vc,Rd=7560.76 V,Ed/Vc,Rd=0.05

- Verifica a taglio dir. Z [4.2.16]
V,Ed=-5.46 Vc,Rd=7560.76 V,Ed/Vc,Rd=0.00

Asta n. 6406 (-19 -27) calastrelli 100x5 Crit. 1

- Verifica di stabilità aste inflesse (4.2.4.1.3.2) CC 18 SLU - Classe 3
L_{cr}=0.30 Curva d: α_{imp}=0.76 k_c=0.94 ψ=3.03 M,cr=0.00 λ_{LT}=0.00
$\lambda_{LT,0}$=0.20 β_{LT}=1.00 Φ_{LT}=0.00 β_{LT}=1.00 f=0.00 χ_{LT}=1.00
CC 18 SLU My,Ed=-9.34 My,b,Rd=436.51 My,Ed/My,b,Rd=0.02

- Verifica di stabilità aste presso-inflesse (C4.2.4.1.3.3.1) - CC 1 SLV - Classe 3
Sollecitazioni: N,Ed=-62.11 Myeq,Ed=-2.47 Mzeq,Ed=-0.02
Resistenze: Nc,Rd=26190.50 My,c,Rd=436.51 Mz,c,Rd=43.65 L=29.69
λ_Y=10.28 Ncr,y=1959700.00 λ^*_y=0.12 Curva c: Φ_y=0.49 χ_y=1.00
λ_Z=102.84 Ncr,z=19597.00 λ^*_z=1.18 Curva c: Φ_z=1.44 χ_z=0.44
χ,min=0.44
Verifica: 0.00+0.01+0.00=0.01

- Verifica in termini tensionali [4.2.4] - CC 19 SLU Xl=0.04 - Classe 3
Sollecitazioni: N=548.53 T_z=-59.08 M_y=-7.06
Tensioni: σ_N=54.85 σ_M=42.36 τ=0.00 σ_{max}=97.22
Tensioni: σ_N=54.85 σ_M=0.00 τ=8.86 τ_{max}=8.86
Tensioni: σ_N=54.85 σ_M=42.36 τ=0.00 $\sigma_{ID,max}$=97.22

- Verifica a taglio dir. Z [4.2.16] - CC 18 SLU Xl=0.16
Sollecitazioni: N=249.12 T_z=-78.40
V,Ed=-78.40 Vc,Rd=15121.50 V,Ed/Vc,Rd=0.01

Asta n. 6407 (-51 -59) calastrelli 100x5 Crit. 1

- Verifica di stabilità aste inflesse (4.2.4.1.3.2) CC 18 SLU - Classe 3
L_{cr}=0.29 Curva d: α_{imp}=0.76 k_c=0.94 ψ=2.80 M,cr=0.00 λ_{LT}=0.00
$\lambda_{LT,0}$=0.20 β_{LT}=1.00 Φ_{LT}=0.00 β_{LT}=1.00 f=0.00 χ_{LT}=1.00
CC 18 SLU My,Ed=-13.65 My,b,Rd=436.51 My,Ed/My,b,Rd=0.03

- Verifica di stabilità aste presso-inflesse (C4.2.4.1.3.3.1) - CC 1 SLV - Classe 3
Sollecitazioni: N,Ed=-29.75 Myeq,Ed=-4.19 Mzeq,Ed=0.03
Resistenze: Nc,Rd=26190.50 My,c,Rd=436.51 Mz,c,Rd=43.65 L=29.38
λ_Y=10.18 Ncr,y=2001620.00 λ^*_y=0.12 Curva c: Φ_y=0.49 χ_y=1.00
λ_Z=101.76 Ncr,z=20016.20 λ^*_z=1.17 Curva c: Φ_z=1.43 χ_z=0.45
χ,min=0.45
Verifica: 0.00+0.01+0.00=0.01

- Verifica in termini tensionali [4.2.4] - CC 19 SLU Xl=0.04 - Classe 3
Sollecitazioni: N=202.24 T_z=-80.98 M_y=-12.47
Tensioni: σ_N=20.22 σ_M=74.83 τ=0.00 σ_{max}=95.06
Tensioni: σ_N=20.22 σ_M=0.00 τ=12.15 τ_{max}=12.15
Tensioni: σ_N=20.22 σ_M=74.83 τ=0.00 $\sigma_{ID,max}$=95.06

- Verifica a taglio dir. Z [4.2.16] - CC 18 SLU Xl=0.16
Sollecitazioni: N=83.67 T_z=-107.55
V,Ed=-107.55 Vc,Rd=15121.50 V,Ed/Vc,Rd=0.01

Asta n. 6408 (-83 -91) calastrelli 50x10 Crit. 1

- Verifica di stabilità aste presso-inflesse (C4.2.4.1.3.3.1) - CC 18 SLU - Classe 3
  Sollecitazioni: N,Ed=-6.57 Myeq,Ed=10.10 Mzeq,Ed=0.12
  Resistenze: Nc,Rd=13095.20 My,c,Rd=109.13 Mz,c,Rd=21.83 L=28.75
  λ_Y=19.92 Ncr,y=261199.00 λ^*_y=0.23 Curva c: Φ_y=0.53 χ_y=0.99
  λ_Z=99.59 Ncr,z=10447.90 λ^*_z=1.15 Curva c: Φ_z=1.39 χ_z=0.46
  χ,min=0.46
  Verifica: 0.00+0.09+0.01=0.10

- Verifica in termini tensionali [4.2.4] - CC 18 SLU Xl=0.26 - Classe 3
  Sollecitazioni: N=-6.57 T_z=-89.88 M_y=10.10 T_y=1.06
  Tensioni: σ_N=-1.31 σ_M=-242.50 τ=0.00 σ_{max}=-243.82
  Tensioni: σ_N=-1.31 σ_M=-0.00 τ=26.97 τ_{max}=26.97
  Tensioni: σ_N=-1.31 σ_M=-242.50 τ=0.32 $\sigma_{ID,max}$=243.82

- Verifica a taglio dir. Z [4.2.16] - CC 5 SLV Xl=0.16
  Sollecitazioni: T_z=-36.29
  V,Ed=-36.29 Vc,Rd=7560.76 V,Ed/Vc,Rd=0.00

Asta n. 6409 (-115 -123) calastrelli 50x10 Crit. 1

- Verifica di stabilità aste inflesse (4.2.4.1.3.2) CC 9 SLU - Classe 3
  L_{cr}=0.28 Curva d: α_{imp}=0.76 k_c=0.94 ψ=3.07 M,cr=0.00 λ_{LT}=0.00
  $\lambda_{LT,0}$=0.20 β_{LT}=1.00 Φ_{LT}=0.00 β_{LT}=1.00 f=0.00 χ_{LT}=1.00
  CC 9 SLU My,Ed=9.86 My,b,Rd=109.13 My,Ed/My,b,Rd=0.09

- Verifica di stabilità aste presso-inflesse (C4.2.4.1.3.3.1) - CC 18 SLU - Classe 3
  Sollecitazioni: N,Ed=-1.19 Myeq,Ed=12.59 Mzeq,Ed=0.16
  Resistenze: Nc,Rd=13095.20 My,c,Rd=109.13 Mz,c,Rd=21.83 L=28.13
  λ_Y=19.49 Ncr,y=272937.00 λ^*_y=0.22 Curva c: Φ_y=0.53 χ_y=0.99
  λ_Z=97.43 Ncr,z=10917.50 λ^*_z=1.12 Curva c: Φ_z=1.36 χ_z=0.47
  χ,min=0.47
  Verifica: 0.00+0.12+0.01=0.12

- Verifica in termini tensionali [4.2.4] - CC 18 SLU Xl=0.25 - Classe 3
  Sollecitazioni: N=-1.19 T_z=-115.23 M_y=12.59 T_y=1.42
  Tensioni: σ_N=-0.24 σ_M=-302.08 τ=0.00 σ_{max}=-302.32
  Tensioni: σ_N=-0.24 σ_M=-0.00 τ=34.57 τ_{max}=34.57
  Tensioni: σ_N=-0.24 σ_M=-302.08 τ=0.43 $\sigma_{ID,max}$=302.32

- Verifica a taglio dir. Y [4.2.16] - CC 9 SLU Xl=0.15
  Sollecitazioni: T_z=-89.91 T_y=1.12
  V,Ed=1.12 Vc,Rd=7560.76 V,Ed/Vc,Rd=0.00

- Verifica a taglio dir. Z [4.2.16]
  V,Ed=-89.91 Vc,Rd=7560.76 V,Ed/Vc,Rd=0.01

Asta n. 6410 (-147 -155) calastrelli 50x10 Crit. 1

- Verifica di stabilità aste presso-inflesse (C4.2.4.1.3.3.1) - CC 18 SLU - Classe 3
  Sollecitazioni: N,Ed=-1.33 Myeq,Ed=13.16 Mzeq,Ed=0.17
  Resistenze: Nc,Rd=13095.20 My,c,Rd=109.13 Mz,c,Rd=21.83 L=27.50
  λ_Y=19.05 Ncr,y=285485.00 λ^*_y=0.22 Curva c: Φ_y=0.53 χ_y=0.99
  λ_Z=95.26 Ncr,z=11419.40 λ^*_z=1.10 Curva c: Φ_z=1.32 χ_z=0.49
  χ,min=0.49
  Verifica: 0.00+0.12+0.01=0.13

- Verifica in termini tensionali [4.2.4] - CC 18 SLU Xl=0.25 - Classe 3

Sollecitazioni: N=-1.33 T_z=-123.96 M_y=13.16 T_y=1.59
Tensioni: σ_N=-0.27 σ_M=-315.82 τ=0.00 σ_{max}=-316.09
Tensioni: σ_N=-0.27 σ_M=-0.00 τ=37.19 τ_{max}=37.19
Tensioni: σ_N=-0.27 σ_M=-315.82 τ=0.48 $\sigma_{ID,max}$=316.09

- Verifica a taglio dir. Y [4.2.16] - CC 9 SLU Xl=0.13
Sollecitazioni: T_z=-97.89 T_y=1.26
V,Ed=1.26 Vc,Rd=7560.76 V,Ed/Vc,Rd=0.00

- Verifica a taglio dir. Z [4.2.16]
V,Ed=-97.89 Vc,Rd=7560.76 V,Ed/Vc,Rd=0.01

Asta n. 6411 (-179 -187) calastrelli 50x10 Crit. 1

- Verifica di stabilità aste presso-inflesse (C4.2.4.1.3.3.1) - CC 18 SLU - Classe 3
Sollecitazioni: N,Ed=-1.36 Myeq,Ed=13.30 Mzeq,Ed=0.17
Resistenze: Nc,Rd=13095.20 My,c,Rd=109.13 Mz,c,Rd=21.83 L=26.88
λ_Y=18.62 Ncr,y=298917.00 λ^*_y=0.21 Curva c: Φ_y=0.53 χ_y=0.99
λ_Z=93.10 Ncr,z=11956.70 λ^*_z=1.07 Curva c: Φ_z=1.29 χ_z=0.50
χ,min=0.50
Verifica: 0.00+0.12+0.01=0.13

- Verifica in termini tensionali [4.2.4] - CC 18 SLU Xl=0.24 - Classe 3
Sollecitazioni: N=-1.36 T_z=-129.05 M_y=13.30 T_y=1.68
Tensioni: σ_N=-0.27 σ_M=-319.22 τ=0.00 σ_{max}=-319.49
Tensioni: σ_N=-0.27 σ_M=-0.00 τ=38.72 τ_{max}=38.72
Tensioni: σ_N=-0.27 σ_M=-319.22 τ=0.51 $\sigma_{ID,max}$=319.50

- Verifica a taglio dir. Y [4.2.16] - CC 9 SLU Xl=0.13
Sollecitazioni: T_z=-103.30 T_y=1.35
V,Ed=1.35 Vc,Rd=7560.76 V,Ed/Vc,Rd=0.00

- Verifica a taglio dir. Z [4.2.16]
V,Ed=-103.30 Vc,Rd=7560.76 V,Ed/Vc,Rd=0.01

Asta n. 6412 (-211 -219) calastrelli 50x10 Crit. 1

- Verifica di stabilità aste presso-inflesse (C4.2.4.1.3.3.1) - CC 18 SLU - Classe 3
Sollecitazioni: N,Ed=-1.33 Myeq,Ed=13.35 Mzeq,Ed=0.18
Resistenze: Nc,Rd=13095.20 My,c,Rd=109.13 Mz,c,Rd=21.83 L=26.25
λ_Y=18.19 Ncr,y=313321.00 λ^*_y=0.21 Curva c: Φ_y=0.52 χ_y=1.00
λ_Z=90.93 Ncr,z=12532.80 λ^*_z=1.05 Curva c: Φ_z=1.26 χ_z=0.51
χ,min=0.51
Verifica: 0.00+0.12+0.01=0.13

- Verifica in termini tensionali [4.2.4] - CC 18 SLU Xl=0.23 - Classe 3
Sollecitazioni: N=-1.33 T_z=-133.52 M_y=13.35 T_y=1.76
Tensioni: σ_N=-0.27 σ_M=-320.37 τ=0.00 σ_{max}=-320.63
Tensioni: σ_N=-0.27 σ_M=-0.00 τ=40.06 τ_{max}=40.06
Tensioni: σ_N=-0.27 σ_M=-320.37 τ=0.53 $\sigma_{ID,max}$=320.63

- Verifica a taglio dir. Y [4.2.16] - CC 9 SLU Xl=0.13
Sollecitazioni: T_z=-108.35 T_y=1.43
V,Ed=1.43 Vc,Rd=7560.76 V,Ed/Vc,Rd=0.00

- Verifica a taglio dir. Z [4.2.16]
V,Ed=-108.35 Vc,Rd=7560.76 V,Ed/Vc,Rd=0.01

Asta n. 6413 (-243 -251) calastrelli 50x10 Crit. 1

- Verifica di stabilità aste presso-inflesse (C4.2.4.1.3.3.1) - CC 18 SLU - Classe 3
  Sollecitazioni: N,Ed=-1.30 Myeq,Ed=13.38 Mzeq,Ed=0.18
  Resistenze: Nc,Rd=13095.20 My,c,Rd=109.13 Mz,c,Rd=21.83 L=25.63
  λ_Y=17.75 Ncr,y=328790.00 λ^*_y=0.20 Curva c: Φ_y=0.52 χ_y=1.00
  λ_Z=88.77 Ncr,z=13151.60 λ^*_z=1.02 Curva c: Φ_z=1.22 χ_z=0.53
  χ,min=0.53
  Verifica: 0.00+0.12+0.01=0.13

- Verifica in termini tensionali [4.2.4] - CC 18 SLU Xl=0.23 - Classe 3
  Sollecitazioni: N=-1.30 T_z=-138.11 M_y=13.38 T_y=1.82
  Tensioni: σ_N=-0.26 σ_M=-321.10 τ=0.00 σ_{max}=-321.36
  Tensioni: σ_N=-0.26 σ_M=-0.00 τ=41.44 τ_{max}=41.44
  Tensioni: σ_N=-0.26 σ_M=-321.10 τ=0.55 $\sigma_{ID,max}$=321.36

- Verifica a taglio dir. Y [4.2.16] - CC 9 SLU Xl=0.12
  Sollecitazioni: T_z=-113.60 T_y=1.50
  V,Ed=1.50 Vc,Rd=7560.76 V,Ed/Vc,Rd=0.00

- Verifica a taglio dir. Z [4.2.16]
  V,Ed=-113.60 Vc,Rd=7560.76 V,Ed/Vc,Rd=0.02

Asta n. 6414 (-275 -283) calastrelli 50x10 Crit. 1

- Verifica di stabilità aste presso-inflesse (C4.2.4.1.3.3.1) - CC 18 SLU - Classe 3
  Sollecitazioni: N,Ed=-1.33 Myeq,Ed=13.41 Mzeq,Ed=0.18
  Resistenze: Nc,Rd=13095.20 My,c,Rd=109.13 Mz,c,Rd=21.83 L=25.00
  λ_Y=17.32 Ncr,y=345436.00 λ^*_y=0.20 Curva c: Φ_y=0.52 χ_y=1.00
  λ_Z=86.60 Ncr,z=13817.40 λ^*_z=1.00 Curva c: Φ_z=1.19 χ_z=0.54
  χ,min=0.54
  Verifica: 0.00+0.12+0.01=0.13

- Verifica in termini tensionali [4.2.4] - CC 18 SLU Xl=0.22 - Classe 3
  Sollecitazioni: N=-1.33 T_z=-143.01 M_y=13.41 T_y=1.89
  Tensioni: σ_N=-0.27 σ_M=-321.88 τ=0.00 σ_{max}=-322.15
  Tensioni: σ_N=-0.27 σ_M=-0.00 τ=42.91 τ_{max}=42.91
  Tensioni: σ_N=-0.27 σ_M=-321.88 τ=0.57 $\sigma_{ID,max}$=322.15

- Verifica a taglio dir. Y [4.2.16] - CC 9 SLU Xl=0.12
  Sollecitazioni: T_z=-119.22 T_y=1.58
  V,Ed=1.58 Vc,Rd=7560.76 V,Ed/Vc,Rd=0.00

- Verifica a taglio dir. Z [4.2.16]
  V,Ed=-119.22 Vc,Rd=7560.76 V,Ed/Vc,Rd=0.02

Asta n. 6415 (-307 -315) calastrelli 50x10 Crit. 1

- Verifica di stabilità aste presso-inflesse (C4.2.4.1.3.3.1) - CC 18 SLU - Classe 3
  Sollecitazioni: N,Ed=-1.36 Myeq,Ed=13.44 Mzeq,Ed=0.18
  Resistenze: Nc,Rd=13095.20 My,c,Rd=109.13 Mz,c,Rd=21.83 L=24.38
  λ_Y=16.89 Ncr,y=363379.00 λ^*_y=0.19 Curva c: Φ_y=0.52 χ_y=1.00
  λ_Z=84.44 Ncr,z=14535.20 λ^*_z=0.97 Curva c: Φ_z=1.16 χ_z=0.56
  χ,min=0.56
  Verifica: 0.00+0.12+0.01=0.13

- Verifica in termini tensionali [4.2.4] - CC 18 SLU Xl=0.22 - Classe 3
  Sollecitazioni: N=-1.36 T_z=-148.21 M_y=13.44 T_y=1.96
  Tensioni: σ_N=-0.27 σ_M=-322.60 τ=0.00 σ_{max}=-322.87
  Tensioni: σ_N=-0.27 σ_M=-0.00 τ=44.47 τ_{max}=44.47

Tensioni: σ_N=-0.27 σ_M=-322.60 τ=0.59 $\sigma_{ID,max}$=322.87

- Verifica a taglio dir. Y [4.2.16] - CC 9 SLU Xl=0.12
Sollecitazioni: T_z=-125.22 T_y=1.66
V,Ed=1.66 Vc,Rd=7560.76 V,Ed/Vc,Rd=0.00

- Verifica a taglio dir. Z [4.2.16]
V,Ed=-125.22 Vc,Rd=7560.76 V,Ed/Vc,Rd=0.02

Asta n. 6416 (-339 -347) calastrelli 50x10 Crit. 1

- Verifica di stabilità aste presso-inflesse (C4.2.4.1.3.3.1) - CC 18 SLU - Classe 3
Sollecitazioni: N,Ed=-1.30 Myeq,Ed=13.47 Mzeq,Ed=0.18
Resistenze: Nc,Rd=13095.20 My,c,Rd=109.13 Mz,c,Rd=21.83 L=23.75
λ_Y=16.45 Ncr,y=382754.00 λ^*_y=0.19 Curva c: Φ_y=0.52 χ_y=1.00
λ_Z=82.27 Ncr,z=15310.20 λ^*_z=0.95 Curva c: Φ_z=1.13 χ_z=0.57
χ,min=0.57
Verifica: 0.00+0.12+0.01=0.13

- Verifica in termini tensionali [4.2.4] - CC 18 SLU Xl=0.21 - Classe 3
Sollecitazioni: N=-1.30 T_z=-153.80 M_y=13.47 T_y=2.04
Tensioni: σ_N=-0.26 σ_M=-323.30 τ=0.00 σ_{max}=-323.56
Tensioni: σ_N=-0.26 σ_M=-0.00 τ=46.14 τ_{max}=46.14
Tensioni: σ_N=-0.26 σ_M=-323.30 τ=0.61 $\sigma_{ID,max}$=323.56

- Verifica a taglio dir. Y [4.2.16] - CC 9 SLU Xl=0.12
Sollecitazioni: T_z=-131.70 T_y=1.75
V,Ed=1.75 Vc,Rd=7560.76 V,Ed/Vc,Rd=0.00

- Verifica a taglio dir. Z [4.2.16]
V,Ed=-131.70 Vc,Rd=7560.76 V,Ed/Vc,Rd=0.02

Asta n. 6417 (-371 -379) calastrelli 50x10 Crit. 1

- Verifica di stabilità aste presso-inflesse (C4.2.4.1.3.3.1) - CC 18 SLU - Classe 3
Sollecitazioni: N,Ed=-1.38 Myeq,Ed=13.50 Mzeq,Ed=0.18
Resistenze: Nc,Rd=13095.20 My,c,Rd=109.13 Mz,c,Rd=21.83 L=23.13
λ_Y=16.02 Ncr,y=403725.00 λ^*_y=0.18 Curva c: Φ_y=0.51 χ_y=1.00
λ_Z=80.11 Ncr,z=16149.00 λ^*_z=0.92 Curva c: Φ_z=1.10 χ_z=0.59
χ,min=0.59
Verifica: 0.00+0.12+0.01=0.13

- Verifica in termini tensionali [4.2.4] - CC 18 SLU Xl=0.20 - Classe 3
Sollecitazioni: N=-1.38 T_z=-159.84 M_y=13.50 T_y=2.13
Tensioni: σ_N=-0.28 σ_M=-324.12 τ=0.00 σ_{max}=-324.39
Tensioni: σ_N=-0.28 σ_M=-0.00 τ=47.96 τ_{max}=47.96
Tensioni: σ_N=-0.28 σ_M=-324.12 τ=0.64 $\sigma_{ID,max}$=324.40

- Verifica a taglio dir. Y [4.2.16] - CC 9 SLU Xl=0.11
Sollecitazioni: T_z=-138.61 T_y=1.85
V,Ed=1.85 Vc,Rd=7560.76 V,Ed/Vc,Rd=0.00

- Verifica a taglio dir. Z [4.2.16]
V,Ed=-138.61 Vc,Rd=7560.76 V,Ed/Vc,Rd=0.02

Asta n. 6418 (-403 -411) calastrelli 50x10 Crit. 1

- Verifica di stabilità aste presso-inflesse (C4.2.4.1.3.3.1) - CC 18 SLU - Classe 3
Sollecitazioni: N,Ed=-1.49 Myeq,Ed=13.53 Mzeq,Ed=0.18
Resistenze: Nc,Rd=13095.20 My,c,Rd=109.13 Mz,c,Rd=21.83 L=22.50

λ_Y=15.59 Ncr,y=426463.00 λ^*_y=0.18 Curva c: Φ_y=0.51 χ_y=1.00
λ_Z=77.94 Ncr,z=17058.50 λ^*_z=0.90 Curva c: Φ_z=1.07 χ_z=0.60
χ,min=0.60
Verifica: 0.00+0.12+0.01=0.13

- Verifica in termini tensionali [4.2.4] - CC 18 SLU Xl=0.20 - Classe 3
Sollecitazioni: N=-1.49 T_z=-166.31 M_y=13.53 T_y=2.21
Tensioni: σ_N=-0.30 σ_M=-324.81 τ=0.00 σ_{max}=-325.11
Tensioni: σ_N=-0.30 σ_M=-0.00 τ=49.90 τ_{max}=49.90
Tensioni: σ_N=-0.30 σ_M=-324.81 τ=0.66 $\sigma_{ID,max}$=325.11

- Verifica a taglio dir. Y [4.2.16] - CC 9 SLU Xl=0.11
Sollecitazioni: T_z=-146.06 T_y=1.95
V,Ed=1.95 Vc,Rd=7560.76 V,Ed/Vc,Rd=0.00

- Verifica a taglio dir. Z [4.2.16]
V,Ed=-146.06 Vc,Rd=7560.76 V,Ed/Vc,Rd=0.02

Asta n. 6419 (-435 -443) calastrelli 50x10 Crit. 1

- Verifica di stabilità aste inflesse (4.2.4.1.3.2) CC 18 SLU - Classe 3
L_{cr}=0.22 Curva d: α_{imp}=0.76 k_c=0.94 ψ=3.06 M,cr=0.00 λ_{LT}=0.00
$\lambda_{LT,0}$=0.20 β_{LT}=1.00 Φ_{LT}=0.00 β_{LT}=1.00 f=0.00 χ_{LT}=1.00
CC 18 SLU My,Ed=13.55 My,b,Rd=109.13 My,Ed/My,b,Rd=0.12

- Verifica di stabilità aste presso-inflesse (C4.2.4.1.3.3.1) - CC 20 SLU - Classe 3
Sollecitazioni: N,Ed=-0.19 Myeq,Ed=10.82 Mzeq,Ed=0.15
Resistenze: Nc,Rd=13095.20 My,c,Rd=109.13 Mz,c,Rd=21.83 L=21.88
λ_Y=15.16 Ncr,y=451182.00 λ^*_y=0.17 Curva c: Φ_y=0.51 χ_y=1.00
λ_Z=75.78 Ncr,z=18047.30 λ^*_z=0.87 Curva c: Φ_z=1.05 χ_z=0.62
χ,min=0.62
Verifica: 0.00+0.10+0.01=0.11

- Verifica a flessione [4.2.13] - CC 18 SLU Xl=0.19 - Classe 3
Sollecitazioni: T_z=-172.94 M_y=13.55 T_y=2.31
My,Ed=13.55 My,c,Rd=109.13 My,Ed/My,c,Rd=0.12

- Verifica a taglio dir. Y [4.2.16] - CC 9 SLU Xl=0.11
Sollecitazioni: N=1.49 T_z=-153.78 T_y=2.06
V,Ed=2.06 Vc,Rd=7560.76 V,Ed/Vc,Rd=0.00

- Verifica a taglio dir. Z [4.2.16]
V,Ed=-153.78 Vc,Rd=7560.76 V,Ed/Vc,Rd=0.02

Asta n. 6420 (-467 -475) calastrelli 50x10 Crit. 1

- Verifica di stabilità aste presso-inflesse (C4.2.4.1.3.3.1) - CC 18 SLU - Classe 3
Sollecitazioni: N,Ed=-11.74 Myeq,Ed=13.31 Mzeq,Ed=0.16
Resistenze: Nc,Rd=13095.20 My,c,Rd=109.13 Mz,c,Rd=21.83 L=21.25
λ_Y=14.72 Ncr,y=478114.00 λ^*_y=0.17 Curva c: Φ_y=0.51 χ_y=1.00
λ_Z=73.61 Ncr,z=19124.60 λ^*_z=0.85 Curva c: Φ_z=1.02 χ_z=0.63
χ,min=0.63
Verifica: 0.00+0.12+0.01=0.13

- Verifica in termini tensionali [4.2.4] - CC 18 SLU Xl=0.18 - Classe 3
Sollecitazioni: N=-11.74 T_z=-178.07 M_y=13.31 T_y=2.19
Tensioni: σ_N=-2.35 σ_M=-319.37 τ=0.00 σ_{max}=-321.71
Tensioni: σ_N=-2.35 σ_M=-0.00 τ=53.43 τ_{max}=53.43
Tensioni: σ_N=-2.35 σ_M=-319.37 τ=0.66 $\sigma_{ID,max}$=321.72

Asta n. 6421 (-499 -507) calastrelli 50x10 Crit. 1

- Verifica in termini tensionali [4.2.4] - CC 18 SLU Xl=0.18 - Classe 3
  Sollecitazioni: N=58.84 T_z=-169.01 M_y=12.72 T_y=2.63
  Tensioni: σ_N=11.77 σ_M=305.25 τ=0.00 σ_{max}=317.02
  Tensioni: σ_N=11.77 σ_M=-0.00 τ=50.71 τ_{max}=50.71
  Tensioni: σ_N=11.77 σ_M=305.25 τ=0.79 $\sigma_{ID,max}$=317.02

- Verifica a taglio dir. Y [4.2.16] - CC 18 SLU Xl=0.10
  Sollecitazioni: N=58.84 T_z=-168.62 T_y=2.63
  V,Ed=2.63 Vc,Rd=7560.76 V,Ed/Vc,Rd=0.00

- Verifica a taglio dir. Z [4.2.16]
  V,Ed=-168.62 Vc,Rd=7560.76 V,Ed/Vc,Rd=0.02

Asta n. 6426 (-500 -508) calastrelli 50x10 Crit. 1

- Verifica in termini tensionali [4.2.4] - CC 18 SLU Xl=0.17 - Classe 3
  Sollecitazioni: N=54.82 T_z=-173.24 M_y=12.67 T_y=-2.71
  Tensioni: σ_N=10.96 σ_M=304.13 τ=0.00 σ_{max}=315.09
  Tensioni: σ_N=10.96 σ_M=-0.00 τ=51.98 τ_{max}=51.98
  Tensioni: σ_N=10.96 σ_M=304.13 τ=0.81 $\sigma_{ID,max}$=315.09

- Verifica a taglio dir. Y [4.2.16] - CC 18 SLU Xl=0.09
  Sollecitazioni: N=54.82 T_z=-172.85 T_y=-2.71
  V,Ed=-2.71 Vc,Rd=7560.76 V,Ed/Vc,Rd=0.00

- Verifica a taglio dir. Z [4.2.16]
  V,Ed=-172.85 Vc,Rd=7560.76 V,Ed/Vc,Rd=0.02

Asta n. 6427 (-468 -476) calastrelli 50x10 Crit. 1

- Verifica di stabilità aste presso-inflesse (C4.2.4.1.3.3.1) - CC 18 SLU - Classe 3
  Sollecitazioni: N,Ed=-11.17 Myeq,Ed=-13.77 Mzeq,Ed=0.17
  Resistenze: Nc,Rd=13095.20 My,c,Rd=109.13 Mz,c,Rd=21.83 L=21.25
  λ_Y=14.72 Ncr,y=478114.00 λ^*_y=0.17 Curva c: Φ_y=0.51 χ_y=1.00
  λ_Z=73.61 Ncr,z=19124.60 λ^*_z=0.85 Curva c: Φ_z=1.02 χ_z=0.63
  χ,min=0.63
  Verifica: 0.00+0.13+0.01=0.13

- Verifica in termini tensionali [4.2.4] - CC 18 SLU Xl=0.03 - Classe 3
  Sollecitazioni: N=-11.17 T_z=-181.32 M_y=-13.77 T_y=-2.26
  Tensioni: σ_N=-2.23 σ_M=-330.50 τ=0.00 σ_{max}=-332.73
  Tensioni: σ_N=-2.23 σ_M=0.00 τ=54.40 τ_{max}=54.40
  Tensioni: σ_N=-2.23 σ_M=-330.50 τ=0.68 $\sigma_{ID,max}$=332.73

Asta n. 6428 (-436 -444) calastrelli 50x10 Crit. 1

- Verifica di stabilità aste inflesse (4.2.4.1.3.2) CC 18 SLU - Classe 3
  L_{cr}=0.22 Curva d: α_{imp}=0.76 k_c=0.94 ψ=3.06 M,cr=0.00 λ_{LT}=0.00
  $\lambda_{LT,0}$=0.20 β_{LT}=1.00 Φ_{LT}=0.00 β_{LT}=1.00 f=0.00 χ_{LT}=1.00
  CC 18 SLU My,Ed=-13.85 My,b,Rd=109.13 My,Ed/My,b,Rd=0.13

- Verifica di stabilità aste presso-inflesse (C4.2.4.1.3.3.1) - CC 20 SLU - Classe 3
  Sollecitazioni: N,Ed=-0.16 Myeq,Ed=-11.05 Mzeq,Ed=0.15
  Resistenze: Nc,Rd=13095.20 My,c,Rd=109.13 Mz,c,Rd=21.83 L=21.88
  λ_Y=15.16 Ncr,y=451182.00 λ^*_y=0.17 Curva c: Φ_y=0.51 χ_y=1.00
  λ_Z=75.78 Ncr,z=18047.30 λ^*_z=0.87 Curva c: Φ_z=1.05 χ_z=0.62

χ,min=0.62
Verifica: 0.00+0.10+0.01=0.11

- Verifica a flessione [4.2.13] - CC 18 SLU Xl=0.03 - Classe 3
Sollecitazioni: T_z=-176.17 M_y=-13.85 T_y=-2.38
My,Ed=-13.85 My,c,Rd=109.13 My,Ed/My,c,Rd=0.13

- Verifica a taglio dir. Y [4.2.16] - CC 19 SLU Xl=0.11
Sollecitazioni: N=1.96 T_z=-159.80 T_y=-2.16
V,Ed=-2.16 Vc,Rd=7560.76 V,Ed/Vc,Rd=0.00

- Verifica a taglio dir. Z [4.2.16]
V,Ed=-159.80 Vc,Rd=7560.76 V,Ed/Vc,Rd=0.02

Asta n. 6429 (-404 -412) calastrelli 50x10 Crit. 1

- Verifica di stabilità aste inflesse (4.2.4.1.3.2) CC 17 SLU - Classe 3
L_{cr}=0.23 Curva d: α_{imp}=0.76 k_c=0.94 ψ=3.06 M,cr=0.00 λ_{LT}=0.00
$\lambda_{LT,0}$=0.20 β_{LT}=1.00 Φ_{LT}=0.00 β_{LT}=1.00 f=0.00 χ_{LT}=1.00
CC 17 SLU My,Ed=-6.99 My,b,Rd=109.13 My,Ed/My,b,Rd=0.06

- Verifica di stabilità aste presso-inflesse (C4.2.4.1.3.3.1) - CC 18 SLU - Classe 3
Sollecitazioni: N,Ed=-1.33 Myeq,Ed=-13.85 Mzeq,Ed=0.19
Resistenze: Nc,Rd=13095.20 My,c,Rd=109.13 Mz,c,Rd=21.83 L=22.50
λ_Y=15.59 Ncr,y=426463.00 λ^*_y=0.18 Curva c: Φ_y=0.51 χ_y=1.00
λ_Z=77.94 Ncr,z=17058.50 λ^*_z=0.90 Curva c: Φ_z=1.07 χ_z=0.60
χ,min=0.60
Verifica: 0.00+0.13+0.01=0.14

- Verifica in termini tensionali [4.2.4] - CC 18 SLU Xl=0.03 - Classe 3
Sollecitazioni: N=-1.33 T_z=-169.29 M_y=-13.85 T_y=-2.27
Tensioni: σ_N=-0.27 σ_M=-332.34 τ=0.00 σ_{max}=-332.60
Tensioni: σ_N=-0.27 σ_M=0.00 τ=50.79 τ_{max}=50.79
Tensioni: σ_N=-0.27 σ_M=-332.34 τ=0.68 $\sigma_{ID,max}$=332.61

- Verifica a taglio dir. Y [4.2.16] - CC 19 SLU Xl=0.12
Sollecitazioni: T_z=-151.78 T_y=-2.04
V,Ed=-2.04 Vc,Rd=7560.76 V,Ed/Vc,Rd=0.00

- Verifica a taglio dir. Z [4.2.16]
V,Ed=-151.78 Vc,Rd=7560.76 V,Ed/Vc,Rd=0.02

Asta n. 6430 (-372 -380) calastrelli 50x10 Crit. 1

- Verifica di stabilità aste inflesse (4.2.4.1.3.2) CC 19 SLU - Classe 3
L_{cr}=0.23 Curva d: α_{imp}=0.76 k_c=0.94 ψ=3.06 M,cr=0.00 λ_{LT}=0.00
$\lambda_{LT,0}$=0.20 β_{LT}=1.00 Φ_{LT}=0.00 β_{LT}=1.00 f=0.00 χ_{LT}=1.00
CC 19 SLU My,Ed=-12.20 My,b,Rd=109.13 My,Ed/My,b,Rd=0.11

- Verifica di stabilità aste presso-inflesse (C4.2.4.1.3.3.1) - CC 18 SLU - Classe 3
Sollecitazioni: N,Ed=-1.24 Myeq,Ed=-13.81 Mzeq,Ed=0.19
Resistenze: Nc,Rd=13095.20 My,c,Rd=109.13 Mz,c,Rd=21.83 L=23.13
λ_Y=16.02 Ncr,y=403725.00 λ^*_y=0.18 Curva c: Φ_y=0.51 χ_y=1.00
λ_Z=80.11 Ncr,z=16149.00 λ^*_z=0.92 Curva c: Φ_z=1.10 χ_z=0.59
χ,min=0.59
Verifica: 0.00+0.13+0.01=0.14

- Verifica in termini tensionali [4.2.4] - CC 18 SLU Xl=0.03 - Classe 3
Sollecitazioni: N=-1.24 T_z=-162.60 M_y=-13.81 T_y=-2.18

Tensioni: σ_N=-0.25 σ_M=-331.40 τ=0.00 σ_{max}=-331.65
Tensioni: σ_N=-0.25 σ_M=0.00 τ=48.78 τ_{max}=48.78
Tensioni: σ_N=-0.25 σ_M=-331.40 τ=0.66 $\sigma_{ID,max}$=331.65

- Verifica a taglio dir. Y [4.2.16] - CC 19 SLU Xl=0.12
Sollecitazioni: T_z=-144.03 T_y=-1.93
V,Ed=-1.93 Vc,Rd=7560.76 V,Ed/Vc,Rd=0.00

- Verifica a taglio dir. Z [4.2.16]
V,Ed=-144.03 Vc,Rd=7560.76 V,Ed/Vc,Rd=0.02

Asta n. 6431 (-340 -348) calastrelli 50x10 Crit. 1

- Verifica di stabilità aste inflesse (4.2.4.1.3.2) CC 19 SLU - Classe 3
L_{cr}=0.24 Curva d: α_{imp}=0.76 k_c=0.94 ψ=3.07 M,cr=0.00 λ_{LT}=0.00
$\lambda_{LT,0}$=0.20 β_{LT}=1.00 Φ_{LT}=0.00 β_{LT}=1.00 f=0.00 χ_{LT}=1.00
CC 19 SLU My,Ed=-12.01 My,b,Rd=109.13 My,Ed/My,b,Rd=0.11

- Verifica di stabilità aste presso-inflesse (C4.2.4.1.3.3.1) - CC 18 SLU - Classe 3
Sollecitazioni: N,Ed=-1.17 Myeq,Ed=-13.77 Mzeq,Ed=0.18
Resistenze: Nc,Rd=13095.20 My,c,Rd=109.13 Mz,c,Rd=21.83 L=23.75
λ_Y=16.45 Ncr,y=382754.00 λ^*_y=0.19 Curva c: Φ_y=0.52 χ_y=1.00
λ_Z=82.27 Ncr,z=15310.20 λ^*_z=0.95 Curva c: Φ_z=1.13 χ_z=0.57
χ,min=0.57
Verifica: 0.00+0.13+0.01=0.13

- Verifica in termini tensionali [4.2.4] - CC 18 SLU Xl=0.03 - Classe 3
Sollecitazioni: N=-1.17 T_z=-156.34 M_y=-13.77 T_y=-2.10
Tensioni: σ_N=-0.23 σ_M=-330.42 τ=0.00 σ_{max}=-330.65
Tensioni: σ_N=-0.23 σ_M=0.00 τ=46.90 τ_{max}=46.90
Tensioni: σ_N=-0.23 σ_M=-330.42 τ=0.63 $\sigma_{ID,max}$=330.65

- Verifica a taglio dir. Y [4.2.16] - CC 19 SLU Xl=0.12
Sollecitazioni: T_z=-136.76 T_y=-1.83
V,Ed=-1.83 Vc,Rd=7560.76 V,Ed/Vc,Rd=0.00

- Verifica a taglio dir. Z [4.2.16]
V,Ed=-136.76 Vc,Rd=7560.76 V,Ed/Vc,Rd=0.02

Asta n. 6432 (-308 -316) calastrelli 50x10 Crit. 1

- Verifica di stabilità aste inflesse (4.2.4.1.3.2) CC 19 SLU - Classe 3
L_{cr}=0.24 Curva d: α_{imp}=0.76 k_c=0.94 ψ=3.07 M,cr=0.00 λ_{LT}=0.00
$\lambda_{LT,0}$=0.20 β_{LT}=1.00 Φ_{LT}=0.00 β_{LT}=1.00 f=0.00 χ_{LT}=1.00
CC 19 SLU My,Ed=-11.83 My,b,Rd=109.13 My,Ed/My,b,Rd=0.11

- Verifica di stabilità aste presso-inflesse (C4.2.4.1.3.3.1) - CC 18 SLU - Classe 3
Sollecitazioni: N,Ed=-1.24 Myeq,Ed=-13.73 Mzeq,Ed=0.18
Resistenze: Nc,Rd=13095.20 My,c,Rd=109.13 Mz,c,Rd=21.83 L=24.38
λ_Y=16.89 Ncr,y=363379.00 λ^*_y=0.19 Curva c: Φ_y=0.52 χ_y=1.00
λ_Z=84.44 Ncr,z=14535.20 λ^*_z=0.97 Curva c: Φ_z=1.16 χ_z=0.56
χ,min=0.56
Verifica: 0.00+0.13+0.01=0.13

- Verifica in termini tensionali [4.2.4] - CC 18 SLU Xl=0.03 - Classe 3
Sollecitazioni: N=-1.24 T_z=-150.54 M_y=-13.73 T_y=-2.01
Tensioni: σ_N=-0.25 σ_M=-329.50 τ=0.00 σ_{max}=-329.75
Tensioni: σ_N=-0.25 σ_M=0.00 τ=45.17 τ_{max}=45.17
Tensioni: σ_N=-0.25 σ_M=-329.50 τ=0.60 $\sigma_{ID,max}$=329.75

- Verifica a taglio dir. Y [4.2.16] - CC 19 SLU Xl=0.13
  Sollecitazioni: T_z=-130.11 T_y=-1.74
  V,Ed=-1.74 Vc,Rd=7560.76 V,Ed/Vc,Rd=0.00

- Verifica a taglio dir. Z [4.2.16]
  V,Ed=-130.11 Vc,Rd=7560.76 V,Ed/Vc,Rd=0.02

Asta n. 6433 (-276 -284) calastrelli 50x10 Crit. 1

- Verifica di stabilità aste inflesse (4.2.4.1.3.2) CC 19 SLU - Classe 3
  L_{cr}=0.25 Curva d: α_{imp}=0.76 k_c=0.94 ψ=3.07 M,cr=0.00 λ_{LT}=0.00
  $\lambda_{LT,0}$=0.20 β_{LT}=1.00 Φ_{LT}=0.00 β_{LT}=1.00 f=0.00 χ_{LT}=1.00
  CC 19 SLU My,Ed=-11.65 My,b,Rd=109.13 My,Ed/My,b,Rd=0.11

- Verifica di stabilità aste presso-inflesse (C4.2.4.1.3.3.1) - CC 18 SLU - Classe 3
  Sollecitazioni: N,Ed=-1.22 Myeq,Ed=-13.69 Mzeq,Ed=0.18
  Resistenze: Nc,Rd=13095.20 My,c,Rd=109.13 Mz,c,Rd=21.83 L=25.00
  λ_Y=17.32 Ncr,y=345436.00 λ^*_y=0.20 Curva c: Φ_y=0.52 χ_y=1.00
  λ_Z=86.60 Ncr,z=13817.40 λ^*_z=1.00 Curva c: Φ_z=1.19 χ_z=0.54
  χ,min=0.54
  Verifica: 0.00+0.13+0.01=0.13

- Verifica in termini tensionali [4.2.4] - CC 18 SLU Xl=0.03 - Classe 3
  Sollecitazioni: N=-1.22 T_z=-145.14 M_y=-13.69 T_y=-1.94
  Tensioni: σ_N=-0.24 σ_M=-328.64 τ=0.00 σ_{max}=-328.89
  Tensioni: σ_N=-0.24 σ_M=0.00 τ=43.55 τ_{max}=43.55
  Tensioni: σ_N=-0.24 σ_M=-328.64 τ=0.58 $\sigma_{ID,max}$=328.89

- Verifica a taglio dir. Y [4.2.16] - CC 19 SLU Xl=0.13
  Sollecitazioni: T_z=-123.88 T_y=-1.65
  V,Ed=-1.65 Vc,Rd=7560.76 V,Ed/Vc,Rd=0.00

- Verifica a taglio dir. Z [4.2.16]
  V,Ed=-123.88 Vc,Rd=7560.76 V,Ed/Vc,Rd=0.02

Asta n. 6434 (-244 -252) calastrelli 50x10 Crit. 1

- Verifica di stabilità aste inflesse (4.2.4.1.3.2) CC 19 SLU - Classe 3
  L_{cr}=0.26 Curva d: α_{imp}=0.76 k_c=0.94 ψ=3.07 M,cr=0.00 λ_{LT}=0.00
  $\lambda_{LT,0}$=0.20 β_{LT}=1.00 Φ_{LT}=0.00 β_{LT}=1.00 f=0.00 χ_{LT}=1.00
  CC 19 SLU My,Ed=-11.47 My,b,Rd=109.13 My,Ed/My,b,Rd=0.11

- Verifica di stabilità aste presso-inflesse (C4.2.4.1.3.3.1) - CC 18 SLU - Classe 3
  Sollecitazioni: N,Ed=-1.19 Myeq,Ed=-13.65 Mzeq,Ed=0.18
  Resistenze: Nc,Rd=13095.20 My,c,Rd=109.13 Mz,c,Rd=21.83 L=25.63
  λ_Y=17.75 Ncr,y=328790.00 λ^*_y=0.20 Curva c: Φ_y=0.52 χ_y=1.00
  λ_Z=88.77 Ncr,z=13151.60 λ^*_z=1.02 Curva c: Φ_z=1.22 χ_z=0.53
  χ,min=0.53
  Verifica: 0.00+0.13+0.01=0.13

- Verifica in termini tensionali [4.2.4] - CC 18 SLU Xl=0.03 - Classe 3
  Sollecitazioni: N=-1.19 T_z=-140.06 M_y=-13.65 T_y=-1.87
  Tensioni: σ_N=-0.24 σ_M=-327.72 τ=0.00 σ_{max}=-327.96
  Tensioni: σ_N=-0.24 σ_M=0.00 τ=42.02 τ_{max}=42.02
  Tensioni: σ_N=-0.24 σ_M=-327.72 τ=0.56 $\sigma_{ID,max}$=327.96

- Verifica a taglio dir. Y [4.2.16] - CC 19 SLU Xl=0.13
  Sollecitazioni: T_z=-118.04 T_y=-1.57

V,Ed=-1.57 Vc,Rd=7560.76 V,Ed/Vc,Rd=0.00

- Verifica a taglio dir. Z [4.2.16]
V,Ed=-118.04 Vc,Rd=7560.76 V,Ed/Vc,Rd=0.02

Asta n. 6435 (-212 -220) calastrelli 50x10 Crit. 1

- Verifica di stabilità aste inflesse (4.2.4.1.3.2) CC 19 SLU - Classe 3
L_{cr}=0.26 Curva d: α_{imp}=0.76 k_c=0.94 ψ=3.07 M,cr=0.00 λ_{LT}=0.00
$\lambda_{LT,0}$=0.20 β_{LT}=1.00 Φ_{LT}=0.00 β_{LT}=1.00 f=0.00 χ_{LT}=1.00
CC 19 SLU My,Ed=-11.29 My,b,Rd=109.13 My,Ed/My,b,Rd=0.10

- Verifica di stabilità aste presso-inflesse (C4.2.4.1.3.3.1) - CC 18 SLU - Classe 3
Sollecitazioni: N,Ed=-1.23 Myeq,Ed=-13.62 Mzeq,Ed=0.18
Resistenze: Nc,Rd=13095.20 My,c,Rd=109.13 Mz,c,Rd=21.83 L=26.25
λ_Y=18.19 Ncr,y=313321.00 λ^*_y=0.21 Curva c: Φ_y=0.52 χ_y=1.00
λ_Z=90.93 Ncr,z=12532.80 λ^*_z=1.05 Curva c: Φ_z=1.26 χ_z=0.51
χ,min=0.51
Verifica: 0.00+0.12+0.01=0.13

- Verifica in termini tensionali [4.2.4] - CC 18 SLU Xl=0.03 - Classe 3
Sollecitazioni: N=-1.23 T_z=-135.30 M_y=-13.62 T_y=-1.80
Tensioni: σ_N=-0.25 σ_M=-326.78 τ=0.00 σ_{max}=-327.02
Tensioni: σ_N=-0.25 σ_M=0.00 τ=40.59 τ_{max}=40.59
Tensioni: σ_N=-0.25 σ_M=-326.78 τ=0.54 $\sigma_{ID,max}$=327.03

- Verifica a taglio dir. Y [4.2.16] - CC 19 SLU Xl=0.14
Sollecitazioni: T_z=-112.59 T_y=-1.49
V,Ed=-1.49 Vc,Rd=7560.76 V,Ed/Vc,Rd=0.00

- Verifica a taglio dir. Z [4.2.16]
V,Ed=-112.59 Vc,Rd=7560.76 V,Ed/Vc,Rd=0.01

Asta n. 6436 (-180 -188) calastrelli 50x10 Crit. 1

- Verifica di stabilità aste inflesse (4.2.4.1.3.2) CC 19 SLU - Classe 3
L_{cr}=0.27 Curva d: α_{imp}=0.76 k_c=0.94 ψ=3.07 M,cr=0.00 λ_{LT}=0.00
$\lambda_{LT,0}$=0.20 β_{LT}=1.00 Φ_{LT}=0.00 β_{LT}=1.00 f=0.00 χ_{LT}=1.00
CC 19 SLU My,Ed=-11.09 My,b,Rd=109.13 My,Ed/My,b,Rd=0.10

- Verifica di stabilità aste presso-inflesse (C4.2.4.1.3.3.1) - CC 18 SLU - Classe 3
Sollecitazioni: N,Ed=-1.26 Myeq,Ed=-13.56 Mzeq,Ed=0.18
Resistenze: Nc,Rd=13095.20 My,c,Rd=109.13 Mz,c,Rd=21.83 L=26.88
λ_Y=18.62 Ncr,y=298917.00 λ^*_y=0.21 Curva c: Φ_y=0.53 χ_y=0.99
λ_Z=93.10 Ncr,z=11956.70 λ^*_z=1.07 Curva c: Φ_z=1.29 χ_z=0.50
χ,min=0.50
Verifica: 0.00+0.12+0.01=0.13

- Verifica in termini tensionali [4.2.4] - CC 18 SLU Xl=0.03 - Classe 3
Sollecitazioni: N=-1.26 T_z=-130.66 M_y=-13.56 T_y=-1.72
Tensioni: σ_N=-0.25 σ_M=-325.45 τ=0.00 σ_{max}=-325.70
Tensioni: σ_N=-0.25 σ_M=0.00 τ=39.20 τ_{max}=39.20
Tensioni: σ_N=-0.25 σ_M=-325.45 τ=0.52 $\sigma_{ID,max}$=325.71

- Verifica a taglio dir. Y [4.2.16] - CC 19 SLU Xl=0.14
Sollecitazioni: T_z=-107.34 T_y=-1.41
V,Ed=-1.41 Vc,Rd=7560.76 V,Ed/Vc,Rd=0.00

- Verifica a taglio dir. Z [4.2.16]

V,Ed=-107.34 Vc,Rd=7560.76 V,Ed/Vc,Rd=0.01

Asta n. 6437 (-148 -156) calastrelli 50x10 Crit. 1

- Verifica di stabilità aste inflesse (4.2.4.1.3.2) CC 19 SLU - Classe 3
L_{cr}=0.28 Curva d: α_{imp}=0.76 k_c=0.94 ψ=3.08 M,cr=0.00 λ_{LT}=0.00
$\lambda_{LT,0}$=0.20 β_{LT}=1.00 Φ_{LT}=0.00 β_{LT}=1.00 f=0.00 χ_{LT}=1.00
CC 19 SLU My,Ed=-10.83 My,b,Rd=109.13 My,Ed/My,b,Rd=0.10

- Verifica di stabilità aste presso-inflesse (C4.2.4.1.3.3.1) - CC 18 SLU - Classe 3
Sollecitazioni: N,Ed=-1.21 Myeq,Ed=-13.41 Mzeq,Ed=0.17
Resistenze: Nc,Rd=13095.20 My,c,Rd=109.13 Mz,c,Rd=21.83 L=27.50
λ_Y=19.05 Ncr,y=285485.00 λ^*_y=0.22 Curva c: Φ_y=0.53 χ_y=0.99
λ_Z=95.26 Ncr,z=11419.40 λ^*_z=1.10 Curva c: Φ_z=1.32 χ_z=0.49
χ,min=0.49
Verifica: 0.00+0.12+0.01=0.13

- Verifica in termini tensionali [4.2.4] - CC 18 SLU Xl=0.03 - Classe 3
Sollecitazioni: N=-1.21 T_z=-125.40 M_y=-13.41 T_y=-1.63
Tensioni: σ_N=-0.24 σ_M=-321.83 τ=0.00 σ_{max}=-322.08
Tensioni: σ_N=-0.24 σ_M=0.00 τ=37.62 τ_{max}=37.62
Tensioni: σ_N=-0.24 σ_M=-321.83 τ=0.49 $\sigma_{ID,max}$=322.08

- Verifica a taglio dir. Y [4.2.16] - CC 19 SLU Xl=0.14
Sollecitazioni: T_z=-101.72 T_y=-1.32
V,Ed=-1.32 Vc,Rd=7560.76 V,Ed/Vc,Rd=0.00

- Verifica a taglio dir. Z [4.2.16]
V,Ed=-101.72 Vc,Rd=7560.76 V,Ed/Vc,Rd=0.01

Asta n. 6438 (-116 -124) calastrelli 50x10 Crit. 1

- Verifica di stabilità aste inflesse (4.2.4.1.3.2) CC 19 SLU - Classe 3
L_{cr}=0.28 Curva d: α_{imp}=0.76 k_c=0.94 ψ=3.08 M,cr=0.00 λ_{LT}=0.00
$\lambda_{LT,0}$=0.20 β_{LT}=1.00 Φ_{LT}=0.00 β_{LT}=1.00 f=0.00 χ_{LT}=1.00
CC 19 SLU My,Ed=-10.22 My,b,Rd=109.13 My,Ed/My,b,Rd=0.09

- Verifica di stabilità aste presso-inflesse (C4.2.4.1.3.3.1) - CC 18 SLU - Classe 3
Sollecitazioni: N,Ed=-0.62 Myeq,Ed=-12.82 Mzeq,Ed=0.16
Resistenze: Nc,Rd=13095.20 My,c,Rd=109.13 Mz,c,Rd=21.83 L=28.13
λ_Y=19.49 Ncr,y=272937.00 λ^*_y=0.22 Curva c: Φ_y=0.53 χ_y=0.99
λ_Z=97.43 Ncr,z=10917.50 λ^*_z=1.12 Curva c: Φ_z=1.36 χ_z=0.47
χ,min=0.47
Verifica: 0.00+0.12+0.01=0.12

- Verifica a flessione [4.2.13] - CC 18 SLU Xl=0.03 - Classe 3
Sollecitazioni: T_z=-116.43 M_y=-12.82 T_y=-1.45
My,Ed=-12.82 My,c,Rd=109.13 My,Ed/My,c,Rd=0.12

- Verifica a taglio dir. Y [4.2.16] - CC 20 SLU Xl=0.15
Sollecitazioni: T_z=-96.25 T_y=-1.19
V,Ed=-1.19 Vc,Rd=7560.76 V,Ed/Vc,Rd=0.00

- Verifica a taglio dir. Z [4.2.16]
V,Ed=-96.25 Vc,Rd=7560.76 V,Ed/Vc,Rd=0.01

Asta n. 6439 (-84 -92) calastrelli 50x10 Crit. 1

- Verifica di stabilità aste inflesse (4.2.4.1.3.2) CC 17 SLU - Classe 3
L_{cr}=0.29 Curva d: α_{imp}=0.76 k_c=0.94 ψ=3.08 M,cr=0.00 λ_{LT}=0.00

$\lambda_{LT,0}$=0.20 β_{LT}=1.00 Φ_{LT}=0.00 β_{LT}=1.00 f=0.00 χ_{LT}=1.00
CC 17 SLU My,Ed=-4.56 My,b,Rd=109.13 My,Ed/My,b,Rd=0.04

- Verifica di stabilità aste presso-inflesse (C4.2.4.1.3.3.1) - CC 18 SLU - Classe 3
Sollecitazioni: N,Ed=-7.10 Myeq,Ed=-10.24 Mzeq,Ed=0.12
Resistenze: Nc,Rd=13095.20 My,c,Rd=109.13 Mz,c,Rd=21.83 L=28.75
λ_Y=19.92 Ncr,y=261199.00 λ^*_y=0.23 Curva c: Φ_y=0.53 χ_y=0.99
λ_Z=99.59 Ncr,z=10447.90 λ^*_z=1.15 Curva c: Φ_z=1.39 χ_z=0.46
χ,min=0.46
Verifica: 0.00+0.09+0.01=0.10

- Verifica in termini tensionali [4.2.4] - CC 18 SLU Xl=0.03 - Classe 3
Sollecitazioni: N=-7.10 T_z=-90.56 M_y=-10.24 T_y=-1.07
Tensioni: σ_N=-1.42 σ_M=-245.83 τ=0.00 σ_{max}=-247.25
Tensioni: σ_N=-1.42 σ_M=0.00 τ=27.17 τ_{max}=27.17
Tensioni: σ_N=-1.42 σ_M=-245.83 τ=0.32 $\sigma_{ID,max}$=247.25

- Verifica a taglio dir. Z [4.2.16] - CC 17 SLU Xl=0.15
Sollecitazioni: N=4.35 T_z=-40.59
V,Ed=-40.59 Vc,Rd=7560.76 V,Ed/Vc,Rd=0.01

Asta n. 6440 (-52 -60) calastrelli 100x5 Crit. 1

- Verifica di stabilità aste inflesse (4.2.4.1.3.2) CC 18 SLU - Classe 3
L_{cr}=0.29 Curva d: α_{imp}=0.76 k_c=0.94 ψ=2.70 M,cr=0.00 λ_{LT}=0.00
$\lambda_{LT,0}$=0.20 β_{LT}=1.00 Φ_{LT}=0.00 β_{LT}=1.00 f=0.00 χ_{LT}=1.00
CC 18 SLU My,Ed=-14.39 My,b,Rd=436.51 My,Ed/My,b,Rd=0.03

- Verifica di stabilità aste presso-inflesse (C4.2.4.1.3.3.1) - CC 17 SLU - Classe 3
Sollecitazioni: N,Ed=-113.04 Myeq,Ed=7.02 Mzeq,Ed=-0.07
Resistenze: Nc,Rd=26190.50 My,c,Rd=436.51 Mz,c,Rd=43.65 L=29.38
λ_Y=10.18 Ncr,y=2001620.00 λ^*_y=0.12 Curva c: Φ_y=0.49 χ_y=1.00
λ_Z=101.76 Ncr,z=20016.20 λ^*_z=1.17 Curva c: Φ_z=1.43 χ_z=0.45
χ,min=0.45
Verifica: 0.00+0.02+0.00=0.02

- Verifica in termini tensionali [4.2.4] - CC 18 SLU Xl=0.03 - Classe 3
Sollecitazioni: N=101.47 T_z=-108.03 M_y=-14.39
Tensioni: σ_N=10.15 σ_M=86.33 τ=0.00 σ_{max}=96.47
Tensioni: σ_N=10.15 σ_M=0.00 τ=16.20 τ_{max}=16.20
Tensioni: σ_N=10.15 σ_M=86.33 τ=0.00 $\sigma_{ID,max}$=96.47

- Verifica a taglio dir. Z [4.2.16] - CC 18 SLU Xl=0.15
Sollecitazioni: N=101.47 T_z=-109.31
V,Ed=-109.31 Vc,Rd=15121.50 V,Ed/Vc,Rd=0.01

Asta n. 6441 (-20 -28) calastrelli 100x5 Crit. 1

- Verifica di stabilità aste inflesse (4.2.4.1.3.2) CC 18 SLU - Classe 3
L_{cr}=0.30 Curva d: α_{imp}=0.76 k_c=0.94 ψ=2.98 M,cr=0.00 λ_{LT}=0.00
$\lambda_{LT,0}$=0.20 β_{LT}=1.00 Φ_{LT}=0.00 β_{LT}=1.00 f=0.00 χ_{LT}=1.00
CC 18 SLU My,Ed=-9.66 My,b,Rd=436.51 My,Ed/My,b,Rd=0.02

- Verifica di stabilità aste presso-inflesse (C4.2.4.1.3.3.1) - CC 17 SLU - Classe 3
Sollecitazioni: N,Ed=-253.28 Myeq,Ed=-4.70 Mzeq,Ed=0.03
Resistenze: Nc,Rd=26190.50 My,c,Rd=436.51 Mz,c,Rd=43.65 L=29.69
λ_Y=10.28 Ncr,y=1959700.00 λ^*_y=0.12 Curva c: Φ_y=0.49 χ_y=1.00
λ_Z=102.84 Ncr,z=19597.00 λ^*_z=1.18 Curva c: Φ_z=1.44 χ_z=0.44
χ,min=0.44

Verifica: 0.01+0.01+0.00=0.02

- Verifica in termini tensionali [4.2.4] - CC 18 SLU Xl=0.03 - Classe 3
Sollecitazioni: N=302.14 T_z=-78.66 M_y=-9.66
Tensioni: σ_N=30.21 σ_M=57.95 τ=0.00 σ_{max}=88.17
Tensioni: σ_N=30.21 σ_M=0.00 τ=11.80 τ_{max}=11.80
Tensioni: σ_N=30.21 σ_M=57.95 τ=0.00 $\sigma_{ID,max}$=88.17

- Verifica a taglio dir. Z [4.2.16] - CC 18 SLU Xl=0.16
Sollecitazioni: N=302.14 T_z=-79.96
V,Ed=-79.96 Vc,Rd=15121.50 V,Ed/Vc,Rd=0.01

Asta n. 6442 (354 366) angolari L50x10 Crit. 1

- Verifica di stabilità aste inflesse (4.2.4.1.3.2) CC 17 SLU - Classe 3
L_{cr}=0.15 Curva d: α_{imp}=0.76 k_c=0.94 ψ=2.69 M,cr=0.00 λ_{LT}=0.00
$\lambda_{LT,0}$=0.00 β_{LT}=0.00 Φ_{LT}=0.00 β_{LT}=0.00 f=0.00 χ_{LT}=1.00
CC 17 SLU My,Ed=-50.56 My,b,Rd=149.05 My,Ed/My,b,Rd=0.34

- Verifica di stabilità aste presso-inflesse (C4.2.4.1.3.3.1) - CC 1 SLV - Classe 3
Sollecitazioni: N,Ed=-312.25 Myeq,Ed=31.98 Mzeq,Ed=-0.72
Resistenze: Nc,Rd=23709.20 My,c,Rd=149.05 Mz,c,Rd=149.05 L=15.00
λ_c=8.19 Ncr,y=2794040.00 λ^*_y=0.09 Curva b: Φ_y=0.00 χ_y=1.00
λ_e=15.58 Ncr,z=772687.00 λ^*_z=0.18 Curva b: Φ_z=0.00 χ_z=1.00
χ,min=1.00
Verifica: 0.01+0.21+0.00=0.23

- Verifica in termini tensionali [4.2.4] - CC 17 SLU Xl=0.15 - Classe 3
Sollecitazioni: N=419.75 T_z=663.12 M_y=-50.56 T_y=28.26 M_z=2.93 M_x=1.16 (M_c=-37.82 M_e=-33.68)
Tensioni: σ_N=46.37 σ_M=-1080.24 τ=48.32 σ_{max}=-1033.87
Tensioni: σ_N=46.37 σ_M=574.79 τ=226.93 τ_{max}=226.93
Tensioni: σ_N=46.37 σ_M=-1080.24 τ=48.32 $\sigma_{ID,max}$=1037.25

- Verifica a taglio dir. Y [4.2.16] - CC 1 SLV Xl=0.08
Sollecitazioni: N=83.72 T_z=-433.44 T_y=-7.24
V,Ed=-7.24 Vc,Rd=7560.76 V,Ed/Vc,Rd=0.00

- Verifica a taglio dir. Z [4.2.16]
V,Ed=-433.44 Vc,Rd=7560.76 V,Ed/Vc,Rd=0.06

Asta n. 6442 (366 378) angolari L50x10 Crit. 1

- Verifica di stabilità aste inflesse (4.2.4.1.3.2) CC 17 SLU - Classe 3
L_{cr}=0.15 Curva d: α_{imp}=0.76 k_c=0.94 ψ=2.86 M,cr=0.00 λ_{LT}=0.00
$\lambda_{LT,0}$=0.00 β_{LT}=0.00 Φ_{LT}=0.00 β_{LT}=0.00 f=0.00 χ_{LT}=1.00
CC 17 SLU My,Ed=-45.43 My,b,Rd=149.05 My,Ed/My,b,Rd=0.30

- Verifica di stabilità aste presso-inflesse (C4.2.4.1.3.3.1) - CC 9 SLU - Classe 3
Sollecitazioni: N,Ed=-252.53 Myeq,Ed=39.11 Mzeq,Ed=-0.27
Resistenze: Nc,Rd=23709.20 My,c,Rd=149.05 Mz,c,Rd=149.05 L=15.00
λ_c=8.19 Ncr,y=2794040.00 λ^*_y=0.09 Curva b: Φ_y=0.00 χ_y=1.00
λ_e=15.58 Ncr,z=772687.00 λ^*_z=0.18 Curva b: Φ_z=0.00 χ_z=1.00
χ,min=1.00
Verifica: 0.01+0.26+0.00=0.27

- Verifica in termini tensionali [4.2.4] - CC 17 SLU Xl=0.00 - Classe 3
Sollecitazioni: N=481.49 T_z=-634.75 M_y=-45.43 T_y=-29.25 M_z=3.04 M_x=-1.16 (M_c=-34.27 M_e=-29.97)
Tensioni: σ_N=53.19 σ_M=-967.45 τ=47.35 σ_{max}=-914.26
Tensioni: σ_N=53.19 σ_M=513.90 τ=218.69 τ_{max}=218.69

Tensioni: σ_N=53.19 σ_M=-967.45 τ=47.35 $\sigma_{ID,max}$=917.93

- Verifica a taglio e torsione dir. Y [4.2.26] - CC 17 SLU Xl=0.07
Sollecitazioni: N=481.49 T_z=-635.41 T_y=-29.25 M_x=-1.16
V,Ed=-29.25
τ,Ed=218.88 τ,Rd=1512.15 τ,Ed/τ,Rd=0.14

Asta n. 6443 (355 367) angolari L50x10 Crit. 1

- Verifica di stabilità aste inflesse (4.2.4.1.3.2) CC 1 SLV - Classe 3
L_{cr}=0.15 Curva d: α_{imp}=0.76 k_c=0.94 ψ=1.47 M,cr=0.00 λ_{LT}=0.00
$\lambda_{LT,0}$=0.00 β_{LT}=0.00 Φ_{LT}=0.00 β_{LT}=0.00 f=0.00 χ_{LT}=1.00
CC 1 SLV My,Ed=0.86 My,b,Rd=149.05 My,Ed/My,b,Rd=0.01

- Verifica di stabilità aste presso-inflesse (C4.2.4.1.3.3.1) - CC 17 SLU - Classe 3
Sollecitazioni: N,Ed=-860.09 Myeq,Ed=2.25 Mzeq,Ed=-89.01
Resistenze: Nc,Rd=23709.20 My,c,Rd=149.05 Mz,c,Rd=149.05 L=15.00
λ_c=8.19 Ncr,y=2794040.00 λ^*_y=0.09 Curva b: Φ_y=0.00 χ_y=1.00
λ_e=15.58 Ncr,z=772687.00 λ^*_z=0.18 Curva b: Φ_z=0.00 χ_z=1.00
χ,min=1.00
Verifica: 0.04+0.02+0.60=0.65

- Verifica Freccia massima per soli carichi accidentali - CC 21
$f_{Z,G}$=0.00 (L/12870)

- Verifica Freccia massima carichi totali - CC 21
$f_{Z,G}$=0.00 (L/10022)

- Verifica in termini tensionali [4.2.4] - CC 17 SLU Xl=0.15 - Classe 3
Sollecitazioni: N=-860.09 T_z=-26.16 M_y=2.95 T_y=-1203.54 M_z=-89.01 M_x=1.36 (M_c=65.03 M_e=-60.85)
Tensioni: σ_N=-95.01 σ_M=-1918.09 τ=66.28 σ_{max}=-2013.10
Tensioni: σ_N=-95.01 σ_M=1025.36 τ=388.66 τ_{max}=388.66
Tensioni: σ_N=-95.01 σ_M=-1918.09 τ=66.28 $\sigma_{ID,max}$=2016.37

- Verifica a taglio dir. Y [4.2.16] - CC 19 SLU Xl=0.08
Sollecitazioni: N=-740.74 T_z=-14.26 T_y=-983.41
V,Ed=-983.41 Vc,Rd=7560.76 V,Ed/Vc,Rd=0.13

- Verifica a taglio dir. Z [4.2.16]
V,Ed=-14.26 Vc,Rd=7560.76 V,Ed/Vc,Rd=0.00

Asta n. 6443 (367 379) angolari L50x10 Crit. 1

- Verifica di stabilità aste inflesse (4.2.4.1.3.2) CC 1 SLV - Classe 3
L_{cr}=0.15 Curva d: α_{imp}=0.76 k_c=0.94 ψ=2.09 M,cr=0.00 λ_{LT}=0.00
$\lambda_{LT,0}$=0.00 β_{LT}=0.00 Φ_{LT}=0.00 β_{LT}=0.00 f=0.00 χ_{LT}=1.00
CC 1 SLV My,Ed=-0.86 My,b,Rd=149.05 My,Ed/My,b,Rd=0.01

- Verifica di stabilità aste presso-inflesse (C4.2.4.1.3.3.1) - CC 17 SLU - Classe 3
Sollecitazioni: N,Ed=-809.50 Myeq,Ed=2.25 Mzeq,Ed=-93.82
Resistenze: Nc,Rd=23709.20 My,c,Rd=149.05 Mz,c,Rd=149.05 L=15.00
λ_c=8.19 Ncr,y=2794040.00 λ^*_y=0.09 Curva b: Φ_y=0.00 χ_y=1.00
λ_e=15.58 Ncr,z=772687.00 λ^*_z=0.18 Curva b: Φ_z=0.00 χ_z=1.00
χ,min=1.00
Verifica: 0.03+0.02+0.63=0.68

- Verifica Freccia massima per soli carichi accidentali - CC 21
$f_{Z,G}$=0.00 (L/12781)

- Verifica Freccia massima carichi totali - CC 21
  $f_{Z,G}$=0.00 (L/9695)

- Verifica in termini tensionali [4.2.4] - CC 17 SLU Xl=0.00 - Classe 3
  Sollecitazioni: N=-809.50 T_z=26.14 M_y=2.94 T_y=1230.74 M_z=-93.82 M_x=-1.36 (M_c=68.42 M_e=-64.27)
  Tensioni: σ_N=-89.42 σ_M=-2023.04 τ=67.29 σ_{max}=-2112.46
  Tensioni: σ_N=-89.42 σ_M=1081.83 τ=396.66 τ_{max}=396.66
  Tensioni: σ_N=-89.42 σ_M=-2023.04 τ=67.29 $\sigma_{ID,max}$=2115.68

- Verifica a taglio dir. Y [4.2.16] - CC 9 SLU Xl=0.08
  Sollecitazioni: N=-253.97 T_z=-3.10 T_y=475.62
  V,Ed=475.62 Vc,Rd=7560.76 V,Ed/Vc,Rd=0.06

- Verifica a taglio dir. Z [4.2.16]
  V,Ed=-3.10 Vc,Rd=7560.76 V,Ed/Vc,Rd=0.00

Asta n. 6444 (-21 -29) calastrelli 100x5 Crit. 1

- Verifica di stabilità aste inflesse (4.2.4.1.3.2) CC 18 SLU - Classe 3
  L_{cr}=0.30 Curva d: α_{imp}=0.76 k_c=0.94 ψ=3.04 M,cr=0.00 λ_{LT}=0.00
  $\lambda_{LT,0}$=0.20 β_{LT}=1.00 Φ_{LT}=0.00 β_{LT}=1.00 f=0.00 χ_{LT}=1.00
  CC 18 SLU My,Ed=-9.48 My,b,Rd=436.51 My,Ed/My,b,Rd=0.02

- Verifica di stabilità aste presso-inflesse (C4.2.4.1.3.3.1) - CC 1 SLV - Classe 3
  Sollecitazioni: N,Ed=-36.79 Myeq,Ed=-2.52 Mzeq,Ed=-0.02
  Resistenze: Nc,Rd=26190.50 My,c,Rd=436.51 Mz,c,Rd=43.65 L=29.69
  λ_Y=10.28 Ncr,y=1959700.00 λ^*_y=0.12 Curva c: Φ_y=0.49 χ_y=1.00
  λ_Z=102.84 Ncr,z=19597.00 λ^*_z=1.18 Curva c: Φ_z=1.44 χ_z=0.44
  χ,min=0.44
  Verifica: 0.00+0.01+0.00=0.01

- Verifica in termini tensionali [4.2.4] - CC 19 SLU Xl=0.27 - Classe 3
  Sollecitazioni: N=596.06 T_z=-62.22 M_y=7.12
  Tensioni: σ_N=59.61 σ_M=42.73 τ=0.00 σ_{max}=102.33
  Tensioni: σ_N=59.61 σ_M=-0.00 τ=9.33 τ_{max}=9.33
  Tensioni: σ_N=59.61 σ_M=42.73 τ=0.00 $\sigma_{ID,max}$=102.33

- Verifica a taglio dir. Z [4.2.16] - CC 18 SLU Xl=0.16
  Sollecitazioni: N=299.53 T_z=-79.84
  V,Ed=-79.84 Vc,Rd=15121.50 V,Ed/Vc,Rd=0.01

Asta n. 6445 (-53 -61) calastrelli 100x5 Crit. 1

- Verifica di stabilità aste inflesse (4.2.4.1.3.2) CC 18 SLU - Classe 3
  L_{cr}=0.29 Curva d: α_{imp}=0.76 k_c=0.94 ψ=2.75 M,cr=0.00 λ_{LT}=0.00
  $\lambda_{LT,0}$=0.20 β_{LT}=1.00 Φ_{LT}=0.00 β_{LT}=1.00 f=0.00 χ_{LT}=1.00
  CC 18 SLU My,Ed=-14.18 My,b,Rd=436.51 My,Ed/My,b,Rd=0.03

- Verifica di stabilità aste presso-inflesse (C4.2.4.1.3.3.1) - CC 1 SLV - Classe 3
  Sollecitazioni: N,Ed=-19.76 Myeq,Ed=-4.38 Mzeq,Ed=0.03
  Resistenze: Nc,Rd=26190.50 My,c,Rd=436.51 Mz,c,Rd=43.65 L=29.38
  λ_Y=10.18 Ncr,y=2001620.00 λ^*_y=0.12 Curva c: Φ_y=0.49 χ_y=1.00
  λ_Z=101.76 Ncr,z=20016.20 λ^*_z=1.17 Curva c: Φ_z=1.43 χ_z=0.45
  χ,min=0.45
  Verifica: 0.00+0.01+0.00=0.01

- Verifica in termini tensionali [4.2.4] - CC 19 SLU Xl=0.04 - Classe 3
  Sollecitazioni: N=221.09 T_z=-82.31 M_y=-12.90
  Tensioni: σ_N=22.11 σ_M=77.38 τ=0.00 σ_{max}=99.49

Tensioni: σ_N=22.11 σ_M=0.00 τ=12.35 τ_{max}=12.35
Tensioni: σ_N=22.11 σ_M=77.38 τ=0.00 $\sigma_{ID,max}$=99.49

- Verifica a taglio dir. Z [4.2.16] - CC 18 SLU Xl=0.16
Sollecitazioni: N=103.63 T_z=-109.69
V,Ed=-109.69 Vc,Rd=15121.50 V,Ed/Vc,Rd=0.01

Asta n. 6446 (-85 -93) calastrelli 50x10 Crit. 1

- Verifica di stabilità aste presso-inflesse (C4.2.4.1.3.3.1) - CC 18 SLU - Classe 3
Sollecitazioni: N,Ed=-7.51 Myeq,Ed=10.31 Mzeq,Ed=-0.12
Resistenze: Nc,Rd=13095.20 My,c,Rd=109.13 Mz,c,Rd=21.83 L=28.75
λ_Y=19.92 Ncr,y=261199.00 λ^*_y=0.23 Curva c: Φ_y=0.53 χ_y=0.99
λ_Z=99.59 Ncr,z=10447.90 λ^*_z=1.15 Curva c: Φ_z=1.39 χ_z=0.46
χ,min=0.46
Verifica: 0.00+0.09+0.01=0.10

- Verifica in termini tensionali [4.2.4] - CC 18 SLU Xl=0.26 - Classe 3
Sollecitazioni: N=-7.51 T_z=-91.66 M_y=10.31 T_y=1.07
Tensioni: σ_N=-1.50 σ_M=-247.37 τ=0.00 σ_{max}=-248.87
Tensioni: σ_N=-1.50 σ_M=-0.00 τ=27.50 τ_{max}=27.50
Tensioni: σ_N=-1.50 σ_M=-247.37 τ=0.32 $\sigma_{ID,max}$=248.87

- Verifica a taglio dir. Z [4.2.16] - CC 1 SLV Xl=0.18
Sollecitazioni: T_z=-23.81
V,Ed=-23.81 Vc,Rd=7560.76 V,Ed/Vc,Rd=0.00

Asta n. 6447 (-117 -125) calastrelli 50x10 Crit. 1

- Verifica di stabilità aste inflesse (4.2.4.1.3.2) CC 9 SLU - Classe 3
L_{cr}=0.28 Curva d: α_{imp}=0.76 k_c=0.94 ψ=3.07 M,cr=0.00 λ_{LT}=0.00
$\lambda_{LT,0}$=0.20 β_{LT}=1.00 Φ_{LT}=0.00 β_{LT}=1.00 f=0.00 χ_{LT}=1.00
CC 9 SLU My,Ed=10.09 My,b,Rd=109.13 My,Ed/My,b,Rd=0.09

- Verifica di stabilità aste presso-inflesse (C4.2.4.1.3.3.1) - CC 18 SLU - Classe 3
Sollecitazioni: N,Ed=-1.18 Myeq,Ed=12.84 Mzeq,Ed=-0.16
Resistenze: Nc,Rd=13095.20 My,c,Rd=109.13 Mz,c,Rd=21.83 L=28.13
λ_Y=19.49 Ncr,y=272937.00 λ^*_y=0.22 Curva c: Φ_y=0.53 χ_y=0.99
λ_Z=97.43 Ncr,z=10917.50 λ^*_z=1.12 Curva c: Φ_z=1.36 χ_z=0.47
χ,min=0.47
Verifica: 0.00+0.12+0.01=0.13

- Verifica in termini tensionali [4.2.4] - CC 18 SLU Xl=0.25 - Classe 3
Sollecitazioni: N=-1.18 T_z=-117.53 M_y=12.84 T_y=1.45
Tensioni: σ_N=-0.24 σ_M=-308.13 τ=0.00 σ_{max}=-308.37
Tensioni: σ_N=-0.24 σ_M=-0.00 τ=35.26 τ_{max}=35.26
Tensioni: σ_N=-0.24 σ_M=-308.13 τ=0.44 $\sigma_{ID,max}$=308.37

- Verifica a taglio dir. Y [4.2.16] - CC 9 SLU Xl=0.15
Sollecitazioni: T_z=-91.95 T_y=1.14
V,Ed=1.14 Vc,Rd=7560.76 V,Ed/Vc,Rd=0.00

- Verifica a taglio dir. Z [4.2.16]
V,Ed=-91.95 Vc,Rd=7560.76 V,Ed/Vc,Rd=0.01

Asta n. 6448 (-149 -157) calastrelli 50x10 Crit. 1

- Verifica di stabilità aste presso-inflesse (C4.2.4.1.3.3.1) - CC 18 SLU - Classe 3
Sollecitazioni: N,Ed=-1.35 Myeq,Ed=13.43 Mzeq,Ed=-0.17

Resistenze: Nc,Rd=13095.20 My,c,Rd=109.13 Mz,c,Rd=21.83 L=27.50
λ_Y=19.05 Ncr,y=285485.00 λ^*_y=0.22 Curva c: Φ_y=0.53 χ_y=0.99
λ_Z=95.26 Ncr,z=11419.40 λ^*_z=1.10 Curva c: Φ_z=1.32 χ_z=0.49
χ,min=0.49
Verifica: 0.00+0.12+0.01=0.13

- Verifica in termini tensionali [4.2.4] - CC 18 SLU Xl=0.25 - Classe 3
Sollecitazioni: N=-1.35 T_z=-126.47 M_y=13.43 T_y=1.63
Tensioni: σ_N=-0.27 σ_M=-322.23 τ=0.00 σ_{max}=-322.50
Tensioni: σ_N=-0.27 σ_M=-0.00 τ=37.94 τ_{max}=37.94
Tensioni: σ_N=-0.27 σ_M=-322.23 τ=0.49 $\sigma_{ID,max}$=322.50

- Verifica a taglio dir. Y [4.2.16] - CC 9 SLU Xl=0.13
Sollecitazioni: T_z=-100.12 T_y=1.30
V,Ed=1.30 Vc,Rd=7560.76 V,Ed/Vc,Rd=0.00

- Verifica a taglio dir. Z [4.2.16]
V,Ed=-100.12 Vc,Rd=7560.76 V,Ed/Vc,Rd=0.01

Asta n. 6449 (-181 -189) calastrelli 50x10 Crit. 1

- Verifica di stabilità aste presso-inflesse (C4.2.4.1.3.3.1) - CC 18 SLU - Classe 3
Sollecitazioni: N,Ed=-1.39 Myeq,Ed=13.57 Mzeq,Ed=-0.18
Resistenze: Nc,Rd=13095.20 My,c,Rd=109.13 Mz,c,Rd=21.83 L=26.88
λ_Y=18.62 Ncr,y=298917.00 λ^*_y=0.21 Curva c: Φ_y=0.53 χ_y=0.99
λ_Z=93.10 Ncr,z=11956.70 λ^*_z=1.07 Curva c: Φ_z=1.29 χ_z=0.50
χ,min=0.50
Verifica: 0.00+0.12+0.01=0.13

- Verifica in termini tensionali [4.2.4] - CC 18 SLU Xl=0.24 - Classe 3
Sollecitazioni: N=-1.39 T_z=-131.69 M_y=13.57 T_y=1.72
Tensioni: σ_N=-0.28 σ_M=-325.79 τ=0.00 σ_{max}=-326.07
Tensioni: σ_N=-0.28 σ_M=-0.00 τ=39.51 τ_{max}=39.51
Tensioni: σ_N=-0.28 σ_M=-325.79 τ=0.52 $\sigma_{ID,max}$=326.07

- Verifica a taglio dir. Y [4.2.16] - CC 9 SLU Xl=0.13
Sollecitazioni: T_z=-105.65 T_y=1.39
V,Ed=1.39 Vc,Rd=7560.76 V,Ed/Vc,Rd=0.00

- Verifica a taglio dir. Z [4.2.16]
V,Ed=-105.65 Vc,Rd=7560.76 V,Ed/Vc,Rd=0.01

Asta n. 6450 (-213 -221) calastrelli 50x10 Crit. 1

- Verifica di stabilità aste presso-inflesse (C4.2.4.1.3.3.1) - CC 18 SLU - Classe 3
Sollecitazioni: N,Ed=-1.35 Myeq,Ed=13.63 Mzeq,Ed=-0.18
Resistenze: Nc,Rd=13095.20 My,c,Rd=109.13 Mz,c,Rd=21.83 L=26.25
λ_Y=18.19 Ncr,y=313321.00 λ^*_y=0.21 Curva c: Φ_y=0.52 χ_y=1.00
λ_Z=90.93 Ncr,z=12532.80 λ^*_z=1.05 Curva c: Φ_z=1.26 χ_z=0.51
χ,min=0.51
Verifica: 0.00+0.12+0.01=0.13

- Verifica in termini tensionali [4.2.4] - CC 18 SLU Xl=0.23 - Classe 3
Sollecitazioni: N=-1.35 T_z=-136.30 M_y=13.63 T_y=1.80
Tensioni: σ_N=-0.27 σ_M=-327.06 τ=0.00 σ_{max}=-327.33
Tensioni: σ_N=-0.27 σ_M=-0.00 τ=40.89 τ_{max}=40.89
Tensioni: σ_N=-0.27 σ_M=-327.06 τ=0.54 $\sigma_{ID,max}$=327.33

- Verifica a taglio dir. Y [4.2.16] - CC 9 SLU Xl=0.13

Sollecitazioni: T_z=-110.86 T_y=1.47
V,Ed=1.47 Vc,Rd=7560.76 V,Ed/Vc,Rd=0.00

- Verifica a taglio dir. Z [4.2.16]
V,Ed=-110.86 Vc,Rd=7560.76 V,Ed/Vc,Rd=0.01

Asta n. 6451 (-245 -253) calastrelli 50x10 Crit. 1

- Verifica di stabilità aste presso-inflesse (C4.2.4.1.3.3.1) - CC 18 SLU - Classe 3
Sollecitazioni: N,Ed=-1.33 Myeq,Ed=13.66 Mzeq,Ed=-0.18
Resistenze: Nc,Rd=13095.20 My,c,Rd=109.13 Mz,c,Rd=21.83 L=25.63
λ_Y=17.75 Ncr,y=328790.00 λ^*_y=0.20 Curva c: Φ_y=0.52 χ_y=1.00
λ_Z=88.77 Ncr,z=13151.60 λ^*_z=1.02 Curva c: Φ_z=1.22 χ_z=0.53
χ,min=0.53
Verifica: 0.00+0.13+0.01=0.13

- Verifica in termini tensionali [4.2.4] - CC 18 SLU Xl=0.23 - Classe 3
Sollecitazioni: N=-1.33 T_z=-141.03 M_y=13.66 T_y=1.87
Tensioni: σ_N=-0.27 σ_M=-327.91 τ=0.00 σ_{max}=-328.18
Tensioni: σ_N=-0.27 σ_M=-0.00 τ=42.31 τ_{max}=42.31
Tensioni: σ_N=-0.27 σ_M=-327.91 τ=0.56 $\sigma_{ID,max}$=328.18

- Verifica a taglio dir. Y [4.2.16] - CC 9 SLU Xl=0.12
Sollecitazioni: T_z=-116.19 T_y=1.54
V,Ed=1.54 Vc,Rd=7560.76 V,Ed/Vc,Rd=0.00

- Verifica a taglio dir. Z [4.2.16]
V,Ed=-116.19 Vc,Rd=7560.76 V,Ed/Vc,Rd=0.02

Asta n. 6452 (-277 -285) calastrelli 50x10 Crit. 1

- Verifica di stabilità aste presso-inflesse (C4.2.4.1.3.3.1) - CC 18 SLU - Classe 3
Sollecitazioni: N,Ed=-1.36 Myeq,Ed=13.70 Mzeq,Ed=-0.18
Resistenze: Nc,Rd=13095.20 My,c,Rd=109.13 Mz,c,Rd=21.83 L=25.00
λ_Y=17.32 Ncr,y=345436.00 λ^*_y=0.20 Curva c: Φ_y=0.52 χ_y=1.00
λ_Z=86.60 Ncr,z=13817.40 λ^*_z=1.00 Curva c: Φ_z=1.19 χ_z=0.54
χ,min=0.54
Verifica: 0.00+0.13+0.01=0.13

- Verifica in termini tensionali [4.2.4] - CC 18 SLU Xl=0.22 - Classe 3
Sollecitazioni: N=-1.36 T_z=-146.07 M_y=13.70 T_y=1.94
Tensioni: σ_N=-0.27 σ_M=-328.81 τ=0.00 σ_{max}=-329.08
Tensioni: σ_N=-0.27 σ_M=-0.00 τ=43.83 τ_{max}=43.83
Tensioni: σ_N=-0.27 σ_M=-328.81 τ=0.58 $\sigma_{ID,max}$=329.08

- Verifica a taglio dir. Y [4.2.16] - CC 9 SLU Xl=0.12
Sollecitazioni: T_z=-121.94 T_y=1.62
V,Ed=1.62 Vc,Rd=7560.76 V,Ed/Vc,Rd=0.00

- Verifica a taglio dir. Z [4.2.16]
V,Ed=-121.94 Vc,Rd=7560.76 V,Ed/Vc,Rd=0.02

Asta n. 6453 (-309 -317) calastrelli 50x10 Crit. 1

- Verifica di stabilità aste presso-inflesse (C4.2.4.1.3.3.1) - CC 18 SLU - Classe 3
Sollecitazioni: N,Ed=-1.39 Myeq,Ed=13.74 Mzeq,Ed=-0.18
Resistenze: Nc,Rd=13095.20 My,c,Rd=109.13 Mz,c,Rd=21.83 L=24.38
λ_Y=16.89 Ncr,y=363379.00 λ^*_y=0.19 Curva c: Φ_y=0.52 χ_y=1.00
λ_Z=84.44 Ncr,z=14535.20 λ^*_z=0.97 Curva c: Φ_z=1.16 χ_z=0.56

χ,min=0.56
Verifica: 0.00+0.13+0.01=0.13

- Verifica in termini tensionali [4.2.4] - CC 18 SLU Xl=0.22 - Classe 3
Sollecitazioni: N=-1.39 T_z=-151.44 M_y=13.74 T_y=2.01
Tensioni: σ_N=-0.28 σ_M=-329.65 τ=0.00 σ_{max}=-329.93
Tensioni: σ_N=-0.28 σ_M=-0.00 τ=45.44 τ_{max}=45.44
Tensioni: σ_N=-0.28 σ_M=-329.65 τ=0.60 $\sigma_{ID,max}$=329.93

- Verifica a taglio dir. Y [4.2.16] - CC 9 SLU Xl=0.12
Sollecitazioni: T_z=-128.08 T_y=1.71
V,Ed=1.71 Vc,Rd=7560.76 V,Ed/Vc,Rd=0.00

- Verifica a taglio dir. Z [4.2.16]
V,Ed=-128.08 Vc,Rd=7560.76 V,Ed/Vc,Rd=0.02

Asta n. 6454 (-341 -349) calastrelli 50x10 Crit. 1

- Verifica di stabilità aste presso-inflesse (C4.2.4.1.3.3.1) - CC 18 SLU - Classe 3
Sollecitazioni: N,Ed=-1.33 Myeq,Ed=13.77 Mzeq,Ed=-0.18
Resistenze: Nc,Rd=13095.20 My,c,Rd=109.13 Mz,c,Rd=21.83 L=23.75
λ_Y=16.45 Ncr,y=382754.00 λ^*_y=0.19 Curva c: Φ_y=0.52 χ_y=1.00
λ_Z=82.27 Ncr,z=15310.20 λ^*_z=0.95 Curva c: Φ_z=1.13 χ_z=0.57
χ,min=0.57
Verifica: 0.00+0.13+0.01=0.13

- Verifica in termini tensionali [4.2.4] - CC 18 SLU Xl=0.21 - Classe 3
Sollecitazioni: N=-1.33 T_z=-157.20 M_y=13.77 T_y=2.09
Tensioni: σ_N=-0.27 σ_M=-330.48 τ=0.00 σ_{max}=-330.75
Tensioni: σ_N=-0.27 σ_M=-0.00 τ=47.16 τ_{max}=47.16
Tensioni: σ_N=-0.27 σ_M=-330.48 τ=0.63 $\sigma_{ID,max}$=330.75

- Verifica a taglio dir. Y [4.2.16] - CC 9 SLU Xl=0.11
Sollecitazioni: T_z=-134.67 T_y=1.80
V,Ed=1.80 Vc,Rd=7560.76 V,Ed/Vc,Rd=0.00

- Verifica a taglio dir. Z [4.2.16]
V,Ed=-134.67 Vc,Rd=7560.76 V,Ed/Vc,Rd=0.02

Asta n. 6455 (-373 -381) calastrelli 50x10 Crit. 1

- Verifica di stabilità aste presso-inflesse (C4.2.4.1.3.3.1) - CC 18 SLU - Classe 3
Sollecitazioni: N,Ed=-1.42 Myeq,Ed=13.81 Mzeq,Ed=-0.18
Resistenze: Nc,Rd=13095.20 My,c,Rd=109.13 Mz,c,Rd=21.83 L=23.13
λ_Y=16.02 Ncr,y=403725.00 λ^*_y=0.18 Curva c: Φ_y=0.51 χ_y=1.00
λ_Z=80.11 Ncr,z=16149.00 λ^*_z=0.92 Curva c: Φ_z=1.10 χ_z=0.59
χ,min=0.59
Verifica: 0.00+0.13+0.01=0.14

- Verifica in termini tensionali [4.2.4] - CC 18 SLU Xl=0.20 - Classe 3
Sollecitazioni: N=-1.42 T_z=-163.43 M_y=13.81 T_y=2.18
Tensioni: σ_N=-0.28 σ_M=-331.42 τ=0.00 σ_{max}=-331.71
Tensioni: σ_N=-0.28 σ_M=-0.00 τ=49.03 τ_{max}=49.03
Tensioni: σ_N=-0.28 σ_M=-331.42 τ=0.66 $\sigma_{ID,max}$=331.71

- Verifica a taglio dir. Y [4.2.16] - CC 9 SLU Xl=0.11
Sollecitazioni: T_z=-141.79 T_y=1.90
V,Ed=1.90 Vc,Rd=7560.76 V,Ed/Vc,Rd=0.00

- Verifica a taglio dir. Z [4.2.16]
  V,Ed=-141.79 Vc,Rd=7560.76 V,Ed/Vc,Rd=0.02

Asta n. 6456 (-405 -413) calastrelli 50x10 Crit. 1

- Verifica di stabilità aste presso-inflesse (C4.2.4.1.3.3.1) - CC 18 SLU - Classe 3
  Sollecitazioni: N,Ed=-1.52 Myeq,Ed=13.84 Mzeq,Ed=-0.18
  Resistenze: Nc,Rd=13095.20 My,c,Rd=109.13 Mz,c,Rd=21.83 L=22.50
  λ_Y=15.59 Ncr,y=426463.00 λ^*_y=0.18 Curva c: Φ_y=0.51 χ_y=1.00
  λ_Z=77.94 Ncr,z=17058.50 λ^*_z=0.90 Curva c: Φ_z=1.07 χ_z=0.60
  χ,min=0.60
  Verifica: 0.00+0.13+0.01=0.14

- Verifica in termini tensionali [4.2.4] - CC 18 SLU Xl=0.20 - Classe 3
  Sollecitazioni: N=-1.52 T_z=-170.09 M_y=13.84 T_y=2.27
  Tensioni: σ_N=-0.30 σ_M=-332.24 τ=0.00 σ_{max}=-332.54
  Tensioni: σ_N=-0.30 σ_M=-0.00 τ=51.03 τ_{max}=51.03
  Tensioni: σ_N=-0.30 σ_M=-332.24 τ=0.68 $\sigma_{ID,max}$=332.54

- Verifica a taglio dir. Y [4.2.16] - CC 9 SLU Xl=0.11
  Sollecitazioni: T_z=-149.42 T_y=2.00
  V,Ed=2.00 Vc,Rd=7560.76 V,Ed/Vc,Rd=0.00

- Verifica a taglio dir. Z [4.2.16]
  V,Ed=-149.42 Vc,Rd=7560.76 V,Ed/Vc,Rd=0.02

Asta n. 6457 (-437 -445) calastrelli 50x10 Crit. 1

- Verifica di stabilità aste inflesse (4.2.4.1.3.2) CC 18 SLU - Classe 3
  L_{cr}=0.22 Curva d: α_{imp}=0.76 k_c=0.94 ψ=3.06 M,cr=0.00 λ_{LT}=0.00
  $\lambda_{LT,0}$=0.20 β_{LT}=1.00 Φ_{LT}=0.00 β_{LT}=1.00 f=0.00 χ_{LT}=1.00
  CC 18 SLU My,Ed=13.86 My,b,Rd=109.13 My,Ed/My,b,Rd=0.13

- Verifica di stabilità aste presso-inflesse (C4.2.4.1.3.3.1) - CC 20 SLU - Classe 3
  Sollecitazioni: N,Ed=-0.25 Myeq,Ed=11.07 Mzeq,Ed=-0.15
  Resistenze: Nc,Rd=13095.20 My,c,Rd=109.13 Mz,c,Rd=21.83 L=21.88
  λ_Y=15.16 Ncr,y=451182.00 λ^*_y=0.17 Curva c: Φ_y=0.51 χ_y=1.00
  λ_Z=75.78 Ncr,z=18047.30 λ^*_z=0.87 Curva c: Φ_z=1.05 χ_z=0.62
  χ,min=0.62
  Verifica: 0.00+0.10+0.01=0.11

- Verifica a flessione [4.2.13] - CC 18 SLU Xl=0.19 - Classe 3
  Sollecitazioni: T_z=-176.92 M_y=13.86 T_y=2.38
  My,Ed=13.86 My,c,Rd=109.13 My,Ed/My,c,Rd=0.13

- Verifica a taglio dir. Y [4.2.16] - CC 9 SLU Xl=0.11
  Sollecitazioni: N=1.43 T_z=-157.31 T_y=2.12
  V,Ed=2.12 Vc,Rd=7560.76 V,Ed/Vc,Rd=0.00

- Verifica a taglio dir. Z [4.2.16]
  V,Ed=-157.31 Vc,Rd=7560.76 V,Ed/Vc,Rd=0.02

Asta n. 6458 (-469 -477) calastrelli 50x10 Crit. 1

- Verifica di stabilità aste presso-inflesse (C4.2.4.1.3.3.1) - CC 18 SLU - Classe 3
  Sollecitazioni: N,Ed=-11.56 Myeq,Ed=13.62 Mzeq,Ed=-0.17
  Resistenze: Nc,Rd=13095.20 My,c,Rd=109.13 Mz,c,Rd=21.83 L=21.25
  λ_Y=14.72 Ncr,y=478114.00 λ^*_y=0.17 Curva c: Φ_y=0.51 χ_y=1.00
  λ_Z=73.61 Ncr,z=19124.60 λ^*_z=0.85 Curva c: Φ_z=1.02 χ_z=0.63
  χ,min=0.63

Verifica: 0.00+0.12+0.01=0.13

- Verifica in termini tensionali [4.2.4] - CC 18 SLU Xl=0.18 - Classe 3
Sollecitazioni: N=-11.56 T_z=-182.20 M_y=13.62 T_y=2.26
Tensioni: σ_N=-2.31 σ_M=-326.90 τ=0.00 σ_{max}=-329.21
Tensioni: σ_N=-2.31 σ_M=-0.00 τ=54.66 τ_{max}=54.66
Tensioni: σ_N=-2.31 σ_M=-326.90 τ=0.68 $\sigma_{ID,max}$=329.21

Asta n. 6459 (-501 -509) calastrelli 50x10 Crit. 1

- Verifica in termini tensionali [4.2.4] - CC 18 SLU Xl=0.18 - Classe 3
Sollecitazioni: N=57.42 T_z=-172.85 M_y=12.99 T_y=2.71
Tensioni: σ_N=11.48 σ_M=311.65 τ=0.00 σ_{max}=323.13
Tensioni: σ_N=11.48 σ_M=-0.00 τ=51.86 τ_{max}=51.86
Tensioni: σ_N=11.48 σ_M=311.65 τ=0.81 $\sigma_{ID,max}$=323.14

- Verifica a taglio dir. Y [4.2.16] - CC 18 SLU Xl=0.10
Sollecitazioni: N=57.42 T_z=-172.45 T_y=2.71
V,Ed=2.71 Vc,Rd=7560.76 V,Ed/Vc,Rd=0.00

- Verifica a taglio dir. Z [4.2.16]
V,Ed=-172.45 Vc,Rd=7560.76 V,Ed/Vc,Rd=0.02

Asta n. 6464 (-502 -510) calastrelli 50x10 Crit. 1

- Verifica in termini tensionali [4.2.4] - CC 18 SLU Xl=0.17 - Classe 3
Sollecitazioni: N=56.30 T_z=-169.46 M_y=12.42 T_y=-2.64
Tensioni: σ_N=11.26 σ_M=297.99 τ=0.00 σ_{max}=309.25
Tensioni: σ_N=11.26 σ_M=-0.00 τ=50.84 τ_{max}=50.84
Tensioni: σ_N=11.26 σ_M=297.99 τ=0.79 $\sigma_{ID,max}$=309.25

- Verifica a taglio dir. Y [4.2.16] - CC 18 SLU Xl=0.09
Sollecitazioni: N=56.30 T_z=-169.07 T_y=-2.64
V,Ed=-2.64 Vc,Rd=7560.76 V,Ed/Vc,Rd=0.00

- Verifica a taglio dir. Z [4.2.16]
V,Ed=-169.07 Vc,Rd=7560.76 V,Ed/Vc,Rd=0.02

Asta n. 6465 (-470 -478) calastrelli 50x10 Crit. 1

- Verifica di stabilità aste presso-inflesse (C4.2.4.1.3.3.1) - CC 18 SLU - Classe 3
Sollecitazioni: N,Ed=-11.36 Myeq,Ed=-13.47 Mzeq,Ed=-0.16
Resistenze: Nc,Rd=13095.20 My,c,Rd=109.13 Mz,c,Rd=21.83 L=21.25
λ_Y=14.72 Ncr,y=478114.00 λ^*_y=0.17 Curva c: Φ_y=0.51 χ_y=1.00
λ_Z=73.61 Ncr,z=19124.60 λ^*_z=0.85 Curva c: Φ_z=1.02 χ_z=0.63
χ,min=0.63
Verifica: 0.00+0.12+0.01=0.13

- Verifica in termini tensionali [4.2.4] - CC 18 SLU Xl=0.03 - Classe 3
Sollecitazioni: N=-11.36 T_z=-177.24 M_y=-13.47 T_y=-2.19
Tensioni: σ_N=-2.27 σ_M=-323.18 τ=0.00 σ_{max}=-325.45
Tensioni: σ_N=-2.27 σ_M=0.00 τ=53.17 τ_{max}=53.17
Tensioni: σ_N=-2.27 σ_M=-323.18 τ=0.66 $\sigma_{ID,max}$=325.45

Asta n. 6466 (-438 -446) calastrelli 50x10 Crit. 1

- Verifica di stabilità aste inflesse (4.2.4.1.3.2) CC 18 SLU - Classe 3
L_{cr}=0.22 Curva d: α_{imp}=0.76 k_c=0.94 ψ=3.06 M,cr=0.00 λ_{LT}=0.00
$\lambda_{LT,0}$=0.20 β_{LT}=1.00 Φ_{LT}=0.00 β_{LT}=1.00 f=0.00 χ_{LT}=1.00

CC 18 SLU My,Ed=-13.54 My,b,Rd=109.13 My,Ed/My,b,Rd=0.12

- Verifica di stabilità aste presso-inflesse (C4.2.4.1.3.3.1) - CC 20 SLU - Classe 3
Sollecitazioni: N,Ed=-0.10 Myeq,Ed=-10.81 Mzeq,Ed=-0.14
Resistenze: Nc,Rd=13095.20 My,c,Rd=109.13 Mz,c,Rd=21.83 L=21.88
λ_Y=15.16 Ncr,y=451182.00 λ^*_y=0.17 Curva c: Φ_y=0.51 χ_y=1.00
λ_Z=75.78 Ncr,z=18047.30 λ^*_z=0.87 Curva c: Φ_z=1.05 χ_z=0.62
χ,min=0.62
Verifica: 0.00+0.10+0.01=0.11

- Verifica a flessione [4.2.13] - CC 18 SLU Xl=0.03 - Classe 3
Sollecitazioni: T_z=-172.24 M_y=-13.54 T_y=-2.31
My,Ed=-13.54 My,c,Rd=109.13 My,Ed/My,c,Rd=0.12

- Verifica a taglio dir. Y [4.2.16] - CC 19 SLU Xl=0.11
Sollecitazioni: N=2.01 T_z=-155.34 T_y=-2.08
V,Ed=-2.08 Vc,Rd=7560.76 V,Ed/Vc,Rd=0.00

- Verifica a taglio dir. Z [4.2.16]
V,Ed=-155.34 Vc,Rd=7560.76 V,Ed/Vc,Rd=0.02

Asta n. 6467 (-406 -414) calastrelli 50x10 Crit. 1

- Verifica di stabilità aste inflesse (4.2.4.1.3.2) CC 19 SLU - Classe 3
L_{cr}=0.23 Curva d: α_{imp}=0.76 k_c=0.94 ψ=3.06 M,cr=0.00 λ_{LT}=0.00
$\lambda_{LT,0}$=0.20 β_{LT}=1.00 Φ_{LT}=0.00 β_{LT}=1.00 f=0.00 χ_{LT}=1.00
CC 19 SLU My,Ed=-12.04 My,b,Rd=109.13 My,Ed/My,b,Rd=0.11

- Verifica di stabilità aste presso-inflesse (C4.2.4.1.3.3.1) - CC 18 SLU - Classe 3
Sollecitazioni: N,Ed=-1.31 Myeq,Ed=-13.54 Mzeq,Ed=-0.18
Resistenze: Nc,Rd=13095.20 My,c,Rd=109.13 Mz,c,Rd=21.83 L=22.50
λ_Y=15.59 Ncr,y=426463.00 λ^*_y=0.18 Curva c: Φ_y=0.51 χ_y=1.00
λ_Z=77.94 Ncr,z=17058.50 λ^*_z=0.90 Curva c: Φ_z=1.07 χ_z=0.60
χ,min=0.60
Verifica: 0.00+0.12+0.01=0.13

- Verifica in termini tensionali [4.2.4] - CC 18 SLU Xl=0.03 - Classe 3
Sollecitazioni: N=-1.31 T_z=-165.56 M_y=-13.54 T_y=-2.21
Tensioni: σ_N=-0.26 σ_M=-325.04 τ=0.00 σ_{max}=-325.30
Tensioni: σ_N=-0.26 σ_M=0.00 τ=49.67 τ_{max}=49.67
Tensioni: σ_N=-0.26 σ_M=-325.04 τ=0.66 $\sigma_{ID,max}$=325.30

- Verifica a taglio dir. Y [4.2.16] - CC 19 SLU Xl=0.12
Sollecitazioni: T_z=-147.53 T_y=-1.97
V,Ed=-1.97 Vc,Rd=7560.76 V,Ed/Vc,Rd=0.00

- Verifica a taglio dir. Z [4.2.16]
V,Ed=-147.53 Vc,Rd=7560.76 V,Ed/Vc,Rd=0.02

Asta n. 6468 (-374 -382) calastrelli 50x10 Crit. 1

- Verifica di stabilità aste inflesse (4.2.4.1.3.2) CC 19 SLU - Classe 3
L_{cr}=0.23 Curva d: α_{imp}=0.76 k_c=0.94 ψ=3.06 M,cr=0.00 λ_{LT}=0.00
$\lambda_{LT,0}$=0.20 β_{LT}=1.00 Φ_{LT}=0.00 β_{LT}=1.00 f=0.00 χ_{LT}=1.00
CC 19 SLU My,Ed=-11.86 My,b,Rd=109.13 My,Ed/My,b,Rd=0.11

- Verifica di stabilità aste presso-inflesse (C4.2.4.1.3.3.1) - CC 18 SLU - Classe 3
Sollecitazioni: N,Ed=-1.22 Myeq,Ed=-13.51 Mzeq,Ed=-0.18
Resistenze: Nc,Rd=13095.20 My,c,Rd=109.13 Mz,c,Rd=21.83 L=23.13
λ_Y=16.02 Ncr,y=403725.00 λ^*_y=0.18 Curva c: Φ_y=0.51 χ_y=1.00

λ_Z=80.11 Ncr,z=16149.00 λ^*_z=0.92 Curva c: Φ_z=1.10 χ_z=0.59
χ,min=0.59
Verifica: 0.00+0.12+0.01=0.13

- Verifica in termini tensionali [4.2.4] - CC 18 SLU Xl=0.03 - Classe 3
Sollecitazioni: N=-1.22 T_z=-159.06 M_y=-13.51 T_y=-2.13
Tensioni: σ_N=-0.24 σ_M=-324.22 τ=0.00 σ_{max}=-324.46
Tensioni: σ_N=-0.24 σ_M=0.00 τ=47.72 τ_{max}=47.72
Tensioni: σ_N=-0.24 σ_M=-324.22 τ=0.64 $\sigma_{ID,max}$=324.46

- Verifica a taglio dir. Y [4.2.16] - CC 19 SLU Xl=0.12
Sollecitazioni: T_z=-140.01 T_y=-1.87
V,Ed=-1.87 Vc,Rd=7560.76 V,Ed/Vc,Rd=0.00

- Verifica a taglio dir. Z [4.2.16]
V,Ed=-140.01 Vc,Rd=7560.76 V,Ed/Vc,Rd=0.02

Asta n. 6469 (-342 -350) calastrelli 50x10 Crit. 1

- Verifica di stabilità aste inflesse (4.2.4.1.3.2) CC 19 SLU - Classe 3
L_{cr}=0.24 Curva d: α_{imp}=0.76 k_c=0.94 ψ=3.07 M,cr=0.00 λ_{LT}=0.00
$\lambda_{LT,0}$=0.20 β_{LT}=1.00 Φ_{LT}=0.00 β_{LT}=1.00 f=0.00 χ_{LT}=1.00
CC 19 SLU My,Ed=-11.68 My,b,Rd=109.13 My,Ed/My,b,Rd=0.11

- Verifica di stabilità aste presso-inflesse (C4.2.4.1.3.3.1) - CC 18 SLU - Classe 3
Sollecitazioni: N,Ed=-1.15 Myeq,Ed=-13.47 Mzeq,Ed=-0.18
Resistenze: Nc,Rd=13095.20 My,c,Rd=109.13 Mz,c,Rd=21.83 L=23.75
λ_Y=16.45 Ncr,y=382754.00 λ^*_y=0.19 Curva c: Φ_y=0.52 χ_y=1.00
λ_Z=82.27 Ncr,z=15310.20 λ^*_z=0.95 Curva c: Φ_z=1.13 χ_z=0.57
χ,min=0.57
Verifica: 0.00+0.12+0.01=0.13

- Verifica in termini tensionali [4.2.4] - CC 18 SLU Xl=0.03 - Classe 3
Sollecitazioni: N=-1.15 T_z=-152.98 M_y=-13.47 T_y=-2.04
Tensioni: σ_N=-0.23 σ_M=-323.35 τ=0.00 σ_{max}=-323.58
Tensioni: σ_N=-0.23 σ_M=0.00 τ=45.90 τ_{max}=45.90
Tensioni: σ_N=-0.23 σ_M=-323.35 τ=0.61 $\sigma_{ID,max}$=323.58

- Verifica a taglio dir. Y [4.2.16] - CC 19 SLU Xl=0.12
Sollecitazioni: T_z=-132.99 T_y=-1.78
V,Ed=-1.78 Vc,Rd=7560.76 V,Ed/Vc,Rd=0.00

- Verifica a taglio dir. Z [4.2.16]
V,Ed=-132.99 Vc,Rd=7560.76 V,Ed/Vc,Rd=0.02

Asta n. 6470 (-310 -318) calastrelli 50x10 Crit. 1

- Verifica di stabilità aste inflesse (4.2.4.1.3.2) CC 19 SLU - Classe 3
L_{cr}=0.24 Curva d: α_{imp}=0.76 k_c=0.94 ψ=3.07 M,cr=0.00 λ_{LT}=0.00
$\lambda_{LT,0}$=0.20 β_{LT}=1.00 Φ_{LT}=0.00 β_{LT}=1.00 f=0.00 χ_{LT}=1.00
CC 19 SLU My,Ed=-11.50 My,b,Rd=109.13 My,Ed/My,b,Rd=0.11

- Verifica di stabilità aste presso-inflesse (C4.2.4.1.3.3.1) - CC 18 SLU - Classe 3
Sollecitazioni: N,Ed=-1.22 Myeq,Ed=-13.44 Mzeq,Ed=-0.18
Resistenze: Nc,Rd=13095.20 My,c,Rd=109.13 Mz,c,Rd=21.83 L=24.38
λ_Y=16.89 Ncr,y=363379.00 λ^*_y=0.19 Curva c: Φ_y=0.52 χ_y=1.00
λ_Z=84.44 Ncr,z=14535.20 λ^*_z=0.97 Curva c: Φ_z=1.16 χ_z=0.56
χ,min=0.56
Verifica: 0.00+0.12+0.01=0.13

- Verifica in termini tensionali [4.2.4] - CC 18 SLU Xl=0.03 - Classe 3
  Sollecitazioni: N=-1.22 T_z=-147.35 M_y=-13.44 T_y=-1.97
  Tensioni: σ_N=-0.24 σ_M=-322.55 τ=0.00 σ_{max}=-322.80
  Tensioni: σ_N=-0.24 σ_M=0.00 τ=44.21 τ_{max}=44.21
  Tensioni: σ_N=-0.24 σ_M=-322.55 τ=0.59 $\sigma_{ID,max}$=322.80

- Verifica a taglio dir. Y [4.2.16] - CC 19 SLU Xl=0.13
  Sollecitazioni: T_z=-126.49 T_y=-1.69
  V,Ed=-1.69 Vc,Rd=7560.76 V,Ed/Vc,Rd=0.00

- Verifica a taglio dir. Z [4.2.16]
  V,Ed=-126.49 Vc,Rd=7560.76 V,Ed/Vc,Rd=0.02

Asta n. 6471 (-278 -286) calastrelli 50x10 Crit. 1

- Verifica di stabilità aste inflesse (4.2.4.1.3.2) CC 19 SLU - Classe 3
  L_{cr}=0.25 Curva d: α_{imp}=0.76 k_c=0.94 ψ=3.07 M,cr=0.00 λ_{LT}=0.00
  $\lambda_{LT,0}$=0.20 β_{LT}=1.00 Φ_{LT}=0.00 β_{LT}=1.00 f=0.00 χ_{LT}=1.00
  CC 19 SLU My,Ed=-11.32 My,b,Rd=109.13 My,Ed/My,b,Rd=0.10

- Verifica di stabilità aste presso-inflesse (C4.2.4.1.3.3.1) - CC 18 SLU - Classe 3
  Sollecitazioni: N,Ed=-1.20 Myeq,Ed=-13.41 Mzeq,Ed=-0.18
  Resistenze: Nc,Rd=13095.20 My,c,Rd=109.13 Mz,c,Rd=21.83 L=25.00
  λ_Y=17.32 Ncr,y=345436.00 λ^*_y=0.20 Curva c: Φ_y=0.52 χ_y=1.00
  λ_Z=86.60 Ncr,z=13817.40 λ^*_z=1.00 Curva c: Φ_z=1.19 χ_z=0.54
  χ,min=0.54
  Verifica: 0.00+0.12+0.01=0.13

- Verifica in termini tensionali [4.2.4] - CC 18 SLU Xl=0.03 - Classe 3
  Sollecitazioni: N=-1.20 T_z=-142.11 M_y=-13.41 T_y=-1.89
  Tensioni: σ_N=-0.24 σ_M=-321.81 τ=0.00 σ_{max}=-322.05
  Tensioni: σ_N=-0.24 σ_M=0.00 τ=42.64 τ_{max}=42.64
  Tensioni: σ_N=-0.24 σ_M=-321.81 τ=0.57 $\sigma_{ID,max}$=322.05

- Verifica a taglio dir. Y [4.2.16] - CC 19 SLU Xl=0.13
  Sollecitazioni: T_z=-120.44 T_y=-1.60
  V,Ed=-1.60 Vc,Rd=7560.76 V,Ed/Vc,Rd=0.00

- Verifica a taglio dir. Z [4.2.16]
  V,Ed=-120.44 Vc,Rd=7560.76 V,Ed/Vc,Rd=0.02

Asta n. 6472 (-246 -254) calastrelli 50x10 Crit. 1

- Verifica di stabilità aste inflesse (4.2.4.1.3.2) CC 19 SLU - Classe 3
  L_{cr}=0.26 Curva d: α_{imp}=0.76 k_c=0.94 ψ=3.07 M,cr=0.00 λ_{LT}=0.00
  $\lambda_{LT,0}$=0.20 β_{LT}=1.00 Φ_{LT}=0.00 β_{LT}=1.00 f=0.00 χ_{LT}=1.00
  CC 19 SLU My,Ed=-11.15 My,b,Rd=109.13 My,Ed/My,b,Rd=0.10

- Verifica di stabilità aste presso-inflesse (C4.2.4.1.3.3.1) - CC 18 SLU - Classe 3
  Sollecitazioni: N,Ed=-1.18 Myeq,Ed=-13.38 Mzeq,Ed=-0.18
  Resistenze: Nc,Rd=13095.20 My,c,Rd=109.13 Mz,c,Rd=21.83 L=25.63
  λ_Y=17.75 Ncr,y=328790.00 λ^*_y=0.20 Curva c: Φ_y=0.52 χ_y=1.00
  λ_Z=88.77 Ncr,z=13151.60 λ^*_z=1.02 Curva c: Φ_z=1.22 χ_z=0.53
  χ,min=0.53
  Verifica: 0.00+0.12+0.01=0.13

- Verifica in termini tensionali [4.2.4] - CC 18 SLU Xl=0.03 - Classe 3
  Sollecitazioni: N=-1.18 T_z=-137.18 M_y=-13.38 T_y=-1.82

Tensioni: σ_N=-0.24 σ_M=-321.00 τ=0.00 σ_{max}=-321.23
Tensioni: σ_N=-0.24 σ_M=0.00 τ=41.16 τ_{max}=41.16
Tensioni: σ_N=-0.24 σ_M=-321.00 τ=0.55 $\sigma_{ID,max}$=321.24

- Verifica a taglio dir. Y [4.2.16] - CC 19 SLU Xl=0.13
Sollecitazioni: T_z=-114.76 T_y=-1.52
V,Ed=-1.52 Vc,Rd=7560.76 V,Ed/Vc,Rd=0.00

- Verifica a taglio dir. Z [4.2.16]
V,Ed=-114.76 Vc,Rd=7560.76 V,Ed/Vc,Rd=0.02

Asta n. 6473 (-214 -222) calastrelli 50x10 Crit. 1

- Verifica di stabilità aste inflesse (4.2.4.1.3.2) CC 19 SLU - Classe 3
L_{cr}=0.26 Curva d: α_{imp}=0.76 k_c=0.94 ψ=3.07 M,cr=0.00 λ_{LT}=0.00
$\lambda_{LT,0}$=0.20 β_{LT}=1.00 Φ_{LT}=0.00 β_{LT}=1.00 f=0.00 χ_{LT}=1.00
CC 19 SLU My,Ed=-10.97 My,b,Rd=109.13 My,Ed/My,b,Rd=0.10

- Verifica di stabilità aste presso-inflesse (C4.2.4.1.3.3.1) - CC 18 SLU - Classe 3
Sollecitazioni: N,Ed=-1.21 Myeq,Ed=-13.34 Mzeq,Ed=-0.18
Resistenze: Nc,Rd=13095.20 My,c,Rd=109.13 Mz,c,Rd=21.83 L=26.25
λ_Y=18.19 Ncr,y=313321.00 λ^*_y=0.21 Curva c: Φ_y=0.52 χ_y=1.00
λ_Z=90.93 Ncr,z=12532.80 λ^*_z=1.05 Curva c: Φ_z=1.26 χ_z=0.51
χ,min=0.51
Verifica: 0.00+0.12+0.01=0.13

- Verifica in termini tensionali [4.2.4] - CC 18 SLU Xl=0.03 - Classe 3
Sollecitazioni: N=-1.21 T_z=-132.55 M_y=-13.34 T_y=-1.76
Tensioni: σ_N=-0.24 σ_M=-320.17 τ=0.00 σ_{max}=-320.41
Tensioni: σ_N=-0.24 σ_M=0.00 τ=39.77 τ_{max}=39.77
Tensioni: σ_N=-0.24 σ_M=-320.17 τ=0.53 $\sigma_{ID,max}$=320.41

- Verifica a taglio dir. Y [4.2.16] - CC 19 SLU Xl=0.13
Sollecitazioni: T_z=-109.42 T_y=-1.45
V,Ed=-1.45 Vc,Rd=7560.76 V,Ed/Vc,Rd=0.00

- Verifica a taglio dir. Z [4.2.16]
V,Ed=-109.42 Vc,Rd=7560.76 V,Ed/Vc,Rd=0.01

Asta n. 6474 (-182 -190) calastrelli 50x10 Crit. 1

- Verifica di stabilità aste inflesse (4.2.4.1.3.2) CC 19 SLU - Classe 3
L_{cr}=0.27 Curva d: α_{imp}=0.76 k_c=0.94 ψ=3.07 M,cr=0.00 λ_{LT}=0.00
$\lambda_{LT,0}$=0.20 β_{LT}=1.00 Φ_{LT}=0.00 β_{LT}=1.00 f=0.00 χ_{LT}=1.00
CC 19 SLU My,Ed=-10.78 My,b,Rd=109.13 My,Ed/My,b,Rd=0.10

- Verifica di stabilità aste presso-inflesse (C4.2.4.1.3.3.1) - CC 18 SLU - Classe 3
Sollecitazioni: N,Ed=-1.23 Myeq,Ed=-13.29 Mzeq,Ed=-0.17
Resistenze: Nc,Rd=13095.20 My,c,Rd=109.13 Mz,c,Rd=21.83 L=26.88
λ_Y=18.62 Ncr,y=298917.00 λ^*_y=0.21 Curva c: Φ_y=0.53 χ_y=0.99
λ_Z=93.10 Ncr,z=11956.70 λ^*_z=1.07 Curva c: Φ_z=1.29 χ_z=0.50
χ,min=0.50
Verifica: 0.00+0.12+0.01=0.13

- Verifica in termini tensionali [4.2.4] - CC 18 SLU Xl=0.03 - Classe 3
Sollecitazioni: N=-1.23 T_z=-128.04 M_y=-13.29 T_y=-1.68
Tensioni: σ_N=-0.25 σ_M=-318.96 τ=0.00 σ_{max}=-319.21
Tensioni: σ_N=-0.25 σ_M=0.00 τ=38.42 τ_{max}=38.42
Tensioni: σ_N=-0.25 σ_M=-318.96 τ=0.51 $\sigma_{ID,max}$=319.21

- Verifica a taglio dir. Y [4.2.16] - CC 19 SLU Xl=0.14
  Sollecitazioni: T_z=-104.37 T_y=-1.37
  V,Ed=-1.37 Vc,Rd=7560.76 V,Ed/Vc,Rd=0.00

- Verifica a taglio dir. Z [4.2.16]
  V,Ed=-104.37 Vc,Rd=7560.76 V,Ed/Vc,Rd=0.01

Asta n. 6475 (-150 -158) calastrelli 50x10 Crit. 1

- Verifica di stabilità aste inflesse (4.2.4.1.3.2) CC 19 SLU - Classe 3
  L_{cr}=0.28 Curva d: α_{imp}=0.76 k_c=0.94 ψ=3.08 M,cr=0.00 λ_{LT}=0.00
  $\lambda_{LT,0}$=0.20 β_{LT}=1.00 Φ_{LT}=0.00 β_{LT}=1.00 f=0.00 χ_{LT}=1.00
  CC 19 SLU My,Ed=-10.53 My,b,Rd=109.13 My,Ed/My,b,Rd=0.10

- Verifica di stabilità aste presso-inflesse (C4.2.4.1.3.3.1) - CC 18 SLU - Classe 3
  Sollecitazioni: N,Ed=-1.19 Myeq,Ed=-13.15 Mzeq,Ed=-0.17
  Resistenze: Nc,Rd=13095.20 My,c,Rd=109.13 Mz,c,Rd=21.83 L=27.50
  λ_Y=19.05 Ncr,y=285485.00 λ^*_y=0.22 Curva c: Φ_y=0.53 χ_y=0.99
  λ_Z=95.26 Ncr,z=11419.40 λ^*_z=1.10 Curva c: Φ_z=1.32 χ_z=0.49
  χ,min=0.49
  Verifica: 0.00+0.12+0.01=0.13

- Verifica in termini tensionali [4.2.4] - CC 18 SLU Xl=0.03 - Classe 3
  Sollecitazioni: N=-1.19 T_z=-122.92 M_y=-13.15 T_y=-1.59
  Tensioni: σ_N=-0.24 σ_M=-315.50 τ=0.00 σ_{max}=-315.74
  Tensioni: σ_N=-0.24 σ_M=0.00 τ=36.88 τ_{max}=36.88
  Tensioni: σ_N=-0.24 σ_M=-315.50 τ=0.48 $\sigma_{ID,max}$=315.74

- Verifica a taglio dir. Y [4.2.16] - CC 19 SLU Xl=0.14
  Sollecitazioni: T_z=-98.91 T_y=-1.28
  V,Ed=-1.28 Vc,Rd=7560.76 V,Ed/Vc,Rd=0.00

- Verifica a taglio dir. Z [4.2.16]
  V,Ed=-98.91 Vc,Rd=7560.76 V,Ed/Vc,Rd=0.01

Asta n. 6476 (-118 -126) calastrelli 50x10 Crit. 1

- Verifica di stabilità aste inflesse (4.2.4.1.3.2) CC 19 SLU - Classe 3
  L_{cr}=0.28 Curva d: α_{imp}=0.76 k_c=0.94 ψ=3.08 M,cr=0.00 λ_{LT}=0.00
  $\lambda_{LT,0}$=0.20 β_{LT}=1.00 Φ_{LT}=0.00 β_{LT}=1.00 f=0.00 χ_{LT}=1.00
  CC 19 SLU My,Ed=-9.94 My,b,Rd=109.13 My,Ed/My,b,Rd=0.09

- Verifica di stabilità aste presso-inflesse (C4.2.4.1.3.3.1) - CC 18 SLU - Classe 3
  Sollecitazioni: N,Ed=-0.64 Myeq,Ed=-12.57 Mzeq,Ed=-0.16
  Resistenze: Nc,Rd=13095.20 My,c,Rd=109.13 Mz,c,Rd=21.83 L=28.13
  λ_Y=19.49 Ncr,y=272937.00 λ^*_y=0.22 Curva c: Φ_y=0.53 χ_y=0.99
  λ_Z=97.43 Ncr,z=10917.50 λ^*_z=1.12 Curva c: Φ_z=1.36 χ_z=0.47
  χ,min=0.47
  Verifica: 0.00+0.12+0.01=0.12

- Verifica a flessione [4.2.13] - CC 18 SLU Xl=0.03 - Classe 3
  Sollecitazioni: T_z=-114.16 M_y=-12.57 T_y=-1.42
  My,Ed=-12.57 My,c,Rd=109.13 My,Ed/My,c,Rd=0.12

- Verifica a taglio dir. Y [4.2.16] - CC 20 SLU Xl=0.15
  Sollecitazioni: T_z=-94.47 T_y=-1.17
  V,Ed=-1.17 Vc,Rd=7560.76 V,Ed/Vc,Rd=0.00

- Verifica a taglio dir. Z [4.2.16]

V,Ed=-94.47 Vc,Rd=7560.76 V,Ed/Vc,Rd=0.01

Asta n. 6477 (-86 -94) calastrelli 50x10 Crit. 1

- Verifica di stabilità aste inflesse (4.2.4.1.3.2) CC 17 SLU - Classe 3
L_{cr}=0.29 Curva d: α_{imp}=0.76 k_c=0.94 ψ=3.08 M,cr=0.00 λ_{LT}=0.00
$\lambda_{LT,0}$=0.20 β_{LT}=1.00 Φ_{LT}=0.00 β_{LT}=1.00 f=0.00 χ_{LT}=1.00
CC 17 SLU My,Ed=-4.39 My,b,Rd=109.13 My,Ed/My,b,Rd=0.04

- Verifica di stabilità aste presso-inflesse (C4.2.4.1.3.3.1) - CC 18 SLU - Classe 3
Sollecitazioni: N,Ed=-6.18 Myeq,Ed=-10.05 Mzeq,Ed=-0.12
Resistenze: Nc,Rd=13095.20 My,c,Rd=109.13 Mz,c,Rd=21.83 L=28.75
λ_Y=19.92 Ncr,y=261199.00 λ^*_y=0.23 Curva c: Φ_y=0.53 χ_y=0.99
λ_Z=99.59 Ncr,z=10447.90 λ^*_z=1.15 Curva c: Φ_z=1.39 χ_z=0.46
χ,min=0.46
Verifica: 0.00+0.09+0.01=0.10

- Verifica in termini tensionali [4.2.4] - CC 18 SLU Xl=0.03 - Classe 3
Sollecitazioni: N=-6.18 T_z=-88.80 M_y=-10.05 T_y=-1.06
Tensioni: σ_N=-1.24 σ_M=-241.12 τ=0.00 σ_{max}=-242.36
Tensioni: σ_N=-1.24 σ_M=0.00 τ=26.64 τ_{max}=26.64
Tensioni: σ_N=-1.24 σ_M=-241.12 τ=0.32 $\sigma_{ID,max}$=242.36

- Verifica a taglio dir. Z [4.2.16] - CC 19 SLU Xl=0.15
Sollecitazioni: T_z=-69.92
V,Ed=-69.92 Vc,Rd=7560.76 V,Ed/Vc,Rd=0.01

Asta n. 6478 (-54 -62) calastrelli 100x5 Crit. 1

- Verifica di stabilità aste inflesse (4.2.4.1.3.2) CC 18 SLU - Classe 3
L_{cr}=0.29 Curva d: α_{imp}=0.76 k_c=0.94 ψ=2.75 M,cr=0.00 λ_{LT}=0.00
$\lambda_{LT,0}$=0.20 β_{LT}=1.00 Φ_{LT}=0.00 β_{LT}=1.00 f=0.00 χ_{LT}=1.00
CC 18 SLU My,Ed=-13.86 My,b,Rd=436.51 My,Ed/My,b,Rd=0.03

- Verifica di stabilità aste presso-inflesse (C4.2.4.1.3.3.1) - CC 19 SLU - Classe 3
Sollecitazioni: N,Ed=-18.07 Myeq,Ed=-9.64 Mzeq,Ed=-0.10
Resistenze: Nc,Rd=26190.50 My,c,Rd=436.51 Mz,c,Rd=43.65 L=29.38
λ_Y=10.18 Ncr,y=2001620.00 λ^*_y=0.12 Curva c: Φ_y=0.49 χ_y=1.00
λ_Z=101.76 Ncr,z=20016.20 λ^*_z=1.17 Curva c: Φ_z=1.43 χ_z=0.45
χ,min=0.45
Verifica: 0.00+0.02+0.00=0.02

- Verifica in termini tensionali [4.2.4] - CC 18 SLU Xl=0.03 - Classe 3
Sollecitazioni: N=81.56 T_z=-105.99 M_y=-13.86
Tensioni: σ_N=8.16 σ_M=83.17 τ=0.00 σ_{max}=91.33
Tensioni: σ_N=8.16 σ_M=0.00 τ=15.90 τ_{max}=15.90
Tensioni: σ_N=8.16 σ_M=83.17 τ=0.00 $\sigma_{ID,max}$=91.33

- Verifica a taglio dir. Z [4.2.16] - CC 18 SLU Xl=0.15
Sollecitazioni: N=81.56 T_z=-107.28
V,Ed=-107.28 Vc,Rd=15121.50 V,Ed/Vc,Rd=0.01

Asta n. 6479 (-22 -30) calastrelli 100x5 Crit. 1

- Verifica di stabilità aste inflesse (4.2.4.1.3.2) CC 18 SLU - Classe 3
L_{cr}=0.30 Curva d: α_{imp}=0.76 k_c=0.94 ψ=2.97 M,cr=0.00 λ_{LT}=0.00
$\lambda_{LT,0}$=0.20 β_{LT}=1.00 Φ_{LT}=0.00 β_{LT}=1.00 f=0.00 χ_{LT}=1.00
CC 18 SLU My,Ed=-9.52 My,b,Rd=436.51 My,Ed/My,b,Rd=0.02

- Verifica di stabilità aste presso-inflesse (C4.2.4.1.3.3.1) - CC 17 SLU - Classe 3
  Sollecitazioni: N,Ed=-293.78 Myeq,Ed=-4.54 Mzeq,Ed=0.03
  Resistenze: Nc,Rd=26190.50 My,c,Rd=436.51 Mz,c,Rd=43.65 L=29.69
  λ_Y=10.28 Ncr,y=1959700.00 λ^*_y=0.12 Curva c: Φ_y=0.49 χ_y=1.00
  λ_Z=102.84 Ncr,z=19597.00 λ^*_z=1.18 Curva c: Φ_z=1.44 χ_z=0.44
  χ,min=0.44
  Verifica: 0.01+0.01+0.00=0.02

- Verifica in termini tensionali [4.2.4] - CC 18 SLU Xl=0.03 - Classe 3
  Sollecitazioni: N=251.70 T_z=-77.23 M_y=-9.52
  Tensioni: σ_N=25.17 σ_M=57.15 τ=0.00 σ_{max}=82.32
  Tensioni: σ_N=25.17 σ_M=0.00 τ=11.58 τ_{max}=11.58
  Tensioni: σ_N=25.17 σ_M=57.15 τ=0.00 $\sigma_{ID,max}$=82.32

- Verifica a taglio dir. Z [4.2.16] - CC 18 SLU Xl=0.16
  Sollecitazioni: N=251.70 T_z=-78.53
  V,Ed=-78.53 Vc,Rd=15121.50 V,Ed/Vc,Rd=0.01

Asta n. 6480 (357 369) angolari L50x10 Crit. 1

- Verifica di stabilità aste inflesse (4.2.4.1.3.2) CC 17 SLU - Classe 3
  L_{cr}=0.15 Curva d: α_{imp}=0.76 k_c=0.94 ψ=2.70 M,cr=0.00 λ_{LT}=0.00
  $\lambda_{LT,0}$=0.00 β_{LT}=0.00 Φ_{LT}=0.00 β_{LT}=0.00 f=0.00 χ_{LT}=1.00
  CC 17 SLU My,Ed=-56.29 My,b,Rd=149.05 My,Ed/My,b,Rd=0.38

- Verifica di stabilità aste presso-inflesse (C4.2.4.1.3.3.1) - CC 1 SLV - Classe 3
  Sollecitazioni: N,Ed=-273.06 Myeq,Ed=27.60 Mzeq,Ed=0.82
  Resistenze: Nc,Rd=23709.20 My,c,Rd=149.05 Mz,c,Rd=149.05 L=15.00
  λ_c=8.19 Ncr,y=2794040.00 λ^*_y=0.09 Curva b: Φ_y=0.00 χ_y=1.00
  λ_e=15.58 Ncr,z=772687.00 λ^*_z=0.18 Curva b: Φ_z=0.00 χ_z=1.00
  χ,min=1.00
  Verifica: 0.01+0.19+0.01=0.20

- Verifica in termini tensionali [4.2.4] - CC 17 SLU Xl=0.15 - Classe 3
  Sollecitazioni: N=476.48 T_z=740.61 M_y=-56.29 T_y=30.48 M_z=3.17 M_x=1.26 (M_c=-42.04 M_e=-37.56)
  Tensioni: σ_N=52.63 σ_M=-1203.16 τ=53.06 σ_{max}=-1150.53
  Tensioni: σ_N=52.63 σ_M=640.39 τ=252.22 τ_{max}=252.22
  Tensioni: σ_N=52.63 σ_M=-1203.16 τ=53.06 $\sigma_{ID,max}$=1154.19

- Verifica a taglio dir. Y [4.2.16] - CC 1 SLV Xl=0.08
  Sollecitazioni: N=118.87 T_z=-375.07 T_y=9.49
  V,Ed=9.49 Vc,Rd=7560.76 V,Ed/Vc,Rd=0.00

- Verifica a taglio dir. Z [4.2.16]
  V,Ed=-375.07 Vc,Rd=7560.76 V,Ed/Vc,Rd=0.05

Asta n. 6480 (369 381) angolari L50x10 Crit. 1

- Verifica di stabilità aste inflesse (4.2.4.1.3.2) CC 17 SLU - Classe 3
  L_{cr}=0.15 Curva d: α_{imp}=0.76 k_c=0.94 ψ=2.84 M,cr=0.00 λ_{LT}=0.00
  $\lambda_{LT,0}$=0.00 β_{LT}=0.00 Φ_{LT}=0.00 β_{LT}=0.00 f=0.00 χ_{LT}=1.00
  CC 17 SLU My,Ed=-51.49 My,b,Rd=149.05 My,Ed/My,b,Rd=0.35

- Verifica di stabilità aste presso-inflesse (C4.2.4.1.3.3.1) - CC 9 SLU - Classe 3
  Sollecitazioni: N,Ed=-189.07 Myeq,Ed=31.88 Mzeq,Ed=0.41
  Resistenze: Nc,Rd=23709.20 My,c,Rd=149.05 Mz,c,Rd=149.05 L=15.00
  λ_c=8.19 Ncr,y=2794040.00 λ^*_y=0.09 Curva b: Φ_y=0.00 χ_y=1.00
  λ_e=15.58 Ncr,z=772687.00 λ^*_z=0.18 Curva b: Φ_z=0.00 χ_z=1.00
  χ,min=1.00

Verifica: 0.01+0.21+0.00=0.22

- Verifica in termini tensionali [4.2.4] - CC 17 SLU Xl=0.00 - Classe 3
Sollecitazioni: N=534.23 T_z=-714.44 M_y=-51.49 T_y=-31.16 M_z=3.25 M_x=-1.26 (M_c=-38.70 M_e=-34.11)
Tensioni: σ_N=59.01 σ_M=-1097.93 τ=52.14 σ_{max}=-1038.92
Tensioni: σ_N=59.01 σ_M=583.63 τ=244.60 τ_{max}=244.60
Tensioni: σ_N=59.01 σ_M=-1097.93 τ=52.14 $\sigma_{ID,max}$=1042.83

- Verifica a taglio dir. Y [4.2.16] - CC 9 SLU Xl=0.08
Sollecitazioni: N=-189.07 T_z=379.16 T_y=-5.50
V,Ed=-5.50 Vc,Rd=7560.76 V,Ed/Vc,Rd=0.00

- Verifica a taglio dir. Z [4.2.16]
V,Ed=379.16 Vc,Rd=7560.76 V,Ed/Vc,Rd=0.05

Asta n. 6481 (358 370) angolari L50x10 Crit. 1

- Verifica di stabilità aste inflesse (4.2.4.1.3.2) CC 1 SLV - Classe 3
L_{cr}=0.15 Curva d: α_{imp}=0.76 k_c=0.94 ψ=1.57 M,cr=0.00 λ_{LT}=0.00
$\lambda_{LT,0}$=0.00 β_{LT}=0.00 Φ_{LT}=0.00 β_{LT}=0.00 f=0.00 χ_{LT}=1.00
CC 1 SLV My,Ed=0.91 My,b,Rd=149.05 My,Ed/My,b,Rd=0.01

- Verifica di stabilità aste presso-inflesse (C4.2.4.1.3.3.1) - CC 17 SLU - Classe 3
Sollecitazioni: N,Ed=-752.41 Myeq,Ed=2.18 Mzeq,Ed=-83.94
Resistenze: Nc,Rd=23709.20 My,c,Rd=149.05 Mz,c,Rd=149.05 L=15.00
λ_c=8.19 Ncr,y=2794040.00 λ^*_y=0.09 Curva b: Φ_y=0.00 χ_y=1.00
λ_e=15.58 Ncr,z=772687.00 λ^*_z=0.18 Curva b: Φ_z=0.00 χ_z=1.00
χ,min=1.00
Verifica: 0.03+0.01+0.56=0.61

- Verifica Freccia massima carichi totali - CC 21
$f_{Z,G}$=0.00 (L/12033)

- Verifica in termini tensionali [4.2.4] - CC 17 SLU Xl=0.15 - Classe 3
Sollecitazioni: N=-752.41 T_z=-25.34 M_y=2.83 T_y=-1110.38 M_z=-83.94 M_x=1.30 (M_c=61.35 M_e=-57.36)
Tensioni: σ_N=-83.11 σ_M=-1808.48 τ=62.20 σ_{max}=-1891.60
Tensioni: σ_N=-83.11 σ_M=966.67 τ=360.22 τ_{max}=360.22
Tensioni: σ_N=-83.11 σ_M=-1808.48 τ=62.20 $\sigma_{ID,max}$=1894.66

- Verifica a taglio dir. Y [4.2.16] - CC 7 SLV Xl=0.08
Sollecitazioni: N=-132.84 T_z=-2.76 T_y=-133.66
V,Ed=-133.66 Vc,Rd=7560.76 V,Ed/Vc,Rd=0.02

- Verifica a taglio dir. Z [4.2.16]
V,Ed=-2.76 Vc,Rd=7560.76 V,Ed/Vc,Rd=0.00

Asta n. 6481 (370 382) angolari L50x10 Crit. 1

- Verifica di stabilità aste inflesse (4.2.4.1.3.2) CC 1 SLV - Classe 3
L_{cr}=0.15 Curva d: α_{imp}=0.76 k_c=0.94 ψ=1.57 M,cr=0.00 λ_{LT}=0.00
$\lambda_{LT,0}$=0.00 β_{LT}=0.00 Φ_{LT}=0.00 β_{LT}=0.00 f=0.00 χ_{LT}=1.00
CC 1 SLV My,Ed=0.92 My,b,Rd=149.05 My,Ed/My,b,Rd=0.01

- Verifica di stabilità aste presso-inflesse (C4.2.4.1.3.3.1) - CC 17 SLU - Classe 3
Sollecitazioni: N,Ed=-730.38 Myeq,Ed=2.23 Mzeq,Ed=-78.75
Resistenze: Nc,Rd=23709.20 My,c,Rd=149.05 Mz,c,Rd=149.05 L=15.00
λ_c=8.19 Ncr,y=2794040.00 λ^*_y=0.09 Curva b: Φ_y=0.00 χ_y=1.00
λ_e=15.58 Ncr,z=772687.00 λ^*_z=0.18 Curva b: Φ_z=0.00 χ_z=1.00
χ,min=1.00

Verifica: 0.03+0.01+0.53=0.57

- Verifica in termini tensionali [4.2.4] - CC 17 SLU Xl=0.00 - Classe 3
Sollecitazioni: N=-730.38 T_z=25.88 M_y=2.87 T_y=1060.38 M_z=-78.75 M_x=-1.30 (M_c=57.72 M_e=-53.66)
Tensioni: σ_N=-80.68 σ_M=-1695.06 τ=60.44 σ_{max}=-1775.74
Tensioni: σ_N=-80.68 σ_M=905.57 τ=345.60 τ_{max}=345.60
Tensioni: σ_N=-80.68 σ_M=-1695.06 τ=60.44 $\sigma_{ID,max}$=1778.82

- Verifica a taglio dir. Y [4.2.16] - CC 1 SLV Xl=0.07
Sollecitazioni: N=61.64 T_z=-5.42 T_y=401.93
V,Ed=401.93 Vc,Rd=7560.76 V,Ed/Vc,Rd=0.05

- Verifica a taglio dir. Z [4.2.16]
V,Ed=-5.42 Vc,Rd=7560.76 V,Ed/Vc,Rd=0.00

Asta n. 6482 (-23 -31) calastrelli 100x5 Crit. 1

- Verifica di stabilità aste inflesse (4.2.4.1.3.2) CC 16 SLU - Classe 3
L_{cr}=0.30 Curva d: α_{imp}=0.76 k_c=0.94 ψ=3.10 M,cr=0.00 λ_{LT}=0.00
$\lambda_{LT,0}$=0.20 β_{LT}=1.00 Φ_{LT}=0.00 β_{LT}=1.00 f=0.00 χ_{LT}=1.00
CC 16 SLU My,Ed=4.91 My,b,Rd=436.51 My,Ed/My,b,Rd=0.01

- Verifica di stabilità aste presso-inflesse (C4.2.4.1.3.3.1) - CC 1 SLV - Classe 3
Sollecitazioni: N,Ed=-21.69 Myeq,Ed=-1.40 Mzeq,Ed=-0.01
Resistenze: Nc,Rd=26190.50 My,c,Rd=436.51 Mz,c,Rd=43.65 L=29.69
λ_Y=10.28 Ncr,y=1959700.00 λ^*_y=0.12 Curva c: Φ_y=0.49 χ_y=1.00
λ_Z=102.84 Ncr,z=19597.00 λ^*_z=1.18 Curva c: Φ_z=1.44 χ_z=0.44
χ,min=0.44
Verifica: 0.00+0.00+0.00=0.00

- Verifica in termini tensionali [4.2.4] - CC 17 SLU Xl=0.27 - Classe 3
Sollecitazioni: N=566.96 T_z=-12.40 M_y=1.59
Tensioni: σ_N=56.70 σ_M=9.57 τ=0.00 σ_{max}=66.26
Tensioni: σ_N=56.70 σ_M=-0.00 τ=1.86 τ_{max}=1.86
Tensioni: σ_N=56.70 σ_M=9.57 τ=0.00 $\sigma_{ID,max}$=66.26

- Verifica a taglio dir. Z [4.2.16] - CC 16 SLU Xl=0.16
Sollecitazioni: N=162.47 T_z=-42.21
V,Ed=-42.21 Vc,Rd=15121.50 V,Ed/Vc,Rd=0.00

Asta n. 6483 (-55 -63) calastrelli 100x5 Crit. 1

- Verifica di stabilità aste inflesse (4.2.4.1.3.2) CC 18 SLU - Classe 3
L_{cr}=0.29 Curva d: α_{imp}=0.76 k_c=0.94 ψ=2.63 M,cr=0.00 λ_{LT}=0.00
$\lambda_{LT,0}$=0.20 β_{LT}=1.00 Φ_{LT}=0.00 β_{LT}=1.00 f=0.00 χ_{LT}=1.00
CC 18 SLU My,Ed=-8.82 My,b,Rd=436.51 My,Ed/My,b,Rd=0.02

- Verifica di stabilità aste presso-inflesse (C4.2.4.1.3.3.1) - CC 1 SLV - Classe 3
Sollecitazioni: N,Ed=-12.35 Myeq,Ed=-3.13 Mzeq,Ed=0.02
Resistenze: Nc,Rd=26190.50 My,c,Rd=436.51 Mz,c,Rd=43.65 L=29.38
λ_Y=10.18 Ncr,y=2001620.00 λ^*_y=0.12 Curva c: Φ_y=0.49 χ_y=1.00
λ_Z=101.76 Ncr,z=20016.20 λ^*_z=1.17 Curva c: Φ_z=1.43 χ_z=0.45
χ,min=0.45
Verifica: 0.00+0.01+0.00=0.01

- Verifica in termini tensionali [4.2.4] - CC 18 SLU Xl=0.04 - Classe 3
Sollecitazioni: N=88.86 T_z=-63.82 M_y=-8.82
Tensioni: σ_N=8.89 σ_M=52.90 τ=0.00 σ_{max}=61.79
Tensioni: σ_N=8.89 σ_M=0.00 τ=9.57 τ_{max}=9.57

Tensioni: σ_N=8.89 σ_M=52.90 τ=0.00 $\sigma_{ID,max}$=61.79

- Verifica a taglio dir. Z [4.2.16] - CC 16 SLU Xl=0.16
Sollecitazioni: N=57.67 T_z=-65.40
V,Ed=-65.40 Vc,Rd=15121.50 V,Ed/Vc,Rd=0.00

Asta n. 6484 (-87 -95) calastrelli 50x10 Crit. 1

- Verifica di stabilità aste presso-inflesse (C4.2.4.1.3.3.1) - CC 18 SLU - Classe 3
Sollecitazioni: N,Ed=-6.30 Myeq,Ed=6.38 Mzeq,Ed=-0.08
Resistenze: Nc,Rd=13095.20 My,c,Rd=109.13 Mz,c,Rd=21.83 L=28.75
λ_Y=19.92 Ncr,y=261199.00 λ^*_y=0.23 Curva c: Φ_y=0.53 χ_y=0.99
λ_Z=99.59 Ncr,z=10447.90 λ^*_z=1.15 Curva c: Φ_z=1.39 χ_z=0.46
χ,min=0.46
Verifica: 0.00+0.06+0.00=0.06

- Verifica in termini tensionali [4.2.4] - CC 18 SLU Xl=0.26 - Classe 3
Sollecitazioni: N=-6.30 T_z=-56.90 M_y=6.38
Tensioni: σ_N=-1.26 σ_M=-153.19 τ=0.00 σ_{max}=-154.45
Tensioni: σ_N=-1.26 σ_M=-0.00 τ=17.07 τ_{max}=17.07
Tensioni: σ_N=-1.26 σ_M=-153.19 τ=0.00 $\sigma_{ID,max}$=154.45

- Verifica a taglio dir. Z [4.2.16] - CC 1 SLV Xl=0.20
Sollecitazioni: T_z=-16.11
V,Ed=-16.11 Vc,Rd=7560.76 V,Ed/Vc,Rd=0.00

Asta n. 6485 (-119 -127) calastrelli 50x10 Crit. 1

- Verifica di stabilità aste inflesse (4.2.4.1.3.2) CC 9 SLU - Classe 3
L_{cr}=0.28 Curva d: α_{imp}=0.76 k_c=0.94 ψ=3.07 M,cr=0.00 λ_{LT}=0.00
$\lambda_{LT,0}$=0.20 β_{LT}=1.00 Φ_{LT}=0.00 β_{LT}=1.00 f=0.00 χ_{LT}=1.00
CC 9 SLU My,Ed=5.04 My,b,Rd=109.13 My,Ed/My,b,Rd=0.05

- Verifica di stabilità aste presso-inflesse (C4.2.4.1.3.3.1) - CC 18 SLU - Classe 3
Sollecitazioni: N,Ed=-1.19 Myeq,Ed=7.91 Mzeq,Ed=-0.10
Resistenze: Nc,Rd=13095.20 My,c,Rd=109.13 Mz,c,Rd=21.83 L=28.13
λ_Y=19.49 Ncr,y=272937.00 λ^*_y=0.22 Curva c: Φ_y=0.53 χ_y=0.99
λ_Z=97.43 Ncr,z=10917.50 λ^*_z=1.12 Curva c: Φ_z=1.36 χ_z=0.47
χ,min=0.47
Verifica: 0.00+0.07+0.00=0.08

- Verifica in termini tensionali [4.2.4] - CC 18 SLU Xl=0.25 - Classe 3
Sollecitazioni: N=-1.19 T_z=-72.56 M_y=7.91
Tensioni: σ_N=-0.24 σ_M=-189.79 τ=0.00 σ_{max}=-190.03
Tensioni: σ_N=-0.24 σ_M=-0.00 τ=21.77 τ_{max}=21.77
Tensioni: σ_N=-0.24 σ_M=-189.79 τ=0.00 $\sigma_{ID,max}$=190.03

- Verifica a taglio dir. Z [4.2.16] - CC 9 SLU Xl=0.15
Sollecitazioni: T_z=-45.87
V,Ed=-45.87 Vc,Rd=7560.76 V,Ed/Vc,Rd=0.01

Asta n. 6486 (-151 -159) calastrelli 50x10 Crit. 1

- Verifica di stabilità aste presso-inflesse (C4.2.4.1.3.3.1) - CC 18 SLU - Classe 3
Sollecitazioni: N,Ed=-1.32 Myeq,Ed=8.21 Mzeq,Ed=-0.11
Resistenze: Nc,Rd=13095.20 My,c,Rd=109.13 Mz,c,Rd=21.83 L=27.50
λ_Y=19.05 Ncr,y=285485.00 λ^*_y=0.22 Curva c: Φ_y=0.53 χ_y=0.99
λ_Z=95.26 Ncr,z=11419.40 λ^*_z=1.10 Curva c: Φ_z=1.32 χ_z=0.49
χ,min=0.49

Verifica: 0.00+0.08+0.00=0.08

- Verifica in termini tensionali [4.2.4] - CC 18 SLU Xl=0.25 - Classe 3
Sollecitazioni: N=-1.32 T_z=-77.47 M_y=8.21
Tensioni: σ_N=-0.26 σ_M=-196.98 τ=0.00 σ_{max}=-197.25
Tensioni: σ_N=-0.26 σ_M=-0.00 τ=23.24 τ_{max}=23.24
Tensioni: σ_N=-0.26 σ_M=-196.98 τ=0.00 $\sigma_{ID,max}$=197.25

- Verifica a taglio dir. Z [4.2.16] - CC 9 SLU Xl=0.15
Sollecitazioni: T_z=-50.01
V,Ed=-50.01 Vc,Rd=7560.76 V,Ed/Vc,Rd=0.01

Asta n. 6487 (-183 -191) calastrelli 50x10 Crit. 1

- Verifica di stabilità aste presso-inflesse (C4.2.4.1.3.3.1) - CC 18 SLU - Classe 3
Sollecitazioni: N,Ed=-1.36 Myeq,Ed=8.23 Mzeq,Ed=-0.11
Resistenze: Nc,Rd=13095.20 My,c,Rd=109.13 Mz,c,Rd=21.83 L=26.88
λ_Y=18.62 Ncr,y=298917.00 λ^*_y=0.21 Curva c: Φ_y=0.53 χ_y=0.99
λ_Z=93.10 Ncr,z=11956.70 λ^*_z=1.07 Curva c: Φ_z=1.29 χ_z=0.50
χ,min=0.50
Verifica: 0.00+0.08+0.01=0.08

- Verifica in termini tensionali [4.2.4] - CC 18 SLU Xl=0.24 - Classe 3
Sollecitazioni: N=-1.36 T_z=-80.00 M_y=8.23 T_y=1.05
Tensioni: σ_N=-0.27 σ_M=-197.51 τ=0.00 σ_{max}=-197.78
Tensioni: σ_N=-0.27 σ_M=-0.00 τ=24.00 τ_{max}=24.00
Tensioni: σ_N=-0.27 σ_M=-197.51 τ=0.31 $\sigma_{ID,max}$=197.78

- Verifica a taglio dir. Z [4.2.16] - CC 9 SLU Xl=0.14
Sollecitazioni: T_z=-52.73
V,Ed=-52.73 Vc,Rd=7560.76 V,Ed/Vc,Rd=0.01

Asta n. 6488 (-215 -223) calastrelli 50x10 Crit. 1

- Verifica di stabilità aste presso-inflesse (C4.2.4.1.3.3.1) - CC 18 SLU - Classe 3
Sollecitazioni: N,Ed=-1.33 Myeq,Ed=8.19 Mzeq,Ed=-0.11
Resistenze: Nc,Rd=13095.20 My,c,Rd=109.13 Mz,c,Rd=21.83 L=26.25
λ_Y=18.19 Ncr,y=313321.00 λ^*_y=0.21 Curva c: Φ_y=0.52 χ_y=1.00
λ_Z=90.93 Ncr,z=12532.80 λ^*_z=1.05 Curva c: Φ_z=1.26 χ_z=0.51
χ,min=0.51
Verifica: 0.00+0.08+0.01=0.08

- Verifica in termini tensionali [4.2.4] - CC 18 SLU Xl=0.23 - Classe 3
Sollecitazioni: N=-1.33 T_z=-82.07 M_y=8.19 T_y=1.08
Tensioni: σ_N=-0.27 σ_M=-196.57 τ=0.00 σ_{max}=-196.83
Tensioni: σ_N=-0.27 σ_M=-0.00 τ=24.62 τ_{max}=24.62
Tensioni: σ_N=-0.27 σ_M=-196.57 τ=0.33 $\sigma_{ID,max}$=196.84

- Verifica a taglio dir. Z [4.2.16] - CC 9 SLU Xl=0.14
Sollecitazioni: T_z=-55.34
V,Ed=-55.34 Vc,Rd=7560.76 V,Ed/Vc,Rd=0.01

Asta n. 6489 (-247 -255) calastrelli 50x10 Crit. 1

- Verifica di stabilità aste presso-inflesse (C4.2.4.1.3.3.1) - CC 18 SLU - Classe 3
Sollecitazioni: N,Ed=-1.31 Myeq,Ed=8.14 Mzeq,Ed=-0.11
Resistenze: Nc,Rd=13095.20 My,c,Rd=109.13 Mz,c,Rd=21.83 L=25.63
λ_Y=17.75 Ncr,y=328790.00 λ^*_y=0.20 Curva c: Φ_y=0.52 χ_y=1.00
λ_Z=88.77 Ncr,z=13151.60 λ^*_z=1.02 Curva c: Φ_z=1.22 χ_z=0.53

χ,min=0.53
Verifica: 0.00+0.07+0.01=0.08

- Verifica in termini tensionali [4.2.4] - CC 18 SLU Xl=0.23 - Classe 3
Sollecitazioni: N=-1.31 T_z=-84.18 M_y=8.14 T_y=1.11
Tensioni: σ_N=-0.26 σ_M=-195.37 τ=0.00 σ_{max}=-195.63
Tensioni: σ_N=-0.26 σ_M=-0.00 τ=25.26 τ_{max}=25.26
Tensioni: σ_N=-0.26 σ_M=-195.37 τ=0.33 $\sigma_{ID,max}$=195.63

- Verifica a taglio dir. Z [4.2.16] - CC 9 SLU Xl=0.14
Sollecitazioni: T_z=-58.03
V,Ed=-58.03 Vc,Rd=7560.76 V,Ed/Vc,Rd=0.01

Asta n. 6490 (-279 -287) calastrelli 50x10 Crit. 1

- Verifica di stabilità aste presso-inflesse (C4.2.4.1.3.3.1) - CC 18 SLU - Classe 3
Sollecitazioni: N,Ed=-1.33 Myeq,Ed=8.09 Mzeq,Ed=-0.11
Resistenze: Nc,Rd=13095.20 My,c,Rd=109.13 Mz,c,Rd=21.83 L=25.00
λ_Y=17.32 Ncr,y=345436.00 λ^*_y=0.20 Curva c: Φ_y=0.52 χ_y=1.00
λ_Z=86.60 Ncr,z=13817.40 λ^*_z=1.00 Curva c: Φ_z=1.19 χ_z=0.54
χ,min=0.54
Verifica: 0.00+0.07+0.01=0.08

- Verifica in termini tensionali [4.2.4] - CC 18 SLU Xl=0.22 - Classe 3
Sollecitazioni: N=-1.33 T_z=-86.42 M_y=8.09 T_y=1.15
Tensioni: σ_N=-0.27 σ_M=-194.18 τ=0.00 σ_{max}=-194.45
Tensioni: σ_N=-0.27 σ_M=-0.00 τ=25.93 τ_{max}=25.93
Tensioni: σ_N=-0.27 σ_M=-194.18 τ=0.34 $\sigma_{ID,max}$=194.45

- Verifica a taglio dir. Z [4.2.16] - CC 9 SLU Xl=0.14
Sollecitazioni: T_z=-60.90
V,Ed=-60.90 Vc,Rd=7560.76 V,Ed/Vc,Rd=0.01

Asta n. 6491 (-311 -319) calastrelli 50x10 Crit. 1

- Verifica di stabilità aste presso-inflesse (C4.2.4.1.3.3.1) - CC 18 SLU - Classe 3
Sollecitazioni: N,Ed=-1.36 Myeq,Ed=8.04 Mzeq,Ed=-0.11
Resistenze: Nc,Rd=13095.20 My,c,Rd=109.13 Mz,c,Rd=21.83 L=24.38
λ_Y=16.89 Ncr,y=363379.00 λ^*_y=0.19 Curva c: Φ_y=0.52 χ_y=1.00
λ_Z=84.44 Ncr,z=14535.20 λ^*_z=0.97 Curva c: Φ_z=1.16 χ_z=0.56
χ,min=0.56
Verifica: 0.00+0.07+0.01=0.08

- Verifica in termini tensionali [4.2.4] - CC 18 SLU Xl=0.22 - Classe 3
Sollecitazioni: N=-1.36 T_z=-88.78 M_y=8.04 T_y=1.18
Tensioni: σ_N=-0.27 σ_M=-192.94 τ=0.00 σ_{max}=-193.21
Tensioni: σ_N=-0.27 σ_M=-0.00 τ=26.64 τ_{max}=26.64
Tensioni: σ_N=-0.27 σ_M=-192.94 τ=0.35 $\sigma_{ID,max}$=193.21

- Verifica a taglio dir. Z [4.2.16] - CC 9 SLU Xl=0.13
Sollecitazioni: T_z=-63.96
V,Ed=-63.96 Vc,Rd=7560.76 V,Ed/Vc,Rd=0.01

Asta n. 6492 (-343 -351) calastrelli 50x10 Crit. 1

- Verifica di stabilità aste presso-inflesse (C4.2.4.1.3.3.1) - CC 18 SLU - Classe 3
Sollecitazioni: N,Ed=-1.31 Myeq,Ed=7.99 Mzeq,Ed=-0.11
Resistenze: Nc,Rd=13095.20 My,c,Rd=109.13 Mz,c,Rd=21.83 L=23.75
λ_Y=16.45 Ncr,y=382754.00 λ^*_y=0.19 Curva c: Φ_y=0.52 χ_y=1.00

λ_Z=82.27 Ncr,z=15310.20 λ^*_z=0.95 Curva c: Φ_z=1.13 χ_z=0.57
χ,min=0.57
Verifica: 0.00+0.07+0.00=0.08

- Verifica in termini tensionali [4.2.4] - CC 18 SLU Xl=0.21 - Classe 3
Sollecitazioni: N=-1.31 T_z=-91.32 M_y=7.99 T_y=1.22
Tensioni: σ_N=-0.26 σ_M=-191.67 τ=0.00 σ_{max}=-191.93
Tensioni: σ_N=-0.26 σ_M=-0.00 τ=27.40 τ_{max}=27.40
Tensioni: σ_N=-0.26 σ_M=-191.67 τ=0.37 $\sigma_{ID,max}$=191.94

- Verifica a taglio dir. Z [4.2.16] - CC 9 SLU Xl=0.13
Sollecitazioni: T_z=-67.25
V,Ed=-67.25 Vc,Rd=7560.76 V,Ed/Vc,Rd=0.01

Asta n. 6493 (-375 -383) calastrelli 50x10 Crit. 1

- Verifica di stabilità aste presso-inflesse (C4.2.4.1.3.3.1) - CC 18 SLU - Classe 3
Sollecitazioni: N,Ed=-1.37 Myeq,Ed=7.94 Mzeq,Ed=-0.11
Resistenze: Nc,Rd=13095.20 My,c,Rd=109.13 Mz,c,Rd=21.83 L=23.13
λ_Y=16.02 Ncr,y=403725.00 λ^*_y=0.18 Curva c: Φ_y=0.51 χ_y=1.00
λ_Z=80.11 Ncr,z=16149.00 λ^*_z=0.92 Curva c: Φ_z=1.10 χ_z=0.59
χ,min=0.59
Verifica: 0.00+0.07+0.00=0.08

- Verifica in termini tensionali [4.2.4] - CC 18 SLU Xl=0.20 - Classe 3
Sollecitazioni: N=-1.37 T_z=-94.07 M_y=7.94 T_y=1.26
Tensioni: σ_N=-0.27 σ_M=-190.47 τ=0.00 σ_{max}=-190.74
Tensioni: σ_N=-0.27 σ_M=-0.00 τ=28.22 τ_{max}=28.22
Tensioni: σ_N=-0.27 σ_M=-190.47 τ=0.38 $\sigma_{ID,max}$=190.74

- Verifica a taglio dir. Z [4.2.16] - CC 9 SLU Xl=0.13
Sollecitazioni: T_z=-70.79
V,Ed=-70.79 Vc,Rd=7560.76 V,Ed/Vc,Rd=0.01

Asta n. 6494 (-407 -415) calastrelli 50x10 Crit. 1

- Verifica di stabilità aste presso-inflesse (C4.2.4.1.3.3.1) - CC 18 SLU - Classe 3
Sollecitazioni: N,Ed=-1.44 Myeq,Ed=7.88 Mzeq,Ed=-0.11
Resistenze: Nc,Rd=13095.20 My,c,Rd=109.13 Mz,c,Rd=21.83 L=22.50
λ_Y=15.59 Ncr,y=426463.00 λ^*_y=0.18 Curva c: Φ_y=0.51 χ_y=1.00
λ_Z=77.94 Ncr,z=17058.50 λ^*_z=0.90 Curva c: Φ_z=1.07 χ_z=0.60
χ,min=0.60
Verifica: 0.00+0.07+0.00=0.08

- Verifica in termini tensionali [4.2.4] - CC 18 SLU Xl=0.20 - Classe 3
Sollecitazioni: N=-1.44 T_z=-97.00 M_y=7.88 T_y=1.30
Tensioni: σ_N=-0.29 σ_M=-189.19 τ=0.00 σ_{max}=-189.47
Tensioni: σ_N=-0.29 σ_M=-0.00 τ=29.10 τ_{max}=29.10
Tensioni: σ_N=-0.29 σ_M=-189.19 τ=0.39 $\sigma_{ID,max}$=189.48

- Verifica a taglio dir. Y [4.2.16] - CC 9 SLU Xl=0.12
Sollecitazioni: T_z=-74.60 T_y=1.00
V,Ed=1.00 Vc,Rd=7560.76 V,Ed/Vc,Rd=0.00

- Verifica a taglio dir. Z [4.2.16]
V,Ed=-74.60 Vc,Rd=7560.76 V,Ed/Vc,Rd=0.01

Asta n. 6495 (-439 -447) calastrelli 50x10 Crit. 1

- Verifica di stabilità aste inflesse (4.2.4.1.3.2) CC 9 SLU - Classe 3
  L_{cr}=0.22 Curva d: α_{imp}=0.76 k_c=0.94 ψ=3.06 M,cr=0.00 λ_{LT}=0.00
  $\lambda_{LT,0}$=0.20 β_{LT}=1.00 Φ_{LT}=0.00 β_{LT}=1.00 f=0.00 χ_{LT}=1.00
  CC 9 SLU My,Ed=6.17 My,b,Rd=109.13 My,Ed/My,b,Rd=0.06

- Verifica di stabilità aste presso-inflesse (C4.2.4.1.3.3.1) - CC 18 SLU - Classe 3
  Sollecitazioni: N,Ed=-0.37 Myeq,Ed=7.82 Mzeq,Ed=-0.11
  Resistenze: Nc,Rd=13095.20 My,c,Rd=109.13 Mz,c,Rd=21.83 L=21.88
  λ_Y=15.16 Ncr,y=451182.00 λ^*_y=0.17 Curva c: Φ_y=0.51 χ_y=1.00
  λ_Z=75.78 Ncr,z=18047.30 λ^*_z=0.87 Curva c: Φ_z=1.05 χ_z=0.62
  χ,min=0.62
  Verifica: 0.00+0.07+0.00=0.08

- Verifica a flessione [4.2.13] - CC 18 SLU Xl=0.19 - Classe 3
  Sollecitazioni: T_z=-99.98 M_y=7.82 T_y=1.35
  My,Ed=7.82 My,c,Rd=109.13 My,Ed/My,c,Rd=0.07

- Verifica a taglio dir. Y [4.2.16] - CC 18 SLU Xl=0.12
  Sollecitazioni: T_z=-99.62 T_y=1.35
  V,Ed=1.35 Vc,Rd=7560.76 V,Ed/Vc,Rd=0.00

- Verifica a taglio dir. Z [4.2.16]
  V,Ed=-99.62 Vc,Rd=7560.76 V,Ed/Vc,Rd=0.01

Asta n. 6496 (-471 -479) calastrelli 50x10 Crit. 1

- Verifica di stabilità aste presso-inflesse (C4.2.4.1.3.3.1) - CC 18 SLU - Classe 3
  Sollecitazioni: N,Ed=-8.22 Myeq,Ed=7.62 Mzeq,Ed=-0.10
  Resistenze: Nc,Rd=13095.20 My,c,Rd=109.13 Mz,c,Rd=21.83 L=21.25
  λ_Y=14.72 Ncr,y=478114.00 λ^*_y=0.17 Curva c: Φ_y=0.51 χ_y=1.00
  λ_Z=73.61 Ncr,z=19124.60 λ^*_z=0.85 Curva c: Φ_z=1.02 χ_z=0.63
  χ,min=0.63
  Verifica: 0.00+0.07+0.00=0.07

- Verifica in termini tensionali [4.2.4] - CC 18 SLU Xl=0.18 - Classe 3
  Sollecitazioni: N=-8.22 T_z=-102.13 M_y=7.62 T_y=1.27
  Tensioni: σ_N=-1.64 σ_M=-182.79 τ=0.00 σ_{max}=-184.43
  Tensioni: σ_N=-1.64 σ_M=-0.00 τ=30.64 τ_{max}=30.64
  Tensioni: σ_N=-1.64 σ_M=-182.79 τ=0.38 $\sigma_{ID,max}$=184.43

Asta n. 6497 (-503 -511) calastrelli 50x10 Crit. 1

- Verifica in termini tensionali [4.2.4] - CC 18 SLU Xl=0.18 - Classe 3
  Sollecitazioni: N=38.23 T_z=-96.63 M_y=7.31 T_y=1.57
  Tensioni: σ_N=7.65 σ_M=175.45 τ=0.00 σ_{max}=183.10
  Tensioni: σ_N=7.65 σ_M=-0.00 τ=28.99 τ_{max}=28.99
  Tensioni: σ_N=7.65 σ_M=175.45 τ=0.47 $\sigma_{ID,max}$=183.10

- Verifica a taglio dir. Y [4.2.16] - CC 18 SLU Xl=0.10
  Sollecitazioni: N=38.23 T_z=-96.23 T_y=1.57
  V,Ed=1.57 Vc,Rd=7560.76 V,Ed/Vc,Rd=0.00

- Verifica a taglio dir. Z [4.2.16]
  V,Ed=-96.23 Vc,Rd=7560.76 V,Ed/Vc,Rd=0.01

Asta n. 6502 (-504 -512) calastrelli 50x10 Crit. 1

- Verifica in termini tensionali [4.2.4] - CC 18 SLU Xl=0.17 - Classe 3
  Sollecitazioni: N=20.32 T_z=-89.58 M_y=6.48 T_y=-1.43

Tensioni: σ_N=4.06 σ_M=155.43 τ=0.00 σ_{max}=159.49
Tensioni: σ_N=4.06 σ_M=-0.00 τ=26.88 τ_{max}=26.88
Tensioni: σ_N=4.06 σ_M=155.43 τ=0.43 $\sigma_{ID,max}$=159.50

- Verifica a taglio dir. Y [4.2.16] - CC 18 SLU Xl=0.11
Sollecitazioni: N=20.32 T_z=-89.25 T_y=-1.43
V,Ed=-1.43 Vc,Rd=7560.76 V,Ed/Vc,Rd=0.00

- Verifica a taglio dir. Z [4.2.16]
V,Ed=-89.25 Vc,Rd=7560.76 V,Ed/Vc,Rd=0.01

Asta n. 6503 (-472 -480) calastrelli 50x10 Crit. 1

- Verifica di stabilità aste presso-inflesse (C4.2.4.1.3.3.1) - CC 18 SLU - Classe 3
Sollecitazioni: N,Ed=-5.03 Myeq,Ed=-7.10 Mzeq,Ed=-0.09
Resistenze: Nc,Rd=13095.20 My,c,Rd=109.13 Mz,c,Rd=21.83 L=21.25
λ_Y=14.72 Ncr,y=478114.00 λ^*_y=0.17 Curva c: Φ_y=0.51 χ_y=1.00
λ_Z=73.61 Ncr,z=19124.60 λ^*_z=0.85 Curva c: Φ_z=1.02 χ_z=0.63
χ,min=0.63
Verifica: 0.00+0.07+0.00=0.07

- Verifica in termini tensionali [4.2.4] - CC 18 SLU Xl=0.03 - Classe 3
Sollecitazioni: N=-5.03 T_z=-93.47 M_y=-7.10 T_y=-1.14
Tensioni: σ_N=-1.01 σ_M=-170.38 τ=0.00 σ_{max}=-171.39
Tensioni: σ_N=-1.01 σ_M=0.00 τ=28.04 τ_{max}=28.04
Tensioni: σ_N=-1.01 σ_M=-170.38 τ=0.34 $\sigma_{ID,max}$=171.39

- Verifica a taglio dir. Z [4.2.16] - CC 5 SLV Xl=0.11
Sollecitazioni: T_z=-58.99
V,Ed=-58.99 Vc,Rd=7560.76 V,Ed/Vc,Rd=0.01

Asta n. 6504 (-440 -448) calastrelli 50x10 Crit. 1

- Verifica di stabilità aste inflesse (4.2.4.1.3.2) CC 19 SLU - Classe 3
L_{cr}=0.22 Curva d: α_{imp}=0.76 k_c=0.94 ψ=3.06 M,cr=0.00 λ_{LT}=0.00
$\lambda_{LT,0}$=0.20 β_{LT}=1.00 Φ_{LT}=0.00 β_{LT}=1.00 f=0.00 χ_{LT}=1.00
CC 19 SLU My,Ed=-5.81 My,b,Rd=109.13 My,Ed/My,b,Rd=0.05

- Verifica di stabilità aste presso-inflesse (C4.2.4.1.3.3.1) - CC 18 SLU - Classe 3
Sollecitazioni: N,Ed=-0.69 Myeq,Ed=-7.22 Mzeq,Ed=-0.10
Resistenze: Nc,Rd=13095.20 My,c,Rd=109.13 Mz,c,Rd=21.83 L=21.88
λ_Y=15.16 Ncr,y=451182.00 λ^*_y=0.17 Curva c: Φ_y=0.51 χ_y=1.00
λ_Z=75.78 Ncr,z=18047.30 λ^*_z=0.87 Curva c: Φ_z=1.05 χ_z=0.62
χ,min=0.62
Verifica: 0.00+0.07+0.00=0.07

- Verifica a flessione [4.2.13] - CC 18 SLU Xl=0.03 - Classe 3
Sollecitazioni: T_z=-91.66 M_y=-7.22 T_y=-1.23
My,Ed=-7.22 My,c,Rd=109.13 My,Ed/My,c,Rd=0.07

- Verifica a taglio dir. Y [4.2.16] - CC 18 SLU Xl=0.11
Sollecitazioni: T_z=-92.09 T_y=-1.23
V,Ed=-1.23 Vc,Rd=7560.76 V,Ed/Vc,Rd=0.00

- Verifica a taglio dir. Z [4.2.16]
V,Ed=-92.09 Vc,Rd=7560.76 V,Ed/Vc,Rd=0.01

Asta n. 6505 (-408 -416) calastrelli 50x10 Crit. 1

- Verifica di stabilità aste inflesse (4.2.4.1.3.2) CC 19 SLU - Classe 3

L_{cr}=0.23 Curva d: α_{imp}=0.76 k_c=0.94 ψ=3.06 M,cr=0.00 λ_{LT}=0.00
$\lambda_{LT,0}$=0.20 β_{LT}=1.00 Φ_{LT}=0.00 β_{LT}=1.00 f=0.00 χ_{LT}=1.00
CC 19 SLU My,Ed=-5.74 My,b,Rd=109.13 My,Ed/My,b,Rd=0.05

- Verifica di stabilità aste presso-inflesse (C4.2.4.1.3.3.1) - CC 18 SLU - Classe 3
Sollecitazioni: N,Ed=-1.24 Myeq,Ed=-7.29 Mzeq,Ed=-0.10
Resistenze: Nc,Rd=13095.20 My,c,Rd=109.13 Mz,c,Rd=21.83 L=22.50
λ_Y=15.59 Ncr,y=426463.00 λ^*_y=0.18 Curva c: Φ_y=0.51 χ_y=1.00
λ_Z=77.94 Ncr,z=17058.50 λ^*_z=0.90 Curva c: Φ_z=1.07 χ_z=0.60
χ,min=0.60
Verifica: 0.00+0.07+0.00=0.07

- Verifica in termini tensionali [4.2.4] - CC 18 SLU Xl=0.03 - Classe 3
Sollecitazioni: N=-1.24 T_z=-89.03 M_y=-7.29 T_y=-1.19
Tensioni: σ_N=-0.25 σ_M=-175.05 τ=0.00 σ_{max}=-175.30
Tensioni: σ_N=-0.25 σ_M=0.00 τ=26.71 τ_{max}=26.71
Tensioni: σ_N=-0.25 σ_M=-175.05 τ=0.36 $\sigma_{ID,max}$=175.30

- Verifica a taglio dir. Z [4.2.16] - CC 19 SLU Xl=0.12
Sollecitazioni: T_z=-70.37
V,Ed=-70.37 Vc,Rd=7560.76 V,Ed/Vc,Rd=0.01

Asta n. 6506 (-376 -384) calastrelli 50x10 Crit. 1

- Verifica di stabilità aste inflesse (4.2.4.1.3.2) CC 19 SLU - Classe 3
L_{cr}=0.23 Curva d: α_{imp}=0.76 k_c=0.94 ψ=3.07 M,cr=0.00 λ_{LT}=0.00
$\lambda_{LT,0}$=0.20 β_{LT}=1.00 Φ_{LT}=0.00 β_{LT}=1.00 f=0.00 χ_{LT}=1.00
CC 19 SLU My,Ed=-5.65 My,b,Rd=109.13 My,Ed/My,b,Rd=0.05

- Verifica di stabilità aste presso-inflesse (C4.2.4.1.3.3.1) - CC 18 SLU - Classe 3
Sollecitazioni: N,Ed=-1.25 Myeq,Ed=-7.35 Mzeq,Ed=-0.10
Resistenze: Nc,Rd=13095.20 My,c,Rd=109.13 Mz,c,Rd=21.83 L=23.13
λ_Y=16.02 Ncr,y=403725.00 λ^*_y=0.18 Curva c: Φ_y=0.51 χ_y=1.00
λ_Z=80.11 Ncr,z=16149.00 λ^*_z=0.92 Curva c: Φ_z=1.10 χ_z=0.59
χ,min=0.59
Verifica: 0.00+0.07+0.00=0.07

- Verifica in termini tensionali [4.2.4] - CC 18 SLU Xl=0.03 - Classe 3
Sollecitazioni: N=-1.25 T_z=-86.44 M_y=-7.35 T_y=-1.15
Tensioni: σ_N=-0.25 σ_M=-176.47 τ=0.00 σ_{max}=-176.72
Tensioni: σ_N=-0.25 σ_M=0.00 τ=25.93 τ_{max}=25.93
Tensioni: σ_N=-0.25 σ_M=-176.47 τ=0.35 $\sigma_{ID,max}$=176.72

- Verifica a taglio dir. Z [4.2.16] - CC 19 SLU Xl=0.12
Sollecitazioni: T_z=-66.78
V,Ed=-66.78 Vc,Rd=7560.76 V,Ed/Vc,Rd=0.01

Asta n. 6507 (-344 -352) calastrelli 50x10 Crit. 1

- Verifica di stabilità aste inflesse (4.2.4.1.3.2) CC 19 SLU - Classe 3
L_{cr}=0.24 Curva d: α_{imp}=0.76 k_c=0.94 ψ=3.07 M,cr=0.00 λ_{LT}=0.00
$\lambda_{LT,0}$=0.20 β_{LT}=1.00 Φ_{LT}=0.00 β_{LT}=1.00 f=0.00 χ_{LT}=1.00
CC 19 SLU My,Ed=-5.56 My,b,Rd=109.13 My,Ed/My,b,Rd=0.05

- Verifica di stabilità aste presso-inflesse (C4.2.4.1.3.3.1) - CC 18 SLU - Classe 3
Sollecitazioni: N,Ed=-1.20 Myeq,Ed=-7.41 Mzeq,Ed=-0.10
Resistenze: Nc,Rd=13095.20 My,c,Rd=109.13 Mz,c,Rd=21.83 L=23.75
λ_Y=16.45 Ncr,y=382754.00 λ^*_y=0.19 Curva c: Φ_y=0.52 χ_y=1.00
λ_Z=82.27 Ncr,z=15310.20 λ^*_z=0.95 Curva c: Φ_z=1.13 χ_z=0.57

χ,min=0.57
Verifica: 0.00+0.07+0.00=0.07

- Verifica in termini tensionali [4.2.4] - CC 18 SLU Xl=0.03 - Classe 3
Sollecitazioni: N=-1.20 T_z=-84.00 M_y=-7.41 T_y=-1.12
Tensioni: σ_N=-0.24 σ_M=-177.84 τ=0.00 σ_{max}=-178.08
Tensioni: σ_N=-0.24 σ_M=0.00 τ=25.20 τ_{max}=25.20
Tensioni: σ_N=-0.24 σ_M=-177.84 τ=0.34 $\sigma_{ID,max}$=178.08

- Verifica a taglio dir. Z [4.2.16] - CC 19 SLU Xl=0.12
Sollecitazioni: T_z=-63.43
V,Ed=-63.43 Vc,Rd=7560.76 V,Ed/Vc,Rd=0.01

Asta n. 6508 (-312 -320) calastrelli 50x10 Crit. 1

- Verifica di stabilità aste inflesse (4.2.4.1.3.2) CC 19 SLU - Classe 3
L_{cr}=0.24 Curva d: α_{imp}=0.76 k_c=0.94 ψ=3.07 M,cr=0.00 λ_{LT}=0.00
$\lambda_{LT,0}$=0.20 β_{LT}=1.00 Φ_{LT}=0.00 β_{LT}=1.00 f=0.00 χ_{LT}=1.00
CC 19 SLU My,Ed=-5.48 My,b,Rd=109.13 My,Ed/My,b,Rd=0.05

- Verifica di stabilità aste presso-inflesse (C4.2.4.1.3.3.1) - CC 18 SLU - Classe 3
Sollecitazioni: N,Ed=-1.23 Myeq,Ed=-7.47 Mzeq,Ed=-0.10
Resistenze: Nc,Rd=13095.20 My,c,Rd=109.13 Mz,c,Rd=21.83 L=24.38
λ_Y=16.89 Ncr,y=363379.00 λ^*_y=0.19 Curva c: Φ_y=0.52 χ_y=1.00
λ_Z=84.44 Ncr,z=14535.20 λ^*_z=0.97 Curva c: Φ_z=1.16 χ_z=0.56
χ,min=0.56
Verifica: 0.00+0.07+0.00=0.07

- Verifica in termini tensionali [4.2.4] - CC 18 SLU Xl=0.03 - Classe 3
Sollecitazioni: N=-1.23 T_z=-81.76 M_y=-7.47 T_y=-1.09
Tensioni: σ_N=-0.25 σ_M=-179.26 τ=0.00 σ_{max}=-179.51
Tensioni: σ_N=-0.25 σ_M=0.00 τ=24.53 τ_{max}=24.53
Tensioni: σ_N=-0.25 σ_M=-179.26 τ=0.33 $\sigma_{ID,max}$=179.51

- Verifica a taglio dir. Z [4.2.16] - CC 19 SLU Xl=0.13
Sollecitazioni: T_z=-60.34
V,Ed=-60.34 Vc,Rd=7560.76 V,Ed/Vc,Rd=0.01

Asta n. 6509 (-280 -288) calastrelli 50x10 Crit. 1

- Verifica di stabilità aste inflesse (4.2.4.1.3.2) CC 19 SLU - Classe 3
L_{cr}=0.25 Curva d: α_{imp}=0.76 k_c=0.94 ψ=3.07 M,cr=0.00 λ_{LT}=0.00
$\lambda_{LT,0}$=0.20 β_{LT}=1.00 Φ_{LT}=0.00 β_{LT}=1.00 f=0.00 χ_{LT}=1.00
CC 19 SLU My,Ed=-5.39 My,b,Rd=109.13 My,Ed/My,b,Rd=0.05

- Verifica di stabilità aste presso-inflesse (C4.2.4.1.3.3.1) - CC 18 SLU - Classe 3
Sollecitazioni: N,Ed=-1.23 Myeq,Ed=-7.53 Mzeq,Ed=-0.10
Resistenze: Nc,Rd=13095.20 My,c,Rd=109.13 Mz,c,Rd=21.83 L=25.00
λ_Y=17.32 Ncr,y=345436.00 λ^*_y=0.20 Curva c: Φ_y=0.52 χ_y=1.00
λ_Z=86.60 Ncr,z=13817.40 λ^*_z=1.00 Curva c: Φ_z=1.19 χ_z=0.54
χ,min=0.54
Verifica: 0.00+0.07+0.00=0.07

- Verifica in termini tensionali [4.2.4] - CC 18 SLU Xl=0.03 - Classe 3
Sollecitazioni: N=-1.23 T_z=-79.66 M_y=-7.53 T_y=-1.06
Tensioni: σ_N=-0.25 σ_M=-180.70 τ=0.00 σ_{max}=-180.95
Tensioni: σ_N=-0.25 σ_M=0.00 τ=23.90 τ_{max}=23.90
Tensioni: σ_N=-0.25 σ_M=-180.70 τ=0.32 $\sigma_{ID,max}$=180.95

- Verifica a taglio dir. Z [4.2.16] - CC 19 SLU Xl=0.13
  Sollecitazioni: T_z=-57.46
  V,Ed=-57.46 Vc,Rd=7560.76 V,Ed/Vc,Rd=0.01

Asta n. 6510 (-248 -256) calastrelli 50x10 Crit. 1

- Verifica di stabilità aste inflesse (4.2.4.1.3.2) CC 19 SLU - Classe 3
  L_{cr}=0.26 Curva d: α_{imp}=0.76 k_c=0.94 ψ=3.08 M,cr=0.00 λ_{LT}=0.00
  $\lambda_{LT,0}$=0.20 β_{LT}=1.00 Φ_{LT}=0.00 β_{LT}=1.00 f=0.00 χ_{LT}=1.00
  CC 19 SLU My,Ed=-5.31 My,b,Rd=109.13 My,Ed/My,b,Rd=0.05

- Verifica di stabilità aste presso-inflesse (C4.2.4.1.3.3.1) - CC 18 SLU - Classe 3
  Sollecitazioni: N,Ed=-1.22 Myeq,Ed=-7.59 Mzeq,Ed=-0.10
  Resistenze: Nc,Rd=13095.20 My,c,Rd=109.13 Mz,c,Rd=21.83 L=25.63
  λ_Y=17.75 Ncr,y=328790.00 λ^*_y=0.20 Curva c: Φ_y=0.52 χ_y=1.00
  λ_Z=88.77 Ncr,z=13151.60 λ^*_z=1.02 Curva c: Φ_z=1.22 χ_z=0.53
  χ,min=0.53
  Verifica: 0.00+0.07+0.00=0.07

- Verifica in termini tensionali [4.2.4] - CC 18 SLU Xl=0.03 - Classe 3
  Sollecitazioni: N=-1.22 T_z=-77.67 M_y=-7.59 T_y=-1.03
  Tensioni: σ_N=-0.24 σ_M=-182.08 τ=0.00 σ_{max}=-182.33
  Tensioni: σ_N=-0.24 σ_M=0.00 τ=23.30 τ_{max}=23.30
  Tensioni: σ_N=-0.24 σ_M=-182.08 τ=0.31 $\sigma_{ID,max}$=182.33

- Verifica a taglio dir. Z [4.2.16] - CC 19 SLU Xl=0.13
  Sollecitazioni: T_z=-54.76
  V,Ed=-54.76 Vc,Rd=7560.76 V,Ed/Vc,Rd=0.01

Asta n. 6511 (-216 -224) calastrelli 50x10 Crit. 1

- Verifica di stabilità aste inflesse (4.2.4.1.3.2) CC 19 SLU - Classe 3
  L_{cr}=0.26 Curva d: α_{imp}=0.76 k_c=0.94 ψ=3.08 M,cr=0.00 λ_{LT}=0.00
  $\lambda_{LT,0}$=0.20 β_{LT}=1.00 Φ_{LT}=0.00 β_{LT}=1.00 f=0.00 χ_{LT}=1.00
  CC 19 SLU My,Ed=-5.23 My,b,Rd=109.13 My,Ed/My,b,Rd=0.05

- Verifica di stabilità aste presso-inflesse (C4.2.4.1.3.3.1) - CC 18 SLU - Classe 3
  Sollecitazioni: N,Ed=-1.22 Myeq,Ed=-7.64 Mzeq,Ed=-0.10
  Resistenze: Nc,Rd=13095.20 My,c,Rd=109.13 Mz,c,Rd=21.83 L=26.25
  λ_Y=18.19 Ncr,y=313321.00 λ^*_y=0.21 Curva c: Φ_y=0.52 χ_y=1.00
  λ_Z=90.93 Ncr,z=12532.80 λ^*_z=1.05 Curva c: Φ_z=1.26 χ_z=0.51
  χ,min=0.51
  Verifica: 0.00+0.07+0.00=0.07

- Verifica in termini tensionali [4.2.4] - CC 18 SLU Xl=0.03 - Classe 3
  Sollecitazioni: N=-1.22 T_z=-75.80 M_y=-7.64 T_y=-1.00
  Tensioni: σ_N=-0.24 σ_M=-183.44 τ=0.00 σ_{max}=-183.68
  Tensioni: σ_N=-0.24 σ_M=0.00 τ=22.74 τ_{max}=22.74
  Tensioni: σ_N=-0.24 σ_M=-183.44 τ=0.30 $\sigma_{ID,max}$=183.68

- Verifica a taglio dir. Z [4.2.16] - CC 19 SLU Xl=0.14
  Sollecitazioni: T_z=-52.24
  V,Ed=-52.24 Vc,Rd=7560.76 V,Ed/Vc,Rd=0.01

Asta n. 6512 (-184 -192) calastrelli 50x10 Crit. 1

- Verifica di stabilità aste inflesse (4.2.4.1.3.2) CC 19 SLU - Classe 3
  L_{cr}=0.27 Curva d: α_{imp}=0.76 k_c=0.94 ψ=3.08 M,cr=0.00 λ_{LT}=0.00
  $\lambda_{LT,0}$=0.20 β_{LT}=1.00 Φ_{LT}=0.00 β_{LT}=1.00 f=0.00 χ_{LT}=1.00

CC 19 SLU My,Ed=-5.14 My,b,Rd=109.13 My,Ed/My,b,Rd=0.05

- Verifica di stabilità aste presso-inflesse (C4.2.4.1.3.3.1) - CC 18 SLU - Classe 3
Sollecitazioni: N,Ed=-1.25 Myeq,Ed=-7.69 Mzeq,Ed=-0.10
Resistenze: Nc,Rd=13095.20 My,c,Rd=109.13 Mz,c,Rd=21.83 L=26.88
λ_Y=18.62 Ncr,y=298917.00 λ^*_y=0.21 Curva c: Φ_y=0.53 χ_y=0.99
λ_Z=93.10 Ncr,z=11956.70 λ^*_z=1.07 Curva c: Φ_z=1.29 χ_z=0.50
χ,min=0.50
Verifica: 0.00+0.07+0.00=0.08

- Verifica in termini tensionali [4.2.4] - CC 18 SLU Xl=0.03 - Classe 3
Sollecitazioni: N=-1.25 T_z=-73.93 M_y=-7.69
Tensioni: σ_N=-0.25 σ_M=-184.54 τ=0.00 σ_{max}=-184.79
Tensioni: σ_N=-0.25 σ_M=0.00 τ=22.18 τ_{max}=22.18
Tensioni: σ_N=-0.25 σ_M=-184.54 τ=0.00 $\sigma_{ID,max}$=184.79

- Verifica a taglio dir. Z [4.2.16] - CC 19 SLU Xl=0.14
Sollecitazioni: T_z=-49.80
V,Ed=-49.80 Vc,Rd=7560.76 V,Ed/Vc,Rd=0.01

Asta n. 6513 (-152 -160) calastrelli 50x10 Crit. 1

- Verifica di stabilità aste inflesse (4.2.4.1.3.2) CC 19 SLU - Classe 3
L_{cr}=0.28 Curva d: α_{imp}=0.76 k_c=0.94 ψ=3.08 M,cr=0.00 λ_{LT}=0.00
$\lambda_{LT,0}$=0.20 β_{LT}=1.00 Φ_{LT}=0.00 β_{LT}=1.00 f=0.00 χ_{LT}=1.00
CC 19 SLU My,Ed=-5.01 My,b,Rd=109.13 My,Ed/My,b,Rd=0.05

- Verifica di stabilità aste presso-inflesse (C4.2.4.1.3.3.1) - CC 18 SLU - Classe 3
Sollecitazioni: N,Ed=-1.22 Myeq,Ed=-7.68 Mzeq,Ed=-0.10
Resistenze: Nc,Rd=13095.20 My,c,Rd=109.13 Mz,c,Rd=21.83 L=27.50
λ_Y=19.05 Ncr,y=285485.00 λ^*_y=0.22 Curva c: Φ_y=0.53 χ_y=0.99
λ_Z=95.26 Ncr,z=11419.40 λ^*_z=1.10 Curva c: Φ_z=1.32 χ_z=0.49
χ,min=0.49
Verifica: 0.00+0.07+0.00=0.08

- Verifica in termini tensionali [4.2.4] - CC 18 SLU Xl=0.03 - Classe 3
Sollecitazioni: N=-1.22 T_z=-71.64 M_y=-7.68
Tensioni: σ_N=-0.24 σ_M=-184.25 τ=0.00 σ_{max}=-184.49
Tensioni: σ_N=-0.24 σ_M=0.00 τ=21.49 τ_{max}=21.49
Tensioni: σ_N=-0.24 σ_M=-184.25 τ=0.00 $\sigma_{ID,max}$=184.49

- Verifica a taglio dir. Z [4.2.16] - CC 19 SLU Xl=0.14
Sollecitazioni: T_z=-47.20
V,Ed=-47.20 Vc,Rd=7560.76 V,Ed/Vc,Rd=0.01

Asta n. 6514 (-120 -128) calastrelli 50x10 Crit. 1

- Verifica di stabilità aste inflesse (4.2.4.1.3.2) CC 19 SLU - Classe 3
L_{cr}=0.28 Curva d: α_{imp}=0.76 k_c=0.94 ψ=3.08 M,cr=0.00 λ_{LT}=0.00
$\lambda_{LT,0}$=0.20 β_{LT}=1.00 Φ_{LT}=0.00 β_{LT}=1.00 f=0.00 χ_{LT}=1.00
CC 19 SLU My,Ed=-4.73 My,b,Rd=109.13 My,Ed/My,b,Rd=0.04

- Verifica di stabilità aste presso-inflesse (C4.2.4.1.3.3.1) - CC 18 SLU - Classe 3
Sollecitazioni: N,Ed=-0.97 Myeq,Ed=-7.40 Mzeq,Ed=-0.09
Resistenze: Nc,Rd=13095.20 My,c,Rd=109.13 Mz,c,Rd=21.83 L=28.13
λ_Y=19.49 Ncr,y=272937.00 λ^*_y=0.22 Curva c: Φ_y=0.53 χ_y=0.99
λ_Z=97.43 Ncr,z=10917.50 λ^*_z=1.12 Curva c: Φ_z=1.36 χ_z=0.47
χ,min=0.47
Verifica: 0.00+0.07+0.00=0.07

- Verifica a flessione [4.2.13] - CC 18 SLU Xl=0.03 - Classe 3
  Sollecitazioni: T_z=-67.07 M_y=-7.40
  My,Ed=-7.40 My,c,Rd=109.13 My,Ed/My,c,Rd=0.07

- Verifica a taglio dir. Z [4.2.16] - CC 18 SLU Xl=0.15
  Sollecitazioni: T_z=-67.68
  V,Ed=-67.68 Vc,Rd=7560.76 V,Ed/Vc,Rd=0.01

Asta n. 6515 (-88 -96) calastrelli 50x10 Crit. 1

- Verifica di stabilità aste inflesse (4.2.4.1.3.2) CC 19 SLU - Classe 3
  L_{cr}=0.29 Curva d: α_{imp}=0.76 k_c=0.94 ψ=3.09 M,cr=0.00 λ_{LT}=0.00
  $\lambda_{LT,0}$=0.20 β_{LT}=1.00 Φ_{LT}=0.00 β_{LT}=1.00 f=0.00 χ_{LT}=1.00
  CC 19 SLU My,Ed=-3.73 My,b,Rd=109.13 My,Ed/My,b,Rd=0.03

- Verifica di stabilità aste presso-inflesse (C4.2.4.1.3.3.1) - CC 18 SLU - Classe 3
  Sollecitazioni: N,Ed=-2.63 Myeq,Ed=-5.95 Mzeq,Ed=-0.07
  Resistenze: Nc,Rd=13095.20 My,c,Rd=109.13 Mz,c,Rd=21.83 L=28.75
  λ_Y=19.92 Ncr,y=261199.00 λ^*_y=0.23 Curva c: Φ_y=0.53 χ_y=0.99
  λ_Z=99.59 Ncr,z=10447.90 λ^*_z=1.15 Curva c: Φ_z=1.39 χ_z=0.46
  χ,min=0.46
  Verifica: 0.00+0.05+0.00=0.06

- Verifica in termini tensionali [4.2.4] - CC 18 SLU Xl=0.03 - Classe 3
  Sollecitazioni: N=-2.63 T_z=-52.40 M_y=-5.95
  Tensioni: σ_N=-0.53 σ_M=-142.82 τ=0.00 σ_{max}=-143.34
  Tensioni: σ_N=-0.53 σ_M=0.00 τ=15.72 τ_{max}=15.72
  Tensioni: σ_N=-0.53 σ_M=-142.82 τ=0.00 $\sigma_{ID,max}$=143.34

- Verifica a taglio dir. Z [4.2.16] - CC 19 SLU Xl=0.17
  Sollecitazioni: N=2.79 T_z=-33.33
  V,Ed=-33.33 Vc,Rd=7560.76 V,Ed/Vc,Rd=0.00

Asta n. 6516 (-56 -64) calastrelli 100x5 Crit. 1

- Verifica di stabilità aste inflesse (4.2.4.1.3.2) CC 18 SLU - Classe 3
  L_{cr}=0.29 Curva d: α_{imp}=0.76 k_c=0.94 ψ=2.92 M,cr=0.00 λ_{LT}=0.00
  $\lambda_{LT,0}$=0.20 β_{LT}=1.00 Φ_{LT}=0.00 β_{LT}=1.00 f=0.00 χ_{LT}=1.00
  CC 18 SLU My,Ed=-7.41 My,b,Rd=436.51 My,Ed/My,b,Rd=0.02

- Verifica di stabilità aste presso-inflesse (C4.2.4.1.3.3.1) - CC 19 SLU - Classe 3
  Sollecitazioni: N,Ed=-76.35 Myeq,Ed=5.18 Mzeq,Ed=-0.05
  Resistenze: Nc,Rd=26190.50 My,c,Rd=436.51 Mz,c,Rd=43.65 L=29.38
  λ_Y=10.18 Ncr,y=2001620.00 λ^*_y=0.12 Curva c: Φ_y=0.49 χ_y=1.00
  λ_Z=101.76 Ncr,z=20016.20 λ^*_z=1.17 Curva c: Φ_z=1.43 χ_z=0.45
  χ,min=0.45
  Verifica: 0.00+0.01+0.00=0.02

- Verifica in termini tensionali [4.2.4] - CC 18 SLU Xl=0.03 - Classe 3
  Sollecitazioni: N=15.60 T_z=-59.61 M_y=-7.41
  Tensioni: σ_N=1.56 σ_M=44.46 τ=0.00 σ_{max}=46.02
  Tensioni: σ_N=1.56 σ_M=0.00 τ=8.94 τ_{max}=8.94
  Tensioni: σ_N=1.56 σ_M=44.46 τ=0.00 $\sigma_{ID,max}$=46.02

- Verifica a taglio dir. Z [4.2.16] - CC 16 SLU Xl=0.15
  Sollecitazioni: N=2.42 T_z=-62.67
  V,Ed=-62.67 Vc,Rd=15121.50 V,Ed/Vc,Rd=0.00

Asta n. 6517 (-24 -32) calastrelli 100x5 Crit. 1

- Verifica di stabilità aste inflesse (4.2.4.1.3.2) CC 16 SLU - Classe 3
  L_{cr}=0.30 Curva d: α_{imp}=0.76 k_c=0.94 ψ=2.99 M,cr=0.00 λ_{LT}=0.00
  $\lambda_{LT,0}$=0.20 β_{LT}=1.00 Φ_{LT}=0.00 β_{LT}=1.00 f=0.00 χ_{LT}=1.00
  CC 16 SLU My,Ed=-4.86 My,b,Rd=436.51 My,Ed/My,b,Rd=0.01

- Verifica di stabilità aste presso-inflesse (C4.2.4.1.3.3.1) - CC 17 SLU - Classe 3
  Sollecitazioni: N,Ed=-362.66 Myeq,Ed=-1.83 Mzeq,Ed=0.02
  Resistenze: Nc,Rd=26190.50 My,c,Rd=436.51 Mz,c,Rd=43.65 L=29.69
  λ_Y=10.28 Ncr,y=1959700.00 λ^*_y=0.12 Curva c: Φ_y=0.49 χ_y=1.00
  λ_Z=102.84 Ncr,z=19597.00 λ^*_z=1.18 Curva c: Φ_z=1.44 χ_z=0.44
  χ,min=0.44
  Verifica: 0.01+0.00+0.00=0.02

- Verifica in termini tensionali [4.2.4] - CC 17 SLU Xl=0.03 - Classe 3
  Sollecitazioni: N=-362.66 T_z=-10.88 M_y=-1.86
  Tensioni: σ_N=-36.27 σ_M=-11.14 τ=0.00 σ_{max}=-47.41
  Tensioni: σ_N=-36.27 σ_M=0.00 τ=1.63 τ_{max}=1.63
  Tensioni: σ_N=-36.27 σ_M=-11.14 τ=0.00 $\sigma_{ID,max}$=47.41

- Verifica a taglio dir. Z [4.2.16] - CC 16 SLU Xl=0.16
  Sollecitazioni: N=25.90 T_z=-40.42
  V,Ed=-40.42 Vc,Rd=15121.50 V,Ed/Vc,Rd=0.00

Asta n. 6518 (360 372) angolari L50x10 Crit. 1

- Verifica di stabilità aste inflesse (4.2.4.1.3.2) CC 17 SLU - Classe 3
  L_{cr}=0.15 Curva d: α_{imp}=0.76 k_c=0.94 ψ=2.78 M,cr=0.00 λ_{LT}=0.00
  $\lambda_{LT,0}$=0.00 β_{LT}=0.00 Φ_{LT}=0.00 β_{LT}=0.00 f=0.00 χ_{LT}=1.00
  CC 17 SLU My,Ed=-57.57 My,b,Rd=149.05 My,Ed/My,b,Rd=0.39

- Verifica di stabilità aste presso-inflesse (C4.2.4.1.3.3.1) - CC 1 SLV - Classe 3
  Sollecitazioni: N,Ed=-170.37 Myeq,Ed=19.22 Mzeq,Ed=0.81
  Resistenze: Nc,Rd=23709.20 My,c,Rd=149.05 Mz,c,Rd=149.05 L=15.00
  λ_c=8.19 Ncr,y=2794040.00 λ^*_y=0.09 Curva b: Φ_y=0.00 χ_y=1.00
  λ_e=15.58 Ncr,z=772687.00 λ^*_z=0.18 Curva b: Φ_z=0.00 χ_z=1.00
  χ,min=1.00
  Verifica: 0.01+0.13+0.01=0.14

- Verifica in termini tensionali [4.2.4] - CC 17 SLU Xl=0.15 - Classe 3
  Sollecitazioni: N=543.57 T_z=783.21 M_y=-57.57 T_y=28.30 M_z=3.00 M_x=1.24 (M_c=-42.83 M_e=-38.58)
  Tensioni: σ_N=60.05 σ_M=-1232.32 τ=54.01 σ_{max}=-1172.28
  Tensioni: σ_N=60.05 σ_M=656.43 τ=263.80 τ_{max}=263.80
  Tensioni: σ_N=60.05 σ_M=-1232.32 τ=54.01 $\sigma_{ID,max}$=1176.01

- Verifica a taglio dir. Y [4.2.16] - CC 19 SLU Xl=0.08
  Sollecitazioni: N=290.44 T_z=406.31 T_y=21.01
  V,Ed=21.01 Vc,Rd=7560.76 V,Ed/Vc,Rd=0.00

- Verifica a taglio dir. Z [4.2.16]
  V,Ed=406.31 Vc,Rd=7560.76 V,Ed/Vc,Rd=0.05

Asta n. 6518 (372 384) angolari L50x10 Crit. 1

- Verifica di stabilità aste inflesse (4.2.4.1.3.2) CC 17 SLU - Classe 3
  L_{cr}=0.15 Curva d: α_{imp}=0.76 k_c=0.94 ψ=2.72 M,cr=0.00 λ_{LT}=0.00
  $\lambda_{LT,0}$=0.00 β_{LT}=0.00 Φ_{LT}=0.00 β_{LT}=0.00 f=0.00 χ_{LT}=1.00
  CC 17 SLU My,Ed=-62.74 My,b,Rd=149.05 My,Ed/My,b,Rd=0.42

- Verifica di stabilità aste presso-inflesse (C4.2.4.1.3.3.1) - CC 1 SLV - Classe 3
  Sollecitazioni: N,Ed=-164.81 Myeq,Ed=-20.01 Mzeq,Ed=0.81
  Resistenze: Nc,Rd=23709.20 My,c,Rd=149.05 Mz,c,Rd=149.05 L=15.00
  λ_c=8.19 Ncr,y=2794040.00 λ^*_y=0.09 Curva b: Φ_y=0.00 χ_y=1.00
  λ_e=15.58 Ncr,z=772687.00 λ^*_z=0.18 Curva b: Φ_z=0.00 χ_z=1.00
  χ,min=1.00
  Verifica: 0.01+0.13+0.01=0.15

- Verifica in termini tensionali [4.2.4] - CC 17 SLU Xl=0.00 - Classe 3
  Sollecitazioni: N=569.18 T_z=-833.58 M_y=-62.74 T_y=-28.09 M_z=2.99 M_x=-1.24 (M_c=-46.48 M_e=-42.25)
  Tensioni: σ_N=62.87 σ_M=-1345.26 τ=55.96 σ_{max}=-1282.38
  Tensioni: σ_N=62.87 σ_M=717.19 τ=278.57 τ_{max}=278.57
  Tensioni: σ_N=62.87 σ_M=-1345.26 τ=55.96 $\sigma_{ID,max}$=1286.04

- Verifica a taglio dir. Y [4.2.16] - CC 1 SLV Xl=0.07
  Sollecitazioni: N=181.45 T_z=-266.82 T_y=-9.39
  V,Ed=-9.39 Vc,Rd=7560.76 V,Ed/Vc,Rd=0.00

- Verifica a taglio dir. Z [4.2.16]
  V,Ed=-266.82 Vc,Rd=7560.76 V,Ed/Vc,Rd=0.04

Asta n. 6560 (-517 -518) arcarecci T 120x60x10 Crit. 1

- Verifica di stabilità aste inflesse (4.2.4.1.3.2) CC 9 SLU - Classe 3
  L_{cr}=0.12 Curva d: α_{imp}=0.76 k_c=0.94 ψ=2.42 M,cr=0.00 λ_{LT}=0.00
  $\lambda_{LT,0}$=0.00 β_{LT}=0.00 Φ_{LT}=0.00 β_{LT}=0.00 f=0.00 χ_{LT}=1.00
  CC 9 SLU My,Ed=-0.19 My,b,Rd=862.52 My,Ed/My,b,Rd=0.00

- Verifica di stabilità aste presso-inflesse (C4.2.4.1.3.3.1) - CC 17 SLU - Classe 3
  Sollecitazioni: N,Ed=-3.25 Myeq,Ed=-0.22 Mzeq,Ed=0.83
  Resistenze: Nc,Rd=44512.60 My,c,Rd=862.52 Mz,c,Rd=164.81 L=12.00
  λ_Y=3.12 Ncr,y=36117200.00 λ^*_y=0.04 Curva c: Φ_y=0.00 χ_y=1.00
  λ_Z=11.39 Ncr,z=2717260.00 λ^*_z=0.13 Curva c: Φ_z=0.00 χ_z=1.00
  χ,min=1.00
  Verifica: 0.00+0.00+0.01=0.01

- Verifica a compressione [4.2.9] - CC 17 SLU Xl=0.00 - Classe 3
  Sollecitazioni: N=-3.25 T_z=1.76 T_y=12.38
  N,Ed=-3.25 Nc,Rd=-44512.60 N,Ed/Nc,Rd=0.00

- Verifica a taglio dir. Y [4.2.16] - CC 1 SLV Xl=0.00
  Sollecitazioni: T_y=10.18
  V,Ed=10.18 Vc,Rd=9072.91 V,Ed/Vc,Rd=0.00

Asta n. 6561 (-533 -534) arcarecci T 120x60x10 Crit. 1

- Verifica di stabilità aste inflesse (4.2.4.1.3.2) CC 18 SLU - Classe 3
  L_{cr}=0.12 Curva d: α_{imp}=0.76 k_c=0.94 ψ=1.39 M,cr=0.00 λ_{LT}=0.00
  $\lambda_{LT,0}$=0.00 β_{LT}=0.00 Φ_{LT}=0.00 β_{LT}=0.00 f=0.00 χ_{LT}=1.00
  CC 18 SLU My,Ed=-0.21 My,b,Rd=862.52 My,Ed/My,b,Rd=0.00

- Verifica di stabilità aste presso-inflesse (C4.2.4.1.3.3.1) - CC 17 SLU - Classe 3
  Sollecitazioni: N,Ed=-2.76 Myeq,Ed=-0.27 Mzeq,Ed=1.02
  Resistenze: Nc,Rd=44512.60 My,c,Rd=862.52 Mz,c,Rd=164.81 L=12.00
  λ_Y=3.12 Ncr,y=36117200.00 λ^*_y=0.04 Curva c: Φ_y=0.00 χ_y=1.00
  λ_Z=11.39 Ncr,z=2717260.00 λ^*_z=0.13 Curva c: Φ_z=0.00 χ_z=1.00
  χ,min=1.00
  Verifica: 0.00+0.00+0.01=0.01

- Verifica in termini tensionali [4.2.4] - CC 17 SLU Xl=0.12 - Classe 3
  Sollecitazioni: N=-2.76 T_z=3.87 T_y=16.54 M_z=1.02
  Tensioni: σ_N=-0.16 σ_M=-16.17 τ=0.00 σ_{max}=-16.34
  Tensioni: σ_N=-0.16 σ_M=3.23 τ=3.78 τ_{max}=3.78
  Tensioni: σ_N=-0.16 σ_M=-16.17 τ=0.05 $\sigma_{ID,max}$=16.34

- Verifica a taglio dir. Y [4.2.16] - CC 1 SLV Xl=0.00
  Sollecitazioni: T_z=-2.18 T_y=9.77
  V,Ed=9.77 Vc,Rd=9072.91 V,Ed/Vc,Rd=0.00

- Verifica a taglio dir. Z [4.2.16]
  V,Ed=-2.18 Vc,Rd=18145.80 V,Ed/Vc,Rd=0.00

Asta n. 6562 (319 320) angolari L50x10 Crit. 1

- Verifica di stabilità aste presso-inflesse (C4.2.4.1.3.3.1) - CC 19 SLU - Classe 3
  Sollecitazioni: N,Ed=-46.02 Myeq,Ed=1.70 Mzeq,Ed=0.25
  Resistenze: Nc,Rd=23709.20 My,c,Rd=149.05 Mz,c,Rd=149.05 L=15.00
  λ_c=8.19 Ncr,y=2794040.00 λ^*_y=0.09 Curva b: Φ_y=0.00 χ_y=1.00
  λ_e=15.58 Ncr,z=772687.00 λ^*_z=0.18 Curva b: Φ_z=0.00 χ_z=1.00
  χ,min=1.00
  Verifica: 0.00+0.01+0.00=0.02

- Verifica in termini tensionali [4.2.4] - CC 19 SLU Xl=0.02 - Classe 3
  Sollecitazioni: N=-46.02 T_z=4.85 M_y=1.70 T_y=-2.42
  Tensioni: σ_N=-5.08 σ_M=-32.38 τ=0.00 σ_{max}=-37.46
  Tensioni: σ_N=-5.08 σ_M=-6.99 τ=1.45 τ_{max}=1.45
  Tensioni: σ_N=-5.08 σ_M=-32.38 τ=0.00 $\sigma_{ID,max}$=37.46

- Verifica a taglio dir. Y [4.2.16] - CC 17 SLU Xl=0.10
  Sollecitazioni: N=-26.86 T_z=6.60 T_y=-3.96
  V,Ed=-3.96 Vc,Rd=7560.76 V,Ed/Vc,Rd=0.00

- Verifica a taglio dir. Z [4.2.16]
  V,Ed=6.60 Vc,Rd=7560.76 V,Ed/Vc,Rd=0.00

Asta n. 6562 (320 321) angolari L50x10 Crit. 1

- Verifica di stabilità aste presso-inflesse (C4.2.4.1.3.3.1) - CC 18 SLU - Classe 3
  Sollecitazioni: N,Ed=-50.44 Myeq,Ed=1.44 Mzeq,Ed=0.02
  Resistenze: Nc,Rd=23709.20 My,c,Rd=149.05 Mz,c,Rd=149.05 L=15.00
  λ_c=8.19 Ncr,y=2794040.00 λ^*_y=0.09 Curva b: Φ_y=0.00 χ_y=1.00
  λ_e=15.58 Ncr,z=772687.00 λ^*_z=0.18 Curva b: Φ_z=0.00 χ_z=1.00
  χ,min=1.00
  Verifica: 0.00+0.01+0.00=0.01

- Verifica in termini tensionali [4.2.4] - CC 18 SLU Xl=0.13 - Classe 3
  Sollecitazioni: N=-50.44 T_z=-1.28 M_y=1.44
  Tensioni: σ_N=-5.57 σ_M=-27.50 τ=0.00 σ_{max}=-33.08
  Tensioni: σ_N=-5.57 σ_M=-5.94 τ=0.37 τ_{max}=0.37
  Tensioni: σ_N=-5.57 σ_M=-27.50 τ=0.00 $\sigma_{ID,max}$=33.08

- Verifica a taglio dir. Y [4.2.16] - CC 17 SLU Xl=0.00
  Sollecitazioni: N=-26.86 T_z=6.16 T_y=-3.96
  V,Ed=-3.96 Vc,Rd=7560.76 V,Ed/Vc,Rd=0.00

- Verifica a taglio dir. Z [4.2.16]
  V,Ed=6.16 Vc,Rd=7560.76 V,Ed/Vc,Rd=0.00

Asta n. 6563 (-5 -6) calastrelli 100x5 Crit. 1

- Verifica in termini tensionali [4.2.4] - CC 17 SLU Xl=0.26 - Classe 3
  Sollecitazioni: N=69.88 T_z=45.00 M_y=-5.54
  Tensioni: σ_N=6.99 σ_M=33.23 τ=0.00 σ_{max}=40.22
  Tensioni: σ_N=6.99 σ_M=0.00 τ=6.75 τ_{max}=6.75
  Tensioni: σ_N=6.99 σ_M=33.23 τ=0.00 $\sigma_{ID,max}$=40.22

- Verifica a taglio dir. Z [4.2.16] - CC 17 SLU Xl=0.13
  Sollecitazioni: N=69.88 T_z=46.30
  V,Ed=46.30 Vc,Rd=15121.50 V,Ed/Vc,Rd=0.00

Asta n. 6564 (-37 -38) calastrelli 100x5 Crit. 1

- Verifica in termini tensionali [4.2.4] - CC 17 SLU Xl=0.26 - Classe 3
  Sollecitazioni: N=17.62 T_z=72.65 M_y=-8.79
  Tensioni: σ_N=1.76 σ_M=52.72 τ=0.00 σ_{max}=54.48
  Tensioni: σ_N=1.76 σ_M=0.00 τ=10.90 τ_{max}=10.90
  Tensioni: σ_N=1.76 σ_M=52.72 τ=0.00 $\sigma_{ID,max}$=54.48

- Verifica a taglio dir. Z [4.2.16] - CC 17 SLU Xl=0.13
  Sollecitazioni: N=17.62 T_z=73.93
  V,Ed=73.93 Vc,Rd=15121.50 V,Ed/Vc,Rd=0.00

Asta n. 6565 (-69 -70) calastrelli 50x10 Crit. 1

- Verifica di stabilità aste presso-inflesse (C4.2.4.1.3.3.1) - CC 17 SLU - Classe 3
  Sollecitazioni: N,Ed=-3.98 Myeq,Ed=7.17 Mzeq,Ed=0.10
  Resistenze: Nc,Rd=13095.20 My,c,Rd=109.13 Mz,c,Rd=21.83 L=28.75
  λ_Y=19.92 Ncr,y=261199.00 λ^*_y=0.23 Curva c: Φ_y=0.53 χ_y=0.99
  λ_Z=99.59 Ncr,z=10447.90 λ^*_z=1.15 Curva c: Φ_z=1.39 χ_z=0.46
  χ,min=0.46
  Verifica: 0.00+0.07+0.00=0.07

- Verifica in termini tensionali [4.2.4] - CC 17 SLU Xl=0.03 - Classe 3
  Sollecitazioni: N=-3.98 T_z=63.95 M_y=7.17
  Tensioni: σ_N=-0.80 σ_M=-172.19 τ=0.00 σ_{max}=-172.99
  Tensioni: σ_N=-0.80 σ_M=-0.00 τ=19.18 τ_{max}=19.18
  Tensioni: σ_N=-0.80 σ_M=-172.19 τ=0.00 $\sigma_{ID,max}$=172.99

- Verifica a taglio dir. Z [4.2.16] - CC 1 SLV Xl=0.09
  Sollecitazioni: T_z=17.44
  V,Ed=17.44 Vc,Rd=7560.76 V,Ed/Vc,Rd=0.00

Asta n. 6566 (-101 -102) calastrelli 50x10 Crit. 1

- Verifica di stabilità aste inflesse (4.2.4.1.3.2) CC 18 SLU - Classe 3
  L_{cr}=0.28 Curva d: α_{imp}=0.76 k_c=0.94 ψ=2.82 M,cr=0.00 λ_{LT}=0.00
  $\lambda_{LT,0}$=0.20 β_{LT}=1.00 Φ_{LT}=0.00 β_{LT}=1.00 f=0.00 χ_{LT}=1.00
  CC 18 SLU My,Ed=0.25 My,b,Rd=109.13 My,Ed/My,b,Rd=0.00

- Verifica di stabilità aste presso-inflesse (C4.2.4.1.3.3.1) - CC 17 SLU - Classe 3
  Sollecitazioni: N,Ed=-2.25 Myeq,Ed=8.83 Mzeq,Ed=0.13
  Resistenze: Nc,Rd=13095.20 My,c,Rd=109.13 Mz,c,Rd=21.83 L=28.13
  λ_Y=19.49 Ncr,y=272937.00 λ^*_y=0.22 Curva c: Φ_y=0.53 χ_y=0.99
  λ_Z=97.43 Ncr,z=10917.50 λ^*_z=1.12 Curva c: Φ_z=1.36 χ_z=0.47
  χ,min=0.47
  Verifica: 0.00+0.08+0.01=0.09

- Verifica in termini tensionali [4.2.4] - CC 17 SLU Xl=0.03 - Classe 3
  Sollecitazioni: N=-2.25 T_z=80.85 M_y=8.83
  Tensioni: σ_N=-0.45 σ_M=-211.87 τ=0.00 σ_{max}=-212.32
  Tensioni: σ_N=-0.45 σ_M=-0.00 τ=24.26 τ_{max}=24.26
  Tensioni: σ_N=-0.45 σ_M=-211.87 τ=0.00 $\sigma_{ID,max}$=212.32

- Verifica a taglio dir. Z [4.2.16] - CC 1 SLV Xl=0.11
  Sollecitazioni: T_z=22.52
  V,Ed=22.52 Vc,Rd=7560.76 V,Ed/Vc,Rd=0.00

Asta n. 6567 (-133 -134) calastrelli 50x10 Crit. 1

- Verifica di stabilità aste presso-inflesse (C4.2.4.1.3.3.1) - CC 17 SLU - Classe 3
  Sollecitazioni: N,Ed=-2.32 Myeq,Ed=9.07 Mzeq,Ed=0.14
  Resistenze: Nc,Rd=13095.20 My,c,Rd=109.13 Mz,c,Rd=21.83 L=27.50
  λ_Y=19.05 Ncr,y=285485.00 λ^*_y=0.22 Curva c: Φ_y=0.53 χ_y=0.99
  λ_Z=95.26 Ncr,z=11419.40 λ^*_z=1.10 Curva c: Φ_z=1.32 χ_z=0.49
  χ,min=0.49
  Verifica: 0.00+0.08+0.01=0.09

- Verifica in termini tensionali [4.2.4] - CC 17 SLU Xl=0.03 - Classe 3
  Sollecitazioni: N=-2.32 T_z=85.49 M_y=9.07 T_y=1.10
  Tensioni: σ_N=-0.46 σ_M=-217.75 τ=0.00 σ_{max}=-218.22
  Tensioni: σ_N=-0.46 σ_M=-0.00 τ=25.65 τ_{max}=25.65
  Tensioni: σ_N=-0.46 σ_M=-217.75 τ=0.33 $\sigma_{ID,max}$=218.22

- Verifica a taglio dir. Z [4.2.16] - CC 1 SLV Xl=0.11
  Sollecitazioni: T_z=24.48
  V,Ed=24.48 Vc,Rd=7560.76 V,Ed/Vc,Rd=0.00

Asta n. 6568 (-165 -166) calastrelli 50x10 Crit. 1

- Verifica di stabilità aste presso-inflesse (C4.2.4.1.3.3.1) - CC 17 SLU - Classe 3
  Sollecitazioni: N,Ed=-2.27 Myeq,Ed=9.00 Mzeq,Ed=0.14
  Resistenze: Nc,Rd=13095.20 My,c,Rd=109.13 Mz,c,Rd=21.83 L=26.88
  λ_Y=18.62 Ncr,y=298917.00 λ^*_y=0.21 Curva c: Φ_y=0.53 χ_y=0.99
  λ_Z=93.10 Ncr,z=11956.70 λ^*_z=1.07 Curva c: Φ_z=1.29 χ_z=0.50
  χ,min=0.50
  Verifica: 0.00+0.08+0.01=0.09

- Verifica in termini tensionali [4.2.4] - CC 17 SLU Xl=0.03 - Classe 3
  Sollecitazioni: N=-2.27 T_z=87.32 M_y=9.00 T_y=1.14
  Tensioni: σ_N=-0.45 σ_M=-215.99 τ=0.00 σ_{max}=-216.44
  Tensioni: σ_N=-0.45 σ_M=-0.00 τ=26.20 τ_{max}=26.20
  Tensioni: σ_N=-0.45 σ_M=-215.99 τ=0.34 $\sigma_{ID,max}$=216.44

- Verifica a taglio dir. Z [4.2.16] - CC 1 SLV Xl=0.10
  Sollecitazioni: T_z=25.73
  V,Ed=25.73 Vc,Rd=7560.76 V,Ed/Vc,Rd=0.00

Asta n. 6569 (-197 -198) calastrelli 50x10 Crit. 1

- Verifica di stabilità aste presso-inflesse (C4.2.4.1.3.3.1) - CC 17 SLU - Classe 3
  Sollecitazioni: N,Ed=-2.28 Myeq,Ed=8.86 Mzeq,Ed=0.14
  Resistenze: Nc,Rd=13095.20 My,c,Rd=109.13 Mz,c,Rd=21.83 L=26.25
  λ_Y=18.19 Ncr,y=313321.00 λ^*_y=0.21 Curva c: Φ_y=0.52 χ_y=1.00
  λ_Z=90.93 Ncr,z=12532.80 λ^*_z=1.05 Curva c: Φ_z=1.26 χ_z=0.51
  χ,min=0.51

Verifica: 0.00+0.08+0.01=0.09

- Verifica in termini tensionali [4.2.4] - CC 17 SLU Xl=0.03 - Classe 3
Sollecitazioni: N=-2.28 T_z=88.60 M_y=8.86 T_y=1.17
Tensioni: σ_N=-0.46 σ_M=-212.58 τ=0.00 σ_{max}=-213.04
Tensioni: σ_N=-0.46 σ_M=-0.00 τ=26.58 τ_{max}=26.58
Tensioni: σ_N=-0.46 σ_M=-212.58 τ=0.35 $\sigma_{ID,max}$=213.04

- Verifica a taglio dir. Z [4.2.16] - CC 1 SLV Xl=0.10
Sollecitazioni: T_z=26.86
V,Ed=26.86 Vc,Rd=7560.76 V,Ed/Vc,Rd=0.00

Asta n. 6570 (-229 -230) calastrelli 50x10 Crit. 1

- Verifica di stabilità aste presso-inflesse (C4.2.4.1.3.3.1) - CC 17 SLU - Classe 3
Sollecitazioni: N,Ed=-2.28 Myeq,Ed=8.70 Mzeq,Ed=0.14
Resistenze: Nc,Rd=13095.20 My,c,Rd=109.13 Mz,c,Rd=21.83 L=25.63
λ_Y=17.75 Ncr,y=328790.00 λ^*_y=0.20 Curva c: Φ_y=0.52 χ_y=1.00
λ_Z=88.77 Ncr,z=13151.60 λ^*_z=1.02 Curva c: Φ_z=1.22 χ_z=0.53
χ,min=0.53
Verifica: 0.00+0.08+0.01=0.09

- Verifica in termini tensionali [4.2.4] - CC 17 SLU Xl=0.03 - Classe 3
Sollecitazioni: N=-2.28 T_z=89.79 M_y=8.70 T_y=1.19
Tensioni: σ_N=-0.46 σ_M=-208.81 τ=0.00 σ_{max}=-209.26
Tensioni: σ_N=-0.46 σ_M=-0.00 τ=26.94 τ_{max}=26.94
Tensioni: σ_N=-0.46 σ_M=-208.81 τ=0.36 $\sigma_{ID,max}$=209.26

- Verifica a taglio dir. Z [4.2.16] - CC 1 SLV Xl=0.10
Sollecitazioni: T_z=27.99
V,Ed=27.99 Vc,Rd=7560.76 V,Ed/Vc,Rd=0.00

Asta n. 6571 (-261 -262) calastrelli 50x10 Crit. 1

- Verifica di stabilità aste presso-inflesse (C4.2.4.1.3.3.1) - CC 17 SLU - Classe 3
Sollecitazioni: N,Ed=-2.29 Myeq,Ed=8.54 Mzeq,Ed=0.14
Resistenze: Nc,Rd=13095.20 My,c,Rd=109.13 Mz,c,Rd=21.83 L=25.00
λ_Y=17.32 Ncr,y=345436.00 λ^*_y=0.20 Curva c: Φ_y=0.52 χ_y=1.00
λ_Z=86.60 Ncr,z=13817.40 λ^*_z=1.00 Curva c: Φ_z=1.19 χ_z=0.54
χ,min=0.54
Verifica: 0.00+0.08+0.01=0.08

- Verifica in termini tensionali [4.2.4] - CC 17 SLU Xl=0.03 - Classe 3
Sollecitazioni: N=-2.29 T_z=91.03 M_y=8.54 T_y=1.21
Tensioni: σ_N=-0.46 σ_M=-204.96 τ=0.00 σ_{max}=-205.42
Tensioni: σ_N=-0.46 σ_M=-0.00 τ=27.31 τ_{max}=27.31
Tensioni: σ_N=-0.46 σ_M=-204.96 τ=0.36 $\sigma_{ID,max}$=205.42

- Verifica a taglio dir. Z [4.2.16] - CC 1 SLV Xl=0.10
Sollecitazioni: T_z=29.18
V,Ed=29.18 Vc,Rd=7560.76 V,Ed/Vc,Rd=0.00

Asta n. 6572 (-293 -294) calastrelli 50x10 Crit. 1

- Verifica di stabilità aste presso-inflesse (C4.2.4.1.3.3.1) - CC 17 SLU - Classe 3
Sollecitazioni: N,Ed=-2.29 Myeq,Ed=8.38 Mzeq,Ed=0.13
Resistenze: Nc,Rd=13095.20 My,c,Rd=109.13 Mz,c,Rd=21.83 L=24.38
λ_Y=16.89 Ncr,y=363379.00 λ^*_y=0.19 Curva c: Φ_y=0.52 χ_y=1.00
λ_Z=84.44 Ncr,z=14535.20 λ^*_z=0.97 Curva c: Φ_z=1.16 χ_z=0.56

χ,min=0.56
Verifica: 0.00+0.08+0.01=0.08

- Verifica in termini tensionali [4.2.4] - CC 17 SLU Xl=0.03 - Classe 3
Sollecitazioni: N=-2.29 T_z=92.39 M_y=8.38 T_y=1.23
Tensioni: σ_N=-0.46 σ_M=-201.16 τ=0.00 σ_{max}=-201.62
Tensioni: σ_N=-0.46 σ_M=-0.00 τ=27.72 τ_{max}=27.72
Tensioni: σ_N=-0.46 σ_M=-201.16 τ=0.37 $\sigma_{ID,max}$=201.62

- Verifica a taglio dir. Z [4.2.16] - CC 1 SLV Xl=0.09
Sollecitazioni: T_z=30.43
V,Ed=30.43 Vc,Rd=7560.76 V,Ed/Vc,Rd=0.00

Asta n. 6573 (-325 -326) calastrelli 50x10 Crit. 1

- Verifica di stabilità aste presso-inflesse (C4.2.4.1.3.3.1) - CC 17 SLU - Classe 3
Sollecitazioni: N,Ed=-2.31 Myeq,Ed=8.22 Mzeq,Ed=0.13
Resistenze: Nc,Rd=13095.20 My,c,Rd=109.13 Mz,c,Rd=21.83 L=23.75
λ_Y=16.45 Ncr,y=382754.00 λ^*_y=0.19 Curva c: Φ_y=0.52 χ_y=1.00
λ_Z=82.27 Ncr,z=15310.20 λ^*_z=0.95 Curva c: Φ_z=1.13 χ_z=0.57
χ,min=0.57
Verifica: 0.00+0.08+0.01=0.08

- Verifica in termini tensionali [4.2.4] - CC 17 SLU Xl=0.03 - Classe 3
Sollecitazioni: N=-2.31 T_z=93.81 M_y=8.22 T_y=1.25
Tensioni: σ_N=-0.46 σ_M=-197.34 τ=0.00 σ_{max}=-197.81
Tensioni: σ_N=-0.46 σ_M=-0.00 τ=28.15 τ_{max}=28.15
Tensioni: σ_N=-0.46 σ_M=-197.34 τ=0.38 $\sigma_{ID,max}$=197.81

- Verifica a taglio dir. Z [4.2.16] - CC 1 SLV Xl=0.09
Sollecitazioni: T_z=31.74
V,Ed=31.74 Vc,Rd=7560.76 V,Ed/Vc,Rd=0.00

Asta n. 6574 (-357 -358) calastrelli 50x10 Crit. 1

- Verifica di stabilità aste presso-inflesse (C4.2.4.1.3.3.1) - CC 17 SLU - Classe 3
Sollecitazioni: N,Ed=-2.32 Myeq,Ed=8.06 Mzeq,Ed=0.13
Resistenze: Nc,Rd=13095.20 My,c,Rd=109.13 Mz,c,Rd=21.83 L=23.13
λ_Y=16.02 Ncr,y=403725.00 λ^*_y=0.18 Curva c: Φ_y=0.51 χ_y=1.00
λ_Z=80.11 Ncr,z=16149.00 λ^*_z=0.92 Curva c: Φ_z=1.10 χ_z=0.59
χ,min=0.59
Verifica: 0.00+0.07+0.01=0.08

- Verifica in termini tensionali [4.2.4] - CC 17 SLU Xl=0.03 - Classe 3
Sollecitazioni: N=-2.32 T_z=95.36 M_y=8.06 T_y=1.28
Tensioni: σ_N=-0.46 σ_M=-193.53 τ=0.00 σ_{max}=-193.99
Tensioni: σ_N=-0.46 σ_M=-0.00 τ=28.61 τ_{max}=28.61
Tensioni: σ_N=-0.46 σ_M=-193.53 τ=0.38 $\sigma_{ID,max}$=193.99

- Verifica a taglio dir. Z [4.2.16] - CC 1 SLV Xl=0.09
Sollecitazioni: T_z=33.12
V,Ed=33.12 Vc,Rd=7560.76 V,Ed/Vc,Rd=0.00

Asta n. 6575 (-389 -390) calastrelli 50x10 Crit. 1

- Verifica di stabilità aste presso-inflesse (C4.2.4.1.3.3.1) - CC 17 SLU - Classe 3
Sollecitazioni: N,Ed=-2.15 Myeq,Ed=7.90 Mzeq,Ed=0.13
Resistenze: Nc,Rd=13095.20 My,c,Rd=109.13 Mz,c,Rd=21.83 L=22.50
λ_Y=15.59 Ncr,y=426463.00 λ^*_y=0.18 Curva c: Φ_y=0.51 χ_y=1.00

λ_Z=77.94 Ncr,z=17058.50 λ^*_z=0.90 Curva c: Φ_z=1.07 χ_z=0.60
χ,min=0.60
Verifica: 0.00+0.07+0.01=0.08

- Verifica in termini tensionali [4.2.4] - CC 17 SLU Xl=0.03 - Classe 3
Sollecitazioni: N=-2.15 T_z=96.96 M_y=7.90 T_y=1.30
Tensioni: σ_N=-0.43 σ_M=-189.65 τ=0.00 σ_{max}=-190.08
Tensioni: σ_N=-0.43 σ_M=-0.00 τ=29.09 τ_{max}=29.09
Tensioni: σ_N=-0.43 σ_M=-189.65 τ=0.39 $\sigma_{ID,max}$=190.08

- Verifica a taglio dir. Z [4.2.16] - CC 1 SLV Xl=0.09
Sollecitazioni: T_z=34.56
V,Ed=34.56 Vc,Rd=7560.76 V,Ed/Vc,Rd=0.00

Asta n. 6576 (-421 -422) calastrelli 50x10 Crit. 1

- Verifica di stabilità aste presso-inflesse (C4.2.4.1.3.3.1) - CC 17 SLU - Classe 3
Sollecitazioni: N,Ed=-3.68 Myeq,Ed=7.71 Mzeq,Ed=0.13
Resistenze: Nc,Rd=13095.20 My,c,Rd=109.13 Mz,c,Rd=21.83 L=21.88
λ_Y=15.16 Ncr,y=451182.00 λ^*_y=0.17 Curva c: Φ_y=0.51 χ_y=1.00
λ_Z=75.78 Ncr,z=18047.30 λ^*_z=0.87 Curva c: Φ_z=1.05 χ_z=0.62
χ,min=0.62
Verifica: 0.00+0.07+0.01=0.08

- Verifica in termini tensionali [4.2.4] - CC 17 SLU Xl=0.03 - Classe 3
Sollecitazioni: N=-3.68 T_z=98.45 M_y=7.71 T_y=1.32
Tensioni: σ_N=-0.74 σ_M=-185.02 τ=0.00 σ_{max}=-185.76
Tensioni: σ_N=-0.74 σ_M=-0.00 τ=29.54 τ_{max}=29.54
Tensioni: σ_N=-0.74 σ_M=-185.02 τ=0.40 $\sigma_{ID,max}$=185.76

- Verifica a taglio dir. Z [4.2.16] - CC 1 SLV Xl=0.08
Sollecitazioni: T_z=35.99
V,Ed=35.99 Vc,Rd=7560.76 V,Ed/Vc,Rd=0.00

Asta n. 6577 (-453 -454) calastrelli 50x10 Crit. 1

- Verifica di stabilità aste inflesse (4.2.4.1.3.2) CC 17 SLU - Classe 3
L_{cr}=0.21 Curva d: α_{imp}=0.76 k_c=0.94 ψ=3.02 M,cr=0.00 λ_{LT}=0.00
$\lambda_{LT,0}$=0.20 β_{LT}=1.00 Φ_{LT}=0.00 β_{LT}=1.00 f=0.00 χ_{LT}=1.00
CC 17 SLU My,Ed=7.48 My,b,Rd=109.13 My,Ed/My,b,Rd=0.07

- Verifica di stabilità aste presso-inflesse (C4.2.4.1.3.3.1) - CC 5 SLV - Classe 3
Sollecitazioni: N,Ed=-3.79 Myeq,Ed=1.10 Mzeq,Ed=0.03
Resistenze: Nc,Rd=13095.20 My,c,Rd=109.13 Mz,c,Rd=21.83 L=21.25
λ_Y=14.72 Ncr,y=478114.00 λ^*_y=0.17 Curva c: Φ_y=0.51 χ_y=1.00
λ_Z=73.61 Ncr,z=19124.60 λ^*_z=0.85 Curva c: Φ_z=1.02 χ_z=0.63
χ,min=0.63
Verifica: 0.00+0.01+0.00=0.01

- Verifica in termini tensionali [4.2.4] - CC 17 SLU Xl=0.03 - Classe 3
Sollecitazioni: N=7.04 T_z=98.34 M_y=7.48 T_y=1.28
Tensioni: σ_N=1.41 σ_M=179.47 τ=0.00 σ_{max}=180.87
Tensioni: σ_N=1.41 σ_M=-0.00 τ=29.50 τ_{max}=29.50
Tensioni: σ_N=1.41 σ_M=179.47 τ=0.38 $\sigma_{ID,max}$=180.88

- Verifica a taglio dir. Y [4.2.16] - CC 17 SLU Xl=0.10
Sollecitazioni: N=7.04 T_z=97.99 T_y=1.28
V,Ed=1.28 Vc,Rd=7560.76 V,Ed/Vc,Rd=0.00

- Verifica a taglio dir. Z [4.2.16]
  V,Ed=97.99 Vc,Rd=7560.76 V,Ed/Vc,Rd=0.01

Asta n. 6578 (-485 -486) calastrelli 50x10 Crit. 1

- Verifica di stabilità aste inflesse (4.2.4.1.3.2) CC 5 SLV - Classe 3
  L_{cr}=0.21 Curva d: α_{imp}=0.76 k_c=0.94 ψ=1.15 M,cr=0.00 λ_{LT}=0.00
  $\lambda_{LT,0}$=0.20 β_{LT}=1.00 Φ_{LT}=0.00 β_{LT}=1.00 f=0.00 χ_{LT}=1.00
  CC 5 SLV My,Ed=-1.44 My,b,Rd=109.13 My,Ed/My,b,Rd=0.01

- Verifica di stabilità aste presso-inflesse (C4.2.4.1.3.3.1) - CC 17 SLU - Classe 3
  Sollecitazioni: N,Ed=-57.57 Myeq,Ed=-6.61 Mzeq,Ed=0.10
  Resistenze: Nc,Rd=13095.20 My,c,Rd=109.13 Mz,c,Rd=21.83 L=20.63
  λ_Y=14.29 Ncr,y=507527.00 λ^*_y=0.16 Curva c: Φ_y=0.50 χ_y=1.00
  λ_Z=71.45 Ncr,z=20301.10 λ^*_z=0.82 Curva c: Φ_z=0.99 χ_z=0.65
  χ,min=0.65
  Verifica: 0.00+0.06+0.00=0.07

- Verifica in termini tensionali [4.2.4] - CC 17 SLU Xl=0.17 - Classe 3
  Sollecitazioni: N=-57.57 T_z=87.12 M_y=-6.61 T_y=1.12
  Tensioni: σ_N=-11.51 σ_M=-158.74 τ=0.00 σ_{max}=-170.26
  Tensioni: σ_N=-11.51 σ_M=0.00 τ=26.14 τ_{max}=26.14
  Tensioni: σ_N=-11.51 σ_M=-158.74 τ=0.34 $\sigma_{ID,max}$=170.26

- Verifica a taglio dir. Z [4.2.16] - CC 5 SLV Xl=0.04
  Sollecitazioni: N=21.45 T_z=12.46
  V,Ed=12.46 Vc,Rd=7560.76 V,Ed/Vc,Rd=0.00

Asta n. 6582 (-493 -494) calastrelli 50x10 Crit. 1

- Verifica in termini tensionali [4.2.4] - CC 17 SLU Xl=0.04 - Classe 3
  Sollecitazioni: N=125.75 T_z=84.01 M_y=7.00 T_y=-1.05
  Tensioni: σ_N=25.15 σ_M=167.91 τ=0.00 σ_{max}=193.06
  Tensioni: σ_N=25.15 σ_M=-0.00 τ=25.20 τ_{max}=25.20
  Tensioni: σ_N=25.15 σ_M=167.91 τ=0.31 $\sigma_{ID,max}$=193.06

- Verifica a taglio dir. Y [4.2.16] - CC 17 SLU Xl=0.11
  Sollecitazioni: N=125.75 T_z=83.61 T_y=-1.05
  V,Ed=-1.05 Vc,Rd=7560.76 V,Ed/Vc,Rd=0.00

- Verifica a taglio dir. Z [4.2.16]
  V,Ed=83.61 Vc,Rd=7560.76 V,Ed/Vc,Rd=0.01

Asta n. 6583 (-461 -462) calastrelli 50x10 Crit. 1

- Verifica di stabilità aste presso-inflesse (C4.2.4.1.3.3.1) - CC 17 SLU - Classe 3
  Sollecitazioni: N,Ed=-24.01 Myeq,Ed=-7.23 Mzeq,Ed=0.11
  Resistenze: Nc,Rd=13095.20 My,c,Rd=109.13 Mz,c,Rd=21.83 L=21.25
  λ_Y=14.72 Ncr,y=478114.00 λ^*_y=0.17 Curva c: Φ_y=0.51 χ_y=1.00
  λ_Z=73.61 Ncr,z=19124.60 λ^*_z=0.85 Curva c: Φ_z=1.02 χ_z=0.63
  χ,min=0.63
  Verifica: 0.00+0.07+0.01=0.07

- Verifica in termini tensionali [4.2.4] - CC 17 SLU Xl=0.18 - Classe 3
  Sollecitazioni: N=-24.01 T_z=93.07 M_y=-7.23 T_y=-1.21
  Tensioni: σ_N=-4.80 σ_M=-173.59 τ=0.00 σ_{max}=-178.40
  Tensioni: σ_N=-4.80 σ_M=0.00 τ=27.92 τ_{max}=27.92
  Tensioni: σ_N=-4.80 σ_M=-173.59 τ=0.36 $\sigma_{ID,max}$=178.40

Asta n. 6584 (-429 -430) calastrelli 50x10 Crit. 1

- Verifica in termini tensionali [4.2.4] - CC 17 SLU Xl=0.19 - Classe 3
  Sollecitazioni: N=1.40 T_z=93.43 M_y=-7.36 T_y=-1.25
  Tensioni: σ_N=0.28 σ_M=176.63 τ=0.00 σ_{max}=176.91
  Tensioni: σ_N=0.28 σ_M=0.00 τ=28.03 τ_{max}=28.03
  Tensioni: σ_N=0.28 σ_M=176.63 τ=0.38 $\sigma_{ID,max}$=176.91

- Verifica a taglio dir. Y [4.2.16] - CC 17 SLU Xl=0.11
  Sollecitazioni: N=1.40 T_z=93.86 T_y=-1.25
  V,Ed=-1.25 Vc,Rd=7560.76 V,Ed/Vc,Rd=0.00

- Verifica a taglio dir. Z [4.2.16]
  V,Ed=93.86 Vc,Rd=7560.76 V,Ed/Vc,Rd=0.01

Asta n. 6585 (-397 -398) calastrelli 50x10 Crit. 1

- Verifica di stabilità aste presso-inflesse (C4.2.4.1.3.3.1) - CC 17 SLU - Classe 3
  Sollecitazioni: N,Ed=-2.28 Myeq,Ed=-7.57 Mzeq,Ed=0.12
  Resistenze: Nc,Rd=13095.20 My,c,Rd=109.13 Mz,c,Rd=21.83 L=22.50
  λ_Y=15.59 Ncr,y=426463.00 λ^*_y=0.18 Curva c: Φ_y=0.51 χ_y=1.00
  λ_Z=77.94 Ncr,z=17058.50 λ^*_z=0.90 Curva c: Φ_z=1.07 χ_z=0.60
  χ,min=0.60
  Verifica: 0.00+0.07+0.01=0.08

- Verifica in termini tensionali [4.2.4] - CC 17 SLU Xl=0.20 - Classe 3
  Sollecitazioni: N=-2.28 T_z=92.14 M_y=-7.57 T_y=-1.24
  Tensioni: σ_N=-0.46 σ_M=-181.72 τ=0.00 σ_{max}=-182.17
  Tensioni: σ_N=-0.46 σ_M=0.00 τ=27.64 τ_{max}=27.64
  Tensioni: σ_N=-0.46 σ_M=-181.72 τ=0.37 $\sigma_{ID,max}$=182.17

- Verifica a taglio dir. Z [4.2.16] - CC 1 SLV Xl=0.09
  Sollecitazioni: T_z=32.16
  V,Ed=32.16 Vc,Rd=7560.76 V,Ed/Vc,Rd=0.00

Asta n. 6586 (-365 -366) calastrelli 50x10 Crit. 1

- Verifica di stabilità aste inflesse (4.2.4.1.3.2) CC 1 SLV - Classe 3
  L_{cr}=0.23 Curva d: α_{imp}=0.76 k_c=0.94 ψ=3.06 M,cr=0.00 λ_{LT}=0.00
  $\lambda_{LT,0}$=0.20 β_{LT}=1.00 Φ_{LT}=0.00 β_{LT}=1.00 f=0.00 χ_{LT}=1.00
  CC 1 SLV My,Ed=-2.61 My,b,Rd=109.13 My,Ed/My,b,Rd=0.02

- Verifica di stabilità aste presso-inflesse (C4.2.4.1.3.3.1) - CC 17 SLU - Classe 3
  Sollecitazioni: N,Ed=-1.86 Myeq,Ed=-7.73 Mzeq,Ed=0.13
  Resistenze: Nc,Rd=13095.20 My,c,Rd=109.13 Mz,c,Rd=21.83 L=23.13
  λ_Y=16.02 Ncr,y=403725.00 λ^*_y=0.18 Curva c: Φ_y=0.51 χ_y=1.00
  λ_Z=80.11 Ncr,z=16149.00 λ^*_z=0.92 Curva c: Φ_z=1.10 χ_z=0.59
  χ,min=0.59
  Verifica: 0.00+0.07+0.01=0.08

- Verifica in termini tensionali [4.2.4] - CC 17 SLU Xl=0.20 - Classe 3
  Sollecitazioni: N=-1.86 T_z=90.70 M_y=-7.73 T_y=-1.22
  Tensioni: σ_N=-0.37 σ_M=-185.61 τ=0.00 σ_{max}=-185.98
  Tensioni: σ_N=-0.37 σ_M=0.00 τ=27.21 τ_{max}=27.21
  Tensioni: σ_N=-0.37 σ_M=-185.61 τ=0.37 $\sigma_{ID,max}$=185.98

- Verifica a taglio dir. Z [4.2.16] - CC 19 SLU Xl=0.11
  Sollecitazioni: T_z=58.56
  V,Ed=58.56 Vc,Rd=7560.76 V,Ed/Vc,Rd=0.01

Asta n. 6587 (-333 -334) calastrelli 50x10 Crit. 1

- Verifica di stabilità aste inflesse (4.2.4.1.3.2) CC 1 SLV - Classe 3
  L_{cr}=0.24 Curva d: α_{imp}=0.76 k_c=0.94 ψ=3.06 M,cr=0.00 λ_{LT}=0.00
  $\lambda_{LT,0}$=0.20 β_{LT}=1.00 Φ_{LT}=0.00 β_{LT}=1.00 f=0.00 χ_{LT}=1.00
  CC 1 SLV My,Ed=-2.59 My,b,Rd=109.13 My,Ed/My,b,Rd=0.02

- Verifica di stabilità aste presso-inflesse (C4.2.4.1.3.3.1) - CC 17 SLU - Classe 3
  Sollecitazioni: N,Ed=-1.84 Myeq,Ed=-7.90 Mzeq,Ed=0.13
  Resistenze: Nc,Rd=13095.20 My,c,Rd=109.13 Mz,c,Rd=21.83 L=23.75
  λ_Y=16.45 Ncr,y=382754.00 λ^*_y=0.19 Curva c: Φ_y=0.52 χ_y=1.00
  λ_Z=82.27 Ncr,z=15310.20 λ^*_z=0.95 Curva c: Φ_z=1.13 χ_z=0.57
  χ,min=0.57
  Verifica: 0.00+0.07+0.01=0.08

- Verifica in termini tensionali [4.2.4] - CC 17 SLU Xl=0.21 - Classe 3
  Sollecitazioni: N=-1.84 T_z=89.31 M_y=-7.90 T_y=-1.20
  Tensioni: σ_N=-0.37 σ_M=-189.48 τ=0.00 σ_{max}=-189.85
  Tensioni: σ_N=-0.37 σ_M=0.00 τ=26.80 τ_{max}=26.80
  Tensioni: σ_N=-0.37 σ_M=-189.48 τ=0.36 $\sigma_{ID,max}$=189.85

- Verifica a taglio dir. Z [4.2.16] - CC 19 SLU Xl=0.11
  Sollecitazioni: T_z=57.55
  V,Ed=57.55 Vc,Rd=7560.76 V,Ed/Vc,Rd=0.01

Asta n. 6588 (-301 -302) calastrelli 50x10 Crit. 1

- Verifica di stabilità aste inflesse (4.2.4.1.3.2) CC 1 SLV - Classe 3
  L_{cr}=0.24 Curva d: α_{imp}=0.76 k_c=0.94 ψ=3.06 M,cr=0.00 λ_{LT}=0.00
  $\lambda_{LT,0}$=0.20 β_{LT}=1.00 Φ_{LT}=0.00 β_{LT}=1.00 f=0.00 χ_{LT}=1.00
  CC 1 SLV My,Ed=-2.57 My,b,Rd=109.13 My,Ed/My,b,Rd=0.02

- Verifica di stabilità aste presso-inflesse (C4.2.4.1.3.3.1) - CC 17 SLU - Classe 3
  Sollecitazioni: N,Ed=-1.93 Myeq,Ed=-8.06 Mzeq,Ed=0.13
  Resistenze: Nc,Rd=13095.20 My,c,Rd=109.13 Mz,c,Rd=21.83 L=24.38
  λ_Y=16.89 Ncr,y=363379.00 λ^*_y=0.19 Curva c: Φ_y=0.52 χ_y=1.00
  λ_Z=84.44 Ncr,z=14535.20 λ^*_z=0.97 Curva c: Φ_z=1.16 χ_z=0.56
  χ,min=0.56
  Verifica: 0.00+0.07+0.01=0.08

- Verifica in termini tensionali [4.2.4] - CC 17 SLU Xl=0.22 - Classe 3
  Sollecitazioni: N=-1.93 T_z=88.03 M_y=-8.06 T_y=-1.18
  Tensioni: σ_N=-0.39 σ_M=-193.39 τ=0.00 σ_{max}=-193.78
  Tensioni: σ_N=-0.39 σ_M=0.00 τ=26.41 τ_{max}=26.41
  Tensioni: σ_N=-0.39 σ_M=-193.39 τ=0.35 $\sigma_{ID,max}$=193.78

- Verifica a taglio dir. Z [4.2.16] - CC 19 SLU Xl=0.12
  Sollecitazioni: T_z=56.61
  V,Ed=56.61 Vc,Rd=7560.76 V,Ed/Vc,Rd=0.01

Asta n. 6589 (-269 -270) calastrelli 50x10 Crit. 1

- Verifica di stabilità aste inflesse (4.2.4.1.3.2) CC 1 SLV - Classe 3
  L_{cr}=0.25 Curva d: α_{imp}=0.76 k_c=0.94 ψ=3.07 M,cr=0.00 λ_{LT}=0.00
  $\lambda_{LT,0}$=0.20 β_{LT}=1.00 Φ_{LT}=0.00 β_{LT}=1.00 f=0.00 χ_{LT}=1.00
  CC 1 SLV My,Ed=-2.55 My,b,Rd=109.13 My,Ed/My,b,Rd=0.02

- Verifica di stabilità aste presso-inflesse (C4.2.4.1.3.3.1) - CC 17 SLU - Classe 3

Sollecitazioni: N,Ed=-1.90 Myeq,Ed=-8.22 Mzeq,Ed=0.13
Resistenze: Nc,Rd=13095.20 My,c,Rd=109.13 Mz,c,Rd=21.83 L=25.00
λ_Y=17.32 Ncr,y=345436.00 λ^*_y=0.20 Curva c: Φ_y=0.52 χ_y=1.00
λ_Z=86.60 Ncr,z=13817.40 λ^*_z=1.00 Curva c: Φ_z=1.19 χ_z=0.54
χ,min=0.54
Verifica: 0.00+0.08+0.01=0.08

- Verifica in termini tensionali [4.2.4] - CC 17 SLU Xl=0.22 - Classe 3
Sollecitazioni: N=-1.90 T_z=86.81 M_y=-8.22 T_y=-1.16
Tensioni: σ_N=-0.38 σ_M=-197.24 τ=0.00 σ_{max}=-197.62
Tensioni: σ_N=-0.38 σ_M=0.00 τ=26.05 τ_{max}=26.05
Tensioni: σ_N=-0.38 σ_M=-197.24 τ=0.35 $\sigma_{ID,max}$=197.62

- Verifica a taglio dir. Z [4.2.16] - CC 19 SLU Xl=0.12
Sollecitazioni: T_z=55.72
V,Ed=55.72 Vc,Rd=7560.76 V,Ed/Vc,Rd=0.01

Asta n. 6590 (-237 -238) calastrelli 50x10 Crit. 1

- Verifica di stabilità aste inflesse (4.2.4.1.3.2) CC 1 SLV - Classe 3
L_{cr}=0.26 Curva d: α_{imp}=0.76 k_c=0.94 ψ=3.07 M,cr=0.00 λ_{LT}=0.00
$\lambda_{LT,0}$=0.20 β_{LT}=1.00 Φ_{LT}=0.00 β_{LT}=1.00 f=0.00 χ_{LT}=1.00
CC 1 SLV My,Ed=-2.53 My,b,Rd=109.13 My,Ed/My,b,Rd=0.02

- Verifica di stabilità aste presso-inflesse (C4.2.4.1.3.3.1) - CC 17 SLU - Classe 3
Sollecitazioni: N,Ed=-1.87 Myeq,Ed=-8.38 Mzeq,Ed=0.13
Resistenze: Nc,Rd=13095.20 My,c,Rd=109.13 Mz,c,Rd=21.83 L=25.63
λ_Y=17.75 Ncr,y=328790.00 λ^*_y=0.20 Curva c: Φ_y=0.52 χ_y=1.00
λ_Z=88.77 Ncr,z=13151.60 λ^*_z=1.02 Curva c: Φ_z=1.22 χ_z=0.53
χ,min=0.53
Verifica: 0.00+0.08+0.01=0.08

- Verifica in termini tensionali [4.2.4] - CC 17 SLU Xl=0.23 - Classe 3
Sollecitazioni: N=-1.87 T_z=85.69 M_y=-8.38 T_y=-1.14
Tensioni: σ_N=-0.37 σ_M=-201.13 τ=0.00 σ_{max}=-201.51
Tensioni: σ_N=-0.37 σ_M=0.00 τ=25.71 τ_{max}=25.71
Tensioni: σ_N=-0.37 σ_M=-201.13 τ=0.34 $\sigma_{ID,max}$=201.51

- Verifica a taglio dir. Z [4.2.16] - CC 19 SLU Xl=0.12
Sollecitazioni: T_z=54.90
V,Ed=54.90 Vc,Rd=7560.76 V,Ed/Vc,Rd=0.01

Asta n. 6591 (-205 -206) calastrelli 50x10 Crit. 1

- Verifica di stabilità aste inflesse (4.2.4.1.3.2) CC 1 SLV - Classe 3
L_{cr}=0.26 Curva d: α_{imp}=0.76 k_c=0.94 ψ=3.07 M,cr=0.00 λ_{LT}=0.00
$\lambda_{LT,0}$=0.20 β_{LT}=1.00 Φ_{LT}=0.00 β_{LT}=1.00 f=0.00 χ_{LT}=1.00
CC 1 SLV My,Ed=-2.50 My,b,Rd=109.13 My,Ed/My,b,Rd=0.02

- Verifica di stabilità aste presso-inflesse (C4.2.4.1.3.3.1) - CC 17 SLU - Classe 3
Sollecitazioni: N,Ed=-1.94 Myeq,Ed=-8.54 Mzeq,Ed=0.13
Resistenze: Nc,Rd=13095.20 My,c,Rd=109.13 Mz,c,Rd=21.83 L=26.25
λ_Y=18.19 Ncr,y=313321.00 λ^*_y=0.21 Curva c: Φ_y=0.52 χ_y=1.00
λ_Z=90.93 Ncr,z=12532.80 λ^*_z=1.05 Curva c: Φ_z=1.26 χ_z=0.51
χ,min=0.51
Verifica: 0.00+0.08+0.01=0.08

- Verifica in termini tensionali [4.2.4] - CC 17 SLU Xl=0.23 - Classe 3
Sollecitazioni: N=-1.94 T_z=84.61 M_y=-8.54 T_y=-1.12

Tensioni: σ_N=-0.39 σ_M=-204.99 τ=0.00 σ_{max}=-205.38
Tensioni: σ_N=-0.39 σ_M=0.00 τ=25.39 τ_{max}=25.39
Tensioni: σ_N=-0.39 σ_M=-204.99 τ=0.34 $\sigma_{ID,max}$=205.38

- Verifica a taglio dir. Z [4.2.16] - CC 1 SLV Xl=0.11
Sollecitazioni: T_z=25.06
V,Ed=25.06 Vc,Rd=7560.76 V,Ed/Vc,Rd=0.00

Asta n. 6592 (-173 -174) calastrelli 50x10 Crit. 1

- Verifica di stabilità aste inflesse (4.2.4.1.3.2) CC 1 SLV - Classe 3
L_{cr}=0.27 Curva d: α_{imp}=0.76 k_c=0.94 ψ=3.08 M,cr=0.00 λ_{LT}=0.00
$\lambda_{LT,0}$=0.20 β_{LT}=1.00 Φ_{LT}=0.00 β_{LT}=1.00 f=0.00 χ_{LT}=1.00
CC 1 SLV My,Ed=-2.47 My,b,Rd=109.13 My,Ed/My,b,Rd=0.02

- Verifica di stabilità aste presso-inflesse (C4.2.4.1.3.3.1) - CC 17 SLU - Classe 3
Sollecitazioni: N,Ed=-1.89 Myeq,Ed=-8.69 Mzeq,Ed=0.13
Resistenze: Nc,Rd=13095.20 My,c,Rd=109.13 Mz,c,Rd=21.83 L=26.88
λ_Y=18.62 Ncr,y=298917.00 λ^*_y=0.21 Curva c: Φ_y=0.53 χ_y=0.99
λ_Z=93.10 Ncr,z=11956.70 λ^*_z=1.07 Curva c: Φ_z=1.29 χ_z=0.50
χ,min=0.50
Verifica: 0.00+0.08+0.01=0.09

- Verifica in termini tensionali [4.2.4] - CC 17 SLU Xl=0.24 - Classe 3
Sollecitazioni: N=-1.89 T_z=83.44 M_y=-8.69 T_y=-1.10
Tensioni: σ_N=-0.38 σ_M=-208.45 τ=0.00 σ_{max}=-208.82
Tensioni: σ_N=-0.38 σ_M=0.00 τ=25.03 τ_{max}=25.03
Tensioni: σ_N=-0.38 σ_M=-208.45 τ=0.33 $\sigma_{ID,max}$=208.82

- Verifica a taglio dir. Z [4.2.16] - CC 19 SLU Xl=0.13
Sollecitazioni: T_z=53.29
V,Ed=53.29 Vc,Rd=7560.76 V,Ed/Vc,Rd=0.01

Asta n. 6593 (-141 -142) calastrelli 50x10 Crit. 1

- Verifica di stabilità aste inflesse (4.2.4.1.3.2) CC 1 SLV - Classe 3
L_{cr}=0.28 Curva d: α_{imp}=0.76 k_c=0.94 ψ=3.08 M,cr=0.00 λ_{LT}=0.00
$\lambda_{LT,0}$=0.20 β_{LT}=1.00 Φ_{LT}=0.00 β_{LT}=1.00 f=0.00 χ_{LT}=1.00
CC 1 SLV My,Ed=-2.42 My,b,Rd=109.13 My,Ed/My,b,Rd=0.02

- Verifica di stabilità aste presso-inflesse (C4.2.4.1.3.3.1) - CC 17 SLU - Classe 3
Sollecitazioni: N,Ed=-1.95 Myeq,Ed=-8.76 Mzeq,Ed=0.13
Resistenze: Nc,Rd=13095.20 My,c,Rd=109.13 Mz,c,Rd=21.83 L=27.50
λ_Y=19.05 Ncr,y=285485.00 λ^*_y=0.22 Curva c: Φ_y=0.53 χ_y=0.99
λ_Z=95.26 Ncr,z=11419.40 λ^*_z=1.10 Curva c: Φ_z=1.32 χ_z=0.49
χ,min=0.49
Verifica: 0.00+0.08+0.01=0.09

- Verifica in termini tensionali [4.2.4] - CC 17 SLU Xl=0.25 - Classe 3
Sollecitazioni: N=-1.95 T_z=81.72 M_y=-8.76 T_y=-1.06
Tensioni: σ_N=-0.39 σ_M=-210.33 τ=0.00 σ_{max}=-210.72
Tensioni: σ_N=-0.39 σ_M=0.00 τ=24.52 τ_{max}=24.52
Tensioni: σ_N=-0.39 σ_M=-210.33 τ=0.32 $\sigma_{ID,max}$=210.72

- Verifica a taglio dir. Z [4.2.16] - CC 1 SLV Xl=0.11
Sollecitazioni: T_z=22.85
V,Ed=22.85 Vc,Rd=7560.76 V,Ed/Vc,Rd=0.00

Asta n. 6594 (-109 -110) calastrelli 50x10 Crit. 1

- Verifica di stabilità aste inflesse (4.2.4.1.3.2) CC 1 SLV - Classe 3
  L_{cr}=0.28 Curva d: α_{imp}=0.76 k_c=0.94 ψ=3.08 M,cr=0.00 λ_{LT}=0.00
  $\lambda_{LT,0}$=0.20 β_{LT}=1.00 Φ_{LT}=0.00 β_{LT}=1.00 f=0.00 χ_{LT}=1.00
  CC 1 SLV My,Ed=-2.29 My,b,Rd=109.13 My,Ed/My,b,Rd=0.02

- Verifica di stabilità aste presso-inflesse (C4.2.4.1.3.3.1) - CC 17 SLU - Classe 3
  Sollecitazioni: N,Ed=-1.57 Myeq,Ed=-8.53 Mzeq,Ed=0.12
  Resistenze: Nc,Rd=13095.20 My,c,Rd=109.13 Mz,c,Rd=21.83 L=28.13
  λ_Y=19.49 Ncr,y=272937.00 λ^*_y=0.22 Curva c: Φ_y=0.53 χ_y=0.99
  λ_Z=97.43 Ncr,z=10917.50 λ^*_z=1.12 Curva c: Φ_z=1.36 χ_z=0.47
  χ,min=0.47
  Verifica: 0.00+0.08+0.01=0.08

- Verifica in termini tensionali [4.2.4] - CC 17 SLU Xl=0.25 - Classe 3
  Sollecitazioni: N=-1.57 T_z=77.27 M_y=-8.53
  Tensioni: σ_N=-0.31 σ_M=-204.80 τ=0.00 σ_{max}=-205.11
  Tensioni: σ_N=-0.31 σ_M=0.00 τ=23.18 τ_{max}=23.18
  Tensioni: σ_N=-0.31 σ_M=-204.80 τ=0.00 $\sigma_{ID,max}$=205.11

- Verifica a taglio dir. Z [4.2.16] - CC 19 SLU Xl=0.13
  Sollecitazioni: T_z=49.24
  V,Ed=49.24 Vc,Rd=7560.76 V,Ed/Vc,Rd=0.01

Asta n. 6595 (-77 -78) calastrelli 50x10 Crit. 1

- Verifica di stabilità aste presso-inflesse (C4.2.4.1.3.3.1) - CC 17 SLU - Classe 3
  Sollecitazioni: N,Ed=-3.36 Myeq,Ed=-6.92 Mzeq,Ed=0.09
  Resistenze: Nc,Rd=13095.20 My,c,Rd=109.13 Mz,c,Rd=21.83 L=28.75
  λ_Y=19.92 Ncr,y=261199.00 λ^*_y=0.23 Curva c: Φ_y=0.53 χ_y=0.99
  λ_Z=99.59 Ncr,z=10447.90 λ^*_z=1.15 Curva c: Φ_z=1.39 χ_z=0.46
  χ,min=0.46
  Verifica: 0.00+0.06+0.00=0.07

- Verifica in termini tensionali [4.2.4] - CC 17 SLU Xl=0.26 - Classe 3
  Sollecitazioni: N=-3.36 T_z=60.91 M_y=-6.92
  Tensioni: σ_N=-0.67 σ_M=-166.06 τ=0.00 σ_{max}=-166.74
  Tensioni: σ_N=-0.67 σ_M=0.00 τ=18.27 τ_{max}=18.27
  Tensioni: σ_N=-0.67 σ_M=-166.06 τ=0.00 $\sigma_{ID,max}$=166.74

- Verifica a taglio dir. Z [4.2.16] - CC 1 SLV Xl=0.10
  Sollecitazioni: T_z=16.29
  V,Ed=16.29 Vc,Rd=7560.76 V,Ed/Vc,Rd=0.00

Asta n. 6596 (-45 -46) calastrelli 100x5 Crit. 1

- Verifica in termini tensionali [4.2.4] - CC 17 SLU Xl=0.27 - Classe 3
  Sollecitazioni: N=15.45 T_z=70.29 M_y=-8.72
  Tensioni: σ_N=1.55 σ_M=52.31 τ=0.00 σ_{max}=53.85
  Tensioni: σ_N=1.55 σ_M=0.00 τ=10.54 τ_{max}=10.54
  Tensioni: σ_N=1.55 σ_M=52.31 τ=0.00 $\sigma_{ID,max}$=53.85

- Verifica a taglio dir. Z [4.2.16] - CC 17 SLU Xl=0.14
  Sollecitazioni: N=15.45 T_z=71.57
  V,Ed=71.57 Vc,Rd=15121.50 V,Ed/Vc,Rd=0.00

Asta n. 6597 (-13 -14) calastrelli 100x5 Crit. 1

- Verifica in termini tensionali [4.2.4] - CC 17 SLU Xl=0.27 - Classe 3

Sollecitazioni: N=72.07 T_z=43.35 M_y=-5.53
Tensioni: σ_N=7.21 σ_M=33.15 τ=0.00 σ_{max}=40.36
Tensioni: σ_N=7.21 σ_M=0.00 τ=6.50 τ_{max}=6.50
Tensioni: σ_N=7.21 σ_M=33.15 τ=0.00 $\sigma_{ID,max}$=40.36

- Verifica a taglio dir. Z [4.2.16] - CC 17 SLU Xl=0.14
Sollecitazioni: N=72.07 T_z=44.65
V,Ed=44.65 Vc,Rd=15121.50 V,Ed/Vc,Rd=0.00

Asta n. 6598 (343 344) angolari L50x10 Crit. 1

- Verifica di stabilità aste presso-inflesse (C4.2.4.1.3.3.1) - CC 19 SLU - Classe 3
Sollecitazioni: N,Ed=-16.49 Myeq,Ed=-0.29 Mzeq,Ed=-1.60
Resistenze: Nc,Rd=23709.20 My,c,Rd=149.05 Mz,c,Rd=149.05 L=15.00
λ_c=8.19 Ncr,y=2794040.00 λ^*_y=0.09 Curva b: Φ_y=0.00 χ_y=1.00
λ_e=15.58 Ncr,z=772687.00 λ^*_z=0.18 Curva b: Φ_z=0.00 χ_z=1.00
χ,min=1.00
Verifica: 0.00+0.00+0.01=0.01

- Verifica in termini tensionali [4.2.4] - CC 19 SLU Xl=0.02 - Classe 3
Sollecitazioni: N=-16.49 T_z=-2.43 T_y=4.92 M_z=-1.60
Tensioni: σ_N=-1.82 σ_M=-34.84 τ=0.21 σ_{max}=-36.66
Tensioni: σ_N=-1.82 σ_M=6.57 τ=1.46 τ_{max}=1.46
Tensioni: σ_N=-1.82 σ_M=-34.84 τ=0.21 $\sigma_{ID,max}$=36.66

- Verifica a taglio dir. Y [4.2.16] - CC 17 SLU Xl=0.09
Sollecitazioni: N=-10.44 T_z=-3.86 T_y=6.34
V,Ed=6.34 Vc,Rd=7560.76 V,Ed/Vc,Rd=0.00

- Verifica a taglio dir. Z [4.2.16]
V,Ed=-3.86 Vc,Rd=7560.76 V,Ed/Vc,Rd=0.00

Asta n. 6598 (344 345) angolari L50x10 Crit. 1

- Verifica di stabilità aste presso-inflesse (C4.2.4.1.3.3.1) - CC 18 SLU - Classe 3
Sollecitazioni: N,Ed=-23.22 Myeq,Ed=-0.07 Mzeq,Ed=-1.24
Resistenze: Nc,Rd=23709.20 My,c,Rd=149.05 Mz,c,Rd=149.05 L=15.00
λ_c=8.19 Ncr,y=2794040.00 λ^*_y=0.09 Curva b: Φ_y=0.00 χ_y=1.00
λ_e=15.58 Ncr,z=772687.00 λ^*_z=0.18 Curva b: Φ_z=0.00 χ_z=1.00
χ,min=1.00
Verifica: 0.00+0.00+0.01=0.01

- Verifica in termini tensionali [4.2.4] - CC 18 SLU Xl=0.13 - Classe 3
Sollecitazioni: N=-23.22 M_z=-1.24
Tensioni: σ_N=-2.57 σ_M=-26.96 τ=0.00 σ_{max}=-29.53
Tensioni: σ_N=0.00 σ_M=0.00 τ=0.00 τ_{max}=0.00
Tensioni: σ_N=-2.57 σ_M=-26.96 τ=0.00 $\sigma_{ID,max}$=29.53

- Verifica a taglio dir. Y [4.2.16] - CC 17 SLU Xl=0.00
Sollecitazioni: N=-10.44 T_z=-3.86 T_y=5.78
V,Ed=5.78 Vc,Rd=7560.76 V,Ed/Vc,Rd=0.00

- Verifica a taglio dir. Z [4.2.16]
V,Ed=-3.86 Vc,Rd=7560.76 V,Ed/Vc,Rd=0.00

Asta n. 6606 (355 356) angolari L50x10 Crit. 1

- Verifica di stabilità aste presso-inflesse (C4.2.4.1.3.3.1) - CC 19 SLU - Classe 3
Sollecitazioni: N,Ed=-17.09 Myeq,Ed=1.59 Mzeq,Ed=0.29

Resistenze: Nc,Rd=23709.20 My,c,Rd=149.05 Mz,c,Rd=149.05 L=15.00
λ_c=8.19 Ncr,y=2794040.00 λ^*_y=0.09 Curva b: Φ_y=0.00 χ_y=1.00
λ_e=15.58 Ncr,z=772687.00 λ^*_z=0.18 Curva b: Φ_z=0.00 χ_z=1.00
χ,min=1.00
Verifica: 0.00+0.01+0.00=0.01

- Verifica in termini tensionali [4.2.4] - CC 19 SLU Xl=0.02 - Classe 3
Sollecitazioni: N=-17.09 T_z=4.84 M_y=1.59 T_y=-2.42
Tensioni: σ_N=-1.89 σ_M=34.55 τ=0.24 σ_{max}=32.66
Tensioni: σ_N=-1.89 σ_M=-6.52 τ=1.45 τ_{max}=1.45
Tensioni: σ_N=-1.89 σ_M=34.55 τ=0.24 $\sigma_{ID,max}$=32.66

- Verifica a taglio dir. Y [4.2.16] - CC 17 SLU Xl=0.09
Sollecitazioni: N=-11.42 T_z=6.29 T_y=-3.85
V,Ed=-3.85 Vc,Rd=7560.76 V,Ed/Vc,Rd=0.00

- Verifica a taglio dir. Z [4.2.16]
V,Ed=6.29 Vc,Rd=7560.76 V,Ed/Vc,Rd=0.00

Asta n. 6606 (356 357) angolari L50x10 Crit. 1

- Verifica di stabilità aste presso-inflesse (C4.2.4.1.3.3.1) - CC 19 SLU - Classe 3
Sollecitazioni: N,Ed=-17.09 Myeq,Ed=1.03 Mzeq,Ed=-0.21
Resistenze: Nc,Rd=23709.20 My,c,Rd=149.05 Mz,c,Rd=149.05 L=15.00
λ_c=8.19 Ncr,y=2794040.00 λ^*_y=0.09 Curva b: Φ_y=0.00 χ_y=1.00
λ_e=15.58 Ncr,z=772687.00 λ^*_z=0.18 Curva b: Φ_z=0.00 χ_z=1.00
χ,min=1.00
Verifica: 0.00+0.01+0.00=0.01

- Verifica in termini tensionali [4.2.4] - CC 9 SLU Xl=0.13 - Classe 3
Sollecitazioni: N=-16.90 M_y=1.07
Tensioni: σ_N=-1.87 σ_M=-20.43 τ=0.00 σ_{max}=-22.29
Tensioni: σ_N=0.00 σ_M=0.00 τ=0.00 τ_{max}=0.00
Tensioni: σ_N=-1.87 σ_M=-20.43 τ=0.00 $\sigma_{ID,max}$=22.29

- Verifica a taglio dir. Y [4.2.16] - CC 17 SLU Xl=0.00
Sollecitazioni: N=-11.42 T_z=5.73 T_y=-3.85
V,Ed=-3.85 Vc,Rd=7560.76 V,Ed/Vc,Rd=0.00

- Verifica a taglio dir. Z [4.2.16]
V,Ed=5.73 Vc,Rd=7560.76 V,Ed/Vc,Rd=0.00

Asta n. 6607 (-21 -22) calastrelli 100x5 Crit. 1

- Verifica in termini tensionali [4.2.4] - CC 17 SLU Xl=0.26 - Classe 3
Sollecitazioni: N=70.53 T_z=43.32 M_y=-5.43
Tensioni: σ_N=7.05 σ_M=32.57 τ=0.00 σ_{max}=39.62
Tensioni: σ_N=7.05 σ_M=0.00 τ=6.50 τ_{max}=6.50
Tensioni: σ_N=7.05 σ_M=32.57 τ=0.00 $\sigma_{ID,max}$=39.62

- Verifica a taglio dir. Z [4.2.16] - CC 17 SLU Xl=0.13
Sollecitazioni: N=70.53 T_z=44.62
V,Ed=44.62 Vc,Rd=15121.50 V,Ed/Vc,Rd=0.00

Asta n. 6608 (-53 -54) calastrelli 100x5 Crit. 1

- Verifica in termini tensionali [4.2.4] - CC 17 SLU Xl=0.26 - Classe 3
Sollecitazioni: N=16.68 T_z=70.24 M_y=-8.55
Tensioni: σ_N=1.67 σ_M=51.29 τ=0.00 σ_{max}=52.96

Tensioni: σ_N=1.67 σ_M=0.00 τ=10.54 τ_{max}=10.54
Tensioni: σ_N=1.67 σ_M=51.29 τ=0.00 $\sigma_{ID,max}$=52.96

- Verifica a taglio dir. Z [4.2.16] - CC 17 SLU Xl=0.13
Sollecitazioni: N=16.68 T_z=71.52
V,Ed=71.52 Vc,Rd=15121.50 V,Ed/Vc,Rd=0.00

Asta n. 6609 (-85 -86) calastrelli 50x10 Crit. 1

- Verifica di stabilità aste presso-inflesse (C4.2.4.1.3.3.1) - CC 17 SLU - Classe 3
Sollecitazioni: N,Ed=-3.65 Myeq,Ed=6.93 Mzeq,Ed=-0.09
Resistenze: Nc,Rd=13095.20 My,c,Rd=109.13 Mz,c,Rd=21.83 L=28.75
λ_Y=19.92 Ncr,y=261199.00 λ^*_y=0.23 Curva c: Φ_y=0.53 χ_y=0.99
λ_Z=99.59 Ncr,z=10447.90 λ^*_z=1.15 Curva c: Φ_z=1.39 χ_z=0.46
χ,min=0.46
Verifica: 0.00+0.06+0.00=0.07

- Verifica in termini tensionali [4.2.4] - CC 17 SLU Xl=0.03 - Classe 3
Sollecitazioni: N=-3.65 T_z=61.92 M_y=6.93
Tensioni: σ_N=-0.73 σ_M=-166.40 τ=0.00 σ_{max}=-167.13
Tensioni: σ_N=-0.73 σ_M=-0.00 τ=18.58 τ_{max}=18.58
Tensioni: σ_N=-0.73 σ_M=-166.40 τ=0.00 $\sigma_{ID,max}$=167.13

- Verifica a taglio dir. Z [4.2.16] - CC 1 SLV Xl=0.09
Sollecitazioni: T_z=16.21
V,Ed=16.21 Vc,Rd=7560.76 V,Ed/Vc,Rd=0.00

Asta n. 6610 (-117 -118) calastrelli 50x10 Crit. 1

- Verifica di stabilità aste inflesse (4.2.4.1.3.2) CC 1 SLV - Classe 3
L_{cr}=0.28 Curva d: α_{imp}=0.76 k_c=0.94 ψ=3.07 M,cr=0.00 λ_{LT}=0.00
$\lambda_{LT,0}$=0.20 β_{LT}=1.00 Φ_{LT}=0.00 β_{LT}=1.00 f=0.00 χ_{LT}=1.00
CC 1 SLV My,Ed=2.29 My,b,Rd=109.13 My,Ed/My,b,Rd=0.02

- Verifica di stabilità aste presso-inflesse (C4.2.4.1.3.3.1) - CC 17 SLU - Classe 3
Sollecitazioni: N,Ed=-1.89 Myeq,Ed=8.52 Mzeq,Ed=-0.12
Resistenze: Nc,Rd=13095.20 My,c,Rd=109.13 Mz,c,Rd=21.83 L=28.13
λ_Y=19.49 Ncr,y=272937.00 λ^*_y=0.22 Curva c: Φ_y=0.53 χ_y=0.99
λ_Z=97.43 Ncr,z=10917.50 λ^*_z=1.12 Curva c: Φ_z=1.36 χ_z=0.47
χ,min=0.47
Verifica: 0.00+0.08+0.01=0.08

- Verifica in termini tensionali [4.2.4] - CC 17 SLU Xl=0.03 - Classe 3
Sollecitazioni: N=-1.89 T_z=78.23 M_y=8.52
Tensioni: σ_N=-0.38 σ_M=-204.54 τ=0.00 σ_{max}=-204.92
Tensioni: σ_N=-0.38 σ_M=-0.00 τ=23.47 τ_{max}=23.47
Tensioni: σ_N=-0.38 σ_M=-204.54 τ=0.00 $\sigma_{ID,max}$=204.92

- Verifica a taglio dir. Z [4.2.16] - CC 19 SLU Xl=0.13
Sollecitazioni: T_z=49.00
V,Ed=49.00 Vc,Rd=7560.76 V,Ed/Vc,Rd=0.01

Asta n. 6611 (-149 -150) calastrelli 50x10 Crit. 1

- Verifica di stabilità aste inflesse (4.2.4.1.3.2) CC 1 SLV - Classe 3
L_{cr}=0.28 Curva d: α_{imp}=0.76 k_c=0.94 ψ=3.07 M,cr=0.00 λ_{LT}=0.00
$\lambda_{LT,0}$=0.20 β_{LT}=1.00 Φ_{LT}=0.00 β_{LT}=1.00 f=0.00 χ_{LT}=1.00
CC 1 SLV My,Ed=2.42 My,b,Rd=109.13 My,Ed/My,b,Rd=0.02

- Verifica di stabilità aste presso-inflesse (C4.2.4.1.3.3.1) - CC 17 SLU - Classe 3
  Sollecitazioni: N,Ed=-1.99 Myeq,Ed=8.75 Mzeq,Ed=-0.13
  Resistenze: Nc,Rd=13095.20 My,c,Rd=109.13 Mz,c,Rd=21.83 L=27.50
  λ_Y=19.05 Ncr,y=285485.00 λ^*_y=0.22 Curva c: Φ_y=0.53 χ_y=0.99
  λ_Z=95.26 Ncr,z=11419.40 λ^*_z=1.10 Curva c: Φ_z=1.32 χ_z=0.49
  χ,min=0.49
  Verifica: 0.00+0.08+0.01=0.09

- Verifica in termini tensionali [4.2.4] - CC 17 SLU Xl=0.03 - Classe 3
  Sollecitazioni: N=-1.99 T_z=82.63 M_y=8.75 T_y=1.05
  Tensioni: σ_N=-0.40 σ_M=-209.96 τ=0.00 σ_{max}=-210.35
  Tensioni: σ_N=-0.40 σ_M=-0.00 τ=24.79 τ_{max}=24.79
  Tensioni: σ_N=-0.40 σ_M=-209.96 τ=0.32 $\sigma_{ID,max}$=210.35

- Verifica a taglio dir. Z [4.2.16] - CC 1 SLV Xl=0.11
  Sollecitazioni: T_z=22.75
  V,Ed=22.75 Vc,Rd=7560.76 V,Ed/Vc,Rd=0.00

Asta n. 6612 (-181 -182) calastrelli 50x10 Crit. 1

- Verifica di stabilità aste inflesse (4.2.4.1.3.2) CC 1 SLV - Classe 3
  L_{cr}=0.27 Curva d: α_{imp}=0.76 k_c=0.94 ψ=3.07 M,cr=0.00 λ_{LT}=0.00
  $\lambda_{LT,0}$=0.20 β_{LT}=1.00 Φ_{LT}=0.00 β_{LT}=1.00 f=0.00 χ_{LT}=1.00
  CC 1 SLV My,Ed=2.46 My,b,Rd=109.13 My,Ed/My,b,Rd=0.02

- Verifica di stabilità aste presso-inflesse (C4.2.4.1.3.3.1) - CC 17 SLU - Classe 3
  Sollecitazioni: N,Ed=-1.92 Myeq,Ed=8.67 Mzeq,Ed=-0.13
  Resistenze: Nc,Rd=13095.20 My,c,Rd=109.13 Mz,c,Rd=21.83 L=26.88
  λ_Y=18.62 Ncr,y=298917.00 λ^*_y=0.21 Curva c: Φ_y=0.53 χ_y=0.99
  λ_Z=93.10 Ncr,z=11956.70 λ^*_z=1.07 Curva c: Φ_z=1.29 χ_z=0.50
  χ,min=0.50
  Verifica: 0.00+0.08+0.01=0.09

- Verifica in termini tensionali [4.2.4] - CC 17 SLU Xl=0.03 - Classe 3
  Sollecitazioni: N=-1.92 T_z=84.31 M_y=8.67 T_y=1.09
  Tensioni: σ_N=-0.38 σ_M=-207.97 τ=0.00 σ_{max}=-208.36
  Tensioni: σ_N=-0.38 σ_M=-0.00 τ=25.30 τ_{max}=25.30
  Tensioni: σ_N=-0.38 σ_M=-207.97 τ=0.33 $\sigma_{ID,max}$=208.36

- Verifica a taglio dir. Z [4.2.16] - CC 19 SLU Xl=0.12
  Sollecitazioni: T_z=53.02
  V,Ed=53.02 Vc,Rd=7560.76 V,Ed/Vc,Rd=0.01

Asta n. 6613 (-213 -214) calastrelli 50x10 Crit. 1

- Verifica di stabilità aste inflesse (4.2.4.1.3.2) CC 1 SLV - Classe 3
  L_{cr}=0.26 Curva d: α_{imp}=0.76 k_c=0.94 ψ=3.07 M,cr=0.00 λ_{LT}=0.00
  $\lambda_{LT,0}$=0.20 β_{LT}=1.00 Φ_{LT}=0.00 β_{LT}=1.00 f=0.00 χ_{LT}=1.00
  CC 1 SLV My,Ed=2.49 My,b,Rd=109.13 My,Ed/My,b,Rd=0.02

- Verifica di stabilità aste presso-inflesse (C4.2.4.1.3.3.1) - CC 17 SLU - Classe 3
  Sollecitazioni: N,Ed=-1.97 Myeq,Ed=8.52 Mzeq,Ed=-0.13
  Resistenze: Nc,Rd=13095.20 My,c,Rd=109.13 Mz,c,Rd=21.83 L=26.25
  λ_Y=18.19 Ncr,y=313321.00 λ^*_y=0.21 Curva c: Φ_y=0.52 χ_y=1.00
  λ_Z=90.93 Ncr,z=12532.80 λ^*_z=1.05 Curva c: Φ_z=1.26 χ_z=0.51
  χ,min=0.51
  Verifica: 0.00+0.08+0.01=0.08

- Verifica in termini tensionali [4.2.4] - CC 17 SLU Xl=0.03 - Classe 3

Sollecitazioni: N=-1.97 T_z=85.44 M_y=8.52 T_y=1.12
Tensioni: σ_N=-0.39 σ_M=-204.38 τ=0.00 σ_{max}=-204.78
Tensioni: σ_N=-0.39 σ_M=-0.00 τ=25.63 τ_{max}=25.63
Tensioni: σ_N=-0.39 σ_M=-204.38 τ=0.33 $\sigma_{ID,max}$=204.78

- Verifica a taglio dir. Z [4.2.16] - CC 1 SLV Xl=0.09
Sollecitazioni: T_z=24.99
V,Ed=24.99 Vc,Rd=7560.76 V,Ed/Vc,Rd=0.00

Asta n. 6614 (-245 -246) calastrelli 50x10 Crit. 1

- Verifica di stabilità aste inflesse (4.2.4.1.3.2) CC 1 SLV - Classe 3
L_{cr}=0.26 Curva d: α_{imp}=0.76 k_c=0.94 ψ=3.07 M,cr=0.00 λ_{LT}=0.00
$\lambda_{LT,0}$=0.20 β_{LT}=1.00 Φ_{LT}=0.00 β_{LT}=1.00 f=0.00 χ_{LT}=1.00
CC 1 SLV My,Ed=2.52 My,b,Rd=109.13 My,Ed/My,b,Rd=0.02

- Verifica di stabilità aste presso-inflesse (C4.2.4.1.3.3.1) - CC 17 SLU - Classe 3
Sollecitazioni: N,Ed=-1.90 Myeq,Ed=8.35 Mzeq,Ed=-0.13
Resistenze: Nc,Rd=13095.20 My,c,Rd=109.13 Mz,c,Rd=21.83 L=25.63
λ_Y=17.75 Ncr,y=328790.00 λ^*_y=0.20 Curva c: Φ_y=0.52 χ_y=1.00
λ_Z=88.77 Ncr,z=13151.60 λ^*_z=1.02 Curva c: Φ_z=1.22 χ_z=0.53
χ,min=0.53
Verifica: 0.00+0.08+0.01=0.08

- Verifica in termini tensionali [4.2.4] - CC 17 SLU Xl=0.03 - Classe 3
Sollecitazioni: N=-1.90 T_z=86.47 M_y=8.35 T_y=1.14
Tensioni: σ_N=-0.38 σ_M=-200.44 τ=0.00 σ_{max}=-200.81
Tensioni: σ_N=-0.38 σ_M=-0.00 τ=25.94 τ_{max}=25.94
Tensioni: σ_N=-0.38 σ_M=-200.44 τ=0.34 $\sigma_{ID,max}$=200.82

- Verifica a taglio dir. Z [4.2.16] - CC 19 SLU Xl=0.12
Sollecitazioni: T_z=54.60
V,Ed=54.60 Vc,Rd=7560.76 V,Ed/Vc,Rd=0.01

Asta n. 6615 (-277 -278) calastrelli 50x10 Crit. 1

- Verifica di stabilità aste inflesse (4.2.4.1.3.2) CC 1 SLV - Classe 3
L_{cr}=0.25 Curva d: α_{imp}=0.76 k_c=0.94 ψ=3.07 M,cr=0.00 λ_{LT}=0.00
$\lambda_{LT,0}$=0.20 β_{LT}=1.00 Φ_{LT}=0.00 β_{LT}=1.00 f=0.00 χ_{LT}=1.00
CC 1 SLV My,Ed=2.54 My,b,Rd=109.13 My,Ed/My,b,Rd=0.02

- Verifica di stabilità aste presso-inflesse (C4.2.4.1.3.3.1) - CC 17 SLU - Classe 3
Sollecitazioni: N,Ed=-1.93 Myeq,Ed=8.18 Mzeq,Ed=-0.13
Resistenze: Nc,Rd=13095.20 My,c,Rd=109.13 Mz,c,Rd=21.83 L=25.00
λ_Y=17.32 Ncr,y=345436.00 λ^*_y=0.20 Curva c: Φ_y=0.52 χ_y=1.00
λ_Z=86.60 Ncr,z=13817.40 λ^*_z=1.00 Curva c: Φ_z=1.19 χ_z=0.54
χ,min=0.54
Verifica: 0.00+0.07+0.01=0.08

- Verifica in termini tensionali [4.2.4] - CC 17 SLU Xl=0.03 - Classe 3
Sollecitazioni: N=-1.93 T_z=87.55 M_y=8.18 T_y=1.15
Tensioni: σ_N=-0.39 σ_M=-196.41 τ=0.00 σ_{max}=-196.79
Tensioni: σ_N=-0.39 σ_M=-0.00 τ=26.27 τ_{max}=26.27
Tensioni: σ_N=-0.39 σ_M=-196.41 τ=0.35 $\sigma_{ID,max}$=196.79

- Verifica a taglio dir. Z [4.2.16] - CC 19 SLU Xl=0.11
Sollecitazioni: T_z=55.40
V,Ed=55.40 Vc,Rd=7560.76 V,Ed/Vc,Rd=0.01

Asta n. 6616 (-309 -310) calastrelli 50x10 Crit. 1

- Verifica di stabilità aste inflesse (4.2.4.1.3.2) CC 1 SLV - Classe 3
  L_{cr}=0.24 Curva d: α_{imp}=0.76 k_c=0.94 ψ=3.07 M,cr=0.00 λ_{LT}=0.00
  $\lambda_{LT,0}$=0.20 β_{LT}=1.00 Φ_{LT}=0.00 β_{LT}=1.00 f=0.00 χ_{LT}=1.00
  CC 1 SLV My,Ed=2.55 My,b,Rd=109.13 My,Ed/My,b,Rd=0.02

- Verifica di stabilità aste presso-inflesse (C4.2.4.1.3.3.1) - CC 17 SLU - Classe 3
  Sollecitazioni: N,Ed=-1.96 Myeq,Ed=8.02 Mzeq,Ed=-0.13
  Resistenze: Nc,Rd=13095.20 My,c,Rd=109.13 Mz,c,Rd=21.83 L=24.38
  λ_Y=16.89 Ncr,y=363379.00 λ^*_y=0.19 Curva c: Φ_y=0.52 χ_y=1.00
  λ_Z=84.44 Ncr,z=14535.20 λ^*_z=0.97 Curva c: Φ_z=1.16 χ_z=0.56
  χ,min=0.56
  Verifica: 0.00+0.07+0.01=0.08

- Verifica in termini tensionali [4.2.4] - CC 17 SLU Xl=0.03 - Classe 3
  Sollecitazioni: N=-1.96 T_z=88.73 M_y=8.02 T_y=1.17
  Tensioni: σ_N=-0.39 σ_M=-192.42 τ=0.00 σ_{max}=-192.81
  Tensioni: σ_N=-0.39 σ_M=-0.00 τ=26.62 τ_{max}=26.62
  Tensioni: σ_N=-0.39 σ_M=-192.42 τ=0.35 $\sigma_{ID,max}$=192.82

- Verifica a taglio dir. Z [4.2.16] - CC 1 SLV Xl=0.09
  Sollecitazioni: T_z=28.22
  V,Ed=28.22 Vc,Rd=7560.76 V,Ed/Vc,Rd=0.00

Asta n. 6617 (-341 -342) calastrelli 50x10 Crit. 1

- Verifica di stabilità aste inflesse (4.2.4.1.3.2) CC 1 SLV - Classe 3
  L_{cr}=0.24 Curva d: α_{imp}=0.76 k_c=0.94 ψ=3.07 M,cr=0.00 λ_{LT}=0.00
  $\lambda_{LT,0}$=0.20 β_{LT}=1.00 Φ_{LT}=0.00 β_{LT}=1.00 f=0.00 χ_{LT}=1.00
  CC 1 SLV My,Ed=2.57 My,b,Rd=109.13 My,Ed/My,b,Rd=0.02

- Verifica di stabilità aste presso-inflesse (C4.2.4.1.3.3.1) - CC 17 SLU - Classe 3
  Sollecitazioni: N,Ed=-1.88 Myeq,Ed=7.85 Mzeq,Ed=-0.13
  Resistenze: Nc,Rd=13095.20 My,c,Rd=109.13 Mz,c,Rd=21.83 L=23.75
  λ_Y=16.45 Ncr,y=382754.00 λ^*_y=0.19 Curva c: Φ_y=0.52 χ_y=1.00
  λ_Z=82.27 Ncr,z=15310.20 λ^*_z=0.95 Curva c: Φ_z=1.13 χ_z=0.57
  χ,min=0.57
  Verifica: 0.00+0.07+0.01=0.08

- Verifica in termini tensionali [4.2.4] - CC 17 SLU Xl=0.03 - Classe 3
  Sollecitazioni: N=-1.88 T_z=89.96 M_y=7.85 T_y=1.19
  Tensioni: σ_N=-0.38 σ_M=-188.41 τ=0.00 σ_{max}=-188.78
  Tensioni: σ_N=-0.38 σ_M=-0.00 τ=26.99 τ_{max}=26.99
  Tensioni: σ_N=-0.38 σ_M=-188.41 τ=0.36 $\sigma_{ID,max}$=188.79

- Verifica a taglio dir. Z [4.2.16] - CC 19 SLU Xl=0.11
  Sollecitazioni: T_z=57.19
  V,Ed=57.19 Vc,Rd=7560.76 V,Ed/Vc,Rd=0.01

Asta n. 6618 (-373 -374) calastrelli 50x10 Crit. 1

- Verifica di stabilità aste inflesse (4.2.4.1.3.2) CC 1 SLV - Classe 3
  L_{cr}=0.23 Curva d: α_{imp}=0.76 k_c=0.94 ψ=3.07 M,cr=0.00 λ_{LT}=0.00
  $\lambda_{LT,0}$=0.20 β_{LT}=1.00 Φ_{LT}=0.00 β_{LT}=1.00 f=0.00 χ_{LT}=1.00
  CC 1 SLV My,Ed=2.59 My,b,Rd=109.13 My,Ed/My,b,Rd=0.02

- Verifica di stabilità aste presso-inflesse (C4.2.4.1.3.3.1) - CC 17 SLU - Classe 3
  Sollecitazioni: N,Ed=-1.89 Myeq,Ed=7.68 Mzeq,Ed=-0.13

Resistenze: Nc,Rd=13095.20 My,c,Rd=109.13 Mz,c,Rd=21.83 L=23.13
λ_Y=16.02 Ncr,y=403725.00 λ^*_y=0.18 Curva c: Φ_y=0.51 χ_y=1.00
λ_Z=80.11 Ncr,z=16149.00 λ^*_z=0.92 Curva c: Φ_z=1.10 χ_z=0.59
χ,min=0.59
Verifica: 0.00+0.07+0.01=0.08

- Verifica in termini tensionali [4.2.4] - CC 17 SLU Xl=0.03 - Classe 3
Sollecitazioni: N=-1.89 T_z=91.30 M_y=7.68 T_y=1.21
Tensioni: σ_N=-0.38 σ_M=-184.40 τ=0.00 σ_{max}=-184.78
Tensioni: σ_N=-0.38 σ_M=-0.00 τ=27.39 τ_{max}=27.39
Tensioni: σ_N=-0.38 σ_M=-184.40 τ=0.36 $\sigma_{ID,max}$=184.78

- Verifica a taglio dir. Z [4.2.16] - CC 19 SLU Xl=0.10
Sollecitazioni: T_z=58.19
V,Ed=58.19 Vc,Rd=7560.76 V,Ed/Vc,Rd=0.01

Asta n. 6619 (-405 -406) calastrelli 50x10 Crit. 1

- Verifica di stabilità aste presso-inflesse (C4.2.4.1.3.3.1) - CC 17 SLU - Classe 3
Sollecitazioni: N,Ed=-2.32 Myeq,Ed=7.51 Mzeq,Ed=-0.12
Resistenze: Nc,Rd=13095.20 My,c,Rd=109.13 Mz,c,Rd=21.83 L=22.50
λ_Y=15.59 Ncr,y=426463.00 λ^*_y=0.18 Curva c: Φ_y=0.51 χ_y=1.00
λ_Z=77.94 Ncr,z=17058.50 λ^*_z=0.90 Curva c: Φ_z=1.07 χ_z=0.60
χ,min=0.60
Verifica: 0.00+0.07+0.01=0.07

- Verifica in termini tensionali [4.2.4] - CC 17 SLU Xl=0.03 - Classe 3
Sollecitazioni: N=-2.32 T_z=92.71 M_y=7.51 T_y=1.23
Tensioni: σ_N=-0.46 σ_M=-180.25 τ=0.00 σ_{max}=-180.72
Tensioni: σ_N=-0.46 σ_M=-0.00 τ=27.81 τ_{max}=27.81
Tensioni: σ_N=-0.46 σ_M=-180.25 τ=0.37 $\sigma_{ID,max}$=180.72

- Verifica a taglio dir. Z [4.2.16] - CC 1 SLV Xl=0.09
Sollecitazioni: T_z=32.01
V,Ed=32.01 Vc,Rd=7560.76 V,Ed/Vc,Rd=0.00

Asta n. 6620 (-437 -438) calastrelli 50x10 Crit. 1

- Verifica in termini tensionali [4.2.4] - CC 17 SLU Xl=0.03 - Classe 3
Sollecitazioni: N=1.39 T_z=93.93 M_y=7.34 T_y=1.24
Tensioni: σ_N=0.28 σ_M=176.25 τ=0.00 σ_{max}=176.53
Tensioni: σ_N=0.28 σ_M=-0.00 τ=28.18 τ_{max}=28.18
Tensioni: σ_N=0.28 σ_M=176.25 τ=0.37 $\sigma_{ID,max}$=176.53

- Verifica a taglio dir. Y [4.2.16] - CC 17 SLU Xl=0.10
Sollecitazioni: N=1.39 T_z=93.57 T_y=1.24
V,Ed=1.24 Vc,Rd=7560.76 V,Ed/Vc,Rd=0.00

- Verifica a taglio dir. Z [4.2.16]
V,Ed=93.57 Vc,Rd=7560.76 V,Ed/Vc,Rd=0.01

Asta n. 6621 (-469 -470) calastrelli 50x10 Crit. 1

- Verifica di stabilità aste presso-inflesse (C4.2.4.1.3.3.1) - CC 17 SLU - Classe 3
Sollecitazioni: N,Ed=-24.05 Myeq,Ed=-7.07 Mzeq,Ed=-0.11
Resistenze: Nc,Rd=13095.20 My,c,Rd=109.13 Mz,c,Rd=21.83 L=21.25
λ_Y=14.72 Ncr,y=478114.00 λ^*_y=0.17 Curva c: Φ_y=0.51 χ_y=1.00
λ_Z=73.61 Ncr,z=19124.60 λ^*_z=0.85 Curva c: Φ_z=1.02 χ_z=0.63
χ,min=0.63

Verifica: 0.00+0.06+0.01=0.07

- Verifica in termini tensionali [4.2.4] - CC 17 SLU Xl=0.18 - Classe 3
Sollecitazioni: N=-24.05 T_z=93.14 M_y=-7.07 T_y=1.20
Tensioni: σ_N=-4.81 σ_M=-169.60 τ=0.00 σ_{max}=-174.41
Tensioni: σ_N=-4.81 σ_M=0.00 τ=27.94 τ_{max}=27.94
Tensioni: σ_N=-4.81 σ_M=-169.60 τ=0.36 $\sigma_{ID,max}$=174.41

Asta n. 6622 (-501 -502) calastrelli 50x10 Crit. 1

- Verifica in termini tensionali [4.2.4] - CC 17 SLU Xl=0.03 - Classe 3
Sollecitazioni: N=127.06 T_z=82.99 M_y=7.09 T_y=1.02
Tensioni: σ_N=25.41 σ_M=170.09 τ=0.00 σ_{max}=195.50
Tensioni: σ_N=25.41 σ_M=-0.00 τ=24.90 τ_{max}=24.90
Tensioni: σ_N=25.41 σ_M=170.09 τ=0.30 $\sigma_{ID,max}$=195.50

- Verifica a taglio dir. Y [4.2.16] - CC 17 SLU Xl=0.11
Sollecitazioni: N=127.06 T_z=82.60 T_y=1.02
V,Ed=1.02 Vc,Rd=7560.76 V,Ed/Vc,Rd=0.00

- Verifica a taglio dir. Z [4.2.16]
V,Ed=82.60 Vc,Rd=7560.76 V,Ed/Vc,Rd=0.01

Asta n. 6626 (-509 -510) calastrelli 50x10 Crit. 1

- Verifica di stabilità aste inflesse (4.2.4.1.3.2) CC 5 SLV - Classe 3
L_{cr}=0.21 Curva d: α_{imp}=0.76 k_c=0.94 ψ=1.15 M,cr=0.00 λ_{LT}=0.00
$\lambda_{LT,0}$=0.20 β_{LT}=1.00 Φ_{LT}=0.00 β_{LT}=1.00 f=0.00 χ_{LT}=1.00
CC 5 SLV My,Ed=-1.44 My,b,Rd=109.13 My,Ed/My,b,Rd=0.01

- Verifica di stabilità aste presso-inflesse (C4.2.4.1.3.3.1) - CC 17 SLU - Classe 3
Sollecitazioni: N,Ed=-59.01 Myeq,Ed=-6.77 Mzeq,Ed=-0.10
Resistenze: Nc,Rd=13095.20 My,c,Rd=109.13 Mz,c,Rd=21.83 L=20.63
λ_Y=14.29 Ncr,y=507527.00 λ^*_y=0.16 Curva c: Φ_y=0.50 χ_y=1.00
λ_Z=71.45 Ncr,z=20301.10 λ^*_z=0.82 Curva c: Φ_z=0.99 χ_z=0.65
χ,min=0.65
Verifica: 0.00+0.06+0.00=0.07

- Verifica in termini tensionali [4.2.4] - CC 17 SLU Xl=0.18 - Classe 3
Sollecitazioni: N=-59.01 T_z=86.88 M_y=-6.77 T_y=-1.10
Tensioni: σ_N=-11.80 σ_M=-162.46 τ=0.00 σ_{max}=-174.26
Tensioni: σ_N=-11.80 σ_M=0.00 τ=26.07 τ_{max}=26.07
Tensioni: σ_N=-11.80 σ_M=-162.46 τ=0.33 $\sigma_{ID,max}$=174.26

- Verifica a taglio dir. Z [4.2.16] - CC 5 SLV Xl=0.05
Sollecitazioni: N=21.27 T_z=12.12
V,Ed=12.12 Vc,Rd=7560.76 V,Ed/Vc,Rd=0.00

Asta n. 6627 (-477 -478) calastrelli 50x10 Crit. 1

- Verifica di stabilità aste inflesse (4.2.4.1.3.2) CC 17 SLU - Classe 3
L_{cr}=0.21 Curva d: α_{imp}=0.76 k_c=0.94 ψ=3.10 M,cr=0.00 λ_{LT}=0.00
$\lambda_{LT,0}$=0.20 β_{LT}=1.00 Φ_{LT}=0.00 β_{LT}=1.00 f=0.00 χ_{LT}=1.00
CC 17 SLU My,Ed=7.31 My,b,Rd=109.13 My,Ed/My,b,Rd=0.07

- Verifica di stabilità aste presso-inflesse (C4.2.4.1.3.3.1) - CC 5 SLV - Classe 3
Sollecitazioni: N,Ed=-3.77 Myeq,Ed=1.10 Mzeq,Ed=-0.03
Resistenze: Nc,Rd=13095.20 My,c,Rd=109.13 Mz,c,Rd=21.83 L=21.25
λ_Y=14.72 Ncr,y=478114.00 λ^*_y=0.17 Curva c: Φ_y=0.51 χ_y=1.00

λ_Z=73.61 Ncr,z=19124.60 λ^*_z=0.85 Curva c: Φ_z=1.02 χ_z=0.63
χ,min=0.63
Verifica: 0.00+0.01+0.00=0.01

- Verifica in termini tensionali [4.2.4] - CC 17 SLU Xl=0.04 - Classe 3
Sollecitazioni: N=7.10 T_z=98.55 M_y=7.31 T_y=-1.28
Tensioni: σ_N=1.42 σ_M=175.52 τ=0.00 σ_{max}=176.94
Tensioni: σ_N=1.42 σ_M=-0.00 τ=29.57 τ_{max}=29.57
Tensioni: σ_N=1.42 σ_M=175.52 τ=0.38 $\sigma_{ID,max}$=176.94

- Verifica a taglio dir. Y [4.2.16] - CC 17 SLU Xl=0.10
Sollecitazioni: N=7.10 T_z=98.21 T_y=-1.28
V,Ed=-1.28 Vc,Rd=7560.76 V,Ed/Vc,Rd=0.00

- Verifica a taglio dir. Z [4.2.16]
V,Ed=98.21 Vc,Rd=7560.76 V,Ed/Vc,Rd=0.01

Asta n. 6628 (-445 -446) calastrelli 50x10 Crit. 1

- Verifica di stabilità aste presso-inflesse (C4.2.4.1.3.3.1) - CC 17 SLU - Classe 3
Sollecitazioni: N,Ed=-3.67 Myeq,Ed=-7.68 Mzeq,Ed=-0.13
Resistenze: Nc,Rd=13095.20 My,c,Rd=109.13 Mz,c,Rd=21.83 L=21.88
λ_Y=15.16 Ncr,y=451182.00 λ^*_y=0.17 Curva c: Φ_y=0.51 χ_y=1.00
λ_Z=75.78 Ncr,z=18047.30 λ^*_z=0.87 Curva c: Φ_z=1.05 χ_z=0.62
χ,min=0.62
Verifica: 0.00+0.07+0.01=0.08

- Verifica in termini tensionali [4.2.4] - CC 17 SLU Xl=0.19 - Classe 3
Sollecitazioni: N=-3.67 T_z=97.71 M_y=-7.68 T_y=-1.32
Tensioni: σ_N=-0.73 σ_M=-184.41 τ=0.00 σ_{max}=-185.15
Tensioni: σ_N=-0.73 σ_M=0.00 τ=29.31 τ_{max}=29.31
Tensioni: σ_N=-0.73 σ_M=-184.41 τ=0.40 $\sigma_{ID,max}$=185.15

- Verifica a taglio dir. Z [4.2.16] - CC 1 SLV Xl=0.09
Sollecitazioni: T_z=35.91
V,Ed=35.91 Vc,Rd=7560.76 V,Ed/Vc,Rd=0.00

Asta n. 6629 (-413 -414) calastrelli 50x10 Crit. 1

- Verifica di stabilità aste inflesse (4.2.4.1.3.2) CC 16 SLU - Classe 3
L_{cr}=0.23 Curva d: α_{imp}=0.76 k_c=0.94 ψ=2.75 M,cr=0.00 λ_{LT}=0.00
$\lambda_{LT,0}$=0.20 β_{LT}=1.00 Φ_{LT}=0.00 β_{LT}=1.00 f=0.00 χ_{LT}=1.00
CC 16 SLU My,Ed=0.33 My,b,Rd=109.13 My,Ed/My,b,Rd=0.00

- Verifica di stabilità aste presso-inflesse (C4.2.4.1.3.3.1) - CC 17 SLU - Classe 3
Sollecitazioni: N,Ed=-2.11 Myeq,Ed=-7.86 Mzeq,Ed=-0.13
Resistenze: Nc,Rd=13095.20 My,c,Rd=109.13 Mz,c,Rd=21.83 L=22.50
λ_Y=15.59 Ncr,y=426463.00 λ^*_y=0.18 Curva c: Φ_y=0.51 χ_y=1.00
λ_Z=77.94 Ncr,z=17058.50 λ^*_z=0.90 Curva c: Φ_z=1.07 χ_z=0.60
χ,min=0.60
Verifica: 0.00+0.07+0.01=0.08

- Verifica in termini tensionali [4.2.4] - CC 17 SLU Xl=0.20 - Classe 3
Sollecitazioni: N=-2.11 T_z=96.19 M_y=-7.86 T_y=-1.30
Tensioni: σ_N=-0.42 σ_M=-188.57 τ=0.00 σ_{max}=-188.99
Tensioni: σ_N=-0.42 σ_M=0.00 τ=28.86 τ_{max}=28.86
Tensioni: σ_N=-0.42 σ_M=-188.57 τ=0.39 $\sigma_{ID,max}$=188.99

- Verifica a taglio dir. Z [4.2.16] - CC 1 SLV Xl=0.09

Sollecitazioni: T_z=34.48
V,Ed=34.48 Vc,Rd=7560.76 V,Ed/Vc,Rd=0.00

Asta n. 6630 (-381 -382) calastrelli 50x10 Crit. 1

- Verifica di stabilità aste presso-inflesse (C4.2.4.1.3.3.1) - CC 17 SLU - Classe 3
Sollecitazioni: N,Ed=-2.28 Myeq,Ed=-8.02 Mzeq,Ed=-0.13
Resistenze: Nc,Rd=13095.20 My,c,Rd=109.13 Mz,c,Rd=21.83 L=23.13
λ_Y=16.02 Ncr,y=403725.00 λ^*_y=0.18 Curva c: Φ_y=0.51 χ_y=1.00
λ_Z=80.11 Ncr,z=16149.00 λ^*_z=0.92 Curva c: Φ_z=1.10 χ_z=0.59
χ,min=0.59
Verifica: 0.00+0.07+0.01=0.08

- Verifica in termini tensionali [4.2.4] - CC 17 SLU Xl=0.20 - Classe 3
Sollecitazioni: N=-2.28 T_z=94.54 M_y=-8.02 T_y=-1.28
Tensioni: σ_N=-0.46 σ_M=-192.55 τ=0.00 σ_{max}=-193.01
Tensioni: σ_N=-0.46 σ_M=0.00 τ=28.37 τ_{max}=28.37
Tensioni: σ_N=-0.46 σ_M=-192.55 τ=0.38 $\sigma_{ID,max}$=193.01

- Verifica a taglio dir. Z [4.2.16] - CC 1 SLV Xl=0.10
Sollecitazioni: T_z=33.04
V,Ed=33.04 Vc,Rd=7560.76 V,Ed/Vc,Rd=0.00

Asta n. 6631 (-349 -350) calastrelli 50x10 Crit. 1

- Verifica di stabilità aste presso-inflesse (C4.2.4.1.3.3.1) - CC 17 SLU - Classe 3
Sollecitazioni: N,Ed=-2.27 Myeq,Ed=-8.18 Mzeq,Ed=-0.13
Resistenze: Nc,Rd=13095.20 My,c,Rd=109.13 Mz,c,Rd=21.83 L=23.75
λ_Y=16.45 Ncr,y=382754.00 λ^*_y=0.19 Curva c: Φ_y=0.52 χ_y=1.00
λ_Z=82.27 Ncr,z=15310.20 λ^*_z=0.95 Curva c: Φ_z=1.13 χ_z=0.57
χ,min=0.57
Verifica: 0.00+0.07+0.01=0.08

- Verifica in termini tensionali [4.2.4] - CC 17 SLU Xl=0.21 - Classe 3
Sollecitazioni: N=-2.27 T_z=92.96 M_y=-8.18 T_y=-1.25
Tensioni: σ_N=-0.45 σ_M=-196.36 τ=0.00 σ_{max}=-196.82
Tensioni: σ_N=-0.45 σ_M=0.00 τ=27.89 τ_{max}=27.89
Tensioni: σ_N=-0.45 σ_M=-196.36 τ=0.38 $\sigma_{ID,max}$=196.82

- Verifica a taglio dir. Z [4.2.16] - CC 1 SLV Xl=0.10
Sollecitazioni: T_z=31.66
V,Ed=31.66 Vc,Rd=7560.76 V,Ed/Vc,Rd=0.00

Asta n. 6632 (-317 -318) calastrelli 50x10 Crit. 1

- Verifica di stabilità aste presso-inflesse (C4.2.4.1.3.3.1) - CC 17 SLU - Classe 3
Sollecitazioni: N,Ed=-2.25 Myeq,Ed=-8.34 Mzeq,Ed=-0.13
Resistenze: Nc,Rd=13095.20 My,c,Rd=109.13 Mz,c,Rd=21.83 L=24.38
λ_Y=16.89 Ncr,y=363379.00 λ^*_y=0.19 Curva c: Φ_y=0.52 χ_y=1.00
λ_Z=84.44 Ncr,z=14535.20 λ^*_z=0.97 Curva c: Φ_z=1.16 χ_z=0.56
χ,min=0.56
Verifica: 0.00+0.08+0.01=0.08

- Verifica in termini tensionali [4.2.4] - CC 17 SLU Xl=0.22 - Classe 3
Sollecitazioni: N=-2.25 T_z=91.50 M_y=-8.34 T_y=-1.23
Tensioni: σ_N=-0.45 σ_M=-200.22 τ=0.00 σ_{max}=-200.67
Tensioni: σ_N=-0.45 σ_M=0.00 τ=27.45 τ_{max}=27.45
Tensioni: σ_N=-0.45 σ_M=-200.22 τ=0.37 $\sigma_{ID,max}$=200.67

- Verifica a taglio dir. Z [4.2.16] - CC 1 SLV Xl=0.10
  Sollecitazioni: T_z=30.36
  V,Ed=30.36 Vc,Rd=7560.76 V,Ed/Vc,Rd=0.00

Asta n. 6633 (-285 -286) calastrelli 50x10 Crit. 1

- Verifica di stabilità aste presso-inflesse (C4.2.4.1.3.3.1) - CC 17 SLU - Classe 3
  Sollecitazioni: N,Ed=-2.26 Myeq,Ed=-8.50 Mzeq,Ed=-0.14
  Resistenze: Nc,Rd=13095.20 My,c,Rd=109.13 Mz,c,Rd=21.83 L=25.00
  λ_Y=17.32 Ncr,y=345436.00 λ^*_y=0.20 Curva c: Φ_y=0.52 χ_y=1.00
  λ_Z=86.60 Ncr,z=13817.40 λ^*_z=1.00 Curva c: Φ_z=1.19 χ_z=0.54
  χ,min=0.54
  Verifica: 0.00+0.08+0.01=0.08

- Verifica in termini tensionali [4.2.4] - CC 17 SLU Xl=0.22 - Classe 3
  Sollecitazioni: N=-2.26 T_z=90.11 M_y=-8.50 T_y=-1.21
  Tensioni: σ_N=-0.45 σ_M=-204.00 τ=0.00 σ_{max}=-204.45
  Tensioni: σ_N=-0.45 σ_M=0.00 τ=27.04 τ_{max}=27.04
  Tensioni: σ_N=-0.45 σ_M=-204.00 τ=0.36 $\sigma_{ID,max}$=204.45

- Verifica a taglio dir. Z [4.2.16] - CC 1 SLV Xl=0.10
  Sollecitazioni: T_z=29.11
  V,Ed=29.11 Vc,Rd=7560.76 V,Ed/Vc,Rd=0.00

Asta n. 6634 (-253 -254) calastrelli 50x10 Crit. 1

- Verifica di stabilità aste presso-inflesse (C4.2.4.1.3.3.1) - CC 17 SLU - Classe 3
  Sollecitazioni: N,Ed=-2.25 Myeq,Ed=-8.66 Mzeq,Ed=-0.14
  Resistenze: Nc,Rd=13095.20 My,c,Rd=109.13 Mz,c,Rd=21.83 L=25.63
  λ_Y=17.75 Ncr,y=328790.00 λ^*_y=0.20 Curva c: Φ_y=0.52 χ_y=1.00
  λ_Z=88.77 Ncr,z=13151.60 λ^*_z=1.02 Curva c: Φ_z=1.22 χ_z=0.53
  χ,min=0.53
  Verifica: 0.00+0.08+0.01=0.09

- Verifica in termini tensionali [4.2.4] - CC 17 SLU Xl=0.23 - Classe 3
  Sollecitazioni: N=-2.25 T_z=88.83 M_y=-8.66 T_y=-1.19
  Tensioni: σ_N=-0.45 σ_M=-207.82 τ=0.00 σ_{max}=-208.27
  Tensioni: σ_N=-0.45 σ_M=0.00 τ=26.65 τ_{max}=26.65
  Tensioni: σ_N=-0.45 σ_M=-207.82 τ=0.36 $\sigma_{ID,max}$=208.28

- Verifica a taglio dir. Z [4.2.16] - CC 1 SLV Xl=0.11
  Sollecitazioni: T_z=27.92
  V,Ed=27.92 Vc,Rd=7560.76 V,Ed/Vc,Rd=0.00

Asta n. 6635 (-221 -222) calastrelli 50x10 Crit. 1

- Verifica di stabilità aste presso-inflesse (C4.2.4.1.3.3.1) - CC 17 SLU - Classe 3
  Sollecitazioni: N,Ed=-2.25 Myeq,Ed=-8.82 Mzeq,Ed=-0.14
  Resistenze: Nc,Rd=13095.20 My,c,Rd=109.13 Mz,c,Rd=21.83 L=26.25
  λ_Y=18.19 Ncr,y=313321.00 λ^*_y=0.21 Curva c: Φ_y=0.52 χ_y=1.00
  λ_Z=90.93 Ncr,z=12532.80 λ^*_z=1.05 Curva c: Φ_z=1.26 χ_z=0.51
  χ,min=0.51
  Verifica: 0.00+0.08+0.01=0.09

- Verifica in termini tensionali [4.2.4] - CC 17 SLU Xl=0.23 - Classe 3
  Sollecitazioni: N=-2.25 T_z=87.61 M_y=-8.82 T_y=-1.17
  Tensioni: σ_N=-0.45 σ_M=-211.61 τ=0.00 σ_{max}=-212.06
  Tensioni: σ_N=-0.45 σ_M=0.00 τ=26.28 τ_{max}=26.28
  Tensioni: σ_N=-0.45 σ_M=-211.61 τ=0.35 $\sigma_{ID,max}$=212.06

- Verifica a taglio dir. Z [4.2.16] - CC 1 SLV Xl=0.11
  Sollecitazioni: T_z=26.76
  V,Ed=26.76 Vc,Rd=7560.76 V,Ed/Vc,Rd=0.00

Asta n. 6636 (-189 -190) calastrelli 50x10 Crit. 1

- Verifica di stabilità aste presso-inflesse (C4.2.4.1.3.3.1) - CC 17 SLU - Classe 3
  Sollecitazioni: N,Ed=-2.23 Myeq,Ed=-8.96 Mzeq,Ed=-0.14
  Resistenze: Nc,Rd=13095.20 My,c,Rd=109.13 Mz,c,Rd=21.83 L=26.88
  λ_Y=18.62 Ncr,y=298917.00 λ^*_y=0.21 Curva c: Φ_y=0.53 χ_y=0.99
  λ_Z=93.10 Ncr,z=11956.70 λ^*_z=1.07 Curva c: Φ_z=1.29 χ_z=0.50
  χ,min=0.50
  Verifica: 0.00+0.08+0.01=0.09

- Verifica in termini tensionali [4.2.4] - CC 17 SLU Xl=0.24 - Classe 3
  Sollecitazioni: N=-2.23 T_z=86.30 M_y=-8.96 T_y=-1.14
  Tensioni: σ_N=-0.45 σ_M=-214.99 τ=0.00 σ_{max}=-215.44
  Tensioni: σ_N=-0.45 σ_M=0.00 τ=25.89 τ_{max}=25.89
  Tensioni: σ_N=-0.45 σ_M=-214.99 τ=0.34 $\sigma_{ID,max}$=215.44

- Verifica a taglio dir. Z [4.2.16] - CC 1 SLV Xl=0.11
  Sollecitazioni: T_z=25.66
  V,Ed=25.66 Vc,Rd=7560.76 V,Ed/Vc,Rd=0.00

Asta n. 6637 (-157 -158) calastrelli 50x10 Crit. 1

- Verifica di stabilità aste presso-inflesse (C4.2.4.1.3.3.1) - CC 17 SLU - Classe 3
  Sollecitazioni: N,Ed=-2.27 Myeq,Ed=-9.03 Mzeq,Ed=-0.14
  Resistenze: Nc,Rd=13095.20 My,c,Rd=109.13 Mz,c,Rd=21.83 L=27.50
  λ_Y=19.05 Ncr,y=285485.00 λ^*_y=0.22 Curva c: Φ_y=0.53 χ_y=0.99
  λ_Z=95.26 Ncr,z=11419.40 λ^*_z=1.10 Curva c: Φ_z=1.32 χ_z=0.49
  χ,min=0.49
  Verifica: 0.00+0.08+0.01=0.09

- Verifica in termini tensionali [4.2.4] - CC 17 SLU Xl=0.25 - Classe 3
  Sollecitazioni: N=-2.27 T_z=84.43 M_y=-9.03 T_y=-1.10
  Tensioni: σ_N=-0.45 σ_M=-216.77 τ=0.00 σ_{max}=-217.22
  Tensioni: σ_N=-0.45 σ_M=0.00 τ=25.33 τ_{max}=25.33
  Tensioni: σ_N=-0.45 σ_M=-216.77 τ=0.33 $\sigma_{ID,max}$=217.22

- Verifica a taglio dir. Z [4.2.16] - CC 1 SLV Xl=0.11
  Sollecitazioni: T_z=24.41
  V,Ed=24.41 Vc,Rd=7560.76 V,Ed/Vc,Rd=0.00

Asta n. 6638 (-125 -126) calastrelli 50x10 Crit. 1

- Verifica di stabilità aste presso-inflesse (C4.2.4.1.3.3.1) - CC 17 SLU - Classe 3
  Sollecitazioni: N,Ed=-1.91 Myeq,Ed=-8.79 Mzeq,Ed=-0.13
  Resistenze: Nc,Rd=13095.20 My,c,Rd=109.13 Mz,c,Rd=21.83 L=28.13
  λ_Y=19.49 Ncr,y=272937.00 λ^*_y=0.22 Curva c: Φ_y=0.53 χ_y=0.99
  λ_Z=97.43 Ncr,z=10917.50 λ^*_z=1.12 Curva c: Φ_z=1.36 χ_z=0.47
  χ,min=0.47
  Verifica: 0.00+0.08+0.01=0.09

- Verifica in termini tensionali [4.2.4] - CC 17 SLU Xl=0.25 - Classe 3
  Sollecitazioni: N=-1.91 T_z=79.76 M_y=-8.79
  Tensioni: σ_N=-0.38 σ_M=-210.92 τ=0.00 σ_{max}=-211.30
  Tensioni: σ_N=-0.38 σ_M=0.00 τ=23.93 τ_{max}=23.93

Tensioni: σ_N=-0.38 σ_M=-210.92 τ=0.00 $\sigma_{ID,max}$=211.30

- Verifica a taglio dir. Z [4.2.16] - CC 1 SLV Xl=0.11
Sollecitazioni: T_z=22.46
V,Ed=22.46 Vc,Rd=7560.76 V,Ed/Vc,Rd=0.00

Asta n. 6639 (-93 -94) calastrelli 50x10 Crit. 1

- Verifica di stabilità aste presso-inflesse (C4.2.4.1.3.3.1) - CC 17 SLU - Classe 3
Sollecitazioni: N,Ed=-3.68 Myeq,Ed=-7.12 Mzeq,Ed=-0.10
Resistenze: Nc,Rd=13095.20 My,c,Rd=109.13 Mz,c,Rd=21.83 L=28.75
λ_Y=19.92 Ncr,y=261199.00 λ^*_y=0.23 Curva c: Φ_y=0.53 χ_y=0.99
λ_Z=99.59 Ncr,z=10447.90 λ^*_z=1.15 Curva c: Φ_z=1.39 χ_z=0.46
χ,min=0.46
Verifica: 0.00+0.07+0.00=0.07

- Verifica in termini tensionali [4.2.4] - CC 17 SLU Xl=0.26 - Classe 3
Sollecitazioni: N=-3.68 T_z=62.83 M_y=-7.12
Tensioni: σ_N=-0.74 σ_M=-170.96 τ=0.00 σ_{max}=-171.69
Tensioni: σ_N=-0.74 σ_M=0.00 τ=18.85 τ_{max}=18.85
Tensioni: σ_N=-0.74 σ_M=-170.96 τ=0.00 $\sigma_{ID,max}$=171.69

- Verifica a taglio dir. Z [4.2.16] - CC 1 SLV Xl=0.10
Sollecitazioni: T_z=17.40
V,Ed=17.40 Vc,Rd=7560.76 V,Ed/Vc,Rd=0.00

Asta n. 6640 (-61 -62) calastrelli 100x5 Crit. 1

- Verifica in termini tensionali [4.2.4] - CC 17 SLU Xl=0.27 - Classe 3
Sollecitazioni: N=16.31 T_z=72.57 M_y=-8.95
Tensioni: σ_N=1.63 σ_M=53.67 τ=0.00 σ_{max}=55.30
Tensioni: σ_N=1.63 σ_M=0.00 τ=10.89 τ_{max}=10.89
Tensioni: σ_N=1.63 σ_M=53.67 τ=0.00 $\sigma_{ID,max}$=55.30

- Verifica a taglio dir. Z [4.2.16] - CC 17 SLU Xl=0.14
Sollecitazioni: N=16.31 T_z=73.85
V,Ed=73.85 Vc,Rd=15121.50 V,Ed/Vc,Rd=0.00

Asta n. 6641 (-29 -30) calastrelli 100x5 Crit. 1

- Verifica in termini tensionali [4.2.4] - CC 17 SLU Xl=0.27 - Classe 3
Sollecitazioni: N=71.35 T_z=44.98 M_y=-5.63
Tensioni: σ_N=7.14 σ_M=33.79 τ=0.00 σ_{max}=40.93
Tensioni: σ_N=7.14 σ_M=0.00 τ=6.75 τ_{max}=6.75
Tensioni: σ_N=7.14 σ_M=33.79 τ=0.00 $\sigma_{ID,max}$=40.93

- Verifica a taglio dir. Z [4.2.16] - CC 17 SLU Xl=0.14
Sollecitazioni: N=71.35 T_z=46.28
V,Ed=46.28 Vc,Rd=15121.50 V,Ed/Vc,Rd=0.00

Asta n. 6642 (379 380) angolari L50x10 Crit. 1

- Verifica di stabilità aste presso-inflesse (C4.2.4.1.3.3.1) - CC 19 SLU - Classe 3
Sollecitazioni: N,Ed=-45.39 Myeq,Ed=-0.25 Mzeq,Ed=-1.71
Resistenze: Nc,Rd=23709.20 My,c,Rd=149.05 Mz,c,Rd=149.05 L=15.00
λ_c=8.19 Ncr,y=2794040.00 λ^*_y=0.09 Curva b: Φ_y=0.00 χ_y=1.00
λ_e=15.58 Ncr,z=772687.00 λ^*_z=0.18 Curva b: Φ_z=0.00 χ_z=1.00
χ,min=1.00
Verifica: 0.00+0.00+0.01=0.02

- Verifica in termini tensionali [4.2.4] - CC 19 SLU Xl=0.02 - Classe 3
  Sollecitazioni: N=-45.39 T_z=-2.43 T_y=4.92 M_z=-1.71
  Tensioni: σ_N=-5.01 σ_M=-37.26 τ=0.21 σ_{max}=-42.27
  Tensioni: σ_N=-5.01 σ_M=7.03 τ=1.46 τ_{max}=1.46
  Tensioni: σ_N=-5.01 σ_M=-37.26 τ=0.21 $\sigma_{ID,max}$=42.27

- Verifica a taglio dir. Y [4.2.16] - CC 17 SLU Xl=0.10
  Sollecitazioni: N=-25.81 T_z=-3.97 T_y=6.64
  V,Ed=6.64 Vc,Rd=7560.76 V,Ed/Vc,Rd=0.00

- Verifica a taglio dir. Z [4.2.16]
  V,Ed=-3.97 Vc,Rd=7560.76 V,Ed/Vc,Rd=0.00

Asta n. 6642 (380 381) angolari L50x10 Crit. 1

- Verifica di stabilità aste presso-inflesse (C4.2.4.1.3.3.1) - CC 19 SLU - Classe 3
  Sollecitazioni: N,Ed=-45.39 Myeq,Ed=0.23 Mzeq,Ed=-1.14
  Resistenze: Nc,Rd=23709.20 My,c,Rd=149.05 Mz,c,Rd=149.05 L=15.00
  λ_c=8.19 Ncr,y=2794040.00 λ^*_y=0.09 Curva b: Φ_y=0.00 χ_y=1.00
  λ_e=15.58 Ncr,z=772687.00 λ^*_z=0.18 Curva b: Φ_z=0.00 χ_z=1.00
  χ,min=1.00
  Verifica: 0.00+0.00+0.01=0.01

- Verifica in termini tensionali [4.2.4] - CC 9 SLU Xl=0.13 - Classe 3
  Sollecitazioni: N=-46.04 T_y=-1.21 M_z=-1.23
  Tensioni: σ_N=-5.09 σ_M=-26.71 τ=0.05 σ_{max}=-31.79
  Tensioni: σ_N=-5.09 σ_M=5.04 τ=0.35 τ_{max}=0.35
  Tensioni: σ_N=-5.09 σ_M=-26.71 τ=0.05 $\sigma_{ID,max}$=31.79

- Verifica a taglio dir. Y [4.2.16] - CC 17 SLU Xl=0.00
  Sollecitazioni: N=-25.81 T_z=-3.97 T_y=6.19
  V,Ed=6.19 Vc,Rd=7560.76 V,Ed/Vc,Rd=0.00

- Verifica a taglio dir. Z [4.2.16]
  V,Ed=-3.97 Vc,Rd=7560.76 V,Ed/Vc,Rd=0.00

Asta n. 6643 (-541 -542) arcarecci T 120x60x10 Crit. 1

- Verifica di stabilità aste inflesse (4.2.4.1.3.2) CC 9 SLU - Classe 3
  L_{cr}=0.12 Curva d: α_{imp}=0.76 k_c=0.94 ψ=1.24 M,cr=0.00 λ_{LT}=0.00
  $\lambda_{LT,0}$=0.00 β_{LT}=0.00 Φ_{LT}=0.00 β_{LT}=0.00 f=0.00 χ_{LT}=1.00
  CC 9 SLU My,Ed=-0.15 My,b,Rd=862.52 My,Ed/My,b,Rd=0.00

- Verifica di stabilità aste presso-inflesse (C4.2.4.1.3.3.1) - CC 17 SLU - Classe 3
  Sollecitazioni: N,Ed=-2.67 Myeq,Ed=-0.31 Mzeq,Ed=-1.05
  Resistenze: Nc,Rd=44512.60 My,c,Rd=862.52 Mz,c,Rd=164.81 L=12.00
  λ_Y=3.12 Ncr,y=36117200.00 λ^*_y=0.04 Curva c: Φ_y=0.00 χ_y=1.00
  λ_Z=11.39 Ncr,z=2717260.00 λ^*_z=0.13 Curva c: Φ_z=0.00 χ_z=1.00
  χ,min=1.00
  Verifica: 0.00+0.00+0.01=0.01

- Verifica in termini tensionali [4.2.4] - CC 17 SLU Xl=0.12 - Classe 3
  Sollecitazioni: N=-2.67 T_z=5.02 T_y=-17.03 M_z=-1.05
  Tensioni: σ_N=-0.16 σ_M=-16.72 τ=0.07 σ_{max}=-16.88
  Tensioni: σ_N=-0.16 σ_M=-3.34 τ=3.90 τ_{max}=3.90
  Tensioni: σ_N=-0.16 σ_M=-16.72 τ=0.07 $\sigma_{ID,max}$=16.88

- Verifica a taglio dir. Y [4.2.16] - CC 1 SLV Xl=0.00

Sollecitazioni: T_z=-1.57 T_y=-10.02
V,Ed=-10.02 Vc,Rd=9072.91 V,Ed/Vc,Rd=0.00

- Verifica a taglio dir. Z [4.2.16]
V,Ed=-1.57 Vc,Rd=18145.80 V,Ed/Vc,Rd=0.00

Asta n. 6644 (-525 -526) arcarecci T 120x60x10 Crit. 1

- Verifica di stabilità aste inflesse (4.2.4.1.3.2) CC 3 SLV - Classe 3
L_{cr}=0.12 Curva d: α_{imp}=0.76 k_c=0.94 ψ=1.07 M,cr=0.00 λ_{LT}=0.00
$\lambda_{LT,0}$=0.00 β_{LT}=0.00 Φ_{LT}=0.00 β_{LT}=0.00 f=0.00 χ_{LT}=1.00
CC 3 SLV My,Ed=-0.05 My,b,Rd=862.52 My,Ed/My,b,Rd=0.00

- Verifica di stabilità aste presso-inflesse (C4.2.4.1.3.3.1) - CC 17 SLU - Classe 3
Sollecitazioni: N,Ed=-3.67 Myeq,Ed=-0.23 Mzeq,Ed=0.69
Resistenze: Nc,Rd=44512.60 My,c,Rd=862.52 Mz,c,Rd=164.81 L=12.00
λ_Y=3.12 Ncr,y=36117200.00 λ^*_y=0.04 Curva c: Φ_y=0.00 χ_y=1.00
λ_Z=11.39 Ncr,z=2717260.00 λ^*_z=0.13 Curva c: Φ_z=0.00 χ_z=1.00
χ,min=1.00
Verifica: 0.00+0.00+0.00=0.00

- Verifica a compressione [4.2.9] - CC 17 SLU Xl=0.00 - Classe 3
Sollecitazioni: N=-3.67 T_y=-11.40
N,Ed=-3.67 Nc,Rd=-44512.60 N,Ed/Nc,Rd=0.00

- Verifica a taglio dir. Y [4.2.16] - CC 1 SLV Xl=0.00
Sollecitazioni: T_z=-1.13 T_y=-9.66
V,Ed=-9.66 Vc,Rd=9072.91 V,Ed/Vc,Rd=0.00

- Verifica a taglio dir. Z [4.2.16]
V,Ed=-1.13 Vc,Rd=18145.80 V,Ed/Vc,Rd=0.00

Asta n. 6839 (-519 -520) arcarecci T 120x60x10 Crit. 1

- Verifica di stabilità aste inflesse (4.2.4.1.3.2) CC 18 SLU - Classe 3
L_{cr}=0.12 Curva d: α_{imp}=0.76 k_c=0.94 ψ=2.88 M,cr=0.00 λ_{LT}=0.00
$\lambda_{LT,0}$=0.00 β_{LT}=0.00 Φ_{LT}=0.00 β_{LT}=0.00 f=0.00 χ_{LT}=1.00
CC 18 SLU My,Ed=0.19 My,b,Rd=862.52 My,Ed/My,b,Rd=0.00

- Verifica di stabilità aste presso-inflesse (C4.2.4.1.3.3.1) - CC 19 SLU - Classe 3
Sollecitazioni: N,Ed=-1.25 Myeq,Ed=-0.23 Mzeq,Ed=1.60
Resistenze: Nc,Rd=44512.60 My,c,Rd=862.52 Mz,c,Rd=164.81 L=12.00
λ_Y=3.12 Ncr,y=36117200.00 λ^*_y=0.04 Curva c: Φ_y=0.00 χ_y=1.00
λ_Z=11.39 Ncr,z=2717260.00 λ^*_z=0.13 Curva c: Φ_z=0.00 χ_z=1.00
χ,min=1.00
Verifica: 0.00+0.00+0.01=0.01

- Verifica in termini tensionali [4.2.4] - CC 19 SLU Xl=0.12 - Classe 3
Sollecitazioni: N=-1.25 T_z=4.38 T_y=24.55 M_z=1.60
Tensioni: σ_N=-0.07 σ_M=-25.35 τ=0.00 σ_{max}=-25.43
Tensioni: σ_N=-0.07 σ_M=5.07 τ=5.61 τ_{max}=5.61
Tensioni: σ_N=-0.07 σ_M=-25.35 τ=0.06 $\sigma_{ID,max}$=25.43

- Verifica a taglio dir. Y [4.2.16] - CC 18 SLU Xl=0.01
Sollecitazioni: T_z=2.12 T_y=18.42
V,Ed=18.42 Vc,Rd=9072.91 V,Ed/Vc,Rd=0.00

- Verifica a taglio dir. Z [4.2.16]
V,Ed=2.12 Vc,Rd=18145.80 V,Ed/Vc,Rd=0.00

Asta n. 6840 (-535 -536) arcarecci T 120x60x10 Crit. 1

- Verifica di stabilità aste presso-inflesse (C4.2.4.1.3.3.1) - CC 19 SLU - Classe 3
  Sollecitazioni: N,Ed=-2.07 Myeq,Ed=-0.15 Mzeq,Ed=1.55
  Resistenze: Nc,Rd=44512.60 My,c,Rd=862.52 Mz,c,Rd=164.81 L=12.00
  λ_Y=3.12 Ncr,y=36117200.00 λ^*_y=0.04 Curva c: Φ_y=0.00 χ_y=1.00
  λ_Z=11.39 Ncr,z=2717260.00 λ^*_z=0.13 Curva c: Φ_z=0.00 χ_z=1.00
  χ,min=1.00
  Verifica: 0.00+0.00+0.01=0.01

- Verifica in termini tensionali [4.2.4] - CC 19 SLU Xl=0.12 - Classe 3
  Sollecitazioni: N=-2.07 T_z=2.74 T_y=25.21 M_z=1.55
  Tensioni: σ_N=-0.12 σ_M=-24.64 τ=0.00 σ_{max}=-24.76
  Tensioni: σ_N=-0.12 σ_M=4.93 τ=5.75 τ_{max}=5.75
  Tensioni: σ_N=-0.12 σ_M=-24.64 τ=0.04 $\sigma_{ID,max}$=24.76

- Verifica a taglio dir. Y [4.2.16] - CC 18 SLU Xl=0.00
  Sollecitazioni: T_y=16.58
  V,Ed=16.58 Vc,Rd=9072.91 V,Ed/Vc,Rd=0.00

Asta n. 6841 (322 323) angolari L50x10 Crit. 1

- Verifica di stabilità aste presso-inflesse (C4.2.4.1.3.3.1) - CC 17 SLU - Classe 3
  Sollecitazioni: N,Ed=-8.45 Myeq,Ed=0.83 Mzeq,Ed=0.37
  Resistenze: Nc,Rd=23709.20 My,c,Rd=149.05 Mz,c,Rd=149.05 L=15.00
  λ_c=8.19 Ncr,y=2794020.00 λ^*_y=0.09 Curva b: Φ_y=0.00 χ_y=1.00
  λ_e=15.58 Ncr,z=772682.00 λ^*_z=0.18 Curva b: Φ_z=0.00 χ_z=1.00
  χ,min=1.00
  Verifica: 0.00+0.01+0.00=0.01

- Verifica in termini tensionali [4.2.4] - CC 17 SLU Xl=0.02 - Classe 3
  Sollecitazioni: N=-8.45 T_z=6.10 M_y=1.00 T_y=-3.57
  Tensioni: σ_N=-0.93 σ_M=21.88 τ=0.30 σ_{max}=20.94
  Tensioni: σ_N=-0.93 σ_M=-4.13 τ=1.85 τ_{max}=1.85
  Tensioni: σ_N=-0.93 σ_M=21.88 τ=0.30 $\sigma_{ID,max}$=20.95

- Verifica a taglio dir. Y [4.2.16] - CC 17 SLU Xl=0.03
  Sollecitazioni: N=-8.45 T_z=5.99 T_y=-3.57
  V,Ed=-3.57 Vc,Rd=7560.76 V,Ed/Vc,Rd=0.00

- Verifica a taglio dir. Z [4.2.16]
  V,Ed=5.99 Vc,Rd=7560.76 V,Ed/Vc,Rd=0.00

Asta n. 6841 (323 324) angolari L50x10 Crit. 1

- Verifica di stabilità aste presso-inflesse (C4.2.4.1.3.3.1) - CC 18 SLU - Classe 3
  Sollecitazioni: N,Ed=-12.88 Myeq,Ed=0.73 Mzeq,Ed=0.02
  Resistenze: Nc,Rd=23709.20 My,c,Rd=149.05 Mz,c,Rd=149.05 L=15.00
  λ_c=8.19 Ncr,y=2794050.00 λ^*_y=0.09 Curva b: Φ_y=0.00 χ_y=1.00
  λ_e=15.58 Ncr,z=772692.00 λ^*_z=0.18 Curva b: Φ_z=0.00 χ_z=1.00
  χ,min=1.00
  Verifica: 0.00+0.00+0.00=0.01

- Verifica a compressione [4.2.9] - CC 9 SLU Xl=0.00 - Classe 1
  Sollecitazioni: N=-13.36
  N,Ed=-13.36 Nc,Rd=-23709.20 N,Ed/Nc,Rd=0.00
  Verifiche di duttilità [7.5.3]:
  q_0=4.00 N,Ed=-13.36 Npl,Rd=23709.20 N,Ed/Npl,Rd=0.000564

- Verifica a taglio dir. Y [4.2.16] - CC 17 SLU Xl=0.00
  Sollecitazioni: N=-8.45 T_z=4.88 T_y=-3.57
  V,Ed=-3.57 Vc,Rd=7560.76 V,Ed/Vc,Rd=0.00

- Verifica a taglio dir. Z [4.2.16]
  V,Ed=4.88 Vc,Rd=7560.76 V,Ed/Vc,Rd=0.00

Asta n. 6842 (-7 -8) calastrelli 100x5 Crit. 1

- Verifica in termini tensionali [4.2.4] - CC 17 SLU Xl=0.26 - Classe 3
  Sollecitazioni: N=31.88 T_z=38.68 M_y=-4.70
  Tensioni: σ_N=3.19 σ_M=28.22 τ=0.00 σ_{max}=31.41
  Tensioni: σ_N=3.19 σ_M=0.00 τ=5.80 τ_{max}=5.80
  Tensioni: σ_N=3.19 σ_M=28.22 τ=0.00 $\sigma_{ID,max}$=31.41

- Verifica a taglio dir. Z [4.2.16] - CC 17 SLU Xl=0.13
  Sollecitazioni: N=31.88 T_z=39.98
  V,Ed=39.98 Vc,Rd=15121.50 V,Ed/Vc,Rd=0.00

Asta n. 6843 (-39 -40) calastrelli 100x5 Crit. 1

- Verifica in termini tensionali [4.2.4] - CC 17 SLU Xl=0.26 - Classe 3
  Sollecitazioni: N=6.80 T_z=63.07 M_y=-7.49
  Tensioni: σ_N=0.68 σ_M=44.91 τ=0.00 σ_{max}=45.59
  Tensioni: σ_N=0.68 σ_M=0.00 τ=9.46 τ_{max}=9.46
  Tensioni: σ_N=0.68 σ_M=44.91 τ=0.00 $\sigma_{ID,max}$=45.59

- Verifica a taglio dir. Z [4.2.16] - CC 17 SLU Xl=0.13
  Sollecitazioni: N=6.80 T_z=64.35
  V,Ed=64.35 Vc,Rd=15121.50 V,Ed/Vc,Rd=0.00

Asta n. 6844 (-71 -72) calastrelli 50x10 Crit. 1

- Verifica di stabilità aste presso-inflesse (C4.2.4.1.3.3.1) - CC 17 SLU - Classe 3
  Sollecitazioni: N,Ed=-3.04 Myeq,Ed=6.24 Mzeq,Ed=0.08
  Resistenze: Nc,Rd=13095.20 My,c,Rd=109.13 Mz,c,Rd=21.83 L=28.75
  λ_Y=19.92 Ncr,y=261199.00 λ^*_y=0.23 Curva c: Φ_y=0.53 χ_y=0.99
  λ_Z=99.59 Ncr,z=10447.90 λ^*_z=1.15 Curva c: Φ_z=1.39 χ_z=0.46
  χ,min=0.46
  Verifica: 0.00+0.06+0.00=0.06

- Verifica in termini tensionali [4.2.4] - CC 17 SLU Xl=0.03 - Classe 3
  Sollecitazioni: N=-3.04 T_z=55.66 M_y=6.24
  Tensioni: σ_N=-0.61 σ_M=-149.66 τ=0.00 σ_{max}=-150.27
  Tensioni: σ_N=-0.61 σ_M=-0.00 τ=16.70 τ_{max}=16.70
  Tensioni: σ_N=-0.61 σ_M=-149.66 τ=0.00 $\sigma_{ID,max}$=150.27

- Verifica a taglio dir. Z [4.2.16] - CC 1 SLV Xl=0.09
  Sollecitazioni: T_z=15.54
  V,Ed=15.54 Vc,Rd=7560.76 V,Ed/Vc,Rd=0.00

Asta n. 6845 (-103 -104) calastrelli 50x10 Crit. 1

- Verifica di stabilità aste inflesse (4.2.4.1.3.2) CC 18 SLU - Classe 3
  L_{cr}=0.28 Curva d: α_{imp}=0.76 k_c=0.94 ψ=2.94 M,cr=0.00 λ_{LT}=0.00
  $\lambda_{LT,0}$=0.20 β_{LT}=1.00 Φ_{LT}=0.00 β_{LT}=1.00 f=0.00 χ_{LT}=1.00
  CC 18 SLU My,Ed=0.38 My,b,Rd=109.13 My,Ed/My,b,Rd=0.00

- Verifica di stabilità aste presso-inflesse (C4.2.4.1.3.3.1) - CC 17 SLU - Classe 3

Sollecitazioni: N,Ed=-2.32 Myeq,Ed=7.65 Mzeq,Ed=0.10
Resistenze: Nc,Rd=13095.20 My,c,Rd=109.13 Mz,c,Rd=21.83 L=28.13
λ_Y=19.49 Ncr,y=272937.00 λ^*_y=0.22 Curva c: Φ_y=0.53 χ_y=0.99
λ_Z=97.43 Ncr,z=10917.50 λ^*_z=1.12 Curva c: Φ_z=1.36 χ_z=0.47
χ,min=0.47
Verifica: 0.00+0.07+0.00=0.07

- Verifica in termini tensionali [4.2.4] - CC 17 SLU Xl=0.03 - Classe 3
Sollecitazioni: N=-2.32 T_z=70.10 M_y=7.65
Tensioni: σ_N=-0.46 σ_M=-183.52 τ=0.00 σ_{max}=-183.99
Tensioni: σ_N=-0.46 σ_M=-0.00 τ=21.03 τ_{max}=21.03
Tensioni: σ_N=-0.46 σ_M=-183.52 τ=0.00 $\sigma_{ID,max}$=183.99

- Verifica a taglio dir. Z [4.2.16] - CC 1 SLV Xl=0.09
Sollecitazioni: T_z=20.12
V,Ed=20.12 Vc,Rd=7560.76 V,Ed/Vc,Rd=0.00

Asta n. 6846 (-135 -136) calastrelli 50x10 Crit. 1

- Verifica di stabilità aste presso-inflesse (C4.2.4.1.3.3.1) - CC 17 SLU - Classe 3
Sollecitazioni: N,Ed=-2.20 Myeq,Ed=7.82 Mzeq,Ed=0.11
Resistenze: Nc,Rd=13095.20 My,c,Rd=109.13 Mz,c,Rd=21.83 L=27.50
λ_Y=19.05 Ncr,y=285485.00 λ^*_y=0.22 Curva c: Φ_y=0.53 χ_y=0.99
λ_Z=95.26 Ncr,z=11419.40 λ^*_z=1.10 Curva c: Φ_z=1.32 χ_z=0.49
χ,min=0.49
Verifica: 0.00+0.07+0.01=0.08

- Verifica in termini tensionali [4.2.4] - CC 17 SLU Xl=0.03 - Classe 3
Sollecitazioni: N=-2.20 T_z=73.76 M_y=7.82
Tensioni: σ_N=-0.44 σ_M=-187.71 τ=0.00 σ_{max}=-188.15
Tensioni: σ_N=-0.44 σ_M=-0.00 τ=22.13 τ_{max}=22.13
Tensioni: σ_N=-0.44 σ_M=-187.71 τ=0.00 $\sigma_{ID,max}$=188.15

- Verifica a taglio dir. Z [4.2.16] - CC 1 SLV Xl=0.11
Sollecitazioni: T_z=21.78
V,Ed=21.78 Vc,Rd=7560.76 V,Ed/Vc,Rd=0.00

Asta n. 6847 (-167 -168) calastrelli 50x10 Crit. 1

- Verifica di stabilità aste presso-inflesse (C4.2.4.1.3.3.1) - CC 17 SLU - Classe 3
Sollecitazioni: N,Ed=-2.15 Myeq,Ed=7.72 Mzeq,Ed=0.11
Resistenze: Nc,Rd=13095.20 My,c,Rd=109.13 Mz,c,Rd=21.83 L=26.88
λ_Y=18.62 Ncr,y=298917.00 λ^*_y=0.21 Curva c: Φ_y=0.53 χ_y=0.99
λ_Z=93.10 Ncr,z=11956.70 λ^*_z=1.07 Curva c: Φ_z=1.29 χ_z=0.50
χ,min=0.50
Verifica: 0.00+0.07+0.01=0.08

- Verifica in termini tensionali [4.2.4] - CC 17 SLU Xl=0.03 - Classe 3
Sollecitazioni: N=-2.15 T_z=74.96 M_y=7.72
Tensioni: σ_N=-0.43 σ_M=-185.22 τ=0.00 σ_{max}=-185.65
Tensioni: σ_N=-0.43 σ_M=-0.00 τ=22.49 τ_{max}=22.49
Tensioni: σ_N=-0.43 σ_M=-185.22 τ=0.00 $\sigma_{ID,max}$=185.65

- Verifica a taglio dir. Z [4.2.16] - CC 1 SLV Xl=0.10
Sollecitazioni: T_z=22.88
V,Ed=22.88 Vc,Rd=7560.76 V,Ed/Vc,Rd=0.00

Asta n. 6848 (-199 -200) calastrelli 50x10 Crit. 1

- Verifica di stabilità aste presso-inflesse (C4.2.4.1.3.3.1) - CC 17 SLU - Classe 3
  Sollecitazioni: N,Ed=-2.19 Myeq,Ed=7.55 Mzeq,Ed=0.11
  Resistenze: Nc,Rd=13095.20 My,c,Rd=109.13 Mz,c,Rd=21.83 L=26.25
  λ_Y=18.19 Ncr,y=313321.00 λ^*_y=0.21 Curva c: Φ_y=0.52 χ_y=1.00
  λ_Z=90.93 Ncr,z=12532.80 λ^*_z=1.05 Curva c: Φ_z=1.26 χ_z=0.51
  χ,min=0.51
  Verifica: 0.00+0.07+0.01=0.07

- Verifica in termini tensionali [4.2.4] - CC 17 SLU Xl=0.03 - Classe 3
  Sollecitazioni: N=-2.19 T_z=75.62 M_y=7.55
  Tensioni: σ_N=-0.44 σ_M=-181.27 τ=0.00 σ_{max}=-181.70
  Tensioni: σ_N=-0.44 σ_M=-0.00 τ=22.69 τ_{max}=22.69
  Tensioni: σ_N=-0.44 σ_M=-181.27 τ=0.00 $\sigma_{ID,max}$=181.70

- Verifica a taglio dir. Z [4.2.16] - CC 1 SLV Xl=0.10
  Sollecitazioni: T_z=23.87
  V,Ed=23.87 Vc,Rd=7560.76 V,Ed/Vc,Rd=0.00

Asta n. 6849 (-231 -232) calastrelli 50x10 Crit. 1

- Verifica di stabilità aste presso-inflesse (C4.2.4.1.3.3.1) - CC 17 SLU - Classe 3
  Sollecitazioni: N,Ed=-2.22 Myeq,Ed=7.37 Mzeq,Ed=0.11
  Resistenze: Nc,Rd=13095.20 My,c,Rd=109.13 Mz,c,Rd=21.83 L=25.63
  λ_Y=17.75 Ncr,y=328790.00 λ^*_y=0.20 Curva c: Φ_y=0.52 χ_y=1.00
  λ_Z=88.77 Ncr,z=13151.60 λ^*_z=1.02 Curva c: Φ_z=1.22 χ_z=0.53
  χ,min=0.53
  Verifica: 0.00+0.07+0.00=0.07

- Verifica in termini tensionali [4.2.4] - CC 17 SLU Xl=0.03 - Classe 3
  Sollecitazioni: N=-2.22 T_z=76.19 M_y=7.37 T_y=1.01
  Tensioni: σ_N=-0.44 σ_M=-177.00 τ=0.00 σ_{max}=-177.44
  Tensioni: σ_N=-0.44 σ_M=-0.00 τ=22.86 τ_{max}=22.86
  Tensioni: σ_N=-0.44 σ_M=-177.00 τ=0.30 $\sigma_{ID,max}$=177.44

- Verifica a taglio dir. Z [4.2.16] - CC 1 SLV Xl=0.10
  Sollecitazioni: T_z=24.87
  V,Ed=24.87 Vc,Rd=7560.76 V,Ed/Vc,Rd=0.00

Asta n. 6850 (-263 -264) calastrelli 50x10 Crit. 1

- Verifica di stabilità aste presso-inflesse (C4.2.4.1.3.3.1) - CC 17 SLU - Classe 3
  Sollecitazioni: N,Ed=-2.17 Myeq,Ed=7.19 Mzeq,Ed=0.11
  Resistenze: Nc,Rd=13095.20 My,c,Rd=109.13 Mz,c,Rd=21.83 L=25.00
  λ_Y=17.32 Ncr,y=345436.00 λ^*_y=0.20 Curva c: Φ_y=0.52 χ_y=1.00
  λ_Z=86.60 Ncr,z=13817.40 λ^*_z=1.00 Curva c: Φ_z=1.19 χ_z=0.54
  χ,min=0.54
  Verifica: 0.00+0.07+0.00=0.07

- Verifica in termini tensionali [4.2.4] - CC 17 SLU Xl=0.03 - Classe 3
  Sollecitazioni: N=-2.17 T_z=76.77 M_y=7.19 T_y=1.02
  Tensioni: σ_N=-0.43 σ_M=-172.67 τ=0.00 σ_{max}=-173.10
  Tensioni: σ_N=-0.43 σ_M=-0.00 τ=23.03 τ_{max}=23.03
  Tensioni: σ_N=-0.43 σ_M=-172.67 τ=0.31 $\sigma_{ID,max}$=173.10

- Verifica a taglio dir. Z [4.2.16] - CC 1 SLV Xl=0.10
  Sollecitazioni: T_z=25.90
  V,Ed=25.90 Vc,Rd=7560.76 V,Ed/Vc,Rd=0.00

Asta n. 6851 (-295 -296) calastrelli 50x10 Crit. 1

- Verifica di stabilità aste presso-inflesse (C4.2.4.1.3.3.1) - CC 17 SLU - Classe 3
  Sollecitazioni: N,Ed=-2.22 Myeq,Ed=7.01 Mzeq,Ed=0.10
  Resistenze: Nc,Rd=13095.20 My,c,Rd=109.13 Mz,c,Rd=21.83 L=24.38
  λ_Y=16.89 Ncr,y=363379.00 λ^*_y=0.19 Curva c: Φ_y=0.52 χ_y=1.00
  λ_Z=84.44 Ncr,z=14535.20 λ^*_z=0.97 Curva c: Φ_z=1.16 χ_z=0.56
  χ,min=0.56
  Verifica: 0.00+0.06+0.00=0.07

- Verifica in termini tensionali [4.2.4] - CC 17 SLU Xl=0.03 - Classe 3
  Sollecitazioni: N=-2.22 T_z=77.39 M_y=7.01 T_y=1.03
  Tensioni: σ_N=-0.44 σ_M=-168.33 τ=0.00 σ_{max}=-168.77
  Tensioni: σ_N=-0.44 σ_M=-0.00 τ=23.22 τ_{max}=23.22
  Tensioni: σ_N=-0.44 σ_M=-168.33 τ=0.31 $\sigma_{ID,max}$=168.77

- Verifica a taglio dir. Z [4.2.16] - CC 1 SLV Xl=0.09
  Sollecitazioni: T_z=26.98
  V,Ed=26.98 Vc,Rd=7560.76 V,Ed/Vc,Rd=0.00

Asta n. 6852 (-327 -328) calastrelli 50x10 Crit. 1

- Verifica di stabilità aste presso-inflesse (C4.2.4.1.3.3.1) - CC 17 SLU - Classe 3
  Sollecitazioni: N,Ed=-2.20 Myeq,Ed=6.83 Mzeq,Ed=0.10
  Resistenze: Nc,Rd=13095.20 My,c,Rd=109.13 Mz,c,Rd=21.83 L=23.75
  λ_Y=16.45 Ncr,y=382754.00 λ^*_y=0.19 Curva c: Φ_y=0.52 χ_y=1.00
  λ_Z=82.27 Ncr,z=15310.20 λ^*_z=0.95 Curva c: Φ_z=1.13 χ_z=0.57
  χ,min=0.57
  Verifica: 0.00+0.06+0.00=0.07

- Verifica in termini tensionali [4.2.4] - CC 17 SLU Xl=0.03 - Classe 3
  Sollecitazioni: N=-2.20 T_z=78.05 M_y=6.83 T_y=1.04
  Tensioni: σ_N=-0.44 σ_M=-163.98 τ=0.00 σ_{max}=-164.42
  Tensioni: σ_N=-0.44 σ_M=-0.00 τ=23.42 τ_{max}=23.42
  Tensioni: σ_N=-0.44 σ_M=-163.98 τ=0.31 $\sigma_{ID,max}$=164.42

- Verifica a taglio dir. Z [4.2.16] - CC 1 SLV Xl=0.09
  Sollecitazioni: T_z=28.12
  V,Ed=28.12 Vc,Rd=7560.76 V,Ed/Vc,Rd=0.00

Asta n. 6853 (-359 -360) calastrelli 50x10 Crit. 1

- Verifica di stabilità aste presso-inflesse (C4.2.4.1.3.3.1) - CC 17 SLU - Classe 3
  Sollecitazioni: N,Ed=-2.20 Myeq,Ed=6.65 Mzeq,Ed=0.10
  Resistenze: Nc,Rd=13095.20 My,c,Rd=109.13 Mz,c,Rd=21.83 L=23.13
  λ_Y=16.02 Ncr,y=403725.00 λ^*_y=0.18 Curva c: Φ_y=0.51 χ_y=1.00
  λ_Z=80.11 Ncr,z=16149.00 λ^*_z=0.92 Curva c: Φ_z=1.10 χ_z=0.59
  χ,min=0.59
  Verifica: 0.00+0.06+0.00=0.07

- Verifica in termini tensionali [4.2.4] - CC 17 SLU Xl=0.03 - Classe 3
  Sollecitazioni: N=-2.20 T_z=78.75 M_y=6.65 T_y=1.05
  Tensioni: σ_N=-0.44 σ_M=-159.64 τ=0.00 σ_{max}=-160.08
  Tensioni: σ_N=-0.44 σ_M=-0.00 τ=23.63 τ_{max}=23.63
  Tensioni: σ_N=-0.44 σ_M=-159.64 τ=0.32 $\sigma_{ID,max}$=160.08

- Verifica a taglio dir. Z [4.2.16] - CC 1 SLV Xl=0.09
  Sollecitazioni: T_z=29.31
  V,Ed=29.31 Vc,Rd=7560.76 V,Ed/Vc,Rd=0.00

Asta n. 6854 (-391 -392) calastrelli 50x10 Crit. 1

- Verifica di stabilità aste presso-inflesse (C4.2.4.1.3.3.1) - CC 17 SLU - Classe 3
  Sollecitazioni: N,Ed=-2.10 Myeq,Ed=6.47 Mzeq,Ed=0.10
  Resistenze: Nc,Rd=13095.20 My,c,Rd=109.13 Mz,c,Rd=21.83 L=22.50
  λ_Y=15.59 Ncr,y=426463.00 λ^*_y=0.18 Curva c: Φ_y=0.51 χ_y=1.00
  λ_Z=77.94 Ncr,z=17058.50 λ^*_z=0.90 Curva c: Φ_z=1.07 χ_z=0.60
  χ,min=0.60
  Verifica: 0.00+0.06+0.00=0.06

- Verifica in termini tensionali [4.2.4] - CC 17 SLU Xl=0.03 - Classe 3
  Sollecitazioni: N=-2.10 T_z=79.48 M_y=6.47 T_y=1.06
  Tensioni: σ_N=-0.42 σ_M=-155.25 τ=0.00 σ_{max}=-155.67
  Tensioni: σ_N=-0.42 σ_M=-0.00 τ=23.85 τ_{max}=23.85
  Tensioni: σ_N=-0.42 σ_M=-155.25 τ=0.32 $\sigma_{ID,max}$=155.67

- Verifica a taglio dir. Z [4.2.16] - CC 1 SLV Xl=0.09
  Sollecitazioni: T_z=30.55
  V,Ed=30.55 Vc,Rd=7560.76 V,Ed/Vc,Rd=0.00

Asta n. 6855 (-423 -424) calastrelli 50x10 Crit. 1

- Verifica di stabilità aste inflesse (4.2.4.1.3.2) CC 16 SLU - Classe 3
  L_{cr}=0.22 Curva d: α_{imp}=0.76 k_c=0.94 ψ=2.98 M,cr=0.00 λ_{LT}=0.00
  $\lambda_{LT,0}$=0.20 β_{LT}=1.00 Φ_{LT}=0.00 β_{LT}=1.00 f=0.00 χ_{LT}=1.00
  CC 16 SLU My,Ed=0.40 My,b,Rd=109.13 My,Ed/My,b,Rd=0.00

- Verifica di stabilità aste presso-inflesse (C4.2.4.1.3.3.1) - CC 17 SLU - Classe 3
  Sollecitazioni: N,Ed=-3.04 Myeq,Ed=6.26 Mzeq,Ed=0.10
  Resistenze: Nc,Rd=13095.20 My,c,Rd=109.13 Mz,c,Rd=21.83 L=21.88
  λ_Y=15.16 Ncr,y=451182.00 λ^*_y=0.17 Curva c: Φ_y=0.51 χ_y=1.00
  λ_Z=75.78 Ncr,z=18047.30 λ^*_z=0.87 Curva c: Φ_z=1.05 χ_z=0.62
  χ,min=0.62
  Verifica: 0.00+0.06+0.00=0.06

- Verifica in termini tensionali [4.2.4] - CC 17 SLU Xl=0.03 - Classe 3
  Sollecitazioni: N=-3.04 T_z=80.03 M_y=6.26 T_y=1.07
  Tensioni: σ_N=-0.61 σ_M=-150.25 τ=0.00 σ_{max}=-150.86
  Tensioni: σ_N=-0.61 σ_M=-0.00 τ=24.01 τ_{max}=24.01
  Tensioni: σ_N=-0.61 σ_M=-150.25 τ=0.32 $\sigma_{ID,max}$=150.86

- Verifica a taglio dir. Z [4.2.16] - CC 1 SLV Xl=0.08
  Sollecitazioni: T_z=31.77
  V,Ed=31.77 Vc,Rd=7560.76 V,Ed/Vc,Rd=0.00

Asta n. 6856 (-455 -456) calastrelli 50x10 Crit. 1

- Verifica di stabilità aste inflesse (4.2.4.1.3.2) CC 17 SLU - Classe 3
  L_{cr}=0.21 Curva d: α_{imp}=0.76 k_c=0.94 ψ=3.03 M,cr=0.00 λ_{LT}=0.00
  $\lambda_{LT,0}$=0.20 β_{LT}=1.00 Φ_{LT}=0.00 β_{LT}=1.00 f=0.00 χ_{LT}=1.00
  CC 17 SLU My,Ed=6.00 My,b,Rd=109.13 My,Ed/My,b,Rd=0.05

- Verifica di stabilità aste presso-inflesse (C4.2.4.1.3.3.1) - CC 1 SLV - Classe 3
  Sollecitazioni: N,Ed=-0.09 Myeq,Ed=2.45 Mzeq,Ed=0.04
  Resistenze: Nc,Rd=13095.20 My,c,Rd=109.13 Mz,c,Rd=21.83 L=21.25
  λ_Y=14.72 Ncr,y=478114.00 λ^*_y=0.17 Curva c: Φ_y=0.51 χ_y=1.00
  λ_Z=73.61 Ncr,z=19124.60 λ^*_z=0.85 Curva c: Φ_z=1.02 χ_z=0.63
  χ,min=0.63
  Verifica: 0.00+0.02+0.00=0.02

- Verifica in termini tensionali [4.2.4] - CC 17 SLU Xl=0.03 - Classe 3
  Sollecitazioni: N=3.48 T_z=79.20 M_y=6.00 T_y=1.04
  Tensioni: σ_N=0.70 σ_M=144.00 τ=0.00 σ_{max}=144.69
  Tensioni: σ_N=0.70 σ_M=-0.00 τ=23.76 τ_{max}=23.76
  Tensioni: σ_N=0.70 σ_M=144.00 τ=0.31 $\sigma_{ID,max}$=144.69

- Verifica a taglio dir. Y [4.2.16] - CC 17 SLU Xl=0.10
  Sollecitazioni: N=3.48 T_z=78.86 T_y=1.04
  V,Ed=1.04 Vc,Rd=7560.76 V,Ed/Vc,Rd=0.00

- Verifica a taglio dir. Z [4.2.16]
  V,Ed=78.86 Vc,Rd=7560.76 V,Ed/Vc,Rd=0.01

Asta n. 6857 (-487 -488) calastrelli 50x10 Crit. 1

- Verifica di stabilità aste inflesse (4.2.4.1.3.2) CC 5 SLV - Classe 3
  L_{cr}=0.21 Curva d: α_{imp}=0.76 k_c=0.94 ψ=2.95 M,cr=0.00 λ_{LT}=0.00
  $\lambda_{LT,0}$=0.20 β_{LT}=1.00 Φ_{LT}=0.00 β_{LT}=1.00 f=0.00 χ_{LT}=1.00
  CC 5 SLV My,Ed=-1.29 My,b,Rd=109.13 My,Ed/My,b,Rd=0.01

- Verifica di stabilità aste presso-inflesse (C4.2.4.1.3.3.1) - CC 17 SLU - Classe 3
  Sollecitazioni: N,Ed=-35.44 Myeq,Ed=-5.15 Mzeq,Ed=0.07
  Resistenze: Nc,Rd=13095.20 My,c,Rd=109.13 Mz,c,Rd=21.83 L=20.63
  λ_Y=14.29 Ncr,y=507527.00 λ^*_y=0.16 Curva c: Φ_y=0.50 χ_y=1.00
  λ_Z=71.45 Ncr,z=20301.10 λ^*_z=0.82 Curva c: Φ_z=0.99 χ_z=0.65
  χ,min=0.65
  Verifica: 0.00+0.05+0.00=0.05

- Verifica in termini tensionali [4.2.4] - CC 17 SLU Xl=0.17 - Classe 3
  Sollecitazioni: N=-35.44 T_z=68.89 M_y=-5.15
  Tensioni: σ_N=-7.09 σ_M=-123.56 τ=0.00 σ_{max}=-130.65
  Tensioni: σ_N=-7.09 σ_M=0.00 τ=20.67 τ_{max}=20.67
  Tensioni: σ_N=-7.09 σ_M=-123.56 τ=0.00 $\sigma_{ID,max}$=130.65

- Verifica a taglio dir. Z [4.2.16] - CC 1 SLV Xl=0.07
  Sollecitazioni: T_z=29.25
  V,Ed=29.25 Vc,Rd=7560.76 V,Ed/Vc,Rd=0.00

Asta n. 6861 (-495 -496) calastrelli 50x10 Crit. 1

- Verifica di stabilità aste inflesse (4.2.4.1.3.2) CC 17 SLU - Classe 3
  L_{cr}=0.21 Curva d: α_{imp}=0.76 k_c=0.94 ψ=2.78 M,cr=0.00 λ_{LT}=0.00
  $\lambda_{LT,0}$=0.20 β_{LT}=1.00 Φ_{LT}=0.00 β_{LT}=1.00 f=0.00 χ_{LT}=1.00
  CC 17 SLU My,Ed=5.32 My,b,Rd=109.13 My,Ed/My,b,Rd=0.05

- Verifica di stabilità aste presso-inflesse (C4.2.4.1.3.3.1) - CC 5 SLV - Classe 3
  Sollecitazioni: N,Ed=-16.68 Myeq,Ed=1.67 Mzeq,Ed=0.02
  Resistenze: Nc,Rd=13095.20 My,c,Rd=109.13 Mz,c,Rd=21.83 L=20.63
  λ_Y=14.29 Ncr,y=507527.00 λ^*_y=0.16 Curva c: Φ_y=0.50 χ_y=1.00
  λ_Z=71.45 Ncr,z=20301.10 λ^*_z=0.82 Curva c: Φ_z=0.99 χ_z=0.65
  χ,min=0.65
  Verifica: 0.00+0.02+0.00=0.02

- Verifica in termini tensionali [4.2.4] - CC 17 SLU Xl=0.04 - Classe 3
  Sollecitazioni: N=66.37 T_z=67.44 M_y=5.32
  Tensioni: σ_N=13.27 σ_M=127.65 τ=0.00 σ_{max}=140.93
  Tensioni: σ_N=13.27 σ_M=-0.00 τ=20.23 τ_{max}=20.23
  Tensioni: σ_N=13.27 σ_M=127.65 τ=0.00 $\sigma_{ID,max}$=140.93

- Verifica a taglio dir. Z [4.2.16] - CC 17 SLU Xl=0.10
  Sollecitazioni: N=66.37 T_z=67.11
  V,Ed=67.11 Vc,Rd=7560.76 V,Ed/Vc,Rd=0.01

Asta n. 6862 (-463 -464) calastrelli 50x10 Crit. 1

- Verifica di stabilità aste inflesse (4.2.4.1.3.2) CC 5 SLV - Classe 3
  L_{cr}=0.21 Curva d: α_{imp}=0.76 k_c=0.94 ψ=2.80 M,cr=0.00 λ_{LT}=0.00
  $\lambda_{LT,0}$=0.20 β_{LT}=1.00 Φ_{LT}=0.00 β_{LT}=1.00 f=0.00 χ_{LT}=1.00
  CC 5 SLV My,Ed=-1.42 My,b,Rd=109.13 My,Ed/My,b,Rd=0.01

- Verifica di stabilità aste presso-inflesse (C4.2.4.1.3.3.1) - CC 17 SLU - Classe 3
  Sollecitazioni: N,Ed=-13.87 Myeq,Ed=-5.85 Mzeq,Ed=0.09
  Resistenze: Nc,Rd=13095.20 My,c,Rd=109.13 Mz,c,Rd=21.83 L=21.25
  λ_Y=14.72 Ncr,y=478114.00 λ^*_y=0.17 Curva c: Φ_y=0.51 χ_y=1.00
  λ_Z=73.61 Ncr,z=19124.60 λ^*_z=0.85 Curva c: Φ_z=1.02 χ_z=0.63
  χ,min=0.63
  Verifica: 0.00+0.05+0.00=0.06

- Verifica in termini tensionali [4.2.4] - CC 17 SLU Xl=0.18 - Classe 3
  Sollecitazioni: N=-13.87 T_z=75.96 M_y=-5.85
  Tensioni: σ_N=-2.77 σ_M=-140.46 τ=0.00 σ_{max}=-143.23
  Tensioni: σ_N=-2.77 σ_M=0.00 τ=22.79 τ_{max}=22.79
  Tensioni: σ_N=-2.77 σ_M=-140.46 τ=0.00 $\sigma_{ID,max}$=143.23

- Verifica a taglio dir. Z [4.2.16] - CC 5 SLV Xl=0.05
  Sollecitazioni: N=2.71 T_z=17.48
  V,Ed=17.48 Vc,Rd=7560.76 V,Ed/Vc,Rd=0.00

Asta n. 6863 (-431 -432) calastrelli 50x10 Crit. 1

- Verifica a flessione [4.2.13] - CC 17 SLU Xl=0.19 - Classe 3
  Sollecitazioni: T_z=76.87 M_y=-6.06 T_y=-1.03
  My,Ed=-6.06 My,c,Rd=109.13 My,Ed/My,c,Rd=0.06

- Verifica a taglio dir. Y [4.2.16] - CC 17 SLU Xl=0.11
  Sollecitazioni: T_z=77.30 T_y=-1.03
  V,Ed=-1.03 Vc,Rd=7560.76 V,Ed/Vc,Rd=0.00

- Verifica a taglio dir. Z [4.2.16]
  V,Ed=77.30 Vc,Rd=7560.76 V,Ed/Vc,Rd=0.01

Asta n. 6864 (-399 -400) calastrelli 50x10 Crit. 1

- Verifica di stabilità aste presso-inflesse (C4.2.4.1.3.3.1) - CC 17 SLU - Classe 3
  Sollecitazioni: N,Ed=-2.21 Myeq,Ed=-6.27 Mzeq,Ed=0.10
  Resistenze: Nc,Rd=13095.20 My,c,Rd=109.13 Mz,c,Rd=21.83 L=22.50
  λ_Y=15.59 Ncr,y=426463.00 λ^*_y=0.18 Curva c: Φ_y=0.51 χ_y=1.00
  λ_Z=77.94 Ncr,z=17058.50 λ^*_z=0.90 Curva c: Φ_z=1.07 χ_z=0.60
  χ,min=0.60
  Verifica: 0.00+0.06+0.00=0.06

- Verifica in termini tensionali [4.2.4] - CC 17 SLU Xl=0.20 - Classe 3
  Sollecitazioni: N=-2.21 T_z=76.38 M_y=-6.27 T_y=-1.03
  Tensioni: σ_N=-0.44 σ_M=-150.53 τ=0.00 σ_{max}=-150.98
  Tensioni: σ_N=-0.44 σ_M=0.00 τ=22.92 τ_{max}=22.92
  Tensioni: σ_N=-0.44 σ_M=-150.53 τ=0.31 $\sigma_{ID,max}$=150.98

- Verifica a taglio dir. Z [4.2.16] - CC 1 SLV Xl=0.09

Sollecitazioni: T_z=29.15
V,Ed=29.15 Vc,Rd=7560.76 V,Ed/Vc,Rd=0.00

Asta n. 6865 (-367 -368) calastrelli 50x10 Crit. 1

- Verifica di stabilità aste inflesse (4.2.4.1.3.2) CC 1 SLV - Classe 3
L_{cr}=0.23 Curva d: α_{imp}=0.76 k_c=0.94 ψ=3.06 M,cr=0.00 λ_{LT}=0.00
$\lambda_{LT,0}$=0.20 β_{LT}=1.00 Φ_{LT}=0.00 β_{LT}=1.00 f=0.00 χ_{LT}=1.00
CC 1 SLV My,Ed=-2.36 My,b,Rd=109.13 My,Ed/My,b,Rd=0.02

- Verifica di stabilità aste presso-inflesse (C4.2.4.1.3.3.1) - CC 17 SLU - Classe 3
Sollecitazioni: N,Ed=-1.93 Myeq,Ed=-6.46 Mzeq,Ed=0.10
Resistenze: Nc,Rd=13095.20 My,c,Rd=109.13 Mz,c,Rd=21.83 L=23.13
λ_Y=16.02 Ncr,y=403725.00 λ^*_y=0.18 Curva c: Φ_y=0.51 χ_y=1.00
λ_Z=80.11 Ncr,z=16149.00 λ^*_z=0.92 Curva c: Φ_z=1.10 χ_z=0.59
χ,min=0.59
Verifica: 0.00+0.06+0.00=0.06

- Verifica in termini tensionali [4.2.4] - CC 17 SLU Xl=0.20 - Classe 3
Sollecitazioni: N=-1.93 T_z=75.76 M_y=-6.46 T_y=-1.02
Tensioni: σ_N=-0.39 σ_M=-154.97 τ=0.00 σ_{max}=-155.36
Tensioni: σ_N=-0.39 σ_M=0.00 τ=22.73 τ_{max}=22.73
Tensioni: σ_N=-0.39 σ_M=-154.97 τ=0.31 $\sigma_{ID,max}$=155.36

- Verifica a taglio dir. Z [4.2.16] - CC 1 SLV Xl=0.10
Sollecitazioni: T_z=27.99
V,Ed=27.99 Vc,Rd=7560.76 V,Ed/Vc,Rd=0.00

Asta n. 6866 (-335 -336) calastrelli 50x10 Crit. 1

- Verifica di stabilità aste inflesse (4.2.4.1.3.2) CC 1 SLV - Classe 3
L_{cr}=0.24 Curva d: α_{imp}=0.76 k_c=0.94 ψ=3.07 M,cr=0.00 λ_{LT}=0.00
$\lambda_{LT,0}$=0.20 β_{LT}=1.00 Φ_{LT}=0.00 β_{LT}=1.00 f=0.00 χ_{LT}=1.00
CC 1 SLV My,Ed=-2.35 My,b,Rd=109.13 My,Ed/My,b,Rd=0.02

- Verifica di stabilità aste presso-inflesse (C4.2.4.1.3.3.1) - CC 17 SLU - Classe 3
Sollecitazioni: N,Ed=-1.99 Myeq,Ed=-6.64 Mzeq,Ed=0.10
Resistenze: Nc,Rd=13095.20 My,c,Rd=109.13 Mz,c,Rd=21.83 L=23.75
λ_Y=16.45 Ncr,y=382754.00 λ^*_y=0.19 Curva c: Φ_y=0.52 χ_y=1.00
λ_Z=82.27 Ncr,z=15310.20 λ^*_z=0.95 Curva c: Φ_z=1.13 χ_z=0.57
χ,min=0.57
Verifica: 0.00+0.06+0.00=0.07

- Verifica in termini tensionali [4.2.4] - CC 17 SLU Xl=0.21 - Classe 3
Sollecitazioni: N=-1.99 T_z=75.15 M_y=-6.64 T_y=-1.01
Tensioni: σ_N=-0.40 σ_M=-159.38 τ=0.00 σ_{max}=-159.78
Tensioni: σ_N=-0.40 σ_M=0.00 τ=22.55 τ_{max}=22.55
Tensioni: σ_N=-0.40 σ_M=-159.38 τ=0.30 $\sigma_{ID,max}$=159.78

- Verifica a taglio dir. Z [4.2.16] - CC 1 SLV Xl=0.10
Sollecitazioni: T_z=26.86
V,Ed=26.86 Vc,Rd=7560.76 V,Ed/Vc,Rd=0.00

Asta n. 6867 (-303 -304) calastrelli 50x10 Crit. 1

- Verifica di stabilità aste inflesse (4.2.4.1.3.2) CC 1 SLV - Classe 3
L_{cr}=0.24 Curva d: α_{imp}=0.76 k_c=0.94 ψ=3.07 M,cr=0.00 λ_{LT}=0.00
$\lambda_{LT,0}$=0.20 β_{LT}=1.00 Φ_{LT}=0.00 β_{LT}=1.00 f=0.00 χ_{LT}=1.00
CC 1 SLV My,Ed=-2.34 My,b,Rd=109.13 My,Ed/My,b,Rd=0.02

- Verifica di stabilità aste presso-inflesse (C4.2.4.1.3.3.1) - CC 17 SLU - Classe 3
  Sollecitazioni: N,Ed=-2.01 Myeq,Ed=-6.82 Mzeq,Ed=0.10
  Resistenze: Nc,Rd=13095.20 My,c,Rd=109.13 Mz,c,Rd=21.83 L=24.38
  λ_Y=16.89 Ncr,y=363379.00 λ^*_y=0.19 Curva c: Φ_y=0.52 χ_y=1.00
  λ_Z=84.44 Ncr,z=14535.20 λ^*_z=0.97 Curva c: Φ_z=1.16 χ_z=0.56
  χ,min=0.56
  Verifica: 0.00+0.06+0.00=0.07

- Verifica in termini tensionali [4.2.4] - CC 17 SLU Xl=0.22 - Classe 3
  Sollecitazioni: N=-2.01 T_z=74.54 M_y=-6.82
  Tensioni: σ_N=-0.40 σ_M=-163.72 τ=0.00 σ_{max}=-164.12
  Tensioni: σ_N=-0.40 σ_M=0.00 τ=22.36 τ_{max}=22.36
  Tensioni: σ_N=-0.40 σ_M=-163.72 τ=0.00 $\sigma_{ID,max}$=164.12

- Verifica a taglio dir. Z [4.2.16] - CC 1 SLV Xl=0.09
  Sollecitazioni: T_z=25.83
  V,Ed=25.83 Vc,Rd=7560.76 V,Ed/Vc,Rd=0.00

Asta n. 6868 (-271 -272) calastrelli 50x10 Crit. 1

- Verifica di stabilità aste inflesse (4.2.4.1.3.2) CC 1 SLV - Classe 3
  L_{cr}=0.25 Curva d: α_{imp}=0.76 k_c=0.94 ψ=3.07 M,cr=0.00 λ_{LT}=0.00
  $\lambda_{LT,0}$=0.20 β_{LT}=1.00 Φ_{LT}=0.00 β_{LT}=1.00 f=0.00 χ_{LT}=1.00
  CC 1 SLV My,Ed=-2.32 My,b,Rd=109.13 My,Ed/My,b,Rd=0.02

- Verifica di stabilità aste presso-inflesse (C4.2.4.1.3.3.1) - CC 17 SLU - Classe 3
  Sollecitazioni: N,Ed=-1.97 Myeq,Ed=-7.00 Mzeq,Ed=0.10
  Resistenze: Nc,Rd=13095.20 My,c,Rd=109.13 Mz,c,Rd=21.83 L=25.00
  λ_Y=17.32 Ncr,y=345436.00 λ^*_y=0.20 Curva c: Φ_y=0.52 χ_y=1.00
  λ_Z=86.60 Ncr,z=13817.40 λ^*_z=1.00 Curva c: Φ_z=1.19 χ_z=0.54
  χ,min=0.54
  Verifica: 0.00+0.06+0.00=0.07

- Verifica in termini tensionali [4.2.4] - CC 17 SLU Xl=0.22 - Classe 3
  Sollecitazioni: N=-1.97 T_z=73.99 M_y=-7.00
  Tensioni: σ_N=-0.39 σ_M=-168.07 τ=0.00 σ_{max}=-168.47
  Tensioni: σ_N=-0.39 σ_M=0.00 τ=22.20 τ_{max}=22.20
  Tensioni: σ_N=-0.39 σ_M=-168.07 τ=0.00 $\sigma_{ID,max}$=168.47

- Verifica a taglio dir. Z [4.2.16] - CC 1 SLV Xl=0.10
  Sollecitazioni: T_z=24.75
  V,Ed=24.75 Vc,Rd=7560.76 V,Ed/Vc,Rd=0.00

Asta n. 6869 (-239 -240) calastrelli 50x10 Crit. 1

- Verifica di stabilità aste inflesse (4.2.4.1.3.2) CC 3 SLV - Classe 3
  L_{cr}=0.26 Curva d: α_{imp}=0.76 k_c=0.94 ψ=3.08 M,cr=0.00 λ_{LT}=0.00
  $\lambda_{LT,0}$=0.20 β_{LT}=1.00 Φ_{LT}=0.00 β_{LT}=1.00 f=0.00 χ_{LT}=1.00
  CC 3 SLV My,Ed=-2.14 My,b,Rd=109.13 My,Ed/My,b,Rd=0.02

- Verifica di stabilità aste presso-inflesse (C4.2.4.1.3.3.1) - CC 17 SLU - Classe 3
  Sollecitazioni: N,Ed=-2.03 Myeq,Ed=-7.18 Mzeq,Ed=0.11
  Resistenze: Nc,Rd=13095.20 My,c,Rd=109.13 Mz,c,Rd=21.83 L=25.63
  λ_Y=17.75 Ncr,y=328790.00 λ^*_y=0.20 Curva c: Φ_y=0.52 χ_y=1.00
  λ_Z=88.77 Ncr,z=13151.60 λ^*_z=1.02 Curva c: Φ_z=1.22 χ_z=0.53
  χ,min=0.53
  Verifica: 0.00+0.07+0.00=0.07

- Verifica in termini tensionali [4.2.4] - CC 17 SLU Xl=0.23 - Classe 3
  Sollecitazioni: N=-2.03 T_z=73.46 M_y=-7.18
  Tensioni: σ_N=-0.41 σ_M=-172.42 τ=0.00 σ_{max}=-172.82
  Tensioni: σ_N=-0.41 σ_M=0.00 τ=22.04 τ_{max}=22.04
  Tensioni: σ_N=-0.41 σ_M=-172.42 τ=0.00 $\sigma_{ID,max}$=172.82

- Verifica a taglio dir. Z [4.2.16] - CC 1 SLV Xl=0.11
  Sollecitazioni: T_z=23.77
  V,Ed=23.77 Vc,Rd=7560.76 V,Ed/Vc,Rd=0.00

Asta n. 6870 (-207 -208) calastrelli 50x10 Crit. 1

- Verifica di stabilità aste inflesse (4.2.4.1.3.2) CC 3 SLV - Classe 3
  L_{cr}=0.26 Curva d: α_{imp}=0.76 k_c=0.94 ψ=3.08 M,cr=0.00 λ_{LT}=0.00
  $\lambda_{LT,0}$=0.20 β_{LT}=1.00 Φ_{LT}=0.00 β_{LT}=1.00 f=0.00 χ_{LT}=1.00
  CC 3 SLV My,Ed=-2.12 My,b,Rd=109.13 My,Ed/My,b,Rd=0.02

- Verifica di stabilità aste presso-inflesse (C4.2.4.1.3.3.1) - CC 17 SLU - Classe 3
  Sollecitazioni: N,Ed=-2.00 Myeq,Ed=-7.36 Mzeq,Ed=0.11
  Resistenze: Nc,Rd=13095.20 My,c,Rd=109.13 Mz,c,Rd=21.83 L=26.25
  λ_Y=18.19 Ncr,y=313321.00 λ^*_y=0.21 Curva c: Φ_y=0.52 χ_y=1.00
  λ_Z=90.93 Ncr,z=12532.80 λ^*_z=1.05 Curva c: Φ_z=1.26 χ_z=0.51
  χ,min=0.51
  Verifica: 0.00+0.07+0.00=0.07

- Verifica in termini tensionali [4.2.4] - CC 17 SLU Xl=0.23 - Classe 3
  Sollecitazioni: N=-2.00 T_z=72.93 M_y=-7.36
  Tensioni: σ_N=-0.40 σ_M=-176.68 τ=0.00 σ_{max}=-177.08
  Tensioni: σ_N=-0.40 σ_M=0.00 τ=21.88 τ_{max}=21.88
  Tensioni: σ_N=-0.40 σ_M=-176.68 τ=0.00 $\sigma_{ID,max}$=177.08

- Verifica a taglio dir. Z [4.2.16] - CC 1 SLV Xl=0.10
  Sollecitazioni: T_z=22.86
  V,Ed=22.86 Vc,Rd=7560.76 V,Ed/Vc,Rd=0.00

Asta n. 6871 (-175 -176) calastrelli 50x10 Crit. 1

- Verifica di stabilità aste inflesse (4.2.4.1.3.2) CC 1 SLV - Classe 3
  L_{cr}=0.27 Curva d: α_{imp}=0.76 k_c=0.94 ψ=3.08 M,cr=0.00 λ_{LT}=0.00
  $\lambda_{LT,0}$=0.20 β_{LT}=1.00 Φ_{LT}=0.00 β_{LT}=1.00 f=0.00 χ_{LT}=1.00
  CC 1 SLV My,Ed=-2.25 My,b,Rd=109.13 My,Ed/My,b,Rd=0.02

- Verifica di stabilità aste presso-inflesse (C4.2.4.1.3.3.1) - CC 17 SLU - Classe 3
  Sollecitazioni: N,Ed=-1.96 Myeq,Ed=-7.53 Mzeq,Ed=0.11
  Resistenze: Nc,Rd=13095.20 My,c,Rd=109.13 Mz,c,Rd=21.83 L=26.88
  λ_Y=18.62 Ncr,y=298917.00 λ^*_y=0.21 Curva c: Φ_y=0.53 χ_y=0.99
  λ_Z=93.10 Ncr,z=11956.70 λ^*_z=1.07 Curva c: Φ_z=1.29 χ_z=0.50
  χ,min=0.50
  Verifica: 0.00+0.07+0.01=0.07

- Verifica in termini tensionali [4.2.4] - CC 17 SLU Xl=0.24 - Classe 3
  Sollecitazioni: N=-1.96 T_z=72.32 M_y=-7.53
  Tensioni: σ_N=-0.39 σ_M=-180.68 τ=0.00 σ_{max}=-181.07
  Tensioni: σ_N=-0.39 σ_M=0.00 τ=21.70 τ_{max}=21.70
  Tensioni: σ_N=-0.39 σ_M=-180.68 τ=0.00 $\sigma_{ID,max}$=181.07

- Verifica a taglio dir. Z [4.2.16] - CC 1 SLV Xl=0.09
  Sollecitazioni: T_z=21.95
  V,Ed=21.95 Vc,Rd=7560.76 V,Ed/Vc,Rd=0.00

Asta n. 6872 (-143 -144) calastrelli 50x10 Crit. 1

- Verifica di stabilità aste inflesse (4.2.4.1.3.2) CC 3 SLV - Classe 3
  L_{cr}=0.28 Curva d: α_{imp}=0.76 k_c=0.94 ψ=3.09 M,cr=0.00 λ_{LT}=0.00
  $\lambda_{LT,0}$=0.20 β_{LT}=1.00 Φ_{LT}=0.00 β_{LT}=1.00 f=0.00 χ_{LT}=1.00
  CC 3 SLV My,Ed=-2.05 My,b,Rd=109.13 My,Ed/My,b,Rd=0.02

- Verifica di stabilità aste presso-inflesse (C4.2.4.1.3.3.1) - CC 17 SLU - Classe 3
  Sollecitazioni: N,Ed=-2.00 Myeq,Ed=-7.63 Mzeq,Ed=0.11
  Resistenze: Nc,Rd=13095.20 My,c,Rd=109.13 Mz,c,Rd=21.83 L=27.50
  λ_Y=19.05 Ncr,y=285485.00 λ^*_y=0.22 Curva c: Φ_y=0.53 χ_y=0.99
  λ_Z=95.26 Ncr,z=11419.40 λ^*_z=1.10 Curva c: Φ_z=1.32 χ_z=0.49
  χ,min=0.49
  Verifica: 0.00+0.07+0.00=0.08

- Verifica in termini tensionali [4.2.4] - CC 17 SLU Xl=0.25 - Classe 3
  Sollecitazioni: N=-2.00 T_z=71.18 M_y=-7.63
  Tensioni: σ_N=-0.40 σ_M=-183.22 τ=0.00 σ_{max}=-183.62
  Tensioni: σ_N=-0.40 σ_M=0.00 τ=21.35 τ_{max}=21.35
  Tensioni: σ_N=-0.40 σ_M=-183.22 τ=0.00 $\sigma_{ID,max}$=183.62

- Verifica a taglio dir. Z [4.2.16] - CC 1 SLV Xl=0.09
  Sollecitazioni: T_z=20.91
  V,Ed=20.91 Vc,Rd=7560.76 V,Ed/Vc,Rd=0.00

Asta n. 6873 (-111 -112) calastrelli 50x10 Crit. 1

- Verifica di stabilità aste inflesse (4.2.4.1.3.2) CC 1 SLV - Classe 3
  L_{cr}=0.28 Curva d: α_{imp}=0.76 k_c=0.94 ψ=3.09 M,cr=0.00 λ_{LT}=0.00
  $\lambda_{LT,0}$=0.20 β_{LT}=1.00 Φ_{LT}=0.00 β_{LT}=1.00 f=0.00 χ_{LT}=1.00
  CC 1 SLV My,Ed=-2.08 My,b,Rd=109.13 My,Ed/My,b,Rd=0.02

- Verifica di stabilità aste presso-inflesse (C4.2.4.1.3.3.1) - CC 17 SLU - Classe 3
  Sollecitazioni: N,Ed=-1.83 Myeq,Ed=-7.47 Mzeq,Ed=0.10
  Resistenze: Nc,Rd=13095.20 My,c,Rd=109.13 Mz,c,Rd=21.83 L=28.13
  λ_Y=19.49 Ncr,y=272937.00 λ^*_y=0.22 Curva c: Φ_y=0.53 χ_y=0.99
  λ_Z=97.43 Ncr,z=10917.50 λ^*_z=1.12 Curva c: Φ_z=1.36 χ_z=0.47
  χ,min=0.47
  Verifica: 0.00+0.07+0.00=0.07

- Verifica in termini tensionali [4.2.4] - CC 17 SLU Xl=0.25 - Classe 3
  Sollecitazioni: N=-1.83 T_z=67.60 M_y=-7.47
  Tensioni: σ_N=-0.37 σ_M=-179.19 τ=0.00 σ_{max}=-179.56
  Tensioni: σ_N=-0.37 σ_M=0.00 τ=20.28 τ_{max}=20.28
  Tensioni: σ_N=-0.37 σ_M=-179.19 τ=0.00 $\sigma_{ID,max}$=179.56

- Verifica a taglio dir. Z [4.2.16] - CC 19 SLU Xl=0.13
  Sollecitazioni: T_z=45.27
  V,Ed=45.27 Vc,Rd=7560.76 V,Ed/Vc,Rd=0.01

Asta n. 6874 (-79 -80) calastrelli 50x10 Crit. 1

- Verifica di stabilità aste presso-inflesse (C4.2.4.1.3.3.1) - CC 17 SLU - Classe 3
  Sollecitazioni: N,Ed=-2.86 Myeq,Ed=-6.08 Mzeq,Ed=0.08
  Resistenze: Nc,Rd=13095.20 My,c,Rd=109.13 Mz,c,Rd=21.83 L=28.75
  λ_Y=19.92 Ncr,y=261199.00 λ^*_y=0.23 Curva c: Φ_y=0.53 χ_y=0.99
  λ_Z=99.59 Ncr,z=10447.90 λ^*_z=1.15 Curva c: Φ_z=1.39 χ_z=0.46
  χ,min=0.46

Verifica: 0.00+0.06+0.00=0.06

- Verifica in termini tensionali [4.2.4] - CC 17 SLU Xl=0.26 - Classe 3
Sollecitazioni: N=-2.86 T_z=53.45 M_y=-6.08
Tensioni: σ_N=-0.57 σ_M=-145.84 τ=0.00 σ_{max}=-146.41
Tensioni: σ_N=-0.57 σ_M=0.00 τ=16.04 τ_{max}=16.04
Tensioni: σ_N=-0.57 σ_M=-145.84 τ=0.00 $\sigma_{ID,max}$=146.41

- Verifica a taglio dir. Z [4.2.16] - CC 1 SLV Xl=0.10
Sollecitazioni: T_z=14.85
V,Ed=14.85 Vc,Rd=7560.76 V,Ed/Vc,Rd=0.00

Asta n. 6875 (-47 -48) calastrelli 100x5 Crit. 1

- Verifica in termini tensionali [4.2.4] - CC 17 SLU Xl=0.27 - Classe 3
Sollecitazioni: N=9.57 T_z=61.72 M_y=-7.57
Tensioni: σ_N=0.96 σ_M=45.40 τ=0.00 σ_{max}=46.36
Tensioni: σ_N=0.96 σ_M=0.00 τ=9.26 τ_{max}=9.26
Tensioni: σ_N=0.96 σ_M=45.40 τ=0.00 $\sigma_{ID,max}$=46.36

- Verifica a taglio dir. Z [4.2.16] - CC 17 SLU Xl=0.14
Sollecitazioni: N=9.57 T_z=63.00
V,Ed=63.00 Vc,Rd=15121.50 V,Ed/Vc,Rd=0.00

Asta n. 6876 (-15 -16) calastrelli 100x5 Crit. 1

- Verifica in termini tensionali [4.2.4] - CC 17 SLU Xl=0.27 - Classe 3
Sollecitazioni: N=46.25 T_z=37.73 M_y=-4.73
Tensioni: σ_N=4.63 σ_M=28.39 τ=0.00 σ_{max}=33.01
Tensioni: σ_N=4.63 σ_M=0.00 τ=5.66 τ_{max}=5.66
Tensioni: σ_N=4.63 σ_M=28.39 τ=0.00 $\sigma_{ID,max}$=33.01

- Verifica a taglio dir. Z [4.2.16] - CC 17 SLU Xl=0.12
Sollecitazioni: N=46.25 T_z=39.25
V,Ed=39.25 Vc,Rd=15121.50 V,Ed/Vc,Rd=0.00

Asta n. 6877 (346 347) angolari L50x10 Crit. 1

- Verifica di stabilità aste presso-inflesse (C4.2.4.1.3.3.1) - CC 19 SLU - Classe 3
Sollecitazioni: N,Ed=-20.58 Myeq,Ed=-0.25 Mzeq,Ed=-1.15
Resistenze: Nc,Rd=23709.20 My,c,Rd=149.05 Mz,c,Rd=149.05 L=15.00
λ_c=8.19 Ncr,y=2794020.00 λ^*_y=0.09 Curva b: Φ_y=0.00 χ_y=1.00
λ_e=15.58 Ncr,z=772682.00 λ^*_z=0.18 Curva b: Φ_z=0.00 χ_z=1.00
χ,min=1.00
Verifica: 0.00+0.00+0.01=0.01

- Verifica in termini tensionali [4.2.4] - CC 19 SLU Xl=0.02 - Classe 3
Sollecitazioni: N=-20.58 T_z=-2.37 T_y=4.08 M_z=-1.15
Tensioni: σ_N=-2.27 σ_M=-25.00 τ=0.17 σ_{max}=-27.27
Tensioni: σ_N=-2.27 σ_M=4.72 τ=1.23 τ_{max}=1.23
Tensioni: σ_N=-2.27 σ_M=-25.00 τ=0.17 $\sigma_{ID,max}$=27.27

- Verifica a taglio dir. Y [4.2.16] - CC 17 SLU Xl=0.04
Sollecitazioni: N=-11.65 T_z=-3.51 T_y=5.66
V,Ed=5.66 Vc,Rd=7560.76 V,Ed/Vc,Rd=0.00

- Verifica a taglio dir. Z [4.2.16]
V,Ed=-3.51 Vc,Rd=7560.76 V,Ed/Vc,Rd=0.00

Asta n. 6877 (347 348) angolari L50x10 Crit. 1

- Verifica di stabilità aste presso-inflesse (C4.2.4.1.3.3.1) - CC 18 SLU - Classe 3
  Sollecitazioni: N,Ed=-26.57 Myeq,Ed=0.04 Mzeq,Ed=-0.87
  Resistenze: Nc,Rd=23709.20 My,c,Rd=149.05 Mz,c,Rd=149.05 L=15.00
  λ_c=8.19 Ncr,y=2794050.00 λ^*_y=0.09 Curva b: Φ_y=0.00 χ_y=1.00
  λ_c=15.58 Ncr,z=772692.00 λ^*_z=0.18 Curva b: Φ_z=0.00 χ_z=1.00
  χ,min=1.00
  Verifica: 0.00+0.00+0.01=0.01

- Verifica a compressione [4.2.9] - CC 18 SLU Xl=0.00 - Classe 1
  Sollecitazioni: N=-26.57
  N,Ed=-26.57 Nc,Rd=-23709.20 N,Ed/Nc,Rd=0.00
  Verifiche di duttilità [7.5.3]:
  q_0=4.00 N,Ed=-26.57 Npl,Rd=23709.20 N,Ed/Npl,Rd=0.001121

- Verifica a taglio dir. Y [4.2.16] - CC 17 SLU Xl=0.00
  Sollecitazioni: N=-11.65 T_z=-3.51 T_y=4.66
  V,Ed=4.66 Vc,Rd=7560.76 V,Ed/Vc,Rd=0.00

- Verifica a taglio dir. Z [4.2.16]
  V,Ed=-3.51 Vc,Rd=7560.76 V,Ed/Vc,Rd=0.00

Asta n. 6885 (358 359) angolari L50x10 Crit. 1

- Verifica di stabilità aste presso-inflesse (C4.2.4.1.3.3.1) - CC 19 SLU - Classe 3
  Sollecitazioni: N,Ed=-21.07 Myeq,Ed=1.14 Mzeq,Ed=0.25
  Resistenze: Nc,Rd=23709.20 My,c,Rd=149.05 Mz,c,Rd=149.05 L=15.00
  λ_c=8.19 Ncr,y=2794020.00 λ^*_y=0.09 Curva b: Φ_y=0.00 χ_y=1.00
  λ_c=15.58 Ncr,z=772682.00 λ^*_z=0.18 Curva b: Φ_z=0.00 χ_z=1.00
  χ,min=1.00
  Verifica: 0.00+0.01+0.00=0.01

- Verifica in termini tensionali [4.2.4] - CC 19 SLU Xl=0.02 - Classe 3
  Sollecitazioni: N=-21.07 T_z=4.06 M_y=1.14 T_y=-2.36
  Tensioni: σ_N=-2.33 σ_M=-21.73 τ=0.00 σ_{max}=-24.06
  Tensioni: σ_N=-2.33 σ_M=-4.69 τ=1.23 τ_{max}=1.23
  Tensioni: σ_N=-2.33 σ_M=-21.73 τ=0.00 $\sigma_{ID,max}$=24.06

- Verifica a taglio dir. Y [4.2.16] - CC 17 SLU Xl=0.04
  Sollecitazioni: N=-12.47 T_z=5.65 T_y=-3.51
  V,Ed=-3.51 Vc,Rd=7560.76 V,Ed/Vc,Rd=0.00

- Verifica a taglio dir. Z [4.2.16]
  V,Ed=5.65 Vc,Rd=7560.76 V,Ed/Vc,Rd=0.00

Asta n. 6885 (359 360) angolari L50x10 Crit. 1

- Verifica di stabilità aste presso-inflesse (C4.2.4.1.3.3.1) - CC 19 SLU - Classe 3
  Sollecitazioni: N,Ed=-21.07 Myeq,Ed=0.68 Mzeq,Ed=-0.22
  Resistenze: Nc,Rd=23709.20 My,c,Rd=149.05 Mz,c,Rd=149.05 L=15.00
  λ_c=8.19 Ncr,y=2794050.00 λ^*_y=0.09 Curva b: Φ_y=0.00 χ_y=1.00
  λ_c=15.58 Ncr,z=772692.00 λ^*_z=0.18 Curva b: Φ_z=0.00 χ_z=1.00
  χ,min=1.00
  Verifica: 0.00+0.00+0.00=0.01

- Verifica a compressione [4.2.9] - CC 9 SLU Xl=0.00 - Classe 1
  Sollecitazioni: N=-21.47
  N,Ed=-21.47 Nc,Rd=-23709.20 N,Ed/Nc,Rd=0.00

Verifiche di duttilità [7.5.3]:
q_0=4.00 N,Ed=-21.47 Npl,Rd=23709.20 N,Ed/Npl,Rd=0.000906

- Verifica a taglio dir. Y [4.2.16] - CC 17 SLU Xl=0.00
Sollecitazioni: N=-12.47 T_z=4.65 T_y=-3.51
V,Ed=-3.51 Vc,Rd=7560.76 V,Ed/Vc,Rd=0.00

- Verifica a taglio dir. Z [4.2.16]
V,Ed=4.65 Vc,Rd=7560.76 V,Ed/Vc,Rd=0.00

Asta n. 6886 (-23 -24) calastrelli 100x5 Crit. 1

- Verifica in termini tensionali [4.2.4] - CC 17 SLU Xl=0.26 - Classe 3
Sollecitazioni: N=44.87 T_z=37.79 M_y=-4.66
Tensioni: σ_N=4.49 σ_M=27.94 τ=0.00 σ_{max}=32.43
Tensioni: σ_N=4.49 σ_M=0.00 τ=5.67 τ_{max}=5.67
Tensioni: σ_N=4.49 σ_M=27.94 τ=0.00 $\sigma_{ID,max}$=32.43

- Verifica a taglio dir. Z [4.2.16] - CC 17 SLU Xl=0.13
Sollecitazioni: N=44.87 T_z=39.09
V,Ed=39.09 Vc,Rd=15121.50 V,Ed/Vc,Rd=0.00

Asta n. 6887 (-55 -56) calastrelli 100x5 Crit. 1

- Verifica in termini tensionali [4.2.4] - CC 17 SLU Xl=0.26 - Classe 3
Sollecitazioni: N=10.63 T_z=61.80 M_y=-7.43
Tensioni: σ_N=1.06 σ_M=44.60 τ=0.00 σ_{max}=45.66
Tensioni: σ_N=1.06 σ_M=0.00 τ=9.27 τ_{max}=9.27
Tensioni: σ_N=1.06 σ_M=44.60 τ=0.00 $\sigma_{ID,max}$=45.66

- Verifica a taglio dir. Z [4.2.16] - CC 17 SLU Xl=0.13
Sollecitazioni: N=10.63 T_z=63.08
V,Ed=63.08 Vc,Rd=15121.50 V,Ed/Vc,Rd=0.00

Asta n. 6888 (-87 -88) calastrelli 50x10 Crit. 1

- Verifica di stabilità aste presso-inflesse (C4.2.4.1.3.3.1) - CC 17 SLU - Classe 3
Sollecitazioni: N,Ed=-3.11 Myeq,Ed=6.11 Mzeq,Ed=-0.08
Resistenze: Nc,Rd=13095.20 My,c,Rd=109.13 Mz,c,Rd=21.83 L=28.75
λ_Y=19.92 Ncr,y=261199.00 λ^*_y=0.23 Curva c: Φ_y=0.53 χ_y=0.99
λ_Z=99.59 Ncr,z=10447.90 λ^*_z=1.15 Curva c: Φ_z=1.39 χ_z=0.46
χ,min=0.46
Verifica: 0.00+0.06+0.00=0.06

- Verifica in termini tensionali [4.2.4] - CC 17 SLU Xl=0.03 - Classe 3
Sollecitazioni: N=-3.11 T_z=54.59 M_y=6.11
Tensioni: σ_N=-0.62 σ_M=-146.61 τ=0.00 σ_{max}=-147.23
Tensioni: σ_N=-0.62 σ_M=-0.00 τ=16.38 τ_{max}=16.38
Tensioni: σ_N=-0.62 σ_M=-146.61 τ=0.00 $\sigma_{ID,max}$=147.23

- Verifica a taglio dir. Z [4.2.16] - CC 1 SLV Xl=0.09
Sollecitazioni: T_z=14.85
V,Ed=14.85 Vc,Rd=7560.76 V,Ed/Vc,Rd=0.00

Asta n. 6889 (-119 -120) calastrelli 50x10 Crit. 1

- Verifica di stabilità aste inflesse (4.2.4.1.3.2) CC 1 SLV - Classe 3
L_{cr}=0.28 Curva d: α_{imp}=0.76 k_c=0.94 ψ=3.06 M,cr=0.00 λ_{LT}=0.00
$\lambda_{LT,0}$=0.20 β_{LT}=1.00 Φ_{LT}=0.00 β_{LT}=1.00 f=0.00 χ_{LT}=1.00

CC 1 SLV My,Ed=2.10 My,b,Rd=109.13 My,Ed/My,b,Rd=0.02

- Verifica di stabilità aste presso-inflesse (C4.2.4.1.3.3.1) - CC 17 SLU - Classe 3
Sollecitazioni: N,Ed=-2.11 Myeq,Ed=7.49 Mzeq,Ed=-0.10
Resistenze: Nc,Rd=13095.20 My,c,Rd=109.13 Mz,c,Rd=21.83 L=28.13
λ_Y=19.49 Ncr,y=272937.00 λ^*_y=0.22 Curva c: Φ_y=0.53 χ_y=0.99
λ_Z=97.43 Ncr,z=10917.50 λ^*_z=1.12 Curva c: Φ_z=1.36 χ_z=0.47
χ,min=0.47
Verifica: 0.00+0.07+0.00=0.07

- Verifica in termini tensionali [4.2.4] - CC 17 SLU Xl=0.03 - Classe 3
Sollecitazioni: N=-2.11 T_z=68.72 M_y=7.49
Tensioni: σ_N=-0.42 σ_M=-179.65 τ=0.00 σ_{max}=-180.07
Tensioni: σ_N=-0.42 σ_M=-0.00 τ=20.62 τ_{max}=20.62
Tensioni: σ_N=-0.42 σ_M=-179.65 τ=0.00 $\sigma_{ID,max}$=180.07

- Verifica a taglio dir. Z [4.2.16] - CC 1 SLV Xl=0.09
Sollecitazioni: T_z=19.24
V,Ed=19.24 Vc,Rd=7560.76 V,Ed/Vc,Rd=0.00

Asta n. 6890 (-151 -152) calastrelli 50x10 Crit. 1

- Verifica di stabilità aste inflesse (4.2.4.1.3.2) CC 18 SLU - Classe 3
L_{cr}=0.28 Curva d: α_{imp}=0.76 k_c=0.94 ψ=3.08 M,cr=0.00 λ_{LT}=0.00
$\lambda_{LT,0}$=0.20 β_{LT}=1.00 Φ_{LT}=0.00 β_{LT}=1.00 f=0.00 χ_{LT}=1.00
CC 18 SLU My,Ed=1.04 My,b,Rd=109.13 My,Ed/My,b,Rd=0.01

- Verifica di stabilità aste presso-inflesse (C4.2.4.1.3.3.1) - CC 17 SLU - Classe 3
Sollecitazioni: N,Ed=-2.03 Myeq,Ed=7.65 Mzeq,Ed=-0.11
Resistenze: Nc,Rd=13095.20 My,c,Rd=109.13 Mz,c,Rd=21.83 L=27.50
λ_Y=19.05 Ncr,y=285485.00 λ^*_y=0.22 Curva c: Φ_y=0.53 χ_y=0.99
λ_Z=95.26 Ncr,z=11419.40 λ^*_z=1.10 Curva c: Φ_z=1.32 χ_z=0.49
χ,min=0.49
Verifica: 0.00+0.07+0.00=0.08

- Verifica in termini tensionali [4.2.4] - CC 17 SLU Xl=0.03 - Classe 3
Sollecitazioni: N=-2.03 T_z=72.27 M_y=7.65
Tensioni: σ_N=-0.41 σ_M=-183.60 τ=0.00 σ_{max}=-184.00
Tensioni: σ_N=-0.41 σ_M=-0.00 τ=21.68 τ_{max}=21.68
Tensioni: σ_N=-0.41 σ_M=-183.60 τ=0.00 $\sigma_{ID,max}$=184.00

- Verifica a taglio dir. Z [4.2.16] - CC 1 SLV Xl=0.11
Sollecitazioni: T_z=20.83
V,Ed=20.83 Vc,Rd=7560.76 V,Ed/Vc,Rd=0.00

Asta n. 6891 (-183 -184) calastrelli 50x10 Crit. 1

- Verifica di stabilità aste inflesse (4.2.4.1.3.2) CC 3 SLV - Classe 3
L_{cr}=0.27 Curva d: α_{imp}=0.76 k_c=0.94 ψ=3.06 M,cr=0.00 λ_{LT}=0.00
$\lambda_{LT,0}$=0.20 β_{LT}=1.00 Φ_{LT}=0.00 β_{LT}=1.00 f=0.00 χ_{LT}=1.00
CC 3 SLV My,Ed=2.11 My,b,Rd=109.13 My,Ed/My,b,Rd=0.02

- Verifica di stabilità aste presso-inflesse (C4.2.4.1.3.3.1) - CC 17 SLU - Classe 3
Sollecitazioni: N,Ed=-1.98 Myeq,Ed=7.54 Mzeq,Ed=-0.11
Resistenze: Nc,Rd=13095.20 My,c,Rd=109.13 Mz,c,Rd=21.83 L=26.88
λ_Y=18.62 Ncr,y=298917.00 λ^*_y=0.21 Curva c: Φ_y=0.53 χ_y=0.99
λ_Z=93.10 Ncr,z=11956.70 λ^*_z=1.07 Curva c: Φ_z=1.29 χ_z=0.50
χ,min=0.50
Verifica: 0.00+0.07+0.01=0.07

- Verifica in termini tensionali [4.2.4] - CC 17 SLU Xl=0.03 - Classe 3
  Sollecitazioni: N=-1.98 T_z=73.37 M_y=7.54
  Tensioni: σ_N=-0.40 σ_M=-180.97 τ=0.00 σ_{max}=-181.37
  Tensioni: σ_N=-0.40 σ_M=-0.00 τ=22.01 τ_{max}=22.01
  Tensioni: σ_N=-0.40 σ_M=-180.97 τ=0.00 $\sigma_{ID,max}$=181.37

- Verifica a taglio dir. Z [4.2.16] - CC 1 SLV Xl=0.10
  Sollecitazioni: T_z=21.87
  V,Ed=21.87 Vc,Rd=7560.76 V,Ed/Vc,Rd=0.00

Asta n. 6892 (-215 -216) calastrelli 50x10 Crit. 1

- Verifica di stabilità aste inflesse (4.2.4.1.3.2) CC 3 SLV - Classe 3
  L_{cr}=0.26 Curva d: α_{imp}=0.76 k_c=0.94 ψ=3.06 M,cr=0.00 λ_{LT}=0.00
  $\lambda_{LT,0}$=0.20 β_{LT}=1.00 Φ_{LT}=0.00 β_{LT}=1.00 f=0.00 χ_{LT}=1.00
  CC 3 SLV My,Ed=2.13 My,b,Rd=109.13 My,Ed/My,b,Rd=0.02

- Verifica di stabilità aste presso-inflesse (C4.2.4.1.3.3.1) - CC 17 SLU - Classe 3
  Sollecitazioni: N,Ed=-2.02 Myeq,Ed=7.37 Mzeq,Ed=-0.11
  Resistenze: Nc,Rd=13095.20 My,c,Rd=109.13 Mz,c,Rd=21.83 L=26.25
  λ_Y=18.19 Ncr,y=313321.00 λ^*_y=0.21 Curva c: Φ_y=0.52 χ_y=1.00
  λ_Z=90.93 Ncr,z=12532.80 λ^*_z=1.05 Curva c: Φ_z=1.26 χ_z=0.51
  χ,min=0.51
  Verifica: 0.00+0.07+0.00=0.07

- Verifica in termini tensionali [4.2.4] - CC 17 SLU Xl=0.03 - Classe 3
  Sollecitazioni: N=-2.02 T_z=73.95 M_y=7.37
  Tensioni: σ_N=-0.40 σ_M=-176.91 τ=0.00 σ_{max}=-177.31
  Tensioni: σ_N=-0.40 σ_M=-0.00 τ=22.18 τ_{max}=22.18
  Tensioni: σ_N=-0.40 σ_M=-176.91 τ=0.00 $\sigma_{ID,max}$=177.31

- Verifica a taglio dir. Z [4.2.16] - CC 1 SLV Xl=0.10
  Sollecitazioni: T_z=22.81
  V,Ed=22.81 Vc,Rd=7560.76 V,Ed/Vc,Rd=0.00

Asta n. 6893 (-247 -248) calastrelli 50x10 Crit. 1

- Verifica di stabilità aste inflesse (4.2.4.1.3.2) CC 18 SLU - Classe 3
  L_{cr}=0.26 Curva d: α_{imp}=0.76 k_c=0.94 ψ=3.10 M,cr=0.00 λ_{LT}=0.00
  $\lambda_{LT,0}$=0.20 β_{LT}=1.00 Φ_{LT}=0.00 β_{LT}=1.00 f=0.00 χ_{LT}=1.00
  CC 18 SLU My,Ed=-1.09 My,b,Rd=109.13 My,Ed/My,b,Rd=0.01

- Verifica di stabilità aste presso-inflesse (C4.2.4.1.3.3.1) - CC 17 SLU - Classe 3
  Sollecitazioni: N,Ed=-2.04 Myeq,Ed=7.19 Mzeq,Ed=-0.11
  Resistenze: Nc,Rd=13095.20 My,c,Rd=109.13 Mz,c,Rd=21.83 L=25.63
  λ_Y=17.75 Ncr,y=328790.00 λ^*_y=0.20 Curva c: Φ_y=0.52 χ_y=1.00
  λ_Z=88.77 Ncr,z=13151.60 λ^*_z=1.02 Curva c: Φ_z=1.22 χ_z=0.53
  χ,min=0.53
  Verifica: 0.00+0.07+0.00=0.07

- Verifica in termini tensionali [4.2.4] - CC 17 SLU Xl=0.03 - Classe 3
  Sollecitazioni: N=-2.04 T_z=74.44 M_y=7.19
  Tensioni: σ_N=-0.41 σ_M=-172.56 τ=0.00 σ_{max}=-172.97
  Tensioni: σ_N=-0.41 σ_M=-0.00 τ=22.33 τ_{max}=22.33
  Tensioni: σ_N=-0.41 σ_M=-172.56 τ=0.00 $\sigma_{ID,max}$=172.97

- Verifica a taglio dir. Z [4.2.16] - CC 1 SLV Xl=0.10
  Sollecitazioni: T_z=23.76

V,Ed=23.76 Vc,Rd=7560.76 V,Ed/Vc,Rd=0.00

Asta n. 6894 (-279 -280) calastrelli 50x10 Crit. 1

- Verifica di stabilità aste inflesse (4.2.4.1.3.2) CC 3 SLV - Classe 3
L_{cr}=0.25 Curva d: α_{imp}=0.76 k_c=0.94 ψ=3.06 M,cr=0.00 λ_{LT}=0.00
$\lambda_{LT,0}$=0.20 β_{LT}=1.00 Φ_{LT}=0.00 β_{LT}=1.00 f=0.00 χ_{LT}=1.00
CC 3 SLV My,Ed=2.17 My,b,Rd=109.13 My,Ed/My,b,Rd=0.02

- Verifica di stabilità aste presso-inflesse (C4.2.4.1.3.3.1) - CC 17 SLU - Classe 3
Sollecitazioni: N,Ed=-1.98 Myeq,Ed=7.01 Mzeq,Ed=-0.10
Resistenze: Nc,Rd=13095.20 My,c,Rd=109.13 Mz,c,Rd=21.83 L=25.00
λ_Y=17.32 Ncr,y=345436.00 λ^*_y=0.20 Curva c: Φ_y=0.52 χ_y=1.00
λ_Z=86.60 Ncr,z=13817.40 λ^*_z=1.00 Curva c: Φ_z=1.19 χ_z=0.54
χ,min=0.54
Verifica: 0.00+0.06+0.00=0.07

- Verifica in termini tensionali [4.2.4] - CC 17 SLU Xl=0.03 - Classe 3
Sollecitazioni: N=-1.98 T_z=74.94 M_y=7.01
Tensioni: σ_N=-0.40 σ_M=-168.14 τ=0.00 σ_{max}=-168.54
Tensioni: σ_N=-0.40 σ_M=-0.00 τ=22.48 τ_{max}=22.48
Tensioni: σ_N=-0.40 σ_M=-168.14 τ=0.00 $\sigma_{ID,max}$=168.54

- Verifica a taglio dir. Z [4.2.16] - CC 1 SLV Xl=0.10
Sollecitazioni: T_z=24.74
V,Ed=24.74 Vc,Rd=7560.76 V,Ed/Vc,Rd=0.00

Asta n. 6895 (-311 -312) calastrelli 50x10 Crit. 1

- Verifica di stabilità aste inflesse (4.2.4.1.3.2) CC 3 SLV - Classe 3
L_{cr}=0.24 Curva d: α_{imp}=0.76 k_c=0.94 ψ=3.06 M,cr=0.00 λ_{LT}=0.00
$\lambda_{LT,0}$=0.20 β_{LT}=1.00 Φ_{LT}=0.00 β_{LT}=1.00 f=0.00 χ_{LT}=1.00
CC 3 SLV My,Ed=2.18 My,b,Rd=109.13 My,Ed/My,b,Rd=0.02

- Verifica di stabilità aste presso-inflesse (C4.2.4.1.3.3.1) - CC 17 SLU - Classe 3
Sollecitazioni: N,Ed=-2.03 Myeq,Ed=6.82 Mzeq,Ed=-0.10
Resistenze: Nc,Rd=13095.20 My,c,Rd=109.13 Mz,c,Rd=21.83 L=24.38
λ_Y=16.89 Ncr,y=363379.00 λ^*_y=0.19 Curva c: Φ_y=0.52 χ_y=1.00
λ_Z=84.44 Ncr,z=14535.20 λ^*_z=0.97 Curva c: Φ_z=1.16 χ_z=0.56
χ,min=0.56
Verifica: 0.00+0.06+0.00=0.07

- Verifica in termini tensionali [4.2.4] - CC 17 SLU Xl=0.03 - Classe 3
Sollecitazioni: N=-2.03 T_z=75.46 M_y=6.82
Tensioni: σ_N=-0.41 σ_M=-163.71 τ=0.00 σ_{max}=-164.11
Tensioni: σ_N=-0.41 σ_M=-0.00 τ=22.64 τ_{max}=22.64
Tensioni: σ_N=-0.41 σ_M=-163.71 τ=0.00 $\sigma_{ID,max}$=164.11

- Verifica a taglio dir. Z [4.2.16] - CC 1 SLV Xl=0.09
Sollecitazioni: T_z=25.77
V,Ed=25.77 Vc,Rd=7560.76 V,Ed/Vc,Rd=0.00

Asta n. 6896 (-343 -344) calastrelli 50x10 Crit. 1

- Verifica di stabilità aste inflesse (4.2.4.1.3.2) CC 3 SLV - Classe 3
L_{cr}=0.24 Curva d: α_{imp}=0.76 k_c=0.94 ψ=3.06 M,cr=0.00 λ_{LT}=0.00
$\lambda_{LT,0}$=0.20 β_{LT}=1.00 Φ_{LT}=0.00 β_{LT}=1.00 f=0.00 χ_{LT}=1.00
CC 3 SLV My,Ed=2.19 My,b,Rd=109.13 My,Ed/My,b,Rd=0.02

- Verifica di stabilità aste presso-inflesse (C4.2.4.1.3.3.1) - CC 17 SLU - Classe 3
  Sollecitazioni: N,Ed=-2.00 Myeq,Ed=6.64 Mzeq,Ed=-0.10
  Resistenze: Nc,Rd=13095.20 My,c,Rd=109.13 Mz,c,Rd=21.83 L=23.75
  λ_Y=16.45 Ncr,y=382754.00 λ^*_y=0.19 Curva c: Φ_y=0.52 χ_y=1.00
  λ_Z=82.27 Ncr,z=15310.20 λ^*_z=0.95 Curva c: Φ_z=1.13 χ_z=0.57
  χ,min=0.57
  Verifica: 0.00+0.06+0.00=0.07

- Verifica in termini tensionali [4.2.4] - CC 17 SLU Xl=0.03 - Classe 3
  Sollecitazioni: N=-2.00 T_z=76.03 M_y=6.64 T_y=1.01
  Tensioni: σ_N=-0.40 σ_M=-159.29 τ=0.00 σ_{max}=-159.69
  Tensioni: σ_N=-0.40 σ_M=-0.00 τ=22.81 τ_{max}=22.81
  Tensioni: σ_N=-0.40 σ_M=-159.29 τ=0.30 $\sigma_{ID,max}$=159.69

- Verifica a taglio dir. Z [4.2.16] - CC 1 SLV Xl=0.09
  Sollecitazioni: T_z=26.86
  V,Ed=26.86 Vc,Rd=7560.76 V,Ed/Vc,Rd=0.00

Asta n. 6897 (-375 -376) calastrelli 50x10 Crit. 1

- Verifica di stabilità aste inflesse (4.2.4.1.3.2) CC 1 SLV - Classe 3
  L_{cr}=0.23 Curva d: α_{imp}=0.76 k_c=0.94 ψ=3.07 M,cr=0.00 λ_{LT}=0.00
  $\lambda_{LT,0}$=0.20 β_{LT}=1.00 Φ_{LT}=0.00 β_{LT}=1.00 f=0.00 χ_{LT}=1.00
  CC 1 SLV My,Ed=2.36 My,b,Rd=109.13 My,Ed/My,b,Rd=0.02

- Verifica di stabilità aste presso-inflesse (C4.2.4.1.3.3.1) - CC 17 SLU - Classe 3
  Sollecitazioni: N,Ed=-1.94 Myeq,Ed=6.45 Mzeq,Ed=-0.10
  Resistenze: Nc,Rd=13095.20 My,c,Rd=109.13 Mz,c,Rd=21.83 L=23.13
  λ_Y=16.02 Ncr,y=403725.00 λ^*_y=0.18 Curva c: Φ_y=0.51 χ_y=1.00
  λ_Z=80.11 Ncr,z=16149.00 λ^*_z=0.92 Curva c: Φ_z=1.10 χ_z=0.59
  χ,min=0.59
  Verifica: 0.00+0.06+0.00=0.06

- Verifica in termini tensionali [4.2.4] - CC 17 SLU Xl=0.03 - Classe 3
  Sollecitazioni: N=-1.94 T_z=76.61 M_y=6.45 T_y=1.02
  Tensioni: σ_N=-0.39 σ_M=-154.81 τ=0.00 σ_{max}=-155.19
  Tensioni: σ_N=-0.39 σ_M=-0.00 τ=22.99 τ_{max}=22.99
  Tensioni: σ_N=-0.39 σ_M=-154.81 τ=0.31 $\sigma_{ID,max}$=155.19

- Verifica a taglio dir. Z [4.2.16] - CC 1 SLV Xl=0.09
  Sollecitazioni: T_z=27.97
  V,Ed=27.97 Vc,Rd=7560.76 V,Ed/Vc,Rd=0.00

Asta n. 6898 (-407 -408) calastrelli 50x10 Crit. 1

- Verifica di stabilità aste presso-inflesse (C4.2.4.1.3.3.1) - CC 17 SLU - Classe 3
  Sollecitazioni: N,Ed=-2.23 Myeq,Ed=6.26 Mzeq,Ed=-0.10
  Resistenze: Nc,Rd=13095.20 My,c,Rd=109.13 Mz,c,Rd=21.83 L=22.50
  λ_Y=15.59 Ncr,y=426463.00 λ^*_y=0.18 Curva c: Φ_y=0.51 χ_y=1.00
  λ_Z=77.94 Ncr,z=17058.50 λ^*_z=0.90 Curva c: Φ_z=1.07 χ_z=0.60
  χ,min=0.60
  Verifica: 0.00+0.06+0.00=0.06

- Verifica in termini tensionali [4.2.4] - CC 17 SLU Xl=0.03 - Classe 3
  Sollecitazioni: N=-2.23 T_z=77.20 M_y=6.26 T_y=1.03
  Tensioni: σ_N=-0.45 σ_M=-150.20 τ=0.00 σ_{max}=-150.65
  Tensioni: σ_N=-0.45 σ_M=-0.00 τ=23.16 τ_{max}=23.16
  Tensioni: σ_N=-0.45 σ_M=-150.20 τ=0.31 $\sigma_{ID,max}$=150.65

- Verifica a taglio dir. Z [4.2.16] - CC 1 SLV Xl=0.09
  Sollecitazioni: T_z=29.14
  V,Ed=29.14 Vc,Rd=7560.76 V,Ed/Vc,Rd=0.00

Asta n. 6899 (-439 -440) calastrelli 50x10 Crit. 1

- Verifica a flessione [4.2.13] - CC 17 SLU Xl=0.03 - Classe 3
  Sollecitazioni: T_z=77.65 M_y=6.07 T_y=1.03
  My,Ed=6.07 My,c,Rd=109.13 My,Ed/My,c,Rd=0.06

- Verifica a taglio dir. Y [4.2.16] - CC 17 SLU Xl=0.10
  Sollecitazioni: T_z=77.29 T_y=1.03
  V,Ed=1.03 Vc,Rd=7560.76 V,Ed/Vc,Rd=0.00

- Verifica a taglio dir. Z [4.2.16]
  V,Ed=77.29 Vc,Rd=7560.76 V,Ed/Vc,Rd=0.01

Asta n. 6900 (-471 -472) calastrelli 50x10 Crit. 1

- Verifica di stabilità aste inflesse (4.2.4.1.3.2) CC 5 SLV - Classe 3
  L_{cr}=0.21 Curva d: α_{imp}=0.76 k_c=0.94 ψ=2.86 M,cr=0.00 λ_{LT}=0.00
  $\lambda_{LT,0}$=0.20 β_{LT}=1.00 Φ_{LT}=0.00 β_{LT}=1.00 f=0.00 χ_{LT}=1.00
  CC 5 SLV My,Ed=-1.40 My,b,Rd=109.13 My,Ed/My,b,Rd=0.01

- Verifica di stabilità aste presso-inflesse (C4.2.4.1.3.3.1) - CC 17 SLU - Classe 3
  Sollecitazioni: N,Ed=-13.87 Myeq,Ed=-5.73 Mzeq,Ed=-0.09
  Resistenze: Nc,Rd=13095.20 My,c,Rd=109.13 Mz,c,Rd=21.83 L=21.25
  λ_Y=14.72 Ncr,y=478114.00 λ^*_y=0.17 Curva c: Φ_y=0.51 χ_y=1.00
  λ_Z=73.61 Ncr,z=19124.60 λ^*_z=0.85 Curva c: Φ_z=1.02 χ_z=0.63
  χ,min=0.63
  Verifica: 0.00+0.05+0.00=0.06

- Verifica in termini tensionali [4.2.4] - CC 17 SLU Xl=0.18 - Classe 3
  Sollecitazioni: N=-13.87 T_z=76.15 M_y=-5.73
  Tensioni: σ_N=-2.77 σ_M=-137.41 τ=0.00 σ_{max}=-140.19
  Tensioni: σ_N=-2.77 σ_M=0.00 τ=22.84 τ_{max}=22.84
  Tensioni: σ_N=-2.77 σ_M=-137.41 τ=0.00 $\sigma_{ID,max}$=140.19

- Verifica a taglio dir. Z [4.2.16] - CC 5 SLV Xl=0.04
  Sollecitazioni: N=2.70 T_z=17.67
  V,Ed=17.67 Vc,Rd=7560.76 V,Ed/Vc,Rd=0.00

Asta n. 6901 (-503 -504) calastrelli 50x10 Crit. 1

- Verifica di stabilità aste inflesse (4.2.4.1.3.2) CC 17 SLU - Classe 3
  L_{cr}=0.21 Curva d: α_{imp}=0.76 k_c=0.94 ψ=2.71 M,cr=0.00 λ_{LT}=0.00
  $\lambda_{LT,0}$=0.20 β_{LT}=1.00 Φ_{LT}=0.00 β_{LT}=1.00 f=0.00 χ_{LT}=1.00
  CC 17 SLU My,Ed=5.42 My,b,Rd=109.13 My,Ed/My,b,Rd=0.05

- Verifica di stabilità aste presso-inflesse (C4.2.4.1.3.3.1) - CC 5 SLV - Classe 3
  Sollecitazioni: N,Ed=-16.56 Myeq,Ed=1.66 Mzeq,Ed=-0.02
  Resistenze: Nc,Rd=13095.20 My,c,Rd=109.13 Mz,c,Rd=21.83 L=20.63
  λ_Y=14.29 Ncr,y=507527.00 λ^*_y=0.16 Curva c: Φ_y=0.50 χ_y=1.00
  λ_Z=71.45 Ncr,z=20301.10 λ^*_z=0.82 Curva c: Φ_z=0.99 χ_z=0.65
  χ,min=0.65
  Verifica: 0.00+0.02+0.00=0.02

- Verifica in termini tensionali [4.2.4] - CC 17 SLU Xl=0.03 - Classe 3
  Sollecitazioni: N=67.43 T_z=67.03 M_y=5.42
  Tensioni: σ_N=13.49 σ_M=130.10 τ=0.00 σ_{max}=143.59

Tensioni: σ_N=13.49 σ_M=-0.00 τ=20.11 τ_{max}=20.11
Tensioni: σ_N=13.49 σ_M=130.10 τ=0.00 $\sigma_{ID,max}$=143.59

- Verifica a taglio dir. Z [4.2.16] - CC 17 SLU Xl=0.11
Sollecitazioni: N=67.43 T_z=66.64
V,Ed=66.64 Vc,Rd=7560.76 V,Ed/Vc,Rd=0.01

Asta n. 6905 (-511 -512) calastrelli 50x10 Crit. 1

- Verifica di stabilità aste inflesse (4.2.4.1.3.2) CC 1 SLV - Classe 3
L_{cr}=0.21 Curva d: α_{imp}=0.76 k_c=0.94 ψ=2.92 M,cr=0.00 λ_{LT}=0.00
$\lambda_{LT,0}$=0.20 β_{LT}=1.00 Φ_{LT}=0.00 β_{LT}=1.00 f=0.00 χ_{LT}=1.00
CC 1 SLV My,Ed=-2.29 My,b,Rd=109.13 My,Ed/My,b,Rd=0.02

- Verifica di stabilità aste presso-inflesse (C4.2.4.1.3.3.1) - CC 17 SLU - Classe 3
Sollecitazioni: N,Ed=-36.58 Myeq,Ed=-5.26 Mzeq,Ed=-0.07
Resistenze: Nc,Rd=13095.20 My,c,Rd=109.13 Mz,c,Rd=21.83 L=20.63
λ_Y=14.29 Ncr,y=507527.00 λ^*_y=0.16 Curva c: Φ_y=0.50 χ_y=1.00
λ_Z=71.45 Ncr,z=20301.10 λ^*_z=0.82 Curva c: Φ_z=0.99 χ_z=0.65
χ,min=0.65
Verifica: 0.00+0.05+0.00=0.05

- Verifica in termini tensionali [4.2.4] - CC 17 SLU Xl=0.18 - Classe 3
Sollecitazioni: N=-36.58 T_z=68.59 M_y=-5.26
Tensioni: σ_N=-7.32 σ_M=-126.33 τ=0.00 σ_{max}=-133.65
Tensioni: σ_N=-7.32 σ_M=0.00 τ=20.58 τ_{max}=20.58
Tensioni: σ_N=-7.32 σ_M=-126.33 τ=0.00 $\sigma_{ID,max}$=133.65

- Verifica a taglio dir. Z [4.2.16] - CC 1 SLV Xl=0.07
Sollecitazioni: T_z=29.10
V,Ed=29.10 Vc,Rd=7560.76 V,Ed/Vc,Rd=0.00

Asta n. 6906 (-479 -480) calastrelli 50x10 Crit. 1

- Verifica di stabilità aste inflesse (4.2.4.1.3.2) CC 17 SLU - Classe 3
L_{cr}=0.21 Curva d: α_{imp}=0.76 k_c=0.94 ψ=3.09 M,cr=0.00 λ_{LT}=0.00
$\lambda_{LT,0}$=0.20 β_{LT}=1.00 Φ_{LT}=0.00 β_{LT}=1.00 f=0.00 χ_{LT}=1.00
CC 17 SLU My,Ed=-5.88 My,b,Rd=109.13 My,Ed/My,b,Rd=0.05

- Verifica di stabilità aste presso-inflesse (C4.2.4.1.3.3.1) - CC 1 SLV - Classe 3
Sollecitazioni: N,Ed=-0.11 Myeq,Ed=-2.42 Mzeq,Ed=-0.04
Resistenze: Nc,Rd=13095.20 My,c,Rd=109.13 Mz,c,Rd=21.83 L=21.25
λ_Y=14.72 Ncr,y=478114.00 λ^*_y=0.17 Curva c: Φ_y=0.51 χ_y=1.00
λ_Z=73.61 Ncr,z=19124.60 λ^*_z=0.85 Curva c: Φ_z=1.02 χ_z=0.63
χ,min=0.63
Verifica: 0.00+0.02+0.00=0.02

- Verifica in termini tensionali [4.2.4] - CC 17 SLU Xl=0.18 - Classe 3
Sollecitazioni: N=3.50 T_z=78.42 M_y=-5.88 T_y=-1.03
Tensioni: σ_N=0.70 σ_M=141.07 τ=0.00 σ_{max}=141.77
Tensioni: σ_N=0.70 σ_M=0.00 τ=23.53 τ_{max}=23.53
Tensioni: σ_N=0.70 σ_M=141.07 τ=0.31 $\sigma_{ID,max}$=141.77

- Verifica a taglio dir. Y [4.2.16] - CC 17 SLU Xl=0.10
Sollecitazioni: N=3.50 T_z=78.84 T_y=-1.03
V,Ed=-1.03 Vc,Rd=7560.76 V,Ed/Vc,Rd=0.00

- Verifica a taglio dir. Z [4.2.16]
V,Ed=78.84 Vc,Rd=7560.76 V,Ed/Vc,Rd=0.01

Asta n. 6907 (-447 -448) calastrelli 50x10 Crit. 1

- Verifica di stabilità aste presso-inflesse (C4.2.4.1.3.3.1) - CC 17 SLU - Classe 3
  Sollecitazioni: N,Ed=-3.04 Myeq,Ed=-6.23 Mzeq,Ed=-0.10
  Resistenze: Nc,Rd=13095.20 My,c,Rd=109.13 Mz,c,Rd=21.83 L=21.88
  λ_Y=15.16 Ncr,y=451182.00 λ^*_y=0.17 Curva c: Φ_y=0.51 χ_y=1.00
  λ_Z=75.78 Ncr,z=18047.30 λ^*_z=0.87 Curva c: Φ_z=1.05 χ_z=0.62
  χ,min=0.62
  Verifica: 0.00+0.06+0.00=0.06

- Verifica in termini tensionali [4.2.4] - CC 17 SLU Xl=0.19 - Classe 3
  Sollecitazioni: N=-3.04 T_z=79.12 M_y=-6.23 T_y=-1.06
  Tensioni: σ_N=-0.61 σ_M=-149.50 τ=0.00 σ_{max}=-150.11
  Tensioni: σ_N=-0.61 σ_M=0.00 τ=23.74 τ_{max}=23.74
  Tensioni: σ_N=-0.61 σ_M=-149.50 τ=0.32 $\sigma_{ID,max}$=150.11

- Verifica a taglio dir. Z [4.2.16] - CC 1 SLV Xl=0.09
  Sollecitazioni: T_z=31.61
  V,Ed=31.61 Vc,Rd=7560.76 V,Ed/Vc,Rd=0.00

Asta n. 6908 (-415 -416) calastrelli 50x10 Crit. 1

- Verifica di stabilità aste inflesse (4.2.4.1.3.2) CC 16 SLU - Classe 3
  L_{cr}=0.23 Curva d: α_{imp}=0.76 k_c=0.94 ψ=2.98 M,cr=0.00 λ_{LT}=0.00
  $\lambda_{LT,0}$=0.20 β_{LT}=1.00 Φ_{LT}=0.00 β_{LT}=1.00 f=0.00 χ_{LT}=1.00
  CC 16 SLU My,Ed=0.67 My,b,Rd=109.13 My,Ed/My,b,Rd=0.01

- Verifica di stabilità aste presso-inflesse (C4.2.4.1.3.3.1) - CC 17 SLU - Classe 3
  Sollecitazioni: N,Ed=-2.08 Myeq,Ed=-6.42 Mzeq,Ed=-0.10
  Resistenze: Nc,Rd=13095.20 My,c,Rd=109.13 Mz,c,Rd=21.83 L=22.50
  λ_Y=15.59 Ncr,y=426463.00 λ^*_y=0.18 Curva c: Φ_y=0.51 χ_y=1.00
  λ_Z=77.94 Ncr,z=17058.50 λ^*_z=0.90 Curva c: Φ_z=1.07 χ_z=0.60
  χ,min=0.60
  Verifica: 0.00+0.06+0.00=0.06

- Verifica in termini tensionali [4.2.4] - CC 17 SLU Xl=0.20 - Classe 3
  Sollecitazioni: N=-2.08 T_z=78.55 M_y=-6.42 T_y=-1.06
  Tensioni: σ_N=-0.42 σ_M=-154.19 τ=0.00 σ_{max}=-154.61
  Tensioni: σ_N=-0.42 σ_M=0.00 τ=23.57 τ_{max}=23.57
  Tensioni: σ_N=-0.42 σ_M=-154.19 τ=0.32 $\sigma_{ID,max}$=154.61

- Verifica a taglio dir. Z [4.2.16] - CC 1 SLV Xl=0.09
  Sollecitazioni: T_z=30.40
  V,Ed=30.40 Vc,Rd=7560.76 V,Ed/Vc,Rd=0.00

Asta n. 6909 (-383 -384) calastrelli 50x10 Crit. 1

- Verifica di stabilità aste presso-inflesse (C4.2.4.1.3.3.1) - CC 17 SLU - Classe 3
  Sollecitazioni: N,Ed=-2.18 Myeq,Ed=-6.61 Mzeq,Ed=-0.10
  Resistenze: Nc,Rd=13095.20 My,c,Rd=109.13 Mz,c,Rd=21.83 L=23.13
  λ_Y=16.02 Ncr,y=403725.00 λ^*_y=0.18 Curva c: Φ_y=0.51 χ_y=1.00
  λ_Z=80.11 Ncr,z=16149.00 λ^*_z=0.92 Curva c: Φ_z=1.10 χ_z=0.59
  χ,min=0.59
  Verifica: 0.00+0.06+0.00=0.07

- Verifica in termini tensionali [4.2.4] - CC 17 SLU Xl=0.20 - Classe 3
  Sollecitazioni: N=-2.18 T_z=77.79 M_y=-6.61 T_y=-1.05
  Tensioni: σ_N=-0.44 σ_M=-158.62 τ=0.00 σ_{max}=-159.06

Tensioni: σ_N=-0.44 σ_M=0.00 τ=23.34 τ_{max}=23.34
Tensioni: σ_N=-0.44 σ_M=-158.62 τ=0.31 $\sigma_{ID,max}$=159.06

- Verifica a taglio dir. Z [4.2.16] - CC 1 SLV Xl=0.10
Sollecitazioni: T_z=29.16
V,Ed=29.16 Vc,Rd=7560.76 V,Ed/Vc,Rd=0.00

Asta n. 6910 (-351 -352) calastrelli 50x10 Crit. 1

- Verifica di stabilità aste presso-inflesse (C4.2.4.1.3.3.1) - CC 17 SLU - Classe 3
Sollecitazioni: N,Ed=-2.18 Myeq,Ed=-6.79 Mzeq,Ed=-0.10
Resistenze: Nc,Rd=13095.20 My,c,Rd=109.13 Mz,c,Rd=21.83 L=23.75
λ_Y=16.45 Ncr,y=382754.00 λ^*_y=0.19 Curva c: Φ_y=0.52 χ_y=1.00
λ_Z=82.27 Ncr,z=15310.20 λ^*_z=0.95 Curva c: Φ_z=1.13 χ_z=0.57
χ,min=0.57
Verifica: 0.00+0.06+0.00=0.07

- Verifica in termini tensionali [4.2.4] - CC 17 SLU Xl=0.21 - Classe 3
Sollecitazioni: N=-2.18 T_z=77.05 M_y=-6.79 T_y=-1.04
Tensioni: σ_N=-0.44 σ_M=-162.96 τ=0.00 σ_{max}=-163.39
Tensioni: σ_N=-0.44 σ_M=0.00 τ=23.12 τ_{max}=23.12
Tensioni: σ_N=-0.44 σ_M=-162.96 τ=0.31 $\sigma_{ID,max}$=163.39

- Verifica a taglio dir. Z [4.2.16] - CC 1 SLV Xl=0.10
Sollecitazioni: T_z=27.97
V,Ed=27.97 Vc,Rd=7560.76 V,Ed/Vc,Rd=0.00

Asta n. 6911 (-319 -320) calastrelli 50x10 Crit. 1

- Verifica di stabilità aste presso-inflesse (C4.2.4.1.3.3.1) - CC 17 SLU - Classe 3
Sollecitazioni: N,Ed=-2.20 Myeq,Ed=-6.97 Mzeq,Ed=-0.10
Resistenze: Nc,Rd=13095.20 My,c,Rd=109.13 Mz,c,Rd=21.83 L=24.38
λ_Y=16.89 Ncr,y=363379.00 λ^*_y=0.19 Curva c: Φ_y=0.52 χ_y=1.00
λ_Z=84.44 Ncr,z=14535.20 λ^*_z=0.97 Curva c: Φ_z=1.16 χ_z=0.56
χ,min=0.56
Verifica: 0.00+0.06+0.00=0.07

- Verifica in termini tensionali [4.2.4] - CC 17 SLU Xl=0.22 - Classe 3
Sollecitazioni: N=-2.20 T_z=76.37 M_y=-6.97 T_y=-1.03
Tensioni: σ_N=-0.44 σ_M=-167.29 τ=0.00 σ_{max}=-167.73
Tensioni: σ_N=-0.44 σ_M=0.00 τ=22.91 τ_{max}=22.91
Tensioni: σ_N=-0.44 σ_M=-167.29 τ=0.31 $\sigma_{ID,max}$=167.73

- Verifica a taglio dir. Z [4.2.16] - CC 1 SLV Xl=0.09
Sollecitazioni: T_z=26.89
V,Ed=26.89 Vc,Rd=7560.76 V,Ed/Vc,Rd=0.00

Asta n. 6912 (-287 -288) calastrelli 50x10 Crit. 1

- Verifica di stabilità aste presso-inflesse (C4.2.4.1.3.3.1) - CC 17 SLU - Classe 3
Sollecitazioni: N,Ed=-2.15 Myeq,Ed=-7.15 Mzeq,Ed=-0.11
Resistenze: Nc,Rd=13095.20 My,c,Rd=109.13 Mz,c,Rd=21.83 L=25.00
λ_Y=17.32 Ncr,y=345436.00 λ^*_y=0.20 Curva c: Φ_y=0.52 χ_y=1.00
λ_Z=86.60 Ncr,z=13817.40 λ^*_z=1.00 Curva c: Φ_z=1.19 χ_z=0.54
χ,min=0.54
Verifica: 0.00+0.07+0.00=0.07

- Verifica in termini tensionali [4.2.4] - CC 17 SLU Xl=0.22 - Classe 3
Sollecitazioni: N=-2.15 T_z=75.73 M_y=-7.15 T_y=-1.02

Tensioni: σ_N=-0.43 σ_M=-171.62 τ=0.00 σ_{max}=-172.05
Tensioni: σ_N=-0.43 σ_M=0.00 τ=22.72 τ_{max}=22.72
Tensioni: σ_N=-0.43 σ_M=-171.62 τ=0.31 $\sigma_{ID,max}$=172.05

- Verifica a taglio dir. Z [4.2.16] - CC 1 SLV Xl=0.10
Sollecitazioni: T_z=25.77
V,Ed=25.77 Vc,Rd=7560.76 V,Ed/Vc,Rd=0.00

Asta n. 6913 (-255 -256) calastrelli 50x10 Crit. 1

- Verifica di stabilità aste presso-inflesse (C4.2.4.1.3.3.1) - CC 17 SLU - Classe 3
Sollecitazioni: N,Ed=-2.21 Myeq,Ed=-7.33 Mzeq,Ed=-0.11
Resistenze: Nc,Rd=13095.20 My,c,Rd=109.13 Mz,c,Rd=21.83 L=25.63
λ_Y=17.75 Ncr,y=328790.00 λ^*_y=0.20 Curva c: Φ_y=0.52 χ_y=1.00
λ_Z=88.77 Ncr,z=13151.60 λ^*_z=1.02 Curva c: Φ_z=1.22 χ_z=0.53
χ,min=0.53
Verifica: 0.00+0.07+0.00=0.07

- Verifica in termini tensionali [4.2.4] - CC 17 SLU Xl=0.23 - Classe 3
Sollecitazioni: N=-2.21 T_z=75.12 M_y=-7.33 T_y=-1.01
Tensioni: σ_N=-0.44 σ_M=-175.93 τ=0.00 σ_{max}=-176.37
Tensioni: σ_N=-0.44 σ_M=0.00 τ=22.54 τ_{max}=22.54
Tensioni: σ_N=-0.44 σ_M=-175.93 τ=0.30 $\sigma_{ID,max}$=176.37

- Verifica a taglio dir. Z [4.2.16] - CC 1 SLV Xl=0.11
Sollecitazioni: T_z=24.74
V,Ed=24.74 Vc,Rd=7560.76 V,Ed/Vc,Rd=0.00

Asta n. 6914 (-223 -224) calastrelli 50x10 Crit. 1

- Verifica di stabilità aste presso-inflesse (C4.2.4.1.3.3.1) - CC 17 SLU - Classe 3
Sollecitazioni: N,Ed=-2.17 Myeq,Ed=-7.51 Mzeq,Ed=-0.11
Resistenze: Nc,Rd=13095.20 My,c,Rd=109.13 Mz,c,Rd=21.83 L=26.25
λ_Y=18.19 Ncr,y=313321.00 λ^*_y=0.21 Curva c: Φ_y=0.52 χ_y=1.00
λ_Z=90.93 Ncr,z=12532.80 λ^*_z=1.05 Curva c: Φ_z=1.26 χ_z=0.51
χ,min=0.51
Verifica: 0.00+0.07+0.01=0.07

- Verifica in termini tensionali [4.2.4] - CC 17 SLU Xl=0.23 - Classe 3
Sollecitazioni: N=-2.17 T_z=74.52 M_y=-7.51
Tensioni: σ_N=-0.43 σ_M=-180.18 τ=0.00 σ_{max}=-180.61
Tensioni: σ_N=-0.43 σ_M=0.00 τ=22.36 τ_{max}=22.36
Tensioni: σ_N=-0.43 σ_M=-180.18 τ=0.00 $\sigma_{ID,max}$=180.61

- Verifica a taglio dir. Z [4.2.16] - CC 1 SLV Xl=0.10
Sollecitazioni: T_z=23.79
V,Ed=23.79 Vc,Rd=7560.76 V,Ed/Vc,Rd=0.00

Asta n. 6915 (-191 -192) calastrelli 50x10 Crit. 1

- Verifica di stabilità aste presso-inflesse (C4.2.4.1.3.3.1) - CC 17 SLU - Classe 3
Sollecitazioni: N,Ed=-2.13 Myeq,Ed=-7.67 Mzeq,Ed=-0.11
Resistenze: Nc,Rd=13095.20 My,c,Rd=109.13 Mz,c,Rd=21.83 L=26.88
λ_Y=18.62 Ncr,y=298917.00 λ^*_y=0.21 Curva c: Φ_y=0.53 χ_y=0.99
λ_Z=93.10 Ncr,z=11956.70 λ^*_z=1.07 Curva c: Φ_z=1.29 χ_z=0.50
χ,min=0.50
Verifica: 0.00+0.07+0.01=0.08

- Verifica in termini tensionali [4.2.4] - CC 17 SLU Xl=0.24 - Classe 3

Sollecitazioni: N=-2.13 T_z=73.82 M_y=-7.67
Tensioni: σ_N=-0.43 σ_M=-184.11 τ=0.00 σ_{max}=-184.53
Tensioni: σ_N=-0.43 σ_M=0.00 τ=22.15 τ_{max}=22.15
Tensioni: σ_N=-0.43 σ_M=-184.11 τ=0.00 $\sigma_{ID,max}$=184.53

- Verifica a taglio dir. Z [4.2.16] - CC 1 SLV Xl=0.11
Sollecitazioni: T_z=22.76
V,Ed=22.76 Vc,Rd=7560.76 V,Ed/Vc,Rd=0.00

Asta n. 6916 (-159 -160) calastrelli 50x10 Crit. 1

- Verifica di stabilità aste presso-inflesse (C4.2.4.1.3.3.1) - CC 17 SLU - Classe 3
Sollecitazioni: N,Ed=-2.17 Myeq,Ed=-7.77 Mzeq,Ed=-0.11
Resistenze: Nc,Rd=13095.20 My,c,Rd=109.13 Mz,c,Rd=21.83 L=27.50
λ_Y=19.05 Ncr,y=285485.00 λ^*_y=0.22 Curva c: Φ_y=0.53 χ_y=0.99
λ_Z=95.26 Ncr,z=11419.40 λ^*_z=1.10 Curva c: Φ_z=1.32 χ_z=0.49
χ,min=0.49
Verifica: 0.00+0.07+0.01=0.08

- Verifica in termini tensionali [4.2.4] - CC 17 SLU Xl=0.25 - Classe 3
Sollecitazioni: N=-2.17 T_z=72.60 M_y=-7.77
Tensioni: σ_N=-0.43 σ_M=-186.57 τ=0.00 σ_{max}=-187.00
Tensioni: σ_N=-0.43 σ_M=0.00 τ=21.78 τ_{max}=21.78
Tensioni: σ_N=-0.43 σ_M=-186.57 τ=0.00 $\sigma_{ID,max}$=187.00

- Verifica a taglio dir. Z [4.2.16] - CC 1 SLV Xl=0.11
Sollecitazioni: T_z=21.66
V,Ed=21.66 Vc,Rd=7560.76 V,Ed/Vc,Rd=0.00

Asta n. 6917 (-127 -128) calastrelli 50x10 Crit. 1

- Verifica di stabilità aste presso-inflesse (C4.2.4.1.3.3.1) - CC 17 SLU - Classe 3
Sollecitazioni: N,Ed=-2.03 Myeq,Ed=-7.60 Mzeq,Ed=-0.10
Resistenze: Nc,Rd=13095.20 My,c,Rd=109.13 Mz,c,Rd=21.83 L=28.13
λ_Y=19.49 Ncr,y=272937.00 λ^*_y=0.22 Curva c: Φ_y=0.53 χ_y=0.99
λ_Z=97.43 Ncr,z=10917.50 λ^*_z=1.12 Curva c: Φ_z=1.36 χ_z=0.47
χ,min=0.47
Verifica: 0.00+0.07+0.00=0.07

- Verifica in termini tensionali [4.2.4] - CC 17 SLU Xl=0.25 - Classe 3
Sollecitazioni: N=-2.03 T_z=68.91 M_y=-7.60
Tensioni: σ_N=-0.41 σ_M=-182.39 τ=0.00 σ_{max}=-182.79
Tensioni: σ_N=-0.41 σ_M=0.00 τ=20.67 τ_{max}=20.67
Tensioni: σ_N=-0.41 σ_M=-182.39 τ=0.00 $\sigma_{ID,max}$=182.79

- Verifica a taglio dir. Z [4.2.16] - CC 1 SLV Xl=0.09
Sollecitazioni: T_z=20.02
V,Ed=20.02 Vc,Rd=7560.76 V,Ed/Vc,Rd=0.00

Asta n. 6918 (-95 -96) calastrelli 50x10 Crit. 1

- Verifica di stabilità aste presso-inflesse (C4.2.4.1.3.3.1) - CC 17 SLU - Classe 3
Sollecitazioni: N,Ed=-2.79 Myeq,Ed=-6.18 Mzeq,Ed=-0.08
Resistenze: Nc,Rd=13095.20 My,c,Rd=109.13 Mz,c,Rd=21.83 L=28.75
λ_Y=19.92 Ncr,y=261199.00 λ^*_y=0.23 Curva c: Φ_y=0.53 χ_y=0.99
λ_Z=99.59 Ncr,z=10447.90 λ^*_z=1.15 Curva c: Φ_z=1.39 χ_z=0.46
χ,min=0.46
Verifica: 0.00+0.06+0.00=0.06

- Verifica in termini tensionali [4.2.4] - CC 17 SLU Xl=0.26 - Classe 3
  Sollecitazioni: N=-2.79 T_z=54.46 M_y=-6.18
  Tensioni: σ_N=-0.56 σ_M=-148.42 τ=0.00 σ_{max}=-148.98
  Tensioni: σ_N=-0.56 σ_M=0.00 τ=16.34 τ_{max}=16.34
  Tensioni: σ_N=-0.56 σ_M=-148.42 τ=0.00 $\sigma_{ID,max}$=148.98

- Verifica a taglio dir. Z [4.2.16] - CC 1 SLV Xl=0.10
  Sollecitazioni: T_z=15.45
  V,Ed=15.45 Vc,Rd=7560.76 V,Ed/Vc,Rd=0.00

Asta n. 6919 (-63 -64) calastrelli 100x5 Crit. 1

- Verifica in termini tensionali [4.2.4] - CC 17 SLU Xl=0.27 - Classe 3
  Sollecitazioni: N=5.69 T_z=62.93 M_y=-7.62
  Tensioni: σ_N=0.57 σ_M=45.70 τ=0.00 σ_{max}=46.27
  Tensioni: σ_N=0.57 σ_M=0.00 τ=9.44 τ_{max}=9.44
  Tensioni: σ_N=0.57 σ_M=45.70 τ=0.00 $\sigma_{ID,max}$=46.27

- Verifica a taglio dir. Z [4.2.16] - CC 17 SLU Xl=0.14
  Sollecitazioni: N=5.69 T_z=64.21
  V,Ed=64.21 Vc,Rd=15121.50 V,Ed/Vc,Rd=0.00

Asta n. 6920 (-31 -32) calastrelli 100x5 Crit. 1

- Verifica in termini tensionali [4.2.4] - CC 17 SLU Xl=0.27 - Classe 3
  Sollecitazioni: N=33.22 T_z=38.58 M_y=-4.78
  Tensioni: σ_N=3.32 σ_M=28.65 τ=0.00 σ_{max}=31.97
  Tensioni: σ_N=3.32 σ_M=0.00 τ=5.79 τ_{max}=5.79
  Tensioni: σ_N=3.32 σ_M=28.65 τ=0.00 $\sigma_{ID,max}$=31.97

- Verifica a taglio dir. Z [4.2.16] - CC 17 SLU Xl=0.14
  Sollecitazioni: N=33.22 T_z=39.88
  V,Ed=39.88 Vc,Rd=15121.50 V,Ed/Vc,Rd=0.00

Asta n. 6921 (382 383) angolari L50x10 Crit. 1

- Verifica di stabilità aste presso-inflesse (C4.2.4.1.3.3.1) - CC 17 SLU - Classe 3
  Sollecitazioni: N,Ed=-7.59 Myeq,Ed=-0.37 Mzeq,Ed=-0.84
  Resistenze: Nc,Rd=23709.20 My,c,Rd=149.05 Mz,c,Rd=149.05 L=15.00
  λ_c=8.19 Ncr,y=2794020.00 λ^*_y=0.09 Curva b: Φ_y=0.00 χ_y=1.00
  λ_c=15.58 Ncr,z=772682.00 λ^*_z=0.18 Curva b: Φ_z=0.00 χ_z=1.00
  χ,min=1.00
  Verifica: 0.00+0.00+0.01=0.01

- Verifica in termini tensionali [4.2.4] - CC 17 SLU Xl=0.02 - Classe 3
  Sollecitazioni: N=-7.59 T_z=-3.57 T_y=6.10 M_z=-1.01
  Tensioni: σ_N=-0.84 σ_M=-21.94 τ=0.26 σ_{max}=-22.78
  Tensioni: σ_N=-0.84 σ_M=4.14 τ=1.83 τ_{max}=1.83
  Tensioni: σ_N=-0.84 σ_M=-21.94 τ=0.26 $\sigma_{ID,max}$=22.79

- Verifica a taglio dir. Y [4.2.16] - CC 17 SLU Xl=0.03
  Sollecitazioni: N=-7.59 T_z=-3.57 T_y=5.99
  V,Ed=5.99 Vc,Rd=7560.76 V,Ed/Vc,Rd=0.00

- Verifica a taglio dir. Z [4.2.16]
  V,Ed=-3.57 Vc,Rd=7560.76 V,Ed/Vc,Rd=0.00

Asta n. 6921 (383 384) angolari L50x10 Crit. 1

- Verifica di stabilità aste presso-inflesse (C4.2.4.1.3.3.1) - CC 9 SLU - Classe 3
  Sollecitazioni: N,Ed=-13.38 Myeq,Ed=-0.02 Mzeq,Ed=-0.63
  Resistenze: Nc,Rd=23709.20 My,c,Rd=149.05 Mz,c,Rd=149.05 L=15.00
  λ_c=8.19 Ncr,y=2794050.00 λ^*_y=0.09 Curva b: Φ_y=0.00 χ_y=1.00
  λ_e=15.58 Ncr,z=772692.00 λ^*_z=0.18 Curva b: Φ_z=0.00 χ_z=1.00
  χ,min=1.00
  Verifica: 0.00+0.00+0.00=0.00

- Verifica a compressione [4.2.9] - CC 18 SLU Xl=0.00 - Classe 1
  Sollecitazioni: N=-14.83
  N,Ed=-14.83 Nc,Rd=-23709.20 N,Ed/Nc,Rd=0.00
  Verifiche di duttilità [7.5.3]:
  q_0=4.00 N,Ed=-14.83 Npl,Rd=23709.20 N,Ed/Npl,Rd=0.000625

- Verifica a taglio dir. Y [4.2.16] - CC 17 SLU Xl=0.00
  Sollecitazioni: N=-7.59 T_z=-3.57 T_y=4.88
  V,Ed=4.88 Vc,Rd=7560.76 V,Ed/Vc,Rd=0.00

- Verifica a taglio dir. Z [4.2.16]
  V,Ed=-3.57 Vc,Rd=7560.76 V,Ed/Vc,Rd=0.00

Asta n. 6922 (-543 -544) arcarecci T 120x60x10 Crit. 1

- Verifica di stabilità aste inflesse (4.2.4.1.3.2) CC 1 SLV - Classe 3
  L_{cr}=0.12 Curva d: α_{imp}=0.76 k_c=0.94 ψ=1.35 M,cr=0.00 λ_{LT}=0.00
  $\lambda_{LT,0}$=0.00 β_{LT}=0.00 Φ_{LT}=0.00 β_{LT}=0.00 f=0.00 χ_{LT}=1.00
  CC 1 SLV My,Ed=-0.08 My,b,Rd=862.52 My,Ed/My,b,Rd=0.00

- Verifica di stabilità aste presso-inflesse (C4.2.4.1.3.3.1) - CC 19 SLU - Classe 3
  Sollecitazioni: N,Ed=-1.43 Myeq,Ed=-0.16 Mzeq,Ed=-1.58
  Resistenze: Nc,Rd=44512.60 My,c,Rd=862.52 Mz,c,Rd=164.81 L=12.00
  λ_Y=3.12 Ncr,y=36117200.00 λ^*_y=0.04 Curva c: Φ_y=0.00 χ_y=1.00
  λ_Z=11.39 Ncr,z=2717260.00 λ^*_z=0.13 Curva c: Φ_z=0.00 χ_z=1.00
  χ,min=1.00
  Verifica: 0.00+0.00+0.01=0.01

- Verifica in termini tensionali [4.2.4] - CC 19 SLU Xl=0.12 - Classe 3
  Sollecitazioni: N=-1.43 T_z=3.04 T_y=-25.84 M_z=-1.58
  Tensioni: σ_N=-0.08 σ_M=-25.18 τ=0.04 σ_{max}=-25.26
  Tensioni: σ_N=-0.08 σ_M=-5.04 τ=5.90 τ_{max}=5.90
  Tensioni: σ_N=-0.08 σ_M=-25.18 τ=0.04 $\sigma_{ID,max}$=25.26

- Verifica a taglio dir. Y [4.2.16] - CC 18 SLU Xl=0.00
  Sollecitazioni: T_y=-16.33
  V,Ed=-16.33 Vc,Rd=9072.91 V,Ed/Vc,Rd=0.00

Asta n. 6923 (-527 -528) arcarecci T 120x60x10 Crit. 1

- Verifica di stabilità aste presso-inflesse (C4.2.4.1.3.3.1) - CC 19 SLU - Classe 3
  Sollecitazioni: N,Ed=-2.07 Myeq,Ed=-0.22 Mzeq,Ed=1.39
  Resistenze: Nc,Rd=44512.60 My,c,Rd=862.52 Mz,c,Rd=164.81 L=12.00
  λ_Y=3.12 Ncr,y=36117200.00 λ^*_y=0.04 Curva c: Φ_y=0.00 χ_y=1.00
  λ_Z=11.39 Ncr,z=2717260.00 λ^*_z=0.13 Curva c: Φ_z=0.00 χ_z=1.00
  χ,min=1.00
  Verifica: 0.00+0.00+0.01=0.01

- Verifica in termini tensionali [4.2.4] - CC 19 SLU Xl=0.00 - Classe 3
  Sollecitazioni: N=-2.07 T_z=1.84 T_y=-23.06 M_z=1.39

Tensioni: σ_N=-0.12 σ_M=-22.13 τ=0.00 σ_{max}=-22.26
Tensioni: σ_N=-0.12 σ_M=4.43 τ=5.26 τ_{max}=5.26
Tensioni: σ_N=-0.12 σ_M=-22.13 τ=0.03 $\sigma_{ID,max}$=22.26

- Verifica a taglio dir. Y [4.2.16] - CC 18 SLU Xl=0.01
Sollecitazioni: T_y=-17.29
V,Ed=-17.29 Vc,Rd=9072.91 V,Ed/Vc,Rd=0.00

Asta n. 7001 (3002 -815) arcarecci T 120x60x10 Crit. 1

- Verifica di stabilità aste inflesse (4.2.4.1.3.2) CC 18 SLU - Classe 3
L_{cr}=1.54 Curva d: α_{imp}=0.76 k_c=0.94 ψ=1.62 M,cr=0.00 λ_{LT}=0.00
$\lambda_{LT,0}$=0.20 β_{LT}=1.00 Φ_{LT}=0.00 β_{LT}=1.00 f=0.00 χ_{LT}=1.00
CC 18 SLU My,Ed=26.44 My,b,Rd=862.52 My,Ed/My,b,Rd=0.03

- Verifica di stabilità aste presso-inflesse (C4.2.4.1.3.3.1) - CC 5 SLV - Classe 3
Sollecitazioni: N,Ed=-3.13 Myeq,Ed=9.56 Mzeq,Ed=-1.41
Resistenze: Nc,Rd=44512.60 My,c,Rd=862.52 Mz,c,Rd=164.81 L=154.00
λ_Y=40.08 Ncr,y=219298.00 λ^*_y=0.46 Curva c: Φ_y=0.67 χ_y=0.86
λ_Z=146.12 Ncr,z=16498.80 λ^*_z=1.68 Curva c: Φ_z=2.28 χ_z=0.26
χ,min=0.26
Verifica: 0.00+0.01+0.01=0.02

- Verifica Freccia massima per soli carichi accidentali - CC 24
$f_{Z,L}$=0.00 (L/38220) $f_{Z,G}$=0.00 (L/38220)

- Verifica Freccia massima carichi totali - CC 24
$f_{Z,L}$=0.01 (L/17178) $f_{Z,G}$=0.01 (L/17178)

- Verifica in termini tensionali [4.2.4] - CC 18 SLU Xl=1.12 - Classe 3
Sollecitazioni: N=11.75 M_y=26.43
Tensioni: σ_N=0.69 σ_M=-80.27 τ=0.00 σ_{max}=-79.58
Tensioni: σ_N=0.00 σ_M=0.00 τ=0.00 τ_{max}=0.00
Tensioni: σ_N=0.69 σ_M=-80.27 τ=0.00 $\sigma_{ID,max}$=79.58

- Verifica a taglio dir. Z [4.2.16] - CC 19 SLU Xl=0.00
Sollecitazioni: N=11.36 T_z=-36.13
V,Ed=-36.13 Vc,Rd=18145.80 V,Ed/Vc,Rd=0.00

Asta n. 7001 (-815 3003) arcarecci T 120x60x10 Crit. 1

- Verifica di stabilità aste inflesse (4.2.4.1.3.2) CC 18 SLU - Classe 3
L_{cr}=1.54 Curva d: α_{imp}=0.76 k_c=0.94 ψ=2.43 M,cr=0.00 λ_{LT}=0.00
$\lambda_{LT,0}$=0.20 β_{LT}=1.00 Φ_{LT}=0.00 β_{LT}=1.00 f=0.00 χ_{LT}=1.00
CC 18 SLU My,Ed=-41.83 My,b,Rd=862.52 My,Ed/My,b,Rd=0.05

- Verifica di stabilità aste presso-inflesse (C4.2.4.1.3.3.1) - CC 5 SLV - Classe 3
Sollecitazioni: N,Ed=-2.34 Myeq,Ed=-16.82 Mzeq,Ed=1.56
Resistenze: Nc,Rd=44512.60 My,c,Rd=862.52 Mz,c,Rd=164.81 L=154.00
λ_Y=40.08 Ncr,y=219298.00 λ^*_y=0.46 Curva c: Φ_y=0.67 χ_y=0.86
λ_Z=146.12 Ncr,z=16498.80 λ^*_z=1.68 Curva c: Φ_z=2.28 χ_z=0.26
χ,min=0.26
Verifica: 0.00+0.02+0.01=0.03

- Verifica Freccia massima carichi totali - CC 21
$f_{Z,L}$=0.00 (L/72575) $f_{Z,G}$=0.00 (L/72575)

- Verifica in termini tensionali [4.2.4] - CC 18 SLU Xl=1.54 - Classe 3
Sollecitazioni: N=11.75 T_z=70.25 M_y=-41.83

Tensioni: σ_N=0.69 σ_M=127.01 τ=0.00 σ_{max}=127.70
Tensioni: σ_N=0.69 σ_M=0.00 τ=8.11 τ_{max}=8.11
Tensioni: σ_N=0.69 σ_M=127.01 τ=0.00 $\sigma_{ID,max}$=127.70

- Verifica a taglio dir. Z [4.2.16] - CC 16 SLU Xl=0.84
Sollecitazioni: N=7.25 T_z=39.55
V,Ed=39.55 Vc,Rd=18145.80 V,Ed/Vc,Rd=0.00

Asta n. 7001 (3004 -804) arcarecci T 120x60x10 Crit. 1

- Verifica di stabilità aste inflesse (4.2.4.1.3.2) CC 18 SLU - Classe 3
L_{cr}=1.64 Curva d: α_{imp}=0.76 k_c=0.94 ψ=1.96 M,cr=0.00 λ_{LT}=0.00
$\lambda_{LT,0}$=0.20 β_{LT}=1.00 Φ_{LT}=0.00 β_{LT}=1.00 f=0.00 χ_{LT}=1.00
CC 18 SLU My,Ed=-41.27 My,b,Rd=862.52 My,Ed/My,b,Rd=0.05

- Verifica di stabilità aste presso-inflesse (C4.2.4.1.3.3.1) - CC 5 SLV - Classe 3
Sollecitazioni: N,Ed=-2.41 Myeq,Ed=-13.62 Mzeq,Ed=-1.59
Resistenze: Nc,Rd=44512.60 My,c,Rd=862.52 Mz,c,Rd=164.81 L=164.00
λ_Y=42.68 Ncr,y=193369.00 λ^*_y=0.49 Curva c: Φ_y=0.69 χ_y=0.85
λ_Z=155.61 Ncr,z=14548.10 λ^*_z=1.79 Curva c: Φ_z=2.50 χ_z=0.24
χ,min=0.24
Verifica: 0.00+0.02+0.01=0.03

- Verifica Freccia massima per soli carichi accidentali - CC 21
$f_{Z,L}$=0.00 (L/66140) $f_{Z,G}$=0.00 (L/66783)

- Verifica Freccia massima carichi totali - CC 21
$f_{Z,G}$=0.00 (L/33070) $f_{Z,L}$=0.00 (L/33230)

- Verifica in termini tensionali [4.2.4] - CC 18 SLU Xl=0.00 - Classe 3
Sollecitazioni: N=17.83 T_z=-59.58 M_y=-41.27
Tensioni: σ_N=1.05 σ_M=125.31 τ=0.00 σ_{max}=126.36
Tensioni: σ_N=1.05 σ_M=0.00 τ=6.87 τ_{max}=6.87
Tensioni: σ_N=1.05 σ_M=125.31 τ=0.00 $\sigma_{ID,max}$=126.36

- Verifica a taglio dir. Z [4.2.16] - CC 19 SLU Xl=1.04
Sollecitazioni: N=17.56 T_z=-20.23
V,Ed=-20.23 Vc,Rd=18145.80 V,Ed/Vc,Rd=0.00

Asta n. 7001 (-804 3005) arcarecci T 120x60x10 Crit. 1

- Verifica di stabilità aste inflesse (4.2.4.1.3.2) CC 18 SLU - Classe 3
L_{cr}=1.64 Curva d: α_{imp}=0.76 k_c=0.94 ψ=1.97 M,cr=0.00 λ_{LT}=0.00
$\lambda_{LT,0}$=0.20 β_{LT}=1.00 Φ_{LT}=0.00 β_{LT}=1.00 f=0.00 χ_{LT}=1.00
CC 18 SLU My,Ed=-40.26 My,b,Rd=862.52 My,Ed/My,b,Rd=0.05

- Verifica di stabilità aste presso-inflesse (C4.2.4.1.3.3.1) - CC 5 SLV - Classe 3
Sollecitazioni: N,Ed=-2.74 Myeq,Ed=-13.43 Mzeq,Ed=1.55
Resistenze: Nc,Rd=44512.60 My,c,Rd=862.52 Mz,c,Rd=164.81 L=164.00
λ_Y=42.68 Ncr,y=193369.00 λ^*_y=0.49 Curva c: Φ_y=0.69 χ_y=0.85
λ_Z=155.61 Ncr,z=14548.10 λ^*_z=1.79 Curva c: Φ_z=2.50 χ_z=0.24
χ,min=0.24
Verifica: 0.00+0.02+0.01=0.03

- Verifica Freccia massima per soli carichi accidentali - CC 24
$f_{Z,L}$=0.00 (L/89333) $f_{Z,G}$=0.00 (L/89333)

- Verifica Freccia massima carichi totali - CC 24
$f_{Z,L}$=0.00 (L/45254) $f_{Z,G}$=0.00 (L/45254)

- Verifica in termini tensionali [4.2.4] - CC 18 SLU Xl=1.64 - Classe 3
  Sollecitazioni: N=17.83 T_z=58.97 M_y=-40.26
  Tensioni: σ_N=1.05 σ_M=122.24 τ=0.00 σ_{max}=123.29
  Tensioni: σ_N=1.05 σ_M=0.00 τ=6.80 τ_{max}=6.80
  Tensioni: σ_N=1.05 σ_M=122.24 τ=0.00 $\sigma_{ID,max}$=123.29

- Verifica a taglio dir. Z [4.2.16] - CC 16 SLU Xl=0.75
  Sollecitazioni: N=10.50 T_z=23.78
  V,Ed=23.78 Vc,Rd=18145.80 V,Ed/Vc,Rd=0.00

Asta n. 7001 (3006 -795) arcarecci T 120x60x10 Crit. 1

- Verifica di stabilità aste inflesse (4.2.4.1.3.2) CC 18 SLU - Classe 3
  L_{cr}=1.54 Curva d: α_{imp}=0.76 k_c=0.94 ψ=2.41 M,cr=0.00 λ_{LT}=0.00
  $\lambda_{LT,0}$=0.20 β_{LT}=1.00 Φ_{LT}=0.00 β_{LT}=1.00 f=0.00 χ_{LT}=1.00
  CC 18 SLU My,Ed=-42.91 My,b,Rd=862.52 My,Ed/My,b,Rd=0.05

- Verifica di stabilità aste presso-inflesse (C4.2.4.1.3.3.1) - CC 5 SLV - Classe 3
  Sollecitazioni: N,Ed=-2.52 Myeq,Ed=-17.17 Mzeq,Ed=-1.61
  Resistenze: Nc,Rd=44512.60 My,c,Rd=862.52 Mz,c,Rd=164.81 L=154.00
  λ_Y=40.08 Ncr,y=219298.00 λ^*_y=0.46 Curva c: Φ_y=0.67 χ_y=0.86
  λ_Z=146.12 Ncr,z=16498.80 λ^*_z=1.68 Curva c: Φ_z=2.28 χ_z=0.26
  χ,min=0.26
  Verifica: 0.00+0.02+0.01=0.03

- Verifica Freccia massima per soli carichi accidentali - CC 24
  $f_{Z,L}$=0.00 (L/140418) $f_{Z,G}$=0.00 (L/140418)

- Verifica Freccia massima carichi totali - CC 21
  $f_{Z,L}$=0.00 (L/69454) $f_{Z,G}$=0.00 (L/69454)

- Verifica in termini tensionali [4.2.4] - CC 18 SLU Xl=0.00 - Classe 3
  Sollecitazioni: N=13.26 T_z=-70.86 M_y=-42.91
  Tensioni: σ_N=0.78 σ_M=130.31 τ=0.00 σ_{max}=131.09
  Tensioni: σ_N=0.78 σ_M=0.00 τ=8.18 τ_{max}=8.18
  Tensioni: σ_N=0.78 σ_M=130.31 τ=0.00 $\sigma_{ID,max}$=131.09

- Verifica a taglio dir. Z [4.2.16] - CC 17 SLU Xl=0.70
  Sollecitazioni: N=8.24 T_z=-31.01
  V,Ed=-31.01 Vc,Rd=18145.80 V,Ed/Vc,Rd=0.00

Asta n. 7001 (-795 3007) arcarecci T 120x60x10 Crit. 1

- Verifica di stabilità aste inflesse (4.2.4.1.3.2) CC 18 SLU - Classe 3
  L_{cr}=1.54 Curva d: α_{imp}=0.76 k_c=0.94 ψ=1.58 M,cr=0.00 λ_{LT}=0.00
  $\lambda_{LT,0}$=0.20 β_{LT}=1.00 Φ_{LT}=0.00 β_{LT}=1.00 f=0.00 χ_{LT}=1.00
  CC 18 SLU My,Ed=26.54 My,b,Rd=862.52 My,Ed/My,b,Rd=0.03

- Verifica di stabilità aste presso-inflesse (C4.2.4.1.3.3.1) - CC 5 SLV - Classe 3
  Sollecitazioni: N,Ed=-3.51 Myeq,Ed=9.65 Mzeq,Ed=-1.40
  Resistenze: Nc,Rd=44512.60 My,c,Rd=862.52 Mz,c,Rd=164.81 L=154.00
  λ_Y=40.08 Ncr,y=219298.00 λ^*_y=0.46 Curva c: Φ_y=0.67 χ_y=0.86
  λ_Z=146.12 Ncr,z=16498.80 λ^*_z=1.68 Curva c: Φ_z=2.28 χ_z=0.26
  χ,min=0.26
  Verifica: 0.00+0.01+0.01=0.02

- Verifica Freccia massima per soli carichi accidentali - CC 24
  $f_{Z,G}$=0.00 (L/37336) $f_{Z,L}$=0.00 (L/37553)

- Verifica Freccia massima carichi totali - CC 21
  $f_{Z,L}$=0.01 (L/14450) $f_{Z,G}$=0.01 (L/14450)

- Verifica in termini tensionali [4.2.4] - CC 18 SLU Xl=0.42 - Classe 3
  Sollecitazioni: N=13.26 M_y=26.54
  Tensioni: σ_N=0.78 σ_M=-80.58 τ=0.00 σ_{max}=-79.80
  Tensioni: σ_N=0.00 σ_M=0.00 τ=0.00 τ_{max}=0.00
  Tensioni: σ_N=0.78 σ_M=-80.58 τ=0.00 $\sigma_{ID,max}$=79.80

- Verifica a taglio dir. Y [4.2.16] - CC 7 SLV Xl=1.54
  Sollecitazioni: N=7.03 T_z=17.07 T_y=1.42
  V,Ed=1.42 Vc,Rd=9072.91 V,Ed/Vc,Rd=0.00

- Verifica a taglio dir. Z [4.2.16]
  V,Ed=17.07 Vc,Rd=18145.80 V,Ed/Vc,Rd=0.00

Asta n. 7002 (4027 -816) arcarecci T 120x60x10 Crit. 1

- Verifica di stabilità aste inflesse (4.2.4.1.3.2) CC 17 SLU - Classe 3
  L_{cr}=1.54 Curva d: α_{imp}=0.76 k_c=0.94 ψ=1.93 M,cr=0.00 λ_{LT}=0.00
  $\lambda_{LT,0}$=0.20 β_{LT}=1.00 Φ_{LT}=0.00 β_{LT}=1.00 f=0.00 χ_{LT}=1.00
  CC 17 SLU My,Ed=-78.70 My,b,Rd=862.52 My,Ed/My,b,Rd=0.09

- Verifica di stabilità aste presso-inflesse (C4.2.4.1.3.3.1) - CC 5 SLV - Classe 3
  Sollecitazioni: N,Ed=-2.04 Myeq,Ed=-12.15 Mzeq,Ed=1.61
  Resistenze: Nc,Rd=44512.60 My,c,Rd=862.52 Mz,c,Rd=164.81 L=154.00
  λ_Y=40.08 Ncr,y=219298.00 λ^*_y=0.46 Curva c: Φ_y=0.67 χ_y=0.86
  λ_Z=146.12 Ncr,z=16498.80 λ^*_z=1.68 Curva c: Φ_z=2.28 χ_z=0.26
  χ,min=0.26
  Verifica: 0.00+0.01+0.01=0.02

- Verifica Freccia massima per soli carichi accidentali - CC 23
  $f_{Z,L}$=0.01 (L/11701) $f_{Z,G}$=0.01 (L/11701)

- Verifica Freccia massima carichi totali - CC 23
  $f_{Z,L}$=0.01 (L/15056) $f_{Z,G}$=0.01 (L/15056)

- Verifica in termini tensionali [4.2.4] - CC 17 SLU Xl=0.00 - Classe 3
  Sollecitazioni: N=50.85 T_z=-81.82 M_y=-78.70
  Tensioni: σ_N=2.99 σ_M=238.99 τ=0.00 σ_{max}=241.98
  Tensioni: σ_N=2.99 σ_M=0.00 τ=9.44 τ_{max}=9.44
  Tensioni: σ_N=2.99 σ_M=238.99 τ=0.00 $\sigma_{ID,max}$=241.98

- Verifica a taglio dir. Z [4.2.16] - CC 9 SLU Xl=0.28
  Sollecitazioni: N=128.14 T_z=-46.41
  V,Ed=-46.41 Vc,Rd=18145.80 V,Ed/Vc,Rd=0.00

Asta n. 7002 (-816 4028) arcarecci T 120x60x10 Crit. 1

- Verifica Freccia massima per soli carichi accidentali - CC 23
  $f_{Z,L}$=0.01 (L/12665) $f_{Z,G}$=0.01 (L/12665)

- Verifica Freccia massima carichi totali - CC 23
  $f_{Z,G}$=0.01 (L/13263) $f_{Z,L}$=0.01 (L/13290)

- Verifica in termini tensionali [4.2.4] - CC 18 SLU Xl=1.54 - Classe 3
  Sollecitazioni: N=167.19 T_z=94.66 M_y=-52.55
  Tensioni: σ_N=9.84 σ_M=159.57 τ=0.00 σ_{max}=169.41
  Tensioni: σ_N=9.84 σ_M=0.00 τ=10.92 τ_{max}=10.92

Tensioni: σ_N=9.84 σ_M=159.57 τ=0.00 $\sigma_{ID,max}$=169.41

- Verifica a taglio dir. Z [4.2.16] - CC 18 SLU Xl=0.84
Sollecitazioni: N=167.19 T_z=56.20
V,Ed=56.20 Vc,Rd=18145.80 V,Ed/Vc,Rd=0.00

Asta n. 7002 (4030 -805) arcarecci T 120x60x10 Crit. 1

- Verifica Freccia massima per soli carichi accidentali - CC 23
$f_{Z,G}$=0.01 (L/11738) $f_{Z,L}$=0.01 (L/11758)

- Verifica Freccia massima carichi totali - CC 23
$f_{Z,L}$=0.01 (L/12261) $f_{Z,G}$=0.01 (L/12261)

- Verifica in termini tensionali [4.2.4] - CC 17 SLU Xl=0.00 - Classe 3
Sollecitazioni: N=111.30 T_z=-87.24 M_y=-88.94
Tensioni: σ_N=6.55 σ_M=270.07 τ=0.00 σ_{max}=276.62
Tensioni: σ_N=6.55 σ_M=0.00 τ=10.07 τ_{max}=10.07
Tensioni: σ_N=6.55 σ_M=270.07 τ=0.00 $\sigma_{ID,max}$=276.62

- Verifica a taglio dir. Z [4.2.16] - CC 19 SLU Xl=1.04
Sollecitazioni: N=200.99 T_z=-49.92
V,Ed=-49.92 Vc,Rd=18145.80 V,Ed/Vc,Rd=0.00

Asta n. 7002 (-805 4031) arcarecci T 120x60x10 Crit. 1

- Verifica Freccia massima per soli carichi accidentali - CC 23
$f_{Z,G}$=0.01 (L/11426) $f_{Z,L}$=0.01 (L/11445)

- Verifica Freccia massima carichi totali - CC 23
$f_{Z,L}$=0.02 (L/10664) $f_{Z,G}$=0.02 (L/10664)

- Verifica in termini tensionali [4.2.4] - CC 18 SLU Xl=1.64 - Classe 3
Sollecitazioni: N=235.35 T_z=90.25 M_y=-45.71
Tensioni: σ_N=13.85 σ_M=138.81 τ=0.00 σ_{max}=152.66
Tensioni: σ_N=13.85 σ_M=0.00 τ=10.41 τ_{max}=10.41
Tensioni: σ_N=13.85 σ_M=138.81 τ=0.00 $\sigma_{ID,max}$=152.66

- Verifica a taglio dir. Y [4.2.16] - CC 7 SLV Xl=0.75
Sollecitazioni: N=69.39 T_z=8.38 T_y=2.06
V,Ed=2.06 Vc,Rd=9072.91 V,Ed/Vc,Rd=0.00

- Verifica a taglio dir. Z [4.2.16]
V,Ed=8.38 Vc,Rd=18145.80 V,Ed/Vc,Rd=0.00

Asta n. 7002 (4033 -794) arcarecci T 120x60x10 Crit. 1

- Verifica di stabilità aste inflesse (4.2.4.1.3.2) CC 17 SLU - Classe 3
L_{cr}=1.54 Curva d: α_{imp}=0.76 k_c=0.94 ψ=1.95 M,cr=0.00 λ_{LT}=0.00
$\lambda_{LT,0}$=0.20 β_{LT}=1.00 Φ_{LT}=0.00 β_{LT}=1.00 f=0.00 χ_{LT}=1.00
CC 17 SLU My,Ed=-95.36 My,b,Rd=862.52 My,Ed/My,b,Rd=0.11

- Verifica di stabilità aste presso-inflesse (C4.2.4.1.3.3.1) - CC 5 SLV - Classe 3
Sollecitazioni: N,Ed=-1.29 Myeq,Ed=-21.76 Mzeq,Ed=2.00
Resistenze: Nc,Rd=44512.60 My,c,Rd=862.52 Mz,c,Rd=164.81 L=154.00
λ_Y=40.08 Ncr,y=219298.00 λ^*_y=0.46 Curva c: Φ_y=0.67 χ_y=0.86
λ_Z=146.12 Ncr,z=16498.80 λ^*_z=1.68 Curva c: Φ_z=2.28 χ_z=0.26
χ,min=0.26
Verifica: 0.00+0.03+0.01=0.04

- Verifica Freccia massima per soli carichi accidentali - CC 23
  $f_{Z,L}$=0.01 (L/12542) $f_{Z,G}$=0.01 (L/12542)

- Verifica Freccia massima carichi totali - CC 23
  $f_{Z,L}$=0.01 (L/11659) $f_{Z,G}$=0.01 (L/11659)

- Verifica in termini tensionali [4.2.4] - CC 17 SLU Xl=0.00 - Classe 3
  Sollecitazioni: N=93.04 T_z=-95.43 M_y=-95.36
  Tensioni: σ_N=5.47 σ_M=289.55 τ=0.00 σ_{max}=295.02
  Tensioni: σ_N=5.47 σ_M=0.00 τ=11.01 τ_{max}=11.01
  Tensioni: σ_N=5.47 σ_M=289.55 τ=0.00 $\sigma_{ID,max}$=295.02

- Verifica a taglio dir. Z [4.2.16] - CC 18 SLU Xl=0.70
  Sollecitazioni: N=165.86 T_z=-55.96
  V,Ed=-55.96 Vc,Rd=18145.80 V,Ed/Vc,Rd=0.00

Asta n. 7002 (-794 4034) arcarecci T 120x60x10 Crit. 1

- Verifica di stabilità aste inflesse (4.2.4.1.3.2) CC 17 SLU - Classe 3
  L_{cr}=1.54 Curva d: α_{imp}=0.76 k_c=0.94 ψ=1.48 M,cr=0.00 λ_{LT}=0.00
  $\lambda_{LT,0}$=0.20 β_{LT}=1.00 Φ_{LT}=0.00 β_{LT}=1.00 f=0.00 χ_{LT}=1.00
  CC 17 SLU My,Ed=60.34 My,b,Rd=862.52 My,Ed/My,b,Rd=0.07

- Verifica di stabilità aste presso-inflesse (C4.2.4.1.3.3.1) - CC 5 SLV - Classe 3
  Sollecitazioni: N,Ed=-2.43 Myeq,Ed=-12.25 Mzeq,Ed=1.61
  Resistenze: Nc,Rd=44512.60 My,c,Rd=862.52 Mz,c,Rd=164.81 L=154.00
  λ_Y=40.08 Ncr,y=219298.00 λ^*_y=0.46 Curva c: Φ_y=0.67 χ_y=0.86
  λ_Z=146.12 Ncr,z=16498.80 λ^*_z=1.68 Curva c: Φ_z=2.28 χ_z=0.26
  χ,min=0.26
  Verifica: 0.00+0.01+0.01=0.02

- Verifica Freccia massima per soli carichi accidentali - CC 21
  $f_{Z,L}$=0.01 (L/10571) $f_{Z,G}$=0.01 (L/10571)

- Verifica Freccia massima carichi totali - CC 21
  $f_{Z,L}$=0.02 (L/8135) $f_{Z,G}$=0.02 (L/8145)

- Verifica in termini tensionali [4.2.4] - CC 17 SLU Xl=1.54 - Classe 3
  Sollecitazioni: N=93.04 T_z=-5.67 M_y=60.34
  Tensioni: σ_N=5.47 σ_M=-183.23 τ=0.00 σ_{max}=-177.75
  Tensioni: σ_N=5.47 σ_M=-0.00 τ=0.65 τ_{max}=0.65
  Tensioni: σ_N=5.47 σ_M=-183.23 τ=0.00 $\sigma_{ID,max}$=177.75

- Verifica a taglio dir. Z [4.2.16] - CC 10 SLU Xl=1.26
  Sollecitazioni: N=99.72 T_z=38.30
  V,Ed=38.30 Vc,Rd=18145.80 V,Ed/Vc,Rd=0.00

Asta n. 7003 (-594 -817) arcarecci T 120x60x10 Crit. 1

- Verifica di stabilità aste inflesse (4.2.4.1.3.2) CC 19 SLU - Classe 3
  L_{cr}=1.54 Curva d: α_{imp}=0.76 k_c=0.94 ψ=1.55 M,cr=0.00 λ_{LT}=0.00
  $\lambda_{LT,0}$=0.20 β_{LT}=1.00 Φ_{LT}=0.00 β_{LT}=1.00 f=0.00 χ_{LT}=1.00
  CC 19 SLU My,Ed=47.41 My,b,Rd=862.52 My,Ed/My,b,Rd=0.05

- Verifica di stabilità aste presso-inflesse (C4.2.4.1.3.3.1) - CC 18 SLU - Classe 3
  Sollecitazioni: N,Ed=-0.10 Myeq,Ed=55.32 Mzeq,Ed=-0.18
  Resistenze: Nc,Rd=44512.60 My,c,Rd=862.52 Mz,c,Rd=164.81 L=154.00
  λ_Y=40.08 Ncr,y=219298.00 λ^*_y=0.46 Curva c: Φ_y=0.67 χ_y=0.86
  λ_Z=146.12 Ncr,z=16498.80 λ^*_z=1.68 Curva c: Φ_z=2.28 χ_z=0.26

χ,min=0.26
Verifica: 0.00+0.06+0.00=0.07

- Verifica Freccia massima per soli carichi accidentali - CC 24
$f_{Z,G}$=0.01 (L/13598) $f_{Z,L}$=0.01 (L/13627)

- Verifica Freccia massima carichi totali - CC 24
$f_{Z,L}$=0.02 (L/8104) $f_{Z,G}$=0.02 (L/8104)

- Verifica a flessione [4.2.13] - CC 18 SLU Xl=1.26 - Classe 3
Sollecitazioni: T_z=-1.73 M_y=58.36
My,Ed=58.36 My,c,Rd=862.52 My,Ed/My,c,Rd=0.07

- Verifica a taglio dir. Z [4.2.16] - CC 3 SLV Xl=0.00
Sollecitazioni: N=6.30 T_z=-23.08
V,Ed=-23.08 Vc,Rd=18145.80 V,Ed/Vc,Rd=0.00

Asta n. 7003 (-817 -595) arcarecci T 120x60x10 Crit. 1

- Verifica Freccia massima per soli carichi accidentali - CC 24
$f_{Z,L}$=0.01 (L/27722) $f_{Z,G}$=0.01 (L/27722)

- Verifica Freccia massima carichi totali - CC 24
$f_{Z,L}$=0.01 (L/18298) $f_{Z,G}$=0.01 (L/18298)

- Verifica in termini tensionali [4.2.4] - CC 18 SLU Xl=0.00 - Classe 3
Sollecitazioni: N=168.56 T_z=24.94 M_y=56.70
Tensioni: σ_N=9.92 σ_M=-172.16 τ=0.00 σ_{max}=-162.24
Tensioni: σ_N=9.92 σ_M=-0.00 τ=2.88 τ_{max}=2.88
Tensioni: σ_N=9.92 σ_M=-172.16 τ=0.00 $\sigma_{ID,max}$=162.24

- Verifica a taglio dir. Z [4.2.16] - CC 17 SLU Xl=0.98
Sollecitazioni: N=60.64 T_z=45.62
V,Ed=45.62 Vc,Rd=18145.80 V,Ed/Vc,Rd=0.00

Asta n. 7003 (-596 -806) arcarecci T 120x60x10 Crit. 1

- Verifica Freccia massima per soli carichi accidentali - CC 24
$f_{Z,G}$=0.00 (L/37181) $f_{Z,L}$=0.00 (L/37384)

- Verifica Freccia massima carichi totali - CC 24
$f_{Z,L}$=0.01 (L/27405) $f_{Z,G}$=0.01 (L/27405)

- Verifica in termini tensionali [4.2.4] - CC 18 SLU Xl=0.00 - Classe 3
Sollecitazioni: N=168.74 T_z=-96.05 M_y=-45.96
Tensioni: σ_N=9.93 σ_M=139.55 τ=0.00 σ_{max}=149.48
Tensioni: σ_N=9.93 σ_M=0.00 τ=11.08 τ_{max}=11.08
Tensioni: σ_N=9.93 σ_M=139.55 τ=0.00 $\sigma_{ID,max}$=149.48

- Verifica a taglio dir. Z [4.2.16] - CC 20 SLU Xl=0.60
Sollecitazioni: N=138.40 T_z=-55.45
V,Ed=-55.45 Vc,Rd=18145.80 V,Ed/Vc,Rd=0.00

Asta n. 7003 (-806 -597) arcarecci T 120x60x10 Crit. 1

- Verifica Freccia massima per soli carichi accidentali - CC 24
$f_{Z,L}$=0.00 (L/36395) $f_{Z,G}$=0.00 (L/36395)

- Verifica Freccia massima carichi totali - CC 24
$f_{Z,L}$=0.01 (L/26558) $f_{Z,G}$=0.01 (L/26558)

- Verifica in termini tensionali [4.2.4] - CC 18 SLU Xl=1.64 - Classe 3
  Sollecitazioni: N=168.53 T_z=96.03 M_y=-45.93
  Tensioni: σ_N=9.92 σ_M=139.47 τ=0.00 σ_{max}=149.39
  Tensioni: σ_N=9.92 σ_M=0.00 τ=11.08 τ_{max}=11.08
  Tensioni: σ_N=9.92 σ_M=139.47 τ=0.00 $\sigma_{ID,max}$=149.39

- Verifica a taglio dir. Z [4.2.16] - CC 20 SLU Xl=1.04
  Sollecitazioni: N=138.24 T_z=55.43
  V,Ed=55.43 Vc,Rd=18145.80 V,Ed/Vc,Rd=0.00

Asta n. 7003 (-598 -793) arcarecci T 120x60x10 Crit. 1

- Verifica Freccia massima per soli carichi accidentali - CC 24
  $f_{Z,G}$=0.01 (L/28206) $f_{Z,L}$=0.01 (L/28329)

- Verifica Freccia massima carichi totali - CC 24
  $f_{Z,L}$=0.01 (L/18776) $f_{Z,G}$=0.01 (L/18776)

- Verifica in termini tensionali [4.2.4] - CC 18 SLU Xl=1.54 - Classe 3
  Sollecitazioni: N=168.39 T_z=-24.97 M_y=56.70
  Tensioni: σ_N=9.91 σ_M=-172.17 τ=0.00 σ_{max}=-162.27
  Tensioni: σ_N=9.91 σ_M=-0.00 τ=2.88 τ_{max}=2.88
  Tensioni: σ_N=9.91 σ_M=-172.17 τ=0.00 $\sigma_{ID,max}$=162.27

- Verifica a taglio dir. Z [4.2.16] - CC 1 SLV Xl=0.56
  Sollecitazioni: N=41.06 T_z=-26.90
  V,Ed=-26.90 Vc,Rd=18145.80 V,Ed/Vc,Rd=0.00

Asta n. 7003 (-793 -599) arcarecci T 120x60x10 Crit. 1

- Verifica di stabilità aste inflesse (4.2.4.1.3.2) CC 1 SLV - Classe 3
  L_{cr}=1.54 Curva d: α_{imp}=0.76 k_c=0.94 ψ=1.63 M,cr=0.00 λ_{LT}=0.00
  $\lambda_{LT,0}$=0.20 β_{LT}=1.00 Φ_{LT}=0.00 β_{LT}=1.00 f=0.00 χ_{LT}=1.00
  CC 1 SLV My,Ed=18.35 My,b,Rd=862.52 My,Ed/My,b,Rd=0.02

- Verifica di stabilità aste presso-inflesse (C4.2.4.1.3.3.1) - CC 18 SLU - Classe 3
  Sollecitazioni: N,Ed=-0.09 Myeq,Ed=55.33 Mzeq,Ed=-0.22
  Resistenze: Nc,Rd=44512.60 My,c,Rd=862.52 Mz,c,Rd=164.81 L=154.00
  λ_Y=40.08 Ncr,y=219298.00 λ^*_y=0.46 Curva c: Φ_y=0.67 χ_y=0.86
  λ_Z=146.12 Ncr,z=16498.80 λ^*_z=1.68 Curva c: Φ_z=2.28 χ_z=0.26
  χ,min=0.26
  Verifica: 0.00+0.06+0.00=0.07

- Verifica Freccia massima per soli carichi accidentali - CC 24
  $f_{Z,L}$=0.01 (L/13541) $f_{Z,G}$=0.01 (L/13541)

- Verifica Freccia massima carichi totali - CC 24
  $f_{Z,L}$=0.02 (L/8063) $f_{Z,G}$=0.02 (L/8063)

- Verifica a flessione [4.2.13] - CC 18 SLU Xl=0.28 - Classe 3
  Sollecitazioni: T_z=1.71 M_y=58.37
  My,Ed=58.37 My,c,Rd=862.52 My,Ed/My,c,Rd=0.07

- Verifica a taglio dir. Z [4.2.16] - CC 3 SLV Xl=1.54
  Sollecitazioni: N=6.30 T_z=23.07
  V,Ed=23.07 Vc,Rd=18145.80 V,Ed/Vc,Rd=0.00

Asta n. 7004 (-658 -818) arcarecci T 120x60x10 Crit. 1

- Verifica Freccia massima per soli carichi accidentali - CC 24
  $f_{Z,L}$=0.01 (L/12073) $f_{Z,G}$=0.01 (L/12073)

- Verifica Freccia massima carichi totali - CC 24
  $f_{Z,L}$=0.02 (L/7698) $f_{Z,G}$=0.02 (L/7698)

- Verifica in termini tensionali [4.2.4] - CC 18 SLU Xl=1.26 - Classe 3
  Sollecitazioni: N=312.30 T_z=-1.23 M_y=61.00
  Tensioni: σ_N=18.38 σ_M=-185.24 τ=0.00 σ_{max}=-166.86
  Tensioni: σ_N=18.38 σ_M=-0.00 τ=0.14 τ_{max}=0.14
  Tensioni: σ_N=18.38 σ_M=-185.24 τ=0.00 $\sigma_{ID,max}$=166.86

Asta n. 7004 (-818 -659) arcarecci T 120x60x10 Crit. 1

- Verifica Freccia massima per soli carichi accidentali - CC 24
  $f_{Z,L}$=0.01 (L/18454) $f_{Z,G}$=0.01 (L/18454)

- Verifica Freccia massima carichi totali - CC 24
  $f_{Z,L}$=0.01 (L/12765) $f_{Z,G}$=0.01 (L/12765)

- Verifica in termini tensionali [4.2.4] - CC 18 SLU Xl=0.00 - Classe 3
  Sollecitazioni: N=312.30 T_z=14.16 M_y=59.19
  Tensioni: σ_N=18.38 σ_M=-179.74 τ=0.00 σ_{max}=-161.37
  Tensioni: σ_N=18.38 σ_M=-0.00 τ=1.63 τ_{max}=1.63
  Tensioni: σ_N=18.38 σ_M=-179.74 τ=0.00 $\sigma_{ID,max}$=161.37

- Verifica a taglio dir. Z [4.2.16] - CC 9 SLU Xl=1.26
  Sollecitazioni: N=245.49 T_z=66.04
  V,Ed=66.04 Vc,Rd=18145.80 V,Ed/Vc,Rd=0.00

Asta n. 7004 (-660 -807) arcarecci T 120x60x10 Crit. 1

- Verifica Freccia massima per soli carichi accidentali - CC 24
  $f_{Z,L}$=0.01 (L/20113) $f_{Z,G}$=0.01 (L/20113)

- Verifica Freccia massima carichi totali - CC 21
  $f_{Z,G}$=0.01 (L/14792) $f_{Z,L}$=0.01 (L/14824)

- Verifica in termini tensionali [4.2.4] - CC 18 SLU Xl=1.64 - Classe 3
  Sollecitazioni: N=347.39 M_y=45.89
  Tensioni: σ_N=20.44 σ_M=-139.34 τ=0.00 σ_{max}=-118.91
  Tensioni: σ_N=0.00 σ_M=0.00 τ=0.00 τ_{max}=0.00
  Tensioni: σ_N=20.44 σ_M=-139.34 τ=0.00 $\sigma_{ID,max}$=118.91

- Verifica a taglio dir. Z [4.2.16] - CC 9 SLU Xl=0.30
  Sollecitazioni: N=283.90 T_z=-59.24
  V,Ed=-59.24 Vc,Rd=18145.80 V,Ed/Vc,Rd=0.00

Asta n. 7004 (-807 -661) arcarecci T 120x60x10 Crit. 1

- Verifica Freccia massima per soli carichi accidentali - CC 24
  $f_{Z,G}$=0.01 (L/19880) $f_{Z,L}$=0.01 (L/19938)

- Verifica Freccia massima carichi totali - CC 24
  $f_{Z,L}$=0.01 (L/14573) $f_{Z,G}$=0.01 (L/14573)

- Verifica in termini tensionali [4.2.4] - CC 18 SLU Xl=0.00 - Classe 3
  Sollecitazioni: N=347.39 M_y=45.89
  Tensioni: σ_N=20.44 σ_M=-139.34 τ=0.00 σ_{max}=-118.91
  Tensioni: σ_N=0.00 σ_M=0.00 τ=0.00 τ_{max}=0.00

Tensioni: σ_N=20.44 σ_M=-139.34 τ=0.00 $\sigma_{ID,max}$=118.91

- Verifica a taglio dir. Z [4.2.16] - CC 9 SLU Xl=1.34
Sollecitazioni: N=283.90 T_z=59.23
V,Ed=59.23 Vc,Rd=18145.80 V,Ed/Vc,Rd=0.00

Asta n. 7004 (-662 -796) arcarecci T 120x60x10 Crit. 1

- Verifica Freccia massima per soli carichi accidentali - CC 24
$f_{Z,G}$=0.01 (L/18776) $f_{Z,L}$=0.01 (L/18831)

- Verifica Freccia massima carichi totali - CC 21
$f_{Z,L}$=0.01 (L/12892) $f_{Z,G}$=0.01 (L/12918)

- Verifica in termini tensionali [4.2.4] - CC 18 SLU Xl=1.54 - Classe 3
Sollecitazioni: N=312.62 T_z=-14.17 M_y=59.19
Tensioni: σ_N=18.39 σ_M=-179.72 τ=0.00 σ_{max}=-161.33
Tensioni: σ_N=18.39 σ_M=-0.00 τ=1.64 τ_{max}=1.64
Tensioni: σ_N=18.39 σ_M=-179.72 τ=0.00 $\sigma_{ID,max}$=161.33

- Verifica a taglio dir. Z [4.2.16] - CC 9 SLU Xl=0.28
Sollecitazioni: N=245.77 T_z=-66.05
V,Ed=-66.05 Vc,Rd=18145.80 V,Ed/Vc,Rd=0.00

Asta n. 7004 (-796 -663) arcarecci T 120x60x10 Crit. 1

- Verifica Freccia massima per soli carichi accidentali - CC 24
$f_{Z,L}$=0.01 (L/12006) $f_{Z,G}$=0.01 (L/12028)

- Verifica Freccia massima carichi totali - CC 24
$f_{Z,L}$=0.02 (L/7662) $f_{Z,G}$=0.02 (L/7662)

- Verifica in termini tensionali [4.2.4] - CC 18 SLU Xl=0.28 - Classe 3
Sollecitazioni: N=312.62 T_z=1.21 M_y=61.00
Tensioni: σ_N=18.39 σ_M=-185.23 τ=0.00 σ_{max}=-166.84
Tensioni: σ_N=18.39 σ_M=-0.00 τ=0.14 τ_{max}=0.14
Tensioni: σ_N=18.39 σ_M=-185.23 τ=0.00 $\sigma_{ID,max}$=166.84

Asta n. 7005 (-722 -819) arcarecci T 120x60x10 Crit. 1

- Verifica di stabilità aste inflesse (4.2.4.1.3.2) CC 19 SLU - Classe 3
L_{cr}=1.54 Curva d: α_{imp}=0.76 k_c=0.94 ψ=1.51 M,cr=0.00 λ_{LT}=0.00
$\lambda_{LT,0}$=0.20 β_{LT}=1.00 Φ_{LT}=0.00 β_{LT}=1.00 f=0.00 χ_{LT}=1.00
CC 19 SLU My,Ed=57.83 My,b,Rd=862.52 My,Ed/My,b,Rd=0.07

- Verifica di stabilità aste presso-inflesse (C4.2.4.1.3.3.1) - CC 18 SLU - Classe 3
Sollecitazioni: N,Ed=-0.08 Myeq,Ed=65.11 Mzeq,Ed=-0.92
Resistenze: Nc,Rd=44512.60 My,c,Rd=862.52 Mz,c,Rd=164.81 L=154.00
λ_Y=40.08 Ncr,y=219298.00 λ^*_y=0.46 Curva c: Φ_y=0.67 χ_y=0.86
λ_Z=146.12 Ncr,z=16498.80 λ^*_z=1.68 Curva c: Φ_z=2.28 χ_z=0.26
χ,min=0.26
Verifica: 0.00+0.08+0.01=0.08

- Verifica Freccia massima per soli carichi accidentali - CC 24
$f_{Z,L}$=0.01 (L/11851) $f_{Z,G}$=0.01 (L/11851)

- Verifica Freccia massima carichi totali - CC 21
$f_{Z,L}$=0.02 (L/7082) $f_{Z,G}$=0.02 (L/7082)

- Verifica a flessione [4.2.13] - CC 18 SLU Xl=1.40 - Classe 3

Sollecitazioni: M_y=68.15 T_y=1.15
My,Ed=68.15 My,c,Rd=862.52 My,Ed/My,c,Rd=0.08

Asta n. 7005 (-819 -723) arcarecci T 120x60x10 Crit. 1

- Verifica Freccia massima per soli carichi accidentali - CC 24
$f_{Z,L}$=0.01 (L/16435) $f_{Z,G}$=0.01 (L/16435)

- Verifica Freccia massima carichi totali - CC 24
$f_{Z,L}$=0.01 (L/11022) $f_{Z,G}$=0.01 (L/11022)

- Verifica in termini tensionali [4.2.4] - CC 18 SLU Xl=0.00 - Classe 3
Sollecitazioni: N=243.84 T_z=18.88 M_y=67.59
Tensioni: σ_N=14.35 σ_M=-205.25 τ=0.00 σ_{max}=-190.90
Tensioni: σ_N=14.35 σ_M=-0.00 τ=2.18 τ_{max}=2.18
Tensioni: σ_N=14.35 σ_M=-205.25 τ=0.00 $\sigma_{ID,max}$=190.90

- Verifica a taglio dir. Z [4.2.16] - CC 18 SLU Xl=1.26
Sollecitazioni: N=243.84 T_z=88.11
V,Ed=88.11 Vc,Rd=18145.80 V,Ed/Vc,Rd=0.00

Asta n. 7005 (-724 -808) arcarecci T 120x60x10 Crit. 1

- Verifica Freccia massima per soli carichi accidentali - CC 24
$f_{Z,L}$=0.01 (L/16535) $f_{Z,G}$=0.01 (L/16575)

- Verifica Freccia massima carichi totali - CC 21
$f_{Z,L}$=0.01 (L/11502) $f_{Z,G}$=0.01 (L/11502)

- Verifica in termini tensionali [4.2.4] - CC 18 SLU Xl=1.64 - Classe 3
Sollecitazioni: N=243.70 T_z=-5.81 M_y=56.73
Tensioni: σ_N=14.34 σ_M=-172.25 τ=0.00 σ_{max}=-157.91
Tensioni: σ_N=14.34 σ_M=-0.00 τ=0.67 τ_{max}=0.67
Tensioni: σ_N=14.34 σ_M=-172.25 τ=0.00 $\sigma_{ID,max}$=157.91

- Verifica a taglio dir. Z [4.2.16] - CC 18 SLU Xl=0.30
Sollecitazioni: N=243.70 T_z=-79.53
V,Ed=-79.53 Vc,Rd=18145.80 V,Ed/Vc,Rd=0.00

Asta n. 7005 (-808 -725) arcarecci T 120x60x10 Crit. 1

- Verifica Freccia massima per soli carichi accidentali - CC 24
$f_{Z,L}$=0.01 (L/16377) $f_{Z,G}$=0.01 (L/16377)

- Verifica Freccia massima carichi totali - CC 24
$f_{Z,L}$=0.01 (L/11698) $f_{Z,G}$=0.01 (L/11718)

- Verifica in termini tensionali [4.2.4] - CC 18 SLU Xl=0.00 - Classe 3
Sollecitazioni: N=243.63 T_z=5.82 M_y=56.74
Tensioni: σ_N=14.34 σ_M=-172.29 τ=0.00 σ_{max}=-157.95
Tensioni: σ_N=14.34 σ_M=-0.00 τ=0.67 τ_{max}=0.67
Tensioni: σ_N=14.34 σ_M=-172.29 τ=0.00 $\sigma_{ID,max}$=157.95

- Verifica a taglio dir. Z [4.2.16] - CC 18 SLU Xl=1.34
Sollecitazioni: N=243.63 T_z=79.54
V,Ed=79.54 Vc,Rd=18145.80 V,Ed/Vc,Rd=0.00

Asta n. 7005 (-726 -797) arcarecci T 120x60x10 Crit. 1

- Verifica Freccia massima per soli carichi accidentali - CC 24

$f_{Z,L}$=0.01 (L/16604) $f_{Z,G}$=0.01 (L/16647)

- Verifica Freccia massima carichi totali - CC 21
$f_{Z,L}$=0.01 (L/10892) $f_{Z,G}$=0.01 (L/10892)

- Verifica in termini tensionali [4.2.4] - CC 18 SLU Xl=1.54 - Classe 3
Sollecitazioni: N=243.78 T_z=-18.89 M_y=67.58
Tensioni: σ_N=14.34 σ_M=-205.21 τ=0.00 σ_{max}=-190.87
Tensioni: σ_N=14.34 σ_M=-0.00 τ=2.18 τ_{max}=2.18
Tensioni: σ_N=14.34 σ_M=-205.21 τ=0.00 $\sigma_{ID,max}$=190.87

- Verifica a taglio dir. Z [4.2.16] - CC 18 SLU Xl=0.28
Sollecitazioni: N=243.78 T_z=-88.12
V,Ed=-88.12 Vc,Rd=18145.80 V,Ed/Vc,Rd=0.00

Asta n. 7005 (-797 -727) arcarecci T 120x60x10 Crit. 1

- Verifica di stabilità aste inflesse (4.2.4.1.3.2) CC 5 SLV - Classe 3
L_{cr}=1.54 Curva d: α_{imp}=0.76 k_c=0.94 ψ=1.64 M,cr=0.00 λ_{LT}=0.00
$\lambda_{LT,0}$=0.20 β_{LT}=1.00 Φ_{LT}=0.00 β_{LT}=1.00 f=0.00 χ_{LT}=1.00
CC 5 SLV My,Ed=20.46 My,b,Rd=862.52 My,Ed/My,b,Rd=0.02

- Verifica di stabilità aste presso-inflesse (C4.2.4.1.3.3.1) - CC 18 SLU - Classe 3
Sollecitazioni: N,Ed=-0.07 Myeq,Ed=65.11 Mzeq,Ed=-0.88
Resistenze: Nc,Rd=44512.60 My,c,Rd=862.52 Mz,c,Rd=164.81 L=154.00
λ_Y=40.08 Ncr,y=219298.00 λ^*_y=0.46 Curva c: Φ_y=0.67 χ_y=0.86
λ_Z=146.12 Ncr,z=16498.80 λ^*_z=1.68 Curva c: Φ_z=2.28 χ_z=0.26
χ,min=0.26
Verifica: 0.00+0.08+0.01=0.08

- Verifica Freccia massima per soli carichi accidentali - CC 24
$f_{Z,L}$=0.01 (L/11786) $f_{Z,G}$=0.01 (L/11786)

- Verifica Freccia massima carichi totali - CC 24
$f_{Z,L}$=0.02 (L/7113) $f_{Z,G}$=0.02 (L/7113)

- Verifica a flessione [4.2.13] - CC 18 SLU Xl=0.14 - Classe 3
Sollecitazioni: M_y=68.15 T_y=-1.11
My,Ed=68.15 My,c,Rd=862.52 My,Ed/My,c,Rd=0.08

Asta n. 7006 (-786 -820) arcarecci T 120x60x10 Crit. 1

- Verifica Freccia massima per soli carichi accidentali - CC 21
$f_{Z,G}$=0.01 (L/14482) $f_{Z,L}$=0.01 (L/14515)

- Verifica Freccia massima carichi totali - CC 21
$f_{Z,L}$=0.02 (L/7484) $f_{Z,G}$=0.02 (L/7484)

- Verifica in termini tensionali [4.2.4] - CC 18 SLU Xl=1.40 - Classe 3
Sollecitazioni: N=62.72 T_z=2.43 M_y=54.57
Tensioni: σ_N=3.69 σ_M=-165.69 τ=0.00 σ_{max}=-162.00
Tensioni: σ_N=3.69 σ_M=-0.00 τ=0.28 τ_{max}=0.28
Tensioni: σ_N=3.69 σ_M=-165.69 τ=0.00 $\sigma_{ID,max}$=162.00

Asta n. 7006 (-820 -787) arcarecci T 120x60x10 Crit. 1

- Verifica Freccia massima per soli carichi accidentali - CC 24
$f_{Z,L}$=0.01 (L/18668) $f_{Z,G}$=0.01 (L/18668)

- Verifica Freccia massima carichi totali - CC 21

$f_{Z,L}$=0.01 (L/11939) $f_{Z,G}$=0.01 (L/11939)

- Verifica in termini tensionali [4.2.4] - CC 18 SLU Xl=0.00 - Classe 3
Sollecitazioni: N=62.72 T_z=8.86 M_y=53.78
Tensioni: σ_N=3.69 σ_M=-163.29 τ=0.00 σ_{max}=-159.60
Tensioni: σ_N=3.69 σ_M=-0.00 τ=1.02 τ_{max}=1.02
Tensioni: σ_N=3.69 σ_M=-163.29 τ=0.00 $\sigma_{ID,max}$=159.60

- Verifica a taglio dir. Y [4.2.16] - CC 7 SLV Xl=1.12
Sollecitazioni: N=28.27 T_z=22.13 T_y=-2.43
V,Ed=-2.43 Vc,Rd=9072.91 V,Ed/Vc,Rd=0.00

- Verifica a taglio dir. Z [4.2.16]
V,Ed=22.13 Vc,Rd=18145.80 V,Ed/Vc,Rd=0.00

Asta n. 7006 (-788 -809) arcarecci T 120x60x10 Crit. 1

- Verifica di stabilità aste presso-inflesse (C4.2.4.1.3.3.1) - CC 18 SLU - Classe 3
Sollecitazioni: N,Ed=-217.21 Myeq,Ed=40.17 Mzeq,Ed=0.01
Resistenze: Nc,Rd=44512.60 My,c,Rd=862.52 Mz,c,Rd=164.81 L=164.00
λ_Y=42.68 Ncr,y=193369.00 λ^*_y=0.49 Curva c: Φ_y=0.69 χ_y=0.85
λ_Z=155.61 Ncr,z=14548.10 λ^*_z=1.79 Curva c: Φ_z=2.50 χ_z=0.24
χ,min=0.24
Verifica: 0.00+0.05+0.00=0.05

- Verifica Freccia massima per soli carichi accidentali - CC 24
$f_{Z,L}$=0.01 (L/16942) $f_{Z,G}$=0.01 (L/16942)

- Verifica Freccia massima carichi totali - CC 21
$f_{Z,L}$=0.01 (L/11094) $f_{Z,G}$=0.01 (L/11112)

- Verifica in termini tensionali [4.2.4] - CC 18 SLU Xl=1.64 - Classe 3
Sollecitazioni: N=-217.21 M_y=48.64
Tensioni: σ_N=-12.78 σ_M=-147.70 τ=0.00 σ_{max}=-160.48
Tensioni: σ_N=0.00 σ_M=0.00 τ=0.00 τ_{max}=0.00
Tensioni: σ_N=-12.78 σ_M=-147.70 τ=0.00 $\sigma_{ID,max}$=160.48

Asta n. 7006 (-809 -789) arcarecci T 120x60x10 Crit. 1

- Verifica di stabilità aste presso-inflesse (C4.2.4.1.3.3.1) - CC 18 SLU - Classe 3
Sollecitazioni: N,Ed=-217.21 Myeq,Ed=40.16 Mzeq,Ed=-0.01
Resistenze: Nc,Rd=44512.60 My,c,Rd=862.52 Mz,c,Rd=164.81 L=164.00
λ_Y=42.68 Ncr,y=193369.00 λ^*_y=0.49 Curva c: Φ_y=0.69 χ_y=0.85
λ_Z=155.61 Ncr,z=14548.10 λ^*_z=1.79 Curva c: Φ_z=2.50 χ_z=0.24
χ,min=0.24
Verifica: 0.00+0.05+0.00=0.05

- Verifica Freccia massima per soli carichi accidentali - CC 24
$f_{Z,L}$=0.01 (L/16736) $f_{Z,G}$=0.01 (L/16777)

- Verifica Freccia massima carichi totali - CC 21
$f_{Z,L}$=0.01 (L/11464) $f_{Z,G}$=0.01 (L/11464)

- Verifica in termini tensionali [4.2.4] - CC 18 SLU Xl=0.00 - Classe 3
Sollecitazioni: N=-217.21 M_y=48.64
Tensioni: σ_N=-12.78 σ_M=-147.70 τ=0.00 σ_{max}=-160.48
Tensioni: σ_N=0.00 σ_M=0.00 τ=0.00 τ_{max}=0.00
Tensioni: σ_N=-12.78 σ_M=-147.70 τ=0.00 $\sigma_{ID,max}$=160.48

Asta n. 7006 (-790 -798) arcarecci T 120x60x10 Crit. 1

- Verifica Freccia massima per soli carichi accidentali - CC 21
  $f_{Z,L}$=0.01 (L/18722) $f_{Z,G}$=0.01 (L/18776)

- Verifica Freccia massima carichi totali - CC 21
  $f_{Z,G}$=0.01 (L/11136) $f_{Z,L}$=0.01 (L/11155)

- Verifica in termini tensionali [4.2.4] - CC 18 SLU Xl=1.54 - Classe 3
  Sollecitazioni: N=62.89 T_z=-8.86 M_y=53.77
  Tensioni: σ_N=3.70 σ_M=-163.26 τ=0.00 σ_{max}=-159.56
  Tensioni: σ_N=3.70 σ_M=-0.00 τ=1.02 τ_{max}=1.02
  Tensioni: σ_N=3.70 σ_M=-163.26 τ=0.00 $\sigma_{ID,max}$=159.56

- Verifica a taglio dir. Y [4.2.16] - CC 7 SLV Xl=0.42
  Sollecitazioni: N=28.30 T_z=-22.13 T_y=-2.43
  V,Ed=-2.43 Vc,Rd=9072.91 V,Ed/Vc,Rd=0.00

- Verifica a taglio dir. Z [4.2.16]
  V,Ed=-22.13 Vc,Rd=18145.80 V,Ed/Vc,Rd=0.00

Asta n. 7006 (-798 -791) arcarecci T 120x60x10 Crit. 1

- Verifica Freccia massima per soli carichi accidentali - CC 24
  $f_{Z,L}$=0.01 (L/15056) $f_{Z,G}$=0.01 (L/15056)

- Verifica Freccia massima carichi totali - CC 21
  $f_{Z,L}$=0.02 (L/8410) $f_{Z,G}$=0.02 (L/8410)

- Verifica in termini tensionali [4.2.4] - CC 18 SLU Xl=0.14 - Classe 3
  Sollecitazioni: N=62.89 T_z=-2.43 M_y=54.56
  Tensioni: σ_N=3.70 σ_M=-165.66 τ=0.00 σ_{max}=-161.96
  Tensioni: σ_N=3.70 σ_M=-0.00 τ=0.28 τ_{max}=0.28
  Tensioni: σ_N=3.70 σ_M=-165.66 τ=0.00 $\sigma_{ID,max}$=161.96

- Verifica a taglio dir. Z [4.2.16] - CC 17 SLU Xl=1.54
  Sollecitazioni: N=35.74 T_z=42.16
  V,Ed=42.16 Vc,Rd=18145.80 V,Ed/Vc,Rd=0.00

Asta n. 7007 (-730 -821) arcarecci T 120x60x10 Crit. 1

- Verifica di stabilità aste inflesse (4.2.4.1.3.2) CC 19 SLU - Classe 3
  L_{cr}=1.54 Curva d: α_{imp}=0.76 k_c=0.94 ψ=1.51 M,cr=0.00 λ_{LT}=0.00
  $\lambda_{LT,0}$=0.20 β_{LT}=1.00 Φ_{LT}=0.00 β_{LT}=1.00 f=0.00 χ_{LT}=1.00
  CC 19 SLU My,Ed=57.83 My,b,Rd=862.52 My,Ed/My,b,Rd=0.07

- Verifica di stabilità aste presso-inflesse (C4.2.4.1.3.3.1) - CC 9 SLU - Classe 3
  Sollecitazioni: N,Ed=-0.05 Myeq,Ed=54.14 Mzeq,Ed=0.82
  Resistenze: Nc,Rd=44512.60 My,c,Rd=862.52 Mz,c,Rd=164.81 L=154.00
  λ_Y=40.08 Ncr,y=219298.00 λ^*_y=0.46 Curva c: Φ_y=0.67 χ_y=0.86
  λ_Z=146.12 Ncr,z=16498.80 λ^*_z=1.68 Curva c: Φ_z=2.28 χ_z=0.26
  χ,min=0.26
  Verifica: 0.00+0.06+0.00=0.07

- Verifica Freccia massima per soli carichi accidentali - CC 21
  $f_{Z,L}$=0.01 (L/14780) $f_{Z,G}$=0.01 (L/14814)

- Verifica Freccia massima carichi totali - CC 21
  $f_{Z,G}$=0.02 (L/7082) $f_{Z,L}$=0.02 (L/7090)

- Verifica in termini tensionali [4.2.4] - CC 19 SLU Xl=1.40 - Classe 3
  Sollecitazioni: N=21.83 M_y=57.83
  Tensioni: σ_N=1.28 σ_M=-175.59 τ=0.00 σ_{max}=-174.31
  Tensioni: σ_N=0.00 σ_M=0.00 τ=0.00 τ_{max}=0.00
  Tensioni: σ_N=1.28 σ_M=-175.59 τ=0.00 $\sigma_{ID,max}$=174.31

Asta n. 7007 (-821 -731) arcarecci T 120x60x10 Crit. 1

- Verifica Freccia massima per soli carichi accidentali - CC 11
  $f_{Z,L}$=0.01 (L/20059) $f_{Z,G}$=0.01 (L/20059)

- Verifica Freccia massima carichi totali - CC 21
  $f_{Z,L}$=0.01 (L/11534) $f_{Z,G}$=0.01 (L/11534)

- Verifica in termini tensionali [4.2.4] - CC 19 SLU Xl=0.00 - Classe 3
  Sollecitazioni: N=205.63 T_z=17.15 M_y=57.42
  Tensioni: σ_N=12.10 σ_M=-174.35 τ=0.00 σ_{max}=-162.25
  Tensioni: σ_N=12.10 σ_M=-0.00 τ=1.98 τ_{max}=1.98
  Tensioni: σ_N=12.10 σ_M=-174.35 τ=0.00 $\sigma_{ID,max}$=162.25

- Verifica a taglio dir. Z [4.2.16] - CC 19 SLU Xl=1.26
  Sollecitazioni: N=205.63 T_z=72.77
  V,Ed=72.77 Vc,Rd=18145.80 V,Ed/Vc,Rd=0.00

Asta n. 7007 (-732 -810) arcarecci T 120x60x10 Crit. 1

- Verifica Freccia massima per soli carichi accidentali - CC 21
  $f_{Z,G}$=0.01 (L/18101) $f_{Z,L}$=0.01 (L/18149)

- Verifica Freccia massima carichi totali - CC 21
  $f_{Z,L}$=0.01 (L/11502) $f_{Z,G}$=0.01 (L/11502)

- Verifica in termini tensionali [4.2.4] - CC 9 SLU Xl=1.64 - Classe 3
  Sollecitazioni: N=210.93 T_z=-5.83 M_y=49.93
  Tensioni: σ_N=12.41 σ_M=-151.60 τ=0.00 σ_{max}=-139.19
  Tensioni: σ_N=12.41 σ_M=-0.00 τ=0.67 τ_{max}=0.67
  Tensioni: σ_N=12.41 σ_M=-151.60 τ=0.00 $\sigma_{ID,max}$=139.19

- Verifica a taglio dir. Z [4.2.16] - CC 10 SLU Xl=0.30
  Sollecitazioni: N=164.25 T_z=-55.01
  V,Ed=-55.01 Vc,Rd=18145.80 V,Ed/Vc,Rd=0.00

Asta n. 7007 (-810 -733) arcarecci T 120x60x10 Crit. 1

- Verifica Freccia massima per soli carichi accidentali - CC 24
  $f_{Z,L}$=0.01 (L/18149) $f_{Z,G}$=0.01 (L/18149)

- Verifica Freccia massima carichi totali - CC 21
  $f_{Z,L}$=0.01 (L/11738) $f_{Z,G}$=0.01 (L/11738)

- Verifica in termini tensionali [4.2.4] - CC 19 SLU Xl=0.00 - Classe 3
  Sollecitazioni: N=194.45 T_z=6.38 M_y=50.01
  Tensioni: σ_N=11.44 σ_M=-151.85 τ=0.00 σ_{max}=-140.41
  Tensioni: σ_N=11.44 σ_M=-0.00 τ=0.74 τ_{max}=0.74
  Tensioni: σ_N=11.44 σ_M=-151.85 τ=0.00 $\sigma_{ID,max}$=140.41

- Verifica a taglio dir. Z [4.2.16] - CC 10 SLU Xl=1.34
  Sollecitazioni: N=164.22 T_z=55.02
  V,Ed=55.02 Vc,Rd=18145.80 V,Ed/Vc,Rd=0.00

Asta n. 7007 (-734 -799) arcarecci T 120x60x10 Crit. 1

- Verifica Freccia massima per soli carichi accidentali - CC 21
  $f_{Z,L}$=0.01 (L/18831) $f_{Z,G}$=0.01 (L/18831)

- Verifica Freccia massima carichi totali - CC 21
  $f_{Z,L}$=0.01 (L/10910) $f_{Z,G}$=0.01 (L/10910)

- Verifica in termini tensionali [4.2.4] - CC 9 SLU Xl=1.54 - Classe 3
  Sollecitazioni: N=211.04 T_z=-15.21 M_y=56.90
  Tensioni: σ_N=12.42 σ_M=-172.78 τ=0.00 σ_{max}=-160.36
  Tensioni: σ_N=12.42 σ_M=-0.00 τ=1.76 τ_{max}=1.76
  Tensioni: σ_N=12.42 σ_M=-172.78 τ=0.00 $\sigma_{ID,max}$=160.36

- Verifica a taglio dir. Z [4.2.16] - CC 10 SLU Xl=0.28
  Sollecitazioni: N=164.33 T_z=-60.38
  V,Ed=-60.38 Vc,Rd=18145.80 V,Ed/Vc,Rd=0.00

Asta n. 7007 (-799 -735) arcarecci T 120x60x10 Crit. 1

- Verifica di stabilità aste inflesse (4.2.4.1.3.2) CC 16 SLU - Classe 3
  L_{cr}=1.54 Curva d: α_{imp}=0.76 k_c=0.94 ψ=1.69 M,cr=0.00 λ_{LT}=0.00
  $\lambda_{LT,0}$=0.20 β_{LT}=1.00 Φ_{LT}=0.00 β_{LT}=1.00 f=0.00 χ_{LT}=1.00
  CC 16 SLU My,Ed=27.03 My,b,Rd=862.52 My,Ed/My,b,Rd=0.03

- Verifica di stabilità aste presso-inflesse (C4.2.4.1.3.3.1) - CC 9 SLU - Classe 3
  Sollecitazioni: N,Ed=-0.05 Myeq,Ed=54.14 Mzeq,Ed=0.84
  Resistenze: Nc,Rd=44512.60 My,c,Rd=862.52 Mz,c,Rd=164.81 L=154.00
  λ_Y=40.08 Ncr,y=219298.00 λ^*_y=0.46 Curva c: Φ_y=0.67 χ_y=0.86
  λ_Z=146.12 Ncr,z=16498.80 λ^*_z=1.68 Curva c: Φ_z=2.28 χ_z=0.26
  χ,min=0.26
  Verifica: 0.00+0.06+0.01=0.07

- Verifica Freccia massima per soli carichi accidentali - CC 11
  $f_{Z,L}$=0.01 (L/16435) $f_{Z,G}$=0.01 (L/16435)

- Verifica Freccia massima carichi totali - CC 21
  $f_{Z,L}$=0.02 (L/7791) $f_{Z,G}$=0.02 (L/7791)

- Verifica a flessione [4.2.13] - CC 9 SLU Xl=0.14 - Classe 3
  Sollecitazioni: T_z=2.04 M_y=57.05
  My,Ed=57.05 My,c,Rd=862.52 My,Ed/My,c,Rd=0.07

Asta n. 7008 (-666 -822) arcarecci T 120x60x10 Crit. 1

- Verifica Freccia massima per soli carichi accidentali - CC 21
  $f_{Z,L}$=0.01 (L/15639) $f_{Z,G}$=0.01 (L/15639)

- Verifica Freccia massima carichi totali - CC 21
  $f_{Z,L}$=0.02 (L/7896) $f_{Z,G}$=0.02 (L/7906)

- Verifica in termini tensionali [4.2.4] - CC 19 SLU Xl=1.26 - Classe 3
  Sollecitazioni: N=252.14 M_y=50.15
  Tensioni: σ_N=14.84 σ_M=-152.29 τ=0.00 σ_{max}=-137.45
  Tensioni: σ_N=0.00 σ_M=0.00 τ=0.00 τ_{max}=0.00
  Tensioni: σ_N=14.84 σ_M=-152.29 τ=0.00 $\sigma_{ID,max}$=137.45

Asta n. 7008 (-822 -667) arcarecci T 120x60x10 Crit. 1

- Verifica Freccia massima per soli carichi accidentali - CC 11

$f_{Z,L}$=0.01 (L/23660) $f_{Z,G}$=0.01 (L/23660)

- Verifica Freccia massima carichi totali - CC 21
$f_{Z,L}$=0.01 (L/14011) $f_{Z,G}$=0.01 (L/14011)

- Verifica in termini tensionali [4.2.4] - CC 19 SLU Xl=0.00 - Classe 3
Sollecitazioni: N=252.14 T_z=12.17 M_y=48.48
Tensioni: σ_N=14.84 σ_M=-147.19 τ=0.00 σ_{max}=-132.36
Tensioni: σ_N=14.84 σ_M=-0.00 τ=1.40 τ_{max}=1.40
Tensioni: σ_N=14.84 σ_M=-147.19 τ=0.00 $\sigma_{ID,max}$=132.36

- Verifica a taglio dir. Z [4.2.16] - CC 9 SLU Xl=1.26
Sollecitazioni: N=245.68 T_z=66.04
V,Ed=66.04 Vc,Rd=18145.80 V,Ed/Vc,Rd=0.00

Asta n. 7008 (-668 -811) arcarecci T 120x60x10 Crit. 1

- Verifica Freccia massima per soli carichi accidentali - CC 21
$f_{Z,L}$=0.01 (L/23082) $f_{Z,G}$=0.01 (L/23082)

- Verifica Freccia massima carichi totali - CC 21
$f_{Z,L}$=0.01 (L/14792) $f_{Z,G}$=0.01 (L/14792)

- Verifica in termini tensionali [4.2.4] - CC 19 SLU Xl=1.64 - Classe 3
Sollecitazioni: N=283.86 M_y=39.06
Tensioni: σ_N=16.70 σ_M=-118.60 τ=0.00 σ_{max}=-101.90
Tensioni: σ_N=0.00 σ_M=0.00 τ=0.00 τ_{max}=0.00
Tensioni: σ_N=16.70 σ_M=-118.60 τ=0.00 $\sigma_{ID,max}$=101.90

- Verifica a taglio dir. Z [4.2.16] - CC 9 SLU Xl=0.30
Sollecitazioni: N=283.88 T_z=-59.24
V,Ed=-59.24 Vc,Rd=18145.80 V,Ed/Vc,Rd=0.00

Asta n. 7008 (-811 -669) arcarecci T 120x60x10 Crit. 1

- Verifica Freccia massima per soli carichi accidentali - CC 11
$f_{Z,L}$=0.01 (L/23476) $f_{Z,G}$=0.01 (L/23557)

- Verifica Freccia massima carichi totali - CC 21
$f_{Z,L}$=0.01 (L/14953) $f_{Z,G}$=0.01 (L/14953)

- Verifica in termini tensionali [4.2.4] - CC 19 SLU Xl=0.00 - Classe 3
Sollecitazioni: N=283.86 M_y=39.06
Tensioni: σ_N=16.70 σ_M=-118.60 τ=0.00 σ_{max}=-101.90
Tensioni: σ_N=0.00 σ_M=0.00 τ=0.00 τ_{max}=0.00
Tensioni: σ_N=16.70 σ_M=-118.60 τ=0.00 $\sigma_{ID,max}$=101.90

- Verifica a taglio dir. Z [4.2.16] - CC 9 SLU Xl=1.34
Sollecitazioni: N=283.88 T_z=59.23
V,Ed=59.23 Vc,Rd=18145.80 V,Ed/Vc,Rd=0.00

Asta n. 7008 (-670 -800) arcarecci T 120x60x10 Crit. 1

- Verifica Freccia massima per soli carichi accidentali - CC 21
$f_{Z,L}$=0.01 (L/21821) $f_{Z,G}$=0.01 (L/21821)

- Verifica Freccia massima carichi totali - CC 21
$f_{Z,L}$=0.01 (L/12866) $f_{Z,G}$=0.01 (L/12892)

- Verifica in termini tensionali [4.2.4] - CC 9 SLU Xl=1.54 - Classe 3

Sollecitazioni: N=245.74 T_z=-10.42 M_y=48.20
Tensioni: σ_N=14.46 σ_M=-146.36 τ=0.00 σ_{max}=-131.91
Tensioni: σ_N=14.46 σ_M=-0.00 τ=1.20 τ_{max}=1.20
Tensioni: σ_N=14.46 σ_M=-146.36 τ=0.00 $\sigma_{ID,max}$=131.91

- Verifica a taglio dir. Z [4.2.16] - CC 9 SLU Xl=0.28
Sollecitazioni: N=245.74 T_z=-66.04
V,Ed=-66.04 Vc,Rd=18145.80 V,Ed/Vc,Rd=0.00

Asta n. 7008 (-800 -671) arcarecci T 120x60x10 Crit. 1

- Verifica Freccia massima per soli carichi accidentali - CC 11
$f_{Z,L}$=0.01 (L/17133) $f_{Z,G}$=0.01 (L/17133)

- Verifica Freccia massima carichi totali - CC 21
$f_{Z,L}$=0.02 (L/8600) $f_{Z,G}$=0.02 (L/8612)

- Verifica in termini tensionali [4.2.4] - CC 9 SLU Xl=0.28 - Classe 3
Sollecitazioni: N=245.74 T_z=1.94 M_y=49.39
Tensioni: σ_N=14.46 σ_M=-149.97 τ=0.00 σ_{max}=-135.51
Tensioni: σ_N=14.46 σ_M=-0.00 τ=0.22 τ_{max}=0.22
Tensioni: σ_N=14.46 σ_M=-149.97 τ=0.00 $\sigma_{ID,max}$=135.51

Asta n. 7009 (-602 -823) arcarecci T 120x60x10 Crit. 1

- Verifica di stabilità aste inflesse (4.2.4.1.3.2) CC 19 SLU - Classe 3
L_{cr}=1.54 Curva d: α_{imp}=0.76 k_c=0.94 ψ=1.55 M,cr=0.00 λ_{LT}=0.00
$\lambda_{LT,0}$=0.20 β_{LT}=1.00 Φ_{LT}=0.00 β_{LT}=1.00 f=0.00 χ_{LT}=1.00
CC 19 SLU My,Ed=47.42 My,b,Rd=862.52 My,Ed/My,b,Rd=0.05

- Verifica di stabilità aste presso-inflesse (C4.2.4.1.3.3.1) - CC 9 SLU - Classe 3
Sollecitazioni: N,Ed=-0.05 Myeq,Ed=44.95 Mzeq,Ed=0.24
Resistenze: Nc,Rd=44512.60 My,c,Rd=862.52 Mz,c,Rd=164.81 L=154.00
λ_Y=40.08 Ncr,y=219298.00 λ^*_y=0.46 Curva c: Φ_y=0.67 χ_y=0.86
λ_Z=146.12 Ncr,z=16498.80 λ^*_z=1.68 Curva c: Φ_z=2.28 χ_z=0.26
χ,min=0.26
Verifica: 0.00+0.05+0.00=0.05

- Verifica Freccia massima per soli carichi accidentali - CC 11
$f_{Z,G}$=0.01 (L/19692) $f_{Z,L}$=0.01 (L/19752)

- Verifica Freccia massima carichi totali - CC 21
$f_{Z,L}$=0.02 (L/8577) $f_{Z,G}$=0.02 (L/8577)

- Verifica a flessione [4.2.13] - CC 9 SLU Xl=1.26 - Classe 3
Sollecitazioni: T_z=-2.67 M_y=47.68
My,Ed=47.68 My,c,Rd=862.52 My,Ed/My,c,Rd=0.06

- Verifica a taglio dir. Z [4.2.16] - CC 16 SLU Xl=0.00
Sollecitazioni: T_z=-26.12
V,Ed=-26.12 Vc,Rd=18145.80 V,Ed/Vc,Rd=0.00

Asta n. 7009 (-823 -603) arcarecci T 120x60x10 Crit. 1

- Verifica Freccia massima per soli carichi accidentali - CC 11
$f_{Z,L}$=0.00 (L/37553) $f_{Z,G}$=0.00 (L/37553)

- Verifica Freccia massima carichi totali - CC 21
$f_{Z,L}$=0.01 (L/20248) $f_{Z,G}$=0.01 (L/20248)

- Verifica in termini tensionali [4.2.4] - CC 9 SLU Xl=0.00 - Classe 3
  Sollecitazioni: N=133.91 T_z=21.00 M_y=46.70
  Tensioni: σ_N=7.88 σ_M=-141.81 τ=0.00 σ_{max}=-133.93
  Tensioni: σ_N=7.88 σ_M=-0.00 τ=2.42 τ_{max}=2.42
  Tensioni: σ_N=7.88 σ_M=-141.81 τ=0.00 $\sigma_{ID,max}$=133.93

- Verifica a taglio dir. Z [4.2.16] - CC 17 SLU Xl=0.98
  Sollecitazioni: N=60.84 T_z=45.63
  V,Ed=45.63 Vc,Rd=18145.80 V,Ed/Vc,Rd=0.00

Asta n. 7009 (-604 -812) arcarecci T 120x60x10 Crit. 1

- Verifica Freccia massima per soli carichi accidentali - CC 11
  $f_{Z,L}$=0.00 (L/45554) $f_{Z,G}$=0.00 (L/45554)

- Verifica Freccia massima carichi totali - CC 21
  $f_{Z,L}$=0.01 (L/29270) $f_{Z,G}$=0.01 (L/29270)

- Verifica in termini tensionali [4.2.4] - CC 19 SLU Xl=0.00 - Classe 3
  Sollecitazioni: N=148.02 T_z=-78.82 M_y=-37.93
  Tensioni: σ_N=8.71 σ_M=115.17 τ=0.00 σ_{max}=123.88
  Tensioni: σ_N=8.71 σ_M=0.00 τ=9.09 τ_{max}=9.09
  Tensioni: σ_N=8.71 σ_M=115.17 τ=0.00 $\sigma_{ID,max}$=123.88

- Verifica a taglio dir. Z [4.2.16] - CC 10 SLU Xl=0.60
  Sollecitazioni: N=103.76 T_z=-44.17
  V,Ed=-44.17 Vc,Rd=18145.80 V,Ed/Vc,Rd=0.00

Asta n. 7009 (-812 -605) arcarecci T 120x60x10 Crit. 1

- Verifica Freccia massima per soli carichi accidentali - CC 21
  $f_{Z,L}$=0.00 (L/42200) $f_{Z,G}$=0.00 (L/42200)

- Verifica Freccia massima carichi totali - CC 21
  $f_{Z,L}$=0.01 (L/26765) $f_{Z,G}$=0.01 (L/26765)

- Verifica in termini tensionali [4.2.4] - CC 9 SLU Xl=1.64 - Classe 3
  Sollecitazioni: N=134.01 T_z=78.33 M_y=-37.18
  Tensioni: σ_N=7.89 σ_M=112.89 τ=0.00 σ_{max}=120.77
  Tensioni: σ_N=7.89 σ_M=0.00 τ=9.04 τ_{max}=9.04
  Tensioni: σ_N=7.89 σ_M=112.89 τ=0.00 $\sigma_{ID,max}$=120.77

- Verifica a taglio dir. Z [4.2.16] - CC 10 SLU Xl=1.04
  Sollecitazioni: N=103.74 T_z=44.17
  V,Ed=44.17 Vc,Rd=18145.80 V,Ed/Vc,Rd=0.00

Asta n. 7009 (-606 -801) arcarecci T 120x60x10 Crit. 1

- Verifica Freccia massima per soli carichi accidentali - CC 21
  $f_{Z,L}$=0.00 (L/34357) $f_{Z,G}$=0.00 (L/34357)

- Verifica Freccia massima carichi totali - CC 21
  $f_{Z,L}$=0.01 (L/18831) $f_{Z,G}$=0.01 (L/18831)

- Verifica in termini tensionali [4.2.4] - CC 19 SLU Xl=1.54 - Classe 3
  Sollecitazioni: N=141.48 T_z=-20.54 M_y=47.18
  Tensioni: σ_N=8.32 σ_M=-143.28 τ=0.00 σ_{max}=-134.95
  Tensioni: σ_N=8.32 σ_M=-0.00 τ=2.37 τ_{max}=2.37
  Tensioni: σ_N=8.32 σ_M=-143.28 τ=0.00 $\sigma_{ID,max}$=134.95

- Verifica a taglio dir. Z [4.2.16] - CC 1 SLV Xl=0.56
  Sollecitazioni: N=41.19 T_z=-26.90
  V,Ed=-26.90 Vc,Rd=18145.80 V,Ed/Vc,Rd=0.00

Asta n. 7009 (-801 -607) arcarecci T 120x60x10 Crit. 1

- Verifica di stabilità aste inflesse (4.2.4.1.3.2) CC 16 SLU - Classe 3
  L_{cr}=1.54 Curva d: α_{imp}=0.76 k_c=0.94 ψ=1.71 M,cr=0.00 λ_{LT}=0.00
  $\lambda_{LT,0}$=0.20 β_{LT}=1.00 Φ_{LT}=0.00 β_{LT}=1.00 f=0.00 χ_{LT}=1.00
  CC 16 SLU My,Ed=20.71 My,b,Rd=862.52 My,Ed/My,b,Rd=0.02

- Verifica di stabilità aste presso-inflesse (C4.2.4.1.3.3.1) - CC 19 SLU - Classe 3
  Sollecitazioni: N,Ed=-21.53 Myeq,Ed=45.23 Mzeq,Ed=0.22
  Resistenze: Nc,Rd=44512.60 My,c,Rd=862.52 Mz,c,Rd=164.81 L=154.00
  λ_Y=40.08 Ncr,y=219298.00 λ^*_y=0.46 Curva c: Φ_y=0.67 χ_y=0.86
  λ_Z=146.12 Ncr,z=16498.80 λ^*_z=1.68 Curva c: Φ_z=2.28 χ_z=0.26
  χ,min=0.26
  Verifica: 0.00+0.05+0.00=0.05

- Verifica Freccia massima per soli carichi accidentali - CC 21
  $f_{Z,L}$=0.01 (L/19455) $f_{Z,G}$=0.01 (L/19455)

- Verifica Freccia massima carichi totali - CC 21
  $f_{Z,L}$=0.02 (L/8443) $f_{Z,G}$=0.02 (L/8443)

- Verifica in termini tensionali [4.2.4] - CC 19 SLU Xl=0.14 - Classe 3
  Sollecitazioni: N=-21.53 T_z=-3.06 M_y=48.03
  Tensioni: σ_N=-1.27 σ_M=-145.85 τ=0.00 σ_{max}=-147.12
  Tensioni: σ_N=-1.27 σ_M=-0.00 τ=0.35 τ_{max}=0.35
  Tensioni: σ_N=-1.27 σ_M=-145.85 τ=0.00 $\sigma_{ID,max}$=147.12

- Verifica a taglio dir. Z [4.2.16] - CC 16 SLU Xl=1.54
  Sollecitazioni: T_z=26.12
  V,Ed=26.12 Vc,Rd=18145.80 V,Ed/Vc,Rd=0.00

Asta n. 7010 (4287 -824) arcarecci T 120x60x10 Crit. 1

- Verifica di stabilità aste inflesse (4.2.4.1.3.2) CC 17 SLU - Classe 3
  L_{cr}=1.54 Curva d: α_{imp}=0.76 k_c=0.94 ψ=1.93 M,cr=0.00 λ_{LT}=0.00
  $\lambda_{LT,0}$=0.20 β_{LT}=1.00 Φ_{LT}=0.00 β_{LT}=1.00 f=0.00 χ_{LT}=1.00
  CC 17 SLU My,Ed=-78.87 My,b,Rd=862.52 My,Ed/My,b,Rd=0.09

- Verifica di stabilità aste presso-inflesse (C4.2.4.1.3.3.1) - CC 5 SLV - Classe 3
  Sollecitazioni: N,Ed=-2.46 Myeq,Ed=-12.18 Mzeq,Ed=-1.61
  Resistenze: Nc,Rd=44512.60 My,c,Rd=862.52 Mz,c,Rd=164.81 L=154.00
  λ_Y=40.08 Ncr,y=219298.00 λ^*_y=0.46 Curva c: Φ_y=0.67 χ_y=0.86
  λ_Z=146.12 Ncr,z=16498.80 λ^*_z=1.68 Curva c: Φ_z=2.28 χ_z=0.26
  χ,min=0.26
  Verifica: 0.00+0.01+0.01=0.02

- Verifica Freccia massima per soli carichi accidentali - CC 23
  $f_{Z,L}$=0.01 (L/11680) $f_{Z,G}$=0.01 (L/11680)

- Verifica Freccia massima carichi totali - CC 23
  $f_{Z,L}$=0.01 (L/14986) $f_{Z,G}$=0.01 (L/14986)

- Verifica in termini tensionali [4.2.4] - CC 17 SLU Xl=0.00 - Classe 3
  Sollecitazioni: N=51.58 T_z=-81.93 M_y=-78.87 M_z=1.01
  Tensioni: σ_N=3.04 σ_M=241.62 τ=0.00 σ_{max}=244.65

Tensioni: σ_N=3.04 σ_M=2.67 τ=9.45 τ_{max}=9.45
Tensioni: σ_N=3.04 σ_M=241.62 τ=0.00 $\sigma_{ID,max}$=244.65

- Verifica a taglio dir. Z [4.2.16] - CC 9 SLU Xl=0.28
Sollecitazioni: N=127.09 T_z=-46.50
V,Ed=-46.50 Vc,Rd=18145.80 V,Ed/Vc,Rd=0.00

Asta n. 7010 (-824 4288) arcarecci T 120x60x10 Crit. 1

- Verifica di stabilità aste inflesse (4.2.4.1.3.2) CC 9 SLU - Classe 3
L_{cr}=1.54 Curva d: α_{imp}=0.76 k_c=0.94 ψ=2.37 M,cr=0.00 λ_{LT}=0.00
$\lambda_{LT,0}$=0.20 β_{LT}=1.00 Φ_{LT}=0.00 β_{LT}=1.00 f=0.00 χ_{LT}=1.00
CC 9 SLU My,Ed=-43.79 My,b,Rd=862.52 My,Ed/My,b,Rd=0.05

- Verifica di stabilità aste presso-inflesse (C4.2.4.1.3.3.1) - CC 5 SLV - Classe 3
Sollecitazioni: N,Ed=-1.33 Myeq,Ed=-21.80 Mzeq,Ed=-1.98
Resistenze: Nc,Rd=44512.60 My,c,Rd=862.52 Mz,c,Rd=164.81 L=154.00
λ_Y=40.08 Ncr,y=219298.00 λ^*_y=0.46 Curva c: Φ_y=0.67 χ_y=0.86
λ_Z=146.12 Ncr,z=16498.80 λ^*_z=1.68 Curva c: Φ_z=2.28 χ_z=0.26
χ,min=0.26
Verifica: 0.00+0.03+0.01=0.04

- Verifica Freccia massima per soli carichi accidentali - CC 23
$f_{Z,L}$=0.01 (L/12615) $f_{Z,G}$=0.01 (L/12640)

- Verifica Freccia massima carichi totali - CC 23
$f_{Z,G}$=0.01 (L/13236) $f_{Z,L}$=0.01 (L/13263)

- Verifica in termini tensionali [4.2.4] - CC 9 SLU Xl=1.54 - Classe 3
Sollecitazioni: N=127.09 T_z=77.11 M_y=-43.79
Tensioni: σ_N=7.48 σ_M=132.97 τ=0.00 σ_{max}=140.44
Tensioni: σ_N=7.48 σ_M=0.00 τ=8.90 τ_{max}=8.90
Tensioni: σ_N=7.48 σ_M=132.97 τ=0.00 $\sigma_{ID,max}$=140.44

- Verifica a taglio dir. Z [4.2.16] - CC 9 SLU Xl=0.84
Sollecitazioni: N=127.09 T_z=46.21
V,Ed=46.21 Vc,Rd=18145.80 V,Ed/Vc,Rd=0.00

Asta n. 7010 (4290 -813) arcarecci T 120x60x10 Crit. 1

- Verifica Freccia massima per soli carichi accidentali - CC 23
$f_{Z,G}$=0.01 (L/11718) $f_{Z,L}$=0.01 (L/11738)

- Verifica Freccia massima carichi totali - CC 23
$f_{Z,L}$=0.01 (L/12261) $f_{Z,G}$=0.01 (L/12261)

- Verifica in termini tensionali [4.2.4] - CC 17 SLU Xl=0.00 - Classe 3
Sollecitazioni: N=111.82 T_z=-87.35 M_y=-89.13
Tensioni: σ_N=6.58 σ_M=270.63 τ=0.00 σ_{max}=277.21
Tensioni: σ_N=6.58 σ_M=0.00 τ=10.08 τ_{max}=10.08
Tensioni: σ_N=6.58 σ_M=270.63 τ=0.00 $\sigma_{ID,max}$=277.21

- Verifica a taglio dir. Z [4.2.16] - CC 19 SLU Xl=1.04
Sollecitazioni: N=201.02 T_z=-50.05
V,Ed=-50.05 Vc,Rd=18145.80 V,Ed/Vc,Rd=0.00

Asta n. 7010 (-813 4291) arcarecci T 120x60x10 Crit. 1

- Verifica Freccia massima per soli carichi accidentali - CC 23
$f_{Z,G}$=0.01 (L/11407) $f_{Z,L}$=0.01 (L/11426)

- Verifica Freccia massima carichi totali - CC 23
  $f_{Z,L}$=0.02 (L/10631) $f_{Z,G}$=0.02 (L/10648)

- Verifica in termini tensionali [4.2.4] - CC 9 SLU Xl=1.64 - Classe 3
  Sollecitazioni: N=201.07 T_z=72.41 M_y=-36.63
  Tensioni: σ_N=11.83 σ_M=111.23 τ=0.00 σ_{max}=123.06
  Tensioni: σ_N=11.83 σ_M=0.00 τ=8.35 τ_{max}=8.35
  Tensioni: σ_N=11.83 σ_M=111.23 τ=0.00 $\sigma_{ID,max}$=123.06

- Verifica a taglio dir. Z [4.2.16] - CC 20 SLU Xl=1.04
  Sollecitazioni: N=144.06 T_z=30.74
  V,Ed=30.74 Vc,Rd=18145.80 V,Ed/Vc,Rd=0.00

Asta n. 7010 (4293 -802) arcarecci T 120x60x10 Crit. 1

- Verifica di stabilità aste inflesse (4.2.4.1.3.2) CC 17 SLU - Classe 3
  L_{cr}=1.54 Curva d: α_{imp}=0.76 k_c=0.94 ψ=1.95 M,cr=0.00 λ_{LT}=0.00
  $\lambda_{LT,0}$=0.20 β_{LT}=1.00 Φ_{LT}=0.00 β_{LT}=1.00 f=0.00 χ_{LT}=1.00
  CC 17 SLU My,Ed=-95.54 My,b,Rd=862.52 My,Ed/My,b,Rd=0.11

- Verifica di stabilità aste presso-inflesse (C4.2.4.1.3.3.1) - CC 5 SLV - Classe 3
  Sollecitazioni: N,Ed=-1.36 Myeq,Ed=-21.79 Mzeq,Ed=-1.98
  Resistenze: Nc,Rd=44512.60 My,c,Rd=862.52 Mz,c,Rd=164.81 L=154.00
  λ_Y=40.08 Ncr,y=219298.00 λ^*_y=0.46 Curva c: Φ_y=0.67 χ_y=0.86
  λ_Z=146.12 Ncr,z=16498.80 λ^*_z=1.68 Curva c: Φ_z=2.28 χ_z=0.26
  χ,min=0.26
  Verifica: 0.00+0.03+0.01=0.04

- Verifica Freccia massima per soli carichi accidentali - CC 23
  $f_{Z,L}$=0.01 (L/12517) $f_{Z,G}$=0.01 (L/12517)

- Verifica Freccia massima carichi totali - CC 23
  $f_{Z,L}$=0.01 (L/11617) $f_{Z,G}$=0.01 (L/11617)

- Verifica in termini tensionali [4.2.4] - CC 17 SLU Xl=0.00 - Classe 3
  Sollecitazioni: N=93.47 T_z=-95.55 M_y=-95.54
  Tensioni: σ_N=5.50 σ_M=290.12 τ=0.00 σ_{max}=295.62
  Tensioni: σ_N=5.50 σ_M=0.00 τ=11.02 τ_{max}=11.02
  Tensioni: σ_N=5.50 σ_M=290.12 τ=0.00 $\sigma_{ID,max}$=295.62

- Verifica a taglio dir. Z [4.2.16] - CC 9 SLU Xl=0.70
  Sollecitazioni: N=127.07 T_z=-46.18
  V,Ed=-46.18 Vc,Rd=18145.80 V,Ed/Vc,Rd=0.00

Asta n. 7010 (-802 4294) arcarecci T 120x60x10 Crit. 1

- Verifica di stabilità aste inflesse (4.2.4.1.3.2) CC 17 SLU - Classe 3
  L_{cr}=1.54 Curva d: α_{imp}=0.76 k_c=0.94 ψ=1.48 M,cr=0.00 λ_{LT}=0.00
  $\lambda_{LT,0}$=0.20 β_{LT}=1.00 Φ_{LT}=0.00 β_{LT}=1.00 f=0.00 χ_{LT}=1.00
  CC 17 SLU My,Ed=60.51 My,b,Rd=862.52 My,Ed/My,b,Rd=0.07

- Verifica di stabilità aste presso-inflesse (C4.2.4.1.3.3.1) - CC 5 SLV - Classe 3
  Sollecitazioni: N,Ed=-2.50 Myeq,Ed=-12.21 Mzeq,Ed=-1.61
  Resistenze: Nc,Rd=44512.60 My,c,Rd=862.52 Mz,c,Rd=164.81 L=154.00
  λ_Y=40.08 Ncr,y=219298.00 λ^*_y=0.46 Curva c: Φ_y=0.67 χ_y=0.86
  λ_Z=146.12 Ncr,z=16498.80 λ^*_z=1.68 Curva c: Φ_z=2.28 χ_z=0.26
  χ,min=0.26
  Verifica: 0.00+0.01+0.01=0.02

- Verifica Freccia massima per soli carichi accidentali - CC 21
  $f_{Z,L}$=0.01 (L/10537) $f_{Z,G}$=0.01 (L/10537)

- Verifica Freccia massima carichi totali - CC 21
  $f_{Z,G}$=0.02 (L/8104) $f_{Z,L}$=0.02 (L/8114)

- Verifica in termini tensionali [4.2.4] - CC 17 SLU Xl=1.54 - Classe 3
  Sollecitazioni: N=93.47 T_z=-5.78 M_y=60.51
  Tensioni: σ_N=5.50 σ_M=-183.72 τ=0.00 σ_{max}=-178.22
  Tensioni: σ_N=5.50 σ_M=-0.00 τ=0.67 τ_{max}=0.67
  Tensioni: σ_N=5.50 σ_M=-183.72 τ=0.00 $\sigma_{ID,max}$=178.22

- Verifica a taglio dir. Z [4.2.16] - CC 9 SLU Xl=1.26
  Sollecitazioni: N=127.07 T_z=46.52
  V,Ed=46.52 Vc,Rd=18145.80 V,Ed/Vc,Rd=0.00

Asta n. 7011 (3314 -825) arcarecci T 120x60x10 Crit. 1

- Verifica di stabilità aste inflesse (4.2.4.1.3.2) CC 9 SLU - Classe 3
  L_{cr}=1.54 Curva d: α_{imp}=0.76 k_c=0.94 ψ=1.60 M,cr=0.00 λ_{LT}=0.00
  $\lambda_{LT,0}$=0.20 β_{LT}=1.00 Φ_{LT}=0.00 β_{LT}=1.00 f=0.00 χ_{LT}=1.00
  CC 9 SLU My,Ed=22.36 My,b,Rd=862.52 My,Ed/My,b,Rd=0.03

- Verifica di stabilità aste presso-inflesse (C4.2.4.1.3.3.1) - CC 5 SLV - Classe 3
  Sollecitazioni: N,Ed=-3.61 Myeq,Ed=9.62 Mzeq,Ed=1.40
  Resistenze: Nc,Rd=44512.60 My,c,Rd=862.52 Mz,c,Rd=164.81 L=154.00
  λ_Y=40.08 Ncr,y=219298.00 λ^*_y=0.46 Curva c: Φ_y=0.67 χ_y=0.86
  λ_Z=146.12 Ncr,z=16498.80 λ^*_z=1.68 Curva c: Φ_z=2.28 χ_z=0.26
  χ,min=0.26
  Verifica: 0.00+0.01+0.01=0.02

- Verifica Freccia massima per soli carichi accidentali - CC 11
  $f_{Z,L}$=0.00 (L/56167) $f_{Z,G}$=0.00 (L/56167)

- Verifica Freccia massima carichi totali - CC 21
  $f_{Z,L}$=0.01 (L/19166) $f_{Z,G}$=0.01 (L/19223)

- Verifica in termini tensionali [4.2.4] - CC 9 SLU Xl=1.12 - Classe 3
  Sollecitazioni: N=12.22 M_y=22.36
  Tensioni: σ_N=0.72 σ_M=-67.89 τ=0.00 σ_{max}=-67.18
  Tensioni: σ_N=0.00 σ_M=0.00 τ=0.00 τ_{max}=0.00
  Tensioni: σ_N=0.72 σ_M=-67.89 τ=0.00 $\sigma_{ID,max}$=67.18

- Verifica a taglio dir. Z [4.2.16] - CC 19 SLU Xl=0.00
  Sollecitazioni: N=11.73 T_z=-35.78
  V,Ed=-35.78 Vc,Rd=18145.80 V,Ed/Vc,Rd=0.00

Asta n. 7011 (-825 3315) arcarecci T 120x60x10 Crit. 1

- Verifica di stabilità aste inflesse (4.2.4.1.3.2) CC 9 SLU - Classe 3
  L_{cr}=1.54 Curva d: α_{imp}=0.76 k_c=0.94 ψ=2.41 M,cr=0.00 λ_{LT}=0.00
  $\lambda_{LT,0}$=0.20 β_{LT}=1.00 Φ_{LT}=0.00 β_{LT}=1.00 f=0.00 χ_{LT}=1.00
  CC 9 SLU My,Ed=-36.38 My,b,Rd=862.52 My,Ed/My,b,Rd=0.04

- Verifica di stabilità aste presso-inflesse (C4.2.4.1.3.3.1) - CC 5 SLV - Classe 3
  Sollecitazioni: N,Ed=-2.63 Myeq,Ed=-16.93 Mzeq,Ed=1.56
  Resistenze: Nc,Rd=44512.60 My,c,Rd=862.52 Mz,c,Rd=164.81 L=154.00
  λ_Y=40.08 Ncr,y=219298.00 λ^*_y=0.46 Curva c: Φ_y=0.67 χ_y=0.86

λ_Z=146.12 Ncr,z=16498.80 λ^*_z=1.68 Curva c: Φ_z=2.28 χ_z=0.26
χ,min=0.26
Verifica: 0.00+0.02+0.01=0.03

- Verifica Freccia massima carichi totali - CC 21
$f_{Z,L}$=0.00 (L/70980) $f_{Z,G}$=0.00 (L/70980)

- Verifica in termini tensionali [4.2.4] - CC 9 SLU Xl=1.54 - Classe 3
Sollecitazioni: N=12.22 T_z=60.10 M_y=-36.38
Tensioni: σ_N=0.72 σ_M=110.47 τ=0.00 σ_{max}=111.18
Tensioni: σ_N=0.72 σ_M=0.00 τ=6.93 τ_{max}=6.93
Tensioni: σ_N=0.72 σ_M=110.47 τ=0.00 $\sigma_{ID,max}$=111.18

- Verifica a taglio dir. Z [4.2.16] - CC 1 SLV Xl=0.84
Sollecitazioni: N=4.89 T_z=18.77
V,Ed=18.77 Vc,Rd=18145.80 V,Ed/Vc,Rd=0.00

Asta n. 7011 (3316 -814) arcarecci T 120x60x10 Crit. 1

- Verifica di stabilità aste inflesse (4.2.4.1.3.2) CC 19 SLU - Classe 3
L_{cr}=1.64 Curva d: α_{imp}=0.76 k_c=0.94 ψ=1.93 M,cr=0.00 λ_{LT}=0.00
$\lambda_{LT,0}$=0.20 β_{LT}=1.00 Φ_{LT}=0.00 β_{LT}=1.00 f=0.00 χ_{LT}=1.00
CC 19 SLU My,Ed=-37.68 My,b,Rd=862.52 My,Ed/My,b,Rd=0.04

- Verifica di stabilità aste presso-inflesse (C4.2.4.1.3.3.1) - CC 5 SLV - Classe 3
Sollecitazioni: N,Ed=-2.76 Myeq,Ed=-13.51 Mzeq,Ed=1.54
Resistenze: Nc,Rd=44512.60 My,c,Rd=862.52 Mz,c,Rd=164.81 L=164.00
λ_Y=42.68 Ncr,y=193369.00 λ^*_y=0.49 Curva c: Φ_y=0.69 χ_y=0.85
λ_Z=155.61 Ncr,z=14548.10 λ^*_z=1.79 Curva c: Φ_z=2.50 χ_z=0.24
χ,min=0.24
Verifica: 0.00+0.02+0.01=0.03

- Verifica Freccia massima per soli carichi accidentali - CC 21
$f_{Z,L}$=0.00 (L/68105) $f_{Z,G}$=0.00 (L/68786)

- Verifica Freccia massima carichi totali - CC 21
$f_{Z,G}$=0.00 (L/33885) $f_{Z,L}$=0.00 (L/34052)

- Verifica in termini tensionali [4.2.4] - CC 19 SLU Xl=0.00 - Classe 3
Sollecitazioni: N=17.53 T_z=-52.01 M_y=-37.68
Tensioni: σ_N=1.03 σ_M=114.40 τ=0.00 σ_{max}=115.43
Tensioni: σ_N=1.03 σ_M=0.00 τ=6.00 τ_{max}=6.00
Tensioni: σ_N=1.03 σ_M=114.40 τ=0.00 $\sigma_{ID,max}$=115.43

- Verifica a taglio dir. Z [4.2.16] - CC 19 SLU Xl=1.04
Sollecitazioni: N=17.53 T_z=-19.92
V,Ed=-19.92 Vc,Rd=18145.80 V,Ed/Vc,Rd=0.00

Asta n. 7011 (-814 3317) arcarecci T 120x60x10 Crit. 1

- Verifica di stabilità aste inflesse (4.2.4.1.3.2) CC 9 SLU - Classe 3
L_{cr}=1.64 Curva d: α_{imp}=0.76 k_c=0.94 ψ=1.95 M,cr=0.00 λ_{LT}=0.00
$\lambda_{LT,0}$=0.20 β_{LT}=1.00 Φ_{LT}=0.00 β_{LT}=1.00 f=0.00 χ_{LT}=1.00
CC 9 SLU My,Ed=-35.07 My,b,Rd=862.52 My,Ed/My,b,Rd=0.04

- Verifica di stabilità aste presso-inflesse (C4.2.4.1.3.3.1) - CC 5 SLV - Classe 3
Sollecitazioni: N,Ed=-2.79 Myeq,Ed=-13.51 Mzeq,Ed=1.53
Resistenze: Nc,Rd=44512.60 My,c,Rd=862.52 Mz,c,Rd=164.81 L=164.00
λ_Y=42.68 Ncr,y=193369.00 λ^*_y=0.49 Curva c: Φ_y=0.69 χ_y=0.85

λ_Z=155.61 Ncr,z=14548.10 λ^*_z=1.79 Curva c: Φ_z=2.50 χ_z=0.24
χ,min=0.24
Verifica: 0.00+0.02+0.01=0.03

- Verifica Freccia massima per soli carichi accidentali - CC 11
$f_{Z,G}$=0.00 (L/107479) $f_{Z,L}$=0.00 (L/109185)

- Verifica Freccia massima carichi totali - CC 11
$f_{Z,G}$=0.00 (L/48784) $f_{Z,L}$=0.00 (L/49133)

- Verifica in termini tensionali [4.2.4] - CC 9 SLU Xl=1.64 - Classe 3
Sollecitazioni: N=17.48 T_z=50.42 M_y=-35.07
Tensioni: σ_N=1.03 σ_M=106.49 τ=0.00 σ_{max}=107.52
Tensioni: σ_N=1.03 σ_M=0.00 τ=5.82 τ_{max}=5.82
Tensioni: σ_N=1.03 σ_M=106.49 τ=0.00 $\sigma_{ID,max}$=107.52

- Verifica a taglio dir. Z [4.2.16] - CC 9 SLU Xl=0.60
Sollecitazioni: N=17.48 T_z=18.33
V,Ed=18.33 Vc,Rd=18145.80 V,Ed/Vc,Rd=0.00

Asta n. 7011 (3318 -803) arcarecci T 120x60x10 Crit. 1

- Verifica di stabilità aste inflesse (4.2.4.1.3.2) CC 19 SLU - Classe 3
L_{cr}=1.54 Curva d: α_{imp}=0.76 k_c=0.94 ψ=2.45 M,cr=0.00 λ_{LT}=0.00
$\lambda_{LT,0}$=0.20 β_{LT}=1.00 Φ_{LT}=0.00 β_{LT}=1.00 f=0.00 χ_{LT}=1.00
CC 19 SLU My,Ed=-36.84 My,b,Rd=862.52 My,Ed/My,b,Rd=0.04

- Verifica di stabilità aste presso-inflesse (C4.2.4.1.3.3.1) - CC 5 SLV - Classe 3
Sollecitazioni: N,Ed=-2.59 Myeq,Ed=-16.93 Mzeq,Ed=1.56
Resistenze: Nc,Rd=44512.60 My,c,Rd=862.52 Mz,c,Rd=164.81 L=154.00
λ_Y=40.08 Ncr,y=219298.00 λ^*_y=0.46 Curva c: Φ_y=0.67 χ_y=0.86
λ_Z=146.12 Ncr,z=16498.80 λ^*_z=1.68 Curva c: Φ_z=2.28 χ_z=0.26
χ,min=0.26
Verifica: 0.00+0.02+0.01=0.03

- Verifica Freccia massima carichi totali - CC 21
$f_{Z,L}$=0.00 (L/74244) $f_{Z,G}$=0.00 (L/75107)

- Verifica in termini tensionali [4.2.4] - CC 19 SLU Xl=0.00 - Classe 3
Sollecitazioni: N=12.93 T_z=-61.28 M_y=-36.84
Tensioni: σ_N=0.76 σ_M=111.86 τ=0.00 σ_{max}=112.62
Tensioni: σ_N=0.76 σ_M=0.00 τ=7.07 τ_{max}=7.07
Tensioni: σ_N=0.76 σ_M=111.86 τ=0.00 $\sigma_{ID,max}$=112.62

- Verifica a taglio dir. Z [4.2.16] - CC 17 SLU Xl=0.70
Sollecitazioni: N=7.75 T_z=-30.65
V,Ed=-30.65 Vc,Rd=18145.80 V,Ed/Vc,Rd=0.00

Asta n. 7011 (-803 3319) arcarecci T 120x60x10 Crit. 1

- Verifica di stabilità aste inflesse (4.2.4.1.3.2) CC 19 SLU - Classe 3
L_{cr}=1.54 Curva d: α_{imp}=0.76 k_c=0.94 ψ=1.47 M,cr=0.00 λ_{LT}=0.00
$\lambda_{LT,0}$=0.20 β_{LT}=1.00 Φ_{LT}=0.00 β_{LT}=1.00 f=0.00 χ_{LT}=1.00
CC 19 SLU My,Ed=24.23 My,b,Rd=862.52 My,Ed/My,b,Rd=0.03

- Verifica di stabilità aste presso-inflesse (C4.2.4.1.3.3.1) - CC 5 SLV - Classe 3
Sollecitazioni: N,Ed=-3.58 Myeq,Ed=9.62 Mzeq,Ed=1.40
Resistenze: Nc,Rd=44512.60 My,c,Rd=862.52 Mz,c,Rd=164.81 L=154.00
λ_Y=40.08 Ncr,y=219298.00 λ^*_y=0.46 Curva c: Φ_y=0.67 χ_y=0.86

λ_Z=146.12 Ncr,z=16498.80 λ^*_z=1.68 Curva c: Φ_z=2.28 χ_z=0.26
χ,min=0.26
Verifica: 0.00+0.01+0.01=0.02

- Verifica Freccia massima per soli carichi accidentali - CC 21
$f_{Z,G}$=0.00 (L/37995) $f_{Z,L}$=0.00 (L/38220)

- Verifica Freccia massima carichi totali - CC 21
$f_{Z,L}$=0.01 (L/14515) $f_{Z,G}$=0.01 (L/14515)

- Verifica in termini tensionali [4.2.4] - CC 19 SLU Xl=0.42 - Classe 3
Sollecitazioni: N=12.93 T_z=-1.02 M_y=24.21
Tensioni: σ_N=0.76 σ_M=-73.51 τ=0.00 σ_{max}=-72.75
Tensioni: σ_N=0.76 σ_M=-0.00 τ=0.12 τ_{max}=0.12
Tensioni: σ_N=0.76 σ_M=-73.51 τ=0.00 $\sigma_{ID,max}$=72.75

- Verifica a taglio dir. Z [4.2.16] - CC 16 SLU Xl=1.54
Sollecitazioni: N=7.55 T_z=19.51
V,Ed=19.51 Vc,Rd=18145.80 V,Ed/Vc,Rd=0.00

Asta n. 8001 (4027 -817) controventi 50x5 Crit. 1

- Verifica di stabilità aste inflesse (4.2.4.1.3.2) CC 5 SLV - Classe 3
L_{cr}=1.77 Curva d: α_{imp}=0.76 k_c=0.94 ψ=1.75 M,cr=0.00 λ_{LT}=0.00
$\lambda_{LT,0}$=0.20 β_{LT}=1.00 Φ_{LT}=0.00 β_{LT}=1.00 f=0.00 χ_{LT}=1.00
CC 5 SLV My,Ed=0.03 My,b,Rd=54.56 My,Ed/My,b,Rd=0.00

- Verifica di stabilità aste presso-inflesse (C4.2.4.1.3.3.1) - CC 3 SLV - Classe 3
Sollecitazioni: N,Ed=-0.13 Myeq,Ed=0.01 Mzeq,Ed=-0.57
Resistenze: Nc,Rd=6547.62 My,c,Rd=54.56 Mz,c,Rd=5.46 L=176.65
λ_Y=122.38 Ncr,y=3459.45 λ^*_y=1.41 Curva c: Φ_y=1.79 χ_y=0.35
λ_Z=1223.84 Ncr,z=34.59 λ^*_z=14.10 Curva c: Φ_z=103.27 χ_z=0.00
χ,min=0.00
Verifica: 0.00+0.00+0.11=0.11

- Verifica Freccia massima per soli carichi accidentali - CC 22
$f_{Z,G}$=0.01 (L/25637)

- Verifica Freccia massima carichi totali - CC 21
$f_{Z,G}$=1.23 (L/143)

- Verifica a compressione [4.2.9] - CC 19 SLU Xl=0.00 - Classe 3
Sollecitazioni: N=-178.82 T_y=1.69
N,Ed=-178.82 Nc,Rd=-6547.62 N,Ed/Nc,Rd=0.03

- Verifica a taglio dir. Y [4.2.16] - CC 3 SLV Xl=1.77
Sollecitazioni: T_y=-2.16
V,Ed=-2.16 Vc,Rd=3780.38 V,Ed/Vc,Rd=0.00

Asta n. 8001 (-817 -659) controventi 50x5 Crit. 1

- Verifica di stabilità aste inflesse (4.2.4.1.3.2) CC 5 SLV - Classe 3
L_{cr}=1.77 Curva d: α_{imp}=0.76 k_c=0.94 ψ=1.75 M,cr=0.00 λ_{LT}=0.00
$\lambda_{LT,0}$=0.20 β_{LT}=1.00 Φ_{LT}=0.00 β_{LT}=1.00 f=0.00 χ_{LT}=1.00
CC 5 SLV My,Ed=-0.06 My,b,Rd=54.56 My,Ed/My,b,Rd=0.00

- Verifica di stabilità aste presso-inflesse (C4.2.4.1.3.3.1) - CC 3 SLV - Classe 3
Sollecitazioni: N,Ed=-32.14 Myeq,Ed=-0.03 Mzeq,Ed=-0.57
Resistenze: Nc,Rd=6547.62 My,c,Rd=54.56 Mz,c,Rd=5.46 L=176.65
λ_Y=122.38 Ncr,y=3459.45 λ^*_y=1.41 Curva c: Φ_y=1.79 χ_y=0.35

λ_Z=1223.84 Ncr,z=34.59 λ^*_z=14.10 Curva c: Φ_z=103.27 χ_z=0.00
χ,min=0.00
Verifica: 1.01+0.00+1.48=2.49

- Verifica Freccia massima per soli carichi accidentali - CC 22
$f_{Z,G}$=0.00 (L/35450) $f_{Z,L}$=0.00 (L/106701)

- Verifica Freccia massima carichi totali - CC 21
$f_{Z,G}$=1.22 (L/144) $f_{Z,L}$=0.00 (L/112793)

- Verifica a compressione [4.2.9] - CC 18 SLU Xl=0.00 - Classe 3
Sollecitazioni: N=-266.82 T_y=2.81
N,Ed=-266.82 Nc,Rd=-6547.62 N,Ed/Nc,Rd=0.04

- Verifica a taglio dir. Y [4.2.16] - CC 7 SLV Xl=0.00
Sollecitazioni: T_y=2.16
V,Ed=2.16 Vc,Rd=3780.38 V,Ed/Vc,Rd=0.00

Asta n. 8002 (-658 -817) controventi 50x5 Crit. 1

- Verifica di stabilità aste inflesse (4.2.4.1.3.2) CC 18 SLU - Classe 3
L_{cr}=1.77 Curva d: α_{imp}=0.76 k_c=0.94 ψ=1.75 M,cr=0.00 λ_{LT}=0.00
$\lambda_{LT,0}$=0.20 β_{LT}=1.00 Φ_{LT}=0.00 β_{LT}=1.00 f=0.00 χ_{LT}=1.00
CC 18 SLU My,Ed=-0.24 My,b,Rd=54.56 My,Ed/My,b,Rd=0.00

- Verifica di stabilità aste presso-inflesse (C4.2.4.1.3.3.1) - CC 7 SLV - Classe 3
Sollecitazioni: N,Ed=-33.28 Myeq,Ed=-0.09 Mzeq,Ed=-0.57
Resistenze: Nc,Rd=6547.62 My,c,Rd=54.56 Mz,c,Rd=5.46 L=176.65
λ_Y=122.38 Ncr,y=3459.45 λ^*_y=1.41 Curva c: Φ_y=1.79 χ_y=0.35
λ_Z=1223.84 Ncr,z=34.59 λ^*_z=14.10 Curva c: Φ_z=103.27 χ_z=0.00
χ,min=0.00
Verifica: 1.04+0.00+2.75=3.80

- Verifica Freccia massima per soli carichi accidentali - CC 24
$f_{Z,G}$=0.02 (L/7179) $f_{Z,L}$=0.00 (L/82323)

- Verifica Freccia massima carichi totali - CC 21
$f_{Z,G}$=1.26 (L/140) $f_{Z,L}$=0.00 (L/77582)

- Verifica a trazione [4.2.5] - CC 19 SLU Xl=0.00 - Classe 1
Sollecitazioni: N=124.74 T_y=1.70
N,Ed=124.74 Npl,Rd=6547.62 Nu,Rd=7740.00 N,Ed/Nt,Rd=0.02

- Verifica a taglio dir. Y [4.2.16] - CC 17 SLU Xl=1.77
Sollecitazioni: N=107.06 T_y=-2.81
V,Ed=-2.81 Vc,Rd=3780.38 V,Ed/Vc,Rd=0.00

Asta n. 8002 (-817 4028) controventi 50x5 Crit. 1

- Verifica di stabilità aste inflesse (4.2.4.1.3.2) CC 9 SLU - Classe 3
L_{cr}=1.77 Curva d: α_{imp}=0.76 k_c=0.94 ψ=1.75 M,cr=0.00 λ_{LT}=0.00
$\lambda_{LT,0}$=0.20 β_{LT}=1.00 Φ_{LT}=0.00 β_{LT}=1.00 f=0.00 χ_{LT}=1.00
CC 9 SLU My,Ed=-0.15 My,b,Rd=54.56 My,Ed/My,b,Rd=0.00

- Verifica di stabilità aste presso-inflesse (C4.2.4.1.3.3.1) - CC 3 SLV - Classe 3
Sollecitazioni: N,Ed=-20.04 Myeq,Ed=-0.03 Mzeq,Ed=-0.57
Resistenze: Nc,Rd=6547.62 My,c,Rd=54.56 Mz,c,Rd=5.46 L=176.65
λ_Y=122.38 Ncr,y=3459.45 λ^*_y=1.41 Curva c: Φ_y=1.79 χ_y=0.35
λ_Z=1223.84 Ncr,z=34.59 λ^*_z=14.10 Curva c: Φ_z=103.27 χ_z=0.00
χ,min=0.00

Verifica: 0.63+0.00+0.25=0.88

- Verifica Freccia massima per soli carichi accidentali - CC 24
$f_{Z,G}$=0.03 (L/6924) $f_{Z,L}$=0.00 (L/141125)

- Verifica Freccia massima carichi totali - CC 21
$f_{Z,G}$=1.26 (L/140) $f_{Z,L}$=0.00 (L/84675)

- Verifica a compressione [4.2.9] - CC 16 SLU Xl=1.77 - Classe 3
Sollecitazioni: N=-104.07 T_y=-1.70
N,Ed=-104.07 Nc,Rd=-6547.62 N,Ed/Nc,Rd=0.02

- Verifica a taglio dir. Y [4.2.16] - CC 17 SLU Xl=0.00
Sollecitazioni: N=93.73 T_y=2.81
V,Ed=2.81 Vc,Rd=3780.38 V,Ed/Vc,Rd=0.00

Asta n. 8003 (-658 -819) controventi 50x5 Crit. 1

- Verifica Freccia massima per soli carichi accidentali - CC 24
$f_{Z,G}$=0.02 (L/11242)

- Verifica Freccia massima carichi totali - CC 21
$f_{Z,G}$=1.25 (L/141)

- Verifica a compressione [4.2.9] - CC 18 SLU Xl=0.00 - Classe 3
Sollecitazioni: N=-401.33 T_y=1.70
N,Ed=-401.33 Nc,Rd=-6547.62 N,Ed/Nc,Rd=0.06

Asta n. 8003 (-819 -787) controventi 50x5 Crit. 1

- Verifica Freccia massima per soli carichi accidentali - CC 24
$f_{Z,G}$=0.02 (L/9090) $f_{Z,L}$=0.00 (L/49066)

- Verifica Freccia massima carichi totali - CC 21
$f_{Z,G}$=1.25 (L/141) $f_{Z,L}$=0.01 (L/32929)

- Verifica a compressione [4.2.9] - CC 18 SLU Xl=0.00 - Classe 3
Sollecitazioni: N=-539.03 T_y=2.80
N,Ed=-539.03 Nc,Rd=-6547.62 N,Ed/Nc,Rd=0.08

Asta n. 8004 (-786 -819) controventi 50x5 Crit. 1

- Verifica di stabilità aste inflesse (4.2.4.1.3.2) CC 5 SLV - Classe 3
L_{cr}=1.77 Curva d: α_{imp}=0.76 k_c=0.94 ψ=1.75 M,cr=0.00 λ_{LT}=0.00
$\lambda_{LT,0}$=0.20 β_{LT}=1.00 Φ_{LT}=0.00 β_{LT}=1.00 f=0.00 χ_{LT}=1.00
CC 5 SLV My,Ed=-0.12 My,b,Rd=54.56 My,Ed/My,b,Rd=0.00

- Verifica di stabilità aste presso-inflesse (C4.2.4.1.3.3.1) - CC 10 SLU - Classe 3
Sollecitazioni: N,Ed=-31.43 Myeq,Ed=-0.14 Mzeq,Ed=-0.73
Resistenze: Nc,Rd=6547.62 My,c,Rd=54.56 Mz,c,Rd=5.46 L=176.65
λ_Y=122.38 Ncr,y=3459.45 λ^*_y=1.41 Curva c: Φ_y=1.79 χ_y=0.35
λ_Z=1223.84 Ncr,z=34.59 λ^*_z=14.10 Curva c: Φ_z=103.27 χ_z=0.00
χ,min=0.00
Verifica: 0.99+0.00+1.47=2.46

- Verifica Freccia massima per soli carichi accidentali - CC 24
$f_{Z,G}$=0.02 (L/9462) $f_{Z,L}$=0.00 (L/75603)

- Verifica Freccia massima carichi totali - CC 21
$f_{Z,G}$=1.25 (L/140) $f_{Z,L}$=0.00 (L/53689)

- Verifica a compressione [4.2.9] - CC 16 SLU Xl=1.77 - Classe 3
  Sollecitazioni: N=-57.18 T_y=-2.80
  N,Ed=-57.18 Nc,Rd=-6547.62 N,Ed/Nc,Rd=0.01

- Verifica a taglio dir. Y [4.2.16] - CC 7 SLV Xl=1.77
  Sollecitazioni: T_y=-2.16
  V,Ed=-2.16 Vc,Rd=3780.38 V,Ed/Vc,Rd=0.00

Asta n. 8004 (-819 -659) controventi 50x5 Crit. 1

- Verifica Freccia massima per soli carichi accidentali - CC 24
  $f_{Z,G}$=0.02 (L/7932)

- Verifica Freccia massima carichi totali - CC 21
  $f_{Z,G}$=1.26 (L/140) $f_{Z,L}$=0.00 (L/164646)

- Verifica a compressione [4.2.9] - CC 18 SLU Xl=1.77 - Classe 3
  Sollecitazioni: N=-196.15 T_y=-1.70
  N,Ed=-196.15 Nc,Rd=-6547.62 N,Ed/Nc,Rd=0.03

Asta n. 8005 (-786 -821) controventi 50x5 Crit. 1

- Verifica di stabilità aste inflesse (4.2.4.1.3.2) CC 5 SLV - Classe 3
  L_{cr}=1.77 Curva d: α_{imp}=0.76 k_c=0.94 ψ=1.75 M,cr=0.00 λ_{LT}=0.00
  $\lambda_{LT,0}$=0.20 β_{LT}=1.00 Φ_{LT}=0.00 β_{LT}=1.00 f=0.00 χ_{LT}=1.00
  CC 5 SLV My,Ed=0.12 My,b,Rd=54.56 My,Ed/My,b,Rd=0.00

- Verifica di stabilità aste presso-inflesse (C4.2.4.1.3.3.1) - CC 10 SLU - Classe 3
  Sollecitazioni: N,Ed=-31.66 Myeq,Ed=0.14 Mzeq,Ed=-0.73
  Resistenze: Nc,Rd=6547.62 My,c,Rd=54.56 Mz,c,Rd=5.46 L=176.65
  λ_Y=122.38 Ncr,y=3459.45 λ^*_y=1.41 Curva c: Φ_y=1.79 χ_y=0.35
  λ_Z=1223.84 Ncr,z=34.59 λ^*_z=14.10 Curva c: Φ_z=103.27 χ_z=0.00
  χ,min=0.00
  Verifica: 0.99+0.00+1.59=2.58

- Verifica Freccia massima per soli carichi accidentali - CC 21
  $f_{Z,G}$=0.01 (L/11950) $f_{Z,L}$=0.00 (L/108957)

- Verifica Freccia massima carichi totali - CC 21
  $f_{Z,G}$=1.25 (L/140) $f_{Z,L}$=0.00 (L/52546)

- Verifica a compressione [4.2.9] - CC 5 SLV Xl=1.77 - Classe 3
  Sollecitazioni: N=-37.81 T_y=-2.16
  N,Ed=-37.81 Nc,Rd=-6547.62 N,Ed/Nc,Rd=0.01

- Verifica a taglio dir. Y [4.2.16] - CC 16 SLU Xl=1.77
  Sollecitazioni: T_y=-2.81
  V,Ed=-2.81 Vc,Rd=3780.38 V,Ed/Vc,Rd=0.00

Asta n. 8005 (-821 -667) controventi 50x5 Crit. 1

- Verifica Freccia massima per soli carichi accidentali - CC 11
  $f_{Z,G}$=0.02 (L/9462)

- Verifica Freccia massima carichi totali - CC 21
  $f_{Z,G}$=1.26 (L/140) $f_{Z,L}$=0.00 (L/168388)

- Verifica a compressione [4.2.9] - CC 9 SLU Xl=1.77 - Classe 3
  Sollecitazioni: N=-159.04 T_y=-1.70

N,Ed=-159.04 Nc,Rd=-6547.62 N,Ed/Nc,Rd=0.02

Asta n. 8006 (-666 -821) controventi 50x5 Crit. 1

- Verifica Freccia massima per soli carichi accidentali - CC 21
$f_{Z,G}$=0.01 (L/15730)

- Verifica Freccia massima carichi totali - CC 21
$f_{Z,G}$=1.25 (L/141)

- Verifica a compressione [4.2.9] - CC 19 SLU Xl=0.00 - Classe 3
Sollecitazioni: N=-388.70 T_y=1.70
N,Ed=-388.70 Nc,Rd=-6547.62 N,Ed/Nc,Rd=0.06

Asta n. 8006 (-821 -787) controventi 50x5 Crit. 1

- Verifica Freccia massima per soli carichi accidentali - CC 11
$f_{Z,G}$=0.01 (L/13822) $f_{Z,L}$=0.00 (L/61742)

- Verifica Freccia massima carichi totali - CC 21
$f_{Z,G}$=1.25 (L/141) $f_{Z,L}$=0.01 (L/33374)

- Verifica a compressione [4.2.9] - CC 19 SLU Xl=0.00 - Classe 3
Sollecitazioni: N=-492.45 T_y=2.81
N,Ed=-492.45 Nc,Rd=-6547.62 N,Ed/Nc,Rd=0.08

Asta n. 8007 (-666 -823) controventi 50x5 Crit. 1

- Verifica di stabilità aste inflesse (4.2.4.1.3.2) CC 9 SLU - Classe 3
L_{cr}=1.77 Curva d: α_{imp}=0.76 k_c=0.94 ψ=1.75 M,cr=0.00 λ_{LT}=0.00
$\lambda_{LT,0}$=0.20 β_{LT}=1.00 Φ_{LT}=0.00 β_{LT}=1.00 f=0.00 χ_{LT}=1.00
CC 9 SLU My,Ed=0.16 My,b,Rd=54.56 My,Ed/My,b,Rd=0.00

- Verifica di stabilità aste presso-inflesse (C4.2.4.1.3.3.1) - CC 7 SLV - Classe 3
Sollecitazioni: N,Ed=-33.33 Myeq,Ed=0.09 Mzeq,Ed=-0.57
Resistenze: Nc,Rd=6547.62 My,c,Rd=54.56 Mz,c,Rd=5.46 L=176.65
λ_Y=122.38 Ncr,y=3459.45 λ^*_y=1.41 Curva c: Φ_y=1.79 χ_y=0.35
λ_Z=1223.84 Ncr,z=34.59 λ^*_z=14.10 Curva c: Φ_z=103.27 χ_z=0.00
χ,min=0.00
Verifica: 1.05+0.00+2.86=3.91

- Verifica Freccia massima per soli carichi accidentali - CC 21
$f_{Z,G}$=0.02 (L/10219) $f_{Z,L}$=0.00 (L/148182)

- Verifica Freccia massima carichi totali - CC 21
$f_{Z,G}$=1.26 (L/140) $f_{Z,L}$=0.00 (L/75603)

- Verifica a trazione [4.2.5] - CC 18 SLU Xl=0.00 - Classe 1
Sollecitazioni: N=137.65 T_y=1.70
N,Ed=137.65 Npl,Rd=6547.62 Nu,Rd=7740.00 N,Ed/Nt,Rd=0.02

- Verifica a taglio dir. Y [4.2.16] - CC 16 SLU Xl=1.77
Sollecitazioni: N=129.01 T_y=-2.81
V,Ed=-2.81 Vc,Rd=3780.38 V,Ed/Vc,Rd=0.00

Asta n. 8007 (-823 4288) controventi 50x5 Crit. 1

- Verifica di stabilità aste inflesse (4.2.4.1.3.2) CC 18 SLU - Classe 3
L_{cr}=1.77 Curva d: α_{imp}=0.76 k_c=0.94 ψ=1.75 M,cr=0.00 λ_{LT}=0.00
$\lambda_{LT,0}$=0.20 β_{LT}=1.00 Φ_{LT}=0.00 β_{LT}=1.00 f=0.00 χ_{LT}=1.00

CC 18 SLU My,Ed=0.16 My,b,Rd=54.56 My,Ed/My,b,Rd=0.00

- Verifica di stabilità aste presso-inflesse (C4.2.4.1.3.3.1) - CC 3 SLV - Classe 3
Sollecitazioni: N,Ed=-20.08 Myeq,Ed=0.03 Mzeq,Ed=-0.57
Resistenze: Nc,Rd=6547.62 My,c,Rd=54.56 Mz,c,Rd=5.46 L=176.65
λ_Y=122.38 Ncr,y=3459.45 λ^*_y=1.41 Curva c: Φ_y=1.79 χ_y=0.35
λ_Z=1223.84 Ncr,z=34.59 λ^*_z=14.10 Curva c: Φ_z=103.27 χ_z=0.00
χ,min=0.00
Verifica: 0.63+0.00+0.25=0.88

- Verifica Freccia massima per soli carichi accidentali - CC 11
$f_{Z,G}$=0.02 (L/9958) $f_{Z,L}$=0.00 (L/148182)

- Verifica Freccia massima carichi totali - CC 21
$f_{Z,G}$=1.25 (L/140) $f_{Z,L}$=0.00 (L/84194)

- Verifica a trazione [4.2.5] - CC 16 SLU Xl=0.00 - Classe 1
Sollecitazioni: N=106.90 T_y=2.81
N,Ed=106.90 Npl,Rd=6547.62 Nu,Rd=7740.00 N,Ed/Nt,Rd=0.02

- Verifica a taglio dir. Y [4.2.16] - CC 16 SLU Xl=0.00
Sollecitazioni: N=106.90 T_y=2.81
V,Ed=2.81 Vc,Rd=3780.38 V,Ed/Vc,Rd=0.00

Asta n. 8008 (4287 -823) controventi 50x5 Crit. 1

- Verifica di stabilità aste inflesse (4.2.4.1.3.2) CC 5 SLV - Classe 3
L_{cr}=1.77 Curva d: α_{imp}=0.76 k_c=0.94 ψ=1.75 M,cr=0.00 λ_{LT}=0.00
$\lambda_{LT,0}$=0.20 β_{LT}=1.00 Φ_{LT}=0.00 β_{LT}=1.00 f=0.00 χ_{LT}=1.00
CC 5 SLV My,Ed=-0.03 My,b,Rd=54.56 My,Ed/My,b,Rd=0.00

- Verifica di stabilità aste presso-inflesse (C4.2.4.1.3.3.1) - CC 16 SLU - Classe 3
Sollecitazioni: N,Ed=-8.30 Myeq,Ed=-0.02 Mzeq,Ed=-0.75
Resistenze: Nc,Rd=6547.62 My,c,Rd=54.56 Mz,c,Rd=5.46 L=176.65
λ_Y=122.38 Ncr,y=3459.45 λ^*_y=1.41 Curva c: Φ_y=1.79 χ_y=0.35
λ_Z=1223.84 Ncr,z=34.59 λ^*_z=14.10 Curva c: Φ_z=103.27 χ_z=0.00
χ,min=0.00
Verifica: 0.26+0.00+0.18=0.44

- Verifica Freccia massima per soli carichi accidentali - CC 22
$f_{Z,G}$=0.01 (L/22797)

- Verifica Freccia massima carichi totali - CC 21
$f_{Z,G}$=1.23 (L/143)

- Verifica a compressione [4.2.9] - CC 19 SLU Xl=0.00 - Classe 3
Sollecitazioni: N=-178.81 T_y=1.69
N,Ed=-178.81 Nc,Rd=-6547.62 N,Ed/Nc,Rd=0.03

- Verifica a taglio dir. Y [4.2.16] - CC 3 SLV Xl=1.77
Sollecitazioni: T_y=-2.16
V,Ed=-2.16 Vc,Rd=3780.38 V,Ed/Vc,Rd=0.00

Asta n. 8008 (-823 -667) controventi 50x5 Crit. 1

- Verifica di stabilità aste inflesse (4.2.4.1.3.2) CC 5 SLV - Classe 3
L_{cr}=1.77 Curva d: α_{imp}=0.76 k_c=0.94 ψ=1.75 M,cr=0.00 λ_{LT}=0.00
$\lambda_{LT,0}$=0.20 β_{LT}=1.00 Φ_{LT}=0.00 β_{LT}=1.00 f=0.00 χ_{LT}=1.00
CC 5 SLV My,Ed=0.06 My,b,Rd=54.56 My,Ed/My,b,Rd=0.00

- Verifica di stabilità aste presso-inflesse (C4.2.4.1.3.3.1) - CC 16 SLU - Classe 3
  Sollecitazioni: N,Ed=-32.03 Myeq,Ed=-0.03 Mzeq,Ed=-0.75
  Resistenze: Nc,Rd=6547.62 My,c,Rd=54.56 Mz,c,Rd=5.46 L=176.65
  λ_Y=122.38 Ncr,y=3459.45 λ^*_y=1.41 Curva c: Φ_y=1.79 χ_y=0.35
  λ_Z=1223.84 Ncr,z=34.59 λ^*_z=14.10 Curva c: Φ_z=103.27 χ_z=0.00
  χ,min=0.00
  Verifica: 1.01+0.00+1.86=2.86

- Verifica Freccia massima per soli carichi accidentali - CC 22
  $f_{Z,G}$=0.01 (L/23823)

- Verifica Freccia massima carichi totali - CC 21
  $f_{Z,G}$=1.22 (L/144) $f_{Z,L}$=0.00 (L/112259)

- Verifica in termini tensionali [4.2.4] - CC 16 SLU Xl=0.00 - Classe 3
  Sollecitazioni: N=-32.03 T_y=2.82 M_z=-1.00
  Tensioni: σ_N=-12.81 σ_M=-480.04 τ=0.00 σ_{max}=-492.86
  Tensioni: σ_N=-12.81 σ_M=-0.00 τ=1.69 τ_{max}=1.69
  Tensioni: σ_N=-12.81 σ_M=-480.04 τ=0.00 $\sigma_{ID,max}$=492.86

- Verifica a taglio dir. Y [4.2.16] - CC 7 SLV Xl=0.00
  Sollecitazioni: T_y=2.16
  V,Ed=2.16 Vc,Rd=3780.38 V,Ed/Vc,Rd=0.00

Asta n. 8009 (4030 -806) controventi 50x5 Crit. 1

- Verifica di stabilità aste inflesse (4.2.4.1.3.2) CC 5 SLV - Classe 3
  L_{cr}=1.85 Curva d: α_{imp}=0.76 k_c=0.94 ψ=1.75 M,cr=0.00 λ_{LT}=0.00
  $\lambda_{LT,0}$=0.20 β_{LT}=1.00 Φ_{LT}=0.00 β_{LT}=1.00 f=0.00 χ_{LT}=1.00
  CC 5 SLV My,Ed=-0.02 My,b,Rd=54.56 My,Ed/My,b,Rd=0.00

- Verifica Freccia massima per soli carichi accidentali - CC 24
  $f_{Z,G}$=0.01 (L/14115)

- Verifica Freccia massima carichi totali - CC 21
  $f_{Z,G}$=1.50 (L/123)

- Verifica in termini tensionali [4.2.4] - CC 17 SLU Xl=1.85 - Classe 3
  Sollecitazioni: N=-135.72 T_y=-2.95 M_z=-1.09
  Tensioni: σ_N=-54.29 σ_M=-523.24 τ=0.00 σ_{max}=-577.53
  Tensioni: σ_N=-54.29 σ_M=-0.00 τ=1.77 τ_{max}=1.77
  Tensioni: σ_N=-54.29 σ_M=-523.24 τ=0.00 $\sigma_{ID,max}$=577.53

- Verifica a taglio dir. Y [4.2.16] - CC 3 SLV Xl=1.85
  Sollecitazioni: N=7.74 T_y=-2.27
  V,Ed=-2.27 Vc,Rd=3780.38 V,Ed/Vc,Rd=0.00

Asta n. 8009 (-806 -661) controventi 50x5 Crit. 1

- Verifica di stabilità aste inflesse (4.2.4.1.3.2) CC 5 SLV - Classe 3
  L_{cr}=1.85 Curva d: α_{imp}=0.76 k_c=0.94 ψ=1.75 M,cr=0.00 λ_{LT}=0.00
  $\lambda_{LT,0}$=0.20 β_{LT}=1.00 Φ_{LT}=0.00 β_{LT}=1.00 f=0.00 χ_{LT}=1.00
  CC 5 SLV My,Ed=-0.08 My,b,Rd=54.56 My,Ed/My,b,Rd=0.00

- Verifica di stabilità aste presso-inflesse (C4.2.4.1.3.3.1) - CC 3 SLV - Classe 3
  Sollecitazioni: N,Ed=-27.63 Myeq,Ed=-0.02 Mzeq,Ed=-0.63
  Resistenze: Nc,Rd=6547.62 My,c,Rd=54.56 Mz,c,Rd=5.46 L=185.43
  λ_Y=128.47 Ncr,y=3139.50 λ^*_y=1.48 Curva c: Φ_y=1.91 χ_y=0.32
  λ_Z=1284.69 Ncr,z=31.39 λ^*_z=14.80 Curva c: Φ_z=113.57 χ_z=0.00

χ,min=0.00
Verifica: 0.95+0.00+0.96=1.92

- Verifica Freccia massima per soli carichi accidentali - CC 24
$f_{Z,G}$=0.01 (L/17206) $f_{Z,L}$=0.00 (L/96614)

- Verifica Freccia massima carichi totali - CC 21
$f_{Z,G}$=1.50 (L/123) $f_{Z,L}$=0.00 (L/94847)

- Verifica in termini tensionali [4.2.4] - CC 16 SLU Xl=0.00 - Classe 3
Sollecitazioni: N=-128.74 T_y=2.95 M_z=-1.09
Tensioni: σ_N=-51.49 σ_M=-521.23 τ=0.00 σ_{max}=-572.73
Tensioni: σ_N=-51.49 σ_M=-0.00 τ=1.77 τ_{max}=1.77
Tensioni: σ_N=-51.49 σ_M=-521.23 τ=0.00 $\sigma_{ID,max}$=572.73

- Verifica a taglio dir. Y [4.2.16] - CC 1 SLV Xl=0.00
Sollecitazioni: N=26.14 T_y=2.27
V,Ed=2.27 Vc,Rd=3780.38 V,Ed/Vc,Rd=0.00

Asta n. 8010 (-660 -806) controventi 50x5 Crit. 1

- Verifica di stabilità aste inflesse (4.2.4.1.3.2) CC 5 SLV - Classe 3
L_{cr}=1.85 Curva d: α_{imp}=0.76 k_c=0.94 ψ=1.75 M,cr=0.00 λ_{LT}=0.00
$\lambda_{LT,0}$=0.20 β_{LT}=1.00 Φ_{LT}=0.00 β_{LT}=1.00 f=0.00 χ_{LT}=1.00
CC 5 SLV My,Ed=-0.08 My,b,Rd=54.56 My,Ed/My,b,Rd=0.00

- Verifica di stabilità aste presso-inflesse (C4.2.4.1.3.3.1) - CC 3 SLV - Classe 3
Sollecitazioni: N,Ed=-27.52 Myeq,Ed=-0.02 Mzeq,Ed=-0.63
Resistenze: Nc,Rd=6547.62 My,c,Rd=54.56 Mz,c,Rd=5.46 L=185.43
λ_Y=128.47 Ncr,y=3139.50 λ^*_y=1.48 Curva c: Φ_y=1.91 χ_y=0.32
λ_Z=1284.69 Ncr,z=31.39 λ^*_z=14.80 Curva c: Φ_z=113.57 χ_z=0.00
χ,min=0.00
Verifica: 0.95+0.00+0.93=1.89

- Verifica Freccia massima per soli carichi accidentali - CC 24
$f_{Z,G}$=0.01 (L/17321) $f_{Z,L}$=0.00 (L/91499)

- Verifica Freccia massima carichi totali - CC 21
$f_{Z,G}$=1.50 (L/123) $f_{Z,L}$=0.00 (L/97218)

- Verifica in termini tensionali [4.2.4] - CC 16 SLU Xl=1.85 - Classe 3
Sollecitazioni: N=-128.59 T_y=-2.95 M_z=-1.09
Tensioni: σ_N=-51.44 σ_M=-521.23 τ=0.00 σ_{max}=-572.67
Tensioni: σ_N=-51.44 σ_M=-0.00 τ=1.77 τ_{max}=1.77
Tensioni: σ_N=-51.44 σ_M=-521.23 τ=0.00 $\sigma_{ID,max}$=572.67

- Verifica a taglio dir. Y [4.2.16] - CC 17 SLU Xl=1.69
Sollecitazioni: N=38.13 T_y=-2.52
V,Ed=-2.52 Vc,Rd=3780.38 V,Ed/Vc,Rd=0.00

Asta n. 8010 (-806 4031) controventi 50x5 Crit. 1

- Verifica di stabilità aste inflesse (4.2.4.1.3.2) CC 5 SLV - Classe 3
L_{cr}=1.85 Curva d: α_{imp}=0.76 k_c=0.94 ψ=1.75 M,cr=0.00 λ_{LT}=0.00
$\lambda_{LT,0}$=0.20 β_{LT}=1.00 Φ_{LT}=0.00 β_{LT}=1.00 f=0.00 χ_{LT}=1.00
CC 5 SLV My,Ed=-0.02 My,b,Rd=54.56 My,Ed/My,b,Rd=0.00

- Verifica di stabilità aste presso-inflesse (C4.2.4.1.3.3.1) - CC 19 SLU - Classe 3
Sollecitazioni: N,Ed=-5.17 Myeq,Ed=-0.00 Mzeq,Ed=-0.82
Resistenze: Nc,Rd=6547.62 My,c,Rd=54.56 Mz,c,Rd=5.46 L=185.43

λ_Y=128.47 Ncr,y=3139.50 λ^*_y=1.48 Curva c: Φ_y=1.91 χ_y=0.32
λ_Z=1284.69 Ncr,z=31.39 λ^*_z=14.80 Curva c: Φ_z=113.57 χ_z=0.00
χ,min=0.00
Verifica: 0.18+0.00+0.18=0.36

- Verifica Freccia massima per soli carichi accidentali - CC 24
$f_{Z,G}$=0.01 (L/14192)

- Verifica Freccia massima carichi totali - CC 21
$f_{Z,G}$=1.50 (L/123)

- Verifica in termini tensionali [4.2.4] - CC 16 SLU Xl=0.00 - Classe 3
Sollecitazioni: N=-127.91 T_y=2.95 M_z=-1.08
Tensioni: σ_N=-51.16 σ_M=-520.34 τ=0.00 σ_{max}=-571.50
Tensioni: σ_N=-51.16 σ_M=-0.00 τ=1.77 τ_{max}=1.77
Tensioni: σ_N=-51.16 σ_M=-520.34 τ=0.00 $\sigma_{ID,max}$=571.50

- Verifica a taglio dir. Y [4.2.16] - CC 17 SLU Xl=0.17
Sollecitazioni: N=65.03 T_y=2.52
V,Ed=2.52 Vc,Rd=3780.38 V,Ed/Vc,Rd=0.00

Asta n. 8011 (-660 -808) controventi 50x5 Crit. 1

- Verifica Freccia massima per soli carichi accidentali - CC 24
$f_{Z,G}$=0.02 (L/8603) $f_{Z,L}$=0.00 (L/173798)

- Verifica Freccia massima carichi totali - CC 21
$f_{Z,G}$=1.52 (L/122) $f_{Z,L}$=0.00 (L/116571)

- Verifica in termini tensionali [4.2.4] - CC 18 SLU Xl=1.85 - Classe 3
Sollecitazioni: N=-374.04 T_y=-2.94 M_z=-1.07
Tensioni: σ_N=-149.62 σ_M=-515.07 τ=0.00 σ_{max}=-664.68
Tensioni: σ_N=-149.62 σ_M=-0.00 τ=1.77 τ_{max}=1.77
Tensioni: σ_N=-149.62 σ_M=-515.07 τ=0.00 $\sigma_{ID,max}$=664.68

Asta n. 8011 (-808 -789) controventi 50x5 Crit. 1

- Verifica Freccia massima per soli carichi accidentali - CC 24
$f_{Z,G}$=0.02 (L/8689) $f_{Z,L}$=0.00 (L/52710)

- Verifica Freccia massima carichi totali - CC 21
$f_{Z,G}$=1.52 (L/122) $f_{Z,L}$=0.01 (L/35666)

- Verifica in termini tensionali [4.2.4] - CC 18 SLU Xl=0.00 - Classe 3
Sollecitazioni: N=-372.17 T_y=2.94 M_z=-1.07
Tensioni: σ_N=-148.87 σ_M=-515.43 τ=0.00 σ_{max}=-664.30
Tensioni: σ_N=-148.87 σ_M=-0.00 τ=1.77 τ_{max}=1.77
Tensioni: σ_N=-148.87 σ_M=-515.43 τ=0.00 $\sigma_{ID,max}$=664.30

Asta n. 8012 (-788 -808) controventi 50x5 Crit. 1

- Verifica Freccia massima per soli carichi accidentali - CC 24
$f_{Z,G}$=0.02 (L/8817) $f_{Z,L}$=0.00 (L/52550)

- Verifica Freccia massima carichi totali - CC 21
$f_{Z,G}$=1.51 (L/122) $f_{Z,L}$=0.00 (L/38502)

- Verifica in termini tensionali [4.2.4] - CC 18 SLU Xl=1.85 - Classe 3
Sollecitazioni: N=-372.15 T_y=-2.94 M_z=-1.07
Tensioni: σ_N=-148.86 σ_M=-515.43 τ=0.00 σ_{max}=-664.29

Tensioni: σ_N=-148.86 σ_M=-0.00 τ=1.77 τ_{max}=1.77
Tensioni: σ_N=-148.86 σ_M=-515.43 τ=0.00 $\sigma_{ID,max}$=664.29

Asta n. 8012 (-808 -661) controventi 50x5 Crit. 1

- Verifica Freccia massima per soli carichi accidentali - CC 24
$f_{Z,G}$=0.02 (L/8719) $f_{Z,L}$=0.00 (L/176760)

- Verifica Freccia massima carichi totali - CC 21
$f_{Z,G}$=1.52 (L/122) $f_{Z,L}$=0.00 (L/134094)

- Verifica in termini tensionali [4.2.4] - CC 18 SLU Xl=0.00 - Classe 3
Sollecitazioni: N=-373.94 T_y=2.94 M_z=-1.07
Tensioni: σ_N=-149.57 σ_M=-515.07 τ=0.00 σ_{max}=-664.64
Tensioni: σ_N=-149.57 σ_M=-0.00 τ=1.77 τ_{max}=1.77
Tensioni: σ_N=-149.57 σ_M=-515.07 τ=0.00 $\sigma_{ID,max}$=664.64

Asta n. 8013 (-788 -810) controventi 50x5 Crit. 1

- Verifica Freccia massima per soli carichi accidentali - CC 21
$f_{Z,G}$=0.02 (L/11713) $f_{Z,L}$=0.00 (L/68523)

- Verifica Freccia massima carichi totali - CC 21
$f_{Z,G}$=1.51 (L/122) $f_{Z,L}$=0.00 (L/37481)

- Verifica in termini tensionali [4.2.4] - CC 9 SLU Xl=1.85 - Classe 3
Sollecitazioni: N=-329.64 T_y=-2.94 M_z=-1.08
Tensioni: σ_N=-131.86 σ_M=-517.35 τ=0.00 σ_{max}=-649.21
Tensioni: σ_N=-131.86 σ_M=-0.00 τ=1.77 τ_{max}=1.77
Tensioni: σ_N=-131.86 σ_M=-517.35 τ=0.00 $\sigma_{ID,max}$=649.21

Asta n. 8013 (-810 -669) controventi 50x5 Crit. 1

- Verifica Freccia massima per soli carichi accidentali - CC 11
$f_{Z,G}$=0.02 (L/10624)

- Verifica Freccia massima carichi totali - CC 21
$f_{Z,G}$=1.52 (L/122) $f_{Z,L}$=0.00 (L/128553)

- Verifica in termini tensionali [4.2.4] - CC 9 SLU Xl=0.00 - Classe 3
Sollecitazioni: N=-331.06 T_y=2.94 M_z=-1.08
Tensioni: σ_N=-132.42 σ_M=-516.44 τ=0.00 σ_{max}=-648.86
Tensioni: σ_N=-132.42 σ_M=-0.00 τ=1.77 τ_{max}=1.77
Tensioni: σ_N=-132.42 σ_M=-516.44 τ=0.00 $\sigma_{ID,max}$=648.86

Asta n. 8014 (-668 -810) controventi 50x5 Crit. 1

- Verifica Freccia massima per soli carichi accidentali - CC 21
$f_{Z,G}$=0.02 (L/10301) $f_{Z,L}$=0.00 (L/176760)

- Verifica Freccia massima carichi totali - CC 21
$f_{Z,G}$=1.52 (L/122) $f_{Z,L}$=0.00 (L/108020)

- Verifica in termini tensionali [4.2.4] - CC 19 SLU Xl=1.85 - Classe 3
Sollecitazioni: N=-358.69 T_y=-2.94 M_z=-1.08
Tensioni: σ_N=-143.48 σ_M=-516.37 τ=0.00 σ_{max}=-659.84
Tensioni: σ_N=-143.48 σ_M=-0.00 τ=1.77 τ_{max}=1.77
Tensioni: σ_N=-143.48 σ_M=-516.37 τ=0.00 $\sigma_{ID,max}$=659.84

Asta n. 8014 (-810 -789) controventi 50x5 Crit. 1

- Verifica Freccia massima per soli carichi accidentali - CC 11
  $f_{Z,G}$=0.02 (L/11660) $f_{Z,L}$=0.00 (L/67047)

- Verifica Freccia massima carichi totali - CC 21
  $f_{Z,G}$=1.52 (L/122) $f_{Z,L}$=0.01 (L/36343)

- Verifica in termini tensionali [4.2.4] - CC 19 SLU Xl=0.00 - Classe 3
  Sollecitazioni: N=-338.71 T_y=2.94 M_z=-1.08
  Tensioni: σ_N=-135.48 σ_M=-517.37 τ=0.00 σ_{max}=-652.85
  Tensioni: σ_N=-135.48 σ_M=-0.00 τ=1.77 τ_{max}=1.77
  Tensioni: σ_N=-135.48 σ_M=-517.37 τ=0.00 $\sigma_{ID,max}$=652.85

Asta n. 8015 (-668 -812) controventi 50x5 Crit. 1

- Verifica di stabilità aste inflesse (4.2.4.1.3.2) CC 5 SLV - Classe 3
  L_{cr}=1.85 Curva d: α_{imp}=0.76 k_c=0.94 ψ=1.75 M,cr=0.00 λ_{LT}=0.00
  $\lambda_{LT,0}$=0.20 β_{LT}=1.00 Φ_{LT}=0.00 β_{LT}=1.00 f=0.00 χ_{LT}=1.00
  CC 5 SLV My,Ed=0.08 My,b,Rd=54.56 My,Ed/My,b,Rd=0.00

- Verifica di stabilità aste presso-inflesse (C4.2.4.1.3.3.1) - CC 3 SLV - Classe 3
  Sollecitazioni: N,Ed=-27.57 Myeq,Ed=0.02 Mzeq,Ed=-0.63
  Resistenze: Nc,Rd=6547.62 My,c,Rd=54.56 Mz,c,Rd=5.46 L=185.43
  λ_Y=128.47 Ncr,y=3139.50 λ^*_y=1.48 Curva c: Φ_y=1.91 χ_y=0.32
  λ_Z=1284.69 Ncr,z=31.39 λ^*_z=14.80 Curva c: Φ_z=113.57 χ_z=0.00
  χ,min=0.00
  Verifica: 0.95+0.00+0.95=1.90

- Verifica Freccia massima per soli carichi accidentali - CC 11
  $f_{Z,G}$=0.01 (L/30619) $f_{Z,L}$=0.00 (L/185177)

- Verifica Freccia massima carichi totali - CC 21
  $f_{Z,G}$=1.50 (L/123) $f_{Z,L}$=0.00 (L/109541)

- Verifica in termini tensionali [4.2.4] - CC 9 SLU Xl=1.85 - Classe 3
  Sollecitazioni: N=-66.40 T_y=-2.95 M_z=-1.09
  Tensioni: σ_N=-26.56 σ_M=-522.58 τ=0.00 σ_{max}=-549.14
  Tensioni: σ_N=-26.56 σ_M=-0.00 τ=1.77 τ_{max}=1.77
  Tensioni: σ_N=-26.56 σ_M=-522.58 τ=0.00 $\sigma_{ID,max}$=549.14

- Verifica a taglio dir. Y [4.2.16] - CC 16 SLU Xl=1.69
  Sollecitazioni: N=44.56 T_y=-2.53
  V,Ed=-2.53 Vc,Rd=3780.38 V,Ed/Vc,Rd=0.00

Asta n. 8015 (-812 4291) controventi 50x5 Crit. 1

- Verifica di stabilità aste inflesse (4.2.4.1.3.2) CC 16 SLU - Classe 3
  L_{cr}=1.85 Curva d: α_{imp}=0.76 k_c=0.94 ψ=1.75 M,cr=0.00 λ_{LT}=0.00
  $\lambda_{LT,0}$=0.20 β_{LT}=1.00 Φ_{LT}=0.00 β_{LT}=1.00 f=0.00 χ_{LT}=1.00
  CC 16 SLU My,Ed=0.02 My,b,Rd=54.56 My,Ed/My,b,Rd=0.00

- Verifica di stabilità aste presso-inflesse (C4.2.4.1.3.3.1) - CC 18 SLU - Classe 3
  Sollecitazioni: N,Ed=-17.08 Myeq,Ed=0.01 Mzeq,Ed=-0.82
  Resistenze: Nc,Rd=6547.62 My,c,Rd=54.56 Mz,c,Rd=5.46 L=185.43
  λ_Y=128.47 Ncr,y=3139.50 λ^*_y=1.48 Curva c: Φ_y=1.91 χ_y=0.32
  λ_Z=1284.69 Ncr,z=31.39 λ^*_z=14.80 Curva c: Φ_z=113.57 χ_z=0.00
  χ,min=0.00
  Verifica: 0.59+0.00+0.33=0.92

- Verifica Freccia massima per soli carichi accidentali - CC 11
  $f_{Z,G}$=0.01 (L/24004)

- Verifica Freccia massima carichi totali - CC 21
  $f_{Z,G}$=1.50 (L/123)

- Verifica in termini tensionali [4.2.4] - CC 17 SLU Xl=0.00 - Classe 3
  Sollecitazioni: N=64.92 T_y=2.95 M_z=-1.09
  Tensioni: σ_N=25.97 σ_M=523.77 τ=0.00 σ_{max}=549.74
  Tensioni: σ_N=25.97 σ_M=-0.00 τ=1.77 τ_{max}=1.77
  Tensioni: σ_N=25.97 σ_M=523.77 τ=0.00 $\sigma_{ID,max}$=549.74

- Verifica a taglio dir. Y [4.2.16] - CC 16 SLU Xl=0.17
  Sollecitazioni: N=45.39 T_y=2.52
  V,Ed=2.52 Vc,Rd=3780.38 V,Ed/Vc,Rd=0.00

Asta n. 8016 (4290 -812) controventi 50x5 Crit. 1

- Verifica di stabilità aste inflesse (4.2.4.1.3.2) CC 16 SLU - Classe 3
  L_{cr}=1.85 Curva d: α_{imp}=0.76 k_c=0.94 ψ=1.75 M,cr=0.00 λ_{LT}=0.00
  $\lambda_{LT,0}$=0.20 β_{LT}=1.00 Φ_{LT}=0.00 β_{LT}=1.00 f=0.00 χ_{LT}=1.00
  CC 16 SLU My,Ed=0.02 My,b,Rd=54.56 My,Ed/My,b,Rd=0.00

- Verifica di stabilità aste presso-inflesse (C4.2.4.1.3.3.1) - CC 18 SLU - Classe 3
  Sollecitazioni: N,Ed=-17.15 Myeq,Ed=0.01 Mzeq,Ed=-0.82
  Resistenze: Nc,Rd=6547.62 My,c,Rd=54.56 Mz,c,Rd=5.46 L=185.43
  λ_Y=128.47 Ncr,y=3139.50 λ^*_y=1.48 Curva c: Φ_y=1.91 χ_y=0.32
  λ_Z=1284.69 Ncr,z=31.39 λ^*_z=14.80 Curva c: Φ_z=113.57 χ_z=0.00
  χ,min=0.00
  Verifica: 0.59+0.00+0.33=0.92

- Verifica Freccia massima per soli carichi accidentali - CC 21
  $f_{Z,G}$=0.01 (L/21785)

- Verifica Freccia massima carichi totali - CC 21
  $f_{Z,G}$=1.50 (L/123)

- Verifica in termini tensionali [4.2.4] - CC 17 SLU Xl=1.85 - Classe 3
  Sollecitazioni: N=-135.59 T_y=-2.95 M_z=-1.09
  Tensioni: σ_N=-54.24 σ_M=-523.24 τ=0.00 σ_{max}=-577.48
  Tensioni: σ_N=-54.24 σ_M=-0.00 τ=1.77 τ_{max}=1.77
  Tensioni: σ_N=-54.24 σ_M=-523.24 τ=0.00 $\sigma_{ID,max}$=577.48

- Verifica a taglio dir. Y [4.2.16] - CC 16 SLU Xl=1.69
  Sollecitazioni: N=45.37 T_y=-2.52
  V,Ed=-2.52 Vc,Rd=3780.38 V,Ed/Vc,Rd=0.00

Asta n. 8016 (-812 -669) controventi 50x5 Crit. 1

- Verifica di stabilità aste inflesse (4.2.4.1.3.2) CC 5 SLV - Classe 3
  L_{cr}=1.85 Curva d: α_{imp}=0.76 k_c=0.94 ψ=1.75 M,cr=0.00 λ_{LT}=0.00
  $\lambda_{LT,0}$=0.20 β_{LT}=1.00 Φ_{LT}=0.00 β_{LT}=1.00 f=0.00 χ_{LT}=1.00
  CC 5 SLV My,Ed=0.08 My,b,Rd=54.56 My,Ed/My,b,Rd=0.00

- Verifica di stabilità aste presso-inflesse (C4.2.4.1.3.3.1) - CC 3 SLV - Classe 3
  Sollecitazioni: N,Ed=-27.54 Myeq,Ed=0.02 Mzeq,Ed=-0.63
  Resistenze: Nc,Rd=6547.62 My,c,Rd=54.56 Mz,c,Rd=5.46 L=185.43
  λ_Y=128.47 Ncr,y=3139.50 λ^*_y=1.48 Curva c: Φ_y=1.91 χ_y=0.32
  λ_Z=1284.69 Ncr,z=31.39 λ^*_z=14.80 Curva c: Φ_z=113.57 χ_z=0.00

χ,min=0.00
Verifica: 0.95+0.00+0.94=1.89

- Verifica Freccia massima per soli carichi accidentali - CC 21
$f_{Z,G}$=0.01 (L/28488) $f_{Z,L}$=0.00 (L/162030)

- Verifica Freccia massima carichi totali - CC 21
$f_{Z,G}$=1.50 (L/123) $f_{Z,L}$=0.00 (L/94847)

- Verifica in termini tensionali [4.2.4] - CC 17 SLU Xl=0.00 - Classe 3
Sollecitazioni: N=-110.00 T_y=2.95 M_z=-1.09
Tensioni: σ_N=-44.00 σ_M=-523.87 τ=0.00 σ_{max}=-567.87
Tensioni: σ_N=-44.00 σ_M=-0.00 τ=1.77 τ_{max}=1.77
Tensioni: σ_N=-44.00 σ_M=-523.87 τ=0.00 $\sigma_{ID,max}$=567.87

- Verifica a taglio dir. Y [4.2.16] - CC 16 SLU Xl=0.17
Sollecitazioni: N=44.56 T_y=2.53
V,Ed=2.53 Vc,Rd=3780.38 V,Ed/Vc,Rd=0.00

Asta n. 8017 (4033 -793) controventi 50x5 Crit. 1

- Verifica di stabilità aste inflesse (4.2.4.1.3.2) CC 9 SLU - Classe 3
L_{cr}=1.77 Curva d: α_{imp}=0.76 k_c=0.94 ψ=1.75 M,cr=0.00 λ_{LT}=0.00
$\lambda_{LT,0}$=0.20 β_{LT}=1.00 Φ_{LT}=0.00 β_{LT}=1.00 f=0.00 χ_{LT}=1.00
CC 9 SLU My,Ed=-0.15 My,b,Rd=54.56 My,Ed/My,b,Rd=0.00

- Verifica di stabilità aste presso-inflesse (C4.2.4.1.3.3.1) - CC 3 SLV - Classe 3
Sollecitazioni: N,Ed=-19.93 Myeq,Ed=-0.03 Mzeq,Ed=-0.57
Resistenze: Nc,Rd=6547.62 My,c,Rd=54.56 Mz,c,Rd=5.46 L=176.65
λ_Y=122.38 Ncr,y=3459.45 λ^*_y=1.41 Curva c: Φ_y=1.79 χ_y=0.35
λ_Z=1223.84 Ncr,z=34.59 λ^*_z=14.10 Curva c: Φ_z=103.27 χ_z=0.00
χ,min=0.00
Verifica: 0.63+0.00+0.25=0.87

- Verifica Freccia massima per soli carichi accidentali - CC 24
$f_{Z,G}$=0.03 (L/6879) $f_{Z,L}$=0.00 (L/137205)

- Verifica Freccia massima carichi totali - CC 21
$f_{Z,G}$=1.26 (L/140) $f_{Z,L}$=0.00 (L/78820)

- Verifica a compressione [4.2.9] - CC 16 SLU Xl=0.00 - Classe 3
Sollecitazioni: N=-104.17 T_y=1.70
N,Ed=-104.17 Nc,Rd=-6547.62 N,Ed/Nc,Rd=0.02

- Verifica a taglio dir. Y [4.2.16] - CC 10 SLU Xl=1.77
Sollecitazioni: N=4.32 T_y=-2.80
V,Ed=-2.80 Vc,Rd=3780.38 V,Ed/Vc,Rd=0.00

Asta n. 8017 (-793 -663) controventi 50x5 Crit. 1

- Verifica di stabilità aste inflesse (4.2.4.1.3.2) CC 18 SLU - Classe 3
L_{cr}=1.77 Curva d: α_{imp}=0.76 k_c=0.94 ψ=1.75 M,cr=0.00 λ_{LT}=0.00
$\lambda_{LT,0}$=0.20 β_{LT}=1.00 Φ_{LT}=0.00 β_{LT}=1.00 f=0.00 χ_{LT}=1.00
CC 18 SLU My,Ed=-0.24 My,b,Rd=54.56 My,Ed/My,b,Rd=0.00

- Verifica di stabilità aste presso-inflesse (C4.2.4.1.3.3.1) - CC 7 SLV - Classe 3
Sollecitazioni: N,Ed=-33.25 Myeq,Ed=-0.09 Mzeq,Ed=-0.57
Resistenze: Nc,Rd=6547.62 My,c,Rd=54.56 Mz,c,Rd=5.46 L=176.65
λ_Y=122.38 Ncr,y=3459.45 λ^*_y=1.41 Curva c: Φ_y=1.79 χ_y=0.35
λ_Z=1223.84 Ncr,z=34.59 λ^*_z=14.10 Curva c: Φ_z=103.27 χ_z=0.00

χ,min=0.00
Verifica: 1.04+0.00+2.70=3.74

- Verifica Freccia massima per soli carichi accidentali - CC 24
$f_{Z,G}$=0.02 (L/7214) $f_{Z,L}$=0.00 (L/79667)

- Verifica Freccia massima carichi totali - CC 21
$f_{Z,G}$=1.26 (L/140) $f_{Z,L}$=0.00 (L/71241)

- Verifica a trazione [4.2.5] - CC 9 SLU Xl=1.77 - Classe 1
Sollecitazioni: N=84.91 T_y=-1.70
N,Ed=84.91 Npl,Rd=6547.62 Nu,Rd=7740.00 N,Ed/Nt,Rd=0.01

- Verifica a taglio dir. Y [4.2.16] - CC 10 SLU Xl=0.00
Sollecitazioni: N=62.89 T_y=2.80
V,Ed=2.80 Vc,Rd=3780.38 V,Ed/Vc,Rd=0.00

Asta n. 8018 (-662 -793) controventi 50x5 Crit. 1

- Verifica di stabilità aste inflesse (4.2.4.1.3.2) CC 5 SLV - Classe 3
L_{cr}=1.77 Curva d: α_{imp}=0.76 k_c=0.94 ψ=1.75 M,cr=0.00 λ_{LT}=0.00
$\lambda_{LT,0}$=0.20 β_{LT}=1.00 Φ_{LT}=0.00 β_{LT}=1.00 f=0.00 χ_{LT}=1.00
CC 5 SLV My,Ed=-0.06 My,b,Rd=54.56 My,Ed/My,b,Rd=0.00

- Verifica di stabilità aste presso-inflesse (C4.2.4.1.3.3.1) - CC 3 SLV - Classe 3
Sollecitazioni: N,Ed=-32.37 Myeq,Ed=-0.03 Mzeq,Ed=-0.57
Resistenze: Nc,Rd=6547.62 My,c,Rd=54.56 Mz,c,Rd=5.46 L=176.65
λ_Y=122.38 Ncr,y=3459.45 λ^*_y=1.41 Curva c: Φ_y=1.79 χ_y=0.35
λ_Z=1223.84 Ncr,z=34.59 λ^*_z=14.10 Curva c: Φ_z=103.27 χ_z=0.00
χ,min=0.00
Verifica: 1.02+0.00+1.63=2.65

- Verifica Freccia massima per soli carichi accidentali - CC 22
$f_{Z,G}$=0.00 (L/36678) $f_{Z,L}$=0.00 (L/108957)

- Verifica Freccia massima carichi totali - CC 21
$f_{Z,G}$=1.23 (L/144) $f_{Z,L}$=0.00 (L/137205)

- Verifica a compressione [4.2.9] - CC 18 SLU Xl=1.77 - Classe 3
Sollecitazioni: N=-267.10 T_y=-2.81
N,Ed=-267.10 Nc,Rd=-6547.62 N,Ed/Nc,Rd=0.04

- Verifica a taglio dir. Y [4.2.16] - CC 7 SLV Xl=1.77
Sollecitazioni: T_y=-2.16
V,Ed=-2.16 Vc,Rd=3780.38 V,Ed/Vc,Rd=0.00

Asta n. 8018 (-793 4034) controventi 50x5 Crit. 1

- Verifica di stabilità aste inflesse (4.2.4.1.3.2) CC 17 SLU - Classe 3
L_{cr}=1.77 Curva d: α_{imp}=0.76 k_c=0.94 ψ=1.75 M,cr=0.00 λ_{LT}=0.00
$\lambda_{LT,0}$=0.20 β_{LT}=1.00 Φ_{LT}=0.00 β_{LT}=1.00 f=0.00 χ_{LT}=1.00
CC 17 SLU My,Ed=0.04 My,b,Rd=54.56 My,Ed/My,b,Rd=0.00

- Verifica di stabilità aste presso-inflesse (C4.2.4.1.3.3.1) - CC 3 SLV - Classe 3
Sollecitazioni: N,Ed=-0.48 Myeq,Ed=0.01 Mzeq,Ed=-0.57
Resistenze: Nc,Rd=6547.62 My,c,Rd=54.56 Mz,c,Rd=5.46 L=176.65
λ_Y=122.38 Ncr,y=3459.45 λ^*_y=1.41 Curva c: Φ_y=1.79 χ_y=0.35
λ_Z=1223.84 Ncr,z=34.59 λ^*_z=14.10 Curva c: Φ_z=103.27 χ_z=0.00
χ,min=0.00
Verifica: 0.00+0.00+0.11=0.11

- Verifica Freccia massima per soli carichi accidentali - CC 22
  $f_{Z,G}$=0.01 (L/25815)

- Verifica Freccia massima carichi totali - CC 21
  $f_{Z,G}$=1.23 (L/143) $f_{Z,L}$=0.00 (L/176407)

- Verifica a compressione [4.2.9] - CC 18 SLU Xl=1.77 - Classe 3
  Sollecitazioni: N=-169.63 T_y=-1.69
  N,Ed=-169.63 Nc,Rd=-6547.62 N,Ed/Nc,Rd=0.03

- Verifica a taglio dir. Y [4.2.16] - CC 17 SLU Xl=0.00
  Sollecitazioni: N=31.50 T_y=2.81
  V,Ed=2.81 Vc,Rd=3780.38 V,Ed/Vc,Rd=0.00

Asta n. 8019 (-662 -797) controventi 50x5 Crit. 1

- Verifica Freccia massima per soli carichi accidentali - CC 24
  $f_{Z,G}$=0.02 (L/7856)

- Verifica Freccia massima carichi totali - CC 21
  $f_{Z,G}$=1.26 (L/140) $f_{Z,L}$=0.00 (L/166496)

- Verifica a compressione [4.2.9] - CC 18 SLU Xl=0.00 - Classe 3
  Sollecitazioni: N=-196.31 T_y=1.70
  N,Ed=-196.31 Nc,Rd=-6547.62 N,Ed/Nc,Rd=0.03

Asta n. 8019 (-797 -791) controventi 50x5 Crit. 1

- Verifica di stabilità aste inflesse (4.2.4.1.3.2) CC 5 SLV - Classe 3
  L_{cr}=1.77 Curva d: α_{imp}=0.76 k_c=0.94 ψ=1.75 M,cr=0.00 λ_{LT}=0.00
  $\lambda_{LT,0}$=0.20 β_{LT}=1.00 Φ_{LT}=0.00 β_{LT}=1.00 f=0.00 χ_{LT}=1.00
  CC 5 SLV My,Ed=-0.12 My,b,Rd=54.56 My,Ed/My,b,Rd=0.00

- Verifica di stabilità aste presso-inflesse (C4.2.4.1.3.3.1) - CC 10 SLU - Classe 3
  Sollecitazioni: N,Ed=-31.64 Myeq,Ed=-0.14 Mzeq,Ed=-0.73
  Resistenze: Nc,Rd=6547.62 My,c,Rd=54.56 Mz,c,Rd=5.46 L=176.65
  λ_Y=122.38 Ncr,y=3459.45 λ^*_y=1.41 Curva c: Φ_y=1.79 χ_y=0.35
  λ_Z=1223.84 Ncr,z=34.59 λ^*_z=14.10 Curva c: Φ_z=103.27 χ_z=0.00
  χ,min=0.00
  Verifica: 0.99+0.00+1.58=2.57

- Verifica Freccia massima per soli carichi accidentali - CC 24
  $f_{Z,G}$=0.02 (L/9511) $f_{Z,L}$=0.00 (L/75219)

- Verifica Freccia massima carichi totali - CC 21
  $f_{Z,G}$=1.25 (L/141) $f_{Z,L}$=0.00 (L/47800)

- Verifica a compressione [4.2.9] - CC 16 SLU Xl=0.00 - Classe 3
  Sollecitazioni: N=-57.40 T_y=2.80
  N,Ed=-57.40 Nc,Rd=-6547.62 N,Ed/Nc,Rd=0.01

- Verifica a taglio dir. Y [4.2.16] - CC 7 SLV Xl=0.00
  Sollecitazioni: T_y=2.16
  V,Ed=2.16 Vc,Rd=3780.38 V,Ed/Vc,Rd=0.00

Asta n. 8020 (-790 -797) controventi 50x5 Crit. 1

- Verifica Freccia massima per soli carichi accidentali - CC 24
  $f_{Z,G}$=0.02 (L/9296) $f_{Z,L}$=0.00 (L/48744)

- Verifica Freccia massima carichi totali - CC 21
  $f_{Z,G}$=1.25 (L/141) $f_{Z,L}$=0.00 (L/36319)

- Verifica a compressione [4.2.9] - CC 18 SLU Xl=1.77 - Classe 3
  Sollecitazioni: N=-539.05 T_y=-2.80
  N,Ed=-539.05 Nc,Rd=-6547.62 N,Ed/Nc,Rd=0.08

Asta n. 8020 (-797 -663) controventi 50x5 Crit. 1

- Verifica Freccia massima per soli carichi accidentali - CC 24
  $f_{Z,G}$=0.02 (L/11346)

- Verifica Freccia massima carichi totali - CC 21
  $f_{Z,G}$=1.25 (L/141)

- Verifica a compressione [4.2.9] - CC 18 SLU Xl=1.77 - Classe 3
  Sollecitazioni: N=-401.30 T_y=-1.70
  N,Ed=-401.30 Nc,Rd=-6547.62 N,Ed/Nc,Rd=0.06

Asta n. 8021 (-790 -799) controventi 50x5 Crit. 1

- Verifica Freccia massima per soli carichi accidentali - CC 21
  $f_{Z,G}$=0.01 (L/14005) $f_{Z,L}$=0.00 (L/68129)

- Verifica Freccia massima carichi totali - CC 21
  $f_{Z,G}$=1.25 (L/141) $f_{Z,L}$=0.00 (L/35977)

- Verifica a compressione [4.2.9] - CC 18 SLU Xl=1.77 - Classe 3
  Sollecitazioni: N=-486.52 T_y=-2.81
  N,Ed=-486.52 Nc,Rd=-6547.62 N,Ed/Nc,Rd=0.07

Asta n. 8021 (-799 -671) controventi 50x5 Crit. 1

- Verifica Freccia massima per soli carichi accidentali - CC 11
  $f_{Z,G}$=0.01 (L/16800)

- Verifica Freccia massima carichi totali - CC 21
  $f_{Z,G}$=1.25 (L/141)

- Verifica a compressione [4.2.9] - CC 18 SLU Xl=1.77 - Classe 3
  Sollecitazioni: N=-373.00 T_y=-1.70
  N,Ed=-373.00 Nc,Rd=-6547.62 N,Ed/Nc,Rd=0.06

Asta n. 8022 (-670 -799) controventi 50x5 Crit. 1

- Verifica Freccia massima per soli carichi accidentali - CC 21
  $f_{Z,G}$=0.02 (L/9261)

- Verifica Freccia massima carichi totali - CC 21
  $f_{Z,G}$=1.26 (L/140) $f_{Z,L}$=0.00 (L/176407)

- Verifica a compressione [4.2.9] - CC 19 SLU Xl=0.00 - Classe 3
  Sollecitazioni: N=-182.96 T_y=1.70
  N,Ed=-182.96 Nc,Rd=-6547.62 N,Ed/Nc,Rd=0.03

Asta n. 8022 (-799 -791) controventi 50x5 Crit. 1

- Verifica di stabilità aste inflesse (4.2.4.1.3.2) CC 5 SLV - Classe 3
  L_{cr}=1.77 Curva d: α_{imp}=0.76 k_c=0.94 ψ=1.75 M,cr=0.00 λ_{LT}=0.00

$\lambda_{LT,0}$=0.20 β_{LT}=1.00 Φ_{LT}=0.00 β_{LT}=1.00 f=0.00 χ_{LT}=1.00
CC 5 SLV My,Ed=0.12 My,b,Rd=54.56 My,Ed/My,b,Rd=0.00

- Verifica di stabilità aste presso-inflesse (C4.2.4.1.3.3.1) - CC 10 SLU - Classe 3
Sollecitazioni: N,Ed=-31.58 Myeq,Ed=0.14 Mzeq,Ed=-0.73
Resistenze: Nc,Rd=6547.62 My,c,Rd=54.56 Mz,c,Rd=5.46 L=176.65
λ_Y=122.38 Ncr,y=3459.45 λ^*_y=1.41 Curva c: Φ_y=1.79 χ_y=0.35
λ_Z=1223.84 Ncr,z=34.59 λ^*_z=14.10 Curva c: Φ_z=103.27 χ_z=0.00
χ,min=0.00
Verifica: 0.99+0.00+1.54=2.54

- Verifica Freccia massima per soli carichi accidentali - CC 11
$f_{Z,G}$=0.01 (L/12515) $f_{Z,L}$=0.00 (L/94988)

- Verifica Freccia massima carichi totali - CC 21
$f_{Z,G}$=1.25 (L/141) $f_{Z,L}$=0.00 (L/50061)

- Verifica a compressione [4.2.9] - CC 19 SLU Xl=0.00 - Classe 3
Sollecitazioni: N=-44.36 T_y=2.80
N,Ed=-44.36 Nc,Rd=-6547.62 N,Ed/Nc,Rd=0.01

- Verifica a taglio dir. Y [4.2.16] - CC 16 SLU Xl=0.00
Sollecitazioni: T_y=2.81
V,Ed=2.81 Vc,Rd=3780.38 V,Ed/Vc,Rd=0.00

Asta n. 8023 (-670 -801) controventi 50x5 Crit. 1

- Verifica di stabilità aste inflesse (4.2.4.1.3.2) CC 5 SLV - Classe 3
L_{cr}=1.77 Curva d: α_{imp}=0.76 k_c=0.94 ψ=1.75 M,cr=0.00 λ_{LT}=0.00
$\lambda_{LT,0}$=0.20 β_{LT}=1.00 Φ_{LT}=0.00 β_{LT}=1.00 f=0.00 χ_{LT}=1.00
CC 5 SLV My,Ed=0.06 My,b,Rd=54.56 My,Ed/My,b,Rd=0.00

- Verifica di stabilità aste presso-inflesse (C4.2.4.1.3.3.1) - CC 16 SLU - Classe 3
Sollecitazioni: N,Ed=-32.16 Myeq,Ed=-0.03 Mzeq,Ed=-0.75
Resistenze: Nc,Rd=6547.62 My,c,Rd=54.56 Mz,c,Rd=5.46 L=176.65
λ_Y=122.38 Ncr,y=3459.45 λ^*_y=1.41 Curva c: Φ_y=1.79 χ_y=0.35
λ_Z=1223.84 Ncr,z=34.59 λ^*_z=14.10 Curva c: Φ_z=103.27 χ_z=0.00
χ,min=0.00
Verifica: 1.01+0.00+1.95=2.96

- Verifica Freccia massima per soli carichi accidentali - CC 22
$f_{Z,G}$=0.01 (L/23671)

- Verifica Freccia massima carichi totali - CC 21
$f_{Z,G}$=1.23 (L/144) $f_{Z,L}$=0.00 (L/116678)

- Verifica in termini tensionali [4.2.4] - CC 16 SLU Xl=1.77 - Classe 3
Sollecitazioni: N=-32.16 T_y=-2.82 M_z=-1.00
Tensioni: σ_N=-12.86 σ_M=-480.08 τ=0.00 σ_{max}=-492.95
Tensioni: σ_N=-12.86 σ_M=-0.00 τ=1.69 τ_{max}=1.69
Tensioni: σ_N=-12.86 σ_M=-480.08 τ=0.00 $\sigma_{ID,max}$=492.95

- Verifica a taglio dir. Y [4.2.16] - CC 7 SLV Xl=1.77
Sollecitazioni: T_y=-2.16
V,Ed=-2.16 Vc,Rd=3780.38 V,Ed/Vc,Rd=0.00

Asta n. 8023 (-801 4294) controventi 50x5 Crit. 1

- Verifica di stabilità aste inflesse (4.2.4.1.3.2) CC 17 SLU - Classe 3
L_{cr}=1.77 Curva d: α_{imp}=0.76 k_c=0.94 ψ=1.75 M,cr=0.00 λ_{LT}=0.00

$\lambda_{LT,0}$=0.20 β_{LT}=1.00 Φ_{LT}=0.00 β_{LT}=1.00 f=0.00 χ_{LT}=1.00
CC 17 SLU My,Ed=-0.04 My,b,Rd=54.56 My,Ed/My,b,Rd=0.00

- Verifica di stabilità aste presso-inflesse (C4.2.4.1.3.3.1) - CC 16 SLU - Classe 3
Sollecitazioni: N,Ed=-8.46 Myeq,Ed=-0.02 Mzeq,Ed=-0.75
Resistenze: Nc,Rd=6547.62 My,c,Rd=54.56 Mz,c,Rd=5.46 L=176.65
λ_Y=122.38 Ncr,y=3459.45 λ^*_y=1.41 Curva c: Φ_y=1.79 χ_y=0.35
λ_Z=1223.84 Ncr,z=34.59 λ^*_z=14.10 Curva c: Φ_z=103.27 χ_z=0.00
χ,min=0.00
Verifica: 0.27+0.00+0.18=0.45

- Verifica Freccia massima per soli carichi accidentali - CC 22
$f_{Z,G}$=0.01 (L/23081)

- Verifica Freccia massima carichi totali - CC 21
$f_{Z,G}$=1.23 (L/143)

- Verifica a compressione [4.2.9] - CC 9 SLU Xl=1.77 - Classe 3
Sollecitazioni: N=-122.97 T_y=-1.69
N,Ed=-122.97 Nc,Rd=-6547.62 N,Ed/Nc,Rd=0.02

- Verifica a taglio dir. Y [4.2.16] - CC 17 SLU Xl=0.00
Sollecitazioni: N=31.48 T_y=2.81
V,Ed=2.81 Vc,Rd=3780.38 V,Ed/Vc,Rd=0.00

Asta n. 8024 (4293 -801) controventi 50x5 Crit. 1

- Verifica di stabilità aste inflesse (4.2.4.1.3.2) CC 18 SLU - Classe 3
L_{cr}=1.77 Curva d: α_{imp}=0.76 k_c=0.94 ψ=1.75 M,cr=0.00 λ_{LT}=0.00
$\lambda_{LT,0}$=0.20 β_{LT}=1.00 Φ_{LT}=0.00 β_{LT}=1.00 f=0.00 χ_{LT}=1.00
CC 18 SLU My,Ed=0.16 My,b,Rd=54.56 My,Ed/My,b,Rd=0.00

- Verifica di stabilità aste presso-inflesse (C4.2.4.1.3.3.1) - CC 3 SLV - Classe 3
Sollecitazioni: N,Ed=-19.94 Myeq,Ed=0.03 Mzeq,Ed=-0.57
Resistenze: Nc,Rd=6547.62 My,c,Rd=54.56 Mz,c,Rd=5.46 L=176.65
λ_Y=122.38 Ncr,y=3459.45 λ^*_y=1.41 Curva c: Φ_y=1.79 χ_y=0.35
λ_Z=1223.84 Ncr,z=34.59 λ^*_z=14.10 Curva c: Φ_z=103.27 χ_z=0.00
χ,min=0.00
Verifica: 0.63+0.00+0.25=0.87

- Verifica Freccia massima per soli carichi accidentali - CC 21
$f_{Z,G}$=0.02 (L/9486) $f_{Z,L}$=0.00 (L/123484)

- Verifica Freccia massima carichi totali - CC 21
$f_{Z,G}$=1.26 (L/140) $f_{Z,L}$=0.00 (L/74090)

- Verifica a trazione [4.2.5] - CC 16 SLU Xl=1.77 - Classe 1
Sollecitazioni: N=107.02 T_y=-2.81
N,Ed=107.02 Npl,Rd=6547.62 Nu,Rd=7740.00 N,Ed/Nt,Rd=0.02

- Verifica a taglio dir. Y [4.2.16] - CC 16 SLU Xl=1.77
Sollecitazioni: N=107.02 T_y=-2.81
V,Ed=-2.81 Vc,Rd=3780.38 V,Ed/Vc,Rd=0.00

Asta n. 8024 (-801 -671) controventi 50x5 Crit. 1

- Verifica di stabilità aste inflesse (4.2.4.1.3.2) CC 19 SLU - Classe 3
L_{cr}=1.77 Curva d: α_{imp}=0.76 k_c=0.94 ψ=1.75 M,cr=0.00 λ_{LT}=0.00
$\lambda_{LT,0}$=0.20 β_{LT}=1.00 Φ_{LT}=0.00 β_{LT}=1.00 f=0.00 χ_{LT}=1.00
CC 19 SLU My,Ed=0.17 My,b,Rd=54.56 My,Ed/My,b,Rd=0.00

- Verifica di stabilità aste presso-inflesse (C4.2.4.1.3.3.1) - CC 7 SLV - Classe 3
  Sollecitazioni: N,Ed=-33.26 Myeq,Ed=0.09 Mzeq,Ed=-0.57
  Resistenze: Nc,Rd=6547.62 My,c,Rd=54.56 Mz,c,Rd=5.46 L=176.65
  λ_Y=122.38 Ncr,y=3459.45 λ^*_y=1.41 Curva c: Φ_y=1.79 χ_y=0.35
  λ_Z=1223.84 Ncr,z=34.59 λ^*_z=14.10 Curva c: Φ_z=103.27 χ_z=0.00
  χ,min=0.00
  Verifica: 1.04+0.00+2.72=3.77

- Verifica Freccia massima per soli carichi accidentali - CC 11
  $f_{Z,G}$=0.02 (L/10347) $f_{Z,L}$=0.00 (L/142482)

- Verifica Freccia massima carichi totali - CC 21
  $f_{Z,G}$=1.26 (L/140) $f_{Z,L}$=0.00 (L/68602)

- Verifica a trazione [4.2.5] - CC 18 SLU Xl=1.77 - Classe 1
  Sollecitazioni: N=137.81 T_y=-1.70
  N,Ed=137.81 Npl,Rd=6547.62 Nu,Rd=7740.00 N,Ed/Nt,Rd=0.02

- Verifica a taglio dir. Y [4.2.16] - CC 16 SLU Xl=0.00
  Sollecitazioni: N=129.14 T_y=2.81
  V,Ed=2.81 Vc,Rd=3780.38 V,Ed/Vc,Rd=0.00

Computo armature, cls e acciaio nelle travi

Trave	ø10	ø16	Peso <daN>	Vol. <mc>	ρ <daN/mc>
Travata 901	57.90	99.61	157.51	2.02	77.97
Travata 902	57.90	99.61	157.51	2.02	77.97
Peso totale ferri	115.80	199.21	315.01	4.04	77.97

Computo acciaio

Simbologia
Cod. =Codice
Lun. =Lunghezza
Peso =Peso
Sup. =Superficie

Cod.	Lun. <mm>	Peso <daN>	Sup. <mq>
angolari L50x10	115226	818.83	22.35
calastrelli 50x10	110600	434.11	13.27
calastrelli 100x5	18900	148.37	4.16
montante SHS120x120x6.3	2080	46.78	1.00
modellazione SHS50x50x5	13234	93.50	2.65
briglie 50x10	126607	496.93	15.19
montanti 50x10	71981	282.53	8.64
collegamenti 50x10	883	3.47	0.11
arcarecci T 120x60x10	109960	1467.05	39.30
controventi 50x5	86196	169.16	9.48
piatto 150x5	13800	81.25	4.28
Totali	669467	4041.96	120.43

Distinta Acciaio
(Lunghezze arrotondate a multipli di 1 mm)

Simbologia
Cod. =Codice
Lun. =Lunghezza
Pez. =Numero pezzi

Cod.	Lun. <mm>	Pez.
angolari L50x10	194	480
angolari L50x10	150	64
angolari L50x10	100	64
angolari L50x10	97	64
calastrelli 50x10	288	32
calastrelli 50x10	281	32
calastrelli 50x10	275	32
calastrelli 50x10	269	32
calastrelli 50x10	263	32
calastrelli 50x10	256	32
calastrelli 50x10	250	32
calastrelli 50x10	244	32
calastrelli 50x10	238	32
calastrelli 50x10	231	32
calastrelli 50x10	225	32
calastrelli 50x10	219	32
calastrelli 50x10	213	32
calastrelli 50x10	206	32
calastrelli 100x5	297	32
calastrelli 100x5	294	32
montante SHS120x120x6.3	140	8
montante SHS120x120x6.3	120	8
modellazione SHS50x50x5	212	32
modellazione SHS50x50x5	141	32
modellazione SHS50x50x5	60	32
briglie 50x10	216	512
briglie 50x10	167	96
montanti 50x10	400	8
montanti 50x10	383	16
montanti 50x10	365	16
montanti 50x10	348	16
montanti 50x10	330	16
montanti 50x10	313	16
montanti 50x10	295	16
montanti 50x10	278	16
montanti 50x10	260	16
montanti 50x10	243	16
montanti 50x10	225	16
montanti 50x10	208	16
montanti 50x10	190	16
montanti 50x10	173	16
montanti 50x10	155	16
montanti 50x10	138	16
montanti 50x10	120	16
montanti 50x10	106	16
montanti 50x10	93	16
montanti 50x10	79	16
collegamenti 50x10	191	4
collegamenti 50x10	120	1
arcarecci T 120x60x10	1640	22
arcarecci T 120x60x10	1540	44

arcarecci T 120x60x10	120	51
controventi 50x5	1854	16
controventi 50x5	1766	32
piatto 150x5	6900	2

Criteri di analisi geotecnica e progetto delle fondazioni

Fondazioni superficiali

Generali	
Generali	
Condizioni di calcolo per terreni coesivi	Sia drenate che non drenate
Calcolo di a' dal rapporto con c'	1.00
Calcolo di a_u dal rapporto con c_u	1.00
Calcolo di σ'dal rapporto con ϕ'	1.00
Considera l'angolo di attrito in deformazione piana per fondazioni nastriformi	No
Calcolo dei parametri rappresentativi per terreni stratificati	Media pesata
-Calcola i valori medi dell'angolo di attrito secondo la sua tangente	No
Capacità portante in condizioni statiche	
Calcolo della capacità portante per rottura generale	Indicazioni EC7 (Allegato D)
-Combinazione dei fattori di forma e di inclinazione del carico	Considera solo i fattori di forma
-Considera il fattore di riduzione per platee	No
-Considera gli effetti dell'eccentricità del carico con un unico fattore riduttivo	No
Considera eccentricità e inclinazione dei carichi attraverso domini di interazione	No
-Parametro correttivo del momento	0.00
-Parametro correttivo del carico orizzontale	0.00
Calcolo della capacità portante per rottura locale	No
	Vesic (1975)
Calcolo della capacità portante per rottura per punzonamento	No
Calcolo della capacità portante per scorrimento	No
-Percentuale di carico orizzontale assorbito dai cordoli <%>	0.00
-Percentuale di spinta passiva mobilitata <%>	0.00
Calcolo della capacità portante per sollevamento	No
Capacità portante in condizioni sismiche	
Calcolo della capacità portante per rottura generale	Metodo scelto per le condizioni statiche
Riduzione dell'angolo d'attrito per terreni incoerenti ben addensati	No
Calcolo della capacità portante per scorrimento	No
-Percentuale di carico orizzontale assorbito dai cordoli <%>	0.00
-Percentuale di spinta passiva mobilitata <%>	0.00
Cedimenti	
Cedimenti	Bowles
-Spessore del terreno responsabile del cedimento	
-Dal rapporto con le dimensioni della fondazione pari a	5.00
Considera pressioni di esercizio al netto delle tensioni litostatiche	No
Calcola costante di sottofondo per pressioni di esercizio	No
Limita costante di sottofondo ad un valore	No

Fondazioni profonde

Generali	
Generali	
Calcolo capacità portante per carichi verticali	Secondo formule statiche
Considera capacità portante	Entrambe
Condizioni di calcolo per terreni coesivi	Sia drenate che non drenate
Calcolo della profondità critica	No
Effettua calcolo elasto-plastico per cedimenti	Si

Effettua calcolo elasto-plastico per spostamenti orizzontali	Si
Rapporto di elasticità trazione/compressione pari a	1.00
Fattori di correlazione	1.70
Considera fattori di correlazione anche per carichi orizzontali	No
Considera peso del palo	No
Divisore del raggio del palo per lunghezza conci	1.00
Max numero conci palo	50.00
Attrito laterale limite da prove in sito	
Correlato con prove CPT	No
Correlato con prove SPT	No
Fattore di riduzione attrito laterale per pali trivellati	No
Pressione limite alla base da prove in sito	
Correlata con prove CPT	No
Correlata con prove SPT	No
Fattore di riduzione pressione limite alla base per pali trivellati	No
Spostamenti orizzontali	
Spostamenti orizzontali	Risposta elastica in funzione della stratigrafia

Specifici	**1**	**2**	**3**	**4**	**5**	**6**	**7**	**8**	**9**	**10**
Attrito laterale limite										
Calcolo dell'attrito laterale limite	Si	Si	Si	Si	Si	Si	Si	Si	Si	Si
-Condizioni non drenate										
-Calcolo di α										
-Pari a										
-A.G.I. (1984)	x	x	x	x	x	x	x	x	x	x
-A.P.I. (1984)										
-Viggiani (1999)										
-Olson e Dennis (1982)										
-Stas e Kulhavy (1984)										
-Skempton (1986)										
-Reese e O'Neill (1989)										
-Metodo di Bustamente e Doix (1985) per micropali	No	No	No	No	No	No	No	No	No	No
-Iniezioni ripetute	x	x	x	x	x	x	x	x	x	x
-Unica iniezione										
-Condizioni drenate										
-Calcolo di β										
-Pari a	0.25	0.25	0.25	0.25	0.25	0.25	0.25	0.25	0.25	0.25
-Reese e O'Neill (1989)										
-Calcolato										
-Calcolo di k										
-Pari a										
-Dal rapporto con k_0 pari a	0.00	0.00	0.00	0.00	0.00	0.00	0.00	0.00	0.00	0.00
-Fleming (1985)										
-Calcolo di δ										
-Pari a <grad>										
-Dal rapporto con ϕ' pari a	0.00	0.00	0.00	0.00	0.00	0.00	0.00	0.00	0.00	0.00
-Calcolo di a' dal rapporto con c'	1.00	1.00	1.00	1.00	1.00	1.00	1.00	1.00	1.00	1.00
Calcolo dell'attrito laterale limite per trazione										
-Considera i risultati del calcolo per l'attrito laterale limite percompressione con un fattore di riduzione pari a	0.66	0.66	0.66	0.66	0.66	0.66	0.66	0.66	0.66	0.66
-Sowa (1970)	No	No	No	No	No	No	No	No	No	No
-Bowles (1991)	No	No	No	No	No	No	No	No	No	No
Considera l'effetto dell'attrito negativo	No	No	No	No	No	No	No	No	No	No
-Coefficiente di Lambe										

Pressione limite alla base										
Calcolo della pressione limite alla base del palo	Si	Si	Si	Si	Si	Si	Si	Si	Si	Si
-Terzaghi (1943)	x	x	x	x	x	x	x	x	x	x
-Meyerhof (1963)										
-Hansen (1970)										
-Vesic (1975)										
-Berezantzev (1961)										
-Berezantzev (1965)										
-Stagg e Zienkiewicz (1968)										
-Relazione generale, coefficienti di capacità portante										
-In condizioni drenate										
-N_q										
-N_c										
-In condizioni non drenate										
-N_c										
-Fattore di riduzione per terreni coesivi sovraconsolidati	No	No	No	No	No	No	No	No	No	No
Cedimenti										
Risposta elastica laterale										
-Calcolata dalla rigidezza dello strato	x	x	x	x	x	x	x	x	x	x
-Coefficiente di influenza	4.00	4.00	4.00	4.00	4.00	4.00	4.00	4.00	4.00	4.00
-Pari a <daN/mq>										
Risposta elastica alla base										
-Calcolata dalla rigidezza dello strato	x	x	x	x	x	x	x	x	x	x
-Pari a <daN/mq>										
Spostamenti orizzontali										
Risposta elastica										
-Vesic (1961)										
-Broms (1964)										
-Glick (1948)										
-Chen (1978)										
-Pari a <daN/mq>										
-Dal modulo elastico	x	x	x	x	x	x	x	x	x	x
-Coefficiente effetto tridimensionale	2.00	2.00	2.00	2.00	2.00	2.00	2.00	2.00	2.00	2.00
Resistenza limite										
-Calcolata dai parametri plastici	x	x	x	x	x	x	x	x	x	x
-Coefficiente effetto tridimensionale resistenza per attrito	3.00	3.00	3.00	3.00	3.00	3.00	3.00	3.00	3.00	3.00
-Coefficiente effetto tridimensionale resistenza per coesione	4.00	4.00	4.00	4.00	4.00	4.00	4.00	4.00	4.00	4.00
-Pari a <daN/mq>										

Caratterizzazione

Specifici	**1**	**2**	**3**	**4**	**5**	**6**	**7**	**8**	**9**	**10**
Informazioni preliminari										
Coefficiente di uniformità	No	No	No	No	No	No	No	No	No	No
-Pari a	0.00	0.00	0.00	0.00	0.00	0.00	0.00	0.00	0.00	0.00
Definizione della composizione granulometrica, per terreni incoerenti	No	No	No	No	No	No	No	No	No	No
-Sabbia fine uniforme	x	x	x	x	x	x	x	x	x	x
-Sabbia fine ben gradata - sabbia media uniforme										
-Sabbia media ben gradata - sabbia grossa uniforme										
-Sabbia e ghiaia - ghiaia media										
Definizione indici compressibilità edometrica, per terreni coesivi	No	No	No	No	No	No	No	No	No	No
-Indice di compressione (Cc)	0.00	0.00	0.00	0.00	0.00	0.00	0.00	0.00	0.00	0.00
-Indice di ricompressione (Cr)	0.00	0.00	0.00	0.00	0.00	0.00	0.00	0.00	0.00	0.00
-Considera incremento preconsolidazione costante	No	No	No	No	No	No	No	No	No	No
-Pari a	0.00	0.00	0.00	0.00	0.00	0.00	0.00	0.00	0.00	0.00
Correggi NSPT se la misura è sottofalda	No	No	No	No	No	No	No	No	No	No

Densità relativa										
Correlata con prove SPT										
-Terzaghi e Peck (1948)	Si	Si	Si	Si	Si	Si	Si	Si	Si	Si
-Gibbs e Holtz (1957)	No	No	No	No	No	No	No	No	No	No
-Meyerhof (1957)	No	No	No	No	No	No	No	No	No	No
-Schultze e Menzenbach (1961)	No	No	No	No	No	No	No	No	No	No
-Bazaara (1967)	No	No	No	No	No	No	No	No	No	No
-Marcuson e Bieganousky (1977)	No	No	No	No	No	No	No	No	No	No
-Skempton (1986)	No	No	No	No	No	No	No	No	No	No
Correlata con prove CPT										
-Schmertmann (1976)	Si	Si	Si	Si	Si	Si	Si	Si	Si	Si
-Jamiolkowski et al. (1985)	No	No	No	No	No	No	No	No	No	No
-Baldi et al. (1986)	No	No	No	No	No	No	No	No	No	No
Elaborazione dei risultati										
-Valore medio	x	x	x	x	x	x	x	x	x	x
-Valore minore										
Angolo d'attrito										
Correlato con prove SPT										
-Terzaghi e Peck (1948)	Si	Si	Si	Si	Si	Si	Si	Si	Si	Si
-Schmertmann (1975)	No	No	No	No	No	No	No	No	No	No
-Wolff (1989)	No	No	No	No	No	No	No	No	No	No
-Hatanaka e Uchida (1996)	No	No	No	No	No	No	No	No	No	No
-Road Bridge Specification	No	No	No	No	No	No	No	No	No	No
-Owasaki e Iwasaki	No	No	No	No	No	No	No	No	No	No
-Japanese National Railway	No	No	No	No	No	No	No	No	No	No
-Peck-Hanson e Thornburn	No	No	No	No	No	No	No	No	No	No
-De Mello	No	No	No	No	No	No	No	No	No	No
Correlato con prove CPT										
-Robertson e Campanella (1983)	Si	Si	Si	Si	Si	Si	Si	Si	Si	Si
-Durgunoglu e Mitchell	No	No	No	No	No	No	No	No	No	No
-Caquot	No	No	No	No	No	No	No	No	No	No
Correlata con proprietà indice										
-In funzione della densità relativa, per terreni incoerenti	No	No	No	No	No	No	No	No	No	No
-In funzione dell'indice di plasticità, per terreni coesivi	No	No	No	No	No	No	No	No	No	No
Elaborazione dei risultati										
-Valore medio	x	x	x	x	x	x	x	x	x	x
-Valore minore										
Coesione non drenata										
Correlata con prove SPT										
-Hara et al. (1971)	Si	Si	Si	Si	Si	Si	Si	Si	Si	Si
-Stroud (1974)	No	No	No	No	No	No	No	No	No	No
Correlata con prove CPT										
-Mayne e Kemper (1988)	Si	Si	Si	Si	Si	Si	Si	Si	Si	Si
-Lunne e Eide	No	No	No	No	No	No	No	No	No	No
Correlata con proprietà indice										
-Bjerrum e Simons (1960)	No	No	No	No	No	No	No	No	No	No
-Skempton (1953)	No	No	No	No	No	No	No	No	No	No
-Calcolata da $\sigma'v_0$ con moltiplicatore pari a	No	No	No	No	No	No	No	No	No	No
Pari a	0.00	0.00	0.00	0.00	0.00	0.00	0.00	0.00	0.00	0.00
Elaborazione dei risultati										
-Valore medio	x	x	x	x	x	x	x	x	x	x
-Valore minore										
Caratteristiche litostatiche										
Grado di sovraconsolidazione										
-Correlato con prove SPT										
-Mayne e Kemper (1988)	No	No	No	No	No	No	No	No	No	No

-Correlato con prove CPT										
-Mayne e Kemper (1988)	No	No	No	No	No	No	No	No	No	No
-Elaborazione dei risultati										
-Valore medio	x	x	x	x	x	x	x	x	x	x
-Valore minore										
Coefficiente di spinta a riposo										
-Calcolo di k_0 (NC)										
-Jaky (1936)	x	x	x	x	x	x	x	x	x	x
-Brooker e Ireland (1965)										
-Alpan (1967)										
-Massarsch (1979)										
-Correlato con Dr										
-Calcolato dal coefficiente di Poisson										
-Calcolo di α										
-Pari a										
-Kulhawy (1989)	x	x	x	x	x	x	x	x	x	x
-Alpan (1967) per terreni coesivi										
-Alpan (1967) per terreni incoerenti										
-Correlato con Dr										
Parametri elastici										
Correlati con prove GFS										
Correlati con prove SPT										
-Stroud e Butler (1975)										
-Stroud (1989)	x	x	x	x	x	x	x	x	x	x
-Schmertmann (1978)										
-Farrent										
-Menzenbach e Malcev										
-D'Appolonia										
-Schulze e Menzenbach										
-Crespellani e Vannucchi										
-Ohsaki e Iwasaki, per sabbie										
-Ohsaki e Iwasaki, per sabbie con fini										
Correlati con prove CPT										
-Schmertmann (1977)										
-Robertson e Campanella (1983)										
-Kulhawy e Mayne (1990)										
-Rix e Stokoe (1992)										
-Mayne e Rix (1993)										
Fattore correttivo	1.00	1.00	1.00	1.00	1.00	1.00	1.00	1.00	1.00	1.00

Geotecnica

Elenco colonne stratigrafiche

Simbologia

St. =Strato
z =Profondità della superficie superiore dello strato
Unità geotecnica =Unità geotecnica
Class. =Classificazione
Coes. = Coesivo
Inc. = Incoerente
Roc. = Roccia
N. c. = Non classificato

Colonna stratigrafica numero 1

St.	z <m>	Unità geotecnica	Class.
1	0.00	1 Masicciata	Inc.
2	0.60	2 Riporto	N. c.

3	2.00	3 Limo sabbioso media consistenza	Coes.
4	4.00	4 Limo alta plasticità alta consistenza	Coes.

Falda a profondità: 2.60 m

Elenco unità geotecniche

1 Masicciata:

Classificazione: Incoerente

Pesi:
- Peso specifico del terreno naturale: γ = 1700.00 daN/mc
- Peso specifico del terreno saturo: γ_{sat} = 1900.00 daN/mc

Proprietà indice:
- Densità relativa: D_r = 30.00 <%>

Parametri plastici:
- Angolo di attrito efficace: ϕ' = 30.00 grad
- Coesione efficace: c' = 0.00 daN/mq

Caratteristiche litostatiche:
- Grado di sovraconsolidazione: OCR = 1.00
- Coeff. di spinta a riposo: κ_0 = 0.50

Parametri elastici:
- Modulo elastico normale: E = 5500000.00 daN/mq
- Modulo elastico tangenziale: G = 2148440.00 daN/mq
- Esponente del parametro tensionale: k_j = 0.00
- Coeff. di Poisson: ν = 0.28
- Modulo edometrico: E_{ed} = 1064000.00 daN/mq
- Modulo elastico non drenato: E_u = 0.00 daN/mq

2 Riporto:

Classificazione: Non classificato

Pesi:
- Peso specifico del terreno naturale: γ = 1600.00 daN/mc
- Peso specifico del terreno saturo: γ_{sat} = 1800.00 daN/mc

Parametri plastici:
- Angolo di attrito efficace: ϕ' = 26.00 grad
- Coesione efficace: c' = 0.00 daN/mq
- Coesione non drenata: c_u = 1.00 daN/mq

Caratteristiche litostatiche:
- Grado di sovraconsolidazione: OCR = 1.00
- Coeff. di spinta a riposo: κ_0 = 0.50

Parametri elastici:
- Modulo elastico normale: E = 1000000.00 daN/mq
- Modulo elastico tangenziale: G = 400000.00 daN/mq
- Esponente del parametro tensionale: k_j = 0.00
- Coeff. di Poisson: ν = 0.25
- Modulo edometrico: E_{ed} = 443000.00 daN/mq
- Modulo elastico non drenato: E_u = 1200000.00 daN/mq

3 Limo sabbioso media consistenza:

Classificazione: Coesivo

Pesi:
- Peso specifico del terreno naturale: γ = 1900.00 daN/mc

- Peso specifico del terreno saturo: γ_{sat} = 2000.00 daN/mc

Proprietà indice:
- Indice di plasticità: I_p = 50.00 <%>
Parametri plastici:
- Angolo di attrito efficace: ϕ' = 27.00 grad
- Coesione efficace: c' = 0.00 daN/mq
- Coesione non drenata: c_u = 1.00 daN/mq
Caratteristiche litostatiche:
- Grado di sovraconsolidazione: OCR = 1.00
- Coeff. di spinta a riposo: κ_0 = 0.58

Parametri elastici:
- Modulo elastico normale: E = 1250000.00 daN/mq
- Modulo elastico tangenziale: G = 462963.00 daN/mq
- Esponente del parametro tensionale: k_j = 0.00
- Coeff. di Poisson: ν = 0.35
- Modulo edometrico: E_{ed} = 638400.00 daN/mq
- Modulo elastico non drenato: E_u = 1388890.00 daN/mq

4 Limo alta plasticità alta consistenza:

Classificazione: Coesivo

Pesi:
- Peso specifico del terreno naturale: γ = 2000.00 daN/mc
- Peso specifico del terreno saturo: γ_{sat} = 2050.00 daN/mc

Proprietà indice:
- Indice di plasticità: I_p = 40.00 <%>
Parametri plastici:
- Angolo di attrito efficace: ϕ' = 1.00 grad
- Coesione efficace: c' = 1190.00 daN/mq
- Coesione non drenata: c_u = 11900.00 daN/mq
Caratteristiche litostatiche:
- Grado di sovraconsolidazione: OCR = 1.00
- Coeff. di spinta a riposo: κ_0 = 0.74

Parametri elastici:
- Modulo elastico normale: E = 1250000.00 daN/mq
- Modulo elastico tangenziale: G = 446429.00 daN/mq
- Esponente del parametro tensionale: k_j = 0.00
- Coeff. di Poisson: ν = 0.40
- Modulo edometrico: E_{ed} = 1071600.00 daN/mq
- Modulo elastico non drenato: E_u = 1339290.00 daN/mq

Report grafico complessivo

Colonna stratigrafica numero 1

Simbologia

St.	=Strato
z	=Profondità della superficie superiore dello strato
Unità geotecnica	=Unità geotecnica
Class.	=Classificazione Coes. = Coesivo Inc. = Incoerente Roc. = Roccia N. c. = Non classificato
γ	=Peso specifico del terreno naturale
γ_{sat}	=Peso specifico del terreno saturo

D_r =Densità relativa
I_p =Indice di plasticità
ϕ' =Angolo di attrito efficace
c' =Coesione efficace
c_u =Coesione non drenata
OCR =Grado di sovraconsolidazione
κ_0 =Coeff. di spinta a riposo
Crit. =Criterio di progetto

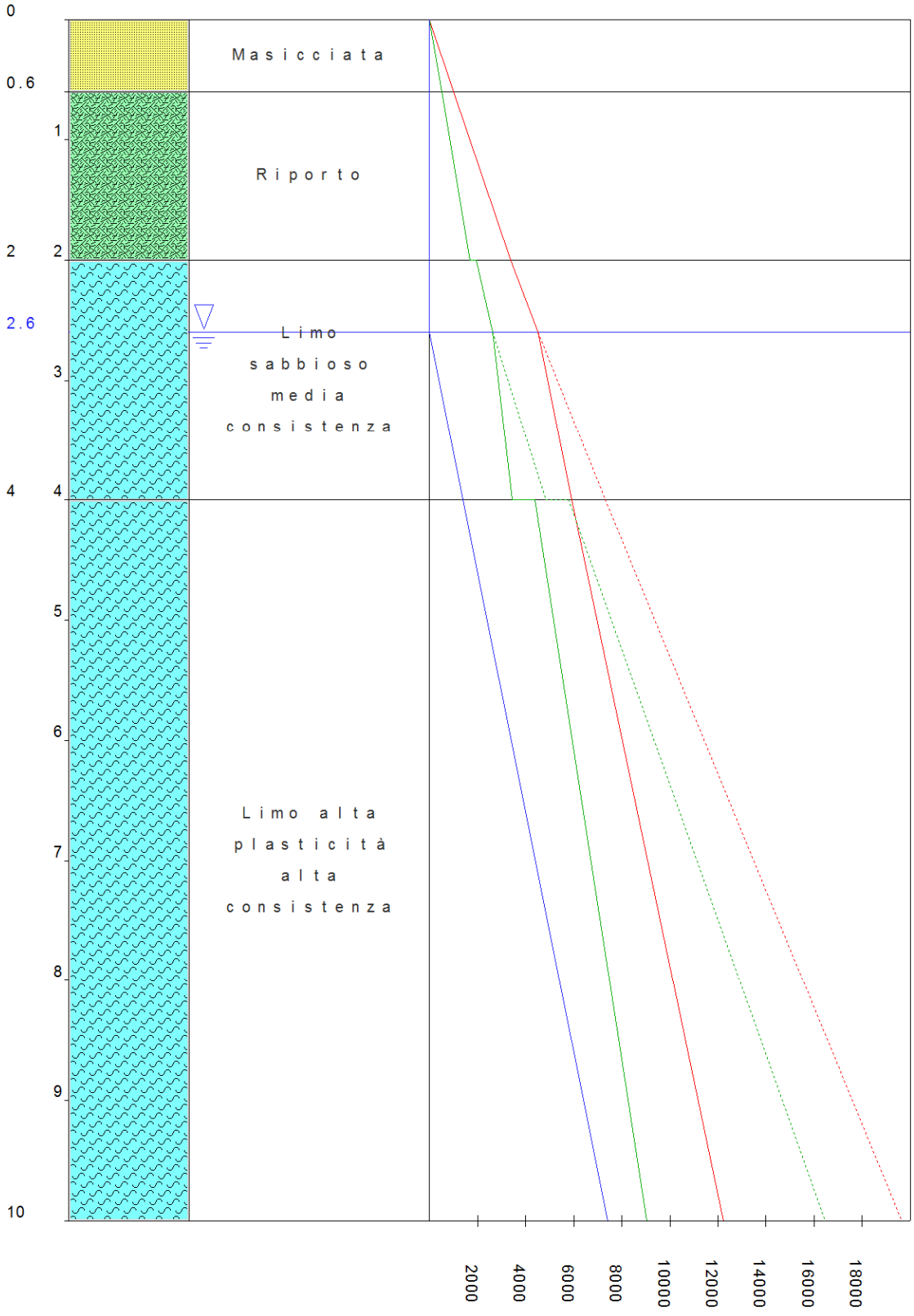
St.	z <m>	Unità geotecnica	Class.	γ <daN/mc>	γ_{sat} <daN/mc>	D_r	I_p	ϕ' <grad>	c' <daN/mq>	c_u <daN/mq>	OCR	κ_0	Crit.
1	0.00	1 Masicciata	Inc.	1700.00	1900.00	30.00	0.00	30.00	0.00		1.00	0.50	1
2	0.60	2 Riporto	N. c.	1600.00	1800.00			26.00	0.00	1.00	1.00	0.50	1
3	2.00	3 Limo sabbioso media consistenza	Coes.	1900.00	2000.00	0.00	50.00	27.00	0.00	1.00	1.00	0.58	1
4	4.00	4 Limo alta plasticità alta consistenza	Coes.	2000.00	2050.00	0.00	40.00	1.00	1190.00	11900.00	1.00	0.74	1

Simbologia

St. =Strato
z =Profondità della superficie superiore dello strato
Unità geotecnica =Unità geotecnica
Class. =Classificazione
Coes. = Coesivo
Inc. = Incoerente
Roc. = Roccia
N. c. = Non classificato
γ =Peso specifico del terreno naturale
γ_{sat} =Peso specifico del terreno saturo
D_r =Densità relativa
I_p =Indice di plasticità
ϕ' =Angolo di attrito efficace
c' =Coesione efficace
c_u =Coesione non drenata
OCR =Grado di sovraconsolidazione
κ_0 =Coeff. di spinta a riposo
Crit. =Criterio di progetto

St.	z <m>	E <daN/mq>	G <daN/mq>	k_j	ν	E_{ed} <daN/mq>	E_u <daN/mq>	Crit.
1	0.00	5500000.00	2148440.00	0.00	0.28	1064000.00	0.00	1
2	0.60	1000000.00	400000.00	0.00	0.25	443000.00	1200000.00	1
3	2.00	1250000.00	462963.00	0.00	0.35	638400.00	1388890.00	1
4	4.00	1250000.00	446429.00	0.00	0.40	1071600.00	1339290.00	1

Strati Commenti Pressioni litostatiche



Legenda
pressioni litostatiche:

σ_{v0}

σ'_{v0}

σ_{h0}

σ'_{h0}

u

Figura numero 4: Colonna stratigrafica numero 1

Le verifiche degli elementi di fondazione sono state effettuate utilizzando l'approccio 2.

Coefficienti parziali per le azioni, per verifiche in condizioni statiche:
Permanenti strutturali, sicurezza a favore $\gamma_A = 1.00$;
Permanenti strutturali, sicurezza a sfavore $\gamma_A = 1.30$;
Permanenti non strutturali, sicurezza a favore $\gamma_A = 0.00$;
Permanenti non strutturali, sicurezza a sfavore $\gamma_A = 1.50$;
Variabili, sicurezza a favore $\gamma_A = 0.00$;
Variabili, sicurezza a sfavore $\gamma_A = 1.50$.

I coefficienti parziali per le azioni sono posti pari all'unità per le verifiche in condizioni sismiche.

Tali coefficienti sono comunque desumibili dalla tabella delle combinazioni delle CCE (Parametri di calcolo).

Coefficienti parziali per i parametri geotecnici:
Tangente dell'angolo di attrito $\gamma_M = 1.00$;
Coesione efficace $\gamma_M = 1.00$;
Coesione non drenata $\gamma_M = 1.00$;

Coefficienti parziali per la resistenza delle fondazioni superficiali:
Capacità portante $\gamma_R = 2.30$;
Scorrimento $\gamma_R = 1.10$;

Fondazioni superficiali

Simbologia
B =Base della fondazione
L =Lunghezza della fondazione (L>B)
D =Profondità del piano di posa della fondazione
β =Inclinazione del piano di campagna
η =Inclinazione del piano di posa della fondazione
γ_r =Peso specifico rappresentativo del terreno di fondazione
$\sigma_{v0,f}$ =Pressione verticale alla profondità del piano di posa della fondazione
φ'_r =Angolo di attrito rappresentativo del terreno di fondazione
c'_r =Coesione efficace rappresentativa del terreno di fondazione
N_q =Coefficiente di capacità portante relativo al sovraccarico laterale
N_c =Coefficiente di capacità portante relativo alla coesione del terreno di fondazione
N_g =Coefficiente di capacità portante relativo al peso del terreno di fondazione
b_q =Fattore di inclinazione del piano di fondazione relativo a sovraccarico laterale
b_c =Fattore di inclinazione del piano di fondazione relativo a coesione
b_g =Fattore di inclinazione del piano di fondazione relativo a peso del terreno
CC =Numero della combinazione delle condizioni di carico elementari
N =Sforzo normale
Tx =Taglio in dir. X
Ty =Taglio in dir. Y
Mx =Momento intorno all'asse X
My =Momento intorno all'asse Y
B' =Base della fondazione reagente
L' =Lunghezza della fondazione reagente
s_q =Fattore di forma relativo al sovraccarico laterale
s_c =Fattore di forma relativo alla coesione
s_g =Fattore di forma relativo al peso del terreno
i_q =Fattore di inclinazione relativo al sovraccarico laterale
i_c =Fattore di inclinazione relativo alla coesione
i_g =Fattore di inclinazione relativo al peso del terreno
q_{lim} =Pressione limite
R_d =Resistenza di progetto (Carico limite)

Sic. =Sicurezza a rottura

Verifiche capacità portante

Verifiche di capacità portante per rottura generale in condizioni statiche

Metodo utilizzato: Indicazioni EC7

Travata 901

B=0.50 <m> L=10.10 <m> D=0.40 <m> β=0.00 <grad> η=0.00 <grad> γ_r=1646.19 <daN/mc>
$\sigma_{v0,f}$=680.00 <daN/mq>

Verifiche in condizioni drenate

φ'_r=27.85 <grad> c'_r=0.00 <daN/mq>
N_q=14.48 N_c=25.51 N_g=14.24 b_q=1.00 b_c=1.00 b_g=1.00

CC	N <daN>	Tx <daN>	Ty <daN>	Mx <daNm>	My <daNm>	B' <m>	L' <m>	s_q	s_c	s_g	i_q	i_c	i_g	q_{lim} <daN/mq>	R_d <daN>	Sic.
9	15043.40	0.23	783.72	-41.57	-6.85	0.49	10.10	1.02	1.02	0.99	1.00	1.00	1.00	15778.40	34258.00	2.28
10	13512.40	0.20	608.89	-32.36	-6.99	0.50	10.10	1.02	1.02	0.99	1.00	1.00	1.00	15787.10	34327.50	2.54
16	14100.40	0.22	-16.93	303.79	-6.87	0.46	10.10	1.02	1.02	0.99	1.00	1.00	1.00	15333.50	30762.80	2.18
17	11981.40	1185.88	434.08	-23.15	3266.77	0.50	9.55	1.02	1.03	0.98	1.00	1.00	1.00	15806.10	32577.10	2.72
18	16314.80	0.26	513.11	154.61	-6.69	0.48	10.10	1.02	1.02	0.99	1.00	1.00	1.00	15619.50	32992.40	2.02
19	15043.40	711.65	783.72	-41.56	1957.49	0.49	9.84	1.02	1.03	0.98	1.00	1.00	1.00	15782.10	33386.10	2.22
20	14783.80	0.23	338.29	163.81	-6.83	0.48	10.10	1.02	1.02	0.99	1.00	1.00	1.00	15581.50	32692.40	2.21

Verifiche di capacità portante per rottura generale in condizioni statiche

Metodo utilizzato: Indicazioni EC7

Travata 902

B=0.50 <m> L=10.10 <m> D=0.40 <m> β=0.00 <grad> η=0.00 <grad> γ_r=1646.19 <daN/mc>
$\sigma_{v0,f}$=680.00 <daN/mq>

Verifiche in condizioni drenate

φ'_r=27.85 <grad> c'_r=0.00 <daN/mq>
N_q=14.48 N_c=25.51 N_g=14.24 b_q=1.00 b_c=1.00 b_g=1.00

CC	N <daN>	Tx <daN>	Ty <daN>	Mx <daNm>	My <daNm>	B' <m>	L' <m>	s_q	s_c	s_g	i_q	i_c	i_g	q_{lim} <daN/mq>	R_d <daN>	Sic.
9	15040.60	-0.23	-783.72	41.46	-1.11	0.49	10.10	1.02	1.02	0.99	1.00	1.00	1.00	15778.60	34261.80	2.28
10	13509.60	-0.20	-608.89	32.25	-0.96	0.50	10.10	1.02	1.02	0.99	1.00	1.00	1.00	15787.30	34332.00	2.54
16	11084.40	-0.22	-1024.94	357.36	-1.09	0.44	10.10	1.02	1.02	0.99	1.00	1.00	1.00	15079.80	28839.50	2.60
17	11978.60	1185.37	-434.08	23.05	3272.20	0.50	9.55	1.02	1.03	0.98	1.00	1.00	1.00	15806.30	32575.10	2.72
18	14504.00	-0.26	-1138.24	242.05	-1.27	0.47	10.10	1.02	1.02	0.99	1.00	1.00	1.00	15448.70	31655.10	2.18
19	15040.60	711.10	-783.72	41.46	1962.70	0.49	9.84	1.02	1.03	0.98	1.00	1.00	1.00	15782.30	33384.70	2.22
20	12973.10	-0.23	-963.41	232.84	-1.13	0.46	10.10	1.02	1.02	0.99	1.00	1.00	1.00	15418.80	31423.40	2.42

Verifiche di capacità portante per rottura generale in condizioni sismiche

Metodo utilizzato: Condizioni statiche

Travata 901

B=0.50 <m> L=10.10 <m> D=0.40 <m> β=0.00 <grad> η=0.00 <grad> γ_r=1646.19 <daN/mc>
$\sigma_{v0,f}$=680.00 <daN/mq>

Verifiche in condizioni drenate

φ'_r=27.85 <grad> c'_r=0.00 <daN/mq>
N_q=14.48 N_c=25.51 N_g=14.24 b_q=1.00 b_c=1.00 b_g=1.00

CC	N <daN>	Tx <daN>	Ty <daN>	Mx <daNm>	My <daNm>	B' <m>	L' <m>	s_q	s_c	s_g	i_q	i_c	i_g	q_{lim} <daN/mq>	R_d <daN>	Sic.
1	8869.42	319.11	308.97	-101.40	-1131.56	0.48	9.84	1.02	1.02	0.99	1.00	1.00	1.00	15576.80	31812.60	3.59
3	8677.26	319.07	113.97	78.59	-1131.43	0.48	9.84	1.02	1.02	0.99	1.00	1.00	1.00	15633.10	32227.30	3.71
5	9093.59	95.88	536.45	-311.38	-343.98	0.43	10.02	1.02	1.02	0.99	1.00	1.00	1.00	15033.20	28273.50	3.11
7	9093.58	-95.50	536.44	-311.37	331.22	0.43	10.03	1.02	1.02	0.99	1.00	1.00	1.00	15033.20	28281.40	3.11

Verifiche di capacità portante per rottura generale in condizioni sismiche

Metodo utilizzato: Condizioni statiche

Travata 902

B=0.50 <m> L=10.10 <m> D=0.40 <m> β=0.00 <grad> η=0.00 <grad> γ_r=1646.19 <daN/mc>
$\sigma_{v0,f}$=680.00 <daN/mq>

Verifiche in condizioni drenate

φ'_r=27.85 <grad> c'_r=0.00 <daN/mq>
N_q=14.48 N_c=25.51 N_g=14.24 b_q=1.00 b_c=1.00 b_g=1.00

CC	N <daN>	Tx <daN>	Ty <daN>	Mx <daNm>	My <daNm>	B' <m>	L' <m>	s_q	s_c	s_g	i_q	i_c	i_g	q_{lim} <daN/mq>	R_d <daN>	Sic.
1	8867.10	-318.37	-308.96	101.29	-1123.95	0.48	9.85	1.02	1.02	0.99	1.00	1.00	1.00	15577.00	31819.60	3.59
3	8674.95	-318.32	-113.97	-78.69	-1123.77	0.48	9.84	1.02	1.02	0.99	1.00	1.00	1.00	15632.70	32230.10	3.72
5	9091.28	-95.68	-536.44	311.27	-337.84	0.43	10.03	1.02	1.02	0.99	1.00	1.00	1.00	15033.30	28277.80	3.11
7	9091.27	95.26	-536.43	311.26	336.14	0.43	10.03	1.02	1.02	0.99	1.00	1.00	1.00	15033.30	28278.90	3.11

Cedimenti

Metodo utilizzato: Bowles

Simbologia
B =Base della fondazione
L =Lunghezza della fondazione (L>B)
D =Profondità del piano di posa della fondazione
H =Spessore del terreno responsabile del cedimento
E_r =Modulo elastico rappresentativo del terreno di fondazione
ν_r =Coefficiente di Poisson rappresentativo del terreno di fondazione
I_s =Coefficiente di influenza
I_f =Coefficiente di profondità
kw =Costante di sottofondo
CC =Numero della combinazione delle condizioni di carico elementari
N =Sforzo normale
q_{es} =Pressione di esercizio
Ce =Cedimento calcolato
d

Travata 901

B=0.50 <m> L=10.10 <m> D=0.40 <m> H=2.50 <m> E_r=1310000.00 <daN/mq> ν_r=0.29
I_s=0.83 I_f=1.28 kw=1348250.00 <daN/mc>

CC	N <daN>	q_{es} <daN/mq>	Ced <cm>
1	8869.42	1756.32	0.13
1	8208.71	1625.49	0.12
2	8075.77	1599.16	0.12
3	8677.26	1718.27	0.13
3	7742.87	1533.24	0.11
4	7875.77	1559.56	0.12
5	9093.59	1800.71	0.13
5	8752.16	1733.10	0.13
6	8309.09	1645.36	0.12
7	9093.58	1800.71	0.13
7	8752.14	1733.10	0.13
8	8309.08	1645.36	0.12
9	15043.40	2978.88	0.22
10	13512.40	2675.72	0.20
11	11037.70	2185.69	0.16
12	10017.10	1983.58	0.15
13	7975.75	1579.36	0.12
14	8384.01	1660.20	0.12
15	7975.75	1579.36	0.12
16	14100.40	2792.17	0.21
17	11981.40	2372.55	0.18
18	16314.80	3230.65	0.24
19	15043.40	2978.88	0.22
20	14783.80	2927.48	0.22
21	13512.40	2675.72	0.20
22	10409.10	2061.21	0.15
23	8996.41	1781.47	0.13
24	11885.30	2353.53	0.17
25	11037.70	2185.69	0.16
26	10864.70	2151.42	0.16
27	10017.10	1983.58	0.15
28	8258.29	1635.31	0.12
29	7975.75	1579.36	0.12
30	7975.75	1579.36	0.12
31	8384.01	1660.20	0.12
32	7975.75	1579.36	0.12

Travata 902
B=0.50 <m> L=10.10 <m> D=0.40 <m> H=2.50 <m> E_r=1310000.00 <daN/mq> ν_r=0.29
I_s=0.83 I_f=1.28 kw=1348250.00 <daN/mc>

CC	N <daN>	q_{es} <daN/mq>	Ced <cm>
1	8867.10	1755.86	0.13
1	8206.60	1625.07	0.12
2	8073.66	1598.74	0.12
3	8674.95	1717.81	0.13
3	7740.76	1532.82	0.11
4	7873.66	1559.14	0.12
5	9091.28	1800.25	0.13
5	8750.05	1732.68	0.13
6	8306.98	1644.95	0.12

7	9091.27	1800.25	0.13
7	8750.03	1732.68	0.13
8	8306.97	1644.95	0.12
9	15040.60	2978.34	0.22
10	13509.60	2675.17	0.20
11	11035.60	2185.27	0.16
12	10015.00	1983.16	0.15
13	7973.65	1578.94	0.12
14	8381.91	1659.78	0.12
15	7973.65	1578.94	0.12
16	11084.40	2194.92	0.16
17	11978.60	2372.01	0.18
18	14504.00	2872.09	0.21
19	15040.60	2978.34	0.22
20	12973.10	2568.92	0.19
21	13509.60	2675.17	0.20
22	8398.12	1662.99	0.12
23	8994.31	1781.05	0.13
24	10677.90	2114.44	0.16
25	11035.60	2185.27	0.16
26	9657.25	1912.33	0.14
27	10015.00	1983.16	0.15
28	7854.41	1555.33	0.12
29	7973.65	1578.94	0.12
30	7973.65	1578.94	0.12
31	8381.91	1659.78	0.12
32	7973.65	1578.94	0.12

Sintesi

Tipo di normativa: stati limite D.M. 18
Tipo di calcolo: analisi sismica dinamica

Dati generali della struttura

- Sito di costruzione: Monteroni d'Arbia piazza del re LON. 11.42120 LAT. 43.23080
  Contenuto tra ID reticolo: 22503 22281 22502 22280

Pericolosità sismica di base

Simbologia
TC =Tipo di combinazione di carico
C
SLU = Stato limite ultimo
SLU S = Stato limite ultimo (azione sismica)
SLE R = Stato limite d'esercizio, combinazione rara
SLE F = Stato limite d'esercizio, combinazione frequente
SLE Q = Stato limite d'esercizio, combinazione quasi permanente
SLD = Stato limite di danno
SLV = Stato limite di salvaguardia della vita
SLC = Stato limite di prevenzione del collasso
SLO = Stato limite di operatività
SLU I = Stato limite di resistenza al fuoco
SND = Stato limite di salvaguardia della vita (non dissipativo)
T_R =Periodo di ritorno <anni>
Ag =Accelerazione orizzontale massima al sito
FO =Valore massimo del fattore di amplificazione dello spettro in accelerazione orizzontale
FV =Valore massimo del fattore di amplificazione dello spettro in accelerazione verticale
TC =Periodo di inizio del tratto a velocità costante dello spettro in accelerazione orizzontale <sec>
*
S_S =Coefficiente di amplificazione stratigrafica

C_C =Coefficiente funzione della categoria del suolo
S =Coefficiente di amplificazione stratigrafica e topografica
TC =Periodo corrispondente all'inizio del tratto dello spettro a velocità costante
TB =Periodo corrispondente all'inizio del tratto dello spettro ad accelerazione costante
TD =Periodo corrispondente all'inizio del tratto dello spettro a spostamento costante

TC C	T_R	Ag <g>	FO	FV	TC*	S_S	C_C	S	TC	TB	TD
SL D	50	0.0590	2.54	0.83	0.26	1.50	1.64	1.50	0.42	0.14	1.84
SL V	475	0.1411	2.49	1.26	0.28	1.49	1.60	1.49	0.45	0.15	2.16

- Edificio esistente: No
- Tipo di opera: Opera ordinaria
- Vita nominale V_N: 50.00
- Classe d'uso: Classe II
- Coefficiente d'uso CU: 1.00
- Periodo di riferimento VR: 50.00

Dati di progetto

- Categoria del suolo di fondazione: C
- Tipologia strutturale: acciaio a telaio di un piano

Periodo T_1	0.42516
Coeff. λ SLD	1.00
Coeff. λ SLV	1.00
Rapporto di sovraresistenza (α_u/α_1)	1.10
Valore di riferimento del fattore di struttura (q_0)	4.00
Fattore riduttivo (K_w)	1.00
Fattore riduttivo regolarità in altezza (KR)	1.00
Fattore di comportamento dissipativo (q)	4.00
Fattore di comportamento non dissipativo (qND)	1.50
Fattore di comportamento per SLD (qD)	1.50

- Categoria topografica: T1 - Superficie pianeggiante, pendii e rilievi isolati con inclinazione media i<=15°
- Coeff. amplificazione topografica S_T: 1.00
- Quota di riferimento: 0.00 <m>
- Altezza della struttura: 3.64 <m>
- Numero piani edificio: 0
- Coefficiente θ: 0.00
- Edificio regolare in altezza: Sì
- Edificio regolare in pianta: Sì
- Struttura dissipativa: Sì
- Classe di duttilità: Classe B
- Fattore di comportamento per sisma verticale (qv): 1.50
- Smorzamento spettro: 5.00%

Spettro SLD.TXT :

0.0000 0.8685
0.0500 1.0821
0.1000 1.2958
0.1413 1.4724
0.1500 1.4724
0.2000 1.4724
0.2500 1.4724
0.3000 1.4724

0.3500	1.4724
0.4000	1.4724
0.4240	1.4724
0.4500	1.3872
0.5000	1.2485
0.5500	1.1350
0.6000	1.0404
0.6500	0.9603
0.7000	0.8918
0.7500	0.8323
0.8000	0.7803
0.8500	0.7344
0.9000	0.6936
0.9500	0.6571
1.0000	0.6242
1.0500	0.5945
1.1000	0.5675
1.1500	0.5428
1.2000	0.5202
1.2500	0.4994
1.3000	0.4802
1.3500	0.4624
1.4000	0.4459
1.4500	0.4305
1.5000	0.4162
1.5500	0.4027
1.6000	0.3901
1.6500	0.3783
1.7000	0.3672
1.7500	0.3567
1.8000	0.3468
1.8361	0.3400
1.8500	0.3349
1.9000	0.3175
1.9500	0.3014
2.0000	0.2865
2.0500	0.2727
2.1000	0.2599
2.1500	0.2479
2.2000	0.2368
2.2500	0.2264
2.3000	0.2167
2.3500	0.2075
2.4000	0.1990
2.4500	0.1909
2.5000	0.1834
2.5500	0.1763
2.6000	0.1695
2.6500	0.1632
2.7000	0.1572
2.7500	0.1516
2.8000	0.1462
2.8500	0.1411
2.9000	0.1363
2.9500	0.1317
3.0000	0.1273
3.0500	0.1232
3.1000	0.1193
3.1500	0.1158
3.2000	0.1158

3.2500 0.1158
3.3000 0.1158
3.3500 0.1158
3.4000 0.1158
3.4500 0.1158
3.5000 0.1158
3.5500 0.1158
3.6000 0.1158
3.6500 0.1158
3.7000 0.1158
3.7500 0.1158
3.8000 0.1158
3.8500 0.1158
3.9000 0.1158
3.9500 0.1158
4.0000 0.1158

Spettro SLV.TXT :

0.0000 2.0612
0.0500 1.8002
0.1000 1.5391
0.1492 1.2824
0.1500 1.2824
0.2000 1.2824
0.2500 1.2824
0.3000 1.2824
0.3500 1.2824
0.4000 1.2824
0.4475 1.2824
0.4500 1.2753
0.5000 1.1477
0.5500 1.0434
0.6000 0.9564
0.6500 0.8829
0.7000 0.8198
0.7500 0.7652
0.8000 0.7173
0.8500 0.6751
0.9000 0.6376
0.9500 0.6041
1.0000 0.5739
1.0500 0.5465
1.1000 0.5217
1.1500 0.4990
1.2000 0.4782
1.2500 0.4591
1.3000 0.4414
1.3500 0.4251
1.4000 0.4099
1.4500 0.3958
1.5000 0.3826
1.5500 0.3702
1.6000 0.3587
1.6500 0.3478
1.7000 0.3376
1.7500 0.3279
1.8000 0.3188
1.8500 0.3102
1.9000 0.3020

1.9500 0.2943
2.0000 0.2869
2.0500 0.2799
2.1000 0.2768
2.1500 0.2768
2.1643 0.2768
2.2000 0.2768
2.2500 0.2768
2.3000 0.2768
2.3500 0.2768
2.4000 0.2768
2.4500 0.2768
2.5000 0.2768
2.5500 0.2768
2.6000 0.2768
2.6500 0.2768
2.7000 0.2768
2.7500 0.2768
2.8000 0.2768
2.8500 0.2768
2.9000 0.2768
2.9500 0.2768
3.0000 0.2768
3.0500 0.2768
3.1000 0.2768
3.1500 0.2768
3.2000 0.2768
3.2500 0.2768
3.3000 0.2768
3.3500 0.2768
3.4000 0.2768
3.4500 0.2768
3.5000 0.2768
3.5500 0.2768
3.6000 0.2768
3.6500 0.2768
3.7000 0.2768
3.7500 0.2768
3.8000 0.2768
3.8500 0.2768
3.9000 0.2768
3.9500 0.2768
4.0000 0.2768

Spettro SND.TXT :

0.0000 2.0612
0.0500 2.5166
0.1000 2.9720
0.1492 3.4198
0.1500 3.4198
0.2000 3.4198
0.2500 3.4198
0.3000 3.4198
0.3500 3.4198
0.4000 3.4198
0.4475 3.4198
0.4500 3.4007
0.5000 3.0606
0.5500 2.7824

0.6000	2.5505
0.6500	2.3543
0.7000	2.1862
0.7500	2.0404
0.8000	1.9129
0.8500	1.8004
0.9000	1.7004
0.9500	1.6109
1.0000	1.5303
1.0500	1.4574
1.1000	1.3912
1.1500	1.3307
1.2000	1.2753
1.2500	1.2243
1.3000	1.1772
1.3500	1.1336
1.4000	1.0931
1.4500	1.0554
1.5000	1.0202
1.5500	0.9873
1.6000	0.9564
1.6500	0.9275
1.7000	0.9002
1.7500	0.8745
1.8000	0.8502
1.8500	0.8272
1.9000	0.8054
1.9500	0.7848
2.0000	0.7652
2.0500	0.7465
2.1000	0.7287
2.1500	0.7118
2.1643	0.7071
2.2000	0.6843
2.2500	0.6542
2.3000	0.6261
2.3500	0.5997
2.4000	0.5750
2.4500	0.5518
2.5000	0.5299
2.5500	0.5094
2.6000	0.4900
2.6500	0.4716
2.7000	0.4543
2.7500	0.4380
2.8000	0.4225
2.8500	0.4078
2.9000	0.3938
2.9500	0.3806
3.0000	0.3680
3.0500	0.3560
3.1000	0.3447
3.1500	0.3338
3.2000	0.3234
3.2500	0.3136
3.3000	0.3041
3.3500	0.2951
3.4000	0.2865
3.4500	0.2783
3.5000	0.2768

3.5500 0.2768
3.6000 0.2768
3.6500 0.2768
3.7000 0.2768
3.7500 0.2768
3.8000 0.2768
3.8500 0.2768
3.9000 0.2768
3.9500 0.2768
4.0000 0.2768

Condizioni di carico elementari

Simbologia

CCE =Numero della condizione di carico elementare
Comm. =Commento
Tipo CCE =Tipo di CCE per calcolo agli stati limite
Sic. =Contributo alla sicurezza
F = a favore
S = a sfavore
A = ambigua
Var. =Tipo di variabilità
B = di base
I = indipendente
A = ambigua
Dir. =Direzione del vento
Tipo =Tipologia di pressione vento
M = Massimizzata
E = Esterna
I = Interna
Mx =Moltiplicatore della massa in dir. X
My =Moltiplicatore della massa in dir. Y
Mz =Moltiplicatore della massa in dir. Z
Jpx =Moltiplicatore del momento d'inerzia intorno all'asse X
Jpy =Moltiplicatore del momento d'inerzia intorno all'asse Y
Jpz =Moltiplicatore del momento d'inerzia intorno all'asse Z

CCE	Comm.	Tipo CCE	Sic.	Var.	Dir. <grad>	Tipo	Mx	My	Mz	Jpx	Jpy	Jpz
1	permanente strutturale	1	S	--	--	--	1.00	1.00	0.00	0.00	0.00	1.00
2	permanente non strutturale	2	S	--	--	--	1.00	1.00	0.00	0.00	0.00	1.00
3	neve	12	S	A	--	--	1.00	1.00	0.00	0.00	0.00	1.00
4	copertura	19	S	A	--	--	1.00	1.00	0.00	0.00	0.00	1.00
5	vento	11	S	A	0.00	M	0.00	0.00	0.00	0.00	0.00	0.00
6	vento da baso	11	S	A	0.00	M	0.00	0.00	0.00	0.00	0.00	0.00
7	vento longitudinale	11	S	A	0.00	M	0.00	0.00	0.00	0.00	0.00	0.00

Elenco tipi CCE definiti

Simbologia

Tipo CCE =Tipo condizione di carico elementare
Comm. =Commento
Tipo =Tipologia
G = Permanente
Qv = Variabile vento
Q = Variabile
I = Da ignorare
A = Azione eccezionale

P = Precompressione
Durata =Durata del carico
N = Non definita
P = Permanente
L = Lunga
M = Media
B = Breve
I = Istantanea
γ min. =Coeff. $\gamma_{min.}$
γ max =Coeff. γ_{max}
ψ_0 =Coeff. ψ_0
ψ_1 =Coeff. ψ_1
ψ_2 =Coeff. ψ_2
$\psi_{0,s}$ =Coeff. ψ_0 sismico (D.M. 96)

Tipo CCE	Comm.	Tipo	Durata	γ min.	γ max	ψ_0	ψ_1	ψ_2	$\psi_{0,s}$
1	D.M. 18 Permanenti strutturali	G	P	1.00	1.30				
2	D.M. 18 Permanenti non strutturali	G	L	0.80	1.50				
12	D.M. 18 Variabili Neve (a quota <= 1000 m s.l.m.)	Q	M	0.00	1.50	0.50	0.20	0.00	0.00
19	D.M. 18 Variabili Categoria H - Coperture accessibili per sola manutenzione	Q	M	0.00	1.50	0.00	0.00	0.00	1.00
11	D.M. 18 Variabili Vento	Qv	B	0.00	1.50	0.60	0.20	0.00	0.00

Elenco masse nodi

Simbologia
Nod =Numero del nodo
o
Mo =Massa orizzontale

Nodo	Mo <kg>	Nodo	Mo <kg>	Nodo	Mo <kg>	Nodo	Mo <kg>	Nodo	Mo <kg>	Nodo	Mo <kg>	Nodo	Mo <kg>	Nodo	Mo <kg>	Nodo	Mo <kg>
-825	23.90	-824	28.99	-823	38.20	-822	31.13	-821	38.20	-820	31.13	-819	38.20	-818	31.13	-817	38.20	-816	28.99
-815	23.90	-814	25.45	-813	30.87	-812	40.57	-811	33.15	-810	40.57	-809	33.15	-808	40.57	-807	33.15	-806	40.57
-805	30.87	-804	25.45	-803	23.90	-802	28.99	-801	38.20	-800	31.13	-799	38.20	-798	31.13	-797	38.20	-796	31.13
-795	23.90	-794	28.99	-793	38.20	-792	2.98	-791	24.63	-790	24.63	-789	25.98	-788	25.98	-787	24.63	-786	24.63
-785	2.98	-784	1.73	-783	4.28	-782	4.28	-781	4.44	-780	4.44	-779	4.28	-778	4.28	-777	1.73	-776	1.73
-775	4.28	-774	4.28	-773	4.44	-772	4.44	-771	4.28	-770	4.28	-769	1.73	-768	1.69	-767	4.24	-766	4.24
-765	4.41	-764	4.41	-763	4.24	-762	4.24	-761	1.69	-760	1.69	-759	4.24	-758	4.24	-757	4.41	-756	4.41
-755	4.24	-754	4.24	-753	1.69	-752	1.66	-751	4.21	-750	4.21	-749	4.37	-748	4.37	-747	4.21	-746	4.21
-745	1.66	-744	1.66	-743	4.21	-742	4.21	-741	4.37	-740	4.37	-739	4.21	-738	4.21	-737	1.66	-736	2.84
-735	20.95	-734	20.95	-733	22.13	-732	22.13	-731	20.95	-730	20.95	-729	2.84	-728	2.84	-727	20.95	-726	20.95
-725	22.13	-724	22.13	-723	20.95	-722	20.95	-721	2.84	-720	1.59	-719	4.14	-718	4.14	-717	4.30	-716	4.30
-715	4.14	-714	4.14	-713	1.59	-712	1.59	-711	4.14	-710	4.14	-709	4.30	-708	4.30	-707	4.14	-706	4.14
-705	1.59	-704	1.55	-703	4.10	-702	4.10	-701	4.27	-700	4.27	-699	4.10	-698	4.10	-697	1.55	-696	1.55
-695	4.10	-694	4.10	-693	4.27	-692	4.27	-691	4.10	-690	4.10	-689	1.55	-688	1.52	-687	4.07	-686	4.07
-685	4.23	-684	4.23	-683	4.07	-682	4.07	-681	1.52	-680	1.52	-679	4.07	-678	4.07	-677	4.23	-676	4.23
-675	4.07	-674	4.07	-673	1.52	-672	2.70	-671	24.34	-670	24.34	-669	25.70	-668	25.70	-667	24.34	-666	24.34
-665	2.70	-664	2.70	-663	24.34	-662	24.34	-661	25.70	-660	25.70	-659	24.34	-658	24.34	-657	2.70	-656	1.45
-655	4.00	-654	4.00	-653	4.16	-652	4.16	-651	4.00	-650	4.00	-649	1.45	-648	1.45	-647	4.00	-646	4.00
-645	4.16	-644	4.16	-643	4.00	-642	4.00	-641	1.45	-640	1.41	-639	3.96	-638	3.96	-637	4.13	-636	4.13
-635	3.96	-634	3.96	-633	1.41	-632	1.41	-631	3.96	-630	3.96	-629	4.13	-628	4.13	-627	3.96	-626	3.96
-625	1.41	-624	1.38	-623	3.93	-622	3.93	-621	4.09	-620	4.09	-619	3.93	-618	3.93	-617	1.38	-616	1.38
-615	3.93	-614	3.93	-613	4.09	-612	4.09	-611	3.93	-610	3.93	-609	1.38	-608	2.56	-607	20.67	-606	20.67
-605	21.85	-604	21.85	-603	20.67	-602	20.67	-601	2.56	-600	2.56	-599	20.67	-598	20.67	-597	21.85	-596	21.85
-595	20.67	-594	20.67	-593	2.56	-592	1.31	-591	3.86	-590	3.86	-589	4.02	-588	4.02	-587	3.86	-586	3.86
-585	1.31	-584	1.31	-583	3.86	-582	3.86	-581	4.02	-580	4.02	-579	3.86	-578	3.86	-577	1.31	-576	1.27
-575	3.82	-574	3.82	-573	3.99	-572	3.99	-571	3.82	-570	3.82	-569	1.27	-568	1.27	-567	3.82	-566	3.82
-565	3.99	-564	3.99	-563	3.82	-562	3.82	-561	1.27	-560	1.24	-559	3.79	-558	3.79	-557	3.95	-556	3.95
-555	3.79	-554	3.79	-553	1.24	-552	1.24	-551	3.79	-550	3.79	-549	3.95	-548	3.95	-547	3.79	-546	3.79
-545	1.24	-544	1.77	-543	3.74	-542	3.74	-541	3.87	-540	3.87	-539	3.74	-538	3.74	-537	1.77	-536	1.77
-535	3.74	-534	3.74	-533	3.87	-532	3.87	-531	3.74	-530	3.17	-529	1.20	-528	1.75	-527	3.72	-526	3.72
-525	3.84	-524	3.84	-523	3.72	-522	3.72	-521	1.75	-520	2.13	-519	3.72	-518	4.10	-517	3.84	-516	4.23

-515	3.72	-514	4.10	-513	1.75	-512	2.23	-511	2.23	-510	2.23	-509	2.23	-508	2.23	-507	2.23	-506	2.23
-505	2.23	-504	2.23	-503	2.23	-502	2.23	-501	2.23	-500	2.23	-499	2.23	-498	2.23	-497	2.23	-496	2.23
-495	2.23	-494	2.23	-493	2.23	-492	2.23	-491	2.23	-490	2.23	-489	2.23	-488	2.23	-487	2.23	-486	2.23
-485	2.23	-484	2.23	-483	2.23	-482	2.23	-481	2.23	-480	2.25	-479	2.25	-478	2.25	-477	2.25	-476	2.25
-475	2.25	-474	2.25	-473	2.25	-472	2.25	-471	2.25	-470	2.25	-469	2.25	-468	2.25	-467	2.25	-466	2.25
-465	2.25	-464	2.25	-463	2.25	-462	2.25	-461	2.25	-460	2.25	-459	2.25	-458	2.25	-457	2.25	-456	2.25
-455	2.25	-454	2.25	-453	2.25	-452	2.25	-451	2.25	-450	2.25	-449	2.25	-448	2.28	-447	2.28	-446	2.28
-445	2.28	-444	2.28	-443	2.28	-442	2.28	-441	2.28	-440	2.28	-439	2.28	-438	2.28	-437	2.28	-436	2.28
-435	2.28	-434	2.28	-433	2.28	-432	2.28	-431	2.28	-430	2.28	-429	2.28	-428	2.28	-427	2.28	-426	2.28
-425	2.28	-424	2.28	-423	2.28	-422	2.28	-421	2.28	-420	2.28	-419	2.28	-418	2.28	-417	2.28	-416	2.30
-415	2.30	-414	2.30	-413	2.30	-412	2.30	-411	2.30	-410	2.30	-409	2.30	-408	2.30	-407	2.30	-406	2.30
-405	2.30	-404	2.30	-403	2.30	-402	2.30	-401	2.30	-400	2.30	-399	2.30	-398	2.30	-397	2.30	-396	2.30
-395	2.30	-394	2.30	-393	2.30	-392	2.30	-391	2.30	-390	2.30	-389	2.30	-388	2.30	-387	2.30	-386	2.30
-385	2.30	-384	2.33	-383	2.33	-382	2.33	-381	2.33	-380	2.33	-379	2.33	-378	2.33	-377	2.33	-376	2.33
-375	2.33	-374	2.33	-373	2.33	-372	2.33	-371	2.33	-370	2.33	-369	2.33	-368	2.33	-367	2.33	-366	2.33
-365	2.33	-364	2.33	-363	2.33	-362	2.33	-361	2.33	-360	2.33	-359	2.33	-358	2.33	-357	2.33	-356	2.33
-355	2.33	-354	2.33	-353	2.33	-352	2.35	-351	2.35	-350	2.35	-349	2.35	-348	2.35	-347	2.35	-346	2.35
-345	2.35	-344	2.35	-343	2.35	-342	2.35	-341	2.35	-340	2.35	-339	2.35	-338	2.35	-337	2.35	-336	2.35
-335	2.35	-334	2.35	-333	2.35	-332	2.35	-331	2.35	-330	2.35	-329	2.35	-328	2.35	-327	2.35	-326	2.35
-325	2.35	-324	2.35	-323	2.35	-322	2.35	-321	2.35	-320	2.38	-319	2.38	-318	2.38	-317	2.38	-316	2.38
-315	2.38	-314	2.38	-313	2.38	-312	2.38	-311	2.38	-310	2.38	-309	2.38	-308	2.38	-307	2.38	-306	2.38
-305	2.38	-304	2.38	-303	2.38	-302	2.38	-301	2.38	-300	2.38	-299	2.38	-298	2.38	-297	2.38	-296	2.38
-295	2.38	-294	2.38	-293	2.38	-292	2.38	-291	2.38	-290	2.38	-289	2.38	-288	2.40	-287	2.40	-286	2.40
-285	2.40	-284	2.40	-283	2.40	-282	2.40	-281	2.40	-280	2.40	-279	2.40	-278	2.40	-277	2.40	-276	2.40
-275	2.40	-274	2.40	-273	2.40	-272	2.40	-271	2.40	-270	2.40	-269	2.40	-268	2.40	-267	2.40	-266	2.40
-265	2.40	-264	2.40	-263	2.40	-262	2.40	-261	2.40	-260	2.40	-259	2.40	-258	2.40	-257	2.40	-256	2.43
-255	2.43	-254	2.43	-253	2.43	-252	2.43	-251	2.43	-250	2.43	-249	2.43	-248	2.43	-247	2.43	-246	2.43
-245	2.43	-244	2.43	-243	2.43	-242	2.43	-241	2.43	-240	2.43	-239	2.43	-238	2.43	-237	2.43	-236	2.43
-235	2.43	-234	2.43	-233	2.43	-232	2.43	-231	2.43	-230	2.43	-229	2.43	-228	2.43	-227	2.43	-226	2.43
-225	2.43	-224	2.45	-223	2.45	-222	2.45	-221	2.45	-220	2.45	-219	2.45	-218	2.45	-217	2.45	-216	2.45
-215	2.45	-214	2.45	-213	2.45	-212	2.45	-211	2.45	-210	2.45	-209	2.45	-208	2.45	-207	2.45	-206	2.45
-205	2.45	-204	2.45	-203	2.45	-202	2.45	-201	2.45	-200	2.45	-199	2.45	-198	2.45	-197	2.45	-196	2.45
-195	2.45	-194	2.45	-193	2.45	-192	2.48	-191	2.48	-190	2.48	-189	2.48	-188	2.48	-187	2.48	-186	2.48
-185	2.48	-184	2.48	-183	2.48	-182	2.48	-181	2.48	-180	2.48	-179	2.48	-178	2.48	-177	2.48	-176	2.48
-175	2.48	-174	2.48	-173	2.48	-172	2.48	-171	2.48	-170	2.48	-169	2.48	-168	2.48	-167	2.48	-166	2.48
-165	2.48	-164	2.48	-163	2.48	-162	2.48	-161	2.48	-160	2.50	-159	2.50	-158	2.50	-157	2.50	-156	2.50
-155	2.50	-154	2.50	-153	2.50	-152	2.50	-151	2.50	-150	2.50	-149	2.50	-148	2.50	-147	2.50	-146	2.50
-145	2.50	-144	2.50	-143	2.50	-142	2.50	-141	2.50	-140	2.50	-139	2.50	-138	2.50	-137	2.50	-136	2.50
-135	2.50	-134	2.50	-133	2.50	-132	2.50	-131	2.50	-130	2.50	-129	2.50	-128	2.53	-127	2.53	-126	2.53
-125	2.53	-124	2.53	-123	2.53	-122	2.53	-121	2.53	-120	2.53	-119	2.53	-118	2.53	-117	2.53	-116	2.53
-115	2.53	-114	2.53	-113	2.53	-112	2.53	-111	2.53	-110	2.53	-109	2.53	-108	2.53	-107	2.53	-106	2.53
-105	2.53	-104	2.53	-103	2.53	-102	2.53	-101	2.53	-100	2.53	-99	2.53	-98	2.53	-97	2.53	-96	2.55
-95	2.55	-94	2.55	-93	2.55	-92	2.55	-91	2.55	-90	2.55	-89	2.55	-88	2.55	-87	2.55	-86	2.55
-85	2.55	-84	2.55	-83	2.55	-82	2.55	-81	2.55	-80	2.55	-79	2.55	-78	2.55	-77	2.55	-76	2.55
-75	2.55	-74	2.55	-73	2.55	-72	2.55	-71	2.55	-70	2.55	-69	2.55	-68	2.55	-67	2.55	-66	2.55
-65	2.55	-64	3.40	-63	3.40	-62	3.40	-61	3.40	-60	3.40	-59	3.40	-58	3.40	-57	3.40	-56	3.40
-55	3.40	-54	3.40	-53	3.40	-52	3.40	-51	3.40	-50	3.40	-49	3.40	-48	3.40	-47	3.40	-46	3.40
-45	3.40	-44	3.40	-43	3.40	-42	3.40	-41	3.40	-40	3.40	-39	3.40	-38	3.40	-37	3.40	-36	3.40
-35	3.40	-34	3.40	-33	3.40	-32	3.08	-31	3.08	-30	3.08	-29	3.08	-28	3.08	-27	3.08	-26	3.08
-25	3.08	-24	3.08	-23	3.08	-22	3.08	-21	3.08	-20	3.08	-19	3.08	-18	3.08	-17	3.08	-16	3.08
-15	3.08	-14	3.08	-13	3.08	-12	3.08	-11	3.08	-10	3.08	-9	3.08	-8	3.08	-7	3.08	-6	3.08
-5	3.08	-4	3.08	-3	3.08	-2	3.08	-1	3.08	9	0.85	10	0.85	11	0.85	12	0.85	13	0.85
14	0.85	15	0.85	16	0.85	17	0.88	18	1.26	19	0.88	20	1.26	21	0.88	22	1.26	23	0.88
24	1.26	37	1.14	38	1.14	39	1.14	40	1.14	41	1.14	42	1.14	43	1.14	44	1.14	45	1.17
46	1.17	47	1.17	48	1.17	49	1.17	50	1.17	51	1.17	52	1.17	53	1.21	54	1.21	55	1.21
56	1.21	57	1.21	58	1.21	59	1.21	60	1.21	61	1.24	62	1.24	63	1.24	64	1.24	65	1.24
66	1.24	67	1.24	68	1.24	69	1.28	70	1.28	71	1.28	72	1.28	73	1.28	74	1.28	75	1.28
76	1.28	77	1.31	78	1.31	79	1.31	80	1.31	81	1.31	82	1.31	83	1.31	84	1.31	85	1.35
86	1.35	87	1.35	88	1.35	89	1.35	90	1.35	91	1.35	92	1.35	93	1.38	94	1.38	95	1.38

96	1.38	97	1.38	98	1.38	99	1.38	100	1.38	101	1.42	102	1.42	103	1.42	104	1.42	105	1.42
106	1.42	107	1.42	108	1.42	109	1.45	110	1.45	111	1.45	112	1.45	113	1.45	114	1.45	115	1.45
116	1.45	117	1.49	118	1.49	119	1.49	120	1.49	121	1.49	122	1.49	123	1.49	124	1.49	125	1.52
126	1.52	127	1.52	128	1.52	129	1.52	130	1.52	131	1.52	132	1.52	133	1.56	134	1.56	135	1.56
136	1.56	137	1.56	138	1.56	139	1.56	140	1.56	141	1.59	142	1.59	143	1.59	144	1.59	145	1.59
146	1.59	147	1.59	148	1.59	149	1.63	150	1.63	151	1.63	152	1.63	153	1.63	154	1.63	155	1.63
156	1.63	157	1.66	158	1.66	159	1.66	160	1.66	161	1.66	162	1.66	163	1.66	164	1.66	165	1.63
166	1.63	167	1.63	168	1.63	169	1.63	170	1.63	171	1.63	172	1.63	173	1.59	174	1.59	175	1.59
176	1.59	177	1.59	178	1.59	179	1.59	180	1.59	181	1.56	182	1.56	183	1.56	184	1.56	185	1.56
186	1.56	187	1.56	188	1.56	189	1.52	190	1.52	191	1.52	192	1.52	193	1.52	194	1.52	195	1.52
196	1.52	197	1.49	198	1.49	199	1.49	200	1.49	201	1.49	202	1.49	203	1.49	204	1.49	205	1.45
206	1.45	207	1.45	208	1.45	209	1.45	210	1.45	211	1.45	212	1.45	213	1.42	214	1.42	215	1.42
216	1.42	217	1.42	218	1.42	219	1.42	220	1.42	221	1.38	222	1.38	223	1.38	224	1.38	225	1.38
226	1.38	227	1.38	228	1.38	229	1.35	230	1.35	231	1.35	232	1.35	233	1.35	234	1.35	235	1.35
236	1.35	237	1.31	238	1.31	239	1.31	240	1.31	241	1.31	242	1.31	243	1.31	244	1.31	245	1.28
246	1.28	247	1.28	248	1.28	249	1.28	250	1.28	251	1.28	252	1.28	253	1.24	254	1.24	255	1.24
256	1.24	257	1.24	258	1.24	259	1.24	260	1.24	261	1.21	262	1.21	263	1.21	264	1.21	265	1.21
266	1.21	267	1.21	268	1.21	269	1.17	270	1.17	271	1.17	272	1.17	273	1.17	274	1.17	275	1.17
276	1.17	277	1.14	278	1.14	279	1.14	280	1.14	281	1.14	282	1.14	283	1.14	284	1.14	297	0.88
298	0.88	299	0.88	300	0.88	301	0.88	302	0.88	303	0.88	304	0.88	305	0.85	306	0.85	307	0.85
308	0.85	309	0.85	310	0.85	311	0.85	312	0.85	1026	3.64	1029	3.64	1032	3.64	1035	3.64	1286	3.64
1289	3.64	1292	3.64	1295	3.64	1296	1.94	1297	0.72	1298	1.94	1299	1.94	1300	0.72	1301	1.94	1302	1.94
1303	0.72	1304	1.94	1305	1.94	1306	0.72	1307	1.94	1308	0.72	1309	0.72	1310	0.72	1311	0.72	1312	0.72
1313	0.72	1314	0.72	1315	0.72	1316	1.94	1317	0.72	1318	1.94	1319	1.94	1320	0.72	1321	1.94	1322	1.94
1323	0.72	1324	1.94	1325	1.94	1326	0.72	1327	1.94	1328	1.94	1329	0.72	1330	1.94	1331	1.94	1332	0.72
1333	1.94	1334	1.94	1335	0.72	1336	1.94	1337	1.94	1338	0.72	1339	1.94	1340	0.72	1341	0.72	1342	0.72
1343	0.72	1344	0.72	1345	0.72	1346	0.72	1347	0.72	1348	1.94	1349	0.72	1350	1.94	1351	1.94	1352	0.72
1353	1.94	1354	1.94	1355	0.72	1356	1.94	1357	1.94	1358	0.72	1359	1.94	2001	0.49	2002	0.49	2003	0.49
2004	0.49	2005	0.49	2006	0.49	2007	0.49	2008	0.49	2025	1.22	2026	3.41	2027	1.22	2028	1.22	2029	3.41
2030	1.22	2031	1.22	2032	3.41	2033	1.22	2034	1.22	2035	3.41	2036	1.22	2285	1.22	2286	3.41	2287	1.22
2288	1.22	2289	3.41	2290	1.22	2291	1.22	2292	3.41	2293	1.22	2294	1.22	2295	3.41	2296	1.22	2313	0.49
2314	0.49	2315	0.49	2316	0.49	2317	0.49	2318	0.49	2319	0.49	2320	0.49	3001	1.46	3002	14.40	3003	14.40
3004	15.24	3005	15.24	3006	14.40	3007	14.40	3008	1.46	3313	1.46	3314	14.40	3315	14.40	3316	15.24	3317	15.24
3318	14.40	3319	14.40	3320	1.46	4025	1.47	4026	2.12	4027	19.99	4028	19.99	4029	2.12	4030	21.16	4031	21.16
4032	2.12	4033	19.99	4034	19.99	4035	2.12	4036	1.47	4285	1.47	4286	2.12	4287	19.99	4288	19.99	4289	2.12
4290	21.16	4291	21.16	4292	2.12	4293	19.99	4294	19.99	4295	2.12	4296	1.47						

Totali masse nodi

Mo <kg>
5110.00

Elenco modi di vibrare, masse partecipanti e coefficienti di partecipazione

Simbologia

Modo =Numero del modo di vibrare
C =* indica che il modo è stato considerato
Per. =Periodo
Diff. =Minima differenza percentuale dagli altri periodi
Φx =Coefficiente di partecipazione in dir. X
Φy =Coefficiente di partecipazione in dir. Y
Φz =Coefficiente di partecipazione in dir. Z
%Mx =Percentuale massa partecipante in dir. X
%My =Percentuale massa partecipante in dir. Y
%Mz =Percentuale massa partecipante in dir. Z
%Jpz =Percentuale momento d'inerzia polare partecipante intorno all'asse Z

Modo	C	Per.	Diff.	Φx	Φy	Φz	%Mx	%My	%M	%J

									z	pz
1	*	0.43	130.41	-0.00	21.47	0.00	0.00	90.17	0.00	0.00
2	*	0.18	13.78	-21.25	-0.00	0.00	88.39	0.00	0.00	0.00
3	*	0.16	13.78	0.03	0.00	0.00	0.00	0.00	0.00	0.00
Tot.cons.							88.39	90.17	0.00	0.00

Materiali

Cemento armato

Elenco dei criteri di progetto e delle loro principali caratteristiche meccaniche utilizzate:
Travi in c.a.: 1 Travi a una o più campate con geometria variabile

Calcestruzzo

Tipo di calcestruzzo: C30/37
Rck calcestruzzo (Rck calcestruzzo) <daN/cmq>: 370.00
Resistenza caratteristica cilindrica a compressione del calcestruzzo (Fck) <daN/cmq>: 307.10
Resistenza caratteristica a trazione del calcestruzzo (Fctk) <daN/cmq>: 20.59
α_{cc}: 0.85
γ_c: 1.50
Resistenza di calcolo a compressione del calcestruzzo (Fcd) <daN/cmq>: 174.02
Resistenza di calcolo a trazione del calcestruzzo (Fctd) <daN/cmq>: 13.73

Acciaio

Tipo di acciaio: B450C
Tensione caratteristica di snervamento dell'acciaio (Fyk) <daN/cmq>: 4500.00
γ_s: 1.15
Resistenza di calcolo dell'acciaio (Fyd) <daN/cmq>: 3913.04

Acciaio

Elenco dei criteri di progetto e delle loro principali caratteristiche meccaniche utilizzate:
Aste in acciaio: 1

Tipo di acciaio a sezione cava: S275 UNI EN 10025-2
Tensione caratteristica di snervamento dell'acciaio (Fyk) <daN/cmq>: 2750.00
Tensione caratteristica di rottura (Fyt) <daN/cmq>: 4300.00
Modulo elastico (E) <daN/cmq>: 2100000.00
Modulo elastico tangenziale (G) <daN/cmq>: 800000.00

Aste in acciaio: 1

Tipo di acciaio a sezione aperta: S275H UNI EN 10210-1
Tensione caratteristica di snervamento dell'acciaio (Fyk) <daN/cmq>: 2750.00
Tensione caratteristica di rottura (Fyt) <daN/cmq>: 4300.00
Modulo elastico (E) <daN/cmq>: 2100000.00
Modulo elastico tangenziale (G) <daN/cmq>: 800000.00

Collegamenti e reticolari in acciaio

Elenco dei criteri di progetto e delle loro principali caratteristiche meccaniche utilizzate:
Nodi in acciaio: 1 Piastre di fondazione

Nodi in acciaio: 2 Flangie di elevazione

Nodi in acciaio: 5 Continuità con flangia

Classe bulloni: 6.8

Classe Saldature: SECONDA

Prove in sito
Elenco colonne stratigrafiche

Simbologia

St. =Strato
z =Profondità della superficie superiore dello strato
Spess. =Spessore
Unità geotecnica =Unità geotecnica
Class. =Classificazione
Coes. = Coesivo
Inc. = Incoerente
Roc. = Roccia
N. c. = Non classificato
γ =Peso specifico del terreno naturale
γ_{sat} =Peso specifico del terreno saturo
ϕ' =Angolo di attrito efficace
c' =Coesione efficace
c_u =Coesione non drenata
E =Modulo elastico normale
G =Modulo elastico tangenziale
E_{ed} =Modulo edometrico

Colonna stratigrafica numero 1

St.	z <m>	Spess. <cm>	Unità geotecnica	Class.	γ <daN/mc>	γ_{sat} <daN/mc>	ϕ' <grad>	c' <daN/mq>	c_u <daN/mq>	E <daN/mq>	G <daN/mq>	E_{ed} <daN/mq>
1	0.00	0.60	1 Masicciata	Inc.	1700.00	1900.00	30.00	0.00		5500000.00	2148440.00	1064000.00
2	0.60	1.40	2 Riporto	N. c.	1600.00	1800.00	26.00	0.00	1.00	1000000.00	400000.00	443000.00
3	2.00	2.00	3 Limo sabbioso media consistenza	Coes.	1900.00	2000.00	27.00	0.00	1.00	1250000.00	462963.00	638400.00
4	4.00	--	4 Limo alta plasticità alta consistenza	Coes.	2000.00	2050.00	1.00	1190.00	11900.00	1250000.00	446429.00	1071600.00

Le verifiche degli elementi di fondazione sono state effettuate utilizzando l'approccio 2 - Combinazione 1.
Coefficienti parziali per le azioni, per verifiche in condizioni statiche:
Permanenti strutturali, sicurezza a favore $\gamma_A = 1.00$;
Permanenti strutturali, sicurezza a sfavore $\gamma_A = 1.30$;
Permanenti non strutturali, sicurezza a favore $\gamma_A = 0.00$;
Permanenti non strutturali, sicurezza a sfavore $\gamma_A = 1.50$;
Variabili, sicurezza a favore $\gamma_A = 0.00$;
Variabili, sicurezza a sfavore $\gamma_A = 1.50$.

I coefficienti parziali per le azioni sono posti pari all'unità per le verifiche in condizioni sismiche.

Tali coefficienti sono comunque desumibili dalla tabella delle combinazioni delle CCE (Parametri di calcolo).

Coefficienti parziali per i parametri geotecnici:
Tangente dell'angolo di attrito $\gamma_M = 1.00$;
Coesione efficace $\gamma_M = 1.00$;
Coesione non drenata $\gamma_M = 1.00$;

Coefficienti parziali per la resistenza delle fondazioni superficiali:
Capacità portante $\gamma_R = 2.30$;
Scorrimento $\gamma_R = 1.10$;
Coefficienti parziali per la resistenza delle fondazioni profonde:
Per pali infissi:
Resistenza alla base $\gamma_R,b = 1.15$;
Resistenza laterale in compressione $\gamma_R,s = 1.15$;
Resistenza laterale in trazione $\gamma_R,t = 1.25$;
Per pali trivellati:
Resistenza alla base $\gamma_R,b = 1.35$;
Resistenza laterale in compressione $\gamma_R,s = 1.15$;

Resistenza laterale in trazione γ_R,t = 1.25;
Per pali ad elica continua:
Resistenza alla base γ_R,b = 1.30;
Resistenza laterale in compressione γ_R,s = 1.15;
Resistenza laterale in trazione γ_R,t = 1.25;
Fattore di correlazione per la determinazione della resistenza caratteristica desumibile dai criteri di progetto.

Carichi

Simbologia
Imp. =Numero dell'impalcato
Z_{min} =Quota minima solai
Z_{max} =Quota massima solai
Ts =Numero del tipo solaio
Com =Commento
m.
Mq_{Tot} =Area solai
Qps =Carico permanente strutturale
CCE =Numero della condizione di carico elementare
Qpn =Carico permanente non strutturale
QA =Primo carico accidentale
QA2 =Secondo carico accidentale
QA3 =Terzo carico accidentale

Imp.	Z_{min} <m>	Z_{max} <m>	Ts	Comm.	Mq_{Tot} <mq>	Qps <daN/mq>	CCE	Qpn <daN/mq>	CCE	QA <daN/mq>	CCE	QA2 <daN/mq>	CCE	QA3 <daN/mq>	CCE
0	3.50	3.57	2	copertura vento da basso	8.58	5.00	1	10.00	2	50.00	3	50.00	4	40.00	6
0	3.57	3.64	2	copertura vento da basso	8.58	5.00	1	10.00	2	50.00	3	50.00	4	40.00	6
0	3.36	3.43	2	copertura vento da basso	8.58	5.00	1	10.00	2	50.00	3	50.00	4	40.00	6
0	3.43	3.50	2	copertura vento da basso	8.58	5.00	1	10.00	2	50.00	3	50.00	4	40.00	6
0	3.36	3.43	1	copertura	8.58	5.00	1	10.00	2	50.00	3	50.00	4	60.00	5
0	3.32	3.36	2	copertura vento da basso	4.98	5.00	1	10.00	2	50.00	3	50.00	4	40.00	6
0	3.43	3.50	1	copertura	8.58	5.00	1	10.00	2	50.00	3	50.00	4	60.00	5
0	3.32	3.36	1	copertura	4.98	5.00	1	10.00	2	50.00	3	50.00	4	60.00	5
0	3.57	3.64	1	copertura	8.58	5.00	1	10.00	2	50.00	3	50.00	4	60.00	5
0	3.50	3.57	1	copertura	8.58	5.00	1	10.00	2	50.00	3	50.00	4	60.00	5

Spostamento relativo

Max = 0.36 <cm>

Minimo coefficiente di sicurezza

Simbologia
Elem. =Elemento
CC =Numero della combinazione delle condizioni di carico elementari
TCC =Tipo di combinazione di carico
SLU = Stato limite ultimo
SLU S = Stato limite ultimo (azione sismica)
SLE R = Stato limite d'esercizio, combinazione rara
SLE F = Stato limite d'esercizio, combinazione frequente
SLE Q = Stato limite d'esercizio, combinazione quasi permanente
SLD = Stato limite di danno
SLV = Stato limite di salvaguardia della vita
SLC = Stato limite di prevenzione del collasso
SLO = Stato limite di operatività
SLU I = Stato limite di resistenza al fuoco
SND = Stato limite di salvaguardia della vita (non dissipativo)
TV =Tipo di verifica

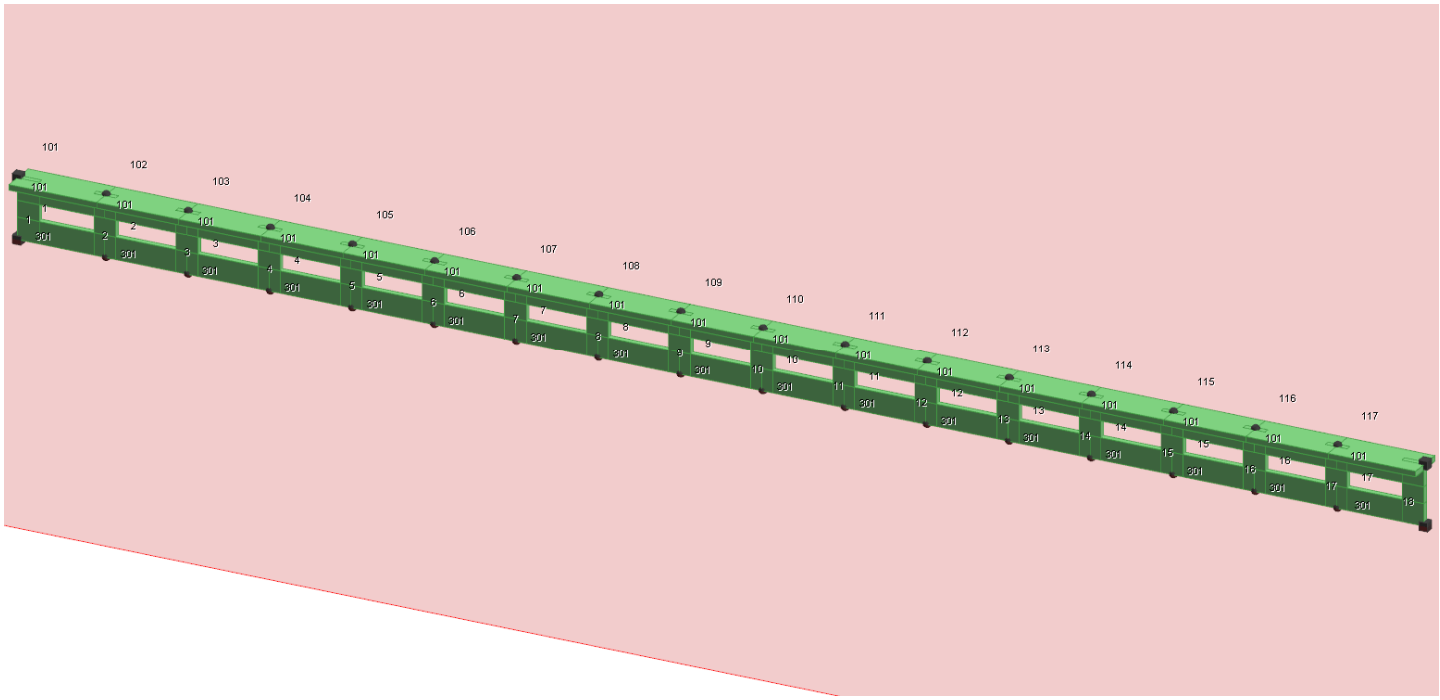
PRFL = Flessione e pressoflessione
TAG = Taglio o altre rotture fragili
NOD = Nodi in c.a. e collegamenti in acciaio
STAB = Stabilità
CP = Capacità portante
RNP = Resistenza nel piano
RFP = Resistenza fuori piano
CIN = Cinematismi
CON = Connessioni
Sic. =Sicurezza

Tabella elementi e minimo coefficiente di sicurezza

Elem.	CC	TCC	TV	Sic.
Travata n. 902	21	SLER	PRFL	4.45
Travata n. 902	17	SLU	TAG	14.47
Asta in acciaio n. 2424	19	SLU	PRFL	1.03
Asta in acciaio n. 2424	19	SLU	TAG	1.03

Minimo coefficiente di sicurezza:1.03

VERIFICHE NUMERICHE PAVIMENTAZIONE



Introduzione

Sistemi di riferimento

Le coordinate, i carichi concentrati, i cedimenti, le reazioni vincolari e gli spostamenti dei NODI sono riferiti ad una terna destra cartesiana globale con l'asse Z verticale rivolto verso l'alto.
I carichi in coordinate locali e le sollecitazioni delle ASTE sono riferite ad una terna destra cartesiana locale così definita:
- origine nel nodo iniziale dell'asta;
- asse X coincidente con l'asse dell'asta e con verso dal nodo iniziale al nodo finale;
- immaginando la trave a sezione rettangolare l'asse Y è parallelo alla base e l'asse Z è parallelo all'altezza. La rotazione dell'asta comporta quindi una rotazione di tutta la terna locale.

Si può immaginare la terna locale di un'asta comunque disposta nello spazio come derivante da quella globale dopo una serie di trasformazioni:
- una rotazione intorno all'asse Z che porti l'asse X a coincidere con la proiezione dell'asse dell'asta sul piano orizzontale;
- una traslazione lungo il nuovo asse X così definito in modo da portare l'origine a coincidere con la proiezione del nodo iniziale dell'asta sul piano orizzontale;
- una traslazione lungo l'asse Z che porti l'origine a coincidere con il nodo iniziale dell'asta;
- una rotazione intorno all'asse Y così definito che porti l'asse X a coincidere con l'asse dell'asta;
- una rotazione intorno all'asse X così definito pari alla rotazione dell'asta.

In pratica le travi prive di rotazione avranno sempre l'asse Z rivolto verso l'alto e l'asse Y nel piano del solaio, mentre i pilastri privi di rotazione avranno l'asse Y parallelo all'asse Y globale e l'asse Z parallelo ma controverso all'asse X globale. Da notare quindi che per i pilastri la "base" è il lato parallelo a Y.

Le sollecitazioni ed i carichi in coordinate locali negli ELEMENTI BIDIMENSIONALI e nei MURI sono riferiti ad una terna destra cartesiana locale così definita:
- origine nel primo nodo dell'elemento;
- asse X coincidente con la congiungente il primo ed il secondo nodo dell'elemento;
- asse Y definito come prodotto vettoriale fra il versore dell'asse X e il versore della congiungente il primo e il quarto

nodo. Asse Z a formare con gli altri due una terna destrorsa.

Praticamente un elemento verticale con l'asse X locale coincidente con l'asse X globale ha anche gli altri assi locali coincidenti con quelli globali.

Rotazioni e momenti

Seguendo il principio adottato per tutti i carichi che sono positivi se CONTROVERSI agli assi, anche i momenti concentrati e le rotazioni impresse in coordinate globali risultano positivi se CONTROVERSI al segno positivo delle rotazioni. Il segno positivo dei momenti e delle rotazioni è quello orario per l'osservatore posto nell'origine: X ruota su Y, Y ruota su Z, Z ruota su X. In pratica è sufficiente adottare la regola della mano destra: col pollice rivolto nella direzione dell'asse, la rotazione che porta a chiudere il palmo della mano corrisponde al segno positivo.

Unità di misura

Le unità di misura adottate sono le seguenti:
- lunghezze : m
- forze : daN
- masse : kg
- temperature : gradi centigradi
- angoli : gradi sessadecimali o radianti

Geometria

Elenco vincoli nodi

Simbologia
Vn =Numero del vincolo nodo
Com =Commento
m.
Sx =Spostamento in dir. X (L=libero, B=bloccato, E=elastico)
Sy =Spostamento in dir. Y (L=libero, B=bloccato, E=elastico)
Sz =Spostamento in dir. Z (L=libero, B=bloccato, E=elastico)
Rx =Rotazione intorno all'asse X (L=libera, B=bloccata, E=elastica)
Ry =Rotazione intorno all'asse Y (L=libera, B=bloccata, E=elastica)
Rz =Rotazione intorno all'asse Z (L=libera, B=bloccata, E=elastica)
RL =Rotazione libera
Ly =Lunghezza (dir. Y locale)
Lz =Larghezza (dir. Z locale)
Kt =Coeff. di sottofondo su suolo elastico alla Winkler

Vn	Comm.	Sx	Sy	Sz	Rx	Ry	Rz	RL	Ly <m>	Lz <m>	Kt <daN/cmc>
1	Libero	L	L	L	L	L	L				
5		L	B	L	L	L	B				

Vn	Comm.	Sx	Sy	Sz	Rx	Ry	Rz	RL	Ly <m>	Lz <m>	Kt <daN/cmc>
4	cerniera	B	B	B	L	L	L				

Elenco nodi

Simbologia
Nodo =Numero del nodo
X =Coordinata X del nodo
Y =Coordinata Y del nodo
Z =Coordinata Z del nodo
Imp. =Numero dell'impalcato

Vn =Numero del vincolo nodo

Nodo	X <m>	Y <m>	Z <m>	Imp.	Vn	Nodo	X <m>	Y <m>	Z <m>	Imp.	Vn	Nodo	X <m>	Y <m>	Z <m>	Imp.	Vn	Nodo	X <m>	Y <m>	Z <m>	Imp.	Vn
1	0.00	0.00	0.00	0	4	2	0.16	0.00	0.00	0	1	3	0.31	0.00	0.00	0	1	4	0.46	0.00	0.00	0	1
5	0.61	0.00	0.00	0	1	6	0.76	0.00	0.00	0	1	7	0.91	0.00	0.00	0	1	8	1.06	0.00	0.00	0	1
9	1.21	0.00	0.00	0	1	10	1.36	0.00	0.00	0	1	11	1.51	0.00	0.00	0	1	12	1.66	0.00	0.00	0	1
13	1.81	0.00	0.00	0	1	14	1.96	0.00	0.00	0	1	15	2.11	0.00	0.00	0	1	16	2.26	0.00	0.00	0	1
17	2.41	0.00	0.00	0	1	18	2.57	0.00	0.00	0	4	101	0.00	0.00	0.11	0	5	102	0.16	0.00	0.11	0	1
103	0.31	0.00	0.11	0	1	104	0.46	0.00	0.11	0	1	105	0.61	0.00	0.11	0	1	106	0.76	0.00	0.11	0	1
107	0.91	0.00	0.11	0	1	108	1.06	0.00	0.11	0	1	109	1.21	0.00	0.11	0	1	110	1.36	0.00	0.11	0	1
111	1.51	0.00	0.11	0	1	112	1.66	0.00	0.11	0	1	113	1.81	0.00	0.11	0	1	114	1.96	0.00	0.11	0	1
115	2.11	0.00	0.11	0	1	116	2.26	0.00	0.11	0	1	117	2.41	0.00	0.11	0	1	118	2.57	0.00	0.11	0	5

Elenco materiali

Simbologia

Mat. =Numero del materiale
Comm. =Commento
P =Peso specifico
E =Modulo elastico
G =Modulo elastico tangenziale
ν =Coeff. di Poisson
α =Coeff. di dilatazione termica

Mat.	Comm.	P <daN/mc>	E <daN/cmq>	G <daN/cmq>	ν	α
18	Acciaio	7850	2100000.00	800000.00	0.3	1.000000E-05

Elenco sezioni aste

Simbologia

Sez. =Numero della sezione
Comm. =Commento
Tipo =Tipologia
2C = Doppia C lato labbri
2Cdx = Doppia C lato costola
2I = Doppia I
2L = Doppia L lato labbri
2Ldx = Doppia L lato costole
C = Sezione a C
Cdx = C destra
Cir. = Circolare
Cir.c = Circolare cava
I = Sezione a I
L = Sezione a L
Ldx = L destra
Om. = Omega
Pg = Pi greco
Pr = Poligono regolare
Prc = Poligono regolare cavo
Pc = Per coordinate
Ia = Inerzie assegnate
R = Rettangolare
Rc = Rettangolare cava
T = Sezione a T
U = Sezione a U
Ur = U rovescia
V = Sezione a V

Vr = V rovescia
Z = Sezione a Z
Zdx = Z destra
Ts = T stondata
Ls = L stondata
Cs = C stondata
Is = I stondata
Dis. = Disegnata

Mem. =Membratura
G = Generica
T = Trave
P = Pilastro

Ver. =Verifica prevista
N = Nessuna
C = Cemento armato
A = Acciaio
L = Legno

B =Base
H =Altezza
s =Spessore ala
r =Raggio raccordo anima-ala
r1 =Raggio in testa ala
R =Raggio
Ma =Numero del materiale
C =Numero del criterio di progetto
Crit. C.I. =Criterio di progetto collegamento iniziale
Crit. C.F. =Criterio di progetto collegamento finale

Sez.	Comm.	Tipo	Mem.	Ver.	B <cm>	H <cm>	s <cm>	r <cm>	r1 <cm>	R <cm>	Ma	C	Crit. C.I.	Crit. C.F.
6	briglia inferiore 40x10	R	T	A	1.00	4.00					18	1	2	2
7	montanti 40x10	R	T	A	1.00	4.00					18	1	2	2
9	briglioa superiore T 40x70x10	Ts	T	A	7.00	4.00	1.00	0.10	0.10	0.10	18	1	2	2

Elenco vincoli aste

Simbologia

Va =Numero del vincolo asta
Comm. =Commento
Tipo =Tipologia
SVI = Definizione di vincolamenti interni
ELA = Vincolo su suolo elastico alla Winkler
BIE-RTC = Biella resistente a trazione e a compressione
BIE-RC = Biella resistente solo a compressione
BIE-RT = Biella resistente solo a trazione
Ni =Sforzo normale nodo iniziale (0=sbloccato, 1=bloccato)
Tyi =Taglio in dir. Y locale nodo iniziale (0=sbloccato, 1=bloccato)
Tzi =Taglio in dir. Z locale nodo iniziale (0=sbloccato, 1=bloccato)
Mxi =Momento intorno all'asse X locale nodo iniziale (0=sbloccato, 1=bloccato)
Myi =Momento intorno all'asse Y locale nodo iniziale (0=sbloccato, 1=bloccato)
Mzi =Momento intorno all'asse Z locale nodo iniziale (0=sbloccato, 1=bloccato)
Nf =Sforzo normale nodo finale (0=sbloccato, 1=bloccato)
Tyf =Taglio in dir. Y locale nodo finale (0=sbloccato, 1=bloccato)
Tzf =Taglio in dir. Z locale nodo finale (0=sbloccato, 1=bloccato)
Mxf =Momento intorno all'asse X locale nodo finale (0=sbloccato, 1=bloccato)
Myf =Momento intorno all'asse Y locale nodo finale (0=sbloccato, 1=bloccato)
Mzf =Momento intorno all'asse Z locale nodo finale (0=sbloccato, 1=bloccato)
Kt =Coeff. di sottofondo su suolo elastico alla Winkler

Va	Comm.	Tipo	Ni	Tyi	Tzi	Mxi	Myi	Mzi	Nf	Tyf	Tzf	Mxf	Myf	Mzf	Kt <daN/cmc>
1	Inc+Inc	SVI	1	1	1	1	1	1	1	1	1	1	1	1	

Elenco aste

Simbologia

Asta =Numero dell'asta
N1 =Nodo iniziale
N2 =Nodo finale
Sez. =Numero della sezione
Va =Numero del vincolo asta
Par. =Numero dei parametri aggiuntivi
Rot. =Rotazione
FF =Filo fisso
Dy1 =Scost. filo fisso Y1
Dy2 =Scost. filo fisso Y2
Dz1 =Scost. filo fisso Z1
Dz2 =Scost. filo fisso Z2
Kt =Coeff. di sottofondo su suolo elastico alla Winkler

Asta	N1	N2	Sez.	Va	Par.	Rot. <grad>	FF	Dy1 <cm>	Dy2 <cm>	Dz1 <cm>	Dz2 <cm>	Kt <daN/cmc>
1	1	101	7	1		0.00	22	0.00	0.00	0.00	0.00	
2	2	102	7	1		0.00	55	0.00	0.00	0.00	0.00	
3	3	103	7	1		0.00	55	0.00	0.00	0.00	0.00	
4	4	104	7	1		0.00	55	0.00	0.00	0.00	0.00	
5	5	105	7	1		0.00	55	0.00	0.00	0.00	0.00	
6	6	106	7	1		0.00	55	0.00	0.00	0.00	0.00	
7	7	107	7	1		0.00	55	0.00	0.00	0.00	0.00	
8	8	108	7	1		0.00	55	0.00	0.00	0.00	0.00	
9	9	109	7	1		0.00	55	0.00	0.00	0.00	0.00	
10	10	110	7	1		0.00	55	0.00	0.00	0.00	0.00	
11	11	111	7	1		0.00	55	0.00	0.00	0.00	0.00	
12	12	112	7	1		0.00	55	0.00	0.00	0.00	0.00	
13	13	113	7	1		0.00	55	0.00	0.00	0.00	0.00	
14	14	114	7	1		0.00	55	0.00	0.00	0.00	0.00	
15	15	115	7	1		0.00	55	0.00	0.00	0.00	0.00	
16	16	116	7	1		0.00	55	0.00	0.00	0.00	0.00	
17	17	117	7	1		0.00	55	0.00	0.00	0.00	0.00	
18	18	118	7	1		0.00	88	0.00	0.00	0.00	0.00	
101	101	102	9	1		180.00	88	0.00	0.00	0.00	0.00	
101	102	103	9	1		180.00	88	0.00	0.00	0.00	0.00	
101	103	104	9	1		180.00	88	0.00	0.00	0.00	0.00	
101	104	105	9	1		180.00	88	0.00	0.00	0.00	0.00	
101	105	106	9	1		180.00	88	0.00	0.00	0.00	0.00	
101	106	107	9	1		180.00	88	0.00	0.00	0.00	0.00	
101	107	108	9	1		180.00	88	0.00	0.00	0.00	0.00	
101	108	109	9	1		180.00	88	0.00	0.00	0.00	0.00	
101	109	110	9	1		180.00	88	0.00	0.00	0.00	0.00	
101	110	111	9	1		180.00	88	0.00	0.00	0.00	0.00	
101	111	112	9	1		180.00	88	0.00	0.00	0.00	0.00	
101	112	113	9	1		180.00	88	0.00	0.00	0.00	0.00	
101	113	114	9	1		180.00	88	0.00	0.00	0.00	0.00	
101	114	115	9	1		180.00	88	0.00	0.00	0.00	0.00	
101	115	116	9	1		180.00	88	0.00	0.00	0.00	0.00	
101	116	117	9	1		180.00	88	0.00	0.00	0.00	0.00	

101	117	118	9	1		180.00	88	0.00	0.00	0.00	0.00	
301	1	2	6	1		0.00	88	0.00	0.00	0.00	0.00	
301	2	3	6	1		0.00	88	0.00	0.00	0.00	0.00	
301	3	4	6	1		0.00	88	0.00	0.00	0.00	0.00	
301	4	5	6	1		0.00	88	0.00	0.00	0.00	0.00	
301	5	6	6	1		0.00	88	0.00	0.00	0.00	0.00	
301	6	7	6	1		0.00	88	0.00	0.00	0.00	0.00	
301	7	8	6	1		0.00	88	0.00	0.00	0.00	0.00	
301	8	9	6	1		0.00	88	0.00	0.00	0.00	0.00	
301	9	10	6	1		0.00	88	0.00	0.00	0.00	0.00	
301	10	11	6	1		0.00	88	0.00	0.00	0.00	0.00	
301	11	12	6	1		0.00	88	0.00	0.00	0.00	0.00	
301	12	13	6	1		0.00	88	0.00	0.00	0.00	0.00	
301	13	14	6	1		0.00	88	0.00	0.00	0.00	0.00	
301	14	15	6	1		0.00	88	0.00	0.00	0.00	0.00	
301	15	16	6	1		0.00	88	0.00	0.00	0.00	0.00	
301	16	17	6	1		0.00	88	0.00	0.00	0.00	0.00	
301	17	18	6	1		0.00	88	0.00	0.00	0.00	0.00	

Carichi

Condizioni di carico elementari

Simbologia

CCE =Numero della condizione di carico elementare
Comm. =Commento
Tipo CCE =Tipo di CCE per calcolo agli stati limite
Sic. =Contributo alla sicurezza
F = a favore
S = a sfavore
A = ambigua
Var. =Tipo di variabilità
B = di base
I = indipendente
A = ambigua
Dir. =Direzione del vento
Tipo =Tipologia di pressione vento
M = Massimizzata
E = Esterna
I = Interna
Mx =Moltiplicatore della massa in dir. X
My =Moltiplicatore della massa in dir. Y
Mz =Moltiplicatore della massa in dir. Z
Jpx =Moltiplicatore del momento d'inerzia intorno all'asse X
Jpy =Moltiplicatore del momento d'inerzia intorno all'asse Y
Jpz =Moltiplicatore del momento d'inerzia intorno all'asse Z

CCE	Comm.	Tipo CCE	Sic.	Var.	Dir. <grad>	Tipo	Mx	My	Mz	Jpx	Jpy	Jpz
1	permanente strutturale	1 D.M. 18 Permanenti strutturali	S	--	--	--	1.00	1.00	0.00	0.00	0.00	1.00
2	permanente non strutturale	2 D.M. 18 Permanenti non strutturali	S	--	--	--	1.00	1.00	0.00	0.00	0.00	1.00
3	neve	12 D.M. 18 Variabili Neve (a quota <= 1000 m s.l.m.)	S	A	--	--	1.00	1.00	0.00	0.00	0.00	1.00
4	folla	5 D.M. 18 Variabili Categoria C - Ambienti suscettibili di affollamento	S	A	--	--	1.00	1.00	0.00	0.00	0.00	1.00

Elenco carichi aste
Condizione di carico n. 1: permanente strutturale
Elenco peso proprio aste

Simbologia

Sez. =Numero della sezione
Com =Commento
m.

A =Area
Mat. =Materiale
P =Peso specifico
PL =Peso specifico a metro lineare

Sez.	Comm.	A <cmq>	Mat.	P <daN/mc>	PL <daN/m>
6	briglia inferiore 40x10	4.000000	Acciaio	7850.00	3.14
7	montanti 40x10	4.000000	Acciaio	7850.00	3.14
9	briglioa superiore T 40x70x10	9.995710	Acciaio	7850.00	7.85

Elenco carichi aste
Condizione di carico n. 1: permanente strutturale
Carichi distribuiti

Simbologia
Asta =Numero dell'asta
N1 =Nodo iniziale
N2 =Nodo finale
E =Elemento provenienza del carico
S = Solaio
T = Tamponatura
NE =Numero elemento di provenienza del carico
T =Tipo di carico
QA = Primo carico accidentale
QA2 = Secondo carico accidentale
QA3 = Terzo carico accidentale
QPS = Carico permanente strutturale
QPN = Carico permanente non strutturale
VE = Vento
M = Manuale
DC =Direzione del carico
XG,YG,ZG = secondo gli assi globali
XL,YL,ZL = secondo gli assi locali
Xi =Distanza iniziale
Qi =Carico iniziale
Xf =Distanza finale
Qf =Carico finale

Asta	N1	N2	E	NE	T	DC	Xi <m>	Qi <daN/m>	Xf <m>	Qf <daN/m>
101	101	102	S	--	M	ZG	0.00	26.00	0.16	26.00
101	103	104	S	--	M	ZG	0.00	26.00	0.15	26.00
101	105	106	S	--	M	ZG	0.00	26.00	0.15	26.00
101	107	108	S	--	M	ZG	0.00	26.00	0.15	26.00
101	109	110	S	--	M	ZG	0.00	26.00	0.15	26.00
101	111	112	S	--	M	ZG	0.00	26.00	0.15	26.00
101	113	114	S	--	M	ZG	0.00	26.00	0.15	26.00
101	115	116	S	--	M	ZG	0.00	26.00	0.15	26.00
101	117	118	S	--	M	Z	0.00	26.00	0.16	26.00

Asta	N1	N2	E	NE	T	DC	Xi <m>	Qi <daN/m>	Xf <m>	Qf <daN/m>
101	102	103	S	--	M	ZG	0.00	26.00	0.15	26.00
101	104	105	S	--	M	ZG	0.00	26.00	0.15	26.00
101	106	107	S	--	M	ZG	0.00	26.00	0.15	26.00
101	108	109	S	--	M	ZG	0.00	26.00	0.15	26.00
101	110	111	S	--	M	ZG	0.00	26.00	0.15	26.00
101	112	113	S	--	M	ZG	0.00	26.00	0.15	26.00
101	114	115	S	--	M	ZG	0.00	26.00	0.15	26.00
101	116	117	S	--	M	ZG	0.00	26.00	0.15	26.00

					G				

Elenco carichi aste
Condizione di carico n. 2: permanente non strutturale
Carichi distribuiti

Asta	N1	N2	E	NE	T	DC	Xi <m>	Qi <daN/m>	Xf <m>	Qf <daN/m>
101	101	102	S	--	M	ZG	0.00	65.00	0.16	65.00
101	103	104	S	--	M	ZG	0.00	65.00	0.15	65.00
101	105	106	S	--	M	ZG	0.00	65.00	0.15	65.00
101	107	108	S	--	M	ZG	0.00	65.00	0.15	65.00
101	109	110	S	--	M	ZG	0.00	65.00	0.15	65.00
101	111	112	S	--	M	ZG	0.00	65.00	0.15	65.00
101	113	114	S	--	M	ZG	0.00	65.00	0.15	65.00
101	115	116	S	--	M	ZG	0.00	65.00	0.15	65.00
101	117	118	S	--	M	ZG	0.00	65.00	0.16	65.00

Asta	N1	N2	E	NE	T	DC	Xi <m>	Qi <daN/m>	Xf <m>	Qf <daN/m>
101	102	103	S	--	M	ZG	0.00	65.00	0.15	65.00
101	104	105	S	--	M	ZG	0.00	65.00	0.15	65.00
101	106	107	S	--	M	ZG	0.00	65.00	0.15	65.00
101	108	109	S	--	M	ZG	0.00	65.00	0.15	65.00
101	110	111	S	--	M	ZG	0.00	65.00	0.15	65.00
101	112	113	S	--	M	ZG	0.00	65.00	0.15	65.00
101	114	115	S	--	M	ZG	0.00	65.00	0.15	65.00
101	116	117	S	--	M	ZG	0.00	65.00	0.15	65.00

Elenco carichi aste
Condizione di carico n. 3: neve
Carichi distribuiti

Asta	N1	N2	E	NE	T	DC	Xi <m>	Qi <daN/m>	Xf <m>	Qf <daN/m>
101	101	102	S	--	M	ZG	0.00	43.00	0.16	43.00
101	103	104	S	--	M	ZG	0.00	43.00	0.15	43.00
101	105	106	S	--	M	ZG	0.00	43.00	0.15	43.00
101	107	108	S	--	M	ZG	0.00	43.00	0.15	43.00
101	109	110	S	--	M	ZG	0.00	43.00	0.15	43.00
101	111	112	S	--	M	ZG	0.00	43.00	0.15	43.00
101	113	114	S	--	M	ZG	0.00	43.00	0.15	43.00
101	115	116	S	--	M	ZG	0.00	43.00	0.15	43.00
101	117	118	S	--	M	ZG	0.00	43.00	0.16	43.00

Asta	N1	N2	E	NE	T	DC	Xi <m>	Qi <daN/m>	Xf <m>	Qf <daN/m>
101	102	103	S	--	M	ZG	0.00	43.00	0.15	43.00
101	104	105	S	--	M	ZG	0.00	43.00	0.15	43.00
101	106	107	S	--	M	ZG	0.00	43.00	0.15	43.00
101	108	109	S	--	M	ZG	0.00	43.00	0.15	43.00
101	110	111	S	--	M	ZG	0.00	43.00	0.15	43.00
101	112	113	S	--	M	ZG	0.00	43.00	0.15	43.00
101	114	115	S	--	M	ZG	0.00	43.00	0.15	43.00
101	116	117	S	--	M	ZG	0.00	43.00	0.15	43.00

Elenco carichi aste
Condizione di carico n. 4: folla
Carichi distribuiti

Asta	N1	N2	E	NE	T	DC	Xi <m>	Qi <daN/m>	Xf <m>	Qf <daN/m>
101	101	102	S	--	M	ZG	0.00	433.00	0.16	433.00

Asta	N1	N2	E	NE	T	DC	Xi <m>	Qi <daN/m>	Xf <m>	Qf <daN/m>
101	102	103	S	--	M	ZG	0.00	433.00	0.15	433.00

101	103	104	S	--	M	ZG	0.00	433.00	0.15	433.00
101	105	106	S	--	M	ZG	0.00	433.00	0.15	433.00
101	107	108	S	--	M	ZG	0.00	433.00	0.15	433.00
101	109	110	S	--	M	ZG	0.00	433.00	0.15	433.00
101	111	112	S	--	M	ZG	0.00	433.00	0.15	433.00
101	113	114	S	--	M	ZG	0.00	433.00	0.15	433.00
101	115	116	S	--	M	ZG	0.00	433.00	0.15	433.00
101	117	118	S	--	M	ZG	0.00	433.00	0.16	433.00

101	104	105	S	--	M	ZG	0.00	433.00	0.15	433.00
101	106	107	S	--	M	ZG	0.00	433.00	0.15	433.00
101	108	109	S	--	M	ZG	0.00	433.00	0.15	433.00
101	110	111	S	--	M	ZG	0.00	433.00	0.15	433.00
101	112	113	S	--	M	ZG	0.00	433.00	0.15	433.00
101	114	115	S	--	M	ZG	0.00	433.00	0.15	433.00
101	116	117	S	--	M	ZG	0.00	433.00	0.15	433.00

Risultati del calcolo

Parametri di calcolo

La modellazione della struttura e la rielaborazione dei risultati del calcolo sono stati effettuati con:
ModeSt ver. 8.17, prodotto da Tecnisoft s.a.s. - Prato

La struttura è stata calcolata utilizzando come solutore agli elementi finiti:
Xfinest ver. 2018, prodotto da Ce.A.S. S.r.l. - Milano

Tipo di normativa: stati limite D.M. 18
Tipo di calcolo: calcolo statico
Vincoli esterni: Considera sempre vincoli assegnati in modellazione
Schematizzazione piani rigidi: nessun impalcato rigido
Modalità di recupero masse secondarie: mantenere sul nodo masse e forze relative

Generazione combinazioni

- Lineari: Sì
- Valuta spostamenti e non sollecitazioni: No
- Buckling: No

Opzioni di calcolo

- Sono state considerate infinitamente rigide le zone di connessione fra travi, pilastri ed elementi bidimensionali con una riduzione del 20%
  - Calcolo con offset rigidi dai nodi: No
  - Uniformare i carichi variabili: No
  - Massimizzare i carichi variabili: No
  - Minimo carico da considerare: 0.00 <daN/m>
  - Recupero carichi zone rigide: taglio e momento flettente
-

Opzioni del solutore

- Tipo di elemento bidimensionale: QF46
- Calcolo sforzo nei nodi: No
- Trascura deformabilità a taglio delle aste: No
- Analisi dinamica con metodo di Lanczos: Sì
- Check sequenza di Sturm: Sì
- Soluzione matrice con metodo ver. 5.1: No
- Analisi non lineare con Newton modificato: No
- Usa formulazione secante per buckling: No
- Trascura buckling torsionale: No

Dati struttura

- Edificio esistente: No
- Tipo di opera: Opera ordinaria
- Vita nominale V_N: 50.00
- Classe d'uso: Classe III
- Forze orizzontali convenzionali per stati limite non sismici: No
- Genera stati limite per verifiche di resistenza al fuoco: No

Condizioni di carico elementari

Simbologia

CCE =Numero della condizione di carico elementare
Comm. =Commento
Tipo CCE =Tipo di CCE per calcolo agli stati limite
Sic. =Contributo alla sicurezza
F = a favore
S = a sfavore
A = ambigua
Var. =Tipo di variabilità
B = di base
I = indipendente
A = ambigua
Dir. =Direzione del vento
Tipo =Tipologia di pressione vento
M = Massimizzata
E = Esterna
I = Interna
Mx =Moltiplicatore della massa in dir. X
My =Moltiplicatore della massa in dir. Y
Mz =Moltiplicatore della massa in dir. Z
Jpx =Moltiplicatore del momento d'inerzia intorno all'asse X
Jpy =Moltiplicatore del momento d'inerzia intorno all'asse Y
Jpz =Moltiplicatore del momento d'inerzia intorno all'asse Z

CCE	Comm.	Tipo CCE	Sic.	Var.	Dir. <grad>	Tipo	Mx	My	Mz	Jpx	Jpy	Jpz
1	permanente strutturale	1	S	--	--	--	1.00	1.00	0.00	0.00	0.00	1.00
2	permanente non strutturale	2	S	--	--	--	1.00	1.00	0.00	0.00	0.00	1.00
3	neve	12	S	A	--	--	1.00	1.00	0.00	0.00	0.00	1.00
4	folla	5	S	A	--	--	1.00	1.00	0.00	0.00	0.00	1.00

Elenco tipi CCE definiti

Simbologia

Tipo CCE =Tipo condizione di carico elementare
Comm. =Commento
Tipo =Tipologia
G = Permanente
Qv = Variabile vento
Q = Variabile
I = Da ignorare
A = Azione eccezionale
P = Precompressione
Durata =Durata del carico
N = Non definita
P = Permanente
L = Lunga

M = Media
B = Breve
I = Istantanea

γ min. =Coeff. $\gamma_{min.}$
γ max =Coeff. γ_{max}
ψ_0 =Coeff. ψ_0
ψ_1 =Coeff. ψ_1
ψ_2 =Coeff. ψ_2
$\psi_{0,s}$ =Coeff. ψ_0 sismico (D.M. 96)

Tipo CCE	Comm.	Tipo	Durata	γ min.	γ max	ψ_0	ψ_1	ψ_2	$\psi_{0,s}$
1	D.M. 18 Permanenti strutturali	G	P	1.00	1.30				
2	D.M. 18 Permanenti non strutturali	G	L	0.80	1.50				
12	D.M. 18 Variabili Neve (a quota <= 1000 m s.l.m.)	Q	M	0.00	1.50	0.50	0.20	0.00	0.00
5	D.M. 18 Variabili Categoria C - Ambienti suscettibili di affollamento	Q	M	0.00	1.50	0.70	0.70	0.60	0.00

Ambienti di carico
Simbologia
N =Numero
Com =Commento
m.
1=permanente strutturale
2=permanente non strutturale
3=neve
4=folla
F =azioni orizzontali convenzionali
SLU =Stato limite ultimo
SLR =Stato limite per combinazioni rare
SLF =Stato limite per combinazioni frequenti
SLQ/D =Stato limite per combinazioni quasi permanenti o di danno
S = Sì
N = No

N	Comm.	1	2	3	4	SLU	SLR	SLF	SLQ
1	Calcolo statico	S	S	S	S	S	S	S	S

Elenco combinazioni di carico simboliche

Simbologia
CC =Numero della combinazione delle condizioni di carico elementari
Com =Commento
m.
TCC =Tipo di combinazione di carico
SLU = Stato limite ultimo
SLU S = Stato limite ultimo (azione sismica)
SLE R = Stato limite d'esercizio, combinazione rara
SLE F = Stato limite d'esercizio, combinazione frequente
SLE Q = Stato limite d'esercizio, combinazione quasi permanente
SLD = Stato limite di danno
SLV = Stato limite di salvaguardia della vita
SLC = Stato limite di prevenzione del collasso
SLO = Stato limite di operatività
SLU I = Stato limite di resistenza al fuoco
SND = Stato limite di salvaguardia della vita (non dissipativo)

CC	Comm.	TCC	1	2	3	4
1	Amb. 1 (SLU)	SLU	γ max	γ max	ψ_0*γ max	γ max
2	Amb. 1 (SLU)	SLU	γ max	γ max	γ max	ψ_0*γ max
3	Amb. 1 (SLE R)	SLE	1	1	ψ_0	1

		R				
4	Amb. 1 (SLE R)	SLE R	1	1	1	ψ_0
5	Amb. 1 (SLE F)	SLE F	1	1	ψ_2	ψ_1
6	Amb. 1 (SLE F)	SLE F	1	1	ψ_1	ψ_2
7	Amb. 1 (SLE Q)	SLE Q	1	1	ψ_2	ψ_2

Genera le combinazioni con un solo carico di tipo variabile come di base: Sì

Considera sollecitazioni dinamiche con segno dei modi principali: No

Combinazioni delle CCE

Simbologia
CC =Numero della combinazione delle condizioni di carico elementari
Comm. =Commento
TCC =Tipo di combinazione di carico
SLU = Stato limite ultimo
SLU S = Stato limite ultimo (azione sismica)
SLE R = Stato limite d'esercizio, combinazione rara
SLE F = Stato limite d'esercizio, combinazione frequente
SLE Q = Stato limite d'esercizio, combinazione quasi permanente
SLD = Stato limite di danno
SLV = Stato limite di salvaguardia della vita
SLC = Stato limite di prevenzione del collasso
SLO = Stato limite di operatività
SLU I = Stato limite di resistenza al fuoco
SND = Stato limite di salvaguardia della vita (non dissipativo)
An. =Tipo di analisi
L = Lineare
NL = Non lineare
Bk =Buckling
S = Sì
N = No

CC	Comm.	TCC	An.	Bk	1	2	3	4
1	Amb. 1 (SLU)	SLU	L	N	1.30	1.50	0.75	1.50
2	Amb. 1 (SLU)	SLU	L	N	1.30	1.50	1.50	1.05
3	Amb. 1 (SLE R)	SLE R	L	N	1.00	1.00	0.50	1.00
4	Amb. 1 (SLE R)	SLE R	L	N	1.00	1.00	1.00	0.70
5	Amb. 1 (SLE F)	SLE F	L	N	1.00	1.00	0.00	0.70
6	Amb. 1 (SLE F)	SLE F	L	N	1.00	1.00	0.20	0.60
7	Amb. 1 (SLE Q)	SLE Q	L	N	1.00	1.00	0.00	0.60

Spostamenti dei nodi

Simbologia
Nodo =Numero del nodo
Sx =Spostamento in dir. X
CC =Numero della combinazione delle condizioni di carico elementari

TCC =Tipo di combinazione di carico
SLU = Stato limite ultimo
SLU S = Stato limite ultimo (azione sismica)
SLE R = Stato limite d'esercizio, combinazione rara
SLE F = Stato limite d'esercizio, combinazione frequente
SLE Q = Stato limite d'esercizio, combinazione quasi permanente
SLD = Stato limite di danno
SLV = Stato limite di salvaguardia della vita
SLC = Stato limite di prevenzione del collasso
SLO = Stato limite di operatività
SLU I = Stato limite di resistenza al fuoco
SND = Stato limite di salvaguardia della vita (non dissipativo)
Sy =Spostamento in dir. Y
Sz =Spostamento in dir. Z
Rx =Rotazione intorno all'asse X
Ry =Rotazione intorno all'asse Y
Rz =Rotazione intorno all'asse Z

Nodo		Sx <cm>	CC	TCC	Sy <cm>	CC	TCC	Sz <cm>	CC	TCC	Rx <rad>	CC	TCC	Ry <rad>	CC	TCC	Rz <rad>	CC	TCC
1	Max	0.00	1	SLU	0.00	1	SLU	0.00	1	SLU	0.00	1	SLU	0.00	1	SLU	0.00	1	SLU
1	Min.	0.00	1	SLU	0.00	1	SLU	0.00	1	SLU	0.00	7	SLE Q	0.00	7	SLE Q	0.00	7	SLE Q
2	Max	-0.00	7	SLE Q	0.00	1	SLU	-0.03	7	SLE Q	0.00	7	SLE Q	0.00	1	SLU	0.00	1	SLU
2	Min.	-0.01	1	SLU	0.00	7	SLE Q	-0.08	1	SLU	0.00	1	SLU	0.00	7	SLE Q	0.00	7	SLE Q
3	Max	-0.00	7	SLE Q	0.00	1	SLU	-0.07	7	SLE Q	0.00	7	SLE Q	0.00	1	SLU	0.00	1	SLU
3	Min.	-0.01	1	SLU	0.00	7	SLE Q	-0.15	1	SLU	0.00	1	SLU	0.00	7	SLE Q	0.00	7	SLE Q
4	Max	-0.00	7	SLE Q	0.00	1	SLU	-0.10	7	SLE Q	0.00	7	SLE Q	0.00	1	SLU	0.00	1	SLU
4	Min.	-0.01	1	SLU	0.00	7	SLE Q	-0.22	1	SLU	0.00	1	SLU	0.00	7	SLE Q	0.00	7	SLE Q
5	Max	-0.01	7	SLE Q	0.00	1	SLU	-0.12	7	SLE Q	0.00	7	SLE Q	0.00	1	SLU	0.00	1	SLU
5	Min.	-0.01	1	SLU	0.00	7	SLE Q	-0.28	1	SLU	0.00	1	SLU	0.00	7	SLE Q	0.00	7	SLE Q
6	Max	-0.00	7	SLE Q	0.00	1	SLU	-0.15	7	SLE Q	0.00	7	SLE Q	0.00	1	SLU	0.00	1	SLU
6	Min.	-0.01	1	SLU	0.00	7	SLE Q	-0.34	1	SLU	0.00	1	SLU	0.00	7	SLE Q	0.00	7	SLE Q
7	Max	-0.00	7	SLE Q	0.00	1	SLU	-0.17	7	SLE Q	0.00	7	SLE Q	0.00	1	SLU	0.00	1	SLU
7	Min.	-0.01	1	SLU	0.00	7	SLE Q	-0.38	1	SLU	0.00	1	SLU	0.00	7	SLE Q	0.00	7	SLE Q
8	Max	-0.00	7	SLE Q	0.00	1	SLU	-0.18	7	SLE Q	0.00	7	SLE Q	0.00	1	SLU	0.00	1	SLU
8	Min.	-0.01	1	SLU	0.00	7	SLE Q	-0.41	1	SLU	0.00	1	SLU	0.00	7	SLE Q	0.00	7	SLE Q
9	Max	0.00	7	SLE Q	0.00	1	SLU	-0.19	7	SLE Q	0.00	7	SLE Q	0.00	1	SLU	0.00	1	SLU
9	Min.	-0.00	1	SLU	0.00	7	SLE Q	-0.43	1	SLU	0.00	1	SLU	0.00	7	SLE Q	0.00	7	SLE Q
10	Max	0.00	1	SLU	0.00	1	SLU	-0.19	7	SLE Q	0.00	7	SLE Q	0.00	7	SLE Q	0.00	7	SLE Q
10	Min.	0.00	7	SLE Q	0.00	7	SLE Q	-0.43	1	SLU	0.00	1	SLU	0.00	1	SLU	0.00	1	SLU

11	Max	0.01	1	SLU	0.00	1	SLU	-0.18	7	SLEQ	0.00	7	SLEQ	0.00	7	SLEQ	0.00	7	SLEQ
11	Min.	0.00	7	SLEQ	0.00	7	SLEQ	-0.41	1	SLU	0.00	1	SLU	-0.00	1	SLU	0.00	1	SLU
12	Max	0.01	1	SLU	0.00	1	SLU	-0.17	7	SLEQ	0.00	7	SLEQ	0.00	7	SLEQ	0.00	7	SLEQ
12	Min.	0.00	7	SLEQ	0.00	7	SLEQ	-0.38	1	SLU	0.00	1	SLU	-0.00	1	SLU	0.00	1	SLU
13	Max	0.01	1	SLU	0.00	1	SLU	-0.15	7	SLEQ	0.00	7	SLEQ	-0.00	7	SLEQ	0.00	7	SLEQ
13	Min.	0.00	7	SLEQ	0.00	7	SLEQ	-0.34	1	SLU	0.00	1	SLU	-0.00	1	SLU	0.00	1	SLU
14	Max	0.01	1	SLU	0.00	1	SLU	-0.12	7	SLEQ	0.00	7	SLEQ	-0.00	7	SLEQ	0.00	7	SLEQ
14	Min.	0.01	7	SLEQ	0.00	7	SLEQ	-0.28	1	SLU	0.00	1	SLU	-0.00	1	SLU	0.00	1	SLU
15	Max	0.01	1	SLU	0.00	1	SLU	-0.10	7	SLEQ	0.00	7	SLEQ	-0.00	7	SLEQ	0.00	7	SLEQ
15	Min.	0.00	7	SLEQ	0.00	7	SLEQ	-0.22	1	SLU	0.00	1	SLU	-0.00	1	SLU	0.00	1	SLU
16	Max	0.01	1	SLU	0.00	1	SLU	-0.07	7	SLEQ	0.00	7	SLEQ	-0.00	7	SLEQ	0.00	7	SLEQ
16	Min.	0.00	7	SLEQ	0.00	7	SLEQ	-0.15	1	SLU	0.00	1	SLU	-0.00	1	SLU	0.00	1	SLU
17	Max	0.01	1	SLU	0.00	1	SLU	-0.03	7	SLEQ	0.00	7	SLEQ	-0.00	7	SLEQ	0.00	7	SLEQ
17	Min.	0.00	7	SLEQ	0.00	7	SLEQ	-0.08	1	SLU	0.00	1	SLU	-0.00	1	SLU	0.00	1	SLU
18	Max	0.00	1	SLU	0.00	1	SLU	0.00	1	SLU	0.00	1	SLU	-0.00	7	SLEQ	0.00	7	SLEQ
18	Min.	0.00	1	SLU	0.00	1	SLU	0.00	1	SLU	0.00	7	SLEQ	-0.00	1	SLU	0.00	1	SLU
101	Max	0.02	1	SLU	0.00	1	SLU	0.00	7	SLEQ	0.00	7	SLEQ	0.00	1	SLU	0.00	1	SLU
101	Min.	0.01	7	SLEQ	0.00	1	SLU	0.00	1	SLU	0.00	1	SLU	0.00	7	SLEQ	0.00	1	SLU
102	Max	0.02	1	SLU	0.00	1	SLU	-0.03	7	SLEQ	0.00	7	SLEQ	0.00	1	SLU	0.00	1	SLU
102	Min.	0.01	7	SLEQ	0.00	7	SLEQ	-0.08	1	SLU	0.00	1	SLU	0.00	7	SLEQ	0.00	7	SLEQ
103	Max	0.02	1	SLU	0.00	1	SLU	-0.07	7	SLEQ	0.00	7	SLEQ	0.00	1	SLU	0.00	1	SLU
103	Min.	0.01	7	SLEQ	0.00	7	SLEQ	-0.15	1	SLU	0.00	1	SLU	0.00	7	SLEQ	0.00	7	SLEQ
104	Max	0.02	1	SLU	0.00	1	SLU	-0.10	7	SLEQ	0.00	7	SLEQ	0.00	1	SLU	0.00	1	SLU
104	Min.	0.01	7	SLEQ	0.00	7	SLEQ	-0.22	1	SLU	0.00	1	SLU	0.00	7	SLEQ	0.00	7	SLEQ
105	Max	0.02	1	SLU	0.00	1	SLU	-0.12	7	SLEQ	0.00	7	SLEQ	0.00	1	SLU	0.00	1	SLU
105	Min.	0.01	7	SLEQ	0.00	7	SLEQ	-0.28	1	SLU	0.00	1	SLU	0.00	7	SLEQ	0.00	7	SLEQ
106	Max	0.01	1	SLU	0.00	1	SLU	-0.15	7	SLEQ	0.00	7	SLEQ	0.00	1	SLU	0.00	1	SLU
106	Min.	0.01	7	SLEQ	0.00	7	SLEQ	-0.34	1	SLU	0.00	1	SLU	0.00	7	SLEQ	0.00	7	SLEQ
107	Max	0.01	1	SLU	0.00	1	SLU	-0.17	7	SLEQ	0.00	7	SLEQ	0.00	1	SLU	0.00	1	SLU
107	Min.	0.00	7	SLEQ	0.00	7	SLEQ	-0.38	1	SLU	0.00	1	SLU	0.00	7	SLEQ	0.00	7	SLEQ

108	Max	0.01	1	SLU	0.00	1	SLU	-0.18	7	SLE Q	0.00	7	SLE Q	0.00	1	SLU	0.00	1	SLU
108	Min.	0.00	7	SLE Q	0.00	7	SLE Q	-0.41	1	SLU	0.00	1	SLU	0.00	7	SLE Q	0.00	7	SLE Q
109	Max	0.00	1	SLU	0.00	1	SLU	-0.19	7	SLE Q	0.00	7	SLE Q	0.00	1	SLU	0.00	1	SLU
109	Min.	0.00	7	SLE Q	0.00	7	SLE Q	-0.43	1	SLU	0.00	1	SLU	0.00	7	SLE Q	0.00	7	SLE Q
110	Max	0.00	7	SLE Q	0.00	1	SLU	-0.19	7	SLE Q	0.00	7	SLE Q	0.00	7	SLE Q	0.00	7	SLE Q
110	Min.	-0.00	1	SLU	0.00	7	SLE Q	-0.43	1	SLU	0.00	1	SLU	0.00	1	SLU	0.00	1	SLU
111	Max	-0.00	7	SLE Q	0.00	1	SLU	-0.18	7	SLE Q	0.00	7	SLE Q	0.00	7	SLE Q	0.00	7	SLE Q
111	Min.	-0.01	1	SLU	0.00	7	SLE Q	-0.41	1	SLU	0.00	1	SLU	-0.00	1	SLU	0.00	1	SLU
112	Max	-0.00	7	SLE Q	0.00	1	SLU	-0.17	7	SLE Q	0.00	7	SLE Q	0.00	7	SLE Q	0.00	7	SLE Q
112	Min.	-0.01	1	SLU	0.00	7	SLE Q	-0.38	1	SLU	0.00	1	SLU	-0.00	1	SLU	0.00	1	SLU
113	Max	-0.01	7	SLE Q	0.00	1	SLU	-0.15	7	SLE Q	0.00	7	SLE Q	-0.00	7	SLE Q	0.00	7	SLE Q
113	Min.	-0.01	1	SLU	0.00	7	SLE Q	-0.34	1	SLU	0.00	1	SLU	-0.00	1	SLU	0.00	1	SLU
114	Max	-0.01	7	SLE Q	0.00	1	SLU	-0.12	7	SLE Q	0.00	7	SLE Q	-0.00	7	SLE Q	0.00	7	SLE Q
114	Min.	-0.02	1	SLU	0.00	7	SLE Q	-0.28	1	SLU	0.00	1	SLU	-0.00	1	SLU	0.00	1	SLU
115	Max	-0.01	7	SLE Q	0.00	1	SLU	-0.10	7	SLE Q	0.00	7	SLE Q	-0.00	7	SLE Q	0.00	7	SLE Q
115	Min.	-0.02	1	SLU	0.00	7	SLE Q	-0.22	1	SLU	0.00	1	SLU	-0.00	1	SLU	0.00	1	SLU
116	Max	-0.01	7	SLE Q	0.00	1	SLU	-0.07	7	SLE Q	0.00	7	SLE Q	-0.00	7	SLE Q	0.00	7	SLE Q
116	Min.	-0.02	1	SLU	0.00	7	SLE Q	-0.15	1	SLU	0.00	1	SLU	-0.00	1	SLU	0.00	1	SLU
117	Max	-0.01	7	SLE Q	0.00	1	SLU	-0.03	7	SLE Q	0.00	7	SLE Q	-0.00	7	SLE Q	0.00	7	SLE Q
117	Min.	-0.02	1	SLU	0.00	7	SLE Q	-0.08	1	SLU	0.00	1	SLU	-0.00	1	SLU	0.00	1	SLU
118	Max	-0.01	7	SLE Q	0.00	1	SLU	0.00	7	SLE Q	0.00	7	SLE Q	-0.00	7	SLE Q	0.00	1	SLU
118	Min.	-0.02	1	SLU	0.00	1	SLU	0.00	1	SLU	0.00	1	SLU	-0.00	1	SLU	0.00	1	SLU

Min = -0.43
Max = 0.02

Reazioni vincolari

Simbologia
Nodo =Numero del nodo
CC =Numero della combinazione delle condizioni di carico elementari
TCC =Tipo di combinazione di carico
SLU = Stato limite ultimo
SLU S = Stato limite ultimo (azione sismica)
SLE R = Stato limite d'esercizio, combinazione rara
SLE F = Stato limite d'esercizio, combinazione frequente
SLE Q = Stato limite d'esercizio, combinazione quasi permanente
SLD = Stato limite di danno

SLV = Stato limite di salvaguardia della vita
SLC = Stato limite di prevenzione del collasso
SLO = Stato limite di operatività
SLU I = Stato limite di resistenza al fuoco
SND = Stato limite di salvaguardia della vita (non dissipativo)

Fx =Reazione vincolare (forza) in dir. X
Fy =Reazione vincolare (forza) in dir. Y
Fz =Reazione vincolare (forza) in dir. Z
Mx =Reazione vincolare (momento) intorno all'asse X
My =Reazione vincolare (momento) intorno all'asse Y
Mz =Reazione vincolare (momento) intorno all'asse Z

Nodo		CC	TCC	Fx <daN>	CC	TCC	Fy <daN>	CC	TCC	Fz <daN>	CC	TCC	Mx <daNm>	CC	TCC	My <daNm>	CC	TCC	Mz <daNm>
1	Max	1	SLU	4068.66	1	SLU	0.00	1	SLU	1067.16	1	SLU	0.00	5	SLU	0.00	7	SLU	0.00
1	Min	7	SLU	1784.04	7	SLU	0.00	7	SLU	468.00	6	SLU	0.00	2	SLU	0.00	1	SLU	0.00
18	Max	7	SLEQ	-1784.04	1	SLEQ	0.00	1	SLEQ	1067.16	5	SLEQ	0.00	7	SLEQ	0.00	5	SLEQ	0.00
18	Min	1	SLEQ	-4068.66	6	SLEQ	0.00	7	SLEQ	468.00	2	SLEQ	0.00	4	SLEQ	0.00	1	SLEQ	0.00
101	Max	7	SLEQ	0.00	7	SLEQ	0.00	4	SLEQ	0.00	1	SLEQ	0.00	7	SLEQ	0.00	7	SLEQ	0.00
101	Min	1	SLEQ	0.00	1	SLEQ	0.00	1	SLEQ	0.00	7	SLEQ	0.00	1	SLEQ	0.00	1	SLEQ	0.00
118	Max	1	SLU	0.00	7	SLU	0.00	1	SLU	0.00	1	SLU	0.00	1	SLU	0.00	1	SLU	0.00
118	Min	6	SLU	0.00	1	SLU	0.00	7	SLU	0.00	7	SLU	0.00	7	SLU	0.00	1	SLU	0.00

Sollecitazioni aste

Simbologia

Asta =Numero dell'asta
N1 =Nodo1
N2 =Nodo2
X =Coordinata progressiva rispetto al nodo iniziale
N =Sforzo normale
CC =Numero della combinazione delle condizioni di carico elementari
Ty =Taglio in dir. Y
Mz =Momento flettente intorno all'asse Z
Tz =Taglio in dir. Z
My =Momento flettente intorno all'asse Y
Mx =Momento torcente intorno all'asse X

Tipo di combinazione di carico: SLU

Asta	N1	N2		X <cm>	N <daN>	CC	Ty <daN>	CC	Mz <daNm>	CC	Tz <daN>	CC	My <daNm>	CC	Mx <daNm>	CC
1	1	101	Max	0.00	-477.37	2	0.00	1	0.00	2	-723.86	2	44.42	1	0.00	2
1	1	101	Max	11.00	-476.92	2	0.00	1	0.00	1	-723.86	2	-43.90	2	0.00	2
1	1	101	Min.	0.00	-593.63	1	0.00	2	0.00	1	-900.14	1	35.73	2	0.00	1
1	1	101	Min.	11.00	-593.18	1	0.00	2	0.00	2	-900.14	1	-54.59	1	0.00	1
2	2	102	Max	0.00	-58.41	2	0.00	1	0.00	2	-941.12	2	61.45	1	0.00	2
2	2	102	Max	11.00	-57.96	2	0.00	1	0.00	1	-941.12	2	-54.11	2	0.00	2
2	2	102	Min.	0.00	-72.80	1	0.00	2	0.00	1	-1170.30	1	49.41	2	0.00	1
2	2	102	Min.	11.00	-72.35	1	0.00	2	0.00	2	-1170.30	1	-67.29	1	0.00	1

3	3	103	Max	0.00	-40.00	2	0.00	2	0.00	1	-839.67	2	54.38	1	0.00	2
3	3	103	Max	11.00	-39.55	2	0.00	2	0.00	2	-839.67	2	-48.64	2	0.00	2
3	3	103	Min.	0.00	-49.88	1	0.00	1	0.00	2	-1044.15	1	43.73	2	0.00	1
3	3	103	Min.	11.00	-49.43	1	0.00	1	0.00	1	-1044.15	1	-60.48	1	0.00	1
4	4	104	Max	0.00	-46.46	2	0.00	2	0.00	1	-715.69	2	46.41	1	0.00	2
4	4	104	Max	11.00	-46.01	2	0.00	2	0.00	2	-715.69	2	-41.41	2	0.00	2
4	4	104	Min.	0.00	-57.92	1	0.00	1	0.00	2	-889.97	1	37.32	2	0.00	1
4	4	104	Min.	11.00	-57.47	1	0.00	1	0.00	1	-889.97	1	-51.49	1	0.00	1
5	5	105	Max	0.00	-46.07	2	0.00	2	0.00	1	-586.33	2	38.01	1	0.00	2
5	5	105	Max	11.00	-45.62	2	0.00	2	0.00	2	-586.33	2	-33.93	2	0.00	2
5	5	105	Min.	0.00	-57.44	1	0.00	1	0.00	2	-729.11	1	30.57	2	0.00	1
5	5	105	Min.	11.00	-56.99	1	0.00	1	0.00	1	-729.11	1	-42.19	1	0.00	1
6	6	106	Max	0.00	-46.17	2	0.00	2	0.00	1	-456.17	2	29.58	1	0.00	2
6	6	106	Max	11.00	-45.72	2	0.00	2	0.00	2	-456.17	2	-26.39	2	0.00	2
6	6	106	Min.	0.00	-57.56	1	0.00	1	0.00	2	-567.26	1	23.78	2	0.00	1
6	6	106	Min.	11.00	-57.11	1	0.00	1	0.00	1	-567.26	1	-32.82	1	0.00	1
7	7	107	Max	0.00	-46.17	2	0.00	2	0.00	1	-325.86	2	21.13	1	0.00	2
7	7	107	Max	11.00	-45.72	2	0.00	2	0.00	2	-325.86	2	-18.85	2	0.00	2
7	7	107	Min.	0.00	-57.56	1	0.00	1	0.00	2	-405.21	1	16.99	2	0.00	1
7	7	107	Min.	11.00	-57.11	1	0.00	1	0.00	1	-405.21	1	-23.45	1	0.00	1
8	8	108	Max	0.00	-46.17	2	0.00	2	0.00	1	-195.52	2	12.68	1	0.00	2
8	8	108	Max	11.00	-45.72	2	0.00	2	0.00	2	-195.52	2	-11.31	2	0.00	2
8	8	108	Min.	0.00	-57.56	1	0.00	1	0.00	2	-243.13	1	10.19	2	0.00	1
8	8	108	Min.	11.00	-57.11	1	0.00	1	0.00	1	-243.13	1	-14.07	1	0.00	1
9	9	109	Max	0.00	-46.17	2	0.00	2	0.00	1	-65.17	2	4.23	1	0.00	2
9	9	109	Max	11.00	-45.72	2	0.00	2	0.00	2	-65.17	2	-3.77	2	0.00	2
9	9	109	Min.	0.00	-57.56	1	0.00	1	0.00	2	-81.04	1	3.40	2	0.00	1
9	9	109	Min.	11.00	-57.11	1	0.00	1	0.00	1	-81.04	1	-4.69	1	0.00	1
10	10	110	Max	0.00	-46.17	2	0.00	2	0.00	1	81.04	1	-3.40	2	0.00	1
10	10	110	Max	11.00	-45.72	2	0.00	2	0.00	2	81.04	1	4.69	1	0.00	1
10	10	110	Min.	0.00	-57.56	1	0.00	1	0.00	2	65.17	2	-4.23	1	0.00	2
10	10	110	Min.	11.00	-57.11	1	0.00	1	0.00	1	65.17	2	3.77	2	0.00	2
11	11	111	Max	0.00	-46.17	2	0.00	2	0.00	1	243.13	1	-10.19	2	0.00	1
11	11	111	Max	11.00	-45.72	2	0.00	2	0.00	2	243.13	1	14.07	1	0.00	1
11	11	111	Min.	0.00	-57.56	1	0.00	1	0.00	2	195.52	2	-12.68	1	0.00	2
11	11	111	Min.	11.00	-57.11	1	0.00	1	0.00	1	195.52	2	11.31	2	0.00	2
12	12	112	Max	0.00	-46.17	2	0.00	2	0.00	1	405.21	1	-16.99	2	0.00	1
12	12	112	Max	11.00	-45.72	2	0.00	2	0.00	2	405.21	1	23.45	1	0.00	1
12	12	112	Min.	0.00	-57.56	1	0.00	1	0.00	2	325.86	2	-21.13	1	0.00	2
12	12	112	Min.	11.00	-57.11	1	0.00	1	0.00	1	325.86	2	18.85	2	0.00	2
13	13	113	Max	0.00	-46.17	2	0.00	2	0.00	1	567.26	1	-23.78	2	0.00	1
13	13	113	Max	11.00	-45.72	2	0.00	2	0.00	2	567.26	1	32.82	1	0.00	1
13	13	113	Min.	0.00	-57.56	1	0.00	1	0.00	2	456.17	2	-29.58	1	0.00	2
13	13	113	Min.	11.00	-57.11	1	0.00	1	0.00	1	456.17	2	26.39	2	0.00	2
14	14	114	Max	0.00	-46.07	2	0.00	2	0.00	1	729.11	1	-30.57	2	0.00	1
14	14	114	Max	11.00	-45.62	2	0.00	2	0.00	2	729.11	1	42.19	1	0.00	1
14	14	114	Min.	0.00	-57.44	1	0.00	1	0.00	2	586.33	2	-38.01	1	0.00	2
14	14	114	Min.	11.00	-56.99	1	0.00	1	0.00	1	586.33	2	33.93	2	0.00	2
15	15	115	Max	0.00	-46.46	2	0.00	2	0.00	1	889.97	1	-37.32	2	0.00	1
15	15	115	Max	11.00	-46.01	2	0.00	2	0.00	2	889.97	1	51.49	1	0.00	1
15	15	115	Min.	0.00	-57.92	1	0.00	1	0.00	2	715.69	2	-46.41	1	0.00	2
15	15	115	Min.	11.00	-57.47	1	0.00	1	0.00	1	715.69	2	41.41	2	0.00	2
16	16	116	Max	0.00	-40.00	2	0.00	2	0.00	1	1044.15	1	-43.73	2	0.00	1
16	16	116	Max	11.00	-39.55	2	0.00	2	0.00	2	1044.15	1	60.48	1	0.00	1
16	16	116	Min.	0.00	-49.88	1	0.00	1	0.00	2	839.67	2	-54.38	1	0.00	2
16	16	116	Min.	11.00	-49.43	1	0.00	1	0.00	1	839.67	2	48.64	2	0.00	2
17	17	117	Max	0.00	-58.41	2	0.00	1	0.00	2	1170.30	1	-49.41	2	0.00	1
17	17	117	Max	11.00	-57.96	2	0.00	1	0.00	1	1170.30	1	67.29	1	0.00	1
17	17	117	Min.	0.00	-72.80	1	0.00	2	0.00	1	941.12	2	-61.45	1	0.00	2

17	17	117	Min.	11.00	-72.35	1	0.00	2	0.00	2	941.12	2	54.11	2	0.00	2
18	18	118	Max	0.00	-477.37	2	0.00	1	0.00	2	900.14	1	-35.73	2	0.00	1
18	18	118	Max	11.00	-476.92	2	0.00	1	0.00	1	900.14	1	54.59	1	0.00	1
18	18	118	Min.	0.00	-593.63	1	0.00	2	0.00	1	723.86	2	-44.42	1	0.00	2
18	18	118	Min.	11.00	-593.18	1	0.00	2	0.00	2	723.86	2	43.90	2	0.00	2
101	101	102	Max	0.00	-723.86	2	-0.00	2	0.00	1	-476.92	2	54.59	1	0.00	2
101	101	102	Max	16.00	-723.86	2	-0.00	2	0.00	2	-371.21	2	-23.95	2	0.00	2
101	101	102	Min.	0.00	-900.14	1	-0.00	1	0.00	2	-593.18	1	43.90	2	0.00	1
101	101	102	Min.	16.00	-900.14	1	-0.00	1	0.00	1	-461.46	1	-29.78	1	0.00	1
101	102	103	Max	0.00	-1664.98	2	-0.00	2	0.00	1	-429.17	2	37.51	1	0.00	2
101	102	103	Max	15.00	-1664.98	2	-0.00	2	0.00	2	-330.07	2	-26.79	2	0.00	2
101	102	103	Min.	0.00	-2070.44	1	-0.00	1	0.00	2	-533.81	1	30.16	2	0.00	1
101	102	103	Min.	15.00	-2070.44	1	-0.00	1	0.00	1	-410.32	1	-33.30	1	0.00	1
101	103	104	Max	0.00	-2504.65	2	-0.00	2	0.00	1	-369.62	2	27.18	1	0.00	2
101	103	104	Max	15.00	-2504.65	2	-0.00	2	0.00	2	-270.52	2	-26.16	2	0.00	2
101	103	104	Min.	0.00	-3114.59	1	-0.00	1	0.00	2	-459.76	1	21.85	2	0.00	1
101	103	104	Min.	15.00	-3114.59	1	-0.00	1	0.00	1	-336.27	1	-32.53	1	0.00	1
101	104	105	Max	0.00	-3220.34	2	-0.00	2	0.00	1	-316.53	2	18.96	1	0.00	2
101	104	105	Max	15.00	-3220.34	2	-0.00	2	0.00	2	-217.44	2	-24.80	2	0.00	2
101	104	105	Min.	0.00	-4004.55	1	-0.00	1	0.00	2	-393.74	1	15.25	2	0.00	1
101	104	105	Min.	15.00	-4004.55	1	-0.00	1	0.00	1	-270.25	1	-30.84	1	0.00	1
101	105	106	Max	0.00	-3806.67	2	-0.00	2	0.00	1	-263.06	2	11.35	1	0.00	2
101	105	106	Max	15.00	-3806.67	2	-0.00	2	0.00	2	-163.96	2	-22.90	2	0.00	2
101	105	106	Min.	0.00	-4733.67	1	-0.00	1	0.00	2	-327.25	1	9.12	2	0.00	1
101	105	106	Min.	15.00	-4733.67	1	-0.00	1	0.00	1	-203.76	1	-28.48	1	0.00	1
101	106	107	Max	0.00	-4262.85	2	-0.00	2	0.00	2	-209.68	2	4.35	1	0.00	2
101	106	107	Max	15.00	-4262.85	2	-0.00	2	0.00	2	-110.58	2	-20.53	2	0.00	2
101	106	107	Min.	0.00	-5300.92	1	-0.00	1	0.00	1	-260.87	1	3.49	2	0.00	1
101	106	107	Min.	15.00	-5300.92	1	-0.00	1	0.00	1	-137.38	1	-25.52	1	0.00	1
101	107	108	Max	0.00	-4588.71	2	-0.00	2	0.00	2	-156.30	2	-1.67	2	0.00	2
101	107	108	Max	15.00	-4588.71	2	0.00	2	0.00	2	-57.20	2	-17.68	2	0.00	2
101	107	108	Min.	0.00	-5706.13	1	-0.00	1	0.00	1	-194.49	1	-2.08	1	0.00	1
101	107	108	Min.	15.00	-5706.13	1	0.00	1	0.00	1	-71.00	1	-21.99	1	0.00	1
101	108	109	Max	0.00	-4784.23	2	0.00	2	0.00	2	-102.92	2	-6.37	2	0.00	2
101	108	109	Max	15.00	-4784.23	2	0.00	2	0.00	2	-3.83	2	-14.38	2	0.00	2
101	108	109	Min.	0.00	-5949.26	1	-0.00	1	0.00	1	-128.12	1	-7.92	1	0.00	1
101	108	109	Min.	15.00	-5949.26	1	0.00	1	0.00	1	-4.63	1	-17.88	1	0.00	1
101	109	110	Max	0.00	-4849.40	2	0.00	2	0.00	2	-49.55	2	-10.61	2	0.00	1
101	109	110	Max	15.00	-4849.40	2	0.00	1	0.00	2	61.74	1	-10.61	2	0.00	1
101	109	110	Min.	0.00	-6030.31	1	0.00	1	0.00	1	-61.74	1	-13.19	1	0.00	1
101	109	110	Min.	15.00	-6030.31	1	0.00	2	0.00	1	49.55	2	-13.19	1	0.00	1
101	110	111	Max	0.00	-4784.23	2	0.00	1	0.00	2	4.63	1	-14.38	2	0.00	1
101	110	111	Max	15.00	-4784.23	2	0.00	1	0.00	2	128.12	1	-6.37	2	0.00	1
101	110	111	Min.	0.00	-5949.26	1	0.00	2	0.00	1	3.83	2	-17.88	1	0.00	2
101	110	111	Min.	15.00	-5949.26	1	0.00	2	0.00	1	102.92	2	-7.92	1	0.00	2
101	111	112	Max	0.00	-4588.71	2	0.00	1	0.00	2	71.00	1	-17.68	2	0.00	1
101	111	112	Max	15.00	-4588.71	2	0.00	1	0.00	2	194.49	1	-1.67	2	0.00	1
101	111	112	Min.	0.00	-5706.13	1	0.00	2	0.00	1	57.20	2	-21.99	1	0.00	2
101	111	112	Min.	15.00	-5706.13	1	0.00	2	0.00	1	156.30	2	-2.08	1	0.00	2
101	112	113	Max	0.00	-4262.85	2	0.00	1	0.00	2	137.38	1	-20.53	2	0.00	1
101	112	113	Max	15.00	-4262.85	2	0.00	1	0.00	2	260.87	1	4.35	1	0.00	1
101	112	113	Min.	0.00	-5300.92	1	0.00	2	0.00	1	110.58	2	-25.52	1	0.00	2
101	112	113	Min.	15.00	-5300.92	1	0.00	2	0.00	1	209.68	2	3.49	2	0.00	2
101	113	114	Max	0.00	-3806.67	2	0.00	1	0.00	2	203.76	1	-22.90	2	0.00	1
101	113	114	Max	15.00	-3806.67	2	0.00	1	0.00	1	327.25	1	11.35	1	0.00	1
101	113	114	Min.	0.00	-4733.67	1	0.00	2	0.00	1	163.96	2	-28.48	1	0.00	2
101	113	114	Min.	15.00	-4733.67	1	0.00	2	0.00	2	263.06	2	9.12	2	0.00	2
101	114	115	Max	0.00	-3220.34	2	0.00	1	0.00	2	270.25	1	-24.80	2	0.00	1
101	114	115	Max	15.00	-3220.34	2	0.00	1	0.00	1	393.74	1	18.96	1	0.00	1

101	114	115	Min.	0.00	-4004.55	1	0.00	2	0.00	1	217.44	2	-30.84	1	0.00	2
101	114	115	Min.	15.00	-4004.55	1	0.00	2	0.00	2	316.53	2	15.25	2	0.00	2
101	115	116	Max	0.00	-2504.65	2	0.00	1	0.00	2	336.27	1	-26.16	2	0.00	1
101	115	116	Max	15.00	-2504.65	2	0.00	1	0.00	1	459.76	1	27.18	1	0.00	1
101	115	116	Min.	0.00	-3114.59	1	0.00	2	0.00	1	270.52	2	-32.53	1	0.00	2
101	115	116	Min.	15.00	-3114.59	1	0.00	2	0.00	2	369.62	2	21.85	2	0.00	2
101	116	117	Max	0.00	-1664.98	2	0.00	1	0.00	2	410.32	1	-26.79	2	0.00	1
101	116	117	Max	15.00	-1664.98	2	0.00	1	0.00	1	533.81	1	37.51	1	0.00	1
101	116	117	Min.	0.00	-2070.44	1	0.00	2	0.00	1	330.07	2	-33.30	1	0.00	2
101	116	117	Min.	15.00	-2070.44	1	0.00	2	0.00	2	429.17	2	30.16	2	0.00	2
101	117	118	Max	0.00	-723.86	2	0.00	1	0.00	2	461.46	1	-23.95	2	0.00	1
101	117	118	Max	16.00	-723.86	2	0.00	1	0.00	1	593.18	1	54.59	1	0.00	1
101	117	118	Min.	0.00	-900.14	1	0.00	2	0.00	1	371.21	2	-29.78	1	0.00	2
101	117	118	Min.	16.00	-900.14	1	0.00	2	0.00	2	476.92	2	43.90	2	0.00	2
301	1	2	Max	0.00	-2548.03	2	0.00	2	0.00	1	473.53	1	-35.73	2	0.00	2
301	1	2	Max	16.00	-2548.03	2	0.00	2	0.00	1	472.88	1	31.29	1	0.00	2
301	1	2	Min.	0.00	-3168.52	1	0.00	1	0.00	2	380.86	2	-44.42	1	0.00	1
301	1	2	Min.	16.00	-3168.52	1	0.00	1	0.00	2	380.20	2	25.16	2	0.00	1
301	2	3	Max	0.00	-1606.92	2	0.00	2	0.00	1	400.08	1	-24.25	2	0.00	2
301	2	3	Max	15.00	-1606.92	2	0.00	2	0.00	2	399.47	1	29.81	1	0.00	2
301	2	3	Min.	0.00	-1998.22	1	0.00	1	0.00	2	321.80	2	-30.16	1	0.00	1
301	2	3	Min.	15.00	-1998.22	1	0.00	1	0.00	1	321.18	2	23.97	2	0.00	1
301	3	4	Max	0.00	-767.24	2	0.00	2	0.00	1	349.58	1	-19.76	2	0.00	2
301	3	4	Max	15.00	-767.24	2	0.00	2	0.00	2	348.97	1	27.82	1	0.00	2
301	3	4	Min.	0.00	-954.08	1	0.00	1	0.00	2	281.19	2	-24.57	1	0.00	1
301	3	4	Min.	15.00	-954.08	1	0.00	1	0.00	1	280.57	2	22.37	2	0.00	1
301	4	5	Max	0.00	-51.55	2	0.00	2	0.00	1	291.05	1	-14.95	2	0.00	2
301	4	5	Max	15.00	-51.55	2	0.00	2	0.00	2	290.44	1	25.03	1	0.00	2
301	4	5	Min.	0.00	-64.11	1	0.00	1	0.00	2	234.12	2	-18.58	1	0.00	1
301	4	5	Min.	15.00	-64.11	1	0.00	1	0.00	1	233.50	2	20.13	2	0.00	1
301	5	6	Max	0.00	665.00	1	0.00	2	0.00	2	233.00	1	-10.44	2	0.00	2
301	5	6	Max	15.00	665.00	1	0.00	2	0.00	2	232.39	1	21.92	1	0.00	2
301	5	6	Min.	0.00	534.78	2	0.00	1	0.00	1	187.43	2	-12.99	1	0.00	1
301	5	6	Min.	15.00	534.78	2	0.00	1	0.00	1	186.82	2	17.62	2	0.00	1
301	6	7	Max	0.00	1232.26	1	0.00	2	0.00	2	174.83	1	-6.16	2	0.00	2
301	6	7	Max	15.00	1232.26	1	0.00	2	0.00	2	174.22	1	18.52	1	0.00	2
301	6	7	Min.	0.00	990.95	2	0.00	1	0.00	1	140.65	2	-7.66	1	0.00	1
301	6	7	Min.	15.00	990.95	2	0.00	1	0.00	1	140.04	2	14.89	2	0.00	1
301	7	8	Max	0.00	1637.47	1	0.00	2	0.00	2	116.66	1	-2.10	2	0.00	2
301	7	8	Max	15.00	1637.47	1	0.00	2	0.00	2	116.04	1	14.84	1	0.00	2
301	7	8	Min.	0.00	1316.81	2	0.00	1	0.00	1	93.87	2	-2.61	1	0.00	1
301	7	8	Min.	15.00	1316.81	2	0.00	1	0.00	1	93.26	2	11.94	2	0.00	1
301	8	9	Max	0.00	1880.60	1	0.00	2	0.00	2	58.48	1	2.17	1	0.00	2
301	8	9	Max	15.00	1880.60	1	0.00	2	0.00	2	57.87	1	10.89	1	0.00	2
301	8	9	Min.	0.00	1512.33	2	0.00	1	0.00	1	47.09	2	1.74	2	0.00	1
301	8	9	Min.	15.00	1512.33	2	0.00	1	0.00	1	46.48	2	8.76	2	0.00	1
301	9	10	Max	0.00	1961.65	1	0.00	1	0.00	2	0.31	1	6.67	1	0.00	1
301	9	10	Max	6.38									6.68	1		
301	9	10	Max	15.00	1961.65	1	0.00	1	0.00	2	-0.31	1	6.67	1	0.00	1
301	9	10	Min.	0.00	1577.50	2	0.00	1	0.00	1	0.31	1	5.36	2	0.00	1
301	9	10	Min.	6.38									5.37	2		
301	9	10	Min.	15.00	1577.50	2	0.00	1	0.00	1	-0.31	1	5.36	2	0.00	1
301	10	11	Max	0.00	1880.60	1	0.00	1	0.00	2	-46.48	2	10.89	1	0.00	1
301	10	11	Max	15.00	1880.60	1	0.00	1	0.00	2	-47.09	2	2.17	1	0.00	1
301	10	11	Min.	0.00	1512.33	2	0.00	2	0.00	1	-57.87	1	8.76	2	0.00	2
301	10	11	Min.	15.00	1512.33	2	0.00	2	0.00	1	-58.48	1	1.74	2	0.00	2
301	11	12	Max	0.00	1637.47	1	0.00	1	0.00	2	-93.26	2	14.84	1	0.00	1
301	11	12	Max	15.00	1637.47	1	0.00	1	0.00	2	-93.87	2	-2.10	2	0.00	1
301	11	12	Min.	0.00	1316.81	2	0.00	2	0.00	1	-116.04	1	11.94	2	0.00	2

301	11	12	Min.	15.00	1316.81	2	0.00	2	0.00	1	-116.66	1	-2.61	1	0.00	2
301	12	13	Max	0.00	1232.26	1	0.00	1	0.00	2	-140.04	2	18.52	1	0.00	1
301	12	13	Max	15.00	1232.26	1	0.00	1	0.00	2	-140.65	2	-6.16	2	0.00	1
301	12	13	Min.	0.00	990.95	2	0.00	2	0.00	1	-174.22	1	14.89	2	0.00	2
301	12	13	Min.	15.00	990.95	2	0.00	2	0.00	1	-174.83	1	-7.66	1	0.00	2
301	13	14	Max	0.00	665.00	1	0.00	1	0.00	2	-186.82	2	21.92	1	0.00	1
301	13	14	Max	15.00	665.00	1	0.00	1	0.00	2	-187.43	2	-10.44	2	0.00	1
301	13	14	Min.	0.00	534.78	2	0.00	2	0.00	1	-232.39	1	17.62	2	0.00	2
301	13	14	Min.	15.00	534.78	2	0.00	2	0.00	1	-233.00	1	-12.99	1	0.00	2
301	14	15	Max	0.00	-51.55	2	0.00	1	0.00	2	-233.50	2	25.03	1	0.00	1
301	14	15	Max	15.00	-51.55	2	0.00	1	0.00	1	-234.12	2	-14.95	2	0.00	1
301	14	15	Min.	0.00	-64.11	1	0.00	2	0.00	1	-290.44	1	20.13	2	0.00	2
301	14	15	Min.	15.00	-64.11	1	0.00	2	0.00	2	-291.05	1	-18.58	1	0.00	2
301	15	16	Max	0.00	-767.24	2	0.00	1	0.00	2	-280.57	2	27.82	1	0.00	1
301	15	16	Max	15.00	-767.24	2	0.00	1	0.00	1	-281.19	2	-19.76	2	0.00	1
301	15	16	Min.	0.00	-954.08	1	0.00	2	0.00	1	-348.97	1	22.37	2	0.00	2
301	15	16	Min.	15.00	-954.08	1	0.00	2	0.00	2	-349.58	1	-24.57	1	0.00	2
301	16	17	Max	0.00	-1606.92	2	0.00	1	0.00	2	-321.18	2	29.81	1	0.00	1
301	16	17	Max	15.00	-1606.92	2	0.00	1	0.00	1	-321.80	2	-24.25	2	0.00	1
301	16	17	Min.	0.00	-1998.22	1	0.00	2	0.00	1	-399.47	1	23.97	2	0.00	2
301	16	17	Min.	15.00	-1998.22	1	0.00	2	0.00	2	-400.08	1	-30.16	1	0.00	2
301	17	18	Max	0.00	-2548.03	2	0.00	1	0.00	1	-380.20	2	31.29	1	0.00	1
301	17	18	Max	16.00	-2548.03	2	0.00	1	0.00	1	-380.86	2	-35.73	2	0.00	1
301	17	18	Min.	0.00	-3168.52	1	0.00	2	0.00	2	-472.88	1	25.16	2	0.00	2
301	17	18	Min.	16.00	-3168.52	1	0.00	2	0.00	2	-473.53	1	-44.42	1	0.00	2

Tipo di combinazione di carico: SLE R

Asta	N1	N2		X <cm>	N <daN>	CC	Ty <daN>	CC	Mz <daNm>	CC	Tz <daN>	CC	My <daNm>	CC	Mx <daNm>	CC
1	1	101	Max	0.00	-321.98	4	0.00	3	0.00	4	-488.25	4	29.90	3	0.00	4
1	1	101	Max	11.00	-321.64	4	0.00	3	0.00	3	-488.25	4	-29.61	4	0.00	4
1	1	101	Min.	0.00	-399.49	3	0.00	4	0.00	3	-605.77	3	24.10	4	0.00	3
1	1	101	Min.	11.00	-399.15	3	0.00	4	0.00	4	-605.77	3	-36.74	3	0.00	3
2	2	102	Max	0.00	-39.33	4	0.00	3	0.00	4	-634.79	4	41.35	3	0.00	4
2	2	102	Max	11.00	-38.99	4	0.00	3	0.00	3	-634.79	4	-36.50	4	0.00	4
2	2	102	Min.	0.00	-48.93	3	0.00	4	0.00	3	-787.58	3	33.33	4	0.00	3
2	2	102	Min.	11.00	-48.58	3	0.00	4	0.00	4	-787.58	3	-45.28	3	0.00	3
3	3	103	Max	0.00	-26.92	4	0.00	4	0.00	3	-566.37	4	36.59	3	0.00	4
3	3	103	Max	11.00	-26.58	4	0.00	4	0.00	4	-566.37	4	-32.81	4	0.00	4
3	3	103	Min.	0.00	-33.51	3	0.00	3	0.00	4	-702.68	3	29.49	4	0.00	3
3	3	103	Min.	11.00	-33.17	3	0.00	3	0.00	3	-702.68	3	-40.70	3	0.00	3
4	4	104	Max	0.00	-31.28	4	0.00	4	0.00	3	-482.74	4	31.23	3	0.00	4
4	4	104	Max	11.00	-30.93	4	0.00	4	0.00	4	-482.74	4	-27.93	4	0.00	4
4	4	104	Min.	0.00	-38.92	3	0.00	3	0.00	4	-598.93	3	25.17	4	0.00	3
4	4	104	Min.	11.00	-38.57	3	0.00	3	0.00	3	-598.93	3	-34.65	3	0.00	3
5	5	105	Max	0.00	-31.02	4	0.00	4	0.00	3	-395.49	4	25.58	3	0.00	4
5	5	105	Max	11.00	-30.67	4	0.00	4	0.00	4	-395.49	4	-22.88	4	0.00	4
5	5	105	Min.	0.00	-38.60	3	0.00	3	0.00	4	-490.67	3	20.62	4	0.00	3
5	5	105	Min.	11.00	-38.25	3	0.00	3	0.00	3	-490.67	3	-28.39	3	0.00	3
6	6	106	Max	0.00	-31.08	4	0.00	4	0.00	3	-307.69	4	19.90	3	0.00	4
6	6	106	Max	11.00	-30.74	4	0.00	4	0.00	4	-307.69	4	-17.80	4	0.00	4
6	6	106	Min.	0.00	-38.68	3	0.00	3	0.00	4	-381.75	3	16.04	4	0.00	3
6	6	106	Min.	11.00	-38.33	3	0.00	3	0.00	3	-381.75	3	-22.09	3	0.00	3
7	7	107	Max	0.00	-31.08	4	0.00	4	0.00	3	-219.80	4	14.22	3	0.00	4
7	7	107	Max	11.00	-30.74	4	0.00	4	0.00	4	-219.80	4	-12.72	4	0.00	4
7	7	107	Min.	0.00	-38.68	3	0.00	3	0.00	4	-272.70	3	11.46	4	0.00	3
7	7	107	Min.	11.00	-38.33	3	0.00	3	0.00	3	-272.70	3	-15.78	3	0.00	3

8	8	108	Max	0.00	-31.08	4	0.00	4	0.00	3	-131.88	4	8.53	3	0.00	4
8	8	108	Max	11.00	-30.74	4	0.00	4	0.00	4	-131.88	4	-7.63	4	0.00	4
8	8	108	Min.	0.00	-38.68	3	0.00	3	0.00	4	-163.62	3	6.88	4	0.00	3
8	8	108	Min.	11.00	-38.33	3	0.00	3	0.00	3	-163.62	3	-9.47	3	0.00	3
9	9	109	Max	0.00	-31.08	4	0.00	4	0.00	3	-43.96	4	2.84	3	0.00	4
9	9	109	Max	11.00	-30.74	4	0.00	4	0.00	4	-43.96	4	-2.54	4	0.00	4
9	9	109	Min.	0.00	-38.68	3	0.00	3	0.00	4	-54.54	3	2.29	4	0.00	3
9	9	109	Min.	11.00	-38.33	3	0.00	3	0.00	3	-54.54	3	-3.16	3	0.00	3
10	10	110	Max	0.00	-31.08	4	0.00	4	0.00	3	54.54	3	-2.29	4	0.00	3
10	10	110	Max	11.00	-30.74	4	0.00	4	0.00	4	54.54	3	3.16	3	0.00	3
10	10	110	Min.	0.00	-38.68	3	0.00	3	0.00	4	43.96	4	-2.84	3	0.00	4
10	10	110	Min.	11.00	-38.33	3	0.00	3	0.00	3	43.96	4	2.54	4	0.00	4
11	11	111	Max	0.00	-31.08	4	0.00	4	0.00	3	163.62	3	-6.88	4	0.00	3
11	11	111	Max	11.00	-30.74	4	0.00	4	0.00	4	163.62	3	9.47	3	0.00	3
11	11	111	Min.	0.00	-38.68	3	0.00	3	0.00	4	131.88	4	-8.53	3	0.00	4
11	11	111	Min.	11.00	-38.33	3	0.00	3	0.00	3	131.88	4	7.63	4	0.00	4
12	12	112	Max	0.00	-31.08	4	0.00	4	0.00	3	272.70	3	-11.46	4	0.00	3
12	12	112	Max	11.00	-30.74	4	0.00	4	0.00	4	272.70	3	15.78	3	0.00	3
12	12	112	Min.	0.00	-38.68	3	0.00	3	0.00	4	219.80	4	-14.22	3	0.00	4
12	12	112	Min.	11.00	-38.33	3	0.00	3	0.00	3	219.80	4	12.72	4	0.00	4
13	13	113	Max	0.00	-31.08	4	0.00	4	0.00	3	381.75	3	-16.04	4	0.00	3
13	13	113	Max	11.00	-30.74	4	0.00	4	0.00	4	381.75	3	22.09	3	0.00	3
13	13	113	Min.	0.00	-38.68	3	0.00	3	0.00	4	307.69	4	-19.90	3	0.00	4
13	13	113	Min.	11.00	-38.33	3	0.00	3	0.00	3	307.69	4	17.80	4	0.00	4
14	14	114	Max	0.00	-31.02	4	0.00	4	0.00	3	490.67	3	-20.62	4	0.00	3
14	14	114	Max	11.00	-30.67	4	0.00	4	0.00	4	490.67	3	28.39	3	0.00	3
14	14	114	Min.	0.00	-38.60	3	0.00	3	0.00	4	395.49	4	-25.58	3	0.00	4
14	14	114	Min.	11.00	-38.25	3	0.00	3	0.00	3	395.49	4	22.88	4	0.00	4
15	15	115	Max	0.00	-31.28	4	0.00	4	0.00	3	598.93	3	-25.17	4	0.00	3
15	15	115	Max	11.00	-30.93	4	0.00	4	0.00	4	598.93	3	34.65	3	0.00	3
15	15	115	Min.	0.00	-38.92	3	0.00	3	0.00	4	482.74	4	-31.23	3	0.00	4
15	15	115	Min.	11.00	-38.57	3	0.00	3	0.00	3	482.74	4	27.93	4	0.00	4
16	16	116	Max	0.00	-26.92	4	0.00	4	0.00	3	702.68	3	-29.49	4	0.00	3
16	16	116	Max	11.00	-26.58	4	0.00	4	0.00	4	702.68	3	40.70	3	0.00	3
16	16	116	Min.	0.00	-33.51	3	0.00	3	0.00	4	566.37	4	-36.59	3	0.00	4
16	16	116	Min.	11.00	-33.17	3	0.00	3	0.00	3	566.37	4	32.81	4	0.00	4
17	17	117	Max	0.00	-39.33	4	0.00	3	0.00	4	787.58	3	-33.33	4	0.00	3
17	17	117	Max	11.00	-38.99	4	0.00	3	0.00	3	787.58	3	45.28	3	0.00	3
17	17	117	Min.	0.00	-48.93	3	0.00	4	0.00	3	634.79	4	-41.35	3	0.00	4
17	17	117	Min.	11.00	-48.58	3	0.00	4	0.00	4	634.79	4	36.50	4	0.00	4
18	18	118	Max	0.00	-321.98	4	0.00	3	0.00	4	605.77	3	-24.10	4	0.00	3
18	18	118	Max	11.00	-321.64	4	0.00	3	0.00	3	605.77	3	36.74	3	0.00	3
18	18	118	Min.	0.00	-399.49	3	0.00	4	0.00	3	488.25	4	-29.90	3	0.00	4
18	18	118	Min.	11.00	-399.15	3	0.00	4	0.00	4	488.25	4	29.61	4	0.00	4
101	101	102	Max	0.00	-488.25	4	-0.00	4	0.00	3	-321.64	4	36.74	3	0.00	4
101	101	102	Max	16.00	-488.25	4	-0.00	4	0.00	4	-250.44	4	-16.16	4	0.00	4
101	101	102	Min.	0.00	-605.77	3	-0.00	3	0.00	4	-399.15	3	29.61	4	0.00	3
101	101	102	Min.	16.00	-605.77	3	-0.00	3	0.00	3	-310.61	3	-20.04	3	0.00	3
101	102	103	Max	0.00	-1123.04	4	-0.00	4	0.00	3	-289.43	4	25.24	3	0.00	4
101	102	103	Max	15.00	-1123.04	4	-0.00	4	0.00	4	-222.69	4	-18.07	4	0.00	4
101	102	103	Min.	0.00	-1393.35	3	-0.00	3	0.00	4	-359.19	3	20.34	4	0.00	3
101	102	103	Min.	15.00	-1393.35	3	-0.00	3	0.00	3	-276.19	3	-22.41	3	0.00	3
101	103	104	Max	0.00	-1689.41	4	-0.00	4	0.00	3	-249.26	4	18.29	3	0.00	4
101	103	104	Max	15.00	-1689.41	4	-0.00	4	0.00	4	-182.52	4	-17.65	4	0.00	4
101	103	104	Min.	0.00	-2096.03	3	-0.00	3	0.00	4	-309.36	3	14.74	4	0.00	3
101	103	104	Min.	15.00	-2096.03	3	-0.00	3	0.00	3	-226.35	3	-21.89	3	0.00	3
101	104	105	Max	0.00	-2172.15	4	-0.00	4	0.00	3	-213.46	4	12.76	3	0.00	4
101	104	105	Max	15.00	-2172.15	4	-0.00	4	0.00	4	-146.71	4	-16.73	4	0.00	4
101	104	105	Min.	0.00	-2694.96	3	-0.00	3	0.00	4	-264.93	3	10.28	4	0.00	3

101	104	105	Min.	15.00	-2694.96	3	-0.00	3	0.00	3	-181.93	3	-20.75	3	0.00	3
101	105	106	Max	0.00	-2567.64	4	-0.00	4	0.00	3	-177.39	4	7.64	3	0.00	4
101	105	106	Max	15.00	-2567.64	4	-0.00	4	0.00	4	-110.64	4	-15.45	4	0.00	4
101	105	106	Min.	0.00	-3185.63	3	-0.00	3	0.00	4	-220.18	3	6.15	4	0.00	3
101	105	106	Min.	15.00	-3185.63	3	-0.00	3	0.00	3	-137.18	3	-19.16	3	0.00	3
101	106	107	Max	0.00	-2875.34	4	-0.00	4	0.00	4	-141.38	4	2.92	3	0.00	4
101	106	107	Max	15.00	-2875.34	4	0.00	4	0.00	4	-74.64	4	-13.85	4	0.00	4
101	106	107	Min.	0.00	-3567.39	3	-0.00	3	0.00	3	-175.51	3	2.35	4	0.00	3
101	106	107	Min.	15.00	-3567.39	3	0.00	3	0.00	3	-92.51	3	-17.18	3	0.00	3
101	107	108	Max	0.00	-3095.13	4	0.00	4	0.00	4	-105.38	4	-1.13	4	0.00	4
101	107	108	Max	15.00	-3095.13	4	0.00	4	0.00	4	-38.63	4	-11.93	4	0.00	4
101	107	108	Min.	0.00	-3840.08	3	-0.00	3	0.00	3	-130.84	3	-1.40	3	0.00	3
101	107	108	Min.	15.00	-3840.08	3	0.00	3	0.00	3	-47.84	3	-14.80	3	0.00	3
101	108	109	Max	0.00	-3227.01	4	0.00	4	0.00	4	-69.37	4	-4.30	4	0.00	4
101	108	109	Max	15.00	-3227.01	4	0.00	4	0.00	4	-2.63	4	-9.70	4	0.00	4
101	108	109	Min.	0.00	-4003.70	3	0.00	3	0.00	3	-86.17	3	-5.33	3	0.00	3
101	108	109	Min.	15.00	-4003.70	3	0.00	3	0.00	3	-3.17	3	-12.03	3	0.00	3
101	109	110	Max	0.00	-3270.97	4	0.00	4	0.00	4	-33.37	4	-7.16	4	0.00	3
101	109	110	Max	15.00	-3270.97	4	0.00	3	0.00	4	41.50	3	-7.16	4	0.00	3
101	109	110	Min.	0.00	-4058.24	3	0.00	3	0.00	3	-41.50	3	-8.88	3	0.00	3
101	109	110	Min.	15.00	-4058.24	3	0.00	4	0.00	3	33.37	4	-8.88	3	0.00	3
101	110	111	Max	0.00	-3227.01	4	0.00	3	0.00	4	3.17	3	-9.70	4	0.00	3
101	110	111	Max	15.00	-3227.01	4	0.00	3	0.00	4	86.17	3	-4.30	4	0.00	3
101	110	111	Min.	0.00	-4003.70	3	0.00	4	0.00	3	2.63	4	-12.03	3	0.00	4
101	110	111	Min.	15.00	-4003.70	3	0.00	4	0.00	3	69.37	4	-5.33	3	0.00	4
101	111	112	Max	0.00	-3095.13	4	0.00	3	0.00	4	47.84	3	-11.93	4	0.00	3
101	111	112	Max	15.00	-3095.13	4	0.00	3	0.00	4	130.84	3	-1.13	4	0.00	3
101	111	112	Min.	0.00	-3840.08	3	0.00	4	0.00	3	38.63	4	-14.80	3	0.00	4
101	111	112	Min.	15.00	-3840.08	3	0.00	4	0.00	3	105.38	4	-1.40	3	0.00	4
101	112	113	Max	0.00	-2875.34	4	0.00	3	0.00	4	92.51	3	-13.85	4	0.00	3
101	112	113	Max	15.00	-2875.34	4	0.00	3	0.00	4	175.51	3	2.92	3	0.00	3
101	112	113	Min.	0.00	-3567.39	3	0.00	4	0.00	3	74.64	4	-17.18	3	0.00	4
101	112	113	Min.	15.00	-3567.39	3	0.00	4	0.00	3	141.38	4	2.35	4	0.00	4
101	113	114	Max	0.00	-2567.64	4	0.00	3	0.00	4	137.18	3	-15.45	4	0.00	3
101	113	114	Max	15.00	-2567.64	4	0.00	3	0.00	3	220.18	3	7.64	3	0.00	3
101	113	114	Min.	0.00	-3185.63	3	0.00	4	0.00	3	110.64	4	-19.16	3	0.00	4
101	113	114	Min.	15.00	-3185.63	3	0.00	4	0.00	4	177.39	4	6.15	4	0.00	4
101	114	115	Max	0.00	-2172.15	4	0.00	3	0.00	4	181.93	3	-16.73	4	0.00	3
101	114	115	Max	15.00	-2172.15	4	0.00	3	0.00	3	264.93	3	12.76	3	0.00	3
101	114	115	Min.	0.00	-2694.96	3	0.00	4	0.00	3	146.71	4	-20.75	3	0.00	4
101	114	115	Min.	15.00	-2694.96	3	0.00	4	0.00	4	213.46	4	10.28	4	0.00	4
101	115	116	Max	0.00	-1689.41	4	0.00	3	0.00	4	226.35	3	-17.65	4	0.00	3
101	115	116	Max	15.00	-1689.41	4	0.00	3	0.00	3	309.36	3	18.29	3	0.00	3
101	115	116	Min.	0.00	-2096.03	3	0.00	4	0.00	3	182.52	4	-21.89	3	0.00	4
101	115	116	Min.	15.00	-2096.03	3	0.00	4	0.00	4	249.26	4	14.74	4	0.00	4
101	116	117	Max	0.00	-1123.04	4	0.00	3	0.00	4	276.19	3	-18.07	4	0.00	3
101	116	117	Max	15.00	-1123.04	4	0.00	3	0.00	3	359.19	3	25.24	3	0.00	3
101	116	117	Min.	0.00	-1393.35	3	0.00	4	0.00	3	222.69	4	-22.41	3	0.00	4
101	116	117	Min.	15.00	-1393.35	3	0.00	4	0.00	4	289.43	4	20.34	4	0.00	4
101	117	118	Max	0.00	-488.25	4	0.00	3	0.00	4	310.61	3	-16.16	4	0.00	3
101	117	118	Max	16.00	-488.25	4	0.00	3	0.00	3	399.15	3	36.74	3	0.00	3
101	117	118	Min.	0.00	-605.77	3	0.00	4	0.00	3	250.44	4	-20.04	3	0.00	4
101	117	118	Min.	16.00	-605.77	3	0.00	4	0.00	4	321.64	4	29.61	4	0.00	4
301	1	2	Max	0.00	-1718.68	4	0.00	4	0.00	3	318.70	3	-24.10	4	0.00	4
301	1	2	Max	16.00	-1718.68	4	0.00	4	0.00	3	318.20	3	21.06	3	0.00	4
301	1	2	Min.	0.00	-2132.33	3	0.00	3	0.00	4	256.92	4	-29.90	3	0.00	3
301	1	2	Min.	16.00	-2132.33	3	0.00	3	0.00	4	256.42	4	16.97	4	0.00	3
301	2	3	Max	0.00	-1083.88	4	0.00	4	0.00	3	269.27	3	-16.36	4	0.00	4
301	2	3	Max	15.00	-1083.88	4	0.00	4	0.00	4	268.80	3	20.06	3	0.00	4

301	2	3	Min.	0.00	-1344.75	3	0.00	3	0.00	4	217.08	4	-20.30	3	0.00	3
301	2	3	Min.	15.00	-1344.75	3	0.00	3	0.00	3	216.61	4	16.17	4	0.00	3
301	3	4	Max	0.00	-517.51	4	0.00	4	0.00	3	235.29	3	-13.33	4	0.00	4
301	3	4	Max	15.00	-517.51	4	0.00	4	0.00	4	234.82	3	18.72	3	0.00	4
301	3	4	Min.	0.00	-642.07	3	0.00	3	0.00	4	189.69	4	-16.53	3	0.00	3
301	3	4	Min.	15.00	-642.07	3	0.00	3	0.00	3	189.22	4	15.09	4	0.00	3
301	4	5	Max	0.00	-34.77	4	0.00	4	0.00	3	195.90	3	-10.08	4	0.00	4
301	4	5	Max	15.00	-34.77	4	0.00	4	0.00	4	195.43	3	16.84	3	0.00	4
301	4	5	Min.	0.00	-43.14	3	0.00	3	0.00	4	157.94	4	-12.51	3	0.00	3
301	4	5	Min.	15.00	-43.14	3	0.00	3	0.00	3	157.47	4	13.57	4	0.00	3
301	5	6	Max	0.00	447.53	3	0.00	4	0.00	4	156.83	3	-7.05	4	0.00	4
301	5	6	Max	15.00	447.53	3	0.00	4	0.00	4	156.36	3	14.75	3	0.00	4
301	5	6	Min.	0.00	360.71	4	0.00	3	0.00	3	126.45	4	-8.74	3	0.00	3
301	5	6	Min.	15.00	360.71	4	0.00	3	0.00	3	125.98	4	11.89	4	0.00	3
301	6	7	Max	0.00	829.28	3	0.00	4	0.00	4	117.69	3	-4.16	4	0.00	4
301	6	7	Max	15.00	829.28	3	0.00	4	0.00	4	117.21	3	12.46	3	0.00	4
301	6	7	Min.	0.00	668.41	4	0.00	3	0.00	3	94.90	4	-5.15	3	0.00	3
301	6	7	Min.	15.00	668.41	4	0.00	3	0.00	3	94.43	4	10.04	4	0.00	3
301	7	8	Max	0.00	1101.98	3	0.00	4	0.00	4	78.54	3	-1.42	4	0.00	4
301	7	8	Max	15.00	1101.98	3	0.00	4	0.00	4	78.06	3	9.99	3	0.00	4
301	7	8	Min.	0.00	888.20	4	0.00	3	0.00	3	63.35	4	-1.76	3	0.00	3
301	7	8	Min.	15.00	888.20	4	0.00	3	0.00	3	62.88	4	8.05	4	0.00	3
301	8	9	Max	0.00	1265.60	3	0.00	4	0.00	4	39.39	3	1.46	3	0.00	4
301	8	9	Max	15.00	1265.60	3	0.00	4	0.00	4	38.91	3	7.33	3	0.00	4
301	8	9	Min.	0.00	1020.08	4	0.00	3	0.00	3	31.79	4	1.17	4	0.00	3
301	8	9	Min.	15.00	1020.08	4	0.00	3	0.00	3	31.32	4	5.91	4	0.00	3
301	9	10	Max	0.00	1320.14	3	0.00	3	0.00	4	0.24	3	4.49	3	0.00	3
301	9	10	Max	6.38									4.50	3		
301	9	10	Max	15.00	1320.14	3	0.00	3	0.00	4	-0.24	3	4.49	3	0.00	3
301	9	10	Min.	0.00	1064.04	4	0.00	3	0.00	3	0.24	3	3.62	4	0.00	3
301	9	10	Min.	6.38									3.62	4		
301	9	10	Min.	15.00	1064.04	4	0.00	3	0.00	3	-0.24	3	3.62	4	0.00	3
301	10	11	Max	0.00	1265.60	3	0.00	3	0.00	4	-31.32	4	7.33	3	0.00	3
301	10	11	Max	15.00	1265.60	3	0.00	3	0.00	4	-31.79	4	1.46	3	0.00	3
301	10	11	Min.	0.00	1020.08	4	0.00	4	0.00	3	-38.91	3	5.91	4	0.00	4
301	10	11	Min.	15.00	1020.08	4	0.00	4	0.00	3	-39.39	3	1.17	4	0.00	4
301	11	12	Max	0.00	1101.98	3	0.00	3	0.00	4	-62.88	4	9.99	3	0.00	3
301	11	12	Max	15.00	1101.98	3	0.00	3	0.00	4	-63.35	4	-1.42	4	0.00	3
301	11	12	Min.	0.00	888.20	4	0.00	4	0.00	3	-78.06	3	8.05	4	0.00	4
301	11	12	Min.	15.00	888.20	4	0.00	4	0.00	3	-78.54	3	-1.76	3	0.00	4
301	12	13	Max	0.00	829.28	3	0.00	3	0.00	4	-94.43	4	12.46	3	0.00	3
301	12	13	Max	15.00	829.28	3	0.00	3	0.00	4	-94.90	4	-4.16	4	0.00	3
301	12	13	Min.	0.00	668.41	4	0.00	4	0.00	3	-117.21	3	10.04	4	0.00	4
301	12	13	Min.	15.00	668.41	4	0.00	4	0.00	3	-117.69	3	-5.15	3	0.00	4
301	13	14	Max	0.00	447.53	3	0.00	3	0.00	4	-125.98	4	14.75	3	0.00	3
301	13	14	Max	15.00	447.53	3	0.00	3	0.00	4	-126.45	4	-7.05	4	0.00	3
301	13	14	Min.	0.00	360.71	4	0.00	4	0.00	3	-156.36	3	11.89	4	0.00	4
301	13	14	Min.	15.00	360.71	4	0.00	4	0.00	3	-156.83	3	-8.74	3	0.00	4
301	14	15	Max	0.00	-34.77	4	0.00	3	0.00	4	-157.47	4	16.84	3	0.00	3
301	14	15	Max	15.00	-34.77	4	0.00	3	0.00	3	-157.94	4	-10.08	4	0.00	3
301	14	15	Min.	0.00	-43.14	3	0.00	4	0.00	3	-195.43	3	13.57	4	0.00	4
301	14	15	Min.	15.00	-43.14	3	0.00	4	0.00	4	-195.90	3	-12.51	3	0.00	4
301	15	16	Max	0.00	-517.51	4	0.00	3	0.00	4	-189.22	4	18.72	3	0.00	3
301	15	16	Max	15.00	-517.51	4	0.00	3	0.00	3	-189.69	4	-13.33	4	0.00	3
301	15	16	Min.	0.00	-642.07	3	0.00	4	0.00	3	-234.82	3	15.09	4	0.00	4
301	15	16	Min.	15.00	-642.07	3	0.00	4	0.00	4	-235.29	3	-16.53	3	0.00	4
301	16	17	Max	0.00	-1083.88	4	0.00	3	0.00	4	-216.61	4	20.06	3	0.00	3
301	16	17	Max	15.00	-1083.88	4	0.00	3	0.00	3	-217.08	4	-16.36	4	0.00	3
301	16	17	Min.	0.00	-1344.75	3	0.00	4	0.00	3	-268.80	3	16.17	4	0.00	4

301	16	17	Min.	15.00	-1344.75	3	0.00	4	0.00	4	-269.27	3	-20.30	3	0.00	4
301	17	18	Max	0.00	-1718.68	4	0.00	3	0.00	3	-256.42	4	21.06	3	0.00	3
301	17	18	Max	16.00	-1718.68	4	0.00	3	0.00	3	-256.92	4	-24.10	4	0.00	3
301	17	18	Min.	0.00	-2132.33	3	0.00	4	0.00	4	-318.20	3	16.97	4	0.00	4
301	17	18	Min.	16.00	-2132.33	3	0.00	4	0.00	4	-318.70	3	-29.90	3	0.00	4

Tipo di combinazione di carico: SLE F

Asta	N1	N2		X <cm>	N <daN>	C C	Ty <daN>	C C	Mz <daN m>	C C	Tz <daN>	C C	My <daN m>	C C	Mx <daN m>	C C
1	1	101	Max	0.00	-266.42	6	0.00	5	0.00	6	-404.01	6	21.80	5	0.00	6
1	1	101	Max	11.00	-266.08	6	0.00	5	0.00	5	-404.01	6	-24.50	6	0.00	6
1	1	101	Min.	0.00	-291.24	5	0.00	6	0.00	5	-441.63	5	19.94	6	0.00	5
1	1	101	Min.	11.00	-290.89	5	0.00	6	0.00	6	-441.63	5	-26.78	5	0.00	5
2	2	102	Max	0.00	-32.45	6	0.00	5	0.00	6	-525.28	6	30.15	5	0.00	6
2	2	102	Max	11.00	-32.11	6	0.00	5	0.00	5	-525.28	6	-30.20	6	0.00	6
2	2	102	Min.	0.00	-35.53	5	0.00	6	0.00	5	-574.19	5	27.58	6	0.00	5
2	2	102	Min.	11.00	-35.18	5	0.00	6	0.00	6	-574.19	5	-33.01	5	0.00	5
3	3	103	Max	0.00	-22.20	6	0.00	6	0.00	5	-468.66	6	26.68	5	0.00	6
3	3	103	Max	11.00	-21.85	6	0.00	6	0.00	6	-468.66	6	-27.15	6	0.00	6
3	3	103	Min.	0.00	-24.31	5	0.00	5	0.00	6	-512.30	5	24.41	6	0.00	5
3	3	103	Min.	11.00	-23.96	5	0.00	5	0.00	5	-512.30	5	-29.67	5	0.00	5
4	4	104	Max	0.00	-25.80	6	0.00	6	0.00	5	-399.46	6	22.77	5	0.00	6
4	4	104	Max	11.00	-25.46	6	0.00	6	0.00	6	-399.46	6	-23.11	6	0.00	6
4	4	104	Min.	0.00	-28.25	5	0.00	5	0.00	6	-436.65	5	20.83	6	0.00	5
4	4	104	Min.	11.00	-27.90	5	0.00	5	0.00	5	-436.65	5	-25.26	5	0.00	5
5	5	105	Max	0.00	-25.59	6	0.00	6	0.00	5	-327.26	6	18.65	5	0.00	6
5	5	105	Max	11.00	-25.24	6	0.00	6	0.00	6	-327.26	6	-18.94	6	0.00	6
5	5	105	Min.	0.00	-28.01	5	0.00	5	0.00	6	-357.73	5	17.06	6	0.00	5
5	5	105	Min.	11.00	-27.67	5	0.00	5	0.00	5	-357.73	5	-20.70	5	0.00	5
6	6	106	Max	0.00	-25.64	6	0.00	6	0.00	5	-254.61	6	14.51	5	0.00	6
6	6	106	Max	11.00	-25.29	6	0.00	6	0.00	6	-254.61	6	-14.73	6	0.00	6
6	6	106	Min.	0.00	-28.07	5	0.00	5	0.00	6	-278.32	5	13.28	6	0.00	5
6	6	106	Min.	11.00	-27.72	5	0.00	5	0.00	5	-278.32	5	-16.10	5	0.00	5
7	7	107	Max	0.00	-25.64	6	0.00	6	0.00	5	-181.88	6	10.37	5	0.00	6
7	7	107	Max	11.00	-25.29	6	0.00	6	0.00	6	-181.88	6	-10.52	6	0.00	6
7	7	107	Min.	0.00	-28.07	5	0.00	5	0.00	6	-198.81	5	9.48	6	0.00	5
7	7	107	Min.	11.00	-27.73	5	0.00	5	0.00	5	-198.81	5	-11.50	5	0.00	5
8	8	108	Max	0.00	-25.64	6	0.00	6	0.00	5	-109.13	6	6.22	5	0.00	6
8	8	108	Max	11.00	-25.30	6	0.00	6	0.00	6	-109.13	6	-6.31	6	0.00	6
8	8	108	Min.	0.00	-28.07	5	0.00	5	0.00	6	-119.29	5	5.69	6	0.00	5
8	8	108	Min.	11.00	-27.73	5	0.00	5	0.00	5	-119.29	5	-6.90	5	0.00	5
9	9	109	Max	0.00	-25.64	6	0.00	6	0.00	5	-36.38	6	2.07	5	0.00	6
9	9	109	Max	11.00	-25.30	6	0.00	6	0.00	6	-36.38	6	-2.10	6	0.00	6
9	9	109	Min.	0.00	-28.07	5	0.00	5	0.00	6	-39.76	5	1.90	6	0.00	5
9	9	109	Min.	11.00	-27.73	5	0.00	5	0.00	5	-39.76	5	-2.30	5	0.00	5
10	10	110	Max	0.00	-25.64	6	0.00	6	0.00	5	39.76	5	-1.90	6	0.00	5
10	10	110	Max	11.00	-25.30	6	0.00	6	0.00	6	39.76	5	2.30	5	0.00	5
10	10	110	Min.	0.00	-28.07	5	0.00	5	0.00	6	36.38	6	-2.07	5	0.00	6
10	10	110	Min.	11.00	-27.73	5	0.00	5	0.00	5	36.38	6	2.10	6	0.00	6
11	11	111	Max	0.00	-25.64	6	0.00	6	0.00	5	119.29	5	-5.69	6	0.00	5
11	11	111	Max	11.00	-25.30	6	0.00	6	0.00	6	119.29	5	6.90	5	0.00	5
11	11	111	Min.	0.00	-28.07	5	0.00	5	0.00	6	109.13	6	-6.22	5	0.00	6
11	11	111	Min.	11.00	-27.73	5	0.00	5	0.00	5	109.13	6	6.31	6	0.00	6
12	12	112	Max	0.00	-25.64	6	0.00	6	0.00	5	198.81	5	-9.48	6	0.00	5
12	12	112	Max	11.00	-25.29	6	0.00	6	0.00	6	198.81	5	11.50	5	0.00	5
12	12	112	Min.	0.00	-28.07	5	0.00	5	0.00	6	181.88	6	-10.37	5	0.00	6
12	12	112	Min.	11.00	-27.73	5	0.00	5	0.00	5	181.88	6	10.52	6	0.00	6

13	13	113	Max	0.00	-25.64	6	0.00	6	0.00	5	278.32	5	-13.28	6	0.00	5
13	13	113	Max	11.00	-25.29	6	0.00	6	0.00	6	278.32	5	16.10	5	0.00	5
13	13	113	Min.	0.00	-28.07	5	0.00	5	0.00	6	254.61	6	-14.51	5	0.00	6
13	13	113	Min.	11.00	-27.72	5	0.00	5	0.00	5	254.61	6	14.73	6	0.00	6
14	14	114	Max	0.00	-25.59	6	0.00	6	0.00	5	357.73	5	-17.06	6	0.00	5
14	14	114	Max	11.00	-25.24	6	0.00	6	0.00	6	357.73	5	20.70	5	0.00	5
14	14	114	Min.	0.00	-28.01	5	0.00	5	0.00	6	327.26	6	-18.65	5	0.00	6
14	14	114	Min.	11.00	-27.67	5	0.00	5	0.00	5	327.26	6	18.94	6	0.00	6
15	15	115	Max	0.00	-25.80	6	0.00	6	0.00	5	436.65	5	-20.83	6	0.00	5
15	15	115	Max	11.00	-25.46	6	0.00	6	0.00	6	436.65	5	25.26	5	0.00	5
15	15	115	Min.	0.00	-28.25	5	0.00	5	0.00	6	399.46	6	-22.77	5	0.00	6
15	15	115	Min.	11.00	-27.90	5	0.00	5	0.00	5	399.46	6	23.11	6	0.00	6
16	16	116	Max	0.00	-22.20	6	0.00	6	0.00	5	512.30	5	-24.41	6	0.00	5
16	16	116	Max	11.00	-21.85	6	0.00	6	0.00	6	512.30	5	29.67	5	0.00	5
16	16	116	Min.	0.00	-24.31	5	0.00	5	0.00	6	468.66	6	-26.68	5	0.00	6
16	16	116	Min.	11.00	-23.96	5	0.00	5	0.00	5	468.66	6	27.15	6	0.00	6
17	17	117	Max	0.00	-32.45	6	0.00	5	0.00	6	574.19	5	-27.58	6	0.00	5
17	17	117	Max	11.00	-32.11	6	0.00	5	0.00	5	574.19	5	33.01	5	0.00	5
17	17	117	Min.	0.00	-35.53	5	0.00	6	0.00	5	525.28	6	-30.15	5	0.00	6
17	17	117	Min.	11.00	-35.18	5	0.00	6	0.00	6	525.28	6	30.20	6	0.00	6
18	18	118	Max	0.00	-266.42	6	0.00	5	0.00	6	441.63	5	-19.94	6	0.00	5
18	18	118	Max	11.00	-266.08	6	0.00	5	0.00	5	441.63	5	26.78	5	0.00	5
18	18	118	Min.	0.00	-291.24	5	0.00	6	0.00	5	404.01	6	-21.80	5	0.00	6
18	18	118	Min.	11.00	-290.89	5	0.00	6	0.00	6	404.01	6	24.50	6	0.00	6
101	101	102	Max	0.00	-404.01	6	-0.00	6	0.00	5	-266.08	6	26.78	5	0.00	6
101	101	102	Max	16.00	-404.01	6	-0.00	6	0.00	6	-207.32	6	-13.37	6	0.00	6
101	101	102	Min.	0.00	-441.63	5	-0.00	5	0.00	6	-290.89	5	24.50	6	0.00	5
101	101	102	Min.	16.00	-441.63	5	-0.00	5	0.00	5	-226.58	5	-14.62	5	0.00	5
101	102	103	Max	0.00	-929.29	6	-0.00	6	0.00	5	-239.43	6	18.40	5	0.00	6
101	102	103	Max	15.00	-929.29	6	-0.00	6	0.00	6	-184.34	6	-14.95	6	0.00	6
101	102	103	Min.	0.00	-1015.82	5	-0.00	5	0.00	6	-261.76	5	16.83	6	0.00	5
101	102	103	Min.	15.00	-1015.82	5	-0.00	5	0.00	5	-201.47	5	-16.34	5	0.00	5
101	103	104	Max	0.00	-1397.95	6	-0.00	6	0.00	5	-206.19	6	13.33	5	0.00	6
101	103	104	Max	15.00	-1397.95	6	-0.00	6	0.00	6	-151.10	6	-14.60	6	0.00	6
101	103	104	Min.	0.00	-1528.11	5	-0.00	5	0.00	6	-225.43	5	12.19	6	0.00	5
101	103	104	Min.	15.00	-1528.11	5	-0.00	5	0.00	5	-165.14	5	-15.96	5	0.00	5
101	104	105	Max	0.00	-1797.41	6	-0.00	6	0.00	5	-176.56	6	9.30	5	0.00	6
101	104	105	Max	15.00	-1797.41	6	-0.00	6	0.00	6	-121.47	6	-13.85	6	0.00	6
101	104	105	Min.	0.00	-1964.77	5	-0.00	5	0.00	6	-193.04	5	8.51	6	0.00	5
101	104	105	Min.	15.00	-1964.77	5	-0.00	5	0.00	5	-132.75	5	-15.13	5	0.00	5
101	105	106	Max	0.00	-2124.67	6	-0.00	6	0.00	5	-146.71	6	5.57	5	0.00	6
101	105	106	Max	15.00	-2124.67	6	0.00	6	0.00	6	-91.63	6	-12.79	6	0.00	6
101	105	106	Min.	0.00	-2322.49	5	-0.00	5	0.00	6	-160.41	5	5.09	6	0.00	5
101	105	106	Min.	15.00	-2322.49	5	0.00	5	0.00	5	-100.12	5	-13.97	5	0.00	5
101	106	107	Max	0.00	-2379.28	6	-0.00	6	0.00	6	-116.92	6	2.13	5	0.00	6
101	106	107	Max	15.00	-2379.28	6	0.00	6	0.00	6	-61.83	6	-11.46	6	0.00	6
101	106	107	Min.	0.00	-2600.81	5	-0.00	5	0.00	5	-127.84	5	1.95	6	0.00	5
101	106	107	Min.	15.00	-2600.81	5	0.00	5	0.00	5	-67.55	5	-12.53	5	0.00	5
101	107	108	Max	0.00	-2561.16	6	0.00	6	0.00	6	-87.13	6	-0.94	6	0.00	6
101	107	108	Max	15.00	-2561.16	6	0.00	6	0.00	6	-32.04	6	-9.87	6	0.00	6
101	107	108	Min.	0.00	-2799.62	5	0.00	5	0.00	5	-95.28	5	-1.02	5	0.00	5
101	107	108	Min.	15.00	-2799.62	5	0.00	5	0.00	5	-34.99	5	-10.79	5	0.00	5
101	108	109	Max	0.00	-2670.29	6	0.00	6	0.00	6	-57.34	6	-3.56	6	0.00	6
101	108	109	Max	15.00	-2670.29	6	0.00	6	0.00	6	-2.25	6	-8.03	6	0.00	6
101	108	109	Min.	0.00	-2918.91	5	0.00	5	0.00	5	-62.71	5	-3.89	5	0.00	5
101	108	109	Min.	15.00	-2918.91	5	0.00	5	0.00	5	-2.42	5	-8.77	5	0.00	5
101	109	110	Max	0.00	-2706.66	6	0.00	6	0.00	6	-27.54	6	-5.92	6	0.00	5
101	109	110	Max	15.00	-2706.66	6	0.00	5	0.00	6	30.15	5	-5.92	6	0.00	5
101	109	110	Min.	0.00	-2958.68	5	0.00	5	0.00	5	-30.15	5	-6.47	5	0.00	5

101	109	110	Min.	15.00	-2958.68	5	0.00	6	0.00	5	27.54	6	-6.47	5	0.00	5
101	110	111	Max	0.00	-2670.29	6	0.00	5	0.00	6	2.42	5	-8.03	6	0.00	5
101	110	111	Max	15.00	-2670.29	6	0.00	5	0.00	6	62.71	5	-3.56	6	0.00	5
101	110	111	Min.	0.00	-2918.91	5	0.00	6	0.00	5	2.25	6	-8.77	5	0.00	6
101	110	111	Min.	15.00	-2918.91	5	0.00	6	0.00	5	57.34	6	-3.89	5	0.00	6
101	111	112	Max	0.00	-2561.16	6	0.00	5	0.00	6	34.99	5	-9.87	6	0.00	5
101	111	112	Max	15.00	-2561.16	6	0.00	5	0.00	6	95.28	5	-0.94	6	0.00	5
101	111	112	Min.	0.00	-2799.62	5	0.00	6	0.00	5	32.04	6	-10.79	5	0.00	6
101	111	112	Min.	15.00	-2799.62	5	0.00	6	0.00	5	87.13	6	-1.02	5	0.00	6
101	112	113	Max	0.00	-2379.28	6	0.00	5	0.00	6	67.55	5	-11.46	6	0.00	5
101	112	113	Max	15.00	-2379.28	6	0.00	5	0.00	6	127.84	5	2.13	5	0.00	5
101	112	113	Min.	0.00	-2600.81	5	0.00	6	0.00	5	61.83	6	-12.53	5	0.00	6
101	112	113	Min.	15.00	-2600.81	5	0.00	6	0.00	5	116.92	6	1.95	6	0.00	6
101	113	114	Max	0.00	-2124.67	6	0.00	5	0.00	6	100.12	5	-12.79	6	0.00	5
101	113	114	Max	15.00	-2124.67	6	0.00	5	0.00	5	160.41	5	5.57	5	0.00	5
101	113	114	Min.	0.00	-2322.49	5	0.00	6	0.00	5	91.63	6	-13.97	5	0.00	6
101	113	114	Min.	15.00	-2322.49	5	0.00	6	0.00	6	146.71	6	5.09	6	0.00	6
101	114	115	Max	0.00	-1797.41	6	0.00	5	0.00	6	132.75	5	-13.85	6	0.00	5
101	114	115	Max	15.00	-1797.41	6	0.00	5	0.00	5	193.04	5	9.30	5	0.00	5
101	114	115	Min.	0.00	-1964.77	5	0.00	6	0.00	5	121.47	6	-15.13	5	0.00	6
101	114	115	Min.	15.00	-1964.77	5	0.00	6	0.00	6	176.56	6	8.51	6	0.00	6
101	115	116	Max	0.00	-1397.95	6	0.00	5	0.00	6	165.14	5	-14.60	6	0.00	5
101	115	116	Max	15.00	-1397.95	6	0.00	5	0.00	5	225.43	5	13.33	5	0.00	5
101	115	116	Min.	0.00	-1528.11	5	0.00	6	0.00	5	151.10	6	-15.96	5	0.00	6
101	115	116	Min.	15.00	-1528.11	5	0.00	6	0.00	6	206.19	6	12.19	6	0.00	6
101	116	117	Max	0.00	-929.29	6	0.00	5	0.00	6	201.47	5	-14.95	6	0.00	5
101	116	117	Max	15.00	-929.29	6	0.00	5	0.00	5	261.76	5	18.40	5	0.00	5
101	116	117	Min.	0.00	-1015.82	5	0.00	6	0.00	5	184.34	6	-16.34	5	0.00	6
101	116	117	Min.	15.00	-1015.82	5	0.00	6	0.00	6	239.43	6	16.83	6	0.00	6
101	117	118	Max	0.00	-404.01	6	0.00	5	0.00	6	226.58	5	-13.37	6	0.00	5
101	117	118	Max	16.00	-404.01	6	0.00	5	0.00	5	290.89	5	26.78	5	0.00	5
101	117	118	Min.	0.00	-441.63	5	0.00	6	0.00	5	207.32	6	-14.62	5	0.00	6
101	117	118	Min.	16.00	-441.63	5	0.00	6	0.00	6	266.08	6	24.50	6	0.00	6
301	1	2	Max	0.00	-1422.17	6	0.00	6	0.00	5	232.41	5	-19.94	6	0.00	6
301	1	2	Max	16.00	-1422.17	6	0.00	6	0.00	5	231.91	5	15.35	5	0.00	6
301	1	2	Min.	0.00	-1554.59	5	0.00	5	0.00	6	212.63	6	-21.80	5	0.00	5
301	1	2	Min.	16.00	-1554.59	5	0.00	5	0.00	6	212.13	6	14.04	6	0.00	5
301	2	3	Max	0.00	-896.90	6	0.00	6	0.00	5	196.38	5	-13.54	6	0.00	6
301	2	3	Max	15.00	-896.90	6	0.00	6	0.00	6	195.91	5	14.62	5	0.00	6
301	2	3	Min.	0.00	-980.40	5	0.00	5	0.00	6	179.68	6	-14.80	5	0.00	5
301	2	3	Min.	15.00	-980.40	5	0.00	5	0.00	5	179.20	6	13.38	6	0.00	5
301	3	4	Max	0.00	-428.24	6	0.00	6	0.00	5	171.60	5	-11.03	6	0.00	6
301	3	4	Max	15.00	-428.24	6	0.00	6	0.00	6	171.13	5	13.65	5	0.00	6
301	3	4	Min.	0.00	-468.11	5	0.00	5	0.00	6	157.01	6	-12.06	5	0.00	5
301	3	4	Min.	15.00	-468.11	5	0.00	5	0.00	5	156.54	6	12.49	6	0.00	5
301	4	5	Max	0.00	-28.78	6	0.00	6	0.00	5	142.89	5	-8.34	6	0.00	6
301	4	5	Max	15.00	-28.78	6	0.00	6	0.00	6	142.41	5	12.28	5	0.00	6
301	4	5	Min.	0.00	-31.45	5	0.00	5	0.00	6	130.74	6	-9.12	5	0.00	5
301	4	5	Min.	15.00	-31.45	5	0.00	5	0.00	5	130.26	6	11.23	6	0.00	5
301	5	6	Max	0.00	326.27	5	0.00	6	0.00	6	114.40	5	-5.83	6	0.00	6
301	5	6	Max	15.00	326.27	5	0.00	6	0.00	6	113.93	5	10.75	5	0.00	6
301	5	6	Min.	0.00	298.48	6	0.00	5	0.00	5	104.68	6	-6.37	5	0.00	5
301	5	6	Min.	15.00	298.48	6	0.00	5	0.00	5	104.21	6	9.84	6	0.00	5
301	6	7	Max	0.00	604.59	5	0.00	6	0.00	6	85.86	5	-3.44	6	0.00	6
301	6	7	Max	15.00	604.59	5	0.00	6	0.00	6	85.39	5	9.08	5	0.00	6
301	6	7	Min.	0.00	553.10	6	0.00	5	0.00	5	78.57	6	-3.76	5	0.00	5
301	6	7	Min.	15.00	553.10	6	0.00	5	0.00	5	78.10	6	8.31	6	0.00	5
301	7	8	Max	0.00	803.40	5	0.00	6	0.00	6	57.32	5	-1.17	6	0.00	6
301	7	8	Max	15.00	803.40	5	0.00	6	0.00	6	56.85	5	7.28	5	0.00	6

301	7	8	Min.	0.00	734.97	6	0.00	5	0.00	5	52.46	6	-1.28	5	0.00	5
301	7	8	Min.	15.00	734.97	6	0.00	5	0.00	5	51.99	6	6.66	6	0.00	5
301	8	9	Max	0.00	922.69	5	0.00	6	0.00	6	28.78	5	1.06	5	0.00	6
301	8	9	Max	15.00	922.69	5	0.00	6	0.00	6	28.31	5	5.34	5	0.00	6
301	8	9	Min.	0.00	844.10	6	0.00	5	0.00	5	26.35	6	0.97	6	0.00	5
301	8	9	Min.	15.00	844.10	6	0.00	5	0.00	5	25.88	6	4.89	6	0.00	5
301	9	10	Max	0.00	962.46	5	0.00	5	0.00	6	0.24	5	3.27	5	0.00	5
301	9	10	Max	6.38									3.28	5		
301	9	10	Max	15.00	962.46	5	0.00	5	0.00	6	-0.24	5	3.27	5	0.00	5
301	9	10	Min.	0.00	880.48	6	0.00	5	0.00	5	0.24	5	2.99	6	0.00	5
301	9	10	Min.	6.38									3.00	6		
301	9	10	Min.	15.00	880.48	6	0.00	5	0.00	5	-0.24	5	2.99	6	0.00	5
301	10	11	Max	0.00	922.69	5	0.00	5	0.00	6	-25.88	6	5.34	5	0.00	5
301	10	11	Max	15.00	922.69	5	0.00	5	0.00	6	-26.35	6	1.06	5	0.00	5
301	10	11	Min.	0.00	844.10	6	0.00	6	0.00	5	-28.31	5	4.89	6	0.00	6
301	10	11	Min.	15.00	844.10	6	0.00	6	0.00	5	-28.78	5	0.97	6	0.00	6
301	11	12	Max	0.00	803.40	5	0.00	5	0.00	6	-51.99	6	7.28	5	0.00	5
301	11	12	Max	15.00	803.40	5	0.00	5	0.00	6	-52.46	6	-1.17	6	0.00	5
301	11	12	Min.	0.00	734.97	6	0.00	6	0.00	5	-56.85	5	6.66	6	0.00	6
301	11	12	Min.	15.00	734.97	6	0.00	6	0.00	5	-57.32	5	-1.28	5	0.00	6
301	12	13	Max	0.00	604.59	5	0.00	5	0.00	6	-78.10	6	9.08	5	0.00	5
301	12	13	Max	15.00	604.59	5	0.00	5	0.00	6	-78.57	6	-3.44	6	0.00	5
301	12	13	Min.	0.00	553.10	6	0.00	6	0.00	5	-85.39	5	8.31	6	0.00	6
301	12	13	Min.	15.00	553.10	6	0.00	6	0.00	5	-85.86	5	-3.76	5	0.00	6
301	13	14	Max	0.00	326.27	5	0.00	5	0.00	6	-104.21	6	10.75	5	0.00	5
301	13	14	Max	15.00	326.27	5	0.00	5	0.00	6	-104.68	6	-5.83	6	0.00	5
301	13	14	Min.	0.00	298.48	6	0.00	6	0.00	5	-113.93	5	9.84	6	0.00	6
301	13	14	Min.	15.00	298.48	6	0.00	6	0.00	5	-114.40	5	-6.37	5	0.00	6
301	14	15	Max	0.00	-28.78	6	0.00	5	0.00	6	-130.26	6	12.28	5	0.00	5
301	14	15	Max	15.00	-28.78	6	0.00	5	0.00	5	-130.74	6	-8.34	6	0.00	5
301	14	15	Min.	0.00	-31.45	5	0.00	6	0.00	5	-142.41	5	11.23	6	0.00	6
301	14	15	Min.	15.00	-31.45	5	0.00	6	0.00	6	-142.89	5	-9.12	5	0.00	6
301	15	16	Max	0.00	-428.24	6	0.00	5	0.00	6	-156.54	6	13.65	5	0.00	5
301	15	16	Max	15.00	-428.24	6	0.00	5	0.00	5	-157.01	6	-11.03	6	0.00	5
301	15	16	Min.	0.00	-468.11	5	0.00	6	0.00	5	-171.13	5	12.49	6	0.00	6
301	15	16	Min.	15.00	-468.11	5	0.00	6	0.00	6	-171.60	5	-12.06	5	0.00	6
301	16	17	Max	0.00	-896.90	6	0.00	5	0.00	6	-179.20	6	14.62	5	0.00	5
301	16	17	Max	15.00	-896.90	6	0.00	5	0.00	5	-179.68	6	-13.54	6	0.00	5
301	16	17	Min.	0.00	-980.40	5	0.00	6	0.00	5	-195.91	5	13.38	6	0.00	6
301	16	17	Min.	15.00	-980.40	5	0.00	6	0.00	6	-196.38	5	-14.80	5	0.00	6
301	17	18	Max	0.00	-1422.17	6	0.00	5	0.00	5	-212.13	6	15.35	5	0.00	5
301	17	18	Max	16.00	-1422.17	6	0.00	5	0.00	5	-212.63	6	-19.94	6	0.00	5
301	17	18	Min.	0.00	-1554.59	5	0.00	6	0.00	6	-231.91	5	14.04	6	0.00	6
301	17	18	Min.	16.00	-1554.59	5	0.00	6	0.00	6	-232.41	5	-21.80	5	0.00	6

Tipo di combinazione di carico: SLE Q

Asta	N1	N2		X <cm>	N <daN>	C C	Ty <daN>	C C	Mz <daN m>	C C	Tz <daN>	C C	My <daN m>	C C	Mx <daN m>	C C
1	1	101	Max	0.00	-260.27	7	0.00	7	0.00	7	-394.69	7	19.48	7	0.00	7
1	1	101	Max	11.00	-259.93	7	0.00	7	0.00	7	-394.69	7	-23.94	7	0.00	7
1	1	101	Min.	0.00	-260.27	7	0.00	7	0.00	7	-394.69	7	19.48	7	0.00	7
1	1	101	Min.	11.00	-259.93	7	0.00	7	0.00	7	-394.69	7	-23.94	7	0.00	7
2	2	102	Max	0.00	-31.69	7	0.00	7	0.00	7	-513.16	7	26.94	7	0.00	7
2	2	102	Max	11.00	-31.35	7	0.00	7	0.00	7	-513.16	7	-29.50	7	0.00	7
2	2	102	Min.	0.00	-31.69	7	0.00	7	0.00	7	-513.16	7	26.94	7	0.00	7
2	2	102	Min.	11.00	-31.35	7	0.00	7	0.00	7	-513.16	7	-29.50	7	0.00	7
3	3	103	Max	0.00	-21.67	7	0.00	7	0.00	7	-457.85	7	23.84	7	0.00	7

3	3	103	Max	11.00	-21.33	7	0.00	7	0.00	7	-457.85	7	-26.52	7	0.00	7
3	3	103	Min.	0.00	-21.67	7	0.00	7	0.00	7	-457.85	7	23.84	7	0.00	7
3	3	103	Min.	11.00	-21.33	7	0.00	7	0.00	7	-457.85	7	-26.52	7	0.00	7
4	4	104	Max	0.00	-25.19	7	0.00	7	0.00	7	-390.24	7	20.35	7	0.00	7
4	4	104	Max	11.00	-24.85	7	0.00	7	0.00	7	-390.24	7	-22.58	7	0.00	7
4	4	104	Min.	0.00	-25.19	7	0.00	7	0.00	7	-390.24	7	20.35	7	0.00	7
4	4	104	Min.	11.00	-24.85	7	0.00	7	0.00	7	-390.24	7	-22.58	7	0.00	7
5	5	105	Max	0.00	-24.98	7	0.00	7	0.00	7	-319.71	7	16.67	7	0.00	7
5	5	105	Max	11.00	-24.64	7	0.00	7	0.00	7	-319.71	7	-18.50	7	0.00	7
5	5	105	Min.	0.00	-24.98	7	0.00	7	0.00	7	-319.71	7	16.67	7	0.00	7
5	5	105	Min.	11.00	-24.64	7	0.00	7	0.00	7	-319.71	7	-18.50	7	0.00	7
6	6	106	Max	0.00	-25.04	7	0.00	7	0.00	7	-248.74	7	12.97	7	0.00	7
6	6	106	Max	11.00	-24.69	7	0.00	7	0.00	7	-248.74	7	-14.39	7	0.00	7
6	6	106	Min.	0.00	-25.04	7	0.00	7	0.00	7	-248.74	7	12.97	7	0.00	7
6	6	106	Min.	11.00	-24.69	7	0.00	7	0.00	7	-248.74	7	-14.39	7	0.00	7
7	7	107	Max	0.00	-25.04	7	0.00	7	0.00	7	-177.68	7	9.26	7	0.00	7
7	7	107	Max	11.00	-24.69	7	0.00	7	0.00	7	-177.68	7	-10.28	7	0.00	7
7	7	107	Min.	0.00	-25.04	7	0.00	7	0.00	7	-177.68	7	9.26	7	0.00	7
7	7	107	Min.	11.00	-24.69	7	0.00	7	0.00	7	-177.68	7	-10.28	7	0.00	7
8	8	108	Max	0.00	-25.04	7	0.00	7	0.00	7	-106.61	7	5.56	7	0.00	7
8	8	108	Max	11.00	-24.69	7	0.00	7	0.00	7	-106.61	7	-6.17	7	0.00	7
8	8	108	Min.	0.00	-25.04	7	0.00	7	0.00	7	-106.61	7	5.56	7	0.00	7
8	8	108	Min.	11.00	-24.69	7	0.00	7	0.00	7	-106.61	7	-6.17	7	0.00	7
9	9	109	Max	0.00	-25.04	7	0.00	7	0.00	7	-35.54	7	1.85	7	0.00	7
9	9	109	Max	11.00	-24.69	7	0.00	7	0.00	7	-35.54	7	-2.06	7	0.00	7
9	9	109	Min.	0.00	-25.04	7	0.00	7	0.00	7	-35.54	7	1.85	7	0.00	7
9	9	109	Min.	11.00	-24.69	7	0.00	7	0.00	7	-35.54	7	-2.06	7	0.00	7
10	10	110	Max	0.00	-25.04	7	0.00	7	0.00	7	35.54	7	-1.85	7	0.00	7
10	10	110	Max	11.00	-24.69	7	0.00	7	0.00	7	35.54	7	2.06	7	0.00	7
10	10	110	Min.	0.00	-25.04	7	0.00	7	0.00	7	35.54	7	-1.85	7	0.00	7
10	10	110	Min.	11.00	-24.69	7	0.00	7	0.00	7	35.54	7	2.06	7	0.00	7
11	11	111	Max	0.00	-25.04	7	0.00	7	0.00	7	106.61	7	-5.56	7	0.00	7
11	11	111	Max	11.00	-24.69	7	0.00	7	0.00	7	106.61	7	6.17	7	0.00	7
11	11	111	Min.	0.00	-25.04	7	0.00	7	0.00	7	106.61	7	-5.56	7	0.00	7
11	11	111	Min.	11.00	-24.69	7	0.00	7	0.00	7	106.61	7	6.17	7	0.00	7
12	12	112	Max	0.00	-25.04	7	0.00	7	0.00	7	177.68	7	-9.26	7	0.00	7
12	12	112	Max	11.00	-24.69	7	0.00	7	0.00	7	177.68	7	10.28	7	0.00	7
12	12	112	Min.	0.00	-25.04	7	0.00	7	0.00	7	177.68	7	-9.26	7	0.00	7
12	12	112	Min.	11.00	-24.69	7	0.00	7	0.00	7	177.68	7	10.28	7	0.00	7
13	13	113	Max	0.00	-25.04	7	0.00	7	0.00	7	248.74	7	-12.97	7	0.00	7
13	13	113	Max	11.00	-24.69	7	0.00	7	0.00	7	248.74	7	14.39	7	0.00	7
13	13	113	Min.	0.00	-25.04	7	0.00	7	0.00	7	248.74	7	-12.97	7	0.00	7
13	13	113	Min.	11.00	-24.69	7	0.00	7	0.00	7	248.74	7	14.39	7	0.00	7
14	14	114	Max	0.00	-24.98	7	0.00	7	0.00	7	319.71	7	-16.67	7	0.00	7
14	14	114	Max	11.00	-24.64	7	0.00	7	0.00	7	319.71	7	18.50	7	0.00	7
14	14	114	Min.	0.00	-24.98	7	0.00	7	0.00	7	319.71	7	-16.67	7	0.00	7
14	14	114	Min.	11.00	-24.64	7	0.00	7	0.00	7	319.71	7	18.50	7	0.00	7
15	15	115	Max	0.00	-25.19	7	0.00	7	0.00	7	390.24	7	-20.35	7	0.00	7
15	15	115	Max	11.00	-24.85	7	0.00	7	0.00	7	390.24	7	22.58	7	0.00	7
15	15	115	Min.	0.00	-25.19	7	0.00	7	0.00	7	390.24	7	-20.35	7	0.00	7
15	15	115	Min.	11.00	-24.85	7	0.00	7	0.00	7	390.24	7	22.58	7	0.00	7
16	16	116	Max	0.00	-21.67	7	0.00	7	0.00	7	457.85	7	-23.84	7	0.00	7
16	16	116	Max	11.00	-21.33	7	0.00	7	0.00	7	457.85	7	26.52	7	0.00	7
16	16	116	Min.	0.00	-21.67	7	0.00	7	0.00	7	457.85	7	-23.84	7	0.00	7
16	16	116	Min.	11.00	-21.33	7	0.00	7	0.00	7	457.85	7	26.52	7	0.00	7
17	17	117	Max	0.00	-31.69	7	0.00	7	0.00	7	513.16	7	-26.94	7	0.00	7
17	17	117	Max	11.00	-31.35	7	0.00	7	0.00	7	513.16	7	29.50	7	0.00	7
17	17	117	Min.	0.00	-31.69	7	0.00	7	0.00	7	513.16	7	-26.94	7	0.00	7
17	17	117	Min.	11.00	-31.35	7	0.00	7	0.00	7	513.16	7	29.50	7	0.00	7

18	18	118	Max	0.00	-260.27	7	0.00	7	0.00	7	394.69	7	-19.48	7	0.00	7
18	18	118	Max	11.00	-259.93	7	0.00	7	0.00	7	394.69	7	23.94	7	0.00	7
18	18	118	Min.	0.00	-260.27	7	0.00	7	0.00	7	394.69	7	-19.48	7	0.00	7
18	18	118	Min.	11.00	-259.93	7	0.00	7	0.00	7	394.69	7	23.94	7	0.00	7
101	101	102	Max	0.00	-394.69	7	-0.00	7	0.00	7	-259.93	7	23.94	7	0.00	7
101	101	102	Max	16.00	-394.69	7	-0.00	7	0.00	7	-202.55	7	-13.06	7	0.00	7
101	101	102	Min.	0.00	-394.69	7	-0.00	7	0.00	7	-259.93	7	23.94	7	0.00	7
101	101	102	Min.	16.00	-394.69	7	-0.00	7	0.00	7	-202.55	7	-13.06	7	0.00	7
101	102	103	Max	0.00	-907.84	7	-0.00	7	0.00	7	-233.89	7	16.44	7	0.00	7
101	102	103	Max	15.00	-907.84	7	-0.00	7	0.00	7	-180.10	7	-14.61	7	0.00	7
101	102	103	Min.	0.00	-907.84	7	-0.00	7	0.00	7	-233.89	7	16.44	7	0.00	7
101	102	103	Min.	15.00	-907.84	7	-0.00	7	0.00	7	-180.10	7	-14.61	7	0.00	7
101	103	104	Max	0.00	-1365.69	7	-0.00	7	0.00	7	-201.42	7	11.91	7	0.00	7
101	103	104	Max	15.00	-1365.69	7	-0.00	7	0.00	7	-147.63	7	-14.27	7	0.00	7
101	103	104	Min.	0.00	-1365.69	7	-0.00	7	0.00	7	-201.42	7	11.91	7	0.00	7
101	103	104	Min.	15.00	-1365.69	7	-0.00	7	0.00	7	-147.63	7	-14.27	7	0.00	7
101	104	105	Max	0.00	-1755.93	7	-0.00	7	0.00	7	-172.48	7	8.31	7	0.00	7
101	104	105	Max	15.00	-1755.93	7	-0.00	7	0.00	7	-118.68	7	-13.53	7	0.00	7
101	104	105	Min.	0.00	-1755.93	7	-0.00	7	0.00	7	-172.48	7	8.31	7	0.00	7
101	104	105	Min.	15.00	-1755.93	7	-0.00	7	0.00	7	-118.68	7	-13.53	7	0.00	7
101	105	106	Max	0.00	-2075.64	7	-0.00	7	0.00	7	-143.32	7	4.97	7	0.00	7
101	105	106	Max	15.00	-2075.64	7	0.00	7	0.00	7	-89.52	7	-12.49	7	0.00	7
101	105	106	Min.	0.00	-2075.64	7	-0.00	7	0.00	7	-143.32	7	4.97	7	0.00	7
101	105	106	Min.	15.00	-2075.64	7	0.00	7	0.00	7	-89.52	7	-12.49	7	0.00	7
101	106	107	Max	0.00	-2324.38	7	-0.00	7	0.00	7	-114.21	7	1.90	7	0.00	7
101	106	107	Max	15.00	-2324.38	7	0.00	7	0.00	7	-60.42	7	-11.20	7	0.00	7
101	106	107	Min.	0.00	-2324.38	7	-0.00	7	0.00	7	-114.21	7	1.90	7	0.00	7
101	106	107	Min.	15.00	-2324.38	7	0.00	7	0.00	7	-60.42	7	-11.20	7	0.00	7
101	107	108	Max	0.00	-2502.06	7	0.00	7	0.00	7	-85.11	7	-0.91	7	0.00	7
101	107	108	Max	15.00	-2502.06	7	0.00	7	0.00	7	-31.31	7	-9.65	7	0.00	7
101	107	108	Min.	0.00	-2502.06	7	0.00	7	0.00	7	-85.11	7	-0.91	7	0.00	7
101	107	108	Min.	15.00	-2502.06	7	0.00	7	0.00	7	-31.31	7	-9.65	7	0.00	7
101	108	109	Max	0.00	-2608.67	7	0.00	7	0.00	7	-56.00	7	-3.48	7	0.00	7
101	108	109	Max	15.00	-2608.67	7	0.00	7	0.00	7	-2.21	7	-7.84	7	0.00	7
101	108	109	Min.	0.00	-2608.67	7	0.00	7	0.00	7	-56.00	7	-3.48	7	0.00	7
101	108	109	Min.	15.00	-2608.67	7	0.00	7	0.00	7	-2.21	7	-7.84	7	0.00	7
101	109	110	Max	0.00	-2644.20	7	0.00	7	0.00	7	-26.90	7	-5.79	7	0.00	7
101	109	110	Max	15.00	-2644.20	7	0.00	7	0.00	7	26.90	7	-5.79	7	0.00	7
101	109	110	Min.	0.00	-2644.20	7	0.00	7	0.00	7	-26.90	7	-5.79	7	0.00	7
101	109	110	Min.	15.00	-2644.20	7	0.00	7	0.00	7	26.90	7	-5.79	7	0.00	7
101	110	111	Max	0.00	-2608.67	7	0.00	7	0.00	7	2.21	7	-7.84	7	0.00	7
101	110	111	Max	15.00	-2608.67	7	0.00	7	0.00	7	56.00	7	-3.48	7	0.00	7
101	110	111	Min.	0.00	-2608.67	7	0.00	7	0.00	7	2.21	7	-7.84	7	0.00	7
101	110	111	Min.	15.00	-2608.67	7	0.00	7	0.00	7	56.00	7	-3.48	7	0.00	7
101	111	112	Max	0.00	-2502.06	7	0.00	7	0.00	7	31.31	7	-9.65	7	0.00	7
101	111	112	Max	15.00	-2502.06	7	0.00	7	0.00	7	85.11	7	-0.91	7	0.00	7
101	111	112	Min.	0.00	-2502.06	7	0.00	7	0.00	7	31.31	7	-9.65	7	0.00	7
101	111	112	Min.	15.00	-2502.06	7	0.00	7	0.00	7	85.11	7	-0.91	7	0.00	7
101	112	113	Max	0.00	-2324.38	7	0.00	7	0.00	7	60.42	7	-11.20	7	0.00	7
101	112	113	Max	15.00	-2324.38	7	0.00	7	0.00	7	114.21	7	1.90	7	0.00	7
101	112	113	Min.	0.00	-2324.38	7	0.00	7	0.00	7	60.42	7	-11.20	7	0.00	7
101	112	113	Min.	15.00	-2324.38	7	0.00	7	0.00	7	114.21	7	1.90	7	0.00	7
101	113	114	Max	0.00	-2075.64	7	0.00	7	0.00	7	89.52	7	-12.49	7	0.00	7
101	113	114	Max	15.00	-2075.64	7	0.00	7	0.00	7	143.32	7	4.97	7	0.00	7
101	113	114	Min.	0.00	-2075.64	7	0.00	7	0.00	7	89.52	7	-12.49	7	0.00	7
101	113	114	Min.	15.00	-2075.64	7	0.00	7	0.00	7	143.32	7	4.97	7	0.00	7
101	114	115	Max	0.00	-1755.93	7	0.00	7	0.00	7	118.68	7	-13.53	7	0.00	7
101	114	115	Max	15.00	-1755.93	7	0.00	7	0.00	7	172.48	7	8.31	7	0.00	7
101	114	115	Min.	0.00	-1755.93	7	0.00	7	0.00	7	118.68	7	-13.53	7	0.00	7

101	114	115	Min.	15.00	-1755.93	7	0.00	7	0.00	7	172.48	7	8.31	7	0.00	7
101	115	116	Max	0.00	-1365.69	7	0.00	7	0.00	7	147.63	7	-14.27	7	0.00	7
101	115	116	Max	15.00	-1365.69	7	0.00	7	0.00	7	201.42	7	11.91	7	0.00	7
101	115	116	Min.	0.00	-1365.69	7	0.00	7	0.00	7	147.63	7	-14.27	7	0.00	7
101	115	116	Min.	15.00	-1365.69	7	0.00	7	0.00	7	201.42	7	11.91	7	0.00	7
101	116	117	Max	0.00	-907.84	7	0.00	7	0.00	7	180.10	7	-14.61	7	0.00	7
101	116	117	Max	15.00	-907.84	7	0.00	7	0.00	7	233.89	7	16.44	7	0.00	7
101	116	117	Min.	0.00	-907.84	7	0.00	7	0.00	7	180.10	7	-14.61	7	0.00	7
101	116	117	Min.	15.00	-907.84	7	0.00	7	0.00	7	233.89	7	16.44	7	0.00	7
101	117	118	Max	0.00	-394.69	7	0.00	7	0.00	7	202.55	7	-13.06	7	0.00	7
101	117	118	Max	16.00	-394.69	7	0.00	7	0.00	7	259.93	7	23.94	7	0.00	7
101	117	118	Min.	0.00	-394.69	7	0.00	7	0.00	7	202.55	7	-13.06	7	0.00	7
101	117	118	Min.	16.00	-394.69	7	0.00	7	0.00	7	259.93	7	23.94	7	0.00	7
301	1	2	Max	0.00	-1389.35	7	0.00	7	0.00	7	207.73	7	-19.48	7	0.00	7
301	1	2	Max	16.00	-1389.35	7	0.00	7	0.00	7	207.23	7	13.72	7	0.00	7
301	1	2	Min.	0.00	-1389.35	7	0.00	7	0.00	7	207.73	7	-19.48	7	0.00	7
301	1	2	Min.	16.00	-1389.35	7	0.00	7	0.00	7	207.23	7	13.72	7	0.00	7
301	2	3	Max	0.00	-876.20	7	0.00	7	0.00	7	175.53	7	-13.23	7	0.00	7
301	2	3	Max	15.00	-876.20	7	0.00	7	0.00	7	175.06	7	13.07	7	0.00	7
301	2	3	Min.	0.00	-876.20	7	0.00	7	0.00	7	175.53	7	-13.23	7	0.00	7
301	2	3	Min.	15.00	-876.20	7	0.00	7	0.00	7	175.06	7	13.07	7	0.00	7
301	3	4	Max	0.00	-418.35	7	0.00	7	0.00	7	153.39	7	-10.78	7	0.00	7
301	3	4	Max	15.00	-418.35	7	0.00	7	0.00	7	152.92	7	12.20	7	0.00	7
301	3	4	Min.	0.00	-418.35	7	0.00	7	0.00	7	153.39	7	-10.78	7	0.00	7
301	3	4	Min.	15.00	-418.35	7	0.00	7	0.00	7	152.92	7	12.20	7	0.00	7
301	4	5	Max	0.00	-28.11	7	0.00	7	0.00	7	127.72	7	-8.15	7	0.00	7
301	4	5	Max	15.00	-28.11	7	0.00	7	0.00	7	127.25	7	10.97	7	0.00	7
301	4	5	Min.	0.00	-28.11	7	0.00	7	0.00	7	127.72	7	-8.15	7	0.00	7
301	4	5	Min.	15.00	-28.11	7	0.00	7	0.00	7	127.25	7	10.97	7	0.00	7
301	5	6	Max	0.00	291.60	7	0.00	7	0.00	7	102.27	7	-5.70	7	0.00	7
301	5	6	Max	15.00	291.60	7	0.00	7	0.00	7	101.80	7	9.61	7	0.00	7
301	5	6	Min.	0.00	291.60	7	0.00	7	0.00	7	102.27	7	-5.70	7	0.00	7
301	5	6	Min.	15.00	291.60	7	0.00	7	0.00	7	101.80	7	9.61	7	0.00	7
301	6	7	Max	0.00	540.33	7	0.00	7	0.00	7	76.76	7	-3.36	7	0.00	7
301	6	7	Max	15.00	540.33	7	0.00	7	0.00	7	76.29	7	8.12	7	0.00	7
301	6	7	Min.	0.00	540.33	7	0.00	7	0.00	7	76.76	7	-3.36	7	0.00	7
301	6	7	Min.	15.00	540.33	7	0.00	7	0.00	7	76.29	7	8.12	7	0.00	7
301	7	8	Max	0.00	718.01	7	0.00	7	0.00	7	51.25	7	-1.15	7	0.00	7
301	7	8	Max	15.00	718.01	7	0.00	7	0.00	7	50.78	7	6.51	7	0.00	7
301	7	8	Min.	0.00	718.01	7	0.00	7	0.00	7	51.25	7	-1.15	7	0.00	7
301	7	8	Min.	15.00	718.01	7	0.00	7	0.00	7	50.78	7	6.51	7	0.00	7
301	8	9	Max	0.00	824.62	7	0.00	7	0.00	7	25.74	7	0.95	7	0.00	7
301	8	9	Max	15.00	824.62	7	0.00	7	0.00	7	25.27	7	4.77	7	0.00	7
301	8	9	Min.	0.00	824.62	7	0.00	7	0.00	7	25.74	7	0.95	7	0.00	7
301	8	9	Min.	15.00	824.62	7	0.00	7	0.00	7	25.27	7	4.77	7	0.00	7
301	9	10	Max	0.00	860.16	7	0.00	7	0.00	7	0.24	7	2.92	7	0.00	7
301	9	10	Max	6.38									2.93	7		
301	9	10	Max	15.00	860.16	7	0.00	7	0.00	7	-0.24	7	2.92	7	0.00	7
301	9	10	Min.	0.00	860.16	7	0.00	7	0.00	7	0.24	7	2.92	7	0.00	7
301	9	10	Min.	6.38									2.93	7		
301	9	10	Min.	15.00	860.16	7	0.00	7	0.00	7	-0.24	7	2.92	7	0.00	7
301	10	11	Max	0.00	824.62	7	0.00	7	0.00	7	-25.27	7	4.77	7	0.00	7
301	10	11	Max	15.00	824.62	7	0.00	7	0.00	7	-25.74	7	0.95	7	0.00	7
301	10	11	Min.	0.00	824.62	7	0.00	7	0.00	7	-25.27	7	4.77	7	0.00	7
301	10	11	Min.	15.00	824.62	7	0.00	7	0.00	7	-25.74	7	0.95	7	0.00	7
301	11	12	Max	0.00	718.01	7	0.00	7	0.00	7	-50.78	7	6.51	7	0.00	7
301	11	12	Max	15.00	718.01	7	0.00	7	0.00	7	-51.25	7	-1.15	7	0.00	7
301	11	12	Min.	0.00	718.01	7	0.00	7	0.00	7	-50.78	7	6.51	7	0.00	7
301	11	12	Min.	15.00	718.01	7	0.00	7	0.00	7	-51.25	7	-1.15	7	0.00	7

301	12	13	Max	0.00	540.33	7	0.00	7	0.00	7	-76.29	7	8.12	7	0.00	7
301	12	13	Max	15.00	540.33	7	0.00	7	0.00	7	-76.76	7	-3.36	7	0.00	7
301	12	13	Min.	0.00	540.33	7	0.00	7	0.00	7	-76.29	7	8.12	7	0.00	7
301	12	13	Min.	15.00	540.33	7	0.00	7	0.00	7	-76.76	7	-3.36	7	0.00	7
301	13	14	Max	0.00	291.60	7	0.00	7	0.00	7	-101.80	7	9.61	7	0.00	7
301	13	14	Max	15.00	291.60	7	0.00	7	0.00	7	-102.27	7	-5.70	7	0.00	7
301	13	14	Min.	0.00	291.60	7	0.00	7	0.00	7	-101.80	7	9.61	7	0.00	7
301	13	14	Min.	15.00	291.60	7	0.00	7	0.00	7	-102.27	7	-5.70	7	0.00	7
301	14	15	Max	0.00	-28.11	7	0.00	7	0.00	7	-127.25	7	10.97	7	0.00	7
301	14	15	Max	15.00	-28.11	7	0.00	7	0.00	7	-127.72	7	-8.15	7	0.00	7
301	14	15	Min.	0.00	-28.11	7	0.00	7	0.00	7	-127.25	7	10.97	7	0.00	7
301	14	15	Min.	15.00	-28.11	7	0.00	7	0.00	7	-127.72	7	-8.15	7	0.00	7
301	15	16	Max	0.00	-418.35	7	0.00	7	0.00	7	-152.92	7	12.20	7	0.00	7
301	15	16	Max	15.00	-418.35	7	0.00	7	0.00	7	-153.39	7	-10.78	7	0.00	7
301	15	16	Min.	0.00	-418.35	7	0.00	7	0.00	7	-152.92	7	12.20	7	0.00	7
301	15	16	Min.	15.00	-418.35	7	0.00	7	0.00	7	-153.39	7	-10.78	7	0.00	7
301	16	17	Max	0.00	-876.20	7	0.00	7	0.00	7	-175.06	7	13.07	7	0.00	7
301	16	17	Max	15.00	-876.20	7	0.00	7	0.00	7	-175.53	7	-13.23	7	0.00	7
301	16	17	Min.	0.00	-876.20	7	0.00	7	0.00	7	-175.06	7	13.07	7	0.00	7
301	16	17	Min.	15.00	-876.20	7	0.00	7	0.00	7	-175.53	7	-13.23	7	0.00	7
301	17	18	Max	0.00	-1389.35	7	0.00	7	0.00	7	-207.23	7	13.72	7	0.00	7
301	17	18	Max	16.00	-1389.35	7	0.00	7	0.00	7	-207.73	7	-19.48	7	0.00	7
301	17	18	Min.	0.00	-1389.35	7	0.00	7	0.00	7	-207.23	7	13.72	7	0.00	7
301	17	18	Min.	16.00	-1389.35	7	0.00	7	0.00	7	-207.73	7	-19.48	7	0.00	7

Criteri di progetto utilizzati

Aste in acciaio

Generali	
Verifica aste in acciaio	
Numero punti di verifica	10.00
Numero CC da considerare di tipo I	99.00
Stati limite D.M. 18	
Verifiche con EC3	No
Coeff. amplificativo sollecitazioni per effetti del secondo ordine	1.00
Stampe	
Verifiche da riportare in relazione	Tutte

Specifici	**1**
Materiali	
CNR 10011	
Tipo di acciaio	FE430
D.M. 18	
Tipo di acciaio per profilati a sezione aperta	S275
	UNI EN
	10025-2
Tipo di acciaio per profilati a sezione cava	S275H
	UNI EN
	10210-1
EC3	
Tipo di acciaio	S275
-Fy <daN/cmq>	2750.00
-Fu <daN/cmq>	4300.00
-Fy,40 <daN/cmq>	2550.00
-Fu,40 <daN/cmq>	4100.00

γ M0	1.00
γ M1	1.00
γ M2	1.25
γ Rd	1.30
γ Ov	1.25
-Considera come elemento esistente (S.L. D.M. 18/EC3)	No
-Livello di conoscenza	LC1
-Fattore di confidenza	1.35
Verifiche di resistenza	
Rapporto fra area effettiva e area nominale	1.00
Rapporto fra area netta e area nominale	1.00
Coeff. di forma intorno all'asse Y	1.00
Coeff. di forma intorno all'asse Z	1.00
Verifica le bielle solo con sollecitazioni di trazione moltiplicate per	Si
Valutare la τ per torsione nei punti di spigolo (CNR 10011)	No
-Pari a	
Stati limite D.M. 18/EC3	
-Elemento dissipativo	Si
-Effettua le verifiche della gerarchia delle resistenze per strutture intelaiate	No
-Usa classe 1 in pressoflessione deviata se non presente in archivio	No
-Verifica in campo plastico elemento non dissipativo	No
Stati limite D.M. 18	
-Usa prescrizioni EC3 quando più dettagliate	Si
-Considera prescrizioni relative ai ponti	No
Verifiche di deformabilità	
Max valore del rapporto tra la luce e la freccia (totale)	250.00
Max valore del rapporto tra la luce e la freccia (solo accidentali)	300.00
Max valore del rapporto tra altezza e spostamento orizz. (aste)	300.00
Max valore del rapporto tra altezza e spostamento orizz. (membrature)	500.00
Considerare anche spostamento relativo nodi per calcolo freccia	No
Considerare solo la verifica di deformabilità delle membrature	Si
Trascura deformazione dovuta al sisma (T.A.)	No
Verifiche di stabilità asta	
Riduzione lunghezza libera d'inflessione	
-Distanza fra i nodi dell'asta	x
-Distanza ridotta delle zone rigide moltiplicate per il valore	
Tipo di accoppiamento aste composte	
-Separate	
-Calastrellate	
-Imbottite	
-Automatico	x
Calcolo momento medio usando valori assoluti	Si
Interasse calastrelli o imbottiture	
-Distanza pari a <m>	
-Interasse da normativa moltiplicato per il valore	0.80
-Aste rigidamente collegate	
Curva di stabilità (D.M. 18/EC3)	Automatica
Aste laminate	Si
Sigma max amm. senza verifiche di stabilità (CNR 10011) <%>	2.00
Verifiche di stabilità globale in dir. Y locale	Si
-Coeff. β intorno all'asse Y	1.00
Verifiche di stabilità globale in dir. Z locale	Si
-Coeff. β intorno all'asse Z	1.00
Verifiche di stabilità flesso - torsionale	Si
-Coeff. per calcolo interasse ritegni torsionali	1.00
Aste inflesse (D.M. 18/EC3)	

-Coeff. Ψ per calcolo momento critico	
-Valuta in base ai momenti dell'asta	x
-Utilizza valore imposto	
-Fattore correttivo di distribuzione K_c	0.94
-Snellezza di riferimento $\lambda_{LT,0}$	0.40
-Coeff. β	0.75
Aste pressoinflesse (D.M. 18/EC3)	
-Considera come molto deformabile a torsione	No
-Fattore correttivo di distribuzione α_{mY}/C_{mY}	0.95
-Fattore correttivo di distribuzione α_{mZ}/C_{mZ}	0.95
-Fattore correttivo di distribuzione α_{mLT}/C_{mLT}	0.95
Eseguire anche le verifiche al punto 7.3.2 (CNR 10011)	Si
Carichi sull'estradosso (CNR 10011)	Si
Verifiche di stabilità all'imbozzamento (CNR 10011)	
-Numero irrigidimenti orizzontali anima	0.00
-Interasse irrigidimenti verticali anima	
-Numero di suddivisioni	
-Distanza non inferiore a <cm>	
-Pari alla lunghezza dell'asta	x
-Modalità di calcolo σ cr,id	
-Normativa	
-Massonet	x
-Ballio	
Verifiche di stabilità membratura	
Massimo numero aste costituenti unica membratura	1.00
Sforzo normale di verifica	
-Massimo valore fra tutte le aste	x
-Media aritmetica dei valori di tutte le aste	
-Media pesata di tutte le aste	
Contributo eventuali sforzi di trazione	No
Verifica nei piani principali	Si
Incremento snellezza	Si
Verifiche di stabilità globale in dir. Y locale	Si
-Coeff. β calcolato in funzione dello sforzo normale	
-Coeff. β	1.00
Verifiche di stabilità globale in dir. Z locale	Si
-Coeff. β calcolato in funzione dello sforzo normale	
-Coeff. β	1.00
Dati per verifiche di resistenza al fuoco	
-Tempo di verifica (REI) <minuti>	120.00
-Fattore di momento uniforme equivalente β M, y	1.10
-Fattore di momento uniforme equivalente β M, z	1.10
-Fattore di momento uniforme equivalente β M, LT	1.10

Verifiche aste in acciaio

Simbologia

Sez. = Numero della sezione
Cod. = Codice
Tipo = Tipologia
- 2C = Doppia C lato labbri
- 2Cdx = Doppia C lato costola
- 2I = Doppia I
- 2L = Doppia L lato labbri
- 2Ldx = Doppia L lato costole
- C = Sezione a C
- Cdx = C destra
- Cir. = Circolare
- Cir.c = Circolare cava
- I = Sezione a I
- L = Sezione a L
- Ldx = L destra
- Om. = Omega
- Pg = Pi greco

Pr = Poligono regolare
Prc = Poligono regolare cavo
Pc = Per coordinate
Ia = Inerzie assegnate
R = Rettangolare
Rc = Rettangolare cava
T = Sezione a T
U = Sezione a U
Ur = U rovescia
V = Sezione a V
Vr = V rovescia
Z = Sezione a Z
Zdx = Z destra
Ts = T standata
Ls = L standata
Cs = C standata
Is = I standata
Dis. = Disegnata

D	<cm>	= Distanza
Area	<cmq>	= Area
Anet	<cmq>	= Area netta per compressione
Aeff	<cmq>	= Area effettiva per trazione
Jy	<cm4>	= Momento d'inerzia rispetto all'asse Y
Jz	<cm4>	= Momento d'inerzia rispetto all'asse Z
Iy	<cm>	= Raggio giratorio d'inerzia rispetto all'asse Y
Iz	<cm>	= Raggio giratorio d'inerzia rispetto all'asse Z
Wymin	<cmc>	= Modulo di resistenza minimo rispetto all'asse Y
Wzmin	<cmc>	= Modulo di resistenza minimo rispetto all'asse Z
Tp		= Tipo di acciaio
Fyk	<daN/cmq>	= Tensione caratteristica di snervamento dell'acciaio
Fyt	<daN/cmq>	= Tensione caratteristica di rottura
Wy,plas	<cmc>	= Modulo di resistenza plastico intorno all'asse Y
Wz,plas	<cmc>	= Modulo di resistenza plastico intorno all'asse Z
Atag,y	<cmq>	= Area resistente a taglio in dir. Y
Atag,z	<cmq>	= Area resistente a taglio in dir. Z
Jω	<cm6>	= Costante di ingobbamento
CC		= Numero della combinazione delle condizioni di carico elementari
N,Ed	<daN>	= Forza assiale di calcolo
Myeq,Ed	<daNm>	= Valore equivalente del momento flettente intorno all'asse Y
Nc,Rd	<daN>	= Resistenza a compressione
My,c,Rd	<daNm>	= Resistenza di calcolo a flessione intorno all'asse Y
L	<cm>	= Lunghezza dell'asta
λ_y		= Snellezza per inflessione intorno all'asse y(c)
Ncr,y	<daN>	= Sforzo normale critico euleriano per inflessione intorno all'asse y(c)
λ^*_y		= Snellezza adimensionale per inflessione intorno all'asse y(c)
Curva		= Curva di instabilità adottata
Φ_y		= Coefficiente Φ per inflessione intorno all'asse y(c)
χ_y		= Coefficiente χ di riduzione per instabilità intorno all'asse y(c)
λ_z		= Snellezza per inflessione intorno all'asse z(e)
Ncr,z	<daN>	= Sforzo normale critico euleriano per inflessione intorno all'asse z(e)
λ^*_z		= Snellezza adimensionale per inflessione intorno all'asse z(e)
Φ_z		= Coefficiente Φ per inflessione intorno all'asse z(e)
χ_z		= Coefficiente χ di riduzione per instabilità intorno all'asse z(e)
Xl	<m>	= Coordinata progressiva (dal nodo iniziale dell'asta) in cui viene effettuato il progetto/verifica
N	<daN>	= Sforzo normale
Tz	<daN>	= Taglio in dir. Z
My	<daNm>	= Momento flettente intorno all'asse Y
σ_N	<daN/cmq>	= Tensione normale per sforzo normale
σ_M	<daN/cmq>	= Tensione normale per momento flettente
τ	<daN/cmq>	= Tensione tangenziale per taglio e/o torsione
$\sigma_{ID,max}$	<daN/cmq>	= Tensione ideale massima
V,Ed	<daN>	= Forza di taglio di calcolo
Vc,Rd	<daN>	= Resistenza a taglio
$f_{Z,L}$	<cm>	= Freccia in direzione Z locale
$f_{Z,G}$	<cm>	= Freccia in direzione Z globale

Caratteristiche profilati utilizzati

Sez.	Cod.	Tipo	D <cm>	Area <cmq>	Anet <cmq>	Aeff <cmq>	Jy <cm4>	Jz <cm4>	Iy <cm>	Iz <cm>	Wymin <cmc>	Wzmin <cmc>	Tp	Fyk <daN/cmq>	Fyt <daN/cmq>
6	briglia inferiore 40x10	R	--	4.00	4.00	4.00	5.33	0.33	1.15	0.29	2.67	0.67	S275 UNI EN 10025-2	2750.00	4300.00
7	montanti 40x10	R	--	4.00	4.00	4.00	5.33	0.33	1.15	0.29	2.67	0.67	S275 UNI EN 10025-2	2750.00	4300.00
9	briglioa superiore T 40x70x10	Ts	--	10.00	10.00	10.00	11.20	28.78	1.06	1.70	3.86	8.22	S275 UNI EN 10025-2	2750.00	4300.00

Caratteristiche profilati utilizzati

Sez.	Cod.	Wy,plas <cmc>	Wz,plas <cmc>	Atag,y <cmq>	Atag,z <cmq>	Jω <cm6>
6	briglia inferiore 40x10	4.00	1.00	4.00	4.00	
7	montanti 40x10	4.00	1.00	4.00	4.00	
9	briglioa superiore T 40x70x10	8.39	12.98	7.00	4.00	

Asta n. 1 (1 101) montanti 40x10 Crit. 1

- Verifica di stabilità aste presso-inflesse (C4.2.4.1.3.3.1) - CC 1 SLU - Classe 3
  Sollecitazioni: N,Ed=-593.63 Myeq,Ed=54.59
  Resistenze: Nc,Rd=10476.20 My,c,Rd=69.84 L=11.00
  λ_Y=9.53 Ncr,y=913550.00 λ^*_y=0.11 Curva c: Φ_y=0.48 χ_y=1.00

λ_Z=38.11 Ncr,z=57096.90 λ^*_z=0.44 Curva c: Φ_z=0.65 χ_z=0.88
χ,min=0.88
Verifica: 0.06+0.78=0.84

- Verifica in termini tensionali [4.2.4] - CC 1 SLU Xl=0.11 - Classe 3
Sollecitazioni: N=-593.18 T_z=-900.14 M_y=54.59
Tensioni: σ_N=-148.29 σ_M=-2047.16 τ=0.00 σ_{max}=-2195.46
Tensioni: σ_N=-148.29 σ_M=-0.00 τ=337.55 τ_{max}=337.55
Tensioni: σ_N=-148.29 σ_M=-2047.16 τ=0.00 $\sigma_{ID,max}$=2195.46

Asta n. 2 (2 102) montanti 40x10 Crit. 1

- Verifica di stabilità aste presso-inflesse (C4.2.4.1.3.3.1) - CC 1 SLU - Classe 3
Sollecitazioni: N,Ed=-72.80 Myeq,Ed=67.29
Resistenze: Nc,Rd=10476.20 My,c,Rd=69.84 L=11.00
λ_Y=9.53 Ncr,y=913550.00 λ^*_y=0.11 Curva c: Φ_y=0.48 χ_y=1.00
λ_Z=38.11 Ncr,z=57096.90 λ^*_z=0.44 Curva c: Φ_z=0.65 χ_z=0.88
χ,min=0.88
Verifica: 0.01+0.96=0.97

- Verifica in termini tensionali [4.2.4] - CC 1 SLU Xl=0.11 - Classe 3
Sollecitazioni: N=-72.35 T_z=-1170.30 M_y=67.29
Tensioni: σ_N=-18.09 σ_M=-2523.22 τ=0.00 σ_{max}=-2541.31
Tensioni: σ_N=-18.09 σ_M=-0.00 τ=438.86 τ_{max}=438.86
Tensioni: σ_N=-18.09 σ_M=-2523.22 τ=0.00 $\sigma_{ID,max}$=2541.31

Asta n. 3 (3 103) montanti 40x10 Crit. 1

- Verifica di stabilità aste presso-inflesse (C4.2.4.1.3.3.1) - CC 1 SLU - Classe 3
Sollecitazioni: N,Ed=-49.88 Myeq,Ed=60.48
Resistenze: Nc,Rd=10476.20 My,c,Rd=69.84 L=11.00
λ_Y=9.53 Ncr,y=913550.00 λ^*_y=0.11 Curva c: Φ_y=0.48 χ_y=1.00
λ_Z=38.11 Ncr,z=57096.90 λ^*_z=0.44 Curva c: Φ_z=0.65 χ_z=0.88
χ,min=0.88
Verifica: 0.00+0.87=0.87

- Verifica in termini tensionali [4.2.4] - CC 1 SLU Xl=0.11 - Classe 3
Sollecitazioni: N=-49.43 T_z=-1044.15 M_y=60.48
Tensioni: σ_N=-12.36 σ_M=-2268.00 τ=0.00 σ_{max}=-2280.36
Tensioni: σ_N=-12.36 σ_M=-0.00 τ=391.55 τ_{max}=391.55
Tensioni: σ_N=-12.36 σ_M=-2268.00 τ=0.00 $\sigma_{ID,max}$=2280.36

Asta n. 4 (4 104) montanti 40x10 Crit. 1

- Verifica di stabilità aste presso-inflesse (C4.2.4.1.3.3.1) - CC 1 SLU - Classe 3
Sollecitazioni: N,Ed=-57.92 Myeq,Ed=51.49
Resistenze: Nc,Rd=10476.20 My,c,Rd=69.84 L=11.00
λ_Y=9.53 Ncr,y=913550.00 λ^*_y=0.11 Curva c: Φ_y=0.48 χ_y=1.00
λ_Z=38.11 Ncr,z=57096.90 λ^*_z=0.44 Curva c: Φ_z=0.65 χ_z=0.88
χ,min=0.88
Verifica: 0.01+0.74=0.74

- Verifica in termini tensionali [4.2.4] - CC 1 SLU Xl=0.11 - Classe 3
Sollecitazioni: N=-57.47 T_z=-889.97 M_y=51.49
Tensioni: σ_N=-14.37 σ_M=-1930.86 τ=0.00 σ_{max}=-1945.22
Tensioni: σ_N=-14.37 σ_M=-0.00 τ=333.74 τ_{max}=333.74
Tensioni: σ_N=-14.37 σ_M=-1930.86 τ=0.00 $\sigma_{ID,max}$=1945.22

Asta n. 5 (5 105) montanti 40x10 Crit. 1

- Verifica di stabilità aste presso-inflesse (C4.2.4.1.3.3.1) - CC 1 SLU - Classe 3
  Sollecitazioni: N,Ed=-57.44 Myeq,Ed=42.19
  Resistenze: Nc,Rd=10476.20 My,c,Rd=69.84 L=11.00
  λ_Y=9.53 Ncr,y=913550.00 λ^*_y=0.11 Curva c: Φ_y=0.48 χ_y=1.00
  λ_Z=38.11 Ncr,z=57096.90 λ^*_z=0.44 Curva c: Φ_z=0.65 χ_z=0.88
  χ,min=0.88
  Verifica: 0.01+0.60=0.61

- Verifica in termini tensionali [4.2.4] - CC 1 SLU Xl=0.11 - Classe 3
  Sollecitazioni: N=-56.99 T_z=-729.11 M_y=42.19
  Tensioni: σ_N=-14.25 σ_M=-1582.03 τ=0.00 σ_{max}=-1596.28
  Tensioni: σ_N=-14.25 σ_M=-0.00 τ=273.42 τ_{max}=273.42
  Tensioni: σ_N=-14.25 σ_M=-1582.03 τ=0.00 $\sigma_{ID,max}$=1596.28

Asta n. 6 (6 106) montanti 40x10 Crit. 1

- Verifica di stabilità aste presso-inflesse (C4.2.4.1.3.3.1) - CC 1 SLU - Classe 3
  Sollecitazioni: N,Ed=-57.56 Myeq,Ed=32.82
  Resistenze: Nc,Rd=10476.20 My,c,Rd=69.84 L=11.00
  λ_Y=9.53 Ncr,y=913550.00 λ^*_y=0.11 Curva c: Φ_y=0.48 χ_y=1.00
  λ_Z=38.11 Ncr,z=57096.90 λ^*_z=0.44 Curva c: Φ_z=0.65 χ_z=0.88
  χ,min=0.88
  Verifica: 0.01+0.47=0.48

- Verifica in termini tensionali [4.2.4] - CC 1 SLU Xl=0.11 - Classe 3
  Sollecitazioni: N=-57.11 T_z=-567.26 M_y=32.82
  Tensioni: σ_N=-14.28 σ_M=-1230.82 τ=0.00 σ_{max}=-1245.10
  Tensioni: σ_N=-14.28 σ_M=-0.00 τ=212.72 τ_{max}=212.72
  Tensioni: σ_N=-14.28 σ_M=-1230.82 τ=0.00 $\sigma_{ID,max}$=1245.10

Asta n. 7 (7 107) montanti 40x10 Crit. 1

- Verifica di stabilità aste presso-inflesse (C4.2.4.1.3.3.1) - CC 1 SLU - Classe 3
  Sollecitazioni: N,Ed=-57.56 Myeq,Ed=23.45
  Resistenze: Nc,Rd=10476.20 My,c,Rd=69.84 L=11.00
  λ_Y=9.53 Ncr,y=913550.00 λ^*_y=0.11 Curva c: Φ_y=0.48 χ_y=1.00
  λ_Z=38.11 Ncr,z=57096.90 λ^*_z=0.44 Curva c: Φ_z=0.65 χ_z=0.88
  χ,min=0.88
  Verifica: 0.01+0.34=0.34

- Verifica in termini tensionali [4.2.4] - CC 1 SLU Xl=0.11 - Classe 3
  Sollecitazioni: N=-57.11 T_z=-405.21 M_y=23.45
  Tensioni: σ_N=-14.28 σ_M=-879.22 τ=0.00 σ_{max}=-893.50
  Tensioni: σ_N=-14.28 σ_M=-0.00 τ=151.95 τ_{max}=151.95
  Tensioni: σ_N=-14.28 σ_M=-879.22 τ=0.00 $\sigma_{ID,max}$=893.50

Asta n. 8 (8 108) montanti 40x10 Crit. 1

- Verifica di stabilità aste presso-inflesse (C4.2.4.1.3.3.1) - CC 1 SLU - Classe 3
  Sollecitazioni: N,Ed=-57.56 Myeq,Ed=14.07
  Resistenze: Nc,Rd=10476.20 My,c,Rd=69.84 L=11.00
  λ_Y=9.53 Ncr,y=913550.00 λ^*_y=0.11 Curva c: Φ_y=0.48 χ_y=1.00
  λ_Z=38.11 Ncr,z=57096.90 λ^*_z=0.44 Curva c: Φ_z=0.65 χ_z=0.88
  χ,min=0.88
  Verifica: 0.01+0.20=0.21

- Verifica in termini tensionali [4.2.4] - CC 1 SLU Xl=0.11 - Classe 3
  Sollecitazioni: N=-57.11 T_z=-243.13 M_y=14.07

Tensioni: σ_N=-14.28 σ_M=-527.54 τ=0.00 σ_{max}=-541.82
Tensioni: σ_N=-14.28 σ_M=-0.00 τ=91.17 τ_{max}=91.17
Tensioni: σ_N=-14.28 σ_M=-527.54 τ=0.00 $\sigma_{ID,max}$=541.82

Asta n. 9 (9 109) montanti 40x10 Crit. 1

- Verifica di stabilità aste presso-inflesse (C4.2.4.1.3.3.1) - CC 1 SLU - Classe 3
Sollecitazioni: N,Ed=-57.56 Myeq,Ed=4.69
Resistenze: Nc,Rd=10476.20 My,c,Rd=69.84 L=11.00
λ_Y=9.53 Ncr,y=913550.00 λ^*_y=0.11 Curva c: Φ_y=0.48 χ_y=1.00
λ_Z=38.11 Ncr,z=57096.90 λ^*_z=0.44 Curva c: Φ_z=0.65 χ_z=0.88
χ,min=0.88
Verifica: 0.01+0.07=0.07

- Verifica in termini tensionali [4.2.4] - CC 1 SLU Xl=0.11 - Classe 3
Sollecitazioni: N=-57.11 T_z=-81.04 M_y=4.69
Tensioni: σ_N=-14.28 σ_M=-175.85 τ=0.00 σ_{max}=-190.13
Tensioni: σ_N=-14.28 σ_M=-0.00 τ=30.39 τ_{max}=30.39
Tensioni: σ_N=-14.28 σ_M=-175.85 τ=0.00 $\sigma_{ID,max}$=190.13

Asta n. 10 (10 110) montanti 40x10 Crit. 1

- Verifica di stabilità aste presso-inflesse (C4.2.4.1.3.3.1) - CC 1 SLU - Classe 3
Sollecitazioni: N,Ed=-57.56 Myeq,Ed=-4.69
Resistenze: Nc,Rd=10476.20 My,c,Rd=69.84 L=11.00
λ_Y=9.53 Ncr,y=913550.00 λ^*_y=0.11 Curva c: Φ_y=0.48 χ_y=1.00
λ_Z=38.11 Ncr,z=57096.90 λ^*_z=0.44 Curva c: Φ_z=0.65 χ_z=0.88
χ,min=0.88
Verifica: 0.01+0.07=0.07

- Verifica in termini tensionali [4.2.4] - CC 1 SLU Xl=0.11 - Classe 3
Sollecitazioni: N=-57.11 T_z=81.04 M_y=-4.69
Tensioni: σ_N=-14.28 σ_M=-175.85 τ=0.00 σ_{max}=-190.13
Tensioni: σ_N=-14.28 σ_M=0.00 τ=30.39 τ_{max}=30.39
Tensioni: σ_N=-14.28 σ_M=-175.85 τ=0.00 $\sigma_{ID,max}$=190.13

Asta n. 11 (11 111) montanti 40x10 Crit. 1

- Verifica di stabilità aste presso-inflesse (C4.2.4.1.3.3.1) - CC 1 SLU - Classe 3
Sollecitazioni: N,Ed=-57.56 Myeq,Ed=-14.07
Resistenze: Nc,Rd=10476.20 My,c,Rd=69.84 L=11.00
λ_Y=9.53 Ncr,y=913550.00 λ^*_y=0.11 Curva c: Φ_y=0.48 χ_y=1.00
λ_Z=38.11 Ncr,z=57096.90 λ^*_z=0.44 Curva c: Φ_z=0.65 χ_z=0.88
χ,min=0.88
Verifica: 0.01+0.20=0.21

- Verifica in termini tensionali [4.2.4] - CC 1 SLU Xl=0.11 - Classe 3
Sollecitazioni: N=-57.11 T_z=243.13 M_y=-14.07
Tensioni: σ_N=-14.28 σ_M=-527.54 τ=0.00 σ_{max}=-541.82
Tensioni: σ_N=-14.28 σ_M=0.00 τ=91.17 τ_{max}=91.17
Tensioni: σ_N=-14.28 σ_M=-527.54 τ=0.00 $\sigma_{ID,max}$=541.82

Asta n. 12 (12 112) montanti 40x10 Crit. 1

- Verifica di stabilità aste presso-inflesse (C4.2.4.1.3.3.1) - CC 1 SLU - Classe 3
Sollecitazioni: N,Ed=-57.56 Myeq,Ed=-23.45
Resistenze: Nc,Rd=10476.20 My,c,Rd=69.84 L=11.00
λ_Y=9.53 Ncr,y=913550.00 λ^*_y=0.11 Curva c: Φ_y=0.48 χ_y=1.00
λ_Z=38.11 Ncr,z=57096.90 λ^*_z=0.44 Curva c: Φ_z=0.65 χ_z=0.88

χ,min=0.88
Verifica: 0.01+0.34=0.34

- Verifica in termini tensionali [4.2.4] - CC 1 SLU Xl=0.11 - Classe 3
Sollecitazioni: N=-57.11 T_z=405.21 M_y=-23.45
Tensioni: σ_N=-14.28 σ_M=-879.22 τ=0.00 σ_{max}=-893.50
Tensioni: σ_N=-14.28 σ_M=0.00 τ=151.95 τ_{max}=151.95
Tensioni: σ_N=-14.28 σ_M=-879.22 τ=0.00 $\sigma_{ID,max}$=893.50

Asta n. 13 (13 113) montanti 40x10 Crit. 1

- Verifica di stabilità aste presso-inflesse (C4.2.4.1.3.3.1) - CC 1 SLU - Classe 3
Sollecitazioni: N,Ed=-57.56 Myeq,Ed=-32.82
Resistenze: Nc,Rd=10476.20 My,c,Rd=69.84 L=11.00
λ_Y=9.53 Ncr,y=913550.00 λ^*_y=0.11 Curva c: Φ_y=0.48 χ_y=1.00
λ_Z=38.11 Ncr,z=57096.90 λ^*_z=0.44 Curva c: Φ_z=0.65 χ_z=0.88
χ,min=0.88
Verifica: 0.01+0.47=0.48

- Verifica in termini tensionali [4.2.4] - CC 1 SLU Xl=0.11 - Classe 3
Sollecitazioni: N=-57.11 T_z=567.26 M_y=-32.82
Tensioni: σ_N=-14.28 σ_M=-1230.82 τ=0.00 σ_{max}=-1245.10
Tensioni: σ_N=-14.28 σ_M=0.00 τ=212.72 τ_{max}=212.72
Tensioni: σ_N=-14.28 σ_M=-1230.82 τ=0.00 $\sigma_{ID,max}$=1245.10

Asta n. 14 (14 114) montanti 40x10 Crit. 1

- Verifica di stabilità aste presso-inflesse (C4.2.4.1.3.3.1) - CC 1 SLU - Classe 3
Sollecitazioni: N,Ed=-57.44 Myeq,Ed=-42.19
Resistenze: Nc,Rd=10476.20 My,c,Rd=69.84 L=11.00
λ_Y=9.53 Ncr,y=913550.00 λ^*_y=0.11 Curva c: Φ_y=0.48 χ_y=1.00
λ_Z=38.11 Ncr,z=57096.90 λ^*_z=0.44 Curva c: Φ_z=0.65 χ_z=0.88
χ,min=0.88
Verifica: 0.01+0.60=0.61

- Verifica in termini tensionali [4.2.4] - CC 1 SLU Xl=0.11 - Classe 3
Sollecitazioni: N=-56.99 T_z=729.11 M_y=-42.19
Tensioni: σ_N=-14.25 σ_M=-1582.03 τ=0.00 σ_{max}=-1596.28
Tensioni: σ_N=-14.25 σ_M=0.00 τ=273.42 τ_{max}=273.42
Tensioni: σ_N=-14.25 σ_M=-1582.03 τ=0.00 $\sigma_{ID,max}$=1596.28

Asta n. 15 (15 115) montanti 40x10 Crit. 1

- Verifica di stabilità aste presso-inflesse (C4.2.4.1.3.3.1) - CC 1 SLU - Classe 3
Sollecitazioni: N,Ed=-57.92 Myeq,Ed=-51.49
Resistenze: Nc,Rd=10476.20 My,c,Rd=69.84 L=11.00
λ_Y=9.53 Ncr,y=913550.00 λ^*_y=0.11 Curva c: Φ_y=0.48 χ_y=1.00
λ_Z=38.11 Ncr,z=57096.90 λ^*_z=0.44 Curva c: Φ_z=0.65 χ_z=0.88
χ,min=0.88
Verifica: 0.01+0.74=0.74

- Verifica in termini tensionali [4.2.4] - CC 1 SLU Xl=0.11 - Classe 3
Sollecitazioni: N=-57.47 T_z=889.97 M_y=-51.49
Tensioni: σ_N=-14.37 σ_M=-1930.86 τ=0.00 σ_{max}=-1945.22
Tensioni: σ_N=-14.37 σ_M=0.00 τ=333.74 τ_{max}=333.74
Tensioni: σ_N=-14.37 σ_M=-1930.86 τ=0.00 $\sigma_{ID,max}$=1945.22

Asta n. 16 (16 116) montanti 40x10 Crit. 1

- Verifica di stabilità aste presso-inflesse (C4.2.4.1.3.3.1) - CC 1 SLU - Classe 3
  Sollecitazioni: N,Ed=-49.88 Myeq,Ed=-60.48
  Resistenze: Nc,Rd=10476.20 My,c,Rd=69.84 L=11.00
  λ_Y=9.53 Ncr,y=913550.00 λ^*_y=0.11 Curva c: Φ_y=0.48 χ_y=1.00
  λ_Z=38.11 Ncr,z=57096.90 λ^*_z=0.44 Curva c: Φ_z=0.65 χ_z=0.88
  χ,min=0.88
  Verifica: 0.00+0.87=0.87

- Verifica in termini tensionali [4.2.4] - CC 1 SLU Xl=0.11 - Classe 3
  Sollecitazioni: N=-49.43 T_z=1044.15 M_y=-60.48
  Tensioni: σ_N=-12.36 σ_M=-2268.00 τ=0.00 σ_{max}=-2280.36
  Tensioni: σ_N=-12.36 σ_M=0.00 τ=391.55 τ_{max}=391.55
  Tensioni: σ_N=-12.36 σ_M=-2268.00 τ=0.00 $\sigma_{ID,max}$=2280.36

Asta n. 17 (17 117) montanti 40x10 Crit. 1

- Verifica di stabilità aste presso-inflesse (C4.2.4.1.3.3.1) - CC 1 SLU - Classe 3
  Sollecitazioni: N,Ed=-72.80 Myeq,Ed=-67.29
  Resistenze: Nc,Rd=10476.20 My,c,Rd=69.84 L=11.00
  λ_Y=9.53 Ncr,y=913550.00 λ^*_y=0.11 Curva c: Φ_y=0.48 χ_y=1.00
  λ_Z=38.11 Ncr,z=57096.90 λ^*_z=0.44 Curva c: Φ_z=0.65 χ_z=0.88
  χ,min=0.88
  Verifica: 0.01+0.96=0.97

- Verifica in termini tensionali [4.2.4] - CC 1 SLU Xl=0.11 - Classe 3
  Sollecitazioni: N=-72.35 T_z=1170.30 M_y=-67.29
  Tensioni: σ_N=-18.09 σ_M=-2523.22 τ=0.00 σ_{max}=-2541.31
  Tensioni: σ_N=-18.09 σ_M=0.00 τ=438.86 τ_{max}=438.86
  Tensioni: σ_N=-18.09 σ_M=-2523.22 τ=0.00 $\sigma_{ID,max}$=2541.31

Asta n. 18 (18 118) montanti 40x10 Crit. 1

- Verifica di stabilità aste presso-inflesse (C4.2.4.1.3.3.1) - CC 1 SLU - Classe 3
  Sollecitazioni: N,Ed=-593.63 Myeq,Ed=-54.59
  Resistenze: Nc,Rd=10476.20 My,c,Rd=69.84 L=11.00
  λ_Y=9.53 Ncr,y=913550.00 λ^*_y=0.11 Curva c: Φ_y=0.48 χ_y=1.00
  λ_Z=38.11 Ncr,z=57096.90 λ^*_z=0.44 Curva c: Φ_z=0.65 χ_z=0.88
  χ,min=0.88
  Verifica: 0.06+0.78=0.84

- Verifica in termini tensionali [4.2.4] - CC 1 SLU Xl=0.11 - Classe 3
  Sollecitazioni: N=-593.18 T_z=900.14 M_y=-54.59
  Tensioni: σ_N=-148.29 σ_M=-2047.16 τ=0.00 σ_{max}=-2195.46
  Tensioni: σ_N=-148.29 σ_M=0.00 τ=337.55 τ_{max}=337.55
  Tensioni: σ_N=-148.29 σ_M=-2047.16 τ=0.00 $\sigma_{ID,max}$=2195.46

Asta n. 101 (101 102) briglioa superiore T 40x70x10 Crit. 1

- Verifica di stabilità aste presso-inflesse (C4.2.4.1.3.3.1) - CC 1 SLU - Classe 3
  Sollecitazioni: N,Ed=-900.14 Myeq,Ed=-54.59
  Resistenze: Nc,Rd=26179.20 My,c,Rd=101.09 L=16.00
  λ_Y=9.43 Ncr,y=2330200.00 λ^*_y=0.11 Curva c: Φ_y=0.00 χ_y=1.00
  λ_Z=15.12 Ncr,z=906585.00 λ^*_z=0.17 Curva c: Φ_z=0.00 χ_z=1.00
  χ,min=1.00
  Verifica: 0.03+0.54=0.57

- Verifica Freccia massima per soli carichi accidentali - CC 3
  $f_{Z,L}$=0.00 (L/12201) $f_{Z,G}$=0.00 (L/12201)

- Verifica Freccia massima carichi totali - CC 3
  $f_{Z,G}$=0.00 (L/9914) $f_{Z,L}$=0.00 (L/9919)

- Verifica in termini tensionali [4.2.4] - CC 1 SLU Xl=0.00 - Classe 3
  Sollecitazioni: N=-900.14 T_z=-593.18 M_y=-54.59
  Tensioni: σ_N=-90.05 σ_M=1414.40 τ=0.00 σ_{max}=1324.34
  Tensioni: σ_N=-90.05 σ_M=0.59 τ=221.42 τ_{max}=221.42
  Tensioni: σ_N=-90.05 σ_M=1414.40 τ=0.00 $\sigma_{ID,max}$=1324.34

Asta n. 101 (102 103) briglioa superiore T 40x70x10 Crit. 1

- Verifica di stabilità aste presso-inflesse (C4.2.4.1.3.3.1) - CC 1 SLU - Classe 3
  Sollecitazioni: N,Ed=-2070.44 Myeq,Ed=-37.51
  Resistenze: Nc,Rd=26179.20 My,c,Rd=101.09 L=15.00
  λ_Y=8.84 Ncr,y=2651250.00 λ^*_y=0.10 Curva c: Φ_y=0.00 χ_y=1.00
  λ_Z=14.17 Ncr,z=1031490.00 λ^*_z=0.16 Curva c: Φ_z=0.00 χ_z=1.00
  χ,min=1.00
  Verifica: 0.08+0.37=0.45

- Verifica in termini tensionali [4.2.4] - CC 1 SLU Xl=0.15 - Classe 3
  Sollecitazioni: N=-2070.44 T_z=-410.32 M_y=33.30
  Tensioni: σ_N=-207.13 σ_M=-862.90 τ=0.00 σ_{max}=-1070.03
  Tensioni: σ_N=-207.13 σ_M=-0.36 τ=153.16 τ_{max}=153.16
  Tensioni: σ_N=-207.13 σ_M=-862.90 τ=0.00 $\sigma_{ID,max}$=1070.03

Asta n. 101 (103 104) briglioa superiore T 40x70x10 Crit. 1

- Verifica di stabilità aste presso-inflesse (C4.2.4.1.3.3.1) - CC 1 SLU - Classe 3
  Sollecitazioni: N,Ed=-3114.59 Myeq,Ed=32.53
  Resistenze: Nc,Rd=26179.20 My,c,Rd=101.09 L=15.00
  λ_Y=8.84 Ncr,y=2651250.00 λ^*_y=0.10 Curva c: Φ_y=0.00 χ_y=1.00
  λ_Z=14.17 Ncr,z=1031490.00 λ^*_z=0.16 Curva c: Φ_z=0.00 χ_z=1.00
  χ,min=1.00
  Verifica: 0.12+0.32=0.44

- Verifica in termini tensionali [4.2.4] - CC 1 SLU Xl=0.15 - Classe 3
  Sollecitazioni: N=-3114.59 T_z=-336.27 M_y=32.53
  Tensioni: σ_N=-311.59 σ_M=-842.74 τ=0.00 σ_{max}=-1154.34
  Tensioni: σ_N=-311.59 σ_M=-0.35 τ=125.52 τ_{max}=125.52
  Tensioni: σ_N=-311.59 σ_M=-842.74 τ=0.00 $\sigma_{ID,max}$=1154.34

Asta n. 101 (104 105) briglioa superiore T 40x70x10 Crit. 1

- Verifica di stabilità aste presso-inflesse (C4.2.4.1.3.3.1) - CC 1 SLU - Classe 3
  Sollecitazioni: N,Ed=-4004.55 Myeq,Ed=30.84
  Resistenze: Nc,Rd=26179.20 My,c,Rd=101.09 L=15.00
  λ_Y=8.84 Ncr,y=2651250.00 λ^*_y=0.10 Curva c: Φ_y=0.00 χ_y=1.00
  λ_Z=14.17 Ncr,z=1031490.00 λ^*_z=0.16 Curva c: Φ_z=0.00 χ_z=1.00
  χ,min=1.00
  Verifica: 0.15+0.31=0.46

- Verifica in termini tensionali [4.2.4] - CC 1 SLU Xl=0.15 - Classe 3
  Sollecitazioni: N=-4004.55 T_z=-270.25 M_y=30.84
  Tensioni: σ_N=-400.63 σ_M=-798.97 τ=0.00 σ_{max}=-1199.59
  Tensioni: σ_N=-400.63 σ_M=-0.34 τ=100.88 τ_{max}=100.88
  Tensioni: σ_N=-400.63 σ_M=-798.97 τ=0.00 $\sigma_{ID,max}$=1199.59

Asta n. 101 (105 106) briglioa superiore T 40x70x10 Crit. 1

- Verifica di stabilità aste presso-inflesse (C4.2.4.1.3.3.1) - CC 1 SLU - Classe 3
  Sollecitazioni: N,Ed=-4733.67 Myeq,Ed=25.89
  Resistenze: Nc,Rd=26179.20 My,c,Rd=101.09 L=15.00
  λ_Y=8.84 Ncr,y=2651250.00 λ^*_y=0.10 Curva c: Φ_y=0.00 χ_y=1.00
  λ_Z=14.17 Ncr,z=1031490.00 λ^*_z=0.16 Curva c: Φ_z=0.00 χ_z=1.00
  χ,min=1.00
  Verifica: 0.18+0.26=0.44

- Verifica in termini tensionali [4.2.4] - CC 1 SLU Xl=0.15 - Classe 3
  Sollecitazioni: N=-4733.67 T_z=-203.76 M_y=28.48
  Tensioni: σ_N=-473.57 σ_M=-737.76 τ=0.00 σ_{max}=-1211.33
  Tensioni: σ_N=-473.57 σ_M=-0.31 τ=76.06 τ_{max}=76.06
  Tensioni: σ_N=-473.57 σ_M=-737.76 τ=0.00 $\sigma_{ID,max}$=1211.33

Asta n. 101 (106 107) briglioa superiore T 40x70x10 Crit. 1

- Verifica di stabilità aste presso-inflesse (C4.2.4.1.3.3.1) - CC 1 SLU - Classe 3
  Sollecitazioni: N,Ed=-5300.92 Myeq,Ed=19.41
  Resistenze: Nc,Rd=26179.20 My,c,Rd=101.09 L=15.00
  λ_Y=8.84 Ncr,y=2651250.00 λ^*_y=0.10 Curva c: Φ_y=0.00 χ_y=1.00
  λ_Z=14.17 Ncr,z=1031490.00 λ^*_z=0.16 Curva c: Φ_z=0.00 χ_z=1.00
  χ,min=1.00
  Verifica: 0.20+0.19=0.39

- Verifica in termini tensionali [4.2.4] - CC 1 SLU Xl=0.15 - Classe 3
  Sollecitazioni: N=-5300.92 T_z=-137.38 M_y=25.52
  Tensioni: σ_N=-530.32 σ_M=-661.25 τ=0.00 σ_{max}=-1191.57
  Tensioni: σ_N=-530.32 σ_M=-0.28 τ=51.28 τ_{max}=51.28
  Tensioni: σ_N=-530.32 σ_M=-661.25 τ=0.00 $\sigma_{ID,max}$=1191.57

- Verifica a taglio dir. Z [4.2.16] - CC 1 SLU Xl=0.01
  Sollecitazioni: N=-5300.92 T_z=-249.64
  V,Ed=-249.64 Vc,Rd=6048.61 V,Ed/Vc,Rd=0.04

Asta n. 101 (107 108) briglioa superiore T 40x70x10 Crit. 1

- Verifica di stabilità aste presso-inflesse (C4.2.4.1.3.3.1) - CC 1 SLU - Classe 3
  Sollecitazioni: N,Ed=-5706.13 Myeq,Ed=16.49
  Resistenze: Nc,Rd=26179.20 My,c,Rd=101.09 L=15.00
  λ_Y=8.84 Ncr,y=2651250.00 λ^*_y=0.10 Curva c: Φ_y=0.00 χ_y=1.00
  λ_Z=14.17 Ncr,z=1031490.00 λ^*_z=0.16 Curva c: Φ_z=0.00 χ_z=1.00
  χ,min=1.00
  Verifica: 0.22+0.16=0.38

- Verifica Freccia massima carichi totali - CC 3
  $f_{Z,L}$=0.00 (L/13923) $f_{Z,G}$=0.00 (L/13951)

- Verifica in termini tensionali [4.2.4] - CC 1 SLU Xl=0.15 - Classe 3
  Sollecitazioni: N=-5706.13 T_z=-71.00 M_y=21.99
  Tensioni: σ_N=-570.86 σ_M=-569.70 τ=0.00 σ_{max}=-1140.55
  Tensioni: σ_N=-570.86 σ_M=-0.24 τ=26.50 τ_{max}=26.50
  Tensioni: σ_N=-570.86 σ_M=-569.70 τ=0.00 $\sigma_{ID,max}$=1140.55

Asta n. 101 (108 109) briglioa superiore T 40x70x10 Crit. 1

- Verifica di stabilità aste presso-inflesse (C4.2.4.1.3.3.1) - CC 1 SLU - Classe 3
  Sollecitazioni: N,Ed=-5949.26 Myeq,Ed=16.77
  Resistenze: Nc,Rd=26179.20 My,c,Rd=101.09 L=15.00
  λ_Y=8.84 Ncr,y=2651250.00 λ^*_y=0.10 Curva c: Φ_y=0.00 χ_y=1.00

λ_Z=14.17 Ncr,z=1031490.00 λ^*_z=0.16 Curva c: Φ_z=0.00 χ_z=1.00
χ,min=1.00
Verifica: 0.23+0.17=0.39

- Verifica Freccia massima carichi totali - CC 3
$f_{Z,L}$=0.00 (L/12905) $f_{Z,G}$=0.00 (L/12922)

- Verifica in termini tensionali [4.2.4] - CC 1 SLU Xl=0.15 - Classe 3
Sollecitazioni: N=-5949.26 T_z=-4.63 M_y=17.88
Tensioni: σ_N=-595.18 σ_M=-463.17 τ=0.00 σ_{max}=-1058.35
Tensioni: σ_N=-595.18 σ_M=-0.19 τ=1.73 τ_{max}=1.73
Tensioni: σ_N=-595.18 σ_M=-463.17 τ=0.00 $\sigma_{ID,max}$=1058.35

Asta n. 101 (109 110) briglioa superiore T 40x70x10 Crit. 1

- Verifica di stabilità aste presso-inflesse (C4.2.4.1.3.3.1) - CC 1 SLU - Classe 3
Sollecitazioni: N,Ed=-6030.31 Myeq,Ed=15.50
Resistenze: Nc,Rd=26179.20 My,c,Rd=101.09 L=15.00
λ_Y=8.84 Ncr,y=2651250.00 λ^*_y=0.10 Curva c: Φ_y=0.00 χ_y=1.00
λ_Z=14.17 Ncr,z=1031490.00 λ^*_z=0.16 Curva c: Φ_z=0.00 χ_z=1.00
χ,min=1.00
Verifica: 0.23+0.15=0.38

- Verifica Freccia massima carichi totali - CC 3
$f_{Z,L}$=0.00 (L/12328) $f_{Z,G}$=0.00 (L/12328)

- Verifica in termini tensionali [4.2.4] - CC 1 SLU Xl=0.07 - Classe 3
Sollecitazioni: N=-6030.31 T_z=-5.61 M_y=15.48
Tensioni: σ_N=-603.29 σ_M=-401.17 τ=0.00 σ_{max}=-1004.46
Tensioni: σ_N=-603.29 σ_M=-0.17 τ=2.10 τ_{max}=2.10
Tensioni: σ_N=-603.29 σ_M=-401.17 τ=0.00 $\sigma_{ID,max}$=1004.46

Asta n. 101 (110 111) briglioa superiore T 40x70x10 Crit. 1

- Verifica di stabilità aste presso-inflesse (C4.2.4.1.3.3.1) - CC 1 SLU - Classe 3
Sollecitazioni: N,Ed=-5949.26 Myeq,Ed=16.77
Resistenze: Nc,Rd=26179.20 My,c,Rd=101.09 L=15.00
λ_Y=8.84 Ncr,y=2651250.00 λ^*_y=0.10 Curva c: Φ_y=0.00 χ_y=1.00
λ_Z=14.17 Ncr,z=1031490.00 λ^*_z=0.16 Curva c: Φ_z=0.00 χ_z=1.00
χ,min=1.00
Verifica: 0.23+0.17=0.39

- Verifica Freccia massima per soli carichi accidentali - CC 3
$f_{Z,G}$=0.00 (L/14880) $f_{Z,L}$=0.00 (L/14891)

- Verifica Freccia massima carichi totali - CC 3
$f_{Z,G}$=0.00 (L/12106) $f_{Z,L}$=0.00 (L/12113)

- Verifica in termini tensionali [4.2.4] - CC 1 SLU Xl=0.00 - Classe 3
Sollecitazioni: N=-5949.26 T_z=4.63 M_y=17.88
Tensioni: σ_N=-595.18 σ_M=-463.17 τ=0.00 σ_{max}=-1058.35
Tensioni: σ_N=-595.18 σ_M=-0.19 τ=1.73 τ_{max}=1.73
Tensioni: σ_N=-595.18 σ_M=-463.17 τ=0.00 $\sigma_{ID,max}$=1058.35

Asta n. 101 (111 112) briglioa superiore T 40x70x10 Crit. 1

- Verifica di stabilità aste presso-inflesse (C4.2.4.1.3.3.1) - CC 1 SLU - Classe 3
Sollecitazioni: N,Ed=-5706.13 Myeq,Ed=16.49
Resistenze: Nc,Rd=26179.20 My,c,Rd=101.09 L=15.00

λ_Y=8.84 Ncr,y=2651250.00 λ^*_y=0.10 Curva c: Φ_y=0.00 χ_y=1.00
λ_Z=14.17 Ncr,z=1031490.00 λ^*_z=0.16 Curva c: Φ_z=0.00 χ_z=1.00
χ,min=1.00
Verifica: 0.22+0.16=0.38

- Verifica Freccia massima carichi totali - CC 3
$f_{Z,G}$=0.00 (L/12231) $f_{Z,L}$=0.00 (L/12246)

- Verifica in termini tensionali [4.2.4] - CC 1 SLU Xl=0.00 - Classe 3
Sollecitazioni: N=-5706.13 T_z=71.00 M_y=21.99
Tensioni: σ_N=-570.86 σ_M=-569.70 τ=0.00 σ_{max}=-1140.55
Tensioni: σ_N=-570.86 σ_M=-0.24 τ=26.50 τ_{max}=26.50
Tensioni: σ_N=-570.86 σ_M=-569.70 τ=0.00 $\sigma_{ID,max}$=1140.55

Asta n. 101 (112 113) briglioa superiore T 40x70x10 Crit. 1

- Verifica di stabilità aste presso-inflesse (C4.2.4.1.3.3.1) - CC 1 SLU - Classe 3
Sollecitazioni: N,Ed=-5300.92 Myeq,Ed=19.41
Resistenze: Nc,Rd=26179.20 My,c,Rd=101.09 L=15.00
λ_Y=8.84 Ncr,y=2651250.00 λ^*_y=0.10 Curva c: Φ_y=0.00 χ_y=1.00
λ_Z=14.17 Ncr,z=1031490.00 λ^*_z=0.16 Curva c: Φ_z=0.00 χ_z=1.00
χ,min=1.00
Verifica: 0.20+0.19=0.39

- Verifica Freccia massima carichi totali - CC 3
$f_{Z,G}$=0.00 (L/12685) $f_{Z,L}$=0.00 (L/12710)

- Verifica in termini tensionali [4.2.4] - CC 1 SLU Xl=0.00 - Classe 3
Sollecitazioni: N=-5300.92 T_z=137.38 M_y=25.52
Tensioni: σ_N=-530.32 σ_M=-661.25 τ=0.00 σ_{max}=-1191.57
Tensioni: σ_N=-530.32 σ_M=-0.28 τ=51.28 τ_{max}=51.28
Tensioni: σ_N=-530.32 σ_M=-661.25 τ=0.00 $\sigma_{ID,max}$=1191.57

- Verifica a taglio dir. Z [4.2.16] - CC 1 SLU Xl=0.14
Sollecitazioni: N=-5300.92 T_z=249.64
V,Ed=249.64 Vc,Rd=6048.61 V,Ed/Vc,Rd=0.04

Asta n. 101 (113 114) briglioa superiore T 40x70x10 Crit. 1

- Verifica di stabilità aste presso-inflesse (C4.2.4.1.3.3.1) - CC 1 SLU - Classe 3
Sollecitazioni: N,Ed=-4733.67 Myeq,Ed=25.89
Resistenze: Nc,Rd=26179.20 My,c,Rd=101.09 L=15.00
λ_Y=8.84 Ncr,y=2651250.00 λ^*_y=0.10 Curva c: Φ_y=0.00 χ_y=1.00
λ_Z=14.17 Ncr,z=1031490.00 λ^*_z=0.16 Curva c: Φ_z=0.00 χ_z=1.00
χ,min=1.00
Verifica: 0.18+0.26=0.44

- Verifica Freccia massima carichi totali - CC 3
$f_{Z,G}$=0.00 (L/13603) $f_{Z,L}$=0.00 (L/13621)

- Verifica in termini tensionali [4.2.4] - CC 1 SLU Xl=0.00 - Classe 3
Sollecitazioni: N=-4733.67 T_z=203.76 M_y=28.48
Tensioni: σ_N=-473.57 σ_M=-737.76 τ=0.00 σ_{max}=-1211.33
Tensioni: σ_N=-473.57 σ_M=-0.31 τ=76.06 τ_{max}=76.06
Tensioni: σ_N=-473.57 σ_M=-737.76 τ=0.00 $\sigma_{ID,max}$=1211.33

Asta n. 101 (114 115) briglioa superiore T 40x70x10 Crit. 1

- Verifica di stabilità aste presso-inflesse (C4.2.4.1.3.3.1) - CC 1 SLU - Classe 3

Sollecitazioni: N,Ed=-4004.55 Myeq,Ed=30.84
Resistenze: Nc,Rd=26179.20 My,c,Rd=101.09 L=15.00
λ_Y=8.84 Ncr,y=2651250.00 λ^*_y=0.10 Curva c: Φ_y=0.00 χ_y=1.00
λ_Z=14.17 Ncr,z=1031490.00 λ^*_z=0.16 Curva c: Φ_z=0.00 χ_z=1.00
χ,min=1.00
Verifica: 0.15+0.31=0.46

- Verifica in termini tensionali [4.2.4] - CC 1 SLU Xl=0.00 - Classe 3
Sollecitazioni: N=-4004.55 T_z=270.25 M_y=30.84
Tensioni: σ_N=-400.63 σ_M=-798.97 τ=0.00 σ_{max}=-1199.59
Tensioni: σ_N=-400.63 σ_M=-0.34 τ=100.88 τ_{max}=100.88
Tensioni: σ_N=-400.63 σ_M=-798.97 τ=0.00 $\sigma_{ID,max}$=1199.59

Asta n. 101 (115 116) briglioa superiore T 40x70x10 Crit. 1

- Verifica di stabilità aste presso-inflesse (C4.2.4.1.3.3.1) - CC 1 SLU - Classe 3
Sollecitazioni: N,Ed=-3114.59 Myeq,Ed=32.53
Resistenze: Nc,Rd=26179.20 My,c,Rd=101.09 L=15.00
λ_Y=8.84 Ncr,y=2651250.00 λ^*_y=0.10 Curva c: Φ_y=0.00 χ_y=1.00
λ_Z=14.17 Ncr,z=1031490.00 λ^*_z=0.16 Curva c: Φ_z=0.00 χ_z=1.00
χ,min=1.00
Verifica: 0.12+0.32=0.44

- Verifica in termini tensionali [4.2.4] - CC 1 SLU Xl=0.00 - Classe 3
Sollecitazioni: N=-3114.59 T_z=336.27 M_y=32.53
Tensioni: σ_N=-311.59 σ_M=-842.74 τ=0.00 σ_{max}=-1154.34
Tensioni: σ_N=-311.59 σ_M=-0.35 τ=125.52 τ_{max}=125.52
Tensioni: σ_N=-311.59 σ_M=-842.74 τ=0.00 $\sigma_{ID,max}$=1154.34

Asta n. 101 (116 117) briglioa superiore T 40x70x10 Crit. 1

- Verifica di stabilità aste presso-inflesse (C4.2.4.1.3.3.1) - CC 1 SLU - Classe 3
Sollecitazioni: N,Ed=-2070.44 Myeq,Ed=-37.51
Resistenze: Nc,Rd=26179.20 My,c,Rd=101.09 L=15.00
λ_Y=8.84 Ncr,y=2651260.00 λ^*_y=0.10 Curva c: Φ_y=0.00 χ_y=1.00
λ_Z=14.17 Ncr,z=1031490.00 λ^*_z=0.16 Curva c: Φ_z=0.00 χ_z=1.00
χ,min=1.00
Verifica: 0.08+0.37=0.45

- Verifica in termini tensionali [4.2.4] - CC 1 SLU Xl=0.00 - Classe 3
Sollecitazioni: N=-2070.44 T_z=410.32 M_y=33.30
Tensioni: σ_N=-207.13 σ_M=-862.90 τ=0.00 σ_{max}=-1070.03
Tensioni: σ_N=-207.13 σ_M=-0.36 τ=153.16 τ_{max}=153.16
Tensioni: σ_N=-207.13 σ_M=-862.90 τ=0.00 $\sigma_{ID,max}$=1070.03

Asta n. 101 (117 118) briglioa superiore T 40x70x10 Crit. 1

- Verifica di stabilità aste presso-inflesse (C4.2.4.1.3.3.1) - CC 1 SLU - Classe 3
Sollecitazioni: N,Ed=-900.14 Myeq,Ed=-54.59
Resistenze: Nc,Rd=26179.20 My,c,Rd=101.09 L=16.00
λ_Y=9.43 Ncr,y=2330200.00 λ^*_y=0.11 Curva c: Φ_y=0.00 χ_y=1.00
λ_Z=15.12 Ncr,z=906584.00 λ^*_z=0.17 Curva c: Φ_z=0.00 χ_z=1.00
χ,min=1.00
Verifica: 0.03+0.54=0.57

- Verifica Freccia massima carichi totali - CC 3
$f_{Z,L}$=0.00 (L/13739) $f_{Z,G}$=0.00 (L/13748)

- Verifica in termini tensionali [4.2.4] - CC 1 SLU Xl=0.16 - Classe 3

Sollecitazioni: N=-900.14 T_z=593.18 M_y=-54.59
Tensioni: σ_N=-90.05 σ_M=1414.40 τ=0.00 σ_{max}=1324.35
Tensioni: σ_N=-90.05 σ_M=0.59 τ=221.42 τ_{max}=221.42
Tensioni: σ_N=-90.05 σ_M=1414.40 τ=0.00 $\sigma_{ID,max}$=1324.35

Asta n. 301 (1 2) briglia inferiore 40x10 Crit. 1

- Verifica di stabilità aste presso-inflesse (C4.2.4.1.3.3.1) - CC 1 SLU - Classe 3
Sollecitazioni: N,Ed=-3168.52 Myeq,Ed=44.42
Resistenze: Nc,Rd=10476.20 My,c,Rd=69.84 L=16.00
λ_Y=13.86 Ncr,y=431795.00 λ^*_y=0.16 Curva c: Φ_y=0.50 χ_y=1.00
λ_Z=55.43 Ncr,z=26987.20 λ^*_z=0.64 Curva c: Φ_z=0.81 χ_z=0.76
χ,min=0.76
Verifica: 0.40+0.59=0.99

- Verifica Freccia massima per soli carichi accidentali - CC 3
$f_{Z,G}$=0.00 (L/8611)

- Verifica Freccia massima carichi totali - CC 3
$f_{Z,G}$=0.00 (L/7004)

- Verifica in termini tensionali [4.2.4] - CC 1 SLU Xl=0.00 - Classe 3
Sollecitazioni: N=-3168.52 T_z=473.53 M_y=44.42
Tensioni: σ_N=-792.13 σ_M=-1665.93 τ=0.00 σ_{max}=-2458.06
Tensioni: σ_N=-792.13 σ_M=-0.00 τ=177.57 τ_{max}=177.57
Tensioni: σ_N=-792.13 σ_M=-1665.93 τ=0.00 $\sigma_{ID,max}$=2458.06

Asta n. 301 (2 3) briglia inferiore 40x10 Crit. 1

- Verifica di stabilità aste presso-inflesse (C4.2.4.1.3.3.1) - CC 1 SLU - Classe 3
Sollecitazioni: N,Ed=-1998.22 Myeq,Ed=30.16
Resistenze: Nc,Rd=10476.20 My,c,Rd=69.84 L=15.00
λ_Y=12.99 Ncr,y=491287.00 λ^*_y=0.15 Curva c: Φ_y=0.50 χ_y=1.00
λ_Z=51.96 Ncr,z=30705.40 λ^*_z=0.60 Curva c: Φ_z=0.78 χ_z=0.79
χ,min=0.79
Verifica: 0.24+0.43=0.68

- Verifica in termini tensionali [4.2.4] - CC 1 SLU Xl=0.00 - Classe 3
Sollecitazioni: N=-1998.22 T_z=400.08 M_y=30.16
Tensioni: σ_N=-499.56 σ_M=-1130.95 τ=0.00 σ_{max}=-1630.50
Tensioni: σ_N=-499.56 σ_M=-0.00 τ=150.03 τ_{max}=150.03
Tensioni: σ_N=-499.56 σ_M=-1130.95 τ=0.00 $\sigma_{ID,max}$=1630.50

Asta n. 301 (3 4) briglia inferiore 40x10 Crit. 1

- Verifica di stabilità aste presso-inflesse (C4.2.4.1.3.3.1) - CC 1 SLU - Classe 3
Sollecitazioni: N,Ed=-954.08 Myeq,Ed=-27.82
Resistenze: Nc,Rd=10476.20 My,c,Rd=69.84 L=15.00
λ_Y=12.99 Ncr,y=491287.00 λ^*_y=0.15 Curva c: Φ_y=0.50 χ_y=1.00
λ_Z=51.96 Ncr,z=30705.40 λ^*_z=0.60 Curva c: Φ_z=0.78 χ_z=0.79
χ,min=0.79
Verifica: 0.09+0.40=0.49

- Verifica in termini tensionali [4.2.4] - CC 1 SLU Xl=0.15 - Classe 3
Sollecitazioni: N=-954.08 T_z=348.97 M_y=-27.82
Tensioni: σ_N=-238.52 σ_M=-1043.37 τ=0.00 σ_{max}=-1281.89
Tensioni: σ_N=-238.52 σ_M=0.00 τ=130.87 τ_{max}=130.87
Tensioni: σ_N=-238.52 σ_M=-1043.37 τ=0.00 $\sigma_{ID,max}$=1281.89

Asta n. 301 (4 5) briglia inferiore 40x10 Crit. 1

- Verifica di stabilità aste presso-inflesse (C4.2.4.1.3.3.1) - CC 1 SLU - Classe 3
  Sollecitazioni: N,Ed=-64.11 Myeq,Ed=-25.03
  Resistenze: Nc,Rd=10476.20 My,c,Rd=69.84 L=15.00
  λ_Y=12.99 Ncr,y=491287.00 λ^*_y=0.15 Curva c: Φ_y=0.50 χ_y=1.00
  λ_Z=51.96 Ncr,z=30705.40 λ^*_z=0.60 Curva c: Φ_z=0.78 χ_z=0.79
  χ,min=0.79
  Verifica: 0.01+0.36=0.36

- Verifica in termini tensionali [4.2.4] - CC 1 SLU Xl=0.15 - Classe 3
  Sollecitazioni: N=-64.11 T_z=290.44 M_y=-25.03
  Tensioni: σ_N=-16.03 σ_M=-938.55 τ=0.00 σ_{max}=-954.58
  Tensioni: σ_N=-16.03 σ_M=0.00 τ=108.92 τ_{max}=108.92
  Tensioni: σ_N=-16.03 σ_M=-938.55 τ=0.00 $\sigma_{ID,max}$=954.58

Asta n. 301 (5 6) briglia inferiore 40x10 Crit. 1

- Verifica in termini tensionali [4.2.4] - CC 1 SLU Xl=0.15 - Classe 3
  Sollecitazioni: N=665.00 T_z=232.39 M_y=-21.92
  Tensioni: σ_N=166.25 σ_M=821.91 τ=0.00 σ_{max}=988.16
  Tensioni: σ_N=166.25 σ_M=0.00 τ=87.15 τ_{max}=87.15
  Tensioni: σ_N=166.25 σ_M=821.91 τ=0.00 $\sigma_{ID,max}$=988.16

- Verifica a taglio dir. Z [4.2.16] - CC 1 SLU Xl=0.05
  Sollecitazioni: N=665.00 T_z=232.78
  V,Ed=232.78 Vc,Rd=6048.61 V,Ed/Vc,Rd=0.04

Asta n. 301 (6 7) briglia inferiore 40x10 Crit. 1

- Verifica in termini tensionali [4.2.4] - CC 1 SLU Xl=0.15 - Classe 3
  Sollecitazioni: N=1232.26 T_z=174.22 M_y=-18.52
  Tensioni: σ_N=308.06 σ_M=694.48 τ=0.00 σ_{max}=1002.55
  Tensioni: σ_N=308.06 σ_M=0.00 τ=65.33 τ_{max}=65.33
  Tensioni: σ_N=308.06 σ_M=694.48 τ=0.00 $\sigma_{ID,max}$=1002.55

- Verifica a taglio dir. Z [4.2.16] - CC 1 SLU Xl=0.04
  Sollecitazioni: N=1232.26 T_z=174.66
  V,Ed=174.66 Vc,Rd=6048.61 V,Ed/Vc,Rd=0.03

Asta n. 301 (7 8) briglia inferiore 40x10 Crit. 1

- Verifica Freccia massima carichi totali - CC 3
  $f_{Z,G}$=0.00 (L/14404)

- Verifica in termini tensionali [4.2.4] - CC 1 SLU Xl=0.15 - Classe 3
  Sollecitazioni: N=1637.47 T_z=116.04 M_y=-14.84
  Tensioni: σ_N=409.37 σ_M=556.67 τ=0.00 σ_{max}=966.04
  Tensioni: σ_N=409.37 σ_M=0.00 τ=43.52 τ_{max}=43.52
  Tensioni: σ_N=409.37 σ_M=556.67 τ=0.00 $\sigma_{ID,max}$=966.04

- Verifica a taglio dir. Z [4.2.16] - CC 1 SLU Xl=0.03
  Sollecitazioni: N=1637.47 T_z=116.54
  V,Ed=116.54 Vc,Rd=6048.61 V,Ed/Vc,Rd=0.02

Asta n. 301 (8 9) briglia inferiore 40x10 Crit. 1

- Verifica Freccia massima carichi totali - CC 3
  $f_{Z,G}$=0.00 (L/13837)

- Verifica in termini tensionali [4.2.4] - CC 1 SLU Xl=0.15 - Classe 3
  Sollecitazioni: N=1880.60 T_z=57.87 M_y=-10.89
  Tensioni: σ_N=470.15 σ_M=408.53 τ=0.00 σ_{max}=878.68
  Tensioni: σ_N=470.15 σ_M=0.00 τ=21.70 τ_{max}=21.70
  Tensioni: σ_N=470.15 σ_M=408.53 τ=0.00 $\sigma_{ID,max}$=878.68

Asta n. 301 (9 10) briglia inferiore 40x10 Crit. 1

- Verifica Freccia massima carichi totali - CC 3
  $f_{Z,L}$=0.00 (L/13290)

- Verifica in termini tensionali [4.2.4] - CC 1 SLU Xl=0.07 - Classe 3
  Sollecitazioni: N=1961.65 M_y=-6.68
  Tensioni: σ_N=490.41 σ_M=250.50 τ=0.00 σ_{max}=740.91
  Tensioni: σ_N=0.00 σ_M=0.00 τ=0.00 τ_{max}=0.00
  Tensioni: σ_N=490.41 σ_M=250.50 τ=0.00 $\sigma_{ID,max}$=740.91

Asta n. 301 (10 11) briglia inferiore 40x10 Crit. 1

- Verifica Freccia massima carichi totali - CC 3
  $f_{Z,L}$=0.00 (L/12887)

- Verifica in termini tensionali [4.2.4] - CC 1 SLU Xl=0.00 - Classe 3
  Sollecitazioni: N=1880.60 T_z=-57.87 M_y=-10.89
  Tensioni: σ_N=470.15 σ_M=408.53 τ=0.00 σ_{max}=878.68
  Tensioni: σ_N=470.15 σ_M=0.00 τ=21.70 τ_{max}=21.70
  Tensioni: σ_N=470.15 σ_M=408.53 τ=0.00 $\sigma_{ID,max}$=878.68

Asta n. 301 (11 12) briglia inferiore 40x10 Crit. 1

- Verifica Freccia massima carichi totali - CC 3
  $f_{Z,L}$=0.00 (L/12665)

- Verifica in termini tensionali [4.2.4] - CC 1 SLU Xl=0.00 - Classe 3
  Sollecitazioni: N=1637.47 T_z=-116.04 M_y=-14.84
  Tensioni: σ_N=409.37 σ_M=556.67 τ=0.00 σ_{max}=966.04
  Tensioni: σ_N=409.37 σ_M=0.00 τ=43.52 τ_{max}=43.52
  Tensioni: σ_N=409.37 σ_M=556.67 τ=0.00 $\sigma_{ID,max}$=966.04

- Verifica a taglio dir. Z [4.2.16] - CC 1 SLU Xl=0.12
  Sollecitazioni: N=1637.47 T_z=-116.54
  V,Ed=-116.54 Vc,Rd=6048.61 V,Ed/Vc,Rd=0.02

Asta n. 301 (12 13) briglia inferiore 40x10 Crit. 1

- Verifica Freccia massima carichi totali - CC 3
  $f_{Z,L}$=0.00 (L/12659)

- Verifica in termini tensionali [4.2.4] - CC 1 SLU Xl=0.00 - Classe 3
  Sollecitazioni: N=1232.26 T_z=-174.22 M_y=-18.52
  Tensioni: σ_N=308.06 σ_M=694.48 τ=0.00 σ_{max}=1002.55
  Tensioni: σ_N=308.06 σ_M=0.00 τ=65.33 τ_{max}=65.33
  Tensioni: σ_N=308.06 σ_M=694.48 τ=0.00 $\sigma_{ID,max}$=1002.55

- Verifica a taglio dir. Z [4.2.16] - CC 1 SLU Xl=0.11
  Sollecitazioni: N=1232.26 T_z=-174.66
  V,Ed=-174.66 Vc,Rd=6048.61 V,Ed/Vc,Rd=0.03

Asta n. 301 (13 14) briglia inferiore 40x10 Crit. 1

- Verifica Freccia massima carichi totali - CC 3
  $f_{Z,L}$=0.00 (L/12926)

- Verifica in termini tensionali [4.2.4] - CC 1 SLU Xl=0.00 - Classe 3
  Sollecitazioni: N=665.00 T_z=-232.39 M_y=-21.92
  Tensioni: σ_N=166.25 σ_M=821.91 τ=0.00 σ_{max}=988.16
  Tensioni: σ_N=166.25 σ_M=0.00 τ=87.15 τ_{max}=87.15
  Tensioni: σ_N=166.25 σ_M=821.91 τ=0.00 $\sigma_{ID,max}$=988.16

- Verifica a taglio dir. Z [4.2.16] - CC 1 SLU Xl=0.10
  Sollecitazioni: N=665.00 T_z=-232.78
  V,Ed=-232.78 Vc,Rd=6048.61 V,Ed/Vc,Rd=0.04

Asta n. 301 (14 15) briglia inferiore 40x10 Crit. 1

- Verifica di stabilità aste presso-inflesse (C4.2.4.1.3.3.1) - CC 1 SLU - Classe 3
  Sollecitazioni: N,Ed=-64.11 Myeq,Ed=-25.03
  Resistenze: Nc,Rd=10476.20 My,c,Rd=69.84 L=15.00
  λ_Y=12.99 Ncr,y=491286.00 λ^*_y=0.15 Curva c: Φ_y=0.50 χ_y=1.00
  λ_Z=51.96 Ncr,z=30705.40 λ^*_z=0.60 Curva c: Φ_z=0.78 χ_z=0.79
  χ,min=0.79
  Verifica: 0.01+0.36=0.36

- Verifica Freccia massima carichi totali - CC 3
  $f_{Z,L}$=0.00 (L/13569)

- Verifica in termini tensionali [4.2.4] - CC 1 SLU Xl=0.00 - Classe 3
  Sollecitazioni: N=-64.11 T_z=-290.44 M_y=-25.03
  Tensioni: σ_N=-16.03 σ_M=-938.55 τ=0.00 σ_{max}=-954.58
  Tensioni: σ_N=-16.03 σ_M=0.00 τ=108.92 τ_{max}=108.92
  Tensioni: σ_N=-16.03 σ_M=-938.55 τ=0.00 $\sigma_{ID,max}$=954.58

Asta n. 301 (15 16) briglia inferiore 40x10 Crit. 1

- Verifica di stabilità aste presso-inflesse (C4.2.4.1.3.3.1) - CC 1 SLU - Classe 3
  Sollecitazioni: N,Ed=-954.08 Myeq,Ed=-27.82
  Resistenze: Nc,Rd=10476.20 My,c,Rd=69.84 L=15.00
  λ_Y=12.99 Ncr,y=491286.00 λ^*_y=0.15 Curva c: Φ_y=0.50 χ_y=1.00
  λ_Z=51.96 Ncr,z=30705.40 λ^*_z=0.60 Curva c: Φ_z=0.78 χ_z=0.79
  χ,min=0.79
  Verifica: 0.09+0.40=0.49

- Verifica Freccia massima carichi totali - CC 3
  $f_{Z,G}$=0.00 (L/14594)

- Verifica in termini tensionali [4.2.4] - CC 1 SLU Xl=0.00 - Classe 3
  Sollecitazioni: N=-954.08 T_z=-348.97 M_y=-27.82
  Tensioni: σ_N=-238.52 σ_M=-1043.37 τ=0.00 σ_{max}=-1281.89
  Tensioni: σ_N=-238.52 σ_M=0.00 τ=130.87 τ_{max}=130.87
  Tensioni: σ_N=-238.52 σ_M=-1043.37 τ=0.00 $\sigma_{ID,max}$=1281.89

Asta n. 301 (16 17) briglia inferiore 40x10 Crit. 1

- Verifica di stabilità aste presso-inflesse (C4.2.4.1.3.3.1) - CC 1 SLU - Classe 3
  Sollecitazioni: N,Ed=-1998.22 Myeq,Ed=30.16
  Resistenze: Nc,Rd=10476.20 My,c,Rd=69.84 L=15.00
  λ_Y=12.99 Ncr,y=491288.00 λ^*_y=0.15 Curva c: Φ_y=0.50 χ_y=1.00

λ_Z=51.96 Ncr,z=30705.50 λ^*_z=0.60 Curva c: Φ_z=0.78 χ_z=0.79
χ,min=0.79
Verifica: 0.24+0.43=0.68

- Verifica in termini tensionali [4.2.4] - CC 1 SLU Xl=0.15 - Classe 3
Sollecitazioni: N=-1998.22 T_z=-400.08 M_y=30.16
Tensioni: σ_N=-499.56 σ_M=-1130.94 τ=0.00 σ_{max}=-1630.50
Tensioni: σ_N=-499.56 σ_M=-0.00 τ=150.03 τ_{max}=150.03
Tensioni: σ_N=-499.56 σ_M=-1130.94 τ=0.00 $\sigma_{ID,max}$=1630.50

Asta n. 301 (17 18) briglia inferiore 40x10 Crit. 1

- Verifica di stabilità aste presso-inflesse (C4.2.4.1.3.3.1) - CC 1 SLU - Classe 3
Sollecitazioni: N,Ed=-3168.52 Myeq,Ed=44.42
Resistenze: Nc,Rd=10476.20 My,c,Rd=69.84 L=16.00
λ_Y=13.86 Ncr,y=431795.00 λ^*_y=0.16 Curva c: Φ_y=0.50 χ_y=1.00
λ_Z=55.43 Ncr,z=26987.20 λ^*_z=0.64 Curva c: Φ_z=0.81 χ_z=0.76
χ,min=0.760.99
Verifica: 0.40+0.59=0.99

- Verifica Freccia massima per soli carichi accidentali - CC 3
$f_{Z,L}$=0.00 (L/10792)

- Verifica Freccia massima carichi totali - CC 3
$f_{Z,L}$=0.00 (L/8780)

- Verifica in termini tensionali [4.2.4] - CC 1 SLU Xl=0.16 - Classe 3
Sollecitazioni: N=-3168.52 T_z=-473.53 M_y=44.42
Tensioni: σ_N=-792.13 σ_M=-1665.93 τ=0.00 σ_{max}=-2458.06
Tensioni: σ_N=-792.13 σ_M=-0.00 τ=177.57 τ_{max}=177.57
Tensioni: σ_N=-792.13 σ_M=-1665.93 τ=0.00 $\sigma_{ID,max}$=2458.06

Computo acciaio

Simbologia
Cod. =Codice
Lun. =Lunghezza
Peso =Peso
Sup. =Superficie

Cod.	Lun. <mm>	Peso <daN>	Sup. <mq>
briglia inferiore 40x10	2570	8.07	0.26
montanti 40x10	1980	6.22	0.20
briglioa superiore T 40x70x10	2570	20.17	0.56
Totali	7120	34.45	1.01

Distinta Acciaio
(Lunghezze arrotondate a multipli di 1 mm)

Simbologia
Cod. =Codice
Lun. =Lunghezza
Pez. =Numero pezzi

Cod.	Lun. <mm>	Pez.

briglia inferiore 40x10	160	2
briglia inferiore 40x10	150	15
montanti 40x10	110	18
briglioa superiore T 40x70x10	160	2
briglioa superiore T 40x70x10	150	15

Sintesi

Tipo di normativa: stati limite D.M. 18
Tipo di calcolo: calcolo statico

Dati generali della struttura

- Sito di costruzione: Monteroni d'Arbia piazza del re LON. 11.42120 LAT. 43.23080
  Contenuto tra ID reticolo: 22503 22281 22502 22280
- Edificio esistente: No
- Tipo di opera: Opera ordinaria
- Vita nominale V_N: 50.00
- Classe d'uso: Classe III
- Coefficiente d'uso CU: 1.50
- Periodo di riferimento VR: 75.00

Condizioni di carico elementari

Simbologia
CCE =Numero della condizione di carico elementare
Comm. =Commento
Tipo CCE =Tipo di CCE per calcolo agli stati limite
Sic. =Contributo alla sicurezza
F = a favore
S = a sfavore
A = ambigua
Var. =Tipo di variabilità
B = di base
I = indipendente
A = ambigua
Dir. =Direzione del vento
Tipo =Tipologia di pressione vento
M = Massimizzata
E = Esterna
I = Interna
Mx =Moltiplicatore della massa in dir. X
My =Moltiplicatore della massa in dir. Y
Mz =Moltiplicatore della massa in dir. Z
Jpx =Moltiplicatore del momento d'inerzia intorno all'asse X
Jpy =Moltiplicatore del momento d'inerzia intorno all'asse Y
Jpz =Moltiplicatore del momento d'inerzia intorno all'asse Z

CCE	Comm.	Tipo CCE	Sic.	Var.	Dir. <grad>	Tipo	Mx	My	Mz	Jpx	Jpy	Jpz
1	permanente strutturale	1	S	--	--	--	1.00	1.00	0.00	0.00	0.00	1.00
2	permanente non strutturale	2	S	--	--	--	1.00	1.00	0.00	0.00	0.00	1.00
3	neve	12	S	A	--	--	1.00	1.00	0.00	0.00	0.00	1.00
4	folla	5	S	A	--	--	1.00	1.00	0.00	0.00	0.00	1.00

Elenco tipi CCE definiti

Simbologia
Tipo =Tipo condizione di carico elementare

CCE
Comm. =Commento
Tipo =Tipologia
G = Permanente
Qv = Variabile vento
Q = Variabile
I = Da ignorare
A = Azione eccezionale
P = Precompressione
Durata =Durata del carico
N = Non definita
P = Permanente
L = Lunga
M = Media
B = Breve
I = Istantanea
γ min. =Coeff. $\gamma_{min.}$
γ max =Coeff. γ_{max}
ψ_0 =Coeff. ψ_0
ψ_1 =Coeff. ψ_1
ψ_2 =Coeff. ψ_2
$\psi_{0,s}$ =Coeff. ψ_0 sismico (D.M. 96)

Tipo CCE	Comm.	Tipo	Durata	γ min.	γ max	ψ_0	ψ_1	ψ_2	$\psi_{0,s}$
1	D.M. 18 Permanenti strutturali	G	P	1.00	1.30				
2	D.M. 18 Permanenti non strutturali	G	L	0.80	1.50				
12	D.M. 18 Variabili Neve (a quota <= 1000 m s.l.m.)	Q	M	0.00	1.50	0.50	0.20	0.00	0.00
5	D.M. 18 Variabili Categoria C - Ambienti suscettibili di affollamento	Q	M	0.00	1.50	0.70	0.70	0.60	0.00

Elenco masse nodi

Simbologia
Nodo =Numero del nodo
Mx =Massa traslazionale in dir. X
My =Massa traslazionale in dir. Y

Nodo	Mx <kg>	My <kg>	Nodo	Mx <kg>	My <kg>	Nodo	Mx <kg>	My <kg>	Nodo	Mx <kg>	My <kg>	Nodo	Mx <kg>	My <kg>	Nodo	Mx <kg>	My <kg>
101	29.42	0.00	102	56.84	56.84	103	55.02	55.02	104	55.02	55.02	105	55.02	55.02	106	55.02	55.02
107	55.02	55.02	108	55.02	55.02	109	55.02	55.02	110	55.02	55.02	111	55.02	55.02	112	55.02	55.02
113	55.02	55.02	114	55.02	55.02	115	55.02	55.02	116	55.02	55.02	117	56.84	56.84	118	29.42	0.00

Totali masse nodi

Mx <kg>	My <kg>
942.74	883.90

Materiali
Acciaio

Elenco dei criteri di progetto e delle loro principali caratteristiche meccaniche utilizzate:
Aste in acciaio: 1

Tipo di acciaio a sezione cava: S275 UNI EN 10025-2
Tensione caratteristica di snervamento dell'acciaio (Fyk) <daN/cmq>: 2750.00
Tensione caratteristica di rottura (Fyt) <daN/cmq>: 4300.00
Modulo elastico (E) <daN/cmq>: 2100000.00
Modulo elastico tangenziale (G) <daN/cmq>: 800000.00

Collegamenti e reticolari in acciaio

Elenco dei criteri di progetto e delle loro principali caratteristiche meccaniche utilizzate:
Nodi in acciaio: 2 Flangie di elevazione

Classe bulloni: 6.8
Classe Saldature: SECONDA

Minimo coefficiente di sicurezza

Simbologia

Elem. =Elemento
CC =Numero della combinazione delle condizioni di carico elementari
TCC =Tipo di combinazione di carico
SLU = Stato limite ultimo
SLU S = Stato limite ultimo (azione sismica)
SLE R = Stato limite d'esercizio, combinazione rara
SLE F = Stato limite d'esercizio, combinazione frequente
SLE Q = Stato limite d'esercizio, combinazione quasi permanente
SLD = Stato limite di danno
SLV = Stato limite di salvaguardia della vita
SLC = Stato limite di prevenzione del collasso
SLO = Stato limite di operatività
SLU I = Stato limite di resistenza al fuoco
SND = Stato limite di salvaguardia della vita (non dissipativo)
TV =Tipo di verifica
PRFL = Flessione e pressoflessione
TAG = Taglio o altre rotture fragili
NOD = Nodi in c.a. e collegamenti in acciaio
STAB = Stabilità
CP = Capacità portante
RNP = Resistenza nel piano
RFP = Resistenza fuori piano
CIN = Cinematismi
CON = Connessioni
Sic. =Sicurezza

Tabella elementi e minimo coefficiente di sicurezza

Elem.	CC	TCC	TV	Sic.
Asta in acciaio n. 2	1	SLU	PRFL	1.03
Asta in acciaio n. 2	1	SLU	TAG	1.03
Asta in acciaio n. 301	1	SLU	STAB	1.06

Minimo coefficiente di sicurezza:1.03